MARTIN-LUTHER-UNIVERSITÄT HALLE-WITTENBERG

Genomvergleich und Effektorcharakterisierung von *Rhynchosporium commune*

DISSERTATION

zur Erlangung des
akademischen Grades *doctor rerum naturalium* (Dr. rer. nat.)

NATURWISSENSCHAFTLICHE FAKULTÄT I
- BIOWISSENSCHAFTEN -
MARTIN-LUTHER-UNIVERSITÄT HALLE-WITTENBERG

vorgelegt von Daniel Penselin
geb. am 14.05.1984 in Quedlinburg

Gutachter
1. Prof. Dr. Dierk Scheel
2. Prof. Dr. Paul Tudzynski
3. Prof. Dr. Gary Sawers

Verteidigungsdatum
28.09.2016

Wenn du sprichst, dann wiederholst du nur, was du schon weißt.
Aber wenn du zuhörst, lernst du vielleicht etwas Neues.

Dalai Lama

Besondere Hinweise:

Gesetzlich geschützte Warenzeichen werden ohne besondere Kennzeichnung verwendet.

Inhaltsverzeichnis

Abbildungsverzeichnis IV

Tabellenverzeichnis VI

Abkürzungsverzeichnis VII

1. Einleitung 1

1.1 Interaktion von Pilzen und Pflanzen 1

1.1.1 Interaktionstypen 2

1.1.2 Ernährungstypen 2

1.2 Interaktion pathogener Pilze mit Pflanzen - Molekulare Grundlagen 3

1.2.1 Aktive Penetration 3

1.2.2 Pflanzliche Abwehr 5

1.2.3 Effektoren phytopathogener Pilze 7

1.2.4 Evolution von Pathosystemen 8

1.3 *Rhynchosporium*: Lebenszyklus und Wirtskolonisierung 10

1.3.1 Ökonomische Bedeutung 10

1.3.2 Lebensweise und Verbreitung 12

1.3.3 Evolutionäres Modell der Gattung *Rhynchosporium* 14

1.4 Effektoren von *Rhynchosporium* 15

1.5 Zielsetzung 17

2. Material und Methoden 19

2.1 Arbeiten mit Pflanze und Pathogen 19

2.1.1 Anzucht von Gersten- und Roggenpflanzen 19

2.1.2 Inokulation der Pflanzen 19

2.1.3 Dokumentation der pilzlichen Infektion 20

2.1.4 Trypanblau-Färbung 20

2.1.5 Fluoreszenzmessung in Flüssigkultur 21

2.1.6 Pilzisolate und Wachstumsbedingungen 21

2.1.7 Reisolierung der Pilzisolate 22

2.1.8 Transformation von *Rhynchosporium* 23

2.1.9 Dauerkulturen von *Rhynchosporium* 24

2.2 Arbeiten mit Bakterien 25

2.2.1 Kultivierung von *Escherichia coli* ... 25
2.2.2 Glycerin-Dauerkulturen ... 25
2.2.3 Chemisch kompetente Zellen ... 25
2.3 Molekularbiologische Techniken ... 27
2.3.1 Mörsern von Pilz- und Pflanzenmaterial ... 27
2.3.2 DNA-Isolierung und -Sequenzierung ... 27
2.3.3 Polymerase-Kettenreaktion ... 29
2.3.4 *Double-joint* PCR ... 30
2.3.5 DNA-Gelelektrophorese ... 31
2.3.6 RNA-Isolierung ... 32
2.3.7 cDNA-Synthese ... 32
2.3.8 Quantitative Echtzeit-PCR zur Bestimmung der relativen Expression ... 33
2.3.9 Arbeiten mit Proteinen ... 35
2.3.10 Stilllegung der Gentranskription ... 38
2.4 Genomsequenzierung ... 40
2.4.1 Phylogenetische Einordnung der Gattung *Rhynchosporium* ... 41
3. Ergebnisse ... 43
3.1 Genome der *Rhynchosporium*-Arten ... 43
3.2 Phylogenetische Untersuchungen ... 45
3.2.1 Einordnung und phylogenetische Struktur der Gattung *Rhynchosporium* ... 45
3.2.2 rDNA-Struktur der Gattung *Rhynchosporium* ... 48
3.3 Die *NIP2*-Genfamilie ... 50
3.3.1 Vorkommen und Phylogenie von *NIP2*-Homologen ... 51
3.3.2 NIP2-Struktur ... 54
3.3.3 NIP2-Sekretion ... 57
3.3.4 Expressionsanalyse der *NIP*-Gene ... 59
3.3.5 Promotoranalyse *in silico* ... 63
3.4 Funktionelle Charakterisierung: *NIP2*-Stilllegung ... 63
3.4.1 Konstruktion des Vektors pFUNGATE ... 64
3.4.2 Transformation und Nachweis der Integration der Stilllegungskassette ... 66
3.4.3 *Proof-of-Principle* (Machbarkeits-Analyse): *eGFP*-Stilllegung ... 67
3.4.4 Stilllegung der *NIP2*-Genfamilie ... 70

3.5 Artspezifische Effektoren 75
3.5.1 Identifizierung in *Rhynchosporium commune* 75
3.5.2 Funktionelle Charakterisierung: Expression und Deletion 76
3.5.3 Expression von Effektorgenen in *Rhynchosporium secalis* 80
3.6 Artspezifische Genomregionen 81
3.7 *Rhynchosporium*-Proteom 82
3.7.1 Identifizierung eines Sporen-Markerproteins 84
4. Diskussion 87
4.1 Das *Rhynchosporium*-Genom 87
4.2 *Rhynchosporium*-Phylogenie und die Frage der Sexualität 89
4.2.1 Pilz-Phylogenie und Wirtssystematik 91
4.3 Virulenzfaktoren von *Rhynchosporium commune*: die NIP 93
4.3.1 *NIP2*-Genfamilie 93
4.3.2 Phylogenie der NIP-Effektoren 94
4.3.3 Funktionelle Analysen der NIP-Effektoren 96
4.3.4 Struktur der NIP2-Effektoren 100
4.3.5 Stilllegung der *NIP2*-Transkription 102
4.4 Grundlagen der Wirtsspezifität von *Rhynchosporium commune* 106
4.4.1 Artspezifische Effektoren 107
4.4.2 Artspezifische Genomregionen 109
4.5 *Rhynchosporium*-Proteom 110
4.5.1 Identifizierung eines Sporen-Markerproteins 111
4.6 Verbreitung und Lebensweise von *Rhynchosporium* 113
4.7 Zusammenfassung 118
Literaturverzeichnis 119
Anhang – Abbildungen 141
Anhang – Tabellen 177
Eidesstattliche Erklärung 187
Lebenslauf 188
Publikationsliste 189

Abbildungsverzeichnis

Abbildung 1.1 Zickzack-Modell der pflanzlichen Immunantwort 6
Abbildung 1.2 Vorhersage der Gersten- und Roggenernte der Hauptproduzenten ... 11
Abbildung 1.3 *Rhynchosporium* auf Gerste 12
Abbildung 1.4 Lebenszyklus von *R. commune* auf Gerste 13
Abbildung 2.1 rDNA-Sequenzierung 28
Abbildung 2.2 Fusionskonstrukt für die Stilllegung der *NIP2*-Genfamilie 31
Abbildung 2.3 Überprüfung von cDNA-Synthese und gDNA-Kontamination 33
Abbildung 3.1 Phylogenie der *Leotiomycetes* 46
Abbildung 3.2 Einordnung der Gattung *Rhynchosporium* in die Pilz-Systematik 47
Abbildung 3.3 rDNA-Struktur in *Rhynchosporium* 48
Abbildung 3.4 Phylogenie der Nekrosen-induzierenden Proteine 52
Abbildung 3.5 Pseudogenmodell von *NIP2.5* im *R.-commune*-Isolat UK7 53
Abbildung 3.6 Sekundärstrukturvorhersagen der NIP2-Homologen 54
Abbildung 3.7 CRS-Motiv der NIP2-Homologen 56
Abbildung 3.8 Analyse der NIP2-Sekretion und -Expression in Protoplasten 58
Abbildung 3.9 Quantifizierung der pilzlichen Biomasse und Expressionsprofile des *R.-commune*-Isolates UK7 60
Abbildung 3.10 Expression der *NIP*-Gene in der *NIP2.1*-Deletionsmutante 62
Abbildung 3.11 Vektorkarte und Konstruktionsschema des pFUNGATE-Plasmides 65
Abbildung 3.12 Stilllegungssequenzen 66
Abbildung 3.13 *eGFP*-Expression in der Stilllegungsmutante 68
Abbildung 3.14 Mikroskopische Aufnahmen von keimenden *R.-commune*-Sporen 69
Abbildung 3.15 Relative Biomasse der pFGNIP-Mutanten 71
Abbildung 3.16 Expression der *NIP2*-Homologen in den pFGNIP-Mutanten 74
Abbildung 3.17 Identifizierung artspezifischer Effektoren in *R. commune* 76
Abbildung 3.18 Pilzquantifizierung und relative Expression der Effektorkandidaten ... 78
Abbildung 3.19 Proteinzusammensetzung von *R. commune* 83
Abbildung 3.20 Expression des Sporenmarkers *RCO7_05588* 86
Abbildung 4.1 Evolution von *Rhynchosporium* und dessen Wirtspflanzen 92
Abbildung 4.2 Expressionsprofile von *PFP1* und *RXP1* 98

Abbildung A 1 Phylogenetische Einordnung der Gattung *Rhynchosporium* in die Klasse der *Leotiomycetes* mittels PhyML 3.0 141
Abbildung A 2 Einordnung der Gattung *Rhynchosporium* mittels PhyML 3.0 142
Abbildung A 3 Mikroskopische Aufnahmen *in planta* der Doppeldeletionsmutante von *NIP1* und *NIP2.1* 143
Abbildung A 4 Sequenzvergleich der NIP2-Homologen mit NLPs 144
Abbildung A 5 Myzelentwicklung der *NIP2* Überexpressionsmutanten 145
Abbildung A 6 Alignment der stromaufwärts gelegenen Sequenzen der *NIP2*-Homologen des *R.-commune*-Isolates UK7 147
Abbildung A 7 Rekombinante Integration von pFUNGATE 148
Abbildung A 8 Sequenzvergleich von *NIP2.6* mit der Stilllegungssequenz der *NIP2*-Genfamilie für pFUNGATE 148
Abbildung A 9 Relative Stilllegung von eGFP 149
Abbildung A 10 Aufnahmen der eGFP-Fluoreszenz bei nicht in der *eGFP*-Expression stillgelegten Mutanten 150
Abbildung A 11 Symptome der pFGGFP-Mutanten auf Gerste 152
Abbildung A 12 PCR Nachweis der *R. commune* Mutanten des Isolates UK7 153
Abbildung A 13 Relative Biomasse der pFGNIP-Mutanten 154
Abbildung A 14 Symptome der pFGNIP-Mutanten auf Gerste im Vorversuch 156
Abbildung A 15 Symptome der pFGNIP-Mutanten auf Gerste 162
Abbildung A 16 Effektoridentifizierung in *R. commune* 163
Abbildung A 17 Relative Expression der Effektorkandidaten 164
Abbildung A 18 Fragmente für die Transformation mit geteilter Resistenzkassette 165
Abbildung A 19 Fluoreszenz in *R. secalis* 166
Abbildung A 20 Symptome der *R.-secalis*-Transformante 167
Abbildung A 21 mCherry-Fluoreszenz in *R. secalis* 168
Abbildung A 22 Genmodelle der artspezifischen *scaffolds* 169
Abbildung A 23 Schematische Darstellung von *scaffold00518* 169
Abbildung A 24 Symptome der Interaktion von *R. commune* und Gerste 171
Abbildung A 25 Anzahl valider Sporen-exklusiver Proteine 172
Abbildung A 26 Expression Sporen-exklusiver Gene 173
Abbildung A 27 Domänenstruktur des Sporenmarkers *RCO7_05588* 174
Abbildung A 28 Symptome der PKS1, PME1 und RXP1 Deletionsmutanten 176

Tabellenverzeichnis

Tabelle 2.1 Zusammensetzung FRIES-Medium 22
Tabelle 2.2 Lösungen für die Transformation von *Rhynchosporium* 23
Tabelle 2.3 Zusammensetzung LB-Medium 25
Tabelle 2.4 Transformationspuffer *E. coli* 26
Tabelle 2.5 Extraktionspuffer zur Isolierung von gDNA 28
Tabelle 2.6 Lösungen zur Vorbereitung für die MS-Analyse 36
Tabelle 3.1 Übersicht der *Rhynchosporium*-Genome 43
Tabelle 3.2 Vorhersage von Disulfidbrücken 55
Tabelle 3.3 Vorhergesagte Sekretion der NIP2-Homologen 57

Tabelle A 1 Verwendete Oligonukleotide 177
Tabelle A 2 Genloci aller NIP inklusive Homologe 181
Tabelle A 3 Bezeichnung der Gene und interne Nummerierung in genutzten Taxa 183
Tabelle A 4 Artspezifische *scaffolds* und Genmodelle 184
Tabelle A 5 Zehn beste Treffer als putative Sporenmarker 184
Tabelle A 6 Verwendete Genmodelle 184

Abkürzungsverzeichnis

%	Prozent
% (v/v)	Volumenprozent
% (w/v)	Gewichtsprozent
°C	Grad Celsius
µ	Mikro
2-ME	2-Mercaptoethanol
6a.1	*R. secalis* (Schweizer Isolat 02CH4-6a.1)
A	Anzahl der Kleinstquadrate in einem Großquadrat (Fuchs-Rosenthal-Kammer; Carl Roth GmbH, Karlsruhe)
AA	*Amino acid* (von engl. Aminosäure)
APH	Aminoglykosid 3´-Phosphotransferase
ATP	Adenosintriphosphat
att	*Attachment site* (von engl. Anlagerungsstelle)
Avr	Avirulenz
Bär	*R. orthosporum* (Schweizer Isolat 04CH-Bär-A.1.1.3)
BBCH	Biologische Bundesanstalt, Bundessortenamt und CHemische Industrie
BCG	*Beaked conidia group* (von engl. Gruppe von Nasen-förmigen Konidiosporen)
biol. rep.	Biologische Replikate
BLAST	*Basic Local Alignment Search Tool* (von engl. grundlegendes lokales Suchwerkzeug für eine Ausrichtung)
BLASTN	BLAST-Analyse auf Nukleotidebene
BLASTP	BLAST-Analyse auf Aminosäureebene
ble	Phleomycin-D1-Resistenzgenkassette
bp	Basenpaar
BSA	*Bovine serum albumin* (von engl. Rinderserumalbumin)
c	Konzentration
CCD	*Conserved domain database* (von engl. Datenbank konservierter Domänen)
ccdB	*Control of cell death B* (von engl. Kontrolle des Zelltodes)
CCG	*Cylindrical conidia group* (von engl. Gruppe von zylindrischen Konidiosporen)
cDNA	*Complementary* DNA (von engl. komplementäre Desoxyribonukleinsäure)
CDS	*Coding sequence* (von engl. kodierender Bereich)
CEGMA	*Core Eukaryotic Genes Mapping Approach* (von engl. Versuch der Angleichung eukaryotischer Kerngene)
cm	Zentimeter
Cq	*Cycle of quantification* (von engl. Quantifizierungszyklus)
CRS	Aminosäuresequenz Cystein-Arginin-Serin
cv.	Cultivar (von engl. Sorte)
Cys	Cysteingehalt
d	*Days* (von engl. Tage)
Da	Dalton
DAMP	*Damage-associated molecular pattern* (von engl. Schaden-assoziiertes molekulares Muster)

DMF	N,N-Dimethylformamid
DNA	*Deoxyribonucleic acid* (von engl. Desoxyribonukleinsäure)
DNase	Desoxyribonuklease
dpi	*Days post inoculation* (von engl. Tage nach Inokulation)
DTT	Dithiothreitol
EDTA	Ethylendiamintetraessigsäure
EF1a	Elongationsfaktor 1 Alpha
eGFP	*Enhanced green fluorescent protein* (von engl. verbessertes grün fluoreszierendes Protein)
Epc-N	*Enhancer of Polycomb-N-terminus* (von engl. Verstärker des Polycomb-N-Terminus)
et al.	Von lat. und andere
ETD	*Effector-triggered defense* (von engl. Effektor-vermittelte Abwehr)
ETI	*Effector-triggered immunitiy* (von engl. Effektor-vermittelte Immunität)
ETS	*Effector-triggered susceptibility* (von engl. Effektor-vermittelte Suszeptibilität)
f. sp.	*Forma specialis*
FDR	*False Discovery Rate*
FL	Fluoreszenz
FRIES	Nährmedium für Pilze (Nils Fries, 1938)
g	Gramm
GABI	Genomanalyse im biologischen System Pflanze
GBrowse	*Generic Genome Browser*
gDNA	Genomische DNA
GPD (gpdA)	Glycerin-3-Phosphat-Dehydrogenase
GUS	β-Glucuronidase
h	Stunde
HF	Hellfeld
hph	Hygromycin-B-Resistenzgenkassette
HR	*Hypersensitive response* (von engl. Hypersensitive Reaktion)
IAA	Iodacetamid
ID	Identifikationsnummer
ITS	*Internal transcribed spacer* (von engl. interner transkribierter Abstandshalter)
kan	Kanamycin-Resistenzgenkassette
kb	Kilo-Basenpaar
L	Liter
LB	*Lysogeny broth* (von engl. lysogene Brühe)
LIMBO	Limabohnen
LogL	*Log likelihood* (von engl. logarithmische Ähnlichkeit)
LRR	*Leucine-rich repeat* (von engl. Leucin-reiche Wiederholung)
LysB	Lysozym B
LysM	*Lysine motif* (von engl. Lysin-Motiv)
M	Molar
mA	Milliampere
MAMP	*Microbe-associated molecular pattern* (von engl. Mikroorganismus-

	assoziiertes molekulares Muster
Mb	Mega-Basenpaar
mg	Milligramm
min	Minuten
mL	Milliliter
mm	Millimeter
mM	Millimolar
MS	Massenspektrometrie
Mt	Megatonne
n	Anzahl unabhängiger, biologischer Replikate
N	Newton
NCBI	*National Center for Biotechnology Information* (von engl. nationales Zentrum für Informationen zur Biotechnologie)
NIP	*Necrosis inducing protein* (von engl. Nekrose-induzierendes Protein)
NLP	*NIP2 like protein* (von engl. NIP2-ähnliches Protein)
nm	Nanometer
NmrA	Negativer Regulator der Transkription, involviert in die post-translationale Modifikation des Transkriptionsfaktors AreA
Nr.	Nummer
Ø	Durchmesser
OrthoMCL	*Markov cluster algorithm for orthologous protein sequences* (von engl. Markov- Algorithmus für die Gruppierung von orthologen Proteinsequenzen)
oSP	Ohne Signalpeptid (Sekretionssignal)
p	*Probability value* (von engl. Überschreitungswahrscheinlichkeit)
PAMP	*Pathogen-associated molecular pattern* (von engl. Pathogen-assoziiertes molekulares Muster)
PCI	Roti®-Phenol/Chloroform/Isoamylalkohol (Verhältnis 25:24:1, pH 7,5-8,0)
PCR	*Polymerase chain reaction* (von engl. Polymerase-Kettenreaktion)
PDB	*Protein Data Bank* (von engl. Proteindatenbank)
pFG	pFUNGATE
PFP1	*Putative function in pathogenicity 1* (von engl. Putative Funktion in der Pathogenese 1)
pH	*Potentia Hydrogenii* (von neulat. Kraft des Wasserstoffs)
PIPES	Piperazin-N,N'-bis-(2-ethansulfonsäure)
PKS1	Polyketidsynthase 1
PME	Pektin-Methylesterase
ppm	*Parts per million* (von engl. Teile von einer Million)
PR	*Pathogenesis-related* (von engl. Pathogenese-bezogen)
PRR	*Pattern recognition receptors* (von engl. Muster-erkennender Rezeptor)
PSM	*Peptide-spectrum match* (von engl. Treffer für theoretisches versus gemessenes Peptidspektrum)
PTI	*PAMP-triggered immunity* (von engl. PAMP-vermittelte Immunität)
PVP	Polyvinylpyrrolidon K 25
qPCR	Quantitative PCR
qRT-PCR	reverse Transkription mit nachfolgender qPCR
R	Resistenz

R.	*Rhynchosporium*
RAC	*R. agropyri* (Schweizer Isolat 04CH-RAC-A.6.1)
RAPD	*Random amplification of polymorphic DNA* (von engl. zufällige Amplifikation von polymorpher DNA)
RC	*Reliability class* (von engl. Verlässlichkeitsklasse)
Rc, Rs, Ra, Ro, Rl	*Rhynchosporium commune, Rhynchosporium secalis, Rhynchosporium agropyri, Rhynchosporium orthosporum, Rhynchosporium lolii*
rcf	*Relative centrifugal force* (von engl. relative Zentrifugalkraft)
rDNA	*Ribosomal DNA* (von engl. ribosomale Desoxyribonukleinsäure)
Rel.	Relativ
REN	Restriktionsendonuklease
rep	*Repetitive-sequence-based* (von engl. basierend auf repetitiven Sequenzen)
RFLP	*Restriction fragment length polymorphism* (von engl. Restriktionsfragmentlängenpolymorphismus)
RNA	*Ribonucleic acid* (von engl. Ribonukleinsäure)
RNase	Ribonuklease
RPB	RNA-Polymerase II Untereinheit
rpm	*Revolutions per minute* (von engl. Umdrehungen pro Minute)
RT	Reverse Transkriptase
RU	*Relative unit* (von engl. relative Einheit)
RXP1	*Rhynchosporium*-RXLR-Protein 1 (RXLR: Aminosäuresequenz Arginin-beliebige Aminosäure-Leucin-Arginin)
S	Sedimentationskoeffizient Svedberg
SAR	*Systemic acquired resistance* (von engl. systemisch erworbene Resistenz)
SCPCH	S*ingle Copy Protein-Coding Homologs* (von engl. Homologe von Protein-kodierenden Einzelgenen)
SDR	*Short-chain dehydrogenase/reductase* (von engl. kurzkettige Dehydrogenase/Reduktase)
SDS	*Sodium dodecyl sulfate* (von engl. Natriumlaurylsulfat)
sec	Sekunde
seq.	Sequenz
siRNA	*Small interfering* RNA (von engl. kleine eingreifende RNA)
SNP	*Single nucleotide polymorphism* (von engl. einzelne Sequenzunterschiede)
SOB	*Super Optimal Broth* (von engl. superoptimale Brühe)
spec.	*Species* (von engl. Spezies)
TAE	TRIS-Acetat-EDTA
TCA	*Trichloroacetic acid* (von engl. Trichloressigsäure)
TMHMM	Vorhersagemethode für Membranproteine basierend auf einem *hidden*-Markov-Modell (TMH)
ToxA	Toxin A
Tris	Tris(hydroxymethyl)-aminomethan
trpC	*Transient receptor potential cation channels* (von engl. transiente Rezeptorpotentialkanäle für Kationen)
TSP	*Trypsin-like serine protease* (von engl. Trypsin-ähnliche Serin-Protease)
tubA	Tubulin alpha-1
TxRed	*Texas Red* (roter Rhodamin-Fluoreszenzfarbstoff)
UniProt	*Universal protein resource* (von engl. universale Ressource für Proteine)

unveröff	Unveröffentlicht
UTR	*Untranslated region* (von engl. untranslatierter Bereich)
V	Volt
v.	Version
VF	Verdünnungsfaktor
Vol	Volumen
X-Gluc	Cyclohexylammoniumsalz der 5-Brom-4-Chlor-3-Indolyl-β-D-Glucuronsäure
Z	Zellzahl
β	Beta
Δ	Deletion

1. Einleitung

Für die Bevölkerung von Industrienationen ist es selbstverständlich geworden, dass ihr ‚täglich Brot' einfach und bequem erhältlich ist. Ebenso wird die Verfügbarkeit vieler weiterer Produkte, direkt oder indirekt verbunden mit der Herstellung von Grundnahrungsmitteln oder der Tierfutterproduktion, als gegeben angenommen. Selten wird die Frage gestellt, wie Rohstoffe und Ressourcen erwirtschaftet werden. Neben technischen und ökonomischen Herausforderungen sind vor allem auch biologische Fragestellungen zu klären. Welche Nutzpflanzenarten wachsen am ertragreichsten auf dem zur Verfügung stehenden Boden? Welche Düngemenge muss gewählt werden? Welcher Pflanzenschutz wird gegen Fressfeinde und bakterielle oder pilzliche Krankheitserreger benötigt?

Die Beantwortung der letzten Frage steht besonders im Fokus der Forschung von Phytopathologen. Das in diesem Bereich erworbene grundlegende Verständnis der Lebensweise dieser Pathogene ist von zentraler Bedeutung zur Entwicklung eines geeigneten Pflanzenschutzes. Dabei zielt speziell das Verständnis der Kommunikation zwischen Krankheitserreger und Wirt auf eine gerichtete Beeinflussung ihrer Interaktion. Das komplexe Wechselspiel zwischen Wirt und Pathogen kann vereinfacht als evolutionärer Wettlauf verstanden werden, bei dem ein Interaktionspartner lediglich für einen gewissen Zeitraum einen Vorsprung vor dem anderen hat. Es unterscheiden sich resistente und suszeptible Pflanzen oft nur in wenigen Merkmalen, die allerdings entscheidend für eine erfolgreiche Abwehr des Pathogens sind. Auf der anderen Seite besitzen Pathogene verschiedene Faktoren, die ein Überwinden der Resistenz zugehöriger Wirte ermöglichen.

Die Analyse der veränderten Metabolismen beider Partner im Verlauf der Pathogen-Wirt-Interaktion und der Art und Weise der Freisetzung von Nährstoffen durch das Pathogen ist von großer Bedeutung für die weitere Entwicklung des Pflanzenschutzes im Hinblick auf passende Bekämpfungsstrategien.

1.1 Interaktion von Pilzen und Pflanzen

Während der Entwicklung des Lebens in einem flüssigen Milieu bildete die Symbiose zwischen phototrophen Organismen, den prokaryotischen Algen, und Pilzen ähnlich den heutigen Flechten den Beginn der Besiedelung der Landmassen (Read *et al.*, 2000; Brundrett, 2002; van der Heijden *et al.*, 2015). Dafür spricht unter anderem die Möglichkeit von etwa 90% aller heute lebenden Landpflanzen eine solche Symbiose

(Mykorrhiza) einzugehen (Wang & Qiu, 2006). Der Pilz stellt beispielsweise Nährstoffe wie Stickstoff- und Phosphorverbindungen zur Verfügung und erhält im Gegenzug photosynthetisch fixierten Kohlenstoff (Ahmed *et al.*, 2012; Plett & Martin, 2015). Aus dieser ursprünglichen Verbindung entwickelten sich im Lauf der Evolution mannigfaltige Formen der Interaktion beider Partner, welche sich vom Mutualismus bis zum Parasitismus erstrecken.

1.1.1 Interaktionstypen

Da Pilze als eukaryotische Mikroorganismen mit einer heterotrophen Lebensweise organisches Material als Nahrung benötigen, ist die Mobilisierung und Aufnahme von Nährstoffen ein essentieller Bestandteil der Interaktion mit den Wirtspflanzen. Ein Großteil der Pilzarten ernährt sich dabei auf saprophytische Weise (Knogge, 1998). Neben der Verwertung von totem organischem Substrat ist ein kleiner Teil der Pilze in der Lage, andere Organismen wie Pflanzen zum Zweck der Nährstoffaufnahme zu besiedeln und sie dabei zu modifizieren bzw. zu töten. Die sogenannten phytopathogenen Pilze, wie im Beispiel der Rostpilze (*Pucciniales*), parasitieren hierbei die Wirtspflanzen, während Mutualisten der Pflanze nutzen (Li *et al.*, 2006). Beispielsweise bildet der Zweifarbige Lacktrichterling (*Laccaria bicolor*), dessen Genom bereits vollständig bekannt ist, eine Ektomykorrhiza-Symbiose mit verschiedenen Nadelbäumen. Weiterhin sind endophytisch lebende Pilze der Gattung *Epichloë* bekannt, die eine Art ausbalancierte antagonistische Interaktion mit den Wirtspflanzen (Gräser) eingehen. Die hier auftretenden positiven bzw. negativen Effekte auf den Wirt hängen von den Umweltbedingungen ab (K. Saikkonen *et al.*, 1998; Schulz *et al.*, 1999; Eaton *et al.*, 2011).

1.1.2 Ernährungstypen

Die Pathogene lassen sich in Typen unterteilen (Divon & Fluhr, 2007), die sich in der Art und Weise der Akquise der benötigten organischen Verbindungen unterscheiden. Ein Extrem der Nahrungsbeschaffung ist die biotrophe Ernährung von Pathogenen wie beispielsweise Echtem Mehltau oder Rostpilzen. Sie sind auf lebende Zellen für ihre Entwicklung angewiesen und bilden spezifische Infektionsstrukturen (Haustorien) aus, welche die Kommunikation und die Nährstoffaufnahme ermöglichen (Mendgen & Hahn, 2002). Diese Infektionsstrukturen bedingen dabei eine starke Spezialisierung auf die Wirtspflanze. Einige dieser biotrophen Pilze wie Brandpilze (*Ustilaginales*) und *C. purpurea* können kultiviert werden. Das andere Extrem in der Ernährung stellen

nekrotrophe Pathogene dar, die das Wirtsgewebe abtöten und sich ausschließlich vom freigesetzten organischen Material ernähren (Lewis, 1973). Zu den Vertretern dieser Pilze zählen beispielsweise Erreger der Rapsschwärze und Fusarienarten. Im Kontinuum zwischen diesen Ernährungsformen finden sich hemibiotrophe Pilze, welche die Pflanze nicht direkt nach erfolgreicher Infektion abtöten, sondern meist erst nach einiger Zeit des endophytischen Wachstums zu einer nekrotrophen Ernährungsform übergehen (Perfect & Green, 2001). Zu ihnen zählen unter anderem die Erreger des Reisbrands (*Magnaporthe grisea*), der Anthraknose auf Süßgräsern (*Colletotrichum graminicola*) und der *Rhynchosporium*-Blattfleckenkrankheit auf Gerste (*Rhynchosporium commune*).

1.2 Interaktion pathogener Pilze mit Pflanzen - Molekulare Grundlagen

1.2.1 Aktive Penetration

Um eine erfolgreiche Infektion zu etablieren, die letztendlich zur Vervollständigung des Lebenszyklus führt, müssen Phytopathogene die äußeren pflanzlichen Barrieren überwinden. Dabei stellt die hydrophobe Kutikula ein strukturelles bzw. physisches Hindernis dar (Müller & Riederer, 2005; Bresinsky *et al.*, 2008). Bei einigen pilzlichen Arten wie *Cercospora zeae-maydis*, dem Erreger der *Cercospora*-Blattfleckenkrankheit auf Mais, ist jedoch keine Penetration der Kutikula nötig. Die Hyphen dieses Erregers können direkt durch die Spaltöffnungen eindringen. Auch Wundöffnungen und Hydathoden dienen vor allem prokaryotischen Pathogenen als Eintrittsöffnungen ohne die Notwendigkeit aktiver Penetration (Ichinose *et al.*, 2013). Aktiv kann die Penetration chemisch-enzymatisch und bei manchen Organismen physikalisch-mechanisch erfolgen. Einige Pilze sind in der Lage über einen osmotischen Druckgradienten in einem sogenannten Apressorium (Haftscheibe) den Wirt mechanisch zu penetrieren (Howard *et al.*, 1991; Howard & Valent, 1996). Mit dem Druck, der sich in Richtung Kutikula entlädt, und dem Apressorium als Widerlager ist die penetrierende Hyphe in der Lage mechanisch durch die Kutikula bis zur Epidermis vorzudringen. Für *Colletotrichum graminicola* konnte hierbei ein enorm hoher Druck von durchschnittlich 16,8 µN gemessen werden (Deising *et al.*, 2000). Die chemisch-enzymatische Spaltung der Bestandteile der Kutikula mittels Cutinasen (Ettinger *et al.*, 1987) kann unterstützend zur mechanischen Penetration auftreten, aber auch allein zur aktiven Penetration genutzt werden. Die pflanzliche Antwort auf eine Penetration kann die Bildung einer Zellwandverdickung unmittelbar nach der Erkennung des Pathogens durch den Wirt sein. Mit der Ablagerung von Kallose im Bereich der Penetration wird eine weitere physische Barriere (Papille) gebildet, die es für das pilzliche Pathogen zu überwinden gilt (Maor & Shirasu, 2005). Neben Kallose bestehen solche Papillen auch

aus weiteren Polysacchariden, phenolischen Verbindungen wie Lignin, Proteinen und Intermediaten reaktiver Sauerstoffspezies (Assaad *et al.*, 2004).

Die aktive Penetration der Zellwand ist über den relativ unspezifischen Abbau durch sekretierte hydrolytische Enzyme möglich (Bary, 1886). In den Genomen phytopathogener Pilze liegen oft mehrere Kopien dieser Enzyme vor. Dabei konnte ein Zusammenhang zwischen verschieden Lebensphasen des Pathogens (Horbach *et al.*, 2011) und der Expression einzelner Enzyme hergestellt werden (Brunner *et al.*, 2013). Die hydrolytischen Enzyme der Pathogene könnten also nicht einfach nur redundant vorliegen, sondern haben vermutlich spezifische Funktionen. Ihre spezifische Expression könnte eine Anpassung an die Lebensbedingungen darstellen und damit zur Wirtsspezifität beitragen.

Ein erfolgreiches Pathogen kann nach der Penetration den pflanzlichen Metabolismus durch die Sekretion von wirtsspezifischen niedermolekularen Substanzen und Proteinen in den Apoplasten zu seinem Vorteil ändern und damit seinen Wirt parasitieren (Doehlemann *et al.*, 2008). Die Modifikation des Wirtes dient demnach der Unterdrückung der Abwehr und zur Bereitstellung von Nährstoffen ohne direkten physischen Kontakt der Zellen (Stacey & Keen, 2012). Für die Mobilisierung der organischen Substanzen werden somit extrazelluläre Faktoren, sogenannte Virulenzfaktoren oder Effektoren, benötigt. Diese tragen zur Kommunikation zwischen Wirtspflanze und Pilz bei (Rovenich *et al.*, 2014). Sie haben sich im Lauf der Evolution über die spezifische Anpassung an ein Wirtsspektrum für eine erfolgreiche Pathogenese entwickelt. Eine Erforschung dieser größtenteils unbekannten Faktoren ermöglicht die gezielte Züchtung von Resistenzen gegenüber phytopathogenen Pilzen. Solche Pilze sind in allen Teilen einer Pflanze nachgewiesen worden und können sich teilweise systemisch ausbreiten (Börner, 2009). Innerhalb bzw. auf der Pflanze lebende Organismen gelten als Pathogene, wenn sie eine Krankheit auf dem Wirt auslösen können und die Henle-Koch-Postulate erfüllen (Koch, 1912 (1884)). Phytopathogene Pilze sind als Erreger vieler seit Jahrhunderten bekannter Krankheiten an Nutzpflanzen wie Mutterkorn (*Claviceps purpurea*), Echter Mehltau (*Blumeria graminis*) oder Rapsschwärze (*Alternaria brassicae*) beschrieben worden.

Allerdings ist auch eine Anpassung des Metabolismus des Pathogens notwendig, um die verfügbaren Nährstoffe verwerten zu können. Es entsteht also eine „Kohlenhydrate und Proteine enthaltende Schnittstelle (…), welche einen Austausch von Signalen und Nährstoffen zwischen Pilz und Wirt erleichtert“ (Doehlemann *et al.*, 2008). Im Beispiel von hemibiotrophen bzw. biotrophen Pilzen ist dadurch ein unbehelligtes Wachstum innerhalb des pflanzlichen Wirts möglich. Eine stark spezialisierte Form dieser Schnittstellen bilden dabei die Haustorien biotropher Pilze, die eine Kommunikation und Nährstoffaufnahme über den interzellulären Raum zwischen pilzlicher und pflanzlicher Zellmembran ermöglichen.

1.2.2 Pflanzliche Abwehr

Pflanzen haben sich parasitären Mikroorganismen im Laufe ihrer Evolution angepasst. Sie weisen eine angeborene Immunität gegenüber den meisten Parasiten auf (Jones & Dangl, 2006). Es ist allerdings spezialisierten Pathogenen möglich die hochentwickelte Abwehr zu überwinden und Pflanzen zu besiedeln. Neben diesen Pathogenen existieren auch mutualistische Verbindungen, die eine pflanzliche Abwehr vermeiden bzw. unterdrücken können. Ein Beispiel hierfür ist die Möglichkeit der Landpflanzen mit Mykorrhiza-Pilzen in Interaktion zu treten (Wang & Qiu, 2006). Die Basisresistenz der Pflanzen (Nicht-Wirts-Resistenz) wird durch die aktive Erkennung von konservierten Molekülen ermöglicht, welche bei einem Großteil der heterotroph lebenden Mikroorganismen, nicht aber im Wirt, vorhanden sind (Mysore & Ryu, 2004). Diese Substrate der Erkennungsmaschinerie können typischerweise Pilzzellwandkomponenten wie Chitin und β-1,3-D-Glucan oder auch Zellmembrankomponenten wie Ergosterol sein (Klarzynski *et al.*, 2000; Eckardt, 2008; Weete *et al.*, 2010). Moleküle wie diese basalen Bestandteile von Mikroorganismen werden als *microbe-associated molecular pattern* (MAMPs, von engl. Mikroorganismus-assoziierte molekulare Muster) oder spezifisch *pathogen-associated molecular pattern* (PAMPs, von engl. Pathogen-assoziierte molekulare Muster) bezeichnet (Sanabria *et al.*, 2008). Solche Muster können durch sogenannte *pattern recognition receptors* (PRRs, von engl. Muster-erkennende Rezeptoren) erkannt werden (Ingle *et al.*, 2006; Jones & Dangl, 2006). Eine Erkennung führt zur sogenannten *PAMP-triggered immunity* (PTI, von engl. PAMP-vermittelte Immunität), der Basisresistenz der Pflanzen (Abbildung 1.1). Eine initiale Abwehrreaktion nach Erkennung von MAMPs kann wie im Beispiel des bakteriellen Pathogens *Pseudomonas syringae* die Schließung der natürlichen Eintrittsöffnungen (Stomata) sein (Zeng *et al.*, 2010). Ebenfalls kann am Infektionsort ein Eindringen putativer Pathogene durch die Ausbildung von Papillen verhindert werden (Maor & Shirasu, 2005). Die PRRs können auch der Erkennung von Zellschäden durch *damage-associated molecular pattern* (DAMPs, von engl. Schaden-assoziierte molekulare Muster) oder anderem zellulären Stress dienen und befinden sich meist in der Zellmembran (Kaczmarek *et al.*, 2013). Zusätzlich zur Abwehr parasitischer Mikroorganismen durch die physischen Barrieren der Rhizodermis, der hydrophoben Kutikula sowie des pflanzlichen Zytoskeletts (Kobayashi *et al.*, 1992; Kobayashi *et al.*, 1997; Reina-Pinto & Yephremov, 2009) können antimikrobiell wirkende Sekundärmetabolite wie beispielsweise das Saponin (Papadopoulou *et al.*, 1999) sezerniert werden. Darüber hinaus tragen sezernierte antimikrobielle Proteine (Kim *et al.*, 2009) zur passiven Basisresistenz bei. Die von invasiven Mikroorganismen genutzten degradierenden Enzyme können von Pflanzen durch Enzyminhibitoren in der Zellwand unwirksam gemacht werden. Diese Inhibitoren wirken exklusiv auf Enzyme, die nicht von der Pflanze selbst stammen (Lagaert *et al.*, 2009).

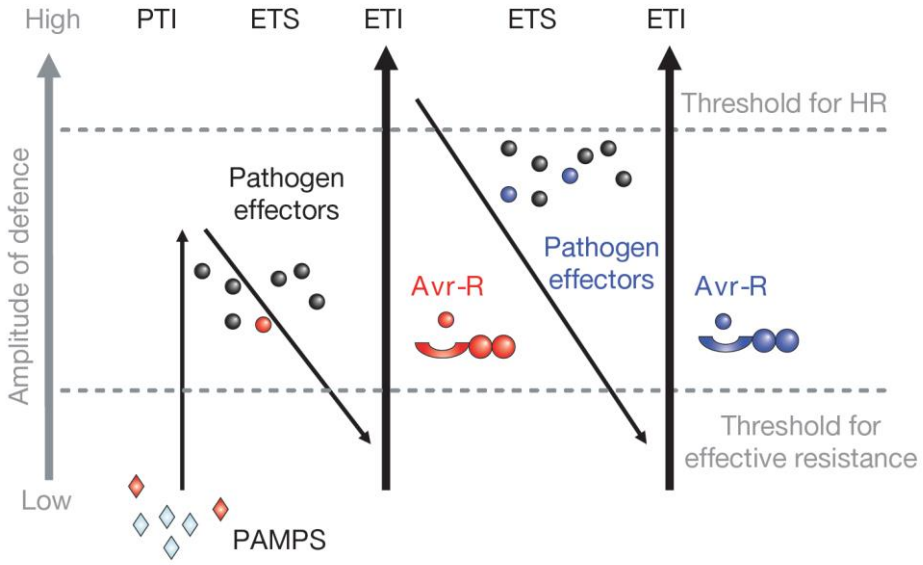

Abbildung 1.1 Zickzack-Modell der pflanzlichen Immunantwort
Hypothese zur evolutionären Entwicklung der pflanzlichen Immunantwort (Jones & Dangl, 2006). Die pflanzliche Resistenz bzw. Suszeptibilität gegenüber dem Pathogen ergibt sich aus der PAMP-vermittelten Immunität (PTI) sowie der Effektor-vermittelten Immunität (ETI) vermindert um die Effektor-vermittelte Suszeptibilität (ETS). Dieses evolutionäre Modell beschreibt in der 1. Phase die Erkennung der *pathogen-associated molecular pattern* (PAMPs, von engl. Pathogen-assoziierte molekulare Muster) mit dem Resultat einer PTI. Pathogen-sezernierte Effektoren ermöglichen in Phase 2 eine Versorgung mit Nährstoffen und ein Wachstum des Pathogens, was in einer ETS resultiert und damit die effektive Abwehr der Pflanze unterdrückt (*effective Resistance*). In Phase 3 findet eine Erkennung von einem oder mehreren Effektoren (rot) durch Avirulenzgenprodukte (Avr-R) statt, welche eine ETI induziert. In diesem evolutionären Modell ist dabei die pflanzliche Abwehr (*Amplitude of defense*) so stark, dass es zu einer hypersensitiven Reaktion (HR) kommt. Der Verlust oder die Modifizierung im Lauf der Evolution des in Phase 3 erkannten Effektors und mögliche neue bzw. andere Effektoren (blau) bedingen eine Reduktion der Immunität (ETS). Diese Effektoren können durch neue bzw. andere R-Genprodukte (Avr-R) erkannt werden, was wiederum zu einer ETI führt.

Die zelluläre Antwort der Wirtspflanze nach einer erfolgreichen Erkennung kann einen programmierten Zelltod an der Stelle der Infektion umfassen, auch *hypersensitive response* (HR, von engl. Hypersensitive Reaktion) genannt (Heath, 2000). Weiterhin kann die Pflanze mit einem sofortigen Ausstoß von reaktiven Sauerstoffspezies und später mit einer angestiegenen Transkription von Abwehr-assoziierten Genen (*pathogenesis-related* genes, PR-Gene) reagieren (Mysore & Ryu, 2004). Spezifische Virulenzfaktoren des Pathogens können in der sogenannten Wirtsresistenz durch korrespondierende Resistenz-Gene (R-Gene) der Wirtspflanze erkannt werden (Tian *et al.*, 2003). Die Virulenzfaktoren werden damit zu sogenannten Avirulenzfaktoren (Avr, Abbildung 1.1). Diese aktive Erkennung wird auch als Resistenzgen-vermittelte Resistenz bezeichnet und kann zu einer systemischen Immunantwort der Pflanze führen. Dabei werden Phytohormone zur Signalausbreitung in der gesamten Pflanze verteilt. Die Aktivierung des Salicylat-abhängigen Signalwegs induziert beispielsweise die oben genannte HR, die

Expression von abwehrrelevantem *PR1* und die Produktion von reaktiven Sauerstoffspezies (Van Huijsduijnen *et al.*, 1986; Wojtaszek, 1997). Weitere Phytohormone, die eine systemische Antwort auf einen Pathogenbefall vermitteln, sind Jasmonat und seine Derivate (Wasternack, 2007) sowie Ethylen. Auch eine Alarmkaskade in benachbarten Pflanzen kann durch das gasförmige Ethylen gestartet werden und somit deren Bereitschaft zur Abwehr erhöhen (Hughes, 1990; Pieterse *et al.*, 1998). Es wird dabei von einer *systemic acquired resistance* (SAR, von engl. systemisch erworbene Resistenz) gesprochen. Das Wachstum biotropher Pathogene wird durch R-Gen-vermittelte Abwehr und hypersensitiven Zelltod des Wirts verhindert. Nekrotrophe Pathogene würden durch den Zelltod profitieren, da ihnen die freigesetzten Nährstoffe dann zur Verfügung ständen. Mit einer Jasmonat- und Ethylen-vermittelten Abwehr kann speziell durch eine HR auf nekrotrophe Pathogene reagiert werden (McDowell & Dangl, 2000). Eine spezifische Balance der Signalweiterleitung diverser Phytohormone führt zu einer maßgeschneiderten Anpassung an das jeweils attackierende Pathogen (Glazebrook, 2005).

1.2.3 Effektoren phytopathogener Pilze

Die von Pathogenen sezernierten Virulenzfaktoren beeinflussen die basale Resistenz der Wirtspflanze (Abbildung 1.1) und ermöglichen es, während der Pathogenese einer Erkennung durch den Wirt zu entgehen oder Abwehrreaktionen zu unterdrücken (Jones & Dangl, 2006; Rovenich *et al.*, 2014). Auf Grund ihrer geringen Größe können sie durch die Zellwand diffundieren und direkten Kontakt mit den Wirtszellen oder mit von ihnen sezernierten Faktoren haben (Condon *et al.*, 2013). Diese niedermolekularen Substanzen und Proteine dienen somit der Wirtskolonialisierung und können auch die Ausprägung von Krankheitssymptomen additiv beeinflussen (Kirsten *et al.*, 2012). Da Effektoren spezifisch die Erkennung des Pathogens und die Abwehr des Wirts beeinflussen, ist ihre Entwicklung abhängig von der jeweiligen Strategie, die der Wirt dabei verfolgt. Gut untersucht sind hierbei Effektoren von nekrotisch-lebenden Pathogenen, die als wirtsspezifische Toxine wirken (Friesen *et al.*, 2008). Beispielsweise hat das Toxin ToxA aus *Pyrenophora tritici-repentis* einen Einfluss auf den Elektronentransport der Photosysteme und führt zur Nekrose des Blattgewebes von Weizenpflanzen durch eine Akkumulation von reaktiven Sauerstoffspezies (ROS) (Manning *et al.*, 2009). Zu Nekrosen führt ebenfalls das T-Toxin aus *Cochliobolus heterostrophus* durch die Beeinflussung des Elektronentransports in Mitochondrien anfälliger Maissorten (Holden & Sze, 1989). Das nekrotische Gewebe kann in Folge der Toxin-Einwirkung durch die Pathogene besiedelt werden. Wirtsspezifische Effektoren können somit für die Besiedlung von bestimmten Arten ausschlaggebend sein. Vorkommen und Wirkungsweise artspezifischer Effektoren hemibiotroph lebender Pilze sind weniger gut erforscht als diese Toxine. Es ist denkbar,

dass Effektoren die hemibiotrophe Lebensweise erst ermöglichen, und ohne sie die Pilze nicht oder lediglich als Endophyten innerhalb der Pflanze existieren würden. Eine Untersuchung der Wirkungsweise dieser pilzlichen Moleküle und ihrer Zielmoleküle in den Wirtspflanzen ist von essentieller Bedeutung für das Verständnis eines Pathosystems, spielen diese doch in der Kommunikation zwischen Pathogen und Pflanze eine entscheidende Rolle (Jones & Dangl, 2006).

1.2.4 Evolution von Pathosystemen

Untersuchungen mit dem Fokus auf Pathogenität und Virulenzfaktoren wurden bereits an vielen Modellsystemen der Interaktion von Pathogenen mit Pflanzen durchgeführt. Dabei betrachteten diese Studien Toxine, Zellwand-abbauende Enzyme, Avirulenzfaktoren sowie die Mechanismen über die Pathogene in ihre Wirte eindringen können (Benhamou, 1996; de Wit, 2007; Postel & Kemmerling, 2009). Die bereits erwähnte Nicht-Wirts-Resistenz der Pflanzen gegenüber einem Großteil der Mikroorganismen kann durch Effektoren überwunden werden (Rovenich *et al.*, 2014). Diese sekretierten Proteine und niedermolekularen Substanzen sind ebenfalls für eine mutualistische Interaktion wie am Beispiel der Mykorrhiza notwendig. Es wurden viele Effektor-ähnliche Proteine identifiziert, die während der Mykorrhiza-Bildung induziert sind (Kohler *et al.*, 2015). Der sequenzierte Pilz *Laccaria bicolor* beispielsweise geht eine symbiotische Interaktion mit Pappeln ein (Martin *et al.*, 2008). Während der Etablierung einer Ektomykorrhiza ist das Effektorgen *MiSSP7* in seiner Expression stark induziert. Für das Genprodukt wurde eine Translokation in die Wirtszellen via Endozytose und eine kernlokalisierte Wirkung auf die Jasmonat-Signalkaskade gezeigt (Plett *et al.*, 2014a). Die damit einhergehende Repression von Jasmonat-induzierten Genen, verantwortlich für Zellwandmodifikationen, fördert die Ausbildung des Hartigschen Netzes. Der im Gegensatz zu *L. bicolor* endophytisch lebende Pilz *Piriformospora indica* hat eine positive Wirkung auf die Biomassezunahme sowie Stresstoleranz der Wirtspflanze und zeigt ein zu hemibiotrophen Pathogenen ähnliches biphasisches Wachstum, bei dem eine Kolonialisierung von toten Zellen einer Wachstumsphase in lebendem Gewebe folgt. Initial isoliert von Orchideen weist *P. indica* ein breites Wirtsspektrum auf und besitzt eine große Zahl an Effektor-ähnlichen Proteinen. In der Wirtsinteraktion ist eines dieser Gene, *PIIN29*, stark exprimiert. Das Genprodukt hat eine supprimierende Wirkung auf die Expression von R-Genen, die Ablagerung von Kallose und die Produktion reaktiver Sauerstoffspezies. Bei einer Suppression bzw. Deletion solcher Gene gerät das fragile Gleichgewicht, in dem sich beide Partner befinden, aus den Fugen, es kommt ähnlich einer Pathogen-Interaktion zur Abwehr des Pilzes (Plett & Martin, 2015). Weiterhin ist auch eine Regulation der Interaktion zu gleichen Teilen von der pflanzlichen Seite aus

denkbar (Yang *et al.*, 2011). Diese Faktoren der pflanzlichen Regulation sind zurzeit allerdings noch unbekannt.

Im Lauf der Evolution von Pathogenen konnten Effektoren zur Umgehung bzw. Unterdrückung der pflanzlichen Abwehr und damit zur Etablierung einer parasitischen Lebensweise genutzt werden. Die Effektoren greifen in die basale Resistenz ein und führen zur sogenannten *effector-triggered susceptibility* (ETS, von engl. Effektor-vermittelte Suszeptibilität) der Wirtspflanze (Abbildung 1.1). Die Beeinflussung der pflanzlichen Abwehr bedingt zumeist auch die Virulenz während der Infektion. Um der kompatiblen Interaktion mit dem Pathogen zu entgehen, haben einzelne Ökotypen der Wirtspflanzen im Lauf der Evolution eine Abwehr mittels R-Genen entwickelt, deren Produkte die Erkennung spezifischer pathogener Faktoren vermitteln. Dies führt zur Wirtsresistenz und damit zu einer inkompatiblen Interaktion, der *effector-triggered immunitiy* (ETI, von engl. Effektor-vermittelte Immunität) des Wirts gegenüber dem Pathogen (Jones & Dangl, 2006). Bei evolutionärer Anpassung der Wirtspflanzen durch Modifizierung des Angriffspunktes der Effektoren oder durch R-Gen-vermittelte Erkennung neuer bzw. anderer Effektormoleküle (als Avirulenzfaktoren bezeichnet, Abbildung 1.1) wird eine Wirtsresistenz wiederum etabliert. Die damit einhergehende Spezialisierung der Pflanze-Pathogen-Interaktion führt auch zur Bildung abgegrenzter Populationen und Entwicklung neuer Arten (Zaffarano *et al.*, 2011).

Bei apoplastisch lebenden Pilzen wie beispielsweise *Venturia inaequalis* (Apfelschorf) sowie den nahe verwandten Arten *Pyrenopeziza brassicae* (Graufleckenkrankheit bei Kreuzblütlern) und *Rhynchosporium commune* (Goodwin, 2002) ist der Begriff der R-Gen-vermittelten Resistenz der Wirtspflanzen nicht mehr ausreichend (Stotz *et al.*, 2014). Womöglich kann eine *effector-triggered defense* (ETD, Effektor-vermittelte Abwehr) als bessere Beschreibung der Interaktion von zumeist hemibiotrophen Pathogenen und ihren Wirten dienen. Eine Verzögerung oder Verhinderung der Symptomausbildung durch die Erkennung verhindert in vielen Fällen nicht das endophytische Wachstum dieser Pilze. Es ist also lediglich eine abgeschwächte Wirtsresistenz zu beobachten. Durch diese Art von Pathogenabwehr ist eine Vervollständigung des pflanzlichen Lebenszyklus bis zur Sporen-/Konidienbildung mit wenigen oder keinen Krankheitssymptomen möglich. Das Pathogen ist in diesem Fall ein Endophyt bzw. Endokommensale, da für den pflanzlichen Wirt kein erkennbarer Nachteil entsteht. Weitere Untersuchungen sind notwendig, um diese Erklärung zu bestätigen und ein erweitertes Modell der Pathogen-Wirt-Interaktion zu zeichnen.

1.3 *Rhynchosporium*: Lebenszyklus und Wirtskolonisierung

Die phytopathogenen Pilze der Gattung *Rhynchosporium* zählen zu den *Ascomycota* und parasitieren verschiedene Süßgräser (Poaceae), zu denen viele ökonomisch relevante Getreidearten zählen. Ein Vertreter der Gattung wurde erstmals von Roggen (*Secale cereale*) im Jahr 1897 isoliert und unter den Namen *Marsonia secalis* (Oudemans, 1897) bzw. *Rhynchosporium graminicola* (Frank, 1897) beschrieben. Von den Arten dieser Gattung sind bis zum heutigen Zeitpunkt lediglich die haploiden Anamorphe bekannt; jedoch wird eine potentielle sexuelle Fortpflanzung diskutiert (Foster & Fitt, 2003; Linde *et al.*, 2003). Die von Gerste (*Hordeum spec.*) isolierte Art wurde im letzten Jahrhundert als *Rhynchosporium secalis* (Caldwell, 1937) bekannt. In später folgenden Untersuchungen ist *R. orthosporum* als zweite Art der Gattung identifiziert worden. Diese Art befällt Knaulgras (*Dactylis glomerata*) und unterscheidet sich von *R. secalis* in der Form der zweizelligen Konidiosporen. Während bei *R. secalis* eine der zwei Zellen der Konidiosporen eine Ausstülpung aufweist, die einer ‚Nase' ähnelt (griechisch *ῥύγχος*; *Rhynchos*), sind die Sporen von *R. orthosporum* zylindrisch (Avrova & Knogge, 2012). In weiteren Untersuchungen wurden für verschiedene Isolate der Art *R. secalis* unterschiedliche Wirtsspezifitäten beschrieben (Zaffarano *et al.*, 2008), was in die Klassifizierung von vier *Rhynchosporium*-Arten mit jeweils unterschiedlichen Wirtsspektren mündete (Zaffarano *et al.*, 2011). Das von Roggen isolierte Pathogen, welches Roggen und *Triticale* (*×Triticosecale*) infizieren kann, behielt den Namen *R. secalis*. Das Gerstenpathogen trägt den Namen *R. commune* und ist zusätzlich in der Lage *Bromus diandrus* zu infizieren. Ein weiterer Vertreter der Gattung ist für die Blattfleckkrankheit auf Quecken (*Elymus repens*) verantwortlich und wurde *R. agropyri* genannt. Diese Arten weisen die typische Ausstülpung der Sporen auf (Zaffarano *et al.*, 2011) und werden als *beaked conidia group* (BCG) zusammengefasst (W. Knogge, unveröffentlichte Daten). In weiterführenden phylogenetischen Untersuchungen konnte mit *R. lolii* eine fünfte Art des *Rhynchosporium*-Genus aufgezeigt werden (King *et al.*, 2013). *R. lolii* ist ein Pathogen auf Weidelgräsern wie *Lolium perenne* und *Lolium multiflorum* und bildet zusammen mit *R. orthosporum* die *cylindrical conidia group* (CCG).

1.3.1 Ökonomische Bedeutung

Die Erreger der Blattfleckenkrankheit auf Wiesengräsern sind verantwortlich für wirtschaftliche Schäden durch Ernteeinbußen, aber auch durch die Beeinträchtigung von Rasenflächen für Fußball oder Golf. Da große Agrarflächen für den Anbau von Getreide genutzt werden, sind jedoch die Getreidepathogene von weitaus größerer Bedeutung [Anbaugebiet Gerste weltweit 2015/16: 50 Mio. ha (FAOSTAT, 2009)]. So verursacht

R. commune auf Gerste, die für die Produktion von Futtermittel für die Tierzucht (Wintergerste) und als Braugerste (Sommergerste) genutzt wird, Ertragseinbußen von durchschnittlich 5% (Shipton *et al.*, 1974). Diese werden durch Krankheitssymptome hervorgerufen, die die effektive Blattfläche verkleinern und die Kornqualität verschlechtern. Aus der Vorhersage der Produktionsmengen des Jahres 2015 geht hervor, dass in den Hauptanbaugebieten wie Europa und Russland zirka 80 Megatonnen (Mt) produziert werden (Abbildung 1.2). Dies führt bei einem Preis von durchschnittlich 115€/t zu Ertragseinbußen von zirka 460 Mio. € (© 2015 IndexMundi). Roggen dient neben der Nutzung als Futtermittel auch direkt der Produktion von Nahrungsmitteln wie Brot und Bier. Auf Grund des vergleichsweise hohen Gehalts der Aminosäure Lysin sind Roggenprodukte zusätzlich für eine ausgewogene Ernährung bedeutend (Souci *et al.*, 2009). Das Anbauvolumen von Roggen ist weltweit um einiges geringer und Ertragseinbußen fallen weniger hoch aus. Für *Rhynchosporium* ist das starke Längenwachstum von Roggen hinderlich, da dies die Ausbreitung auf die gesamte Pflanze über Wassertropfen erschwert. Dennoch können in einzelnen Lagen und entsprechenden Wetterbedingungen Ernteverluste von 10-15% auftreten (KWS-SAAT-SE, 2015).

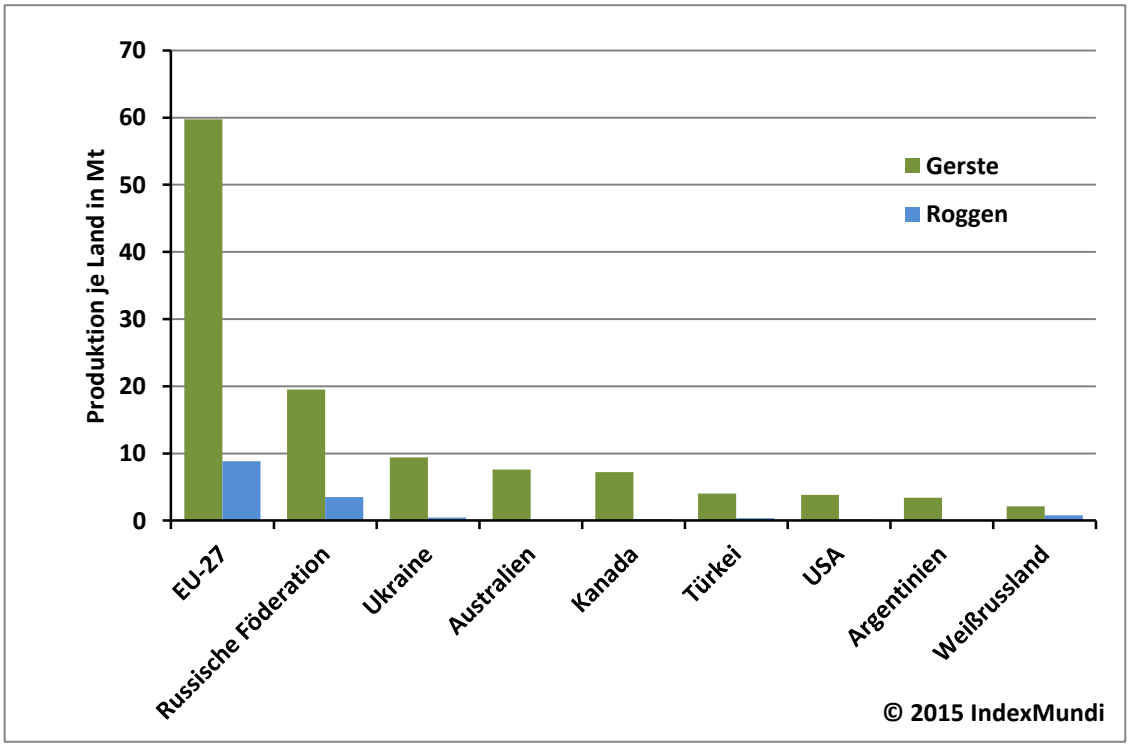

Abbildung 1.2 Vorhersage der Gersten- und Roggenernte der Hauptproduzenten
Die Angaben beziehen sich auf die hochgerechnete Jahresernte 2015.

1.3.2 Lebensweise und Verbreitung

Eine Infektion mit *Rhynchosporium* ist durch das Wachstum des Pilzes unterhalb der Kutikula der Wirtspflanzen charakterisiert. Dabei dringen die Keimhyphen (Abbildung 1.3 A) über eine Penetration der Kutikula in das Wirtsgewebe ein (Lehnackers & Knogge, 1990; Lyngs Jørgensen *et al.*, 1993). Nach der Etablierung subkutikularer Hyphen (Jones & Ayres, 1972) folgt eine längere Phase symptomlosen Wachstums, die einige Tage bis Wochen andauern kann. Dabei werden anfänglich dünne verzweigte Hyphen gebildet und später eine zweite Art von dickeren Hyphen. Letztendlich etabliert sich ein dichtes Stroma, dessen Auftreten mit dem Zelltod benachbarter Pflanzenzellen korreliert (Lyngs Jørgensen *et al.*, 1993). Die Ausbildung zweier unterschiedlicher Hyphenarten bei Besiedlung eines Wirts ist charakteristisch für hemibiotroph lebende Pilze (Perfect & Green, 2001). Die typischen Krankheitssymptome entstehen mit dem Kollabieren der epidermalen Zellschicht und des Mesophylls, wobei nekrotische Läsionen die Folge sind (Ayesu-Offei & Clare, 1970). Begleitet wird dies von Chlorosen, welche zu makroskopisch sichtbaren grau-gelb verfärbten Blattpartien führen, die durch eine dunkelbraune Umrandung vom Rest des Blattes abgetrennt sind (Abbildung 1.3 B). Eine pflanzliche Abwehrreaktion wie die Ausbildung einer HR um die Penetrationsstellen, beispielsweise bei *Colletotrichum*-Arten, wird bei einer inkompatiblen Interaktion von *Rhynchosporium spec.* nicht ausgebildet. Hingegen wurde in resistenten Pflanzen die Akkumulation der Transkripte verschiedener *PR*-Gene wie *PR 1*, *PR 5*, *PR 9* und *PR 10* bestätigt (Hahn *et al.*, 1993; Steiner-Lange *et al.*, 2003).

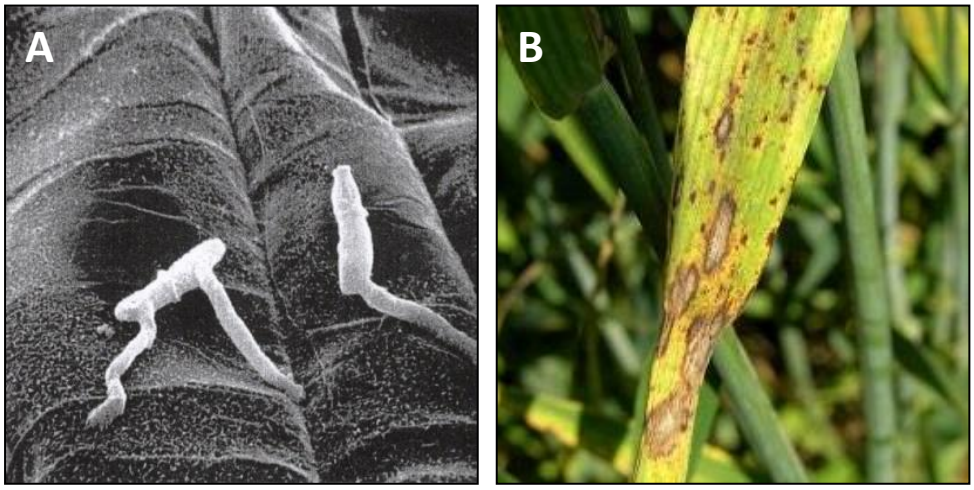

Abbildung 1.3 *Rhynchosporium* auf Gerste

A Elektronenmikroskopische Aufnahme von Sporen des *R.-commune*-Isolates UK7, die auf dem Primärblatt von Gerste Keimhyphen ausbilden (Knogge, 1998). **B** Nekrotische Läsionen von *R. commune* auf Sekundärblättern von Gerste im Feld (© Astrid Oldenburg 2006).

Für eine *in-planta*-Besiedlung des Apoplasten durch *Rhynchosporium* wird ein Abbau der pektinreichen Schicht vermutet. Hierfür stehen dem Pathogen unter anderem Gene zur Verfügung, die sezernierte Zellwand-abbauende Enzyme wie beispielsweise Pektinasen kodieren (Pryce-Jones *et al.*, 1999). Dadurch ist denkbar, dass das umgebende organische Material in der biotrophen Phase des Pilzes als Nährstoff verfügbar gemacht wird. Das Wachstum im Apoplasten ist durch die Aufnahme dieser Abbauprodukte und auch durch die Absorption von aus Pflanzenzellen austretenden Nährstoffen möglich (Thomma *et al.*, 2005). Eine Modifizierung des pflanzlichen Metabolismus durch *Rhynchosporium* und eine gezielte Steigerung der Sekretion von Nährstoffen konnte bislang noch nicht nachgewiesen werden.

Der Lebenszyklus der verschiedenen Arten der Gattung *Rhynchosporium* ist am Beispiel von *R. commune* schematisch in Abbildung 1.4 dargestellt. Er lässt sich wie bei allen pilzlichen Phytopathogenen in Keimung, Wachstum und Sporulation unterteilen (Solomon *et al.*, 2003). Während einer Generation des Wirts kann der Pilz mehrere Generation durchlaufen und damit seine natürliche Verbreitung fördern (Zhan *et al.*, 2008). Bei einer Durchschnittstemperatur von 15°C kann sich beispielsweise eine neue Sporengeneration bereits innerhalb von zwei Wochen entwickelt haben (KWS-SAAT-SE, 2015).

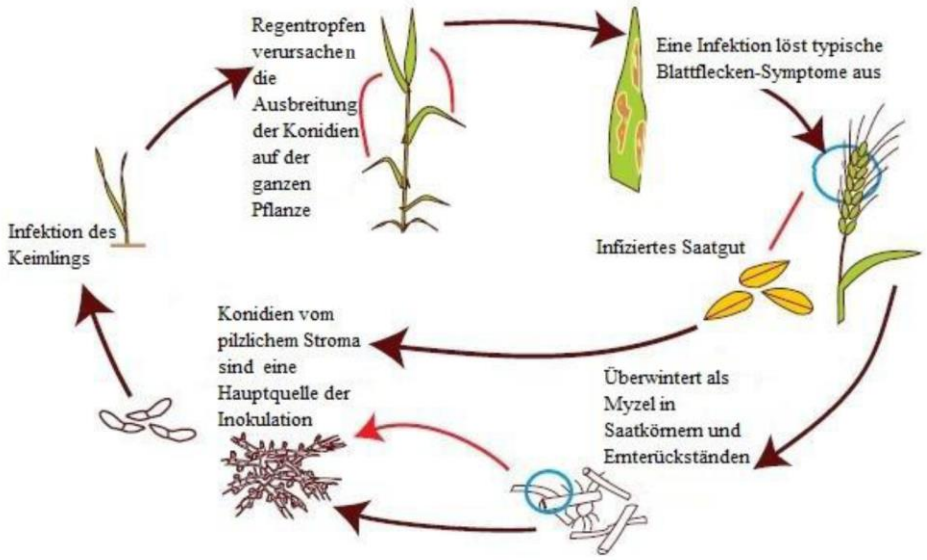

Abbildung 1.4 Lebenszyklus von *R. commune* auf Gerste
Darstellung verändert nach *Home-Grown Cereals Authority* (HGCA, 2012).

Am Beginn der natürlichen Verbreitung des Pilzes steht die Produktion eines Großteils der Konidiosporen auf dicht zusammengelagerten Hyphen (Stroma) und ihre Freisetzung (Ayesu-Offei & Clare, 1970). Für die Infektion der gesamten Pflanze sowie benachbarter Wirtspflanzen dienen Wassertropfen aus Regen und Nebel als Vehikel für die Sporen,

wie es bei vielen pilzlichen Krankheitserregern der Fall ist (Börner, 2009). Durch diese Verbreitung der Sporen von *Rhynchosporium* ist mit einem verstärkten Aufkommen der Blattfleckenkrankheit in Regionen mit idealerweise feuchtem und kühlem Klima zu rechnen. Zur Überdauerung der vegetationslosen Zeit wird abgestorbenes infiziertes Pflanzenmaterial und infiziertes Saatgut genutzt.

Populationsbiologische Untersuchungen anhand weltweit gesammelter *R.-commune*-Isolate führten zu der Annahme, dass der Pilz aus Nordeuropa stammt und durch anthropogene Verbreitung Richtung Süden wanderte (Brunner *et al.*, 2007). Durch die Kolonialisierung von Nordamerika und Australien erlangte das Pathogen schließlich ein weltweites Verbreitungsgebiet. Da die Evolution der Wirte mit dem Ackerbau und der Züchtung von Nutzpflanzen verbunden ist, wird eine Koevolution zwischen Wirtpflanze und Pathogen auf Grundlage der geografischen Ausbreitung und der phylogenetischen Aufspaltung innerhalb der Gattung *Rhynchosporium* vermutet (Avrova & Knogge, 2012).

1.3.3 Evolutionäres Modell der Gattung *Rhynchosporium*

Die größte phylogenetische Ähnlichkeit, welche bislang für die Gattung *Rhynchosporium* beschrieben wurde, findet sich in der Klasse der *Leotiomycetes* zu den Gattungen *Tapesia* und *Pyrenopeziza* (Goodwin, 2002). In die Klasse der *Leotiomycetes* wurden auch einige Pilze, wie *Sclerotinia sclerotiorum* und *Phialocephala subalpina*, im Zuge der Analyse ihrer mitochondrialen Genome eingeordnet (Duò *et al.*, 2012). Einer evolutionären Untersuchung der fünf *Rhynchosporium*-Arten sowie ihrer Eingliederung in den Stammbaum der Pilze liegt die Untersuchung von Sequenzunterschieden der Genome zugrunde.

Mögliche Verwandtschaftsverhältnisse sind bereits in verschiedenen vorangegangenen Untersuchungen beschrieben worden. Als ein Problem stellte sich dabei die nahe Verwandtschaft der BCG-Arten *R. commune*, *R. secalis* und *R. agropyri* heraus. Für sie ist die evolutionäre Entwicklung schwer nachvollziehbar. Es wurden Informationen basierend auf RFLPs (*Restriction fragment length polymorphism*) sowie auf Sequenzvergleichen von Effektorgenen und von mitochondrialen Sequenzen zur phylogenetischen Analyse multipler Isolate genutzt (Brunner *et al.*, 2007; Zaffarano *et al.*, 2008; Zaffarano *et al.*, 2009; Zaffarano *et al.*, 2011; Torriani *et al.*, 2014). Eine zusätzliche phylogenetische Betrachtung der Gattung *Rhynchosporium* im Zusammenhang mit der Klassifizierung der Art *R. lolii* wurde durch King *et al.* (2013) mittels genetischer Fingerabdrücke via RAPD-PCR- (*random amplification of polymorphic DNA – polymerase chain reaction*) und rep-PCR- (*repetitive-sequence-based – polymerase chain reaction*) basierter Analyse durchgeführt. Je nach verwendeten Markern wurde ein anderes evolutionäres Modell der Gattung *Rhynchosporium* erzielt.

Vom evolutionären Standpunkt aus betrachtet hat die Gattung *Rhynchosporium* spezifische Arten vermutlich erst vor kurzem entwickelt bzw. befindet sich noch in der Artentwicklung. Die Diskrepanz der vorangegangen Ergebnisse bedingt die Notwendigkeit einer weiteren Analyse der Phylogenie der Gattung *Rhynchosporium*. Die parallel zu dieser Arbeit durchgeführten Sequenzierungen der Genome von Mitgliedern der Gattung *Rhynchosporium* verbessern die Untersuchungsmöglichkeiten. Es kann anhand sechs verschiedener Protein-kodierender sowie rRNA-kodierender Genloci (James *et al.*, 2006) eine phylogenetische Betrachtung durchgeführt werden.

1.4 Effektoren von *Rhynchosporium*

Bereits früh führten Untersuchungen des Sekretoms von *R. commune* (Isolat US238.1) zur Identifizierung von Effektorproteinen (Wevelsiep *et al.*, 1991). Dabei wurden drei nicht wirtsspezifische Proteine isoliert, die in der Lage sind nach Injektion in Blättern von Gerste und Nichtwirtspflanzen (z.B. *Phaseolus vulgaris*) Nekrosen auszulösen. Deshalb wurden sie *necrosis inducing proteins* (NIP, von engl. Nekrosen-induzierende Proteine) NIP1, NIP2 und NIP3 bezeichnet. Sie unterscheiden sich aber in der Position im Genom und in ihrer Sequenz voneinander. Lediglich in ihren allgemeinen Eigenschaften wie der Sekretion in das umgebende Medium und der geringen Größe (≤ 10 kDa) sowie dem relativ hohen Cysteingehalt sind sich diese Proteine ähnlich. Für die Proteine NIP1 und NIP3 konnte ihre Funktionsweise bereits ermittelt werden (van't Slot *et al.*, 2003). Beide stimulieren die H^+-ATPase in der pflanzlichen Zellmembran. Dies sorgt vermutlich für ein saures Milieu sowie für eine Reduktion der zellulären Fitness der Pflanze durch den Verbrauch von ATP (Adenosintriphosphat). Die Ansäuerung des Apoplasten fördert die Wirkung katalytischer Enzyme in der Pathogenese und das Wachstum der Pilze (Wevelsiep *et al.*, 1993; van't Slot *et al.*, 2007). Auch eine Beeinflussung von Transportvorgängen zu Gunsten des Pilzes durch den Aufbau eines Protonengradienten wäre denkbar. Im Lauf der funktionellen Charakterisierung ist das *NIP1*-Gen als eines der ersten Avirulenzgene pilzlicher Pathogene beschrieben worden. Das NIP1-Protein wird über das Produkt des R-Gens *Rrs1* bestimmter Gerstensorten erkannt (Rohe *et al.*, 1995). In diesen resistenten Pflanzen ist das stark ausgeprägte Hyphenwachstum von *Rhynchosporium* nicht mehr möglich, welches in suszeptiblen Pflanzen zum Absterben von Epidermis- und Mesophyllzellen führt. Möglicherweise sorgt eine Abwehrreaktion der Pflanze oder die Nährstoffverfügbarkeit im Apoplasten dafür, dass sich die Hyphen nicht weiter ausbreiten können. Durch die Erkennung des *NIP1*-Genproduktes liegt ein Selektionsdruck auf den pilzlichen Isolaten, welche dieses Allel tragen (Brunner *et al.*, 2007). Im Lauf der Evolution ist eine Anpassung an spezifische Wirte auf Grund solcher und anderer Avirulenzfaktoren denkbar, was die Wirtsspezifität der *Rhynchosporium*-

Arten bedingte. Denn im Vergleich zur basalen Abwehr der Pflanzen (PTI) sorgt die Erkennung solcher Effektoren für eine Effektor-vermittelte Immunität (ETI).

NIP2 ist in seiner Wirkungsweise und Struktur noch uncharakterisiert. Das reife Protein weist nach Abspaltung des Sekretionssignals sechs Cysteinreste auf und ist 93 Aminosäuren lang (Wevelsiep *et al.*, 1993; Penselin, 2010). Durch die Analyse der Genexpression von resistenten Gerstenpflanzen nach Inokulation mit einer *NIP2*-Deletionsmutante wurden zunächst in ihrer Transkription erhöhte Gene im Vergleich zum Wildtyp identifiziert (J. Basak, unveröffentlichte Daten). Die danach postulierte Funktion eines Suppressors pflanzlicher Abwehr konnte später jedoch nicht bestätigt werden. Die Frage nach der Bedeutung und Funktion von NIP2 ist also weiterhin unbeantwortet. Bei weiteren Untersuchungen von *Rhynchosporium*-Isolaten mit einem funktionalen *NIP1*- und einem nicht funktionalen *NIP2*-Allel konnte eine signifikant höhere Virulenz im Vergleich zu Isolaten mit beiden Allelen festgestellt werden. Isolate mit ausschließlich *NIP2* sind ebenfalls weniger virulent als die Isolate mit ausschließlich *NIP1*. Weiterhin konnte ein signifikanter Zusammenhang zwischen verschiedenen Haplotypen *Rhynchosporiums* mit *NIP2*-Allel und deren Virulenz gezeigt werden (Stefansson *et al.*, 2014). Zusammen mit den Ergebnissen zur Virulenz (Kirsten *et al.*, 2012) liegt die Vermutung nahe, dass diese und ähnliche Effektoren quantitativ zur Virulenz im Gerste-*R.-commune*-Pathosystem beitragen könnten, wie es auch in anderen Pathosystemen vermutet wird (Poland *et al.*, 2009).

Die Sequenzierung der *Rhynchosporium*-Arten ermöglichte die Analyse noch unbekannter Effektoren in der Pathogenese. Mit Hilfe von Kriterien, mit denen bereits andere Effektoren beschrieben werden konnten (Chen *et al.*, 2012; Condon *et al.*, 2013), können neue Effektoren *Rhynchosporiums* identifiziert werden. Die Suche nach diesen Effektoren konzentriert sich auf wirtsspezifische Faktoren ökonomisch bedeutsamer Getreidepathogene wie *R. commune* und *R. secalis*. Die Genome von *R. agropyri*, *R. orthosporum* und *R. lolii* dienen in diesem Zusammenhang der Klassifizierung der identifizierten Genmodelle als spezifisch für die jeweilige Art. Artspezifisch vorkommende Effektoren könnten an der Bestimmung der Wirtsspezifität beteiligt sein (Lindeberg *et al.*, 2009) und stellen damit einen wichtigen Zwischenschritt zum Verständnis der Spezialisierung auf die einzelnen Wirte dar. Dabei ist zu unterscheiden, ob diese Effektoren artspezifisch vorkommen, also keine orthologen Gene existieren, oder Effektoren artspezifisch exprimiert werden, obwohl Orthologe in anderen Arten zu finden sind. Dadurch wäre es möglich, dass zusätzlich zu den artspezifisch vorhandenen Genen die Expression weiterer Effektorgene spezifisch für ein Wirtsspektrum ist. Auch strukturelle Unterschiede der reifen Effektorproteine könnten entscheidend für die Wirksamkeit innerhalb einer spezifischen Pflanze-Pathogen-Interaktion sein. Deshalb ist eine Untersuchung über die reine Präsenz in bestimmten *Rhynchosporium*-Arten hinaus im Verlauf der Effektorcharakterisierung wichtig, um an der Wirtsspezifität beteiligte Faktoren zu identifizieren.

1.5 Zielsetzung

Die Genom-Charakteristika für die *Rhynchosporium*-Arten sollen aufgestellt und eingeordnet werden. Die Spezifikationen der Genome ergeben sich dabei aus den parallel zu dieser Arbeit durchgeführten Sequenzierungen von Mitgliedern der Gattung *Rhynchosporium*.

Auf Grundlage der annotierten *Rhynchosporium*-Genome soll die Eingliederung der Arten in das Reich der Pilze erfolgen und ihre phylogenetischen Beziehungen zueinander analysiert werden. Zu untersuchen ist, ob sich die Einordnung der Gattung aus vorangegangenen Analysen bestätigen lässt. Dabei kann der Verlauf der Evolution der *Rhynchosporium*-Arten analysiert werden, um die Diskrepanz zu den bisher veröffentlichten Ergebnissen zu klären.

Pilzliche Effektoren, wie die Nekrosen-induzierenden Proteine NIP1 und NIP3 wurden bereits charakterisiert. Die Bedeutung des Nekrosen-induzierenden Proteins 2 für die Virulenz von *R. commune* soll durch eine funktionelle Charakterisierung mittels Sequenzuntersuchungen und Deletion ermittelt werden.

Weitere Effektoren der *Rhynchosporium*-Arten sollen identifiziert werden. Insbesondere sollen solche Effektoren gefunden werden, die für die Ausprägung der Wirtsspezifität von Bedeutung sein könnten. Dafür werden die Genome von *R. commune* und *R. secalis* auf artspezifisch vorkommende Gene mittels Effektor-charakteristischer Kriterien analysiert. Die ermittelten Effektoren sollen durch Analysen ihrer Expression *in planta* sowie durch Untersuchungen des pilzlichen Wachstums und der Virulenz nach Gendeletion funktionell charakterisiert werden.

2. Material und Methoden

Alle Medien, Puffer und Lösungen wurden autoklaviert, wenn diese für steriles Arbeiten mit pilzlichen oder bakteriellen Kulturen verwendet worden sind.

Alle in dieser Arbeit verwendeten Chemikalien wurden, wenn nicht weiter angegeben, von den Firmen Sigma-Aldrich Chemie GmbH (Taufkirchen), Merck KGaA (Darmstadt), Duchefa Biochemie B.V. (Haarlem), Bio-Rad Laboratories (München) und Carl Roth GmbH & Co KG (Karlsruhe) mit analytischem Reinheitsgrad bezogen. Die verwendeten Enzyme stammten von Thermo Fisher Scientific (Bonn) und Oligonukleotide wurden von Eurofins MWG operon (Ebersberg) synthetisiert.

2.1 Arbeiten mit Pflanze und Pathogen

2.1.1 Anzucht von Gersten- und Roggenpflanzen

Für die Anzucht von Gerstenpflanzen wurde Saatgut der Sorten Ingrid und Atlas verwendet, welches in Eigenanzucht im Leibniz-Institut für Pflanzenbiochemie (IPB, Halle) reproduziert worden ist. Das verwendete Roggensaatgut der Hybrid-Sorte Palazzo stammte von der KWS LOCHOW GmbH (Bergen-Wohlde). Für die Anzucht wurden die Samen (je 25 Stück) in Kunststofftöpfe (Ø 13 cm), gefüllt mit einem gedämpften Einheitserde-Sand-Gemisch (ED 73), ausgelegt. Die Anzucht erfolgte in Kunststoff-Gewächshäusern in einer Pflanzenanzuchtkammer (Heraeus/Vötsch GmbH, Hanau). Während des Wachstums von sieben Tagen bis zum Erreichen des Einblattstadiums (BBCH-Stadium 11; Biologische Bundesanstalt, Bundessortenamt und CHemische Industrie) befanden sich die Pflanzen somit in einer Atmosphäre von annähernd 100% Luftfeuchtigkeit. Dabei betrug die Temperatur 17°C bei einer Beleuchtungsdauer von 14 h pro Tag.

2.1.2 Inokulation der Pflanzen

Die sieben Tage alten Getreidepflanzen (BBCH-Stadium 11) wurden mit Sporen der Pilzarten *Rhynchosporium commune* bzw. *Rhynchosporium secalis* inokuliert. Wenn nicht anders beschrieben, wurden die Primärblätter von 20 Pflanzen mit 4 mL einer Sporensuspension mit einem Titer von $1x10^7$ Sporen/mL (0,1% (v/v) Tween20®-Lösung)

durch Besprühen mit einer 5-mL-Zerstäuberflasche (Carl Roth GmbH, Karlsruhe) benetzt. Nach der Inokulation verblieben die Pflanzen die ersten 24 h in einem abgedunkelten Kunststoff-Gewächshaus, welches eine Luftfeuchte von annähernd 100% ermöglichte. Danach wurde die Verdunklung aufgehoben, um das pflanzliche Wachstum nicht weiter zu beinträchtigen. Der Gewächshausdeckel wurde 48 h nach Inokulation abgenommen, womit die Luftfeuchtigkeit auf 50% verringert worden ist.

Die Symptomentwicklung wurde auf infizierten Primärblättern makroskopisch und gegebenenfalls mikroskopisch erfasst. Für eine Quantifizierung der pilzlichen Biomasse und eine Analyse der Genexpression sowie der Proteinabundanz mussten die DNA, die RNA bzw. die Proteine isoliert werden. Hierzu wurden zu den gewünschten Zeitpunkten Primärblätter der inokulierten Pflanzen abgeschnitten, sofort in flüssigem Stickstoff schockgefroren und bei -80°C gelagert.

2.1.3 Dokumentation der pilzlichen Infektion

In der Interaktion von *Rhynchosporium* und den Primärblättern der Wirtspflanze bilden sich unter den Phytokammerbedingungen 14 (Gerste) bzw. 21 Tage (Roggen) nach Inokulation (dpi) nekrotische Läsionen aus. Zur makroskopischen Dokumentation dieser Symptomentwicklung wurden die Primärblätter auf schwarzem Karton mit doppelseitigem Klebeband fixiert und mit einer Olympus-Kamera E-410 fotografiert.

Für die mikroskopische Darstellung der pilzlichen Entwicklung wurde die Epidermis der Unterseite von Primärblättern mit Hilfe einer Rasierklinge vom Rest des Blattes getrennt und auf einem Objektträger platziert. Dabei ist das Blatt in seinem Querschnitt zur Hälfte durchgeschnitten worden, um die Epidermis anschließend abzuziehen. Die Abtrennung der Epidermis war bis zu 36 h nach Inokulation möglich. Die Aufnahmen erfolgten mit einer 63fachen Vergrößerung durch das Zeiss-LSM-710-Mikroskop. Bei zusätzlicher fluoreszenzmikroskopischer Betrachtung wurde für das Fluorophor eGFP (*enhanced green fluorescent protein*) der GFP-Filter und eine Anregung bei 395 nm, für das Fluorophor mCherry ein entsprechender mCherry-Filter und eine Anregung von 587 nm gewählt.

2.1.4 Trypanblau-Färbung

Um die Ausprägung des Myzels abbilden zu können, erfolgte eine Färbung der Pilzhyphen *in planta* in zuvor entfärbten Primärblättern mit Trypanblau. Dazu wurden die Primärblätter in einem entsprechenden Reaktionsgefäß mit 15 mL Entfärbelösung 1

(80% (v/v) 96%iger Ethanol; 20% (v/v) Chloroform; 0,15% (w/v) Trichloressigsäure) überschichtet. Die Blätter wurden über einen Zeitraum von mindestens 2 Tagen entfärbt, wobei nach der Hälfte der Zeit die Entfärbelösung erneuert wurde. Im Anschluss wurde die Entfärbelösung dekantiert und durch Färbelösung (50% (v/v) Trypanblau-Lösung; 50% (v/v) 96%iger Ethanol) ersetzt. Nach 16 bis 18 h Inkubation wurden die Primärblätter von überschüssigem Trypanblau durch Entfärbelösung 2 (33,3% (v/v) Milchsäure; 33,3% (v/v) Glycerin; 33,3% (v/v) Wasser) befreit und für weitere Untersuchungen in dieser Lösung gelagert.

2.1.5 Fluoreszenzmessung in Flüssigkultur

Zur Bestimmung der *in-vitro*-Fluoreszenz von *Rhynchosporium*-Mutanten in Flüssigkultur wurden diese in 6fach-Kulturplatten (Nr. 657 185, Greiner) angezogen. Die Messung erfolgte bei einer Anregung von 587 nm an 10 Messorten (durch das Steuerprogramm des Messgerätes zufällig gewählt) innerhalb jeder einzelnen Flüssigkultur. Als Messgerät wurde das Cytofluor II (Biosearch, Bedford, USA) genutzt.

2.1.6 Pilzisolate und Wachstumsbedingungen

Die in der vorliegenden Arbeit genutzten Pilzisolate waren *R. commune* (Britisches Isolat UK7 und 13-13) und *R. lolii* (Britisches Isolat 15lp11). Weiterhin wurden *R. secalis* (Schweizer Isolat 02CH4-6a.1), *R. orthosporum* (Schweizer Isolat 04CH-Bär-A.1.1.3) und *R. agropyri* (Schweizer Isolat 04CH-RAC-A.6.1) verwendet. Das Isolat AU2 von *R. commune* stammt ursprünglich aus Australien.

Zur Sporenisolierung wurden die *Rhynchosporium*-Isolate auf Limabohnen-Agar-Platten (LIMBO-Agar: 5% (w/v) Limabohnen; 1,5% (w/v) Bactoagar) angezogen. Dafür wurden die Platten mit je 500 µL einer Suspension von $5x10^7$ Sporen/mL beimpft, nach dem Antrocknen der aufgetragenen Sporensuspension verschlossen und abgedunkelt für 14 d bei 17°C inkubiert. Nach Etablierung eines flächigen Myzels konnten die gebildeten Sporen mittels Abreiben durch eine 10-mL-Pipette in wässriger Suspension erhalten werden. Diese Suspension wurde über einen sterilisierten Filter aus Glaswolle (4 Lagen Glaswolle) von mitgeführten Myzelresten befreit. Nach Sedimentation der Sporen bei 5.000 rcf (Eppendorf 5810 R) für 15 min wird das Sediment 1:200 verdünnt und in einer Fuchs-Rosenthal-Kammer (Carl Roth GmbH, Karlsruhe) zur Ermittlung des Titers ausgezählt.

$$c\,[Sporen/mL] = \frac{Z * A * VF * Vol * 2}{3}$$

Z = Zellzahl [Anzahl der Sporen/mL], A = Anzahl der Kleinstquadrate in einem Großquadrat [A = 16], VF = Verdünnungsfaktor, Vol = Kammervolumen [0,2 µL umgerechnet auf 1 mL → Vol = 5000], Annahme, dass 1/3 der Zellen nicht keimungsfähig oder tot sind.

Für die Arbeiten mit *Rhynchosporium*-Myzel und -Sekretom wurden Sporen mit dem Titer von $5x10^7$ Sporen/mL zum Beimpfen von FRIES-Medium genutzt (Tabelle 2.1). Dafür wurde die Sporensuspension zusammen mit 50 mL Medium in eine Petrischale (Greiner Bio-One GmbH, Frickenhausen) mit dem Durchmesser 145 mm gegeben und 14 d bei 17°C in Dunkelheit inkubiert. Zur besseren Versorgung mit Sauerstoff wurde die Flüssigkultur zusätzlich bei 80 rpm geschüttelt (Incutec K30-300). Das Myzel wurde anschließend unter Anlegen von Vakuum über einen Sartorius-Filter Typ 6 vom Medium getrennt.

Tabelle 2.1 Zusammensetzung FRIES-Medium

FRIES-Medium	Zusammensetzung
10x FRIES Nr. 3 ergänzt mit Saccharose und Hefeextrakt	50 g di-Ammoniumtartrat; 10 g NH_4NO_3; 1,3 g $CaCl_2$*2 H_2O; 10 g KH_2PO_4; 5 g $MgSO_4$*7 H_2O; 1 g NaCl; 75 g Saccharose; 10 g Hefeextrakt; pH 6,0 ad 1 L H_2O

2.1.7 Reisolierung der Pilzisolate

R. commune und *R. secalis* zeigten eine sich kontinuierlich verringernde Sporulation bei saprophytischer Lebensweise auf künstlichem Medium wie LIMBO-Agar. Deshalb wurden die Isolate zur Erhöhung der Ausbeute an Sporen regelmäßig von infizierten Pflanzen reisoliert. Dazu wurden Gersten- wie Roggenpflanzen mit Sporen der entsprechenden Pilzisolate inokuliert. Etwa 14 d nach Inokulation (dpi) bildeten sich die für *Rhynchosporium* typischen Nekrosen. Die infizierten Primärblätter wurden in ca. 1 cm lange Stücke geschnitten und mit 70% (v/v) Ethanol gewaschen. Nach anschließender Oberflächen-Sterilisation mit 2% (v/v) Natriumhypochlorid gefolgt von einem Waschschritt mit Wasser wurden die Blätter auf LIMBO-Agar-Platten bei 17°C im Dunkeln inkubiert. Das aus den Blättern auswachsende Myzel wurde ausgeschnitten und auf LIMBO-Agar-Platten unter selektiven Bedingungen (100 µg/mL Ampicillin; 50 µg/mL Tetracyclin) vermehrt. Die Bildung von Sporen war am effektivsten nach zweimaliger Umsetzung von geernteten Sporen auf neue LIMBO-Agar-Platten.

2.1.8 Transformation von *Rhynchosporium*

Für das Einbringen von Mutationen in *R. commune* sowie *R. secalis* wurden chemisch kompetente Protoplasten genutzt. Dafür wurde 10 d altes Myzel für 5 min bei 5.000 rcf (Eppendorf 5810 R) sedimentiert, um das Wachstumsmedium zu entfernen. Zwei bis drei Gramm des Myzels wurden nach dem Dekantieren des Kulturüberstandes in 20 mL Protoplastenpuffer B1 (Tabelle 2.2) aufgenommen (Rohe *et al.*, 1995). Nach Zentrifugation (5 min; 5.000 rcf; Eppendorf 5810 R) und Dekantieren des Überstandes wurde das Myzel in 5 mL B1 aufgenommen und mittels Ultra-Turrax (Janke&Kunkel Kika-Werk; autoklavierter Aufsatz) bei 16000 rpm für 5 sec homogenisiert. Das Myzel wurde nach erneuter Zentrifugation (5 min; 5.000 rcf; Eppendorf 5810 R) mit 25 mL B1 sowie 125 mg Lysozym versetzt und bei 29°C unter leichtem Schütteln (60 rpm; HAT Infors AG CH-4103 Inkubator) 6 h inkubiert. Anschließend wurde die Protoplastensuspension durch Filtrieren über 3 Lagen sterilisierter Glaswolle von Myzelresten befreit. Nach der Zugabe von 25 mL B1 und anschließender Zentrifugation wurde der Überstand verworfen und das Protoplasten-Sediment in 30 mL B1 aufgenommen. Es folgte eine weitere Zentrifugation für 5 min bei 5.000 rcf (Eppendorf 5810 R) und das Protoplasten-Sediment wurde in 1 mL B1 aufgenommen, um den Zelltiter in einer Fuchs-Rosenthal-Kammer (Carl Roth GmbH, Karlsruhe) zu ermitteln.

$$c\,[Protoplasten/mL] = Z * A * VF * Vol$$

Z = Zellzahl [Anzahl der Protoplasten/mL], A = Anzahl der Kleinstquadrate in einem Großquadrat [A = 16], VF = Verdünnungsfaktor, Vol = Kammervolumen [0,2 µL umgerechnet auf 1 mL → Vol = 5000].

Tabelle 2.2 Lösungen für die Transformation von *Rhynchosporium*

Puffer	Zusammensetzung
Protoplastenpuffer B1	10 mM Tris/HCl; 0,7 M KCl; 50 mM $CaCl_2$; pH7,5 (abschließend autoklaviert)
Protoplastenpuffer B2	10 mM Tris/HCl; 1 M Sorbitol; 50 mM $CaCl_2$ (steril filtrierte Sorbitollösung nach dem Autoklavieren der Tris- und $CaCl_2$-Lösung hinzugeben)
50% (w/v) PEG 6000 in Protoplastenpuffer B2	Nach Lösen von PEG 6000 steril filtriert

Filtration mit Rotilabo®-Spritzenfilter, CME, Porengröße 0,45 µm

Für die Transformation der *R.-commune*-Protoplasten wurden 200 µL einer Protoplastensuspension ($1*10^7$) mit 1 µg der zu transferierenden DNA und 500 µL 50%igem (w/v) PEG 6000 (Polyethylenglycol 6000) in Protoplastenpuffer B2 vermischt. Für das Wachstum der Protoplasten direkt nach der Transformation wurden LIMBO-Agar-Platten mit zusätzlich 0,6 M Saccharose verwendet. Der Transformationsansatz wurde vollständig auf fünf solcher Petrischalen zusammen mit zusätzlich je 500 µL B2 pro Petrischale pipettiert und durch Schwenken der Platte verteilt. Die trockenen Platten wurden über Nacht bei 17°C im Dunkeln inkubiert. Danach wurden sie mit einer Antibiotikumlösung überschichtet (Hygromycin B 100 µg/mL bzw. Phleomycin D1 20 µg/mL) und ca. 2 Wochen inkubiert (bei 17°C im Dunkeln). Anschließend wurden Pilzkolonien ausgewählt, mit einem sterilen Skalpell ausgeschnitten, zum weiteren Wachstum mit etwas autoklaviertem Wasser auf neuen LIMBO-Agar übertragen und für weiter 2 Wochen inkubiert.

Für die Transformation von *R. secalis* wurde im Unterschied zu *R. commune* die Mischung aus Protoplastensuspension, DNA und PEG 6000 vor dem Ausplattieren 2 min bei Raumtemperatur inkubiert. Außerdem zeigte sich eine größere Grundresistenz von *R. secalis* gegenüber Phleomycin D1, weshalb eine Konzentration von 40 µg/mL für eine erfolgreiche Selektion nötig war.

Die Betrachtung und Dokumentation von *Rhynchosporium*-Kolonien auf Agar-Platten erfolgte am Nikon-AZ100-Mikroskop (GFP-L-Filter für eGFP-Fluoreszenz und Texas-Red®-Filter für mCherry-Fluoreszenz).

2.1.9 Dauerkulturen von *Rhynchosporium*

Für die Lagerung von Myzel wurden Pilzkulturen auf LIMBO-Agar angezogen. Ein Teil des Myzels wurde ausgeschnitten und zusammen mit 8,5% (w/v) fettfreiem Milchpulver und 25% (v/v) Glycerin in ein 2-mL-Reaktionsgefäß gegeben. Das Gefäß wurde in einem NALGENE™ *Cryo 1°C Freezing Container* mit einer Geschwindigkeit von 1°C pro Minute auf -80°C abgekühlt und anschließend in flüssigem Stickstoff gelagert.

2.2 Arbeiten mit Bakterien

2.2.1 Kultivierung von *Escherichia coli*

Die Klonierung und Vermehrung von DNA-Fragmenten erfolgte in *Escherichia coli* (*E. coli*). Dabei wurden verschiedene Stämme für die Klonierung genutzt. Der Stamm DB3.1™ (Thermo Fisher Scientific) wurde für die Arbeiten mit pHELLSGATE und pFUNGATE verwendet, der Stamm One Shot® (invitrogen) im Zusammenhang mit dem ‚pENTR™ Directional TOPO® Cloning Kit'. Für die übrigen Klonierungen wurden DH5α™-Zellen (Thermo Fisher Scientific) verwendet. Die Kultivierung erfolgte zum einen in flüssigem LB-Medium und zum anderen auf LB-Medium mit Bactoagar-Zusatz in Petrischalen (Tabelle 2.3). Für das Beimpfen von Flüssigkulturen wurden einige Zellen mit einer Impföse in ein Reagenzglas mit flüssigem LB-Medium überführt, welches anschließend über Nacht bei 37°C schüttelnd inkubiert wurde. Die ausgestrichenen Bakterien auf festem LB-Medium wurden ebenfalls über Nacht inkubiert.

Tabelle 2.3 Zusammensetzung LB-Medium

LB-Medium (*lysogeny broth*)	**Zusammensetzung**
flüssig	1% (w/v) Trypton; 0,5% (w/v) Hefe-Extrakt; 1% (w/v) NaCl
fest	wie flüssig, Zugabe von 1,5% (w/v) Bactoagar

2.2.2 Glycerin-Dauerkulturen

Die Lagerung der Bakterien erfolgte in einer 25%igen (v/v) Glycerin-Lösung bei -80°C. Dazu wurde die gewünschte Bakterienkultur in flüssigem LB-Medium angezogen und mit Glycerin versetzt.

2.2.3 Chemisch kompetente Zellen

Für die Erstellung chemisch kompetenter *E.-coli*-Zellen wurde eine Vorkultur (5 mL) angezogen. Am folgenden Tag wurde diese Kultur mit 250 mL SOB-Medium [*Super Optimal Broth* (Hanahan, 1983)] in einem 1-L-Kolben bei 18°C unter Schütteln (130 rpm; HAT Infors AG CH-4103 Inkubator) 24 h inkubiert (Tabelle 2.4). Ein Fünftel der Zellen wurden bei 1.600 rcf (Eppendorf 5810 R) und 4°C sedimentiert und der Überstand dekantiert. Das Sediment wurde in 16 mL Transformationspuffer (Tabelle 2.4) vorsichtig

aufgenommen. Nach 10-minütiger Inkubation auf Eis folgte eine weitere Sedimentation der Zellen bei 1.600 rcf und 4°C (Eppendorf 5810 R). Anschließend wurden die Zellen vorsichtig in 4 mL Transformationspuffer aufgenommen und abschließend vorsichtig mit 300 µL sterilem Dimethylsulfoxid versetzt. Nach 10-minütiger Abkühlung auf Eis wurden die kompetenten Zellen in 0,1-mL-Volumen aliquotiert und sofort in flüssigem N_2 eingefroren.

Tabelle 2.4 Transformationspuffer *E. coli*

Puffer	Zusammensetzung
Transformationspuffer	10 mM Piperazin-N,N'-bis-(2-ethansulfonsäure) (PIPES); 15mM $CaCl_2$; 250mM KCl; 55mM $MnCl_2$; pH 6,7 mit 1N KOH
SOB-Medium	0,5% (w/v) Hefeextrakt; 2% (w/v) Trypton; 10 mM NaCl; 2,5 mM KCl; 10 mM $MgCl_2$; 10 mM $MgSO_4$

Transformation chemisch kompetenter Zellen

Die chemisch kompetenten Zellen wurden auf Eis aufgetaut und danach mit der zu transferierenden DNA (variable Konzentrationen) vermischt. Nach einer 30-minütigen Inkubation auf Eis wurde der Transformationsansatz in einem Thermomixer (5436; Eppendorf) für 30 sec auf 42°C erwärmt. Abschließend wurde der Ansatz auf Eis für eine Minute gekühlt, mit 500 µL flüssigem LB-Medium vermischt, unter Schütteln in einem Thermomixer (5436; Eppendorf) bei 37°C für 1 h inkubiert, ausplattiert und bei 37°C bis zur Ausbildung von Bakterien-Kolonien inkubiert.

2.3 Molekularbiologische Techniken

2.3.1 Mörsern von Pilz- und Pflanzenmaterial

Für die Bearbeitung der pflanzlichen und pilzlichen Proben ist eine Pulverisierung des organischen Materials unter tiefsten Temperaturen nötig. Für die Isolierung von DNA, RNA oder Protein wurden die geernteten Primärblätter zu verschiedenen Zeitpunkten nach Inokulation (fünf Individuen pro Zeitpunkt) in 20-mL-Flaschen gefüllt. Diese wurden unter Kühlung mit flüssigem Stickstoff mit je drei Stahlkugeln (Durchmesser 7 mm) befüllt. Analog zu dieser Befüllung, jedoch ohne Individuen zusammen zu fassen, wurde mit dem Myzel und den Sporen für die Isolierung von DNA, RNA oder Protein verfahren. Die Flaschen wurden unter Verwendung des *Cryogenic Freezer Grinder System* (LABMAN Automation Limited) fünfmal 30 sec mit jeweils 30 sec Pause bei -80°C gemörsert. Das gemörserte Material wurde dauerhaft bei -80°C gelagert.

2.3.2 DNA-Isolierung und -Sequenzierung

Die bakterielle DNA aus den verwendeten *E.-coli*-Stämmen wurde mittels alkalischer Lyse isoliert. Dafür wurde das Sediment einer bakteriellen 3-mL-Flüssigkultur (LB-Medium) mit 100 µL Puffer 1 (25 mM Tris/HCl; 10 mM EDTA; pH 8,0) und 200 µL Puffer 2 (0,2 M NaOH; 1% (w/v) SDS) sowie 5 µL RNase A (10 mg/mL) gemischt und für 15 min bei Raumtemperatur inkubiert. Anschließend wurden 200 µL Puffer 3 (3 M Natriumacetat/HCl; pH 5,0) zugemischt und nach 10-minütiger Inkubation auf Eis für 10 min zentrifugiert (16.100 rcf, Eppendorf Centrifuge 5415 D). Der Überstand wurde in ein neues Reaktionsgefäß mit 1 mL Isopropanol überführt und gemischt. Abschließend wurde das Sediment nach 10-minütiger Zentrifugation (16.100 rcf, Eppendorf Centrifuge 5415 D) mit 500 µL 70%igem (v/v) Ethanol gewaschen und nach Trocknung bei Raumtemperatur in 50 µL Wasser gelöst. Zur Transformation und zur Sequenzierung der gewonnenen bakteriellen DNA wurde eine Isolierung und Reinigung nach der Vorschrift des QIAGEN ‚QIAfilter™ Plasmid Midi Kit' durchgeführt.

Die genomische DNA (gDNA) aus Myzel der fünf zu diesem Zeitpunkt bekannten *Rhynchosporium*-Arten sowie aus infizierten Blättern wurde aus gemörsertem Material extrahiert. Dafür wurde nach dem Mischen von 1 g extrahiertem Material mit 1 mL Extraktionspuffer (Tabelle 2.5) 30 µL RNase A zugegeben und bei 37°C für 15 min inkubiert. Nach Zugabe von 200 µL Roti®-Phenol/Chloroform/Isoamylalkohol (PCI) wurde die Probe 15 min bei Raumtemperatur geschüttelt und anschließend bei 4°C und 20.000 rcf für 15 min zentrifugiert (Eppendorf Centrifuge 5415 D). Der Überstand wurde

mit 1 mL Isopropanol gemischt und für mindestens 1 h bei 4°C gefällt. Nach einer weiteren Zentrifugation wurde der Überstand vorsichtig dekantiert und das Sediment mit 500 µL 70%igem (v/v) Ethanol gewaschen. Nach erneuter Zentrifugation und Dekantieren des Überstandes wurde die sedimentierte DNA bei Raumtemperatur getrocknet, in 20 µL Wasser aufgenommen und anschließend bei -20°C gelagert.

Für die Sequenzierung spezifischer Gene wurden diese über Verwendung genspezifischer Oligonukleotide und bakterieller bzw. eukaryotischer DNA als Matrize mittels PCR amplifiziert. Die erhaltenen Amplikons wurden bei Eurofins Genomics (Ebersberg) sequenziert.

Tabelle 2.5 Extraktionspuffer zur Isolierung von gDNA

Puffer	Zusammensetzung
Extraktionspuffer	1% (w/v) Sarcosyl (Natriumsalz von N-Lauroylsarcosin); 100 mM Tris/HCl; 100 mM NaCl; 10 mM EDTA (Ethylendiamintetraacetat); 1% (w/v) PVP (Polyvinylpyrrolidon K 25); pH 8,0

Sequenzierung der rDNA von *Rhynchosporium*

Die verwendeten genspezifischen Oligonukleotide wurden von Sequenzinformationen des 18S-RNA-Gens von *R. secalis* [Isolat 788; GenBank accession Nr. AY038583.1; (Goodwin, 2002)] abgeleitet. Zusätzlich sind bereits beschriebene Oligonukleotide genutzt worden (James *et al.*, 2006).

Zur Sequenzierung der genomischen rDNA-Region (18S, ITS1, 5.8S, ITS2, 28S) wurde die DNA abschnittsweise überlappend amplifiziert (im Beispiel von *R.-commune*-Isolat UK7 in Abbildung 2.1 dargestellt) und in das pJET-Plasmid (Thermo Fisher Scientific) kloniert.

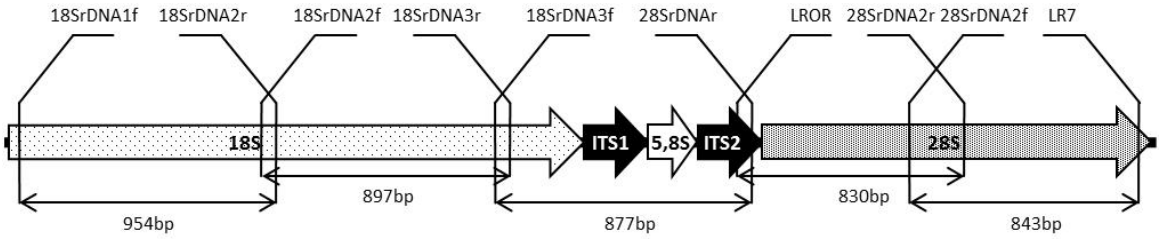

Abbildung 2.1 rDNA-Sequenzierung

Struktur der Nukleotidsequenzen der 18S-rDNA, 5.8S-rDNA und 28S-rDNA im *R.-commune*-Isolat UK7. Die *internal-transcribed-spacer* Region I (ITSI) befindet sich zwischen den 18S- und 5.8S-rDNA-kodierenden Bereichen und ITSII zwischen 5.8S- und 28S-rDNA. Die Sequenzüberprüfung erfolgte anhand der überlappend amplifizierten Abschnitte mit den dargestellten Oligonukleotiden. bp…Basenpaar.

2.3.3 Polymerase-Kettenreaktion

Für die exponentielle *in-vitro*-Vervielfältigung von DNA wurde der ‚DreamTaq Green PCR Master Mix' (Thermo Fisher Scientific) nach Herstellerangaben genutzt. Bei einer Amplifizierung von DNA-Fragmenten, die für die Transformation von *Rhynchosporium* eingesetzt werden sollten, wurde die ‚High Fidelity Taq DNA Polymerase' (Thermo Fisher Scientific) nach Herstellervorgaben eingesetzt. Für verschiedene Anforderungen wurden unterschiedliche Protokolle der Polymerase-Kettenreaktionen (PCR) im *MJ Research PTC-200 Thermal Cycler* ausgeführt. Das Protokoll für eine festgelegte Anlagerungstemperatur wurde für Reaktionen verwendet, bei denen die Oligonukleotide passgenau entworfen waren. Für die Amplifizierung mit überhängenden oder nicht passgenauen Oligonukleotiden wurde das Protokoll einer Gradienten-PCR genutzt. Die Gradienten-PCR dient zur Ermittlung der optimalen Anlagerungstemperatur durch gleichzeitige Amplifizierung der Matrize in gleichen Reaktionsansätzen bei unterschiedlichen Temperaturen. Eine Methode zur Vermeidung unspezifischer Amplifizierungsprodukte stellt die *Touch-Down*-PCR (Don *et al.*, 1991) dar. Im ersten Teil der *Touch-Down*-PCR wird eine Polymerase-Kettenreaktion mit in jedem Zyklus abfallendem Temperaturgradienten durchgeführt, gefolgt von einer PCR zur Vervielfältigung des spezifischen Amplikons. Für die Vervielfältigung wurde je 1 kb DNA eine Elongationszeit von 1 min veranschlagt. Die finale Elongation wurde mit der doppelten Zeit kalkuliert. Die Protokolle der PCR-Methoden sind im Folgenden beispielhaft dargestellt. Die verwendeten Oligonukleotide sind in Tabelle A 1 aufgelistet.

Protokoll bei festgelegter Anlagerungstemperatur:
(Länge des erwarteten Amplikons ≤ 500 bp; Oligonukleotide entworfen für eine Anlagerungstemperatur von 60°C; DreamTaq Elongationstemperatur 72°C)

Initiale Denaturierung	95°C	120 sec	
Denaturierung	94°C	30 sec	x40
Oligonukleotid-Hybridisierung	60°C	30 sec	
Elongation	72°C	30 sec	
Finale Elongation	72°C	60 sec	
Pause	14°C	∞	

Protokoll für eine Gradienten-PCR (bei überhängenden oder nicht passgenauen Oligonukleotiden):
(Länge des erwarteten Amplikons ≤ 500 bp; DreamTaq Elongationstemperatur 72°C)

Initiale Denaturierung	95°C	120 sec	
Denaturierung	94°C	30 sec	x40
Oligonukleotid-Hybridisierung	55-65°C	30 sec	
Elongation	72°C	30 sec	
Finale Elongation	72°C	60 sec	
Pause	14°C	∞	

Protokoll für die *Touch-Down*-PCR:
(Länge des erwarteten Amplikons ≤ 500 bp; Oligonukleotide entworfen für eine Anlagerungstemperatur von 60°C; DreamTaq Elongationstemperatur 72°C)

Initiale Denaturierung	95°C	120 sec	
Denaturierung	94°C	30 sec	x10
Oligonukleotid-Hybridisierung	60°C (-1°C pro Zyklus)	30 sec	
Elongation	72°C	30 sec	
Finale Elongation	72°C	60 sec	
Denaturierung	94°C	30 sec	x40
Oligonukleotid-Hybridisierung	50°C	30 sec	
Elongation	72°C	30 sec	
Finale Elongation	72°C	60 sec	
Pause	14°C	∞	

2.3.4 *Double-joint* PCR

Zur Fusion von DNA-Fragmenten mittels PCR wurde die Methode der *double-joint* PCR angewendet (Yu *et al.*, 2004). Hierbei wurden die gewünschten Fragmente, aus denen das Fusionskonstrukt besteht, durch überlappende Sequenzen zusammen geführt. Die Überlappungen wurden durch die Amplifikation der spezifischen Sequenz mit überhängenden Oligonukleotiden erzeugt. In Abbildung 2.2 ist die Amplifikation des Fusionskonstruktes für die Stilllegung der Transkription der *NIP2*-Genfamilie dargestellt. Die amplifizierten Segmente mit den Überhängen von *NIP2.1* zu *NIP2.2*, *NIP2.2* zu *NIP2.3* und *NIP2.3* zu *NIP2.4* wurden sukzessive in die PCR gegeben. Alle 10 Zyklen wurde in dieser Reihenfolge ein zusätzliches Segment zugeführt, so dass 10 Zyklen für die Anlagerung der überhängenden Sequenzen und die Replikation der DNA-Polymerase zur Verfügung standen (Anlagerungstemperatur 60°C). Schließlich wurde die Amplifikation des Fusionskonstruktes mit weiter innen liegenden Oligonukleotiden nach 37 Zyklen beendet. Dies führte zur Vervielfältigung des Gesamtkonstruktes bei Vermeidung unvollständiger Konstrukte. Zusätzlich wurden die TOPO®-Erkennungssequenzen durch

diese Primer an die Enden des Fusionskonstruktes angefügt. Bei dieser PCR wurde zur Amplifikation der Segmente und des Fusionskonstruktes die ‚High Fidelity Taq DNA Polymerase' (Thermo Fisher Scientific) mit Lesekorrektur verwendet.

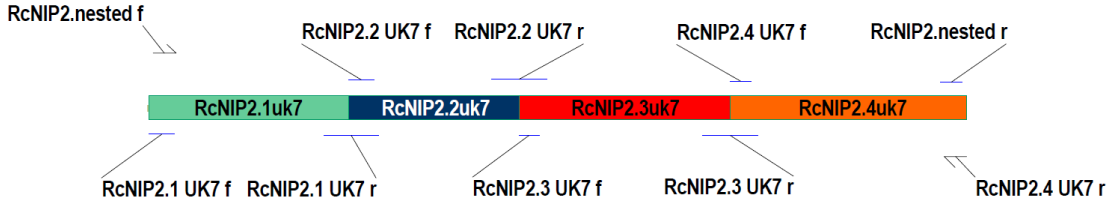

Abbildung 2.2 Fusionskonstrukt für die Stilllegung der *NIP2*-Genfamilie
Die Segmente des Fusionskonstruktes wurden durch Amplifikation mit überhängenden Oligonukleotiden verlängert, so dass sie Sequenzinformationen mit dem angrenzenden Segment teilten. Durch die Amplifikation des Gesamtkonstruktes mit den Oligonukleotiden RcNIP2.nested_f und RcNIP2.nested_r wurde schließlich das dargestellte Fusionskonstrukt erzeugt. Jedes der vier *NIP2*-Homologen ist durch einen Sequenzabschnitt seines kodierenden Bereiches in dem Fusionskonstrukt vertreten. f…*forward*; r…*reverse*; Rc…*R. commune.*

2.3.5 DNA-Gelelektrophorese

Zur horizontalen elektrophoretischen Auftrennung der DNA wurden die Gelelektrophoresekammern Mupid®-One (Advance) und BlueMarine™ 200 (Serva, Heidelberg) verwendet. Ein Gel [1% (w/v) Agarose in TAE-Puffer] wurde in noch flüssigem Zustand mit 0,001% (w/v) Ethidiumbromid versetzt und in die Kammern gefüllt. Nach Aushärten des Gels wurde die Gelelektrophoresekammer mit TAE-Puffer (40 mM Tris/CH_3COOH; 1 mM EDTA; pH 8,3) befüllt. Die DNA-Proben wurden nach Vorschrift mit ‚DNA Loading Dye' (Thermo Fisher Scientific) versetzt und in die Taschen des Agarosegels überführt. Die elektrophoretische Trennung erfolgte bei 180 V und 250 mA und die Verteilung der Banden wurde anschließend unter UV-Licht betrachtet. DNA-Banden wurden gegebenenfalls unter UV-Licht ausgeschnitten und die DNA-Fragmente nach der Vorschrift des ‚QIAquick® Gel Extraction Kits' (QIAGEN) extrahiert.

2.3.6 RNA-Isolierung

Die Isolierung von RNA aus pflanzlichen oder pilzlichen Proben sowie infizierten Blättern wurde nach der Vorschrift des ‚QIAGEN RNeasy® Plant Mini Kits' durchgeführt. Zur zusätzlichen Entfernung von DNA-Kontaminationen wurden die Extrakte mit DNase (QIAGEN RNase-Free DNase Set) behandelt.

2.3.7 cDNA-Synthese

Die Synthese von komplementärer DNA (cDNA) wurde entsprechend der Vorschrift des ‚RevertAid H Minus First Strand cDNA Synthesis Kit' (Thermo Fisher Scientific) durchgeführt. Zur Kontrolle der cDNA-Synthese und zur Überprüfung der Abwesenheit von genomischer DNA (gDNA) erfolgte eine PCR unter Verwendung von Oligonukleotiden, die ein Intron des *RXP1*-Gens (Matern, 2011) flankierten (Rxp1_ex1s2; 01266 (s)). Mit cDNA als Matrize wurde ein 217 bp langes Amplikon erwartet, mit gDNA als Matrize eines mit 267 bp Länge (Abbildung 2.3). Die zusätzliche Bande bei ~300 bp resultierte daraus, dass das Oligonukleotid Rxp1_ex1s2 mit 5 Fehlstellen (*mismatches*) an anderer Stelle stromabwärts der eigentlichen Bindestelle anlagerte und ein größeres Amplikon bildete. Für den Nachweis der cDNA-Synthese der *RXP1*-Deletionsmutante wurden analog die für *GPD* spezifischen Oligonukleotide verwendet (GPD_cDNA_test_s; GPD_cDNA_test_as)

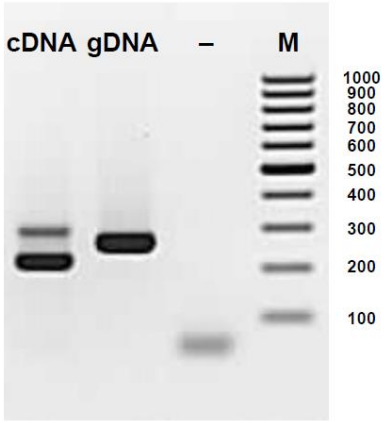

Abbildung 2.3 Überprüfung von cDNA-Synthese und gDNA-Kontamination
Aufnahme von Ethidiumbromid-behandelter DNA unter UV-Licht mit einem UV-Filter nach einer elektrophoretischen Auftrennung (Agarosegel). Die aufgetragenen PCR-Reaktionen wurden mit den Oligonukleotiden Rxp1_ex1s2 und 01266 (s) versetzt. Als Matrize diente die cDNA von *R. commune* (Isolat UK7) isoliert von infizierten Gerstenblättern 21 d nach Inokulation. Die gDNA wurde aus *ex planta* gewachsenem Myzel von *R. commune* (Isolat UK7) isoliert.
cDNA: komplementäre DNA aus UK7 nach Synthese und DNase-Behandlung; **gDNA**: genomische DNA aus UK7; **–**: Wasserkontrolle; **M**: Größenstandard in bp

2.3.8 Quantitative Echtzeit-PCR zur Bestimmung der relativen Expression

Zur Quantifizierung der relativen Transkriptmenge von pilzlicher oder pflanzlicher cDNA und zur Quantifizierung der relativen pilzlichen Biomasse wurde eine quantitative Echtzeit-PCR (qPCR) genutzt (Holzapfel & Wickert, 2007). Auf Grund der reversen Transkription zur Erstellung der cDNA mit nachfolgender qPCR wird in der vorliegenden Arbeit von qRT-PCR gesprochen. Nach der Synthese wurde die cDNA (unbestimmte Konzentration) im Verhältnis 1:10 verdünnt und als Matrize in der qRT-PCR eingesetzt. Für die Bestimmung der Cq-Werte (*cycle of quantification*) wurden jeweils 2 technische Replikate erhoben. Bei Abweichung der technischen Replikate voneinander wurde die qRT-PCR aller Replikate wiederholt. Die qRT-PCR wurde im Mx3005P qPCR System (Agilent Technologies, Santa Clara, USA) mit den Reaktionsgefäßen des Herstellers STARLAB (Artikelnummer: A1402-3700) durchgeführt. Die qRT-PCR und der Entwurf der Oligonukleotide wurden nach Protokoll des Herstellers mit dem ‚Maxima™ SYBR Green/ROX qPCR Master Mix' (Thermo Fisher Scientific) durchgeführt. Als Abwandlung wurde das Reaktionsvolumen auf 10 µL reduziert und eine Mischung der Oligonukleotide mit 100 pmol eingesetzt. Die verwendeten Oligonukleotide sind in Tabelle A 1 aufgelistet. Das Protokoll der qRT-PCR umfasste die Messung der Amplifikationskurven, welche mit dem Programm MxPro – Mx3005P v. 4.10 (© 2007 Stratagene) ausgewertet wurden.

Außerdem wird die Dissoziation der fluoreszierenden qRT-PCR-Produkte über einen Temperaturbereich von 60°C bis 94°C bestimmt, um eine mögliche Amplikon-Kontamination zu detektieren. Die Berechnung der relativen Transkriptmenge von pilzlicher oder pflanzlicher cDNA und die Quantifizierung der relativen pilzlichen Biomasse erfolgte unter Verwendung Effizienz-kalibrierter Methoden (Pfaffl, 2001). Es wurden 3 technische Wiederholungen für die Effizienzbestimmung genutzt.

Berechnung der relativen Transkriptmenge (qRT-PCR)

Bei Berechnung der relativen Transkriptmenge wurde das Referenzgen *GPD* (AFI43937) aus dem *R.-commune*-Isolat UK7 bzw. aus dem *R.-secalis*-Isolat 02CH4-6a.1 im Verhältnis zum Zielgen analysiert. Die gemittelten technischen Replikate der Cq-Werte wurden zusammen mit den Effizienz-Werten (E-Werte) in folgender Formel für die Berechnung der relativen Transkriptmenge genutzt:

$$relative\ Transkriptmenge = \frac{Effizienz\ GPD^{\ Cq\ \ GPD}}{Effizienz\ \ Zielgen^{\ Cq\ \ Zielgen}}$$

Berechnung der relativen pilzlichen Biomasse (qPCR)

Für die Berechnung der relativen pilzlichen Biomasse wurde das *GPD*-Gen (AFI43937) aus UK7 bzw. sein *R.-secalis*-Orthologes im Verhältnis zum *TSP*-Gen (*trypsin-like serine protease*, AK250643) aus *Hordeum vulgare* bzw. seinem Orthologen aus *Secale cereale* (Sce_Assembly03_c1480, GABI) analysiert (Kirsten *et al.*, 2012; Graap, 2013). Die gemittelten technischen Replikate der Cq-Werte wurden zusammen mit den E-Werten in der folgenden Formel für die Interaktion von *R. commune* und *H. vulgare* genutzt. Die Berechnung der relativen pilzlichen Biomasse in der Interaktion von *R. secalis* und *S. cereale* erfolgte analog.

$$relative\ Pilzbiomasse = \frac{Effizienz\ TSP^{\ Cq\ TSP}}{Effizienz\ GPD^{\ Cq\ GPD}}$$

Protokoll für die qRT-PCR und qPCR:
(Länge des erwarteten Amplikons < 150 bp; Oligonukleotide entworfen für eine Anlagerungstemperatur von 60°C; Maxima™ SYBR Green/ROX qPCR Master Mix)

Initiale Denaturierung	95°C	10 min		
Denaturierung	95°C	30 sec	x55	Echtzeit-Messung der Amplifikation pro Zyklus
Oligonukleotid-Hybridisierung	60°C	30 sec		
Elongation	72°C	30 sec		
Denaturierung	95°C	60 sec		Messung der Dissoziationskurven der Produkte der qRT-PCR
Oligonukleotid-Hybridisierung	60°C	30 sec		
Denaturierung	95°C	30 sec		
Pause	25°C	∞		

2.3.9 Arbeiten mit Proteinen

Proteinisolierung

Myzel, Kulturüberstand und Sporen des *R.-commune*-Isolates UK7 wurden für die Analyse des Proteoms genutzt. Durch Filtration über einen *mixed-cellulose-ester* Filter (0,45 µm; Advantec) wurde das Myzel vom Kulturüberstand getrennt. Der erhaltene Kulturüberstand wurde über eine Ultrafiltrationsmembran (5 kDa *cut-off*, Millipore) mit 5 bar Druck (N_2) konzentriert. Die Sporenisolierung erfolgte vom Myzel und Kulturüberstand getrennt auf Agarose-Platten (LIMBO). Im Gegensatz zur Sporenisolierung für die Inokulation von Pflanzen wurden bei der Ermittlung der Sporenzahl tote und nicht keimungsfähige Sporen mit berücksichtigt. Für die Proteinisolierung wurden $1{,}6*10^8$ Sporen eingesetzt (siehe Seite 82). Myzel und Sporen wurden im -80°C kalten *Cryogenic Freezer Grinder System* gemörsert, während das konzentrierte Kulturfiltrat ohne weitere Behandlung zur Proteinisolierung genutzt wurde. Die Aufbewahrung des gemörserten Materials erfolgte bei -80°C.

Zur Proteinextraktion wurde 1 g gemörsertes Myzel bzw. Sporen oder 1 mL Kulturüberstand mit dem 10fachen Volumen an TCA-Aceton [10% (w/v) TCA (Trichloressigsäure); 0,07% (v/v) 2-ME (2-Mercaptoethanol) in Aceton] gemischt und anschließend in flüssigem N_2 für 30 sec gekühlt. Nach dreimaliger Ultraschallbehandlung der jeweiligen Probe für 10 sec, unterbrochen durch 30-sekündiges Abkühlen in flüssigem N_2, wurde das Material für mindestens 45 min bei -20°C inkubiert. Nach 5, 10, 15 min wurde das Reaktionsgefäß invertiert, um abschließend für 15 min bei 4°C sowie 20.000 rcf zentrifugiert zu werden (Eppendorf 5810 R). Das Sediment wurde mit 1,5 mL Waschlösung (0,07% (v/v) 2-ME in Aceton) gemischt und anschließend in flüssigem N_2 für 30 sec gekühlt. Einer Inkubation bei -20°C für mindestens 30 min folgte eine Zentrifugation für 25 min bei 4°C sowie 20.000 rcf (Eppendorf 5810 R). Nach wiederholter Zugabe von Waschlösung und Inkubation schloss sich eine Zentrifugation

für 35 min an. Das Sediment wurde in einem Rotations-Vakuum-Konzentrator (RVC 2-18; Christ®) getrocknet und bei -20°C gelagert.

Vorbereitung für die MS-Analyse

Die sedimentierten und getrockneten Proteine wurden in 100 µL LysB-*shotgun*-Puffer aufgenommen und 2-mal für 30 min im Ultraschallbad behandelt. Zur Entfernung der verbliebenen Zelltrümmer wurde der Überstand nach 10-minütiger Zentrifugation bei 20.000 rcf und 4°C (Eppendorf 5810 R) in ein neues Reaktionsgefäß überführt. Nach nochmaliger Zentrifugation wurde die Proteinkonzentration des Überstandes mit dem ‚2D-Quant Kit' (GE Healthcare) nach Herstellerangaben in Doppelbestimmung ermittelt. Die Eichgerade wurde mit den Konzentrationen 0, 10, 20, 30, 40, 50 µg/µL Rinderserumalbumin (BSA) bestimmt. Die Messung der Extinktion erfolgte an einem Photometer bei einer Wellenlänge von 480 nm.

Für die anschließende tryptische Spaltung der Proteine wurden die Proteinproben zuerst mit Lösung A für eine Stunde reduziert und anschließend mit Lösung B abgedunkelt eine Stunde alkyliert (Tabelle 2.6). Überschüssiges Iodacetamid (IAA) wurde durch erneute Inkubation für eine Stunde mit Lösung A entfernt. Die Proben wurden mit Lösung C auf eine Endkonzentration von 0,6 M Harnstoff verdünnt. Trypsin-Lösung (200 ng/µL, Promega, Mannheim) und Probe wurden in einem Verhältnis von 1:50 gemischt und abschließend bei 37°C über Nacht schüttelnd inkubiert (Thermomixer 5436; Eppendorf).

Tabelle 2.6 Lösungen zur Vorbereitung für die MS-Analyse

Puffer	Zusammensetzung
LysB-*shotgun*-Puffer	8 M Harnstoff; 50 mM Tris; pH 8,5
Lösung A	100 mM Tris/HCl; 100 mM DTT; pH 7,8
Lösung B	100 mM Tris/HCl; 200 mM IAA; pH 7,8
Lösung C	50 mM NH_4HCO_3

Entsalzen der Peptidproben

Eine Entsalzung der Proben mit bis zu 30 µg Peptiden wurde über eine Pierce™ C18 Spin Column (Thermo Fisher Scientific) ermöglicht. Jeder Zentrifugationsschritt mit dieser Säule wurde bei 1.500 rcf durchgeführt (Eppendorf Centrifuge 5415 D). Zum Anfeuchten wurde die Säule mit 2-mal 200 µL 50% (v/v) Methanol versetzt und für jeweils 1 min zentrifugiert. Nach dem Equilibrieren (5% (v/v) Acetonitril; 0,5% (v/v) Trifluoressigsäure) wurde die Probe (≤ 200 µL) auf die Säule gegeben und für 1 min sedimentiert. Der Durchfluss wurde erneut aufgetragen und für 5 min zentrifugiert. Nach 3-maligem Waschen mit 200 µL Equilibrierungslösung mit Zentrifugation für 1 min wurde die Probe eluiert. Dabei wurden die Peptide durch Verwendung von 2-mal 20 µL Elutionslösung (70% (v/v) Acetonitril; 0,1% (v/v) Trifluoressigsäure) und Zentrifugation für 3 min von der

Säule gewaschen. Die Lösung wurde in einem Rotations-Vakuum-Konzentrator (RVC 2-18; Christ®) getrocknet und in 5% (v/v) Acetonitril mit 0,1% (v/v) Trifluoressigsäure rückgelöst.

Peptidanalyse via Nano-LC-ESI-MS/MS

Die Analyse der tryptisch gespaltenen Peptide erfolgte durch eine Thermo Scientific™ Orbitrap Velos Pro™ analog zu Lassowskat *et al.* (Proteomes 2013) mit folgenden Änderungen. Die Peptidtrennung verlief über einen 300-minütigen Gradienten. Dabei wurde der dynamische Ausschluss von Peptiden aktiviert (Wiederholungszahl: 1, Wiederholungsdauer: 30 sec, Ausschlusslistengröße: 500, Ausschlussdauer: 90 sec). Die massenspektrometrischen Rohdaten wurden gegen eine *Rhynchosporium*-Datenbank mittels Thermo Scientific™ Proteome Discoverer™ 1.4 unter Nutzung eines im Haus verfügbaren Mascot-Servers abgeglichen (Massentoleranz des Vorläufer-Ions: 7 ppm; Massentoleranz des Fragment-Ions: 0,8 Da; *missed cleavage*: 2). Die *Rhynchosporium*-Datenbank bestand aus den Aminosäuresequenzen der vorhergesagten Proteine des *R.-commune*-Isolates UK7. Die Carbamidomethylierung (Cystein) wurde als statische Modifikation festgelegt. Variable Modifikationen waren Oxidation (Methionin), Acetylierung (Protein-N-Terminus), Deamidierung (Asparagin/Glutamin) und Phosphorylierung (Serin/Threonin/Tyrosin). Die Berechnung der *False Discovery Rate* (FDR) erfolgte wie bereits beschrieben (Lassowskat *et al.*, 2013). Die zwei pro Probe (Sporen, Myzel und Kulturüberstand) durchgeführten Einzelmessungen wurden als *Input*-Datei für die Generierung einer *.msf verwendet. Die Gesamtzahl der einzigartigen Peptide und *Peptide-spectrum matches* (von engl. Treffer für theoretisches versus gemessenes Peptidspektrum; PSMs) sowie deren Anzahl aus den einzelnen Modifikationen der Proben wurden tabellarisch zusammengefasst (digitaler Anhang).

2.3.10 Stilllegung der Gentranskription

β-Glucuronidase-Aktivitätsnachweis

Die β-Glucuronidase (GUS) hydrolysiert X-Gluc (Cyclohexylammoniumsalz der 5-Brom-4-Chlor-3-Indolyl-β-D-Glucuronsäure), wodurch ein blauer Farbstoff entsteht.

Bei dem Test der Klonierungseffizienz von pFUNGATE mit dem pENTR™GUS als Eingangsvektor (pENTR™ Directional TOPO® cloning Vorschrift von invitrogen) wurde X-Gluc als Nachweissubstanz eingesetzt. Der Eingangsvektor beinhaltete das *GUS*-Gen, welches in direkter und indirekter Orientierung in pFUNGATE integriert werden konnte (Abbildung A 7). Während der Klonierung wurden die *ccdB*-Gene (c*ontrol of cell death B*) gegen die *GUS*-Sequenzen ausgetauscht. Der erhaltene pFUNGATE-GUS (pFGGUS) wurde anschließend zur Transformation von kompetenten *E. coli* (DH5α™) genutzt. Das *ccdB*-Genprodukt ist für die meisten Bakterien toxisch und dient daher der Selektion transformierter Zellen. Das Kanamycin-Resistenzgenprodukt, welches auf pFUNGATE kodiert ist, diente zur Selektion der transformierten Zellen über Kanamycin-haltiges LB-Medium (Kanamycin; 30 µg/mL). Das verwendete Medium wurde zuvor mit einer X-Gluc-Lösung (pro Petrischale je 0,8 mg X-Gluc) überschichtet. Nach Verdunstung des enthaltenen Lösungsmittels DMF (N,N-Dimethylformamid) wurde die Bakterienlösung ausplattiert. Die blau gefärbten Kolonien wurden gegen die ungefärbten ausgezählt, um die prozentuale Effizienz zu errechnen.

Insertion der Stilllegungsfragmente

Die Sequenzen, die für eine gezielte Stilllegung der Transkription bestimmter Gene verwendet werden sollten, wurden mit dem ‚pENTR™ Directional TOPO® cloning Kit' (invitrogen) in den Eingangsvektor pENTR™/D-TOPO® nach Vorschrift des Herstellers inseriert.

Rekombinante Integration von pFUNGATE

Die rekombinante Integration in pFUNGATE mit dem pENTR™/D-TOPO®-Plasmid als Eingangsvektor erfolgte nach der Vorschrift des ‚Gateway® LR Clonase™ II Enzyme Mix' von invitrogen. Als Abweichung von der Vorschrift wurde der pENTR™/D-TOPO®-Vektor vollständig mit der Restriktionsendonuklease PvuI bei 37°C über Nacht gespalten. Die PvuI-Bindestelle befindet sich im Kanamycin-Resistenzgen. Somit konnte die Integration des pENTR™/D-TOPO®-Vektor allein nicht zu resistenten Bakterien führen.

Spaltung von DNA

Für die gezielte Spaltung von DNA-Molekülen wurden Restriktionsendonukleasen (REN) der Firma Thermo Fisher Scientific nach Herstellerangaben eingesetzt. Die Spaltung wurde für die Klonierung von DNA-Molekülen und für den Nachweis von Klonierungsreaktionen eingesetzt. Dabei wurden die Fragmentgrößen einer *in-silico*-Spaltung mit den tatsächlichen Fragmentgrößen nach einer elektrophoretischen Auftrennung der Moleküle verglichen.

Klonierung von DNA-Fragmenten

Um DNA-Fragmente, die entweder mittels PCR amplifiziert oder über Spaltung durch Restriktionsenzyme erhalten wurden, in Plasmide zu integrieren, wurde die T4 DNA-Ligase mit ATP als Kofaktor verwendet (Thermo Fisher Scientific). Amplikons wurden für die weitere Verwendung in den Vektor pJET2.1 kloniert (CloneJET PCR Cloning Kit; Thermo Fisher Scientific).

2.4 Genomsequenzierung

Die Genome von 4 Arten (5 Isolate) der Gattung *Rhynchosporium* sind in Kooperation mit dem Leibniz-Institut für Altersforschung - Fritz-Lipmann-Institut e.V. (FLI) in Jena und dem Helmholtz Zentrum München sequenziert worden. Ein Entwurf der genomischen Anordnung (Assemblierung) wurde nach der 454™- bzw. Solexa-Sequenzierung der einzelnen Arten (Tabelle 3.1) mit Hilfe von Assemblierungssoftware wie ALLPATH-LG (Gnerre *et al.*, 2011) und SSPACE (BaseClear B.V.) für *R. commune*, Newbler (Roche Diagnostics) für *R. secalis* und VELVET-Algorithmus (Zerbino & Birney, 2008) für *R. agropyri* und *R. orthosporum* erstellt. Die *de-novo*-Annotation erfolgte mittels GeneMark (Besemer & Borodovsky, 2005), AUGUSTUS (Stanke & Morgenstern, 2005) und FGENESH (Salamov & Solovyev, 2000) am Helmholtz Zentrum München in der Arbeitsgruppe *Fungal & Microbial Genomics* (M. Münsterkötter).

Einige der Genmodelle, die durch die Annotierungsmethoden im Genom identifiziert worden sind, wurden nicht für eine finale Annotation des Gesamtgenoms verwendet. Bei den *de-novo*-Methoden kommt es zu Konflikten der Annotierungsverfahren, wenn im Beispiel von sehr kurzen Genmodellen oder durch das Zuordnen (*mapping*) von bereits annotierten Genmodellen anderer Arten wie *Phialocephala subalpina*, *Fusarium spec.* und *R. commune* (Referenzgenome der Annotierung) sich mehrere Genmodelle einen Genlocus teilen. Für jeden individuellen Konflikt, der daraus entstanden ist, führte eine Einzelbetrachtung zu einem finalen Genmodell auf dem spezifischen Locus. Es wurde außerdem ein Ausschluss von kurzen und putativ nicht funktionalen Genmodellen am Helmholtz Zentrum München (M. Münsterkötter) durchgeführt. Dies kann durch Introns innerhalb des Genmodells oder durch die geringe Größe des kodierten Proteins der Fall sein. Abschließend konnte durch die Verifizierung der vorhergesagten Genmodelle, über die Validierung von 246 (SCPCH) bzw. 248 (CEGMA) Genen (Parra *et al.*, 2007), die Bestätigung einer umfassenden Annotierung erfolgen (Tabelle 3.1).

Das Genom des Isolates 15lp11 der *Rhynchosporium* Art *R. lolii* (King *et al.*, 2013) wurde von Richard Harrison sequenziert (Illumina MiSeq, East Malling Research, East Malling, UK). Die Assemblierung wurde unter Zuhilfenahme des VELVET-Algorithmus (Zerbino & Birney, 2008) durch David Hughes erstellt (University of Hertfordshire, Hatfield, UK), jedoch auf Grund ausstehender weiterer Sequenzierung nicht zu einer eigenständigen Assemblierung zusammengefügt. Die Sequenzabschnitte aus der Sequenzierung (*sequencing reads*) dieses Isolates wurden an die Contigs (zusammengefügte *sequencing reads*) des *R.-orthosporum*-Genoms angeglichen. Da die Sequenzabdeckung lediglich bei den genomischen Bereichen der orthologen Genloci von *R. orthosporum* ausreichend für ein *R.-lolii*-Genmodell war, konnten nur hierfür differentielle Sequenzinformationen erhalten werden.

2.4.1 Phylogenetische Einordnung der Gattung *Rhynchosporium*

Die Gattung *Rhynchosporium* ist in die Rekonstruktion der phylogenetischen Aufteilung der frühen Evolution der Pilze eingeordnet worden (James *et al.*, 2006). Für die phylogenetische Einordnung in die Klasse der *Leotiomycetes* (17 Taxa) wurden die Sequenzen von 6 Genen interspezifisch verglichen. Diese Klasse wurde anhand vorangegangener Analysen der Verwandtschaftsverhältnisse (Goodwin, 2002) ermittelt. Die Sequenzen der Gene, die die 18S ribosomale RNA, die 28S ribosomale RNA, die *internal transcribed spacer* Region (ITS), den Elongationsfaktor EF1a und die beiden größten RNA-Polymerase-II-Untereinheiten (RPB1, RPB2) kodieren, wurden aus der Publikation James *et al.* (2006) entnommen. Die korrespondierenden Sequenzen von *Rhynchosporium* wurden über die annotierten Gene der sequenzierten Genome oder durch Sequenzierung klonierter Gene (18S rDNA, ITS, 28S rDNA) erhalten. Die Sequenzen von jedem Gen der 17 Taxa wurden über den ClustalW-Algorithmus (BioEdit v. 7.2.5) angeglichen und lückenhafte oder nicht eindeutige Sequenzabschnitte wurden entfernt. Anschließend wurde mit dem ClustalW-Algorithmus, implementiert in MEGA v. 6.06 (Tamura *et al.*, 2013), eine Angleichung der Sequenzen generiert. Die Sequenzangleichung unterschied sich dabei außer in einzelnen Sequenzunterschieden (SNP; *single nucleotide polymorphism*) lediglich in Sequenzabschnitten, die eine Länge von bis zu 3 aufeinanderfolgenden Basen aufwiesen. Die RPB1-Sequenzen der Arten *Coccomyces dentatus*, *Potebniamyces pyri*, *Monilinia fructicola* und *Lachnum virgineum* waren weder in James *et al.* (2006) noch anderweitig zugänglich und konnten deshalb in der Analyse nicht berücksichtigt werden. Die Sequenzen wurden anschließend in der Reihenfolge 18S rDNA, 28S rDNA, ITS, EF1a, RPB1 und RPB2 konkateniert und getrimmt in einer Matrix zusammengefügt. Für eine phylogenetische Einordnung in die 17 Taxa wurden die Sequenzen in MEGA v. 6.06 importiert und die evolutionäre Entwicklung wurde mittels der *Maximum-Likelihood*-Methode (ML) basierend auf dem *general-time-reversible* Modell abgeleitet (Nei & Kumar, 2000). Als Ergebnis wurde der Stammbaum mit der höchsten logarithmischen Ähnlichkeit (*log likelihood*, LogL) dargestellt. Der initiale Stammbaum, der für die heuristische Suche genutzt wurde, ist durch die Anwendung der *Neighbor-Joining*-Methode auf eine Matrix der paarweisen Sequenzabstände erhalten worden. Diese Matrix wurde mittels *Maximum-Composite-Likelihood*-Anwendung erstellt. Für die Modellierung der Unterschiede in der Evolutionsrate zwischen den einzelnen Nukleotiden wurde eine getrennte Gamma-Verteilung genutzt (4 Kategorien). Außerdem wurde ein Variationsmodell genutzt, welches es ermöglicht, dass einige Positionen innerhalb der Sequenz evolutionär invariabler sind als andere. Die Sequenzabschnitte, die Lücken oder fehlende Daten im Sequenzvergleich aufwiesen, wurden nicht in der Phylogenie beachtet. Die ML-Methode wurde mit 1000 *Bootstrap*-Wiederholungen für den sich ergebenden Stammbaum ausgeführt. Durch die zusätzliche Berechnung in PHYML 3.0 (Guindon *et al.*, 2010) wurde

die Phylogenie der betrachteten Taxa unabhängig untersucht. Es wurde ebenfalls, basierend auf dem *general-time-reversible* Modell, ein Stammbaum mit einer getrennten Gamma-Verteilung für die Modellierung der Unterschiede in der Evolutionsrate zwischen den einzelnen Nukleotiden erstellt (4 Kategorien). Die hierbei genutzte ML-Methode wurde mit 250 *Bootstrap*-Wiederholungen für den sich ergebenden Stammbaum ausgeführt. Der initiale Stammbaum, der für die heuristische Suche genutzt wurde, ist ebenfalls durch die Anwendung der *Neighbor-Joining*-Methode auf einer Matrix der paarweisen Sequenzabstände erhalten worden.

Eine zweite Untersuchung der Phylogenie schloss verwandtschaftlich weiter entfernte Pilzarten mit ein. Homologe von EF1a, RBP1 und RBP2 aus *R. commune* wurden mit Hilfe des BLASTP-Algorithmus (*Basic Local Alignment Search Tool*) (Altschul *et al.*, 1997) in 15 verschiedenen Taxa identifiziert (Tabelle A 3). Die Sequenzen von *Phialocephala subalpina* wurden von der Arbeitsgruppe *Fungal & Microbial Genomics* des Helmholtz Zentrum München zur Verfügung gestellt. Die kombinierten und konkatenierten Sequenzen wurden in der Reihenfolge EF1a, RPB1 und RPB2 in einer Matrix zusammengefasst. Die Aminosäuresequenzen wurden nicht getrimmt, da für alle untersuchten Proteine vollständige kodierende Sequenzen vorhanden waren. Die Sequenzen aller 21 Taxa wurden mittels ClustalW-Algorithmus in MEGA v. 6.06 angeglichen. Im Anschluss daran erfolgte die Berechnung der phylogenetischen Aufteilung anhand des *LG-substitution*-Modells (Le & Gascuel, 2008). Der Stammbaum wurde analog zur Berechnung des Stammbaumes auf Grundlage der 6 Genloci in MEGA v. 6.06 (siehe oben) errechnet. Lediglich die Matrix der paarweisen Sequenzabstände wurde anhand des JTT-Modells erstellt (Jones *et al.*, 1992). Ebenfalls wurde eine unabhängige Berechnung in PHYML 3.0 der Phylogenie der betrachten Taxa durchgeführt. Der Stammbaum wurde analog zu der Berechnung des Stammbaumes auf Grundlage der 6 Genloci in PHYML 3.0 (siehe oben), jedoch basierend auf dem *LG substitution* Modell mit 250 *Bootstrap*-Wiederholungen, errechnet.

3. Ergebnisse

3.1 Genome der *Rhynchosporium*-Arten

In Kooperation mit dem Leibniz-Institut für Altersforschung in Jena (Sequenzierung/Assemblierung) und dem Helmholtz Zentrum München in Neuherberg (Annotierung und Implemetierung in GBrowse) wurden die Genome von vier der fünf bekannten *Rhynchosporium*-Arten (fünf Isolate) untersucht. Die DNA wurde in vorangegangenen Arbeiten aus *ex planta* angezogenem Myzel isoliert. Eine Übersicht der Sequenzierungen und der aus der Annotation resultierenden Genmodelle ist in Tabelle 3.1 abgebildet worden.

Tabelle 3.1 Übersicht der *Rhynchosporium*-Genome

	BCG			CCG	
	R. commune	*R. secalis*	*R. agropyri*	*R. orthosporum*	*R. lolii*
Isolat	UK7	CH4-6a.1	04CHRacA6.1	04CHBärA1.1.3	15lp11
Primäre Sequenzdaten	3x Solexa; 454™	Solexa; 454™	Solexa	Solexa	Solexa Sequenzierung Bruce Fitt MA PhD DIC FRSB (University of Hertfordshire, UK)
Assemblierungssoftware	ALLPATHS-LG + SSPACE	Newbler	Velvet/Oasis	Velvet/Oasis	Keine Assemblierung
Scaffolds	163	2.129	508	29.183	-
Gesamtlänge der Scaffolds	55,59 Mb	49,41 Mb	52,18 Mb	58,16 Mb	-
Durchschnittliche Gendichte (Gen/kb)	0,22	0,27	0,26	-	-
Kodierender Bereiche [%]	30,06	33,84	33,08	29,6	-
Protein-kodierende Gene	12.212	13.151	13.674	10.254	-
t-RNA Gene	113	117	107	115	-
Validierung SCPCH (246)	246	246	246	246	-
CEGMA (248)	248	248	247	247	-

Die primären Sequenzdaten wurden entweder mittels Solexa-Sequenzierung oder 454 Sequencing™ erhoben. Für die Assemblierung wurden verschiedene Programme genutzt, namentlich ALLPATH-LG, SSPACE, Newbler und Velvet bzw. Oasis. Einzig für das *R.-lolii*-Isolat 15lp11 stand keine Assemblierung zur Verfügung (King *et al.*, 2013; King *et al.*, 2015). Die Sequenzdaten (*sequence reads*) dieses Isolates wurden von der Arbeitsgruppe von Bruce Fitt (University of Hertfordshire, UK) zur Verfügung gestellt. Da die Sequenzdaten ohne finale Assemblierung erhoben wurden, war eine Annotierung des untersuchten *R.-lolii*-Isolats nicht möglich. Mittels homologer Genmodelle aus der am nächsten verwandten Art *R. orthosporum* stehen allerdings *R.-lolii*-Genmodelle zur Verfügung. Hierfür wurden die Sequenzabschnitte (*sequence reads*) aus der Solexa-Sequenzierung durch Kooperationspartner des Helmholtz Zentrum (München) an das

Genom von *R. orthosporum* angelagert (*mapping*). Die intergenischen Abschnitte der Arten *R. lolii* und *R. orthosporum* zeigen zu geringe Sequenzhomologien, um eine Anlagerung der nicht assemblierten Sequenzabschnitte zu ermöglichen. Das Genom von *R. lolii* ist somit limitiert auf die in *R. orthosporum* verfügbaren Genmodelle.

Die Assemblierung der *sequence reads* resultierte in zusammenhängenden Gerüsten (*contigs*), die ihrerseits zu größeren *scaffolds* zusammengefügt wurden. Die Anordnung dieser zusammenhängenden Sequenzabschnitte wurde für jede Art unabhängig ermittelt. Zwischen den verschieden Arten variiert die Anzahl sowie die Größe der *scaffolds* stark. Dies hängt mit der Zahl an durchgeführten Sequenzierungen und dem wissenschaftlichen Stand der Technik zum Zeitpunkt der Sequenzierung zusammen. Je neuer die durchgeführte Sequenzierung war und je öfter sequenziert wurde, desto größere zusammenhängende Abschnitte (*scaffolds*/*contigs*) konnten assembliert werden. In der Gattung *Rhynchosporium* wurde zuerst das Genom von *R. commune* sequenziert. Im späteren Verlauf folgten die Genome von *R. secalis*, *R. agropyri* und *R. orthosporum*. Als Referenzgenom wurde für die Art *R. commune* (Isolat UK7) mit fortschreitender Entwicklung der Sequenzier- und Assemblierungsmethoden eine verbesserte Version des Genoms erstellt. Für die Art *R. secalis* wurde keine neue Version verfasst und für die Art *R. agropyri* wurde bereits die initiale Sequenzierung und Assemblierung mit neueren Methoden durchgeführt. *R. orthosporum* als Mitglied der CCG ist phylogenetisch weiter von *R. commune* entfernt, was eine Nutzung als Grundlage der Assemblierung erschwerte (Abbildung 3.1). Das mit 29.183 *scaffolds* weniger gut assemblierte Genom von *R. orthosporum* diente lediglich als ein sogenanntes Pseudogenom, da die Genmodelle sehr verstreut vorliegen.

An die Assemblierung der Sequenzdaten der Genome von *R. commune*, *R. secalis*, *R. agropyri* und *R. orthosporum* schloss sich die Annotierung der Genmodelle an (siehe Seite 43). Die *de-novo*-Vorhersage der Genmodelle erfolgte mittels GeneMark (Besemer & Borodovsky, 2005), AUGUSTUS (Stanke & Morgenstern, 2005) und FGENESH (Salamov & Solovyev, 2000). Zusätzlich wurden *expressed sequence tags* (EST) aus vorangegangenen Sequenzierungen zur Überprüfung der vorhergesagten Genmodelle herangezogen. Abschließend wurden Genmodelle an die Assemblierung angeglichen, die durch *exonerate* (Helmholtz Zentrum München) vorhergesagt wurden. Dabei verwendete Genmodelle stammten aus den Arten *Phialocephala subalpina* (Taxonomie ID: 576137, Genom unveröffentlicht), *Sclerotinia sclerotiorum* (Isolat: 1980 UF-70) und *Botryotinia fuckeliana* (Isolat: B05.10; T4) sowie aus der Annotierung einer früheren Assemblierung von *R. commune* UK7. Alle Annotierungsmethoden wurden auf das *R.-commune*-Isolat UK7 angewendet. Die erhaltenen Genmodelle des Referenzgenoms UK7 wurden zur Ausrichtung der Genmodelle der anderen untersuchten Isolate genutzt. Die nicht zuzuordnenden Modelle bzw. jene, die Konflikte bezogen auf den Genlocus oder die Intron-Exon-Struktur aufwiesen, wurden abschließend einzeln aufgerufen und gegebenenfalls korrigiert. Nach diesen Methoden erhaltene Genmodelle wurden für alle

Analysen dieser Arbeit genutzt. Bei genauerer Untersuchung eines spezifischen Gens wurde zur Überprüfung des Genlocus eine Sanger-Sequenzierung der cDNA durchgeführt.

Die Gesamtgröße der assemblierten Sequenz der BCG-Genome liegt zwischen 49,41 Mb und 55,59 Mb, das *R.-orthosporum*-Genom ist mit 58,16 Mb etwas größer (Tabelle 3.1). Durchschnittlich 32% der assemblierten Sequenzen kodieren für Genmodelle. Die BCG-Genome wurden nach ihrer initialen Annotierung weitere Male sequenziert und annotiert. Für *R. orthosporum* (CCG) sind in Tabelle 3.1 die Genomspezifikationen der initialen Annotation abgebildet. In der ersten Version der Annotation ähnelten sich alle untersuchten Genome in der Anzahl der Protein-kodierenden Gene und damit dem prozentualen Anteil der kodierenden Bereiche. Nach der neusten Annotation der BCG-Genome zeigt sich allerdings eine Diskrepanz zu *R. orthosporum*, in der weniger Genmodelle identifiziert wurden. Die Anzahl an Protein-kodierenden Genen der BCG bewegt sich um 13.000, was einer Gendichte von etwa 0,25 entspricht. Zur Validierung der Annotation wurde untersucht, ob eine bestimmte Gruppe an Markergenen annotiert werden konnte. Zum einen wurden die S*ingle Copy Protein-Coding Homologs* (SCPCH) und zum anderen die Gene des *Core Eukaryotic Genes Mapping Approach* (CEGMA) verwendet (Parra *et al.*, 2007). Bis auf ein CEGMA-Gen in *R. agropyri* und *R. orthosporum* konnten alle weiteren Gene gefunden werden.

3.2 Phylogenetische Untersuchungen

Auf Grund der widersprüchlichen Literatur zur evolutionären Entwicklung der *Rhynchosporium*-Arten (Goodwin, 2002; Zaffarano *et al.*, 2011; King *et al.*, 2013; Torriani *et al.*, 2014) wurden die Verwandtschaftsverhältnisse mittels sechs kernlokalisierter Gene einer weiteren phylogenetischen Untersuchung unterzogen.

3.2.1 Einordnung und phylogenetische Struktur der Gattung *Rhynchosporium*

Mit der Annotierung der Genome standen zusätzliche Gensequenzen für die Phylogenie zur Verfügung. Hierbei wurde die cDNA Protein-kodierender Gene sowie die gDNA von rRNA-Genen genutzt. Die Berechnung erfolgte in MEGA v. 6.06 (Tamura *et al.*, 2013) mittels der *Maximum-Likelihood*-Methode. Der daraus resultierende Stammbaum ist in Abbildung 3.1 dargestellt. Diese Methode ist bereits für eine Rekonstruktion der frühen Evolution von Pilzen angewandt worden (James *et al.*, 2006). Auf diese Weise wurde die Einordnung der Gattung *Rhynchosporium* in die Klasse der *Leotiomycetes* (Abteilung *Ascomycota*) bestätigt (Goodwin, 2002). Die Gattung bildet eine eigenständige Klade

(Monophylie) und war bei den hier untersuchten Pilzen am nächsten zu *Mollisia cinerea* verwandt.

Die phylogenetische Verteilung zeigte *R. agropyri* und *R. commune* als am nächsten miteinander verwandt, während *R. secalis* der am weitesten entfernte BCG-Vertreter war. Die Klade der BCG-Arten sowie die der CCG-Arten *R. lolii* und *R. orthosporum* entwickelten sich zusammen aus einem gemeinsamen Vorfahren. Durch die Angleichung der Sequenzabschnitte aus der Sequenzierung von *R. lolii* an die Genmodelle von *R. orthosporum* waren die artspezifischen Sequenzen für eine phylogenetische Einordnung verfügbar. Die Berechnung der 6-Gen-Phylogenie wurde mittels *Maximum-Likelihood*-Methode in der Software PhyML 3.0 (Guindon *et al.*, 2010) verifiziert (Abbildung A 1).

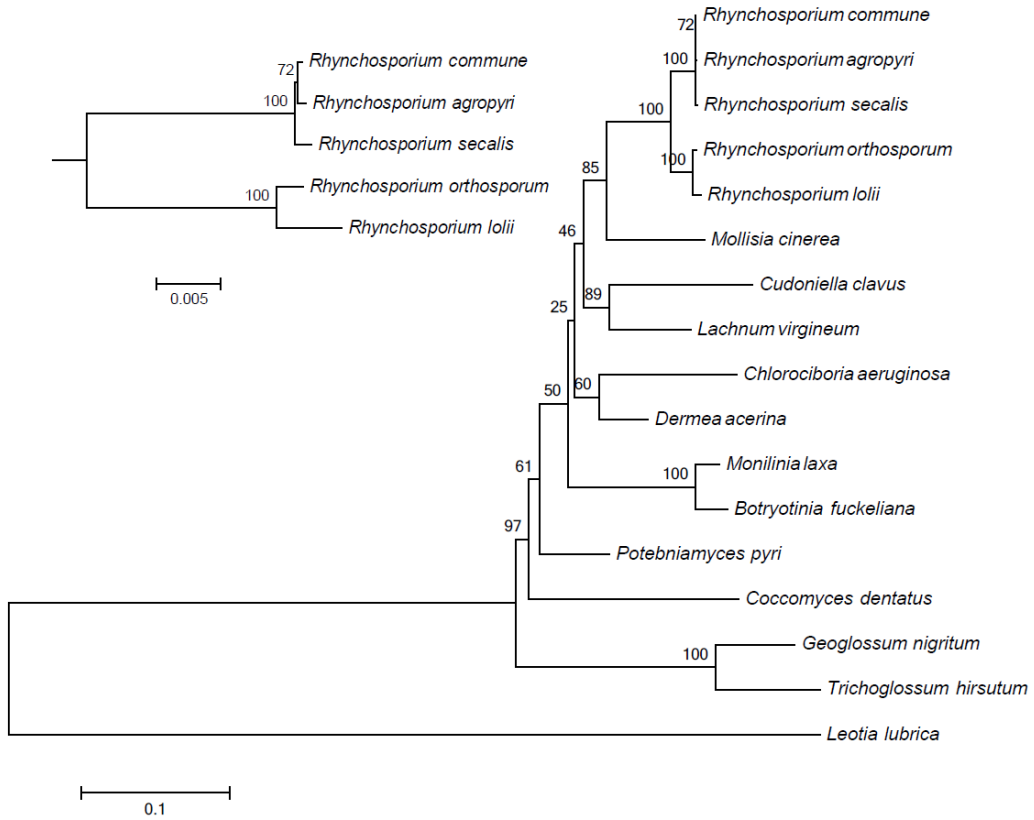

Abbildung 3.1 Phylogenie der *Leotiomycetes*

Die 5 Arten der Gattung *Rhynchosporium* wurden in die Klasse der *Leotiomycetes* (Abteilung *Ascomycota*) eingeordnet (James *et al.*, 2006) und bilden eine eigene Klade (Monophylie) innerhalb der *Leotiomycetes*. Für die Berechnung der Phylogenie wurden die Nukleotidsequenzen der 18S- und 28S-rDNA, der *internal-transcribed-spacer*-Region (ITS), des Elongationsfaktors EF1a sowie der RNA-Polymerase II Untereinheiten RPB1 und RPB2 verwendet. Die konkatenierten Sequenzen der 17 verwendeten Taxa wurden in MEGA v. 6.06 importiert, um den Stammbaum (*maximum likelihood*) zu konstruieren. Die Klade der Gattung *Rhynchosporium* ist getrennt abgebildet. Maßstab: Anzahl an Substitutionen pro Nukleotid. Zahl über Knoten: Prozentuale Häufigkeit der berechneten Bäume, die diese Aufspaltung zeigten.

Weiterführend wurden die *Rhynchosporium*-Arten in die Verwandtschaftsverhältnisse entfernt verwandter Pathogene, aber auch Saprophyten eingegliedert. Dabei konnten in Ermangelung der ribosomalen Sequenzen der verwendeten Taxa lediglich die annotierten Proteine EF1a, RPB1 und RPB2 genutzt werden (Abbildung 3.2).

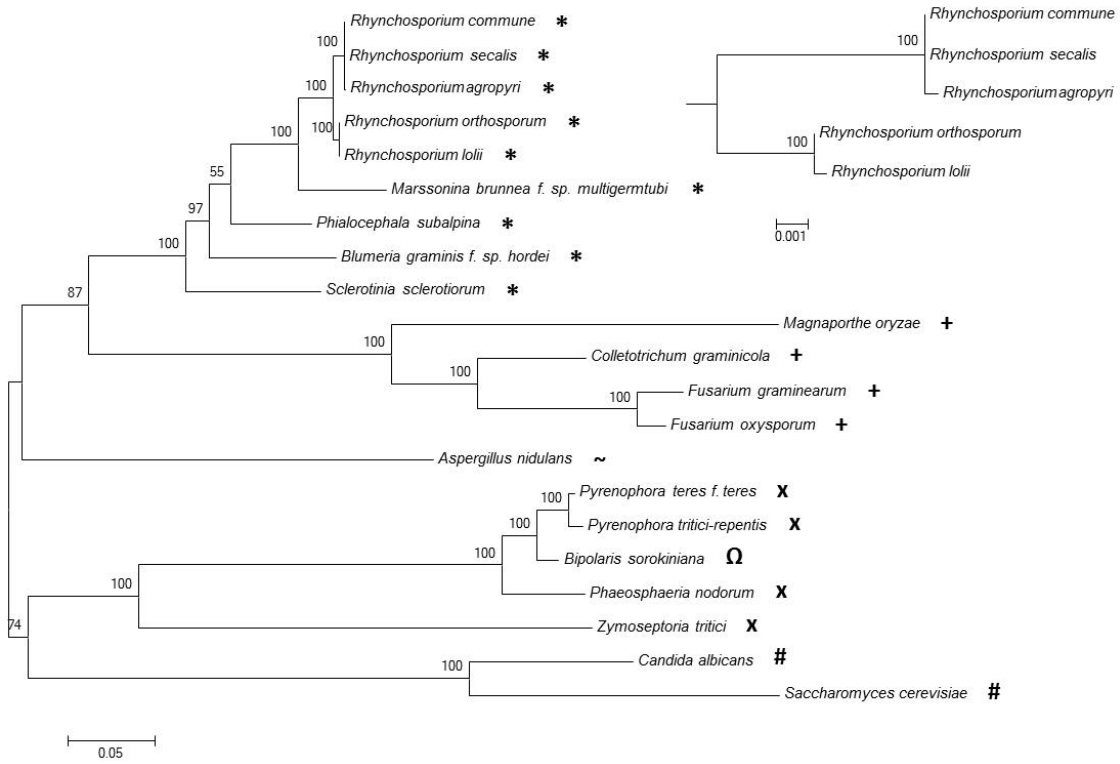

Abbildung 3.2 Einordnung der Gattung *Rhynchosporium* in die Pilz-Systematik

Die Gattung *Rhynchosporium* wurde in die Pilz-Systematik (Abteilung *Ascomycota*) eingeordnet (James *et al.*, 2006). Es wurden für die Berechnung der Aufteilung Proteinsequenzen des Elongationsfaktors EF1a sowie der RNA-Polymerase II Untereinheiten (RPB1, RPB2) verwendet. Die konkatenierten Sequenzen der 21 verwendeten Taxa wurden in MEGA v. 6.06 importiert, um den Stammbaum (*maximum likelihood*) zu konstruieren. Die Verzweigung des Stammbaumes der Gattung *Rhynchosporium* ist getrennt abgebildet. Maßstab: Anzahl Substitutionen pro Nukleotid. Zahl über Knoten: Prozentuale Häufigkeit der Bäume mit dieser Aufspaltung.
Klassen der dargestellten Pilzarten:
***** *Leotiomycetes*; **+** *Sordariomycetes*; **~** *Eurotiomycetes*; **x** *Dothideomycetes*; **Ω** *Ascomycetes*;
# *Saccharomycetes*

Die nächsten Verwandten der *Rhynchosporium*-Arten sind *Phialocephala subalpina* und *Marssonina brunnea f. sp. multigermtubi*. Weiterhin sind bei dieser phylogenetischen Betrachtung *R. secalis* und *R. commune* als am nächsten zueinander verwandt ermittelt worden, während die Art *R. agropyri* der am weitesten entfernte BCG-Vertreter ist. Diese phylogenetische Verteilung ist in Abbildung A 2 durch die Berechnung mittels PhyML 3.0 verifiziert worden. Alle für die phylogenetischen Untersuchungen verwendeten Arten und die Bezeichnungen der Gene, deren Sequenzen genutzt worden sind, finden sich in Tabelle A 3.

3.2.2 rDNA-Struktur der Gattung *Rhynchosporium*

Die verwendeten Nukleotidsequenzen der 18S- und 28S-rDNA sowie der *internal-transcribed-spacer*-Region (ITS) liegen nicht annotiert im Genom vor, da diese in der Annotierung (siehe Seite 43) nicht als Genmodelle vorhergesagt werden konnten. Der Grund hierfür sind die repetitive Sequenzen dieser Genomregionen, die eine Sortierung und damit Assemblierung erschwerten. Für die phylogenetische Untersuchung wurde deshalb die gDNA sequenziert und eine mögliche Intron-Exon-Struktur untersucht (Abbildung 3.3). Die für eine Sequenzierung benötigten Oligonukleotide wurden aus der bereits veröffentlichten genomischen rDNA-Sequenz der französischen *R.-commune*-Isolate 788 und 763 (Goodwin, 2002) abgeleitet. Im Vergleich zu diesen Sequenzen sind neben einzelnen Sequenzunterschieden größere Bereiche mit unterschiedlicher Sequenz in einigen *Rhynchosporium*-Arten identifiziert worden. Diese putativen Introns fehlen jedoch in vielen Arten der Klasse der *Leotiomycetes* (Abbildung 3.1).

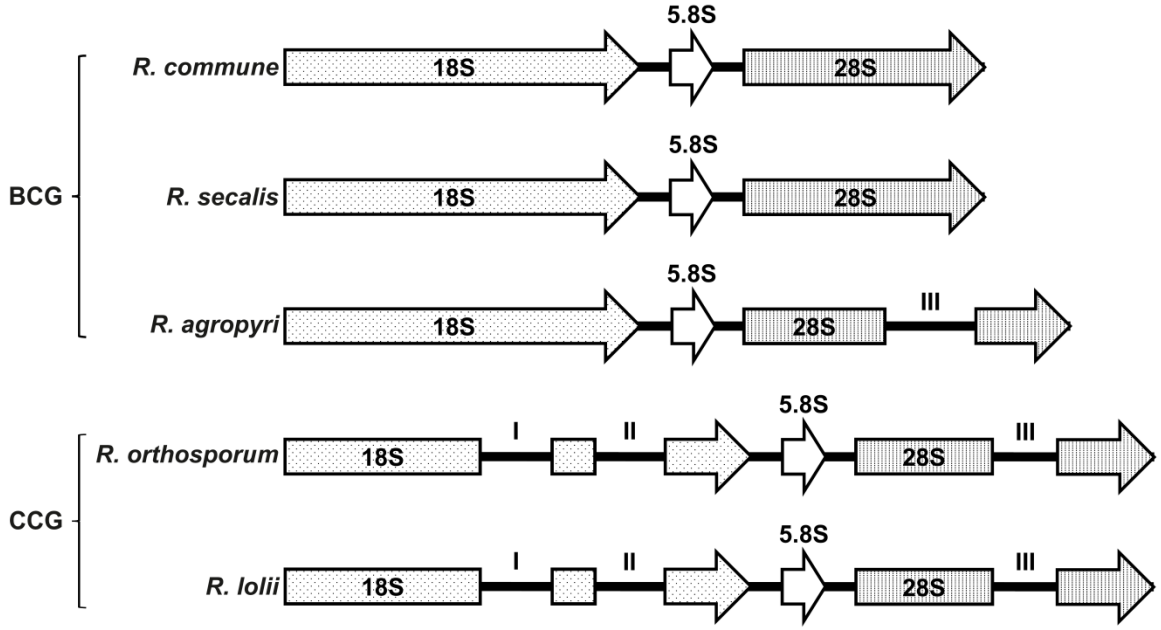

Abbildung 3.3 rDNA-Struktur in *Rhynchosporium*

Struktur der Nukleotidsequenzen der 18S-rDNA, 5.8S-rDNA und 28S-rDNA in der Gattung *Rhynchosporium*. Die *internal-transcribed-spacer* Region I (ITSI) befindet sich zwischen den 18S- und 5.8S-rDNA-kodierenden Bereichen und ITSII zwischen 5.8S- und 28S-rDNA. Durch Sequenzüberprüfung (S. Kirsten) identifizierte Intronbereiche I, II, III befinden sich in den für 18S- sowie 28S-rDNA-kodierenden Bereichen.
BCG…*beaked conidia group*; CCG…*cylindrical conidia group*.

Im sequenzierten Abschnitt sind in *R. agropyri*, *R. orthosporum* und *R. lolii* im Gegensatz zu *R. commune* und *R. secalis* Introns (I, II bzw. III) identifiziert worden. Diese befinden sich in den für die 18S- sowie 28S-rDNA-kodierenden Bereichen. Das Intron I mit einer Länge von 430 bp und das Intron II mit 416 bp weisen die gleiche Sequenz in den Arten *R. orthosporum* und *R. lolii* auf. Die Introns III in *R. orthosporum* (339 bp) und in *R. lolii* (341 bp) sind ebenfalls bis auf einige Sequenzunterschiede nahezu identisch. Das Intron III in *R. agropyri* unterscheidet sich von dem in *R. orthosporum* und *R. lolii* durch zwei flankierende Regionen von 106 bzw. 105 bp. Diese Flanken zeigten keine Homologien innerhalb der *Rhynchosporium*-Gattung bzw. zu Sequenzen in der Datenbank des *National Center for Biotechnology Information* (NCBI). Die Analyse der Intronregionen zeigte durchweg keine klassischen GT-AG-Introns. Weiterhin blieb die Suche nach bereits bekannten Domänen möglicher Intron-kodierter Proteine durch UniProt (UniProt-Consortium, 2002-2015), PROSITE (de Castro *et al.*, 2006) und NCBI's conserved domain database (Marchler-Bauer *et al.*, 2015) ergebnislos. Die Introns wurden über RNAweasel (Gautheret & Lambert, 2001) auf mögliche strukturierte RNAs untersucht. Dabei konnte für die Intronsequenz III in der 28S-rDNA ein Bereich identifiziert werden, der für eine Klassifizierung als Intron IC1 spricht. Der identifizierte Bereich ist in *R. agropyri* kürzer als in *R. orthosporum* und *R. lolii*. Die Klasse IC1 konnte beispielsweise bereits in der Ordnung der Rotalgen (Müller *et al.*, 2001), dort allerdings in der Sequenz der 18S-rDNA, identifiziert werden. Allerdings konnte kein evolutionärer Vorteil für die Integration des Introns festgestellt werden, da sie im Großteil der untersuchten Rotalgen-Arten nicht vorhanden sind (Dejonckheere, 1994). Weiterhin wurde für einen Teil von Intron I aus der 18S-rDNA von *R. orthosporum* und *R. lolii* der 3‘-Bereich einer Intron-IB-kodierenden Sequenz identifiziert. Introns der Klasse IB wurden bereits für ihre Relevanz beim Spleißen der RNA beschrieben (Geese & Waring, 2001). Für das Intron II konnten keine Homologien gefunden werden. Zusätzlich wurde eine Untersuchung zu Homologien in der NCBI-Datenbank durchgeführt. Während für Intron II eine BLAST-Suche (*Basic Local Alignment Search Tool*) keine Treffer ergab, zeigte das Pathogen *Rhexocercosporidium carotae* innerhalb seiner rDNA-Sequenzen zu den Introns I und III aus *Rhynchosporium* die größte Ähnlichkeit. Eine abschließende Untersuchung auf das Vorhandensein repetitiver Elemente analog zum Pseudogen *NIP2.5* (siehe Seite 53) verlief jedoch negativ.

Die Introns der BCG- und CCG-Gruppe sind möglicherweise in den zueinander nah verwandten Arten *R. commune* und *R. secalis* (Abbildung 3.1) deletiert worden. Die strukturellen Unterschieden der rDNA der BCG- und CCG-Gruppe sowie innerhalb der BCG unterstützten die Ergebnisse phylogenetischer Untersuchungen. Die Annahme wird bestärkt, dass *R. commune* und *R. secalis* näher zueinander verwandt sind als zu *R. agropyri*. Diese evolutionäre Entwicklung findet sich im Stammbaum (Abbildung 3.2) und in Analysen von Zaffarano *et al.* (2011) wieder. Letztlich konnte eine Analyse möglicher repetitiver Sequenzen keinen weiteren Aufschluss über die Ursache des

Vorhandenseins der Intronsequenzen geben. Eine Integration durch Transposase-Aktivität konnte weder bestätigt noch widerlegt werden.

Zusammenfassend konnte die rDNA-Struktur der *Rhynchosporium*-Arten enthüllt und die Einordnung der Gattung in die Klasse der *Leotiomycetes* (Abteilung *Ascomycota*) bestätigt werden. Die verwandtschaftlichen Verhältnisse innerhalb der BCG-Gruppe sind je nach verwandten Markergenen allerdings unterschiedlich ausgefallen.

3.3 Die *NIP2*-Genfamilie

Die biochemische Wirkungsweise von NIP2 ist noch unbekannt. Im Zuge der Charakterisierung und mittels genomweiter Analysen der *Rhynchosporium*-Arten sind jedoch mehrere Kopien des *NIP2*-Gens identifiziert worden. Um die Auswirkung der Deletion mehrerer *NIP* und den Einfluss der Deletion von *NIP2* auf die Infektion der Gerstensorte Atlas 46 zu untersuchen, wurden die NIP1- und NIP2-kodierenden Gene in *Rhynchosporium commune* (Isolat UK7) durch Antibiotikum-Resistenzgenkassetten ersetzt. Diese Kassetten setzten sich aus Promotor, kodierendem Bereich eines Antibiotikum-Resistenz-vermittelnden Proteins und Terminator zusammen. Die Insertion dieser Kassette erfolgte über eine homologe Rekombination in das pilzliche Genom. Der Austausch von $RcNIP1_{UK7}$ gegen eine Hygromycinresistenz unter Kontrolle des *ToxA*-Promotors (*Pyrenophora tritici-repentis*) und von $RcNIP2.1_{UK7}$ gegen eine Phleomycinresistenz unter Kontrolle des *GPD*-Promotors (*Glycerin-3-phosphat-Dehydrogenase*-Promotor aus *A. nidulans*) ist der erste beschriebene Ansatz zu einer zweifachen Deletion in einer *Rhynchosporium*-Art. Der Einfluss auf das pilzliche Wachstum und die Ausbildung von *Rhynchosporium*-spezifischen Symptomen im Vergleich mit dem Wildtyp wurde bereits beschrieben (Penselin, 2010; Kirsten *et al.*, 2012). Mikroskopische Untersuchungen zeigten die Etablierung des Trypanblau-gefärbten Myzels [3,3'-Dimethyl-4,4'-bis(5-amino-4-hydroxy- 2,7-disulfonaphthyl-3-azo)-(1,1'-biphenyl)] im subkutikularen Bereich von Blättern der Gerstensorten Ingrid, Atlas, Atlas 46 und Turk (Abbildung A 3). Insgesamt wies die zweifache Deletion von Effektorgenen in *R. commune* eine im Vergleich zur Einzeldeletion der Gene nochmals verringerte Virulenz auf, die an verzögertem pilzlichen Wachstum sowie verlangsamter Symptomausbildung festzumachen ist.

3.3.1 Vorkommen und Phylogenie von *NIP2*-Homologen

BLASTP-Analysen zeigten für NIP1 und NIP3 jeweils nur ein einzelnes Genmodell im Genom der in dieser Arbeit verwendeten Arten und Isolate. Im Gegensatz dazu wurde unter Verwendung der Aminosäuresequenz des reifen NIP2 aus *R. commune* (Penselin, 2010) eine Familie von Homologen identifiziert, die auch Orthologe in anderen *Rhynchosporium*-Arten aufwiesen. Die *in silico* annotierten Genmodelle der Homologen wurden mittels Sanger-Sequenzierungen verifiziert. Das Sekretionssignal wurde mittels SignalP-Algorithmus (Petersen *et al.*, 2011) identifiziert. Die phylogenetische Verteilung der NIP innerhalb der *Rhynchosporium*-Arten ist in Abbildung 3.4 dargestellt. Das ursprüngliche NIP2 erhielt die Bezeichnung NIP2.1. Die Benennung der weiteren NIP2-Homologen wurde an die Gruppierung innerhalb der Phylogenie und damit auch an die Ähnlichkeit untereinander gebunden. Die NIP und die für NIP2 gefundenen Homologen sind mit ihren zugehörigen Identifikationsnummern (ID) und *scaffolds* in Tabelle A 2 aufgelistet worden.

Während sich NIP1 nur in den *R.-commune*-Isolaten AU2 und UK7 und in *R. orthosporum* (04CH-Bär-A.1.1.3) fand, war NIP3 in den zur Verfügung stehenden *R.-commune*-Isolaten (UK7, AU2, 13-13) und *R. agropyri* (04CH-RAC-A.6.1) sowie *R. secalis* (02CH4-6a.1) vorhanden. Im Vergleich dazu gruppierten sich die NIP2-Homologen in Kladen und wurden in allen zur Verfügung stehenden Isolaten bzw. Arten gefunden. NIP2-Homologe, die auf Grund ihrer geringeren Ähnlichkeit nicht in eine Klade mit anderen Homologen fielen, sind fortlaufend benannt worden. Damit sind insgesamt 11 NIP2-Homolge identifiziert worden. Das Isolat UK7 von *R. commune* wurde in dieser Arbeit als Referenz genutzt und besitzt die Homologen NIP2.1 bis NIP2.4 und NIP2.6. NIP2.5 wurde dagegen durch eine Insertion als nicht mehr funktionell charakterisiert (siehe Seite 53). Ein weiteres *R.-commune*-Isolat, AU2, besitzt NIP2.1 bis NIP2.6 und das *R.-commune*-Isolat 13-13 wies die Homologen NIP2.1 bis NIP2.5 auf, während NIP2.6 in diesem Isolat nicht vorhanden war. Dafür wurde jedoch das phylogenetisch weiter entfernte NIP2.7 gefunden. Dem Roggenpathogen *R. secalis* (Isolat 02CH4-6a.1) fehlten die Homologen NIP2.3 und NIP2.6. Es besitzt aber die anderen Homologen von NIP2.1 bis NIP2.7 und zusätzlich das phylogenetisch einzeln stehende NIP2.11. Das *R.-agropyri*-Isolat (04CH-RAC-A.6.1) als dritter BCG-Vertreter zeigte die NIP-Homologen NIP2.1 bis NIP2.10 mit Ausnahme von NIP2.6. Die beiden CCG-Arten *R.* orthosporum (Isolat 04CH-Bär-A.1.1.3) und *R. lolii* (Isolat 15LP11) wiesen lediglich NIP2.1 als einzelnes Gen auf.

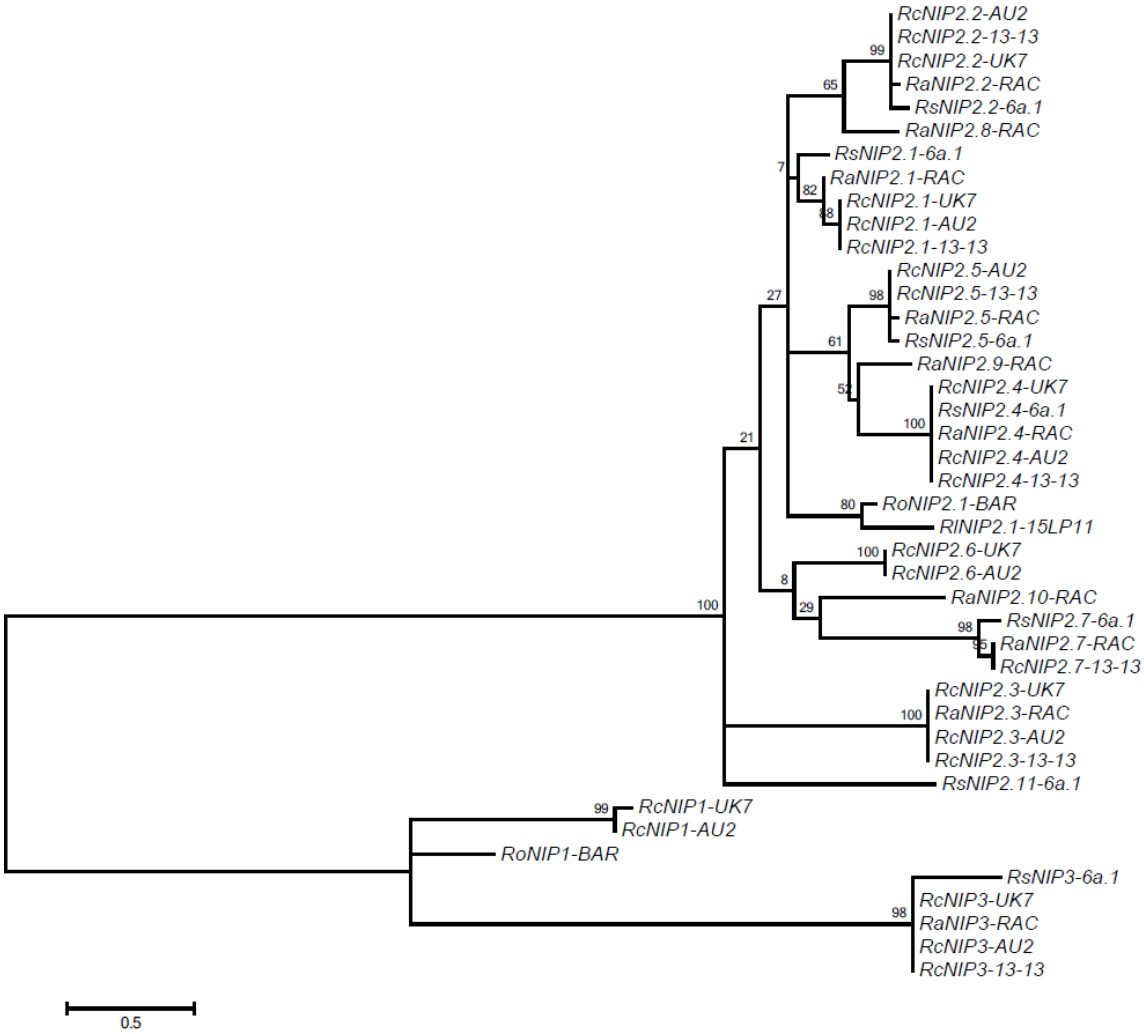

Abbildung 3.4 Phylogenie der Nekrosen-induzierenden Proteine

Phylogenetische Verteilung von NIP1, NIP3 und NIP2-Homologen, welche das CRS-Motiv tragen. Die Aminosäuresequenzen der reifen Proteine wurden für die Konstruktion eines *maximum-likelihood*-Stammbaumes in MEGA v. 6.06 unter Verwendung von 1000 *bootstraps* genutzt. *RcNIPx-UK7* – *R. commune* Isolat UK7; *RcNIPx-AU2* – *R. commune* Isolat AU2; *RcNIPx-13-13* – *R. commune* Isolat 13-13; *RsNIPx-6A.1* – *R. secalis* isolate 02CH4-6a.1; *RaNIPx-RAC* – *R. agropyri* Isolat 04CH-RAC-A.6.1; *RoNIPx-BAR* – *R. orthosporum* Isolat 04CH-Bär-A.1.1.3; *RlNIPx-15LP11* – *R. lolii* Isolat 15lp11. Maßstab: Anzahl an Substitutionen pro Aminosäure.

NIP2.5 in *R. commune*

In dem Referenzgenom des *R.-commune*-Isolates UK7 findet sich die Sequenz von *NIP2.5* in zwei Halbsequenzen wieder. Um diese zu identifizieren, wurde der kodierende Bereich von *NIP2.5* aus den *R.-commune*-Isolaten AU2 und 13-13 an das Genom von UK7 angeglichen. Das Pseudogenmodell, welches auf dieser Sequenz beruht, weist eine 3,2 kb große Insertion auf (Abbildung 3.5) und wird nicht länger exprimiert (Daten nicht gezeigt). Diese Insertion beinhaltet keine offenen Leserahmen größer als 300 bp in direkter oder indirekter Orientierung. Das NIP2.5-kodierende Gen inklusive des Sekretionssignal-kodierenden-Bereiches der *R.-commune*-Isolate AU2 und 13-13 war

sequenzidentisch mit dem Pseudogen in Isolat UK7. Mit geringer Sequenzabwandlung ist *NIP2.5* auch in den beiden anderen Vertretern der BCG-Gruppe gefunden worden. Das *NIP2.5*-Homologe von *R. secalis* wies mit sieben Sequenzunterschieden eine 97,8%ige Ähnlichkeit zu dem der *R.-commune*-Isolate auf. Für *NIP2.5* der Art *R. agropyri* ist eine Ähnlichkeit von 96,6% durch elf Sequenzunterschiede gefunden worden.

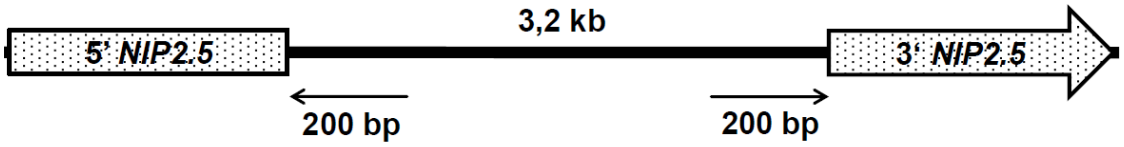

Abbildung 3.5 Pseudogenmodell von *NIP2.5* im *R.-commune*-Isolat UK7
Die 5'- und 3'-Teilsequenzen von *NIP2.5* des *R.-commune*-Isolates UK7 (identifiziert durch Sequenzangleichung der *NIP2.5*-Sequenz des *R.-commune*-Isolates AU2 an UK7). Die Teilsequenzen sind getrennt durch eine 3,2 kb lange Sequenz. Diese weist 200 bp lange Flanken auf, die sich invertiert zu 93% ähnlich sind (14 Sequenzunterschiede). Darstellung nicht maßstabsgetreu.

Das Vorhandensein einer 3,2 kb langen Insertion in *NIP2.5* von UK7 mit den invertierten Flanken resultierte in einer *in-silico*-Analyse potentieller Transposase-Aktivität. Dazu wurde zum einen das REPET-Programm (Flutre *et al.*, 2011) verwendet, welches die Gruppierungsprogramme GROUPER, RECON und PILER nutzt. Diese Programme untersuchten spezifisch eingestreute Sequenzwiederholungen (*interspersed repeats*). Hierbei wurde die Insertion in *NIP2.5* bzw. deren Flanken nicht als Wiederholungen charakterisiert. Zum anderen wurde das Programm PLOTREP (Tóth *et al.*, 2006) genutzt, ein Web-basiertes Programm zur Analyse von verstreuten genomischen Sequenzwiederholungen (*dispersed genomic repeats*). Dabei wurde ein Abgleich mit bereits bekannten repetitiven Elementen durchgeführt, der keine Ähnlichkeit der Insertion in *NIP2.5* zu bereits beschriebenen Elementen feststellen konnte. Abschließend wurde RepeatMasker (Smit *et al.*, 2013-2015) eingesetzt, um ebenfalls mit bereits bekannten repetitiven Elementen diese in der Zielsequenz zu annotieren. Es wurden dabei lediglich kurze Sequenzwiederholungen (*simple repeats*) mit 61 bp Länge und Sequenzwiederholungen geringer Komplexität (*low complexity repeats*) mit einer Größe von 51 bp identifiziert. Die Zuordnung der Insertion zu einer bereits bekannten Transposase-Aktivität war nicht möglich. Als Grund des unterbrochenen offenen Leserahmens von *NIP2.5* aus Isolat UK7 könnte neben der zufälligen Integration des Fragmentes in den offenen Leserahmen auch eine negative Selektion durch das Erkennen dieses Effektors durch einen Wirt denkbar sein. Im Lauf der Evolution von *R. commune* könnte es speziell für einige Isolate von Vorteil gewesen sein, dieses Gen und damit das Genprodukt nicht länger zu produzieren (Zhang *et al.*, 2015).

3.3.2 NIP2-Struktur

Im Zuge des Versuches einer *ab-initio*-Modellierung der NIP2-Homologen wurden die Aminosäuresequenzen ohne das Sekretionssignal für eine Sekundärstrukturvorhersage genutzt. Diese Arbeiten wurden in Kooperation mit Eva Schultze am Leibniz-Institut für Pflanzenbiochemie in der Abteilung Natur- und Wirkstoffchemie durchgeführt. Das Sekretionssignal von NIP2.1 des *R.-commune*-Isolates UK7 wurde experimentell bereits ermittelt (Penselin, 2010) und das der Homologen wurde für NIP2.2 bis NIP2.4 durch SignalP vorhergesagt. Die Sekundärstrukturvorhersagen sind mittels *PSIPRED Protein Sequence Analysis Workbench* (Jones, 1999) durchgeführt worden und zeigten geringe Ähnlichkeit innerhalb der NIP2-Homologen. Das NIP2-Homolog NIP2.6 wurde nicht analysiert, da es erst im späteren Verlauf der Genomanalysen identifiziert wurde.

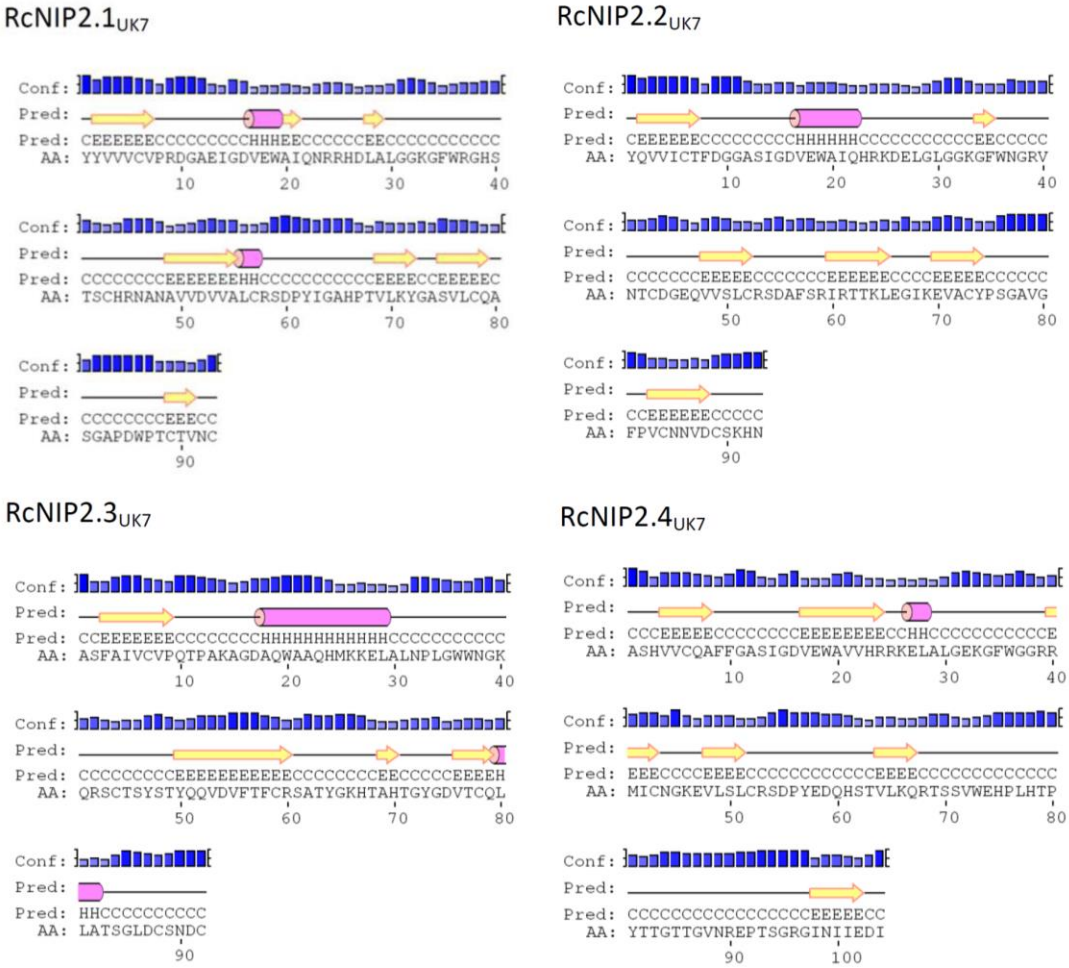

Abbildung 3.6 Sekundärstrukturvorhersagen der NIP2-Homologen

Für die Aminosäuresequenz ohne Sekretionssignal von NIP2.1 bis NIP2.4 aus dem *R.-commune*-Isolat UK7 wurde die Sekundärstruktur mittels PSIPRED vorhergesagt. Die Sekundärstruktur ist im Einbuchstabencode ‚HEC' angegeben; H – α-Helix, E – β-Faltblatt und C – *random coil*. Die Verlässlichkeit der Sekundärstrukturvorhersage ist als Balkendiagramm pro Aminosäure angegeben und über den Sequenzen dargestellt (je größer der Balken, desto verlässlicher).

Zur Modellierung der NIP2-Homologen wurde nach möglichen Vorlagen in der *Protein Data Bank* (PDB) erfolglos gesucht. Es wurde deshalb versucht, *de novo* mittels ROBETTA Server (© 2011 University of Washington) eine Strukturvorhersage zu erhalten. Weiterhin wurden PHYRE2 (Kelley *et al.*, 2015) und I-TASSER (Yang *et al.*, 2015) zur Modellerstellung genutzt. Es wurden nur stark voneinander abweichende Modelle erhalten, die keine Gemeinsamkeiten erkennen ließen.

Da die reifen NIP2-Homologen drei bis sechs Cysteine aufweisen, wurde zusätzlich eine Vorhersage der Bildung von Disulfidbrücken durchgeführt (Tabelle 3.2). Hierfür wurden verschiedene Server genutzt. Der EDBCP [*Ensemble-based Disulfide Bonding Connectivity Pattern prediction server* (Cheng *et al.*, 2006)] mit der *Disulfide bond connectivity prediction* und DiANNA 1.1 [*DiAminoacid Neural Network Application* (Ferrè & Clote, 2006)] wurden ebenso genutzt wie SCRATCH *protein predictor* mit dem Vorhersageprogramm DIpro (Cheng *et al.*, 2006) und DISULFIND [*Disulfide Bonding State and Cysteine Connectivity Prediction Server* (Ceroni *et al.*, 2006)]. Für NIP2.1 beschrieb die Anwendung DiANNA 1.1 zwei Bindungen an den Positionen 78 und 89 sowie 78 und 92, wobei die Bindung zwischen Position 78 und 89 wahrscheinlicher ist (fett gedruckt). Das Vorhersageprogramm DIpro bestätigte die Bindung zwischen Position 78 und 89 und beschrieb eine weitere Bindung zwischen Position 6 und 43. Bei NIP2.2 sagte lediglich DiANNA 1.1 drei Positionen voraus. Die erste Bindung sollte zwischen Position 6 und 43 sowie 6 und 73 sein, wobei letztere am wahrscheinlichsten war. Weiterhin wurde die Bindung zwischen den Cysteinen an den Positionen 43 und 73 vorhergesagt. Der Server EDBCP hatte für NIP2.3 eine Bindung zwischen den Cysteinen der Positionen 44 und 92 vorhergesagt, DiANNA 1.1 hingegen zwischen Position 7 und 78 sowie 7 und 88. Letztere war dabei die wahrscheinlichste Bindemöglichkeit. Für NIP2.4 wurden keine Disulfidbrücken vorausgesagt.

Abschließend konnte kein Hinweis auf die Wirkungsweise der NIP2-Homologen mit Hilfe der Struktur und durch die *ab-initio*-Modellierung gewonnen werden.

Tabelle 3.2 Vorhersage von Disulfidbrücken

Protein Cysteinpositionen	**EDBCP**	**DiANNA 1.1**	**SCRATCH DIpro**	**DISULFIND**
RcNIP2.1$_{UK7}$ 6, 43, 57, 78, 89, 93		**78-89**; 78-92	78-89; 6-43	
RcNIP2.2$_{UK7}$ 6, 43, 52, 73, 84, 89		6-43; **6-73**; 43-73		
RcNIP2.3$_{UK7}$ 7, 44, 59, 78, 88, 92	44-92	7-78; **7-88**		
RcNIP2.4$_{UK7}$ 6, 43, 52				

NLP - NIP2-ähnliche Proteine

Alle NIP2-Homologen der Gattung *Rhynchosporium* konnten ausschließlich mit BLASTP-Analysen identifiziert werden. Ein Vergleich ihrer Aminosäuresequenzen findet sich in Abbildung A 4. Unter diesen Sequenzen befanden sich zusätzlich zu den zuvor beschriebenen Homologen Proteine, denen ein charakteristisches Motiv fehlte. Die zusätzlichen Proteine wurden als NLP (*NIP2 like proteins* – NIP2-ähnliche Proteine) bezeichnet. Das Motiv der als NIP2-klassifizierten Proteine liegt in einem Bereich zwischen Position 60 und 70 der Aminosäuresequenz der reifen Proteine. Es weist zentral die Abfolge von Cystein, Arginin und Serin auf (CRS-Motiv), welches N-terminal von Leucin bzw. Phenylalanin und C-terminal in den meisten Homologen von Aspartat gefolgt von Prolin und Tyrosin flankiert wird (Abbildung 3.7). Eine Ausnahme davon bilden die NIP2.2-Homologen, welche statt Prolin und Tyrosin die Aminosäuren Alanin und Phenylalanin besitzen. Außerdem ist bei den NIP2.3-Homologen in diesem Bereich Aspartat und Prolin durch Alanin und Threonin ausgetauscht. Passend zu dieser Beobachtung zeigt sich NIP2.3 auch als evolutionär entferntestes Mitglied der NIP2-Familie (Abbildung 3.4). Abschließend ist C-terminal vom CRS-Motiv des NIP2.9 aus der Art *R. agropyri* das Aspartat gegen Valin getauscht (Abbildung A 4).

Die CRS-Motivregion fehlt in den als NLP charakterisierten Proteinen. Im Bereich bis 40 Aminosäuren vom N-Terminus der prozessierten Proteine wurden ebenso konservierte Aminosäuren wie Aspartat, Tryptophan und andere gefunden. Hier ließ sich keine so deutliche Abgrenzung zu den NLPs aufzeigen. Die Aminosäurepositionen in Abbildung A 4 und Abbildung 3.7 differieren, weil die NLPs nicht in die Sequenzangleichung in Abbildung 3.7 einbezogen wurden.

Abbildung 3.7 CRS-Motiv der NIP2-Homologen

Visualisierung des Vergleichs von Aminosäuresequenzen der NIP2-Homologen, welche mittels BLASTP identifiziert wurden (Angleichung siehe Abbildung A 4). Dargestellt sind die Abschnitte der Proteinsequenz, welche über relativ weite Bereiche Ähnlichkeiten untereinander aufweisen. Die Angleichung erfolgte ohne das mittels SignalP bestimmte Sekretionssignal und ohne NLP-Sequenzen über den ClustalW-Algorithmus. Zur Darstellung wurde WebLogo 3 verwendet (Crooks *et al.*, 2004).

3.3.3 NIP2-Sekretion

Im Gegensatz zu NIP2.1 (Wevelsiep *et al.*, 1991) ist die Sekretion der übrigen NIP2-Homologen noch nicht gezeigt worden. Die Expression der kodierenden Gene (siehe Seite 59) und die Vorhersage durch SignalP (Petersen *et al.*, 2011) sowie TargetP (Emanuelsson *et al.*, 2000) deuteten eine Sekretion an (Tabelle 3.3). Zur experimentellen Überprüfung wurden die jeweiligen NIP2-Homologen C-terminal mit dem Fluorophor mCherry (Clontech Laboratories, Inc.; CA, USA) fusioniert und unter der Kontrolle des konstitutiven *ToxA*-Promotors (Andrie *et al.*, 2005) in *R. commune* exprimiert. Zusätzlich wurde eine Fusion des *NIP2.1*-Gens mit *mCherry* generiert, welches das Sekretionssignal nicht mehr enthielt. Stattdessen beginnt das Protein nach dem Startmethionin mit der auf das Signalpeptid folgenden Aminosäuresequenz. Das NIP2-Homologe NIP2.6 wurde nicht analysiert, da es erst im späteren Verlauf der Genomanalysen identifiziert wurde. Für das PCR-basierte Erstellen der Konstrukte wurde die cDNA der *NIP2*-Homologen verwendet. Die *NIP2.4*-kodierende Sequenz ist als einzige der *NIP2*-Homologen in zwei Exons unterteilt.

Tabelle 3.3 Vorhergesagte Sekretion der NIP2-Homologen

	SP-score TargetP	**D-Score** SignalP
RcNIP2.1$_{UK7}$	0,975	0,735
RcNIP2.2$_{UK7}$	0,924	0,751
RcNIP2.3$_{UK7}$	0,960	0,848
RcNIP2.4$_{UK7}$	0,967	0,892
RcNIP2.6$_{UK7}$	0,964	0,812

Die Mutanten, die das Fusionskonstrukt exprimieren, wurden in einem Pilotexperiment vergleichend mit dem Wildtyp-Isolat UK7 auf die Fluoreszenz des Myzels und des Kulturüberstandes hin untersucht. Dabei wurden die Sporen dieser Mutanten genutzt, um FRIES-Medium zu beimpfen und nach 11 Tagen zu analysieren. Nach der Trennung des Myzels von dem umgebenden Medium (Kulturüberstand) konnte eine Messung der Fluoreszenz erfolgen (Abbildung 3.8 A). Es wurde keine Wiederholung mit einer unabhängigen Charge an Sporen durchgeführt, da dieses Experiment lediglich einen ersten Eindruck vermitteln sollte. In weiterführenden Arbeiten muss dieses Experiment mit zwei zusätzlichen biologisch unabhängigen Versuchen wiederholt werden, um die Ergebnisse zu bestätigen. Vergleichbar mit dem Wildtyp weist die Mutante ohne das Sekretionssignal und die *NIP2.4*-exprimierende Mutante keine messbare Fluoreszenz im Kulturüberstand auf. Es zeigte sich allerdings eine Fluoreszenz im angezogenen Myzel. Damit ist eine Trennung von Myzel und umgebenden Medium ohne Kontamination nachgewiesen und das Ergebnis verifiziert worden. Eine *in-vitro*-Sekretion konnte für die mCherry-Fusionen von NIP2.1, NIP2.2 und NIP2.3 nachgewiesen werden. Für alle Mutanten konnte eine Fluoreszenz im Myzel gemessen werden.

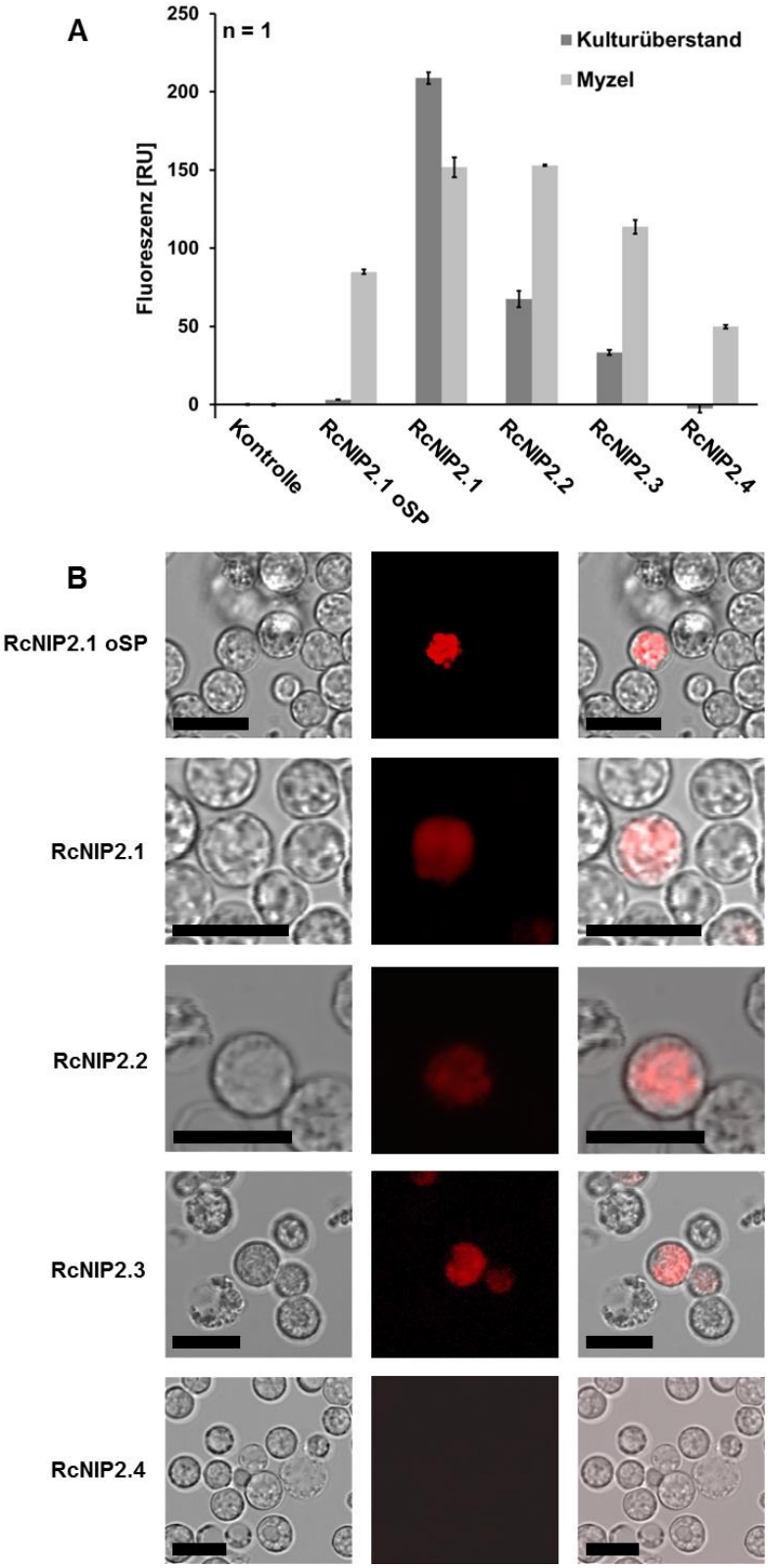

Abbildung 3.8 Analyse der NIP2-Sekretion und -Expression in Protoplasten

Vergleich von Mutanten, die eine C-terminale NIP2-Fusion mit mCherry unter Kontrolle des *ToxA*-Promotors exprimieren. NIP2.1, NIP2.2, NIP2.3 und NIP2.4 aus *R.-commune*-Isolat UK7 mit Sekretionssignal und NIP2.1 ohne Sekretionssignal (oSP) wurden untersucht. **A** Fluoreszenzbestimmung des Kulturüberstandes (dunkelgrau) und des Myzels (hellgrau) bei einer Anregung von 587 nm. Dabei wurden sechs technische Replikate durchgeführt. **B** Mikroskopische Aufnahmen von Protoplasten unter Hellfeldbedingungen (links), Anregung bei 587 nm und TxRed Filter (Mitte) und eine Überlagerung beider Bilder (rechts). Maßstab entspricht 10 µm. RU…relative Einheit.

Als Teil der Analyse wurde einmalig die Lokalisierung der jeweiligen Fusionsproteine in den Protoplasten des *R.-commune*-Isolates UK7 untersucht. Dabei konnten keine intrazellulären Strukturen, in denen die NIP2-Homologen möglicherweise aggregierten, identifiziert werden (Abbildung 3.8 B). Dennoch ist zu erkennen, dass die Transformation von UK7 mit dem NIP2.4-Fusionskonstrukt zu keiner sichtbaren Fluoreszenz in den Protoplasten führte. Das pilzliche Wachstum in Flüssigkultur nach 11 Tagen wies keine phänotypischen Unterschiede zwischen den Fusionskonstrukt-exprimierenden Mutanten auf (Abbildung A 5).

3.3.4 Expressionsanalyse der *NIP*-Gene

Anhand der identifizierten *NIP*-Genmodelle konnten spezifische Oligonukleotide für eine Amplifizierung mittels qRT-PCR entworfen werden. Dabei wurde die Genexpression im *R.-commune*-Referenzisolat UK7 über den Zeitraum der Infektion bestimmt. Alle in dieser Arbeit durchgeführten Transkriptuntersuchungen beruhen dabei auf relativ quantifizierten Werten. Unter kontrollierten Bedingungen vergingen 21 Tage bis zur Ausbildung von Symptomen auf der gesamten Fläche der inokulierten Primärblätter von Gerste. Die Expression der NIP-Gene wurde in Relation zur Expression des *GPD*-Gens ermittelt. Diese wurden im direkten Vergleich zueinander in Expressionskurven extrapoliert. Weiterhin wurde die relative Pilzbiomasse zur Bestimmung der pilzlichen Entwicklung zu den Zeitpunkten der Expression der *NIP*-Effektoren ermittelt. Dabei wurde mit Genen, die spezifisch im Genom von Wirt bzw. Pathogen vorkommen, ein Verhältnis auf Basis der genomischen DNA erstellt. Der Anstieg der pilzlichen Biomasse ist ebenfalls extrapoliert worden und wurde durch Überlagerung einer sigmoidalen Kurve verdeutlicht. Zum Vergleich wurde die Expression in der hoch suszeptiblen Gerstensorte Ingrid und der moderat suszeptiblen Gerstensorte Atlas ermittelt (Abbildung 3.9). In der Interaktion von UK7 mit Atlas wurde die relative Expression von *NIP2.6* nicht bestimmt, da dieses NIP2-Homologe erst später in Genomanalysen identifiziert wurde.

In Abbildung 3.9 A nahm die relative Biomasse des *R.-commune*-Isolates UK7 im Gegensatz zur moderat suszeptiblen Gerstensorte Atlas bei der Infektion der hoch suszeptiblen Sorte Ingrid ab zirka 6 dpi exponentiell zu. Dieser Anstieg hielt bis zu 14 dpi an und ging dann in eine Plateauphase über. Eine höhere Suszeptibilität bedeutet eine zeitigere bzw. verstärkte Ausbildung von Symptomen unter Laborbedingungen (Kirsten *et al.*, 2012). Bei Infektion der Sorte Atlas zeigte sich ebenfalls ein stetiger Anstieg der Biomasse, der jedoch nicht so drastisch wie auf Ingrid ausfiel. Die Expressionsprofile der *NIP* in B und C beschreiben einen starken Anstieg der Transkription nach der Inokulation der Pflanzen. Für die Interaktion von Ingrid mit UK7 (B) war nur bei *NIP1* eine Expression bereits zum Zeitpunkt der Inokulation messbar.

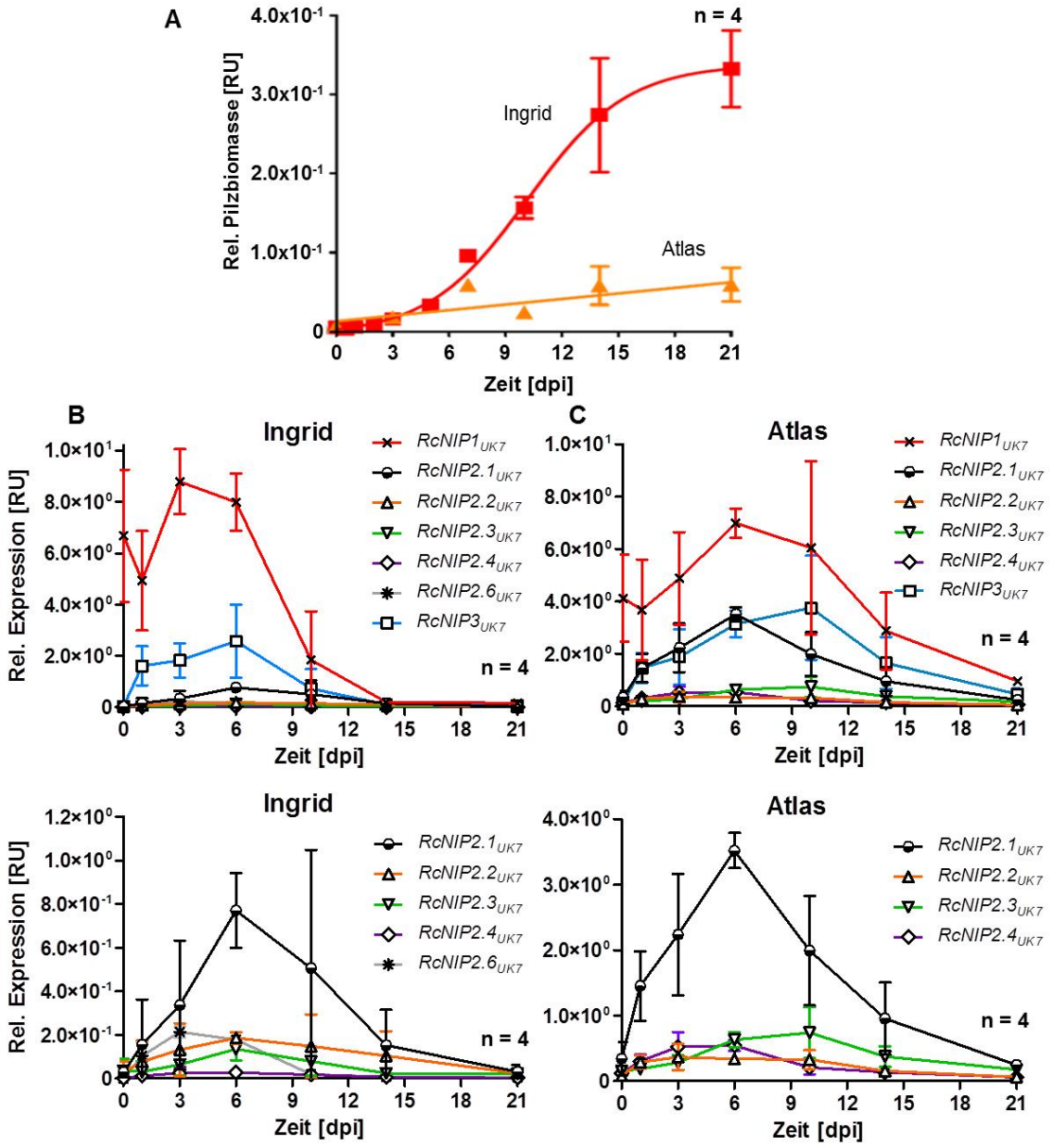

Abbildung 3.9 Quantifizierung der pilzlichen Biomasse und Expressionsprofile des *R.-commune*-Isolates UK7

Das Wachstum des *R.-commune*-Isolates UK7 auf der hoch suszeptiblen Gerstensorte Ingrid und der moderat suszeptiblen Gerstensorte Atlas ist in **A** dargestellt. Eine nichtlineare Regression der relativen Pilzbiomasse auf Ingrid wurde über eine sigmoidale Verteilung realisiert (verändert nach Kirsten *et al.*, 2012). Die relative pilzliche Biomasse sowie die Transkriptmenge der *NIP* ist in vier biologischen Replikaten bestimmt worden. **B** zeigt die Bestimmung der relativen Transkriptmenge in der Interaktion von UK7 und Ingrid. Der untere Graph stellt ausschließlich die Expression der *NIP2*-Homologen dar. **C** zeigt die Bestimmung der relativen Transkriptmenge in der Interaktion von UK7 und Atlas. Der untere Graph stellt ebenfalls die *NIP2*-Homologen dar. RU…relative Einheit. dpi…Tage nach Inokulation.

Der Anstieg der relativen Transkriptmenge in UK7 erreichte bei zirka 6 dpi das Maximum für alle untersuchten NIP-kodierenden Gene. Danach verringerte sich die relative Expression wieder stark. Während *NIP1* die höchste Transkription aufwies, ist *NIP3* deutlich schwächer exprimiert, gefolgt von *NIP2.1*. Die *NIP2*-Homologen *NIP2.2* bis *NIP2.6* wiesen ein untereinander ähnliches Expressionsmuster auf und wurden alle vergleichsweise gering zu den übrigen *NIP* transkribiert. Im Gegensatz zu Ingrid konnte bei der Infektion von Atlas ein Verschieben der Transkriptionsmaxima auf einen Zeitraum um 6-10 dpi beobachtet werden, während die Transkription der *NIP*-Gene sich allgemein vergleichbar zu der Infektion von Ingrid verhielt. *NIP2.1* zeigt sich in Bezug auf die relativen Werte insgesamt höher exprimiert in der Interaktion von UK7 und Atlas als in der Interaktion von UK7 und Ingrid.

Expression der *NIP2*-Homologen in der *NIP2.1*-Deletionsmutante

Im Verlauf der Charakterisierung der *NIP2*-Homologen wurde ihre Expression in einer UK7-Mutante untersucht, deren *NIP2.1*-Gen deletiert war (Kirsten *et al.*, 2012). Die hoch suszeptible Gerstensorte Ingrid wurde inokuliert und die Expressionsprofile von *NIP1, NIP3* und *NIP2.2* bis *NIP2.6* mittels quantitativer PCR bestimmt (Abbildung 3.10 A). Dabei war der relative Transkriptionsverlauf von *NIP1* und *NIP3* ähnlich dem des Wildtyps UK7 (Abbildung 3.9 B). Im Gegensatz dazu stieg die relative Expression der verbliebenen *NIP2*-Homologen über den Zeitraum der Infektion an. Einzig die Transkription von *NIP2.6* zeigte keine Erhöhung im Vergleich zu UK7. Während die Transkription von *NIP2.2* und *NIP2.3* lediglich leicht zunahm, stieg die Expression von *NIP2.4* stark an. Waren die relativen Werte in UK7 nahe der Detektionsgrenze, war die Transkription von *NIP2.4* in der Deletionsmutante am stärksten von allen untersuchten Homologen. Zum Zeitpunkt 6 dpi zeigten sich die höchsten Transkriptmengen der *NIP2*-Homologen. Ihre Mittelwerte wurden genutzt, um ihren Anteil an der gesamten Transkriptmenge abzubilden (Abbildung 3.10 B). Dieser Transkriptmengenvergleich zeigt, dass die *NIP2*-Homologen der Deletionsmutante ähnlich hoch exprimiert wurden wie alle untersuchten *NIP2* in UK7.

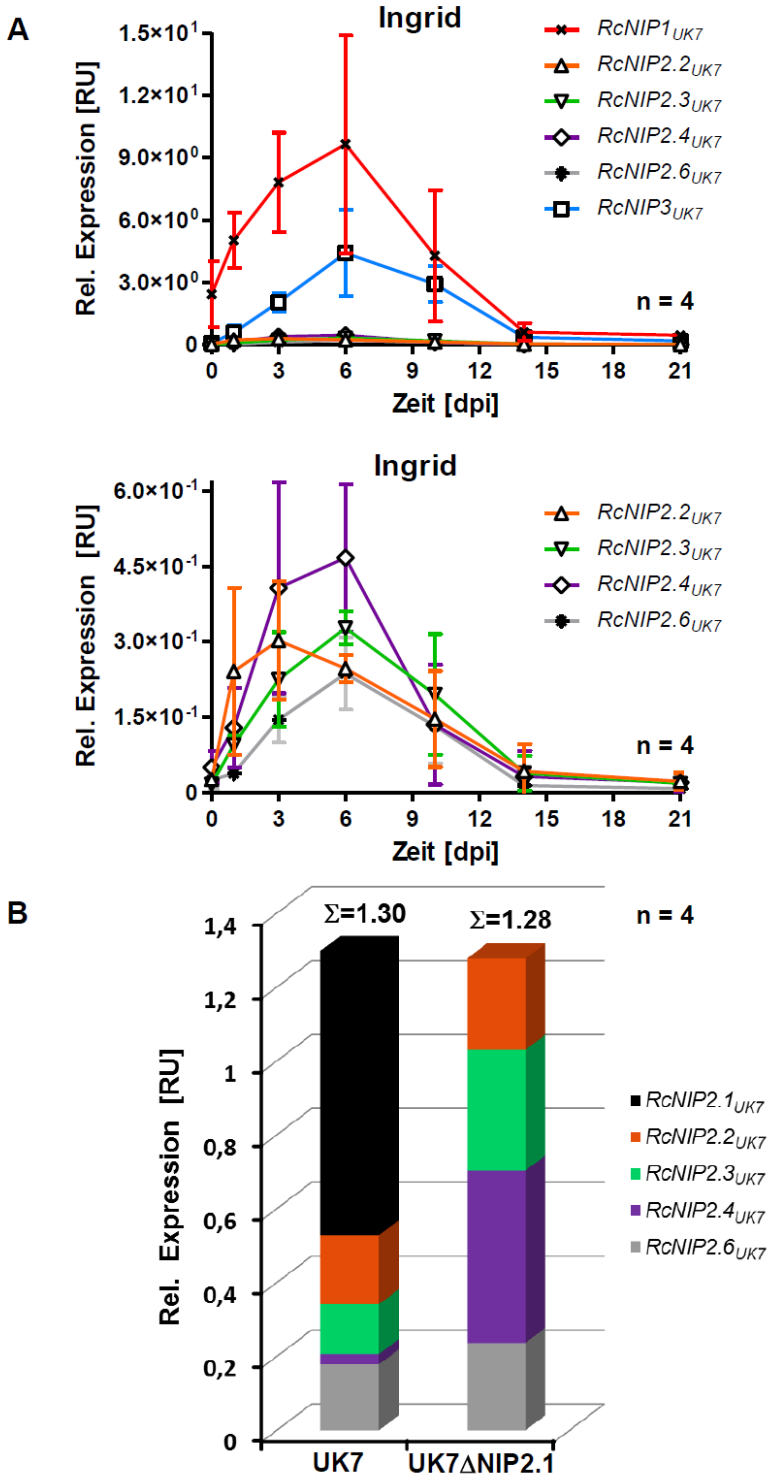

Abbildung 3.10 Expression der *NIP*-Gene in der *NIP2.1*-Deletionsmutante

In **A** sind die Expressionsprofile der NIP-kodierenden Gene über den Zeitraum von 21 Tagen nach Inokulation der Gerstensorte Ingrid mit der *NIP2.1*-Deletionsmutante (UK7ΔNIP2.1) dargestellt. Der untere Graph zeigt ausschließlich die *NIP2*-Homologen. In **B** sind die Summe der Mittelwerte der *NIP2*-Transkripte und ihr Anteil an der Gesamtheit der relativen Transkriptmenge zum Zeitpunkt 6 dpi abgebildet. Die relativen Transkriptmengen der *NIP* sind in vier biologischen Replikaten bestimmt worden. RU…relative Einheit. dpi…Tage nach Inokulation.

3.3.5 Promotoranalyse *in silico*

Die Analyse der *NIP2*-Homologen in UK7 und ihrer Regulation beinhaltete eine Untersuchung möglicher regulatorischer Elemente. Hierfür wurde die stromaufwärts gelegene genomische Sequenz der *NIP2*-Homologen auf regulatorische Motive untersucht. Hierzu ist ein Vergleich von 1 kb Sequenz stromaufwärts (5‘ des Transkriptionsstarts) durchgeführt worden (Abbildung A 6). Anhand einer *heatmap*, welche die Ähnlichkeit der Nucleotide veranschaulicht, wurden zwei putativ regulatorische Bereiche höherer Ähnlichkeit identifiziert. Der Bereich zwischen 590 bp bis 550 bp stromaufwärts zeigte vor allem in der *NIP2.6*-Sequenz Ähnlichkeit mit einer CAAT-Box. Der zweite Bereich zwischen 265 bp bis 235 bp wies insbesondere bei der *NIP2.2*- und *NIP2.5*-Sequenz auf das mögliche Vorhandensein einer TATA-Box hin. Die stromaufwärts gelegene Sequenz von *NIP2.5* ist in die Analyse einbezogen worden, da *NIP2.5* trotz der Insertion im offenen Leserahmen in seiner Sequenz hoch konserviert ist.

Zusätzlich wurden bereits bekannte Effektoren von *R. commune* untersucht, zu denen *NIP1* und *NIP3* sowie neu identifizierte Effektoren (siehe Seite 75) zählen. Dabei wurden bei einem Vergleich der stromaufwärts gelegenen Sequenzen keine konservierten Domänen gefunden. Darüber hinaus wurde eine Analyse der Datenbank an *Rhynchosporium*-spezifischen Effektoren mittels *MEME Suite* (Bailey *et al.*, 2009) durchgeführt, in der jedoch keine spezifischen Motive zur Regulation identifiziert wurden.

3.4 Funktionelle Charakterisierung: *NIP2*-Stilllegung

Bereits bekannt ist, dass die Deletion des am stärksten exprimierten *NIP2.1* Auswirkungen auf die Pilzvirulenz auf einer moderat suszeptiblen Wirtssorte hat (Kirsten *et al.*, 2012). Im Gegenzug zeigte sich, dass zwei voneinander unabhängige Deletionsmutanten des *NIP2.6*-Gens verglichen mit dem Wildtyp keinen Effekt auf die Virulenz in der Interaktion mit einer hoch suszeptiblen Gerstensorte haben (W. Knogge, nicht veröffentlicht). Bei Untersuchungen der *NIP2*-Genfamilie konnte eine voneinander abhängige Regulation der Expression der Homologen beobachtet werden. Sechs Tage nach Inokulation ist durch die gesteigerte Transkription in der *NIP2.1*-Deletionmutante im Vergleich zu UK7 eine ähnliche Expression der *NIP2*-Homologen zu erkennen (Abbildung 3.10 B). Durch Einzeldeletionen der *NIP2*-Homologen kann die funktionelle Charakterisierung also nicht erfolgen. Für eine weitergehende Untersuchung von *NIP2* ist anstelle der Deletion daher die Stilllegung der Genfamilie gewählt worden. Die Funktionsweise der Stilllegung setzt das Vorhandensein der Gene kodierend für die Proteine Argonaute (AGO1), Dicer-like Protein 1 und 2 sowie die RNA-abhängige RNA-

Polymerase SAD-1 voraus. Die Gene liegen im Genom der Art *R. commune* vor und wurden über Abgleich der UniProt-Datenbank als Protein-kodierende Gene im Genom von *Rhynchosporium* vorhergesagt.

3.4.1 Konstruktion des Vektors pFUNGATE

Um die Stilllegung der Genexpression in der Gattung *Rhynchosporium* zu etablieren, wurde das Plasmid pFUNGATE erstellt. Die Konstruktion des Stilllegungsvektors (Abbildung 3.11) basierte auf dem pHELLSGATE-8-Plasmid, welches ursprünglich für die Genregulation in *Arabidopsis* entwickelt wurde (Waterhouse & Helliwell, 2003). Die Stilllegungskassette setzt sich aus den *ccdB*-Genen flankiert von den Anlagerungsstellen (*attR1*, *attR2*) zusammen, die in direkter und indirekter Orientierung um ein Intron des pflanzlichen Pyruvat/Orthophosphat-Dikinase-Gens, angeordnet sind. Die Kassette wurde mit Hilfe der Restriktionsenzyme XhoI und XbaI aus dem Plasmid ausgeschnitten und über eine Gelelektrophorese gereinigt. Durch Zwischenklonierung in das pUC18-Plasmid wurden flankierend Restriktionsenzymbindestellen für SgsI und NotI via Amplifikation mit überhängenden Oligonukleotiden angefügt. Die Stilllegungskassette aus pHELLSGATE 8 wurde hinter die Sequenz des *ToxA*-Promotors [*Pyrenophora tritici-repentis* (Andrie *et al.*, 2005)] in den Vektor pFBT008 kloniert (B. Thomma, *Wageningen University and Research Centre*). Eine Spaltung mit den Enzymen SgsI und NotI des pFBT008-Plasmides und der Kassette ermöglichte die Integration der Kassette zwischen den *ToxA*-Promotor und den Terminatoren *tubA* und *trpC* (*Aspergillus nidulans*). Die pHELLSGATE-8-Stilllegungskassette kodiert für eine RNA mit interner Intronsequenz, wobei das Intron (*Pyruvat/Orthophosphat-Dikinase*) eine Haarnadelstruktur bei der Anlagerung komplementärer RNA bildet. Die Translation der *ccdB*-Gene inhibiert die DNA-Gyrase und ist deshalb tödlich für viele Bakterienstämme. Diese Gene werden daher zur Selektion einer erfolgreichen Transformation mit der gewünschten DNA benötigt. Die Rekombinationsstellen für die Integration der Ziel-DNA sind flankiert von den Anlagerungsstellen *attR1* und *attR2* (Gateway®-Klonierungssystem).

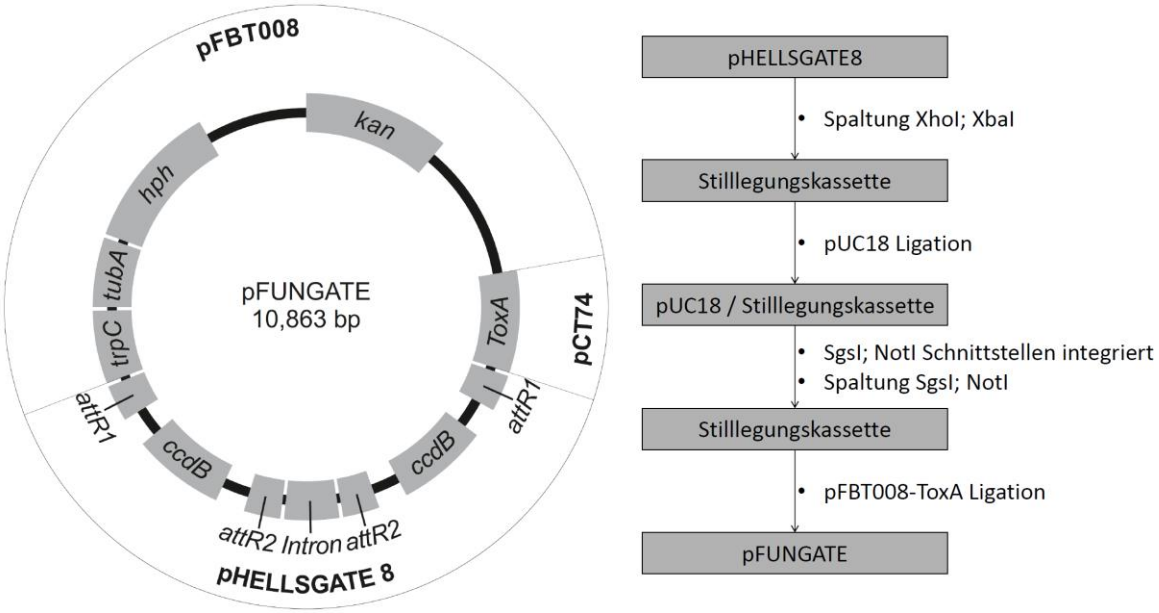

Abbildung 3.11 Vektorkarte und Konstruktionsschema des pFUNGATE-Plasmides
Die Stilllegungskassette aus pHELLSGATE 8 wurde hinter den *ToxA*-Promotor in den Vektor pFBT008 kloniert. Zur Selektion beinhaltet das pFBT008-Rückgrat eine Hygromycin-B- (*hph*) sowie Kanamycin-Resistenzkassette (*kan*). Der *ToxA*-Promotor fungiert als konstitutiver Regulator und die Transkription wird durch die Terminatoren *tubA* und *trpC* beendet. Der *ToxA*-Promotor stammt aus dem Plasmid pCT74 (Andrie *et al.*, 2005).

Stilllegung von Einzelgenen und Genfamilien

Um eine Stilllegung der Expression gewünschter Gene zu ermöglichen, wurden Sequenzen der Zielgene unter Verwendung des Gateway®-Klonierungssystems in pFUNGATE integriert. Diese auf Rekombination beruhende Technik verwendet spezifische Anlagerungsstellen (*attachment sites*), die auf dem sequenzspezifischen Rekombinationssystem des Phagen λ basieren, um Sequenzen aus dem Eingangsvektor pENTR™/D-TOPO® zielgerichtet in pFUNGATE zu übertragen. Der Eingangsvektor enthielt die Zielsequenz, welche in direkter und indirekter Orientierung in pFUNGATE integriert wurde (Abbildung A 7). Zum Test der Effizienz dieser Reaktion mit dem neu erstellten pFUNGATE-Vektor wurde der Eingangsvektor pENTR™GUS (GUS: β-Glucuronidase) für eine rekombinante Integration genutzt. Nach Transformation von *E. coli* mit pFUNGATE-GUS exprimierten 99,05% der angewachsenen Kolonien GUS.

Für die Regulation der Genexpression in *R. commune* wurde zuerst die Stilllegung eines Einzelgens, dem Gen kodierend für *eGFP* (*enhanced green fluorescent protein*), getestet. Nachfolgend sollte die Stilllegung der *NIP2*-Genfamilie vermittelt werden. Die hierfür verwendeten Sequenzen sind in Abbildung 3.12 schematisch dargestellt (Nukleotidsequenzen im digitalen Anhang) und wurden für die Integration in pENTR™/D-TOPO® genutzt. Zur Stilllegung der *NIP2*-Genfamilie wurden Teilsequenzen der *NIP2*-

Homologen verwendet. Das *NIP2*-Homologe *NIP2.6* konnte nicht für die Erstellung der Stilllegungssequenz genutzt werden, da es erst im späteren Verlauf der Genomanalysen identifiziert wurde. Dennoch zeigte sich für den *NIP2.6*-kodierenden Bereich auf einer Länge von 88 bp eine Sequenzidentität von 74,2% zur Stilllegungssequenz (Abbildung A 8). Dieser Bereich befand sich in dem *NIP2.4*-Sequenzabschnitt des Stilllegungskonstruktes. Im einzelnen Vergleich der partiellen *NIP2*-Sequenzen konnte eine 23 bp lange Sequenz des partiellen *NIP2.1* mit nur einem Sequenzunterschied zu *NIP2.6* identifiziert werden.

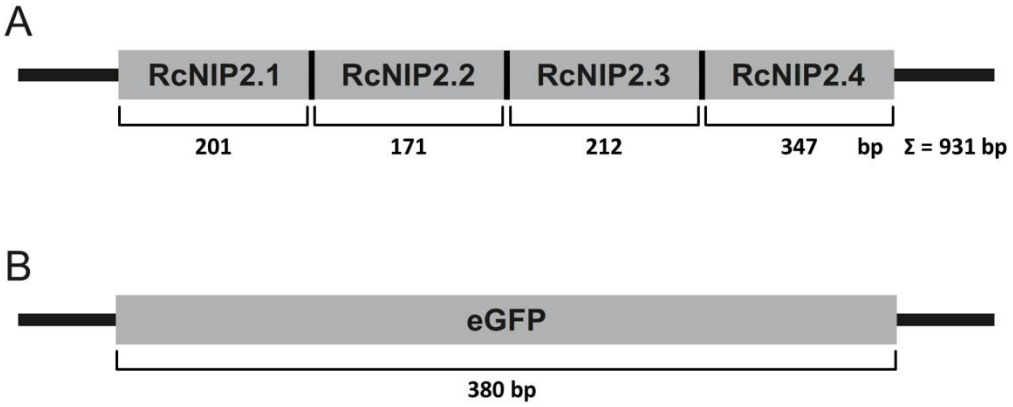

Abbildung 3.12 Stilllegungssequenzen
Schematische Darstellung der Sequenzen für die Transformation in pENTR™/D-TOPO® (Eingangsvektor). **A** Fusionskonstrukt aus Teilsequenzen von *RcNIP2.1*$_{UK7}$, *RcNIP2.2*$_{UK7}$, *RcNIP2.3*$_{UK7}$ und *RcNIP2.4*$_{UK7}$ für die Stilllegung der *NIP2*-Genfamilie in *R. commune* UK7. **B** Für die Stilllegung der e*GFP*-Expression wurde ein Abschnitt der eGFP-kodierenden Sequenz in den Insertionsvektor kloniert. Die Länge der Sequenzen ist unterhalb jedes Fragments beschrieben.

3.4.2 Transformation und Nachweis der Integration der Stilllegungskassette

Nach der Transformation des *R.-commune*-Isolates UK7 mit den pFUNGATE-Derivaten, welche die Stilllegungssequenzen der *NIP2*-Genfamilie bzw. des *eGFP* enthalten, wurde eine Überprüfung der Integration durchgeführt. Die genomische DNA (gDNA) des Myzels der Mutanten wurde isoliert und als Matrize für eine PCR eingesetzt. Die erhaltenen Amplifikationsprodukte sind in einer Gelelektrophorese ihrer Länge nach aufgetrennt worden (Abbildung A 12). Die verwendeten Oligonukleotide sind spezifisch und binden ausschließlich an die Plasmid-DNA. Bei vollständiger Integration von pFUNGATE ist der Bereich für die Stilllegung der Genexpression vom *ToxA*-Promotor stromabwärts bis zu den Terminatoren im pilzlichen Genom zu finden. Auf Grund der Länge dieser Sequenz wurden zwei Nachweise mittels PCR durchgeführt. Eine Amplifikation erstreckte sich über den Promotor bis in das Intron der Stilllegungskassette hinein. Eine weitere Amplifikation wies den *tubA*-Terminator und einen Teil des Hygromycin-B-

Phosphotransferase-Gens nach. In dieser Arbeit untersuchte Mutanten sind positiv auf die Integration der Stilllegungskassette sowie ihrer Resistenz gegenüber Hygromycin getestet worden. Da dieser Nachweis nicht die gesamte integrierte Sequenz abdeckt, lässt sich eine Kompromittierung der Stilllegungskassette durch ein doppeltes *crossover*-Ereignis nicht ausschließen. Zusätzlich könnte die Integrationsstelle im Genom einen Einfluss auf die Ausprägung der jeweiligen Mutante haben. Deshalb wurden mehrere unabhängige Mutanten im Verlauf dieser Arbeit erstellt und analysiert.

3.4.3 *Proof-of-Principle* (Machbarkeits-Analyse): *eGFP*-Stilllegung

Der Beweis für die Durchführbarkeit der Stilllegung einer Genexpression in *R. commune* wurde anhand einer *eGFP*-exprimierenden Mutante des Isolates UK7 (UK7-GFP) erbracht. Um zu vermeiden, dass *eGFP* unter dem gleichen Promotor wie die Stilllegungskassette reguliert wird, wurde der Promotor der *Glycerin-3-phosphat-Dehydrogenase* (GPD) aus *Aspergillus nidulans* (Isolat FGSC A4) für eine konstitutive Expression genutzt. pFUNGATE wurde mit der *eGFP*-Stilllegungssequenz (pFGGFP, Abbildung 3.12 A) zur Transformation von UK7-GFP verwendet. Anschließend ist das Myzel von vier Transformanten drei und zehn Tage nach Beimpfen des Nährmediums mit Sporen auf seine *eGFP*-Expression untersucht worden. Die Expression wurde über qRT-PCR ermittelt und die relativen Werte mit der *eGFP*-Expression in UK7-GFP verglichen (Abbildung 3.13). Dabei zeigte sich, dass die *eGFP*-Expression in den Mutanten #16 und #54 zu beiden untersuchten Zeitpunkten signifikant verringert war. Dagegen zeigte die *eGFP*-Expression der Mutanten #11 und #65 außer zum Zeitpunkt 3 dpi keinen signifikanten Unterschied zu UK7-GFP. Die biologische Varianz bei hoher relativer Expression war ebenfalls groß und damit stärker ausgeprägt als bei den stillgelegten Mutanten. Die Reduktion der relativen Transkriptmenge ist prozentual in Abbildung A 9 dargestellt. Es konnte eine Stilllegung von bis zu 90% in der Mutante #54 zum Zeitpunkt 10 dpi festgestellt werden.

Die auf Rekombination basierende Klonierung verschiedenster Stilllegungskonstrukte unter Nutzung des kommerziell erhältlichen Gateway®-Klonierungssystems ist damit vermutlich auch für die übrigen *Rhynchosporium*-Arten und darüber hinaus in anderen Pilzen möglich.

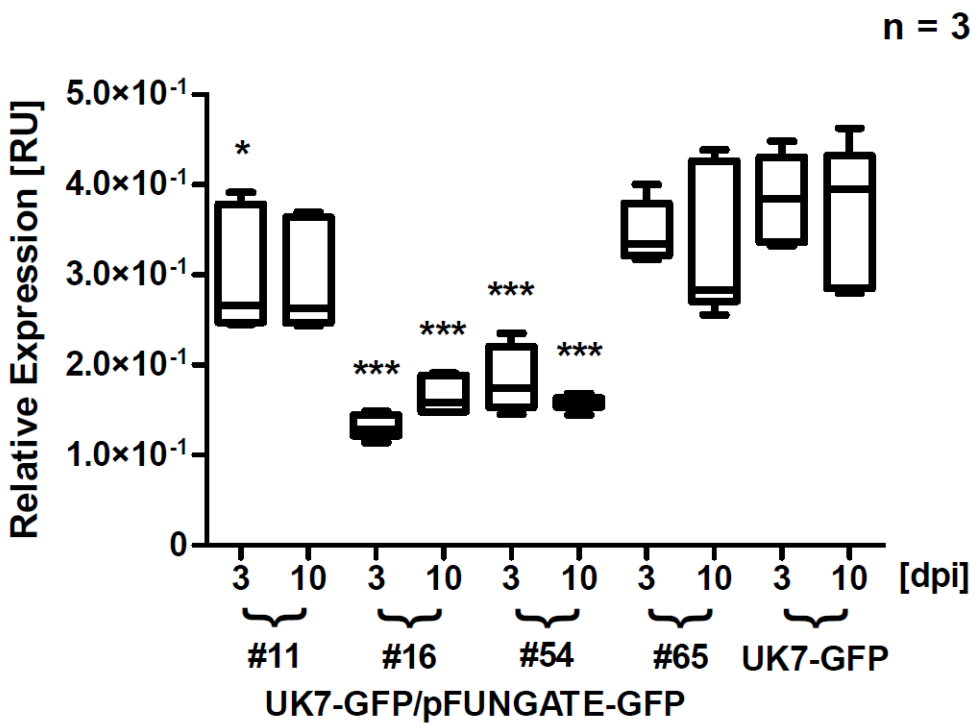

Abbildung 3.13 *eGFP*-Expression in der Stilllegungsmutante
Relative pilzliche Transkriptmengen für das eGFP-Gen wurden via qRT-PCR ermittelt. Die relative *eGFP*-Expression des konstitutiv *eGFP*-exprimierenden *R.-commune*-Isolates UK7 (UK7-GFP) ist im Vergleich mit den pFGGFP-transformierten UK7-GFP-Mutanten #11; #16; #54; #65 dargestellt.
Die relativen *eGFP*-Transkriptmengen sind in drei biologischen Replikaten in 3 und 10 Tage altem Myzel bestimmt worden. Der Unterschied der Expression im Vergleich zu UK7-GFP wurde anhand der *Student*-t-Verteilung bestimmt [$p \leq 0{,}05$ (*); $p \leq 0{,}01$ (**); $p \leq 0{,}001$ (***)]. RU…relative Einheit. dpi…Tage nach Inokulation.

Zusätzlich zur Untersuchung der *eGFP*-Expression in den Stilllegungsmutanten *ex planta* wurden *in planta* fluoreszenzmikroskopische Aufnahmen der epidermalen Zellschicht der Gerstensorte Ingrid während der Infektion analysiert (Abbildung 3.14). Die Infektion mit dem Wildtypisolat UK7 führte zu einer Fluoreszenz an den Penetrationstellen, die nicht auf die eGFP-Fluoreszenz zurückzuführen war. Während in UK7-GFP eine Emission des Fluorophors in sämtlichen Bereichen des Pilzes zu finden war, zeigten die beiden stillgelegten Mutanten lediglich eine Fluoreszenz an den Penetrationsstellen. Damit konnte die Reduktion des translatierten Produktes bestätigt werden. Die Mutanten #11 und #65, die *ex planta* keine Stilllegung der *eGFP*-Expression zeigten, sind vergleichend mit UK7-GFP und UK7 in Abbildung A 10 gezeigt. Hier wird deutlich, dass bei der Mutante #11 das Myzel wie bei UK7-GFP vollständig fluoresziert. Die Mutante #65 keimte deutlich später als die anderen Mutanten. Jedoch war drei Tage nach Inokulation erkennbar, dass Sporen und erste Keimhyphen fluoreszieren.

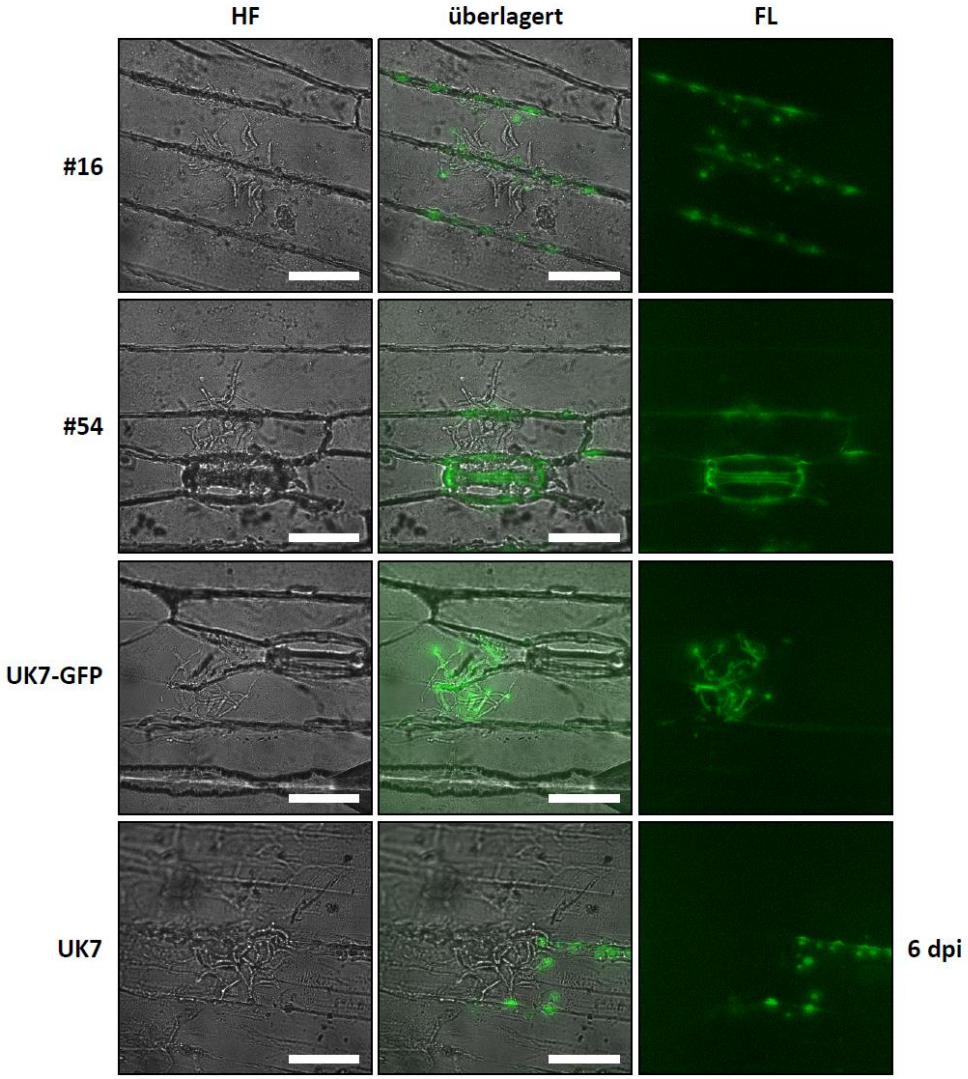

Abbildung 3.14 Mikroskopische Aufnahmen von keimenden *R.-commune*-Sporen
Dargestellt ist die epidermale Zellschicht auf der Unterseite von Primärblättern der Gerstensorte Ingrid. Die *eGFP*-exprimierende Mutante UK7-GFP wurde mit 2 unabhängig voneinander generierten, mit pFGGFP-transformierten UK7-GFP-Mutanten verglichen (#16, #54). Zusätzlich ist das Wildtypisolat UK7 ohne Fluorophor abgebildet. Die Epidermen sind 3 dpi von den Blättern gezogen worden und unter Hellfeldbedingungen (**HF**) sowie bei Anregung mit 395 nm (**FL**) abgebildet. Die **überlagerte** Darstellung ermöglicht die Lokalisierung der Fluoreszenz. Die mikroskopischen Aufnahmen von UK7 wurden statt 3 dpi zur Verdeutlichung der Fluoreszenz an den Penetrationsstellen erst 6 dpi aufgenommen. Die Aufnahmen wurden mit einer 63fachen Vergrößerung vom Zeiss LSM 710 aufgenommen. Der Maßstabsbalken repräsentiert 50 µm.

Um einen möglichen Einfluss der Stilllegungskassette auf die Virulenz in den einzelnen Mutanten zu überprüfen, wurde die Symptomentwicklung auf der hoch suszeptiblen Gerstensorte Ingrid untersucht. Dabei ist 21 Tage lang die Infektion von Primärblättern beobachtet und die Symptome zu drei und zehn Tagen dokumentiert worden (Abbildung A 11). Es konnten keine Unterschiede in der Symptomausbreitung und der Stärke der Symptome zwischen den Mutanten und dem Wildtyp UK7 ausgemacht werden. Dies zeigt, dass sich die Integration der Kassette während der Pathogenese neutral verhält.

3.4.4 Stilllegung der *NIP2*-Genfamilie

Die simultane Stilllegung der Expression der Mitglieder der *NIP2*-Genfamilie im *R.-commune*-Isolat UK7 wurde durch eine Stilllegungskassette mit Sequenzen mehrerer Gene möglich. Dafür wurde die Stilllegungssequenz (Abbildung 3.12) der *NIP2*-Homologen in pFUNGATE kloniert (pFGNIP) und für die Transformation des Wildtypisolates UK7 verwendet. Die vollständige Integration der Kassette ist durch eine PCR-basierte Analyse der genomischen DNA der Transformanten überprüft worden (Abbildung A 12). Mehrere der positiv getesteten Mutanten wurden weiterführend untersucht. Eine Quantifizierung der relativen pilzlichen Biomasse während der Pathogenese auf der Gerstensorte Ingrid wurde für zehn der insgesamt verfügbaren 20 Mutanten in einem Vorversuch analysiert (Abbildung A 13). Die Mutanten #19, #25, #30, #43 zeigten als Tendenz eine ähnliche Entwicklung der relativen Biomasse wie UK7. Dagegen zeigten die Wachstumsprofile der Transformanten #01, #23, #28, #31 und #44 ab 10 dpi im Trend eine nicht weiter ansteigende relative Biomasse. Lediglich die Mutante #27 zeigte einen leichten Anstieg, der allerdings schwächer als der von UK7 ausfiel. Es wurden keine biologisch unabhängigen Replikate dieses Versuchs durchgeführt, weshalb die Ergebnisse nur einen Trend beschreiben können. Zu dem Vorversuch gehörte ebenfalls die Dokumentation der Symptome der Mutanten. Die Zeitpunkte 10, 14 und 21 Tage nach Inokulation sind in Abbildung A 14 dargestellt. Hierbei zeigte sich eine Korrelation der relativen pilzlichen Biomasse mit der Symptomausprägung. Die Mutanten, deren Biomasse 10 dpi tendenziell nicht weiter anstieg, bildeten auch spätere und schwächere Symptome aus. Die Mutanten #01, #23, #28, #31 und #44 wiesen 14 dpi kaum bis keine Nekrosen auf, während bei UK7 und den Mutanten #19, #25, #30, #43 bereits typische Läsionen zu erkennen waren. Zum letzten Zeitpunkt wurden die trockenen Läsionen und chlorotischen Bereiche bei allen außer der Mutante #31 sichtbar. Die Transformante #27 wies abweichend von den anderen Mutanten bereits nach 14 Tagen beginnende Symptome auf, die aber nicht so stark ausgeprägt waren wie jene des Wildtyps.

Durch die Vorversuche konnten vier Mutanten für weitere Analysen ausgewählt werden, die in der Symptomausbildung und der Produktion pilzlicher Biomasse im Vergleich zum Wildtyp reduziert waren. Die Entwicklung der Mutanten #01, #28, #31 und #44 auf der Gerstensorte Ingrid ist über einen Zeitraum von 21 Tagen beobachtet worden. In drei voneinander unabhängigen Wiederholungen wurden über die Zeit die Symptome dokumentiert, genomische DNA isoliert sowie komplementäre DNA (cDNA) synthetisiert. Die Symptomatik zu den Zeitpunkten 3, 6, 10, 14 und 21 dpi wurde im Vergleich mit UK7 erfasst und in Abbildung A 15 dargestellt. Es war kein phänotypischer Unterschied zwischen den pFGNIP-Mutanten und UK7 zu den Zeitpunkten 3, 6 und 10 dpi zu erkennen. Jedoch zeigte sich die typisch kontinuierliche Aufhellung der Grünfärbung der inokulierten Blätter im Vergleich zur nicht inokulierten Kontrolle. Nach 14 Tagen waren

bei UK7 nekrotische Läsionen auf dem gesamten Blatt zu finden, während die Mutanten lediglich partielle bis keine Symptome zeigten. Die beiden Transformanten #1 und #28 wiesen zu diesem Zeitpunkt großflächige Chlorosen und teilweise ausgetrocknete Stellen auf und unterschieden sich wenig untereinander. Im Gegensatz zu diesen waren die Mutanten #31 und #44 fast vollständig frei von nekrotischen Bereichen, nur apikale Chlorosen waren erkennbar. Zum finalen Zeitpunkt der Dokumentation sind starke Symptome, die das gesamte Blatt vertrocknen lassen, in fast allen untersuchten Infektionen gefunden worden. Eine Ausnahme waren die Mutanten #31 und #44 mit der Ausbildung von Chlorosen, aber ohne erkennbare trockene Läsionen.

Die ermittelte, relative pilzliche Biomasse dieser vier Mutanten (#01, #28, #31 und #44) auf der Gerstensorte Ingrid (Abbildung 3.15) korrelierte mit der verzögerten Ausbildung der Symptome. Nach 3 bzw. 6 dpi sind noch keine signifikanten Änderungen des pilzlichen Wachstums der Mutanten gegenüber UK7 festgestellt worden. Zehn und 14 Tage nach Inokulation zeigten alle Mutanten im Vergleich eine stark reduzierte Biomasse.

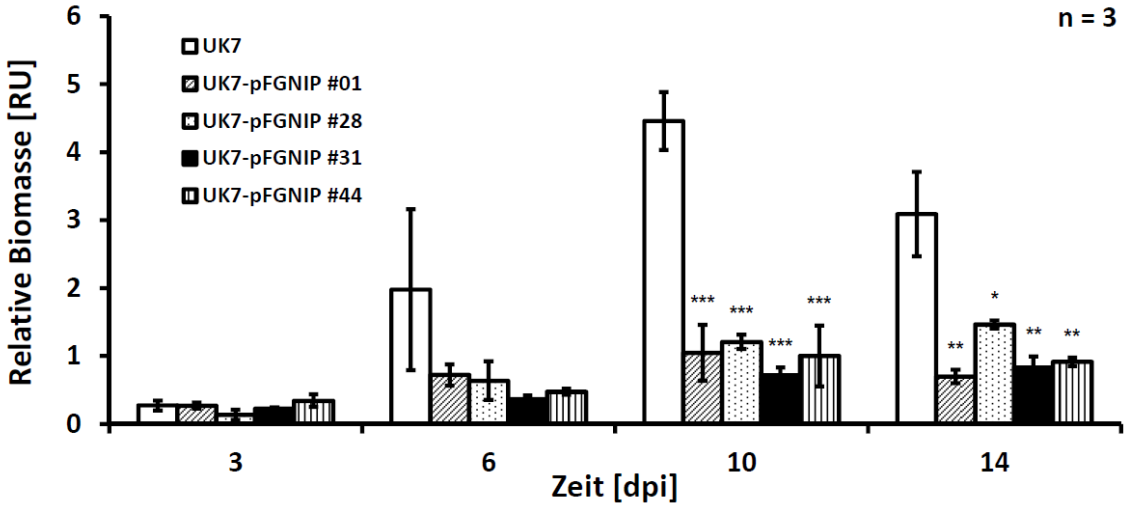

Abbildung 3.15 Relative Biomasse der pFGNIP-Mutanten
Analyse der pilzlichen Biomasse von vier Stilllegungsmutanten der *NIP2*-Homologen aus *R. commune* während der Infektion der Gerstensorte Ingrid. Das dadurch erhaltene, relative pilzliche Wachstum wurde zu den Zeitpunkten 3, 6, 10 und 14 dpi in den infizierten Primärblättern bestimmt. Die Signifikanzberechnung erfolgte mittels *Student*-t-Verteilung im Vergleich zum Wildtyp UK7 [$p \leq 0{,}05$ (*); $p \leq 0{,}01$ (**); $p \leq 0{,}001$ (***)]. Es wurden 3 unabhängige biologische Replikate untersucht (n = 3). RU…relative Einheit. dpi…Tage nach Inokulation.

Die Stilllegung der Mitglieder der *NIP2*-Genfamilie wurde während der Pathogenese auf Ingrid in den vier untersuchten Mutanten und dem Wildtyp verfolgt (Abbildung 3.16). Für *NIP2.1* zeigte sich, dass 3 dpi die Expression in den Mutanten #28, #31 und #44 signifikant in Bezug auf UK7 reduziert war, während Mutante #01 in ihrer Expression UK7 ähnlich war. Zum Zeitpunkt 6 dpi war lediglich #44 in der *NIP2.1* Expression

reduziert, dagegen waren #01 und #28 signifikant erhöht. Die Expression in #31 war nicht signifikant unterschiedlich zum Wildtyp UK7. Nach Zehn Tagen waren alle untersuchten pFGNIP-Transformanten in der *NIP2.1*-Expression erhöht. Nach 14 Tagen war nur noch bei #31 und #44 eine erhöhte Expression zu finden. Es zeigte sich allerdings, dass 10 dpi und 14 dpi die relative Expression im Vergleich zu den frühen Zeitpunkten generell stark erniedrigt war. Die Expression von *NIP2.2* zeigte sich außer in #31 zum Zeitpunkt 3 dpi zu fast allen Zeitpunkten im Vergleich zu UK7 nicht erniedrigt. Zehn Tage nach Inokulation sind im Vergleich zur niedrigen *NIP2.2*-Expression in UK7 in allen pFGNIP-Mutanten höhere Expressionen festgestellt worden, 14 dpi in den Transformanten #31 und #44. Die Expression von *NIP2.3* hingegen war, mit Ausnahme von #28 zum ersten Zeitpunkt, zu den Zeitpunkten 3 dpi und 6 dpi signifikant reduziert. Bei den späteren Zeitpunkten konnte so gut wie keine Änderung der Expression in den Mutanten im Vergleich mit UK7 festgestellt werden. Eine Reduktion der relativen Transkriptmenge von *NIP2.4* konnte nur drei Tage nach Inokulation ermittelt werden, dies aber bei allen Mutanten. Während nach sechs Tagen keine signifikante Änderung der Expression zu erkennen war, zeigte sich nach 10 Tagen, dass *NIP2.4* in #28, #31 und #44 im Vergleich zu der geringen Expression in UK7 hoch reguliert war. Zum letzten Zeitpunkt war in #28 die bestimmte relative Transkriptmenge niedriger und in #31 sowie #44 höher als in der von UK7. Jedoch waren die Cq-Werte für das *NIP2.4*-Transkript nah an der Detektionsgrenze. Die Expression von *NIP2.6* war nach drei und sechs Tagen in den Mutanten reduziert. Nach zehn Tagen war keine Änderung der Transkriptmenge zu finden. Nur in der Mutante #31 war sie erhöht. Zum Zeitpunkt 14 dpi war die allgemein geringe relative Expression von *NIP2.6* signifikant in #01 sowie #28 geringer und in #31 sowie #44 höher als in UK7.

Zusammenfassend konnte die Stilllegung der Mitglieder der *NIP2*-Genfamilie erreicht werden, wobei verschiedene Gene unterschiedlich stark in ihrer Expression reduziert wurden. Die Stilllegung führte zu einer länger anhaltenden Expression bis in die späten Zeitpunkte der Pathogenese.

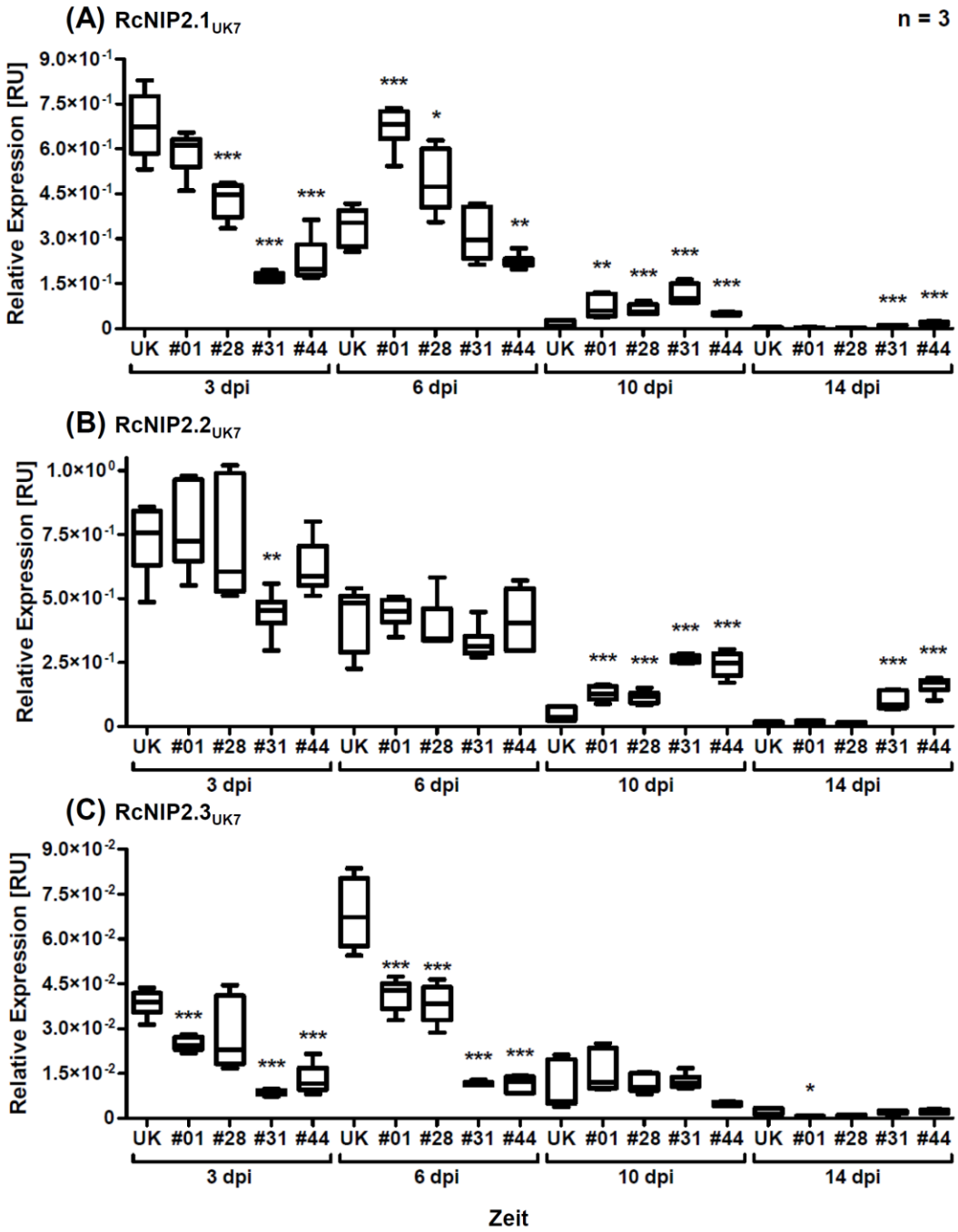
(A) RcNIP2.1UK7
n = 3
Relative Expression [RU]
9.0×10-1
7.5×10-1
6.0×10-1
4.5×10-1
3.0×10-1
1.5×10-1
0
UK #01 #28 #31 #44 UK #01 #28 #31 #44 UK #01 #28 #31 #44 UK #01 #28 #31 #44
3 dpi
6 dpi
10 dpi
14 dpi
(B) RcNIP2.2UK7
Relative Expression [RU]
1.0×100
7.5×10-1
5.0×10-1
2.5×10-1
0
UK #01 #28 #31 #44 UK #01 #28 #31 #44 UK #01 #28 #31 #44 UK #01 #28 #31 #44
3 dpi
6 dpi
10 dpi
14 dpi
(C) RcNIP2.3UK7
Relative Expression [RU]
9.0×10-2
7.5×10-2
6.0×10-2
4.5×10-2
3.0×10-2
1.5×10-2
0
UK #01 #28 #31 #44 UK #01 #28 #31 #44 UK #01 #28 #31 #44 UK #01 #28 #31 #44
3 dpi
6 dpi
10 dpi
14 dpi
Zeit

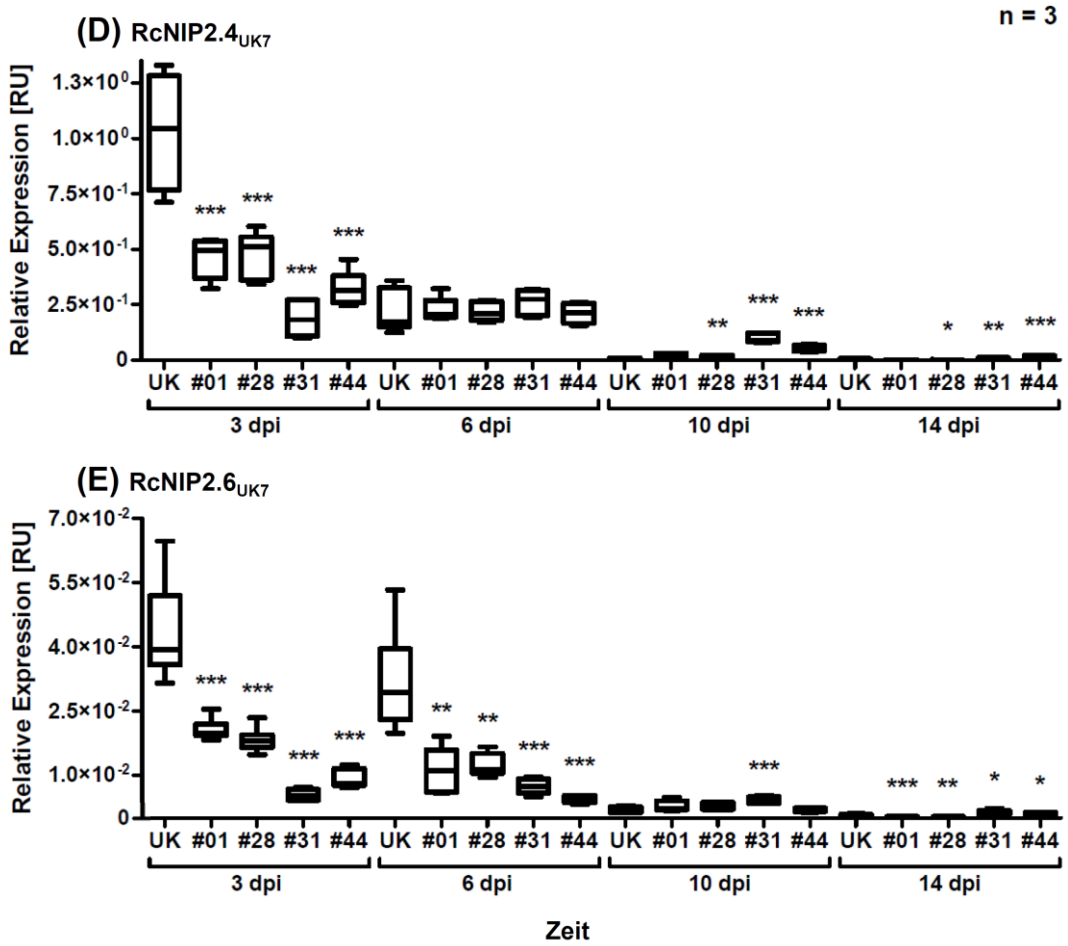

Abbildung 3.16 Expression der *NIP2*-Homologen in den pFGNIP-Mutanten

Relative pilzliche Transkriptmengen für die *NIP2*-Homologen wurden via qRT-PCR ermittelt [(**A**) $RcNIP2.1_{UK7}$; (**B**) $RcNIP2.2_{UK7}$; (**C**) $RcNIP2.3_{UK7}$; (**D**) $RcNIP2.4_{UK7}$ und (**E**) $RcNIP2.6_{UK7}$]. Die relative Expression der *NIP2*-Homologen aus dem *R.-commune*-Isolat UK7 ist vergleichend mit der Expression der pFGNIP transformierten Mutanten #01; #28; #31; #44 dargestellt. Die relativen Transkriptmengen der *NIP2*-Homologen sind in drei biologischen Replikaten (n = 3) zu den Zeitpunkten 3, 6, 10 und 14 Tage nach Inokulation bestimmt worden. Die signifikante Änderung der Expression im Vergleich zu UK7 wurde anhand der *Student*-t-Verteilung bestimmt [$p \leq 0{,}05$ (*); $p \leq 0{,}01$ (**); $p \leq 0{,}001$ (***)]. RU…relative Einheit. dpi…Tage nach Inokulation.

3.5 Artspezifische Effektoren

3.5.1 Identifizierung in *Rhynchosporium commune*

Durch die Sequenzierung der Arten der *Rhynchosporium*-Gattung sind die Genome für die Identifizierung von Effektorprotein-kodierenden Genen zugänglich geworden. Für die Pflanze-Pathogen-Interaktion spielen die Effektorproteine in der Kommunikation mit dem Wirt eine bedeutende Rolle (Jones & Dangl, 2006). Bereits andere Effektoren konnten mit Hilfe von charakteristischen Kriterien identifiziert werden (Chen *et al.*, 2012; Condon *et al.*, 2013). Diese Effektor-charakteristischen Kriterien wurden für eine Bestimmung möglicher Effektorkandidaten genutzt, die zusätzlich spezifisch in den *Rhynchosporium*-Arten vorkommen. Effektoren mit einem artspezifischen Auftreten könnten essentiell an der Pathogenese mit einem bestimmten Wirt beteiligt sein. Aus der Gesamtheit der Protein-kodierenden Gene konnte schrittweise eine Gruppe von spezifisch vorhandenen Kandidaten für weitere Analysen zu Funktion und Wirkungsweise isoliert werden. Eine Übersicht der Anzahl mit jedem Schritt der Analyse identifizierter Proteine ist in Abbildung A 16 und Abbildung 3.17 dargestellt. Die Gesamtzahl der vorausgesagten Protein-kodierenden Gene im *R.-commune*-Isolat UK7 beträgt 11.709. Von diesen Genen besitzen 1.617 einen SP-Wert (Signalpeptid, SignalP) von ≥ 0,5 und damit ein vorhergesagtes Sekretionssignal. Von diesen 1.617 wurden jene ausgeschlossen, die Transmembran-Helices (Vorhersage mittels TMHMM Server v.2.0) enthalten. Die Proteine, die nicht mehr als 200 Aminosäuren (AA ≤ 200) besitzen, wurden weiter auf einen Cysteingehalt von mehr als 2% hin untersucht. Von diesen 146 Proteinen wurden im Vergleich mit den anderen Genomen der Gattung *Rhynchosporium* (BLASTN, BLAST-Analyse auf Nukleotidebene) die sieben Proteine RcSP1.1, RcSP2.1, RcSP3.1, RcSP4, RcSP5.1, RcSP6.1 und RcSP9 spezifisch für *R. commune* erkannt.

Diese Auswahl wurde parallel durch eine unabhängige Analyse der orthologen Gruppen von Proteinsequenzen aus den Genomen von *R. commune, R. secalis, R. agropyri* und *R. orthosporum* [OrthoMCL (Chen *et al.*, 2006)] bestätigt (Abbildung 3.17). Die Art *R. lolii* konnte nicht einbezogen werden, da keine Assemblierung des Genoms verfügbar ist. Die OrthoMCL-Untersuchung identifizierte 29 Einzelgene, die Proteine ≤ 200 Aminosäuren kodieren und keine Orthologen und Paralogen in UK7 haben. Hierbei wurden die anhand der Effektor-Kriterien gefundenen Sequenzen um die Gene *RcSP7* und *RcSP8* erweitert. Diese Gene wurden auf Grund ihres Cysteingehaltes unter 2% zu Beginn nicht als Effektoren charakterisiert. Die mit der OrthoMCL-Analyse identifizierten 29 Gene wurden durch die Suche nach Homologen mit einer BLAST-Analyse auf Nukleotidebene (BLASTN) auf 9 artspezifische Effektoren reduziert. Die Suche mit Aminosäuresequenzen der putativen Effektoren (BLASTP) ergab erwartungsgemäß weniger Treffer. Lediglich für RcSP6.1 (NIP2.6) wurden als Homologe die Mitglieder der NIP2-Familie identifiziert.

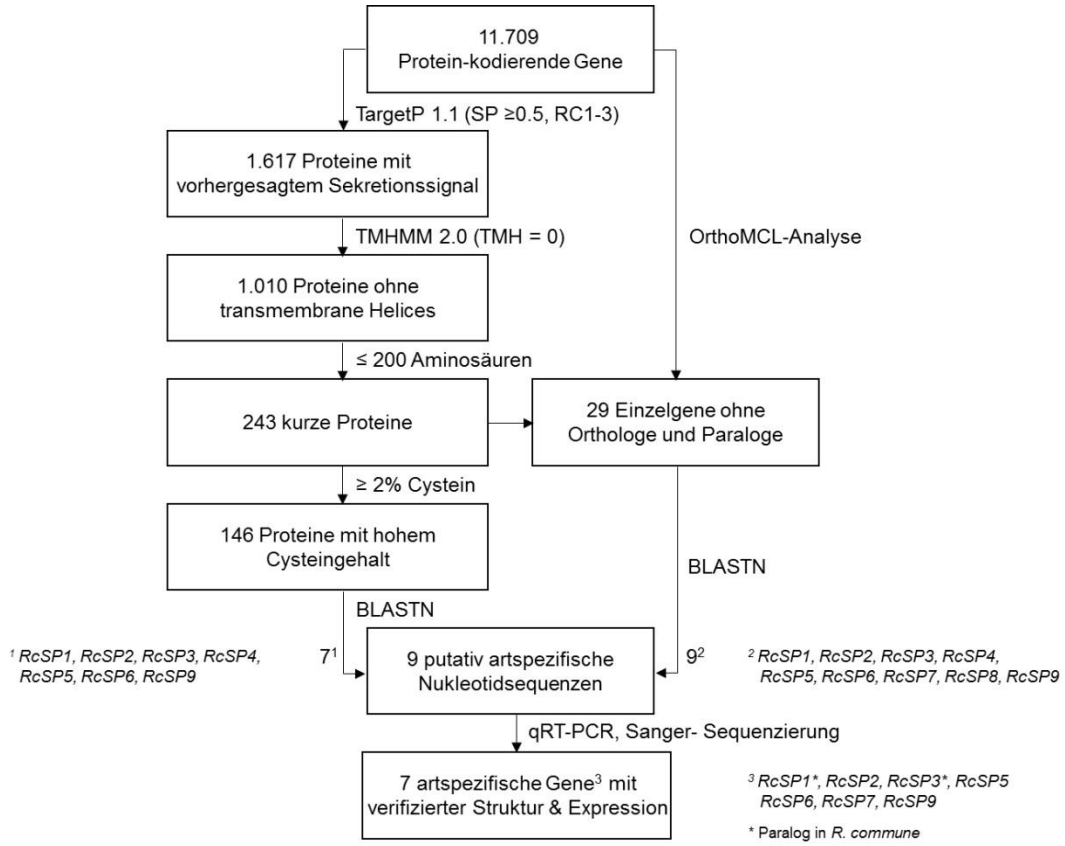

Abbildung 3.17 Identifizierung artspezifischer Effektoren in *R. commune*
Schematische Darstellung der Vorgehensweise zur Identifizierung putativer spezifischer Effektoren des *R.-commune*-Isolates UK7. Ein vorhergesagtes Sekretionssignal besitzen Protein-kodierende Gene mit einem SP-Wert (Signalpeptid, SignalP) von ≥ 0,5. Diese Vorhersage (TargetP 1.1) ist in Verlässlichkeitsklassen (RC…*reliability classes*) unterteilt, von denen die Klassen 1-3 für die Analyse verwendet worden sind. Eine Vorhersage transmembraner Helices erfolgte mittels TMHMM Server v.2.0. Eine OrthoMCL-Untersuchung der Genome identifizierte 29 Einzelgene ≤ 200 Aminosäuren, die keine Orthologen und Paralogen in UK7 haben. In der Gesamtheit der annotierten Genmodelle wurden 9 putative, artspezifische Gene identifiziert.

3.5.2 Funktionelle Charakterisierung: Expression und Deletion

Die annotierten Genmodelle der neun Loci wurden mittels Sanger-Sequenzierung überprüft, um zu zeigen, dass ihre Annotierung korrekt war. Dabei konnte für *RcSP4* gezeigt werden, dass das Genmodell falsch annotiert wurde und somit nicht länger den Effektor-Kriterien entsprach. Damit verblieben acht unbekannte und putative artspezifische Effektoren von *R. commune* für weiterführende Analysen. Die Quantifizierung der Transkriptmengen wurde für alle Gene während der Infektion der Gerstensorte Ingrid mit *R. commune* Isolat UK7 durchgeführt (Abbildung 3.18 B). Dabei sollte zu Beginn eine Expression nachgewiesen werden. Weiterführend wurde die Expression während der Pathogenese (Expressionsverlauf) dokumentiert. Die relativ

stark exprimierten Gene *RcSP2.1*, *RcSP3.1*, *RcSP5.1* und *RcSP9* wiesen ein Expressionsprofil auf, das dem der *NIP*-Gene ähnelt (Abbildung 3.9). Die relative Transkriptmenge stieg in der initialen Phase der Besiedlung stark an und erreichte drei (*RcSP2.1*, *RcSP5.1*, *RcSP9*) bzw. sechs Tagen (*RcSP3.1*) nach Inokulation das Maximum. In dieser Phase stieg die relative pilzlichen Biomasse stark an (Abbildung 3.18 A). Hierbei etabliert sich das subkutikulare Myzel nach der erfolgreichen Penetration der Kutikula durch die Keimhyphen (Kirsten *et al.*, 2012). Während der Ausbildung des Stroma-ähnlichen Myzels und dem Beginn der Sporulation des Pilzes in der zweiten Hälfte des Infektionsverlaufes wurden die putativen Effektoren analog zu den *NIP*-Genen in ihrer Expression heruntergeregelt. Die Gene *RcSP7* und *RcSP8* wiesen während der Pathogenese auf Ingrid eine relative Expression nahe der Detektionsgrenze auf und wurden daher für weitere Untersuchungen nicht berücksichtigt. Das Gen *RcSP6.1* ist das Homologe *NIP2.6* aus *R. commune* und wurde bereits bei der Untersuchung der *NIP2*-Genfamilie charakterisiert (siehe Seite 50).

Auch für das *R.-secalis*-Isolat 02CH4-6a.1 wurden artspezifische Effektoren identifiziert. Dabei konnten mit Hilfe der für UK7 verwendeten Methode (Abbildung 3.17) vier *R.-secalis*-spezifische Gene (*RsSPa*, *RsSPb*, *RsSPc*, *RsSPd*) erkannt und mittels Sanger-Sequenzierung bestätigt werden (Daten nicht gezeigt). Nach der Analyse der Genexpression (Abbildung 3.18 C) konnte *RsSPa* als einziger exprimierter *R.-secalis*-spezifischer Effektor charakterisiert werden. Die übrigen drei Kandidaten wiesen nur eine niedrige relative Transkriptmenge während der Pathogenese auf. Das Expressionsprofil beschreibt mit einem Maximum bei 6 dpi einen insgesamt späteren Anstieg der Transkriptmenge als bei den meisten *R.-commune*-Effektoren. Das Profil ist vergleichbar mit der Expression von *RcSP3.1* (Abbildung 3.18 B). Auch die relative Biomasse von *R. secalis* auf Roggen stieg erst später an (10-12 dpi; Abbildung 3.18 A). Insgesamt war das relative Wachstum von *R. secalis* in einem kleineren Zeitfenster angesiedelt mit stark ausgeprägten nekrotischen Symptomen 21 dpi (Graap, 2013). Die Biomasse bei 21 dpi konnte nicht bestimmt werden, da es trotz verzögerter Symptomausbildung verglichen mit *R. commune* in der späten Phase der Pathogenese zu sehr starken Symptomen kam. Die Degradierung der Primärblätter in dieser Interaktion ist unter Phytokammerbedingungen so stark, dass keine intakte genomische DNA von Roggen für eine qPCR-Analyse zur Verfügung stand (Graap, 2013). Die Überprüfung der annotierten Genmodelle mittels Sanger-Sequenzierung wurde auf Grund der sehr geringen Expression der anderen Gene nur bei *RsSPa* durchgeführt. Für dieses Gen konnten mittels BLAST-Analyse (BLASTN und BLASTP) keine Homologen in den Genomen der verwendeten *Rhynchosporium*-Isolate gefunden werden.

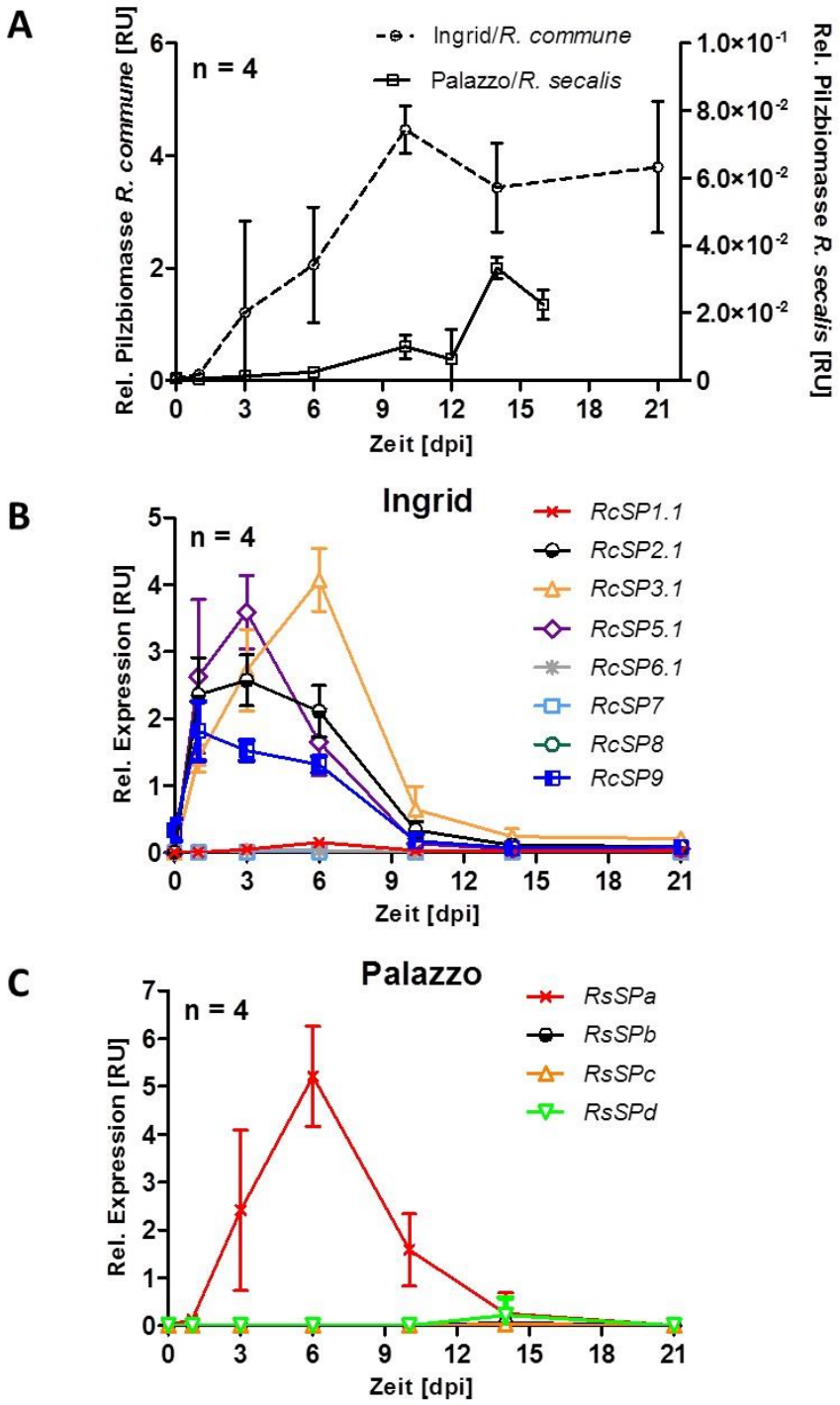

Abbildung 3.18 Pilzquantifizierung und relative Expression der Effektorkandidaten

Die relative pilzliche Biomasse des *R.-commune*-Isolates UK7 auf der Gerstensorte Ingrid und des *R.-secalis*-Isolates 02CH4-6a.1 auf der Roggensorte Palazzo ist in **A** dargestellt. In **B** Bestimmung der relativen Transkriptmenge der Effektorkandidaten in der Interaktion von UK7 und Ingrid. In **C** Bestimmung der relativen Transkriptmenge in der Interaktion von 02CH4-6a.1 und Palazzo. Die relative pilzliche Biomasse sowie die Transkriptmenge der Effektorkandidaten sind in vier biologischen Replikaten bestimmt worden. RU…relative Einheit. dpi…Tage nach Inokulation.

Die Expressionsprofile der Effektorkandidaten *in planta*, die relativ zu *RcSP2.1*, *RcSP3.1, RcSP5.1* und *RcSP9* in *R. commune* und *RsSPa* in *R. secalis* schwach exprimiert waren, wurden zur besseren Übersicht in Abbildung A 17 einzeln abgebildet. Das Gen *RcSP1.1* zeigte eine schwache, aber trotzdem Effektor-typische Expression, während die Transkriptmengen der übrigen Gene sehr gering waren. Es zeigte sich dennoch für *RcSP6.1* (*NIP2.6*) ein Maximum in der initialen Phase der Pathogenese wie bereits in Abbildung 3.9 dargestellt. Die Expression von *RsSPb*, *RsSPc* und *RsSPd* war erst zu den späten Zeitpunkten messbar, allerdings lag sie nicht weit über der Detektionsgrenze der angewandten qRT-PCR.

Die Effektor-Kandidaten-Gene *RcSP1.1*, *RcSP2.1*, *RcSP3.1*, *RcSP5.1*, *RcSP6.1* und *RcSP9* wurden zur funktionellen Charakterisierung deletiert. Für die Deletion ist eine Methode angewandt worden, bei der die Zielsequenz über homologe Rekombination durch eine Antibiotikumresistenz-vermittelnde Genkassette ersetzt wird. Für die Verbesserung der homologen Integration von gewünschten Sequenzen in *Rhynchosporium* wurde eine restriktive Methode genutzt, um Fehlintegrationen im Genom zu vermeiden. Hierzu wurde das Deletionskonstrukt in dem Bereich geteilt, der essentiell für die vermittelte Resistenz gegenüber Hygromycin B ist (Fu *et al.*, 2006). Die aktive Domäne der Hygromycin-B-Phosphotransferase (APH) wurde mittels Pfam 27.0 (Finn *et al.*, 2014) identifiziert. Die Teilung des Konstruktes innerhalb des aktiven Bereiches erfolgte durch getrennte Amplifikation des 5‘- und 3‘-Bereiches über spezifische Oligonukleotide. Dabei sind diese so entworfen worden, dass sich ein überlappender Bereich beider Fragmente innerhalb der aktiven Domäne des Resistenzgens befand. Für die Bestätigung der Funktionalität wurden die Teile der Resistenzgenkassette in einem vorab durchgeführten Versuch für die Deletion des *NIP1*-Gens genutzt. Dafür sind die Fragmente des Resistenzgens via PCR mit flankierenden Sequenzen fusioniert worden, die homolog zum *NIP1*-Gen sind. Es wurden 50 bp, 100 bp und 200 bp lange Überlappungen (Abbildung A 18) im Vergleich zu einer vollständig zusammenhängenden Resistenzgenkassette getestet. Dabei stellte sich heraus, dass eine Deletion von *NIP1* am häufigsten durch die Inkubation der geteilten Resistenzkassette mit 50 bp Überlappung erreicht wurde (Daten nicht gezeigt). Zufällige Integrationen im Genom von *R. commune* UK7 konnten durch eine Teilung reduziert werden und eine schnellere Bestätigung der erfolgreichen Transformation war möglich.

Für die Deletion der Effektor-Kandidaten-Gene (*RcSP1.1*, *RcSP2.1*, *RcSP3.1*, *RcSP5.1*, *RcSP6.1* und *RcSP9*) ist im Rahmen zweier Bachelorarbeiten die Integration der geteilten Hygromycin-B-Resistenzkassette mit 50 bp überlappenden Fragmenten genutzt worden (Hoffmann, 2015; Wöltje, 2015). Während der Pathogenese mit den Deletionsmutanten konnte nur durch die Deletion des *RcSP9*-Gens eine zeitigere Ausbildung von Symptomen beobachtet werden. Die Symptomausbildung der übrigen Deletionen verlief ohne erkennbare Unterschiede im Vergleich zu UK7 (Wöltje, 2015). In Infektionsexperimenten wurde für alle Deletionsmutanten eine signifikante Änderung

der relativen Pilzbiomasse im Vergleich zum Wildtyp UK7 ermittelt. Nach 14 dpi war die relative Biomasse der Mutanten im Vergleich zu UK7 in vier biologisch unabhängigen Experimenten stark erhöht (W. Knogge, unveröffentlichte Daten).

3.5.3 Expression von Effektorgenen in *Rhynchosporium secalis*

Um eine funktionelle Analyse von Effektorgenen in *R. secalis* zu ermöglichen, wurde zunächst eine Methode zur Transformation von *R. secalis* etabliert. Dies erfolgte in Anlehnung an das für *R. commune* entwickelte Transformationssystem über eine längere Inkubation mit PEG 6000 (siehe Seite 23). Damit soll die zukünftige Untersuchung der Wirkungsweise des Effektors RsSPa durch eine Deletion des kodierenden Gens ermöglicht werden. Zusätzlich wird eine Charakterisierung der artspezifischen Effektorgene von *R. commune* durch ihre Expression in *R. secalis* mit dem Hintergrund einer anderen Wirtsspezifität möglich.

Als Nachweis der Funktionalität des Protokolls sind Fluorophor-kodierende Gene in das Genom integriert worden. Zum einen wurde das *eGFP*-Gen unter Kontrolle des *ToxA*-Promotors mit Hilfe des Vektors pFBT008 zur Transformation genutzt (Abbildung 3.11). Als Selektionsmarker wurde entweder eine Phleomycin-D1- (*ble*) oder eine Hygromycin-B-Resistenzgenkassette (*hph*) eingesetzt. Zum anderen wurde eine *NIP2.1-mCherry*-Fusion zur Transformation genutzt (siehe Seite 57). Dieses Konstrukt befand sich ebenfalls unter der Kontrolle des *ToxA*-Promotors im Vektor pFBT008. Dabei beinhaltete das Plasmid eine Hygromycin-B-Resistenzgenkassette. Jeweils drei der erhaltenen Mutanten sind beispielhaft für ihre Fluoreszenz in Abbildung A 19 dargestellt.

Der Einfluss der konstant hochregulierten Transkription des Fusionkonstruktes auf die Virulenz von *R. secalis* ist in einem Pilotexperiment während Infektion der suszeptiblen Roggensorte Palazzo untersucht worden (Abbildung A 20). Dabei stellte sich heraus, dass neben der endogenen *NIP2.1*-Expression in *R. secalis* die Expression des *NIP2.1*-Orthologen aus dem *R.-commune*-Isolat UK7 mit einer vorzeitigen Ausbildung von Symptomen einhergeht. Zum Zeitpunkt 13 dpi sind erste nekrotische Läsionen bei der Transformante beobachtet worden, während das Wildtypisolat noch ohne erkennbare Veränderungen war. Bereits 24 Stunden später waren die Nekrosen sowie Chlorosen durch die Infektion mit der Mutante deutlich ausgeprägt. Gleichzeitig waren bei den mit Wildtyp infizierten Primärblättern erste nekrotische Läsionen zu erkennen. Sieben Tage später war kein Unterschied mehr zwischen Mutante und Wildtyp in den vollständig nekrotischen Blättern auszumachen. Auf mikroskopischer Ebene konnten die keimenden Sporen der *NIP2.1-mCherry* exprimierenden Mutante im Vergleich zum Wildtyp betrachtet werden (Abbildung A 21). Hierbei ist erkennbar, dass die Mutante drei Tage nach Inokulation Fluoreszenzsignale im gesamten Myzel aufwies. Das Wildtypisolat

02CH4-6a.1 zeigte nach Keimung auf der epidermalen Zellschicht von Palazzo dagegen keine erkennbare Fluoreszenz. Zusätzlich ist aus der mikroskopischen Aufnahme ersichtlich, dass die Mutante trotz gleichen Sporentiters des Inokulums zum Zeitpunkt 3 dpi ein weiterentwickeltes Myzel als der Wildtyp aufwies. Diese Beobachtungen beruhen allerdings auf nur einem Inokulationsversuch. Zusammenfassend konnte eine erfolgreiche Transformation von *R. secalis* durchgeführt werden, womit das etablierte Protokoll für zukünftige Arbeiten genutzt werden kann.

3.6 Artspezifische Genomregionen

Der Vergleich der assemblierten Genome führte zur Identifizierung artspezifischer genomischer Regionen im *R.-secalis*-Isolat 02CH4-6a.1 und im *R.-agropyri*-Isolat 04CH-RAC-A.6.1. Diese Regionen zeichneten sich dadurch aus, dass ein Großteil der annotierten Gene nicht charakterisierte Proteine kodieren. Im Vergleich zum Auftreten charakterisierter Genmodelle im gesamten Genom von *R. secalis* (44,8%) war in diesen Bereichen lediglich eine Häufigkeit von bis zu 3,8% charakterisierter Modelle zu finden. Für das Genom von *R. agropyri* mit 43,8% an charakterisierten Genmodellen war in diesen Bereichen eine Häufigkeit von bis zu 9,5% gegeben (Abbildung A 22). Die Regionen mit hoher Anzahl an uncharakterisierten Genmodellen wurden während der Annotation einzelner widersprüchlicher Modelle identifiziert. Es kann nicht ausgeschlossen werden, dass weitere artspezifische genomische Regionen in *R. secalis* und *R. agropyri* zu finden sind. Außerdem wurde keine Untersuchung der Arten *R. commune*, *R. orthosporum* und *R. lolii* durchgeführt. Die Angleichung der Genome der *Rhynchosporium*-Gattung erfolgte auf das Referenzgenom von *R. commune*. Aus diesem Grund konnten artspezifische Genomregionen bislang nur für die übrigen Arten identifiziert werden und nicht umgekehrt. Für *R. orthosporum* liegen zu wenige Sequenzabschnitte (*sequence reads*) vor, um eine vollständige Assemblierung und damit *scaffolds* zu erhalten, die für die Identifizierung der spezifischen Regionen nötig sind. Das Genom von *R. lolii* liegt ohne Assemblierung vor und ist ausschließlich an das Genom von *R. orthosporum* angeglichen worden. Aus diesem Grund konnte es ebenfalls nicht für diese Analyse verwendet werden.

In *R. secalis* wurden vier und in *R. agropyri* neun *scaffolds* (zusammenhängende Gerüste der assemblierten *sequence reads*) mit spezifischen, uncharakterisierten Genmodellen identifiziert. Die wenigen Genmodelle auf diesen *scaffolds*, die bereits bekannten Genen zugeordnet werden konnten und damit als charakterisiert gelten, wurden in Tabelle A 4 aufgelistet. Aus Gründen der Darstellbarkeit ist beispielhaft das kürzeste *scaffold* (Nr. 518) aus *R. secalis* in seiner Gesamtheit schematisch abgebildet worden (Abbildung A 23). Die Genmodelle dieses *scaffolds* sind in den zur Verfügung stehenden sequenzierten Genomen (*R. commune* UK7, 13-13, AU2; *R. secalis* 02CH4-6a.1 und

R. orthosporum 04CH-Bär-A.1.1.3) gesucht worden. Da lediglich die Genmodelle als artspezifisch identifiziert worden sind, sollte gezeigt werden, ob die Sequenzen, auf denen die Genmodelle beruhen, in anderen Arten zu finden sind. Deshalb wurde eine genomweite BLASTN Analyse durchgeführt. Das Ergebnis ist in Form von vorhandenen und nicht vorhandenen Genmodellsequenzen in Abbildung A 23 dargestellt. Das *scaffold00518* umfasst auf einer Länge von etwa 26 kb 13 Genmodelle, von denen drei nicht in den *R. commune* Isolaten UK7, AU2 und 13-13 gefunden worden. Bei ausschließlicher Berücksichtigung von UK7 und AU2 sind zehn Sequenzen nicht in diesen Isolaten vorhanden. Keines der in diesem *scaffold* annotierten Genmodelle wurde in *R. orthosporum* gefunden. Damit waren ebenfalls keine angeglichenen *sequence reads* von *R. lolii* für die Analyse verfügbar (siehe Seite 40). Es war jedoch möglich intergenische Sequenzen des *R.-orthosporum*-Genoms zu identifizieren, die hohe Ähnlichkeiten zu den *R.-secalis*-Modellen auf diesem *scaffold* aufwiesen. Im *R.-agropyri*-Genom wurden ebenfalls hohe Ähnlichkeiten zu den Sequenzen der *R.-secalis*-Modelle gefunden. Somit waren die Sequenzen der Genmodelle von *R. secalis* nicht spezifisch für diese Art.

3.7 *Rhynchosporium*-Proteom

Pilzwachstum *ex planta*

Durch die Untersuchung der Genome wurde der Zugriff auf die Protein-kodierenden Gene der *Rhynchosporium*-Arten möglich. Somit konnten erstmalig Proteom-weite Analysen durch das Erstellen einer Datenbank, die alle Protein-kodierenden Gene umfasst, durchgeführt werden. In einem Pilotexperiment konnten Proteine *ex-planta*-gewonnener Sporen, des Myzels und des Sekretoms identifiziert werden (Alter: 14 d). Dies sollte der Identifizierung von spezifischen Proteinen der jeweiligen Fraktion dienen. Von besonderem Interesse waren dabei die Sporen-spezifischen Proteine, die in Zukunft als Marker genutzt werden können, um die Sporulation des Pilzes während der Pathogenese zu verfolgen. Dies erlaubt es zwischen erhöhter Sporulation auf der einen und verstärktem Myzelwachstum auf der anderen Seite bei der Messung der relativen Biomasse zu unterscheiden. Die Sporen wurden von Myzel isoliert, welches auf LIMBO-Agar angezogen wurde. Das Myzel wurde in flüssigem Medium angezogen, und die sekretierten Proteine stellten das *ex-planta*-Sekretom dar. Die Proteine wurden nach tryptischer Spaltung anhand der Peptide durch massenspektrometrische Analyse mittels Thermo Scientific™ Orbitrap Velos Pro™ identifiziert (Lassowskat *et al.*, 2013) und sind nach ihrer jeweiligen Fraktion in Abbildung 3.19 dargestellt. Diese Untersuchung wurde durch zwei unabhängige Messungen verifiziert, beruht aber auf der einmaligen Isolierung von Sporen, Myzel und Kulturüberstand.

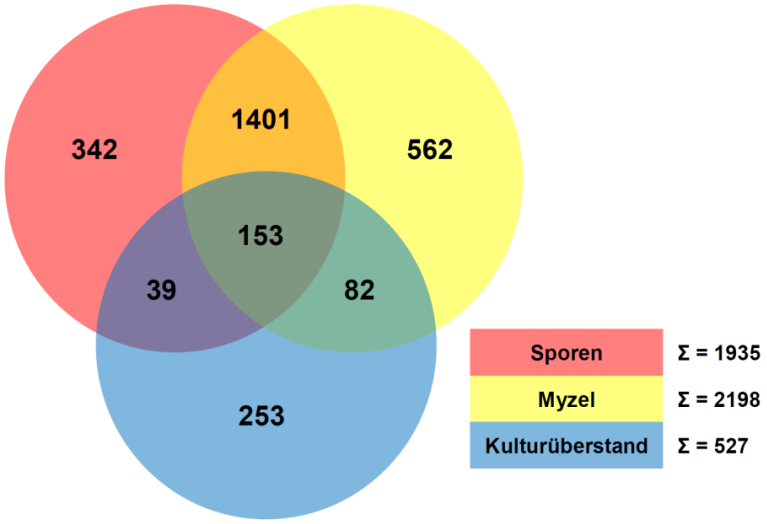

Abbildung 3.19 Proteinzusammensetzung von *R. commune*
Anzahl der identifizierten Proteine von *ex planta* angezogenem *R. commune*, Isolat UK7. Die überlappenden Bereiche stellen die Zahl an Proteinen dar, die in zwei bzw. allen drei Fraktionen gefunden wurden. Die verbleibenden Proteine sind für die jeweilige Fraktion exklusiv. Die Ergebnisse beruhen auf einem Experiment.

Es zeigte sich, dass die Anzahl der in Myzel und Sporen gefundenen Proteine ähnlich hoch ist. Jedoch wurden mehr Proteine spezifisch im Myzel (562) als in den Sporen (342) gefunden. Das *ex-planta*-Sekretom wies mit 527 etwa ein Viertel so viele Proteine auf wie das Myzel von *R. commune*. Annähernd die Hälfte der Proteine ist als spezifisch in dieser Fraktion identifiziert worden. Die Gesamtanzahl der mit einem vorhergesagten Sekretionssignal versehenen Proteine im *R.-commune*-Isolat UK7 beträgt 1.617 (Abbildung A 16). 324 der 527 im Kulturüberstand identifizierten Proteine gehören dieser Gruppe an. Lediglich 153 Proteine traten in allen drei Fraktionen auf. Der mit 1401 Proteinen größte Anteil überlappender Funde war zwischen Myzel und Sporen. Nur 39 Proteine zwischen Sporen und Kulturüberstand und 82 Proteine zwischen Myzel und Kulturüberstand sind in jeweils beiden Fraktionen identifiziert worden. Unter diesen 82 Proteinen befanden sich unter anderem RcSP3.1, NIP1, NIP2.1, NIP2.2 sowie ein *Lysin-Motif*-(LysM-Domäne)-beinhaltendes Protein (LysM1). Als exklusiv im Kulturüberstand ermittelte Proteine wurden unter anderem die Pektin-Methylesterasen PME3 und PME4 gefunden. Die Identifizierung von Proteinen über ihre Peptide wurde ab 25 *Peptide-spectrum matches* (PSMs), die nicht einzigartig sein müssen, als valide angesehen. Alle in dieser Analyse identifizierten Proteine und die dazu gehörigen PSMs sind im digitalen Anhang dieser Arbeit (Tabelle: UK7 *ex-planta*-Proteomics Komplettübersicht.xls) aufgelistet.

Pilzwachstum *in planta*

In einem zusätzlichen Pilotexperiment wurde für die Analyse der Veränderung des Proteoms während der Pathogenese von *R. commune*, Isolat UK7, auf der Gerstensorte Ingrid eine Infektionskinetik erstellt. Die Untersuchung der Pflanze-Pathogen-Interaktion kann hieran auf Proteinniveau erfolgen. Die Proteome von *Hordeum vulgare cv. Morex* in der Version 082214v1 in *Ensembl Plants* (plants.ensembl.org) und von UK7 können für die Analyse der identifizierten Peptide genutzt werden. Die Proteinisolierung und die Untersuchung mittels Thermo Scientific™ Orbitrap Velos Pro™ konnten im Rahmen dieser Arbeit nicht bearbeitet werden. Die Symptomausprägung zu den Zeitpunkten der Probennahme ist in Abbildung A 24 dargestellt und wies keine Unterschiede zwischen den einzelnen Infektionsexperimenten auf.

3.7.1 Identifizierung eines Sporen-Markerproteins

Die vorangegangene Analyse wurde dafür genutzt, Faktoren zu identifizieren, mit denen es möglich ist, die Sporulation von *Rhynchosporium in planta* zu verfolgen. Unter den 1.935 gefundenen Sporenproteinen befanden sich 1.212 valide Proteintreffer mit einer PSM-Anzahl ab 25. Von diesen sind 41 Proteine exklusiv in der Sporenfraktion gefunden worden (Abbildung A 25). Die 10 Proteine mit der höchsten Gesamtanzahl an PSMs und damit verbunden einer hohen Abdeckung der Proteinsequenz durch die gefundenen Peptide wurden weiter untersucht (Tabelle A 5). Die Expression ihrer Gene wurde im Verlauf der Infektion der Gerstensorte Ingrid mit *R. commune* UK7 mittels qRT-PCR bestimmt. In der späten Phase der Pathogenese, wenn das Myzel eine Stroma-ähnliche Struktur und dadurch die höchste relative Biomasse aufweist (Abbildung 3.9), wird vermutlich die Mehrheit an Sporen produziert (Ayesu-Offei & Clare, 1970). Eine Bestätigung des Verlaufs der Sporenproduktion unter den hier verwendeten Phytokammerbedingungen steht allerdings noch aus. Die Expression von neun der 10 Gene fiel von einem hohen Wert zu Beginn der Infektion ab. Das einzige Gen, dessen Expression im Verlauf der Pathogenese anstieg, ist das Gen *RCO7_05588* (Abbildung A 26). Die Transkriptmenge dieses Gens war allerdings relativ gering im Vergleich zu den anderen untersuchten Genen.

Ein Sequenzabgleich mit bekannten Protein-kodierenden Genen führte bei *RCO7_05588* zu keinem bereits beschriebenen Gen. Dennoch konnte eine Domänenstruktur des putativen Sporenmarkers durch den Abgleich der Aminosäuresequenz mit der NCBI *conserved domain database* (CCD) (Marchler-Bauer *et al.*, 2015) ermittelt werden (Abbildung A 27). Die gefundene Domäne ist spezifisch für eine NmrA-ähnliche SDR A. NmrA ist ein negativer Regulator der Transkription, der in die post-translationale Modifikation des Transkriptionsfaktors AreA in *Fusarium graminearum* involviert ist

(Giese *et al.*, 2013). Die Domäne selbst kodiert für eine kurzkettige Dehydrogenase/Reduktase A (SDR - *short-chain dehydrogenase/reductase*). Zur Bestätigung der sporenspezifischen Expression von *RCO7_05588* wurde das Expressionsprofil in der Interaktion von Ingrid und UK7 in 4 biologisch unabhängigen Experimenten nochmals erhoben (Abbildung 3.20 A). Zum Zeitpunkt der Inokulation sowie ein und drei Tage nach Inokulation befand sich die Transkriptmenge unterhalb der Detektionsgrenze. Erst sechs Tage nach Inokulation stieg die relative Expression bis zu 21 dpi an. Die Sporenexklusivität wurde durch Transkriptmessung *ex planta* in 14 Tage gewachsenem Myzel und Sporen in vier biologisch unabhängigen Experimenten nachgewiesen (Abbildung 3.20 B). Während das Transkript im Myzel knapp über dem Detektionslimit der qRT-PCR lag, wurde in den Sporen eine statistisch signifikant erhöhte relative Expression gemessen.

In vorangegangenen Arbeiten wurden Deletionsmutanten in den Genen der Polyketidsynthase 1 und der Pektin-Methylesterase 1 (Wenzel, 2014) sowie des *Rhynchosporium*-RXLR-Proteins 1 (Matern, 2011) generiert (Abbildung 3.20 C). Diese wiesen nach der Deletion eine im Vergleich zum Wildtyp erhöhte relative Biomasse auf. Um zu untersuchen, ob diese Erhöhung auf eine höhere Zellzahl der Mutanten durch verstärkte Sporulation zurückzuführen war, wurde die Expression des Sporenmarkers im Vergleich zum Wildtyp untersucht. Es zeigte sich jedoch keine signifikante Änderung der Transkriptmenge im Vergleich zu UK7. Lediglich die PME1-Deletionsmutante wies eine größere Varianz in den drei Experimenten auf. Zusätzlich wurde die Symptomausprägung der Deletionsmutanten über den Zeitraum der Infektion in Abbildung A 28 dokumentiert. Bis auf die im Vergleich zum Wildtyp etwas stärker ausgeprägten trockenen Läsionen der Mutanten zum Zeitpunkt 10 dpi wurden keine Unterschiede in der Symptomatik auffällig.

Abschließend steht mit dem Transkript des Gens *RCO7_05588* ein spezifischer Marker für Sporen von *R. commune* zur Verfügung. Der Grund für die im Vergleich zum Wildtyp erhöhte, relative Biomasse von diversen Deletionsmutanten konnte aber nicht vollständig geklärt werden.

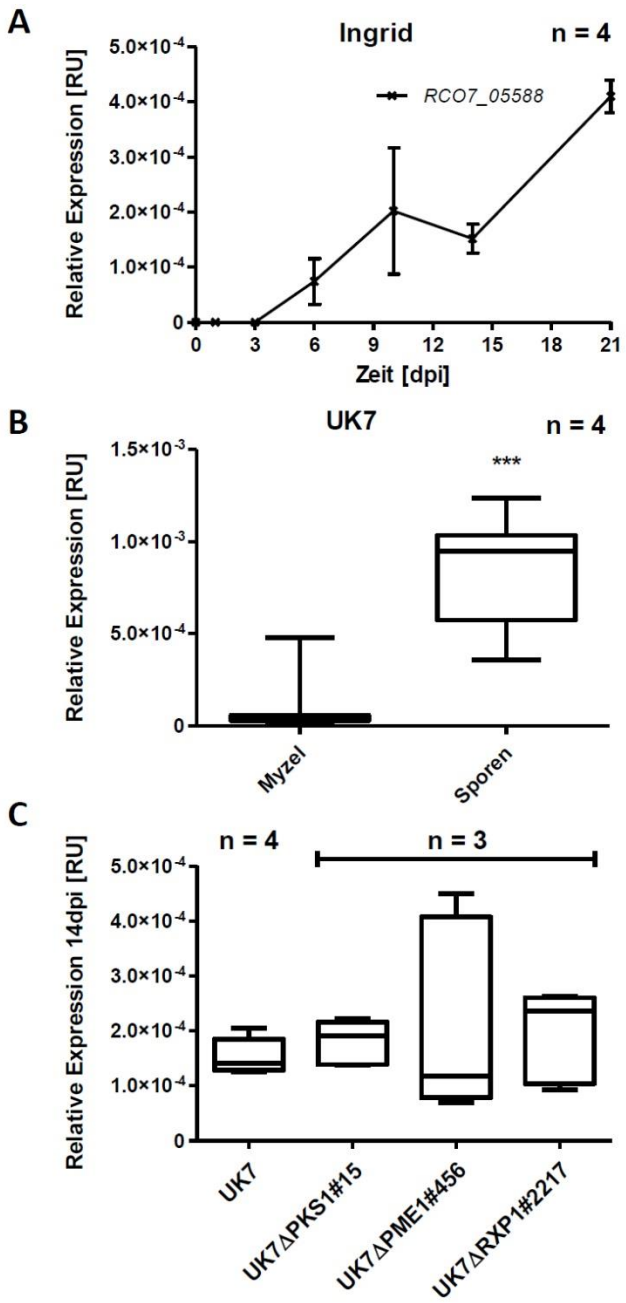

Abbildung 3.20 Expression des Sporenmarkers *RCO7_05588*

A Der Verlauf der *in-planta*-Expression von *RCO7_05588* ist über den Zeitraum von 21 dpi während der Pathogenese des *R.-commune*-Isolats UK7 auf der Gerstensorte Ingrid dargestellt. Die relativen Transkriptmengen sind in vier biologischen Replikaten bestimmt worden. **B** Relative Expression *ex planta* von *RCO7_05588* in 14 Tage altem Myzel und in Sporen von 14 Tage altem Myzel. Die Statistische Auswertung der vier biologischen Replikate erfolgte mittels *Student*-t-Verteilung [$p \leq 0{,}05$ (*); $p \leq 0{,}01$ (**); $p \leq 0{,}001$ (***)]. **C** *In-planta*-Transkriptmenge des Gens *RCO7_05588* 14 dpi in UK7 und in den Deletionsmutanten der Polyketidsynthase 1 (UK7ΔPKS1 #15), der Pektin-Methylesterase 1 (UK7ΔPME1 #456) und des *Rhynchosporium*-RXLR-Proteins 1 (UK7ΔRXP1 #2217). Das Wildtypisolat UK7 ist im Vergleich zu den Deletionsmutanten mittels *Student*-t-Verteilung ausgewertet worden [$p \leq 0{,}05$ (*); $p \leq 0{,}01$ (**); $p \leq 0{,}001$ (***)]. Es wurden 3 (Deletionsmutanten) bzw. 4 (UK7) unabhängige biologische Replikate untersucht. RU…relative Einheit. dpi…Tage nach Inokulation.

4. Diskussion

Die Untersuchung von Pathosystemen und der Kommunikation zwischen dem Krankheitserreger und seinem Wirt hilft dabei, die Ursache für die Krankheit sowie den Krankheitsverlauf zu verstehen. Dieses grundlegende Verständnis ist bedeutend für die Entwicklung neuer Züchtungsansätze und die Weiterentwicklung von pflanzenschützenden Maßnahmen. Die Forschung an Modellsystemen ist die Grundlage der hierfür angewendeten Methoden, mit denen auf sich ähnelnde Krankheiten geschlossen werden kann. Ein Modellsystem ist die weit verbreitete *Rhynchosporium*-Blattfleckenkrankheit, welche immense Schäden bei Wirtspflanzen wie Gerste und Roggen verursachen kann. Wie bereits bei anderen Pathosystemen gezeigt, ist für eine umfassende Analyse der Interaktion von Erreger und Wirt die Kenntnis der Genomsequenzen eine Grundlage für zahlreiche tiefgehende Untersuchungen.

Die Überwindung der basalen Abwehr und die Modifizierung des Metabolismus der Wirtspflanzen sind durch eine rege Kommunikation zwischen den Partnern zu erklären. Die daran beteiligten Faktoren, seien es Proteine oder niedermolekulare Substanzen, können durch die Analyse der kodierenden Bereiche des Genoms identifiziert und charakterisiert werden. Spezifische Faktoren können hierbei für die Infektion eines bestimmten Wirtes ausschlaggebend sein. Die Analyse der für die Krankheit ursächlichen Faktoren beginnt bei dem Pathogen, was die Forschung am Erreger zum Schutz der Wirte begründet.

4.1 Das *Rhynchosporium*-Genom

Die Genomsequenzierung der bisher bekannten *Rhynchosporium*-Arten begann bereits vor dieser Doktorarbeit und wurde im Verlauf der Arbeit abgeschlossen. Während dieser Arbeit wurden die Genmodelle der Arten *R. commune*, *R. secalis*, *R. agropyri* und *R. orthosporum* mit Hilfe des Helmholtz Zentrum München annotiert (unveröffentlichte Daten). Das Genom von *R. lolii* ist limitiert auf die in *R. orthosporum* verfügbaren Genmodelle und die einzelnen Sequenzunterschiede (SNP; *single nucleotide polymorphism*) zu diesen.

Historisch betrachtet ist das *R.-commune*-Isolat UK7 das am besten und längsten untersuchte (Lehnackers & Knogge, 1990; Knogge *et al.*, 1994; Rohe *et al.*, 1996; Steiner-Lange *et al.*, 2003; Kirsten *et al.*, 2012). Für dieses Isolat steht die höchste Genomabdeckung zur Verfügung und es wurde als Referenz für die *ab-initio*-Genomannotierung genutzt (Tabelle 3.1). Das Isolat UK7 diente somit als Grundgerüst

für die Assemblierung und Annotierung der drei weiteren Arten, mit Ausnahme der zuletzt identifizierten Art *R. lolii*. Die aus der Assemblierung hervorgegangenen *scaffolds* können über einen Sequenzvergleich zu Super-*scaffolds* zusammengeführt werden, was Aufschluss über die mögliche Anordnung der Sequenzen auf der Ebene der Chromosomen geben könnte. Diese Untersuchung wird zurzeit durchgeführt, so dass es momentan bei bis zu 2.129 *scaffolds* bei der Assemblierung von *R. secalis* bleibt.

Die Gesamtgröße der BCG-Genome ist mit 49,41 Mb bis 55,59 Mb zwischen den einzelnen Arten ähnlich wie beim nah verwandten phytopathogenen Pilz *Marssonina brunnea* mit 52 Mb (Zhu *et al.*, 2012). Es weisen aber andere Ascomyceten wie *Fusarium oxysporum f. sp. lycopersici* mit 61 Mb (Broad_Institute, 2011) und *Magnaporthe grisea* mit 38 Mb (Dean *et al.*, 2005) sowie *Neurospora crassa* mit 39 Mb (Galagan *et al.*, 2003) etwas größere bzw. kleinere Genome auf. Die Genomgröße von *R. orthosporum* mit 58,18 Mb entspricht dabei eher der von *F. oxysporum*. Die Anzahl an gefundenen Protein-kodierenden Genen um etwa 13.000 für die BCG-Arten ist lediglich etwas höher als die Anzahl in *M. brunnea*, *M. grisea* und *N. crassa* mit jeweils 10.040, 11.109 und 10.082 Genmodellen. Aus den Genomgrößen und der Menge an Genen resultieren größere nicht-kodierende, intergenische Bereiche bei *M. brunnea* und bei den *Rhynchosporium spec.* im Vergleich zu *M. grisea* oder *N. crassa*. Diese könnten für noch unbekannte regulatorische Funktionen und Transkripte von Bedeutung sein (van Bakel *et al.*, 2010). Das größere Genom von *F. oxysporum f. sp. lycopersici* besitzt mit 17.708 hingegen wesentlich mehr Gene. Das zu den *Rhynchosporium*-Arten nah verwandte Pathogen *M. brunnea* weist in Bezug zur Genomgröße eine durchschnittliche Gendichte von 0,16 Genen pro Kilo-Basenpaar auf (Zhu *et al.*, 2012). Eine vergleichsweise höhere Dichte ist bei den Arten *R. commune* (0,22), *R. secalis* (0,27) und *R. agropyri* (0,26) zu finden. Für *M. brunnea* wurde zusätzlich zur Genomsequenzierung eine Sequenzierung des Transkriptoms zur Bestätigung der Genmodelle durchgeführt, was für *Rhynchosporium*-Arten allerdings noch aussteht. Eine Verifizierung der Genmodelle durch Transkriptsequenzen widerlegt vermutlich einige der *in silico* erstellten Modelle, die der mögliche Grund für die höhere Gendichte sind. Interessanterweise sind weniger als die Hälfte aller annotierten Proteine der *Rhynchosporium*-Arten charakterisiert, das heißt, bekannten Funktionen zugeordnet. Unter den uncharakterisierten Proteinen könnten sich unter anderem Effektoren befinden, die für eine spezifische Wirtsinteraktion erforderlich sind (Rovenich *et al.*, 2014).

4.2 *Rhynchosporium*-Phylogenie und die Frage der Sexualität

Die Genomsequenzen der *Rhynchosporium*-Arten erleichtern die Untersuchungen zur evolutionären Entwicklung der Gattung. In früheren Analysen anhand von ITS-Sequenzen konnte bereits die enge Verwandtschaft von *Rhynchosporium* zur Klasse der *Leotiomycetes* und zu den Gattungen *Tapesia* und *Pyrenopeziza* (Goodwin, 2002) ermittelt werden. Die Zuordnung zu den *Leotiomycetes* wurde im Zuge der Eingliederung der Gattung *Rhynchosporium* in die frühe Evolution der Pilze (James *et al.*, 2006) bestätigt (Abbildung 3.1). Als den nächsten Verwandten weist die Einordnung den Pilz *Mollisia cinerea* aus. Die ebenfalls nah verwandten Arten *Cudoniella clavus* und *Lachnum virgineum* befinden sich bereits in einer anderen Klade als *Rhynchosporium spec.* und *Mollisia cinerea*.

Viele andere pathogene Ascomyceten, bei denen nur die anamorphe Lebensweise bekannt ist, werden im Gegensatz zu den *Leotiomycetes* in die größte und diverse Klasse der *Dothideomycetes* eingeordnet (Schoch *et al.*, 2009). Diese Klasse umfasst unter anderem Arten wie die an Äpfeln und Birnen Schorf-verursachenden *Venturia spec.* und das auf Mais Nekrosen-verursachende Pathogen *Cochliobolus heterostrophus*. Eine Untersuchung der Verwandtschaftsverhältnisse der *Rhynchosporium spec.* über die Klasse der *Leotiomycetes* hinaus (Abbildung 3.2) zeigte die Arten *Phialocephala subalpina* und *Marssonina brunnea f. sp. multigermtubi* als die nächsten Verwandten. *P. subalpina* ist ein endophytisch lebender Ascomycet alpiner Ökosysteme und einer von vielen Pilzen, die in nicht-mykorrhizierten Pflanzenwurzeln verbreitet sind (Jumpponen & Trappe, 1998; Grünig *et al.*, 2002). *M. brunnea* ist ein Pathogen von Pappeln (*Populus spec.*), dessen Genom bereits vollständig annotiert vorliegt (Zhu *et al.*, 2012). Die Gensequenzen von *M. brunnea* wiesen im Vergleich zu anderen in dieser Arbeit untersuchten Arten in vielen Fällen die größten Ähnlichkeiten zu den Gensequenzen der *Rhynchosporium spec.* auf. Interessanterweise leben die am nächsten verwandten Organismen *P. subalpina* und *M. brunnea* auf Dikotyledonen, während sämtliche Arten der Gattung *Rhynchosporium* monokotyledone Pflanzen besiedeln. Da bislang keine Teleomorphe der *Rhynchosporium spec.* bekannt sind, könnte es also sein, dass die möglichen Hauptfruchtformen auf Dikotyledonen zu finden sind.

Diese Argumentation bringt die Frage nach einer kryptischen Sexualität der *Rhynchosporium spec.* auf den Plan. Wenn die mögliche Hauptfruchtform dikotyledone Wirte befällt, führt das zu einer dualen Lebensweise des Pilzes. Ein Beispiel für eine solche Lebensweise mit einem Wechsel zwischen monokotyledonen und dikotyledonen Wirten je nach Fruchtform ist *Fusarium circinatum*. Dieses Pathogen von Kiefern (*Pinus spec.*) besiedelt zusätzlich endophytisch verschiedene Gräser (Stergiopoulos & Gordon, 2014). Weiterhin könnten Vertreter der Gattung *Rhynchosporium* aber auch in nah verwandten Pflanzen vorkommen und sich biotroph ernähren. Die Wirtsspezifität

würde in diesem Fall das Wachstum in anderen Pflanzen nicht behindern. Das Beispiel *Zymoseptoria tritici* zeigt, dass die Infektion von nicht suszeptiblen Weizenarten zu einem symptomlosen Wachstum führt (Stergiopoulos & Gordon, 2014). Diese nicht pathogenen Isolate können sich auch nicht sexuell vermehren, was mit der eigentlichen Symptombildung einhergeht. Sie sind dennoch in der Lage sich mit virulenten Isolaten, die als wirtsspezifische Pathogene den Wirt befallen, zu kreuzen, wenn sie in derselben Wirtspflanze wachsen. Das Resultat ist ein breiteres Wirtsspektrums und der Erhalt von Merkmalen nicht-virulenter Isolate des Pathogens im Genpool, was eine schnellere Anpassung an wechselnde Umweltbedingungen ermöglicht. Denkbar wäre demnach eine Besiedlung von Mono- und Dikotyledonen als Möglichkeit der sexuellen Rekombination für *Rhynchosporium*. Eine sexuelle Fortpflanzung wird bereits seit einiger Zeit für die *Rhynchosporium*-Arten diskutiert (Linde *et al.*, 2003; Zaffarano *et al.*, 2006).

Abseits der Sexualität von *Rhynchosporium* ist auch die Frage der evolutionären Entwicklung der Mitglieder der *Rhynchosporium*-Gattung betrachtet worden. Untersuchungen zu den Verwandtschaftsverhältnissen der *Rhynchosporium*-Arten innerhalb der Gattung sind bereits veröffentlicht worden. Die aktuellste Analyse basierte auf den DNA-Sequenzen mitochondrialer Gene (Torriani *et al.*, 2014). Die wesentlich höhere Mutationsrate der mitochondrialen Gene im Vergleich zu den kernlokalisierten Genen erlaubte eine höhere Auflösung der relativ kurzen Evolution der Gattung (Avrova & Knogge, 2012). Zeigten frühere Analysen basierend auf alpha-Tubulin und ITS-Sequenzen, dass *R. commune* und *R. secalis* sich aus einem gemeinsamen Vorfahren entwickelten (Zaffarano *et al.*, 2011), sind laut der aktuellsten Studie *R. secalis* und *R. agropyri* aus einem gemeinsamen Ursprung entstanden (Torriani *et al.*, 2014). Die Diskrepanzen dieser Ergebnisse entstanden durch die hohen Ähnlichkeiten innerhalb der BCG-Gruppe (*beaked conidia group*), bestehend aus den Arten *R. commune*, *R. secalis* und *R. agropyri*. Deshalb soll diese Arbeit eindeutig klären, wie sich die *Rhynchosporium*-Gattung in die bislang bekannten Arten aufgespalten hat. Während der Eingliederung der Gattung *Rhynchosporium* in die Klasse der *Leotiomycetes* anhand von sechs Genen wurde die höchste Ähnlichkeit zwischen den Arten *R. commune* und *R. agropyri* ermittelt (Abbildung 3.1). Bei der zusätzlich durchgeführten Analyse, basierend lediglich auf der Aminosäuresequenz der drei Protein-kodierenden Gene, ist dagegen *R. commune* zu *R. secalis* am nächsten verwandt (Abbildung 3.2). Zum einen konnte hierbei die Aufteilung der *Rhynchosporium*-Arten nach Wirtsspezifität (Zaffarano *et al.*, 2011) bestätigt werden. Zum anderen konnte durch die Verwendung von sechs bzw. drei Genen im Vergleich zur vorangegangenen Analyse, basierend auf alpha-Tubulin und ITS-Sequenzen (Zaffarano *et al.*, 2011), die Phylogenie auf eine breitere Basis gestellt werden. Allerdings waren die verwandtschaftlichen Beziehungen innerhalb der Gattung, speziell in der BCG-Gruppe, nach wie vor nicht eindeutig. Zusätzlich zur Phylogenie der kernlokalisierten Gene bzw. ihrer Aminosäuresequenzen wurde deshalb am Helmholtz Zentrum München eine genomweite Analyse einzelner Sequenzunterschiede (SNP;

single nucleotide polymorphism) durchgeführt. Die Genome der Mitglieder der BCG-Gruppe sind mit Hilfe des MAUVE-Algorithmus verglichen worden (Version 2.4.0; Darling lab, University of Technology, Sydney) und die homologen SNP-haltigen Bereiche wurden für die Erstellung eines Stammbaumes genutzt. Dieser bestätigte, dass *R. agropyri* sich bereits relativ „kurz“ vor der Spaltung der Arten *R. commune* und *R. secalis* entwickelte (Daten nicht gezeigt). Durch die rDNA-Strukturen der verschiedenen Arten wird dieses Ergebnis ebenfalls gestützt. Im Vergleich zu *R. commune* und *R. secalis* weist *R. agropyri* einen zusätzlichen Sequenzabschnitt der 28S-rDNA auf (Abbildung 3.3). Abschließend kann davon ausgegangen werden, dass nach der Aufspaltung der *Rhynchosporium*-Gattung in die BCG- und CCG-Arten die BCG-Art *R. agropyri* entstand, bevor sich die Arten *R. commune* und *R. secalis* entwickelten.

Die Aufspaltung der Gattung in die BCG- und CCG-Gruppe zu einem frühen Zeitpunkt der Evolution von *Rhynchosporium*, wie in King *et al*. (2013) beschrieben, konnte in allen phylogenetischen Betrachtungen nachvollzogen werden. Eine Korrelation von phänotypischen Merkmalen wie in diesem Fall der Sporenform mit den verwandtschaftlichen Verhältnisse ist bereits aus anderen Organismengruppen bekannt. Beispielsweise zeigen Arten mehrerer Gattungen der Ordnung *Myxobacteria* differenzielle Charakteristika wie Fruchtkörper, Myxosporen oder Farbe. Die daraus resultierende Klassifizierung spiegelt sich in einer phylogenetischen Analyse der 16S-rDNA dieser Arten wider (Spröer *et al.*, 1999).

4.2.1 Pilz-Phylogenie und Wirtssystematik

Die Aufteilung der *Rhynchosporium*-Arten in beiden Phylogenien (Abbildung 3.1 und Abbildung 3.2) separiert eindeutig die Arten der BCG- von denen der CCG-Gruppe. Diese Aufspaltung der Arten findet sich auch bei den Wirtspflanzen wieder. In Abbildung 4.1 sind die Arten der Süßgräser, die als Wirte für *Rhynchosporium spec.* bekannt sind, in ihrer Systematik dem pilzlichen Stammbaum gegenüber gestellt. Es wird deutlich, dass eine Korrelation zwischen den Stammbäumen besteht. Die Aufspaltung der Gattung *Rhynchosporium* in CCG und BCG spiegelt sich in der Phylogenie der Mitglieder der Unterfamilie *Pooideae* der Süßgräser (*Poaceae*) wider. Die Arten der BCG-Gruppe parasitieren ausschließlich Pflanzenarten des Supertribus *Triticodae*, während die zwei Arten der CCG-Gruppe mit *Dactylis glomerata* und *Lolium perenne* exklusiv Arten des Supertribus *Poodae* infizieren. Die *Rhynchosporium*-Arten wurden unter anderem durch ihre Spezifität zu bestimmten Wirtspflanzen identifiziert (Zaffarano *et al.*, 2008; 2011). Trotz der Wirtsspezifität der *Rhynchosporium spec.* ist neben den *Hordeum spec.* für *R. commune* noch die Art *Bromus diandrus* als Wirtspflanze bekannt (Caldwell, 1937; Zaffarano *et al.*, 2011).

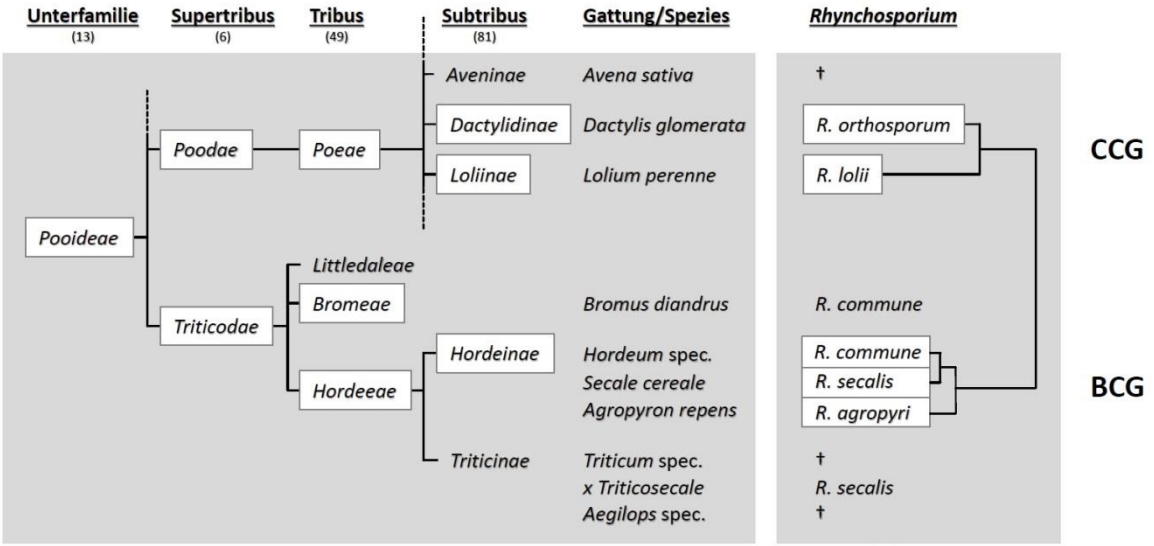

Abbildung 4.1 Evolution von *Rhynchosporium* und dessen Wirtspflanzen
Schematischer Ausschnitt der Systematik der Süßgräser, die als Wirte von der Gattung *Rhynchosporium* befallen werden können (links). Die schematische Phylogenie der Gattung *Rhynchosporium* (rechts, aus Abbildung 3.1) ist der der Wirtspflanzen gegenüber gestellt. BCG...*beaked conidia group*; CCG...*cylindrical conidia group*. †...keine Wirtsspezies. Verändert nach W. Knogge, unveröffentlicht.

Ebenso ist für die Art *R. secalis* die Kreuzung Triticale (*x Triticosecale*) als Wirt beschrieben worden. Dies liegt sicherlich an dem Roggenanteil des Triticale-Genoms aus der in der Kreuzung verwendeten *Secale-cereale*-Sorte. Die Infektion anderer Wirte unterstreicht die Möglichkeit, dass noch nicht sämtliche Arten der Gattung bekannt sind und der Spezialisierungsprozess eventuell noch nicht abgeschlossen sein könnte. Beispielsweise beschrieben Untersuchungen zur Wirtsspezifität der Art *R. lolii* bei verschiedenen Isolaten eine kompatible Interaktion bei deutschen und/oder italienischen Weidelgras (*Lolium perenne*, *Lolium multiflorum*) (King *et al.*, 2013). Die Spezialisierung auf dieses enge Wirtsspektrum und phylogenetische Analysen führten hierbei zur Klassifizierung einer weiteren eigenständigen Art der Gattung *Rhynchosporium*.

Die Entdeckung wirtsspezifischer Isolate ist nichts Ungewöhnliches im Zusammenhang mit evolutionsbiologischen Betrachtungen pilzlicher Pathogene. Ähnliche Analysen führten auch beim *Fusarium*-Artkomplex zu weiteren spezialisierten Pathogenen (Ploetz, 2006; Watanabe *et al.*, 2011). Die Besiedlung anderer Wirte kann nur die Untersuchung von weiteren Kulturpflanzen und Beigräsern bestätigten, was neben der Identifizierung neuer Isolate auch zur Entdeckung neuer Arten der Gattung *Rhynchosporium* führen kann. Die Untersuchungen der Wirte beschränkten sich in der bisherigen Forschung meistens auf ökonomisch relevante Pflanzenarten. Dabei wurde größtenteils die Ausbildung von Symptomen untersucht. Betrachtet man allein die Sequenzunterschiede von den bislang untersuchten Isolaten der fünf bekannten *Rhynchosporium*-Arten, resultieren diese bei phylogenetischen Untersuchungen in weit verzweigte Stammbäume (Zaffarano *et al.*, 2011; King *et al.*, 2013). Noch unbekannte Arten der

Gattung *Rhynchosporium* könnten möglicherweise auf Pflanzen zu finden sein, die bis zum jetzigen Zeitpunkt als Nichtwirte charakterisiert werden. Die zu *Rhynchosporium* verwandte Art *F. oxysporum* umfasst pathogene und nicht-pathogene Isolate. Die Besiedelung des Wirts Tomate (*Solanum lycopersicum*) durch nicht-pathogene Isolate sorgt beispielsweise für eine erhöhte Resistenz gegenüber Nematoden (*Meloidogyne incognita*) (Dababat & Sikora, 2007). Vorläufige Untersuchungen zeigten eine Besiedlung der gesamten Gerstenpflanze nach Infektion der Primärblätter mit *R. commune*, was auf ein mögliches systemisches Wachstum des Pilzes hinweist (W. Knogge, unveröffentlicht). Durch die Bestätigung dieser Ergebnisse könnte ein symptomloses Wachstum außerhalb der Blätter nachgewiesen werden, wodurch ein nicht-pathogenes Pilzwachstum in anderen Pflanzen denkbar wäre.

4.3 Virulenzfaktoren von *Rhynchosporium commune*: die NIP

Im Vergleich zu anderen Pathogenen blieb die Suche nach Effektoren, die im Zuge der Pathogenese vom Produkt eines korrespondierenden Resistenzgens erkannt werden, bisher auf NIP1 aus *R. commune* beschränkt. Ein Beispiel für eine solche Erkennung bei einem weiteren Gerstenpathogen sind die Avirulenzgenprodukte von *Blumeria graminis f. sp. hordei*. Diese können durch spezifische *LRR*-Domänen (Leucin-reiche Sequenzwiederholung) kodiert auf dem *Mla*-Lokus (*barley mildew A*) resistenter Gerstensorten erkannt werden (Zhou *et al.*, 2001; Shen *et al.*, 2003; Maekawa *et al.*, 2012). Die neben *NIP1* in früheren Untersuchungen der Art *R. commune* entdeckten und charakterisierten Effektoren haben lediglich einen Einfluss auf die Virulenz und das pilzliche Wachstum, konnten jedoch nicht direkt mit einer spezifischen Resistenz des Wirtes in Verbindung gebracht werden. Hierzu zählen die voneinander unabhängigen Effektoren NIP2.1 und NIP3 (Kirsten *et al.*, 2012).

4.3.1 *NIP2*-Genfamilie

Die Virulenzfaktoren NIP1 und NIP3 von *R. commune* sind bereits in ihrer Wirkungsweise untersucht worden. Dagegen konnte dem Protein NIP2 bislang keine Funktion zugeordnet werden (Wevelsiep *et al.*, 1993). Deshalb wurden auf der Grundlage der Genominformationen neue Studien zur funktionellen Charakterisierung angestrebt. Im Lauf der Untersuchungen wurde klar, warum sich kein weiterer Phänotyp als eine reduzierte Virulenz auf der suszeptiblen Gerstensorte Ingrid bei Deletion des *NIP2.1* (Kirsten *et al.*, 2012) identifizieren ließ. Es existiert im Gegensatz zu den Genen *NIP1* und *NIP3* eine *NIP2*-Genfamilie (Abbildung 3.4). Auch *M. brunnea*, als zu *Rhynchosporium*

nah verwandtes Pathogen, wies eine Familie an Virulenzfaktoren auf (Zhu *et al.*, 2012). Die LysM-Proteine die durch diese Genfamilie kodiert werden, dienen *M. brunnea* wahrscheinlich zur Unterdrückung der pflanzlichen Abwehr (de Jonge & Thomma, 2009; de Jonge *et al.*, 2010). Durch ihre kompetitive Bindung von pilzlichen Chitin maskieren die Proteine das sich entwickelnde Myzel während der Kolonialisierung der Wirtspflanze. Die identifizierten 28 LysM-kodierenden Gene aus *M. brunnea* kommen nicht in *Rhynchosporium*-Arten vor. Der Grund der Entwicklung einer solchen Genfamilie bleibt wie im Fall von *Rhynchosporium* allerdings zu klären.

Die *NIP2.1*-Einzeldeletion wies eine reduzierte Virulenz im Vergleich zum Wildtyp auf. Zusätzlich hierzu zeigte die Doppeldeletionsmutante von *NIP2.1* und *NIP1* einen additiven bzw. zusammenhängenden Einfluss auf die Virulenz (Kirsten *et al.*, 2012). Dies wurde durch Inokulationen verschiedener Gerstensorten belegt (Abbildung A 3). Die Sorte Atlas 46 sowie die Sorte Turk, welche eine der Eltern von Atlas 46 ist (Riddle & Suneson, 1948), sind Träger des R-Gens *Rrs1*. Dieses Gen ist das korrespondierende Resistenzgen zum Avirulenzgen *NIP1* aus *Rhynchosporium* (Rohe *et al.*, 1995). Die Deletion von *NIP1* verhindert die Erkennung von *R. commune* durch diese Sorten. Die Sorte Turk ist wie Ingrid unter Phytokammerbedingungen in der Interaktion mit der Art *R. commune* ohne eine *NIP1*-Expression hoch suszeptibel, so dass nach 21 Tagen deutliche Symptome vorlagen. Die verringerte Virulenz der *NIP1-NIP2.1*-Doppelmutante sorgt jedoch bei den moderat suszeptiblen Gerstensorten Atlas und Atlas 46 für sehr schwache Symptome, ein geringer ausgebildetes Myzel und niedrigeres relatives Pilzwachstum (Kirsten *et al.*, 2012). Eine Verringerung der Virulenz der Doppelmutante auf den moderat suszeptiblen Gerstensorten deutet auf ein Zusammenspiel von Effektoren hin, womit die Virulenz *Rhynchosporiums* die Summe der Wirkung vieler Effektoren ist.

4.3.2 Phylogenie der NIP-Effektoren

Die Aminosäuresequenzen aller NIP2-Homologen sowie der Proteine NIP1 und NIP3 wurden genutzt, um die phylogenetische Aufteilung dieser Effektoren zu untersuchen (Abbildung 3.4). Das N-terminale Sekretionssignal nimmt auf Grund der relativ geringen Gesamtsequenz dieser Effektorproteine einen großen Teil des Proteins ein. Die ähnlichen Aminosäureabfolgen der Signalpeptide, bedingt durch ihre gemeinsame Funktion, täuschen eine größere Ähnlichkeit vor und wurden deshalb nicht in die Betrachtung mit einbezogen. Außerdem befindet sich das reife Protein nach Abspaltung des Sekretionssignals im Apoplasten und entfaltet erst dort oder möglicherweise nach Translokation in die Wirtszelle seine Funktion (Steinberg, 2007; Stergiopoulos & Wit, 2009).

Die Entstehung neuer Gene durch Kopien im Genom deutet auf einen Bedarf an Variationsmöglichkeiten hin (Kaessmann, 2010). Die Möglichkeit ein Gen zu variieren, ohne seine Wirkung durch Mutation wie bei einem Einzelgen zu verlieren, ist besonders bei essentiellen Genen zu beobachten. Das Vorkommen mehrerer *NIP2*-Genkopien ausschließlich in Vertretern der BCG-Gruppe weist möglicherweise auf die hohe Bedeutung während der Pathogenese für die spezifischen Wirte dieser *Rhynchsoporium*-Arten hin. Es ist daher denkbar, dass eine starke Zunahme der Zahl an *NIP2*-Homologen mit der Besiedlung der Gräser (Supertribus *Triticodae*) zusammenhängt, die heute der BCG-Gruppe als Wirte dienen. Das große Spektrum an Paralogen des *NIP2*-Gens in allen BCG-Isolaten spricht für die Bedeutung dieses Faktors und dafür, dass diese Zunahme über ein Einzelereignis vor der Anpassung an die Wirtspflanzen auf die heutigen Arten der BCG-Gruppe übertragen wurde. Die Züchtung der Nutzpflanzen durch den Menschen bedingte die Spezialisierung der BCG-Gruppe und damit die Artbildung (Avrova & Knogge, 2012). Die Aufspaltung in die BCG- und CCG-Gruppe fand vor der Einführung der Landwirtschaft vor etwa 14.000-35.000 Jahren statt (Torriani *et al.*, 2014). Die *NIP2*-Genfamilie blieb bis heute über die Wirtsspezialisierung hinaus in den drei bekannten Arten (Zaffarano *et al.*, 2011) erhalten. Jedoch beruht diese Hypothese mit Ausnahme von *R. commune* lediglich auf der Untersuchung nur eines Isolates von jeder Art. Weiterhin ist das Genom von *R. lolii* bisher nicht assembliert und die Genmodelle beschränken sich auf die Homologen aus *R. orthosporum*. Mögliche weitere *NIP2*-Gene von *R. lolii* können so nicht identifiziert werden. Zusätzlich könnten in anderen noch unerforschten Isolaten weitere *NIP2*-Homologe existieren. Die Effektoren NIP1 und NIP3 sind im Gegensatz dazu nicht in allen Arten zu finden. Erwartungsgemäß fallen die Sequenzunterschiede zwischen den Isolaten geringer als zwischen den verschiedenen Arten aus. Dies ist bei den orthologen Sequenzen einzelner *NIP2*-Homologer wie *NIP2.1*, *NIP2.2* und *NIP2.5* ersichtlich. Die *NIP2*-Sequenzen der *R.-commune*-Isolate unterscheiden sich nur in wenigen Positionen voneinander. Verglichen mit den übrigen *NIP2*-Homologen kann aus der phylogenetischen Betrachtung der *NIP2.1*-Homologen eine höhere Anzahl an Substitutionen pro Aminosäuresequenz und damit ein größerer Unterschied der Sequenzen untereinander abgeleitet werden. Die dadurch stärker verteilten *NIP2.1*-Homologen gliedern sich eindeutig in zwei Kladen, welche mit der *beaked conidia group* (BCG) und der *cylindrical conidia group* (CCG) korrelieren. Auch die Unterschiede innerhalb der Kladen, zu erkennen an den längeren Ästen des Stammbaums für die *NIP2.1*-Homologen im Vergleich zu den weiteren *NIP2*-Homologen, fallen größer aus. Dies spricht wahrscheinlich für einen höheren Selektionsdruck auf das am stärksten exprimierte *NIP2*-Homologe *NIP2.1* (Abbildung 3.9). Die Anpassung an eine mögliche Erkennung des Effektors und damit einer erhöhten Abwehr durch den Wirt geht mit einer Selektion der Faktoren einher. Dies führt zu einer Integration von mehr Sequenzveränderungen in diesen Genen innerhalb einer Population (Pedersen *et al.*, 2012). Eine hohe evolutionäre Anpassungsrate zusammen mit Eckdaten wie Sekretion, Cysteingehalt und geringer Größe charakterisieren die

meisten Effektoren (Condon *et al.*, 2013). Bereits für andere Graspathogene wie *Puccinia graminis f. sp. tritici* konnte ein selektiver Druck auf die Effektoren gezeigt werden, der sogar zu deren Identifizierung führte (Sperschneider *et al.*, 2014). Dabei wurde zusätzlich die Koevolution der Effektoren mit den Wirten thematisiert. Eine Koevolution findet sich möglicherweise auch in der Anpassung der NIP2.1-Sequenzen wieder. Die Evolution der einzelnen *Rhynchosporium*-Arten (Abbildung 3.1) weist Parallelen zu der Verteilung der *NIP2.1*-Orthologen auf. Teilweise findet sich diese charakteristische Verteilung bei den Effektoren NIP1 und NIP3 wieder. Hier liegen nicht in allen Arten Orthologe vor, so dass die Wirtsevolution an ihnen nicht nachvollzogen werden kann.

4.3.3 Funktionelle Analysen der NIP-Effektoren

Eine Familie an homologen Proteinen wirft die Frage auf, ob die Genprodukte in Bezug auf ihre Funktion austauschbar sind. Zusätzlich bleibt zu untersuchen, ob diese ähnlichen Gene voneinander gemeinsam co-abhängig reguliert werden. Eine Gruppierung der bekannten Effektoren auf sogenannten Pathogenitätsinseln, wie es etwa bei *Ustilago maydis* der Fall ist (Dean, 2007), kann in *R. commune* ausgeschlossen werden. Diese Gruppen von unmittelbar benachbarten Genen, welche durch horizontalen Gentransfer zwischen Mikroorganismen ausgetauscht werden können, unterliegen einer gemeinsamen Transkriptionsregulation und wurden ursprünglich für Prokaryoten (Hacker & Kaper, 2000) und später ebenso für Eukaryoten beschrieben (Dean, 2007). Die NIP-Homologen des *R.-commune*-Isolates UK7 sind über das gesamte Genom verteilt und befinden sich jeweils auf einem unabhängigen Sequenzabschnitt (*scaffold*, siehe Seite 43). Es kann somit keine physische Nähe der Genloci bestimmt werden, wie es bei den Pathogenitätsinseln oder allgemeiner Genominseln der Fall ist (Fedorova *et al.*, 2008). Diese paralogen und zwischen den Arten auch orthologen *NIP2*-Genmodelle deuten allerdings auf eine essentielle Funktion von NIP2 in der Interaktion des Pathogens mit dem Wirt hin. Eine funktionelle Redundanz und damit additive Wirkung der Genprodukte ist als Ursache für deren vielfache Präsenz vorstellbar. Ebenso treten bei vielen Kopien häufiger Mutationen auf, was für die schnelle Anpassung an die pflanzliche Abwehr und an die Wirtspflanze allgemein sorgen kann.

Expression der *NIP*-Effektorgene

Alle *NIP2*-Homologen sowie *NIP1* und *NIP3* von *R. commune* (Isolat UK7) wurden in ihren Expressionsprofilen verglichen (Abbildung 3.9). Das *NIP2.1*-Gen, für welches ursprünglich eine Deletionsmutante erstellt wurde, war das am stärksten exprimierte Gen. Das Genprodukt NIP2.1 konnte vermutlich auf Grund der höchsten Proteinmenge und womöglich starken Sekretion in vorangegangenen Untersuchungen als einziges der

NIP2-Homologen identifiziert werden (van 't Slot, 2002; Kirsten *et al.*, 2012). Allerdings war es mit heutigen Methoden möglich ein weiteres Protein der NIP2-Familie, NIP2.2, mittels massenspektrometrischer Analysen zu detektieren (siehe Seite 82). Die Expressionsprofile der *NIP*-Gene zeigen ein Maximum während der frühen Phase der Besiedlung des Wirtes (Abbildung 3.9 B). In dieser Phase muss das Pathogen die passiven pflanzlichen Barrieren durch Penetration überwinden und die basale sowie die gerichtete Abwehr durchbrechen. Dabei geht es um die Kontrolle über die pflanzliche Abwehr und andere zelluläre Prozesse, die der Nährstoffbeschaffung und Besiedlung entgegenstehen (Giraldo & Valent, 2013). In der Interaktion der stark suszeptiblen Gerstensorte Ingrid und dem *R.-commune*-Isolat UK7 erstreckt sich diese initiale Phase bis sechs Tage nach Inokulation. Im Vergleich dazu zeigt die moderat suszeptible Sorte Atlas in Abbildung 3.9 C eine verzögerte Transkription der *NIP*-Effektorgene. Dies korreliert mit der verzögerten Ausbildung von Symptomen (Kirsten *et al.*, 2012). In der Interaktion mit Atlas ist die Grundresistenz und somit wahrscheinlich der Grad der pflanzlichen Abwehr größer als in Ingrid. Dies führt zu einer schnelleren und stärkeren Zunahme an relativer Biomasse in Ingrid (Abbildung 3.9 A). Insgesamt ist die Notwendigkeit für die Expression der Effektoren auf einen größeren Zeitraum verteilt. Womöglich sorgt eine Erkennung der sezernierten Faktoren durch die Gerstensorte Atlas für eine verstärkte Effektor-vermittelte Abwehr [*effector-triggered defense,* ETD (Stotz *et al.*, 2014)], welche die Entwicklung von *Rhynchosporium* auf Atlas verlangsamt, aber nicht stoppt. Die Expression der bislang bekannten Effektoren ist begrenzt auf die initiale Phase der Infektion, bevor die Produktion an relativer Biomasse des Erregers stark zunimmt. Ähnlich verhält es sich mit den Effektorgenen des hemibiotrophen Oomyceten *Phytophthora infestans*. Für dieses Pathogen beginnt eine Herunterregulation der Effektorgen-Expression bereits etwa einen Tag nach der Inokulation, was auf die wesentlich schnellere Infektion des Wirtes zurückzuführen ist (Pais *et al.*, 2013).

Den Großteil des Genoms machen allerdings Gene aus, die nicht für Effektoren kodieren. Für einen Vergleich des Expressionsverlaufs von Effektor-Genen mit Nicht-Effektor-Genen sind in Abbildung 4.2 die Expressionsprofile von Genen, die nicht sezernierte Proteine kodieren, dargestellt. Sind diese noch in der frühen Phase der Penetration und der Ausbildung des initialen subkutikularen Myzels stärker exprimiert, so wird die Expression während des restlichen Infektionszeitraums auf einem konstant niedrigen Niveau gehalten. Damit verlaufen die Expressionsprofile im Vergleich zu denen der Effektorgene unterschiedlich. Zum einen ist hier das *PFP1*-Gen (*putative function in pathogenicity 1*; von engl. putativer Funktion in der Pathogenese 1) untersucht worden, welches für ein Protein mit Epc-N Domäne kodiert und im Zusammenhang mit der Acetylierung von Histonen beschrieben wurde (Siersleben *et al.*, 2014). Zum anderen wurde ein Gen untersucht, dessen Produkt homolog zu RXLR-Effektoren (Wawra *et al.*, 2013) aus *Ustilago maydis* ist. Dieses *RXP1*-Gen kodiert für das *Rhynchosporium*-RXLR-Protein 1 (Matern, 2011). Eine unkonventionelle Sekretion wurde für RXP1 vorhergesagt

[SecretomeP (Bendtsen *et al.*, 2004)], weshalb eine Sekretionsanalyse analog zu den NIP2-Homologen (Abbildung 3.8) durchgeführt wurde. Durch den Vergleich der Fluoreszenz im Myzel und im umgebenden Medium konnte keine Sekretion *in vitro* nachgewiesen werden (S. Kirsten, nicht publizierte Daten).

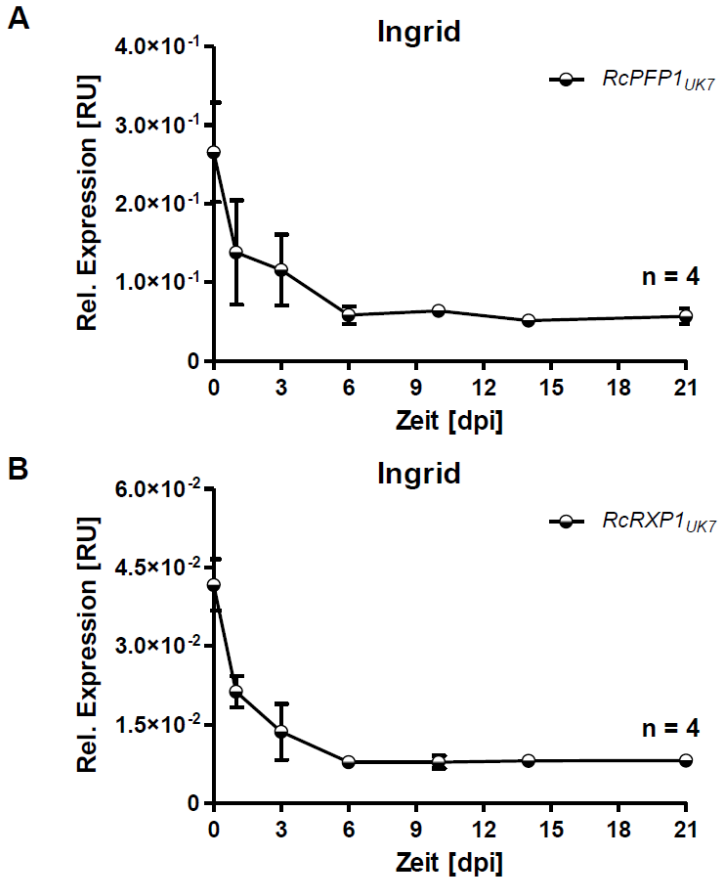

Abbildung 4.2 Expressionsprofile von *PFP1* und *RXP1*
Der Verlauf der Expression von *PFP1* (**A**) und *RXP1* (**B**) ist über den Zeitraum von 21 Tagen nach der Inokulation der Gerstensorte Ingrid durch das *R.-commune*-Isolat UK7 dargestellt. Die relativen Transkriptmengen sind in vier biologischen Replikaten bestimmt worden. RU…relative Einheit. dpi…Tage nach Inokulation.

Beide Expressionsprofile unterscheiden sich lediglich in den Werten der relativen Transkriptmenge. Die Interaktion mit dem Wirt erfolgt außerhalb der pilzlichen Hyphen und ist somit auf die Wirkung von sezernierten Faktoren wie Proteinen und niedermolekularen Substanzen angewiesen (Koeck *et al.*, 2011). Für die initiale Besiedlung der Wirtspflanzen werden diese Gene daraus folgend nicht benötigt.

Zusätzlich wurden die Expressionsprofile hydrolytischer Gene kodierend für Polyketidsynthasen, Pektin-Methylesterasen und nichtribosomalen Peptidsynthetasen von *Rhynchosporium* ermittelt (Wenzel, 2014). Diese zeigten entweder ausschließlich zu Beginn der Infektion eine Transkription oder eine gleichbleibende Transkription über den gesamten Infektionsverlauf. Der Expressionsverlauf der Effektorgene ist

charakteristisch und mit keinem Verlauf der bislang untersuchten Nicht-Effektorgene vergleichbar.

Regulation der *NIP2*-Effektorgenexpression

In keinem der in der vorliegenden Arbeit und weiteren Analysen untersuchten Isolate von *Rhynchosporium* (Rohe *et al.*, 1995; Schürch *et al.*, 2004) konnten zu den Effektoren NIP1 und NIP3 weitere Paraloge nachgewiesen werden. Es fehlten diese Effektoren sogar in einigen dieser Isolate. Dagegen sind vier exprimierte *NIP2*-Paraloge allein im *R.-commune*-Isolat UK7 vorhanden, wobei die weiteren vier Arten der Gattung jeweils mindestens ein *NIP2*-Gen ausweisen. Beim Auftreten einer ganzen *NIP2*-Genfamilie ist eine Redundanz der Funktion zu erwarten.

Da die Wirkungsweise von NIP2 noch nicht nachgewiesen werden konnte, war es auch nicht möglich eine Aktivitätsstudie mit den *NIP2*-Homologen durchzuführen. Um zumindest eine gemeinsame bzw. voneinander abhängige Regulation der Homologen zu untersuchen, wurde eine *NIP2.1*-Deletionsmutante auf die Änderung der relativen Expression der verbleibenden *NIP2*-Homologen analysiert (Abbildung 3.10 A). Die *NIP2*-Homologen, mit Ausnahme von *NIP2.6*, wiesen in den relativen Expressionswerten im Vergleich zum Wildtyp erhöhte Transkriptmengen auf. Am deutlichsten zeigte sich dies über den gesamten Infektionsverlauf bei der hohen relativen Transkriptmenge von *NIP2.4*. Bei einem Vergleich der Summe der relativen Werte sechs Tage nach Inokulation war eine ähnlich hohe Transkriptmenge aller *NIP2*-Homologen mit und ohne Expression von *NIP2.1* zu beobachten (Abbildung 3.10 B). Dieser Trend der gleichen Transkriptionsmengen lässt auf eine zusammenhängende Regulation der Transkription aller *NIP2*-Homologen und damit wahrscheinlich auf eine redundante Funktion der Genprodukte schließen. Dies wäre analog zu fünf Chitinase-kodierenden Genen im Saprophyten *Streptomyces coelicolor* (Saito *et al.*, 2000). Diese fünf Gene unterliegen einer zusammenhängenden Regulation, obwohl sie wie die *NIP2*-Gene im Genom verteilt vorliegen. Es ist darüber hinaus möglich, dass die Regulation der Transkription der Homologen *NIP2.1* und *NIP2.4* direkt voneinander abhängig ist, da der Großteil der Zunahme der relativen Transkriptmenge auf *NIP2.4* entfiel.

Auf Grund ihrer möglichen voneinander abhängigen Regulation sind die Promotorregionen der *NIP2*-Homologen auf Bindungsmotive für Regulatoren hin untersucht worden, die für ihre Transkription während der Pathogenese relevant sind. Der untersuchte Sequenzbereich umfasste 1.000 bp stromaufwärts des Transkriptionsstarts der untersuchten Gene (Abbildung A 6). Eine *in-silico*-Analyse mittels *MEME Suite* (Bailey *et al.*, 2009) führte weder für die *NIP2*-Homologen noch für weitere bekannte Effektoren wie *NIP1* und *NIP3* zu einer Identifizierung spezifischer Motive. Ebenso konnten für neu identifizierte Effektoren (siehe Seite 75) keine regulatorischen Bereiche ermittelt werden. Jedoch ist die Erkennung solcher Motive auf den Datensatz der *MEME Suite* beschränkt, wodurch noch nicht beschriebene Motive

unerkannt bleiben. Durch einen Sequenzvergleich der *NIP2*-Promotorbereiche konnten Ähnlichkeiten mit CAAT- und TATA-Boxen identifiziert werden. Bei sonstigen Effektorgenen ist dieser Vergleich aus Mangel an Homologen nicht möglich. Die CAAT-Box befindet sich bei eukaryotischen Organismen stromaufwärts des Transkriptionsstarts und gehört zu den regulatorischen Sequenzen des Promotors, welche für die Bindung von Transkriptionsfaktoren wichtig sind. Es deutete keine Sequenzhomologie auf ein Guanin- und Cytosin-reiches regulatorisches Element (GC-Box) hin. Die CAAT- und GC-Box sind häufig 100-150 bp stromaufwärts der TATA-Box zu finden (Stedman, 2005). Die TATA-Box selbst ist als cis-regulatorisches Element in den meisten Fällen 25 bp stromaufwärts des Transkriptionsstartes zu finden (Patikoglou *et al.*, 1999). In dieser Analyse der *NIP2*-Homologen sind die vermeintlichen Loci der Boxen jedoch doppelt so weit voneinander entfernt. Die TATA-Box befindet sich außerdem in einer zehnfach größeren Entfernung zum Transkriptionsstart als in den meisten untersuchten Organismen. Eine mögliche Erklärung könnte die Lokalisierung von weiteren regulatorischen Bereichen neben diesen Motiven sein, was zu größeren Sequenzabschnitten zwischen beiden und zu dem Transkriptionsstart führt.

4.3.4 Struktur der NIP2-Effektoren

Sekretion und Modellierung der NIP2-Homologen

Für die Charakterisierung der NIP2-Effektorfamilie ist neben der Bestätigung ihrer Expression während der Infektion ein Nachweis der Sekretion nötig. Für die NIP2-Homologen konnte mit Hilfe von Vorhersagen die Existenz eines Sekretionssignals in der Proteinsequenz bestätigt werden (Tabelle 3.3).

Die Analyse des flüssigen Nährmediums, in dem *R. commune* (UK7) *ex planta* angezogen wurde, belegte die Sekretion von NIP2.1, NIP2.2 und NIP2.3. Dafür wurde die Fluoreszenz der Effektoren in einem Pilotexperiment mit dem C-terminal-fusionierten mCherry-Fluorophor gemessen (Abbildung 3.8 A). Die Sekretion von NIP2.4 konnte nicht nachgewiesen werden. Der Grund hierfür kann eine sterische Hinderung des Fusionskonstruktes sein, welche die Zugänglichkeit des Sekretionssignals betrifft (Chen *et al.*, 2013). Möglicherweise ist aber auch das C-terminal fusionierte Fluorophor nicht korrekt gefaltet, denn in mikroskopischen Aufnahmen des protoplastierten Myzels wurden keine fluoreszierenden Zellen gefunden (Abbildung 3.8 B). Letztlich könnte aber eine Integration des *NIP2.4-mCherry*-Fusionskonstruktes in einen Bereich des Genoms mit epigenetischer Stilllegung der Transkription für das Nicht-Auftreten außerhalb der Zellen verantwortlich sein (Golbabapour *et al.*, 2011). Im Vergleich zu NIP2.4 war die Fluoreszenz der mCherry-Fusionen von NIP2.1, NIP2.2 und NIP2.3 in einigen, aber nicht allen Protoplasten vorhanden. Dies kann an einer nicht homogenen Expression unter

Kontrolle des verwendeten *ToxA*-Promotors liegen. Ebenso ist eine unterschiedliche Fitness der einzelnen Zellen nach der Protoplastierung denkbar, bei der lediglich einige der Zellen noch die Fusionsproteine translatierten. Weiterhin könnten die Fusionsproteine aus den Zellen auf Grund der Protoplastierung austreten.

Die Struktur-Modellierung der NIP2-Homologen blieb auf Grund stark abweichender Modellvorhersagen in den *de-novo*-Analysen über den ROBETTA-Server (© 2011 University of Washington) erfolglos. Auch weitere Versuche über andere Modellvorhersagen beschrieben für die einzelnen Aminosäuresequenzen der verschiedenen NIP2-Homologen keine gemeinsamen Modelle. Dennoch konnten Vorhersagen für wahrscheinliche Disulfidbrückenbindungen getroffen werden, wie sie in Effektorproteinen häufig auftreten (Condon *et al.*, 2013). Es wurden nicht für alle Cysteine der NIP2-Aminosäuresequenzen Bindungen vorhergesagt. Im Vergleich zu NIP2 sind während der Modellierung von NIP1 Disulfidbrückenbindungen für sämtliche der zehn Cysteine identifiziert worden (van't Slot *et al.*, 2003). Für *Rhynchosporium* ist also eine hohe Dichte an Disulfidbrückenbindungen in kleinen Proteinen theoretisch realisierbar. Die Sekundärstrukturvorhersagen mittels *PSIPRED Protein Sequence Analysis Workbench* (Jones, 1999) sagten für jedes Homologe die Verteilung von Strukturmerkmalen voraus (Abbildung 3.6). Dabei sind nur geringe Ähnlichkeiten unter den NIP2-Homologen zu erkennen. Durch die Modellierung ist daher kein Hinweis auf eine gemeinsame Funktion der NIP2-Familie auf Basis der Aminosäurestruktur gefunden worden.

Domänen der NIP2-Proteine

Die Suche nach Proteinen, die zur NIP2-Familie gehören könnten, führte in den Genomen der zur Verfügung stehenden Isolate auch zu NIP2-ähnlichen Proteinen (NLP). Diese unterschieden sich durch eine fehlende Domäne von den NIP2-Homologen. Im Zuge der Angleichung der Aminosäuresequenzen der NIP2-Homologen wurden Bereiche hoher Ähnlichkeit identifiziert (Abbildung 3.7 und Abbildung A 4). Für den Bereich zwischen Position 60 und 70 der reifen Aminosäuresequenz konnte das CRS-Motiv beschrieben werden. Diese Domäne wurde neben NIP2.1, das die höchste, relative Transkriptmenge aufwies, in vielen der am nächsten verwandten Proteine gefunden (Abbildung 3.4 und Abbildung A 4). Aus diesem Grund diente das Vorhandensein der Domäne für die Abgrenzung der NIP2-Homologen von den NLPs. Allerdings fehlt für die funktionelle Untersuchung der CRS-Domäne ein Nachweis der Aktivität von NIP2. Die Etablierung eines NIP2-Aktivitätsassays könnte Aufschluss über die Wirksamkeit einzelner NIP2-Homologe geben. Der Austausch von Aminosäuren der CRS-Domäne würde sie womöglich über den Assay als aktives Zentrum des Proteins bestätigen. Weiterhin könnte durch strukturelle Analysen der NIP2-Homologen über Röntgenkristallographie ähnlich wie bei NIP1 (van't Slot *et al.*, 2003) geklärt werden, ob diese Domäne für einen potentiellen Bindungspartner genügend exponiert vorliegt. Falls

sich keine Beeinflussung der Funktionalität von NIP2 durch die Modifikation der CRS-Domäne ergibt, kann die Hypothese einer funktionellen Unterteilung der NIP2-Homologen in NIP2 und NLP nicht länger bestehen bleiben und die CRS-Domäne bleibt lediglich eine Besonderheit der Aminosäuresequenz der meisten NIP2-Homologen. Die NLPs müssten damit auf eine potentielle Effektoraktivität hin untersucht werden.

4.3.5 Stilllegung der *NIP2*-Transkription

Für die funktionelle Charakterisierung eines Gens ist eine gezielte Deletion in den meisten Fällen die erst Wahl. Die Gene *NIP1* und *NIP3* wurden funktionell durch ihre Deletion im Vergleich zum Wildtyp analysiert. Für eine Genfamilie bietet sich statt einer Mehrfachdeletion eine simultane Stilllegung der Transkription aller Mitglieder an. Dabei ist eine vollständige Stilllegung der Transkription nicht möglich. Die Unterschiede in der Ausprägung der Stilllegung in unabhängigen Mutanten sorgen somit für ein Spektrum an Mutanten mit unterschiedlich stark herunterregulierten Genexpressionen. Während der Infektion eines Wirts durch ein Pathogen mit stillgelegter Expression einer Genfamilie von Virulenzfaktoren können die verschieden starken Einflüsse der Familienmitglieder die Pathogenese unterschiedlich beeinflussen. Diese Unterschiede im Ausmaß der Regulation der Gentranskription werden beispielsweise hervorgerufen durch strukturelle Inhibierung der Stilllegungsmaschinerie, durch die doppelsträngige RNA oder Positionseffekte der Stilllegungskassette während der Integration in das pilzliche Genom (Irelan & Selker, 1996; Kadotani *et al.*, 2003; Nakayashiki & Nguyen, 2008). Die Kassette kann dabei in einem weniger stark transkribierten Bereich eingefügt worden sein bzw. durch epigenetische Effekte in der Transkription behindert sein, womit die Menge an transkribierter, doppelsträngiger RNA nicht ausreichend für eine Reduktion der Virulenzgenprodukte ist (Whitelaw *et al.*, 2001).

Die Stilllegung der Genexpression in der Gattung *Rhynchosporium* wird durch die konstitutive Expression von RNA mit einer Intron-beinhaltenden Haarnadelstruktur ermöglicht (Kadotani *et al.*, 2003; Nakayashiki & Nguyen, 2008; Shafran *et al.*, 2008). Die Erstellung eines Vektors, der die Stilllegungssequenz in direkter und indirekter Orientierung enthält (Abbildung 3.11) und für die Integration in das Genom des Pathogens genutzt werden kann, resultierte in dem Plasmid pFUNGATE. Mittels rekombinanter Integration konnten mit hoher Effizienz in einem einzelnen Schritt die Zielgen-spezifischen Sequenzen in den Vektor pFUNGATE inseriert werden. Der Nachweis zur Stilllegung der Transkription erfolgte durch Quantifizierung per qRT-PCR von Sequenzbereichen, die außerhalb des zur Stilllegung genutzten Fragmentes liegen. Die Konstruktion des Stilllegungsvektors und die Nutzung des Gateway®-Klonierungssystems bildete die Grundlage für ein einfaches und leicht zu handhabendes Stilllegungssystem zur Anwendung in *Rhynchosporium* und vermutlich in anderen Pilzen.

Eine Optimierung des Plasmides durch Integration eines induzierbaren Promotors würde die Einsatzmöglichkeiten um beispielsweise die Stilllegung der Transkription essentieller Gene erweitern.

In Anlehnung an eine Machbarkeits-Analyse zur Stilllegung der Genexpression in *M. oryzae* wurde in einer *eGFP*-exprimierenden Mutante des *R.-commune*-Isolates UK7 eine Stilllegung der Expression von *eGFP* durchgeführt (Kadotani *et al.*, 2003). Nach Überprüfung der erfolgreichen Integration der Stilllegungskassette (Abbildung A 12) ist mittels Echtzeit-PCR eine signifikante Reduktion der relativen Transkriptmenge des *eGFP* in zwei Mutanten im Vergleich zum Wildtyp UK7 gezeigt worden. Damit ist selbst eine Reduktion der Expression von konstitutiv hochregulierten Genen mit dem hier etablierten pFUNGATE-Stilllegungssystem möglich. Dieses System stellt ein effizientes Werkzeug für die Analyse unterschiedlicher Genexpressionen dar und wurde deshalb für die funktionelle Analyse der *NIP2*-Genfamilie genutzt.

Herunterregulierung der Expression der gesamten *NIP2*-Genfamilie

Im Vergleich zur Stilllegung von Einzelgenen ist das simultane Herunterregulieren der Transkription von Mitgliedern einer Genfamilie komplexer. Für die Stilllegung der Genexpression der *NIP2*-Homologen des *R.-commune*-Isolates UK7 wurden Fragmente der kodierenden Bereiche der Zielgene zu einer Stilllegungssequenz fusioniert (Abbildung 2.2; Abbildung 3.12 A). Das Fusionskonstrukt enthält allerdings keinen spezifischen Sequenzabschnitt des *NIP2.6*-Gens. Die Stilllegung der Genexpression von *NIP2.6* erfolgte demnach durch die Ähnlichkeit zu den Stilllegungssequenzen der übrigen *NIP2*-Homologen (Abbildung A 8). Die größten Ähnlichkeiten der Stilllegungssequenzen zu *NIP2.6* waren in den Teilsequenzen der Homologen *NIP2.1* und *NIP2.4* zu finden. Analog zur Stilllegung der *eGFP*-Expression wurde die Integration der Stilllegungssequenz der *NIP2*-Homologe nachgewiesen. Die Etablierung einer Strategie der gezielten Stilllegung der Transkription im Modellorganismus *Rhynchosporium* sowie die simultane Stilllegung einer Genfamilie konnten somit in der vorliegenden Arbeit erreicht werden.

Die Bestimmung der relativen pilzlichen Biomasse während der Pathogenese zeigte in einem Vorversuch, dass sechs der Mutanten im Vergleich zum Wildtyp weniger stark auf der Gerstensorte Ingrid gewachsen waren (Abbildung A 13). Auch die schwächere Ausprägung der durch diese Mutanten hervorgerufenen Symptome korrelierte mit diesen Ergebnissen (Abbildung A 14). Wie schon weiter oben beschrieben, kommt es auf Grund der Herunterregulation der Genexpression im Vergleich zur Deletion eines Gens zu einem Spektrum an verschiedenen Stilllegungsmutanten. Deshalb entspricht eine Auswahl an unterschiedlich stark stillgelegten Mutanten nach der Transformation den Erwartungen, wie auch bei Versuchen mit *Magnaporthe oryzae* bereits gezeigt wurde (Kadotani *et al.*, 2003). Mit Hilfe der Daten des Vorversuches wurden vier schwach wachsende Mutanten ausgewählt und für weitere Analysen genutzt. Diese vier wiesen

über den Infektionsverlauf eine signifikant niedrigere Biomasse im Vergleich zu UK7 auf und bestätigten damit den Vorversuch (Abbildung 3.15). Außerdem zeigte sich, dass diese Mutanten stark verzögert Biomasse akkumulierten. Bei einer Reduktion bzw. einem Verlust der NIP2-Effektoren ist unter Umständen die Wirtspflanze in der Lage die Infektion wirksamer zu bekämpfen (Stotz *et al.*, 2014). Das Pilzwachstum kann allerdings nicht vollständig verhindert werden, so dass die Pilzbiomasse der Mutanten sich zu den späten Zeitpunkten der Pathogenese an die des Wildtyps annähert. Wie in Abbildung 3.9 A gezeigt, stagniert der Zuwachs an Biomasse zum Ende der Infektion, was mit der Bildung des Stroma-ähnlichen Myzels einhergeht (Lyngs Jørgensen *et al.*, 1993). Diesen Punkt scheinen die Mutanten erst später zu erreichen. Eine solche Vermutung ergibt sich aus den tendenziell leicht erhöhten Werten des durchgeführten t-Tests. Die errechneten p-Werte des letzten Messpunktes liegen nicht länger unterhalb von 0,001 (Abbildung 3.15). Die Bestätigung der verzögerten, aber nicht verhinderten, Etablierung dieser Myzelform mittels mikroskopischer Analysen steht noch aus. Mit dem verzögerten Pilzwachstum korrelieren die abgeschwächten Symptome auf den Primärblättern. Diese wiesen im Vergleich zum Wildtyp bei zwei der Mutanten (#31, #44) keine nekrotischen Läsionen auf und erst 21 Tage nach Inokulation konnten Chlorosen beobachtet werden (Abbildung A 15). Eine Abschwächung der Symptome reduziert den Einfluss des Pathogens auf die Entwicklung der Pflanze. Die Einstufung als Getreidepathogene resultiert für *Rhynchosporium spec.* aus der Verminderung des Ertrags durch die nekrotischen Läsionen, welche eine Reduktion der fotosynthetisch aktiven Blattfläche darstellen (Frank, 1897; Caldwell, 1937). Das Ausbleiben der Nekrosen bei Stilllegung der *NIP2*-Expression verschiebt den Beginn der nekrotrophen Phase des hemibiotrophen Pilzes auf den Zeitpunkt der beginnenden Seneszenz der Blätter. Falls Untersuchungen zeigen könnten, dass sich ertragsrelevante Größen wie beispielsweise das Tausendkorngewicht von Gerste nicht unterscheiden, wenn infizierte Gerste mit nicht infizierter verglichen wird, wäre das Pathogen als Endophyt bzw. Endokommensale zu klassifizieren. *R. commune* ohne NIP2-Homologe wäre somit nicht länger ein Gerstenpathogen. Weiterhin ist für das Wachstum innerhalb des Wirtes eine biotrophe Ernährungsweise nötig. Diese könnte allerdings wie bei vielen Endophyten ohne Einfluss auf die Entwicklung der Pflanze bleiben (Rodriguez *et al.*, 2009; Porras-Alfaro & Bayman, 2011). Darüber hinaus wäre auch eine mutualistische Wirkung denkbar, da endophytisch lebende Pathogene die pflanzliche Abwehr beispielsweise gegen Herbivoren erhöhen können (Wang & Qiu, 2006; Rodriguez *et al.*, 2009).

Bei der Betrachtung der relativen Transkriptmenge in den Stilllegungsmutanten ist zu erkennen, dass ein Teil der *NIP2*-Expression bestehen bleibt (Abbildung 3.16). Die in der vorliegenden Arbeit verwendete Stilllegung der Genexpression führt effektiv via doppelsträngiger RNA mit Haarnadel-Struktur zu einer erniedrigten Expression des Zielgens (Wesley *et al.*, 2001; Kadotani *et al.*, 2003; Nakayashiki & Nguyen, 2008). Die Stilllegung der relativen Genexpression konnte für die Zeitpunkte der initialen

Besiedlung des Wirtes durch UK7 (3 und 6 dpi) bei tendenziell allen *NIP2*-Homologen außer *NIP2.2* beobachtet werden. Als eine mögliche Erklärung könnte die Expression von *NIP2.2* auf Grund fehlender *small interfering* RNA (siRNA, von engl. kleine eingreifende RNA) nicht herunterreguliert worden sein. Vermutlich könnte die Verwendung eines Fusionskonstruktes zur Stilllegung aller Zielgene in einer strukturbedingten Hinderung der enzymatischen Spaltung über die Dicer-ähnlichen Proteine führen. Da diese Fusion der Zielgensequenzen zum ersten Mal für eine *Rhynchosporium*-Genfamilie angewendet wurde, können dies nur weitere Stilllegungsversuche aufklären. Die *NIP2.2*-Transkription der Mutante #31 zeigte allerdings drei Tage nach Inokulation eine signifikante Reduktion an gemessener RNA. Die stärkste Ausprägung des Phänotyps findet sich ebenfalls in dieser Mutante und spricht für den additiven Effekt der Wirkungsweise dieser Familie an Effektoren. Für die *NIP2.1*-Expression zeigte sich ein signifikant höheres Transkriptniveau bei den Stilllegungsmutanten im Vergleich zum Wildtyp. *NIP2.1* ist das am stärksten exprimierte Gen der *NIP2*-Familie. Außerdem unterliegt die Expression der Stilllegungskassette einer maximalen Kapazität (Hood, 2004). Es ist daher möglich, dass die Stilllegungskassette nicht in der Lage ist die Expression des *NIP2.1*-Genlocus zu reduzieren. Die Expression von *NIP2.1* könnte zudem durch die Herunterregulation der übrigen *NIP2*-Homologen hochreguliert worden sein. Die Regulation der Genexpression sorgte bereits bei der *NIP2.1*-Deletionsmutante für eine verstärkte Expression der verbliebenen *NIP2*-Homologen (Abbildung 3.10). Vermutlich könnte durch die Stilllegung der *NIP2*-Homologen in der *NIP2.1*-Deletionsmutante eine Herunterregulation der Genexpression aller *NIP2*-Homologen bewerkstelligt werden. Die geringen Transkriptmengen aller *NIP2*-Gene könnten möglicherweise zu einer starken Reduktion bis zu einem Stopp des pilzlichen Wachstums auf der Wirtspflanze führen, wenn man bedenkt, dass die hier beschriebene Stilllegung bereits zu einer stark verzögerten Symptombildung führte. Der Regulation der Transkription bei Verwendung einer Fusion von Zielgenen sind damit also Grenzen gesetzt. Im Gegensatz dazu ist die effektive Stilllegung von Einzelgenen erfolgreich, wie am konstitutiv transkribierten *eGFP* gezeigt wurde. Während der Betrachtung der späten Zeitpunkte (10 und 14 dpi) war die relative Expression generell niedrig bzw. nahe der qRT-PCR-Detektionsgrenze. Eine signifikant unterschiedliche Expression gegenüber dem Wildtyp ist zwar in einigen Mutanten bei verschiedenen *NIP2*-Homologen gegeben, verglichen mit den Unterschieden zu den frühen Zeitpunkten der Infektion ist die signifikante Erhöhung jedoch gering. Diese Beobachtung ist wahrscheinlich der Verzögerung des relativen Pilzwachstums geschuldet. Ähnlich wie bei der Infektion der moderat suszeptiblen Gerstensorte Atlas (Abbildung 3.9) sorgt das langsame Wachstum für eine verzögerte Expression der Effektoren.

NIP2.1 aus *R. commune* wurde in einem Pilotexperiment im Roggenpathogen *R. secalis* exprimiert. Das hierfür verwendete *NIP2.1-mCherry*-Fusionskontrukt sorgte zusätzlich zum *NIP2.1*-Orthologen aus *R. secalis* in vorläufigen Ergebnissen für eine gesteigerte

Virulenz des Roggenpathogens im Vergleich zum Wildtyp (Abbildung A 20). Diese gesteigerte Virulenz durch die Expression von artfremdem *NIP2.1* in *R. secalis* verifiziert zusätzlich die Funktion als Virulenzfaktor in den *Rhynchosporium spec.* (Cross, 2008). Ein Ziel der erstmaligen Transformation von *R. secalis* war unter anderem auch eine weitere Art mutieren zu können, um Kandidatengene von artfremden Pathogenen wie *R. commune* in *R. secalis* zu exprimieren und die Wirkung auf die Pathogenese und Wirtsspezifität zu analysieren. Zusätzlich ist in *R. secalis* eine Deletion von bereits bekannten und noch unbekannten Effektoren durchführbar, was die Untersuchung der Pflanze-Pathogen-Interaktion des Roggenpathogens mit molekularbiologischem Hintergrund erst ermöglicht.

4.4 Grundlagen der Wirtsspezifität von *Rhynchosporium commune*

Ein Wachstum von Mikroorganismen auf Wirtspflanzen ist allgemein damit verbunden, die Schutzmechanismen der Pflanze gegen eine solche Besiedlung zu umgehen. Diese pflanzliche Abwehr kann an spezielle Mikroorganismen angepasst sein. Einige Schutzmechanismen, wie die Erkennung eines Pathogens durch die Pflanze, können wiederum durch für die Erkennungsmechanismen spezifische Faktoren überwunden werden (Jones & Dangl, 2006). Solche Virulenzfaktoren tragen somit zur Überwindung der Abwehr und zum Wachstum auf dem Wirt bei. Eine Möglichkeit wie die Erkennung des Pathogens verhindert wird, findet sich in der Interaktion von *Cladosporium fulvum* mit Tomatenpflanzen. Der Pilz sezerniert Effektoren, welche die Erkennung des Pathogens verhindern, indem sie speziell Chitin-Oligomere für die pflanzliche Erkennung maskieren (Koeck *et al.*, 2011). Biomasse kann verdeckt akkumuliert werden, was ein größeres Potential für die Sporenproduktion schafft. Das wiederum resultiert in einer erfolgreicheren Vermehrung und Verbreitung des pilzlichen Pathogens. Ein Teil dieser Virulenzfaktoren findet sich spezifisch in bestimmten Pathogen-Arten und ermöglicht eine Besiedlung spezieller Wirte. Der Großteil der Genprodukte der Pathogene dagegen dient dem Metabolismus der Pathogene selbst. Da die Abwehrstrategien der verschiedenen Pflanzen variieren, haben sich die Pathogene mittels Effektoren spezifisch an den jeweiligen Wirt angepasst (Rovenich *et al.*, 2014). Die Gattung *Rhynchosporium* ist auf Grund der Wirtsspezifität verschiedener Isolate in mehrere Arten aufgeteilt worden (Zaffarano *et al.*, 2008; 2011; King *et al.*, 2013). Für die Wirtsspezifität ausschlaggebende Faktoren können in verschiedenen Pathogen-Arten vorkommen und in Pathogenen, die diesen Wirt nicht befallen, fehlen. Möglich ist auch, dass die Gene dieser Effektoren für die Besiedelung eines Wirtes einer spezifischen Transkription unterliegen. Weiterhin könnten strukturelle Unterschiede (Isoformen) der Effektoren oder anderer wirtsspezifischer Faktoren das Wachstum auf einer bestimmten Wirtspflanze ermöglichen. Eine Grundlage für die Anpassung der *Rhynchosporium spec.*

an spezifische Wirte können somit artspezifische Genomregionen und Effektoren sein. In dieser Arbeit wurden artspezifisch vorkommende Effektoren durch einen Vergleich der Genome als Möglichkeit der Anpassung an den Wirt betrachtet. Die Identifizierung solcher Faktoren ist über die Genomsequenzen möglich geworden.

Als Effektoren nekrotisch lebender Pathogene sind wirtsspezifische Toxine gut untersucht (Friesen *et al.*, 2008). Das Abtöten von Wirtsgewebe zur Freisetzung von Nährstoffen ermöglicht diesen Pathogenen die Besiedlung des Wirtes. Beispielsweise konnten für bakterielle Infektionen von *P. syringae* die Transportvorgänge und die zugehörigen Effektoren charakterisiert werden (Bender *et al.*, 1999; Xiang *et al.*, 2008). Für Oomyceten sind bereits Effektoren und ihr Transport in die Wirtszelle via Endozytose gezeigt worden (Morgan & Kamoun, 2007). Bei pilzlichen Pathogenen, die lebendes Wirtsgewebe besiedeln, wie beispielsweise den *Rhynchosporium spec.*, ist bislang wenig bekannt. Allerdings konnten bereits Effektoren von *M. oryzae* und ihre Translokation in lebende Reiszellen nachgewiesen werden (Khang *et al.*, 2010).

Dass neben den Effektoren auch andere Gene für die Wirtsspezifität von Bedeutung sein können, zeigten Untersuchungen Zellwand-abbauender Enzyme von *Zymoseptoria tritici* (Brunner *et al.*, 2013). Von 48 hydrolytischen Enzymen wurden drei Enzyme identifiziert, die unter positiver Selektion stehen und möglicherweise von Bedeutung für die Anpassung bzw. Spezialisierung auf den Wirt sind. Diese Enzyme sind nicht redundant und werden zu unterschiedlichen Zeitpunkten der Pathogenese exprimiert.

4.4.1 Artspezifische Effektoren

Ziel ist es, zu den bereits bekannten Effektoren von *Rhynchosporium*, den NIP, weitere möglichst wirtsspezifische Effektoren zu identifizieren und zu charakterisieren. Effektorproteine weisen größtenteils Eckdaten wie Sekretion, hohen Cysteingehalt, keine Transmembran-Strukturen in der Aminosäuresequenz und eine geringe Größe auf (Abbildung A 16 und Abbildung 3.17). Über solche Effektor-charakteristischen Kriterien (Condon *et al.*, 2013) und die Identifizierung von Genen, die keiner orthologen Gruppe angehören [OrthoMCL-Algorithmus (Chen *et al.*, 2006)], konnten bislang noch unbekannte putative und artspezifische Effektoren von *R. commune* und *R. secalis* identifiziert werden (Abbildung 3.17). Artspezifische Effektoren könnten auf Grund ihres spezifischen Vorkommens in einer *Rhynchosporium*-Art an der Wirtsspezialisierung und damit der Aufspaltung der Mitglieder der *Rhynchosporium*-Gattung Anteil haben. Durch Transkriptionsanalysen im Zuge der funktionellen Charakterisierung wurden sechs Gene für das Gerstenpathogen und eines für das Roggenpathogen für weiterführende Untersuchungen ausgewählt (Abbildung 3.18). Wie zu erwarten zeigten die Transkriptionsuntersuchungen der artspezifischen Effektorgene ebenfalls den Effektor-

charakteristischen Expressionsverlauf während der Etablierungsphase des Pilzes im Wirt. Auf Grund der evolutionär relativ jungen *Rhynchosporium*-Arten sind wenige artspezifische Effektoren identifiziert worden.

In unabhängigen Mutanten wurde jeweils das Gen *RcSP1.1*, *RcSP2.1*, *RcSP3.1, RcSP5.1*, *RcSP6* oder *RcSP9* deletiert. Die Deletion des Gens *RsSPa* der Art *R. secalis* wird erst in zukünftigen Arbeiten untersucht. Eine Transformation von *R. secalis* wurde bereits im Rahmen dieser Arbeit erfolgreich getestet (Abbildung A 19). Der bereits bekannte Effektor NIP2.1 könnte möglicherweise für eine Reduktion der Abwehr der Wirtspflanze verantwortlich sein, da bei *NIP2.1*-Deletion eine Verringerung der Virulenz im Vergleich zum Wildtyp beobachtet werden konnte. Eine weitere Erklärung wäre auch eine Hinderung der pilzlichen Entwicklung der Deletionsmutante. Die Proteine NIP1 und NIP3 wiederum fördern die pilzliche Entwicklung im Wildtypisolat UK7 durch Modifikation des umgebenden Milieus [siehe Seite 15; (Wevelsiep *et al.*, 1993)]. Die identifizierten putativen Effektoren könnten ähnliche Wirkungsweisen zeigen, was bei ihrem Verlust zu einer Reduktion des pilzlichen Wachstums oder zur verringerten Ausbildung von Symptomen führen würde (Stergiopoulos & Wit, 2009). Das genaue Gegenteil, nämlich eine signifikante Erhöhung des relativen pilzlichen Wachstums *in planta* jedoch nicht *ex planta*, ist aber für die Deletion der *RcSP*-Effektorgene gefunden worden (Hoffmann, 2015; Wöltje, 2015). Die Symptomausbildung im Vergleich zum Wildtypisolat UK7 verlief jedoch bei allen Deletionsmutanten außer der *RcSP9*-Deletionsmutante ohne erkennbare Unterschiede. Für eine Infektion mit der *RcSP9*-Deletionsmutante konnte eine zeitigere Symptomentwicklung als für UK7 beobachtet werden (W. Knogge, unveröffentlichte Daten).

Beschrieben wurde ein ähnlicher durch Gendeletion bedingter Anstieg der Biomasse bereits in dem nekrotrophen Pathogen *Botrytis cinerea* (Zhang *et al.*, 2015). Das pilzliche Wachstum nahm nach der Deletion einer Polyketidsynthase und einer Tetrahydroxynaphthalen-Reduktase zu. Für beide wird eine Rolle in der Melanin-Biosynthese vermutet. Weiterhin konnte für Mykorrhiza-Pilze und für Endophyten wie beispielsweise *P. indica* eine positive Wirkung auf die Biomassezunahme gezeigt werden. Das Genprodukt von *PIIN29* (E3-Ubiquitinligase-Aktivität) in *P. indica* hat in der Wirtspflanze eine supprimierende Wirkung auf die Transkription von R-Genen, die Produktion reaktiver Sauerstoffspezies und die Ablagerung von Kallose. Beim Verlust solcher Gene gerät die Balance, in der sich beide Partner befinden, aus dem Gleichgewicht (Plett & Martin, 2015). Die in *Rhynchosporium* identifizierten putativen Effektoren könnten als mutmaßliche Suppressoren des pilzlichen Wachstums Teil einer quantitativen Balance sein und ermöglichen vermutlich im Zusammenspiel mit anderen Faktoren ein vor dem Wirt verborgenes biotrophes Wachstum in der frühen Phase der Pathogenese.

Zusätzlich ist denkbar, dass ein Verlust oder eine Modifikation maskierender Faktoren zu einer Entwicklung von einem kommensalen Endophyten hin zu einem hemibiotrophen Pathogen auf bestimmten Pflanzen führte. Wenn man diese Idee weiter ausführt, könnte der Grund der Wirtspezialisierung von *Rhynchosporium*-Arten die Anpassung des pilzlichen Wachstums auf die Bedingungen im Wirt sein. Die Ausbildung der Läsionen könnte daher einer überhöhten Wachstumsrate geschuldet sein. Ohne diese Effektoren beschleunigt sich das Pilzwachstum, was jedoch für die Persistenz in einer Population von Wirtspflanzen von Nachteil sein kann. Das möglichst unentdeckte Wachstum im Wirt ist für die Erhaltung der Art ebenso wie ein kurzer Generationszyklus von großer Bedeutung (Rodriguez *et al.*, 2009; Atsatt & Whiteside, 2014). Ein zu schnelles Wachstum kann die pflanzliche Abwehr erhöhen oder im Extremfall die Nahrungsgrundlage, die Population der Wirte, vernichten (Foreman-Wykert & Miller, 2003; Dean *et al.*, 2012). Das Resultat für die Entwicklung der Pathogene muss eine Anpassung an den Wirt sein, um ein Optimum zwischen Wachstum und Schädigung des Wirtsgewebes zu schaffen. Dies kann mit einer Unterdrückung und Überwindung der pflanzlichen Abwehr erreicht werden. Diese Spezialisierung könnte aus dem möglicherweise ubiquitär verbreiteten Vorfahren der *Rhynchosporium spec.* ein wirtsspezifisches Pathogen gemacht haben. Die Faktoren, die den Unterschied des schmalen Wirtspektrums ausmachen, könnten in zukünftigen Arbeiten mit Hilfe des Genoms in vergleichenden Transkriptom-Analysen der Wirt- bzw. Nichtwirt-Pathogen-Interaktion ermittelt werden.

4.4.2 Artspezifische Genomregionen

Der Anteil an Genomregionen mit Genen, deren Funktionen bereits beschriebenen Genen zugeordnet werden konnten, beträgt für *R. secalis* lediglich 44,8% und für *R. agropyri* nur 43,8% (Abbildung A 22). Der daraus resultierende große Anteil an uncharakterisierten Bereichen enthält Sequenzabschnitte, die spezifisch für einige *Rhynchosporium*-Arten sein können. Die bislang ermittelten artspezifischen *scaffolds* beinhalten nur wenige bekannte Gene (Tabelle A 4), die nicht die Effektor-charakteristischen Kriterien erfüllen (Condon *et al.*, 2013). Es ist vorstellbar, dass diese Nicht-Effektorgene auf bislang unbekannte Weise an der Pathogenese beteiligt sind und in solchen Regionen kodiert werden. Ein Effekt auf die Wirtsspezifität oder die Pathogenese kann durch ihre Deletion in zukünftigen Analysen untersucht werden (Dean, 2007; Müller *et al.*, 2007). Zusätzlich könnten in diesen Bereichen regulatorische Elemente vorliegen, die die Gentranskription von ganzen Sequenzabschnitten bestimmen. Solche Regulatoren sind beispielsweise bei pilzlichen Pathogenen wie *U. maydis* beschrieben worden und beeinflussen die Transkription von sogenannten Pathogenitätsinseln im Genom (Hacker & Kaper, 2000; Dean, 2007). Da noch nicht alle

Genome das gleiche Annotationsniveau wie das des *R.-commune*-Isolates UK7 aufweisen, steht der Vergleich aller Genome zur Identifizierung von weiteren artspezifischen Regionen noch aus.

In der vorliegenden Arbeit wurden die Genmodelle des kürzesten, bislang ermittelten *scaffolds* der Art *R. secalis* in Abbildung A 23 näher betrachtet. Neben der Sequenzüberprüfung der Genmodelle fehlt auch die Quantifizierung ihrer Transkription. Bei Untersuchungen aller zur Verfügung stehenden Isolate wurden drei Gene für uncharakterisierte Proteine identifiziert, die nicht in *R. commune* vorkommen. Innerhalb der BCG-Gruppe ist das Fehlen dieser *R.-secalis*- bzw. *R.-agropyri*-Sequenzen in *R. commune* vermutlich der Spezialisierung auf den Wirt Gerste geschuldet. Eine mögliche Erklärung für die Abwesenheit dieser Gene wäre eine Erkennung der Genprodukte durch die Abwehr der Wirtspflanze und in diesem Fall, als Anpassung an den Wirt, eine Deletion der Gene (Foreman-Wykert & Miller; Martin & Kamoun, 2011). Für die Proteinsequenz der drei Nicht-Effektorgene wurde keine Sekretion vorhergesagt, weshalb die Genprodukte vermutlich nicht wie Effektoren außerhalb des Pathogens wirksam sind.

Neben den drei identifizierten Genen könnten noch weitere Gene artspezifisch auftreten, obwohl sie Orthologe in anderen Arten aufweisen. Denn falls eine Expression eines Gens während einer kompatiblen Pflanze-Pathogen-Interaktion spezifisch in nur einer *Rhynchosporium*-Art nachgewiesen werden könnte, wäre eine funktionelle Art- und damit Wirtsspezifität jener Gene durch Regulation der Transkription möglich. Zusätzlich wäre eine Wirtsspezifität durch strukturelle Unterschiede der Genprodukte möglich. Dies konnte etwa für die Proteinstruktur des Effektors NIP1 gezeigt werden. Die Unterschiede in der Struktur von NIP1 im Isolat AU2 im Vergleich zum Wildtypisolat UK7 verhindern die Erkennung durch die pflanzliche Abwehr (Rohe *et al.*, 1995).

4.5 *Rhynchosporium*-Proteom

Über die Genomanalysen hinaus wurden grundlegende Proteom-weite Untersuchungen durchgeführt. In diesem Pilotexperiment konnten *ex planta* Proteine aus Myzel, Sporen bzw. Kulturüberstand des Myzels (Sekretom) gewonnen worden. Dieses Experiment stellt die Voraussetzung für Proteom-weite Analysen der Pathogen-Wirt-Interaktion *in planta* dar. Durch massenspektrometrische Messungen und Datenanalysen mit einer *in silico* erstellten Datenbank für das Proteom des Isolates UK7 konnten die Proteine eindeutig identifiziert werden (digitaler Anhang, Abbildung 3.19). Wie zu erwarten ist in Myzel und Sporen die größte Anzahl an Proteinen vorhanden, denn beide Fraktionen beinhalten im Gegensatz zum Kulturüberstand pilzliche Zellen. Von den 1617 putativ sezernierten Proteinen (*in-silico*-Vorhersage) konnten unter diesen Kulturbedingungen

etwa 20% (324) als sezerniert nachgewiesen werden (Abbildung 3.19). Die verbleibenden 203 Proteine aus den 527 im Sekretom identifizierten könnten durch abgestorbene Zellen, unkonventionelle Sekretion bzw. durch Austritt aus porösen Zellmembranen in den Kulturüberstand gelangt sein (Shoji *et al.*, 2014). Bei einer Analyse des *in-planta*-Sekretoms würden vermutlich weitere bzw. andere Proteine als in diesem *ex-planta*-Versuch identifiziert werden. In einem methodisch ähnlichen Ansatz wurden für das nekrotrophe Pathogen *Botrytis cinerea* nur zirka 10% der vorhergesagten sezernierten Proteine ermittelt (González-Fernández *et al.*, 2015). Dabei umfasst das Sekretom in *R. commune* mit 13% sezernierten Proteinen (N-terminales Sekretionssignal) einen ähnlichen Anteil am Proteom wie in *B. cinerea* (ungefähr 16%) (*Fungal Secretome KnowledgeBase,* FunSecKB). Ebenfalls vergleichbar zu *R. commune* macht das vorhergesagte Sekretom von *A. nidulans*, *F. graminearum*, *M. oryzae*, *U. maydis* und *S. sclerotiorum* jeweils 20%, 18%, 22%, 21% und 15% des Gesamtproteoms aus (Choi *et al.*, 2010). Da Transkriptsequenzdaten zur Verifizierung der relativ kurzen Genmodelle bei *R. commune* fehlen, könnte die Anzahl vorhergesagter Proteine noch variieren. Der Anteil sekretierter Proteine am Gesamtproteom ist noch nicht endgültig festzustellen.

Nur wenige der bislang veröffentlichten Sekretomdaten phytopathogener Pilze sind mit hochauflösenden massenspektrometrischen Analysen erhoben worden. Der neuste Typ des Orbitrap-Analysators von Thermo Scientific ist erst seit einigen Jahren verfügbar. Eine Einordnung der Ergebnisse dieser Arbeit in früher veröffentlichten *ex-planta*- oder *in-planta*-Proteomdaten anderer Pilze (Kim *et al.*, 2008; de Oliveira & de Graaff, 2011) ist deshalb schwer möglich.

Es befinden sich vermutlich noch weitere Proteine geringer Größe und niedriger Abundanz im Sekretom. Diese werden vermutlich auf Grund der Detektionsmöglichkeiten der massenspektrometrischen Analyse nicht erfasst. Außerdem werden weitere Proteine womöglich nur *in planta* während der Pathogenese translatiert und sekretiert. Durch die Identifizierung bereits bekannter Virulenzfaktoren (NIP1, NIP2.1, NIP2.2) im *ex-planta*-Sekretom konnte nachgewiesen werden, dass eine in-*planta*-Detektion möglicher Pathogenität-beeinflussenden Proteine erreichbar ist.

4.5.1 Identifizierung eines Sporen-Markerproteins

Die Frage nach der Ursache für die verstärkte Biomassezunahme der *RcSP*-Deletionsmutanten (siehe Seite 107) und Deletionsmutanten vorangegangener Experimente (Wenzel, 2014) führte zu einer Untersuchung der Sporulation von *R. commune*. Es ist möglich, dass die rechnerische Biomassezunahme nicht durch eine Vermehrung der Zellen des Myzels, sondern auch durch eine Zunahme der Sporenzahl

hervorgerufen wurde. Da die relative Pilzbiomasse durch das Verhältnis eines Pilzgens zu einem Pflanzengen (Referenzgen) ermittelt wird, sorgt jede Zunahme an Zellkernen und damit Kopien des Pilzgens für eine Steigerung der relativen Biomasse im Vergleich zur Wirtspflanze. Eine Bestimmung der Sporenzahl während der Pathogenese ist schwierig. Ob der Anstieg der Biomasse tatsächlich auf Hyphenwachstum oder auf zeitiger Sporulation bzw. mehr Sporen zurückzuführen ist, könnte allerdings *in planta* über die Transkripte eines Markergens spezifisch für den Sporenmetabolismus oder die Sporenentwicklung nachzuweisen sein. Zur Identifizierung eines Sporen-spezifischen Proteins wurden die *ex planta* ermittelten Proteine des Myzels und des Sekretoms mit der Sporenfraktion verglichen. Es wird angenommen, dass der Großteil der Sporen erst zu späten Zeitpunkten, mit der Ausbildung der stromaähnlichen Myzelstruktur, gebildet wird (Ayesu-Offei & Clare, 1970). Die Transkriptmenge des Gens *RCO7_05588* zeigte als einzige der zehn untersuchten Gene einen Anstieg zu den späten Zeitpunkten der Infektion (Abbildung A 26). Aus der Verringerung der Transkriptmenge während der Infektion der übrigen neun Gene wäre vermutlich eine Funktion ihrer Proteine während der Keimung der Sporen oder eine Rolle in der anfänglichen Interaktion mit dem Wirt möglich. Allerdings sind diese neun Proteine spezifisch in Sporen gefunden worden. Dies lässt vermuten, dass die Translation trotz der niedrigen Expression zum Ende der Infektion in den Sporen stattfindet. Dabei muss aber bedacht werden, dass die Proteine *ex planta* als Sporen-spezifisch identifiziert wurden und *in-planta*-Infektionsversuche zu unterschiedlichen Ergebnissen kommen könnten. Ihre Funktion für die Sporulation bzw. in den Sporen bleibt ungeklärt (Tabelle A 5). Letzendlich sind die neun Gene als Markergen der Sporenproduktion ungeeignet.

Die Domänenstruktur des Proteins RCO7_05588 zeigt Ähnlichkeiten mit NmrA, einem negativen Regulator der Gentranskription. Auch die vergleichsweise niedrige Genexpression deutet auf einen Regulator hin. Die NmrA-Domäne wurde ursprünglich in Ascomyceten wie *Fusarium graminearum* und *Neurospora crassa* einer post-translationalen Modifikation des Transkriptionsfaktors AreA zugeordnet, ist aber auch bei anderen Pilzen wie *A. nidulans* gefunden worden (Andrianopoulos *et al.*, 1998; Stammers *et al.*, 2001; Giese *et al.*, 2013). AreA stimuliert in *F. graminearum* die Genexpression für die Nutzung nicht-präferierter Stickstoffquellen und die Produktion von Sekundärmetaboliten. NmrA modifiziert den AreA-Transkriptionsfaktor und beeinflusst damit negativ seine Aktivität. Ein putativ homologes *AreA*-Gen ist im Rahmen dieser Arbeit in *R. commune* identifiziert worden (ID: RCO7_09058), auf Proteinebene besteht dabei die größte Ähnlichkeit zu AreA aus *Marssonina brunnea f. sp. multigermtubi*. Die Expression von *RCO7_05588* könnte mit der Ernährung von *Rhynchosporium* im Blatt der Wirtspflanze zusammenhängen. Der Pilz initialisiert vielleicht bei Verknappung des Nährstoffangebotes die Sporenbildung, weshalb in dieser Phase NmrA als Regulator aktiv ist und zu einer Hemmung des Stickstoffmetabolismus spezifisch in den Sporen führt (Giese *et al.*, 2013).

Im Lauf der molekularbiologischen Untersuchung der Art *R. commune* wurden verschiedene Gene von Interesse zu ihrer funktionellen Charakterisierung deletiert. Dabei ist nach Verlust der Genexpression der Polyketidsynthase 1, der Pektin-Methylesterase 1, des *Rhynchosporium*-RXLR-Proteins 1 sowie der putativen *RcSP*-Effektorgene *in planta* eine höhere relative Pilzbiomasse im Vergleich zum Wildtyp ermittelt worden (Matern, 2011; Wenzel, 2014; Hoffmann, 2015; Wöltje, 2015). Ob der Anstieg der relativen Biomasse auf einer vermehrten Bildung von Sporen beruht, wurde durch Analysen der Expression von *RCO7_05588* 14 Tage nach Inokulation der Gerstensorte Ingrid im Vergleich zum Wildtyp UK7 überprüft (Abbildung 3.20 C). Eine signifikante Änderung des potentiellen Sporenmarkers konnte nicht beobachtet werden. Damit ist der erhöhte Biomassewert vermutlich auf eine vermehrte Hyphenbildung der Mutanten zurückzuführen. Allerdings konnte die Sporulation in der Interaktion des *R.-commune*-Isolates UK7 und der Gerstensorte Ingrid unter Phytokammerbedingungen bislang noch nicht nachgewiesen werden. Es wäre deshalb auch denkbar, dass in der hoch suszeptiblen Gerstensorte lediglich eine Vermehrung des Myzels stattfindet und der Pilz erst bei widrigeren Lebensbedingungen sporuliert. Bei einem Hyphenwachstum würde auch der Sporenmarker nicht exprimiert.

Die Analyse der sezernierten Proteine und der *ex-planta*-Fraktionen beruhten als Pilotexperiment auf einem nicht reproduzierten Ansatz und müssen für eine tiefergehende Untersuchung der an der Pathogenese beteiligten Faktoren sowie dem hier als Sporenmarker klassifizierten Protein verifiziert werden. Für weiterführende Experimente im Hinblick auf die Pflanze-Pathogen-Interaktion wurden bereits im Rahmen dieser Arbeit Proben der Wachstumskinetik einer *R.-commune*-Infektion für die Proteinisolierung genommen (Abbildung A 24). Durch die hohe Ausbeute an identifizierten Proteinen mit den in dieser Arbeit angewandten Methoden ist eine Untersuchung der Wechselwirkungen während der Pathogenese auf Ebene des Proteoms erstmals möglich. Somit können neue Einblicke in die wechselseitigen Reaktionen beider Partner, dem Pathogen wie der Pflanze, gewonnen werden.

4.6 Verbreitung und Lebensweise von *Rhynchosporium*

Die Entwicklung der *Rhynchosporium spec.* aus einem gemeinsamen Vorfahren und die Spezialisierung dieser Arten auf Süßgräser lässt eine Koevolution vermuten. Die Gräser wurden im Lauf der Sesshaftwerdung des Menschen zu Kulturpflanzen, die zur Anpassung der gewünschten Eigenschaften züchterisch verändert worden sind. Der Vorfahr der *Rhynchosporium*-Arten ist vermutlich ein Pathogen oder ein Endophyt der ursprünglichen Süßgräser, welche wir heute als Wiesengräser und Getreidearten kennen. Durch die nahe Verwandtschaft der heutigen Arten mit dem Pappelpathogen *Marssonina brunnea* wäre auch ein Ursprung als biotroph lebender Pilz auf

dikotyledonen Pflanzen denkbar. Die züchterische Aufspaltung der Süßgräser in die heutigen Getreidearten und deren Verbreitung wurde durch neusteinzeitliche sesshafte Landwirte vom „fruchtbaren Halbmond“ am nördlichen Rand der syrischen Wüste aus bis nach Skandinavien durchgeführt. Damit erreichten die Vorfahren der heutigen Wirte den mutmaßlichen Ursprung der Gattung *Rhynchosporium* (Brunner *et al.*, 2007; Avrova & Knogge, 2012). Im Lauf der Entdeckung und Kolonialisierung aller sieben Kontinente sind auch verschiedenste Pathogene weltweit verbreitet worden. Angesichts des mutmaßlichen Ursprungs von *Rhynchosporium* im kühlen und feuchten Klima Skandinaviens konnte sich überall dort, wo ein entsprechendes Klima mit dem Auftreten der Wirte zusammenfiel, eine Population an eingeschleppten *Rhynchosporium*-Arten etablieren. So hat sich beispielsweise der Erreger der Blattfleckenkrankheit auf Gerste, *R. commune*, bis nach Australien ausgebreitet. Dies belegen die Isolate der Gattung *Rhynchosporium*, die auf der ganzen Welt gewonnen werden konnten (Brunner *et al.*, 2007). Weiterhin lässt sich die Verbreitung der Pathogene auch mit der Erschließung neuer landwirtschaftlicher Nutzflächen durch die seefahrenden Kolonialmächte verknüpfen (Avrova & Knogge, 2012). Durch eine lange Latenzzeit auf den Wirten ist eine Trennung von Saatgut ohne *Rhynchosporium*-Befall von kontaminiertem Saatgut oftmals schwierig, da die Pflanzen bis auf einige Blattflecken gesund wirken. Eine Ausbreitung über das Saatgut ist möglich, da Gräsern die Ausbildung von Früchten bei Befall mit *Rhynchosporium spec.* weiterhin möglich ist. Verdeckt war es *Rhynchosporium* somit möglich, sich von Skandinavien aus in unterschiedlichsten Regionen der Erde zu verbreiten.

Wie in Abbildung 1.4 dargestellt, wächst der Pilz nach der Penetration der Kutikula innerhalb der pektinreichen Schicht der Blätter und verursacht nekrotische Läsionen (Abbildung 1.3). Diese treten nicht direkt nach Invasion des Blattes, sondern erst verzögert auf (Avrova & Knogge, 2012). Zusätzlich sind Gerstensorten beschrieben worden, die eine spätere Ausprägung der Symptome unter Phytokammerbedingungen zeigten und dadurch weniger anfällig wirkten (Habgood & Hayes, 1971). Die Interaktionen solcher Arten mit dem Pathogen werden als moderat suszeptibel bezeichnet. Ein Beispiel dafür ist die Interaktion des *R.-commune*-Isolates UK7 mit der Gerstensorte Atlas (Abbildung 3.9). Zeitlich verzögert gegenüber stark anfälligen Sorten kommt es bei dieser Sorte unter kontrollierten Bedingungen ebenfalls zur Ausprägung starker Symptome. Dies spricht für eine länger oder kürzer andauernde biotrophe Lebensphase im Verlauf der Infektion des Wirts. Diese Beobachtung führte zur Klassifizierung des Erregers als hemibiotrophes Pathogen (Perfect & Green, 2001; Siersleben *et al.*, 2014). In der Literatur wird im Kontext der Effektor-vermittelten Suszeptibilität und der Effektor-vermittelten Immunität die Stellung der hemibiotrophen Pathogene diskutiert (Abbildung 1.1). Es stellt sich die Frage, ob die Erkennung eines Elicitors bzw. Avirulenzfaktors bei diesen Organismen nicht zu einer vollständigen Resistenz führten, sondern eher zu einer verstärkten Abwehr (ETD) und schlussendlich

dadurch beim Pathogen zu einer reduzierten Virulenz (Stotz *et al.*, 2014). Dies würde sich wiederum in einer längeren biotrophen Phase widerspiegeln. Die Erkennung solcher Faktoren kann, wie am Beispiel des *NIP1*-Genprodukts im Gerstenpathogen *R. commune* gezeigt, für eine vollständige Avirulenz auf resistenten Gerstensorten sorgen. Aber bei vielen Isolaten der Gattung *Rhynchosporium* scheint der Verlust dieses Faktors keinen essentiellen Unterschied im Erfolg des Befalls von Gerstensorten zu verursachen (Schürch *et al.*, 2004). Unter Phytokammerbedingungen konnte lediglich eine verringerte Virulenz auf suszeptiblen Gerstenpflanzen nach Deletion des *NIP1*-Gens festgestellt werden (Kirsten *et al.*, 2012). Eine spätere Ausprägung der Symptome und eine geringere relative Pilzbiomasse im direkten Vergleich zum Wildtyp ist die Folge. Am Beispiel des Verlustes der Virulenzfaktoren NIP2.1 und NIP3 wird dies ebenfalls deutlich. Diese Faktoren tragen zusammen mit anderen zur Ausprägung der Virulenz des Pathogens bei, sind aber einzeln nicht ausschlaggebend für eine erfolgreiche Pathogenese (Huitema *et al.*, 2004; Kamoun, 2007; Kirsten *et al.*, 2012). Das Pathogen besitzt somit nicht essentielle Virulenzfaktoren, die bei Erkennung durch den Wirt verändert oder gar deletiert werden können. Dies befähigt den Erreger sich weiterhin erfolgreich in einer Wirtspopulation verbreiten zu können. Bei hemibiotropher Lebensweise könnte jederzeit die Virulenz reduziert werden, um ein Überleben für die Population sicherzustellen. Den Gedanken weiterführend liegt deshalb die Vermutung nahe, dass möglicherweise viele *Rhynchosporium*-Arten noch unbekannt sind, weil sie mit reduzierter Virulenz durch Verlust und Modifikation der Virulenzfaktoren symptomlos auftreten und deshalb bislang unentdeckt sind.

Für eine bislang noch unentdeckte, rein biotrophe Lebensweise *Rhynchosporiums* spricht zusätzlich die Existenz eines möglichen Teleomorphs. Durch eine Verbreitung von Sporen könnte die sexuelle Vermehrung auf einer benachbarten mono- oder sogar dikotyledonen Pflanze stattfinden. Da eine Entdeckung der sexuellen Fruchtform noch aussteht, existiert diese vermutlich auch ohne das Auftreten von Symptomen. Allerdings sind bisher lediglich anamorphe Formen der Gattung *Rhynchosporium* beschrieben worden. Trotz passender Kreuzungspartner für eine sexuelle Vermehrung bleiben die Hauptfruchtformen der Pathogene verborgen. In Analysen der Kreuzungstypen [*mating-type* (*MAT*) Lokus] von *Rhynchosporium spec.* konnte eine ähnliche Verteilung der beiden Typen *MAT1-1* und *MAT1-2* gezeigt werden. Darüber hinaus wurde bei einer Untersuchung der *MAT*-Loci in 21 Isolaten aus Großbritannien Homothallismus ausgeschlossen. Auch eine gleiche Zusammensetzung der Kreuzungstypen, ob *MAT1-1* oder *MAT1-2*, wurde für die jeweiligen Isolate gefunden (Goodwin, 2002; Foster & Fitt, 2003). Auf Grund der konservierten und ähnlich verteilten Kreuzungspartner ist es wahrscheinlich, dass eine sexuelle Vermehrung und damit eine Hauptfruchtform der *Rhynchosporium spec.* existiert. Beispielsweise ist der phytopathogene Pilz *Gymnosporangium sabinae* (Birnengitterrost) als Anamorph auf *Pyrus spec.* (Birnen) zu finden, wobei die teleomorphe Form erst später auf *Juniperus spec.* (Wacholder)

entdeckt wurde. Ein möglicherweise avirulenter *Rhynchosporium*-Teleomorph könnte in Ermangelung makroskopischer Symptome bislang unentdeckt bleiben.

Auf Grund des geänderten Wachstums nach Deletion von Effektor- und Nicht-Effektorgenen im Isolat UK7 ist von einer Beeinflussung des Zusammenspiels von Pathogen und Wirt auszugehen. Die möglicherweise supprimierenden Wirkungen der *RcSP*-Effektorgen-Produkte, der Polyketidsynthase 1, der Pektin-Methylesterase 1 sowie des RXLR-Proteins 1 tragen vermutlich zur Kontrolle des Pilzwachstums bei. Für die hier betrachtete Art *R. commune* könnte dies für eine erfolgreiche Besiedlung und Verbreitung innerhalb der Wirtspflanze Gerste ausschlaggebend sein. Eine Kontrolle bzw. Beschränkung des Wachstums reduziert wahrscheinlich eine Entdeckung durch den Wirt bei gleichzeitiger größtmöglicher Biomasseproduktion durch die Versorgung mit pflanzlichen Nährstoffen. Solch eine Wachstumskontrolle muss speziell auf die Bedingungen der pflanzlichen Abwehr abgestimmt sein mit dem Ziel einer erfolgreichen Pathogenese auf einem spezifischen Wirt. Die Effektoren und Nicht-Effektoren tragen wahrscheinlich quantitativ zur Ausprägung der Virulenz bei. Im Vergleich dazu sind bei vielen bisherigen Untersuchungen von Pflanze-Pathogen-Interaktionen oft qualitative Ursachen für die Pathogenität auf einem bestimmten Wirt zu finden.

Ein Beispiel für die qualitative Resistenz in einer Pflanze-Pathogen-Interaktion ist die Erkennung des sezernierten Faktors Xa21 von *Xanthomonas oryzae* durch Muster-erkennende Rezeptoren (PRR) von Reis (Song *et al.*, 1995). Bei biotroph und hemibiotroph lebenden Mikroorganismen könnte die Dosierung der Virulenz und damit eine schnelle Anpassung an Änderungen der pflanzlichen Abwehr von großer Bedeutung sein. Die Reduzierung und Umgehung der pflanzlichen Abwehr findet sich auch in endophytisch lebenden Pilzen, die eine mutualistische Beziehung mit ihrem Wirt eingehen. In den Wurzelspitzen von *Pinus taeda*, die durch den Mykorrhiza-Pilz *Piloderma croceum* besiedelt waren, konnten Gene für kleine Effektor-ähnliche Proteine nachgewiesen werden (Liao *et al.*, 2014). Bei einem anderen Mykorrhiza-Pilz (*Rhizophagus irregularis*) konnte die Repression des Ethylen-Signalweges, der an der pflanzlichen Abwehr beteiligt ist, durch das Effektor-ähnliche Protein SP7 gezeigt werden (Xu *et al.*, 1994; Camehl *et al.*, 2010; Plett *et al.*, 2014b). Die reduzierte Abwehr ermöglicht das endophytische Wachstum in der Wirtspflanze.

Zusammenfassend ist für die Entwicklung von *Rhynchosporium* im Wirtsgewebe gezeigt worden, dass die Deletion bzw. Stilllegung der Transkription einiger Gene zu einer Verringerung und anderer zu einer Steigerung der Virulenz führten. Das subtile Gleichgewicht, welches sich für die Interaktion des Pilzes mit dem Wirt eingestellt hat, wird durch diese Mutationen gestört und bedingt die Veränderung des pilzlichen Wachstums mit zum Teil veränderter Symptomatik. Dieses Gleichgewicht ist wichtig für die biotrophe Ernährung während der Entwicklung von *Rhynchosporium* im Wirtsgewebe. Das Kippen der Balance kann die Interaktion gefährden. Beispielsweise

konnte bei *Epichloë spec.* (Endophyten in Gräsern) eine Änderung hin zur Pathogenität durch die Einführung von Mutationen in Stress-bezogenen Genen nachgewiesen werden (Eaton *et al.*, 2011; Charlton *et al.*, 2012). Auch *Rhynchosporium*-Arten, die sich ähnlich zu den *Epichloë*-Endophyten innerhalb der Wirtspflanze ausbreiten (Christensen *et al.*, 2008), könnten vermutlich rein symptomlos in noch unbekannten Wirten wachsen. Mit stark abgeschwächtem Pilzwachstum im Vergleich zu den hier beschriebenen virulenten Isolaten könnte eine solche Lebensweise von noch unentdeckten *Rhynchosporium*-Isolaten möglich sein. Die Anwesenheit von Virulenz-steigernden Faktoren, zu denen auch die NIPs zählen, könnte den Unterschied zwischen einer ausschließlich biotrophen und einer hemibiotrophen Lebensweise ausmachen. Die in dieser Arbeit durchgeführten Untersuchungen führten zu einer modifizierten Interpretation der Lebensweise von *Rhynchosporium* auf seiner Wirtspflanze.

4.7 Zusammenfassung

Die Erforschung molekularer Mechanismen der *Rhynchosporium*-Blattfleckenkrankheit ist essentiell für die Entwicklung von Bekämpfungsstrategien. Bisherige Analysen hatten lediglich beschränkten Zugang zu den *Rhynchosporium*-Genomen und betrachteten wenige Effektoren.

Im Zuge der Genomsequenzierung der *Rhynchosporium*-Arten während dieser Arbeit wurde anhand der Gensequenzen die phylogenetische Einordnung der *Rhynchosporium*-Gattung in die Klasse der *Leotiomycetes* bestätigt. Eine zusätzliche genomweite Analyse SNP-haltiger Bereiche inklusive der Untersuchung der rDNA-Struktur verschiedener *Rhynchosporium*-Arten konnte die evolutionäre Aufspaltung der BCG-Arten klären. Die Evolution der *Rhynchosporium*-Arten spiegelte sich in der der Wirtspflanzen wider.

Die bereits bekannten Effektoren *Rhynchosporiums* NIP1, NIP2 und NIP3 konnten mit Hinblick auf die sequenzierten Genome analysiert werden. Im Gegensatz zu *NIP1* und *NIP3* wurde eine *NIP2*-Genfamilie in den untersuchten Isolaten der BCG-Arten identifiziert. Die während der funktionellen Charakterisierung dieser *NIP2*-Homologen in *R. commune* nachgewiesene zusammenhängende Regulation der Transkription lässt auf eine redundante Funktion der Genprodukte schließen. Während der Infektion suszeptibler Wirte tragen die NIP2-Homologen gemeinsam zur Virulenz bei. Anstelle klassischer Gendeletion wurde die Funktion der Mitglieder der *NIP2*-Genfamilie mittels Stilllegung der Gentranskription untersucht. Die Stilllegung verursachte eine verringerte Virulenz und ein nahezu symptomloses Wachstum. Ohne die charakteristischen Blattflecken könnte das *Rhynchosporium*-Wachstum in der Wirtspflanze womöglich als endophytisch bezeichnet werden.

Es wurden weitere Effektoren spezifisch für die ökonomisch bedeutsamsten Arten *R. commune* und *R. secalis* identifiziert. Die Deletion der *R.-commune*-spezifischen Effektorgene und die damit einhergehende Erhöhung der Pilzbiomasse im Vergleich zum Wildtyp während der Infektion suszeptibler Gerstenpflanzen steht vermutlich mit einer Verkürzung der biotrophen Lebensphase in Zusammenhang. Dies könnte möglicherweise eine verminderte Fitness unter natürlichen Bedingungen nach sich ziehen. Diese wirtsspezifisch vorkommenden Effektoren von *R. commune* tragen durch ihren supprimierenden Effekt auf das pilzliche Wachstum wahrscheinlich zur Balance der Pflanze-Pathogen-Interaktion bei. Vermutlich hängt die Evolution dieser Effektoren mit der Anpassung an einen spezifischen Wirt zusammen und trug somit zur Wirtsspezialisierung und Bildung der *Rhynchosporium*-Arten bei.

Nachfolgende Analysen sowie der Einsatz von in dieser Arbeit entwickelten Techniken könnten die Wirtsspezifität der Arten ergründen. Somit ließe sich das Bild der Pathogenese weiter vervollständigen, um geeignete Bekämpfungsstrategien zu finden.

Literaturverzeichnis

Ahmed, A. B. A., A. V. Vakhrushev, C. López, G. P. Pogue, H. Bücking, J. R. Stangarlin, M. A. Malboobi, M. S. Shahid, P. Kamiński and S. S. M. Mostafa (2012). The Role of the Mycorrhizal Symbiosis in Nutrient Uptake of Plants and the Regulatory Mechanisms Underlying These Transport Processes, INTECH Open Access Publisher.

Altschul, S. F., T. L. Madden, A. A. Schäffer, J. Zhang, Z. Zhang, W. Miller and D. J. Lipman (1997). "Gapped BLAST and PSI-BLAST: a new generation of protein database search programs." Nucleic Acids Research **25**(17): 3389-3402.

Andrianopoulos, A., S. Kourambas, J. A. Sharp, M. A. Davis and M. J. Hynes (1998). "Characterization of the *Aspergillus nidulans nmrA* Gene Involved in Nitrogen Metabolite Repression." Journal of Bacteriology **180**(7): 1973-1977.

Andrie, R. M., J. P. Martinez and L. M. Ciuffetti (2005). "Development of *ToxA* and *ToxB* promoter-driven fluorescent protein expression vectors for use in filamentous ascomycetes." Mycologia **97**(5): 1152-1161.

Assaad, F. F., J.-L. Qiu, H. Youngs, D. Ehrhardt, L. Zimmerli, M. Kalde, G. Wanner, S. C. Peck, H. Edwards, K. Ramonell, C. R. Somerville and H. Thordal-Christensen (2004). "The PEN1 Syntaxin Defines a Novel Cellular Compartment upon Fungal Attack and Is Required for the Timely Assembly of Papillae." Molecular Biology of the Cell **15**(11): 5118-5129.

Atsatt, P. R. and M. D. Whiteside (2014). "Novel Symbiotic Protoplasts Formed by Endophytic Fungi Explain Their Hidden Existence, Lifestyle Switching, and Diversity within the Plant Kingdom." PLoS ONE **9**(4): e95266.

Avrova, A. and W. Knogge (2012). "*Rhynchosporium commune:* a persistent threat to barley cultivation." Molecular Plant Pathology **13**(9): 986-997.

Ayesu-Offei, E. N. and B. G. Clare (1970). "Processes in the Infection of Barley Leaves by *Rhynchosporium secalis*." Australian Journal of Biological Sciences **23**(2): 300-308.

Bailey, T. L., M. Boden, F. A. Buske, M. Frith, C. E. Grant, L. Clementi, J. Ren, W. W. Li and W. S. Noble (2009). "MEME Suite: tools for motif discovery and searching." Nucleic Acids Research **37**(Web Server issue): W202-W208.

Bary, A. (1886). Über einige Sclerotinien und Sclerotienkrankheiten.

Bender, C. L., F. Alarcón-Chaidez and D. C. Gross (1999). "*Pseudomonas syringae* Phytotoxins: Mode of Action, Regulation, and Biosynthesis by Peptide and Polyketide Synthetases." Microbiology and Molecular Biology Reviews **63**(2): 266-292.

Bendtsen, J. D., L. J. Jensen, N. Blom, G. von Heijne and S. Brunak (2004). "Feature-based prediction of non-classical and leaderless protein secretion." Protein Engineering Design and Selection **17**(4): 349-356.

Benhamou, N. (1996). "Elicitor-induced plant defence pathways." Trends in Plant Science **1**(7): 233-240.

Besemer, J. and M. Borodovsky (2005). "GeneMark: web software for gene finding in prokaryotes, eukaryotes and viruses." Nucleic Acids Research **33**(suppl 2): W451-W454.

Börner, H. (2009). Pflanzenkrankheiten und Pflanzenschutz, Springer-Verlag Berlin Heidelberg.

Bresinsky, A., C. Körner, J. W. Kadereit, G. Neuhaus and U. Sonnewald (2008). Strasburger – Lehrbuch der Botanik. Heidelberg, Spektrum Akademischer Verlag.

Broad_Institute. (2011). "Fusarium oxysporum Assembly and Gene Annotation." from http://www.broadinstitute.org/annotation/genome/fusarium_group/AssemblyStats.html.

Brundrett, M. C. (2002). "Coevolution of roots and mycorrhizas of land plants." New Phytologist **154**(2): 275-304.

Brunner, P. C., S. Schürch and B. A. McDonald (2007). "The origin and colonization history of the barley scald pathogen *Rhynchosporium secalis*." Journal of Evolutionary Biology **20**(4): 1311-1321.

Brunner, P. C., S. F. F. Torriani, D. Croll, E. H. Stukenbrock and B. A. McDonald (2013). "Coevolution and Life Cycle Specialization of Plant Cell Wall Degrading Enzymes in a Hemibiotrophic Pathogen." Molecular Biology and Evolution **30**(6): 1337-1347.

Caldwell, R. M. (1937). "*Rhynchosporium* scald of barley, rye and other grasses." Journal of Agricultural Research **55**: 175–198.

Camehl, I., I. Sherameti, Y. Venus, G. Bethke, A. Varma, J. Lee and R. Oelmüller (2010). "Ethylene signalling and ethylene-targeted transcription factors are required to balance beneficial and nonbeneficial traits in the symbiosis between the endophytic fungus *Piriformospora indica* and *Arabidopsis thaliana*." New Phytologist **185**(4): 1062-1073.

Ceroni, A., A. Passerini, A. Vullo and P. Frasconi (2006). "DISULFIND: a disulfide bonding state and cysteine connectivity prediction server." Nucleic Acids Research **34**(suppl 2): W177-W181.

Charlton, N. D., J.-Y. Shoji, S. R. Ghimire, J. Nakashima and K. D. Craven (2012). "Deletion of the Fungal Gene *soft* Disrupts Mutualistic Symbiosis between the Grass Endophyte *Epichloë festucae* and the Host Plant." Eukaryotic Cell **11**(12): 1463-1471.

Chen, F., A. J. Mackey, C. J. Stoeckert and D. S. Roos (2006). "OrthoMCL-DB: querying a comprehensive multi-species collection of ortholog groups." Nucleic Acids Research **34**(suppl 1): D363-D368.

Chen, S., P. Songkumarn, R. C. Venu, M. Gowda, M. Bellizzi, J. Hu, W. Liu, D. Ebbole, B. Meyers, T. Mitchell and G.-L. Wang (2012). "Identification and Characterization of In planta–Expressed Secreted Effector Proteins from *Magnaporthe oryzae* That Induce Cell Death in Rice." Molecular Plant-Microbe Interactions **26**(2): 191-202.

Chen, X., J. Zaro and W.-C. Shen (2013). "Fusion Protein Linkers: Property, Design and Functionality." Advanced drug delivery reviews **65**(10): 1357-1369.

Cheng, J., H. Saigo and P. Baldi (2006). "Large-Scale Prediction of Disulphide Bridges Using Kernel Methods, Two-Dimensional Recursive Neural Networks, and Weighted Graph Matching." Proteins: Structure, Function, and Bioinformatics **62**(3): 617-629.

Choi, J., J. Park, D. Kim, K. Jung, S. Kang and Y.-H. Lee (2010). "Fungal Secretome Database: Integrated platform for annotation of fungal secretomes." BMC Genomics **11**(1): 1-15.

Christensen, M. J., R. J. Bennett, H. A. Ansari, H. Koga, R. D. Johnson, G. T. Bryan, W. R. Simpson, J. P. Koolaard, E. M. Nickless and C. R. Voisey (2008). "*Epichloë* endophytes grow by intercalary hyphal extension in elongating grass leaves." Fungal Genetics and Biology **45**(2): 84-93.

Condon, B. J., Y. Leng, D. Wu, K. E. Bushley, R. A. Ohm, R. Otillar, J. Martin, W. Schackwitz, J. Grimwood, N. MohdZainudin, C. Xue, R. Wang, V. A. Manning, B. Dhillon, Z. J. Tu, B. J. Steffenson, A. Salamov, H. Sun, S. Lowry, K. LaButti, J. Han, A. Copeland, E. Lindquist, K. Barry, J. Schmutz, S. E. Baker, L. M. Ciuffetti, I. V. Grigoriev, S. Zhong and B. G. Turgeon (2013). "Comparative Genome Structure, Secondary Metabolite, and Effector Coding Capacity across *Cochliobolus* Pathogens." PLoS Genet **9**(1): e1003233.

Crooks, G. E., G. Hon, J.-M. Chandonia and S. E. Brenner (2004). "WebLogo: A Sequence Logo Generator." Genome Research **14**(6): 1188-1190.

Cross, A. S. (2008). "What is a virulence factor?" Critical Care **12**(6): 196-196.

Dababat, A. E.-F. A. S. and R. A. Sikora (2007). "Influence of the mutualistic endophyte *Fusarium oxysporum* 162 on *Meloidogyne incognita* attraction and invasion." Nematology **9**(6): 771-776.

de Castro, E., C. J. A. Sigrist, A. Gattiker, V. Bulliard, P. S. Langendijk-Genevaux, E. Gasteiger, A. Bairoch and N. Hulo (2006). "ScanProsite: detection of PROSITE signature matches and ProRule-associated functional and structural residues in proteins." Nucleic Acids Research **34**(suppl 2): W362-W365.

de Jonge, R., H. Peter van Esse, A. Kombrink, T. Shinya, Y. Desaki, R. Bours, S. van der Krol, N. Shibuya, M. H. A. J. Joosten and B. P. H. J. Thomma (2010). "Conserved Fungal LysM Effector Ecp6 Prevents Chitin-Triggered Immunity in Plants." Science **329**(5994): 953-955.

de Jonge, R. and B. P. H. J. Thomma (2009). "Fungal LysM effectors: extinguishers of host immunity?" Trends in Microbiology **17**(4): 151-157.

de Oliveira, J. M. P. F. and L. H. de Graaff (2011). "Proteomics of industrial fungi: trends and insights for biotechnology." Applied Microbiology and Biotechnology **89**(2): 225-237.

de Wit, P. J. G. M. (2007). "How plants recognize pathogens and defend themselves." Cellular and Molecular Life Sciences **64**(21): 2726-2732.

Dean, R., J. A. L. Van Kan, Z. A. Pretorius, K. E. Hammond-Kosack, A. Di Pietro, P. D. Spanu, J. J. Rudd, M. Dickman, R. Kahmann, J. Ellis and G. D. Foster (2012). "The Top 10 fungal pathogens in molecular plant pathology." Molecular Plant Pathology **13**(4): 414-430.

Dean, R. A. (2007). "Fungal gene clusters." Nat Biotech **25**(1): 67-67.

Dean, R. A., N. J. Talbot, D. J. Ebbole, M. L. Farman, T. K. Mitchell, M. J. Orbach, M. Thon, R. Kulkarni, J.-R. Xu, H. Pan, N. D. Read, Y.-H. Lee, I. Carbone, D. Brown, Y. Y. Oh, N. Donofrio, J. S. Jeong, D. M. Soanes, S. Djonovic, E. Kolomiets, C. Rehmeyer, W. Li, M. Harding, S. Kim, M.-H. Lebrun, H. Bohnert, S. Coughlan, J. Butler, S. Calvo, L.-J. Ma, R. Nicol, S. Purcell, C. Nusbaum, J. E. Galagan and B. W. Birren (2005). "The genome sequence of the rice blast fungus *Magnaporthe grisea*." Nature **434**(7036): 980-986.

Deising, H. B., S. Werner and M. Wernitz (2000). "The role of fungal appressoriain plant infection." Microbes and Infection **2**(13): 1631-1641.

Dejonckheere, J. F. (1994). "EVIDENCE FOR THE ANCESTRAL ORIGIN OF GROUP-I INTRONS IN THE SSURDNA OF NAEGLERIA SPP." Journal of Eukaryotic Microbiology **41**(5): 457-463.

Divon, H. H. and R. Fluhr (2007). "Nutrition acquisition strategies during fungal infection of plants." FEMS Microbiology Letters **266**(1): 65-74.

Doehlemann, G., R. Wahl, R. J. Horst, L. M. Voll, B. Usadel, F. Poree, M. Stitt, J. Pons-Kühnemann, U. Sonnewald, R. Kahmann and J. Kämper (2008). "Reprogramming a maize plant: transcriptional and metabolic changes induced by the fungal biotroph *Ustilago maydis*." The Plant Journal **56**(2): 181-195.

Don, R. H., P. T. Cox, B. J. Wainwright, K. Baker and J. S. Mattick (1991). "'Touchdown' PCR to circumvent spurious priming during gene amplification." Nucleic Acids Research **19**(14): 4008.

Duò, A., R. Bruggmann, S. Zoller, M. Bernt and C. R. Grünig (2012). "Mitochondrial genome evolution in species belonging to the *Phialocephala fortinii* s.l. - *Acephala applanata species* complex." BMC Genomics **13**: 166-166.

Eaton, C. J., M. P. Cox and B. Scott (2011). "What triggers grass endophytes to switch from mutualism to pathogenism?" Plant Science **180**(2): 190-195.

Eckardt, N. A. (2008). "Chitin Signaling in Plants: Insights into the Perception of Fungal Pathogens and Rhizobacterial Symbionts." The Plant Cell **20**(2): 241-243.

Emanuelsson, O., H. Nielsen, S. Brunak and G. von Heijne (2000). "Predicting Subcellular Localization of Proteins Based on their N-terminal Amino Acid Sequence." Journal of Molecular Biology **300**(4): 1005-1016.

Ettinger, W. F., S. K. Thukral and P. E. Kolattukudy (1987). "Structure of Cutinase Gene, cDNA, and the Derived Amino Acid Sequence from Phytopathogenic Fungi." Biochemistry **26**(24): 7883-7892.

FAOSTAT. (2009). "Ranking of cereal crops in the world." from https://web.archive.org/web/20090508002052/http://faostat.fao.org/.

Fedorova, N. D., N. Khaldi, V. S. Joardar, R. Maiti, P. Amedeo, M. J. Anderson, J. Crabtree, J. C. Silva, J. H. Badger, A. Albarraq, S. Angiuoli, H. Bussey, P. Bowyer, P. J. Cotty, P. S. Dyer, A. Egan, K. Galens, C. M. Fraser-Liggett, B. J. Haas, J. M. Inman, R. Kent, S. Lemieux, I. Malavazi, J. Orvis, T. Roemer, C. M. Ronning, J. P. Sundaram, G. Sutton, G. Turner, J. C. Venter, O. R. White, B. R. Whitty, P. Youngman, K. H. Wolfe, G. H. Goldman, J. R. Wortman, B. Jiang, D. W. Denning and W. C. Nierman (2008). "Genomic Islands in the Pathogenic Filamentous Fungus *Aspergillus fumigatus*." PLoS Genet **4**(4): e1000046.

Ferrè, F. and P. Clote (2006). "DiANNA 1.1: an extension of the DiANNA web server for ternary cysteine classification." Nucleic Acids Research **34**(Web Server issue): W182-W185.

Finn, R. D., A. Bateman, J. Clements, P. Coggill, R. Y. Eberhardt, S. R. Eddy, A. Heger, K. Hetherington, L. Holm, J. Mistry, E. L. L. Sonnhammer, J. Tate and M. Punta (2014). "Pfam: the protein families database." Nucleic Acids Research **42**(D1): D222-D230.

Flutre, T., E. Duprat, C. Feuillet and H. Quesneville (2011). "Considering Transposable Element Diversification in *De Novo* Annotation Approaches." PLoS ONE **6**(1): e16526.

Foreman-Wykert, A. K. and J. F. Miller (2003). "Hypervirulence and pathogen fitness." Trends in Microbiology **11**(3): 105-108.

Foster, S. J. and B. D. L. Fitt (2003). "Isolation and characterisation of the mating-type (*MAT*) locus from *Rhynchosporium secalis*." Current Genetics **44**(5): 277-286.

Frank, A. (1897). "Über die Zerstörung durch einen neuen Gerste-Pilz." Wochenschrift Brauerei **14**: 518–520.

Friesen, T. L., J. D. Faris, P. S. Solomon and R. P. Oliver (2008). "Host-specific toxins: effectors of necrotrophic pathogenicity." Cellular Microbiology **10**(7): 1421-1428.

Fu, J., E. Hettler and B. L. Wickes (2006). "Split marker transformation increases homologous integration frequency in *Cryptococcus neoformans*." Fungal Genetics and Biology **43**(3): 200-212.

Galagan, J. E., S. E. Calvo, K. A. Borkovich, E. U. Selker, N. D. Read, D. Jaffe, W. FitzHugh, L.-J. Ma, S. Smirnov, S. Purcell, B. Rehman, T. Elkins, R. Engels, S. Wang, C. B. Nielsen, J. Butler, M. Endrizzi, D. Qui, P. Ianakiev, D. Bell-Pedersen, M. A. Nelson, M. Werner-Washburne, C. P. Selitrennikoff, J. A. Kinsey, E. L. Braun, A. Zelter, U. Schulte, G. O. Kothe, G. Jedd, W. Mewes, C. Staben, E. Marcotte, D. Greenberg, A. Roy, K. Foley, J. Naylor, N. Stange-Thomann, R. Barrett, S. Gnerre, M. Kamal, M. Kamvysselis, E. Mauceli, C. Bielke, S. Rudd, D. Frishman, S. Krystofova, C. Rasmussen, R. L. Metzenberg, D. D. Perkins, S. Kroken, C. Cogoni, G. Macino, D. Catcheside, W. Li, R. J. Pratt, S. A. Osmani, C. P. C. DeSouza, L. Glass, M. J. Orbach, J. A. Berglund, R. Voelker, O. Yarden, M. Plamann, S. Seiler, J. Dunlap, A. Radford, R. Aramayo, D. O. Natvig, L. A. Alex, G. Mannhaupt, D. J. Ebbole, M. Freitag, I. Paulsen, M. S. Sachs, E. S. Lander, C. Nusbaum and B. Birren (2003). "The genome sequence of the filamentous fungus *Neurospora crassa*." Nature **422**(6934): 859-868.

Gautheret, D. and A. Lambert (2001). "Direct RNA Motif Definition and Identification from Multiple Sequence Alignments using Secondary Structure Profiles." Journal of Molecular Biology **313**(5): 1003-1011.

Geese, W. J. and R. B. Waring (2001). "A comprehensive characterization of a group IB intron and its encoded maturase reveals that protein-assisted splicing requires an almost intact intron RNA." Journal of Molecular Biology **308**(4): 609-622.

Giese, H., T. E. Sondergaard and J. L. Sørensen (2013). "The AreA transcription factor in *Fusarium graminearum* regulates the use of some nonpreferred nitrogen sources and secondary metabolite production." Fungal Biology **117**(11–12): 814-821.

Giraldo, M. C. and B. Valent (2013). "Filamentous plant pathogen effectors in action." Nat Rev Micro **11**(11): 800-814.

Glazebrook, J. (2005). "Contrasting Mechanisms of Defense Against Biotrophic and Necrotrophic Pathogens." Annual Review of Phytopathology **43**(1): 205-227.

Gnerre, S., I. MacCallum, D. Przybylski, F. J. Ribeiro, J. N. Burton, B. J. Walker, T. Sharpe, G. Hall, T. P. Shea, S. Sykes, A. M. Berlin, D. Aird, M. Costello, R. Daza, L. Williams, R. Nicol, A. Gnirke, C. Nusbaum, E. S. Lander and D. B. Jaffe (2011). "High-quality draft assemblies of mammalian genomes from massively parallel sequence data." Proceedings of the National Academy of Sciences **108**(4): 1513-1518.

Golbabapour, S., M. A. Abdulla and M. Hajrezaei (2011). "A Concise Review on Epigenetic Regulation: Insight into Molecular Mechanisms." International Journal of Molecular Sciences **12**(12): 8661-8694.

González-Fernández, R., J. Valero-Galván, F. J. Gómez-Gálvez and J. V. Jorrín-Novo (2015). "Unraveling the *in vitro* secretome of the phytopathogen *Botrytis cinerea* to understand the interaction with its hosts." Frontiers in Plant Science **6**: 839.

Goodwin, S. B. (2002). "The barley scald pathogen *Rhynchosporium secalis* is closely related to the discomycetes *Tapesia* and *Pyrenopeziza*." Mycological Research **106**(6): 645-654.

Graap, J. (2013). "Quantifizierung der Expression von Effektorgenen des Pilzes *Rhynchosporium secalis*." Bachelor of Science, Hochschule Anhalt.

Grünig, C. R., T. N. Sieber, S. O. Rogers and O. Holdenrieder (2002). "Genetic variability among strains of *Phialocephala fortinii* and phylogenetic analysis of the genus *Phialocephala* based on rDNA ITS sequence comparisons." Canadian Journal of Botany **80**(12): 1239-1249.

Guindon, S., J.-F. Dufayard, V. Lefort, M. Anisimova, W. Hordijk and O. Gascuel (2010). "New Algorithms and Methods to Estimate Maximum-Likelihood Phylogenies: Assessing the Performance of PhyML 3.0." Systematic Biology **59**(3): 307-321.

Habgood, R. M. and J. D. Hayes (1971). "The inheritance of resistance to *Rhynchosporium secalis* in barley." Heredity **27**(1): 25-37.

Hacker, J. and J. B. Kaper (2000). "Pathogenicity Islands and the Evolution of Microbes." Annual Review of Microbiology **54**(1): 641-679.

Hahn, M., S. Jüngling and W. Knogge (1993). "Cultivar-specific elicitation of barley defense reactions by the phytotoxic peptide NIP1 from *Rhynchosporium secalis*." Molecular Plant-Microbe Interactions **6**(6): 745-754.

Hanahan, D. (1983). "Studies on transformation of *Escherichia coli* with plasmids." J Mol Biol **166**(4): 557-580.

Heath, M. (2000). "Hypersensitive response-related death." Plant Molecular Biology **44**(3): 321-334.

Hoffmann, J. (2015). "Charakterisierung neuer Effektorkandidaten von *Rhynchosporium commune*." Bachelor of Science, Hochschule Anhalt.

Holden, M. J. and H. Sze (1989). "Effects of *Helminthosporium maydis* Race T Toxin on Electron Transport in Susceptible Corn Mitochondria and Prevention of Toxin Actions by Dicyclohexylcarbodiimide." Plant Physiology **91**(4): 1296-1302.

Holzapfel, B. and L. Wickert (2007). "Die quantitative Real-Time-PCR (qRT-PCR). Methoden und Anwendungsgebiete." Biologie in unserer Zeit **37**(2): 120-126.

Hood, E. (2004). "RNAi: What's all the noise about gene silencing?" Environmental Health Perspectives **112**(4): A224-A229.

Horbach, R., A. R. Navarro-Quesada, W. Knogge and H. B. Deising (2011). "When and how to kill a plant cell: Infection strategies of plant pathogenic fungi." Journal of Plant Physiology **168**(1): 51-62.

Howard, R. J., M. A. Ferrari, D. H. Roach and N. P. Money (1991). "Penetration of hard substrates by a fungus employing enormous turgor pressures." Proceedings of the National Academy of Sciences **88**(24): 11281-11284.

Howard, R. J. and B. Valent (1996). "BREAKING AND ENTERING: Host Penetration by the Fungal Rice Blast Pathogen *Magnaporthe grisea*." Annual Review of Microbiology **50**(1): 491-512.

Hughes, S. (1990). "Antelope activate the acacia's alarm system." New Scientist.

Huitema, E., J. I. B. Bos, M. Tian, J. Win, M. E. Waugh and S. Kamoun (2004). "Linking sequence to phenotype in *Phytophthora*–plant interactions." Trends in Microbiology **12**(4): 193-200.

Ichinose, Y., F. Taguchi and T. Mukaihara (2013). "Pathogenicity and virulence factors of *Pseudomonas syringae*." Journal of General Plant Pathology **79**(5): 285-296.

Ingle, R. A., M. Carstens and K. J. Denby (2006). "PAMP recognition and the plant–pathogen arms race." BioEssays **28**(9): 880-889.

Irelan, J. and E. Selker (1996). "Gene silencing in filamentous fungi: RIP, MIP and quelling." Journal of Genetics **75**(3): 313-324.

James, T. Y., F. Kauff, C. L. Schoch, P. B. Matheny, V. Hofstetter, C. J. Cox, G. Celio, C. Gueidan, E. Fraker, J. Miadlikowska, H. T. Lumbsch, A. Rauhut, V. Reeb, A. E. Arnold, A. Amtoft, J. E. Stajich, K. Hosaka, G.-H. Sung, D. Johnson, B. O/'Rourke, M. Crockett, M. Binder, J. M. Curtis, J. C. Slot, Z. Wang, A. W. Wilson, A. Schuszler, J. E. Longcore, K. O/'Donnell, S. Mozley-Standridge, D. Porter, P. M. Letcher, M. J. Powell, J. W. Taylor, M. M. White, G. W. Griffith, D. R. Davies, R. A. Humber, J. B. Morton, J. Sugiyama, A. Y. Rossman, J. D. Rogers, D. H. Pfister, D. Hewitt, K. Hansen, S. Hambleton, R. A. Shoemaker, J. Kohlmeyer, B. Volkmann-Kohlmeyer, R. A. Spotts, M. Serdani, P. W. Crous, K. W. Hughes, K. Matsuura, E. Langer, G. Langer, W. A. Untereiner, R. Lucking, B. Budel, D. M. Geiser, A. Aptroot, P. Diederich, I. Schmitt, M. Schultz, R. Yahr, D. S. Hibbett, F. Lutzoni, D. J. McLaughlin, J. W. Spatafora and R. Vilgalys (2006). "Reconstructing the early evolution of Fungi using a six-gene phylogeny." Nature **443**(7113): 818-822.

Jones, D. T. (1999). "Protein Secondary Structure Prediction Based on Position-specific Scoring Matrices." Journal of Molecular Biology **292**(2): 195-202.

Jones, D. T., W. R. Taylor and J. M. Thornton (1992). "The rapid generation of mutation data matrices from protein sequences." Computer applications in the biosciences **8**(3): 275-282.

Jones, J. D. G. and J. L. Dangl (2006). "The plant immune system." Nature **444**(7117): 323-329.

Jones, P. and P. G. Ayres (1972). "The nutrition of the subcuticular mycelium of *Rhynchosporium secalis* (barley leaf blotch): permeability changes induced in the host." Physiological Plant Pathology **2**(4): 383-392.

Jumpponen, A. R. I. and J. M. Trappe (1998). "Dark septate endophytes: a review of facultative biotrophic root-colonizing fungi." New Phytologist **140**(2): 295-310.

K. Saikkonen, S. H. Faeth, M. Helander and T. J. Sullivan (1998). "FUNGAL ENDOPHYTES: A Continuum of Interactions with Host Plants." Annual Review of Ecology and Systematics **29**(1): 319-343.

Kaczmarek, A., P. Vandenabeele and Dmitri V. Krysko (2013). "Necroptosis: The Release of Damage-Associated Molecular Patterns and Its Physiological Relevance." Immunity **38**(2): 209-223.

Kadotani, N., H. Nakayashiki, Y. Tosa and S. Mayama (2003). "RNA Silencing in the Phytopathogenic Fungus *Magnaporthe oryzae*." Molecular Plant-Microbe Interactions **16**(9): 769-776.

Kaessmann, H. (2010). "Origins, evolution, and phenotypic impact of new genes." Genome Research **20**(10): 1313-1326.

Kamoun, S. (2007). "Groovy times: filamentous pathogen effectors revealed." Current Opinion in Plant Biology **10**(4): 358-365.

Kelley, L. A., S. Mezulis, C. M. Yates, M. N. Wass and M. J. E. Sternberg (2015). "The Phyre2 web portal for protein modeling, prediction and analysis." Nat. Protocols **10**(6): 845-858.

Khang, C. H., R. Berruyer, M. C. Giraldo, P. Kankanala, S.-Y. Park, K. Czymmek, S. Kang and B. Valent (2010). "Translocation of *Magnaporthe oryzae* Effectors into Rice Cells and Their Subsequent Cell-to-Cell Movement." The Plant Cell **22**(4): 1388-1403.

Kim, J.-Y., S.-C. Park, I. Hwang, H. Cheong, J.-W. Nah, K.-S. Hahm and Y. Park (2009). "Protease Inhibitors from Plants with Antimicrobial Activity." International Journal of Molecular Sciences **10**(6): 2860-2872.

Kim, Y., M. P. Nandakumar and M. R. Marten (2008). "The state of proteome profiling in the fungal genus *Aspergillus*." Briefings in Functional Genomics & Proteomics **7**(2): 87-94.

King, K. M., J. S. West, P. C. Brunner, P. S. Dyer and B. D. L. Fitt (2013). "Evolutionary Relationships between *Rhynchosporium lolii* sp. nov. and Other *Rhynchosporium* Species on Grasses." PLoS ONE **8**(10): e72536.

King, K. M., J. S. West, B. D. L. Fitt and P. S. Dyer (2015). "Differences in *MAT* gene distribution and expression between *Rhynchosporium* species on grasses." Plant Pathology **64**(2): 344-354.

Kirsten, S., A. Navarro-Quezada, D. Penselin, C. Wenzel, A. Matern, A. Leitner, T. Baum, U. Seiffert and W. Knogge (2012). "Necrosis-Inducing Proteins of *Rhynchosporium commune*, Effectors in Quantitative Disease Resistance." Molecular Plant-Microbe Interactions **25**(10): 1314-1325.

Klarzynski, O., B. Plesse, J.-M. Joubert, J.-C. Yvin, M. Kopp, B. Kloareg and B. Fritig (2000). "Linear β-1,3 Glucans Are Elicitors of Defense Responses in Tobacco." Plant Physiology **124**(3): 1027-1038.

Knogge, W. (1998). "Fungal pathogenicity." Current Opinion in Plant Biology **1**(4): 324–328.

Knogge, W., A. Gierlich, H. Hermann, P. Wernert and M. Rohe (1994). Molecular Identification and Characterization of the *Nip1* Gene, an Avirulence Gene from the Barley Pathogen *Rhynchosporium secalis*. Advances in Molecular Genetics of Plant-Microbe Interactions. M. Daniels, J. A. Downie ß A. Osbourn, Springer Netherlands. **21:** 207-214.

Kobayashi, I., Y. Kobayashi, N. Yamaoka and H. Kunoh (1992). "Recognition of a pathogen and a nonpathogen by barley coleoptile cells. III. Responses of microtubules and actin filaments in barley coleoptile cells to penetration attempts." Canadian Journal of Botany **70**(9): 1815-1823.

Kobayashi, Y., M. Yamada, I. Kobayashi and H. Kunoh (1997). "Actin Microfilaments are Required for the Expression of Nonhost Resistance in Higher Plants." Plant and Cell Physiology **38**(6): 725-733.

Koch, R. (1912 (1884)). Gesammelte Werke von Robert Koch - Die Ätiologie der Tuberkulose. Leipzig, Verlag von Georg Thieme.

Koeck, M., A. R. Hardham and P. N. Dodds (2011). "The role of effectors of biotrophic and hemibiotrophic fungi in infection." Cellular microbiology **13**(12): 1849-1857.

Kohler, A., A. Kuo, L. G. Nagy, E. Morin, K. W. Barry, F. Buscot, B. Canback, C. Choi, N. Cichocki, A. Clum, J. Colpaert, A. Copeland, M. D. Costa, J. Dore, D. Floudas, G. Gay, M. Girlanda, B. Henrissat, S. Herrmann, J. Hess, N. Hogberg, T. Johansson, H.-R. Khouja, K. LaButti, U. Lahrmann, A. Levasseur, E. A. Lindquist, A. Lipzen, R. Marmeisse, E. Martino, C. Murat, C. Y. Ngan, U. Nehls, J. M. Plett, A. Pringle, R. A. Ohm, S. Perotto, M. Peter, R. Riley, F. Rineau, J. Ruytinx, A. Salamov, F. Shah, H. Sun, M. Tarkka, A. Tritt, C. Veneault-Fourrey, A. Zuccaro, C. Mycorrhizal Genomics Initiative, A. Tunlid, I. V. Grigoriev, D. S. Hibbett and F. Martin (2015). "Convergent losses of decay mechanisms and rapid turnover of symbiosis genes in mycorrhizal mutualists." Nat Genet **47**(4): 410-415.

KWS-SAAT-SE. (2015). "Rhynchosporium." from http://www.kws.de/aw/KWS/germany/Produkte/Getreide/Winterroggen/Anbau/Krankheiten/~fxwn/Rhynchosporium/.

Lagaert, S., T. Beliën and G. Volckaert (2009). "Plant cell walls: Protecting the barrier from degradation by microbial enzymes." Seminars in Cell & Developmental Biology **20**(9): 1064-1073.

Lassowskat, I., K. Naumann, J. Lee and D. Scheel (2013). "PAPE (Prefractionation-Assisted Phosphoprotein Enrichment): A Novel Approach for Phosphoproteomic Analysis of Green Tissues from Plants." Proteomes **1**(3): 254.

Le, S. Q. and O. Gascuel (2008). "An Improved General Amino Acid Replacement Matrix." Molecular Biology and Evolution **25**(7): 1307-1320.

Lehnackers, H. and W. Knogge (1990). "Cytological studies on the infection of barley cultivars with known resistance genotypes by *Rhynchosporium secalis*." Canadian Journal of Botany **68**(9): 1953-1961.

Lewis, D. H. (1973). "CONCEPTS IN FUNGAL NUTRITION AND THE ORIGIN OF BIOTROPHY." Biological Reviews **48**(2): 261-277.

Li, H., S. E. Smith, R. E. Holloway, Y. Zhu and F. A. Smith (2006). "Arbuscular mycorrhizal fungi contribute to phosphorus uptake by wheat grown in a phosphorus-fixing soil even in the absence of positive growth responses." New Phytologist **172**(3): 536-543.

Liao, H. L., Y. Chen, T. D. Bruns, K. G. Peay, J. W. Taylor, S. Branco, J. M. Talbot and R. Vilgalys (2014). "Metatranscriptomic analysis of ectomycorrhizal roots reveals genes associated with *Piloderma–Pinus* symbiosis: improved methodologies for assessing gene expression *in situ*." Environmental Microbiology **16**(12): 3730-3742.

Linde, C. C., M. Zala, S. Ceccarelli and B. A. McDonald (2003). "Further evidence for sexual reproduction in *Rhynchosporium secalis* based on distribution and frequency of mating-type alleles." Fungal Genetics and Biology **40**(2): 115-125.

Lindeberg, M., S. Cunnac and A. Collmer (2009). "The evolution of *Pseudomonas syringae* host specificity and type III effector repertoires." Molecular Plant Pathology **10**(6): 767-775.

Lyngs Jørgensen, H. J., E. de Neergaard and V. Smedegaard-Petersen (1993). "Histological examination of the interaction between *Rhynchosporium secalis* and susceptible and resistant cultivars of barley." Physiological and Molecular Plant Pathology **42**(5): 345-358.

Maekawa, T., B. Kracher, S. Vernaldi, E. Ver Loren van Themaat and P. Schulze-Lefert (2012). "Conservation of NLR-triggered immunity across plant lineages." Proceedings of the National Academy of Sciences of the United States of America **109**(49): 20119-20123.

Manning, V. A., A. L. Chu, J. E. Steeves, T. J. Wolpert and L. M. Ciuffetti (2009). "A Host-Selective Toxin of *Pyrenophora tritici-repentis*, Ptr ToxA, Induces Photosystem Changes

and Reactive Oxygen Species Accumulation in Sensitive Wheat." Molecular Plant-Microbe Interactions **22**(6): 665-676.

Maor, R. and K. Shirasu (2005). "The arms race continues: battle strategies between plants and fungal pathogens." Current Opinion in Microbiology **8**(4): 399-404.

Marchler-Bauer, A., M. K. Derbyshire, N. R. Gonzales, S. Lu, F. Chitsaz, L. Y. Geer, R. C. Geer, J. He, M. Gwadz, D. I. Hurwitz, C. J. Lanczycki, F. Lu, G. H. Marchler, J. S. Song, N. Thanki, Z. Wang, R. A. Yamashita, D. Zhang, C. Zheng and S. H. Bryant (2015). "CDD: NCBI's conserved domain database." Nucleic Acids Research **43**(D1): D222-D226.

Martin, F., A. Aerts, D. Ahren, A. Brun, E. G. J. Danchin, F. Duchaussoy, J. Gibon, A. Kohler, E. Lindquist, V. Pereda, A. Salamov, H. J. Shapiro, J. Wuyts, D. Blaudez, M. Buee, P. Brokstein, B. Canback, D. Cohen, P. E. Courty, P. M. Coutinho, C. Delaruelle, J. C. Detter, A. Deveau, S. DiFazio, S. Duplessis, L. Fraissinet-Tachet, E. Lucic, P. Frey-Klett, C. Fourrey, I. Feussner, G. Gay, J. Grimwood, P. J. Hoegger, P. Jain, S. Kilaru, J. Labbe, Y. C. Lin, V. Legue, F. Le Tacon, R. Marmeisse, D. Melayah, B. Montanini, M. Muratet, U. Nehls, H. Niculita-Hirzel, M. P. O.-L. Secq, M. Peter, H. Quesneville, B. Rajashekar, M. Reich, N. Rouhier, J. Schmutz, T. Yin, M. Chalot, B. Henrissat, U. Kues, S. Lucas, Y. Van de Peer, G. K. Podila, A. Polle, P. J. Pukkila, P. M. Richardson, P. Rouze, I. R. Sanders, J. E. Stajich, A. Tunlid, G. Tuskan and I. V. Grigoriev (2008). "The genome of *Laccaria bicolor* provides insights into mycorrhizal symbiosis." Nature **452**(7183): 88-92.

Martin, F. and S. Kamoun (2011). Effectors in Plant-Microbe Interactions, John Wiley & Sons**:** 88-89.

Matern, A. (2011). "Untersuchungen des putativen Effektorproteins RXP1 des Gerstenpathogens *Rhynchosporium commune*." Diplom, Martin-Luther-Universität Halle-Wittenberg.

McDowell, J. M. and J. L. Dangl (2000). "Signal transduction in the plant immune response." Trends in Biochemical Sciences **25**(2): 79-82.

Mendgen, K. and M. Hahn (2002). "Plant infection and the establishment of fungal biotrophy." Trends in Plant Science **7**(8): 352-356.

Morgan, W. and S. Kamoun (2007). "RXLR effectors of plant pathogenic oomycetes." Current Opinion in Microbiology **10**(4): 332-338.

Müller, C. and M. Riederer (2005). "PLANT SURFACE PROPERTIES IN CHEMICAL ECOLOGY." Journal of Chemical Ecology **31**(11): 2621-2651.

Müller, K. M., J. J. Cannone, R. R. Gutell and R. G. Sheath (2001). "A Structural and Phylogenetic Analysis of the Group IC1 Introns in the Order *Bangiales* (Rhodophyta)." Molecular Biology and Evolution **18**(9): 1654-1667.

Müller, O., P. H. Schreier and J. F. Uhrig (2007). "Identification and characterization of secreted and pathogenesis-related proteins in *Ustilago maydis*." Molecular Genetics and Genomics **279**(1): 27-39.

Mysore, K. S. and C.-M. Ryu (2004). "Nonhost resistance: how much do we know?" Trends in Plant Science **9**(2): 97-104.

Nakayashiki, H. and Q. B. Nguyen (2008). "RNA interference: roles in fungal biology." Current Opinion in Microbiology **11**(6): 494-502.

Nei, M. and S. Kumar (2000). Molecular Evolution and Phylogenetics. New York, Oxford University Press.

Notredame, C., D. G. Higgins and J. Heringa (2000). "T-Coffee: A Novel Method for Fast and Accurate Multiple Sequence Alignment." Journal of Molecular Biology **302**(1): 205-217.

Oudemans, C. A. J. A. (1897). "Observations mycologiques." Verslagen en Mededelingen van de Koninklijke Nederlandse Akademie van Wetenschappen Afdeling Natuurkunde **6**: 86–92.

Pais, M., J. Win, K. Yoshida, G. Etherington, L. Cano, S. Raffaele, M. Banfield, A. Jones, S. Kamoun and D. GO Saunders (2013). "From pathogen genomes to host plant processes: the power of plant parasitic oomycetes." Genome Biology **14**(6): 211.

Papadopoulou, K., R. E. Melton, M. Leggett, M. J. Daniels and A. E. Osbourn (1999). "Compromised disease resistance in saponin-deficient plants." Proceedings of the National Academy of Sciences **96**(22): 12923-12928.

Parra, G., K. Bradnam and I. Korf (2007). "CEGMA: a pipeline to accurately annotate core genes in eukaryotic genomes." Bioinformatics **23**(9): 1061-1067.

Patikoglou, G. A., J. L. Kim, L. Sun, S.-H. Yang, T. Kodadek and S. K. Burley (1999). "TATA element recognition by the TATA box-binding protein has been conserved throughout evolution." Genes & Development **13**(24): 3217-3230.

Pedersen, C., E. V. L. van Themaat, L. McGuffin, J. Abbott, T. Burgis, G. Barton, L. Bindschedler, X. Lu, T. Maekawa, R. WeSZling, R. Cramer, H. Thordal-Christensen, R. Panstruga and P. Spanu (2012). "Structure and evolution of barley powdery mildew effector candidates." BMC Genomics **13**(1): 694.

Penselin, D. (2010). "Untersuchungen zur Wirkungsweise von Virulenzfaktoren des Gerstenpathogens *Rhynchosporium secalis*." Diplom, Martin-Luther-Universität Halle-Wittenberg.

Perfect, S. E. and J. R. Green (2001). "Infection structures of biotrophic and hemibiotrophic fungal plant pathogens." Molecular Plant Pathology **2**(2): 101-108.

Petersen, T. N., S. Brunak, G. von Heijne and H. Nielsen (2011). "SignalP 4.0: discriminating signal peptides from transmembrane regions." Nat Meth **8**(10): 785-786.

Pfaffl, M. W. (2001). "A new mathematical model for relative quantification in real-time RT–PCR." Nucleic Acids Research **29**(9): e45-e45.

Pieterse, C. M., S. C. van Wees, J. A. van Pelt, M. Knoester, R. Laan, H. Gerrits, P. J. Weisbeek and L. C. van Loon (1998). "A Novel Signaling Pathway Controlling Induced Systemic Resistance in Arabidopsis." The Plant Cell **10**(9): 1571-1580.

Plett, J. M., Y. Daguerre, S. Wittulsky, A. Vayssières, A. Deveau, S. J. Melton, A. Kohler, J. L. Morrell-Falvey, A. Brun, C. Veneault-Fourrey and F. Martin (2014a). "Effector MiSSP7 of the mutualistic fungus *Laccaria bicolor* stabilizes the *Populus* JAZ6 protein and represses jasmonic acid (JA) responsive genes." Proceedings of the National Academy of Sciences of the United States of America **111**(22): 8299-8304.

Plett, J. M., A. Khachane, M. Ouassou, B. Sundberg, A. Kohler and F. Martin (2014b). "Ethylene and jasmonic acid act as negative modulators during mutualistic symbiosis between *Laccaria bicolor* and *Populus* roots." New Phytologist **202**(1): 270-286.

Plett, J. M. and F. Martin (2015). "Reconsidering mutualistic plant–fungal interactions through the lens of effector biology." Current Opinion in Plant Biology **26**: 45-50.

Ploetz, R. C. (2006). "Fusarium Wilt of Banana Is Caused by Several Pathogens Referred to as *Fusarium oxysporum* f. sp. *cubense*." Phytopathology **96**(6): 653-656.

Poland, J. A., P. J. Balint-Kurti, R. J. Wisser, R. C. Pratt and R. J. Nelson (2009). "Shades of gray: the world of quantitative disease resistance." Trends in Plant Science **14**(1): 21-29.

Porras-Alfaro, A. and P. Bayman (2011). "Hidden Fungi, Emergent Properties: Endophytes and Microbiomes." Annual Review of Phytopathology **49**(1): 291-315.

Postel, S. and B. Kemmerling (2009). "Plant systems for recognition of pathogen-associated molecular patterns." Seminars in Cell & Developmental Biology **20**(9): 1025-1031.

Pryce-Jones, E., T. I. M. Carver and S. J. Gurr (1999). "The roles of cellulase enzymes and mechanical force in host penetration by *Erysiphe graminis f.sp.hordei*." Physiological and Molecular Plant Pathology **55**(3): 175-182.

Read, D. J., J. G. Ducket, R. Francis, R. Ligron and A. Russell (2000). "Symbiotic fungal associations in 'lower' land plants." Philosophical Transactions of the Royal Society B: Biological Sciences **355**(1398): 815-831.

Reina-Pinto, J. J. and A. Yephremov (2009). "Surface lipids and plant defenses." Plant Physiology and Biochemistry **47**(6): 540-549.

Riddle, O. C. and C. A. Suneson (1948). "Sources and Use of Scald Resistance in Barley." Journal of the American Society of Agronomy **40**: 926-928.

Rodriguez, R. J., J. F. White Jr, A. E. Arnold and R. S. Redman (2009). "Fungal endophytes: diversity and functional roles." New Phytologist **182**(2): 314-330.

Rohe, M., A. Gierlich, H. Hermann, M. Hahn, B. Schmidt, S. Rosahl and W. Knogge (1995). "The race-specific elicitor, NIP1, from the barley pathogen, *Rhynchosporium secalis*, determines avirulence on host plants of the *Rrs1* resistance genotype." The EMBO Journal **14**(17): 4168-4177.

Rohe, M., J. Searle, A. C. Newton and W. Knogge (1996). "Transformation of the plant pathogenic fungus, *Rhynchosporium secalis*." Current Genetics **29**(6): 587-590.

Rovenich, H., J. C. Boshoven and B. P. H. J. Thomma (2014). "Filamentous pathogen effector functions: of pathogens, hosts and microbiomes." Current Opinion in Plant Biology **20**: 96-103.

Saito, A., M. Ishizaka, P. B. Francisco, T. Fujii and K. Miyashita (2000). "Transcriptional co-regulation of five chitinase genes scattered on the *Streptomyces coelicolor* A3(2) chromosome." Microbiology **146**(11): 2937-2946.

Salamov, A. A. and V. V. Solovyev (2000). "Ab initio Gene Finding in *Drosophila* Genomic DNA." Genome Research **10**(4): 516-522.

Sanabria, N., D. Goring, T. Nürnberger and I. Dubery (2008). "Self/nonself perception and recognition mechanisms in plants: a comparison of self-incompatibility and innate immunity." New Phytologist **178**(3): 503-514.

Schoch, C. L., P. W. Crous, J. Z. Groenewald, E. W. A. Boehm, T. I. Burgess, J. de Gruyter, G. S. de Hoog, L. J. Dixon, M. Grube, C. Gueidan, Y. Harada, S. Hatakeyama, K. Hirayama, T. Hosoya, S. M. Huhndorf, K. D. Hyde, E. B. G. Jones, J. Kohlmeyer, Å. Kruys, Y. M. Li, R. Lücking, H. T. Lumbsch, L. Marvanová, J. S. Mbatchou, A. H. McVay, A. N. Miller, G. K.

Mugambi, L. Muggia, M. P. Nelsen, P. Nelson, C. A. Owensby, A. J. L. Phillips, S. Phongpaichit, S. B. Pointing, V. Pujade-Renaud, H. A. Raja, E. R. Plata, B. Robbertse, C. Ruibal, J. Sakayaroj, T. Sano, L. Selbmann, C. A. Shearer, T. Shirouzu, B. Slippers, S. Suetrong, K. Tanaka, B. Volkmann-Kohlmeyer, M. J. Wingfield, A. R. Wood, J. H. C. Woudenberg, H. Yonezawa, Y. Zhang and J. W. Spatafora (2009). "A class-wide phylogenetic assessment of *Dothideomycetes*." Studies in Mycology **64**: 1-15-S10.

Schulz, B., A.-K. Römmert, U. Dammann, H.-J. Aust and D. Strack (1999). "The endophyte-host interaction: a balanced antagonism?" Mycological Research **103**(10): 1275-1283.

Schürch, S., C. C. Linde, W. Knogge, L. F. Jackson and B. A. McDonald (2004). "Molecular Population Genetic Analysis Differentiates Two Virulence Mechanisms of the Fungal Avirulence Gene *NIP1*." Molecular Plant-Microbe Interactions **17**(10): 1114-1125.

Shafran, H., I. Miyara, R. Eshed, D. Prusky and A. Sherman (2008). "Development of new tools for studying gene function in fungi based on the Gateway system." Fungal Genetics and Biology **45**(8): 1147-1154.

Shen, Q.-H., F. Zhou, S. Bieri, T. Haizel, K. Shirasu and P. Schulze-Lefert (2003). "Recognition Specificity and RAR1/SGT1 Dependence in Barley *Mla* Disease Resistance Genes to the Powdery Mildew Fungus." The Plant Cell **15**(3): 732-744.

Shipton, W. A., J. R. Boyd and S. M. Ali (1974). "Scald of barley." Annual Review of Phytopathology **53**: 839–861.

Shoji, J.-y., T. Kikuma and K. Kitamoto (2014). "Vesicle trafficking, organelle functions, and unconventional secretion in fungal physiology and pathogenicity." Current Opinion in Microbiology **20**: 1-9.

Siersleben, S., D. Penselin, C. Wenzel, S. Albert and W. Knogge (2014). "*PFP1*, a Gene Encoding an Epc-N Domain-Containing Protein, Is Essential for Pathogenicity of the Barley Pathogen *Rhynchosporium commune*." Eukaryotic Cell **13**(8): 1026-1035.

Smit, A., R. Hubley and P. Green. (2013-2015). "RepeatMasker Open-4.0." from http://www.repeatmasker.org.

Solomon, P. S., K.-C. Tan and R. P. Oliver (2003). "The nutrient supply of pathogenic fungi; a fertile field for study." Molecular Plant Pathology **4**(3): 203-210.

Song, W.-Y., G.-L. Wang, L.-L. Chen, H.-S. Kim, L.-Y. Pi, T. Holsten, J. Gardner, B. Wang, W.-X. Zhai, L.-H. Zhu, C. Fauquet and P. Ronald (1995). "A Receptor Kinase-Like Protein Encoded by the Rice Disease Resistance Gene, *Xa21*." Science **270**(5243): 1804-1806.

Souci, S. W., W. Fachmann and H. Kraut (2009). Lebensmitteltabelle für die Praxis. Stuttgart, Wissenschaftliche Verlagsgesellschaft.

Sperschneider, J., H. Ying, P. N. Dodds, D. M. Gardiner, N. M. Upadhyaya, K. B. Singh, J. M. Manners and J. M. Taylor (2014). "Diversifying selection in the wheat stem rust fungus acts predominantly on pathogen-associated gene families and reveals candidate effectors." Frontiers in Plant Science **5**: 372.

Spröer, C., H. Reichenbach and E. Stackebrandt (1999). The correlation between morphological and phylogenetic classification of myxobacteria, International Journal of Systematic Bacteriology.

Stacey, G. and N. T. Keen (2012). Plant-Microbe Interactions, Springer US.

Stammers, D. K., J. Ren, K. Leslie, C. E. Nichols, H. K. Lamb, S. Cocklin, A. Dodds and A. R. Hawkins (2001). "The structure of the negative transcriptional regulator NmrA reveals a structural superfamily which includes the short-chain dehydrogenase/reductases." The EMBO Journal **20**(23): 6619-6626.

Stanke, M. and B. Morgenstern (2005). "AUGUSTUS: a web server for gene prediction in eukaryotes that allows user-defined constraints." Nucleic Acids Research **33**(suppl 2): W465-W467.

Stedman, T. L. (2005). Stedman's Medical Dictionary, Lippincott Williams & Wilkins.

Stefansson, T. S., Y. Willi, D. Croll and B. A. McDonald (2014). "An assay for quantitative virulence in *Rhynchosporium commune* reveals an association between effector genotype and virulence." Plant Pathology **63**(2): 405-414.

Steinberg, G. (2007). "Hyphal Growth: a Tale of Motors, Lipids, and the Spitzenkörper." Eukaryotic Cell **6**(3): 351-360.

Steiner-Lange, S., A. Fischer, A. Boettcher, I. Rouhara, H. Liedgens, E. Schmelzer and W. Knogge (2003). "Differential Defense Reactions in Leaf Tissues of Barley in Response to Infection by *Rhynchosporium secalis* and to Treatment with a Fungal Avirulence Gene Product." Molecular Plant-Microbe Interactions **16**(10): 893-902.

Stergiopoulos, I. and T. R. Gordon (2014). "Cryptic fungal infections: the hidden agenda of plant pathogens." Frontiers in Plant Science **5**: 506.

Stergiopoulos, I. and P. J. G. M. d. Wit (2009). "Fungal Effector Proteins." Annual Review of Phytopathology **47**(1): 233-263.

Stotz, H. U., G. K. Mitrousia, P. J. G. M. de Wit and B. D. L. Fitt (2014). "Effector-triggered defence against apoplastic fungal pathogens." Trends in Plant Science **19**(8): 491-500.

Tamura, K., G. Stecher, D. Peterson, A. Filipski and S. Kumar (2013). "MEGA6: Molecular Evolutionary Genetics Analysis Version 6.0." Molecular Biology and Evolution **30**(12): 2725-2729.

Thomma, B. P. H. J., H. P. Van Esse, P. W. Crous and P. J. G. M. De Wit (2005). "*Cladosporium fulvum* (syn. *Passalora fulva*), a highly specialized plant pathogen as a model for functional studies on plant pathogenic Mycosphaerellaceae." Molecular Plant Pathology **6**(4): 379-393.

Tian, D., M. B. Traw, J. Q. Chen, M. Kreitman and J. Bergelson (2003). "Fitness costs of R-gene-mediated resistance in *Arabidopsis thaliana*." Nature **423**(6935): 74-77.

Torriani, S. F. F., D. Penselin, W. Knogge, M. Felder, S. Taudien, M. Platzer, B. A. McDonald and P. C. Brunner (2014). "Comparative analysis of mitochondrial genomes from closely related *Rhynchosporium* species reveals extensive intron invasion." Fungal Genetics and Biology **62**(0): 34-42.

Tóth, G., G. Deák, E. Barta and G. B. Kiss (2006). "PLOTREP: a web tool for defragmentation and visual analysis of dispersed genomic repeats." Nucleic Acids Research **34**(suppl 2): W708-W713.

UniProt-Consortium. (2002-2015). "UniProt." from http://www.uniprot.org/.

van't Slot, K. A. E., A. Gierlich and W. Knogge (2007). "A Single Binding Site Mediates Resistance- and Disease-Associated Activities of the Effector Protein NIP1 from the Barley Pathogen *Rhynchosporium secalis*." Plant Physiology **144**(3): 1654-1666.

van't Slot, K. A. E., H. A. van den Burg, C. P. A. M. Kloks, C. W. Hilbers, W. Knogge and C. H. M. Papavoine (2003). "Solution Structure of the Plant Disease Resistance-triggering Protein NIP1 from the Fungus *Rhynchosporium secalis* Shows a Novel *β*-Sheet Fold." Journal of Biological Chemistry **278**(46): 45730-45736.

van 't Slot, K. A. E. (2002). "Structure and function of the (a)virulence protein NIP1 of *Rhynchosporium secalis*." s.n.].

van Bakel, H., C. Nislow, B. J. Blencowe and T. R. Hughes (2010). "Most “Dark Matter” Transcripts Are Associated With Known Genes." PLoS Biology **8**(5): e1000371.

van der Heijden, M. G. A., F. M. Martin, M.-A. Selosse and I. R. Sanders (2015). "Mycorrhizal ecology and evolution: the past, the present, and the future." New Phytologist **205**(4): 1406-1423.

Van Huijsduijnen, R. A. M. H., S. W. Alblas, R. H. De Rijk and J. F. Bol (1986). "Induction by Salicylic Acid of Pathogenesis-related Proteins and Resistance to Alfalfa Mosaic Virus Infection in Various Plant Species." Journal of General Virology **67**(10): 2135-2143.

Wang, B. and Y.-L. Qiu (2006). "Phylogenetic distribution and evolution of mycorrhizas in land plants." Mycorrhiza **16**(5): 299-363.

Wasternack, C. (2007). "Jasmonates: An Update on Biosynthesis, Signal Transduction and Action in Plant Stress Response, Growth and Development." Annals of Botany **100**(4): 681-697.

Watanabe, M., T. Yonezawa, K.-i. Lee, S. Kumagai, Y. Sugita-Konishi, K. Goto and Y. Hara-Kudo (2011). "Molecular phylogeny of the higher and lower taxonomy of the *Fusarium* genus and differences in the evolutionary histories of multiple genes." BMC Evolutionary Biology **11**(1): 1-16.

Waterhouse, P. M. and C. A. Helliwell (2003). "EXPLORING PLANT GENOMES BY RNA-INDUCED GENE SILENCING." Nat Rev Genet **4**(1): 29-38.

Wawra, S., A. Djamei, I. Albert, T. Nürnberger, R. Kahmann and P. van West (2013). "In Vitro Translocation Experiments with RxLR-Reporter Fusion Proteins of Avr1b from *Phytophthora sojae* and AVR3a from *Phytophthora infestans* Fail to Demonstrate Specific Autonomous Uptake in Plant and Animal Cells." Molecular Plant-Microbe Interactions **26**(5): 528-536.

Weete, J. D., M. Abril and M. Blackwell (2010). "Phylogenetic Distribution of Fungal Sterols." PLoS ONE **5**(5): e10899.

Wenzel, C. (2014). "Identifizierung und Charakterisierung von putativen Virulenzfaktoren des Gerstenpathogens *Rhynchosporium commune*." Dr. rer. nat., Martin-Luther-Universität Halle-Wittenberg.

Wesley, S. V., C. A. Helliwell, N. A. Smith, M. Wang, D. T. Rouse, Q. Liu, P. S. Gooding, S. P. Singh, D. Abbott, P. A. Stoutjesdijk, S. P. Robinson, A. P. Gleave, A. G. Green and P. M. Waterhouse (2001). "Construct design for efficient, effective and high-throughput gene silencing in plants." The Plant Journal **27**(6): 581-590.

Wevelsiep, L., K.-H. Kogel and W. Knogge (1991). "Purification and characterization of peptides from *Rhynchosporium secalis* inducing necrosis in barley." Physiological and Molecular Plant Pathology **39**(6): 471–482.

Wevelsiep, L., E. Rupping and W. Knogge (1993). "Stimulation of Barley Plasmalemma H+-ATPase by Phytotoxic Peptides from the Fungal Pathogen *Rhynchosporium secalis*." Plant Physiology **101**(1): 297-301.

Whitelaw, E., H. Sutherland, M. Kearns, H. Morgan, L. Weaving and D. Garrick (2001). Epigenetic Effects on Transgene Expression. Gene Knockout Protocols. M. Tymms ß I. Kola, Humana Press. **158:** 351-368.

Wojtaszek, P. (1997). "Oxidative burst: an early plant response to pathogen infection." Biochemical Journal **322**(Pt 3): 681-692.

Wöltje, N. (2015). "Charakterisierung zweier Effektorgene des Gerstenpathogens *Rhynchosporium commune*." Bachelor of Science, Martin-Luther-Universität Halle-Wittenberg.

Xiang, T., N. Zong, Y. Zou, Y. Wu, J. Zhang, W. Xing, Y. Li, X. Tang, L. Zhu, J. Chai and J.-M. Zhou (2008). "*Pseudomonas syringae* Effector AvrPto Blocks Innate Immunity by Targeting Receptor Kinases." Current Biology **18**(1): 74-80.

Xu, Y., P. Chang, D. Liu, M. L. Narasimhan, K. G. Raghothama, P. M. Hasegawa and R. A. Bressan (1994). "Plant Defense Genes Are Synergistically Induced by Ethylene and Methyl Jasmonate." The Plant Cell **6**(8): 1077-1085.

Yang, J., R. Yan, A. Roy, D. Xu, J. Poisson and Y. Zhang (2015). "The I-TASSER Suite: protein structure and function prediction." Nat Meth **12**(1): 7-8.

Yang, X., T. J. Tschaplinski, G. B. Hurst, S. Jawdy, P. E. Abraham, P. K. Lankford, R. M. Adams, M. B. Shah, R. L. Hettich, E. Lindquist, U. C. Kalluri, L. E. Gunter, C. Pennacchio and G. A. Tuskan (2011). "Discovery and annotation of small proteins using genomics, proteomics, and computational approaches." Genome Research **21**(4): 634-641.

Yu, J.-H., Z. Hamari, K.-H. Han, J.-A. Seo, Y. Reyes-Domínguez and C. Scazzocchio (2004). "Double-joint PCR: a PCR-based molecular tool for gene manipulations in filamentous fungi." Fungal Genetics and Biology **41**(11): 973-981.

Zaffarano, P. L., B. A. McDonald and C. C. Linde (2008). "Rapid speciation following recent host shifts in the plant pathogenic fungus *Rhynchosporium*." Evolution **62**(6): 1418-1436.

Zaffarano, P. L., B. A. McDonald and C. C. Linde (2009). "Phylogeographical analyses reveal global migration patterns of the barley scald pathogen *Rhynchosporium secalis*." Molecular Ecology **18**(2): 279-293.

Zaffarano, P. L., B. A. McDonald and C. C. Linde (2011). "Two new species of *Rhynchosporium*." Mycologia **103**(1): 195-202.

Zaffarano, P. L., B. A. McDonald, M. Zala and C. C. Linde (2006). "Global Hierarchical Gene Diversity Analysis Suggests the Fertile Crescent Is Not the Center of Origin of the Barley Scald Pathogen *Rhynchosporium secalis*." Phytopathology **96**(9): 941-950.

Zeng, W., M. Melotto and S. Y. He (2010). "Plant stomata: a checkpoint of host immunity and pathogen virulence." Current opinion in biotechnology **21**(5): 599-603.

Zerbino, D. R. and E. Birney (2008). "Velvet: Algorithms for de novo short read assembly using de Bruijn graphs." Genome Research **18**(5): 821-829.

Zhan, J., B. D. L. Fitt, H. O. Pinnschmidt, S. J. P. Oxley and A. C. Newton (2008). "Resistance, epidemiology and sustainable management of *Rhynchosporium secalis* populations on barley." Plant Pathology **57**(1): 1-14.

Zhang, C., Y. He, P. Zhu, L. Chen, Y. Wang, B. Ni and L. Xu (2015). "Loss of *bcbrn1* and *bcpks13* in *Botrytis cinerea* Not Only Blocks Melanization But Also Increases Vegetative Growth and Virulence." Molecular Plant-Microbe Interactions **28**(10): 1091-1101.

Zhou, F., J. Kurth, F. Wei, C. Elliott, G. Valè, N. Yahiaoui, B. Keller, S. Somerville, R. Wise and P. Schulze-Lefert (2001). "Cell-Autonomous Expression of Barley *Mla1* Confers Race-Specific Resistance to the Powdery Mildew Fungus via a *Rar1*-Independent Signaling Pathway." The Plant Cell **13**(2): 337-350.

Zhu, S., Y.-Z. Cao, C. Jiang, B.-Y. Tan, Z. Wang, S. Feng, L. Zhang, X.-H. Su, B. Brejova, T. Vinar, M. Xu, M.-X. Wang, S.-G. Zhang, M.-R. Huang, R. Wu and Y. Zhou (2012). "Sequencing the genome of *Marssonina brunnea* reveals fungus-poplar co-evolution." BMC Genomics **13**(1): 382.

Anhang – Abbildungen

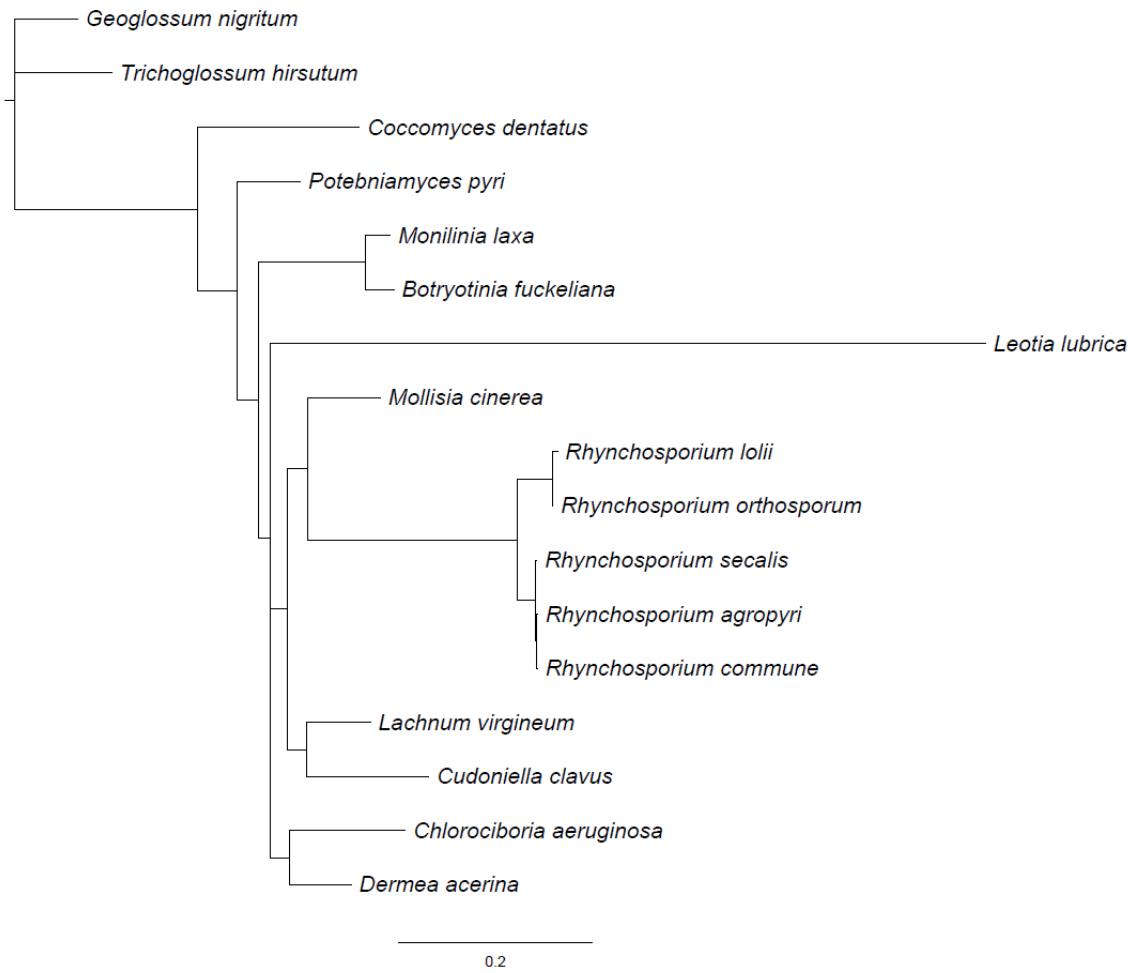

Abbildung A 1 Phylogenetische Einordnung der Gattung *Rhynchosporium* in die Klasse der *Leotiomycetes* mittels PhyML 3.0

Die 5 Arten der Gattung *Rhynchosporium* wurden in die Klasse der *Leotiomycetes* (Abteilung *Ascomycota*) eingeordnet (James *et al.*, 2006). Für die Berechnung der Phylogenie wurden Nukleotidsequenzen der 18S und 28S rDNA, der *internal transcribed spacer* Region (ITS), des Elongationsfaktors EF1a sowie der RNA-Polymerase II Untereinheiten (RPB1, RPB2) verwendet. Die konkatenierten Sequenzen der 17 verwendeten Taxa wurden in PhyML 3.0 importiert, um den Stammbaum (*maximum likelihood*) zu konstruieren. Maßstab: Anzahl an Substitutionen pro Nukleotid.

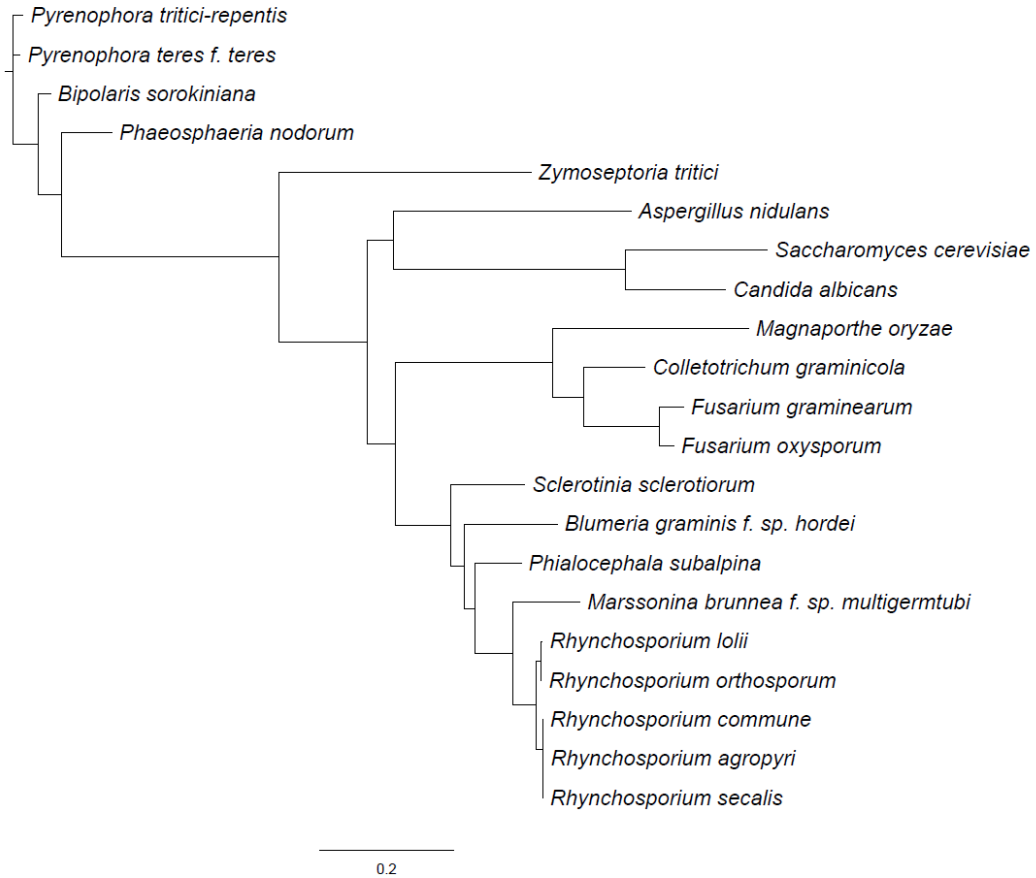

Abbildung A 2 Einordnung der Gattung *Rhynchosporium* mittels PhyML 3.0

Die Gattung *Rhynchosporium* wurde in die Klasse der *Leotiomycetes* (Abteilung *Ascomycota*) eingeordnet (James *et al.*, 2006). Es wurden für die Berechnung der Aufteilung Nukleotidsequenzen des Elongationsfaktors EF1a sowie der RNA-Polymerase II Untereinheiten (RPB1, RPB2) verwendet. Diese konkatenierten Sequenzen der 21 verwendeten Taxa wurden in PhyML 3.0 importiert, um den Stammbaum (*maximum likelihood*) zu konstruieren. Maßstab: Anzahl an Substitutionen pro Nukleotid.

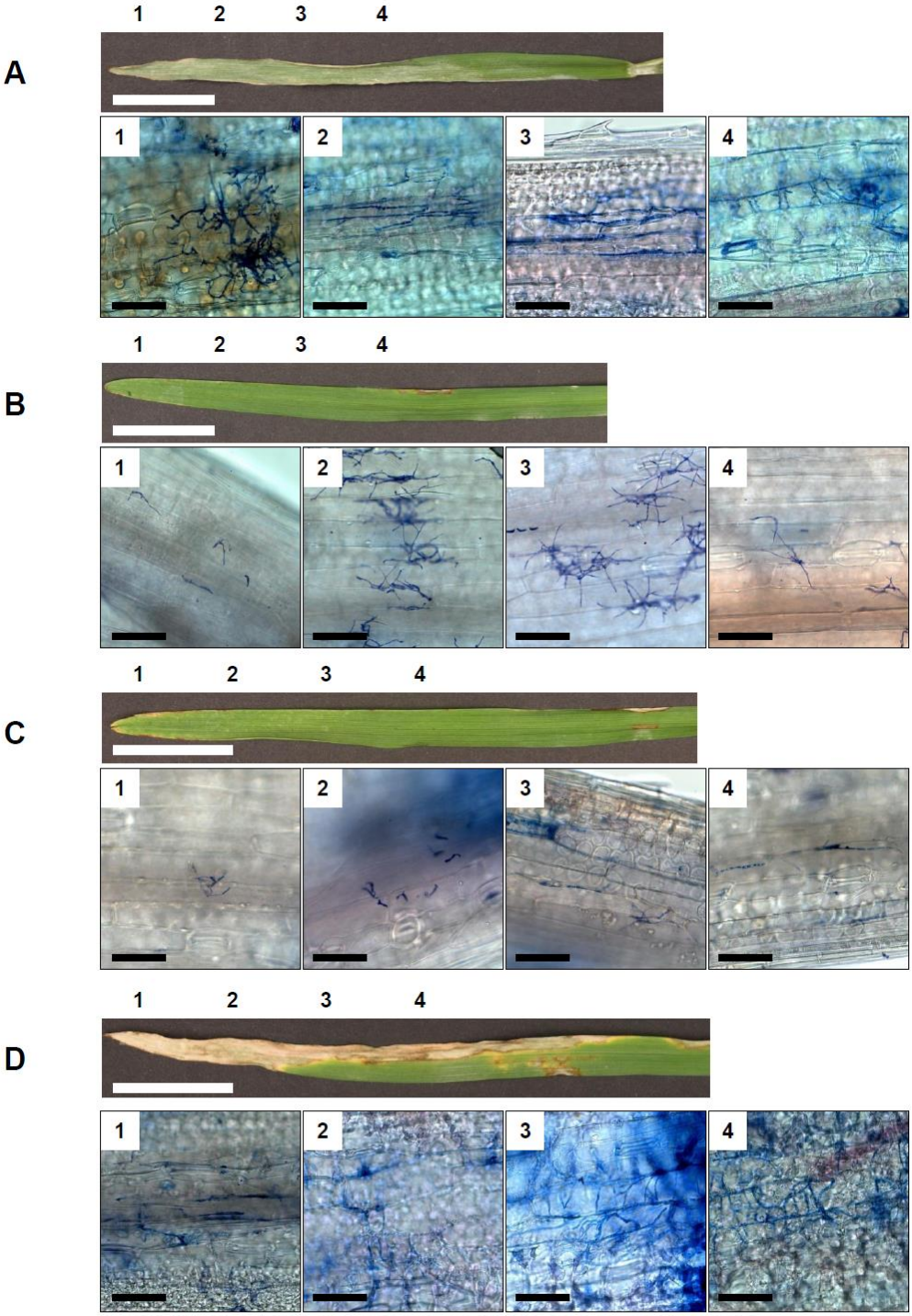

Abbildung A 3 Mikroskopische Aufnahmen *in planta* der Doppeldeletionsmutante von *NIP1* und *NIP2.1*

Ausprägung des Trypanblau-gefärbten Myzels im subkutikularen Bereich von Blättern der Gerstensorten Ingrid (**A**) zum Zeitpunkt 14 dpi sowie Atlas (**B**), Atlas 46 (**C**) und Turk (**D**) zum Zeitpunkt 21 dpi. Die mikroskopischen Aufnahmen erfolgten an den Positionen 1-4 der abgebildeten Primärblätter. Der weiße Maßstabsbalken entspricht 2 cm, der schwarze Maßstabsbalken 100 µm.

```
                 N-terminal                                                                                  C-terminal
                 1         10        20        30        40        60        70
RcNIP2.1-UK7     -YYVVVCVPR--DGAEIGDVEWAIQNRRH-D-LALGGKGFWRGH ··· VDVVALCRSDPY ···
RcNIP2.2-UK7     -YQVVICTFD--GGASIGDVEWAIQHRKD-E-LGLGGKGFWNGR ··· EQVVSLCRSDAF ···
RcNIP2.3-UK7     ASFAIVCVPQ--TPAKAGDAQWAAQHMKK-E-LALNPLGWWNGK ··· VDVFTFCRSATY ···
RcNIP2.4-UK7     -ASHVVCQAF--FGASIGDVEWAVVHRRK-E-LALGEKGFWGGR ··· -EVLSLCRSDPY ···
RcNIP2.6-UK7     YQAVVCTTFE--APASVDDAEWALVHRRQ-D-LALEGKGLWGVR ··· VPVVTFCRSDPY ···
RcNIP2.1-AU2     -YYVVVCVPR--DGAEIGDVEWAIQNRRH-D-LALGGKGFWRGH ··· VDVVALCRSDPY ···
RcNIP2.2-AU2     -YQVVICTFD--GGASIGDVEWAIQHRKD-E-LGLGGKGFWNGR ··· EQVVSLCRSDAF ···
RcNIP2.3-AU2     ASFAIVCVPQ--TPAKAGDAQWAAQHMKK-E-LALNPLGWWNGK ··· VDVFTFCRSATY ···
RcNIP2.4-AU2     -ASHVVCQAF--FGASIGDVEWAVVHRRK-E-LALGEKGFWGGR ··· -EVLSLCRSDPY ···
RcNIP2.5-AU2     -AYSVICGAT--GSAKIGDVEWAVYNRRS-A-LALNGKGFWGVR ··· AEVVSLCRSDPY ···
RcNIP2.6-AU2     YQAVVCTTFE--APASVDDAEWALVHRRQ-D-LALEGKGLWGVR ··· VPVVTFCRSDPY ···
RcNIP2.1-13-13   -YYVVVCVPR--DGAEIGDVEWAIQNRRH-D-LALGGKGFWRGH ··· VDVVALCRSDPY ···
RcNIP2.2-13-13   -YQVVICTFD--GGASIGDVEWAIQHRKD-E-LGLGGKGFWNGR ··· EQVVSLCRSDAF ···
RcNIP2.3-13-13   ASFAIVCVPQ--TPAKAGDAQWAAQHMKK-E-LALNPLGWWNGK ··· VDVFTFCRSATY ···
RcNIP2.4-13-13   -ASHVVCQAF--FGASIGDVEWAVVHRRK-E-LALGEKGFWGGR ··· -EVLSLCRSDPY ···
RcNIP2.5-13-13   -AYSVICGAT--GSAKIGDVEWAVYNRRS-A-LALNGKGFWGVR ··· AEVVSLCRSDPY ···
RcNIP2.7-13-13   -YTLVVCQLY--RGATTKDVEWGLLNRRD-A-MGLGEKGVWNTG ··· ALMYTFCRSDPY ···
RsNIP2.1-6A.1    -------APL--DGAKIGDVEWAIQNRRH-D-LALGGKGFWKGH ··· VDVVVLCRSDPY ···
RsNIP2.2-6A.1    -YHVVICTFD--GGASIGDVSWAIQNRKD-E-LGLGGKGFWNGR ··· EQVVSLCRSDAF ···
RsNIP2.4-6A.1    -ASHVVCHGF--FGASIGDVEWAVVHRRK-E-LALGEKGFWGGR ··· -EVLSLCRSDPY ···
RsNIP2.5-6A.1    -AYRVICGAT--GSAKIGDVEWAVYNRRS-A-LALNGKGFWGVK ··· AEVVSLCRSDPY ···
RsNIP2.7-6A.1    -YTLVVCQLY--RGATTQDVEWGLLHRRH-D-MGLGEKGVWKAG ··· AWMYTFCRSDPY ···
RsNIP2.11-6A.1   -YTVVVCTSD--SDDKYKYVLDAVTKRNP-G-LYLGTKGYWNGR ··· VDVMLFCRSDPY ···
RaNIP2.1-RAC     ---IVVCVPR--DGAEIGDVEWAIQNRRH-D-LALGGKGFWRGR ··· VDVVALCRSDPY ···
RaNIP2.2-RAC     -YQVVICTFD--GGASIGDVQWAIQHRKD-E-LGLGGKGFWNGR ··· EQVVSLCRSDAF ···
RaNIP2.3-RAC     ASFAIVCVPQ--TPAKAGDAQWAAQHMKK-E-LALNPLGWWNGK ··· VDVFTFCRSATY ···
RaNIP2.4-RAC     -ASHVVCQAF--FGASIGDVEWAVVHRRK-E-LALGEKGFWGGR ··· -EVLSLCRSDPY ···
RaNIP2.5-RAC     ----VVCGAT--GSAKIGDVEWAVYNRRS-A-LALNGRGFWGVR ··· AEVVSLCRSDPY ···
RaNIP2.7-RAC     -YTLVVCQLY--RGATTKDVEWGLLNRRD-A-MGLGEKGVWNTG ··· ALMYTFCRSDPY ···
RaNIP2.8-RAC     -FTVVVCAPQ--GAATIADVEWAISNKRA-D-LGLGGKGFWKKA ··· VQVVSFCRSDPY ···
RaNIP2.9-RAC     -GFCVICEPT--GNARMGDVEWAVQNRRH-E-LALGGQGFWGGV ··· VEVLSLCRSVPY ···
RaNIP2.10-RAC    -YTLVVCQVS--HGATIEDAKQMALSRRI-S-MGIGAKGFWHGR ··· VPMFTFCRSDPY ···
RoNIP2.1-BAR     SYHVVVCVPR--DNARMSDVQWAIQNRRA-D-LHLGPKGFWNVQ ··· VDVVALCRSDPY ···
RlNIP2.1-15LP11  -YHVVVCVPR--DNARMSDVDWAIRNRRA-D-LHLLPKGFWNVY ··· VDVMAFCRSDPY ···
RcNLP1-UK7       -FTVVVCAPQ--GAATIADVEWAISNKRA-D-LGLGGKGFWKKA ··· -LHTSFSRLGNY ···
RcNLP2-UK7       --TVVVCRTT--GRSTNRDVVWAIKDKTA-SGELFGAKRTSGVR ··· RKVVVLCMSEPY ···
RcNLP3-UK7       -FTVVVCSPK--DGATVEAAKEATVNQRA-A-LGLTGPGYWNGS ··· TLIGLHATSNVK ···
RcNLP1-AU2       -FTVVVCAPQ--GAATIADVEWAISNKRA-D-LGLGGKGFWKKA ··· -LHTSFSRLGNY ···
RcNLP2-AU2       --TVVVCRTT--GRSTNRDVVWAIKDKTA-SGELFGAKRTSGVR ··· RKVVVLCMSEPY ···
RcNLP3-AU2       -FTVVVCSPK--DGATVEAAKEATVNQRA-A-LGLTGPGYWNGS ··· TLIGLHATSNVK ···
RcNLP2-13-13     --TVVVCRTT--GRSTNRDVVWAIKDKTA-SGELFGAKRTSGVR ··· RKVVVLCMSEPY ···
RcNLP1-13-13     -FTVVVCAPQ--GAATIADVEWAISNKRA-D-LGLGGKGFWKKA ··· -LHTSFSRLGNY ···
RcNLP3-13-13     -FTVVVCSPK--DGATVEAAKEATVNQRA-A-LGLAGPGYWNGS ··· TLIGLHATSNVK ···
RcNLP4-13-13     -YTLVVCQVS--NGATIEDAKQMALSGR----LSTGPKGFWHGR ··· RALNSEAALNAG ···
RsNLP1-6A.1      -NTIVVCRDAGIDTVTIQDIQNAIRNKVHRTELHLDGPGYTNVH ··· NDVVTFCKGGPY ···
RsNLP2-6A.1      -FTIVVCSPK--DGATVQAAKEATVNQRA-A-LGLTGPGYWNGN ··· SETVFAFCRNSY ···
RaNLP2-RAC       -AVTVICKFEY--VANIGDMKWPAQNRHA--DLAKDNRSFLPIL ··· VAYTAYKRYRPA ···
RaNLP1-RAC       -NTIVVCRDAGIDTVTIQDIQNAIRNKVQRTDLHLDGPAYTNVH ··· KDVVTFCKGGPY ···
RaNLP3-RAC       -FTVVVCSPK--DGATVEAAKEATVNQRA-A-LGLTGPGYWNGN ··· TLIGLHATSNVK ···
```

Abbildung A 4 Sequenzvergleich der NIP2-Homologen mit NLPs

Vergleich der Aminosäuresequenzen der NIP2-Homologen und der NLP, welche mittels BLAST-Suche identifiziert wurden. Dargestellt sind die Sequenzabschnitte, die über weite Bereiche Ähnlichkeiten untereinander aufweisen. Der Vergleich erfolgte ohne das mittels SignalP bestimmte Sekretionssignal. Zur Angleichung wurde der ClustalW-Algorithmus verwendet. UK7 – *R. commune* Isolat UK7; AU2 – *R. commune* Isolat AU2; 13-13 – *R. commune* Isolat 13-13; 6A.1 – *R. secalis* Isolat 02CH4-6a.1; RAC – *R. agropyri* Isolat 04CH-RAC-A.6.1; BAR – *R. orthosporum* Isolat 04CH-Bär-A.1.1.3; 15LP11 – *R. lolii* Isolat 15LP11.

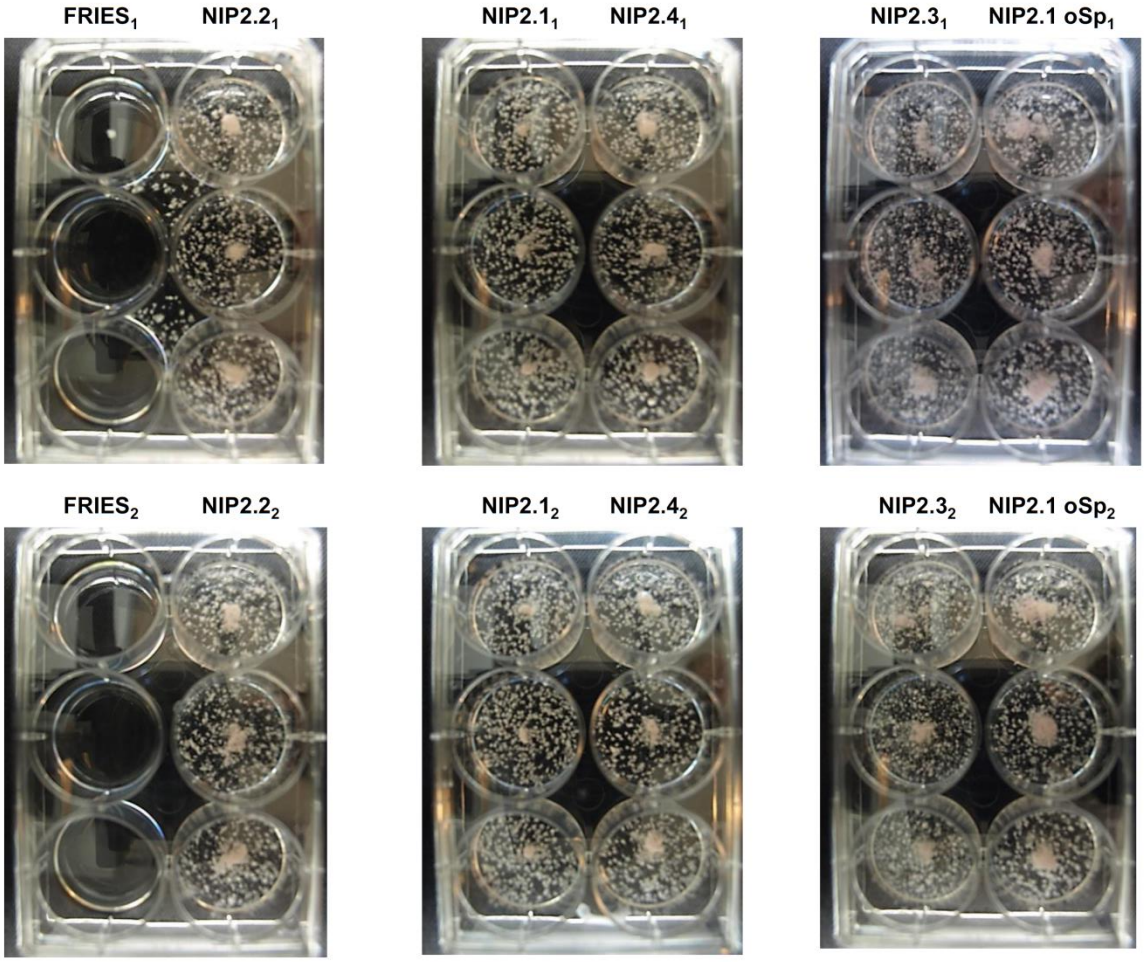

Abbildung A 5 Myzelentwicklung der *NIP2* Überexpressionsmutanten

Myzel von Mutanten des *R.-commune*-Isolates UK7, die eine C-terminale NIP2-Fusion mit mCherry unter Kontrolle des *ToxA*-Promotors exprimieren. Überexpressionsmutanten von NIP2.1, NIP2.2, NIP2.3 und NIP2.4 mit Sekretionssignal und NIP2.1 ohne Sekretionssignal (oSP) aus dem *R.-commune*-Isolat UK7 wurden auf ihren Myzelphänotyp 11 Tage nach Animpfen untersucht. Es wurden jeweils 6 Replikate mit gleichem Sporentiter untersucht, die auf zwei unterschiedliche Platten aufgeteilt wurden. FRIES-Medium ohne Sporen wurde als Kontrolle genutzt. Die Indexzahlen zeigen die Replikate 1 und 2 der Flüssigkulturen.

```
*
 BAD AVG GOOD
*
NIP2.1-RcUK7      :  22
NIP2.2-RcUK7      :  19
NIP2.3-RcUK7      :  21
NIP2.4-RcUK7      :  21
NIP2.5-RcUK7      :  20
NIP2.6-RcUK7      :  21
cons              :  21

NIP2.1-RcUK7        1 CAAC-GTG-GTAGACT--AG-TC---AATCTG--ATCT-AACAACAGGT-C-AATAGTTAG-T   49
NIP2.2-RcUK7        1 GTGT-TTCCGAATGTTTGGGTTC---AATCCTGCTTCTTTCCCGCAAGT-T-GATTGGTAT-T   56
NIP2.3-RcUK7        1 CTCTAATT-ATATCTT--TC-TT---AATCAA---AGC-TTCACTAGCTAT-AGTAGTATC-T   50
NIP2.4-RcUK7        1 AAAG-ATA-ATCGATT--AT-GT---AGGGCC---CATT-GGCTATAGAACC-AGGATTA----   47
NIP2.5-RcUK7        1 CAAA-CTC-TCCGATG--GT-CCCACACTCCC---CGT-GGCCCTAAGTACGAATACGTA----   51
NIP2.6-RcUK7        1 ACTA-GCT-GTCAGCA--GG-CT---AGTTCG---ACTT-ATCACTGGGAGC-AGCATGAAAGG   51

cons                1                                                                    63

NIP2.1-RcUK7       50 TCTGTTTCCAGAAAGGGGTAAGC----TGTC------C----GGCCCTCAAATCTCAGTAA-G   97
NIP2.2-RcUK7       57 -AT---GATTTTACGTCTAGAGAGGTTTTGCATAGAGGAACTATTCGTAGTGCGCAGG-A-A  112
NIP2.3-RcUK7       51 TCTATACTATG-TACGT---GATAGATTAATA----ATATACTATATATA-TACCCTG--T-C  101
NIP2.4-RcUK7       48 -ATGGAGCTCT-CAGAT--TTCT--GTTCTT------C----CCTTTCCCAG--------GCC   86
NIP2.5-RcUK7       52 -ATGTACACAG-CGTGGC---------TATG------C----AACCTCGATGGATTGATTA-T   92
NIP2.6-RcUK7       52 CATGGATTAAT-CAGGT--ATGA--TTCCTT------C----ACCTACAAAGGCTCACAGACC   99

cons               64                                                                  126

NIP2.1-RcUK7       98 TTG-AGCCA-CATAT---ATTGGTTAAATAAGGCATA-TT-AGACTCGACTTC--T-TCTAGT  150
NIP2.2-RcUK7      113 TTG-AGACA-TGTAA---GTTTTGCAAAGCTGGGAAA-TA-A--CTCACATCCTAA-GCTATT  165
NIP2.3-RcUK7      102 TCC-TTCCG-TGTAC---C--GGGTTCAT-AGCTATC-TTAATACCCGCCCTC-AAGCCTCTA  154
NIP2.4-RcUK7       87 TT-GAACGAGAATACAGTTTTAGTTAGATAAAGTG-TTAT-AG-TTCAAGC------------  133
NIP2.5-RcUK7       93 TCT-AATCA-CTGAA---C---TCTACATAAGAT-CA-CT-AAAGGCAAGTAA--G-TCTATT  141
NIP2.6-RcUK7      100 TTCGT--AAGAAAAC-----AGGCAGCATTAAGTACCGAG-AG--TCTAAGC---T--GTAGG  147

cons              127 *            *      *            *     *  *    *                 189

NIP2.1-RcUK7      151 T---AG-AGCTTC---------AATACGGTT-TCATT---ACGTA----AATC-C--TGATGT  189
NIP2.2-RcUK7      166 TTCAAA-AGCT------------TTGC-------ACT---CTCTGAACAAAAC-C--G-----  197
NIP2.3-RcUK7      155 T---AT-AGCT------------ATTACAGTCGATAAT---ACGCT----ATTTTA--TACTAC  193
NIP2.4-RcUK7      134 T------AGCAC-CACTAAAACAGTGCAGAT-GAATT---AGACTA----ACCGC--TGAGCC  179
NIP2.5-RcUK7      142 T---GTAAACACC---------GATCTGATA-CCACG---GAGTA----TAGC-CTCTGCGAC  183
NIP2.6-RcUK7      148 TT---G-GGCGCCTAACGAGATAATACAGAG-ACGTTGAGGCGGTT----TCTTC--T-----  194

cons              190 *        *            *                                          252

NIP2.1-RcUK7      190 GGAAATT------CATCTCAGA---TACT--ATT----------CGAGCAT--CGACACGGTA  229
NIP2.2-RcUK7      198 --AAGTG------CGGCAGA------GCA--GGG----------TGAGCTT--CATCCTTGTC  232
NIP2.3-RcUK7      194 A-GGAGG------CTGCTCAAG---TGAT--ACA----------GGGGCAGAGCTAG--AGGG  232
NIP2.4-RcUK7      180 A-AAAACGC--TCCGACTTA-----A-CCAGGTT----------CTAGCGT--CCTTCT-T--  218
NIP2.5-RcUK7      184 CGT--AA------CTTCT-ACTTCCTACT--TCGTAACAGTACTCAACCAA--GGTGGCAAA-  232
NIP2.6-RcUK7      195 --AAAACTACGTGAAA--G-----T-CTA--TC----------AGACCAC--TAACCCAGTG  232

cons              253                                                  *                315

NIP2.1-RcUK7      230 TA---CGTACAGAAATACTACGA-GAA-T---T-GAAAGTGTAGTTGAACGGTCAGATA-CAG  282
NIP2.2-RcUK7      233 TTTTTCGTTCAA-GGGGAGCTCC-AAA-T---TCCTCCATAT------CGTTTTAATGCTGG  282
NIP2.3-RcUK7      233 GA---T-TTCAA-ATAACAAGGA-GTC-C---C-G-GCGTGTATTTAAAGGTGCTA-CC-CTA  281
NIP2.4-RcUK7      219 --------C---AT--AGTTTTGGTCATCCCT-TAAA-----GTGATAGG-T--G-GC-CAA  256
NIP2.5-RcUK7      233 TAA--TATCCAA-ATCGCTATCC-GTAGT---T-G-GT----AT-T--TGG-GTTA-AT-CGG  276
NIP2.6-RcUK7      233 TAAGGTGTTT---ATCGGGTTCCAGCGGT-----TACC----ATTACAGG-GCTT-TC-CAA  279

cons              316                                                  *                378

NIP2.1-RcUK7      283 A-TC--A-GCTTAGGTTTCGAA--C-C-TC--A------ATCAAA---ATGCTGTATGCGCCG  326
NIP2.2-RcUK7      283 A--C--C-TCATTGTTGGGGTTCACGC-CC--T------GTCATT---ACATTGACGCAGGAC  328
NIP2.3-RcUK7      282 CCTCCAA-GAGCACCCTTCGGA--G-CACC--C------TTCGGT---CTGCCTTACCTCTG  329
NIP2.4-RcUK7      257 GTTCAT-ATCCCGCCGTATGAG--G-CATG--TCTCCATGTCGTC---ACTT-CA-----TA  303
NIP2.5-RcUK7      277 ATTC--T-TAGTATTTTTC-TA--G-CACAAGA-----GCTGGTACCCAATTGTTTGATCAG  326
NIP2.6-RcUK7      280 GGACGCCGTAGTCTCCTTTC-A--C-C-CG--C------CTCGAG---AGTG-TGCACAGGTA  325

cons              379   *                  *                                           441

NIP2.1-RcUK7      327 ATG-TCACTTGATTCTCGCGTTAGAGTTATGGAATT-TACGTAG-T-AGGTA------CAGCG  379
NIP2.2-RcUK7      329 AAG-CCGCCT------------------GTGGGCTTCCAGGCAGGC-AGCTCTACCCTCAGCC  371
NIP2.3-RcUK7      330 ACCTTCAAAGGATT----TAATAGAGGAAGGGGAGC-TA--GAG-G-AGCTA--AATTCA---  378
NIP2.4-RcUK7      304 ACAATCATACGTCCCTAAAGCAACTGAAATG-ATG-----TTC-ACCGTTA--------TCG  350
NIP2.5-RcUK7      327 AAT-CCGTCTGAATGT-GTGTGAGAATGTTGCAACTTCAGGTAA-T-ATCGGCA---ACCTCG  382
NIP2.6-RcUK7      326 A-AACCACACGCCTATTA------TGACATG-GCC------TAG-A-AGGCA--------T--  362

cons              442 *   *                    *                                       504

NIP2.1-RcUK7      380 GTTATCT--TTCA------ACCCCA--GTT--TT-GCCAG---GGACAA---TC---A---GC  417
NIP2.2-RcUK7      372 TTCAACA--AATT------CTCCGA--AGC--AT-GCCAG---GCTG-A---TCGGAA---AG  411
NIP2.3-RcUK7      379 ---CTGA--TTCA------GGCCTATCGTA--GT-ACCAG---TAGTAA---TA-------AA  414
NIP2.4-RcUK7      351 GTCCAGATATTCGTCCCGTATTT-----TAAGGC-ATGAG---TGAAT-CACTA---AACTTT  400
NIP2.5-RcUK7      383 GCTACG---GTAA------CTTCGT--GTT--ATAGCTAAGAAGTACAC---TC---A---CA  423
NIP2.6-RcUK7      363 -----G-CTTTC-CCCCAAAGTCTACC-CA--GA-GCGGG---TGAAAACATTT---A---GC  405

cons              505                                                  *                567

NIP2.1-RcUK7      418 T----------TTCCCTCCTGCAGTAG TGAC-TGC-TCC---------GTGCTGTAGCTTGT  458
NIP2.2-RcUK7      412 T----------TACCCTCAGGCTTTGG AGACCTGA-AGAAAGCAGGTACGCCAGCACCTTGC  462
NIP2.3-RcUK7      415 T----------ATCGCT----CAGAAG ACAC-TACCACT---------TTACTGCCGCTTCC  453
NIP2.4-RcUK7      401 AGTCATGCGAGATCCCTAATACGGAAA AC-G-TG--ATT---------C--CAGTAGATGGG  447
NIP2.5-RcUK7      424 A----------GTTGATATTTCTGAAC TAAG-TAA--------AAGTAATAGAGAAGATTTC  466
NIP2.6-RcUK7      406 G----------ATC--CATTGCAATAG -----AT--ATC---------CAACTACGGCTTAA  439

cons              568                        *                                      *  630
```

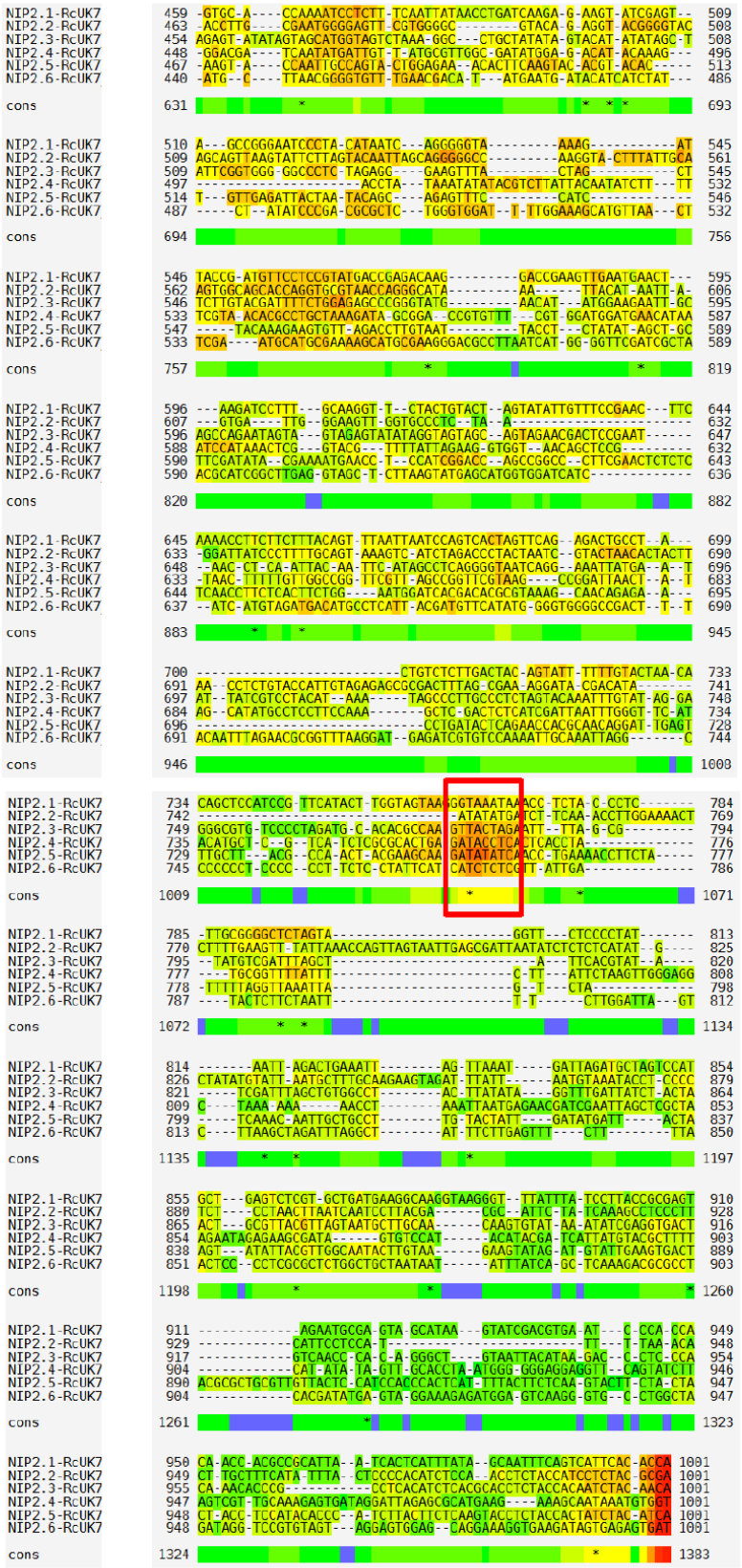

Abbildung A 6 Alignment der stromaufwärts gelegenen Sequenzen der *NIP2*-Homologen des *R.-commune*-Isolates UK7

Vergleich der angeglichenen genomischen Sequenzen (*alignment*) der *NIP2*-Homologen 1 kb vor dem Transkriptionsstart (*upstream*). Der Vergleich wurde auf http://tcoffee.crg.cat durchgeführt (Notredame *et al.*, 2000). Visualisiert durch die *Heatmap* sind Bereiche höherer Ähnlichkeit identifiziert und mit einem roten Rahmen markiert worden. Der Transkriptionsstart findet sich direkt im Anschluss an Position 1001.

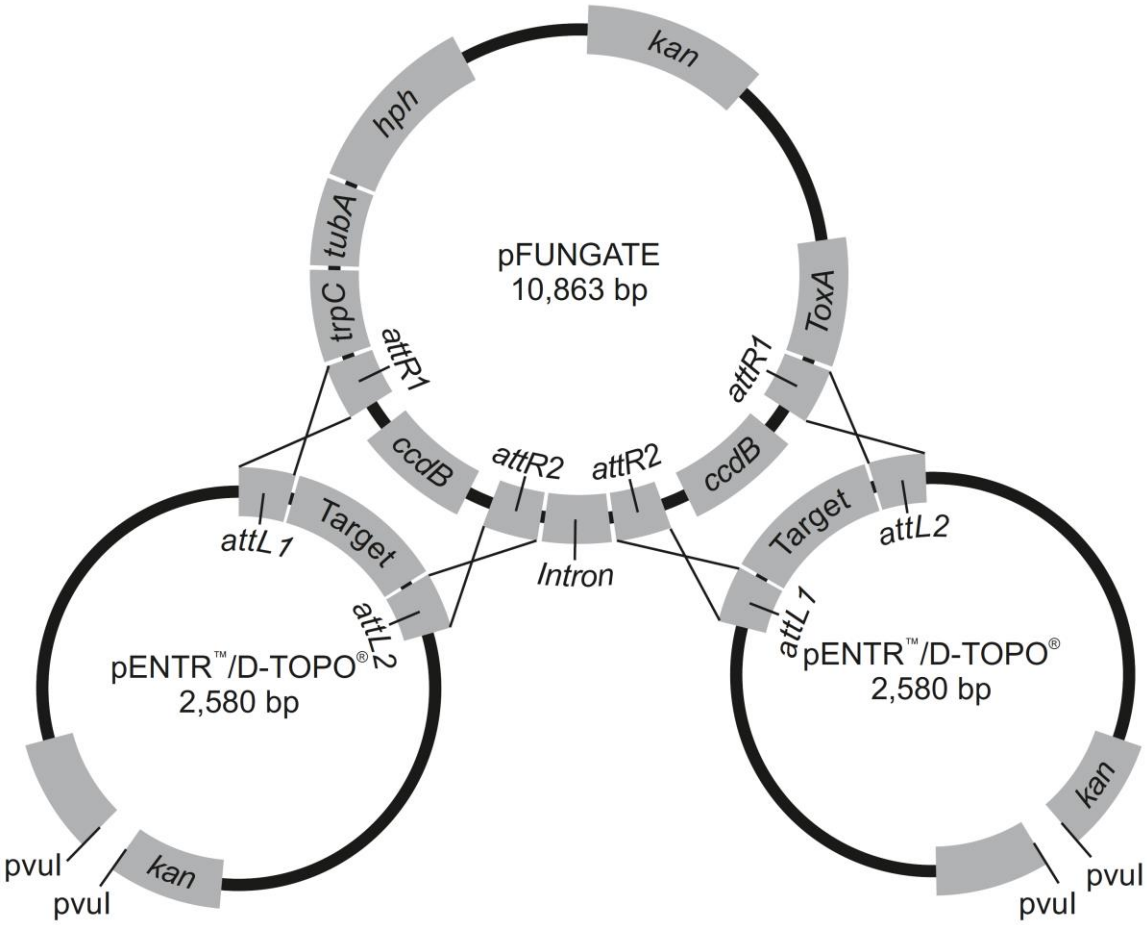

Abbildung A 7 Rekombinante Integration von pFUNGATE

Die rekombinante Klonierung von pFUNGATE mit dem pENTR™/D-TOPO®-Plasmid als Eingangsvektor. Der Eingangsvektor beinhaltet die Zielsequenz (*target*), mit ihm kann in pFUNGATE die Zielsequenz in direkter und indirekter Orientierung integriert werden. Das pENTR™/D-TOPO®-Plasmid wurde vorab mit der Restriktionsendonuklease pvuI linearisiert.

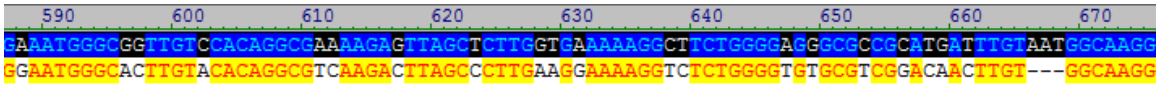

Abbildung A 8 Sequenzvergleich von *NIP2.6* mit der Stilllegungssequenz der *NIP2*-Genfamilie für pFUNGATE

Ausschnitt der Angleichung auf einer Länge von 88 bp der Nukleinsäuresequenz des *NIP2* Fusionskonstruktes Teilbereich *NIP2.4* (oben), welches für die pFUNGATE vermittelte Stilllegung genutzt wurde, mit der NIP2.6-kodierenden Sequenz (unten) aus dem *R.-commune*-Isolat UK7. Die Sequenzidentität beträgt 74,2%. Zur Angleichung wurde der ClustalW Algorithmus verwendet.

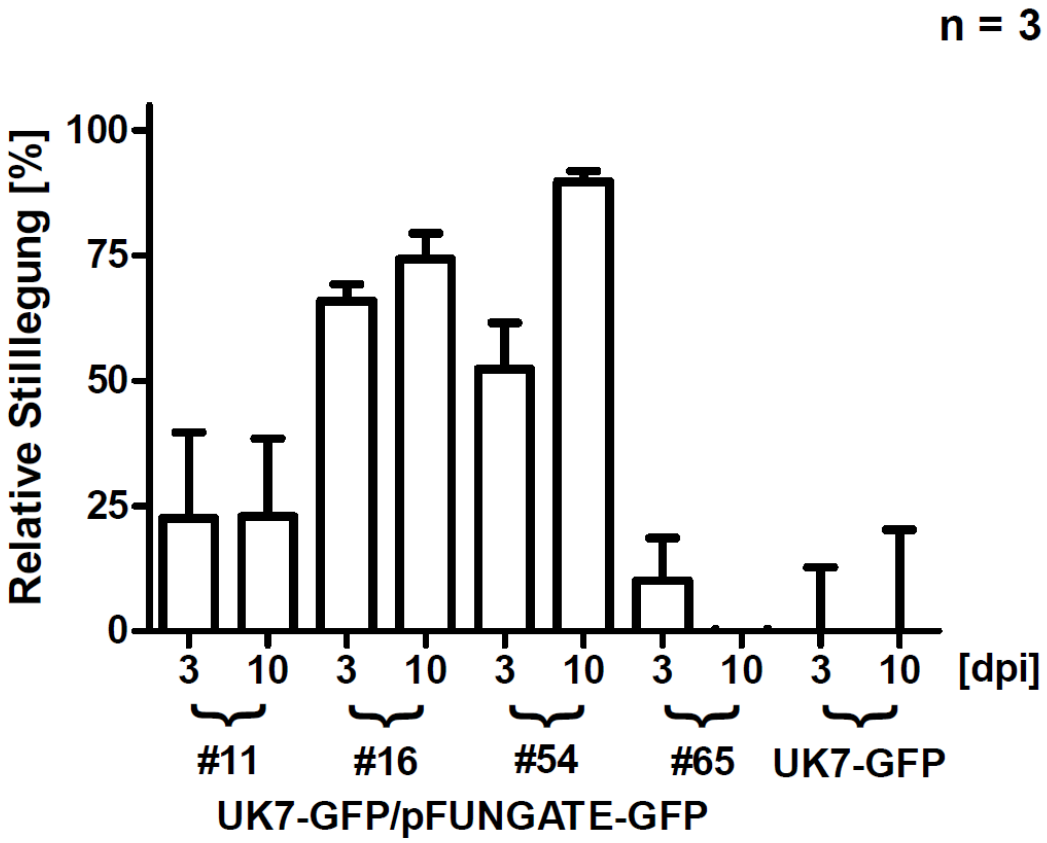

Abbildung A 9 Relative Stilllegung von eGFP

Relative pilzliche Transkriptmengen für das eGFP-kodierende Gen wurden via qRT-PCR ermittelt. Die relative Stilllegung in den pFUNGATE-GFP-transformierten UK7-GFP-Mutanten #11; #16; #54; #65 ist in Bezug zum konstitutiv *eGFP*-exprimierenden *R. commune* Isolates UK7 (UK7-GFP) prozentual dargestellt. Die relativen Transkriptmengen von *eGFP* sind in drei biologischen Replikaten in 3 und 10 Tage altem Myzel bestimmt worden. dpi…Tage nach Inokulation.

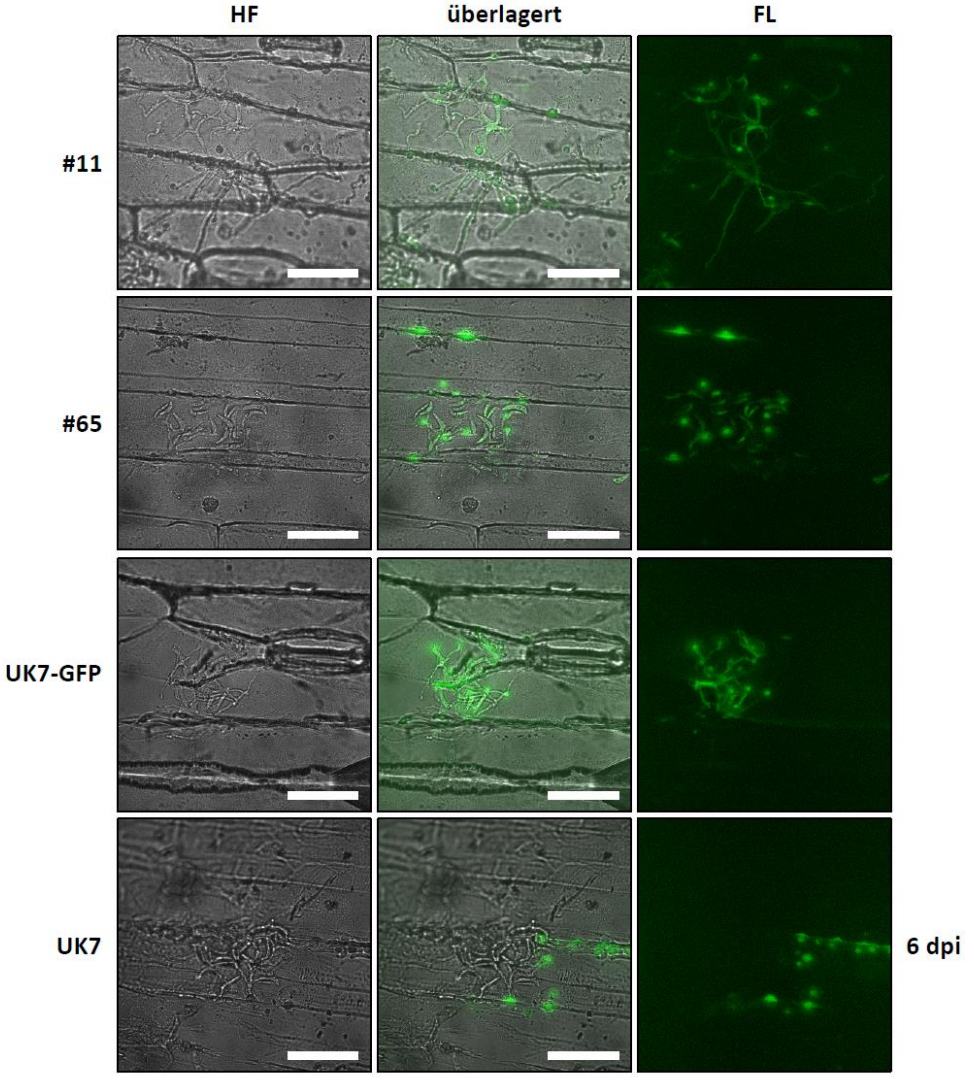

Abbildung A 10 Aufnahmen der eGFP-Fluoreszenz bei nicht in der *eGFP*-Expression stillgelegten Mutanten

Mikroskopische Fluoreszenzaufnahmen von keimenden *R. commune* Sporen. Dargestellt ist die epidermale Zellschicht auf der Unterseite von Primärblättern der Gerstensorte Ingrid. Es wurde die *eGFP*-exprimierende Mutante UK7-GFP mit 2 unabhängig voneinander generierten, mit pFGGFP-transformierten UK7-GFP-Mutanten vergleichen (#11, #65). Zusätzlich ist das Wildtypisolat UK7 ohne Fluorophor abgebildet. Die Epidermen sind 3 dpi von den Blättern gezogen worden und unter Hellfeldbedingungen (**HF**) sowie der Anregung bei 395 nm (**FL**) abgebildet. Die **überlagerte** Darstellung ermöglicht die Lokalisierung der Fluoreszenz. Die mikroskopischen Aufnahmen von UK7 wurden statt 3 dpi zur Verdeutlichung der Fluoreszenz an den Penetrationsstellen erst 6 dpi aufgenommen. Die Aufnahmen wurden mit einer 63fachen Vergrößerung vom Zeiss LSM 710 aufgenommen. Der Maßstabsbalken repräsentiert 50 µm.

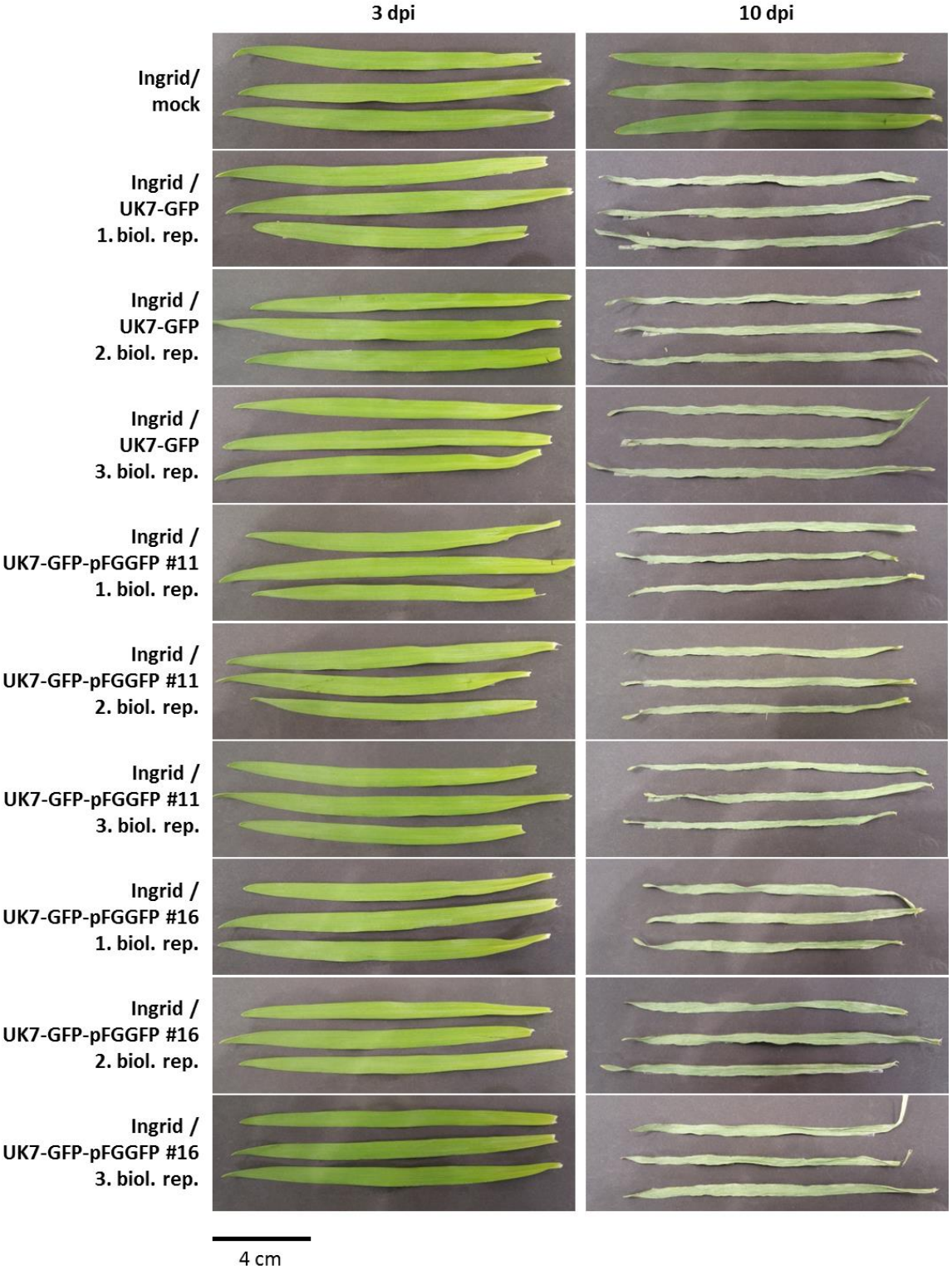
3 dpi
10 dpi
Ingrid/
mock
Ingrid /
UK7-GFP
1. biol. rep.
Ingrid /
UK7-GFP
2. biol. rep.
Ingrid /
UK7-GFP
3. biol. rep.
Ingrid /
UK7-GFP-pFGGFP #11
1. biol. rep.
Ingrid /
UK7-GFP-pFGGFP #11
2. biol. rep.
Ingrid /
UK7-GFP-pFGGFP #11
3. biol. rep.
Ingrid /
UK7-GFP-pFGGFP #16
1. biol. rep.
Ingrid /
UK7-GFP-pFGGFP #16
2. biol. rep.
Ingrid /
UK7-GFP-pFGGFP #16
3. biol. rep.
4 cm

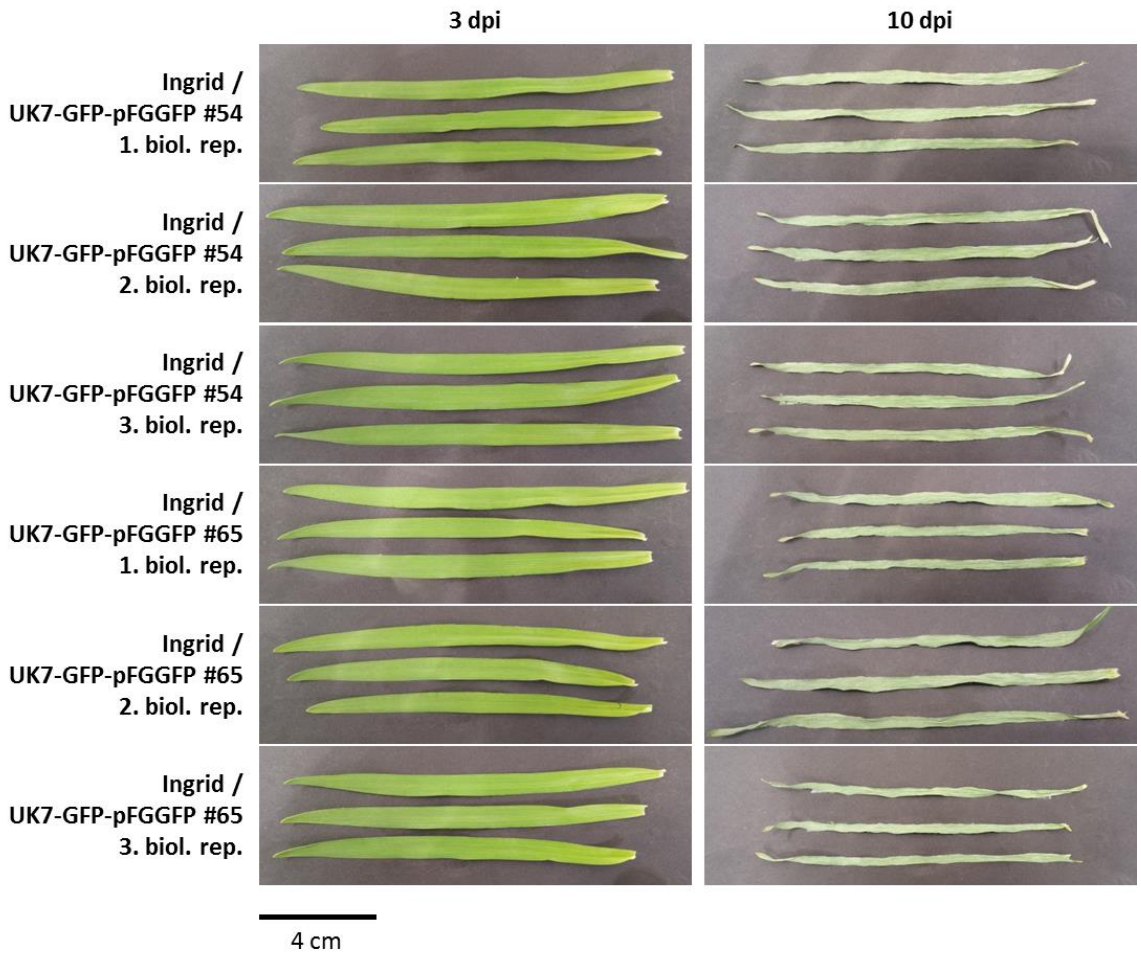

Abbildung A 11 Symptome der pFGGFP-Mutanten auf Gerste

Entwicklung von nekrotischen Läsionen auf den Primärblättern der hoch suszeptiblen Gerstensorte Ingrid, hervorgerufen durch die Infektion von *R. commune*. Vergleichend dargestellt sind hier die mit pFUNGATE-GFP (pFGGFP) transformierten *eGFP*-exprimierenden Mutanten von UK7 (UK7-GFP), UK7-GFP sowie die Wasserkontrolle (mock). Jeweils 3 Individuen repräsentieren den Entwicklungsstand der Symptome der pilzlichen Infektion zu den Zeitpunkten 3 dpi und 10 dpi in 3 biologischen Replikaten (biol. rep.). Die Sporenkonzentration bei der Inokulation der Blätter betrug $1*10^7$ Sporen je 10 Primärblätter in 0,1%iger TWEEN20®-Lösung. mock...Benetzen der Pflanzen mit 0,1%iger TWEEN20®-Lösung.

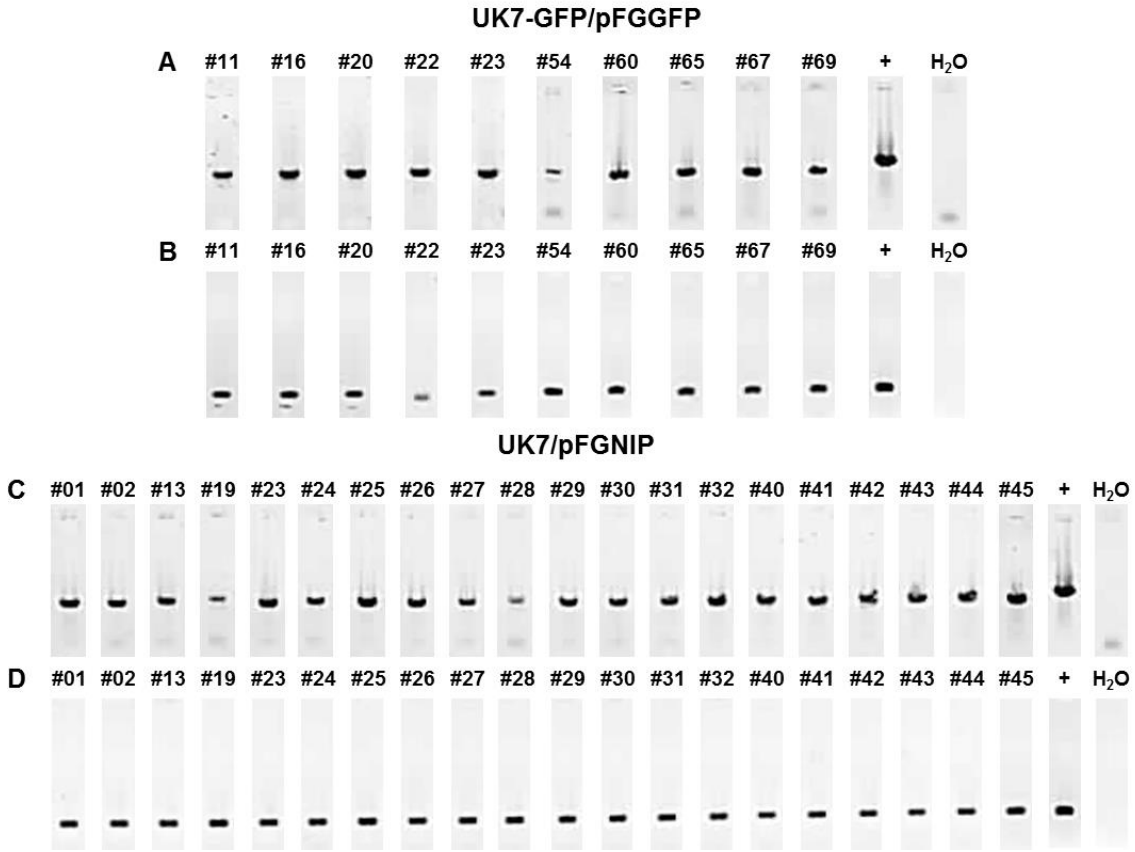

Abbildung A 12 PCR Nachweis der *R. commune* Mutanten des Isolates UK7

Die gDNA von *R. commune* Mutanten wurde nach der Anzucht auf LIMBO-Agar aus dem Myzel isoliert und als Matrize für die Amplifikation via PCR genutzt. **A,C** Amplifikation des 5'-Bereiches der integrierten Stilllegungskassette mit den Oligonukleotiden ToxAs und IntronpHG8r_sequ. **B,D** Amplifikation des 3'-Bereiches der integrierten Stilllegungskassette mit den Oligonukleotiden TubAs und HPH CDS2(as).

Die Größen der Amplikons bei Verwendung der Oligonukleotide: **A** auf pFGGFP -> 949 bp; **B** auf pFGGFP -> 301 bp; **C** auf pFGNIP -> 1496 bp; **D** auf pFGNIP -> 301 bp.

ToxAs bindet im *ToxA*-Promotor; **IntronpHG8r_sequ** bindet im Intron zwischen den direkt und indirekt integrierten Zielsequenzen; **TubAs** bindet im *TubA*-Terminator; **HPH CDS2(as)** bindet im Hygromycin-B-Resistenzgen (siehe Abbildung A 7).

+ – Lösung des jeweiligen Plasmides statt gDNA-Lösung; H_2O – Wasser statt gDNA-Lösung

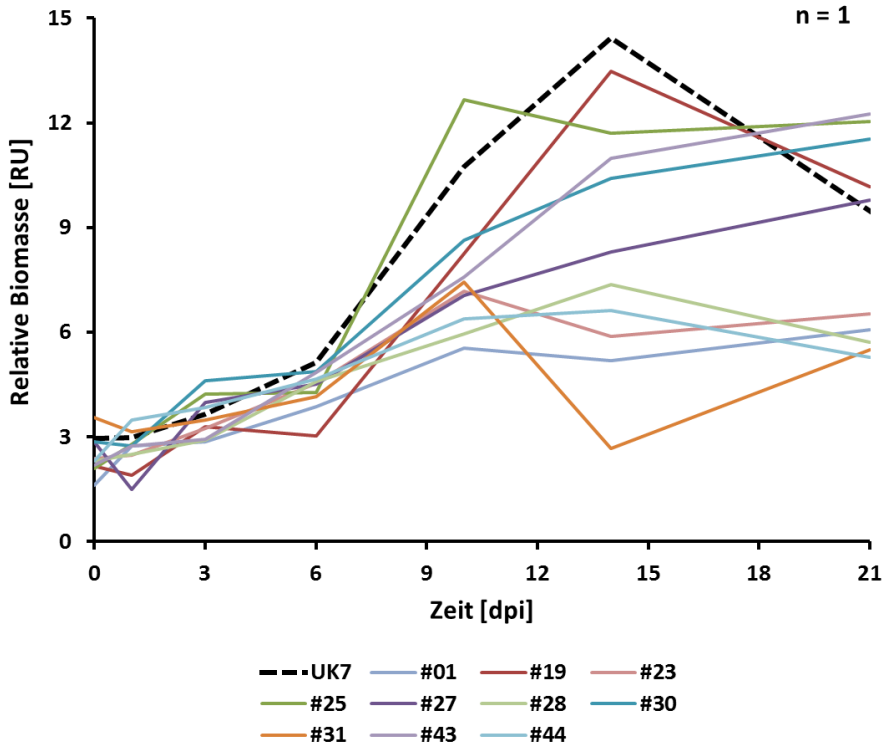

Abbildung A 13 Relative Biomasse der pFGNIP-Mutanten

Analyse der pilzlichen Biomasse von verschiedenen Stilllegungsmutanten der *NIP2*-Homologen aus *R. commune* während der Infektion der Gerstensorte Ingrid. Die relative pilzliche Biomasse [in relativen Einheiten (RU)] wurde via qRT-PCR in Relation von zwei Genen, jeweils aus Pathogen und Wirt, ermittelt. Das dadurch erhaltene relative pilzliche Wachstum wurde zu den Zeitpunkten 0, 1, 3, 6, 10, 14 und 21 dpi in den infizierten Primärblättern bestimmt. Das Wildtypisolat UK7 ist ohne unabhängige Wiederholungen (n = 1) vergleichend zu den pFGNIP-Mutanten (#01-44) dargestellt.

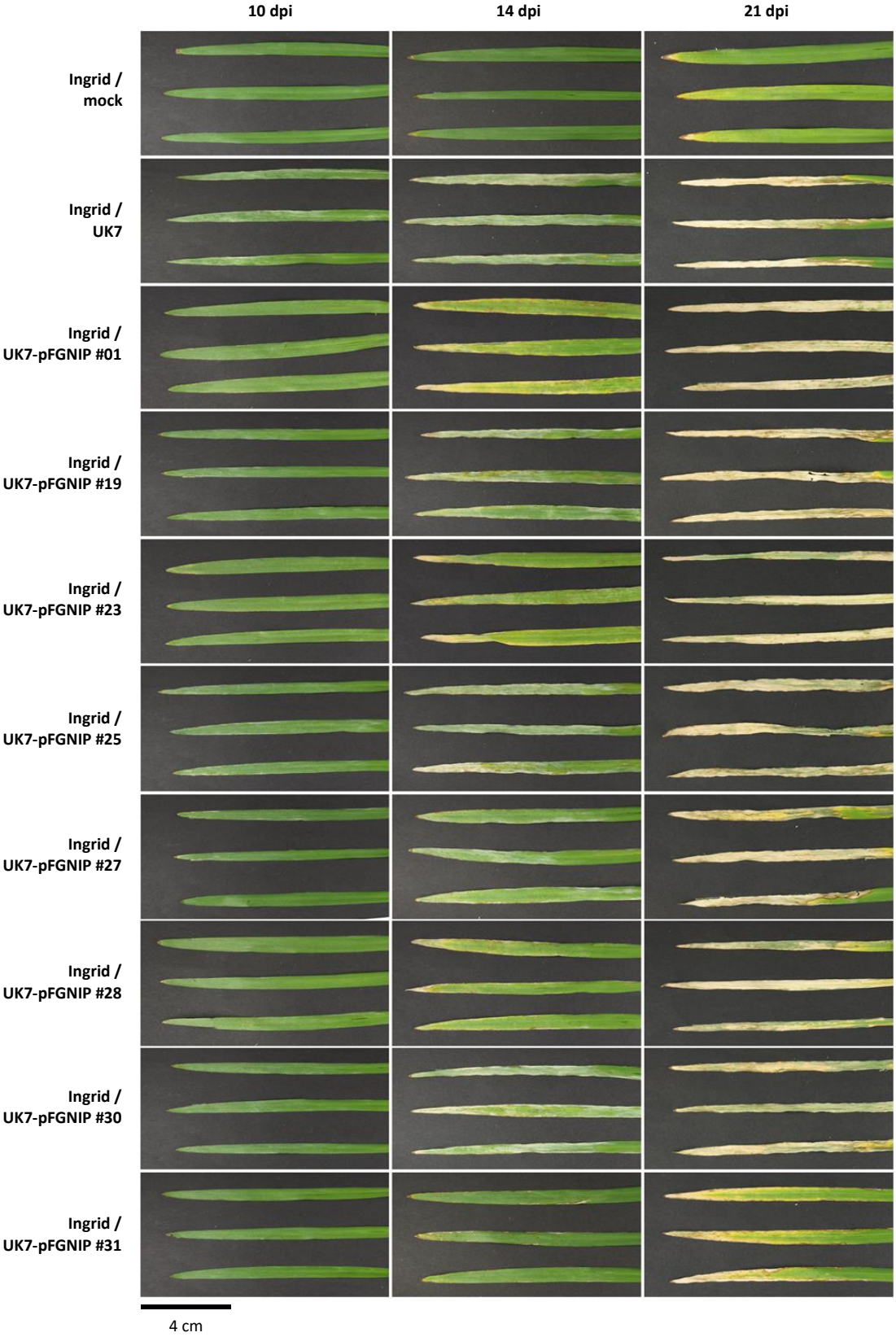
10 dpi
14 dpi
21 dpi
Ingrid / mock
Ingrid / UK7
Ingrid / UK7-pFGNIP #01
Ingrid / UK7-pFGNIP #19
Ingrid / UK7-pFGNIP #23
Ingrid / UK7-pFGNIP #25
Ingrid / UK7-pFGNIP #27
Ingrid / UK7-pFGNIP #28
Ingrid / UK7-pFGNIP #30
Ingrid / UK7-pFGNIP #31
4 cm

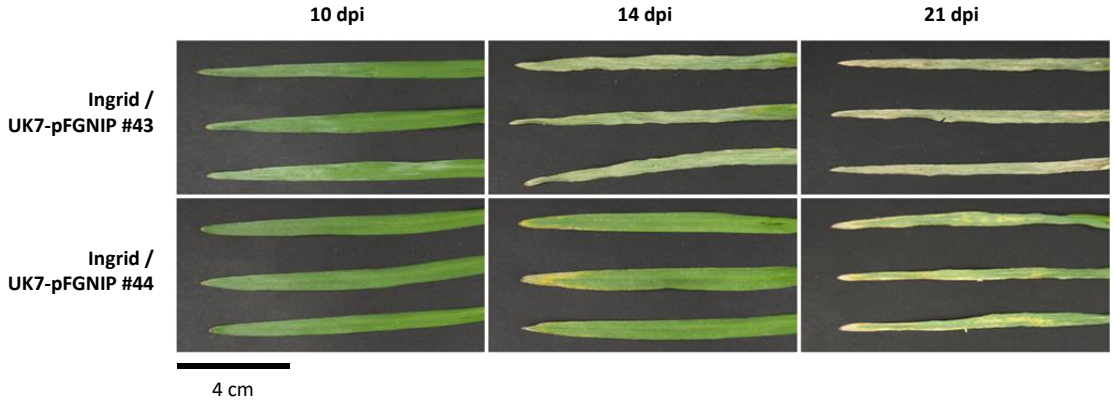

Abbildung A 14 Symptome der pFGNIP-Mutanten auf Gerste im Vorversuch

Entwicklung von nekrotischen Läsionen auf den Primärblättern der hoch suszeptiblen Gerstensorte Ingrid, hervorgerufen durch die Infektion von *R. commune*. Vergleichend dargestellt sind hier die mit pFUNGATE-NIP (pFGNIP) transformierten Mutanten (#01-44) sowie das Wildtypisolat UK7. Jeweils 3 Individuen repräsentieren den Entwicklungsstand der Symptome zu den Zeitpunkten 10, 14 und 21 dpi in einem biologischen Replikat. Die Sporenkonzentration bei der Inokulation der Blätter betrug $1*10^7$ Sporen je 10 Primärblätter in 0,1%iger TWEEN20®-Lösung. mock...Benetzen der Pflanzen mit 0,1%iger TWEEN20®-Lösung.

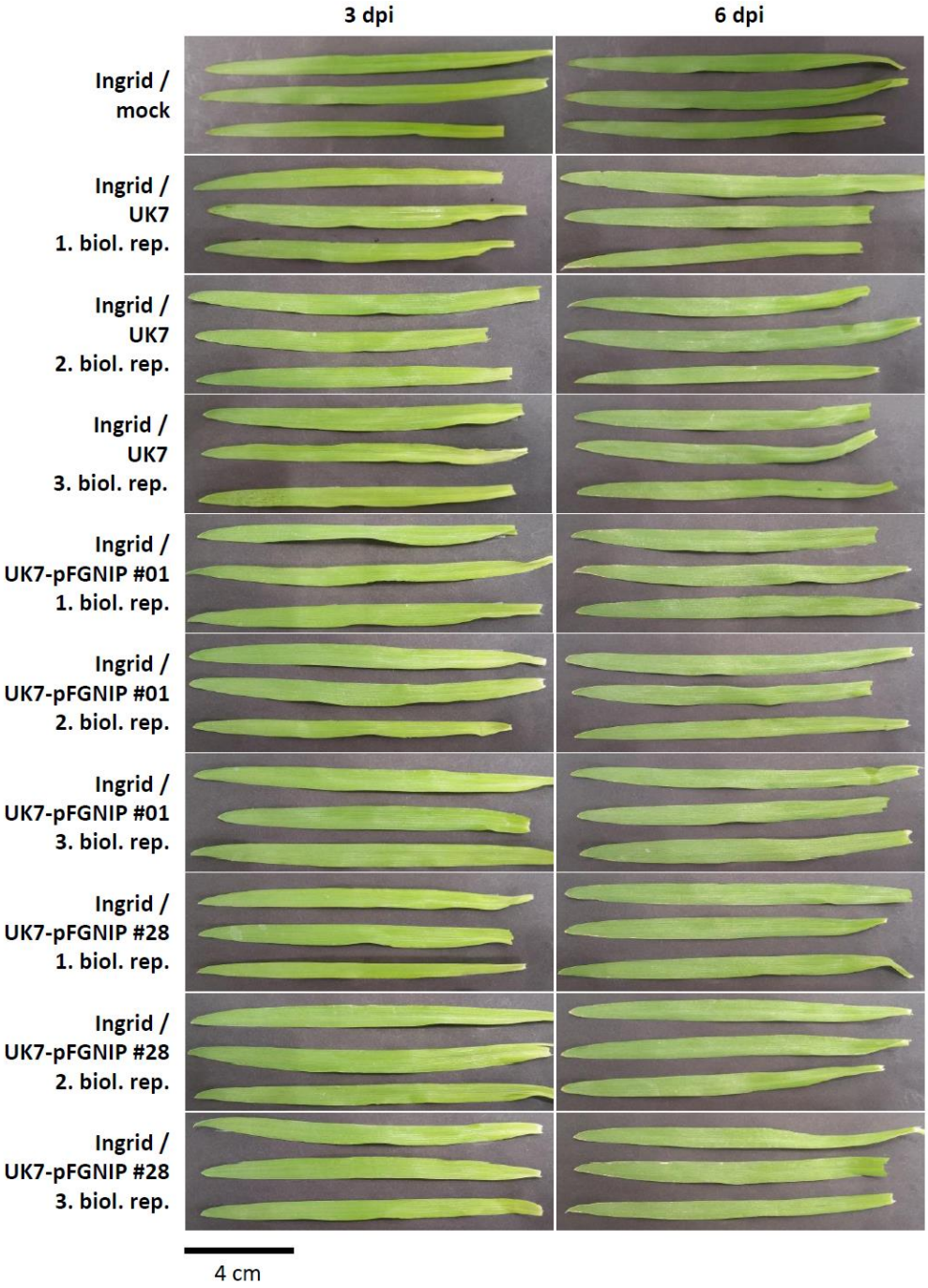
3 dpi
6 dpi
Ingrid / mock
Ingrid / UK7 1. biol. rep.
Ingrid / UK7 2. biol. rep.
Ingrid / UK7 3. biol. rep.
Ingrid / UK7-pFGNIP #01 1. biol. rep.
Ingrid / UK7-pFGNIP #01 2. biol. rep.
Ingrid / UK7-pFGNIP #01 3. biol. rep.
Ingrid / UK7-pFGNIP #28 1. biol. rep.
Ingrid / UK7-pFGNIP #28 2. biol. rep.
Ingrid / UK7-pFGNIP #28 3. biol. rep.
4 cm

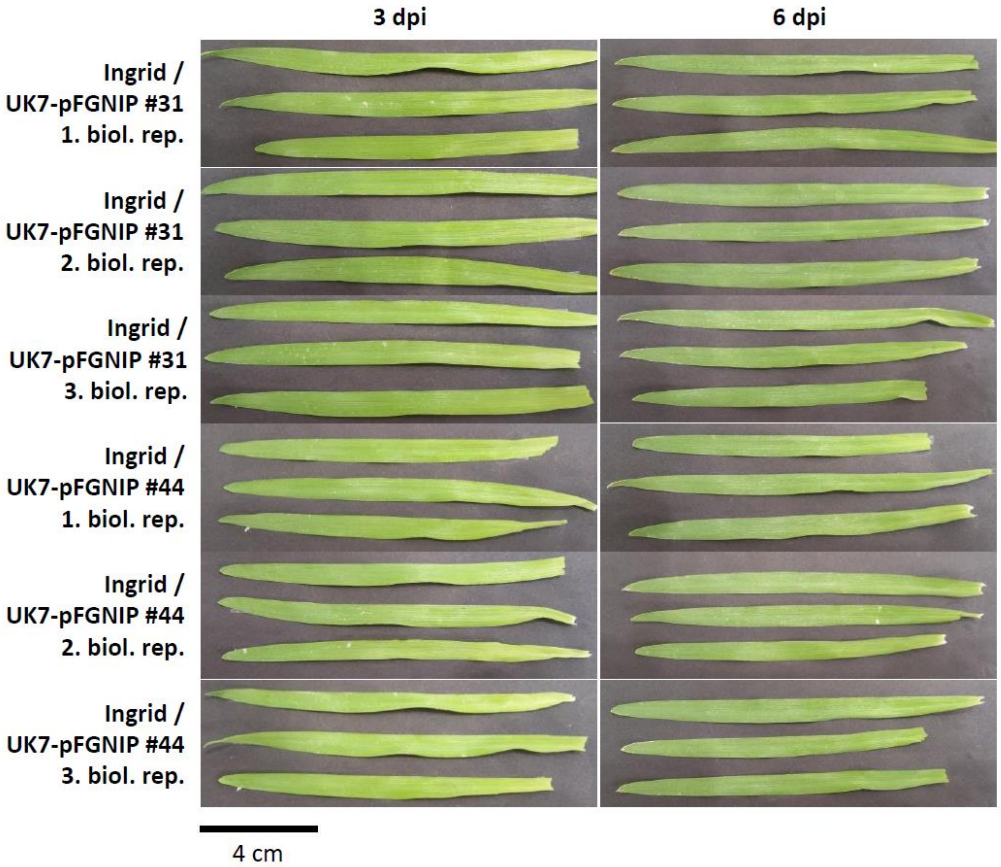
3 dpi
6 dpi
Ingrid / UK7-pFGNIP #31 1. biol. rep.
Ingrid / UK7-pFGNIP #31 2. biol. rep.
Ingrid / UK7-pFGNIP #31 3. biol. rep.
Ingrid / UK7-pFGNIP #44 1. biol. rep.
Ingrid / UK7-pFGNIP #44 2. biol. rep.
Ingrid / UK7-pFGNIP #44 3. biol. rep.
4 cm

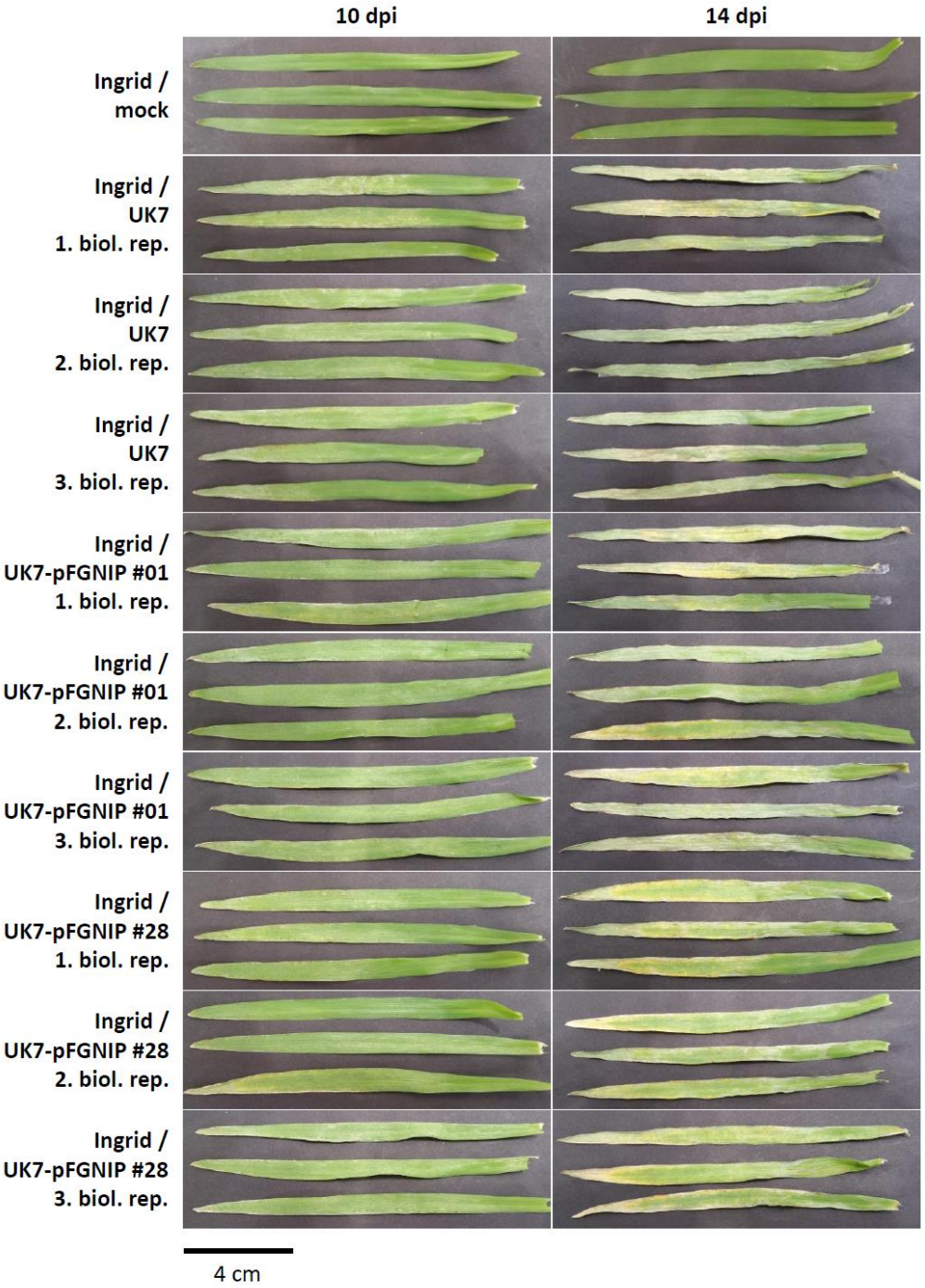
10 dpi
14 dpi
Ingrid / mock
Ingrid / UK7 1. biol. rep.
Ingrid / UK7 2. biol. rep.
Ingrid / UK7 3. biol. rep.
Ingrid / UK7-pFGNIP #01 1. biol. rep.
Ingrid / UK7-pFGNIP #01 2. biol. rep.
Ingrid / UK7-pFGNIP #01 3. biol. rep.
Ingrid / UK7-pFGNIP #28 1. biol. rep.
Ingrid / UK7-pFGNIP #28 2. biol. rep.
Ingrid / UK7-pFGNIP #28 3. biol. rep.
4 cm

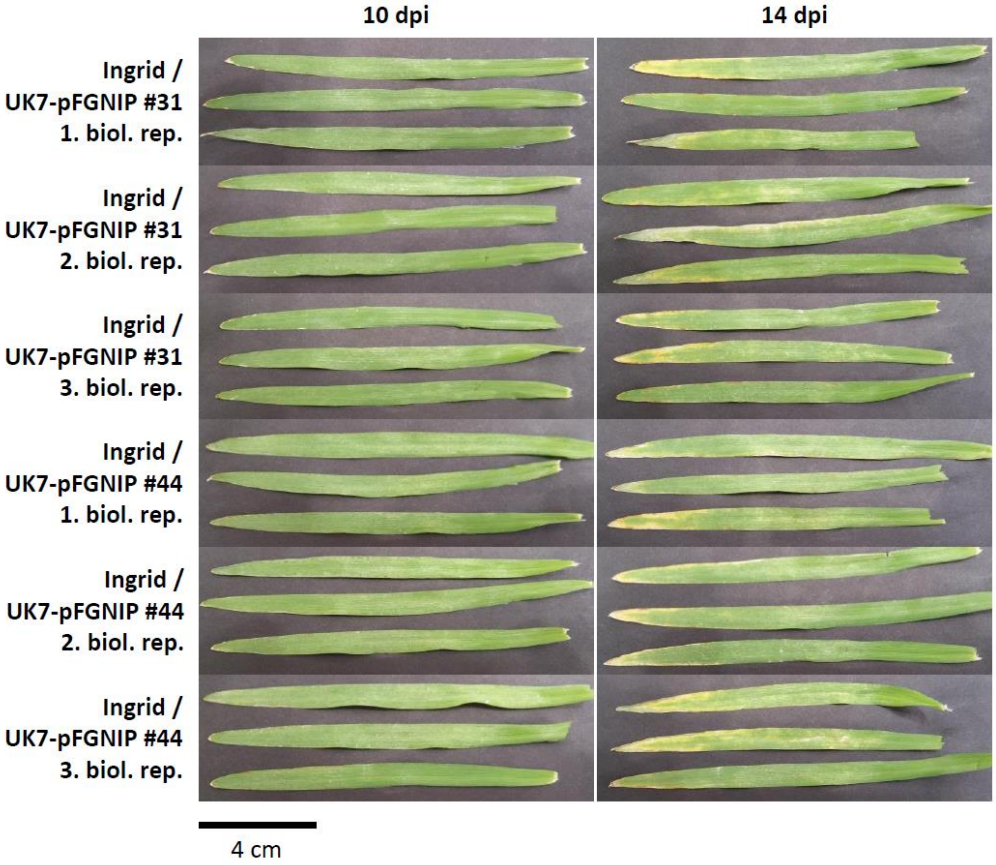
10 dpi
14 dpi
Ingrid / UK7-pFGNIP #31 1. biol. rep.
Ingrid / UK7-pFGNIP #31 2. biol. rep.
Ingrid / UK7-pFGNIP #31 3. biol. rep.
Ingrid / UK7-pFGNIP #44 1. biol. rep.
Ingrid / UK7-pFGNIP #44 2. biol. rep.
Ingrid / UK7-pFGNIP #44 3. biol. rep.
4 cm

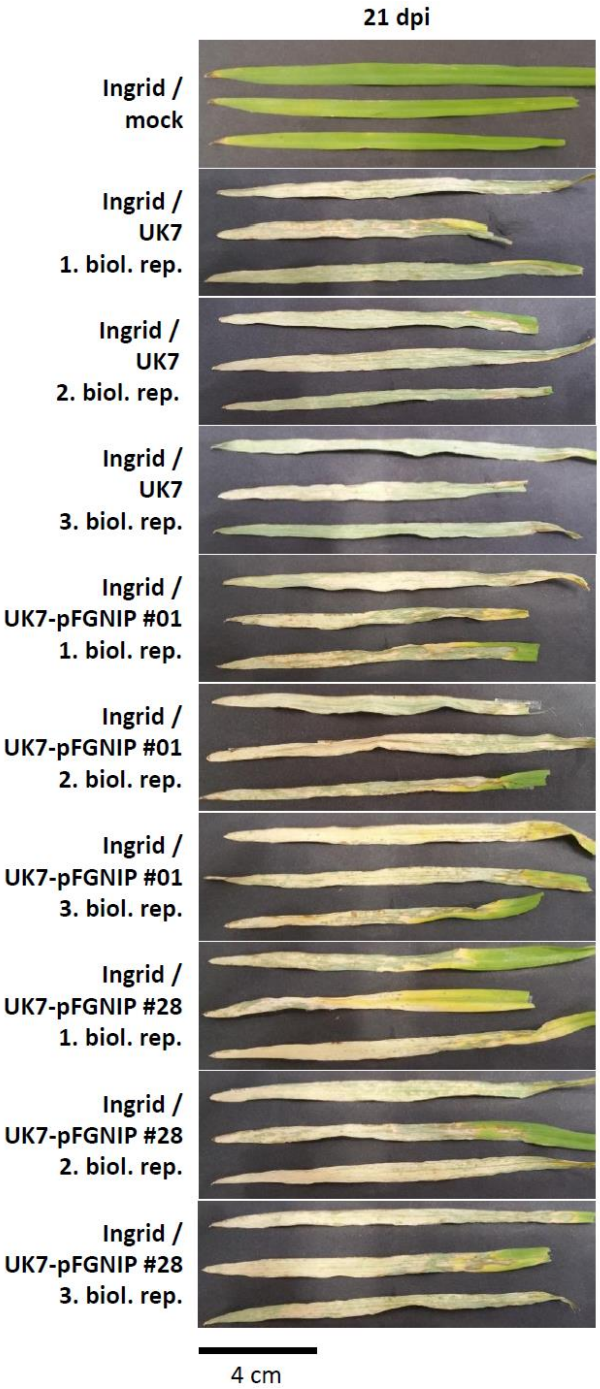
21 dpi
Ingrid / mock
Ingrid / UK7 1. biol. rep.
Ingrid / UK7 2. biol. rep.
Ingrid / UK7 3. biol. rep.
Ingrid / UK7-pFGNIP #01 1. biol. rep.
Ingrid / UK7-pFGNIP #01 2. biol. rep.
Ingrid / UK7-pFGNIP #01 3. biol. rep.
Ingrid / UK7-pFGNIP #28 1. biol. rep.
Ingrid / UK7-pFGNIP #28 2. biol. rep.
Ingrid / UK7-pFGNIP #28 3. biol. rep.
4 cm

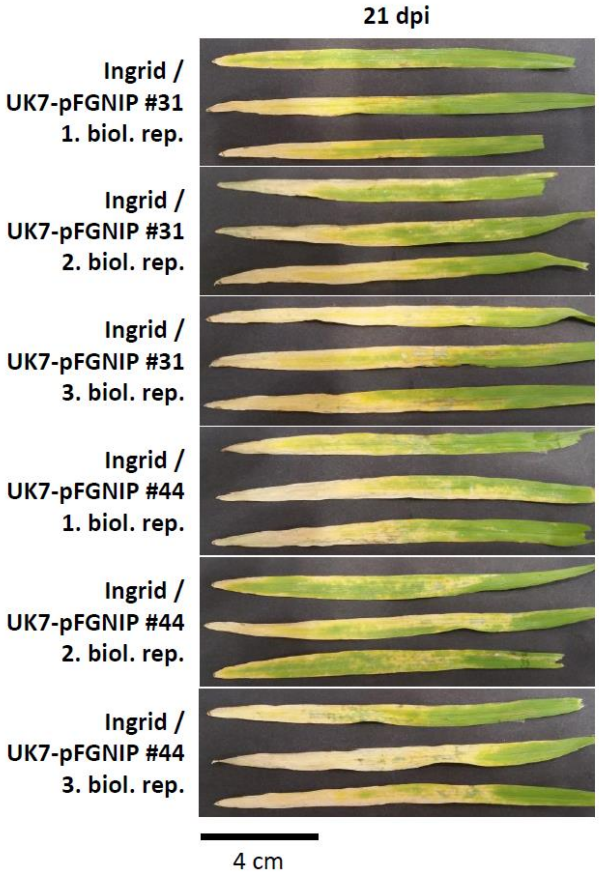

Abbildung A 15 Symptome der pFGNIP-Mutanten auf Gerste

Entwicklung von nekrotischen Läsionen auf den Primärblättern der hoch suszeptiblen Gerstensorte Ingrid, hervorgerufen durch die Infektion von *R. commune*. Vergleichend dargestellt sind hier die mit pFUNGATE-NIP (pFGNIP) transformierten Mutanten (#01-44) sowie das Wildtypisolat UK7.
Jeweils 3 Individuen repräsentieren den Entwicklungsstand der Symptome zu den Zeitpunkten 3, 6, 10, 14 und 21 dpi in 3 biologischen Replikaten (biol. rep.). Die Sporenkonzentration bei der Inokulation der Blätter betrug $1*10^7$ Sporen je 10 Primärblätter in 0,1%iger TWEEN20®-Lösung. mock...Benetzen der Pflanzen mit 0,1%iger TWEEN20®-Lösung.

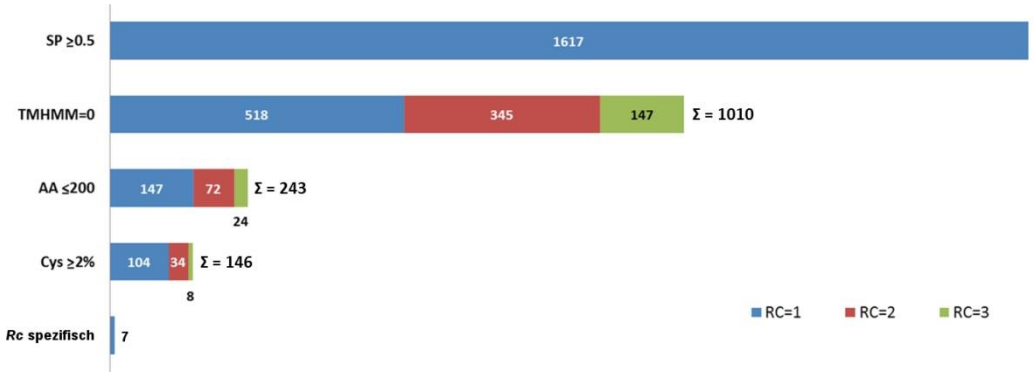

Abbildung A 16 Effektoridentifizierung in *R. commune*

Übersicht der einzelnen Schritte zur Identifizierung putativ spezifischer Effektoren im *R. commune* Isolat UK7. Die Gesamtzahl der Protein-kodierenden Gene in UK7 beträgt 11.709, von denen 1.617 mit einem SP-Wert (Signalpeptid; SignalP) von größer gleich 0,5 ein vorhergesagtes Sekretionssignal besitzen. Diese Vorhersage (TargetP 1.1) ist in Verlässlichkeitsklassen (RC…*reliability classes*) unterteilt, von denen die Klassen 1-3 hier dargestellt sind. Von diesen 1.617 wurden jene untersucht, die in ihrer Proteinstruktur keine transmembranen Helices enthalten (Vorhersage mittels TMHMM Server v.2.0). Die Proteine, die kleiner gleich 200 Aminosäuren (AA ≤200) sind, wurden weiter auf einen Cysteingehalt (Cys) von größer gleich 2% hin untersucht. Von diesen wurden im Vergleich zu den Genomen der Gattung *Rhynchosporium* die für *R. commune* spezifischen Proteine identifiziert. (abgewandelt nach W. Knogge, unveröffentlicht)

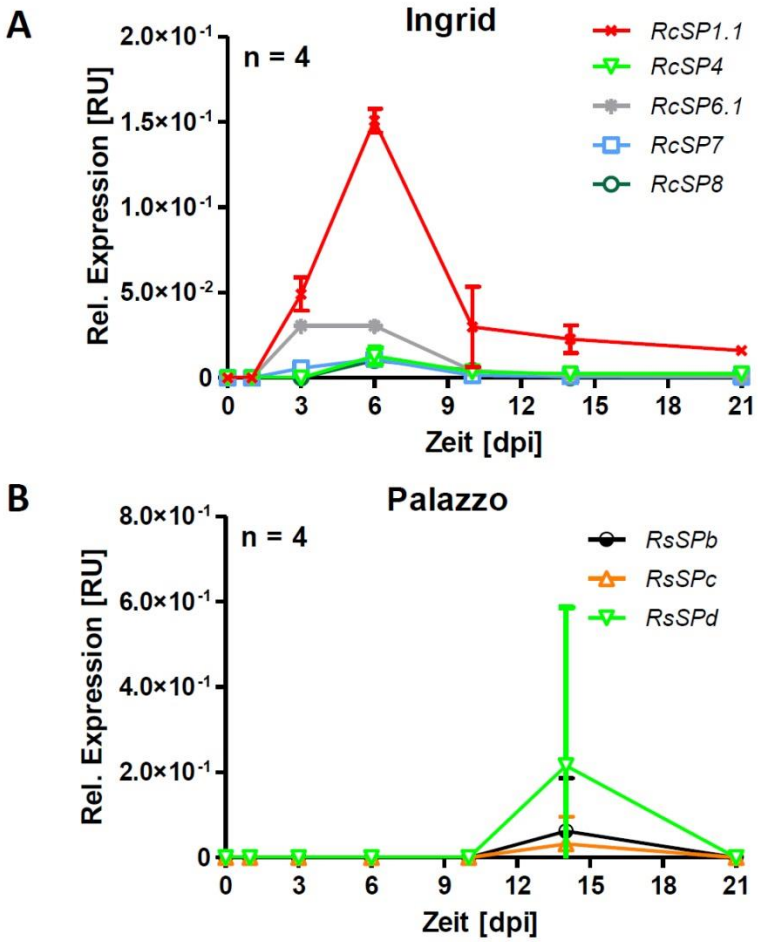

Abbildung A 17 Relative Expression der Effektorkandidaten

Die Expressionsprofile der schwächer exprimierten Effektorkandidaten. In **A** Bestimmung der relativen Transkriptmenge der Effektorkandidaten in der Interaktion von UK7 und Ingrid. In **B** Bestimmung der relativen Transkriptmenge in der Interaktion von 02CH4-6a.1 und Palazzo. Die relative Transkriptmenge der Effektorkandidaten ist in vier biologischen Replikaten bestimmt worden. RU…relative Einheit. dpi…Tage nach Inokulation.

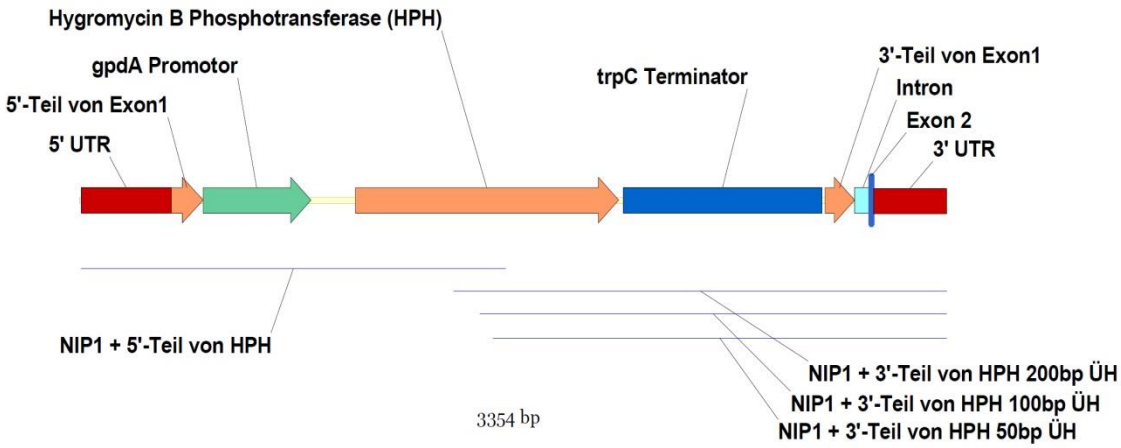

Abbildung A 18 Fragmente für die Transformation mit geteilter Resistenzkassette

Konstrukte zur Integration einer Hygromycin-B-Resistenzkassette in das Exon 1 des *NIP1* Gens des *R. commune* Isolates UK7. Das in der Phosphotransferasedomäne geteilte, Resistenz-vermittelnde Gen *HPH* ist durch den gpdA-Promotor und den trpC-Terminator reguliert (*Aspergillus nidulans*). Die Flanken des Konstrukts beinhalten jeweils die 5‘- und 3‘-Teile der Intron-Exon-Struktur des *NIP1* Gens und einen Teil der untranslatierten Bereiche (UTR) für eine homologe Integration. Die Transformationsansätze beinhalteten immer den 5‘-Teil von HPH und jeweils einen 3‘-Teil mit entweder 50 bp, 100 bp oder 200 bp Überhang (ÜH) zum 5‘-Teil der HPH-kodierenden Sequenz. Die Gesamtlänge des Deletionskonstruktes beträgt nach erfolgter Fusion 3.354 bp.

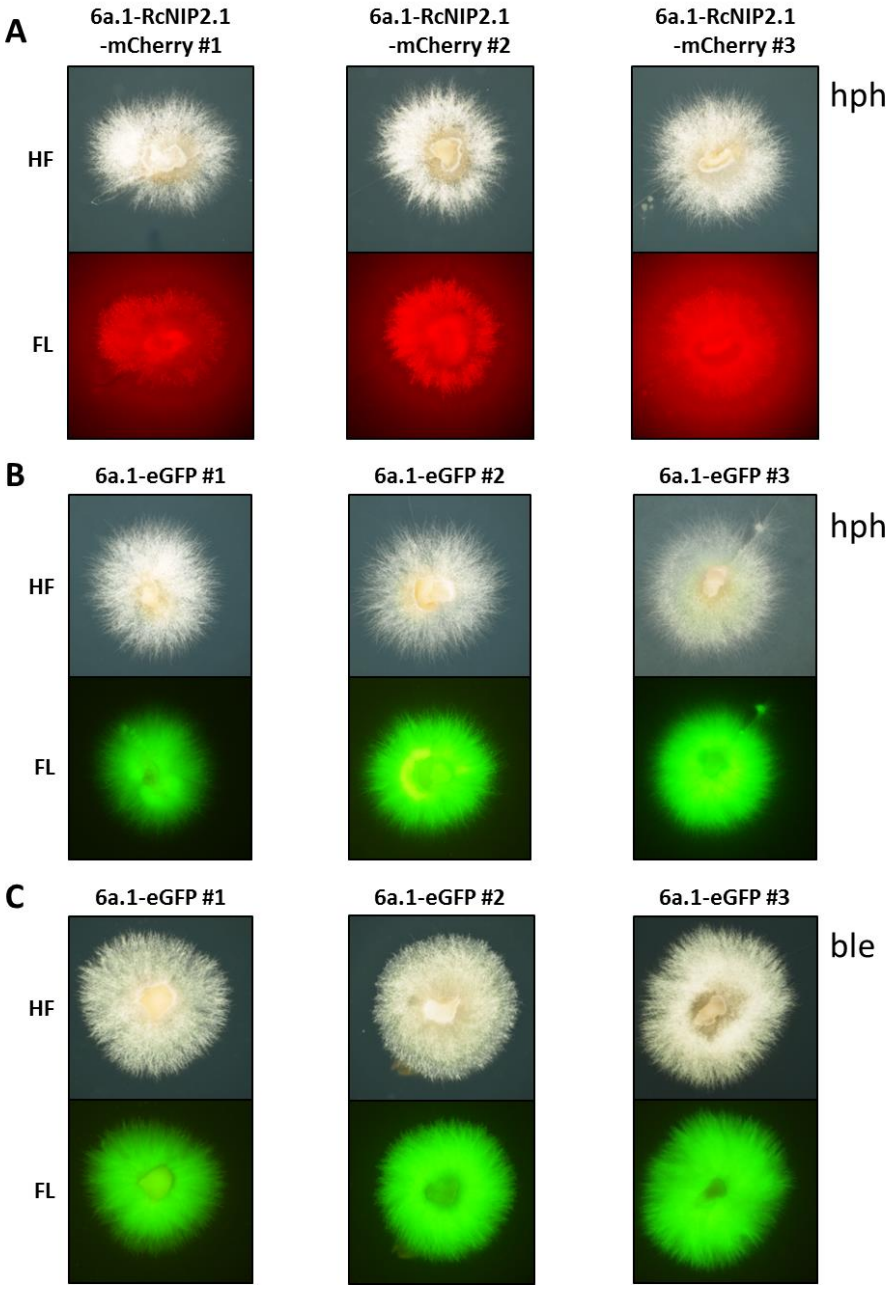

Abbildung A 19 Fluoreszenz in *R. secalis*

Fluoreszenzaufnahmen von aus Agarstücken auswachsendem *R.-secalis*-Myzel. Die Kolonien sind auf LIMBO-Agar 14 Tage inkubiert worden. **A** Die *NIP2.1*-exprimierenden Mutanten 6a.1-RcNIP2.1-mCherry #1, #2 und #3 wurden durch Transformation des Wildtypisolates 02CH4-6a.1 erstellt. Diese Mutanten exprimieren *NIP2.1* aus dem *R.-commune*-Isolat UK7 unter Kontrolle des konstitutiv aktiven *ToxA*-Promotors. Dabei ist die kodierende Sequenz (CDS) von *NIP2.1* ohne Stopkodon mit der CDS von *mCherry* fusioniert worden. Eine Antibiotikum-Selektion wurde über das *hph*-Genprodukt (Hygromycin-B-Resistenzkassette) vermittelt. **B** Die *eGFP*-exprimierenden Mutanten 6a.1-eGFP #1, #2 und #3 wurden durch Transformation des Wildtypisolates 02CH4-6a.1 erstellt. Diese Mutanten exprimieren *eGFP* unter Kontrolle des konstitutiv aktiven *ToxA*-Promotors. Eine Antibiotikum-Selektion der Transformanten wurde über das *hph*-Genprodukt vermittelt. **C** Die *eGFP*-exprimierenden Mutanten 6a.1-eGFP #1, #2 und #3 wurden durch Transformation des Wildtypisolates 02CH4-6a.1 erstellt. Diese Mutanten exprimieren *eGFP* unter Kontrolle des konstitutiv aktiven *ToxA*-Promotors. Im Unterschied zu **B** ist die Antibiotikum-Selektion der Transformanten über das *ble*-Genprodukt (Phleomycin-D1-Resistenzkassette) vermittelt. Die Kolonien wurden unter Hellfeldbedingungen (**HF**) und der Anregung bei 587 nm (*mCherry*-Transformanten) sowie 395 nm (*eGFP*-Transformanten) (**FL**) abgebildet. Die Aufnahmen wurden mit dem Mikroskop Nikon AZ100 aufgenommen (TxRed Filter für mCherry und GFP-L für eGFP, Vergrößerung 1x). Die Kolonien haben einen Durchmesser von zirka 1 cm.

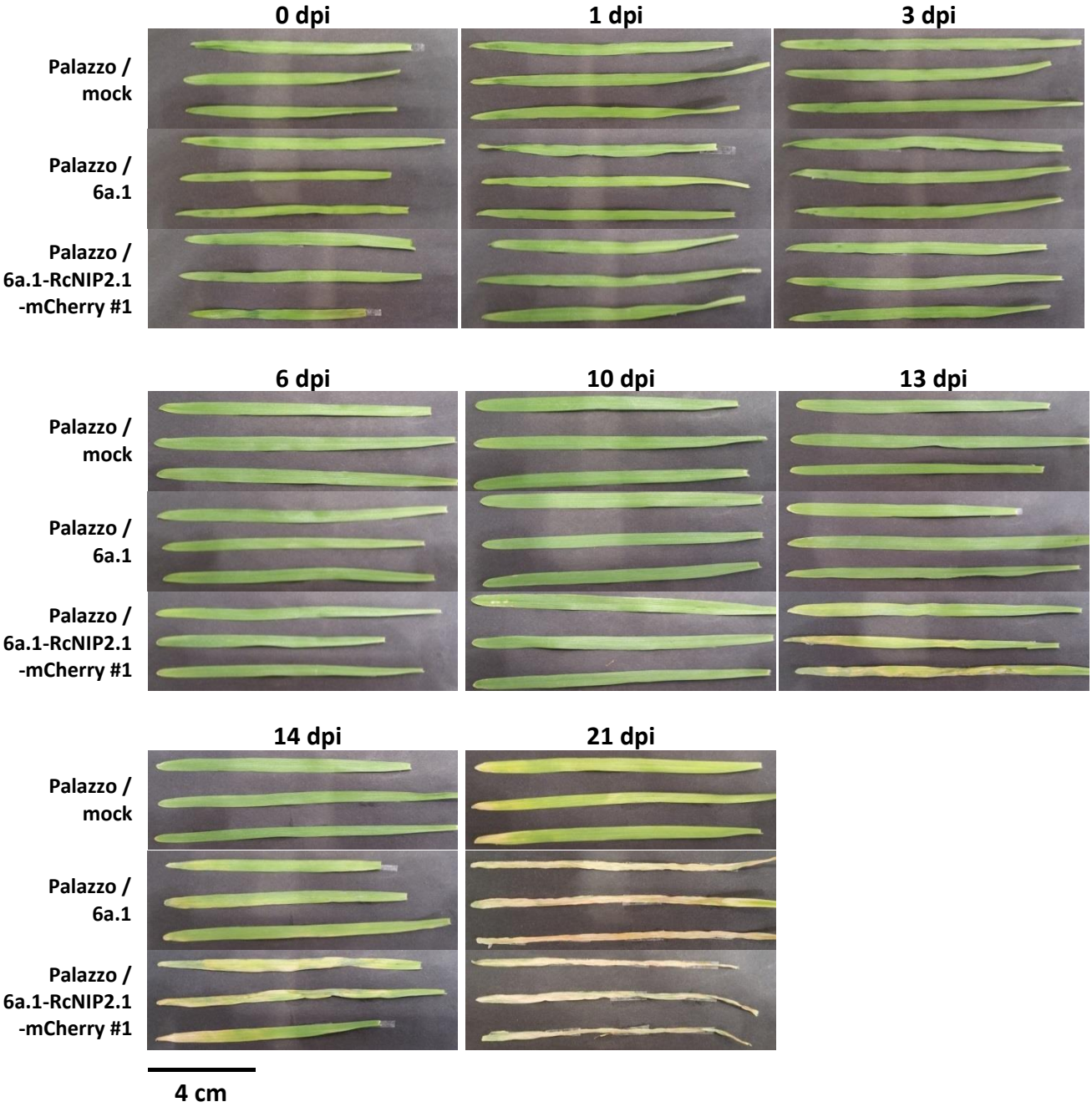

Abbildung A 20 Symptome der *R.-secalis*-Transformante

Entwicklung von nekrotischen Läsionen auf den Primärblättern der suszeptiblen Roggensorte Palazzo, hervorgerufen durch die Infektion mit *R. secalis*. Vergleichend dargestellt ist das Wildtypisolat 02CH4-6a.1 mit der *NIP2.1*-exprimierenden Mutante 6a.1-RcNIP2.1-mCherry (#1). Diese Mutante exprimiert *NIP2.1* aus dem *R.-commune*-Isolat UK7 unter Kontrolle des konstitutiv aktiven *ToxA*-Promotors. Dabei ist die kodierende Sequenz (CDS) von *NIP2.1* ohne Stopkodon mit der CDS von *mCherry* fusioniert worden. Jeweils 3 Individuen repräsentieren den Entwicklungsstand der Symptome zu den Zeitpunkten 0, 1, 3, 6, 10, 13, 14 und 21 dpi in einem Experiment. Der Sporentiter bei der Inokulation der Blätter betrug $2*10^5$ Sporen je 10 Primärblätter in 0,1%iger TWEEN20®-Lösung. mock...Benetzen der Pflanzen mit 0,1%iger TWEEN20®-Lösung.

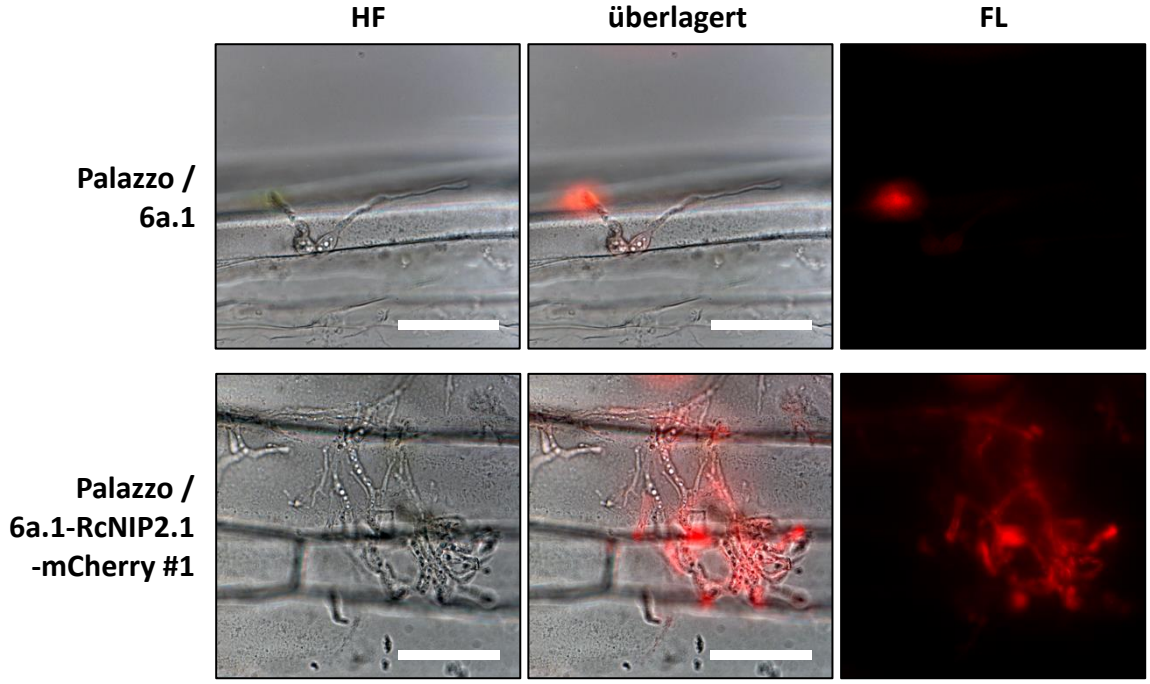

Abbildung A 21 mCherry-Fluoreszenz in *R. secalis*

Fluoreszenz-mikroskopische Aufnahmen von keimenden *R. secalis* Sporen. Dargestellt ist die epidermale Zellschicht auf der Unterseite von Primärblättern der Roggensorte Palazzo. Das Wildtypisolat 02CH4-6a.1 ohne Fluorophor wurde mit der *NIP2.1*-exprimierenden Mutante 6a.1-RcNIP2.1-mCherry (#1) verglichen. Diese Mutante exprimiert *NIP2.1* aus dem *R.-commune*-Isolat UK7 unter Kontrolle des konstitutiv aktiven *ToxA*-Promotors. Dabei ist die kodierende Sequenz (CDS) von *NIP2.1* ohne Stopkodon mit der CDS von *mCherry* fusioniert worden. Die Epidermen sind 3 dpi von den Blättern gezogen und unter Hellfeldbedingungen (**HF**) sowie unter Anregung bei 587 nm (**FL**) abgebildet worden. Die **überlagerte** Darstellung ermöglicht die Lokalisierung der Fluoreszenz. Das Signal, welches in der Aufnahme des keimenden Wildtypisolates 02CH4-6a.1 (oben) zu erkennen ist, wurde durch den Teil eines pflanzlichen Chloroplasten verursacht. Dieses Fragment ist in der Hellfeldaufnahme zu erkennen. Das Chlorophyll wird wie mCherry bei der verwendeten Wellenlänge zu einer Emission im ähnlichen Spektrum angeregt.
Die Aufnahmen wurden mit einer 63-fachen Vergrößerung mit dem Mikroskop Zeiss LSM 710 (TxRed Filter) aufgenommen. Der Sporentiter bei der Inokulation der Blätter betrug $2*10^5$ Sporen je 10 Primärblätter in 0,1%iger TWEEN20®-Lösung. Der Maßstabsbalken repräsentiert 50 µm.

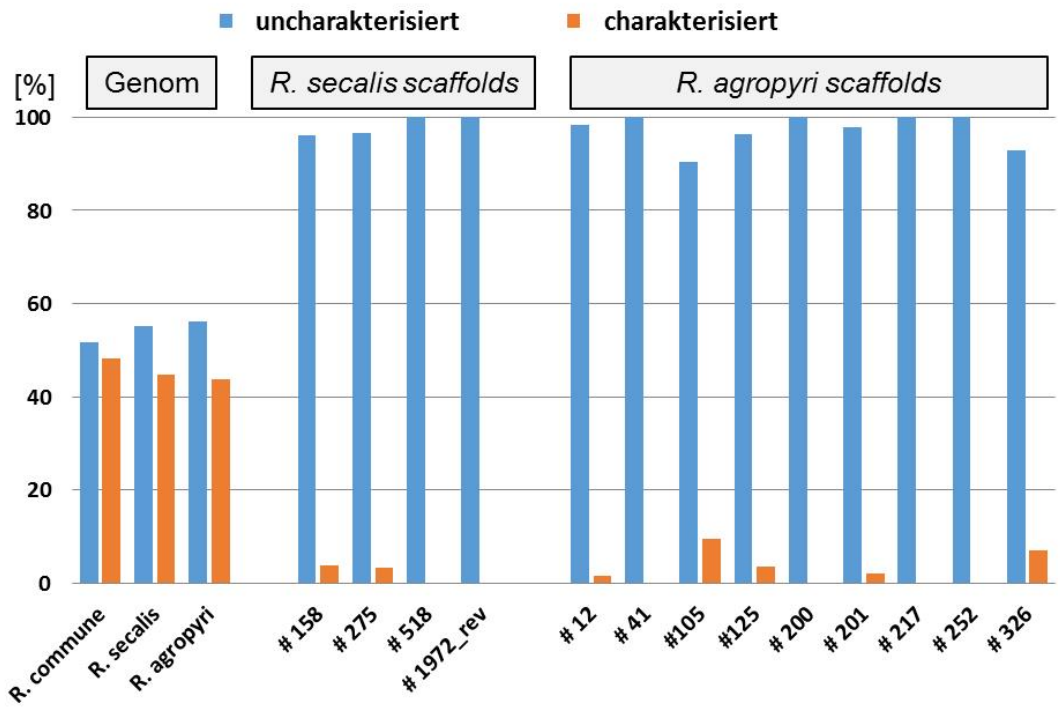

Abbildung A 22 Genmodelle der artspezifischen *scaffolds*

Prozentuale Anzahl charakterisierter und uncharakterisierter Genmodelle der Genome von *R. commune*, *R. secalis* und *R. agropyri* links im Vergleich zu *scaffolds* von *R. secalis* in der Mitte sowie *R. agropyri* rechts. Die tatsächliche Gesamtanzahl der Gene variiert zwischen den einzelnen *scaffolds*. Uncharakterisierte Genmodelle beschreiben Modelle in denen keine Treffer für bereits in UniProt beschriebene Proteine oder Domänen gefunden werden konnten. Charakterisierte Genmodelle weisen Domänen auf oder sind bereits in der Literatur beschrieben worden. Verändert nach W. Knogge, unveröffentlicht.

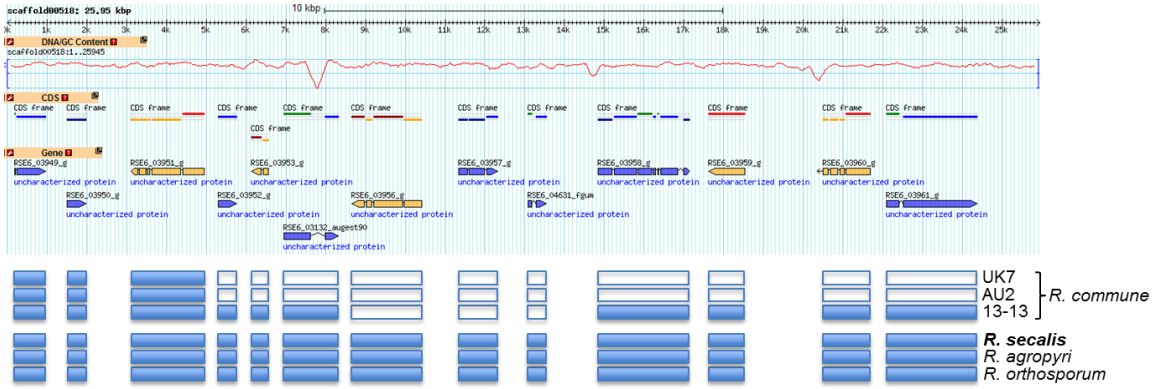

Abbildung A 23 Schematische Darstellung von *scaffold00518*

Oben: Auszug aus *Generic Genome Browser* (GBrowse) von *R. secalis*. Darstellung der 25945 bp des *scaffold00518* mit GC-Gehalt als Grafik von 0 bis 100% in der obersten Reihe. In der mittleren Reihe schematische Darstellung der kodierenden Sequenz (CDS) und in der untersten Reihe schematische Darstellung der Genmodelle aller 13 annotierten Gene des *scaffolds*. **Unten:** Darstellung der Genmodelle als Block ohne Berücksichtigung der Intron-Exon-Struktur. Blaue Blöcke verweisen auf Genmodelle oder hoch ähnliche Sequenzen in den jeweiligen Arten bzw. Isolaten. In Isolaten mit weißen Blöcken fehlen diese hingegen. *R. commune* Isolat UK7, AU2 und 13-13; *R. secalis* Isolat 02CH4-6a.1; *R. agropyri* Isolat 04CH-RAC-A.6.1; *R. orthosporum* Isolat 04CH-Bär-A.1.1.3. Verändert nach W. Knogge, unveröffentlicht.

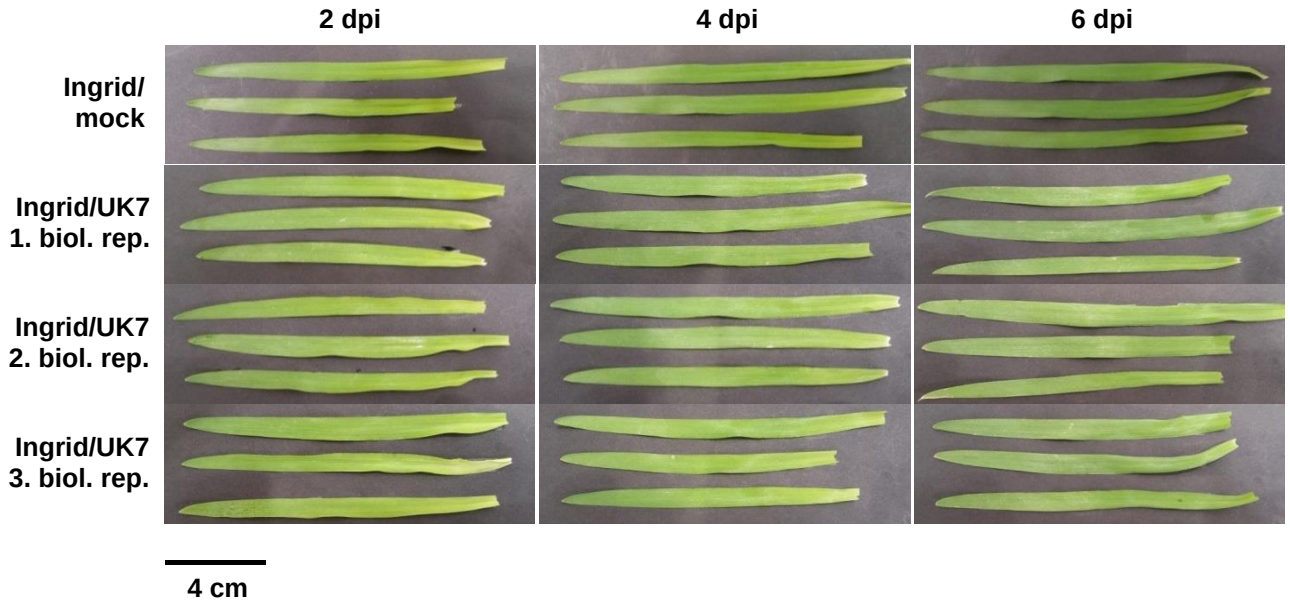
2 dpi
4 dpi
6 dpi
Ingrid/
mock
Ingrid/UK7
1. biol. rep.
Ingrid/UK7
2. biol. rep.
Ingrid/UK7
3. biol. rep.
4 cm

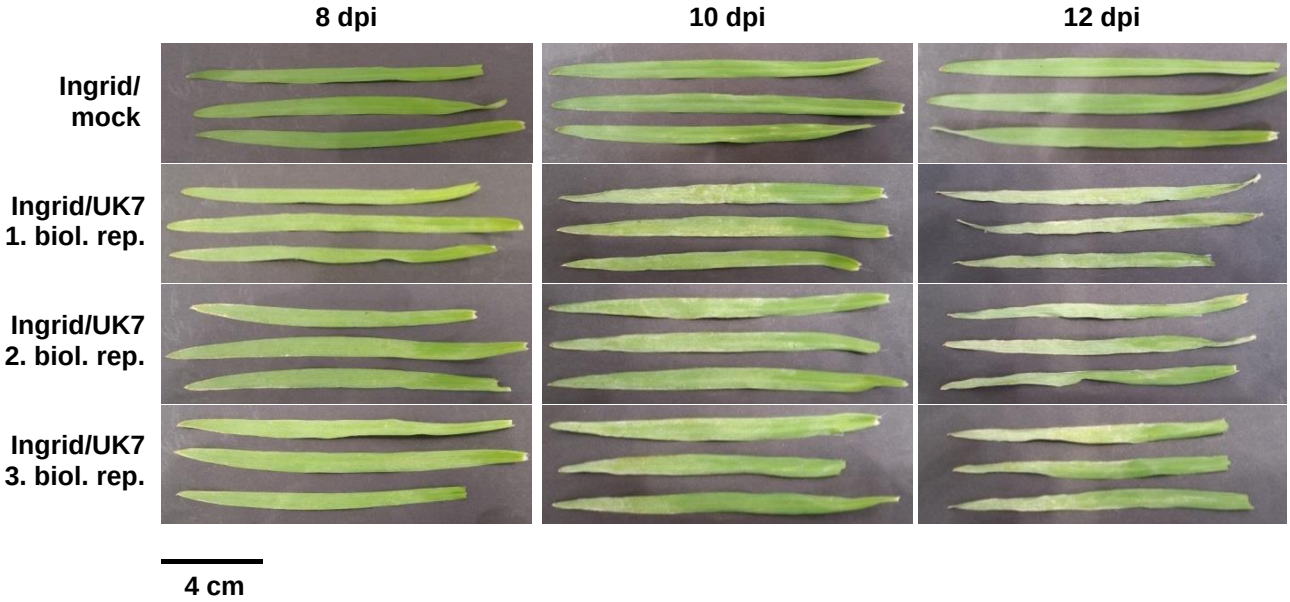
8 dpi
10 dpi
12 dpi
Ingrid/
mock
Ingrid/UK7
1. biol. rep.
Ingrid/UK7
2. biol. rep.
Ingrid/UK7
3. biol. rep.
4 cm

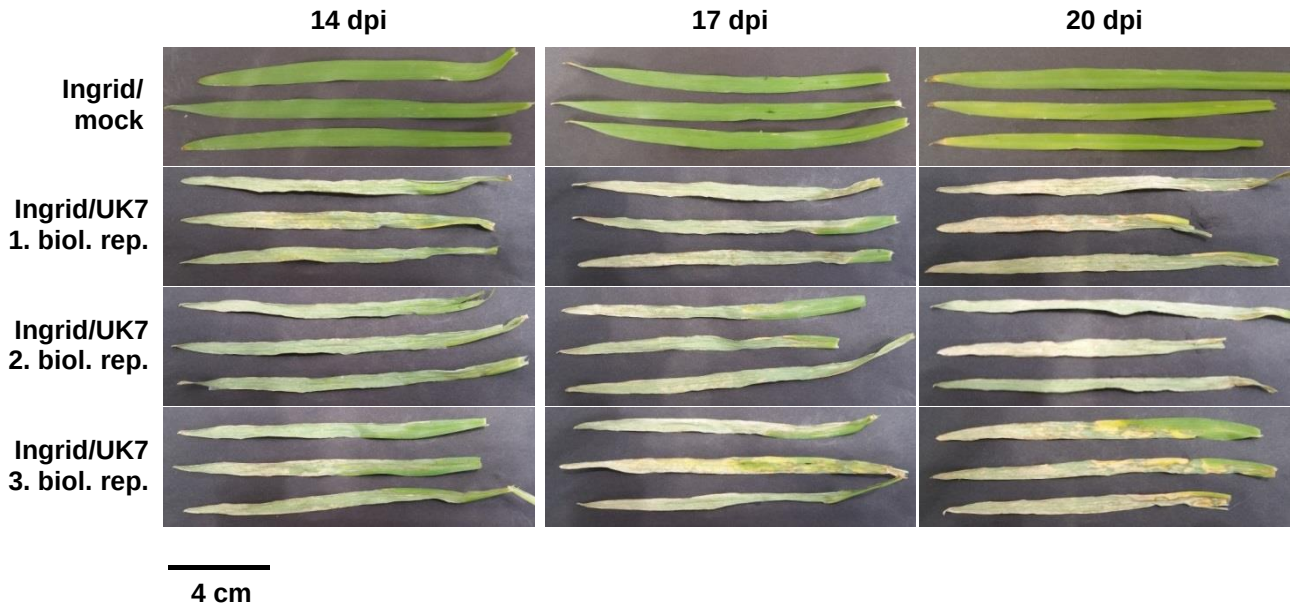

Abbildung A 24 Symptome der Interaktion von *R. commune* und Gerste

Entwicklung von nekrotischen Läsionen auf den Primärblättern der hoch suszeptiblen Gerstensorte Ingrid, hervorgerufen durch die Infektion von *R. commune* Isolat UK7.

Jeweils 3 Individuen repräsentieren den Entwicklungsstand der Symptome zu den Zeitpunkten 2, 4, 6, 8, 10, 12, 14, 17 und 20 dpi in 3 biologischen Replikaten (biol. rep.). Die Sporenkonzentration bei der Inokulation der Blätter betrug $1*10^7$ Sporen je 10 Primärblätter in 0,1%iger TWEEN20®-Lösung. mock...Benetzen der Pflanzen mit 0,1%iger TWEEN20®-Lösung.

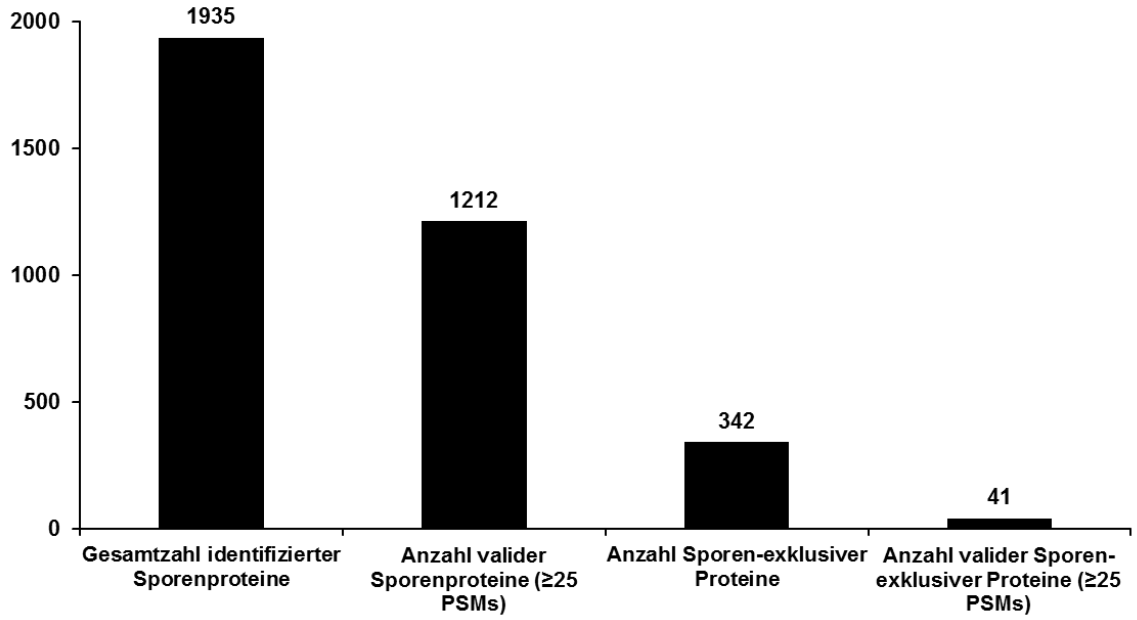

Abbildung A 25 Anzahl valider Sporen-exklusiver Proteine

Nach einem Vergleich von Peptidmessungen der Sporen, des Myzels und des Kulturüberstandes identifizierte Sporen-spezifische Proteine. Die mit ≥ 25 *peptide-spectrum matches* (PSMs; von engl., Treffer für theoretisches versus gemessenes Peptidspektrum) identifizierten Proteine werden als valide betrachtet. Die Ergebnisse beruhen auf einem Experiment.

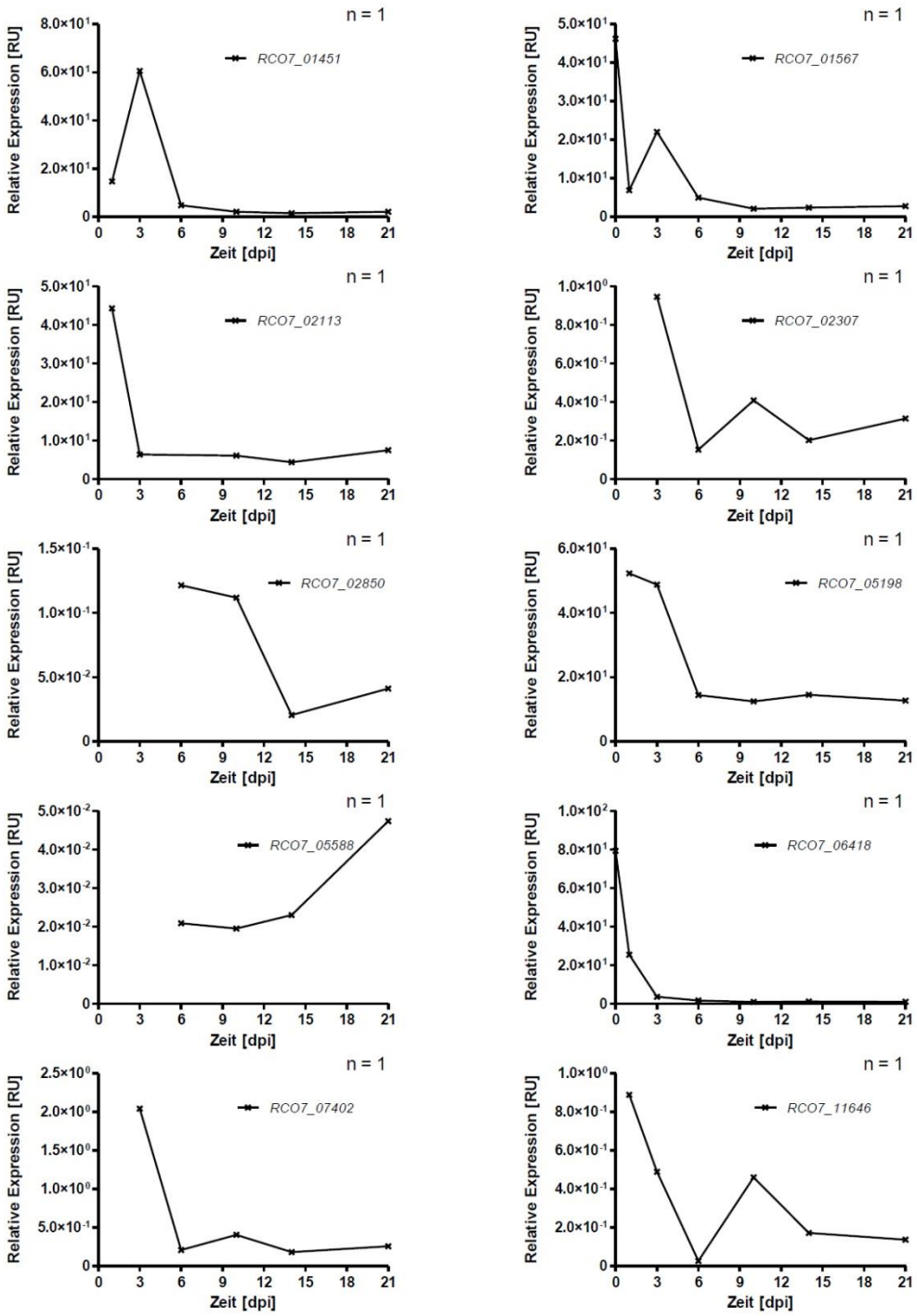

Abbildung A 26 Expression Sporen-exklusiver Gene

Bestimmung der relativen Transkriptmenge von 10 Sporen-exklusiven Genen in der Interaktion von UK7 und Ingrid. Die relative Expression der Sporen-exklusiven Gene ist in einem Experiment über 21 Tage bestimmt worden. Fehlende Messpunkte auf Grund von nicht detektierbarem Transkript der Sporen-exklusiven Gene. RU…relative Einheit. dpi…Tage nach Inokulation.

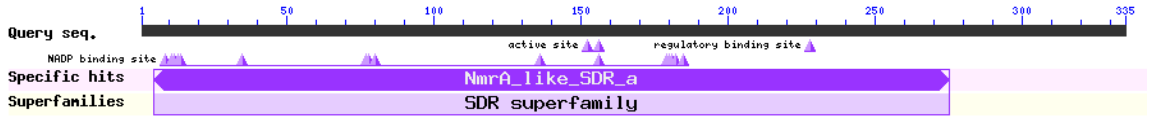

Abbildung A 27 Domänenstruktur des Sporenmarkers *RCO7_05588*

Die konservierte Domänenstruktur des Proteins RCO7_05588 wurde durch Abgleich der Aminosäuresequenz mit der NCBI *conserved domain database* (CCD; von engl. Datenbank konservierter Domänen) ermittelt (Marchler-Bauer *et al.*, 2015). Die regulativen Bindestellen (regulatory *binding sites*) und aktiven Zentren (*active sites*) sind als spezifische Treffer für den NmrA_like_SDR_a Bereich identifiziert worden. SDR...*short-chain dehydrogenase/reductase* (von engl. kurzkettige Dehydrogenase/Reduktase). *Query seq*...Suchanfrage Sequenz.

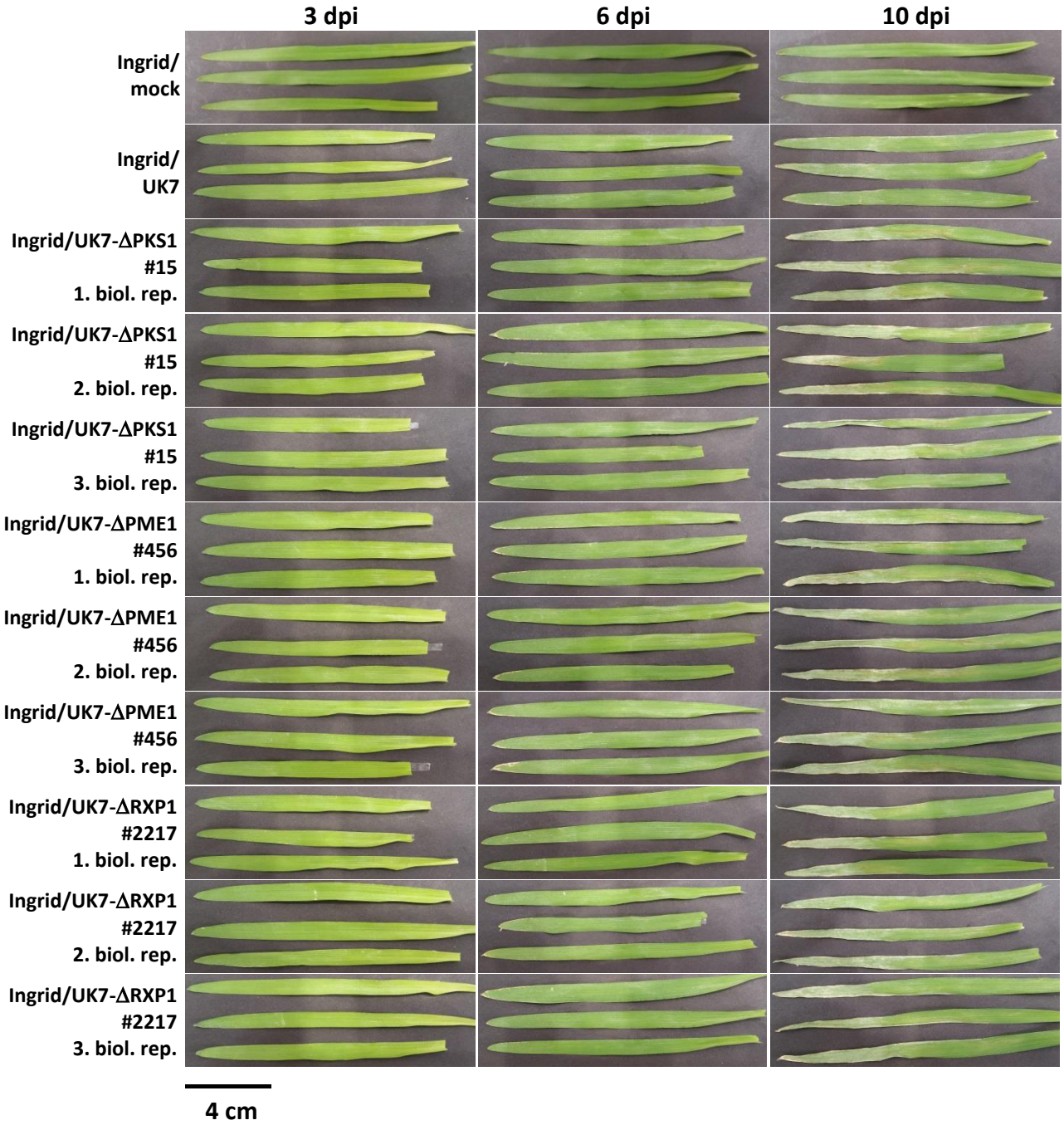
3 dpi
6 dpi
10 dpi
Ingrid/ mock
Ingrid/ UK7
Ingrid/UK7-ΔPKS1 #15 1. biol. rep.
Ingrid/UK7-ΔPKS1 #15 2. biol. rep.
Ingrid/UK7-ΔPKS1 #15 3. biol. rep.
Ingrid/UK7-ΔPME1 #456 1. biol. rep.
Ingrid/UK7-ΔPME1 #456 2. biol. rep.
Ingrid/UK7-ΔPME1 #456 3. biol. rep.
Ingrid/UK7-ΔRXP1 #2217 1. biol. rep.
Ingrid/UK7-ΔRXP1 #2217 2. biol. rep.
Ingrid/UK7-ΔRXP1 #2217 3. biol. rep.
4 cm

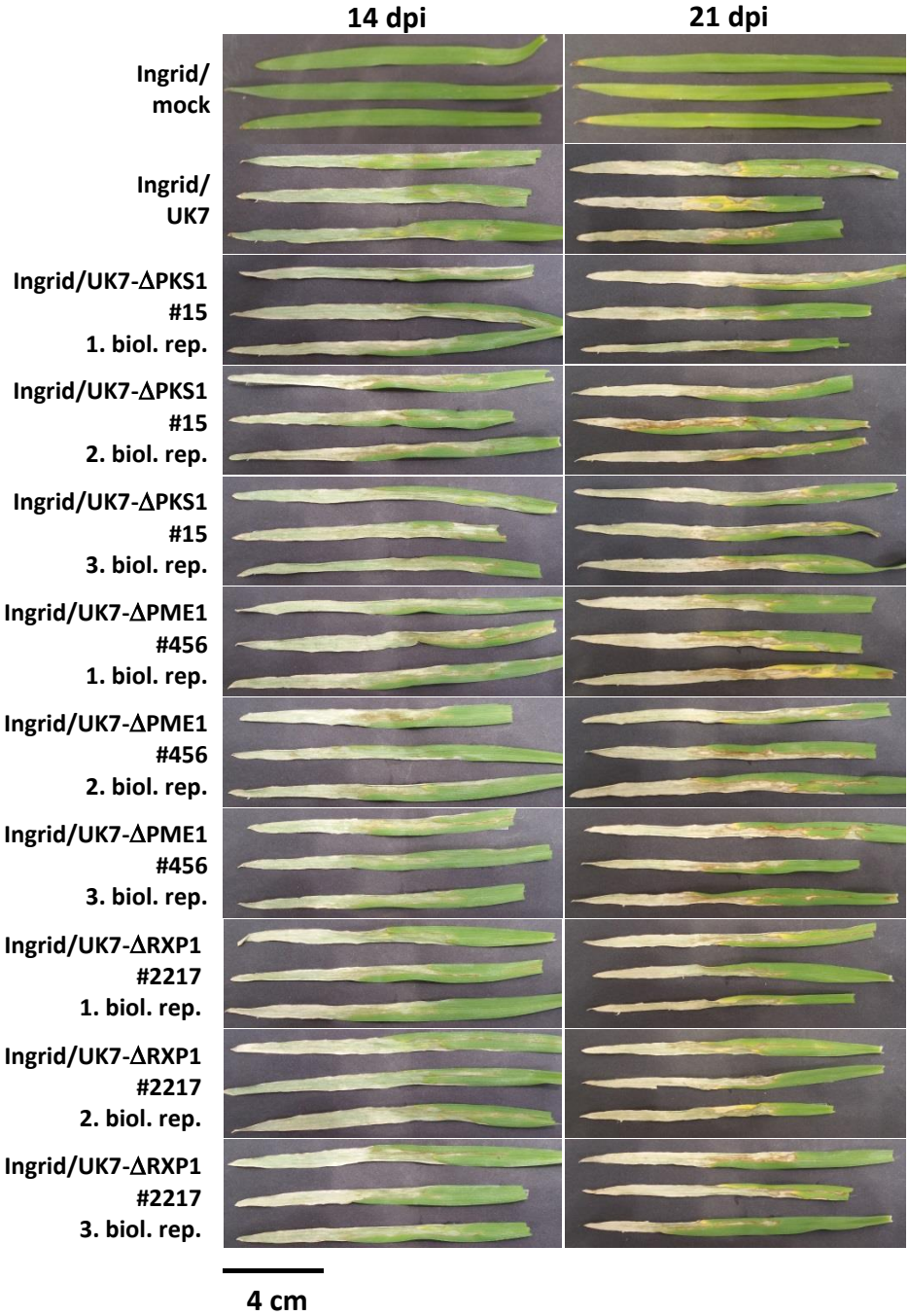

Abbildung A 28 Symptome der PKS1, PME1 und RXP1 Deletionsmutanten

Entwicklung von nekrotischen Läsionen auf den Primärblättern der hoch suszeptiblen Gerstensorte Ingrid, hervorgerufen durch die Infektion von *R. commune*. Vergleichend dargestellt ist das Wildtypisolat UK7 mit den Deletionsmutanten der Polyketidsynthase 1 (UK7ΔPKS1 #15), der Pektin-Methylesterase 1 (UK7ΔPME1 #456) und des *Rhynchosporium*-RXLR-Proteins 1 (UK7ΔRXP1 #2217).
Jeweils 3 Individuen repräsentieren den Entwicklungsstand der Symptome zu den Zeitpunkten 3, 6, 10, 14 und 21 dpi in 3 biologischen Replikaten (biol. rep.). Die Sporenkonzentration bei der Inokulation der Blätter betrug $1*10^6$ Sporen je 10 Primärblätter in 0,1%iger TWEEN20®-Lösung. mock...Benetzen der Pflanzen mit 0,1%iger TWEEN20®-Lösung.

Anhang – Tabellen

Tabelle A 1 Verwendete Oligonukleotide

Oligonukleotid	Sequenz 5'→3'	Referenz
01266 (s)	TCG CGA GGT TTG GTG CTG GT	Wenzel, 2014
18s_Teil2f	AAT TGC GAT AAC GAA CGA GAC C	S. Kirsten, unveröff
18S_Teil2r	ACT TCC ATC GGC TTG AGC CGA	S. Kirsten, unveröff
18SrDNA1f	GTA GTC ATA TGC TTG TCT	D. Penselin, unveröff
18SrDNA2f	TGC CAA GGA TGT TTT CAT	S. Kirsten, unveröff
18SrDNA2r	TCA CTG ATT AAT GAA AAC	S. Kirsten, unveröff
18SrDNA3f	AGT AAA GAA TGC TGA CCG	S. Kirsten, unveröff
18SrDNA3r	CTT GCA TAC GGT CAG CAT	S. Kirsten, unveröff
28SrDNA2f	GGC TAG GAT GCT GGC GTA AT	S. Kirsten, unveröff
28SrDNA2r	CCA CCA GAG TTT CCT CTG GC	S. Kirsten, unveröff
28SrDNAr	CCG CTT ATT GAT ATG CTT AA	D. Penselin, unveröff
3UTR-NIP1-r	AAA GCC GCC ACG ATA GAT AG	D. Penselin, unveröff
4/2f	TCA AAT TGC GGG GAC GTC CTG	S. Kirsten, unveröff
4/2r	TAG TCT GTG AAC TGC ATC CG	S. Kirsten, unveröff
5UTR-NIP1-f	GCA ACT AAT AAA AGA GAG TT	D. Penselin, unveröff
GFPpENTRf	ATG GTG AGC AAG GGC GAG	D. Penselin, unveröff
GFPpENTRr	TTC AGC TCG ATG CGG TTC AC	D. Penselin, unveröff
GFP-RT-f	TGG GGC ACA AGC TGG AGT ACA A	D. Penselin, unveröff
GFP-RT-r	TGT TGT GGC GGA TCT TGA AGT TCA	D. Penselin, unveröff
GPD_cDNA_test_as	GAG TAA CCC CAC TCA TTA	Wenzel, 2014
GPD_cDNA_test_s	GAA CGA TCC ATT CAT TGA	Wenzel, 2014
GPDRT2as	GCT TGC CGT TGA GCT CTG GG	Kirsten *et al.*, 2012
GPDRT2s	TCT GCT AAG GAT TGG CGC GG	Kirsten *et al.*, 2012
HO05J24F	GTG CGC TGT GGT CAA GAT GTT	Kirsten *et al.*, 2012
HO05J24R	TAG TGA TAT CGC TCA TGC CGG	Kirsten *et al.*, 2012
HPH CDS1(s)	CGT CAA CCA AGC TCT GAT AG	D. Penselin, unveröff
HPH CDS2(as)	CAC TCG TCC GAG GGC AAA GG	D. Penselin, unveröff
HPH CDS3(s)	GTC CGT CAG GAC ATT GTT GG	D. Penselin, unveröff
HPH100-f	ACT GTG ATG GAC GAC ACC GT	D. Penselin, unveröff
HPH200-f	GAG CGG GTT CGG CCC ATT CG	D. Penselin, unveröff
HPH50-f	GCT GAT GCT TTG GGC CGA GG	D. Penselin, unveröff
HPH-r	CGT GCA CGA GGT GCC GGA CT	D. Penselin, unveröff
IntronHG8f2_sequ	TAT CAA TAA ACA AAA TAT TAA ATA A	D. Penselin, unveröff
IntronpHG8f	CCA GCT TGG TAA GGA AAT AAT TAT T	D. Penselin, unveröff
IntronpHG8f_sequ	TTG GGA AGC TGG GTT CGA AAT CGA T	D. Penselin, unveröff
IntronpHG8r	ATC GAT TTC GAA CCC AGC TTC CCA A	D. Penselin, unveröff
IntronpHG8r_sequ	AAT AAT TAT TTC CTT ACC AAG CTG G	D. Penselin, unveröff
LR0R	ACC CGC TGA ACT TAA GC	S. Kirsten, unveröff
LR7	TAC TAC CAC CAA GAT CT	S. Kirsten, unveröff
NIP1 RTas	GTA TCC CGT CGG GCA TTG GA	Kirsten *et al.*, 2012
NIP1 RTs	CCT GCT TGG TTC CTG GGG AT	Kirsten *et al.*, 2012
NIP1fw	CTC GGG GCA ACT AAT AAA AGA G	Mönchmeier, 2011
NIP1rv	TTT AGT TCA TGT AGC AGC ACA GAG	Mönchmeier, 2011
NIP2.2_SEQ_F	TGC TTT CAT ATT TAC TCC CCA CAT C	D. Penselin, unveröff
NIP2.2_SEQ_R	ATG GCC CAT TCT ACA TCT CCA ATA G	D. Penselin, unveröff
NIP2.3_SEQ_F	CCC ACA AAC ACC CGC CTC ACA TCT C	D. Penselin, unveröff
NIP2.3_SEQ_R	GCC CAT TGC GCA TCT CCG GCT TTG G	D. Penselin, unveröff

Oligonukleotid	Sequenz 5'→3'	Referenz
NIP2.4_SEQ_F	CAA CGT TTC TCA CTA TCC TAA TCT C	D. Penselin, unveröff
NIP2.4_SEQ_R	ACC GCC CAT TCC ACA TCT CCA ATA C	D. Penselin, unveröff
NIP2fw	GAT GCT AGT CCA TGC TGA GTC T	Mönchmeier, 2011
NIP2rv	CTA GAA CCC AGC GTT GAC AAT	Mönchmeier, 2011
NIP3 RTas	GTG CAG GTA CGG GCA TGC AC	Kirsten *et al.*, 2012
NIP3 RTs	CAA CTA CAG CCC AAG CCG CA	Kirsten *et al.*, 2012
NIP3fw	GCT CAG GCA TGT CTT TTC ATC	Mönchmeier, 2011
NIP3rv	TCT GCT GTA CGT TGA GAG GAA T	Mönchmeier, 2011
pFBT008f	CGT CCA TCG GTA TCC AAC TCC AAC T	D. Penselin, unveröff
pFBT008r	CCG GAG CTG ACA TCG ACA CCA	D. Penselin, unveröff
PFP-RT1as	GAT TCG CTT CCC CAG AC	D. Penselin, unveröff
PFP-RT1s	GAT CCC CAG GTG AAG CCC GA	D. Penselin, unveröff
pUC18-HG8-SacI-f	TGT CAC ACA AAA AAG AGG CTC GCA	D. Penselin, unveröff
pUC18-HG8-SacIRC	TGC GAG CCT CTT TTT TGT GTG ACA	D. Penselin, unveröff
pUC18-HG8-SphI-r	AGG ACT ATG ACA CTA GCG	D. Penselin, unveröff
qRT-NIP2.1-UK7f2	TAC TAT GTT GTC GTC TGT	D. Penselin, unveröff
qRT-NIP2.1-UK7r2	TAT TTT GAA TTG CCC ATT	D. Penselin, unveröff
qRT-RCO7_01451-f	AAC AGA GGG ACG TGC TCG ACA AAA	D. Penselin, unveröff
qRT-RCO7_01451-r	TTC CCA CCA TGG AGC GAC ACT T	D. Penselin, unveröff
qRT-RCO7_01567-f	GAC AGT CAT CCG AAT GGC TCC TAA A	D. Penselin, unveröff
qRT-RCO7_01567-r	TTG TCC CCA AGG ATG TTT GAA TTG T	D. Penselin, unveröff
qRT-RCO7_02113-f	TTG TAC GGC TGC AAA CAA AGC ATA C	D. Penselin, unveröff
qRT-RCO7_02113-r	TTG AAC CAT GGC GGC TGG ATA T	D. Penselin, unveröff
qRT-RCO7_02307-f	TGG ATG AAG GAG CAG GGT TTG AA	D. Penselin, unveröff
qRT-RCO7_02307-r	CAC CTG GTG TCC TCA CCG TGA TTT	D. Penselin, unveröff
qRT-RCO7_02850-f	CCT ACG ACC ACT GCG GCA AAC T	D. Penselin, unveröff
qRT-RCO7_02850-r	TGT GAC TGA CCT CCG CTA GCA GTT A	D. Penselin, unveröff
qRT-RCO7_05198-f	TGG TGG AGG AGG CCG GAA TT	D. Penselin, unveröff
qRT-RCO7_05198-r	CCG CGC AAG AAC TCC GAG AAT AT	D. Penselin, unveröff
qRT-RCO7_05588-f	ATA CCA TTT TCG CCA ACA CGG ATT A	D. Penselin, unveröff
qRT-RCO7_05588-r	TCG TAC GCA TAA CGC TTC GCA TTA	D. Penselin, unveröff
qRT-RCO7_06418-f	GAC TGT GGA CGG CGA GGC TAT T	D. Penselin, unveröff
qRT-RCO7_06418-r	CGC TCG ATG AGC TCT TTT GCG	D. Penselin, unveröff
qRT-RCO7_07402-f	CTG GTC TCG GAG CGA GAA TCA TTA A	D. Penselin, unveröff
qRT-RCO7_07402-r	CCG TGG TGA TGA TAC TCG CTC TCA G	D. Penselin, unveröff
qRT-RCO7_11646-f	GCA AGA TCT CTG CGG ACT TCC ATT A	D. Penselin, unveröff
qRT-RCO7_11646-r	CCA GGC ATC GAT GGT TCC AAA T	D. Penselin, unveröff
RcNIP2.1_UK7_f	GCG TCA TGA TTT AGC CCT TGG TGG A	D. Penselin, unveröff
RcNIP2.1_UK7_f_RNAi	GCG TCA TGA TTT AGC CCT TGG TGG A	D. Penselin, unveröff
RcNIP2.1_UK7_r	CAG AAG CCT TTT CCA CCA AGG CCT AGT TCA ACT GTA CAC GTA GGC CAA TCA GG GG	D. Penselin, unveröff
RcNIP2.1_UK7_r_RNAi	ACT GTA CAC GTA GGC CAA TCA GGG G	D. Penselin, unveröff
RcNIP2.2_UK7_f	TGA ACT AGG CCT TGG TGG AAA AGG C	D. Penselin, unveröff
RcNIP2.2_UK7_f_RNAi	TGA ACT AGG CCT TGG TGG AAA AGG C	D. Penselin, unveröff
RcNIP2.2_UK7_r	TGT TGA GCT GCC CAT TGC GCA TCT CCG GAC AGG GAA TCC AAC AGC TCC TGA GGG AT	D. Penselin, unveröff
RcNIP2.2_UK7_r_RNAi	ACA GGG AAT CCA ACA GCT CCT GAG G	D. Penselin, unveröff
RcNIP2.3_UK7_f	CCG GAG ATG CGC AAT GGG CA	D. Penselin, unveröff
RcNIP2.3_UK7_f_RNAi	CCG GAG ATG CGC AAT GGG CA	D. Penselin, unveröff
RcNIP2.3_UK7_r	TCT TTT CGC CTG TGG ACA ACC GCC CAT TTC CAG AGG TGG CCA GAA GTT GAC ATG TA	D. Penselin, unveröff
RcNIP2.3_UK7_r_RNAi	TCC AGA GGT GGC CAG AAG TTG ACA	D. Penselin, unveröff
RcNIP2.4_UK7_f	AAT GGG CGG TTG TCC ACA GGC	D. Penselin, unveröff
RcNIP2.4_UK7_f_RNAi	AAT GGG CGG TTG TCC ACA GGC	D. Penselin, unveröff
RcNIP2.4_UK7_r	CCC CTT CCG CTT GTT GGT TCA CG	D. Penselin, unveröff

Oligonukleotid	Sequenz 5'→3'	Referenz
RcNIP2.4_UK7_r_RNAi	CCC CTT CCG CTT GTT GGT TCA CG	D. Penselin, unveröff
RcNIP2.5p-f	ATG AAG GTT CTG TCC GTC	D. Penselin, unveröff
RcNIP2.5p-r	TTA ACA ATA GTT GGT GCA	D. Penselin, unveröff
RcNIP2.nested_f	CAT GAT TTA GCC CTT GGT GGA AA	D. Penselin, unveröff
RcNIP2.nested_r	TCC GCT TGT TGG TTC ACG ATT G	D. Penselin, unveröff
RcSP1-seq-as	CTA ATC CTT CCT GGC AAC CC	S. Kirsten, unveröff
RcSP1-seq-s	ATG AAG CTT GGC CTC CTT TC	S. Kirsten, unveröff
RcSP2-seq-as	TCA ACC TAT TGT ATA GCG	S. Kirsten, unveröff
RcSP2-seq-s	ATG AAG CCC ATC ACC TTA TG	S. Kirsten, unveröff
RcSP3-seq-as	TTA AGA GCA TGT AAG GTA GC	S. Kirsten, unveröff
RcSP3-seq-s	ATG CAT TTC TCT ATT CTT CT	S. Kirsten, unveröff
RcSP4-seq-as	CTA ATT ATT GAA CAG GAA AT	S. Kirsten, unveröff
RcSP4-seq-s	ATG CTG TCC AGT CTG AAA AC	S. Kirsten, unveröff
RcSP5-seq-as	TCA GAG ATC TTT ATT GCC AA	S. Kirsten, unveröff
RcSP5-seq-s	ATG AAG CTC CTC CTC CTC CT	S. Kirsten, unveröff
RcSP6-seq-as	TCA ACT TAG GAC AGC GTA CT	S. Kirsten, unveröff
RcSP6-seq-s	ATG AAG CAT CTC TCT ATC CT	S. Kirsten, unveröff
RcSP7-seq-as	TCT CAT ACA ACA AGC GCT AC	S. Kirsten, unveröff
RcSP7-seq-s	CAG CAA CAT GTC TCG CCA AA	S. Kirsten, unveröff
RcSP8-seq-as	GAT CCC TAA ATA TAC ATT AC	S. Kirsten, unveröff
RcSP8-seq-s	CTC GAG CTC TTA CTC GTT TC	S. Kirsten, unveröff
RcSP9_seq_as	GTA TCC AAG CCA GTA CAA CC	S. Kirsten, unveröff
RcSP9_seq_s	ATA AGA CAG CTC CTG TAC CC	S. Kirsten, unveröff
RNAi(as)	AGG GCT AAG GTG TCC GTC CT	D. Penselin, unveröff
RNAi(s)	CTC CGG AGC TGA CAT CGA CA	D. Penselin, unveröff
RsSPa_seq_as	GGC CTC CGT AGC TGT TGC AC	S. Kirsten, unveröff
RsSPa_seq_s	GGA TGT TCT TGT CGC GCT TG	S. Kirsten, unveröff
RT-E1f	GCG CCA CCG CAC CCT CTT AT	D. Penselin, unveröff
RT-E1r	ATG AAA CCT CCG CCG ATC G	D. Penselin, unveröff
RT-E2f	TGC TCA AGG AGG CCC TTT C	D. Penselin, unveröff
RT-E2r	GCC GTC CTT AGG ACA GGG T	D. Penselin, unveröff
RT-E3f2	TGG CCA TAA CTT CGT CGC TTG T	D. Penselin, unveröff
RT-E3r2	TCT CGT TGT GGA CTC TCC CAT CG	D. Penselin, unveröff
RT-E4f	GCC AGT TGG ATG GTC GAT C	D. Penselin, unveröff
RT-E4r	TCA GAG CAG CCG TTA TCG A	D. Penselin, unveröff
RT-E5f	GCC GGC TGG GGG ATG ATT T	D. Penselin, unveröff
RT-E5r	GTG CGG CGA CGG TCC AAC A	D. Penselin, unveröff
RT-NIP2.1-UK7f	TGA GAT TGG AGA TGT AGA ATG GGC AAT T	Kirsten *et al.*, 2012
RT-NIP2.1-UK7r	TGA ATG CCC TCT CCA GAA TCC TTT T	Kirsten *et al.*, 2012
RT-NIP2.2-UK7f	AAG ATG AAC TAG GCC TTG GTG GAA AA	D. Penselin, unveröff
RT-NIP2.2-UK7f3	TTT GTA CTT TTG ACG GTG GTG CGT	D. Penselin, unveröff
RT-NIP2.2-UK7r	TCG CTC CTA CAG AGG GAC ACA ACT T	D. Penselin, unveröff
RT-NIP2.2-UK7r3	TTT ACG CGC CCG TTC CAG AA	D. Penselin, unveröff
RT-NIP2.3-UK7f	CAC CTT CTG TCG GAG CGC TAC ATA T	D. Penselin, unveröff
RT-NIP2.3-UK7f2	GCT TCT TTC GCT ATC GTC TGT	D. Penselin, unveröff
RT-NIP2.3-UK7r	CAG AGG TGG CCA GAA GTT GAC ATG	D. Penselin, unveröff
RT-NIP2.3-UK7r2	GTT GAG CTG CCC ATT GCG CAT	D. Penselin, unveröff
RT-NIP2.4-UK7f	GCG AAA AGA GTT AGC TCT TGG TGA AAA	D. Penselin, unveröff
RT-NIP2.4-UK7f2	GCT TCA CAT GTC GTC TGC CAG GCA TTT	D. Penselin, unveröff
RT-NIP2.4-UK7r	TGG ATC GCT CCT ACA GAG GGA TAA A	D. Penselin, unveröff
RT-NIP2.4-UK7r2	TGT GGA CAA CCG CCC ATT CCA CAT	D. Penselin, unveröff
RT-NIP2.6-UK7f	TAT CAA GCT GTC GTC TGT ACG	D. Penselin, unveröff
RT-NIP2.6-UK7r	TGA CGC CTG TGT ACA AGT G	D. Penselin, unveröff
RT-RCO7_08131f (*RcSP9*)	CGG CCC AAT TTG TAC GCA GAG A	D. Penselin, unveröff
RT-RCO7_08131r (*RcSP9*)	CTG GTG CAC GTT CCA TAA	D. Penselin, unveröff

Oligonukleotid	Sequenz 5'→3'	Referenz
RT-RcSP7f	TTC ATG TTA CCG GAA CTC CTT TT	D. Penselin, unveröff
RT-RcSP7r	CTC TTT GAC CAA TGC AAG AGG TA	D. Penselin, unveröff
RT-RcSP8f	TAT TCG TAC TCA AAG GAT AA	D. Penselin, unveröff
RT-RcSP8f2	ATC GAC CCT GGA AGC TGA GAT AT	D. Penselin, unveröff
RT-RcSP8r	TCT GAC TGA CGA TCT AGA T	D. Penselin, unveröff
RT-RcSP8r2	CGG CTA TTG AGC AAA TGT A	D. Penselin, unveröff
RT-RsSP1f	CCA GTG CAA AAC TCC ATT TGG TGA	D. Penselin, unveröff
RT-RsSP1r	CCT GGT TGG TTT TCG AAT CGA AAA	D. Penselin, unveröff
RT-RsSP2f	AGA CGC TGG ATC TTG AGG AGA AGG T	D. Penselin, unveröff
RT-RsSP2r	CCA CTT TGC TCG AGA AGA ACT GCT T	D. Penselin, unveröff
RT-RsSP3f3	AAT AAA GTC TAG CCA TAC CAG AAT T	D. Penselin, unveröff
RT-RsSP3r3	TGA AAG AAA GCC TTC CGG TTT GC	D. Penselin, unveröff
RT-RsSP4f	CGG CCC GAA CCG AAA TAT ACT CT	D. Penselin, unveröff
RT-RsSP4r	TCA GCC GAT ACG CGA ACA GTG A	D. Penselin, unveröff
RxLR_RT_(as)	ATG AGG CGA GGG GGG CTT TA	D. Penselin, unveröff
RxLR_RT_(s)	CTG CTC ATT CTT GCC CCT TCC C	D. Penselin, unveröff
Rxp1_ex1s2	AGT ATC ATG GAT CCC CCT AG	Wenzel, 2014
Rye reference F	GTG CGT TCT GGT CAA GAT GTT	Graap, 2013
Rye reference R	TAG TGA CAT CTC TCA TAC CAG	Graap, 2013
ToxA1s-sequ	ATG ATT ACG CCA AGC TCG G	D. Penselin, unveröff
ToxA2s-sequ	CAG CGA TAG CTG ACA ATG AAT G	D. Penselin, unveröff
ToxAs	CGG TAT CGA TTG GAA TGC ATG G	D. Penselin, unveröff
TrpC1as-sequ	TAT CAA GCT TGC ATG CCT GC	D. Penselin, unveröff
TrpC2as-sequ	CCA ACG ATC TTA TAT CCA G	D. Penselin, unveröff
TrpC3as-sequ	AGT GGA TCC ATG GCG ATC CTC TAG	D. Penselin, unveröff
TubAs	TCT GAC TTG TCC ATT GAC ATT	D. Penselin, unveröff

f – *„forward“*; r – *„reverse“*; s – *“sense”*; as – *“antisense”*

Tabelle A 2 Genloci aller NIP inklusive Homologe

Name	ID	Scaffold
RcNIP1-UK7	RCO7_12001	RcUK7_scaffold044
RcNIP2.1-UK7	RCO7_12002	RcUK7_scaffold103
RcNIP2.2-UK7	RCO7_12003	RcUK7_scaffold055
RcNIP2.3-UK7	RCO7_12004	RcUK7_scaffold087
RcNIP2.4-UK7	RCO7_12005	RcUK7_scaffold001
RcNIP2.6-UK7	RCO7_07118	RcUK7_scaffold098
RcNLP1-UK7	RCO7_00629	RcUK7_scaffold016
RcNLP2-UK7	RCO7_10229	RcUK7_scaffold043
RcNLP3-UK7	RCO7_11479	RcUK7_scaffold077
RcNIP3-UK7	RCO7_12007	RcUK7_scaffold040
RsNIP2.1-6A.1	RSE6_04878	scaffold01152_rev
RsNIP2.2-6A.1	RSE6_13832	scaffold01470
RsNIP2.4-6A.1	RSE6_01155	scaffold00543
RsNIP2.5-6A.1	RSE6_04447	scaffold00030_rev
RsNIP2.7-6A.1	RSE6_01310	scaffold01569_rev
RsNIP2.11-6A.1	RSE6_14919	scaffold00729
RsNLP1-6A.1	RSE6_05058	scaffold01948_rev
RsNLP2-6A.1	RSE6_14629	scaffold00105_rev
RsNIP3-6A.1	RSE6_09290	scaffold00175
RaNIP2.1-RAC	RAG0_17223	Ragropyri_scaffold208
RaNIP2.2-RAC	RAG0_12679	Ragropyri_scaffold92
RaNIP2.3-RAC	RAG0_10282	Ragropyri_scaffold62
RaNIP2.4-RAC	RAG0_07669	Ragropyri_scaffold40
RaNIP2.5-RAC	RAG0_17247	Ragropyri_scaffold210
RaNIP2.7-RAC	RAG0_09792	Ragropyri_scaffold58
RaNIP2.8-RAC	RAG0_05208	Ragropyri_scaffold23
RaNIP2.9-RAC	RAG0_17635	Ragropyri_scaffold274
RaNIP2.10-RAC	RAG0_10457	Ragropyri_scaffold65
RaNLP1-RAC	RAG0_17008	Ragropyri_scaffold196
RaNLP2-RAC	RAG0_07457	Ragropyri_scaffold38
RaNLP3-RAC	RAG0_15328	Ragropyri_scaffold135
RaNIP3-RAC	RAG0_03788	Ragropyri_scaffold15
RcNIP1-AU2	RCO2_10862	kein Scaffold verfügbar
RcNIP2.1-AU2	RCO2_11565	kein Scaffold verfügbar
RcNIP2.2-AU2	RCO2_10540	kein Scaffold verfügbar
RcNIP2.3-AU2	RCO2_09802	kein Scaffold verfügbar
RcNIP2.4-AU2	RCO2_00926	kein Scaffold verfügbar
RcNIP2.5-AU2	rc2_03960_gd2	kein Scaffold verfügbar
RcNIP2.6-AU2	RCO2_07118	kein Scaffold verfügbar
RcNLP1-AU2	RCO2_00629	kein Scaffold verfügbar
RcNLP2-AU2	RCO2_10229	kein Scaffold verfügbar
RcNLP3-AU2	RCO2_11479	kein Scaffold verfügbar
RcNIP3-AU2	RCO2_07150	kein Scaffold verfügbar
RcNIP1-13-13	RCO3_10862	kein Scaffold verfügbar
RcNIP2.1-13-13	RCO3_07118	kein Scaffold verfügbar
RcNIP2.2-13-13	RCO3_10540	kein Scaffold verfügbar
RcNIP2.3-13-13	RCO3_09802	kein Scaffold verfügbar
RcNIP2.4-13-13	RCO3_00926	kein Scaffold verfügbar
RcNIP2.5-13-13	rc3_03684_gd2	kein Scaffold verfügbar
RcNIP2.7-13-13	rc3_01106_gd2	kein Scaffold verfügbar
RcNLP1-13-13	RCO3_00629	kein Scaffold verfügbar
RcNLP2-13-13	RCO3_10229	kein Scaffold verfügbar

Name	ID	Scaffold
RcNLP3-13-13	RCO3_11479	kein Scaffold verfügbar
RcNLP4-13-13	rc3_12676_gd2	kein Scaffold verfügbar
RcNIP3-13-13	RCO3_07150	kein Scaffold verfügbar
RoNIP1-BAR	ROR1_10862	kein Scaffold verfügbar
RoNIP2.1-BAR	ROR1_10229	kein Scaffold verfügbar
RlNIP2.1-15LP11	keine ID	kein Scaffold verfügbar

RcNIPx-UK7 – *R. commune* Isolat UK7; *RcNIPx-AU2* – *R. commune* Isolat AU2; *RcNIPx-13-13* – *R. commune* Isolat 13-13; *RcNIPx-6A.1* – *R. secalis* Isolat 02CH4-6a.1; *RcNIPx-RAC* – *R. agropyri* Isolat 04CH-RAC-A.6.1; *RcNIPx-BAR* – *R. orthosporum* Isolat 04CH-Bär-A.1.1.3; *RcNIPx-15LP11* – *R. lolii* Isolat 15lp11.

Tabelle A 3 Bezeichnung der Gene und interne Nummerierung in genutzten Taxa

Die hier aufgelisteten Taxa wurden für die Eingliederung der Gattung *Rhynchosporium* in die Phylogenie der frühen Pilzevolution (James *et al.*, 2006) sowie die phylogenetische Aufteilung von verwandtschaftlich weiter entfernten Pilzarten verwendet.

Phylum	Ordnung	Art	Isolat	RPB1	RPB2	EF1a	18S	28S	ITS
Ascomycota	Helotiales	*Rhynchosporium commune*	UK7	RCO7_01618 *	RCO7_01111 *	RCO7_06381 *	KU844332 **		
Ascomycota	Helotiales	*Rhynchosporium secalis*	02CH4-6a.1	RSE6_02009 *	RSE6_01391 *	RSE6_08265 *	KU844333 **		
Ascomycota	Helotiales	*Rhynchosporium agropyri*	04CH-RAC-A.6.1	RAG0_00242 *	RAG0_09879 *	RAG0_10090 *	KU844334 **		
Ascomycota	Helotiales	*Rhynchosporium orthosporum*	04CH-BAR-A.1.1.3	ROR1_01618*	ROR1_01111 *	ROR1_06381 *	KU844335 **		
Ascomycota	Helotiales	*Rhynchosporium lolii*	15lp11	KU844338 ***	KU844339 ***	KU844337 ***	KU844336 **		
Ascomycota	Helotiales	*Leotia lubrica*	OSC 100001	DQ471113	DQ470876	DQ471041	AY544687	AY544644	DQ491484
Ascomycota	Rhytismatales	*Coccomyces dentatus*	OSC 100021	-	DQ247789	DQ497605	AY544701	AY544657	DQ491499
Ascomycota	Rhytismatales	*Potebniamyces pyri*	OSC 100199	-	DQ470900	DQ471068	DQ470997	DQ470949	DQ491510
Ascomycota	Helotiales	*Chlorociboria aeruginosa*	OSC 100056	DQ471125	DQ470886	DQ471053	AY544713	AY544669	DQ491501
Ascomycota	Helotiales	*Mollisia cinerea*	OSC 100029	DQ471122	DQ470883	DQ471051	DQ470990	DQ470942	DQ491498
Ascomycota	Helotiales	*Monilinia laxa*	DAOM 231119	-	DQ470889	DQ471057	AY544714	AY544670	DQ491506
Ascomycota	Helotiales	*Botryotinia fuckeliana*	OSC 100012	DQ471116	DQ247786	DQ471045	AY544695	AY544651	DQ491491
Ascomycota	Helotiales	*Dermea acerina*	CBS 161.38	DQ471164	DQ247791	DQ471091	DQ247809	DQ247801	AF141164
Ascomycota	Helotiales	*Cudoniella clavus*	OSC 100054	DQ471128	DQ470888	DQ471056	DQ470992	DQ470944	DQ491502
Ascomycota	Helotiales	*Lachnum virgineum*	OSC 100002	-	DQ470877	DQ497602	AY544688	AY544646	DQ491485
Ascomycota	Helotiales	*Geoglossum nigritum*	OSC 100009	DQ471115	DQ470879	DQ471044	AY544694	AY544650	DQ491490
Ascomycota	Helotiales	*Trichoglossum hirsutum*	OSC 100017	DQ471119	DQ470881	DQ471049	AY544697	AY544653	DQ491494
Ascomycota	Helotiales	*Marssonina brunnea f. sp. 'multigermtubi'*	-	XP_007293407.1	XP_007292570.1	XP_007295240.1	-	-	-
Ascomycota	Helotiales	*Sclerotinia sclerotiorum*	1980 UF-70	XP_001595664.1	XP_001598796.1	XP_001594091.1	-	-	-
Ascomycota	Pleosporales	*Pyrenophora tritici-repentis*	Pt-1C-BFP	XP_001933815.1	XP_001934943.1	XP_001930631.1	-	-	-
Ascomycota	Pleosporales	*Pyrenophora teres f. teres*	0-1	XP_003304626.1	XP_003299905.1	XP_003297885.1	-	-	-
Ascomycota	Hypocreales	*Fusarium graminearum*	PH-1	XP_381019.1	ESU08125.1	XP_388987.1	-	-	-
Ascomycota	Hypocreales	*Fusarium oxysporum* ~	Fo5176	EMT61610.1	EGU88188.1	EGU83230.1	-	-	-
Ascomycota	Magnaporthales	*Magnaporthe oryzae*	70-15	XP_003709735.1	XP_003710821.1	XP_003716248.1	-	-	-
Ascomycota	Erysiphales	*Blumeria graminis f. sp. hordei*	DH14	CCU80873.1	CCU77176.1	CCU75376.1	-	-	-
Ascomycota	Pleosporales	*Bipolaris sorokiniana*	ND90Pr	XP_007704964.1	XP_007704669.1	XP_007703566.1	-	-	-
Ascomycota	Eurotiales	*Aspergillus nidulans*	FGSC A4	XP_657925.1	CBF82508.1	XP_661822.1	-	-	-
Ascomycota	Saccharomycetales	*Saccharomyces cerevisiae*	S288c	XP_710813.1	XP_718439.1	XP_711899.1	-	-	-
Ascomycota	Saccharomycetales	*Candida albicans*	SC5314	XP_003855101.1	XP_003853498.1	XP_003853076.1	-	-	-
Ascomycota	Capnodiales	*Zymoseptoria tritici*	IPO323	XP_003855101.1	XP_003853498.1	XP_003853076.1	-	-	-
Ascomycota	Pleosporales	*Phaeosphaeria nodorum*	SN15	XP_001792395.1	XP_001801698.1	XP_001801902.1	-	-	-
Ascomycota	Glomerellales	*Colletotrichum graminicola*	M1.001	EFQ33366.1	EFQ28418.1	EFQ26666.1	-	-	-
Ascomycota	?	*Phialocephala subalpina*	?	PAC_03775	PAC_03208	PAC_01292	-	-	-

RNA-Polymerase II Untereinheiten (*RPB1* , *RPB2*); Elongationsfaktors *EF1a* ; *18S* und *28S rDNA* ; *internal transcribed spacer* Region (*ITS*)

? unbekannt

* interne *Rhynchosporium* ID, unveröffentlicht

** Sequenzinformation durch Sanger Sequenzierung

*** Sequenzinformation durch Angleichen der Sequenzmessung des *R. -lolii* -Isolates 15lp11 auf das *R. -orthosporum* -Genom

~ für die *RPB1* -Sequenz wurde die Rasse 4 von *Fusarium oxysporum f. sp. cubense* genutzt

Tabelle A 4 Artspezifische *scaffolds* und Genmodelle

Art	*scaffold* #	Länge [kb]	Genmodelle (uncharakterisiert)	Genmodelle – bekannte Funktion
R. secalis	158	131,5	51	2 -*Multistep phosphorelay regulator 1; Nitrogen assimilation transcription factor nirA*
	275	74,6	29	1 -*Ferric (cupric) reductase*
	518	25,9	13	0
	1972_rev	100,4	31	0
R. agropyri	12	1029,1	418	7 -*Transcription factor; histone H3; CEL1 (cellulose binding protein); VPS1 (Vacuolar protein sorting-associated protein 1); protein kinase SOK1; GTP-binding protein; transposase*
	41	297,0	120	0
	105	325,9	38	4 -*Radical SAM domain-containing protein; Threonine aldolase; protein phosphatase/pyruvate dehydrogenase phosphatase; G1/S phase regulator*
	125	114,7	55	2 -*Serine/Threonine kinase; helicase*
	200	38,8	21	0
	201	115,5	45	1 -*β-transducin-like protein*
	217	37,7	20	0
	252	37,1	20	0
	326	77,7	39	3 -*2x cytochrome c oxidase; NADH-ubiquitin oxidoreductase*

Tabelle A 5 Zehn beste Treffer als putative Sporenmarker

ID	Beschreibung	Σ# Einzigartige Peptide	Σ# PSMs
RCO7_07402	uncharakterisiertes Protein	16	71
RCO7_01567	verwandt zu Aminopeptidase	13	77
RCO7_02307	verwandt zu CPS1-gly-X Carboxypeptidase YSCS Vorstufe	13	72
RCO7_05588	verwandt zu *nitrogen metabolic regulation* (nmr) Protein	11	67
RCO7_06418	Malatsynthase	12	58
RCO7_02850	verwandt zu Protease prtS	8	57
RCO7_02113	wahrscheinliche Alkoholdehydrogenase 2	11	45
RCO7_01451	verwandt zu Polysaccharideacetylase	9	53
RCO7_11646	wahrscheinliche GUT1-Glycerolkinase	9	54
RCO7_05198	verwandt zu *DNAJ-like protein* Homologen	10	51

PSMs – *peptide-spectrum matches* (von engl., Treffer für theoretisches versus gemessenes Peptidspektrum)

Tabelle A 6 Verwendete Genmodelle

Name	**ID**	**Scaffold (Organismus)**
18S rDNA	AY038583.1 (Genbank)	Isolat 788 (*R. secalis*)
AGO1 (*Argonaute 1)*	RCO7_01884; RCO7_00569	RcUK7_scaffold006; RcUK7_scaffold016 (*R. commune*)
dcl-1 (*Dicer-like Protein 1*)	RCO7_09957	RcUK7_scaffold061 (*R. commune*)

Name	ID	Scaffold (Organismus)
dcl-2 (*Dicer-like Protein 2*)	RCO7_01015	RcUK7_scaffold001 (*R. commune*)
EF1a	RCO7_06381	RcUK7_scaffold015 (*R. commune*)
GPD	RCO7_07494	RcUK7_scaffold056 (*R. commune*)
TSP (HO05J24)	HO05J24	Sorte: Ingrid BC mlo-5 (*Hordeum vulgare*)
LysM1	RCO7_02661	RcUK7_scaffold012 (*R. commune*)
PFP1	RCO7_07769	RcUK7_scaffold007 (*R. commune*)
PKS1	RCO7_12012	RcUK7_scaffold012 (*R. commune*)
PME1	RCO7_05744	RcUK7_scaffold010 (*R. commune*)
PME2	RCO7_01092	RcUK7_scaffold001 (*R. commune*)
PME3	RCO7_00368	RcUK7_scaffold016 (*R. commune*)
PME4	RCO7_03266	RcUK7_scaffold038 (*R. commune*)
PME5	RCO7_08539	RcUK7_scaffold035 (*R. commune*)
RcSP1.1	RCO7_08421	RcUK7_scaffold035 (*R. commune*)
RcSP2.1	RCO7_08943	RcUK7_scaffold014 (*R. commune*)
RcSP3.1	RCO7_10357	RcUK7_scaffold008 (*R. commune*)
RcSP4	RCO7_11141	RcUK7_scaffold069 (*R. commune*)
RcSP5.1	RCO7_11150	RcUK7_scaffold069 (*R. commune*)
RcSP6.1	RCO7_07118	RcUK7_scaffold098 (*R. commune*)
RcSP7	RCO7_11770	RcUK7_scaffold014 (*R. commune*)
RcSP8	RCO7_10337	RcUK7_scaffold008 (*R. commune*)
RcSP9	RCO7_08131	RcUK7_scaffold048 (*R. commune*)
RPB1	RCO7_01618	RcUK7_scaffold018 (*R. commune*)
RPB2	RCO7_01111	RcUK7_scaffold001 (*R. commune*)
RSE6_03132_augest90	RSE6_03132_augest90	scaffold00518 (*R. secalis*)
RSE6_03949_g	RSE6_03949_g	scaffold00518 (*R. secalis*)
RSE6_03950_g	RSE6_03950_g	scaffold00518 (*R. secalis*)
RSE6_03951_g	RSE6_03951_g	scaffold00518 (*R. secalis*)
RSE6_03952_g	RSE6_03952_g	scaffold00518 (*R. secalis*)
RSE6_03953_g	RSE6_03953_g	scaffold00518 (*R. secalis*)
RSE6_03956_g	RSE6_03956_g	scaffold00518 (*R. secalis*)
RSE6_03957_g	RSE6_03957_g	scaffold00518 (*R. secalis*)
RSE6_03958_g	RSE6_03958_g	scaffold00518 (*R. secalis*)
RSE6_03959_g	RSE6_03959_g	scaffold00518 (*R. secalis*)
RSE6_03960_g	RSE6_03960_g	scaffold00518 (*R. secalis*)
RSE6_03961_g	RSE6_03961_g	scaffold00518 (*R. secalis*)
RSE6_04631_fgum	RSE6_04631_fgum	scaffold00518 (*R. secalis*)
RsSPa	RSE6_14675	scaffold00332_rev (*R. secalis*)
RsSPb	RSE6_14973	scaffold01157_rev (*R. secalis*)
RsSPc	RSE6_00705	scaffold01560_rev (*R. secalis*)
RsSPd	RSE6_12611	scaffold00658_rev (*R. secalis*)
RXP1	RCO7_05766	RcUK7_scaffold010 (*R. commune*)
Rye-reference-Gen	Graap, 2013	Sorte unbekannt; Klon: Sce_Assembly01_c792 (*Secale cereale*)
SAD-1 (*RNA-abhängige RNA-Polymerase*)	RCO7_09163	RcUK7_scaffold033 (*R. commune*)

Eidesstattliche Erklärung

Hiermit erkläre ich, dass ich mich mit der vorliegenden wissenschaftlichen Arbeit erstmals um die Erlangung des Doktorgrades bewerbe, die Arbeit selbständig und ohne fremde Hilfe verfasst, nur die angegebenen Quellen und Hilfsmittel genutzt und die den benutzten Werken wörtlich oder inhaltlich entnommenen Stellen als solche kenntlich gemacht habe.

Halle (Saale), den 02.05.2016

Daniel Penselin

Lebenslauf

Persönliche Angaben

Name	Daniel Penselin
Akademischer Grad	Dipl. Biologe
Geburtsdatum/-ort	14.05.1984/Quedlinburg
Nationalität	deutsch

Beruflicher Werdegang

04/2010 bis 10/2015	**Leibniz-Institut für Pflanzenbiochemie, Halle (Saale)** Dissertation; Thema „Genomvergleich und Effektor-charakterisierung von *Rhynchosporium commune*“
11/2008 bis 12/2008	**Scil Proteins GmbH, Halle (Saale)** Abteilung: Development
08/2008 bis 10/2008	**Leibniz-Institut für Pflanzengenetik und Kulturpflanzenforschung, Gatersleben** wissenschaftlicher Mitarbeiter zum Thema „Ubiquitinierung in UV-gestresstem Gerstenblattmaterial“
06/2008 bis 07/2008	**Leibniz-Institut für Pflanzenbiochemie, Halle (Saale)** wissenschaftlicher Mitarbeiter zum Thema „Funktionelle Charakterisierung von PFP1, einem mutmaßlichen Pathogenitätsgen des Gerstenpathogens *Rhynchosporium commune*“
03/2008 bis 05/2008	**Abt. Pflanzenphysiologie, Martin-Luther-Universität, Halle (Saale)** wissenschaftlicher Mitarbeiter zum Thema „Nutzung von rekombinanten Chloroplasten der Mikroalge *Chlamydomonas reinhardtii* zur Produktion von bioaktiven Verbindungen“

Ausbildung

03/2010	Abschluss als **Diplom-Biologe** (Note 1,6) *Martin-Luther-Universität Halle-Wittenberg*
10/2004 bis 02/2010	**Studium der Biologie** *Martin-Luther-Universität Halle-Wittenberg* Titel der Diplomarbeit: „Untersuchungen zur Wirkungsweise von Virulenzfaktoren des Gerstenpathogens *Rhynchosporium secalis*“ (Note 1,8)
10/2006 bis 03/2009	**Studium der Agrarwissenschaften** *Martin-Luther-Universität Halle-Wittenberg* Studienzeit: 5 Semester ohne Abschluss
07/2003	**Abitur** (Note 2,0) *Dorothea-Erxleben-Gymnasium Quedlinburg*

Halle (Saale), den 02.05.2016

Daniel Penselin

Publikationsliste

2016	**Penselin D**, Mücke S, Knogge W. Silencing of a *Rhynchosporium* specific effector family. In Vorbereitung.
2016	**Penselin D**, Münsterkötter M, Felder M, Taudien S, Platzer M, Wenzel C, King KM, Fitt BDL, Avrova A, Knogge W. Comparative genomics of *Rhynchosporium* species. In Vorbereitung.
2014	Siersleben S, **Penselin D**, Wenzel C, Albert S, Knogge W. *PFP1*, a Gene Encoding an Epc-N Domain-Containing Protein, Is Essential for Pathogenicity of the Barley Pathogen *Rhynchosporium commune*. Eukaryotic Cell. 2014 Aug;13(8):1026-35.
2013	Torriani SF, **Penselin D**, Knogge W, Felder M, Taudien S, Platzer M, McDonald BA, Brunner PC. Comparative analysis of mitochondrial genomes from closely related *Rhynchosporium* species reveals extensive intron invasion. Fungal Genet Biol. 2014 Jan;62:34-42.
2012	Kirsten S, Navarro-Quezada A, **Penselin D**, Wenzel C, Matern A, Leitner A, Baum T, Seiffert U, Knogge W. Necrosis-inducing proteins of *Rhynchosporium commune*, effectors in quantitative disease resistance. Mol Plant Microbe Interact. 2012 Oct;25(10):1314-25.
2010 bis 2013	Konferenzbeiträge bei Fungal Genetics Conference, Pacific Grove/CA; MiCom, Jena; PSSC, Halle & Gatersleben

Danksagung

Ich möchte mich in erster Linie für das entgegengebrachte Vertrauen bedanken und damit verbunden für die Möglichkeit am Leibniz-Institut für Pflanzenbiochemie in der Abteilung Stress- und Entwicklungsbiologie dieses Thema bearbeiten zu dürfen. Ich danke dafür und für die Übernahme des Erstgutachtens Prof. Dr. Dierk Scheel. Mein Dank geht ebenso an Zweit- und Drittgutachter für die Übernahme je eines Gutachtens.

Für die Betreuung und Unterstützung im Voranbringen dieses Themas möchte ich mich bei Dr. Wolfgang Knogge bedanken. Das kritische Auseinandersetzen mit den Ergebnissen führte zu neuen Herangehensweisen, die den Verlauf dieser Arbeit entscheidend beeinflussten. Prof. Dr. Holger B. Deising als Mentor danke ich für die konstruktive Kritik sowie die Diskussion bei unseren Treffen. Als Kooperationspartner für die Genomannotation stand mir und der Arbeitsgruppe Dr. Martin Münsterkötter zur Seite. Für die geduldige Beantwortung aller Fragen möchte ich mich herzlich bedanken.

Für den Versuch einer *ab initio* Modellierung der NIP danke ich Eva Schulze, auch wenn dies leider nicht erfolgreich war. Für das Anleiten und die Hilfe bei der Analyse des Proteoms von Rhynchosporium möchte ich mich für die Kooperation mit der Plattform Proteomanalytik des IPB und hier ganz speziell bei Dr. Ines Lassowskat bedanken. Ohne die Hilfestellung und die Zuarbeiten von Susanne Kirsten wären einige Ergebnisse nicht in diesem Zeitrahmen möglich gewesen. Ebenso konnten durch diese Entlastung weitere Experimente erst durchgeführt werden. Ich möchte mich auch für die Hilfe bei einigen sehr umfangreichen Experimenten, wie die Vermehrung der Stilllegungsmutanten und den Nachweis der NIP2-Sekretion, bei Jenny Graap, Sophie Dietz, Jan Hoffmann, Robert Riedel und Harald Keller bedanken. Ganz besonderer Danke gilt Stefanie Mücke für das initiale Screening der Stilllegungsmutanten.

Auch allen Mitgliedern der Arbeitsgruppe ‚Molekulare Kommunikation in Pflanze-Pathogen-Interaktionen' gilt mein Dank für die Unterstützung und die tolle Atmosphäre. Der Abteilung SEB sowie dem Haus E2 danke ich für die schöne Zeit während und nach der Arbeit. Vielen Dank an Nora für die Hilfe bei der Fertigstellung dieser Arbeit.

Für alle bioinformatischen Ansätze, zu denen Fragen aufkamen, konnte ich mich immer an die Forschungsgruppe Bioinformatik wenden. Hier danke ich besonders Michael Gerlich für die von ihm geschriebenen Skripte und die Linux-basierten Analysen.

Vielen Dank für den Zuspruch, die Zuversicht und Hilfe meiner Freunde, von denen ich einige durch die Zeit am IPB gewinnen konnte.

Zum Schluss bedanke ich mich bei meiner Familie für die Unterstützung während des Studiums und der Doktorandenzeit.

Und am meisten natürlich Ines. Danke für Alles!

>RCO7_00845 | related to transcription factor atf1+
MSPPRETTKKSTSNSKSPVQPNADKPIESQAKQEEQIKSEPANAEPLAPPPRPAVPNTPDYFSGLHNLHNEQNPFEFSFGGNAGPLTGGGKTPGGTT
LPSVAHLTSPSLANYWASGAGLRSGPLSPAMLTGPAAKEDYFGDSFHLHTARSHPQPRESDVRTGSTPGLDRTGLTPGGGGSMFPEPSPGGSGLFNP
LIGGGATPNTLEFHRTAMQINAKKMADVQQANITSQPQDPTMNGMDVKPPQFRQQENETNDAANGLFLLANAHNGPPQPSHYAMAPQSIVHAQNMQA
PQPQEASPHIGHRNNGSISTNSAMGQSEGSEDDQSRPNTRGKGKKSSPNQTNGRRKATDQPKGPANKKSKANSGMEMEPPSEDEELDMSKDQFNANG
KKMTDEEKRKNFLERNRVAALKCRQRKKQWLANLQNKVELYSVENENLQNTILQLRDELVNLKTLLVAHKDCPVAHSQGLGNGGLQQLVDNYGNPHM
NPYGMAMNQQQQHQSHPQQQQQQQQIMAGQGYPRRES
>RCO7_00846 | uncharacterized protein
MPPSEEIILYHYTFSPYAKRVVWYLSLRQIPYTQCLQPPILPRPSLIALGTSYRRIPILSIGKDIYNDTRLILSKLTELYPASAQHPALSMGAFGQG
MEKLLEFWTVNGLFSRAAALIPKEMPLLRDERFRRDREDFTGRSWEPEAVERGRAEALVEIRSAFELLETTFLADGREWIAGGEKPGMADIEAVWPF
HWLNGLEGALPPPLISATQYPKVFAWISRFDASTRAAAKQLGKPKTIKGEEAISITQTGGFAEEVLIVDELDPSGLKRGEWVEVWPTDSGSRHRDQG
HLVGLSGKEIVVATEGGKVEGVRIHTPRQGFRVRRLDGGKL
>RCO7_00847 | related to ZZ type zinc finger domain protein
MASTSTHPTPATTPDTLVTLKINIEGTNRRFKLPLRDLVPSTLPEKLRFLLSIPPSSESIFERYSDSAAAFIVLDSNNPSVYKQLYRAAKAKLKLRL
KVTIKEKEPVTPKPATVEDEEPSPVSPVDEKPAPVEPTPEAAPAPVAVSTASNSEKTMYPGTVAEIQRGFEELLINHNQRSTPTFTPYTQPSSSSTC
CSQLNRNIPAMFLHPDDIARMNPCSGTEIPVTRGSAARDKWFAELAGLSSLVKPAAAQVPIVPASPTPETISVFSVYCNNCQVTTSDAHYHCSTCDE
GDFDLCQGCVDQGVTCDGDDHWMIKRFVKNGQVINSTTETIAPRASSGQEKSESVDLEEDSLATRTCNSCISELSEENFVTCTSCPDYDLCIPCHVS
LDHGHHPEHAFEPAVEDTTLDMVADALLAPGRNVGHNAICDGCDKYIYGVRHKCLDCPDWDYCSACHPNASFVHPGHRFVPLFEPINDLSAMSRAFA
LRARHYGIYCDGPLCNSGSPHSFIQGDRYKCAVCHDTDFCANCEASPSNRHNRTHPLIKFKTPVRNVSVTTLGDHEDGQRMPTMGDRRGRSSTSKAT
ETTPARSSNAATQVQTVADLKPTEPVKVEPEVKKGEAKELPAAAKEDLVAHFVRDVIADGTIMLPNSVFEQTWYLRNGGNTSWPAGCTVKFVGGDNM
CAVDPEHPASVHELVSAAESTTCYTAVAPGQEAGFTVLMRTPSRAGNSISYWRLTGPDGEKFGHRLWCDVNVVVPEPVIKQELKVEAEGSQMIFPKL
EKESPASSIHRSPPAAPVVNDEVDDFEDFVDEPIEDNETDDGFMTDEEYDILDASDEEMIAEQSKLLKK
>RCO7_00848 | uncharacterized protein
MGHRHRKDLAASRRRVEDEGDEEGGLDAQDLDDDSSEGSLSSEEDDANEGDEISIVAIAPTDHSELPKSIGNGQGMPKDGKGSSSIGTTESSQKPPA
TNGSSDLDMILNGLKISDQNHTAEAIQYEDLREDDDIQVPSPAVVDSNAQMDRPQELPHERRRREHEEYKKKRDADPAFVPNRGAFFMHDHRHSGPA
ANGFRPFGRGRGRAGRPGFGGPFAPSNHMQQPYEPTDAPWTHDMHEVISEPSPQNLQAPNYHGPHNISSRVPVSTSKTAPPNRALSVTKHIGNVQIR
VYILAMRQPLVFPGIAVKQYTRLPDHRPPLRRDKPVRISLPNHPPRYIFPAVDRSFIFIPRAMRPNQQGFGGRGRGRSAMGSIGGYSRRTSVFGGSM
FGSGYSPSVAMSRRSSLAREVDRDDLISPTGSTMSRQHASMDPSRPVPVVKLPPQSQSVQPQQPQSLNDAFPNDHLASISFDNLPRPQTYPPPQKPT
FRENRPNPIPMHQPRPQKAVSVADIESPATLSFNPPQQLQQPFHQQVPLPVNGNGYQHENMLHSRNPSYPGQASTGTPLSQIPERAIHAQPFLPNPY
QQQTPNFYSPAPYMAPPQGYYYPQTYNQSGAAPQFVQPQPQQQPAFSQPQPDTSNLVAQEVNGMVYYYDAAQIPAVATFPAYQTPPSYPMQQVGGVV
GMGGMMTPSPDGFYYPQAPQQGVVYYAQ
>RCO7_00849 | uncharacterized protein
MSPVPSLPWSFLALALCTSALAAPTVNNLARDLATVNAFKTRITHDPENALKTWVGSNVCTYEGFVCQKNPDNKNQVQLSSLDFNNFEFGGALGKPT
HVVLTGFLEKLVDLSIIHLNDNQFVGTLPDTSGLPNLVELDASANYFSGTFPRTVFHNPNLKFLDLRFNQFTGPIPDQVFTTYKDIETLNLNDNHFS
GPIPNSVGATQASFLSLANNPLSGPIPASLAQAPYLEEALLKNCGLSGTIPKQLGAGKLLRSIDASQNRLTGGVPEEVCVDTKAKDKFLDFSNNFLT
VPLGPKCQALHASKGLIVTGNCIPGYWKQRPAAECKGH
>RCO7_00850 | uncharacterized protein
MTVVYLELDADGDLLLILGRGRDSILEDMSDNEEVNPELAMSAYEKAVEQEAGAMVDDTMYSEDDFSEDFLADEVKPAKRVQETHMLVSSKHLMTAS
PVFMAMFRKGHFTEGSQLESGKAEVTLDENPPAAFKILMDILHTNTRKVPRTVDLDTLTDLALLVDKYQLLESVEPFADRWLSGLIGRFSDDDKGDI
WQFHRCLCISWVFRLSRRNGLKEFANYVAIRSKCEVNTSTEYDLPTPGPLLDHIEGCRQRVISTVLSHLDDLVQIYLYKKPRRKIICRGRYARDVTK
RRKACDHMMCGSLIASLVENGLWPLPTAPFEGLSIQSVLKTATSTQLSAGCDIWKDSPDAWDHGYTTNHRNHGRTKELNRKLARLIEKVDKLGVLDV
ADFDVSSSRARKSR
>RCO7_00851 | probable neutral trehalase (alpha,alpha-trehalose glucohydrolase)
MTTPMQARAANANEQEIDVYSASHVYYGPNAHHKQHNHQRTRTYSTSQSPTKAIDRSTLKLPVRRGSHDETTLLPKRFLLHVDKTMKELEDQEATNG
KFQITIEDQGPKSISLGTAASNGFNKREIRGNYVLANLLQELYLAKENGQTHIFLDESRINENPVNRLNRLIRFEYWDNLTRVIDGSVIEKAGRDPK
DWTADPRARIYIPHGAPEQYEYYCQVAKDRPEIRLDVCLLPKKITPQYVQSLNEKPGLLAVAMEYKLDEKSGKVVLKGVPFVVPGGRFNEFYGWDSY
MESLGLIASNKVHLAQSMVTNFVFCIKHYGKILNATRSYYLNRSQPPFLTDMALRVFDRIKHEDYALEFLKTATLAAMKEYESVWIAAPRVDKRTGL
SRYRPEGLGVPPETEASHFTHILEPYAKKLNITTEEYVKGYNNGSIKEPELDDYFMHDRAVRESGHDTSYRLEKVCADLATIDLNCLLFKYEKDIAS
IIRVHFGDRLPIPAEFAHGKIKPGHIMTSSFWDRRARVRKVAIDKYLWNEEKGMFFDYNTAKKEQCTYESATTLWSLWSGVASPSQASRIVNGALPL
FEEAGGLASGTEKSRGVISLDRPNRQWDHPYGWAPQQMLAWGGLIRYGYEEEAQRLVYKWLLMMTKAFVDYNGVVVEKYDVTRIADPHKVDAEYGNQ
GLDFKGVAKEGFGWVNASYVYGLQLITAHARRALGTLTDFDTFHRATVQVAESVDTASDHEDAINNSIHDSFDDSVDDSLEKHI
>RCO7_00852 | uncharacterized protein
MKAALKSLFPSKKSVTEPKTSAQSFSLPGTESRDESKELCVGIQGSVTASWLHHQQCMKNVTEGYDYEGAVFKRDKNNYICSPAQVETSIFFQQVML
MNVKCAITWNTFIIKFVIEKMLEKAVDLDSVPLGGDQRIQMISSMKHLHECKKNQFAAFVMAEKLLVVWDDDPNNIVQRAHDIEAKMCLSIWGPAEG
YSKEEWNFNAKSLGISGDTLSPAEIEDEEAVTEKPRKTLLINPIIVGLTLTLLTTAIGLGFRNLAQEIAVDGNFLRLALLIVVPAQVFVSLFFMQIV
IVNIAQMFGPISQLTQNTKFYSGKAPTRLNHKGALPHVTIQMPVYKEGLVGVIMPTIFSLKAAMATYEMQGGSSNIFINDDGMQLLPEEDAQARRNF
YDEQNIGWVARPRHNPNPQEGETRFVRKGKFKKASNMNYALMVSNKVEEKLHSVERHKNWGADEEQEAYESCLADVLTGEEGRAWAEGNIRVGDYIL
IIDSDTRVPRDCLLDAANEMEQSPEVGILQFSSGVMQVTDSFFENGITFFTNLIYTAICYTVANGDVSPFVGHNAILRWSALQQVVYKDEDEYEKFW
SESHVSEDFDMSLRLQVEGYTIRLASYTGDGFKEGVSLTVYDELSRWEKYAYGCNELLFHPFRFWITRGPFTPLFKEFIFSNIRITSKITILAYIGT
YYAIGAAWILTLANYFLIGWFNGYLDKYYLDSFKVFFSLVIVFSALGNVSLAVLRYRLGQKTLLGGLFENFKWLLLMTVFLGGISLHVSESLLCHFF
EIDMTWGATAKEIEDVSFFEELPRLLKRFKFTFIFCFGSAILMIVCAMVLPWEWQIKDFVSIFPLCTVVISHFLLPIALNPALMTFTW
>RCO7_00853 | related to Thioredoxin
MQLSSLLGALLTTSALSATLPQPDINIHISIAEGKGYNGMENVMNQKHRVHTTGVQDINSPGEFRDTLKSEKVVIVEFTAVWCGPCHFIGPQYDQFS
TEYPNNKFFKVDIDEQSDIAEEQGIRALPAFKAYKNGDVVGELVGANPSGLKSMIDKAIAKD

>RCO7_00854 | uncharacterized protein
MIVQDSNFSPQQDPIDPIQGNYDFDFSLNLLHLQDDEGVENQMIADHYGPHNNNIVVDPLYQDNFLYNGDISHFEGMQQLSPFQYFRLPHLIIGVDT
LLQKQLFDQYRFSTSTFLTTSSTPENLFNSIVLPLAVQDKTLMRLLLSLAGSQSLKRVPPGSNPELQRETVRLHQEAQQEQYRRVQIMKAHLFEYPS
DSNHDGASILAQVPRYTDRYLEIIFATYLILCLYEVFEGTGDGAGSAHLASAGYMIDLASKLPQDSERSLSLFGGQRTKIHPCLLDFYNYHGSLAGV
TSPSISIIQLEYDEAPDTFGHDPPLVGVQDGLLNFIPRISALRNDADKSHGEFDYSMINTGLEIFADLDAWRPQPTSTPTETLAAGFYQKALFIWLF
SIIYPKQSGHERVQDNVKCILKGMCEIQPGDGLMACMLFPLFVAGSAALEKEDRKQVVEHFAALKLWSAFGNIDSTYNTVKEMWKLRDAGDENSWDW
VRLLRSTQMSILVT
>RCO7_00855 | uncharacterized protein
MTLPITISRATSPEDFHQVATLENRVFYNTPFSSIAFGPQRGSDANIEERAKGLAKQGSVATEGGVTKVISRDENGEELIAGAAVWSFVVGRESEKS
LQADDKNEGQEEKEEDGAGEKKGSGWGIGANVRFCEDVFLVADGHMVRSTKGRDYAKLAVLIVSPEHQRRGIGTRLLEAGLAGIDEMGLQCVLAASK
EGLDLYKKFGFVEFEMMRLKLWKYEGGEEYKEEESHVVMRRPARGEKVDDRIALFLSSYDKQTWRKYSS
>RCO7_00856 | uncharacterized protein
MPPPPVTPSPHRFVIKKERPAVRDTPLAQEHTPQPSTQPQFNSTPRFTFSSTPRPTASQTLPPLRFTPSTARFVTPASRTPKSHDAIELSSDDEPQN
VHDSNEEQDDLLKEYQSDDLEDDYKLEEPSPKRRRLSTTSQVDLDEQQNGREEEMLLDDDKYNNEIEPSSSVPILSSPPASRRPLSTTAPRFLLSTP
LPQSTPSSTLPSNYPNPTPFLKPPRFRPPDPSSDAQTQTDPLPEQFSPHRKGQKYVAGGLAVEVRDWLMNLEGAIPGIEMRGKKREEWVVKVMVEGV
SGNSKEGMTMVRGRQVVSIDNKEFKDEGSGETLDTLGVVKVILAGEGAGTGLQKGNPVEKGKMVGIKGPVWEVVVEGEKWGVGVDWKALS
>RCO7_00857 | probable major myo-inositol transporter iolT
MAKLQSIFTKKNEVVLFSSTAIALYGYDQGMMSLINTNRSYLKTMQIKEESPIVGIIVSVYYLGCAIGAIIASYLGDKKGRKPSIFTCLATTALGNI
LMFISGFTMNGSSTWNGGAIACMLVGRVVMGLGVGGIDAVIPVYSSELSSDGARGRALAQEFQMNIFGLLMAYGINMAVTYGLGKDNQWAWRVPIVA
MQIFPILLMSFISRLPESPRWFVSQERGDDAKKALSTIYSKEDAKSKLEELQEAHDNESDEIVGYKDMLLPSGSQFHPSMVTVMGQVNQALTGYGAV
SVYGPQIFELLGFGTTKAEFLTLGNYVSYFLMMTFAWLTIDVYGRRKLMVWGSFGLSTSFLILTLFGGLAETNIPALAVEIPGSITLFIATAIFGIG
WLATVWLIPTEIFPSTARAQGSAISVIIWGLANFAITLLTPIGFNNLKYWLFLVFAATNAFAGWWTWTYTPESGGRSFEENQEFFDSAKDEGSWVVR
KVDGGKFKGMPGKKEGDEEGERAPLLRGGR
>RCO7_00858 | related to ribosomal protein YmL20 precursor, mitochondrial
MDSRIVRRPVLDILSGRSQCLFALNASSQRQQSSYRRSKQRLNIKPDSSFLSHDSPQQDHIIFNPPSSAPSVFHTPLKFLPKEDKRRQLLAATAARF
SSSPASALPPPIHKTQKFPHHHLSDTDIAEILRLKRQAPEEWTNNKLSRKFNCSHHFISICLDNCDVPGIEKRKKLIADQEEVVKASWGPRRRKARE
DRAKRIDLALKGE
>RCO7_00859 | uncharacterized protein
MSTSEYSTLQPKGPVPAIEVPANAPGVPVLGEGFQETRRDVVSQNAERSDGEQEEVTDDGTKRGKRRLFGFGRKKKDDKTKGKKKETPAPSALANNA
TTNIAEPIVRRPEIHNTSPHSPNSNHPYQLPSSPHRNLFSSSPRIVSPAGSQIFERDVQESSLPVPNSPAIPSHIQIENHIPPVLDASSEAITSRTI
DPDTVEIVMHSSHQPAAMNVTGMGHLEATGGSTTWADDLVAHPDKDEAASNYGALDSSDIRRLSFVSFSDIVQSEHAEHAGSRDSIYVPGLSSLSSG
HNRSPSPIRSPVSSQGFSASPPTSQSASVQGFDMSPKGRPLGSPASTHAPLTGGELTIETMTQAVNRTGSGDLSGVRSQPMSPTSPDGLSDRSFK
>RCO7_00860 | related to BUD2 - GTPase-activating protein for Bud1p/Rsr1p
MSRNRPMSILPPGMDGRPYNGPHGKDGALQDWQKNATDTLARSLDRPNDSNTTHRVRPAGQQTIRPVTPERHDWEEKAYASIGPVQTSPRSILGGEK
RRQGLVFQDSYSTDSLEGGGGGLLSGPPVSFHLRPRNKTINEPPHQRSGSTTVSKSRHRIGSVHSTNAASFHDIQPQTNVSNPLGFAPNPTRPSQLP
KPDPVKGGRRLTKKSSRPKSTLSVMGDGPPSVDSLPLPVTTEDANKILILMKTSCGRMRGEVEYQAVENGPLYTGICYIDDVKGSLMYEGDDRGPFH
LTVVSDLRGCRVEPRLWPDKPLRCLELSNKAAGLEIYLMPKVKAEFDLWLAALLCWQQIRMTTLPANPTRSSAGPPLAEKTPAIPRRDSTTSGNGPR
SGNIIKVAKLLLWDRGAPSSPSAIVRRPSTRDLRSSSRSGWRKVSCILQDNGELKLLTENDIILLSVIQLSQLSRCAIQRLDRSVLDEEYCLAIFPQ
YTPGSTELSILRPLYIALESRLTHEVWFCLLRAFTIPEIYGPQIINAEDDDDLYLDPPLPSTNDMFRMEKSISLRVIEAKIRRLPPKTEHASLGKSI
KGVDDPSFGDYFVEVILDGEVRARTKTRNDTRNPFWREDCEFLDLPAHLPSLSVVLKQLEQPMSPSHGFLSSSSVHVTGPAIDITCGTVEIQVDKLD
RGKDNEAWWPIMDDQQDPIGEIFLRIRHDELVVLLAKDYQPIYELLHNFCSGLTVQIAQVVPTSLRKLAETLMNIFQVSGHSLEWLSALVEDEIDGL
GREQPNRRFRWSRRIGSNESYGGSVSDREHHVRDMGRSLQGEANLLFRGNSLLTQALDFHMRRVGKEYMEDVLSAKIMEINARNPDCEVDPSRISNV
DDLEKNWKLLTTLTTEVWESIAGSVQRCPPEIRQVLKFVRACTEDRYGDYLRTVSYTSVSGFLFLRFFCPALLNPKLFGLLRDHPQPKAQRTLTLIA
KSLQALANLSHFGQKESWMEPMNSFLARHRQGVKDFLDAICDIPAEANNHALPASYSTPITILARLPQTSREGFPSLPYLIDHARNFATLVNLWLDA
VVQNAPPQGFEGDLLEFHELCLDLQRRTDYCLLKAEQADRSADQMSLQWEDIIDTLHNASLDSPASGHELDSVMKSGSASRTATSTSSQNHSPKWTE
YPAAITSGQSTTHKQNHSSSSNHIHTPNERHSHVQSLTPVQPRLPPGSAGSEEGGLEKRDKQYFWDSKFGNAHQHQIEQRTLTISAHEQGKHEKSHD
LIDGDQVSPPSSGQSRSGSSGGGNRKSSRSFLGGLRRKGRGDSTAAVNSEQSTPNDPPTTNRNDTAQLVGSMESTASMGPSLKELKNSGFI
>RCO7_00861 | probable peptidyl-prolyl cis-trans isomerase
MAESPAKRSRVFFDLSIGNKREGRVTFELYNDVVPKTAENFRALCTGEKGEGRAGKLLSYKGSTFHRVIKQFMIQGGDFTAGNGTGGESIYGTKFDD
ENFDLKHEKPFLLSMANAGPGTNGSQFFVTTVPTPHLDGKHVVFGEVLNGKSIIRKIENMPTQPGDKPTKEVKIEDCGELTGSEAEAADTKAPDATG
DPYEDFPEDQAGEKSAAYILEAATALKGFGNTAFKNGNLAIGLDKYQKGLRYLNEDPDLEKEPPETKAALDALRFTLNSNSALLANKSKDYPEGLRC
ASAALDVSGISETDKAKALYRRAVAEIGLKDEDSALKDLTEANELVPGDAAIAKELATVKKAAAERAKKEKAAYSKFFS
>RCO7_00862 | probable D-Tyr-tRNA(Tyr) deacylase activity
MKAILQRVLSASVTVDKQLISSIGKGILVFAAVAPGDTEKDAESLASKILKMRLWDDEAGGRWKHNVQDINGEVLCVSQFTLLASTKKGFKPDFHGA
LGGEQAKELYQLFVEKVQHIYKAERVKDGVFQAMMEVALVNDGPVTLEMSVGPSGSK
>RCO7_00863 | related to general negative regulator of transcription, subunit 3 (NOT3)
MAARKLQQEIDKCFKKVEEGVSEFDAIYDKIEQSGNASQKDKLEDNLKREIKKLQRLRDQIKTWAAGNEIKDKGPLMDKRKLIETKMENFKAVEKAM
KTKAYSKEGLSAAAKMDPKEVAKSEACDFLSSSVDELERQIETLEAEAESIQATLKKGKAQSSKADRIAEIERMTERHKWHQGKLELIKRSLENGGV
ELAQVNDLEESIKYYLTDNANDDFMEDDEMYDDLNLQEDEENYGMNNDNDRVSSQDTHSIQDETPEPEFRANSLPNGKSKSVPEPAVAAARRPSTQI
KSPLPALATLHTSSTNLNGTNSHMKPAAVPTRAPGEGLKYASAAAAAAASDKMGIAPLPPPPEALPAPSTSSSHPPLPTHLAPSVTASPTAVFSQPV
SVNQTPVTKPSVPALVSDTPPSAQSPALSASSIPTRSKPSTEHQESRQGPSRVSSGKAPAVQETFGSSKAIAQHTNGITNGTKSASIDDQDESIFHL
PSGLEDLLQSFEGNAKRAALPPSQSSQRMLSSSLNNFPDITDGLPPRNYKPKHPVRTPSYYPQELNSCFDDSRLYSRIDPDTLFYVFYYKQETYQQY
LAAKALKDQSWRFHKQYQTWFQRHEEPKTITEEFEQGTYRFFDYESTWMNRRKADFKFAYKFLEDDV
>RCO7_00864 | uncharacterized protein

MTQQSNYLPFDPMFSEGSQANFFPGPPGQLGSSAMHRDLSSQSINSQSTGRSTWTDVTANSFGTSSYDFVEEDECMPHFKQDLSMAYDSYATYGEQF
NGASSPITEQANSFGELSLDTCQPSSVHLYPRNLPSTAMSTAPRYYFPSFDDRSLDSGYSSSRNAHSMRRTADDTLRSYTPAYTASDIQRTFNNDLF
EAKHTPTTLDWPKKTDLVEKYKLILLKENSYLEILNESEISYVTPAKVYLDIPESTQKGFVQCAWPGECARGSKPFTRSADLARHMQNVHGPQEGRN
KFCCSYKTCINDRHLDKNAFSRKDHYRDHLRDYHNEDIGAAKGFKDAKNDKQKYAWAKAQKIWLTSRNISANHWRCARCLTKKWVSKHGWSCDECKL
PCEQDRIEARMKLPPREDTQASMRSSTINGSSSRPRQYTWDPNCRARCDEGWFVSSSDEGEWDACRYCNSPAMQVGAKSFRS
>RCO7_00865 | probable isocitrate dehydrogenase [NADP] precursor
MNASRTSLSRSLCNISRSRQPHFPALSTPARFAPAFIQTRNMASFKKIKVKNPVVELDGDEMTRIIWKDIKDKFIHPYLDIDLKYYDLGLEYRDETN
DQVTIDSAEAIKKYSVGVKCATITPDEARVKEFNLKQMWLSPNGTIRNSLGGTVFREPIVIPRIPRLVPGWKKPIIIGRHAFGDQYRAKDLVVKGNG
TLKMVFTPEGGKPEEIEVYQFKNGGGVAQTQYNTDESIEGFAHASFKLAIAKGLPLYMSTKNTILKKYDGRFKDIFEEIYQSTYKKDFEAKKIWYEH
RLIDDMVAQMMKSSGGYIMALKNYDGDVQSDIVAQGFGSLGLMTSVLITPDGKSFESEAAHGTVTRHYREHQKGNETSTNPIASIFAWTRGLIQRGT
LDETPEVVAFAESLEKACVDTVDIDGIMTKDLALACGKTGRDDYVTTTEYLNAVERRMKSLLKQKL
>RCO7_00866 | uncharacterized protein
MHANGEDTLVVDQDTTMGNDEAALEEKPADAKPTYKSFKKKFRKMKIKFDEAMRQSNDQYIQEQLAIKKSKQLASENDQILDLLLDINNSAQIPVDK
RFDLSPEEDTLSALPPLITDEELASAASLTTPEGIALYNELSTLRTSREVTKNAASKPSKSLASLLNNVPHVRLSQATEEQLAPLNGIEGQTTPLGY
LTAEQIDDYIFDIDAQLNTMPTPPPPVPFRINLAFGNYHSPYNWLRRNQPHIFLQDGEGSEKSNGKPGALRGAGKRASIPAPSKTDALEIVEEDGQG
YDFALGGGGGGGGATTSKAGGKRKRDDDDNSGGYHPSKAVKATEDGVRKKRPYNRKPKLAEGEVPSPAPTSTKKGKGRAKPKAPTPDPNAHPFGPM
>RCO7_00867 | related to S.pombe Rnp24p, Nsr1p and human splicing factor
MPSSDKVSTKVEKVHKPKKEKSSKKRKAEALAGSTPLTSTSTIEPESTAEPTEESPVPEATADSPEESPAKKRKANEDVEELEVDINLPQPPSKKEL
RRLKKGKPIPAAKVDAPSEPEAKKAKVEVEKRSEHGVWIGNMPFFVSKDDLRTFLVEQSDLTEDDITRIHMPGPNDKKSANHVEEKKYGKTVHNKGF
AYVDFKTAQGVTHAVELSEQLLSGRRVLVKDNKSFEGRPEKTKEETRKEGKPPSTRVFLGNLSFDTTEESLKEHFEKCGAVANVKVATFEDTGKCKG
YAWIVFEELESAEHAVRGFVRVEEEDSQASESDSDDDEAGSDSDAEPKESKPKKMKIRKWWVNKIKGRPLRMEFAEDAQVRYKKRYGKDGSKQRAAS
GGAQGASEAGGEEVRGEAAPVKAKVVEYRKDYAPRLTGGIVESKGKKVTF
>RCO7_00868 | uncharacterized protein
MASNMHVFDKAGDLTFVLQSLVLKEPRKTSSLLSYRSSKRRKFANIYMRVSSKRLMSASPVFKAMLKHCYREGNTLRATGKVEVPLPDDDPVAFALL
MDTIHGTKGRAVPQMNTLFLTSLAILVDKYRLQQEIATSSNYWIDSLQGEIPKVFGPDLMHWLCISWVFRRPTEFNIVTRIAERESLGQDLDTFSPA
LNANLPIPQRVIDSILSRRIKAIRNCLDVIGRYIDMLQLSSPRCTSSRNESHRYTCNNVLLGSLLESSTSLGLWPPADAPYPDLNFRFVAHEVMQIR
IVSFCSKMGFTNQPAGSHGVKAEMTAAIGKLKTRYSGLYLKDFG
>RCO7_00869 | uncharacterized protein
MDTSSSETPVPQLTLSRTRPRADTKSLLGAHYQELIPDQRIDLLPPGIESDYTRERLLKSLAYADALLRTKHRKLSPIGGRALLLYKDAVATLLDME
EGDITGDMEDDFELIKDESLALIRTHEEAVQFRACLNLVRPLNNATLYESIIALQKTAFYARYGDVFAQVCGSIRAEAEARKIHGWEALVKSYWTEI
QAKITTERDIWKKAMCGEEELDGRCPIHIAISEVCTAGGFNFTETLTIVHHYAIRNEVVHSNFEEMIRKGHFNDLSAQLHRDLYNIPKVIAFSEGLQ
AKLMMKIVRAMTAKWFIIDPELEDTVQTWVPSAALLEYHKKLKAGMLGGEGYKKMMGDIARQVAKNAREEKKQKELLEGVESNWGLSEGAISAKKKR
VASASFKAEVQEMKKRRKLYDGLMNMADGLKTRANAYVEEYGSLESPPTVVKDTLLDSSEEWTETM
>RCO7_00870 | uncharacterized protein
MDSPNIYKKLDATEGHDYDESISVTEFDESLMGDEKLLHHHRNSTSESFIANFISCRWLLDTFLLLVIVILLLLLWHERRQPNISPAAWQVGGDYTK
ASPTFPTITNKFSADPLFAPLNATQFFEPSTLALWNTIMPYNTGRPISDPTVTFYTTSMTHQLHCIYMMARTFSGVVLNTTEPLKENVLREDWHFHF
MHCVDYLRQAVMCSADLALEPHKPDDWHEEALDPAWNGRHVCKDYGAVTKYLEEQVDDGARVVLAIDD
>RCO7_00871 | related to Pwp2p
MSHPVQKIPSAKFASGPSPTTPDQRYWKSFKHLQNLSCQSPVTHISFPPPSRNPLQQSNNDSFVVTAGTRVHIYSIQTRKLIKTITRFSDIAHSAEI
RRDGRVMVAGDDSGRIQVFDMKERAILKTWDEHKQPVWATKFSPTDVTTLMSASDDRTVRLWDLPSQESTAKFIGHSDYVRSGCFLPGTMSNMLITG
SYDATVRLWDPRITTKAAMIFKHAAPVETVLAMPSGTTILAAANNQISVLDLVAGKPLQLLKNHQKTVTSLCLASNGTRLVSGGLDGHVKIFETSSW
NIVSGSKYNSPVLSVSVIASGANQEDRLLAVGMQSGALSVKTRLKGKEQADERHKKKEMEALIDGTLDLYDAKNKKRKRAEAMTKLNKENQKISTQT
DSAIQKINIDVARRATPETVWERDLRQGRYAHALDAVLDQRKQPSAKVFDVLQELRYRNALKVALEDRDETTVVPIFKWVSKYLAYPQYSKVIHEVA
DLLIDLYRERFLESEDIEKSFKALHRSVNAEAETIQQMIQTQGMLRLLLTPRPQA
>RCO7_00872 | probable dehydrogenases with different specificities (related to short-chain alcohol dehydrogenases)
MADIAAPPISRKMHDMTDQVVLLTGIGCVGSGWGNGVAIATLFARQGAILFGCDINLSAAETTRSQILAESPKTYITVMESDCTSSTSMKAFVDACM
KKHGRIDALINNVGRSEPGDPASLSEEVWDAQMDVNLKSVYLTTHIVLPIMAAQPTGGNVVNISSVSGLRYIGKPQVAYSTTKAAILAFTRTTAVIY
ADKGVRLNTVVPGLINTPLVKMLADKYAGGDYEGYCKVRDAQVPTGKMGSAWDVANAVLFLASKEAGYITGTEIVVDGGLTQSTGRA
>RCO7_00873 | related to mitochondrial large ribosomal subunit
MSAASAGLDRVESHDGKPRTSVGSPSATNMSLHLPPRQLIKSVLTSIPPSLSLIIPSIQRRSAQSLVPSKKGDSEKFKAKLTNPLTEEYLRRKPSAA
TKAPKKGGLSSSSIFEDEELAGPKPEKVKKGEETGLEPRNPLRMAAALDPDPQGRLRWERKMVIRDIHKRGRLTKTQRLKREERVLVSKSHDFKTSV
KKLVPLAKQIAGKTVEEAIVQMRFSKKKAAQDVKEHLEHARNEAIVRRGMGLGIGADPSFITREIVTKDRKRVKVTDPTTLYVDQAWCGKGLFGTTP
DHRARGQIYLMKNRTAFLSVVLKEEKTRIRLHEERETKEQNRRVWEQLPNRPITAQRQYYSW
>RCO7_00874 | related to pre-mRNA splicing factor
MAEPVVVGEDGWLALVDEASRTAGDLEQRIGVVEQYKRAIAAEPWSNKLWLAYCEWFWSLYTDCQNGDAGWPEEEQQVGQELFSLAVALDVWSEGSQ
ATQYRLNDSHELWNRWMSIELEQLSKSPTQGKIERARSLFFDRLQVPHARWDETSQMLSTFITKFDEPAWEATMIESTRVGKVAKELYSNREDFELK
VKRAIQSGDKEAIKAEMTAYLAWESTQSLYKPKKGAAASPPILCVALYERALSSTHLGLESSIWEDYVVFLTNHKDDAAENQLPALLPVIQRATNHC
PWSGALWARYILSAEAESLPFSSMEQIKHAATNTRDLDRDGIGSVIEFYIAWCGYLKRLTMIAGATDDDIDVAEMGLPTALEDYLEWGRRRHGEEYR
GDPLFRIERILIQHLSQKGSVAEARSHWQRLVHIHADSYEFWQQYYLWEMTVRSSVGPPTQATEVLIQAIGRRTLDWPEKIMEVYLCHCNNYEEVDS
LLKAMSTVHRLTKVVGARREKEAAEAAVAYAQQQHVSHYETLDDDAPSSASKRKREAASEEPEAGAKKKFKSADQDAVRAQHAKRDRENTTVLVANL
PPEVTQTKVRQYFKEYGHLNNVTLKTEADKQSTTALIEFRTPEEAQSALLRDAKYFGGNQLQVTPGTGLTLYVTNYPPTADDSFLRHLFKDCGEIFS
IRWPSLKHNTHRRFCYISFRTAIGAAAATKLDGQSLGGKYTLSAKYSDPANKKDREGAMAEGREIHITSLDSSITQQELEEMCSKYGKVERARILTT
MTGESKGAAFVAFERKEEATASLELDKTKFKSRILNVEMSTGKNFKPTATMAKGSSTSPGPDGGSAMSPSPAPESYNRHAQHAPGQSETSNRTITLR

NIPDTVNVARVNALVEQYGSIVKVVLRPDHQGAIIEYADAVSAGKAALALENHEIVPGRKLRTGGLKDLFAEKDEIRTDRIQIGQGKKPAAGFMQQS
SAPVRRPGAGGRGGLGQKRGLGYSAPKAANAPRADANGHGSAGAENKKPKSNADFKALFVSGGNQ
>RCO7_00875 | uncharacterized protein
MLLAMDPIPRMDNILAAFFTLILLACFVIFPGIFTSLHSFEKKPEISSSGTASAILETVKNITLLIIAGSCCGIGALGMIWLWMSGAPTTSGSSTAS
SYLVD
>RCO7_00876 | related to phenol 2-monooxygenase
MSSSQNSSHVPLLIVGGGFVGLSAALFLNHHGVNTILVEKHSGTSIHPRSRSVNARTMELYRELNIESTVQEAGKSMAPTMGYVSGRSLYAAISPQA
RRSPTKRTLKSLPFASVLATMGPVPGQFISLETLEPVLLSTLRDRGVETRFSTACKSISQNSSIVTAKLRNKENAEEYEMTADYLMAADGANSPIRT
QLNIPLSEDKPESGHLLNIYFRASLGEFVQNREFSLGKVQREASSSLERTIDGLCTSINNSDRWVFHLSYDPAAGMDESPSGPVEIEILSVLPWQAS
ARVAQRMQEGRIFLAGDSAHQMPPCAGQGANTGIADAHNLAWKLAAVLTSSSNSGSNRLKTISPALRRTYEKERLPIDTYAASVSGASADSKGLFAL
KPNLTTAITLVQRCFLVAGLSVWYQGPGVGVIPENPGLLRGASWRAWSFSGLVMGIDGRPGRRAPHVWLQKRADISEANKGTDGREWIKAAQNVSSR
LLACGLEFETYVIGGDEDHHYIPVDGRSAFETAAGISNTGALLVRPDGFVAWRERRLPDKCGERLEEVMIRLLCL
>RCO7_00877 | related to URK1
MASIASIRESSPSSESGAMSPIQLTPNSKVKAMLAAFDNDSDDESVLGSARAKRIVPWAKTSTSEPKDNSETTVAQHTEKVTAHDTMNSPSEDDDVD
IIRPKGRMAARMQANEDNSDEELPSAQTARERVKKLLMTKSKSPDAGTSTGDVSDASDTPVVSRKRRIRVARQDTPKSSPPRRSTSPGLFVSPAKSY
GAFDAGSGSDVELPDAGNSRFLALVEKKKLERQAKEAEAAKEKTKRAEETQRYTKTLAEEDDIEDSEGERRLTQSSRPNRKASKKALEEMHRETQRL
SRNQQLAHYATTKKKFTKADFFAKFNKQQSIMEATPEPARPASSSSAAPHSDPETKETPPTSPASPNPAADRVATPSNLPALSDTIDDDNAELPSLE
DALSQMKSPPPSKMGKGKGTATDEPNAEAEIGKKPMSKKRLIRVRVSKSVDRKASPLNESDSDLEIVSAKSLGRKEKMDSVFDRVPAKLARESHSLH
ALRMLAQVTSPGKQSSKRIYGQKNKLLMSTSEMQMSLQQRARQQAAREREERLQALRDRGVVIQTTEERERDAVEVDDMVAQARLEGEEIAKREKAA
AKKERKANGEADPLGDDSSDDEDWQETKEVPDEEEISGSGSEEEEGDEQELDGSVEDEDEMELNGQEPDTNVTNDMFDNEAAESDVDENEADANLSI
DEEMAEDGDAEDAGDDEDEEHSFNKKTRRSRHANVISDDEDEDVEPVTQQTPVAPQFISPMHLGAKSPMVPTAVLRSATKTFIPGLTVAGPAGLGLT
QIFAGTMDDSQAFEESPTAPNPESAEDPNKDSFAFLRRLRAPELPPFVPTLQEDTQDADMVNQSQVSHIPESQPMDSESQDIQFHFSQSQVHEFDSL
VHDTQMSQMFEATQDVGYQYMTPVKGRFAEAPPSTVDTVILEPTALPETIDETPIAKKKGKLRQRAQIATFSDEEDAGGQDNAVEDDDDDLTANAFD
VMRKSSKKKKEKKVEEDFDKQKSKAKEMVNEQADESEDEYAGLGGASDDESGGEDDAFVKEMINDEGGENFDAGKLAAIFADRERASDEKQIEKLYK
DITNGMLRRKRGADYDLSDSDDGGEAKQRRKRKEFAKMRKALLADERIGKIAENPKKQAFLRAIEDRGSEDEVDFLEDFAEQENEDESQSQSQAEGQ
AQVVPDSESTLMGPPKRKASDDPEENQIRAPPHLRRTKPNKKPSNLSEIRESLSSLIEEPNALLAPEVSESESEDDLEIEGGEDLGPSKEKNKENRD
PFALRRTSTAIVDRISLKRQSSSSISNSTKLAFAVSSSAPGFKVPALLRRATTNNSLVSSTSSSVSGGMSGTERMAGGASNEGVRRGGGKNSGVNYF
ARESERRANVVKTEKRREMKLVKGAQKRRSVVGGLFGGGKFE
>RCO7_00878 | related to sulfate transporter
MDFTRLRRNHANNVATFRSSPLSEISGSLGDLGTLLPLMIALAVNDSISLSSTLVFSGVWNVLTGVAFGIPLPVQPMKAIAAVAIARKFSKGETISA
GFTTSAFVFLFGVTGLLRWFTRVIPTPVVKGIQVGAGLSLVLSAGSSLLQPLGWTTPNAEDNFLWALFAFIALLGTQKMQSVPYSLLMFLLGSVLAL
FTAGSHNLPSLKLWHPTTFVPTLTAFKTGALNAGLGQVPLTTLNSVIAVTYLAADLLPQVPTPGVTEIGISVAVMNLIGGWFGAMPVCHGSGGLAAQ
YRFGARSGASIIILGSFKIILGLVFGESLIGLLREYPNSLLGIMVLAAGLELAKAGESLNYGARDLWEASDSGQDVRSEHESTKRQRALSDEERKER
WTVMFMTVGFLLAFKNDGIGFLAGMSCHYSNQASKLWAEFQSQKSRTGGGSARRRQATTVEEEEEQLLGDS
>RCO7_00879 | uncharacterized protein
MVVFLDLDEDVEPPELGHGLGESAVIKDHWIGHHDRAFAGVLRRLDINGGSVTVPGNGHGNAAGGQKQRENPNKNMPITQALGCYPVIMSIASHIDL
NTLDALSSTCRQVRVNLLQFRTQLINSTLHCDNEDVALDPEHTFRYRARAADWYFVEGGTIGSGAGKFGDCARDMNCTIKPPAPVLLRHRHRRLCKT
CTKAPLSSLVSGLPTPLSSASYPSDSALTPTTASTLKQKTCACPTEGVWLCQPCGRSLRSADTEYESIWKWRTRYLPSLGGLGVGIGEGNRGVPCGR
NGECIAAREVESEIDCDAEDAREIDRDSRAESPASPGSSNGSANGSTAGQMGPGYARHEIEGIGGVVKRKLVRMVKVGACVPEWGDEKDAGKFLVRE
EEGKSRSWCGWCWRVVPGAKDIIE
>RCO7_00880 | related to epoxide hydrolase
MASPKPFKIAVSDELLAFITQRVSTARLPPGIDLPSSEAWSHGVPTPVISQLQQYWTHKYDWRAVEAKINGHLRMFTLPINHDGEDLTMHFVHHRSS
REGAIPLLFQHGWPGNFLEVDKIIDELVEPKDGGQAYHVVAPSLPGFVFSDMSQRGDFSLCDIAHIDHKLMTALGYETYMGQGGDWGSTVVRFIAAL
YPDNCVAIHVNMVIAGPPSWWKQPIAFVQFIVWAIWQDKSKDGGLLGRMMWWREEENGYMEIQGTKPQTLSYALVDSPIGMLAWIRDKVEHLVDDDF
TWEEEELITWTMLYLIPGTAGHASIYKNGKAKSQLAKVTSIISTPLPKTVDFGASIFPKDVLNIPHFWASSTVSRNIIIWRTHDKGGHFPSIEKPDE
LIKDIRDFTELVNSGRKEDLILGGKEGGRGELRM
>RCO7_00881 | uncharacterized protein
MLWAAFGYNRRTGLIPLDGDPLAPRGGVTSWVIRNLYEAFLPDIIVEGGEFMHDGAGPHRGLIVKEILREMNIRVMSWPPYSPDLNPIENLWALIKA
ELYRLHPELEHAPDTNATLDALVQGAQEAWHAIDNGILYRLATTMDNRVQSVIEAKGWYTKY
>RCO7_00882 | uncharacterized protein
MPRAELTPQMRARIVELASEQWSVPRIRRKYPEIPVSTIRLTIKTYPFGTTDFTSKPRAGRPRALTEEQRDHVYDVVNHSKPHIKIRDLLREVNDDC
KKRCMQSLLRSMDKKKWLQKKRPFITAAHAEARLEWAIRHQAYTLND
>RCO7_00915 | uncharacterized protein
MIWNFWYATSVDYYQLHEAIDFFSDHWLSTLARACTNKAAGYGCQYPLQKLWINWVFQDARTFKRMSGSFVQAGTDGFDSSDGSDTSTEIMKEKVDQ
LPIPSSILDTIKLYRNHIISDTIEVIHELITKYSETETCCTASTMVKSSRRSCDAIALGYLIKGAQSAKIWSMPTQPYDFSYEVLTYAIRSLKVKSL
CCSDKIGSPGTHDAHAIMSHIMLRIKNAPCITKYDESQDSRTIWPLDGLEINDFLPKDRNKKRG
>RCO7_00914 | uncharacterized protein
MPSLGYKGWRESDESDGKELIVGAKSGEGEVEFTGGQGEIWCKLNFVVDVGEVKDGQVLLDAEEHQDWRWFDRQAIVDAGADGEDFISEQAVSILER
GFEEFENRS
>RCO7_00913 | probable ammonium transporter MEPa
MSAPSFNSSEPNGGDTLLVDVNAQYAGLEYHYTYIMFCGFIVWLIIPGIGLLYGGMARRKSALTLLFQSLMVVAVTTFQWLFIGYTLAYSRTAGPFI
GDLANFGMKNVMAAPSPGSAVLPEIVFCLYQLLFCACTVQIVIGGAFERGRIIPSLIFAFCWATIVYCPIACWTWNPNGWLYKLPSLDFAGGGPVHI
ASGWSALAYAFVLGKRTHHGEGKSHSRPHNTTLVFLGTVLIWFGWFGFNGGSALNASVRAMLAGFNTNTAACFGVLGWTLVEYFKNGKKFSIVGACE
GAIAGLVGITPAAGYVGVWFAALIGFITAAVCALLQNLNTWLNIDEGLDVFKLHGVGGMIGSFLTGIFASETISMLDGVTSASGAIDGVGIQVGRQF

AEITAIAAYSFTASAILLYILKFIPGMHLRVSEEAELNGLDLDQFFEEQVGDRSVFEQNRMQYEITSSITPPVQELSEAVDGGDKKA
>RCO7_00912 | uncharacterized protein
MWTTEVLTPKTAVLIYLYTFALQSPYIFEKPSRDLHSQLFDRGSARTPSRYHSTFTNSAVADESGQQCLRLTRTSQSTSVIRDAVGIVRCIETRALE
FQGFDTPRSHLEPLQLVQYGNGENYHLHTDLFEVPSRMTPEVGGNNLSPFFVYVATSNVTGGGTNFPILNAPYDERWCEFVDCDEPWDNGITFPPVP
GNAVFWQNLS
>RCO7_00911 | probable UGA4 GABA permease - also involved in delta-aminolevulinate transport
MASGRGYEDGSNEGSITHDEKVNKAHAILGMEEGSTALISADDQLLAKLGYRAELKREFSYLTVFGQSFGAMGIAPAIAESIVFSLGSGGSVGMVWT
YLAGCLLLIPVAASLGELGSAMPTSGGIYYWVARLTPPRQRAFVCWLAGYMNVLGYISIYASTIYAATLLLGATIAIGRDETCFTSKYHNYGMFAAM
TLLTFGMTCVSSATLSKLNIFYIFVQLAILLSVIVTLAAKTPSEYKNSAHFVFTDFENTGFWPNDGWAFMMSFLTPVWVVSGFESSATIAEEASNAA
KAVPFAMISSLVVATITGWAVIITIAFCMGTGIIDIVETPLGQPFAQIAFNNLGKNGAIALLVFLWFSSVCNCSILMVAASRETFAFSRDHGLPFSG
FLRQLSANKTPARAVGFVAVCTLIEGLLMFVNTIAINSIFNLAIMGLYFAYCMPLVSRLCFGHFTPGVFYMGDIISIISAIYSIAWMTFIFILLLFP
IYPSPNVQEMNYAVAVLGFVLAFCVVYYYFPKYGGKTFFTGPVRTIDDILDESPEARAAVEQQIAKDREVAMSGTNENIGS
>RCO7_00910 | uncharacterized protein
MYSSNASIRPRQRTFTSCTECRRRKQRCNQAKDRPCNNCARRYPPVICEYGGSSSPPPSSRNVDVLDSPLKAQDTTRGNDVSSTAYIQTTQSTLGDI
PIASTSDSNHNTIPYNTSNTDHRQYQDGAPASNTPYIATPVSYTADSGFYQDQTDYSVSGSPQGSHSGYYPIAGQQRNDWLATTGNSSTFLGAISEY
YYIEPTPENQVYQRR
>RCO7_00909 | related to hydrolase related to dienelactone hydrolase
MQKQSRACCTRPPVVLRGGYNYDPTGTHVTHNGLRTYETGPKDAKRGIVLIYDVFGEFIQTIRGADILATGYPAIPDTAGEFKVFMPDWFGDSPADL
AAYPPKTPAQFKYIQEFMGGPADPSRTLPLILPLLSTLKASNPSIQSWAILGFCWGGKLAVLLSGEGSEFKASAQTHPSLLDIKDAREVRIPHCVLP
SMEEVPEVVDPWVEALLKASPKSYSELFEDQVHGWMSSRADFDNLRKFEEYLRGYRIVRSFFNEHL
>RCO7_00908 | uncharacterized protein
MASPTNPSLSFIFWELIDPIIFIFLSLTYIPGTVLSLLSPSSPFPSLKSLTSFSAFKSAWFAHFWRSIGPGVCESALPRAGPLIAQAKGVVLDIGPG
SGEWLSCFDKEKVERIIGVEPNRGQHEMLRKRVKEAGLMGVYEIVGVGVEELVKGGWVAEREVDSVVTIQCLCSIPEPKKMIGEMYGFLKEGGTWIL
YEHVVVFPWQGRFLKYWQATVDIVWPHCTGGCSLTRDTRKWLKEVGSWEKVDLVQPEDEAFCHVVPHIMGVLTNCLRLFPSRRIHLVDLEAPRVTTY
NPFALNTEPDAFHTTLTKISPSESQTLMEQYGMPFEATNAPPPPNFNFSQLITDAENPDEWEYEYSATETETFYVTLDLTTPEVPATQRQSNRRNAK
GARWTNPGLGKYQRMARLPEEMGFKTAQVLTIDDDEDALPASVAREEEGEEDDEDEGVDGQQPAKRKYKTKEKPPPEEQPRATEVQILDLHSVKPLV
SYDGHIFACRWSENIGTEFLFMPHDKDRALPVLRELKGDVDLLAASSARITAKTAHLEPKSQTKPKYAATSKAKAASKLSQPPKSNIVIHRGASTHR
IDQGMFLEKLIDLKEELGEEDFVTVHARSRLTNNKWRKTMKALRATERERLAEVIESEKNGPEIVKARERLKQMDEEDEEMRKIEEEKGIGAGLNGI
NKRKRPVFRPKDNGVKPLMDAGQTGTPIAESSNAGTPRSYETGVENQGMYGTPAEGQDDLSEQDAEGEEDDM
>RCO7_00907 | probable pre-mRNA splicing protein PRP2
MSGKKYALLPMEDDDLGPTKVVERKKEKRRHGEKSSRREKNRERSRERERSPRREKERSPRREDNHRSKTIRKRDVNEADFEDRWGDEEYISEPEPE
FEESASKRMKTSHEDGPEEDGLDDEERERRRDQAEKDAFVERLHAKDADKTKKIVEDRSSTKEGTILAQRRLLAEDAAARSAAMPDLRERSRQDYLK
KRETERLALLRKQVTEETEELRSGARLTEREKAEFAKNREVLRIAEERLRIDDHLDGYAMPDDYITEKGKIDKKKKEEAMYKRYVDRDEYGQEKMVT
EHDEWEREQASKAKAQIQSRERKEDNEYDYVLDAEQGIKWIQDAALPGEGKGLSKEERFLSEQLKAAETKALSMEETRKSLPIYAYRDQFLAALEEH
QILVIVGETGSGKTTQLPQYLHEAGYTKDGLKVGCTQPRRVAAMSVAARVADEMGVKVGNEVGYSIRFEDSTSEKTILKYMTDGMLLREFMTEPDLG
AYSALMIDEAHERTVHTDILLTLIKDLSRARPEMKILISSATMNATRFSEFFDDAPIFNIPGRRYPVDIHYTPQPEANYLAAAITTVFQIHTSQGKG
DILVFLTGQDEIEAAEQNITEISRKLGNRAAELIVCPIYANLPPELQSKIFEPTPNGARKVVLATNIAETSLTIDGIVYVIDPGFVKENNYNPATGM
SQLVAVPCSRASANQRSGRAGRVGPGKCFRLYTKWAFMNEMEESTTPEIQRTNLNGIVLLLKSLGINDLLEFEFMDPPPTETLIGALNQLFALQALN
HNGELTSLGRKMAEFPMDIMLAKSVLAADKLGCVEEVLSIVSMLSEAAALFFRPKDKKLHADSARARFTVKEGGDHLTLLNIWNQWVDNDFSPIWSK
ENFLQQRSLTRARDIRDQIAKLCERVEVSMSSVGAAELVPIQKAITAGFFPNAARIQRGGDSYRTVKNNTTVHIHPSSVLMDSNPPIKMVLYFELVQ
TTKEYMRNCMPIKPEWLHEAAPHYHKKKDLDALEEKKMPKSRI
>RCO7_00906 | related to SCJ1 protein
MWFPSTSLLLLLCIGCMIQISVCAEDFYKLLGIDKQASEKDIKRAYRVLSKKYHPDKNPGNEGAKQKFVEVAEAYEALSDPESRKVYDQYGHEGLKQ
RQQGGQGGGHHDPFDMFSRFFGGGGGGHFGQQGQRHGPDMEVRVGVPLKDFYNGHTTEFQLEKQQICDECDGSGSEDGQVDTCNICHGHGVQIKKHM
LAPGIFQQVQVTCDACGGQGKTIKHKCPVCSGKRVVRKVVTHPLVVDKGAPKGHRIHYENEADESPDYVAGDLRVTLVEKEANLDEDNELRVDGTFF
RRKGDDLYWKEVLSLREAWMGSWTRNLTHLDGHVVALSRNRGEPIQPNQVERVKGEGMPKWHEDGDSVYHSTEFGDLIVEYQVVLPDQMEKGMEKDF
WALWEKWRKKNGVDLQADSERPLVPVSSQKGKDEL
>RCO7_00905 | related to integral membrane protein
MILTDLLSLCLRIGELAFSAVVAGLNGEYLHTTVETRRGSTNARKRFIYLEVVAALGILFSLLFLLPFASSFLHWPADFFTSILFIVAFALLAHYDQ
KCGSVWNWKGITEGGACDKFKATMAFTFLAAVFFFVSAILGCLVSRRRTKAARVDTNTHATNGRRKWYRRY
>RCO7_00904 | related to aquaporin
MKDLISKSQGRLIPSQATQFPGSFAPDLRRDTRKLAKSKKWEQVFYQYITDGWDDIGIWRSAFIEFVGETALCYLSGMIDIVIGNFHSTQPAAYVGV
TNIFLISLFIFAMAPSSGGHVNPVITFATMMAGLTGFSRGILYLIAQTAGAATAGALIRGSFGGRLAIELQGGGCLLDTKVLEVSQAYLIESTMTFI
MLFLAFGVGLDPRCGQVFGPKMGPLLVGFVLGLTAFATVGIAEGFPGANMNPARCLAFAVARNDFRHQWVWWVGPITGTMAQTIVYHIAPPYHREVA
LEKAASKVQDSTEKV
>RCO7_00903 | probable NADH dehydrogenase flavoprotein 2, mitochondrial precursor
MASKLAPFIFRTVARPARAASRTKCRSFTTTPRAGSDALQVHRDSPVNNASIPFKFTEQNNKLVDEILKRYPPQYKKAAVMPLLDLGQRQHGFCSLS
VMNEVARMLEMPPMRVYEVATFYTMYNREPVGKWHIQACTTTPCQLGGCGSDVIVKTISEHLGIKAGQTTKDGLFTFVEVECLGACVNAPMVQINDD
FYEDLTPEGTVELLKALQDSAKSVETTASSSTVEAGKGALTGDDKKVKSGADVGKTSGRIYNKDSVKIPSPGPMSGRKTCENLAGLTNLTSEPWSTE
VFRKDL
>RCO7_00902 | uncharacterized protein
MSAQDPIILDHSLGMEEDTWYPDWIPGNGSYMAIHHAGKGYGWAQLRFLQLSNSMTRALQDNANPSSSLLQNVRLAKMWLATCWVNHPKCPQVRIPP
MPTRLVDVGPSDGSRSPLVCTPSIRSRYLTLSHCWGPYQIATTTKSNFEERCKAIPMDNLSKTFQDAIHVTRQFGMRYIWIDSLCIIQDSSEDWARE
SAKMCAVYKNALFTIAASFASNGKGGLFTCESPLLHTPCLLPQYGFSSEGGNSFHIHLARDPEPEDVGFHKNNLKGPLYERAWVLQEEKLSHATLAF

TETGMTWECSYNYLKYATKLGERYSRMPSLIRKEKEVFKAQYPQYDFTPKRTSIYQEWSEAVELYVLRKITFPGDRLPALSGLAEATKDVLSDRFSQ
EKYVGGIWLYDLPRQLVWTTSMKHFHSSKHMELYQKRIAESPSRKRRIRPPELYTAPTWSWASMYETPVSWGMMNWNEWGGDWIKLTLKNTHWNPSS
SNPYGNLSSASLCVQGMLLSVFVSGKDDPYLYDIKPEHLAETANSGEPVQVVRIGRLVLDEDKSFEGLRDDQMGAAIIDLVPVVSIDRGQNLGGWKW
YITCLAVVKTGLADEEFKRVGLGLVNDLDYFHNVDRREIILV

>RCO7_00901 | uncharacterized protein

MAAQNFHTGNNTPLSNRHTNDEDPIETRLPSGRCNYTNLSAGGSAPVCGCRRFWDKALATPRSTLGAGTPRSQARSGFCMCAHHACFHDDGPQTQPG
QVPADITIAASTATIVQNAPTRQDVPMRDPGSEVSRRDSIPDTLQWGNYIHAGSATSLPAIPSQCLLPSDNGSVTSGSQGASIRPSRLELRPINPLP
TITSGNVMTGRQSVDTRRMQVYEDANGNAFLQSITEVATPSARTSQDPVTDAVLGRDIRYVQDALEKFTQASTKPVAKSDQSQLRIKQSESNPGPIS
LTQVECSNESSLIPRLRNLVNNLSEYPTKIQNHEHRLDLLENNSFSHPIIDDLKDADDCLDTRVCELEERLRDVEKGQAAINDASSVGSRQHVNTSF
DSRASLNSSAMTASAMDRLDSSRVEALEAQVAELQAAAMPSHSRPWEVEVVFLPFGSRLMGIWSGQHTMSQRSRPNSTQTDEWTRTQNNSMAIAQAS
LTAHHQASAWERSATDLADQDSEWLMARACGLGSRVDERLRSRGLVKLIRILGPDARDVQAAMWKTFGDLPDVLTQDQYTQHDEENFGKVPRSLKNY
LGLSAPWIPLRKIHKDSCLRYLNPSEMVTPALWTVPFLSASVAMRHSGVRRLYVTQRDSYIQQLGRNNADWTWKKLRQLPRVYPEQKSFDHTPEADA
HEPCWEFDERLDPTHESIHSSFASQISSLSIRSHPLEYQDVACDPASPSDHFSSAPASPNASTTPTSIAPPQVAPLSPLKERNPFRPIHSRTTSMPL
PNIVPTKGSQPTAANINAGKRRIASFEYETQSSPSRAPSASAYTTNPPPLNLNLNALKRRRISRSPSRPRDTPRYSTGPPSPYAVFDDKREEGMTPF
AYATPHSNAPYIERARTRSSTRSSIGIYEDEDLDEDFVGGDDDNSGSTTDEVYANEEEDGEANALSDFEEGQVDEEWQGVQDDLDFDVDIDPVPCSP
RPLPVPKPLPSALRSEIEMQDFDIEDGASDISSVPSEYPSRQPEGLSDLDSGMGGIIGMGLGVQRAGFRIHVDDEVEG

>RCO7_00900 | related to YPC1 - Alkaline Ceramidase

MALSWPYRAHSHTPYWGAPNAQANFCEEDYIITPYIAEFVNTLTNITYLLYAFYGIRNNANRKDAVLRNLPYLGIAAVGFGSAIFHTTMKNYTQWCD
DLSMLVAVASVVHRVYTFDKSLKTTVISGTVFTAVMTAFSIWHCITDELIMHNVIFAVMIVAVGQKTRSIISSRVENPAVAKEVRKLATWGGVIFVS
GFGIWNIDNALCSSLTPWKRSIGMPWSFVFELHGWWHIFTGAGAYIFIALVEYLTSEEAGSPLGGKFAWPVKLIVDGTAGDVKQTHGDVNSSDQVTT
EVKTYGQPSRNGSKKL

>RCO7_00899 | related to OMA1 Metalloendopeptidase of the mitochondrial inner membrane, involved in turnover of membrane-embedded proteins

MEVPPAPLDPTNYPMMLSRRLLSSSTRLSSRATSRALPRAPVSCFPRSTFTPRRYQSEWNRFPPPPPPQRKPPRIVHYKYDPGQIQHAKPLITTEQI
SRAVRSSTSKWVFIVAGGSATIFYVANLEEVPVSGRKRFNCYSDATVEEEGRRMYDMIMQENARSILPDWDRRVKMVHRVMAKLIPSSGLENADWEV
HVIQSPECNAFVIPGGKVFVYTGILPVAKNDDGLAAILGHEIAHNVARHASESMSSMVMLAPLRFMFLFLDSTGYTMGLGRVLGDMAMDLGLARPAS
RKQESEADYIGLMMMARSCYNPQEAVKVWQRMEIAQKDQDMPEWLSTHPSNNNRITQMQQWLPKAEAARNESECAVTMGYADDFKTAFRSNSLIGMF
R

>RCO7_00898 | uncharacterized protein

MMEIAATTATAIRGMFKSTHPVKAKWERINSTPLPRSSHSLSVIAGRAYIFGGEVNPREPVDNEMHVMRLPYDSLSSADYQVIPAKPETAGGEVPEK
RVGHTAAIIGERIFIWGGRGGTDMKPLEEKGRVWVYDTRTDAWSCLDPMPGTAFPEARSYHSSVAIEKPGNSKSLKIDNATELPRAGKIAESAQTDQ
DKGGYGTLFIHAGCPASVRTNDLWGFDVRSRTWKEFPSAPGNPRGGTSIAVSKNRIYRYGGFNGTGEEGGKIDILELGLDTFSGTGTSSDAAIFAKG
PWETLNFEEESMIFPGNRSVAGLQAVTTGMGREYLVLLLGERDPSDDGHNAAGKFWGDVWTFQCPPVGMTGASFKDATWQALGKETGEGQWSVMQVA
DAEGAEGEDVHKLIPSQRGWFGSSTLGDLDASGIVLWGGLNGKNERESDGWILRIE

>RCO7_00897 | uncharacterized protein

MSPIKLDVSEESTTTIFPSTPLNHSTVRNLSILDNACANFTRCAAIWYFSPSSVTDTHLTTSLSHTLNSYRHWCGRLSYTPSPEISTYGPQNTRYQR
IRVTYNTSNDIGVPLTIANCPCPLSHFLPSLTTRQTTQKAWSPNPTFQYSLLPLTTLSLSRGAPDSAPNIVIQLTHFSCGSLAVGVAITHCLADAIS
LSRFANEWAATNRCLISGSPLPQVTPVFEPERLDACAAGNINTVPDGEIQRKARELPMHRYDWYTPVEGQPWSNPKPEIFDSLIGKLRSRNDGDAKA
EKDILSPSVPIPWHQWDVKAPVSYRLLHFSKEEILAIYRQAVADSSSTLDKTKKKKISKHDALIAHLWSLIIRSRNLPERTTSYLDLTFGVRARVQP
ALPESFLGSPIMHVAIPFTPGSAPAFPEINLLAGDIRNYLGKFGNEEISWILHDRAAEFAPQRLWGACLGREHVLLTTWVRSGVYNASFVEGCRAIW
VEAMPPLDGLVEIMEAPSGRENSEGGSWIDHGVDASIYLEAETMEKLLAEDGLWSGVSR

>RCO7_00896 | uncharacterized protein

MSGIVNKVKDMLHHDKTDSTTHTTGTTSTTGTHGTGVTGNHNTTSALAGSTNHGPHDSNAANKADPRIDSDRDGRAGHTTGLGSNTTHATGLGSNTH
STGTGIGSNTHSTGLGSSNTTAGPHSSNMANKADPRVDSDLSNTHNTHGTGLTGSGIGSNTHSSGLGSNTHSSGLGSSNTGYGSSTTTAGPHSSNMA
NRADPRIDSDLSNTHNTHNTHGTSGLTGSSGLTGTHAGNHSGSTHTGTHGGISSSTNAGPHNSNLANQADPRVDSDLDGKGNRHGAATGGVFGASGS
HATAGSGTAQNTAGPHNSDMMNKLDPRVDSDRDGSKTYMGNATHK

>RCO7_00895 | uncharacterized protein

MFNESQRIQPGAASIYCHRIYQNEEQEKNPLAAARPETTPGADAQASSKEAETSTIVSKAQKLLGELAEMKNRDPAAAIKSLISEEELDKMYKGVKG
LIFNHSMTKIVTKNLRKVKSAKTVKTAEKSAPDKSSVHEMLAGWEKLLRDFEQKLEGSDDTPILDEAEEPAQAAEPNPHDTPILDEAEELAQAAEPI
SPLGQIMKDAVPLVPTVDLQGNDVMKVIPIAGTDPAVSRAMIVGPILSTEDAEMQGSMIEVK

>RCO7_00894 | uncharacterized protein

MKFIATLTTAIAFVAGASAAAIVITGAPKIIYDGGRRLGTASRATVNDMPATTTLSIRDDSYWLFKTCYDPNYTGKCQMWYGFDSKCYNFGPEWENK
ITSIQVDIEQAHECTIFENANCGGPSENFRSRDSPDLRTSGMDDRAKSYMCKAIATVVIIPVQG

>RCO7_00893 | uncharacterized protein

MSFFSKMTKEFEGLMKKDEKKEEKPAGSADANRGYDQQQGSYQGGAQQNYGAPPPQFNSHPSYSSPPPNQYSPAPQQGYGAPPPQQYGAPSPAPYGG
PAPQQYGTPGGLPPTPQVPQGWQPLWDPVGNRWAYLEQYNSKVSWNVPTGPSYPQHDDGSRGMGGYGNNQGSGGYVGGPGGPGGYGAPGGYQQGQGE
YKDPAKDKAAKDNAKKNMMMGAAAGVAVGAVGGVLIANAMDDDNNNNNYGGQQYQQQLPPPVHEDSDRSSVSSSDREEAREEAEEEAYGSD

>RCO7_00892 | uncharacterized protein

MSNSENQLGEGLAQLDWNSSNIDPSLEEFSFQGNALSQSIMSYHIQQHTLDRSSQESQQDPRVQNPTMQRFVEEPQRQFFTAPNLTQGLRGGMLHAS
LPISYLPRPSNQRMDSPSLSQGFTSVSESVESPRGEPDFYSESRYSVMDSQYSTQSSSIFQGGSTYQSYAFPPYHGSSCVTMDQVQSFADVGDAYYG
SNDEQFEEIVMKGKYDMNSDQDHNHYHDSIHTISEVQGYGYPSDEGIGDSVRDEASPKDDIFVDEVLPEMDVDGDMDDMDNEHIPVTPMSDAEYTPQ
STRTRKRRVSPVGRPMAPSAKRNKVLKASAKSKGLVTCKFCNHAPFKDTATLQRHMVSTHTRAYVCVFSFAGCPSTFASKNEWKRHVSSQHINLEVW
VCEQGACGNIHSKSGHLINGSNRNVSRGMEFNRKDLFTQHLRRMHVPVSVKRKKTGSDAGWEDTVRALQQTCLRMKRQAPTRLDCPVHDCLSHFEGT
GCLDDRMEHVGKHLEEQAQGKVTFNQGDDVFLVEWALDEDIIEQKATGVFRLKVGGAGSGRRAVKMERMEVNMDHEEDAEGDDDDE

>RCO7_00891 | uncharacterized protein
MATQSKYQRSGNRSFHSLASISSRDQGQMFARGMGHSLTDFLPQPVEIDLSLARTLPNPGISAFMPSEFGFPPQGLGGMPYLGSSISRIPTISSESQ
IRGISGAPLDHWYTDNDGPWNPYQKSGTESVIDDRLLSRHTANCNLSYSGQYRHPNTSDAARFALEIPPSDSGYVTRRSMGNTSVFSADIQDRDQDG
NSMAAPSPDYPMFSGYNEVLQQHYRRLPSTWSPQTTHPSGPPRLSCPTCHKPVKTQSELKKHDLRHRKPFICQVPRCTRTEGFSTTNDLDRHTRSKH
PSAVQENSSVKKFRCHVPGCKSKDKAWPRLDNFRSHLKRVHGNYLRCEEAFDEMIRRAEFWETTSLALNREVTSMRHCFPVNDSTALPVQESLPNHT
MDQSQKSQYPDIVELSDGPVAPDGCQGDSYDSGDASPREQSPQPEEILRTTIQPGEVLKKVPVQMPENEMTLEILLPTNNIDPALKSTATSTQLPPR
VSLQGNSMVQTVMAIDATLTEVIQKALAGAKVSDTIEPTQKQNPERSSLPNGKISRQDSSSTGPLTPGFRQQDPTRVIDILSVDNSKELEAQRKAQE
VLKHIRNLGYTVTKDPTHCPKVQNPGSAASKKSEHKVTCDKCRKFRGRPCELRKHMKRHERPYGCTFSTCHKDFGSKNDWKRHENSQHFHLEAWRCD
VERADGVLCAKSFYRRQTFQDHLKKEYQITDKTVLDEKLKACGIGRNCQSQFWCGFCKKLIDLKKQGLAAWNERFDHIDKHFMGSEPFTKQSIRDWS
PVDTDLSKADFVLPFPLGIESGSESNSSNEGLPPDNGSSPASEGQSSDSPRETQADLPRTKRPAVDEAPTDRPAKQTRNR
>RCO7_00890 | uncharacterized protein
MFAPRFRSALRPAAQCLQQQRKEAMRQNCISQQMRQRRYNSSRPFWKASKELFKAHPFSVSSAVFFIIFGAGTLMYSNYIYHSYIIGAFHKFPEPVA
KQLRKALYYTNISLEPKNAVKYYREALRVADEIGMESFSDEIIGVKIQIAALMEMVQQYQKAIEILEIVKADNLRWIETFGRQKGNEGRRTAILAKT
VGVSVKLGELYANEYVMEKENAEERLVWAVETVLKEQQRREKEGVKEGEGDWMSAEEMGGSFEALAHHYEEKNKHYLAAPLFLQALAQSPPASCHTA
VIMNNLSISLVQQRPPADTPAATRSEFIRNGRLWAEKAIAVAAKISPPDRNEECDIGCAVATHNLGEFAEMDGDIKEARKRFEEAKSLAKAVGFQEG
VKNADSALKRIQEM
>RCO7_00889 | uncharacterized protein
MTLDTSSPMYQQWLAQQRHQQYKSAYGAPPAFLPVNRNNGMAIAPLNSKPLTYQQGLVQQQSFESNNPFYPQGPAPQQTQQYRSAYSLPALPPAFSD
NNMVSRQGYGQQLYSQQQFHPQQYQSAYSLPATPRIPQNYGIAVASSNLNGVFSQQGYGQLPPQQYSSTYGPQTLPPATQNYSMAIAPVSSFNSTYG
TTQQLYSQLPQQPQQYNSATYLPASNTTQNYGMAVAPVAPFNSSQGFPQQRYGQLPLQQPQQNKSATNLPASTAPQTGGMAVAPFHSSHGTPQQPYG
QLPQQPHQYKSIHNLPASTAPQNGHMAAASMTSTHGIPQQRYGQLTQQPQQYNPAYSLPSSSAPQNGDRATASLTSSDGIPRQLYGKLPHQPQHYNP
AYSRPTLPASQTHSATITISDLNNVYSHQEYGKQPTPQHSEPACPPPAPQTSDKAISSSDSNDTVTQGYGQPIIQPNKLQDTLAASVINEISTVLVD
HEDQSKHLWYWIEVIKASFFPSGNDLMPMTFHDSNLSYNEASRLATLYLSKISQDNIQPNAQSSIAMTLINESSTFLRYQILGVLFPLMRRWCLSAE
FRAEIARCTRINRMRLWRGKAIDEPDSFTKYLEVLDTMHDRKWTFSKDPEGILGLKTMQKKMWCYLLFKFMCTMDLVYLELMLKFNVEPYNRQRFHE
VHYPAMLPKLRAINKDPIMDGCLVDPPYWPATTRVDEDVLHRNLALLQRSLD
>RCO7_00888 | uncharacterized protein
MASNSAPTEETPVSHEYGGNKSDQDTIAKRPIFFGRLSSAGPSGPPPNFSLPPNPPANANRSAIDDIVTSPGDPNRSTIGELVTHPGDPNRSTIGRL
VTYPSPFPDPSPASDSFHKSLTINLRREEKLSDIPQIINTPASTPSPISLTHPRRESGQETGTLEVPKPGDKPVPMWLRAAIRKFPQKKDTGEDVVQ
PLNITRKSRDAGSRDDLEGNGKGSPILPFTVFDLDTMLGLSPKKPKFDDFLGPQEPLFVGMAGAAGSEERSSGNGDGKEDSAKIGDGGNKEASSQKK
KKKRSRRSRSAKGTASGTEPGRSGSSGVRVEDTDDGDDDEKRDEKEGGKGEDSKGKPVQSPLAPSTPETSANFDETTDEKDLPKPITPSMFAEPRPD
AQSPPVAPGLGAATLISSPGGQEAAATAFATDRLAEAQSGLAASSWGPAEGSHGNDGSNSGGGTTSGESGGDNGGGSGRSGGSARGTFFSGPRPGSS
ISTIPPRREIQIPAGIIAFREYARREGNTTNNDIQRGLATLEATFRNSLEPAIIASQETLRLGVQVRALEQANNALIAELSARQESLDRTAENAVQV
TLIEEAYDRAALAEQKRQEAEEKLAETLTKLAAEMKAKAKLQSSIGDSGEWGSEEVRLQLQAAATKLEREQESNEKLQKKFDDCKFSAEDRSKLAAT
ELEAEREAKNELQKKLDDCDRLVEDGSKAWSSKLEAESKAKDDLQKQIDDLRRNGRTVVERLIDEKEALLAEQKNVIIQEEKHKELQARSQILGKTL
AEQTTTLNAERQLYIELEKKLHDCEADAGSREKEAPNDVLHDKLDTAVRELEELQLQKERVDTELKNYADAESGKISREECFSLNQQKETVLAQRIK
DLEAEVKAEGEAQRELKGEMDAMINALAAKKVKEEEEELNVEIMEELENLARENEELRFALAEKDKVNDLTTVPAGFISEAESKEKNNLQLQTLRKD
LEDQIAELKDALAAKENAEDEKVVVPEGFISESDCDEKGRLEQEKLRKELKDLARENADLTNAIVAAKKDQSDANFATKTIAGLQVKDSGKLMALTT
RITELEKEAKEKDSIAEKKCQSEKDLLSKTSREEKAIMRKQIEKLTLQLKAFTGGEMITRKQCEIEKEITRTNLVKQFEALQKKLQVAEEAAKSAKP
GSEDAVVDNKILRERLVVAQRELQACRDDRDDEERFDNVEDRIVDHARRIEEVNAMVAARDAQLAGRGINTGIAEETAMRAENARLILEVQRLESIK
TKKVASGFMLWDEKDDKIQELRNAIAGVNQNARDHFYKEVEIYTKYNKLAEDMENKIERQVRTKLLECKEAWKVKAEKITAEREERAARKEKGAKKD
DKDASRYRDRRNSKIAKKSALAAIEIAKQKEIEKVDKLVRESERDEPESMINNPAGTASAALYRRGLVEVMIKSVRLHLVNMVAARALNGKQPDDSI
TATSAGDTALRRAEENGNPDLIAQAYMWAGIAAFYHGESQRAANYLGQAQKMKNRLRSETDRTVLALWINHKVATKASDEAAQRTQLEPVLTADDKV
DEHISLLILPQYPGLGN
>RCO7_00887 | probable transmembrane protein 19
MKAYIAGPAILAVVTRAYFHKSLTPAGCIVAGLSAAAHAVHPWSLPFGLLLVFFLAGTRVTKVKHDVKAKLTMSASGKSGGEGARTHVQVLANSLVA
SVLTLLHAYQLYRRNEGVLPASKTDCYAWPGDLLVVGIVANYAAVAADTFSSELGILSKSKPRLITSWNLRQVPPGTNGGVTLHGLASGFLGSLIIV
AASVALTPFCDSKLGGWGLNARNRFAFAMAIWGGLGSVLDSFLGGWLQQSVVDTRTGRVVEGDGGKKVLVSKGGPNSMHYKKRAEIRANLLHEGEGE
DAVLSQDTTNTDVENELDEKMGGMDKYDASKKWRKSSFGDDKPSRIVESGSIGILDNNEVNFLMALTMSLGAMGVASWFWDVPFSSIFTV
>RCO7_00886 | related to glu/asp-tRNA amidotransferase subunit A
MILRWISLVIVIALNITIISAHTHPYNYTRTADTQILHCPYPYEFPILQSLSNAGNGQFPMRKCNGFQLEEATIQGMQEALSQGSLTSVQIVLCYLQ
RISQIDEYIRSIMELNPDVLEIAASLDEERKNGHVRGPLHGIPFLVKDNIATKDKMETTAGSWMLLGSVVPRDAHADMRTNSYSEGYSARGGHCRSL
YNLTTNPGGSSSGSAVVVAANIGMFSLGTETDGSVISPAQRNALVGIKPTVGLTSRAGVIPESHNQDTVGCLARTVRDATYCLDGIYSPDPRDNYTL
VQQSPAGGYAQFLTSKSALEGAVFGLPWLTFWQYSSLEQQTTLLSLISLIRASGAVIINGTELPNREKIINPLGWDCDFGSTRGYHNESEYTVVKTD
FYNDIRAYLSELNNTDICSVEDIIQYNIDNVGTEGGLPGIHPAFAGCQDGFEASLKSGSSMDETYWQALFFMQRATREEVIDAALFNGGNQVDVLLV
PSDLGQVTNVAAQAGYPLITLPAGLNSETGMPFGLGLMGTAWSKARW
>RCO7_00885 | related to monocarboxylate transporter 2
MASTVERFALRSSDIPASGEQAPRVTDLEPDVAALEQAELIYEESRRKRACVLLGSALIQIPIWGFAMSYGVFQEYFASNWTFEGSKSATGVIGTTT
NGVMYLSMPFLFALFTKRWARYRQTAAVCGTILTSLSFLLSSFSTQTWHLIASQGVLAALGCALIYSPTTLSLGEWFSTSNRAVAYGVVLSCKNITG
STCPFIFRTLLDTYGFRNTMRIWAAIMGGSGILATFLIPAHPSSLSTSTPRTRRISWKFLRHRTLYIYSVAIILQSCGYGIPQTYLNTYAHDVAQLS
QTSATLLLTLFNIPGIASSAFFGYLSDNKHYRLSATTVTSISAISSALSAFLFWGLTSQGSMALLVLFSISFGFFAGGYSGTWGGVINELESEAARW
NEAIDTGMLYGILNGARGIGYVSGGLAGVALLKIGSGSSIGGFAYGTSYGPLIMFTGISSVFGGWGLLWKWKKVPGFLRCA
>RCO7_00884 | uncharacterized protein
MASLILARGLHSLIATRDTTPNQNTAWNTLLKRNNPEHHNGANVAAVILAVVNIIIIVPIFLIVVYTIDKLYPMLVIVEADSPPEYELVARGDSIVQ
EDKTLYRSNASKDAIVPDNAGESSSNSSSSNLMPDETAGVPAASAKPITSSLIATLRLLYASGGGLYKGFRWRCLSIVVFSIVLIVTMNIPFIHPFV

VVGIATLATAKIETAWTHNVISSQRDGFVYRNLPSYLTILKATAIPITAKAVVSMAINTVAMLSMGSRKGSLDPLGILPQYEKGTSILALSALFVTI
FTLQACLLVPVEVMLVRTRAAMLSEDVSTLVPMDASIRAQSTEAMGFLSFLSIWQTFSRASWIRIVKANFKGIGASVGIEFAVALFISAQVLIFEAI
AVNS

>RCO7_00883 | related to carboxypeptidase C (cathepsin A)
MLLPILTLLAVPAVLANFPPPLLGVKTLKSKYHEGVTISYKKPDLCETTPGVKSYSGYVHLPPGLLSDINGESQDYPINTFFWFFEARKDPHNAPLS
IWLNGGPGSSSLMGLLQENGPCFVGPDSNSTILNPWSWNNEVNMLYLDQPTQVGFSYDVPTNVTVNFAASEADQVIKPFKFTDGNIPADNYTFFTGT
MGSQSALSTANSTTHAAHALWHFAQTWFSEFPAYKPNDDKISLWTESYGGHYGPSFFKFFQEQNEKITNGTIKEEGTHYLHLDTLGITYGLELINKT
TYENGMDDWFKPGGCKEKMLKCQEQAAELDPDWNGNVDSVNQCFEDLKGRCISIVDAAEATTNWGWFDITHPHADPTPEPYMLGYLTQSWVLEALGV
PVNFSSSSSAVFAAFGTTHDIERRGSIEAVSYLLDSGVKVHMVYGDRDYACNWLGGEAASLTIKYSRSDQFKQAGYAPILGSDRIGGFVRQFGNFSF
SRVLQAGHEVPWYQPEVSYNIFMRAIFNKDIATGILPVFDELATIGPSSTFHFKNTVPEAPEPRCYILNPDSCTPEQYAGVKDGTAIVRDFFAVDST
RDAANSDPSEEDGQHLFVGFGQDEL

>RCO7_00916 | related to interferon-induced GTP-binding protein Mx
MSGLTTPSTSSIGSPVAPTSANTEDLDVNSSLEDLQTDEQRRILDTVAQVRKCGLESILSLPQLVVCGDQSAGKSSVLEALTLIPFPRNDNLCTRFA
TEIILRRGPVNTLTIKVIPDSTRPHHEQETIRSFTESITDFADLPRIMDMAMTTMGLSTGEDSARAFAKDVLSIEIEGPTRPQLTLVDIPGLIQSST
KGVSDEDVRVVAEITDNYISQPRTICLAVVSAMNDAANQPILQKVRAVDPQGDRTLGIITKPDRLPAGSGSESKFLELARNEDVFFKLGWHVLKNRS
FEEGDSSLEARNDAENRYFRTSNFNTLPKDNVGIDALRCRLSQLLFEHVKQELPKLRQDLEKALAEAKADLALLGDARSNSAECKAYLAQLSLDYYE
LCKAGVNGYYEGEYFQDDTDNTFSLESKATISRLRAVIQHMNTTFYDNIRRRGHKFQVNMSDEDEPSPENSNTSTVSRKLNSRGPIKLSKEEGLKWV
RQVLVRTRGKELVGNFNPLLIGELFWEQATAWKQLAVDHIEETSRVCEKFLDHLLEDKSPKDVKSRLWASTILDALKKRRESAYRELGLIMDDISSF
PINYNHYYTDTIHKRRLERQKKTLADSLEAGTEHNILPGCNSTHTSATVNIDQVISSFSKRADPNMENFSCEDALDCLFAIYKVTQKTFVANITTQV
IERHIVRGLEKIFSPVVVNAMLDAEVEAIASEPLSAKRQRNFLTDRIKKLEDGHEIFRGVMGTNKQ

>RCO7_00917 | uncharacterized protein
MITALLVLALSFTVSAYPGMSEGNLNARQAVPPVPLPLSPNEGNCGIIPCTTFNAADQLVDVRPGTLHQFVAPGSSDKRGPCPGLNAAANHGFVPHS
GIATVAQREILILDHHCILRLTFVLAVTDGIVKAFNFSPALATALSTIGLVLTGDVLGGTWSIGGPYPGSLLGSLLSSPEGLSFSHNPDAYETDGSM
TRGDAYMTNGDAYSLQMDRFMALYNRSELYTLDIVRQHNKAMRDWSVQNNPYYFSAPFAGLVTPIAHTLVPLAFSNHSASNIQGYLDRGILKSFFSI
SGPESALVYTPGHERIPLNWYRRPTNNQLGIVNGFADLGVTATRFPDLISIGGNTGTVNSFVGVNPADISGGIFNAANLLRGNNLACFSLQIIQAET
PSLLTGLVSALGLSTAISLLNNVINPTMSSLGCPTMNTFNSGAFAQFPGSGYHPHS

>RCO7_00918 | uncharacterized protein
MSRPVLASCTSAQLLGITGPKYRSVRDDQGLKHILLSNSLAAVPCHEHVPFISSDDLEMYKRLDQTNLNAMTCLNELIGHECGRLIQKDSAGNINFD
MGNIPLSPFTGLAIKSGYAAGEIPKSVFGGMYNALNECLAESIALVLMKEEEVLEALGVIQAGVTAKEGTAPTDEDYLQGGFYLIHGTVLYNAYLQI
IWLALNGLASYDPEKKVCNSNASVLCRAASQESVLQTWAEAHDRARFGILKTLLLAVPSPLKIQNHPDGKANLTIKLSNDLVYIAGHRAVSDLATHL
HVYKCTADFECGRDNFESITTVDGLALTWRDAVMVRKKPRPLFVMGNTFLETGEVRYQTYPATREGLIQSWADRGV

>RCO7_00919 | uncharacterized protein
MENRRPTERPFVITRSTFAGAGAHVGHWLGDNVSSWLGYRISIRTMLAFASIYQVPMVGSDVCGFADNTTEALCARWATLGVFSTFYRNHNSIQPSI
AQEFYRWESVTRAAKKAIDIRYRLLDYIYTAFYEQTVDGTPLLSPMFYLYPNDPSTFGQELQYFYGPSILVSPVTEGDSTSVSVYLPDDIFYDFFTH
ERVQGKGASIQMNDIGVEEIPLHYRGGVIVPQRVESAMATTDLGKKDFEIVIPVEKDGRAAGSLYIDDGISIKQKGVTYINFEFDGRTFSIKGKYGY
EAGVAIKRLAFLGVGGDVNGCEVDGKSVDGWSLDAKTGDLIVPLGKPLTREFKMVIKK

>RCO7_00920 | acyl-coenzyme A oxidase 1
MSPTPQWVKELKPSAPQGTELIQAERQKSKISIEKLSNFLFTKDVLERQDKILKILEAEKVFDKSQNYFDGRVDKFKTALARAKRLRQLQVKHNWDR
DDYIMANDLISEPGPYGLHASMYLTTLEGQGTPEQHKLFLEPAQNYKAIGCYAQTELGHGSNVRGLETTATWNPEDKTFILHSPHLTASKWWIGSLG
RTANHAVVMAQLIIAGKPYGPHPFVCQIRDMKTHEPLEGVHVGDIGPKFGYNTMDNGFLLLNKFKIPHINMLAKFSRVDPETNKYVKPSSPSLIYGT
LTWVRSTIVLQSGGVLARGVTIATRYAAVRRQFQDRDAPSGSSHEENQVLNYTMVQFRLLPLLAATFALHFTGKAMMGLYQENQKRMQVSAETVDTN
RGAGPEETHSGSDLLADLHATSCGLKALGSTTAAEGLEVCRRACGGHGYSSFGGIGAWYADYLPTTTWEGDNYMLTQQVARYLLKSARAVLKGNAPN
NDTSRIFTTFLQKQDMGAAHDVLGSDSDLVAAFAWRTSFLTFEALKHRDVEKNSWNSLLVDFWRLSTAHSQYLVVKNFYEALQSESLRYELDPATID
VLHKLFRLYALNTLEKEASEFYSSSAVTVRQIQLARTKSVMKLLEEIRPHALSLVDAWQFPDWQLDSSLGRKDGKVYEDMFYRASELNPLNGLTVDP
YPDSDVLVKKDETSKFKSKL

>RCO7_00921 | uncharacterized protein
MACYRAKFTPSGIACCNSSITQFKCEPSENNPPTCIEGTVQCSEATGGGCCPSASECSPNGCIHVASASILNPTATSNVDPETGIPTATRNSQSHEA
SPISTVTVVQQPAATQTLAKSGEVMEAKGTRESIVMTLCVPYSTAYLLVIVAALMGLL

>RCO7_00922 | uncharacterized protein
MSVLFYRRPNYLERPTGPINGGDCARYADRAKNSERKIPEGLSFDNVINNKALPPCSLNDFMDYLTYIEFNAENLQFYLWYKDYIRRWDALPESEKS
LSPEFIPEAEEIPDLTKNSEKAERRKTKREASNALMDTGYLGKGSNFDFDAGCASPSILSAAPTLPSDAEVVAGAGLKWQGFSIQPMREEINRIMRH
YLAFTAPRELNISHKDRAQCLHALQHTTHPSALAPAVNIAEAALRGQSHPNFIRWSICNGNKPRVFFVRTMGVSNIIIGFVIAIALTLSKASRWWRI
FAALEWFIGISTMVAAYKGLCVIMHHSHARNLRPWEQDIDNESKEMHRNSFSSMENRAVQMASRIGDYNGKLGDEEDAASFRSSTMQTFGPKNCFDN
ATWANKYERKSLLRKVFDKQTWTQDETLRVLQDKIVLGANLWALIITIPLTIIFVAFPKGNFF

>RCO7_00923 | related to novobiocin biosynthesis protein novR
MAPSATSDIVVPALSKVGEVQKQAQAHVHGAEGKTPLEAISHGNTVLPGIPTFQTLAEERKHVLIHTAATFRDFSRKGFTEGMSGHISVRDPEFEDY
IWMNPLGKHFGLMTAGDLICLDIKTGKVVGGNKARPANAAGFLIHSEIHKARPDVHAVCHAHTNAGRAWSTFATGIEMLTQDICTLYNSIAVYADYG
GIVFAEEEGKNIAKALGSKNKTAILMNHGLLSTGSTVDEAGFLFGLLDRGCAIQLQVEAAMAGNPALKKHVISGEEAAYNLKMANEKNALYAEAQAD
LDYEFAMAGEGVIERGVESQKIDHGL

>RCO7_00924 | uncharacterized protein
MPIVLVSNGDCRVRDGSRGGDCPSYWSLVWRDYVSIAVVAAGSLWVYLLPMYLLDHRVVHVSRLTPQSGIEDQLSRYGGPPELSYPWIKEPLPTWAC
GFVVVVVPMLIVTLFQLKLRSLWDFHAGLTGNLRANVSSTFIATVLKHFIGGFRPHYIQMCKPDMNVVFQQADQLRSSFTPTFCTASSHDVNRAIQG
FPSGHTTSAFAAAMFLTLYLNAKLKAFADHASEFWVFIVTILPLLLASLIGGSMYIAYQHHAYEIIIGMLIGMILGALGYRSAYAAVFDYRYNHIPL
PPFGARVRFVYSQNPGAINTVRNPGGDISGEVHPVMWSWWTRSGTSIQEQDRGLMWLKSMGCVDKLVLHEEPN

>RCO7_00925 | related to several transaminases
MSGQPNHPALLIPGPIEFDDAVLQSMSHYSESHVGAPFVATFGETLSMLRKLFQTTDPSSQPFVISGSGTLGWDLVAANLAEPGDEVLVLHTGYFAD
SFSDCFETYGVKATQLKAAIGSRPQLSEIEKALKEKNYKLLTVTHVDTSTGVLSELKALSELVHRVSPDTLLIVDGVCSVGSEEIEFDKWQLDGVIT
ASQKGIGCPAGLSISMYSGRAIKAFQSRKTPPGSYFASFKNWMPIMQNYEAKKPSYFATPSPQLVHALHTSLTQILSKPLSERFAAHREASQKVKKA
VTKLGLKQLASDPADQANGMTAIYLPENIQAPELLPNLLKKGVIFAGGLHKEIAAKYIRVGHMGVSVTDPKRGDVERAIKALQSGLSDAGYQKA
>RCO7_12005 | uncharacterized protein
MKHLFILLACIAATQAASHVVCQAFFGASIGDVEWAVVHRRKELALGEKGFWGGRRMICNGKEVLSLCRSDPYEDQHSTVLKQRTSSVWEHPLHTPY
TTGTTGVNREPTSGRGINIIEDI
>RCO7_00927 | probable nuclear export factor CRM1
MAISIDELDATVRAFYEGRGESQKAAQAALNQFKEDPDAWLLVDKILQDATYPQTKYLGLQVLDNVILTRWKVLPKEQCQGIRNFVVNFIIQSSGTE
ESLKTQRTLLNKLNLVLVSILKQEWPHNWPTFINEIISACHTSLSICENNMAILRLLSEEVFDFSADQMTSAKTKNLKTVMCAEFSSIFQLCNEVLN
SATQTSLIKATLETLLRFFNWIPLGYIFETPIIDTLRTRFLEMPEFRNVTLKCLTEIGGLQTGQNNAWDEKSVQMFTEVLTTISKIIPLTLDLKSTY
NSSNSKDQEFIQNLALFLTNFFSVHLNLIENLPNRDFLTHAHFYLIRISQIEDREIFKICLEYWTKLVQELYDEMQSLPLTDVNPLVNMGVGGLTSP
GAPNPSLLANYPLRKHKYNEVLSNLRVVMIEKMVRPEEVLIVENEEGEIVREFVKESDTIQLYKTTRECLVYLTHLDVIDTETIMTDKLARQVDGSE
WSWANCNTLCWAIGSISLAMNEETEKRFLVTVIKDLLGLTEMKRGKDNKAVVASNIMYIVGQYPRFLKAHWKFLKTVVNKLFEFMHESHEGVQDMAC
DTFIKIARQCKRHFVALQPGENEPFIEEIVRTMRKITCDLSPQQVHTFYEACGYMIAAQPQKNAQERLISELMSYPNAAWDAIISQATANPTILQDA
DTIKVIGNVMKTNVSACISIGSYFYPQIGRIYLDMLSMYRATSGMISEAVARDGEIATKMPRVRGLRTIKKEILKLIETYVEKADDLEMVRTNIVPA
LLDAVLVDYNRNVPNARDAEVLKVMSVIITKLSALMEDQVPNIMENVFECTLEMINKDFSEFPEHRVEFFSLLRAINLHCFPALLKLDNRQFKFVID
SCMWASKHDNREVEYAGLNMCLELITNIAETDPGTSNAFFQQFFVPILQDVFFVLTDTDHKAGFKSQSALLSRMFYFVHPADETSPKIQGPIYQPDQ
APAGTTNKEFLGGFVATLLQGAFPNLQANQIKSFVEGLFTLNNANDRFKLNLRDFLIQLKEFAGDNTELFAEEKEQSERDAKAAERERLSKVGGLLK
PADIAEDDDEL
>RCO7_00928 | uncharacterized protein
MFLLRAGIAAAGLVSSALGFVNKTTCNGKTYTYEELAGYGTVPSNSRDEFGDTLNFGSGLALDRSQWKKLSNGSYTGVLWGLPDRGWNTQGTLNFQP
RVHKFDILFTPKPEATVANPSAKNLIFTYKETIRFYGPDGTPCTGLDGDTTGHLSYPGFPDLPVATFTGDGFGGPGPGGKRIPVDSEGIVLNADGSF
WISDEYGPFVYRFNASGRMTTAIRPPPAILPMRNGTVSFSADSPAYYEGADAEPVIPSDGPTGRNNNHGFEGLTVSGDGKNLYLLLQAATNQEGGLT
SQTERYTRLLKYDISVPSKPRHARQFVVPLPLYVDPTAKPAKNPKVASQSELFHIQDEQFFVLARDSNFGHGQDVTLSTYRHIDIFDVSAATDIMGD
TYDCANCSVASSQGVLKAGIKPAEYCSFIDMNLNSQLNRFGAHNGGAQDADLLNEKWESIGIVPVDGLVGDDDEWFVFSISDNDFITQDGYMNGGAF
KYADESGFNLENQALVFKIKLPEHSRPFNRD
>RCO7_00929 | uncharacterized protein
MSRVTRSRRFAIAEDETALASQTPLPITPAKVSVALLLEANIFMTANSFPIMHDAAAAAEVKDLKAAYKNAIDAGRKPKKGNKVNKRKDQQNNSEVT
LVGDQGLENMATHGRQADATTLPPVIVNTSAAEEPPVMAPQPAMRITRNQLAKSQAGQYSYNLSELFGYRDCSIVSQKLREIDFISLFGGRSTGSNR
AKKCSTYSRDLSYGNYNTNTSASLAKEVWSKSPNVMDGNATIDTSLDAAADVGTLESMAEDIRCSPTPAHSPVKTLDEIETMHGPEDSGHLTDHAGE
DSFVNQIICRSPAKPVSRIEDSVEALDQLEEALEALNQAAQAERMVSSEKSRQKARMPDGYLEGHKADKQPFKVSEKQATLRRQPSKSGYATVRVKT
APKQAPTLKKATSMNFKSAHNNASPVEEQKAQAPAKTAVKRPMSLLQPKEKLRSTKPPTRPIFELPGEAVALKLKEQREARMAQRQSSEDSLHTARV
VSSPKIKSTKPPTKSTFELPGEELSRRKKAAHEARLKLQEEEERKRREFKARPIRNSGTANMSPRETVASRARQSKIGIESIEDGNLTTSKRGSNIG
SHRLSIAALNLANMSAPRAKGAFIPPVRKPSPSAPGVVAAARPLQRTVSVTDSDLRRRAKEIYSRDARLTEEMEKEKRDREAAAKRAREEAAERGRQ
ASREWAERQLAKRNAEGDKGMSAGYGPGGQLGLSHN
>RCO7_00930 | uncharacterized protein
MSYSSRPLPSHLRQASTSGNSASAGQSPILLARINEKKAELENLKQLRDLSAGLAGQMQILEEKLSTLSDGTEAVATVLGNWHNVLRAISMASMKLP
KPKESEETEPEDSQKKSDNEVALPQTLVRIPTEHAPLLQQASSGGNGE
>RCO7_00931 | uncharacterized protein
MSTRRLRPGFLLLSTTIASSTYLVLLRFLHSPTQLGLSRKLEISGSFINTPACLVQMARLNEPAAAPTETIDSLKRKFMRQNRDIARANSTQSLRIR
NLENETSRLLAENLGLRGQIVQLQGELENGKLQRMTQHTVIVKSQLETKLLEIGALLSSLGEVPTPQRKSRKSGNVSRENPASNPDQKNWRNVCSLS
EAVADQEGRLPPILENKSYPRKTLEHQEILDLVAEGEPDTTDSPEIGPPPVSQFVDEDPVKIDLPKRGRKEEVEDTTGLDPVLSVNLEQRRKRKDST
VPSELKQASKPESTTNYGIREATGTLKTGAKRKLTIRDDEEHETSNRIRPGSPDNFNYTRVVNDTKSKSKAPISEKTSSRSTRDLATARGVPREKPS
AAISNRKILAPKSVNDSPRKKSSVSDEAKLVKLNPLKPDGQKERSRDKRQENARIQPSSSNPVLDTIEVQPEPETPAAVEEFSPEPSQPQSTAKAES
RDTPPPSDLEIGGESHRPSRRARGSVSYAEPSLRDKMRRPTKDLVDAVTREERARNAMKLEAQIALAPTIKAEPEADDAWISMPAASSATVENSPLR
DKTSGPELLPSSITTHRKRRESILNQTELEIPKSTSAGAIAALLSETRRAKAAAREKDKERAMDNEAAMMKSLANLDIYEFRGSSPSSSEAQPMMIK
GEKVPLRVSRRHSNLTRDYPQQSDSEASDMEATKRSEITVSRRRQSTLGLRASSSNVATKQVETDNALRRSVSTTGIVEAESGTSRSDRISARRRSM
ML
>RCO7_00932 | probable VPS29 - involved in vacuolar protein sorting
MTSRLVLVIGDLHIPDRAIDIPPKFKKLLTPGKIGQTLCLGNLTDKPTYEYLRSISPDLKIVKGRFDAEATSLPLSQVVTHGSLRIGFLEGFTMVAP
METDLMLAEANKLDVDVLCWGGTHRFDAFEFENKFFVNPGSATGAFSTGWVGEGEEMVPSFCLMDVQGIGLTLYVYQLRKDANGVESVNVEKITYTK
VVGGS
>RCO7_00933 | uncharacterized protein
MTFDMEWSPAFCLACDRQTDGKVYCSEACRLAEYENTSISGSPASSPLSPRASVSWPATRQSNNGFFMEPAYNFHNAQPYGSTSSPRNSQFSYSARP
QPSPTVSKSTLTPSSSQSSLFSMQSTQSPTSTEPIQLSDESRKALRAYASAFDQSRYSRRQSN
>RCO7_00934 | related to amidase
MASGQENKKGFYNYPEAKKGPDTPYTNNRKENPAVRGWSIYVSALLLENFPFIRRKVWCNSGFGDLRKIRADVEYCEPRYDPTVVPTSALQSPFESK
NDPASDSVDTLTPRTLSSHGYYSVTDYTAMYLSGELTPLAVAKALLPLIRKDTSPPGQYSIGWFDSNVAAIMTAAEASTLRYQKKTPLGPLDGVPTA
VKDEYDIEGYTTSLGSLNDYTTNAKPGESITAWCVKKMDEAGAINFGKLHMHEFGLDTSGNNPIKGTPPNPYNPKYYTGGSSSGCGYAVACGLIPIA
LGGDGGGSIRIPASFCSVFGLKPSHGRLSFKPCMNHSSSCAVNGPIAADIASLTTFYQIIGAQDSTSLFPAPSPTILSPSLRKAKVLGIPEIWFARS
TPAIQRLCRSLIDKMVKVHDYTIVPVTIPFLSEGQIAHAMTVLTDAATLLPVTSNLTSANRIMIAIGTVTPSVDYVLAQKLRQLLMQHLAYLWQQHP
GMMIITPTTSCAGWKIGRKDDLKYGISDGNQTLKTMEYVWMANFLGLPALTMPVGYVKPEGSKGEGEEADEVTDGKVPVGMMAMGEWGAEEDLLRLG

LDAEVLGDERRRRPPIWIDVVKMAREEMESS
>RCO7_00935 | uncharacterized protein
MLWSTLLLAFSAATGALAQNNATEPKAPQLTFLYSANATVGPLIDYGKGPWGQRVALPITGGTFSGPKLAGSIINLGADWGLIDSFGVFTPDTRYGL
QTQDGANIYVRTSGPASTRPYEVHLRLVFETGHANYTWLNHIVAVGVLTGYPTYVLIDVWQMETL
>RCO7_00936 | related to arsenic resistance protein ArsH
MSACFRRAVTITLRTTLRSKSVRLRNQSRSKSRFMNSMPGTVTINGDLNNTSALRQVEHIEVDPAFSFRSLAIREEQDDASVRKNYRPFLLDHEVTA
NDWISKLELSTVTRLAEADLGATGERLKVLVLYGSLRSRSYSKLLAFEASRILFRLGCDVRVYDPADLPMKDDTQHNHPKVQELRDLSRWSDGHVWI
SPEQHGTLTAVFKNQIDWIPLSVGSVRPTQGRTLAIAEVSGGSQSFNAVNALRILGRWMRMFVIPNQSSVPQAYTQFTSEEDAEGGSRMKPSGNRDR
IVDCMEEFVKFTILMRAQFGVFSGEGEEGGGGEGEIVEREGEGGCKGKCTDVSDTAVLKWRAEEFPFLTSDISSERLLFQYRYIP
>RCO7_00937 | uncharacterized protein
MKDSYPSIQSFYKREVQGEKEPPPDASSAKAGDGFTEEELSDAIDPLSRRWNPEREYEEMSISQLIPGPRAVTFVGRIVNLASFFGIVPKQPKAAGL
QSLIVKDDSAAISIKLYFARDQYPLKLGQLLSFWTVFISDTSKIGRSVVSTVTVCANMFPGRVTSDHIMIHTTGSTDGICHTPLEYKKNEPLPGLMT
LDAWLKSGHDGVVDAKILVCVKSLGAKKTIKRKDGGESDLAEVGLFDHTGDARMTLWNSQIDSCKEWQPGVTILLLSNPGYKTLFSGKGSVGFAHQT
MIDVEPDFPDADWLRKFAAGKMKKESLKVVWPEGVWDFEAAEYGVVRMLFTLAELDRWVRSDGTQTFTGMINVTIMEMSLVSLHRRNMLMCSEWYAF
FLSGSSL
>RCO7_00938 | probable myo-inositol 1-phosphate synthase (MIPS)
MAPHADDTASSNGTHSTSSSNSELFTVNSPNVVYTDNEIRSKYSYRTTLITESDGKFVATPKETIYEFKVDRKVPKTGMMLVGWGGNNGTTVTAGII
ANKRGISWDTREGSRDANYYGSLVMGSTVKLGTNAKTSKDVNIPFQNVLPMVHPNDLVIGGWDISGMNLAQAMDRAAVLEPTLKAQIKKEMAEMKPL
PSIYYPDFIAANQEDRADNILPGSKASLEHLEQIRKDIRDFKANNGLEKVIVQWTANTERFAELITGINDTADNLMKAIENGHEEVAPSTVFAVASI
LEGAPFINGSPQNTFVPGCIELAERHDAFIGGDDFKSGQTKMKSALVDFLISAGIKLTSIASYNHLGNNDGKNLSSQKQFRSKEISKSNVVDDMVEA
NSVLYKPGEHPDHTVVIKYMPAVGDNKRALDEYYAEIFMGGHQTISLFNVCEDSLLASPLIIDLVVIAEMFTRIQWKAASTDGATNKEFKNFHSVLS
VLSFMLKAPLTPPGTPVINALAKQRSALVNIFRACVGLEPENDMTLEHKLF
>RCO7_00939 | related to PXL1 LIM domain-containing protein that localizes to sites of
polarized growth, required for selection and/or maintenance of polarized growth sites
MCAQDIEISLMGDHICAGPNGAAAGEPTPPPDSNGNFDRMPYKRNATNGPSYLRPTRAPPPRVDTGVANRPFYPQDQLTPVSASPSRSVSPMSDGQI
SPFMRPSRNATHPVNRAPPSPELLSSNLDSAFPPFPGMKVGPQKSKQGGGYGGMGKMLMEPESMYAPVSPRTAASGGMLSQRMNTIAPGPFDGRRKA
SGLPSIPGHRRNGSLADSTMSTGTVEIGGTVRRPSNAVGHSRTSTSSSNGSRIGSMGSTVSRKQVYGGFIPPSADDTHREFLTQESRWQTFPLKSES
PEALFRRPSEPHRPFNDAAYSMSSEADRSISPARERRRPSISGPDLTRAPPPRGVMIRPRADARLGDASLVPNNLNLAAEFGIGNPYHTPTESSSSN
TSGSSDQSKASSRSSPPRSRRKPSDEVEVDTLMADLESSIADMGPRKMASGQSPPTTRNQYPRMQPQILPPSMQSPESPMDPAIQFGRLSPAPLTQR
RSPSPSRSDRQQPPLQRPSTANRPTTANRPNTGSRPATSKGDCKGCGEPIKGKSVSSADGRLTGRYHKQCFVCKTCAQPFQTSTFYVMDDSPYCERH
YHKLNGSVCTTCDKGIEGQYLESERRDKFHPGCLTCADCKRNLRHDYFEMNGRVYCERDAFRRAQTQPRAQGPNFGNGATSNKMERRTTRLMMM
>RCO7_00940 | related to Cyclohexadienyl dehydratase
MSEPRQNCPKDSDSWNSSPASISCANVTSKLDEIIQRGYLKVGTTGDYKPFTYLVTNTTLLPNSTLTAGLNTTYIGADITAAQSLSKALGLPSRVQF
VPSAWANLTTDLSAGRFDIAMGGVSATLARSRSAFFSTAIQRVGKTGCIRCSDAEKFTDLASIDRPGVKVVVNPGGSNQAFDEANLKKASVLLVDDN
NAVFQAVLSGLADAMISDLIEVELQVRLHPGELCIVNPGKPFNFEELAYMVGRDVVWKNFVDAWVHIFLGSGAWNQTLEEWMDYKWPRV
>RCO7_00941 | uncharacterized protein
MSAADVGSVILASVETKPSVKDFDAIIVGSCIHMGSWVKKGSKFIKENATALRDNPKPTWAFSAGKPPENKFLAEERDITGCVSKKIPVQEHKLFWG
CVSKQQMVGCFNFFFTCFGLKYEDQRDWEAMDEWADGISKLLRNEQQCLVTLV
>RCO7_14005 | uncharacterized protein
MGAVSKPTPSSSRWISFKALSFLYMFASQSFAQNGTCTVPLLFEPTRLQNREPTDPSFADNAQFQKQVVDDHNFYRSQHGASPLKWNDQLALSSNDW
VNKCQWGHSGHQGVGENIALGYSKALDAINAWALERVNYNFNKPGFGSQTGHFTQVVWKTTTDVGCARKQCQVPGFSNGNPTWYLVCQYQSPGNVVN
AGQFEENVGRQISGDPKVGIPGTLSSTPPKSSGSPTRTAAPVPTSQAKTEIAITTVTVTVTEDAASPFKVSSPAETGKTPADSRPTTGPFWGNLKTG
IYENSFLNIIRRRGGSGRVEEDVILAMISILVAITFALM
>RCO7_00942 | probable DNA replication licensing factor (nimQ)
MSSANRGASASNRRKRSREPESDASGIGVSSPAGDMRSSPPAYQIQHGEDDDDDIEEDVALDIDDVDEMAEDEDGIDLFANNFENDYRSREDDRYDD
KDIDDEGDYDDMDIAARRQLGDRLDRRDRELARQRRMPAAFLQDEDDEGDLDLTAQPRRKRHHYDEEEDEEMQDDIMEEELSLETLQDVKASSLVEW
VSQQAVQRTIKREFKAFLTEYTDEHGVSVYGSRIRTLGEINSESLEVSYDHLSSSKAILAYFLANAPGEMLKLFDEVAFEVTLLHYPDYENIHSEIH
VRISDLPVHYTLRQLRQTHLNCLVRVSGVVTRRSGVFPQLKYVMFDCGKCGTRLGPFQQESNVEVKISYCQNCQSRGPFNLNSEKTVYRNYQKLTLQ
ESPGTVPAGRLPRHREVILLWDLIDRAKPGEEIEVTGVYRNNYDAQLNNKNGFPVFATILEANNVVKSHDQLAGFRLTEEDEQAIRTLARDPQIVDK
IIHSMAPSIYGHTDIKTAVALSLFGGVAKDRQGKHHIRGDINVLLLGDPGTAKSQVLKYVEKTAHRAVFATGQGASAVGLTASVRKDPLTSEWTLEG
GALVLADRGTCLIDEFDKMNDQDRTSIHEAMEQQTISISKAGIVTTLQARCGIIAAANPIGGRYNSTIPFSQNVELTEPILSRFDILCVVRDTVDPT
EDERLARFVVGSHGRSHPSSQPSESQMDVEQESGAANGGEPKQEGEIPQELLRKFILYARERCSPKLYNIDEEKVSKLFADMRRESLATGAYPITIR
HLEAIMRISEAFCRMRLSDYVSSQDVDRAIAVTIDSFVGSQKVSCKKALARAFAKYTLARPGARKKAGAGRNLEKARAPTAAMA
>RCO7_00943 | related to metaphase-anaphase transition protein (Mlo2)
MHAPQAPDSKIVERPIQTSDPSRTLSFSHQSESSQTSQTAAEFINSQLQLEADAREALPYKFEKCTNPIGKLRQQIFSCLTCNPIPTDPSDSYTAAG
VCYSCSISCHGEHILVELFHKRDFVCDCGTTRLPATSHCALRVNSETNTKGGVHSEKPAPDNKYNQNFRNRFCGCECDYDAHAQKGTMFQCLGIGTA
ETGGCGEDWWHPECLVGLGPNWEELSGRKPKNEGFLESIAEVAEAVVDERSRDSKIEGIDNKEAAVPTASPASELDEEEDPPLPPGFPEEDDFEGFI
CYKCVEANPWIKRYAGTTGFLPPVFRRSAAPSPETGALAKAEELVTSYLPILNKRKAEDDEELSSKRHKGNPVAGNGESSTDMLIEANSVNPPELAI
REDGKGPCNLTALPQAPNGQISLFFKEDFRGHLCRCSSCFPLLQPHEQLLDAEELYEPSISDTAEEAGGSTVGSGSIYDRGESALKNVDRVRAIEGV
MAYNHLKDKLKPFFQQFAESGEAISAEDIKAHFAKMRGDEQAIKDASEGATRGTDSSKEQGGY
>RCO7_00944 | uncharacterized protein
MLIYASLLLYGLPVLYIVSHVVVYVRWYISSLREAHRFAANSTVPCVTVYNRVDSILFLVLSPWIAPIVEALPFGWGHWMLYAKKDGSWYHRGKLHR
EELKSDVFFHVGAGGQLLIVADADVASQVVHRWKDFSKKIAYYRTLAVFGPNVVTVEGTDWQRHRKITSPPFNEKNSGLVFQKAAAQGKDMLNSFTH
DIEGCEASPVVDDLFHWTMAVALNVLSSAALSLHMPWPIKSVASPSRPVAIPQDKTAASSSKPVRGHKMTFASSLNSLMKCLPFIIFFPVWLLRYSP

FKVMREMQLSSDEFGSHMNEVIDDSQNTFDLEKEDAQEDSKIGNNDLLSNLIKANASESKQSLSKEEVIGNIFIFILAGHETVANTLHTCLILLAMY
PDVQKAVQDEIDSIWATKQPGEDLSYQEDYPKMRFICALMLEGLRLYPPVVGIPKAVPKEAHEGKTLTYRNKPLFVPAGANVILDVISMQLNPLYWG
EDSLDFRPSRWLMEPGYVAPPNTTNESPGHVDLLCPTKGAFLAFSAGFRGCLGRKFAQVEFCTLIAVLLRDYSIELVRDKGQSFDEAKKQANDAMFD
RTSEISFRMQTAVKVRFVKKGSETFPPREG

>RCO7_00945 | uncharacterized protein

MANRTEVGMKSPLHERQTSDYFGPSVSARPLTESVTSPSVGTPSGNRGVPTNSNAPLDVATSVDINSRQHSNVTSPGLFDYGNSPGSANHPFGLP

>RCO7_00946 | related to cell division control protein 14

MEALLSMSFDNLSSYDQAKIRKGLRQVEGLLAQICLSSSSSPQSAAEKRRSVIDPDKEPPPRKALSELGNDPAFREFFKLQDGFEWNVAMRLVNCLD
RLLGKSHDGQNDLLIIQTLDLIQGALLLHPPSRTLFTRELYMNHLLDLLEPINCPAIQSATVITLACALIDTPQNARTFENLDGLLTITSIFKSRET
GREVKLKLVEFLYFYLMPETPSIPYANSTVSVPAMLQRSPSKLVGAFNGRESRKRADSESEITRTTEEKQALLGNYLSSVDDLVADLRESIPFGGAL
S

>RCO7_00947 | probable farnesyltranstransferase (al-3)

MFHSSRSARGTSSTLISENLRSPNLIPPRTSSTGQNGLNHVASKPILKPLQEPGDWISQRKRDLTIETAINHTTLPAGMPDPSKYYKNDMAFHGKGS
WSEEKESVLMGPYEYLFAHPGKDIRAQLIAAFNEWLQVPPESLEVITKVVGMLHTASLLVDDVEDYSLLRRGLPVAHSIFGTAQTINSANYVYFVAL
QELQKLRNPEAILIYTEELLNLHRGQGMDLFWRDTLTCPSEDDYLEMVGNKTGGLFRLAVKLMQAESKSPKDCVPLVNLIGIIFQIRDDYQNLSSPE
YSQNKGLCEDLTEGKFSFPIIHSIRAKPENMVLLNILKQKTEDEQVKRYAVSYMEGTGSFEYCRKVLGTLMERARVLVGDLDKDGMDVAGDESNGNE
NEDASGKHSGSGVLKILDKMNV

>RCO7_00948 | related to beta-glucosidase

MTATVDVEDLISKLSVVEKVSLLAGIDWWHTQAIPKYGIPSIRVSDGPNGVRGTRFFNGVKAACFPCGTALGATWDINLLREAGVLMGEESKAKGAH
VILGPTINIQRSPLGGRGFESLSEDPVLAGLGAAALVNGIQDTGVVATIKHFVCNDQEHERNGTNAIITERALREIYSLAFQLVVRDSNPGCFMTAY
NRVNGIHVSENPKFLAGMLRGEWGWKGCIMSDWWGTYSTSEAVNAGLDLEMPGATKWRGEMLVQAVGVNKVAEYVLDERVRNVLNLVNQCAASKVEE
NAEEKTADTPETAAFLRKIGGESIVLMKNEGDILPLKKDKKTLILGPNAKIASYHGGGSASLAAYYAVTPFDGISAQLTTPPDYTVGCYAHKELPLL
GNLLKTQKGEPGVRFRAYNDPPSVKDRQHVDELILTKTEFLLMDYNPPGIKQDLWYADIEGTWTVEEDGDFEVGLGVYGTAKLYVNGKLLIDNETEQ
TKGTLFFNCGTVEEKGILPVKKGEKYDVKVEFASAPSSKVDQGSTVLFGGGAVRIGGTKVIDADDEVKKAADLAKEADQVIIVAGLNSDWETEGSDR
ENMFLPGHMDALISAVAAANPSTVVVMQSGTPVAMPWISSVKALVHAWYGGNETGNAIADIIFGNVNPSAKLPLSFPVRLQDNPAFLSYRTERGRTL
YGEDIYVGYRWYEQLDLPVLFPFGHGLSYTRFSYSDLNVTKTTTDLRVSVKITNTGAIAGSEVVQVYVSQKNPSIRRPIKELKGFAKVVLEKGESKV
VEIPIATKYATSFWDEIREKWILEKDDYEVIVGKSSQDKEALKAGFSVEKTSWWSGL

>RCO7_00949 | probable xanthine dehydrogenase

MAPSAVTPEPAVPQSSSQSLFSTTSSYDDTLRFFLNGTKVEIDNIDPETTLLEYLRGIGLTGTKLGCAEGGCGACTVFNPTTKKIYHASVNACLAPL
VSVDGKHVITIEGIGNTKRPHPTQERIAKGNGSQCGFCTPGIVMSLYALLRNDSSPTEHDVEEAFDGNLCRCTGYRPILDAAQTFSVDKSCGKAKAN
GGGGCCMDKENSAPGGCCKDGFKDDQPIKRFTPPGFIDYNPDTELIFPPSLTKHDFRPLAFGNKRKRWYRPVTIGQLLEIKSVYPSAKIIGGSTETQ
IEIKFKGMQYTASVFVGDIPELRQYTFKDDHLEIGGNVILTDLEAIALEAVEHYGPVKGQVFAAIHKQLKYFAGRQIRNVGTPAGNLATASPISDLN
PVFVASNATIVAKSLDKETEIQMSQFFKGYRMTALPPDAIIASIRIPITSDKGEFFQAFKQAKRKDDDIAIVNAALRVSLNDKHVVESADLVYGGMA
PTTVAAKTAGAYLVGKSLIDPATLEGTMNALERDFDLRFGVPGGMATYRKSLALGFFYRFYHDVLSKLEVKDVELDEEVVEEIERSISMGKQDRDAT
VVYQQNILGKASPHVAALKQTTGEALYTDDIPVQKNELYGCLVLSTKPHAKISSVDYSPAMDIPGVVRWVDHTDMPSPEANYWGAPVSDEPFFAVDE
VFTAGQPIGIILADSAAHASLGARAVKVDYEELPAIFTIEEAIEKESFFEHYRHLKKGDTAAAFKNADHIFTGVTRMGGQEHFYLETNAVVAVPKPE
DGEMEIYSSTQNPTETQTYVAKVCDVAANKVVSKVKRLGGGFGGKETRSIQLTCIVALAAKKTGRPVRCMLNRDEDMVTSGQRHPFLARWKVAVSKD
GKLQALDADVFCNGGWTQDLSAAVCDRALSHIDGCYLIPHVNIRGRLAKTNTMSNTAFRGFGGPQGIFIAESYMEEIADRLDIPVERLREINFYKPE
EETHFNQSIKDWHVPLMYKQVQEESNYAERREAITKFNAEHKWKKRGLALIPTKFGISFTALFLNQAGALVHIYHDGSVLVAHGGTEMGQGLHTKMT
MIAAESLGVPLQDVFISETATNTVANTSSTAASASSDLNGYAIFNACTQLNERLAPFREKLGKDAPMSELASAAYFDRVNLSANGFYKTPDIGFTWG
PNTGQMFFYFTQGVCAAEVEVDTLTGDWTCRRADIKMDIGRSINPSIDYGQIEGAFVQGMGLFTTEESLWFRGGPMKGQLATRGPGAYKIPGFRDIP
QEFNVSLLKDVTWENLRTIQRSRGVGEPPLFLGSSVFFAIRNALKAARSQYGVTAEVGKDTKGDGLLVLESPATPERIRMSCVDPIIKRSLVLPREG
EKSFFIAI

>RCO7_00950 | probable retinol dehydrogenase 14

MSGVVNTVRNTIVENLGGTHGIAAKANQFALADVPDQSQKVAVISGGSRGIGYACAHTLLQKNIEKLYVIGSTQESIDGASSDIESTLGASTLAKVK
FFQADLGDWKSIPGIVKQITDSTDRLDILINCAARGIMTYQLTEYGVDRHMAVNHMGHVIFTSHLLPLIKSTAKKHPEEKVRIVTFGSNAHQGAPGD
TKFANLEELNQDYGPNGQYGRSKLAQMLYAKYLYNHLKDKYPNILANTVHPGFVETKQSVEDIHEPYPILGYGMSVGMKPFKKSQWEGAVPAMFCAT
KTEQGGQYVCPPAIPEAGSSQFQDESGELTENLMRLTLELVGEKVDPKSQGCPMQLY

>RCO7_00951 | probable ribosomal RNA-processing protein 12

MSLEEKFTLEEKLDKIRSPKLQSQQQTRVVLSSLEDILRDQKTPPSPTAYFAGLLALLGKATPSSGVNKELATSVVYLLDVVTPYAPQALLQSRFSQ
ILTSLAPALTLPGADAPLLRPSIGCLESLLAAQDSAAWELGQTQIGPRRAVAGLLNLAVDHRPKIRKRAQDAITKVLKNPPPSVALDHPAADMCAET
ALKSLRELAARSTQAKKQKKSDNTEHEPALIHSLQLVKTVASASGGWPSKKIEALCEVLLNISKSTNEYMTMAAFEVFEIIFEGMADQVASAKLPRL
LEVISELRPSQNDSQLLPPWIAVLSRGYDVAAQVEPEETFQKLPELFNLISGFLSSSSHNIRVSASECLVSFMANCIPDSVLLKPSIFDEKVLEKLA
KAAMELLSVKYQAAWMETFNVMGAMFDGLRWRADPILIDVVKTIGELRGNESFTGKQEANEIIGKAIRAMGPESVLHILPLNLAKPKAGQPGRAWLL
PVLRDYVSNTSLQHFRTEFVPLSEVMFTKVLAHGEAEKTMEIKLFETVVQQTWAVFPGYCDLPLDLTVSFDQSFAELLANLLYQQADLRTDICKGLQ
TLVDSNQAITSIETEDDLVLQSRVSKATAQKNLDHLSTFASNMLSVLFNVYSKTLPHHRGYILKCINSYLSVVPSAELMKTFESVTQMLEASLTEAG
TQTQAEKQKQKQQNAADKMPPTSHTLMDLVITISIYLPRDSFVTLFNIASIIILKDDDPQLQKKAYKLIPRLAESPIGQQALRERTSELQELLINSA
EKVSAPAKRDRLAAISTLIPFLPNDSLHFIPGILAEVVISCKEVNEKARTTAFDLLVLMGEKIAAAPGSIIQNGKVAHMPDDTPAVPATLEEYFTMV
GAGLGGSTPHMNSACITALTRILYHFRQALLPETIAGLVETMDLFLTSNNREIVRSVLGFVKVCIISLPTEMMLPRLKTLVPNLMVWSHEHKAHFKA
KVKHILERMIRRFGVDIINKHCPEKDRKLISNIRKTKERNKRHKEANKAAGAEDSDDESGKRKGRFESEYDEALHGSDEESDGSDVSDNEVLGKNKK
TAKKAAAGKTYIVEDEDEPLDLLDRKALANISSTKPAKQRAVVRTKAKMDLDGKLLFGGDSDDDDDAMILDTPGEKADDDEGGVGAYVKAIRGRDAV
QRGRGGRLKFSNKRDQDEDEEMDVDEDDLKAVKKQIAGFSGRERGGDRGRGGDRGRGGRGGISNGRRGLGEDKRSGSGGGHRGGSARGGGGRGSGGR
VMKSPRGRGRR

>RCO7_00952 | uncharacterized protein

MHFSAISLLALPVLAAAQESPLGGVFAQAQFYFDKLASFIPNPNKAHTPEAAAAKAGGKTLNILTLNDWEQTIRSSVKPAATKPEEWWVLVTGGNTT
CFGQCGKMEKAFNETALLWSVNPAAPHLAYLNCDSQPVLCNSWSAGPPALWFLDVLPKPAPVTVRTRRMNTTSTEVKTFTDLLSSQSYRELEVYEGV
FHPFDGFFAKYQLAQPLGYFFWVFAVIPSWLFMIGISFASRSIMSNRAAAPQGRRPAAPATAARVMGGR

>RCO7_00953 | uncharacterized protein

MGPTEATILSTFLLAPAPLPTIISLNAFTELFPRSQKSSPQVKALYRDLQHHRARLTDAVARNIGAEVKRGNGQRRAIVRARREAERVDQDDEVDVE
RALFGSTSNLPASKPHTIASILPELESAVEEIEDEIRRLDEESEAILAQMQRTVGGLSDLRYGRMANGHLREQVLEGLQRLEDSCDNR

>RCO7_00954 | uncharacterized protein

MLIYDDAGYGSDTTISQDWESMYHPAICQCGNHSEAAALHNAPDGQSNKLVPGTSKNAGLSKVLQWRRRVRSYDPAGLIVGATADYHKVVFDYNNSL
SIDIGLPTSSSAIVDGFSRLSEVNSGAGTILRDPTHRDPSHNISAHYLSPSSHITTGNISTGASKSALHNPVTSIDKNIDIDNMPNNIMPIKWVVRY
EGSTPPNTPTKKGQYGTGVFAKPSSIVSQVGQGNNIGHKSTLSVEKAENILPATATALQKLAAGVNKVAKTLDLTVVSPKTPPRLRIKLVNMSHSNA
IPSTTTSAIASEPMVFEDPFSNKQLLGRKAVSATMLFMRAGRVKSTSTPVSKRASKRKATSNTTTGEVTTMESSIPTHAPKKRKSSIKAVGITDEVP
GMATDETTNKGELKARNPSLNKRKASKISISKPSPSMLNNDKLATPIAPPTKRARKSRVAPMSTSSEAITEANNEPSAPVAVSRAARAARRNGEEEE
ELVEFGKKTRRIYQDWSDPKSSAWDVIRFLESDEMLAKDDLLQLPPKNFTYIDEVNMKLKNPNKYFSSPPKAPRSTPHPKLVEHAKRGTSTDMLRVY
YDGVPHDRVLPLAGQINIPKTGSGRKPNPSGQGRNSKPKSPLAASTPAHEVETSVESLSLPSLSSSILESSYTLVSPATYATPAKVSEQSFAAFSAT
AHAPRAKKIRNRKDPADVFASVFPEFAAMYDVLTKSDLQEETFHTRPSIQFPVPDHIKAILVDDWENVTKNQQLVPLPAAYSVNKILDDYLDFETSK
RQTGSATADILDEVVAGLREYFEKTLGRILLYRFERSQYIEVRDGFNKSTGELAGKSVSDTYGAEHLCRLIVTLPELIAQTNMDTQSANRLREELTK
FTIWIGRNVSKYFVSEYETPGPEYAEKARSG

>RCO7_00955 | related to ribosomal protein L30

MSFFRITLMRSGIGLTKRTGGVLKALGLRTRMKTVFYPVTPEVAELRAERRPDPGFYMEKAAPR

>RCO7_00956 | related to protein transport protein SEC6

MDSSTVKLAELLRHPDDLDKIPAMKLEYVRKKGAVDSQLRSGLKEQLEITQTGMNGITDGQRTVQLIKEEMMKIDKLCAEAQNMIRDFPNINLVSQT
HRNFSAVETMRMNLDSFNDRLSRIEALLREDDADPENMPNLLAVHYELTQLRNIRDDAMEQIERADDLSAQATLDEYFTRLEETVEWFDEHIGTIAL
NLINVLISGNNGLVVRLAIIIEAEERSDKRVKALQEALKDHKEMAARFQSITDGAKQVRGYKEKFIQAIQVHAEEQINKSKQAFLEDASRIDKNLKW
FFNDLNAVKQGMVPLMPKKWKIFQTYGKLYHQLMHDFLIGMVDDPETDSAHMLSILNWPEKYYQKMAKLGFKQDELEPLVLDGREPELVRDFRQLVI
KYLDEWLDRIFKTEQNDFMERSVEGGNLDADEYGYFRTKNLVDMWRMLREQIDSAGNSQRMDVTEGVIDAMIVRLKTRQAAWQKMLDDEAARYHANP
DLDLLPALQDWLVATANDQIACIDDNEEAGRFAYLTSFRQKFEALVSPQYLERVDADISDLRNIYVDFSTRCIAKFAQLVFAVDFRTVMPDFFTPKW
YSTTAIKQIVVTFDEYVSDYKVVLHHSLLEIFIEELADELLVRYLTSVRNKGAKFKRQDPYKDKLFNDVSTAFEFFTENTYLSPDVSEAIKQKWRVT
ERFLELIEADKSVVPEVFAAFKMDYWDLQLSWVEAVLRARDDFDRGMLNAVKARAAQIDVVRGVETIMMKVK

>RCO7_00957 | uncharacterized protein

MVELLNAMDNLMNARSQAPEPALLKRQRSRPSDWWAAKPTNASHLPTPARAPVVRKEAGERVGGVAAGGKKKNKESQSHSQVTESGVSILKRRRSKP
SEWWATNTLNTSPGPASAIVVNSEIVGGGLGENKRTGKSGGGIHEVIGAGNRGRVAQARSENEEVASKAGRGKSKANIVPENGNNTTEKRRFLRRLR
SSAGETDLRIPGGSSDESAEGVIERTGKKRGGPAIMNAQEDNLGNKALERGRPSVVRAEEQADELLPGQMAAPERRDRPFTDGVDMAGQKESERTEV
TTRQNRRYTAHHEDQGNELVSGASEIARSQSRRGRLSPASTEKDPEEKLAKCSEKLGQKSVPGLGQAGRTRTQDIPARTRTQQRETAPDEQIQSQPE
EQERGRRRTRQSDIQADEVIRDRGWKKIQRSDDKSQEVAQRPVVARDSNTTKSGRRSEVVEVETASSKFTKSRDRKRAKPSSENVAPVANKGSLNHT
SSKTKNTTQPSNTTSSAISQTQKKASKRPSQIKATQRKRKEDENAQLVPSKRQRVEQIRGQGNVEEIAVNSLDYQHLQAVQKMVSRRTVETKWEALP
PSGVDRISQLLTDLQHPVIARLKDDRKKTQVRTALEAWSRKLIKKLSQGLPFPPGTRNHREDDFDFEKILDHNRALEAQLTPTLHSNQLLEAELSKE
RARLDSDLEILAELEKNAKAEAAMRNKAARRLHSVLRPVSSSAEVDLLKDKIGLMEEQIIPSFTLGSQDDNSLHALVRDLDGHVDTIQGNIKQVQGV
SQAIVKSRAAVQATLFEHLDSLQYDDVVLGAD

>RCO7_00958 | related to transcription factors

MPTVPNQRHARASSTSSQSREARQLMHNFLSIPAGLEASYATLQSDHSRPPPSHRLSQPDGNPHNIGSDAMEQNGASVGQHAKRQNLPPATGTSKSS
KKRRKVGQACVYCRRSHMTCDLVRPLPNNAAACATQCPMTNCSLVAQERPCARCIKRDIGHLCHDEPREPESATKKAAKKQHSNSVPEEDGSPSEVV
LTEDVEDSVNDSFEQSAQIQTQAQAQSHEANSLALGTDALPQSQGGSLQLVQPSPVSGIQANALNSNSNQFIGYSSDWLGSQNQFQDMHNYHPSYMF
NAPEVTNEYNLLNDFLNNSLLDEGALLSEDSSAFFNDQAGTMLPGVSNNNGGSSGSQPLLGPGNPQAGAISRPASVIPTDKAREYYLQAADPTGNDA
PEERMQRLLRAKYDAGMLKPFNYVKGYARLSAYMDSHLHAAQKQKIIRQLERFRPKFREKVQALTDIELIYVEMWFERSLMEYDRVFASMAIPACCW
RRTGEIFRGNKEMAELIHVPIEKLRDGQISIHEILAEESLVNYWEKFGAIAFDQTQKALLTSCSLKNPDDQSKDPTIKCCFSFTIRRDDHKIPSLIV
GNFLPQDPIKR

>RCO7_00959 | related to SPO22 Protein involved in completion of nuclear divisions during meiosis

MAPAQAPRLVKDQRLKNILAYAGELEAALPAAIATRTSTSTAHELEKQISNFPENLSISVSAKCDELDRSGTKIWNLCTRLRRDYDSNKPQEMPTLL
LLARVYSFLMLDCAHSSGKSTGPNLVRIMKIGLKAAKNCVCSKQNVVALKVLGRISAYEGLLQKNKDLDTEEREVCERLVVEYYILRTAVSWHQEEF
NTAEHMFAKSMAAKHVFDPGTAESLADILYEMGKDLLAKQKYPMAVKWLERAEGVLDGQEPDRLSMDASELRTSILQSLIKALLATKEPESTQRARG
LVSLLERDLGDKLVVLLLKLEVLSAPTTDNVIAFDSPSYLDLVQRMIRKVVLNDGNFKLIMSHIRKLNDKSPSLATKALDDFLILRIVHEEREEWFE
KALVTRLWIAASQSDNSDSLAQIEDLFSTLVASSTKPASPAATLAAHTLLWKRIEANCAIGQYEVAEKWCHLAMHKIFAKSGELNMARLSRKLLICA
LSKKDIESARGIFSSMPSAAQNEAMSRFLMYKIAIRCDEEELAAECLQIINAASPNDPKLLYACVLEAQQAGNKRQTLAALRLVLDKSTYETAAVNL
ASLLRLTITLTVQTLDDAAKNRSDPTEFDTTLEKLCAMYETGCAAARKARVVKGQANATWTIDELQWFSKNSYNLVIKHLVVWDLSHLLRMLVCCID
FIDQYPKDMNQQMNDDLSLRRMFCDFMTATSLVSLARGEDNVETQLQYFLRLRKHVKSFDAQLQDKAGNLEDDAEADLRKKLSILAAFDFEAACKLK
AWDDLGEIVLKAEACKSTQVFEIMADIIMCSEASDTVLVHTIKKIINEMWGTGLVDISKLARYLRCMIHITITDSTDIAGGLLDHVYEYAKAASETE
QLFPAEELEWVVTTAFNRAVDFFCAGDDQTAKDWAGKALNIAQCCADGGGLERLLQSKLLELNLGP

>RCO7_00960 | probable Polygalacturonase

MVHLSTFSLLATTASLVSAAPAILDARAGCTFTGAAGAAAVAKGKAACRLITLSNLVVPAGQTLDLTKLTTGTKVIFQGTTTFGYEEWSGPLISVSG
TNIDISGATGNVIDGGGPKYWDGKGSNGGKVKPKFFAAHNLISSSIENLNFKNSPVQLMSIGDCQNIQITNIRMDNSAGDAGKIGHNTDAFDIGSST
GVTITGANIHNQDDCVAINSGSGITFRGGVCVGGHGISIGSVGFRANNAVKNVVIDSSTVKDSDNGIRVKTISGATGSVSGVTFSNIVLCNILKTGI
VIQQDYKNGSPTGTPTTGVPITGLTIKNITGSVAAGATRVYILCGKGACLNWAWAGVSFSGGTTAAKCLNLPGAAKC

>RCO7_00961 | related to integral membrane protein

MSSQLTTIRLAKSRCLEQKLPPLLRPAILAYVLGYASSTAPRVLTLLLTYLNRKRKNIDEKPDDKLSNALIQILRGGLEFQRFPTFCAALLPLQRFF

ASVVTKLSQAEKSRLTKWLSTFAAAWFSLKLLQSKKSNAFTEIVFHETANGRVARPTHFAGRTMDLTLFAVTRALDVVIGELWTQRRDRRKTTRRWS
SIDKVISTLADPAIFASSCALIMWAWIYTPDRLPRSYNKWIKSAAAVDQRLLLALRRMRYGEIKYGQETGQAYLLQDMCKDYNLPLDYGDPAKTVPY
PCEIVHMGTGSSCEYHAFSRFVRSFTWAFSTYLPLNLILTARDPTRKRFIHALKSSARSSSFLGTFIALYYYGICLTRSRLGPKILGSSTATCQQID
SGPCIGGGCALCGWSVLIETETRRKELGLFVAPRALATLLPRRYLMEKQWRETLAFATSAAVVFTCVSEKPGRPAAKITKAGA

>RCO7_00962 | uncharacterized protein

MLAVQRHSMGSSKPPNLDMPFGYSFDNNSTFPFPSPTDPAPGPSLLDDDESRLLTNFFDGVSSEHYDYSFFDNPADGSELGHGWEELPPVFMGTTSS
FGPQPQMGSHELLQAQFGDMSHINAGSSIPPSTSADVLAAASVLQNGAARSQSASNGLFGAQDLHAINGHFRAQSMSIPHPRTQAGFSQRPEHDMHE
PFFTDMVFGGQPEGSMRRVGNRKADIHWGSDAGFSQGFLVAPSQDIHHATGSAYKKVVENALALNGPSSADTTQPPSPTLIKSTLRPNAIPIASEIK
GDEQNSRPKKRGKSKVQEDAEEEDSSSGTAKSAKKRKSGKKAAIEIPAHESEKRRKSNAAAAAKARENLTEDQKRENHIKSEQKRRTLIREGFEEIG
ELVPGLRGGGFSKSAVLVMAADWLEDLIKGNEELQRRVDQLEGK

>RCO7_00963 | related to DNA Polymerase iota (POLI)

MAAKSLKRNNSRIIIHFDYDCFYASVFENENPALKSVPLAVQQKQIIVTCNYEARRRGLRKLQLVTEAKTVCPEVVIVLGEELGRFRDASKMLYKFL
ETFTWCGKVERLGFDEVFMDVTDICDFNQSLLNQNDLAHSFFQLERDDPTTGFAFDATEIAGHGFPEKLETEDPNYDTNDNLTTRLVLGSHLAQHLR
WQMEEKKGYTSTVGISTNKLLSKLVGNLNKPKGQTTLLPPYAVPEGSEGTEECNVTKFIDGFDIGKIPGIGFKMSQLIRNLVLSRPADFDTGLIYGE
SKESVTVRDVRLSPGMGPELLEKILGGPGAQRGIGGKTWGLINGIDDTDVQKAKSVPTQISIEDSYIRLDTLPEVSKELRILATSLLKRMHTDLLEE
DPELNTQRWIAHPKTIRIMTRPRPPLNPDGTRTRSFNRLSRSGPVPFGIFILKDSIDAVVEKLVQETLIPMFRKLHPYPSGWNLSLINLGVTNMVEA
ASETGRGGGRDISRMFEKQEEVLKQWKVEDRDVPPDTKPERKSVSLDDVQADPSAGYEVWPSNTGSEDTIPTTQNRNDEVGVWEEDEEEDEDREQCM
VCGAIMPGFAMAAHERFHVLEG

>RCO7_00964 | uncharacterized protein

MLPLLLLVCIFLPIFLIVITLTFLFPPLGIILLLSFIVMTIFLAFFVFFYKFFWFLVWTVMYAACLPYNVYMVVGGGRKREAGQKEKERVRRRNSWE
REEGRRHARRVSRGEWAERVYKG

>RCO7_00965 | related to arrestin (or S-antigen), N-terminal domain protein

MSVRILLDEPHTFYTNLDFISGRIVLSLNSDENISAIVVKLEGESRTMLMRPMNMPTAVYAQRRARDSVAAENHKILYKVAQVFPNQSQGAGMGQAY
TLRAGQHEYPFRLKIPFNNACMDPQPQQPMGLGGLGGLGLTGLQQMQYRHVKRTLPPSLTGFPGEAEVRYYVKVTVQRPSLFKENRRSAIGFRFMPI
EPPRPPKTSNESFARRPFQFQAGLGTNTKKTSMFKKKATQLSDVPPQGEVDARLPSPAILTCNEQLPLRLLVRKLNDSPEQVFLMSLQLNLIGYTEV
RAMDVSRTETSSWILMSLNGLTLPIGSPTDAVRTESIIDSKLWDHIPLPNTVAPSFHTCNLTRKYELEVRVGLGYGVPGEVQPQTITLPLRFQVEIF
SGIHPPAALLDAIANAPMIPTSTPPTIPARPQDPAYPPQLGTPGAPSIDDVPPSYEDAMADGMTPTDGPRREFSGVTDVNAPGMDEKGAAPKYSAHQ
GSPGPRGGGVGGSSTYSAIV

>RCO7_00966 | probable synaptic vesicle transporter SV2 (major facilitator superfamily)

MKFLGHTFFEKDSVDHYQGVLVPLAQASRHPTVAAEYARRRSAEGRADDGSALPAEKKPETQGSDGEDGVLRTSSTGYDPYTIEGLRAEVNEDATSG
EHDTAYDLKSKVINKAIQDIGMGRYNWELFVLCGFGWFADNLWLQGVALTLPSLQAEFGVAETTVRYTTCSLFIGLCIGASFWGIGSDIMGRRIAFN
MTLFLAGIFGIAAGAAPSWIGACALFAALGVGVGGNLPVDGALFLEFLPNASGGLLTLLSVWWPVGQLVASLIAWGFLGGSYPIDQGWRYFVYTMGA
ITFAMFLSRFLLFHLYESPKFLLSRGRQAEAVAVVHGMAHKNKTTTWLTEEILNEIGGDPAVVADSTLTTKEIIRRKLAGFSSDRIGPLFAYKKLGW
TTGLVWFCWITIGMGYPLFNAFLPQYLARGKNASGQTISSYETYRNYAITSVIGVPGSIIACYTVDIKYIGRKGTMAFSTMMSGIFLFLFTISADAD
YQLAFSSLEAFFQNIMYGVLYAYTPEVFPAPVRGTGTGIASMLNRIAGLCAPIIAANIPNANPSAPVFVSGGLFLAAFVAMLCFPIETRGKQML

>RCO7_00967 | related to budding protein BOI2

MASRLSIEPQGRPQPGQILLVIHDFSARSSDELSLMKGDRVELIERDDDFGDGWYLGRHLTNGNSGLFPEVYTRIAPRGPPSYPPVSTAAPRQQAPA
QEPVLQATVQQLASPTHEDDPNPTEAKMASPTIAPDPSPQSGPRVSASEVLEKSSITSPSAAPQELEKLIPPPVTSTMGATPSKTVLTAAMGQSHSG
PNNGQDSPVMNETLSVIDEHITDMNSPHHSLAAKDRRGTNDSGSEYSNHLDQRMSFINGEETDEEEEQIHSREEVETWTPDQVAEYLFTSGVEAKHC
EVFRDQEIAGDVLLGMDQTSVFLKEFDLGSVGRRLKTWQKIKALQDEVGGESPTRRNTATYGSTYGSDAGSDETGRNRNRSTTSPMGMLPRIPSMSE
RTESRQTPRFSSQQISRNEAAQLASPKNSPISPITIQDRSRPIGDRRRPSAASIRDMHHSRQSSVNEYSTPSIMASLEAATTPSPTLPEGAHKKQPS
FDRNWTMGAAASPSMPPRPLSSGGIKNMARSSPDQLAQTVSPSTTFDPFDRGYFSGGEAEGRQRNVLRKKGSSATTAHSRNSSYADEQRLRTATAHS
RHSRFGSVDSIRDSAPPSAAQKYYGLAPNGRRRTPSEASINSPSRSMPAPKDFHSPTVTKLEGNLHDNKLPQTRQGRSSDWLLPVKQSSKTFGLRTI
SDAVTGHEKRLATADPVTSPVKDSPIQSPSRTGSSTPSGPSLDRDSLDSKGAAAQMASVPKVNRKKTKKETSAYTRGLEKKSPREQMVGADYSGWMR
KRGSNLMSSWKPRLFVLKGRRLSYYYSEDDDQEKGLIDISFHRVLPTDGDRLTGLSAAFTGATNSPTSPSGSQTVTMAETAAASEPESTLSKGTGDS
TFIFKLVPPRAGAAKAVTFTKPTTHYFAVPNIKQGRLWMAALMKATIDRDDSKPVTTTYQQATISLAKARAMRHRPPALMNLDEHVDEEAMKTPASD
KNGLNIHGIIYERDPQEEDSGVSGVSNSGALVVPESARGAFINGTEGAANHAPRTA

>RCO7_00968 | uncharacterized protein

MENPPLSASVFLPSERQDYRNVPRELLSPSPPLSETGVPEPCALQSPSTSSLSGLGITTRPAPNQCQKTNTPDGPQQASQGILERGQFVNSGQINTS
SAARVGDYPSPTSINMSYPSPRILVASNPNKRQRTQPPAMSSLRPRVSLIEKHIQSVGGQMNLNTGLERPRFQLLTDACNNEDPFYVALHQIFCVWD
FNRLEVTSIQGYPNSIVLQTAFNILGQLIRDNVQLSPNHKMWFANFPGPLIQLLKSSEPYRQTVMDVGAFLSQLASDWEPLSSECSQRGYPPLVDEL
VKRWRLLSPTLQSIVFTAIRRNLGYRDSEVGTRMEELFKRDREEHQALASRVNTSRPPTANDIRERNTALVNEYLTLRNRIAQRRSSTAISSSSLMR
GPTPILSTSVPYQHSSTIPVIHTAAWQANMPRPESGSWQQHGAPRTSTNSPNPSLIAGRPPSVASDRVNPNAPSPTLLQGLSMHSPIQQNFQTPPAN
GNLQSNQNIPQGYGGSNANRPYIQYQSVNVADQQRNQVAMQHQQLMPQQQFQPQNPSQYQPLQAGQYQPQQYQQQQPQHYQSSQLAWQQNSLQSAQQ
QAMIRQQQQQAQLAQQVRATHMIGNTSINDPHHAQVRNNSTNSTGLRTPTAGPSPRIGVPAAARPMSHEQVVIAYGAKHALNRSIVPPTGFNHQFFP
ALPDQVALHQAHLRSPRLVAADPAPCDVPTDSPKLRHYQTIRGFSLPPTKISINSPLSKFEFRSSDADFAMIAQDTFLGKGQVASRQFRRGTLQYRL
RCVQMKQGATKCLTADWVSQDTVWPEGVSLAINKKHLELRRKNHHGKDLPIDITPIVRLVGPNMNCQIAISILDGRSKMKEHSYFIAVEVVEILEHD
QIMGCVRKNRISAITSLDNIKRSLGGHVAENDDDIAMVVSDLSIDLADPFTARIFDTPVRGLNCLHRECFDLETFLITRTSKPKRPGQPCMVDVWKC
PLCGKDARPSRLQIDDFLVSVRQTLEAQGNLDAKAIWISGDGTWRPKIEKRKTPPEPDDSDSDDDTLKNPATNQSSDMRSNRVVEIISLVSQT

>RCO7_00969 | related to DUF159 domain protein

MCGRYALALRPHQVRAYLEDASMPVYDAPADDADDAPRQSYNFAPGYHGLVYRADTGDHGGGPQQHEKGEEESTEQGTDHSSGSSAEQGEVRYKLQS
MKWGLIPFWTKRNPDYGSMMKTINCRDDSLVENKGMWTSMKQKKRCVIVFQGFYEWLKKGKEKVPHYIKRKDGQLMCVAGLWDCVQYEGSEHKHYTY
TIITTDSNKQLKFLHDRMPVVLENGSKEMRTWLDPGRYTWSKELQGLLKPYEGELEVYAVAKDVGKVGNNSPTFIIPVASSENKSNIANFFAKGPAK
GEAKVEDEPKQNTNKDENSKQQLKDEVKGEVDPPVIKHEEGEDRKTVDHNGTEDNAPLPVPKEEVRQSIKRELEDAPDVINDEPPKKIPRISTSPSK

AASPIKSTRKTRSATSNNTASPTKATEKDKGSQKITSFFGK
>RCO7_00970 | probable cellulase precursor
MKFSSISGVAFASVVAGQAQYAGVNLAGFDFGCHTDGTQTLSEVVIPILGQGGPDGVGQMKHFIKEDGMNIFRLPVGWQYLVAGNLGGTLNSANLAK
YDLLVQGCLGTGATCIIDVHNYARWNGGIIGQGGPADAQFVSLWTQLATKYKSNSKLIFGLMNEPHDVNITAWADTVQKVVTAVRTAGATSQKLLLP
GNEYTSAKTFISNGSGAALSKVKNLDGSTTGLIFDVHKYLDSDNSGTHAECVTDNVSDAFQPLATWLKTNKRQALLTESGGGNVASCVNFFCKQIAF
INANSDVYLGYVGWSAGSFDSSYVLTMSPAWNGTSFQDTLLVKSCLKR
>RCO7_00971 | related to endoglucanase c
MLPRSLSRTLSPIYAQSSTLFTLATLVNSVLVGSLPLWNSKINQREAAVLWDGRFTSDTISTINNWSWSNQNGPYQWYIHGTGATAKYISTSASYKN
PAVRDALGLKLTIDNTAKWNSDMWRSELIPQTAAAINKGKLFYHFSVMHTSTNAPNAAFEHQVCFFESHFTELKFGWINGHATNNPDPMLRWYAGSQ
SRWSTNFTADVWHNVAFGIDFGANSVTFYHSIGADPLIQTAGPVATSTSSNGADWHLGVLRLPKAGVSDGGPEDWYYSGVYIEDGALTTSVAGPA
>RCO7_00972 | probable exoglucanase-6A precursor
MTMKNAILAAAALVSVVSAQAPAYGQCGGKTWTGDTTCVSGYYCNPNGEYYSQCVPGAGPPSGPSGTTSRPSTSAPTNPPTNPTTPTTSKNTSSSSS
GAPAGTPAVSSGNPFAGVSLYASPFYASEINDYAIPVLSGTLAAKAAAVAKVPTFVWLDTLAKVSLLEKFLGNIQALNAAGASPKIAGTFVVYDLPD
RDCAALASNGEYSIANGGLAKYKTYIDTIKAILVKYSDVKTILVIEPDSLANMVTNLNVPKCAGAAASYKEGVTYAIQQLNLPQVSMYLDAGHAGWL
GWPANVGPAATLFADLYKAAGSPKAVRGLATNVANYNAFSIATCPSYTQGNTNCDESRYINELAPLLTAAGFPAHFITDTSRSGKQPTGQIAWGDWC
NVKNTGFGLRPSANTGNPLVDAFAWIKPGGECDGTSDTSAKRYDGHCGAEAALKPAPEAGTWFQAYFEQLLVNANPPF
>RCO7_00973 | uncharacterized protein
MQKRSTTVNLWPTSSEVLTGNRRPGRAEFAGDDIQPANQPTSQPWIVSPRAMGARENNAGEGWNGGGGRYQSVSGHYIFKSVAVGGTKTVPYTYIRK
NTNGNSPVTDLTSKELTWNVGGETGGSTTTVSVAAVSVYMAKAPTTAADFDGSGDTWFKIRDIEPTFPGGVWDLKRNSYPNLRCHVRKLLSQEAAVK
TWVLRWIFLGAFKATDSGYTANIYNNFTSYTIPGPEITSCYIFELLHNF
>RCO7_00974 | glutamine synthetase
MASSTTVSYTANLMKYMALDQKGNAMAEYIWIDSTGGVRTKSKTLTSVPESGVFKVEDLPEWNFDGSSTGQAPGDNSDVYLRPVAIYPDPFRGAPNI
LVITECWDPDGTPNKYNYRHECAKLMEAHKEHKPWFGLEQEYTLLDQLDRPYGWPQGGFPGPQGPYYCGVGTGKVYCRDIVEAHYKACLFAGVKISG
TNAEVMPAQWEFQVGPCEGIELGDQLWLARFLLHRIAEEFGAKISFHPKPIPGDWNGAGLHSNFSSEEMRKPGGMKHIEAAIKKLEGRHKEHIAVYG
EDNTLRLTGRHETGSIDSFSYGIANRGCSIRIPRECGQKGYGYFEDRRPASNADPYQITGIMMETIYGSVE
>RCO7_00975 | uncharacterized protein
MLFTALPRAAIRCSFKTPVRTISTLQSNPNIYVFPTSTPSSHLLTLLPTQPPNPSLAIGTTTANPPTPSSVTENPHFMRILYDVLRLHAPSDPFIQG
QAAAFASSSGSALGSGGMFFPQQNQNSRRRGGGGEAAKRGQAGDGAGGASSQGGAGGGGKGGWVHVSDLRAPPDYGRIAWPEDIFGSLEVDGRGEFV
ESEGERGGKGNWQESGSYRIITREGILGLSDFLRGKLMERLLEEEKKSLI
>RCO7_00976 | probable carbon catabolite-derepressing protein kinase
MPHGAYDDGELEISLAPSANRRANNKPPDASSRRPDGNDHCPVEPAPQKKAEQRIGAYQIIRTLGEGSFGKVKLAVHRVTNQQVALKIIARKKLISR
DMAGRVEREIEYLQLLRHPHIIKLYTVIKTQLEIIMVLEYAGGELFDYIVQNGKMKEDKARRFFQQIICAVEYCHRHKIVHRDLKPENLLLDENLNV
KIADFGLSNIMTDGNFLKTSCGSPNYAAPEVINGKLYAGPEVDVWSCGVILYVLLVGRLPFDDEHIPSLFAKIAKGHYVVPTYMSSGAATLIKKMLA
VNPVHRATIEEIRLDPWFMKHLPAYLQPPVEEFLDTGVDPSKAITPKLIAPHASPAVQEKLHDQVTEKISKTMGYGIKDVQEALAAEEPSAIKDAYL
IVRENKLMQANPNLSDDKGQLLFQVPSPPAWNDGIKLGGMVSPPSSPLVKEVKDESGSKSILPVRPSPLMDAMSPRSSSSIGTDRSIRPYVSKIGVL
PSSLPAYHRDYMEARRTGRNVGNALSTAHSEFEEPHAQTDAEKAETARRLNPHSRSQLKLDEASKRPAGMTPVPQKKTKPTKWQFGIRSRNQPLEAI
GCIYRALEKLGAEWVVDEHWKPRGESGEDDRTNNKSFVSGGSGASLHHTESMSHGEGSTASMHFGRVDPNSAYKLPVDPWVIRVRWKKDGMYPPGTI
PPGSTHSSMIDLRRQSIASLSSVGGSLPTNEQSSPPKFSNVETIDSVVMHLDIQLYEMEPGVYLVDFKCAGYETAGGLLLEEKDITSPFPFLDLASK
LIIQLAEAD
>RCO7_00977 | uncharacterized protein
MPKFFCDYCDVYLTHDSMSVRKAHNTGRNHLRNVVDYYQRTGLSSTQMLQWQPANLAPEIGHEKAQSVIDSITSSYAAEGQSSSNPMLGQNPGVHAP
PPPFPFPGGIPPPPFGMPGLPGMPPMGMPGMPPPNGMIPPPGGRGMPMPPFPGGLPFPPPGGLPPNFQFPPPGGLPPNFQFPPPQQGMGGPPGGPGG
PPGGDRR
>RCO7_00978 | probable ERV25 protein (component of the COPII-coated vesicles)
MTLSQPILRALWSVLFFLSSVQALKFDIEAFSKGDSRGTRCILNYVAKDTLVVVTATVDGTKGDGMVLDMHIQDALGNQYGKPKDVVGEKRMAFTSH
ADATFDVCFENYFSGTAGVSHPHRHIELDIDIGADAKDWSAIQASEKLKPVETELRRMEEMVAEIVSEMDYLRYREQKLRDTNESTNNRVKWFAFST
MGMLVALGAWQVVYLRAYFRSKHLI
>RCO7_00979 | uncharacterized protein
MADVASIPLHSITRRVDVKLNDRAHILCHCDTCKTLGGGSYSLNQIVPKENLKITKGGVKAYSYKGDSGKSVTCYYCPNCTSHVYHHQEVMGNDIVV
RTGLLSSAKELKPGAEIYGKARSPWVKEVAQTFDTMPPS
>RCO7_00980 | probable ATP-dependent RNA helicase HAS1
MDSAELHSKKRKRKHSSLKAEKEDAIIATNGSSPPAEEVEEVVVKKKRSKEEKALKKAKKAPKAMEEEDTVDDDVILEKPDEDAADDVQGVDEAADF
QWEDEDEEDLGDGSADLAEGALANANLSLPNTGVQAQKFSELNLSEKTMKAIEEMKFETMTEIQQRGIPPLLAGRDVLGAAKTGSGKTLAFLIPAIE
MLNALRFKPRNGTGVIIVSPTRELALQIFGVARELMSYHSQTYGIVIGGANKRAEAEKLAKGVNLIVATPGRLLDHLTGTQGFVFKNLKALIIDEAD
RILEVGFEDEMRQIVKILPKDDRQTMLFSATQTTKVEDLARISLRAGPLYINVDNQKEHSTVEGLEQGYVVCDEDKRFLLLFSFLKRNLKKKVIVFL
SSCACVKYYAELLNYIDLPVLDLHGKQKQQKRTNTFFEFINAKQGTLICTDVAARGLDIPAVDWIVQFDPPDDPRDYIHRVGRTARGSNGKGRSLMF
LQPSEVGFLAHLKTARVPVVEFDFPAKKIVNVQSQLEKLISQNYYLNKSAKDGYRSYLQAYSSHSLRTIFDVHKLDLVKVAKSFGFNAPPRVDLTLG
ASMSRDKKTQGRRAYGSQPKQGGSFKKRGTY
>RCO7_00981 | related to c-module-binding factor
MAPGTHPQAQFVPISPDFNLETLVESTDNFDYVTRLSTEKLKEHSIQSFEALILAVVIQSGKPLVIEDWGESLPPWLFSREWLESNLGTKPEQVRDI
PNEVNIPMTMGHYLRSMGKLTNQFTKDNFRDPKRQRLYLKDIDCPDAWSDQLKSAIPECVFYLNDCIESRTGGDGAILEPNEYGQMRYGKGVAPAGD
LMSSLPPEMRALNMMCYIGHEGTYTPTHREMCATLGHNIMVETSDSSKGEKEGSSLWFMTETKERELVSEYFLSMLGHDVEVEKHFAQVNAWKKAPF
NVWVVEQRKGDLILIPPLAPHQVWNRGTRTMKAAWNRTTVDTLELALHEALPRGRMVCRDEQYKCKAIVYYTLVKYYDLLQRDTIEPKMWKYGRIKQ
LLEDFRRLFSLWQEILVSEMFSPKLPEETDVEMVPFDSNITCSYCRLNIFNRFLTCKSCILYGTNGEEDTYDICMDCYAMGRSCACISALSWVEQWD

WNVLVENYELWRGVVVQFDGFFDTMRSPQVLDVARKRYGRKPIAEVCQEQLRRRPWTDITKPKEMTPDMSDVEPEVDDEGRIKRRKGKKAGPIRKNR
VPTTKGKTHSCHICFHQEWNWKLAFCTTCNSAYCYGVLWRAFDLMPQTVMEDKDWQCPRCLKICSCSKCRKGGVQKAYQPKGTLLGHDTRRVADYRS
VESLVDFSRTNLSWLKNTNDGDPEDGGRMKKLKEKAEAEKARIEPIDDSYLAGEGDPFAPGTMDTVVDAAANTSLDDHAKEMQDIDPSLRGPAPADA
APNGDGQHRIPYDPPVFTPNPNGHEEFNVNMGEDIQNAWMGMDGNYEFDGYDSTNPQPAKYPSRLLAPVAPMLSTTPIPARAPTPPARPLSELAEPA
YPDPSHVGQNRMMGIGYYQQGDGIDKIVYDPPNMNDSEPSQPTLAHNPNLALSDLLDPALQPEIKKRKRIGQDDVTAEEEFFTSKRQKKAAMIKRGA
AVAETVESDIARPEKRLPRRSAGQVGIYTDLGEDAVPIEEDEANLLPAYDVAAYSRKRKSDKPEDDLELAAKAINNFSGPSGTRARPRGPARERASN
TIKTPRKSAWLTRKAADHTSAEVPDNQSAKRVSSRRSDAINDRSSTNSEVAGVPIESASDSDDGGVAINYSDSDESDKDSLFGDPVVRVNKTTKKPR
AVNLSSGEDESPRGQSSSSADPSEKSDFALPQQSVKRRGRPPKQQKADSDSDEAEAESRSTPKPRGRAPKKAVSQMDLRSPSPNKSARPKMLSLKEK
LALKGKSIKIVSNKAIESANAPYGPFSARSTPSTMPRAATMPKSILKQASIEITLPSYSANKATHTLSSSQPSPVTTPANLPSSKTTSVSVAPPPSP
QRKGPTVVRLVSPDSESEDDARPPVNSSGSGGSSDDDGDIPAVLEPKVIRGTMAVRGRGRPRGRPAGVRLS

>RCO7_00982 | related to para-hydroxybenzoate polyprenyltransferase precursor
MRGAGCTINDLWDRNLDPHVRRTRLRPIARGAVTPFKALAFTGVQLFTGLGILLQFPAQCLFYGIPSLLLVASYPLAKRVTHYPQLVLGFTFSWGAI
MGFPALGVDLLQNSAALTAAGFLYASSISWTVLYDMIYAHMDIRDDAKAGIKSIALRHDAQTKQILSGLAVAQVGLLAAAGVAAGAGPLFVVGSCGG
AAVTLAVMIRKVNLKSVKDCWWWFVNGCWLAGGVISVGLGADYLVRYSQSPDVGAKLSGDDDGQTALVS

>RCO7_00983 | uncharacterized protein
MFPEKKGTLVALFIVLNGIVCIPVYWLRDTSLAAFHALKREGIATPLSQQTLIQDTKNLADIKPREDGASTTKASISRKYGFKMSIFGKFGTAMGGI
IALLVVIILYKTIPGTDGQSAGLLVTMIVGFLTIIGAIGAYLGLPAVPARPKDNWKAWWAELFTPLKVVFCGDSTGNTRIYAIYDGYYDFGAITTLA
FYSLQVWRPPFKIEHWLVIGYSLVLVIPIWGCIDFADDINFGFKNRGEFYVQNLLFQVSDSIVSSVFRVLFSEMVAKGSEVEWCGLQVILSCATAWV
SYVANAPLQNATHELRFPLVLCLIMLVVPVVLEICRSNMSVFAKDKQRWKDYDEGVASSSDSA

>RCO7_00984 | related to NCE102 Protein involved in non-classical protein export pathway
MANISQLALRSVQFVFTILTLSLVGNVIDEAFAGNSSKINYAMFVSVIDMAVIIWGFLACFKEGFALGIILPIVDIIATVLTVICGIVLAAGLRVHS
CGNQSYLRHNALTNGSNNPGKRCHELQASTAFYWFAFAAFAASAALGFMNRGGSTGLGRGGIRKGGPTMTQV

>RCO7_00985 | uncharacterized protein
MSTSDSYILQDAAPESSNDQDEVDSLPSSIDSSDLDSEAGESDAQREWEASLQQLELILTMVIVPYAGKYFGRKFAYWSWAKYMTWMYPVEVRITNS
GAFKAAGAVEAAASI

>RCO7_00986 | probable translation initiation factor eIF-2 beta chain
MADTEAPIQERKARKSVAFSEGTTIVDENGAVTMADGHDDSKDTAQSHSPSVDDGANEPTNDDDVANMLKGMKKKKSKKPKADDAEAEGEGEGGEAA
AEDGGLDLSSMKKKKKSKKPKETEDDFAAKIAALTIEGEEEGEAPAAAAEKRVVDDGDMEKGTGIWQHDSEVKIAYEQLLSRFFTLLAQKNPDHASS
GSRSYKIPPPQCLREGNKKTIFANIAEICKRMKRTDEHVTSYLFAELGTSGSVDGSRRLVIKGRFQQKQIENVLRRYIMEYVTCKTCRSPDTELNKG
ENRLYFITCNSCGSRRSVTAIKTGFSAQVGKRRRQQG

>RCO7_00987 | related to DUF124 domain protein
MSGYYPPPPGGNGAQQQYAPPPSSPPPTQLSHSSYYPPPPQQGTPPQGGSYPPPPPQETPPQVQQHYQSPPSQQIPAQVQQHYQSPPNFSHRTSYQQ
SVAPAQASPAYEQPAQAYAQNSAHQSLEYPPEKPALDTSATSNLDQGAPAAEHFVGASTTQDDVGTFNGGSYRISHRDTNTILTCQLAMGCPLTVRP
GAMIAMTSTVTLKGQVKFSMKKLLMSGEMTHSTFTGPGELLLAPPSLGDITNIRLGGNEQWSVGRDAFLACTQGVFKEYKRQGIGKAMFSGEGMFVY
KISGNGLLWITSLGAIIRKDLGDGERYIVDNGHLVAWNTKYILERVASGGIISGLSSGEGLVCKFTGPGTIFMQTRNPAAFAQWMGTHAAAM

>RCO7_00988 | uncharacterized protein
MGQDVDRREPGKDRVPKKPDNNENQREKTLPKFQPARVVLKSSSSALKTTTRITLRTTSKSPPKSPWTMRDTPPSKKETSSASRHTISSHRSTPSSH
TKAASPALRAKPTIREGTIRSHRLTKTGTRQQESVMTRPSAETKYERPSRRGLMIATRKVSAFSKADSDIESVLNPEFVSLHDNDFKNPNNTVVSSD
NKFNIDTRIGDSPFYADEELSGDDLESRMRSFLRRRERNRVSRRSEIKAVKWDPAIVACGPLFSVTNNSNAREGPDTGLPQANQYDEPTKDVKTSLD
YLNQIAADLRKADRRILQQLLEALKNVDSSDDTTVIRPKKKRTPLGEKQIKLMENYSSSTKTSNSQQNNKIILTTKKRLNPEAPVYQNFGVLNNRFF
QPEENKENIHQGGKWPLNVQRKRPHSKEDESDIVQSPFDPCKPKKYIPPALRTRKTSPTPLRPEVEPIWVKTVPLPSDIPNHTNDLQQAAFEHLAET
NESLIDAPLDPLYALQPPLLAQVPQIPLDNQPILPPSWMTGFQSPYQPLISQQDCPSGSYEGYAGFGFQPSSVTYPDWYLPHRTPVITMPLQHTQQN
HRDKHAHRSDKGSKSRIKRLPPNVTPSETEPGRTAVALEPAWAIQVLDKFTAKYPWTGKVKPLPKLTKEKKFATKIQHKLEVLLLQQKEKKAMEEWF
GPLPTSGLPRMVSEISSGSGLTDSINGMSAVS

>RCO7_00989 | uncharacterized protein
MATPTGGRQGPGQAVATPPVSTPFSASNHPAFSPHGPRSVVLSPQQVKKSPANSNTMYGYPAGGHPINSSFGVGYDSPSAAMALGVPGLELGLDGLP
GSMGTPVGGVSMAHLGGLRAEEDERRRRLGQVMDILKVSKGRLSGEGVERLAIRLGFECLWESTPPGAPRLLIIAGKALALDITFDRNTVEKVALSF
PDSPEVVTRHTDRAGEILLRDVQFQAHESPLTKKLDRFAANLEILATLDKLSVVPGLNCHEAIAGLYESVERLHLWEVERLKETEEMAEKDDAYVIK
TAMCTKSGKPIMHTRDRLGMSLDYWQEKRKLSSSKEEKTWSLLLGCAPLPPLGFTPLRVSEHWISADIQKTNATFEDTLLEPDNGPVLDWLDPANNL
IPSGDLPKEDVLDGVDGTLGQNFPEVMFIVKFDPPLVVPYMLASQIYHSTSAPIDPYVTTTFDDLMFPRKPGDEVHSDGRRITRESNITVYSKEGEK
STIVHRNDLWIDKPDYAITLTELPFSHPRQLVQMLPALRQYAFLSTLLNKTFGSKSQPPMKPPQKTEVHSKRAEFADFMSGISTNVKTMDVSLVTQP
HLRLRLTFPFKQSTAEVTFEISFNGTVEVVNENLLKEAGTKAGGLTAKSLARILEVTEDLGVWLEFVKRRLG

>RCO7_00990 | uncharacterized protein
MNWTGGGLQRHSTANSKSIALQRQKQHFARAQQKLRTGGIVYKNSPAKFSVFGIDVRDRERLDQKVSSTRYSSSFKGEIRSQRSQAGLASTAYLPPP
ENWARPRDQSQEHESYRCQRLFIKGDPSPVLEDDLYNATPPPRPMKRKRNDSESDVASMSQGGRREKESLSDIKKRLLRRGDWVGITTQKPLQLAFG
SVEDANDIGRRRKVTNGQKAKYRSAQSHIISPFAARSRLLEYQSGDTRQPQRTHIPVPDVRISIGGRTVPPGVSSSIGQRRGPLTSGRKNSRAVSSD
FLLLDNDSFRPFHNKEHSRPPTERSAQTSLLLESSPRAASQYRSDRASEQTPSRQAIDGNDGSSQHGIVAQENGWTGVTARSLAKLQRNFQKLPSSD
DLQSSRPKKHITPAIDLRQILRSGQEVFSSSSASMRYPKPQSSRISVLLREESSLLAESRVAQVGIQEPKLPSSQLLQNEMWQRWVLPQSQGEEDNE
GLPDSTWGSQPVSPGVSGTPPVRLPSISIPDEEANSSELEEPLHHDQLYVGHGDTTNLLIDDDTSNEEENDCDGYEDDCTEVSHVDINSQYNEISNR
KCTPSIDGKGNAERTSGFTDSKNNDQPIEFWPLDLPAVKPLIALNPSEDPDEVWRKFVFGSSATSESRSPSVAEPFESIVAHPSSGRDLDADFRSTT
SLRPTECGDSQAIDNSSNNFSSYDRAQSGLQHSSPPVDGRTNVHATNGSAPPSSSEKAPTTMAVRAKSQSSISYGAYSDSPRPQRGFVFSKPKPFVG
QKSHLDAPLNEEPLYIGRGLRENNKKDSEGLKSKRAAILKFADIDEQDELESIEDG

>RCO7_00991 | probable EMI5 Protein required for transcriptional induction of the early meiotic-specific transcription factor IME1, also required for sporulation

MSAIRLVIRSARPSVAFARPISTSARRLAGPGNAQAHEGTEEHRKIQSSKPLNPHMTNTNSTIANEMPSVGVQKAPPELITSVEPDFVPKDSVPENT
ERMTGGTQSGEPESGKNAEMEVGEMAVGEMEGAKFKVEPLRRTGEDPNTMRARLLYQCRKRGTLESDLLMSTFAEAHLRDMTPAQMSQLDIFLDEND
WDIYYWATQEPTPTSQETAEGAAPGPQGATPNASGKDLKPVPPQKGEWAQTIGTFKPAYRPVPARWKNSEVLAMLRRHVISRSAGGIHEADAGVEGE
GLARGVQGTGGKGMAFMPPVFQTDQ

>RCO7_00992 | probable alpha-N-arabinofuranosidase
MTTFTRIPEGETPSISIDVNRRLSKIDPNIYGGFMEHMGRCIYGGIYDPGNALSDEHGYRKDVLTALRELDIPVIRYPGGNFVATYHWQDGVGPRES
RPARPELAWLGTETNEFGTDEFMHWLSVLSEGREKRVEPYFALNFGTGTLDEALAWVEYCNGTKNTHFANLRRKNGHEEPYNIKYWALGNEMWGPWQ
VGQMTSADYAKTAAQWAKALKLLDPSLCLILCGETGVSSWDHEVLKECIQYVDMHSIHAYTASKEHVPNVIAPLSAERSIETAAALIDIARIEKNIP
PSVPRTTICFDEWNVWDPVRAPGEEGGEEHYTLSDALGVAVWLNVFIRQSKWVGMANIAQSVNVISPLMTTKEGISKQTTWWPLLLFSKYMRGWTVG
VHVSGGAYDGVTQPKWLQNVLDQGASWLDVSASVNEDGILSLAVVNVSEMQDFETELTGAGKDVEVYTVTGANVNVVNEGDKQEVGIQESKWDGQGK
YKFPKHSFTLLRWDTGKKVTDVTKGDGKRLDTRKMAWE

>RCO7_00993 | related to sugar transport protein STP1
MKPKVYQFLVGVFASMGSILFGYDLGVIASVIAASNFKEYFNNPSTTQTGIVVSFFTGGAFCGAGLAGPSGDRLGRRWTIVLGSIIYLLGGALQTGA
TTFHMMWAGRWLAGVGVGFLVMIIPLYQSEIAHPSIRGTITSLQQFMLGLGAFIAGWISYGTFVSLTNQAQWRLPLAIQMVPAIVLGGLIFLFPESP
RWLIDHGRPEEGLKTLARLHSNGNVSDPWVRAEFDQIQDSITHEHENEAKSYMDLFTNRSSFRRLLIACTLQASIQMTGVSAIQYYSVDIYGSIGIS
GSNALKYQAINNIIALVGEACCVLFVDKLGRRRPLIFGNLLNMVCFLIACILIAKFPAGTSHNKSASWGFIMMTWLYNFSFSSTCGPLSWVIPAEIF
DTRTRAKGVSIATMVSFAFNTLIGQVTGTAMANIGYRYYFVFIICNFTNALFFYLFLPETKNLPLEEMNYLFTNAPFLVAFHDKKLYQANYAGDLER
RAMEIREKGDVAGEHEEVTEARK

>RCO7_00994 | related to nuclear receptor co-repressor/HDAC3 complex subunit TBLR1
MSKEALDSDKINYLIWRYLVESDYKETAVRLQQEWNIQDPQQLPFAPHVTINTLVAVLNRGLLYNVQERDPTHLQEPPRGVSVPAPASSFGFFGPLM
HASPPPAEAEEEHENLRKRQIDIDIDIDQPQPQHQNQPGPPIKKPRLSNGNVTANGYENEFESTPMDVDEDQNGDENAYPSPEQALSPPPATIGPEQ
GTQVEKVNELAGETIFLELSKDPSFKNVVLLQCEFNPRDPSILAAAGTDALARMWTLSRISPSPTPDSASRSESPGKTTAIYAPHHNLLDDGASPST
TVTGLAWSSNGAVIAVSSEPIEDGTARIEFWHSDGQHFASFNGFDSPVVCLRWNPLNTVCLGLSAHEDSIQDTKSTVISIMQPALEQAIKYHIPNHS
LHDQPLEATWTGDGEFFVCGGDLLQEFVCADGTITPGRKFEVADGEILSKISYDPRSRLLATASESGTISIRDPSGQCKSFNAHQGLITSLTWQPLQ
TPEGLADDTERYLASAGEDGAISLWNVLSTDTTSKSSMTVGSAVVALAFSPDGAFIAGGANDKILIWKSDDPTAPRAVWTRGDELGWRTPQSHNSGS
DEQSEDQFSLCWDAEGRKLAYGVNSRLAVINFHDDHNY

>RCO7_00995 | related to TPR-containing protein Mql1
MATHHPSPPGGMPMHHVQQGPPPPGMAQHQQHFSPAMQQIAAINEGVWMQIGSFAELLNNLEEAITAYEHALRANPRSIPAMNAISCILRTQEQFHK
AVEYLQSILKLDQNNGEVWGSLGHCYLMMDDLQQAYSAYQQALYHLRDPKEPKLWYGIGILYDRYGSLEHAEEAFSQVMRMQPDFEKANEIYFRLGI
IYKQQQKYQQSLECFRYIVSVPPTPLTEEDIWFQIGHVHEQQKDYDNAKVAYRRVLDRDPNHAKVLQQLGWLHHQQSSSFNSQEQAIEYLEKSVGSD
QSDAQSWYLLGRCYMSQQKYPKAYEAYQQAVYRDGRNPTFWCSIGVLYYQINQYRDALDAYSRAIRLNPYISEVWYDLGTLYESCNNQITDALDAYQ
RAAELDPTNGHIKTRLQLLRSGQTNGLPVQTSAPLPQDVHPQAYQATGAVGPPGPQWGNSAPQPPPPGPPLGPPANGWGRLAEINPPTHPGNPYDQR
DQARGPGPGPPPPPRAPSPLRQQEQMRPFESRLPPGPSPGGPSGPSGRRTPPRDHHPAMGPYPGPGLSQAPGPPPPPPRVSNPNYAGPGASVSLPPA
QSNMNGSGPGALPPFGRGASPRPEVRPILDNRMPSPKSGYAQQQQQYPHHPDISNPGGIEAGAPAPASALAAAEAAAAERNGDRPGSVGPKRMREWE
EETSMKKPASEENRARLDDMHHRRPSTPPRDSFRRSSSEARRAEDQRRMDEQRREDQRREDQRRAEDQRRVEEQRRANENYHPSEAAHHPPTHAVPQ
NHLPPMQQGPPSVHTPVHELPPPPPPPAPKDYASEEREQREKEQRDREQREIEQREREKREREQRERERERSEIPPPPSAPAGEPERAARRMDV
DEDYDDDAEEDKKGGIVSAPVSGPGSASGEAKPASPKGPNGHVNGVTNGQPKVEV

>RCO7_00996 | 60S ribosomal protein L3
MSHRKFEAPRHGSLAFLPRKRAARHRGKVKSFPKDDPKKPVHLTATMGYKAGMTTIVRDLDRPGAKSHKKEVVEAVTVIETPPVIVVGLVGYIETPR
GLRSLTTVWAEHLSDEHSESSGSSITRELERIKKYCTVVRVLAHTQIRKTPLKQKKAHLMEIQINGGSIADKVEFGNGLFEKPVEISSLFEQDEMID
VIAVTKGHGFSGVTSRFGTKKLPRKTHKGLRKVACIGAWHPSHVQWTVARAGQDGYHHRTSTNHKVYRIGKGDDEGNAATEFDVSKKQITPMGGFVR
YGEIKNDFIIVKGSVPGVKKRVMTLRKSMFVHTSRKALEKVDLKWIDTSSKFGHGAYQTPAEKHAFLGTLKKDIQPAA

>RCO7_00997 | uncharacterized protein
MGIFISCLNVAKSSSSSKPTTKSATGASRSQPQAQATIPGPEYSQEQPPQFDPTPAPVREGLVIEHLATSPPPILEPSATAPARAEGVDKNAKEVPF
PALGTATPTSTQAGAGKATNAEPEKMATDEEYMSFLDKANQDPNEGVVKTKGSGKLEFKALDEGVKVPDVIQKMLGKGEAFYVSDADEPFVSVALKS
SGKGLPDEVTFAKLIDHPSPKEADVQIMDVGEWDTQGQYKDVVEATREAVKGSDVRVYRITKDGSRVEYWVVGVDGGHLVGVKALAVES

>RCO7_00998 | uncharacterized protein
MNNGDGDRDRDRDRDRDRDRDRDRDRDRDRDRDRDRDRDRDRDRDRDRDRDRDRDRDRDRDRDRDRDRDRDRDRDRDRDRDRDRDRDRDRDRDRDRD
RDRDRDRDAWGMEEGDRHIMGQE

>RCO7_00999 | probable KRE6 Glucan synthase subunit
MASNGLQPKRPLHITVNSGSGRDLLDSMRPESPASALTSGGYSRNLLPRPRSVSGQSSRLSAAAPNAIYGTGSLEFTDSLLLRSSARPRPRYQDSSS
AAGSAVSSRRSSWASDTPFNRDSQNAPFGSPFASPFDDSRPPSRAASDDDNVNTQTVAEKYNIMPSEGLLLFPEDVEKDDYLHNPGPDDNERDKCDI
WTKRGITNVGGLLLVTLGLLVLFIGYPVLTFSRKVVAVPNDPCKLDPDCLSDKMPLLSNQRTGLVDPDTPESAHTMTDHDGKKLRLTFSDEFNTDGR
TFYDGDDPYFQGVDIWYGVTQDLEWYDPDAVSTANGTLNLRFDAFQNHNLNYRSGMVQSWNKLCFKGGRLEASISLPGRGDIQGFWPGFWAMGNLGR
PGYPATTDGMWPYSYEDKCDAGITANQSSPDGISLLPGMRLPACTCKNQDHPNPGVSRSAPEIDAIEASSGFMGPGQYDGATGTASQSLQIAPFDIF
YQPDYDYLEIYDHSVTGMNAYRGGAYQEALSAVTWVNNDWYDGKSYQTYGFEYTPGAKGNISWFVGKDYTYKVDHRSLRPNGNIGQRTIPEEPMSII
MNFGLSNSFATVFLPNLAQLMPATMRIDYIRIYQEEGSEFVTCDPPGYETTEYIKKHPEPYANQNLTLWKDTKYKWPKNTLVNGCTA

>RCO7_01000 | related to pyruvate dehydrogenase kinase isoform 2, mitochondrial
MSWKKSDRLMDTIKHYSGFPATGVSLRQMVQFGERPSTGTLFRASQFLSEELPIRLAHRVQELGDLPDGLNDMPSIKRVQDWYAQSFEEITTLPRPQ
LSKDVRDRLMKPSKHLGRQSKILIEATQNPSVEIGQYSSSPWQQNGNGNGNGGEAKKTAASARRYFATVEDSTDWPPELQDYNQRFSDTLNTIKRRH
DGVVTTVAQGILEYKRKRQRMQIDNNIQSFLDRFYMSRIGIRMLIGQHIALTDQSHNKDPTYVGIICTKTNVRDLAQEAIENARFVCEDHYGLFDAP
KVQLVCPPNLNFMYVPGHLSHMLFETLKNSLRAVVERHGQDKDEFPVTKVVVAEGKEDITIKISDEGGGIPRSAIPLVWTYMYTTVDTTPSLDPDFD
KSDFKAPMAGFGYGLPISRLYARYFGGDLKLISMEGCLPASQPPVQFLGTPPIAISSHEGRCGFDKTVPIDDEAVAKADESQAATPNT

>RCO7_01001 | uncharacterized protein

MSVQHTKPVILEPGKDALKHFSGSRECGILQQDIYTAPWPLSPKVSPFCGRRAGLLKALGSGGRYGFDEPFVGRGCTYRWFETTEICMILGRFNAIT
FIGDDITQSIYGAFNILLREDLALGSLQQWIMSDEEKAKCRCHSQFLNTECQSFAIESINDVKKNEGSDRKGSHYFCDNVPHAYIPVSSVPSSPSSQ
RSFKDLIYGKLNPWQPSPIIFSFGHASDFNTDTTVQAMDEWVNLATGAERNIPMLFLGPPAIGLKKVAGSASGSGNFAVWNYYKEMMPIAKEKRVAV
LGLYNLTLQSSSADGEKFDEKVALVEAMMIINWLSKLETS

>RCO7_01002 | probable sphingosine-1-phosphate lyase

MSGTSSLTASLRNSFAIKKAASSGALLSLNIDLFRNIIFFLFLLRWTKKGLLKLKGRGLFGTFTDSYIAIRRQAYGLFLRAPGVRSQVKKQVAEAVT
KLQAKLVPSGPGIVRYLTLPKEGWSDETVLQELETLANMDHTRWEDGFVSGAVYHGGDSLIKLQTEAFGKFTVANPIHPDVFPGVRKMEAEIVSMVL
AMFNAPGGSAGVTTSGGTESILMACLSARNKAYAERGVTEPEMILPETGHTAFRKAGEYFGIKIHLVACPAPSYQVHIPSVARLINSNTVLLVGSAP
NFPHGIIDDITSLSKLALKRKINLHVDCCLGSFLVPFLEKAGFETELFDFRLKGVTSISCDTHKYGFAPKGNSTCLYRDEKLRTYQYFISPDWSGGV
YASPSIAGSRPGALIAGCWASLMNTGETGYIKSCSEIVGATKKIVDAIEHNPALNSDLEVLGHPLVSVVAFNSKTLDVYDIADAMSAKGWHLNSLQS
PPAIHVAVTLPIVKVWDKLVADLEAVIEGEKEKERVRIVEGKGAKGKSLGDSAALYGVAGSLPNKSVVVELASGFLDTLYKA

>RCO7_01003 | related to alpha-1,2-galactosyltransferase

MHMALPMRKSSNPPPYANRSTRLPMLRRSRVQAILLVTCAVGAVIYILSQVFGGERIPSGTPPVVIVTILSPDLYSKEYINNIKDNRIEYARKHGYT
TFFPIIKDYDLGNSPSSWSRVPAVRHALTKFPHSTYIWYLDQNSLIMNPDKTVEGEVMNPKKLESIMIRDQPVVPPDSVIKTFSHLKGANIEFVLTQ
DKEGLSPGSFIIRNGDWAKFFLDTWMDPLYRSYNFQKAETHALEHIVQWHPTILSKMALVPQRALNAYSKQEHASAAGTYKDGDFVIRFVGCDASGR
SCEGEAEPFSKQWKTAFRLR

>RCO7_01004 | probable mannose-6-phosphate isomerase

MTSSIIQLECQCNNYPWGKKGKHSLAARFAAATPGGNFELDESKEYAEQWMGTYPTTPSLILSTGQDLQEHLDAFKEALIGKPILSRFGTDLPFLPK
ILSIAKALPLQIHPDKELAQNLHAKAPDKYGDANHKPEIAVALSKFEVFVGWKPLPRIQALFTTVPVLRKSFLPNSGRANLSNDDLKAIVTKMLSAS
DEEIQDVYEMLRKIKKEDFGAGEEYISELLPRLAEQYGKTDPGTMVALLVMNFMVLEKGEAIYVPADGIHAYLSGDIVECMARSDNVLNTGFCPRAD
RDSIELFTTALTFSPKSADEALLKPKPSEKGRNGHTQVLAPPLSEFDMLVTVLKSGEKETIEALKGPAIMIVTGGKGTLIAEGKETEVKEGFVFFIG
YDTEVELEAGSGLETHIAFSEG

>RCO7_01005 | related to RING finger domain protein

MSVPQELRGNWSWPGFADDVVKDELNFAPATETFAEAIGPEAGPEAGTSSGESRENTPPPTPPPQRHYATRTCRICLEEVPPTLEPLTGGIPSILHP
APKVSYISSDTSSGRLIRPCKCRGSQQYVHEGCLQEWRHSDPMHGRRSFWECPTCKYQYRLERMRWSRLITSTLTQVLITFMIMATTVFFFGFVADP
IINLYLDPYDTITSIPTTGGATLLLEDEDATWFEHFLKGLASLGLLGFVKVFFAMSPWHWFNLRQNGLMGAGGRRRAAGANGRDRLNDISWTVVIIG
IITFLAAVWSWVRAWTAKTLDTAGERVADVQGDDEPEELDEPAPAQAAAAAEARSYDATSTASGSKPTESETRKVL

>RCO7_01006 | 20S proteasome subunit Y7

MDSGKLVQIEYALNAVNQGVTALGIKATNGIVLATEKKSSSPLIDPPSLSKVSLITPNIGMVYSGMGPDYRVLVDKARKVSHTGYKRIYNEYPPTRI
LVQDVARVMQEATQSGGVRPYGVSLLIAGWDEGIEPESEEAATADTHPDEKKASGKTGGTLKGGPMLYQVDPSGSYFPWKATAIGKSATSAKTFLEK
RYTEGLELEDAVHIALLTLKETIEGEMNGETVEIGIIGPPAHHLLGVEGVEGAQGPRFRKLTPQEIEDYLTNL

>RCO7_01007 | uncharacterized protein

MELWVSGFNAWGQLNFSDDGDGLESRDLKPFKCVLQDEKIELLRTSLSATLRLSSHNQITTGSPDGLISYCLAQQDNFTNLVQAGNDRLVNFSEIQP
SIIENFLSLEAFPDNGTILKIPEELQRIVANQTTFTALSKEGGRVYTWGDGRYPNCLGRLISEECPADIPSIVEDLADLPGGGVRKISSGGYVTAAL
TDGNDLYVWGGRAGQKTILEGLGGSPIPIDLNGEDLWDVAVGLNHILAVTTSRKLFVVGEGGNGQLGLDDKELEDWVEVRLPLEEGQTIMSVHAGYK
NSFVLVANES

>RCO7_01008 | related to hsp70 protein

MNLSLPLRPANKRNDESRNHFTNYTPTSSTEAIAEPVREPAPINDRLIVGLDFGTTYSGVAAVYTSTPDDVEIIKTWPGGNGITSDKVPTEIAYDYP
PNAPDGTWPTIKWGFQFRPEESRLRCIKLFLDRSQKLPFYVSPLETAAQLKKFNKNVMDAVSDYLTQVYNHTMETLTRRYGESFMASTKVEFVLTCP
AVWSDAAKNTTLLAAEKAGMGSKSAIQMISEPEAAAVYTLKAIQPNHLSTGDNFVVCDAGGGTVDLIAYKIISLKPLRVEESAVGTGGLCGSAFLNY
RFEEHVRNRIGHARFDEMKLKKGKCWQMGLRYWEEFVKRNFNEEEHAEVNVPFPGLPDDEEAGLDCGFLVLTAQQIKEVFEPVVKEVCELVQGQVDG
IRQGGGIVSGIVLVGGFGQSNYLYTRLKSHFNTAAPPPYSERPTHAQATALISNGSVEVMQPVNAWTAVVRGAVLRGLEGSMVVSRKARMHYGTSYA
TVYDEEKHQVSERYWSPLWERWMVSDRMQWHIIKGETLSAATPISFHYTRNFRPGQSLVVSDDLIASDADGEPPSAYSRDLVNVCTLRTDLGDVPKT
LFTRLTTTRGVEFDNLDFTLEMVVESAGLAFELKVDGYRYGRVEAEFH

>RCO7_01009 | uncharacterized protein

MDTRSLNNFLKPYEYSDREHRLRFSSQTFNNQPSPQSEPYLSYSSSTACPALGSFSQLSSSRRRSDSDSASQLSSDTTTLSSAPSLPPFPVPPWYQF
TRGDMGPVVLNYELPCEFGMLGCYVTFRPEEHEHWIAHSFSHFLRHSPPSKTVCTFCDDPQAYFQDPYDPYGSWRARMLHIGAHHEQHGGAPGNRPD
YFLMEHLHQCGLIDEGDFKANMSYTERHDTQVGQVPYKELNLVEDDFQTPEMQARERMNGTLDAGYYDMRSEARHLRHGKDREKGRSGKSYKSSRKA
DVYQPSRS

>RCO7_01010 | uncharacterized protein

MAAKRTSSQPAFLQTFLFIDTSQASEGTLAILEDLVPTFDSLASTSKINLIQSLVSRLLVTHVFSAYFVGLAEDQAADFKSVEKTLSSFGSPESMNQ
WRSTTLSILYKSPQALHASTASLTNTLLILINSILDKVTISDTNSNSSTDTRDQSLRSLLTSAIDLSRQLRVQKAIFSVVMPSIVDYQKTMFDMDIM
EDIGGEDEDMLSEREIRCVTFPGIVKAGDENGERSHLKNMVAKMRVSCASD

>RCO7_01011 | uncharacterized protein

MSTHEKKTTRAPISNLRANKSPIATPPRVALHGRSKTDRDAQQVTSVSNSAKLGIGSAGGGRVAGTDVTSTSPASEVDDGASTASSSTSQSSTLLEK
NGQIANLTRELSIMKDEFSTSLTSLSHKLAAETSTLQYWQNKYSHLNATFQHKDASYRLLREEFPGSVEAREEPERDMETRISSLLLDRDAFREAYN
EAMGEVREKEEQVRLLQGQVRGLKSWVSSSSKSGEQVSDEVFGEEMRRLGNGLQNWVITNFRRVRIGKFCSSPSRSLG

>RCO7_01012 | uncharacterized protein

MTLQIRKSDYWTPKAFVLNTSQGGVYTGLRLGPHIAKVGNVRIVVRHALLPSESIQGIIPLGTLIDSESDRTRELGCWDGLASLKAAITNWITTKPT
PDFQSSDEYCDYLIDTGLGEGCDAVAEAYWVKAVKADCQDEDDLKRIRIVAIILVGRDSLYTRLPDSTCPVLWMHRTKLPCIV

>RCO7_01013 | related to multistep phosphorelay regulator 1

MPGSTTSARHGSQDAEEVDASEEGSVSLPDLGDSIDAVTFEQILEMDDDEDEREFSRSIVFSFFEQAEQTFEKMDRALEKKDLADLSALGHFLKGSS
ATLGLTKVKDSCEKIQHYGQKKDDEGTEDEPDEDKCLERIKNTLVTVKEEYDEVEKVLKKFYAS

>RCO7_01014 | uncharacterized protein

MPARPSPPRLTHFLAIPLVTAISRPQLQHSLRKFKDAATQPNFTSSLPEGIPDQAIRPLETLHLTLGVMSLLTLERVAGVLDLLQSLDLEDVLAGVK
PAGEVNRAKDSRTSETKTGGGGQVSREKTEQRPIFITLQGLHSMHSPVKTSVLYASPLDPDLRLYRFCTELREVFKEFLVSESRPLLLHATIVNTIY
AKGLRKEGGSRGGRGGRGGMKKERLELDAREVVREWENFTWMESVRVEKVALLKMGAKVGEGSEEKYEVEGDVDMPES

>RCO7_01015 | related to Dcl-2 dicer RNA helicase/RNAseIII CAF

MEDLRAAFLSSPLPTPQKAGTGTSTVKDTIFTTTEVPEAEEDLANIDASLSDSDNLKGLNIQDGPPVIKPRPYQKEMLQESLKRNIIVAMDTGSGKT
HMIFYTALQDAVMRIQYEIERIPSHQIIWFLAPTVALCEQQNSYITAQVSQVQSKFLSGADNVDRWTKQEHWDAVLKNVRIVVSTYQILLDALSNGF
IPMESLALIVFDEAHNCINKHPGAKIMKSHYHPRKESGQAIPHILGLTASPVMRSNPRSVVEIETTMDAICRTPTKHRADLRLEVKLPVLLEVIYDE
AMGVVKSNSIASLRKALSSLNILEDPCYLMLLKDNTEKGRAKVDKLRLNGKTWCSSQMKSFYSIAVKIDQELGAWAADYYIAQVVEKMRKVAMGVIK
YGNLWDATSAEKQYLAKVLRDVKISRHSCLGCEDLHLVSDKVTKLVEVLLQETIGFQGIVFVQERATASVLAHLLSVHPSTSEVFRIGVIVGSSGHA
QHSRNISELIDLGEQKHNISKFKSGKINLAIATSILEEGIDVPACNAVISFQLPANLKSFVQRRGRARHRDSKLVLMHSDCDKAVNWQQLEADMRAM
YEDEMRTLQEYLILEDGEEPGHETMIFQVPSTQALLDLDNAIPHLYHFCAKLPRSAYVDARPEFICSAEFGGHIRAKVTLPLCVDQSVREAEGKLSW
KSEKNAIKDAAFQAYLALYKAKLVNDNLLPSLVHDDLLLELRTFITDTRASLVQVKEQLNPWGEVAKEWNNTSVELHRATIELAGLEMTIILPVPIP
KIPTIEVQWDSTTKFPIHITVESGEIRSQSDTWALLKSAFGARFSIEQKPHVVEFSAAKELELEGLMGKRDVQASDLALSDAGLIRDKFNPCAAYML
KDVLAFKPNIKLVQDPYHGYETAPDVPHISLIKVPKRTNFVQKLSAPSNLRTTKPYSTVLPTERCTMDDLPFKYYQFGRLIPVIMNRCEKYLLASML
STTALKNIQISELALIATAISASSSGSETNYQRLEFLGDTVLKMCTSMQLMGEYPLWHEGYLSEMKGRIVSNSNLYTAAIKLGLDRFIITKQFNGHS
WRPLYVDELLQQSSDDEKKREMSSKIPADVVESLIGASVLDGGIPKALTCLQTFLPRSDWTWQSLEVRRITLLERTPAVELPATLQPLETLIGHTFR
NKGLLIEAMTHACCNSGSASYERFEFLGDAILDHLVVAALWTYELSHVRMHLMRTALVNADFLAFLGMEFSIEQEITDLVTDPEGGWDAPISAIHRS
RRLALWQFMRHTSPHIGTVQHATSLRHATLSPHLRNSVERGTHYPWALFARLQAQKFYSDIVESLVAAVWIDSGSFDKCNEILERLGVFKIMRRMLD
EGVQVLNPKEELGMLAGTEKVKYVVKRAEASAVDTEVDGEENEDESGSEGELRLLCRVFVGEREVVSIGDGVSVVEVETRAAEEAVRVLKAEKMDGV
DGDGDGYRDGDVSEDDGHETTRDGIEDEEGGDVEMGEA

>RCO7_01016 | uncharacterized protein

MAYDAYGRPLREPDYYDPKDASSSAGDYTDRGNQSYYESSEPRASNTVYQNFQREFTSPRRRESPSVPQSGNTSSTDRGGQIPVGPEGVSPELIAAI
TEKVKREVFEQLKQSGSVEIPSQGPPMQREPSNKSNSTPSPPPTSRKVYTPPSPTQTTRQTYAQTFVPPPMENMRSHPGSPLEEPLGGNRFADRGPL
QPSSPDKPSGVRFSDRGAASRPAPGNRTYSTMELSTIDQKWGRLFESDGKPTQRLGQFLRGLANHIIECFPVKNSIVVTPSKMAAYYAAHTLEKEPH
PLLTIFRAQSNEHISRLYQDIGCEHHLVQEDSHSSPTIPALTPVGFAHWMTINILAYPEEESKRLAKVVVSMPIDADGDLVDGKPERLPKQISRHLL
PNKEDRSSRKLLDSAIENFLDDLGSTSRRKASITSPSLSRHSSSTARPRSGSSATRGVSTSSQHSYGATPVEIHQTRTSPTTAKAQPIERERKPYSG
APSNTSETSEEGVKIERERQPYSAQPGNSKNHIDNLNPIQSRSARANSTSSRSSADQENLRHVRMDSNASQNRYPPRAGVRRSSSPPFRNFSQSTPD
DVNIASSKYGPNPSASQSSFATNPSTFNTSHRDSDPSFPPPPSGAPPIDIRRRERDERQYRRSGAEDEARFAGEFNSPRDAEKWDRYQDAAKGEDRF
PAYERGSVSVDPRDRGAPVEEWYRDKGRGSEYDGATRRY

>RCO7_01017 | uncharacterized protein

MSSYICKVCRKYKDETSFSKNELKRCATKAMKADLRCRGCTGGAVTEKQCEGPCKKFKDLQKFSKSSRSNGGNQYCQECTVWKDSIEHGVVAENPPG
EDGDSDDNSNGGVYSDPEAGDSGSDYEDYARPPTSVASTNVAAPRIGTRQPPSAITGSIAPRQHIQVPYSGLAAMSLTGNNTSNSDTGRTMDTAKLS
APTMSGPGARNIQAQYDIRSESSVSNPYEQDTSTFTTQAPAWGAMDARRRAPVTFNAWDNKGQAHSQQKVASGSGSVYTPTPPNPPAATTRPVGSRQ
PPQATAPGSRPVPPQTQARTVEDTDSEDDLYTM

>RCO7_01018 | related to ser/thr protein kinase IME2

MTVAYDLTRRGSSTPQPGQGQALEDRFEVLKDIGDGSFGSVVLARVRGAGANVARRGTVIAIKTMKKNFESFQPCLELREVVFLRTLPPHQHLVPAL
DIFLDPFTKKLHIAMEYMDGNLYQLMKAREHKCLDVGSVKSILFQIMQGLEHIHAHHFFHRDIKPENILVSTSAQQDSGNSFRRYSALVTPPSTPQA
YTVKIADFGLARETHSKLAYTTYVSTRWYRAPEVLLRAGEYSAPVDMWAIGAMAVEIATLKPLFPGGNEVDQVWRVCEIMGSPGNWYNKAGSRVGGG
DWREGTRLAGKLGFSFPKMAPHAMDTILQSPQWPTSLSHFVTWCLMWDPKARPNSTQALAHEFFTDAVDPLRPKSSASKMLGRKHSDLSYRGSKDST
DPACASSSKSSWFRKSLIGRTDVQVTKTRPQPGKRQTWNNGPSNVAPMPILPTIKPISPLSDAVTAQASVRTPSYSDAYYNGQRQSNMDDQVAKKIG
RQLSVASSNNHYADIHRQQAEAALNGNSGLASPPSGQKESFFSHLRKRARRFSGRQSVTPMSPKSIDIEAQAGCGPWASNRSSMVVDPAQVPNPVQK
VDSYDALDKALRNVQQNLDSPQQGAAPAPPNHMTSPNSVLKRHHSLPQQPRSIDNLRGVGGPISSRTRRSQVPPGGTRQYETPDEEDELLDEALTST
QKAMKRLDRNAHQDDARQPLRQSTSNVALSNPYPTPSPSANGNAALFGQGVHQVTPSKAPTSHKQSSTPPYDCEENEWASSAAASIFAASSRF

>RCO7_01019 | related to cholinesterase

MTLSASLRRRFQWKPALLILTLMTLCLSLLTYTRGEKSGHHQLPVKVGNRPRVVLRQGRFVGVELEEDYPQIMDAFLGIPYGLSTEGLGRFKAPVGV
NASESEFDAGDFGDRCPSGGGRGESENCLNLNLYRPKKKDTARKLPVVVYIHGGAYNGGIGDSPWQLSHFAAWSAEPMIAVSFSYRVGALGFLPSKF
MATEGLLNAGLKDQELLLEWVQENIAAFGGDPENVTLMGVSAGAHSIGHHLLHNTDKPPPFAKVILESGAATARAVYTSSNPLHEKQFKAFLVELGC
ASVPDKRLLTTLRSYSTYKISSASGKIFNRFNPSMQWPFQPVIDGPGGMIPIRPIDAWKAGKWHNVSILTGYNTNEGSTFVPTSGQNNKDFTKFFKT
LLPGFRKRDIAVLQDVYSDPATDSHSKYVEKRPGFGAQFSRMEQAYGHFAYIAPVRQTVHYAATGTAPVYLYHFAAESSAIGAAHGDHIPFVMHTPG
VKDESPTVKDISGHMHAYWTSFITSGDPNAVPGRYKERRKWPRYERAGGEDGKGRKGGDGRLLVFGEGNDEVAGGREKGVVVQLKDDGFAAEESEFW
WNRTELFEF

>RCO7_01020 | related to ATP-dependent RNA helicase

MAEFDLAANFIPSLHKPASLLPIARHRESLLYLIETYPVTIVVGQTGSGKTTQIPQYLERAGWCSEGRIIAPRRVAATTVAVRVAEEFGCEVGKEVG
YSIRFEDVSSSATRVKFLTDGLLLREALVDPLLSRYSVIMVDEAHERSLSTDILLGVLRKILKRRPKDLRIIISSATLQAEDFLKFFIGDAESQPKP
SSSDAITLDDLIAGSSKAKDTGFGGNVGRIINLEGRMYPVDVLYLEAPAENYLEKVIQTVFDIHTKEPEGDILVFLTGREEIDSAVQSISERAAELH
PRSHTIMALPLYAGLSTEQQMYVFEDAPEYTRKVIFSTNIAEASVTIDGIVYVVDTGFVKLRAYNPLTGIETLTATAVSKASATQRAGRAGRTKPGK
CYRLYTEANFQALEAATVPEIQRSNLAPVILQLKALGIDNIARFDFITSPPAELVIRALELLYSLGALDDYAKLTKPLGVRMAELAVEPMMAKTLLS
APSFGCLSEILSIAAMTSLGGSIWFHDGEKKRMETARRKFAVEEGDHITLLNVYQAFVSKGKKEARFCHDNYINFKSMTRAVSIRAQLKRYLERFGI
VVDETLSNNANKTPLAVDGPSKGEQIRRCLTTGFFAHAAKMQPDGTFRNVAGGTILHAHPSSLIFNRKADWVVFHEVMETGSKTFIKDVTKIEKGWL
TEYAPEFYKIG

>RCO7_01021 | uncharacterized protein

MDNNGLSNIPRRGPRIPLKSSLMGRMEAVMKIAVPNRAVAPRADSASSSDTAGSCGANACEKPVSDSTFSLPIILGIVIPVVSASILFIILHRRHVR
KQREEDANDRHASMDFGLGNVPQSGRVKRVPAAGMDIGDEKPGQSKRQMSMDMGLQSPYLLPPGLQDSRESIHSMSRTTLEQDDPYRPVKEYYPADG
VSVRSQSKQGSSIYTGSSAAPSRFQELGTTELLPNAGQMPRSSPPAVSFPPRQNSLPQSNASMSPTIGVHSNSFPLPPMLAEPAQAHSGVQRKGLPN

SPNPGQSGAGDNGSFASNVPYGAGSTARQPLAPAGNTLPSNPRPERKDSMPAQPRAQHAIVEDANEYGEGFQITPPSPDHGYADTMRGQRYSMDVPP
EQFVQAGLGAPGFDAKRLSMGFRPLPPNAVTETDDPELRANRIRSFYKEYFDDSKPAPQGQYYEDYDENYHGDNAYYDPDSNAFVMPYAEPVTRRAM
TPPPRGPPRYQGQGQPRGRQGSIGAMSSGGMSMGGMRGPPPGPRAHSSASGRMGPPGKRPLPPPAALSTLPTPSKLKDDSFAYMADIDFAPPSTYRD
RVAGRSESPLGERRPYSPMVPAFAPVVSAFDELAPIPSPHTLRNSKTFTSLDFAAPRKFRDPENMSDAGSIRSNRSGISTTQLGAIRNGAYRVSRLP
KDVVFTKDDLASTLKPSWGMRPGA

>RCO7_01022 | uncharacterized protein

MASNSTSTDTVVPSSTPTQAPTTSASSSSALPPSQSSSSIANPSPPSVTTESATSSSSIVVISSSIAPSTPPTISTAPTPSPDTPAGPPPPSSTLTT
TSTTSNPAPAPTIAPATPIESALPPTVSTITSTDQQGLTVTVVLTSTQTPIPNSRTTSSTTSSRSGAATAGSVQNSGSGSSGLSSSGTIAIAVVVPI
VAVALLIAAGLFFWRKRKARKDAEELRRKEVEEYGYNPNNDPTLPAVGGVGGSAGHDGSYEMREDGSSGYRGWGTTAVGSTGRKASTTVSGGQSAGG
IGMAYSEGASPTHGPVSDTRSDNALIDGRATSPEAEALGAMGPAASANRTGDINRGPSNASSSYSAANRSDGSGDVMGAGGQYYSNQYDTGNPYGES
QYGSPPGRAEMPAPPVIRDVQARRNTRIENPSHFPQQSAGISQNF

>RCO7_01023 | probable fluconazole resistance protein

MNEADRAMERNERDASPERFTNTPIGRPSHEIERIPTASSSSTSSSEGSVMRRDRQMSRASTQRDLERHPTVLSRIQTARSQHTGTVGRSLTGKSRE
SKKPLPEMGLGKPYPPLLPAREEYVVEFDGPDDPLHAQNWPMKKKVLTAVMLGYTTLVSAFTSSIFSTATRTVAEQYHVSTEVGLLGLSLYVLGFAL
GPVFWAPLSELKGRRLPLVIAMFGFSIFQVAVAAGKDLQTILLCRFWGGIFGACPLAVVAAVFSDMFDNRTRGLAITLFSMTVFTGPLLAPFIGGFI
VDSHLGWRWTEWLVAIMGFVAFFLDLFFLEETYPPVLLIQKAAELRRRTKNWGIHAKQEEIEIDFRELLTKNFSRPMRLLVTEPIVLLLSIYMAFIY
GLLYLFLTAYPIVFQQIHGMSAGIGGLPYFGMIAGMIIAGIYVALTQPSYNKKLLANNGVPIPEWRLPPVIFGGLSFAGGLFWFGWSGYKESIHWIV
PTLSGLLTGFGLLAIFLQSLNYLVDAYLMFAASAIAANTFLRSLAGAGFPLFSQYMFKALKVNWTGTLLGCVALLLVPIPVIFYKYGAKIRQRSTFA
PTKPVEASSEDEEAPAVTEKVESRANADKNV

>RCO7_01024 | related to myo-inositol transporter

MADSAEEPLMRPSPSVETEDIDEVDLSDVSLLLEKNLRHPGIFVWLLTFSAGISGLLFGYDTGVISATLVSINSSLGHELTTLDKSFITSATALFAL
LVSPVSGVLADRLGRKHVVLLADLAFILGAVIQAVASSVPIMIAGRSVVGIAVGAGSFAAPLYISELSPAPFRGRLMTLNVLFITVGQVVAYVVGWL
FVQFGNENTAWRWIVGLGAVPAGVQMLTMAIMPETPRWLVMVDRHDEARTVLNKVFGSGIEIEQMAERVLKGIEEEVREEEDAKRGRQRGQTKRERD
SWLAAVRDNLSELFKIPGNRRALTIACLLQGLQQLCGFNSLMYFSATIFTILGFESPTLTSLVVAVTNFVMTCAALLLIDRIGRRRILLSSIPIMAI
GLFLCAIGFIFIRLPADFDSSKPGVSSAEEEIPLSERTASMLVLASVMLYVGAYALGLGNVPWMQSELFPLNVRSLGSGISTSTNWGANFIIGLTFL
PMMVFFTPPWTFAIYGLVCVAGWVCILCIYPETKGLSLEETSALLANGWGVNESLRRVKDEQ

>RCO7_01025 | related to indoleamine 2,3-dioxygenase

MGSIATAPSFNVLNDNKPEDTTLPAFMVSTTRGFLPRQEPIINLPAEFDILESILSRMPIKTLDGMPGLLATFTLGETVLKELPDLTSAINKYQDNL
PLMNAIYRDYSFLASAYLLEPCHERHLKGEGYGLGRQTLPSVIALPISRCAELAGFKPFMEYAGSYALFNYRLEDPKKGLEYDNLRLIRAFEHGLDP
KSSEAGFVLVHVDMVQNSGPLVDGVVSALDACESHDREAFNIGMEKVVTSMTKVNKVMDGMWGKSKPGDYISFRTFIFGITSQSMFPHGVVYEGVSE
EPMSFRGESGANDSMIPLCDNLLQITMPDTPLTAILQDFRSYRPGNHREFLEYVRSRSSLLSLRSYALQDSVSTAFYLLALNQVRDFRWRHWTFTRE
YILKKTAHPVATGGSPIVTWLPNQLQAVLDTMIDVWEGSGKQGLGKKCEEVMEFAIQQKETLTKEVEKYATERQVDVKKV

>RCO7_01026 | probable rhodocoxin reductase

MAQEYKLKGLSSLDLKPGEKREVEVEGIEEGKVLLCNVGGKVSAIGSKCTHYGAPLIKGVLTGDGRITCPWHGACFKASTGDIENAPAIDALPSFKI
SEKNGSVYITGEQQAIKGSRRKPNVKISASPSADKVIIVGGGSGALGTLEALRENGYRGSITMIGSEGQTPYDRTKLSKALIDDHSKIALRDEAWFK
EGSVDLVSDEVTGVDFSGKKVSTKKGSSHSYTKLVLATGGSPKSLPLPGFKELSNIFLLRTISHVKGINSAIGDKNKKIVIIGSSFIGMEVANAVSK
SNDVTVVGMEKAPLERIMGEEVGKIFQKSLEKNGVKFQMNAGVEKAIPSESDSSKVGGIVLKDGTTLPADLVILGTGVSPATTFLDKHQVELQKDGS
LKTDEHFAVSGLKDVYAIGDIATYPYHGPGGDGALTRIEHWNVAQNAGRSVAANIIDPSAPAKAFIPIFWSALGSQLRYCGNTPNGWDDLILQGTPE
EAKFVAFYTKGETVVAVGTMGIDPVMTASSELMRRGAMPSKSELKKGIDVLSVKIPAEVKI

>RCO7_01027 | related to arabinan endo-1,5-alpha-L-arabinosidase A precursor

MFQSLNRVLFAISAVLPALIQAYSNPGSCSGACWAHDPAIIQRASDGQYYKFNTGGNIEIATATNLAGPWTLKGFVLSDGSSISSPGNKDCWAPDVS
LVNGVYHLYYSVSTFGTQTSAIGLATSSTLDPGSWTDLGAIGVTSSAGKSYNAIDANLIAVGSSYYLNFGSFWHDIYQIQLNAAATRAGGAAAYNLE
YGSTNRSPSEGSYMFYHSGFYYLTWSLGICCNYEKTKPAAGLEYKIMMCRSTTATGGFVDKNGRSCTAGGGSVLLESHGDVYGPGGQGVFNDKSKGL
VLYYHYANPNVGLADGKYLFGWNVLTWAGGWPSV

>RCO7_01028 | related to diaminopropionate ammonia-lyase

MSSRIFINTNRKTLESLPSCNPEVRIFHQSLPRYNTTPLVPLPGIAKELGIAQLFVKDESSRFGLSAFKILGASWATKRSLEKRLGLDSSQSPMSLQ
QLASVAQAADFTLYAATDGNHGRAVARMAKYLGIKARIFVPSMLDFEAKEKITNEGANLEIFDGSYDQTVVKTKSLAESHPDGKGVLISDTALTVED
ETAAWIVEGNQTMFDEIEEQVFVETGERNISHVFTPVGVGSLVQAVTTHWQRMEKANKPLIVTVEPETAACLKTSLEAGEPKSVDAEYTICTGMCCG
TISLIGWPILRTGVSAAVTTTDVEVHKAVRELEEYGVIAGPCGAATLAGLRFLAGSGEMSLSPDSFVVILCTEGKRGYLIPG

>RCO7_01029 | uncharacterized protein

MDFLAESTQHPFHVESSPNRSATSHKRTPSLSTARPRSRERTAPPLSQNALNSRPVTSADTQGGNLNRWSKSTSSSTASHKHKRSISSARRMSFGGG
SSFLDTSSPPRKLQKPYPSTTDSPTSQIKVARPILDPPSILLPPINTLPSLQTSLNNNSSPLTGPTTPSPSTAQILSAAARSVDYFGKGWDDPSLGP
RDFSHRRSPSASKTANLGPSPVLHSAVTTDHRRQPADEEEEKPRSRGHSRHRSQTKGSSSSSRSFKQPSQKAMLSKALQKANTAVLLDNAQNFEGAM
QAYFEACALLQQVMLRSSGDDDRRKLEAIRNTYTSRISELKKIAPHLEDDGKALPARPESEGNRGRGSRGREEELRDRDEDDEPAIIEMATVTRIAD
HSSHVPESQHSRSVSAGQLPQRRESLLPSGLESLQYRPKNPSDQYGRSFSKSPMRERITESDLRLAPPMDSIYTPPPLSPRRPSSPLTLGPQSNHQR
HKSADLLTTAYSGTSQAEGHTRVPSNESMSWLDTIDESGDSAASSVHSRSSSSGVRRKDIRGSTVVLETEFDSALDAAIEAAYNDGFESVGSAEPTR
YDYDDDDEIVANVRLKVELAKERVRQTEREAAIHDARDKERKRLLERKQEQLDGIDDGYEDNESEEEERMLEEMTRGYVMDDFEFGLQSKSALPRES
DSSGFSGRTWHSSIGSNPTTAGTALSTVTETSILRSTTQPPPLHPPPLQALPPPPGQGPQLPSAPLSSQQGVRSRRLSGQNAKQLKIETATRITTNQ
TPPSIPPPPLPDGADHALPKTAGLPQQRQPLAGALARPPIPQSARQASSPFPRAASPVDALLPPTPMLYQTLTNDSELLPRSGSPGRTHSRGGLRKN
FSSSSLKNLKGRNLSVSIVDDGGSDLSPSTPLSSQFNPRDLNGKLPAMPALPTPIAVAFKDKMNGMPAGGIYLFNSDIHSPESPGSPNPLNLGAPIP
LEPCPTEFLLRPYWLMRALYQTIAHPRGGYLSTKLFIPRDVWRVKGVKIKGLEDKIAQCDFLTAALMKLAQVDTFDADAVLEEMQALEGALEQVQAT
LTKKLGNEVGIQGSGGMFKDAPATGEAETSNITSKSGSMTAKSSSFSWRRLRSKNSGVGLSNTYSNKMPVEGTKEGLTMATLPMTSTSLAKVRFAKR
DVSQLQFSGPNANYMGALARLFDAAQALDQIARQVEDPGLRHADKTQVGLELCTRHAAEFFGFYICRFVLADVGLLLDKFLKRGTEWVML

>RCO7_01030 | plastin-3

MNVIKLQKKYPQFAQDEVFGLQDAFRKLDIDDKGYIDEATAIKATQTSERQPYDVVRQALKEVELDSSRRVELDDYFGLVAKLRESSAAQKRISTGP
ATPTRSGVVSQQTGGGGHASKGSVSGRIQVQGSNSNVTHTINEDERTEFTRHINAVLAGDPDIGNRLPFPTDTFEMFDECKDGLVLAKLINDSVPDT
IDERVLNRAGKKIKTLNAFHMTENNNIVIESAKGIGCSVVNIGSGDIIEVREHLILGLIWQVIRRGLLGKIDIKLHPELYRLLEEDETLEQFLRLPP
EQILLRWVNYHLKAANWPRRVANFSTDVKDAENYTVLLAQIAPDQCTRGPLQTRDLHERAEQVLQNADTLGCRKFLTPTSLVAGNPKLNLAFIANLF
NTHPALDPITEEEKLVVDDFDAEGEREARVFTLWLNSLDVQPSVNSLYDDLQDGTILLQAYDKVIKGSVNWRHVNKVPANGNEMHRLKAIENTNYAI
ELGKQNRFSLVGVQGADITDGQRTLTLGLVWQLMRKDISETLSALAQRLGKREISDAEMVKWANDMSRKGGKSTSVRSLKDSAIGTGNFLLDVLNGM
KSSYVDYDLVTPGRSDDDAYLNAKLSISIARKMGATIWLVPEDICQVRSRLVTTFIGSLMATHEKTQ

>RCO7_01031 | related to thioesterase superfamily member 2

MRLDTAYNPYPSVVLPSGIRFKLHLSRLLEGSGRVCWAELKLHTKAHFMQSRKEKSTTFNAGDDDLPRARVYVNVLEAPSKRMIMASSTELEHVKGV
WERMRGKSPIYDFLLSDVELISAIKGSITAHLILGKNHVNSRGTIHGAVSASLADWSGGLAIATHGMEKTGASIDIHVTYVGTAQVGDTIEIEALAN
KLGRAMAFTTIRICKLVDGKPGPMVATASHTKYISQPKQ

>RCO7_01032 | uncharacterized protein

MSRCRSCEQPLLITLDPESLDEATSSLVGQGQGLTEPDDLLLRCGCHFHWQCLLEESPQIALDLACPYCQQTIVSTAAGPSATNSAISSEPQPQIVT
RYHNEGGIQENLDILALITEEAYLDANPAARPARAFMTMCAEGDIGGIVELLEALEEEPDEGHMSPSELLRFQDPLDGMKTGLHVAIERSQQEAVWL
LLWLASSLPIHAFPDEVAHAAESLEAGRETAPGVDIRGLKDEQGRVGEDVAGRMGNVWGGLLAAGILRT

>RCO7_01033 | uncharacterized protein

MSRDLPNLDETPQLVGQLGADCIASLSDPNFSHETRAPPRSLNAALEATNSRRDSSGYTTSDNSEEDYDLLIHEPSAVIVGSNRGGGFEKDEVEKSG
LGTNGNRTYEEIKSNVKPRPTPMRFKNIPITLNKLNEEGRYTLTADDEALREILRVGIEREKNPEKKRRKKFRDLVFTRQFTAFDRQNTASADSTFH
GFFTLLWLGTTIYCTRLAVENWNKHGNFLGTNEIAGLMFHRDVMVLGISDGVLCGSTGFGLLLQKLIQLGVVDWNREGWIIQSVWEVFYLMSVLGWT
LFREWPWTHTVFFVLHGLVMLMKQHSYAFYNGHLSEYYKTRQTLQRKLKQLESVEPLQTPSATTPKVSSLSTSYLNNPPLASDLNQRRHCRRGSING
ESNLKEVAAAIESGERLDLDQVETFARIIKWEIDALSEDLKGKSSSGSNSYPKNLTIANHYEYIVLPTLVYELEYPRSEKIDWYYVAEKVIAVFGVL
IIMNLVSQSYIYPVVVRTIEMKDTGMTLPERLREFPWILSDLMFPFMTEYMLTWFVIWELILNVLAEVTYFADRGFYADWWNSVSWDQFARDWNRPV
HNFLLRHVYHSSISSMQVNKKTATLITFFLSACVHELVMWCLFKKLRGYLLCLQMMQLPLYLLTQQAKNVKSIPESVLKAVSAIDWTSKTPGVAGRL
DRRISEMESTPESKSEKPEKSYLSTAVDSISPWGGSRSSTPKPTSATVPGEGSGLKHQQGGDHTIQNWHGFSSKRYPPDCPPMNARWFYAVDVPKRK
PKLLKNTNTEEVAKPAGVPKKFVTFSVLDSRSIETAYQKLADEYDDPSKEVRQKGEENGSEGQSSSKSGKPNTSIDEAGLDANAGGKVRVPVQEDFL
FDVDIEQRELSPLYWLGPIYEVRRGSWFYQEGSTLRPCEENLAFQLEEGYLKVMPFRYPKAPEKIVKASDEQKSSLALSGAFSRSGAASGELTPEAS
RENLRAANKQASDDAANRGKEVPPTNAHQPQSYRLFGTYMNSIVTYQDSTVAWLSVDSIMSRVSSSVYERFAGGAYLGGVKLVRGYSEGKKEDRIPT
TPTTAAFKGSGVPSELQLDTKQQRLLKRRSAPPSTAQHEAEALGDSAIAALAGEINTDLEAEAVRKRDEKEIQNDYNNRDGENQARQIDHLILVTHG
IGQRLGMRTESVNFIHDVNVLRKTLKSVYGSSADLQALNSEIDKLPKNCRIQVLPVCWRHLLDFPRKGVRQNRKEHDLGDACGDDEEYPSLEDITVE
GVPFVRSLITDLALDILLYQSAYREHITQLVTAESNRVYDLFLERNPTFIGKVSFIGHSLGSAIFFDILCCQKETTPNTNNRPKPRLSAGGRAQGKE
LDLKFSIEDFYCLGSPIGLFQMLKGRSILGRHQRADAVPAGSQIDPENMQEPFHGFASGENISSVTGLPLIVSSPKVGQLYNIFHPSDPIAYRLEPL
IAPAMSSLKPQLLPYTKKTISASVSGIGAKVGQSVSGLWSSLSSGIASSILNRSLGLTSDDVARMEAPSPQRSASNSLGAGTNISGGGVISHDTSAV
PSLQRESTNEKKKALAQETAAADREGTGATAPTLIDDEIETLYAGFQKRRESTSAKDDAEEEEEDFTEAESRGKKLRREEAKVRALNSNGRVDYSIQ
ESVLDFNPMNTIASHLSYWADEDVSHFMMSQLLSRHRNAVRTGRERSK

>RCO7_01034 | related to mRNA splicing factor

MSRGGSTTLYVTGFGPGTRARDLAYEFERYGRLVRCDIPAPRTAQSRLFAFVEYESRRDADDAYHEMHNKRLARDDLLKIEWARTPPSANWRFDTGR
ERERAPAARRSSPRRGGRSPSPRRSGRGDYSPRKDERRDRDYERRDRGDRSRSPEDRDREVKEEREQEDVHENGTNVDDRKGDFTLPMRFENQTR

>RCO7_01035 | related to mitochondrial carrier protein

MAASGKESLKPKYGPKVLHLREFIAQPVVASFCAGGLAGAVSRTVVSPLERLKILFQIQSVGREEYKLSVGKGLSKMWRDEGWRGFMRGNGTNCIRI
VPYSAVQFGSYNFYSKFFASSPGVELDSLRRLLCGATAGITSVFCTYPLDIVRTRLSIQSASFAALSQTQRDRLPGMWATLKIMYKTEGGIRALYRG
IIPTVAGVAPYVGLNFMTYESVRTALTPEGDKNPSAVRKLAAGAISGAVAQTCTYPFDVLRRRFQINTMSGMGYQYKSIFDAVRVIIAQEGIKGMYK
GIVPNLLKVAPSMASSWLTFEMTRDFFLGLKSPAADL

>RCO7_01036 | 60S ribosomal protein L18

MGIDLDAHHVRNTHRKAPKSDNVYLKLLVKLYRFLARRTESSFNKVVLRRLFMSRINRPPVSISRIVGNTSEKSNNKTIVVIGTITDDNRLLTVPKL
SVAALRFTATARARILAAGGEVLTLDQLALRAPTGSNTLLLRGPKNSREAVKHFGMGPHKHKKPKVESKGRKFEKARGRRRSRGFKV

>RCO7_01037 | related to mitochondrial rRNA methyltransferase

MLSRTALRAIRRHYPTGSCSATNWVLHESRGDPIGNPISVTPSLAIANTRSSSSSTRWKSRQGKDSFARDAKVQGLKSRAAFKLLEIDAKYRIFKSG
QTVVDLGVGHRSRDPDYLNFQMDVLYLQNGQVAVERTKPTGRIVGIDIIPAQPPKGVSTFQGNFLSTGVQAEVKRFLSDPTRGRPKEQIFSVYDESK
EEEERKTLMSEQDESYIDHERHMDEVIPPLIIRRRTKSKAHEERMVDVVLSDMSEPWPQTTGFWKRTLSDPYIRMMNTSGIPFKDHAGSMDLCDAAL
QFARDTLRDGGHFVCKFYQGLEDKELERQLRAMFRSVHREKPESSRSESKEAFFVALRRKHEAHAEEVKQDLSVAREEK

>RCO7_01038 | related to USO1 Intracellular protein transport protein

MDSSITYNEDDTIDSHLTKTQRLELAYQENVRNTEMIIKDECARRLRLRILLLENENDELHEQLAVGDDRNDILEQTTTELRNQLSDIQEDFRRQEC
ELRVQGRELNNLKAELTSMNGITTDSAKVLADKLSLSRELATLKPELEHLRSQASSQQNVLAEKLALQRQVNTLEVELETEKRASKRAAQKSQTSER
ENELQNQLDTLQKDLARERREQAKARKEVEMDLQIQLDEAQKALTREKRGKEKAHKEAEAEFQNQMEELQKELAKEKRGKDKAYKEVEAELQIQVEE
LQKDLTKEKKGKAKARNEAETELQNQVEELQKELAREKRGQDNSRKELESEYQSQIDEIKSELAHEKREMERVRKEIEKELKVLQARETVLESKLEQ
FRTKLRATKEELKASQVELSNARVVKSGSTAPKEDAPANKRRKRGALEISNDGEIGTPDGVAARGKRAPVKRGRADQTMVGEKSMFSITPFLNRTAN
IAMDTPENETNSVVAEEEDELEGTEGQQQEKATLRVEDGASTPSAVAKPKPQKKLAAKSSAIKSKILGESNAGAKNRKPAPMKVAKIVSTLEQVAEE
EDEENEQPDVGAIVPSKTIEKPTKLINGKASKLLAKDVSSKDGGAKKKKRKLLGGGKTLFEVEDGEVAKRPAKVALGPARLLGKGALPGPKGLNSVV
AASSGSGAFSPLKKDRRGVGASFLA

>RCO7_01039 | related to OST3 - oligosaccharyltransferase gamma subunit

MHFLKGLVVSLLPFTALAAKTPTADKFETFHTKALSSSPLKLDDTLYGKLTSAPRDYAVAVLLTALEPRFGCQLCREFQPEWELLSKSWIKGDKKGE
SRLIYGTLDFVDGKNTFQSLGLQTAPVMLLFQPTIGPNAGANSGPIRFDFTNGPQSAEQAHAWITRQLPDREHPQVVRPINWVRVIAVTTTILGTIT
FLAVAWPYLLPIIQNRNVWAAISLLAILLFTSGHMFNHIRKVPYVASNGKGGVSYFAGGFSNQYGLETQIVAAMYGILSFATISLALKVPRIADPRI
QQIAVCIWGLLIFVMYSFLLSTFRRKNGGYPFWLPPFA

>RCO7_01040 | uncharacterized protein
MAKGKAGKRGHEEVNTYEEDDFVENDDGAAPKSKKTKKAQSSSDDAEKFWELSNGRNSRRVTVQEFKGQKLINIREYYEKDGEFKPSSKGISLTVDQ
YKILLEIIPKVNTHLKGMGIDVAASEVPDGESEEERVPKKRVKPIKQEKANIEATSDEDEN
>RCO7_01041 | uncharacterized protein
MNGTSVELKGEGAVAISNGDAPETLTPSKSISSYPPEEDLTTRALQFLSTASAEVIGGIALGLAASTYLILGRLGLILIGAVGGIVLHAAWERQNQD
SASIERLRKEKGLDVVQRILNLRGTQNAGGEHENEDKVVGDSFEGFQPETATALTELVDAVIRDYVKWWYQPIIPSDQSFPTASRATLTRFIVAISQ
HLSRKRHADTFLDFLTNSSSIVIVFLNELSTALSASQGNVPPAEAVHTYLSAYPDSNLANVLNEKQQSRKFKMVAEDILQNFLEKPTYDCDPARTFL
REILGGLILQMTLSSCSKPEWINGWIVYLLEEGEPDLSQAIDAGMGSSNNDDSLGGPFHDFDGNVGNIGLAKPSKSIEKQKQEMKCHKKRLSKAEEA
MEEAMEEAQRLSQLIADEDAKKVRTQPNLLDDNPEALVAAVRKNAESLQLETSALTSEQIGAPGAGQSTPNEASSKSTQGKKPTTPTKENPTAQVQS
PDILSSPEISSSATIHHAPAFTSFDQIVPQAIADAPRDLSPMRRRKTVSLTLHNANITIHDDSTSTDKGRLRSKPNADYLVQIEPASSDHPGWMIVR
RYSDLETLHEVVRRIAQVSGVKAFSEQHQSLPNWKEHTKSSLRGELERYLRDALWYKELAESEGMKRFFEKDQGQSTSTSKNAFPGIGWPTPSAFET
MGKGMLDVLTSAPKGVAEGGKAIGGGITGVFTNIGNMGQKKIANGTHVAGRASTSILPRMENMNSVISSSRPGRASEDSLRATPIVSTQPSILPTMT
RRPSYNSFVESENEREPRISTSPRSSMSGRRSVPQSRDPSRASSSRRGTPLSSPTQGIMGDMKLPPPPGEMPDDYGSRLDDTSVSSPTDSNVPATAR
TSTSTAPSQVSPGHPSLSGTRKPFVQIPSVPNQKPRPRKEQTPFTEAETKVAVELMFAVINELYTLSSAWNIRRTLLNAAKTFLLRPSNPSLAAIQC
LIQDSVIASNTSDAGVAAHILKIRANVLPTEEEIKSWPAEMSTEEKEKLQVKARKLLVEKGVPAALTGVMGQAATGEAMGRIFDCLQVEEVAKGLMF
GLLLQGVRAVTQ
>RCO7_01042 | uncharacterized protein
MMLIVSAACHEMSWRGMAYRLATVETCRSPISCEYGKPGWNANMNMNMNMNMNMNMNMNMNMNMNMNINMNMGLTSSPYGR
>RCO7_01043 | related to vacuolar protein VAC7
MDDTFTPITGAVTQETAEPGQLTDRKLNREPSTSASASTSTSTSASKATPTALIPPATRKTQNKRLTSAANSPIPSREPSPVRPPLKANASTRSTPG
PGRSRKNSTQEVSPARSASASTNPPNAVATQRALSVASTPILHPTTSDPTIRAPVPQKGTVTTEVKETPRWPISPRLRSPPPVNKPPIIPPRKIDQE
LPSINVQSLPQQAEQKEGKQGSAESEAEDLLSIPGMRTPARGVSGTSSTLETVQEISQPSTPSEFDSALEKVEQGSSQSLIDQDNSTDNASTKTIKA
KTAIAASESGSESGGKGDIKMRSTSAVPQTTARPNGPSAKPFTGVGRGKPSGEGSTRNMTVETETVSSIPQIAVGGPAGAGNNGSIRTKPSSETIRP
KKEKKKTARKAPSVTSGTGEQKYLSGSRTRHHHHHSTREGSVVDSVNFAPRSRSPERIDGQGPFYRSISPTQSSSATSPTRSVSQASRRPSLNLQAV
GTMLTRSRPASSKADIFEAKVASAVDEANSSDSEETFVYESNPPEASERPRRFHSRTPSATSMASQIDQRNGVRTIMDGHHSVAMKKSMKFANSYNS
TGQEQTTGEDDGKGTARSNVGTGRGTTHHHHIGGRWSRNGGGNGHPSLFDNESPFPNATKQKTGNSPRQPSQPSSPRMANTRMAGNGKRASPIHSAY
DLDDGADDERTPLVSTVRTSRSGRGRRQASSMRQLEHQASRHDRSFLARFAGCLVLAVMITLVLSGVIGFTFATTQALTDVKIIALKNIIASEQDVI
LDMKVQARNPNLVVVSIDTTDLVIFAKSKYAGTDSEWWKHPSRADLFRRGLRRRDDDPLDPPLSGGGDNTSPNLVIGHVYAFYSPLTFEGSPFHAEP
YTSLGQIRIDHPGNDTSPSGSERWGRVVQHEFDLIVRGTLKYTLPLSPKVRSVSVEARVTVKPNAADQDPEDIHVN
>RCO7_01045 | related to protein kinase SWE1
MSYSNGGGGTITLPSPTQGTRHVDVSSAVRSLRRSLSRSPSKFRLVTKSPSSSPKSPLSPSPLSPPKRVSHNSIFGNSPTNPPHTPSPLAVPFPPSA
KLALRSSTRSKITASARPSTRTRTSPKSPIKRALGQASDSGNTTPHPSAGPVGGQENSTISSPAERRSFERVPKMAYTFDATPVNHALSRLGGDGAN
DSHTTSSTSSPLKRSDAIMNLDQASLGSPVAKRRSLHGSASFGHDFNVFDHGPSSTQFDIHDESNHEYELSTASIASDSPSSFTSMPRRSSSLRKST
LQQRHGEKTSWGRRQAAQALAAQQLANSGPVTTPVQSKNRPRLSLDQFMPPLPRDSPFSSQGSLPNASMHMINHPMHQPHPLSRTMTTSSSNSSIVD
ESPTHVPVHFGDQPRPKLDFSKSLPAGSLRPFAFEASGDDNSFATPQNYKSVKPLPAAFASTGLISKVNRHPEQQQISRGISKGNVPDTPCKKHVNG
FATYPAPVPGSAIAKARHIRHSFGTPSTPFNPHGTQTVQGTFGKGIGVFGSAFGNNGLTRRGSFLSVDGDENGGSPDAKSSRAITDFDLPPTPTKQA
PGQHQDDGSPSNSRGFPASTSPVNYGMAKHSRTSSKLKQFTRPDSEESNEGDGLMDVADSPTPNNNRDTLKSSDSVPSFSRSRTQRALNFRSPLPLI
PKSLTTSFLSPASRPGFTKISRVAPASPLERLDFFERLSPSTPQDSMIPPDPSGLSISNHRDGTQSGAQSMLPPATPTAGRDYFPKIGDRRLSTTPI
STFAPSDLDDSLLSRFEKVEMIGTGEFSRVYKVTKTTPSRPTTAQSFFFGNSGSPLSRKSPSTPMPERVFAVKKTRQPYSGTRDRQRKLQEVNVLKA
LGQSDHVLHLNDSWEERNYLYIQTEYCEEGSLDVFLSTVGRKGRLDDFRIWKILLEVGQGLKHIHDSGFIHLDLKPANIFITFEGVLKVGDFGMATS
WPAQSGIEGEGDREYIGPEILMGHYDKPADIFALGLIILEIAGNVQLPDNGPTWTRLRSGDMSDAPSLTWSSDSVLQRDATGIPLEESDINMDSFGS
DDDIETDFGSPTLSSRKRSYGNSSRSLSHDPGNLFGSARRGELHQAPPFMKDMYHEHALDKLVRWMITPTPCNRPLINDVLQSGGVAWVSARRRAGA
TVFEGNWGPADAVLADDAEMMDV
>RCO7_01046 | probable rRNA (adenine-N6,N6-)-dimethyltransferase
MGKLKSNKRNSATAGTSPYSKAQAATNNVFKFNTNVGQHILKNPGVAEAIVAKANLKPTDTVLEVGPGTGNLTVRILEKAKKVIAVELDPRMAAEVT
KRVQGKPEQKRLEVLLGDVIKTELPPFDVCISNTPYQISSPLVFKLLALPNPPRTSILMFQREFALRLTARPGDPLYCRLSVNAQFFSKITHIMKVG
KNNFRPPPQVESSVVRIEPKTGAERPGVSWGEWDGMLRICFVRKNRTMRASWLGTKEVLAMVERNYKVWCSANQIPIDETELGEDEDMDVDSVAEGS
EWGGIMEVDEDEDDTPAFFKEEAERLSRENGGKTKSKKKKTRVAELVKEKIRRVLEDVTELADKRAGKCDENDFLRLLSAFNDEGLHFA
>RCO7_01047 | related to flavin-containing monooxygenase
MRVAVIGGGPSGLVTLKYLITAHEFHPIEPIEAVLFEAKDSIAGTFRYRVYEDAELVSSKYLTAFSDFRHSSDDPDFLSAAAFCSYLEGYATHFKLW
PHIRLSTGVHAVRRRGAGHKVDFSRNGEIETWECDAIAICSGLHVDPYIPLVRGIENVPRVFHSSAFKLRQDFGVDKHIMILGAGETAMDLGYLGIT
SPTKSVTLCHRDGFYFAPKIVPVPVVFGIFNKSSSAQRNIPTDTSHMSLFDTAYVHPVLQKSPWQWNYYDWVSVKFGVYLISGTRHGLDQWVGGISD
GRYHASAIIPSKSGNAIPYISAQYRKHSFVDRMRAFVCQIPIKNTGDRKIDLAPWPESISLDGIVEFVESSRPEAKTMRGKSCRPDIVIFATGYSQR
FSFLDASYGTPLKADKRGIWKTGDETVGFIGFVRPAIGAIPPLSEMQAQLWVLSILDLLPAEPPKDIDYKLYIQPGRREYEKYGVDHESYAYQIALD
MGSAASFTAILRLGFRTSFTWAFGSNFNTKFRLVGPWKWDGANEVMRTELLDVSIRSGGLVYIVLYSIVPFVLFGVISFVLWLAFSLFDMVKCVGAW
GHLPRVKRRTFKRTWAAECL
>RCO7_01048 | uncharacterized protein
MKIPLDFLALGLSFSTLLKPAIALGQTYSVTTDSSQSASLLKLAGDSQSGQILLSADEWWGVLRAAEDLAGDFGKATGKSLTLGHWDGYGNSTRTGD
VPSVNATSVNATRGDRGQSDVKRHLGGIFRRDGGEAVQTEKRSSLPPSGEAGERSPPTSSVHEHVVRNPLGVTVSYKYQPVTSFVNYTLGPDKFFTG
PTLLSSSSASTKTVIIAGTIGKSSLIDFLIDSGKLDVSPIRGKWESFISQVIVSPLPGVDHALVIAGSDLRGSVYGLYDVSEGLGVSPWYWWADVPV
RKVNGVWAKGGKKVQLAPSIKFRGIYINDEKPALTSWIQANYADGQYGAGFNHFFYARVFELLLRLRANYLWPAMWSSMFNADDTDNQPLADAFGIV
MGSSHTEPMLRADAEWNNFGRQYGGNGAWAYHSNNASIDSYFEYGAERAKPYAANSLFTVGLRGLSDSPIPLPDSEAIAVLEAAIKAQQAVLAKVFT
NNKVSDIPQLWCLYKEVQGYYEQLGLTVPEHVTLLWTDDNWGNIRRLPIGNETSRSGGAGVYYHFDYVGGFKSYKWINTIQLSKTVEQMQLAYARQA
DRVWIANVGDLKALEIPIEHFMDLAYDTPKWGYDSALTWMKLWAAREFGAEHSDAISSILDRYSMYAGRKKYELLGPDTYSILNYNEADAILTQWDH

LANDAQGVYDSLEETAQPAFYELILHPVLGGQAVNQVYIWSAKNSHWSLQKRNSANKAAMDVLKAFKTDAQLTDRYHKLLGGKWNHMLAQTHLGDSG
YWQQVMRNTAPPVSFVQDLETSLGGNIGVAMEGSDGYLSGDDVTLLHAGSAGKLVLQPMNPYGPKTRWIDIFARGTAGCDWTLSPSASYVSLSQNTG
HTGGNNATDTRVFISVDWATAPAAPSNATVNINITSTCNWGFYQQPIIQVPIFNPSIPVGFTGFVESDRHISIEAEHASRNSTVKDVSYMTLSSYGR
TRSGVTLMPVLAPTQPAGTGPVLEYDIFSLASYPTINITLHISSSMNQNGAARPLAYGIAFDAEAPQVVQFATGMGALGAAADGIWGLFGSGVTTST
NHTLSTAGKHTLKIWAVEPGVIFQKIIIDFGGVLKSNLGPPESFRAGVDKVGTYKGDNFAGVDIKDGVTTGN

>RCO7_01049 | uncharacterized protein

MYFFTAVVFYFLLGCCRAATIQHRSKDQPEGFRKFFAGRSDGDLSHGAIVPLSRGVSTARRFRRDDTHSSGSPLTAVARNLLADVTVGRQTFKVVID
TGSSDSWVAVAKFTCTDAKSRSVDQKTCNMGTLYTQSAGVEVVPRIKLNQTYASGEFVFGPMVREKISVGGVTVQNAQIGAIEYAFWRGDGVNSGLL
GLSGPATTTAQDGNRKQVIYNPVFQEMVQQNVTQPFFSMSIDTVSSGPAGFLVFGGLPPVAHDKTFTTVPIIKKSGSFQGPLPYPQVVDYIIAVPSF
TVDGKVMAMNNLEMVVDSGTFANIVPNDLADQINGLWNPPATFNENRRLYAINCAATAPDVGITLNGKEFLMPSKAAVLKDGTECFSAWAGGGMIGK
TNKYFVLGDIFMKSVVSVFDLGTAEMHFAARL

>RCO7_01050 | related to nuclear associated protein

MSSLDDLFKKPAIPSNKRKLQASRDPSQLPKAPSHYSGLTLLDEIYKSAKLASNSHAKSNGKQTTVSEEDNDMEAGPSAPPDDEEDYSPDIPDDEEG
RFFGGGVTKEENEILDYMDGQESADVEPEKINSSWLRKMALNFEKKISKNAELRAKFEGDPRKFMGSEADLDADLKALSILTEHPELYGEFAKLGCV
ASLVGLLAHENTDIAIDAVEIISELTDEDVEAEQKQWNEIVDAMVEADLLDLLVSNFTRFNESNESDRTGVYHALSVLENLASRVSLAETIGQDTTI
MKWLLDRISKRESSVSQNKQYSAEVLAILLQSSAINRRKLCELDGVDAILQILAAYRKRDPLKGTEEEEFVEDIFDSLTCIVDEPEGKLSFIEAEGV
ELCLIMIKEGKMSKSRALRLIDHALGGQSGAEVCERLVEAAGLKVVFSMFMKKQDGQTTEHLLGIFSSLLRLLPANSAGRIRTLAKFVEKEYEKLGK
LVRLRRDYAARLDSVDSEIRAEQAKMSAESREDMADEWLGRRLDAGLFCLQTIDIVLAWLVAEDDGAKKKIADLLADRDESLAVLRETIQEQLDTIL
GDTEEETWTKDMLTALIQFLV

>RCO7_01051 | uncharacterized protein

MATLPKCVHHSLSALPVSHFATSDHFALPEQHLQSVQCVVWTTYPTKYLQNVADNLSFDDFFSLGLSRRDFLFLLTEERICKSFVQTKHSNEACAAV
KKGGGYARDLRIAAQRRDALSSAHPFVIATIGFCDAYVYSKGTLCYILDDRVRLLDLHLSAREGLVVSIPGLLAKAHSDIGDNNKGKFKCLYYSNGI
LACLYESSSDDSPAWLIAFYIKSKKILMTHELESKDKIFARHNSQHLYYGTHSEMGTDGYKKWIIQGYGYRTRKWYDHKVYLADMMREQIMKFALRR
RRDNWDLKIIEGWREWYKGCSKSQRTFYTTDIIFPVVVKDDEKSGLLPDAILQDPDVVTPTTSLWIHAASSDETVAAEASPSSTADPSITSVSSAHI
LASTVESSLMVDMQGTSEFPDVPLRKLIQKDDKPHHMRTPERSPDRTHPGNDGSAQPTHTLAKSRVRTYHTSCSTFLDLVDEPHPDDWQGKQRLRLR
AGSRKLGSPLLDRSGFIRGPDPNLNIALEEMYKVPPSSYWLKGQDLSRPGEHDDAPYRLMNLPSHLGNVEDDGREKPRLHENKLRSTQSLTFVGFEP
SINLVGLKQWDGVKQWGDLSGSRKAHSSAFREWQNGKEEEEDGEREMVGVGGNVEEAHTTVTIDVKGKRKAVAGSFEPMRYTSDGYANVNLVEGVPT
YAGGYECSGWVWRDKAVYRDTGLGLYMGRDRKKDSDQAV

>RCO7_01052 | probable RVS167 protein

MSFKGFQKSVIRAPQVLKSRFNIGEQTKDAIYLDSERRFDELEKETKKLHDESKKYFDAINGMMTHQIEFSQAIAEIYKPISGRVSDPDSIISEGNP
EGIRACEEYEAICRDLLATLQPELEMIETRVIRPADELLEIIKVIRKSAVKRQHKQLDYDRHRATLKKLQDKKEKTLKDEKAMYKAENDVEQSTQEF
NYFNDLLKDELPKLFALEREFIRPLFQSFYYMQLNVFYTLHEKMQGCDIGYFNLQLDVEEGFHAARGDIQEKAEALSIVKFKTTGAKRPPGRPAVGS
KYALEGKASPKLIGAPPTRKSTTDDEAAPPPYSSNTLSSTYGDEKTSIVQANSTASGPTWGSAAKAKGPAPPPPKPKPSRLSGVPAVETVTALYDYE
AQAEGDLSFTTGDVIEIVTKTNNENEWWIGKVKGRQGQFPGNYVKLN

>RCO7_01053 | probable Cysteine desulfurase, mitochondrial precursor (tRNA splicing protein SPL1)

MSSIASTSLRQASRLCMRQSAKSAGLLRSSGAVRPSGMSAQRTARRGYVSETKKDSAQVNVDTTIRADQKAFFAETGKLPENQAVPGTMVNADAMMS
PMAGVLKQATIMDEGQRPIYLDMQATTPLDPRVLDAMLPFYAGLYGNPHSRTHAYGWETDKAVEEAREHVANLIGADPKEIIFTSGATESNNMSVKG
VARFFGRNGGKKKHIVTTQTEHKCVLDSCRHLENEGFDITYLPVQTSGLIDMTELENAIRPGETAIVSIMSVNNEIGVIQPLEEIGKLCRVNKVFFH
TDGAQAVGKIPMDVNKMHIDLMSISSHKIYGPKGMGACYVRRRPRVRIDPIISGGGQERGLRSGTLAPALVVGFGEACRIAKEEMTYDSKRVKMLSD
KLLKGLLSMEHTAQNGDTEKFYPGCVNVSFSYVEGESLLMALKDIALSSGSACTSASLEPSYVLRALGSSDENAHSSIRFGIGRFTTESEIDYVLKA
VKERVTFLRELSPLWELVQDGIPLESIEWSQH

>RCO7_01054 | probable component of translocase of the outer mitochondrial membrane complex

MAPKRQQIARADPRRPAPKGYFSEAYNAITSTENASVVRSVAAFGVAVAFFSSSWAEYILPE

>RCO7_01055 | uncharacterized protein

MAESPSQVAGGFLLQSLPSPAPSNFSTSSTASNLPHPRSNPLKPGSAKEDAARRYVEARLLNVSRRYAKKFQPMEEGDEIKGYVSMSEVAKDLGDIV
DVVWLSGTPSLQIPYLLNVALAVNTNITAFPASPNATFALIRKLDHAFSSLLKGEDSLTGDILPGFSGGKKAGLSKTDMVRTKGLVDSMRVLIVDVM
GKEIENEVNDESGMETETDGEASPWDVYADGRWEIDIARVYELTVVELGTLLDSETFNVSAST

>RCO7_01056 | uncharacterized protein

MPTYGPLGTSVSLYTWEADAHHEGSAQGDLTQTYEVERIREDNFDNQRLDFLGPSSAPFFLVNAGQDLFSQTAGSNDGDAVLEVNPVTTTKRVNSTP
AARSILPGSPPDNDLTESDHDTTLSSLNSSLFERSPQTTEGTPRNEAGEGAGVGAASAPSRSTKNSNKIRSLMKPLISNNKAISKPITSPKPIKLQI
DLSTRSFMPSLISNVPEDVCVSVFYNGEFTYSKIFRWSTFSSGQKAECGHPTISGRRIGTTIEIPWVIKPMPQNVKLSVIEKHLLTAGATWDKIGQS
LLAEADKWGRDGKFDMFRNPVGEYLESLSKLPIPKRAWPLGAKGLSIGVVDVIIGLGRSINHPYRILHRPQRKLTQARCGLENQLFVVPKDLGSTKF
RQMIAAFQDEDDKKKVVRAPKNAPKPDTRPKAVEPRARRVPQSSASQVSALFKPMQRSRSATMSTSVISADPAEVTNASESFSTGHDGLIERGQISD
RYMALNIPADGSPLKVTSTAQDDSNPQQKPVISKPVISMPLPISKLPKNIPQKRYRGPTPPPAKAEDVISVYTEPSSHSTRSRTSVSIAHSPDVDIP
LASIPNSSQNPVDRTPDAPPYRRRAKSRRLSQPKTMISTGSPFGLDGQDDDYYEVWHEPLNFPQISGFPLRQHASAETNQVYRRDMDFGLDGTGDAP
KSTKRKRSSLEAPSSEVAPRSKVPRTKVKGQKASDTQSLLSNGDITAAGSALGTEAQLGNGPESLLNRPLSQTQDGNLATRKPRQRNTLSARELGSL
LEPHKPSVDADTSFGQSFKEIDFQSRPTRNSTKQKVRANFSSTTRPRVTAVVQDGRIFIIKGLRPSEFPAKNHRVQAFEATNPGPFRRPSIPRTSSD
GGAMESVTTDRSPVSVPRSRILGSTKSMGPDGSDDKLDLLVDKDSLHTVDKSAKALQAGGDIEIGQNLGKGALPVDTQKLAKDLPLPANGTSARANN
KENFHPSTKNGTHFSVESLQNQGLEANNAAVPDSIVLPSPHYKQQFHSVQDTDRIGDADIGRNESRGSSQRITSAVAHPTTSRNQKYGVKMPPIMKF
KTTASIIPHTEPQTPSKKEAKEKPSLTIQTGIANAYRTYDVSSTGQKTPTPRSAPLPPLDPARTRALTRTPRDTDQVSAIVMPSMVRFTPQRNATPS
RGLLADMSSSPTVPSPSNKARDLRSSKQSATSNASYFTQSQIRQAKRESLQPWKPSSPSQHSVLSYVDEKNNDGLPGLKYDKSTGRMCRVVKYEREG
IFRTSGILMGVRYVFGLGSDTAKQF

>RCO7_01057 | related to peptidylprolyl isomerase (cyclophilin)-like protein

MSVLLETSAGDIVIDLLIDYSPKLCENFLKLCKIKYYNFSPIHSVQKNFSFQTGDPLGPSSKDSDGGSSIWGVVDGPTKRTFPATFHPKLKHAERGT

VSMATAQSTRDPEERLAGSQFIITLGDDLDFLDGKAAVFGKVVEGFNALEKINDAFCDEKGRPLVDIRIKHTVILDDPYDDPAGLLELPESPLPTKA
QLATVRIGEDDKLDDELDPEVVERQRREREARAQALTLEMVGDLPFAEVKPPENVLFVCKLNPVTTDEDLELIFSRFGRILSCEVIRDKRTGESLQY
SFIEYEDQKSCEQAYFKMQGVLIDDHRIHVDFSQSVSKLSDTWRTATNSKRRHGGGGFGGVSGLEKKRQYKLEGKERRDRYGMVYDEDELRRRHERE
GKSSADTRERSRSRSPQRENVYEKRDGRGEDSYRGGGERDRDRDRYGRDRGYDNYRRRG

>RCO7_01058 | uncharacterized protein

MSTQAREVIIQYLAILGPFASPLRAIQVPAREVGFQSPVVDAENGKSNAVATLVVLVLSEPATLKQECSTYDFDPSGGAASRLNSRTGTMPFGSHAF
VPQSAPLSPDGYQYRNTSLPAYPYTIRPFYAMPSYGDFGEEGVDYGLQVPLMGTEHLALTPNYITSSAAGRGWTPQMPRTPLYVEQSETPYNHNQLP
FHGYPPRLNSNSEIKHGSLNGIGGSLPPPSLINGNVDRMLPPVPSSNNRTAQIGPYLRSNDGLPATTTLQTQPYPDFGMIRNSKHHNNNTISDNSSM
ASVSYMPMSSTSPESLSSSQMAYGSQTSMSMSQHSDIYTPPSTDGLCTNESSGAPSYGHISGASKGGSQSSHASSGDGSLPPLQNGSGPVNDREYHY
APAPNSSSYHYPMPPIHQPTPVSGRPSISVGGDQE

>RCO7_01059 | uncharacterized protein

MPRKMPLSNAFGSLSTQKNTPPSAERGPRSNTGNSSHTNTPVSAKGYDLLADRSIPFPYADSDSEGRRKRPSGQRVTSERSFLGSVSTPNSSKPAIS
PGPTTLVDLLVRSCDGCDGRITGVRHKCRIGADFYFCTECYRYVTINHSRHEFALIQSGQIDIDENISELANLDTGTRQHSHSSRGARCAQQNQNN

>RCO7_01060 | uncharacterized protein

MASCDLPSFDQEFFIHVASDQPTILTISDLQQSTFVFPRSSNEDDDHITLLVLAWTYILSARWAEIIPGACGPEYSSYEAEWEDKNILLANAPTGTT
TATAVIDLGYVDDDAALTKVTYSTHLGARSLYQSNAFLSRGTKSLPLPSQHRAASFATALRYLSSYCEFHGVVEQNYAALAAKLLLPVAKFDNRRVQ
LPTPRFRGKARLNKESTCKKPAWSDNLNQLDRLLTLSCNAVGTKALLNSVFFEPGVACNICGAWLQGTFAFLDSDIVEDQHALLRVLIKRDPSLGFL
WLEPVSKLPPGTEEISRADECRLMYLSHDQYYTVPPLFPFAPFGSTAMIDTNIDVRQHALCETRHSLEYEGLTWRCRGVQSTATTVPRAFLRAKDGQ
PIDGDISVNYENLDNEDDDNSELVTRNIFTWLRDMDGFPFAERAIREHEWIDNLDSDDDCPITGDAQSTVGGNLHGWLLKTMTGRSNSL

>RCO7_01061 | related to NADPH oxidase homolog 1

MAEDNFLTDEEVRQFIDDLDKNNNGYIEYSEVEYKLDQVHKEIAPEAKPHNLHHRNSDNEQRHEFLRSVMGTDRNQISRDDFTGIVQKWCVPSMKPD
KKAEDEHKEFMKHMGTGRKIRAWFAVRGPEVLFIGLVISMQIAFGTWQLVKYLSQMQYRHALGWGVVVAKTAAGVLYPTLFFLILSMSRYVSTFARK
SYYLSRFINWDLSQSFHIIISCVAIGFASLHAIGHLSGSFLYGSRPAQQEYVAVILGPDAVPKPYRAYVSTLPGWSGITALGLFYILALLSMPAVRK
KSYEIFQLGHLLMFPIIGLLCAHGTSALLQFPMLGYWLALPTLVVLIERAIRIVNSFRHIPAQIEILDVETVAINVAVPQSRFFSYKAGQYVFLQVP
KIAMFQWHPFTVSTCIGNNMQLHIKTDGDWTGKLRDFAKDGSGQIQIGIDGPYGAPAQRFYDFDQAIIIGSGIGVTPFSGILADMQARDEHMHSHGR
SNSISELNEKGPVGYRQGRFRRVDFHWMVKDKNSLLWFSDLLNQVSRSASSHENNPHPHLDVNIFTHVTQKRKNLSTHIFRFLLECHRTEQHPASPL
TGLLNKTHFGRPDLPRIMDDHYDSMLKWYKEMGEKGFNVKKRKVGVFFCGAPPIGYELADRCEILTRRAREDKSYIEYHFMMEVFG

>RCO7_01062 | guanine nucleotide-binding protein beta subunit

MAEQLILKGTLEGHSGWVTSLATSLENPNILLSGSRDKTLIQWNLTRDESSYGHPQKSLHGHSHIISDVVISSDGAYALSASWDKTLRLWELATGTT
TRRFVGHTNDVLSVSFSADNRQIVSGSRDRTIKLWNTLGDCKFTITEKGHADWVSCVRFSPNPQNPVIVSSGWDKLVKVWELSSCRLQTDHIGHTGY
INTVTISPDGSLCASGGKDGTTMLWDLNESKHLYSLNAGDEIHALVFSPNRYWLCAATSSSIIIFDLEKKSKVDELKPEFQAVGKKSREPECVSLAW
SGDGQTLFAGYTDNIIRAWGVMSRA

>RCO7_01063 | related to cytochrome-c oxidase chain VIIa

MAIKPITGMLRRGLVLDLSVAFGLGTTFGYAFWYGYHVPAVARRDAYYSKLEDRRAANASA

>RCO7_01064 | uncharacterized protein

MAPISPVELKKRASPSQSDNSEEPSSKRRRYDVDMPQTPPVEPPESYFESKTEKVPMFDDDPHHLLLRAIALSLEHVGFTGASSEALEEFCAEVDVY
AAQFLSRVTSSMLNARRSLPTPLDFKYALSEFDLPIASIEPHLRPPIPASKLLLQLEPASPVELAPASLEKLLGDALSGEAEKKVKPYIPKRFPAFP
SKHTFKWTERDSGRETNPRRVREEAAKLARQSEEALRRLTKVAKAGKEKDVKKAASKDPKSKARHEMWEKTIGALSTDRVEAAVKEGLEDNDRGLIV
NADRSFHRKGTAAKKKPPLPVIEGL

>RCO7_01065 | uncharacterized protein

MATIISSTEVLGARMLREIAAEEGSLEDLLKDLRAASIPNPSRTGIKALDSLWKTHGGKLSITGRTLPLLHHILIHLISPCHLNGTIALLDLTGRFS
PSHLLDSSSSSLPSLQKADLQHIHVFRPTKSNLKATLDSIETYMLYGEHRSHGKEWLGIIVNGGVGGDINLGWRGWLRVEREVVPALGEGVSVEEVW
GERGRREEALNSKGWRAEDGDCEGFMWRY

>RCO7_01066 | uncharacterized protein

MFKIDAQSLPFVQTRSALLVLDLQNDFVGSDAILPVRSPAGFVDRIVRLVPDFRATGNVIWIRSLFQESRPVNEEYGESESLITDAELKIKNNGDNG
DDADNNARGMSPRRSSSEIQDGSKKTSESNGYSSETSPGGALDKMGDPVMETFLSVKPGKHPQVVLAMSSKTNFVQEALVAVDVTKDLIFQKTWYSA
FRDGSLVQTLRAKFVTEIFICGVLTNISVFATAMDAARHGYTITIIDDCVGYRSRSRHEEALRQLVEFTGCEIVSSTVLAKKLQVKAKGRPPPPNSQ
PRPGPRGENSSLDELMSSLNVRKDRSAGKQRETSVPIPHSLVTAESPGYSRRAESNEVGHLQDIKIPSRPADGESKNRDRVRQKIRTRRRPSNPSQP
SSKESGAAEPSSGQSHLSIVETSDAGTKVPEDLPKSVGQATDMTSSSTQTEALKPDSKAEEFDMASLTASMSAVAVNTDYVIEQDSSSEDAFPVLCE
GDTTIIKNILDDKIADNIYEQIRDEVRWQTMSHQGGEVPRLVAVQGSLAGDGSIPIYRHPADESPPLLPFSATVSLIRKEVEKHLGHEVNHVLIQMY
RTGSDYISEHSDKTLDIVPDTFIANVSLGAQRTMVFRTKRRKGSKKKGSDAAIENVVEPRQTQRAGLPHNSMCKMGLLTNERWLHGIRQDKRLASEK
MAEELAYQGGRISLTFRLIGTYLDKDQTKIWGQGAVAKTKEKARTVLNGNTSEAEQMIRAFGNENQSTEFDWKEFYGIGFDVLHLSNTRKLFLSADA
VANLRVKLYLAEKNIDWIEDSLSPAFTWKDGSLNQGAPEIPESLPIKFVDNDISKTTVVGDFAIMLYLDTIYGYKTSLSPKSQVDIGRQYTRLQQST
LLVKRWRAQPFHVKHFQTELRIWEGYALEAPYIAGSTISVADFAVFAVLEEIRQEWKNAEGVHNVVAWYFRIRYRDSVMKVMGPLDESSRQREAALN
VYPGVRRWEDDTE

>RCO7_01067 | related to Glyceraldehyde-3-phosphate dehydrogenase

MVIYIRINGFGRAGTTVLRSAIERSKIQIVAIHDPLLDLKHVISVQDSHLIVKGYEINFCREKHAAAIPWKDAGAEYIVDTKGIFIKEAQAKAHLSV
DFKKVISCSLSVDAPMFIMGVNLRSYDSSTDVISGASCKTNAISPLAKVINDRFTIVEGLTTTIHAYTVNQKLVDGPSHKYLRDGRSAPQNIIPSNT
SAATAVGEVLLELEGKLSGIAMMVPISSISVVDLTCRVKKEASLDEMKDAVKEAANGILSYTEDEFASSDMKGNPNSCVFDIKASIAWNKNCFKLVG
WYFHQ

>RCO7_01068 | uncharacterized protein

MGLGPQCWTCRSRRVRCTSEEPSCQKCSDKGIVCSGYGPTKPVRWKQPTVNYTSSSSVASQTTAQSSSSTSNDLVRREMPELGNMPLPRSIELSPEK
RVIVRSIEYYNHYIAPDLVPVDSPFNPNRFTNDLSWMGEARCMIFLQVCMTNYHQSWKRVQWSPQHRPTNVPDELLQPASALVRIPGCQDITLQQQA
LKIVHKDLAGLNARQCVGLLSNILSLIAFQLQRSAFSSWRVHLSGARSLVTELGGLHNMEKTAGVTEWDKYHLTSLLIFAATTTPAHHIFGDEKYHQ

QVSAMFQNLDVDTSQTATPFPTILFAYISSVTQLRVRFEGNSDNYLSKQAVKLIEQIRRFNSRVWAEAVARRNPGVLPASKSNTEHIIQGYALLVET
IKAATALYALRTLFLPPSDRWSAGVERSELDSSFSSRTSFHHADFTLQTYHDLCQTLHELFKRKLTGDTSWKFCIWPMVIAGQQAVHYQDEKEKEFL
CWELHNMSRSLGAGAMQDGAYLISRMFHRQKQGTQKPGQKQSHNGRLTWDEIFEDSPLFMM

>RCO7_01069 | related to protein-arginine deiminase type II

MAYSLVSTLLSSLLISQITSAAFTPDIRADTNRDGRVDVEGNTDVPGKSFWSLENGAIFLPNIGDSTQRCSNVDRNGLPLSNKELAACSDASGHYML
YPKYAAPIRTVPLKDISNNAFAYVKITPQAAYDRTRLFVHDFPTDSSKDAYRLVDAEFSFNATQLRQGLVLSIDGRELVTDSKLWDGKVLVEFEVHD
GNTTAKDAVALKMAPVLTHHHLQKVERILTTQSNETDEFQSGFVKAMDDARIIAGVQTPLLLFNQSDDVWAQDFIEPGYSSMPGPNGPVSIRINLRS
AQSTRTGGRQIFEQLRSEGMGGFQPSGGFGHREINSFGNLETIPPYTSKSGAKYPAGRIIMGKHFSELPAQTMLTFLNSQVLQAPLILETGWLVVGH
VDEFVQFLPYDNELGFTIAIADTPGGLKVMRDAVAAGQGNGRAISFNKTVSPELAESEELTATISDMLNRTDFLYANEFADKWITHNLEILLAEIPL
DPKQVIRVPTTYKEANWGSGTAGDDGLPSHTSLALSGEIKTAGYHPSSINGVVIGHTYISPSTWGPIVDGRDLLAVAVEEAYSKANMTIHYVDDFLS
HHVGYGEVHCGSNSFRQTDQKWWV

>RCO7_01070 | related to glu/asp-tRNA amidotransferase subunit A

MASLSIFQAGIAELQHGLAIGALTSVDLVSSYLRRISTYDQGGDGFNAIPIINTAVFDEAAASDDLRLSGAKLRPLEGIPYIIKDSYKYKGLTVAAG
SPAFQHLIANEDARAVELIREAGAVMLGKTNMPPMAEGGMQFGVYGRAESSYNRNYLAAAWGSGSSNGAGVSITSSFAAFGLGEETFSSGRSPASNN
ALIAYTPSRGVISVRGNWPLYPTHDVVVPMTTSMDDMLTLIDILAVEDPLTAGDFWRDQPYLKLPKAAGVKGQSAHRRLKYNATLDGIRVAVPVPYF
GGPQFPGSEPVTISDGVVQLLKQARSDLEALGAIIVELPDFPLVSLYSNASLRAPGAPSLPANWWSGINGSTGIFNGLMAHSWNTFLKFNKDPYIPN
LAATNLSDIWPFELLSPTEQKQSQASGRTGNRYATFANITATTDYYGFANLSDSLYNLEAMREVFLHDWLDQNNCSFTIFPSQGDVSSANSDVNDAS
FNYTALTGIWFANGGESIRVLGVPTVTVPMGLLPGKQMPMGLTFAGKAYDDTKLLSWAYAYEQKSLRRIPPKLVPELPTDIFPLFGTRAAKKAARPQ
ISVEAINVTNVLDPDMMRVTVRGSISPTSMTLAGYPVSTQPIVSITVGTFDIPSPQLKIVKAMSNTTLGEYHFEGWAEVPRPVDPGERFKTWAPVAR
DKTMVLILARAEAGGMPSGLVEMI

>RCO7_01071 | probable Delta(3,5)-Delta(2,4)-dienoyl-CoA isomerase, mitochondrial precursor

MASPYPSYEYFLVTTPIPNVAHVQINRPQKMNSFHEAMWLELKIVFDTLSISQDVRAIVFSGAGDRAFTTGLDVQAASQEGVLKQQEGAADVARVAV
GIKRFVQGFQDCVSSIEKCEKPVICVLHGYSFGLAIDLSTCADIRICTSDVKLAVKEVDIGLAADIGTLTRLPKIVGNFSWVKDVSLTARLFGAEEA
YRVGFVSQVLENKDKAIEAALKMGELLASKSPVAVQSTKELLNHARDHTVASSLRYTGVWNSAAIQTEDVQKAMLSGIKKTKPTYSKL

>RCO7_01072 | related to hexamer-binding protein HEXBP

MSWDTAGGGGGGGGEWGSGPSKNFNEPANGDAGDGFDNGGDFRGGSGDAFGDAGGGGGGGGGPSGGCFNCGEEGHMKGDCPNPAKPRPCYNCGEEG
HTKQECTNETVVREFSGTCRICEMVGHRATDCPSKPPSICKNCLEEGHEIIGCKNPRKIDRSHIEDVSGEAAWELIKQGVAERDLDDVKDAVDMYVK
ACPDVTYAQLEDAFRSQGVGIFLIAIEKELNLTYTNMDLQGHLGKKYAISWRWDPKPRAPKEMDIWPTSPEENMERLADAGQPTDCKMPKCSNCDEL
GHTKKSCPQDQMETERAQVKCYNCDEVGHRVRDCPTPRPDKFACRNCKQSGHSSKECPEPRSAEGVECKKCNEVGHFSRDCPQGGGGGACHNCGETG
HRKQDCTNEKQLICRNCDAIGHLGKECPLPRDYSRVKCSNCEEMGHTKVRCKQPLKVEDGEGGDGGFDAGGAGFGNNAGGDDFGNNTEVVSGGGNFG
VAAGGGDQWGGGGGGGGGGAW

>RCO7_01073 | probable potassium channel beta subunit protein

MSVPEGLPKMQYRFLGRSGLQVSAISLGGWLTYGGHVESDNTFACMKAAYDVGINFFDCAEGYSGGESERVMGQAIKKFGWKRNDLVISTKINWGAS
HGENEVNNVGLSRKHIIEGTNMALERLGLDYVDLIYAHRPDRNTPIEETVRAFNYLINSGKAFYWGTSEWNADEIATAWRYADKLNLIGPVMEQPQY
NMLARTKVETEFAHLYEETGLGLTIFSPLKIGILTGKYNDGIPKDSRLGASSDPFVVGMNKRFGDESWKKDIEIVAKLKPVADKLGITQASLAMAWV
LRNKNVSSAITGASRPEQVYDSVKALSAIEKLTPEIMAEIDEILGNKPAEMIRRFN

>RCO7_01074 | uncharacterized protein

MVSRRSTACTCTRSLYLLPSLLFLHSILPSSSYAQVADLINTSPSTSTSTLQNSTGFPSSPTSTSNSPSSTQQQQNNNAYPTPPDGNGTNGRTSPGM
FNYYFIIVAIIIILIILAMLYYGKRKKQKAALMRSNSQRALAEDVEGLRNRFGMGRGAMRRAHHGGAGGAGDERQRNELRAEGLDERGEAPPPYNAG
SKPPSLRSGEGVDVRQVEQGTGNVVEMSGMPSARQDPPGYGQETGVNGSGSGSWSELDMARPGPVVTAPLRRDGTTD

>RCO7_01075 | uncharacterized protein

MTRAIRGILVECDPSIKSIILKIDALASSGHKFVVDDLDDQTLVINADMLGLLKQELDRVCSSVLNLHLSN

>RCO7_01076 | related to ribosomal protein L16 precursor, mitochondrial

MSSLTACVNRLSIASTTLRPVSPALVALSSNNTASAQDTSISRRPFSSTSARAGTWLLPTASEKKRSRKGRPRVPTGGSARGTTMVWGDYGLRMADH
HRRVSATQLKIGEEAIKVRLKVRMGKGKGSFDHWASRIAVSKVIFELKGDIHEQVARDAFRIAGNKMPGMYEFVKKGDAPVVGITKLDGVTLAELKK
PRRKDPLPMPGVLAAAAAAATSTSATISTSMSPEA

>RCO7_01077 | related to replication factor C protein

MPSDIRSFFGGKTATPIREKEVKKEEDSKKKRSKSRKVIEDSDDEEEPPKKATPKPSAKKLVKKESPKGEVTSTADYFASSNKPKPAKSTPVKSKAA
PKVENGSRSSARKKKTTASYSEVKDDDEFAFLEDGDDASDDIFAADVKESGKRKDDGYVEIDSDDEPVIQPKRTVTKGKAASQVKKKEDVEMKDADP
FVMVDDSDDMMVLDKPASKSGGKKRKSVDLESESEEDDVKPGSKSAKSKSVKPPPAKKPRAPRKTKEAEPESLEMQRIFDSIPLIRAPTPPPKDPNF
KYDFRKGGGGGGGNSGEPPGAGSKEIPVGAENCLAGMTFVFTGLLETLSRDAGTELVKRYGGKVTSAPSSKTTFVVLGTDAGPSKLRKIHDLGIKTI
DEDGLFAVIRSVPASGGDGKAAIKNAEKQKADMDKIKKEAEAMEREEKRQAVEVEKAEKEAQKLAKLKGSQAAAPVRRIDPSSQLWTTKYAPTSLNQ
ICGNQAAVKKIGDWLNGWPKAHKYNFQHKGPDGLGGYRAIIIHGPPGIGKTTAAHLAAKLSGYDIIESNASDTRSKKMVESGLGEVLNNTSLRGYFA
GDGKTVDIQKKKIVLIMDEVDGMSAGDRGGVGALAKVCKTTDIPMILICNERKLQKMKPFDFVTFDMPFRRPTKDQVKSRIATICHREGLKLPMPVI
EKLIEGSNQDIRQIINMVSTAKLDQSAMDFDQSKAMSKAWEKHVVLKPWDICHKLLGGGMFHPSSTATLNDKIELYFNDHEFSYLMIQENYLSTKPT
LVSNLNPREARLKALQLADQAAESISDGDLVDRMIHGSQQQWSLMPTHAVFSAVRPASFAAGLMTGQTAFTKWLGNNSKLGKLSRFVKEIQSHMRLR
TSGDRHEIRQQYLPVLWTQMIKRLEIEGKDCVEEVIDLMDSYFLTRDDYDYIMELGLGPQDQEKVHLETQTKASFTRQYNARTHPLPFMKATSVMAP
AKTTKQAPDLEEAFEEEADEVEIAEVKNDDEEADLKKDKYIKQPKVKKAAAKKAAPKKKAAKKDDEEEEEDDEEEEVKPKKSKAKTKAKPAAKGKGK
K

>RCO7_01078 | uncharacterized protein

MSFSAVASYSVNKGPEMLMQGYEDVFDEFIAYNATDDEASEYPLPDSVFLRSSESSLGDVSQSSNGDENNYMAAHISCQGDSWAMKDSAVASQSAEH
FYGSERAATSHSDLLSLGDIHLSPRISLPPSPAKPNQTLRRKNRIVESLSKTFQRGSATLDKSVLRSPIRKAHSNPAMMRTIHHKNSNLDLWGQRLD
LEAGKFDFDFAQDDAALSPPSARMLRHTQSLDPQKGELINGHTYKHALTQHASRSTICDTPLSTPTLGHYPSRQTSQKFCSDNALFPVTPQAHNSSS
WSQLPGYPDFNNSENSTIYPEIEPPLWWNHASTAPMAQPSPNMIQTNALRSSKNLASQFQNDLAYSNNDVVHDSSNRVNGLMIQMPDSSAQPSFVMD

DSPMLAPQFYTSSSRPQLHHKTNQHNRQVSYHARSRQHQSQPQNTTRTRKSRSDFQSSDSESPSPQPAAFQVRKRKTSKSGKQSTPRTPTSGPADFV
NYTPSDSRKILTGVAPSGSSKTKARREKEADDKRRKLGQAAMRAVRAAGGDVESLVEQGLFV
>RCO7_01079 | uncharacterized protein
MANSGSGDDYPYPWGGSIPKGRPDLKHQGSSTSDVSSLGGYQPDHRDSVVSVPSPPLEHSRSYTRDEVDISRVQISSGEGYDITSPYERSRNHGKLS
PKLPETLRFGTPSPTFKSGLKVFRSAQTSQSYEPISSPSVGPNTSMRSSRRYSSRRSGSSSSLLNMNHGTIHEGEEIDLSLLGSAIPMGMATHKTAY
ASGDEEDEHATIMSPMGFDVSSFLGPPQNEEQLRVVNRQEAAGILTGGLGAGWKPDATIRSADLYANSPISPNTPGGLTRGISFRKPSLHRAPALTR
KQTVREMGQFEANKRGKIIEVIVEEPTFDMSSFTGDSSASINFDQISGPTGTRKSTIPVATSETFYPQDNWKPFSMRWPYITGLITISVILAAAQEY
LFQKGALYTFASASKLSTWSYFTFKYLPTLVAVSFGVLWQVTDFEVKRLEAYYQLSRQGGALAAESINVDYITFFNFLRPIRALQYKHYAVAVSSIA
TLMAVSLVPTLQAASIELKKSKRSEEPGFEGEQEIIINAILSRVLSAILILIAGLGSLLVWQLGSRPSGLVADVKGIAGIAAMANRSHILMDFKNMD
TATPELIHQTLKSHRYSLRNSSLAPEDKVPLTQEEKDKHDQRTRQDNPHPLMLRLIAGIPFIIGMILFMILVPIILFVDIANSLTTRAPWFLTALAV
FIKLAWGTLETDVRMIEPFYILSRRHASPKVLTLDYTAMAFGWMPFRAFANGNVLVGLVGLGSVFAEILTICSTSFANVDGTRYIHASSEPDDGEET
PVTFWASFGLALFIISFLCLVAGLVYSRRRHPFLPRQPNTIASILAFIHQSKMLYDFVGTEKMNNDEMVRKLGSLGKTYGLGWFTGRDGEIHCGVDE
EELVSAYKHGDDARKASQPWRDFNEFY
>RCO7_01080 | related to acyl-CoA thioester hydrolase
MRTRTPFIEAFRKQQSGENPSLAVPTAIHERDLSPKSMEITRVILPLARDPWLLDRYINSSGHIRLGTIFMDLDALAGVIAYKHTGDSVMTVTAAVD
RITLKHPLSEICDLELSGQVSFATGRSSSEISIKVAKVPKEGQERSEEDVLLTCAFTMVSLDPTTKKPVAISPLKLNTPEEKAMFAQGEANYARKKS
ASALTLRKQTPNDEESDLIHQIFLTQRDYHNPSTPTRKPTSALSMRSTTIQSVQIMQPQYRNRHNFMIFGGFLLKSTFELAFTCAASMSHTRPTFLS
LDPSVFENPVPVGSVLYLTATVAYSDSELVEDGSLDKKSPEGSSRIQIRVDSKVRDIEHGHTKPTGTFNYTFEVAKDVRIVPETYAEFMMFLDARRR
CRLVGESVDGQGDGEGGGVLE
>RCO7_01081 | probable Calcium_related spray protein
MRPSILLSPLISTLSLLSLFSGASATKLIETKSLNTCQQNSSFTASLFNVVFTPNNRTITYDVVGVSSIQGNVSFGIEVFAYGYRFIKQTLDPCNMK
LNGMCPMSTGQIDIKSNLVLDKDTINQIPGIAFGVPDIDARVRIHINATANPDVSLACVEATLSNGETVDQKGVSWTTAVIAGMALVASAVTSGLGH
SNTAAHVAANALSLFGYFQAQAIVGLTAIPLPPIVQSWTQNFQWTMGIIRVGFMQSIATWYQKSTGGTPGTLLNSLTTTSVQVLKKRSASTTVGKRS
VDETIKLLIHAHELSKRATDTHSGTYIVRGIKRVAFRADIEATNLFLTGLAFFCIFICLTIIFVSLFKGFCELAIRMKWMKGNKFEDFRNGWFTVLK
GIMFRMVLIGFPQMTILCLWEFTQVDSPAEIVLAIFFFFGMTGTLAWAALKVVRIAKRSVEMHKNPAYILYSDPAALNKWGFLYVQFRASAYYFILP
TLAYLLVKGMFIAFGQKSGTVQAVALVLIEAVILIGASVIRPWMDKSTNSFNIAICAVNFVNAVFLLIFTDVFNQPGIVTGIVGVIFFVLNAAFSLV
LLILVLLATVYAFIRKNPDSRYQPMNDDRGSFIKSQTQLTTELDALGATARGDTKTGYKHNLDLDDDNDSWSSDSLRNQANQPIPPQTANSGAAAYR
DPPHSPLDPSVPLFPAGHGPPPNYHDKPHPMYQNEHRNPSDVPLMGSRPGPSPSPYSNPNNSNLSAAYRAQNTASPAGSRNNNNASPWQRGAGYEH
>RCO7_01082 | uncharacterized protein
MKAYEASKSRLGPQRFRVVLTNWGWTDDDVDLHEKMLMRQRENWDWQGECQGVQEIESVEKDRPEQVQDAVEKGLEGDEEPFDELAEPRTHYRNETE
TTSMGVCLPSSRPSDWNFRTGQCTPIGSDTQWAEVDWASLLNPTAFTVLAEDSDATKILSDKVNSAVHDFSASLSHVCTRVEKIFAQMSTLFPTISA
QNAATLSQSSIVEPSSQSLATASTLQPVQVSTDGLAPSKRDPNDPTELFTAVAAHALPTPPSLPFASQEYAHSESGLPTSHDLMNVKTIEVSQTGAW
KIIGDSFGNHPTGSEPTSLDLDDDVKIKPELRKRESTDQSEGIEVNTSESSKVTSTVPNTNDSPAVPGLRLQVESKASVLKRSWDFNYNDDWEWAHC
WTGQIEWASCIKQPRYQLFKKIRRLIREAYYSQFPGLRNLTQSRLFKKWLQRRTVVDGRNVVEVPENIASKPSTALTDASHCSRLDDIGELPTVDDP
VCDAHKYSRYPSIDKGDQDRGFATASSGASTLQCTNPFAVLIFFLVIYLFFSRRTVHVFSPRAEIQSVHPAVLTADLNQDPNDDNKDMDSADPEDSE
PFQRDSQVYEMQVTTIRYRDLSRLVPGLRPETEKYPMGRRWSL
>RCO7_01083 | uncharacterized protein
MSIVHIVLFEFKPTTDSAVIQDVCKRMLALRQKCIHPTTKQPYMVENSGGRDNSPEGHQGGFSHGFVAHFKNEEDRRYYLEEDPAHLEFVASLKDII
QNVRVVDYSPGVF
>RCO7_01084 | related to iron sulfur assembly protein 1
MAVTRVLTPLASSASFIFRFASSPSTLRPCPHILRTFSSAPSLQASSKRKMQTSTAYTPYSLEPQPPPPRNAEIPDTSIAGSMPQVNDTRPPKLTQQ
YEVTIDPPAEEEGSVSIREKEAQISRPTSTATKASSESTLDKPRAKPRPKLRARKAAMKLTPGAVNQLRELLNQPEPKLIKVGVRNRGCSGLAYHLE
YVEKPGMFDEEVEQDGVKVLIDSKALFSIIGSEMDWVEDKLNQRFVFTNPNIKEQCGCGESFMV
>RCO7_01085 | uncharacterized protein
MEPSPLTQQARPEVFQQKVVALYEELFKDEEDHEKTEGYWKEFFLLKPDKATLQKLIWELSPDDLLHLQVQTRQLFVRAIGCIKVGSAPADAHALDT
LTAFLTSVLSKKYTNASSDIINVLAGLDDVDNVFTDFVAALDVTIKTGRCLEIRQKAIEVAMSVVSGAYQTSLLSYFTHRDLFPSLMKYVQDSDTTS
RAFAPFTLLGLLANYNKFESQNPYRLRLDDFVNEGTIQQIIKSVGQICSNARNKYVAVQDDLPEGWSFSGTLSLIGLGAIAPGGSKPTTPAIEPEVA
KEMFAKLPVSEAAVLLATYDFAHANKLFCFNFVSLPAEKGLEAPISSFVSLTSYLLQHAHTSLRNTQYSHLNLLIIRLLIEDQVLCKRICSDESKMP
IRLCRQRSPYVPLVRGERVLAAILLDTMIDGINHNLRRRLDVELYIICVGIILRIISHLSRSRTRLNYHWSELFRSLLALVRFLTTYHADLKNSSNI
EILLDDLVNLIALSLSAGESFLPTPAAYDDLFYKLVETGENLVKFRDSYDLGKQPTSSIDTLVSVSTHYNQLLEDGASRRGKHLTSVQVAGVIKQGY
ETLSIQAKEGLDSWEKYREADRRTFLKKMARTTVGDVKTFISEM
>RCO7_01086 | related to PRM1 Pheromone-regulated multispanning membrane protein involved in membrane fusion during mating
MSSARNQPSQAVFPAVPSSLNAGEHEMHDWPPNYAAPSNTTPYYTPYLGLRARLSQVWINRWTVLLLLIICRLLLATKDLDNDISNAKSEALSACTS
VEKVGSAMASMPHYLSGGVNSLAADGVTSAVNGLMSMLLMSVTAVEEIILFVIHMMTSTYLCLITLAVSGSMHVALDLIEKVGDFVNKTIGDITSGM
TSEIGDFEKGFNGFLQGINIGGIFGSSKDPPKINLDGPIDKLRSIKLDTNALDADLAKLNASIPNFEQVQNFTDNVIRFPFEQVKRLMNESLVAYKF
DKSVFPVAQKEALTFCSDSPAINNFFDGLIKVVKKSKIIFITILSILAVAVCIPMAYREIWRWRQMQQRSVMLQKSAFDPMDVIYIASRPYTSTTGI
KISSKFKSTKRQILSRWFVAYATTLPALFVLALGLAGLFSCLCQYIVLKVVEKEVPALASEVGNFTGTVVLALNNASTAWSRSANEVIASTNREINS
DVFGWVNTTTTAVNGTLNTFTDEMGKALNVTFGGTILYDPIKEVLNCLIGLKIAGIQKGLTWVSDHAHVDFPLFKPDVFSLGAAASIASDSDATDSF
LSSPGSVASDDITGAVIKVSLKLQEAIKEEVFISLALIGVYLLIVLFGLARVLIGFFGRDKTKTEGGPRFTGEGRTPISPRSPNRGDMASFPAFGAP
VSSIYPTRSDGDLWITQGGAGMGDEKMGTVGHRSVEASVKPGHERASSYGHMVDVKH
>RCO7_01087 | related to actin-interacting protein AIP3
MQAPPTSQRSIQRRSPAADPGPPPSVPARSMSPGPGAQPRTSSNSGKSVKSGSRRQNVAPSPTPSHNAPPLSQIEKSVTHLLVATKQLLETLTQWSR
HQATDAQVSDVYVRLGYEFNIACRAFTAINVDTSDLGNVPELLRHILESTLSQEASVESLEKYLPRIRDIIINLLHGLKRKQQKLRQKQARDSTNSN

GDASVPRASSISSVGSANTGLTTLLDQGIQNNFRREDGSSDARDSMSQIEASVPPRISSASSTRRNVAERDQSRGSLSSSQSTLSSTTMQSMPVLPP
YPADGQPGQPPSGPEDFSVDNFPPPPPPPKEQNALAALQRGGDLERRASRRYSAYQISKHLGASPNGVPMLPPPQNSPIPNRGRNDARESMRAVQNR
GEQKHARQQSNRLNVDTSPARVPSRISEEPSPGPPVFLQPPVSAADDSPLVKTPEDKIRQPIEDIDAPSATLQGPPSDALMTLPIQHPETLERPRPG
TPQDQKPAAVTLQTPPRSVEERNFTPDLSPPPGKELTVFLQYKTKVKKFILTDGYNDLSMARLQLAFIEKFAWSTHNNGVDLPEIYIQDPVSGVRHE
LEDLADIKDRSVLVLNIEVLDEVKRHIDEGLGGIKKIIEGVKVAVDDQQATIQRVSDRQQDAAKEMARLASVPSTSSRVSYINNQKSAPSISPSKLK
NADQITELHGLRRDLAVIRQVYSEFQSDVQNSMSTIRQKASSVKTVAAKAAVPDMKGDSGRSYVNSGKKNLNEDSDKLVGQVDDLQDIVEDLRKDVV
LRGVRPLPRQLETVAKDISQATMELKKMQDFLKRERPVWTKIWEKELETVCNDREELTMQEDLAADLQDDLEKAAQTFALVEQATKEQMKDVPGNSN
AARVLSRGLNHVIAADPSVAKEGVLGEVRALQPNHENRLEAIERAEKLRQKELESRRGGEFQKELGSFVEQGKLKKAGGFEEVERARKLKDERIRKE
VWERQNGMTQADAIAAEDAEEPTAVDDGEEKEGEAPSDI

>RCO7_01088 | related to PBP1 - Pab1p interacting protein

MVQQGKKATDTPNGTAKNSQSNMSFQRKEMTGSGKIEGRQNGSFRTDTAISGNRTQGERPLQRWVAEGPADTLGSLESGRMTSSKGGAWDQFAENER
RFGMKTDYDENIYTTTIDKNHPQYKQRLAEADRKAKEIERSAANNSHVAEERVVDNLGGGENGGDEEDKYSGVRRQQDFPPLAPSNNRYTPPARRAP
TGSSTVSGAPVDPAIISSQLARPDKPAMEKVKTPAVPALPKTSKAEASTPPTTDSSVTATPDSKPPAAVGSSSSRTASPQVKADGVPNATATVERDV
ASAFKGFAAQQRKNVEASRISRARNDKEIKLNDLKKFADSFKLTTPVPQDLVPIIAKDPAKQKEIQEKAKRNAEENKANPSEGVKPITPVDMRTSQR
PAAAATHGSSPANATTRQNPPRNTGFAHQQYRGSSQAPQSTAQQSRPVAGLGGRLKSLENNKGSPLPPNPIPAHEARQPPTGPANGDPNFSRRSSGV
TSAQGARLNPTIGEFRPNAHAVSFNPNGNPSNVSSPRSVINSAPPAPITRSLLRRKPRAEADRPSIKSKFNSLDHIESIKPAPGKNWALTGGLKPAY
ETPVLWKIATSVDQPDSAIHMTYTKMFEMAPFSTHAISPAAPPNAVPQVPHQHQLPFHLQQNGHNPAVRQSPRQIPMNMHNQMPHGPTQPYNGHDDH
RMMPSHSAQSFASPRMQHNQMQYSSPMNQSVQMYNQHMMPYGPGAPPMQPQHRSFSSSHQYMPQPGPMGPIMMTNPNGFIMTSQGMAPGVGPAPMFP
QGSQGGFMPPTNGMPPQMPGVNGFPSPGRGGAMMMNQGSQQGHQQPPPMYGVNPGMNPGMNPGMSPSPQYVNTAQGYNQQPPQNMGMRGYGGGPNQY
GTSPQHMHQFAPQQHRNNHSNGNYNKNFQSHGQHQNSPSNNHIPTGPQARASEGNEETK

>RCO7_01089 | related to MGMT family protein

MARTDEAEAFFHAVYSAIQEIPHGKVTSYGHIARLIGTPQRPRQVGVCLKHLSSDPTSRFNNANVPWQRVINSKGIISPRGHPSGATHQAQVLRSEG
VTVNTGSLGELMVDLGEYGWFPRQLPSEAAAGLVYDGSESEGQGSE

>RCO7_01090 | related to DAN4 Cell wall mannoprotein, expressed under anaerobic conditions, completely repressed during aerobic growth

MHLTTSFLSLPASILLLIATHSSAQTPDPLEIPTSDQWPYNLPPHVKFWPEDPPSRRRDLEAIEKHIQLGRKPVGVMKMSADEGEKFYMEYWQFEGE
LGQKKGLFESRTLSAARSVSKDIRDEDGSAGNGTAVVRFRPPFMLHSENPFTELELRARRALKASEKRDFTCPIGTSSCSGIGFPGSCCTGNERCFQ
ITDTGLGPVGCCPAGASCGGVITTCDAPNTACSAVLGGGCCIPGFSCVEGGCALTPALVVTAVITMTFTVTASSTTRTSTSLSTVISTSATACPLGV
QSCPASLGGGCCPTDRVCALASCAPSSSSSCSTSTSLSTYLTTTTSATGVAPVRPTSGTTTTSNPVPTTCPTGFYACQAYYEGGCCRTGRNCEKTSC
PPTSSTTIVSSGVTIVVPVGSAAAVATPTGVCASGWSTCAASVGGNCCPGGWECGTASCSSVGAQSTAVQQKSSPGMGGRTRGEWNGVRALMVCGLV
VVGIVLGI

>RCO7_01091 | uncharacterized protein

MATTARAPINQPAPQAATTTAIAAQTQTDTQAILHLRGAPLNSERGSSRRRIQWAEDVVDNEGLGRKKSKVCCIYHAPKGIDQSSDESSSDSGSDSE
SGDDGTARPVGGKKGGQGDQCGHGHEHGQKGGKGAGEGSQRKRSPNAYERLPKVKEALKKEK

>RCO7_01092 | related to pectinesterase precursor

MRFLLALSSLVTAVFAVGRTSAPAGALTVGSGGKFSTIQAAVHSLSTTSTGSQSIFILPGTYKEQVIIPARKAILKIYGYTQDTSSYTGNQVTIIHG
ASLKNGAPNNRLTGTVVNDAANTAFYNINIKNSYGAGAQAGALSAYNTNQGYYGVALFGYQDTLLSQIGNHIFAKCYIEGAVDTIYGQQGRAWITAS
DIRVNGVGAVTASGRLSGSDVSYYVIDKSSIEKTPNSSVPPATVHLGRPWSQWGRVLVQNTVLSSIVNSAGWSVWHQGEPRTSAVTFLEYGNSGPGA
AGPRASFAKKAAAPVTIQSILGAGYAGWVDMAYLPKK

>RCO7_01093 | related to protein N-acetyltransferase NAT2

MAARGALRFPVASRSAFRNIQPNISLRSLAQRSFTNSARASSKTTSSTGFTFSSGRPSLRNPTLLQRLRHSIRSIQTSRTRRNGKSVSPNPTPNLGP
GAAAEAEPTTLGGRMKKLGREYGRWEEVVITNVKKLIPDSVEQFWHEWRAAMKKTEQEYTGDDVISDTVEMAGWGVEEATEKNKKDASLATTLALAY
AIHKSFIFARVPLTVAVTPKLVRVLRSWGWDIGRRTTKEAKALKRASLPLKKPRARLIRRRKP

>RCO7_01094 | uncharacterized protein

MHFSTLLLPLMVLATVSGTETKDCNVSSCYASPLPPLSPLSLTTSRPTPWGKPAFTLPNGTLCCDSLTQVRAGINAINAQLVELLAQRAAFVREATR
FKRTIDSIDVPARDREVIEGAVNASRKTEPRLPETIARAVFEAIINASVPFEECVFGESEAGCGEE

>RCO7_01095 | uncharacterized protein

MDTLVPPRPVTPKLQEQDNPSLDSLPPQPHWSPITPQPYVNSQPEPKPKPEPEPFFDRTACVNEQQTRLFRDPRAALLLHTYEAANTLFPNTYYSHL
APQGAHILRYGQAAQTSEVVTDADFLAVTIRDLDGWLQCGSGGKVMLLRDRPWSTSRPSTSSSTILQEAAAIDPDMVIDVQDSGQEYSDEHPAVRGL
RLQDAIVRMNDRKQAPINALNIECKEELLIPPPLARHCRELVNATRYASSRAVRLVGHMTEIGKKTTETIHTHAVDIQSCIKFQINGQAGAFSSWHM
DNMGVYTWVTLEPTVEYSLKAAYEDSRVAAGEYLNFYSTPEDESVLKLWAIIVTSSPAEDAEARAGFGKHGEDWMPNPKWIRVLALTRFDTLIMPPG
TIHAPITVTDCLFRGGMVLQKRFLKDTMQHWKFCISNPHCTNEAAPKQTRSVIDYLERVIVANPREYGFGDDFDEHVFKEECKRISAVALSCRCKSG
CNRGSGCSCFTYGQRCGAGCHKGSKCSNPCGVHETGPLASAATQIGTETKPKTRSKRPRSEDAETKPERSIEPWAEPRAGLQEELKVEPFVRPKTEP
IAIPPEPIIQN

>RCO7_01096 | related to UTP5 protein

MATKRKLPLKIGVPAIKQSAKPLGKSTVDDSRAVISGGGYATKTANDVVDISSDSSSDDAVEEADAEDAESAAGEDVAMEDAQDTADPSNPNDEGND
EELAEPSFGDRIQALADEPIDVAAAFEDPSQALTYPNGAPLQPPSGASLGTVLSQALKTNDVALLESCLQTTDLNTIRATIQRLDSPLAGILLQKIA
DRLFKRPGRAGSLMVWVQWTSVTHGGYLATQRDLIKKLAELDRVVDGRSTALRPVLALKGKLDMMGAQVEYRRSLQDQRRRSEEDEEDEGVIYVEGE
ESNDESGAKLLRDGAGPLSDPDSEMSDDMPMTNGVGSDSEEESSDEDNLLDDEAEETDADSGDEEENDDDSRGEEEDDSGVESPPAKKTKSVFSKK

>RCO7_01097 | related to bromodomain protein BDF1

MTSQVPEGVAFEQKTQPVPSSEKMALDLDINGNTNPDETYMNDAANDIPLNDRVSSPLPSEKVDALDILEVNGSNNADAFSSNQTITQPNGHAVESH
AIEPRSPSAQEVDSSNTNTEEQPSASIDLPQPEDPAQPALFDSAIEAAIEDASATTTVPSVVDAPESDLRHTSPPPVPEQSDQPEQPAVLDLDLDSA
QLPTPKPEKETDTSGVSADVAELTFEHNEAASDNPLDLGPSSPQQPALTVEEDFVMQSAQATPQTTQESKDSTEADISHPASLKIARERENDDETEP
SAKRAKTEPEHALSDMAPPMQNGDQDDDMEGVELDPNSAPLTPYQVKELVKILKAVARSANGKNFRAPVEELWPLFAVSYAAKIDREVDLKTMEKTL

QVGGYTSMNNFREDVQMIYNNALTFNGPGHMITNSAVETRNAILAKINNIAAEPVPAPKKDKKAKKSTPVPETGARDRRVSKGLHAAPTNLGAAAQT
FAVDPVTNTPLIRRDSTKGDGGRPKREIHPPKSKDLVYSSRPKNKKFATELKFCEDVLTEVSKPKYWQMNAAFMAPVDPVALGIPNYFAVIKKPMDL
TTMKTKLNGGQYSTASDFEKDMRQVLQNCYKFNPPGNPVHAAGKALENLFNEEWAKKDSYIAEHSPAAASPSPLDSDSEEDEEEEEEVANHNKNSLS
AAKELLLEHQQKLINLMSAKVKDEFVISMQQELVDTVTKRVKEEEEASKKKSKKVKTASKAPRRPLAPTKKSGAVKKPNTHRPKYMGTLEKETISAG
LMNLPDDVSMQVLEDIKRERPGLDAEDDGTLELDIDSISPNLLWKIYGLIMKHSPEVEASIRKSIQARESPKAPAKPPPKKKNKPMSSFDQERNISI
LQQKMGTLERQTSGSRSQEPTVMPTVEDNDSSGDDSSDSEEE

>RCO7_01098 | related to GTP-binding protein FZO1, required for biogenesis of mitochondria
MSQELHAGKDKGKGRSLQHEEEASTSSHRQSNNPRYIPVGSGSISASAARLQALLDTNDSGYGGSISADSPYAWSPSGAMTSASVPAATGEVLGSLD
EDRGTRANAIHQLWYNKASSISCAVCYLCCRDAQIAARDELLMASNISFESTLQKALAAINENTFATWQVRRSQTSFGESSTEAESSRAGEARVVRE
PRLFTSQIAHDFAILKLDLKLGTLHQTELVHSLEKRSIASLLDGKINSSIKHLLLLRERIEDSSSKVLVTGDLNTGKSTFCNALLRRKILPEDQQPC
TSIFCEVLDAKENGGVEEVHAIYTESVYNRHDESTYNVFRLVDLETIVTDNRTYSQCKVYVTDNRATNGSLLHNGVIDISIIDAPGLNSDTTQTTAV
FVRQEEIDVVVFVISAANHFTQTAKEFIRSAAAEKAYIFMVVNGYDMIKDKERCQRLVMEQLHGLSPRTLKEAADLVHFVSSNTIPLAGPSHPRGCR
GLHTGDGPDSDPSDPQGPGSEDGKHKLLDFERLERSLRHFVLERRSRSKLAPAKTYLLNLLGDVNMLASVNEEVAQTEIARVSDELADLEPALQASQ
KRKKEVSCQVDTIIETTCKSVFDHARSTLTSVILDADTKDFGVPYPGLLMCFQYADELKEAMLYQIFQSVMACEDHARRKTTEGVNSIKELGITNLG
NEYVELSFKSESMFRRKRDILARQIRVETELWDIFDWSAILQRPENVAGTGMFMTIATVVGGRVVGGHGWVDGALGAFKIVGHSNLRKLAIPAILAT
TFAATAFILSNILRALPQRLSARFATQLQSIDYVHANSDRISSSVRRVLRYPADDLKVSLQRTAEQLGRKREETRKICRESEVAKKYFGNLLSCSAD
IRSRVEAIDLDGPASDAAAMSS

>RCO7_01099 | related to TAM domain methyltransferase
MSAPDIISTAAAIEDAIEDAAQVPSTDRATAEPSLPLPTGVEEAPTPALPLAVPVLGPVQADVPAGAIEADEDEALDNDSAFGDDVSEASSRTSLSS
GIKRYRVENGRRYHAYKEGNYLLPNDETEQDRLDLHHHIFNLVAEGRLFYAPVENPSRVLDAGTGTGIWAIDFADQFPSAHVVGTDLSPIQPGWVPP
NLEFEVDDMEDVWRHKPFSFIHLRCLAGSLKDWPHLLEQAYENLEPGGWLEIVDFEMYVRDQRAPDADAPGMPDLSEGKSINMWVRGLHQAAETIGR
TFVPLGPWAKNRRQKEIGLYQQQNMLDASSAYGAAHFTRVLEWSSEEFQVLSAGVRNEMKDKTAQLYSNLYVVYGRKPGSGKDELEAEVED

>RCO7_01100 | uncharacterized protein
MAPLTPSVPRKKVAIIGSGSAGIGALWALNRTHHDVYIYEAADRLGGHTNTVEYQNGKYKTMVDTGFIVLNTATYPNFINFLKTIEVPTVPTEMTFG
VSRDDGLFEWAGTSLAAVFAQRINLLSPRVWRMIFDIIRFNQYALDLLKLEERSEEYNVVNGNGHTNGNGVHHAERQETIGEYLDREGYSHAFRDDY
LIPMTAAVWSTSPDKCSLEFPAVTLVRFMWNHHLLSTVAARPQWLTLKHGAKSYIDAVMKGFPPNHVLLNTPVNTITNEDDGRVRLHLNGGKSEVYD
HVIVATHGDQALDMILPEADIEEKNILSGFQTSKNTAILHSDLSLMPKLRKAWSSWNYITKSSPTSANIDQVCLTYNMNILQHLDPNLFGDVLVTLN
PLHLPPPEKVQGRYTYTHPLYNAAAIRSQSLLPRIQNTRGISYCGAWTKYGFHEDGFSSGLKVAQDHLGAQLPFAFKDSTFSRGKRPVLGIADWVLR
LWIVFVQLIIVVIERIFRVDRTQKVQAKKALKKTM

>RCO7_01101 | related to vesicle transport v-SNARE protein
MSNPLDTDAGSELFSSYEAELRLVQADLSQKLDQIPDLAGEPRKAAISQAERAVEEANELLDQMRLEKQNIPSATRTKVNQRFRNHESDIDSSKRKL
QSLSNDRSALFGARYSDNPNDVQLEQRQQLLSGTDRLDRSSQRLKNSAALANETEAIGASTLADLHRQRETIQHTGDILHESEGYVDRSVKTLRGMA
RRMATNRIITIAIITVLVLLIIAVIYSKFK

>RCO7_01102 | related to conserved membrane protein, putative
MAFLAPFKGAKPTPLLITVRFTTSIPDLLLDIEDADNTTVIALKHLLRLNLDPPTSQHRYRFIHSGKLLKDDDILSEILKIPLPPPPAADPKGKGKA
VEPSPPRVYINCSIGDALTSAELAAEAVAALASTDKTKKRDRSETREGGSRPLKSTTIAPRGFNRLLTAGFTAAEVNQLRLQFRSIQENIHTPDTMP
SSETLLRMEDAWIDDNAGNAGAGAGAAGGGGFDFGDDGIGGGALDDLLWGSVMGFLWPLGCIGWLIREPGVWSGRRQIAVFMGFMISLGAGTLRVIS

>RCO7_01103 | uncharacterized protein
MSIFANVHNLAEPTTSPLVHIIRHGQSLHNVDRGYPHRDPPLTAAGHEATKQIEISAVPDLIVISPMTRTIQTAMNAFPSAGSAACRTEAQIWPDLR
EAHDAVCNKGISRLDIQAKFPHLSFSECPEEWDYPPHTIEDATVRAEKVRGRSRELSKVYSNIVLISHRGFIAFLVNGDRYDVCEKRSYRFGTDEGI
EADSLRFGINVDTKTQQDFGPTILVPQIL

>RCO7_01104 | probable BNA3 - Arylformamidase
MANRGKIQPAKRVAGQKQDVWSIVNEAAAASPVQPIVNMGQGFFGYNPPDFILNAAKEALNKVDANQYSPTRGRPRLRKAIADAYSPLWGRKLNPDT
EVTITSGANEGMLSAFMGFIEEGDEVIVFEPFFDQYISNIEMPGGNIVYVPLHPPPNGASQNTSSGEWTIDFAELEAAISPRTKMIVINTPHNPIGK
VFSKDELLKIGELCVKNRILILSDEVYDRLFYVPFTRMATLSPEIEKLTLTVGSAGKNFYATGWRVGWLIGPPELIQHVAAAHTRICYSSVSPLQEA
AAVGFEQADAQNFWETAKKEMKDKMDGFNTIWKELDLPFSDPEGGYFVLVNMKRVKIPADYPFPAHVKDRPRDFKLSWFLIQEVGVAAIPPTEFYTD
DNAHIGEDWLRFAVCKEDEVLARAKERLRDLKQYIE

>RCO7_01105 | uncharacterized protein
MTRGRAPPDTSIPLHQQIAYPHDQPVQFISPPASATSQPPFFSPPHTAPRDAIFSEPPPAIPSIQVQTSATQTTNTPVSTGSGKWSSIGQPKGPRGA
WKHSEYPRSQKFYGPTSFSAIFTDNDAKVNKDLLDIGEDKRKHPGAWILGAPLLGFHRPNGPTEREKQTLNALWNLPSKETCEALLTLPQPLSCPSL
NFNMMQHCVTTLWSAFESELAAPRSEKPALDWSENGEEPPALLAISDAMFANEEAPLLPDPDDGVAWLNNFTGPNIRFEMMGMLFCFFGLAYLATQD
WDPILKHPDNHGRNRKQAAWRMKECANVCLTMCDYSETVNYLVTALILNIKRLETGCTGDETYQMRRLHGDMVTTAITSGLHRLPDNSKITPASEYK
RRLFGNIYCNDKIHASLNGIPPLLTQRFCDVQLCSDLADDIIFAPSEQLADAISKLDANGWNKTGACHEISTFLRARILIHMIREEILELALGVNVN
VSEARINNLHQKSQQMFDSLPPQLHYFDPTGVPKASSRNVLYDQAFLNLQHLQNKFLLDRVAKARGLSNGQGLLNTAMSMIDLSLMFWSKRDQLLAH
SHGFDWIMTYYGIPSAGVICVELLKTSSGQNIVQVSRSEAIQKLTLFIAFLEWIRETDGNWTLAQRLRKVVRRVLDYVLDVAEKDNKPDMVMPDGGD
QELYDPMVGWGGGGFDDGNDLDWLNTIDWTQGSWMDFS

>RCO7_01106 | uncharacterized protein
MKETWLPTGASDPVSFTCTCPALSKGDGLVLLFYRYFDATPSVPTSHYDLKNDPASLASFHATVTQKLEIGGKIRIAREGFNVTIGGTKFAVEDYMQ
ECISHWSFAGLDLSTQEKQYQFFKPTCGGCACVFGGSPASVRVTSEITPMGVTNYIPAKWDQVESLSPADFHERCHSNPNTMLVDVRNHYESRIGYF
IDPKSGEPALRPALRRFSQWPQYVKRRLVGSGENRPAGPRNIMTYCTGGIRCEKGARFLQENLDAENGDQVCTLHGGIAAYLTWMDDEISSGRKSSE
ESLFRGKNYVFDARGSTGLDSVPDSDPISTCHDCKKPCDRLSKCRSRCCHLILVICDDCELKTTRCCQSCEEFDKQAPSTELNSGQTERRPVCFCEK
EREAELWGATYEKDLKIQGWKKNKRKLQSGTSINIQVMTIQ

>RCO7_01107 | probable Cytochrome P450 55A3
MTPPKFPFARPSGTIPALEYAHLRATDPVSQVELFDGSFAWLVVKHKDICKVLTDERLSKQRNRPGFPELSAGGKEAAKNKPTFVDMDPPQHMQQRS

MVESIFTNQQINDMRPNIQTTVNALLDKIISEGGSEPFDFVEKFALPVPSYTIYSILGVPLEDLPQLTNFAAIRSNGSGTATEASNANASLLSYMDS
LVTARLSSPKHDLISLLVKEQLTPGHLTQADVVQIAFLLLVAGNATMVSMIALGVVTLLTHPDQLEALKANPEKWTAPFVEELCRFHTASALATKRV
AKVDVVYGGKLIRAGEGIIAATQSGNRDEDVFGEMADEFDMKRVRGTEQALGYGWGPHRCVAEWLARAELEIVFATLWQKLPNLKLAIPFDEVKYSP
ATKDVGIGELSVVF

>RCO7_01108 | related to TGL2 - triacylglycerol lipase

MTTLMPRVARTRWLLRNVPRRSLPLRRATTILKPTPFFALCKPMSRHFSVTCCYCQFEKPSEQKTNEEETVEKAKNTKGASADPEEQKDTESDPRIN
DLGRAIEDDFATIRETYATPKHPIVLAHGLLGFDELRLAGSLFPGVHYWRGITDAMRANGIEVITASVPASGSIEERALKLGQDIAAKANGKSVNII
AHSMGGLDARYMISRLKPENVTVLSLTTVASPHRGSSFADYIFRGLGPSNLPIVYKWFDALGISTGAFKQLTTKYMREEFNPKTPDVPGVRYFSYGA
TVKPSLWSAFRQPHRVVEREEGANDGLVSVESARWGTYKGTLVDVSHLDLINWTNRLRWYVWTLIGNERKFNAIAFYLDIADMLAKEDL

>RCO7_01109 | probable VACUOLAR ATP SYNTHASE SUBUNIT G (VMA-10)

MSAQNSAGIQTLLDAEREAQKIVQRAREYRTKRVKEARDEAKKEIDAYKKSKDDEFKKFESEHTSGNKKAEEDANKDAEKKIKEIQTAGKKGQDAVV
KDLLKAVFDVKPVVPKRIDAPA

>RCO7_01110 | related to cytochrome c oxidase assembly factor

MSRPAKLTLAGTSLFAIATVFFVHYGQQAEKAAMHQGVVRDMEQQRLKKERQLDFDMQRALEEEYRKVQSVHDGAVDIQKPAK

>RCO7_01111 | DNA-dependent RNA polymerase II RPB140 (RPB2)

MADTQDFEDGYEYDEEYNEEEEDGGITAEDCWMVISSFFESKGLVSQQVDSFDEFVSTTMQELVEENSQLTLDQNNPPSSEENPIALRRYEIKFGTV
LLSRPAMTEGDGSTSVMLPQEARLRNLTYSSPLYLEMTKKVSVAVERPVPLNELDDEQETEMANTGIHPTRLVWENEDGGALDGDKAEAAPDRVFIG
KLPIMLKSKYCILKDLDEDELYGWNECPYDQGGYFIINGSEKVLIAQERSAANIVQVFKKSLPSPTPYIAEIRSALEKGSRLISQMAIKLFAKGDGV
RGGFGQTIKSTLPYIKTDIPIAVVFRALGVVSDEDILNHICYDRNDTQMLEMLKPCIEEAFVIQDREVALDFIGKRGANQTLTRDKRIKYARDIMQK
ELLPHISQLEGSETRKAFFLGYMVHKMLQCALGRRETDDRDHFGKKRLDLAGPLLAKLFRGLFRRLTSDVYKYLQRCVENNREFNLTLGVKATTLTN
GLKYSLATGNWGDQKKAASSTAGVSQVLNRYTFSSTLSHLRRTNTPIGRDGKIAKPRQLHNTHWGLVCPAETPEGQACGLVKNLALMCYVTVGTPSD
PIIEFMIQRNMEVLEEYEPLRSPNATKVFVNGVWVGVHRDPSHLVKTVQHLRRSHLISHEVSLIRDIRDREFKIFTDAGRVCRPLFVVDNDVDSANK
GSLVLNKDHIRRLEDDQSLPANLDPQTKEDHYFGFQGLINEGVVEYVDAEEEETIMIVMTPEDLDISRQLQAGYKVQPDNSGDLNKRVKAPVNPTAH
MWTHCEIHPSMILGICASIIPFPDHNQSPRNTYQSAMGKQAMGVFLTNFDVRMDTMANILYYPQKPLATTRSMEFLKFRELPAGQNAIVAIACYSGY
NQEDSVIMNQSSIDRGLFRSLFYRAYTDQEKRIGMNVVEAFEKPFRNDTMKLKHGTYDKLDDDGLVAPGVRVSGEDIIIGKTAPIAPDNEELGMRTK
AHVKRDASTPLRSTENGIVDQVLLTTNAEGLKFVKVRMRTTKIPQIGDKFASRHGQKGTIGITYRHEDMPFTCQGIVPDLIINPHAIPSRMTIAHLI
ECQLSKVSTLRGLEGDATPFTEVTVDSVSKLLRAHGYHSRGFEIMYHGHTGRKMMAQVFLGPTYYQRLRHMVDDKIHARARGPVQILTRQPVEGRAR
DGGLRFGEMERDCMISHGAASFLKERLFEVSDAFRVHVCDICGLMTPIAKLSTQSFECRPCKNKTKVSQIHIPYAAKLLFQELASMNIAARLFTTRS
GISVR

>RCO7_01112 | related to alcohol dehydrogenase, class C

MASESYKFAGWMGLDKESDKGNMVWQEYEPKTWTEDDVDIKISHCGICGSDLHTLRSGWGPSLYPCASFQSKVKLRPRSDAYILQCVGHEIAGTAVR
VGKNVKHIKVGDRIGVGAQSGSCLDCEDCIDGNEQHCFNGNVGTYNGKYPDGSKSYGGYADYCRAPAHFAVKIPDSISLAEAAPMLCGGVTVWSPLT
KNGDIKGKRVAIIGVGGLGHFGLLWAKALGASEVVAISRSDNKKADAMRMGATKFIATNEEGWAKNNGRSIDLIVSTVSSPNMPLEKYFQLLRTGGQ
FIQVGAPEDKFPAFSAFSLIVKGCKLGGSAIGSPKDISEMLEFAAKNNIKPWIQERPMKDANASIVDMEAGKARYRYVLVNEKHLAELKK

>RCO7_01113 | uncharacterized protein

MALVNGALESQFLGGLQCPKINDNGFTILHDPPSPVIADIVFVHGLQGNPRKTWTCATTPSRVSYGAEETPGGSHHLKIRNLFSRRHSNSSHRSHES
HSDDVFWPHDLLPTDCPNARILTFGYDSKVTNFFAAPANRSNIVAHARDLIHQLKRLRLECSGRPIIFIAHSLGEIFDSTAAVLFLGTPHRGSGKAN
IGEIARKIASASGIDTADQNVRALRVNSIELEMIHESFVQLYEQKDRRFEIITFQETKGFSRIGILGLGDLIVQPFSSSFTGTEHIESINANHMDMC
RFSSKDDQGYQSIAGELKVILSKWKKKEQPPPNIEKLSWPGIDTPSQVTVSSLAPSLNDVERQCIAILVQNTSDASEQRSALETRVEGTCQWILSNP
LYSDWNVQQKTSLLWISGYPGSGKTILSAYILEYLSDGESSPMLRKDNKSPCYFFCDETIETRRDGTAILRSLIHQLVKRRGQVIKYLKAAYDLQGP
NFYQNFNELWRIFIAIASDKRIGPINVIVDAIDECEKVTRDRLLHSMLKLVDNSQSTTDTRLPRIKFVITSRPQLSRLYTPHITLMIDPSQGSVEDD
LKLVIQARISGIVSRTHCKPEARVYLEKALYSKADRTFLWVTLVLHLLEKSYLATQKDFERIVDELPQDLTATYERFLQRIPSKDQQYASKLLHFIV
ASSRPLTLDEMGVLIALSGQSSLQALENDTQPNIQETIEGALGPLIRIWNSQIYLVHLSLREFLLGIAEEPAHPLASSFGIGSAKSNMLIAESCIVY
LLLDNFSNDLFLEEDADSEDSPITPFDDSDANDVLDLGDLWDPFRIGENGREDLFIDPVILEAEACTRIEKRYLFFDYAATHWAEHYALGCELASPE
LKATARLLSDARDFPGLNWFRYFWCRSNINMSCPKDFGTMVTASFFGHHDTVQSLLEMSAFLDTDMSQVRGLFWAARRGHTTIVDKLLNWGANPDIK
VADGSTCLIAASQYDHGEVVRLLLDGEGRLPNEAGFRVNYTWQRGRTPLSIASGNGFLGIVRQLLDHEHVIPDIPDFDQWTPLFYSVFGKHLDVLQA
LLSDRRVSPNHVDRTGRNAISWAASEGHIDIVKYLLSLIHMRVEERDQIGRTALSWAAGSGQLEVVVELRRSRRFDISSRDNDGRNALSWACHGRHY
KVVGYLIKYDRLGADAEDVDGWTPLAWALFGNAPKTVQVLLSSGVVDVNKKDRNGRTPLSFAAGYGYLEVVELLLGVEGIDVRNTSDTGQTPLSAAR
ANGQVDVAKTLLKVLGE

>RCO7_01114 | uncharacterized protein

MAPLEKTLSILGPAGAGKDTALGFLLFKLGGIDLFTAQRFERDGIKLYSDAVKDLQSRGLQLSFYTPNYHLVVSSGSSKVDCVILVIPTDSANVDFE
KELVEAAGFSKSIIVLINKMDTVGWSEEVFRASVKSLGPATEGIFVIPFCALKGDNVLELSSKSLWYKNATLLEALETELSSS

>RCO7_01115 | related to Som1 protein

MNNINMGGMNPMAGGPVGGGMPMMNNGAGARPQPMPPTNNDQRSQLNTYIYEYFLRNGMYDCARSLLNSQQPINVEKHSPGGNRENGTGDEGDGDSK
DDIDSKQPNDLPNPAIPKECPESCFLYEWWCLFWDMFNAQRGKGEARSVLQYVNHTQSQSRLKQDHQQQVLRGLRPDVNMTQAQYQALMLRNPAAGN
GMNLNQNELRHKAIQNNNRNATPQQLQMLAQQQAQKQQQMQRDPSEGNNQQRPQSPGSAENAPSPSKRPRIDGTPFNPQQMPNGRAQAGGMPQQVGD
TGPSNAIHTAHVQLANGIEPNNLTAQQFQNMPGGGPNTQQKLAGYQANLAQQQAGQMPGVRPMPNPNGPQNQGSPMMAQGQDGAAIANYYNPQDPNR
MQGGPGGAPGGGGGNHALQDYQMQLMLLEQQNKKRLMMARQEQDNMMPRTEGGQGGPGPVGPNGQPFQQGTSPQGPRSVNSPNPGDQMKRGTPHMNN
AGMPSPLPEGQSRGSPSAGMNFNLPGGQMDQGMNQQYFKMNGMDPNMAGNMAGVMPNGMRPPSSHPGGFNGQMTPQQIAMARQQQQQQAQQNWGQAG
PNGQMMPQPNQGGGPQQTMGTPQQRAMPPPSAPAVNPAANGRTQPPSPQQNPAPPTPSQTNKANPKKKAEAKDNKKRPNKKGSTANLNAGATPSADA
DNAGATPTPATPITPVHPKAFGNGAVQPVTNGQPPAPANTGVVNQQSDPLQGGGLSFDSSGFDFPGGMDFANPNNGNMDVLQDFDFDSFLHQDGEGV
DNFNFDSSAFLDGNEIGAD

>RCO7_01116 | related to phthalate 4,5-dioxygenase oxygenase reductase subunit

MVPILSPDLNAPWHRDTVLQLRTSKMKPMQNLSISTGIYKEPRTSRVFCSSTGLESDEHDLTFHGGIDKAVHQYYPGHYASWRSEYPYTTAFEIGGF

GENIVSSLMNERNVCIGDIIRIGEVLLQVSLPRQPCFKLNHRFGLKNFSSQTWKKSRTGWYYRVLEEGWMGVGDSIELVERRHARWTIERIQEFLHR
DKENLEMLMELEQIPEFGIECKKAFKSRVTALQAAEAEKNHPKEPEKWVEFILLSKTSETPRISSFVFSNPSASFIEKGKDLNPGCFARLKLPNGLL
RSYSIVSGSKNKVTLGIALDEHSRGGSKYLHESLRQGDAILVGKMMESVPIKEQCSNHIFIAGGIGITAFLGHVNIYDKINFNYTLHFAVRSLEDVP
FKARIDYMRKRVRVVLYQGNKGERMDIEGILSKRPWGSFVYTCGPMRMIEGVEKAVEKLGIGSDEVHYEAFQMDVTGDPFSVEIVGKQGEKNTVIDV
PGEKSLLQCIREKGLEIESSCEVGNCGACRVTVREGKVEHRGSALNTEDKLEGGMLSCVSRGVGRLRIEW

>RCO7_01117 | uncharacterized protein

MKEDHFGLAPRKIQPGEVVTVLLGSGLPAALRPTGHGTWQVLGQTYLDGFTEGESILGPLPDDVRVVMNYNGATQYWAYLNDKTGVLDIEDPRLGSL
PSPWTRKKHSKDIYWTWYINTKTGEERGENAGDPRLGHDELLKRHVPLREFVLV

>RCO7_01118 | uncharacterized protein

MALNLLQRIASKVAVDWHSLDYSVKDERLYSDIPYTDDQILGIADILNRSWFERLWVVQEICFAPPTSIIQCGATIVSWDQVSNGMFLLRRKPRNWC
NAVEEQVIRARLDTIYNFIRLKFATLTHVIDLLEYLKEQKCSDPRDQIFAMLSLAKNLTLGPDYTKSTNETFKEVVLFYLGSVRSLNIVLCKPSHPD
THAGPSWVPDWSKI

>RCO7_01119 | uncharacterized protein

MSSNIYKYIPLDEKRREIRLLVLLPGALDDPIQVLIQVTPFTDNDTPNYEALSYAWGSTEYLQNIRVGNTVSDSTTLEITRGLAQALPYLRHRDEPR
TLWIDAICIG

>RCO7_01120 | related to aquaporin

MSQNPSPSSVGPGQTTSQQLQEKPDNGQGNQSPQPHTPGMRNRYQSGNASQGVSQRDHKYNAPIGGYERSSEDTYRSGATYDDNHHHRRRQMRHRAH
QKHKQDGVIPWRVGFTKFMHRHSEKKNHIVAFMGEFVGTFMFLFFAFAGTQVANIGSGDSTNQSTTGSATGFNPQTLLYIALSFGFSLMVNAWVFFR
ISGGLFNPAVTLSLALIGALSPMRATLIFLAQMSGATFSAYIVSVLFPTTFNVRTTLASGTSPAQGLFIEGLCTAELVFTILMLAGEKHRSTFIAPV
GIGLCLFISELVAVYYTGGSLNPARSFGPCAVTHDFDHDHWIYWVGPLIGCLLATGFYKLNKILEYEMVNPGQDGDVENDPTKNPDHHVAQAVEERA
MEVEEIRAVENGGGFDNLSTDGSVAALDPSVMEADPAADLDKHLSNSKRSASGTKRDDVEAQWPKGSKHETS

>RCO7_01121 | probable BET3

MASKAARIGEEVWKSRVDKVNAELVTLTYGTIVAQLCKDYESDYVEVNKQLDKMGYNIGLRLIEDYLAKSNTMRRCSNFRETAEMIAKVGFKIFLNI
TPTVTNWTSDSKQFSLIFEENPLADFVELPDDGRAQDELWYSNIFCGVLRGALEMVQMQVEAHFITDCLRGNDSTEMRISLIRYIDDEMPVDDE

>RCO7_01122 | probable U5 snRNP-specific 40 kD protein (novel WD-40 repeat protein)

MASEKRPAGDYGSSQMVVKKQNVGNNNKAISVVNGSAANGALMQAVPRTTGLQAPVMELSGHSGEVFCARFDPNGNYIASGSMDRTIMLWRTFGNCE
NYGTLTGHKGAILDLHWSRDSRVLFSASADMHLASWDLETGTRIRRHVGHEEVINTMDISKRGEELLISGSDDGYIGIWDPRTKSAVDFIETDFPVT
AVALSEAGNEIYSGGIDNDIKVWDMRRKAVVYSMLGHTDTISSLRISPDSQSLLSNSMDSTVRTWDIRPFAPTERHIRTFDGAPAGMEKNLISASWN
FDGKRIAAGAGDGTVVVWNSENGKLQYKLPGHKGTVNCAELSPSSDPIVLSGSSDRKLLLGELK

>RCO7_01123 | uncharacterized protein

MSSRRRSEGRRSSSAAPLQAQSRFESLRNGLNGWFSGRSRVGTPRRQEVPESPKTPRHTPGLQELRLPSTRIHIPYLTRSDSRASSRDSEVLASPRS
FRHPFAPIAAPRPITANSFGTRPHTRRPSDDQNVLPRAHQPAGHRFVGVDPAELHLADLAATGRRRRRRRRTQKMRRSERLCGPKIKNRKIRAKTLS
CFISGIFLTLVLTIYLGLALSNRHESQEFHVLLILIILITAVFFCHSLIRLCIMIIKPPLDTDPDLESETPPAMSGPGGYANPVAPIPVTLARDEEA
AGIESDATKLPPPAYGLWRHSVRVDPNRIFWQRNGEVVPPVPAIGSSSRGAPGNDNTDVQPPATANRPPSYVSEDGVDYIIEAAPRSIAPTYDVPLP
AHPSDRERMAPLLHAR

>RCO7_01124 | related to hexamer-binding protein HEXBP

MPATTVEEWLQFRRPDELPHRCRKIVRQWTTVDGAFVTCRANDGKQQTHCLIAMSSLSRRACYKCGNVGHYAEVCSSAERLCYNCKQPGHESNGCPL
PRTTEAKQCYHCQGLGHVQADCPTLRLSGASVSGRCYNCGQIGHLARSCPAPAGPGPMPGMGRGLGAPRGGFGGGFAPRGAFAGGPRPATCYKCGGP
NHFARDCQAQAMKCYACGKLGHISRDCTAPNGGPLNTAGKTCYQCSQAGHISRDCPQKSMNGDLGGEVDLGAAPVVAPIAPIA

>RCO7_01125 | probable DMC1 Meiosis-specific protein

MGSGSVYNGGGGDEEEEGNIIDIEEIQAHGIGAADISKLKAQNIHTIATLISTTTRRLLKIKGFSEIKVEKIREAAKKLSPTAGFITAAELGHIRKR
CVRISTGSKQLDAALNGGFQTMSISEVYGEFRCGKTQLAHTMSVIAQLPKEMGGAEGKVAYIDTEGTFRPERIMEIAERFGVDPDQACENIAYARAQ
NSEMQTELLEGLAANFATNEYRLLVIDSVMSLYRTDYCGRGELSERQQVLGQFLRRATQMAEEFNLCVLMTNQVMSDPGASALFAGADGRKPAGGHI
LAHASTTRLLLRKGRGEERVAKIVDSPDCPEREATYIITTGGINDPEKA

>RCO7_01126 | related to RRP7 Protein involved in pre-rRNA processing and ribosome assembly

MSEINGYTVLPITIPSTPAYPKPTTHTIYLRPHAPKIATENDSRSLFLVNVPIDATSAHLRAIFTTLLGAGRFESVSFEHENKTSDSTPTTSLALIG
GKKRKRGDDVREAASAGLPQIWDRELRKSGSTAVVILVDSRSVEGALKAARKLGRRAAKGKDVEEGTGCVWGEGVLIGKAKDKSSVPALGSARYAAH
HNLRFPNKAVLQANVDTFMTLFAAQEDAQAKAARGQRGVPDEDGFITVVRGGGARTGPARMEDAERKRVELEKKEEEKRKEGEMGGFYRFQGREKRK
EEQGELVRRFEEDRRRVEGMREKGRKGFRPEN

>RCO7_01127 | related to dienelactone hydrolase family protein

MTGPCADCFKGSIHTGTPSGTVATIHGIQTYVAYPEAGVTPKGLVVMITDAFGFDFVNNRMLCDAYAKKGGFLVYCPDFMNGHAMSSQCLLIVENLM
SPAPLLTSILYKPLYALQALYHAIPWFITTRPSVCRPRIIKFFQDLRTSSPPFETSALKIGVCGFCWGGRYTFMLAKDLPSTRIKRHECQTSSTQNY
NNIEPLVDCAFTAHPSFVKIPVDAEAVTLPLSVAIGETDMVMSGPLIRQMKEILEVKKKGDHEVVIMPGAKHGFAVRAVPDDGIQRNWADKAESQAI
DWFTKYLT

>RCO7_01128 | uncharacterized protein

MRLRVTVQRHALPDTPILWNIDTKTSPTIYQLLEHINEVIPIESDAQWGLEDYAVELKGANGLNYECLHFQPVHSVLKEEDEVIIRPLLTRDLKVRR
ISGRHQISDDGKRLYDGLALGRPLLRTPSRPAINIPPRKKRRIAYNPDEEDDDDFAAMRGPEDAENSTDQQLLLGLDLDDEDSEEDEDFAPGEDDSD
AAEDDDSDASEDDENKQLVIHADADDSDSEDDEDFAPEDSDSDDENKQLVIHADFDNADSDSDDEDIPEVDGGGEQDGGDFEQFDEEDVEPEGDVEQ
SNERSKENISMEVTSSSGLVDDEANDLDETALESVTDPETRAKIRKLHSAFPNSHLAVCKYILNGKGVEGDVGEAYEVLARGFHPTKSKSEVTERFQ
GTCKAPRSKPQTKSRSKSKSPTIEEDEAESNESSNELFEHYDKHGLPPGSINSGKALSFMADAARTSPAPYLPSAGSFGSRLIKFHEEDVIMSTELT
STPAIDKESQPVQSSEDSSDGNDTSDEDSSDSSDSDSSSENEKMVDIAASSSSGSSSDSSSDSSSDSSSDDDAPEVESSKTNLQATRILQAPVAAAN
PVTKSQLPPGQGKKSTRNRNARKRNRNLMERYKKSGILPAGTTLVELLQMKLNKRSTAEEAAAALEIIRAQKASTVANEIETVEIPETIETPSQNVN
AAQTEFEARRAQLLSSLAGGGVEVGSETPKKGRRSATSAQPSRVPSVQASPRPATEALNETGTHNPYLPSKNPPKMYSKVSADEEARPSTAPEPPKE
IDTPIPSPKPQPTPESSGQATTRRSRLNLGASQRMLFGALGLKTPKNKKDEDKLKQDLMKDVRPLFTSKSGEEPEAVVDELDESWRDKIIYRAVECV

QEDILELSEPPFPFVQRWDPQQQGSRKGKRKQNQPDYAQQYEGEPRVSKKQKRRKGKHTYAEEQEYLEASYEPSYQEDGVMDSHYDESMQKPNQNRN
EDEEINEQIMHHIQVPVEKNSYAESDLPVLPEDLSKLSDLGDGMAKVGMIIAFKHLEMANWQPILSEYVTAEVTFMAENGELSLLLAKRDRKVSEKT
YDQHTGKRIYENLEMPDEDAMDEEEEGQLYLSFNELVRPKIVQQSPLSPTKELPKGQDDLERNFAVDELPKANPEDPLFMEGGARAKEGTSTDDSKT
LIQEQASPKCDEEIIEAQYSHVTETPLSSEAPDSIEQDRQPDADLEMSELHVNQDNESGKSQSDVPNGSPQNPSFLGQRGDLAVPRSSASDTIIVEV
PLDLENPATPALKRNDDSPPDINYLNESVPEETRQKVARMMQDAGFRSNVPSSILRVPDGIQTPGEAASFRNLLKEMTGTETNGSTENEMEIEIQAY
SPKFNGLGTSPIRQPTESSRTPTKPRQPAPASSSSTRPPSSSWETVDGELTSSPPRLISPDPEEEEHSSWVEVDQTQNLALPSSPAFAVDIGSIEKT
RLSRHSSPLPSTSLHVPDQIEARSSFKVAKGQAKQSKQSAPVSDAVISKAQPYWKQWQPKKRRRSHDSDSEIEEAKANSKTTPERSTRSTEKTPDPS
VKYPKLSLGSSFASQVTDHGRQPDFDDIMMTTGSPSDNNLEMDAPLNHIPQLERENKQRSGEKSKGKAADIEAGDQPARAGPKSMRAPIQWSDAPFG
ETSDDDLPSLEALSQRSATIKRDKSAVSNSTTSAKFEADFQKAMADVDTLLSDYETTPKASQKQRQGIKYRSKGRESETPALEKRASQSSANRASER
PASQPSNSVLRASTYLASQPIPAGSQVVDLCSSDAEPEPEPVPKAAPRADKPFRRYTLNNDDDNEFDGSPGWMPKKGNTVAGVASRRQTRVGIRSFL
QNAGNARHRRQSSND

>RCO7_01129 | uncharacterized protein

MERQLSVNAKQQLERFCRQYLQVTLELTYPAEEHLRNDAFQRTLYKRIFSEEVQYVPPPRYQLRVLKELMKRIEASIQDWDEEGISDDLMNCLALLL
STPLQSEEASVQQKSYVTYSPSSLPPQIDQNPTITLYEARNLLAAAGTTGLRTWEAGLHLGNYLCTHPDLIHGKSILELGSGTGYLSILCAKYLKAG
QILATDGDDDVVASFSSNFYLNGLQFSSRTESKELKWGHALKGGEDARWNLGRHIDIVLGADLTYDPRNISPLMATFGDLFELYPDVKILIAATVRS
EETFAKFPNACKMNEYGFQEIEFAVPKAVEQEGPFYSDLAPVRLCMITKT

>RCO7_01130 | probable 40S ribosomal protein S24

MADREQPVTLRTRKFIRNPLLGRKQMVIDILHPNRANISKDELRGKLAEMYKANKDQVNVFGLQTQFGGGKTTGFALVYDSPEALKKFEPHYRLVRV
GFASKIEKPSRQQRKQRKNRQKTLRGTAKVKGASKKKDK

>RCO7_01131 | uncharacterized protein

MPADILAAVEVVPSQRRQASTNYSTGLDYSSCLLVDEDIISRIHSVLVPRNDYWPSRSPSTPDEPSPQEPETRELVSGFDFGSAKSVAKLARQATRR
LSVPEIRGVQSNSIMADLEQNTTQPLKSILRVSNSANNLKDSAGNPSPSEPRGIFRIPKLVLRDIKPTELEGIKSCVEINPIIPDNDAELHENELDC
CPPCDPDDSQPSKYLVKHSNLPTPGLEIEAADLACFMGGCEPGLKECPKHRRRSDSVSGRSPSADQRIEEDFKSIPEGLARMGFTANGLKSASKSLK
GKHDYTNSELQNTTEAESKTDVRKPVAKSAGRARKSLRSPTERAMSPISSVTSGSTMDAFPLAVQSSQLAEKERSPGTFSTAVATNFSLPGYKSKRA
SQSLRTKLAEISARADEGPASHTPNGVSTGGDIKFRQPRNSIPRKPLPSEGSVQESGGVAQDQTPSRFPSAFKPPSSNQEIDRKLSDVHTGSNSLGS
PASRELNSESHNAVREKKSEASLKSNTASMKTKPYSTSLLSETSRTSVIRHALLKSPMTEFQPLDNGLPVPPLLSAISSLSEKVRPSELAYSEVLKS
AGSDGKGKCSQRETEYFDTSETMDNYAKGNHNLNISGAETSGMAGGRPSKGAVYTAQGSVVDSARAQQGKQINREPVNGPSDRPGIGNTVPIAGHLT
DLQRAKDLVDSVRGRIQEAEEQIIHAMASEKHESHGPTTSRSVDSISLVRSPAEDTLPAVSKPGKSIPASASRPVSPKSHELGECQFPDNANTETAV
NEVKVEHGDEWGSPFNSRQNITIGQGDNLRKLDPVSFSSKDTVIPPSYEGNHSEHPRPIQSQSSRPPMDTSNAEYWGFVPAVKEAVQDAVQIAVRKA
VQDIVVPPGMDKSSNEYRQLVSASLTRASKNADEQIQRVAARKPLLPSDKESEATVILSGREIGQRQPKTEDLGSRKASTKAHATPAPPKASSPVHK
SYPASISSRENDPGQGKDLSIPELSRTFLDPRRPLNTQQTHISPPRSFSPADLETIPLDADKTAPVDHSSQGWRLSKAPASKKGSSATYTAIPTRHS
SRNQVLSPKTKATNSSNTVLALGSLMGSRKRSYERLIPRGSRGLRSASSVGSLRSAGSADKDKDAVELAFLDQPPSHRKSMSSASLSVERLGRKNTV
HWLKELLSSNGPYETRFTALPPRTKGARPVRSQTAPAKPVDDLYLGQTPRPLNIVKGVTKPQPPKAREGKRTDISETFTRTIKDLENLMNEALFIAR
QATDSTEVANLQDGLEKSINILHDSQKNPSKGGTGSTLPSLPSRMQSRVPATRYSDSDLSDYSVHESLRSYSGSSESELPDDEDPPIPAHTRSVTVS
ANKPPSKNGSGWPPTGRVSTPYPPASFPQSRASTNVEARPDQDRKDSIHPIKAADPRSMRTETNVDITQMNTSRHQSMNQDGSTGMQPGPRRTTTVT
IPPIRLEKNEERNENGDKPDFGTLEPFSVERRSSEHRKSSAKSPTRPTPERATNNSTIAEDSNGATRDTNNDPRGTDKALPLPQLTPRRGTDSVPVS
AKEHSEEDHQAIRTKLAASEIPGKQESKSKFESGHTAKTGRIYDWPNIDQSKVEPSPGPETRGQTVVPEPKLIDPNTRRFTHSLDGSDMTYSEVLDF
NTGYGVRHRGGGGAGAGAGAGIGGELSRSKSRPYEVVELRDSPDPNLPPTTKGERESKRNQFSLGGKRHVSLRDHHAKGFSLARSHKRQTIARDWST
GRKRFVATVACISTSLIGILVGIYAGETPAIQYYIVDFHHYTVLGNVFFFIGLAIPTFFFWPLPLLHGRKPYIMGALSLAMPLLFPQALAVGEFRSP
YVARWRVGLILSRSLMGFCLGFANMNFKQMLTDLFGASLQSTNPHQEHVDEFDVRRHGGGMGVWLGLWTWSALGSIGLGFMIGAVIIDTLNPAWGFY
ISICIIAFVMLLNVLCPEVRRSAFRRSVAEVLNEGGGDVSRRLARGEVKMHIFQTGPRWWGEEFHAGVVLSTRMVRQPGFLIMALYVAWIYGQQLLI
TLLLGALMSKDYKFNSPQVGAASLAIPVGALVAIPFQKASIFSRARQLAPVSDDGTIKKKISWTSHMLRRSIFVLCLPLSGIAYTLSSAGPPIPYIV
PVLLAALVGFLSNLAMAECHGIIMETFDTSDLQPGMTGRSRGSAGSKAASKRTNYSSFPRVASGFAITQGFGYLVAAAASGIGGVLTRHLGQQAATG
VMAGILLILSVLLLLSLIRYTDVQIIPDSKKDEMERYHNARRASAIRQQEGVQEEEPWRPIIIGNPHYTTRRMCLLELGSLSRFSEIRLKNKLVDEK
SLEAKHPNQAAMNELAIIIHDKEIELVNTVRRSLSRHSSRGSRRSRSDNGLGGPEQGDLGGHREMLSRGGSGNGSGRPAALSRGVGDEIGERRKMKK
TVTFASPGEESVLAEEDGYSKYLSRLVARVLVQILEIVWKAWGARGGVQEVEESGGGFRGWYYRGSVYSLNGEEVPTGRMGR

>RCO7_01132 | G protein alpha chain

MCFGSRGGAEAKKSREIDALIHRDEKVMQKIVKLLLLGAGESGKSTILKQMRLIYTKDGFTKNEKEEWRVIIFNNILDGLRMTVDAMDEFGITFEFD
NTAAHLPVIMQEKDLRPYEPIPIEYLRAFKDMWKDPGIQKAIQRGNEFALHDNLSYFFHDLDRLFNKEFIPTDQDVLRARLRTTGITETVFDLGSLQ
YRMFDVGGQRSERKKWIHCFENVNALMFLVAISGYDQCLAEDKDGNQMQEALMLWESIANSHWFKKSALILFLNKMDLFKTKVAVSPITNFGFSDFQ
GDPRDPQQASKYFMDKFVALNRSPSREVYSHFTNATDTDLLKVTMASVQDMIIQRNLQKLIL

>RCO7_01133 | related to F-LANa protein

MWLIEAFFNAPPISRTLATTSFVFSLLLYTGVLNYSLFFLSLSRLIQLPPEIWRLVTSLLITGGGLSLLFDVYFLFVYGCKLEIASPRFSQRADYAT
YLGFVCGTILTLNLIPTVSGHALASPLAMSLITTSVRDTWDVPITLFIVTMPCQYLPYAFLLLTLVLSGPQAALIQATGLAAAHLYDLLSGIYPSSG
IENSYIQTPKWMTKICGTQDVVVRPYGTASSMGVPTKKAWGIDLSWKRFGPGRTLGGEGEGEGEDETRLKGLMLAAIVMGCFLVVCAVLGYTFVYGL
PWWVSGVEGGQITGTTHTGEGKDIP

>RCO7_01134 | uncharacterized protein

MASNTPEINVVPAEAYTGEDFVPDEIPEQLKDECLVNYFRRRYAERPRLQAEYEKPAEPGKRDQRGRIDREITRIRKLREGFETTKRNEPDIELFKY
RQAMWRRYARKTCEDNVSDIEPRVAKLVASKKIESKEHGDRRIRIEKNILRAVSSWTMPHEPPLPKILEDAKKADADAAALIKDPLTHLIEKVTNRF
KPKEEIIVKPKLERQATVDTSRDFKLPEDSYGISVHKLTLRQPDTCPSSYMSYDTDRYPLKEVLLAGNRNPLTKACEPNTIRYFHFPANNMHWIEEA
IARYHDEPTPGEFNYRQHDNYCKKSSNLLCRQFWTSLQHGGVYDPVHARHMRSHCSLITPGKLQFLGQGWSLTQKDTASTSEPITGSKNFVIFMPYL
HWETHRRRKKMTDIMKEVTDEYHRDRPHVTESLREELAKSAEELYLKHARQLTYFLSSDDLAKQKANPPKTMGDKKRGTLGEYLLQIAKIYDALDIE
PDVRILRDHLHKNPPLHARRTLDQSYYWKLQNTDGRDEDQVVYRETKRGRNISRTSRIIMVDQLWLYILDDNTIISSFPRRWGRNKPDWSGVHKGIR
ARLDHLREGEIQSVYDMALLIINQCSTVFFDRTKPVDERPEILDIFSNALSHVSGMKCISFESFWRQLNKLSSSDHHQADFEATARKYLNINPDGEL

LRETHDIIEELRMMSHIFTEQLHVLGQFTTHLKNLKEKEEKKKTTEMKMLDVMEMMRQMFEERFRVGNNKDAVPSTTAANGMATQLNGSSPATVAAL
DPIMSNEQAAGTKLHNPDRLNTADGAADSSCQSSDYFDKSSVPESTIQLAQDVSHEISSRLAELQKLEHSTVYVSEQLKDLLGLKQQQASIIEAKYA
LKRADESVTQGRSIMLFTIVTIVFLPLSFMSSVFGMNAKDFADKDGNPNMSLSHIFKLLFPISLGVIIISLTLAFGTLIRSPFYFIGTVSWALIYEY
SYARYIWHTCQRNAGNLIRQKEWSKGHQSDGLNGWKIEAVSWIYGRKERAKLKKEWDKAKEMDRMRIESENSGATGRTVSRAGRGKSLSDGTASGIR
TKIEKKISSTAGSSTGLPLDSADESHTGSANEKRRRLRPWSDGEDIPLRSLV

>RCO7_01135 | uncharacterized protein

MTTFALFPRLATELRAQIWGLAVEDRVIRIKENTHSFFSATPAPAVTRACRESRACCSYQKSTAFDLCKAMQPRQPYIWVNFDHDIIHIRADPLWYF
EVVRANEVKHLRIELVDEEGKEIKGDWYGQGPTTEYPLSYQYEMLDFPELESVDLLVPDKLCDYTRSIEETDFGPCSKKNVRIASIHTGEWIDEETC
MAYWDHIDSSGGERLDDMTRVVHDEDGTVEERLAAIQRLEMPRPRINLDLQVARSWFLTNEYGNTGREALKSLLEWTIGCCFVQTKAI

>RCO7_01136 | probable BZZ1 Myo3/5p-Bee1p-Vrp1p actin assembly complex component

MAEVDIAPNFGQELKDAFKPVNAWVSGGITWLDEIQQFYRERSAIEKEYSAKLNTLAKKYYEKKSKKSSTLSVGDTPVMTPGSLESASLTTWTTQLT
TVESRAAEHDRFGNELITNLADPLKVLGTRYEELRKRHADYAEKLEKERESTYGDLRKMKGKYDTACQEVENKRKKSESAFDYSKTKAQNAYQQQIL
DMHNVKNSYLIAINVTNKQKEKYYHEYIPDLLDSMQDLFESRTTKLNGIWALAAQLENGMLKRSTDFVTHLSQEIPRNQPALDSMMFARHNAGPWQD
PPDKAFEPSPVWHDDDAMIVDDTAKVFLRNVLGKSKAQLGDLRREVDKKRREVEGVRKVKQLIREGKDKRDEVEIVRALFALQEDLHQVDHKRLTAE
VETVTITLAVGDVTVGAKSHNFKSQTFKIPTNCDLCGDRIWGLSAKGFDCRDCGYTCHSKCEMKVPAECPGEQTKEERKKLKAERQEQASSLKSPAA
AKDGVSELPSMDRTNTMNSLSSGYAASAHRSVAGTGPRSPAEETPPERPQGISISGPTTLRKNRVVAPPPSAYISELPGSGPPTNGAGAKSSNEQRG
KMLYGYEANGDGEITVSEGKEVIILEPDDGGWTKIKAGYKEGLVPTAYIEILDHQPLPQRPSSIYSNSGSSIGTSSTTKKQGPAVAPKRGAKKLKYA
EALYEYTAGSEAEHSMSEGERFVLIKEDPGDGWAEVERGGVVRSVPANYVQAV

>RCO7_01137 | probable RNA helicase DBP5

MSETPKPAASLADRIGAKPLDAGSSSFTPGKTSWADEVASPVVEQNREESSLEAAQVDGTAENLGGSGLHDAQYEVEVKLSDIQGDTASPLFSVKTF
EELGISDSVMKGLHAMNFRKPSKIQEKALPLLLGDKPQNMIAQSQSGTGKTAAFVITILSRLDYTKPNQPQALCLAPSRELARQIEGVVRTIGQFVD
GLTIQAAVPGAVERNAKLSAMVIVGTPGTAMDLIKRRQFDVSNMKVLCLDEADNMLDQQGLGDQCLRVKGMIPRIDQILLFSATFPDEVMQYAQQFS
PGANEIKLKRDELTVGGIKQMYMDCPSDEGKYDILAQLYGLMTIGSSIIFVKKRETASRIAERLTQDGHKVVAIHGAFDGNDRDSILQSFREGHAKV
LITTNVLARGIDVSSVSMVINYDIPMKGRMDDSPDPETYLHRIGRTGRFGRVGVSISFVFDRKSFNALNQIASHYSIDLIRLDQDDWDKTEEIVKTV
IKSSRAGTNLQN

>RCO7_01138 | uncharacterized protein

MALSWPSLILLAFSFSARVNAASKPNYTLTPELTSFIPSCAQECFISFLDANFPIGTCSAKPNLECLCSKNGTSGYTIGEGAVQCVISEINIGFCKG
NFAKDTVVNGAYGMCSGQPSALPNTHATITATLILQTSMPSVVLVAPAPTKSSISRQSSSAVASTTSQALSSTFATITSRPSSVTTMTSTASSVPAA
SETASPEPVLSKKAIVGITVASIGGSAVAVGLLILFICCRGRKKTKKERESDLIPFQLQSDHVMDQKKYKYKSFKGSTERRPGGTRNGVAARIAPKV
PPRLDTSSPNMFSRRSIKPDTIGLAISPDHPFSTEKQQRRSSKLLPEKPTLTLRVPKQAQKPINGFSINQPNVHPSAISRQSTATQFEEDYDESADT
MVAADDTWAAKSTDQILDVRTGTLQTIRKVDSEPKHHGSSNEVYHWQPQLTKNRPINPDYYVKPLSVVGRKVGSFSQPRKPTGYTRQYEQQQLSVPE
RSRPITGSSSLYSATGSISSNDAGRNNNTNPRADRFSYQQTGPYDNQDSIVSPQEPRTAGTDFPLSPVVESPASGRSPVSYPKIPPPGAGAGATKRL
SQSSIRMVPPPPQPDFTKALGAGKPWRRAEIAAQIERERAAQGNGQIQLQILGQGQQGMPAFRIQSPESQQQARPQETLAPASPVSYAFLVPPPQAL
IPGRSQTTSPPSLASPYLFRSPSQAKLVPPPLLRSHLQLQRATRITPPSQNQGGGYIGQHNQRQIVTESPPIKMTPPTGLLRTRSQLQKEGRTPSPN
MNQAQKQSQNQTEAQRQTQTLRIVTSSPPLPPPPQQQQPPISQIPTRPGPIPTQTSSYTTQHSQTQSSTTLPYPPTFPPERTSSLASQASSITNIST
SNSTSSSLLTKRRGHEAASTLTLSKTEEDQKRQMAKWRVLKREEIELAKKEGWRPMLGRENGGNVNGYLSPRDGAYEFERTELPTTPGWVPRLTPTR
RGDELFLNVQ

>RCO7_01139 | uncharacterized protein

MDKVDDFYRPPTSSGYAPGDTPKMRGVHKSDHYRPLYRHIPSSGIHHSDRSKEGEVPTSKHIKVEPKKSEQTIPMQAATAHGLNLARARNKQLQGFK
DWRPSRRPPADYTGSTTLLSFGSDMSTSHFQQKGSSLDASTSGKSGSSVLSSHDEGLYDEKAATLRPLPASPTSRSGHMSALSYKMQYLSEQKKQLS
QLPGTTRRSVVVADPASSRRLFGGIIKSRRPAIPTNEPTPSSSALSDTKFENRLLTRPTSSTISTDPSLSARYELRLGFKPMPRSPQLSTSYPLSTL
KSTLSPTGTNTKPSTLAPSLNFERTIPSACAYAHICKFSFQYKF

>RCO7_01140 | uncharacterized protein

MKIPFISATVAVLAVGIVSASIAERQTATPCGTVAAAAQAWRKYKPNSNPHVNAEVAYACLISAPLNATAATELINSMIPYIEWQSSLSYLANPPKT
YPFPAVDIFASLNTILKNIEKSVYAHEHAFQTDLLMLFQSVHDGHFRFSPDLLSKAVVFRRPVQVVSVSKDGVEVPKVYLKENIDAYVKTNITEMPS
ALSKVNGEAVQEFMAKLAQLGFLQDLDGLYNNLMYEMAFDAQSPTYRYMGYFALTGRYGYFYPGASTTLEFENGTTSTVENYAEVVGNLDGVTDGKS
LYQRFCTGPNRQAASSTSAEVPHDFEAEEVQAVKTPPNGYPTPQVISSDLQVSGYFLNGTGYEDVAVLGLLSFSPSSPLEFQSIIQTLISDAKAAGK
TKLVIDLSSNGGGNILAGYDAFRQLFPQIVQDGFSRLREHDAFKVMSTGISRYAANFSTNSEDSKNYFTHGSVLNYRYDLNVTDNKFATYEDKFAPQ
KINGDEYTNLLRWDLNDPSTTTNPTWGVGATITGYGDRQNFTQPFAAEDIIMVYDGYCASTCTLFSDFMRVQAGVKSIAMGGRPNSSPIQGVGGTRG
ANNYQYEYIRLLSSVALESATAEEQANWTKIINYTDLPQSRSTDCSVNVRDNILRAHIEDGTPAQFLHEPADCRLFYEPVMTSDVTSIWKRAADAAW
GGRKCVAGALPQKKETRLERLKRSEEMKIRAASEGRQPVVERLVSAKMLSAAMNLAVGKKVPL

>RCO7_01141 | uncharacterized protein

MTTLIRTRNPLESLRMSQQTSGRRRSKRLAAYDEEDGDFVFTRGAKKVKTASAQPEPAPTPAPIPSAKRVRKPKDVKEVEERDDETTTTSKQPRGRK
MSFSTPKLDKDTLVVAKKRKITHTSTGKAQTEDINGKKTRNDSAHDDSIGLVGETAASQPEGSVVEHSKQSTLIALPFSDTPVINRNKELRKKGGNG
GARRSSLGLRGRRASSLIDNGHSAIPHREVESSEFYKHIEAEGLSEPRRMKQLLTWTGERCMGEKPSHGDPNIGAVLAARMIQESLLKDFANKSEFS
DWFNREESAPTKVVKTPNPRNIELEENLGGLEERIKLLRQERDQWKSFSKPPPSLPPIIPEDAPELVPSLIDASLLTPEQAAILAEVNSASALEIRK
QASERIQALHSDLEFKVDQFSDGVHKVEQYEQTVKRVADKILALSAVRLDERDRREKEEIGTRDLPMQEVLRSLSRILPEGSKGR

>RCO7_01142 | uncharacterized protein

MHSSTFILSLLSLTTNTLSFSLPLQTRQSTTWQYTCDPTYAVPSNFKAFNLGGCAAQLAFTKDRYIGVQWNFDAVYADGSRVKHEPYREKSFGVSDT
FYPLPGNNFNERFPGASAFTAVHEFANVCKAGAAPVSWIFYTSSAISACSSVSYRFTSGSIPVFSNGAVVTRPAKPASYSLSRVNDAGDFLVTWSAV
SGAAAYSVIVEYPTGTDEIGRPYTNVRGARVQAGTLDTTIPTGSRRTDQQRSLVVHTVDSRGLWSFANDAKIVRGSW

>RCO7_01143 | uncharacterized protein

MSSERGSSTQDSYNPNIGVQKHARAELKPPKPGPRLKCSFCRDNKKACEPAEYIWPGENCQGCEKLGLLCSEPSEKPLGRRRKRKASQLDLDPDVPR
SSLTPGEMTGTFENSEEYVDWLLKMPAIPPNSIIQRASLSAFLTLSDEPAIVYNSKPFEDEVLSSYQHHVEILSFF

>RCO7_01144 | uncharacterized protein
MQFIPYAQSRKVSPFEEAIGTGFHKGAEFLMERDDLTADVDERDYLVKHPKIGVTIAKYNGSLLWLAVRRGDPEILDMLLTHPDLKVNDLDGFYKES
PLMLAARFVLEKIIRSLLLHKDIDLGLRDNHDLTAEDIAQINGNPSIVKLLQEKIAQ
>RCO7_01145 | uncharacterized protein
MTKYQYDGLPEDNKPVRLLSLGPGDLAEEVCVELIPALLTGLTPSYEALSYVWGSPKDPVPVVVGRARKHNLMVTQNLGSALRGLRHRNVPRVLWVD
AICINQSDTAERSSQVAIMGDIYCLATRVVIWLGNEGNDSASALGCLESVGLSVKVDWIDYSIWPNVLADGDELELPDLSIIFHHGRRLVNALYHLF
QREWFERLWIRQEIGLAKNAVIGCGDKSIQWETFRSAIFYVYTAVAKYRSELLESLHNRDSMFINRLKLLYTVCDHKTYLLDCLRAEISQVKCTDPR
DRIYASLSLLHPAHQAMGIVPDYTLTTSQVYKKAVLSFINHWNSLAILFQCELRDGPITTPTWVPDWSTATLANAISGAPSNASAYFEAIIKYRGDG
ILNAAGVVVATIMEVRPIHIDNCESFEDIIRSLWNTLKSEGANDAKSPRNDRRRQLETFCDTICCGLFGHTTIPERDDLADFETSVRLMAVLLGLEY
RVSSEELGAQDAKTWEKYVSRAKEVCQNRSFFTTSQGLIGLAPIAAHAGDEVCVLLGCDSTILLRPINDYLHQVVGQSYMSGINTGEALLGPLPGNL
RAVNYYDSTAQAFYFAYFNKQSRKIEFRDPRLYTLSMDLSYHEQLWEKGGFQRIKIELDVLRGSNIDVKTFDLV
>RCO7_01146 | related to 6-hydroxy-d-nicotine oxidase
MMWLETIAAILTVLSIASANPDPLVPLDKLLSNPASFGFESLCEDVKAQIKKLSGLDNCQAACSLLSILVPTAVSLAASSTYQKIPYWSVQQSEVTP
VCRIDVKLAKDISTTVKVSKLTQCPFAVKSGGHAAFAGGSSIQNGILINLAKLNEITLSEDRQTTRVGPGNNWYDVYQALDPLGVSVVGGREAGVGT
GGLILGGGISYFSGRFGWACDNVRNYEVILADGQIVNASSSSNPDLYWALRGGSGVNFGLVSRFDLATFEQGLLWAGTRYYDFSQRAPMVDAFSKFV
IEAPTDDLAHLFIAFGYAAELGGFIGVSGPAYGKPVANAPIFTDLNQISSLADATGFNNMSALSVALNQTVFQRQTGKTVTIKADPALLKAIVQIFT
EEARTVIDVPGIAPFFAFQPLSINIIDKMPKSGGNTLGISVADGPLTILNNNWAWTNAADDTRVFDAVNRFVSRSFNLAKSMSMDNDFIYMNYASQD
QDVYAGYGKANVDRLKAVQKKYDPQGVFKKLQPGYFKL
>RCO7_01147 | related to ahmp1 protein
MTPPPQPPVPEETENSMAAAAQKVKSVFSSHQKPSVRIVRGSSAGLPCHESRTQNFTEKPLPPHPGENTIASRLAGARSRIFGHHEIEHAHEKPSRQ
DYYDQDRVDLMDVVDPEVATLSTLTNVQNSLFLPSLGKLVNRRATYKISESPEEERRYDKLKAMLKKLPFRRSKSTQDTFTYAVLPDDEKLEGWSKE
DKAEMDDMVRHQLHSKRAKFKRSMKGFKQYIRRPMGLFITIYATLVTLFGAAWVFFLIGWISLGSKQDDVIEAVDLVLVALFAIIGDGLAPFRAVDT
YHMIYIAHYHRISWKRRQERGLPDLADHNDLPDHRVEDVSNAQVDVESQLARKMPSSMAKRIAPHLSKKYAEKMVIRHRANDPTFEYSVLDVNEQAK
LDHHERKFSKSHTFYKPHETETHYAFPLKLLVTVVVLLDLHSCLQISLGACTWGIPHDKRPFALTTVILCFSLTANITAGILISKGDKRTRKTDVIE
RLMRQELTADAIESIQHRQMKDAEERGEIDPAIRKRIEKEKEDKENEEIKKSWKSVPSLPKKLLGKGEDTRQPSLPQEQRRSGSNVALMDKGSSSSG
GKKGKNASKAGSGSGVLGAVKDDARPVAPLPEVKKGEDPLKPSIGHKALEFFRKADLDRS
>RCO7_01148 | related to monooxigenase
MPSITLQKKYKQEREARLNEKGLGQYLNSSKTKDFISHEDPWVESGTPVQRPVPDGGHVKIAIFGAGFGGLCAAARALTDGSASSPEDFLIIDRAGG
FGGTWWHNRYPGLMCDIESYLYLPLLEETGYMPTRKYASGEEIRKYSDLVAQHFNLHSRAMFQTSGDTVTWDDQAHHWKCEVIARPKGQADSRIRFT
ADYVIIASGGFTEPKIPDIPGLADFQGRMLHTGRWNYKITGGSPSNPVLSGLEGKKVAIIGTGATAIQAVPAVARYAGELYVFQRTPSAVDERGNRD
TDPEEWKLIAGKKGWQASRADNLQAFTEGKDNHPDEDLVDDGFSRMPTISGAWGNSTVVKPEDVEAYVGSMHELDQARSDRVRQRVLDIVKDKETAK
ALQAWYPGWCKRPTYHDEYLPTFNRPNVHLIDTAPKGVTALAPTGIIHNGTTYPVDIIIWSTGYGSPMTESLAGKAGINVTGVNGICMENQFQRGQL
LTLHGLIARGFPNMFLPGFSQAGVGVNQTQRLDAQALQFVYMIREAEKRTREIQNGRSNGTDGSPKTVIQPTQQACDYWADQCASKAHMLATMGGCL
PSYFNAEGASQKMTKEQQAGAARLTLWGQGYLSYARILKEWRAKGEMEGLSVEAA
>RCO7_01149 | uncharacterized protein
MFEHFTFGAQAQTSYQEPADFMASPTDCSFPLTSQPQTSYFSMDPRAPLSEIMDAFSQQTLHPDETSHRSVWGDSIPSLDFSRNLSVGDDLTLGEIC
EASNVHKLTPDPLTPTSSSFSLPNLPHPRTSTNLNTAACRRLQRQLNTQLQSCHSHQRDISTLVEDILTTNTQCRLHKASSGPYLTGPPPPPSGLIP
SSKEELEAELAIEAQALPSIDFEGRAIISPDEDEGFAEMDDPYGLLAFEEEMSLRRASAPSGIRKYNVVRWRKSAECVAGGNGSSAPVSRMKVRSMP
RMRRRKVGTVVE
>RCO7_01150 | related to dis1-suppressing protein kinase dsk1
MAGLLKWARSAVKRAPSLPRQYLNVKSPLIKPSEKVEEENFGIDRYYPARIGDVLSSRYQIVGKLGFGTSSTVWLVRDLEAHRHVAVKIFTHDSQDT
DEIAIYKHISQGNKYRLGYRYVRTALDSFELKNRGGRHPCLVHEPLWDSIRTLLERSGRDRLTEDLLRVNLQRLLLALDYLHTDRKLIHTDIKSDNV
LHLIEDTSILAAFEQAEIAQPHRARKRCPEVMLHLPWSYSADIWNVGAMIWDIFEGKHLFNGQDPERGRYTTRAHLTELIAILGPPPLGLIKRGGRS
AEWFDGNGEWLEPDEKEPERLTLLPASSLEAVEENLNGKHKELFLNFIKSMLQWEPEKRKTARELLNDPWLRRS
>RCO7_01151 | related to multidrug resistant protein
MPASKEISSSDEEPRIRSSVDPEKYIGGSNDTHEVTWAGNDDPQHPMNWSLRRKLSMTILISFGGLVSLMSTSMLAPALLDIENDLHTGDSETNLIL
SIYVLALAFGPLFISPLSELFGRKKVYLLCHVWYILWNAVAPVGKMKALLIIGRFLSGLGASVGLALPGPMMADIWKPAQRGKTYALVTFTPLLGVA
VGPIIGGIVAENIGWPWIFWIVSAGDGFLVVLGFFLIYESYAPTLLAKKARDLRKESGEGYFTKHELSHPKLSQKLKVTMVRPVRMLFSQPLVPLIS
IFLAYEFGVYCLAITTFGAIFEELYHQSTTISGLHYTAIAVGNTIGSQVGGWATDRVWKHLTVKAGGSTSPEYRVPMMIPGAIAMPIGLFWYGWSVQ
ERLLWIMPDIGIAIFSGGATLATQAVIQYTVEAFGDHSASAVAAVRFLSNIFGFAFPLFAPKLYDRLDYGWGNSLLAFLFIAFAVPGPFLLWKFGGR
IRAVGKEVQ
>RCO7_01152 | uncharacterized protein
MDLEMPRNHSISSHRSHEQREISDNGSGSSQILMSRVIDTPAKKRNRLAQRKHRSNRLPTRQNLPAPDDVLSFPSQTFLQRASEFDEKLPHENESNL
NSDYESLGNMDFASENPNIWTESELDTVFGADQLTYPDMITTRSGWKPLPASTHLSLSERTSEVPGTGSGYSSEELSSTAVQTRFNNSYSMAISDYQ
SEGAGNMSSARKRSATGMVQFQGRQDFDKSPEIHARDDQITSRDRRIPQPINTSGFPTVGSRNLGLQSPPEEPTDTTSNSSPGSSPHSEHRFGVILA
AVEAAGFSSLDEMAMEYYTATIPEESPFRSTQSLSRSRQLKDLLQVLDSSSTQWSGQENKDYRGGISKSAQAIFAQELEELKQKDFRDQRSLDESLV
LQYTQFSPPHGHAPRAFLNLQTSMQDIRRLRENFKTKTLQMPETWSTLMAFTRQAGVPTPLSSQIVSAFLRACAFIDINERQASL
>RCO7_01153 | related to tripeptidyl-peptidase I
MACHDEMTVLNGLETDVNLAVLKMKACNFLVFASYALSSPLQSKNNTHVRKDIHPIPTGWRKIGPADYRSTIQLDIALISQDAPQLERHISEVSNPH
HQRYGQHLSADELRSFMSPAADVIRHVEEWLQENGVSEFRYNSARDWIKTAPVSLDKVERLLNTKYSVYHHQENNITTVRTNEWSLPSYLHDYILTV
QPTNSFLLLKPPKAIPRQYTRSEAPIAVRKSESTRDDHNLGGVVPSYDELAAGDLEELGHVSIPVWKDLSANPTLKEACNQDAISALCISFLYGTAN
YHLQSPDKIKIGLVNYLGEDTNETDINTYLESYVGDAASDGAAYKIQTHIVNEQENEANFPSDPHQTVSGVGLEAALDAETLIGLTHPIPITAYNVG
GRPPFLPTIGYEENINEPYLAWINYMLSLPQEDLPHVVTSSYGEPEQTVPLAYAQKVCQGFAQLGARGVSIIFASGDDGIGKDGNCFSNDGENRSTF
LPVFPASCPFVTSVGGTRGLEPEIAAFNARTGYVTGGGFSNYFPRPRWQDVAVTDYLRYRLEPQKYEGLFNSGGRGIPDVAATSYHYAIIHKGQSHL

SDGTSAASPTFASIIALLDDALLAEGRPPLGFLNPWIYSEGFRGFTDIIYGSNSGCNTTGFPALEGWDPVTGFGTPNFPQLKDLALQYRYRSTRPWY
YG
>RCO7_01154 | uncharacterized protein
MIWTATFYIHFLFSLSFLAAAEPVQYCKDGSRGNINFCMGLTVHKNITSKSEDIYLSFTQKRYDGSDLGWTAIGTGSEMLGSLMFVVYGDPLGNGDP
IVSIRGTTGHVQPQLIQKELSGGLDIRVLRSQWIPTSSHHQSFTPDQPIYEGRVSIVCYSCGLWSGSKLDVLSSAQPWIWAWNEHQKFSTFSYDAHL
LMHKHHAGAGGWGNFYLDMPRATAENPGLPSLPPIRSGIAMVGASESATGTSKIGVALGFFTRPELHLHGILGAIGFLAIFPVGVVAIRSGSLRSFK
YHWIIQIVASLLTVAAGLAGLGLRNRVSTYHQIQGIVIVAIIPLQSLAGWLHHVKFPKLGRTWISHAHIWLGRILMAAGAVNVVTGLRLKGYSTLVI
VAVAVFSCLEFLGLAIFLWWRFTQKRRLEAEETSRAYFSVAGDDSEEDEEK
>RCO7_01155 | uncharacterized protein
MEPVTAETPFLEDNKHSPDSSIDGYLRTKPEKRSWIRRNIKAISIHLILVITYTTTVAATLNLYFKPNFRRSPVYSPANVGAHYKSIKISDSPADVG
KSLYVGEPSSGKDAEWYKLLHYHNIRLTAEDLQELNATSIPLGSGGYQGMLAVMHELHCLKLVREALHPEYYWKEKSEKEIRSMKGHNEHCIDALRM
AVMCRADVTVFPFHWKSGTRLPSPTWSQNHECVNWDVLQKWMDTRVVDVKAPGVLTHPKWGPSYPNGQRIEEPNGPVVIPPG
>RCO7_01156 | uncharacterized protein
MKYSVLISALPLLVALTSAMPTLNARSLADSDAATAYGADKRDSDAATAYGADKRDSELTSVTLMLPLHMEPTNGTLMLLQPMEQTSVTLMLLPQKE
LASKSQHMTIFYLGFS
>RCO7_01157 | uncharacterized protein
MSFLRETKERFTSKPPFMSSKGHYSPSLSSSDEGSSSSFVEKSVPFGSLRRSIWQRYRSLLIAHFILFIIYGLTIYLVATRKELKFSRKHGLPFSPA
IEALEFSEQTFTLEARVQEQGSFSGKPSATLDKAWHDLLDPENIRLEPEIMAHYGRLDSGVALPDGDGYIGVLNVYHELHCLKRIHQYMYQEHYWPD
LDDNMREMNRLHNEHCIDFLRQASMCHGDIGLLTFEWNERSRIPVAKATTHQCVNWEKLNDWTKSRTVDMMKPGWLVHPKLGVAYPDGKGDSIGAVK
IPEPGNAPAKSQDKESDASTGY
>RCO7_01158 | related to membrane protein
MRSSIQSAASRDGNTNVHTWESATEQLLSRSSTSTINTTDDEFMESNEAAALTDPFRPFDMPDEDQNLLTLRAVVMGVTCGVLMNAANIYMGLKSGW
GQSASMFGSLVGFAILKPLSVHFAHLPLIGGTFGPRENNIVQTIATSAGGMSNIFVAAFPAIYQLKLMDTPARDFLKIITLTAVGGLFGMFFSTPLR
RFFIIDAARELNLVFPSLSATAITIRSLHLASDGVSSAKKTMNALGYSFTGALLLRFCSRFAPGLLWDWHPFTWLYLVTKNDALLSFESWGWFIEFS
PAFIGSGMLVGMNVALSFYLGGVLAWGIIGPLLVYNGLAFGESVSNDPKWLSYRSYDSLSHEFSAPNHPSPRYWLLWPGLLCIVAVSFTELLCQWRI
FWATGQVLWKNIKRNRLRSSGNTAGTFLDPPSNDADYFDREDSVKTWMWLPGLILVIIGASALMRWQHNMPVTETLLALFLAFFFSLLAIQSYGVTD
IQPLTAASKASQIVLGAATRDKGYTISNNQLMNLIGGTLASTCANQASDLVGDFRVGFLLRTSPKIQWWAQGIGSLFAVIIAPSLFLIFSNAYPCIN
DLDANSCQFAAPTAAAWRAVAVAVTEPDFPVPRSSAIFAIILAVIGSCSVLIRYHLWVGKREWLRQYHPNFMVMGLGFITPALQYGFAMVIGATIAL
IWSKRNSKSFNAFGYAVAAGFVAGEGIGGVLNAFLEIIGFSEKAYQTSIGCPANSC
>RCO7_01159 | uncharacterized protein
MQHHYYGTPIIPYPLPRRTSTGLSFNRETKAAVDSRSFPRQGSLSNDTVWTWRTQLVPDVEAFPGHIACDGDSKSEIVIPILKNGSEEEVVAIIDID
CAVLNGFDETDQIWLEKLAVLLGGACDW
>RCO7_01160 | related to dna-dependent rna polymerase I subunit a43 (rpa43)
MSIETKFPLQTDTMGSEKHKSKADNKSKSSHGEKKRKRDHTEEGPKTKAKKQKSDSKAAESEVLSAPATISPFHMQTSSLYLPLAPVSQKFPLEGIC
AEHLSPLLLTYYPPFNGVLLSYSNPRLSEKAFGNDGEDVLLQNHDEYAVSWTWLTAEFLLFKPEKGAWLEGYVNLQNEGHLGLVCWNLFNASIERKR
LPSDWKWKDVSDAREGWEGEGETYAEEGSGHYVDGEGKKIEGMVKFRVREIESSHDRERGFLSIEGTMLSETAEKKLVEDERNGVETSRDTAGRRLG
GSRALGATSLGVAVETDAVDGEAKRHRQR
>RCO7_01161 | related to CHAPERONE PROTEIN DNAJ
MSASNLLSLAGWTFLPNFVTGWLQTIYYGIMIRAGDPKPQPGSPRYIAHRRRIHIIVVSAYLLYTIYEADWAIRRASDFYQDLGVPYTATEREIKSR
FRRLAAIYHPDKVSSTSPGGEGYFVHLKLAQDTLLNPAKRFAYERFGPEIIQWQRCSGIRDFVLHGLQSILPYYGVAAIFMYILGMQGYLEWGKYWR
WLTLAGFCVFELHTISRPHFPSFAVKIVNPLLTKFTAHPPYLPFQLIQLGRTISVTLYIAFSQIGPHLEPPTPVVSNATPEVQLKQQLDRLEATAKT
VDVEATRAVQLELSPFMGDEQAIGDVKGKMKEWLVQNTIQSDPMVRDAIGTLLKKRRTDAPAGARGNR
>RCO7_01162 | uncharacterized protein
MASTEPQMPSSIAGNVKLSSSDKDVTAQKAAQNLQVSIPEPASAQSSMSTGRSKAEKKKRKKENVRKNKANAFAVAEQQSEQKLVDDMNAFSVHQPG
NLDASAGKQVDKMSYHTEQKDVHVPVPSSLLFEFLPCPEKGGIGGFARFDINKGPNLLVEEAIFKGYREHTCKESLFKVLSREKQDKINALFSRCNY
KSTQSTETPLMQMWDINIYDTAKGLNLYLLAARFKLDCFPDLARGFTKDDCIICGKEHSGGRGTPGQLNSNSRGGQSQTRRAPQ
>RCO7_01163 | uncharacterized protein
MRGNPTKMNGCTKAPIADKSSKTSAAQPAKDKFSIVKENRAARNKRKHEKANKMAKEAKAKQNVEKKLLDKMCAWADRERQHMGAGVGSSNTETDSD
EDSVTTGLLVPCDVESERRVNLADTPPGLLFTLNPSPEKGIGAFANQDIKKGTDILVEEAIMRGKAQWLFDEALFKALAEDKKHRIMSLYSRCHCNS
IPCLETPFMKVWSTNAYHSPVGPMLYEIASRFNHACLANCARGFSKENHMVFRTARDIKRGEELTVNYVLVLRSDEYRAGNTTQNTCQAHLPNGVET
KIPALGLYNDEELKAQDRVENWHMGIEATMSQIHANMLEYLETLVEAGDECMLTSQYRELLVDEALDAIGNFLGENNVYGLDDAVLQSYIAKIKRFM
LAQTEAYYLTVLQRFSKFVD
>RCO7_01164 | related to 2-polyprenyl-6-methoxyphenol hydroxylase and related FAD-dependent
oxidoreductases
MTPGKDNEGFQDETMQNGIDSEPEIDGNDSHVTVIGAGPADAARSNLVRYGIKTTIVDDRPDKTSTGRADGLQPKTIETFKQLGLAGPLLQKGARIY
EICFWNGTATQPLRRIGRAIHYPPGAVDVQDPFILLVHQGMVEDVFLNDLKIRGVEVIRSMPLSRYRETTTGVEIECLDSKTGKPKSFTSRYMVGCD
GAHSNVRKSLLQGPYEGERSNSAWGVLDGVIETDFPDIWSKTVISSETEGSVLFIPREKNMTRLYIELNSQSTTSSPEIATQEFVMARARVIMAPFK
LSWKIIEWFGIYKVGQRVAKKFSGESETVFIAGDAAHSHSPKAAQGMNVGMHDAFNLSWKLNLVIRSLAHPSLLSTCEQELRKIAQDLINFDYGHAV
AFVSGDHKKLAQNFAKNIRFISGVGAEYSENALNLPEKVRRGALQPGCLMVPARLTRYIDANPVNLQLEVPMIGQFRLFFFTNNIKVSSPFLEAVCA
EISSSRTVLGRVTAAANASYAARGQPKTEMDSFIQPQRYVPVSSLVTYAIVTTMPKARIEIADLPPLLQDSRWTFYLDNLMRMPTATEKWIGPLKEG
VVGIVNIRPDGYVGSIGRWNSRLPGSGAEAVSWLDSYYGAFLKG
>RCO7_01165 | uncharacterized protein
MSSDLLDSMADIAEHKTQEKQIISPKRIRRVSMASVMRLATTIKENAVIPPPASPARKPEVQTVDMC
>RCO7_01166 | uncharacterized protein

MKFLILSLLTSGAISAAVGGAGLGARDGPQWCNCRIKFNSQQSIYSWDIPTSPGETQINANYVFTEVRGKGHQYNNACRVTYDRGQNPKNCASWTQT
HGPDGPNCPKSIFVKGQITCTGSDHHTG
>RCO7_01167 | probable GAP1 - General amino acid permease
MGVNEKVVSDVELGSDPSDIQVEEHGLKRNLKGRHMQMIAIGGSIGAGLFVGSGNALNSGGPGSLVIDFIIIGFMLLLTVNALGELAALYPVAGSFY
NYSVRFIDPAWGFAMGWNYAMNWLVVLPFELVVAGVTLAFWTDADGSGNPSVNVGVWVTIFLVLVCAINFFGVKGYGEVEFILGCIKVVAVIGFILL
GIIIDCGGVPTDTRGYIGAKYWQDPGAFKNGFKGFCSVFVTASFAFGGTELVGLAAAEAANPRKSIPKATKQVFWRIALFYVISLFILGLIVPSDNP
NLSKASGGHTRYSPFVLSFQLAGIKVLPSIFNAVITISVLSVANSCTFASTRTIQALCANGMGPAIGAKVDRKGRPYVVLIVVLLFGCLAYITEAHN
GGTIFNWLLSLSGLSNFFTWGSVCFAHIRFRKAWYAAGRTTDDLPFAAMFGVVGSWIGLGLNILCLIAQFYVALWPIGGEPDAQDFFMSYLAAPIVI
AFFLGYKLYYKQWSVGVVLSEIDVDAGRREVDLSAFRAELDAERAEKASWPAYKRYWDFWF
>RCO7_01168 | uncharacterized protein
MTFFKIRELFESAGLDSPFLIGSKPRALEETLGIFLAIFALITVVFNFIEELPVITVGGIHTLAYSICGFTDFPPNVAVDVLISSFVIIIVLKVFSG
FVSLIPLGRLLRLLVFSAVAYIFVNGPRIGTHRGESYWLDSLNTCLEALHMYSVSVGIALSGIFVSIFKKDGYNTSLFRRSAAVFAVIRAGIQTRVE
RMAARHGEEY
>RCO7_11652 | uncharacterized protein
MEPSSKKRRLAPKLAEQSHEQSQQARFDYKSIPPPQEALPPPERKDFESFARHLQDAAMLIYSQANQSPYTSVSVLLVRWEDDLDVEQDMSQLQKLF
RERFNYSTESWCIPSCPNPSMKLTAHMAQHLEYARPDHLWIVYYIGHGFMGSDHNLYWACNNREDSSKLKWDGVRCILEDAQSDILLLLDTCAIADA
PTAGSHGIKQAIAAYSPEQMTKEPGPRSFTFNLIEALNRLGTGRPFSTQRLHEEIISIQHDKFLQTSGLTNGSIKSSPGRERLPVIFSLTPGAMQSI
TISPTPQQTLGGSIGSPLGSPDHELLPSGSLHNEQQLLKIGSNADLTFDEMRALVCTTFLGEPSHEMASFKQWLLNTPIAAAKIALEGMFHGPPTVL
LISMPISIWNVVAADRTCAFLGYVNSHNMTTEYNHLIGSFSPVPKTATFKELEDGKILLEARQAATSTPIMTRHEPRSESMQQDPMHQILAQDDMPM
GTPSALPQVVFQHVDQVVIPGHKDEVEDSVEMHEAAEQLKALSHVRHLSHDHANSERNQSHIPSEESPGLRSGREESVSSQEQNDSGAEDQLYNSGY
NSPRPKPRRSIQKQGPKQDTRCSLCSHAPFKDSSSLRKHIAAAHTRPFPCAFSFAGCTSTFGSKNEWKRHIASQHLCLTYYRCSSCPQSTIEGKGNE
FNRKDLFTQHLRRMHAPFAIKKAIAKGDSKLQLEWETHVKDMQASCLVTRRQPPQRSACPKPDCSNVFEGAGSWDDWTEHVGRHMEKGEAGRLGVDK
LLARWALEQGIIERKEDGELRLVGTERESGAGAGYYSDGNGGVGPKREMGDGSKLEGDSMLLDS
>RCO7_11758 | uncharacterized protein
MSTKFALYARTRSFGVTGTCRINASVLKDLLALKKHDDEDVIPWGTVYCYTTTDGLVSQVRWKDQAFVIMMSTLFSGCEAKTERLRKRPKETSSKAK
TSRVPFKGGVDEFDHLIAQNAGLRHVERGGHQAIEHWELRTVLSNCYVLASRSNVPLPRRPINFRSQKDFRDQLILSLLSIGESHTSSKKRVSIIEP
EAYTIDITSHKHVKLPKRGRYIACKGGRFNDRPKKRVALGEIAANKGRPSSNHQSFYGCDIFFGLIEENLLLSLARIKRAWQCTVQCNSGRSAADR
>RCO7_01169 | uncharacterized protein
MAATAVASPSMYSHPPPPYSWGGPGPSIMGMISPPDSRRTSDGKTEPPPAVQTSQLHRYSLPSIHEALAGGPKPSSFTSPIIAPAQHSQQMPYTHPQ
GPQITRSHPSERLPYPAPQPTLQRQPSSPQPVHPQSIPFARPEQGPPNTYSEHPRHGSLTSLQTAPAPPNPYASRSEERSYEQDPRAQERAPNGYQQ
PALQPPHNYGPGPSPFHSGPPPMFQPPQFPPQNREMKDWLPQKKQEREPLRQSLKRNLEVWNFEDRLARINGNSTAIQMWSAHYNAIAQEQQQVTNI
IPDRMPTLDSVNEMLRCNEEMTGYLSEMKAIIYEQAQHTANQRMREQGGRGAGDYDEEGWNDDMKSNGGYGEGNKKRRGRAAPPGRCHSCNRAETPE
WRRGPDGARTLCNACGLHYAKLTRKNTMKNSQGSTGAGANGDPSGGIGGKLLRPLSKDGLEGRM
>RCO7_01170 | related to gamma-glutamylcysteine synthetase
MGLLALGTPLDWPEAKKNAGHVREWGVKQLLAIWNRAKGKEKDALLWGDEIEYLVVTYKDDESKVTLSLRQADILTALAQDEELCTEGGCVPALQDV
NGSSTLPIFHPEFGRFMLEATPGKPWGIGFKDLLDVEPNMRLRRKIAKEHMHPEEYPITLTTYPRLGSPGGFTTPYYPPSGDKLRSQFVPDEIANPH
IRFPTLAANIRSRRGRKVQVNVPVFKDVNTTWPWKDPTVNYDLHNWPEDDDVRNGASPDNFIHMDAMAFGMGSCCLQITFQAKNIKEGRKMYDQLSP
LGPILLALTAATPIYKGFLADTDVRWNQISAAVDDRTPEEMGEKALKDNRWRIPKSRYASNSTYISDDPRLRKEYLDTQLVTDPDIKQQLMDGGMDS
VLATHFAHLFIRDPIVIFAEDLQELDLTKTDHFENLQSTNWQHMRFKPPPPNNDIGWRVEFRPMEIQITDFENAAFSVFMVLITRAILSFDLNFYIP
IPKTDENMEKAHNRDAVLTDKFYFRKNPFPTRFPRPYSQNGGSRSGTNTPTISRPPTPTGPVEDEYALMSIDEIMNGSKSDSDNNFPGLIPLVENYL
DSMNVDVETRCELAAYLSLIRKRADGSLWTAAKWIREFVRGHEEYKGDSEVGEKVNHDLIGAVIAIESGGRKSVKDIEKLLGKWGRCSDE
>RCO7_01171 | uncharacterized protein
MSFDFGIPLRPNESLPPFIILHLIRHGSSIYGADNSLTEAGRLQSVAFKDNFHQHVPFITHIVSSPLLRASETAYKALSDVIERGVEVKIMDQVSGR
YDDTLREERGDRSLRNTGVREPTAVEFLKKWLVLRDTDIWDRGSVGEVVIATHAMLLMDLLGEYSYRAEDFPNVGMRSYAVDRLGNLTFISSSTLKS
KRAEYQAWKKSLDKRRVDAENLREDAEIPFFQQHQQPQLSRTPARSDLVLRWSGEQITWKEAMRRDRAMQINTIVHLKPVEREGLKKISRVPGVQWR
DAVFAVLRAPDISPPTMVEPENVTKASTEQKVTNMDQPNSHKVYLWYSLVVLLLVGCLAFSYICY
>RCO7_01173 | uncharacterized protein
MATNVSSPRPRPRATLACEMCRSRRTKCDGRKPTCSFCDDHNIPCKYRDPAAPAPSKTELEIQAIKLRLEDVFTLVSMQSLERLDPNTATTGFSVGF
AGNAAGSIYSGRDQYPMDESIISRTWRMEFPFMLIQTQSTMCLLGQDPMLSARMVVSERTDLATLTLPSFADESKVQYGDAISVFAYFYDRMQHWYP
VLHQDFFSLYLEKLGSELSPSADYCLALIVAAIGSVCRCASFATAYTTRPDAKYIGKALTMIPFVNLEFSLRSAQCLLFLAVYYNSIGKPCQAHDYI
LMASCKAQALFKCQIYHADEESLTLLRLVFWSTLLIETELGYHMDMPESNVWKFDDRILLPSIHDSWEPFRENQRYMLEQARPQDSLALTSNDTKAY
FLAAISMCRMMRRCFASVVLFNHKEVYAPIIANELTNQLVNWHESLPSSLKFNRRRSFSFANAATPTFFDVAMSSSSRAAIMSFLEMQFYQCLISTY
WPAVYSVLYLDTVPDTTLVDCLRFFEAYVGLVSSIVSAIKSCPHTPWNFYASLFITTMAAYKGAQATCLRGQIPEAVISCFEAAKSMFESGEAVINS
PSLAMLGAILSRHIKTES
>RCO7_01174 | probable monosaccharide transporter
MGLMLRKPEGTPGRSWPAIMIGLFVAFGGVLFGYDTGTIGGILAMPFWMKTFSTGHVNGDGLPDVSASESALIVSILSAGTFFGALAAAPIADKIGR
RWGLIASTAIVFNLGVILQTAATKSPMFIAGRFFAGLGVGLISAMIPLYQSETAPKWIRGVIVGSYQLAITIGLLLASIVNNATQGRNDTGSYRIPI
AVQFLWSLILVGGMLVLPETPRFMIKQGNLEGATKALAKIRRLAADDPAVLEEISEVQANHEYELSLGKSSYADCLKGNLLKRLLTGCALQGLQQLT
GINFIFYYGTQFFKNSGFKDGFVISLITNCVNTASTLPGLYAIEKWGRRPVLFWGAVGMCVSQFIVAILGTTTTSQDVLGNIIVHNEAAQKAAIAFI
CIYIFFFAATWGPVAWVVTGEIFPLKVRAKSLSMTTATNWLLNWAIAYSTPYLVNWGPGNANLQSKIFFIWGTCCLVCIVFVYFMIYETKGLTLEQV
DELYGEVSVARHSIGWVPTVTFREIQEGKGGEKVEHENVEKN
>RCO7_01175 | related to beta-fructofuranosidase
MKITTLSTLLSLSLLTPSTHSSIIPRTSSSTTLLSSTCHSSRYDGPLNPDFEVPGLANWTVISGNAFGPSSTTDQTTYWAGSFNQHGKSFLWGLKNA
GDEAIGELHSSIFKASNVMSFLVGGGWDPENLYVGLKLVGSEDLLFKQTGMGDDALIRIVWDTSKYAGKDVYLVLVDKSAKTDFGHINIDDVRTGCE

ALLDDGLHFNVLGQANQPSKEGSLLSVEDLHAVDPIRPQFHYGQYQGWINDPAGLIQWKGKHYLFSQEFNPDAPLWGPMHWSHAESSDAVHWRELPV
ALYPIPITNALDSSGRFTGSAVVDNSTGGLHIIYTEFTNTDTHPGAAPEAVSSVTSLDGTTFSYSPKNPIIKGPPPTGSSNGFRDPKVFWDTNDQTW
KFVIGSGEGAKGRVQLYVAQDASLLEWEFVSVVAEGDGTTGGMWECPNMFPLGDKWVLFYGGRSLGFYEVGTYNGTKFVPEKTGLLDAGPHSYAMQW
YIDEAGRNLGITWLGNWDSNKWPSRVNGWAGTQSITREFFLREDGGLGTRPIAEVASLASGPTTSMGKIDVHGTIKVGSTNTARLQLSVDLKSSNAP
AFTVFLYQSKAEAVVLKYTFGTKTLSLDTTKAGYGQAGVWSAVIAPTKDGVLSLDVLIDRSSVEIFAGDGTAMTATVFSRFQESTDIKIEAVGGKAV
FASIDLTPFGSSWKA

>RCO7_01176 | related to endo-1,3-beta-glucanase

MISLSILLTLTTILTSIKLTLATSPEPVPGFHLAWSDSFDTTTPEIDLTKWRRWTGQASNNEQQTYLATGSNCEISSSKTLLITPTNTNGHWESCRI
ESLPAFAAKAGGQTIVQARLKLGDGDSDVGVGKTLQGIWPAFWSLGASVRHGTNWPSCGEIDTFENINGGPLGHGTVHCGTACNDPVGLGSGMTFSY
GDWHTWAHAIDLRSGEWRDQNITWYLDGKPFKVLKGGDVGDRDAWANLAAREMILTLNVAVGGSWAGDAVAETVDGKMAGIEVGYVAVYESD

>RCO7_01177 | related to phosphatidylserine decarboxylase

MVRISLPNRLKSYTHSNGNSRSSSPNPGASNMRKQRTGSEGDLLEGVKGNGLILKVVVVKARNLAAKDKNGTSDPYLVVTLGDSKNATQSVSKNLNP
EWNVTLQMPVNSANALLLDCVCWDKDRFGKDYLGEFDLALEDIFTGDEVDIGPQWFPLSSKRPGGKKSSNVSGDVQLQFTLYDSSNLSAAPAQVLEK
FRALAGVTDLPDTAGRLPMGASDIADEDSDFNDDEDPSDETDDPTKPENAEKKRRKLRLRGLRRKKQQHGYEFTSDSEVVGIVFLEIGKITDLPPER
NMTRTSFDMDPFVVASLGKKTYRTRVIRHNLNPVYNEKMLFQVLKHEQTYSLSFTVIDRDKLSGNDFIAASVLPLKDITDTAPDANSETGLYSLKDP
PDPSALPAQPNRSRFKLPISRSASSQSLKGMSRPTLPTRTSGQNVSLNSMSSGPTASIPAQVPTNKPAGLQPGDPAPVTNAVDNDEGFDSHGDPDLH
HFTIPLKLKNAEKWEEKHSPQLFIKAKYVPYPALRQQFWRAMLRQYDTDESGCISKVELTTMLDTLGSTLKESTIDGWFRRFPHAATNDAEANAEMS
FDEAVICLEDQLKQKSQAPQTIADRVKGMMPDASTVKSHLPAQLGGTASQTPASSSVSGTGYSTPSNAENNANSSSLSVEMQSVEDLATPGEEGEYL
DRDDLNDKGEEHVVEIRECPICHQPRLNKRSDTDIITHIATCASQDWRQVNNIVMAGFVTASQAQRKWYSKVITKISYGGYKLGANSANILVQDRIT
GQINEERMSVYVRLGIRLLYKGLKSKDMEKKRIRKLLKGLSIKQGVKYDDPASRSEIQSFINFHQLDMSEVLLPMEKFKSFNEFFYRQLKPDARPCS
APDNPRIIVSPADCRSVVFNRMDEATKIWVKGREFSIERLLGNAYPQDAHRYKNGALGIFRLAPQDYHRFHIPVDGIMGEPKTIEGEYYTVNPMAIR
SALDVYGENIRVVIPIDSVAHGRVMVICVGAMMVGSTVITRNEGDNVKRAEELGYFKFGGSTILVLFEEAAMQFDDDLVDNSQGALETLLRVGMSIG
HHPTQSQHTPDMRKKDEDITDREKAEAKRRIEGSIVSENSSAEGSGKGKMTIASMAG

>RCO7_01178 | uncharacterized protein

MGFATRAQLGKHTRTYHPELYDDLTLAEAIKAVKRQHDLSGQVNSEPKQSVRSTVKLSLKAYEAHAGELPARNKVLKRSQAQQELFEFMNGPPLVTP
QQPHYRHEADQQQNHQDQRDARVRLQAQQTMQQAARAQQQRLQQQRYEQGDNREISRPNDQMTSLLKQISPHVLKDIRDSPFLRENMRQLPQPNKAD
ALQQSDPLQGGGPGFGFLKYSDFPGGSTTPASYNRELIIDDFNFDPHFVSESKDVDGYRFDASTFLDDEKKTSEYER

>RCO7_01179 | probable 2,3-diketo-5-methylthio-1-phosphopentane phosphatase, putative

MPAADSPPAMPQSKDLVVPTPTMALNQKENMANTKRKIICFSDFDGTIFMQDTGHILFDAHGCGPTHRNILDEQIKTGERSFREVSEEMWGSLNVPF
DDGFTVMKDTLEIDPDFRSFHEYCIAHSIPFNVISAGLKPILKRVLEEFLGEEQASHIDIVANEAEISKNGESWKPIWRHDTELGHDKALSITEARN
QANLEADDGTIPLIVFIGDGVSDLPAAREADVLFARRGLRLEEYCVENQIPYLGFDTFADIQKEIDAIRVEDEKVTKGKGVPKRFNPRANLWRRVSS
QRAVPRLVVATPSREEKMFLWPEAFSEFKPKAGIAEEVAA

>RCO7_01180 | related to coatomer epsilon subunit

MPDSHWAMLEIAPGELFEGEVSRWSSDSSDYTSASSAGGTDSAEEQPEIEDIVMETTEEKFERHRRFFQGEPLMRCLREEEDKYGNWMDTILFENLY
HEVQYGLRDTRSQEEVREYWKEVRYKLRIDDSEIASSPDSFTENDTFSQIAPVFSMWCMDEGGEEGGEDPIFASLTPSHAKSLPAARSAQHVPFKHV
SANPPTYFHQIPTTHNAIIMDPFSAEGELLNLHNFFHQGQFQEAIDFDTAGLAPENKLPARIISLRAQIALGQAEEVIANVQGESDVELIAVGALAD
WKAGNEAKAVKTAEKLASEEEGNATVLVLAGSVLQAAGRSEDALNLLSKHSGSLEAVALIVQIHLEQNRTDLAVKEVATARRWAQDSLLVNLAESWV
GLRVGGEKYQQAFYVFEELAQAPSTSSNQSLISQAVAEIHLGRLEEAEAALKQALAKDPKDTEAIANSIVLEIIAGKDAKQLKADLQSTAPSHHFLQ
DLEEKASLFDKAATKYSAKVAAA

>RCO7_01181 | uncharacterized protein

MPNRKISTQAKGKLRALYPELRILPDDWNFVIDTDEDEVFYYIATEKKEVITRDHPKFGKLPEPWMFKMVGEGTGKVPKLAYYNRETRKTTRADPRF
SADTLENLRNMAQRTEGLEIASSLRRSCKAESMADMDRQPIGKTNIRSKYEIMHTIDSGDGEIGAMNGGVFKSAGDCLHMGYKETEMLRRLKHGSVS
MYTAGFIDFQANIGSVYVEFCDGGSLNDVWDQYNCRNTWARKYEVLDQKVHLPEGFLWHVLIGLVDGLAYLANGRYYVSQDVEDTEPAKDWIPVLHR
DIKPENILLRSRDTIGSRKYPYCVLSDFGLATDDLGADHPKADHDHLSGLQCGTPTYYAPELCWNTRLQPSEYEQQRKFPPGPGSKHTRASDLWAVG
ACVFNLAMAESPAEDGGMGGNYPYAHAILPVPDGVPNNIWWRSQASRRKRLDIGDELGYSPELRKSILYMTQWDPAKRPGAAQLVQILKKMVKAAGH
DRMPPEELPDWAFKVHDYHSAMPRPAED

>RCO7_01182 | uncharacterized protein

MASSNFEHLCNGIPVDHRLKQYLPNAKQSKQKNAYGVGKHTDIIENFGNTLIRDNRTSPTKHEIGFASWLAKPDMTGGLIIALQQPTKSQDFTADFK
KVQDQCETLSYLDKSLAFMNDSGGLETTSVFDAFPFITEKISPKKLSNEAELAYDTFLSMVEAKKPKVVFACWRIHGQDSLSFSGEGLGKTNQVHRL
TSPNGHVVRVVNGFHPSYIANYYPNESCFRRLFAMELCKALCELNTKWQEDAWMDELRRTCRERMFQLMQDKGGDGEQLNPETGRELRKTRTDNTTQ
KYHAYTKSFDNGLKSLKQIFAHMVSPAYTSQSSCDLYKFCVFEQNISGGICDALLAVSEAMRQFTPGASKTHKFLKDDIPNLVQCQQGSYTDLWSNR
YLASTSRGLKKSMEKITTRFIGDLAMSFSQLSRGWEYPDLIHDAFKELAVSFEDALGRAYDERPKTVPASPVDGIATLSASLHSLSISSSQSAATAT
PVPNGTPARSSYNNNCYNCGQPDHWYWQCAHPKKRSVMPSTPSTSSSKGNCYNCD

>RCO7_01183 | uncharacterized protein

MKAKTTHRYRICGTPSRGGCLTCKIRRVKCGEEKPFCKRCTSTGRKCDGYAPQDSNTLQQRPAAPSRPLSATEDPAEQRLLHFFSTYTAPSLSGFFS
NDFWERRVVESSHRQPSIRHAVIAIAAMHQEFIERRRNDGMEDASNLQAFAFRQYTKAISSLHHLMTTRMPPLDLTLTSCILFASIDCLLGNHASAI
IHLKAGLRILADIKSHKTQRGIHAEEWEKGFAPPLLALGVQTATFINPTLQTERTSLWVALKRAGNLPIPSTFHSLDTARHAIDTISATIMADRTST
EIKPSLLEHKPPDPLVQGRLHNAALDAWTQAMDRFTAAFVTGEPPTSKLKCGASLLKVHSLVVSIVIGKPEEAEAKFDHLITLCDLLESARVNSSGA
LTFSTDQRVLAPLFFTALRAPNPFIKRRAIELLSRAPAREGMWDAEDAIRVAEGSHSDIQNIGGFVLNAILPDVIPQSEIKIWNDIASRLKSRMIWP
FGETDPGQSPASISSITSPPRSEASYSPAALQVNFASPPAGLPNYLEPNV

>RCO7_01184 | related to sodium transport ATPase 5

MSVVYKTPDDSKWVVYTKGAVERVIDLCTSVGIGDRAEPMSDAMKDIVLTHMDYFARQGQRVLAVASKVWPVEFKVEKKDGKHGSNVDELRPQAEHD
LTLIGLVGIYDPPREETKDAVRQCSEAGIKVHMLTGDHPATAEAIAKEIGIIPRNVNVLPKDVAASIVYKATDFDKLTNEQIDALPELPLVIARCAP
DTKNRMIEALHRRGLYMAMTGDGVNDAPSLSSADVGIAMGLAGSDVAKGAAKIVLTDDKFNSIVSAIREGRRMFDNIQKFVLHLLTSNVAEVILLIA

GLGFQDSSGQSVFPLSPLQILWVNMLTSSFPAFGLGREKPSSETMQRPPHKIKLWSIWLCTRIIMGTCTILTFVIIIYGVNGGRLGNECNARYNNDS
YETSCDPVFRARAAVFAELTWLILISAWEFKSLRRSMFLLDPTTNSRFPFFKDVYENKFLFWSVMIGAVSVFPAVYIPYLNTRVLKHTGITWDWTLS
FSAIFVFVLGIEGWKAIKRSLRLFEAGSDDDKEHLRMRRMGPRQGFFTMAKSQASSIRTISRRATNRSRDDMSFHEKAPPRVIQQGSQPANGNERFS
VRFVSAV

>RCO7_01185 | uncharacterized protein
MDSLTALSSPSASVLRDYMVVVISSSEVVPGDIIILKTGEVIPADLRMFETMNFNCDEKSLTGEAEPVEKRIEADIFIPETGTVATSEEDVPVGDRL
NVVYSTTPVTKGRGRGIVYATGMQTEVGKIAASSTKKTRKEGRSTHYKKHGKAAPVKGLALRIYDGVGKLAHILFGCAILLAIVVFAVNKFNVTDEV
AIYAISTGIAIMPESLIAVLTITMVVGMTVMRKANVVIRDLSAFEALGGITNICSDKMLWSQEGPMGG

>RCO7_01186 | uncharacterized protein
MSNPTYASGNETIKWQPEPNLRGTFTIITTCAITLLLCVYSSVHLNLPAAVPLRDFETGVRRLGWILCALFVPEYIIYTAQMQRNKAKQIFKEASEA
FKPAGAGTGTETQGDAETGLPPRLHSWTTNHSFWASMGGIAIKPSSNEPFIPNRIRSITLTASGVSLLLKTSPHLLPDISLEEVKDKSKASSITKLL
ACLQASWFCLSTITRFAQHLSVSMLEVNSFAHALCTLAVYVLWWEKPLDVSQPIYISEEELDPLLAYMWMSSSTSESVARSPEGNKTYAVGTDPEFE
AIKLLPEDTFARETKQATSESIQPIYPQEESSDAQSETALTTWTAIRVTPFSPLPGTNFLSNPESTRWVEVCTETVGSGDDREINTTTSNLDPYFNL
SRLHAHRWRLAHHALTQYNLDKPVKNMDLVTTGVISETLDDADGTKQSLGGFALMLCLAAGYGALHAVAWNAEFPTQKEKTLWRVSTCIVASPIIIF
GLAVLALVPIELLGLSDDPLVVVKPVVAETEPLKYEEKEGEKTQPTEEPSCGKSKGRKVFDFFWWLLKRLAFILLTMAIAVLYVPARAYLVYESVRT
VFFLPPGAFETATWTQYMIHVT

>RCO7_01187 | uncharacterized protein
MHLIHPQTLLPILLALTPLSTALSHPNPHPNAHAQPQPQPDILPQNIPDLYNLSDNAHSPHLQDRQIAAGGGVAPTTLAPSQYPVSTTAGSLFTQNG
VTSATWKLFVQTFATTALGTWELGPTPGVGVIGLGDIKGTVGGVRENKRSIETDAPKA

>RCO7_01188 | uncharacterized protein
MASSMTSKARSLTARTVHLKVHPIPRTFAEQREVLRVIERFGEVSVFKSLKYEPRRPVPNAFLAVFNTVSSAEEIINVSPLRYSLISETTTPSSITE
TPEDDAAKSTFEIRVSETLYDHQLFLNSPTKNPLHGPYVPVSPKTSYIAGSLSKIVPDSNWSDGLMDWDTEKSRWRNDDILAPEEERRYGKDGEFIS
EESFSARGIRLRTQTRKPRVMSGLQALWRERVEKAEMELHSEENLTRSSAEDDTLKLSE

>RCO7_01189 | uncharacterized protein
MVQSSPTIPTSPRQTVPQSPDNAIEVPTSLPTVATEDLEEYDDDGDSAFGSAKSDATDTPSMTSSILKYREEYGRTYHAFGSTDHWGPNEEDAQEQQ
DMSHHFWSLILKGDLYVTPVNNPHRILDVGTGTGIDAAEQHPEADVKGIDVSPIQPSELLGSVPDWPKSYVKSFRALKPGGWIDCSEPGLYFESFFG
TLGEGHPYKPWGTAMLEAENDAGLSFDVAPYIKGRLENAGFINVVEKKVCCTIGRWSQDPWEKEVGLWEQLRLKKGVQFFCDRRFINNRGLS

>RCO7_01190 | uncharacterized protein
MESEGEPLRVLIIGAGSAGLLFAQVLKQAGITCTAFEQDKSLLHRPRDWNFGIYWAQSRLDECLTDDLKALISSVQTDPSYVANEESVMPVHNGETG
VLMKNLPAPWSLRLKRKNLIELLGKDVDVRWGKCITSITATPDFVTATFTDGTSETGNLLIGCEGAHSLTRDFLLGSKEAELLLSPCVASVIITKIS
RQASTDLRAVHPRYTITFHPNGTFTWMSIHDCSSSDPAEWTWMLMQTWRSDEETGLHGDNILPAMYERGKTFGYPFNEVFATIPPGTPVWHNRLRYW
PTKPWDSRGGLVTLAGDAAHPMTFHRGQGLNNAITDAADFLVHLRDMSSHTPSELAAAVQRYETELWPRGNEAVLASHENTNAVHDWKTMMQSPLFT
SGLAKKGDLEQRGSVDDDVVHEME

>RCO7_01191 | related to palI protein
MAKTGILHHFGTFLLLAAAVLLVITTIAAPIVNSIPILKVNLANGSDVSFGTFGYCILNVDEDSRDYCTGRHIGYNPANVMKRIERTDFGSASENTS
EGLTRVMVLHPVACALSFIAFLLAVGSGFIGSLFASIVSFLAFVVTIVVMACDFTLFGIIKNHVNDNDDDKSGSSAHFSTGMWTCLAAMVALFFGTF
LVLFTCCAARREKKRGSPVTHHEKGYIGNGTTTRTTKRHFWQRKQKATTAHVAY

>RCO7_01192 | uncharacterized protein
MAKGSRRQYQSNDSEPGQQSGFVTIEHYMAGKDPYRVAPADEMPVPWPFVTHPKGEELGNIENSIRGECMNICQQHSITVRSVKVEVLSRKDYPSLP
VPIPYLIIYTLDTNRTRWQAAANDLRNLVAKDRFRSSNGNFIKVEVRNPARMYADFTTCLPVDQELQRYLDEVEPRIYALVLETLPSSWTMVCSHMR
GPRSTQSLTPPRPTILVYVKPETVHSFDSTEEKYREALTYQNFPNIVMNIEILAGFVTKTPCRMPYEAKHLFGLNTTRPYNGVSISAANLDDESGTL
GGWIRLTSNANPNQVTDYMLTCYHVVAAADPENEDDNNERGIGFFGSQHLPHIDVVWPSVQDEVFTRSEANRKIREGSADANIRQSLALLNQINGAG
RIVGKVRYASGFAKRSPTNGYLDWALIPSPGTSQPNRPPQEIYDRQNLAFGSIYRPTANDYIRRIAPEPQVNDWVVRSGRTSANHGIVEQRYSYIVW
EDDETRKPSYEMEIVSHHGDPDFCHAGDSGSWVVNHKYELVGMLIGQTGMNSGNNGIVTPVRDLFADIEARTNCTVSLPLP

>RCO7_01193 | uncharacterized protein
MARGTTRPYCASPSNSMPRSVFNFPPPSLPDGYDESQEYPASISRKLVSLRPPQSLTIEQHLANKDPYRVSPQDTIPIPWPFIKDETISPELSQLEL
AIQKPCHGICSRHSISIDSVTIEALHRKDQWPRIVSPTLMISTSEQKTSSWKAAAIEFHDLVSKDSWFLLSNGNTLSVELRNPSKIGASDHQRSARR

>RCO7_01194 | probable agmatinase
MRSILTAIALSFVTTSASASQQKPLNSVEISNFIQSSIYGRNLEISSLPEPVTLPPSFQYREQDDNLFGGINTFSHVPFTECTNPENSGTFDIGIVG
HPFDLGVSYRPGARFGPNGARQGARRFSPAASYDMDHPGINPFRNWATVTDCGDISNTPFDKLVAIHELEKGMKAINNQIPKNESAADAVRLITIGG
DHTITLPILRALHSTWGRVAVLHFDSHLDTWDPKQLGGGLTKQSEVNHGTMLHIAHEEGLLSNNSNMHLGSRCMLFDAHYDLNNDLRCGFSYIRARE
LDTLGVDKIVKKIVERVGDELVYLSVDIDVLDPAFAPATGTIEPGGWTTRELLAIIDGLSNAGLKIIGADVVEYTPIYDNAAESTGIMVGQIIFEIL
HWMVRVPVKKPKL

>RCO7_01195 | related to cholinesterase
MLSLISLATCLLPLAFAAPANEKRLLAPIVQLESAKVVGSSFFGIDSFKGIPYAQPPVGQLRLKPPQPLSKNLGTIFATGIPKACPQFLTSTNSANV
PIDIVTELSNTGAFQALSNAGEDCLTVNVQRPSSAKAGSKLPVVFWMYGGAFEFGSTQTYDASEFISTSVAQKKDVIYVSVNYRVGGFGWLGGKQIK
KDGSSNLGFLDQRAGLQWVADNIAQFGGDPDKVTIWGESAGSISVFGQMALYGGDYTYKGKPLFRAAIMDSGSITPAAPIDSPRPQGIYDAVVKEAG
CSGSADTLACLRSIDYLTFLRATTSVPGTFDYQSVSLSYVPRPDGKVLTASPEVIAMNGQFAHVPFIIGDQEDEGTLFSQAQSNLTTTEELVNYLAD
VFFYEPSRATVEALVATYPDDPSAGSPFNTGLLNNIYPQYKRVAAILGDAVFTLTRRVFLSAANNVHPNVPNWSYLSSYFYGTPILGTFHASDILTT
YGITPGVPSSSIQAYYISFINTLDPNQGTSALLPKWPLWKNDQQLLHFKTLSNGFLKDDFRQASYNVLNAGAGAEVLRV

>RCO7_01196 | uncharacterized protein
MTDSATATSPPTDEWKHTGVRVITADSLDSNTAQTPGMSRAAAINFARVGAQKIWAGTVTIDANAKTGAHHHGHLESVIYVLKGKARMRWGEKLEFT
AEAGPGNFIFVPPYVPHQEINAMEDEKLECVLMRSDGEAIAVNLPDLKPVETPKGVKWMDPTHANLPDHDVSHDHTHSHDHSHSH

>RCO7_01197 | related to SKI2 - antiviral protein and putative helicase

MAGEMVQDEPAAGVLSWYDRTRPMWIDLVGDYAGKELFLVEGDSLLRECFEDERIDFAGGFQILHAVYVVERFLEDLIKRHCQFHIAFFEENSQLCI
PPGVSAEHEARYLLARSVIKRHLTRHLPSACPNVVINTFPALESAGFSEYLNSTPVYFVMTHDGSRRESKKSETSGNNRNEKVAKASLRTMIWWFNT
NGLNAALINRIEFRDSKVFTMIVESFTASSKLKLAMAGDLIKRSQAAKQLLKGSSVTEALDKKSTLEPSVVAKLAEAFSEEDLSESYFLAIYGVSKI
LRQGDSDVFMASAFILHSVIIKNIPLSQRRLPLITFDEDFEEEVDEYITRISNIFKFAVENPKWNELMDEEEIETDAIDLIDGRLFRVVIQAMCDTS
FDRALPKNLQPDWKAVSALVKELSGQELSLEGSTEPESSETTATEADLEKASEDLAVLAFSNPVFDKHLECIHVKADASLPARMGALKIYRETSHWH
NHKKPLNPKYAPAAKVSKWRNPLRTNQFYMNEMTSYAASLTGAKGKALDAETITVGPKVLNKVIEEKPEKPSAKSKKEEQEAKAINKKGAAKKGTKA
AVSQLSKKDQMIADNKERKGGNEADKALNAWSMVMKGIDVIPDDQDRYIRAMKYLNGLDSAKSTYLEAEVYTYILQSLLTWWSTYCKAEKKPQGYHV
VALIWTTIRSICTSKAPVSKEIVLIMTKICTLLGITDALTGFEPTPIDRKLSFNFKFPVQTQNLRIVGTQAEFQLNYCGPYMDRMLDAKPDPRVSSF
VPDGWQRDVLDQLDSNKSVFVVAPTSAGKTFISFYAMEQVLRAGNDGVLVYVAPTKALVNQIAAEVQGRFSKKFPVPGKGVWAIHTRDYRVNNSTGC
QILVTVPHILQIMLLSPSNANSWSRRVSRIVFDEIHSIGNAEDGVVWEQLLLLAPCPIIALSATVGNPGQFNDWLTETQKASGTEMKMIQHGTRYSD
LRKYMYDPPKSFRFSGLGKSFGVGLGLDGLVGFNAFHPAASLVDKSRGMPDDLAFEPRDCLTLWKAMVKFQTPEYPVPASLHPEKALPACVRKADIF
TWEKSLKKVLVQWMASKTSPFDKVVEYLSIPAPIEAAEQVPSSTASTVTDADTFDPLDLKCTTLPLLFQLHKRRALPAILFNYDRNQCEEIAASVLK
QLVDAETQWKEGPAWKKLMDGYEEYKEMKDKKGKKPAKPVKKTKDNDDEGGSKMDRMREESSDGASKYDLFDPEAPQAEFSFANPKQLQKAELDEYV
RSLRWKHIREELIELLKRGIGVHHAGMNRKYRQCVEMLFRKGFLRVVIATGTLSLGINMPCATVVFSGDSVFLTALNFRQAAGRSGRRGFDLLGNVV
FQGLSEERASRLLSSRLPDMTGHFPITTTLVLRLFTLLNDSKSSPYAVKAINSLLSQPRLYLGGQSFKEQVLHHLRFSIEYLRRNELLGPLGEPVNF
TSCVSHLYFTENSSFAFHALLKGGYFHVLCEDIDTKTDMVLQKMILVLSHLFGRRVTREVDNAEEAEKIKRSPSIVYLPEMPEDAAKILRTHNKDTL
DIFTTYVKTFAAQHIKDDERYLPLTKTPVGLAPAPVNGTNGTATTNGNTNGIKVEEPAVKFLPTLPTPRARSAFVALSGLGDDFTTIEDLCTSTREG
VFLEAAVIPHLELHPDETKTPLNSYLLDFFMHGSIVPLEEANGIRKSDVWFVLNDFSMVLATIVTSLALHLGLGSDADPEMLDVMGSGDAAENEEDA
EVAAASIAEPTATNNSASGSTQPAFVKKKKVVEDWDAGEDALVAEEEYLKGEGLNGTGATDDEEYDKLMNVYKAFRKLKTEFDEKFRVIWA

>RCO7_01198 | uncharacterized protein
MADFMNVPSQKAARFTDDSWLKKSRNERDKMNRIWAELGEQHMRTLKHIGIGSEDTQSDMKFFSFANSSEHLAEVTQQEDDILAKIATKAAALQTHW
GEEKEPLFEASGPKVKHKTRGPTDRLVSETGSPPEIENPELKPIVAVNKRALSVFKAMFPGDNLEDRCRAIDWDVFVNALCEEGVGFIARHSVGGSA
YTLEPNEKSLWFGKGAISFHKLHPEHVIDAIIVMAHGKRMAKWFGWGEGTFVQKR

>RCO7_01199 | uncharacterized protein
MMYSALLVVATAAFASAQVTYDDKTGKFICPADKPNGAFCAGDSLGTNIIIRCTNGIGQPGNCNDNLAGYFPFGVRSSQCWQSTPTSGIAACAKNCI
VQGGSGTYNGTFTLPNCTPIVQSSTTSPGYPTEPTTTITYINPGPPTSTPEPTTTKTFVNPIPTYAPHPSLNGTTTITETGTTTTTCVTDGTTTTST
ITYTTTYCPTTTGSTLSTIKSTYAQPSGTGSGHSNPGTNGTNPTYTHGPATATPVGPPASSTSGPVLSNNAVVNSGTAGAGLAAVGLLIAYFL

>RCO7_01200 | uncharacterized protein
MYESTVNFTLDTICPWTYLAKKRLDEALRIVRATDASSKVNFTVVYHPYQLYPGASAEGEDKYEWYKKSKYGDSEEKMKMYIKLMTAYGSTAGIIYK
FGGTVANTLPSHRIIQHFQETKGPIVADKLINSLYRQYFEQEKHPSSKETLMAACKEAGIDEKDAEALIGDENEGLQDTKMKIREQAGNGVDSVPFV
VVEGKRRDMTLTGAQEVKDYVKALEQVVKESN

>RCO7_01201 | uncharacterized protein
MEGELASAAYTDKIGENNSSSDASSLNPSKHHATASSSTSTSAKGLQSHSPTSPKSILNTHPSDLNPQSSRELKIGIETGLTRAEGDTWDDDFAEVD
EMAFDSSTYQNDDDQDEGSDSEEHGEKDACVSINLRSLPKRVAGSEERAMESVERAEIGDTVGADEFEEREGEHPSFDAGRMTRSMNPSPQPPSVAE

>RCO7_01202 | uncharacterized protein
MSSSAKPASALTKKRTASKSEGVLSDHPEENVSKSVKGSTPRTPSGSLSGTVQNLFYKDTSRVDISAPEAIPGPLRNDQDTSSSTASGMDAGPENAN
HTRPADPREPIPSDVIGSFLGAEEVVWSIENPVGLTNSDTGTGMINGTTNGTKGADAAGNGDPVSSAPSGSQSSSTNPVVLAELKPMLEKVRAALGR
TRRSFDTALRTVSSQLENIEAAVASQGLDPGKPKSSEQPLEMTAGPQLGVRWSSKDHKRLKLMLESYAHFPSTGCLAKNVQTGYMQITYGWVVENRK
LLVQLLREAEKCEDGLKECSTEEEGQHLAEWLMRGGYKCDPNVKATLTFSPSPDPSQSSEPDSDDVHSADEATTTESNSSGESGSDSHPQPSDSPDS
SSESEQSSSDNVEDVVGPPSDSGHGGSGHNE

>RCO7_01203 | uncharacterized protein
MAISTSNLFSSKSAPLSNSKSTSTNPSTTPSIDTKNTASMTSLDQASDTTLSSHDAAAEFDGEVNTNDTLPTQETLKKVENHPILDQDGRSIPFKNL
YTGPNVARRVLVIFVRHFYCGNCQEYIRTLTSSITPSSLLSLPTPTFIAIVGCGSPSLIPMWIDATSCPFPVYADPTKLLYSELGMFRTLNMGNRPE
YQRKDFLSLMIGGFWQSMSMVTSGQALKGGDMYQVGGEFMFEPVNDASPICTPGSVGEEEKRLSAEAGKENGADGERGEEGMLELQPVEEKRVTWCH
RMRNTRDHAEMPELREVLGLDGEGVMGNCKKRWSKAMETRKGTGLSRRNTGTADGDANEAFRRKIKELDEGSSKRASSEDKESVAGR

>RCO7_01204 | uncharacterized protein
MKFRRWIGQAVSALRDEKGKEKKDGHRISDVRSRDDPKDVERSPEPLQLRAATKCTSESWKSEVDMSAFRTLRGVKGTPIEIVENELEDDDEWTISG
SASSETLPMRNDSQASTSSASTTTLSTITEPADEGDIDQYEDSNHDSDTTPKSSSPTYTSTPLQNGRKVMFKEDARPLLRPRTKSTSTTIFKHSSLT
IILTTPDSDAALVDLTSSPQRGSHQYQYKSHYSLPTSPPLTPRPSLNHSSSSAILSTRSLSAPSLPSLPPASHYFPRDTSLPTLPSHNTRGKYNTQD
ISRLMPPSEEALDILRLRKAQEHHEIRKYMISFLNTKGASFPEKLRVKIMQGYGIEEAELGIRNEWGMKEKHNRDGRINEMKGRAEEKKEHLAVLAK
AFRSQIPLVAPPLEPTYLKPTNHQYPHTKNTRTANHERELRRVSRTISASDTLLPQLKPISSSTHPSVTSLSPQPDRASLRGRNRHKPETFSTLLRE
STSVPAASRSRFGLPNNSSSAASIRTTRTRWEKGIRSIRRGRGRILLCR

>RCO7_01205 | uncharacterized protein
MASGKKDEQCLRLKPDSCNQGLKCEGGRGQAIGFCRTA

>RCO7_01206 | uncharacterized protein
MPEIQSSSNISQPKHEVNFHHTSASSVIVHLIITDGLSISRNTKSDPEDFIEAKNHTPRSASQRAKRQAAQPTVGFAPQREYARPALAQHGTFGTNI
GVIPFHSHDAGSQRGAMQNRRGLGSGGMAGKTSDTHVRTTR

>RCO7_01207 | uncharacterized protein
MKSSILLSIVASVSIISAQKNASTSKSCPEGFYPGTDTVIYTTPYTYAQVMSIIGDYQNLTWSGSPEGSVSLDGPTNTVGTTRTYDIAGAHVIEKIA
AYSKPAKGPYEEIHTLGLLTIPAANVSFSADYDGTTVTPTCDGKASILNFTASFCATNASAAESVLHMLHLTDAETVGNFLGGKNFTTCKAISGSCS
NANTTAPPAVVSGNGATGLVTSVTSVLVAVGLLALIGF

>RCO7_01208 | related to putative dual specificity protein kinase pom1
MLREKKGPSGPRPDYSPSKVYANLNENPHLGPADFYSSDRQENYDPGARARIESGQQPFNASTRKNHSLFSFGGKPSEENLGGSYEFLPSQSFDDLH
SSIATASNDFFERPTGIENNSTIGGKRSNEAMNTSMAEAKGNGGTARIPSAGPRPVRSTSILRRQSTSTRQSSISSTASGATGNMDPPSAPLETRNR

RQSQYPPLSGSATANSAKAPRKSIGPGGLTDSDYARAAQRSRPSLASSVSSQGQSDTGGVSTRVNVGGAPKYPDGARGLTASRAAKTKSLQPPSRQG
QTLLTPKSSTPDHNRSSSFAGRSPGRIIGRGNTTPSSSAKRMSMMPGMPTSSSHATGLGARTVSPTDARRAKRLSILQNPPPMPHTPPTPQTEAATI
RTSSRSPSMLPRKISTPSSSRTTPDVNRKSYSSGLSNGSNASYNTCRTSTGSLQFRMQLPPSSSRLPTPKPRNVHSSTGNDEEEEVPPVPAIPKAYE
SPKDSPAEPPFFKPKSTMPFDASSINSTSTNSLSGRASIREPPKNDREPKPRKYGPPAPSDDQQNHAAPAKKKNLQPLRLPPLNLLPLSTPTTVKIA
ALESKDASYLDGQTTPPPRRMATKTPSTPMTASKASFFSRRRTDSTAEDTLSHMRSSSSIHFLRSDTSSQLGGGGAESTKPIPITSRQTRQSVSPYI
SSSLPKNGGEHLLMPRSKTSGDFSALDTSNTEHPRPARLNGPRAQKITKPAKNDAPTRPSSQEEPTTPSSGTSLRRKLSLGWKRSTSKSNINAPHAA
GERESEYPPQPPKHDNMPPPRVPASASISNASNQDVPSPSPSVKSTTYLDSKRRKSSISGMTIFNGHDRTRSDSWGLNGSSKKEQPTQCDRPPPSSR
STSSVMQKMLTSKSSSGTIRTTDRWTVDCDKDDMIAESEVKKLAMRRKDTEQAAQVLDALRQRAIPQERISPQSALQVHNLNIYERGEILDYKDIYF
AGTPTAAKHVGQLAADSANFGYDDERGDYSIICGDHLSYRYEIIDVLGKGSFGQVVRCIDHKLGTLVAIKIIRNKKRFHQQALVEVNILQKLREWDP
KNKHSMVNFTQSFYFRGHLCISTELLDMNLYEFIKSNAFKGFSLKIVRRFTKQMLSSLLLLKQHKVIHCDLKPENILLAHPMHSEIKVIDFGSSCFE
NEKVYTYIQSRFYRSPEVILGMTYGMPIDMWSLGCILAELYTGVPIFPGENEQEQLSCIMEVFGPPGKHLIDKSTRKKLFFDSLGKPRLTVSSKGRR
RKPSSKTLQQVLKCDDESFLDFLTRCLRWDPDNRMKPEEAVRHEFLTGQKMSAPLPRMSARNESKSPIKRTSTVATTPSGGNRPLPEPPVTSFKNGT
AVRQRQTIGASPSKNAVPAQGPPRRQSNINVGGLVGGGASRRMSMAGGAVLAPGSSGLPRVTRSVSGKLAGETGMASAGASAAMNKRA

>RCO7_01209 | uncharacterized protein

MDTDNLRTASLYINNQLLSRGLLRNGQNIDFARPDKAVADGGEGLEKTMGRVMSVVNDLILRRDRDATQREALTTTLRTLRAENLRHATDMERLTAK
NAEAQRKLGIAESAERAMKGQLKSAEMGNRVLKEDMAKMKVLVAQTRSQCSNEVRKRERTIEGMKKHVGGDGRVRGGGKAVGNREIVVVAGVGEDEW
ENGAMGVGEEGYDLRSETNEFLTELARGLSEENEHLAALARRTVETLRSLSGWEKDHQNPQNNGQQDMVVQTESGYDNLAQETEAVLEHVRTLLTNP
SFVPLEEVEIREEEIIRLREGWERMESRWKDAVSMMDGWRKRMARSGQTVNLEELKMGLMLSPLKNKDGSGAGNAQGMTEAKEFGLSMVEEEDGEGD
TQADIDAMDDSVEMPDPDLDLGDDLEEGDFDDDEMDEDSDSSLFEEEPMEDEDDTETSQDQQEDEEANYTIHTASSMSPGPPPQLSPLKESNLNARA
AAPSPPHYSRREGGESEEERDGFTTIMEENTYDLLQLASPKKKLSSERSTPQSLGKHRGAKKENTPLGRRALGRREAESESRDEVVLLSTSFPPPVL
APREQATSTTSARSGSSSPTKSSSSKRPASSASSRLTSQTRDQSTPRNKLAATPSAESRLPRPREQPPMQSPLTMASIAAKLAASEREADAARVRAK
LKAARGKAGVAASGLNAAGMGRAAAGRAERRKEDEERRENEERKLMPPPPTPRRNLTNREPDSSTKPTDEPGNASMPNQQENSNVNLNDARSRKRKA
RDLGLGGKGTGRASRRRSTLSPWELESLILGGAGASPEK

>RCO7_01210 | related to epoxide hydrolase

MANSKQPKVLLFDIGGVCVVSPMQAIFDYEISHSIPLGWVNHSISRTSPHGFWHRLERGELPMDAKWFAGFSDDLHNPSLWRNFYLEKARKADPSLG
EEVPSVPKVDAEYLFWQMMSHSRDFDPWMYPALQNLNKSGKYILAALSNTVIFPEGHPYVNPPPEKDIRRLFDVFVSSAHVGLRKPSPEIYNHTLTT
LRTFASSYASTPRGLANNWASGIQPNDIVFLDDIGENLKAGKAFGFRTIKVHLGRAFEAVDQLEDMTGLKLAGNAERKAITPKIGKAKL

>RCO7_01211 | probable 60S RIBOSOMAL PROTEIN L5

MPFAKLQKNSAYYSRYQTKYKRRRSGKTDYYARKRLITQAKNKYNAPKYRLVVRFTNRDIVMQIVTSEITGDKVFCAAYSHELKAYGIEHGLTNWAA
AYCTGLLIARRVLKKLGMDETFTGVEEADGEYKLTEAGDDEDARRPFKAFLDVGLARTSTGARIFGAMKGASDGGILIPHSENRFPGYDIESKELDA
DTLRKYIFGGHIAEYMETLADDDEERYKSQFQGYIDDEIEADGLEELYQEAHKAIREDPFKKVDDAGEKKSKDEWKAEALKYKGRKLTKEEKVERVK
AKISELRA

>RCO7_01212 | related to GIP3 Glc7-interacting protein whose overexpression relocalizes Glc7p from the nucleus

MESVHGVDVSWMSNHIPKDNRPHVSRASTSPPEKTKFIHNGNGNGNVNSPAEQPTGPKPIPIRPTYSRSASSEKTTTLNNSLPKSLSPSPSRRNSWL
SSISSKFSSSPVGQMHAPPTASPPSSIPESDEPLVPVGPSAPKNAILPHAVKQAGDVPYTPAPPKSTQSNFLQSALRRLSNSGGQLQASNRGLNNGI
CERRVLNVDKNRERCHISDLDQTKLRRVAFCVDVEIASGPRYLDEKEKVPEGEEKDTKKEKKRVVEKGEAEALKNPDMVKNDRESDGVVTAVGEGAG
EILPANGKDGLVTTTTESEAPSGDTSKKKEKKKRSEEERKARKEKKRKLAEANGTLPVELVRNASDSSGPASPTTTRSQASPTTDPVRIYRRCCQLR
ETPILKRITEQLVNPAGRQVVSGVVSQLDLTGYWLQLPDLITLGDYLAVVPVKEVIMENCGLTDEGVRVILAGLLAAKCPDWERKMHKKGKWGEVPQ
GGFVERVVFKNNSKIGRDGWRYISTFIAMCRSLKSMDLSKVPFPQPASTPASPSAPHSHLHLTRTTSSTTSSLASNPDVSCILGKAIGERLGGREFE
LINLAECGMSTEQLGSIVDGVIKSGLRRLGIAGNKITPAGMEHVARYIREGKCEGLDLGGNDLKDDLSVIAKALDESNPLYALSLADCNLIPDSLWS
LFPALAKLGNFRFIDLSQNHGLYLPRIPTLKRIHLTDVSMTPEQAIALAEILPESPNLAHVNIMENPLLAALAHAKGEANQEEACALYASLMAAVRV
SQTIICIDIEVPSPDSSEVVKALAKQVVAYCLWNMEQGPVAEISEAAAAISEPHGGEKEVAVPDVLLHLVGHVEGMHTHDEDEPAPDDDYVIGGTGV
VKALGICLRNRGNDSRRASVDHIAPGRDLADGGCSGTVTPRGGHIVRKGGKAKDMSKNLLQSARKIRARLQPALVKESRAVDQNNFRRLQFLDHTLE
GMIKRFEDEYPETRLHPGTPEQSHAGDTPSPTELEQALSLTLQDSHTSDLDPTRFSENEADPVPASENEDDDRLSSSFKEERPIISRHNSDVSIFSR
ALAQEEGRMHRFGQQFRREILKPESADHIHGTTGLEDQPRHLQLLRAMLECLDGDEIKNRINRQGTESLLEDLKDEASVLREELIRQDPEGWEKFRE
SQKAAVRNGKLEGLERNGSAIE

>RCO7_01213 | uncharacterized protein

MPVLSEPYAHAAMGVPYFLVAFAILGICSVIIRRRRSTTPLLQNPELLEKEPETFRYEDSTSFRSENKEISPFEQTVTRMQRPPQPPPFTPPMPLIE
TQDLGYGMGTNASYYDFPTSDSPIMSTFDSFETGVMDVPRRRSYTKIINGGVEVQGEVVLAEGWRRHTRVFGGGKKEEQPEVLHKVA

>RCO7_01214 | related to gEgh 16 protein

MQYSSSSTLLVALAATSVFAHGVVDSCIGANKVVMPGLSVIDGTPRDCTTPRCGSEADTSVIRANEMGTSKATALGRNAKGPVNAATMIALFMGGGG
NATDVIAAREIHKLNIARRSLGKRAANGGTKTPKGTKETGVKAATGAGASAGLPTTSDDGQVTMSFHQVNQDGAGGLTAMVDATSGGTDPKAFKMAA
VTTNVPGIGIGGLSAASTMDFPVVMAMPPGMTCSGSVGGAQNVCVAKLQNKAAAGPFGGSVAFTQSAAAKKRAIEYNLSKRRFARALIKRH

>RCO7_01215 | related to acetylxylan esterase (subclass of the carboxylic acid esterases)

MFFSSVLAATAAFSVVNALSSTLQQVTDFNGTPTNAKMFAYVPTSKLAKPPIVVAIHHCQGSAAGYFSETQGYPQAADKSGFILLYPQSPATGGCWD
VSSKATLMHNGGGDSQTIVNMVKHALTKYGGDASRVYVTGSSSGAMMTNILAGAYPDVFKAATLYGGVPDGCFYLANAAPNQPPQWNGDCAHGRIVK
TAKQWGDQVRSYYPGYDGPRTSMLLFHGTIDKTLVYQNFNEELKQWSDVLGVSFTSNQSDSPIAGYTKMIYGDGSKLVGISAANVGHTPRVRPADDL
AWFGL

>RCO7_01216 | related to aryl-alcohol dehydrogenase

MDAAPSLTTMPVHPMDTSSTADLASQYDFIIVGGGTAGLAVAARLSEDASVQVLVLEAGSNRNGDPLILTPGLGFAMYDDPNYDWCLQTVPQAGLNG
RIMPQQRGKVLGGSSSIFQLQMVYASKPSFDAWETLGNPGWNWETMLPYLRKFHTHQPSNPANASNPVFSTANHDIALNSSEGPVQTSYSEISELDK
AWYLTWRKLMKDLEYEGSDLGGLAHPAAIDAKTGTRSSATSAYFSSDISSRPNLHVVTDALVSKILLERENGEIVARGVQFESNSGGEFTIKAGREI
IMSAGTMKSPQLLELSGIGDSRILAEHGIDVIIDNQNVGENLQDHLLVTVSFEVAAGIPTGEVLIRDPTIMPALMAMYQKDHSGPLGQHFVPMAQFR

LPATFGPNGKDFIPSLLKTLSVERRSDTERQTDKVTAYLLSESTMQHLMTKIQFNVSAGSKITDFVRGDVEGNYVSLMAALNHPLSRGNIHISSPNP
ADDPNIDPRYLEHPMDIELMARHVQYFSTVTSTAPLSDFLKPNGRRIPSYAFADDEEMDLETAKRVVREHMISNYHSAGTCAMKPREMGGVVDPELK
VYGVKGLRVVDASIFPILPRGNIISSVYAVAERAADIIKAEWNMK

>RCO7_01217 | uncharacterized protein
MVSWHSLLTEHGGSACRFGAFLQDTLRGGTSQTNDPSPCSACTMIFSRLKRSSADHSQAVLKAILISKSSHMSNDQNGEAHREIPEINLIPSSPPTS
PLRKSNTVAVSPGFLAPPVLPSRKKNRRQRRQATEESTEESVLLHRDRRSCQKCSQNGSKTLDSSSTTIRLMDRAIREENIRDLVTMATQHIAAFPF
CQEYYVKHNSDILQSEHHSLTRELRDVLRFGNPKEYMTPLELCPQETQSRDKYNGVRQWNQDISVILQSLQDDGSYATFPISHNLILFARVCQGPRH
RLSLSNVEFNQSEDTLQTINSVHELKLEIAELILTSTENSENHADMFNFPVIGRKMLDCYLQVMAKTRVAIKFTGWYKAKESSRKLNRERLMGCLDE
EIGLSLSSDVTTISMLERENRTGHAEIVSVKKVIISVLNSFTQSTVELSATPGP

>RCO7_01218 | uncharacterized protein
MTSFKALLLLLFSSLLASQVTAAYQHQHQRLHERHHEELLEETNSTSDARNPTIEARYSLAYPYNPKNTCKRGLAFNNPSKYIQTFKGHGSKVEWGY
NWQSYMDAGFPKNIEYVPMLWGDGADHTRDWFRNANDAIKRGSRHILAFNEPDACSGGGSCMSPQQAVNAYKQYIQPFKGRAYLGAPAVAGTTAGLS
WLKEFLGLCRGCQIDFLPVHWYDSATNDAWFKLYMKQVHAATGKLKLKLWVTEFNAEGTIDQKTEFLRRIMPWMDSQSFIARYSWFWCDPASTMGPL
VDGNGNPSGLGHVYTYA

>RCO7_01219 | uncharacterized protein
MRLSSLIITALAGCILPALAQTGKAPGNSGISGNPGSSGKDSGKDSGKSGNPIVPVSPGNSGNSGNSGNSGNSGSSGNSGNSGNSGHSGKDCGKDCG
KDCTIVSNHTVKAGDSLTSISKAENVTLDQVLYVNKQITNPNFIKAGDKIKIPNKKCVAPPPKNAVEPTATCSNGTAKTITVVSGDTLTIIAKEKLN
ITLPALLAANPQIKNPDAIGVGDIVKIPLCSAGGGKPPAITSGTGTAPGPAKTTLSTSTTKRMAKRAEQTDPPKPKPGGGTKPVDAKREETNASPDR
VLHGKGGAKKTEVPKPKPNPGGGGGRPGGGS

>RCO7_01220 | uncharacterized protein
MKKPNKTPLRPAPHTHATGTQSIFLSSSRSPPHSKYHVPSDEAPTSYIRANSPASTPMGPALAGIQLLALSYTESDKDGVQAKEGGKGRALLALAEA
IVKVEEEIEWDEEMRESDKDEDRVEDMSEKHDVRGRSKESMCSKIPFVEMLVEQAGRVDRQSLRVWLAYVKDVVREFGGALEKLEMDRDGERSGNMQ
RWKEPKVRK

>RCO7_01221 | DNA-binding protein SMUBP-2
MEGAFTHLGNHLISDSAAAINAGADDLSNIDPDETLLYGPYGGRGGLGPTRRRNDDDDNETEVFDDDDAESLASAPVDGMKNLGLRGVEDEKELPAH
ACAYCGIHSPSSVVKCLGCTKWFCSARGNATSSHIVNHLVRARHKEVQLHPLSTLGDTVLECYNCGTKNVFLLGFIPAKSDTVVVLLCRQPCASTPS
SKDMSWDISRWQPLIEDRSFLPWLVSVPTDAEQLRARHLTPPMIAKLEEMWKDNASATIQDLEKAAGIDDDPAPVLLKYDDAYQYQNVFGPLVKIEA
DYDRKLKEAQSEDGLIIRWDYGLNNKHLASFVLPKIELGDVKLAVGDEMRLKYKGELRPVWEGVGYVVKIPNNQSDEVTIELRKVGSDKSVPTECTH
NFSADYVWKATSYDRMQFAMKTFAIDEMSVSGYIFHKLLGHEVAAAPMKIQMPKKFSVPGLPELNSSQINAVKSVLQKPLSLIQGPPGTGKTVTSAT
VIYHLAKVNGGQVLVCAPSNVAVDQLCERIHRTGLKVVRLTAKSREDVESSVGFLSLHEQVRMNDTNLELNKLSQLKSELGELSSQDEKKFKTLTRA
AEREILSNADVICCTCVGAGDPRLAKMKFRTVLIDESTQSAEPECMIPLVLGCKQVVLVGDHQQLGPVIMNKKAAKAGLNQSLFERLVTLGLGPIRL
NVQYRMHPCLSEFPSNMFYEGSLQNGVTMQQRLRRDVDFPWPVGDTPMMFWSNLGNEEISASGTSYLNRTEASNVEKIVTRFFKAGVQPADIGVITP
YEGQRSYVVSSMQNTGTFKKENYKEIEVASVDAFQGREKDFIVLSCVRSNDHQGIGFLSDPRRLNVALTRAKYGLVILGNPKVLSKHPLWHYLLQHF
KERNCLVEGPLSNLQTSLLQFSRPKTTYRGPQRYQMSHASFNGRSAPNGKSGPRDFSDAGSMLGYINDDVSSVHSSALGGAGLGSAYPQMFSQFTPD
TWPGLDPRARPNGQKGRGRAADSVAGESIAASEITDTTNSVLGGNGKGVGQGGVRLGGMDNEAPQKLTSLSQSDRLKRYVESGGRIADYKTGDAGSI
FGGSSLLGGRRLDDDEKSVSTAFASQVGGGYD

>RCO7_01222 | U3 small nucleolar ribonucleoprotein IMP4
MNTAIRKRQRQRKDYIYRRAVTLRDAEIAEKRSKLRASLASGKPLDPSIANDKTLRSDYKYDESKADLSTNEALDLDDEYAQLSGIVDPRILVTTSR
DPSTRLSSFAKEIRLLLPTSIRLNRGNLILPNLVSSAQASGLSDIILLHEHRGVPTALTLSHFPHGPTVSFSLHNVVLRHDIPNSSRGTVSESYPHL
IFEGFTSKLGLRMVRILKHIFPPREAITNKTKVGSRVVTFKNIEDSIEVRHHVFVRTGYQSVELAEVGPRMTMRCFEIRGGTLENKDGDVEWRLNQY
TRTSRKKDYL

>RCO7_01223 | related to transcription factor MBP1
MVKPAGPGVYSATYSNIPVYEFQFGEGLKEHVMRRRGDDWINATHILKAAGFDKPARTRILEREVQKETHEKVQGGYGKYQGTWVPLEQGEALAQRN
NVYEKLRTIFEFTPGNISPPPAPKHTTAKPKPQKKNPAVPKFATSKAQKRQVVEVGTNTIEPVAAPARMVHDDYEDTSQMDNESIADDMTVGSASFM
ADDDRYDMSQQNTGHRKRKREEQLQSVIERDHVLYSDELLDYFMLPQGGPKPEPPINFQPDWIIDSDGHTALHWAAAMGDVEIMKELRRFHANPIAQ
NIRGETPLMRCVLFTNCQDKQTMPAVVKDLISTIDCVDFCQATALHHAAAITISRQKHQCARYYLDILLNKMSEVLDPEHFQLILDARDMNGNTALH
IAAKNKARKSVRALLGRGANVSLPNAEKITAEELIQDLNENRRSDRNHQGSSSPYGPDSRSVWEMPEEPNRAVPHHESEAAMSIESRIAPMMLEKLQ
GLANSFDDELIEKETSEKEARRILTSTKQELEATKVMSTDISLSKETPEVIAQSMENLAHMENKVTGVIEQQQKLRLRAHAQHEEQKNNGHMPTEED
DIGERVMLAKMLEDEENKRRNNVSKFSDALSKAGAGEKGDQYRKLLSLSLGAEVEHMDENLDILLQQLAEDEDGQDGETVMPGIS

>RCO7_01224 | uncharacterized protein
MTTDSSILQILRSSSSLYSRFRNRNRNVERQSTLTPLPSQTRPQRGIEAIGFDTPSSSAASTAQQLTSNHRSDREHKTVREIDKESPRSCLAILSGC
ASPFPFPTRESSLQLPASHPNRNADPDPVPWRTQFQNRLGKVNQQQQQLEHSLSAADIEEEEDDDDNDNYTIYEDDLIDGIVYGGVEKGDVCIVVEI
GVAREVRLWRVGG

>RCO7_01225 | probable Putative mitochodrial aminopeptidase II EC:3.4.11.9
MGAYDPEKEIRQPLLHKKAPSIIPSQPKLRRKPTISTAAFALVLLAAVLAFSCSLTLLFNISLIVKKSPSKNLEEDAWKFLKHHVSLLDVPRIGHGE
FLQRQSIIATELDKAGVDAFIAEPSASSSYYANISSAFELSERPFLVIIDRKGAFSYLAPKFELGRIAGLSMVYSNKTVIEWKEEESPYEVLKRETS
FKKVMLDEHVRYMIAAGIQGTGIEVVPMTQTIQSLRAVKTEAELAILRGINTFTLELIRSLQQTIKIGMKQETVFTAASNLFSRAGVGKGYWAIILF
GEQAASPHGGSSGHTLRDGEFVLIDIGSELHDYGSDVTRTILPSKSIVSDELMGIWKTVHMSQSAAVAMMRANETCKDVDAASRNVIIDKGYGDFYT
HRLGHGLGLEMHEHPYLNGANREKLKIGEVVTNEPGIYVTGEQAKVLGKSSGFGVRLEDPIHVTADGGVPMTGSRAKSPYEP

>RCO7_01226 | uncharacterized protein
MAAPGAPTTGTTQSTEPVESINTLNVPHREKKSKQSTLVDKDKLAAIAQNTTGEIKNPLVGIPKDQLIRDVEDFAADFYLTDITPYLIKGALVAQKP
RHIDTITELDDEDRRVLSEEITHKWKHPRILYLTIVLNSIAACVQGWDQTGSNGANLTFAIQMGISDNPKYCATAAICAKNSWLVGFVNSSPYIAIC
LFAAWTSDPVNHFLGRRGTIFIAAIFSVLAPIGSGLTQKWGQLVACRVGYLLLELWRR

>RCO7_01227 | related to H(+)/hexose cotransporter 3

MGLKEVTVPVYSAEIAPTSIRGGLVMSWQVWTAFGIFLGTCANLVFVNTGSIAWRLQLASAFVPAIPLVCGIFFCPESPRWLLKKRKIPQAYKSLLR
LRNSPLQAARDLYFIHAQLVYEDALLEESGLSKNGNMFTRFIELFTIPRLRRATQASGIVMIAQQMCGINIIAFYSSTIFEQSGASNITALLASFGF
GLVNFVFAWPAIWTIDTFGRRGLLLFTFPNMCWSLLAAGMSYYIPPSSKAHLGMVTFFIYVYDAFYSPGEGPVPFTYSAEVFPLSHREIGMSWAVAT
NNFWATVVSLTFPRQLKAFGVQGAFGFYAGMNVIALMLIFLFLPETKQRTLEELDYVFGVTTRAHARYQVTKALPWWIKRYVLWRKREVCEPLYHFE
QAQLLTESDRDPGNAEAVSSGVDAGQKELV

>RCO7_01228 | probable peptide transporter PTR2-A

MPEHEMQAAEIHELALEAEVANDKPKDPDQLNPGLAFAAPRGGAAANEKVDDSHRDSETAFSETPDEEEPTEQEKQTLRRIGETLPVAAWLVAIIEL
SERFTFYGCQGLFQNYVQRPLDGSLGRGALGRGHQTATALTTFFSLWCYVTPILGAVVADQYLGKYKTLIVFACVYIVGLLILVLTSLPVALEHGAG
MGGFVAAILIIGIGTGGIKANVAPLIADQYQRKKMAIKTIVKTGERVIIDPAVTIQRIYLIFYCCINIGALSLLATPYMERDIGFWSAFLLCLCMFV
VGLTALVLGRKQYIVRPPQGSIITDAFKAIWIMFKYRNMNAPKPSYQEEFGRKHPTPWDDLFIDELKRALQACKVFVFYPIYWAVYSQFSGNFVSQA
AQMNGHGIPNDLMQNFDPIAILVFAALIDRVLYPAFRKYGIKFRPISRITFGFLIASMSMLYAAVLQHFIYKTGPCFGSPLKCEAAKVAGTKTLLPN
NIHIAIQTPAYIFIGISEIFASVTGLEYAYMKAPPSMKSFVQAMYLLTNAVGYAISEAFIPLVGDPKIMYLFTGLCAGSFVVGVVFWVVFHKYDALE
DQNNAMDAKHQDLENKRAINSTGMDKESGRDVRRVNKREV

>RCO7_01229 | related to nitrogen regulatory protein

MTVALMQTNRGLQSQPPINDYTSLPGPSLLKQTLGLQNRQHGQYLGQTSEYDVRLINLSPFNGRGEYVSMPGTLRRVGHNVHFIMRSETQTDVDDEL
ANLDLVESIVQPHGRALVDLYFRVIHPSFPIFDKKVFLEIYGRTHREFTPPLLAALYILALNWWSYTPELANLPKPDIHRLEQLAPAMMSVVLNRQK
LSTVQAGLLFLQRPDGDSWALTGQLWKIPEWERSLRERLAWGPFMHDKWGALTHGRPLLIHSDDWSVRPVEARDFPETADDDDDEEGSSDIETGRLT
FINMITLTEVLANVLRTFFTVNAIARLSSDSENAMKNMLELAKPIQLQLKEWYSKLPKSLAIGETRARKLSPTGSLHLAYFAAEVTLHRAIIRFDST
QMDEQLRYITRNAAKARLTSAINFIGKLELAHLQSFWYFASKANLAIIGTFGVLPWATSENLEEAEFYKSQLAEYRWTLRVSSKAAEFMKYTAGLLD
SSPVFLKEAGSKATTPNVQRGPPLQSAELDVVQPERQKQELNETKYGVSIVPHCGGTFTENTFQYGRDTTAAPLATADTRLAWSGFSNSVGCSTGDV
QDWSLDHLYNFENFEVAETIFTSRKFVEGYDETGNNSAGF

>RCO7_01230 | probable 12-oxophytodienoate reductase 1

MASQRYESDSGDASVLGQPLKFEFSGKTAKNRFLKAAMTERISSWDPKDFKARGIPSKNLINVYKRWGEGEFGNILTGNIMIEYDQLEAMGNPIIPR
EAEFSGPRFEAFKEMATASKAHGSLIVGQVSHPGRQVENRLQKNPISASDKQLEGQVMGMEFAKPHQASQEEINRVIDGFAHAAEYLEKAGYDGIQL
HGAHGYLLSQFLSQTTNERTDRYGGSLENRLRIILEIAEEVRKRVSKSFIVGIKINSVEFQDKGFSPDEAKDLCQALEKARFDFIELSGGTYESIGF
VHKRESTVKRESFFIEFAEQIVKPLTKTKTYVTGGLKTVGAMVKALDTVDGVGLARPAAQEFALPRDILSGKVNGAIKMKLDDNNFGLTNVAAGTQI
RQVGKDQEPIDLSVQENVDAFMKDMETWGKKMGSDKELKEYGYIDLSGAGKPYVST

>RCO7_01231 | uncharacterized protein

MQFSLALAFAILAALVASQSASSLVAQLPSCALTCLASASTSNACGVSDYACQCGAKRADITKSATPCVLSSCSTDDALKTNYLTGQICNAASAVQT
SAANSGSVGSYASYFPSTEMATATGIPVPATTAPPTPTTTVSPTVVVTGAASRGNGDLFAAIAVAFAAFAL

>RCO7_01232 | related to hard surface induced protein 3 (sterol glycosyl transferase)

MSNYNPDSPTSWHKVTMAQDSNSLTDNILEKDYWQSIKAESKIPLHTRLLHKVMDSVRPIKASANKKPLSRTGYLDGLRGFAAFLVYWQHHNSWVRE
TSGDNEYFENAFGYKGKYHLATFPFLRVFWTGGHFAVPVFFVISGYVLAAKPLSLIQSGESMKLLDNLSSALFRRWMRLWIPVAVTTFIYMTMAHYP
GFYTDDYYHKATYREEIWEWYSNIKNFSFMFDTSGNPFFPYNGHIWTIPQEFKGSIAVYVALISFSRFPRNSRLFAELVLIWYFIWVADGCFFAMFI
AGMFLCDLDLLAINNDLPRFIKRLEPYRTIIFYHLLVIGLYISGVPAKDMDMNNLWKARGWYYLAYLKPQATFDYKWFYLFWAATFTTASIPRIGWL
RRFFEGRFCQYLGKISFGLYLVHGPVIFILADRLYSAVGFVRERHMMNIPQWPNSFSLSMAGPLGMEFAFLVPHIVLLPITFWLAEIVTKFVDEPAV
RFAQNLYRRLANAPGPSPASKPVA

>RCO7_01233 | probable NADH-ubiquinone oxidoreductase B18 subunit

MTVTESIKSAVGLSTSPPLATREEMRDAKLPIQYRDSCANLLIPLNRCRYEEYYLPWKCETERHSYEKCQYDEFKKRVAKMDELRAAKGGERSN

>RCO7_01234 | related to DCG1 protein

MAPRIHKILVINPNTSKEMTASVEQLIAQLNIDFPTTTQITTYTAPTGLASINNSDDCLQSARIVYEDLRPRLEDYDAHLVACYSVHPLVGGLQDEL
PPGIHVTGIFEASIITALSLLPMSYNHPTLERLETRTKFGIVSTGSYWEAELADGVRRLLDLQNIDATGRFKGVETTGLTAGELHTADPELVKRKMV
EATRRLVRDKDVKVVCLGCAGMVGMEDVVYEALVQELGVRDAKEIHILDGVKAGIALLEGLMRTLPRKG

>RCO7_01235 | actin-6

MAGEAPIVLDGGTGFLKVGYAAQNFPEFQYPSIVGRPILRSEEKGNDGLVIKDIMCGDEAAAARTMLQISYPMENGIVKKWDDMQHLWDYTFYEKMK
VETTGRKILLTEPPMNPLRNREQMCEVMFERYQFGGVYVAIQAVLALYAQGLSSGVVVDSGDGVTHIVPVYESVVLNHLTRRLDVAGRDVTRNLIAL
LLGRGYALNRTADFETVRQIKEKLCYVSYDLELDQRLSEDTTVLVESYTLPDGRVIRVGSERFEAPECLFQPHLVDVEQPGIAEFLFNTIQAADVDV
RSSLFKAIVLSGGSSMYPGLPSRLEKELKQLWLTKVLGGNPERLSKFKVRIEDPPRRRHMVFLGGAVLANIMADKENMWISKAEWEEQGSRVLEKLG
PR

>RCO7_01236 | probable ADP-ribosylation factor 6

MMGKIFGSKEMRLLMLGLDAAGKTTILYKLKLNQDVTTIPTVGFNVETVTFKNVKFNVWDVGGQDKIRPLWRHYFSGTQGLIFVIDSSDKVRIDEAR
QELHRIINDREMKESLLLVFANKQDIAGAMKPQEVTDALQLTKLKDKIWFVVPSCATTGEGLLEGLAWLSNNVKSPPAGGSQAKK

>RCO7_01237 | related to SGF29 SAGA associated factor

MSLKELAKLAPGEHDLELQRLLEEDLQRSERKTRASSSPMSSRQVRAGGRAGPRGGLDETAADSATWAEDIRIAMNDIGEGERKAKDLLEQIIALET
RIEKRKTDGLSVPISDATELEALYREEVKITELQKSRATDPGLLMKIELLRDCQREKENKEGTQSARNSSSRISGMDFDGPSDSPVPSSADNRHVRK
MGGGGSRTSSQPPRSIADKNNDTASEVNDRSNSKSKILYTVKEEVAFKRKVEKNKPEVKDWIQGEVVRVIGEGKSRRYAVRDIDPDAVGDDNDNTYK
SSASQMVPIPPEGTPLGDYEPGKQVLALYPGATTFYRAQVRSMDEGGKRVKVLFEEEFEEKSIVRRFVLDHRG

>RCO7_01238 | probable mannose-6-phosphate isomerase

MQVPLFRLQCGVNSYDWGKVGKDSAAAKFAAATPADDFTIQEDKPYAELWMGTHPSNPSKDLTTQRTLLDLVQDNQALMSIEIGEKFNHKLPFLFKV
LSIGKALSIQAHPNKKLAEKLHAKDNKNYPDDNHKPEMTIAITPFDGLCGFRPLAEIAHFFETVPTLKELVGEKGTEFISTVRGQETSNKPEDEEKN
KKSLRAAFTALMKASPESIKSLSADLVCSASSEGSSFAGGGLKSTSGQELADLVTRLNRQFPNDIGLFVLFFLNYIKLEVGEAMFLKADDIHAYLSG
DVIECMAASDNVVRAGFTPKFKDIDTLTDMLTYSYAPIEEQKMQPEDYPYVTLNTTAYSSGSEATLYDPPIEEFSVVKTDLKKKGAKATFEAIAGPS
IFICTTGSGKISVGPKVEKVKAGYVYFAGSTAEVVLESDGDEQFTTFKAFCELQGKEDGKGKL

>RCO7_01239 | related to acetylcholinesterase precursor

MFSLLLVLALPLFSRAVAVSNSATSLTLLYQNNLNGSDDVNHVGLFLLDELEAKDALAACQALNESLLSKSTIESHSADILQSLAYLEFVDRVSSEQ
LYYIENGVVSFSKRTQKLNYPALPPKYTELPVLCTQSSNDTHPANSTATTGNQITVASTGNTFVGYRNKKSFRFLGIPYADTPKRFVYSSLYSSTGG
TINATAYGPKCAQGGSGSEDCLFLNIQTPYIPKKGDKSDLRPVMFWIHGGGFTGGSGADQLSDGGNLASREDIVVVNINYRLSTLGFLAIPGTDIKG
NYGISDQVTALEWVVKNIASFGGDPKQITINGESAGAGSVRVLLGSPPAIGNYQGAIAMSNLGGQVTLGLPGGYATTYSSYLTVNESYAIAGQKILE
AAGCNQTTLDSQIACLKALPALTVTSLSPVARYVVQDGKYVNAPELTVTKPNPGTAHVPVIFGIIDNDGASFSTYPQTPVTTESEGLQAALGISASY
AQSVIDSGLFPYYNTGNITLDSFNVSQRIATDMQFRCIDSATVYAAQETDTFESSYYYEMQRTIRGYDPNNLGGPPTSPGYPNGNPNLPYFKLHGSD
MPWIFGTLSTLRDANDLYSVQLISGYFAEFVKTGQPNPSKAYLTARGYGKTLEAIEKTGPWEEVSGKKGPIKLLDYPSVTSSFIDVPQCAFLNYSLS
YYLERGE

>RCO7_04363 | uncharacterized protein

MPPHMHPRSRLTSSLFATTLFASFFVVALPHILPCPAPRVTYADHGTPQTRRKRRRRKCPADEDESSGVVKDLSTTEESGDVIEAMGLRKQKRECPV
PKPSGLVGEIMGLWGSSSAGKGSKPP

>RCO7_04364 | probable phosphoprotein phosphatase X-1

MSDLDRAIAQLRACRPIPEAQVRELCHKARELLIEEGNVVTVTAPVTICGDIHGQFHDLMELFRVGGDVPDTNYLFMGDFVDRGFYSLESFLLLLCL
KVRYPDRMTLIRGNHESRQITTVYGFYDECLRKYGSANVWRHCCEVFDYLALGAIVLGASSILETSKHKVSGPKSNSLTSTQEYIDPDTEIEVLNSE
GGIISSIPRQKPGKAPGKTGPPGSGASGFSRGSPGNPSGAVLCVHGGLSPLVDTIDKIRLLDRKQEVPHEGAMCDLLWSDPDEIDGWGLSPRGAGFL
FGADIVKTFNHANDLSLIARAHQLVMEGFKEMFDNTIVTVWSAPNYCYRCGNVAAILELGEDGSGDGMIARSNGEVNRSDGGVMKEKERVLLSGPAR
RYRVFQAAPQDSRGMPAKKPVADYFL

>RCO7_04365 | probable ribosomal protein S12

MAVIMLRKFLMPSVRRPLSISISIPKPKPAPSLIRQFSSTPTPFATYNQVAKGCRVAQRARKAVSPALRDVNAPELKGVCLKVGITKPKKPNSAERK
TARVRLSTGRVVTCYIPGEGHNVQQHSVVLVRGGRSQDCPGVRYHLVRGAMDLGGVGNRMTARSKYGTKKPKKATA

>RCO7_04366 | probable mannosyltransferase involved in N-linked and O-linked glycosylation

MASGSSRYLRYILFAFFGLAVIYFISSSSTQRLPSKSDILNGAGKASNNAPLKAGTSGGAAAPAVPAATAAVTPNLPGGLAAATADGPRANATFVTL
ARNSDLWEIARSIRQVEDRFNRKFHYDWVFLNDKPFDATFKKVTSSLVSGTTHFGEIPKEHWSFPAHIDQERAKKVREDMAAKKIIYGDSISYRHMC
RFESGFFFRQPLMLNYEYYWRVEPSIELFCDINYDVFKYMADNKKKYSFVLSLYEYVETIPTLWESTKKFMKAHPEHISENNSMGFLSDDGGDSYNH
CHMWSNFEVGNLNWLRSKAYVDYFESLDQDGGFFYERWGDAPIHSIAASLLLKKDEIHFFNDIAYYHVPFTHCPTGEKTRLDLKCHCNPKDNFDWKG
YSCTSRFFEINGMEKPEGYENQQD

>RCO7_04367 | related to topoisomerase II-associated protein

MSFFGFDASLPRDRGHNTAAPGFSQAADPFAGLSRQEEEDDDALDFEDTYDGLGDHLDETDDAFNEDTFGGGGGGGSSAAALKKPVGKDFDFFGQTA
KVSDAISEEQARFSRQQPISRVAPSTLDYAQPQSRPARTGYERYNEPEYVPDMQVDANLWGVAPKRSAHVPAPEPPMTPGAPGGRKMMSLEEVEAAM
RAQAKKPAQPQAPAQHQTQRYQHTPPPQQQQYAQPSQQHDQHYPPQQQQQPQFPVQAGGLPPQGEHGPTLPTQPVHILQRAQQHSQPSPQSRPQQPT
LILQNPNRYSAEPQRPSPNVQHPGHQPHPLGSRHVITHPQQMAHLSEEEKSAFLMEEAKRAKRNHKIFMLSKDNGLMTPQDKNFITRIQLQQLVTAT
GNPNEHGSDTGLSEDFYYQVHNQIRGGPRQHPGQPLSNFAQTYLFQTGGRHGGMRRQARGGDNHMQRMEQQVQRAVEAAKNKPKNKQLVIEGSLGKI
SFSNAKTPKPLLNIKRNDSGADVNRPGSAARDRKAQLAGISGSDRKTVLADIESVYNTLMKMEDHDRHTPPALNEDINPELVGLHMDWREKAQKLSQ
QLWHQLKVHEPIGATKTHPFIAFLSFAKGQKAIPRVFRHISQEQRTTILTMIVIHLDQLDVIRNALIIPGESQLSSKVRENIEVFSLAVMPSLFGYL
NDAGLDIITGVLGLILNINIDIVARTRIGVSMLTMILSRAELIKQGGSVDEQEWQEWVNKYNGFFNSLELTLPNIFPGSVNTGEDIYVWQFLAAIGI
GASPEQQQRLVMAVKDRVMETVSLAKTLPPAMSSQRLANVNLFMRSIGLDVELLA

>RCO7_04368 | uncharacterized protein

MLSLSLISTLLLSSCVLAVPLEKRTPPNIPTTAAAKTALAGLTVAAQGPQTGYSRDLFPTWDTISGTCNTRETVLKRDGTDVVVSSACAATSGSWYS
PYDGATWTAASDVDIDHMVPLSNAWKSGAAQWTTAQRRTFANDLTNPQLIAVTDNVNTSKSDSGPEEWKPPLTSYYCTYAKMYTKVKSVYRLTVTSA
EKSALTSMLNTC

>RCO7_04369 | uncharacterized protein

MTYPITGIKKGLGPGAQVPLRREVDEWWASKEKNDVYQRSLFIYALNEFQQMSPDDQLSYFAIAGIHGQPLVSWDTKAPKTSWYCTHGSPLFPPWHR
PYMALYEQRLYEIMLKLIPTTFALEDQPAMIKAAETWRFPFWDWAMRKPDWHSPSDRRRDGPNVPFIITIPTVEVMTKTGSATVSNPMWRFKLPDDP
KRKTFGDFGITKDQHCQHPTTSSPSSPDFTSAWVNGEKQNWDRITGELRGSRAVDSNTLPEAVYRLFLVEYLPTYNAFSTEGFVKGQPPTQYSSLED
IHGQLHVFTGGSGQMGRVPVAAFDSIFWMHHCNVDRLFAIWQDFYPNKYVQQFRSSAGRLVDPNIPLAPFSKDAQGTPWTAAACRNLQDLGYTYPEL
QKWLDIYKTNGQFDNVKYQKALRTTIELKYSTTGKTTLQLPENQRVAVAHLSTIAATNLIVENFPSALVEQAKELQANAPEIQSISGKHSVSAVSVP
GQETNTQVSTPKIVPSKAQIVEPVAAKQAPLATTPPVHDADSILKEPANIPHPHAHSDEKWIENDYIVNVLFDRFALEGYPYVVRIFLGDVPEGPSF
YFEDTPTQVGCVYNFSAPAEFRGDGPEGCANCHRQKQDHELSTGQVILTDYLVEHITKSIQDRGLTLQSLSRADVVAYLKTNLHWRISDIDDNVILK
ENMPSLKISVAMGRATHFLAASVPSRYGDYEVLWEVTESRLAGASPGDLD

>RCO7_04370 | uncharacterized protein

MPRSTIYEDSRTPESATSSRTLSRPSTRVKNDQKWDAQKDEIYRLYIEADNTLEATIQMIEETSGFKARKWKMKLKEWRFEKNLSKHDMEIIVAKAR
KRSRDESKNTIFFYGATQIRPERIENFKKRKTASDKYVVSSRSDTPENVTYRTPSPECYLAADLSFIDLNQSRGHFLITVILDFKGFVTVQDYDLWV
TYGSGRGSVTPSVLDVQVQQTSGQALQDGMCPKSQSSTLRYFTNIINSRPIKISRD

>RCO7_04371 | uncharacterized protein

MGPTRSVFWRQRTPLLIATFFGGIAVFGALKWRAVFSRSESAKRATTRTKDINFSVDPGRSGENECPTSSL

>RCO7_04372 | uncharacterized protein

MVEREVISIQVSKLNCIPVVEVKIYCTSAMNTIEVIYMITTRAPGYSIGSKCLWKPYAEDIKLPRNPLPCLPTAAKEKIMRQLGFFTSKILQSPFEE
IGSLFERKGKVRIGRCLSRTLTWFGRDLCGEIARGPFTNDKDYYDSVLSALQYHAEQLPLSHHLFLAPVPKAKDFETTSDYKSAAQQWNDFATIDQK
IDSSKNRLDYIAMAHLMRDIIPSISIPRQKYYLKPPDLSMSNIFIDDTFNITCIIDWTSCFTVPLPTLLIAPGFPHPRDDVDADMASIFKESVISHS
SQIKDVLEDDACWELAQKSRLFMQLADLDGYGDYHQFIQLYTSVHTDLRGADVRGLFDALRIDDTFTRQAKSRVIKDLPASEIQRKEKDYFSHSRSG
NEDLARKLSAKAGMEAGFVADCSTWSRFLAG

>RCO7_04373 | uncharacterized protein

MAGLYGRLAKKTGKKTIMLISLTSYTLFTVVCYYHEIFDVRWIWLTPFFDVIGGGYSIVTSFSYTFISESIDKKRLSAYYYKLSAAQMVAWFVALCI
SSILLRRHVYVQCILGAVSLSLTIPLCCMLPSKKGPPSQETSESSALLSAAPTLAPLAIDDEDGPLIWTIMRSLRTNARHSVSLIHEIMSSSALIRT

TMFTFFMITVGIAIKLVFVQWTSFTYGWILAEVHVITAFEMIITSIILLTLPTVSHNIIKPRLGGSVSDVDLFVAKISAGLHVVGILCLGFAPGKVS
YIVAMTIYKLGIGLVDAVRSYATGLLETKEEVEQLYIGMGMVEMLGGMVATAAWSGLFSTVIGKGYLVSRLPFLASSVILVASCACIWLLGRFGLKK
SKAVGDF

>RCO7_04374 | probable replication licensing factor

MASVMMSDAMSDAGGMSSRNATPRRPVQRGSSARPRGPPSESVAPLSDNDEGFADDQVPKGTGRPRRKDRAVPRVEDSIGQYVQINFEDFLDNFVEE
PSASGAPPSSAMTTDKYYIAQIHGLRTYQLSTLYVDYTHISQFRGGALADGVVQEYYRFLPFLTKGLHNMIAKYEPRYFRDHRQPTASSNQTTTGDS
NAASATQSDWQGEKTPNQQTDKLFALAFYNLPLVSRVRHLRTANIGQLLSISGTVTRTSEVRPELSLATFTCEACRNTIPNIEQTFRYSEPTQCPNE
NCANRLAWRLDIRQSTFVDWQKVRVQENSSEIPTGSMPRTMDIILRGEIVDRAKAGEKCIFTGALIVVPDVSQLGLPGVRPTAVRENQNRSGDASGV
TGLKALGVRDLTYRLAFLACMVTPDTSTTGSAVSQQLNGQSNNILASLNQTAPIDPNEPGDHAQEAVLASMTHAEIEDLRKMVHSDHIYSRLVNSLA
PMVYGHEIVKKGLLLQLMGGLSKTTPEGMSLRGDINICIVGDPSTSKSQFLKYICSFLPRAVYTSGKASSAAGLTAAVVKDEETGEFTIEAGALMLA
DNGICAIDEFDKMDISDQVAIHEAMEQQTISIAKAGIQATLNARTSILAAANPVGGRYNRKTTLRSNINMSAPIMSRFDLFFVILDECNEAVDRHLA
EHIVAIHQLRDEAVQPEFTTEQLQRYIRFAKTFKPEFTAEAKEVLVQKYKELRSDDAQGGIGRNSYRITVRQLESMIRLSEAIAKANCVEEIVPSMV
IEAFNLLRQSIISVEKDDVEVDEDDEEVLGPNGASGRDTDGDSPMADANDDEDDGDDGPDGGAGTTNGATPAPTPGERPKTKITYDKYISVVNLLVQ
RVNEDETNQGEGVDGDTLVQWYLEQKEGDLSGEEDYHAEMALTKKIIKRMIKENILMAIRGQGLVGEDGEGSSSNAEQTVYVLHPNCAVEEY

>RCO7_04375 | uncharacterized protein

MVDFTKPSLSHLMTYHIGRGEQGVLTYEPYKSYLLPHWRFRTVPIARESSQTLWGKFLEFYEKQDFVGMDMSRKFIQMGMTRSKRYANHKGGRKYVD
GKEKGVPIPRSQGHDGKEEKEQASKIFKEVWERCKAHEGYQELKKEFQKEQKEWVRSAPKTDK

>RCO7_04376 | uncharacterized protein

MSTKTSTSSSSSSSSYLSSKTSALETAQSVAPSDARAAQIPLQSFNLPTFPPAALSSGLTSLILTSDISLRDYQKLIGEPFSVPDLPSTITSLTLES
FSLGYPPGFLTELGKKIPRVKSLTLYSQLLAGTTGYGQDDVKTFFRLQGGLRELHLLDVFTPAGFYTALAESTAPGLNFLEVNFTYRHSDPKFLSSV
PSREIVEFLKRGKSARGGALLGLTASISAPDVTDDEDDREGTEVGILPVEREHASELVDVLKDVGAEMVMLDLTMFELSIKQVEHVVEKCRKVKILG
LTVTVEKGWGEVFEAIGKEGGAAEVEVLELVGVPGQEFTESNKKGETSGLSADMLAAVVVAGCGELKSVKVSVLRTRSEMWVREGEEWSLKDKA

>RCO7_04377 | uncharacterized protein

MQSPTPRRDNSDLSLGERRGKSDLARFSLDLSWARAASDSARSRAYPSPPMSGSPPLPPRRNPDSSDRGHGVYGSGGQDVYRGMPAPMEHMEQRGQV
VRSYVPEHVPSMSYPGQYRSNHMPVAPMQYQQTLPQLPLQQQQQHHQMHGFPPHPQQITQPFSVPDRPLIREPAEFHSPKQQRKTKGHVASACVPCK
RAHLRCDAQRPCSRCTSNGKEDACIDVQHKKRGRPRLRDERESRYEIIGAGFPPPADPSMRRPLSLYSPAEPSPFSQDVPRSGSYRVLKSQGGGPIS
GGPRFLEHASAADANIYRAPMPMHMPMPPVARIQSSHETPCAYLTMEMQFSKTTQSFGETIGVHSVQSRRLQDVVSPNDREKIARLQRVFEDERRET
EPNYLPPIYMAKFEEDHVIQSQGFGQEDFGLMRTDRLEMFTFQAPDGQQRTFQVRLSLAKRNSTFFIVLLLLLPATPQPFHQPSSPPYREQYPRDSQ
YGYQTPQQGYQQPLGVSPFALQPGYGDPRGDMATYRTPGTLGPSMPSSAPMMGFSQPQRVEYMPGPAPYQTPRSELPQPPVQVQTQRPHDLQLPPIR
DQRSEAPPTDPLRRRDDRSGRVDIGGLLEQPGRRGP

>RCO7_04379 | uncharacterized protein

MSATQQTSQAILPTNPSTSNPVNLAEGTSRPRYWFAQGARKPEAAASIVQYCCGSEAGTLVPAVIHVDIGVDLNIMIQAPRPKDV

>RCO7_04380 | related to endopeptidase La 2

MAPITTITLPVIPLAKDTVLLPGIVLRIPVAGNRADIPALMSNVYSRAASKTPNQRLENVHIACVPLGSPYLSSHGRKMIAGDDRSTSPKQRPDINP
GNATKDDLFGYGVAAKISGVEGRGTGEFALLVEGIARVRIDRITQERPFFEAGVTYEYDDMISAEDVAMQALFAHLKQLSRELLTLVRLSSLLRRTS
TPAGLSPVLARRLELYIARKSLPDAGILADFMANIVEASSEEKLEVLAALDVKDRLEKAIELLQRQVGNIKNNVSITTFTSTSFPANIDLDQMNRIN
NQRARRPGNAGFVPQGLGSGGPGEDDQEPNEMEELKKKIDAAKMTPEAAKVADRELKRLKKMSPAQAEYQVTRNYLENLTEIPWTAMTEDHLGVETL
TRARKQLDDDHYGLDKVKKRLLEYLAVLKLKQSINEDVNAQIAKAEEDKAEARLEILKSKKMVDKSPILLLVGPPGVGKTSLAKSVATALGRKFHRI
SLGGVRDEAEIRGHRRTYVAAMPGLIVQGLKKVGTSNPVFLLDEIDKVGTSNFHGDPSAAMLEVLDPEQNHTFTDHYVNIPIDLSKVIFIATANSLD
TIPPPLLDRMETISLSGYTTLEKRHIALQHLIPKQVRTNGLGDGQVEFNSDVVSKIIESYTRESGVRNLEREIGSVCRAKAVEYAEAKDADHAENYK
PQLSVEDIEDILGIEKYDEEIAEKTSRPGIVTGLVAYSSGGNGSILFIEVADMPGSGSVQLTGKLGDVLKESVEVALSWVKAHAYELGLTADPSENI
MKNRSIHVHCPSGAIPKDGPSAGMAHTIALISLFSGKAVPPTMAMTGEISLRGRVTAVGGIKEKLIGALRAGVKTVLLPAQNKKDAKDLPQEVKDGL
EIIHVRHIWEAMQHVWPGVHWPGEQKFAGIESRL

>RCO7_04381 | uncharacterized protein

MSNLSKSVTDDWRSILKTSTSSTPSSAPNYWSPEPLNLLTTSQPLSFSLGTGSQILSSVLKRCESTTHELILVTCFWAPSSSQQAISSLLLKLSAKG
LSQNRKIQVRICFSSWAIVQKLFQTSSLDGKIYEPEKWTGLGLPEPKSLGGLEMEVKSVFVRPFSVMHPKFILVDRKLAFMPSCNVSWENWFEGCIE
MEGEIAENLFEFWVSFWAQGNTNLPPLSTQVTTSPPVQSSTALPYPPLPATSLIIYTNFPFSLSLPETILLPSPHHMNPQFRLLSPSPCPPTPLNTF
LLTLFTHAKSTIFIQTPNLTCKPVVSALLTALSRGVSVHLITSSRLMIVEQLVTAGTITEFEVWKLRRGYRMLGEEIAKKQRRADVENQVDILGASL
GELKVGYYHPREGVTGEEEPVKSHLKLVIVDEEVTVLGSGNMDRASWYTSQELGVAFFSKELANSIRKDVDGGLEGRVDYVC

>RCO7_04382 | probable histone acetyltransferase ESA1

MAGGAQDKQSNVGSPAPKQKGRATVDTLKIGCLAMVVKDGKPRKAEILSIKETKSGRQFYCNFDNFNKRLDEWVPTARIDFTQEVEWPNPEKPKDSK
KAAAPATKKAVAQKKDKKRPARTREASIASETSTSRPWPEFSESQKATPDPEGEEKLTLSLDLDATPGAEDDDPMDVDDVVGQAVAAKAEPPEQYSR
EEEIEKLRVGGSMTQNQAEISRIRNISKVQFGKYNLYPWYFSPYPEAFTQEDLMYICEFCLGYFADEKSFTRHRQKCTLQHPPGNEIYRDDYVSFFE
IDGRRQRTWCRNLCLLCKMFLDHKTLYYDVDPFLYYVMCTRDEKGFHLVGYFSKEKESADGYNVACILTLPQYQRKGYGRLLIQFSYELSSIENKLG
SPEKPLSDLGLLSYRQYWTENLLEALLEINEEGTKTSIEALAHSLSMTPADVESTLMALQMQVYHKNEHKIVLPLHLIKKHEALRERQKIKPKRVLD
PRLIQWKPPVFTASSRTWGW

>RCO7_04383 | related to 3`-5` exonuclease

MAPELSSNWKRLQASLKAESQASTDRKRKAIPTEQQQNSLAKRRRLEGNPVAFKLKVKSAIGPSSKVVKKRKMGSSGSVEVKREPEESEEPEENIDV
TAPSASLALWAEDNDISPKDLADAYGGGLKDTTIKGTKPDVINGGLIKDVEIGKYVGIDCEMVGVGEGGQQSVLARVSIVNFHGAQVYDSFVKPKEF
VTDWRTYVSGVSPKNMTTARDFEVVQEEVAEILQDRVLIGHAIKNDLAAMMLGHPRKDIRDTSRYSGFRKFNGGRIPSLKKLAKELLGVDIQGGEHS
SIEDARATMLLFRRHKAGFDVEHAQRYPTATPGAKKPKGQQKKKKGKR

>RCO7_04384 | related to cyclopropane synthase

MTSYLPAVVTQPLARGVDLLRGTLGGMSWGPAVSISKAAVTSLLDKIEIGHLFLVDETTGQTSTYGQKIAKEHSRTQKINGVNGAKKRTGGVRKVEL
VVKREAFWVRLFLFADMGFAEAYMLGDFECEDLTSFFEIFILNRTQLSNATTLTSSIAATITGLARSTNTLSNSLLNIQAHYDISNEMFAAFLSEDM

TYSCAIWKPVSSADLEEETLEAAQMTKLNRFIDGAHIKPTDHVLEIGTGWGSFAIEAVRKTGCRVTSLTLSIEQKALAEKRIAAAGFADKIEVLLMD
YRALPTPRVLYDKVVSIEMLEAVGAEYLETYFSCIHRLLKKDGIAVFQCITMPEGRYEAYAKGEDFIRKYIFPGGHLPSISQLVEKISKGSEGTLVV
ERVENIGGHYAKTLRIWREEFVKNFESRIRPALMNEHDNMGDKEVEVFRRKWIYYFVYCEAGFATKTLGDAIITVGREGCQELMEGIPL
>RCO7_04385 | uncharacterized protein
MLALEKSKTRRGKCTPNVLPCRINHNGAVNTSKRYWNPTVAPDGKSTSYFRGRKLHGKILKVPSTYRGVVVEKTERILPKVETVPVPGNTTAQEEDD
EGGDDDVEVKIMEEQAGFEEIVVWGHEALPDGMVDPYVRGVEDWIEFAESIHSFDKEEKKA
>RCO7_04386 | uncharacterized protein
MGRINGFHGGHTRAEKSSPCITHSLGKRSSQLNADSSSGNAETAPQASRIARLHKLIVKILQKLLLNCSATRGMHSSVFG
>RCO7_04387 | uncharacterized protein
MFLLSTSLLQTDFTGKRYLLGLEDPMDTREDYDGFGLVGSDQSAWVYQQIVLPALLALRQPFEVPGHGQTWVRGRPAPGPIAVCFPSSPPPSPPPAT
LLAPPPPPPSSLLPPPPPPPQPTLPSTTPIEPFARFAPTASSSSSSFSSTSSALPAPPKRDFKSKFGSSLGANYNISSGPLKR
>RCO7_04388 | uncharacterized protein
MLERPDLVILVTVTAESGSLFCAEKAAEMPLSDGSKNGSGLKNLTEFKKKKKKKKKKKKKKKKKKKESLDLDMKYRRLL
>RCO7_04389 | uncharacterized protein
MALTLLPNALLVSLPDSSAATNTSSKKGTPVRIGGRASTPLTLELELELSLPYLSPANRSAGEARPEEAIITLPADDDPDVENTDVRRDEADADLDV
DVEREAEDIDIDIVDSRDDLLVGAPGTARSSAGMGIAEAFFALRDGCPGTGEMYRLDCGF
>RCO7_04390 | related to PPR repeat
MPIYSNIASTLARQGPKTFTHGYAQSLVAATHPQVYASSNRPGFGLNRRASKVGHFSSYSFQNAFHNSSQSSSSVQLVRPEKSEGGLDAYFEAWKKQ
AATGESDKEWAQFQFPKRIEWNPLIEVEEGRSNVQSRTLEVAPAAERSYSASAVDDIHWLPADEEAALAEIDAAIEREIKSRSDQAIFEAELSIVAA
RVPTPPRTSSPALSSESGILRSPSTSATTISTKSEQQSQSYGEMLTKLSASGRYAEIPAVFEAMLGANIQPTATSYNALLDAAINLHIERIQVVPKA
LDIYSDMLRRKVLPNTATYNTLISLISSRSIEVSSLKQSLEERRTRFGGMEEQGKFMFASSEFEFAILAEDDRLDLAVRLFEASVSLRTDRSYPAET
YHKLIQACSETGRIPEMIRFFEHMTAGNVVPLSFTFESLIQGFTKIGDLNRVVECYDEYKRLAINNDQGKIDLADRQDAQVYAAVVKAYVKSDRVDG
AVQFYQRILSTYPELGDRVVRGGLVQGLLDRGEVAQALTWANHLNGSMKSDTMAKVATRAADQGETMLAIQAFSHVAFSSIATPAMAMLALSVRQGD
VAAARIYWNYLSAPEMTATSFFIEPAAMYAVALIGSGHALEGLTQAEQMFARIRSSVEPTTHLQDEIEEGMEFINKFMAAHGLTDPRLTPEVPVYQN
FTPVQYAAVPAYEDTFDPYAASTDFKGSAIIADELEKGNNGRARVSRLNEALGRFRNIRRAGRHTRYITYAKLISAAARDERMNLAHDILGMARTDV
PLLPQYPVVRYGWVSILDAMVGACLTLGNRTLAAQYHQELLDMGAAPTANTFGLYITTLKESTKTFDEATEAVKIFHRAKSEGVEPSSFLYNALIGK
LGKARRIDDCLFYFAEMRALGIRPTSVTYGTIVNALCRVSDEKFAEELFEEMESMPNYKARPAPYNSLMQFFLTTKRDKSKVLEYYERMKSKGIQPT
NHTYKLLVDTHATLEPVNMPAAEAILDVIRSTGQRPEAVHYSSLIHAKGCVLHDMDGAKAIFDSVTADSSIRPQACLYQALFESMVANHRVTETEPI
LREMSRRGVDMTPYIANTLIHGWANELNIDKAKSIFDSVSREKREPSTYEAMTRAYLAVEDRPRAQTVVQEMLGRGYPGAVSNKILELLGGGHADSA
A
>RCO7_04391 | related to phosphomevalonate kinase
MSTKPSLPATAVSAPGKVLLAGGYLVLDRAYTGLVFGLSARIHVIVQDVETSRQSSEIVVQSPQFRDATWNYGYRLVEDQGGVEVSQLRGNPSTPLS
RNPFVETALAYALTYISTILSTPIKPSKITILADNDYYSNTSTTTLSTPTSTHKFTDFGVRLQDAHKTGLGSSAALVTAFTGAILSHYLPPSTFTLS
SPEGQSKLHNLAQAAHCAAQGKVGSGFDVAAAVYGTCVYRRFTPSILSSLGEASSSKFASRVKNVVDNTASEKWDTEISKGGVTIPEGMALVMCDVD
CGSQTVSMVKKVLEWRKNEAEDAKELWDDLQGCNDLLAERLTKGSAVELEEAFVAIRALIKDMGSASGVPIEPEEQTELLNAVTREVKGVAGGVVPG
AGGYDAIVLLVKDDEETKEELEKFLKSWSEEKKGNVKLLAAKGELEGARVEEAALYGEIK
>RCO7_04392 | probable pantothenate synthetase
MFSQAIRQFVSVSERRATTSRCIIVGFRTFSTSPSVRARVKDQVIPNTEIKVFRDISTLRRWRSKQLHDYRSVGLVPTMGALHEGHLSLIRLAAKEN
SSVVVSIYVNPTQFGVHEDLDSYPKTWMQDVEMLKDLDRELANDGGNLGKIAAVFAPTTEEMYPSGPPSQEVDGKGSFVTITPVGEVLEGASRPTFF
RGVATVCMKLFNIVTPEKVYFGQKDVQQTVVVKKMVKDFCMDVQVVIGETKREPDGLALSSRNVYLGSRRRKVATVLSMALKVAEAAYVRGCRSRDE
LLGPANELIKLLLESQFHMKPEDRVKYEIDYISLADPDTMQEVEEVDETEGAILSGAVKMLPVESPQEGEDLGLADGPPVRLIDNIILRPVQI
>RCO7_04393 | probable ATP-dependent RNA helicase dbp7
MADDGMIMNFDLGDAPLVAKQVFQGGRWKDRLAAKRSTQRRTNPRPSKNPSERELFKENRHDVQAEDYIGPGTAPRPPKRQRVDDSVKNPNREPVTA
RKIQTESEENAGRRVPSFQEDKRSAFVAGKLPPGSINTGGKKAISFQDDTRPAFIAGKLPPGSINTSAKKAISFQDDTRPAFVAGKLPPGSINTGVR
RAVSFQDDSRPAYNANKLPSGGMNEGSKRDTAAQEDARQPFVSGKLPPGSINIGTKKTTKFEDEPRPAYVSGKLPSGTLSSGKPNQIISSLFSFNPS
SKTKFEESEADTDAVKPSNAPLTEEMASFTALGLSRRLAAHLSTKMDMKAPTAIQKAAITQMVKDDSDAFIQAETGSGKTLAYLLPIVERIMAMSSD
NVQVHRDSGLFAIVLAPTRELCKQIATVLEKILRCAPWIVSTTVIGGEGKQSEKARLRKGVNILIATPGRLADHLDNTEVLNVSTVKWLVLDEGDRL
MELGFEEEIKGIVDKIEKRGKAANSKSIVDLGKLPKRRITVLCSATMKMNVQRLGEISLKDAVHIQGDPSEEEAATVAKDREDGVVPDDKKFSAPAQ
LKQAYAIIPAKLRLVSLAAILKRAFARRGSVMKAIVFISCADSVDFHFSLFSRPLEAAPEDGEEVIEPPTITKTDLTKDTIALGTTFSSKTNFVILH
KLHGSLAQNIRTATLKAFTESLEPCVLICTDVASRGLDLPNVDYVIEFDPPFSADDHLHRVGRTARAGKDGRALIFLLPGEEEEYVSVLASGYRDGK
KSLTHNTSEDVLRKGFGGSGREWEERATEWQLDVERWAQDSPKYLEMARRGYQSHIRAYATHVASERKYFNMQALHLGHLAKAFALRDKPGSIKVPG
LRPAKMTKADRSVAARKAKRGEVEDKAPEGERVRKQRKLDMDAPTVDGNDAVRRMKKKMKEHMSVASEFNIG
>RCO7_04394 | related to aldehyde reductase II
MSSTTIPKGSIVLVTGVNGYLGMHVANQVLLDGYKVRGTVRDSEKARWTQEHFDKTYGKGNFEVSIVKDLAAEGAFDEIIKGCSGVIHVASDVTFGP
DPNKVITPIVNGMEFLLHAASNQSSIKSFVYTSSSSALSLTRLNERYTLNKDLWNETSVKAAWAPPPYSADRAADVYAASKTQAEQKAWELLKNHEI
TGFKFNSINPNFLLGSILHQKQNKSTGGMPLGMLHNSPQAIEFLSAIGPQWVVNVEDVAKLHVIALIDPAVSGERLLAYAEKFDYNKLIETMSKLVG
DDAMEKNIERKEESGGKDLSEVDVARSEELLRGVGLQGLKGLEQSLKECLDSAAALQ
>RCO7_04395 | uncharacterized protein
MAEDSQTAHVDGLSSSPASASSSASPMSTSSHSVVFNEIDMNTVSFEDYMNMTNDRSAVGEEEEEAEYNVESPDTPMTGTDLPPTTPCVKNDLMDSV
KGSSSTFKMKLLPARKTTPASTSTPSKSGSVESAFSPSIVAIPTAGDAARQSNTTSTVDILISRHPELLHATSKAQIVDTIVNSNVIRANSDSDDVT
TYPIDYTQIEDLSDSILARSTHTGRGSTAEKGITVYEGPLGAEAMVLGNNRNAEINIDDAITDQEKRVMSLRKVLSDKLYARFQAKKVPGNHDSANN
EGFAFRGNFITIKHSLYMNECLKREDGGLHSSIVDFEREENEFRLLKERKQKVEADVRVHTQKENPEEAHRRNMTFLEGDMPTPKMLFNDDYIDRHS
SYDNIKKMRHMLKPDGPLMANYMLKGALKGKAARLTEEQARREAANKAHFASMLRVAKMKAAMKATSASMEILVDFEGGEITNADV
>RCO7_04396 | uncharacterized protein

MAPQRHNFFSNLGNRCIGVFCMKTSPPAKIIEISAPFDFQEGPAVHFPGYSEDE
>RCO7_04397 | related to aldehyde dehydrogenase
MSVETITTISPFTNKPVLTRTGISGADLQQLPQVATEAFLTFRKTPLAERQAIVKKALKLLGDKKDELAKELTEQMGRPIAYTGVEVTTAVKRGEYL
LKISEDALKDTDGEAEKGFKRFIRKVPVGPVLILFAWNYPYLILVNSLIPALLAGNSVILKPSPQTPTIVEHISSIFTEAGLPSNVIQYFHCGSPTT
IETIVRDTQIALVCFTGSVPGGLAVQKAAADRIVNVGLELGGKDPAYIRSDVDIAWAAAEIVDGAIFNSGQSCCSLERIYVDEKIHDEFVEAVQKVL
AGYTLGDPFDKETQIGPVVSKRSKEAIESHIKDALSKGAKDVTPENDSFKSPPPAGNFVKPTLLTNVTHDMAVMTEETFGPVIPVMKVKNDSEAIKW
MNDSEFGLTASIWTKDTAKGAELAEDVDAGTVFVNRCDYPSPDLAWTGWKNSGKGQTLSIFGFDQFVKLKSFHVKDHPI
>RCO7_04398 | probable ESF2 Eighteen S rRNA processing Factor
MTTRKHNEFLDADESEDDQTQGYDSEVEDVKKGGRNTKRRKVDSDLSDNDEAELDDKSEGEEEQERDDAEDKEGDSKDTRALKRKSRDTGDIAELPG
VHKPLSKKNLVATAAAIKKSGVVYLSRIPPFMKPQKLRSLLEPYGAINRIFMTPEDPTSHTRRVRNGGNKKRSFVDGWVEFVNKVHAKHVCELLNAK
TIGGKKGTYYHDDVWNLLYLKGFKWNNLTEQIASENAERASRMRAEISKTTKENKEFVQNVERAKMLEGMEAKKAAKRRKDIDDKAESTAPTKEKRG
GERARQFKQTPVAKKMRPEDQPEQVKRVLSKIF
>RCO7_04399 | uncharacterized protein
MAPWPPKYSPPQKQAPNLPTNRSCLTPVRPTFPGSLPKVPGLSQGTLLENAAVQKYQRDMLKKFTTQDLVNLDVITDAKLKRSTLSTRPVHKLFTRG
RWEVSPSLDHARPKLYPLPNRPGLSGYWVYDNLYVKSAIMPALHIATKVMESVHMLPWFASLMNYPAMTDIPVNRISLEDQRDDALLVGRLKSFSPG
GAMDAQMLRKTKTQFEKLVDLLITKHRYQLGFSKYCIDPWTGQSDSGTAAITCRHQTSNDIFTFLSYDLIEPLLRDDLTDCERMGLEWAVANTLVHE
VCHALYEAVLSMYRARHQEEAYLGDQPVAELGYAMEHAVFGGIAETMRIPSDWSSIGYWLAVDHTCVDIAFRSIEPILIDPPLSQIQTFYPIKAEFF
ENMQQEEFWSACINVFGWSALHARNLQQGTTVKYMPGLPQNRRSAKVVDSVDRFFAPNSRIRDLNITLAEYANQNSGTMTGVQRRNIQIGRKIVAHS
VYEGNFWLQTVEMREFLDAVADSMEYVAKGRSQAERRQALDEICAFLETAETKHIVAIRTLRKLDRTLQRQNRLDDLLSWNRGARIYAKGCFDLISD
DGAYMEKGTIIQRREAFEYCRMLLFAPTDTTTVPGYGEHPIILALDQNIQLGQVDLCRANLIELARVANGSMYVEAVGLAFESELVSLEFASRGVAM
DLPALNSIFNGTTRALAILEQLEGMCKMDIVEMDVLDIDNKTIESWIITLATRINRGNKILDICRETAAKLSAMPKVAPVGP
>RCO7_04400 | related to ASTRA-associated protein 1
MVLPPAQPAYILRGHGSQIHSTIFIRSNSRLVTGDADGWIVIWSLATKRPVAVWRAHEGAILGASAWGPDKIITHGKDNKLIVWKLSEEDEASMSII
LPVDIPPEPRREPWLLHLLHVNTMNFCSFAQCPSQGSDEELLIAVPNTRSSESVDIFHLPSSTRIHTVPSPPTFKGGMVMAVAIFYHPQNDSLTVVA
VYESGHTSVSQLISSTWTCLYAAQVHTQPILSLDVSPAKDFYLTSSADAIIAKHPIPVAVENVIMAVESMPLKTLQSKHAGQQSLRIRNDGKVLATA
GWDSRVRVYGVKGMKELAVLKWHKEGCYTVAFADIDSTEDGESKVLIRREKAMTVKEERLWKAKTSHWLAAGSKDGKVSLWDIY
>RCO7_04401 | related to regulatory protein for the arginine catabolic pathway
MTENSRYFIHTYISKQSSILCTRRAKNQARTIFPNLGTVLVNANVSKTSEPEPEPEPTSTNKVFTANHRRAFIVAGYDSQGYLASAFDFDTNFHTHS
YYSASTASNFTLIGDQQYTPPSYTIGDYSPPPSNPSKRQRISTPQLGKHNSKCNTQMTALAASEPVEQRGPITAESKPKRVRTGCLTCRERHLKCDE
AYTSDNQQCQNCRKSSRVCKRGIRLNFIDTTVKDPAIIPPTADWQVKFLDESRDIASEYKGGLGRYAHVDQTKTPPRDAPLQYAVRTIAEEHSLPPI
QSSVTYSDNGLSVKNEDSRSRRASQHHSHAGSESALTAPPSTTSYSNTEAPSPTVETRRYLESAEEVLFMQVFVEEVGLWMDSMDSQKHFSRILPFH
ALSEPMLLNAFLACGARHLTLVNPIYHEDKALFYYDTATTQLLRQLQNPDRDTVCCATTAVILNVYEIMSERAMQRMNHIAGARALIKECGWNARST
GVGAACFWLNVGMELLSCLHFNWQVAWEPDQWGLDMNMQAETQSGHEEIWVHRVLYIVGKIANFRASIPRVQEASPHDEQLRRHARYSDWKRLKELC
DSWDLNIPRTMQPIGYLHPDQTSSKSAFPEVWLIKRATIVGRLFYHTAMCLLAQINPLMSKDAYEMSKMQMHHARLICGIVVHVKDRGVASVALRSL
AIAAECLISRREQDEVLETFEKIRKETGWKVQFIGKELKSKWGWPGDEVSQPPQVPRTTLGQFYPSTSQATTSTPVPPPTTKPALQSGILNPLLARA
DFSLPNHPYQTHYQPPNAQPQNHFPLPPHQSHYHFPPPYA
>RCO7_04402 | related to ribonuclease P protein subunit p29
MSTQDIGRSLLARAFSPDTAGRIFTERVKTRPLHLKPTEPSTAQQQRRLVRKAKESRKKKQKPAPLSARQKRALCLYDIPKSQQKYAIYEPLHKMWV
GYIQELLWEDGVMRQVTPSMATRLCSADFHGAELEVVRSRCVSRVGVKGIVVRDSRYVFEVVTKGDGVKILPKEHTVFRFTVPRPKKDGGDADGEAK
DDGQVEGEKKVLEVPKDVILELHGDQFEYRAADRANRKFKSHYLSGL
>RCO7_04403 | probable glycerol-3-phosphate acyltransferase
MADPRKASGPRTSAPDLDILGDQIRLHPSGYIEPPEQQLDGGKEQVLMESTARFRTSPLEFLREVSLHVSGTGWRAFDNYIGQPIFYNGFSEQMIQA
VLATPILQKRISELAEKRVVVEEKEGLLKKNDPLYVGKRTQRKLVIEQSLQELSEKWTGEMICKMESKPFIRGAYYMCTQLLTRAYHQGIHVSSEEV
LRLRTVAERAEKNKQSIIFLPCHRSHVDYVSLQLICYRLGLGLPTVVAGDNLNFPVVGSFLQHAGAMWIRRSFGDDILYTTLVQSYIDTLLQGGYNF
ECFIEGGRSRVGKLLPPKFGILSFILDSILSGRVEDAVICPVSTQYDKVIETEGYVTELLGVPKKKENLADFLSASSVLSLKLGRVDVRFHEPWSLR
QFISDQQGRSTSIPKGIDMRSTIDPAAKQKMLRTMGYKVLSDINAVSVVMPTALIGTVLLTLRGRGVGQAELIRRIEWLSDRVRSKGGRVAHFGNTP
TVAVIARGLDVLGKDLVGVVEGLPEPTYFAVDRFQLSFYRNMTIHLFITEALVSVAMYIRVKRGGGPDNQKITYIELRDQVLFLSQLFRGEFIYPTE
GLIVNLDNTLKGLENDKVVALERDGEGNITVVGLAEEERAAGRENYDFYCFLIWPFVEAFWLGAVAFMGYTPPLNYKGDGWLDVRGCQESAQLLGKT
LYHQGDLSYFEAVNKETLKNAWVRLEEEGIVIVAKSRDPKIAPRSKLSPDWTPDRNPETGRLIAKGRLWDFIEKIAQSRREGKNRRDGATVSTRVLR
HTETIAQRLFAQAAGEVLSEEDRKDLSKKQKRRQALQARAHL
>RCO7_04404 | related to GS1 protein
MPVTRTDFPPVRACLFDMDGLLIDSEEKYTIATNAVLNKYGKPNIPWSIKAKMQGRAGKAAGDVLHDWAQLPVSREQYMSEVLAIQNEHFPTCKPLA
GVEVLLSELATAKNTKQDKVHIALATSSHTKPFGLKTAHLQDRMFTVFEDERRILGDDERIPKGRGKPSPDIYLLALKVINETLKDGEREILPEECL
VFEDSVPGVESGRRAGMRVVWVPHPELFTEFQDREVEVLAGRTGEAGDVDMHLVGEVGDGWAERLENLVNFPYHRYGIVVS
>RCO7_04405 | related to tetratricopeptide repeat protein 1 (TTC1)
MSTRTERFQRRGAEKKDEKTEEPEEIIRFSAEEEVALLEESNTVKKEANDLFAKSSFQDAIVTYDKALAACPNYLEYEVAVLKSNVAACHLKLEDWK
EAVKAASAALEGLDRLQGIGKDNAGKEEGEDTKVEEEEADEEIVSAGASKAEDTSDKGKREADIDRIRGKALMRRARARSELGGWSGLQGAEEDYKK
LVKMSNLSAADRKIVQRQLVQLPPRTKAAQEKEMGEMMGKLKELGNGILKPFGLSTNNFQMQKDPTTGGYSMNFNQGGSPASQ
>RCO7_04406 | uncharacterized protein
MSPMSTTTVPISLFPPALTHSLNIASSFQRLLSTTTLFLFLRTYMLSLILLKNSFYVSQVLLLKAFYTSLLVANNSFAIAKEVTMRAWKASESLRKK
LFFEFMVFILGGGNVLFLLVFWPGWIVPLSVYGMWVAWG
>RCO7_04407 | related to HHE domain protein
MLVSEAIGQDHHYLDQCYDNLKAASTTEDKTKWRNMLVWNLARHAISEELIVYPAMEKHLGEKGKELTKTDFAQHQAVKEDLFKLQSLSPACSEFPP
LLEQLMTDLHHHIEHEKDVDMPLLEKVISQAESEKIALSFMRTKKLVPTKSHPGAPTSNPWTEGLAGLLAAPVDKLRTLMESFPDEETGSAEVDWSQ

M
>RCO7_04408 | uncharacterized protein
MSSPEDKGVGANSGKYPAQGLSTYHFTMDNLDPEIPRSSWSFDSRAGGINEFHAQFHGDTAQDPVGGYASNANSHVNDHQARFVSRTSTPMSMHQQA
GKDDVFSTPRSRLTYEPSVSPSYHNSSFSAGSGSQRLPRGSPSSGPDGFRPQQPSFCSPGPAQNNYTPLMGYGHPPFGMNSSYAVSRTPNLRSYTSP
ETHMSYGMSANMNMTPIPRSNAGRKPIDVKTPNHGPSQTGYGNLPSPYDNRSHRWNGPGNPNQGFGQDNVVPKQDLGFDFNDHRKSFSIAAPSSRQN
EAVRRSDLHEMHPDYVAQIQESHYEESGSKDERGYESNEEAAPGRNNAPHPVTSNSVPVKYEAIIKGEKEFNALVTQRAKELQKVADGIENTCPTTD
DDKRAYIEKLFDAIMHTNQIVDKEACDGRKAQAARRLEDGYYMPKVVEFACWQIFAKCKAAANGNTLVAPHHKCKSEGHQHHISFKDRWDSIVLACQ
HSKAVCKQVLDPSYLDRLVDAPDAQFKMKLNNKKINGERDKQNKLGRAAMNAGVKVDDLPYADEHMVITPSRKSDVQLGRSSGKRRKTNLFKQEFSD
EEEIYEQLNFETPVKASHRVLSSRPLLTAHKRTPGNTTTGSSTKAVRPSPFPEPTTELRKQYELRICHLLGLGPENADEFTLPLLRTFARAYHGERT
NDNWYHQTFTKGQFCRGHMYNSKYGRSHFCHSPAFSELSTLAIQRGELNYDNSVKPHHHVELYTVKNDLGLKQVLGIAPNAFGMIECTMPPPQEDN
>RCO7_04409 | related to nuclease S1 precursor
MRPTLTLLTHLIPLTLLSSLPLTLSWGTLGHTTVAYIASNFVEPSTQEFFQRILHNNSDAYLAGVATWADSFRYTAAGRFSAPFHFIDAEDSPPESC
GVQYARDCGEQGCIVGAIQNYTRQLLNPDLNGGLRNMAAKFVIHLLGDIHQPLHVENLEKGGNGVQVLFNGAHVNLHHVWDTSIAETQVGGYGLPLA
SEWAKNLSLAITDKEYKPLAASWLKGIDLADPVTTSLAWAGETNLFVCTAVLPAGVEGVEGKELNGTYYEKAAPVVRMQVAKAGYRLAKWLDLIAQA
QVARTDL
>RCO7_04410 | related to multidrug resistance protein fnx1
MGGQNDHGESSKNHQYEVNEHTLLLPGNDQRIFKHGTISSNDTLTDEDTDGGEIDPNEFDNLLSRSQSITSGLGIEPESQQKAMLRGPRRYSSVITG
SQAPGYSSTLRRKRSQASVIGSTHSTIQETIESESDENSEPKSPFLAGVSVSTFWLIFGGILSAQFVACFDSTIMVSSHPVITSYFHSSNSASWLST
AFLLTSTSFQPLFGRLSDTIGRKPPYIFSMTLFLLATIWCALAQSMTSFILARAVCELGAGGMMSMGAIITSDLVPIEIRGAYQSYMNLVYGAGSAL
GAALGGAISDNLGWRWEFGIQVPLLAVGLCIAHVTVPRKLGLAEGVEKTTIWEAMKVFDYQGSILLTTSITFLILGINLGGNIYPWSHPFIITSLTI
FAVCFPAFLYIESRVALPIMPLDLLTRFPRAGLILSNFLGAIIMNAVLFNIPLYFQAVLLESATSSGLRLIVPSLASSSVGTATGFLITYTKRLKIW
LVLGVVFLVIGTVELSFMRRDLPDWAYLLYLVPQSVGQGFMFPTTFMTVLAVSKQADQAVVTSTLILWRSIGSVLGVATSSLVLQNALLSYLEEFVV
GPDKEYVIQKVRKSVLAIANLDSIYREQVIDAYAASLRATFIMAAVLSVVAFCMVIPLKIPRLGQRK
>RCO7_04411 | related to G protein-coupled receptor
MAPLSSGAFTDAVGRARTHLESRGLGGNNTSPAPSLSDGQKNILQTLAVTFSTISVASSLLTFYWFMKMRRSFRHDLIMLLIQSDMFKALWFMIYPI
VVFTTGPVRDTSAFCQVNGFMIALGIEASDFSVLMIAIHSALYIFGPRSSSGEGGLYPYRQIAYTLWAIFPLLMASLAFINGRHAYVSEGTYCYLPV
RPFWYRLALDWIPRYIIFMFILVIYVSIYYYVRFKFQGFNDLSKKNKSERVDSSLESIDQPPRRLKHETTVPSTPTLALHGLIPGSRQSTMTEHAAR
KPSISTLDSHNADQRAPMRQTGGHRFMWQSFSAPDNGSPPSTSEDSLEDDSFDGPSAPQPLPPTFPEPISPRSDSLNELPSRDTSWRDSFVDRFSPH
NISDNTITQHSVVNIHTFLRRHPDQSECLTPISQLRLTNAQGQTIADAEMHRTRDKIRRQLRFLFIYPLVYIGMWILPFVSHGMQYSDRFVTDPPFA
LTCCTTVSICMQAAVDAWLFSTREKPWRHIPGTSGGFWVSLKFWSDWTGFRRRSIVQGPGKTREEMVHEARAAYRRRDEEILQRRKQVDGSYVGHQR
ELGAKRAEWWENLGVDGAMSPVHEEGNSMEVAVVFNEDTFFVGGNTLKASQTKALKEKDEKAPDDREGIMSLNSPVVQSPFESAFSKANSKDMDQKR
FKKEEKNCA
>RCO7_04412 | uncharacterized protein
MSDTPTSQASSSQPKAEQLTPTTQPLKEIWPARESLFYNPRLPNNIGLPLPKKSILPRNEYSEFGVYNQKTGLVTLQPHPIPDLLVALGYRVTKGCV
IRGKEKTDPKDL
>RCO7_04413 | related to exopolyphosphatase
MPPPRVSLRSFLSTAKTALHNAKDHQSSPLTFVIGNEAAGSFPLLSWEAHIHRLTVIPDLDSLCSAVVLAYLRTYASTSDTNTLYIPLSNIPHADLA
LRPELLPVLSRANLKPSDLITLNDLPNISPAVDFPPEKTKWILVDHNSLLGELGRVYSSRVVGCIDHHDEENKVPKDCGDEPRIVRKSGSCSSLVVE
YCREAWDALSDKSNDQETAKWNAQLARLSLGPVLIDTSYLQNEAKTTPTDVEAANYLEKWITAGEVETYDGESYYMEIWTAERDVEGLSLMDLLRKD
YKQWNEGGVNLGTSSVVKGIDFLLSKTETQEEFFDTLKKFSEGRNLSICSIMTRFSPKGGDGFGRELFVWGFDDKGMKAVKKFEAESSNSLGLKIWK
DGALDSVEKGVWRKCWDQRKLENSRKQVAPMLRSSMSD
>RCO7_04414 | uncharacterized protein
MPHDFETTAASYRTIRKRCRPRTYWKNEQLVLSIEKDESPSMKLTLIPSARSSRGPLSTQTRTTTERGQERPLKRALRDGDVEAQAEKKRRMILEGH
TLREDEIKKQVLVIDLCTDDEEESSIEVLEGTTNIEGSEDSIDVSTTSATQEAPISTIDFFGLDPHPGASMDPDHVFHTTKSGGALTIIDPITIASI
SPVIPEALSESVEMIALQRIPESRSNSREDSTHSVRFQQRHNRHADFLRYCFSIFGRSWRFGTEVLFDVLGC
>RCO7_04415 | related to TAO3 - Transcriptional Activator of OCH1
MSSGKAALETPNITALEPLLPRLLFSTYNRSLLTRFGHSGQGPGSGQAQADNSLSDGLTNSFNPIDFDFDWNATQVLKPSASTSTISRTTVSRFSPD
GRDGRDPLSRQNSPATFTAKTFWSDPQSQPFNVSPRLHTGRGGVVVSKAHNRQTSIVHGIQHSRNGSFASASSSPLSPQSIIAAGTDTPIMSDSTFV
NSLSGLAGGASFSSSTSTIVPDRASSAAENNNYHTSQKRVERMHSGKSSRDHRHHHSHSRHHHKEELKTVGEYALHVLFTSFIAQAEEKISQCITVP
LDPEPQIEQICGPGVDPTFDQLISALGHIASQKPKPLIDSMMLWRKNKSDAASEARVQLQQSKAQPGQMIRRNTEPPHTLPEDAIAASNQPTIAARQ
EFVAQAERRSTASIYILCRVLMEVVGQSTLTCITPEMEEKLEGIIFGQLKIADADSLNSSPLKMANWYLFSQLLGVMSEINFDSVADRFIADLEKSQ
KDLIGKGPANREIEGRMELVLGGMKHLRIKVYPEDAWDQSCDFMISLGRFFGRSHGQRVKYAYCQALEILLLPIAAKANTELNMPKWTEVLGMMAPR
LATMFAKPRHWGVAFPLTATLLCVSPVETFSTQWLQLVLPLQPKFKDRFARPLCLQVISRLLWTYLYRTSDTLNSTIKKLEEVIKLVLPPGKRTYIS
TDPMIAEPLIQIIRIIGFKHSDFCLRTIVFPLINADLFASGRDLKVEQLEPEKMVIGIRAFLAIMSDLEKGEQGRPPFPQHYSPLPSWDRMPTSPLM
TAPRSPPPPRTEARSQEDRLSRPVMTNALSDVAKEYYSKFCEILGKITIICDNTFGGQAVLDEKFNSPVPKTPLAESFNFARRDDHQIYSDQKQGFY
ELLHVAVQALPRCLSADIPFNSLVNLLCTGTAHVQYNIAESSAQSLKSIARQSHAQQVTIGFARFIFNFDDRYSTMSDGGMLGHGHIESTLKLYVEL
LHIWIEEIKHKIKDTSATVTEDGSSDKRGMQLDLSSIWAHVDEVESHGLFFLCSQSRTVRAFAVTVLRLITEFDTAFGKDNGRLIHILEGDSMSVMD
FNDENLSVAERSRLQREIRKNNSQSALINLCSSDVSYDTTLWFKIFPNLIRISYERCPFAVTLGRELICNRILQMYRAIVALSEVTRGPQYGSFDRF
ETGSGRLLSRSSTTPPEVLIEQWKLYLIVACTTLSDKGGQQQSSPQSPQHLRKGSKPNQTQEKITSARSLFKYIIPLLPVNPASIRDAVVVALGSIN
VNIYKTLLEELQTAVSRCNDDARARIHQRTVSSLRRNKRTDLLRTEITHVYRLTSGFLKKPEVHQNDWILNNLVAYTKDLKLFLMDGEVQMDWEFQK
LRRHYCGLMEELFEGINLTKDPSRWMTFESRKSSFALMEDWCGYSPNQLQIRQREDSMRQSMIDQQSLGERGTVTAAMEIEKRNLRTAALSAMAALC
GGPVSITTQSQANLQFDIRRMLSWVDTIFCSGSDRMHVIGRRALKNLIVHNKEFTYLLEHSISRCYLAEASKVLESYYEVVTEVVIEQPDYPMPFWK
LLGVGLFTLGSEQSGMRSKSAHMLRVLEERQQKSSKIQDYDISISDKTKAVYKLAQFEISKRLSKQHSELAFIIFSEFTAYFNQLQSGPQRNMVAAI
LPWIQIIELQIDPNGGPTAQSYVLLTNLFEITIKSSAALHNEVQALWQALATGPHAGNVQLVLDFIMSLCLDRREQNFVEYAKQIVVFLSSTPAGGK

VVEFLLMQITPKAMIPNEKRELAPPPPDVGKLPYIAELAEALPIGAKQAGFSLGQLSLILLVDLMVSPVQLVADNVPLLLQVVTVLWDHYIPLVQEQ
AREMLIHLIHELVISQIDDELTTPSKKSIEDFIESIRRHDQKVVWGYEDNNGKPDDQDNKVPFGMEFLTTEVVKGFEVTYPGIQEQWGKLSLTWATS
CPVRHLACRSFQIFRCILTSLDQPMLADMLARLSNTIADEDTDVQTFSMEILTTLKTLICKLDTQDLRTFPQLFWTTCACLDTINEREFLEALNMLE
ELVDRLDMSDSSVRMLLADGRPLRWEGVFEGLQHLIHKGLRSSICLDLTLKTLNNLIQLPNDDLIGDDSRLLFAVLANFPRFLYAMDQDKIDAESAK
SADILARVAEAQGCSTISRALSGFAAARYRTSKDFLAQLVSAIREAFFPRWDFGCLTFLMGLLTNSIPWFKLKTMRILCAIIPDIDMKKPEIASHGP
DLISPLLRLLQTEFCMEALEVLDNIMTMTGTSMDKHHLRMSMTRSSSKAIRKEYERTQSLFGIPEESGWSIPMPAKHAETTRANVHAVFYMCQNAEN
IDPHTAPTPEVEFHVDDFHYGYFPSTERTETMMSDEVRGDGHIGDLVLKLDSLDDFFEDSLQSPTSDGRSSRTITEAGFAGDNFESGAQLYDEQTLP
ILHQSLASTSSNTSFQNGFMDQRPPPSREHTSNAMNPGAFNAAPGPRPSMHSRSVTSPSASATSRPSIMMYTSDDDYAEEVFSDGDDERSTATGEGS
FVLENMIKPLAHGTRSSVRRLTGGRSRENDRMRDNLRAERRGLSQPPKSPRVPKIPIAYAQKTTSPNDL

>RCO7_04416 | NADPH-cytochrome P450 reductase
MAQLDTLDIIVLGVLLLGTVAYFTKGTYWGVVKDPYANSYANANGNKPGKTRNIVEKMEESNKNCVVFYGSQTGTAEDYASRLAKEGKSRFGLETMV
ADLEDYDYENIDTLPEDKIVMFVLATYGEGEPTDNAVDFYEFIMGEDVSFSNAADPPLENLKFVAFGLGNNTYEHYNSMVRNVTKALEKLGAKRIGA
AGEGDDGAGTMEEDFLAWKDPMWTDLAEKMGLEEREAVYEPVFAITERDGLTKVSPDVYLGEPNKMHLEGTSKGPYNAHNPYIAPIVESREIFSVKD
RNCLHMEIDISGSNLSYQTGDHVAVWPTNAGKEVDRFLYVLGLKSKADSVISVKALDPTAKVPFPTPTTYDTIARYHMEICAPVSRQFIATLAPFAP
TEEAKAEMAKLGSDKAYFSEKISSKYYNIAQALHSVCSSEPWSAIPFSAFIEGVNKVQPRYYSISSSSLVQKTKISITAVVESLEIPGREDALKGVT
TNYLLALKQKQHGDPNPDPHGLTYNITGPRNKYDGVHVPVHVRHSNFKLPSDPSKPIIMVGPGTGVAPFRGFVQERAAQAKAGENVGKTILFFGCRK
QTEDFLYSSEWEEYKEALGDKFSLITAFSRDGPKKIYVQHRLQEHAKEVNDLLLQKAYFYVCGDAANMAREVNVTLGKIMAEQRGIPESKAEEIVKG
MRSANQYQEDVWS

>RCO7_04417 | related to single-stranded DNA-binding protein MSSP-1
MSYQQTADSSVHSRPASNMHAPPQVRGPRDPRDPQTASYGLAAMPASQTENSAMNALMGQFGSFSMSGATMAGAAGLGASQLPVGGAQFYYNPVDNT
FLAAPPMYSAQTLAANQPADGAYNSYTAPMSYYAQGAYPSYLPAMPYMPYTPDRVSAGYPELFKEVPGLENRRGSYSTNESAPGTPHYGSISQQGTQ
ILAVDRSPFGSTPSPQQLPIQHAAQHAKPLPYKTIPINHPAIPPAVPAVFTPRESMRTLDQSLSNPIQGNRNVYIRGLHPDTDDETLAAYAARFGKV
ETSKAIIDTSTGACKGFGFAKYFSLRDSELCIRGFYKLGYEVGFARVTHNAPHEASNSAHIAQESFNSRLKAEGDEQSTNLYVSNLPKNMTESMQEL
GAIFMDYHVQSSRILRDNQNNSRGVGFARFENRDVCEEIIKKFHGQPIGEEGLLLQVRYADTPAQKDLKRITTERRQFRTNEYNVGAYGGPVEMLTL
SPTMQSIPSPLTPRTGQIAAHFPSRVNGSWKRRDNSSLGSVNGFKDLDRNIKVSSVESASKDTKVTVSTPTVSEDGTADDGVTVHNDSPAVAHGGSV
SPSARKSS

>RCO7_04418 | probable RIO2 protein
MKLDTKHMRYLTPEDWRTLTAVETGSKNHEVVPTALIGQISGQRGGVHKNIAALAKVGLIARLKNAKYDGYRLTYGGLDYLALNTYRKRRDVYSVGN
QIGVGKESDIFVVADEQGIQRVLKIHRLGRVSFRTVKANRDYLRNKSSGSWMYMSRLAALKEYTFMVALRENGFPVPEPLAQSRHTIVMSLIDAFPM
RQISSVPDPASLYAELIAMIMRLAQYGLIHGDFNEFNILVKEEMKKEIIDDKTTETLVLTPILIDFPQMVSVDHANAEYYFDRDVNCIKRFFERRFH
FTSNAKGPHFKDARKLIGKDGVTRLDVSVEASGFSKKMAKELEAYMKEVGVDGDGNPNAARGDEESSEDEDGGQDEEEEDVVEDGQANQRNAETTVA
SPSNHGGTSYEFSGLKDSLGNDILVSKLEIKDAT

>RCO7_04419 | 26S proteasome regulatory subunit RPN1
MAKDGEPPKSVDKGKGKAIDGEPSRAEEVKKDKDGKPIANGKTDEPTIGAPEELSEEDQQLKSELDMLVERLTESDKSLYKSALEAIKDSIKTSTSS
MTAVPKPLKFLRPHYEPMTKLYEEWPAGDDRTSLADVLSVIGMTFSDEERQDTLKFRLLAPTSDIGSWGHEYTRHLALELGEVYTKRLTADEPYKDL
IDLALVLVPLFLKSNAEADAVDLMSELEIIEDIPKFLDKDTYPRVCLYMVSMVSLLTYPEDQQFLRTAHDIYKQYGQLTQAIVLAIRLNDVTLIQED
FDSTKDVAIKKQMAFLIARQQIVLDLPSETEDEREIVECLNNTKMTEHFKSLGKELNILDPKTIEDIYKSHLESNRVAGLTNLDSARHNLAAAFVNA
FVNAGFGNDKMMMVEDDKNAWVWKTKEEGMKSTVASIGTLSLWDVEVGLDKIDKYTYSDEDQVLAGSMLAIGIMNTGVSLDSDPALALLSDEDRINH
KSIEVRVASIMGLGLAYAGSDRTDLLEVLIPIVGDTSLDMQLSAMAALSLGMIFVGSSNSDVSEAIIQTLLDDDRKSQLKDKWTRFMALGLGLLFFG
RQEEVEVILETLKAIDHPMSKPTSVLAEICAWAGTGTVLKLQELLHICNDHIETDEPGSIGNDELLQAYAVLGLGLVAMGEDVGQEMVLRQFAHLMH
YGEPNIRRAVPLAMGLLSPSNPQMKVYDTLSRYSHDNDNDVAINSIFAMGILGAGTNNARLAQLLRQLASYYHRDQETLFMVRIAQGLLHMGKGTLT
ISPFHTDRQVLSRVSAAGLLTVLVTMIEAKLFITDKSHFLLYYLVTAMHPRFLVTLDEDLKPLTVNVRVGQAVDVVGQAGRPKTITGWQTQSTPVLL
AYGERAELEDEQYIPLTNTLEGLVILRKNPEWEDGKS

>RCO7_04420 | related to DNA mismatch repair protein
MVEPMDVDVDLEQRGTKRKADEALASVTAPRRIKALDPDVVNKIAAGEIIVAPVHALKELIENSVDAGSTSLEVLVKDGGLKLLQITDNGHGIAKED
LPILCERFTTSKLKSFEDLTSIGTYGFRGEALASISHIAHLTVTTRTKESNCAFRAHYDSGRLAPPKPGQSSDPKPTAGRLGTQITVEDLFYNVPTR
RRAFRSASEEYNKILDVVGRYAVHCDGVAFSCKKHGEASTTISTQSNSTTVDRIRQIHGASVANELIEFTSSDTQWGYRARGWTTNANYHVKRTTLL
LFINHRSVDSTNIRKAIEQTYSAFLPKGGHPFTYLSLDIDPHRVDVNVHPTKREVNFLNEDEIIEKICSDIRMKLADVDTSRTFMTQTLLPGVRIPS
ATTPDVDGIPNNTGSSATPKSKPYENNLVRTDAKLRKITSMLPPSLDRSSTAPGPNNSEALQQLVDTEYETSDREPINCRLVTVKELRAEVRDDMHN
ELTEIFASHTFVGVVDERRRLAAIQGGVKLFLIDYGMICSEYFYQVGLTDFGNFGTIQFSPPLDLRELLALGAQHEKDTSPSPTNPDDDFSVEEVVE
LVSTQLIERRDMLLEYFSLSISPEGDLLSIPLLLKGYTPSLAKLPRFLLRLGPHVNWTSEKECFSTFLRELAAYYVPEQLPPSPGPEDPEEDLSEDI
KVRRSQINKAVEDILFPAFRARLIATKSLMKGGVVEIANLKGLYRVFERC

>RCO7_04421 | related to alcohol oxidase
MLSKYTLVLLCAFIGLTLSLHLETRDLNAPFLPCYDYIIVGGGVSGLVVANRLTEDPKVSVLVLEAGDLDNYEDLILFPIEEGYGLGTKYDWNLWTV
PQTNLDGAARPYNMGRGVGGGSLINGMCWTRGGRADYDAWVALGNEGWGWDDPLPYFKKSERYTNNVDADFSRKLYVQPEDSTHGTDGYIQVSYSRY
FYNQSQFFLDGLRELGIPILTDPNNGTAAGGMLIPDSISPNNQTRSSARMGYYDGFSDSRSNLHIASQQHSISGVEFVSNGGLVPRNVTCSREVILA
AGAVHTPQILELSGIGSPAILNKFNIPVAINLAGVGNNFQDHPYVGVIYYYNNASYFNINMLNFNPTLLNQVAREYYANKTARHLISGLDQTLVTGY
EVQKRVLVELISRNDVGAYEILNDNVGLLAVAAMHTFSRGSVHIQSRNAFDQPDVDPRYCSNPLDCQIIVEGLLFNNQIVKTSAMKVLDIAPYYPFL
QNATPATLMSAVLSGIRTEFHGTGTTSMLPLELGGVVDTHLRVYGTRNLRIVDAGIFPLVPAAHLQAPVYAVAEKAGVSAADIIKADNAGLTPRGCD
TDSSFAQLGPVRSQNTTSLLSPTSPSSPISLTLLISPSSPTTSSSYSPSTRPLASTFPEFLDSHLLINLTRLQNPSSALQAASALPVASGALFNQLP
SSSKTDAILHAASIFLDDSAVSTSAVSIQAWNLRDGPLSASIATASLGVSRITSTSTAFMSGDSSTVQSTSAVTNIVVATMRARDEGRRAVG

>RCO7_04422 | related to DUF domain protein
MPFPTHDHDDEQGIGSRNTHTVFGIPMGATPVVVPPHNSSSIFCAPPFFAPLLFDNTDSDARDHCANERTFLSYLRLSIYMAIVSIAIVVSFHLKSQ
PSRLELRMAKPLGIIFWLLSLSCLALGFGNYIKTVNKYSRRVAIVQTGWKTQSVLTVIAFSIVAVCVLFLATNSKRI

>RCO7_04423 | related to ethionine resistance protein
MSSSAQPIKRRSSRSSRGSFGRSPFSNSFLSGSLLPGSPIAQESIARDLEECEDDEVEASETGSGSSDEESSEGSTVRPDDAVQHSMASSYRRPSYV
AFGGTRGAVTPQLQEPRYLTKKEKKQVRNEERSLLRDNHLAPPKQPQSKQRDPLIRLYKFMFSPRRPRSTTDEEADSEDPLSTMRPTETSALLVNDV
VETARTRHERLNTQWEAAVASGKIKSTWQREAKVLWKYSSPLVVTFVLQYSLPVASIFTVGHLGKVELGAVSLASMTANISGFAIYQGLATSLDTLC
AQAYGSGKKHLVGLQLQRMVYFLWILTIPIGILWLCAENILEKLVPEKESAKLAGLYLRVLLFGAPGFACFESGKRFVQAQGLFSATTYVLLVAAPL
NAFMNWLFVWHFDWGFIGAPIAVAITDNLLPILLFLYVRFVDGRQCWSGFTWKAFHNWGPMIKLALPGLLMLEAEYLAFEILTLVASYFGTTHLAAQ
SVLSTITAMTFQIPFSTSIAASTRVANLIGATLSDAAKTSAKVVMFTATLIGVFNVILLYALRNKIPQLFTNDQEVSALVARVMPLCAAFQLFDALA
ANCNGLLRGLGRQEIGGWVNLFCYYIIAMPISIYTAFALDWQLEGLWSGVALALGLVAAAEGYFIWKADWNQAVEDAQMRNNAG
>RCO7_04424 | probable nuclear export sequence-containing nonribosomal protein
MSAMDLDAPVSIATRFAVADQQQNGATILCCNCGAAIDGTTAAGALCYDCVKLTVDVSQGIQREATLHFCRDCDRWLLPPTSWIVAALESRELLALC
LKKLRGLHKVRIIDASFIWTEPHSRRVKVKLTIQDSVSEGVVLQQAFEVEYIVAYQQCPDCAKSYTANTWRACVQVRQKVPHKRTFLYLEQLILKHG
AHKDTINIKEVKDGLDFYYAARNQAEKFVDFLNSVAPVTSKKSQELISMDIHTSTKSYKFSYSVELVPICKDDLVAIPIKLAKQIGNIYPLGLCYKI
GTTVCFLDPSTLQTADVSTPIYWRAPFVSLADVQELTEFIVMDIDLIGPTKGRWALAEATVARASDLGSNDKTYYTRTHLGNVLHPGDSVMGYMLTG
TNFNSPQYDALEESNTYSSQIPDVMLVKKFYARKKKAKNRNWRLKRMTKEEGDMLPKKSDQEKMDKDYEMFLRDVEEDEELRQTLAVYKAQQQQKVD
QEAMSVVETDDGEDETPRIDMDELLDEFDDLAVTDNP
>RCO7_04425 | probable alpha-ketoglutarate-dependent taurine dioxygenase
MAPSATETITLENRPVKLTSNVGPYKELSPIGYEKDAEEKGGDGFSAAKYKNYLPTWGIESFPPLEPFEHKDHGLDADIKFPELLAAGVTTNDLTPT
IGTEVSGVQLSKLSNAGKDELARFVAERKVVAFRDQDFADLPISEALDYGRYFGRLHIHPTSGAPAGYPEVHLVHRGAGDKTAEEFFETRTSSVAWH
SDVSYELQPPGTTFLYILDVPESGGDTLFANQVEAYNRLSDGFKERLHGLKATHSGIEQVNASRNKNGAVRREPVVSVHPIVRTHPVTGEKALYVNP
QFTRSIVGYKHEESEFLLKFLYDHIAYGADFQARVKWAEKTVVVWDNRVTSHSALVDWKSGQRRHLARIAAQAEAPTETPFKA
>RCO7_04426 | uncharacterized protein
MPRKLPWVASSSAAVPSKRSAGTPTTKRLKVKNASSDSDEKGTIASFRKGKPREPKDCPASSSPPPDPPSESFMADGKDNDDKYRMVEDEFLTVAQK
FTVHLHAAEYKRQQSAFKSQNAEAINSISRPVTGKMPDQTKRKLEATAVAKRQRAIIAGILGKKESGANSDDSDIEELPYIGTTLHGLMDSPRRKAA
SLARLNTVATTRAAAGFKKPAIQTSTDLHTSLVDSPKPKHALQQAQAQLLLEFSDDDDDDDLDAPIPAPNLVALNRTPATSFSLHSLSVKTTTIKRE
PLTSTPHVPKMEPHVKTEPSLSSSILGTMSSHHMEDTPKPSRLERIRLARAKKEKAQKIKKEEDYNTIPIF
>RCO7_04427 | uncharacterized protein
MSSIHMASSQEVSIEPTFVGSHRSHDETQGGNHHESFEDTGNGTHDDVGALTRIVAPDLSGPQQHQHASFFYLALIESRCKRQAAAFINAHRGEEVQ
LPEDHPEVCKLAATVFAQSKRDLANVGMLPEDLVNRPIAELPSYLTSFDAAINNIAARRASDVSGPPHISFVDSQALSLVPGISQLQRPQNYSKALF
RQDLRMAPPLPQNGEPSLFSLLYSNDDGVVPRSYYDRDYQQLSKLGSGGFGTVFLARNGLDKQEYAIKQIAVPAEKFLGGAGAVKLQKVLNEVQSLA
RLQHHNIVKYHHAWLEERIRSKNLAEDEIDSEADSDSDSNPPPGSTDDVTRGVHSIQLGLERSLLKQIDRQRADSIEDEESRSYIVFETSNSAKATA
EYKSTFRESGEESSEDGDDSTEEIPREHTSNEIALYKGVGKDVVLYIKMFAYPLSLEDFIWAANSKEPPPVKHCFHALPTIRLLLAILDGTEYLHRK
GFIHRDLKPPNIFLSMLEPGEPPTHQFIDISDCKECGVSEQKAHICPHIGDFGLIHDLKVVAADPAATPSKKQAALQPFPFSTAGSQQAGTKFYCPT
QVPKKEPICPKLDVYSLGVITFEMVHRFGTKTERAITLDKLRDGVFPAKFEQHTLCEGIKAMLCQDRDERWSCAQVRAWLNQKLKEETEP
>RCO7_04428 | S-(hydroxymethyl)glutathione dehydrogenase
MALSQAAALLEKAVGHGSNAVTAQDITNPGRDRAKYADPSGEMMQALVWNGKNSVKMEQVPKPRVVEDRDVILKITGSTVCGSDLHLLHGSVVQMEK
GDILGHEFCGIVDSMGPAVTGLKKGDRVVASFQIACGDCFFCKQKLSSQCEKTNSNTMENGMYGGRTAGMFGYSHFTGGFAGGQAEYTRVPFGDVNL
LKLPDSVPDEKGLYLSDVLCTSWNCVVDTRIDKDDTVAIWGAGPIGQMCAEFAFMNGAKRVIMIDANWRLDYVKSKYPKVETIDYSALPRGETVYSK
IREMCPRGPDVALECVAGEYAKGWAHYFEMQLGLETDTSEIVNEMITSVRNFGRCGITGVYVGYTNHFNIGSLMERGIRLIGNGQAPVHLYWDKLCK
MIESGEIDPLKMVSHRVSIDELDTVYYKFEKKEDGMQKVFVETKFSAPPCAGSPALTTYKK
>RCO7_04429 | related to lipase/esterase
MAHLNAPPFDPAVEAVLAAFPKETEPYDYAKIKQQRQAMEPLCNPAILHMDPEVLHEEVTIQGPDDQIALTILKPKQGTDGTNPVFYWIHGGALVLG
NRYFFLGATFGLVKEFNAVVVSVEYRLAPEHPAPAQIDDCYAGLEWTFRNATKLGFDPAKITVMGGSAGGCLAAGITLAARDRKGPPIFALHLTDPM
LDDRCTSVSVKQFMYDGGYTGSQNIVAWDAVLPGKRGSKDVSVYVAPARAEHLSGLPPTYISVGSAEPFRDEAVAFASKMWQCGGTAELHVWPGAWH
GSTALVPTADISVTAAKTGMEWLRRVLK
>RCO7_04430 | related to ThiJ/PfpI family protein
MHGFAGLGKCHATPPYAFGMIVFPGFQALDVFGPLDALNVLAFTTKINLTVIADTLEPVTTNRVSWTTSAVNATFGETILPSHTFANAPALDVLIIP
GGLGTRAPGAGLDSAIAFIRERYPTVKYLISVCTGAGVVARAGVLDGKCATTNKKAWATTIPWGPKVKWVAEARWVTDENIWTSSGVSAGIDVTIAF
IAKVFGEAKAVEVANGMEYHRQTNSTDDPFAGLYGLTNVRNSTNGAVDTC
>RCO7_04431 | uncharacterized protein
MLGGTSRVRGQAPVTVPQYPSTSPESFSWRPALRKIKSGLFSKSATPENSDTGKPKGSCTATGRSLLEIHQQCLNERNARRQDGAPQSPTSPGPYDG
QNFTTLRDRRSVLMGPTSPKDLTTFSRIKRLSIKSSSGKTPPQSPREPIFVMRDIGKQEVEIISAVAPQSVTSPRTLASGFRESLSSEEKILSSISS
QEPVLTKSPTTSVASQPAAADSAKLNLPFDLDFNGLAQPPSPTKSDRTSSESPSKRPSDAEIDDYQRFISTSRQAAGRSYNSHVIMNSTDFTPQTSA
MMQEIFTNNQTVGRDRGSVYSRRSTASRPASRPGSIFDRVTDYVKPQGHARMRSQGTGRDRSESMGSARTGLTSVDDVSVSEKPSALDLRSTFEEEE
AEKPRRFRRPFSLDLTKSGYEACETVAIQTAPADGLRRRSKGMPLSPGMKKFQKAIKEGRVGI
>RCO7_04432 | related to isopenicillin N epimerase
MGDASPAPSPSYERTQFGKEMLKHFSFDPNWKNLNHGSFGTFPRAVRNKQREYQDLCESAPDPFIRYTYPNLSDAAREGVAKILNCSPEAVVFVPNA
TTGVNTVLRNIVWNEDGKDEILYFSQIYGACLKTIEYVCETHHNSVNPREIVPEYPLEDADYVNLFKDAIKASQATGKRPRLAIYDAVSSLPGVRIP
FEDLTAVCKSEGILSLIDAAHGIGHIPLDMLTLDPDFLVTNAHKWLFVPRGCAVFYVPLKNQPLMRSSLPTSHGFIPKTVGAYTMPLPPVTKSEFIN
QFEFIGTIDTTNYLVAGEAIKWREEVCGGEKAIMDYNIKLAQEGGKLVAEILGTKVLDNESHSLTNCCLVNVLLPIAVGTEDVTGMVTIKEEDVVKT
GEWLQHSLVDDHKTFLAIWLFQGQLWARLSGQIYLDITDFQWAGETLKALCERVGK
>RCO7_04433 | uncharacterized protein
MSNQDYYGGGGGHQGGHQGYQQHQPHYNQPHSQYPPQPNYSNPPPHQQAYGGGPPSHSPYPQQHNPQQLYQPQPHYGSGPSPSHSPAPYPQASPPYP
SAHTPQPQYGDNKQSVQPGGPDEQIGPNGERGLGATLVGSTGGGFLAHQMGGGILGTVVGGIVGAIGANALEGKHKKKKKEKKDKKHRHSPSSYGGR
SSYGGSSYGGSSAVGGLYPPAYGHGHGHHSHHSHSRPHSRTRSRGGKSSSSSSSDSD

>RCO7_04434 | uncharacterized protein
MSNLLHAAPSDPDGLDHTDRTKFQRNFNHIFGYDPGTPYLESQPSDLDTEREPTLMAGGENQSAAVAIAYTRFEENPQPDGNGHGRPGEKGGKKSGW
GHQGSERLEYATHRPSQEDTDVRVDRVLGGSLGQRQVDQFYRRDETNAIGTSGKGEGTRRLGAHGGPGERDLRVGSDQMIGRAILVSPKLPVFNGEQ
YLYSVLCPYRLSLLHAEHGVEGPTQHRFSEARQELIDLPHRGLRTRPPSFRPSSSFNARGEDFDALAMGSPVIAYRSFQCSPTQFNSRFPSYRQPYV
EDFENYEGSEMDAE
>RCO7_04435 | uncharacterized protein
MPSHLPSSFASAAAGSTRDTRNGRGDGRGSGDWSRREQRPVNGTLTLRRNSQAPFAQSIQDAPPQTPGPETSGLSQQSNPYDTASSGFRYSKQDILD
LVSARKENGQYKDVSALYMGGWDPDNSNGMNGRTGWGKTGDGRDNYGPEVCWNRNGDSLPISLEEMSILEKTLFSTDVNSPLKPPPQNSNKDQNAQG
TGTNGRKTSVSHGQNSGAFGLSSPVSSRPNTRRQLTTDSALQSPSGGGRFSRDEPSPFFNRKFEPKDGQDDRTEDSRPGLPFGGLIRSNTAGSALGG
GPSSPWGPSSANVAMSPMGNFGSFAIGGSAANPPTPIEKRPALGRGESRFGHLMPKESTEDLSKSSDRPWRARQRTDTDPFEDDGLTGSAALGGGQD
SSPPSNTQPRAPARDTPVRGNSSDFGMSEVPGFSQRSQAHQTPARHNENEPMSPSDTNPYRSPPDETHHADDSSYDGEPVHHSRVQNLGGIPEHAPN
TYGGLPRVFTNTFDGSDRSQTSSAGATKGFPPLSGLPSGFGGLGGWPTSGNPVGTPDRERPAFPSNAFGSSVFGPMGELQSPSISMNSMFAPSGNAS
GTNTVGRGSKLGSLFPAAMQAQMQNVDNEQQPSDGGDMRQSSAFGAIGRNTFPPRETDSPMRTGRHPFEDLFVSNESSRNQGPFSTSESTQGPATSF
SQPPSTQANYVQSQASSDSASNQLPASQQRMMVMPDRMRWVYLDPQGKVQGPWSGLEMHDWYKASFFTADLSVKKVEDTDFEPLGQLIRRIGNSREP
FLVPQIGIPHGPPTSQGAAFAPAAAGPGNAVQPGAVQPPFANSFPSFGTTLTAEQQNNLERRKQEEQFLMARQKEFLAQQQVNAKQMQMGGLHHQTS
AHSLQSQPSFGSMNSPIGMPQPSMQNVSAFYDGPQRQFPAPPTEGIASSFFREEELARLSLRDRQQLFNPVAPGPQQSSHAQQITSLFGPNSEAQRQ
AARMEQDDPSGFNARLQEFQQLRAQHELEETNQAHGVSEPIGPPQHREQEPVYHDEIEPEPEVDQPQEQILSLTEQVQKAKSAKQSPVAPAQPDSPW
GKVPTTGFPMPFPPPPQSITPLPAPTAQRGRSTLPDALNVEARSRSETPEVVSATPSLAPWAKESTEGARGPSLKEIQEAEAKKAAKAEEIAAAQRR
ANYEQELKMLTNVGNAPAPGLPTSSTWGKSASPATPTNAPSAWAKPATKVQNATSSAASKKTLADIQKEEESRKQKAAAAVLAAQPAVSAGKRYADL
ASKATASGPVVGSPWSTVGAGGKVRIPTGPAVSAPQPTRAVSNASVAASAPRTTKPAVATRNTTGPIGANAAKDEFTKWAKATLTNGLNSDINVDTF
VNMLMTFPAEAGLIADSIYANSKLMNGNDFAVEYLRRRGLSEKGIVEPANNGSGFSGDKSGGWSEVAKKGPIKEEPTAGFKVVPNKKKGRK
>RCO7_04436 | probable TPR repeat-containing protein
MSRSQSPLEKHSLDSLLFNLESLKNHTELAEVVSQYLEGNYKAVLRSVTSQKLYNELVETASLPRKQQKSALQDAGLGNQGGIVQALLIGLAAFNAF
LQANVTGPPLDFAEVFPKNGHGNEVKEQCLRSLDVDGVSVYQHIPYVELFCLAKFIFTVYFPQSKESTFSDSKWMRFRINAYHQRLLSGVSGSRLSD
STVLQDAIDKDLKDLEEEVLCDKSTFSTEAKVQFLLEKAQVYVLQGLDIKARENVNLAKTVSGFSYALSGALGKRTKFQQNDLSQLVVFAKSHEHDA
SPEAFSKDLKESTISNGDSTKPETLQLNDDTLLESIEFTTDKVNPTNLPSELAGLQPNNQPQLQPLDQITLLTEATIKDTFLPLDKLNSEEILPFAL
RVLSDKPTNWQIYTQALLVRSRIESHRSRTQERSILQLQVIVDQIIADTQEEPSSDTSEVPEIRVTQFMPRAKASESAPIAERLRYIYQLNTPTRWE
LETELAYAWSGAGSFVSALEIFKRLKLWAEVALCYHTVGQEEKARQVIRQQLYYSSKGPEMDEFHIDAPELVAENWEGDMRPTPAHAPRLWCILGDL
ENDPTCWLRAWEISKHRYARAQRSLGEYYVKNGKLEEARDAYMQATIVNRQNNDSWSRLGDLDLRVGNWDGAIIAFQQSIMIDDTDAKTYSNLGSAL
LSKHKELLTLEKAAAKDAILPSSSSTKDVDSDSEEVSFSKKDNRQDPKVILNQALQAYKRGAAIAHSNWQIYDNVITIAMRLSPPSFPDILTGLRAM
LRIRAPSLGEYAIDVDILRALVAEVTTSDRDTPSSYPGESAAESNGKYIPPRGTLGRALIAMLDTEIVPLITKRGELWVLVEKIRFWQRDYEGALRC
AERGWRLVMSAAEAEWLVQKEAWKAVVDVTDNLVSAYENYGGMERFGGGEGEEVEKGWRGKARSAVRGVMAKARDAWEGSEDWAVLEGRLEELKV
>RCO7_04437 | related to L-ornithine N5-hydroxylase
MSPSAVSTPFENIEEELSNGDSSFNRPLNGVHLNGHTNRHSTSTTPLSSSSEVLDLICVGFGPASLAIAIALHDAAITPSPKALFLEKQARFAWHAG
MQLPGAKMQISFLKDLATPRNPRSKFTFLNYLFDQGRLNQFINLGTFLPSRLEYEDYLRWCAAHFEREGNVAYGMAVESVVVAEKNKLGRVTSWDVI
ARFESGDLVTRRARHVVVAVGGRPVIPQNMRGIKHVAHSSQYGHTVGRIQEIEEGRKLRFAVVGGGQSAAEIFNDLWTRFPGASVRLIIKGANLRPS
DDSPFVNEIFDPDRVDGIYSQPDDERTAALALDRGTNYGVVRLTLLEHIYEKIYMQRLTHSSSSPYPAQIISNRAVLSALQTSNSSVILKLADSIES
KRIPGEEEDLEVDYVFTATGYTRNAHEEMLSEVKDLLPGGGKWHVGRDYRVKFQEGVVDESAGVWLQGCNEKTHGLSDTLLSILSVRGGELVESLFG
EDVKS
>RCO7_14014 | uncharacterized protein
MGNKFDDPLTSCRGMEGSRVVVFIKSQLQNDGISSSISALTVNESTADIKLAWAWCSMPLSSLKFIWVVAIRKPTLKRARCRIAYQYAWPRNINTRI
GAMIKSRVGSEKPNEVTAVEISSVAGPSTIDHHCARTIFITIAYQKQISLLRYHHLIPRMGVLSSHTSISVTLALVCDCCSIWLRIDESAAIERASV
INPHIGPTSSWTLPIRSN
>RCO7_12010 | related to non-ribosomal peptide synthetase
MTKRLSILNDPPTILEGPQLLHELIRWEQHSKTCAIDFTSKGKRQRYSYRDVQICVESLQSRICEGLAKSQLTETKTHQHIIPILLPQSPGLYVSQL
AILQSGGAFCPINLDAPKDRIKFVVDDVSAELIITTSEFENVVSWENGPFVILVDEFPSVGNEQPRESATAHEVTPDDISYVMYTSGSSGTPKGVAV
SHLAVSQSLLAHEKHIPRFDRFLQFAAPSFDVSVFEIFFPLVRGSTLVGCIRSQLLDDLPGMITELEIDAAELTPTVVGSLFQKRSNAPGLKVLLTI
GEMLTTPIVKEFGGSKTQSNMLYGMYGPTEASIHCTVYPKMEADAKPGNIGIPFETVSTFIASASTSSEDASKLKILPIGELGELVLGGPQLARGYL
NREEQNRAAFVHLNDRVYYRTGDKARQLENGTIEILGRISAGQVKLRGQRVELGEIEEVAYKHSGLKTVVAVVLNGVLVMFALTDNQSIKSENVLET
CTKWLPKFMIPSEVVLLQKFPYLPSGKGPTETDQVVKTVLQETLGKYSFTTRLAAAGIDSLVAIRVASKLRGVGYSVNTLEVLQAETLNSLVELCDN
SKPIEPVRNSNRLPTKDPIKTVLNGHAKDVEYTMLCTPLQSAMLSETAIDRRAYRNWIELELTGIHNVEDVISGLHDLADANPILRTGFAEPNDRND
YVQIIWRSLAEYQIAVVERFQFEFEESKDTSLHRPVRFQVLHFDADTKLLIHIHHALYDAWSLELMFDDLNTLLLGRTLSHRPPFSDVVDGYQTGLL
LPDAWSSKDYWKDHLALLDAAQLPNFHTKQAPPTSLAIAQHRTSLSTSGLEAAARQLLSSPQSLFQAAYALVLSSYMGSSDICFGTVFSGRTLPIAG
IEDIAGPCLATLPIRVDISTSTDLQGLVQELNSTNRKHLQHSTLPLRDIKATNGNNPRQLLFDTLLIWQQTLHSYDHKREHVVLVDTVDNLEFNLTL
EVIPSSDNIVLNANYQQALFPPSQIEMLLSQVEQLVKAILKDASTSLETVFSHLKKSVVSIENENPNTELKSGTLSSAVENLAISYPDRPAIEFAKS
IDEKNIDANRISYSELNSYSNQIGNYLIQEHGVLPDELVCICMEKSIELYACILATAKIGAGHLPLTPDVPHDRLQHILHEAKIRVVMAQSTSRPLL
KLFNFVKVFYIDEFSLTLYSVRNIPPRSTPDMVSYCVFTSGSTGTPKGVLVTQGNLLSNLDVLQDLYPTNKHSRFLQSCSQAFDVSVFEIFFAWRVG
GTICSAVKDVLFRDIENAIRMFNITHLSLTPTVAALIDPEKVPRVEFLVTAGEGVTSKVFNAWADRGLWQGYGPSETTNICTVNPRVTKSDAINNIG
PPFKNTSVFVLAPGPKFILVPRGGVGEFCFGGSQVFRGYMDSDQDIGKIIDHPEFGRLYRTGDFGRLMLDGSLVFTGRIDDQVKIRGQRVELGEINN
IMLNFVEVTDCVTMVISSETDSSQSLICFWTTDQDASGNLECLNPDLAIITKLYKGLDSVLPAYMIPSALIPISFMPSTAQGKIDKRLLVKLFQDLD
VKYLDQTSQASRSASDHTWTQIQKMIAKGVSELVGVPFGDIGPDTSFFSLGIDSISAIQLSKSLTKHTMSHINISDILKFPSVVKLAERIESQSGKV
QTDGLSLPDDTNFGFAEDFIVSTTANFERAGKSVKFILPCTPLQEAMLSAAEASSENLYGNQVTLDIRGDIAKLENCWREMVRRHDILRTCFVATDM
PRYPFIQVVLEDYDMNFTSIRSIEDRKPQKVFEPPYSLNFKQSSGTTQLVISMHHALYDGVALAVLYDEVEKKYRSDVLPASISFSPFLKSMVSMDM
DEADNFWISKLGGCSFPKLDSMRANIKGYRQETRTNIQRISGKSALSWLEKTTRKHSTSLLAACHTAWAALLAERLQETDVCFGNIVSGRTLPVEGI

ERLVAPCFNTIPSRLQNIHQLSYLEAFRRLQSLNADSLRFQMTPLRRIQYKLSSDGSRLFDTLFILQQPPRDLDSSIWSLSDDSGAMDFPLVCEVVP
RPSDDTLELILHSYSSVISTDDALVFLQALDEKLRVALQNPRRQILSPAMKEGIMEKLDNQQKSTPEESAETPPKPFSPDELKIREIISSFTNVPAK
NIRRDMSIFRLGLDSISTVQVATRLRKQGHNILASDILENPTIAQLSAFLSRSEDGNSRIVDYDFQAFDDEHRELICSKIGLASENVEAVLPCTSIQ
RGMLAQTLHSEGLEYVNSIWFQISPEASVSKLRDAWRCVCEKNEILRTVFVTTESSKHPFVMVVQRKEVCELPWYESAEELPRDLGAEDFLQKSWSL
NLFEEDGVTILRFTAHHALYDAQSMRMLLADVARIYANQSPSAHPPVKQLIGAILQASLHNQDEKKSFWEKDENKIIVNRFPDLTPLRVSDTSSAVK
ELVSQSSSVKIEELCRSNGVTVQAATQATWARLLAFYIGEISTTFGMTLSGRSIHENADQIAFPSIVTLPVRCEITGTNAELLSRTMNANTSLHKHQ
LTPLTSIQKWAGYPEGKIFDTLFTFQKLSNDGEEADEPWKIVKEEASVDFAISLEVQPTTGNEMTLRLTFQKDLIPTEQAELLLQQYDALLLDTLEN
PQNFCDIAPRTSNTLLSITAAEEDVLTAPVNLLHEFVELGAREFPDRNALEFATNIEPDNFKSIYWTYSQLNQEANKVANMLLQRNADPGQMIAICF
DKCAKASFTIIGILKAGCSYVALDPNAPADRLKFIVKDSGAKMVVTAGKPGQNIAGILDGEMINLDSPDILQSCSSEQPKLSRDILPEDVAYCLYTS
GTTGTPKGCLITHENTVQFMLAFSVLFAGHWDEDSKYLQFASFHFDVSVMEQFWSWSVGICVASAPRDLIFEDITGAIQQLAITHIDLTPSLARLIH
PDEVPTLCKGAFITGGEQLRQEILDVWGEHACIYNGYGPTEATIGCTMYPRVPKNGKPSNIGPAYINVGSFVLKPGTELPVLRGGIGELCVSGKLVG
KGYLNRPDLTAERFPTLKSFNERVYRTGDLVRILHDGSFIFLGRADDQVKLRGQRLELSEINEVIKNGVDGIEEIVTLVLKHSTQQKEQLVTFFVTN
PQSDNQNTPVSPLRDTCKARLPGYMVPTHFIPINALPLNANNKSDSKQLAAMYNELKVEDLQRLSQSDQDDNNWTDCEQQVLDVISNVLSVDATALT
GGTTIFELGVDSISIIGFARSLQSAGLGNAKLSVVKNNTSVKALVRALLEGNYDDQGRENAYIAAAQDIAAFEQRHRLYICGELGVESVDVEKIAPC
TPVQEGMIYRFLESESPLYFNKFDFELDVDVDLEQLLSAWNRVTKKLEVLRMKFVTTDDGFAQVVLREADTSSYQEFIDYGSEEKAAALRMPYSFTF
QSTSEVKTMKLQMFHGLYDGNSLKMLLRCVVDEYHEKSTDYGPLFTSSLSYGPLAHTPGARAFWTSHLNDWSSSQMPDSLESTIDIVAKRAVNLSDF
DDVRKKLGVTPQALVQAAWVSTLQTLTSSNLTIGIVTSGRAIDFDDADKVIGPLFNTIPFHIKLGPGAKSCELVTKCHDFNMQMQDFQHTPLKDIQK
WSSAKPGQSLFDTLFVFQRPEVEDVDFAKGVWRETGDEIVADYSLAFEATLSPDNSKLSLTIVAQGSTISQSSADDLLRQFETIILDMLESSGENVI
SVSGTKDENDPATQDRLSSPFASSIQETPSGLFTWTDEAKAIRTEIAALAKVSADDVKEISSIFELGLDSIDVIKLASRLKKQGIEIPVSTMVKSQT
IAKIILNMSTKKTISRTASGQTVQEMSRELTTYLKAQGKLPKNFEAVLPATPLQQSMINEMINSGYKRYFNVDGFELGEGIDLEKLRNAVISVIRES
PILRTTFVEVDDPKSAVSFAQIIHGAEETMEGIASKLTRLQEGGSFESYMKAFETEAARVAEEDQQLLQVQFVEAETSKYLVIAISHALYDGTSLRA
IHEDIQKSYHGSVSPRPDFMPFLGEVFESTTEDAKRFWRTTLSNLPTAIFPRQDSGTENASLTTRLERRSRVSLKDIEALCKSARITPQALGQTCWA
LVLSQLMGQLDVVFGSVLSCRDSEEAGSVMFPLMNTVAVRSIIHGSLSDMLKYMQDMSDTTRQYQHFPLGTAQAYALASRHDPTLPTDTRLFDTLFI
YQGRRQTKANDKIYESIYGVSDVEFPVCVEMEIVDDEFLSWTTACKGIARNTEETEGILEALDQVLGRIVSDPEVQTIMSVASGVSVCGLPSFRIKE
QKQQPTPQTANSIDHTKWSISELAIRNALHVLSGIPEESIRKDSTIFHVGLDSISVLKLPALLKKSGMKLSVSIIMKEQTVLAMAKAAQASGPDVET
SLDVDKVIADAISDLDLKAELADLKKDGGEIDYVMPATAGEEYMIRQWQISQGAMFYQTFTYALCNAIDRAELELAWKTLLARHDILRAGFIEVQKK
LLQVVFKNLPNDVIYTTQENSAGTRKSSPNLRLPPLDLVVVYPESSKPKIMLVLHHALYDGVSLPIILNELQSLYRGNTLEPTNLNFKTFVAQSISA
APLAAMKDKWMTYLNHGSDTAVSHPPPITSNKRTEVYHPSTPIKPLRRLAQEMGVSTDALFLAALSKIHARTLQQRSKNPQAQIPRVILGIYLANRA
PFDSDLSSLAAPTLNLLLLCIVYPLKRSIEDVARHVQSDIRRIGSQDMVSASLQQIYEWTGTRVDCFVNILRSGGDVDGSSGSEEWTPVQDLGTRAE
VVVTEPNAKMVKKDAGEGAYLPSVDIELRYHGETIDMGVFAPEEMLSVKGAEKLIDDFIAFWK

>RCO7_04439 | related to UDP-glucose 4-epimerase

MSNNTLPTVAGGKRIVFTGGSGKAGRHVIPYLISKGHKVLNLDLVPFPDPSADVYTLKTDLTDSGQVFNALTSHFNMTGYNDGPVPGPPDVVIHFAA
YARNMLVPDSELFQANIRSTYNIIEAACKLGVKKIIIASSETTYGVCFAQGDVDYHSFPLEEDYDVDPEDSYALSKICGEKTARTFARRFKADIYAL
RIGNVIEPHEYEQDFPTYLGNPSSRKRNAWSYIDARDLGQICDLSIQKSGLGFQVFNATNDTITVRDLTTKEFLEKECPGVKITRELGEFEAPLSNR
KVREVLGYKDVHDWRKYVK

>RCO7_14007 | uncharacterized protein

MVSSPIDPIFTQIVNTTQHELISARRDSDNDSDSESLVSNWRVSTSDSDDDLMPELAPMDNNRGNRVSIPELMRISNSHAYETYYTRRREHEIYNLF
RRGVYTYRCFFYW

>RCO7_04440 | related to acetyltransferase

MSSSKEEALIRHARRDDIPTILQLIQELAEYEKEPNAVEATPELLASSIAFAPSPSSSSTSTSSAQDEAISSTRPARCLLLFTPSGFPAGMALYFYN
YSTWKARAGIWLEDLFVRETYRGKGYGQMLIKELAKEVVDMKGGRLEWCVLKWNTPSIGFYESEKIGAKAQTEWQTMRVDGEGLVKLAGRG

>RCO7_04441 | uncharacterized protein

MNNVRLVRSRVPKAPSLLQISDNSKPLERDLRSEAISAYRGLLRATTYLPDSIVRKYVFARIRNRFRADKERIALREDKARRDLTIQRLVKARRRRR
LLEDAADGDMDALKKVFLQVHGREGARKRWLIKYLLEPDEKALPKDASALQMVIEREPTSIAKGPPDPKLLSFIKSQQANQPVDAHNGKIRQFQAKI
PKENIWARPTPISMQKKYLQKWWITTLEKVLPPIPRDEWERLRDLATGILPLEARPARRTALISPKEEVSEEERSAELLQYFQMPARHHPSRNLMKV
AIQKGQDLEAPVPTTEEEKFHLAKEDAPYLLEKAEKVHQKNQKNRLKREKGADDKVKYEGAHLRPTRIPSDEGEIELRSRSLRRLYATIWSLTPTMA
YDEVNRKWDIEWGGQRSRALEGAISKPSLAEEELFEGLGTLPQNLNTSGVKSKVQKINEVNKGTKETASEQQSDAKLRKYIGMQNSQNETTSGNHGE
RRLKVTRRPV

>RCO7_04442 | related to transcription factor

MSQGSQGNGLMMQPGGGFRQYDHSNSASQRNPAPQIYSAIYSGVDVYEMEVNGIAVMRRRKDSWLNATQILKVAGIEKGKRTKVLEKEILIGEHEKV
QGGYGKYQGTWIKFDRGLEFCRQYGVEELLRSLLTYDMGQDGGIAGRGGIDTPTKEQAMAAQRKRLYNSGADSRERGPSGTFFKNISSTASHAVAAI
SKARFDSPVPRMRNGTQTGRPASFSRQSSQQHLASQENAYPGGSQQSMQSFASADSFAVSGQPDSAYVTQFSHPGRDDARNGDLEEPPRKRIRRSPS
INGQYLDDNYLNMSMREASPTEPNESFVYHNQHIQTEGGNFPLPPLPMPSNLQSSAKKDLLMSLFTTQEDFTNHKAFQSLRSEDLDIPIDASCNTAL
IWAATLARHNLLKALISHGASIFRVNSSGETALMRSCLVTNNLEAGSFADILELLGPSIEIRDTRGRTVLHHIAVTSAVKGRSQASKYHLETLLEFV
VRQGSAPDSQQSFSNVPPPLTTLGIGRFMSEVVNIQDRSGDTALNIASRIGNRSIISQLIEVGADASIANRSNLSPMDFGVGDPTEFECRPGEERVQ
NKTMSNERKETSDEIITSIATLLNQTGNEFTKEMDRKQTVIDDLHAQLRDASGELGEQRRKVEMLQAEAKERDARKTKTANLRRAYDEERVRLSQMQ
SQYGQIDGAVEMKLGDADQGLAITEQASSILARIHVSPHQPLVIDRVDRQALSSSLPPAHVLRARLNAYRAVNQELDDNIRDLQSKSSELARKYRQI
ISLCTSTPESNVDNVIDNLTRAVESEHTDVELTRVREFLQRVEGS

>RCO7_04443 | uncharacterized protein

MQLITAALLLPALALANPVLQRQKGPPADEIKIVSAQTSGNGCPQGTVTSTIDPGRTLVTFGFDAFQTYIGPNAKQADKTKQCQIHLSLQYPGGFQY
SVVDATYHGWARLDAGVTGTFVSSYFFSQAASQTCSTRSTISGKQWLEGDIYTKQDLIESTAVIWSPCGASGILNVNNRIALSSTNAKLTGELSNDD
ATVSFTHQLHVAWQPCVVPGKGSGNDWTIGGASTAIVE

>RCO7_14006 | uncharacterized protein

MHALGKDADAASFLHHPSLPSDPITTSHRINQLLDGISTRRRLPEHQDSGVRLLRASRVARSESLSLRTDTMRWSAASFILLDWHEHIEEDDDDQDE

DELRSVSCDHEMNITRPNPGH

>RCO7_04444 | related to regulator of deoxyribodipyrimidine photo-lyase PHR1

MSADTMAVPAAQDTSVGLNSPPDSNSALKDGGSDSELSDLEPDIDINEKLEIEPDHISSGGVPVFKPTMEEFVDFTRYMGAVNKYGMRTGIVKVIPP
AEWVAAQPRLDEAIKTVRVKEPIKQDIMGTGGTYRQANIVHQRSYNLPQWRQLCEQSEHQPPAKRGERRAAPEKTTKSTPKSKTAGPSSTSGAKKRP
GRPPKNKPRSATVEQDGTSTPDRLPTPVSPTMKPEDDNDSVKLEQEDYDMPNKVRGGRQPKAISVSSRRKNNKRETGVVDEAAFQDFKYELEGEDYS
QERCEELERNYWKTLTYAPPLYGADMPGTLFDERTTSWNLGKLDNILDVLGSKIPGVNTAYLYLGMWKATFAWHLEDVDLYSINYLHFGAPKQWYSI
SQGDARRFEAAMKTIWPTDAKACDQFLRHKTFLISPSQLLSNYNIKVNKIVHHPGEFVITFPYGYHSGYNLGYNCAEAVNFGLESWLEYGRVAKKCE
CSEAQDSVWIDVHEIDRKLRGEETEDEETDDEEDEEEDEEGSKSTILLTAPEASGNVKPKLVKKKRKRPTNEKVENSNVKRIRMRIKAPTREPCILC
PNDIPSEPLLLTEDGEKAHRMCAQYIPETSILAGEKETIVDVKYIDKARLDLKCNYCRSRKGACFQCSQKKCTRAYHATCAAAAGVLVEQGETPVFG
EDGTEYKDWGIDFSCRFHRSKRDKKADGDSLGEDKRLLKAGLDLKAGDVCQMQYFKGDIFAGTVVENRSSEEMILVDILPRGHVSDMEHMLPRLTCY
SDRVEVEYKWLLVPDLAERRLQKPSSKAIPMPKSFKAKESLNTSKRQADDLPRAEDPFVEGCTWAEFKCEPIRHNPAQVRIDFSKEDQIWFYLGKNS
TEAKAQFTEDPTKPRHNPKGHFLDTIPKPAPAVQRQSYSASHPTNFNSNPPSFSKAPIRPPQPVTSSIKPEKPYVYKPRVGGEMYSVDQKAYNDQQK
FLQRSAPAPYAFGTDPQYRQPDPPRPPAQYAPILPPGSNSGARPVSQMAAPRPASSLATARSSASTPRSSPAMPPPRYGPSMPASYPSYRPPVPPAQ
RPMNPFGSRPPSSSSKPNPFAKYSYLQKEHNRSPLEYKSPYRPGGGFMNGYQGSLQAHLQQTLFRNNSGQPSTPMSSISSFGSSLRPYSSSSQSPVS
SYKPNSPAAYNTYRTSATPTPAPVSSPAPQQHRATVPPEKDSVQLHPAIRQEYNSVVPQKYPTTAPSSSSQFNGSVLQPPAMYDRIATQLQAPYQTF
STPQQARYRTHHELQAPLTQQAPQQSHQNCPPPPPSPHNGYHPVSAHQNPRLPVSHTQYHSHSAPMSAVSPAYSPISQTQGKPPQRSPDQALVSQQT
PQPPTAAWKPSPHASFAQQYSPAPVAATPASIVPQHSPAPMPTHTSAKPPVSQDNYRSHPAMPVPAPYRSDVYYQSQPPPPLRAPTQDGKVLYPHQP
YYQPSNSQNTDQQAGASAPNQNPQRRAFPDVPADSTTLVEKMMMALKRAPAT

>RCO7_04445 | related to alcohol oxidase

MSTYNDAVGEVDIIFAGGGTAACVAAGRLAKANPDLKILLVEGGRNNFNDPTITNPAVYLSHLAPDSKTALFYKATPSKKLNGREAIVPMGGILGGG
SSINFMMYTRAQGVDFDSWETEGWSAKEMHHFSNKLETYHPKGEGHDPSKHGHDGPIHISDGGFRGKSENQFCDTVKKMGYNVIEDLQDLEANGGFA
KWQRYVSPDGQRQDSAHRYIHPLLQDGKHPNLHVLLESKVIRVIFDESSPPRAIGIEYKPNAEHQPELSLSKPVHKVIKAKKLVVVTAGALGTPQVL
ERSGVGNPEILDKLCIPVVSDLPGVGENYQDHHLLLYPYKSNLDENETLDGILSGRKDFVKALGEKDPMLGWNGIDICAKLRPTDKEVAELGPDFQK
DWDKFFKNYPTRPAMLCGVVNAFLADPSLVEPGQYMTMGTYTAYPFSRGSIHITSKEDVINGYDFDTGFLSAESDLKKQLWAYKMSREIARRLPYYQ
GELELGHPKFAEGSKAALHSGSLGDSIQDIEYSKEDDAAIEDWIRGNLNTTWHSLGTCAMKERSKGGVVDGNLNVYGTVGLKVADLSMVPENVGANT
NNTALTVGEKAADIIGKELGIQV

>RCO7_04446 | related to verprolin

MSTLYLLPATTYRPPSPGQVHRRRKSLNLNTILEESDSESGSFIEVRRGRDVSPDMENKMANWLSPLSDHFPTPRGNHFMSAPIPQPDDSSDAASIS
PSPSSAPWTRDSYTTEATEFDDLYDVSSDEETRRRKTYVRRNSARQATKSNRSSTDSSNTRSSRSSLPALVIPSSQPDPWAGVAAFKLLTSPVPPTP
PPKVPMSPAIFSYLQSQEVPSCSAPPSLDGSLNSDQMAQMSAPPTPDLGHGSEADGNEWGMGVQLQPAAMATLQALSGGDYIFEHQTEQVIELTHIT
PEVSPAREMQQSLPPLITNIHRNDSIILSPEQQRSMNSLTRLEIPSPGGFFSALSSGARHTWHLVAYTPESAHPPSSTTAEHFYKTPWNSAPVERIV
EVSENSETMSDGLPTARPSLAQLNLNLTNRPELKHEDSDETITGMNIFSPLDEEIVADEIIANFAAGYVEKLNNVAVANLDRTGMWLNAQSSYLSEL
INPTEEHDDEVTLLKRAASTKSQSQIESQIEVSPARKTVRFSEVVSTSTDIACPLPTIIRQESAYYRAFQHFVARSRYRDTFIHRLPRFEALQAQRI
SFPDAHRAQLLGKYQLSVVPMSAKRRLSANVARGDEIAPEDPEKLKRYREYEASTQMAAANWNVMAAKLLNGGRLIAAPVAKRLARLSSMGPKMDGT
PRNRARILDLGGQATCDWAWHCATEYPNTKVYTITTKSLRQLSNSNIRGPKNHRNVAVDRLVKLPFQDNQFDLISAREIYTILREQAPNGQDEWGAC
LTECMRVLKPGGYLEFSIMDSDIVNAGPLGLARSVEFGFNLKTLGYDPTPTKLFISRLNAAGFVNVKRAWVFLPMGVATKKDNDLSVMRGSMDVEVN
RELEAMVSGSTDNAASIAGIVGGWAWEKWVQRCAVQTGAAGGKAEGVAEILEEGRACGGGWRTVSGWARKPL

>RCO7_04447 | related to neutral amino acid permease

MATALGLMAGHGGDPRLHSDPSDTSYIKPQHRSPHDHTVSFEEYIYHAKLARAEEDTLAKNDVKEKTTFKSLILPSKNTKGDVVHSTQVHLNNDEKS
SPSNGGVDKRIRDVEPVDRHTISDDEWKNASRAVRTASWSAVFYLITTDILGPFGVPFAMGTLGWGPGIALYTVFGGLAIYSGFLLYWMFLGLDSHS
FPLKSYGDIAFRVYELLCNVGAIIISNGQALSQISRFKLCYAICCLVFALSGFLIGQVRTLQKYGWLANAAIWMNVFIIICTMGVVAHSSPNYAASA
SASSGAALGGLSVTPDEISGAYPPITHSVGLPYDSRGFVGSVNGLMQAVYAYGGAMVFVEFMSEMRRPRDFWKGMICAQVFIYIVYVFYGCFIYAFQ
GQYSVNPSYQGVAPYAWQTVGNVVSFISALIAAGLYGNIGVKVLYNNLFIDFFHAPPLTSKKGKMLWVAIIPVYWSLAFIVAAAIPNFFGFTGLVAA
VCILQFTYTFPPLLYLGFSVKRGAELPGEGFDAATGRVVRLDGGVRRWIRGFLKGRWWLNVWHVVFFMGSLATAGLGSYSAIEALIDAFKNPQTTAF
TCHSPLDG

>RCO7_04448 | related to nucleoside-diphosphate-sugar epimerase

MATKIFITGTTGYIGGDVMHALYQAHPDFEYTAFVRNSDRGGVVAAAFPKVKFAYGTLDDSELLEKESAKADIVIHTADSSDHAGAAKAIAKGIANG
HSKEKPGFWIHLGGAGILTWKDMESETYGEPPSQQPYDDLDRVSDLTSLPDSAFHRDIDKIVLGASSDVVKTAILCPPSIYGSGRGPGNQRSRQVNV
LVKTTLEQGQTVVLGKGLTEWDNVNVHDLASLFVLLVEAAIAKKPDMDGKLWGKEGYYLVENGHHVWGELSKLVGKTAFDKGYIKEKDTKAMTPDEA
KEAAGFEALSWGMNSKGFAKRAREYLGWKPTGRSLEDEIPFIVDGEAEHLGIKKGHAEKAAGQK

>RCO7_04449 | uncharacterized protein

MWRIPLQRLCLLPSVLRSFVWQDQSSCFLANRMRFSQVPLGGLVTSTVAAVATTSNLFVSSYAGTISSLSLSPAAIGGYSLKTTSVNTVAQTSPSFL
NKDELNDVIYSVDEGFSGPNGSVSAYTAADSGKLTLLGRSTTLGGPVSSVVYNGGKGLALAHYGGSAVTSWTILKNGTLSPLQALTLKLTSPGADPS
RQEAPHPHEVLIDPTDSFIVVPDLGADLVRVYSIDKTTNLLTEKPSLVTPPGSGPRHGTFLKTDCGETYFFLISELANTITSYRVTYGKSGLGFEKV
FVSGTYGPKATPAGAAAAEAILSPDHKYLLTSSRNDFLFQIPNPDPSNSTKIPSDTLQTWSIDADSGELTFVQLVAAGGKFPRQFSLNKAGTLVAVG
LQRDSRVVVLERDVESGKIGGVVASVGVAGEVTSVIWDE

>RCO7_04450 | related to chloride channel

MLSGFASKSISGLSQSHRNSTRLQYASGSLKVMNSRSSSASLPVPRQRPTVTSRLSSAISNAEHGEAAPAPDAEHQIDEEIEKIKRYEDFTTIDWVQ
DAAKEQVRRKVRRQETAGFFERGGHAGWRYKLGESYEAAQGWIVVTLIGAAIGVNAAFLNIITEWLSDVKLGYCKTAFYLNESFCCWGEDNGCDDWH
RWSSLALVNYFLYIMFATIFALTSASLVRSFAPYAAGSGISEIKCIIAGFVMKGFLGFWTLVIKSVALPLAIASGLSVGKEGPSVHYAVCTGNVISR
LFDKYRRSASKTREILSACAAAGVAVAFGSPIGGVLFSLEEMSSYFPLKTMWRSYFCALVATAVLSAMNPFRTGQLVMFQVHYDRGWHFFEVIFYII
IGAFGGLYGAFVIKWNLRAQAFRKKYLTNYALLEATLLATGTAIICYPNMFLRIDMTESMEILFLECEGAEDYNGLCDKKNRWTMVASLTIATILRI
FLVIISYGCKVPAGIFVPSMAIGASFGRTIGILVQALHEAYPTSVFFSACEPDIPCITPGTYAFLGAAAALSGIMHITVSVVVIMFELTGALTYILP
TMVVVGVTKAVSELFGKGGIADRMIYFNGFPFLDNKEDHIFDVPVSQVMTSDVIALPTTGLNMKNLEQLLREDKYQGFPIVEDRASNILVGYIGRTE

LRYAIDRVRRERSISSTAKCYFSLPVTRRGSTSANSSISGPPSMTLEAMASSSVDFSRFIDLTPVTVHPRLPLETVMELFRKIGPRVILIEYHGKLT
GLVTVKDCLKYQFKVEASENPRHDRHLVESQERLWGVLKKGASWLSEQVHHVSRGRIRIGGSVDLARSPTRGHMSPTSYMMDGTEDDDDVVDQGVEL
EDRS

>RCO7_04451 | uncharacterized protein

MSGSSSGDLGDLIEKGWKYYRVLAQAPPQLDPLSNSLLSMIGVLRLTNDAIQGTQLSATEQWVVKGQKAEYSSIFEQLERFIYSLRSNRSNFDGAST
IEDKILEQVEQLSAFLDVFQSSLRQKITTALSEISDIQSTASDWEALQSELRRAGISERVAQENFFFIDNWVNDNVAEARVVELPDDPKHTMTAATR
NLAAVQLDDEDDKLPGYTPGAARGTIEEKVQSLEQTTMVMYHSEPIDSAGTSSNAPPGYTFEAGHDEQVDQDFNRYIKEAIDNEASRRAIQRIQNPD
AESHVYSWLPEATQSHYRGRKDIAPMLEPDSFSVMAYQTAPRCNDEIERLMSLLRVSFEHKNLSKSVGVINDAFRCLDSMSKAVSKFMLLQDQHAVT
TEAFSDMDAIDIEYSTATSIGNEYEFPMEEYDFCQKSYYRLLTYIMGMLEAFAYIFQGRTYISRSRHELELLWQNKKMDMRTAWIDKQLAGSWDDVE
HAVLHVRDWRAVRPIIRAEAMKSLEDWQSAARILSGSEMEDKIEITIISASSFPKTTFGRPPSLTAKATLFAATRFSQARILELKTDVCKSQNPVWD
QSLDINLPKNMKFIDIEIWDRVSGFESQLAKVRLPCSNIPGIEANFAEKSLLYGFDEELQYDLHLIGKGKEVRPPTIKLRLKWAGRHAKVEEANLPF
TPPGKMFKSKLSGIPLSQEERNLVAPAPPGASSINNWSEGSEAGGKVGTSSQNPTLRQTNSQTSASGRVFDASVTGVGILSDLSDL

>RCO7_04452 | related to histone-like transcription factor

MPYNTAPIPPRKEATGTTQLPLSRVKKMIQVDGDIHACSNSASFIITVATEMFIQYLAEQAHNVVRSEKKPRRNIQYRDLANAVAHHDNLEFLVDIV
PKTMPYKEAKKLASGAAANKKNGESSAEAGQTTLDGSGMKNTLNGTNGVEGLINTDDTTLNDDEEDEDEDPNAQLEKESRRVRLSTGSTISEGQNGD
RDVEMI

>RCO7_04453 | related to U2 snRNP protein A`

MRLTAELIQSSLSYLNPLKERELDLRGHKIPAIENLGVAGPHDAIDFTDNDIQVLGNFPLSPRLQTLLLARNRIASIQPSLANSLPRLTTLVLTANN
FAELADLDVLATFRQLTHLVLLENPVTRKEWVIWRCPTVRFFDYKKVKDLEREKAKELFGTAAKPSALASKIIGVKSKTFEVPSANGTAAPSTSKNY
RVKLTDKERKKVEELIRNAKSLQDIIRLEQELNEGRVPAAAQGADEMEE

>RCO7_04454 | related to protein kinase homolog VPS15

MGQGFSLTTLSAGSAGIDVPELSDLTYEKSMGGARFMKSIRARHQDGLVLVKVVVKPYAMRLEKYKRKIIQERKALADVPNALAYQRIAETETGGFL
VRQYLYSSIYDRMSTRPFLEDIEKKWLAFQLLCGIRDCHARDIFHGDIKTENTLVTSWNWLYLSDFSSSFKPTTLPEDNPADFSYFFDTAGRRTCYL
APERFLAAGETPDPKAQITWAMDVFSAGCVIAELFLEAPIFNLSQLYKYKRGEYNPDVLLSRIVDKEVREMIAHMINVDPESRYTAEQYLEFWRKRV
FPDYFYSFLHQYMGLITDPSSGRTPISGASANLGEADERIDRIYYDFDKISYFLSYENEKRKAPKKISYTAGGLNVLPVHLNIPNNEHQSSIVEARP
TDDGTLIFLALVVSSIRNTARATARIRACDILLAFAERLIDEAKLDRVLPYLVALLHDKVDIVKVAAIRTLTQLMALVTVVSPVNANVFPEYILPRM
QVFLPGSSSKPGPLVRATYAACLGSLATSASRFLDMVATLRPDGSLPTADPEAEDGNSAGAEIQGLFDNSRAELIEIFETHTKALITDNDSAVRRAF
LGSVPELCMFFGTADSNDIILSHLNTYLNDRDWMLKCAFFETIVGVATFLGGTSLEEFILPLMVQALTDPEEFAIASVIRSLASMAELGLFQRSKIW
EIVEIVARFTMHPNIWIREAATMFLSAATLFLSAADTQCIVHPLIRPFLKTFANDFSELGLLDNLKKPMSRAILDLSVTWATKVDRGIFWKPASQLR
TFTLGSNKFGLTSLSGQDISHQAFQKLPKNEEDEQWLGKMRNMGLGNDDEFKLLVLREYIWRLAMSKAREPPQHPAYLNNVINLRSIGITPQTVMFD
EQQAHDASLRRPNSGSDSSDRAPHTITDALLDASMTIDDSISRRRRSAFNTHKARLSTQVGTLSAGTKGRGSQSPVSPSSGTSTSPKDIEPMSLDKA
SRRASLQVRLPNSKGSDDETGSIPDTGSSVNSREAHNGVRHKSSAISLMNRKDSTKSFPETGMTSENVFGRVEGPHPHHQGDSSALALAKEKEKAGR
DKALFRGAHTYSGNDPSILKMLDTMFVENFPNDVSDFGPIIATSSRRRNINKGLSQTPDRPWKPEGTLVATFSEHVGPVHHIAVAPDNLFFLTGGDD
GSVKVWDTGRLERNIAHRSRQTHKHASDAQITALCFVENTHSFVSCGSDGSINVVRTECVQANGTVRYSKLRVMREYQLQKGEMAIWSDHFKVETNS
TLLIATNRSRVIAIDLRDMEILYTLDNPVHHGTPTCFIVDKRRQWLLLGTSHGVLDLWDLRFKVRLRAWGVPGATSIYSMSLHPTRGRGRWVCVAGG
SGHGEMTVWDVEKVQCREVYRAGGSRDGPKGYEPWPVDEDRPEGMLGRFATALEPNGTSNSDRGMRAMVVGTDSSDDSRESKYGFVITGGSDKKIRF
WDVSHVENSMVVSGLEAEELKPTFTSTHPTASLTLNAERIPRPGPTAPNAGAGASSRTSNTSKTSSGRPPRSTVISLQQQQLLRSHLDSILNIALLE
SPYGMMVSVDRSGIVFVFQ

>RCO7_04455 | uncharacterized protein

MSGNSSVGNSGVYEDGDQKNAPQAQQEQEKKDDRFHEGKENSHKANDSKDERTIANKLEREEMRQNEAEEDTAEVAALKKDPTAPAKMHGNEPSRGA
KVDAQIQAEEEEELRRKGKA

>RCO7_04456 | probable ubiquinol-cytochrome-c reductase Rieske iron-sulfur protein

MAALTQTSRTLLRSLPTRSNSLVVRALSTSAAKRDTPTSSFDSPFRGMNSDAGSKIPDFSNYRSKSGSNSNLLIQYFMVGTMGALTAAGAKATVQDF
LVNMSASADVLAMAKVEVDLSAIPEGKNVIVKWRGKPVFIRHRTADEIKEAEGVKVESLRDPQKDADRVKKPEWLIMVGVCTHLGCVPIGEAGDFGG
WFCPCHGSHYDISGRIRRGPAPLNLEIPEYDFGDDNALVIG

>RCO7_04457 | T-complex protein 1 subunit alpha

MGSLFEQPRNAGTLFLGGTKVSGQDIREANVLATQAIANVVKSSFGPSGLDKMMVDDIGDVTVTNDGATILSLLDVEHPAGKILVDLAQQQDKEVGD
GTTSVVIIAAELLRRANELMKNRIHPTTIITGYRLALREAVKYMHENISVKVDQLGRESLISIAKTSMSSKIIGSDSDFFANMVVDAMLAVKSTNNR
QEVKYPVKAVNILKAHGKGALESMLIKGYAINCTVASQAMKTRITDAKIAVLDMNLQKERMKLGVHITIDDPQQLEEIRKREAGIVMDRVEMILKSG
ANVVFTTKGIDDLCLKLFIEKGAMGVRRCKKEDLRRIAKATGATLISSLSDLNGDEKFDASSLGHAEEVSQERISDDECILVKGTKVHTSASIILRG
SNDYQLDEMERSIHDSLCAVKRTLESGSIVPGGGAVETALHIYLEEFAGTVGSREQLAIGEFAQALLVIPKTLAVNAAKDSSELVAQLRSRHALSQR
IQDGDANEDEKTIAKKKNYKNYGLDLTKGKVVDEIKAGVLEPSMSKIRQLKSAVEACISIMRIDTLISLDPPQQGGEDDGHGH

>RCO7_04458 | probable proline-tRNA ligase

MADAPPPAEPSKSALKKAEKQAKMAADKAAKAAKQATVAVVGGKKADDIIGMTVSKADNFSGWYTEVVLKAEMIEYYNEISGFFILRPASMFIWNVI
RKWFQERIEAMEVEEASFPMFLSSKSLEKEKDHVEGFAPELAWVTKAGDKDLEVPVAVRPTSEAVMYPYYSKWIRSHRDLPLRLNQWNSVVRWEAKQ
TTPFLRAREFLWQEGHTAHLTEELAGEEVLQILELYAGVYEELLAVPVVRGRKTEKEKFAGGYYTTTVEGYIPSNGRGIQGATSHCLGQNFSKMFDI
TVEDPAPKVGDKAKHLHVWQNSWGLSTRVIGVMVMIHGDDKGLVLPPRISKLQAIIIPVGINKSTTPEDKAKHFDQLQELKETLKKAGIRSDYDIRE
GYTPAWKFNDWELKGVPLRLEYGPKDAAKSVVSFARRDTGEKGTIAIADLVTEISKLLETIQSDMYKKADAAFREHRLNITKWEEVVPALDAKNVVL
IPHCLAEKCEDKIKNLTTGKPEEQEGPEELKAPSMGMKSLCIPFEQPEGIVKGETKCLNPECEAFAEKWCMFGRSY

>RCO7_04459 | probable calcium-independent protein kinase C

MNNDDDALTSVFKKIEREKALITAANQMRQQTQNEQVRSRLDTQMREGRRNIQYLEERMEELQMRRMGQGMDNVSLSSSAAPGRPQSSGLRNDRDGP
PTPPPKDSRGGYEDVGNDNGGYGSQEYSQIGGHSDMMPPRHPYAPPGPGQGIPKSRPNFSKLDLIKADTPYLGPRIQLMLSQLEFKLNVEKQYLKGI
EKMVQLYQMEGDRKSRADAAGRRVESTQKIQLLKQALKRYEDLHIDMESNADAADDDSLNTPNMRKPLTGQLSIRIQAVRDVDHAATSRFARGPETS
VAIKVEDNVVARTKTSRNDKWDAEYHNLNVDKANEIELTVYDKPGDHSLPIGLLWIRISDIVEEMRRKKIEAEISSSGWVSADRMASGSLAGAPPSQ

FNMNPQAPQFGPPPGSAGAGAQPPMGAGMMGAGATIHAQPVDAWFALEPTGAVHLNISFNKQTKDRRPFDVGLNRKGAIRQRKEEVHEMYGHKFVSQ
QFYNVMRCALCGDFLKYSAGMQCEDCKYTCHTKCYTSVVTKCISKSNAETDPDEEKINHRIPHRFEKFANMSANWCCHCGYILPFGKKNCRKCTECA
LTCHAGCVHLVPDFCGMSMAVANVILDGMRNQKRRQTTQTSMSGRTLRPQNNKPTSPEAGPSDPRSSYSQPDPSRPPRSQSYQAPTSSVEAAEAAKA
IYGQGPTSPTHQRPSGPDRMASSSAAAAAAAAMAGPKSPSQQRDPYQRSSTDYAGRGGSSTASYSSRMDSHSEDASYGAPPKPQAPSQPSYNPAAYA
QVSGYPSQPPSQQNQPPKQSPTNTLYSQSAQSQVSVPTPESSSVAKRPAGPTASDAGTGRRIGLDHFNFLAVLGKGNFGKVMLAETKTTKQLYAIKV
LKKEFIIENDEVESTRSEKRVLLIANKEKHPFLLSLHACFQTETRVYFVMEYISGGDLMLHIQRGQFGSKRAQFYAAEVCLALKYFHENGVIYRDLK
LDNIMLTLDGHIKVADYGLCKENMWYGSTTSTFCGTPEFMAPEILLDKKYGRQVDWWAFGVLIYQMLLQQSPFRGEDEDEIYDAILADEPLYPIHMP
RDSVSILQKLLTREPDQRLGSGPTDAQEIMSQPFFRNINWDDIYHKRVQPPFQPVITSATDTSNFDSEFTSVTPVLTPVQSVLSQAMQEEFRGFSYT
ADFV

>RCO7_04460 | probable acyl-CoA dehydrogenase short-branched chain precursor

MASIAKALRPVVQRAACTARPTVRPSKIYQHTRPLSATTRRRDEAVDITEIPPTPITHLSEIEAAMADSVSKFANDVIAPKVREMDENEAMDPSVVE
QLFEQGLMGVEIPEEYGGAGMNFTAAIVGIEELARVDPSVSVLVDVHNTLVNTAVLKWGNTELKKKWLPKLATNTVGSFCLSEPVSGSDAFALATKA
TKTDSGYKIAGNKMWITNSMEAEFFIVFANLDPSKGYKGITAFIVEKGMKGFSIAKKEKKLGIKASSTCVLNFDDVEVPAENLLGKEGDGYKYAIGL
LNEGRIGIAAQMTGLALGAFENAAKYVWNDRKQFGTLVGDFQGMQHQIAQAYTEIAAARALVYNAARKKEAGENFVQDAAMAKLYASQVAQRVSGQA
IEWMGGMGFVREGIAEKMWRDSKIGAIYEGTSNIQLTTIAKLLKTQYTS

>RCO7_04461 | related to tetracycline resistance proteins

MSSHAFGAFIDIEPVSSQQDAPATVAAPAKAFPRVYHSVPDPIELDNLQWGAKLSGQSHSQPESGTQTPREPTDLEMSRPQTPVNEHEVDAIQSFSF
PPMNRYRMLSVCLMNFAGGLSDSAPGALIPYAEKHYNIGYAVVSFIFVTNAIGFISAAFFVDAIRARLGRARTLIIGNSLITLGYIPLVCTPPWPVV
IVSFFFLGFGMAVNLAMGNVFAANLHNGTKMLGAMHGSYGIGGTIGPLIATAMVTKGNLVWSRYYFLPLAATLFNGVFAAWSFWQYEAEAGMSLLNP
LEIIASRRDNGGTEGPESKVQIKEQLTNMLQSFKSKTVILGALFIFAYQGAEVSISGWVISFLITARHGDPASVGYVTSGFWAGITLGRFFLSHPAH
KIGEKLFVYGMVIGATAFQLLVWLVPNVIGNAVAVSIVGLLLGPVYPCATVIFSRAIGRKDQISSLSVISAFGSSGGAVAPFTTGLLAQAAGTFVLH
PICIGLFVVMLGCWYILPTPKKRSTE

>RCO7_04462 | probable eukaryotic translation initation factor eIF1a-like protein

MARPKRNIVAAAEETSTPPSELSTTQSIARVIKAEGNSLYSCSLPNQKTILVELPSRFRNTIWLKRGGYVLIDTKEADVRQNKIDGEIINVVRDEHS
WRKETYWPKEFPKTSAYAEDSDDEESTVGKMPPSDSEDEHE

>RCO7_04463 | related to mannosyltransferase

MSNDSSPPVRQISYYQQAKDLAMGVHPLSKYVPPLLLIADAFLTSLIIYKVSYTEIDWKAYMEQIAQYENGERDYTKIKGGTGPLVYPAMHVYIYWI
LYRVTDQGRNILLAQRIFALLYLATLAVVMACYRRAKAPLYIFPMLVMSKRLHSIFVLRLFNDCFAVFFLWIAIYMFQRRIWTLGGIAYSMGVGVKM
SLLLSLPAVGVVLFLGRGVAGSLKQVYLMSQLQMVIALPFLPENAMGYLNRAFEFSRVFMFKWTVNWRFLGEETFLSKGFSYTLLVGHASTLLLFIA
TRWLRPAEKPLVELIGNALKFQEPCGKMQHAVSIRISPNYIMTTILTANAIGMVFARSLHYQFYAYIALATPFLLWRSGMHPIFQYGIWAAQEWGWN
VYPSTEVSSKVVVGLLAVTVARIWLGTRTDFVSLKGEGAASKKLA

>RCO7_04464 | uncharacterized protein

MNASADNSEHSALHMQKTLARLDPESFINPRHLRPSKLQFSEPRSFNFNLKSHDMFSVRGPSIRASLPTLSKRIPCPSTNRSFSLLNNHTLTPLHKP
AHHRRPITSKTLLSLHRHYSAKSSADTLIEEINDQYAVARDEFEISTEETEKQSIYAQADRDAAREELDKLKEMYEKALQGSDGEEIRSRIGGRIRE
LDHAVQALEESATEH

>RCO7_04465 | uncharacterized protein

MDALFKLKDSFVQFLSPAAKRRRTAGPGTPSTSKDHEYAPISESRGKKAQTAASDHLVSKYPTTPQPKNPRKRAREEVEDEYDIVISPGDSVSQVST
AATENSSQGVAESGEEEDEEEIEDSFDTTNPGEIESDAEDEREVGEEGAEGDVEDSDQEMLEEEDLSSEVGEDFDSEAQEVARAEAKVEEYLARQKE
FENIQENIQKAKEDASWHPDALFLYERLALRSFEPLVPIDWQIDFPTLPQVLFTEDHGATFVNSNCLASYRGIKALQSLITLGVRVRDKLSVGRQPE
KMVAKEIQNYIKWAERDGGYQKKRFIPVHTVVAARSSQTAGSIGVALASQMKFLAEQHRASLRLSDDESGETYAKPLPLLYGLVVAQTKVILVTHDS
AQPDTEANVLSTLDLTNKDMDVWNGFAIAFMVIAARNYLMSMIDELEPDNTVTDDEDA

>RCO7_04466 | IN2-2 protein

MAFAAPPAPKTALGYYRMLSPTASVRVSPLCLGAMNFGNSWKDFMGECDQKSTEEILDFFYESGGNFIDTANNYQKEESETWLGEWMKKRGIRDQMV
IATKFTTCFRAGYGEKEIIVNTAGNGTKSLHLSVEASLKKLQTTYIDLLYVHWWDFTCSIPELMQSLNHLVASGKVLYLGISDTPAWVVSKANEYAR
QNHLRQFSVYQGRWSAEHRDFERDIIPMCRDEGMGLAPWGALGGGHFKSDEQRKSQEGRKMGEASEAAIKVSKVLEKIATSKEAQITSVALAYVMQK
TPYVFPIVGGRKIDHLKGNIEGLSLQLTEEDIKAIEEANAFDIGFPHNFLGGPGGVQSPNDVWLMSMAGQQQHVGALKPIAPVKKE

>RCO7_04467 | related to monocarboxylate transporter 2

MQSEGYIEAEASCLKKYQPSQNDRLPANAPLYDAEKAKVEDAGASRTDEPVIEAASDPAIDGKGIFENDVSPDSGNSSDTDEEKDDFPEGGLRAWFV
VLGSFCGSFSVFGIINSTAVLLEYFSHNQLQANDESQIGWIFGLATFLTFFCGAPIGPIFDSYGPRALIFCGSVLLLASMFLLGLCTQYWHFIMVYS
ILNGIGGCLINTPCIASIGHFFLVKRGNATGIAMTAGSIGGIIFPLMLQRLLPRVGFAWATRILGFILLFLLILANLLVRSRLPRKPMASFKSVSPE
FSLFYKDMPFALVSLGIFLTEWGIFVPLTYITSYSTSHGQSSAFGFQIIAILNAGSFFGRFGAGLAADVIGRVNTLILGIGMCIIACLALWLPAGNS
AAMIIAFAVIFGFVSGSNLSLSPVCVGQLCKTEHYGRYYATCWMFVSFGTLTALPIGGQILTMMDGDYTGLIIFAAASYVGAAVCLIAARVLKVGWK
LNAIY

>RCO7_04468 | related to CAF4 protein

MASGALDRQDDAIISTKGLEAFGRKVTTTAGHLMGPLDPTSSTHYQNAMSDLQKQLRRPNLQRSVFSFAKTSPTDLVRSKLSTSEIQYRALTYLPDE
LLANIPEHDNVYSLFQGFQATLPESPDGKKHKRKISRGRKLLEDDKSDSDSPPSIAKLKKEQGSLNHRLEMMGIRKNMASSEIREIDNKISNLNYMR
KIVLDRLAGLEQEEAMMEHDILDVENRLEDAQEQLDDAAAFAEQSKTEEEEDLDDPAMDASFMSESIYEKLPSEKSTPTRPKRHKTIRRKSMPILHE
HFEPGSNIRELRAHTDSITALDFDVPFGTIVTAALDDTVRVWDLNAGRCIGLLEGHTASVRALQVEDNIVATGSMDATIRLWDLSKARYDPQNNRIN
KDGEEDDHPLAFGNPEDEEPEPPPGTMRDCPLFTLEAHVDEITALHFKGDTLISGSADKTLRQWDLETGRCVQTLDVMWAAAQASATMGSSEGSWRQ
TGKLPDGSADFVGAVQVFDAALACGTADGMVRLWDLRSGQVHRSLVGHTGPVTCLQFDDVHLITGSLDRSVRIWDLRTGAIFDAYAYDAPITSMMFD
NRRIVTAAGEDVVKVYDKTDGRHWDCGAGVTAEEDGKTPSIVEKVRIKDGYLTEGRKDGIVGIWTC

>RCO7_04469 | probable chorismate mutase

MDTAIDLSDASKALDLSNIRFQLIRLEDTITFHLIERVQFPLNNTIYKPGALNIPNSDLSFLDWTLREREKLDSLIRRFESPDEYPFFKESLQKPIL
QPLHYPKILHKNDVNVNDKIKKSYIEHFLPAACADFGREDRGETEENYGSSATADIACLQALSRRIHFGKFVAESKFQSEKERFIKLIKAEDREGIG

AAITNEAVEKKVLERLGLKARTYGTDPSISADGQGKINVDAVVAMYKDFVIPLTKEVEVEYLMQRLE
>RCO7_04470 | probable Protein BCP1
MVKKRSRDPEVLPEAPSAQVGDNDSGSDEDVDMVNVEFEWFNFKPEVDFHGLKSLLRQLLDVDSQLFDLSALADLILSQPTVGSTVKVDGDETDAYA
FLTILNLHEHREKKIVRDLTKYIMEKSKSSPSLAVLGSLLTSSSQVGLVLGERLINVPAEISPPMYTMLIDEIEAAVEDKEPYDFTHYLILSKTYNE
ISSSLDQEDAPKTKKNKAANASREVFYFHPEDEVLQKHALASGSFEYTKDEGEGMADSKRAFSEMGIKPQGSLILIEAIKFEGAAKAIGEYLNAAQ
>RCO7_04471 | probable GMP synthase
MAAKGDQQDEPHKLFDTILTLDFGSQYTHLISRRLRELNVYSEMLPCTQKIADLSWKPKGIILSGGPYSVYEADAPHLDPAIFELGVPILGICYGLQ
EIAWHHGKNVIAGTEREYGHADVKANREDGRVDKLFKDLEDDVKVWMSHGDKLGALPPQFHVIATTKNSPFAGIAHETKPIYGIQFHPEVTHTLRGT
KLLENFAVGICAAKQTWTMATFVPKEIARIRSIVGEKGQVLGAVSGGVDSTVAAKLMHEAIGDRFHAVLVDNGCMRLNECEQVKKTLTENLGINLTV
VDASEEFLDGLKGIHDDPEAKRRFIGGKFIDVFEAEALKIEEAAKNSPKAGPIKFFLQGTLYPDVIESISFKGPSQTIKTHHNVGGLPERMMNGQGL
KLIEPLRELFKDEVRELGRQLGIPHDLVMRHPFPGPGIAIRVLGEVTREQVAIARKADFIFIEEIKKAGLYDQISQAFAALLPVRAVGVMGDKRVHQ
QVIALRAVCTTDFMTANIFRFDWDFLERVSTRIVNEVDGICRVEYDLTSKPPGTIEME
>RCO7_04472 | related to SH3 domain protein
MWENTEEEGHDSTIQLSQPSHAMFDMIAGNISSLEQSRGSVMPALSRGGRATGSSKRKQQSIGFNTKTVLLGALAAVPGAMAQNCISLAGSTQCPAF
SSASISTDSTLVGYFPFLQFVSSTSTFDEQLRAYLSTSYVQQKYQTLLGCGNINLANTTDLYARFTTSVICNAIIQNSITPCGLTTGAARPVCANTC
AQNAESEAIIIANNDLCTNPGANSEAQIRADFTNCALPSQSLTASCIDGSANEANNCGFGNSTIGLCQYCSSQGQNSTETCCYNSRAEERCAGVVLP
TITGYMTFTTSTPTSTATSSTTPSASVTSAPPKNNSNDGLSGGAIAGIVIGAVAGVAILAGLILLLVLCLRRRRGNQNGSVFNQASPPRKIPSTGMA
YNPVGANATTSEGYEVLPGGRIARMSALEGHSAVPSHGKMGIVGAGGAAAGPAAGYAAGVRKHDQSSSDEYSPVSNSTGAAGVLRPPPTSRRGGSLS
SNSVLGMEDTQSPVSGSGGDMSSPLGVASQQSEQLPFFKDYYSQDEIHPGDKVATLWAYQPRASDEFSLERGDMLKVVGIWDDGWATGILIDEQADE
WDAKRHAQRDSGVSNTSGRRDESPAATGEIKAFPLVCVCLPDHWRKTIEGDGSTETGSSAPTGLNK
>RCO7_04473 | related to Phosphoserine phosphatase
MASKLPAMATSPSYIFFTDFDGTITQRDSNDFLTDNLGYGQALRKQGNQDVLHDRLSFRSSFQDMMDSVTTPYDQCIKILLENIKLDVGFKEFFGWA
RSINMPVVVLSSGMEPIIRALLTHLVGKEADEIQIVSNDVAPREGKNINEEAGWQIAFHDDSHFGHDKSLEIRPYGQLPDSSRPIMFYAGDGVSDLS
AAKETNLLFAKKGHDLITYCVRESVPFTVFEDWSTILADVKKVVAGTTTVQELSASGLAEYKKNASENEPTVK
>RCO7_04474 | related to mitochondrion biogenesis protein (She9)
MQPLARFVPRLFFDSLVSSTARHSLQIPSRSSLRPSICLQCRIRTQARHFADSPKSHPPSNASPSGVSNLDPSTPSSFPASGNAQATPPPDDEPNNL
PSAEEGRRMAVTKRFSHLMDHLQGNIFIASQRINDLTGYSGIEALKERITLLEKQVTEAQDAVRSSRLIYKTTVADRAATQREVTGLLARKDSWTPI
DLERFTALYRMDHTNEQAVQESATKLADAEREAEHAASKLSSSILSRYHEEQIWSDKIRRMSTWGTWGLMGVNVLLFLVFQFGFEPWRRARLVRGFE
EKVREALEKEGITAQGRSQDMSKLADVGVIAGGIQELEEETESGPASNSNPTVEAAEASVQGEQEQDTEVEPQESAPVEPENVHVPTELMKLRTRTA
NWAHKAQTTFEDLFSNRLIQMRKQDVTLIALEGAATGAAVVIIAAKFLFRSS
>RCO7_04475 | probable beta-galactosidase
MKLFREFAALCLAAQAAALTIGGKHMKVERDSAGLQDIVTYDEHSLMVYGERVFVFSGEFHPFRLPVPSLWLDVFQKVKALGFNVISFYVDWALLEG
KPGVYSAEGIFAFEPFFDAAKEAGIYLLARPGPYINAEVSGGGFPGWVQRIKGQLRSRAPDFLAATDNYMAGIGAAIAKAQITNGGPVILVQPENEY
TNPIAEFKERFPDPIYFAYVKKQLRDAGITVPFINNDVSPKGYFAPGYSVNGSKEGNVDIYGHDNYPLGFDCANPTTWPANNLPTNFHALHQQQSPS
TPYALVEFQAGAFDPWGGPGFEKCSILLNNEFERVFYKNDFASGVAILNLYMIFGGTNWGNLGHPGGYTSYDYGSSIRENREIDREKYSELKLQANF
LKVSPAYLTSGVGTGTTRKYTDSSSIFTTPLLGNDSATNFYIVRHSDYRTTTATTYKLIVTTSKGALTIPQLNGSLTLSGRDSKWHVTDYDLGGTTL
LYSSAEIFTWKIFGGKTVLVVYGGPGEQHELAVITDSSAKIVEGADVTTKSINGSTVLNWKTSTTRRVVQVGNTFVYILDRNSAYNYWVPDFVREDK
WGAYSANIGNTTSVIVEAGYLVRSVYINNKALHIAGDLNATVPIKVLGAPAGLNSLHFNGAKLDYKVDSVTGEWSSTLQYSAPKLNLPNLPSLSWKY
LDNLPEIKSTYDDSAWTKANQTTTNNFFKLQTPTSLFSSDYGYHAGVLIYRGHFTATGNESSFMIRTQGGSAFGSSVWLDSTYIGSWAGIDKDANYN
SIYTLPNLNAGQKYVFTVVIDNNGLDENFYVGGDVMKTPRGIFNYQLAGHAQNDITWKLTGNLGGESYIDKARGPLNEGGLYAERQGFTQPYPPNRN
WAAGSPLNGTKEAGIAFYQASFDLDLPDRYDVPLSFSFGNTTINGAVANYRAQLWVNGYQFGKYVNNIGPQTDFAVPEGVLNYHGQNWLAIELWAQQ
ATGAHLTEFALKAGTPVWTSMDRPEMVPRPAYSKRLGAY
>RCO7_04476 | uncharacterized protein
MSQHRPPPAVFDFSTFLDAPGVAAQVKQYGAPQIIDIPQTLIPSPLAPHLAPNTVEKLRDFLVGDGSSAGHARGAEVWRSWKRAWDLWNNHYIEGRV
SPIWIREEYERLKKEMEEARDSRRKDEQIRRIRTRHRPGHNTAIGPATIFSATQPEAGPGKFYRQTTETRPAGTIVVPKMESRPKPGSTREHRRKGE
VVPVYGDRFVTEIVRVERVVPKYTTPLRRWTDVINSVKDNLLLPERSQFPGSTETIIEYTLEERQVMKFGCVDIVGDKVSPNLMSYEEVNQNLVSYG
ILPGGERTDPPVFISQRPKMWYPVTEPCLDGTRTLTVDETVAVIEFEDIVIETLEEGEGLLLGWVEMDIPDVDMDADYDLDDRFGELPVVDEEPAIF
YKQADKVERADGFSGGFFPMKSIDPYPEPEEADEDDVESKWLDVIQNTVWRPCRVGEMTLRIEMDEPFEVVAAENGLEFDGGVDCGRSPYPVLRSVT
EHFKISQGSRNLPDVFRKKKMWDGVTGTIFNMPVKPLENEDSEDERADRMSLLYGDFFRDEARKHRHDCFPLNIRRVARRSDKNYPARQFAMPVLED
NETLVRYPWHIPEGKYDHVTAFEDDLSPYDPWKVTAEQKQKREVPVRRYPPAQSDKGEGHEDLLLVDDTIWREELEDDDYGRWKYYVTNLHGGTLLI
NGKEIKINQIAGPLPEFAIIETPGGQISFWWGPNGRNHLGGNPGLNHESAWRSLRSRDNEFSTVALTAGQEWDYKIRERITKEFSGNEWEDDKQWED
WKKAVVASEEDPKSDADHPDSSKSTLITLETYEATGVPTGRDVVQPESFPTDTDELMWLHTKAEPLFRVIEAAKTNNFIEPLDIGMGFFPGAKRPFV
RPEIVAQQQAIGVWEARLPIAKGEQRKLMNNLAKSKADRAEREKQANIEIGRKRAADSELQGGYPFKRTMADLVREEREAESNLERVNLDLANRQSN
NVSRPVDSSVQSFDTAIRINLEQAFAAYNDRKLAAPAAGRPFTESLPTLQTVIDEHLKASRRKERGVAFKLQQRAAKGRVPIRNEDLPPGIDQVYAS
WKTNAKAAENERRKATALIRFNADTEALRLRQLKAFQDEAAKRAVVEKKIVDESVAATSKVTPADKSLRERNLARKHRLLAMLEVQKAKLSAALSTT
TNLQVSPLLHFNAVSSHRPPFQNVNNLTSSTGSQAPPGVHSVSTAPPSIMPSQETYNEQLAILADINATLVKRRADLEANIIIRAEQAGQTVNTFLQ
TQSHVSKEEYIRLMLKNDTDVTLPTKVQPTPLGSTGIRTAETLPRPSDTPLSSVLTNRLGEYRGYLRMAVQRNLRRRAVSERKTQLQIVNTEGYQDI
QAYLDRKSNSIRLEDVNDDVPIPKFPPPLPANAAQAQKDNRTAIVRSLEAGYRENINVQLAKKGAIGQRIKDAEDFELAARLLERNRPARVDLGATK
PREIRREGQEEIFLDI
>RCO7_04477 | uncharacterized protein
MSTASVCKDFASIPRSSNVLARKNHNPVRLRSGNTLTMQSQDKANLARIRDNQRRSRARRKEYLQELESRLRQCELQGVEASSEIQTAARRVAEENK
RLRTLLSHNGVTDEGVESYLKTSTAGDSSPGYQQASHGEAAQVLEHLLSTRKPCCTDGNESPAACGQSYERDAPSSTMTTHPIWEPFQDPSGLRRPI
IPQAGNTTSSANLEPTTSQGLSNHQRIAPAQSKPLSPRSVGSQNNPMFDHDNQFMLPNQAYSVLSRTQYSNVQQPSIYVPTTSSPNVNNCNYAADMI
TTMAGMSDSSAVRADLGCGPGMDCEVDNQLVFNVMDRYSGVGL

>RCO7_04478 | uncharacterized protein
MVASRTLRATACASCRLSILRSFTSLAGPSMQAPQASVRTSHSIRSSLYAGVLPRSFSNDRKLASSILENKEADVLTKESIHEFEEVRGADKEIDDT
DGGEVTAIPWYLQVESPYRAPKPLSERQSLPEIPESSPPILQPLLEQISLDLGLDDLSLLDLRKLDPPPALGANLLMVLATARSEKHLHVSADRLCR
WLRSNYKLRPDADGLLGRNELKLKLKRKAKRAKLVGSTKDDDGDDGVRTGWVCVDVGLVDGGDTTTVPREETFVGFGRRTDGVRIVVQMLTEEKRAD
IELEKLWSGVLKRGGEPEDEPVEIESSIKAGQAQISYPNERRSIADILGRGQKREIHTSARRMSPLAIFSQDFALDIEITKQSTRSYTIIGAYQKTM
TESDLFIIP
>RCO7_04479 | related to DNA-directed RNA polymerase, mitochondrial
MLVRAARRKARPELLRTISRGEQLYLPWLCPAYNTYQRNRRCFVADAASPVGASRPRRNSQDASILPNRRALATATGYAPMDDIPFEGLRGIPPSGP
PSSLTYGFGAGNGLSDNSFQPKQPLYLGGSLAKRMRTYAGNAQGVKGDFLDMQAVFIACLQVGRIERAGIILQRIAKIDDLDPRSLLALHNQYLRAA
VEDIMVSRSATAMRDIHSWFEIQIRLPGLPQDADTVAYMLKASLQAAPDAQKRLIWRYMDMLDDDSAAQLWDAAVLSAQEINQINHIYPKYNIMIEA
EEIEQVDEIEVDMSPLDQVKTPVPDVRSTGQKGLGLKSLKKSLSLFHTLSSEGIDLSSASNQTKRDVQARLEEDAVTSAIDRWRDENITLNKMGLNS
SLQMKSLGARMWMWHEALAEYLKVEIEKVNAAEEKRKIEKDDVDRVTYGPFLRLLPPDILAAITILASMNTLSSLGAEKGLPLSTAIMAISKSVEEE
VLYNALQKQNKQKIWPRGKNRPNFRSFRRAAARFQPATSPGSPTVAPLDQNETITAFADQEWPLRTKAKVGAFLMSALIQVAKVPVNMTNAETSETV
TQMQPALQHSHQYRMGKKLGVIMANKSLVAQLKREPVHSLLAKHLPMLVEPDPWTDFNKGGFLTHPGKVMRIKSGDKDQRHYAEAAIGQGDMQKIFQ
GLDVLGKTPWKINQAVFDVMLEAWNSGEGIANMPPEIPKFDIPTEPAPSSDPLERRKWVREIKYIENQKSGMHSQRCFQNFQLEIARALRSEVFYFP
HNVDFRGRAYPIPPYLNHMGADHCRGLLQFGEGRKLGEGGLRWLKIHVANVFGFDKASLSEREAFASEHMEEIYDTATNPLGGHRWWLNAENPWQFL
AACVELKNALDSPDPKEFISSLPIHQDGTCNGLQHYAALGGDTWGARQVNLEPGDRPADVYTAVADLVKASIREDAANGDERGLILQDKITRKVVKQ
TVMTNVYGVTFIGAKAQVRRQLVTGFPNLPKEGPTNMNMLSAYIATKIFTALSTMFKGAHDIQYWLGDCATRISTCLTAEQLGRLESEWPRLLATNS
DKSAKPALSKGGFNPATLEEMCQFKSSVIWTSPLHMPVVQPYRDAKAKTIPTNMQSINLTQPHRSDPISKRKQLQGFPPNFIHSLDATHMLLSALRC
DELGLAFAAVHDSFWTHASDVDTMNTVLRDAFIRIHSEDVVGRLRDEFTARYHGAMRLATIRKDAPVVRKIQAWRSKNKPALRSSLKAPYLDELMLE
RKRTRLLTSPVPADVEQGKSLITPTSIFLAHAAEEDLAASADLANTGLGDMGKTGVRTRANDTSIADDAGEIDEDIERDETLTLANEDGDAGEDGED
DIQDLGTSREPEEGGLTAFEKTLRGERTTWDRPLQLWLPLTFLPVPKKGDFDVSRLKESKYFFS
>RCO7_04480 | related to myb-related protein cdc5
MPVVKGGVWTNIEDEILKASVSKYGLNQWARVSSLLARKTPKQCKARWSEWLDPGIRKIEWSKEEDEKLLHLAKLMPTQWRTIAPLVGRTATQCLER
YQRLLDEAEQKEAGELGLGGPDGGETKAPSADDVRRLRPGEVDPDPESKPARPDTIDLDEDEKEMLSEARARLANTQGKKAKRKARERQLEESRRLA
VLQKRRELKNAGINIKIVNRKKGVMDYNADIPFEKAPAPGFYETGDEQMLNEKEREAFDPRKQQLANKRKGDQDEDPDRKRRKGENEAPSASYQAAM
KAGQQQKIREAEQSSKRRSLVLPAPQVGEGELEEIVKMGMIGERANMIARSSENDATRGLVNTYSTVNSGAPIRTPRAPAQEDHIANEIKNIRALTE
TQSSLLGGENTPLHEGAGSTGFDGVTPRRQQIETPNPMATPFRQGSNGIGQTPMQPPAIPGQTPMRTPRDSFALNANGVMQLVGGTPRDLKLREMSI
KHKLKQGLASLPKPKDVEWELELPEEQQELMGTEELSEEDAAIRDERNRQIREAQEAIEFKRRTQVIQKGLPRSTAVDISGLLLNASQVSHPILATI
AREAALLEANDAIKYPVSGTKVRGTPGPLAVIEDDDLAIARLLITREVPESVANSGSEEFQKAWREAKTHSLLPGISGYEDEVDEHQILVQTFDTVQ
ETLAATAEKGNKLQKKLALHLGGYQKRANTLRQKIGEASSALEKADQSLDSFRTLQISEEAAISRRLEALRAEVGFVATREREAQDLYRERKEELLN
LTGVTNGYH
>RCO7_04481 | uncharacterized protein
MSTPEKDHTSKIVQPAIPSPTHGPGGSFSVEAKIFIPDTTPAAVLAVIRDTSTWERWNPHTPFFRFSSSPSSPGADSDPGSDLIPPGKEGWLNLGSR
GAMSVFMSGDGLAPGARDKKTRQQVMVVTILEPLSSSSPSPTSPGEGQKRKGLRIAWKSEGYPHWQLHTERVTDLLEVDDGEGRMGTEYVCWESFGG
LIAPVVRLAVGSQLRERFGEYAVGLRRYCIASEEKDGGVVGE
>RCO7_04482 | probable transcriptional activator xlnR
MLSNPLHRFSAYNALPSSHYSNNGHLTSNHMHSGLHTLADGSQYALQQLQQQVDAHQNGQMHRSHHNKHRQHPYAPGPGNGRSVNNGNSGPIRRRIS
RACDQCNQLRTKCDGQSPCAHCVEFGLGCEYIRERKKRGKASRKDLAQQAAAAAATGGQKSPRGQSSDGRASPTESRNENGSTTSAQNESAEFRRPQ
VSRSLSLSTAGLDKTSNSAREAVLKGRIRAGSLESLAELPNVHHQPHMVSRAEADQIESPASLNINGYSSMHGYRPALNPHMMNGNGNGNGNGNGAH
NHPNFTAGQGNLPGYDLPYAIQASSPPHYPGNTPGPFRLGDSPLPGYPMGSDSASPGGWMSIPSPSNQYQQHVTSHSYNTTLRYPVLQPLIPHLGNI
IPLSLACDLLDLYFASSSSALMHPTSPYVLGYVFRKHSILHPTKPRQCTPALLASMLWVVAQTSDAAFLTAPPSSRGRICQRLLELTVGLLKPLIHG
PSSGESSPNFSNTVINGVALGGLGVSMPGSVDPEDTGGAFGAAGTLDDVVTYIHLATVVSASEYKGASLRWWNAAWSLARELKLGRELPHVAVQRSA
ENEADADGEEDDLPTVGISEEEREERRRIWWLCYTVDRHLALCYNRPLFLLDIECDGLLQPLDDTLWQAGDFYTGTSSIHITSPSGAPRIRGIGPNF
ECTGHSIFGYFLPLMTILGEIVDLYHAKNHPRFGVGFRSAQEWDDHASEIARQLDRYGESLKEFEERNLNTEENPETAMEGISNAQPANTAEQNDAG
TPSVRSVHTASSAHVSEADIQTRIVVAYGTHVMHVLHILLTGKWDPISLLDDNDLWISSQSFINATGHAVSAAEAINNILEYDPGLEFMPFFYGVYL
LQGSFLLLLIADKLQVEASPSVVKACETIVRAHEACVATLNTEYQRNFRKVMRSALAQVRGRVPEDFGEQQLRRREVLALYRWTGDGTGLAL
>RCO7_04483 | probable alcohol dehydrogenase
MSSSSVPKTTKAWTVEGKNGFESLKFNNEAPIPDLSDNEVLVKFHAASLNYRDLIIPKGQYPFGVKEGVVPGSDGAGEVVAVGKKVTRFQPGAKVVT
LFSQGHLAGSLNTETIATGLGGSIDGTLRQYGTFAETGLVEMPESLNWQEASTLSCAALTAWNALYGLKPLVPGDVVLTQGTGGVSIFAVQFAKAAG
ATVISTTSSSAKAETLKKLGADHVINYKDTPEWGEKAASLTPKKQGVNHILEVGGPATMAQSLKAIKIDGVISIIGFLGGNAKEQPSFLDALSNVCT
VRGLLVGSRAQFEDMNRAIEANGIKPVVDEKVFTLEQTKEAYQYMWDQKHFGKLTIKVE
>RCO7_04484 | related to sensory transduction histidine kinase
MASPSGSRKHARSSGESTQRSTRDGSGDNGVERFYNADDEFAAIPLGEFLELDPRPTFALKTDSDVETAFTPVFLNASLRSDRKLMNRLPFRRRSHA
SGSPPEIPTTDFQGWVNNIATVDETAPTFLHAGILWTSFRVKRWVIVSGCHVSGQVVNDPTARPGVSGGDGTPILSESSNSPSARRLEIYRREEFMK
PRRIVSSGSDNGNSLLDQQDATLEPAFLTPGTPDWTVPHPEGELSDHVEFARSIDWAATPLGDMKTWSREFRQIACLLMAHPFPLALFWGAELTVMY
NKAYAENVAGLKHPELMGTGFSGPFKELWSMVSSIFDECRITGKSVAVYNQMLPIERQGFVEETFYTWSLTPLYGGTDHMLGLLNSPFETTRQTRGA
RAMKTLLKLAQETATAKSVAAFWPKILSALSENDFDFPFVMLYSVAEDEEDISRDGSASQSSENSQTFKTCALEGTIGIPDGHPSSPQRLDLKRSYG
GFVPAFRDSIQTREPTLLTIKDGTLSETLMENFELRGFGEPCREALVCPIRPTTGENVLGFLVVGVNPRKPFDDDYQNFIHLLDRQLATSLASVMML
EAEVRRGLTAAEAAALERSRLSEELAVHKSRLQRIAEVSPVGMFSVDAAGLLLEGNDRWFEMTGHSRDKIFEMSWVETVHDDSIRILREGWKIMTVE
GIPWSAELQLKKPWYDNVTGDQVDSWIIAACQPEFWDGKLKTVMGSMTDISRIKWAENLQARRLLEAEETRRAQNNFIDITSHEMRNPLSAILQCAD
GISSSLSDIIDDSNFDAKITASIKESIANAETIQLCAQHQKSIVDDILTISKLDSNLLLITPVPVQPVEVVQQALQMFMVECQKVHDIKMGFHINPS
FKQLHVDMVTLDSSRLLQVLINLMTNAIKFTKSCAKRTIDVSIGAYLEPPEEEDPNFQYFPTKKARMDVTTTSDWGDGDIVYLRFEVRDSGCGLTPE
EIKRLFNRFSQASPRTHVQYGGSGLGLFISRQITELQGGEIGVASQEGIGSTFAFYIKARRADTQQPHKAIQKRVGSELQSKARLVLNKPKSEEENA

GSMSTLLQLRDTPPLSNSNSNSDPTDWHILIVEDNLVNQRILAQQIRKLGSTIHVANHGGEALDLIKETRHFRGREHDGIALSVILMDLEMPVMDGL
TCVRKIREMEAHGLIHGRLPIIAVTANARGEQIALARDSGMDDVMPKPFRILQIRTKIEAFRTRLDGKGKYEERTIGVGV

>RCO7_04485 | related to histidine triad protein member

MEDYVSDPESLVPLFRLERVLKQDEAGRRTILLGKVNSKPSLLILERAPFPSSEAYLSQLPSTLQTLKNLGANDVYFWYLATSTPYSTTDPAEEFAD
LKINLIYPCTKQHIKKYSKQAVRMVVETPDIYRRSVKPYMLAKREQGRLNWVYNIIDGKTEVEDVIYRTPPGRDGDEGFLLLPDLNWDRKTMESLHL
LGLVERRDIWSLRDLKRRHLPWLKHMRDKLVEATVKMYGEKGVERDTLKLYVHYQPTYYHFHIHIVHVALEAGATQSVGKAIGLETIISQLETMGGE
EERGMEEIELHYTVGEASELWTELFAPLKKRQSQTSTQRSDTASPPQ

>RCO7_04486 | uncharacterized protein

MTSHLPTSYARDSKDPDMYSEEKGSTMINRPSARRNRPFVAAFAAVGLCYLLWKTVSDPQVFRFPCHGQTGPQVSMVDSVAAISDNAKDLGEKKRVP
LEAHIMSKCPDARDCLRDMVLPTMQQVIDKVNFTLSYIGTQVFYLPRFSFPELTCLLTVPPITMEYPVCMGPKSAWETLLSYVLQSYTPIQRYT

>RCO7_04487 | probable pathway-specific regulatory protein nit-4

MADIKDGVQMMTQTVGSGESFDTNNHSGGSAVKKQKSRSSRDAAASKRRCVSTACIACRKRKSKCDGNTPSCAACSSVYGTECIYDPNSDHRRKGVY
KEKIDSLKTKNSTLQTLIQAILNAAEDDVPALIKQIRTCESLDDVADNIIRLEQGLEDDEDEWDNNAAYTMSNMSTFETELSGKMGELRLENGSVRF
LGGTSNLIYLDPMSDDEAIAGVEMIQQQEDPLTSWSAVTTDTELIVHLINMYFTWHYGFFTTLSKSLFYRDFLLGKPRGAPKRTVYCSSLLVNAMLA
LGCHFTSSPKACTDPSDPSTKGDAFFAEAKRLIVENDEYEKPKLTTIQALCLMSVREAGCGREAKGWVYSGMSFRMAQDMGLNLDSGGMTNNRETMD
EKEIDARRITFWGCFLFDKCWSNYLGRLPQLPVSNITAPKYDVFPEEDADIWSPYTDTGVGQLHSQASRTRAVALQLSRLCEISSDLLTFFYHPQAL
ERSIGRSQELKKLSELQTRLEAWRRELPKEMEPKEGQLPNILLMHMFFHLLYIHLFRPFLKYNPSTSPLPTHVSPRKLCTQAAGSVSKLMRLYKRTY
GVRQICNIAVYMVHSACTIHLLNLPEKMAKRDIVHGVKQLEEIAEDWLCARRTLSILSVLARKWKIDLPEEAATVFARTDSKFGFFSTADVPSPKHE
LVVATPPSNNTSPPRAMYALPQQRTQTRPQTQLQQSLYSYLPDSMSNAAITLPIATPINQVNNAQNRQNFANGMGSMNMPSQPISSTIPYARHSYNT
SASSMTKPTMSPNNGTPRNDSGVTSEASGSTRQVSPSAIFGGVDALVESQDWWLRDQASLALGFDNWMSTGTDLTSNETTLPGSGPAEMANSGYYMP
PNLNRKREDAFGDDDWYQ

>RCO7_04488 | related to multidrug resistant protein

MADSKGTLSRSRRNTSGAASRRSRASLPASLHRIPSHGAYLDDHAHYYGHSYHGRHDDDHEAHEDEESTDDSSLTDHETKEYQDGDIVPEVRDGIED
QRDVEAGPTLEKSRTTKSRRSAQDPNLVAWDGPEDANNPKNWRRGRKWAATLIVSSFTFISPVSSSMIAPAVNSIAADFNITSDLEKSLTLSIFVLA
YAVGPLFLGPLSEMYGRVIILQISNLFYLFFNLGCGLAQTKGQLIAFRFLSGLGGSAPLAIGGGLLSDLFTAEERGKAISVYSLAPLLGPAVGPVAG
GFIAENTTWRWVFYSTTIADAIIQVAGLFFLQETYAPVLLHRKKKQMIKDTGNEALHTEFDRPDRTIVQTLRISLSRPFKLLFTQVIVQVLALYMAY
LYGIMYLVLSTFPGLWENDYGESVAIGGLNYISLGVGFFLGTQIAAPCQDRIYRTLKKRNNGVGKPEFRVPLMIPGALLVPVGLFVYGWSAEAQTHW
IVPNVGAALFAAGTIIGFQCIQTYIVDSYTRYAASAIGAATVLRSLAGFGFPLFAPYMYATLHYGWGNSLLALIAIALGWPAPILLWKFGEKLRKKS
TFAAG

>RCO7_04489 | related to tRNA binding protein ARC1

MSSFTNLIYSDTEQTEINQWLTTSDRLKSTAGTKDQKPLLDTLNAHLASRTTLLGAKPSKADIALYESLAPQVFSWTAEQRTGEHGHPNIVRHLDFV
QNSPVFALAVAADKKITVDAEEILYVKPPVDAKAEKERLKKEKAAAAAAAAGGETVLADRTNEKKDKSVSENIVEKVEEVKVAVVAAVAGNGTAQPE
QQQKKKEKKEKAPKPQKAPAVAAPLSPSLIDLRVGHILKAIKHPEADSLFVSTIAMGDKAGTDDTSEYEGQVVRTVCSGLNGLVPLEEMQGRKVVVV
ANLKPVKMRGIKSCAMVLAASPRLKEGEEDNHAGPVELVTPPSDAPAGERVYFEGWQGEPEGQLNPKKKQFEAIQPGFTTTSDLGVAFDASVVKEMS
KEGEEPKAGLGKLVTASGGICKVKSLTNGIVR

>RCO7_04490 | uncharacterized protein

MSTTSAPPATSVGVAPWRPLFLSHVSKMASPEFVFSSLHPAQSKDSPVPYLPRARYCVFRGMWAELPENKRNTAPQNERVYESELLTLTTDVRMEKV
PEIFASSAGHGKVSQSQGSGGGGPVEAVFWIKDVGTQWRIRGEAFIVGRDIEGEGDESSGVRTVKSEVGGRMRIVKEEGKEAWSWSKELTAHFGNLS
PGMRGSFKNPAPGTPVGVPPPDKSLALGQKVDDNEDEVARKNFRVVIIKPEVVEMVDLTNPEKARRWKYTFVGPDAKDAGEHAEIIGEWKKEELWP

>RCO7_04491 | related to multidrug resistance protein

MPRSAVTYASTLRLVNFRCLMHLTILFFQSFFTYSVVDKGTEEQSPEEVHGVLSRVLFTWIIPILFWGYTNVLVDIDLQPLSQDIKPDRIRYKMIQA
WSSRGHPETYKSLPFALLKCVKSHFLAAILPRMFLTIFRYSQPILIQRSIRYIASYPKKTNSSDGYWLLASAVGIYTGLAISTSIYGNCVNRLELAT
KSALVGLIHDHTMSLPSVSYDDGEATTLMSTDADGLVDIGTIVHETWAQVMEVIIGMILLASEVGWIWPLLLVLIYLCSHMSRFVAKRLRPFQKEWN
NTTQSRIAATASMLGSMKVIKMLGFQHSLTRCIGDLRNQELRAAAKLRWVMVLYNASANALGIFSPAITLVIFAVMSKAQGHSLDTESAFTTMAILS
MVTHPANMVMTIVPRAIAAFAGFDRIQTFILRPSLRDTRERLPESTAYKSYRNSTSVDTRSPKPAIRVDQLRIGDQQPILDNIKIDVASGSLFIISG
ITGSGKSTLLRAILGEVIPSRGTISTSAQRIAYCSQRPWLPSGSIKQVIHGYTGVSDNSPVDETWYRKVTEACCLIRDFDSLPDGDETQIGSRGLKL
SGGQRQRVALARAVFARCDIILLDDTFSGLDGETEQTVFDHLLGPKGLMRHLKTTVVLVSNSSQYFQIAEHVVVLGDNKIMIQGDWQTMKTNAKAIA
KFSSPKHDDEEHVLSQNYDRLRAQTTARDEAEIDLSRQTGDSSLYSYYFSFIGFGKILALVATAFTYSFFITVPQYWLELWTGSKGTSTSFYVLGFL
TLSMIAWISTSAQTWILLTQISPQSGSRIHQHLLKIITCAPLFYFSKTENGAILNRFSQDIQLIDKKLPLAVQTILVQEISKLFMQVILLFHSQKLL
AFSLPVSMLLVYIIQKLYLRTSRQLRFLELESQAAVFSSYLESLEGLETIRSFGWSKAVMQHNTKCVDKSQRPEFLLRCLQRWLNLVLDLLAAAIAI
SVIALAVLFQEQISGAKVGVALNVMLVANTTLLKLVESWTTLEVSLGAVARLKTLEDMTPIEGGISSKLDPPDSWPSKGHVEFRNVTASYGPESLAL
RNISLNIPAGQRLVVCGRTGSGKSTLLATLLRLLELQSGTIEIDGVDIKNVTLDLLRQRCFITVSQDPLILLNETLRFNLDPESFASDNVLIDCLRK
VGLWPHLASSDSESDGLAATVINLTPIDEHQTLDQKISQFKDLSVGQCQLLALSRAIIKASSLRLAGIQPVIILDEVTSSLDLETESTIYRIIDEEF
TDQGLTVVIVAHRLGVLTKYMRVGRDDVVFMADGVVGVDTSLQALNSDDVHDYL

>RCO7_04492 | related to component of pre-mRNA polyadenylation factor PF I

MDVDEDDDFYAPEEGADDTTEVPEETEAAPAPEAKPEQQDEDLEEGEEEDEAVSDDSDSDIDIITERKDGSKAAPPSQPKYNEIRNISQRTTGNEVV
AKPTVDKKEKGVKKETPQVSGADLPGISTSKIDVNAKPIYAPAGKPITQVNIDEDLNENDKPWRRPGTDISDYFNYGFDEFTWSLYATKQESVRSEF
SPEKMAANQKKMLDDMNMMMSMGAMPGMIPGAPGGGMPGMEGMTPEMLQQMQQMMGAGMDPSQMDPAMFGQGSAGGGGQAGQNFGGQGFGQGQNQYG
YDQSMANSGDNRNRGGNFGRGRGGRRGGGGW

>RCO7_04493 | related to NUP49 Nuclear pore protein

MALARSASGPGGLSINTNSANSLFGSGTTPASGGMFGNTGASKPGGLFGSSTATTTAPQTAGLFGSTAAQPQTGGLSGSNPPASQAQTGGLFGSTAA
STQPQTGGLFGATHPQQSGGLFGNTSTTQPAQTTGLFGASTTASQPQQAGGLFGAAPAQSAQGASGGGLFSGLNNQNQAKPATSLFGSGLGSTTQNQ
QQPQHQQQSSSMFPTLNQNQGGGLFGSTLGGGPSLGQSTNQQQQTIPGVRIDVSQLRGTTRFNDLHDDIQKQVKLFDDVIQGQMRLKDDCEAIMPAH
SNQLNQIPNDVEFCRRKRIGVENAQDSDAQAISIVQKLIKVDAEHAKLSFKAVNNLKLPTQYHNAGPWSGNPSANEGRGQENGDSNAQDIVSFFNQT

ADELAATLNTYQKHIVEIEQHLRSVEANSAQQINALVAKRNGTSTGQEDARSELIAVLNDFEQGMIAVASKVGGSREGLQSLQLDGFGASQNGQRNG
RRNGLY
>RCO7_04494 | probable alpha-ketoglutarate-dependent taurine dioxygenase
MAPTLEVRYEERASSTALPSKAKPPAVSSYIPGRTVVKKHDETYKYEDLKPYFPNKVWPALEEVPYTDKGHLGSPTFKDLLSTATDVFDYNPKIGTE
IHGVDLSTLSSAAKNDLALLIATRGVVFFRNQKNLTIDAQRELGAYFGKLHKHATTSVPKRGDLDDVHVVYTDEKSQDQRAMFTPTFLWHSDVTYEL
QPPSYTSLKVLTGPPRGGGGDTLWSSQYAAYDSLSAPMQKYLESLTALHSSHMQAEGTRAAGRTVRREPIVTEHPLVRSHPVTGWKALFFNPGFVTK
IVGIPKVESDVIIGYLNEVVATTQELHVRFQWGEDDVAFWDNRVTNHSASYGFAPHRRHAVRVCSQAERPTLAPDARSQEEDLAEKYGLPAVNKDGS
KQSNYND
>RCO7_04495 | uncharacterized protein
MPTLSTTYLIPAILLNPPFVLHLFNTFISHMKPPPPSISHSPHSFMESIGPIRNAPPYLDMHADEQLCWGYTVVMVLVQVLAFDRVNDNRVRRKSAK
AAKLERERIRKEKLAILKAEVRIPAALKVNGHGNGNLDGTCETPTQQNYSNGATNGGLAKEDSSDERSDEAMTETSEEEMIP
>RCO7_04496 | related to Golgi SNAP receptor complex member 2
MNTLFNSALKQSTSLKRDLSSPTAGQPLSASFLGQISASLTSFSRTLDSYAELIKSELNPSKKEKAEERLKSFRAELQSFREEFKELKLQNEEVQSS
VNRQELLGRRPHHTATPDNPYSNASVASNANVSSPWAPKEGGQSSLSMQSGDQARENHAFREQNFFANTHTALDEYLARGQAVLGDLGQQREILKGT
QKRLYSVANTLGVSGDTIRMIERRAKQDKWIFWAGVVIFFGFCWLVLHYLR
>RCO7_04497 | uncharacterized protein
MQFSTLLSAACILLFATASVIPSSLVMRQSSKSRINIAPLLLGSCLAIGACYYNADEQGCTTTGCGSQSMLGSICSCNMNVQKALDAQLEKGKELWP
VKCPY
>RCO7_04498 | uncharacterized protein
MMVSIKNVFLFTTTALAAAVPSAPGSKVVYSDLVTLDNSVLSLKASIESYTGGLLTATPVLGGITAVHLANRKAYADALIISNASLADSQIIVDFVS
DTLAKHIPDSVEILESKKALFKKDQLEGTVVESLKLLKFDHDTLSAALVKKIHPKVLPQAAVAVKVIDDALAEGIVTFPT
>RCO7_04499 | uncharacterized protein
MIYCLLLSLILLSWTAASTSPALPPIHYTISRRSGSFPAPDTANLTYLLEELKVVEARFNTTTRGFSGNKVVRKPKRVRGTQGNTSLLGEVGRDGNW
FANLKIGDPAQTIDMDLDMLTADWWVMSTSSDKGSWFLDFNSKTYVDSKTPLSFPTCRGPTDVVHLPTIQRPVPISFAHCRPAKQWLRTLLPSGAYL
GLAPSTSLSQTKTVGLVQQLVETKAIEIPLWSVLLINGREGIFSIGGTSAASVRRAGKETDELLKPGQHDEMKRNTAEVETEDDPKEWKWLKVQGAE
GWWQILLRGIWVDSVKVMENQPIVLDVNTPFIVAPPLAARSFYSSVSGSRRISPPYDQFRAYPCFNPPKIDFEFVQWNIQVLGGNRDRGTYSPGGRF
SLGRMATGSGYCIGIVVESRMGVGTALTGEETGSTVIVDAGNGLSDAWIIGEPFFRDVQVAFNWKEKKVGMQKA
>RCO7_04500 | probable CDS1 - CDP-diacylglycerol synthase
MAKPRRGVKFNHRNGNSSGADGRRSSFSDISEAASEPGSPTMGKLGIDGAFDQVQPSEYEKKKATFITRSIWTFVMIGTFFGAMFMGHIYIIAIVTA
VQIVSFKEVIAIANVPSRARRLKFTKALNWYWLATTMYFLYGESVIYYFKHIVLVDKVLLPFATHHRFISFVLYVIGFVFFVASLQAGHYRFQFTQF
AWTHMALYLIVVQAHFIMNNVFEGMIWFFLPVSLVICNDIFAYICGITFGRTQLIKLSPKKTVEGFVGAWFLTIIFGVIMTNVLMRYKYFICPVNDL
GANIWTGLQCTPNPVFLPRLYHLPIWFPFFKYFYMAPMQVHILVFGTFASLIAPFGGFFASGLKRTFNIKDFGDSIPGHGGITDRMDCQFIMGFFAY
MYYHSFIAIYKVSLGGVIESAINGLTAEEQMELVKGISKHLYNQGVIPEKVLDCMNSVVQRR
>RCO7_04501 | related to protein UVS-3 (presumed DNA repair and checkpoint control protein)
MAGLDDGDSFFGDDDLDALPEDTLQDLENNAIQFTQAQTQARIQPAPSSDYGDEFDDEDLDDAVVIDQSRTAPLIPLYRNRNLSGHPPQRDQRRPQQ
HPTPSPVLPNRQHPNPPPQFNEPSRYQPQQIVRQNNVFRREQGSAPLPQPNSEVERLQSIIEELTKERNSLKNDVNSKAGEISIVRTKHETTIKEYE
REMAAQRKLGEDKLAKQQKALEAARIAEKNAATERDFIKRDLAEETELVRKLNKARDTGKKGLDVVTPKKKKANPLRDGFDDDEIEIMSPSKLSPSK
FQKRNVGSPSKPGKRKRKAVESPAGALQVIHSEESTESIQQAPMLDEALIARLGIQDDRFDFLGMMLDHRVNGNGVRTFEELGKHAYPSAPDESFQA
IILGKIPSLGFKKTSKDLEVDFCQLLVTMWANCVEESHYAPVYLLIDMLTFALELSAYAIAPNIIDSLVLVAQLTADRVAIKRFQKCRDPLEKYIDV
TACMSLLYLAAQGCMHDQEHITRFWRRMRWDLVLFMLSTNQGLTDMCLMIDLLSTSITPETFGAAATEMTYFEQTNHTLNKIAWHLVETPATLLSIE
GEEPAGTTVISENWAESDIYKLRIRLLHLLIAMSRSSFACGILESNDLFIGRLVSLLSDEMDALARIITLGFRLLYHLVTKYENIDMQKKLSVIAGG
PQKYILLLSRLHFSEDDLVLESLIEPDIARLAFELLGLLVTPEEGDAIHDAFSST
>RCO7_04502 | probable monosaccharide transporter
MAGGALHATDNIEHTEAPITLKAYLLCAFASFGGIFFGYDSGYINGVLGSQVFIDLIETPGAEALKSSNQSLIVSILSAGTFFGALIAGDVADRIGR
KWTVIGGCLIYVIGVIIQMLTGLGGSSHALGLIVGGRVIAGLGVGFESAIVILYMSEICPKKVRGALVAGYQFCITIGLLLASCVVYACENKTGAQS
YRIPIGIQFAWAAILAGGLLFLPDSPRYFVKKGRLEDASRSLQRLRGQPGDSEYIQNELAEIIANEEYERSVIPNAGFFGSWASCFSGSLFKQSSNV
RRTILGTSLQMMQQWTGVNFIFYYSTPFLKSTGAISNEFLISLIFTLVNVCSTPISFWAVEKLGRRPLLVWGAFGMLICQFLVAIIGVTVGFNHTHL
RGEETIANNISAVNAQIAFIAIFIFFFATTWGPGAWILIGEIFPLPIRSRGVGLSTASNWLWNTIISVITPYMVGTEHGNLKSSVFFVWGGLCTAAF
IYAYFLVPETKGLSLEQVDRMMEESSPRTSSKWVPHETFASAMGTHGHNDDKPTVEHDVEKRAAY
>RCO7_04503 | related to related molecular chaperone
MRPSLSLRRQLAQVIAPSRNFTTIVPRRTQLPIQVCCRCSRNSHPSAIQTRPQRRWRTTSSTQQSEADASIKANPIPQTHYEFFPKTLSSGPPPSGP
FQIDTRELRREFLQLQAVAHPDRHPPNLKTRAEATSARINEAYKTLQNPLLRAQYLLQLRGIDVAEDESAKVDDPELLMEVLDAREEIESVEEERDL
EGMKGVNEERIRGSEEVLDRAFREDDLNKAKEEAVRLRYWVNIKESLDGWEKGKPVVLVH
>RCO7_04504 | related to PTC7 - 2C protein phosphatase
MVSIERLAGTAGRTDTLQLVAFTSPRIYASRKSLSTRIQPFCSPTNLHTSKQHLPRSPQPLYRCFSTSQSSLSNPKFSYGIAASFTAKDRRYNPDTN
VFNFNPYNHIRARRKDKRTRPASGQDAFFVSRVGESSDVALGVADGVGGWVDSGVDPADFAHGICDYMAHAAYTHKAEEWNPPLGAQSLMQRGYDDI
RRDDSVKAGGSTACVAVAKGDGKLEVANLGDSGFVQLRLNAIHDYSDPQTHAFNTPYQLSIVPEKVLAQAAFFGGEQLRDMPADANISQHELRHGDV
LVIASDGVWDNLSSQDILRIVSKVMLGAKAWQHTDGGVGVGKNLSDFTVSNNGKGPAQNIPSLQSFLAVAITSQAKSASMNNRVDGPFAREVQRYYP
HENWSGGKVDDICVVVAVVVEEGK
>RCO7_04505 | uncharacterized protein
MDFSNRETGMTEFLEGLRDETISTERSQSNAESHQFCNEGMGNFLDQLEDYDEAARIEDEAEEAGRLLKAKKPAKTGKKSRGARILNKMLGRDNMEN
APAQDSSKPGAEPESSDETCYRDQRPADDDFGLKPSPYVHPLEYNLAARDEVVHMNPANDLISAKPELVEGIHVARHRGLAHKALFGRSQSQENFPT
TLKGTSEGDRRTSNESDYIRFQNSMNTDNHPNSKKPLKFQECMNIPRFTDAQEHADVSPEHVFLDIQECTKIQRSTNTRRRTEICPEQAPPSPTQSQ
LERPPSKTYEEYTKRFRNEELEGLVEYCSPDELHDPSWRQYLESYSRGHFNMSEPPHPPNFRLGFEYLPSFLPPGESSRIQMSSEYEVLWPEWGQEK

AADLIRLAMRRFGTSSVSLSFFDEAYEIFKAEAGYNCSHLNRAESFAAHCLFSKDVLVVLDTEKDWRFRKNPLVVQLPKIRFWAGAPMISTCGEVLG
VFAIFSAKPRASFTHVERRKLAEFTDLVMQDLKAQLETLRNRVRTTPLLDRDTFDYVPKRPKSIQSVTGSSGIDPDLVPPALTYHKIKTPKPQQPRS
FSSRASRDPLLNPSEQTPPSSAESNNGYFDNLSNLRTPDNHCSGEFLMTQEKSFNNSMVFYPSGLAMSTHRPFSDSDLTSLYPHPPNTPVGEKSERE
LSTNPKFVFDWSDFDKPTDEHCAESIEDSGSDTAAAIRRTNPRDLAGSTIMQPGVTPVEGCVPHIGSQRGCGTDGTEHGSGGTYQRNAGFGGDKFLI
RSNSFTRNVTKPTDGGHFLDAPRGQVSSQATPTRNGLRTDTQDPLIDSTTSSEKHHATCQVDERNMVPFHQPSFSIGPSVTSGWSMDSEDLREAATA
CALYFRDLGYDLIYAVEIKPKTQFMSDEEILKAGGLQKRILVSHGLDHAKDLSSATHLRALRSRGGEYWYNPAGAEGGYQSGRLISIHSDDGGPITK
RSSGIVLGAIRMSGRATNGEMLSSAAELERLTNFGRMLKNILRPSERAQTRSNIERPYPTNEAEDLYTKTQSFNDSRSRTY

>RCO7_04506 | H+-transporting ATP synthase

MFRNALRQSSRTVGAISASGRVAAGRTAAPAAFNAASKQIRGYASADKASPTEVSSILEQRIRGVQEESGLAETGRVLSVGDGIARVHGMSNVQAEE
LVEFASGVKGMCMNLEAGQVGVVLFGSDRLVKEGETVKRTGEIVDVPVGIEMLGRVVDALGNPIDGKGPIKTTEKRRAQLKAPGILPRHSVNQPVQT
GLKSVDAMVPIGRGQRELIIGDRQTGKTAVALDAMLNQKRWNDGTDESKKLYCVYVAVGQKRSTVAQLVKTLEENDAMKYSIIVAATASEAAPLQYI
APFTGTSIGEWFRDNGKHAVIIFDDLSKQAVAYRQMSLLLRRPPGREAYPGDVFYLHSRLLERAAKMSDKHGGGSLTALPIIETQGGDVSAYIPTNV
ISITDGQIFLEAELFYKGIRPAINVGLSVSRVGSAAQLKAMKQVAGSLKLFLAQYREVAAFAQFGSDLDASTKQTLNRGERLTELLKQKQYSPMAVN
EMVPLIYAGVNGHLDSIPVNKILQWEADFIAHLKSNESDLLATIDKEGALSKELEAKLKDVVTTFTKSFA

>RCO7_04507 | related to lysine 2,3-aminomutase

MASLSHRSPTGIAYLKISHLGRCRTTLSHFARSFKSVPNRRGPSGLEGDSKIGNAMGSNQLYLLPQTGICTPTPTSLLKPTLPLAFPYEHIRAPSLA
LNDQKESPAQDLLNLQRGAQVEPVATPAYYIGSKFDRIPYWQKIGRWKDVSEEHFLSYKWNTAKDVQGKMKLYGFLQEMLPEMIPAKGQQDPNISRE
EFIKDVMDGIAMAPMSIRLTPHILASIDWENPLNDPLSKQFIPKKSTFQPDHPRLTLDSLHEQEDSPSSSHCPLYCRYCTRSYAVGADTETVSKASL
KPKRARWNTMLDHIANTPSIQDVVISGGDSYSLTPDHLRMIGDRLMDIDHVRRFRVATKGLCVSPSRTLDPNDGWTDELIRLSEIGRQRGKHVALHT
HFNHPNEFSWVSREAAQKLFQNSVVVRNQAVLLKGVNDDAETMGNLLRELGDSNIMPYYVYAGDMVKGVEDLRTPLQTILNLECQLRGSIAGFLMPQ
FVVDLPGGGGKRLASSYRSYDRKTGVSTFVAPAVKGLRKADKVYEYFDPLDSVQQSLPEE

>RCO7_04508 | uncharacterized protein

MLEHTFSSTLDAHHSASAASFSSSGLSTDLKVEADIECDTNHTETPLSPRILYAQSIGCPGSSRSLPHTQRFRKNMKEMTGFGTTEEEFDALPLVLR
RKVRVVKPLSFCLNLLSLLQVCKKPICDQFESFSIFLRRTPKLAVGVAPGSRSITITSAYYFLQSRSDFCALFYVVVRTGIKDGSAAILAIDTPSAP
PSIIAVLFQIEYTGAASSQSHTPTPTPFLPTRQPVSLPRPPFRWRPTTCSSRRRLLECTMLLVFLNVKFAGSGDYFSTLERLRFAQTPRTNALHELP
IQSHRKSSIADRRGVNVTLIEPRRNPSRRQWHLARQHSVSDPEASWFLTLPDKIKNKHFSREEQVLLAGRLRGSVILDAADEAVFKANRRASRIVPV
TPLFDESPPGTPQSSTGSHRSNIQQENTSNMTAQMYESFRWMDEEQDLDLKLALDDYHANLDGVVIPTPSSVIRPSFRRQMSVSKMPFGRNSLPPKS
RSPLTPTSEPSINNGRNRSRTMSLIQPKNVAQPPTATIDPNAAHYQDPEARLKLRVYLASPQKFDEAIEFGFPSLDGISDEVDKENKPPSHISKEVS
GAKKLLGLEGDQSFLSDDMSSLFDDDVSMADPESPLTPRGDTGFRSQNNSIATSGSKDSKKSSSDYSHLGISKPMIVKQPEAYTHLMAGSREMTLRM
TLTRPDLRADETTIYAWQRCKSPLSEGPSSSIDEKSDIRGPLGGIDGWGPDRETGVVKRFWNKVKSSQRRTA

>RCO7_04509 | related to carboxypeptidase Y-sorting protein PEP1 precursor

MRLHTATGWRSLLLSTLLYTGVWAKKEKPTVKSTKFNFLPKNVNYFEDSNVLLFEDDFHNDVYRSTDAGATWNKLDEGKGKMLEISMHPFDKKRAYI
ITAEKTHFKTSDQGKTWEKFETDAQATMFDVALTYHAGDPNRIIFNAMDCTGIFCSELTMYTLDGFAKPPKVLRRDTSGCHWAKSSELFKTGQKDLD
NDRILCVVKGKFSPWRKDFRLLISDNFFQSKDGTIQEFEPQLESGRTVQGIVNMAVSHPFLVVAATADKTDEMALYISDDSIKWHRAVFAHDNKLVE
EAYTLLEGTNYSIQIDVMTGRDSNPTGVFFSSNSNGTYFTRNLEHTNRARDGLVDFEKVYGIQGIILYNVVENWKDVDQKSNTEKKIISQISFDDGR
TWEGLTADKDSLHLHSVTELSNSGRVYSSPAPGIMLGVGNTGKHLKGVSDANLYVSDDAGLNWKKALDGPHKYEFGDQGSILVAIKEGFHKEVRYSL
DHGKSWEKMDLPEKIRPIQLTTLQDATSLKFLLEGVAEGEDGKSGHLVVLNFDDMHESQCKEDDMEKWYARVDSDQKPTCLMGHKQWYNRRKPDADC
FLKKEFEDPEVHSEQCECTDADFECDYNFIRSADRKECEKAGDLIVPEGKCKAFGPDDTFKGSSGWRLIPGNDCKRAEGKQKDDPVDRKCVDAVGAP
SSGKPGDAFTTKFEGKTFMDMVYLERAGISQGTDETVFVRTEAGVFWSTDHGKEWKQIFKDETILSIYPHTYNNDMVFFITKTEKVYYSTDRGRNIR
DFKAPHKPNDKGSPLMTFHPKNKNWIIWIGGKGKCPGPECEAVASLTTDRGEGAWKPLERYVRKCEFIAEPQDNYRVPGPKVDIDKKSRDKLMYCEV
RTRESNEDANNSWKLVSSDDFFVEKETHFTNVVDFATMSEFIVVATKDESADTLKAHGSVNGLTFADAQFPYNFKVAHQTGYTVLDSSTHAVFLHVT
VSIEDGLEYGSIVKSNSNGTSYVLSLDAVDRDKKGYVDFEKMFGVEGVAMVNVVANYKAKNFKKEGKKLKTMISHNDGGEWAYLKPPPKDADNKQFS
CSDSNLEKCSLNIHGYTERSDKSHTYSSASAIGLMLGTGNVGEHLTAVKDADTFMTSDGGVNWKSVKKGSYMWEFGDQGSIVVIVKEREKTKVVYYS
EDEGDTWKEKEFAQNELKIYDLTTVPSDNSRKFLLWGHDGSSLVTIHLDFTPLTDVQCKLNEYDPEADDYYLWIPKHPSQEDDCLFGHVTSYHRKRP
DKKCFNGPLIPNLYSIERNCSCTRRDFECDFNYQRQSDGSCALVPGLTPLDHSLICKEDDNLLEYDDPTGYRRIPLSTCVGGKEFDKSVPHPCPGKG
EQFKKKHGVSGFGIFFIALLCIGVAAGVGWWVWTNIGNFGQIRLGEQSTASDDEPPYVKYPKLVLITIVMVVTGAAALVSSLWRDARTTFGASRPAR
FTTRDSFARGRDDYDVVDDDEGELLGEESDEEV

>RCO7_04510 | related to replication protein A subunit

MANYGYQTTTYGAQGGADGGGFMGGSQQGSQESPGGNKTYGKETLRPVTIRQIIDAVQPHPDADFKIDGAEITQLTFIGQINQISSQATNTTFKLDD
GTGLIEVKQWVDTDADPEAAKDLPKEGEYLRVWGRMKAFNNKRHVGAHMIRPVKDFNEIGYHLLEATAVHLYFVRGPIDANGGNGAVKGEGGGLFVD
QNGGGGSTTGQSKALSMKISPTAKKVYEHLKNSPQNNEGLHVHNIAQEMGIPASLIFKAGDELLAEGAIYTTVDDETWAVLEY

>RCO7_04511 | uncharacterized protein

MAGLNSSNTSTIIQEKKRSVTLFSDEEVRILGISEYEEAAKCLAEAFAVDEVARYFIDTDDMVTFSEEYKYKMHCDIMRYITAAHCYKGIVTTIGPD
YGAVALWMPPGKNMDDLWTILRSGMWRLWYKLSSEGKKRFYDEFLPLLHDTKHNIMGDRDNDSYYLVYLGSKPSARGKGYARKLIEHMTVTADLEGR
ATYLESSAANNLSYYSKYGFQHITDIELKRGADPIKLHIMVREPQSMAESSKGSAKIRSV

>RCO7_04512 | isopentenyl-diphosphate Delta-isomerase 1

MSATTTVTQVEPITAQSILRLFPDIDTSSAELDGHDAEQIRLMDEVCIVLDENDKPIGNFSKKICHLMTNIDKGLLHRAFSVFLFNSDNELLLQQRA
TEKITFPDMWTNTCCSHPLGIPGEGGVELEEAIAGVKNAAIRKLDHELGIPAAQVPIEKFKFLTRIHYKAPSDGKWGEHEIDYILFIKANVDLKPNV
NEVQDTTYVTAEGLKKMFEDPALKFTPWFKLICNSLLFDWWEHLDSGLDKYMNEQEIRRM

>RCO7_04513 | uncharacterized protein

MGKSKPRIRNKNRTNPAAKPITDPELAALRDQRILPVLKDLQSPDLKARSAAARAITNLVEDQKSRKLLLREQIVRILFEQTLTDSNLETRTDGWGI
LRNLTLEEEPDFCIHLYRQDVLTAIDGVLKTIVQTIESQDTPLQKLPGAQQEILWNLTSSIISLVASLAEAQEEIAEAISKDSTIITFLFGLLTVST
PSHIQNEVLSCLTILTEDNKILDQQVVDGDWLKGLLRIKDAETIDSIAACGVLHNVFVTMKWFDHNTPVEGASDAMLIPTLVKYMEHSRPQSNGTNG
HTLSSSPDEVLQLVLEITASIATSLQEALEHGSRNEKTFEGFDEPVNADIGDMEDLDIRDNGEEEDVKEEESDGEMNQDEIDAEMEMVLGEDSNEED

SPSEQATLDLLVRHVAPQLLSLARPLQDANPIQEHALSALNNIAWTISSIDFSSGHLKRLQNSWATITQSIWNDLVSPVLASNTADIELASSVTSLA
WAVARSVKGTIQIKPDEQRKFMALYQASKGLDNPSNGDPKAKDETDAFQGLGVKCIGVLGSLAMDPAPVELNREIGIFLLTTLSALPDVPAADTVEA
LNQLFDIYADKSYSFDEPVFWGDNFSKHLEEIQPKAKQLAKSIDKRKFGELRSRTDEAILNLGRFLVYKRRERKQKAEDYD

>RCO7_04514 | uncharacterized protein

MRLRSSTNLERAETSASKAEGNMEEDNDSTRAVWGSPMTQSHSPEHHFISPSPPLGEAGPSNPAPAHSHRGQQSYAESHHPGEDFLLYDSWRDDRAD
AYGYEEHGISSQSPHTHSQSDPEPYDTSNAGSQPPPPAVPSPPPNDYRRRTANEEPENRDRRLTPLQTSPPIQRWTRDPGAWSPEAPVSAERRREML
TKDVPDLDSKRDMEYDDKMQTDLSKLAEEGRKRKRARGRKSASSPDYRQGKRRDRDSDRDRDRRGGQQGTGQAV

>RCO7_04515 | probable ATP-dependent RNA helicase dbp10

MPHRASSPAVSENEFDITNALFQDDVDDDDDDVTSTFPSSKDLGDLDAGGILDLESDGDGDEAFIAAKQAASNRKASNVKGKSVKKGGGFQAMGLNS
HLLKAIGRKGFSVPTPIQRKTIPLVLDHKDVVGMARTGSGKTAAFVIPMIEKLKSHSARVGARALILSPSRELALQTLKVVKEFGRGTDLKCVLLVG
GDSLEEQFGFMAGNPDIVIATPGRFLHLKVEMSLDLSSVKYVVFDEADRLFEMGFAAQLGEILVALPTSRQTLLFSATLPKSLVEFARAGLQEPVLV
RLDGESKITPELKSGFFSVKSAEKEGALLHILNDLIKMPTGLPEAAMRAAADANSKKRKRESGGPNPRQKPTEHSTIIFAATKHHVDYIASLLSLSG
FAVSHAYGSLDQTARNQQVEDFRTGRSNILVVTDVAARGIDIPVLANVINYDFPPQPKIFVHRVGRTARAGKSGWSYSLVRDTDAPYLLDLQLFLGK
RLLMGRESGDSPNYNEDVIVGALLRDKLEATSEWITKLLGDDDDLSALRGVAAKGEKLYIKTRNSASSESANRAKEVVASKGWMQLHPLFNNATTSS
EQARIDMLARISGFRPQETVFEIGTRGKAGHGEAAEMMRARREKIVPRRQKEEDEKAAAKAEAPVEDAEMDVSLFPDEDENADEKVAEEDDDEMEVT
VTGGGNDNMSEASSADLELTFSKTAQKGKGRSLSYKDSENFMSYTPKNLNVAEERGYGVHSGSYNTASQNSNFVEAARDVTMDLANDDGAKSFAEPA
RAKGMRWDKKNSKYVARANDEDGSKGKKMIRGESGQKIAASFQSGRFDRWRKAHKVDRLPRTGEAERDGAGATSGVGRGMGTRYKHKQEKAPKEADR
YRDDFHVRKKRVEEAKEKRVGKWKDGSGKREIKSAGDVHKERQIQEQKKAKNARPAKRSKR

>RCO7_04516 | related to vesicular amine transporter

MFSADGLRTFVYGTRVGNAGPPPFLKIRSSKAFITGTIAIAIFTDIFLYSVVVPVLPFALTTRAGVKEEDVQGWTSIFLSVYGAALAVGSPLFGWFA
DRSTSRRVPLLLGLLALGGSTAMLCAGSSLAVLIAGRLLQGLSASIVWTVGLALLSDTVPKEDIGQAMGYTAAATSIGSLSGPLLGGVVYAHSGYYS
VFAMGFAIIGLDILLRLFMIEKSAAKQWLPVASSNGQEMVSGNSIMDEIQPASVPEDFARLEKAVNGASTVSKKHLPPLIALLLVPRLLVALFGCFV
YSTFLGALDSVLPLYVKDVFGWDSTGAGLIFICLVVPHLASPLVGVFSDRYGSRLITTTGLLGSVPCWVLMRFVTYNSIGQKVLLCALLAIMGAFLT
LVMAPLMAEIDHAVALEEKKKPGSMGKKGAAAQGFGLFNFAFAIGTLIGPLWAGFTVESAGWVTLGWSMGILGGVCTFTTFIWTGGRIMLRDKHRDE
GAAA

>RCO7_04517 | related to acid phosphatase precursor

MRSYHVDFGSLFCVLVLLHMVVSQGLSKAQANLMLPAFSHGSNIIMSNDDGWAEVNLRTFYNALKKAGESPVVSAPAKNKSGTGSLDGEPGIVEDGC
EFYSCPPGSPATGCNSSDPNLNYVNSYPVTSMAYGISTLSPKIFKGPPDLAVTGPNVGVNLDASMPFSGTIGAAVEAIKRGIPAIAFSGGSGEQTAW
TVPTPAYSEIYAQLATNLTTTLLKSGKPYLPEGVWLNVNFAASTSTLCSKASDFKFVLTRIWPAIPFVDPVDVETCGSDRLPQERRVVGGIGCYVSV
SVGNPNKLDAGAAAQSVALKKLSKILTCLP

>RCO7_04518 | probable ATP-dependent RNA helicase dbp4

MASLPANGQKSKPPKKPKNISRTLKRKRDVDDHETLSKAIEELDPKADVKDFSELPLSQLTASGLEASHFKTLTDIQSKAVPLALKGKDILGAAKTG
SGKTLAFLLPVLENLYRQKWTELDGLGALIISPTRELATQIFQVLRKIGRNHSFSAGLIIGGRSLQEERERLGRMNILVCTPGRMLQHMDQTADFDV
SNLQVLVLDEADRIMDMGFQASVDAIVEHLPKQRQTMLFSATQTKKVSDLARLSLRDPEYVAVHEAASSATPTTLQQYLVITPLAEKLNTLFSFIRN
NLKAKIIVFLSSGKQVRFVYESFRHLQPGIPLLHLHGRQKQSARLDITSRFSSSKNSCIFATDVVARGLDFPAVDWVIQLDCPEDADTYIHRVGRTA
RYERAGKAVLFLDPSEEEGMLKRLEQKKVPIQKTKPRQKLQQSIKNQLQDMCFKFPELKYLGQKAFTSYAKSVYLQKDKEVFNINKYDLEGFASSMG
LPGAPKIKFQKGNDTKNLKNAPRGAISSDEDSEAEEGDKKSSKEEVRTKYDRMFERRNQDVLSGHYSKMIAEDNLDEDDGLRDADEDNDFLSVKRVV
PVDNDASSDVEGIAAAGPTARIIEGISKEPIVIDSKRREKMLTSKKQMLKLKEKGTKMVFDDDGNAHQLYELEDEDDFRKRGTAEDQRAKFLEEESA
RVREADLDDKQLAKQKKREKREKRKAREAAEREESDDGEAPGLVDVGDDHDPMALFASLPMGDEDEDERPAKRPKKWFEDDSSDEKKVAERKGRIIE
ADDEPETLEDLEALAAGLLT

>RCO7_04519 | related to FAD1 - flavin adenine dinucleotide (FAD) synthetase

MNEMPLRGPEDTGDNAPTVNGHNESILPICARLAAQVNTFLETDAPTPLLKVVQEQTRVALAVINEALDKYSLEEISLSYNGGKDCLVLLILLLCAL
ADYKKGPLPRALATVYIISPHPFAEVDTFVDESSSDYHLDLARYAMPMKEAFQQYLKENTSVKAILVGTRRTDPHGQNLTHFDETDSGWPAFMRVHP
VIDWHYVEIWAFIRHMQIPYCPLYDQGYTSLGGTTDTHPNPALKANIDSEARDTKVFKPAYELTEDNAERLGRDWK

>RCO7_04520 | related to dityrosine transporter

MAQDNHLVNAEKAEELGASMQGAMIEEPATSSISWPHSTRTSSLSQHDAAQDEAHDLEALAAVTTGPVYSAFGKWKKRYIVTMVTFAAFISPTSANI
YFPALNPLQKELKVSTTLINLTLTSYMIFQGLAPTIFGDLADMAGRRPAYILAFIIYLGANIGLALQDSYAALFILRCLQSTGSSGAIALGFGVVAD
VSTSSERGKYIGLLGAGAMMGPALGPVIGGILTQFLGWRSVFWFLVIIAGLFLVPYALTVPETGRNVVANGSVPPQGWNMTILEWCQHRKEDKSLQG
LSRSETAEGRRLAQEELARGRTLRWPNPLKTVRIIMEKDMAVVLIYNSLIYTAFYDVVASIPQLFSEIYGYNDLQIGLCYIPFGCGCAFASIINGKL
LDGNYKRVARKIGFTIDRKHGDDLRHFPIERARLEIIWPILYFGLACNLCYGWVLEKNTNLAAPLILQFFMGLCINGSFNILSTLIVDLYPQSPSTA
TAANNLVRCFVGAAGTGIINIMIDSMGRGWCFTFIALVCIAASPLLGISMKWGPIWREERMVRMDKQKAELKRAQEDKETNENYLGNEAACEDAEAS
KNEK

>RCO7_04521 | related to syntaxin 18

MTDLTPILNDLLKSHDARPTADPSLSLQNIDSFLKEAYEINAGIVSLSRELRGIRQSYLSTAPPPRRSALSREGKQWKYLTDRQRDEIDAQTKGLLR
ELNARIRMLADAEQVRQNTEETIRRKKFGRLGLGTLGKWAAGGAAQSKTMDEELDAAKANEVKIHRESVLWYLREKLQDCGQFQASMMEKRIMRQIE
RNKNMISMSGMQGPELGGFENAPMPPSNPQSKSTAHLETKGQYTEEEYTPEQIQMYEKAEQDMLKHYESELDQVRTAEKSLLEISELQTQLVNNLAT
QSANIDQLVTNSFETTENVGGGNKQLKKATERKSTAKYVFYASCGLSLFLVVWDLVI

>RCO7_04522 | probable aspartate aminotransferase, cytoplasmic

MSSFATTSFPAEAVPQAPEDPLFGLMAAYRADTFDKKVDLGIGAYRDDDAKPWVLPVVKKADELLRNDPALNHEYLPIAGLATFTSAAAKLILGADS
AALSEKRTCSVQTISGTGAVHLGALFLSRFYPGKPTVYFSNPTWANHNQIFSNVGIPIKTYPYFSKETKGLDFAGMKKAIGDAPNNSIILLHACAHN
PTGVDPTKEQWKELAILLKEKSHFPFFDCAYQGFASGDLAKDAWAVHHFIEQGFELCIAQSFAKNFGLYGERAGCFHFVTGAGSDAQQTIGRIASQL
AILQRSEISNPPAYGARIASMVLNDEALFKEWEENLITMAGRIITMRKALREKLEEMKTPGTWNHITDQIGMFSFTGLSEKQVMTLRDEAHVYMTKN
GRISMAGLNTKNIDYFAKAVDKVVRETS

>RCO7_04523 | uncharacterized protein

MNHGARANVLALSSDDKLLASSGEQRVKIWDTERGFQLWALDISHQILAFKFVHEDENLAAKTQGNYAICCMRKSSVWKAPWPQPSEAIFLPKYDHL
AVNYPGHPLYVFDFVGRRFLGSLTREPESSTTSTHYTVDDLAFNPWPEINVLVASYGDGERKIYDIDGRTLITGSSRGALKIYEFAGAQGDRLLPLY
FIIAYNEGI
>RCO7_04524 | uncharacterized protein
MQEEDTTDDFRKYVDSTIDRVPNYAFGKEDLKRKILLKASGSFLWVSLVINRLAEAHSEEEAESILNESILNEVATDMNDLYARMLESVVHNGRTAL
AKSIYTWALLSLRPLKIEGLQLALKMDSQTIANLERVVSAISGQLILVNWRPEAEIVHRTARMYLL
>RCO7_04525 | uncharacterized protein
MADTSTATNTATNSDNFSPYRADGKLYGFVCVVTGAQQPVGQAIIRELAAHGAARIYACDKGSTSDYTSLIEAVATESPNTKIIGYPFNVAKEEETL
GLIDDVLNSWGRLDVWVCSSGLLGPPSLEATTPADLQKCFEANSMAPFFALKYGPPAMKKKTPKQAYPNAAPKETEYGSIIVVSSVASIYGGCWGPC
YTMSSHAALGVVRAGVAVLKGTGVRINCISPGQIDVGVDLKNFDVRGMKDQFPPSFLQSSEAQKKDIGLERPGLPIEVGRVAGFLASGFSSYVTGAN
IVVDGGASVMNPLTVPM
>RCO7_04526 | related to cytidine deaminase
MPLHTPELLSSSNETHVSQACTIYNLSSTQFHTLHERCAASKAKAYCPYSRFRVGASILTQEDQYIDGANVENAAYPVGTCAERVAFGKAITEGHRN
FKAVAVATDISPPASPCGMCRQFIREFCDLQTPILMFDKDGSFIIMRLEQLLPMSFGPEALPPPGSAGAQG
>RCO7_04527 | related to myosin heavy chain proteins
MPIIKPATATPKAPQQHKQPSRKGKKAWRKNVDVTEIQDGLEEVRDELLKGGVIAEKESIDLFTLDVAGDVGIQKKYLKGSKPLKADEIIAQRSIVP
SVSMKKRAGENTTDGIIQPKRQRTSYITHKELTRLRNIADGRQNDSLVEITEASYDPWDLQKDIDEATQDPRFSFLEKSKKKVAPSTLLHKPISLAA
SGKSIPAVKKPEGGYSYNPMYEDYERRLVTEGEKEIAAEEKRLAIIEAERIKLEASAKSAAEAEAAEARADMSEWEEDSGWEGFESGTEGVKLNAKR
PERKTQVQRNKIKRRKEEERKAKMAADNKRKNEQTANIKKIAKELAEKEALKLAVVENDDDSTEGDDLELRRRKLGKIALPERDLELVLPDELQESL
RLLKPEGNLLKDRYRNLLVRGKLESRRPISFSKKPKRKATEKWTHKDFMLH
>RCO7_04528 | probable Ras-related protein Rab-6A
MAQAGGSYNNPLKKFKLVFLGEQSVGKTSLITRFMYDSFDNMYQATIGIDFLSKTMYLEDRTVRLQLWDTAGQERFRSLIPSYIRDSSVAVVVYDIS
NAKSFQNTRKWVDDVRGERGNDVIIVLVGNKTDLNDKREVTTQQGEEEAKKNNLMFIETSAKVGHNVKNLFRRIAQALPGMDGAEGSAATGNQMIDV
NINPTPANQEGCAC
>RCO7_04529 | uncharacterized protein
MGILSRYLRIPRPGTFLYLMSLRTGVEMVSLSVIFNKLTGFFGLLAILTGVSLSPLQLSMYIYSVAALALIAFLMPHIRKQSPFECLALAWFYLFDT
VINTAFTSAFAITWFLAVSADNANQSIPIGAPGGSTVGDTAGFTSPKYNVSQVGVSTNAGEGITGGQEAVAYGVTSAAAVTATNPSLAHGVGIEESL
PSIIVVTFLTMVRVYFIFVTMAYARQVLRQHMYTTSSAKLHLHMDGASEGRSDNPFTAGSPTGAGWRGKLGRIMVMIGENYWLGGQADDEWVKGLDG
RFKTSKSSVGPPGTLERERRARSGTGPPLPKLQVGKS
>RCO7_04530 | probable sulfite reductase hemoprotein beta-component
MAAPSYKIRTAEEAVARIAYLSSDVIVSVQPAQSIHSEFSSHLHRYAGRKDPNLVATTEGSIPEIHAIRHNADPLLSVFTPIRNGKLVTVTTSSSIL
VSSVPHLYRLANLPVVIHVSLQPAHYPDYSSITSIRNSGFTFLQSETLQEAQDIALTAHALAIKSGKGVIHFFDAGSSAQDSPIPFENSDAVKAILN
IDAVRAFQSGKIGGTSIYADNGWIATITEVPVTQHSGSMEGIEATSTPAVQTPVGAISKASSVGSSNSDRESSVDSKSSVSSATTVESATSRPVSSD
DIYNFATAIWAQIKQGLGREYTPFQYFGPSNAETALFIFGSDVRVFTDAIRSAKSSEVYAKAGIITARLYRPWLGSKLVETIPKSIKKIAVLEQIRR
KTTKWGPLLLDLLTTLKSGPGSSVDTIVGHQLGFIEEKTIQQALRGVIQNLVSEKPIQNLEIGNSDGPTESLDAYKLSQPTVESAYMKILDQIFGQK
LYLANALGFQTAGISKSVASSPEFGFGSLIARKQHRKRFISEIQQAANSNDFTTQSVKPWLSKWASAINDAETTNELADDIIARLQTDGSALAQGLL
SKKGLFRKESQWLVGSDAWAYDLGNSGVHHVIASGENVNMLIIDSSPYSEGGAKDATRRKKDIGLYAMNYGNAYVASVAVYSSYTQVLQAMIEADQF
EGPSVVVAYLPYFKEDDSPLTVLQETKKAVDLGYWPLYRWNPKNEERGEPNFELDSERIKNELKDFLARDNHLTQLMKANPEFSSSLAQDYGSEVRE
LQKRKAKDAYNQLLEGLYGAPLTILFASDNGNAENLSKRLGNRGKARGLKTLVMAMEDYPVEDLTKEENIVFISATAGQGEFPQNGRAFWDAIKDNT
EIDLAAVNYSVFALGDSHYWPRKEDKHYYNKPGKDLDRVLATLGGKKLADIGMGDDQDPDGFQTGYQIWEPLIWQALGVDKVEGIPDEPPPITNEDI
KIESNFLRGTIAEGLLDTSTGAIAASDQQLTKFHGTYMQDDRDLRDERKAQGLEPAYSFMIRCRLDGGVSTPQQWIQMDDVSNAFGNETMKLTTRQT
FQFHGVVKGKLKSAMRGINKAMMTTIAACGDVNRNIMCSSLPTASKYHSEVYAYAGIVSKHLLPSTTAYHEIWLKDENDNKTLVGGHATQDHEPLYG
PTYLPRKFKITIAIPPHNDTDVYAHDIGLIACKGRDGHLTGFNLLAGGGMGVTHNNKKTYPRTGSMLGFVPKDEIHIACEKVMLVQRDHGDRKNRKH
ARLKYTIDDMGVDVFKGKVEELWGKKFDKPKPFKFQSNIDTFGWLKDETGLNHFTFFIENGRIEDTAEFPMKTGLREIAKVHKGEFRLTGNQHLILS
NVADADMPKMRELMAKYKLDNVQFSGLRLSSSACVAFPTCGLAMAESERYLPVLIGKLEGILEENGMRQDSIVMRMTGCPNGCARPWLAEVAFVGKA
YGAYNMYLGGGYHGQRLNKLYRSSIKEEEILEIMKPLLKRYSLERNNGEHFGDFCIRIGMIKETTEGKTFHDDVAEEESDGE
>RCO7_04531 | uncharacterized protein
MSDLATYKLTYRPYEGARPLQSFVPDPEQQRTFTCFSKLPNELRFKIWKLLAPEPRIIVIAPHGLFCPPRSEGKNQVPSVLHVNRESRTHTRLSYTV
EDTFEDTFEDTFEDPLGCIDFNPNTSNREGIYVSWKHDIICPLDPNRLHMILKNPHIRKVAMNVDQLTNFTSELDSDGCLRIPTLARMLNLEEVIVY
DLDFPQNYGGVLILEEVNESQLLRELCQMSKNKRASMGYLLATRKAVHKDFAVTGEKLKTRSGPLREGEKGPFKFWILSKRLEGEKRPVVKLVFVRV
NKRMSRSRFSVLNPTDIVWS
>RCO7_04532 | related to NADPH2:quinone reductase
MATSIPKTMKGVLIEKTGGVEVLQYKTDLPVPTPQAGEVLVKNDFIGVNYIDTYFRTGLYPAPKPEILGREAEGTIVAVGPSGDLLNLKVGDRVVWL
GTSAYAEYTCAPADKTHVLPSALEPGVAAASILQGLTALTLIREAHEVKKGDWVLVHAAAGGVGLWLCQLLKSVGAKVIGTASTSEKIELAKKNGAE
FMINYKEESNLVEKVKEITGGDGVAVVFDSTGKDQFENDLQVVARKGTVVSYGNSSGAVPPFAISKLAGKSIKVLRPTLFNYIYTREEFERYTAELF
DYVLKDKLNVRVHETYPLAEIARAHTDLEGRKTTGKLLLKP
>RCO7_04533 | probable UDP-glucose 4-epimerase Gal10
MAVGTVLITGGTGYIGSFTTLALLQRGYKVIIVDSLYNSSKVSLDRIELLCGARPDFHQVDVTDEGALDKVFAANPDIDSVIHFAALKAVGESSEIP
VEYYRVNVGGTIALLRCMIKHDVPNIVFSSSATVYGDNATQVPNMIPIPEHCPIGPTNPYGRTKSMIEEIITDHINSQRTKAKKDGTSVEKWNGALL
RYFNPCGSHPSGIMGEDPQGVPFNLLPLLGQVATGQREKLMVFGDDYPSRDGTAIRDYIHVVDLAKGHLAALNHLRSSHPGVRAWNLGSGRGCTVFE
MISAFQKVVGHPLIYDVVERRAGDVLDLTANPERANKELNWKTELTLEDACDDLWRWVSNNPKGYRQDPPEALVAAIKDSQK
>RCO7_04534 | uncharacterized protein
MTTFWLLEQHLPTQFNSLHIDSALQSEASDDGLSQYSQHNAPSRYPRYTRYNQPAPPSSHAMSTRRSTRGASRQASSRGASPAISTSDIPATPRRTS
NRRQSNALPAVGARQSTAYGSNTIPPPAADAPPVARGFSEVLEAELNPISIPRPKAPSNVNRTKNTGPSSTPAVSEKSYIDESAIFQRAGIESSPIS

EGEELENIPEVPEPSSDNDSDDPPDHMNDFNGRAERQKMEEMAATHRSVAPARAKNSFATTFEKIKNNIWYPFLEQYIKKWIIRGLLPYLLAIALGL
YCLWRLYSGVLSGDLQNSLPNIISNPSDVFHSSDVHSITRRLTDLEYKVARLLSDNSALDPNALETIRDMLPDFLVVKEDKDGNIVIPDNFWHALRD
KIREDDTLSHGHIDSGKASSGGHGVKDLEKETRFLWDKYVKSNKAQMEELSNHDITQKFPGLLKQNHIIPKTEVLRLIQDSWEDNQQLVKSEMSVLT
KKLNTATKEISVLRNDFQYQSDAIANDVLKKFIPNGQLDALAAANLKSNLNHGLKRVNFLSKGTGAAIDKTNMSPNYVVPDNDFWFPNRIMHSLTGN
PIPPPNPPIVALLKWEEHGDCWCSPSANADGFGPSLAVLLGSSIYPEQVVVEHILPTASLEPGAAPREMELLAYFPDPEVLRKVSEFSDSVFQSDAD
DESLPVDPLRTRNFVRIATWTYQRDTTDNIQSFDVQLDLKSLGAHTSKVIIRSKNNWGGGKVDHTCLYRVRLHGAIATRPGLF
>RCO7_04535 | probable chitin synthase
MALNNQGGGGAHSQPSLPALPAHLQSDTHLTAHLASRFHVSLPTAQVSSHALICLNTYSSSSKGPDGGKEGSAMGGAEDLAEKAYTRLGARSENQAV
VFLGESGSGKTTVRSHLLSALLSKSSTPLSTKLSLAAYVFDTLTTTKTATTPTASKSGLFFELQYDTSSTVNPTLIGGKVLDHRLERSRVASVPTGE
RSFHVLYYLLAGTSAAEKSHLGLENPGALSGVVHPHQAGNRHSLGAQQKRWRYLGHPTQLKVGINDAEGFQLFKTALRKLEFPRSEIAEICQVLASI
LHIGQLEFETSEDTAVTGDESGGYSHEGGQYVTCVKNKEVLSIVAAFLGVGAQDLQTTLGYKTKILHRERVTVMLDPKGARSNADELARTLYSLLVA
YVIESINQRVCAVEDTVANTISIIDFPGFSQQQATDSTLDQLLNNAATESIYNFTLQNFFEGRAEMLESEEVSVAPTSYFDNSDAVKGLLKHGNGLL
SILDDQTKRNRTDMQLLESLRKRFDGKNPAISVGSATAKLPGSNFATHNAAASFAVKHFAGEVEYQVAGLVEENGEVISGDLMNLIASTKSEFVGQL
FGQEALQTVVHPQEKTTIMQAQVSSKPLRKPSVMRKKGDRPARFAGRETNKEDFSESVDELGNVDDDAKSRRVRNIDQGAAAQFLSSLDNVSKSLTA
PNTNPYFVFCLKPNDRRIANQFDSKCVRTQIQTFGIAEISQRLRNADFSLFLPFGEFLGLADAETIFVGSEREKAEMLVDEKRWPINEARIGNTGVF
LSERCWSEIAKLSERGYVAGRYPTQSDDGGDMLSPGDLHGAYGQSKERLLSTPGGLSPGYGDKKSGYFGSNDIDTRSDAGASALGGGDMFRNLDTRA
QMAEKGNEKAMVEVEEVKTTGTRTRWLFLVYMMTWMIPDFAIRLIGRMPRKDVRMAWREKLAINMMIWYSCLFVAFIIVVFPMLICPKQHVFSAAEL
TSHNGKGSHAYVSIRGNVFDLTEFAPAHYPFIVPQKQVLKYAGLDATSLFPVQVSALCQGVNGTIDPSVQLDYANANTTGSAKVISTTDDNFKYHDF
RAFTNDSRPDWFYEQMMMLKAGYKKGTIGYTSQYVKKLAGKSSSIAMLNGRVYDFTKYIQSGRRVLVRPGEDPPENVNTNFMEPLVVDLFQQKSGQD
VTKYWNALAIGPEMRARMSTCLDNLFYVGDVDTRNSVKCQFATYLILGVSIILLTVIGFKFAAALQFGTKNLPENLDKFVICQVPAYTEDEESLRRA
IDSAARMKYDDKRKLLVVICDGMIIGQGNDKPTPRIVLDILGVSETVDPEPLSFESLGEGMKQHNMGKIYSGLYEVQGHIVPFLVIVKIGKPSEVSR
PGNRGKRDSQMVMMRFLNRVHYNTAMSPMELEMYHQIRNIIGVNPTFYEYLLQIDADTAVAADSASRFVSAFIDDTRLIGCCGETALSNSKSSFVTM
IQVYEYYISHNLAKAFESLFGSVTCLPGCFTMVRIRAAESGKPLFVSREVVEAYAEIRVDTLHMKNLLHLGEDRYLTTLMLKHHPKYKTKYIRNAHA
WTVAPDSWKVFLSQRRRWINSTVHNLAELVPMSQLCGFCCFSMRFIVFIDLLSTIVQPVTVVYIVYLIVTVIMNPNTIPIIAFILLGVIYGLQAIIF
ILHRKWEMIGWMILYILAIPVFSFGLPLYSFWHMDDFSWGNTRVVTGEKGRKIVITDEGKFDPDSIPHKKWEEYQAELWEAQTMKDDRSEVSGYSYG
TKHHAAASEYNYAPSRPMSQMGGAAGGNYPYDNKSANMYNSRMSPAPYDAMGMDYRQTQYGGSQFFGQQELELSNLAGLPSDDAILAEIRDILKTAD
LMTVTKKSIKVELEKRFGVQLDVRRAYINSATEALLSGQL
>RCO7_04536 | probable chitin synthase
MAGNNRMSMYSTSSSLQGGHRNMNSAAQHSTQVSTTTLLNALHTIYTSAQPYRLDASTTLVVNSWLTASQTDHEGRTGGTVDAALSARAWEHARRRA
EDGCIVLGSLHESTPSILAPFLQTLPLSIPTSLYAALNALRPFIHSVSPQNHSAPRQSALGATLTLTLDGNLTAATLALSEGGIDTSKGLLNIPAQA
GYRAFDVFYYLLTSASTPAEREFLGLRNASSYALLAKSGTYDPPSYLPTGDDAAAGDDFRSSLKEIGIKGAAHRNLISILAGLLKLGDTLTFNLDED
ALEEVCEDVGGLLGLESEVLASQCSTSERETLIGGLYEALVDWVILKANETIATEMSQIRDGDSSEGGPGARTPNTEGDSGDTVCITVLEIPDPTLG
KAAAMRGIFDDTQGINYEMKEDGVDVVVAGSSVLREMQNAVSEVGPDLGIMTGPVGREREHELERREAVLEKVGREGEEDGFLKKILFPVEGQGVNL
GRQGRIDLPAVLGSSRVWYHLSLHPTDELPASLAALPSMTSAWSAGTVSRQLRSWRLPEWANRRNKNLDFTADFDLDEFCQRYAPLGCKDGKDGIES
WIMERGWSNGEVVVGTERIWMRESAWWEAEGMLDLTPVDDQGFAGIGAMLAADNGMDTGYSNGPHHGSGFFPPMNELTPRGSREGLLRQQSGATMPQ
SAMIARSVAPTNRNISAGDYGLGLRGDDTKGQVFYNNEFGELVGQMDPELAEPKSITTSDLTPSRRVWIGVVWALTFWIPSFVLRFVGRMKRPDVRM
AWREKFVLCFIIFLINATIVFWIVGFGKLLCPNFDKAWNQKEVSGHQGDSDYWMSYHGKVYDISKFWKLQHSDTDIETTTSNMQPFAGMNLDALFVP
PLTIGCPGVVTDDTLILLTNNTVADSSAIHKSGPSSPYKDSALHDINWYGSKFLPRIKEYYHGELVVKKDFVKNDGQNNNHYWFILHGKIYDLTDYY
YTLKTYNDLAAFTFIDDTISTLIKNNPGLDITEDWEKMYSAANSTHQAVISNNLNCFKNQFYVGVPDFRVTFKCQVNGYILLAFTIILCTVILTKFL
AALQFGSKRRPSPQDKFVICQVPAYTEGEDSLRKALDSLTALQYDNKRKLICVICDGMIVGGGNDRPTPKIVLDILGVDPKMDPPALPFKSVGESSE
QLNYGKVYSGLYEFEGNVVPYLVVVKVGKESEQSKSKPGNRGKRDSQILLMSFLNRVHHRSPMSPLELEMFHQINNIIGVDPELYEYLLMVDADTSV
REDSLNRLVAACANNAKIAGICGETSLENEERSWWTMIQVYEYFISHHLAKAFESLFGSVTCLPGCFTMYRLRTVDKGKPLIISDAIVRDYSDCKVD
TLHKKNLLSLGEDRYLTTLMTKHFPYMSYKFIPDAYCQTAAPETWSVLLSQRRRWINSTIHNLAELVWLKELCGFCCFSMRFVVFIDLFGTIILPAT
CGYLAFLIYNVASGKGQFPLISIIMIAAVYGLQALIFILKRQWQHIGWMIIYILAFPIYSFVLPIYSFWNQDNFSWGNTRIVIGEKGNKQIVAVDDE
GFDPRSIPLQRWDDYAQSNNLPGRRGVQVEKAYDGYDDQYEMDDMKSMYSSVKPASTILTGFPQRGGYMPPQSPAFGGLRQSVYSTNPYDQHAGVRH
HSMMSIGGGLQDRSGSPYQDYPGHSQRPSMAMSPIPNDLHSGQPSPLHGSRSQIGFTGGARTPMGAEASLRPVSQFDFQRGNAGPDDTMIVEAIQTC
LHEVDLDNVTKKQVRALVEQRLQTELVGERRTFMDKMIDVELNNM
>RCO7_04537 | uncharacterized protein
MSSPPNDVSLSRAVSEIDLNAALKVVQEQGEIGSRYSQDALLSLRPKIPFEKKDPEHVEVVEVSPDTEGLMTPPYQSYPKPPPPTPATPLDGAYVNE
VEGADTDATDAPPVVVAEQPKKKKKKSSGKNKKPNPTGFEEFYADPPVTPDEHDEECDLYDETRPFADRMETCVQRYRARRKLDEVRSNILTKYFML
GGIETTAKQFTGPLDKDTVDNSTAAEIAAIQASDYLRVDCKNPKYYDGSDNWVVDFEGVVKGFFSYRVPRMFPLETEQEIKTITNVIRNFLNYVLQH
EVCPEYTKEIMAARLICELAEKELWSIKQLATKLPGDFNLSASTLYGGRYESLCPDNATWGGENAEVLGSSPGISVFQAERIFKTVIAFAGTDDLFV
ETMKHDVHIVKSESKCYEVAGIERASLQSIQEYAAIGDHQGKSGSIKAPGVIKFKAWEGPGLDEEDLTNEEAEAAKARLEAGDTTESFWLEDELLQN
CFIGMKMELVIRELNIGIKFFDVIDGLYCSFLTFLPNEKMTGWKEPVPNTRPPPTVEDPDIEERALEAAIEDELEKDQKEFERQK
>RCO7_04538 | related to transcriptional regulator ARG82
MAKPLPTHADLIDYNQGVAGHDGTLSDVDGELFIKPCTPAEIAFYDASVAYHQDFADFMPAYMGTLTLDHHPNGTTIEEAGAALLAKHAPAVEHYEH
HNGTTIEASGLAAFERNEEALDIAEAVMIAKHSIPEYVTPAKTTKKIVTDQAVVLENAAHGFIKPNILDVKLGVRLWADDAKEEKRIRFDKVTAETT
HKDLGFRIAGMRVWHGEGAKGQDIDKDGFKIFGKNYGRVVQTSNIEDAFRNFLFSPAAGVDEELGKLVTQAFLVEVKRIQALMEGQESRMFSSSLLF
IFEGDGVALRKAMEEASRSPPTLVNGDEDNSDDENEIIDAKIYTVKIIDFAHAEWTPGRGPDENSLIGVRSVARILEKIGSA
>RCO7_04539 | probable Protein clp1
MSIPGLGQAAPAAAFSAPSTAAAPVVHELQQNSEWRFEVAIGQTIDVKILSGTAEIFGTELALNHIYTFRGIKASIFTWHGCQIEATGPSEEYTAEE
TPMIQYANTHFALEKLRDEAKQNGREGPKVLIVGPTDAGKTSLVKLLTAYAIRMGRQPMVINTDPKEGLLSIPGTLTATPFASIIDVEQGWGSSPTS
TSNPVPVKLPLCYYYGLPNPEDSAKLYRPIVSRLALAAMGRLNEDPSIKSTGMIIDTPGVISQGKAGYEIISHIVSEFQVNVILVIGSERLHSEMQR
RFITSKPPSNETITLVKLDKSGGCVDRDEAFMQQVREATLKEYFFGDLKTTLSPHTQQLGFDDVLIYKIRDTDTMSFMPGDAEEIEKAIYERATPNS

MMHHCMLAVMYANIADAQDTVRDASVMGFVFVSEVDEKRKRIRVLAPMNTKIVDRPMIWGSWPEPSLNLVG
>RCO7_04540 | probable SNA2 Integral mebrane protein
MCSSDMFLGLIAILFPPLAVWVKCGICSADSLINICLCMLGFLPGLLHAWYIIAKFPEHDYDSIPADAESGRVTYVIVDGQRRVAKPSRAHGPAGGY
GTTAPLAPPLHQNQNGTWNNNAAEGSSSGGAVPPSYAEAVKGDNKIQTKD
>RCO7_04541 | related to RPC37 Pol III transcription EC:2.7.7.6
MAEVEMEHADAPLGALEEDDPIVSSYDIYIKPQLAGDLQMYVLQFPNRDSRQPYNKMQGSEPLKLRIKPNAGMVELDVPMEVYSNYDRKKGLAWGGA
MKKSAESKGNGSHGLPGGFGIGAAPPGVRGKGRGAIVDQEAIQSQILADYQNAVKNERVLVKQTLGGQTMAKDDTTPQYMIGTFSGNQLHLTPVDNI
VQMRPQFHHIDAQSEQDRAGRARDPAAGARATPDARAIHMTVKSNVDGEEDTIDTMAARITAAQAEAWKKHRYVDEEHLESWDGYQNLFVGSEKDGM
IQEEELKNKPMLRSSLNNAEYLDEISAPMDAAKLSRSQKVKKVKKGKGKEKATDNPEDGAESDEDAISDPALSDTEDEDEAIVPKA
>RCO7_04542 | related to UV-damaged DNA-binding protein
MSYLAPIHRPSSVRYAIKLCLLDAEQECLVLAKGNRIEIWTQTEEDGLVMLSSKPIYGRISMLAKVRPEGSPTDMLFVGTSRFQYIVLAYNKDTNDL
ELRQSFQDVQERHMRDSQSRDLCLIDPTGKYVVLELFEGILTCNRIFKPRRTRTGCLEEKFESIRISEINVRATTFLYTETKQPKIAFLYEDGIGGE
VRLATYRLVDEKLVWSRFETSRHRENEVGDLDESASHLIPIPKNAGQKRYIVRNAAITKAHLGGVVVIGESKFTYLDDESKAIIEYSLPNPTIFVSW
VACDDLRYLLGDMYGNLHIMTISCQDAEVIGMELIHLGKTSKPEVMVDMGGGVFFIGSHEGDSQVVKIDTSLTDLEDLQWSIEILQTMDNIAPVLDF
EIMDLGGRNDETQSNEYSTGQARLVTGSGAFENGSLRSVRSGVGLKDLGVLVDDLQDIQDVFALRSTAQSDFDDLLVVSLPTETRVFTFDGQEIEEV
DSFRNLQMDCQTLLAMNLPDGMMLQVTEASVAISGPGPSYGAAEWKPPQEKTITSASANDGHILVSASGTVLVSLDVKQGLKEVAAWTLEQGNEIAC
VHVPSAISGIGFVGFWKSGTVSVLNLSNLEVIFSENLTRKNNASIPRHIVLAQILPEKSSGPTLFVAMEDGVVLTFSVDKSSHSLSGRKSIILGTQH
AQLHILPRKGGLSNVLATCEHPSLIYGSEGRINYAAVTVEDATSACSFNSELFPDSVVVATSTNLKISEIDTERRTHVRTLPMGRTVRRIAYSPAER
AFGIGCIERQLRKGEEEVISTFTLVEDMSFGQVGQPYVFEDSNGPELIECILRTQLPSSRLGNDAQQELVERFVIGTSFLDEELSQENNVKGRILVF
GIDDNRNPFLVSSHNLKSACRRVAMMDGKIVAALTKTVVVFEFNETSEKSGEFTKLATFRSATVPIDLSVSGNIIAVADMMQSVAIVEYVPGKGALP
GKLVQVAKDYQAFWATAVTEIGENSWLEADHDGNLIVLDRNIDGPTLEDRKRMQVTSELNLGDQVNVIRRINIEPSPNAMIVPKAFLGTTEGSIYLY
STILPASQDVLMRLQEQMARHVPTVGDLDFKLYRSFKNAERETSEPFRFVDGELIERFLDLDIELQETICQGLGPSVEDVRNMVEELKKSQ
>RCO7_04543 | uncharacterized protein
MAYDNYSISAWMDEQPRIYIQEENPLVIGERVIIEITDDDATVSDDGFLDLKDFLDLLNKKKLTPTMSNRDKQKAWEMTDYHSQIRVPGRMMPIKTS
HMLDSRMILEKDLEELMRIKAILHIARHNMPNSTHIRTIIPTHITSDTRKYLAWSNWIGKCAEDNFLLVTRFIHQTISQIINAVNDACGPRSWANLT
RYLRHKVFGAVFDQYPAFTMSKFRAEESRFVDFTEIFCKARGRRDAEAKSKWREYYRYTYVCMCEKMFMELEYGIDGVREAWLCIDRRERVRDMDLG
GAYDLPAVAFLAFEKF
>RCO7_04544 | uncharacterized protein
MVKHKHGFFKNYQRLEHHYQNEDVDPDDMEISNILPVNHNAWHSSQTKRLYDRIQQLKISRAERAIDSFAATATNMNSTMPINPVVYYGRPDTPSEF
MSNQPVPMLMHLSTCSRRAYRQQPQSKFVFETYVNYEPDTFYFNDTNDPEDFQRLAYFFKCEDAKPILKVESKIASIESVEEEEAGGHYDPKRYGLL
SVAREMMKGSEIPRLIKDRLQSRQISGVSADDMTSIRMGFVVEEEES
>RCO7_04545 | related to THI80 - thiamin pyrophosphokinase
MDKAQAVVIEWQPADIFSATPKNHKPFAILVLNQALQLPAAVYSRLWASSIFKVAADGGANRLHDLNAKNSIDLSADAVIGDLDSLLPEVRTYWESR
DVPVIHDPDQHSTDFGKAFHYIRSSPSRETMDIVVIGGLGGRVDQGMTTLSHLYTFQQDPEYASGRMYLLSSESITFVLKTGKHRIRVKEEFEGIKL
GKHVGIIPLKEPSVISTEGLKWDVQTWDTEVGGQLSTSNHVKDEMVNVETTKDVLFTIDLDTPEPK
>RCO7_04546 | related to rabbit histidine-rich calcium-binding protein
MFRSALRATPRRIASPGTTLTRSSARRSLSTAPPSQKSRSWKSSAARWGLAGAGVYYYNTSNVFAEEPEAAIQKLDESLHNIQESREPTVDAIVEEK
RRRQSQAATEAQQKQGFAEGPAKGQDSEEEGGMEELEDEADQQGAFNPETGEINWDCPCLGGMAHGPCGEEFKAAFSCFVYSSEEPKGVECIDKFKG
MQDCFRQHPEMYGSELEDIEDEVVEELPAKETASRDESTESKPTQETSHQPSTHATEENIPTQGSEEKKAEVPQHDARKANAEASLQSISGDEGGEL
VSRASHDSTKSV
>RCO7_04547 | uncharacterized protein
MRPKAHTTPSAPQPSQDRPSRTHAPSISTLHPPYQPRYQATMSYAAAAAKGPSQTAEEKRAPPPSELEHTDVLETSSLIDVDTESVHTVPSDFGVQS
IQTETQRDRLEHEAEVIEERAKKAYAESKAKAEKAEKEAKAKAKKAKSNLEANKDNPVYIGNAVAVVALSAGLGFGAYRKYAAGELTWKVVGAWAGV
VGLFAGADYYLSQYLFKNRYPPKK
>RCO7_04548 | uncharacterized protein
MPPKKVIPWTAEQIAFIMEESNAGVKPVEIGKEVKVRWPQKEIGKGTISSLITRQNKKKKKSTGQGISQSSRDSSNAPPVSARSEVEETIRPSSTVG
SPQVPELFEPRSLSPILEVLTPKSSPKIEPFSSFETPPPHQSPPSTWNNLMNMQASPHITSNSPTVKLSATVFSSSSGIDESETPTEPFPEFNHELA
EQILAEDEFLSRSPELFDPSTITGYLMRQKRSLPSDRLLLPVDKDIDEEVGDVSIENTEAEFRAEVSATEKSEAEADIDKAFQEEQSNKVTIAEGIE
IEATDIAEPTDQVPSKSLVVEEIEVKVPEIDEPSHQVPTKITAIEKVEVEAPEISEPDSRLETELAVTEYIEGEGEVSEPASSLQEVNSGPTNSHQI
TTSQPKFNVSDLITVASLPEQLSDKMAGRTPSPTPPPSPVRMPTFADLLGREIIVLYVGPKRKEFPVHGNLLRINSSVFRDFVFPLNDAGQGEHYLA
DSDPSAVSVIINWLYRQHSFLHILPGADEPNPAPGATDNDGSKHFHEAITRAIGIYILAEEIAIEPLKDLVVTALGQAYYQNKAFPSSKDIITVYSR
TDVHSCLRKYMARSYQAIADLEDTDIVAAGWTVEEVDEVVAAVPALFKDYRALNRNRKGVESTELSLDLVCSYHVHDGTEACVSDGLNFRGMTV
>RCO7_04549 | uncharacterized protein
MLPQETSDSCNWDDSHFADWLQVSPEKCSHDVHSSRGMKVADLLSSPSSLRPAESSASKSGIALGLGDGLSGGLFRSPRSDNLVALCRRNSVVERDE
PKKAKIREAEVSETENHLAPYPFEDLEQWHRREFAARAEDLDPENYNFKTQLFDTYLSYKRGISRDRSDDQYLMSPSQSYTNLLSPTWGRARHASSS
SDLNYDNMEIEELMQDMEMYSDTEYEQNEDLSDPSRTLFGHSCWPLTSSSKTSYISAGEKRRASPGLEMPDLKKQRRIPNPLNCENLRLSSSQPLLM
KRAGNQCIGDQVLKSPCVSNPLKRERVVSLPHPLDDTKSMLYGFD
>RCO7_04550 | probable aspergillopepsin A precursor
MPSIIQLQALLLLALVSFALAVPTKNAPVKKRSFKVERVVNPDFKGRAAGAGTRALVKAHRKYGVALPQGLVDAMNAASAANTDSAGIVAALSNTAS
VQSGELAGGVKGKAAQGAGAGTGTGTGTGTGNGTGTGKGSGSGAASAPRPKTTGNAPAGSTNGTSAGGVVTATPEKGDVEYLSPVSIGNQTILMNFD
TGSADLWVFSTQLAPASQVGHTAYDASKSTRVKAMTGSTWSISYGDGSGAKGTVVTDTVNIGGASVRNQAVEIATAVSQSFVQDANSNGLVGLAYSK
LNTVKPAQQKTFFDNAMPGLAMPVFTADLRKAAVGSYEFGNIDSSKFNGSLTWANVNTTQGFWQFSSNKFQVGTGAPMTIQGGQAIADTGTTLMLAN
PAIVNAYYSQVKGAVNDQTVGGVTFPCKSQLPDLAVDVGGSYMATVRGSDINFAPVDASGTMCFGGLQGIASNLQIYGDIMFKSQFVAFNGGNNSIG
MAPHQ

>RCO7_04551 | uncharacterized protein
MEPHQLALAALDEVAHSRNRSASHRDASKVIPPVGLMQPRTKNNGIVIDNKISGAHETTASPSVSGEIMSISRQRHDNPSNLLLALKTTTSSNNSQA
TDGHRTISTPPTSTSDGFSSQGTNADGPLSQLSQLSQLAAAAEPLLAISSTRPTLTIAPTAGQKRTADGQIKPLSTSPSSPVARGHSRNTSAVSNAS
SGASSRIGELSSELRTRLSYAMVKVNNGWQSNSIDEVESLASQAGSPTSSTSTLHGRRNLITSPRNLITSPRTVIASIQSHSGSVSQALQAPTSDFD
LYPRVDQPSRTYESFWRDHSAPNYSAQRQSTQNSVVSPPVHKSLGPPADIRPTVISRRSGTPKFSKPPTMPNHGSNSPYSTSAPRTPLRRDLMDNTI
VYSPAQKTVQEQDAIETLLFMSSPGNSGNLGHTFPPPRNQGSPRQSPLRAEFSSHARLFPARRVEFETAAASESAESSAGSAEYRSKMKGKGMSQSK
AKSEEMNRFLDEMRDESSSDEEEITLKYTSPRRVAAGRV
>RCO7_04552 | uncharacterized protein
MSDKPQEKSSSGYSWFSGSAYTPYTVTSRGTNSQGNNYDNREQPSGSAYHYSNSNGSYYYANGNGSTYYNDARGSSTYTDPNGNVTKK
>RCO7_04553 | uncharacterized protein
MYPDFDWIRYPNGNLIAVPGTKHHYYLPAGLKEVILFTGEGSWYSNKRFPRVHPGAARDWPLAEPLTNVELPKEPSYFIGRDMNVEAEAFIIGGHPC
KPQRLRDRDLPYMLTSDGYIVRKAWLDVPEEVLLAKLP
>RCO7_04554 | related to aflatoxin biosynthesis ketoreductase nor-1
MSQNIICLITGANRGIGLALTASLLLRPNTTILATIRTRSTSTTSLLSLPVAQNSKLVILHLDFSSPSKNAEIFSNFIHNLRDVHGIRYINTIIANA
GTGTSFESAKDASLSSLTENWETNTLGPILLYQTLYPLLTAETEDEASEQAREKEEKGERRDRKFILISSSLGSIEAMEGGVPSLAYGISKAAANYF
IRKVHFEEKRIVVLAVHPGWVKTANGQAFADSIGVESPPMGVEDSARGVLEQIDRGTKDTTSGSFLSYDGTVIPW
>RCO7_04555 | related to cholin permease
MPSMESSTTHSSDSESDTKTPDRSQKLQLLKINETGHVQEVERNFSLFAICSVGMVTGNTWAALGGSIVIAIYNGGPPGVLYEFIAVSVFYWLIASS
LAELASSMPSSAGVYHWASITPGPRSGPIIGWFAGWWNTFAWMCGTATMASISGQTCVAMYGVYHPDYSSERWHVFIAYLIICWACCSIVLFANRAL
PIINIVATIFVLGGVILTIIVCVTIPYTAGTGHATSSFVWAEWSNKTGYTSDGFVFCAGMLNGAFSVGTPDCVSQLAEEIPNPKRNVPLAMAAQMLT
GFITAFCYLIAIFYAITNMEAVLEAPYFPLSSIYAQATSSRVGTTARLFLILIPILCCCIGTFITSGRCLWTISRDGAVPFAQTFSKIHRVHKNPFN
ATVFCGVFCTILGTIYVGSSTAFNALVGSFIVLTTLSYLAAILPFILTRRFSLHSSPPGPYSLRPGPFQMGHYVGYAVNSIACAYMLVFMVIYCFPY
TKPFDAASMNYSSVIAGSVTACAALWWRVRGGRYVGPRALVDDEDEWQEDSMQY
>RCO7_04556 | related to GNAT family acetyltransferase
MDSLTILAMAAEAVQRSESLELEREREFTIRRPRTSDIPLLAQVEHSAAQIYRTAGMDSLADGATLDPYILITIANAGYLLIAANRFDEPIGFLGGN
YLSGNFHIIELSVAREYQGRGIGSALVTTMSQQVRLEGYRSITLTTFKDLPWNAPWYAKLGFEEVKAQDMGKEFEKLVDSEARHGLDPKRRCVMRMV
F
>RCO7_04557 | related to magnesium dependent phosphatase
MVRKLNKSSAVPDESSTISTPPSRFSEGALPKLIVFDLDYTLWPFWVDTHVTPPLKAASTHDSVKDRTGESFSFYDEVPSILSSLLENGIKVGAASR
TSSPDLGREMLRLLHLSDAEGKKRKASEFFDHMEIYPGSKITHFNKLQRATGLRFEDMLFFDDELRNKNVESLGVTMYLVRDGVNRAEVENGIKLWR
KRHGHDLVKATVTET
>RCO7_04558 | related to excision repair protein RAD4)
MPPFLPKKRFRSNSPEAGPSNSPHSSSGKARVSTSTTPRKPTLFDDLDAGTGSKRSAEHQKALLEKLAASDDDESSLSFLSDEEFEDVPAAKRQKTA
AETDDEDEDVEFEDVETNPVPKPAGPEPSGDLELTLTKDTRVSITNPFGTKKGPSKIERGIRVATHHAHVQFLMYHNAIRNGWCCDKELQDTLVKHL
SPTVTLEVEKWRRNSGLISTSNEAKDETPKEKGKSKAKDAKGKKTDPRSQRDWGQPAQRLAEGQVNMSSGDPIIRLLKILISFWKQRFRIIAPGLRK
LGYMSLQRLDEEIKSFRDDEHDPERHGERIRNVGEFRECAKHMEGSRDVGSQLFTALMRGLGLEARLVANLQPVGFGWSQVEEATEKNPRVLKKPKT
ATATDDTSDDDNSSDEEETAPMKPSKTAKFKAPAKPTKVPKQALKTGRKHSRASGLQDAPISLSDSDEAALESDESIIDVTPARRGGKPSLAYDKDL
IHPHYWTEVLSPVTNTYIPVDPIVLQIAGTNQQSLERFETRGAKSEKAKQVTAYIIGHSSDGTAKDVTTRYLKRHVWPGRTKGNRFPAEKVPIYNRH
GKVKRYEQKDWFKQVMSGYTRGSKLYPRTEIDDHEELTDLKPVKAEKKEVEEGKETLQYYKSSPQFVLERHFKREEALLPTAKHVKMFTVKGKGETS
IEEKVFLRKDVVNCKTMETWHKEGRAPKLGEQPLKRVPYRAATTNRRRELAEAENASGEKVLQGLYSREQTEWIIPPPIENGAIPKNAFGNIDLYVD
SMLPKGAVHIPARGTVKICKRLGIDYAEAVVGFEFGHRMAVPVINGVVVAEEHYDIMMEEWHKDEAERVRKEDEKARKLVLHTWRKMLMGLRIIERV
NEEFGAADGEADILNPFASKKKRTAEEVDSEAQKRLMDQNDEEMGGGFLPEGFDAEEPEDNHREVFYPVAHEEDDDGEGGGFVVEGHDEPAGSRIDQ
ACATSQSLEFATIGGKPPTSKCEEEDVEMQDTMATLQSVPKKRGRPTGSANKTAKAPAKTPAKRIAPPKKARARKTAKTKTQILESELDNDDDDAST
SSSPLEQSESEVEAKPKKKRAPSRPAGRRATLPPKPTETPRKTPRRQAARKSETALKSHYFEHSDDEDDEDDDE
>RCO7_04559 | uncharacterized protein
MSQSSSSQEEKVSPHEYARQNGLAQDYLAANLEIHALFDIRSRFVNNVDDDANLPLFDLGPQLKVEERLSCSREAASLLSWVTREESSDEINAIVAP
LFKDTDCIRKKKLELPLLRTDVDTDSRNFASREGFEISVQDIKLPLEAVAQGEGFDWIEQYKNLGGEILRDLKLEKISVTREAMVFLQACMTVSWTE
EDDRELWAREQKYQRVGWAQNIKTLLRLLQRTVLDPITPPLSPLPSILQPFEPSSSDSAMQVPVFSEPPSPTKQDLEALEKEIFKQDLPTPLRSLSA
GCKIEGLSEEMPAALGNLYSSPGGLDQSQSEPRPSRWADFKLEVPLMPNETATIPKIVRFKEVIEERHFTPTTSPVAPDDGSAFFENICSDAYFKAN
QEVEHEKLSIDNITARVDVPELNFDKPNAPWKKFEEIQSQAALSALQKSFVLEQVASSVPTWPGPRKETKLPWAPFSASFAKLALEDDALVDDTTGK
AFVEDDGDVIDSSSVTWKAAGLRILIDEDDEEKIEFGQFRKDTQPDLSSIVKKRKMELQEREKLKSDPTGIVLPDSRLSLTKNARKTATTAAHAVNE
DFGLLGGAFSAQASLNNYLEIRGVKRPKMAESSYFSKPPIEKIPTESKGEHHARATLDIVIRKSPANRQSLPVPSLQKLISPTWVVVSTTLLKNRSL
IKSIEAQSPALTLIERDFTAHNTSAWSPGSVSRIPIVSPLDAEADFIVSPSVGIIVTTLQKIKQKPPRDKTKSKIRERLDKVNLRYEKLVLLVSEGN
EDGVAAALAEGDCLAFADFTGYISGLETSISLQFVGGGEETLSKWIVSSIIQYRVDTDLLADETYWELFLRRAGLNAFAAQAVVVNLRAPDGVHAGS
PSKIGQFGLTAFVEMGKQQRIARFGNICGQKVLSRVSAVLDATWQ
>RCO7_04560 | related to guanine nucleotide-binding protein
MDQATKTPRLLASTGDTYSCTITESRIRESNPENGTADIGPGVARPEREEDLEPNYFKSAQWTPDGTSLLTSSADNTIRTFILPPTLLDSTSPQTLT
PYTTHALPTPINCLTPYPYFALSDPSTTLYLSTPSALPIRLLNAINPLSTPVATYNLISPNTEAYYTPSSLLWSSQNHFLAGTDCLIALFDISRSGQ
GPVTRLPTIPSKRHKMKGGGVGMRGIVSAMSQQPSPENADVGMLAAGTWTRWVGLYDVGGLGGTVATWSIAEAADVDAGIGGTGVTETRWSACGRYM
FVVERRSKGVLVFDVRVTGKLVSWLVGRDADTNQRIGIDLFPGENGTEVWAGGVDGVVKVWEGVGMTEGSQERTWEWKAHDDPVSSTMVHSSGTVVA
TSSGHRSSPGFESSIQGSEDSSDDSSDSESDDEGSVSTRSLSPNFRTPDNSIKVWSL
>RCO7_04561 | uncharacterized protein
MQAHSAVLKLHSKYFRRILDTKHTGQASPLFRYEFIAAYNSNGRVWSLQAVSERPQAENVPSNFDLATVLGTFPKYLHAFPILSATLTATLSESPIF
NGGLDFDQKLINYLEPLIWAAKKLHHAELFYSW

>RCO7_04562 | related to PQ loop repeat protein
MMEIFNRSFIGQYASRCEKLQVPDYFNLALSILILLGILVSYLPQHYRIISRGTSEGISPWFILLGTTSGTCAFANILVLPASRADVACCKSVSTFE
CAAGLLGIAQVGVQWFCFSIILLLFLVFFPRGPSLPHNDSEKLFTWRTAVIVALLCLLHGLLVITVSAAFIISRPHHLGTWANSLGIMATVLAGIQY
LPQIWMTWRLGHVGSLSIPMMLIQTPGSFVWSASLAARLGVEGWSTWGVFLVTGCLQGCLLVMGICFEIKARRERGTEVEGVNSTQPLASTFEHLAN
MAQTNVQASTETDDEGGTAVENGYYTIMVGRCQETKWVESSDAQSLHMRLIANCSQVAALCRVTTFSQNYRSKMHPVRKPNNH
>RCO7_04563 | uncharacterized protein
MPGNTAGKLNGPLAASLKETDTITHLREMVTAARANKIPIYYGLHQQAKPGFLAGWNHATPLQQSQKENVAFDEGSWGVNIYEGLEPSRENGDVIVS
KHWCSSSFQNTDLVRRLSEIMYGKNLDYQLRQRDIQSLVMGGLTSNTCLESSARYAYELGYHVTLLKDATAGFTIEQKNAATDLIWALFAHEVKTVG
EWIKTL
>RCO7_04564 | uncharacterized protein
MQIHPVKANKDPRLDAFGTGKAAVSRMRRMITGKEVILTAESIDALAIVSSASKPMRRQHNIRRIRPQVDNIEPSNGLFDTDIEFHGLDPFSVMPET
VGEPVPKKLLIRYYIERRAPWLIFLDNGLKPDRSRLAWLHFALAFFYATLLTTATIKHANENMNDPEKSATDEMIMVALILLAFNIGGAVVDEYEIH
LRAIDQMINVRGGIEKLGMRGMPNNWLVIARRPGRDGWEDGMFK
>RCO7_04565 | probable general amidase
MTWEQVVEDKRARLAASIPAEWRIKSKPTEDSVMDYPKNSGIMSSEELVITESSATELVEQLATGKLTSVFVTTAFCKRAALAHQLTNCALEFFPDI
ALARAKELDATFQKTGKPVGPLHGLPISLKDQFRIKGLETSMGYAAWVGKYDTYNSVLVDLLLKAGAVFYVKTSVPQSLMVCETINNVSGRTTNPRN
KNWSCGGSSGGEGAMVGFRGGIIGVGTDIGGSIRVPSAFNFLYGLRPSHGRLPYGKMANSMEGQETVHSVCGPLTHSIADMRLFVKSVLAQEPWEYD
SKVIPMPWRQGEADAIKNKIGSGGLTLGFYNCDGVVLPHPPILRGIQTVVDTMKKDGHTVIPWKPYKHDFAVNLIKGIYASDGGTDVLNTLKESGEP
AIPNFGDLINPSLPKIDMNQLWDVQIQKWNFQIEYLEQIRAAEAQLGREIDAIIAPITPTAAIRHNQFKYYGYASVINLLDFTSVVVPVTFADKNVD
KKNAEFSPLGEMDKTVQAEYDPEAYQGAPVAVQIIGRRLTEERIMAIAEHIGRLIGNETTP
>RCO7_04566 | related to phosphatidyl-ethanolamine N-methyltransferase
MSAESSAIAQEGLRERKHVQARERDSLRGSGLDTPQDEEDIKGHDASHKTIGRTPDGTLFTVPQTHDMVSQLLDPRQPKNLSDAIVLVVLVLHVLAL
YLLPPCLMRPTFAVIFLFWRGCYNVGIGYLLRMQSNHQRLVAWAKKLKLFEDPSTGKNPRPWLYKLIKSELETKIPKDYKFDEAPIEYNTWLVFRRI
VDLILMCDFTSYCLFAIACGSRPAGEGVMMLLVRWIGGIALIGFNLWVKLDAHRVVKDYAWYWGDFFYLIDQALTFDGVFEMAPHPMYSVGYAGYYG
ISAMAASYNVLLISIVAHTAQFAFLVYIENPHIDKTYNPPPPRKHQLQPSPSDTQIANATAARQEEIDFAEQPEVPEKFSAPATAPPSVHTMLGIRN
LDLFRITDVSVLLLLLCVTIIAVVSPSTPVYRAFFVLNAVLWRLWYTIGLGVVLDRQSNDKLWTRHFLKFGEGTEEAWRQWKGIYHLSMNMCWASFI
AATWKMYYWPSDWAAENALLMHIVGITLVALQIWTSNSIYQSLGEFGWFFGDFFFDHDRKLTYSGIYRYLNNPERIIGLMGLWGAVFLTGSLSIFFL
ALMSHVLSLCFIQLVEKPHMQKLYGRHLRPEAGLTKSLRRSLPPHLKKFQGSFDKVLTDTSHFVEDFLDAARPRLAAGVSTVMRESTALFSQYPARI
AVTRLASDLAGFNARDYSIQIQGTSSSVLALKERSTGKEGVPGRFPSQRTDEYEPLMFEYGAPIRVKWRAPKHHSKSDWVGLYMVADNASRDVTRVS
SAGRWVATVPNEYEETPADRGILVTDQSVSDARRANGTTYDCVQGEIVFEGDKLWWTQGVFEIRYHHGGKHNVMAISLPFEVRIGRFNEEDSVMDSN
GLLRSAVEDALLPVIRNCFDRDPEIAPNTVEQTFGSLVERDGKYAKRVVYAIHQMFVLELAPGVVAADGNVKKLAWRICVAKQALAPYSMSHSRGMS
TPVEKK
>RCO7_04567 | uncharacterized protein
MASTSANALASANSLKQRLLQDIAELQTRPYPNIALHVQEGDLTRACLILTVDYGPMHLTITFPKDFPLSPPQIRMDSKVYHPNIFGGYICASILNT
TEGYTPAYTLKSIAIQLLSFFSSDKIEQVGGVGSVDLNMYRSTNSYIVDRQGHVCRMCPFGASALQPLTAGSTSAPLSPHTPPRPVTDEDFDMEWPS
PQKSSSIGSGRKRRQATVTAPRAPVSVSQAEIEVIVPFIGIQKMKMPDEILLLEKIGVLMTNYDIIRTRELECFCFKTSYIASKLGVGVSIEKRGRI
GSFELEFDLLSLQGFKDHRIRRSVQGVGFQHWLGLPISNGHWRKVRENVITTLSTLSTEAGLTSGGISQVIYAFMKDIVVKLNKETEKATIRAPYYP
YEETPQSGLLHASEKAIESYFHLFHLLLCLATEQPSIAISANNKLEGFARGENSKDAYPNLGHLLVAALITDVPMTEKMMKSIVRETITRNVVWMLD
SKGSGMAELAYLEPSPISEYRLKHTFEAGKTSYRLLMFLNLFRKVAVGSPRKSLSVLRDEAFERHGAPPRGSAKGLAESIKRIHQVTSFTQFLHHLD
IGKPSAEWFTTFLKDCIQDGVNKGYHRTPLNQGQALMLRQREEPNVVVASSVYPQQVNAPCPSFFPGHGNSGTGRGGYGGKGGRGGRGGRRY
>RCO7_04568 | uncharacterized protein
MPPIHRILIKTHHMTSRKKILALTKSAKRLSCAVLLKTGSPPGIMLAEGELAGDWLEVVRKLRYKDFRLMKKELVQKRGLDVEYGGVKELSSVKEFG
AFLERGRERVGDGDGDIFGWWRTDRSGHCRFHQEDARRAGLGSAGKPLKNGGSAMEQSAFQQAEKLQKGHL
>RCO7_04569 | related to glia maturation factor beta
MAHLARWKVFPPRRIHNSDPAYWFKEKIRYQQVKAEASLCQPARMSSESRLYTFSQESKDHLRKFRLGTSRASDPQAVIYMIDKQTLEIKQDEDKTV
YKTLEDIGEDLPDHAPRFVLLSYPLTLPSGRLSVPYVLLYYLPVTCNAELRMVYAGAKELMRNTAEVGKVIEIDSVDDLEELPAKLGAA
>RCO7_04570 | related to IQ calmodulin-binding motif protein
MISEKVYKLCTSKESVSALLAKNPSLSPEEAWKQLFGGDEGGEKESVTTAKANRDNHTPEDLQRARECGKWGPTEPSDLFLRLYHDALCTLDKSISG
CMVSPSLMGSCGMIPLTVISVVPDIMRHMSNLIVRAEKEVILATNYWQNSVASKYITNAMRELSRRAGERGERIVFKLEYDRGSAKQALNNHMSVPP
KDYMGTAVNIPAPEDIPFIDLDVVNYHRPMVGTFHCKYMIVDRKYAVLQSNNIQDNDNMEMMTHLEGPIVDSLYDMALISWNNKLDPPLPCANSPAA
IGGVSSFNTENHNAMFTQSGPNGHSAIVHPDQKRGKQAYEYQPRDISQPGALPSSASMEIGTAKRTDALTGSEKTENAVRPAGESETAENEVAGITN
GMEQAKLRGDSRSIEHDGPKLGPIEKLQENAKAVAVTGDVDHIPDPVKEHNSKSGKHEDETQSNLPGFLGPDAETKEFLSEGDQQLPQSQIEHPSPV
DNLLPEHTTDDPHYDVDIAGEVARVQTAVSPKNGETRIEAVTRHLNHTKNVGFKGNAPECEPEEEMTPYIPHPVHEPFPIAMVCREPYGTPNHNSVY
NPQNEVWLSALRNAKKNVFIQSPTLNAEPLVPAIIEACERGIDVYCYICLGYNDTGELLPKQGGTNEMIAHKMYTSLSAAGKQKLHYFFYIGKDQTV
PIVAKKKKRDCHIKVMIVDEHIGIQGNGNQDTQSWYHSQEINVMFDSALVCKAWIDGLRRNQNTHLYGEVGKADGVWRDQNGNEASDVIGVDPGRFA
WAKGFMGAIRRVRGAGDF
>RCO7_04571 | uncharacterized protein
MAQHRDLGTGSSVNSSLAVEPNLASVSHSNSNSSDSESDSKSKTGSNSEPDSEPETEQLSQRRQDLRWLHAGLFKDIRGFTQDVWYAFKLTRRGRRK
IIYASNSRGKSFGNLNAGRWKIDMITWDKHHADKWARFITARGTWAFGNVMKGRAHQRMSVLQTWLDPSSPDVFPNGKTGNRTLEPPRNVIHSINDS
SPGGHAPTANRVPYPPRNRNLDPSECYPRTKIPYSTFGIVVEAFKNTNQDPLIVIADFLTSQMACNPKFKSRRVDQNNQIESAFYECGWRINRRALE
RANDDMASGKIENAFESKHWRHSPPLWVDRFKGRKLKRMLEEMRKDMAGDHQDSEDESESDSESDCDSDSDSDSPDLSTNSRRLSHGSNAEDGSSKV
GENSLFLPSTSGPSRPQKSKSQRGGTTTSGVRYGRNIEQELIERLTGAMEYSDELEYLPDDSSEKGKGPAKTKQIAPQGLNSRLPSADRLKSVKRRS
HFEKENENGHAASLLDTAQYSKMPGYMRLTTSVEEDSQNAEGFLESEVTTWNCAEQNASEETGEREIKKTTKGLKKRFAENTSDEDDKEDVVVITKP
TSTHTPLKRSKSEEPRPEPVKKPVVSWIDSDSDFEIIESKSTPVGVKAENRRDRLPAHDEDSLGPSQSESLMRERPSHLLSPTESPRL

>RCO7_04572 | probable nucleotide-binding protein NBP35
MAPSLEAPENVEDVISNPLKAAPKLVAPEPEHCPGPESEAAGKADSCAGCPNQAICASAPKGPDPDIPAITARLSGIKHKVLILSGKGGVGKSTFTS
LLAHAFATNPDNTVGIMDTDICGPSIPKMMGVEDETIHVSGGGWSPVWVLENLGVMSVQFMLPNRDDAVIWRGPKKNGLIKQFLKDVEWGDMDFLLV
DTPPGTSDEHLSVNSFLKESGVDGAVVLTTPQEVALLDVRKEIDFCRKAGIKVLGIVENMSGFVCPKCTHQSEIFQATTGGARGLAKEMNIPFLGAV
PLDPRIGLACDYGESFFDNFPDSPACKALRGVVKRVGEEMGLNPDQLLPDED
>RCO7_04573 | related to sister chromatid cohesion protein
MDQNGNAIQHGAVNGSNGASVTNGPRRGYAKVFTVDEALPYSPFSSVVPFNSDIIPSPSIGVRSSASLFSTPTEREEGRQVLETLNRDAQHSNNTSE
RLQKSLNDLKELLKPGNIAQYSFKTSPNLTSERPSSTEPTISLSPFARMVYDRTSVEFNYPSPQRPSPPVMANRPQQKQNSPPQVKSQPKPLQQPAQ
RVVSNHQLHNENSKITVQLPVAKHSRPSPQPAPKTNEHASTPQKFEVATPDKPGSSFSVVIPSLPKDFSRTEYSQAGAKNASTSSSPSIDQTRVQIQ
PSTPAVQQIRTPLQPTPRATPQHGSQLVPPASNPGLAVIIPNLPSSFRPEDYEVLPSSPDTPQNLSRKRRRSEVDDEDDLVRSVDQRQKNDLAFRNL
REYLQEIFEAEDQFQPGNGISSAVLVLSSEGYTLSLAAQAKLEILLQRVIDASRFSQIPLDDLLRVQKLCESALKDAESVDIKIEDSMGESEVENWL
QQTSIAELGVKAARISLKLMSGGREEKQLYSEDVIQAALNVFKNATEACLIPIVEMRNSGTSAALFKLLSAQKAHISNLLSHSRRLFSLVASLVSTI
DLSETVINTLEFTASRLIFVENAPSERDSIVKLSKFDSLRVVAMDVLAQIFLCNPVQRQGIFDEILTSLEKLPVTKQSARQFKLAEGGSIQLVSALI
MRLVQTSASKPDDSKAKRRNKALEALNGDDGLEETEKYNASKYTINAEHKAEKQPVTAIQELADDVGQLLDTAKSNATYVVAFIVNRAMKSTKSGDA
PYRNLLDLFVEDFITCLSSTDWPAAELMLRLFLFKMVQLAEGDKTPAPAKNMALDLLGSMGAAISELNSHVRKTASSLENGETELGRYLAKLAEDSL
EKRASGAELVSWGAGPYRACLESLQHRCPVKDDHPQLRSAIGFFKAEWASKICSTFDNISDDDRDHERVEQEYGRLAYRLRMMISDSRWLSTEYSFD
LISPPHARLAYSLTLLNSQFCESFSRVLSILLGSMTSEQATVRSKSLKSVNQVLDTDPTIIDREPAVKHLILRCANDTSVQVRDSALGLIGKCINIR
PALEEEMITSILQRVNDSGVGVRKRAMRLSKDIYLHNTKREVRSLIADSLLHRVQDLDEGVQDLARQMIEEVWMSPFYQSTTSDNTSAQFKLAMSDH
VALMVKTVQRGSGVAAVLDKVLQNMLSADAKLSGANFRVCKALVATMFETIIDNPAGEGNDAPSARDALQILTIFAKSNADLFTAEQAQLLQPYVAN
VGGNDDLQVYRSVIIIFRHILPHLSKAHNNFLAAIRKELLPAVARVGKSILDDVIACLWIISGVLGDYRQLTALVMSSLDGVSRMKNAKLSDDQVRK
LTKLLPIAGMCGKHCDFDTQVEDFRKKFPAWKDDSVSKLMADTFAPFTSTSQPLEVRKAAFDAIGMVCQSWPKNFSSANIYTSFLTVFDEKELGLEA
IVLRSFKDFLLLEEKRSEAGKEGATGAGVDTTAKLGVMGGGQGDGIAIGIAQRFLPFIVRIALSRQDDQGLLAAEVVASIARQGLVHPKETGSCLIA
LETSQNQKIAEIAVKEHRALHEKHETILEKEYMRAVQLAYVYQRDIVQNTHGATLNPYASKLALMMDVLKISKVKNRKRFLDNLCARIEFDPAKMDI
ENDLPHHLEFSQFIIENIAFFEYQTVDELLSTTTAMEKVVAALGTGIAHSIETEIFHVSLDQPSPVDEHGQSQAIPRTVDQQRLQQLTASSMMLSSL
WEARTYLRRQYGLKSNLRDGKSKGATKDLNRAPVRAQGVNGDKFWELSESTMSALESEESMMTQCRAFVELLNVDQEFKVAAEDDEEADRARLNTPS
EDEGISGTPGPPGSGRGRKRKGSVSTPGNRKKRARSSSVPRGRGKPKGAGKKRSVERSDDEGNGY
>RCO7_04574 | probable Deoxyhypusine hydroxylase
MAPSATSPPPTSDPTILALRKTLCSETESLARRFRALFSLKHLACQSSLPAIQAIAAAFASPSALLKHELAYCLGQTKDLAAVPFLTAVLENKDEDP
MCRHEAAEALGAIGDMGSLELLKQMRDTEGELVVVKETCEIAVARIEWENSEERKREKLQKSDFASIDPAPTSETNETIEELEKNLLDTTKPLFLRY
RAMFGLRDLASPPDLPTAIPAVQSLAKGFADPSALFRHEIAFVFGQLSHPASIPALTAALGDLQEESMVRHEAAEALGSLGEEEGVEETLKGFLNDK
EQVVRESVVVALDMAAFEKAGDVEYALIPESATA
>RCO7_04575 | related to glucose/galactose transporter
MAGGIPLAAPTLASGFLTGRALIFPLSLVISLFFLWGFSYGLLDVLNKHFQVVLDITKLESTGLQVVYFGGGYLLFSPIAAEVMKRKGYKITILMGL
SLYSLGAIFFWPTAHFSTYEHRYASFGGFCACTLVIACGLATLETAANSYAVVIGDPASASARLQFCQSWNGVASFIGPLIASKFFFSGKNEHNLNN
VQFVYLAVAIAGVAIAVLFLVAKLPEVSEEMLNSSTVENFATDEFGNGVGQGPIYKQYNMIFAFVAQFCYVGAQVTIASFFINYATENASYKSSQAS
NMLSYALITFTVGRFAATGLATIFQADFLLMVYAVIAIAMNAAIVATKGNGSVGILIAIFFFEAPMYPTIFTLGTANLGRHTRRGAGILVMAVSGGA
CFPPIQGAIADAVSTRISYLVPLVGFVYVFGYVTFHWMHSGKHIMRVKNVVGAIPAPAVAGGSDTEFTYNGEKDVKVEQAERLRSS
>RCO7_04576 | uncharacterized protein
MAAAATQNPVVKTDSKSAKKKKAAKTNSAEVEAPAPVAEVSPTNGTTDNANEDGSYESPYIKELYKSIRNVNKKITNASRVDSIVAENSDKSLDELV
SSRKINADQKTQLLKKPALMASLSQLEEQIAQYKKFDQEYKVKLQSEKSEFEKTHTERSSKKLEEAVNSAKSQAAEAAVKQQQDDLLLISQFLKLAA
IRRSEVGVSELEESKALEGLLAQVYAGDASAVAAMLNLIQGSSETISSIAGEQLTVTYADLKTASLAQIQAVAPESDQVETTEYPVESDPTIANAGL
TELDAPAATELVDGQTEAAYDQGVPANSGFGDGAANAAAEANWDNNNELSASQEWVEVPRDAAETDTGVTATPAAPSNTQSWADDQPDSPTQPISTP
PVNDGFQAVERNRDRGGRGSFNRGRGDGRGRGRGNFRGDGRGRGNFRGNGGAPRGGNRRSDESAS
>RCO7_04577 | uncharacterized protein
MAATQKLYPRATVKKIVKAHSKRNVSKNVDVLIFLDYALFLQTLMKEATINAKQAGERGISARSVKKVTENSLSRFKG
>RCO7_04578 | related to (AAP1) - alanine/arginine aminopeptidase
MTSGVAQDRDILPSNVRPINYDISVYDIELGGGFTYQGSVIILAKIVKTSKEITLNSHLLKLHSVEVTLEHTKVQQTFKSTGISYDAPRQRATISFA
EEIPVSEKALITINFDGTINNDMAGFYRSKYKPATTPAASVPKDGDSHVMFSTQFESCDARRAFPCFDEPNLKATFDVEIELPEDQVALSNMPEKEV
KKAKAGFKTVSFEKTPIMSTYLLAWAIGDFEYIEDFTKRKYNGKNLPVRIYTTRGLKGQAQFALDHGPQIIDYYSEIFGIDYPLPKCDLLAVHEFSH
GAMENWGMITYRTTALLFDEKTSDAKFKNRIAEVVAHELAHQWFGNLVTMDWWNELWLNEGFATWVSWLATDHIHPDWHVWPQFVSEGMQGAFALDS
LRSSHPIDVPVKDALDVDQVFDKISYLKGCSVIRMLAAHLGQDVFLKGVGDYLKAHAFGNATTNDLWSAVGKASGRDVSSLIDPWILTMGFPVLNVS
EKEGQIEVKQNRYLSTGDVKAEDDSTTWWIPLGLESRAGSEDAQALNFTKKEAIIGVDDAFYKINKDTTGFYRTNYPPARLAKLGTQIERLTLSDKI
GLVADSGALAYSGEGSTPAVLSFVEGFQGETNFLVWSQILGSLATIKSVFADDEAVTAGLNRFVLKLVTPVVERIGWESSGDDFLTGQLRARLIMTA
GMNGHEKTIAEAKRRFDLYVSGENKTAIHSNLRAAVYALVIRYGGKTEFDYLKSEWHSTSSLDGQETILRELGHIQDPSLLPAYLALLFNDVATQDM
HTGAVALAANPRTRTALWKYLQSNFDSIKDRLGKNMVVLDRFILSCLNCFSDRETEKEIKAFFEGRDNRGYDRTLAIVGDTILGRATYRERDGKVIL
EWLQAYEYA
>RCO7_04579 | uncharacterized protein
MASDTSPVALNFDIWYLVFDFLRDQCGTNPFFPNIGGERSWLRSTRLVSHSFNMIATKHAYEYMDISSESLMERILDAASRYDQPYSHFTLFLENIR
QHTKFMCVTTAPQRYSIWFTVELLETSRSLQHLTWIYRNGENDGIHNLDSEYLIEFLRCQYPPSSYSYESSYRLGWLHRKEQKTKDWGSLPKTDTDD
DMEGKPQNEVVQTAGTNKSSHLSRNSANLPVRAIATLCLSQSLLTPPIWSALIPIDRMCPPMLKLKLLDYTWNTSKNESLFMWDFSMIKFLSFKNSD
VSIFVQAVPVERFVRLRSLKIVKDCLSRNDRLAEFMPALILKTPVDHLLQLCPDTESLKVEYFPSWSDAVSFSEVAKLGRKLRKLRLRSMKRALQIP
NGDLAWELPRFAKLSHLGLDIEAGSDELPGFLSTIAQSKSLQYLDFWANHSLRTSAVPETSTDPDFDGAERIMRSLHSQKFGAPFISITIRLVGAIR
PPNWRPPRHDVLNFLPPWSRLNDPRVFSSRIDSAGTYVQSGSPRVGDLVDETISDITAVPGA
>RCO7_04580 | uncharacterized protein

MSSLQSLLSSAPISTEHLPPNAGILMLPKKTCVARSRVLPTPGQARHRAHSRFQKDLSKETHNSLCIRPAKKTKYHAFADPKPKSEALLTVILSCGR
QSELVSCGRRFPPLKKLKLFVYKWVTSVEDFSPMWDFSDFRCLSMMSSNFCKLMSSVPIDSLTELRTFYLNATFYDFFDAHDADDEDCRTATAQKFL
VSLLESCKHLESLKIESNQWQEILPVSSIAKLGTRLRKLRLRSDRSEASLVPKQFLLDTPDLCPDIFDLDLELDVASPSVSYPHVIVSFSDTFSLLV
VLQLYGYLSVLTRSKSLSDINPWLQGSTTIDDEVGKQSTNPNYDGAASMMRFLHTHKCGKPFYMVRTRLFGAKQPANWRPTPEYIETHGGEEWSSRR
DFKSRINVRDAYEQWGDERVGELAEGHTGTSEVGETNNAE

>RCO7_04581 | probable transcription regulator (RTG2)
MGGGPDHPSRKGDNQVGLKNKGDKYLRGIVDMGSNGIRFSVSSLAPPTSRILPTLVSYRLDISLYSAQYDEETGERIPIPDDITDQIIAALLRFQII
CRDLKVSDEHIRIIATEATRTAVNSVEYRKAIKKATGLKVEMLGKEEEGYVGALGVASGFSTVSGIVMDLGGGSAQITWMQSIDGKVTVSPIGSVSF
PYGAAALTRKLEDLRKGKSEEEGDAAVTELRKEMEANFRRAYDELEIPENMVKQAESRGGFPLYLSGGGFRGWGYLLLYMNQIHGRNYPISIINGYK
ASKEKFEDVETLKKVAREAEKIFRVSDRRRAQVPAVAFLVNVLTEALPHGIKEANFCQGGVREGVLFRELSQNIRDDDPLEVATENFGRKSADALSK
LIMNSIPAPSKKEGGRSFPESISKHVMHAFANVLYVHAPMSKEIASTAALYCTSAGFMASTHGVSHIDRALLALMLEERYEGELPPREAEFKLSLQS
ILTDEEIWWTRYLGAIGLLISKIYPGGNFDEDEPRIKVDSEWASGFGKEDDKEGLRLILSIKKIKDDPMMLKEALDDHVSDIHKVGKKKNWIGGRDG
WGMAIDIKIKEVSKLD

>RCO7_04582 | probable O-acetylhomoserine (thiol)-lyase
MAGSSNHFETLQLHAGQEPDPSTNARAVPIYATTSFTFNDSAHGARLFGLQESGNVYSRIMNPTVDVFEKRLAALEGGVAAVAASSGQAAQFMAIAA
IAQAGDNIVSTSNLYGGTYNQLKVFLPRLGINTKFIKGDKPEDFAAAIDDKTKAIYIESIGNPKYNIPDFEAIAKVAHDNGIPLIVDNTFGAGGYFV
RPIDHGADIVVHSATKWIGGHGTTIGGVVIDSGKFDWGKNGKKFPAMVEPSPGYHGLKFWETFGPITFATRVRVEILRDVGSALNPFAAFQLIQGIE
TLSLRAERHAQNSLALAKWLEKSPHVSWVSYPGLESHPSHQLAKRYLPRGFGGVLSFGVKGGGEAGAEIVDGFKLISNLANVGDAKTLAIHPWSTTH
AQLSDEEKLASGVTEDLIRISVGIEHIDDIIADFTQSFEASAAAKTSGGKDNSTETGSTAGDAKLVV

>RCO7_04583 | uncharacterized protein
MSANLLLPIRVAQGVFALVTMGLSAYVAHWYNNDTLTASPSQVNFLIFVSLWSFISIAYLEVAPRFMPKASHPILVLGFNVLNMLFYFAGFIALAVF
LGRLLFCRGSVCSAARADASFAAFSWVLWSASSALVIMQMMKGGFVAGLKTDRQAKSAMKETPQSLGA

>RCO7_04584 | uncharacterized protein
MHIISLTGLLALPLVLATHLRVSIPSTPLLQHPSTLPPSTHATLTTLSHHYSAPLTTTNSFDFRNVTCGSYLLDIHCHTHVFAPLRVDVTESSGKKV
VDGVDEKEVQVWDTFRGNEWGNKGEVKEVKEVEDRVGVWGFEVTCVGKKEYLIERSGFSPMSILKNPMILIAGVSMILVFGMPYIMDNMDEETKAEF
AESQKRSPLAAGGGAPKSLQNFDAAAWLAGSSTPKRTETPVEKGVTR

>RCO7_04585 | uncharacterized protein
MADFIPPSGPPPPKVPEGWKAQWNDQYNEWFYVNIYTKKSQWEKPTEAVYPPPSDGAPPGAPPGYSGGGQPQPTDAKHNPYQSSMQPNTESDAALAA
RLQAEEDQRATTSRGAQQDYMNTPMPGQQQGYGQQPSYGQPQQQNYGQQQSYGQELPPREEKKSGGFLGKLLGKASGGSSSHGGGGGLSSFMKPPGQ
HGGGGYGQQGYGQQGYGQQGYGQQGYGQQGYGQHGYGQPMGGGYGGGGYGAPKKSGGMGAGGAAALGVGGGLVGGMLIADAMNDNDEQEAYQEGYQD
GNDDGGDFGGDDGGD

>RCO7_04586 | probable GTP-binding protein ypt4
MSSPSWDYIAKLVCIGDSGTGKSSLTIRLCEGRFSPHHDVTIGVEFGSRIVPVGPPNTPLPLPKPSARDPSLSGISEGLPEPRRAEPKVEQKHMKLS
LWDTAGQETYKSVTRSYFRGASGALLVFDISRRPTFTHVTDWLNDLRQIAEPDIVVVLVGNKSDLAEGNENKREVTRKEAEEWARSNGVLEYVETSA
KSGEGVELAFGRVAERIYMNVEAGKYDLNDRRSGVKGPPTGGNNRSGVKLSNPQKTTGYGCC

>RCO7_04587 | related to choline transporter-like protein
MFSEYASKFLAQSQSRFSNFVQPDNADAPPRNPNDRYRQAHQPLRNQSRGYTSRLGNPYQSTSNFNFSRYSAAPADAPLFHSALDDFREEDDEEERE
RETADFFALQKSRRTFAPIARLDDSRETDPEASHESVETAKDGDDRATEDRGRGRGIKSSWNGGGRSTRGMGHTPGTIGEEGSDKDGDSLRRSSEAS
SRGRERMEDVGLESTIEDDDPPEDLAVELEDSAPAFQNFRSAPKSGAVRLPTDSKQTREQRDAEARRMAAAGISRPPSSVDTIPATIATTIAEAPSH
DVFFGSLYLICLGGLFATFFLVFLHTETPDKNIGDTIYTTLHASFHLFAVDTVVSIVVSLVWIALLRSFVRSLVHMILLAVPVILFSFSLYPFVSSY
KGAAHGNSLQDKAMRWLSFIPGIFALVWMYTIYKGRHSLNKAIGILEFASRILAANPALLGLGFATLGAVVVWTWMWLGMFTRVFLGGHLSTSVTRF
IIDATSWWLAAYFVLMYIWSLSVISGIQRSTTGATVSQWYFHRNAVPAPASREVVIAALSHATTTIFGTICLSTLIALLIRLPLLLLPRRLIGVITI
FAYSFIPTPIAALTNPLTLTYAAIHSQALHPSARGLSQMTFLSPQAPTTTLTPRSFTARNHQTTPLLPYRLAKLLLHATRFIMAMALGFGGWVVTAR
QLNIAMPEGAGIRGSAYAYVVGLVASFIGWGVLGAMEGVLSGIVDASVVCWGSERGMVGGGAYCLEAGYLFGEGRERDLP

>RCO7_04588 | probable sorbitol utilization protein SOU2
MSPSLSARFSLEGRTAIITGAAAGLGLVIAEALAEAGANVALLYFRNGEVIAAAQGIEKRYDIQGIYSYLSRAYQVDVTESDAVEEAVDRVVMEFNG
RLDIFIANSGMAWEETTVLSSQISAYRHIMATNLDSVYFCARSAGKHFCRQHKEKTTFTGEPFAGEELVGFKRGSFIATASMSAHVVNYPHVQTAYN
ASKAGVVHMCKSLAVEWADFARVNTVSPGFIRSGLTAPVPEDVQDQLKEKTPLRQIGELDEMKGVYLYLASDASSFTTGTDIIADGGYTLW

>RCO7_04589 | uncharacterized protein
MPSSKDRLYVALYARSGPPRMPGGEDKYHWSLIVGPKTESPSAIGTRYHAKETMKNVDGAIKNVWVFEERQMSLLPTSAILVRIMIGKVTDKTRLQE
AFAKTPIRAGLEGYSNWNCVFWLEEALSRGAQDGKALGKCHTDWTYVKDTAMWYVAKKAADHRFDGNGNFDNSKVPTWDILEGKEVIA

>RCO7_04590 | uncharacterized protein
MAVASSSLVATAFSPRSKVNPSSHGWENRWTLYLISEITPDPQDLVAQAAESRRNRRLGICVIENILAEFLEVKGTEWSVDHKFFLGNASNPNKADL
WNKDD

>RCO7_04591 | related to pre-tRNA processing protein / PF I subunit
MEFSVDDQIKQLENARRLVLTDPVHYPQVVQGILPIAAPGARVELRRWVSEFLAETFASPSVSPSQKETMSLIVLETLKTMIENPQEDQAVVKNVVQ
TAASVYPLVFRWIINNTYDSTTWERMMAIKSRILRMWDGASPGIRICCIKFAQRVVLVQTTGPLADPKRGDPMEVSLSMVPQTHPLIPPKNLEAEAS
GLLDRILSVFQENSSDAVLIDATLNSLSTLIRARPHISNKILTVILNFNPLKQANSPMTPRLRVMVKSMEKTTRSLLLHVLKRDQQHPLAGKMHQYI
ERMMRSRADIFDESTRKRGPIEPTDGLDAAKRQKLGAAIPRIAPRFQVPPLTPGPHTIAELFTVTTDEALKTFDVSQLSEELVLKIGITIMQKIDAD
TLNQAVEGVRQRYKIMEAASPVVVNPATSSLGIEDEDDDYEPDFDAAEDTEQILNKLDSAPAEDTAVIAPSVALGLFTLPAPPALTLQQVNAVGQVT
IARMFEVMKSLEERGKKSKAGINRLAASAYDRDAWVTILSRLATRAPGLLESLEFIKSEVDGPVSPFLATKIREYLCAYILEDFRKRLDTALTWLCE
EWYNDKILMRASESTSLHYEEWVLKVLDGMVPYLDAQDRGLVIKFLGEIPGLSLDVLARVKSLCRNPATVNMALQSLLFLVAYRPPARELVLNVVED
VWDTYEDARPMVVKLFTKWRPGLTDRGKVIDEIVALPKETKPANDDVPIAA

>RCO7_04592 | uncharacterized protein

MPVLPRSSYYDKHYKQSAALIRARRPYLIKNALTGLALFGFCGFVYSFTIRAVAQDDFEDVQVPDAPTQSPSAGASTMAPVVK
>RCO7_04593 | related to DEP1 protein, regulator of phospholipid metabolism
MEEAIDALLQVAREDGSLTELSDVEIDGDGSSSLSEIEDKDGDQDEDVEGSDELSVNSDDDENDSEAETERLEESPRKFRQQQDLVMSAHDSSQVYE
QSPSKLHQQIGPADMDDDDDDPLSPDDISLNDPDSPKSSERGNPEQEHTTAPTSLGDSAGDGKNLLLLADADTRKRKHSIMAGGAVDGLDEPLRKRT
GSVLNPGDDYAIEDDADPDEEGDLSNPISGNVSGDDEEVAQEDEIPEEVEEAVAAEEDNTEAQNIPISPKKRGRKKKKAVENGVEGHEDPDGDIVVN
GQYEVRNGDEGADAEGDDEAEAAIKNEEELEKKRIAIEKLVTIERQFATFRDRLYEERMAQLNREEEMLRQDNPTHPGYLSMMRSITARRDERIRIA
DKLKEFELENLKIQSVAKRSQILVQYQQEVREIREKKLEHLGQKWYDIQHDRRNHAGSIPDYALKFPARRSQQILNQVAYNSEVSILSGVAKHVGFP
AAPPMASATAAEIEDDFPKMSRTREVQQPQPAMPLQELAALRHASSSSRFRPAEEQFMKETPWANPQHPSHAHIIQRQPLNQQVPRTASPFSQVQVQ
PRRNSHQHGSGLPISGTFSNSSSLLHHSNGVSGGRISPHNPFVNSNHSHTIAPSPLGSRQPSLSPQQNRHPPALRDQQNGQNHAPDPSKNNVNQQPS
VGLAEAPRDFPHEARREQVAAMASRF
>RCO7_04594 | related to nucleolar protein 12
MGKYSRKDGEDRKEKSKGKGHSKKSMVVDEAAVDPTLALLFASSAGPVKAPPRSRYTEAPPPRRQIVGESDSDDEEAEAEGDEDDLSSLEGDLDDAD
LERLSESDDEQDGGVGLDSIIEASALKPERKRKRKAEEEDLEGKYMQKLAREEEKEEEQRKADRRLKRQRTMAEQKPDMSEGAEEQASNSYEASADG
IDSDSDAEKPATRATLANVPLHESLAPSKDSLELEKSTRTVFLANVCTSAITDKSAKKALLAHMGSFLSELPGPLAGKPDHKVESIRFRSTAYAGTA
LPKKAAFAKKELMAATTKSTNAYVVYSTAFAAREAVKKLNGTTILDRHLRVDGVAHPAKTDHRRCVFVGNLGFVDDESMLDQGGETERKRSKIPSDI
EEGLWRQFGKAGTVESDANSVEAALLFNEKKYPPMLPRVLRVVRAKAVRKTANAAAANTRSDPRNSRTNNKPRIYQPKTTSEMSSLQGRAGKLLGKS
GAAQFKKKDAASGANGTVMGKKGDGKVIEGISKTPEAIIFEGYRASSKNGRPKDLKMSGAKKGKGKPKSRSSTRASSWRKAGGKKTS
>RCO7_04595 | uncharacterized protein
MTRTLLTLAVLLLALFRIEVIGTPAGSLIRSEAKYMSPGGTFLPYPSVPLEFNGTIDGVPIISKGSIQAIYAQLGLDDPTETAIGFSNESAAVVPRE
MSDCNCVPVPHNKHWKRAYVFSLEKIIKVMRNWKGDCNIKAQSCMLLNCYYGSAVHACNDKKEDQKLKCNVFADYTQKVRDECYVAKKGLSGEAGGQ
LWDTEGWNIYVINEGCGAHQVGPPVLDLRNERSHSLESRTEDSEY
>RCO7_04596 | related to Putative sterigmatocystin biosynthesis lipase/esterase STCI
MVQPSTEGYSQGWLDYEKVLGSRPLLSGSPQDIIDQFNGLGAALAAQAPPPDTSVITENTNADGVPVRIYTPPSATGKKLPVGVYYHGGGWLVGSID
AEDAWCRVISKNTPCIIISVEYRLTQTDKWPAQLDDSLTAFKWARTNVTKFGGDSSKIFTIGASAGGGLALSVADELIKAGSGSQISGIVAMVPVTA
HPDSVPSAYKSQYTSYTENASGVPIIDAGTMKTFFEAAGIQPDNEKAFVSLSKNLKDFPPTYISTCGKDPLRDDGKIIEEMLKKEGVKTKSDFYDGV
PHYFWLFPGVERGEEFLLNVCKGVQWATSQ
>RCO7_04597 | probable MNI1 Putative S-adenosylmethionine-dependent methyltransferase of the seven beta-strand family
MSTFSFSFGGDDIEDATVTKPDSAPVMPSHAAETGTLQRATSSAFPIVGQPLLQPQVHDLETMLKALPSKIVYNTLVIKLDDGSHISVPRRELWDVR
VQLMAEEDDEGLGNLGKDDVKTGVYEGGFKSWESSVDVVKVLHKRKARAGLSGKVLELGCGTALPSVAVFQWLLESSDSTGALDLGFADYNPTVLQL
VTLPNILLSWAQTVRKDSWEAEGELDLDVDFIEDFLASLESHQIRLSFFSGAWSPGFVELVKGSMRSDTTGLTIIGAETIYSPAALHAFAETLMSLL
EGVPANESTSLVAAKKVYFGVGGSMVDFCEMVRLQGGSVKQIREESDGVRRAVVEVKMPSL
>RCO7_04598 | probable QNS1 Glutamine-dependent NAD Synthetase EC:6.3.5.1
MGHIITVATCSLNQWALDFTGNLARIIESIVKAKQAGASLRVGPELEIPGYGCLDHFLEDDTILHSWEALAQIMNHPECQDILLDLGMPVKHKSVRY
NCRIIIYNKQILLIRPKLALASDGNYYEQRYFTPWRSVRFVETHLLPRLIQRINGQKTAPIGDALISTLDTAIGCETCEELFTPNSPHIGMGLDGCE
IFTNSSGSHHELRKLHTRVDLIVSATLKCGGLYLYANQQGCDGDRLYYDGCALIVLNGKVLAQGSQFSLDDTEVITATVDLEDIRAYRDQKSRAMQA
LAQEKYERINVEMSLSREGDEIDLSLRPTTPRAAKYLIPEQEIAYGPACYLWDYLRRSNQAGFFLPLSGGIDSCATAVIIHSMTRFVLQSIESGNRR
VLDDLHRIAGEEIDSSWIPKTAQEVANRILCTAYMGMEKMSSAETRARAESLAAAIGAHHTSFNIDPVYEAQVKLLAENTGTDPKFKTTSTDSNLRK
GGTKVENLMLQNIQARLRMINGYALAQILPQARGRRAGAPGSLLVLGSANVDESLRGYLTKYDCSSADINPIGGISKTDLKRFILWASLEENFGLGL
LRGFLDAPPTAELEPLTEDYVQSDEADMGMTYNELSIYGRLRKINKLGPYGMFEKLLHLWPSLSPQQIYEKVRFFSWNYAINRHKQTTITPSYHMEA
YGCDDNRFDQRPFLYPSFSWAYAKIERSIKQMGGVGTRVPASSAEGK
>RCO7_04599 | related to ribosomal protein P2
MKHLAAYLLLTIGGNTSPSASDVKAVLESVGVEADDERLSTLISELKDKDIQELIAEGSTKLASVSSGGGGGSAPAAGGAAASGGAAAEEKEEEKPE
EKEESDEDMGFGLFD
>RCO7_04600 | probable ribosomal protein S12, cytosolic
MADEYVSSDRSSRLSATRAYPDAVEAAEIKKKRAFRKFSYRGIDLDQLLDLSSDQLRDVVHARARRRFNRGLKRKPMGLIKKLRKSKQEAQPNEKPD
LVKTHLRNMIVVPEMIGSVIGIYSGKEFNQVEIKPEMVGHYLGEFSISYHPVKHGRPGIGATHSSRFIPLK
>RCO7_04601 | related to putative cytoplasmic structural protein
MDFPDAELRDGGLADFESNVHTIHAPPSRALSPITSNAMNTLNGTSSTLSALSKSNSASTIRSVPSESLQLDTNSSSPDEERRNHRSDPTAMPHSTK
ASPQTSVPHSQPPLSRHNSNLAVENGLVRKISSEFGPTRSYTNSSIQIPDDASPTSNGNSVSPGGQWSSAVGRANLGKSGRVIERLMGENDMLKRDL
NLERLRAEESKQAVRMAEGKMDALTAEYDGKLHDAAINKALLKRRERQVAEMKSQIEAEKHRADKAVERERGWREAMEKIEEDSKRSVEDAQILAAL
MKGRNEAMTSHWRDRGVEVNKTVAKLGEEIGIIVQERRADDDRMNMLQELCDQQAEQLTALQAEKDGIGEAFERYKIAQEDALKDIKERARSQEKAN
EAALQETQKLLGELKWALNIKKNVKGAD
>RCO7_04602 | uncharacterized protein
MGPPQTTRSSYATAPSALDPTQLVYITILSFSSEWHFKPDGIKLVQKRFEVELAKLEKNYAWNFQVENRWVPEYAMWQVRCAKGDDKHIWPAFFTVM
NGVIREAIYTASQKNGGLDGIPQEPEEEDDDEDYHFTHDEPLDSNLIERLAVWKMDKLLEDPKAEPESADEMAQIETQLTPVSHDETFPEAIRFYKF
RQAWQCGDKGITLDVIFPEADLKELVRLTSCQFSMNLDEGVMFIGAHEEANILLAIHKLDNVEKNLQYRHAWVNHIFYNEGTANAKYLLKYFVDLRM
SYFETTLLDNLQVAFSHGACDYEALTNAVTVRCAPYDPVKSGYIPINKVNISKINVEDVPGGVRVFSAAFIYNGKGVPSDNPMLHRPAHIAPVPAEQ
SNLQLLQSSQRASAPQFRNPSVKDESVQRWATSVPDALGSRVGTNSNGLPDILQVLPNGAVVVSDYKASPKKPAWDSYEEYSPEKAASAVRNEFTWN
QTKDGPFGIVNRPLAANHAVRDPRPRAPIAKGTPRKLTSAMPRSSSMPQVTIGSDGLMEPLKPTILRQQTSQPLQPFPSLPRLQQRRSAATQQSSRI
HARSVSQSAVPPSQPSLINRRLFSDTIAKSSHVHVSLLDEDDLLAASLPVDVLQPVTKPLTVQGQAEKMQLIEEAETRVFHQTMNQRAPRPKKHNPF
AGRLERPSSPPKSTVSSSSSTKAITADPVPEFIEEFNQSFKELMAGLRGYRGKVVVQAEFGRIILGRFHPKQLSVKEHLRFLDGPYLQDMLLKPTQY
GPTMDFTSVLTAVTAEIQYIVNMKDQNGKDIWEKDKVTRWTTTYEFIFTDIQDPLYPVMIEIDAETFVAQIKARCCLGNLFVYGTKRHWDVKVAAIG
YGNKRAMEDKYGDLATEVQSSLYIPPNSHRPYLSWKLNTSLQKRFVIQDLIVRRVYEYKSTDHKSVLKVSELQSLDIDGGPAAEKPFWIFEAKPGNP

DLAPIDKLTMWYEASTSSVELDAVVKQNESLDLGDETAWTLEDVANMGASKALYLPALVMLKQMDGVGQNSLNGSDYRIRRQNAHIMQAQAVEAVVW
W
>RCO7_04603 | uncharacterized protein
MSTHAAFPSLEYDLASKKWRILIFWTAVILDSFAIPIILYFVLNYATSLEKRQVYLIISMTLFGTLILEFVQRTWRLWKKTSTCRVVDTKRYDFDWV
HWNLTLILIVVIAEVAIATSLSTPLVRLLALPLPSIFFTFGLEMLLVEILRSFHIRAPFRVSSTPKGGILRPALYTLIEDVIAVDGNGGTGYRERLN
ARYVSSPEFRSLMSGLTYFWMVPALLLDVGVGHLIFWQGVNEDTAYVMGWTIPFVWASFWTLATTYWVRQALDEEKRNWEKGELR
>RCO7_04604 | uncharacterized protein
MGILRSRHICERTALIPAPEEEPARNTWFKFKATSSLANTFSFAPSAADDAEEEDVTVLNRGQPQAHPSYPQSKPGTGVREGANTATPPPINAWLAS
NLHHALQTELAIPCPPLSHQGEKLSLQDEKEKDGES
>RCO7_04605 | probable peroxin-6
MAEQIPIPQSRKRKRRRQDKAAISARLVLDDHVKGDVGILSEDLFADLFPALVHALENGNGNANTPEFHHVAICPWGPSASVEDSTWTVVPVRPSSA
LAHSTVQFSPSSLALQSFAEALQKVAPSKISSHSRSGIEIGILDVVPLPLDTVFVAIEAESAKRLENGEGTFRGDHTRQNGLPNGNAIAKIPEDRLT
AAIRESLGALKVVHTGDFFSLPLPPHPITHVPPPPAKVTLSEPVGQGILSAQTRIIITQTGHHAKSTRNSQTLPANRTLTEVAEEDEDTSNDQFFSA
TEDRYKTDAPIEEDEGDTETETEIEVSENDDDDLSDDSMDDLISLQAPTLPTHNASGISTMQAGTPMTLGRGRKIDGISTPGSVFSSFTATTARAGG
QRGRLFKAQGLVKPLPEGSLHPKPTAEDDEEARVYVDINSLTKIGCFSGDWVRLEAAPEPPPQGAGLWGLGSFGAPEVEDPIWRPVKVFGLPESYSH
RPVTKIPSSKHDGRRLSFFESQVHKPSSPTVYLSPILLANMANTPYCRLSPLKRTAVSTKALLAKITSASRPPFARELTLLKISTPFSTERTLQNAL
FSGLKRHFTSRTRIVQKGDLLAIPIDEDLGRTLYQSAPSDDTEIDELLSNAVLDDLRPTKPAKATGVGWFRIGYIGAAKDSPEIVEDEDIWGGVASI
DVSSTHMMQSGSENSRLPSTMENSWDYYLGLKSISKSQREATSIPEPRRHHISVLQRRLRELIAAATSPRAIHLKLQPLAILLVSTQRNIGKATLSK
RACADIGLHTFTIDAYDIVSEGSAGSDIKSAGLLEARAERAMTCGPEFCALLIRHIEALTADRMITALKDILAGSRVLIATTTEVNKIPDGVRGLFT
HELEMTAPDEWEREGILRSIIDDQPVALAPDVDLSGVAVKTAALVAGDLVDVADRALVARNSRIEALASAISDADAVVTVRDIIVAGGSAGRCLIKA
DFDLAVEAARKNFADAIGAPKIPNVSWDDVGGLTNVKDAVMETIQLPLERPELFAKGMKKRSGILFYGPPGTGKTLLAKAIATEFSLNFFSVKGPEL
LNMYIGESEANVRRVFQRARDARPCVVFFDELDSVAPKRGNQGDSGGVMDRIVSQLLAELDGMSDGEDGGGGVFVIGATNRPDLLDAALLRPGRFDK
MLYLGVSDTHDKQLTIMEALTRKFTLHPTLSLPRVASLLPFTYTGADFYALCSDAMLKAVTRQASLVDTKIAEINTSNASSGKSKISTAYFFDHYAS
KEDVAVMVTEEDFINAEKELVPSVSAKELEHYGMVRAQFEKVDEKEKVKLDESGWVDKGEGRDKDIDGIPEWQRRNGGADDVQRPKSNGKGKGKEKV
VDRKGKGKAVGSWDDSEGDEETYNEKLNGYNGNGNGKAREKGKGKAVNMGFQDGEDDEGLY
>RCO7_04606 | related to triacylglycerol lipase
MGDNTETPPIETDDADLSTTAIKYAHQAEKLSLAAPGDDVNDSKTVVQAHFITPNDPILVTRDGGRLPAVPLAEAANLNRLKATMEGSPTGSTGAIS
EKSGSENGTNSESAPKGRIQKSGEGSLRRAMPPSRTNPLFPPLPLYGPSSLIRDLQCMIFRVSAFILSGCFLGTIVLGAAFTSLKPMFIHIWIRLSL
RNPDARRPFHEEEERLKRVRKAEDKAWTNKSSTTNSASKVEDDTEEDSEEFIPTEGGPDPLVCDVGYYARRVGLDMETLQVQTEDGFILELWHIYNP
LEFEPMSAAERAARGPNIFTGAGPSRKTPSQKPKFPILMIHGLLQSSGAYCTNDDRSLAFYLCKSGYDVWLGNNRCGFNPNHTLLSTSDPRMWAWNI
RQMGVLDLPALISRVLSETGFEKLGLIAHSQGTTQTLVALAKEQRPDLGEKITVFCALAPAAYAGPLIGKAYFKFMRLISPAFFRIIFGIHAFIPIM
MTMHRIIPGNLFGAMGYVVFHFLFNWSDERWDRGLRDRCFQFAPVYVSAESMRWWLGRECFAKQKCILATREQGHEEDEEDEMEDYYARSKQHCSTG
NRPSHFRRTKSAESKKQRRPKGSTAWYNNQVPPFALWVTGSDDLVDGRRLLRRFERGREPHVRLVHSKIIEEYEHLDVIWAMDCIEKVGREVKEVLW
RTCDVRDKVRCPKGCEDVELWRDTKGDADGDWKEEGGEGDGKDDAEEEDQSGSDETSE
>RCO7_04607 | related to protein kinase
MSDSSSVTSDRGTLEEIRDNGLMAVGMPKGLEKIYDYESGGHHPVHLGELLDGRYKFIHKLGSGGYANVWLCSDDTNLRPANILTRITGLDGLSEDQ
VFEALGSPVTTKVTALNGDPHDEITAPQYLVYPICWDDVELTTLGAEFISEQACIIDFGESFDVTNPPEDVGIPQVYCSPEYTLDRIVDIGCDIWSL
GCTIFEIRTGQKSFDTFDDDQDEYLWKMTMILGKLPEPWWSQTWIARKTIFEDNTDAEGRVVEVPQQLRPSEDGKPEIERTIVQVAEPRSIKEAIAR
GLFYYNRNGPGGVHLEIPELEVELLADLLAKVLKYDPNERLTARQISEHAWFKM
>RCO7_04608 | uncharacterized protein
MPGIARENVEILVHTTAPSRGQDDAKRRRMAEAYLSFHPATKTTLEPELTVGVTDNLNNATANLDQEAGSQLQDELQQATQETHEEPASGASYRPEQ
NSGEEEDAYEYVVEHPLNLSQELFSPSMSFNSAVDNANSPIFRAQISHYGDLPISKPSQEPGVADSWVVPPSEVPDSQPEVSRTMIVFSSPTRMLEL
YLQNQESQLTRSTPDKSPEKSDKSGSLDLPLGLRELLSSSPDRGQTQSSPSPVKGPERRSDRILEARSLNPPSTQDPALDLKRKWVSSSTEETHPSS
APPKPLAIPTQVPISSQPLPPRPEKRARLELPNTRDFSSSQLTPASGRLACTPTPSSFQAPGAWWCQLEIRPSPPETSSEQLTADMLITSHLAQIVK
RMPSSLYCPVHQKRDLREMERGYWLVDCKEWNLNLQQQCWNTLGSSIGKNKSGWGVWCIRDEDFTSLRIYCWGIVVRHIYLLLLMASNNRIKKAGIR
WIGGDAVLQKSLAQTR
>RCO7_04609 | related to integral membrane protein
MATNSSSRGTNTIVTSIVFLLFATIAVIVRLIARISYLKNAGSDDVMIVISLITCTALVVLSCYEVKHGLGQHISENLYFAIILYNLSLASIKISIV
LQYLRVFVGRTIRFWCWMTIALVLVYAFQAVLTSIFSCVPLGTFWKGGGKCIDKKFGWFFNATFNICTDLIILALPIPVLKSLQLPLKQKIGLMCVF
ALGGFVCLFSVLRLHSLYVSSNSHDSTYDDANVAIWSNIEVTTGIICASIPATKSLIARFFPNLLSTNHSRQPSVPTQGRSHNFRAASDDSTAPVQL
MNVDGDHKTVTRVEAGKGRDIYGDGDLERASLDIVVTTSMTQDVQRKGQIGGEKDLVIRLN
>RCO7_04610 | related to C-3 sterol dehydrogenase (C-4 decarboxylase)
MTVNPSSAPKKTLGNVVVIGGCGFLGHHIVNLLHDTYASKISVLDLRTARNRHSSSSISYYDSDITSRSSLISIFGKIKPDVVIHTASPTLIGAGHE
LYYKVNVEGTKSVIEACQKTGVKALVYTSSASVISDNVNDLMNADERWPVIPAASQTEYYSTTKAEAEALVLAANRSPTAPQLLTCALRPAGIFGEG
DVQMLPPIINVYHTNKTGFQLGENKNLFDFTYVVNVAHAHLLSANALLQTSKLSTAPLDHEKIDGEAFFVTNDEPVYFWDFTRAVWKAAGSDKGTEH
VWVIGKDTGMAIGALLEWAMWFLGRTPKLTRRQVRYSSMTRYYDCGKAKRRLGYKPLVGLQEGITRSVEWFEEQRTKEEEKKGQ
>RCO7_04611 | related to ubiquitin-conjugating enzyme
MSNHSIIRITRELSDLQKSSDLSLAVACRDVDVRNVKAIIIGPPETPYEFGFFEFAVKFGREYPGKAPSVVATTTNGGRCRFNPNIYAGGKVCLTWR
GERGEEWSSAQGLESILISIQSLMSTNPYENEPGFETANEEGDKKNQKDYVNKIRHESLRISVIQRLEEYMGISASGVVQEPLVGGDDSDDADVDRD
FDESSTTFDPFKDLCKRRFLWYYDSYLLAISKAKADVVDGQVFARMPFECTGNGMEGKFNYTELERRLRLIRKTMDAETEKWAEEGMVSKRKESGVA
SNLQRQYEQVVEAYKRDKNVTLDIELVDKNPFVWSVTYFGRPMTNLDGGLFRIKLFFSPRFPEEHPRARFETPLFHHRIASDGTPCYTSKRAEDAKS
HIEAIIEALEEESPPYDPRTMVNPEAAKLYWGSEDDKKKYNRNRHYLSTEDRKHNIATIQ
>RCO7_04612 | probable rho-GTPase-activating protein LRG1
MSPQSEGGPSGQHGGQYTTYDPDREGNKSEYRRQQYTEDRGRYQSEKNGQAGPLPRPNGAFALDNRIAASPSGSANGREKDRETGLAKTSGERNRSK

TRNGRTASGQLRICKKCSEPLTGQFVRALGGTFHLDCFRCMDCGEIVASKFFPVDAENGEGQYPLCETDYFRRLDLICYKCTGALRGSYITALDRKY
HIDHFTCSVCPTVFGAQDSYYEHDGLVYCHYHYSTRFAQRCNGCQTAILKQFVEIFRNGQNQHWHPECYMIHKFWNVRLASSQEKQDKDELEVAQDT
TDEAGRNAVRDLEERMEEKVYKIWSVLSTFEESSAACISDMLLHVSNGAYVDGVLVAKKFIWHVDILFRTADKLDATMTTLGPKGLSYSREAKLLCK
KIVAFFSLLSKSQEGGVRKLGVTQELLALVTGLAHYLKLLIRICLQGALKVEREHQSSECLEEFLDDLGDMEAVKNEDSLETTTGTSNLGSSNPDQC
VNCRRTIEDECARLGERRWHLGCLTCVNCSRQLSHNLEDARWSDQDQRVFCNQCDGLTQGAVGGYERVTRLQEYVFLLRVSLARLLDMLRSSGSLPH
TSDDPNLNGYDSSNGHRAPAQDEAPANRSEKRSKSQGGSSDDKRVSSSYENTLNDVRRLRSTRMDKHLSSTIKKARTSRVLEGPDGQQGPTGIDGTN
SREISMQDRDGAGENRTELMFSGSNGITLDDIPRIVAAEQAKEQRPNAYKHARNEMFRTSVTEPKLLNGHQRNLSSGNPLDQPATGESLPQRREGKR
YFSELSALEYFIVRHVAVIAMQPMLENHFTMEELLNLIETRKPTFWTKVGKALKTDGKKGGKKKGIFGVPLEVIIDRDGAESTEGIGPGALRIPAMV
DDAVTTMRKMDLSVEGVFRKNGNIKRLNDTMATIDREGCEAVDFSKENVVQVAAILKKYLRELPDPLLTFKLHRLFIASQKIADEEKRRRILHLTCC
LLPKAHRDCLEVLCAFFNFVASFHQIDEESGSKMDTHNLATVIAPNILYTNAKTPVDDNFLAIEVVHTLIECNEQMCEIPEDLQSILSDQTLFTNPS
DITTKEILKRYGDLGAAGGPRRTVETESANLGKAKDGRPLAPVVTRVDTDPSQAYAWQKESSVRHVQDPSAPYASSSNQNTPPQQQWQGQDLDHPSA
YPHRNGTPDSHQDNRREYRNSGWGRAQNGSVGVTGTG

>RCO7_04613 | related to dehydrogenases and related proteins
MSPIRVGFIGLSTSGWAPAAHLPFLKHSDKYQILAICNSSVESAKAAIEKYALGEETRAYGNPEELAKDKDIDLVVCSVRVDRHISTITPSLKAGKD
VYVEWPLGKNLAEAKELLRLKNEGGVKSAVVGLQGRQSLVVRKIKQLLDEGRIGKVLSSSWVGQGGNMGPTVQESHEYISQRDVGGNLMTIHFGHSI
DYIQAALGYGFKPAPKSLVASRRTHQKLLSSDGAVLEEKHAITSDDTIFLHGTLSTGIPLSFSLRGGKAFKGTPGLEWRIYGENGEIRVSGSGPFLN
VGYPDIKIEVVDFDLSGGDEDKVEVVEIEKDEFDGEEWAQYSRNVARLYEELAEGKINCSFEDAVERHELIDGMYKENGIVVA

>RCO7_04614 | uncharacterized protein
MSVEYLDDAARLFVLDGKEEIKVAIKVLQADPANRYDLENEWTRESDAHEKLNGLDRNLIKAIASFRYKTFYCLLLEWADGGSLDSFWKEKPKPKFT
RAAVEELLDQLVGLAQSLHAMHNKKSSRVEAPYPGTRPGSDTASLVGTRGRSSSLRSYISEEGAKQSFQPEEGYEVDRPVVIISPPTAETSQAGNIA
DRGRPQIPTMTIPDVRSDSDGESTKTFENWRHGDIKPANILRFKNKGGWLGTLKLADLGRAKQRQGATQEQRSTEIDLWRSKAHEAPDIHVDSKASM
SRLYDSWSFGTVIFDIIVWMLYGHQSLHSFAKTTAMFESQGSPYWTRHGNSAEVSTMANLWMSHILRDDTECNRPGGTAMGD

>RCO7_04615 | uncharacterized protein
MIPPRSGNAAVPEIVEHSSEPGVVKRLATRGGLLSQESAREKRLNPRQRQTYTHDLTDVWHHERDDDFATYVMGLGPVIGVARLTSVDPSSSFCDLC
QSFKAISMGTMERKETDLDPSCSVCDMLIGCAKRLESELEEPLTLIRVGGSYNVTCKAMNRPGLRVCRGPQASSPQLSHSSDATRIPVGLPRLPIRA
GDDAHVAIIKAWLKDCDEHKSCCVRGATPFLPKRLLQVDFVDSSRVVETTAWSSNKTLTYLALSHPWGKGSPNNRHFKSDRDNIKDRMRKIKDRDLP
PNFRYAVQIARSVGVNYLWIDSICILQKIDTDLGDFHEESKWMEKIYASAYCVIAASSAEHMSSGFLGHERDKAAVQLYKGDKSTQPATFLCEAIDD
FQGDVLNGPLSKRGWVLQERALARRTISFTNNQTYWECSQEIRCETLSKLTNKKVQFLGDSNFPSSATAVGKDGQEFLFQQLYEDYTRLELSQQTDK
AIGITGLEQRLREGRCLLWKRDDSGDSKTTGLKRIPAPPNTKAPPSWSWMAYEGGMSYLYPPEARTSWNEKSVELPLTGTADTSWLYAETTLKLSAP
LMGFDDQENTKDGDYELTYDNHDERKAKRKKCVIIGSLQDKDQAEKGLHFIPVVKPATTHGGSDTWERIGAGKLHGRFIQDMKAITNTVEIT

>RCO7_04616 | uncharacterized protein
MSSSAAIHEESRRPYQHMMHKIPEGIEFLFSDRLPSSVDATAQQLAAIYGLVKEKVIEEFPRLMAIKTFTADEDGTKIMPSDLSITEPEADQEARAL
RIATMKCLYKNFFGAEPLSPNYTQVHSSPDRITIVFVHLGGPTYSMSLPRRSTVLEVKKQIQAKRGKPVDGPYYQMFYTSKEPEAPLVDWITLEEYG
FEDSDAIHLYT

>RCO7_04617 | related to aliphatic nitrilase
MARPIRVAACHVSAVFLSAKGTTEKAISLIHQAAKNRANLVVFPETFIPAFPIWSSIRPPTENHGLFQKMAQQSIYIDGPEMSAIQAAAKKSTTIVS
IGVSEYRRRKLMPTFFEKLTWSPGDGYGLRVAETPFGKIGNLICGENTNPLARYSLMALGEELHISTWPAIWPTRAPLPVETEGFKEVEPTSASSND
EVGKKGPVDYDNVAANRMRAAAHCFEAKCFGVLCSGRFDEMAIDLISEGSSNAQHIRRTLEQSPAAATMFLGPTGALLPGYTIDAQSGKKLTKDFLQ
KEEDILYADMDLNDCIEGKQYHDVVGGYQRLDVFDLKVNRSRRVPASFVDDFTPN

>RCO7_04618 | uncharacterized protein
MGGFVDHYQILRVGLSASDAEIKKAYQNLSKAFHPDKNDSPTATATFQLIGDSYSVLKDSQKRSEYDAARKIVMGNWEWSFPDTNDGANPSQPDVIT
PDVIEESTFCCFRFRSDSSKNRSGAKVTPFQTQQSGRPRPELRTGAYIINEVQGSSPKPPRVGNGNTNLPKQPLSPRRLLDQITVLPSALDKQPADL
SMTVQTFQSWKKTELEARNRRVDRWILWARENISQIQRLHRSAWLQHIRGMRLEESEKVRNQTYKLGMTQKDEHFKNDREAHRALLRDRIFQYYLDE
KNQAIKQFEDTKRSIGLLMVEFQDHQDAFERAEHWALIAVAVKTLEELEKDENSRGKDRKDAGKSKEQWNKLQSIDCAAYQTYRLPTDLPRVACVVG
WQHRLRLDHKETEEIRVCRRCSKDILLNTYKCEGCHAYMCSTCDDNIQQLQAYHLWLEAAKSDNLCGV

>RCO7_04619 | Eukaryotic translation initiation factor 3 subunit D
MAPISLTDIIAALPSEDSWGPATTTETTLNGAPYAPYSKGDKLGRMADWTTEGKDGRDGRGGRQQYNRNYRDQQVYGAGTSSLFAVQLAEDESTFSV
VSNTRDSTKTRFGRGGPMRGRGQRGGRGDTRGGRGQFQRVGGRGGQQGYNNYDQRGGRGGARGGRRFGWKDYDKPQRNRDASVNIKPDWKMLEEIDF
NRLAKLNLDTDDGEDIEGYGFVYYYDRSYDKQPVKSAERKLNVVDRAAYNVTTSSDPVIQELAEKDEATIFATDSILSMLMCSPRSVYPWDIVIVRQ
GNKVFLDKRDNATLDMVTVNENAADAPMDASEGSKDAINQPSALAEEATYINHNFANQVMLENENQKVEMAHENPFYNPAEETEPAASKAYKYRRFD
LSLNDEDPVHLIVRTEIDAVQKNAISGEDQFLTVKALNEFDHKAQGAGGALDWRTKLVGQRGAVVATEMKNNSCKLARWTVQSIMAKADVMKLGFVS
RANPKTNDKHVILGVVGWKPRDFAQQMNLSLSNGWGIVRTIADMCLQREEGKYVLVKDPNKQILRLYEVPPSSFEDDGEGEIIEEVEEEAED

>RCO7_04620 | related to transcription factor pap1
MSSASPIDQYANKSVGGSGYGSGQSDSGKSPLSMSLGFLKTLTEKKSTRVDGQTPKRRGPKPDSKPALTRRQELNRQAQRTHRERKELYIKALEQEV
LRLKENFSMVSRDKESLAEENRQLKHLLAQHGIPWNGTGGVEELARNTSVGYTSSGSISGSYAAGSQSQSPPPFMNSNPNFQNGSSTGMNGGNMAQR
QVQQGVDYDQAGIDFVLTLERPCMDHIQFLVERASDLEGEFCGHALMASCPPVLHPEDMPEMPFGHGPTNQNGTAQKTWDLTKPDLANLLDLSKRLN
LDGEITPVMAWGMVLGHPRFQELSTKDFEHMCMELGAKVRCYGFGAVLEEFEVRDVLESVFYTKPEMTTF

>RCO7_04621 | probable 1-acyl-sn-glycerol-3-phosphate acyltransferase delta
MSTGNFFTTLRGVVIITPWALCLVLMDLICSILLPFSYFFPDGVYNASSLVAFTNWKWIQCIFEILNGGVITTSGDKVPEGESAIVISNHVSWTDFY
MIQALAIRAGMLGRCRWFAKIELRWVPLLGWGIWAMGMPMVSRQWTKDKKELDRVFAGITVRKWPTWLISFSEATRYTPEKAEAAREWCQANDRPIP
KHLLYPRTKGFVTTIQHLRKAKHVKAVYDMTIAYEHNNKFLEAPTIWESLSCGGLSGKRGYKFHVHFRRFPMEDLPETEAELSKWLETRWVEKGEWL
KEKREEWAMSVGHVPCKDQQNSAGSGRGRVGMSAYSS

>RCO7_04622 | uncharacterized protein
MASQALPYDLKRTDFPSLKNSDCFFASQEGNSDLPRSGKGLASTTDLPDTSSTSKRCTLQVLEKFIFFPNLSFEIRNLVFEACVFPRNVRINGSIGT

MSFNTADPKAITIFSVPVLFHINTQSREIAKKRYQCFEYKYRFMYNIPIYFNPALDTFLCFARTADPQVQIEKGCSPKPASCFRHESLSEIPHILRS
HIRRIVIMDRIHYLAGITFVETTALMSEERKKYLMHQFLSKQFGALEQVLVVGSIDAPNQYATRPQVEQLSQIPYKEGSWDLVQEVKKENPGWKGPD
VFLGKIMLG

>RCO7_04623 | uncharacterized protein

MSSVPPPRRRGGVSGQRIVDLVWDPSQVEEELPSARAIQDGIESLRLHQARRSVIRQQIRHRSGPRLDELTDVYINENSLRAPRFAPDLPTHPGDGF
RALLLQTPGIWGATIEESLRSSVTIEETMIMFDELMREWLCRRVGWMSSLVLEDLLMREMDDYLAGYLIPPRLKEERYDRIWVQGGRQWEVVEEHLW

>RCO7_04624 | related to serine protease

MKTSIITAVWALARLVSSHKFGHIGLPLKNARISQRSDTSLTADNSTGWGFFTQLLDHDNPTKGTFQQKFWWNTEFWAGPGSPIIFFTPGEVAAGQY
FPGYNWLSNNTINGIYAEAVKGAVVMIEHRYYGESSPYETLNAETLQYLTLHQTILDFTNFANNVVLPFDLTAGSSNAGKAPWIFPGCSYSGALSAW
TEKLVPGTFWAHHATSAPVEAIYDWWQYFTPILENLPKNCSNDISTVIEHMDHVFLHGKESEKVALKARFGLESLHNDDVMFQLSNTLSDSWQYHSF
VEDGFYQKIFRLCDTIENVEAGAAVTPDANGVGLDKALAGYAKWINETYIPGFCQKQGYTDERETKCMDTHDPTSRIFTDSTVHNPFMRQYQWLLCN
EVGWWQTGAPKGQKTVSSRLLTAEYFQQQCSLLFPTVNGFPVGSGRSPQTNID

>RCO7_04625 | related to protein kinase cek1

MERENGMLAPPVVVQLRTQAGGQMERSLSQDIREEREDLREAAEQTLNVIMDLDLNGNIRWVSPSWTDVIGTSLDLVQGKPIKDLLVSENKEIFSDI
VESMKKDDSRSQIVRFVVNLGPASKLAPIDILMAEDNEEAMAAQSEPATIELEGQGIMVYDRTSGGESHTMWMIRPWIAPREIQIDLPAVIVDSLGS
GAEILASHLTTLAEAGLDDPGNHAPPLPVLCRICERQIPPWWFEKHTELCLQEHKAEMEVQMCQENLTEHRHAIVKVLDALEARKSRPISGDQPILA
SPQAEYKGMPIGPGPSSSSSGTASPGAAADRSRDPSRSGFGHARARSFAVRRPQARIVELLLDLCDTAIEISTPAIKDASTHAPGEFRTQSPQSESR
ISQVMQWQSPTNNTLEQEQGLSVLCQDSERAAKGKVEAVLRHRRIIEYSERIRIEFSVIVQDCIDEAMRKAAKIAAGHLTDSDEEAERTPAQDEGFF
SGSFDGPSSLAAALRDAEMGRSGGRRISSTAVSTRSSSPKESPTPRSHAGQHSILSQPQDSRRQSLFFESDAGADSDTSHRSSSLMSRPGRTESPVS
EFGDLRRAASSRQRNRRSIILPGTASPHRQESPVRIPQPSSPLRITKPRGLPIAHEGIVSPTASPMLPGSEFTSPALLPNHNHHRRQSSAAGSDPSR
QPPSPRLNSVSAPQARAVPPSIKDFEIIKPISKGAFGSVYLAKKRSTGDYYAIKVLKKADMVAKNQVTNVKAERAIMMWQGESDFVAKLYWTFSSKD
YLYLVMEYLNGGDCASLIKVLGGLPEDWAKKYLGEVILGVEHLHNRGIVHRDLKPDNLLIDQKGHLKLTDFGLSRMGLIGRQKRVLNSSANESAPDL
LKQGPFARTMSISSSRSTSFDFQGHHSPGSTPQMTPDLAGGLGTPSYFALSRENTLNKDSRRASGGRSDNGGGDALNQMFSSFSLNDSQAHHMMNQR
RSPIEEMSENEGNCSPEFPGLHPTTSHTSSDLRHTPPQTSMMPPPMALFDPDDSNRRFVGTPDYLAPETVNGIGQDENSDWWSVGCILFEFLYGFPP
FHASTPDEVFENILARRISWPEDNDFEVSREAKDLMNQLLCINPRERLGANAEDKFSCGGDEIRNHPWFEGTQWDKLLEDDAQFVPAPENPEDTEYF
DSRGATLQSFAEEMEDQTSPQPSTASTEYHERPHDALSRVRSQVNSIKRGLMPLHIPPHVREMKSRRLSEPVVADDFGNFTFKNLPVLEKANKDVIQ
KLRAEALAAQHKQNATSQIGTGPSMATSPGPVLEGSPILPMPIQRTLSNAKNSARPSSPSGFSQANSSPNRASQPSSPLLVSFVAGQNGEGRRKTSS
TSSSLSHQSGNSLAPGSFFDGPRLPSNLQKASSAVSSPIKTRGGAPPPLPLSPPKVSTPKQASNSSSRARSQTVGSQEGSPIPADLFSHRKRRSQVF
DMSPSSSDNEGDKANALLRVQRRRQSSRRLSQITLADGPTFRPLDVLICEDHPVSRMVMEKLLEKLRCRTITVSNGAEAMRYAMSEIKFDIIMMEFK
LPQINGADVARMIRDTKNANSTTPIVAVTGYLKELQAPHNFDALIEKPPTTSKLTEAMCRLCQWRAPAPGQITSYPLGFPQPSGLRQESLRLEDSPT
SNGSLSYAHMPGSYRGSSRAESRDSSLFGDTGSLANEDINVLISRKATGDWDDISGLGISNEDAVLESRDLPKVLPPRLLHEESAPGRMELTNRLPI
RQRSIEKIKMKRESIEKHRRDCAESAESGDDEDEVLGDVMVREKTSPKGAPKAHRGSKLSTEMMRTNSRGSVVSSSDATIYADAIEPPPTVAEEPPL
AYEISGATLTPPEVFTTPGENVFEIDMNETPRPSSSQRDPMDVDQTPRAPSAASNQTRV

>RCO7_04626 | uncharacterized protein

MAQTDELWFEVPQEKSWQEALQSLDAIARNTERTASFSERMNSELWDANSVAERLQTESENHSTALLLVLQNTERTAFFAERITSELQDVNDALGRL
QLGSENPLANLRNSTIATLASATRPLIHSIMDEIFVRIQDYRTKNEILTNP

>RCO7_04627 | uncharacterized protein

MRMIEQQLSLQEGNATRWALPTILNNIFHNLPAISQVLLYFSPLILARKSSINGKSLKAWAWKMFRLNCLVVAMLALISFSIAIDNWFDSSYAAGKR
TIIQQVTECAVRFKELACEIDRKTSAERECFALGMCLAQPLWALTSQAFLGNWWEIYKILVDNYRWIPVVISLTQMWLSLLLSKTSWPMDLLYIVDG
IVDGDERGSQALPAEIDPMTGVAE

>RCO7_04628 | uncharacterized protein

MAYTQGFRATAEHTYRSVRVDLLKGHIHEFQAQVIAIPIPANNRVFASFNAAQIRANESMKLSVAQRVYEAAGDSDGTGQRSQKVRQGAFRSTAERE
GTAKLTGSYNLAPGVKSIIHAYHPKLPDNGSKEALDTYVKELVDVYRSILVEIADPVAYKRDDDGSPGYTKIRYVSENRSQTPSTRKFKTLAKLDQG
LEAEVEKEKILEEIHRTNLAEMRANANQDSNNKRDKKSGKSVDVENISAPATSKRAARASTATDKAATHEAFEQPMPKLVRPETRILPPAPRAPAPV
RKETKVPPPPSKGTGAIKKPFLKTPGTPPKPARAPLPRNPKANALAARSPPQEAVRPEYLMLDGVSDPDDQSNEEYPEEETVDSDEESIPVLPPIRE
PNVIPNCLGRDEFEDGSTPDQELHRTRSKSAGKRSRVTDEDDEDDEVQEENLQPVRETKKPRRS

>RCO7_04629 | probable methylenetetrahydrofolate dehydrogenase (NAD+)

MPVETENPLQDPEATTPLPNIPLSNTLSSTVPTCKVILANTIAKSLLGEVAQGLTELDFQPKLVGFLANEDPAAQVYAEYSAKTCKENGFLFEIRTI
SKEDVEEAILAANTDPSVHGIIVYYPIFPSTSRQDYYIQQLVSPSKDVEGLSHKYVFNMYQNIRFLDPPTNQHKSILPCTPLAVVKVLEHLHIYNTV
IPYGNRLFGKTITVINRSEVVGRPLAALLANDGAHVYSIDLDGVQLFTRGTGIKNHKHEVQFKEGWALERCLALSDVVISGVPGKNYKVDPKLIRDG
AVCINFSSEKNFDTAAVKEHASIYVPAIGKVTIAVLLRNLLRLSKDNAPKSA

>RCO7_04630 | uncharacterized protein

MPLFSIADWLGAANLDDGQVAREEEIVADYAGSIELSVYSVDNLVNDLAPYIHSNNDLIGVARGKTGTSIQINHLTGYLCSRLENINDLPAYRAGIH
EIACCLEVIVSWKHFPPGESANVASAIFSLSQQSRFKPLKLAARETLYLLVTTLIKSRGDALLRSTTIPRIVQGLLSIAELEKTPECLGLLFQLYTY
LSKEWDLEAPECQNIWDSCSRFWPVKFVATGKVTRPTEAELREMLLECMLSNDSYAKDAIPMFLNKLDVTSDLSADTKNEVLTALAGGMESYSASEV
EPWSLKIWNSLKFEVWNGENDDFIRSTLKVFHGLSSKLGRNSHDWTSSESSSADYVLTAAKECKERLQDSKKQFTRSTGMILSAIASGSPYAFQLVF
KEVLPSMITIWQDLRLGSEKTLLLGVFNNILVARLALPDISNPDATYPLGSDALIAVDQQNMAHLNTDFAKFSQNLVDVYFSAFTNSDSFPGSSADP
SLTVAAIKGFTLLFQIPDYLSMVEQGMIVQKLNGLATTKGQDAEVAHTVLDSLQQICSIDPIVFRENTLLDFLQKLPDKLSTNPEESKLEMEEIVVC
LEALTEICCTVVCKKEAKPLPAVMGAGNFWHRNFDAMIEKLLTKYVSVMSHGGQLPYAGALVASIANAIEKFNKTVEAAQLASRRPHSTDLLAGPYD
YIILSLFREIVVQKVDANGQLYIGVKLSSTSEDLDKLVRMIGRATTLALRSKLMIDTNNIVLNWNRKFPNEPSSIWSLFTHTGDGLLATTQKNLQES
PTDKCLANILSSAILAAMPPKIKNELRVPAGDVAAAMIYNSLNMPKDSSRACLESTHSMLQLLVNKFGAAKEVLEDGTMLLDVMKTLVTKSNSESGK
QSGKIYQTLAYFAAASLAAFDPTHEPLINIMIDGIQNPTIGRKVAGSFRLLLAPSPVLTKANNCAVRLLRNSKCFAIAVKPLIALWQATEDKILKEN
YLVAISGVMFYMTPEQIDDGILASELLPIVLEGLAVKDEQFTKIAFMKALLNLVARHPSIIEEHLDSVLNRVLDRLRNTYDSPSDSSVECRILAVDV
LILLVKTAKPALLMQRSMKINQELNWAKDDVAWDVRKKIGECSMQWFNLADRAE

>RCO7_04631 | related to signal peptidase 18 KD subunit
MARNANSVRSESSVQDTFTQPRLAHIVPLRDTSSSSTPTPLTTTIANMATSQERISVHSLADLKNTSDDAIPAYLNSLSFVQSHTLTDTRLVIGYSA
FIICAATFYWDYTFGFDSTKHYTAAAVLIYTLLNGALTFWIWGVEKGTVYIGTNKAGEKIQVASKTEKHVPIYQLTVTVWAKREKGAGKVVSIRKPF
TQWFDKKGFFVVLPFQQMIASAVDAVGKLDPGKVVKKEKKVVSVEEGEEGKSMDDKWASLLAESSGVSVAGGEETGTPKGSKKRSKKTT
>RCO7_04632 | probable DUF850 domain protein
MSQVPVQTIHRDPQLFYWILIPITVVMILTGVLRHYATVLMQTAPKKQELPAIREQRSLLRGINLRGNANAISPSSFQARKDYLVTAYENGAFLKEP
DRKGQAAPNPMTDPAAMEGMMGMMKGNMAMIVPQTLIMGWINAFFSGFVIIKLPFPLTIKFKSMLQAGVATRDMDPQWMSSISWYVLCIFGLQSVFN
YLLGSDNAASQMAQQMGQMGPGAGAQMFGPGVDPDKQFQAEAENLAVLNHEYTLNGVEDRLLETVKV
>RCO7_04633 | uncharacterized protein
MSETRVDRFYSAFLHNFGFPTEEELNGGWITVEKAPIQPTCSFHGTIQCQRSTSGEQFVSQPSASTVALSKRAASQPENVPHHKKPRLFNSLGNLVS
LRVGIAGAYIGVHRDVLLSASPGLSDMCKNCGSPADPTISLLNECPDTMQSLCYWMYHNYICISQNISQRSNNVDPPNTAPGLFIKLYIAAAKFSMP
LLCNDAIDALLCCAQTIDLVSLSTHVYANTKPGSNLRKLLVKVISRRCNADDLVSQRQLIRTDFLFDLAEAAFKDRDQGFNRFRDRLPPQEGFCAAF
HVHEKGEGRCEMMKGFVVADEERP
>RCO7_04634 | uncharacterized protein
MPEQQVGLLGGPMNKRALLFGAPGDAITLIVGNEANSTTFSIHKSLLCYTSTYFQNACKSERLKPEVKVIELPVDRPEVIRGMVYWMYYDELGITAK
QFNHHTVFDGSRDIMDTKWGLWAQLPDDPLRMFLVDVTKVFATRATIMANKNMFHAEFLFELTMAFADARRHLHFDDDDAADVDFCNRFHVHNIGDP
ICGDLRQPFVVDEPER
>RCO7_04635 | probable RNA binding protein Rpf2 involved in ribosome biogenesis
MLRQIKPRNARSKRALDKKAPKAIENPKTALFLRGTSCSQVTQDALTDLYQLRIPLAKKFTKKNPIHPFDDAASLEFFSEKNDASLLVFGSSSKKRP
HAITFVRMYGHKVLDMLELYLEAESFRTLAQFKNKKCAVGLKPMLLFSGTPFESPVANEYTLVKSLFTDFFKGEPADKVDVEGLQYMVSISARDTID
GEEVKPKVHLRIYLMRTKRSGQKLPRVEVEEMGPRMDFRVGRVQEADEIMLQEALKRARTTQERPKKNIKTDIVGDKMGRIHLGKQDLKELQTRKMK
GLKRSRDVAGSEDEMEIDAISEDEAEPVKKSKRG
>RCO7_04636 | related to peroxisomal membrane protein 4
MATVDAVKKALESVILNPKYADYLAVVKAARNGAVYGAKVRFPHALVMIFLFRSGTVREKVALILRATKTHAQNLAKYATVYKLTMLALKNLGNTPG
KEGVYDTFFAGLLGGYLVFGRRSRRGHISSVSKQIVVFVFARVCLSLAELSIKPSVGIIKDSALSKRIGHDAWPVFAALSWGSVMWLFRWYPETVQS
GLRSSMDYIYVQSDHWDSLRNFLIYNK
>RCO7_04637 | uncharacterized protein
MTSFAGLHNRRQDVRNVRISSAFAGFGRAKVNARVDWVFRLLEAFTALEEVLFVFGDEYESEEVRSHCVVENALRVWWECVVDAVREGIAVRGQERR
GKKAMLVLRVEFMDFKWNENICSGN
>RCO7_04638 | uncharacterized protein
MTSGTVVGDTLGFRNHQGVRACVACRQMKMKCEGSEDPPCSRCCKVGRDCIPQASTRPKAKSGSATQQYHVNTYQNVTRPATNVATDPLQTNNPRYI
LDQAPSVDTSTQDESVIPSIYSTPPVNAVLESRGKTSPPSNFETTVLRKRKRYSTYSPSNWVPTPGSSNMDVDRTLLSKTDMKEMIQLFVQRHLPFT
SIFPPKAFDDPDSLTETT
>RCO7_04639 | uncharacterized protein
MSNQPSSASPSPSTTHHTQKPTYTPSLYSTASSLSSSKALVNTQSSSRSPSKLKSKAKKFLSSLSDSPTVARERDQEAKTGSESEKQTQKRTSRDGK
QAFGAVNHGPSGMSTFGGERALLL
>RCO7_04640 | related to PSO2 - DNA repair protein
MFRNPRENISIDPTTTNPLAPSTGRPPTPPNTTRSPHPPTTTTTMSHRSSTKPLTPRASSKSNAPTSGKQSTSTKKAFSTKPAGKPNASILNFFKKV
DGPVQDDSIFLAHGSKIANLKSLARDLSPPELSDDDKDVHVEDLYGDGEERFNESGVAVKKRKVSGDGMMSVMGNDGDLVDKSGKGGLGGKNGCTPP
PPEIAAGSRPKRMKRNGPFLSDSESDEDENENEAVQLKAVKAEEEELEAMVLDQSDSMNEVVEPDTIDQKQIHENKPVVPSVQAVVPVKKVAKGRKK
VDVTKAQAKWEALQPNTPPSDYKEASEGSVYGDSQAPKKKKKKKKAPRATEKTVIKREAFKNPKQVSAIEEAPSVPSFKKETTSVDEWEKFEDFEEF
PGEDYEFGNGEEAVERRWMAEQAKLDERDQDEDDYFGGFEEMDSEPQEEAMTASCPICEASLAGLNPDDATKHVNGCLDGNPIPLPVMTPAPIKVEP
TNLKTEPTESKFFPPGATRFARKAAIPRPGQANPFEMGATAAAPSSAFSKLMSGHAEDAAWANAAASEHKSRGKPAYERTCPFYKIMPGFFICVDAF
RYGAVQGCNAYFLSHFHSDHYIGLSSTWSHGPIYCSKVTANLVKQQLRVDPKYVVPLDFEEIFEVPGTQGVAITMIPANHCPGSSLFLFEKVIGKGK
DPKVQRILHCGDFRACPAHLAHPLLMPDIVDSITGKTKQQKIDVCYLDTTYLNPKYSFPSQEEVIKACADMCVSLKKERAEETDAWEVVKRERAGTG
MTKFVQNATIKSEDNSIAMSIAPTKDAKSRGRLLVVCGTYSIGKERICMGIARALDCKIWAPPGKMKICAALEDEELSSRLTSDPREAQIHMQMLME
IRPETLQDYLNGYKPHFSRIVGFRPSGWNYRPPISRFTASPSISTILHSPSWRSSFSMAELTPQRGSTREASCFGVPYSEHSSFRELTMFVCALRIE
KVVPTVNVGSAPGRAKMKAWIERWMAERRKAGVIKLGEGGEGKGEVRW
>RCO7_04641 | related to UPC2 - regulatory protein involved in control of sterol uptake
MPPRRSHKKSKAGCQRCKNRKIKCDEVHPACGNCLKHGVSCDFESPETPASASTPSIAAPSPVMSSASPVSTPRSSSNSSIMPLYQTPTAMVRAHSN
PAVSRSLEFRLLHHYTALTSQTFSDTKEQNHVWQVDIPTIAYDAQYLMDAILAVSALHLRSMHPEDHSLIRASHGYMASSIAQYSNLLNKGLSEMNA
EALFSTAALIAFQASASRRFDDDANGTYTLPLAWFHSFQGVKTVVLASWQWLRSSNRVYPIINSQPALFLDPDPERKLFFAPLLEGLEEQLATLPAE
SQPATRQAYEHAVSFLNWSHQKPIRNRILGFAATVSRRFVDLVGQQDPRALVIAACFFALTKMVDNVWWLEGIAKREVNGILSILPQEWWPKMEWAL
RVASHEGPLNEEIWGSTIQSPHENDSIKLEEEFEAGVTHHIELLASMVNGYVDKPMLEDPLIEEPLD
>RCO7_04642 | probable cystathionine gamma-lyase
MADHSIDTPPRAPSPVQGFGTLAVHAGSHHDPSTGAVIAPISLSTTFAQTGVGQPVGKYEYSRSSNPNRDNFEEAVAALEHAKYALAFSSGSAATAN
ILQSLGQGSHVISVSDVYGGTHRYFTKCAKAHGVRVTFTPEIEVDIRDHITPETKLIWIESPSNPTLRLVDIRAVATQAHQHGVMVVVDNTFMSPYV
QNPLDHGADIVVHSVTKYINGHSDVVMGVAAFNSDEMKERLGFLQNALGAVPSAFDSWLAHRGLKTLHLRAREATVNATAVAKALEASPNVIAVNYP
GLDSHPHRAIAIKQHRDGMGGGMLSFRIKGGHAAAERFCQTTNIFTLAESLGGIESLVEVPSSMTHAGIPKDQREAVGVFDDLVRLSCGIEDAEDLK
QDVLQALEKAVVWPKISNGLKGADGTNGTNGSTA
>RCO7_04643 | related to RPC25 - DNA-direcred RNA polymerase III, 25 KD subunit
MFILTKIADLVQIVPEDFNKDAPQAIEDNINAKYANKVIQKIGLCICLYDLLSSSEGLIGHGTGLVNVNVEFRLIVFRPFKHEVIIGRISSANTEGI
RVRLPFFEEIFIPRHALPEGSDFSPEQVYEWRTEDNTLFFDNHEPVRLRIEDEVWKDQNPIGPREKEEPNSLTIPSGSGKKKNSPYSLIGSMEDAGL
GVIQWWDGDDGEDEEEGLEEGGE

>RCO7_04644 | uncharacterized protein
MAGPRSSFTENVQYQAVDYYIYDYEPERNPEAAQVPLSRSNPRFHAPMAGPQQYNFPPPPPPPGPPPPSHLQQQVQYGYQQQQPQYQQVPRGGGPPR
GRGGIQGGRGDFHGNQPYNPQQPNGGYNPHGQGPPQGPPAGYNGQQSAPYIGPQAPGPQHQGPAAAGGYGGPQWQNNQHDQHGQQHHGPPQHQPHPQ
QPMHVPQPAPLQPQNYHPNYAPQAYQPQPPQYGTQQAPPQFQAPQQTPPYGHSGPPNQHGGPPSQWQGPPQHVRPPFNSNNRGRGGFQGVRGGHEAP
LMGPPIRMGFDNERGGGSHMAQVGPPFPHNFANHQSPPPAFSPPHYQPYPTQDFSHAGQRQALEPNPYNSGPNRGRGNSNVRGRGGGGGARGDYQHS
RGGRGDRDRGDRGDRGDHRNNHHGGNQRATSENRQRSAGADPNGKKKKKRRTNTLGLTPNGVEHEDSEDEVDDADEEARLVTLLGPDTPQLPTNLEE
WLAERRSKFPTKARREAAAEELRQRREQEREARQRNKSEKTIKKEEGESKLEIQQRKAEKLRRELEKAERKIQESMLGSSKRKRENGDDGDDARGQV
SDEDSDGSSNSESEDSKPEADSSRQKGPYRISQPSKSQLQRHCKYYSTGGTCGKKGKCRFVHDVEVRNQALRDKEANGGKMTLAQRLILNDTAKDDL
TILKSIKYLKEKGLMSEQLTGARNDEEIKSEENNYAENLHYGEN
>RCO7_04645 | uncharacterized protein
MIMGIWKKSLGLAAVIWPALVHSFAPTDSTQDADPPQSGYLPNHNMDPELVKSSLALGWKLTFNLNEVFYAKPLVYTPPGAPNEYVITVSNQNNVRI
HDGLTGALIKMRTLDAPFASSDAMCGDMPNTIGIAGTPVIDTATDIMYFFSKGYKNGQIGPQGTINGVYKLYAVNLPSLVDVAGFPIVIDGHNANND
PTRYFVGGTILQRPGLAMLGNTIIGGFGGHCDKFNYTGMLVAVSKTAGVGVTNIQAMQASPGAPKPQELDIFEEGGGKAGIWQGGMGIAADINRVFF
ITGQNGGQNGAPASGKTYLSTLEQAVVNMAVNPSTGALKQQDYFETYAYDSNNGGDTDFGSGGLALLDPTVFYGTGVSRIALGAGKDAKLFIMNADN
LGGFAGGKAGADNVIQTINVGKAVLGGCGSYPLEGGYIYINPSGMGLYAYKFGRDGTGKPVFTQAGVSERFFTSKSVPTVTSNNGAPGSGIVWLTDV
NWGLQAYNAIPVNGVMTPIVLPTGAATGGITKFQRAVFGDGRVYTVRATSLMMLTGGGVKGKQPLTCTPYPIAFGNVMTGQASTLQIQCTANTAVTS
PKCGITSPIFRCPSTPLPAYVASGASFTFGVTFDLSSAAILAWQNATGGNPLPPGAQGSNLNVYTTTSSGYLPGVVVPMSGTVVASGGYLTVNQTVA
SFSGVFIGGQEPSQASKSVLLTNRGSTALVFQGFAWQDYYADEMPYHNVTLRQVGNGYTSPNFPVVGTTLAAGATFVVPFVFKPSGTGIWASYITWW
SDGGYTTLLLQGIAEQGAAVSSTTSKISSSTSSSSTVISTSTSKTISSGTTISTSTLVPTLTTSSAVPTATGPAIRQTVGGYNFQGCWTESTTGRAL
NEKSYTNDLMTLEKCATFCSTAPSYSMFGVEYGRECWCGDVLSAGSIKALSQTDCKFLCPGDPLTYCGAGQRLQLYALEAASSSSSSSSSSASVISS
MSSTTISTASSSTTSPSPTSFSTSTNSASTSKTASSTSTSALPYITPPKPKQIPLTWSIGWVQASPDGFSRPMIGINGQFPCPAITANKGDSVKITL
TNNLVNQSTAIHFHGIFQTGTAYSDGPAHVTQCPITPGASFVYEFKIDQPGTYWYHAHIGGQYIDGLRGPILINDVNAPYRGIDTEYTLTLSDLYHS
QAPALINYYQSTDNANTNNGAEPVPNAGLINEAQNVKFSMVAGKKYLFRIINMGAFAPFYLQFDQHDMTVVEIDGVYTKQTSVSQLFITVAQRYSVI
VTAKADASKNFAIKASMSTDMFNPTIIPATFNTEVSAYLIYNTGAVLPAPLIITPSPFDDSIFTPYDQVAAYGPVTMPIEMTISFGTNQNGQYRGYL
NGVDYIPQKVPTLYTAINAPLNQVNNASIYGANTNSYVLPLGAVVELTLQNHDAFAHPFHLHGHNFQVLARTQGGPNFPINIPAGAPMRRDVVQVMS
DGSVTIRFVADNPGIALFHCHIEWHVEAGLTATFIEAPTELQAAKLYIPVSHRSVCDAQSIPRKGNAAGNSKNYLDLTGANVVADTDIALFVKPGSP
APPFPLG
>RCO7_04646 | uncharacterized protein
MSTQRTNKGKKRALPEVGFYNGHPISIMQDTEPHSGSGRRKRLTEFRPPLLSDQMARNPGSCAQLYETRDGVDGFDGDGCRKGRGLFATANIQKGQI
IMLEEPLMTLYYFEEKLRQVSVLGTVRVVSLGSALPPCRKTLEIPRNVSDPQTPAARENPQEDHEVEQAMRRLSMDERGETAKVDLDDVTMEFHDMK
LTAQEQERASYREGNDAFTQVRKRLLAAYNYISESSPERVDAMKRLHHDEKDQYGGDWLHGMWQRYSYEIPLVYIPDSTLLEPHVENLENLTLDHCC
ALYPSFCYANHSCLPNTDVIFRREEHGRVWLELFATEDILRNDELTFGYIEWDRLRRRGISAIQAMDMSGSKCYCEPCLKGYNNQIAWATRD
>RCO7_04647 | related to NADH dehydrogenase 17.8K chain
MFNLIVPDWNYICAQLNHNIMFALRRKAVEFAGRLPAAAGRRTSPYSTAHPEKHGDQGHHHEGPKAESLGTQFYVALVMVPLSLGVYAVSRPSANGQ
PAAFTNYISSTYNEYKDTWAARNTLHTAALESAAFDRNLFQSTPGSRHIELRFPEIFNTGSPHNVVAGQGARNMDQLVAHYEKKNADMEEKKVKALA
ARAAESK
>RCO7_04648 | uncharacterized protein
MASTNQHPPDEIFWTPVDELSESHDGAPEAISWAPVDELSESDGESIASLETDDGQDHPPEKVLAQHISKTGFAFYLIKWQDCPLLRSSWEGKEFFN
ECPWIWKGWQIELQRQAEGKSQELDILAFNRAVLEVELAERQRRAIRRLKRKVNRVLSIVTD
>RCO7_04649 | related to SLS1 protein precursor
MVQSPARSILGLVCLSLPILARALSSPPAGSSVADSHLICSTTNSTDCYPKVFEPTKDFQPIREGQDLPPGLHVRMNIWSGEKEARLNIPMEGEGGA
IDGVLELPADQLPTEQSIIVVPQPEDSEPKPVIPKDAPVYEAAGKITPPSPSGSGDEITTFQNAMTSIQTEARAFDSSLDDLRDLSHDIYYGLEITK
DRPVLEKLVCLTLGYDTEKILARENGRDHKAANIIASSIQNNPTALQEVSDFWKMVMYPSCGAAEQSEVKSGNAGEKGIPNFVSMFRARLGKETDVG
ALKAKVMAISGLIKEPLIKNEFLEKGGMELLLAVFLKKGEEFDSVKMKVAELVSDNFLDEGMGAELGVWPKMPRSEAKVCEIKDRMLEDGCWEAHVE
AFVKERMVDEKQSQEWPGDLLKSLGRQRARFGDSIKDREL
>RCO7_04650 | related to inorganic phosphate permease
MANLLHHHKKHDPTNIGMVSAPHGPETGDDHASLPYAHDKDREMEIFDYLLHPDDLYNSEGTYWADLPIGQRIKFVNKVNHEEAKKEFGSFWSMFKK
DPLSPVGWYFRNAVLPGAGLGLEGYVLFSIGNLTPLFQAVWPRCWKTFEVCSKDWVDAVTYLEVIGIIVGQILVGIIGDGIGRRWGLIQDAIIMFGG
LVMLVASWGLDLNGWVICYAFSLLFYGIGVGGEYPMTATAAMENATGSGRVSTKEDRLHRGRKVTMAFLMQGWGQLFNQAILIILLLIFHSGGNPPY
SVLSAQWTFRISFALPAVGTLWLVYYRWFKMPLASKALNASKKKANVTGYDVESLKMTFKYFGPRIIATAGTWFANDVFFYGNKLFQSQFIKVISPG
SAASGNVMTGWLWNLVNVGVSLCGYYLASFFIDNKLYGRKMMQQVGFFMDFLFFVIPAFHYKYYTGIHHIKAFQAMYFLSSFFNQFGPNSVTFLIAA
EVFPTPVRATAHGFSAAVGKSGALLATILYNYIDTQTKFYFVPWFGLAGMILTYVFLPDTTGLDLKEQERRWTYLRAGRGDEYHGIAVHPKHLSMWE
RWTGVGKSYDPALDKASKIKDMREDWEQRESEKQKREDGLPGDDLDEDEYSAEVHDYFQKTTGAKSKAGSGVLQQSSSEDNEKIAPIN
>RCO7_04651 | related to cellulase
MPFHTNGRWISNAKGKNVTYVGVNWPGAADVMIPEGLQYTSIAKIVSDIKSLGMNAIRLTFAIEMIDDILDKGGDVKLSAAFNKALGATNGSVAYQK
VLKNNPGFSASTTRLQVYDAIAAECFKQQIYIQLDNHMSNGYWCCGSDDGNAWFGDKYFNVAKWKRGLEYMVKHGKSWPALTSIGMRNELRDPVNNA
TLRPTYNWSVWYTNMVAASKIINAANPDLLVLFSGLNYDTQLGPVVEGTDLGNGVRFRKADFGFQDKIILELHNYDNSATACSSIQSSLFNNGFSTL
TATKANTLPMLLTEWGHNQADNSYKGVYATCLRSYLPAQKVGWFYWVVAGSYYIRSGTQDYEETWGLYNHDWSGWRSAANIVEMKKMVKASLG
>RCO7_04652 | uncharacterized protein
MCYHKRTVYSCRHNGWGPQVRSCNLQKAFLDGTFSAECETMSAHPMHSLKVHTTCQTCAKKQKKTSKTLSRLRSELMEMKEKMARVQKARGSSDGGS
EVGEHAASAGIDDGEFERINASCYVVKAPNNSDIAPLLIMEYYGSRVETASGPPWSNQYNIFIWQLR
>RCO7_04653 | related to aromatic amino acid transport protein aroP
MVQPNNAYDNGIEMAHYQGMQTNPYSGIEINSYGGNMSDDGFEKLALHQTANVYDEDPRSSLRRDLKTRQISMIALGGALGTGLLINTGPSLANSGP
GSMLIGYALVGVLCFTVMSAMGEMAAWLPLPSGFTGFAARFVDPALGFALGWNYWFKYIITTPNNIIASVLVIRYWFNKAEYDGPGANGAIYVAVIL

AGIIAINYFGVGFFGEFEFWLSSAKVLVMLGLIIFTLVLATGGAGTNHRPTGFHYWNDPGAFAAYKISGGGGRFLGFWNVMTSAVFSYLGAELVGVT
VGEAQNPRRAIPRAVKLTFFRIVFFYIVLILLLGMTVPYNSPQLLSANTESDETVSAEASPFVVAALIAGVNGLPDVINVCLLIFTFSAANSDLYIA
TRSLYSLAIEGNAPRIFGRTNDKGVPIYALALSSACCGIAFMSTDIGTFKTFSYFVTLVTIFGILTWISILVSHICFVRARKAQHIEDIALAYVSPF
GVKGSYAALIFACIITLFNGWPTFVRNPVTGERFDWRNFIVCYIPIPIYLGMIFGYKIIMKTERVKAGHADLFGGKAKIDDDEAEFLAKEMRRKGGV
IEMKYQRYYRITLGNFF

>RCO7_04654 | related to ribosomal protein YmL49, mitochondrial
MLSRTVRRSLIDTRITFSALPPTFLLPNRARYFNSTTQHVESPPASFDSSALPTAASPASTSFPPRVLTKRSVPEPPAPITTPIALSESVKELLPLL
ATQPSHYVSAHIHGKPYLVTVGDMVRLPFHMPGVVPGDVLRLNRASSLGSRDYTLKGTPYVDERLFECRARVMGTEAEPMRTKEKTKRRNRKIKIVK
SKLKFTILRISELKLNTIEVLEQ

>RCO7_04655 | probable NSA2 - involved in biogenesis of ribosomal large subunit
MPQNEYMDRWRKLHGRRLDHEERTRKKAARGGHKASEDAQKLTGLRAKLYQKKRHHEKIQMKKQIKAHEERNVKSSAPNEPSSTPLPQYLLDRSNPT
SAKALSSAIKNKRSEKAARFSVPLPKVKGISEQEMFKVVKTGKKTAKKGWKRMITKPTFVGPDFTRRPVKYERFIRPMGLRYKKCNVTHPELGVTVQ
LPIISVKKNPQNPMYTQLGVLTKGTIIEVNVSELGMVTAGGKVVWGKWAQITNNCENDGCVNAVLLV

>RCO7_04656 | uncharacterized protein
MDASMPSVPLPVPAEEPSTSAEDQALTFLSQRKFHQIFTLPATKTHEQLKVTYGIAGPDCEEDAPTILYCGGMFGTRYLATTQDWFATQKGVRILMI
DRPGFGGSTSVKVTQRIPIFLETVVALLAHLKIEHIALACQSAGTIFALNLISHHPDLLYPSNPILTLFSPWVHQSISGATSLKLAAALPDTLVGGW
NSLVGTIVTTGVPTFQASSAVFSNVANLFKNSHREEISREGEEKVCQDSYGTSLTVYKEIAKHFSIFVFKENTTGGNDEARLCMKSLGTSWDRCEVY
PTFVLDMKVEWEKRANVNGKKLKLDIAWGEGNDAMIGAAGMKYFKECFKQENLGEGIEVEVNEIAGAEHDSIIDPCFTPMRELLDRVSKGWKEAK

>RCO7_04657 | uncharacterized protein
MAAADVEIPPTENPGLPDYLLDPDATLKDSTSKWRYGRAPDYSNTRKVYEQSKTQSHTAASLPNLVENLVKNWEVEASFKPDISDWRTIDHANYSFS
INGGPAQDAEHMLKVGTYNAIITPNEFYDPEKSDFASSHKTFKRMMPTFAWEVLEVYTGPPTVAFKWRHWGVMKNDYVGFNNKGEKVRVKAHGEAID
IQGITIAKVDDKVRLQGVETWFDPMEMFRQIASKGEVTKSSPTPESGEDLTTQLHGEEVVPVEGILNSEGSGALAAAHEELSGTSSGACPFIAR

>RCO7_04658 | probable snRNA-associated protein LSM2
MLFFSFFKTLVDHEVTVELKNDIQIRGTLKSVDQYLNIKLDDISVVEELKYPHLSSVKNVFIRGSVVRYVHLPGSAVDTALLEDATRREAAQQATKG
K

>RCO7_04659 | uncharacterized protein
MFRSRFFRSVLRRPNAHQKANRSPAPAKRSYTSQEFERHFTVPSVRILTPTLWALTATGVIYLSCAAYEVRQDVAARKRSHDSVSWLNIDASLQQGD
RQRVGARMTGSDILNRIYNPSAKLTSVDTAIIGTVALNASIYALVSVYPSASTFLLFSHIPANTRNFTLFTSMFGHAGLAHLCFNMYALVNFGPVVA
ASPSFTSSGAHLTAFYLSSGVLASLAHHLNTVWPNVASRTNPGLGASGAIMAMLGVFASEYPDAGIGIILLPGSLPAHQALLGLVAFETWGVFIGYG
KYLRFGHAAHLGGLGIGVAYVFFDMKNRLWQPAKRLAFRGMRMVGMV

>RCO7_04660 | related to nudix hydrolase 24
MFRSFPYDDPFKAPCDHWSTLYQFFLPEDIRPHGLMLPETIKKMPWTSDFHVDHAARAVYLRPEDTTSDLSTSCSNAFSKLTQRSIDQDNFAVIHKT
HSELYPIVGYKYRVSFERYFDNLFGFVSRGAHLTVYSNTHDGMKVWVPRRSAHLFTYPNCLDTTVAGGVAAGEGPFECIVREADEEASLAEELVRKE
TKACGSITYVGLTNPGDSGEQSLISSDVVYVYDLELPEGIICRQNDDEVKEFNLMSIEEVKKGLGAGEFKTNSALVMIDFFIRHGIIKSEEEKDYTE
IMARLHRKLPLPTAAG

>RCO7_04661 | probable H+-transporting two-sector ATPase chain b precursor
MASRLARSAAGAARLRPAFSPRTLPALTTSLTSYRSASTGVSATEDPKKKAQSILDSMPGNSLASKAAILTSGAGAAIYAISSEYYVVNEETVVALC
LLSIWGAVFKYGGPMYREWAEGQVNKIKNILNAARADHTEAVKTRIESVQQLGSVVDVTKTLFEVSKETAQLEAKAYELEQTTALAAEAKTVLDSWV
RYEGQVKIRQQKELSESIIAKIQKELENPKVLQQILQQSVTDVEKIISSKAQ

>RCO7_04662 | probable NOC4 Nucleolar protein, forms a complex with Nop14p that mediates maturation and nuclear export of 40S ribosomal subunits
MSAPSSVPSQGGKRKRSSSEKGPSKRARSESSESSDEEDSQAQIILLADEILKSKKNYNSISKLIQILRAEEEEADDAVVAAISLCRVFTSLMVSGD
MVKKQGTIEKDAVVIKWLKERYSEYKSGLLSLLGEEGLSSTVLDLCMRLLKTEGQHLRGLEYSFPTAFLTDMVRVFLDPESDEIVRQEFSKKYVEEY
DDIRFYTLEALDKLLQEIESQTFFNNAVQILTTIESVPDSKEELEDFWISKPKKTTHALYSLTQHKKRAQNAWLALMKLDMDKEQRKTILGLMAKSI
APWFMKPELLMDFLTDSYNSGGSTSLLALSGVFYLLQEKNLDYPEFYRKLYSLLNSEILHSKHRSRFFRLLETFLGSTHLPAVLVASFLKRLSRLAL
NAPPAAVVTVIPWMYNILKKHPMCTFMIHRVTRGEDAITRLEKEGMDDPFLMDEKDPMETKAIDSSLWEIVMLQSHYHPNVATLAKIISEQFTKQSY
SMEDFLDHSYGSMLDAEYVKDVKKTPVIEFEIPKKIFMKQDATSEAHDRLLVSLWDFS

>RCO7_04663 | uncharacterized protein
MPLRDILKWKEKVEPQRDAPSSPPALEPPVFTFMRSDTNTQEIITPPNISSRESSPPPPFIDGQSESRTSRLFKGHSRSASVNSQASASSSKLKSTN
PKRLSQRLHLKRSEPTSESVPTDLPEILVQEGEDGEVRESSWEKRATLLAKKNEESTSRPTTPVGGSTTGISSFQDLNISGGSKKSVVSTKQADDNI
QEAIRLHEASELETSTKMFGRLADPNGENNALSQVMYGLALRHGWGCTPDPAEAVKYLSAAAANAASIEEQALQAGMKKGGTAKGELVLAIFELANC
FRHGWGVQVDKFAAKQYYETAANLGDTDAMNEVAWCYVEGFGCKKDKFAAARYYRLAETTGSKTLGNTWIWKEKYNPDYTGKK

>RCO7_04664 | uncharacterized protein
MAAFSMHNFYRPSLLTVDTHTHNYFEEEEGSILDENILDQNALDSGLEMSPPMNGSRRDSFAVSSSLFSPKTDEWQHVDMQHQPQMASNNPFVEPNN
NPFMRMEAQSSFGQNQNQNHGWSMGNASGMSTPMRGHDGLPSEFEVPTFQRPMQTPFTNPGNQQLPVFSSGNTSNESLPTSPQKGWSVADAMEHRSM
PKRMRPHSPTLRSHPDMSRRGDGIRKKNARFDIPAERNLNNIDHLISQSTDDQEIKELKQQKRLLRNRQAALDSRQRKKQHTERLEDEKKHFTNVIN
ELEEDLAEAKLALDDWARKEQQYQQYIESMQLEKEEIVRNHTIETGDLRKKVSVLTDHIQRLESAPMAPVPTTHAFPDYNDIDSLAMDGAWDNISFL
NDYAPEPEVKVETSMVPAKKSENALLSEPEKPAAQGLLLMLLLVGAFVASKGSSPAIPKMSDDVQAASATLLEDIFKDAGVSNAASSVSEVMAPLPS
GNSWSSSIPSMDSNNMISVTQSALGDLVDSLSQPTEQQNNEQLFGLSAAQYDGLTNHDFLQNAPQQSTSQGRRNLGETLAAMRLNSKNSAAEVYTRS
LLWDQVPSEVVRNFAKMVSDCNSQNRSPEECATAVG

>RCO7_04665 | related to cellulose binding protein CEL1
MLNMKLSIIVAAALAEVVSALYFFDTSNVRGVTSKKNQYIRKFTRPTWYNPIKFSSNPAADIRDHSYVDGPDIRCNQGGGASGTTEVMTIAAGTAIT
FTLGVDASMAHPGTGMVYMSLAPTGSVKEYDGSGSWFKIWEEGICNKGGRLTDDAWCTWKRNTITVTIPKETPNGEYLVRVEHIAVHRCHIGEPEQY
VSCMQVKVIDGGTGTPGPLVKFPGAYKDTDPYAHFSVYNGMKDFPSAGPDVWNGSSSGAVAGAAVDGAVNPGPAPIQTLKTSTRKPAEATPKPQRKS

GTEEKPASQEKPAHQEKPAHQRKPAHQRKPEPQGGSP
>RCO7_04666 | related to YTH1 Protein of the 3` processing complex
MASDDHQEMLNKISQLAGQINRHKNGQTSEQQEKYPQSYGGMQTPELSAQRDLTKTKGYPPYNSGWRGSIRGRGIRGARSFSRGGRQNHVHRNKTLV
LNASNTLAQSANENIAPLINAGTTNWVTKNDRGHRQLINPAVFEAEKGLRVKSMEETRLFKLKRKDLHERAKLERFVKAENTRRVVVDGGIFRVSKG
GAKLERISGAPTPKICVVSGIKFYRSKNGNMYRDASIKISGKAKKTTKPCKAFNLTGSCSAADCPFVHDPLKVAVCREFLLKGSCPSGDYCDLSHEL
TPERTPTCMHFARGNCSKDNCPYTHVRVSPSALVCRSFGIYGYCEKGASCTERHVNECPDFSNTGTCTTEGCKLLHRNKASVMRSNTDPTKQMDPMI
EDISSDEEGMGSDDVDSDGMEEFLGHDGEIDEDIPQQQNFVSIR
>RCO7_04667 | related to transcription initiation factor TFIIF subunit
MEDVKVKPDPENAASPSGLSEEDIYEDAGDLEFNPSPDFQKLYLARVPKYIWEAWSNLDDDAEIPLGTIRQSVDPDGKMRLQMLLTPALAEHQNIPK
EYDLDITDETVKNTYVFTEKDLPGFKSRSRAKFDLASANMPSRLTRPKNDKPFSKQPYDPNKRFQPYFRKAIPKRTTLAGKVAHEINCIAVDNKESQ
HLLAVRTLEAMRPKLHTKFVKEDLAMLGPGFIQPGTIHAQNSFNDFIKTKNQTTKERPQMMKTARMPQNELLDRIFDCFRKYNYWSMKALRAELQQP
EAYLRETLEKVAVLAKSGRFATQWSLKAENRISNYAGEGDAVAPTAEDMGGEDSDMADEEDGEEDEDVKFEDV
>RCO7_04668 | probable COP9 signalosome complex subunit 4
MVSAKVASALSTIPNSQDPQQGYEALLKDVRFTSAPTDLPKDLIAILDTIFESSLGIVATRALTLSFVNTLKDLPSNETKIEVGEHALSVFAIQASS
FEEQNAQVRELMATAYEADEDFLAAAKILAGIPLDSSQRKVTNEDKVGFWIRITRNYLEVDDTTLAEQYLNKAKNVIYTVQDRDMNLHFRLCQARIQ
DARRNFLAAAQGYQDISFMPVIAEEERLHTLSMAIKCAVLAPAGPARSRALGRLYKDERTSTLEEYSILEKMFLDRLLSPTEVAKFAEGLAPHQLAK
TSDGSTVLAKAVVEHNLRGASRLYSNIGFDALGLLLGLDGDKAEETTARMIEQGRLVGRIDQIERFIWFEGGEATGVKGSGRSEGVVGRELKRWDSN
VQGLAEEVEKVTSELQLVYPDFVAKNLVV
>RCO7_04669 | related to esterase
MLLTNSLRVLCFGDSITAGHTQGGSLFHPYGIALKASLEKSLPTWNISIDIQGLGGDQAVSPPGVFFPRMDKLFSEVHPNTPYDWAIVLGGTNDLNQ
DRLPSDIFPALQKVWAMPLSNNTKVLALTITGCGACMPVVPERRADVNQMILSHQEKGFYTYDLHKAVPYWGMPIDQRKEIWDDTLHFTVKGYDLIG
RLLADRIVQLEKEIEREGLTREIDVEAERQELRRRAGVRNWRTAEGRKVEVGGWEGREGQEEL
>RCO7_04670 | related to serine/threonine-protein kinase PKH3
MAMASPTPMGSSHFTSLRRPASRQNFKQSIARPQLTRGDPLPAEAHARTYSLNDSSDDEIPLPMMKFSALTNALLNDAAPAVETSLPHTAKTTPDPT
DIGGFQFKAGGAGGSADKKISPAASTRINNPYKRRVVRLSATPSTLRRTSSLSAVQKPVDKPVEKPESPLDLSTPAPAPRTVRLPVSGNLRRSFGSS
GRSSLRADSAPRNEEHDLDTQDYPTTAARSHLATSQGSVSRYQPSTVGRTKYGEESSLRTKGVVKVAGSFMRGPARRGRRRMDEEEQSPVDEHDNAL
DSAPSSQEPQSQESQAPESQSQNAGSSQEKEPLMGSYHPSAYRDFASGSPISTKEVLNSVLRSKSPPPPTLFSSDRPGSLQPKIVSQPVQPVFKVPA
PRPDLPSAHDQENEAPPTFKRNKQAPLVHLDKMEKVPVRPASMDLDILRTATPSERPPLALRSQNTPRRPAPPPPKMSILDAATSTAGAATASHAAG
KRNRLKVNGKNFTRLDCIGRGGSSRVYRVMAENSKFFALKRVSLEDADDSAVRGFKGEIDLLKKLEGVERVIRLYDFELNEEKSTLTVLMEMGELDM
NKMLDLRLKAENSKFDASFVRHYWKEMLECLQAIHEHDIVHSDLKPHNFVLVQGRLKLIDFGIANAIQTDETVNVHRENQIGTPNYMSPESLMDSNA
PKPDARGRIQNNEPRLMKLGKPSDIWSLACILYQMTYGRPPFGHIQNPIHRCQAIINWNYEIEYPSVGVGSVPVPSALIKTLKRCLNRNQAERPSAT
ELLDEQDPFLNPVEYDDALPISEELLGRILLSVAAKCKAGNPSETELLTLWPKAYFERLRKNMAEGKTL
>RCO7_04671 | related to Cys2-His2 zinc finger transcription factor ACEI
MSFNHPRRTTKTTSSPLTPTSSGVAGHPTSNTNMSLRKGATFHSPNTTPEREVPPHFKVPSLPRRSQTTLEDVVDAHKRRVALTLGDIDRGLLAAAE
NQSPTTRQSFPDEANPVPQGFLDHTVASPTSKSYGPTMAGVMDLDPAASRRSLRPRPNRRPSRCSDSGLGSSIGSKSGKIAADTQPTSVSNGRSAKS
IVAASAITRSAAAHSSTIESLPRLSQRASNRINEHILMRLLSKPSLKDFHPIIKDCPRRIHSKEIVCLRDLEKTLIFMAPVSETHDDVVGGVAHWFS
RLKESTKSIALYLDFCLTSIQCIQATVEFLSDREQTRPHDRPYTNGYFIDLVDQIQQYAQQVQTAKDKEEKGEKIGEMDPESYVHLLPALRRFESES
GERDSPIFRPRYLLKRSNFANLSSNRTDEVVLHGGLTKNGRPAELVRVKKNGKAISIATGLPVDMEEESKDAMRFKRSLSEEAEEDEAVLRSMARRK
KSATAAELAPKRCREPGCDKEFKRPCDLTKHEKTHSRPWKCPVASCKYHEYGWPTEKEMDRHHNDKHSSAPPLYECHFKPCPYRSKRESNCKQHMEK
AHGWTYVRSKNNGKNRDQGSATSNTHPPNTGLPTPTVTNMHTPSSDGNMVATPEDDDFMTGYEGSVQWDPQQLDFPSYPSDEEMFAPGHGGLTEYSP
VSDPLNSNGPSPFLGVDNTDDQFATFDNFQPNGNADFNLFENEDLYSARVQLPTPSHDIFNMSPCETSGMTFSNPMPHISPVGHGNTMLYTPTSLHD
VDEGFEDFMPSNCNLGNDFQLYPSSTGGTIASTAPSALFGEIPNTMNHLSGASARQLLDFYAASTAAVTGNAYQGMMDWSMDDQFNPGYRSQ
>RCO7_04672 | uncharacterized protein
MPTRVEPPHGSRNDAARAQQSTARGRTTSSPRTPLTTSQRHNASSPAVPPPSPLPPPPPPPPTPLGHINVPEILKIILPFLAAFATTYYDFHEKTHV
RDHQAEKEKKDSEYAILKWFGSQAVDMLTSVGPWVAGLGYFARA
>RCO7_04673 | uncharacterized protein
MTSTVTHGTVNNEDCNLAYWHQGTGPLITFIPGGNGHGRQYNPLMTLLSSRYTCVTFDRRQMSSSQVAINKIFNPYQQARDVLAVIKAMGVEKSIVF
GSSLGGVLGFQLASDYPDVIDHLICHEAPTIHLLPDQKELTEELFEVYNTYKTQGQEAVDALWGKHFEVMRDPEMRFQPLAQSEPGNAKNFFENEFL
VCTFWKTDFEKIRSDGVSAGVMRGERSGEEFFARTTVEQERVLGCLWESVPGHHQGFEAESEVFAVALLGMLEKLVKRRDENISEQGDNLVVN
>RCO7_04674 | related to selenocysteine lyase
MSSFDIATARDKFPALNEAQVYLDNAGGSQTLGTVIDSICSYLSKTNVQLGASYAVGKKSTARYASGYDAAAKYINTSAENIVLGSSTTVLFRTLSF
ALNIPTGSEIIISKVDHEANISAWVDLAARQNLTVKWWAPKSSTNPKLEASDLKELLSEKTVLVTCTHASNILGTIHDIAAIAKAVHTVPGAMLCVD
AVAYAPHRQVDVKALGVDFYCFSWYKVYGPHMAILYASPIALNQIKSLGHHFNPSSTLENKLGLAGSCYELTAAIPAVLAYFGDNPAESWAAIEKHE
ASLQGALLDYLNARSDVTIYGEPSADTKKRVSTVSFVVKGRKSQDIVEAVDELTKGEMGIRWGTFYSVRLASEILGLQYDGVVRVSMVHYNTLEEIK
QLIGLLDQVLGKV
>RCO7_04675 | related to component of NuA3 histone acetyltransferase complex
MKRKADTQLNDQNGKGILKKRAKTVLAEEDVHKSFRKGLFAKDVLGEYTKGYAESEPYKHSVINSLINDELLRSVRDEIKENVQFAPKETDIYKIHQ
SGDLANLDGLDDGALEKLPSLLRLRDAMYSSKFRKYVSTITGSGELSGRKTDMAINVYTPGCHLLCHDDVIGSRRISYILYLTDPDIPWKEEWGGAL
RLFPTTTHEDDGVKTITPTPDTTKSIPPAWNQLSFFAVQPGLSFHDVEEVYHAENEEQLKKDGGRIRMAISGWFHIPQIGEEGYIEGEEEKWGKNSS
LKQLQGNPDRYDSPKPQPIIVEVPAEPTTEKELTEFDLDFLLKYMAPTYLTPDTLEDMAESFMDASTVTLDGLLSNKFSARVREYIEAQEASPLPTS
SAEIEKGSWKVAKPPHKHRFLYMQPFNSSDVDKASLDDPIKELTEIFLPSRHFRLWLEIATKCNVQNYDILARRFRRGLDYALATSHDGEPRLEVSL
GLTPTPGWGVDEEEMDSQDTEDGEDEENSEGNEKGDGPEAKIQANGSKPKQNGEAKANGKITDQTPKEDVEEEGDEGDDEGDDVGGHEVYMAADDDE
DENEDAAVYKTSDESQDDNVLFTMPASWNKMSIVLRDSGVLKFVKYVSKNAKGDRWDVNASFGVKIEDIEGEEEMVPLEESDEEETFKGFPDSDDSD
SD

>RCO7_04676 | related to n-alkane-inducible cytochrome P450
MSFFYLRAIVLFFVSWIIYANVHNWWKFRQLRKWGKQYGCAEVPAVPNEWPWGVERLYALFTQMKHLDFLDDFVVKRCKDMGCYTYRMHNIFFTSVV
STDEPENIQAVLATKFHDYELGPARNDAFHSLLGNGIFTAEREQWAHFRHQLKPQFTRDQVSDLESAERHINVLFKAMPETNTAGWVESADWMPLLY
RFTLDASTEFLFGQSVNSQSSALHAQDSGYSAEEQADIAFADAMSKAQEHVVSCLRVARPKWWPVPKGHSEACDIVKGLADQFVRGALKKNENEEKK
KPQGKVGESEDGEKKKFVLLDALVAETRDPIELRDQALHVLLAGRDTTSALLGWSILLLSRHPEIYASLRSIVISVFGTSSNPLVEPSFASLKACKE
LTHLLYEVLRLYPLVPINGRLAIRDTVLPTGGGKDGKQPVAVMKGEQVGYHSYVMHRRQDIWGEDADVFRPSRWEGRKLGWEMIAFSGGPRVCLGQQ
YALNEASFFIVRVLQRFDKIEALDMIGLLKKGLTITLQPGDGVKVRMHRASE
>RCO7_04677 | uncharacterized protein
MPFTTPFSSPEEKARRNSARKMSASNQPTMLAYRDENNTSIKYAPAPNTLQENRNSEDSENEALIQQELPSELSEHDQQHFTATGRPQPAFKPSGLA
NLGGHMFTVPQLLPKRYTDDSLIPAIIPDVIPGQKAEVSPETSGKEKKGLSLLNKFKSKKDETKDGKLLKVVYMPRRDYQKWFARDVKGIYVGSEEH
RRWTEEELEETFGKYKPDTKEKKTGLFSGTGGEFDTMLDCDVEVWLTRSRYMNEAGDVYDPVSQRL
>RCO7_04678 | cytochrome P450 67
MSIAEIILSPYAIPVAIVLFWLVPYLTSNTELSNIPGPFAAKFSNLWLLLQARQGKRYLSVNDAHAKYGKLVRIQPDHVSVADESAIHEIYGHGNGF
LKSQFYDAFVSIQRGLFNTRDRAEHTRKRKTISHTFSTKSIGQFEKYMHQNLELFVQQWDKLSTNAHGGFAKIDSLHWYNYLAFDMIGDLAFGQPFG
MLAKGKDMTEIRKTPESPISYAPAVEVLNRRGEVSGTLGCFPQLKPYAKYLPDPFFSQGLAAVENLAGIAVARVSQRLEGQHDSDRVDLLARLMEGK
DENGAKLGRAELTAEALTQLIAGSDTTSNTSCAIMYWVLATPGVVERLQEELDAAIPNSMTVPTFELVKDLKYMQNVINETLRIHSTSSLGLPRVVP
PGPGITLFGQHFPPHTVLSVPSYTIHHSKEIWGSNADEFVPDRWNNLTERQKTGFIPFSYGPRSCVGRNVAEMELALIVATTFRRYEFELYQDKLET
REGFLRKPLECLIGLKKRRNI
>RCO7_04679 | probable RPE1 - D-ribulose-5-phosphate 3-epimerase
MSPAAIIAPSILSADFAELGKECSSTIARGADWLHIDIMDGHFVPNITFGAPVVTKIRSHVHRPTAKHGKGTFDCHMMIAEPKKWVKEFQKAGCDLY
CFHYEAAINSTAAESPESTSDVNTSPKELIRYIHDLGMLAGIAIKPDTPVDVLWDILESKDMKEVPDMVLVMTVHPGFGGQKFMASELPKVTELRKR
YPELNIEVDGGLGPGTIDQAAEAGANVIVAGSAVFGAKDPAEVISKLREAVDNRRRKESL
>RCO7_04680 | probable alpha-N-arabinofuranosidase / alpha-L-arabinofuranosidase
MTDQPLVTHIFTADPSAHSFNGRLYVYPSHDIKTDIKDNDNGDQYAMEDYHVLSMDDVGSPVTDHGVVLSLGDIPWAGKQLWAPDAATKDGKYYLYF
PARDKEGVFRIGVAVCDVPEGPFKPEPKPIEGSYSIDPASFVDDDGEAYLYFGGIWGGQLQCWTGEDFNKEAYSNMEATSGNAYNPRVARLSKDMLQ
FDGGVKELVILSEDGKPIPHDDHDRRFFEAAWMHKYQGKYYFSYSTGDTHYLCYATGDNPFGPFTYAGRILEPVVGWTTHHSIVEHKGKWYLFHHDS
SLSEGKNHLRCVKVKEIFYDKDGKIQLTPS
>RCO7_04681 | uncharacterized protein
MKFFTILNLSLIGTSVAAPLDRIAISARAVAARAESDTAGDAAAKALTASKAISDTAGGAANSGGAASGESGRTPAQGAAKRAGNGNGNNGNGNTGT
GNRGGSSGQVQTAPDLQRGGTPGAPGVQYAAGAFANDATTVSNSLNALGSETNPEMIRALATVAFTAESDEDQRRNVLNTAGGSAAKNANALIVKNT
PAVLDGLQNIMNDPTVATTRTNLQSIERARNPNILPSITELSNAAMMMSGLQQLAVEFPQTSGSSGSASGGGQNGNQNGNNGGGNNNSGGNNSGVNN
GGGNNGNGNNGGGNNSGVNNGSGNNGNGNNSNGNNGGGNNSGGNNARVNNAGN
>RCO7_04682 | uncharacterized protein
MTFTYSYISFLVVCFQLGHMVAAQVISAQWNQVVNLNGNMALNKITFPDGSRVETYSQKQQQMIVNQNPSPLSPNHVVGSTGQPFVALSQNSMTIAT
NNASNLVGGQIELSIDPTILRQNNISPDNAFVAMLSPGRQAWIVMEGIKSVNTTDNTVRLVKMTNIDGEYIAIGRQSTESANVLTPFADQSVKITGS
GIQEAEFVDGFRMSMKATQPMRVTTNVINGVSSSMITDPGMMPINNYRYLITTNLAAVAPNLNQMTVILQMPLNMQRVMAMATQMGIGANEAIVVGI
SQRTVQQNPGGAAVLSPSRKTRRNARSKRSPRPAGSNTSQTGAPGSVGTGDTSAASETTPINTGSSTSAPDDDDDISTPRSGSSTETGGTSNGNRNP
NTSGNTNGNRNPNSSGNTSGGTSGNRSGSNTNTNTNTNTNSDTNGNTNAETNSNTNTNSNTNTNTNSGNGQAANPAATQLLLDPTFRAVNSTTAYDP
VTSRVMVAVNQINGEFILTMQKSTAGGTAGQVPQGGVGSNGVGGNGTTGAGNAKRATAATQGGVRFTMAQVKTLMEQQRMGNSLPMAMMEEALGGVT
M
>RCO7_04683 | uncharacterized protein
MPSLTLNTSPTSSTRLDGHSPTSTSTSKSKSASPERPPVSPITPTLRAARLVQNGRQTYTHSQPPQIAVEAPAPEPIKFDENPDVLATKSAISILQM
QARNAAQDIKSLQRTKQRGMQDPEEFLRALRAGEIRQKDETFMGLGQDEDDDDEEMEESVKAEESKAWEKLPRPQDVVRMPHINWDQYAVVGDSLEK
LHSDQLRHPPEGSPQRLGPGGQLLPTTTGHSPAGSAKDKMERMGTRKGGKR
>RCO7_04684 | related to protein kinase RAD53
MKTPDTYLGPSQPTQPTQPCMVSSSTSFAFTPQSSLHSPSTSPTYSQNPNADDPYWVATQLVTDPRRLGQPGSGLNDDQLADIFCILHPATLPACRA
AALIRECAPENTITTDHDVRIREKTTSLDEFNSTQLAQDGLVSCDIALRLTCNLKNPMGGFQFGRNAARCDFVLGRNEPSRRVSNIHFRIYINEYGS
LMLEDQSTNGTAVDGVLLRAKDKENGLSYRHTLSQGSIITLTMTPPEEDYRFVVRIPHREGEHEDRFQQNLTVYFLRMGRATNGPVAIKGGGASASA
AKELPIQPNTDPVPNLFPNPKTQGNPTPNHSVGIVGKTVREWKGGNKYNRVGTIGKGAFATVYKITEKFDGKPYAAKELEKRRFMKNGILDLKVENE
MKIMQRITHDNIVKYIEHVDFDDRLYIIMEFVPGGDLGSLVNEFGPLPELQVKSMASQLLSALKYLHHGGITHRDVKPDNILIHSRDPFHVKLTDFG
LSKMITSEETFLRTFCGTLLYCAPEVYSEYREYDGGTRNHRRKDKRALPPQRYGQAVDIWSLAGVLFYSLCGYPPYPVKNGTSYQELLNQIMTNVLD
IRPLQRVHVSENGISFVKSMLQTNPEYRATIDELQVSDWFLGVNAFDSSMEEEEVDLVGNGHLDPELEEVTSQLSINPNNNGFDEDEDMLGGKRSDM
TEIQRYEIPNSFSTSEGNSNGIGSESYAFLDASNNHADCRLFGEVSISAVGSSGVIPSDHLNLPLPTDKQQSVLSKSSRDSRYTQSSVPIDLRTLRF
PLPPSAIPTIMHPTKANKNPRNGGGAIRESSLMGAESMVGHLHMQSPAAAPSPDAESLLATTEEIQDMTMSLRRPREEDYDDKGIWIPTDLPAKRRR
KSEREIDLVVPPSTFWDPKDKATHHNNYPKMLTSDFMAFQDFAESKGEKFTHGQKTFEFTMESFRSSSSSCSEPERAQSEPTKAEGRRILLKRDDGQ
LASNDNLQGQGSPSNCNPTQDVRDISLASTAHPSRAPTMVEFKPTPPPSYPQPVVGNDFQPPKRILAKFVSTLDSCLPTISLNITDSVTSWGRGCEA
TVRYANGQEIRIPKYAFKIFLFKPGYYNSKQPTFSTNHVWHEKDQDMKFFISTKASSGIWVNGVNVPCHDRQDPSTQSRYWGELKYGDIVTVWQAPE
QQTRLKFECYWGKSKEIRNPNSPFEVLPEDEYLNELDEACLVEEKAILDDNHRREKEEKKMSEREKRAKLSRSNKSIKHDQWTNRYPITQP
>RCO7_04686 | related to alcohol dehydrogenase
MPEYTIPCKGIVAYTEHDWKLEDILTREPEEDEFLIELPKSRHTDITGYGGIYPRVLGHEGAGPILRVGSAAVGKVCQPGDLVILSAASCQACHYCR
TGHPAYCSNHAAITLQANDPNFVLAFDTSKIIGGGFLGQSTFASPTPVKASCASNVTKLSKDAETLTLYAPLGCGIVTGAGAITHVGNCGPEDVVGV
VGLGGVGLAGITAAAKYRGVNTIVACDLLPSRIELAMSIERLDFENLQTAIKALTLEGLGCSHILDTSPSVAVMSACMEALQKNGKLLQVGVKPVGA
KLELDLLMCMVNGRRPSGVIEGDRDPAEALPELVQWCENGILPVSKMLKHFPVEKFDEARKAMQKGDVIKGVLVW
>RCO7_04687 | uncharacterized protein

MQFSTALVLAAMASLASAQNPFTFTNLASITAGTPFNITWAPSTGTSDTVSLVLRQGPSNALDTVETIAAKIQNTGSYLWTPSPSLTNGPNYAFQII
DDGNTAIVNYSNQFSISSTNTVTSARSSTASRSSSSATSSGTNVVSVSSTRSSTATGSGSGSTGASSTTGSARTSSSSRAATTSTGGGAQTPSASPT
GIVNGVGSVEVGGGLMALVVAIMVFL

>RCO7_04688 | uncharacterized protein

MQFSFTFIAAAALAVVSAKPIIGNGPASFVGVQAGKSFVISWAEASGPVTLSLQNGEGNDLKDVSVIQSGLSGAAGNYTWSIPSTLPSDFYAIKIAD
STSVPNYSVLFEITGGPSTSASSSASSSASGSSTSTRSSASTSATGASNSTITSSSSSSSRTGSATSTGTASRTATSSSGSSPTSSGTAPPNSNSGA
SIASPLAFVLLSFAALITLN

>RCO7_04689 | uncharacterized protein

MESDLFKYTSYLMFLLFTSQIVEETYRQSQIPSNIGAMLLRPALCLVGPLLDMQISGRQNQELLDNMGDELSRYSFYFLDPDLLLVPRSNRHIHEHS
QVSYPLFDTTLAMYIYRKIQIYKWRHLAIFNIAFDFILTMNWLFFQGQYKPTFSKDSVLLHVFMAITLAVVSVPVGLFYERDLMHFRYVMSMNRREE
DREEEDREEKDHEEEDFEEEDFEEEEWEEEWDEEWDEEQDDMWNIDFWEFEFPIWKWWDEILFEQGRDFEDRDYSRKQPVKQEVERGPSREEESYEF
IPMDEDPSSKSSIRRA

>RCO7_04690 | probable peroxisomal targeting signal receptor

MSFMGGAECSTAGNPLSQFTKHVQDDKSLQRDRLVGRPGGSMQGIRSTGGVGMSGTQDNMMNDFMQQNAQLPETFAMQHDLQQNMRAGSSSPGVNGW
AQEFNPGVDQARMEAAFQVPKGTAFSPQDFSRFQQMNQGARAASPMAQQMGNGYQGYQQPMGMGGMGMNMGMGGMGMGMGMGMMNHSQYQQPQNFQQ
QDKGKGKMIELDDEHWEEQFKQIDIQGREQDESLVAEAELEQMDRSVLESETNEFGDFESIWRSIQAETAAARELAENEDLGHMGDFDQWDGFDNLN
THQPFRDPQLGDYMFEEDNIFKEVGNPFEEGVRIMQEGGNLSLAALAFEAAVQKDTQHIDAWVLLGSAQAQNEKETPAIRALEQAVKIDPNNLTALM
GLAVSYTNEGYDSTAYRTLERWLSIKYPSIISPSALSSDAEIGFTDRHLLHEKVTDLFIKAAQLSPDGEHMDPDVQVGLGVLFYGAEEYDKAVDCFS
AALASSESGASTQRDQVHLLWNRLGATLANSGRSEEAIAAYEKALTLRTNFVRARYNLGVSCINIGCYDEAASHLLGALSMHKVVENEGREKARDIL
NGAGGGAGGLDANGNVSEAELERMISQNQSTNLYDTLRRVFSQMGRRDLAERVTVGMDVESFRGDFDF

>RCO7_04691 | related to heterogeneous nuclear ribonucleoprotein HRP1

MEPEELDAIAYQGGKDDRHLIRRSVARAASSSTASVRTINTSTPFALRSKTQQSSIISAIRKYSDDTGVPRSSDGENSAVRAAVESANENSSTPSSF
NGGDRAYAPREPRQYDDRGGRPSYGDRDGGSRGRGGFGGRGGGRPSYGDRDGGRGGSYGGGRGGGFSGGRGGGYGGDRGGRGGMRDEGRGGGRSFGD
RPAPVPSNGVYVGNLLFDVTGADIQKEFAEFGTITKCTLATDARGLSKGFAMIEFETIEQAAAAIEAKKDAVLEGRRLVVNFMNMTRRGNDAVENEP
SKTLFIGNLAFEMSDADLNKLFRDIRNVIDVRVAIDRRTGQPRGFAHADFVDVESAIKGREALVGKEVYGRTLRIDYSAGSRDQRGDGGAPRGMPRE
EGESAY

>RCO7_04692 | related to Protein esc1

MAMASAHEAQPQKLPAGLAGVLNKPDDHRDSAYYSSRDVSSKHNSTQSNNGASILDPRLSRADSSSATDTTPSPVSNGPNTHPLNSPASGAMSVASI
VSPTSYNGFNHQFYDQQSQHNGHGSFGETRRESVDSRLGANFGEMRLASSPYASANPSTTSLQSTLAQQRNPGSAHPDRNSGPFRLSSGYQPNFQRL
PDGGHNPRNAPQITGPASGAVARAPEPTRGQAWAFPEEDVQRIPSAAKPGDDIGTRQGTSFFDDSRRNSYADSIASSQYTTESRLPAGQRRLEDGTQ
VGEYGIQSPEFSMSTHHHSLQHRQVSELANDEGDSPNSSQPYSRTPELRVSHKLAERKRRLEMKDLFDNLRSLQNVERGAKASKWEILSKAIVEHER
QTKIIDDQKRQLSRADARLQRLEHELDAARRETNELRTENSQMRSEITALQGHSAPAYHPPPPPAAHSYSHAIPNNEPQQQLPPLRSIPGPEIMNGV
QYHDQRTNAYRPAERF

>RCO7_04693 | uncharacterized protein

MLSLFKPNRPSSELDESSSSSDEERIIPPGTPYLTKINGKLVWARKKVPKTINPVQDLMGEAFGGNRAVIVRRRSRSLERPVTRVILGGNPAAQPQQ
ITHSAPLLQQAFPNAMPPMAHCPHHHPPLWSPQFPPYFQFQPMPQPFQHPMQHPVQFHAQGLRLYVPQQPPAPPPLFVQQSPTEKEKEQLKAFDSHF
NQTVRPYSTRVASASSEESQEKQKKKPQGKASEKLVEIAAEIGALKVDIAVTKHICGECGRLRSRKYHHEHPLKPGEVPEIAFCRKCQKYATSTSES
SDTEFVGVKSRKEKKDKEGRKGQKEKKARSSADDKDRASELPEAGPLSEPKACQPKLSPPKQATVEQVPTDEYIIVEEEISDHEPQPRGRSKRPVPK
EYESRKRPLSPMTSQLSIVRSNSDPYGRPVRRENLRNVEHPVEIHEAFRDKVRRQSPNTQFRFVEVVPDHDEVDGKDLLYPRGVHLVDEAYEKPEGS
RQYQKADRAHGRTSPYQAYIVEESESTYGGRRVVSQSSEQDGYEAYEESSRGPPSRHQSFENPNNLSSMVSSEARRRRKRERAPPTDLDSRPWDQPY
VIRPEKNDEVIVVTETFLYRKKKLAQDEEERRKQEYIDRATMSPRKTSGFSTEEAADYYHEDWSRPEPEIFLPSIVGKPYQPYQSSKPTKGYRRSRH
PDSEPTESEASYDDRESANKFSPRSRPPRSPILRAASNDWTGLNHTDWGDGPLTSSLTESEHARRRKRVSRSPSRDNSRRGRSTSNGRPAYVQDATD
GGTEKALILSPRLQSSRIRNMDDDNDSVSSSSSVTRFMRRENRDDFDDYSVSNMSDAEKDAEVEARHVRFRDTPSLRSARDNWTTSEGQSHGSRSEY

>RCO7_04694 | probable oligosaccharyltransferase

MAEIQAEPFFKGSTGRSSRGLLRLIILCLIAAAAVASRLFSVIRFESIIHEFDPWFNFRATKYLVQHGFYDFWDWFDDRTWHPLGRVTGGTLYPGLM
VTSGAIYHALRALTIPVDIRNICVLLAPGFSGLTAFATYLFTNEMSTSPSAGLLAAIFMGIAPGYISRSVAGSYDNEAIAIFLLVFTFYLWIKALKV
GSAYWGALCALFYGYMVSAWGGYVFITNLIPLHVFVLVCMGRFSPRLYVSYCSWYALGTLASMQIPFVGFLPIRSSEHMSALGVFGLLQLVGFVEFI
RSGVPSKQFATLLKGFVLAVFVIAFGGLVLLTVGGVIAPWTGRFYSLWDTGYAKIHIPIIASVSEHQPTAWPAFFFDLNLLIWLFPAGVYLCFQKLA
DEQVFIVVYSILASYFSGVMVRLMLTLTPIVCVSAALALSSLLDTYLTIKSPAPPGEGATEVTINGKGAKGGLRSMRQPLVGIYTMFSKATVVGALT
SYLLIFVMHCTWVTSNAYSSPSVVLASRMPDGSQHIIDDYREAYQWLRQNTAENAKIMSWWDYGYQIGGMADRPTLVDNNTWNNTHIATVGKAMSSR
EEVSYPIMRQHEVDYVLVIFGGLLGYSGDDINKFLWMVRIAEGIWPDEVKERDFFTDRGEYKVDAGATETMKNSLMYKMSYYNYNSLFPPGQAQDRV
RNVKLPDVGPTLNTVEEAFTSENWIVRIYKVKDLDNIGRDHAAAMSFDKGIKKKKALKRRGPRVLRVE

>RCO7_04695 | related to F1F0-ATP synthase subunit E

MASTGVNVLRYSALGAGIFYGFYHQAQLTAASKLAALNKEYAHKESLINQAKAEFVRKNSPTPKGSIVSDPNDSRFDLEALLNSLDAKTS

>RCO7_04696 | probable cytoplasmic dynein intermediate chain

MMQQRRDEILAKKAKLAELKRQRELRTREISSSRQSIGSPSDLVAPIPSRAENREELDKYISSILVDKSRPGSTGPGGAGSPAGKGSRPNSVLSAGE
LSNENSEPSISQLQNQTQTLTISTQVLSTVPLATVYEFPPSPVKEVFSYSKGVQTTEEWGAQTSRPKAFEDSDNEEGEAPTTSSPNKRLSRRERDQQ
EELRESLRREIEEELKATRDLVVDGPPRTSQNGVANFPARALTHEELNAVTSSDDFMDFVERSSKVIERALDQEYDILADYALSGQKGVEDDDDEYG
NTRGKGRRRVKEVTQFYDERWSKKRMISDINFSPKFPELVLASYTKNPSAPHDPDGLVQVWNMHLHDRPEFVFHAQSDVLTAKFSPFHPNLIIGGCY
SGQVLLWDTRMKSAPVQKTPLTGTGHTHPVYSIDIVGTQNANNIISCSTDGVVCGWTVDMLAQPQELLNLTAPPPSKTEDLSPTCMAFPQTDPTYFL
VGSEEGTIFPCHRYDRAGAKAGVDQRVGYRGHAGPVMSIDFHPARGPVDLGDLVLSSSLDWSVKLWKVRAPAATSTTGITGDSHSVTPILDFTREDV
IYDAAWSPVKPGVFSLVDGAGSLEVWDITVDTEVPLAKVSPSARKGGRSMMAKSLNKLAWEESEGKRLATGGIDGTLTVFEVGPDLGGKESARNEEW
TSVKKLVARLESAAAGLGINGANGV

>RCO7_04697 | uncharacterized protein

MSGLNADMKSMRMSTAASGASSSGRLSDFIDLTLGDDEDSDESGGVDLDDSGAKEEVDDSSDIIMLDSPPTIFRGHSSNANTHRISRPSAVLPRGIK
WPKILIVGSHTSKCLIPRQFITPGTFARRLDVENLDLAFTRPQYEAAWTQAVNECRDKVDLTATFEAYPGLNIEGFQSMLDAQFEEVIRRMENAEIK
TRAEKLEDIQKRIRDAPRETREDLEFLKKLERRQSRLLLNPKTKQGLFKAENDTSKTDKRDKAQIASDRRRGSEVMQSEGFRGTTATRDRKDEAQIA
YDRRRRGEVMQPDGSWGTASNTIPLAYNRMTKPDTQSYAHSSSTIPAPIKREPMIGPTLISSLDWYSQSEPDISTSQNAHTGNESKVDHAPFTPYQP
LRFSGSSDRRARDQTTMDTHHTEGDLYRPHVDSYRPQGDSSRPQPSIYHQPHNYFSPRPTSPAPSDFQKSTHKPTSPPQNPFPLYPSRGPSAMRLPN
KPLSSNTNEQPATATQARLPPRSDAQECASRWSSVDEEMGGVDFDVMEERQKLLPEGKDEHDKYYVRRCEDDEEDEE

>RCO7_04698 | probable NADPH dehydrogenase

MPTPTPTPTPTRDGAKPLKLGNVELQNRIALAPLTRFRADDSHVPLPFVQDYYAQRGSVPGTLLITEATFIAPRAGGMGNAPGIWAEEQITAWKDVT
KAVHAKGSFIYLQLWALGRAAFAENLKKELGPDAKVQSAGDIPFEGGATPTPLTETEIKEYIELYAQAAKNAISAGFDGVEIHAANGYLIDQFTQDV
SNNRTDAWGGSVEKRARFGIEVTKAVVDAVGADKTGIRLSPYSTFQGMKMKDPVPQFTYLATELKKFKLAYVHLVESRISGNADVEPTERVDFLIDL
WDNQSPVLLAGGFKADSAKIAVDEEYKDKNVLIVFGRYFISNPDLVFRVQKDIEFTPYDRNKFYNKGEKDGYITWPFSKEFEAQASKL

>RCO7_04699 | related to polysaccharide export protein (CAP59)

MVLISRSLRRKYFRPKPALFAIAFFFFLDAYSILTSRPAPIRRSALPSHLRDHKIFIASIFKNSEYMLRLYWNSRLIDLVRTLGPQNVFVSIVESGS
LENTKGALKDLQNQLDQLGVKHRISLGINDKEQEAQWKKVPNEGEDRTGWIQTGSEKVGWAVRRIPYLAALRNQAMEPLVEMSNERKFDRVLWINDV
VFSTEDVTTLLSTRDGAYAAACAFDFSHGPQVFYDTFVLRDSSGLKTSSRRYPYFFSSASRQSLYRNLPIPVSACWNGLIALDTSPFYASPPLKFRG
ISDSLAAEHLEGSECCLIHADNPLRKEKGIWMNPNVRVAYNGTVYSEVNGGTEIKSSYGDIAGVPGGDGSFWPGGLEVLRGTWENRFARRLKKIKIY
SENKVVLMRVKAWMEKGKKLEPPENRVEPGVECLVNEMQVLFEGGWLHV

>RCO7_04700 | uncharacterized protein

MQPRRLSRLEYEPVFPLSTNSTLDVDKTCRISTPYGIGLAATSTLAARSLIIKLHTPNLLLVEKDSLQTVCSFCILESSSLKRCSACKILYYCSTKC
QNRHWKEIHRLECKILIVLPDIPPTAVRALIVMLLREPIESQGTEEKTWKELESHVSELKGERKRWEEIFLQARAGVEFTKAGGARMEDAIRWLCIL
STNAFRITLPDNTPVGLCFSPTLARANHSCDPNAFIVFDSNTVSLRALRPIKLEEQIFISYVDPTEDIILRQSRLKERYFFTCKCPRCVSEENVYEH
FIRCEREDESRGRDGRRMEVLNPRQELLKTAERCQIYIRQNTSLLTATNSSKAASLLKHSRDNTQKSPQTRIGYLLSALKCHSSLTDNKIFAFPPYP
EIVHETYLAYIDMQAFTPALITILFLFFNCDMFTHPQPHHPVRVIRLFTIAKLLKHLASLNPTEILQDISSISTGTNISSSSNLSMMEDIAKAMQGL
DLINSFHVMVILAWSEAKKSHGEESRFVKEIEAEIEDVEEVQRLRGPSGENLRKWMGDEASVDGRVEAERVGAGLRKLAGLMGGILG

>RCO7_04701 | related to RNA exonuclease 3

MAANENGQFPEVASVIANGSRKRKHEDDEDQKEVVKEQATALPQQPDLPEFNLTRRGSKDAGSQQHDHKGAEGADSEGWQTVEGRPRKKKKIPKNDS
KNYPAIIFSSDSRLQSQIKISDLQQLVLYILADGTSPSFVAVRHRPEIRKVVVLMVPGLEMSMFRSKTLEGDSRSDEIRDNNGDRDRPDSRDQTYED
QDNRERDRRDRGGRNRDHRDRDSDRRDRRARDDRDRSYGSPDDYFPNKLKAEKLPEALQPFADMFDLIWPVKTPGDEKYGKMHSPLHAMLTAPAPKA
KEEKYNSRKGATPAKEPHGWKNTRVPVSEFVHTPEELLENDYTLHPASYDEEEGKANLANFRRKHKVSTDDGWVDTMVQHLSDGTAPESEIQSGSIT
AGRDLFAMDCEMCVTGKQENGRDELSLTRISIVGWDGSVVLDELVKPEKPIINYVTQYSGITEAMIAPVTTTLADIQKKLVSMLHPRAILIGHSLNS
DMNALRLTHPFIIDTALIYPHPRGPPLKSSLKWLAQKYLNREIQKGHGTTGPGAGHDSIEDARTCLDLLKQKCEKGKQWGTNEAQGENIFKRVARAG
IKYKSQGGSAIPSPLNGKSSAAIDWGEPRKGPGAASTFPIGCHSDEEVMEGVIRAIKGDPDGKEIPGGGVDFVWGRFRELEAVKGWWNNNKFVAAEA
AAAIDAEMEASKMGTDTASADTVAVPENDKPKTSEAPVTVDTLLPSLSSNEASLGTTTAELTRRIAKIYEELPPCTAFMVFSGSGDPREMSRLQAMQ
STFKKEYRFKKWDELSVKWTDTEEQALKRAFKVARDGVAFFGVK

>RCO7_04702 | uncharacterized protein

MSFQDKSFYDTLSYRWVSLDSTKLIEVDIIPASVTVNLYAALLRFRCKDNNRTNDMDRPDLYDQQNTEEKTIQVRLMRELYTNCNQFLVWIEEIADG
ISRVDAKSILEVLCSISNDNLPTPACVASAATFRGPNYALKSIGVDDHPWWERVWTAQEAILPAKKTFL

>RCO7_04703 | uncharacterized protein

MASPDILSQTLSSITSIKLNEISNQRSSFEKAKSELLNKVQSTTDQSIKVDTLLSLDGTLPGLGSLDANTVNDLKNIRNFWRQAKVDPSISPAIQQG
WQSKLEKQLDIQSLKYEYASLYGQLVNEWLSANTNGEQTDSNLDGSFETLGRKEMHDQRQKWEDMVFNARNTDTKAFEQYLKKLFSSSKDIKSAYDT
LRLQTENFETAMKTDVHFNKISLGWVIKGLLRSDLLSDEKRKVLKDFSNNEVVLDEIADVLNMRMKSLDTWKWDPAGTVVEQRRQLNDRYRFYHDED
LLQTILLRYIGVKWSVFFQNAFVRFQRTPSVWKSSATRMTSTDRERRDFFLGPDNTTNGGVESRRTAHFCDEIFMEHLQKEIDEERGTYANDREKEE
DDSRKSSREITQTLLHSLAAEIIMKTRLGEDLTVVRTDFAWFGPSLPHSTMFTVLKFFNVSGSWVDFFRRAVEAPMRFAQDGPNSSVRIRKRGTPIS
GPLSDVLAETVLFCLDFAFNQESNGTLLYRLHDDIWFWGSSEKCIKGWDIMKKFASLAGLDFAKEKTGSVCISKEKTASKSSVSVKASLPKGDVRWG
FLKLDAQSGRFIIDQKSVDKHIEELKLQLDACKSVFDWIHAWNIYGARFFTTNFGKPANSFGLAHVDMLLDTFARIQAQLFSSTGGSVTSTLKQMLT
GRFGVTDIPEGYLYFPLSMGGLELKSPFVDLYLIRSKICPRPETKMDDFFLNEDVAYGIAQTRFEAGTHRHSHLEHQALKAKYGDEDFMSMEEYTRY
RELTSDHLTRAYDLLKKEPKVENIKATLDVKCATTLDWKSLSSYQQWVIQLYSPEMISRFGGLNIVEKGLLPTGMVTMFREARFNWKG

>RCO7_04704 | uncharacterized protein

MRSILPIVGVLLRAGLSLAKPYLHEENGMVSDFLPNEKQFVVGRGLNQRQASCLGSYELVATGAGASPTGIPDPNFDFFTFCSAFIRPTKTYTLTLR
SSTPPPVVTVTLTKTRSSTRHNPTSTPEGPVFVTVTITSVRSSKPLLTSTEEGPIFVTVTVTGIKTSSTSSIKPTSTNEEEPPIVTVTITASNYSPY
KPSTSKSASITSTTSLGITRTQPTTSRTSSTSTASSTSQVPIPPLPTTTTTTRQQPTATGTLCPTPLPSQSCAISGWGYADNNLYSGSPITAGSCSQ
LCLANPDCKSYQTQDSTYEAPICNLYKVIISGTSVIPGAAAPYLFYDRECADLAPLSCSDTIAPQITSQPTLNVGIAAAIERRQGIKSIPWFLEPFA
PQTISEVCSCIITVAPPAIGYTMTVQG

>RCO7_04705 | 26S protease regulatory subunit 7

MPSATGSQWEKYTKKFADDEIEEKKITPLTDEDIQVLKTYGAAPYGAALKKLEQQIKERQTSVNEKIGVKESDTGLAPPHLWDVAADRQRMSEEQPL
QVARCTKIIQDDKDAEKSKYVINVKQIAKFVVNLGDRVSPTDIEEGMRVGVDRNKYQILLPLPPKIDASVTMMTVEDKPDVTYGDVGGCKEQVEKLR
EVVEMPLLSPERFVNLGIDPPKGALLYGPPGTGKTLCARAVANRTDATFIRVIGSELVQKYVGEGARMVRELFEMARTKKACIIFFDEIDAIGGARV
DDGAGGDNEVQRTMLELITQLDGFDARGNIKVMFATNRPSTLDPALMRPGRIDRKIEFSLPDLDGRANILRIHAKSMSVERDIRWELISRLCPNSTG
AELRSVCTEAGMFAIRARRKVATEKDFLSAVDKVIKGNLKFNSTATYMQYN

>RCO7_04706 | T-complex protein 1 subunit delta

MALSAATGNSTNASFKDKEKPMAVRAANILAARALSDAVRTSLGPRGMDKMIMSGKGQTIITNDGSTMLKSMAVMHPSAKMLVDLSAAQDVEAGDGT
TSVVVICGSLLGAADRLLGKGIHPSVIAEAFQRAAAAAVQVLHDMSHPVSLTDTTALLQAATTSLSSKIVSQYSNILAPMAVNAVTKTIDIKTAENV
DLKNIRILKKVGGTIEDTEMVEGLVLDQPVLKSGGGPVRMEKARIGLIQFQLSPPKPDMENQIVVNDYRQMDKILKEERTYLLNMVKRIKKAKCNVL
FIQKSILRDAVNDLSLHFLAKLNILCIKDIERDEVEFICKSTGCKPIADIDSFTEDKLGSADLIEEVQSSGSRIVKVTGTKSAGKTVSIVCRGANTL

ILDEAERSLHDALCVIRCLVKKKALIAGGGAPEIEIASQLAKQSRALKGTEAICWKAFADAMEVIPTTLAENAGLNSIKVVTELRYKHENGEKNAGV
SIKSGGVKVDIADENVLQPLLVSTSAVELAAETVKMILRIDDIALSR

>RCO7_04707 | probable alpha-tubulin B

MTRGEILHLHIGQAGTQLGNSAWELIPKPKLTQIPSYLLEHGLLKDGRPDPAAKALHESGELDTVFAETGNGKYVPRSIFIDLDPSPIDEIRTGDYR
NLFHPEQLISGKEDASNNYARGHYTVGKALLEGTLDKIRRVLDNCSSLQGFLIFHSFGGGTGSGFGSLLLERLSADYSKKCKLEFAVYPAPRVSTAV
VEPYNAVLSTHSTIENSDCTFLVDNEAVYDICKRNLNIERPNYEHLNRLIAQVVSSITSSLRFDGALNVDLNEFQTNLVPYPRIHYPLISYAPVISA
EKSSHESFKTQDLTLQCFEPNNQMVVCDPRNGKYMAVALLYRGDVVPRDCSSAIASLKAKSTFNLVSWCPTGFKIGINYQKPVSVPSTSPNDGALAS
VDRSVSMLSNTTAISEAWARLDAKFDLMYSKRAFVHWYVGEGMEEGEFSEAREDLAALERDYEEVAEDGDEEEGEVEY

>RCO7_04708 | related to arsenite-resistance protein 2

MDSYQNFREPLSARSPTERTPWAGGRDDNYRSNDRPETTRTDTFYRGRSPGADRSRRPRDRTRSPAPVNRYEPLSRSREDYGRRDRERDNRRISPAP
VNIDRYVPSQESGPPQISVNPLADPATLAFQVGFSYFGEWWRTNEKIKEERERARTGKRGPDPRTRDPEDREKEKARIQVAYDAYKEELQAKMARQF
VAEHKNEQWFQERYYPEIREGLRTQLNEFRRANYSQWEQDLESGTFDEYSLEGIPKSESNGAGGVVEKEEGETTAANEVLGVGDLVPSRGSDIRDEN
AFQPTLLIKTLAPNVSRQHLESFCKEHLGEDEGGFKWLSLSDPNPSKRYHRIGWVMLHPAPETVTHVDRPELNDEDMEEDIKIPAIPQTTAEKGLEA
INGKTIKDEVRGDFTCHVGVHVPPSMPRKKALWDLFSAPERIEKDLELAQRLVQKYEEDFGSDFNAVLKIEEKVEDLKNSGRLLPPVTAPVVKKAKK
SRESIGLDEAMDEGEEGEEVDEEEDEEGAFDDEVDDEDLLVKKKQLDLMVEYLRRVFNFCFFCVFESDSIHELTRKCPGGHLRRPRNTLSSAGKAAA
KASALGEPFQSRKHTGSDSYEDLDNPNSPSEDRKFNRNTTATKAEQQLQRAFNWVKTFEEKLMQLLEPEAIDVRKLGGKPTEEALKEELPRYVKQED
EHKFRCRVPDCIKLFKERHFWEKHVEKRHPEWLEGLKKDFDLVNTYVSDPAHIAPSRSDANSNGHFPPANGHMPAGTPRGFSLQNFGMSAGGMPPMA
GFGQPGFSPFFPANMPAGNWNGNGNGSDRNGSGGGPMRRGGRPYQNNTRTGPYDRRPRDNGNGRLSPQPGARRLGSSGGGGSGGGRWGDGAAGGAAV
GPREAVQGRSLKSYEDLDAVAGGGSGELNY

>RCO7_04709 | uncharacterized protein

MLIRRTISFLSLLSSVAGADFDISSGDQECIEYNGGQDEHITVVNVVKTRVEAFPVIINTFIQQNTSVNFQGGVTLTINNAPTQILTIATGSTTATN
TIATTILPGNVQVFQTTNIINFPVVIKTFLQQNTIIQGGGGVNIVINNAPTYIFTTATGTSTEIVTVTSTVTTSNSAPTSFILSPSAVAGLGPRQLS
RPQYISPSGTIIPGCSDAQIFSISNGQLSSGNNLVSVNEGVASAPFVAAQAIEKISTTFSVSDTLEWSNSAFSGNKARFCSQDSRVNALFTLNATIV
DCVPQRLFVIPATDCVNGVVLPPSSVSSALTSTTTGSFSNSTSSTVSPAETTSLSQTEGSLTPTSLAGGMNSSTASVSG

>RCO7_04710 | related to benzodiazepine receptor, peripheral-type

MTTFIPSLTLPAALFANPAASILFPVALGTAVGYSCRPKETQKTYMALKQPPYSPPPYVFGPAWTVIYGMMGYSAYRAYSIGLSPLSSTLSHNLTKQ
GATLYTIQLGLNLLWMPLFFAAKRPVEALVDIVALTGTVGYLTYIWGQVDAVAGWALVPYLGWLGFATYLTVGVGHLNDWNLQDKEVPKAPEGKETK
YVDEKKE

>RCO7_04711 | probable amino-acid transporter arg-13

MATTVNPEFTASEPSPVFKVKGGEALIDAIEDIVFGSIAGVAGKYIEYPFDTVKVRLQSQPDHLPLRYTGPLDCFKQSIRSDGFLGLYRGISAPLVG
AALETSSLFFWERVARESFYKAGVYQREKPLPLSALWLTGAISGAFTSLVLTPVELVKCKIQVPAKSSSDSVVKRSPTPLQVIREVFRHQGLRGFWN
GQLGTLIRETGGCAAWFGSKETVTLLFRHLNAKNSPLPNSSSSLSNPQLKQQNLPTTSELGLAPLPLWQQALAGASAGMSYNFLFFPADTIKSRMQT
ASVLDNGAKVKFWDEGKAIWRNCGMKGLYRGCGITVARSAPSSAFIFIIFDALKGRFGQV

>RCO7_04712 | related to rRNA-processing protein cgrA

MSAEIETPAAAAPQGMRVNGKQWHEPKTAFRPKAGNGTYEKRQAERVAMAAVKAKEKEMKDEKEAARKVKVQAIKDKRVRKEEKARFEKMAETMHRK
RVERLKRREKRNKMLKS

>RCO7_04713 | uncharacterized protein

MSTLPPLEPIKTQSLPLPPPASLPSTTDNPPTALPNSPKRPKHLSTRSITEVNAPPPQSWRPHTGHRNSKHHHHHYHHPHIHHHGRHKDKERRDMDG
SAGSKGHDGSAGSAEYGYGNAREGIAGSRSEGHTPSGSRVGSRRESFSFRDEGGYGYASVRREGERDRDRDRAIKEGEVREERERGILRAIELRNAL
TTLQTHSNVTTRRLDATYYSVLEKLSVLQSTIFSLKELAFLTRSLNTTFSVEAQEVVDDVTGQINGFDGFKEQERRVRDLMERVKMGKERIEICSGR
VRRVGERVEGWEEREQEWQDRTRRRLTVLWVGFSAIFAVIVVVIAVQFRGGGMEEGIVGLGNGTNMTGSLGVVPDMKGLKNGNESSGSAKKGLGEAV
LERLRVGERDAPVEEDPRLRVFDEL

>RCO7_04714 | probable membrane coat complex Retromer, subunit VPS5/SNX1, Sorting nexins, and related PX domain-containing proteins

MAQDGTSVPAAAPSGSTTGQILTGKQEHYLKRELISQQVKYEITELNSPTALQRFGAPFKSDFGEVSPLDSELPILRYIFVHHVREFPFLDKAKEKE
FWQDKLQVFLQSFANKHISSSEDRLEETKRRKLSIKCQKLVELMMVSGIPTASGYEERIRFSELEVVDAGAIDLGVMHSLPEGHYTNGWDVNVAGVR
TTSVKRNIRYHKHAEFILRVKRKNEMKFFIGRRYGDFTRLHKRLRTELPGKILPPMPKKNKQSSTASNLLSGLTGRGDDDDASSISSVSTIGTAPTS
SMNTLSVKDRLHRRTPSAVSLSRKSPRTSVDGRPSTPAQDDSVVLWRENQRISLRAFLRTLLSNPQIASTRAIQDFLTLQPMTPTDVDVEDIAKRKG
MDEKRVEEQKQFYEIARKRAADLDVFRRDIVESNGLTKLFKEIKEKQTIQDLSIQYQKFAEWLRIEVAATVYHLFLAEDNSPELFAQMKKIHSMIPY
TMMKNAIRIANPAAVMSSILDIFLAQPFGARSLMQRIFAFTLNDGIRTFQKSIDALVSKIDDDVLCSKLQKFSDGPEDIKNTIRLESETESVDLIVA
ILRSEDITPPLSSKQISKVFNAYVAWNSAVENVDEEMKQGAQLFSYMKQLLKLYTRQRDKAMMLSMIEEPVTLQLLRDLFTIFYEPLVRVYKSANVY
NSVTDFAVFIDDMITVVDKCREQDVSADPNQTVQAFIDLCQRHEHNFYKFVHEVHTHDNGLFTQLMGWIEGILEFLRQGPKAGKLDINALFAGAVSV
GQLDKEKAIAEIDSLISWQEARKKWHSDKTRQKMAAEGAGGVGPGNTGMEMAPGGIAFSSSDFGLDQMDLQEMNYEDEEGSSDEEEEDDELDPIAAE
RKRRARKQDHLRRTAGEPVKPEVSEVDHLKESFLSMLRMVLAE

>RCO7_04715 | related to endoglucanase

MVLSTKVLLALLPFYLGVNAQTVGKTTRYWDCCKASCSWTKKISLAPGATPVVACDAKGSPLTDFDAKSGCDGGGAFMSPDQMPWAVSEDLAYGFVA
ASIAGSNEAGTCCGCFELTFSSGPVLGKKMIVQSTNIGYDLGENHFDIAMPGGGFGIFNGCTAQWGSTAGWGQQYGGVASRDACDNIPEKLRAGCHW
RFDWFKNADNPAVTFKPITCPAALTAKTGCVRQGEVPTGPVNVPIWDGGKGVPTTPKSSSTAAASTPTQPPTDKPATKPAATTSSSAATPTNPTAAG
SAGNAGSAGHAGSGSAGSGSAGSGSAGGDGDDSCEAEEPLWAKCGGTGYTGSGECVAGATCKVINEYYSQCVQ

>RCO7_04716 | uncharacterized protein

MSASTPPQKQWMRGSPVKTVPLKGYFADGVWHCNCSPRLPASNFQVKKDGPNTGRWFYTCQQPKESSCGFFLWKEDAVGREMTAVMANSRSEPDTVR
GMARIPTSRIEAENKFTDDNDDFGKWSSSPKEESKLAQSIARAESAIPSPETPRKVGRTKGFLTPGSKRKFDEANALPTPSSGVRSSAQLNTAREDE
DVFKTPNVSSNGTWDGHQPFGLRSPSCTPTPGRYREATVASDAPSQIAHNNYDITDEVLGVLKDQNLDDDTTTNLKKLLNRHAMKISGIAKGRDITR
VALKAKDTKIAELQQKISALEAQREMDKTVIRHFKSDMTESIERRREKGRGMGG

>RCO7_04717 | probable succinate dehydrogenase (ubiquinone) flavoprotein precursor, mitochondrial
MSSIAMRRFTAAPSLSKTLRNQTRTFSATRSAAKIITHAPLRAKEASPFLSSQYPVIDHEYDAIVVGAGGAGLRAAFGLAEAGFNTACISKLFPTRS
HTVAAQGGINAALGNMHEDDWRWHMYDTVKGSDWLGDQDAIHYMTREAPQSVIELENYGCPFSRTDDGKIYQRAFGGQSQKYGKGGQAYRCCAAADR
TGHALLHTLYGQSLRHNTNYFIEYFAMDLIMEDGECKGVIAYNQEDGTLHRFRAHNTVLATGGYGRAYFSCTSAHTCTGDGMAMVARAGLPNQDLEF
VQFHPTGIYGAGCLITEGSRGEGGYLLNSEGERFMERYAPTAKDLASRDVVSRSMTMEIREGRGVGPDKDHLYLQLSHLPAEVLHERLPGISETASI
FSGVDVRKQPIPVLPTVHYNMGGIPTKYTGEVLTVDSEGKDKVVPGLFACGEAACVSVHGANRLGANSLLDLIVFGRAVSHTVRDNFEPGMPHKEIS
ADAGAESISVLDKVRTSDGPLSTHEIRLKMQKVMQTDVSVFRTQESLDEGVKKIHEVDQMFKDVGTKDRSMIWNSDLVETLELRNLLTCAVQTAESA
SARTESRGAHAREDFPDRNDEEWMKHTLSFQKKPQGKTELAYRGVVAHTLDEAECKAVPPFKRVY
>RCO7_04718 | probable cellobiose dehydrogenase
MKTTNLFSSILGAVLAGSKAVLAQDLVASHGVYTEPNTGITFYTSVQSNGTVTGGGWGSLVSAGGFTFGMALPPTALTVDATEYIGLIIGSTPKGPV
SGWSSVLHGANGMGGASMPNHLMIVAWPTGDGDTIATSFRYSPSYQLPVMYKGSAKLTQIYSKVNATNWSLVYRCQNCFVYDDPTQTPSNTSTKNGL
FSQGWAQALTPPTNPKDAASDFGQHDNGMGMYVIDVKLATQASYSKWATQTRTQTGTATLTATTTSSATSAPTTTISAIPVPPSATYDYVIVGGGAG
GIPMADKLSAAGKSVLLIEKGVASSGRWGGTLRPEGVLGSKGGWLDGTNLTWFDVPGQCNRIWNGGSPGVACTDIDQMAGCILGGGTAVNAGLWWKP
NPADWDVNFPAGWKSQDIAAATQRVFGRIPGSDRPSVDGKLYLQQGFDVITSGLKNSGWSSVVANSEPGNKNKTYAHPPYQIIRGERAGPMATYLVS
AAARPNFKLWLNTSVERIVRDGGHATGLKVVAMNNGGYTGTVNLTPVTGRIIVSAGAFGTPKLLFRSGIGPLDQLKVVKDSTDGPTMINETSWINLP
LGYNLDDHFNTDTVISHPNVTYYDWPASWNTPIEADKVAYLTQRSGPLAQSAPNLGPAMWEEIKGPDGINRHFQWTSRVEGSRGVPNGNAMTLSLYL
GRGKVARGRTTIGKNLNMIVSEIPYQNDADIATVAIAIDHMVANLKGVKNLTWIYPPPGQTGTEYLKTVPLNLGSVGSRRANHWMGTAKLGTDSGLK
GGTSVVDSNTKVYGTDNIFVVDASIFPGMVTTNPSALIVTASEHASDKILALPAPKVLSKYAQCGGQGWEGGQICPDGTKCTYTNLYYWQCL
>RCO7_04719 | uncharacterized protein
MTSLRSDNKPILTERNENATSASNSPKMESSRTFAKEGKATGETPVFEEKENVNPSSVRKPPETNSQGTKRKAEDEAPTVEEKGNDQNISSAKHPKI
EIWEDAENAENERERTPGRDGPIKEENFDLKPDIRPFKGAKRHKVRKTAREKEEEYVKFVLENEEHPFHEKGPNGSPTFDKSGFQLDYDKVANWMRP
QAYNKARIMKGMSRAIEEGEKESRRMAELFFEKGEAPTEYRDICNGSNYWRDRVSKDLNVPWHKVGVKEFEEWDRRGFRKARKGEYKEHSAADKKRM
LRLMSGASLRK
>RCO7_04720 | related to ELMO2 protein
MDQADIPALLSRLSSDEDAMRKMAVFKLQSSINDPSFADVFISSGGLNILRRLIMSTGGNTLAYSLQSLSRLLEVDMGWEIFESTGAGELVERIVEL
IVVHPLVNILRGAMSILVALVSHPQSSRGTIKTPGAFGFRALKPAVAVYPQFFEMVVSQLNSADHALCANALMLLNALMRDAITNDSGDPKNGLGKS
SGTGEEWPKFIKRIQDLGVIQAVYILMQSSALQDLAHPLLEFQALTKVLLRKWRDVRVDLERPEHRRALKGLHLASAPERKDPNSNGGTPRIEEMAA
DSSKQGSKRHNPEKWRRLGFETESPAWEFDSAGFLGMMDLTDYVRKQEDGFQKLLLEQSSHPMGERCPIARSSLAVTTILYEHFEVDKSDVEDAKSY
LILDGMKDYDKIFRPLLLQWSRLHTASLQAFFRLWKSTGAEQEDFEKVAELVRILIEQVVGQASRLKDVQEVEEELGDFDYARLRELQMELLEMSFE
DEWGQHLHQVRDELKHEALQFVKEQRVRCLLSGAWFPRSLLNKNDTYRNGTQRTSSTTYRYVRLSHNRRYLHYADFDAQTAKQPALVELSEKIDLST
ISSVVSNVSAAADDSSSISSISTLKSPSQTPKQISTTKITINSFVCGPDDISQSSHQDATEQAILTLMPPTHSLASEWLDGLLMLLNQAPITAETNK
LVNLVSEYGLKIRLLNVRLEDGYAESPGGAGVVPSREGLDEDYYYHYEV
>RCO7_04721 | uncharacterized protein
MYLQTLLTSFALFQIVSSGCSGHNHHIGPQAHYKTAITNVLIWDGKKFGRQRSTVIIIDGVIADSTPVGASVINGNGGFLIPGLIDSHVQLTDCKQL
LELQKLGITTALDLGTHPYNAVAKCGEHGLTDIRGSGAAGIVREAKPGLISGYAAESLLSSPEAGEAFVASRVAEEIDHILLSLDPLGSRSNDATIK
AVVNAAHKAGLQVIAQATTHPSRAQAARTGVDIVTDVQFDKSIEGTVIDNSTSSNPSSSRFQSTITNMCEPFYLYGHAARSMNYPPEMSLVLAAGSS
GIGKTTDSHVGEFLHEELARMVAAGFTPSQAIQAATSIPTSAFRIDDRGVIKHGMRADLVLLRADPTVDIGNLRSIVNVWVEGLSKR
>RCO7_04722 | uncharacterized protein
MLLTSLLVAAFLPALASSAKVCTSSDLNVTVTDALWDGQCTYPKADKSFQLSDYLGRWYQVAGTRAPFTAGCSCIYAEYGMNARLPRFLFSLHALQS
KGRERDLLTIYQTNNTVSVSNGCQLGNRSITIEGTASPADEIYGSDGVFRVQFPGSPGPECPGPNYIVQKRAENWAIVQASNFSTLFLLSRNRNPDE
ESISTWLDLAGKLGSDLSKVIRTNQTGCLFTGSSLPVKKDWNPVVQTTTELTLISVSIPTTRALQI
>RCO7_04723 | related to mechanosensitive ion channel
MSTPIHEKEQFSFPAFAPDPPNSSSHGAQIPSSPHHERRSSDEDGTLQDHENDEINRNYLRVTTSYTDGPDQIEMENRSPMSLTQQKEQSRRLDDDL
EMLRAERVVSIAERTEPDSLGRSKSMARSRSRTAAEPEDDFDVGTTPLHEKAKIYKPPAHPTTKIAKMFKKIHNSIFLVRWFFYIAPLTILLLIPTL
FGLFLFKDATVGDTHLFWFGIWLEIVWLTLWLGRLIAKCLPYPLGLISSLFTNNSKKWRDLGKALEVPASLFFWGLAIEVSFLPTMKNHHRGGNKAT
LPWETTVNKIIISIFVGLTLNFFEKIIIQLIAISFHLRTYADRIEINKFQIQSLVKLYVYSKEKIAMQDSDFEVGKTGPSSGARTPMQYVNKAQKNA
RQAFNKVGDVAGKVAGDFAGQAVKTSTHPHQVVLQLLNSTSGSQVLARRLYRTYAQEDLETASAEDLRPAFDNDEESTAAFSMFDKDLNGDISMEEL
EAVCVEIGRERKAITASLKDLDSVVSKLDDVFMFIVVVITILVFISLISTSASGVLTSAGSTLLALSWLFSATAQEFLQSVIFVFVKHPFDVGDRVT
IYGNTGANMKGDDYFVKEIALLYTEFKKMEGHVVQAPNSYLNTLFILNQRRSGGLAEAVPVTVKFGTTLDQIDALRERLLEFVTSENREYQKNILTE
LRTVYECHSITLNVVFFYKSNWQNELLRLQRRNKFICALMVTMNELGIEGPRMRLAGATENFPMHLHDAYAHTTPGQGPDSNHPDDGPGPRSGSLAR
ETPFDSTAPQQPVRSHASILRNRTDSVSRHRGESIGQMGKRVDFSLGMSAISSGADFGDVYEDRKPFVPPPRITTTSASSATGHHSSSKERTSKDRR
GSEEELHRTSTRDSQFSNGGSAKTHKNRFFARNRSKLGTAEEGTILEDLEAGTREFGKEDLPDIPEASGSLSAHLLREEERDREGRFGGGVAGDTGG
RIDPRTGIVSPQAVQRDSAAERGDLPMSSGPRRAMTENLKRR
>RCO7_04724 | uncharacterized protein
MEDSDGEPMFAFGDLDYIPFGYSGIVAPYIETGPGTMRAAATLMALEHALKDQKAATTVICDLGCGDGEFLLGLLGHINGVLDNLSTAQGVGIDYDA
ELIKTAGLNSHTQGAKAEWLVYNFNDDSDDLASTLMDSHAVTHMFIYLVPKQLAMSTVRAILTRLWENGVVLCCHKFYPEYLTPARKDVLMDLMVYH
KPTKS
>RCO7_04725 | uncharacterized protein
MRRNTNRRHKRKELSAKVVKRDVSQLTSPSVVQQALQTKRFQLLPRALQDLEDKSKMQPVPGNLKRLGSHVGGGKGFESASSRGGQDDSIGKLSVEL
GLLDESSTIQYHLYYPGLASSILDPLMAYLPLHTPYRTRLLIQHNFTAQSRCTSHMISVRKPWFALSLIDLAIFNVVLSHYAETYRLLTSQGDLMES
FSFTAASIKIANERLHLPA
>RCO7_04726 | probable ENA5 - Plasma membrane P-type ATPase involved in Na+ and Li+ efflux
MADLEKNSQEARPQGIKFQDAKPEESATQVSQSSQQSQTSKKNNPPAIDGHVSGQSNKPISAPAHALTGEALVAELGVDTENGLTSEQAKAKLDEYG
ENKLDESDGVQPIKILVKQIANAMILILIIAMAVSFGIQSYIEGGVVLAVIFLNVIVGFFQEYNAEKTLDSLKNLSSPTSSAIRDGKNQTVPTVHLV

PGDLVELKTGDLVPADVRLLEAMNFETDESALTGESIPVAKSCHGTFDEVTGPGDRLNVAFSSTTVTKGRARGAVFATGMYTEIGSIAAALNKKDGK
IREVKRKEDGTAKPHRYLQAWGLTVGDFVGNFLGTNVGTPLQRKLSKFAILLFGIAVICAIIVMGANEFANNKEVIIYAVATGLSMIPASLVVVLTI
TMAAGTKRMVQRNVVVRQLDSLEALGGVTDICSDKTGTLTQGKMVVKKAWIPSSGTFSVGTSSDPVDPTQGDLSHSPIHPSQLTGRKDRQPEENDKV
TPFQELLDNHPQLQTYLNIASLANLAKIHKAEDGWKATGDPTEIAIQVFASRFNWQRERWTTGDSPKWIQEAEYPFDSDVKKMSVIFKSDEKEMVFS
KGAVERVISSCTQFQKDANTEPIAFTKDHETEILANMEALAAQGLRVLALASKEWHDTTKDTRAKEETQAPRDEVEKDLIFQGLVGLYDPPRPESQG
AVQECHEAGIVVHMLTGDHPGTARAIAAQVGILPTDMHNLAKRVTDAMVMTATQFDALTDDDIDNLPVLPLVIARCSPNTKVRMIDALHRRGCFAAM
TGDGVNDSPSLKRADVGIAMGMAGSDVAKDASDIILTDDNFASILNAIEEGRRMFDNIQKFVLHLLGQNIAQACTLLIGLAFKDDESLSVFPLSPVE
ILWVIMITSSLPDMGLGFEVAAPDIMQRPPQSLKVGVFTLEVMIDMMVYGLWMAALCLSAFSIVLFGFGDGGLGIGCNNSIDQGCETVFKARATTFV
CMTWFSLFLAWEMVNMRRSFFRMQPGSKKYFTQWAIDIWRNKFLFWSIVAGFVTVFPTLYIPVLNDRVFRHTGITWEWVVVIIETILFFFGVETWKW
AKRVYFRRQAKKLNIQKGNMSQSVFARYNTEEVKESV

>RCO7_04727 | uncharacterized protein

MTLDYASVCSEVLRPTSIVSVTSTQIGDSVIIITATATHTTSTTTTEYSQSTITALCPSPLSTTTTTSSSLRCAIPGLGFSINLLYHRVHISDIACH
ELCLNDEKCKSFQILEQIDEVLGYTRCNVYETRVDGNVSEPGDGRAMFWDRACEGLSAPGCKDNPQNEERDEEDEECCRLDRIPSITSDSEIGLDMQ
KPEGDEGTIFLLKDIVRVERDEPAIEEAVLPKDMDEGRRLTRRGEMEPDLQDEGSVGTNEVIRVERGEVPGAVEDIFPINADERIRAERKVEVILTA
EAAGPMDTNELLRIENEDALNIITDQSLLRTDQSITIEKRVHPFRSPQDKYKVRLETEKKTVLQAVRNGYMLSLQPVKKKRTPDDIVASPYRVPGPG
EGVTDSDIYIEIDIPTSTISSYIGNFRMEKFQHDYGPATPLITPPPRLPILILDVVGGERGGQKKEQGIRVEKRDTWTMPDFLVSFLPLFITLACSC
LITSAGPMVTSSVTDTVQSWNYSTVS

>RCO7_04728 | uncharacterized protein

MPGNWPLEDRPWPLEDREEASYTNLRLNTNLPQGFLQPPNMASASSSRGSRDELFFDFELATGTTDQSEEAFASYLAFEPVVESVSRDAPVDWRRYE
PPPELLTFQESTSPILRSMLPVAIERLRTRHEEEELGRAAAARRERPISRVGRASVKPRRDRESLSNEYTSNVASLNAAGSSRLSGASAISFASIDS
GYTSMLIAADPHPEPITQPKRTRKTSSIFSALFGRKANIAALTESNVSSSTDVTQTSEPLRSAPPIIEPARPAPIAEPSTIECVSCFDDFDAPSMIT
LSCHSYCTECFQRLINTALESETHWPAKCCLNAIPSANILPHLDHATKTKYHQRDAEWSIPTSDRIYCHISTCSVWIPPKNLDPARTFAKCTKCSKK
TCALCRGAHHNGSDCPQDPAVQATTDLAELEGWKRCYSCHAFVEHNKGCRHMTCRCKAQFCYICGDRWKTCACTDEQLLTMQAQVESRRREAAAVTR
RSAAETAREITRQQVENLRREAEAEELREMLQEIEAFERAEEERLIAELEVLRIREEAEQRVRDEERRRVEEERLAAVHRRFQRLSVELEVLSDNQR
VLMAERYEFEIEVLKKERQDQLDVLAVRQPAEMNALAVESLHKVTASEARFEQEYQARLEEERRIEDAYVVQLRAFWNGKPDAEYRVRDARDELREN
QDKEYRFWDAYRRKQLGAAREVEVRKMEAMRVRHESERRAVEGRAGIDEVERMRRVVAESRWVEAVVVERGSILMEMEQEDYARGG

>RCO7_04729 | related to UDP-glucose 4-epimerase

MSHPHLVDPSTSSSKSPPSLARSVDTGLTKDQVDERFSAVDASDTKTYVLVVGGLGYIGSHTVLELLKADYNVIVLDDLSNAYLTVFHRVQSLASEY
FSTEKRAMPILKLHETDYRSPAVKSLLAQYAIPSSSEHEKPKSRIAGVIHFAAFKSVEESIRQPLRYYSNNISGLIDFTSTLEEFGIKTFVFSSSAT
VYGSVANNGVPLKEDHCSHHPITTTDDSGQQTTIPPSVSGLTSPYGRTKWMAEAILSDLAVSDPSWSIAALRYFNPVGCHESGLLGDDPRQVPTNLI
PVIANVMRGKSAALKIFGTDWDTSDGTAVRDFIHVVDLARGHIFALAAAIGGKIQGSFRTFNLGSGQGHSVCEVLASLEKASGMTIPAERVGRRDGD
VGFCVAEATRAKEELGWCTEKSLDDSARDVWNFMQVEQQQGSSNEAGSSAKE

>RCO7_04730 | related to extracellular serine-rich protein

MLFYILSASALLFTHSVFAISVQSTILVIAKDTTSAYSATSGLTSYGIPFRLLTVPATGAALPALSTTGGDGNFGGIVVLSEVSYEQAGGSYVSALT
EAQWTELYNYQTSFGVRMTRLDAYPEAQFGTGPSNAETPGCCDDGVEQLISISNSTSFSQSGMKIGATMSTLGLYHYPSVIVDPSIATTIAQFGPAG
KYTGKTTAAVINKIDGREQMVWFIGWATDWSPTSTYLDHAWITWMTRGLYAGFRRIYFSTQVDDMFLETELYSPEGVNFRIKPADLDGHVNWTASFN
AKLPAGSTYFAEMGHNGNGNIEASLDKDPEGICDPKDAIQYPDQVDTELEFQKPLGSGEDIWPATPATYVWSRNCSDLDPLQNWWTVPANRDTFAHV
THTFSHSALNNATYADANKEITFNKAWLAQVEIDKAERFSGTGLIPPAITGMHNGDALKAFMDNGIVNGVGDNTRPVLRNAENEHWPLITTVAGNGY
PGFQITPRWATSIYYNCDLPACTVAEWIATSAGAGDIQDLLKDAVTVNSKHLLSLHHDPFMFHQANLRWADVPELAVNGVTAKYSLLMMWVESVTQE
LLRLVEWPLVSQKHDDIAAGFASRMARDKCAPNIAMNYGSCNTTRTTTITGVTVTTNGNVCDVEVPVTLPGPLIATQGRVGRQEQLGSDPLTVWLNM
TGDPVKLVLRNPVALL

>RCO7_04731 | related to glycosyl transferase

MVNLLDIGELGINKPLEHWWQWAFIGIAASSALVGILCFLLVLLHSIRKWSKSERKYTTIPPRLKAFLEFHENGSTPIISEKSRLPASSFGVYLGPF
ETQPTQAEIDLLSRWDILILDPLQVGVHEAIANIRTSAQNTRIGRLHLRELHAPSQRQNDQDIIVAVEKVRDVIEKRFRNSNTQSSSFAGILLAGWE
EWLPIPIFDALVQYVRSNGLDVYLEIAPPNFLGKDSPNMAKFAGVVVRNGTILTSGHVRDYFQMAVMKSTVKAFVTQTCLREFRVMVWETVDDEKSL
SHSVIKRCYIWCRYYSAMVFITSKGAVYDPASEGILEPLAAFQWLKDQRVMKLHNQWRSTHQLISNPTPGGSIAKLEQIVPSLKYLTPVLDLSEKPQ
RSDKADASLDLTLIDPAVRDEKNSSWFRHMSTIRGSPISFSPSGKSYSLLGCFPIGLHVTQDDYNQIVQTQRHLLRMGKLDQIKPSKLRAFGALFRK
LHHDGFTYESSHIDTNVLQCLDELAQGLWASSDSEDILDPIEVYIGLDSGFRTPDGAQFWAVSDVDAETGSLTIYVSRYASDHQSTLLHAYLSNRGC
SRHACFATEIAVADAIAGRPQTSLPKRFVQDIKLLTPSDIILFFQHLKVSDQENGDTLVGQVRSLLEEQILDGPSFAQLRELDTAGYLSGKIPEQMI
IESRGLWYEKHGYQHFDIDVALKVFRDVAANFVDILCSRRHDDLEKITDVLESVITAEGFDAYSDIVALAIFCAARKAAFNEIYLEVSDRNPLFNEY
SDQAGAFSELFALGSRCEDYFDLTPSAFGKILSDRHREHYSKPHNQPPLQIEYATGYASSYAVAQIDIDDTVKEYEMPAYQRLTYLSVFAIPAFIDI
MLLTTTGHGLYLSSFMSDPEKRSATIALMISLPLSSAIGTWIAIGGSYYLNSVAFPAANMYIITRLTAGLVVMLTIGLSGFVIVSAVFANVRDGIVF
LLYFTALTTYLTLLAVLSSYQYLGSSFQNGRTIILSSVPILFVAPIITLFVEGYDTVIYLIALYIFIGVLVLGARRIGSQWVNWYHTINAIDDNKLK
EWYVKVKGQGNKDVFSGMTDPAALVLARSSLLQDVKKERAKRIWMPATPDPLVNQLAKGWEATIFLLEWYCRLQGSKQPIPYSSTWNVQVKVGLASL
IEAQRGIRLHNSFVLWRQAGDEVICGVLYFLIALLDRWVELLSGGNLLGLAAGNSNTVRKATGLGLAYYLIGSVILDYRSYSLIHLIEAQSPEPIRS
AEFIRDAVVKTAKTRRNLYFSTLGKFLSVHVWSLALTTAILFILDGTLLGLEVFGAFYNKIFSGSRTKKPLLIAIGIAFPLGMVLRGLQPTKIYSTI
IPLGVATWIAALLSIKTAKISVPRKPVNRDPSNQGLFHAYSGLGEDQHWGQGELSKFFNDITAATLGFTSSTEANSLLGIEVRAILMSCSEQYLSKP
AAKAFPDSYSIVGEISKKWNDGTIKIQLVSMHRHIPSKANIRALSCFSSDGELQVLINMPDEGNSKGRPFAANNYQFIAEILLHAGAEFLMGMSHER
CVLIESLPAYRQASGHEKYKVSESIRREIAKDESPETRAVAIANSKAELLQQACFGLDCDLMWDKMPGEIRSMFFRRCMGERADLTTANSQWLKRVL
LKDSKIDLPAFVTQCDFGVLLAMNKLRFFRSLKGDESFEKSDDFLRRKIATANSDDFRFEPEPSSFQKFVLGPLVGTYHGVGTWLKFFIVSLVADPE
FHRELRFTLATRSQLFSNSATLFLSAIWFVAKKAQNILIPWFLFHNREKAQKTWDGTKGTVYSLKKNRLIIQSLDETSTSFFHIRPQKDFKLHKYAK
LLEKEPEKPSEMLGVSHFTKGMLLQGREVYLKGVLVNEYQYEYANQITGGVLRKNRNPRIPLSRTCITGEDMFQTVHYNKKGFIESGSYVFKDTESL
VRFKYHYRKNAQFDDELLRAEFIFPHVTCNINWCAPPARHASKMERWIPNSRVTEATFVRGEDVYESTWFYDHQHHPTITTTLNGEYCDTPDLILED
WLSVLKKPINCNFRMDNPLLDFPSLKTNFFSRQLRLNVKRSPISTSRARSQLWRAWKNDKYFDGVLTRYLDEKLLRYEPLLKPYWKKRDRGALTGAE

GYLIMHTDAIMASSELSNDISSWTPLAIKLGDLHGFGQGGDALMFTRSQTLQPDTNDNLHVMAVDTGTWPNEGGGVSACRRDVVNNLKSIKWHMVVE
SANDFGLPKHQIEENVQSLKVVPLWGLDFLHPVHGVFHNKLDSEVNPAARNAKFEDIQKTFIPALTALVKAARAKTLSTSDIHQATRALVDINTYFE
GPRHWASVWTSEVVKNAWRNLWLSETLPNTKPPSEWFETELPTLGHLDAAMDLWFRYLFIFSIPVPEHIPAVFQASHHSVSASYGVVCKMKRNCTLQ
IWDHAISWRETNLYLSSALCVLQPYVRNSLLGLMRVTAVLALHHADQILPCADFFNIGWEIEVGSHYGNVEHRKKFARKVDPVVNGIPDMKKFSPVA
EISSEKPTVTMLSHVWFAKDIKTAILAANVIVNEWGFKDYQLHIYGALDKDPVYSAECQEILASKSLGSNLMLMGTSDPKTVLATSWLFLNSSVSEG
LPLALGEAALTGVPVVCTDVGASLRVLTDKDDGSRFSEVVAPNDAQSLARAQINILAMIGEWAKYAEDKPGEEAPILPFKPGPEDVARITARMYAKK
TQRRKLGLMARNIVQKAFSGERYLREHEQMLWIGKCTSIQKKGEDLEEFSSGYNDFVDLDTTLIAPTAMWSRTRPSSGRTSFSSVNEDDNNSVRESV
WGNAPAEGRRGRAKTPASIYSTSPSGTPGMLSPKGSNENLPLWANRPRSISRGRSPKPWTAEHSYSRSRLSNVSTFV

>RCO7_04732 | uncharacterized protein
MEKTTMWESTAIEKSAVKEKPKDVQYQGEQPEGTIHLEKYKVAGFFIAYFFLGMIFFFIVCYGAVGLFYAAAHGRCDSFSYRPHIALNVIGFTFGNY
FGLFLHTIWFGAGWEHFKKNASFMFPVDSWLGKANLDHPHNTWKKKTLLYIPVVLHIAAHRFASQRIINYTELAFCPCGTESRS

>RCO7_04733 | uncharacterized protein
MVFKESGIVVPLPPGFSKKPAPALPPRPKSHFDNDPNNSTKAKAAVKEKDKEPELGASNWGTLWNIMKAPLEMKGKKSRRGSAGADGNLEVPEMGDA
TGAPENAANDETVASGETAVLATPRKPVRRGIERVDSTAATVPSYPQPEKWEALFDGDSTPTPIFVALMSTIFNHLDTDHTGFLSPETYSDFLDTQG
CEENIWKQALERAEGEHSKELADLELSLYFADLLISHVLKFRLRTPSASPNAKPQSAVRRKIRNSLQFDANMPMISRQGFIDVCKVEYLKDPNMGHE
YLGRVIKEYGIWKELGDVPREVLPEKSVSKLLGEITRETNAKSLGVKQEASTRERKDPETDKSHAADSTHVSDPETSQEMDFEDSSSLKFDENKSAH
ILSHIEIEHLVSPMALGSPALPFKLKGGESKIAAIANGQDFDPSQEKQQDSIEDEIWDEKISLEASLINEKAEAEIVDVEKPKDNANGAKTPSLEDL
YSPN

>RCO7_04734 | related to pectate lyase
MQFTTSALTAILATLASAQQLKIPARTGPVNSLSAARFISGVVDLGNKEFDRGRPCNTDADTGDVSAVFMLEAGATLKNVIIGANQLEGIHCKGACS
LINVWFRDVCEDAITIIGPGDVLIQGGGAQNAIDKVVQHNGRGTVTIKDYTCVNVGKIARSCGNCSQQKGTRHFIITGLRAFGVTADVVGINANYGD
TATISGSCGTNVAHVCQEFTGVLKASHMESPKMKDMKACGGPQGKLATLPKC

>RCO7_04735 | related to triacylglycerol lipase
MAITSLPSQTMATIKAKAASLPKLQRSKKGSKEPRSPRSPVQEVHEPISTGPIQPAPETTTAPTLQPFDIPRARHAKKGQAQPVAQTATMPETVQVP
ILRPMDIPRPVHAKKGQTSKAPDGSTPTLQGLEIPRPMKKNPAVQHPTETTEMSESGIPAFAPTPTLQPFDIPRPVHAKKEAAAAPTLQPFNIPRPV
HAKKGGGTSPTKKDALRTTVLAPSQPPTQTQTVPTTQTGTLSYPPRTGHPLFPPLPSYGPPTIKNRVIWTLRQLLSQFLTGIGIFVILIAYLLHGVK
KRFVRLLSMHSLPPRPFQAEEDRRAEIRKLDSLAWTKKEKQQKSPLPDITAGADVEAFPANVGGKDGFVPTEGGPDKLVVDIGYYARRVGLDSEEVK
VQTEDGFVLDLWHIYDPKEYTPLTRAQRMVRGPENIDAIRAPSRALDGGVGEKGKEREGEKKQKYPVLMMHGLLQSSGVYCTNDEHSLAFWLCKQGY
DVWLGNSRCGFEPEHVEFKTGDPRMWNWNITHMATLDLPALTARVLSETSSLKLGLVAHSQGTTQTLIALSKHQRPSLSSKLSVFCALAPAAYAGPL
LNSRFHFKFLRLIPVSLFRAIFGVKSFLPQISFFTKLRGKSPGLQGMIGKISYHVYNYLFAWGDARWDRGVRDRCFMFAPTFISVEAMKWWLSKDGF
ANHGCILSDKGRLQRDVEEDLLQDYFRDGPGCIDEPFATELLEKHVREPRVNESWFVDPEGEEADGLGESRMAATPPMAFWVAGEDTICDGKELLNR
FERGREPGVRILDGGRNIIEGYSHLDVVWACDVIEKVGWGVRDALWSTVGNEGKDRWRVPVGVDNVEAWVDDRVYAGGRRRSDQSTDLEGSETEKER
GSVGRNV

>RCO7_04736 | related to transcription initiation factor TFIID subunit
MSENPFKKKFSIVSKSHKEPTPVGESSSQSFNAPSQSTESYPSPSTQPSDTPAPLKKAPTKLVFKNRGSVPATPSAPPQAAKPKKSKAGRPPKPSAK
IIENRKRPSDDTISDPEGATIQVQQPAKKVKLNAGGPSKALKVDTVARGKPLKISIKSSGAKTPATPAPASAIAIKLKPKGKKPERPRGDGYDSEAS
DREDDPYIEEEFILRMAPGEDCDYINHCIKNRLIGVNKLTGGADIVMKFYEENGRRGAIQVRGNWYATTLVDLPCIVEGMKSWDKRGWWKSADICQM
LWVFARVKDESEAKTIALPPIIDPSNYQFPHGLTAPMYNARKRRFRKRLHRDEIEKVEREVQRLLDEDQKATTSKYQIFDPNARNQSQSYSRDGSTP
ARYGQAQQYSEDEEDEDEEDENEDAEGEEDDGYFAQNHGQGGNTHLQDSFGQQQDNDADADADADGDIDFGDDFEREMEKALEEEAASETGTPMSNM
PPTPSLSNALLPETREDTADESVEDDDDDDDDDEDSEIDDEEKEKLAAIKGAKEDIAEMENKLQDALVNLASAQAPMMKKRLEASVRNLKQEIQLKK
SAIGEGEGEE

>RCO7_04737 | related to TAF(II) complex (TBP-associated protein complex) component
MTTPDALHHSLLRPCILHILRAAGYHSTRPSVLDTLTDLAARYIFLLAQTTAQHASLNHNTPELSLEIDIQDVRMAMQDCGILGPERVLEEQEWDLK
QGLEGEDMRGVEGFLGWARGASNREIRRVALEGAEGGKEDYLMVLKKKHATADEDARYTNTFLGKPSEIRAVKVEGGDVTSVKEWVERLQKPVVSTS
IQSSRRQSSALSSLDDTMEDMEF

>RCO7_04738 | uncharacterized protein
MSASQNQSSLNSAPAVGAGTKFNPSTGSSSDSATPAMSVGSATAFGHGDHPKDNADDSNAVKSGSKVGPQQEDLDGEQMRAPGEGEVFRKQLDKKQE
GWGEEGSYTDGLERMKEEQKEKREEIKEQRREGGSGAVDGGAGGRVSNEGLSSV

>RCO7_04739 | uncharacterized protein
MASPPPNNNPPSRTNSGHISSNFPARLTDMAQSSGVTRVRNDESWVEIASQPSSSSLSSINDEIVTTGLRVQHNDPNTRRRRRAPGQPSYISLETRQ
TSTSSQEEYEESESESDRVMTSSNEHILPTTSHRQFDAEGGESSSDDDDENSTALGRRTNTGGDVFTPQPNAFSHPPSRAGAGPGVHGSYFPSYYQS
TTNRNINTRQSYPPRVSRQNSGYNNTLDHDAALRASLNTLLSIGAAAARGLPKRNQVGTNNTMTSNEPIGLRFVPESELMAPPSQNTAANTSRPLSP
STRARSSPSVSSQEAIEKGKRKAVATKPAGEKSRALKKKRMQQGSEEESLGLISPTLLTWVMSAGVVVLVSVVGFGAGYVIGREVGRGEVMMGLNGS
SLAGGGDCGKEVARSSGSLRRFRWGVGGGRGVVA

>RCO7_04740 | related to cutinase negative acting protein
MAKTKDTKTSSKSKAEVKPSKAVKNASITKPSQTPKAQSKAIAKETASKVSSKKDKKPVKAATPSDSESSDSASDSESEAEAEVKKPVANGKTNGKT
NGAAKKEVDSSDSSDSDSDSSASSDDENDSDSKSDLPKKAAPASDSDDGDSASDSDSEEESKPVAVVKDVAKKAATAGKAAVNGAAKAVAKATESDD
SSDSSDDDAEASSGSDSGSDSSDSDSDEKEAAPSKKRKAEEDEPAASAKKTKTEEVADDNGSKNLFVGNLSWNVDDDWLLREFEEFGEISGARVISD
KATGRSKGFGYVEFTSSASAAAALKAKKGSMIDGREANVDFSTPRSDAPPRDRAGDRAKTYGDTQNPPSDTLFLGNLSFDADENTVGEAFGEHGTVI
NVRLPTDMETGNPKGFGYVTFSSIDDAKVAFEAMTGADIAGRPVRLDYATPKPDRSEGGGRGGGRGGRGGFGDRGGRGGGRGGGRGGFGDRGGRGGG
RGGGRGGSTNRGGFGDFKGKKQTF

>RCO7_04741 | probable NADH-ubiquinone oxidoreductase 12 kDa subunit, mitochondrial precursor
MAPTPESAAFLAKKPTVPPTFDGVDYDDTPRLKQAQDAIIREQWVKSMMARLVREELGRCYYKEGVNHLEKCGFLRERYFELLKEAKIKGYLFQQQN
YIPKTE

>RCO7_04742 | related to mitochondrial ribosomal protein L37p
MICTRCIRASLRLPSKPSSIRLVSHSRALLLEATPPTSSPAVQSQPSLAQPFSTPLTSPSDKPAPVPISASKPTIVSSCTAGTPLRGLNYMKGRDDP
IALAEDEYPEWLWRCLDKKVEEGEGGEGTGDEFSKSAKLRRAAAKRARKLEAARLASGQAAPEARIPLTQQSIDLPSNAENTTEGALHAEGKREELR
GAMRKERRKGIKEANFLKGM
>RCO7_04743 | uncharacterized protein
MQFSNLLWVAFMAVGATAVAMPASPCPKDCTAWCVAQGHPKTGTEYCGPHGCLCPNPGKN
>RCO7_04744 | uncharacterized protein
MMHIGHILRALPDGTCNAGKVFYSCQVNNFRGCCSVDPCALPACPDTDASSSSMPLSKTTSQSSSRQPSASRPNSILTASAATTTTIQPTSTIGIIT
VTTSTPTPTQTQSPVEAQTPSSSPTAKAASTSGVSKTPIVAGTVTGVVVFSILLLILLWFCVRRRKQKRTIRNSIAEYGVPTKEFVLDRSTSPGYQR
GGGDVFAPFGGRYDSLRLTSATPPPKTVSAPISDPTALQGVNLIAAPTLIGSSHIEVNSNSDPSTPIIDRPLPDTEKSIVLTPPPAHELPFFHPLPG
QDVEIPTYHPSVLIDSNTSSGTSTSTTLQKSTLRSHPIYHISQLSTHPAFQKPASPPREHGMPPRTSEVREWGPLCPMQSTPTSHASYQPGIQQQQP
QTQQHNQQSCRHSEQSTSTTNALTSPIPGRSELEAEVPHTYLSPTPTYEMPTRRDFDYTNNAYTDHRSQWTPISRGNTDASKYSIPIGLGVDRHTAA
RATSSFSASLSAPNVRQYNNDSSPETRHELESPNPALSFFLAIPTTSSSSSTARHMSGLQGPSLTSPRVINCAVSNSGQTSPEAHQTAQSASDQIGA
GPVPVTISPLSPPERWSGATAVQSAHTQTSGQEAIHSACQSAWSGSGGPENENEHETGPGTWGSWSGR
>RCO7_04745 | related to DNA-directed RNA polymerase II chain
MSAPAATSRSREPPQGDEEASSELKLGEFQDVDALTHSEAALVINALVAKRRMDKKNVNETELLMKTTEYLDHFARFKRKENVEAVERLLSAHKELA
KFERAQLGSLCCDSFEEAKTLIPSLQDKITDDDLQELLDEITKLMGYGN
>RCO7_04746 | related to TRAPP subunit involved in targeting and fusion of ER to golgi
transport vesicles
MPRQAQGQTIWGTLPSQPALSITKRKVAFTAAPSFAPTSPASSISSQRQVSQLQTLPWHLLQLTPSPELGIERVVFALIIINKAGGLIFQRDFAEGL
NKLNINDYLVLAGTFHGVHAITTRLYPLHPPADPAIRPQPPSGIEVLETENFRLQCFQTLTGIKFLLFTEPQQPNIDKVMGKVYELYADYVMKNPFY
QLEMPIRCVEWERRLGVVVRGLNSR
>RCO7_04747 | probable 26S proteasome regulatory subunit S5A
MVLEAVMVVVDNSESSRNGDYTPTRYEAQSDAVSLIFSAITQANPESSVGLMSMGGKGPEVLVTLTTDHGKILEGLHRTKSKIRGGSHLATGIQIAG
LALKHRQNKSQRQRIIVFNCSPIPDDEKSLTKLAKKMKKHNVSIDFVAFGELDDDTTKKLTSFNENVKGGDGSHIAIIPPGPGLLSDQLVTSPILNG
DGASAGGGGEGSGAGGGESFEFGVDPSMDPELALALRMSMEEEKARVDKQDKEKKEEEDKAKLEGIKEEDEAAKGEDAPLLGEGSGKKDKKDDEDKM
DTN
>RCO7_04748 | uncharacterized protein
MAPTRSKKRKSTESTSSVEIQNFPAPPQMIPTKTRSPTHTPTHKSPIKKQKMGITLAQKQALIDNLQLEITERARKLRAQYNLQAQGLRTRIEIRVN
RIPMALRRAKMGDLHMKYSEGSKSTTSTVLSRAERLNSPHKNLLQTSQSNSRGSPSPQRAPKRLSDEASLDKENADIENPKKRIRATQQPPIPPART
TSRAPLNVQPSTVLSPRSANSRTLPRSPIRDRQNSPTKSYLARPISPMKPVAPTPSGGAAGILTNMVEKAKSTRAGGAVRKVTGPTSQDRPAVGAGR
GKRMAPPPPPAPRVGRGRASTISESSESSNTTTIVRKPVPAPAPAAKRAPVTKKTVMSTLKGMGSQKRMAAASKPSAVPTTAAAGRVLRKRN
>RCO7_04749 | related to density-regulated protein, translation initiation factor
MAEADQDIELQSRTVLYCGVCSLPPEYCEFGGTVKKCQEWLKDEDDDMYERLWSDDALAAATSSLSVDAQKRAEKDAHKKALKAEAAEARQAATIKS
SKVIIKRVERNKRKFVTTVTGLEAFDLDNKKVAKEFGKKFATGSSVTKLASGGEEIVVQGDVSDEIEEFLMEKYPVIPEDNYELVEDKKKKSGAGAP
PG
>RCO7_04750 | related to major facilitator (MFS1) transporter
MSAVDNTHISSAGKEQEVSSIEVIEPSSSLAPENKHVKDVSGNTSITDQEKQGTVTQAEEKPPRDITGWRWVVVVLAILSSTFLFALDNTIVADIQP
VIVKQFDSVSKLSWLSVSFLIGAAATNLLWGKIFGQFEAKWTYILCVFLFELGSAVCGAAPNMNALIIGRAICGVGGSGMYVGVMTLLAATTTIHER
PMYPETILGLLPTTKNKNANSGFLYSVGGTGLTWGVGTVLGPIIGGAFTDSSAGWRWSFYINLVIGALCAPVYLFMLPKYDPRPGVSFLNRAREMDY
VGALLTVGAFVSGVMAISFGGLTFEWNSPTIIGLFVCSGVLFILLGFQQVYTIFTSTSRRIFPIQFFKSRTILILFAMTAAGGCAVFIPIYMMPIYF
QYTRGDSALDAGVRLLPFIFLMIFAVIGNGVFLSIYGYYMPWYTLGGIFVVIGGALMYTVDTKTATAAVYGYNILMGFGNGLYAQASFSVAQAIVEP
ELISSAVGFITCAQITGVTIALAIANSIFLNGSQEKISALLPMVPLKEIQAAIAGSGSEFVAKLSPELQKDVLHAIVDSMSKTYILVITAGAVVIVL
SAFMKRERLFMVAGGAA
>RCO7_04751 | related to laccase precursor
MWSLSTISTVLSGLLLAGRTFAAPTCNTPANRACWSNGFNINTDWEASTPSGQIRSYTFTITEHDNWVGPDGVIKKKAMLINGAFPGPVIKADWGDT
INVNVINAMTTNGTSIHWHGFRQLNNCLNDGANGVTECPIAPGSSRTYSFRATQYGSSWYHSHFGSQYANGVTGTIQINGPTSLPYDIDLGVFPITD
WYYGAADQIQLRVNDRNNPFIPNAPGSPPASDNVFFNGTNINPSGPGGAYYNVSITPTKRHLLRIINPSVENTFSVSLVGHQFTVVAADFVPVQSFT
TSSLFLAIGQRYDVMIDANQPVGNYWFNVTMSNPICGRSNNPFPASIFRYAGAPASNPTIKGTPPVDPNCADSTNFQPIVQRQAPTTSFTPSTNGLP
VTFDVTGDATTVQWKVNNSAIKVDWSRPTLQYVLEGNTSYPPEKNIIQLPNANVWSMWLVENLSPVPHPMHLHGHDFLILGRSPALAGLPAGTPRRF
NPAADTSSLQTSNPLRRDVTMMPGFGWIVVAFKTDNPGAWLFHCHIAWHVSQGLSVQFLERVNNIPTAMNLAGITPTCNAWEAWYPTAPYKQYDSGL
>RCO7_04752 | related to allantoate permease
MEKVHDASSNDPEKRIDAFPNAASIEEGDTIGVTFLHADQTDGDEAFKAFEGQDVIVMTEEMERKLLRKIDWNLMPMLCVVYGLNYLDKTTLSYASV
MGMQSAIHLHGTNYQWLGSMFYIGYLAWEYPTNRLLQRLPLAKWSAFKIIMWGGTLCCMAAVKNFAGAVAVRFFLGVFEAAVTPGFALFTSQWYTRR
EQGTRTGIWFSFNGFAQIFGGLVAYGISTGVKKHGAVIDSWQIVFLTIGLITVMVGCIFLYFMPDNQLNAKFLTPQERLMALERIRKNQQGVGNKNF
KMYQFKEALTDPMTWAFVFFALVADIPNGGISNFFSQLIVSFGYTPDESLLYGTPGGAIEVVFLVACGYLGDKLGFRVIVGMSGMVTAIIGMLLIVC
LPLSNSSGRLAGYYLTQASPTGFVALLSLISSNVAGYTKKTTVGALYLIAYCTGNIIGPQTFRPEDKPRYVPAEITIIACFTVCIVDMAFIHWCYVR
RNKRNADVRAKPGYKKLDRQEFLDLTDRENPEFIYTL
>RCO7_04753 | uncharacterized protein
MTVERPSTDPITGPATQEELSGWVDSAADRAMLVLLAILSEEVDAGSGQNMGKCTRRIITCGFSKMRTPLPKSQSPTQIGMTDCPNQWFSTYPTHLL
TLPFVERVIEVVELEVAEASTTPILDILAACDWRAKTCGATVVLLQRLMTLIMTTSSCVDVSVRPVSML
>RCO7_04754 | uncharacterized protein
MSFGSSVGDIILLIQLAHKNYRNCKEAGGEYVEIAREVRSLHSILRTVRDEVEREDSLIFKSGSEERRDLIELADGCKGVLEGIAVLLSKYKGLAPD
GVDIGKASKLWQKFRFGTEIEDLGKLRWKIITYTSTLAVLVDSINLKATERVGDIAGRIENQMGDGFAEMMDRLEGFEDMRKAVLFIATRARASQRH

QAMESVLSLSTYADDDKEVWRQFRSQLVSLGFRSDSLDRHMEILKAYMMKLDGSGVLDEAVQQSGSSTLSWCGNASFRATNLSLLGTAEEQQADSEG
SMEQTLETMSPGMCLSSERSPQGQILHPQGSQAPAAQAHLPQPVLKHQISDGAQYLSAGATRQSLDQEMPDRARTTRRRRIPRIKVDEFTAQEKPSD
VSSLHLPLEIEISSPGTYASDTDSDVEVLLRQTSRRPVAYAESYHAVSEAGNNQLMLRIKTSELKKPDVVSKRPQQLDRQMSWAGPDSGPGRRQYQK
LTPRVVDDIDSESTDITVRNVRTSSRKKKQLPTGKTEKMEKTAEWLDPEVSHRPVRDRANSSPRSRKLMSISNEELYLGGSWPSGESSPLSPATSKS
QSNVSQVNPEPVRERYSSVDRRARSFTAYANTSNVKKGARDNVSFDYKQKRRSQSPEARINGEAVPDAKLTLAAKAAIVAGAVEAFRVRNEPGSWTG
DKGKRIITAAIGAGSIGTTKDDVDSKRTAEKAAYSDSEPQ

>RCO7_04755 | uncharacterized protein

MDHRFDKTDPEVDAAPAPTPAQERSNPLEAIDQKSPFYDSIAAKFGLGILNEEEFNEYIVYNAFVTNLRICPVHLGQGKQYYVEHRSFLPNTPGAIL
REGIDKSGKSLGAAHLPLTGQNSIGVGDFDSRPQDVVWERMGNAGFWTHMEYEFEHQVRGVRKTFHWIRTRNNVLDDQGDLVLVQDDDEGLILAEYV
GKGLMKWKKRGRLRIKVLDFGENWELVVLLSWASVIELSRRRARLRSFHQLILLASDSYICVILLRILRSNVAKLAQKIAPCINATSY

>RCO7_04756 | uncharacterized protein

MAFDEHILSQAGTGKGTAHTSSWEEVPWIKPMPDAPAMWRFSTFFKKILFWNRSTTGGWPAMKGSPCQILLCAVNPLILWVLILNLYVFGGMVVTST
TYISLLMSPPYNFTFTQIGLVRASPFLGALLAYPASGILTEYLAMKLARHNKGVHEPEHYLPSFIVPVITSSISLALFGFGAEREWNWTWIVLLVGL
NYFSAISMATSNVLWITEAFPR

>RCO7_04757 | uncharacterized protein

MMILPSLRTLTRSFGPIPTLRRRISTDLRQRSVVSSFICKCPRPSAGLMFALFKRSENQSNYPGKWGVCTGSIEATDASPLAAARREIFEETKLTDS
DLTFLRKGRPYRVKDDLLKTEWTIHPFAWQLKEGAREIELDSEHTKYKFAKPGHLGAYDHVDHLEKGVARIAVSPQIERALSRLRNETDSGDEGFFS
QSLKVLFNEVDRLRRLRDLQTSEEFWREFQWTVWHLAKNGRPGISASIETRLFDVLEKINGELLVHSDVHGGLANTPLSEVKSIVRYILKGYLLLQR
KKNAKSHTATVETSDIQLSDSDTMEREERLFGDL

>RCO7_04758 | uncharacterized protein

MSCAAIDGVWDVDPSQTLILMTDLKTAGPSTLQAVQQQLAPFRERGWLTHWNGSHIVPGPVTHVSSGYTLPTSVLNSTLSNCTYRDVFFDAPLHDLS
SIYDASNSYYASICLRRQRQDSHLRIVESADDGRQATG

>RCO7_04759 | uncharacterized protein

MRFSAVQIFAVLAVSTNAQDLGDLLTSRAGDIVSSLGTNINGAFSSATAVVGSGFDSATGVIGSGLATATGAVGGAVSSGKSLAGGAFSSATSAAGG
AAASGTSALGAALSTAKAEASQVEASLKSVASTATGAAKSAAESQASSVSAAIASKVSEASSKISSVATNTNLGGATGVPSSSSTAGAAVMTAAPVW
MGAIGAALYLI

>RCO7_04760 | related to glucosyltransferase

MATPSPHKPRRKVKKTSNGSEASPVTPTPSFSPAGRSSTTRPAYPLAAFLWPARSSVSQWEILPLILMALGLFRWAAGLWGYSGFQNPPLHGDYEAQ
RHWMEITTGLPISQWYFHDLEWWGLDYPPLTAYHSWFLGRIGGLINPSWFALHTSRGLEDPTLKVFMRATVLISEYLIYIPAAVIFVRRLTKLQGIN
SWNASIALTAILMQPGTILIDHVHFQYNTVMLGLVLASMSSILAGRFMWSCVFFVLALGFKQMALYYAPAIFAYLLGVCLFPRINIPRFLGIAVVTL
VTFALLVLPLVLGALYDTHRGIDARPDLRGHFAPLPIFSEYSYLINYKAWYYPIVQQLAQIIHRVFPFARGLFEDKVANFWCAFNVVIKLKQYPSEQ
LQRASLLLTLAAITPPCFIIFLKPKKELLPLALATTAWAFFLFSFQVHEKSVLLPLMPMTVLLAGKHGLSKNVRAWVGFANLLGVWTMFPLLQRVDL
RIPYYVLSLLWAYFLGLPPTSIAVYKQDGSATFTGFATASLQTIFYIAMGVWHVAEAFLLPPQGKPDLWVVINVGVGAVGFGICYLWCLFTLVSECG
LLYFAASSTKKVKPKTL

>RCO7_09012 | probable fatty acid elongase (FEN1)

MSSKSPTDIFQALPLPSIDRPFGIHLWPIFDKAFSTVMGYSPQDFDFKPRVTPMSTLKESGFAILTYYIIIFGGRELMRNRKPFKLNALFMIHNFYL
TSISAILLALFVEQLIPTLYRHGLFFTICEKAGGWTPQLVILYYLNYLTKYLELIDTVFLVLKKKPLTFLHCYHHGATALLCYTQLIGLTSVSWTVI
CLNLLVHVVMYWYYFQSARGIKIWWKEWITRLQITQFVIALGFVYFASYTYFTSQYFPWMPNSGNCAGEEFAAFSGMAVISSYLVLFISFYFATYKK
DGKRPTGRKAARSLKDAEVPDVAALTNGKVNPGLKNGNAKSSGSSPNGRTTRSRKA

>RCO7_09011 | uncharacterized protein

MNGWTLRVAEHIAAYKIQSLENFPPAFKLIDPDKSYDEQILNLKLKKMKSHVLSWGVFEGMLRCFIGPGTQKALQVQLASSDMVPNPLADEHRHTLA
DACLKTVELIIDLYEKMGGGQTSFWAAPAAMSENGKLLGHCLVSDGFNRRVRTRDDDIFGGFEDGVLNVLRP

>RCO7_09010 | probable cytochrome-c oxidase chain VI precursor

MSSTSILRVAARAQPSSFFRSNGLRSLAPRANALYAVPAMIATSGSINSFSTTSRLRSDASHGEESFEEFTARYEKEFDQVQDVFELQRNLNNAFAY
DLVPSPSVLTAALKAARRVNDFPTAVRIFEGIKAKVENRGQYDQYLEELKPLREELGVLLKEDLYPEESK

>RCO7_09009 | uncharacterized protein

MDAVHKEPDYVAEAELRNMIIELIRSESPTIPSIIHPQPDLLLDIGDMERPIAQLPTKPDIESTTLQQQKHISNGMAIYKDAVKRHTKAKTEADKLI
LAVKKLNKRSEFVVRQLDISLEDEDLGARLQEGTNRKRARSFSLKCCNHHNHLLDLISISAYDYDDERRIVRCHSEEVDPKPCARTRSLQFPGDTSA
SARTAEAGHNGDDMSERSSGTKRRLRSSSCLTVESPAKSLASANTSGTAEEEIANSAGQNEPVLIRGSSKRLRAYKVPQVVGKEAKEPETAVFPREE
TDALFTSNAHDEKKATTSSDAPKLRSWPFYARYQNPKINVFPDYGPRATIPEGAQHAEREMPIPGGPKPHNSLARPSQPKNNPTIRPHHSRTSLERP
GLPKSFDLTGRDTSRSRGHDENPAKRQRSNDGSSRSPIDLEETWTRQSKHSEQASVRSGHSQTLQSRDTSASFGARDSNLQEIRKVDQTMKLPNLRQ
RKGAAMDKNPHMTLSVSNGHHRFAQQYVGEDENDRISDYGSSTKPGGSLSKRGETLTGWEGTSSQGPPRQAANGGSRIPSRGMETEEVSRHFRPNGG
RAEKGLDQLSQGDQDELSVDTRGDVEHGKVTQKLPKHNRVVKGAFSKTRVPSFELEDSSEDDLSKKADIQPTKYGPTKANNQRKHDIESFQVHQVLS
ETMKWLLPAALSQWALEINKSMGTLSVIDASEQLVFQFPTKDVEKFEFANGNSLVVLHKSRAVNSVRDTKIFIEMHSYDDFQQLFQSLKSLHPTISR
LPKETFVLSFSPARIILTVIFISSKDYLKNCFRNIAEKQIPPKRPRTIAPEEPDDIRLARANEARRMKARMDTAQNTKKAGQGAYGTRQRNGSLENG
PRSEGLAMKMRGRSDSNEFHEIDGHPRMSNAAATLLPGAFYGTYEILRANGVEGHGTRSSGKAIAPIDTSPSYRQSPRQQLQPRSSSPEPDRWTFAN
PDWVEKENWQTSVIYPPEGKNKASVDLQDIQRLDEGEFLNDNLIVFYLRWLEDHLAKDSPELASRIYFTNTFFYERLTKNVKGKSGGINYEAVERWT
SKIDLLKYDYIVVPVNETVHWYVAIICNAPKLLKQPSSQEDASQPEKNRNPEDDSNKVELEEQAVSSPLKLPEEEGPDEVDVAVKELNLEESASKLP
TPDTPETISDPSAAVDDLNTTQTVNLDSPIADIVSDVIDQKPSHLRQGKRKSLPPTRKYNPDDPRIITLDSLGLAHSPTCTNLKRYLMQEIKAKKNI
EIEDPGALGTKAKNIPQQNNHCDCGLFLLTYIEEFLKKPDSFVSDILQQNDQDFTEWRSASDMRKHIRDLLFDLQRQQIAAADKSKKEKSKAKQAAK
AADKSALASPSKPASREPTKSTHVSPSPGLGQDVVDSREPYHEKAEKRSEEPPRSVESSQQVGLGLSRKAEIPRSNEAELRDSEVHGVPRETPSLST
TLFGKVQSIINHALGSEMKPQPIVVDDSQDMDQDTQESATPSPVKKARKRKASRAPSPEDSREPKLSRASESIEIPESPSQEFAKMHSSAKESSHKM
FMNPHPLLDSSQGEEEDHRQTSHFSERPPMNIEEFGRKLKAAKRFGSGYGAPELNAIETDNPITSSDVVNLIDPSPERAHNKLNLSRQQQDDDDDML
LPNDTTSPSAVAPQGPPNPRLLSSSPPSFSDVSVIEGPVKNQSRDKVAQSSPRSAKRVSSSAAEMESSSAKRRRHDVINLAGDSPKAKQKGPDTRFR

DASDAAIMGERVLRRLPISKNSFV
>RCO7_09008 | uncharacterized protein
MRSSGLIALMTFGLGAFAGKAPLGAAGDRCQNRPDCISGICNPDPTSGTGKNECDTYTSTSCKGVGNKLKLHCVAKKRATLLVSVALKKEEEKGPKH
RGRGSSLHQSVGPWGCTVKSKHERILSLP
>RCO7_09007 | probable glycogen synthase
MPDTPREVRNHYLFEIATEVANRVGGIYSVLKSKAPVTTAEYGDRYCLIGPLNRQSAAVEVEALTPTNPHLAATIDAMESRGISIVYGRWLIEGAPR
VILIDTKTGYQFLDEWKADLWNTAGIPSPPGDDETNEAVVFGYLVAWFMGEFVAHEKKTAVIAHFHEWLSGVALPLCRKRRIDVTTIFTTHATLLGR
YLCAGSVDFYNNLQYFDVDQEAGRRGIYHRYCIERAATHACDVFTTVSHITAYESEHLLKRKPDGVLPNGLNVTKFSAMHEFQNLHQQAKEKIHDFV
RGHFYGHNDFDPENTLYLFTAGRYEYRNKGCDMFIESLARLNHRLKSSGSKMTVVAFIIMPAQTQSLTVEALKGQAVIKSLRDTVDVIERGVGKKIF
ERALKWHDGDPMPDDKDLITSQDRILLRRRLFAMKRHGLPPIVTHNMANDAEDPILNQIRRVQLFNHPNDRVKIVFHPEFLNSANPVLPMDYDEFVR
GTHLGVFPSYYEPWGYTPAECTVMGVPSITTNLSGFGCYMEELIENSTDYGIYIVDRRMKGVDDSVNQLTSYMFDFTEKSRRQRINQRNRTERLSDL
LDWKRMGMEYVKARQLALRRAYPESFNGEEDDDFIPGIEQKISRPFSVPGSPRDRSGMMTPGDFASLQEGREGLSTEDYVAWKLPEEEDPDEYPFPL
TLRAKRPTGPSSPAESTLTNGKPLSTE
>RCO7_14019 | uncharacterized protein
MFPAKPAHPAKVFIQNPSIIFLKEIHLHPNIAQQSKFIQKDIKGNRPRKSYPGFENGFYVIMNMELINMYVILNSSIVTDLSMKGQVFFLPREKKKK
EKRKKKEEEQKKQKKNILRLSLSSYQPNQTKSKPNHPSTPPSTHLHLPLPHPVPPNPPVPHPSLPLPHPQSPSLIPTFLSPLSSLLSLPPDYTAHTA
LPSPGRPACGITITTPGARAPAGISIAERVPAYLPPEDTVRVPTCRYGREQLEHKGSSMSITLKTSCSMSQGQVHSPNHKQQIYEQTK
>RCO7_14008 | uncharacterized protein
MSWSSRTRKQSDSLNNEFIVVWAQKHRPRGVGSDSQEFHVEYGDVMKGSEDTFILLTRFLGSVTGYTVCWVGLEGFIIQIKPAQSSPIHIHINININ
IHDPLSSTKKDLTPHPQPPSKILHQPSPPLAKSWVSHPTPKSQSKRHHAIIAEETTPTDSVPHIYGLGFRRRGFVALVRDLWGFVFAGFMGDGEIGE
LRRGEWEGERRAGCRGRLSMTWEILLHIANIPSYANPLGYEHFLMIPRISEDQNGGRVASYVP
>RCO7_12023 | uncharacterized protein
MLRLDVVRNLVSKDIPIIVVGIGTNMPSDVLQFETLMSRELSINPRDDLQPEEPAFLHYTSGTTGDPKGVVSSQRLYVWSALAGYTAGMRIRSSDRM
FRPLPLFHAFGHSQCIIGTVAVGATTYLAGDDPLLQSIEAGDFTVIAGVPTTYQELVGTGTILQRSSATNVRLCLSSGAPATSILSARVETLFNVPI
LNRYGCTEMCGPITICRPGSFVESSCGSPLAGRKVQIIAVETLKEVDHGVEGEIWVKSPGMMLGYHKQDRSSLSVISDEWYRTGDLGCWQSIHDLKV
TGRLSDLINRSGSKYHPAPIERILMQCPGVKEAIVVGSKHAYFGEVLTAFIVIDESNNTALDMTTLLTACRSEFPDWKVPVDFYQIDNIPCTATGKV
KRAKMTKIPCRRLVPRSLTRSSIERLVWREILSVCEVSVAINYNPAQSFETLGMNSLKSIQLRDRLAAVTGLESLPTTLVLTTQLQVMSDFPIDRGW
PTDIYDSDPDAIGKTTVTRGGFLHDQAEFDAGLFGIHPIDAKVMDPQQRILLESTWHLFERARVAPDSVRGSKTGVYVGMMYNDYAARFIDTVHDLE
ALMGLGSAASVAAGRLSYHFDLKGPSIAIDTACSSSLVAIHLAAKALRGGECNLAIAGGVTIMATAKAFIMFSKQRGLASDGRCKSYSADADGTAWS
EGVGLVLLERLSDAKNNGHTALGLIAGSAVNSDGLSNGITAPNGKQQENLIQEALENAHLTSSDVDVIEGHGTGTALGDPIEVNATLKTYAQNRNHP
ILLGSAKSNLGHTQAAAGVAGVIKMLLAMKHNSVPSTINVTKLSRHIDWSQGKIEVPIKMSSWPQRGRPRRAAISAFGIGGTNAHIILEQFPEAPMQ
QVLVETQTSSFVAQRCPWLLSGSGKAALQASAHSLLLFCSSHQDTRAFAMALATTRSALRYRAAVRPGDLDALKSVAQDLVHPDVTNGTASGGQHLA
LLFSGQGGQFLNMSRELCEILPIFRNAFEAVSAEVNPYLKVPLKDVLRDRDDLLGRTDYAQVAIFAFEVAMYLLVRSYGIRVDYVMGHSIGEYAAAY
ACGIFTLADAAKLVATRGKLMADQARGCMVQVAASEEEVREVLKSGGYLMTVIAAVNSQNSVVISGPADETLELIERLVVLEKKTTLLRISHACHSP
AMDPVTSVFAEALRGMEFHVPHMPFVSTVTGTVVKDEEICSGFGVENFLEIGPTAALANYVVGAVPTRAKIESLLQALGSLHVRGVKVDWKAVFADN
TAGPIALPLYKFQRQRYWLDLPQTESTKRLHGHPFIAKGAPLPDTNVIVFSGDISLNNHYWLTEHVMDGRILFPATAFAEMIIQAGSQIGYSFLTEM
TLQNPMDLSLDGDVLVQIVIGESGEGDQRTIDVFSRPRDRLVEEAWTQHATGLLAVSEGGSNVEAPESRTWPVDGAVHFDGAYHVLSQNGIKYGPSF
QRVHRLWQNGSTITAELESLPATDRFLIHPALLDSAMHLVMLASPSSQGLRVPFRLKGVQLWECHDRFLRVIVRHVNENEISVELRDRDGRLAARID
SVELRAMQTDGGNLYTFEWQPLSIISHKSPAHSGEMVVRFLAIPDCTTADICNMNVRALEAIQQWSAEHAHTGCRLVLVTEEATTKTPNLASAAAWG
LFRSAQAEYGDRILLIDVDVTGQEVAVESAITPGQIVVSIRKGASMVPRLLRVAAGSHKREMDIDGTVLITGGTGALGTLFARHMVQKYRAKHLLLI
SRSGSHTSSAKKLYADLIKLGAHISIEVCDVSNFDQLQHLIKHANPPITVLIHSAGIVDDGMLDSLTPERVAQVLQPKTAALHLHNLLPDIQTFILF
SSAAGILGNGGQGSYAAGNSFLDALARLRHSRGQSAISLAWGPWQIEAGMSGGLSNSGGPLLPLTDKEGLALFDAAIQTDEPVLLPLRTRGPAPLIG
ALRHQVGETVSQSRFWCDQLASTSSAERIRILENLIECEVAKVLDYEELPDLPVVELGVDSFTGMLLRNRISILTGLKLPSTLVFDHPSIPELAKFL
LAKLGPLVETSVKQPISSADIPCVKSPATQRPPVLIGHKTPVMGIANTCRQLCKSGHYVPGLGLLKLSSLTLPVFDRDSFQHHERLPRRIKEGSSST
VVICFAGFFPVLEGRSIFEPLAAWISSEISVFEMLNPIVKVPDTAETLIHMFAETIKRQFENRRVILLGFSVGGLVAQGVASALGGDVVEGLVLLDT
YLLNDDNIE
>RCO7_09005 | uncharacterized protein
MTQRRGGNNGGQGGNSKGRGGGGGQNGNPGAGAKTCNKCQKFGHLAVNCRSNGNQSFKCMNCKMNNHTTVECTQGPNSNQNNKQASKNKATIRPCRF
CQELHLDKNCPTKSIKFTATGLNYGDTSMKDVFGVGDFSHPCHHCGGQHLSHSCPNISQQSQDLYHYQRYPAQAAQVVLQMSLWDACDDIDEEFTTG
DPWHAAPAYGPVYGNFYANHCAQPEESPVYYHMQQYRTDLDGDVIME
>RCO7_09004 | uncharacterized protein
MAHQTSKNDDSHWNAFLSGNPSNRHFTKNENENHELNDNSGAVERHTNLKADNGDLISQSGALHKALKDGQQDLEPDIEPVLGSMAAADNDSILSDL
DDNAAVEEDEFVAPASPDDGLIRALKRRRLSHVSESNASSTSACGLAVPTSSPASPIISEDEPSPPNRRELLSLKQHRFIVTMLKCSLETATPSLPP
STLEECLEMVEVLEEKYIKATQSVKRTARKRGTYPESAGDHRARLEGDEEKKHHWAPTKADRSGISEIPGLLMRAWDEISQCQIKDFRVGFRSGSST
DHLDTAARRKLALKRHSDWGNRHKTPFISFSSSLVEIGETRVPWFQNRQKRAGILENTKLTIINARARLAAGKPIIRMKTELLHYEVMSKGGNLRYE
DSCFYENEFLAPFSVSPAEIVGTWAWHSVEKWIEDNEASFDSWYNLVGVPSWQEHERVRLGGTPAAKCKAGCDCCGQ
>RCO7_14021 | uncharacterized protein
MLNFASLPVVINLERAGKWRSCVGENGFILIQKLGIFELEFRSRLTDRDYRGRPRDSGFRIQGQSLINPVERRPNFKVTKAFQNFNDLFKYCNLRGS
KPFFLTQTTRRELKYELSLFDQVISATRDPLSNSVKGDCLVRCLNQEEGGIYGDVYLPPKIAIRFILYNACSQFSRTSGWCKCTADVSSCVFVSIPP
FHPMYLLLTWEINAKPTIRLNSINVLIFE
>RCO7_09003 | related to F-box domain protein
MLCDLRDLSHCAQVSRKWRATAVKVLYYSIRIDAVHYCDLEDVLAEKRKCRSFMRHNAEPEDTAAARLKFLARTLHDNKGGFALNVRYLKTPYMTRE
TCKPDLARIVACCPSLRYVDLPEGVFQDDPSCTTIKQEVQGRCPELRKMTYVRGAERGLEMLASGHQWHNLEVLELGKLNVDPTILRQALGSLPNLH
ALKVTDMISFHDQLFQHSDYLPPFPALDEMIFENIPNLTADGLVSYLLRPDTQNTLKVLSLTSTGIHPPGLQRILAVAPKLEHLSITESVTSSFPAA

DIPTLQSKSLKTFHYEITSADSANMYANTTASHYAYLTRSLLSGGLLSLKELYVRDHDFPETLLDLAPPLPGFATDPDNFRPPMPPNPFAVHNPNQN
RLSSNNPFAKMQAGPGLKQELQVFSKGLDEMEWNFSKVLPAARGRRGSATAPRPVSSYGLSDSMGKGWQSASGGARKSVIVGNGFGGFLAVPSNSGD
RPSSSAGERRRGSQYDMWR

>RCO7_09002 | related to glucose/galactose transporter

MAMFKKHSLKTRDDVKTNAAELTLRQSIYPICLVTVLFFLWGFSYGLLDTLNKHFQNTLGITRARSSGLQAAYFGAYPLASLGHANYILRHYGYKPV
FIWGLCLYGVGALVAWPCLVYRSFGGFCAAIFIIGNGLGALETAANPYITVCGPPRYAEMRINISQAFNGIGTVVAPVLGSYVFFKDTADDSRSLKT
VQWVYLAIACFVFLLAVIFYFSPIPEITDADMQFQASETHVNEDIKPFSKQYRLFHAAFAQFCYTGAQVAIASYFINYVDETRANTGSSLAAKFLAG
AQGAFALGRFAGVGLMRYIRPRWVFLVYLGMCIIFLAPSTTQRGNTGMSMLYITLFFESICFPTIVALGMRGLGKYTKRGSGFIVAGVGGGAVVPPL
LGAVADLHNSTALAMVVPLAFFIVAFSYAICVNFVPAYRDVADKFTTAEVGLTARSEKTRMPGDEEKGGVLERETPLTIPELKS

>RCO7_12009 | uncharacterized protein

MQQITSDLEYWSTRLRDKEQCLFPILNDGAEAKSSKPRFIETRAPSLSQLESFCTDNELRYSTVFQTAWGLVVRSYTGSDEVCFGYSEGSSDSIPCI
LSIQRESNLEHVLHSTNSTFVRDSLRKNSRLQDIESALRLGESGLFNTEICCRREDLSAHISGHNEGMNGTSELGMETVAGDLKSDRDELVSLMIKL
EINLRADAIQIRLWYQQSSLSDGQARNVASAFEMALSCVLKGSHRSIADQSLFSQHHAAQVKQWNQLDLELLDLTFHEAISHGARLNPDAIAIDAWD
ETWTYQEMEDLSSCLARHLVVVGVLSGMKVPVVFEKSGWWVIAFLAVLKAGGAFVPVDTTQPVLRLKEIMGDLKPKILLASSQCSELLADSAEITVV
VSRHSMEEISRKIDSSIHLPIVSSKSEAYVMYTSGSTGKPKGAIMNHGNYLSGLYTIIEGTSLGPGSRVLQSASYAWTPCIIETLGGLWSGACICIP
TEAKKQNALTQVFNDMRITWAFLSPSIIKTIKRKSVRYLKALILAGEPVSQEIVSEWSSEKTKVWIYWAATEAANIARPGPFTQDPYDVQNLGRCKA
ICRVAEAGNPEKQVPIGSIGEIIVHAPWLAKEYLNDKENTAEKFLDRPGWLEAPSSYGSRWYRVGDLVRQNADGTLVLAGRVDSMVKVRGQRFDMSE
VERNLGADPRVRNSLPIMTKTGLCKHRLVAVVALHDFATDASDSGVFTLLTGPELQAAALWVSEFQRSLALRIPSFMIPSMYIMLKQLPLTISGKID
RMSIKHFVENMDVDTFENVSSLGISPEAPETEMERRLQQLWSEVLDLPIEKVGRNQSFISLGGDSILAMVVGARCLDNDISLRVQDILKYGTIAELA
LRTTIKTRDQDHITTSQRQHGLIHNSIVEKLPQVGVSRTTDIEDAYPTGPMQQGILLSKARFSGDYNTSTIYEVMPKGNGAELDAEMLMSAWQQVVN
CHSVLRTFFVENLSQTGSFDQVVLRTWDVKKSTDIQRNITAGSEEDVIRTFNKHPAPRYIDKQPPHHLTIFKTTSKRLFCRLNAEHTLIDGMSMAII
VRDIISAYDGFWNSQELYLYSTYIDMLEQFVCTIDDDKYWKSYLDGIYPCLLPNLSYSLSRDPPKIGSCAIAVEIKNPQHLLKFCQSQEMTVSALFR
TVWGLILRTYSGSHEVAFGYITSGRDLPLAGIGEIVGTFINMLVCRMNLQESSMVKDVIAKAQTDYQNSLPHQHASLAQIKHVLGLSQGQQLFNTSM
TVLKQVPLKTSDNPSIYLRNMHQWYPTEYDMDVQCWVSSSNVKVDLWYKSQMVSNEHAQNIASTFSKALEAITDDPDQRVGQLDLFSDHHRSQVWSW
NGSYPHAVEMCLHDIVSAQATKRPHELAIVSWEREMTFYELDVYSTQLAHLLVSLGVAPEVRVLLCFEKSALAIVAMLAVLKAGGVCVSIDASHPVQ
RLQRIIKDTQPVCCLISILNQSLFSDESMQGVVQHVVAVDQALFDSTLLVQKKSENPCVSVRPTDAAFILFTSGSTGTPKGMVHTHSTIASALDHLG
IALGIGTGSRTLQFSAYVFDISITEIFMSLTKGGVLCIPSEEERMNDLESAIYRMGANWAHLTPTVASLLDADRIPSLKAVSLAGEPIKKVNITTLA
PRLKLINLYGPAEAALVTTLRAGLVKDDRTDNIGKAVGLLVWIVDPLNADRLQPVGAVGELFLEGPNVAREYLRDREKTLASFIENPAWLKEKKTIP
PRRFYKSGDLGRYNGDGSIQILGRIDTQIKLHGQRVELGEIEYQIKVGLSSHNLVNMAVVYAKSVEHPGGGLLAAFLEFKQRSTHVNKDGLMLQIPQ
NMRKILVHLKTHLTDTLPSYMVPSIYCPMNAMPLLTTGKIDRGRLSRIVQGLAFNQVALYSLAEFQAGKLMPRTKMERMLQKLWGKSLAIDLKSIGI
NDNFFRLGADSVVAMKLAAAGRDNGITVTVANIFKSPKLSDMAMVANPFSERFLYELETRHGIQKTSVQHVYPATPLQEGLLALSNRQPESYMVQHV
LSLNSDIDTSKFRECWENVVSQNAILRTRIFHVGTMCSLQVVLKESVCWQTGASLGEYLEQDKTSPMGVGEPLSRFAMLESGKDIRHFVWTAHHSVF
DQYSVSSILREVSAAYESMTEGQRQLESSDVTSFQAFSEFIFHMDVTGAETYWREQFSEIAFSPYPKLPAGHIPMANAVLDYSISFGDRGPPETSIP
NIIRGAWALLLAKYSDTPELVVFGMSLDGRGESASMSGIDSLVAPVFATVPLKVSVDETATVERFISDLESQMEKMKQWQNFGLQNIRDLSLDAAKA
CDFQTLLAIHSHSTTLGPLRTSPMDFSFTTYESPSNYLLLLECQVSATGIEIKAQYDPKVTSATQIQTMLQQLEHVVYQLSQKTSGSKCLENIEYCS
PQDIELISAWNEVLPVPIQMCVHDVISSHASRNAMNAAICSWDENMTYKELDNLSSNLSHYLVTYFDIGPESLVPLCFAKSAWAVVAMVAVLKAGGG
YVPMDPSHPAFRLQEIVDATKSSVVLCSPHHEGLSRSLAERAFSVSRKTFDMCRQNHTTACNDVQPDNTCYVIFTSGSTGKPKGVNMTHRGFATAAT
AHGKRVNLNAESRVIHFSSYAFEACILEILTTLFNGGCVCVAPETERLEEIAKTMRELRVNWAFFTPSFVRTISPAEVPDLKTLVLGGEALGTDNID
VWVDRVNLINGYGPSETCVFSVINENIRRDTTPDMIGSAVGGACWIVDPENHSKLAPLGAVGELLLEGPTLARGYLDDPEKTNKVFIDNSSLWSSIR
ASSQNGTLNGSFSVETPNGRNSNGHSFTDVSKSNGHDSDRIARMYKTGDLVRYDVSGVANGAIRFVGRKDTQVKVRGQRMELGDIEHHMQRSLGGIR
QVAVEQVSLPGRKSRHLVAYFSLNGQDIPSKASPDGRLTLEMTPSLKELIVVAEEILAEKLPVYMIPTLYVPLVRMPLLPSGKTDRRELRQISLNFS
QKEIEQYSLAESEKRLPGTEVEKTLAQVWRKILRLSDQTIIGLDDSFFRLGGDSISAMHLATLARDFGISLTVAKIFQNTRLEDMAAAAANTSEILE
DGIEPFSLLAKSEDVDTTLKKLYRRYQIPQGKIEDIFPTSALQEGLFLLSIKQPGSYMSQITLTLRPDVDIEHFKSTWQRTAERNSILRTRIAHTGS
QSIQFTVDEQINWCHGSNLNEYLLIDKRHQMDHGHPLVRYAIISEEDDRHFVMTAHHSLYDGWSLMLIMEDFSHLYRNAYVKAASPPYANFIKYLMT
SDTEASKSFWQSQFSGKSLSSFPEPRPAAQAPVETQISQYTDIRRPSGSEITLSTVIRAAWALVVARYADSEDVFFGTISAGRNAPLPNIERMTGPL
IATIPICVSIDGNETVEQFLQRVQHQATDMIPFEHTGLQKIKSFSEVAETVCNFQNLLVIQPEGSEDMRSDVWKEKVLFAKGEMVTMTYALIVECRL
YSDKIRITAQYRENVTPGRQIQRMMDQFEHVLKQLNNITSTRGLVKDVEICSKKDRSEVLEWNQAVQYPAVDDCVHHIIERQAALTPRSAAVESWDA
SFSYDILNRAATTLALHLRNLGVGPNVFVPLCFDKSAWTIVAILAVLKAGGAYLSLDPNHPKSRKELIIRDLSAKVILTSSQYQDEFESPGFTVLSV
DQSTIENLPTISKTENFSGKPTDAAFVVFTSGSTGVPKGIVMEHGAFVSSAKEHSKALNINSDSRVLQFAAYTYDVSMGEILTTLMQGGCVCVPSEE
QRMGNLAAAINTMKVNWSFLTPTVAGFLRPSEVPGLKVLVLGGEHCTDQNIEVWSEHVNLINSYGPAECAIWCCRAPNLALQANPASLGSPIGATLW
ITDAKDPDILAPTGCVGELLIEGPTLAREYLNDPKKTAAAFIKNPKWSLDGSGRDRRFYRSGDLVRYGPSGEILFVGRRDTQVKIHGQRIELGEIEQ
SLMKCSPTECFPVVDVLHFAESKRDAILAAFIHMKATSSVTEQQTILMDSAISELLGKIRSELEQILPRHMVPTAFIPIHNLPLTAGGKVDRKALRA
IGQSLTVDQIHPYLLSGQDNIRAPSTDVQKKLQGLWSKVLNIAPELMGIDSNFLRLGGDSVAAMRLSASARDDGLLLTIRSIFMSPRLVNMAKTVES
MPSKEVELVRYKPFSTLRVSEVSKFVDTIIRPRLPKEGGEIEDVLEATDYQRWTQGCGQLKTRGYNNYFIFDFKGQIDLVKLRNACRKLLEHHPVLR
TTFVPHKDKLYQVVMTSAVPEFVTYNSDGSPNNESAILDRDMERSVHFGDPIVRFLWINQGQKENRLMIRISHSLYDGISLPIIVRDLKAAYAGENF
TSSSPYHQFISGLHTTHNSTSESFWRVLLHGSAMTQIVDHKQPSYKNAVNKSLKRIVAAPDMKSTGITFASIVKAAWSMVLAKFSGTSDVSFGQITT
GRSAAIDGIDEIVGPCMNLVPVRVKLDSAATFDELLLNVQAQHLDMLPHETFGLQQIIDKCTTWPKWTRFSSILQHTNFNVGMNAMDMWGDVEMRLG
NFTPDHDVSDIWIWTGPAGDNFYIDFTYSSNTLPNGIAQEMLDSLCENITKLSGDLATSLRSSLANDQPQLPLPLPDEIVPSSIGSSPSAEKLAIVQ
ATWSRIFGDENDVLPAGATNSTPFFDLRGDLLAAAQICEDFAMQGFCMSVEEVIDNPNMLLQAAFLSA

>RCO7_09000 | uncharacterized protein

MAQAIRKVANINAIPAAFTTTSEWLVILADKPGVLERRIKIRPVHSKAFVKLHETGVVSWAGPVFKEHVSEGVRPFVGSVMVVNAESKEKVKEKLEN
DVFVTEGIWDWAGVKILPFRTTVRHPTV

>RCO7_14009 | uncharacterized protein

MILRDILGPTLPRVGVAQSESQAISDARLKQRSNNNGDRMYNPVLNRRSSIAHVRQRRLNTSTKLTSLRDCTRI

>RCO7_08999 | uncharacterized protein
MENFSVFELSELDQIMPRLYMRWLLCIPITGASPSKAAIVDLLENGVKAAVEKMPILQGIVIPKPLDSSRLEVHIPKDSHVYELRIQHHDGDNDNTF
PTYDSLREADFAPSSLPDRLLTPPDIDPNPVFDMMATFIRGGLLLCIKFHHAVVDGVGLALVIKYLAQNCYKLSVRDSSTPIIPPSIDRAILPPRRT
PCTRKTTGFNVVDLDEAGCKSAKEYGAMTSHTFRFSSESLRILKGICQNPVSMISTQDALTALLYGSVSHARGLRFTMESVEVTTIPSVVGIAVNGR
GRLEPPAVDYTGNFTMYATFACPIPLPTENITRQSFKDLDKLSKHLNLPALASQSRAAITAVTHDSIVSVISTAASLQDISRLQPAFSNYFQGTDFF
ITCATDFPVFEQDWWTGGRVETWRMPFKKEWDGSCAVLPTKDRSKGLDILLGLREDDMAIVKELLISFGAIVL
>RCO7_08998 | uncharacterized protein
MSFMVQHRAAGRAMRCAGRYTANARCSFRRNLHEYLVMVNDSNNIKDLGPQVTATFAGEVLSKDSSNPKSIFACRAASIEAVKDALSEKGNHDMSTV
KIFPLETVHTSVLDESSP
>RCO7_08997 | related to acyl-CoA synthetases (AMP-forming)/AMP-acid ligases II
MRRGISQILILFWQIGRTISLILESKSDGIPKRDLAVITGPNQPPLLEDTISEKLSTICGEFPARTAVKTPTSQLTYLELDQESDALALGILDLGIR
NGDRVAISLGNCVPYAVISYACFKIGAIVVPLNPAYTAEQVSSALCHVEAACFVLSTEITLPYKEPKSTASLLEAVVGNSSKRVFNRRILLVDNSVG
KADTARFNFTAKYEDILSKYSTCRLPPQANVKNSDLATIQFTSGTTSAPKAACLSHRNVLNNAFFVGRGMCLTAQDIICCPPPLYHCFGLVLGLLAA
MTYGACVVLPSEAFDARAVLRSLEDDKPTALYGVPTMFLAELELLTQGNCASQTFSQLRTGVIGGSPIPAALRKTLHERLNLVDLANCYGLTESSPI
ICMTLPTDGLDRKLNTVGQMLPHTSMKIAPRDDPTKTLLRGEKGELLISGYCVMKGYWEDEARTLEALITDSESGQERVWLRSGDEAMVDEEGYIRI
TGRIKDIIIRGGENIYPPEIENVLLQHPLIGNASVVGIPDERYGEVIAAFVIAKDGVKTENETGPKSEGNSSKEVSIEAGILPTVLSKGDVQNWVCE
RLSKVLVPKHVFWVERMPLTASGKIEKYKLRELGISRLQQTTSH
>RCO7_08996 | uncharacterized protein
MATERDPNRVYYREAGFEKSRPILKGAEATNTFEFIPIVDVSNVFSPDLEVRKKLAAEIGRAATEVGFFYAVNPPVDIRLMDESFAVIEKFFALPLE
IKKYIFTNSPCFKGYMPSKALEKSAPDRETFSVGSDFSEPEQHFIKKAAPGSVALNQWPDDELPEFKKVFYEYYKQCYAFAKGLIHSFALALELEET
SFDEFFNAPLTDVVIHRYFPVPDRKDYEELLFPHADFCGDIPGLEVLNANGIWVPAPPIEHAFIVNTGAYFELLSNSKFPSTIHRVRTNLGMERFSF
PIFFSPDPGCTVRPHPALIKAGETPKHTPQHVGKRYISALAKNAPDHPWVKKLKASGIKEEDYRWELLSQPFPELNGA
>RCO7_14010 | uncharacterized protein
MSSHAILRKQEPSYFSLVQVCIDSSLGNLWLIELVSGSPETGRIRNP
>RCO7_08995 | uncharacterized protein
MAEDDGNPLKQQNDHSKISHGFTPHIQPWTPINAKTPHRDSDTNAANVKNKHFTPRTTSKPSKAGPGTILSATPPPGESAKIHQDASNTSDTLAESS
ISVSEDSVRTDWDDWNIDCTMAGNRGTNPRWDRPRSSVSISSPLNPMNLESANAETHQGVENTNDSMVGHYGNRSDRNEASSNMASTSVSYSVAQDV
ADANESGSRSSLLMSSGQNAAYRLNITTSNAGEASGHSLRSDIQRVEVIGKPILGETCGKGDCKLVFHGKGIVQHRRTCDEFYRVQWRDGEDWGIPV
RLSISRV
>RCO7_08994 | uncharacterized protein
MLSVQNLAVLGFAAVAQAHASGWNGTAPVYTTVTTDIYTTFCPEATTFTQGTKTYTATASQTLTITDCPCTYSYSAKPTPYPTQVPHSYVAPPPHQN
ATYTPVWVTTTEVVKSYTTYCPAPTTIVQNSKTYTITKATTLTITDCPCTATKTYPGTTTTVLVGSTTTYCPEPTTITIGVSTYPVTTPGTFTVPIY
STVVVPIPGSPAATYPASAPSAPYPTGSVETSGSAAPTTAIPVAPYPSASIETSGFASPSAGPSPTGPVQVGNGAGVRSVGLGAMVAGLIAMVL
>RCO7_08993 | uncharacterized protein
MRIFTQLNSSPIIHEVDSISANPKHRILHYPDMQPNKTAIAIPSVDSSPSPPLPQNHRTRSQDVELITDDESPIPSPEPDTTRSNFRITAIMIALYL
AMFITALDQTIVATAIPTIAHDLESASGYVWIGGAYLLAAAAGPIWAKLSDIFGKKSIILIVDALFFFLSIGCAEAKSVTNLIMSRTFQGIAGGGLI
PMYFDHRLSPDATSWFGVRWLNCPLEYTEGHLFDLFGCLMSVLFVYSEKRLAKYPIMPINLMVRQFSNYFFATPSRLIERESMGGLGLKELMAATVH
LSSPLKSGILVMPITTTEGIVGVFVGLVIHRTGNHISLIYAGVIMMTIGNGLYILFAVDTSLGEIIGFQCIAGIGAGLLFQAPLIAIQASVHQDDMV
TGTVTVGFMRTLATSSMDMKVPSLAEAPTSLPKNITALLSNRGAGATILLVKGMQDKIQQWAARDAYAWSLKNMWILYTGISALALVPRKDII
>RCO7_08992 | uncharacterized protein
MLEHISDQSNMAPLLMSAQNSRLNEPGALRVHESVKNKKGKEPLATGTVKHKEGFKSFLKLPCELRKMIWILAIPTSQRIITIEDFFAHDESSVVNP
EHSAMRIMLACTEAKDVLYKALFDISPDSAAVRVVDNLGALTRTMFDEEFTELTWGEDEDEGFGYINHWQRFPCLEKIIVVRKDDPNPPARTRDTTL
GRISPAGEHISVQRPRLFEPLGDNDIDSEYSATFQAYVQERLANDHFEDFLRVKVYSVKGSDHRLCGHYIR
>RCO7_08991 | uncharacterized protein
MASSSTGDQDTSSITSNDKQSNPNNPFVQFRHFADAQISTLLQGIVGLPSALSQRSPDDGRWIGFDDSLRRRDELQERQRELKESEARKNRQVTEGG
ELYAQNGKRISGEYVALGNRIEEKEPLSKDLPLYSAVTKSLFTHLQGQKLDEDDWDELKDPHLWLGKTPVSSRLPLDVQSFQLTHPGQIDIEVTQRL
IYKDLLTDRRLHSEYSLLPYLLFSPYSPLKLSSAQMDELPYSEAFEDLIAMSHPVSKDSYWKQVVSTMIGSRIDSHRAHVHWIEKLRALGYLQERET
RLLHETDCSAISLPLMVLNGIQQFEDAIKTMTLPESPEECFTTQSSSATPPPEDPESQMKDVANAKTEQEMYDQFLNWISSSQIIKDSVQAADALVA
SIENDGMSGRRREEEDDNRRPRSIMEEVLAITKGFRDMAQTQDAPPKAMQSDQPSEVVQPEPLDRVVSSSTTTEQTVCEDGTVLTSVTVWKKFGSGR
ETTSTTDHCENPAVAANTESTEEQGSNSPGLEKDTDENITKKKNGSSGWFWN
>RCO7_08990 | uncharacterized protein
MAVDAIPNGPAPRPLPALNDPSMHRQQKPNNPNSAAKSQRRHSLPLQYLPPGLWSTNTSSTSLVVESGEAARGEHILDEATVAHRISALRELNGATT
TRHRYAKSTGARNSTFSQPVIVRTYSGAARLPSNQREIVTAKKENGWSDMSRVNKESKMPPVEAFSFKGIMEEIKQGVAEDLERIAEICARSKYSLS
NQYEVHMPPHGRGEPIIQHTDLGVGHHTAVGPTLQAITSDDEQNRPVARGYRGGRRTKSVAYGTLETIMSSSRSSDEDKSKKKPAAVLAEEVRGRVA
RKELQAAAKKDKTEEAIKTSPDTERPSKHVRSKSASFASIIIDNAQVSKYNLDCQILSPTSLVSEPAQPQTSTATDIESFVASEVHQNVSVYNSLSL
PGPIRSVATSSKPESKRQPSVMGSLGSWLPWAKTGGSSSESLQGSNRSVSYAEGSLRDLLKSTDLGRKGKAVEGTGPKPTPSGMFSTGKYSDLLIKC
KGKEWKVHRAIVCLQSKPLAAAIDGKFKEAMTGEINLYGNEPEIVQCMLQFLYTSDYKDGSIEVMTQAITNAPESAETPPRTSIKKRKVAKAKVVKI
SDPHELVATSAFVSPSIITHENSAAPLINAKVYIIGDQLDIQALKKLAKVKYEALVSETWNSESFMTSLELLYKETSEDDRVMREAAVKIAGQHAKE
LCDRGEFISLCK
>RCO7_08989 | uncharacterized protein
MPVLTKPSGTRMFSFGARLEPDSLLQERERG
>RCO7_08988 | uncharacterized protein
MDGRISGDVLRVLLLTAGRACSKLFAANYLTAKFFVVLNQKQFLLNLKEQSNELNAARLTSILICLLEMSMNFSLCKPNYVAT
>RCO7_08987 | uncharacterized protein

MNRDEATIPSSNLVADATPHAQGFPPSHPHDASSSPPVFTLFSNLPPELRAPIWKLALPRRIIKWTRNTGVNTFSTPKNSTFEVCKESREAAMLYGE
YVNVSEPLRSFISDSCLEKPVLFSPLFDILLFEPIWTNLMPVLGAKITPDPLDSLPTQMRTVRSIMVHPHYTNERKKPAALFEKLPFLEQILVAADE
KSVGSQSKFILGTVYDIRLYYAADVRKRIPEQESRSKTPFVAVGCLGWTGKERRKMNHGKQDTRELVAVFENEAQMKAHLAGVREEEWRFTQELQLK
RPVLKLRFKNLEGGEGRRIEKRVEATKVDGAGMAELPSYSRGTGQAPERPPPYVETEEVMGI

>RCO7_08986 | related to ribosomal protein L19, mitochondrial
MSTITPTLRPLSCWKSILRHSRQEKATARSLTTYHTPASHVKKTPPPPGHVTKPAAHRAIKIKLPPFSFAKICREPMKAFTQDQISILDPTGARSNL
FSRANTEAAKVGDVLLVRLKTGDPFAGVCINIRRRGVDSAILLRNELTRVGVEMWYKIYSPNVEGIEVVQRREKRARRARLTYMRKPKHDMGSVQNI
VLAYQRSRGALRGAGLDQQAKGGVRKKGKGKKK

>RCO7_08985 | uncharacterized protein
MNSSTLSKAFRCSDCAVRIAGRRVVIPLRSFSNSSIRRKHGAVPKFTEVSSTELQDLLTKVRERVFLPAHLSQEQRDLIFNPRKIQNLEGESAKATI
AGEDFILKPLDITKNVPGRASSLRRAILLMTETRDWNNLPNLLQGLKTVGFDIKKKNKRYRNSDSAEYVVHQAGKSGQQAILLECLRRADETGLTLD
NQFLVMQVFFWMQQKAMRSDWDAGSTKTALLWAELIKDLMQDPKHQLPVGSKPLHNLHEVNGILLELAAVRAVKHLDGKDVDGKVEKHARKLLESPR
DLEARREPDTDDDKRQNIFLNFWLSNNAMVAHGIKLAQTVLGPSSELSAGLKQMHGSLEPLLSKAREELSATLSKRGEVKTGVRIHDELLGLKAL

>RCO7_08984 | related to condensin complex component cnd3
MPSRVSTARSTRASGVSHKSSVQTLNSRASTASRRSTPNIEYPEETPDNELRIQVGSIFRDAQRTTAGHRKLVINLRKLQEACCYEPTSSNNKTGAE
DFDEDQFTEEFTRCVLRIMPVKKSESVGERAIRFTGLFLRHANEKDNELMPESDDDAGVMMETPSTRLTSNLMNAVLPLLTSKEKFVRFRSTQLISH
IINSLEAIDDDLFQLLRHGLLKRIHDKEAMVRVQAVLGLGRLAGNEVEGEAADSDDEESGSGLLERLLDVLQNDPSADVRRSLLVNLPILPNTLPFL
LERARDQDPATRRALYSRLLPALGDFRHLSLSMREKLLRWGLRDRDENVRKAAGKLFRERWIEDCAGTAETEGAATEAAAGEAKPLNFEGLLELLER
IDVVNSGVENGVALEAMKGFWEGRPDYRDEVTFDDNFWDTLSAEAVFMARSFNDFCRNEGNGKFEALIEEKMPEVTKLAFYLQRYITVLVEALKRVV
EQEPSEDEDEEDTVEQEFIVEQLLHIARTLDYSDEVGRRKMFALLRQTLSIPDIPEEVTKLTVEVLRGICAGDAAGEREFCSVVLEAVADVHDTIMD
EPASEDADDSFHSARSEVSGEGTPTKPGKGSQRTEEEDQDKAIREIMVNMKCLHIVQCMLENVEGNLQQNVDLVAMLNNLVVPAVRSHEAPVRERGL
LCLGLCSLLDKSLAEENLTLFMHFFSKGHAALQITALQILTDILNQHGAHLLDTNPALLKVYLKALKNGTKAPEVQAAATVAVSKLMLGRVISDSSP
AIDDLLKTLVVLYFDPSTAHNQGVRQTLSYLLPVYSFSRKENQSRVQKVALDALHKLFEVQETLDDEGDAETEMVSLSTIGAHLIDWTDPRKCYVPG
SQMTLEESAKKSVNGDVHLEFARDLLERLGSGVSREEKKSLAPLLAKLHISPSSTPSLIREIYAEISLAIDEKLIADATGRNSLFKIHVSLGKIVNT
LKEKDEEYANLTLNLRGSVNSQTSRKSSVGPSVAPSVVDDENTVLSTVEGEEELKKVEEEEDDDEGTIIGNPTPRSSTRDSLVDELLSDGDMDMSGV

>RCO7_08983 | uncharacterized protein
MDLAGAHHHINPPHPHSFLKLWHLILSEHLLTSFSQTSAFGLALSLLPLPPSTDGYTPTIPSTLRISTSAYEQPKTPKTIQNKKSKNIILTPVASPS
PSKSDILSPVSYRSPSPFSPSSDLSESLWIKDPFKSKFHAVRADESCDCSKCDAALDADVSCSITMYSAESDEESVVMDDSSLIPILEPCIAFNFIP
STVEPVPSTSSIPSSFTVPGAFPILDAEVEDDSGASWVPSAVALGVAVVGMAVAWFWVPYKVWRSCSRMGVMAQGS

>RCO7_08982 | uncharacterized protein
MTSYPDLNTALPASFVTPSRTSRILRPGIILGTVVLLGAVSVVCLGVAGAVLSSGEERTRSTNAVQALALVASSLSTTYVLIHGLAAWYNDPVGIIR
PPELKLHATCFILARLALVFWFVSFVAACAMAGKPNVCLSGTRACSLQIADVVASISGFLVTGVILTALESCKYPFELPPMLFMRKINFRTSPSGSG
DDILDRSVSRKSSFDIAPILVGEKPRDAMAQKTSIEKKPLPQTPSSISEAPERSLTLSLPISQMDRSGSKSWGEEWVHLRNQSRVVKKSISTFDSAV
SLSYETSSGASEYLTTSDRSSHVSMPRIAVTRNPVHQRPRSRTVTPSSSISNLSRRSPLSSVRSADYPHILVRPELRYCPPMIPPPHSWHSSRTSSI
SQLVPVRDMRTLYRQPSFSTSENFVIRGPRKNLPPLPRKKPPLSRRRRSDQNFRSVFIGDRPKFDYEEKLDEHLRKIEVAYVTRSQSKRNQHPSTFE
KRLAMNFETLTPPPGPPQNWSPTALKLFGG

>RCO7_08981 | related to Glc8 protein
MTDTMSSEQPQRVHSPPSPSSKRPKGILKNSFHRSPPQQAPITTQAPPPPVQRPELDRDVSDKDITLQNTLQNAGHRRSSSAARPSGSRRQSSHASL
SQSADDQNMRLKWDEANLYLTEQEKNSTMKIDEPKTPYAKQYDPTEDEDEIRTIDADEIMVDELDKARAGVSPGKSAKAKEDDIPGLSLGEPEEDIP
ESHHELDEHGHKKAVHVRGEEHVGLSAEEQENHRKFEEMRKRHYEMKNVANLLGHPEELDDLDDDGDNDMNGSAK

>RCO7_08980 | uncharacterized protein
MYVTPLRELQKTISTLGSRLSLSVLPWTYGRRYGVRYVLTYGEIDNELVAAHLLSCSSLSTRLVKASPHFTLSFTSVEKILNNFNIFPFSSRLDSTF
LDQRDTITTQYLRSTRDSITESAEEIPRIDDEMSYQDHGYGNTDGDRDIGKLGASSDGPELDDIGRMSTKTAREATLKAQQAKNGRLRPQRNKNGAS
LESRKKGILGNLRSFEKTLTELRTSRDNDQFTQDKIRKVETNIVNQMKILHKLENRGALEEENHLGSQVGALGDHEMDEDEQELADDDESRRKRNFT
EAGFKDDEDFGTIRETVVIDDTPKKIKREKKDKKERKHHKKRKTEHASQDSSRLMDDIPLFGEHGPIIFTSAPEDFDDTSKSDRLRAKFAMQDEAML
LTPEQNKQSALLETIARGRSRSDSNSGDRIYKALLASIGDPPSPMSPCSPEYSVDHTQQALIGIGRAALEAPILPKLQKPIRDPAFVTQAPVSKTVT
PMLPRESPILPPKRNFSLLTKAAPAAKVSRIEKLKTKKKDPEGRKAQKEEKDSAQVAAKTQDIESSSQIIRTTNTPILPPTKPSDNKVLSSSDDIKS
STPVTKSVKPKKAKSRKRKANETQNYDWETDPGRLRARITKENEDDDVEAEENVAFSSAYIGARPSGISISGTKFDVLHVVSGTARGFPISVGSEGI
KICSVAKGRVTVTLGTREFTVGENGMWRVRSGEKCSMFNSDGDGPACVHVTAVEG

>RCO7_08979 | uncharacterized protein
MATLIEKLTAEGGGESVQFLNDIVAQLWPHINVAGSKMTKEIAEPMFKTMLPGPLATLHFTKIDLGHVPLSLSNVLVTKTELGNIKLDMNVDWAGQC
DIQLDGNMIPSLGVKGVALHGRLSVLLGPLGDIIPLIGAAQISFINPPVLKLDFTGAANVADSDMIDGAVRNVIMSIINGMLVMPNRIMVKLDATSD
YFKTQLYPIGILRLKVEKASDFAEEKTSTSSKLFSKLTRASPDTYCKVALGAEEPWKTSTKNNTTNPAWGETHDFVVTDLNQSITIDLRDHDVGSDD
DIGLAVTTVKDLLSAGGQQELTMVHKDQPVNGKINISSKFYHFAADHSSLTASDHSGEGLLSGLASVLVAGAFDIPGRREEVTPSVVVSWGEKHRFQ
TAVKTDAPGTDISNPSFDQTFRIPITADMMGSGAQSFRIALMNGKAEIGAVDIPLEDVKNAPDMILQDRFDVGGAKVRASICLRGIVPASMDLPERQ
N

>RCO7_08978 | uncharacterized protein
MWSYVRRSLNPANPQVTATTADLAAPLPLVMEGETPPAIAVQSPGVFADRPSDSSTKTVTSNRTALDLSTDSDDTSSDPVATIAAAAELTPVSVPEA
AIEDLTQDQADLTRLPADSSKIAVLLPPFFDH

>RCO7_08977 | uncharacterized protein
MILGFDPKDYASMLIHIWIVASGERSIRVRRATPRILRRAYLIYLEITSEDWGKMSPELAQFKAERACWKRYTDDIPHILPFDCGRCRSFLHEACTE
PPQENNDADAGQHGITPADSAHEPAVQDLAAQDAVVEDAAVQGAVVQDPVVQEHVLRQPAVHDLFLEQWIDESIWFTPQVIAVKCGLCESEQHIRHY
CPGARQNPVWDNWLRSLLSIL

>RCO7_08976 | related to GABA permease

MEKDARFFDENIPTPSLQDQSGTVHDLDSLTALGYEPELQRNRSLFTLLFQSLAIAAIPYGEGGPLIVAIYGGGQLSIFVGWLMVLLLDECVALSLS
ELASRYPTSAGPYYWSFQIAKSNKTILSFITGWIWLIGNWSITLSVNFGFASLITATISMYHPDFVPKAWQLLLIFFAICIITLVICTFGNKFLPMV
DIICAAWTAVSILIILIALSVKADVGRHSASYALGHYDTSFSGWGGFTFFVGLLPAAYTFSAIGMISCMAEEVSDPAIKVPRALSLCVPVGGLAGLF
FIIPICVTMPPLEDILGAPSGQALPYIFHIVMGSPGGGLGLTLLVLAITMFCSISITVAASRCTWAFARDDAIPGSKIFAKVNKKLGVPVYSLILVT
VVQMLLGLINLGSTSAFTAFVSVGVIALAASYAIPIALSLFWDRRTEVSQAKWNVGPILGVVVNVVALAWIAFEVVLFSMPTVLPVTQVSMNYASVV
CVGFGTIATAWYFIHARKVYKGPPASDGL

>RCO7_08975 | uncharacterized protein
MKFQLALCFASCFASCYASSALTGGKCSNPFGAGAVCFGLNLPSGADGIGCSMGRAQCLMGLVVQLNVTEGSGTYKFCGSRSIRTDARKKMQLVLEP
RTFMDWRETPQGGT

>RCO7_08974 | related to ammonia permease
MEGSGVIGDFKYAFHRGVLAEPVSTIPAFLFSEFQLIIKATVCAISVGGAMEKGRTLPITPFIFLWSTFIYCPLAHMVWSETGFLSNLGVLDFPGGT
PLHIFSGTTATALSIYPSYPLFRSKRSFARTPSHLALHRPGNSLFQLLSLVTIWNSWLAFDAGATLSFNFKSIMALCVTNLCASGGAFTWICMTYYE
TGKWSLDSTFMGAISGLVLITPSAGFIDMPTASCFGIGGAVICRQALRIKSTNLAQRLRWVDNGDTFATHTVLAVSLGLLLLGYSHRRLLLPTAIAT
YDGVTIIHGGVFFDDNTSQLDVQLLEALIRSTWSFVGNYVLFALIDCVPGLEALAKESESNHVST

>RCO7_08973 | uncharacterized protein
MSDSMMRLDLAELSKDPVLLQSVVAVANAHAYRRANEQGMSLSKIQDRNSALRLFREHLMGAHTEEINHSLFIANVLLCILDGIIEPITESSATHHH
IIGGKAILKQWRGMGGILQNKNELPLLMFSIFATLDLTHALLIGDVPYFDASIWSKFGDCEPWWGNVKSDDDFLETLAIISQLATLGHEVRNFRSTA
SIGVLHSIQTALEQQATRQLGIKPDQAAWSAFCACYRFTASVYLYRALSVLDVDHERVQQAVGDCMEIISGDSLTDKLHHCILFPILIIGSHCLKKE
QRVVIKKSIARTGLYLSFESLRSLEAFLEKRWAQLDTRHDCMTASWWAYFDGIANFTCLF

>RCO7_08972 | related to transcription initiation factor IID beta chain
MASPPYNHSYSSAISPPYPSNSQLPAPTKRRQSDMPSSAPSVKRRKASMLSTTSTTSSSHPLRQTSFPPEHNGRTPAFSRSPSMDTMSLASGSVAKK
KKPRKSKGKDMDASSTRAKSVVSNGGKGKRRGSRDQSVEEEDEEDAGGLMEMDMAAASHEDKVKEDRRRHILTQSFSPDQFARYEAWRSSKLSDAVV
RRIVNQTLSQSVPPGVILAVKSATKIFAGEIIERARKVQSQWIDATGDSQTGLPSPPADGDTAKEKETRRGPLLPDHLREAFRRHMLEGDGGLVGQL
GLWQHQQHSGVERFGVKVQGKRLLK

>RCO7_08971 | probable GTP cyclohydrolase I
MVQFANTPTKGKDSDSENAVKMTSSSSSDQEMVNGSNKGAGEGHRKKRNRKNKSEKGVKVNGSHSNRQNSVSKPARDPRDEASPARMQKQVAGTRSP
SPVIDFDGLSRPSLGTRERKEETPEQAQARLQKLAGAVRTILECVGEDPDREGLLGTPERYAKAMLFFTKGYQENVKDIVNDAIFHEGHNELVIVKD
IEVFSLCEHHMVPFTGKMHIGYIPNRDVIGISKLPRIADMFSRRLQIQERLTKDVAHAVMEILKPQGVAVVMESSHLCMVMRGVEKTSATTITSCVL
GCIEKREKTRNEFFSLVGLNRR

>RCO7_08970 | related to thymidylate kinase
MTTTSEVDYPWQETATPVARGAFILIEGLDRTGKTTQVKRLSDRLHASGHNVKTISFPDRTSPIGKMIDGYLQSSIDMDDHAIHLLFSANRWEKAKW
IESTLLSGYTIVCDRYHYSGMVYSAAKNNPALPLSWAITPDVGLPKPDVVIFLALNPEEAEKRGGYGVEKYEKLEMQRRVRELFLSLLKAGDDEREI
RVVDAREPVEMVGERIWREVEKVVKSASEGDFGQKVGEVKGWPSQP

>RCO7_08969 | related to TATA-binding protein-associated-factor
MAEPKLVWNPDNVRDVAESVGISALNEDAVRALSQEVEYRVGQVIVEAMRFMHAGKRTVLGTQDISQALKVLDVEPLYGYESTRPLRFGEASLGPGQ
PLFYIEDEEVDFEKLINAPLPKVPRDVSFTAHWLAVEGVQPSIPQNPTTAEARASELVPKGPGANPALAALAGNDNSAFKPAVKHVVSKELILFFDK
IKAALLDENTDEEVVILRKSALESVRSDPGLHQLVPYFVQFVAEKVTHSAGNIFVLQQMMELTQAMIENKSLFVDIYVTSLVPPIITCIIGKNLGGD
GGASLKDQYQLRDLAVSLIGHISSKFSNSSAELQARLARTFLKNFLDPTRTLEMHYGAINGIITIGGSTAFSALVLPNLKAYEYVLVKAQTEFGQED
ERVLMVIAAIIKGILTLVEKSASPPPATNGTNGHAAEGQLIEDYLGTVIGSKVLAMGNHKLNEAILKSRESA

>RCO7_08968 | probable succinate dehydrogenase cytochrome b subunit
MLAQRATQQAMRRLVMRPGMASQMVFKKAIAPMAVGSMQTRPVATQKMSLESSSEILIAQRKLRPTSPNLTIYKPQTTWILSSLNRVTGLTLSVPFY
LFGMAYLASPLTGMHLDSATLAATFGALPVAAKFGFKFLAALPFTFHSWNGLRHLAWDTGRTFKNETVIKTAWACVAATFVSAAYLAFVF

>RCO7_08967 | probable plastidic glucose transporter 4
MGLFTKVEDRPTPASVYNWRVYAVAAVAGSAAVMIGYDSAFIGTTIALPSFKNEFGFEKLSKSSISLLSANIVSCYQAGAFFGALGAYIVAYFMGRA
SGLALFAAIFSVGAGMMLGANGDRGLGLIYGGRVLAGVGVGGVSNLSPIYISEISPPAIRGRLVCMFELGWQVGGLVGFWINYGINKTMPHSTTSWI
IPFAVQLIPSGLLLIGAFWLRESPRWLMTKGKREQAIRNLCWIRSLPEDDLYIQEEVYAIDANIESQMTAGGLGFWQPFKLLASSRKIQWRFFLGGS
LFFWQNTSGINAINYYSPTIFKSIGITGTNTSLFTTGLFGVVKTVFTLIYLVFLIDQYGRRRLLMIGAIGGSVCLWYVGAYIAIAKPQLHPHTSLPP
SGISAIFFFYLWTAFYSPTWNPTPWVYNSEMFDQNVRTLAQAFAAANNWFWNFLVARFTPQMFDAMGYGVYFFFASLMIFSAVFVYFLLPETKNIPL
EGIDRLFDRRLRATEAHRIVWGELKYEEEALRAGLQSGTMEKNFQVEQLDIRDQKMNV

>RCO7_11506 | uncharacterized protein
MTLHVAEKEHQPFLKYSDDATIDHTESEPSRRHQPEGRYSRLFSCCLVFIVTSALWIAVIYFISPTPQPTPQATSKGDDYSPKNRHNITSNSRLITC
GNSTAEAKALDCRYDILLNHWIPSQCWDQDMIDEYQDDDSWTGYYDRNLTQPIKTVDIMAHSDHYWTSTRDHINHCATMWKRQFGAIFDERPAIDSL
IASPGHTDHCAQYLMDATLKNFTEPTAVYVGFAGCWVRNED

>RCO7_11505 | related to queuine-tRNA ribosyltransferase
MSFPHEIPERDTKLKFEILSSGDPGLSAPRLGRLSLPGRKDVLTPDFFAIGSRGVIPHITPDVITAHTKFGGIHMALEDFVEMAPFGGPPVMNAPGS
SPLHAFACLPSDISTVLTPRRTPAVTSPNGNSNTAISTYTSTGFQVISNKAYISYIQKLCPDIAVAFADVPHGTRPGAKRVLKMGDRTQAWLTQLLK
KKREDQAVFAPILPIEFQDQAEYINTIADDLADELSGLAFYDSDVLLDIPATNIISQLARLSLDEPTSPRHILRQISLGMDIFTIPFVGFATDAGIA
LTFRFPRPMPDVTSPDRKGVLPLGIDMWPAYHATSVIPITTACTCYACTDHHRAFIQHLLAAKEMLGWVLLQVHNHHSLSEFFAAIRESIKKGTFEA
DCDEFAKYYEPELPEKSGQGPRVRGYHYKSEVPFETKKNKPAWGNFGGDKEDTRLVPDQPAVEEQGFGEKSFT

>RCO7_11504 | related to LCCL domain protein
MRLTTDEEGGGYKPVADEHPDNPIVESTRTNVLHMNNLSDDSSPPTPRFMQDQASYRYMKWVPTSVRRLSKSTIKWAKGPDPPHVHTVETTLPIIQE
FPTRLLHYYIPKRRHRIVLLVAFYFTWILTFSVVMQKSTVATEIEGWGTPGNIGCGNTYWMPGNRCGLNGNDCRPFNGSGFPFRCPANCASVRVLNP
RAVGAQEINYRPMVIGGPSKGDRTSIYRSDSFICGSAIHAGIIDNAKGGCGVVSLVGQHGNYESSKRHGIKSIAFDSDFPSSFTFHSGTACEARDAR
WPLLFVSLTFTILLSLFTTSPSLFFFSIFTGVFFHVGLASDPPWHSNVTDLISNLLGKYLPATFCAFVIYRYMGVCRALSGLTAQIEKTVLWLGGCW

FGALSNYTLDWIPIQRLNAHDLKQEPGAKLALALIVTLIALIIIKQVFFFRREGRLIRYLGLYGTFIGAILLSLLLPGLSLRIHHYILALLLLPGTS
MQTRPALLYQGILVGLFMNGIARWGFDPVLQTPAALQGDAQHNSKLPIISPPNITLGRTISTISFSWLPPPDPFDGISILVNDVERFRGYTDEGFSS
DKNFVWERPGAGTGAGERTDYFRFGYMEGSNSWDYTKAGTWNKEGEWVEMKTGPSKVRSREMNGEIFGAKL
>RCO7_11503 | probable UGA4 GABA permease - also involved in delta-aminolevulinate transport
MNSVVDKRVSHVTSIFQKTANHAVLNHVADSDEEILTALGYKQEFKRDFSIWSSFSVSFSILGLLPSIASTLGYNLAYSGPAGAVLGWVVAAFLIQF
VALAMAELCSSMPTAGGLYYAAAVLAPEGWGPLLSWITGWSNFVGLCTGPCSVNFALSTMILTAAQIGNSEYVMETFHVYLLMVALLVFQGSLTMNS
TKFIARLNELGTTVNIIVLIVFIVWMPAGSINRPKTNPDTIVWTSEGIVNGTEWPTGFSFLMGFLSVIWTMAGYDAPFHLAEECSNANIASPRAIVM
TAQMGLYFGWAVILVIAYTVKDVQDVVAGNYGQPMGSLCLQVLGPKAGLAMFSMTIFAQFFVGQGLLVASSRVVYAYSRDGALPGSQWFEKVNTRTQ
TPVNAIWLVVAIGCVLGTLMFASPVAIGAVFSIGAIAQYIAFIIPIGLKVFVVGDKFRPGPWHLGRYSKPIGAVACCWVALIIPVLCFPSVRGHDVT
KLTMNYTCLIYGGTMSLALLWYAIDARKWFKGPRINVEHLVNVSMLEDPSDSVVQGGEKN
>RCO7_02556 | uncharacterized protein
MALIQQSYSQQLIHDNTLRDLKAPGITTQSNGVILDDTAPFLLP
>RCO7_02555 | probable MFS transporter
MAFVQDYEKEVNTSPNPNSPVREKAQVYHDATARTAAERGYAATDRHGVSLLTFDPKAEARLRLKIDLYIVPTVALLYLFCFIDRANIGNAKLAGFE
KELGLKKYDYNAVLSCFYISYIIFEIPSNMACKWIGPGYFIPIISLLFGICSICTAFVHNYNQVCAVRFLLGIFEAGMMPGIAYYMSRWYRRSELAF
RLGLYIVMSPIAGAFGGLLASAILKMDSFGSLKSWRMIFAIEGIITCGLALISFLTLTDRPATARWLTQEEKDLAVARVKSERVGTTEVLDKMDKAK
MLRGIFSPVTLATSFIFLLDNITVQGLAFFTPTIVKTIYPRETLVSLQLHTVPPYIVGAFFTVLFPFLSWKFDKRSIFFILSAPLMMIGYIIFLSTT
DGRARYGATFIIASGAYSFGALCNAQVAANVVSDTARSSAIATNVMLGNIGGLISTWSFLPFDGPNYHIGNGLNFATSSTIFLCSIGLLFWMLADNR
KRDKLDTDNALDGMSQKQIQDLDWRHPGFRWKP
>RCO7_02554 | uncharacterized protein
MASADCPIASGGPKPWDLEVIRNERAGQRKVELSEISYEYNSTSNRPRSIVARTDGTSDNDGAVTNPFWDPADDIAPDDHDPLASPTGSEINTVKIV
TSSGTFAVAAASPPLLPPERQSSKRRTGKSETRYQGLHPFVPGKVNHNYPGGTNRRHFKQYVYSSTQPEYAMTHHYLCETSDLEKPIFYYHDVGGYT
RLDRNHRFTLHWGGDFKCPVLGTMWHTSSGMNFAVGTPTMSYTDRENEEFTAIQRQHCDFFKPISTPSRWHMDFMFGGGIGEGPERHYRWQVEHLDR
SIPHLRHAKLELREKVDGVSDGKGREKKKGKLFAACRNVENLNTNLWVRHAQEDFNNAVAQVKWQTWILLTWGAMRDRMRGPHNTGSPYHNVGYTKT
RRAVELSGDGPAGCMSPPRSEHIRERTLNSEEY
>RCO7_02553 | uncharacterized protein
MVMDDPWGSSPWADDVQLPNPIKIEEYAHQPTTPVRLKRLGLEERLNSPWGNDDDSSGFGNWAAFPEDTQQTAGLDGTADGSGKQLRDVENPTVSES
KDLSVAWDSQSTTGCEGTSFSDLGLILGAPTISRQPSPDPWAVEVQTGEQESEEIRGGDILPVCSKVPIPRSNRSEVPVLQDRRLSVETLVRNECHE
NGENTTIGDGHPEANASDLNTDEYRENHSGGLLRLESQESDPVSRPSSSPSEHSQHEELSQESPRTSFDEEPKFKRPETSRKVSTKVHELVQHLDIL
AKTDDDEPAASRSVSADSAKSQELEDESDISKEYDDFGDFEEGQSDDEGAGLDDPQPTMQTSSEIHDRRTDQHQEPTPSEIALKRDYGIVEYAFEAS
KLESIFSSSTPQSTSENIFIPDLVPSDNFTSAEQRKIWYRISRYGTKRKHDNGNDENYVRAGWKPSTVREDTLKIVSRWIEEDRISGRVVLGGGSKG
STVFGWNNPKAPAVPLSDVFVKHRKRMSTVSSTAKPASVVPREWPQGLARESSDEKPHIFSSKPRRTSSINAVSAPKSFDVQDSPVPYIPSFGWNSG
SGDTNADASRLSPRKSSSFSRTDSRPPGAALAPLKSQPSHPLISLAIPSYNVPSQDSATTASTDDQISLVPQHNPIHTGLSMSNVFNEDDDWGEMVS
TPATPALPVVPQSRGLRHKKSQSFGGMRPSQTQGGSHGWNNDEHKKTHRSITSFEGIRSQQILGPTFSSHCVPPIVDLSTVPLKLHEGPQPPPSDPW
VSADFSIFDTAPAPLPIPVVSLISKAAGPAMVKVHAPPPAPARNQKLKEEVEQDRIVQSVVKGLPDLSYMLRK
>RCO7_02552 | related to putative nucleotide binding protein (NUPB)
MSLDKVKHIVLVLSGKGGVGKSSITTQLALSLSLAGHSVGILDIDLTGPSIPRLFGIESAKVTQAPGGWIPVPVHPANPGAGIGALSCMSLGFLLRE
RGDAVVWRGPKKTAMVRQFLSDVLWGEIDYLLIDTPPGTSDEHISLAETLLKNARPGQVAGAVVVTTPQAVATADVKKELNFCTKTGINVIGVIENM
SGFVCPNCSECTEIFQKGGGKLMAKEFGVRFLASVPLDPQFVMLVETGRIPEYPIGSEIHGKDIGGLTDGNGNGMLPIKQPELLVEKYKACSLCRIF
ETVTMDVVAAVEQRAAEGLSAV
>RCO7_02551 | uncharacterized protein
MAERVFDAVLGAQRVGAAYLSRFLIRRFKKGSPFENISFLSTQQTYQDLFTRNLIFAYLNLGIALAFGSSRYLHIGCMILWFLIQFGSQIYRWIRVF
GVYFSATLENHDIPILTHETFEFDGIENYKHKLKLDQTGFRCLLLKSAKNETDVVRCKLFSISITTPPVYDALSYHWGPRSALGQEQYILCGVEKIL
VSDNCMSALLHLRQRHSDRLLWIDAICIDQSNNEEKDQQVQVMGQIYQNAASVIVWLGSSTSESRLAFKYLAAILQLSRFPKFIRRWCTERLYEKIR
SRKHGHTIVQLSHRSWFSRVWTVQEVALAKQGCCSIVCGKDIADFDHLNGNLWIAASELNIREEYPLNDMLYHQSKNLFRFELRSAVLFNKPRNRPV
AELMRKLAVFGATDPKDKVFGLYGILEKLGFEMPKPRYESSLDEIYWKSITAIIQHEPSLAFLSLASGVDSRIPNAPSWIPDFRKMNSFMSLDGSVK
ATKDSPPIFTIQNRDYELHVSGFIIETITDFSKRRVWEPEFGAIEVHDDRYFGLYDPEQCLPTIHALQEWTTFCITVGSRVSQKYGSTYETIMATVT
QGNLSLLAASGRAYSDFFSVLCCTQPPWESMAEEAAVFFENARDDPQLRARFFDDPRWSSFVEDPYWLTMCAMKADDDIARVLHLVWAVARGNTVFE
TETGWFGLASHTLREGDVVALMSGMSLPAVLRPVLGTGERKFMFVGTAYVHGMMQGELWDESNTESLILI
>RCO7_02550 | uncharacterized protein
MATRKITTGGVASHKFSPVVIDLTGYDDESDWDIDWDIESEISSLQPHDSGQAIQRVESTIELSASEETKLLHSAQEASGSQVAVSGDQVAKLLGTI
AALRTQLAMLATPKVDSGDAPTLLRIVGERLGLGCGDFTLFPKLPIELRSMIWQFAHWSPRSTDFCTDYVCGSSDVVFVRPSKTPGEILSKNQIKTM
FKNWKLPETPDLTWQFAEEQDAKMLRSLKPKYIRLRNETIKDGINPVRFQHALWVGNPSKWTLKNISYMQAVSASVARAAAGMREEGVAS
>RCO7_02549 | uncharacterized protein
MERLRADPSIPADDPRLQGVMGDVIYPARVQPSGHNHPPLREIPGAQQVVVAQAPAPAPAVGQRSQPQRGLPAEILQLQRRIIELNARSLAQSVELD
SARAEVTRVTE
>RCO7_02548 | probable S-adenosylmethionine decarboxylase proenzyme 2
MVNLEIPSQYTFSPSEGTPHLTINREATIDLDSSNAFEGPEKLLEVWFAPAADALPPGTKKNGLKAVAAETWKEMLDLVNCKVLSVVESEHIDAYLL
SESSMFVFPHKLILKTCGTTTLLLGLRRMLRIAAMEAKFPFDNTDSVEDIKTAATPYRVFYSRKNFLFPDKQHGPHRSWKHEVKFLDDMFAGGSAYM
VGKMNGDHWYLYLTSPNTTLTPPRTPENERSPTETKILKIPSISAYTVSQRGLESDDETLEVLMTDLDQENAKQFYLEHASAVAEGKYSDRAQRARK
EAANSLGDLSEAMMNSTLSGTTAGSANEEKFDVFSQTSSENGIYTPEDEALFPEDLSTEGHALGTVVSEACGLSDVYPTSRYPDARVDAYLFTPCGF
SANGVIPAPDQAGAATHYFTVHVTPEAQCSYASFETNVPGRQTGRETCEVIEHVVNIFKPGRFSVTLFEAKSDTFEARELGLVAEQSAETAKKALVR
SAKMEKIRGYRRVDRIVHELDGYDLVFRYYEREGWVGGGPRLGEID
>RCO7_02547 | uncharacterized protein

MTTNLTTSLALTTLTSPTKRKATTFEHDISDVSNSENIDPTIFLSPKRSKHPDGTHTSKDNTCKPSPVNYFLTRAPPSPHDFSSVKPAAASRPMLTA
RSSARTRIDTTRTAPLSAPAGRSPTRKRIGILNRRKTGSPFTRVDPPRFNTSSSGSGLGFSIDAALSGTIPSYTARQAAVPTPAPVVEDLPIPVLHT
ETARESWFFEIHEDTEEELATNLMEHGACTLDISSDEESAERERDNRGKENVPPLDDVSQTRTALSTSSSGGGGGVGLGGEMDAELKMQDIKARLHR
ASRRKLMSDENAIEVDRAPLSDLPAEEFYAEIPEAEAEVEVIEPSDAGAVTVAVAEDGDSEGEVGVAKTFDFTADVVGKGKAVEVDIEGSIVSGNVG
SGNARLLEPIEKAEEGWSVWESGSATGDE

>RCO7_02546 | uncharacterized protein

MADPLSTAGTAAYGEEIAYLVRKTETIQDLLQCLEGPLRKAEAGSGDVSVQVRNNITACESGVRKLVTAVQKYGNLAIPTNTEDRLRAVTKRLLYPF
KRSTLQDLSLTLEEILGNLK

>RCO7_02545 | related to RNase III domain protein

MASHSTRRSLQTFVRKSRPLCECANSRTSSIRQFSISRPRKDAEYETEGEQRPRWSYTPQRMKAPYPYRIKETKKVWECNTDPKRLDRFYVDFLGRG
GDKVLTDEIKWLAITHKSFDQGRRGFNDRLAFYGRRILNLQTNIALVQSPTAQKTQSLADPSDDRLPFAHPALEGLRNLTDAPINEILTKDRLGPFA
AQLGMSQVMRWTPRNIDNLESSGIDVVLTTSLYAIIGAIALQRGGNVAASVVNENVLKPLGIL

>RCO7_02544 | related to RTT109 - regulator of Ty1 transposition

MAAHGRTNKASIVPILLQQLAIALPKDAKFKIYHLSTPPTKTSSIYSAPSGTRPDRTYCESHFLTVSIVVPDDREVLVYAVEILIYSTAHDSTFFVS
KADSTGYLHLLGLPKGTPSPIRDITATFLRYLVEQHQRENILSVVSLFARAQDQYLFPGSVEYSGKHVLDDRGLVKWWCRVLDPLIEIISEWESVKG
YLTVPGLDSHDTISYVPSRNTSKWTIGHPLREISRHADNVPPRCFIPHYPDDPKARFLDELDEEITKSQNTGDEWKSVKSIEQFWDMMAFRQECSAG
RLVGFIWIVFTPKNQQQQPRPILEDDQSSFVTFSSQTEVNMSPSQAYLITPATSFCATKSTQALDPQTRNGDSQESRLKGYTPKQRQKKLSGPIIPR
QPRIKTEAKNHLLDRPETSAYYIWRPEGRGQIVVDESDYKRVTELLLRLDFANLELATSSSTRWINEVRSGVWGSTGDAWGQSVTGTKAFEIRAASG
AAGATTLNMGLMRKKRKDIPEPQSQSTPQVNVLSTGMVRKKAKV

>RCO7_02543 | related to chromosome segregation protein Cse1p

MSTSREGPNPLRPYYKPPSIGIPQDLPGPSSSNGTHGLGPRNGSAASYASSARDIFSDIDYADYGSPSTVESVKKQVDDWVYRYMSILLAQPFDVAK
TILQVTSQVLDDESAELKSVPRDGHRESAYSGYPSDDSDPDEPAYFTSTAPSSHSYTPSKSRRRQDSDPGSGLLPPPKVTPPAKITLVLKRSDAVLE
VISQEWAKEGAWGVWKASNATFVYGFLLQTLEKWSRGLISALLNIPDAETSAGSIGVTYPWASLAVAVAAAASAGIVLAPLDLIRTKLIVTPTSIPN
RSLTSQLRALPSYICPASILLPTLLHSIVTPAISHSTPLLLRSHLSIDPILTPNTYQVAKFTSRAAELFIKLPLETVLRRGQVAVLKEDVEITRAQG
RWTGDLQTLVPIGEYRGVVGTMWMIAREEGVREPPLLAKKKGKPLKGQGLPGLWRGWRVGMWGLVGMWTSRSLSGGNGGEF

>RCO7_02542 | related to electron transfer protein

MSKDTVRETVYSSEPRNTVDLCDATFEHYRWFSESNPDIVRSISHGHWEPPPKGKELYVTFVDKDGNEDKVAVNEGDNLLTVAQANDIEMEGMSPKC
ACEGSCSCSTCHVIVQSEDMFDKMPEADDEENDMLDLAFGLTETSRLGCQIIMKPELDGLVVKLPSTTRNMQASDFAKKKK

>RCO7_02541 | probable RRP15 Essential protein involved in pre-rRNA processing

MAGQISKKRKVEEGMKGKVSRPKKKFKKQTDYDNQSSSEDEPAEAQDFPAVNLQDSDEEGLDTTDLITAEDSEPELADDAPELPDEEEELTDASNSD
SESGSNDDEENDNPNLIRKRKRNDPEAFATSMSKILGSKLSTSKRSDPVLSRSVDAIQASKEITDLALEKAARHKMRVEKREAMDKGRVKDVLGAST
AFDAANGMADGPSVQETMELEKRLRKTAQRGVVKLFNAVRAAQVKGEEAARDARTKGLVGHGRREEKVNEMSKKGFLDLIAGGGGNLKAGAIEEA

>RCO7_02540 | probable signal recognition particle subunit SRP54

MVLQDLGRRINAAVSDLTRSSNLDEKAFDGMIKEICAALLEADVNVRLVGNLRKSIKASVNFKDQAPGVNKKRLIQKAVFDELVKLVDPHAEPFKPK
KGKANVIMFVGLQGAGKTTTCTKLARHYQSRGFKACLVCADTFRAGAFDQLKQNATKAKIPYYGSLTQTDPAVVAREGVEKFKKERFEIIIVDTSGR
HRQEDALFQEMVDIQTAVKPDQTIMVLDASIGQQAEAQSKAFKETADFGAIIITKTDGHASGGGAISAVAATHTPIVFIGTGEHMLDLERFAPQQFV
SKLLGMGDMQGLVEHVQSLKLDQKDTMKHIAEGVFTVRDLKDQLSNIMKMGPLSKMAGMIPGMSGMMQGMDDEEGSMKLKRMIYICDSMTVKELDSD
GKMFIEQPTRMTRIAYGSGTSVREVEDLLTQHKMMAGMAKKMGGNMKNMQRAQGAMGGGNKQQQMAAMQKRLASMGGAGGAGVGGMPDMSSLMNMFG
GGGGGMPGGMDMQAMMKQMGSMMGGGGGAGGGRGGRR

>RCO7_02539 | uncharacterized protein

MLDLAVAVPTLLGSYLSMLAAGSVFICYIILPAQKHYRHTLIMNLAGADFFNALNNSISGTYVLIHRGIPAGSACTINGWVGQLTVQATDFTILFMT
IATVITLRKHNYKPKTDRLTKLLITCCIWFVPLVTSSTGLYMDAYKPATGNWCWIGPTPTILRYALGHIWRLTIIFTTIGLYIYLFIYIHQHFASLR
AASDAKIPTITSDKMSESSDETGFGGIVIHSEFEIVDESFDAWWENQIPSSELEFFDLAAPRNELSKEAASSSPPSSPIGMIKQNFRSSYTPPPRAA
RTDESAPLLYKTRDPLAIVRRPTPPPNKTTTIQVGPPPTEALWSQEYFIQKMLLLNAYPIAYVLLWVPGIANRFAELMGYKMRGLAIAQASTQFVGL
ANALVYGYNERIWSLTKLWWKTKREKVNIDIDKQDFGRRGSESDVSTYKSSIYKSSTYKSPFRKSTVPYISNPIPK

>RCO7_02538 | uncharacterized protein

MGFDNLMVKLDEALTSILGDWDIYSTTISAIVLTAFIYSVVTARDPDAHPMLLARQAQASPVRQAGESAVFRSHSAPHGIPLNSGLNIKDPGDSKWA
RGRDGDLRDVWRRVVAGGLDREGKETGEVGRLLTVLGSEQVVEHDLADITRQINLIGQNIKQNGGKNVAIYLPNSIEFLATLFACAFYDLTVTLIPY
DQPIEKIISLLHKAKADAVVAAVGSFPFDAITKSYPCLEQLIWVVDEGSRHMDWNEVPKGTGGAVNVSTWSEIIQDSDLGTGQDLPAVDRTSQPKEV
LAFWPSGELVQFTHANIIAGIAGQLTSVPTTQRITHADFFLPVDSFSTIYSLILTLSALFSNASVALNSVAGECPDLVLATQGIAPTIIVASASTLA
KTHADTAGKLNTSMYNIVHWFQTRALVQDGVMPLASMFTRMYDSLRPALGNTPGKLRLIYVSEPAGVKSTPLSSQMLSDLRIYTGARIIYALTSAKV
AGAVTQTGLYDYRVGSDPETQSHFGAPVTSIELFFRDSKLHKTTDTASAGDIFIRGPAVVGGEAPLGISGKIREDHTLALL

>RCO7_02537 | uncharacterized protein

MSTPLRPSTPNGQFTPSTPVTGTWRHPKLDEIVKRQNASSFTASNVKKIAYNVAGLFVIFFIARGLWTFLPSLFHPNAGLTPYVDWVYYILQVMFLF
NIFMACMPLVRTSDDVSDIPLTPAQRKLLGLPPSSAPPTPGSQYVTPPRYARTTPVGGSPGARGGYSGSPLSGKGSPNGSSIGMPFSPSSSPLLQKA
MGGGINGGRRASYGSPSPLGPSLLRGSGLETPGSPTPAPKTGGVGLNSKWLYDKGRRNSGSSRLYS

>RCO7_02536 | related to proteins containing regions of low-complexity

MGASDSKLVFKKGIFRLSEDKVIPADDPYWASFWELPESTEDIFSLFSPNDIRRTRDTALENLETLVLAITSRLFILRHHPSFPDPELAPERDALNC
IRILTRILPYVYEAEQLQAWEDRFFWGVRRKRTRKASLARDVLFDESQEELAKLEAAGEEFEEVKPLAEELIDTLIDLLFFADFTLPRPQNSKNKVT
YAIWQSGVGCNTSIGTSKEFESNRTEILRLLLTMTSQSMYMSANLLPVQGVKAISYIVTCPDKQTLKYNPASWRVPYNVQVFKDPKAILVTYALQFL
LVILLYPIPETDPAHAKKNYFRHFLGRLHRPQDFQFIVDGMTRILNQPLNASTSYIPNSQQSVKCTSEMIMLFWEITQCNKRFRSFIIDTGRSHDFL
VLILFYAINYKLDASKQGIVRMCIFLLQTMSVEPNFGKNLNKRFEAQETLPPTIRLQNFNGTYADFLIHSIYNIITTSQGKLTAIYPALLAVINNIA
AYLENLSASASLKLLQLFSSMSSPSFLLANEGNHNLLQSLLESMNAIIEHQFIKNPNFVFAVLRNHKRFEALRTFTLESGQEEIERRNRRNKERQID
PNDLSESRRGSVESLRSPSINQPHAPTLSDVPEDGTFAVGDDEDDDDTDDDHRPTPAASTPTDQPSRASSVSSGVDDAVPTQLRGMSEKARGKMPAG

MPTFSRANSTTSLNSYSNTPFSMQGAFEPTPDWIESWLPELPLHTILTLNDQLAPLLPTQRSSTDTPSTPVIRTIQTTKIAGIDPSPIRIQYFEWSP
LSLGWYESLLWSFVFISEMQVAKGTVGVWNGTGIKLFRVETVAPSGPTLSSPRGAVDAVGSNIVSRIGSINLRGVTGGSQDAQAGGGGDTRSERPPL
ARTGTGNGERTNLIRSAIV

>RCO7_02535 | related to epoxide hydrolase

MESSIASLHGAENEEIKPYKIHVSTKYLDLTKKKLELTRLPHEVLLPRDREWEDGTPKSEIEPLIDFWLEHYTWRQRETHLNTILPQYRTVISLPST
NTPTPPLRIHFLYLKSPHIHALPLLLIPTFPLTNLSLIPLFEPLTNPTSPTSTQPFTLIIPSLPGLGFGDAFQTSHSLSPDTILSNSAALCDGLMKR
LGYTYYLASATGSGIDSPAGIDYHLLRLLSKHYSGSCLGIHVIEPCIQAPTLRREPVEWLKFAIARFFQANLWGYEKSDFAALKLTEQKLARLDCKG
GFEENALISRGGHWPGYGALAWLPGPEAGARFWASALREVERFEKVAKSGQATKKIVKSRVAVTVFGADGDTEKYICPAWAVSRHDVLFSQRANGRA
GIAVWERVDVLVDGIRGLAREVEKLDPRLRIAPLEGIVVFEEPILEESEGDRDSIDYSVDESEHGMQTEVESPDTIVAISPR

>RCO7_02534 | uncharacterized protein

MAVSKGLSRASETLWAKIKPRRQQNPPSAEICTAIWILSNPDLPVELREIIFKHDMESHIFAEMTPVSPLLEALRKQAKSSECTDTQRGLHQQCTEI
WSRLSHFVSSLHDAKVLCMSLEPKKQTSLIKYIVIRTMLEEQAPSLGPFETLRPHTIILDTSHLHAGNVSSPRDLFHRIIPMAVAAGHLKRIILRTR
FRMYEIVHASADTYLLEMHKDELDAYLGIEGRTEKVLATGRRGRRRRGEIAFEDWEWDVPVGHQLPTVQRELKKFYCPWTGARIQLNR

>RCO7_02533 | probable potassium transport protein 1

MYSILLDFWGHVKSLKPAFFSRKPHFNFITVHYFWIIGMAILGSLCLYIRADLDYIDALFLASGAATQSGLNTVDINLLNTWQQMVVYVVPMITNPI
TINSFVVFLRLYWFEKRFQHIARESTKNRRSISKTLTKARTNELDIGEEERGVNGRSIVVMHGSTRPNGMTNKDALPEDFNNQLEKDRALAEERVRS
SQSSQGTSKGHSSDTGDERLDRVEDHLRPNQIKFAEQVKRSDGLADQPTRMPAQRSNEDHIAFLERQRNQDEGKVLRIPGPRDADAGIAPITVDEQD
PLSQIMSRRQSGFSGHLPRHEQIPTAELNENDNEDDHETQPVRRNITIAEPIRAPVHERVVDDAQAAKSTLKSLRWRRPRFLGGEKDKNHIPHARRT
ATFQTIKSALSRDNDETMPYLSWEPTVGRNSAFVDLTEDQREELGGIEYRSLKALAMILTAYFVGFSIFGVLSLTPWIYRNSSFGDIVRNDGQGRAW
WGIFTANSAFTDLGFTLTPDSMISFQRAQWPLVVLSFLIIIGNTGFPIMLRIIIWVTSKYVPKSSGIWEELKFLLDHPRRCFTLLFPSKATWVLFWI
LIVLNGLDLLFFIILDLGNAVVTDLPTNIRVLDGWFQAVSTRTAGFGVVNLAALHPAIQVSYLIMMYISVLPIAISVRRTNVYEEKSLGIYGSPADE
DADEDEPSYIGAHLRRQLSFDLWYIFLGFFIITISEGKRIQSGDPAFTMFTVLFEIVSAYGTVGLSLGYTNINASFSAEFGVIAKLVIIAMQVRGRH
RGLPYELDRAILLPSEHLQKKEADDAALRVRRRSSFGTVGGVVSSGALKTSKSMERTASNFIGNILHPGPTIPNSHRKASHAPDTNIWSRRGSTASA
GRWSRATRSISPSLNNNHSAPFDGLTEKRGRPEGRRSFFQEGVNPPPPSEGPPATATSSKNV

>RCO7_02532 | uncharacterized protein

MKRLILLIALKPLKSLAFGSQVPKDEILHCCSILAPLQTHVSFPHSPVYVDETTGDLTYWSSFESDLSPACRFSPTNTADLALGVGLLASNKCEFAI
RSGGHMSFAGASNYDGKGKDGVTIDLSSMNEVQVLDSWAQNVVFRAEKVVKLGPGARWGDVYAKLDPLNVTVPGARVDSVGVGGYLLGGGLSYFAHT
VGFACNSVLQYEVVLGNGSVVLADSLHNPDLWLALRGGHNNLGVVSSFTMKPLAIPDGIWAGNAISEPRYADQTFDALYHFGEVAGRDGLTTDISGS
TSIFYFKSTRSSFISNFLVSSTGTAFPAILANFTSIPQTSNTFRKASLRDLAVELGGSESGAYVRGHRQILGEVTFKNNIEMMKEGRQLFEAAFAPF
AEVEGYTQAFILQPLHRAILAASEKMGGNIMGLGAKDGNTVWFAIILTWDDTSFDDAINTATEKFFADFNVAAKRLGVYHPFVYLNYATKDQDPISS
YGRVNVQRLKAASRKYDPDQVFQRLVPGGFKLPDGEGNDDDGH

>RCO7_02531 | uncharacterized protein

MATTVVQATEHVLVESATAVASKLGAVAAAEFKTIEKGIAQEVVSATDDDASNILDKIEGAVEVVLDEVVEGAEHVVEAVKQHPELIAEGALAAAIG
VASLVQPELMVGGIAIIGKMASDSAKKTVTEIASTEGEKVVKAISKNLADDAKIEAEKDKLQAEEKKKAEGGEVAIDEAPKITAVTDAKAASSEKAI
AVEVQKPAVNGAKADSGEKTIAVEVQKSAAKPDEGTAPEKDAAPVELKITIGSDGQIKAVSQSIAEEGKPVEKTAGATVAEKTVVVSPVTQGTDAPV
QNSPLLTKDETAVAEAKKSIPENKALPVTEVPTGAKSETKITNPEQLSIPVPVPKEISILSTQEMLPVIENVSAVGSAATDLAPKTVEIKAADLPPV
SKAADSTVTKVEGEDVQPRILAELGIVHTDVVEKSVKNTTTPVQENSVASATEEAEESFVQQLLHRSNSEERNLPVGKADRDAGEDHLVQQQASVES
VPGIKKEANVLNTVISPADESTSESRQPIETISLEKAAPVGVANSQAESKIDAATKPTTQDIPEKIQASTDLKEPVASSIASHAKELAESALQNSST
ETGPTLVTATASVTNITKTMVKTVEEPSSSSIKMVHTLALHLPVPPAVVPLEVKDVPIESTPELVAQRITEPVLQEQAIPATVQSTTKPKANQVSPV
EDTAATATVPTLPETSPSPITTVPTRPTHVKRGSVIGSIGKFLWPFGGAPTTAKDSTVQVSPVKDANEVESQAPGSQIIAPGLGSTKAVSTVGVTQT
LAMPTAA

>RCO7_02530 | probable deoxyribose-phosphate aldolase

MTDSEVLAGLQTCKKYKVKTACIKPYHILFAKKALEDSPDIHLCPVIGFPHGNSTVEIKAFEAKRAVEEGGNEIDMVVNIGRVRSGKWEFVRHEIET
VNKVVTGRGATLKVIFENDYLLEEEIVKLCEICSSVGVAFIQTSTGHGFCKLPSGDYNYKGATTRHLELMRKHTADNVHIKAAGGIRTLDDLLKVRA
LGVTRVGVTATEAILEEAKRRGIGEERVMVEVPPFIDE

>RCO7_02529 | uncharacterized protein

MSSRHGSKKPSGRHGEKSSGSSKRREVEGYASSYTLSGPSDARQNAEPQWDDQNETQSNVLGNVPGSESEAVPAPTFLFQVNQLPINEDLPPRIDSH
GHSIPPMLRHEWGAQVAGRIHRWTSDGRIARASNCQWSNSQRANCDRSRQPITIFYARLEDMDRAQWPESHWFPLDFRHDHDRLVSRVDEGAREPYL
AGVNANWIDHLGLSNFAPRYGEPAEGLSGNLATIFGMIAMSCSEDRFDSVMGRDPWRGNVWRGHSHRDGRTDDRGVVVRIYFDPDNSLGSTEESLDY
LQ

>RCO7_02528 | related to Psi-producing oxygenase A

MASNKQTVDTSSTEHGTWRKELEANLEAAKQVLSKSFSPLSETPYAPSNDPDKKTMTSLLTDLSKIGFKDVETLLTLFSSEVKGKQDDSKLVLEHLV
ALLAKLNDNSKISMQLTEGFVGGLWNALPHPPMTSLGTKYKYRAADGSNNNIQNPQLGAANTPYARSAKPTILQNIALPDPSAIFDSLMVRGDTFQP
HPNKISSMLFYLATIIIHDIFRTDHEDFNNSMASSYLDLAPLYGSNQKEQDTVRTFKNGLLKPDCFSEKRILGFPPGVGVMVIMFNRFHNYVVTRLA
AINENGRFTKPKDDDPKKKWDNYDNDLFQTGRLVTCGLYVNCVLKDYVRTILNLNRSDTKWDLDPRTEEGKTLFKTPTPEGCGNQVSAEFNLIYRWH
SAVSEKDDKWTQEVYTKMFPGQKPEDVGLGQLLGALRATEAKTPEDPLERPFAGLKRQADGTFSDDDLVEILESSIEDVAGSFGANRVPKILKSVEI
LGMIQARSWNMASLNEFREFAGLKKHATFEDINPDPEVAEKLKNLYDHPDLVELYPGLVAEKAKPPMAPGSGLCVNFTTSYAILSDAVSLVRGDRFY
TTDYTPRSLTNWGYNEVQYDRAVDDGCVFYKLILRAFPKHFKDDSIYAHYPFVIPEENLKIAKSLNRADKYSWDRPARILEPVIIKTHAAVKKILGD
KTNWKVATGEAIKSMTSQPKKVNGADFALSGDNPANESSRNLIKRGLYPKDWRYEVKDFYDETTAKLLKKYGFKVPGKENVYQVDIVRDVANLVNAR
FAASVFSLPIKTEDCPGGIYTEQEMYQVLALCYISIFNNSDVTKSFQIREAAHILAQQLGDLVLLNAEAISATGFLADVLAKLHQRTALTDYGTHMI
QRMLDGKIPIKDVVWSHIIPTAASMTANQSQIFSQSLDFYLGDGAKYIPELYKLSKTDTKDADDRLTKYFLEGARLRSTDSLFRDFKPATTISKVEI
LDGPSTITIGVNARIQLDIESAHRDPAAFPDPSSVRLDRPLDSYLIYGYGPHQCVGMDVSLTAMTATFKTVFGLRGLRRVVGSAPGGGWYSGGESQG
ELKTVPGPNGSTLYMTPDQTSFFPFPTTMKVQWDSE

>RCO7_02527 | related to aminopeptidase Y precursor, vacuolar

MRFLSSFFVGAIAAAAGCIEASTLQERTGPKPVTSTLLQNAITEKALMKNLAKLQKIASRNNNNRAFGYSGFAESVEFITDRLSKLLKTSSFYIQDF
PALWTNVTSISLKIDGVDTYVFGLQYSPSTSSEGVTLPLVLGPNGTAACTADGYAGLNVTGKAVLVERGTCVGGGTLAGRVRAAVAAGAEIVIIYNN
VDAHVTGGTLSAPDPVRYRPGGFIDRVDGLPVVARLLAGESVQVAFQQTQLIETKITQNIIAETRAGDGDNVVMLGAHLDSVVAGPGINDDGSGTSL
ILELFTALNKYSHNLKVRVAFWGAEENGLLGSRFYTSHLSTANASSLLTYLNFDMVSKGYFGVFDGDGSSFNLRGPPGSSTIEKLFVDDITSKGLTV
TPAVWSGGSDYQSFFELGYPVGGLHTGTGAAQDPCYHQACDTYDNPNSTVLTVNAKTAAHVLSILATEGNKLLPKRVVKRTPSLGEMEYPRSIAWGV
EEGQHGHSITCGQVE

>RCO7_02526 | uncharacterized protein

MLSSKAYSVQQKHPGHLPPAQQHTDVRLATSLEEYGIQEEIPIVLMIPEHHPKAHDRSYSSPPSLDIVLTTPTPTERKQRKTALSSMSPPAMTPVPE
CFASDSSESEEGVMTPPLPLRKRPSLNLKPLSIPPRGPLPPIPCTPHSTRFASKTSTPTTSSTNSRSQRQRADAPPSPSSLAPEKIPSLLTEVLNIM
NSVLKRQHSVQEDDAMLGDLADLVVIMQEEAEGLLHLASLVGSFVEEVDISKEAAEIEEWVGEMGIDDLPEISDGSSISTGPESGIVTPIHVKTARQ
GKGNGPNGHGRDSSVDSALGMDEYRGGMGHVRDVSETLRHAAIVQIAQLRQAESEIRRGNLIEIGRRAMERSEGNGSVPNTPRTPRTPRTPRTPATP
HTPHTPYSAQLVHTPRTPYTAHTPKWQYAPHRKPSQEENKLRGSGTSKKLPPLPPSPFRDSAEVMIAASSSGFRARGHVRMISSSPRWL

>RCO7_02525 | uncharacterized protein

METVLIDLPEDDFSFSLSEIFGVADLWPVIESGNIVQVNSKVEQAIRAFGNLQLSKENYRSRQQRSRDRIAGDAFVSGSQIALQRVIHLEIYILR

>RCO7_02524 | uncharacterized protein

MRGVEEEEATKEEEEEEKEIATKELEEEREKEMKFKGDGDSFSNKVRIFYNAYLRAKILPEEYSKAFLLILKGAAL

>RCO7_02523 | probable Probable 1,4-beta-D-glucan cellobiohydrolase B

MSSRIALASLLLSVASAQQVGTLTPEVHPPLTWQTCTAYGSCTTIAGKVVLDHNWRWLHSSTGTNCYTGNTWNPTFCPTNTACATNCQLDGADYSGT
YGATTTGNALRLNFVTQGANRNVGSRLFLMADDSNYQMLSLLNKEFTFDVDVSHLPCGLNGALYLVSMAKDGGASLYPGNKAGAKYGTGYCDAQCPR
DLKFINGEANVEGWKSASNSADSGYGGHGSCCAEMDIWEANSISTALTPHSSDPEGQTMCLGDACGGTYSPDRYVGVTDPDGCDFNSYRQGNKEFYG
PGKTVNTNSVFTVVTQFITDTGTDAGTLSEIKRFYVQGGVVIPNSQSTIAGLPGNSLTDKFCKDQKKVFGDQDIYNKHGGFASMSKALKAGMVLTLS
LWDDYASNMLWLDSDFPVDADPSALGVGRGSCARTTGNPVDVEKNSPNSYVIYSNIKVGALNSTFNAGSVVTPPGGTTSRVSTSTTRKPSSSTLATS
TTSKAPTTSSAAPPAGSGAAHFQQCGGQPPFAGPFTCVAPYKCTYSSPYYSQCL

>RCO7_02522 | uncharacterized protein

MVLSRTGAGQQHSQRPLQGSLIAPNDGLVGYLHKKFLHHQNSFIGVEDKPPNVLEQWLQADVEQKPFLQNYRTLKALPGNEVLKALTRFYTFDSSSA
NVLPEISTGNLVHTGSNASPETFSQVLTEFGCKIRARSVPSLQICMLSLKLSASLRPILFKFKDKVYCSAAQLNRKYEIPSRSILAIVQKEWDSSKT
WTINTFTGHMAVQVRQFKLPSKLARSRGSSSGGNDSDTQDSIISIILVSNAPLYKGDFYEYIWQRQAQFPPAVRLVCRTSEVDNLGSKKVFITIDSD
EESADGERCAEILEALSQNFTAVLPLTGSDEPICSLESAHLAVSFALLAVLADKTSDFVNSTSQIVLKLKYQGRTRPSSSKLHYQSHLEDARQIAVS
SVEDALELLVKIEALELASSTAAQSLRIKFSDLKKDIESLREELATIKVWIDDLQVIANTAKLKAELDLRQIEPTYILTFLAAIYFPFSFMTSLYGM
NISDPLWSSKNSTDTTNIIARDIAPLPDNSSTLSIQQTSAIVAAIQSSGSHVSQRRKTDRFILTIRDLSFVLVHNDPGDDWHYYLSHGHWISARFPY
TVDRRPNLIWGDGRNPKYKIYRNQQTPPEMVRLRITSGTLPRDLVDCLLQRYSVSTIDVPLLSIVRTRCRSRIRKYILVHLQSRRQGDVGSQSSTRL
EQDEMGDPHDIPLEPLQEVVTESLDEVVPTNRRGPTRAAWDDDDDLYTAD

>RCO7_02521 | related to class I alpha-mannosidase

MRPFKRKEKVDDLPIHSSSLQSRIPTKRATRGLILAGLLCCVFLLLRHSGLGKPKFEFSYVSIPIFAEKYPPKTVISLPRKRAKAIPKIQHDPVPET
AQEKAIRESRLNEVRNAFLHSWKGYKDQAWARDELRPISGGYKSPFCGWAATMVDSLDTLWIMGLKTEFELALGELRNVDFTHKEGCNINLFETTIR
HLGGFLAAWDLSGGKYPILMEKAVELGEVLYTAFDTPNRMPTPHFEWSATNPDVRDHSASSSIVLAVLGSLTLEFTRLSQITGNDKYYDGVQKVMNE
LEKWQDNSILPGMWPAIVDSARYNHSILLGSPYEGAEEQFTLGALADSTYEYLPKTYMLLGGQLKSYQNMYEKFIKVAKKYLFFRPMTVGDEDILIS
GTVDMAAGGAPRLSPDLQHLTCFTGGMLAIAGKIFNRPEDVIDGGKLTDGCVWAYKNTVTGIMPETLTAVPCENRSSCTWDSQKWLKAVDPNAEDEA
VTRQKIEADKLSPGFAHVRDARYLLRPEAIESVFIMHRITNDPYWRESGWNMFKAIQAHTVTKLAHSAINNVMKGAPEQVDEMESFWLAETLKYFYL
LFSENSVVNLDDYVLNTEAHPLRRPK

>RCO7_02520 | uncharacterized protein

MIGKNALFLVVALLAENFICNPASFLPGPISRKSAALTPISAESKKAAGKPQPKVVAGAFIVQLGTGSSLTKRASDLHNEFHLTARQDAGLNYSVRE
TFSEESIFVGLSLDLHGGDIQALRNLKNVAAVWPVKTVPAPSAALLLPMKEGTANMARTDGPLPHIIGELDVNRPRAMTGVDKAHAAGIKGKGIKIG
IIDSGVDYRHPSLGGCFGEGCKIAFGYDLAGDDYDPDHGVPPVEKADPLVTCVKGGHGSHVAGIVAMLDQPGTGFGLVGVAPEVTLGMYRIFGCFGG
AADDIIIKAILRAASDGVDAISMSFGQVWPDELTNPYSVISDNLLAKGIAMFAATGNNGGSGTFAPSSPATSSSIFAVGSVDSEKFPLTYELTDSNG
RHLRYSAHQPQQSPPEGLIVQVMHFGADDPWYLTGPYYEDYEQAAANLTARGIDPATVILATLYGSHNPSEKANLAASFGYKYFLQYTTTAQDPFYG
KEYNSGNPSSYWQIEPISLTVQDSQTLLRSFSKKPFQYKISFSSTNHAAKSVVASTPGFMSNFSSIGPTFQLNLKPQLSAPGGHILSSWGLGYGGYT
IISGTSMATPYMAGAYALIKSQKPKLSVLQIYSLMQNSGKPLPWFYNQNIKSAAIQQGGGLLNVQNALAYESLITPPQLSAGLSKDYITWNNTAHLN
FTITNLSTRSKVYKLSHTPAALMQNLWWKEEYNNHMYPYYATAKFPSNEVTVNGGERKLVLVDIVAPIPNEATWGDDAINLLLPTYSEYPSVSFSPL
RLFEHVEGRVKPALFSRVDVSTLVLFSYYQGSLSRQY

>RCO7_02519 | uncharacterized protein

MEHTWNDRSISTFTSEESSLIGTTSQKLIDRILDAEDSLSTHVNDLTIKDWKPEKDGTDVLCKILNNLKDRESFRRLELDILIAKDVLDLFHSRFSE
ARLLSQTLPEAWRATKIPYDMSMDIALLISPQLYSLEYGVLYKSPRARISEFPVSIQVILQAITYESYVLPLYLILASSSENNIRSMLSSEQMAMAP
LTCP

>RCO7_11613 | uncharacterized protein

MVETALRTLLYLQIRTRTDGLKVRDLVDSQQQSVTAPARIYWPIQAPTVTIVDLVSLQTPPVEPDGLRMSFFDCNAAHTTGYSMATNGAGIATIHTH
DQKIDLTFYQEVDALFGASGSGMLGQTPWD

>RCO7_11614 | uncharacterized protein

MVKKISVMAILASMAIAAPHVAPANRRTFPIPYFGGFGGGQVSGGVAGGVSGTISGSAGFSVGVAMAMEACATGAVSGSVDSEDRAALSAWIKGSGS
AYFDVTTCGKIDAWCGAEASVALDGIAKGAIQASLLAQPYVVAAGGAVAYFNGVIAKGHEGGACACSSISAGEQAELVAYLAMNGASLDAGIMGSLQ
ISAAGGYAESLSAGARGSLSAYLSSPQCTLSAGLKGSLGGWVSGGVSGGVGGSVGGGFGFGGGVSGGIGGGINGGAGGQVSAGGNVVLYGSAQGSLS
SFIGGSAFAGLGFDIQGGLQACAAGGVSSSLSSSISGSLSGWLSGPECPFDADLKGACQAWVKGDVGAYTKAGTSADAYGYIAGGAQISGSFEVSGA
LNAGAQASFGGFLSGSGSAGIEAGILGSLQACASGKLSSSLSPSAAASFSGFLSSSSCPLSAELRGIAATWLSFGISGSGSAGVGAGAGAGFKFDAE
AAGKLSGIIAGNAAMSANVKGVFGLALGGQTAASVSGSARAEAGAFLFSPEGVSMGADAQGELVGWLCGTGSSTNGPKPSNGGSPSSPAVAPVPKPS

NGGSPPPPAVAPVPKPSNGGSPPPPAVAPVPKPSNGGSSPSTPSNGTPAPKPITGSPSPSTPSNGTPAPKPITGSPSPSTPSNGTPAPKPITGSPSP
STPSNGTPAPKPVTGPSPNPTNPENEGGNWDHSDEGADHGDDSSEHEADGITHDGGDSDNEDDGSDNQESGPVCKA
>RCO7_02518 | uncharacterized protein
MVKKISVMAILASMAIAAPHVAPANRRTFPIPYFGGFGGGQVSGGVAGGVSGTISGSAGFSVGVAMAMEACATGAVSGSVDSEDRAALSAWIKGSGS
AYFDVTTCGKIDAWCGAEASVALDGIAKGAIQASLLAQPYVVAAGGAVAYFNGVIAKGHEGGACACSSISAGEQAELVAYLAMNGASLDAGIMGSLQ
ISAAGGYAESLSAGARGSLSAYLSSPQCTLSAGLKGSLGGWVSGGVSGGVGGSVGGGFGFGGGVSGGIGGGINGGAGGQVSAGGNVVLYGSAQGSLS
SFIGGSAFAGLGFDIQGGLQACAAGGVSSSLSSSISGSLSGWLSGPECPFDADLKGACQAWVKGDVGAYTKAGTSADAYGYIAGGAQISGSFEVSGA
LNAGAQASFGGFLSGSGSAGIEAGILGSLQACASGKLSSSLSPSAAASFSGFLSSSSCPLSAELRGIAATWLSFGISGSGSAGVGAGAGAGFKFDAE
AAGKLSGIIAGNAAMSANVKGVFGLALGGQTAASVSGSARAEAGAFLFSPEGHKWSKAFQRR
>RCO7_02517 | related to GTT1 Glutathione S-transferase EC:2.5.1.18
MSATEGLKSGVPTLHHLSNSQSQRILWLLEELAIEYKLEYNVVLHSRGAKDKRAPKELASVHPLGRAPTLVTAEGRVLIESLTITTYLLKTYDADGR
FATEDWVREDTLRSFAGASLFPLASLEMLFDLAEKNTPWPFSFIMRRIKKGFDNFFSNAEFKKDLVYLEGELGDAEWFNGKSLGQADFVMNWPLDVI
AIRGYADLEKEYPKLHAWRLRVYERPAWKQALAKGNEYDLEMLG
>RCO7_02516 | related to D-mandelate dehydrogenase
MVSSTVHISKKLIVLHIGDPVKWNTELFSTFSKDFTVVRPSLEERHRDEFMKGLKEKRWGDFSAIFRPFWNTGGEMGRWDKDLLPLVPASCKIFASA
GAGFDWADVDLLAEKGIVYCNSAAASTESVADFAIFLILATFRNLTWCTTAARASPEEFKNCHENAAVVSRNPQGNVLGIIGLGNIGFEIARKAYLA
FGMKIKYYDVARKDAAKEVEIEAEFCPDFNAMLATSDCVVLATPASSDGKKVIDKERLANFKMGSRFVNIARGSLVDEEAVADAIDKGRLVGVGMDV
HEFEPKVNERLKASRLVTLTSHNAGGTLETHMGFETLAMKNIDLVLKGNEPLTPVNKHLLKASAST
>RCO7_02515 | uncharacterized protein
MYLGSLGLSIASLVTASLGCGIDRSPQFAPVPDSAKGIPIGPGGYGIESYGKGAYMVTEGNYQALFFISTKGVIVIDCPPTIGHMLLWAIGNVTSIP
ITHVIYSHSHADHIGGVFLFGNKVITIAHSETARYLTLTPDPNRPIPHVTFTKSYTLCVGNQTLELDYKGENHLIGNIFIYAPVQKVLMLVDVIYPG
WTPFALLGQTKNVPGFILSHYQILEYDFMHISGGHLGRSGNRADVLIQLEYVLDLKRNCENAINTSATGDPDIGAAALFGPVKAKNPGNGWAPFKVY
LDVMADYCANTTNEKWLGRLAAADVFQFENAGVMIESLRIDFGILGPSATV
>RCO7_02514 | probable MFS myo-inositol transporter
MADPAPRISDDEKTVHNENEFRDTRSASLIAKEGPLDENGKVAVSAKLKNPLSGMNKEELLADVELFAKEKDLEDILPLLQRGALVAQNPKNFENIS
ELRPDEKEWIRKETTNRWKQPKMLFYMTVLCAGSAIVQGMDQTAVNGAQSFYFEEFGIGPERVWLRGLLNGAPYLCSALIGCWTTKPLNYYFGRRGC
IFISCVISFITGIWMAAADSWYNLLIARFALGLAVGAKSSTTPVYAAECAPPAIRGALTMMWQMWTAFGIMLGFVVSVAFENVRYTEGVFPYWNWRL
MLASTSIPPFFVCMQVYFVPESPRWYMTKGKYRKAYEALCRFRNCEVMAARDIYYIHKSLVIEEKLREGKNLWKEFFFVPRNRRAAQSSFFVMFMQQ
FCGVNVIAYYSTEIFISGGFTRSNALLVSLGTGIVNFLFAIPAVKTIDTFGRRNLLLTTFPLMGLCLLFTGFSFFITADQARLGCVATGVYLFMVVY
SPGAGPVPFTYSAEAFPLYIREVGMAFATATTWGFNFILSLTWPALVQAFTEQGAFGWYAAWNFIGWTYAYFCLQETMRLSLEELDTIFSVRVRDHA
RYYRTMLPWYFNKWILRKDVAPRGILYDLE
>RCO7_02513 | uncharacterized protein
MSSSPEVFTPPHSDLEVSPPGQHQVTVADKFYADQPPQSAVPPNYYYASPESDARKQRTICGVRPATFFLSLALVVVTLVAAIGGGVGGTMAVNNAK
SANVVNSNAAVCTSTVFSTASATPTSLDAFPSSTASGTETSPTSSSSTTSSIIMVPTAGTVFLDCPTIDGTQIQMNLGSPYVFNLVCGRDFPGAKND
IVALTVYSVDDCARACASMNRNSGNKICKGAAYKSDLTLNVPVNYGNCWLKNTTSTPSDTKGKNDLVALLLQ
>RCO7_02512 | uncharacterized protein
MAQSAPDLKIPTSDTTVKVRIIDTTSKIGGIPLEPFVTPQIKGFTHLSCPAYSFLIEHPSERSLLFDLGVRKDVENYAPRIVSRIKDGGWSAKVNQG
VRDIIEGNGVDGKSIEGIVWSHWHWDHTGDVSTFDSNTALIVGPGFKKALMPGYPTNKDSPVRESDYEGRELREIVFNQGIKIGRFDAFDYFGDGSF
YLLDSPGHAVGHICGLARVTSNPNSFIFMGGDACHHGGEFRPSQYIHLPESISPNPFDRMSKIPCPGSLFDDLYRDGDKHKPFYAIAKPDDGSGVAH
DSEEAEATVGKVIEADAHDEVFVIMAHDETLLDVVDFFPKYANDFKSKGWAEESRWLFLKDFAKAIGH
>RCO7_02511 | hypoxanthine guanine phosphoribosyltransferase
MVVKEYLSYNDVHKLCQEAAPRILEDFKPQLIIAIGGGGYVPARILRSFLKQPGSPNIPIQAIGLSLYEALPPSHASGANTPGEIEQLGTKVTRTQW
LDLTSLGEMENLVGKRILIVDEVDDTRTTLEYAVKELEKDVELARQKLGGVGEKTVFSIFVLHNKNKEKKGNLPEDMLNENRYLAARTVPDVWICYP
WEAIDIDAHDELAKKQPAK
>RCO7_02510 | related to glycerate dehydrogenase
MSRSNIAFWLPQGWIAKTFHPSQKVESSSWKKATILVTFNSLPPSLDLVPNLKLLHLFSAGANHIFHTPLWKDTDITITNSSGVHSPQIAEWVMLQI
LAHSHQEKILLEWQKQHKWGQHSELNFVKDGVGQRLGVLGYGAIGRQTARICSALGMDVIAYTASPRTTLESKKDVGYIVPGTGDPDGLIPSAWYSG
MDKSSLHNFLKQDIDVLLIAVPLTPATTHFLGAQEFAILGKRNAFIVNIARGAILKQDDLIAALKKPIKEGGLRGAALDVTDPEPLPKESELWELEN
VVVTPHISGLGTHYVDRSFDILEKNLSNLETGKRLLNVVNRGKGY
>RCO7_02509 | uncharacterized protein
MHYIRFLKAPKKTQDSRGLHSLSAVITITTDLGDSFLYFDLPLIVRLEDTHGNPLSDSSRFKEYLWTRSHGFKGLPIEVPVVPQILRAGVEVNMVIK
GKEEQHRVDSFEQVLSHTWEGCEDYGGVVSLRGNSKGSGTIERSFDYGASDNIKIWEEAGESIARHVWDAGLVLSAYLSAKIKTLSGSSSLPNLPTL
QNILSKPGLNVLELGAGCGIVGITLHQLLPTISRMSLTDLPEATSILTYNMSLCSSAPSHSILDWSVPVPPKIGSVQWNLILVADCTYNPDVVPDLV
ITLGRLAQENQSLMILLAMKVRHSSEAVFFTLMGEGGWAIKESIKLPLPVLGGEDEEIEIFVFGRSALVA
>RCO7_02508 | uncharacterized protein
MQFATSIFTVLACATAVNAHGHLIKPLAIMHTGAPQGNPDIRIPAQGCGAGVTISGKAAATFKAGSSGTTTWSMTNGDGGGPLSVSFDTTGKGTSFK
DVAKITKNLEGVNGGVSNEVPRGPHDIIFTVPKIKCTGCVMQVRQNIQGKDGFGSCVVVDIV
>RCO7_02507 | probable peroxisomal amine oxidase (copper-containing)
MALDRLKSVTQHFTGTADPPHPFDPLANAEIEAAVAIVKKEHGKLFFNAVTLREPPKKEMLRWLEAPKTTPLPARIADVVALAPGGKVYDGLVDLKT
GKIVKWEHMEGVQPLITMEDLQIVEHVVRKDPKVIEQCVISGIPAEDMHKVYCDPWTIGYDHRFGSDVRLQQALMYYRPHMDDCQYTFPLDFCPIFD
ADKQEIIHIDIPEVRRPVNRAKPNNYHPASIEADGGYRTDLKPINITQPEGVSFKIQGRSIDWQNWNVHVGFNYKEGIVLNNITFNDKGTVRPIFYR
LSMAEMVVPYGNPEHPHQRKHAFDLGEYGGGYMTNSLALGCDCKGAIHYMDAAFVNRAGESTTIKNAICIHEEDDGILFKHTDFRDDSVIVTRGRKL
IISHIFTAANYEYCVYWIFHQDGVVQLEIKLTGILNTSAMNPGEDTKGWGTEVYPGVNAHNHQHLFCLRIDPNIDGPNNTVFQVDATPGAGEVGSKE
NPYGNAFFANKTKYTTVKEAISDYDGATSRTWDMANTNKLNPYSQKPVSYKLVSREVPGLLPKEGSLVWKRAGFARHAVHVTKYDDDQILPAGRHVP

QTSGEPSRGIPEWIADGDASIDNTDIVLWHTFGITHFPAPEDFPVMPAEPMTLMLRPRNFFLRNPALDVPPSYASTPSQILGQGKVHDAADKTSKLV
VAGGQAECCKK
>RCO7_02506 | uncharacterized protein
MTDAQDLMDVKASVSKMAVPSVAPREGANSGSSHVQNVTFL
>RCO7_02505 | uncharacterized protein
MKRSRISEIISHLVMVTTFGVAVASPCRAFFDASALLQLER
>RCO7_02504 | probable receptor expression-enhancing protein 4
MNPAIRDHPTSPCLTPDSTSTVEWSGVSGMILTPLINSSIPTFLFPVFASYKALRTSDPALLTPWLMYWVVLACALFVESWTGFILFWIPFYAWFRL
GFLLYLILPQTQGAKVLYQSHVHPFLEENERSIDDFISSAHDRAKAAGYTYFKQAIELIKQHLLGLPPQEPSPPATPSTFSYTQNLLARFNLPSARP
AFPTMPATNTATDFYSLLASAVTAATSRDPASASSQSRDLSNSGMLIPPSVSGEERLSFIAAQRERLSILLSALDKEANALQGHSVKPSTPRQVPSM
FFDGSSGSEQEERPISSMSGLTSRKSEADFEKIEAESGAEEVETVRRQIQRSSGSASWMPWSWGGKTDGPADTEMSGTHTPDDKGKSSGVDA
>RCO7_02503 | related to mouse T10 protein
MCIVIATTAHPSYALIIIDNRDEFITRPTSRPHWWTSNHQEILSARDLQRAEQGTWLGITKTGNFAVLTNYRETDTNDAEHPIQGTRSRGGMVTAWL
TAAGDESTHEFVQRLMAADGVKGVGGFSLLCGKLRKRRDMNKELEPLAIISNRCEKLGNVPWIAERRGEVYGLSNTSFDDPDVWPKVQLGRDMVLQA
VEEVVDAGLGEEVLVSRLFAILDSDTLPENDGREFEEYIYELRKSIFIPSIGSETPLQGTPKADVIAAADVHTNGVTNGAPLAKIDVLELKGEERSD
PVTTAAMTGIYGTQRQTIILVDWDGRVTFRERSLWDAKGNPTQRGKGDMKFDFDIEGWNGESKGNEVYPHALL
>RCO7_02502 | uncharacterized protein
MFTFRQHYLPAQLQLHHQYRAPRSASLILELSAIARSPGSRASFQSFALPPSPAPLPSHSSSPAQIELKVEFEKREPGVRYPLTACSNNFTDRRATM
PAPRAHSWAEELRNQQNRRHSIIPPVPAIPAMYSNANLARPSPPAPLRSMDPRWGPRAHTPTTSHHYDNLGGGDDSASASSIDSDEGEGKGDLYHKA
LAVPRRVAPSRQNQPRRQIQATGRDTHSRKISPSLPLTHSAQPTGRNTPSLPLSQPAEFNGEISTSTTDTYDDNTEDLYSTSPVTNRRATPQTSFSE
GIATSAVDTTDTNDSDPEGLYNASPVRKARVMQSSGFKSSRDLTHTPPDISRAQPQPYVPRDQREYMPVPRNMSEPLPSTTKDFFGDHTNSDKNREA
DFNESSATIGQVDRYFTGMSNSAFDEDSDGSDLTTERPKDPVGSLKAGNSNDKASKKLLFFSKTSHSSPKPANKPQVQPKKSLGHQGSSLFDLRKAS
AKNSSQYSLGRASSPLDSSPTKLRGFAYESMAPAVAPAIVVKSNKFRSDDRPSSRGPKASRSLFNLREKARTPAPAPAIISGPTNVKHVYGFGTTFE
KATGRDTPVSRNGLNWSGTIPELDVSPPRRPRAPSAVHTSQRGTAASRARFSPTEPNFATDEGAGSEDNSSPATGGKSTLQRQEPGTSRSSSAVHFS
EGVTTQKFAKSSTSAESRGLFTPIEPKSLRVDGVAFDILNPRRPPIKKGAAPTPSITKSSTSAKIGARDPKPSMAKSSTSGQVDGRTSAFGWSKRST
PAPKGGLYIGVPTGVVQMGGSGTVLASVMGQSTPNLVPPASASVNRAREASNIALCDLVNTYGNVSLGQDAAQQSTSSLYHPSEPARSSTPAPDRGR
TPEPASRSRNPFMRAPPSTMAIGTPYGAVHTRGEGTAFEEVKVRSTPTASGTQGPKNRASPRRYQSMQDIRGGNTSSPTRIPSPVDESPQGRNFTPP
LLPSQKKENIVPAKAHRLLGTISLARVQTKPSNLPVPKSRTFGKLSSLSSSFGRSVVNLGTRNQSTTSFKAASTTSLHAEPTTSVSNTTATAVPVTH
NDVTLIYDPPEGDNWAGMFGTLKDTFLNEMKDVTLADPIQMQRFQNRAESEKKKKKDKGRDDEDAGTVGIDNLLSEEDERFKRVFAVMEARAVTQRA
RESLWRFQERFANIHHLPYLLPASCKPEETGGFMARVREALGRKE
>RCO7_02501 | related to component of actin cortical patches LAS17
MSRDPYRSSGPDLPYGGRGGGGGGGQRWDSERFAQERDRARFAGGPSGPAYGERDRFEERDSGFLRAPSGGRARERSVDEIYERRGPRGFEEDRYDS
REYYDDGPRRAPERAFGRDRGHSITIEKERERERDFIDPDPPIRRGGNRPAFLRRQSSLDTFDRKPLARFGEREEYGPPARYRERDELRAPLPPPLT
PIPLPRSRGLPPPRGFREREYEDIEIAEPDYYGDESFRGYPERVRERREIIRRRRRSKESRARSKESRASHSVRGSVRSSSTSSSSSEETTISVRSEF
PKKGKTRMPARLVHKKAIIELGYPFEEEGDTIIIQKALGRENIDEVIKLSEDFRNSETVKEKETTLTTYLIGPEAQISGARSEAGTVIEERHEVFTV
PPPPPPQSNFTPTPPPAPPVQIVQDTKIVEHTGTPHHHHQDHHSQYHPDPVIINTGPGPREEIYERREVYESGPPVGSMALAVRPHDHRKDERSIRA
EIKALEAEKEALRAEKRAERELRKADRIRGHGRTSESELILYDRDGYERTNEEVTLVRRERIVEPEGGVRIEKDKKGRMAISVPKYYT
>RCO7_02500 | related to transcription/repair factor TFIIH subunit
MSVSSLASFEYLERLPGTTFRRLYQEPSTALAIFRRMLPHLAKTFVMAMLYMSKPLKLSDIDLWIHPGSAKERDHALALLSRLHIITITVPSKDVPR
SATLTKNFGASLRLALTGGGDHQSFGVPSHESPVKGLDTEFLDKFARDQWEGILHYVVNSVGDNARQGDGGPTSSVRRLLEEGKLVTTGRREGGGIT
QAGFSFLLQEVNAQVWTMLLLWIENSEHMGLDSVDVLSFLFMLGSLELSRAYSTSTLSKTQRQMLQYLVDFGLVYVPPMAPGQFYPTRLATTLTSDA
SALRSVSAGFEAALTAASGSKGFIIIETNYRLYAYTNSPLQIAVLALFTRLGVRYPNMVTGRVTRRSVANAISHGITSDQIISYLGTHAHPQLVKTA
AVHGNPVLPPTVVDQIRLWQIENERMKATLGFLFKEFESRKEYEECAKYADENGVLVWKSDPKMVFFVTKHEALREYLKSRKGK
>RCO7_02499 | probable PaaI_thioesterase family protein
MTAWRFVRSVWKSFQAESGLEPRLFGENLRVTAAEPGRVDFELDIKKEHTNRLNIIHGGTIASMVDLGGSLAVASRGLYATGVSTDLNVTYLNSGGQ
VGDILKAVVKCDKFGKTLAYTSIEFTNAKGQIAARGSHTKYVALAWKHPENIVETLSPHERK
>RCO7_02498 | probable high-affinity glucose transporter
MYQAKNVYFICSFAAIGGGLFGFDISSMSGVLGTQAYKRYFGGPKSYRQGGITCAMPFGSLVGALASSFIADKYSRRTSIQIASIFWIIGSIIQCLS
INIGMLVVGRVIAGICVGIASSICPVYQAEIAPKEIRGRVVSLQQWAITWGILIQYFIQYGASHVGGGSDNPNQPTSAFRIPWGVQIVPAVILFFGM
FFLPKSPRWLASKDRWEEAIQVMADLHGGGDVNHPKVLAEYQEIEEALRFEREEAVNSYRQLVEPRMLKRVLLGMSIQMWSQLCGMNIMMYYIVYIM
EGANIASPLITASIQYILNVALTLPAILYLDRFGRRPAMLVGSFLMMSFLFVVGALQASYGEPNVGDLKDPNNSDISWIVVNNKPVSKAIVAMTYLF
VCTFATTWGPTSWTYPSEIFPTKIRAKAVSLATASNWFWNCILAFAVPPLLWNINWKMYMIFGTFNGLAFIHMFLTAPETKGKTLEEMDDVFDSGIK
PWKGVQKGSRLDQLEKDIEAGNVKISGPSGAARAQEKDAGHTEPSDRVV
>RCO7_02497 | probable UV-endonuclease UVE-1
MPPKRKRSAAAAPAVDRPLNGVHETPILPNSAINPPPLKKRASRRGKVDTNPDHNADIVDGKFALRASPDADEKGEAFNAASLRPITPVPLPLPVAK
TNGVVKKEADIEGMNGVEAPSKKQKKSPTKSSIAAKKGTDEIKAFRAEQAAKKAAEAKVKKEEDVDEWDKRLDPDGDEEGPAEAVDAVQAAAKRSPP
VHSDYLPLPWKGRLGYACLNTYLRSSNPPIFTSRTCRIASILEHRHPLKDPSQPEHATKNRSDKSQPASIERGQRYVEELCLANIRDIPKMLLWNDK
YGIKFMRLSSEMFPFASHAEYGYKLAPFASEALAEAGRVAGELGHRLSTHPGQFTQLGSPRAEVIANAVRDLEYHNEMLSLLKLPEQANRDAVMILH
LGGTFGDKAATLDRFRQNYSDLSPPIKARIVLENDDVSWSVHDLLPLCEELNIPLCLDFHHHNIIFDPSQLREGTQDITTIFPRIKATWTRKGITQK
MHYSEPCPEAITGTQRRKHNPRPAMLPPCPNDMDLMIEAKDKEQAVFDLMRHYKLPGWDTFNDVVPYERDDDNRPAPKKAKGKKKTKKQIESEIEEF
GEEIKEVEDELAPIIPEEEIGMGGKENRVYWPLGMEEWLRPKKREIAGKKKGAGGDEEEMFQNPTPANFKARQEITKRNRKPLASEELEKMREAKNV
EDIKRLLNEIKEKEAGVVDEDVAKEPSASKTKNGKGTTTPSMKATPKPKATPKARKAKSAPTPSVSNMEDEEDEDEELSLPEISEEEDYDEKPVLKR
AVSSRQSGRAKAKPMSYAEDHDDEEI
>RCO7_02496 | probable mitochondrial genome maintenance protein MGM101

MASFVPRAAYSAIIECMSSGLARTSSSRILRSPQAANSIRCVSTSRRYAAAPASTPSYVRRPPAEATRPAAPKQATAPSVPPPAKQSSIDDQSSIKD
MTSGLADEPLILDEGSRQVDWTRSFHGLSAQPFSKEAADILLAPIPTDDVEIKPDGIMYLPEIKYRRILNRAFGPGGWGLAPRGETIVTGKSITREY
ALVAHGRLVSVARGEQDYFSPEGIPTATEGCKSNALMRCCKDLGVASELWDPRYNRKFMKEHAKQIWVEHVPTKKKKQMWLRKDDEPRYPFKQSKFG
E

>RCO7_02495 | uncharacterized protein
MSKSESDSEAAVIEDDDEPDEWDKRIFSTGCAAENTKMTDCYWEKKDWRLCKDEMENFKKCWKQHQNDTRTDSKDS

>RCO7_02494 | related to BPL1 - biotin holocarboxylase synthetase
MASRKMDVLVYSGNGSTIESVRHCLYTLRRLLSPNYAVIPVTDTVILKEPWTASCALLVFPGGADMGYCRSLNGEGNRRIEQFVRRGGSYLGFCAGG
YYGSTKCEFEVGNRALEVIGKRELAFFPGTCRGCAFKGFVYHSEAGAKAVELKVEKEAFKAGVVPQSFRSYYNGGGIFVDATWLADKGVEILASYIG
DVDVEGGSAAVIYCKVGSGGAILTGPHPEFAAVNLDPNSNGPDYPKLVAQLAEDDESRVNFLKGCLAKLELTVSQETSSVPSLSRLHLSSMHHYLIP
ELLTSWEDIITREDEEEYIKGENDTFHLEKQESRWSVSRLAKALPSTGISAGEEPQADQVDGAFDDRVIDYNAITKRLIPHEKDWPGTKETPYFNHH
AFYANLRKYQEERGGEAEDFGKYLAYGEVVTSTNTLLEKNPKLLSILPPGFTITATTQVAGRGRGSNVWVSPPGCLIFSTTMKHPMELGNTAPVVFI
QYLAAIAIAEGIQSYDRDYNDVPIKLKWPNDIYAQDPAKLGKKEYVKVGGILVNSSYSSGNYDLVVGIGLNTTNTAPTTSLNALLGPSLTPFTLEKL
LARILTKFETIYKSFCRTGFDEKLEQTYYKHWLHTDQIVTLEAEGGVRAMVKGITRDWGLLKAEELGWEDRPTGKIWELQSDSNSFDFFKGLLKRKT

>RCO7_02493 | uncharacterized protein
MEFPDPEALDVVGKVCYQDCVRALMNMYSNVWWSGDESGQHQHVDLKGNEEEHGSLCRGLGAEWLQIIQDLPVTTFKSCPDDLENHKKFIEGFEAWL
DSRALQQIIMAGSASEGMACLMYNHMNPQRIPSTLTGRRLAVTQRGKVGVVPRSVQAGDVIVQLAGSLNLLVLRQDQRLRNQNIARDIKTALRARND
DESINADQRLEVMQRIDQLDVKNSTLVGECYVDGEVGWKLHQAWDLGIFALR

>RCO7_02492 | uncharacterized protein
MDQIYSVADHTVIHLGSLTLEAETILKAARSNTSGVVIHPEDIVKIAEQNMLRAVWFTRVWVFQELVLSRDPWIQYGNLRARWTEVCDLLISPSWDQ
DSKELQVLADMNSSRGPSRQQFLTLLTSRRGLGATDARDMIFANMGIASDKSSLLKYVQVD

>RCO7_02491 | related to endoglucanase I precursor
MKLTTFAIPAFLAATAAASPTPEAPGFVGKRAEKMCSNWGSVVTGGFTIYHNPWGASSGTGSQCTTFNSISPAGSVSWSTEWTWANGKNSVKSYSNV
ALEKVNKPLSAITSIPSTWSWSYTGSNMVADVAYDLWLAPTVGGANKYEIMIWLGSYGGAGPISSSYNAAGNPVPAASAIAIGGTNWDLYKGPNGDV
TVFSFVAPSNQANYSGDLMAFFNYLTKSQGVPTSSVVTSLQSGTEPFTGQNAVFTTTGYTIKVI

>RCO7_02490 | uncharacterized protein
MKIMTFWLSETCHTISDADTTSVAILVMVESLSGNSQTAAYTHRIGLAEMIDARGGDQSFDRAPFILRLLAW

>RCO7_02489 | related to galactinol synthase
MEASSNSHEKAWVTLLTRTSYIPGVVLLAHSLQKHNSKYPLLILYTPSLPKECLPALRREASLTNAVLKPTEPLIPKEQRNLIAARFEDTWTKLRIF
ELFEYERLVFLDADMLVFRNMDELFDLALPGRDWIAANHCCVCNLDKDEWAPKDWVKENCAYTGLTHPSCLGSPTGVPNDGQGLGTHTLLNSGLFIC
TPHEQLWKELLHFLETSPLVKNFMFPDQDFLAEFFRGRWQALGYQYNALKTMKYWHPEMWRDEEVRNLHYIVDKPWTKRVDSDGTAGYLGKDGETHR
WWWDEFGRWEGERENMGEGAVLGAVRMSSAAISG

>RCO7_02488 | related to delta 8-sphingolipid desaturase
MSFAKRQEVLCPREVNQLIDDGHAIVMLDRRVLKLDSWLQYHPGGDKCILHMVGRDATDEVVAFHPADVRKQMLRYQIGVLANRWENVLPPLQRGSA
EETIIERSIEIEVDDGSETESLSSSSNLSDIFDSDHLTPGLTRRKTRTGSVSSRSSISDAEASSSEKLDLQSKSKLPVPSVRTPDSSDPAEAMDQET
QDAIAESFRELVAKLEDRGLYDCNYWAYLSDLARLTVIFAAMIYFLHQGWYVTSSLFMGAFWHQMVFAAHDAGHKGITHNYHIDTLIGMTIGNHLGG
LSMGWWKRSHNIHHIVTNDPAHDEGIQHLPFMAVSTEFFKSLYSTYHDRIMAYNSFAQFVVPYQKYLYYPLLCFGRFNLYVLSLEFILMDKGPKSNR
WHRYYELSGQVFFWFWFGYLIMWCSIPTWTQRFLFLMISHMVTMPLHVQFTLSHFAMSTVTPSRNEPWAMQQLRTTMDVDCPAWLDWIHGGLQFQTI
HHLFPTMPRHNLRQASEEVKVWSEQVGLNYEVYGFVKCNGKVLSRLEEIGRQARFLNECKERVLNDGEFLRGHWE

>RCO7_02487 | uncharacterized protein
MIRAKTRSEMLDPKAPPSRIPSFTNPLRRNPITASSTPSSSNEGRRRLSRRSTGAAQDTVEVGTGNQLHPQHIQKHRVSYPIPPRTLSLAQPRDESP
TSIYKTRVSCQIPPRTSSLAYSKNGGPTRLPRTTRNQVRLIDITVVPAPASLKIESNPGSHRQARGSASTRSSMKSSLTDPIFDTPTTAALITALHA
CLLSTASSNRSLYLTTIQKLLHKICESPNIISGSSISFQSTAIEYLISGAKTDNLVLASLREAVCVCEDWVGTYEFHHENAIRNKRLQGLKPEERKL
VDSWRKRRVCWCGEQVEREREIMDVVGNGATVQQDRSETREMYEQREHMEEANEVVRRGYIAQAVSRETRPRPGYVKPKHIPERVLEVHAEAAWWDN
HKIDQSGRGRLNGQSNNKKNVSKGREQPIETERQVYQNRKDRRSMPTHCEGQEAREERGRQERQDIRGRQGRSMSPRFKSRLPVLGGSGRRFAIGQD
GNAEHQQEASHQVTYQADVERNSDRDSFHSAFEMQTGIHEKEEPEPKQDREREEEQSPQTTHQTPQSAGLAEQRWQDFLSQLVASPRTYAQDSNRPP
NSRPDSFFGQENFSALKPSKSAAAERHVKCGSSFDSNSDSDVKSFADSAIGMSPAPSRDNSTRSHRESYEEEMETDHHIAIAAQEQEIDTDDNDNDN
GKGKEDIRHVRFTKVTAEPSSAQLRYRVPEFERPHARNPPRFMRARTIAITSPSPRRRSEPEPHKKLDPTNYPTVEFRGDIYADVSIGAGMGSLATA
LCIPQRRATVVSKRL

>RCO7_02486 | related to growth regulation protein WHI2
MSGKRSRANFEADLQAQQSPFVAFGTPLPPLDPDVRDDGSYVPVWKQEVRDERGLKRLHGAFTGGFSAGYYNTVGSKEGWTPSTFVSSRTNRKKDEP
KAAQRRPEDYMDEEDIADAEDAKRVQTAEGFAGLGSTQDDTNRCGAFIDLFRIEGETVGVKLLKKMGWKEGQGVGPKVRRKARLEGLKKPGDDANAT
YLLAPENTHMISFVRKNDHKGLGFDGETKLSSNHGPGTATPKSEDEDEDDGGLLAPKASKKKKKPVRGGIGMGILNDTGSDDEDLYEIGPKISYNRV
IGGDKKKKKAAKINPLLSSKPIFISKRTAMAKAAIGFRKCHDGRLPLDGFILSSIDEFSSVTRSTEEYEAPQVPEGWSSSKQPKDGPQSGAYLSTAD
AAKASKLDPKSRASMLGEATLPGKSVFDFLTTAARNRLAYASGKSNLPAALGEIPKGYNMTEEERHRDLLAQIPKVDRYTADAALTRGASGFMPYGE
DEGKRSRYRGYLEYQAGINTTVPKKGSGVSQDDWLKELREFANCAQIFKPMSGMMATRFTSSTTAPKLASDPPESASLLSKPTPKAEDPAEQAAKLG
MYGPLTRSSKEWYPSRLLCKRFNVKPPAHVQPGATEHGDETGATRKSAPDVVSQSSIEEMMRESYSQRHDGEGTAATKPAEPTVEVKKEALVVDAER
NEALEGQKAGEAVFKAIFGDDSDDDD

>RCO7_02485 | uncharacterized protein
MKLTVALVALAAALFQQVHADKYCCVSTSEKSTSCGDEGTRYCPLPEPRSSRKFVRPTHSGRAIIGQIVGFMNPVGQKKMDVPWENGLALGIQYENQ
S

>RCO7_02484 | related to serine/threonine-specific protein kinase KIN1
MATTASSGSPTVERSNSRRYQSTSGTTGTSRSQATRIKNSAPLPSPSRTQSTSTSTSTSNTHHHRLSRHGVVQDILPQKNYENTTHTSRSSSSKDRP
NPPGTESSTGTSHRQSSKSRHSSDMTSAVANGGGPAPVVTPQESRQPGRTGKSRTTIPAATGNWVLGKTIGAGSMGKVKLARKVEGGEQVAVKIVPR

GVTDDGHNQSRADRERAEHSKEVRTAREAAIVTLLDHPYICAMRDVVRTTYHWYMLFEYVNGGQMLDYIISHGRLKEKRARQFSRQIASSLDYCHRN
SIVHRDLKIENILISKTGDIKIIDFGLSNLFAPRGHLKTFCGSLYFAAPELLQAKAYTGPEVDIWSFGIVLYVLVCGKVPFDDQSMPALHAKIKKGI
VDYPSWLSPECKNLISRMLVTDPKQRASLQEIMNHPWMTKGFGTPPDNYLPVREPLTMPLDPSVIQAMTGFDFGSPETISAQLSEVVESQEYQRAVR
LAIQERENQGPPRDPEKKRGFGFDFYKRRNSTNSRDTLTAPSSDALALGSDPVNAFHPLISVYYLVREKQDRDRLAANPGATSMPRSPGEAPLQVPD
LAPPKAAHTNAAAYEMPGEKATGGRSRPRARTHGEDEVTESLKNLKIPNPSGPVSPAIHEPPPESHTHARKESTAAGILRRFSTRRRKEPSERSHPP
LVTVQSPHEHSTLRKSFSVRRTREPTTDGPSSSMLRSGSSQPQHSDLLNPPRTVDNTRSSKALGRSTSVNSGDFRRKESRRGASEAAPPRVTYKEPP
TTSGSDHSTANEKEKPAEEGEQQKAHLNPRTAASIRAKSLGHARGESIQARRARRAEAREANVPEETDAELGDASGLSNERIDNAENVKPVFLKGLF
SVSTTSTKPVPAIRADIIRVLRQLGVDFKEVRGGFSCRHTPSIDLKKVVDLPPSSHGNHTPGHKRRISFGGFMGGGNAERDREDFRDSERSPQTPRT
PARHRGDNSYTNSDASDESIHRDQRGPNRAVGETSTHVQSELGGSMVLEFEIFIVKVPLLSLHGIQFKRLAGGTWQYKNMADQVLRELRL

>RCO7_02483 | probable cell differentiation protein rcd1

MLQGAHVFSHQQQYTPHGEPGWMHHQQQQQQQQQSHNQHAQQAAAAAASAAQQQHYNRIAASHNAVGPAISSHGGQDTSMMDNVTEENRRTLNYIA
DLLNEDSREAALLELSKKREQVPELALILWHSFGVMTSLLQEIISVYTLLNPSQLTAAASNRVCNALALLQCVASHNETRALFLNAHIPLFLYPFLN
TTSKSRPFEYLRLTSLGVIGALVKNDSSDVINFLLTTEIIPLCLRIMETGSELSKTVAIFIVQKILLDDHGLNYICATYERFYAVGTVLSNMVSQLV
EQQTARLLKHVVRCFLRLSDNARAREALRQCLPEPLRDATFSSVLRDDAATKRCLAQLLINLSDNVVDNPGNHSGM

>RCO7_02482 | uncharacterized protein

MRHQNDWDVRTPTRNSALHSNATISIANQIQTQNKSYEKTTNPASAATSVISNRGQHIDPSQEPRASSNGFRFHDFNCCNPDTDMETLAYNPARRLD
MFMNSHSGYGNHRGGPIPQSGQMSTNFSGTGGLLGILNAEIYDDGSSGMNLREKRTKRQPKPVIPFGLTEASGDSHEEEDAKGGMRKSRRKRNVIEI
ASLREVDEDEEARKKARGRSRVDTKDETAADRRRTQIRMAQRAYRHRKETTITSLEKQVQDLRGTNEEMNNILITLYNFAVGKGLLQREPEFGQQLQ
STTERFLALTKATVNDDGQDETFGEDEKQADPQPARRSKGSKGSPKKRPIDLDTHMADPVNPWGGYTFSKDYTPEDDLSMDFTQNNYEGGARNDRRI
ITRPTEDNASFLFDLMDLQQYHVDLPTIEDFSHNFLPESQPSLPRTVAYSEFSFARRIQRGSIERAFRLITSKSISPEVFNKVFGLTLRYETRENLE
IRLRRAITKTKNDSLNSWRNPFVHIGGSGTFYPDSDPSNEDLRPKIRTGYSMGPFSPAATEAQDLFEEEMRCNVPGYEGEFFDANDVEGYLRGRGLD
IPPSADFITVEIDTSIFTEVSSPNSNSSLDLSSPKTPQSPLEKRLPDPFIASYSFDFTNPEPKDFPFPALKYGSWDSQVDVTDSNLDPIFGTLTNAN
SAMSLGHPSPDSIEGEVPFMGKRLVTINVQKLIDEILNKAVCLGRGAGFRQSDVNAAIVLAAKAGVD

>RCO7_02481 | uncharacterized protein

MSAPTETSRTSNSQVTPNSRFRSRFLFRSGKIYSSTLPSTAPSQNMESAIYEPEDTPLSANETTLRSGSVRKAAQILGLKEEAVRAGQQYCFKRNLR
RFQQDTPLAEQNPGRSPPQKSTNSKTTTGRSRASTYPIALPSWIRKAYDLKSTQDTETRRKSAPDSAAIKSHSPPNSATKSFSLSSIRRTSLRRVFE
TVRRRFTGSSLSLPVFEDDDEEFFLDLGSNRRGFSLDLPPHVSQDKSEIDNIRRKNIDAYLNLNSDVIPPPGFNDEEVDWEKMDNNPPAMTPDNSQR
LSTSSSNLTTSEAPSLPANLPEQTIPEETTASTSAAASSEMWKEVVWHPEPTRNWVLTNVAPHDTSREDGGAENESQPLGESAKSRKGWLEATEGIA
LYRSLIAQSLQIPLPHEFTSHEYGEKGYEKINPIKHFIRKKFRQNTHHASPRLIVSALEAGYAAEELLYSAIIGSTTALSQIHGLLHTLHRQRLLAR
QRCAQPAPRPTAALKARLRAYPGAGKVVDIRPLPLSKLSANRHVPSLTIATFLPFLRFKKEQSPYLSRVLSQKTKLKQKRTNWIDVLEMQVEMGNME
GEWEDCVLEAVEDEGKAEESEGLERLGWGSEDESWAVEADKSRKQVLRNIYKEYSNAKRLADRLVGVVKEERDLWEWERSQRKEKKWKAKGYVVEEK
SFQRKEKGEEKFATWKPLSAS

>RCO7_02480 | ubiquitin-conjugating enzyme E2

MAAKVPRNFRLLEELEKGEKGLGAEACSYGLADGDDLLMSNWNGTILGPPHSVHENRIYGLNMHCGPDYPDKPPTIQFTNAVNLPCVSPRNGVVDPS
KLACLANWNRNMTMETVLIELRRFMAHPSNKKLPQPPEGSKYE

>RCO7_02479 | probable MON2 Peripheral membrane protein with a role in endocytosis and vacuole integrity

MTAQILASELGNLIQESKRKHTELRNAAEKSLDELKDLSQRPNFVTPFVIACGTKNVKFTGIAIVCLQRLVVSRALPRSRLREVLEAFKEATSAGLD
VQLKILQALPSLLQNYADDLKGELIAASLNICTILQASKNAIVNNTAAATLQQLVVSVFDKVVAEDKIALELPTVGEASIEDGTVQLRAAALDAYKV
FNDLCLLTESQKPQFLKAAGLPQTFGLELIESVLTNHATVFLNHPEQANILRIRVMPFIISALSEKLNFAVTVRIVRILYTLLRKHLSILTSEGEMS
LGLLTHMLDHDTALWKRSLCMEALRGIFADAALVRRVFAMYDAQDGRKNILRDLVAAFVRLSTEKPAVIGLGPQSTIPVMSQGSSSGSDQAMLEASG
VPGIISSSVSSNEPSVGVSTQWSTMRVPCIDQLDKTEAPVIPESYIYSLTLACISGFSEGLAKFILPLTVPDRPRKKARQSEFEPHDSMPGSPDPRI
KLERRTSIKKNPIPVNPLTLEDHPLFEDVRICARIVDDCWPAILATCSTFLYAALDTEYYHGLVRSFQKFTHVAGLLRLATPRDAFLTTLGKAAVPS
NVLAANTPAAPAPPTPSIEKQSIFSNAKGLLSVDTLVSQSSDRGRQSSVDSSPTSLNTRNLLCLRALLNLGIALGPTLDSAWAIVLGTLQQADLVLF
SSTKSARTPNTNQRPESQSSNDGSALLANFGTEIKAVETAASRLLESTIDFPNEAFVEVVTALCSLFGREEMPKQQSEVTNTSDPPSPKSRRPSHGH
RGLHSINTAPATQNQEDLFALAKLGDVASINIGRLMNYDPRTSGWAALTSELTSAACSPSTPSSVRLRAAEILVRLVLEAATATLSLPEELRRDVQL
RLLQTYKKAILPLESDEREISVSIHATDIDVHKVILEGLKSILEQCGETFVDGWDIAFSIIGSVFVNNAAQIHCTVKDSRESTTRSARLIRSSFNSL
QLICSDFLSSLPNACFIILVDTLYNFCTQDDDLNISLTTVTFFWVLSDFISGRTTSFSLSPNLIKGVNEENLVEMASGDDLSVSDAALWMLLLLRLT
SVTTDERLELRNSAIQTLLRIFDAYGDQLSPEAWTMCLNSVIFKLLSSIEVQLQATHEEDSSVSDKDKTGWNETIVVVLTGITNLLADYLDVLSSHP
SFSKSWDALLGHFRALLDFNVLEINTAVFKSLRQILTRGNIKEGSASNFDRHALDLVWDLWSTSLPVVKSDPTNKRFDNQNYLLAYSAALQEIYRLI
QADIGDERVQRMLILLREAIQQASAATYSADIEYLTPLQSQVLECLKMIRTDIEGVPAALIGQVAEFVALAFEPRCPSETQRPTYVALSKASMALSE
SLIIAHSSDHEIYNSGAVSSALTALARPIVMKYSFPLVTKSISPWRQATTSFLAVFKSILPVLTKSSLTSEVVSNLWTSIITIGNGIMAADCASLSS
TATIPTDQDFDITSFITLRDLITPALGSSSIPDKTRLTYTKSLFHRSLIHAPLPSELPQPSQELLSTLYQTRTGRTVDPVPARRAKMSYVCMDTLFS
LVALNDGSAPRIKLAQAAAPYLILRAGLTLRAYIADQPLRGRMPQPLSQRRELLYILKALVNLSCEPEAIPDSTGVESEGKKHLFWLYPLLAKAVRA
ASRDMEVLEWVGKALDVVGGEFGVGES

>RCO7_02478 | related to stomatin family, may link integral membrane proteins to the peripheral cytoskeleton

MALEAASLGALNELLFRKSFTSVLTTRTLPIARAATLPVLRTQHRRQLHVTPRSRAPSSALMGISNSSVPSSYFQKPRLPANTIIKFVPQQTAWVVE
RMGKFNKILAPGPAILMPFLDRIAYVKSLKEAAIEIPSQSAITADNVTLELDGVLYTRVFDAYKASYGVEDAEYAISQLAQTTMRSEIGQLTLDHVL
KERAALNTNITTAINEAAQEWGIVCLRYEIRDIHAPEGVVEAMHRQVTAERSKRAEILDSEGQRQSAINIAEGRKQSVILASEALKSEQINMASGEA
EAILVKAKATAAGIDAVANSMASGKEFAQGAVSLSVAEKYVEAFGKLAKEGTAVVVPGNVGDIGSMIASAMAVYGKVGDAQNKAMATRADEAQASQK
ENDNGEKFLADVESPNDEMKRSMLASFENTRLRK

>RCO7_02477 | related to formin binding protein

MSEYWKSTPKYWCKHCKTYVRDTKLEKTNHEATPKHQGNLKRFLRDLHRNHEKDEKDKERSKMEVERLKGLVSGGGSSSALGSSSSAFGRGPTPSVP

RQYATEAQRKKQLAQLAEMGVEIPSEVRSDMAMPGEWQVTSERVIDPEGTEKKPDALALGVRKREADEEEAELIEAKKRRWGSAYRTHPTEEKDDGL
DDLLNNATWKGKELATKDDGKAEVKEEIKDGAKQESDKPELGEPSNGPTEDAKFDDAHLPGIKRELPDGDNNAIGSLLPIEGVMQEAEEPTVTGVVF
KKRKAKNIRQKGGVPRSSILY

>RCO7_02476 | related to zeta-crystallin / quinone reductase (NADPH)
MKNAIVAKGPKVTINDVPIPKPSANQVLIKVIYSGSNPKDWKLPEMGHTLNSGDDIAGIVEAIGDNVVEFKKGDRVAAFHEMMALHGSFAEYAVAED
YTTFHLPKKTSFEEGATIPLAAMTAALGLFQRLGLPEPWKAATEPIPLIVYGASGAVGAYAVKLAQLSNIHPIIAVAGRASEFVETLITREKGDTIV
DYRKGHEAVVSGIQEALKKAGVIEVKYAFDAVSEHNSFQNISKVLAKQDSKITLVLPGKDYSAIPSYIEHSTTMVGSVHKGPSEEKAKLGIHTDDKE
FGFAFFRLFSRGLQEGWFTAHPFEVVPGGLNGVEKGLSNLKTGVNSGTKYIFKIEDTE

>RCO7_02475 | related to histone transcription regulator
MLVIKPSWLVHGGEQKDFEVYSCHVSPDGSRLATAAGDGHVRIWSTEAILRAGDVEYKKPNQLCHMSYHSGTIHTVRFSPNGRWLASGADDKIICIY
TLDANPPSHQANFGTNEAPPVENWKIMKRLIGHDNDVQDIGWAYDSSILVSVGLDSKIVVWSGHTFEKLKTISVHQSHVKGITFDPANKYFATASDD
RTIKLFRFTSPLPNATSYDSINNFVLEHSIAAPFTSSPLTTYFRRCSWSPDGNHIAAANAVNGPVGTVAIINRGGWDSDINLIGHEGPTEVCTFSPR
LFSKQKISAETTDNSGYSTQALVTVIACAGQDKTLSVWNTSSSRPVYIVGDLAGKSISDLAWSPDGNTLYATSLDGSIIATTFEEGELGFIAPWSEN
EKALQKFGVGRRGIGVVEDVAGLRLEEMSKAGELQKTEGRMGALMGDVGSNAVPMQNGHVNGTGTSTPMVGVTSAPVITNGQPAQESLVPAPVVDPN
AAKVEAMKSRVTITKDGKKRVAPLLVSSSGTGLSSLPQSQLMATNSRNAQNDAPQSILDLSKPYDGLPRGGLAAMLLGNKRKAIAIDGEEEDEPPNK
RPALGSGPVSIMVNGINGVEPATAAPPATGLVPTPEFIRPAVINPALSISQVRLAVPKVRTHILRSLDRGTLPSSKSSGTNGTNGAEESAKATDDII
LEAQNPPTVIGQVRDPSRISASKRGAIVWHDYLPRAVILVTGNKNFWAAACEDGSIYSWSPAGRRLINALVLEAQPVIIECRGWWLLCITAVGMCYV
WKIKDLSSPHPPVSLAPILEIAMHSLGVHTTSAPGVTSAHLNSTGHIIVTLSNGDGYLYSPQMYVWQRLSEAWWAVGSQYWNSNDSSISSLQSTGVG
PDTKRDGKVDASNISAGIIPHLERHTTNEVLLKGRAYTLQRLVKTLLSKEGFEGFESGVSIAHLENRVAAAMQLDAKEEFRIYLFMYAKRLGAEGLK
AKVEELLRVIMGGILQEDDEMDIEKDTLCGWNRKELLKEVVLILGKFRDLQRLTVQYARVLGMDDEENAV

>RCO7_02474 | uncharacterized protein
MVAINSILSILTIATMATATPAELVARGESIANYRFFTSTNCNFSELPTRQTLTAILPAARDPPLQADQRAVGTCYTEANFGSIAIFNIRSGCRWSQ
YLNTTNCTGTALAVKGSSNPQCLPTNGTAPRNSYKFTCGN

>RCO7_02473 | related to alpha-1,2-mannosyltransferase
MPGRGFRSFSSRPFPYTPIRSASANSNWSFRSIPSSKRSSSTDSSVFWKTPPKSWRASVRGFLRTSVPGLAFVRQYISSRRMLSLIVCVAVALLLIG
FTPGSRSAAPDIHALTRYTPIRPVTYSSGSNGPDPLRWLERNSDGRHAVSKGYLPHISLFDGRPRAALISLVRNSELKGMIHSMQQLEYRWNRKYQY
PWIFFNDEPFTEEFKAATRNLTSAECYYKVVPKEHWSLPSWIDESRFMNSLEYLGTIGVGKGWMVSYHHMCRWNSGFFYKHPFLGAYDWYWRVEPDV
HYFCNIDYDVFRFMRDNNLKYGFNMNILDDARSFPSLWSRTRAFAAAHSNLINPDADVAWLLDNENGGEYNNCQFFSNFEIGSLNFWRGDANEAYFD
WLDKAGGFYYERFGDAPVHTLSVAMFLPKSEIWFFRDIGYQHDINHHCPPHREGKCSCEPTRMDENFYKLVPLESPQKKPADTCIRQFLGGDWLKKK
EGWTMAGEKAYGGDGYHGYEILGDE

>RCO7_02472 | uncharacterized protein
MSSLETPLPIRLAQTLGITSSLVLAGQTLSTSFVTAPRLLESPASLLLRQWGNMYDVGKKTGPTVSAIASSAFFYLAYKTHISNLALLNTTGNWTGR
NWLYTLAGFLSVGIVPYTFAVMLPTNKELLRKVEVVRRVETSEEDEVERKDLERNAHQLVDSWATLNLGRGFMLLGSGVLGVWASLV

>RCO7_02471 | uncharacterized protein
MEFWTALGALCTLFLTLPARRIVLLNGEGWKDLFTTKNACFTTFWLSVLGIATHFGVWLRLWEMLLVDTFNFCGNAPLLCGIPISKIFTAVLVFVLV
YVIVTRLGTQQLRGVKWIHRVIRSTISHVDSAYKHTTTRWVLKTLLTFIKQLRLVYFLHQKVDDDGDIMTSEEPVQLFERKKSPKPKFGMPSSIKLQ
FQQAVELARAADKQSQGSIGKAAGASKKH

>RCO7_02470 | related to Cu-binding metallothionein
MPTPSTCCRKSGQVCVCAGQAKCSCGERSALQCSCDKASTENKVTGPRCSCRARPAGSCTCDRASTENITPSGSLCSCGSRPVDACTCENAADGGLL
PTETDFTLSH

>RCO7_02469 | uncharacterized protein
MFGDVFGDKTSVASLPYGDRWALHRKRLYHSLKGPALPASKPRQEAEALALTTSIVNESNDWSQGLDRCASSVVFSMAYGRRIASLDSNLLKTRQEF
FRYVSDLLKPGAYLVEMFGFLLQLPSFLTRWKDTVLQMGRDQAAFDISLVNTAEVDSDANALSEAHFAAVPASLFGAGSYTTASTLYFVVLGLLTQP
DMQKLAQAELDAIVGNDRSLTYADQAEVPFIDAIIKEVLRWRPSAVFGMPHATSETDVYKGYLFQKGTVVWASSWGVNQNPGFFPSPQTFAPNRSLD
TSDPRYDANVAAKPFPGGSHDHGEIYDIDAFTGGLVLCPAPFKCRFVIRDEGRRLVLEREMKEAEEVLPLFPAFD

>RCO7_02468 | related to N-acetylglucosamine-6-phosphate deacetylase
MPSAIPMGKEIITKFTNCRLVKGNELVEQDLWVSSGTGKIVRSQEAFYGDHSVPDITIDLGGKIVSPGLIDVQLNGAFGFNFSQIPEEPSTYGKTLN
SVNKVLIETGVTSYLPTLTSERKEVYQQALPFLGPSGFTRNAENGAESLGAHCEGPFLSPSKNGIHKVENIIPAESGFSDLEDCYGATNINSTVSPF
DGTLRPPQIKMITAAPEVAAMIQTIPEITSRGIRFSIGHTEATYEEASEAVAAGATMITHLFNAMRPLHHRNPNVYGVLGIAESLPRPYFGIIADGI
HLHPTSIKIAFNAHPDGFILVTDAMHLVGLPDGAYEWTNGERIVKTGPKLVLEGSDKIAGSSITLIECVTNFLNWSGASIPQALKAVTSTPAAMLGL
SDIKGNLKADADADIVIIDDVIDEFGKKDLLIDQVWKFGSKVFDRSA

>RCO7_02467 | related to beta-N-acetylglucosaminidase
MEGSESGDMDPLWNDLDWAMGQLFFMAAQETAKLVKELQTIAHQAGHPVPLLIALDQENGGVNSLFDEDYICQFPSAMGVAAAGSPEMAYEIANATA
KEISAVGVNMIMGPVLDVLTNARYQPLGVRATGDDPQEVSQYGIAAMNGYKDAGLITCGKHFPSYGNLDFLGSSLDMPIITETIEQLSLSALVPFRN
AIREGLDAMIVGGCAMANASMNVMHACLSDQVVDELLRNDLGFDGVTISECLEMDALSHDIGVRGGTVMAVEAGCDLVLLCRSFAVQQEAISGLKLG
IENDMISRERIMVSLRRVLHLKSKCTSWSKALNPPGISILANLHPGHLALSTKAYDNSITILRDKGHLLPLSNTLYPDEELLLLTPLVKPLPASAAT
KALTESTRSAGNEHDKWQHRSSIMSGEGVFRELGRSLARQRHGKLLHTSYTANGVRPVHENLINRAAAIIIVTADANRNLYQNGFTKHVAMMCSMLS
AGGKKKSLIVVSVSSPYDFAMDKSIGTYVCTFDFTETAMSALVRALFGEFVPQGTLPGTLRKSRKVQKSRQNWLVESWNRDRDRRGLLALIQTIEKT
MPPNTQSGLSGATAASFELATFTPPNDTIQEQHFVVRNSSTQALFGFCSTYFHVATSHGILSSLFVDPSKRNLSIGHSLHQRALRSLLTRPSIKTLQ
LGSSLPTIYPGIPMSDLTEGARLKRWFATNGWDISSPRLLYTLTIRNLATWQAPEGLLPAIQRVSFKFDLISGKGNAESVLDLVKANSGPEVLALYQ
LALEDESCGVVRARSPVDGSLVGAVIITRPNSSLATYIPVLKASPTTLSPSTNGIPDNLSSVCGILAPVVPSSPQAALVLQGLAMLGIKQNKGHRAT
ACVLCWVQGEERDVLLGIGFDVLDAFEEVQCPAERFSEMNLN

>RCO7_02466 | related to acid phosphatase
MAGYDTGSLTISSLSAAPNDILRLTASNNGQHQLPGHGMDAFDHDLNFEGEGIFFNGRDDVNNHGMPSIPFTPSYELSDAFSATFEDPFPYQSGADF

SSLLDDSNTNPQNESTNSSAGLDNKLLSFGAPLIKGPIFDDAGQTWPNMSAELYGMFFVAEDVFGDNNTGAARPMELTCYRRNLFQISGTLVLSRGI
KAMINDQGALVPIYDLTATITATESIEGKSTEIISVPWKTAAGSSSEERAGSAPPKWPLDLNINPELDPILVSIPITWKRLQFKHATANNGRRKGLQ
QHYIIQINIMATLPSGESDKLAEIRSGAIIVRGRSPRNFDSRKDVSLNERKLDSKPRKMSDAAPPVKVDPGVTNSSYKFYALNALSTPLDLPEWNNQ
QPLPKASPSTASSDLPRPAKMPTLTHQSSSGSARPPVPKTRWKAESSSSSIRPNLATAPIDLSLADDEYSRTGTRGSFSCEPGSPLFERDRMRRSVG
IGMGSPIENADLLYEYFPLSVDDWMPPVDAIYRPHVVHHTIVPPDLKAEQVKNKTKRYFSADD
>RCO7_02465 | probable hexokinase-1
MKRVRQVFFAALLRTLLRTKNVLQSILNIWISPSVINKENINGESNSENGTSERVIRKFLDSIEKNFRGSVERGRLVALSDGLKSQFVESLVDNPLC
MLPSYNHQLPSGNETGAFLALDVGGSTFRVALIELTGKGKGAGTEILKMASFKIGPPERKLQGILFFDWMAERIDETLSGQTQGQEMSQAPLSMGLA
WSFPIEQTSLRSGLLQGMGKGFLAAHGLLGHDLGDLIQTSCSKRGLNVRLNAIVNDSSATLLSKAYLDSTTRFALIHGTGVNAAVHLPIHAMSPPKF
GVRPPEWHDSAKHVIVNTELSMFGAGILPLTKWDKLLTSAHPNPDFQPLEHVVSGGYLGEIVRLVLIEGIQTAGLFEGVVPQSLQETYSLETETVSR
IESDRGPGLLKAQQLFSSRHPTSSPLTHGDIQALRCISSAVTYRASGVIAAGVHALWQLRNEAEGIRAEDSSHTLVAYNGSVMENYPTFKENCQQQL
DGLVEASGGRAGTVELMYAEESSLLGAAVACAVASLDV
>RCO7_02464 | probable glucosamine-6-phosphate isomerase
MRLIIREDPTSASSYIAHYIIDRIKAFSPTASNPFVLGLPTGSSPVEIYKILVQEYKAGNISFEHVVTFNMDEYIGIPREHPESYHTFMYKHFFSHV
NVHPRNIHILNGNAPDLEAECVAYEAAIKSFGGIDLFLGGIGPDGHIAFNEPGSSLASRTRVKTLAYDTIIANSRFFDNDLEKVPKMALTVGVQTVL
EAREVVIIITGAHKALALQKCIEGGVNHMWTLSSLQLHPHPMIVVDEDATLELQVKTVKYFKSIEKVAASQGFQQILPSSVRTGPRNNGEKQIEPTP
ELKEEASLQAPKAVTSTLLSAPATEYPLRSVSPDLIPDRMAARIAAY
>RCO7_02463 | probable L-alanine-DL-glutamate epimerase and related enzymes of enolase superfamily
MGEITITGWDSRDVRFPTSLDKTGSDAMNAAGDYSAAYCILKTDSAFSGHGMTFTIGRGNDIVCKAIDNVADRIKGRTLSSLVANWGETWRYLVSDS
HLRWIGPEKGVIHLALGAVVNAIWDLWGKTLNKPVWRIVADMTPEEFVRCIDFRYITDAITPDEAIAMLKAEEGGKAKRLQEALESKAVPAYTTSAG
WLGYGEDKMKGLLQETLASGYKHFKLKVGTSIEADRKRLTIAREVIGYDKGNILMVDANQVWSVPEAIEYMQHLKEFKPWFIEEPTSPDDILGHKAI
RDALRPYGIGVATGEMCQNRVIFKQLLASGAIDICQIDACRMGGVNEVLAVLLMAKKFGVPIVPHSGGVGLPEYTQHLSTIDYVCVSGKLSVLEYVD
HLHEHFKNPSVIKDGYYQTPLEPGYSVEMKPESMDHYSFPGEAGTWWKSDEAKPILEGIKI
>RCO7_02462 | related to spermine/spermidine synthase family protein
MARPTGSKASATKSPKPQALPKETLFTQENFEKELKSLALKAQDETWGKWASEQAWTLALSGTLLALGAIYSNVSLLSLSPVYGGIPSSALHAKGVM
AACFLGWSSNLHLKRLLPVKPQFLLPLIAAYIPMVQFFLFKISGRLGGIYGPIITEALTSLPLLLLSVSCTATILDDLEMSPGRVQWLADAMPGMLS
YSFLKGVEHVSMNSISRSIGASFLQTRLGLQILLTGLYSLFAPSKLLLYAIPALLHTALFNGHVQLPYTTSVLNSTLDKHNWTIIDRQESLTGYISI
LESYEQQFRVMRCDHSLLGGEWLVKSSRNSMPEPIYGVFVMLEAVRLVEVETPIPDSQAKAFVVGLGIGTTPAALMAHEISTTIVEIDPVVHDFATK
YFALPKTHKKVIADAVSYAAEVARSDERYDYVVHDVFTGGAEPVDLFTYEFLSDLNTILKPGGVIAINYAGDLLLPSARIIVQTILSIFTTCRIFRE
SAPPPPSQIASDGRDFINMVIFCHKPLPFSSSNPAQALSFRAPIEKDFLGSKARQAYLLPIHEVDREVFEWKEGDGGVLRRNATERFRSWQETSARG
HWAVMRTVVPEGIWENW
>RCO7_02461 | uncharacterized protein
MRAGSKIAISAKAILLLLFTSAIKAGNILTDIPKNNPLHIHWEPAPLPEDGPPLSANASRDKSLLPAQIGAILGSYLFCICVVGVALLVIGRRLRVA
VQKSARALDIEMVVTLFPETAGFEHSPVSPGGPGAGSRNFSWPSPESDTKNPYVFPTINKSPTTPNGLADPYVDTRIVEADREMLQRDLEDIYAHVF
EQEDAKAKGVILKDMPLPPQLAKIGPVPMGPPQADMPSKKMEKSRPSTLSLDEGKPKSHSRTSSLLSSLKSPRRKGIRSMRISSPIPTPVSATFPRS
AAEDEEPLTPRYHTPPPPPPVPKDQTPYTHSRDTSSNSQTRSASEQLSPYRNGPRHAPTQSQISVQSHSSNHGTDPISATSATSQTPLFLSPPKPRN
IQTSPPVSMKPTTRALPFRSFEPALQSPSFVPTTKTTVLERNIKPNGPHTGGLKTPWSAGAVPYSPYQPFTPMIPITPRLVTKEERKQKKKEEGRTP
VLEMIKSEEDLWDSGY
>RCO7_02460 | uncharacterized protein
MWSPLSTPSRTALPDRTAGRGNQDPRSGQPVSPTFGPAPRWTQANYDEIAFKVQEDLDSHLYHFQNVEPPEPDATIGRIQIHNKVVALSQQALFTPD
PRLALNLSVLVWGMWQASFRIDDGKVESVHVSSRGPPDPDVNVEATRAAKFRILGAIEKELPGLNNKDFKNVLRYLGDSIYGMYGSFLGLRGSRDKE
EDLQTESEAYME
>RCO7_02459 | related to D-amino acid oxidase
MVESVGIIGAGITGLATAYVLSSKYDVTIVARDQPGDMGLGWASPWAGAVFHPQRHADKSQQKMQIDCFKFYWDIANQDPLNGVKTYPMTEYFDDET
KESDLWYRSLMPDYRIVPLSALPANIKLGTTYTTLAINPLLFLPWLKKRLVMKGIKFIRAEVKSIEEARSIMHSKVIINASGVGARVLADDEAVMPV
RGQTMFVKTDFAELVMLEGSEYTYVIPRAGSGGVIMGGIKTDRLDSNIDVSMKSDILRRVNRLTKGAFKEVDLNTVTDVLGFRPGRKGGLRVEREGD
VIHAYGVEGAGYIYSFGVAERVRRLLEGVLVRAKL
>RCO7_02458 | uncharacterized protein
MALITPESSPADPDRQASSAHLLSAPTMLSSPLMSTNACNTTLFCCDNLYPLTHPHGPHEQAIYHFAYYMVNTTSSPTPRTYLPATHSKILEEACYV
IRFQRWMNGEKGEIRHFMPHPNQDTTFIELKQSTLAASSRKEKWIPNWRYLKFRCDIHQGPWFICYVLERRDWREEVVRLEVRSVKRKRNAEAENER
EEILSFEGETQPYFSK
>RCO7_02457 | uncharacterized protein
MSSSPHASVPTITSIVASPTPPEKSSQSPDGYFTSIPHTSGPVPPSENNTTSPIALSRSSTSLLTPPTSEAQPRQERGGYFYSKAGGSLTRKDRTIS
SDHRSTSTLSPGLSPGGSLHSSETGRSPCSHSSGEYLSPPLFQDDEDKPPYISRRRSSDSLTMMKKRLRIEETIPNNRKTKGIRRRRRRYGCRHHRN
TGHKYQEDFNWETSGCQNAPTATLGNKQLCRDHTGHFVPKSTRFGNTDTFGRLIIQSLPGPLRPAVIRRWSSVEVGAHQISLQSMFSPSQLPESFLV
PGSDNGDYADRFISKGLQGRHRSSTFTRGAIDHDIVRVVRERLTFRKIDTDTETLLIPPLSITVRRASSASGFSGITKGLFDEERDSITGSGTETLI
AQNQMEDRKPSSAYLLTSEDIESITLLIAENLRQNIQSHNLNRSSDKATSTALKTAKTRRPFVSNAGAGQSEQVSVVRGIRAQQADIQGPADSHYLR
VGGSKHPLTKTLKKAGTGGSVHEVIWNGSRNSRQSFGSSASDPEKDKPDYTSSEPEVSPGMPLDEVNRDKLRDKGDAFDPNNARESISEWTWKLPPS
DVKMPITSSDSDSIDHDPQAKIQKDKRRPLLRTVSSTPKERTATRVRPYPRYSASHEQIQDVFSFPPLVPRKATSEWLSPLPDMEIMSTVLAAPGPA
FKSLYSLGVDVTIGPSGSTIFNAPVLQSVDVSPSQSPEVGLRPDYGFSSISSTEARTDDRRRKSVIKPHPKATARNGQTVAMGSSIGAHSRERRKSS
VPPVQRVRTIDNAHKGKHDEPPSRWRPPSICPPRLSVGDVSLSPAEPEDMKRQTSEERIPELLTRLSRLRSGITDRITLVEAKSPPLPQSDCTGIYG
TITGTLRKSIDVPCVPDKLRHSCNDCENSPGPSIDWIG
>RCO7_02456 | related to SRP40 Suppressor of mutant AC40 of RNA polymerase I and III

MEEPEYTRLHITPFTAGLLKTILPPSILPNARNISYHSILTFPERDYGYVELPSMDAEKIRKKLNGTTLKGTKVRVETARPLKEAVIEKSTDEEPER
PKRVRKPKRKRDELPGVDIGERQVKRGWTTPAKDAKQDQPVIKSKYTTGPECLFKTNLPPNVASKGKIAEKLAEPKPEKKKRKPGKEAVVHEFAKTT
KYATFLRGSGVSNNTRIVVEFVEGKGWVDEEGNVMEEARKSPQIIKARTEESSETEKHDTADPMEVDVVHPASEKEGDSSLSNLSREYSKSDSDSDL
DVAEETEQQPRAEQDAQCSSSESSSSSDSEEDRLEETTSSEDNSELDSLLNVQSSPSPFAIQEYAAQDSSSSDDSSDESIVQAQAPNESSSSSESSD
ESDSSDDSDADSEVEEPQSSVTIKSQGSSGPSLSIKIPGSVTSTPITSLVHPLEALYKRPKSGSLDPPKAVESSFSFFGADEDQEEFQEEDHHQVPL
TPYTQKDFEYRGLRSAAPTPDTAHPNKRFLWPSEKDEEEDDEEEALSSPIRNGKKAEGTQKATEPETDFQKWFYENRGDVRRAWTGRKKAAAKEKRQ
RENRKRDHRAI

>RCO7_02455 | related to aminoglycoside acetyltransferase regulator from P. stuartii

MRAASRTGLTCLRQAITRVHPTLQCRAQITSRRAYSSGRQGGSKSRFFQPPPRRVGLVLASAVSLTPAAFVELSEKDNDGTEYTAEQRMLQASRAEI
KKEVKDDSHGIRRVRDSIVVFLDLYLWEPLCTGLRFLHLVIIFVPVIVTVPMLWIGYRDKKRDNERSGTLWWYWFLVKSMERAGPAFIKLGQWAASR
SDIFPEQMCEVMSQLHSNAPAHSLQETRRIIRRAFDGRPFEDIFEEFDEKPLGVGAIAQVYKAKLKPDLAAPGETDLPEEPRNLRKNVRKNVDTLIK
STPQRVPSTYVAIKVLHPGVERMVRRDLRIMGFFASVLNIIPTIEWLSLPDEVEQFGEMMRLQLDLRIESANLTIFRKNFKERTTAWFPYPYTAFTT
RQVLVEEFAQGIPLSDFMENGGGVFQQEIADEGLDAFLRMLLLDNFVHADLHPGNIMVRFYQSEQPRLPFSRHKEEDPQTQPDVTEQVLARLRPYRH
KKDTKAWEAELLKIDNEGFRPQLIFIDTGLVTELNATNRRNFLDLFKAVAEFDGYKAGHLMCERCRQPDAVIDQEIFALKMQHLVLGVKSRTLALGN
MKIGDILNEVLGMVRSHHVRMEGDFVNVVISILLLEGIGRSLNPDIDLLSSALPILRQLGAQSGGGMMRQGDFSMLKVWVGLEARKFLQASIEDVER
CVKYDLLSPNV

>RCO7_02454 | uncharacterized protein

MAPITPHQPASDAPANPFVDSPDEASLYSITSALAATANLHSLQATSTATGDALQSNSPENGTAPQDFVPTMTSDFLTTGPKSSSSKSTRSTVPPSY
RTSTILVSSADGHAMKMPNAIANINANPFADPVPRVQIQDEYGPSTPLPHSTPSYNQNHTAGVGIQPISSPYRSFAPTPPPKSPSHAPGSNRWTSIS
SVTNRIHLGVNSSANRSNNSLAREALARDSAIRQDMLLTNERAKSLQPSLQDPHLRPSPSAIRVAAELIRAREANVAFGAHDVVKSPLFWIAVLGVQ
VGLVSTSAAIAVIIETDRRGERAYVGTGRAFWLVISLLVFSVSVVAVWTIWLRRSGAEEEGMLRRLGCDEVGLLDRAVARDMEMGRMDVAAGEGGSI
SSLRESLRSRPRAGMPSAESLATVRTRDPEWQAMYATPQEIWQEESRKNLGDTPVRRGAFGMHNGGDQPCGFEEQQVLHLGQPVTTPTSAPLSRSDK
TWEQRSNPSQKRASSAHPTGLTRSDKSWPLRSSPNAGPFADVPLEHLSPCQSPSPASDYEVPQHQTPPRNQLTLDTTDHSTTAPITIPTPTNTDTNT
HARSHADTLVEILSPLSSLSKSVHDASESSVPPHHRPQFIQAHRVASQERVRSVRERIDSSSRCTSFTSTSTSSQNRDVSLIRTNTPSFPHSDRMHE
YVIELEDRGEVGVGFGALGETEKEPDKRIGRHRSRSVGLDGLLADVTPFPEMGLADGIGGKTHQQRARDVLAGVKGHFATREQRGPRGRSLGSVVRE
KMAKLKEAGVEPDPEPTPPIPQTYQQAYSPLRTNPERERYPETFIICDDSPTTTPSRIPRKVTPLPKLSPTRSPIKTAIRENVELSCSSLSRME

>RCO7_02453 | probable putative calcium P-type ATPase NCA-2

MADSKGVSPEPGSGPRRQRAPTITIDTSAVSNTSHPQSMDSDAVALRAMPNSPSTLQSAPSSPLDTGVHPSKPQHSSQNSTSSRISVPELRGSTSFE
SRESRPTSPHNVSSPTSRGGERGGDKTAGGFLAVPGLRSRQNSIESDEDNKTNTNYSGETFANSTQADKDRAFGKAPGNEEIMNDPEALSPDPGHEA
DFTTDESNFAFSPGQLNKLINPKSLAAFYALGGLRGLEKGLRTDRNAGLSIDESDLDGTVSFQDATSAGRREQNISNGDSKTLIMITDSKGSRDTPA
RASSTKDAFFDRKRIFKDNRLPVKKGKSLLEIMWITYNDKVLILLSVAAAISLAVGIYQSVGTKHDAEHPAIEWVEGVAIIVAIVIVVVVGSLNDYQ
KERQFVKLNKKKQDRDVNVIRSGRTLEISVFDVLVGDVMLLEPGDMIPVDGVFIDGHNVKCDESQTTGESDLIRKHPADQVYSAIENNESLRKLDPF
ILSGAQVTEGVGTFIVTSTGVNSSYGKTLMSLREDPEVTPLQSKLNTLAEYIAKLGGAAGLLLFVVLFIEFLVRLKGNNGTPTEKGQDFLSIFIVTV
TIIVVAVPEGLPLAVTLALAFATTRMLKDNNLNKMLVVAGTLGTSSRFGGTVDIPDASDSASNKGKQPDSEPRENIPTQEVISSLDPAVKRMLTQSI
VLNSTAFEGEVDGEKTFIGSKTETAMLIFARDFLGMSSVSQERSSVPVVQLIPFDSGRKCMGVVTKLETGKYRLYVKGASEILLEKCSEVIRDPTQE
PSSSPMTDDNRQTLLNLIDNYASRSLRTIAIVYRDFDKWPPMGARTAEGDRSEVVFEDVFRQMVLLGIVGIQDPLRDGVGEAVKKCQKAGVIVRMVT
GDNMITAKAIATECGIFTSGGIVMEGPTFRKLNKTKMDQIIPRLQVLARSSPEDKRILVKRLKELGETVAVTGDGTNDAPALKTADVGFSMGIAGTE
VAKEASAIILMDDNFASIVKAMMWGRAVNDAVKKFLQFQVTVNITAVLLTFITAVSSGSEESALTAVQLLWVNLIMDTMAALALATDPPSESILDRK
PDPKSAPLITMTMWKMIIGQSIYQLAITLLLHFGADKILGYETQREQDQVGTLVFNTFVWMQVFNQWNNRRLDNKFNIFEGLHRNIFFIGINCVMVG
GQVMIIFVGGKAFNVVHINGAQWAYSLVLGFLSIPVGAAIRCIPDELLVKLIPAYLKQKPKGPELTISDEEQQFNFPQPLSDVKEELSFLKMVKGGR
LNNLRFKMQDARDTWLPRSRSGSRSRSNSSQPQTPNNGEAQDDSFNSQPPAPTPESRKRGRTNRSRSNSALGATTVMAGIIAGSIAGWSPVERGYGD
NDSMRFSRSQGRSELESRDDVEIHPDTKQDDPIITEDPHSLGLPTSQIPEVTPAAASISQDTPSSKSTS

>RCO7_02452 | related to sirtuin 5 and related class III sirtuins (SIR2 family)

MDSSAGEMSPLATEQAVDTRDTAQPHILTAPKFELVESGDEADQEDELEVEPAAKTDDDDGDGSDASSPIELEGSLDEISDEDLVGGDHECTVEEAK
HLRALLWAVGPQELVDQTLNANLITARKLITAFHVRASASMDSCNDEALYPWIGVVLGRQLAKRIKLPQHNTIDDAVALIKKARNIIVLTGAGISTS
LGIPDFRSKDTGLYSKLAHLGLNDPQEVFDISIFREDPSIFFSVAKDIIPDIERFTPTHAFIHLLQQKGKLLTNYSQNIDNIESIAGILPEKLIQCH
GSFATATCQKCGYQVDGQQIFPDIRAGRIPHCDRCVGESRRLGAPAAMKRKRSNNGQDKKQPRFDEKGGDSSEEDSYDDPQSGVMKPDITFFGEALP
DKFGNRLNHDRPLIDLVIVIGTSLKVAPVSEVVPYLPSEIPQIYISRTPISHINFDIDMLGDCDIVVTELCRRAGWELKHEMIPDNQEIDVKLDEGY
SSRHIFTVKQSEDVEEA

>RCO7_02451 | probable BRE4 Protein involved in endocytosis

MPSLKPSGEDPAKGQAVRPHLLFTAPSFGPRRRQTSALNAHDKDRELSQRPESLGNHHSKSGSRPGKHGNYEKHGNYEKHEKHIRLPVPSGDMRSPA
SSIYMGSYTPRRTSRSRGSDRSPASSAPVTPRTSMSHSHLTSLLQDLDLDLETYGVEETRDGFFDASFFKPPKFNHENLMRDAEYTLPAAFQKANPL
SPEAFFPSQWQDIKDVVKAVTTTRAGIKLTKSFLAFFIAYIICLVPVIEEWLGRYNYIMVISVIINHPGRTVGAQVDGAFLTVIGSATGLGWGAFAL
WLSSSTSVARRGYGGVLAAFLVVFMGTIAALRCYLVRFYQLVICAGVAISYTCLVDTADDVDWMKLFNFGIPWLLGQALSLLICCTIFPDAGARPLA
VSLHGAFGVMQDALVIPQPDPLILHRMMASTFVNLSQAHRDLVLDLSITRFRPSDIAALRNLMQGVIRSLLSLKMETQLFDDFDSNLANSVAAEPQG
RSPKTRTASPGVKLSSIEKEAENSTGDKETVIDIDTPDDGSAMYRTSTSSRAVRLVACRLADPTAKLLLCIRTSLARCDAVLMEMSGYRKYLGPPED
VTTDILGSLAKLRKATIKYDDEEASLMNNPDLPPTYSDHPEVVELFLFVHPIRQAARTVEGLLVKVVEMQQQRRGWSLYLPSYPWSKALKRTNAQVR
HDRGGLTAGFYFQSQNQLARTMQGMTNAYKPLPHYFQPGNVKEDMRPPVTRSDTIGKYEGEKKDSKYSKQKRFRYRLWETLHRLQGFETRFALKVVI
TTSLLSVPAWLEQSRGWWNQNESWWAVVVVWVMSHPRVGGNFQDLVTRCLCCILGAVWGGLAYGADNGNPFVMAIFAAIYMLPMIYRFTQSSHPRSG
IVGCLSFTVVSLSSKAKNGLPSPVQIAWTRGLAFVVGVVAAVVVNWILWPFVARHELRKALSAMMIYSSIIYRGVVAKYVYFEKGEEPTKEDIARSE
MLEGRLREGFVRIRQLMALTRHEIRLRGPFDPLPYSALIDGCERFFEYLVSVRQSSLFFHPHYMSDDEQAAESLLTYRRDAVAAILMNLYVLAGALR
GHQKVPRYLPNAAAARKRLLSHMAELEAMQATTTTSTSTSTSKSILTLHPDLRTNTIERESRKWSQIYSYSYSQSLTGCVQQLEQLQKYTKEIVGER
GFDPIDADLYEDITHPP

>RCO7_02450 | related to DNA helicase

MPPLQKSFSDQNHSAKARQQPRGQWKWNKSFQGPQTTTSEARPLQENPRIQISTATRNKLNAFQFGGHAKEDTGKSVISLLSDDEKENKGAKSRKPE
VRTQNGGPKGSQEQLTLPTSARKPVPSTPAGRLALPDLIGMGDVRRPIQSVSPDERIEWDQKEKGSEPGSFGGIRRAKKRARSSSPTGSSPAGALRA
QIDPGSELWGRYSFGGSNAPTPQGPSVPALAHLMQTSSPQPIKEGATPRSGNALRRANSCGIQFPKRRKTGGSQSDDVFTESATIGPSKLSVLIERV
TEGLSQPKRSISPQTGIEIYGDGRFSDIEDDSPIQRQTRLCASESAPMECDQQPMLELEMEALPPLPLHSDSSDYGDFDDDEFDDSLLEACESNTQS
HPAPPLPPDPPSHVHSSIEVKTIPPAIETSHAPQDEKDEFGDSDDDIFEAGLEQIASQFDPQMKITNNVTPMRRGSNRVVRQLRKVPCKAESEDEFG
DGGLDDDDFEAATQAIQQTGNSLLPSTQKTAIQRYLVTSIFDGEFKNVKSRMQQEKILILQAEGSKTPKAVHLRGIWIETPVTAQAFVHVIGLFDSH
GICIVDDNVNLLILHPDHLISSTVVADSFGCTRRAVLQDRVKATSDSSAPLVYGTILHEIFQAAMLENRWDSEWLRELIDKTATRHMEDLYSIKKQV
PDAVEHLTSKMPELQGWAELFREAKVKAGNGETATMCVSKLLDVEEHVWSPMYGLKGNIDATVQVTMQDGKEQRTLTVPFEVKTGKNPSAAHRAQTA
LYNLLLSDRYDIEIAYGILYYMETSETIRIPAIRHELRHMIMQRNELACFVRERHAQLPPMLKKENMCNKCYAKVPCFIYHKLADDGNGETSGLKAK
FDEVVKHLTPKHKEFFLKWDDLLTKEEKESLKFRRELWTMLSSEREKLGRCFSNVIIEPNSAYEEKDDPKINRYRYSLVKPDPPPGFSFLDSQIIVG
EPIVISDEKGHFALANGFVTHVRRKRVTVAVDRRLHNARIRQPGFDEMDNQVFASIMDVAPQGSSSMEEANGKIQEAPVRYRLDKDEFSNGMATVRN
NLIQVMSDGPFGSRQIRGLVVDLNAPRFKTQATAYILQDRENINVDQRRAIQKVMSAEDYALVLGMPGTGKTTTIAHIIRALVSQGKTVLLTSYTHT
AVDNILLKLKDDNIPILRLGAPAKIAPEVQEFATLAATNRTSFEEIRHAWHDTPIVATTCLGINHAIFSERTFDYCIVDEASQITLPVCLGPIRLTK
TFILVGDHNQLPPLVQNKEALSGGLDISLFKHLSDMHPSSVVYLEHQYRMCEDVMALSNKLIYQGRLKCGSQEVANSSLKIPDIESLRDHHYTPSTL
SLASKSICAGPDPNRCWLRHLVDPATKVSFINTDPLLPLSLEEAKGNRIVNPTEAAICTQLVDSLLTVGVPASSIGIMTHYRSQLSLLKHSMRSHPD
IEMHTADRFQGRDKDVIILSLVRSNDARSIGELLKDWRRINVAFTRAKTKLLVVGSKETLGGFGGKKEGEEEMEMVGKFVKLMDGKGWIFDLPKDAL
TDHHFEVGRTQTQTQAGSGRLGGSQCVKLEKLGDVVCARKTLSASFERKRKGLSDNQAHGKENLKSPLGKTTVNGNSRPPLGQLRQPIKRVSGMKPF
KQPSMSTTMDIINDARS

>RCO7_02449 | probable mitochondrial 2-oxodicarboxylate transport protein
MSQDKPLPFIYQFAAGAVAGVSEILVMYPLDVVKTRIQLQSGTAVGEDAYSGMMDCFRKIVRNEGFSRLYRGIEAPILMEAPKRATKFAANDAWGKF
YRDSFGVAKMNQSLSVLTGATAGATEALVVVPFELVKIRLQDRTSQYKGMMDVVIKTVKTEGPLALYNGLESTMWRHILWNAGYFGCIFQVRELLPK
TDNRTTQMGFDLLSGATGGTVGTILNTPMDVVKSRIQNSPKVAGAIPKYNWAFPAVGTVFKEEGFGALYKGFLPKVLRLGPGGGILLVVFTGVMDFF
RKMKAE

>RCO7_02448 | uncharacterized protein
MAREGTRSATGNSKPRIFPTVTEPTTTKRATANTGAKRGPKTTATKASKPVGVKKAAPAKKTSVATKAKGLVKKAEGAITNNPAKKAAGTKKIKGTD
GAKPKTKAVVVKKK

>RCO7_02447 | related to pig tubulin-tyrosine ligase
MHILIVNDDGPPSNQSSPYVHSLVKSLQDAGHIVSVVLPHTQRSWIGKAHIIGQTVKPTYFRPGTLHQDDGTTHSRPLAASEKEQEEWVLVDGTPAS
CVQIGLYHFFQDRGPIDLVVSGPNYGRNSTAVFSLSSGTLGGALEAANYWSEGSCFQEVVGEEGDADEEEQKLRERESEGGDKGNNVGEKVGRHTHK
HFKWAPRFTDVYQSVEDAPPGNDGWAVKEGYTSVTPLKANFMHAAVQTQGELKLRPTQLPDMKSLSLSESQPSQKHFYALINYEDAYVQPLILEALK
SRFTPDTYTLITSLSELPTPSTPLLQISSYETLPFENALSHPSSTLVNAYIIRKALIRKHYLSTTAYNWTTKNPSSILATNIKPACEFEVDYAEFLD
DALVEAWELRESWQRGEGKNREEREWWILKPGMSDRGQGIRLFSSEEELQDIFDGWEAERPDSDDEDDGEEDEETDLDEITKRAGKGKEKEGDFIVT
SHLRHFIAQPYIHPPLLLPGNLRKFHIRTYILACGSLKVYVYKQMLALFAASPYTAPSTTKSDEANITDLSAHLTNTCLQSGSHDGAISSFFSLPSS
QLSSSAKEAIFTQICETTGEVFEAAARGMSVHFQTLPNAFEVFGLDFLVDETGVAWLLEVNAFPDFKQTGEELSGLIGGLWNGVVGIAVGGFFGVEG
EKDEGVGDMVLVRNIDLGRR

>RCO7_02446 | uncharacterized protein
MAAAMRSRTPEPPSSLQSPGTPRWGYDDNYQPYTPRKSARVQQRSRDAQTPPPATRRTQASSNATTHELSNLPSSPQTASKKRTPRNSLSTGGRRVS
GALTFDSMTSAAASLGLPTPTTTRKTNVKSSSALRNNGFLPTPAKTPNERPTQIAPAVRSIARNLFPARSGSDEEVMPNLKKKGRKYTGFTLDSFEA
DEASTTPIQIFTDSHDRVPEVDLSPENPFYGESGRSIPEPTKRTSKRRKVTVPGEGEHTVEELEQREDGLVYVFRGKKVFRKFGEDDDHQFFANETD
SEDEVDDQTLTTNLRRPLTRSSLKPRLLFPTAEQSGTRETRSHNTEDEEADTDIEEPMNSLSTPLDQIDDITATPKAPRFGPVTPPTTARATRSRKA
EVCSSPADPTSDDEPAPSSPMLRSHRPSSTKVSPFDQWQRVKPVKASPGKGKKRNGEPLIGAAEKKVRGRM

>RCO7_02445 | uncharacterized protein
MSTPDIGKLDLSDSESENEDLFASLSRPSKTSTTQKLPTKPADNNAPAQRNGESKYDTEQARDATLQRELKSVRSINEVIEGVVSSLETAKGNMDTV
SRTVTSASTLLNTWVRILSQTEHNQRLILNPNWQGASQDVTDMENETVLRAQAAERRAAEEERRREEARRRAEDEERQRQAGTVARGTRGRGRGRGT
GRGSVSGTGYVASGPLSSSSRGSLQTGRPGTGIGRGFGAAKFDCYNQTGSEQRPPASKRKRTSDQ

>RCO7_02444 | uncharacterized protein
MKTRGRPSTKPAKAAPEPNVPESTTAKIQLGTESINPPHLFILPKHLCEDARIVTLESPRYFSDDRYVICPQSGFYEFTKVAAPRTTPRSWLLAAKH
ESEDGEEQENDEDRTAESEGYVMKTASLLVATPFDPLFLVLSVLSPLPTTKSSEPAKKLFLSGYDYLEQMSKASPHFTSFYRIEWIRQMLESRIAAV
CDTVQAGDETMYRLNEAKLLEELLKKAKNMTEKGLPASIDEKLVRKALDPPMLSIKRDDSSLSEPAKEDGEETPDTQTAVSDTAASSFSEASTAATS
FWEGTQAIDTINKPIESSPIHAPAGVAELLRLRTAFFFICSAYLAPHVTESLKELLITSTSNVDFGPLDAHLAHLAKLRQDALASRSLGDFSRKRSM
AAEDGETRAEKKRKEDEEEKRRKANQSRGVQALKKVNTSGMKKMSDFFKKK

>RCO7_02443 | related to replication protein CDC23
MSQPLANPEWPPRSPHDVLLSTPGGRDRLRRLAERTSLSPSPSKRPSSMRKMPKDLLKTELEDDEDEDEETLQLQLQEIQARLKLKKLQKKAKHVPE
SESDPLRSDPAQLTRVSSAAASRARSRVAGLRRERLEEARVQPEIHVPVSPIRRAQPPPVQRSPGRVLLGIDKGLRGSDISLKRAPSLRKRDEISQE
MLAGPFLQRAGSQASSRAQGTATPANTASNGDRPKSFSERMAAVRSEELERKERQERIRKNRSTGFDIDHEKMQRFKENAVELPDNSRVAPDFTRDE
VLGTKVKFSSKSAPNLRPAIRSISKDHTSSLQSRTDLRASAGSSKPASRRAPDMARNPQEVTESEADASQFEPYSAQHLSRRIVPHPELTRILTGKK
AFLIPDLLKVVKAPDFQSPEIEEDMVVFGIISKKTEPKTHQPNPSAKNQNRGKFMVMALTDLKWELDLFLFDTAFDKFWKYTPGTIIAILNPQIMPP
PKGKEATGKFSLTLNSNADTILEVGTARDLGYCKSVKKDGNTCDSWVDRRHTEFCDYHINLTLNKTHSNRMEVNTMGFGKGRYATGGGGGGEDSGKF
TSGSNRYSKYKTKQEKEEEKITRYDRGTHSQIYIGKRSTVNMLDDVDFDPDAFHRGSTKEERMTRRILAQEKERDLERKLADMGSGQGAEYMRRRDP
ATLPRSELYSSSQAEPPPDAGKLGLLGGKADDVSLSPIKRKRTNTVSSSAAVGWGSDLTRQLGKMKNGENIVKDGQPPIKKKKTRFVTEKGIREAGR
ESFGGEVVEKANNDLNDSDDDLDIVRE

>RCO7_02442 | related to alpha-galactosidase precursor
MYSNSLLAIVVSFLSTTAHSHAVEKRINNGLGKTPALGWNSWNAFGCRDASASATMIAANQFVTLGLKNLGYQYVNIDDCWHTMSRNSSGHLVADPT
KWPKGIAPVVNQIHGMGLKFGLYGDAGTKTCAGYPGSQGHEVQDAQLLSSWGVDYWKYDNCYTPCNGQVPQTCWIPRDTKSWYTTFGNALKNVQHPV

LYSMCSWGLDSVWTWGNTVGNSWRTTGDIANNWASVASIAAKGATISQYAAPGGFNDWDMMEIGNGVLTDAEERAHFGLWAIGKSPIILGTDLAKIK
ASSLAVIKNAGILAINQDSLGKAATYFVPSGEAKPVSGQLYPFWAGPLSDGVVVGIVAASGARTFNVNFKDVPGLGSGTFKWHEMYSGQTGTGTSVS
ISLPNHDMAVYKITS
>RCO7_02441 | uncharacterized protein
MLAHLLLCLCLVQCLATSLAQNHEQKILRNGDKESSPLNADLERLIKSSLEAWHVPGISIGVFDGDEGWAEGYGIATLPSTPVTPSTLFYGVSTTKA
FTAAAMEILISSSNYSKHFPQSWKTPVSSLIPEDFVLEDPWTTAHITIEDILSHRTGMPRHDFSYGGTYEGRNSTPRDVVRALRFLPLTEEPRAFSN
SDAISSPHHFAQGYVFYNNTYLPVPYTEDLITNAAAGSPPPEESYRDYLTPRMLRASSDVPYTGTTSYALGWETSTCKGYEFYEHSGGVEAFGSHVI
FFPEIGFGVCAFGNTGITSNVVELIAIWRIIDERLGVKEEERFDWGAKFNRFFSKRSADYNSSLSRFYPSIPSPVLLPTLSMSSYAGTYFHPAYRNF
TITHWPHTNTLHADRIDVAWKIDFDFEHISGDYFMAYVDSKVAPGPRFQAGYGSGVPSWEWRNGGEVRDCVGAGDGNGR
>RCO7_02440 | uncharacterized protein
MAHDRFDVCLVVLALGLSASGTNIHFRAGVGETDVFEVSTGNESNHPHQQSSQQLPTSIYHTSLSAYTPSSLAKFNMQVNTLLVTAFMAAMVQPGLA
CTISQDCCWGGNDAGLNGCENQHTIDKAETCTSAPYVADYCRNNGVTPFQCDADCCSISRKVGRGCP
>RCO7_02439 | uncharacterized protein
MPCFKGIAVSVHAEGAPLPEYSVQKQSRVSRVNTYIPVPKAKIPKDASSDKAEPSKFAISITLLTAGLSVPYSTPKPTPENPNPRPQIVGGHTSPGG
SQRSSYGGSTSPYIPITKSENETIAAYIYFDGRAKEEVATLLRPGEETWVNSRWVQVPSSEGGGLAEREFLFREVGLERWLNGLDLDGNDAAAKIEK
RRQKFEKRRRRRREANGSDEDLDLTSTSNGPKYGGRDVLRYGDNAQSPVEKLADFDDDDLSSDSDDDLPEAAGQIKVAMFRVLASGEIKRGEYSPQF
DAHDDDEEKGNGDEADIDHTTSFAKPKTLDPKSISTQTVTGIDGPDKPFAVFTFFYRGDKQLQKMGILTPKPSKGVVAPTKRRSTQLDFSNLAPLKQ
GGTVGFSSFRDTDAPARKNKDRKKSNGSIAPGATMEDSDEDEDDDNIVREMEDIEDKDVKTMSSVDDSKSSGELADGVGRIKLKRQHSADPLNSNSR
KSPASAPTSLGATPPAEAVPIKAEPQLLPNNVFGGLPDDSIVGSPLKKHRASLYDIDSETMLKRLGTGFSSSGGDVVAAAEAAQQPLPRVDNSMDDE
EL
>RCO7_02438 | nuclear transport factor 2
MSNFADIAKQFVEFYYNQFDADRKQLAPLYRDNSMLTFESSSIAGSAGIVEKLSDLPFQKVKHAVSTLDAQPSGEHGGILILVTGALLVDDEQRPMN
YSQAFQLMPDGAGSYFIFNDVFKLVFG
>RCO7_02437 | related to MUC1 Extracellular alpha-1,4-glucan glucosidase EC:3.2.1.3
MSTAVPQVPPRPARTTQQDQSAGAGNTLGSDLPKIPPRPVNRRLDRSMSPSRESFARSPLNESPYHANHSKTSLHSSENLSTSDLPRRPPSVSLPSI
GQEGNEYADYSIPAEEQLGTSPTQTRNIANDLKLHAPKPSLPVSSAKARVSTVTRTDSGQAASFGIGKAQGDDKEPSARSLKAKASFASQTSAGGTE
RPPSSAESEHGIPEIGQRVPMYPNAGDVQAPSPSPFAQPYAPGIGFHNDGSKPRNHGRKLSSRGHDIPPDAYGRYGHGVIPHDRFEKAYYEKHPELF
KKELGQYGEGRPEWAMSSDDLNKIVRDTASRGAGSGSRNLISTPSEQIGIQASEEYASRMSSPRPQSGYHVSHSNASDTHVDSPLKKEALAAEPPSK
HEFESTLSRSLQAPSDNALESEVEDDVIHVDAPGKHSKRIYRTDHAESTEELERQLSHGAEENYGAPILASDEVAKEPFGWDLEPAVSPLNERRRSS
HDEGGLHFRTGSASSANNSRPSSRPGSIHGVMPGLRGTGAPLEDLDEYEPLFPEEEQNGSKEKPLTAADRLKRPELKNRKFPSQDIWEDTPNSLQYT
ATVSTPQLPEEQDLESKNTPEQENSAHAFARRQEELAEKESKSPDSFLHQEKKPWVHKAHLAAETRPDLKQRFPSRDVWEDTPDSLQLQTTVGSPQI
DETDLMSPMDEGQAASPINIASISKPQVPARPGKSKLSESPEKAQPAIPERPRPKQGDATSSPVPVKAKPQVPARPAKLITRESTENVPLTTVLSNS
SARSVGSDQGAAAATKPKPPVPSRPMGSKIAALQGGFMSDLNKRLQLGPQAPKKEESAPEEEEEIKDKAPLLDARKGRARGPARRAPAKSPAPAASG
STSTLSFSLPSTLWEVDPEEDYVMVGSYEDESVPASVETKAAQSETPTLATNTAGIPVHEPSEIAPDAEKASSSQSFVESYHASQAEDAQRSLLIAQ
GQSDKNIKAPDEPYIVQASDDESKASLAVPEEEEDLSASTTTLKPNEESVAEKEDVKENLV
>RCO7_02436 | related to impact protein
MAAQKDMQDLLRLLTTGRNKIPMLAAMGRVKALQGANLRSITDIAASDVSSLSTTLSCDEKTAKALLAACKAFLKSGATQGTTAGKRSSSDALAPST
NKRARSAYELAQEPLTPAELEASLALPQPSVDEEAISKTTIVTNRAPLVLAFAVQLLKYTMPEQPLSGRLSLAQAVCSANSRSKAVSLGIEKRGVEE
ERESWGRGQPKVRVMGREVSVLKRGGYEWREEEIMDEKEEIKREVGEQSTAGCERTIKEESDSAAEPIIPDILATPATSSTSTGWTVSSPITVKEST
FIARSHTLTSTSSASSLIDQLLSQNPSLKTASHNISAYRILSPSSPSQIIESSTDDGESGGGNHVLSLLRADNLTNVIVVVSRWYGGVMLGTDRWRI
MSMVCRDALAQRLRIAGTVGGDALWGLDLEGMRKSTAGSVTGGEGAMPICRPEGARAYILKAFSSPESAGTCTAVEGGGEAKKKKTKSGAELDRERE
ENLGLLLGALDLLFKSWEGHVSKEELDRRAWGWYVNVRPDVAGGVAGWGGKGEVKLSRILGLRRKE
>RCO7_02435 | uncharacterized protein
MFQVYSFSIEHGHHPRVSVHKHLLRKAHYSWYEKHGARKIALFRQHAEKEKLGYIWVDTCCIDKTSSAELSEAINSMFTWYEGAVIYYAYLSDVVKG
ESWTWSTDLNEKIRSSNCHSVWTLQEFIAPRSVTFFDHKWNRIGDKGELSAFLSDLTKIGEDVLLDSSCRTTASVA
>RCO7_02434 | uncharacterized protein
MSLIYGEGNKAFTRLQEEILEETDDQSLFAWKYVFSNRPNPLNYWEEFTSVLAESPNNFERTAGVVPFPSGPSKSPCMMTSRGLRRINVRPLPFPER
SGMFMAVLDCHWAIDLSCVCAIVIEPINDGNTHQRSSSFELITRVPVDDVPEQHESISHDNCHREDPSVGHVGAPETRWPSQPAGNILPQDIYIVKS
PTIFYTNSLFVVEFSHLAQSGFEIVGKVPKEDLWHLNKNTLQVSLARQMTDGSIAVMLFNFKANLGFKVVYDRSKPRFQVFPRAKKASVHRHYNMAE
IVLKPMELELE
>RCO7_02433 | related to methionine transport protein, high affinity
MRPKVPQPRISFVKETYTTPKRKGAMNLYRLIKALASGAPVERESPLGYEVSWFTIVLLNVGQMVGTGVFSTPGSILMGIGSVGLSLIYWLVGVVIA
MLGLTVYLELASYFPNRSGAEVVYLEQGWPKPKYFLPTTFAAFKVLFSFSSSNAIVLSTYLYRTAGATPTEWQSKGVAVAGYTLATLIVVFSTKYSL
WFANTISAIKLLTLVFISITGFVVLAGGIKAIPDPGLNFRDSFAGTTKDAYGITNALVRINFAYAGWENCFNVVAEIKKPIRTVRWAGPASLACVGI
LYMFVNIAYFAAIPKKQIMRGNTITASLFFAKVFGSDNAARLFNILILLSAFGNLVSTLIGQSRMIRECGRQGVLPFPRFWASTQPFGTPLGPYALK
YVMTILMIVAPPFGDAFNFAVDLASYPTAIFYLLMAIGVYTIRRQRARINAGRSEFRAWDSVVIVYIVIQVFLLAMPLVPPKGGINKGNVSFFYGTA
SLTSLSFFVICSVYYYVWMKVLPQKRGYEIRQELIVLDSGETTNSLVNVPLEKIPEWDRMHDAAGKKYATSRGHLSGEDSPSVERVNIKAKE
>RCO7_02432 | related to chloroperoxidase
MFTFSLTLFSLLSLASSQSFMQWIPAGPNDLRSPCPGLNSLANHGFIPHNGKGLTIPVLIKGLKDGLNVGADFSTAVGNAGLLSVPNNLLAQSFTLK
DIRKHNFPIEHDASLSRADFNLNNGDNWMFNQSIFDTVLQYYDGMTETSIPVASAAKYNRVRTEQARDKKFTYTPQQYVLSYGETALYLSTMGNPVT
GVAPVEYVKVLFEEERLPYNEGWRPTASETNLVTLGAMILQLIAANKEALPEGLEITTNTLKIAFGGYNPITGLLDHIL
>RCO7_02431 | related to CDC39 protein
MVNSRGGTFTPSQQTIVTGVSHSPHGSHHSAFSAGASPSTNSPTGSNSLTKIVVAQIYLLLSTIKEDKKDRSKWEQQAEQLRKLIDEHGMEVFQKYF
SRMVAGNAPTIFSGINRPVANPGTYPILHSEVRKISHDVDQARRIAESIETANEDIFRDFDLSTFMDHFKLDALEKTILALAFKTGSRSDLKTKADA

IISANYPQFIQFLVHPGPEHENMPVEFLALMVDRFIQEHPPNFDESAQRDLVMALQFRYQSQNQEKETIPTTVLAALYLIHALNNRNPLTAFLQRVG
SAFTADEDSCRGYLRNGSISLNEEVVAGAIIYTALSRSIPFSTKNLVSSLRKEVSPNFNWARVVGHFDQDQLRISKDQFLALYEAFRQLAVDDLIDI
QQLWGGTWQYSETQLSFISAYASLYDDELDATTIPGLQPAFTLEDFDGADEEIRQRAARAIKHPLVSVVALSSMFHVALHTTTASDTIEAKRLFQEV
VVPNLDVFLVSAFGVPKPWPELATDTINNLFDRFLFKYDPNYDFVLEGLWRKDKQWVAQRLVEAHAKVPMELPTILEHALRHNWLDDLASIPNGFGL
DLVAVASARGFLDLDRWAANNLARIPDLPHSLLTFLNIKAEHELSYQRQKHLHSVMLPVKTIAKLLQALEDAMPGVPSNELILVQRACITAYPRLIN
YGEGYDDVIDGNGAESNSLPKEANEKMEAHYKQMYSDEVEVRRIVEALERYKHSRDPADQDVFACMIHGLFDEYALYNTYPLEALATTAVLFGGIIS
HKLISELPLKIGLGMILEAVKDYSPQESMYKFGLQALMQLFSRLREWPGFCKRLLEVPGLQNTEAWAKAEDVIRVEQDTRVFSPVNGINGGEMKTPP
PPSFNALRVLPPVYQYPTPDEEITDKIQFILNNITPDTIDSKFPELQETVTEEAQHWFATDLVQERARVQPNYHNMYLNTIKLFGRKSLWADVLRET
YVSTFKMLNAESTMQVANERTYLKYLATWLGSLTLARDKPIKHRNIAFKQLLIEGYESNRLLVVIPFVCKVLAQGRYSTVFKPPNPWVMDIIKALME
LYTKADLKLNLRFEIEVLCGELELDHKSIEPSDEIMNRVLQIEETNEVMAPEILDRFDNLSMNGMTGGAGNGRFSPHEITASIPDLGPLLQYPPTND
MVNQGRLQDIVKTAITRAVHEIIAPVVERSVTIAAISTAQMIHKDFATEPNESRVRAAAINMVKKTAGALALVTSKEPLRASMTNYIRALSGEFPQG
LPEGTIIMCVTSNLDLACSQVEKKAEERAVPEIEEMIEPELEARRHHKMTRPDDPYVDPGLSRWSWTIPDPFKLSPALGGLNQSQMAIYDEFARQPR
VQPALPGPTHIQSSSDATRTMANDILQDSYPPVPNLPTPAEPPAMPHLPAQQPSYAQQNNTIVNGRVANMQMDPRMLAERVEKALLELERVAADALE
QHFADLPRPHAVLDALDSLYGLIFRNSQGTDHYDYYIVDNICNMLFSGPEQDLVMECLVQVLENICRMAGRTANRVFDVISQRSGESFFRVPLIVCL
TKAHLLEWGRIDLEVSRVISQRKDGSLQFFVSLLETVLLNDRPIALYADFAKSLETAWLWISEEPNLEVGQQLKQKLQTSGLPEPRPLATNDLKQDQ
LLYIFDEWVRLCSNPNASDNAPAQFISQMYNRQQINNRDDLHMFLRLAIDSSVDRFEQLFQNDSPANEAYMATDSLAKLIALLVKGHEQDGAVKTDK
AAYLNSILSLTILVLNHHHVLRGESFNQKPFYRLYSTILFELDALEGVLSEEERQEVTLVFARIFLRIPPTHFPGFMTSWMSLISHRNFMPLVLGLP
REIGWGLFADIMEKLLFYLGELLKPVINLDPTTSQIYRAVVKLVIILHHDFPEFLSANHSKLCVHVPSYSTQLNNLILSATPPQYVNMPNPMQPGIK
LDRVGEIRQSPESMYDVEGPLRESGLFDLAEQALEHGPSEDAVAHIAHQIQRKQVRQTGLGLLPVDADRKLIDSLVLYVGANAIARSEKKGAPIFTS
GTPDIKLLAMLVHELRPATRFVFLGSIVNQLRFPNTHTHYFNQALLELFGSDSNDQEDLEIREQITRILLERSIGQWPQPWGLLVVIQELVKNKKYM
FFDLPFIKSAPEVGERFLALVQAGPVQ

>RCO7_02430 | probable proline-serine-threonine phosphatase-interacting protein 2
MPSVVSEGPSVSMSFANNFWGKDDAGVDPLMQRMHNAKQTCDELKSFYTARSALEDEYARKLLSLARKPLGSQEAGTLRSSMDVLRGEVEQMGKSHQ
NIASQMKTELEEPLAAFAGAMKERRKIVQGGIEKVLKVKIQQTQLVNKTRDRYEQECLKIKGYLAQGHMVMGQEERKNKAKLEKTQINLATSNTEYE
NAVKALEETTGRWNRDWKAAADKFQDLEEERLDFMKSSLWSFANIASTVCVSDDASCEKVRLSLENCEVEKDIASFIKERGTGQEIPDPPKYINFCR
GDVSDTQSEASEDDNYSVAQFPRTINPAYRSSSPQPSVFESHNDPQSVLAKDLLAHEPESLSREATLTPQKASVDRSRQAHVEDYHPPPARAVQNEY
QPKQPRQLEQQPQARQASRQQLEYQPQPRQQQQEPQQNRLTYEQSQHGPISAVPHDPYPMDGMTMLCRTGPPSELSSAHSGARPSSRDSNSEYSNPT
SFSSRDPVSGKTSPVKQVGAPVEKQVMKKKSGFFQSHSPFRRKSNKDKDHAAITPSSRNTWSARTTTSGQSSPTKRPQVYGHGSQNMISDRPSGSPE
PIDPRASFQLNVGNNVFDVATPERKGKMAQTKAPPEEEDLDPIAQALAELKGVTKASSTRISADKFHGIPTPAPGTTPSSRPIGSQMVNGALMAGMR
GTPPPSYDQPVQRLGLPQPAFTSKAMQQTRQKYVDQTKTMFSAQSRPDSQGGYGGSQSQSRPGTRGSDMPRATSPAPPRSVSPRPVIQPDARQSYRS
ASPNPYAGSQRNRAQSTTPQKRGSDQGYYRHNSPNDAARAASPAPFRNEERPSSSHMNSDISMQMQLAPAPEDGYGSQRGGRSGGSASSRTMSYYGG
SQSGSQGGQQLASRQRSKSVADVRQYNREGRPILHFARAMYMYQAAIPEELSFGKGDVLAVLRLQDDGWWEAEIAGKNGRPGLVPSNYLQNC

>RCO7_02429 | probable transcription initiation factor TFIID
MDQIQTHPSNAAQAKTFIAPGSLSFPGGAGELTPPSSEADKQNVQRPGQTNGGPQQVVQGQNGNGVTPATPVATPGAATTGVSGIVPTLQNIVATVN
LDCRLDLKTIALHARNAEYNPKRFAAVIMRIREPKTTALIFASGKMVVTGAKSEDDSKLASRKYARIIQKLGFNAKFTDFKIQNIVGSCDIKFPIRL
EGLASRHHNFSSYEPELFPGLIYRMIKPKIVLLIFVSGKIVLTGAKVREEIYQAFEMIYPVLQDFKKV

>RCO7_02428 | uncharacterized protein
MSTSKKILEFPQAENKLQAPSKKSLFERQKAEQEAKRLREEAETKAVYEDFVKSFDDDDEPSAGFSGLRPDEGQQFRGGFSGGAPKRHFAPNGPGGG
KGYGDGTRGGGGRMGSGVGSLGPPPNLVKKRTFENFQRRDDRNLLAFDDYEHDERAPKRGNSDNDYGDGRDTEREEERAIPKPTLRLASLPPGTSPA
VIKALMPANLKVDSVRILPPSGPVVNTERKSMSAIVTLAKDTAANDIDTAVNGLQNRYLGYGYYLNLHRHLSSAAISSSSIIPNLGSSGASQPFGAK
AVDLPSAGRGHAPPPHQRGGFAPPTSYGPPAPQLSRGPLLHVPVQAPRSIKELKLIHKVIENLLTHGPEFEALLMSRPDVQREEKWAWIWDPRSTGG
VWYRWRLWEVLTGSTTKRGQGKYLPLFEGSSAWKSPDQPLAYEYTTKLSEIVSDSEYNSSDDDESGDEGGNRRQQNHGAGGPPDPNSLVDDGKAYLN
PLEKAKFTHLLSRLPISTGKLRKGDVARVTAFAISHAGRGADEVVSMILSNIVKPFAYTSANPSSRKEKADRDAEKEISGGVVAGEDDEEDTSAASL
IGLYLISDILSSSSTSGVRHAWRYRSLFESALKARRTFEDLGRMERKMGWGKLKAEKWKRSVGMVLSLWEGWCVFPVESQEGFVKGFGEPPRTKEEV
EEERAKEEREREGEVREGKRRWKAVEEAKTPVSGEETMGDGEEEGNLDDEDVDGEPMDEDEDLDGEPMLDDDEDLDGAPMPVEEDGEPMLEDLVSAP
PLPSASQPVPDSRGLSLSIPESTEQAAKKEGAGQGEGGQPRRPRPKAVDMFADSDDDA

>RCO7_02427 | uncharacterized protein
MQFFTTIQLFALLATGVLAMPGTTEARDSVLEQRADCSRIREQKYVVSNYEDSDFLIQFPLAMVAKSLARQTAAAEARRRHATSGLALVELPMSWFA
DKPALDAFGFRFPFRSARGQKIQAAQLNFVLIFVCQVVGGFRE

>RCO7_02426 | uncharacterized protein
MSFRRQSASLLLVVSAILFCLLDYTSAVKIRGGADPAIMKIGTTYYSAESADGIYVRAASSLEGLGAANVQRQKVWDNTIGDVWAPEITTDLGRTFI
HFSAGKDAAHRMYVISADSPLGTYSAHQKLALPNDQWAIDGTFFVFQGEGWFVWSGWDSVSNNQEQNLYICRMDSPSRPVGERFIISQPRESWEQAD
RPLINEGAEAIIDPNGQLHIVYSANGSWDNNYCLADLRLRKGGNPRNVWDWYKSNGCLFGSHQNRMMSGWDATLYIDGPGHHTFALVDGDINKSPGG
TSTIPFVFHGVQKGTQYSWENRAWFTGSFVWWSKTKYSRKNVPGDNVNEGYSFKFFE

>RCO7_02425 | related to fructosyl amino acid oxidase
MATPPQPKSILILGHGVFGLSTAYSLSLRPSFANTTITLLDRSIFPSPDGSSVDTSRIIRADYHDAAYAALAERAQETWRQQGPNDLGGQGRYTESG
LVLVANKGEQGEDYVRGSLENVAYIAKNCGDEGAVQEFKHRSEIEAAVGAGGGSGDWGYINRRSGWADAEAGMIWLRKKVEATGRVDFKQGEVISLV
KDGKKVTGAKLTSGKVESADLVILATGAWSGKLVDLQGRAQATGQVLCYLDITEEEQKKLGKCPVLLNMSTGMFIIPPANRTLKVARHAYGLLNPVT
IPDPCDSSKNITTSLPKTAYDDPDLWVPHEGESDCRKALREMIPWLAERPFAKSKICWYTDTPKGDFIMTYHPEFEGLFLATGGSGHGYKFLPVIGD
CIVDTIEGNCPKEFKEKWAWSPDCVENVVTMDGSRGSKPGLILEEELRKGSKL

>RCO7_02424 | uncharacterized protein
MPPTTPTRSCSSPHSPNRKQSKQINLSFQKPFPPFPPSTPAQNSIFSMISSPPPSSPVETVSIRYSRPSSPICAEELTNPFIKLSKPYVINFGRHHG
KTLSQVPDSYVWWLQTKIKEGWFRQERYDDLRAALADDDDSASEQIPGPLSADWKPPALESTPSIFHDQVTSAPLWISEDDACRYFKLDRQYLEYLP
KVSGGRHGVIRNAHPR

>RCO7_02423 | related to OMS1 Mitochondrial membrane methyltransferase-like protein compensate for oxa1 mutations
MEKGYRRIFCHISRANGPLLQQHVRSYECRRYWSTNIYKRGVSYQRIRTPGGNRKHPEPVNPPLKKAPKNYRPQNPRIINPDPTPNPNSNPLRNRVI
PIFFGSIALLCFSGGLSYYYIVFTKDDDLPRKTTPALQEDVSNIYDKIATTFDKTVDSSESMMGISSLRQKLASEAVGDVLEVSIGTGRNLEFYSWD
FKGYQGVGKVDARGDIKKGKVRSFTAVDKSGEMLEIAHEKFGKMFPGILGVRWVIADAAEKGVIPGPPKSANERSGNLDKKYDTVVQTMGLCSVSDP
VALLRNLGECVKEDEGRILLLEHGRGKYKWLNKFLDKSAEGHAKSFGCWWNRDIRSIVEESGLEVVNIETPKWWHGGTTYWIELKKPRATTESAIQK
RENVMPSLAAVGAKKEEKPLPSTAEPKKGWWPW
>RCO7_02422 | related to RNA helicase HEL117
MLPFNSRQLGKRDYDVFKPMFATYLDIQKQKILEDMDETEVRGRWKSFVGKWNRGELSEGWYDPATFQRAIESSGQYEAERFGEKPNPRSAPIEKRS
VRPSARNVEAESDSDDSIGPTLPGQEKESRSSGSRKGPSIPNMQDLELRKEMDAEDGLARREDIRFARKTDRKEQKAALDELVPRAEPGTRERQLEK
KKEVNEKMKSFREKSPGAADVPDTELMGGGDGVESYKQEKEKFERKKNERELRKEEMLRARMAERDERLQEARAKEEGTMAMLKALAKQNFG
>RCO7_02421 | uncharacterized protein
MVLENGFASIESDSLQDGAPSSDSDPYSSTNYGTQNISQTYNIDLSKFPRPLPIIGPLAGYTDGLITKALTQKIAASSQILHRALTQEEVDAFGYWT
AKQVSIMSYGWPLGVGGGLWRCYTTADTFRMPFYKPNLEKFDPNVFPMAKLPLLRNRLAVLAWHASRAFFYGGTGNIIGQLFFGSYSMTVATVGELR
DKRLKPFIDATKAMAAKKRGALPGTSGQPGVGQQQGVGMQGKQQDSASPGSIPSGEQSPETSWGSMGESAQTEAQPTQRPRFRPTPAQAPLEQTSAQ
PSDQPFGIFDDASPTGGQGIQADIGAAPVASQGGSSWDRLRRGGQSPKQASSPSGGAQPVSDGNSWSRVRQQVSATNDGYSYNKTEGEDLSKSEVQK
DFDARVERERNGGDFVKGNGDQKRW
>RCO7_02420 | uncharacterized protein
MLVDTVLRSRVNAGGSGCDTEGDDVLGVVREKIKSSAESQTMKASKWQRMRNVGIKEGRLKGWKVFDAWMEGADAGDLVRAFLEEEKDRKRDELDEF
ENLCTGQKLQNWAFKDDFIAAQAYLGGMSIAKELLSVRESLMLFL
>RCO7_02419 | uncharacterized protein
MVINHLFNFQDNIATHMILRSHNDMLVAAIFLFFVALAFVLATRRIPSLHPWTRCWQQTSIRTTRQRPCDAEAKILQDVKPYQFPALKERTHSKVTM
GLKRLDESNWLTLDSNYLPEHAIRQDLLSTCRANVIECLPESEAACHEVLNIVASFLSTRFPQHFAIISSPSGPKIINHLTDEVYPIGQSCPNPLEV
AAKLSMEDFNILLKHPETGEYHLQASATLFPAGWKLQERIGTTMANLHKPVPGWKNNLGGSVNRYFDHLSHKTAMERTNVFIQTTPDLFQDAPPSPD
EHGNMPKTVLTLDDLKIRRERQTFTRLQHTGAVLFTVRTFMEPLSQLGDDELKALRTQVLGWDQEVRTYKGGDIWGPLLMQYCEGRIGAMEVKVDC
>RCO7_02418 | related to estradiol 17-beta-dehydrogenase 11 precursor
MAPSKIAPVRLLTAPIRLAAFDPRATAALLVAAVCYPEKIRSIFPVYFHSCISSPGFIRTLKTLLGLGIVRAINRKLSQYGSNNWKSDDTFIKSQEV
VLITGGSSGIGELMAYDFAKRGVKVIVMDLRQPKNPFPSGIHFYQCDVTKSADISAAAAEIRKTHGDPTVLINNAGIGTGQSILEEPEDRVRLTFEV
NTMAHFWTTKEFVPAMIKKNHGHIVTVASMASYLVHAQNVDYSCTKASALAFHEGLTSELRSRYKAPNVRTTVVNPGWVRTPLIDKLTSDPRFKDPV
LEAEDVANTIVSQVVRGRGGQLILPEAYNIATTIRSWPSWLQIGARNYLADNFMDETFTGLQMTECARPNVALGPLSGSSHAGPDARVLPDMSGAGL
DRIDVSMSRNITRLAGWLKTGSYQMDHLESTDR
>RCO7_02417 | succinate-semialdehyde dehydrogenase
MSAKLPFELKNASLFKDKSLVAGEWVEAKSGKRFDVVDPGNGKVWASAPDNNAEDVDAAVKGAHEAFKTYSRINPRTRAQWLLKWDALIRENRDDIA
NIVTYETGKPLFESQGELDYALGFTWWFAGEAERVTGTIQTPAAPGRRVFTVKQPIGVAAALVPWNFPIAMILRKASAAFAAGCTMIVKPSPETPLS
VLALANLAQEAGFPKGVFSVLTTSLENTPSLSEALCRHPLVKKVTFTGSTRVGKLVAKHCSDGLKKVTLELGGNCPFLIFDDANLNHAAEALMALKW
RHAGQACITANRVYVQAGVYDKFAEIFKEKTSKLVVGHGAEKGTTMGPVTTPRSLDKALNQVDDAKKHGGRVVLGGGKVQGTTGYFFEPTIILGAKK
EMLITEEETFAPVLALYSFDTEEEAVEAANNTSMGLASYFFTKNVDRTWRLLENLEAGMIGMNTGNSSAAESPFGGIKESGYGKESGKDVAINEYLI
TKTGTLTLDGHF
>RCO7_02416 | uncharacterized protein
MGKLSLLPAEVSDLTEILTGQRLAFSNPVEPFFFALFPETERVENFEAQVKRTEAWWTGDPSAKYMKVVDDETGQIISAAKWCIYETSLTEEQMIEE
LIVDWHFDNESNCWAQHIIRGVHSHRLRRTEGEACCFLDMLSTHPDHQNRGAAKILVQWGCEIADRMGVEAFIEGTAVARRLYESCGFVATPSEWTI
VDVPEKWNHKPQIKYFFFERQPRTRAVEADKAVVQSEVREIAVDEVAL
>RCO7_02415 | related to GABA transport protein
MDDKNVEMRSYGVADDSDRSNSNVDGGTATARGRRGGTARDEQEMAYFGKEQQLKASNYFSNVRNFGFWSIAGFVCTLLSTWEGLFAAFLYGFQNGG
PAGLVYGFIFAWLGSLAVVASLAEMASMMPLSGGQYHWVSILAPGRWAKFMSYTTGENFLHLKNPRNDHACPGWLTVIAWQAGQASVAFLAASIIQG
MVILNHESYVPQRWQGTLIFYALIFVIVFINTFLAKWLPKIEGLLLIFHILGFFAILIPLVYLAPHSSAKDVFVTFVNGGGWSSDGLSWFVGIVTSV
FAFLGADSACHMSEEIHNASTVVPNVMMFSLLLNGVLGFAMLIAILFCLGSINDALATPTGFPFIEIFLQATNSKSGATVMTALVMLLMAAASIGVM
ATASRMLWAFARDNGVPFSKHIGRVHEPTALPLYAILVCTVTSLLLCLINIGSSAAFNAIVSITTASFFTSYAIPTALLLHKRLRNDPVKDNIHWGP
WKMGPVLGPIVNVCALIYSAIAMFFSFWPSTANVTLQNMNWSALIWGGVIIFSMIFYVVRGKNNFKWSIVDPIRHNQ
>RCO7_02414 | uncharacterized protein
MPPNGGLVQVGNWAAPPWQTWAFSARTYIARSCWSDIAEEQNALHLPERKKRHAIRGVLASISNSQLANWSLEPPLLAFLLAPTGGGAREGGGGGGG
GKGRAVPQVGSSSRILRF
>RCO7_02413 | related to integral membrane protein
MYPKLDTKMIQPWSTVVARQVIISEENQGPIVNIAAWIGMTFMVLCVLTRVISKYTIVLRPTIDDALILATMMFAVLHTIMLSTLVENGLGTPQSTV
SDNNMVDIEKFGYTSQLLYIPALGLAKLSTVVYLRALSPAAGFVIVNQIIEAFVVLWAFSTEFAIAFQCTLPTPWAFITSECFNTTTMWNVTGFLDI
LTDIAIILLPGYLVWRLRMPKSKKVLVVIIFGFRIFILPLTIWRLQVLNTESVDDKTLPLYREYLATTVQLNFAIVAACIPFVKPFMESMNSGAYNA
SAATMDSSYGAGSKLNSNSGDTSCKANKPKGSIKLESLGDFRTTNPSNSSRSHNTAGTEPTCRGSSDDDFHFGLQEQERDDLGPLRPDKGTSFTHIG
RSTPAENQARSSIEIDSMIIRQTTEWDIQETYEQVMPSGERFVSRATTDNASDQGNKEWRRAG
>RCO7_02412 | uncharacterized protein
MNRQALLTKATVLSSIGSASPRV
>RCO7_02411 | uncharacterized protein
MKDFETSNARNWENDSVVSGQAEDTVHAQGPVAAMDDSPLVSTLDQSESTGPAHTQTIQVTLPLRQPTSNHINAVRAARNQFVPSANSVHATAPRRR
PSVAGTHPGAGDAQSGQTRSSFRASKDLWADPGGLVTTKRANYIEYKARTTKEREKYLSSPGDEIFPSTGTFLWPYRTQTPNDLFGPRLTPLDAVRK
EHEVFIEWKSYNSIQHLSISSRNANANLGALFDGIRRAIQDAKARNIDPTPQYLFVPPTAKAMRKIVRPLVYQAIKPIRATKFTLSGDGLSIEDQRK

WQKDRPAMVARNQQLFKNKLITGLKALEPLKVWMRMRVTFGHVVVKVFRTPFIDGEYSYQDFIDMVSHARQDGYLEKKIGGSETAVKLCDSIVKLPG
KFVPASGRATSLSDVKFKDTAIIFIKTHTADELRLETEIDRIHEQEQSEFQAGSVRLFVREKTKKGLNITFVDVERQLDWRLEVVTDTERFDIPMPL
FDLIKESISVKSKVRKDVHGLEYPEVTPSKYNKSDYHITSITVRSNIQFKLIESGFMVELSIYREWFGANTFGEPTLSTGVSMFHPTWETEMESIEN
TVRVRDFGPGLVNLFNGQSLDPFIDEVNFTQGLLVDIAKELKEEADELAIAATRKAAAEVVAQWPENK

>RCO7_02410 | probable prefoldin subunit 5

MSAQKGQQVDLASLTTQQLGSVKKQLDEEIEHLTNSHGQLRAAQAKFRECIRSIAGGVNPKLGGKPILVPLTTSLYVPGTLADPDNVIVDVGTGFYV
EKTTKDATKFYEAKVEELGSNLKGLEAIVQGKTKNLSVVEDVLREKVLSSPAPPTSTSTA

>RCO7_02409 | related to origin recognition protein Orc1p

MAHQSTPLTPRQKRANKADRARKLLAGATLRREDSDDELGTDEYPWEWIYEKDGHSGQDDDVDEPAEGEKAAMTPRKRKARNAVRPQRTIIGARMGT
FKCKVGDTVLLKAEGQNQSWVGIIHQFLEDEDGEKSANFLWFANEKEIRPQLKEKKRSDYLSNELYLTPDSDINPLESINGTAFIMSEKVFNKKYPT
GKVPKKCKEHGKAFICRRGCDTRTAKYTDEFVWEDIQHGNEEQVTDLLVRIESETKSMKKRKYQKRTTKGDDDFKGGFVGEDELETHTPRKKQKFST
ISTPKKPRTPSKLLTPSHKRVIIKKPLEFTPLGTRMLDPEHVESSPFQTARSRLHVSSVPTSLPCREDEFASVYSHLEAAIVEGTGACIYISGTPGT
GKTATVREVVAQLNASVMADELDDFIFVEINGMKVTDPHQSYSLLWEALKGDRVSPTHALDLLEREFNHPSPRRVPCVVLMDELDQLVTKNQSVMYN
FFNWPGLRHSRLIVLAVANTMDLPERTLSNKISSRLGLTRITFPGYTHEQLMKIIQSRLSGVPGDIVESDAIQFASRKVAAVSGDARRALDICRRAV
ELAESDILSQPAPNTPSKSGRNEKIPKGFGKVTIATVKRAINEATTSPLQQYLRGLPLAAKVLLAALLAKTRRTGIAESILGEVMDEAKRMAKMDTG
SQMIEFLLTGNDNLPRTGTSVQVSRKQQKTPRLLAMGSSAVDLMEAGIVGLEARRADRTGKIRLSIGEEDVKQAFKDDPEVKNLGF

>RCO7_02408 | probable pleiotropic regulator 1 (PLRG1)

MATTAVRSVPSAPSPDVTSEPPSLETLLIENRKRSRVQFESGATNDDFDGGASRNALAARVFSEYASIVPAPIPDTKSKSKAPQSGSSTALVRTEKA
RTTTTTPQHGSTTSLIHRPLPMKDLPGSSMVRKQNIVQQKPEWHAPWKLMRVISGHLGWVRALAVEPENKWFASGAGDRTIKIWDLATGNLKLTLTG
HISTVRGLAVSPRHPYLFSCGEDKMVKCWDLETNKVIRHYHGHLSGVYTLALHPTLDVLVTGGRDGVARVWDMRTRSNIHVLAGHKGTVSDLKCQEA
DPQVITSSLDSTVRLWDLAAGKTMGVLTHHKKGVRALAVHPKEFTFATGSTGSIKQWKCPEGAFMQNFEGQNSIINTMSVNEDNVLFSGGDNGSMSF
WDWKTGYRFQALDTTAQPGSLDAEAGLMSSTFDKTGLRLICGEADKTIKVWKQDESATPETHPLEWKPTLGRQKF

>RCO7_02407 | related to 26s proteasome subunit p28

MAEPEPSKFAIHEAARDGRTQIVESLLAANPKLAQRVDDDGRLPLHWAVSYNHLEIAKLLANTKDFDADVQDGSGWTPLMIAVSLKDGEELVELLLR
KDADVNAKNFTGQTALHFISSKKNIDLARRLLDHKPPASARVKDKRGQYAIHRAAAVGSVPIVELLIKNKSPLDASDVAGQTPLHHAVAEGHGDTAV
ALLKAGADIEKKDDSGFLALDLAPDSQVKKYILKTCEMEGIEITL

>RCO7_02406 | related to transcription factor TMF

MAAPAKQTSRWGNFLSQAVAGVESRLDNILAEGVEEQAQIQAQQAGQKKAGTAALSVPPAKTDGGVPKTASAGNRANDRLQERLARAIAAKNSAQKP
ERPDSLALSSGVPSRAASPATVSSSPRQSIDAPAPVSHIESNDVAQETVPEVSVDTGDLKAAQLDAPSIAVQPGTPIIESVQEVEAQQVPNGPVLTS
EAEASPRPSAESTRSSIPRDSIDSAIQPSSQPSVDLPSGERPDLGLLGTKTPAEYEVALKQLQSDYETSELQRQEEVHGYIERIDALQSKLQYLAKE
GAEAARKASGSAPSGSLEKKLADKEEQIALLLEEGQKLSKRELNQLTTIKKLRAKIQEDSKLVEEAKNKQEVAERDVAIVTERWKRAETFEKGLNEK
QKENQLLQKEIDTLKSANQLKDSALIELEAELDEVIAQGKEVEMKAANEALEAEKKRAAELEDDIANLKIENKLVADRAQAQIKELREKMEKDLEKA
RMTELEMKTEQQMLESKLEVMRARAEEVSSGATGDAQAKLLRQIETLQSQYSVASENWQGIEASLLARASNLEKERDEATRREADIRKKAREVTLKA
KRNEDELEESRSKMPSFQQELAEHKAKLDTLQQRAEAAEAALIEAKASFEQEKQAWKSEMQNRIEEERQKLQEEAQTSAPYSYRAESPASTRRGLTS
EYLGLQNLQMRRTSGRSVNNDMPLTSGFPARRSSRQPLGKSSGNGTPIRQDSSQSLTTTKETQNHNDNHNHNGETTDSPSINTENDDFFEQTTSPSS
PHQTINDMISVSTAGAGPSVQLVERMSSAVRRLESEKVATKEDLARLAAQRDEARAEIVALMKEVEQKRELDKVKAELESQIDVLGKRYEITLEMLG
EKSERVDELMGDVQDLKAMYRELVETTLK

>RCO7_02405 | probable alkaline ceramidase

MGFHLPSFEYPPARPDEGYWNPVSSTINWCEEDYYATIYSAEIVNTLTNLLFIALGVRGIRNCLKYGHDRIFVISFCGYLLVGSGSFAFHSTLKYPM
QLLDELSMIYTATIMCYATFSFSQSRLVRWCLGIALLFLAVFITLYYHYLQDPNFHQNTFALLLITIMARSTWVMEVNLRPSLREKYGSKSQKGIDS
GSVTVADRLENDIRDRATLKNMYAMVALGLAIFLGGFGFWNLDNHFCSTLRSWRHQIGLPWGILLEGHGYWHLMTGVGAYYYIVWAIWLRHCLNERQ
DEYVLDWTSIFRLPEVISMEDADRKRAPKWTNGYTNGYTHSYTDDYTDDEHNDGHTNGHTLTNGNRTNGNGRGHGSREGRK

>RCO7_02404 | related to prefoldin subunit 1

MSISNEALQKLVQEIENQALQSQQQIGIVRSQIAIKQREIRKLELTAKEVSELPSDTNMYEGVGKMFVFSPTNEVNSRLATETRTLSSEVDNLGKRL
LYLETTFKNSREHMDQIFKSGGRA

>RCO7_02403 | uncharacterized protein

MSGGGYYEEEDDLDIRIRRGRGSPRPVVFPERRYRPAPRPYYEHGSSYLIPALTSGALHRSRSTGHRRPISPPSPAPQAPIIINNRIYNDYEDDDYM
LSAPQRVRSRSRSRPNSFAQDPRDKYELERTRRELESYRATHNRDEYEIDRSRRELEAYRQAKDQQEKDKVRRELEAYRAVHTRDEYEMEKARRELE
MFKIERERQKDEERMKKQIAATKEDYELEKTKKELKEFKAAKEREAEEKRVKKELELQSLREEKKADEEKKRAKKEAEAAIEKYKIEEAEKAAKAKK
EKAEREEEYQKRLQEDLRKSGMDERQIAVVLKKDKGIDLNRPTYTRMSRRHLSIETLNRYRIDYEFDQDADYILIKRWVPEYEQDFLWSHTREIRER
RQPVLLSIEGKKPHHHHHHGETEFELVRKKSHSHSRKPSPSPLLTFLAGGKR

>RCO7_02402 | probable Solute carrier family 25 member 38 homolog

MSNGGQAGKSSTSFHFAAGLGSGILSAVLLQPADLLKTRVQQSGHSSLLATIREISKSPNSIRSFWRGTLPSALRTGFGSAIYFTSLNALRQNVARS
NLLRTIGAVDKNALPSHSSALPKLSNLANLTTGAIARGGAGFILMPMTIIKVRYESSYYAYKSIAGAGRDIFKTEGLRGFFAGFGATAARDAPYAGL
YIVFYEQSKKRLSTLVHKVPIAGELSKGMSGSTSASINFGSGILAAGLATALTNPFDAIKTRIQLQPREYHNIVHAGRKMIRQDGFKSLFDGLGIRM
GRKAVSSALAWTLYEELIRRAEHVWVQTEARAL

>RCO7_02401 | probable nitrilase, putitive

MAIAAIGQLCSTASMSHNLALCQTLVKKAVDAGAKALFLPEASDYIASSSLESLSLAQPMSSSPFLLGLQASAKASSLAINVGVHVPAPSGKMFNRS
CWINEKGEIESYYDKLHLFDYGKLRESDSVEAGKSIGRPVETAVGRIGLCICFDLRFPEISLSHARQNAQILTYPSAFTVPTGKAHWETLLRARAIE
TQAYVIAAAQIGVHNEKRTSYGHSMVVDPWGQVLLDMTGEGSEAEIGVVDLNLGYWERVREGMPLLRRTDAYPEF

>RCO7_02400 | probable methylene-fatty-acyl-phospholipid synthase

MTSFAGHDKGLVDFGQKSLAVTAASIAFNPIFWNTVARQEYHNKLLTKLAGGNSRLACYGLAATIFSLGIFRDILYERALRAQPTLPLLQSAPFTLL
ACLLIGAGNILVLSSMWALGVTGTFLGDYFGILMDDIVTGFPFNVTQSPMYYGSTMSFLGTAIWFGKPAGILLTLEVLTVYLIALRFEDPFTAAIYQ
KREESRSKSGLKATKKEL

>RCO7_02399 | uncharacterized protein
MATQAAIFAETIAGMKKAVKRKAYDSDSDSSIEHLTNRGNKLRKKARFIHEGQLAPPSGPQVYKRTIEHAGYQRDVISRNPPLVDEDGYEVDSDDDD
NRVRYAIAAAAELDPYSDVKIEHLLVPLTAASDLPNHPTLSKPFSSKTLTDLTRQAGEMVQKEKTSLWRIKHLLTRLSGDNTWYPCASVETDDDFAL
FMDERDRSHGNMLGKAVARVEGDQVSTGTLASEDTDQRQALDEPGLAEEVPIITKAVNEDATMDLSVLINDTTKNASQGPNAPATEEAMHPKQNRQS
GMPSAVSAEDAMDEDEPIEAFDMVDGELVEDQDSIAAPRRMRTRAQAQAASDNNTVKTRSVSPDLGSNIFIHPLFLAPASSRPDRDIGLPRPEADET
RKLLQLYIQKQEEVCRGAQRVYDGLLKADRCRKQVLKWAKAEGHVGANRDMSDGEDWYDKEEWGLDEDLKKGQDEEEEDAATTAKKTRTRRQ
>RCO7_02398 | uncharacterized protein
MDGYAPAYVAHNIPLLVVSGLGQGIGNDLKINNATRIASEVPTLESDDALTLLRIFKNGDASDLAWNAREHSGRNKFRVKTVGREYSLPPRSAQLPA
ETPADSIPKIVLHSVLSPLSPGSSLFPDGLLDPSWIEKHQDNVPSAFISFYTFTSDPNKSTLYDNQLKTDIHRTKSTLSQSGYKTRLIVALLSEKSI
VQSPDVEDRLANIRKATSLDSKTSFFFLPPQSSAVELQAFVETIVTTIYPICIEYYRDLSKHSRRKRNRGVVPPPTAPPTSGTSQALSSQGWNVRYD
FKLGVFAEFRQEMDSAVRSYESGYEGLLGPDVIEAIASWSPRWNEARLLADIFAFRIIRCLLWNGNTTAAVRRWQSHRERIRNFVDRRGKGSATYGW
EAWEARWATVMAEMIKRTSLPEFAAKATFMQAEKTTAIGERIQPLEYLHHPGYWFRTAATHLIARRTLALAIPDEDRSPPGSSPASLIASKAYTYDT
YLCPEPHEEFPLPRYSGVDHSALIIDMLSKAMFEFQKRGQSRLNQELQLLSAKESMRKEAWEDAVHILRPLWQKMSFRAEGWWDAVEEVGWALRKAA
ACAGDGGSIIAVDWELMNRSFTHHPGWPYDLSKSLEGLETVKTKPAVVLYDHEIHSFVSATYTFEHSDGKVGEPCFSQLAVTSHAVQLAAAVTISKM
KIAFEGSMKPVVISHQEGDDTAKSSQISLRTVLLTESARENQPSLVGNASLIFQPGETRIFEFSSILREAGDATAISATFFIANDLFDLEYVNSFSQ
TTAPDVWWGEKSIKKRIVRANAASVLVMPKPPKIQLQLVEFKDQYYMNEQIVLQVEVTNGEEVESVVNLEVSLLGENAPPIVMKLGGNEIPAVEDSE
APSLAGSPIGRIASSASTLVEVIIPPLDVPAVYELAMKAAYNLVSDMETPVYQSMSVQLEIINPFEANYDFSPRIHPDPWPSIFSHEEGESLDIEQE
IKAYGLAQKWCLTARYASFAADELVVGDVNVEVIGSNGGIKCYTEKLAKIPKVGLRVAPKSLEEVSFDTFTQKISLDDRGTATLDVSLAIKWRRDKE
GSMVNTTVLAVPRLLVSSSEPRVLASVSYSRKLPSMIHFDVTIENPSNHFLTFGLTMEPSEKFAFSGVKSSTLQLVPLSRRTMRFRMLPTVRGEWIG
PINCVIRDRYFQKVLKIAPTEGMKVEKDGLLVWVPAEDDF
>RCO7_02397 | related to host-specific AK-toxin Akt2
MPSSNFQIKEHVIECQHIREYARATSTSQEDVLHLSVKQYTPLDNLQPQKGDVTIIGAHANGFPKELYEPLWEDLHARSKSNGFRIRSIWIADVAQQ
GQSGVLNEGVLGNDPAWGDHPRDLLHMVNHFRTQMPLPIIGIGHSFGANTLCNLSFIHPRLFSTLILLDPVIEVESVGLTGPGPAQASTFRRDLWPS
RAEAEAAFRKQKFYQSWDPRVLDRWCKFGIRETPTALYPDEKGKVTLVTTKHQECFTFARPSWEAMSEDGKEILRRDLVPDLQIDSLENFPFYRPEA
PSTLLRLGELRPSTLYIFGGQSPMSQPEARARKIGVTGTGVGGSGGAKEGRVEEIVLEGIGHLVAMEASDKCADSSAAWIGKELKRFEEESKKYEEW
SKQGIIAKTTMSEEWQKRIGGPLKRPKSKM
>RCO7_02396 | related to RTT107 - Establishes Silent Chromatin
MADAKIDKIFENCIFGIVVNKTLSRDQALELKEVIESHSGEVADPDETFDITYVTHIISATSDFPQYADSRQYMLPVITPAWVTQSLLKGKDAPMRA
YTPDPNHIFAGVTISCADIPNGDKDAIIGAVLAMGGMETNNLTRTTTHICALTVDHPKCVSAKDKGLKCVIVLPHWFDDCLKLGKRIDEKPYLLPDP
EIFSLKPEADLAVQSSASIHGASSARPESLALDTGSPVRPLTVFKHKKVMISKDLELGNRTLKVIEDLIMKGGGNMTASVHNADMYICHYREGREYI
FASRALIDVGNLSWLYFLIANNEWTSPLRRLLHYPVPKNGIPGFENLRITLSNYGGEARTYLENLVTACGAEFTKSMKQDNTHLITARNGSEKCDAA
KEWNIEMVNHLWIEESYAKCAMQKLTTAKYMHFPPRTNLGEIIGETRFEAAILEEKYFPRDPTPSPGDPQPSMRRVMHEKDRNCSPRKSNGDTTMGG
QSGDDSPVKPARKGPAARRAKSLGVAPPATPAAKRRASAGKENDTPISTGSRSAKDKAMSRLNQIAPDIALYEKEKKRKGSVWGGERAANNYEKLKS
TERSSSPLQKKAEEEFSEDDAVEEETRNAKRQKTGLPPANIRLLITGYKGWVGNITKEDSDKKKLRDLGVLVITDPLKCTHLAAPAVVRTQKFLCAL
ATGPVIVDSSYIDQCVQTRKLPKVEDFLLRDMENEKRFGVKLKDVIARAKVNKRGLLRRVPIYCTPKIDNPTIYQSIVEANGGTFAPYRGRPTIKKI
TAEEDDGPAEPVYLLSGEHPEERKLWPKFEEMARDGNMIPRIVPVEWLLDVAMAQQHKWSDKFLVSRN
>RCO7_02395 | related to VPS25 Vacuolar protein sorting (putative)
MTSNYGPSYAASSTTLTPSIAPSYSTPDSTSIPAPSTTTFPFPSYYNFPPFFTAQKNLTTHHAQLTKWSSLILSFCRFYKIFKLSLSEALESELFYN
KTIKKRLSREDAREVVEFMKREGRAEWISEAGKGKGVGEGSVFWVWWRDVEEWAGLIAEWVDETAQKNTVLTLYELTESEATMSQDFHHMDPDLLQK
ALGILVKRGKAQVFGQEDQQGVKFF
>RCO7_02394 | uncharacterized protein
MASETGNLYGIRPPKKQPKDLSSSNSLAFASSLSTIISSTAPPRTAGRSRPSKTKSDIFTSHNKNAKKRAAKDLEEDESRGRTGKQDIGDVDDNVLH
RSKRKMEEKAKIYARMKRGEYEAKDGEDGLIDFDRKWADNEREGNLDSSDEVESDDGHGEMVDYEDEYGRHRRGTRAEAERIERKKRSQILGAEELD
RMSARPAMPEKIIYGDTVQTMAFNPDEEIEKKMEDIARKRDRSLTPPDATHYEADKEIRSKGVGFYSFSKDEGTRMREMEALGREREQTENLRKERE
QKKEKRKREIEERRKIIGDKRAKKRADSFLDGLSADMGFVKEKEA
>RCO7_02393 | probable tRNA (guanine-N(7)-)-methyltransferase
MAGAPNKRQKREEYKSAQNERPSTEAPKKKFYRQRAHANPFSDHQLTYPRSPAHMDWSTHYPAFVADPMPSQSLAEVHIEDETKSTVKPLKKDIEVA
DIGCGFGGLTVALAPIMPETLILGQYGLQAPWIHSLIFLAGMEIRTQVTEYVQERIKALRAQHPNGGLYQNAACVRANTMKFLPNFFRKDQLSKIFL
CFPDPHFKARKHKARIVSTTLNSEYAFVVRPGGVIYTITDVEDLHNWMVQHFEAHLSFERVSEEEQEADPCVKIMRVETEEGKKVERNQGQKFVACF
RRLEDPPW
>RCO7_02392 | related to intermediate filament protein MDM1
MAVSRRDVILAGVASFVAWGYAVNWVPTLRWAGYAFVVGLVLPVLGLIALLVLTSRGSRYGQRNFVRRPPGVAFLATTRWKNETSALRARQTYEKQP
LYPESATVSGALDGILELIIRDFVKSWYSNISKNPAFTNEVDKTIRLALVCLREELLAVDITEVVTTRFVPILTAHFRDFCDAERAIRGRHLNRSVT
ESEELDLAIAGKYKDGKLHPAASLAYSDTKLVQQDYLRKLTRALLPRLLPEPVIGSRAVGGLINELLACAVLSPVMQLLSEPDTWNQVMEGYGRSML
QDRSTVRKLRAALDEHASPAPRSKRTTPFPRLSPGDHERKFEKFIRAIRKINNLSDARRFRSEVSSQLKKDALQEGIDPVYLRRLDIGKKILDQKVH
QLAAGGERQQMPSGSVRNGTKVSKLENASLIDLLHDPSGLSYFMEYMDRQRLMSMVQFWIVVDGFRNPLEDDVAADDEIPTTISPWTEADRNDLAQI
NEAYLSKPELKVPETSKLFVQEFLKAGKAATPQQYFVARRAILRAQTSALELMQDKHFRNFKKSDLFYKCLTSQEAMKDHGPPASPVAPSRIESLQM
PSLPARSASAQVFPTKPATIHRVSAKLVPKRANLRRQAASSVDVHAAKDVSDPMPLSRGSIDEGSSPVCDDEDFDSEAMVNSVHSLDQDVENNGPDN
NVVQAMEAALNDIMEDKPDVDDLRKSLFGDDYPLDSPNPSLMSPGRASTRSSIDHMRTDLFGGDTGKADLFGDKLNHSEKAEKPSIASLGLVNTSSR
IGVFTDDDLFGDEEKFMSDEHEDPEDDRDKDDDDEVHEAAPGDLGLAEAITALTTDIDRLIAQDRVVDSLTRKAELTNNTAELRILKKSKASLQREI
RRKELQRQQYVIQESDNSLYGRSTIKIKSIMVGKEEDGREYAVYVVEVQRKAGEQMPAATWTITRRYSEFHDLHQRLRMKYPSVRNLDFPRRRMVMK
LQSDFLHKRRVALEKYLHEILLLPDVCRSRDLRAFLSQSAIAPSADGPYDGEDKKDIMTRFYNSVTDGMEDILGNIPVLDQLSVAGQNLLSAATSQL
ITMPAAISEDPITVAEAEAELNAFEDRELEPFVKPICDIFLEVFELNRGNNWLRGRAVVVVLHQLLGGTIERKVRENLKVFVSEEAIIRYITLLKDS
MWPGGQQKKDGKPRTPLEISKSRTEASLMLATLVPDLAASVVGRVNAQAASRRIFATFNNPRLNAHLAFTMLDEVIDVLFGDVRT

>RCO7_02391 | uncharacterized protein
MTDDQLKDQELPAAEDIKSRNDDKLLVSKEATPDNPSSAEAPQPRMLLEKKLPFDNVAFHPRDFTYLTTGWREKVELKFGCILKCHHTANRFWLWAD
SVQEGAFKDGGAIACGIFLKAYAKETQYYASKRREGPLVLDFLAYYTSDDFIAVDVRTEAEYKFLEQRAGQVPDDLPPPGVTYTAWCTKVTDDVTGH
EMSLAQLLIVHEARVKEAYRKELTTAYSPFMENLESNLWNYWCDHFGHSWDGPQPLSLMAFKAQASRGLFGGSGQERRNMGPMQAPVMQAPALRRYP
IVSGSNMAPEQARVSQNEGSKVGNSAQQSYSMGPKQAQVMQAQALRGHPQASKGYLSGPGSNMAPKQAPFMQPQASKGSSSGSGSNLATKQAPVAQR
EASEETPVKSGKKRNPPPTKRAPTNPASARKRKHDEVADEED
>RCO7_02390 | related to URE2 - nitrogen catabolite repression regulator
MSSSSRPTGLVAKSGIELLTFGTPNGHKASILLEELKATYGTQYVFQSINIMENIQKEAWFTKHSPNGRIPAIVDHDRNDFSVFEGAAILTYLTRHY
DTEQKFSFKDADDLSRCEQWVAWQHGGLGPMQGQANHFYRLAKERIPYPTQRYVGESERLYGILDTQLSNRDYLVGPGRGKYSIADIASFSWVNVSY
FAGVDLSNFPNVERWWKSINDRPAVKKGLAVPSESKIVNEAYVERLKSEEGFKEAEDKLKKLGDEAKKQYDYKYSSP
>RCO7_02389 | related to aflatoxin efflux pump AFLT
MASADASPGTPSEDHSLKEHISTTTHEQARISKTQVPIAAPVLGTVGSVGKNSEGTKESSSAFEKHDQPSESHTDTVEQSGFVEKETHVTENEKEVV
VGAEVDKSKENANGEEEEEEEDAVVYLGKLQLGFLTLGLCLVTFTVALDNTIIATAIPKITSVFDSLNDVGWYGSSYLLTTTALQPSFGRVYTYFNV
KYTYIAAIIVFEIGSVICAAAKNSSMLIVGRAVAGTGASGLFSGSMTIIGFSVPLKRRAIFIAALSSMFGISSVVGPLLGGVLTDKVSWRWCFWINI
PFGVISIAVVWFFFKPPVRKDSGMTTKQKILEIDLLGALFLICAIVCLLLALQWGGTQYAWSNSKVWGCILGFGLLLTVFIALQFRRGDRATIPPRI
FLQKTVFFSSMYSCFLSMGLYTHIFYVPFYFQAVKGTTAEESGIRTIPYLGSIIVSSIIIGAAITALGWYKPFMIFGSAIFAVGAGMIYTLTVKSSA
GEWVGYQFLSGLGAGCGVQIPFVAVQVVLSPADMPTGNAIAIFFNSLGGAIAISIAQNVFSNGLSSNLPKYAPDVDAQTVIHIGATSLKKFIAPNEL
PAVLKAYMAGLQQAYVFPIVVGGIATICACGVEWKNTKGKKIVAAAGA
>RCO7_02388 | related to EMP24 protein precursor
MKQEDRTEREAAYSAVWSWLTRWRLSVEARVGTEQEVRSVSLGRGHAKLGQDKDNANQVGRLITPLDWFLLESQSSQKVGLEGCSRLPFSTSASTKQ
PRRNTTFPLSATPRSPTKAQLLPIAKLTNTFIMRFSTPSILLAAISLLGTAIAHNIQLKAYGRECFHEMLHKDDKMTVTYQVGDKEFGSAGNLHIDF
WIQNPSGGYEVHLRSVSNGDHSFDAAHDGKYIYCFSNEHWAATSKDVSFNVHGIVYVPEAEAPSDPLEAEVRHLSELLAQVKDEQSYIVLRERNHRN
TAESTNGRVKWWSIFQMAVLVAEGIFQVWWLKRFFEVGKNSSERYGIGIYNIMGGAIADSVQGMKQRDVRPGWGS
>RCO7_02387 | probable ADP-ribosylation factor
MGLTFSKLFDKLWGKKEMRILMVGLDAAGKTTILYKLKLGEIVTTIPTIGFNVETVEYKNIQFTVWDVGGQDKIRPLWRHYFQNTQGIIFVVDSNDR
DRVVEAREELQRMLNEDELRDAILLVFANKQDLPNAMNAAEITDKLGLHSLRQRAWYIQSTCATSGDGLYEGLEWLAQSLRKAGHQ
>RCO7_02386 | uncharacterized protein
MHLSTLTTQLVLITLTLVFLFSDTVFASTSLPEDLERLRGHILSPGCENAPHRITGTIGGTSINYTGTIEQVIAKIKIENPGIDIVALIAADSALLK
SRSLARSKDLNVLGLIALAQSLSVFATW
>RCO7_02385 | probable FMP30 Found in Mitochondrial Proteome
MSGGTTAAAAVLYACSMSSPKALGAVPEDNAAKAHHAKDGKGFVNPWPSWVDFNPLVIGGQMIWRRVTGKWTWPDTTPPTVTVVQPTFLPSRTSSTS
LRATWLGHACYYVEFPSGLRVLFDPVFEDRCSPFSFMGPKRYTEPPCRINDLPVVDIVVISHSHYDHLSHPTVVKLHEAHPKAHFLVGLGLKKWFHE
CGIENVEEMDWWEDIDITLSATAGEKRISSASGSTSPEHKKKDEDITARISCLPCQHTSARTAFDKGQTLWCSWAVSSGGKSVWFGGDTGYRHVPEL
EKGVDDYGPDYADLPHCPAFAQIGSLRGPFDLGLIPIGAYDPRFIMSSMHANPFDSVNIFLDTKCKRAMGIHWGTWVLTSEDVLEPPILLRQAMKWK
GLPETGVFDVCNIGESREF
>RCO7_02384 | probable pre-mRNA splicing factor srp2
MTEVSSTRLYLGNLPRNATKADVEAHFNTHGTGEITEIKLMNGFGFIEYKDPMDARDVVPAFHGSDFMGERLTVQFARGTRTRETFANTERIAPRPR
RTPHRMQISGLPGETSWQDLKDFARQSSLDVVYSETGRDRDGKGSFVEFETAADLKTAVEKLDGREFKGVRVTCIADTQPDTPRDFRARSRSPIPRR
HPGDYDDRRGPPRGYSPRREGGYRDRSPRRAYYDDDRRGYRSPPRVRGPVDEYPPVRRPFEDPYRRDYPPDPYAGGRPPPRDYPPPRDYPPREAPYD
YERPRPRY
>RCO7_02383 | probable TID3 Outer kinetochore protein - part of Ndc80p complex
MSQDTGLFSVRRPRETLGGINYNSSIPQPASAMKRSNSMSGSNMNAPFTVSHVRSISGSRASLAPPRPNQPQFQRSSSGTNLADMGMSSVKRTSFQN
NSGRKSLAPGTTGMSSAESAERRSSVYRSRSSTNGPMGHQSFFQQAPAPAGVPKDPRPLRDRTYQAKIGQELLDYMAANNFEMEMKHPLTQNIIKSP
TQKDFNFMFQWLYHRIDPSYRFQKSMDQEVLPILIQLRYPYHKMITKSSLTACGSANSWHIFLGLLHWMMQLSQMLDGYAANHYDEACAETGVDVSG
DRIIFGFLSGAYRDWLSMDEDAGDEDQDRVLAPHVEAMAREFDRSNSKYLDELHILEGEHERLQKEIEQLEKSGSDVATLDRNFKIMEEDKVKFEEF
DSRMNQKSEKYESRIDFLQGELDKVMVELEEADEERANLQKAVDGQGISMADIDRMTVERERLQKGIDSTSQRLEEAKKKVSEKEGEASRKLEDLER
MVDKYNSLGYQIGLIPATAANAKGKNYELQVTANDGPNFSSSQMGASGNGNTDSDRLLADPVTGYQPAHILNLDLRGQVKASFLSLRKEISERRTVA
MDEMMKHHDLLDGIKEAIEDKRGEVEALEHRVRAAEEEYEKTKEVTTTQKIASDTQIEKMEKELAKMRAGLTESVQLMEQREMNTNIEYEQLTLKAN
ALREELHTEIEKMLNDIIKFKVHIQKNLEDYEGFVVDEVEHELGGEDEGREDTQDVEVN
>RCO7_02382 | related to PEROXISOMAL MEMBRANE PROTEIN PER10
MAIREDIVASAVTFLQDPSVAGSPIENRIAFLQSKNLTQEEIDNALARAGGETAPGNYSNYAPQQQQVMRQPQSGYGGYQQHPWQQPPPEIPKRDWR
DWFIMGTVMGGVGYGLYFVAKRYVYPMIAPPTAPQLEQDKQAIDESFEKAFSLLDQLAKDTETLKSSEQARTERIDAALKEVETVISELKTASKRRE
EDTRRIGDEVRGLKDLIPRAMEGQKETTDNRLKELNTELKSLKTLMGQRMNPTPSTPNTGNSYGRASGMASSNTPSNAPAQPTSSTNGSSTGEVVSP
KPASVSNGTGSEIVASMQSSAQGRSSPFNTGAPAGKAAIPAWQMAAANKSNSSSNTTGTGSGTQEATGSA
>RCO7_02381 | related to acetyl-hydrolase
MDTSPIPMLKAFLPKVPLMGKTAVFHTLGFSQHSKYWDLRTELTINVLRSFITDSPPRPLSQLQRMSIKGPEIKGRIWISKVTMPKPKEDDVRTKLF
KAIEGLREDGSGMRGFKEPDLMSVEAEWTGYRAGATKDSNELKISEEEKYREIMKEVESSTTVLYFHGGAYYLMDPATHRPTTKKLAKITKGRCLSI
RYRLAPQHPFPTALLDALVSYLTLLYPPPSSFHTPVLPQHIVFAGDSAGGNLSLALLQTILELNRQNLKITWNGSEREIPVPAGVATCSPWADITHS
SPSCETNQKFDYLPSLAEANNSSRYPPDNIWPASPPRKNLYAEDSVLTHPLVSPLSAKSWKGSCPLYIETGQELLTDEARQVACKAAKQGVKVVYEE
YETMPHCFAMVLETLPASRMFFESWATFIKMAVERQSEIVTKGRTVKPKSLETLNVDVEKLSGRSDEEVLRCMRERVRVMSGEVPDPIAKL
>RCO7_02380 | probable hydroxymethylglutaryl-CoA synthase
MSARPQNIGIKAIEIYFPNQCVSQVELEKFDGVSTGKYTIGLGQTKMSFCDDREDIYSFALTAVSNLLSKYKIDTNSVGRLEVGTETLLDKSKSVKS
VLMQLFGDNTNIEGVDTVNACYGGTNAVFNAVNWVESSGWDGRDAIVVAGDIALYAKGAARPTGGAGAVAMLIGPDAPVVVEPGLRGSYMQHAYDFY
KPDFTSEYPVVDGHFSNRCYTEAVDECYKAYNKREATLKSQVNGQTNGHTNGEATDSKTPLDRFDYMAFHSPNCKLVAKSYARLLYNDFLTNPTSST

FADVPAELRDMDYTKSLADKVLEKTFMGLTKKRFNERVAPSTVAPTMCGNMYSASVYSGLVSLLSNIDSATLQGKRVGVFSYGSGLASSLFSLKIVG
STETIAKTLNLNERLEARNVVAPEVYDSMCDLRKKAHLQKNYTPTGNADTITSGVYYLEKVDDLFRREYKIKA
>RCO7_02379 | related to glucan 1,4-alpha-glucosidase
MAGPERRSMGTDRRELTRYSHPPQLRAIQLDTDDDEDDDDLAAMGISDGYRPGAMTGHNQVSSDASQHIMTGRRTPPPRPSSTTKPQALDTFALRHD
GGMDGRRSSTAASSYSGIAPTRSSSISTDPPYNRPESPYRGPSGPTHPYQMYPQESRMARTASIATTSTIPVPDRPYNGPGGPTHPYGMYPQNTVPE
AENPGDPNPLAPVAVGFPGLCSDYQRRLGPDGEEIADIIGPDGHTEQLPPYSKYPDEALARKTRPTIAMSPPGAGGMGLATRNPEFSSTEGLDSPSR
QYTRSINSATSEHQVNMGAIPMSEKPELKKWQKAARRKLCGIVPVWVAILVTLVFIMFVVILATVLAVLKPGQTSGRGRDGTPPSIVVTTTTSTFDA
TPLSASPTGTPDLPTGTFALPISTPSAIQNSCLSNTQQSAAWSCSIPIIPYTITVNPVEFAGSELSNNEVSLSIGNNTLGNYYAFGTQPPVLKEDQT
LNLVMDNQEPEKGPAWFFEMTYNKLVILPEGAITAPTANVKRGKDEKGDSQKGSGKKDGDRLVSDFARKGIAQPGDSPWFCYWNGTLLEAFIYVNLT
SNAGRATASSPASVTATATTTYPGSTPSATSAQPAVYSDSSSSGYNQELQFPVPYPKVVKIEERRIPGPQEISPYCVQHVIDDWGAANVARNSSGLP
IIVYLNETDSLLTSDMESKPAYGSERDDNDLDTRDLDDEVGCSCVWLLT
>RCO7_02378 | related to class I alpha-mannosidase 1B
MHFSRVVVPVIALFTGSSKAAPHEDPMTRQSRPDNHTLNRERADAVKASFQFAWDGYEKYAFPNDELNPVSNNFSNSLNGWGASAVDAFSTALVMQI
PEIVDTILEFIPTINFDETADQVSLFETTIRYLGGMLSGYDFLKGPLCDLASNATAVDLLLTQAERLASNLAFAFNTPTGIPSNNLFLNPQGTDNST
TNGIATIGTLVLEWVHLSDLSGNKTYGQLAEKGESYLLAPKPASSEPWPGLIGTNIDINTGLFQDAKGGWVGGADSFYEYLLKMYVYDSTRYGHYKD
RWILAADSTIAHLASHPSSRPDLTFLAYFDGQKRIFVSQHLSCFHGGSFILGGLVLKEQKYIDFGLALVNGCHDTYVSTLTGIGPEVFRWVENSTSS
DDPRNRPPPANQTSFYDKAGFFITNSFYSLRPEVIESFYYAYRATGDQIYRDWAWNAFVAIRDNCKVGSGFAELNDVNQPRGGGFGDFQDSFFFAEV
LKYAYLIHSPDDVWQVEHGGKNEWVFNTEAHPFKVWGPPI
>RCO7_02377 | probable flavoprotein-ubiquinone oxidoreductase
MASSRSVTASLQRNLLRRSPFRATTQLPRSLQTSFIRPRTISNLTRCLAQSRAFSVSIPRRFATVNEDFDPKSIERESDEVDVCIVGGGPAGLSAAI
RLKQLAIEAGNEEFRVVLLEKAGEIGAHILSGAVIEPTAINELIPDWLAEDNENRFQDVTPATNDKMRFLTKGSSIPIPAPPQMNNHGNYIVSLNQF
TKWLGERAEEVGVEVYPGFAASEILYQSDGSVKGVATNDLGISRAGKPKDNFERGMEFHARTTLFGEGCHGSLTKQVIKKFDLRSESQPQTYGLGLK
EVWEVQPEKFKKGEIVHSMGYPLPADTYGGGWMYHFGDNLVSIGLVVGLDYPNPWLSPYQEFQKMKHHPLYKSVLEGGKCISYGARALNEGGFQSIP
KVAFPGGALIGDTAGFLNVPKIKGTHTAMKSGMLAAEATWNALSSTDSGTIFLYDYEESLRKSFIWKELKEVRNMRPSFHTPLKLYGGVMYSGLEAF
ILKGRVPWTLSHKGTDASATKTADQCKKIEYEKPDGVISFDILTSVSRTGTNHEEDQPVHLQVKDWDKHAASQWPKYKGVENRFCPAGVYEYVEDES
KEIGVRFQINAQNCIHCKTCDIKVPAQDINWATPQGGEGPKYFMT
>RCO7_02376 | uncharacterized protein
MKNFGSILTFVAVSASLVSPRVLPDSNKQVEARDLYNYGGFAKEIIAARSPEKAGEAAVGKAKVDGAKGNVTEPADPASSSGGTKKQPGGDKKAPPP
PPAADVPAGEQGDVAPSPELVPVTEAPPAKNSTGPEAGAGAVRAGKNATEGAPTKKGKGTGAAKLAKDAGAAKLGAGAKNATEEVATKKDKEAAKKE
KDAGPAKFNAGAKNATQAASSKGKTAGADAAKDAANGNADGDVTVQKAATPQEQFANIVKGLTGLDVADLGNFDLSAIGLRDIPAGNAKRQIADVDA
EDEEDCED
>RCO7_02375 | uncharacterized protein
MTPEQKPTIVYNTRRKSLSLPSLGIHLPVTHASRAAARLSPPSAGPNSENPPSKKLKRSHEDSPSMSPPPKRAPLKYENTPPPSPEALTDDLEDDVK
PREIDLAGINDEIVEGVIVLLQKTGNRPHLVKELAAILSQSVKIVEQSANPSAIISSRLSSYLKRSWSATAPCPVAKELETVHPRRTYFYLTTYPHQ
PIPDPSTAHFQSRAIISPSISSAASRSDEADAERRRELSPSPEVDLSSTEFEADDMAMPPTPTGSFSGRPTEAPRNHRATSPPLEKDEKEFTQTARG
MQRRKLSADVQLSGVPSEMTDHPTKTLEADSLFGEARSLHVLNSSVFTSSPAMKPTMNTMSFNLMKRPFEDVHEVWTESSTEWDMRSPENVELEELD
GMFDDF
>RCO7_02374 | uncharacterized protein
MLVLIDADAQTNLFRDEYLTRGMDGGHAAADVLKEKVQEHLVNGLGASVEKTKALPVMIKAFANLEGLSNYCVKSQRLRSQDALSKFWAGFSRSSAL
VDFIDVGRGKEEADSKLREVLAFYINNPLCTHIMLMCCHDAGYIPVLRPYSVKSMLSQKITLISTGGILPSIAALNFRSTKIFEPLFSGIGSPKSAN
QATLQLSKRVHEQHKSTPIVTSQAKECSQVSPTGSTGSGQASSTGANAKSVYQIGRPIGHENFVANAHRLGPVLRNSAGRRIDKKLPFAPWNERVQS
IRNMNICSWHYLRSDHCVHDCARSHDKLERPLTSEDHDALRVITRLGFCQRLKNTGDCDDEFCIYGHGLVES
>RCO7_14022 | uncharacterized protein
MQLVKCSSDLGFRDKPIEHAQLPRPVVTSVFNVSPDPGNPTIWDFHLTDSVLGEPSQESSNQLRLAFTKNLRKTLIEPSRSSILAVLDSTTVFSKNF
STKNPFRGDHSRRLPEILLNWCVPIHSLCSQLLAGLIEVMIDQGFGRSIPHPAISKERLRNNKIVADTKTTRGNCRNKESEDF
>RCO7_02372 | related to toxD gene
MPHQTDPIPAKQSAIIALPNGELGVSNDVPVPHVDDDLVLVKTVAVAVNPVDAKMVGPMASTGAISGCDFAGIVVKIGAKSGEYLKIGDRVAGVVHP
MNPMRPDIGAFAEYVGATADFTLRLPENMSLSTGASLGTGVGTMGLALFNHLQLPNTPDNPGSFPANKPCYVLVYGGSTASGTLAIQLIRHAGLTPI
ATCSPRSNALVESYGAEKCFDYHSPTCAKEIKAYTKNGLRYTMDCIVEADTMTLCYESIGRSGGRYTALEPYPEYIASTRKTVVANWVLGPSILGTK
IGWPAPFGREGDLSLRVFGKKWFQTAQKLLDEGEIKPHPVRVSDSGFAGVFDGLELLRNKMISGEKLVYNL
>RCO7_02371 | uncharacterized protein
MEHHKRLPKILCLHGSGTNVDIFQIQSRKLRNYLKDSFRFVFVNAPFSSPPGPGVLPFFDADDDFYAWIPQRRRSRKPFARRIDLGKEEREANEGLR
NALMDIDEYDEPFVGVMGFSQGAGMAASLLLLAQQARNRGEKCYWSSLQFGIMFNGTADCLEWQSHRSIEEVRDDVIRIPTVQVHGLADPWLKNGRM
MLGCFFAAETVNLIEFNGAHHLIPDEEGTRRLAEAIKEMSAGKSRVTPVSAWNSFDEKMAMDSSVSVTEIILV
>RCO7_02370 | uncharacterized protein
MLFKSLLSIVALLAVAEAAPSCPSPSNKHCKVDTLEAYDIANNTIIDIGADPLIPFSSRKLSGVNDTAWEFWFFDSTTDDGNAGISFAFWNDNSNVG
LEHPPWGVLRLQTQVVFPNGTHWIETTWVDDNTLTTCKDSTTGVWEKPGYRYSFKTSNDLKFTTITLDSPTLKGTYTLTATAPPVYPDGKYWPNKRA
SASVMPWVYWNAAVPSGKVNVDIDVAGTQLKFTGIGGHDRNWAPFPLLQASLGFQESRVNAGPYTVLFWYIGSRVTKQTYLASVIIKSKKVVFTTKN
FKVAEKEDYMLFAQSHVNDTSTPFDPTKARTTYDLNFVSADKKKNWKFAVDFADPEWALNDRGFSGIIPASVNGGEVGREQYKGAGTAMHAEFDPSW
V
>RCO7_02369 | related to aflatoxin efflux pump AFLT
MHFAKDSASKQAVGMCMKGVEDAVLGEVGLQEAKNNEGPTTSIPESRSDADATALRSSLPINQQTEIDDNNKATTSEITIPEALGRDVSLAIGVGNS
QAQPYRETEIPSDTASQVATTTTFINTDLNEPSKEISSMGTASSSAGTSDENDNSLDGGVINEPVPKEHDEARETVHLTGFKLHILTFGLTLAALLM
MLNASIVATAIPEISKYYKSIEDIGWYGSVYLLTNCAVQPLSGKLYTIYSLKWTFLCFLAIFELGALISAASASSKMFIIGRAVGGMGGAGLMNGAL

TIIASAAPVEKRPLLVGAIMSIAVVGQAIGPLIGGVFTQYATWRWCFYINLPAGAITGVVLFFIEIPDEQKNFKSHKTPKELFFALDLIGFSLFAPS
CIMFLMALQWGGIRHPWGSATILGLFCGSIATAVVFAFWEKRIGKQAMIPMSMLKKRIVYSSCLTALLQMGSLLLVTYYLPIWFQSVKQVGPTMSGV
MILPTFLSQIPSAGISSLLITKLGYYLPWAMAGSAITAIGSGLMGTFTHGTTEVAWILFQVMTGVGRGMVLQIPVIATQAILEPSEIAVGSALVVLF
QLFGGAIFISCGQTIFTNRLKGALGRFAPQVNAELVVRWGAAQLKDAVPPAQLNHVLDAYNYALIGTFYLGAAGAFVAFFTSTGMGWKSLKKAKVVE
PQV

>RCO7_02368 | uncharacterized protein

MTSSRSFPLYDKKEDIHRSIAEIFDLERDPRAPFSLVQGYTDHHQNHASNDESEEGLLSRTTYLKDVLPVITHLWLSGSEHLDLAADKLADASREAR
WRLPIGDSGTLEFFLEILPFCDNRRDLRLQSLRLIGNACADVDQNRTRLLSRNTVPCVIQYLKDPFLSTVAVVVLYNVCVDFVPAQRIASEHNLTQE
LVQQLSGGKHGKAFHEHCCELLALMTTQEVEIQHAPSDIGLSLLSVAASDGVETIDDFSNLLSAALLYLQQQKSKQALIEQDGMTTALALVTKYAMR
LEGTNSYSYELNMASQSPSTSQERAATQLAALGQIILEISSLPEFSVALYPLDSPFGAALFHLLASSRAQFQNYACVLLGNLARSDRVSEELVHTYQ
VLKPLTAILKSTHDSKLLFAALSLLNNLALLPRNNAEMGNTGLLEFLPMLWVQAEKLPVQHASIRLTRILLVGNWDNVRRFYRRLSRDKNSPAHMRS
NMSLLLAIFHRTENETTKIEISRLITAFCRVGSQRMPNDAQKLEQNIKKFYFMHPELGKSLVFMITQQKSAIVRSEGWFTLALLAATPEGAACIFGV
LSEDGGMQALVETLRGKSIVDGEAMTPGWPQWIDQFMGDGWDWASNTQAALPSEEMQVMRMANIDRKNARAILRVLINSGLDSIDSLQLSLYEDLLN
TGSP

>RCO7_14011 | uncharacterized protein

MENTRADRLSDSDMLSKPLFVPKGSVSDMVAVYIPARSSSSYSDLRYIGYSRTPPRTAG

>RCO7_02367 | uncharacterized protein

MSDGDEDNVAVATNEGNRAANSSASKKFTRLACNRCHSHKLRCKKPNGSSEDCERCIRANTYCVYGMPMRLGRPRFSGNVNEQAASSNNSNTTNITT
TSGEELEDNSSSSSSAYSTQGKTRIRKSGDVHNHRDPVIPYASELRSWTHAKQRSQPAKRKLQDTNFVVVNTEKPTSVWSDARNADTDMMDDEDMLG
GVGAGDQAINTDQAGTAPHPIYEDQQDLNLFTNFTSWPTDPVPTASDHFIDSIQSFSPLLPGSFDNIHWPSEDYLRNFYGASGLDKPMSSLEMPQYH
QSGDISASTMKNCIQELSDLQIMLYRCSTTPPNENGQQQSRVVDVHMNANLGNVTFLAPATNVSDTEADTIFKVAQTFIDILKRLAAHAPPADAADR
HFDNSRPPPLMGLPFSDAASSEQSSPSDETSLTSEHNVMFFLVLTCYLRLLNICDPFVADLRVRLQTSNISAHSSASDLPGLRLGSFTPPASSELHI
VLLVHVIQHLLDRVDKGIMACFPVELAMNVNQAGPAYGQQGQEDSQSRRIHLVANQFTLSEIKVREEILRKGFARVTDLLKGSALL

>RCO7_02366 | related to RTM1 protein

MASINEGPKVPITNWYDYEPALAPAIVFGILYTVAFVVTAFQFFRYKTWFWICMVIGGLMEAIGYVGHIFSVAKEGDKGLYILQFVMIFIAPAVMAA
ACYMAMGRVALHAAPKEFQTMKHLWIPPRYMTPLFVTCDIAAFVTQVMGGVDSTDKDIEVAKKGLDTMKIGLIIQLICFGFFLVISVRFHSVSKRFE
QFWPDKQWPNFLWAINVAGTLIFVRCIYRLIEFSLGHDNYLITHEWNFYVFETCFILPVFFIFNWYHPARYLTNIGFRQERPDGEVASAYKWYSPAK
YVPALRKNDGEKKEAQQTDVELSAANSWEDPEGTATPKGAKTSVV

>RCO7_12022 | related to polyketide synthase

MAPPTHRGEPIAIIGSGCRFPGESSNPTKLWDLLKNPRDVLSPIPNDRFNVDGFYHKDGTHHGATDIRDAYLLSEDNRQFDAQFFSIQPAEAESMDP
QQRLLLETVYDSLDSAGLRIEDLKGSPTSVYVGLMCADYGDLIVNDFDSMPTYAATGMARSIISNRISYFFDWHGPSMTIDTACSSSLVAMHQAVQG
LRNGESRVAVAAGANLILGPVPFIAESKLHMLSATGRSHMWDERADGYARGEGIASVVMKTLSAAIEDGDHIECIIRETGVNQDGRSKGITMPSQDA
QADLIRATYDRAGLDVLNKNDRCQYFEAHGTGTPAGDPVEAEAVSRAFFGPDNKSSDDKDILYVGSIKTIVGHTEGTAGLAGVIKASLALQYSTIPP
NMHFDKLSATVQPFYNNLEISKTAKPWPKLPFGVPRRASVNSFGFGGTNAHAILEAYDPEQHLTNGSLQSYKQTNSHVGGDTQVQAPLFSPFVFSAS
SEKALLAQLQNYSIYVQENPLISLRDFAWTLQNRRSVLPFRAFFSAQSAASLSTAIDGKLQALKDGATTPSLAIRPVPGAARLLGVFTGQGAQWPSM
GASLIRQSATVEATIDMLESSLAELPLSDRPAWSLKAELLAGAKKSRLSEAALAQPLCTAVQVVLVDLLKSAGVVFDAVVGHSSGEIGAAYAAGFIT
SYDAIRIAYYRGFHAKLARSESGEAGAMLAVGTSLEDAAEFCELSDFEGRVAVAACNSSSSVTLSGDSDAIQEALEVFEEEKKFVRMLKVDTAYHSH
HMIPCAEPYMASLRACNIELLTPSKTTAWYSSLREGVQMQQTSDLLDSYWKDNMVSAVKFSQAIEAAVAGSGSFSAALEVGPHPALQGPALSTIADK
QGAPIPYSGILSRGKDDLESFANGLGFLWTQASKALVDFNALEKFACPSVLPSKLLKQLPAYPFDHDRRFWCESRITRAFHGRSELPHEVLGVKSRS
STEQHIQWHNTLKVKEIPWLRGHQLQGQIIFPAAGYICMALKASETLVPKDSTAKLLEIHDLFIHKAISFYDENSGVEVLFDFNHTPQNDTEEVRTA
DFTIYAALNKSSTEMTIMTTGRVEVTIAEPSPLALPAKEPPVPNMIETAVDRFYEHLKTIGYEYTLDFQGMSATKRKMNFASGLIARPVTTDEDKSF
LIHPAVIDIAFQAVFLAYCAPNDGGLWSIHVPTHIQRISINPLLCQIENGKAVDLPFYSNLTDTTSAKILADINVYSEDSLHTVIQVEGMTAMPLAP
ATPADDFRIFAETLWKVANPDGDLIVTEADRATPSELEFAYTLERLAFFYLRTLCNAFTAEERDASAPHYQSLFNFAAHICSLVAEDKHPFAKKEWE
NDTHDQIISIAQSHSDNVDTKLMMAVGENLPAAVRGETDILSHMTKDDVLFRYYKEALGIPQSNEYISRMMKQISHRYPHTSILEIGGGTGGCTKSI
LEKLGKSYSSYTFTDISAGFFPNAQEQFKDQASKMLFKTLNIEGDIVAQGFTPASYDIIIASNVIHATESIEKSLKNARRLLKPGGYLLLLEITNNS
VTRLGTYEGGLPGWWAGKEEGRILAPTITPAQWNEVLMKSGFAGIDTITPEHDIVVVPVSIMAAQAIDEKIMFIRDPFSCPDLMPKIKELIIVGGTT
PRISAFTKDITSLLKPLCDNITVVNAVEEIHSLVLPPNYSVLSVTDLDVPVFRDFTAVKFECLKRIFDQASNVLWITAGCRADDPYANMSVGIGRSV
RLEIPHVRFQYLDIEFGSKPEPQLIAETLMRLQIVNSWEQEGALDKMLWTVEPEMAYENGVLMIPRIYEEEVLNARFNSKRRPITEEIAPKTNPIEL
HQSEEGYELRSQEIKLTNQDLISIRVHHSLLSSIKIKYLGHAFIGLGTDVQTNEKVIFISDHNSSIVNVPRNHTTTSDIATGSEQTLLLLTAGHLLT
NSILETTKEGSTIIVHQSEPVIKSLLKLRASEKNIKIVFTTDGETLSTEPQNMSIPTKASLHRIKSMLPAKPAAFLDFSVVGSNAGEVAGRIRACLP
TFCKAKNSSTLFATESELLPGVQLDHINIALRISTDYAHQNLSSASSLVPLRAISPSEVQARDTGALNSILDWGARATLPVKVELADHVNLFSADKT
YILVGLTAEIGNSLCEWMIRKGAKYLVLTSRNPKLSDEWLQMLKEMGAIITIKSLDVTNQTAVHAFIQNIKDTHPPIAGVANGAMILRDTMFANMDL
DTMVSVLKPKVEGSQYLDECFPENTLDFFIMFGSLASILGNSGQSNYNAANMYMTSLAAQRRKRGLAASVMDLAGIIGVGYLSRAALFTHQLLIRAG
TSFTSERDLHQTFAEAFLAGKSDSGRNPEIIAGLRRTDSNEHPPVPWYHNPRFSHFVVEEEIAKSTGDKKNTVPVKQELESATNLDEAYQVIKTCFF
NKIQITLQLAPDVKISEQVPLSELGVDSLVAVDIRTWFQKELEVDMAVLKLLAGASIGELLHDALEKIPKIFMPNLELEKGAAVDEKPQTNIIQVDD
TQASSSTSDAESSPIDLNFTLTPESSPSQTDETSKNLSDEEEDLYEEVREMEAEPEPVIPPTLLRAAKMSIPQATFWFLKHYLQDQTSFNITFSTCM
SGELRIDDLEHAVRVVGEKHEILQTCFFAGEDGELMQGIMESPPFHLEQKDIEHEDDVKVEFEKIRTHVYDIERGETLRVMLLKLSPTTNYVIVGYP
HIALDGHSFSIFFSEVQEVYNGNKLKPPMLKYTEFATNIRNAVEDGGMDAELSFWKSEFDTVPAPLPLFPFPNVTNRHPVTTYAQNLVDHRLDQALG
LKIKDIARRNHATPFHFYLTTMKALLFRLLDTSDLCIGIADANRSEKDAMGVMGLFLNLLPLRFREIKKQSFAQAIKETRDKSYSALANDRLPFDTL
VNELNIQRDVTYSPLFQAFFDYRQTTPEKQPFGNCTTDNDAWDFGRTSYDFNIDILENPAGDSVITLKTQAGLYSREDTEHLMKAYISLLQSFVGSS
RVRLDDPTLFGVEEMKQVALLGEGDSMTSEWPATLVHRINDIIKQHPDRIAIKDGNNTVLTYQALSERVNGISLALLKSGVEAGSRVVMFQEPSADF
VCSMLAVLRINAVYVPLDLRNPISRLAVMVANCQAVAILAHDGTMYDCPKLSSTAATINVTGLSSVDITPILATPESPAMILYTSGSTGEPKGIVLV
HSGLSNEIEGFTREYGVKAETILQQSAVSVDICNAQVLTALTLGGTLYVVPKEKRGDPLELCNLILKEKITYTKATSSEYSVWIRYGKDILSQCQQW
KTAWSAGESLSSSQALEFRTLALKKLRLFNSYGPAEISMSCTKVEIPYWVKDDLIISAGRPIPNYSIYVVDKALKRLPAGVVGEICVGGPGVAKEYL

HLPELTKAKFIPNTFATPEQKARGWTRMYRTGDRGYLALNGNLLFKGRMSEDSQVKLRGLRIELGDIESTIVRTGSGTIAEAVASVVGEPPFIVAHV
VLSAEVKDVQAYMRDLLTKLELPQYMIPALLVSLERLPLTPQSKIDRRAIQALPLPSATPQSKKHVELTSIEIQVANLWAKVIPEEIFGGIMLEADT
DFFKVGGNSLLLVKLQSTIRERFNIVLPLVKLYECSTLSKLAAVIKDSSILQPIIWSDEVRLKMSHIRGTELTHPRPLSSQNKIVLLTGATGYLGKH
ILAQLVSDNSISEIHCIAIRRKEGQGLEESRIHNASDKIIEYSGDLSSRRLGLSPEDFQALAESGDLIIHSGANRAFWEDYRVLRKTNLSSTMELVN
LSARRKIPIHFLSSGGVLLLGDQPQVHPISVAQNSPPEDGSNGYVASKWAGEVYLHNAARRLGIPVCIHRTTSSPSDAVIPHGMLDDIVRLSTKIEA
FPILDDWQGSLDLMSVSSMAKDLLAVSFHMEEADAGQPKFVHHASNVKISSGDIGKVLSPYIQLGMFETISLLKWIGKLKEAGFGYFVASQDAMMTS
GGDRAFVSRR

>RCO7_02364 | uncharacterized protein

MDEMRRKIVSDEGCFASTFERQYYRKGDMFVKRCLRKSEYRTGYRGLYIPKLGMERLRNEAASLLFVQESTNVPVPRLYDHFDHDGAYYIAMEYIEG
VCMSSLAEDQKEAVAKQIEIYLSTLHNLKSTKIGGPAGIIVPPYRIVEKTEDQTWNLPTEGRLYSFCHMDLSQHNVIVDPETLKINAIIDMEYSQAF
GPNNLIYLSTEGLVLRSLAIAKLTIHSSYSNFSLSVLITLLSRNYTAKDIVSLGPQ

>RCO7_02363 | uncharacterized protein

MASSTVISESDSSSGAMDDYRTRAEEFRGVAAGQHKFIQTRRSCLSAKPEISAKPAAAVPYTIVSKVAKVSSPAVKRATSPVVPYNPLEFDFTGEYF
VENAGRLIPRAKDTAGNRLKDNDLVVERIADYDLIGKMRNLSLCQWHVLRSDCSNHRKEKCKRNHDTYRRPLPAREYDALWFFQEWDTARSWRNTAT
AMTNIASMGTMITSQFVTIQC

>RCO7_02362 | ATP-dependent RNA helicase fal1

MAEGIDRKADERMEFTTSADVSVAPTFTDMHLKENLLRGIYAYGYESPSAVQSRAIVQICKGRDTIAQAQSGTGKTATFSISMLQVIDTAVRETQAL
VLSPTRELATQIQSVVMALGDYMNVQCHACIGGTNVGEDIRKLDYGQHIVSGTPGRVADMIRRRNLRTRHIKMLVLDEADELLNRGFREQIYDVYRY
LPPATQVVVVSATLPYDVLDMTTKFMTDPVRILVKRDELTLEGLKQYFIAVEKEDWKFDTLCDLYDTLTITQAVIFCNTRRKVDWLTDKMREANFTV
SSMHGEMPQKERDSIMQDFRQGNSRVLISTDVWARGIDVQQVSLVINYDLPSNRENYIHRIGRSGRFGRKGVAINFVTSEDVRILRDIELYYSTQID
EMPMNVADLLT

>RCO7_02361 | related to RNA splicing factor PRP9

MILEEQRFLHEDLERLEQGISDRVAEEPRLVREKLNRDHQIAGFLDRIQDQSKRLLEIYKDAEGARTKEIQSISTGEPLEEFYRQLTEIKSFHQRYP
NEPVENLERAYKRKATGDGETPTYEIDNLFTGEEAFGRYLDLTTIHEMYLNLPNIKRLTYLQYLEAFDTFTPPSCSVKRPDKMTDQYFNYVGELASY
LEGFLRRTRPLENLQSLFTSFDEDFEKAWNEDDIPAWKPEPIGPVKGTIGDALYCADCGKDFKNDNVYKSHLTGKKHMRAAEARAARQAESGGNREI
EAGKRGTSKLRLKERAIAEREYRVKRLAAAMSGERSDTRVNVERKQGMTERERQMELDALFAETSMVAQGGESDSESDNDEKIYNPLKLPLAWDGKP
IPFWLYKLHGLGVEFKCEICGNYVYMGRRAFDKHFNETRHIYGLKCLGITNTTLFREITDIADAVKLWDKIQRDKNKGKKDEGGVVQMEDAEGNVMP
EKVYLDLQKQGLL

>RCO7_02360 | uncharacterized protein

MKLTAFLAAAILAYPAMAAPAKQPGTNGTATGTTLSHKYVWATSKTIGNRPGPTGVNPTYRKKPASVHGYQRLNFTRTITHKPRPAGFKSATGNKPV
NFKAIPTTQDLTEVTREGEKPDEQLGPIPISVAPNGIISPASSFEPSSADEMEDTSQKLEQDTASLESRAAVWKPAEINNYHEGVKIDIRNSIIELK
DKLDYLNKAGLLTSEQANKQIDELTNVISRRNKLNFIKETSFIDEMLPALRMHIVSEIENGPKVDSNTNAPLTEAQKAEQDSMFANLHAHYILEGLQ
EKLVRLARNRKLDKRLGNINIMQTRQIIQTTPNLSKNDLRFYEGQLERTEKAMQAIVKKKLVDLPASAVSLVPLLQSPLNSDFKLPGEHDTLVEPSV
EEFASQNQDLQNGISMIEGRSTPLVEILPFPDHIRETMHRVTVHNFHKRDANVTDNSSNFVNLTVTDTAPITINKTVPEDSYWIDFGAPECLKIIFD
EDLDQAKLEKFESCEEKFEPEIEAIETEEAAVEARNIEKHVYEMDTDKAEWGRGVIH

>RCO7_02359 | uncharacterized protein

MAQTPDTPVHMSSNGDFSNDKSSYASPMSIYSAIKPAKAKSLSAKQKLQRAFAGLYDDEKEAVSSTWTSGSIQQYSVIDVTMEGVEVSATPEINNQD
ASAGIQMASESSMEVCIDKEEKAKVKPVIRGDWLGTSPFYLQPLLELQMSGGLDAVIAYREAVAHDVSRFAYDPVPLLTLSSTHGQLGFSDISVANA
HRALLLIEAALQQSTTSNLTIRTHNDIPSTSGYTQLDMLAMSLILNKYRGYAQLSSDDGLQTLHLQAYHVLLSGLLGTAANWEGLVLAKTALAEYPE
DDELQALQAELKAGFLDRSRMYKEVEKDMKKEDVIEATRMGKIYQKKYPWMDQILYNRTPATLREANKGFAGSSCEVKPVVFGDAILEVAKEGEDVG
PLGIFATRDIVEGEIIMVDRTVTGVSDINSNKLEHCDACQGCLMPPYMRPDKILLPTCCNEVAFCSLKCYKQASNGYHKVLCGKNFNWLYEKIKKGK
TSGAGGHWKCVNFLRVVAVVLADIRTSKKNLHPLQHPLLVRMSANYPAKDKIMGQFDMSHSWLYFTNVVAPTQILLQLGVDIYTDDSWSPEVIQTIF
WRVENNANMATTNLTGKDVSLVNINPNYLFFNHSCEPNVSWHGACPSGDVGIEWLESIDDGYLQPGCSAVWCKAARDITKGEELKISYVGNPKGDGD
AEIGGGRDGKRAWLGKWFDNGCGCAICEEENRNETAKTILNIARDQSTLDCGMEDVEESGVSA

>RCO7_14012 | uncharacterized protein

MNVLSKKLTGTMGYSSDIDMKDFDGGSEDVEFSEMRCLKTAMLDSRSDLDLQDEDTQEIKAISNNISL

>RCO7_02358 | probable ACC deaminase

MAPLILPEPFASIPKSDFLFGPSPVHHLLRISEALGGKVAIWAKREDCNSGIAFGGNKTRKLEYLIPEALDQGCDTLISIGGVQSNHTRQVAGVAAK
LGLKAKLVQEHWVDWTDPGYSKVGNIQISRLMGASPRLDPSTFGIGHKQTLADLTQEVITSGGKPYYIPAGASDHPLGGLGFARWAFEVANQEKELG
VFFDTVIVCAVTGSTFAGMIAGFKLWEKHGGRKRRVIGIDASAKPQETREQVLRIAKFTAAKIGLEDGDVDESDVELDERYHDGCYGIPGEMTKNAM
RFGAETEGFITDPVYEGKSLAGLMDLVKKEEIKEGSTVLYAHLGGQLALNAYSELFE

>RCO7_14013 | uncharacterized protein

MQQNLLTAPEVMDQKISQRKRDQIIEQLKDE

>RCO7_02357 | related to Structure-specific endonuclease subunit SLX1

MGIDRPIPAFYCCYLLRSTIRGANVYIGSTPNPVRRIRQHNGLARGGAVRTSRPSMRPWEMTCIVTGFPSHIAALQFEWAWQNPHVTTHIPSDSRIQ
FSAGKKRSGQPKRPRHSVASLLSNLHLLLRVPSFARWPLSLHFFSPEVHKAWMKWCKSVSEPVPETLAIILDFPPPPTEAEAASKSPAKSQSKSKPK
LSAQPEFLTASDIEASPPSKKQKSDHGIDALPIAYETTKPHLEKAKSILDFELEGSCAICHSTLEHDAGIYAICPAPSCKSVTHITCLSKSFLNDEA
SEEDVILPVKGTCPSCKKELRWVDVVKELSLRMRGQKVVEKLLKVKRARKSKEKATASQAIAEDSEDAEDEDESDVDDDLVVERVEIGKGKGKGRAD
AEMGDTWNALSDSEDSDAGSVTSTISQSQKGISISYQASQGGKLKTVIEDSDWDDADVID

>RCO7_02356 | related to regulator protein rum1

MVQVPTATTASSSTMRASPASATNGGTPSNRSKTAPSANAINPAAAPLPLSAMKSPPLDLSSVERRGQPTASREATKKIRPHQLQEAPTYRPTEEEF
RDPFVYMKKIAPEASQYGICKIIPPDSWKPDFAIDTERFHFRTRKQELNSVEGSTRANLTYLDQLAKFHKQYGTNLNRFPSVDKRPLDLYKLKKAVE
SRGGFEKVCKLKKWAEIGRDLGYSGKIMSSLSTSLKNSYQRWLFPYEEYLRLAKPGVHQQLEYEYGGPLTPSPANSPLKKSHHNTPSSLRAGSPAIR
ASDALNASMKDGSMKDEFEKGLKNIPRLDSPAPTPQPPPMASGFTPVNAGGFTPVNAGPATFTPVNVRRDREEGSFTPNRRPFDSPLSSAKGTPEYK

PSALSSAPVVNGFTSNPVLKRQMSVDSLDSRGKDSSQPDDSDNGGRRSKRLKKDAVPTVAGSHMTLFRPTPPRIPGENGSYAPGEKCEHCGKNDDAG
SLLICESCDHGYHMRCLDPPITHKPDFDWHCARCLVGDGQFGFEEGGIYSLKAFQEKAADFKEGYFHSKMPFDPVLNCSRPVTEDDIEREFWRLVAS
LEETVEVEYGADIHSTTHGSGFPTIEKNPQDPYSTDPWNLNILPIHAESLFRHIKSDISGMTVPWLYVGMIFSTFCWHNEDHYAYSANYQHFGSTKT
WYGIPGEDAEKFEQAMRDAVPELFETQPDLLFQLVTLLTPEQLNKAGVRVYALDQRAGQFVVTFPQAYHAGFNHGFNFNEAVNFAPNDWEPAGDAGI
ERLQQFRRQPCFSHDELLWTAAEGAATNGVTISTAKWLSPAIERMRERETARRKQLVDKHKEHHDGPCIITDVIEGAGPRCQIGFTIDEEDVPEEEY
QCVHCKAYAYLTRFKCNTTGKVMCVLHAGNYECCEQSEEQRYAGNNHTIHYRRTAQAIDAIHHKVADKAQVPEIWEAKVEKALEESAQPSLKVLRTL
VNEGEKIPYELDRLPGLKAFVDRCNDWVDEATNYIVRKQQNRRKNEKAWRKGSKAAEMEERDREFRKVDNIMKLLDRAEKIGFECSEITQLAERAAA
IKQFRKDAQEALKNVILRKTQDFEDLLELGRSFNVDMVEVEELDKIVQQMKWNDRARANRGVPLSLDEVQEIIEEGEKLQIPEYNDYLNHYKEQRSS
GQAWEMKAKELINAELVHYPQLEALSAQAQAAALPVSAETLAAVDQILNKQREAHRQIVSLYERSRNEDFTKRPKYSEVRETMEHLAELNSKPNGTL
DLEKEQKRHEDWMRKGKKLFGKANAPLHILKSHMEYVLERNMDCFNIEEDQPRMPAEPQSREPSPIDGKLHSWEDPRFREVFCICRRIEAGMMIECE
ICHEWYHGKCLKIARGKVKDDEKYTCPICDWRVRIPRDAARPKLEDLQAWQDEISGLPFQPDEEEVLSKIIDNAQEFRTYVAPYCNPVMATADEGGE
QRFYLRKIEGAEVLLAFETNFFRQELHKWWPLTIEPPPILDASKSTRKPRPTKLQKLMAQHGVDDPESLPPAFRTKAHSFKNRKSSEPSSSRPPPLQ
PAPSRSDSGTPTSHTFPPSATMHPHGGPILSGIQDPHFSMSPTNNPSPAFAPHAFLHGGLQSPGFGASRPQSIFSDAAFGRLDSVGLGATGNDSPLR
DAFVGGSQGVARMFDELTNQEDGDELGPKGEKRSPVSGNAEKDPSTAKWETDEDMDMFLDGP

>RCO7_02355 | uncharacterized protein
MDPINQDSYEQNLKEQEALKKPKSPRRSASPAPSPRQSPRRSARLSRQTTPVATVTQTPTATPSKLKPSTPTSTVNAPSVAAAAKSMLSESPTRLPR
VEKKMKSRSVSRGKKEPRPHLDRCPRCDAPDFLAACMLCSYGSGLGL

>RCO7_02354 | probable ribosomal protein L13B
MAIKHNQQIPHNHFRKDWQRRVRVHFDQPGRKLRRRNARLSKAAAVAPRPVDKLRPIVRCPTLKYNRRVRAGRGFTLTELKEAGIPRKLAPTIGISV
DSRRQNLSTESLAVNVARLKAYQARLILFPRKLGQHKKGDASKEEVSDVKNTVSNVRLGLPIVHAAVAVREIKKSEMPAAIEGGAYRKLRDARAEHR
HQGKRDKRAKEKADEAAAAKK

>RCO7_02353 | dolichyl-phosphate mannosyltransferase polypeptide 3
MTRAQQTVSIGLLVTSLYLALYLQLIPLPKLISEEIIPVLPFWALVSFGAYLLFKLGYGVFTFNDVPQAHAELMKEIDIARADLRKKGVDVD

>RCO7_02352 | uncharacterized protein
METRFLLRLSQHLKLPTHLRSLPSIRHNSSYKPPSDQANPIGDYYASILESSTPKITSQPPTTSSPSSTPAISTVPADADTGPSILFSSRLSSPLER
RNELLKKSTLVAGVWVPPKPDEPDNCCMSGCVNCVWDRFGEELEEWAMKTKEADIALKKEGSLEKGWQRRKADVGGTGLTLGECEKGAIHTAVSMDD
DGGGSDTNWGTGLETGFTSEDLFKDVPVGIREFMKQEKRLKEKHAKEGTSGG

>RCO7_02351 | uncharacterized protein
MADSAAKRRKTSPTTSIPIDAPSTPSRIPAPRKDGPRSTSRTHSFASPTKASLSRHNPQLLNRPTSSGGLGRRGKDLEDVFARALAEKTFTAPPDSQ
ATGYEKDGLRSGSTTQENDPSAYDTFAKTPPGASSRGPIGGGLSAKPRRLSRSPVKALERPPVDFPAAETLPNDFNPFKKKGLRRSPISSYAGASAP
MPQDAAAVDSVNPFKKTGLRRSPVSSQPLNSQPDGGVRSSPVISQPEARIRRSPPTLSQPLETAFRVSPTAPEISSAALETIPEPFSPSKKLRRSPI
FSEPVAHVVEKLPEPFSPIKRLRRSPVASETISTALDKRPEPFSPTKSLRRSPVITDATKSAPRRSSPRLAALENIEPGKRTSPEQPEANAVQSMQV
DPFPGPRRTVAEIPRDSGLSQPQNPAPESRQQPTVIPTDPVVQPKSVFAEMTEEPERGMEVPAIAENLNLSRTPAGWLSRRSFRLKVPTESQQDSPS
DIAESGQRQGPSKMDEAVHDLVTGNRRAQEPELPPTPSELGIADRVVTTPPTGIHDTPSKRARRNKALGAKIKSSPLKPRDPPPQEPPKSILQPELK
PDQPKRRKSARFLIPEDPHASKKKEREDLLKQLQQLQADVALANQENERLRICSESRKKGLTAAPNPEEVQSMLLRSVAPEASTKHAPKPPSIFQSM
RFFLPFAGRRRRAAVMEPEKPLPSHLPIALSDPLPYLQAFSPLNYSSTITVLPTEHLSDDTSLLPDEKSVLQRHVITASHPSGLFSARLSMTVDTAS
YIISALDILRLDMNAERELGTFIRARSRTDHPLGKDITVVCWAMLRWIEVSIQRAQFWCTIEKECGTPQARATILQKKRKWKRQGSVLNVEASAPNE
VDESVEKQIWTRRQLCPYIGRTSLELSDENVELRFEWKLSFDWAGEVETVMSASARLPQSWQKFDDRNSLAKIPETFSKMVKERGPLAAVRATVELF
MPVS

>RCO7_02350 | uncharacterized protein
MNLPCSVKAVESAVGASKNEMVDVGIPKTAQEKKDEIEMARKNLKTQHLKDSRILRREQRKQEMRDAKATGGIIGEKRWEKVEKKHGKRLKAKIAAE
QEKQAEKNTATSGTTR

>RCO7_02349 | uncharacterized protein
MSHSHVSSGPSAEGHSASPTDPLELENARSLVQNPTSDVLGTDSLNLMLTTEQAAAISKSILEMSHLEEDPVKEDQVMRGSDDEIEEVVDVEDQERR
TARLKGVPPLLAQLWWADSERIDMVAEKLADGSRDPRWRIPLGDSGVLNFFLEIFREHVLRHTLKIHVLRLIGNSCADTDENRARVVAGNYLGSVVA
QLQDVTLIAFVIPVLYNICIDYEPAQKQASDAYLTKELVELISSPRFNDSRAFLGYACKLLDLMVAQASDQEHAPDNTSIVLLNIAADRELPVDMDD
FIVIVNTSVAFLKHEKFQKALVAQGALDSTLAVLVDSYTRFDSHPSIPTVDSAPPSDLEDAKALSQMRTNFNQVLSDVSALPEYHEAYPVTSSFSSS
LRRWLSSPQLQLKVCACIMLGNLARSDSTCEEFVHVSQVHKLVITILADTSDSQLLHAALGFLKNLALPAKNKDVLGDAGLFDVLPRLWAMDTLQPI
QFSSISLARQLTVGNFNNVRRICKRLSEDQDSPSHTRTKLSLLIALFERTDVEPIKMEIARLVTSICRVFNTGVGRSTEESETKRIQGTFFALHPDI
GRPLGFMVSQTKWPVVRSEGWFVFALMARTDEGSKCISDMLQDVVVFQPLVTMLTGKALVDYQPSSPDPAPTTGLSLPVPAINHDLQPPESPQPHAQ
AAEMARLDRENATVMVSELLKNRGSQMAVLRRSLLEDLLRGGTELVMSYREASPNWRGANQGPSSPASRPRAGLNLQEVTEQSFREF

>RCO7_02348 | related to alpha glucosidase II beta subunit
MRSIDTLLVLGTFSTAVLAAESSARPRGVSPEFAKFYKSTEPFTCISNPSIKLSSSQINDEYCDCPDGSDEPGTAACSHISTLSPPQPFASKPNTSF
ALPGYYCKNKGHIPGYVPHMYVNDGVCDYELCCDGSDEYAGVGGVKCEDKCKDIGKEWKRADEVRRKNERAALKKRIDLVNEAQSLRAGVEISIGRL
ETEIGAQEKKAAALKTAYEEIERRERGRVVSSAGSKGSKVTILAGLAKQRVEELRETLEDVMEKRDRLKGKVEELEKILAAFKEDYNPNFNDEGVKR
AVKAWDDYAAQKLAGGDVDDSAEDGDLAEIVKEDSETDGINWAEWETEEESDVEALYKFEEYLPSSVRDWVHQKLIDFRIMLVENGILADNSRSGTE
SKAVTDARSAFQTANDEVSTKSASLGDLREDLKKDYGTDDIFRALKDKCISKDSGEYEYELCWMGSTSQKSKKGGGNTGMGNFVRFDKMMVDEEVSA
DGKGLGKGERVVLRYENGQNCWNGPNRQTTVVLACAETDEIWKIVEEEKCMYKMEVGTPAVCEGREEKKNGGKDEL

>RCO7_02347 | uncharacterized protein
MGNDGGSIPTRRELVKNAARALNTTELKATQQEAQTHAWTWCPLSNRPLTVPIVSDSSGTLYNKDAILEQLLPKDPDTPASVLKEKEDVLQGRVKGL
RDVVEVKFTVLKEGKEEKWVCPVTSKELGPTTKSVYLVPCGHAFSEAAIREVKGDVCVECNEAYKEEDIIPLVPLAKEDSAKLVERMARLREAGLTH
SLKKAPGSKKRKKAEAVTEAKETANTTTTTNNSGIKNSATASLTAKVIAEQSELNKRRKLGLNENLKSLFSNTGYSAQTHKAGDFMTRGYSIPKKN

>RCO7_02346 | related to 1-phosphatidylinositol 3-kinase
MSQPAHDALARIVLDLRSRTSDETRKRGAAELRELVAVAYRDLPSERFTEFYNVVNTRINQLITHAGDPSDKLGGIHALDALLDFDGTDNGTKTTRF

TQSLRTVLRGKDLAPMQPAAVVLGKICRPGGALISELVESEVKTALEWLQSDRVEERRYSAVLVLRELARNAPTLMYAFVGLIFDQIWVGLRDIRLL
IRQTASEAISACFQIIRERDQAMRQTWQKQIYNEAVNGVQNNALESIHGSLLVIKDLLQQGGMFMHEHYQEVCEIVFRHKDHRDQQIRRTVVLLVPE
LANYSPTEFAQSYLHKFMVFLSGMLKKDKDRNDAFLAIGNIANAVKSAIAPYLDGVLIYVREGLSLKSRRSGTVDPVFDCISRLAVAVGQTLSKYME
ALLDPIFACELTPKLTQALVDMAFYIPPVKSTIQERLLDMLSKVLCGEPFKPLGAPTPNKIAGAPVVPKDSKDPLAYEHRQTEIKLALNTLGSFDFS
GHVLNEFVRDVAIKYVEDDNAEIREAAALTCCQLYVRDPIVNQTSYHAIQVVSEVIEKLLTVGVADPDPNIRRTVLAALDERFDRHLAKAENIRTLF
FALNDEIFGIREVAIAIIGRLTHVNPAYVIPSLRKVLIQMLTELEFSDVARNKEESAKLLSLLVQNSQRLIKPYVDPMITVLLPKARDSNPTVAGTI
LKAIGDLATVGGEDMIPYLNQLMPIIIDALQDQSSVIKREAALRTLGQLASNSGYVIQPYMDYPPLLEILQNIIRSEPHRGPLRQETIKLMGILGAL
DPYKHQQVEEKSPETQLRLEATQMTDISLMMTGLTPSNKEYFPTVVINALLQILKDQSLSQHHGLVVEAIMNIFRTLQLECVPFLDKVIPAFIGVIR
SASASRLESYFSQLGILVTIVRQHIRNFLPEIVAVLQEFWDTSPSLQANILQLVEAISRSLEGEFKIYLAGILPLMLGILQKDTSTRRLPSERVLHA
FLVFGPSSEEYMHLIVPVVVGVFEKPAQPSFIRKSSIETIGKISRQVNLNDFASKIIHPLARVLSGNDITLRVAALDTLCALIFQLGKDYLHFVGTI
GKVLAANQISHQNYELLVSKLQKGEVLPQDLNADDRFRNSVDDTSSSEVQNKKLDLNPAHLKAAWDATGKSTKEDWHEWMRRFSVTVLTESPNQALR
ACAALAAIHPPLARELFNSAFVSCWGDLFETYQDDLIANIETAIRSPHVTPDLLGILLNLAEFMEHDDKALPIDIRVLGREAGRCHAWAKALHYKEL
EFLQDQSSGAVEALIQINNQLQQYDAAIGILRKAQLYKDGIQLRETWFEKLERWEEALEFYQKREQEFPEQADSFDVIMGKMRCLHALGEWDSLSAL
AQDKWHTSGLEIRRAVAPLATAAAWGLGQWDLMDDYLSVMKANTPDRSFFGAILALHRNQFRETAMYVQKAREGLDTELSALVSESYNRAYTVVVRV
QMLAELEELVVYKQSSGNPAKQEVMRQTWEKRLLGCQRNVEVWQRMLKLRALVISPTENMPMMIKFSNLCRKSGRMGLAEKHLQMLLGSEESLDNLL
PYSPQNGHNGEVLSNGDRPMRSIPPPVQYAVLKYHWAAGKQDAALAALKSFTSDLAERLQTVEAAARGMNSIDINSLSLNGVPSNSANTSYMNSSMN
SQQPVNPAIVSKTIADHQKLLARCYLKQGEWQVSQKKGNWKHDRVHEILSSYHHATGYNPTWYKAWHAWALANFEIVQGLGHRSDTERDLVVPADVL
VEYVVPAVGGFFKSIALSKGSSLQDTLRLLTLWFAHGGSPEVNAAVTEGFGSVSVDTWLEVIPQLIARINQPNPRVRQSIHNLLADVGRAHPQALVY
PLTVAMKSGPNTRRSRSAMQIMDSMRQHSLRLVEQADLVSTELIRVAVLWHELWHEALEEASRLYFGDRSIEGMFATLAPLHEQLDRGPETLREISF
AQTFGRDLQEAREWCFTYRQSGDVGDINQAWDLYYNVFRRIARQLPQLNNLELAYVSPKLLSARDLDLAVPGTYTSGKPITRIIHFDATFTVISSKQ
RPRKLSLQGSDGVAYAFVLKGHEDIRQDERVMQLFGLCNTLMVNDTESYKRHLNIQRYPAIPLSQNSGLLGWVPNSDTLHVLIREYRESRKILLNIE
HRIMLQMAPDYDNLTLMQKVEVFGYALDNTTGQDLYRVLWLKSKSSESWLERRTNYTRSLGVMSMVGYILGLGDRHPSNLMLDRITGKIIHIDFGDC
FEVAMHREKYPERVPFRLTRMLTYAMEVSNIEGSFRITCENVMRVLRDNKESLMAVLEAFIHDPLLNWRLTGDTSPAGPNFPSQRRDSLMASNNRRP
SMMEAEMPPSELLAQETSMAVPGAPPTARPRGRTNSTSQGLVNTEGVDVQETQNERAMQVLNRVKEKLTGRDFKSEEELTFILQVDKLLVEATKLEN
LCQHYIGWCSFW

>RCO7_02345 | uncharacterized protein
MSILSNIAVGVLGAEHVYIMVLEMFMWTKPRGLKAFALQPDFAEKTKTLAANQGLYNGFLAAGLFWSLLHPVPAVGKQLSLFFSGCVLVAGLYGGLT
ANRKILFVQGVPALAALGALVLS

>RCO7_02344 | uncharacterized protein
MNRFRTKKKVKESPDGIVRASTDSDAPPVTKPSKGFRLGGRKAPEPEPAPELDLSTALPSSDDFRTSLLMSGLSARFSMLREQDDPNSKIGKASDDS
VLFSKRQSRLNDFDFSTQGLSDIAEVSSIHGSIRPRVAAGRTDSFAGSEDYGLDDDATPGSIMNRAKPGEGNNLFGGRQKIMLGNRALYDNDVSQSA
FQKIRERERIEKEQERQREEDAQTSRPSSPPLSGYNRNRETSSTTSSGGPSTTRDSTAGTSVTSQRTPSLNGGYTPVSPNIPGGNGSLERTGTKTRR
LYETGLDNHLHESQFSAMSRIDTLTRQRTLGTKSPPPGAMSPSYGPTSGDLWQRSIAGKQSMPNLRTASPPPTGSAMSSFDFGVRKISNASSKPFGL
ASPPLSPPVSEYDEQGIFPLQPNDRGKATALGAFSKPAPYDENKYTQRQLQMQQGRETPPPMKDSPFRPFFARNQQQQMVNRTRAESDATHASDRSR
SNSSGQRAFISPDRIPEATMNENNILDKQATSTGAFLASPNGAPSVSPYEIAPDQSRFRNQPKPLDLSHLYRPDQRIQIDRPDESQHPAHRPQTDSS
PAATSPDSSNMNLPATSQQPPADSPTLGPGLGGIRQHLRSDSNTSSVSGGSPSAHFPRFPTETQKSIPQNEYSSKSSPWDNDWDQESSFGEDRSSLT
SGGTAHPLPLTVRSPNIDASVKEPRSASWEREMEARHIRVGSTETQKEHQAFQEELASRRRKVQEKMKSMVESDSRSTSPLPPLPADWPKDAHQVKS
TALGLLRNKTSMGSLVGRPKEAPPVKGMKLLGIGNATITSGTPSPGTAKFEDVPWNQAEEENEPGRSQDAGGAPPPTKAFREARRAAQRDREREVAL
RHQQKLVSDSDQEWPVQRKERERPRLGNQRMDNSWVDNARDNSYDHSRVDNYRMDQRMDHRVDGRMDNRMDTHNRVNHRVDPRMDHRMDNRMDNRMD
HRMDHRMDHRMDHRMDHRMDNRIDNRMDHRLDNRVDNRIDHRMDNRMDNRTEDPRRDNFYRDQGERVQPHMRPRQRTPSKERKPPPVTYNPRTGNSS
QESNINGTNPSGSRPPSNSSRDRSESETSGGRSRSRTGAYREDLATTMDEGTSSKSHGYDERLTRLLPKSPGPPPGIGLPASPSPIPSPMFAPNRTR
SNGKAPSREHFEKLPALQTGGENVGIGSTTRPSPTAPFMVNSTPGLVQQSQPGSGTSTPLGQGAPQPLYPAVRKRSINKSEISEPKFVSSTSRMTTV
NLPPGSSLSNGNSNDLINDQRPPIPPVNPKRRQTRTMFNDFMGRRDTDEVHYMPAATQSTEEMSTFSADEGDSSKPKPRARLRKSSSEGGNLNARAR
QAAMNAESSHAMPGTFPAGAGSPPRVAEGGMF

>RCO7_02343 | uncharacterized protein
MAPDLNSVPASSRASPHPSRRPSTSQQLSPPSTSTTTSSTSTSQAQSHIHPQGVSHINAQHTSPTPGPAIMSAALNILPSNQNTVNQGTMSTSPSMV
NTGLLPGDNTGVGTGPGPLRHPRPLTAADLHLQLEKEQEAVVNRLTRELSLLRAAHNASVVSNTSSTSNTSGLPDQQDHNANHLLSGPSHPTPSTRH
HRTSSATSSRSASALASLSSIPSTTADRTRGPSISLPSVPVQTGNTYPLSISLSRQNSTTSQTHGRSGTSSPLPYLSSNPGSYHNHTLGSETFPPYF
STSRPIPHRDVSSSSLAMTTGSGVGGAERGSLERQDSITSVNTTGRYEEAAFHRHELEAVKRENEGLKRRIRELELVVRRRRESDAGEQRVRSESVS
TTASGRVTRDAGGVPLGAGAGIGGGLTAARGRERAKEDEDEEVGRRLGRESESEVQVGESARSAGL

>RCO7_02342 | uncharacterized protein
MWQRRKKQRKPQLDYADKETLSPTTQTQIPNQPTSTKPNQIAHMSAQNQGRQSPEPEDSSNKQTGAPSGGQGVNKEAGEKNKEESKNALEGLESNPA
GPLDAHLKETMKKTETPDAKK

>RCO7_02341 | related to actin cytoskeleton protein (VIP1)
MSASTVNVKNISSSTSEKEIKDFFSFCGKISNIEVTPSGESKNATVTFEKETAAKTALLLDNTQLGNTQVQVTSASASNDDDGDQYTSNTERDSDEL
TQEEKPRARIAAEYIAHGYVLGDQAIQKAIDLDNKHGVSNRFLATLNSLDQKYHATDKAKSVDQSYGVTATASNILTGITSYFEKAAETPTGQKLVN
FYSQGSKQVQDIHAEARRLADLKKQDSGNSVSKVPGTEKTTCKCGADPTNCPCETGKCACTGCEKSDVKKVSATSENTTCKCGGDTKVCGCAPGKCS
CGDCPKAKTKPVAGSDKTTCNCGGDDKNCPCESGKCACNGCPKFGGFKLTLRACLLAAQSTSVSAVASEGTGVIDSTKVAPLQPEKGTYA

>RCO7_02340 | uncharacterized protein
MASQSSFEGVATPVENPSTPQPIGTEVLSKDEMPPGHSPTTSMMVTGSASSMTPPPSSQPPLRRPASAQRTITPEPKVLSSPPPTVTNGNKRDAARN
ALPARPTADQIADASLEEMRAMVLRVVAENEKMDMAISEARMSAAHYKLQHNLLSIESEEALKRMEVENDIIRREVQVLQVNGRDTTTTDYTQRLKA
YCKSVEEDNVLHRRRLEKAKRLLDTKDEEIMEAKDEIFRLQQRIRQNREHINILRSPGGPLHISTPKTTPATPLQYRGTPKYTPTTNRSIRYGPSAD
NQEKFNALLLAGSVLSQENTSAPSTPTVARRPDPRTPNRHNRGVQSLSAFPITTPGSARSVGNNTLLPSAQFTPQAEARVATTLTQHVAQHSRERRR
KSRDSTISASDAEEFTGSGNYRGESEEIQESQASQSATEMLRVDPRESFEVAASRTHTPVPNDKHLHQAKLYAPVSKRKLDHDHGESVKKMRHEGVG

LGIGFESGRM
>RCO7_02339 | related to receptor-like protein kinase 5 precursor
MEQSPSTRPSGLPRPSRLPVPSLRTAPSRDNLQASRQSSIAIPRLRGSDSRDTLSSAYSKPRSPSTPNRQSTIASRQRDVSTGSIIHNQAPQQPRKK
ASQEFLFRKPSRPVMRMEPAHKEETEELEVFIEDDSPIGEAIQTYDLPPRSSKPRPSLSERTMETLQNIPSSPAIRNRSSSFYRKDSPMRPPSRTAS
SRPTSSAGSGTSSGNSIPIDFRASTNTFRPPRSSFIGQTPLKRPGTGQSSKSTSTNQDMAPPEISRLPSPSFSASVRGSPSPVKGLALPGVKGGSKT
FSGRSMKHRASINGLFRKPSTTNLDQSSDLDRIGFVPKKQSTTFSNSSSEAASTASKSSEATSTFSGGSVDDQSMPARKSSLALRDQIAKAKAAKRA
AATKQLSTINSESNEAPIIPSETFDFGLADDPFNQQVRQDGAKGLLQKRIDAARTDGRLNIAAMGFKQIPDEVMNMYNLESIAARNGAWAESVDLTR
LIAAGNELEILSDDIFPDVDPRENADDEDAKGNQFGGLETLDLHENVLIALPIGLRRLELLTSLNLSNNKLNNECFQVISQILSLRDLKIANNGLTG
PLDPSLTCLTNLEVLDLQHNTLTSLPEGLADLVRLRVLNLNENKFKSLPFEKLRDMPLIELLAAKNQLTGTLIYAEVDELRHLQILDVTANALTNLD
VSGTLRLPALHQLSCSANRLTELPDLESWTSLLTLAADDNNLATIPDGFVNLPTIKNVNFSGNNIKILDDRIGGMDSLDIFRISGNPLREKKFSGMT
TEDLKRALKARMEPEEPESQTDGSADFYSAAGTPPLSPRSGSTDWPVKAGGILDRSNTSSHSLNPVTAADIASANSIFILELHHNMFKEIPASIAFF
AATLTNLTISHNELTSDTFLKDELGLPALKELNLSSNTFSSLSPLINRLKAPLLTRLDISFNRLTSLPPLKPHFPALHTLLASHNTIRELSPEAVKG
LKVLDCSSNDINSLNARIGLLGGPEGLKTLDVSGNRFRVPKYTVLEKGTEATLAWLRDRIPVGEIDEVE
>RCO7_02338 | uncharacterized protein
MSSPDHKSNSKSNPRISAKSTADPILRNALRYTISAKEYETLHSYILSRSKLLKRNTPSVSRVDKLVQRPGSDDYNAAAVRASLRVFVATSAGLKVW
GLIKERFLGARGVNKKVPPWRNHNFRLSLSLSTILLLHRILFRFFTRLRAHLLAPEARPFRQRNKRTSKTLTSSLAPAVGASLAGFALAINPADQLR
VTISIYALSRAAEFAYNLAEEEGWIWSKGEKPWWWGSWLLFPFTSGHLLYAFVFDRDCFPSAYGDFILKYSPTYVQPRPEDYPANLPWPSSYDQVDS
LAEIARLRYPKFVSPILFPNSNTLPPTLSSISPITSPAHPLITSLSCAVLHPSDPSCTRTYLSHYLTTIPPLARFFTLVFSVLSLPSYNKLYNAPLK
TINNLAARILRYTLFTSSSIGTSWAAICLFQKYLPSHLLSTKRFFLGGFLGGIWGYIVRREARGEFLYATRASIDSLWKVGRKRGWWKGIRGGDVWI
FVVSLMCVNVVFEREKKAINSGVVRRGVGFLRGEGLKDELREEEKRLKGQEGEKRL
>RCO7_02337 | uncharacterized protein
MQFSIITILALVTSVMACSQANHCCWADVTACEQESAPDCHTRDFIFAQCENWGVECADGDCCNTLTGEAMDCN
>RCO7_02336 | uncharacterized protein
MAPATASMPLQQIQNRPRTRMVVPAIPLPYVQKRQQQEAARAKAKLEAATPPPVVEVLRSPTPPSPVVEEITPPIANGSSDGYVSEKTEEAVERASP
SVPDAPSLPAVEKEAVVEESEVPSREEAPGKQAAYDIFSQSGSDLIRFAEESQETPKTTPSDGQSSASRSTYQMPPAFIPAQNQTNGHTTSAKNAFD
GHHAMHNSHPSVGNVMFGGFPDSERSSPALQSFTNNPPRYEYPQNNVQSGYVPPHSQAQSNGFNPVNTYQMAPQFPPGFYPRPEHHDNHARRQMVSF
GPADGYSPSATPGIADPRMNFDPSTPHSYHGSQSSVANDPDIPAFYSQYPTAVISNGSNGHIDQVRVYQAQPKVVAPHAVSSSPGMFAPPGLQSIDN
YDGLLYYLQQQFADPTFADYTLELRYSDDRAEPVRIPGHNLLFARSLTLKNLMTTQARESNNDGQAVRTLLIESDDRFLCSDGFWMAAHRLYGAPLM
EVSMHGDVNAESIGPPSARFDLALGYAAAGKLLEIPPVTARGIEVASQLLNWNTIEKAFDFALDGGLDAHWSAGPPGLRAAPHRAPTYSPMSNILIH
HSLQFIISSFPAGFVLDPTVGEPTHNRRLPKVPQNGCKPRLSAIKFGDHPSEDNSRTVSENPATATLSKLLINLPWDLLKYILDSPRLGNVQGWATT
VLRQSTMLAVIEERERRRIKVRESSNVSNDDRKAHDKDWVVVGWMEKINKPSGKDSVPTLARTWVDFTLPSLD
>RCO7_02335 | related to hexose transporter protein
MVNITKGSKVTENALGFSDPVVTQIANEDPVKWFKKPNLRIMYFYLFVCCMGVEITSGFDSTLIGTLQFSDSWNAYFSDGARDKKNGKPILSPGLLG
FVASCYQLGSIIGVPIAPWVNQRFGRRWSIMVGSTIMVIGAIIQGLAQNLGMYIFARMALGFGIVFAIISGSSLIGELGHPKDRATLTSLFNASYFI
GSITASAIAIRTTNIKSDWSWRIPSLLQMCPSFLQITTVFLLPESPRWLISRDRYDEAHAILVKYHAEGDESSVLVKAEIAQIKETIQIEIGNSKQG
WMEMVRTSGMRRRVLISAFLGLFTQMSGNSLLSYYQKLLYDMMGFTKKSVQTRINLANNCWSLIVATIAAFTVARFKRRHMFLLSAASMCMTFTAMT
ISFHALRKAKDAGTKNDAAGIAALFFYFAYAPCYSIGNNALTYTFLIELFPYSVRTRGIGIEQVFGKIGGFFSNNVNPVALTAIDWKYMAIYCGWIA
FEFLFIYFLYPETHGRTLEELAFLFEDKALADQAVMAVEKQIHQENMEPSKQAIEHTEIVSSSKV
>RCO7_02334 | uncharacterized protein
MQLINLTVLVGLAASVSAIDVGLRSGSNCNSNGGGWLCTNLNPNTCCGIATGSVSSVIFYAIPRDWFLQVRGHEGGSCGRVRTTENVQGATERCLSN
GQYTGAGYSFNSRKRGIMGTPEDVCAASATCTPVLPDQLSLSDGQKYNIVDMDTGLLEELTELMINGSVASDVPEVFKSFEVSA
>RCO7_02333 | uncharacterized protein
MASLATKSRSTSSLVPSAQSSTPIPAIGTSPEKTSSIPPTGAIAGGAVAGIGILVIGPLIFCFCQKRLQRKALQYNNGQPAMINNGSDHSAFMVKTD
EFHQKKAIAAERYYANQPILLSGQKVVKYTSLRTSSPPFSPALPPYQSGQVSPNLNLHEMGSPNL
>RCO7_02332 | uncharacterized protein
MHTPLSNLQPNFSFRPAITKDGPSIIAIFDACLPYLSTIGSIEQWGLVPFSQREGWLEETMKQLADAEHYHLTGESEEGSVNERLRLFVVEVGSEVE
TKPEAETKVDGDVRGFDSVNTGSGSQLAGIVFVRAEWVPSYITSQSHISISDTERVSSIYLEVMVSDPLIGKGAGKALIEGVCEFGRSLGKTVLYVD
GWVGNEKKLIRGKLSGFGRYYEKQGFQLIADFSLPRKGKVPWLGALMKMNI
>RCO7_02331 | related to DNA-directed DNA polymerase
MARTKQAARKHQNKNMPSQPPLPPGPPPRHSGQDLFSRSGVSLHGDSYRPRGSGAGGDNNYPPREMYQFGGRSRGPVENIYRSNYHDAPPRRRSRSR
SRSPPRNEHSIRSSRGPPPHYHERGMANSSAHHQNSHNNGFGFQYDAPPGLDFNAADSRRQTEPRQRYDNNRKNANNLNRGGARGGYRGRGGPRLAS
ERDFLKTNRAPTPELMPGMDEDEEAGAKYMAVDDMSDSDEVEMDMSDDGEFTEQARKKERTITKAADGDSVPRWSNPDPYTVLPPTDETRAKKKDVV
KLIRKARVSSSNEHTNKAAATDDFISFDFGDDEEQGQGEDDMAPGFANQPLPKGPREMVGSINDFNPPRGPAHPQMDQPRFPLPKKPEFAASAQNTT
SFNIKGSGGDVSVVIKKNVIDLTSDPDLGSRKRNFRDEIKPAPQLHKSQKGKPGKPTGQILKEWAPRSGLPPTPWIGVDHSDSAGMGVWLHKEIMDF
YEYVRPREFEQVIRQRLVDDLGTRVREYFDQDDEILPFGSFPAGLFLPTADMDLVCVSSEFMDRGKKIFGQGFRGLQRFKNFLVDNDLPLNRDIEMI
SGAKVPLVKYVDKLTGLKVDISFENDTGLIANRTFQNWKKEFPAMPILVTLIKHLLAMRGLNEPVNGGIGGFSVTCLVVSLLQHMPQVKSKSMVPEH
HLGEIFMEFLDLYGNEFNTTTTAIQMNPPAYIPKNRSNVPYKGIKTKFMIIDPNRPDNDISGGSSNTEGIRKCFSDAFNKIQQVSADLQRTGDRSNK
SLLECIIGGNYSSFELQRAHLAHVHEKLYMQK
>RCO7_02330 | probable integral peroxisomal membrane protein
MSSTPSSSRRDDDGTSIAATNDPNPPTIAAFSPVTLSSSHAPNANKQRSTILVHQKSPLLIATPPQITRALAYSHPFLLPLNQFVGLLTWTSGDPWE
SFLLVASFWGVVLYGDVVMRFAGPVVVVTGLILGMYSRRYSPLSSTGWTGEKQKKGHKKLDSEATNIKHQKTLDEIVETLKVLTSRCNVLLDPLLEL
TDFLSTQRTATSATTRPALTTLLIRILLVTPLWILLTLHPVRLITTKRIVLLTGTIFFTWHSRPNRVTRTILWRSASVRRVCTFATGLHFSDPAAII
LPPSKTSSSSSSSEKAPPLPPRRKSALEETAALAASQASKRRPDAPGVRFTFILYENQRRWLGLGWTTSLFAYERASWTDEHLNPAPAKEEFELPDT
EGGAARWRWAEGGRWLVEGAGESDEGGKKAKEDSVDGGMGWIYYDNKWQNGRRGVDGWGRYTRRRKWYRDAELVEVSPSTEITPSPTPTRTSIPNSN

SNFTNDKVSKTPRTPTSSENITNPPPITSPPPENSILDLSSSHPKTNSKDKDKDAQSIKDSIRSKASTSSSKSDNASLKGSIAALTSRNGPGSGSLR
RKGMTSSEKSSLHSAGGRERDRERDEEGPGTVRPRDVDSWGISDDARMGLDQ
>RCO7_02329 | probable protein transport protein yip1
MAQFFQPPPPQGQPSPYGASASSAQNLQFYPSSYTPGAVSGHATPSQAAYGYGAPAGSPGYGAPGGGAYGFAAPGAGVSGRMGEQGGLRTGWLAAFG
TEGYESEPPLLVELGVNFGHIRGKTLAVLNPLAHIDQNIMDDSDLAGPILFFLLFGTFLLFSGKVHFGYIYGLALLGSCSLHTILSLMSPPAESEPT
TPHASSSHHLNSSLTFPRSASVLGYCLLPLVLTSLIGVVLPMDGLMGGMFCVVGRMRGMRGLVAYPLALFYVGFGIMGIFSSRGSKGLGGKAAGL
>RCO7_02328 | probable mitochondria-associated signaling protein
MAERSSAPSPGRQKILDSLEVMEKAHRIITQVIFTGTRVIGRAFAEAYKQASASSQYAKAQAKAGNPGQPGGSFSSSATAGLTLEEACKILNVKPPQ
EGKINMEDVMERFKKLFDVNDPQKGGSFYLQSKVLRARERIEGEVKMKEEIRGREEELKEGWKPKVFKDR
>RCO7_02327 | related to dehydrogenase
MSDFTPETVAFVTGAASGIGLAVARQLLLDGILQIAILDISPSTLTAASTSLQASSPKAKILQIKVDCSSEGDVNGAVEKTVAEFGRLDVCFNAAGM
GGGFGGIAELEVSELDRVLGLNLRGVWLCERAQIRQFLKQEMRAVNTGLPLQTRGAIVNVGSLTSHFAIPNLSPYIMSKHAVLGLTKADALDYGPQG
IRVNCICPGWISTKMTSALVDGKMSQMGETVISRAPMSRWGHPEEIAYMASFLLSDRASFVTGASMNVDGGYSAV
>RCO7_02326 | uncharacterized protein
MPFYNPIPPPTPRIIITEHEDNINTVHVPWNRNILAALWIPQFFFLLLGMAIIPYEIDEIISFQTIFIGIIALGNIVLMATPLIEAHHYATGNLTPY
YLLKMQRYKARWVAGSMVVIVLIQGMNSYKSAWGVVWVIIADALYLMPFMAGMWYAKKMVKETGESNDFSGDVETGAVRL
>RCO7_02325 | related to switching protein SWI10
MDDDDEFGADADFLAALAASTVPAPPRVQQPTPQKIQQPTPQRLDRAPPTTTSTGPKVVQPTPQALALKTTGSSILVSPRQKGNPILANLRSFAWEY
SDIPADYVLGSTTCALFLSLKYHRLHPEYVYNRIKNLQGKYNLRVLLTMVDIGNHEESLKELSKTSLVNNVTVILCWSAAEAARYLELYKSYEHANS
SAIRGTESKGYAEKMVDFVTVPRSINKTDAVTIVSAFGSIKNAINARPEEVAVVGGWGEKKVRRWCAVIDEPFRAREATKKAMTESAGEGGVLDRAL
PLSMVPLRTMPSLGEDATPGPGAQSFRSADKSRESQDSRPSGSKEQFHLWDADDDDDDDDEQAMIEVAQEEEKRQEVERRKAQARKDDELSGGVAAA
LAKLRQS
>RCO7_02324 | uncharacterized protein
MAEDFISWPSYGYSNCRNLPHKAVWLHHLFVVVFYLDVGLFVSFLLTSILQYTLYPDIWTVMAVLPVQSLFQGTFPKALATIIDMIAFLYVSRMLLL
LAVHIAQMRFSLHFTHSPNGRMYIHQATLQFVTIVWRQSIVAPVVASATGDIIASAFPYPQHILWTIIASNVFLGGGKLACHRKQTGPALPETNLSS
LGSKAWFILAAF
>RCO7_02323 | uncharacterized protein
MSMEYPPTDNRIAYNRDRLVFHPSIVRKPIQGLNSFDKQTGIFAKVDIAAGTLLEKETVHVTAVAFIDNPNLEAILKSALDDLYLYKLWMNALYGDL
KRHSKVKAWFREYAIPLYSHRSERYNGEDFEKVGFFATLSLFRHGCLPNAHFSCNPKTRLAAIHTTHHVRAGEEITITYLPASSYDTRWVPDGLAVL
KQTFGMTCTCPLHSNEGFLLQAYKTGFNQEREDRLLLQNDAFIDYPERLATIDRIRKVYMQYKVVDVRLFRMYEEAIATACSNGDLARAAVFAFYAK
KSYALLEGAGSVYGTSVAKMHIYKNNPASHPKHKSGGQWASCTTQIPRAFGRDSTMLSTGMKNWLWQVLNSPFSFRHT
>RCO7_02322 | related to Probable beta-glucosidase M
MKFPSFSSTPVLSVLLLPLHLFSASAQHATVNITSDSYFYDQSPYVAPAALPSGSSESWTTAYAKAAEFVSQLSQEEKSNLTFGVRATKTRCVGFIA
PIERLGFKVNAWSSGLHVGATWNKKLAYQRALHMGAEFKAKGVQIALGPVVGPIGRVAEGGRNWEGFSNDPYLCGVLAAETVRGIQENGVAASTKHF
IGNEQELNRNPSTNSQRQKVESISSNIDDKTLHELYLWPFQDAVKAGTGNIMCSYNRVNNSYGCQNSKLQNGILKEELGFQGFVVTDWEALHGGYVA
AEAGLDMVMPSGGVFWGSNLTAAINNGSMNASVLDNMATRIIATWYQFGQDSEDYPDPGVGIPRPLTAQHVFLDAATVPSSKQVLLNSAVEGHVLVK
NTNGSLELPLQKPELVSVFGYDAVSPTKNPTQRPSNRNSQIINQTMIEDNSQLLWDITNVNSTAQVHSTSGACLVFINAWASEGYDRPGVHDDYSDA
LVNNIADQCHNTIVIIHNAGVRLVDVFIDHPNVTAVMFGHLPGQDSGRALVSLLYGEISSSGKLPYSVPKNESDYGALLSPTPPEGVYWLFPQDDFR
EGVYIDYRAFDEKNITPRYEFGFGLSYTTFEYSSLEIMKVDGSSTDEYPVGEIVEGGQEDLWDVLFHVTASVANSGTVNCAEVSQLYVGIPGGPVRQ
LRGFSKVDVAPGRSVDLKFDLQRRDLSVWDVVAQKWLLQKGDYKIYLGGSSRDLPLEGALNI
>RCO7_02321 | uncharacterized protein
MAPQPPKSGAKNHGSPPGSPDKSNKRILRSSVDTIAKIAKIDIAKVTKKPKSAKDRRKANLKAGNNALAEEAAVDTEIEVEPEEDAVAARAPAPELE
LVEAELIDVGVRQDYRDFKLGHVITRVAHSTFIIDPAFGNETPPDMITWTKFGPVYSKPRKFVIIARFLDHMVCLPIFSYGGSGLSRKPNKKEYVGI
RDAQYFFNTIDESPNGPALIVERKFRVGKFFGKKDRSVVNGTSYVQITQPVCVLYIENCTIDSLMKIGDLTKLISLYNQNRPNPDAPPAVRPPPRVR
N
>RCO7_02320 | uncharacterized protein
MAPRKPLATKHECLKASLEVLPSIKSQKLLPVSLRKPHKATERVAAKKIVKIVSKKRNVGKLNEVALKAGKSRNVSAADTNLAIQGKQRLPKLIIKK
RVETPQMRKIPTVAPKSTKDSTPQAKGAGRLLGEIIEPHQFKLGQIISIASHEEVYQDPRNKIKLEPTREQTLTTLGWVYSKNRKIVVTSRFAQHLV
GLPIYSHGGKGLEKKEKSEFVGIRDARYFRRSPTELKYANLLSHRAHPFTLVDKKHWAVINGDSYVQFTRPLSFAYNTRCTIEGNLNDEDVQALIDL
ANSNKPV
>RCO7_02319 | uncharacterized protein
MAASEEQYSEAWCTHLIRDQQGIIERMAKLLRDQKTIPATGDPNSEIWYSERLKDDQIVIDNMATLLRDQQRTVDLLNQKLADIPQQQSAAGTKDDQ
TVDEKMAALQQNQHRTVNLMDQKVADIARQQSATITRYHSGHLFGPNSAAITWYVLEKPTISPSLNFFEIFLTHLLSSSRDLDLNTVQVLMIIVYRT
GTVMDLVPISVKGKEYKALILTPKFVRSQNDVFESEIAIKMMEPQVSEEHEYFEYIRKLPATDGNEGRDFPLTDDIQEAEFTNDELFEIARDTRARQ
ITLNKFLKRESTVHHRATQYVVGFLRRAFKMNNLARQDDWNERIHFTRLSKIETRKGRHDDGTPVSDREVTLAEYGSDPGSETFGKLEV
>RCO7_02318 | uncharacterized protein
MSTNRWSSLFGDNYTMPGDEPDAIDEIKEEEVSSPTEEPVIAAPEIATARLQRSSSDGDWRSTGGPLQTVGIEWNRRATAPVGMITQYTQRGQRKPN
TFYDLGTVISAYHHLAGNPLPINKEQTLNEFLSPDGQWIQSKVRKFVVIERSIGHCLVLPIFTYSNRGLAARKGVAQEYIGVFDSESAGPHRSDSSN
GFVLVTRAPEYRNVPEGSFHYQSLSAYAHLTAPIVHEYNISVIHEGTVVGEELRKLLAAYKNAQVDNPPKGLGGLGRGGGRWR
>RCO7_02317 | uncharacterized protein
MDGFVERVVNGKIFRNIASLVRRDNQSLQDPLVLGGTSNRGTVPRSDCGIPTSAGDLTCMSDHTTNKRKRKDIRTRNNGRPETAPNIVTKNSDASMV
ESFHLSPDQPPKIESNEGLSYAHVEPLPLTARYLKLFTFPGDDGEISTGLALTDTLAWNLNAVYQAKQKIGSYAAKIEVVVEEVADIHSLMAEFQQM
IADSPQDQDQTSHYESIQEAEELLIEREQEMSRLQTKSHHWGCELEIPLSQVLASLHMVLESNDLIEDVLEGRDDAITMESNQQIHSAVTDQGYSPS
PSEYARQETDDEGQEVFSTLQERRFNLQDVQARIDNWNNFYNQEYHQFQQLQSADIFDGTKTDFDLDMVQKGQAATQDLIQAEKDLDEIVEYARLLR

IEFEGFDQESGFVSQIEDGHIESMDPAEVYSVDSERIETWMYKTDEDTGESVVDVDDWECQSVGILDSVSIVAAQVATGKERKRIDRWRSMCGLAEV
ERHEAGQEED
>RCO7_02316 | uncharacterized protein
MSYSARLGGLKAKLETERQDKANTANATVVPTSVSTIWQQKAVARYGSENPGVPQQRATSVANISAPYKYAGNAKGGSSRPASTIGMGGLSVNNGRI
NQPTRGGALRAVYANTSQVMRPQPSIGAMNQRPTDDKAFHPKAAFHPGVIFSAVTHEHHYRQDRVDYTNANQTETNFGVTNSKFRKFVILACFENHV
IALPILTHQGRGLSSKRNKHEFVSVRERSLEGIAAPSESKHAILWTELYPSFQNASAWHRMTDQCCLHFTKPYSHNIEHRCTISGRLENASTNRLQK
LFQDAVINKAAGGGTNRAEFHIPLTLPSQELGIVKLIYGHQLDLNLSQSSISVR
>RCO7_02315 | uncharacterized protein
MCITQIVFKIACGHVIYQMEQCPESATGTCDHTIQRLHQPTLCNPCGINLGQVPHPDIQDANYIQFQNRSHLDTRRDIRQEFSAELADGHILASIPA
ARLTYQDAWVLTLEYEQVMERLQDRLDNDAEDIFVWNIENLDGVLDDRNRARVLGEALFRVPEHILGEFTHAQLQDHAQSLVEELARRRLDLREDNI
RLQRVSRLLSESVPRDPTGRSREERLVEEQAALANEQSTRSRAISSILTTIDINTLEDNEQDQACAICTDPLGVAQEDHEAEEPCSLPCGHIIGRSC
ITQWLKSNSTCPLCRRDYNLELSLAPDLIQDPPVLSPTSPLREITSEARRDAQITQARSRRERGDRDPDHEEQDEDLDQPAGEPDFLAGLATAARSS
AQELIRHQVEMRQAAQRELISPVRQAVTAQRHVIESSISRRRRHREWRVQELEYQLEEDSEALANNFTQQTTYQGHLDVFDQYIQSTLTTRSFLVDS
MTANEDDVLILAAHDDILDDAYRVRELLLQAQSLAEQETRRLNLAIEQDYVDLDNAYIYDTDHEELRGNLGIAARRQARRRSSSLDDRPVPIPHNSP
PVQTDTLDRLLRQLE
>RCO7_02314 | uncharacterized protein
MAMLSPITQSPASASSKTSALDGTVSTVKGYDNEYEMEVLKDRNKEDKRLREKFPKISEEPTWLIRHIEALREQYTRDGWEYKIEIPQECRHRLYPS
IISSYLIFTRDKKGRKGKVTKEYITIPLSNGASWGFWKPMDEYGRATTKISLEELLAQDAKKIQRAKELAATMELLRRQAEEEEEIPDSTGDASDKS
SKEIPRGRVNSDISSGSSSSSKVSASTDHSFATRLTKTESHRESVMSLAANYAPDRALRSTTKLSGNDVGSNSMNTASSSRRGGEEKYTPKLRMMSK
GVYVEIDDDEDEEEEDGHVDQDIIKGIDEDIKVDDHDDEDDDDLVPNPKTSSRQRSRSENPQMSNLPDSDDEVLVFASKSARRGRRNSRHTKVPGSS
DHEDEAPNFAVKLFSKQQRNSRSLTSSESSNEEEENKEINTLVPKLLKRRPGPSRKVIVSESSSDNKNDEVEDLPSPKSLRRLQSLSAAIQNSNFSD
EEEEEEALANHFGIPSSLRKVRPSPAAAIADVGSGSASDNEAEDNDDEDDELPDFNTKSRYSKQSRPAVIEISDEEEYDASTEHTPENEGFRGGKGR
ARNVIELEDSDDSDGSREGENIMGDEQMADEVHENEGVDKKAVYDDHYPRYDYRDLVLEPENVANHGSNQANGLNEHRAYPGNNTSSTLRRTIESDE
HEVVLAQSAYGDDVMMGDADDDDGVEVQVEQEEWFDYTGFCRYCGFHQHECECIEGEERFAMVRDEDDGEDFEG
>RCO7_02313 | related to Probable alpha-N-arabinofuranosidase A
MISKICLVATAALLSIVEAKAAQLESGLVASHAPKNSSGVSLSILTESGVKNKTAPSLYGYMFEDINHSGDGGLYGELLANRGFQGSNVQFGAIPNY
VGAIVTAGENEFVPSGPVITGYKTLGNATIRLDSYRPLSPSHQTVLALDIPTTTKNTSNPVGFANMGWWGIPVSPQTYNVSFYVYPNQFRNQDNMKT
SITVSLQSNLTGEIFASTVIPAQSWNVVNYTHIETQIVCNVSAPNSNNTLAITFDPIAASGHTYYFTQISLFGETFKGYKNGLRKDLAQHIYDLKPK
FLRWPGGNNIEGYSFQTRWKWWETLGPLEQRSGRPGNWNYYNTNGMGILEFLEWTESMEMENVLAIFSGYSLSDGNGRNSSEYPGTAEAMYPVLKEA
LDELEFCMGDTSTYWGAKRAELGHPAPFKIQYIEIGNEDWFAKAYPFRFKYLYDGLKAAYPDITLISTQYDENFKKTGTKVKLPPGSMWDTHAYQEP
QWFIRQFDFFDNWQEHTNNPNVTIMIGEYSVYQVDTPDGSVNFSNPPELHIQYPRMVSALAEGVYLLGAERNPNVVRLTSYAPSLQNWNWYNWTPNL
FAFDADPAHTVLSTSYYLQKLFNAYRGTESLTVKNTKGHIGDLYWASSAEAKKVFLKIINTNGTMVPLTVDLEHKWATVNGTILSAPDKNNFNYKNN
ATEIIPRPLNLTQNRADHNNGWTWNVPAYSITVLQFNV
>RCO7_02312 | uncharacterized protein
MKDSGICMEDNDSAPSTTDGGSMPCQSKITPQTSGTSTPNTIEGFEHDYEKQFDHGVLDDDYFTERLPKDQAEDPDAIRGVIDEVFCSILPQRRAVW
TEKHTKIKLSSLAAATLVDAMILRPKDLSVSVSPSSEHCDVYIKNNTDRASYPPRERTPPFNPTDPISGMISAAHGTVGGIVMGIADYPVEITKMVK
ADHDVAAGLAKDFALDSGKGISRIVGTGLKAPMDMTLKISRGFGNVPRLYGDETVRKEEKVTGVVSGLGAAGKGFGLGLFDGITGLITQPMEGAKKG
GLGGFFAGVGMGLGGVVCKPTAGAVGLAAYTFKGVYEEVKNQQDDYSERTQMADGLRASKECSEADRLIIIDRWHRNVPGDSLAVDRRLSFPNSGGQ
DQS
>RCO7_02311 | related to phospholipase C
MDFISKAKPKKSDDDNEQGEETTSASVAGGGHSARQTGITKHQITVSKALRSFLVDKSMISGEDFEGDSSSQPTGSLKALLEKPHIDVPAALTDRSH
PLPEYFISSSHNTYLMAHQLFGTSSAEAYELALHTGSRCVEIDAWDGDDNPDEPKVTHGYTLVSNITFRSVCEIIRDVHDKESAEAVDEQGYRAAPI
LISLENHCGPHGQLRLVQLMTEIWGDRLLSKSVREEGHDEQGGGQHVRLEELGSKIVVIVEHHIPGEIEDDDSSSADEDESEKQEKEAYRKKKQAAP
ATIIIPELANLGVYAQSVKPSDNSWYNSESLTNGPHHHLINVSESGLATHMGNPNASSKIGVHNAHHLMRVFPKGTRISSKNLQPVPFWGIGAQICA
LNWQTFSAGMQVNEALFSGSDGYVLKPAALRHGGSGKLSTGRMKKLSLHIAGATHLPVPEGTNADDIKPYVTCMLIHPDHIYEPPPKRKTSPYKKSK
LDFLHRGEATPPSDPVWDEVLEWEYEENELIFLRILIKSDDSFAANPVFAVSAVRLSYAVQDWRFIRMLDLKGRETKCSLLVKFSIVGC
>RCO7_02310 | uncharacterized protein
MILPKTRVSAIRNTIQQNTRNHPAFPHNHFPTIPAPILKTHHLSTLHPAPSSNSTRQIQHLTTPLAVNPTTTTTTTTTTIFPHRDNVNARYIKAALR
TLHLARYPSTGLQMAMRGRGAGISLGDIVADLKAIVGDLAGGDVGVVVGGEGVGWVVDVDWKVVRGGGGGLKDCFLDLGDLKRDVVALRGDVGDVEV
LIGYLCEEGTVDE
>RCO7_02309 | uncharacterized protein
MDARASIPVSLPVSNPTTSYWQDPPDCEIADHLSSLTVPETADIVIIGSGITGASIAWNLLTINDKPNSQNSHPTSTQNKNIVMLEARQACSGATGR
NGGHTKAASYRTFLSNASTHSLSTAKQIARFEYATLKAVHAFARTHAIPCDSWTGDTVDIIYSQAPWDASMKGVSAIREAFKGEDDERTVARYEIWS
REEAVRKWCVDGEGVVGAVSYEAGSLSAYKFVIGVLKLCLQKGLQLYTNTPAMKLHQTSDGSWEVETAKGAIGAKQVILATNGYTAFLHAAFQGCIV
PLRGQVTAHRPGSNIPQEGLPGTYSFIHSSGYEYMIPRPPGCKSAGDIIIGGGLTQAGEEGLSEYGETDDGRVNERISAYLTASTKMYFGERWGDDD
REGRVRREWTGVMGYSSDGYPFVGEVPFAGGGGGGRRGLWVCASFQGHGMVLCWESGRALVDIMRGGGRGREGFLPECFLVSEERMKMRFRGRLNTK
VGKVDGRL
>RCO7_02308 | related to aryl-alcohol dehydrogenases
MAMQAPPLPDSLKASVESSQVEYVNLGKSGLRVSVPILGAMSIGDPEWAPWVAGEEESLPLLKAAYDRGLNTWDTANVYSNGASEIIIGKAIKKYQI
PRHKLVILTKCHGAVGEVPQVRGFFFPKEIRASKDYVNQGGLSRAAIFNQVNASLARLDTDYIDLLQIHRFDANTPIEETMEALHDLVRSGKVRYIG
ASSMWATQFARMQFVAEQKGWTKFISMQNQYSLLYREEEREMNRFCNDTGVGLIPWAPLCRGHLARPLSALGSTTRSAPEKEKGLSDEDNKTIQRVQ
EIAAKKGWKMSHVAMAWINKRVSSPIIGFSSVERLDELIGIRGKTLTEDEEKYLEELYVPKANSGFS
>RCO7_02307 | related to CPS1 - gly-X carboxypeptidase YSCS precursor
MGKSQFESSLPTIDGSNAPSKDESKAVSHPRKLAWALIPLTIGYLTFSRISTSLSLGHSHPVNYTAQCVQPPALFPQDTPELAKAFASISSPSFINT

SIERLSGAVKIKTETFDDLGDIGVDKRWDVFYGFHENLEKTFPLVHEKLKVEKVNTHGLLYTWQGSNPDLKPTTLMAHQDTVPVPVDTIPVWEHPPW
SGHYDGKYIWGRGSSDCKNQLIATLSTIDLLLSANFIPKRTILLSYGFDEETFGYHGAGNISAVLHERYGDDGLAVVVDEGAGFEEAWGTVFAKPGA
AEKGSTNVEITVRTPGGHSSIPRDHTSIGILSEMVYLIESTQYPTRLYDENPYYTQLQCGAAYSPDFDPKIKKLLNRRLKSGSSESFAGGDMGTCAK
KHDELALEAAKQGPEIKYLLQTSQAVDIISGGAKVNALPERARAIVNHRINVGETAQVIFDHLTKVAAHVAKKHNLTLNAFTSETPSSITLTHNDVL
PPAPVSPSSPHTPYSILAATNRAIYGDDIITTPGIMTGNTDTRYFWALTKHIFRFAPGYDAEGDEGLGNIHTVNERVSVTAHVNTVKWFVTFLRNMD
DADFES

>RCO7_02306 | uncharacterized protein

MAATTNSASSPTPTRYIPARPKLQGIPLEIRYMIYREMASNRTVYLNRIPRFSSRTLTDPSHKIGVPHPKPLKKLNKDGFEPLFTLDPRFEKEFNEW
AKIVPELRNLKCCGVFMPESTIFITDGNRAVLERMLRNEVFREGLRQLVIDTRKFKYESESWSRVLVRAISRLRDVKQLKRLDIRCAMPMSDVAKLR
VMITINEYWGLCLGGCTCGNAGTEEDCEKRFPVVRWQVPNRRCGRGKWKTIPNLRERTWSSWIYRRYVRPDEKEKIGALKKDGRIGQCELPARRDSM
RALENFLDRIATDAIRVIENERIRKETRENERREWRQNWRDERNEARRESHYRGWVLEEEAYYQQAEMLKRSRKFGKSRMDIKNNQKMNRKMKCGGR

>RCO7_02305 | uncharacterized protein

MLSENNSALLSLPNEIISHIISDVIISNEIEIFDPCTGAVADGDKRKLDPVKETRLVCKAFDDHYKAVRNTQKFRHLNYIRSSGFFDPETTVWTADF
FTIWANIQNSHDTSFSRAASNATFQQCARILQLDMSIGPSSFGHKLQTHRFCLEFWARVIRNVGNLSRIDLLSDALGRCNTDGSGLREVAGNIKETT
EDLAEEPENPHCYSEEEDESDVEDVILEV

>RCO7_02304 | related to cholinesterase

MLKFFPTIVSAVLAVQAVFAVNITQTIPVAKTLNGSYHGVHIEPLNQDLFLGIPFAEPPVKDLRFANPRSLNITWQGSLPATNYAPRCVGYGSVQQG
YQQNEDCLYLNLVRPAGYENESLPLLVWIHGGGFSEGGGSDMRFNLSFIVNNSVSIGKPIMAASVAFRLGPFGFMSGDKVAEEGSSNAGLKDQRLGL
HWLKENIAGFGGDPEKITLWGQSSGAASVGRQLFAFNGRNDNLFRAAIMMCGTAIFSGPDRSTEYYQPRFDSLVKATGCEEHANTLACIRQLPYAVL
NNILNTTSFISEWFPIVDGDFTARHGMMKEHPLHNPPTARKLSSPKSTASNINPIALVFLKLTQLTATSVGQIAWPADILSRLVRLYTEDKEYEIPS
AVSMGGNVSLGPPYGAFWRRSAAYAGDYVFIAARRLNCQTWASAGIPAYCYRFNAFSNIFRWPLRAGHTAENTFAFANVQGLGEGDTNPLANKPQSY
FDLAYFMSSSLASFAHDLNPNGWQGRDAAIESWPAYDLASPKNLVFDANVTSHLEPDTYRAEGIKLINDNNHLQHR

>RCO7_02303 | uncharacterized protein

MSPTSAINIVGEGLVYSGVRRVESLDEGLKQLARLLAHKSKDATFNALSQGIDADWSLHEDIVNPLGDRRQALITVYTIDLDHDRLLFSDEERNLEI
PLYAFRKDESGLLEKLTPFEPPSPPIGNTNAFPAPYWRPSRGASARSVPFVKRVITDFGIVWRHILRREYSDHTLRHFAKAILCMGSLDLEIQEEAS
RHLHTSMLPQRGPYVWIHSRPSWEPCSAPMFKLGRITVVLNQNLEQSMSLAKIDKGRMKGSEGNDVSTYLLLSIRHIALCNINSAGEVKYTEPAALL
NGTDSPSHAAVLTLLQAASFALLPQPRSPIQKLPLEIQDRILGYISDGGIIAAQLGCLLELGLPFKWLRTDDTRRSGPIQVLLSPTHRHENTPVESK
LHIKGTFCGLSYR

>RCO7_02302 | uncharacterized protein

MESTYDLGPLVGMVWDQYANAGGQVVYRNLVSQETTLSIPPGWEDLATDIWTQDMTKTWPQWNDQRTGRAILRDPNPPPPSTYLDDPHIRSRITAIQ
RTPESLEPLYRRVTSEVLSYLYRRTDGFTLVQEDSADNLRPDFTIFKLLCRPGGSDYEHKLLIGEVKKLGES

>RCO7_02301 | uncharacterized protein

MLLLSSVLPLLFSYQVVAAADTNAHPPKPFGHFINNTIHQPTGGEAYIYPRHVELPDGTVIATCNIIGQTGLAYFPIFESKDGGANWQHISNVTDQV
NGWGLVAHPSLTQLTEDIGDFKAGTILATGLSWSTDNTTGATKFDLYASQDRARSWKPYKGQLVIYYSDQRDPLHGQKVAHQTSSDLINWGPVVNDV
IYELYTTRPGMPVVAYIPPIDEWILVHEKAIGGNSSEFGVTYPVYYVMAKSPLEFGKSVGRPIVVNGTRPLNSAPYVVWSPEGGPNGTIIVSDSAHP
SVFTNSFGGAFDRWQEHDTPAGTAHSRPLQILKKHPDNLLIYGAETWNGVHNPTKRPFSITSVSLHETLKKPAKEQKV

>RCO7_02300 | uncharacterized protein

MRRGLIIETPMTSKLVEEPLIHITASIPLHSKRTERRQKKRDLKEKSSKQQATIWDLPAEMLTDILLLLLPSDILKLSRVNRTLRDFIFQEEASLCR
KIVAKRYAVLSQCFRLPILLENVDEEVHPAMLSEERQAAMSIHKRPYQHIQPLDQHLVCTCLTCMLAWNNLNLVVDFSHWQRNLDEGEPIPMIARGK
NPRWNRKITEANAGIVRQALTSPLWYAWILEIHLRSTVGSIRRHGNNKGNKRRRFQMSVEDAKVETDYFLERSGPPSVDFPFHRDNYYMLEAYLPNR
GWNAEFLEWRYMPASQHDRDIEFVKTWAKRRSDAAIMKAVEHQSEKSKVEEGVARKVEGTAS

>RCO7_02299 | uncharacterized protein

MVGDLTGAEIFAKQFEICITIIHELAHAAWVYLGRTNTTRLMIEPYYQDEPLIELGFSFTAQIFGGSTRDPSRMFRSRGGPGLPPFVAFRENWFTED
SLQYGSNGGYRRPSSGTQLPGKFDPFTVKSRLVIPTQFYGTIMTQEMWDQKVRSYGLKALEIGPLKYGLRFDRGSLERIMTTDPESNDLVTTIKTFD
GILHGSISIGDPVSVQQIVLAETIRLMKSLRISEALSDSNSVPSSASSAQDDTRQDLTFNPEDRIKTVPEYPEIYIGSSQFTQQCPRFEEIKAFLIA
NRAEQKLALDTMGILPEGTFYRYISRFKGITVTQRELKAFLSQCFEKKELFIWDPFPSPGMVMRVAAGWPDTPLYTKRRQLFNPFYQSDKRSLNLLS
RPLRDNVRVRESLYVESGEMRDMSYLGFGTILDTSMIDTGSNLTIDDRDYLLSDLNRLQDLIIISAGAPDGTGLSTFVLGPDHIIRFTYPIEQYRDK
YLNAHMKESLARYKIIETEWNVAWQAKLNKGNSGGTPAPLGQVMS

>RCO7_02298 | related to alanyl-tRNA synthetase

MAAVRTKLIYQHHQELRQHLSKVVSISPVSSLPEADQSLLRTASADDYALITDETIFYVQGGGQPTDTGTITTTSSSADAKSTFEVSAVRYPAAGGA
ILHFGRFHPPSEPTLKSGDEIRQSIDGAKRDHYSRLHTAGHILGLAINALMQDGTLPNTLVESKASHYPDSAAVEFVGIIESRHLTAIQAKTDEFVA
SGKKVGIHWWSMERLLRDCLGVGEGFVLPEGVTEGRVVEMDGLGAYPCGGTHVESCHQVGKVEVRKISRSKGVSRVSYRCA

>RCO7_02297 | related to fungal specific transcription factor

MNILETQVNDINYLVDSPLTPGPISPIAAIPRNLNAINMNGDRQTSSAESPAETGNASGNKRKATNDETNNSANGNPHTRAKRNRYISIACNECKRR
KIKCNGNTPCQRCGNLNLDCQYAPNCCSNGFKESEEFRQMNAHLAQLQEQVDSLYASLNALRAAGDNVSFVPPSEGSMSVPPPISPSSRFRPTPKYP
SFRGPTSSAFSLDVAKNTLHNMGYQGLGDEGAITTDATPMGSPGRRESQVLAVDTGHPSKDPVWAISREEMVRLCRVYEEEMGLMYPVVNIEQIIIH
GASLYDFGAAAVRSGIVHPLRPGQGLHDDQTLVLKMVLACATVVEGHGQSEIAHRLFESVREAADRVLHSEVIEVKSLPFVVLVVSFCRFTSRLVYT
GLPLFSCAIFVSCALDENGAMGAAWPQEQKGSNVMVSARIALTFPRAGGIMCGVRHYTTKPLLNKLLIRCHGSMILSAGSNESSSFFVAEAVSIYHF
HCDEEALAWRIIGQVARMCIELGLHRRDSCFKVITDKEERSNAMKLFWSIYVLDRRWSFGTGMPFALQDADIDPSLPEPELNIPYLNVMISYSRIGS
KVWRSVCSFSPSITPTLNLEDVGYLDYQILQCQKNIPSELQLPPSSSRPASSRAIHRLQILLYLRANQMRILIYRPVLHSASSIQENPNYATTVVEL
AKDTIRVLTHLNQTSDIYRVQQVCFNYFLISAVAVIFLASCHAPVQFSALCRDEFYMALDLVKGFSTKSFVSKRLWRTIKGLKEVGPKLGLDPDIRH
NALSENDAHSSAALVMAGLAGHEISGMGGIGGAGFGNELVESPMSGFQMSTEITNLFEAALGSVGMNGGGSGTTSAGAGAGAGGYGPLEDGLGGIGS
NVFGGDEELYRQLRDLF

>RCO7_02296 | uncharacterized protein

MNGTWFFEFDYHNSLSCFEPQFIRQVPSFMIAMGEAISNLDTIRSMTRTVIDAASLLKAIAGKDSKDNYTSNTSRLPDFVKACRLSELVGNRVSVLR
NALALGSFPEHEPANFMAFEEAFKVLKAAEASIVDNNISLTDAEEVWTSSSTVMSADVLIDPPKNLDMLTYSPKNYYVAFESSRICTDTSFRKASQS
RYRIMGPNTCRFDSPSPESRPTYRSTFSMALMVACLVFWRGTVSKQVFVSADDTSHRLAASTGVPMGAYFPQDPFMSTERGLVKAAEGIPQLSLRRR
QICPVSNVDVSRLLTFA

>RCO7_02295 | related to 3-isopropylmalate dehydrogenase

MASKDSPAYLATNLVSRATATELRSILLLPGDGVGPEVAEEALKVLSAITRISGVQFRVRKALTGGCSIDAHGTPLTDEVLQFAKESDAILFGSVGG
PKWGAGAIRPEAGLLTLRKELSLFANLRPCNLPSASLTILSPLRPEIIAGTNFVIVRENCGGAYFGTKVEEEDFASDPWAYSRSEIERVAMVAAKLA
YAMGKENPKLSSDGKGGPTQVISCDKANVLASSRLWRKVVSGVYEKEYPDIKLSHQLADSAAMLMMKAPTSFNGVALMDNTFGDILSDVASVVPGSL
GLLPSASLSGWRAEGESGKLMGLYEPVHGSAPDIAGKGIVNPVAMILSVAMMLKYSFGMVKEAKDIENAVAKVLDGKDVGGLEIRTGDLGGKASTKE
MGDAICQVLLGDSE

>RCO7_02294 | related to RCC1 domain

MPPKKAATTATKPAPKAAAAPTKTTRAPGKRSASVVSTTVTKTTVKATKRKASEIETEDEAAPAPVAKKSKATPALKKAPAAEAKMVKPAAAKAASN
VSTIKSSVSKTKAPAKKATKAAAPEKASAKKRVSEAAESDVEPPAKKTKSTKAAAKVTKTAPKPKTAPKAVTKAAPKKAVAKKAEQTDDEEPEDDED
DEDDENGEDAETAPEEKAVPKAKAVPKPKKVAAPKPPKPVKALPVINTVPTQVLDVFVFGEGGSGELGLGARKGADGKKVIDVTRPRLNPLLSAKDV
GVVHLSVGGMHCVALTRENKILTWGVNDQGALGRATPNEGKMVDLPAGGDGSDSDSDSDDDDSGLNPSECEPRPVDPSHFPEGTVFVSVHAGDSTSF
ALTNTGLVYGWGTFRGNDGILGFREGTHTQATPILIPELKEITSIAVGTNHVLALNTKGKVYTWGAGEQSQLARRVVSRTATGALIPREFGLQRKKI
VHIGCGDYHSFAVDAKGGVYSWGLNSFGQTGVPKDEETVENAIATPTLVESLKEYEIKQIAGGAHHTLACTTTGQVLVWGRIDGSQGGVEVEDMPKE
SLFMDEHEKPRYLTKPNVVPDIEAVYVATGPDTCLAVDKEGKAHTWGFSSNYQTGQGTGSDVKEATWVDNSAVRGKKIVWGGIGGQFGVLGGIHEDE
A

>RCO7_08647 | uncharacterized protein

MRTTEHLHEMLRLASSTVHACPAEGHMADEHRDVPRDGVEVGSIRPSKASRSVDKLNEEQLARKRAADRKSQQILRQKTRNHIESLEERIRHLENQK
SELELAQHKNTQLEEELRNLKAAIASSASITKKTFASKPILPSTLPQIRIDPTQQPIPPRSTPITVKSRDTRIAVPTGIPIPLLAESTDSSTEPSTA
LSAYKSNTKRTRRRIELEFGSASPPARSPTPQGVALHPYFIPPSFLKQPSVHAWELPLRLQEPTSPVDKLLYGLIETQKKLLSEGASRSVAIGPLIP
NVNVLIAPHLSHLAHPVSRVLCDLLKRMTYRSLIDKLGALLVMYPVYQWQIMNDYESYARIPSHSIPVFAQRSTLHAVWICALGSPKLREMVIADMD
RYANEDFIYAFILSINCNWNRDFLHAICWGKDGVSVTKDFWDHCNVLDNWSFDRPFSTTYPELRSAVRFTDYDDLTGVKIEEMNRG

>RCO7_08646 | related to potential regulatory subunit for Glc7p

MSDNGDHEELVARFVDLTGASASHAQQYLAANRWDLSGAAAEYFTALEEGTAGAEDDEENEAPEEPYTGPRTLDGRPAPQSIPTVASTSAAPKRKGG
IATLGSISQSSSGAHAGHGHDDDDSDDEDFDPEDEPRDLFAGGEKSGLAVQDPSSSRNDPRKVVKDILKKAAQNAGKAPGERGGESSSSAPNRFRGS
GQTLGGDDTPSQVVPGPRAGTAEAEAAPVQRRILHLWVDGFSVEDGPLRRFDDPVHAQDLQMIRQGRAPLHLMGVREDQPVDVQLIKHNGAYEAPPK
VYKPFSGSGNRLGSPTPGASSSSTAPLAASPALTTNSGSQNNPLEPAIDPSQPTLALRIQLANGARLPARFNTTSTIGDVYSFIDRAASDTGGRQWV
LATTFPSKEHTDKALVLGEMAEFKRGGTAVQKWA

>RCO7_08645 | uncharacterized protein

MIPSRGLRWSSQAIGIGRTRTQPLPARQFSSTPVQHRANRLLSNHRATLPGTTYKGIGFSQANIIRRHGASIRFASTTPLPASTIATQASSTTEVAS
SAASSPAAAIEAAPSSFQSSLNSATDFAYENISDIPERIGYLKELGLDFGWGPTSIMQYLLEHVHVYAGTPWWVSISLTAIAVRAMMLKPYMNAADN
AAKMQTVMPITKPLTEKMQQAARAKDNALVMQIRSEVQMINRRAGISMWKSFVPLLQIFAGYGTFVLLRAMAKVPVPGLETGGFLWVYNLAIPDPIW
ALPLATSAVLHWVLRRGGDTGAMNVSPEIFKAMIWGMPLLSFLCTFWLPAAVQISFLVSTILSFGQATLFRKDWFRERFNMYPLPNHILKRTTPTKT
IAAVEKPSPYRSDIRLSPRPPTNPVLSSGQLSSRFQSPVSVQKTFGGEAFLEGEAEENRKKGIVGGLTSEVKDTFQGVMGKAKEGMKRRNEDSASKQ
KMTEYAAYEAKRREEIKAEDAAEEAKREERIREKYRFGKGERKKKMKKMKKGTVVKK

>RCO7_08644 | related to glyoxal oxidase precursor

MRVLKIATTLKVALLGSLAVQSVSGFWRMPCRVRTAAARIDPLVNNGSISQHVHAIHGSGGFSATAGYDDLRASDCTSCQVTQDKSAYWHPALYFKS
EDGKYYLLVPNANNPKITAFPKGFEMIAGDSNQRNFSYPVPDIEKSLWFGKYAEQPFLRQAAVGFNCLNYKRTPEGTLTRHFLPDKAYLDANCDDGI
RFELHFPSCWNGRDRTSHDKKSHVAYPGQVMTGECKEEFPVRLPSLMYEIIWATNAFKGIPGSFILSSGDTTGYGMHGDFMMGWDEGFLQQAIDTCT
NPSGKIEDCPLFTIQEEHPTCALTLPPAIAKENVQKNLDTLPGNPVIANGPAYAGGAAAGGAMPPANTGPVVAVPTLSYTPGHSLASTEKFVPGGIF
AQKVTSTPESEPTPTPYAMNIAAAPPPPPPVNPTTLITSPTRTPTINPTPTPTPKPTVPATTKDGAIFSTEYKTHTGANGVVIVDVILWELDFVTVT
DSAAPPATTYQARSEKPKRHIHAHRRGVYA

>RCO7_08643 | uncharacterized protein

MAPLPDNTTLACPEHMKEFPEDSKKVVLSNAISDVFEIQSVLGSGRGLFARIDIAQGQLIAAESPFFTLPSIASFNITPEDLLQKFFALSLTEQQQF
RALHDRNAEAVPSLLGIFYTNSLHIDSNLDGIFPNFSFLNHSCVPNAHYSWNGNLEKGTLYAIDDIKNGSEITMAYGGHQRGHWNFICSCETCASSS
YELRRGDIKRARITTLQNEIIERAEIQHEGCLKDLREMKELLQDVYGNSTGAVLACVYFIASEVVASQSDLARSSVFAERAYGERLMCEGEDHPFV

>RCO7_08642 | uncharacterized protein

MNAIGLQECHQERERAINNWLIRHFARLRKHQYRMVEKSGKAAKDIAEVVRICQRLEMQSLLCYPHDHTTECKNDCKLGHGDMLVVFGEDRGEPFPP
RLERRERKGKAPGDIDDASDGDQQKDGQNTGEAETKVKDSEGKELEGSEIPTSESEDASSRASTSKAKGPHPQKKKPRKKW

>RCO7_08641 | related to C6 transcription factor

MADKRALSSDVSENLSSLPRAKRPRKKVACVAPHSQIPLEMLLILGTVVKDAIYKKLNVRENSPVQNTYRVGSKTNVNIKHVIGRLRLAKVISINCK
LKMSDSKADPTRLSGSVTGKSNSGRTSQRHDHIGAPIYLGEAACTAFATRLRRFLTSNAAAAHIPRTQYMSEEALSELSKYDVRWPSLTHAALLKVA
LHQAGRVYHMMCRDSTFEALKDTYETRNFDSPVNKCKFFSLFALGEVYSTRSFSSTGQVPGVNYYAKSLALIQILPERPTITHIENLLLLSLFSYSL
NRRHHAFLVIGSAMRHALVIGMNHNIGPSQIVDPVAREHRVQIWWTIYIFDRMWESKMGIPNSILDEDIHVDMPTTISPKELHDAQFPDTEYATASV
DLAKIAGEAITKTYSRKKYKETFLQRVKMLPEHLRLHSEESGLINPKYIVSLHLSFNQIVILTTRPMLLRVLIQMSSRTLDRKGSGDGVSQAALTLA
EACIFASKHTHSLIIHQWTGGALPIFGYFNVQYLFSSAMVLLMSSLISPDTATADMEAFEIASQILRCMAGDGNLTAAEFSKNLEEVKLSLEVYRAS
RNPDSNSGNPSRVRLADSAVPIAAANADVSTTFASGMNTSLRNVPGGFTTEMAFLEPTM

>RCO7_08640 | uncharacterized protein

MADPERDFTALYFGYSSNLSPVTMKQRCPGSLYIGLAILKDYKWIINSTSYASIIPSPGDLVYGSLFFLMGKDENALDLSEGVPWLYEKQYLDVHRI
TAGKEEEKTAKALAYVDVQRLDEGTIEPDYVVWVQKAIQHGLEAGVPKDYVEKYLRPWIGHFHSQQEANMVRTIPAAQWSGGMAAGVRGRVMGGLDR
G

>RCO7_08639 | uncharacterized protein
MSPLAKAKASHSEDDNMPHQSVKAAEKAAIEGEVADWDTQQCEALREELLPSSPIRASPKVASASTWVAILPSPLRLKVEPPEPEIESEDELETTAY
VNLDLPVKEDGNGSPDKLPKPANIAIELNAQPTITANPTIYIRRDHHGKLRPFRATGEVLQPAEFNKKDQKMTQVLSNMDDLTQRSSMSATQENPPH
LYERFNQFDIQTEIRNDFPPTATPADGESEDPRTILPDPRQASASTGYTYQENDTGHIHLGLESEPVEEDEFMEESQDASYAMPAVQNLASFEPKTP
APPINPFQQRGSVMKGFELFGATQPSSIGRHMASPTSSRPSPDVYNDFSSPPKRRAPVLSSPLGGPTPELEFDGTDATPLQSSVRNILARSQSGNSR
NAQSFDTGSKFAWTNPEPRPYVSMRDSQEKRRQTKEPLPDPNSSGDDSDNEAIPRNRRLERELEIQREIAAVGLRKRASTNPRSSAPPSSTVAIDIE
VPSTGRRRSFQEEYIAQCIGYDARDTQQDDVIVDSQSGALDNEKSSDGADSSRLPADEETEISRTKAGEDEEVDKDIDADATQQTNSSDSEQSMEQE
PSLPLQEVSSNRSNMHTPSSKPQSDTPTDTVPETSPPENRLRPMGEIASLSFGGASEVLPENFPGFTQDLDFDSLMQIRSSPRPPTRIRSSGRGPKS
SSMASSGLRTPVIRTEMSSVTSSALSSPPNSAVLQEVEADVVGKAVKEAPPIEESEGFEAVKEAGDLREPKSTESDKPLNTPVVAVQAQPQAEMPPS
STIAIIIEPKVDVRENEVEEPNVETQNIKVVKDITPSLAKKKPMEKSMEKPPPKRPIRTYSKLKGPAARGRSVNTPAVATPRQSTRVAAMTPASKST
ETPTSTPRSTPIISTVEKAFISEQQTPQSELAMDLPSASAIEKKRTSKRKSGVTIVHDDALPTRTSKRKSTAKDTSPDPLALSSPAAGRSPKAATGL
FKDMTFAVSFVNHEREKDGVTKAIFDHGGRILPDGFDSLFDSAKGFEEMSLSSSAKSVGFVALIADEHSRKAKYMQALALGIPCISSHWITACVAKD
SVVNWSPYLLCAGQSSILGNAHKSRVLQPYPAAGARFEDTFANRGKLLEGKSILLITGKGKSQDKRKAYTFLAQALGPSRISQVADYQDARKKLSEQ
EGQEWDLLYVDAHEKAAEEAVFGTLTQITSSAASRKRKRGPTAAVVDDSPAPKKIRIISDETMIQSLILGQLLDD
>RCO7_08638 | related to TOB3 (member of AAA-ATPase family)
MAPTLEQNSFVEQATPPTDAVQFLTKTANGELILSSPHDTVLKLGMKCDLKNLYQKEDERGRASWTDKYPEDLDEAAENETTARYAILVRNKKSFDP
RKKLELDSIVVQSPLLKQVLTKVLKDYPGVTPTLNRLIFQAPFKPFVHRWTQLVSALDEHEDGETKDHIQLLYTVLEAELRDIIAAKADYIKNKVIT
FEHLWTIFQPGTILYTEEWGRHCGSRFSSGNYYEHQKYGPCYSVYTQKVDWDGDKFGYAGHQHIILAYGGTRSIASLDAFPLTFHPEEKKIKAELLK
RGKLFEYYHGYHYQAYKAFAIGKDMCGNNIKVTVDSRVIIDTFAYGRFNPNSLKNLLPLKIKSKAIVEDLPSDTDSEAEECQSDYDSEPEDSPPTTI
SNTKPIDTKLPSLTDEQLIHSTSLLKGYALRTKRWLSFFVDSILPIQFNDQAFQSLVLPPSQKELILAFASSQITNSQKFDDVISGKGRGIIMLLSG
GPGIGKTLTAESVAENMQVPLYMMSAGDLGIKSSEVETSLTIILEMVAKWNAVLLLDECDVFLEARSPHDLERNKIVSIFLRTLEYYEGILFLTTNR
VKNMDPAFQSRIHISMEYPALNQASRMQVWKNFLARGEEHEVQEEEVEMLSQVKINGRQIKNVLKTGVLLASHQGTRLRFEHLKTVLDVEKREDVEM
AL
>RCO7_08637 | related to chromatin assembly complex, subunit p90
MSCPDSPHSRKRDHTSFEEEPEPQELQQPFTCPPDFLERLAAEEEVQKKITTTTESLLTPPVSVDANIKRERASSLARSSTGELTDAGSATPARDQS
PSRASLPVAADGQSPSAFAAMNGSLPPPPKKTKLSFQEKELKRINKEFKDRERAEEKAKKDAEKQAIADEKARKLAEKEAEKKKKEVEREEKRLAAE
VEKAAKEEKRKKKEEEKLKAEEEKKKKERGQMKLGKFFSIPTTSRPRASSLDPKARASMSPAPQSSNIIDAADSSVKTSSKSAYEEMFLDFFLQDHV
TVAPTSKFVRREESIGAIENLIDSYLLGNRSPGRVRSFDPHTLLHTSSPHAVPRGKKCVTVREIMSDHYSGNSAKPIDLTTDSQNSQIIRTGDLLKS
VPMKILHFQEDVRPPYRGTYTGRPVSGVSRLARNPTRRDLPHTDYDYDSEAEWVQDDEDAEDLKSEGDEEEEIGDDEDMDDFLDDENDEMANNRRLV
LQGDLEPVSTGLCWEDRKRRNVNVKMIAYRMEVILDPNLKSIDPLSTAYWGPPVTTKTAMEPPRIPLNTMKSTSANINSLFSKASSTSSHTLSNDYI
KAQTPTSLTSTPLPPEPQTLHQQSTKSVSTPTSKDSKPKKTLSVDDIPAFRAAIQGSDLSKVGLIEVLKKKFPGRPAAAIKGTLESVAKRVGAKEVD
KRWVLNE
>RCO7_08636 | uncharacterized protein
MASQVHRKPMPSGYQGPQSQSHLQHPELYTHSRSRTESSNIFPTVQYPPPQPQQLYPNNMQVHNYTSRRTPSNATYSTTGSGGTGPLPYRQTSQDLR
RSTSSRSGGLQPSSYVALMRKQKATVWCDRAQHEDPRLLAQQKAAKIRATMEVIGGPSVGRISTSGSGSLVGSNRVTAKIRHHGKAGLMGYSPGDLV
GGVGGVPMRLSASEVEGGDSDDDADSGNVAYGGATHHRRTGSGRSSVGSGKRGLTYSRQSSTGGRWSSGNTPPGERQDSMDDVAEAGETPVPATHQR
AKDYFAVESNGDGTRSAGSGSSGERADAVGELNTADAARLASNSLMKATVTREKSVKNPDELRRRGSVDDRTMTMSAGRLYIANPDADSD
>RCO7_11703 | uncharacterized protein
MPVLVRYYTGSDTSSAGIPINLGPVIYPSSHIIFSTILVVASKLGKKVFKELEFIKDLDLLIVDSEFAKKAIFKAIISNTKGKRNLPSSLKIASDLD
TPRPFLKKKARRISYYTRSTTRATLVDLSKELDIVIPVLDILDLLEAPEDLGEKASKVEVVKEVEF
>RCO7_08635 | uncharacterized protein
MTPSLSLKHGVFVIASVFISFGYAAPQTLSTDCGWKYLGCAFYQGSDRPIIARFAPSAEVDTTKENCQAVCSLNEYTYAAMEDGWGCYCGNTLKSTL
SLEGYCNEPCFGNKAEICGGYISQSIYVNTCAVVSSVSSLSTTPFTLPSLTATIIATSTDIPILSSSLGPELTTTSVSEAASTTPTLPPPAEITPSL
SLSFGPPTTTEPAPAETPTLSVSTVLPSTTEPLPAETSRLSVSTGTATEAVPFPTVTTPSFSLSIGTFTSTLTQPSVTPSPSLSLGSTTYTVAPSAS
TTAATSTESKPPHHTYSVPTLSILSHTRKPPWTTTYTISTVAVTKTYTITSCAPTVVCCPYGSTTTSVSHYTTITPLVSTLSHLPTKYTTSTIITTK
TYTITSCAPEITSCSIGSITSTVSQYTTVCPVTIPPSPPSPPSSNITTSSTTTTKYSTITLTDKFGTMTTTLPPSTKTLQLSLGTPLFTLAPEAPEE
GAPQTEELPEAKSAGVSAGHSSPPAPEPEEIPKSESTGISAGCISPPANSTVVPQVPTLPIEANLAGPLFNTMNSRVFACSFVVAVGLFMI
>RCO7_08634 | uncharacterized protein
MTSEEAAPQKIVNPLLRSLYPTSITHTPQDLRRHDEGSDSEWYSQPRFVHHIDDGAIVSLKSYYDAIIKPNHSILDLCSSWTSHLSMNLKPQAMIGY
GMNKLELERNSHLTKHLVKDLNRTPSLAEVPDDSIDAVICNVSVDYLTQPVSIFREMNRVLKVGGTAHMAFSNRCFPTKVIGKWMNMDDEGRRKWVG
GYFWASGGWEEVEEVILKEGKPGFWGGSEDPLFVVRAKKAASK
>RCO7_08633 | uncharacterized protein
MDDPRFENFNVTKTPYKIINDQEISLYVTIPKEIHTEKCPVMVHFHGGFLSNGLEILSDVQDSLNTGRERPSSIAKATGSEILPDYEKVAVYGENAG
GYLAIQAGLTRPDLVKAIISAYPMTYLDRPWYAEASIDKSPLAHLNYQNESLYPARIVEKMKENQKVPFLLLMYGKEDWVVPCEHTVYFGKAWENKF
GNGTVVTKFESGEHGFDANATLETPWRKDGLEDVTKAWIDDGKAQ
>RCO7_08632 | uncharacterized protein
MAALSSARETPLLAFLDFVRAHYDSESGQASFNNFTQLLKADLMLNKDIERYELYLSQENAYPELEQFLRLCHLVREEGESQTYDFIPPSQEPSVLI
PSFAVWRSQTSNLGSEYQYPAMYDTYLKYISGPSSEETVDAYLESRERVTEGDRRVLYGLSRHDLSLDMQRLQIKRHLLRYMLKSIKQFAWVEEWSE
HFLGINAHLIRGIVLISILMIEEASLSLEGHGTMNRLLQGAYTTMEAFWARQNTRQIPLAISPAHATTLSLDVESNLESEENAQSEVATDHPLSRFD
WQQLALQVEADHIRNMTSSELLEQLREIVAEDLEFADLSDVEDENSRIRHVATAPLPETNSRLAHRRNF
>RCO7_08631 | uncharacterized protein
MLGNKKYDEKATNSLSANLRSSKETFDFSDSETDHSTSASSTWDDEPVVHTIILPNYKEDLDTLRETLDILASHSLARSSYEIYLAMEQGELGCELK
ATGLQKDYKKRFRHIEYTVHPRGIAGEAQGKSSNLCWAAKYINGKYRNEAEKRNIIVTVMDSDSHLLSKYFTMINNLHYRNPHTASTTMYVPPLIFD
RNAHLVPRLVRVADLLWAAAGLSSHYEGSTICPPTSVYSLPLSLVDLAGGWDAGREAIGEDLHMYIKCFFALNGHLTTRSVYSAASHSNVNSSGKGL

RAYIQGMQLRYKQAMRHMWGSLDSGFAAKSLGRSLRKESPDGKRLHRWNTWVLMLRLFEAHFLPQHITFLILGGAIYKLLTPAEVVPRLLRQVLDLT
GYMRIVTAMIFIYFFILYEPYHKICLKTRETEMSRVDLADRMTDAFSHRSLKQHGLDFCVFPVAGVVFGTVPAVVAMFCQFWTLDLVYNVSMKPTRM
QLPSP

>RCO7_08630 | related to endo-beta-1,4-glucanase
MYFTFLAAGGLLLLIFTYTHRLGFSEREPEIFIEAPFPALLDVEKTEPQPFLVPLRTKGRNIVDRNGSRVKLASLDLIGMRALDIFIAVVESLTEAG
IAVIINNHITQATWCCGANPYDTAWYNNHIGAFCRVRQTEDQWLDNWHLMMSLLRSDWLTFVEGVSSSNDLSGVRERPVVLDHDHRVVYSAHVYSWS
GWGSLEGKYSKRSFESFAASMMDDWAYSLGQDIAPVWVVEFGCPHLPNNFHYWNNLMRFLKLLDADFAYWAINPKKPANDELETYGLVGDDWETPIL
DYRLRDMIRLGKQ

>RCO7_08629 | uncharacterized protein
MKIINTGSPDLLQAIREEQLNQYLAQLLRKYGCLRAQNFLGQSFETKEELCYVIEESIVRIFPEDSTTKLLPLNDQFHTFMQLPPEIRYQIWELAFG
LKQQRTVVHCVDERGGKFVSNQPISPALYVCHESRNLFLSRQNLTFAFGTYVDFNLDTIYLIDYEEKADKFRRFLESPSAHHIQKLAMRKSLVCEIP
MLGHMSESQWEMKGLLKSWVELAVVFHDERDLETVWKDVGQRFIDLSARAKRRYAEISYARAYTKALNSMMTANGVAETRYRFVRVIE

>RCO7_08628 | related to NAD-dependent histone deacetylases
MASPSSSSSLSSMSSPLSSIASRSPSPPGDYPSPPSSHESEKGMKPKSRKVLHSSHCDDSSPPAPKRQRITKDKDTNTEYLDISELNASDNEDMHQK
EDVKMRKLINVLRTKRRIVVIAGAGISVSAGIPDFRSSTGLFSSLRNQHKLKTSGKHLFDAAVYRNDNSTSSFHDMVRELGTSTQNAKPTLFHHMLA
TLAEEGRLMRLYTQNVDGIDTALPPLATTVPLNRKGPWPKTIQLHGGLDKMVCSKCGDLQDFNGGLFEGPEAPLCARCEEVDIARSAAGFRSHGIGR
LRPRMVLYNEHNPDEDAIGAVSVSDLKRVPDAVIVVGTSLKIPGTRRLTKELCSVTRARRGGFTAWINLDPEPIGVEFKDCWDMVVRAESDEVARAV
ALPKWDDKDCGDYVVGGPLLSDMKYARPTVEVRVKPALINALNAQGLAIPTDTPRQQSPDSIPLPKLKQTSLAFAPPLTGDLAPKKKKSSRPRKALP
SSKPTRAVNAINNTFPATKTTKQPTTKKAFDQENFPSSALFPGLLFTKPTAAPSKSPKSSQVSVGLPCDRLETISPVGPIPSGMAKLLD

>RCO7_08627 | uncharacterized protein
MPMMMDDEMNMDDLFGDGVGLNIPSRPPTKELHQRLDELRASGCCQTIAWSKWGSIASVAANGTSLELRNLRCHPDDGTWALTEPTSTPNFSSALDG
GPLKHLSWSPTGSDLAVIDAAGRVTILSMFSGLNKSGMSRLCQNDSADDLNGVVGCYWLNQAPFPPGRPAMLHGPGVKDGPIYRYDAAQAPILGPCH
PVSSKSAFVCVTTNGLLRVLWQQNNGKWHESHTELESIVSSDELITHAAICSDKGGTLLIAFATSTMQLRTVRAFIDWGLPKGEKGQPAAQPLNVSI
RTKHLAGTSWVPGASLDPMNPSNSDTSMIQLSHLEFLPLCADSQGGPIPATILAVRSSSPSLSSHYNPEVSSTIDRWEIQEPHQKVHPAFEQLSSRR
NSTGVNPQPVAHLKKLESVTISKIAVAIEAMNNGKVIFFAYSDSSIEYRDRASMLETFNDGNLGRVWHLSQIGFSYTEDEPCLQVALSPSYCSIVQI
RNDGKIKWKQLEYHLGGIGNSMEEPLYSAVVTALSLSCATSVMRNSSYDDLLATANKYATPQFTYDWLTELSRIMKVNLDYSEETHHDVLVRNTTIQ
LCLSVQSSLGFKGQFKPRTFAGKFSWLVLQLRNIVVLVTMAANLNIPGGPNASDRTSPLEDPEVITSLAGSVRWVLDLMAWIIDTLTTLPSSLPSTI
DLSSPATLSLPDLLAYLHSTNTVSLHLLLSSPSRGFLTAILRRLQHLDYIARKAITHTSSTPNAQNPQTPTSLSPALKAAYLQIATLTTSSILKIKT
IETLLSSLTSSIKLAYSSASPPLSGSPQAEKARNGLEIKMHCGSSFPDAFKSVIVELFKPGGLLEGVKEEIEPSKLFFADFEGLEVDDSPAELNVRK
GKGRTMDCFRKVWLSNPPPGSAGGEGGRKSAARWRRCARCTAVMEDVPSHRQALQWLVMQQRKCFCSGYWYVLPVGEMTL

>RCO7_08626 | related to intracellular protein transport protein
MAAVQGSNHNRNLYTLTHTHTHTHTARPSDTSHDSSQLPSVNSPHDFQFSDVHQNTRPRNPSLTVRTRTRTETLSSITSTSSTSSSPVRRKPLPPTA
SPWATRYSSGEHLATTLQPSEPTYVRPYAVDSPTLHEFPPVAKILPYSPAVHSAQSLSRFSNEPVALTPGVASDTSVSNHQANSRHHLPSPDSPHPV
VPNNNFFKTSPPNTESKHAHVASESSIPSASDPTSPWYSDSSSASDSRSTMSMFSTKPQPPHTINANPRSPSSDSAATIQKPQPKSPGGSKLGSLFG
WGSTSPASTTFSSEKAYSPIPSPHAFESTITPTDVSKAPTRNIPRAIDVPKANANAAGYFASSYLQLPLATPTTPVQVEEMEKELKEISTELASSIR
REMDLEDLVERLQSEAMNPTSNAAKRTSDYFSDSGTSSTRYGEPDPKQDEMDRLLRKAEQERAQMRLELTGKVQDERTRRKHLESQIRNLEEKASQV
DLASINSMDANGRLRDLETTCEDLRRRLSEEKLVKDNFEDLLTALKSDLESSQNERDNLRDEIVPGLRARVEGLEAQAAQHEKLTYEQSKTQQELQS
LKNENVTLINAQRLQMEMQQQMKKFNTIAEEASVVPSPRSSGLFRSNSVAQGNSITRSRPPSLTRSVSVKIAESRDSLAERVKDVELQRDALHAALK
SLLERQEHQNRENQKRIRQLEMERDRALTSSPRRIGYDKEVSNLREEINILRKRAEDAIEQKWQCEKGLSGLKMDLDRAEQEIGSLKSLLSEKDILI
STGSRERSASDSVSSETLEQAYRELQQAYSESLDRVKNLEISTTRDEETEQAMKELEQGLADAVSERDFAQKEIYSLREQSDRLREGERVNVGNEVA
LAEEIRGSAKRVEDLAAQVRQQLDTNSALRQRLSETIERGDRDQKANAEKIMLMQIKLKSLEDKLVIAQQNTEDKVSRHEDQIRDLKDSHSIQLQRV
KDGMRSPRLFGPKSPVSPLFAGSSRAPRILSTTSGKAMTVSEESKLGFLKQRVVELETALAQADSEMEEVVGRMNIAQIEVMELQNEREEAVRQTKR
LQKELEEEKKRAFEDRFASLST

>RCO7_08625 | probable ammonium transporter MEPa
MTVAEYNSTLATGGDSLTEDLNIYYESGDISFMIICTALVLLMIPGVGFFYSGLARRKSALSLIWLSVMATAVVSFQWFFWGYSLAFSHSAGSYLGN
LDNIGFRNVLGAPSVGSAKIPDLMFAVYQGMFACITVALAVGAVAERGRMLPTVVFMFVWTTIIYDPIACWTWNTSGWSFVMGGLDFAGGTPVHISS
GCAALAYSIMLGKRRGHGTHELNYRPHNVTHIVIGTVFLWVGWFGFNAGSALAANLRAVMAAMVTNLAACVGGITWCVLDYRLEKKWSTVGFCSGVI
AGLVAITPGSGFVPAWAAVVYGIVGAAGANYATKLKFVLGIDDALDIFAEHAVGGFIGNVLTAFFAADYIAHLDGFTVIPGGWLNRHWIQIGYQLAD
SVAGAAYSFFGTCIILFVMNLIPGLSLRASEEAEILGIDDAEIGEFAYDYVELTREVLNDVDDAASKYSAGHAQDQEKQLSGSSDNLDSIQHV

>RCO7_08624 | related to Staphylococcus multidrug resistance protein
MAPRYLISGLEEVGLISLWTSTFDVKLLCSQRFVRLFAYGGSTLILASYLQELGISKSKIGLFMTLTLVGDTAISFVLTLFADALGRKSILALGAGL
MAVSGVAFATSGNYWILLIAAVIGVISPSGNEIGPFRAVEESTLAHLTPAASRGDIYAWYSLIGTAGTAFGLMTTGWILSYMIIGLQWGPVAAYRIV
FWAYAAFGVLKLCLTLALSSAVELKNKEILIQDPEAAPLLGDGAEDVEPEKSHWLWSKLPAFSSESKAVVINLCILFALDAFASGLAPLSWVTFFFH
EKFHLKEGVLGSLFFTTAIIAALSMLLASSIAKRIGNIQTMVFTHLPSAIFLALIPIPDSVAIAMLFLILRSCTQSMDVAPRSAFLAAVVLPHERTA
VMGMVNVAKSLGQSSGPFITGVLAGKGMFWAAFVSAGVLKASYDLGMLAVFKGHKTHDERAEDTRVAEEEEVRDSANNEL

>RCO7_08623 | related to hexose transporter protein
MVNIGVSNKQGALEVAQGEAPQFEKVHWLSNPGLRKLYFWAAVLCVASATTGYDGMLLNTSQNMDQWKKFFNTPSGSKLGFMNAIYQIGSLVSFPLV
PYMADWWGRRTPIAVGCAIMLVGAMLGTFANGYGMYTGGRFVLGFGNSMAQMLSPVLLTEICHPQHRGRVTAIYNCLWNLGALCVAWLAWATIEIKG
NWSWRSLTLLQAVPAVVQLVFIYWVPESPRWLVSKERYEEAETILAKYHANGDKTNATVAFEFLEIKETLRLEFEYKKASTYSDFIKTKGNRYRLAI
LVSLGIISQYSGNALFSNYMNLIYENAGITKQNQKIPLNGGQTLLSLIVSISCAFLVDRVGRRPLFLTSTVGMVLMFMCWTIVASQYEKTNGKNVKA
TGYPQIVFVWLFGVFYSLAWSGLLVAYALEILPYKLRAKGIMIMNLTVQATLVLGNYTNPIAWDNLKKQKKTWTFCMFYTLWDFLELLFVYFFYVET
RGPTLEELAKIFDGNSAEVAHLDLHEVEKELHAEHGDMDEKQAATVNTSTA

>RCO7_08622 | related to glycosyl transferase
MAYITGVHAGNWTELRQHWWQLVLVSLALVSIFVGSTYISFLLLRKLWVHTRQKNGPSKHLQERVARHLQKYVASSSPESTLEKLDSKRPTSLGIYL

GTFESPISDAQCKRLSERDMIILNPLQSYIPRVLAELSRREKVPRRVIGRLDLANVLTDAAPSRQSSKYVLSCLDRTMSMIITAFRNSEGGKNDFTG
ILLAGWEIFPIPVFHELCAVISTFGLEIYVETSAPDFLADGSALACSSISGLIIRNALVLPDGERRDCFDMEPLRTTAKSFVSQSCVRDFTVFVWET
LDDDVVLPNAVLKRTFAWCNFYSVVSWIGSQSALMNATLDVVQMEPLSAFAWLKEPKVMELHDMWKSRKSIENTNHRHSVIGHLGAMLPSLEDAKND
CTCVHDEQPDDLSKEKSDFQENMEWFVLRDGISGDPLCTSAAGASYDGLGCFPVGLDVSSDDFQEVIFSQRNLRKLELLDSVTPADLREYGATFANF
AAVTTLPSEPSTPGVPSVSRAIEIMAKKLMASPDDGSDGIRVFLGLHSGFQRTIEKQFWAVYHAYPTKATADIYISKTVNDVMGTLLHTFLSCRGLT
RRECIAAETSFARWNKKLTSSHNIPPRLVQDVELLSPEECLHLLQRVSLAPNAKEDFILYGIKSAAMERLVDVPNWNQLKTVNTVGYLNGDISITEL
LESRLQWHCQAKRRHPNLPAAIALFHDVEAAIEEALRTRSHPKLKIIIEALEKLLNNIAYAAVGDLYALAVFCTMRRLAFDEVYVEVTDRNPLFNDQ
TDQSAAFAELFALGSRCESYFDCSPSQFGELLSAKYRAHYSLPENQPPMFKDTMTALPSAYAEAQIDVDPNYKPTEMASYKRFTFLSVFAIPALIDI
LMLTTTGHGLYLSGGKEGHEYMTHDEQHSATTALMISLLLSGAIGTWITCGGTFYLASMAFSAMNYFVVTRLLGGLAFTLVVAIVGFIAFACTVSVY
NALLFFLYLMVLTTYLSLLAALANYQFIGSSFQSGRATIIFCIPILFVSPIVTMFVPNHDVAIYLTVLYVFVSMLFLGVRRTGAQWTTWYQKINLVD
DKALRTWYIDNKTSPMDGIEKMSDPAILRFARDALLKDVLSERSKSILSKKTKDALVLKLVRSYEATSFLMNWYCQFTGVPQPIMFSSAWNVQTKVA
LFSMQKSQLGIRFHNGFLHWRQAGDEIGCTMLYFIVALLDKWISLLSGGDLIGLLPFGNVSLTMPVGFGLAYYLVGAVLLDFNANKLHELAAKSTEE
VIPTDGDLAQALKQKSDNRRSVYWKTLGSFLLLHVWGLAVTSALLWLFASTESSEGTIIFLSYVLAYTGLLWYQYTKIFSGPHALKPLLIAVAIGLP
LGFILNAYAPETFLYSNIVALGVACWTVAILSLWAGKIIGPPEDRIRPLTASDGVYNAYSNPGADHAWSQPEMQSLYEQLSDLSDKERLLVDPDSEF
GSQVKLILEQCSDTDLSDVAKRAFPDADALLRLSIQMFRERFINVELMSVDHFSDPSMRAISSVEDDQIRLLVACETKRVSTNEDPLKGFYWDVAEL
LVQVTAERYLGLNTHDSLLARTLWLSNGIWNSVTGPDILERHLKIQTKNLAEIQTYLKTQILRDLCLGFDTNLDSENMPGDLRTYLINRCVGVIGQL
TDHQIVMLNDKLNHTTGLSFDTYVARCNYAVVSGSRMLSRVNAWASQERSVFSTRPSSFMPRQSYQRSIASSEAESAQQSQLLLETATPGSSIRVLD
LLAHATPPKLSVWDHVHHYTGVVYHFAGKLCKFFMIAFVADPEFQREKNVVSVWQNLHGMEVSIKRRRILIRNLEGTSTGFIHPVDADTFKLLQYKG
DHKTEPTTNQSLISMNMYTNNMSLKRRVQMKNGNTVNDYIYDYRTTAYDGSSRRISKSDVLREPITRRGIAGENVLQDVTYNNKGLIDSGSYLLDGN
MVRFKYHYQKASKYGGALLRAEFVLPHMSCTVAWCAPPRRKPEKLDTWLPHSQVTEATFVVGADVWESKYMYDHKFHPTILTTLNGQRVDTPDLILH
DHLNVLKKPTNTSFLDDNPLYGFNSIKTTAVSRWLGLHTRRFPVSTSQSRSWLWKAWKDDPAFDGVIVRWLDERLLRRDEVLTPYWRKRDLAKLDAA
EQYLDKNRDAIMASTDLDNTVSSWTPLAMKINDFYSFGQGGDACSRTRSNVTIENDDETALHVIAVDTGTWPNEGGGVSACRSDVINNLRTIKWHMV
AESANDFGIPKRQIERNIHSLKVIPLWGLDLMTPTHGLFNNRLDSEVEHVTTHTTFLDIERNFVPILTALIRGARSLDFSLADIKQVTRALINLNAY
FEDGRHWSAVWRSDAVKSAWRNLWLSQVADNALPSSQWFTTELPTLGQLDQGLELWSRYLFIYSIPIPEKMPAVFQASHHSVSASYGIVCKIKRGCT
LQIWDHAISWRETNLYLSSSLCALSPFTRNSLLGLMRITSVLTLHHADTILPCADFFNPNWEVEIGTSQGKIENRSLFKRKIDPVVNGITNMERFAP
VKEIKTQQPTVTMLSHLWFAKDIKTALLSADIIVNKWGFKDFQLEVYGAMDKTPSYTTDCQEIIATKSLRDNVGLKGEADPINVLERTWVFLNSSIS
EGLPLALGEAALTGAPVVCTDVGASLRVLTSPIDGACYSAVVAPNDAHDMARAQIKILALLDEFSIYEDKSKCSSETADSTFPHDPTPEDVARITRR
MYEQADARRALGMRSRDIVMKSFSGERYLREHEQMLWVGKAKKDMSLPAHARPSARMVIPSAAADMDRVSMLSGRPAPGPSLHREGMGSKVSIYRTG
DSSRRTSVPGLSFNQDSTMPPMSVSSGYGSGIGPESPVPFIIGNGVGRKERDGMSDWMQKPSGLVSVRPTLSRKTSMLAGSPLASEL

>RCO7_08621 | related to extracellular serine-rich protein

MLTKTFFFKALLVAASVSGAHAHPQKNTNAVSEPVQSPAQGGGVAAPAVVATKDATVNGKTVAANTTVSTLAVAAPAAVVAGTSTKSTILIFARDAA
SAYSATSGLSGYAIPYQVVTVPQAGVTLPALNSSSTAGNYGAIVILSEVSYDYGGTVGFQSALTAAQLAALYQYQVSFGARMVRIDVFPGPAYGTSA
IGGCCGAGVEQLISISNTAAFPTSGIKTGAGVSTAGLYHYPATISNATIASEFAQFGPTTGFLGTSTAGVINNIDGRQQMVFFIGFATEWSSTSNYL
QHAWITWATRGLYTGFRRIIFSNQIDDMFLISDIYRPAGKTYRLTTADLDQHVTWTKDINSRLPAGSQYFLDIGHNGNGNIEAGADLGGNQCGIGPI
EYDEQIDTPLEFQKPLGTGTNLWPSTPANYPYTTACTDLDAMKVWFAKPANRDVFAHVSHTFTHEGENNATYFDVNREIVWNKAWLNQVGIAAANKF
SANGIIPPAITGMHNGDAMKAWLDNGIKYVVGDNTRPVLMNKQNEFWPLISTVADNGYAGVTIVPRWATNIYYNCDLPACTVQEWIDTSAGSGDWTA
LLALEKATNTRHLLGLHHDPYMFHQANMNYQTAGTTTINGVTKKLSLVQAWAETVTQEMMRLVTWPMVSKKHDDLALDFLDRMARDNCAPQLSYTTN
PAAKTITAVTLTTNSNTCSAKIPVTVPGTVTNTQGFTTEKLGSDPLTIWAKMSGQPITFTLSTPVAY

>RCO7_08620 | probable UDP-glucose 4-epimerase

MLNSEVNTPSLSLGSSISDAGTPATHRSALFDPSSNDTDRDYILVVGGLGYIGSHTCLELLKAGHNILIVDNLSNSFRDVFDRVSSLATKYHDERCQ
TTPLMRLCEADYRDETSIRQFLDQYVKPSTLHDGDAEGSPKQSWIKGVIHFAAYKSVSESLSNPLKYYANNVAGMIEFCSVLSDFNIKTFVFSSSAT
VYGTIANSGLPLREEYCTHQTESFVDHDGASRTTEGGCSGLTNPYGRSKWMCEAILSDLALADPEWTILALRYFNPVGCDESGLLGEDPKGIPTNLM
PVVVRVMTGVSEHLNVFGTDYPTPDGTAVRDFIHVTDLACGHVAALSSAFAGRVSKGFRTFNLGSGTGSSVYEVVHALEAVSSKEIPLRNVPRREGD
VGSCVALAQRAEVELKWKTQKSLETCCKDIMNFLDHQKTESAKV

>RCO7_08619 | related to extracellular serine-rich protein

MFTPRIRTCILVGVLCLPSVYGHHHHHRSTPDQPGNTSETVVGLNSQSLAIDVPLVPLVYVNNDDISVRINTTVVLPGDSASQSITGETVESTALVI
ARDLASAYSAYSSLNDRGIPYSTLVVPQTGENLPSLNDTSTHGNFGLIVVMSEVSYNYGGNEFQSALTPAQWQQLYNYQAAFGIRMVRLDVAPSIAT
GTLSLGSCCGNGVQLVSISNSTSFPGAGLKLGAGVTTRGLYHYPATIINPSIAVEIAQFSSSSEDGLNATSTAAVINEIDGRQQMVFFLPFNIQWSL
ASNFLQHAWVHWATRGLYVGYRRATLSTQVDDMFLYEPIIVLRNINKRLPAGSKWVIEIGHNGNGNIEAADPEYTKRGGASSEKDLCAPGPIAYVEQ
FDTPLEWQKPIGSGTALWPETAKDYANYSSKCMGKDELLIWWQKSANLNAFSHVSHTFTHEDQNNATYADVFKEISWNKGWLDAVGISAAKQFTSTG
IIPPAITGLHNGDALQAWADNGIIHVVGDNTRKALLNPSNEHWPLTSTRVSNGFSGIQILPRWASNIYYNCNYADCVLAEWKAVSNGTGDMYQLLDI
ERETNVRHLLGLHHDPFMFHQANMMFEDADTYEFGGDVGVMSLLEVWVDVVTREYTRLVTWPLISQKQDDVAAGFRSRMARDNCKPTLIWQVDVSAN
AITGVTVAANNNACSVPIPITFPGSVTDQQGATAEQLGEDPLTLWVSLTGKPVSFTLTNPVFL

>RCO7_08618 | uncharacterized protein

MGFDGQQWPVIVPAIDFVFNLCYLDRRAENNPKNYHLPAHAVSPSHLLQRPPQLYLERSI

>RCO7_08617 | uncharacterized protein

MPSDAVQTLSAAFAFGILLQAAAGALFIYYRGHGSTIFQDGRRLVLILFLLFAALWAQVSFLNLLLPDTMATACQATLIISTMFDQLARVGVEQFLL
WSVGHGTKVTAERMIQQGILLVRMVGGAVLVGFTRPQFAPVCVARTSITPLAVGVLALDAIIIGVLLVRAASLGMFKEMRDKEAGTRQEQSKALIIS
IIVLGLWTASSVPMILGNPSFNLMVRTSVPANGLLVMVAVVTMFPGALLLVREQNATTPEARSPFVAPMPPMPPMPPREVFEDTARSNGSPVSNRTY
TRDVSLFVVNPSNTPQESPNIFRRSPRGDTRGFTRLGNEIDARDISDTPPERPERPGGRGPGYRGSSGVFPSMIGHSQTGLQGALAPQIRSDYPLPS
ENAAEAFQFPAVQQKRSMFGWSKPAPAKPSIRTLAISKPIALDVSGGLPQQFPKMQTIDLATAASMERERREEAQARARLVANKPAPQPPQLSTQEA
FRRSVSIVRKEMPTLPAESMPMVPATSVAGQSRVAVNGTTSSASLSPGHEEVRRRSPRQTNTFDQKFNERTTPLPTLHGKQTNSFDQTFSPNPPPPP
PTLRRNPTVGLPSNPRSTKMMITQETAEINAQTAMLMKDVVYDNPAPVQNIMRDAPGIYAAAQKTRDSEMSMRPEAVTSRSSNSVIHRPRPYKREKG
EDRVLFPSMPSPSHRRSRSSGSIMPRRLLMSEPGSPSLLPQVPPLPPPTITSAANLKRLLPNDTKSMTFNEKIEMLFPAPPGPTANRSRRSSVPSLS

RVSSVLTSETPMLQSPSLDEEQNRRASKRATVASFAIPEISVESAKRQSRPDAYRFSPNTYRNLADEVGETWIPETPTEQFNNRDSDESDSQRESIM
YDQRKSFSTDVSEESPRDDDTTYWGSGHLNAPPADLSRAGQQANSMYMQQPESREPRNSMPFGPSNPLPDDLRRCEAFVPLILDAKAHRLSFFGAEE
PRRSFILDPNQSLSGNEMSPPLKVENGWHHRIGDELPTFSERTHLKGRKMPPPTPLNLSKTGKRATVVIFSSEPSSPVDYPERAIAELQAQLKRFEE
GLNRDSLGSVLRHMPEDQPEGAPDTGRFQLLENLEKEMGQQENHWQQMHTNLDRNSVSEAMSTFTQVESEDSEASPSPVYSQISIRTPVRLTRTRTP
NRTSMAMFDRNTTVSSSDNSRASIWQRRLAEAQMEYMLKSPALLKNKSTNFLAISRNKSPMMSPTPPESVESETDIETELDSDSDTEAMMKYQAPVY
QAPPSKKIKAELWQSSLPSPKAASGRMWNPPYETASTSSGVEPPARGIRPTQRRMENSLSILSTQLWVKPRSSEHSRPVVGMWGSKLVRPRSISTRP
VTQRPQRKSKRMSFLPDIVESPIPLPNKRDTLGLYQFPWGETSDQPTYQSGFNPVIIGGDQPISFKPDARSKKLEPEQSEYSSSFFDDCEEENENLD
GESDDEFDESTLWEIANLLKSTDVPSRDSLFFEPSALIEDYDLDFETNSPTAAAPSPVSRISIEPLAMSSRPMEQLWGGDSCSSLEGTGAGLPQSES
HAWDALIAAKTDLGSSKSRSSSAVPAVSGDLWAATQAVSTPTQGSFMWSSVAAADIRLACNSTLGITASALMWSPKTEVAETRRSGMFTIPSEVIRS
TTATPAAFEMVKAVRPSVGKILSISSRHLWTRMQNMEESTSWLSISSVPRVGQQQSASTTMWTPSLKKPESLISGLFDVAIQRSNFRSCEASPAALK
LVRKPRSSLAPLSTLSSSELWRSGQDNFPIERDWISESSTRPDSPTYSTISSGTSSPTSDSSSVKSASTKASSVWSSPFAAIPSWWDVKSKKSPVAA
PRDDFNHLAKLPVRQAPTPLVAVRESRVLASRDLWEARAPVLENTPAKVFRRGTPAQPSAISVVKARPSQSRRPVTSRADWDNALAQAIVASSVTKV
LFRPTSTQADWESALSEAISQSKIPLQRPEYSLARWETALAEAVTADIMKSSHDAAILHPGFFTKSLISNVSDIHPAAIGHFVYKTAQPSMWKSASA
IVTPKAAVLWSKENVTPRMAVSSTFSSEISRTAAVSRTTSISVLESTSFLTPSRTAPKEKNWLLSTTTVKKTSTPAAQTWTPIIGAPVFQQNNTAEA
AMWNSLSASAQSTPDIFSKAEGSYIKQVLSTRPVGLAQLESNELFASAQVTPQSAKHWLHETSAPYLPSKPLTWTTSANSTPATEQRGMWQSSRAIT
TSPVPLFTNPHSEPWSRNKRIIEAVIDSETKSDAMGMSMWRPSRDYPSSPKNWLVERRVSKVVFRY

>RCO7_08616 | probable nitrite reductase

MSENWQPQVPATEINGGPIEGGPDGVKGSENESHGGPRKKVVIVGLGMVGISFIEKLMKLDSKRREYDIIVIGEEAHLAYNRVGLTSFFQHRKVENL
YLNPKSWYSAVPEGSLNYHLNTKVTEIQIEKKTVSTSSGEIVPYDILVLATGSDALLPRHTPGHDAKGVFVYRTIEDLQNLITFAAERKGTHGAVVG
GGLLGLEAAKAMMDLECFEKVKLIERNRWVLSRQLDGDAGGIVVEQVQALGLEVMLSKRVGKIEVTEDNCVKGVVFEDGEKMECSTICFAIGIKARD
ELARKAGIKCADRGGGIVVGEDLSTSCKDIYAIGECASWENQTFGLIAPGIEMADVLSFNLTQAKVHSYRKFKRPDLSTKLKLLGVEVASFGDFFAD
RDGPKHLPIRAAKKINGAQSPDALKRLTDGPAPSPVKALTYKDPFSAVYKKYLFTMDGKYLLGGMMIGDTRDYVKLVPMVKNQKMLDVPPSQFILGA
SKEGDEGGDDLDDDTQICSCHNVTKGDVVTSVKNGTCKSIGDVKSCTKAGTGCGGCMPLVTSIFNNQMKAMGQEVKNHICPHFNYSRADLYNIIFVK
KLRTLAEVMKEAGNDPTSQGCEACKPSIGNIFSSLHNRHVMDRPVHGLQETNDRFLANIQRNGTFSIIPRVSAGEITPEKLIVLGVVAKKYNLYCKI
TGGQRIDLFGAKKQELIPIWKELVEGGFESGHGYAKSLRTVKSCVGSTWCRYGIGDSVGMAVRLEERYKSIRSPHKMKGGVSGCVRECAEAQNKDFG
LIASDKGFNIFVGGNGGATPKHSELLAKDVPPDDVVPILDRYLMFYIRTADKLQRTARWLENLPGGIKYLREVILEDKLGICASLEAQMEELVNTFF
DEWAHAITDPQKAKQFTQFDNTTEGLENMETELDRGQSRPVYWAKDSAKVDFKNTKWTSLTWQPVIEASHFRGADEAPNGISANIKRGDTQLAVFRV
RGKYLASQQMCPHKRAFVLSDGLIGDSNDKLWVSCPYHKRNFELNGENAGRCQNDEEVSIAVFPVEEREDGWVYLKLPPVHELDGVLGTKKWMVRKG
ESGEGPFEKLDRRIGRNGVGMKGRKPFEAKRELVARAGGPDGEANGGIDW

>RCO7_08615 | related to myc-type bHLH transcription factor

MASSFSSSAREPFDPSAFSGNSTGFDTLSSFNDPVAFTDTLALDDDPLFPANWDQETPPYDGGLYSTPLSWEPPVEPKIEPIPPAPYTTLNTLTPAQ
QEKLRNIAMPQHLQYRSHNSPHSTTSTKSHSMSSPEPNDRSRKRKSSVDVDDEEEDDSNPPVKKTAHNMIEKRYRTNLNDKIAALRDSVPSLRIMSK
SARGEDTADDREELQGLTPAHKLNKATVLSKATEYINHLEKRNKRLQDENEEQKARLAAFETLFRSGSMGFNPAPPMNNPFQFSPSYSTPGPSPGGL
EPQGMIPSPDEIRRLQGPINQETFPVPQEHYRQAMGPNGWNNGYFGKLMVGSLAGLMIMEGFSEAEQEQDAPGARGLFALPVQLLRSLSSALHSSLE
IDTLGYHLSAAKILGYLKLFFVIGAVLYVFLPSLFTAKPKAKGKTQGASLSAAPSLASSIQVRRQAWLTAIQSVWVPRHNFFLEAAALLLKMVKLSM
RNVIGVQGYTYLTGITPQQEAARVKAWTIALDAQLAGGDVEVSKSRLTLTLLASGTLPDTPARLMLKALHIRVLLWEVGNAGFNGFYMFHEAAAKMA
RWKWNEAKQLQRLVSRTKENQEDELPEYLATLLEQECDDVLVDSIGQRAYNLAWNLPTTDNAEGSSNGMDGVVDDFAIRSPLDAVAAWYSSLVLQRA
LAKSLQTAEDDLVAQQLIIKDVALATKTAPIGSSSQIRALIARAVLVKDKRGTSIAESIQALGPLEKSGVNTATSSLIHTSTSVIGLPDIKMSLRCA
MAIAHLERFPPPANPVTAHRIISSVFPNVNNLTLLGFTAAFKLMERIDSHKLVADSCSSTLERLAGGLRIWIGGKHDDSGALGRDIKMGMVERCLGI
SKRCVGLVDEGFESMSEEGDAAGC

>RCO7_08614 | related to hydrolase of the alpha/beta superfamily

MAKATPCTPKHTAQWDVTASEGMKYRIMISYPLSWKIDPEGDFSGKKANVIYLTDGNAFFHSTMSAVWRRACCSPSAPDVIVVGIGYQMDPDTVWVW
DSQRRIDLTPPCEMGEWPLGHDGTPRPTPYGGADKFLDYIQDELKPFIKKQALPNVTFEEETLWGHSYGGLFALHALFTRSDMFDVYVAVSASIEWN
SQYIIEEETKWLEAGEKEGANTKGRKLALLWGGNEQDAVRGKLQTDEQWETRKKIAEISRQKDYAVEMYKRLEKSGRFEKLGMKEYPGEDHVSVTGC
AIEGGVTFSQGQF

>RCO7_08613 | related to esterase

MKLSIVIVLATATLVALYSPRPRQSTNLQVDLGYSIYEGFYNELSGVNEWQGIRFAAPPIGNLRWQAPQPPIFNRSTIIQASGIPDQCPQSPANVGT
GNYITENNGPSVSEDCLFLDVFAPVGDIQNLPVLVWIHGGGYGLGNGRQDLAPAIRANDDSFIGVSIQYRLGAFGFLSSDEVNRFGVPNAGLRDQTF
ALQWVQSYIHLFGGNASRVTIMGVSAGAGSVMLQAMAYGGTMGTSLFTNAIAASPYLPMQYNYNDWIPSQSYYAFAAAAGCLSGSAYGSPAGVKSPF
KCLVEKDTAMLQNASASISASGTWGSLGFLPVTDGKFIQQRPSAQLQKKQVNGLRVMSGNVALEAAGFVPQNITTEDALISWMRVVFPLFTDDDISK
VLRYYPNSDASDSTSAVGYATSGYTGATAINVSSIATGHQQRANNIYAETTFVCPSYWLTEAYTSNGREGWKYQYSVPPAIHGMDLSGYFGPGSPQQ
GPDFIKAFMTIFVNFITINNPSIPSSIASGNSSSDSSPTPSSSEDTDSMFNWPAYTSGQPLMLNLNETGGEEYTAVGITFNGTPISVTQARNPGLKN
NFTLVDAHSWEGGRGVRCDFWRSVGESVPE

>RCO7_08612 | uncharacterized protein

MTSSNPHSSTIADLRNNTTIWYKLHVLIYDLRNFNEVETSQLRLDSIADASYLSGPYFTPDEATIIKSSLVDTSKPTHPGAKKIKIQDKQQNLKALE
TIIEETMKERLERRNKKREESGNFRVCAAHDLAPILEKALDIKPKNLANDKAFVEQIEKYGLELGDGAVWKGVQKKGGVQGGKRKKGKH

>RCO7_08611 | uncharacterized protein

MPLVIGHSGKVAAWAPDMPLNVTAMIGRPQPVEGALSFRDSRPEESPYSFKNFVWAPADIARPRPFGRGYTLRGFKPEESQHSFRNFTEENILTSPG
HRQRKARSITGFPDQKKANTPSRATQEAQLMSRSHHQLAPQLKAPPVSGNPDLRKANIALAETWETSKTMIALHKPEFHYEDFVNLKSPKALNLIPF
TPGCVFTILRTCGISTQVQVPSSLDGKGEKGWIPTACFSMLKGDDTCDCARIGKGDDCKCLQEGRKEAAIFEKWLLEANDLLEIYQLARDTFPDPNL

>RCO7_08610 | related to major facilitator superfamily domain-containing protein 5

MDFYHFNFVAFVLINSALAFYQTRCRQIPATESLEGKGNTAAAVKRFKMRFLPIYLLVNGADWLQGPYIYPIYKEEKQLPEEIVAALFMIGFIAAAV
SATFTGTLADRFGRRRACLAFCLTYSLSCISLVSNNIVILFIGRCLGGMSATLMYTVFESWMVTEFNKVLPDEPAGTLSNLFSTMTSLNTLVAILMG
LLAEGAVNVTNTQLTPFALSVCCLMLAFVGILSTWRENYGTSGQEAGESAQGLLERQDAPATKSVLSHLTHDKRILSLSLTSCVFEGSMYIFIFFKF

PALIYSHKLSGQTSELPFGLIFANLMAAMMFGSMIYNYVTSINAVITTTRLLVTILSLASLCFCLPVIIRDERVTFWCFCIFEVCCGIYFPLIAYQR
GKIIDDSVRARLYSTMRIPLNVFVVAVLGTTQEGQAHRDFVFLICSGLLVGTSVTNSMLL
>RCO7_08609 | uncharacterized protein
MRIGPSHVFTALTAVVVGAVVWTHFGTDSGLSSISTGITASLTGLSLKSLMARSEKLWEKTVKQRHEVMAKFPDMGFFPAVNTPTYFTTPYSVWDLI
PASYNCPHEVERIGRMGDGGKWVCGMSKYEKNTRPCIIYSFGVQNESSFEQEMLERTNCEIWGYDFSVNAFGPAIMAEHASRTHFRKAGISGTTQLS
KKPPFITIQDIMAENGHTYIDILKIDIEYAEFEALKSFDEATAHQEEYPIGQMLIELHLFKKEKIDMVEFLAWWEALEARGLRPAWTEPNLLAVTVS
LEDKNPRLAEYSLVNIKGKSNPLWK
>RCO7_08608 | uncharacterized protein
MVETESTLKNPIVYLNTIYTPLDSASHEIRVLDILPGQPGSPVTCSVRHTRLLHADTIPYTALSHVWGDPKITTDLTFNDVKVPVTVNLASALDHVR
SQHKTVTFWADALCINQKDDVEKSAQVAMMGDVYREGTGTQIWLGEERDGSDLAMDLIAQMDGEDLESEKNRFDEEGLRAISNLQARDWWSRVWVIQ
APMTEALLSKSSIIQCGNKCLPISAFIRLDDIRRGWHRSTARYLGTSGSLIPGNPFSSILTAFPDEVLKLETGRQSDLLDWITSTEDFHATNPRDKI
YALLSLSPPSQTAYIVPDYRAPVADVYSAVTTRCIIRWKDLTILHFDTDEKSQEHQLPSWVRDYSSSGLLGKKPVYVPFPPSEYAACGRDCWGRKKI
YLAGQFSENLKLRSRGFLIDTVVYVDRSERLPPYTGVDPMERLANVKERSAGILANVRVWEEKFNAIGKSPYDSVEGRRKVFWRTLMANRWYTQWAP
LPEDMVENVHFETWMGRRPLPESVMETDSSNADTEEVKRLYCKPFTDACVTRCHGRSFVITEQGYIGMAPLKSKIGDIVTVLEGGYVPFILRELEGG
GYQFIGESYVHGIMEGEALQDKREDDIQIFVLE
>RCO7_08607 | related to tRNA-splicing endonuclease beta chain
MADIAENTTTDKATAPHVTTRTPKPRGIPRSEQLNRLYALPAPLRTFPLPTLVPHNPLSLFHILYVWLSQTIKADEPSHIEPLYQGWFSPETRSVHV
TDHGSVRGLWEQGFYGKGNLSRSEPSWLSREKTRLGTKTKITSEEVTRKRRADRQVTKWERARKEREAIDLTLQEEAEAEQSEEIHAIPIDILPLEA
PAAAQVASDPKISAEEEIALTNMSSEYKAPVEPSEPLTLSTSLVDLEALPDMTKCFTEDFDEKNSQRFFSSPTGPLELLALPNSLVDIESLADTTEC
FVEDFDEKFVQRFYSPPTGPLELLALPNSIKSFVPVPSACLDHQNTPDSASSAASLQSHLPDQLEVGPPPPKVHKEQTRTPNALDINSHLDLEDTEI
VGGSETNDETADGSDHSEHTTETSDTSTPSISVKESPAALNLKRRKSVRFSPTIEKNTFIQTEPPSPEKATSSATISEEAPLVIKNQEHVQLTLEEA
FFLSYALGALQVLNPDTNNPMSNEELFYLARETSYFPPQANLSLSPDDPFMINYVVYHHFRSLGWVLRSGVKFSVDYMLYTRGPVFTHAEFAVLVLP
SYTDPYWRSNPFLENYVKGKEQRTWAWLSCINRVITQVKKTLILTYVDIPKPMNAEEERALGIDGVLGQYKVREVVMRRWAANRMRD
>RCO7_08606 | uncharacterized protein
MSTKKLTRSSRKFQNHHNHKRKKQPDGPSKQPVNEDIQTENGIMDQDDGTEPEYQLIKLGSNNILSLLHLYLHQIQSLNSLQPWTLSMRCREFKVMF
VNEIMYQVPDSRGGYQLAVRQDEKYWRVGAGLSLTKAKEAFKKADPVAEKGAGPRKAKHCARGAKAGCCSIEFEDDCRYTEVRDWVVEVNDAVQKEE
GGSIQGFVKEQVSKKDKKEKHSLKVKEKMRRTGRDIVLVKESEGG
>RCO7_08605 | uncharacterized protein
MSLDNINTFLAYWEPLPAAASTGMPVPLPFTATAMFRAQGVSALRSQFVTTSSITSRSPRLSIYDLTSDEDEVQFLGSGSVERIRATTNAESLDARF
AVVLNGNDASLEARIVHLENDNAVSSSKTAALDPEVVLLRNEMRPQL
>RCO7_08604 | uncharacterized protein
MNIIHMPPPLRHRCFMRKLNRAESQWISTVQLTEKMGDINLFMSSTTSTFVARGIPPVKRPDIAMTIADEQLASELLMKPLEGSSSKSPPIGRAGRA
YYSAGNMRPAPAPGVEFLQA
>RCO7_08603 | uncharacterized protein
MAISNPWVVWKRWPGVAFVLKTTPPLIMTTSNMTISKPEIASFFDEQRISTGIPKILNSSIEVAWAGQISSVSPSNAIIKLQQQLTKTDCETVQSRD
KIKILSSRTITQGNLDQLGSKLSITSAGGASDDAQANMTTIAQVMQIDFTFDESSAVRPRRCTTRRKFMPHLYGLNPTQKLTHQTMSRIDKLRFCKD
ITPIAFPPISYDTTAYVQYPSTGISLSVNTATSMVKINAPSSTTKPVSTIPTSKKPATIFLPTSNQIAKYSASGKDVITTSSASVEVVIRKLATTKP
AAGLNTTTIDSALTFTTAKKSAGGKHSVKPTTGQCTGSTKVLQNVLQETSRRNHIHTGMPIKADHNEPKPIRVSRRRPRLVSKIVYSTGRLADVETK
VFAESFCSLNKPFAFPMEFMNSKAKKSLACFLSLPAELRLMIWNLARPEARVIKLSLSKHSKRDEWPPRLYSGATIPNLLHICEESRQVARKWYSAS
FSLTEKPRTFAERLYAKNPIYFDRDNDYLYSSCVSCRGGGDCAEKFGSCGLTLLRPLQISFIKNVMCEYSGAQSVLYRPFIEFPQAENVKCVDWEKG
LLFRHEARVADFKEDKSSYEWQNGKSLQECFDNSSFRNMAGLASYFQHAKTFSRVGLQPLNTLQDILQDAEIRFYRKQKIEGDFPSRLG
>RCO7_08602 | uncharacterized protein
MAVLQRHGYRRDMNCIWTTVQAGGVVPDVLGGPRSSASSYLSCYGGGSQATVTSLARSTSSKVIGASTTAKAGNPPNSSIQPLATSTPARASARSTT
SQAALSAIATPNQVLTTAGILNTPSLSQATPSSSQSRTTSSSNTISVIQPTAQTSTTTIFSSPSTTFSSQPTKVPRPSPVAQTSSPTGATKGSPFSG
AGSVLGPESKVGAITSKGSMILGITIPLFLIVAALLTIFYCRRNRKKQRSQSLGYLPTTPKPKPWKRRKFQKPNTSSNSEGLSDFNTRGEEHTPRRS
IRVETAGLSGQEYRGKDSNFLPLTMPEQAFSPLRVNGSSSIHSGSSHDGPDRGSLGSNRRRSTNFPEVGGVFGDGETTNPFKTLAELQREENLQSRT
FDGAANLVLRPDVYSARPSSDFDILRDHNESRQKTGDRDTDSVISDISTSSRYKPPPLFSSPFAYSTRTPEMMRPVSLSASSDSVYTRSSLMQFEPA
KLSVQNTGTDSLSSLEWNFDQEFRDSTTSSLDWNFDQESKDTTLTYPKSQAKPFDFDTQSTRQKLGGSYLRNEFVSAGGYRDSGSMGSVTGDVLQEW
ENEEMEMEMVRRLEEERANFYEGMIRPGMGIQKRGDDRTLGAQRGISDWDFGVQKSYNML
>RCO7_08601 | probable platelet-activating factor acetylhydrolase 2
MASYFSRLSPVPAFPEYTGPYKVGTIDVELPISELESPSPAPEEHISTVQYRIFYPCEPEAKGKTINWIPNPQQGYVSAYTRFLGAGSVLAEVISYF
PRLLYYISIPVRKNAPLLQAKTANKRWPVMVFSHGLGGSRNAYSHLVGSIASHGMIVIAPEHRDGSTPISYIRDVPSNNSITEKTSVRKSKRTIDYM
KMSHTPSPEVESGRNAQLKVRLWELGTIHDSILKLDQGANLTNLNTSSTPLSPFKDMMDVHTPGKIAFAGHSFGAATVAQFVKSTFHSPRTSTAPKD
YEPLFTPTSRSPLVSQITPHTPLILLDVWCLPLRAASTRWLWNLPFPCYTPSGPGGAALLAVESQAFFKWRVHLKATKRLLSPDPSSDSYDYENKTN
ANGTTNTAWPQPNFFYADASAHLSQSDFGVLFPWVTKRIFGSEEPERVMKLNVRAILQVLRNQDIEISKTSAEDMELEEENGVETTDDVKIIGTEGQ
IRGWHWINTDVQKCGDVDDTKEAGEEVKEEEVGEPTDAVIGNEILKKKSGTAQKL
>RCO7_08600 | uncharacterized protein
MTSTPAYELTCIDEEENVSLTAEPRYEHQEKRLATNLDTRWDSFLNSMYPADSIVYHSSAFITNTPYHRTNRDQYHINNTRQATLSIMKTSLTLLGL
TTFLTSVFAFPVLLITTSTPNSWRISNFSEGCSPGGCVYHFNIASPATHSSLNEPVFSTVCHGTNVANKMQPCDDPAVTVDDFPGQGAFTLVVEHQW
RNKKGVTYFVRGNQTVEIGGISEGILGPGNAG
>RCO7_08599 | uncharacterized protein
MPSTLTFGIEIYFLLAYLPDDIEPPDPSEKRILYFDYTQESVDEYHDFSADSPSTRDDGERGGRLVSAIDQTRNALCGVGLRVVEGKTDFSGWRVAE
DTRIDIPEDTPYSYHQIKFRSPAYLFTPEALREVRLALQTLTERFCLSTGQNSGLYVHVGDGDKSFDFETTRRLAAFIWAFEPQLHSIHPQYRQSCY
HARELRGTSANATGYRNKYDRTPDGITGALDFLECEDMESLGSQIRDNYGFMKDSQVNFEGVLLAARNADYPKKTIEWRQHKGTLDGDEICTWISTV

VGIMYFVRDTPEEYFHGVLSFALEERWQKLGDGKDDEREEKYGPILAESQFAIDKLLRLLMLDDEADYYRDKWHVLTKAPLFPPHKSRITWDYEQEI
VPESADYVQCQTLRQIWEDLRILRDMPGSNLVFDPDHTINSSELSRQKQEQEYYSNNNSLVDEDNRIQALDRQITEFEESDAMGEEDLDELERQIQV
LQQEHARKHLPLGDDEWREYLMIASGWKTRPGGVSDPFAVGVERVRNDDEEDNEEASPKTVSAGIYQRDEDRG

>RCO7_08598 | uncharacterized protein

MANQKRNVEALNTVSPPRPESRLTFGLELEFAIAVVPPGGCDPHPKDPRTATDLVTGPYDTWLDSLKERVAATLCKVNLKALARSPYAEDNPTESLG
SWIVKHDDTIKAPAVDGYIFLPIEITSPAYWYTDLALGEVKLVCQELVNHYRITTNRSCGVHVHVGKGNKGFTFEDIQNLLATLWTFEPQIETMHPK
HRVENTTMCPSFRRYSELTRSNTTKGVLDVRGGLDEILRHGDKIFQSLEDLAMPRTGDSYQGGSRLAYHLGDVGAQLPQSDNYRRTIEFRQHKGTVI
YEELEPWIKFCLGLVLFADSIEQSKLATFLRANIGRSVEEMPLELVLRKLDMADLAVYYPEKIMKDRLAAENEVEVPLYHLRLG

>RCO7_08597 | related to Mitochondrial outer membrane protein iml2

MSRWFRAATKASTPMLAEEEDKHLLQVEQALLRLLNDDIVEADKILQQQNSSYHHLGRGISSFLSSMLAAEKELMKDAATVLQSAENKNWEDMKTAQ
KSPTAYQSSIYPPGTEYLLCYAVSQLTSAICAVLSGSVTGAMGGFFKLRKSFLTLDGIIDIESKYLQKQAVASPNEVVKASLPHGGDGESLHTTNTT
DEEKAALAGPGIQALDRTQTAATTTSMPMLTRVESRLLDIDPASVGITSHTDTFIHSGTRLCYGILLLVFSMIDNSMFNRILYIVGFKGDRERGTRY
LWQAARFNNFNSAIAGIVLLAYYNGLVGFCDILPTDANANDDLAMYPRGKCNDLLRDMRKRYPESKLWKMEEARMYSSNRDLGTAIKILADNSDSQM
KQIALINTFELSLSAMYSQDYDMTARSWIQAAELSTWSPTLYAYLTGAAYIESYRNVRNSDHAAAKIFKEKATEFIRKAPTMAGKQKVMAQPLPFDL
YIVRKVQKWEDRSKAWKADLVDVIGASPLTEMVYFWGGMKKQNDSQLQQSLNCLAWERTTYAEKFKEDLDEVAIQSVLKSALLRNLGRYGEARVILE
DEVLGHDKTEFRGPGKDDWTCPSAHYEMAALAWVEKDVGGADHKAKVLDCQEWLTKTKNWPFEWVLDSRMSIKLQTSLLTVKRHRKIMGI

>RCO7_08596 | probable SEM1 Regulator of exocytosis and pseudohyphal differentiation

MSAAPSSGSAPANKQAATDKAGDSTKDSNSKPTAALEEDDEFEDFPIENWTQEDTEVPGDNTHLWEESWDDDDTSEDFSAQLKEELKKVEASKKR

>RCO7_08595 | probable phosphoglycerate kinase

MSLSNKLSITDVDLKGKRVLIRVDFNVPLDGDKKITNTQRIAGAIPTIKYAIDHGAKAVVLMSHLGRPDGKVQAKYSLKPVVSELEKLLDGKKVEFA
PDCVGKEVEEIVNKAKDGQVVLLENLRFHAEEEGSSKDAEGKKVKADKAKVEEFRKGLTALGDIFINDAFGTAHRAHSSMVGVDLPQKASGFLMKKE
LEYFAKALENPQRPFLAILGGAKVSDKIQLIDNLLGKVNSLIICGGMAFTFKKTLENVKIGNSLFDEAGAKTVGDLVEKAKKNNVELVLPVDYITAD
NFAKDAKTGTATDEEGIPDGWMGLDCGPKSIKLYKEAIGKAKTVLWNGPPGVFEFEAFAKGTKETLDAAVDAAQNGKIVIIGGGDTATVAAKYGVED
KLSHVSTGGGASLELLEGKELPGVTALSRSSGKSSL

>RCO7_08594 | related to glomerulosclerosis protein Mpv17

MVFELPRRQFLRSVNSKYIYGRVPLVHLIIFLTELAMVGRLVAKFNSYYAERPVLTMMITNAVLGGIADTVAQSITAIRLAALRKPGGISKNDPIAI
EIHELDRKNPLNDQDLIPNSKTLPPPFDFERLTRFMAYGFMMAPVQFKWFQFLSRTFPITKTSALGPALKMVAFDQLIFAPVGIATFFTVMTVAEGG
GRRAVSHKLRDMYLPTLKANFFVWPAVQIINFRIMPIQFQLPFVSTIGIAWTAYLSLSNASEDAMDARSAPQSPNIRLA

>RCO7_08593 | related to nuclear localization protein NPL6

MLTYKWPLIVHSDAGAVLSNNTATITPDISPNQRGVKRSRSPEYDTGDQLVEEDGDSKPRKRGRPMKSRIPGVPESPTQSSMPLSQVHHPQTPLSQT
VPLPSQLTNITPTQSSPPKIAPTKTVIKALPTVRDHTTDQLGPEGDEYIPREYDEAGEKKVTATGQLLEGRDYRCRTFFVPNRGDKLFMLATECARV
LGYRDSYLLFNKNRSLYKIIATQAEKEDLIHQEVLPFSYRSRQIAIVTARSMFRQFGSRVIVNGRRVRDDYWETKAKKQGFTEEDLAGEKRPGAAKA
RDAAAAEANASASLTLAHHGDIVYSNNPGQFGGMHPQPQTVQPGLMGIPGGATTLPMITLAPDQSDNMRLRDYSNIQRPRQEITGPPYQDRTQASPP
QELLSQAHQAAEYNKTVNQQRVRSGEYLDQRWKQPHQAPPSNIAPQPVGNNDGLPPTQSLQSPRTTSSGPQQQSLSQQNPHHMIAPQSYPQPPHQPN
PMAQTPMRSTPQNSMRPDQLVRPSGPPLGPSGLGQGNTYGFSQQNQMWPPSQPQQSPQHFSGYAPHGSQHSPHIQQSPHAPPPQLRQPGSGPQMQPA
LSYPGMQGMGQGYPAPGRGLYQPDQGSQQQQYMQPSTSGPQPGPQGWAGQQPPGGSGGTWGYQ

>RCO7_08592 | related to asparagine synthases

MCGIHATISKSGFQVPSEDLKRLLCKRGPDHTGDCQTQVDILDGISYHVSVLSTVLALRGGHVTAQPFVDASSGSTLCWNGEAWKIGSSPVIGNDGQ
AVFDLLLQGSSFTELTRDSTTAILKVLQSISGPFAFVYLDKKHAQMYFGRDRLGRRSLVYRNDVESGTFELSSIPGNKGSWLEVEADAIYQLSFEPS
TLGSKDSTVHSITAIAPIFKHAWTTVDFDVSEMTLGLFNVSIPSEMSVLNGQSESVGKLRHHLSESLKLRIQNIPLPPVSGYNPHVRMAILFSGGLD
CTVLARIAHDHLPGDQHIDLLNVAFENPRVVEAAKNDAAKRKKTSSKGSIVGSQPMSTLADEPSLDFSPFEICPDRATGRKAFAELQTVCPSRVWRF
VTVDVPYSETIAHKAQVTSLISPHNTEMDLSIAYALYFASRGVGTALSSLDASPVPYMTPARVLLSGLGADELFGGYTRHATAFNRRGFTGLLDELK
IDVDRLGKRNLGRDDRVISHWGREARFPFLDENLVKWAVECPIWQKCGFQSGADDEKQDPDIEPGKKVLRLLAYDLGMHSVAIEKKRAIQFGARTAK
MEIGNTKGTTLIS

>RCO7_08591 | related to VPS9

MSPPFEPTEAIRTPDDLLQELPRAVEAPNADNVEKSEFHQQPSQVNATANAKEDPSEPAITQQDPENIQEIETRAADGGESSQKESVDVDVMDEETP
QRLVAGKQDETTPFYDHMESSTSTLKPGCTSANQSVARHLSQDNKPYLDPTPKTPYSSQPPSRSTSNVVPIPQISRPKEAPERSPTRSDAGFDEKAS
ASGDEREHSRSEIQTIMDQFSEEGQGPGHEEVMSPRLEFAGPLLGSPIQHPPRKSSLEPLNAGFTSAGQSMQDLRISSASSQQQSRDPTDIGPAVPP
KPGSIRSFGPSMANDDRYQNVDSPMSPPLHRPPPPEPEPEPDLPFDFHRFLEQLRHRTADPVAKFLRSFLQEFGKKQWMVHEQVKIIGDFLSFITNK
MAQCEVWREVSDAEFDNAREGMEKLVMNRLYTQTFSPAISPPQPIPGSKSKRRGGERLMGPGRKGQHQEDVERDEILAQKVSIYGWIKEEHLDIPAV
GDSGKRFLILAQQELLKIKTYRAPRDKIICVLNCCKVIFGLLRHSKADGSADSFMPLLIYVVLQANPEHMVSNVQYILRFRNQDKLAGEAGYYLSSL
LGAVQFIENLDRTTLTISDEDFEKNVEAAVFAIAEKHQAEEKIVDTVPTQLAEKSTLSRPEVTSRHSMEGESSIPRKSTSSNEYESGDGGLDEKSAM
SGLLRSSSQSGPARTPLSGNTPRMTPPPRASTDTPQGLPRVPTAGDPHRGRLNAEDAAARQASAEAAEAHRLERAEHANVVETLAGMFPDLDRDIIS
DVVTQKEGRVGLAVDACLALSS

>RCO7_08590 | uncharacterized protein

MAKKKSKGEAGESAEASIPPNVPAATTSAPNPKPAKAAQPSTSALIICRNKHWRYISSFHGPWLQLPPEVLESLANNNFNLPRPRPIDPAVFFDLLK
IRQLVDDATNLAVRAASGVTSSSLTNSLNAGNGILGNGGAALGLGLGGGGGNAKLSRERKHRMREQATQKLSKAYHLDEIACSVATMQSASTLEDVA
HLVLQRNPLDADAKYVHFFHERIPSRHLAECTSLEPLNEVIAERPNEAEILRTRAVTKIFKDDFVGAAQDLTASLQVCRYYQNQHKAGRQQLQLASE
AAAEAQRNSRWKEEIKLDEEDHPSSLETQLLFHRAGVYLTIACQHVSEALPSRVRNGTNGVKASQTNGDAKPAEAPEMTPAEKEAHRRRLDARKIVK
TNAKRALRDYVSYLSHFDYTPGLPAEITEEFIRKVNQDTNGFKIPRPQNYSKLNLDSNSSLSNGQLSDALIPHNGYSKRDRPQPSPNRSEYPSLPSP
VVHQMSALFSATPPADLPPYPETATTLTTKQQIQATQNETAKAILAQTDCHEALTYHPLLTDALHSLLLCHCLVQTSARELLRHAHMVARLARVCDG
YPIFQAARSPSRADWIEVLRRSDNWIQLSQPWESLCTPAPLPGQAPPNQQKETPAEKKERLKQQAIMEALEDDRVHDEASFHAAVAARQRRQEEEAR
KAEGRELPKRWAQEDGKEYPISTDRAQAIVRWIRDAPLGGEASGTKKKKKVTSKSSSVTKGKARASGVEEDMNRLNVTDNAEFEQVEEEVE

>RCO7_08589 | related to purine utilization positive regulator

MDAADLFRQAQSTVSKAREAKSIRARESSHESDDHSPRIAHTLTACCRCRQRKTRCDPNLPRCLPCERAGAICEYFDTIKGKKISRTYVIRLQDKVR
ALENELGQYTEEEGLPHNTEDIVRPGGLVRLDEDDETPRFLGPSSGIAMTRLVMEEAKKYTDSRSIRELVPEVRYRRSPMPSPEASTGRKKSYPMIS
AVPALSLPSRLVADKLLEVFNQKAQYLMPTLHEPTLQKDMQEVFDGSNDPYKNFVVRMMLAIAMQKLDPQYAGLADSYYLAAMAYMEEVIRPKDIKT
LQCLVLVALYSLLTPTRTAIYYIVGLATRLCQQLGLTEEKTITAGVSYGLVNPLQMDMRRRLSWIVLSMEFGLSHSMGRPNAFATGQDHIDVGFFEP
VDDEYITAEGILPGPISEKKTVAIHFFRMRLLQGEIRRVLYQKKRPEPRSEDHPWYTQMEQKLQDWVDACPSSPPWSKPWFIGRHRTMIVTLLRPSP
QVPKPSVRSAMMCYDASSTNIKSLSKQMETAMVDITWIFVLTLFQAVNTILWSISYPEVRALHAKEELEENVEIALDIILKCRERWPGTGAASQLYS
KLTKACLKSYDANNYLRPSSALSVTSPALTDANSPSASETSSITASSVAYSSKQFQSPRPQFGNVFDQESEPISNFDYGPTFPPPQPSFRSGSIFAS
NSTMQTDRRFSYFPPELTQTHDLPNAWNPVNFGQQQQMPASPLPPPQMQQPIIADPAYLMQTQHLNFGSDYFGNQGYDTDMRNGSLSQQQQIELMES
LETDGLAEIDQFMQGYENSNKL

>RCO7_08588 | related to GAL4-like transcriptional activator

MDRTGHSAADTPLLRVSRPVSACSRCRAAKIKCDGKLPACTACEKSGRIGECSSANDQFAKGKERSYVASLESRVEKLEKRIAYARNRKASVAMHYD
EDIHVASDRKDSLATIRAAIHGKAARRREAADVDELVSDFGILSVNATTRDFEASTTNMTFARLIIAATNNEAVPVSQPFLLPTKPAALGLIQYYLD
NVFALFPIFAETALFNAFNAVYQENGRLVTDFEHWLLYMVFAIGATGQSRSQHDASYVDGVLWVGRALRYADRVLMPGYVSQIQALILLVQYSMLDP
THFDSWQLIGFACRAVIDLGFHQDPPKEQQTDKKLLELRRKIFYCVYSLDRSISMVHARSFSFTDDSTSVILPVVTATLSPPGKASANGPQSLESAL
LLFQLRQLQSSWYQELFQSSRDPLQNSSTYIWQMCQEMREWSESFPDGLPLAFKDFFDLELLYSYVYCLAPSCRVQTVVNYGKTLIFEYSIAYMQKI
FSISRDPVNTAFYTYHDALRVYFVGSQFISVLLDNQDQLLNGDSQYAPVLAGAPPPPPLPNNAGVDSIDRSVKCVTRMKETLRTFGHRWEDSKALLS
NLELQAEPLIAALHRRKHHIKEIPRTNHSPPIYSPPIYSPPMYVSPPGFDQINTLIVDEWSNMGTGLGNMGTMQGGHGGGSPHDP

>RCO7_08587 | uncharacterized protein

MSERPTHRTSRTLMANLALCLMIIGLLVCYPFLPSNAHHFSKTHPSPSIATAIRMPIQQGGRHGNSLSLNPEHSLGGAEKMYVDRIHPRQFNPIAVA
EGFAAEVNRLQREMETGHGDKSPATAYKSCTVDGKIVLKCDFQVTETVHHEGDDGKYEDTSEIVGDFEITAELNAEKSAYYGGDWFDEDNNEDSDAY
DDEDNYEDDDDEDNYEDDDDEDYYKKVRNRTPLKWTEHRGPPNRHTPPRSDMFTNTGESNKRGTQSPHGDTRVVQQTADKSPHTSMNLGIARPRPPN
HADSSQVNVDPSEPAPITSRKTERLCLDTSDLQPPEVGSVRVFGDKKAQLAHSKSTSNTNFPPPHETTSVVPSMNNVESHHSESVPRELVCECGSLV
CDDYRNSCKRLKQIPDRKRSSLHISYIKSRNAGTVHTIGGKDVQLAHAESTTSMILPTQRWKQVPDSKRSDLDDPSVSTPEAAHDDGVVPDQTFLTP
KGEVPSPQQEPISPTPLSPTTDSSNPITDATSGPATEPASGKTHYIPPYWRNDSHEDPTSYGEGVAESKKHNPNNKNGTNTKSPHVSGVTFGNVLIP
KKCTGTPKQRHQCESSRIAGIILYTLIGIFFTCILLLAFFKCCTGYRKRRDIAAWKKRRSSEKGNASTQPSSAADSLSSKPERQVEGVVIRPPMNVD
GTDDWDFPKCENRRRWNIFSRNKRVPGRFSPIPQRRAPRIPTLKLPKSVFLTVRKDKEEYFRQLYSLNDCSDDEVDANDAREILRQSKPPHAASFPA
SQASRSFQKRSQITATGIGAGASFLKKSPGIHRTTSAPVASTSSRVVNEVLDEMQTKTPLPQLKRRSSLLRHDISASTYDLTISEPTPEDANVTPAT
PAISAADISTSKFKPVTERSASTPNIGSVVMNNSKGIAAMLGKRSRENLKEASNKKGAKAPPKGKANKDTIKLAPEAQRCLKGKTIFWIPPNDVVPL
RKRKIDRAREFGATWTKEANITHVVVDNDLSYQDVMKFLSPTIKSKNLPRHITLVNENYIGECATFKLLLDHGQTKYQVTGYQEVTESQTTSPSGSQ
QSEQSLQLKSAKPRKGDHVPERVTPSQSQRSTQTGVYGGPVDTSVRVSLMPDYHQEITQPQQSSITTPLDSNVGKRGDDLDEWIDLARRVQDLPLDD
EGADFDEDLPSASRIPLSRDEQEESGSEEERAWKKKMKTKRKYKKYPSDKLASFTCMHGGTGKTHVDNPNRRTIEILEQMAAYYGRIKDGFRERAYQ
KACGTLKKLNVYIESAEDAIRLETIGESIAAKIEEIVVTGHLRRLENALNDPEDILLQLFLKIYGVGLSQAHKWIQAGHKTLEDLSKIEMHKNQRIG
IEHYYDFDTRIPRDEVTALGDIVIKAAKEIDDKFELIIGGSYRRGASTSGDIDFIITKRNTSSPHDLLSFLNKLTMKLEDTGFLVAALAVPKELGSK
WHGACVLPGNPIWRRIDFLVVPETEFGAALLYFTGDDIFNRSMRLLASKYNMRLNQRGLYKDVLRVKGREKLTVGTLIEGADERNIFDLLGVPWRPP
HERICR

>RCO7_08586 | uncharacterized protein

MANLALCLMIIGLLVCYPFLPSNAHHFSKTHPSPSIATAIRMPIQQGGRHGNSLSLNPEHSLGGAEKMYVDRIHPRQFNPIAVAEGFAAEVNRLQRE
METGHGDKSPATAYKSCTVDGKIVLKCDFQVTETVHHEGDDGKYEDTSEIVGDFEITAELNAEKSAYYGGDWFDEDNNEDSDAYDDEDNYEDDDDED
NYEDDDDEDYYKKVRNRTPLKWTEHRGPPNRHTPPRSDMFTNTGESNKRGTQSPHGDTRVVQQTADKSPHTSMNLGIARPRPPNHADSSQVNVDPSE
PAPITSRKTERLCLDTSDLQPPEVGSVRVFGDKKAQLAHSKSTSNTNFPPPHETTSVVPSMNNVESHHSESVPRELVCECGSLVCDDYRNSCKRLKQ
IPDRKRSSLHISYIKSRNAGTVHTIGGKDVQLAHAESTTSMILPTQRWKQVPDSKRSDLDDPSVSTPEAAHDDGVVPDQTFLTPKGEVPSPQQEPIS
PTPLSPTTDSSNPITDATSGPATEPASGKTHYIPPYWRNDSHEDPTSYGEGVAESKKHNPNNKNGTNTKSPHVSGVTFGNVLIPKKCTGTPKQRHQC
ESSRIAGIILYTLIGIFFTCILLLAFFKCCTGYRKRRDIAAWKKRRSSEKGNASTQPSSAADSLSSKPERQVEGVVIRPPMNVDGTDDWDFPKCENR
RRWNIFSRNVSKVPERDLLSNIADSEQKRVPGRFSPIPQRRAPRIPTLKLPKSVFLTVRKVSGLGTEGIGASFKNKLQGKTTDISRVKWNSTV

>RCO7_08585 | related to DNA-directed DNA polymerase lambda

MITLLVTLAYVVAFTTSQSTSFNPTSELFMSHSNHDKEEYFRQLYSLNDCSDDEVDANDAREILRQSKPPHAASFPASQASRSFQKRSQITATGIGA
GASFLKKSPGIHRTTSAPVASTSSRVVNEVLDEMQTKTPLPQLKRRSSLLRHDISASTYDLTISEPTPEDANVTPATPAISAADISTSKFKPVTERS
ASTPNIGSVVMNNSKGIAAMLGKRSRENLKEASNKKGAKAPPKGKANKDTIKLAPEAQRCLKGKTIFWIPPNDVVPLRKRKIDRAREFGATWTKEAN
ITHVVVDNDLSYQDVMKFLSPTIKSKNLPRHITLVNENYIGECATFKLLLDHGQTKYQVTGYQEVTESQTTSPSGSQQSEQSLQLKSAKPRKGDHVP
ERVTPSQSQRSTQTGVYGGPVDTSVRVSLMPDYHQEITQPQQSSITTPLDSNVGKRGDDLDEWIDLARRVQDLPLDDEGADFDEDLPSASRIPLSRD
EQEESGSEEERAWKKKMKTKRKYKKYPSDKLASFTCMHGGTGKTHVDNPNRRTIEILEQMAAYYGRIKDGFRERAYQKACGTLKKLNVYIESAEDAI
RLETIGESIAAKIEEIVVTGHLRRLENALNDPEDILLQLFLKIYGVGLSQAHKWIQAGHKTLEDLSKIEMHKNQRIGIEHYYDFDTRIPRDEVTALG
DIVIKAAKEIDDKFELIIGGSYRRGASTSGDIDFIITKRNTSSPHDLLSFLNKLTMKLEDTGFLVAALAVPKELGSKWHGACVLPGNPIWRRIDFLV
VPETEFGAALLYFTGDDIFNRSMRLLASKYNMRLNQRGLYKDVLRVKGREKLTVGTLIEGADERNIFDLLGVPWRPPHERICR

>RCO7_08584 | uncharacterized protein

MAHEEYVISPVTVDDIPGMTEVYLSSFASDPFSAYTFPRDKITEEEMNRWLTKRFTRMLDRREMHTLKIIDTSTPTNTQVAFFRYATPHELTSSEKA
ARESEKQERAEVIKRTGRDPTWPLGANVEICDGKFGGLDRMREKFVDEKEMYVAHLLCVSPSHQRLGLGSRLLEHVLDQADRENRKCYIEATSAGHP
VYFKLGFRDVDVLKLDLKPWGGDFVAISRLMIRDPPQPIV

>RCO7_08583 | uncharacterized protein

MRSQTNRGATTSMAYPTIPLPASPTLTNPDMILPYGEYDSTTSPPRGKYNSESAGGDWDDIRQTDMHFSIGPPQVHMGLMTPTTPIIYGNGTMLSDI
GEVTEAESTIGRCKLPGPAERRMLKQQQQQKLHQASGNRTPLGSSPTIGYAAVMKRAKTGNHQRKMSIESTSTIKSEGQSAEIFKDFDDGVSVDDSV
FQGDDEESVADSHSEQVIASETQRLAPSEHGPGYEDDRNSSAALSRRAEQILLNAKKRLNVGSKLQCIVVHANNSIKNMEGNLNRARNSLHTTPTGS
LSSINSSSPLNRSTPSPHSESAVKLLGVPPSKQRQVHASAATPPPAPRHARVGSENSGLTPQRVAPFPIPFPVRSASAAARYVRNDGSKRSPPFVKA
PETPREDTRVMSHSRYPTAMNIASPTHTILEPLSENDVPDFDADRASIRSSVDGCLSLDGGHRLTRSTSTMQMSDLKDQMSDLKGRLSVLRDRARDD

TMKRRSLQSLRTPSPFTAAEQWYTSSQNYGEPLSADAGVASPPWKGSQNGDEEAKLEETFHAMTTDTLEYTESDITSVYEDVDEHLPAEEINSHELQ
VSEEVETYDNTEPQREDEDVEEYFEDEYNEEIVDREEDDDYESDVSLYHDSLSTPISHEDREDAFDYEHFFLHSAMGTISQQRLERRASFSSEDSVE
TVQGLSGPSANAPTRREVSHRRSESTDSVSSVDTFETATEGREPNNEDENKGRDAFAVQQIAKVLSARSHISTSLAAKRSTFGSDMKSFQLDDAQSS
PAHSRRPSSTGHDHAQRNRTNIHRPSVNSFESFSSNGTTRSFPLVSKPMFHAQQHNASSRPNFHFASKEIEPSLRSDSVTLTDSSNGGERSQTSPVH
MLARDDQILVERLVASLGQCVLGLQESGRASYESRVFRRRLDAARKVLEGDEPLL

>RCO7_08582 | uncharacterized protein

MEEFENEEARPRGSLEFVNSSVLDTIIPAASDLNIEEALAGSVERLDEGNDSPLALIPQRQLLFFDETVNVYVVLKTPYIDERTLRSYLGRLVINLE
AQVVNARIDGSTSPSGQEVIYNGSVMDSEDPLIVVQGPDETDPSAGEGHILIVWRMSAFLIRPRLRLQNPSIVFSATANLKPVEQVENSLLREEYLP
SQVPSGINLLEAFSDDPAMGGVVPRLSAQRVSRVAPTAQAVRDMMHPLKNISRQSIKVVPAINARVRYSRPATTPSNPTVIASVDVDVTPFANCEVI
LTKVDLKITGGNVEDLNAVSGMTLPIKSLPQDDITFLYRLYPDDLDATNRSQIRSLEISIQATANLSDVCKPIIFMHWTTTLDFTPPVNPGFGNPTQ
PIVRPHRPAQLSIGSSLETPTVSSLAVSRPDALPLVDITTRHSRNTSIPDFGVTMTFTGPPSSSPIYHGIPFTWSVFIVNRSSRPRKLALVVLPKRR
RNEAKITRPPSTGYGGSHKDPKIADAVVDENIIFAMQRNSAVQETEIVCLSTDTRVGPLSPSACYQVELKFMPLKVGVVGVEAVRVVDLGTQEHVDI
RDLPSIVVKPLVDQGI

>RCO7_08581 | related to U1 snRNP protein

MNMLNGVNGHAVAPPLWSEARNAEGRRALANQPWKEYTAEGGRKYWYNTESKQSSWEMPDVYKEALSKEAAAPAPVAPAPTFVAGGGFSAAQFDTAR
DREPLGEARQIAYGNDVNGSRAQVFVPANTDPDYSTFEEAEAAFLKLLRRQNVDPNWTWEQTMRSIIKDPQYRALKDPKDRKVAFEKYAVEVRAQEK
DRAKERIEKLRKDFATMLRSHPEIKHYTRWKTARSIIEGETIFRSAKDDDERRQLFEDYIIELKKANQEREVNSRRAAMDELVDILKGIDLEPYTRW
SEAQGIIQSNPRFQGDEKFKSLSKSDMLTAFENHIKVLEKTFNDARQQEKNLKSRKERQNRDRFLGLLHELKSSNKIKAGSKWSQIHPLLAEDERYQ
AILGQPGSKPIDLFWDMVEEEERALRSVRNDVLDVLDDKRFEIQTKTSFEEFLALMQNDRRTANIDRDGLALIFERLHEKVNRRNEADTVQLERQQR
RAVDALRSLIKHLEPPIRIDDTYERIKPRIERSEEYVALLTDELRRSAFDKVIRRLKEKEEDVDKDRVKRRDQTSMDRPVHRSDRDRGERSHRRRTR
SPEPDAYEADRRKAIADREKNYRKASAADTLLSPGRRDRGDRERDRDFDLDRPHRSRREETSSHYDRERRERETEREKLYRKRGDPRGSIDELPYGD
ERPSGGASGGSRRRRADSDVESADSTRLAKRTRRDITPRERSPIPPLRERRHRTRTRTPPPTAAVAAIPAGKEEVAVHSGSEEGEIEEG

>RCO7_08580 | probable RNase L inhibitor

MADKLTRYGHLEDPVSIADSIAIISTDKKCRQECKKSCPVVRSGRLCIEVEPTSKIAFISENLCIGCGICPKKCPFGAINIINLPTNLESQITHRYS
ANSFKLHRLPTPRPGQVLGLVGSNGIGKSTALKILSGKLKPNLGRYDNPPDWQDVIKHFRGSELQNYFTKILEDDLKAIVKPQYVDRIPKAVRGADK
TVRTLIQANSSLSNLEEVLDVLELNHIMDRDINLLSGGELQRFAIGTVCVQQADVYMFDEPSSYLDVKQRLSAAKVIRSLLRPNDYVICVEHDLSVL
DYLSDFICVLYGKPAVYGVVTLPASVREGINIFLDGNIPTENLRFREESLTFRIAEAADEFMADRSRAFTYPSMEKTLGGFHLEIQDGDFTDSEIIV
MMGENGTGKTTFCKLLAGAIQPDGNQKVPGMKVSMKPQKITPKFEGTVRQLFFKKIKTAFLLPQFQTDVVKPLKLDEFIDQEVKTLSGGELQRVAIV
LALGLPADIYLIDEPSAYLDSEQRIIAARVIKRFIMHSKKTAFVVEHDFIMATYLADRVIVFDGEPGINARANTPESLLTGCNKFLKNLDVTFRRDP
TNFRPRINKPNSQLDQEQKLHGNYFFLEDDAATKGAPETAAKSS

>RCO7_08579 | related to transcriptional regulator CHD1

MNGITLTNDDAAYDSTSDLSEAVNAPADDAPSPASSSNHQSEFGAQDNDDSDSSAVEKDEYDDADFDMEDSPQEAPPTISREERSTSTESRRPTKRK
QPAEDEHILANPELYGLRRSGRPARQQAIIESDDENNDDSDSDVRPVHRAKRRKQERSQPPSKRETPALRSASASDSDSDTYGGARARTATKKNRRR
QLESGTSAPAYQEKRWNSRRAAQVTAGAYQESEPDFEDESEMMTPNYWVGAENEDNTPYIDVVLKHRLKEGQDIMKEDLGRDDFEYYIKWQGKSHYH
ATWETTTSLAGMRGFRRLENYYRKIVLEDIYIARGSDIPPEEKEKWMLDRERDSDALLDYTKVERVIGTRDGDEETEYFVKWKGLYYESCTWETSSL
VSEIAQDAIDNFLDRSSRSLVSSKEETNPNTRSPHVPIREQPSYVTNGQLRDFQITGLNFLAYNWCKNKNVILADEMGLGKTVQTVSFINWLKHDRR
QEGPFLVVVPLTTIPAWADTFDYWSPNVNYAIYNGKESSRSIIREYELFSDGNVKKPKFNVLLTSYEYILTDATILSQIKWQFMAVDEAHRLKNRES
QLYQKLLDFKAPSRLLITGTPVQNTLGELSALMDFLMPGELDIEEDMDLTEEAAGEKIAALTNKIQPYILRRTKQKVENDLPPKSEKIIRVELADVQ
LEYYKNILTRNYAALNEGGKGQKQSLLNIMMELKKASNHPYMFPNAEDKILKGSERREDQLKGLIASSGKMMLLDQLLTKLKRDNHRVLIFSQMVRM
LDILGDYLQLRGYQFQRLDGTIAAGPRRMAIDHFNADNSNDFCFLLSTRAGGLGINLMTADTVIIFDSDWNPQADLQAMARAHRIGQKKPVSIYRLV
SKETVEEEVLERARNKLMLEFITIQRGVTDKEKKELREKAVKAGKIDDPRSSDDISRILKRRGQKMFEQSGNQKKLEELDIDAVLENAEEHKTEVPE
GMDADGGEDFLKSFEYTDVKVDLEWDDIIPKDQLAEIKADDEKRKHEEYLARVVEENAPRKATMKNTAEVEREQRLAKKRERDQVKQDEIDEKREAQ
ANRADPKRELNEKEARNLFRAFLRYGSIEERRDELIKDARLIGRDLDLLRGTIKAITDESNRRLKDDAARIEAMERETNKPLTKKDKKAVLFDFLGV
KRLNAETVIERPGEMMMLKEIINAASDFRNFRVPDASKAAHYSCEWGAKEDGMLLVGIHRHGYGAWVQIRDDVDLGLKEKFFLEEHRVDKKEERNKG
EEKIAKAPGAVHLVRRADYLLSVLKAKYSDNQAAKRAVENHHRNNKKDARINGHRRSDTRGSVSASPVPPGRKPQRIPESSHHNRDRDRDRDNDRRH
GDPHTPKPGMKKRYSVPEEGHRDKHSKSRKSENGHSKSVEDSDSMLRMIFKPIRDSLKRVQSATKDRINSQKERASVMKTELIVIGKFIENLASEEE
AMNLKQSFWEYAAGFWPQPADSSRAATGAKLEGMYTKISSTKADPKPTTTGTSGSPLTNGAAASSAAALKS

>RCO7_08578 | related to myosin heavy chain

MPLQILLAHTGEVLEVDSGTFISLDDFKSWVAKQSRVATQDQITLTSAGKPVRFQGLSTEARGSIGNILGENADGKQKEIFVYDRRIVQPPSPSSSK
PTQHEAPTPPKYNVSRTPDTIADQNDLQAWKDLFMQRRSWALKLVEDCSAMSLEAQKRYVEVDVINRGVEAAVMNLDKHVKALDQKNAEIQTWSAEV
RKEQDLAGADWNYSVTRLRSIPATTEMIKFVTGQEPRRSPQRPTLEDLVDIDEVKSSVKLVRGVAANLVKNSLQLSEKVNDVFNKADDMYAKVEQGI
QKALVGQTTDPVQLMEDIEAIAKKVSNDYENVLGYSNTPKNLSLASKSALLHTKNFLPILSKRCMEMDGILRGSIEARNLIAAESLKAMREIAILTT
MVAESNAAFAAMDLDEAADDAFYLLSFVNSLPVTYSSFLAEAIRRREWNDKVKSDSSTLANEMASFQDEEAKRRRKWQKSTGTALWGDKTEKNVAGL
EVNLLEAEDEWPEVGRQDLEEILEILQAQNLKSSVVSEVAKIISELDNPTKQQSKRAKAFKAGSIHEAALGRSTLLTRGDDDLIRVIQEEKQKTEGK
LKTAESRIRRLEDLLHRQSQMTRASSGNIFPPSGNPSPDLQNTANPLASPLPMEDRSRRSSVASRRFSANQGPEEKGFQQKLLSKDAELIAERERAA
GLEKEVSTRKTALESLKAQVEEVNSTKKDLMENFDAQQREFVEERKSLEGEIKRLKAKLEELEDELDRYLGSRENEKSSIDDRVRSLQEELDRVRQE
AVAESQKAQGQVEFLRDEAKKQREFNKALEKQMQKLRDENQDLAARAEKAEAETELQIQALGDVHSQLSPTSAVPEDLCVLAAALVTLSGNIVAELY
SVESDAAITRSDLDAAQAAVTEANEKLESANEKLSAQEAETHELRESLAEERAKFTALETELNDERLQLSTLRTKISDGETGSESLRTRLEEEERKI
TSMSEDLAARQSRLGGLEEELRSVQEKYHSAQEKHDHLLARFEARTSRAKDLTQRAYSQNDRLCRLLERLSYSVTREGESMLIQRIPRPERSSTNDS
SDPGSTIRRSISGAITRKSMEDSGNLELLHWMNNDDLDVESEKYSAYMSAIGNFDVEAFCEVITKRVKDMEYTAKKYSKDARAYRDKSHVAQKEAHE
KIAFKNFKEGDLALFLPTRNQATGAWAAFNIGAPHFFLKEQESHKLRTRDWLLARIHKIEDRVVDLSKSISMSSTHLQPSDKRSLTSNGGDSFEDDN
PFDLSDGLRWYLIDASEEKPGAPSTPGLGKSTVASTHVDATGSIRRSKKSSSSGVEGINKTLSKSLDSRRSSNNSKKSVPSAAVLDRTGTAATDTAS
LKAPATTGTQTAAGKEGSEAQMIRSNSRQDGNGNGTGSGETAVVNNTEVRNVDNLLGP

>RCO7_08577 | uncharacterized protein

MADNGPKEIEDIEMSDAQVQRLMTEDEKRILDVYDRLEELQLEIALLKAQGVLSSGESDLHPELSKYVRRGTVMENILIVPPILRAVHGSNNATIVE
QDLLPLVEKRDELSISLHKLAKQELADLNQLKDIKVQNVKLARENAEMATRMLALADEANVQRKEDIEDLKLRKQLDELEGEMKLSRQKWRIMKETA
SATVVGSGVVWVDDPKLRDIVLGEDCYE

>RCO7_08576 | related to NHP6B - nonhistone chromosomal protein
MRARAGNSANPSLALQARPITLGPASSYTWLCPXXXPPRVASTACSLSLSCSLTQTHHPKLLSPKTSTSKQILSTFDSRLSTSLKKQLHSLGTPPLQ
KQPPLQSTSSPSIFDSSTLFNMPKEKTTKRATKARTEKKKKDPNAPKRGLSAYMFFANEQRENVREENPGISFGQVGKVLGERWKALNDKQRTPYEA
KAAQDKKRYEDEKASYNADAEEEESS

>RCO7_08575 | uncharacterized protein
MEVLLGAWREALRADRAGVELVRIRAELQHDFYDHITAVLRGIESTSRLLRDLYDLFPIYRSRVPMIVYYLDITLPSIEKTIKLMMAYIDNEAFPAR
TQWTLMVERLGDQGGMSLPTRFVMYVDLLVQLVRLLSRSPLYDPTTLELLRLRNLRLRQLQGLPAPPASTVPHHAPMQPTEADLERRHWAEKIFDDQ
PHSATSLRHRRESMCFGPPMVDEMLGIIPGSTVLFKLFSQQCLNDHVVVAEFESFKSNLVAEMVLFHCAFAALKSRCPLTVNVTPEDVCLQGEKKLF
QGKIIDDGFEHVLTVLQDFKCGGIRLHAAVRSGELRKCPVWTAFITYQSESSKWLNRRSRHRICLRDIHPYVFCQKYKKRHQMKKTGEFELYFVVED
AADAFQDIFTEDSNSAGEG

>RCO7_08574 | probable mitotic control protein dis3+
MTSLKRSLAADPYASNISSKVYVRSTKSGKVQKIVRELYLRQDIPCSSKLCTSCLETAPRDAAGKLTPFVLSESPAGTKAYKQGHYLVPDTNALLNA
LDLFEQKSAFYDVVILQTVLEELRNRSLPLYNRLIGLTKSEEKRFYVFFNDFRLETYVVRDAGESINDRNDRAVRRAVKWYGEHLAQAVKDAAGRAG
KVPAVVMLSDDKENLKKAKRDGILASSLGNYVEGLENADQLLDMISVVKEGRELRDAKTTENIYAEYFSVSKTLTGVKNGTLHQGIFNVSPYNYLEG
SIHVPAFDKSLIVLGRENINRAVQGDVVVVEVLPKDQWKEPSTKILEEETVNKNENPDAEDGEGVVTEKERRALQEEVKKVHSKNSEGKAQPTAKVV
GVVKRNWRQYVGHVDESSVSQSVGGSRKQQTVFLVPMDKRIPKIRVRTRQASEIVGKRVLVTIDSWDRDSRYPVGHFVRSLGELETKGAETEALLLE
YDVQYRPFPKTVLDCLPKEGHDWIVPPSVDDPGWRDRRDLRGLQICSIDPIGCQDIDDALHARPLPNGNFEVGVHIADVSHFVKPNNAMDAEASIRG
TTVYLVDKRIDMLPMLLGTDLCSLKPYVERYAFSAIWEITPDAEIVKSDFTKSVIKSREAFSYEQAQIRIDDASNKDELTTAIRTLLMLSKKFKQKR
MDAGALSLSSPEVRVETESETSDPIDIKTKKHLDTMSLVEEFMLLANTSVAAKIYEAFPQTAMLRRHGAPPKTNFEELANQLKVKRGLELRTSSSKE
LADSLDACVDPKEPFFNTLVRILATRCMMSAEYFCSGTQAYPEFTHYGLASEIYTHFTSPIRRYADLVAHRQLAAAIEYEPLDASVRSKGKLESVCK
NINIRHRNAQQAGRASIEYYVGQALKGRIVEEEGFVMKVFSNGFVVFVPRFGIESLIRLRDLADTEPESSFDAEEYVLRTSGSREVEVALFGKVVVR
ISDIKEESTGKRKVKLELVKVGGK

>RCO7_08573 | probable nucleolar GTP-binding protein 2
MAGINKPGKPKSKRRPVRLRESIKKASAAKQKKDRKAGKKNPEWRSKLKKDPGIPNLFPYKDKILAEIEEGRRRKAEDAERRKADAKATKTGEKSGE
QIEKEVEAGMEGVDEEDIENIDEDMESDFDEDANPMAALLASARAAAQDYEDELESGDEMDEDDESESDNDEEGVELSGLPTRKDGSRKAFDKVFKQ
VVEQADVILYVLDARDPEGTRSKEVERMVMAAASGGKRLILILNKIDLIPSAVLKSWLVHLRRYFPTIPLRASGPAANAHTFNHKQLTVQSTSATLF
KALKSFAAAKQLKRAISVGVIGYPNVGKSSVINALTSRMGGSNAACPVGAEAGVTTSLREVKIDSKLKLLDSPGIVFPSTGDGSKSSKKEEQARLVL
LNAVPPKMIEDPVPAVTLLLKRLSGSQGMLTKLMDVYGLPPLMRTNGDPTTDFLVQVARKRGRLGRGGVPNLASAATTVITDWRDGRIQGWMDAPVL
AVAPSASAATSGEPVIGDQKEIVTEWAAEFKLEGLWGDGKAETVDDDAMQE

>RCO7_08572 | uncharacterized protein
MEFFEPTQYHHQHPHYPHEQMSHYSDVHQSYAMAQPAPMIAMPNIAKANETKPRLGKDEVDILEREFKKNPKPTTQTKRQFAEEMGVDLARINNWFQ
NRRAKRKQEKKQEANEAGRARDAMGYSDPSSPDFYSQGSGYYSDNSQTAPTQQSSAQFSTPIGPPTPVASCNPQYTDPSTASIESFHRTMVAAQAGS
GLDGFSNFAQRHNSIYEEQIHDFSGSDRAQFPPPSESLDHFDIGQAYSYPSTFSNSLYLDQSRSLSFPQVQSPGEESNSTPMPFSNFQTAGQEAPVP
QLLTTLPTQLLPSRLFDRLPQQSDEQFTQSPEPIREAIVPIGFTYDCAEANESSMSPPPGSSMTFRSPPPRMDIASRRKVQVKPAALVADTLRGRPS
MGPRTVSQAEGFRRTTHSPATSPMRRIVSAGGNRNVLNGRISKSGFESSQRSPINLGGFADAGSFLEYNHQNIRHPSLTAGSSLSSSLAPPTPMSPR
ESEMNFPKTESNRSTASPIEGGVNFVFNAGVPGCFTTMEGDQNLASPPETPHALLAVSSDSWANNLDLSDKTWQFDIQDEPLYTPAQDSFSTEIHMP
QPLYLGNMSQPVTPAFGHFNHNVMFGHESPQFKNEPAQYTLPTQSGSEYTFLESNQQYLGMSPATTKQKTFQFSHTTAADFSEK

>RCO7_08571 | probable glycerol-3-phosphate phosphatase (glycerol-1-phosphatase)
MSSSNSTFGGSPTRAFFKGGLLFDMDGTIIDSTSAVEKLWHIIGKEIGVDPAVILKTSHGRRSIDTLGVLCPERANWEYIKEMEGSIPKNYGGDAAE
IPGARALLDQIKKDNVPWAIVTSGTTPLVSGWLDVLKLPTPENLVVAEDVKNGKPDPACYLMGMEKLDATDPSQVLVLEDSPAGIRAGKAAGCKVLG
LVTSHTIEQVVAAGPDWVVKDLSSVKVVGFGERGVELELRDTLVTH

>RCO7_08570 | probable delta-1-pyrroline-5-carboxylate dehydrogenase
MATRSLKSLRPLNPCLQAAKPNSIPRHSSTLATFSIPKISNEPNHHYAKGSAERKGLTAALDSFQKRTPLEVPIVVGGKKIKTSTLSSQQNPSNHSS
TIASYSNASPSDVSAAIDAALAAKPAWEAMPFSDRAAIFLKAADLVAGKYRYDIMAATMLGQGKNAWQAEIDSAAELVDFLRFNVQYAEELYAQQPA
HNSPGVWNRVEYRPLEGFVYAVTPFNFTAIAANLPGAPALMGNVVVWKPSDSAIASNWLLYNIFLEAGLPKNVIQFVPGNPEEVTKVVLAHKKLACL
HYTGSTAVFRKLYGSIASGVAEGRYQGYPRIVGETGGKNFHLIHPSADIENAAVQTVRGAFEYQGQKCSATSRAYVPKSVWPQFKERVVSETSALSI
GGPTDHKNFVGPVIHAGSFKKLSGVIDAAKYDKELELLVGGKYDESTGYFIHPTIYATTNPNHPLLSTELFGPILTIYIYDDSKSPVQAFESACELV
DSTSEYGLTGSIFAADRAAVRYAEDALRNSAGNFYINCKSTGAVVGQQPFGGARASGTNDKAGSQNLLTRFVSMRSIKEEFNTTLQVEYPSNEV

>RCO7_08569 | uncharacterized protein
MERRREATAKSNNSTNSFFNYTSGRWLYNEHLRLSERQLYFNIHELCHLIAKSVGLPHTDVVLVKKLAEGGSYRIFEATFRNGLKAIARLPYPCTIP
HKYGVASEVATMEFLRMHGIPIPKILDWSSSASNRLGSEYIIMERVSGRELADTWHTMTFNERRAIIHKIVDIERLLFAIRFPASGSIFFKDSLDPN
FESVDMPKNKSLQDTGKFCIGPSTEYLWWYQKRDELTANRGPWKKSEEVLKAVGEREILWLQRFGEKRYPREPFYRELYHNQRVDPQVQIRHLSDYL
KVAPHLVPKEDQLNLPTIRHPDLSPSNILISDCGDITGIIDWQHATILPIFLQAKIPKHFQNYGDDDSENFRRPQLAEDFANMTSSEKELEMDRYRR
RQVHYFYLGYTSELNKAHFHAMGKYNLVLRNQLYDTAGRPWEGDNTSLQAQLIKIIGEWSAIASEDNCPISYSPAEVEECLDRDAKQNRVNEQLQHV
RDFIGINIDGLVMSEEFESARAKAELIKTELAEGADTDEERREFTKLWPFQDHEEID

>RCO7_08568 | related to Putative glucan 1,3-beta-glucosidase
MSTNQASTISAPTATDVLRYRYHWGTNLGSIFVLEKWLSGSMFPANSTGNHELAAVTASVQEIGLEAAKAKWEAHWKEAVSEDEFDWLVKEARCTSI
RLPIGFFTLGEEWCKGTKFESVAGVYTNAWTAVKEFVERARGRGIGVLLDFHFVYGGANGDAHGSATGRADLWGNATNLERMKEALGWIAKEAKDMD
GVIGLQLVNEAVRNAEGMYQFYEDVITEIARWDETLPIYISNAWDLSTALDWTIERRALGVPKNPVVVDTHRYYTFSDEDRSQSPQQIIGRIGSELE
ELDGREGSVADKKDAQLIVGEWSCVLDTKTWARVTPEERVGLVTQFGRVQSQRWQQRAGGSFFWTFKMDWMDGGEWGFAEQSKKHNIVPPEYLALPA
QEVRDRISAAEANRGALAQTARQSHEEYWNRTAPGNSFDYQLYSDGWNIGFSDAQTFFGMRSQAGLGASVAAEGGDKIGLLEIWVEKRLFESGQTGD

SVWIWEQGFRAGIGGSNQLVGM
>RCO7_08567 | uncharacterized protein
MPRPQQPPTPASSTEIKSKDESQFQTIQMSFELPPPAVAGSQPSSASSGKSSSASSYNPTSPKSPAIPASEAVKIRRRSSVAQGSAVKDVFALPPPP
TRSRKIIQMKPRGQQEDEEGYHEVQKPASGKTAAAATKKKQPSATSVAGRKIARKTAHSLIERRRRSKMNEEFGVLKDLIPACTGEMHKLAILQASI
DYVRYLEDCVSKLKAENNRTNATPSTEHFILPPPASRGSYGTPRQYHPYDDQEDVEMEGSEQASQAYSTPVPSSNRPSASPALIPQDSRNRQDSYSS
VSTDHRHYSFSTSNTTSPALGPVAYDYARSVASAGSALTSPALLPQRDLDQEATAALLMLNTDRRGTHSSLGGRGMSVKDLLST
>RCO7_11301 | uncharacterized protein
MNLSPGIYPSPYIIFNTILVVASKSGNNNKITKTSIITNYYSSTTIIDLINLSLITKKVFKKLEFIKVIKELNTIIKEFIKKAIFKAIISNTKGKRN
LPSSSKIVSDLDTLKLSLKKKARKISYYIQSTTRAILLNLSKELNIIVLVLDILDILDILDILDILDIPEALGEKASKLKVIEEVEF
>RCO7_11300 | related to Histone-lysine N-methyltransferase, H3 lysine-9 specific dim-5
MSGTITSLVEAPSKKELWITSGEILGYMVQRHHNHFAWHGRNNPNEAEDEKKCQYCQLKNFSTHQQYPVSLVFDEEERRTIPEDFTFIEQNILRDGV
HLAEEMFLAGCECDDDHDCMTAACYCLQDVHNDDPGAKQNAYHIVGDRKGCLRGHMLSSRKPIYECHKRCGCSENCPNRVVGAGRKVNLQIFPTSDD
RGWGVRTTEDIKRGQFVGCYVGEIITSTEARRRREAGSHLTHKDVYLFALDKFSDPDSQDPRLQGDPYEIDGEFFSGPTRFINHSCDPNLRIFAVVT
DHANKPFHGLAFFALRDIDKDSELTFDYTDGVSDRKDDRGLDELTDEERANIVLTRCLCGADNCRGYLF
>RCO7_11672 | uncharacterized protein
MSYIDGTETKPSRALYFKSEERINAKGEKRIDYTSYSPELAIKYYKRLADFKRANKKALGAINLEEISRHINRIIDNTYSSYKNIDEYTSVIQASSV
YLKQLKCEILKPILASLIFKGLPSSFDSFASRKYEEISNNLSSIDIEGLIRDLISEEARMNTSTDLQANKAFKGKNSKGNANCYIKHPELIPNKSTN
NKKKSKGKGAKESKEESTKALMSSFSSTSSSSSTADQAYAAIYNYRIVLDSGASEHYIPNKSWLLDYKPISKKSITIANSDILLIIGRGDIPIITRE
SDKVLIKDVNYVPSLKTTLLSSKELTNKD
>RCO7_14004 | uncharacterized protein
MITTQFKVLGSLTHVLINKRTNKFENKSDRVYIPEKRAIISSKNVLIKEDLTLKDKVISKEELESFKETLNNCETSNRSNRVISSPIDTPKSDLFRA
ENSEKIDSKIANNLLNEEKVIEDIEVDLFNNIAEETPIIEIPKRALAIQNNKRLIQEQKEAYSVYKIKELESEYYEFKARFVAKVFKQLYALISPDI
STIKSLIEELKHFFKLKDLGLIKDYLGIEINYNRDQGYMKLYQASYIEKFQQVIGCLLFLTLATRPDITYAIIKLARFSSNPSDTYILAAKNVLRYL
RGSIKLGLVYINSSSKYVSGYCDSDYAGDIGTAKSTSGYSFYIGSCLFSWKSKLQSIIAQSTTEAEYIAINSAVKEAIYIRQLLTELGYYFQERFPV
FTDNNSALLLSKNPQFHERTKHIAMKYHFIRDLINQDTIDLIYISTLKQKADGFTKALDRPKFKEFIKHLELAY
>RCO7_06927 | uncharacterized protein
MSAAFSNPDIREFFPGDKFKG
>RCO7_06926 | uncharacterized protein
MSAAFGNPDSKRVPSETGGEPASSKLTDAKVYAKPFRLQQVKCSSIFYKKFIMLQ
>RCO7_06925 | related to RRP1 protein
MATEIQQTPFVKQLAANDRPTRDAAVFSLRTYLSGRRELPANELLKLWKGLFYCMWMSDRPRTQASLADSLSSLVTVLPSSNVLPFLRAFWQTMLRE
WTNIDVLRMEKFLLLVRRYLGVTFRVMKESGWEEGLVKGHLEVLAEVPCNVEDQRIPNGLRFHVVDIYVDELEKVGLLKSVGDGGEEGREEILDKVL
EPLRVLAKGSPTKPVRIKAKEALEDGRLPGNEKAEGVEEEKEDDGWGGFED
>RCO7_06924 | probable sphingolipid long chain base kinase
MTTTSVPSDNPFVDPATSFEDADRGNSFAADATLALGRNVSLTLGTDSLIVLDEEIEEKIRSHCCRLWGSGTANTRAIPFYNVLWAELKDSELTLQY
AKPMSKTVVRAATLKYPVEYQMVEFVNKWTYRLLDRSYGESQKRKRVKVLVNPHSGKGSAEKWYHRDAEPLLWAANCVVDMVKTTHSGEAVSISEKL
DIESFDVIASVSGDGLPHEVFNGLGKRTDAKKALSKIAVVNIPGGSGNAMSWNLTGTESPSLATLAIIKGIPTPLDLISITQGDNRTLSFLSQSVGI
VAESDLATEHLRFLGGQRFTYGFLVRLINKMVYPCDIAIKVAIDDKQAIKEHYKREKNNFEPAIERRGYRSHHLLEDDASATTGSGINDDSLPPLRY
GTINDKLPEGWELVSYDRLGNFYCGNMAYMAADANFFSSALPNDGFMDLVCINGDISRIHAMKMMFAVENGNFFDMPGVWYRKVLGYRIIPRNQEDG
FISIDGERVPFAPFQAEVHKGLGTVLSKSGHIYEAPGPQ
>RCO7_06923 | probable coatomer complex beta chain
MASFLESSYSVVHQDNASDVPTMSELRTQLEKGTDESKVETMKRILTIMLNGDPMPQLLMHIIRFVMPSKHKGLKKLLYFYYEICPKLDASGKLKQE
MILVCNGIQNDLQHANEYIRGNTLRFLCKLRETELLEPLLSCARSCLEHRHAYVRKNAVFAVASIFQHSESLIPDAPELIATFLETESDHTCKRNAF
AALVSISHDKSLAYLSSVFDGIPNADELLQLVELEFIRKDAIQNSQNKARYLRLIFDLLEAGATTVVYEAASSLTALTSNPVAVKAAAAKFIELSIK
EADNNVKLIVLDRVDVLRQKNEGVLDDLIMEILRVLSSPDLDVRKKALEIAMEMVSSKNVEEVVLLLKKELSKTVDQEYEKNNEYRQLLIHSIHQCA
IKFSEVAASVVELLMDFIADFNNTSAVDVISFVKEVVEKFPNLRPSIVERLVSTLSEVRAGKVYRGALWIVGEYSLEANDIRDAWKRIRASLGEIPI
LASEQRLLDEVADGHEPAKEPEQVNGHSKVAPTGSRRVLADGTYATESALTSQSAVAAKLEAVKAAQKPPLRQLILDGDYYLASVLSSTLTKLVMRH
SEISPDKARTNALRAEAMLIMISIIRVGQSQFVKAPIDEDSVDRIMTCVRSLAEFAQNKDLETVFLNDTRKAFRDMVQVEEKKRAAKEAVEKAKTAV
QVDDVVSIRQLAKKNAGDGTDEIELDLEKATGGDSTVEDMSSKLSRVVQLTGFSDPVYVEAYVQVHQFDIVLDVLLVNQTTETLQNLSVEFATLGDL
KVVERPTTQNLGPHDFQNVQSTIKVSSTDTGVIFGNVVYDGASSTENNVVILNDVHVDIMDYIQPAVCTETQFRTMWTEFEWENKVNINSKAKSLRD
FLTQLMACTNMSCLTPEASLKGDCQFLSANLYARSVFGEDALANLSIEKEGDDGPVTGFVRIRSRSQGLALSLGSLKGLNKVGEIA
>RCO7_06922 | probable mago nashi protein
MAARNEPFYIRYYSGHQGRHGHEFLEFDFRVLGDGRSASARYANNSNYRNDSLIRKEMCVSSLMVDEIKRIIKTSEIMKEDDSKWPQKNKDGRQELE
IRLGSEHISFETAKIGSLVDVSESQDPEGLRVFYYLVQDLKALVFSLIALHFKIKPI
>RCO7_06921 | probable VID24 - required for vacuolar import and degradation of Fbp1p
MPTPSPTSNESIVVVTPSHSSCPPDDDRTNWRAVEDMEVPHDEAVSTAPEILQEPTPPPTELRAAGLTDTDIAEQHSTRQMEGEEENSGPDMLSPMS
PDRDKQEDRAVAASSNEDLGSPSMGYDFSNIRLIPSSPSSFLRSGSKFRGNQQSERQVYDVQVEIKHVDMRESFLCGYLRIQGLTEDHPTLTTYFEG
EIIGSKYTFLTQHQDWGSTDKTDLQHWAKFSAFRPFQLKAKQGHFHIPQLAQRENIFMRWKEQFLVPDHRVRTILGASFEGFYYICFNQLEGTVSGI
YFHAKSEKFQQLELKHVEDRGCFAAMEFR
>RCO7_06920 | related to UPF0132 domain protein
MDFAPYQDQSPETNRALSPPPIEGRRSFSPSRRSFSPALPSPTNAPRGLANPWAPRASIDESVAPRIQAPGQGFGNTSADIESGRGRLNEFETSLPI
RLDFEACLAYLLLPPAGGVLLLLMEHKSDYVRFHAWQSSLLFSAMFVLHLIFSWSSFLSWVIFIADLGSIGYLTFRAYHDADTLDRCEVPFFGKLAS
SILDDE
>RCO7_06919 | uncharacterized protein

MSTNYDDFVHISTGGGHRPRDPAHRRGGEGGGSVADDFFKNSSGKRLFTEGYIVGAIRTQYPKHHLTISPTYASDLLAFGASSGDVTYFARDVDKAL
LERLFVPPARRYNDETGGGFTEHVSFASYDYVYKGDAFLLYVVKGQETAFGTVTYNYVLVDEADSKVTAQKKTDGLLAAAAKWQMELHGEVLVFDQG
YWHPNKDLYDNIQKSNWEDVILDKEKKDTIIEDVIGFFDAEERYKEFGVPWKRGVIFYGPPGNGKTISTKALMHDISKKIKPSIESLYVKSFSSYGG
PEYGIRQIFLMARRMAPCLLIFEDIDSLVSPFVRSYFLNEVDGLESNHGILMIGSTNHLKRLDPGIAKRPSRFDRKYSFDVPSCDERVQYADYWRHK
LRNNKKVDFPKELSVRVAEITADFSFAYMKEAFVAALLVIVARSDEKKAKFRHREDELSGNILWKELQKQIDSLRKEIEGGDNDADQAIGMSGMWPA
LHNILDERPERSNAGHPGMERSHFPGASLQSRLFPQAGMDRMARPMDINNAPPMPRYF

>RCO7_06918 | uncharacterized protein

MAGDQVQEGDKVSWSWGSGQPGGTAAEVKEGDVSVVSHRGNEITKHGEPGNPAVHVERSGNDVVKKASELKIESHGSNSNGTSSDSKKEDDKQTDEK
KDGKKSDEKKEDDKDDKQDDKQDDKKDDTEDNTEDNTEDNKKDDTEDDKKDEKKDEKKDEKKDEKKVGKNDGKKDESSEAKAGDKRKADEKVDADTE
EEEAEDKPAEDTKKQKKSNGKAASAPAAAKEKENGEPEKKKPGRPKANGDAKKPTKERKVPATGRAARQTRSQGKVE

>RCO7_06917 | related to L-amino-acid oxidase

MGFPSIVSIAGLAAASLTSPLDSEASHSQIRFRSTKTINSESLHNIHLEYTKTDFIGDLSVLYGDCQSSTTQKHHHFIGRTDISAKSRPERFVWSVP
RDAFSGGCIHAFSGEKLVGRSVAITIEAPLKKRQVIADVADISGPWFDGVAYMASKPESSVFVAEAKNKSIAIIGGGSSGLLTSHLLQSVGIENWQI
MESSQRIGGRIRTKYLNGSKPEDYQYQEMGPMRFPVSLTYHDSGETLEIKDHEMVFQLGEVLNAMNKDNPELAVNFIPWIQSSPNAPITSNGVRLPN
GQAPSKSQVAANSSLAGVAQASSNATELAYAKAAVEKFYGLDRNKTREFASNIYLAHKHAIENGHFDFSVANYLRYKLGISLNVTDFIGGAGGHPMW
EYEDVYFAATTWRTIDKGLESLPRAFLPHVQNKTTFGRIVSGLTYIPETDKISVKWRDADDKLSMETKSAEFDYAVVAAPFSKVRLWRTPPYSSLLS
RAIATMNYSPSCKLSLHYKTRFWEHMNPPIIGGCGSTDIPGVGSVCYPAYKINSTGPGVILASYISGTPAVSVQSLSEEDHVAMIQRAMIEIHGPIA
AEQWTGNYDRQCWQVDEHQAGAWASPLVGQQDLFLPAYYNTEFKTVFIGEHTSYTHAWIYSALDSAVRGTVQVLLDMGLVDEAKTIVTTWMGRWITL

>RCO7_06916 | uncharacterized protein

MFRPSSSLLFRPMPILNKLHQPLPLTPRQSTQLLNLLSTSFRQQLDLEHPMFRTDSNTDQKSTHSARRSSLSDHDKNPTDRHMHSVLTNPLFSVSPG
TGKRNGTSGTLRDPMDVFSQAVANGMMTTSYARACLAAKKKQIVESSVLVIRDGMKESGAGLQVLKWLVSSGTTNSNEFLKDQEFVKIMMEYMVAEG
LQESAWKWIKKSLQNFSEVFLNSSQAIARAQIEFAMPLLYLVKAEAANTDSSTSLDAAYVTLSRAAGYLGGLATRDMLAILGTPGRFLIRSSIMPSR
TRPPPSEAAFESFLSLIPVITRSPTRYYAFLSLHHPTKPSPDLVLNYIRNIQLKKSSPEETRSQRTIFIESSNIQVGLDTAKLLLLQHRYTEADEVM
QYLQTHYPVQLGIKERRQLEQAKAEATSLELLERLGLA

>RCO7_06915 | uncharacterized protein

MSEVQSRPAAPRGRGSARGGRGGFSSRGGRGGIRGHATNGDKTDSTAAPIEDNGEVGQLKRKYGSKVTTIQEMFPDWTDEDVVFALQETDGDLETTV
DRITDGTITQWGEVSKGKKDRSKTKAKDASTITSFGDSNNQARVSRGGRAGFDASRGGRGRATERGGRGGRVRAPTNGVRKENAVETSTPTLESTAW
DTAPAGESSWDTPNANEDSSDATKPAQESWGSAATGAAVATVSAAAQVTSSVIPDGVKKSWASIFAPAPTPKKAPEPVAEKPAEPIKVEEPVEATIQ
DPEPTIPEPAPVDQVEPTPVEAPVVPEPEVQITPSKDELTEDNLEQLPDTSAPAPTATAASTTASSWDPRSAAATPYSNLQSTAQAIRPPTSGFQAS
ALKATGSSARTPSFQRRVLDQEEAVRMPGNREVERTAVQFGAFNLNGSGEEDVDGDREEAETRAQPPQHSPVAPRAALPPAPPQPAAVPESIAPPKQ
PTGLPAATPTAAPGLPSPAPHASAQATAHQGPQGNGQYSQYGRYGQTGVQESSLPPKPYDAFSQQAPSTQSPFEGYPSQPSQSQQQSGAFSSAPNEY
SSYYTADAQQRNAYNSYYQQQYGQQPGSQTQDGPASQQRGYPGYNVPQAENSSQFPQSAAQTTQSRYATAGEGQNSGHSTPNPVAQSQQPAASQGAQ
PQPGHQQPSQGGQYPYGHPYYQNPYYANAWNQYQQQGYGGNYPGGPYGVKGGHQPYQGYGMSPAAPYEHTASPAAGGFGASSLHGRESALGGGLSEY
NRTGSAQASQTPQAIGGSGAFGGHDAFGRGSSYQGQGQQHYNSQQGAQPGSDDLKPFGESKASNGPSPSLQGGRPGSATNATSGSALPPTQTQTGYG
GYPAHLQQPGQGLHANQTGSGYGGLGGAGGHQAGGQVHQNSQYGGYQAFAGSYGGYGNSQQQQRGGWGGNYGH

>RCO7_06914 | related to surfeit locus protein 4

MAQIRGTAGYNLGGGQQNNFGGPSREDTKYESSPLDAIREQTGKIEDFLDTLSDPVKPYLPAIGRFLIVVTFLEDALRIVTQWNDQLLYLHDYRHIP
SGLNHMFLLINVCAMVSCSTLVIARKYSDYAVGGLISVVITQALGYGLIFDLNFFLRNLSVMGGLLMVLSDSWVRKSKAFAGLPEIDEKDRKMYFQL
AGRVLLIFLFIGFVLSGEWSIGRILVAILGFVACVMVVVGFKAKFSAIMLVVILSIFNIAVNNFWTLHEHHPHKDFAKYDFFQILSIVGGLLLLVNS
GPGKYSIDEKKKVY

>RCO7_06913 | related to proline-rich protein verprolin

MPPPPPPPPPPPAMGGGPPPPPPPPGNMPSRPPAGNRVKPPAVGALLSDISKGKQLKKAVTNDRSAPIVGKVSGGSGGSGPVAGAPPVPGMLKPPGG
ASRARSNSDQSGRESSGATGMEQPPQLGGLFAGGMPKLKKRGGGVETGANRDSSYTSDPESSRSSAPKPPATSAPRPPSAAPPLHGSQNGQARPLAF
TPSIANLRKTGGPALPRPNSSASLRGPPPPIGKKPPIPPPTSRKPSNLQPPPSSAPPPPSAIAARPPPPPSSNAPPPPLPSSSAPPPPPLPSSNAPL
PPPPPQASAPRPPMNGPSRSQALPPPTSPPSTNGAGQSLAMQAAIRAAGQASPALVPPPPSSAPPPPSARPAAQPMRPVDSSSYTLSSNGGLPNNPS
PNRNSGTSEPARRIFINDPRWKFQDENTLPKPRDFVGGAKRYRAGRGSSVPLNLSNFS

>RCO7_06912 | uncharacterized protein

MSRRALRPPRADLCHLCEFITSRQSRPLALLHQPFRKSTTSSRAFTTGRILLQKSKPQPQKSQPTTTIPKQSLGHPGRTGEFTEAQLEKSLQNVRTT
CNTLLMQEGIPSEQDTLMVLDGCRIVANMLVADQKITSKREGATSALLSLDEAPAKKVPVHKLPPTIQRMADQLAALTYSIIKFPPVFISPEVLALY
VAIQSALGKPGTFPEVFHLYANKPLPKEGSNPITYSKPNPNKSANSIPSKVADQALQAAIDAKRLVVAMEIIEASYTTKAAHRAKFIRRGLLPATGL
AVAPIAAYTVASQLALLQTTMDTAMATNVAFAGIVAYIGFTATVGIVAVTTANDQMDRVTWAQGVPLRQRWIREEERFAIDKVAGAWGFREIYRRGE
EEGEDWDALREWIGRKSMMLDRVELMEGME

>RCO7_06911 | related to zinc-binding protein

MAQKCVHQSCGKMYTNPEEECNYHPGPPIFHEGQKGWKCCKPRVLTFDEFLSITPCTTGKHSTTDLPPTIEKKQGEKLDTSSSTSSTPSPQTQTTLP
TRSPAPVPQTQAQANPTAPPPPPESSDDEASTEIPKGKICRRKACGFQYEGGDRKADEKCVFHPGAPIFHEGSKGYTCCKRRVLEFDEFMKIEGCKT
KERHMFVGSGKKKGGNAAGEEVLETVRHDFYQTSTTVIASFFLKKINKETAKVEFLSDGFSLDLITTETPPKRYKTTVPLFGPIDTKASSFNIMGTK
LEANFVKADGSSWPVLRSDEQRTGEIIQVGRAGRAV

>RCO7_06910 | uncharacterized protein

MEEKPESKKWRDLYEFDTPVIHISKAELGEEDPVDSAKAIKLMHRFTTDEIITKMDAVEQMRP

>RCO7_06909 | probable 2-dehydro-3-deoxyglucarate aldolase

MATTMQKANRLRMAFEEGKGASMGCWQMIPGSNVSRTLARTGVDWVLVDCEHGNIDDAAMHEAVPAIAACGISPIVRISDNQGFMVKRALDSGAHGV
LVPLLYTVEDAQRLVKSAKFPPQGQRGFGSPFPHERFSPSLSSTDYLQQANSSILVMVQIETKEALDNVDAIAAVEGIDVLFVGPFDLGNNIGRPIV
GGVMHEELNVAIKKVLDASRKAGKKAGIFCTSGEQGKGYADMGFDMISVATDVLILQASVMGAVYTSKGMGDAPKLTGPYGK

>RCO7_06908 | probable glucokinase

MAQSTPPTSDHLPIAPSATNTITNSNGTRSPDCQPKTEHHHIWLITGPAGCGKSTVAQYLAKSMNLPFVEGDEFHPPANVEKMSRGIPLTDADRWDW
LTRLRDEAVNHLCSSQGVVLTCSALKRKYRDVIRVAGFYSQGARVHFVYLHAPEEVLAARVGARKGHYMGAEMVHSQFTILEAPGDKETDVISVDVS
GSIEEVEEEALAKIHEAIRDELERDS

>RCO7_06907 | related to branched-chain alpha-keto acid dehydrogenase complex, E2 component precursor (lipoamide acyltransferase)

MRLQLSSRISARQLRLYSSLRIALPRQCPSTSYRGFRSSARQQAIKPFLLADIGEGIRECEIIQWFVSEEARVEEWDKLCEVQSDKASVEITSRFAG
VIKKLHYEAGDMAKVGKPLVDIDIQGEIKDEDISSLSEPGTGEESLVQANETPQPPPATELENPPEMKEPVQQTSPLKGKHASLATPAVRHLTKELD
VKIEDVAGTGRDGRVLKEDVYQFAKARDSAPSTPSPKQPISPPTSNTGPQTEIITQLSNTQHQMFKTMTKSLTIPHFLYADEIDFTGIAELRTRLNK
VLAKNPMNEVSKLSFLPFIIKAVSMGLDRYPVLNAKVDIDAKSSKPVLVMRSQHNIGVAMDTPNGLIVPVIKNVSSLTILSIASELSRLQSLARSGK
LTTQDLSGGTITVSNIGSIGGTYVSPVIVDKEVAILGIGKTRTIPAFDEEGKVVRKQVCCFSWSADHRVVDGATMARAAEVVRGFVEGPDGMVIHLR

>RCO7_06906 | probable mitochondrial ATPase complex subunit ATP10

MILSRRPLRPSDLKFEAKSCLLCQWRTFSTSYRYLAEKETPSAPIVPESPLADAPRAYGKAVTEFTPKPLGRPIGLPDPPKSGENSGVETRSWSQRR
ADFVDYDKHLVRRKELTQKMATPYFREWSNMRLHKGKSFLAPPRLFKGERALYFPNMQGQTLSKDALPKDTTPMFEDKVSIVSVFSSVWAEGQAATF
AAEKENPELHEVVRNSGGVAQMVQINIEENALKAMLIKLFMPSLRSKIGRGNWDRYFVIRKGVTQEIRDSIGLLNSKVGYTYLLDGECRIRWAGSGP
CEGDEKEGLVRGAKRLIEELKVKRNQKLILAPPTTNARKTVETSTAATAA

>RCO7_06905 | related to SNARE protein of Golgi compartment

MSSTGTGWAQLRQQARSLETQTERLFHTYSQFAAVPNIPAKPTEDERQTETKLQDLLEKRETLNGQLSRLLDSEATLTASALKQNNLSRHREVLQEH
RRELSRLKSQIQEARNRANLLSNVRSDIDAYHSNNPEAAEAEYMLDERGRIDNSNNMADSVLSQAYAVNESFGMQRETLASINRRITGAASQVPGLN
SLIGRISAKKRRDGIIMGSFIAFCFLTFIYFM

>RCO7_06904 | 60S ribosomal protein L35

MSSGKVKTGALWSKNKTDLAKQLGELKTELGQLRTQKIAGGSASKLTKIHDIRKSIAKVLTVINANQRSQLRLFYKNKKYLPLDLRPKQTRAIRRRL
TKHESGQTLEKTKKRSVHFPQRKFAIKAEA

>RCO7_06903 | related to metalloregulatory protein

MDGDSMGYMPSFPRYDPNDNNYGASTGTGTGEHWQAQAYINEPQPSPSTPFFEAQQHTFLTANDQKSPSVFAFTGIPTQTYPPYTTTNSVHASSDNV
MRRPQISLDIIRVRPSKRQRTTAGTRTVRKSAVRRESDIASECGSQSDCCSSCSGGEVCDAPDCSPCDEVNCAPVEVCSVASCSKPACRDECLSNAF
QIQSSLSNGVLIEDAADMLLNLDPPPWSAQLRQDKSHYRTPSSQIDPAMVDPTPTSTPSMANNSETPESPYPTLPTPQSNMFEQQASYSSPAELSGT
GAMFSGSSEQWGNNTYGSTPEVLPCGWEGCDVVCMSHEEWVAHFHSAHIDTQVQFGCPIPADNCPSIMNTNPFDHLQTAHGYDFDFSSGTFSCPATS
CPPDQTYGSPRMFHDHLDQYHATPVQGSLQCRLHTCGTVFDDPNQFFSHMTNHLQGFAKHDEINLLAPPTSAPSALPKPASKVEGSKNLDIPHMCMW
KSKDGTCCNYEGSSASNLQDHVKDQHLSSLGKHTGYICQWEGCRRDSSLGDKSGFSQRGKLERHMATHTGFKCSECPTCGQFFSAPQALRQHILLHT
GEKPWKCKHCDKRFPQQSACTIHERTHTNEKPLECNICGKKFSESSNLAKHRKIHGEKGLHACPIPGCGKSFHRLDQLKRHALTHDKPLKAKEGTKK
RARKVKSEEEWKVAEDDVKVASDGS

>RCO7_06902 | uncharacterized protein

MGNLCGKESSPDAFSQPGRTLSSATPAQSPNPTSSVPKKVVVGGPARTLGSQGQGQSSSAQEDARRKAAEAAEARANAASKPKGKLGNQLAEQKKQT
RNDTLEGLSKEERRIRDADAGAEARAYN

>RCO7_06901 | probable Pre-mRNA-processing ATP-dependent RNA helicase prp5

MRRDGEIVQRTEEMKTSTVLDEEIVREIAGTDSIGIVLQTGDGAGVGSENSETGERILMTALGGAASFLLTQGLVVDLTGVQANLEPAKSSGPPVQT
EAEKKAERLAKLEAWKKKMAEDKERKEKEFTAGGTRKLLDQIDQRANASPTVASPASPTTPNSIASPAPYAGKFDPKAIAKKAVASSSSASTLGKDL
PLQELTKASATLTSSIKGLQANKTTTAFNSTSKASALPKARANLNAFGLGAKSVTDNEKPSSKRTLDFGEDDDARKKLEKLPTLPLANIEDDDAALA
NVAEGEDDDDDDVDMQDGGTEEEAAAAAARAAAEKREERLQEQSLAEQGLTAMEESLNPSTEAIEDVKMEDAVKSEPIAIEEDEEIDPLEAFMEEMGD
PFAAPKTSNSFNKSKSKSQKQPEALFGDDEVDLKAMEADPDDILAMANKARKKKELPTINYAKLDLDPVRKNFYSEPAELADMTEAELADLRLELDG
IKVAGKDVPKPVQKWSQCGLNVQSLEVIRKLGYERPTAIQMQAVPAIMSGRDVIGVAKTGSGKTIAFLLPMFRHIRDQRPLEGSDGPIGLIVTPTRE
LATQIHKECKPFLKAMGLRAVCAYGGAPIKDQIADLKRGAEIIVCTPGRMIDLLAANSGRVTNLRRVTYVVLDEADRMFDMGFEPQVMKIFANIRPD
RQTILFSATMPRIMDALAKKTLQSPVEITVGGRSVVAPEITQMVEVREEKEKFHRLLELLGELYNEDEDARTLIFVDRQEKADDLLKDLMRKGYPCM
SIHGGKDQIDRDSTIDDFKAGVVPIMIATSVAARGLDVKQLKLVVNFDAPNHLEDYVHRAGRTGRAGAKGTAVTFITEEQEQYSVGIAKALEQSGQI
VPDRLNEMRKSFRDKVKTGKSKDSSGFGGKGLERLDAEREAARNRERKTHKTDGDDEEEKEDKVGDEDIVSKAASTVQPASVATPTPQLYGVPKGID
LDGKITVHRTETAVSSGGGSKNPLDKVTSAIDAINARLNKTGQLRSGVPIDNKGPDAGAFHATLEINDFPQKARWAVTNRTNVAKILEATGTSITTK
GSFYPTGKDVQAGGDPKLYILVEGDTEVVVTNAMRELMRLLKEGTMAAADAEGRAPASGRYTVT

>RCO7_06900 | uncharacterized protein

MLSSIGRASVRRVVTRSPKSTNRAAQGIWQFQRANIENANNTSNRSQVNNITRRSYATATKAIAKPKASKPSVTSRVVQKPANSVNKKVVAKKTVKK
PAKKLVKKPIKKARKPVAKPAKKPVKRVKKPKSEAQLAAAAALKKTANLKALKAAALQAPDAKPTKPWLLYVSDMIVNREPGQSFGDIIQATANKWK
NLSPAELEVYNRRANENKAENAAAYKKWVESHTPDEIRQANLARAALRRLKGNKAKKPSNIKDERQPKRALSAQFFFHRERWASGDLKGIRIPDATA
LLFKEWNELSPAQKQVYKEREVAAKQAYVEEHRAVFKRDPPHTKIEVK

>RCO7_06899 | probable aldo/keto reductase family proteins

MAGTTHTLNTGAKIPAIGFGTWQDKDDQEKAVTEALKAGYLHIDTAAVYGTEPMVGAAIKKSGIDRSKLFITTKLWNNKHKPEDVEGALDQSLKDLG
MDYVDLYLIHWPSAFKPGDNKFPKDSNGTTETSDISYVDTWKAMEKLTSTGKARAIGVSNFSKKEMETLLKEGNVVPAAHQIECHPWLQQKEFCDWH
KEKGIHVQHYSPFGNQNEIYSSGQNMGKLMDDPVLVEIGKKHNKTGGQVALAWGIARGHSVLPKSKTPSRIAQNLEGDFKLPEEDMKKIDGIDKKLR
FNDPSESFGYKFYTDLEGKK

>RCO7_06898 | related to diacylglycerol pyrophosphate phosphatase

MRQDFFSRATNGGFSKLLVVSYVLDWVIIIVSALVGAILAHISPNKRPFSLTNAEISFPHVEHEKVPLVALGCAGLVGPAVIIFLVCLILVPGPTVS
KSIPKSLIFKRKLWEWHQGWLGLALSLAASFLITSGMKNLFGKPRPDLLSRCEPDMANLANYTYSKFLAGSIYENFNVVSAKICQQSDKAKLDDGFR
SFPSGHASFSSGGLVYLSLFLASKLAITIPFLAAGSSATQMSAFPSRATTRIMEQRTRAEQDKPIPGDDLLEEPSGHDDKVIAARNQAAGPPVYLLV
ITVLPFFASIYIASTRYSDFRHHGFDIIFGYLIGTVTSIFAFRYYHLPINQGAGWSWGPRSRDRSFWAGVGVGNYVGSPERTPSPEILERTNSDMEA
GRSIHRNHTNEVGNSENTAYTGIAR

>RCO7_06897 | uncharacterized protein

MDPQLAQDRSIVLTSTTGEKSNWCPREHIPMNQVWDSATAAHILNEEFVKTKRPRESGKNRKELKWWKKKLSYSQMFSKRTMSDLETPVDTPPSHQS
ALRKCFNSIWRPADESEAAIPRSQSIGFPSLAVKNEDEGTSIAAADIVAASGGPSMRRSCISKHTNENLNNERVVCRRGSPRSAATSLYELANQPGG
GSLDPLAGPSTQRSRFIYERAQGMMSAEGMPPPIVSFRRKIKSANGSNQKDRNQSDKAKRGWKWLYCCSKANNESDCENQGQGNLTSAAEQTLINMS
FVESLEHEHVENLEITDITKLEQSTEIEMVRLILEPRKADTNSNGFYKFADEHETVEFEHDDTDKTRFENSKTENLKELDMTLHKGLSKANSRSNFT
AILASRPLARALAPSAPRLGEAELSLGRRLKAMTLRHGASAKSGGLTHENVWKAEARGQGVAEGEADVECDFVKVQIPASDMVAPKRSPAATESRVR
YLGLALQEAIDTNLPKPMEKEGSLRLHQVNNLHAPSASGSDQTTSANSASTSCLNTTAYASYILESVVHAFKSTPLIPARDITGPSQIMPIETRKPG
RITYLYASFFQVPNQGVALDKQDAPCGFESKSAPLTMPESWPGEDEWLTDDDAFEESKRERPIPSEECKK

>RCO7_06896 | probable ribosomal protein L9.e.c14

MKYIHSEETLTVPEGVKVTIKSRLVTVEGPRGKLTKNLNHLAVNFSHPKKDVINIELHHGARKNVATLRTVRTLINNLIIGVTKGFKYKMRYVYAHF
PINVNVDKNSETGLFEVEIRNFIGEKIVRRVIMQPGVEVEPSKNQKDELQLYGNSLENVSQSAADIQQICRVRNKDIRKFLDGLYVSEKGNIEEEA

>RCO7_06895 | probable dipeptidylpeptidase III

MNAQEIKNFLADSPPSTVNLEIKKHFDALTDQQARYAHFISRAAFTGTRITLRQVSPESENIFDFIIELYRSTTGDWKALQEKAGISSEESQQFLEY
ATQFLGNCGNYKGFGDAKFVPRCSEKVFDSLASACPKAGEFYKATNGAIFSSDNSGIMHLGYPEDGHMTTYYPDSEGITKAEIGAVSDFIGKIGLLP
ENTRLRKNADGNFDLLIASAVTKVPEAGGDVGTTTEFDLDAETVKGKKLKLVYGDYSKEMALITGYHKKAAENAANENQKNMQLAYAKSFEEGSLEA
FKDAQRFWIRDKGPMVESNIGFVETYRDPHGVRGEWEGFASMVNLERTRAFGSLVDAAEAMIPKLPWSTEFEKDKFLSPDFTSLEVLSFAGSGIPAG
INIPNYDDIRQSEGFKNVSLGNVLSAKAPNEKIPFISEADLPIYQKYRDAAFEVQVGIHELLGHGTGKLLQEIEPGKFNFDPKNPPISPINKKPVTT
YYKPGQTWGSVFGSVASSYEECRAETVAMALSCDFQILKIFGFGDGSPDMDGEAGDVLYAAYLSMARAGVASLEMWDPKSRRWGQAHSQARFSILKC
FLEAPEDFCKLDYNNEDLSDLTIKLDRSKITTVGRKAVESYLQKLHIYKSTADLEAGTALYAQMTEVEPNWWGETLRNEVLRNKQPRKVFVQANTVL
DEATGKVNLVEYEPSLEGMVKSYAERNV

>RCO7_06894 | uncharacterized protein

MSARVPNPPAYPSSDSTVLSGKAWVVKKGSHTKKPYPHSLHHPDANSDTNLTGKAGQLCVLSTPEGPQVGDLNIFSLHNPRERFWAARTRQLHASHV
SVGDRLWSNLPYLRPLVTIVADSLKDYCVDEVGGRCHDLLGTSDSVPTWSTLVDHLLTGDDFDYHCHSNLVKAILPFGLTETDVHDVLNVFQVTRLN
EDGKYCMETCPAKPGEYFTFFAETDVLCAMSTCPGGDLSVYGWGEDSAKRMLDTCRPLGVAVYAIEEKEEVLKGWKESEPARYRGMHGVKMPVWGQ

>RCO7_06893 | uncharacterized protein

MSRHLRLGVIVPSSNTALKPLRQAIINSINTQLGHHITVHFSRFAVTTISLTPSALGHFEVPHILATPELLAHAQVDVIGWSGTAAGWTGIKATTSV
LALNKLLEIWRVKRLGLVTPYVDDVQAAIVKNYKAIGVEIGEGMERHLSVQKKNDIAAIGEDLLDGLVKEVVIANVDAVATFCTNLNAAQRVEVWEK
KHVIPVFDTITTVLWDMSRQSSVDMSELEGWNLIFKKS

>RCO7_06892 | uncharacterized protein

MRRVQQRIVGAAVLVSLVLLYVWYNHEANINQGPRVISYTSSDSAKPVKEGASAVTSTSSSQGYEPQSSHDAVSSVSQPATPVSQNVAIETSLTEPQ
PTKPPSSSTPIQSAEPSHSPPAECVRYEDLQRSRQKPWSEGSRQFPYSRPSPECRTFNLPAMEKLIEKMKGVIKDPDLFRLFENSYPNTLDTMIKWR
GFAKEQSDDGVEGKVTDEELTYVITGDIDAMWLRDSASQVLSYLPLLEASTEKDSLASLWRGLINIHARYIIISPYCHSFQPPPESGIPPTHNGAYT
QNHPMPAYDPSKVFDCKWELDSLASFLQISVAYYERTKDIEFFQKYKWVQAVRQAIIAAGAMRLGTYSKEGKVEASAWTFTGWTNRGSETLTNDGLG
NPTKENGMVRSAFRPSDDAGIYQLFVPANMMWAKYLEDTSLIMEKLTGDDPKNLTTEMRDFAYGIRKGIDKDAIVHHKDFGDIFAYEIDGYGGSNLM
DDANVPSLLAMPLWNYTESAFKLPAPAQGEKAKDYKEIYANTRRFVLGDSNPYFMKGPVISAVGGPHIGPGKAWPMAAIIRALTSFSTLGLAPTNSL
DKVSKKDIEEEVKQQVMMVLNSTDGSGVIHESVDTFDQHQWSRAWFGWANGLFGELMIKIFEEDVKEGRNPGWLGESWQ

>RCO7_06891 | related to sulfate transporter

MSLPTSQSALSSGRRMRAPSASSHSSPRLIPGSFGISGDGASDVEYDASQGHPDAQASQVSGLNPATASYREPTRSSVHLSYRGGNPTLADNTYTAR
SVREDTAELASYALSDRASVRSVSPPRRRATQTSIESYFNLGADGDASPVRNPEGLHNHVIEEVSEPVSPESSPTSVKAPGNSALTDMLRRSPPNTP
PRSSEEDGDADENWEDESPRQRRLTVTSNGLRSEPTETTALLRKDTRFETNHPDWIRGEQDVERQEVKRRPAWPKLRNVVLWPRDKGLHVAKTIINP
KAWDGKAMLQNAVKEPVAALPAVVVGCLLNILDALSYGMILFPLGQPIFEKLGAAGISMFYVSCIVSQLVFSFGGSKFKGGVGSEMIEVVPFFHKMA
FTILHVVGEENPDSVIATTIVSYAISSILTGLIFFLMGSFGFGYIVGFIPRHILIGCIGGVGVFLLMTGLEVCAGLSGNLNFDLATLKKLFELNTFE
LWIIPLVLANILFVLQPRISSKYFLPIYILCIPAVFYFFVLSTDQLNPENLRQGGWIFEGPAAGEPWWYFYTLYNFKLVHWGAVAETIPSMFALTFF
GVLHVPINVPSLGFKLDIDDIDLDRELMAHGVSNALSGFAGSIQNYLVYSNSILFINSGGNSRLAGIMLAVCTAGVMVIGPVIIGYIPTMMVGTLIF
VLGLELVQEAIWLPRKKLKNLEYFTVVVIVLVMGIYDFVVGIAVGVGLAFVSLIFQTSTVPAVRASYSGEVAGSTVRRNPTQYRYLRDVGQQIHVTK
LAGYLFFGTIVSVEDRIKGLIEEEAFHQRPIRFLVFDLTHVTGIDYSAAEAFNRLSRILGLKNVTLLMSGIRDESDIGRGLRATGVGDGANEVKMFE
DLNSALESCENELLKTLYASRDARAIRNATTPHLDAPVRPRSGSHTFDTQFSSPRRGHLLRAATTTLDDTSGESRFLNFKEPLRLILQTFQGLTDKN
EDFWFNSLPFFVKKSYPAGTTLYKRGEQAKGFYLLEDGILRAEYDLPQGRYFESIVAGTTCGELPFFSETDRTATVQAERDCVTWLMDRECWEKLQK
EEPAVAQELLRISLKLTSERMSAITSYVLTTAG

>RCO7_06890 | probable PSF1 - part of GINS, replication multiprotein complex

MYGDLGNKLVQNAKRTQKLEHLPPYQTETVRAVTREVRDLDKDVSNILSSFSGSFEPSANPATACTLLVNHLCMRRNKRCLLAYHRTRTDKLEEMVW
SGNDVADLAKEGGDGSGNRTGNGGGAELGNGEGNSSSLSPEEEEYVRQYSDLLAAYKGQWTDIDLTGSLEPPRDLFIDVRVLKDAGEIQTEYGTINL
TKNSQFYVRQGDVERLIAQGYLQKLS

>RCO7_06889 | related to mating type 1-2 protein

MSHSPPTPNDSEILPHNLHRLMQHNNNTSYPQEQHYDDGPHVRSQYGSPMPQPDDGYYQQNPSYGYDQGMGNQYDGYNRQMYQDHYSTPATSPPTPS
MGSRDMIRTRSGLGIQRGQQHLRPMPEGRSRLMKSPKPKKTKAVKAKAEKKIAKLEKPLSELTKDWDHLPIVDIGAYVNRSAEDRRKEVETGKIPGK
VKRPMNSFMLYRKAYQGRTKDWCLQNNHQIVSQVCGDSWPLEPDHIKEQYSEWARLERINHQNAHPGYKFSPSKPGTAKASKRKVSEEPVTEDSDLD
DFEWQNNFKRGSKKHRPSPRMMQQPVAYPTTESAYEYATRDNSMEPSQHFHPSSYQANNPGRALPIQYQNPSRGEYYQQMTHNNPGQAGVEDVVFKR
ANTPGPHSYLGLPGGNQFDLMGYQRYQSTPAPEYRLDPSLIGHDQQSFNSSSIYNDGLPSAYYNESSNGDHQWEAPFAAQDNDALPFIDPALSHDAS
QIQDPHAHMLRGNQEGWHVESLPDGEQFNNWMDEV

>RCO7_06888 | uncharacterized protein

MQTREQRLRERDARRILHEEELASLSDNSKKIETGEGRLSERHIKAEIARKKKALEELEEEEDWIFDCICGAYGQIDDGTHSIACDKCNIWQHSKCV
GVKQSEADREDFTFICQTCQRRAKDAERAKNQPPIKIKINRPGSSSSQATPKPNGTPNAVSQSNRNPVAGSSPVTAGYSSPAAHVSPTQFPRQNGHP
DLQSGFSSLQNNPAQQQPILQPPLVNGYQVSPQRPDQRPAATPNAIYTGPYGPTQLNRGTPSILHHNGSRPSSSHAFSSPHPQSPTSLPPPGQPPTY
TFINGSASKQEGLSQAQVQPEDNRYPPVQNTPLGSGNYIPGTSSSNHMMNGPRPGSSDGGHRRSSFNMPSPLSGVPLLTPSNKPFPQSAAISNGSFQ

SPAAGIEHFQSSPPHPSPALPPSTTDSGHASALPSAATGLSPTKHSPPRPASNTSFGSATPSILPPVASLSPSPRHQNLSPPIKPAEAPRPNGQVVG
Q
>RCO7_06887 | related to voltage gated Ca2+ channel
MPPANSQDNGQPSTPPQSIPLRDLIRPPDPIDLGGVERRHTRGRSLLGGGSRPTSGGGDGPRYERLGNTSPSPTERQSARGGLPGLTVPTQQRRPAQ
DDSGTPVSPVENPGDFQSAMGFAGLLVPDISVSRAPRANTPAYGSADYDHFDSISPYGHGVLEEPQTSYFGSESDRVPLTDPDSLQPISGASVTPGP
HRHDRTRSSFQSVAFDTPEAQHGTRSRLGDDLEDPEAGVRSRGHSYGNSLTPDGRNRSRSPSNASGALLKAGSMVRAMSQRVVNLSGEAELIEASAR
REARRASARAREGSTPDTINTMESLSDESETRFHPKHRADPLAAGPNYHQNLPTAPVEKAMRFFGGAQTQQSFVEPPEKPPNPLRGKSLGIFSPESR
IRNKLCDALVYPLTEPAILILIVIQTILLAVESSKNVYTHPRPERWGESLIDYATFGLFIVFTLELIARIIVSGLFMNAPEYSTRKNKSGLKDTFFE
KYHAVFKPQRNSSLRVPRNPSLGGQTVIRSFTAIQGESIRTVEQAQRLQLARRAFLRHSFNRLDLVAVVAFWIAFVMSISGYENSSHVYIFRMLSCL
RILRLLALTNGTAIILRSLKKATPLLVNVSFLIGFFWLLFAIIGVQSFKSSFDRQCVWIDPTDPFNATGSAYIHKLQFCGGHLDATGVAQPFQIGYP
NNTTNGAVSSKGYLCPRGSMCLELTSEKLPFNGTVSFDNIFQSLELVFVVMTANTFTDLMYYATDSDYLAAALFFAGGIVIMTLWLLNLLIAVITSS
FQVIREEGRASAFAAQIKDMLPSEKNGAPKRHTALKRMYDKTFWFWIVVISYDLLCQAFRSSTMTPDRALFIENSEIVVTLILLVEIIIRFAADWRN
FFQLNRNLFDLGLALITSAILIPPIRHSGQPYAWLTVFQIVRIYRVIIAVPVTRSLITLVLGNSKGIGNLMLFVFLITFLMSIFAAQLFRGELEPTD
PHGDTIEITFFTIYNSFLGMYQILSSENWTTTLYNITAANTARNTAWIGAVFFIGWFILANFILVNMFIAVIQENFDVSEDEKRMHQVKSFLNRKDL
GSSSNNLSLSALFRFGRARTTKDPLDYGPATMEMLLKDAVVKDFLDDEMLNEPESTVASVPFEEPATSKVGSASTLMDQFRSRIWNREPNPFYSNKQ
FSTRPDEAADARTLAKEAVSASSQRKKAQREFLTRHPNYNTALFIFKPTNPLRRLCQKIVGPGRGSERIDGVEPNTIVWYTFSAVIYMAIVAMVLLA
CVTTPLYQKVYFETHTFAVRNWFVWADMAFAIIFTVEAVIKVIADGFFWTPNAYFRSSWGAIDGVVLITFWINVITSLSNDGAVSRAVGAFKALRAL
RLLNVSDSARNTFHSLIIIGGWKIISAAFVSLSLLIPFALYGVNLFNGKLLSCNDGSDSIVNLTDCFGEFSNTPFSDDWPILMPRVVSNPFFDFDNF
GGSLFILFQIVSQEGWTDVMWSAESIVGRGFQPKDYASQGNAIFFVIFNLLATVFVLTLFISVFMRNYTEQTGVAFLTADQRSWLELRKLLRQVAPS
KRPSSTEGNNFKGWCYKRAVRKYGRWQRAVTLVLVFHLILLLVEYYPEPIWWDSTRTYTFLACTLFYAANIIVRIVGLSWARFRRSSWDVFSIVVVS
GTLVTTTLLLTRFEYQVYIQLHKLFLVSIVLLLIPRNDALDQLFKTAAASVANIGNLLATWFVLFLVFAIAMTQTFGLTRFGENESDNINFRTVPKA
LILLFRMSFGEGWNAIMEDFATIQPPLCVEAPSFFDSDCGSGSWARALFILWNIVSMYIFTSLFISLIYESFSYVYQHSSGLGKVSREEIRRFKQAW
ATLDPEGTGYITKDQFPRLLGELSGVFEMRIYPHEHSVRRILEDIQPEPTSGRVMSISSTSAAVTGVSLRALNSRLNQIDAKAIQRSRTRYNLFYEE
VMVSADVDRGISFTAVLMILAHYNVISDNKSLKLEEFLRRRARLQRVEEEVRRRIVLGFFDTMYWSRKFRQHLERKRSGRMTDIPQLGPEVYIDDEV
DIAAKRARATVSPLLSPTDIADPRSSFITHGLGGAARHRRGGSSASGPLSPGTPGMSSSLAPGSPRASPGASPQISSHKPSNSTFSFEGNESSGGGA
GAGGGSAQSSRRGSAVSAENVLDVLDNSAWGESIRRSFTLRRPGDRPGRGGG
>RCO7_06886 | related to ferroportin 1
MSSITQSNLSPATSGSQNSEDVEDTESTSPILQLTLEIEYNDMSRSQAHNLYISHFLSTWNVRTYEFAAIIFTATAYPDTLAATSIRYFTSSQLKLS
TWLSPSLLFLGIVRTLASILFSSMVGRWVDQNPSRLKTLLSTISANRCAVICASVLWYFIVMADASPPSAIVYDENGILSFVMLKDIIFTLILLLGI
LETLSASGNVLSMERDWIVTAASPDGHTYDLTHLNSVMRRIDLICKLIAPILISIVISCTTARIGVLVVGVMSAISWPVEMFCAKRVWNRNPQLQAP
KMCSLDDSQQKQAIVGPLGVMNNVFQGLRSYIKDFKNYFSSTVWIPSFALALLHLSALSYSATFITFLLSTGYSLHLITIARAAGSVVEISSTIVAP
VGVQYLGKARNHGRFRGRDVLGMNDAEGLLLVDRAEDIEGRTETGLERLGLWGLSWQLLNLIPVVLALWCLSSEFVSTEPGFGSGQIPVSDFSNILT
RLIPSPSPTLLALSLFTFLSLSRLGLWIFDLTTQQLTQTLTSPTSRSSFTGVEYSLISLFELAQNVLAIVLSRPQDFKWIAVISLLAVCVSNVMYAA
WVGKMRGHLVHWERLGKGWYPLIFMQFSTQNPESCLPKPTLASLEHHNNKPN
>RCO7_06885 | probable aminomethyltransferase, mitochondrial precursor
MKRLRAVSSLADSVAVQRTASRSSRTLSTALYRKTPPISAPKPYSLSRVSPPSLLKQTTRHASTATPNYSALQKTPLYDLHLTHGGKMVPFGGFHMP
VQYTSLSVSASHHFTRSHASLFDVSHMVQHRFSGPGVNAFLERITPASIAGLETQKSTLSTLLWPVTGGIVDDTILTRLGPELFYVVTNAGCREKDL
PYLKAELEAFLKEGGQKVEWEVLEGWGLIALQGPLSKDVLSKVMVQSTGAGELKDMFFGSSKFIKIKLLNGEVSSPLLVSRGGYTGEDGFEISIPES
EAVVVTETLLQSAGPEQLQLAGLGARDSLRLEAGMCLYGHDLDDSTTPVEAALSWVIGKDRRTSGGFHGAEVILAQLTPKTKGGPGVERRRIGLIIE
GAPAREGAEIVNDKGEKVGNVTSGCPSPTLGKNIAMGYIKDGFHKVGTDVEVVVRGKKRTAKVTKMPFVPSKYWKGTALS
>RCO7_06884 | related to vacuolar ATP synthase subunit H
MSLNPPPYLASLQNNIRSRPLPWDGIVRAGTISDAQLSKIRAVDKVRKEQRKEVVEADPDGYRTLFVGGGGQPSVLESAAKRGDVVQYILVLLGDLL
DGIPILAKALSEHQDPYGSLVPLLSQSTDPESPIPLLTSTVLTSMIASATEFTKKEASATPKLFTYLSSLTLVTDGGLQDIAVLEYSSLLRSKKSRQ
LFWEQRRETVGPLINILRAAAGVNGDGASTLVSGAASVRSGIEGNIGGGVGLQLLYHVLLVHWQLSFEGAEIGEGLDEEYDIIPLYTQLLRLSPKEK
TTRLLISSLYNILSTNKSTLLPAAVLAKLPALLQNINGRHLSDEDLLDDLKNLSEMLDDYTKTQTTFDEYAAEINSGHLRWSPPHRSPTFWAENARR
ILDHDKGALPKKLQEIMSKSWETDKQVLAIACNDIGYLVKEVPEKRSQLEKLGLKTRVMELMQEKDEAVRWESLNALSGWLRYSFETK
>RCO7_06883 | probable G2/mitotic-specific cyclin-B1
MPPAAARAALGRRAVTNENDENSAVGTTRLTRSKSAAFSEESTSGAKKPLQSKKVTSNNQPLRKRAALGDVSNVTKGEVIEGKKTVGKAGLVSKASQ
PTGVQKNLSRTNSSRSALSTKDTNKKADPKRTGSGVLAGKRKTASTSTSIQEETPAEDEQPSRKKIHIEVEQTVIVEEEFKENDVQPEAEEKSIAQE
FADGVEDLDREDMDDPLMVAEYVVEIFEYLKKLEVDTKPNAEYMEHQEDLEWKMRGILIDWLIEVHTRFHLLPETLFLAVNIIDRFLSTKVVQLDRL
QLVGVTAMFIASKYEEVLSPHVANFRHVADDGFSEAEILSAERFVLTALNYDLSYPNPMNFLRRISKADNYDIQTRTLGKYLMEISLLDHRFMEYLP
SHIAAAAMFLARSILDRGQWDATLAHYAGYTEEQIEPVFKLMVDYLARPVTHEAFFKKYASKKFLKASILTRSWAKKHAFSLGVDVSLPLDMGAR
>RCO7_06882 | related to mitochondrial ribosomal protein L2 of the large subunit
MLQPRLLLRQSQKTFQYQLPMRNALRHYATDAEPVKPESQVSAAVGFAPPPTAEVNASFQMRTYKPRTPGLRHLKRPINDHLWKGRPFLPLTLAKKG
HGKGGRNNSGRITIRHRGGGHKRRLRTIDFLRMTPGKHTVERIEHDPGRTAHIALLSEEATGKKSYIVAAEGMRAGDVVQSYRAGIPKDLLESMGGF
VDPGVLAARTAWRGNCLPLHMIPLGTLVYNVGSTKGKGAVFCRSAGTHAVVISKDDATTTGGMKYVNVRLQSGEVRKVSKDACATIGVASNPHYQHT
QLGKAGRKRWLNIRPTVRGLAMNAADHPHGGGRGKSKGNVNPVSPWGMPAKGGYKTRKVRKPNKWVVTARERNHGKRRVK
>RCO7_06881 | related to Zn(II)2Cys6 transcriptional activator
MSTSSNTPPDGYFNDLSRPTGNLGRNKRARSPSGDGIDCGHASGGDTTVPKPKRIACIICRKRKLKCDGTKPSCSTCTRLGHTCAYDEVRRKSGPKR
GYVKALEERLKQVETLLKTQEPVPAVPEMPQSFTNGVANVSGVGVRPIPASDFNISNISNPSINLGSGGDADRWTFNGESPQPPLDMAFTADMNMDM
GLDDNTFTWEMIGLGLEEPLPPQDTIDELAPSQRPPVALRYAMWTLAATAEDKFMDLRDHFYHRARKYMETDALKGHGEHIISIAHAQAHALLASYE
FKMMSFPRAWMSTGAAIRMCQMMGLHRLDGAGLDVKQCLPAPRDWTEREERRRTFWYAFCEDRYASIGTGWPMSIDEKDILTDMPASEDAFNMSKSE
RTLSLNDSMSPSGASKLSSFGGVVLMACLFGRNLIHLHRPDSDGRDNDLNGDFWKRHRNMDNILLNTSLSMPSHLKLPNGLNNPNIVFTNMNIHTST
ICLHQAAIYKADKNQLPASISAESKVRCITAANEIANIMRLVSHLDLSSTNPFISFCLYVAARVFVQYLKSRPEDSQTADSLRFLLSAMNALKKKNP

LTESFLVQLDVDLEGLGMRNPKYKSVFAYSEDNLGISSATMPKMGQGPNGLPNTFRNECLYSKILGEVDMGDGQSPNGVTNKANTFSREPGSNTAGS
SNTQNDIFGGQSSWMPLPDHPAADSGQGVRRTLQGLVINESRRPATFVSLDLSYGNSESSTGADMGISPDTTNSSSNRPTPNASTPSDSRLNRQSGQ
SNSGAPSFEASPNATHQNLPTSDSRSMSAFFSTAPDYGNIPATGLTPDNTFSMPETPGREFDVPAGWEMSNQQTSGLTPVGEGVFRHLMGLGPMDAM
DLAWEGGS

>RCO7_06880 | probable THO complex subunit 3

MAPLRIRQSMSKDKFSSYFGTQRTIAYNDPSSRGAGSGVRSIAWNPLGSLIATGGDRTLRVWNPDRQNIKYSTELKGHTAPIEKVAFNPVKDAELCS
VSSDGVVKFWDVRTKAVINEIKGLGDAFTLAWSPDGESLIVGSKSDNLFVLSPTQSTPISSHQQSIQTNQITFCHSGKKIFLTTGDGRIKIFSYPEF
EPMFYSKSDPTNPFTLDGHTSSCMSIDMQPTARFLATGGSDSIIALWDTTNWICQRTLIDMTGPVRSISFSFDGSFIVGGSEEGSGLEIAHTETGEY
VHSIKTAGACPVVAWHPSRYWLAYTDVGGLRIIGVDPDRK

>RCO7_06879 | related to DUF1339 domain protein

MYWPIGAPRVYAASNKRSPRSRYQESDDDFETTKGSSSLVDAPSNGSEVEDEIETPSGLSTPVTPMTPGIHPLDHDTQRYFSSGPTGHNPSISETAG
KQPLLSLKISRTGHLFAVITSTTLTIWQTKPTAILAVVVRSKKSLSNYGPNVSLLVRPDSAIFVIQTTSGYLITYTLATDPDARVYQPHFANHISGQ
TRRSSNFSGARSQGGDRILWGPGEGGGVREVSVRFRMVIKVDAGISRALALDNELVVATQKPAAVQCIRWTPDSAGNQTSTELFSRMDWLPKKTTVV
EMIHDRPMNLSTWITSDGKGYAVQRLHQQKDSDAPAKLFRGYCFHNPQVPASTAVKAAINARFSLIAIGCIDGTIQVYTARDYVGNIPLSHVHRASV
SGQSSGPITCLSYSPDGYYLFAGYQNGWVTWSVFGKPGTTSFGSDRRISEQHAEGWLEGVKEASWLGGGSEIIMIGQQDDRIWALEMARSAVTGCYS
SANISRTLLQTTSSIMVYRGYDLPDLTTISAESSLWHNAQIPSSYLVDQWPMRCSVISADGRYVAVAGRRGLAHYSINSGRWKTFADENMENEFQVR
GGMCWHQHILVAAIEAGESFELRLYSREAALDNSFVLHVETLPSPVVLITPSGDDSLLVYTYDNLLYHYIFTTVSGSIKLVQVGQIAFNGIVRSPAR
VRGLSWILPDDQLLQGDPSQDVAVATVLFLVDGKLVLLQPSLDEEGKLKYDMRVIAQNVEYYTLMRDLPLSSPTRMVGTGDASIGSHLDRDQGNGLR
DSLWVFDGKDVKLWTDVQDVLRSAPSELGRELPPMVSVSVDFYPLSVLLGKGILLGIESDLIQRRDVNFAFYRFTIRTQLFVPEVLRFHLSRFDSSA
ALHIAHRYQSLEYFAHSLEILLHNVLDEEVDNQPSPENALLPGVLSFLSSFPQYLDIVVQCTRKTEVRSWRTLFTYLPPPQDLFEESLQRGSLKTAG
GYLLILHTFEELSSSSEQLVRLLFRAKDEGDWDLCKELARFLTALDETGDTLREALEMVNLRSPQDERGNTSFLFEGSRLKVPRASKNAAITNGSNN
SDVDDQSSGSRSPKSPMTGRGSRDYFSQTAV

>RCO7_06878 | related to Ckb-2 casein kinase II subunit beta-2

MDDTAIDRMEPSSSSSGDIGRVISGDNMDMRLSNLGSGLHRHDQDGNQSFDPSDSYSDSSAVWGHQVHHGDEEPYVTRFISSRGNEYFCEIDEDYLT
DRFNLTGLNTEVQYYQYALDLVTDVFDLDCDDEMRETIEKSARHLYGLVHARYIVTTRGLAKMLDKYKKADFGKCPRVMCKSHPLLPMGQSDNPNVK
AVKLYCAKCEDIYNPKSSRHSVIDGAYFGTSFHNIIFQVYPALIPPKSADRYIPRIYGFRVHAPATLIRWQDGQRNDMRKRLRKLEIESGFKDDEEE
VEAEDSDDDEEDEEVEMEVLENGEMEGGELNNQI

>RCO7_06877 | uncharacterized protein

MPRSATDATRFTSTIPHQSKAQLPSRSLPPRKAAPSPSPKGETPQEKVRRLRAAADAARDAQITTLDKVVIRGRVWADRAHKFVTLSLIAATVVAGG
VTVYALGDMMIYNRKKRAQFFEEQKAVHANAIYKARLAIDAGVATEEDIKFIAREDEHAARLEALARAKEEKKGIFKRGKEWLFSGLKKEEEGETVG
SSERRLGYEALSEEDDNMGERESDIVRAIEDKKMAISTKAKQAFAEEKEKQRKGGPLDQIGTKLKAHDDDDDAKPSSWTSFLGRR

>RCO7_06876 | uncharacterized protein

MASHQGPPDLASILATLAELAPQGQQHQNQPIIYSQQSSHFEQPQQAWTPIIQEAPHIPRSTTPTEPPPQKAGVDPSTIIEWSAGLRCVMKSVARNE
NITNDIRRMMKVQREHEEQWWNGREMLIEKQKARKEGQKKLDDVLKAVGGAVTGFASNHSDDHDKELQTFDMKVYKAQLMMVKEMTAKLRSLGVPFF
GTRSELVRLAGKEENASNGTPEQKIGNGMIDEVELIDLQRRMLVILEDLCSD

>RCO7_06875 | uncharacterized protein

MFTQPWASRKRDREVEDETSSSFSAHRSKRRIAALPHRQSPKINRQTSSAFALENNYASNYTSQPAPPTITPADSDSEEAAAAASAEPRSFFSPYSS
PATAGLMPIGSPSPLLDSFESHTTQSTQMSDAPSYTDEFEMTDSMHMSPGPFQSDTSPSISGRIPTPIHSSFARFVRAEKTAVHCEGDDEALVDRFR
RGRRLPSPISEGETSPSVIVAGFEDMQMEVEFPSSQIDPDKETPTKKGHTRSKHSLRNWTGYGSELNGGMKRSFSMGYRADCEKCRMKVPGHFSHII
TY

>RCO7_06874 | probable 3-deoxy-D-arabino-heptulosonate 7-phosphate (DAHP) synthase isoenzyme

MPSADMLTDDTRILGQDPLIAPNLLLSEVPISKDSLSTVVKGRRDAVEIVMGKSDRLLVICGPCSLNDPETAVEYAGRLKALSDKLSDDLCIIMRAY
LEKPRTTVGWKGLINDPDLDESFKINKGLRISRQLFCDLTNNGMPIATEMLDTISPQFLADLISLGAIGARTTESQLHRELASGLSFPVGFKNGTDG
SLTVAIDAIGSAAAKHHFMGVTKQGLAAITRTSGNEHGFIILRGGTKGTNFDAESVKLTKETLQQKGQKQAIMIDCSHGNSNKDHRNQPKVAQVIGD
QLRAGETSIIGVMIESNIHEGNQKMPAEGPSGLKKGVSITDACINWESTVDVLEGLAAAVRDRRKLSVSGSA

>RCO7_06873 | related to Pseudomonas L-fucose dehydrogenase

MPPTQPPLSTILPPLICGTGTFNNLYNAVTADVPTDAIVERALELGVRAFDTSPYYGPAEVLLGHALSTPSVLKNHPRSTYRLVTKVGRIAEAEFDY
SANWIRHSIQRSLQRLHTSYLDLVYCHDVEFVSPAEVLVAVKELRRIRDEEGTIKYVGISGFPVPLLCDLAELVLRETGEPLDAVLSYANFTLQNTT
LVSLGLERLKRAGVSCVPNASILGMGLLRSKGIPIGGKGDFHPAPRELRQKCLEAARYAEGTGERLEVVSIRWALDTWAREGAGLGGVGGIGVSVFG
TSNIQELEETMRVWNSVLDGLPIAGREVTKENKEWSLARMKTVAEKAKAVAGILGEWKDYTWASPAVGYVNVRTVKGVVDDVASLPLVEDGSAKDSR
L

>RCO7_06872 | related to Protein sip5

MGNNTSSTREGRGPDLSPSNSRQVEPGPASPADRPAQSYSSRSGRSTGPDLSFLRIGTSSQNEAPERRETKQEKDARRLEKERVARIKERERSLREE
HVDGGYLVTMGVYTGAEDFNKAIVRQLMIERRMAPFWRGLDEFKEEWTEHQLVAAGRGLPIPAADEIPSDDLTRPLTSESAHPSNHNLQNLMPPITS
RSQSTGSNASRSLSPSHPAFSSASTPNSPPATAQSSSSFRPRSKTLASLTNSSKNVSATEITPREVQLPKDPYVNRQAIEVYLYKNSAECPICFMYY
PPYLNKTRCCDQSICSECFVQIKRPDPHPPEHHDPSNPASPPTEADLDPEALVSEPACCPYCQQPEFGVTYEHPPFKRGLTYANVGNVSFAKSSSAS
IDSAGANQALSPSANRRRTISISANASTVITTDKVRPDWSTKLQSARSHLARRSAAATALHTAAYLIGNGTTVDQRSFGFSGRSRFGRTNRSENSPG
TSGAATPSPTTNESTARSVSDQLHLMRREAQESGGARNRSRMEDLEEMMMMEAIRQSLAAEEERKKKSEKEAAKEAKRKAKDDKKKEKKERRVYGSG
ASSASGSALSLSLPSLGMGRRRGNSGASNLQREVTMEHLEGPESKGKGVDRGHTSAPSASSSSAPIDFPRSGSSHGILGARHLDTNTLSSINDSHQP
SQSPTAPEKPSHLRQMSNASSPASSFVESIPGSLRNELHTHGSSSTIDSPSASGTNLAANTGSDSGDAGPDSLFNFQSLASMISQDSKEDKEDAARH
IEYLGGEGSKQSSQTDHSGACLDESVATLKISSSVVDTNRDTINPIPLEQQRRTPEVMVTPETPAALNHGDDDGKQLGFSSADSTTREITQ

>RCO7_06871 | uncharacterized protein

MNRLTTIFLSFFMLITTIAASPPSFCKCTCFSNSTIIPLSNTAPSSTSSSSCLTCNKAFCLAQRLPICKDAEEKDVLTTCFQRDSRKDQIVVLTFIA
GTLGLLAWAAVRKVVEQRREGVRIGEGMSTPVGSYAPVGRS

>RCO7_06870 | uncharacterized protein
MRRISRLHRPIDLLRLRKNAQSTSTYLCSACKHHASPITTSALRAAQDGKVSLTDKLRRKIWGTDSPPGLDDPYGDKSVFDQTKKNELKRRKEQEVA
IRLNRQKDVEKPVEDPSWNDYTEASTWDGMETVGSTERPFRRQHKYQAFVPKKVMTDGDEITAALHRAMVEVFALQEAGRPLGSFHKGMPGQDMTLD
ITFDHSPSGPVLKFMDEAPPLWDIVNSITKLTEASNKKREPKNPKIPEQDVAADRSTADPLKSYAEKASDETLGKGKPTESEEDVAADRSSEDPLQD
GNYLQVTYEELIASWGQAWLQVSLENPEMKFAVLKRFMQLTGIRIPDAHLGSSRTASALLKYLIVQPKPRKLVEALSQKEDIVTLPNVSIFAKRITP
IQKERSSGRWKVIQEELQKRGLPVTGHETRVRI
>RCO7_06869 | related to DUR1,2 - urea amidolyase
MVLELQPALPSDSDRIATIHLLAFDSNPLLHAQFPTPASLTALHSILRQETLHAIQNTKDTNAILIVKDTNLEKQEQIIAFAKWDLPTGKKVVLHER
VTWPDFCRREWLDGYHELAEAAKERVMGSAKCYRLTFVGTLPKHQGRGAGTLLSKWGVQKAKDDNLPVYLESTIAASPLYRRLGFVALDGLSMVLPG
NGPDGGPNIYEEIGMLKTPEGSDMDRWDSSLNISSLVLDYEAGIKPQHVIQAVYDRIEAYKAIQPSVWIHLQPFGEAMRAAMEISIKWPDSDKRPPL
WGVPFSVKDSINIAGIQTTTGCPALAFTPTESAPVSQHCINAGGLFIGKTNMEQLATGMTGCRSAFGTLHSTFSKAHCVGGSSSGSAVSVSAGLVSF
SLGSDTAGSIRVPALFNGVVGFKPTKGTVSARGVSPASLHQDCVSFLTTDVLDAERVWNVCKGFDKSDVFAKLPSQMQTSRLDPGKQQRSLKFRFGV
PPPSALEICSPIYRKIFLQVIEALQNNGGESVDLDWEPFERANELLYNSSFVEERLTMFPEGWLDENKQKLHPVTRQVFEAIQARKGTAVNLFRDLH
KQAEYVREVQDILTLKEVEEGVDEITLIIVPTTPFHPMIKEVEEDPIAINGRLGSFAHFGNVLDLVGVAIPCGRYESHVLNEAGKKVELLFGVTVLT
GMGFDGELLKLVGEWEEWFDDIGSVDGGSRE
>RCO7_06868 | related to nitrogen regulatory protein
MSAPIAISRTAPIAIAARKPRPEQSIEFPSSHNQTNGRTRLSISMSSTASEAGSNIRSRKERPCDACRRRKSRCIMNEGQTTCVLCQFHTQECTFVQ
SPQPRKRKLNSEGKEESSAKRRSPDRADEIRKRPAESISSTGVTNSLIEEMANFGGPTLLKRTLGLQNDRYSQYIGPTTDFEPSLIDLSPFDPQDES
LLSRGILRKVSDVDTFLMLPDSNTPGCEHVIDDADAIEKIVEPHGPALLELYFRIIHPNFPILQKVVFYEKYKRSYREFSPPILAAVYILAINWWDH
SEELVSVPRPDIEELERLARVTLADAMYRPKLSTVQAGLLLSQRPDGDQWAPTAQLVAIGQELGLHLDCSNWKIPPWERGLRKRLAWALYMQDKWGS
LVHGRPSHIFASNWAVLPLSPNDFPDVEFDQSDVEESAEYEHGRLLFTQMIALSQIMAEVLDTFYSLQAMAAVSDAGPQGTHLVLQLAKPVQLKLKE
WFAALPQSLRMDSFAGTPNSNRLCSTGFLHLGYFATEITLHRCIIRSLSSTGTNPSSPSSPNTKPAVDPYIVHICRSAAKTRLISAMDFVNRLNTTH
LRSFWYFASKTNFALIGTFGSLLWATAPGREEADWYRRRLGEYRWTLGVSSKGGAAEGGGNARLTEFAMGMLDTSTGLLKSLPEKPALSRVGSESEN
LGGTQKQRSIADSYGYGYNSNGGGFGIGAARDRGDGSVGSYVDRDVDTDIGLHMKSGLASPSTSVSSSGGSSGDYEG
>RCO7_06867 | uncharacterized protein
MADPRATDQFDNPFQPRRPGGWTHQRVSIKETWGAVLAERKARGQEYVAPTYPASTKPAYRLTGRFERPSSSGSSTTSEISTTSTQLPARRLNREYP
FVKRWLESNTLEEYKAACASAAAAKSAELAEERNRSIEGQVRIGKLYVAEQFGGDRLAAEQYIKEQSTEEQFVGFSGAQLAAEELVEREYTGDQSFD
ERFVDEQHSGTQSFQEQQFRDRFLGEQQIPVQSIEDQHTQEQHAELESSGWNPDSEFDTELTVSSRLNVRYIPDESPRDTLRKLSRLLSQSPASRSI
ADIQATKSPEKETVFESSAPKTTPTPFTAKLESLKSPKLETVIQPPATEADPTPFAAITESLKSPNMETVAQHPASATTSTPLITKTEASISPKLET
TVPTPAPNSDPIPERPDPITTLARLEDASMEDSTLDAFQSFQEQMSSTTPTTFEQYFSLQVEERERLIDEAVRVRMNNRFNQTKHGLREAKRGIGRL
DDFISSMPSAPATVAVDSNSVAVTVSNSKETLFSFEVTSNNNTIEQHCSMKYPSWSKLWTTQTESSTTGRFAGSRMSRKRQLTWLGLILAIFAAWYL
IETVMCGIYCHPENSSKNTWHPSDPFFPWALPTKVDQWTGEVFSGSFKVMKLSWDNYRDPEGKRYRPRGWQRVMPG
>RCO7_06866 | probable RSN1 Overexpression rescues sro7/sop1 in NaCl
MDAIRFIDSLVRRQNQDSGAQILLDLLKDPFEAQLAQTSVYASLATSVGFTVLLAVGFSLLRPYNSLVYAPKLKVADERHAPPPLGKGMFSWVAPIL
KTKEQELIGLIGLDAVVFLRILLMCRNIFLAMTVVGCGILIPVNLAKGQQFKDTTTLARITPVNTFGLANWGMTICAWIFNIIIAVFLWLNYRAILK
LRRQYYDSPDYRASLHARTLMINDIPKDSRSDEGIGRLIDQVVPTSSFSRTAIARNVKELPDLIEQHGKTVRDLERYLAKYLKNPDNIPSRRPECKP
SKDDPNWGTFPKGQKVDAIEYLTGRIKQLETEIREIRLHVDNRNPLPYGFASYEDIDEAHSIAYAAKKKHPQGTTLVLAPRPNDIIWKNMPLSKSQR
RSRSIVNNLWVTLLTLAWIAPNAMISIFVITLPNLGHVWPAFQTSLSRHTTWWSIVQGVASPAITSLVYLVLPIIFRRLAIRAGDRTKTARERHVAG
KLYTFFVFNFLIVFSMFSTIWTFVSAVIENTANGTDAWKAIQDANFARGLFISLCKISPFWITWLLQRNLGAAVDLAQLWTLVWSFCIRKFSSPTPR
EMIELTAPPAFDYASYYNYFLFYSTVTLCFATIQPLTIPACALYFVLDVYLKKYLLLYIFITKNESGGMFWRMFFNRMIFASMLSTLVVFLSVWVHG
DGARMEAYVLIPIPFLMLAFKWFCKKTYDDKIHYYVSRTLLKDPEVSRSKLFDAKRDKLAARFGHPALYRPLITPMVHAKAQNKLASIYGGRLSDGN
HAFNSSESASVSGYSDTYALSPMQAGHAGKKSHGGVPGFEMVPENKLDFSYFKGRQEFRDEHGGAGGIYGRAEDIIRPDTPGSSTMFGESRPGSPAL
HTPPKVGDNGRRFSGVSYDSQGDLGGSSGYVPVPVYRHRNDSETDLVHGATEMPMSTPGAIGHSNVRDTSQDRRAPGFLGGGPQRYGGLPQQDEDND
PISYDYFRTRRQNAGWQGWTG
>RCO7_06865 | related to Ubp11p
MPEQPLKIASYAAGASLAAITLVYVFAPTFFIDGESASTTASSRKKTIVGLSNPANDCFINSVLQALAGLGDLRIYLIRETHRRKLDGPEVYAHLVE
DPARKNMPAWKIEGLQAGTVTKGLKDILNSLNERPIYKKTISAGPFVLVLEQGFKQRISRQQQDAQEFLQIVAERLCDEYHAGHRARKHAHQAQTEA
APGQLDEDAVKLKLDHLALDDSVSRTSPSLSVPTASSQRGNGSISNVEDDEVHKVALDKEDGFPLEGTSESQIECMTCGFKPTPSRSTFCSLTLSVP
QASSTTLSFCFDQMFKTEQIEDFKCEKCRLMHALETFREELRRATSDKFKTKTEGYIQRIEHAIDNNPEEDLKDVELPDRKFAPKRKIAKHTRITDF
PKVMAIHLSRSIFDSGRSTMKNSAKVSFPERLPLGGLMNQHFYRLSSVVCHKGSHHSGHYESFRRQTLSAPFSTPNTFQPAGVYSKPPTPNISQMPT
PRMSASSQIDEPGTDTSTLSSTTELLSPSSAASTSVSLPFPNGEANGRASSSTTSGSNSTDTTVKTPGPTSAPRSSDTASIRSLARSTRSAISSKLS
RSKESPLSTPSPSPRENVSVSGHPKEGPSDTAQKKRKGKHSDRWWRISDDKIKESKTGDVLGMQREVYLLFYELEKDG
>RCO7_06864 | uncharacterized protein
MALPLIYKAPKCMSCIRHMTLRFGDVFHFPAGQQVRGKKKLASEKVSTVKVHLLQNIPGYGRRGAVIPVTSGVMRNIWYPKQMAEYLTLAKVQELGV
KKDTIAERDSTFQTNAMRKLEKKQEREKQDAPDEGLLPRVVEAKPMEPMEPMAQFELDLLTPGQATSILDCLLPETLDFYRSPIALPTPKRMSPSIP
ATSTISPAAAAAAEAEAKRSGGGKPDRRGIYGSVSTSDIAANLKDILAEDVEGERVVLSHEDISFVEETEDKDRVKHLGVFDIEIKLEGAPDVVRRS
IRINAQD
>RCO7_06863 | probable FBA1 - fructose-bisphosphate aldolase
MGALEVLSRKSGVIVGDDVLKLFQYAKDNKFAIPAINVTSSSTVVASLEAARDAKSPIILQMSQGGAAYFAGKGVANGKQEASIAGGVAGAHYIRAI
APAYGIPVVLHTDHCAKKLLPWLDGLMDADEKYFKEHGEPLFSSHMIDLSEEEVDYNIKTTAEYLKRAAPMKQWLEMEIGITGGEEDGVNNEDVDNN
SLYTQPEDILAIYKALSPISPYFSIAAGFGNVHGVYKPGNVKLHPELLGKHQKCVKDATGAKEDKPVFLVFHGGSGSSKQEFLDAISHGVVKVNLDT
DLQYAYLTGIRDYVLNKKDYLMAQIGNPDGEHNPNKKYFDPRVWVREGEKTMSVRVAEGLKDFNTAGQL
>RCO7_06862 | probable KES1 - involved in ergosterol biosynthesis
MSHNEKEGGGVSAQNKGSWSAFLKSIASFSGDLSSLTAPPFILSSTSLVEFSSYWAEHPSLFVAPAHEQDPKKRALLVLKWFLSTLKQQYASRSEKF

GNEKKPLNPFLGELFLGKWVDAAGTTELVSEQVSHHPPVTAYRVANKEHGVYLEGYNAQKASFSRTIYVKQIGHAVFKIPAFDETYLITLPNLHIEG
LIFGAPFVELNDKTYITSSSGYTAKIDYSGKGWLSGKKNSFTATLYPTGHEKDVIYTATGQWNKTFEITEGKKQIVDTYSAVDFPTTPLTIAPVETQ
DPMESRRAWQKVAAGIAVGDMDATGVEKAKIEESQRELRKKEQAEGRQWERRYFTRLESDPVLNKLGPNIGVLPELEKTGGIWRFDETKANALASSK
SAAPAGEL

>RCO7_06861 | related to dihydrodipicolinate synthetase

MSPHNDAPSPAGSFTQSFNMSFRPVAGSGLRNSSSNNNSVYSESPLNDYNSSYSSTSLDTDNHMSRPLVPGVYVPTVCFFDPVTEDLDTDTIATHAV
RLAKAGVTGLTTQGSNGEAVHLTHSERQIVTQTTRSALNAAGFSQLPVIVGCGTQSVRETIQYCREAHAAGGDYALVLPPSYYAPLFSPAAASVIEF
FNAVADKSPIPLIIYNYPGAVSGMDLSSDIIIQLSAHPNIVGVKLTCGNTGKLNRIVAATKTVKPQSVDSFPSFLVLGGSADFTLQSLIGGGHGILA
GLANISPKACLELMRLYREGKVAEATKMQEVVARGDWAAIQGGIVSTKAGMESWLGYGGYARSPLPRPTSEETAVWKEGFRELVALEKSL

>RCO7_06860 | uncharacterized protein

MRSTSILVLTASLVASILAAPSCTPSSNEYSAQKMVYLFNEFCTELNQSNFATKQKYYDNNPVIALNFALAATGDCSLKECLISFGSLVSTCDKDDK
SISGAGNFATSCGTYSFEVKDASITSSLGTPEATITAKTIQTYDIATLTSSPSSSSSSSSSPLSSSSTPSSYQASTTSEAQLESNYAPSTNLYLNAT
TSTAFSPNSSTEYQSATLSVTPSTSLPASATPTKPVVGDKILGSGASVLRVGGLSLVVVAGLFGVFL

>RCO7_06859 | uncharacterized protein

MQFSTLTITLFALLPALSLAAPFASPEAIAEPIIEARANTVRVQLNGNSELAVQREVAINNAITLFSGRFTNGFISNLNGQNGVTCQAYSDKAATKK
VGGRFGKAGVNFNAGKEVQIAAVKCSK

>RCO7_06858 | uncharacterized protein

MAPPILTNNLDLYTIGYVTLKYPELAPGLPVPLGNIVGALQYQPMAAQAQQVSDETTLNDKTSPQYYLSNPALLLNFLTTSPDVCKRIAAHASLTNT
LIEKILAPDFHDGMRDVVRPALGSFPPAGFAEDFGSILQFLSTLLLYQAEMESVHPRLKELIPKLKEWKKQYKNSHVKTIRNVCERMIVQINGMDPE
MCTMMRKFQEDALSCGVASCRVRGAASLTVCGTCKIQRYCGRDHQKADWKYHKHICNKGLVEPTQ

>RCO7_06857 | related to monophenol monooxygenase precursor (tyrosinase precursor)

MLRQLITVLVLVASCFAITSDTRIAINGTHTGTKRQFGSPRPSRRNILDLQQDIPQWSLYVQSLNALQDKPEDYFLSYFQIAGIHGRPYFPWGGSAQ
TPGAPTTGYCTHSSPLFLPWHRPYLALFEQLLGATAQDLVKTYPPAQQASYQNAANNFRIPYWDWASTPTMPAVLNQPTVTITTGAGLKNVRNPLYR
YNFHTFPLNATYFPTDSRKEGDAWLAKYPYTVRGAPNQLNSPSDPRAVDNALLASNLKSGTYYALVKPTSFNEFGTIASPGTSLESIHNSVHGAIGL
AGGHMSILAYSAFDPIFWLHHVNVDRLFALYQAINPDQYLTPQKEQYGTFTLMPNSVDTELTLLQPFAPTGAGPYFTSKSVRQTSSFGYTYPEIQDW
SQSLEQLKANVSAAINQLYRPSGTNVNPRFGELESRTQAQKKKAIEWSVGIKVSKFDLGGERFIIRVFLDTVPKDPKDWMAASSCVGSFLVFPPPHS
AGVPYPEIDAYSEFSLVEGLAHLGRDATDVYGVRKFLRRALQWRVQKFDGTVVPVENIPSLIIKVQMESVEMGRDITELPSYGKKTLHPDITIGRAG
GYAGSE

>RCO7_06856 | uncharacterized protein

MKFINSLAKVFRALVVLEFLLAVSKEATAVEHIGISISENGASHRWPVTPFRFEGEINGILLNTSGTVQEIYAQAAKHPMFAEEHKIEEGKPELAER
EQLAPDKILCIPIPGQKWYEATESTIQDGIKNLRKLNGNPFEVRPLCSALASYAQEIATTCRKMHQQRRGWVIGGQAFGNEGFNVIIHDDKC

>RCO7_06855 | uncharacterized protein

MASAVSFTVSTNSILSPTVSPTSILSLASSPTSILSLTTTPTSIPLLTPVLAAGNRIWINNWCSYPLKITRPIGGPCANGAAGTSNDGSGVTTSTLA
AGSTTGHGSTTSFTWLPLIKWEDSPILFQISRAADAETSVNGSAHMELSYGLSFGDQLRYSWTAVGSAFANENTKVTPNGPGAGKGDCKTVSCAKDG
LFCSDGHRLLKKPHMCGNQPQPFWVDLCSPEKEFKEHLARRNVAGNQP

>RCO7_06854 | related to transcription factor Pig1p

MQIPEIGLTAVNSAQRPSNAVMFCEIISVGASAVVIPPFRVLWRGAENDMHATNAPANASASSPEEQESQTPPRSASEMTSDRNSIGFLLNCPSEND
FIREFPQSSIRSPSSKPEMFAAMPAGKGYGVSVPAPGSASVLQQYGHMIQENNIDVFLNRLEFQHFEQETSNWQRPNEHTILWSGPDALFLDRRLLD
QRAFDIREKLKYMAAVQSSPQLPSKENSDAIELITADSIASFIKLYFRHWHKHAPMVHEATFNPCTAAIPLVLSLLSLGGMYSGDSKDVAQLKLLLD
TIESYIFSIPGLSDEYDMPGRVYVKHGENASPEWQQYQLQELQGAYLMIVLQYWTGNTIARTRVRQQRFPKIVHIFHILDVLTAQHSPTSLISDQTS
FRAWIRKESFIRTATLAVMLDHAFGIFNNVSPHFQWAEIDLPFPSDDRSFQISNFDEMVANSAIPRLGMKIKDAFLILFSQEDDDLGVLRRGNLTAL
DLQMLIHFLYTHVWASTFSNPLAALPITNIQALTAPFYLAMRNWMVLWEEIKANAGEEEWNKLGFQRTAESYYDAVRSILDVFERREGQFPPIPSDC
EKGSHLKRLLSF

>RCO7_06853 | uncharacterized protein

MDSTILTNTRPTTSETRPTTSGSHLPASTDTSTTNLPSPVPAPQNPTSPSPSTQTLALILSDIHVSASLGIKLLRYIAHPSSSPHPLSFSLSSSSSS
SFTLLCKILGLRGGQKKTNRERSALMKRLEGSLEKFKELGAGVGGEEGSRLTCRVLDDGSDEKEKIDKQTQNLTPRTALSEEPREGIETTATPLHQI
PTLLHSTIITPLTHALHAQKVPDHASLIVASEDILNRAEVFLRRGGSVARMRMGI

>RCO7_06852 | related to ATP-dependent DNA helicase

MNPDGLLTKLNESQHAAVSSFADTLAILAGPGSGKTHTLTSRTAWLLAQGLQPWNKDFGIADSADSLAIIKRIVKRHEFVIDPRVARSRISGLKART
SADHPIKRNNSGAKKVEEQEFEKCYAEYEEALERSNLLDYDDLLLRCVDLLRNHPSCVSNVEAVLIDEFQDTNLVQFDLMRLFAAHRKRITIVGDPD
QSIYGFRAAEVKNYKRLLHQYPDTITIALEENYRSSGAILLTSLTVIEQDSSRVAKSLLATHTVGTRPVLRRLAGAHKEAQWIVTEIQRIKGMTGEL
LDLNDFAILLRSSALSRLIESALGGLRFYDRVEIKTVLDYLRIINQPDNNDALARIINTPSRRIGEATIKALLEEADESKLTLWTLILGIVQGKRSA
KTKLNNAVQQNISKFVNIILTGRTKITGADDDRLSVSGLINFVLTKTNYERWLEECQGDVHKARWDNVQELITQATDFEDLISYGQEDEALPEVDGL
EQNEDAGTLSRFLANVALASEVKTDDTEGALTAQITISTIHAAKGLEWPVVFIPATYKGSIPHSRAEDTNEERRLLYVAMTRAKALLYMSCPLKSSQ
GEDTIMSPFLTPPGLAPLLDAKGPSLLSSTVQTMAQILRRNLPSMSSIHVSSTSLPSTEDDLFSEGGEEDEREKERRWDSMTGGNPTFTMGQQAPKR
RRTELGRTVSNPEEGPERNWWSTYATTMDRAASFTAAGLVTSSGFVSAGSHMQVLKERSANDTIKESRDAEILTDGGKKKGRQKSKLPEGQGTLFGF
LGKPEPQLPTKSIAKVSELPRPAVPTVGEGFNLARALPTYTQPTGIEPSLSTHRIVLSNQLTRPRQTGHLDVEVSRKPYVFLSSSPPRPKSPSPVKV
EPIPPKSVGLTAKPALLSLIRPPISKHETTVSILQNGSGVKKTLGVKRSMDGWASRKGQGFKPPTMKRGP

>RCO7_06851 | uncharacterized protein

MKLWQAWRSLGKRFRSNRSDNSGETSRAYESDTSECVEITKAEETLIENFMNPRFSHDAENAEQKPLHHTQQDTQQVMANKVQESGLRFEQMSRKPH
ENQVFEFLMWLPGAVKNKVGEMKGKRSRGGRQGGERKYAKEEDEKKEKRSEEGYSEHDAGVCIVRVIPRKPDQDIDAVPSKGEGRLMIEVTTSEWKE
ILAMRKRKATGLVPVENEKPSDVYDGEEHNEKQEL

>RCO7_06850 | related to Meiotically up-regulated gene 157 protein

MKGITLSVLATVVAVVEAQCPEYSSFSKHRHQPFSSGRYQLSYMRPEPACRTFNSSIVEDTITSMKPVIKDPDLYRLFQNSYPNSLDTAVRWKGFAA

SNSKEELTFLITGDINAMWLRDSANQMQSYLSLLRADSSYDSLASLYRGVINLQARYINQAPYCNSFQPPVESGLAPAQNQPKPDTFTPPASDRIVF
ECKYELDSLAAFLEISTNYYEATRDMQFFRSFQWVAAVNTIMATTQAMLVGTYEADGAVRQSPYTWMRETSRATETLANSGRGNPVRDGTGLVRSAF
RPSDDSTIYQLFIPANMMFSRYLDSASTIMAGIGNQRNLSNRMHNFAGSIRDAITKHGIVYDPVYGQVYAFEVDGYGSANRMDDANIPSLLSAPFIG
YLNVSDPVYQNTRKYVLSKDNPYFMRGPAINAIGGPHVGFGKAWPMASIIRIFTSNDTSEIETSLKEIVSSTDGLGLIHESIDSFNASTWTRQWFSW
ANGLFGQCLLDLKSRKSEVLGMSYQ

>RCO7_06849 | related to phytochrome

MSNTGLPKPVLFLSPEDFAIERIFPIRNLVGEADLASKSTSPENSATPDLVELPTRATEQPVEDGQAESDAEALKKKEEAEYISLFLPPPYPPVPPE
DAIRRIFPENRDPEYSNLEDTHLGEDRRRTERTQLVPAISGPPGVFPGIISDPSRQRFHRCEDEPIHTPGAIQHYGVLLALRYDADYNLEVRIASEN
SRWILEYSPEQLFALKSFLDILDDDSRENVSAQIEHALQEAVVDKKLNDDTQLDIFPLTILQGDGIGKRLWCALHISKGTKDLVILEFETFSDKFYH
SQTPDRTLPHTPTRTVDIDVHPEEMIKSTTRESAPLRVLQIARQKKLTGVPSMNLFNAMIQAQQQLSAAKSFQQVLDIVVGIISELTGFHRVMFYRF
DMAKNGCVEAELVNPQASVDLFRGLHFPASDIPQQARELYKINRIRILYDRDAETARLVCRDAAAFEVPLDLSHSYLLSVSIVIDEDLWGLVACHGY
GDYGVQIPLPVRELCRNIGECAATNIQRLVLMNRIEARKPPQKAPPTQNPAGFIAASSADLLRVFDADFGLLSIHEEARAIGKLEPYREALAVLAYL
QHRRFTAVTASQNINGDFPEINFPPGIHTISGCLVIPLNVWGNDFMVFFRKGQLREIRWAGNPYEKITRAGTEYLEPRMSFKRWTEQVAGLSKDWTE
DQLETAAVLSLLYGRFIEIWRQKDTAGQTDRMTRLLIRNSSHEVRTPLNAIINYLEIALENSIDETTRDLLGKAHKASRSLIYVIDDLLNLTKAEDG
PINSPREVFDLGVTVSEVMANFRKEAMRKGLDLTVSTHQGIPEIVNGDASRLRQVISNVVSNAFQHSVEGGIKVDIRPLKTLEVSSVIGITVQDAGI
GMSESQLDELFQDFEQVIDEDNLSGEETPSTPSDDQPMGVGLAVVARYVKNMKGQIRVKSELGKGTIFGIELPFEHAMQSPGDLVPGRPIFDPKAPI
VLRAMSDTSSLPPTSSPLPTVDELDEVTPRVVPDALTSPSPLDTPSTLASPESHSAHTSHGTPSGSTYPFPNMNADLSEHPREKLSVLVAEDNPINA
RLLTRRLAKLGHGVELATDGQGCHDQFALTPHTVDVILMDIQMPLVDGMMSTKMIRRFERELADLKHIRPRVPIIAVSASLSESKRFDYIQSGFDAW
ILKPIDFSRLDFILKGIQYSDLRREAVYAPGKWKEGGWFIS

>RCO7_06848 | probable protein SNQ2

MSEKGTYKLSPKAPEESPIDTSNGTARTSNDTPIDPKVQRENARHANPNGFSSANSGIDVRAAEAEFATLQRELSGISQTSRRLSRTKSRQSKKGSN
EKDVEQLASDSTTDDEAFDLEGTLRGNHTAEQESGLRPKHIGVIWNDLTVRGNGGTTNFVKTFPDAFISFFNVIETAMKIFGVGKKGREVDILKDFR
GVVNPGEMVLVLGRPGSGCTTFLKVIANQRFGYTGVDGEVLYGPFDSPTFAKQYRGEAVYNQEDDVHHPTLTVGQTLGFALDTKTPGKRPHGMSKAD
FKDRVITTLLKMFNIEHTRNTIVGNPFVRGVSGGERKRVSIAEMMVTGGTVCAWDNSTRGLDASTALDYAKSLRVMTNIYSSVTLVSLYQASENIYK
QFDKVLVIDAGRQVYFGPAQEARGYFEGLGFKEKPRQTTPDFLTGCTDQFEREYADGRSAENAPHSPETLAEAFNNSSFATRLGHDMEQYRKSIAED
KQRQEDFLTAVHDSKQKGASKSVYSIPFYLQVWALMQRQYLIKWQDKFSLVVSWITSIVIAIVLGTVWLDLPQSSAGAFTRGGLLFISLLFNALQAF
AELASTMIGRPIVNKHKAYTFHRPSALWIAQMLVDLLFSATEILVFSIIVYFMCGLVRDAGAFFTFYIVIVCGYLSMTLFFRTVGCLCPDFDYAIKF
AATIITLFVITSGYIIQYQSEQPWLRWIYWLNALGLGFSALMENEFSRLTLTCTRESLVPSGPSYTNLNNQVCTLPGSVAGTDQVSGSAYITEGFTY
RPEELWRNFGIIVALIVGFLIANMTFGEWLTFGAGGNVAKTFQKPNKERDELNAALVAKRDARRADKGEAQGSEINITSKAVLTWEGLNYDVPTPAG
ELRLLTNVYGYVRPGELTALMGASGAGKTTLLDVLAARKNIGVISGDILVDGIAPGSAFQRGTSYAEQLDVHESTQTVREALRFSADLRQPFEVPQA
EKYAYVEEILSLLEMEDMADAIIGDPDSGLAVEQRKRVTIGVELAAKPELLLFLDEPTSGLDSQSAFNIVRFLRKLASAGQAILCTIHQPNAALFEN
FDRLLLLQRGGQTVYFGEIGKDANVLIDYLHRHGADCPHDANPAEYMLDAIGAGQAARVGDRDWAEIFAESPELANIKDRISQMKTERLADVATHVK
KDEKEFATPLLHQLKIVQKRTNLAFWRSPNYGFTRLFNHVIIAILTGLAYLNLDDSRQSLQYRVFVIFQVTVLPALILAQVEPKYAMSRMIYYREAS
SMMYGQFAFASSLVVAEIPYSILCAIGFFLPIYYMPGFQTVSSRAGYQFLMILITELFSVTLGQMVAAITPTPFISALLNPFIIITFALFCGVTIPK
SQIPKFWRAWLYQLDPFTRIVGGMVVTELQGRTVTCTDSELQRFPSPSGQNCGEYMTDFFNDGGPGYIVSNVTSACEYCAYKVGDQFYAGLEFEFSN
RWRDLGILIAFIGSNLVFLFLGSRYLNFNRR

>RCO7_06847 | uncharacterized protein

MVNPAFVLLPLYFYPYNKTSWSGITASITVLPQLDFHIIVAPNLANVFPDKNYEVALDGLNNFTNVVTLGYVSTNWTHRDLVDVYADINCYAAWPYH
SNPNVAVQGIFFDETVSVLTDETWDYMSNITAFARKALGPSKQHITFNPGVAVDRAFYELADTINVFENEWAAYNVSFLESIPSDVKAKSTLLIHSV
PRDEDLQDEVIEDLSNANVGGILLTTSKSYNELSKMWRALCEALSDKVDEAANIYGRNLSDEDAAS

>RCO7_06846 | related to alpha-galactosidase precursor

MASQLFKLLLVGFGVLPYVLSSAPILQPTPPMGFNNWAALMCGLNESVFVETAHSMVKFGLLDAGYNRINLDDCWSTMTRAANGSMEWDTKKFPRGL
PWLTKYLKDLGFIPGIYTDAGNLSCGGFPGAFGFEALDAQTFADWGFEYVKLDGCNMPTGTEEEYKAVYGRWHDVLENIRKAINNPMIFSESAPAYF
AEATNLTNWYKVMDWVPKFGQLARHSRDSLVFNSTLYWPNITGWDSIIFNYGQQVRLARYQRPGYFNDPDFLNVDHFDYTLAEKKSHFALWASFSAP
LIISAWIPNLNSEEIWYLGNADVIAVDQDPLALQATLVSQDGEWDVLTKDLANGDRLLTVLNRGNCTASLSVSSARLGLINKPTFRVKDLWTGQSIY
TSEQVIAHNVPSHGTAIFRLSAHPGGSLASVPTGMIFNTYSLTTLTASSDKLIWGNSTAADGQVWQAWRNGSIRTIARPSYCLTDLGSGSIGLLECS
GRAEQKWDYTYSGNLISRTSRNCLTEADNKTALLAKCLDQVNSQVVALPGGVKIVGR

>RCO7_06845 | uncharacterized protein

MRFQSSFLLTTWLSALALAGVVPSVSEETTAKAQEVDPKCTTVRCKEDFHPVYYPGKKHCVCEPDEVISDPSTCPLIKCTSTTRPVYHPETKSCSCD
LIAPMCPNTIYCAAGSHKVLDPSTKKCACLVTNPIPKTCPQFKCRENHHVVYNPNSDKCGCTPDCPDLVCIAEQRVIYNFSTNSCSCKYIEGLEPSN
VKSRALETHPITSPPPPPTKPAVPSACSDIVCISEKHPVVDKKTGECKCEWIRGLEPVPVKSEVTSPATPLGNTKPPPVQKDCPDTVCISEKRPTYN
TVSNECTCEWIPGLEPGEPSTPLAPVKLVSRLSDCSDIICISEMHPVLNETTQSCECQWYDEFKPPVVS

>RCO7_06844 | uncharacterized protein

MAATNGRSNKRSINLALVCGDGLPVSGLLTTFRNVIDMITQTPSCPPLVNSPIATDLGYSWRPDKAAFFPHGPKETFYPLWLSVTAATPVSYKDYGE
ELLRIRREVALPDLLDREQRIELYERIEAIAIPYQRHFETWFEENDIDWVCAVNMTLSDAVPVTTALYRAAEKRWEGGRAGGILFWDHDLLSSYAVH
EKNERVYPLRPNEFTFVPQAVPWHIWAIVSDVLLPETLLYPTSLRPLVVPNLLPLLLKQDFSIHSSSLVSKFLSDLEVLDGVREGRAILLCPNRIFP
VKGIEISIEVMAAIKDISIKRGLPVPYLFIFGDPEEDPEYAAELRILSHELGLTDNIRFLGGVPLCSKVNGTRAMLDEKDLLRLATVTNGGIIYTPN
KADVESVGLGPALASTAGIPCLVSKFNALDQVYGDGLNVIRLDLSSRGGFEAAAEAFVEWMVVSKLEPGSGSRSQRGTWSEMAQQNRDLMKKKFPRM
PWKNLLLRIAAQGGVRPDLISEAERALGMVNEISPRM

>RCO7_06843 | related to ethanolamine kinase

MASTIHTVGLKYSHTDPSSLTRIVQALLPSWHDAETQTLTGGVNNILFKVTKKCQDTRRDLDVEAVLIRVYGGSSGILVDRERELECHVLLQTYGLA
PYILGRFENGYVYGFVPGKVCSPTDLALESVWKGVAERMAEWHATLPLAEPASLNIWSVLRKWISALPTSNMEQKVKQSDLLTEFELLPSFFSKIRV
QNMPEYVFAHCDLLAGNIIIKPRTSTDAHRVAERVDFIDFEYAMAAPPAFDIACHFSEWVGFECDYKILPSQSVRKQFLLQYMSTYNRLCGPNGQIK
DIDALSAEVDHYRGVPGLLWGVAALIQAEVSDLDFDFKEYADLRIREFTDWKAEAIGSRDASRKEMPLREQCWARVDWNGEE

>RCO7_06842 | related to COG3602 family protein
METHAPAPKVGETNLAALLATLKTSLHPDIFVFITLPNGQSPPPSLFLQMLFREAEGMTVITTQDSVVAHGLEYSFPSRMITLDIHSSLEAVGFIAA
VSAKLTAMGVGVNPISAFFHDHCFVPLGREREAVSALEDLSSDSK
>RCO7_06841 | related to ferric reductase FRE2 precursor
MDHYPVLNARHGEKPAAGSTMKPYWGYPSRELPCPGVPNQCEYLDAVWWMHSRAMLFSLILWAILGGLLVFFLVSRVVKPARSRNAIVGFESGKTAA
PMGTWARLWKSNAATGRKFLLPESMHSVFGNVTRLQLLLLAVLLVYLLVFSKNLLTPVKGTTSFSRRTGLGGFSNRLGVFANALTIFQFPPPLVRAH
HIFSVDGPHNWLDHHRSETLSATTESLQRFRERSVAMAMISFIWVFSFPAVIKKTGYEFFRKTHCVVALVYIGACWGHWARLSCWMIASLAVIFLDF
GIRYLRTILIHTGYTKSGGYGFESAQATLQSFDDQEGRVVRVDFKHNHGPWHPGQHFYLTFPTLSVWQNHPFTVASLPSALPAISHHTYIIRCLNGE
TSKLGQLALKIEAEKTTTPVILSGPYGPPSLCEPGNMLLIAGGTGITMAHPLFLSRAQQLRGQQGRSSGKVQLVWIIRRIQDLEWMGPELSILKQYL
SKEQDSLSIRIFVTREVESTIYDKDSKESSEEDGATEEASSSSNKSQFGHVSNLVRKYPGFEVQWLGDHHPDLGQVVTEFVEGADECAGSVSVVGSG
PRGMGTSLRAGVAHINDGARVSKGEEKYDVHLHWDDRHD
>RCO7_06840 | related to phytanoyl-CoA dioxygenase family protein
MSSTHLETLNRDGFVLVPSILTPDQLTTLRRASAEAIDFSRSGQWPFVRTLPKQFPPWTVAPGANPAEGGIWGVQFLMHPDLPNSRTFISNYFSEPI
VSIVKELLECDDEDLVMELFNLLIRPDRDFELRWHRDDIPATASAKEELERLSQPAWSAQWNLALYEDDSLIVVPTSHKRARNQIERDAGPFEKDIP
GEIRVQMKPGDVVFYNNNILHRGAYVSNKERMTLHGSIGHRGGSRLRARNVLQHGIGNWVGDIDLSGLEGQEKERAAAMRALLMKLGAENTDVGYSL
ED
>RCO7_06839 | uncharacterized protein
MVNVLIIGVTLPIGEALAQSLLRSGNYQVFGFCKDPNDFGMYYRNEVVPILTDNSPGGLKAALDIYFINVVVDARACDKDTLDILPIFEAHRLERLA
STHDAGFGIPKLGFVYVGRTGVHGSSIIPLNDLMPVLTSNTPSSPIESSSRRPDLELALLGSSSYLDVIIMRPAVVYGRASQMLDSIFWSLQLATER
NIDIMDDVASGLHAAIDKLPLISGTGVYPVFDLVTSQEKIHEIVVAAAFAMGFLGRINYIGCADTEGADALNCSGNLSSGRAKTILGWEPKRHGFVR
NMEVYVKAWLASREPDLA
>RCO7_06838 | uncharacterized protein
MSNASTTATGSSASSQYKCKICDIAFGDNALQRAHAKSEWHIYNLKRSLTSLPAISFQIYNARVASNQETTATDDSENAAYHQSCAACQKHYYTPKS
YTNHLKSASHVQAVAKLETQAESSEATGLETIASQTDSLGTFACLFCPRPFSSLDLSLTHMEKSHGFAIPQQEFLFDLPSFIDYLATLITTFQECLY
CGQSRDSVSAIKQHMNDQGHCSLAPDAAESSEFEDFYDIPEVASDEEDSEGGKPSVNITILPLQSDARKLRLPSGRTLGHRSGARYFRQSHSAAKTS
PQETLTADANEASRSKPSDRREIMSRKRSENANRGIIGISDLEKRAVRTLEKKMMKVEVRARNQYQARVERAANKQKFFKPDVPGPLNG
>RCO7_06837 | related to L-sorbosone dehydrogenase
MKSDMNLRNAFGLGTVLLSAVEAATCNLKNSFATPVLASGWEHKLIARNLTKPRGILFDSEGNLLVLQQGAGLIHLSFDDGGSTCLDVAKRTFLINS
TALNHGLTLSSDGKTIYASSSNSVFAWTYDPAVGTVSDRNTTIITGMDNDDHTTRTLLMSQKSPGTILVSRGSDSNLDYSAESLNSGHSQLKSFDLT
KLTSSSPPYDFNTAGRLLGWGLRNSVGVAEEPLTGGIYSVENSVDEIRRNGVDVHQTNPGEELNFHGFLNGSTENQGGNYGYPLCYALWNTSIPNAE
NLTVGKQFTMEQNATVDDGFCAAERVPPQLTFEAHVAPLDIIFLANGTKAYVSFHGSWDKSVPAGYKVISIDFANGSPVEASTSMKAAQDLFSNPDT
SVCPGRCFRPVGLALDGKGRLFVSSDSSGELYVLAKTGPSGGGSPTSSAAPGATTSKASSASKAVVSGVVLLFAVGFGAALM
>RCO7_06836 | uncharacterized protein
MKTVPSLVASSTVGIAAAGLALGKPERSSPRPSSKKRKAGDIAGVVIHNSPIVSSPTSRPGTTSTVVTSESKISTPALEPTPAPVPTLSQRPSKSRS
ELQNNNSGRMLSIFRPEDILPNSEEATRRESVSSRGSWMRRLSTIPNSHNNSPRSSVGPDSPSISVSLGSAIPILSNPGNSTAQLPPNKLVKRGPST
RASSGPVSRSGSSSHIPTLRRPATSHQRTVTLQQQFRDDSVKTQELIYRESSPRVHVTPSKNDSHTSRHAWRLYFESRPTKLSKDKASGRMSDGGIP
DSQSTSRRIILDDSARPTLVKPGTIIVSSSASTYYDESFELDDDEFDGVGDIPLPSTEVVVESQKRARRSLSMHFSSPSSWIQRSGSLRDQRRGEPR
SGGKRYSSAPVATMPGRSISTAHGSTTSRHRPIMDPKVFQRSPVSSGEASSSDPFAVHFARRSRNSSSPLPPLTRLSSFNVDLARLGLSSSSSSAPC
RSPSSPVVHNNTNSVSSTGHASPASISFVGSANSKAPRTSELTDRASTLIGSDNDMKGFASGDEDDMDFQSETVFDSLRSGATGSLRSNTAPLESMF
DESPPSLNGHSKNKRLSIHEMLANGGFHEGHNKIVEEDEGISTPIKEGRSSQDSSDNFQTPVRTRTIKSDRVFPASPPSFCLATKEFSRLSLDDEEE
DEDWTRDDENIDISGQLSPPSSSLNSRRPSLSFRAALADLTHTGAPNGNGLANGERPKSNLFDWSEPPTAEKADLMGNFPRPKTAHAKQIADGRGGR
AIGRRGPSPMHIRSQSVPVVPDVAGQRDSKLAPKFGTWGLGGKGVSEDWDGDFDFESNDADGGDDGDVSMENSGMMVPPAIQASQASVVGHVGQIRE
VCLLVEDLKRLRLLAREKGLLNGPSATLWKEAEGIIALAVPDDEESALSPTPPSPTSVVLEEEASEDDEFHESGPDAEDLEISEAPFEVLNRHGRPT
GFVYDGNTVRRRSVFSPEDDIFGAGLMNRSPVRDHLRPPSTSPRHSSLKSASDVARSVMETMHQHRSTSDPILQNLTSESPNKMPFDTTSLRDLVHR
ANVLSRTLADLIRKADGPSQSPETSPRRDSSPAFTRVFTDPSVSPPKNLLRSHSNNSIISGSIDGSPTRSLGQRMHMMTVV
>RCO7_06835 | uncharacterized protein
MFKGSESLLKLPVEEKMRLDRSHSIGASHRGYKLIGNQMLQEETLADLNQGFFISKEIPATMPGVQRNAFPMSPNIWPNPFHVSEDVFRKSMTEYYS
KIYALTLQVLDILAAGTPYGRDVFEEFRSDDPKQFGGRAHTDFGAITLLLQDQVGGLQVWDGEGKTWVHILPNNDAYVVKVGDIVETWTCGKYKSNL
HRVINNCGSDSYSAPFFFD
>RCO7_06834 | related to triacylglycerol lipase V precursor
MTSFTSITRGLLGKLLLVAVLNDFCSAIDSLQVKTTVGVSYGIINGTSPHVAQFLGIPYAEPPVGPLRWAAPVPKSPQHIIDATRFGASCPQIPDPY
APDVYTADVQEYNTNSPTSEDCLNLNVWAPFDKHSRKLPVVVWIFGGGFQAGGLDVEYQIPSPWVERTQSHIVVAINYRLNIFGFPNAAGQPHNEYN
VGLLDQRLALEWVRSNIDSFGGDPSRITLWGQSAGASSVDYYNFAYINDPIVRGLIMDSGTALHPTMLAPDPSHSNFTSVAKQFGCGGLKPGAELQC
MRKISFVDIENFLQSGKLPSLNFSPVPDDVVVFSDYTVRALAGKYTKLPAIIGSNSNEGVSLVRYSPGGVNMEDANYNTLSHFTCPAVQAAKDRHSL
NVPTFRYLYAGNFTNISPRPWQSAYHASELPMIFGTSGIARGKSTPFQVAVSEAMQDMWLAFITSGPAGLNRRRWHAYQPGGSVLEFGSGDEVMRYL
PNDDFEKICDGIEPLPGSVPPKIDL
>RCO7_06833 | uncharacterized protein
MEFVIFGSILVLATLFTSVLSTRSVQLWAKAVFRRWLGRDHQRYARQSLQENQKDTAMRRGGREKDEDEGKTQELKTLKQLYHQLHNLEQFPENLPQ
AKKILLMLLKETSAAAETQPEHTNIRSVQSFSRENLSEFQRIRDKSIGKEWELYNLRRKKGGPRELFGDREEAIWWLKQIAPVKYVDGAWLGHIGKV
TTPFALQRTVKGAWQILSEELGDGDLAKNHAHLFHQLIENVAPGLPSPETLEFSHPRNQLDELSVWKAAISQLLISLFPNEFLPEILGFNLHFEAIS
MDTLKAGKELREVGIDPYYFVLHVSIDNADSGHTAIAIEIVCEYMECIRRTEGELAAQDAWKRLQAGYLLSSGLPGTAICPSRKKSGNTSSIPPLSP
IEAEVIRMFRAKARVTHGIHCSSKVRIGARSVAQWLDPAELESLKWQRELLDALSHSNYWIYRGNSSKSRFMMELQWHGRMFGSFSQEECDILRTWI
DNLANKTSTLNGGDREPSTDYDVVSGYPSFEDYNSAIFARSLDRQPSAENLFSFETLPPIHMNKFPVLETFLPVWLSHPCLLQGFVSVPFRTTNQLS
CTIVKVLRAQGGFLVEQECVAGMGELRRANSLGLAGIGINLMARHGLSIDTLPSLKHVLQAWPSEFVTDMLHISMRSIQYKGLLIGMATAFAKMHAA

VVVSGLDLLSAQDQFTLRNIAVRELAGLESCWKELMLDKKMYAQCCDGYRIASEEIQKCFDP
>RCO7_06832 | related to gibberellin 20-oxidase
MAALTSDIQSMVDCGFPVAQLSIISLAKLNAKDAAEIGVLERAASTVGFFYLDLRGDPQGDRVLAHLPAVYAVAEKYFGQLQSAKAKDTRFDIKAGQ
DLGYQKNYGGESFEISRDEIASMGNSISHLPQAFQDEWTRITEISVGCDQACLTLLNSLSTDYAKYHRPDHPSDSGLKLVLYPSLTKVSDAPDTTHT
DDGTFTLLFYKDWSISTLLPETNSWAFTAPIEGCALVNVANALQRLSRGTLHSPKHRVTQPFDEAKNRYYLSYFLRPETVLLEKWDARK
>RCO7_06831 | uncharacterized protein
MMVPNDRTPLLAKPSKDRPPSIEEQNVKDARADTSGGFELWQIAALFVELVRPTGKSFWEELLKASIAPTSKGHSQKEKSEDNLCRQIDIAAPSEVA
VLRSYVNIASTVGLSSGGPLGGFLAGQIGWRWSFLGQVPIAIGCCIFLSHSLRSSLNITRQHEDRNVEGEGHSKADLQTFDYPGAIALAILVTSLLA
VIDLQSQLSWAHPLTLSITIAGVLALSAFLTLELYPGKRELLIPLRLLKTEVGIFCLGQLLVIGGCHGFISQIAAYFSNTQGASDMQGGFGTVPSSA
GNAIGSLIAGQIIRRSGRYKKLCIISIACCIVTELFILLRWSHPIGIWESLITFPFGIFGGIILSTQFIGLYHCTAKHQMSTAITTYYMSQQIGIAL
GISLVSAFLKQEFHTNLQKTLVLVPNYQEIIKQMLKDSSVVADLPVYVRDLVKLSYLQSFWIVPAFAISIQVLAILPMILTTE
>RCO7_06830 | uncharacterized protein
METLLRPPPIESLDAYKHISPDSGFPTVIHSHYNPKIKAHIPPDPPLKELKPEKDRAFYADPEKKALLSVARTHDLTESIGTELRDVQLSQLNDKQL
DELAALVNERGVVFFRNQDLSTEKQVQIFEHFGTLDKHTTQKDKKHFIVSGSNSDWRTVSKYTPWPMMEYHADTSFEINPPSYSLLRMEVHPDVGGD
TAWVSGYGLYDELSPPMQKMLEGLHAIHTSRLQYDTTIDYYGDKPNRPPIDTHHPAIRTHPVTGLKALNVNLAYCTGFAELKKAESDALLQFLNLHI
HSADDHLVRWKWAVRSIAMWDNRATLHRVIPGNYPKGARRGVRTTVFGEKPFYDPKSEGRIERAERLVGGRTP
>RCO7_06829 | uncharacterized protein
MQLSFPHLSPFPELIQRAQRDPSKIVLRDHSTGKTATAGKLLQSVSLIRADIQAALGGNDTECAQKDINDRFIFLLAPPGLEYVAAMLAIISLGAGM
SAQCEFPQLQLSLKEVLYSFNSALVIRPEEMARFIKIAKPLALLYTSDLTEKVNAIESISTEMESASEPMIPFLEIRIDHTVYPTSHHYVMKQNIGS
ASDLIGTLFFTSGTSGSPKGVIHSYIAILASARERIESWSLTEHDMVLCQKPGNWMGGIFGILPSLIAGACLETCAAVFDSKWFWERIRQGGLSIFS
IAPEGYDRFAEYYDENIATLPAEQKESYIAGITAVKVAGATGSRLLPQTQHRWTELRRGKPLLNLYGSTEATLICGMNWKNPDYLDMCSVGPPVPGV
EVKIVGGEMRLKAPTMFSRYLSDDPTQTEKAFDSEGFFRTGDCAEELGGCYILHGRANIDVMHFWGFTLHTSEIESALTSLPYIADAIVLPIDDEEC
QQRAAAIIRLQPSCESNFPQLKELRNDLTQSTGLMQFKQPTVVYWLRESEEISLTANGKVSKKMTKSKLFVNGWQSEKNVEVLDLKEMEYWRMGGQC
>RCO7_06828 | related to cupin domain protein
MSHAKPQPPAAEPKYDPSRPFPNVELLYKKPIANCPGMTIVALRVSFPPNGSTPPHTHAGAFLVGNVTSGYTLDKMNDGPMVIHGPGDTFSENPGCR
HRINDNASATEPAIVVATLILETEVVEKVGIKGLVVIDEEYRAMVEEAQAGKN
>RCO7_06827 | related to laccase precursor
MKLSLLYGLLIGSFALAQNDYLEPNKDYLWTTKPTTPLPYGAPWGDKTADSDPNPPFTGVIRRYNWTVARGVKAPDGYEKEGLFVNGQLPGPPIEAN
WGDTIEVTIHNAIYGPEDGTAIHWHGITQKGTVWQDGIPGVQQCPIVPGKSFTYTFIADQYGTSWWHSHYAAQYADGLYGPMIIHGPKHVEYDIDKG
PVIISDYFHATGEELSELSVSDDIDEVVAFSNNNLINGRNSLHCYRTGPNDTTPCVPNAGVSKFRFSPGKRHLLRLINAGGDGQQKFSIDGHELTII
STDFVRIKPYTVKTLTVGIGQRFDVIVKGLRNTTDAYTMRSTLASCSDAYQPNATAIVYYSHKNLVSNSKPWPELEQSLGYCGNDDIALSVPWYPMK
SFEPSTTDTMLFDVARNASGNYLWVVNNSAFRANYNLPVLLLSNQGNNSYPYSPDWNVYDYGKNASIRLILRNPGFAVHPMHLHGHNFQIVAAGPGE
WDGHTIINPDNPIRRDTVLIPAASYAVIQFEADNPGTWPFHCHIAGHVAGGLYVNIFERTDEIAKIHIPAIIEQTCRDYEAWQAAGNVVNQVDSGV
>RCO7_06826 | uncharacterized protein
MSNNAGRHEKHHGHGQEDPILQEKIPTFDDSRIRHFKDKKTLAAVKTYFKAFTTGKFDEIRDMESEDYTMTDVPIGAIRHPKGMWYGENKGFTGLLD
DLRVDAISLYGSCKPGEFVILEHVVWFTLKIDPPKEAQIHVGKDLKKGDKAGMVNIAVLWWDEEGKICKELEYGRMTWPGFDVKDFDVKPSDAKHAE
GSEN
>RCO7_06825 | uncharacterized protein
MKIQRCLAAAVLLTSVADCLPQILIPNRTTAKVSVITGGGLTLGDPFTLPTGFTLPPGLTLPPGFTIGTELTRTLNVPPETVDPPSPTSTRKTTTSG
VKTTSSSSKIMSATTLLPPTTSSTIKTTSSSRLPPSTQKSSSSTKSSRSTTPPALPTISPTTSSRSITPTPTTKVSSSSTKSTRSTTPAPPLTTSKT
TVSTSKTTLTSKSTNPLITQTPTTSKTTPSLTKTSPSAATMTTKPPSSTNPYSATCPIPTSYTINNFISYDGPGGDVALTISYGSAVFTCPNTFAHS
SSSNGRFTLDCDDDGLVKIVTDGFSYINVQQKFWCDEVPKPPGSYATLQASANYTIPAGTLFCEIDDINIRTCLQLDPDITIPVQSYTSGGTISFTP
LDLEGNVLTQCPTIQSTQPIVQDPAKCGLQTETMTVTQTATETGTQTQTGKGTTSVRFTQTATVVING
>RCO7_06824 | related to peroxisome biogenesis factor 20
MADSMCGPSNALQNFQKHSTVDRTLQQDRLVSRNSPSQGFRSSPGLNGGQIDRDFESFQAGRLPLDHGYQPQGMSNAPQRFQQAGPSGWASDFQRLH
ISSHAPQFQQQPLNPQLQQRQNDAGWHEEFARQQGQTSNMGQVPNQMNPQHRSMGGINMTPQYMGGYAQPQANMSMVQQPQQSAEASDEAFARAFEE
AERAALEEAEMEASRFEQDQSVEMGQDILIDESAERLMPDASDILGQQRIGADTIHDPLDQSPEAREQQDDPDALSKTAGQLLHSVQKEQSSKFRNS
QFLELMRAFRDKEATVDGDQVVGTGIDSGMSQDALKVAP
>RCO7_06823 | probable SEC13 - protein transport protein
MAQVISNSGHDDMIHDAVLDYYGRRLATCSSDKTVKIFEVEGESHRLTETLKSHEGAVWSVAWAHPKYGNILASAGYDGKVFIWREQGTTWTKVFDF
ALHTASVNIISWSPHESGCLLACASSDGMVSVLEFKDNSMDHKIFHAHGVGVNSVSWAPSASPGSLVSSAGGQGGVRRFVTGGSDNMLRLWSWDPAV
QNYTQEREPLAGHTDWVRDVAWSPTVLQKSYIASASQDKTVRIWTSDPSQPGVWNSKVLNFDVVLWRVSWSLSGNVLAVSAGDNKVSLWKENLRGEW
ECVKTIEE
>RCO7_06822 | uncharacterized protein
MALTRSSRNAYGGNAPEEEYRATEYEWDEEPSKDHPAKRLEARRATVSPIPKRSRVYVEIDSDDTGDEDVQDCRSTRAKRLKLDTSIKEVEDTGAAK
IFKSIPIEIHQQIALYLPEDKDILNYSLICKKSNSAITYSVWRERFSKFFDDVDGQSPKDASLKYAFRKYIGAKWTCFDLDKYGGRVSKDVRDTQAR
NQLDLLNVFRGLLLESNALEVPRYLYGRAEIKGLNLKYIREMLRTSEVDIIDSVFNTSFDKNGNDSSSIDKVVTANDKNSLIYVIQLILTPFSLDPN
LCNGKVGHFDISQYQAYATAKVQPAFTGLFKQSVNIRWLLHIVNFFKFHLKSGGEGLLAHEYDHLEPDQFPQFWKGHIKGGTQPLARHWKGVHTFME
EDTLESLREWDGHGCPVHTDSLDGNESFEDMDFFFDRGHRSSYEWPKNFEALLCSNPFEDPAQQRRAKRARTAMDHPPAVKQFWGSCRGSGKGHVFG
RVHALTTQQGFHGFQRLTLMKYYTEQDANGHDVYDPCRAWCYEGCVLSGGRIIVGRWWSAMSDPNSDAISSGPFLWWNTHRGGEEEIKEDEALNFMD
TFADLM
>RCO7_06821 | related to cell wall protein (putative glycosidase)
MRSSILSATTVVLAGLNLVNAQTFTDCDPTKKTCPPNPGLGGKLTTDFTQKSSDWTESVGTSLTYGPNGAEFNIKSKTGAPTIGVNKYIQFGKVSVT
MKAAPGTGVISSFILESQDLDEIDFEWVGGDVNNVQSNFFGKGNTTTYDRSGTHPVSNPMTEFVTYAIDWNKDSIKFYAAGNMVRELLYNDPKTHGG

FNYPQTPMRVKMGAWVGCPDAAAAASEKLKYTCEWAGGPLPENPDFTMYVKSVSIEDYGCGGDYTYSDLSGSYQSIKSSGTCDGKVDESTPTKPTTS
SASATATATSRPGGVLVETSVSVSTKTTATGTAAAATQSPNDTSSGSSTLATTATAPTGTSPSPTTSGAPTVTANAASSMKPKHKYGFLDMGVMAFG
LGLGYLVM

>RCO7_06820 | uncharacterized protein

MATFADLPLRLRVSDVPLPSLCASKKRTREASVQDSVQSDSEPDTKRATHEPPGEQTKIEGQETNVPASALLPKAPLSRKQRRKQLRSVSKQSSTRS
SETLPDSDAPIITHVSEPAMSLPTAEAFKDDGCFVEAATQAIVRLQLLGDDADSKGKDSVGIERKHAMVLLQLLKEVDARSGKDEKKEAIGSKIVVQ
VEEINVKNGYKDEVGEIAIGSEDGRGIRAQEAEMRKQSVSTRMSVADTLVEEEFLSLWGKFSSSSTDITIRSKRSRSQDEEEDGPVTSKFLKLEDEA
ASTLVENAEIEHSFVETIRHMLITNNKQQKHTAGSTFNSSPIPKKYLSPPETAIDSSIRNPTTKLQEVLPLPEYGPQPRPLMPRTWIEASTWDMTPP
SHGARKTYTNASQLEHSNSVSSSLSSARHQYTPPQLTTLWAVSRYMDQKRATIDEHAKREGLRWQVMKAVERNLDVQKRRESREWPKNWDREVEKDG
RYMRKMVTRVEFLMRG

>RCO7_06819 | uncharacterized protein

MENEVTRQEGDHYYVATSSRLTKESLINVVTLALGEITSIDAMAPLLIDKDYGTDPADRPRRILPRAKHLRILEEQRIETAECGIPPNLDLSFTNRF
NYTIFGNVERGVPINLAPTPVVPNDTPGPTNTWPGLPVRLPPFGLKASELRRWLLENEARPSVCPSSASDDNDGKDSGVVVYTTKNQQMQLEYLEYE
KHSRVRRWILEIE

>RCO7_06818 | probable general stress response protein Whi2

MAAAGGAASILTQVQQSGPAPINTLGDVGADENITMDLRGQRFTLSRDELLTLPEFVLLSLFPNGLLPDGHMNTYQEGDAFQVDVREVKHIRNILHN
IDVHIADLTVQYDPASLQYMLEFFRNVAQTIPSGSNSPTGPDTDAVPIEPMTGSAREMLQDRAGIIVLREDLDFYVIPPRPDIEQLEMIEVKRAAGK
ALLKQDGIFSGLRRSDETGTTEQHLIEMLTAGGFNHDDHWGHRANEPNKAVICSLALARLRTDIRGGDLGNNAVGMAQKLLLFWRKPARRCWWEGVD
LEGVDGVDGKLKVWIRRVWTLEMSVIGLR

>RCO7_06817 | ATP-binding cassette sub-family F member 3

MESEIKSFLPGIDPILSEYSVGYLTHASNAYVPDEAGPSPLVEAATSITELLVSASGDTSPENEAKISQIVEKWVSKFTASQAASGQRTQASSAAKR
LDQAIQVGAQRGMSSTLGISTTGVDLESANTRKLESKVDKKKLEKAERKIAAKQSKKVFKNVEYEASKLISQTDDALSYEEFFMAVNPLQLGSNAQG
QSKSKDIKLDSIDVSIGGLRILTDTNLTLAYGRRYGLVGQNGIGKSTLLRALARRELAIPTHISILHVEQEISGDDTPALQAVLDADVWRKHLLGEQ
VKLGKQLADIEAERSSMADTSVDAERLDREREGLDQTLGDVQGKLAEMESDKAESRAATILAGLGFSPERQQFATKTFSGGWRMRLALARALFCEPD
LLLLDEPSNMLDVPSITFLANYLQGYPSTVLVVSHDRAFLNEVATDIVHQHSERLDYYKGANFESFYATKEERRKTAKREYDTQMAVRAHLQAFIDK
FRYNAAKSSEAQSRIKKLEKMPVLEAPESEYTVHFKFPDVEKLSPPIIQMTDVSFGYTKDKPLLRNVDLDVQLDSRIGIVGPNGAGKTTILKLLIGK
LTPTSGLISQNPRLRIGFFAQHHVDALDLNTSAVGFMAKEYPGKQDEEYRRHLGAFGITGMTGLQKMEFLSGGQKSRVAFACLSLTNPHILVLDEPS
NHLDIEAMDALSTALRQFQGGVLMVSHDVTMLQTVCTSLWVCDGGTVEKFPGDVQAYKKRITAQADASGVVAAH

>RCO7_06816 | Tubulin beta chain

MREIVHLQTGQCGNQIGAAFWQTISGEHGLDGSGVYNGTSDLQLERLNVYFNEASGNKYVPRAVLVDLEPGTMDAVRAGPFGQLFRPDNFVFGQSGA
GNNWAKGHYTEGAELVDQVLDVVRREAEGCDCLQGFQITHSLGGGTGAGMGTLLISKIREEFPDRMMATFSVVPSPKVSDTVVEPYNATLSIHQLVE
NSDETFCIDNEALYDICMRTLKLTNPSYGDLNHLVSAVMSGVTTCLRFPGQLNSDLRKLAVNMVPFPRLHFFMVGFAPLTSRGAHSFRAVTVPELTQ
QMFDPKNMMAASDFRNGRYLTCSAIFRGKVSMKEVEDQMRNVQNKNSSYFVEWIPNNVQTALCSIPPRGLKMSSTFVGNSTSIQELFKRIGDQFTAM
FRRKAFLHWYTGEGMDEMEFTEAESNMNDLVSEYQQYQDASISEGEEEYEEEAPMEPEE

>RCO7_06815 | probable ribosomal protein L6.e.B, cytosolic

MSAVLEANAPKGQTKTFGKSTREVPHHTQKASKYYPAEDAAVARKVRKTIRTSTPRASLTPGTILILLAGRFRGKRVVLLNTLDQGVLLVTGPFKIN
GVPLRRVNARYVIATSQKVDLAGIDTKKIEEASDAKYFAAAKGEKKSSEEAFFAQGEKAEKKKPSTSRAADQKSIDKALLSTIKKEPLLAAYLAASF
SLRKGDRPHEMAW

>RCO7_06814 | uncharacterized protein

MYPSSYSLTQPLHLLPEKGRIAIHIGAQNAGLLISRVADQMNFKAFELFPDNESVIGSKGRAVSVPSSTFSDDAFQTTISQTLAKMSTEPVEEMHPQ
VTKSGQQLQEIRNTTRPDLVTEHLMSYFRACGEPVVVSTIWKKTREEVLWKDALLSWRRSPTWLLVHVSLQLTFSRLSADSSESLYKPFMAFLKSRV
LDLFHGLSLESSLIYVMNAKTEQRILKLGDTGPQSWLAEVQEVLSRAAARIDSRWKSVISQNSRTPDFSTLQTFAHLSPRLDSLDASFGLAAFESWV
EHHLSTWLEQHISDSTSCTRLNGLTEEYHDNASRHYEGNPEASSIAALTIMELWIYRDKSACYIFGILPDYNPGVVQSLFWSLLLPSKPQMVRLVKI
ERFLENCSARGCTVPKTVSTLWASQIQSPTMTCSTSSNPTEVVPHVEGVHLMSGYVVRGTDIEGAEMDIIEKHFSSKNFSQLEFLPSLPMNRALERC
WGSMVLRGLLMQVLVLRCSPNPQWAPVMSPRVTVAQTLRGKSTRTALGEITWSSDHHSNRKSPLTEDGERSVKRRWTDNSDALDSENGAF

>RCO7_06813 | probable cyanide hydratase

MVAHIVHLRKYKAAAVTAEPGWFDLQKSVEKTIHWINEAGKAGCKLVGFPELWIPGYPYWMWKVTYQESLPLLKKYRENSLESNSPEMNRIREAARA
NKIFVSLGYSELDLSSLYTTQVMISPTGEVINHRRKIKATHVERLVFGDGTGDTTKSVVDTEIGRIGHLNCWENMNPFLKAYAASLGEQVHVAAWPL
YPEESTLQYPDPRTNIAESQSDLVTPAYAIETGTFTLAPFQTISAEGIKLNTPPGTAFEDFENYNGHARIFAPDGRKLIPNPAKDFEGLLFVDIDLD
ECHLTKALADFGGHYMRPDLIRLLVDTDRKDSIVEKDGSSNVIKNIRTIDRVGLSIPLQAGIEE

>RCO7_06812 | uncharacterized protein

MEELTRLKASLVDEDWCYITDFGLGKFSNSVLRGAGIRATFAGMGMPGYLAPETNGDDVAYSSKCDVFSLGCLPCNISVPSSMTSSAYAEASYRPIT
AQYPAELRNLISRCLRKTPSEHPSASEVASELCLVRDVFVGIMFQEFIKPEA

>RCO7_06811 | probable carnitine transport protein

MASSGIEVPGSAASSLRFYFFRRKTYRVEDKFQLSEYVFSQAGRTADHVVHDREKKYDGGYGKEANTEAQIPAYDSDSISQLGVSHDQTHRQLRPRH
IQLIGIGGTIGTALYVQIGKGLLNGGPGSLFLAFTIWCTFILAVTNCMNEMVTYLPISSPFIRFAGRYVDEAFGVAAGYNFFVFEAALVPFEIVACN
VIIQYWSDAVPVGAIIAIIIVLYATINLFAVKWYGESEFWLALGKVLLIVGLIIFTFITMLGGNPIHDRFGFRFWKNPGAFAPLYRDGNLGRFLGFL
QCLIQASFTIAGPDYVSMAAGEAENPRKVMPKAFNGVFYRLTAFFVLGSLAVGILVPHDDQTLRDAFINGLPGAAASPYVVAMDRLKIVILPDIVNA
MVLASAFSAGNSYVYCASRSLFGLALEGKAPKILTKCNKSGVPIYCVAVTLAIALLAFLQVSNNAAKVLSWFVSLVTASQLINFAVMAFTFIKWKNA
CDAQGFDRNILPHKSFWQPFSAWYALVGCSTMAFVGGYTVFIDDFWNVPDFLFSYLMIGVFPVIFLTWKIVKKTKWLKPLEVQLRTHEVAEIEEYTR
NYVERPPKTRWHGYLDKIFSA

>RCO7_06810 | uncharacterized protein

MPAPNTSTSTQTGAGNTNNSDTSSSNATSNQNSNASSGTDDVKRKTEEEEAADRLYEERMEDEVDVMTLEYP

>RCO7_06809 | probable K(+)/H(+) antiporter 1

MSSSMLATASRTVLSSASPTPTGSRAAPQGGVIEGLNPTTYDPKYPVVLFIIQAGIIIIFCRILHFPLAKLRQPRVIAEVIGGVILGPSVLMRIPGF
EDAIFPKSSMAGLNLVANLGLILFLFLVGLEVNMRMFITNWRVALSVGLAGMALPFGLGCGIAWGLYHQFRTDEGIVEISFGVYMLFIGTALSITAF
PVLCRILTELKLLGTAVGVTVLAAGVGNDVVGWILLALCVALVNNGSGIAALYVLLAAVGWILFLVYAIRPVFMYFLRRSGSIQNGPTQGMMAVTIL
LVLTSSWFTQIIGVHAIFGAFLVGLICPHDGGFAIKLTEKIEDLVSVLFLPLYFALSGLGTNLGLLNDGVTWGYVIGVIVIAFAGKIIGGTLAARAN
KLVWRESLTIGCLMSCKGLVELIVLNIGLQAKILSTRTFTMFVVMALVTTVATTPMVLALYPPWYQQKLEAWKRGEIDWDGNRLLADGDSPKDSAEK
LRNTQVRKLLVYLRLDSLPSLFTFIALLGGDRATVSTKVHKTKSELASVPEGEASDLVSSVVSKRPLEVHGVRILELTERTSSVMQSSELEDYGRRD
PVVNAFRTFAQLNNVAVSGDVSIVPEDSYAETLTSQASNHSSDLVLIPWNDQDSSTEFGTVHDSLSASVQDAFVQKTLETAICNIAVFFNRGFGGPS
SNSEPKLKRTISGLSLRSHREAIISPVADRSHHVYFPFFGGVDDRVALRFVLQLAQNSNITVTVIHFNTPIQSGSEKTPEVINEGAPSSSIPGNSSK
LSITERIDTETLYTTAAQDVALLHTLRDCLSASLTSRVVFVDVPTTIPITECLNHARQEIGQSPKNAGDLIVVGRGKHSRNMENFHVNNHEMRKTLG
PVAEAIISGGIRGSVLVIKAGLRAQES

>RCO7_06808 | uncharacterized protein

MASLYSVMSVFGGDKPWSPLDWTSSDDRVRNGTSISYFTCSPTSPTAVFHGNLDIKTLGGAGFASQRTTGEDRIWDLSNYDGLVLDITKSDEKHYTL
TLKDALLPPSSDGREQSSVSWEYDFEVESGGKKVYVYWDDFKATYRGRELPDAKPLDLKQIKRISFMMRR

>RCO7_06807 | uncharacterized protein

MSRQAYSYSTAAPTRQVTGHGTSSAFSSSANPDEDWTKISDLAERRRIQNRIAQRNYRKKLKRRLEDLERRAGSPSASPPQIHAELQHHQHQVERNV
QQQYRRSPELIHRQPSPRLLHNQYTPPMEDNLMFNHGYEREGSRTPPLFAYHSYPAPEEITYPSYPQSQQYRPVSSSEYSDYLAPMPITLPSMTHFH
EAIKREDNTMSPFNMSYQGLPTIEMQGHHNFADLNSHTPPLSHSYEHSTNCSESGYQYPSTPLSMPPSPPMMSQL

>RCO7_06806 | uncharacterized protein

MTKPTPTLGTAQGKDPVRHSTRPSYFFPACLHGFASEPSNELHRALDPAQSDSSYFRSGMAAKDAVRFSRRVGQGDGQETSPLHHVSCQLHFTPSDS
YHLHQGYGPNAVMYISMAPLHERRSESSPPTIFSPTRRPVSRKGRNIIMTQEAVFGRARLQGSPYVLTASCWHFCYHTTEA

>RCO7_06805 | related to oocyte membrane protein

MSISPIITFKAGRCSLDTSSKPYKVTPDPAPGYIYLYSEDELIHFCWRERNKPMSDPDNVDLVMFPTDGHFEPYEYKTSQQASSKTNGRIFVLKFSS
SSRRDIFWLQSKPQARNGDASWFSPRDLKIGQIVDTLLQGDEVDVSEEISQVQGGNDGNDDDETMEDVQGHSDQADHHRGGSGGAGADATGGDVREE
GSSAREGGADGGRAPGSGPTDAATVVQNFLNSLQSGGQAGHQQEAQGQVYTTLPDLLTTSVTVPTIDSATPTQIDNLLSYLPPTILLIAQESAASID
GMVEPSAESASAAMEALSIDQKKSILKKVLRSPQFNQSLGSLTMAIRDGGLPSIADALGVKLEHGGLVRGGSVPLGGGDAVEAFIEGVKKTVEKQ

>RCO7_06804 | uncharacterized protein

MVPSVPPAPTAPVLGQGSFGAAPRAPAISGGPGSMAAPPARLPSQPAARAANDDDSSDSDDDEEGLSSIRIKIFTPINVRGDGNLIAMDTAITATKI
AQGVTDALFSMTYGDAQGIPMIDEDGRPRPIRVVVSAPLTVLGSKNLMGERAVMERIAPGLRDYPASAMTKASLTEIGESASVKKRERSEVEEHEEG
ESKRTRRD

>RCO7_06803 | related to SFH1 subunit of the RSC complex

MATDYPPNPPQSFISSYAPRLRTYANALLTPVIQPVAVLAAASARTTKRGTTTINYAEDGYDDYEDDDDDNRRRPTGLRSLRREDPSQAKVDHGDKV
GKEAIAPVEVQGIWRDWMGKSRNAKSDLQNYAQAALPLTLIPIRIDLDIPAFIPPAPLPAPINQPYGKIDTSLPIYRQQETTVPYRLKDVFLWNLHE
TLITTDQFAQCMVQDLDLPNRGAMAAEISKQIRTQLEEYAGVALHPLFYSSQTETEGGVVTTMKPVLVSRDTPGTLASGNATPLQNGNGHANGVSAP
SIPTETKVLADGITASATEIGPGSNDFNPDDTYRCIINLNINLSNYLYTDKFEWSLLHPPGTAEIFAKQTCADLGLPAEWIPAMAHAIYEAALKVKK
DACESGGFFGGVGGEVPNEAAHGAEAGWRYDNEHLADEWEPKIEALSKEEIEKREGDRERQIRRVRRETARFSSNAMLVGGTPQAENRGYFEADTGE
ERMGRGERSKKKRRFRSLSPLGRSGTPGGRGTPDVGGVPAYGGGGSLTEQERSMWRCRHCQIWGSSVWAVRDGPHGAKTLCNNCAYIFERDRKLPKW
AKDLHRTDLSISQYR

>RCO7_06802 | uncharacterized protein

MHSRRQTIEFLITHEVSEMVDTTNSANWPTLDIPKEELLKRLVMFKKEALFLLYRLADCTAGLTETPEIRFKQSEFLDSLSSDELADLGVIVEVMGH
GFFTMTKNALLESGLLNNMAPLPANASHLYTPISTPIEDLRTDHWIRECMCVFEDLVQKYGPAFAYAYIEGSNDRMRRPDLWARLQMQHGLDNMNAY
EMGYTMSYASLQSVVWRVFCRRVECSLQDSWKIARERVEAQMQGYKV

>RCO7_06801 | related to FLR1 - Putative H+ antiporter regulated by yAP-1 and involved in multidrug resistance

MVYELVRDTALGHALRFVTRGKVMTFEEERDPSLWKRYVDKEKSGNMAHHGHTGEEDQEKDIKQGEDSESPERRSGEKDVERGDGANQGPPMTQSGG
VLNGHGRRSSETRHGRSEDGQHKNELSGVPVHPEKGKDVHIVSWYGENDPENPLSWSTPKKFFVTAMICLLTFSVYIGSAIYSAGTTEITEVFGVSQ
VAATLGLTLFVAGYGLGPMIWAPMSEIPQIGRNPIYIGTLVVFVFFQFGVIYAKNFGMLLAFRFLTGFFGSPVLATGGASLSDMYRPAKRAYAIGIW
GLAAICGPVLGPLVGGFAAQHRGWKWPIWELLWLSGFALIVLIVCLPETSSANILYRRSRRLRKLTGRTDLKCEPEIAGESMTTKDIAVMTLVRPFS
LTFTEPILFVLNLYIALVYGILYIWFESFAIVFIEIYHFNLGLEGLSFVGILVGALVTIGPFFLYLYYIQEPQFNKNGEIKPEKRLPPAFVGAFCLP
ICLFWFGWSSRESVHWIVPIIGSSFFSIGAFLLFNSVLNYLGDAYPEYAASVLAGNDFFRSSFGAGFPLFANAMYTKLGVGGASSLLGGLSVLFIPV
PFVLYKYGDRIRKASKRARHDL

>RCO7_06800 | related to glutaredoxin

MPSVRRIKVFGLLIVMAIITLLFYTNSGGSDLEARQTGDFFHKTKSALEKSPVGGGSSTAGMGKVVGTSDEDKEASKARLKEAAQMAKDNANMKAPK
PDPPSKVVGVGSAAEGGKKGVAGRKKFGSGGSEAQEPIKDEKKKGDEDLDVEAEFNSILKKSPIIIYSKSYCPHSKRAKDILLEKYLIDPKPYVVEL
DQHKLGLQIQAKLADLTGRRTVPNVLVNGKSIGGGDEVAELDTTGKLVDKILNLGGKRMAEVKLRPVDGSKATVKEKEKAVENPGHGLK

>RCO7_06799 | uncharacterized protein

MDGFSTPPPIPSRSRQHARRKSLQGPSASSQRVHVQPASPEVISSLITSLSIISSPANQLFEGLSNPSPTTPTFPNGPHRTVGHIGQNHGARSSSGS
FGIDYGAYEQPSLAELVAQELEANLDELAAPTPVIRTAKPPSGFSPLTAPKSPSDSSPLKSFLRGSSRPSSKGSIGSKDETSSIGNLSIEPGSAPNH
ELRRKSSTESWGKKQSRNQRGLMYMSSKERLREKEQDKKMSGNLNPGSPKGLGIDRLSIPKSDSDSFMAENAIGEEPEKLPTRGRKSPGLETRPKLS
EAIGSGRFIPRRESSLQKPASATKKRALQKSSRQNGKQTEEEDENDTIHELGEEQQDRRRDRSSRDAKPAEATSKMMEPLDNLDVPREARTKHHSEG
PKDRLSVVEDAEEGAPSPAVSQRKTRPSPERRRSSSQKRQSGKGTPEPNDPSQVKRTGSRLKRLSVPLSPRTKRNSDQSLRTATPEIHVDDRPNSVD
SIDDAVDAYLCSPRLSQKIRHPHTGRTISFSEVGDSEGFAVFCCVGMGLTRYITAFYDELALTLKLRLITPDRPGVGDSEPYNDGTATPLSWPDDVY
TICQTLKITKFSILAHSAGAIYALATALRMPQHIRGRIHLLAPWIPPSQMSVVGAQVASPPANSLPTSQRILRALPTTILKAANSSFMSATSSSITS
SLPKSKNRKRKSTGRDTPAQPGRRTVTPGVDKENHGRNSTIYPDPSEPGALERAAKDPTDPNNEAAIIAAAANSLADKERQMTYDTRLTHAIWDLAT
SGANPAVDLLVCLERRHTIGFRYVDITRAVVIHHGSKDTRVPVENVRWLGKTMKKCEVRVLEGEGHGLMASAVVMGGVLMEIAREWDDWRKTTDNAA

NGGKSEGGRRTLRERASAGGFR
>RCO7_06798 | related to C-4 methyl sterol oxidase
MGGMLSLPLMGYLLMPSLTSYSTSINILFFYMTWSTLVLSQPPLKVEIVGTLAVRALFFLAPSLLFLLFDTIIPSLAVGMKTQGSAALPTRTGGVRV
KKRSRGSSIPSVLQVLGLSLLNICLGVALQSAIELLFTEVLNIRSALKVSTTLPMPWSIFKDVVRGLLLREVLQYYIHRFVLHPSSSNPISKLHRSY
FHSNAAPYSLTAHYDHPLPYILMRFLPTYLPSIIFRTHLLTYLLLLSIITLEETFSLSGYTTIPGIMVGGIARRQDLHSESHGKGNFAPWGLLDWVH
GTSIGGDFMEDIGDEAQKHNIKERSGWAWGNAKESGKEGIRAWNGRTRSSRKG
>RCO7_06797 | related to CCC1 Proposed vacuolar iron transport protein
MSLVGLKNLFFHQTVTPIPARSKGNYGTASTRQPLLEQTQREPGYLQRPSSRDSDTDVESQQGSAEKINQKRGFRIDARVISDATIGLSDGLTVPFA
LTAGLSALGNTKVVIYGGFAELIAGAISMGLGGYLGAKSEAASYHAQREETQHLVDTNPQSVIRDIAEVFRPFEVPKTTVQDLTEHLADSTHLVDFV
MKFQHCEEPPASSRALTSALTIALAYFLGGLLPLIPYFFVGANEVYEGLYISIGVMVFALYAFGYVKTCVVVGWDGGKNIRSGCLGGLQMVVVGSAA
AGSAMGLVHLFSHDEDRVTKS
>RCO7_06796 | uncharacterized protein
MDLSHIVSDFPFNQDDLSALPAELKRRVIDYLEHHDQLNTRLLSRVWSIIGFERIWLHGLILRPNRNHAQKLIEVSRRPWLRERLKEIVFSVDDIDY
IFLARWKVEFRPRYDPVIDAADEVRPSSDFDRAIDRWLFQSKPYYNSMQDVPTPQNDFCDPVLLARTLSVLTSVDSIHIKFGEHLFRNWPYVPQWRT
SLKTDAIQNQNIATRAYTSILMGAEAASLYFTTLRMERMPVSCFVSPLEKHQDSPFNHLATMTRAVRNVHTLEVRFSGAWVGAIQQHDGVVAGNVAA
FLGSMPLRSLTLEWCDGTCHIDGPLGFYIRHSGFVPLNLASPFYNLTPTPHHPPTSEP
>RCO7_06795 | uncharacterized protein
MLRVRIALTRSIHSSRRFYGSQNALPAVATIAGPLDLIDVAEFRAKAFTPENPLLITAGERRSVEEADLSAYSIPAADKWFVSRASSSTGAGGEQGR
EVLLSKEYLAPFADTILPYELITPSAENVGVGDNKELSNILKHYIQDSEGTTFHRFSAPFSLLQLCSQAPSPRPALYIAQAQLIDLPLALRADVPTP
HLVLQAGKGDVYDANLWMGIPPTYTPLHKDPNPNLFLQLASQKRVRLFEPSTGAGIFRHVQKSIGRAGHGGAIRGNEMMEGLERRGLHDAVWGKGMD
NETSGGYETIVGPGDALFIPKGWWHSFMSVGNGMNGSANWWFR
>RCO7_06794 | uncharacterized protein
MPSTLFSLVAVLLGGVLLQAQSASAVAPLTPPICSTKCTITALGAAGCALKDIRNCLCTNMTLQLELATCVYKSCNHTEQQTATQILQEKICVGVPF
ESRKTELLRAEFLLAAITYPIIILRMISRVWVARKVWWDDWMIVFAVALMIPNTVIPIWTAYQGFGLHIWNVEPHKAIILGKLYYVATIFYALIQNL
AKFSILFLYLRIFPAPDFSFIVKIAIGFMLCHTIAFTSAIIFQCTPIEVAWSPSGDSKCINMHTLAIAGAIASIVEDLVIITLPINQLLALRISRRK
RSALFFMFAVGSFACVASMIRLKVIIDFFPNPNLDSTWTAISPTIWSDIETYMAINCSCIMCLRPLFSKAFPKVFGTTNATTDTNTTTNAGSDSKPK
SYSKRSTTTPPKVWADKWGSTYDTQSRRSEEDVIIQQSGPEELELRKLPTNMSNNTNGRGSPGSDRNDSYHHGV
>RCO7_06793 | probable casein kinase II subunit beta
MSSSSGAPESWISSFCSLLGHEYFAEISEDFIEDDFNLTGLQTQVAMYKEALEMILDVEPEEDDDDEEEEEEEDGDDSIEGEERLNRRAAADRRHHR
MASDLSIIESSAEMLYGLIHQRFICSRAGIQQMSEKYELAHFGVCPRTHCGGTRTLPVGLSDVPGEDTVKLFCPSCLDVYVPPNSRFQTVDGAFFGR
TFGALFLMTFPDYDITKKGVEAITGGGRSNQTLQAAADGEDKEKINGMNAANLAPGLGKGNMYEPKIYGFRVSERARSGPRMAWLRDRPEDIRDLDE
ATNFQQPEESEAESGNGASTRTKQQALKTRRANGGGSPMSVEAAAAFE
>RCO7_06792 | uncharacterized protein
MADPALYAYPSPLEGYENAPPLPDEKAEDGKSVLSTSYERFTEPLDNGIRGAFDIHIYYFQTNPRQEQFAKELWTRIRLEFPELRIYKFWDRPVGPH
PIAMFEVNLFTPAQFGAFIPWLVINRGPLSALVHPNTVDAEGKTLDEYRDHTQRAMWLGTPVVLDLSIFKTRTEGK
>RCO7_06791 | uncharacterized protein
MANKSLQCISRRMTEQNTVQYPLPIQAYPTDLYRRSLSPDEGRPAKKPRASKPKVRSGCVTCKVRGLIQLQPRIPSANLYGPSVAIRSTEEEHRYFQ
IFANRTAHELSGFYDPTFWTKLVLQESHNIPAIRHSVIALGALNESMGSAPGPDLKVNDIQGFDKQHQEQALLAHGRAIQWLNHYISSSEAPQLRNA
LIACLLFVCFETFQGSYASSVHQIYGGLNILRNYYKSNPRSRPWIPRKDAIDASKFGASNVKKISNVVQTREGCGGVSKDQHIKQHVEKYLERCNHP
QEEMVDEQPDYAQSFTGRSCKFPKEDTPFFIRHMGAPELAQAVRNNFYPAITPMTNGHVSQSRLSSGNPSPEASTHLIQSPASGVSNPTTPNTYTPQ
STAPHTPSAVNAVSTPKSTANEAVVMKRKRTFACQSPIPVPLLQNDLIIEEVLIQSFVRLDGSGLFFGMVPGIPPLIWDTHQIWHLSIPSTPFTDFP
TAQRCWDFLMDRTLQFYRRTLFNRYYAPQTSDPPALISKQYTFYLKQLSLFEKAFTPVLQDAILPDGTVLNAAALILSLYHKSTTIILATVQNESEM
VYDAYTPDFAYIVHTCQIIISSQDSTQLPRNTRFSFDTGIVPPLHVTASKCRDPTIRREAISLLFDNPRQEGMWDGVLSAKIGKWLQACEEEGLPPP
PSFSSSAETSPESSGKMSGFLSPARMVDDTLEAGAWQDRRKTDEVSVHGVEYGAEACGPGVERYAGTGENETAELNGNGLPTRKKSSKKSRQKSGWF
VPEENRVQLMVVDFQMAERHIKVKCQRAIPGKDGKKQERMAVIGW
>RCO7_06790 | uncharacterized protein
MALERMDASQLNIHGTQHGPVPYTNGYAVTAAGPQMIGFAPPFSHHHYGIPFQPSGQAIYTSPNGYMNGVIHSGLEHVVESPLATPIPFGSGDSGKF
TNGSSYMEARILETAGEIRRPTGGSCCAPKQNGATKQNGHSHTSSSSSISEPREPAPVVSSCCSSKATRQIPKLEPVSTQSTPHLSHQIMPQNGVHF
PQPTVFTYPATYGSFQNPLHPSAWRQSIQTNNYSQAPFAPGMLPFDAPLGPGMETVHTCGCGAGCQCVGCAAHPYNAATKKYVWSAYEYSEAPLNNE
PHAEGHNTTNGNGSVNGNGIATTQTSAADQASSPTAHTPSSTTSGAGEEQNYSAADFFFVNYPFSGDSCGGDTQNSHLNLAWATNQAVLAATIASA
>RCO7_06789 | probable NNT1 Putative nicotinamide N-methyltransferase, has a role in rDNA silencing and in lifespan determination
MNDPDDCLDSGLGLFTEPADYYPPSPTPTTESHTLLSGQTLTVRLVGHNPLWGHHLWNAGRLISTYLEKNPSLITDKTVLELGAGAGLPSLVCVGLG
ARKVVVTDYPDPDLVGNLWMNVDTFYEEKEKEGEERALVAEGYCWGADAKPLLTHLPGDEKGFEVLILADLLFNHSEHTKLVATIEHTLLKSEEAKA
LVFFTPYRPWLYEKDMAFFDLVREKGFSVEKVLEEKMEKVMFEEDRGDEELRRTVFGYVVRWKP
>RCO7_06788 | uncharacterized protein
MNWVMVHLPRSVHVWLAAKLGMTVTEALYEDMQAVDSCVVGKVVMHELVEFVRVEDRNWRDLSEGVRARTCLVAGGLDDDENDSWERGEQLKIGNSE
SEAFKVERRHAWNIQDPGLFVSGIRSWMQRCAMPDEYVNLEKKRV
>RCO7_06787 | related to PPN1 - vacuolar endopolyphosphatase
MRSSAILLAACLLQISHGTPTPIGDTHPVLQAPLEDNPQEKTQVQASRRLYGRFLHITDLHPDPHYTVHSSTEEDDACHRGKGLAGTYGAETSDCDT
PFALINATFKWIEDNIKDNIDFVIWTGDSARHDSDEKIPRTANEVLATNRWIASKFLEVFSVDGNPENDLAIPIVSTFGNNDILPHNILLSGPNKWL
QVYTDIWSKFIPEDQRHGFERGGWYWVEVIPKRLAVFSLNTLYFFDHNAAVDGCALRSEPGYEHFEWLRIQLQFMRDRGMKVILIGHVPPARTESKM
LWDETCWQKYTLWLEQYRDIIVGGLYGHMNVDHFLLQDSRQVDLALTGGYVSESESVRELMDEELSIQSANDYLEELRADWATLPNLKAAFDDGDEL
NGLKKKHKGKKSKKDKALKKIGGPWGERFQVTIVGPSIVPNFFPTLRVMEYNLSGIDLSATWANPHASDQGDEMDRLEETFISSTHEADGANADDDD

EDRDDEEESVAKQKQKHKKPQKPKNPNLNIPTPPSKRSPPGPAYSPQPLTLLGYTQYFANLTYINHDSYVGADDVETDKWHEGKHKGKHPKDKVPHP
KPFRFEVEYDTFTDPVYKLKDLTVRSYLKLAHRIGQYKPSKGDQVDESFDEEEFDEDEDISEDEDVFSDDDGTQVEKKKHRKHKKKKHHNQHEKNKV
WLRFVRRAFVGTLEDGELQAFNEETEIDLAEEIPIFAHVDEL

>RCO7_06786 | uncharacterized protein

MSDPNGDPCGFCSQPSHGANQCQLMLDMEQVHAAEVSSEMLDGPVDLAGFAGGPLNGAAAERSHSPTYAASSNSFSGNVYNQGHSYTAYNTGRDRNE
YSMQQPSSCPAKFTSSRSASNLGFSSFPAASEENMGNGNNFNGQLSHPSIPSSHINFQNGNAFELRSPDGALAARRASLLKGTYTAVIPGLTNSTAS
EVPGSLHKIWTGRNYNRQTLLDPASRYSASPIIGSGQAKYHNHGKQSLSRFSGQHMGLGNGYTEYSNTSSPAPYDTAATNAASSASTEKPSPFNTFE
PLESIIPKRLPMDFTGSNYTFPNLEANVCYSNQNFRNFEVKDQDLGSKTAHDYPGYGQIMDSNQVLRGPVAQKSIQSFAMRSLPTAPSVELYDTAPH
LTLQLLASYAKEVQDYGLLLEHHATRLQPIASLNCVQGARFAWFPNGTYSATLEMPQTPENATLLKNGIRAGQIAVRNSVLAKDFGTLLNVVPDQTL
GVAVNSKHQCDGHVLDDQLFHSATTFDAMAHLLEEHRKGILNGSIGSMSRSVAGELGVYNDSPIHTPVRGSGRGGGRGGRGGRGGTARGGSTVTKKK
AAPKRKAETQDIEDGDEVIMGADTGSSATKPSASKKTPAHRKRAPAVRKIKIEPAAELNTSPAAPGFANSSPVKPEQPANVIDLEQDAQGEFDDEYA
QGFDFEKRLVPIYK

>RCO7_06785 | uncharacterized protein

MAYPAAATIMQKDGEFADFDEEYTFKESEKRALNETTRNFVCQFGEEGAEIAFNLQADGIEALLKSPASAERPVRWINIWAPHQQKETVNLLGKHYK
FSPRLLAIINTDPPKSEIHHSKPVGKFRAKLYRKDDIELATKGVSVDLPRSRHKSIHSDISHYTLARQMINYQSHDVGAQFLCVGANWIHELKPLAS
DGDIEKVFEGNQKPLYSWLVICEDHTVISLHEDPGQLENYEDLAAIRKNTLSVLSQLSKHGTADPISMQTVRQALKLDPFQSHSGLEGASLLFYYLF
DDWRAVFSTVAMYHKRLDELQAAILDEVNRKANSSPNIQIIPRLHLLGRQIRQNQHLYEGYKNLIKRILEPTSAMNHGHATPQTPAGFSIGPGSRGV
SLALSAAQRFERLSDRLELFILSETKEFLAEKEALASTYFNINSQKDSEATARLTRSATLLAKLSVLFLPVSLMTSYFSVQIKDLEGVYTTHDYWYS
FAVLMSISFLFLFFFSRLLMYVTETLDAWVKKASKVGMHYMTRKLRKRDEEKVVD

>RCO7_06784 | uncharacterized protein

MKEITLDIGSEYKVAKSTLVTKLSQLKARGLMDAGLVLVDSNKMLHGCLAQAELEFALTEDGILYDNEVVGILGVISTFIDRTPLAVCAKAPMEYAV
ELFGKLGLKHLIIVEEGSSAVVGVIIKKRLVIFLESLDR

>RCO7_06783 | uncharacterized protein

MSHDEEANENSRLLDPRIAELRGGKQRTPIHDEASSIVSSHVPKEGQELAGTAIGERLPYNDYTTIDRVHDLVSARRSIDGFKSTTPALGFMSRMDS
RVNDRHSYRSRCFLVDNAVATISEYKVGYCSSNVLQGREACCMGNLLPDSISKVDEFCSEWKMWAENYWTSFGIYVGFALLFGIIAGGVIMTTRANL
PAVRRDDGDLQRGPEALRKSMYMAAGGGIPEIKIILSGFVISHFLDFKLLLVKAIGATFAVSTEPPGGLSASSRIVGMSAGGDGRQKELPRLTGPWN
DFKLVLTVVTFGCKVPSGIIIPALDVGALFSRLIGQIIPTDTPGMFAMVGAAAFLAGVSRMTVSLAVIIFELTGEVDYIPPFMIAIMVASWVADAIS
R

>RCO7_06782 | uncharacterized protein

MTFSTTTISTRNSKHYTLRSDMDPNADKEDRKREYNRLAQREFRRRRKEHLKSLEQAQKEQNSEQSEEIERLRYQNDELRRENEALRAQMYGSSSSS
HLMSSSIALPSFPSDARQYSLSPSISGTSISGASSPPATLGADMISMAALSMTSSMLPPSINSYADPSALSAQPCSIVHHSGLRHNSQSSPDSSGFV
RDSRPRSSMGSSFQSMNIPQSEAQTNQVQRTVSGPASSMLMAPYDRMKARLEILEIFRPLYSDPAATTHSQRHLAVLKSMSDGLPDVLKPSKAQLDT
PHYYTIDMIASPTLRDCLISVTSEVARAFVSELGIVGGERGDEVGQVIIWGDDALDENSWELSQPLLERWGWLLGATWLQRANFWRRQRGAPQLPEW

>RCO7_06781 | probable ethanolamine kinase 1

MSTATVQPVSPPINGNPAVRLIPLTYNSAESQTSALRLILALRPEWEDGKIEFIRFTDGITNTLLKIVNKTPGLSEEEIDAEAVLLRAYGRGTDILI
DRERETQNHELLMQYNLAPELLARFNNGMLYRFIRGSVTSPADLRQQDIWRAVATRLAEWHAVVPCISTPRKPLAEKIASSEKFDSAAATPSKKDPA
LQIAIDSVAPGKPAPNVWTVMQKWIYALPTESEAEKTRQASLQRELIRLVAEFSDRPGLGQNGHVFAHCDLLSGNVIIQPQSAATAPNAPKIVSFID
YEYATPSPAAFDIANHFAEWGGFDCDHGLLPTKSQRLDFIREYIHSYFAHLGQDKSAKEQETETARLFAEVDVFRGIPGFYWGIWALIQATISQIDF
DYASYAEVRLGEYWGWREESDGTRQASAKDMTVREKRWAEE

>RCO7_06780 | uncharacterized protein

MSVSLLGAFIALSNLLIPFAQAQFVADLPQCIQDCINQSPDTDCTINNIGCICRASSGNFLPDVVTCMHSTCDGHLDTKLLLTPLQLACMIAGSPIP
ASAIRNAENAASSLATQVTTTVTQNGSSANGGAGATTTIYVPSPSVSTVTVTTTRSGSTFYQIYPVTIGSTTATTGPTSTLTSISTPSPTNGGFTGI
IPIVVVGTDSARSTYTSTRTQPGAISSYTTTDSRGNTITQQSTFPESTTASVKNIASGDGSSSTIPSSSAGSSQSTIVTVTSATAATTSSNGLSSSQ
TSKAPNPDQTNSAPFGNSNDADALTTENRLGLVVLLAVLCMWL

>RCO7_06779 | probable ATP-binding multidrug cassette transport protein

MFNAHSNHMYTARAEQDRRVPLHNVENAGEPPLQLEGESPSSSDSVNRVDGTWGERDIGGPVNLRHAMLDYEEMRRELTTLSKTRSAGTKSLGQQSS
GLKETTTRRSQRAPTRESQADVETQEGEKPEGEDSNDNKGRAEEEEDFELGEFLKDGHFEKRQEGRSAKKVGLVYKNLNVQGVGATTTFVKTLPSAI
VGTFGPDLYKLLSRFIPILPQVGASGVKRDLIHDFTGVVRDGEMLLVLGRPGSGCSTFLRAVANKREGFAAVEGDVSYGGIPAHEQNKKYKGEVNYN
EEDDQHFPSLTVEQTLKFSLLNKTKKHEKGDIPVIIGALLKMFGISHTRHTLVGDAYTRGVSGGERKRVSIAETLATKSTVVAWDNSTRGLDASTAL
DYANSLRVMTDISNRTTLVTLYQAGEGIYDLMDKVLVIDEGKMVYQGPAKAAKSYFENLGYYCPERQTTADFLTSCTDPTERRFQDDFNGPIPKGPL
ELEKAFRESASYKNVLKDVDEYEKMLHETNHADAREFKQSVAETKSKHVSDKSSYTVSFFRQILACTKREFWLTWGDKTTLYTKFFIIISNGLIVGS
LFYGQSTDTAGAFSRGGTIFFSILFLGWLQLSELMKAVSGRTIIARHNDYAFYRPSAVVIARVLQDLPLILVQVIPFSIIMYFLTGLDVDVSKFFIY
FLFIYITTICITALYRMFAALSPAIDDAVRFSGIALNLLIIYTGYVIPRPQLLQKYIWFGWLYWVNPIAYSFEAVSTDEFYDRVLECAPITIVPRGP
GYGNPAYQGCAFTGAQVGSLNVPGADYLSTSFNYSRSNLWRNFGVVIAFTFLYILVTMIASELFNFSSSGGGALEFKRSKAAKQKVKAASAPTDVEK
VTDSSANVPTSSTETLGGNKADEALQELSSSSIFTWENVEYTVPYMGGERKLLNKVNGYAKPGVMVALMGASGAGKTTLLNTLSQRQKTGVIGGDML
VDGRPLGMEFQRGTGFCEQMDLHDGTATIREAVEFSAILRQDRGIPRAEKIAYVDKIIEMLELGDVQDALVRCLGVEQRKRVTIGVELAAKPNLLLF
LDEPTSGLDSQSAYSIVRFLKKLSNAGQAIVCTIHQPSSVLIQQFDMILALNPGGNTFYFGPVGDEGRDVIKYFADRGVQCPPQKNVAEFILETAAK
GGKREDGRKLDWNKEWLNSKQARRVLDEIKKIKSERSQVQPTAQAEQHEFASPVPSQTIELTKRLFIQYWRDPSYLYGKLFTSVVIGIFNGFTFFKL
GNSIQDMQNRMFTSFLILLIPPTIVNAVVPKFYTNMGLWQAREHPSRIYGWVAFCTANVVAEIPIAIVGATIYWVLWYWPTGLPTDSSTSGYVFLMT
MLFFLFQASWGQWICAFAPSFTVIANVLPFFFVMFSLFNGVVRPYAQLSVFWRYWLYWLNPSTYWIGGVLAATLSKAEVQCTPQEAAYFNPPPGQSC
SQYASAFVSTATGYLTNPDATTNCGYCQFKSGVEYMATLNIEPKDKWRYFGIFLAFCISNWALVYFFIYTVRIKGWSFGLGRLFGYGGKLVGAMKKP
FKRGSKDEKSKA

>RCO7_06778 | uncharacterized protein

MQYSRLLLTFLAASIVSAENEEPDTDSSPSPIDTGRSNSTTSGSGSYGGDMDGDHSGGRATGTGPSMPKATGTMKGNSTTTTTSPPMRVSGNSAQPM

MAQGGGLVTVAGLGVVFAVFM
>RCO7_06777 | related to MSH5 - meiosis-specific protein
MPYKRRRLGSEALSQQSSSSRLQAFSRLGSVPHSITASSPAASFLPRQSRLSLRAPDSTPSVVSSQRDRDVVRAGVFESEAEEQARENSDAINEVIM
AIDLKDRSTIGCAYYTAREEKLYLVEDIKMAGLDMIDTLKLHVQPTVILISTRSDERLEVHLSKEARGIEQGDEARKLNIQSYPLSLLTFHAPDDIF
GSYVLDARAASEFSPERAKSKLLSLDLTADGVSQYKMVTPGNNMVGDSAVDLGRLMTLAGWIDLESDVGLGCAGAVLEYISRGRNIDYLPNDDAALV
AFRIRCIEMFSLSDMMFVNADTLASLQIIQSERHPNSHMQGPNKSTSGAKESLSVFGLFFRLVSTPQGKQKLRQIFLRPSMDLEVIAERLRTTSTLL
KLENESALDQIVRSLKMIKDIKSVIVHLQRGTADKAGRGIRNGVWANIQSFTFHSLQILAAVRDTKGSQSLAITVKMLHHIQCARMNAVGTMVEEVV
DFEQSAEQHRTVVKQGFDVELDNLKRTYDGLDSMLTKVATQISNDVPEWAAQYISNCIFFPQLGFLIVVPIDPASGRGKYEGEGRENDAWEQMFISN
DMGYYKNVKMKELDGFFGDIYGEICDQEIEILHGLAVRILEHEQFLASASDLCGEFDSLVTLALGARKYGFSQPEMTTANVIRIEGGRHPLQELTVP
AYIPNPCFLFGGSGDEIETDISESRLVPTSSVQDSTEVPSMLVMTGPNYSGKSVYLKQNALIVYMAHIGSYVPAHRATIGLTDKILTRIATRESVSK
NQSAFMIDLQQIALALTLATNRTLLVIDEFGKGTNSSDGAGLCCGVLDYLISLGVHRPKVLAATHFHEIFENRYLKEQPELSFGHMEVRLDTESEAV
EDQITYLYNFVPGRSISSFGTCCARMNGIDPAIADRADQLIIMASRGEDLVLACSEMTPDEAQKYEEAEQVGRQFLEKDLPRPEDKHRDGISIRSLL
RDVLNVV
>RCO7_06776 | related to protein MSH5
MTWLSKSITGLGFLFLAHACYSAHEHSALHSASTAVLSSLSAHGTTLPTTSSLPIDISVETIVAVFMVCLGLVLGTPELRPIQWRVWAGKIEREGEA
GFSSGDGEVDKDYVGNPFKLLESRPGFVDIRKQRREFAAWVREGGSIAEAPKS
>RCO7_06775 | probable translation elongation factor eEF-1 beta chain
MGFVDFLSDTGLTVLNQWLTTRSYIVGYAPSQADVASFKALPSAPDSAKYPHAARWYKHIASYTEEFATLAGDASKAYTTYGPDVAEVTLNPAKAPA
AAEEEDDEVDLFGSDDEEEDAEAEKIRNERLAEYKKKKEGKTKPAAKSVVTMSVKPWDDETDMKALEAAVRGVDKEGLVWGASKLVAVGFGIKKLQI
NLVIEDDKIGLSELQEELEEFEDYVQSTDIDAMQKL
>RCO7_06774 | probable chaperonin ClpB
MHLSQLRIPARRIANAAATSRALRSNGTSILTTRVLQRNTIFAPRNLPTLSLRRYANGRPHPPGGTHRMDLGGGEEKSALETYGVDLTERAKAGKLD
PVIGRDAEIHRTIQVLSRRTKNNPVLIGSAGTGKTAILEGLALRIVRGDVPESVKDKRVISLDLGQLIAGAKFRGDFEERLKKVLSEVQEAHGGVIL
FVDELHTLLGLGKSEGSIDASNLLKPALSRGELQCCGATTLNEYRSIEKDVALARRFQPIQVDEPNIQDTISILRGIKSKYEVHHGVRITDGALVAA
ATYSNRYITDRFLPDKAIDLMDEAASGLRLQQESKPEEIMRLDQRVMTLQIELESLRKETDVASRERREKLQATLKECQEETAKLTEKWEKERAEIE
ALKKVKEDLEKARIELDQAQRENNFGRAGELRYSVIPSLEGKLPIDGDSGTESSGDGTLIHESVTADDIAAVVSRVTGIPVSKLTSGHAEKLIHMEE
SLRESVRGQDEALKAVANAVRMQRAGLNGENRPLASFFFLGPTGVGKTELCKRLSDFLFSTESAVVRFDMSEFQERHTISRLLGSPAGYVGYDDAGQ
LTEAVRRKPYAVLLFDEFEKAHRDISALLLQVLDEGFLTDAQGHKVDFRNTLIVFTSNLGADILVGNNRMHPYSEEANGEIAPEVRDAVMDVVNNNY
APEFLNRIDEFIIFKRLSTSALRDIVDIRLKELQVRLDDRRITLSVDDTVRAWLAERGYDPKFGARPLNRLISKQIGNKLADKIIRGELKTGDTANV
NVNSEKDGLEISV
>RCO7_06773 | uncharacterized protein
MFAKVENFNDWVCPICFKKISASRPPIFNADNCSCDDIAAYHSGTHNYFPESATYEHQLYNPDIVSPIYNQAQSINSSTDPVPCPEGPEHKTPDLEI
SNTYLPLTASPGLNETQHQRASSFHSDMSYPLRRFLDDMHSHAATQPAVYGTELAVARTSTSASNLNFLSQEIHLQSSKKVKRGSPYSKHSWASESC
GNGDANLSNLGSDALIGTGFWVGNGGYATAGYAMVLSGITDSAVFDDEASIPGARFVVLLGGYLYVLVCKIAVVAEK
>RCO7_06772 | probable lipase 5
MAGFFKSFSSLLVDVLLFWQIKFFRWLTRKKPVEIWFGILRDANMYEEWEEAAYQLDVLLGNDLWRQNPTSKYYDYRLIHERLQSIIVAREEGNILQ
LVNLLRSGLVRNLGNISTPRLYNRAFAGTKLLIEDYITQVAQAITDVTKLPTSPGADGSGVVLGFSSQAKLDLLHDTRQAFGRSTLVLQGGAIFGLC
HLGVVKALFARGLLPRIITGTATGALIAALVGVHTEDELPKFLNGDSIDLSAFAGKSSAGRGGHENSGWWSTLTRRLRRFLLEGYFLDVSILEDCVR
ANVGDLTFEEAYNRTKRVLNITVATTGRGGVPNLLNYLTAPNVVTAIASNASSPSLYGRSITLKCKDASGAIVPFSAASDTTFRPWTHASYTDRDSP
LSRVAELFNVNHFIVSQARPYLVPFLQSDMHGPSPLHTRGGRTSLTGGLLRLITMETHHRLQQLDSLGLLPLSIRRFLVDEHIPAASVTLVPELSAS
DFIRLLETPTQASLDYWILRGERSVWPAVSSLKVRCAIETELDRSYQLVRRKKAGGLRRRGSAVDNANEKERARERERANSAGAKW
>RCO7_06771 | related to LEO1 Extremely hydrophilic protein
MPSDSEDDLIDPVVDGDDDLFGDDDEAPAENVRELSDRELDSGDDEDRRDRARGDEDGDVGDSREARVMETTLWRHPVPKPVDGQLNALRLPTFMGI
DPHQFNPDTFRPPVSDHHVDTKSANFLASAVAASTMRYRTNPTTGKLESNANLYKWSDGTTSISIGDQHYELQTKSLAPPNDVKPYQEVTDSHAYLA
SPSIASAMLVMVGHMTNQYTVRPNKDIQDDALEKLQKNLAAATRGGRTEARNGPELISNTEDPELQHKKAEIAEKERMRAQRRRETAAEKAVHPRGP
GGSRGGLNVDDLEGRAGRRAPASGRKAPRARQRRADYDSDDDLPRGGRNREDEYDKEDDFLASSDEDMEEGGDDDEEEEEILDDSDKDRHRSKKIKT
SKSKPEEVSDADADADAEADLDDDEAPPAVAEPVNRGRKRNVIEDDDDE
>RCO7_06770 | related to MOB2 protein, required for maintenance in ploidy
MSNLFSGISGRFRGGGKNGGTKSPGPGAQPTSPIGTSLQSSSSSTNLAPRMPPLPNSPSLSQTLSMNDSSNSLPNGDPLSCYNLPRPKPLWLNDSYA
KHIVKGNFMTLSARPKTVEQGEWIAHQVVEHYRNLWNFVRVIHDKDEDGVSICNTQTCPRMSAGTNHSFTWLNSRKEPVEVPAHEYISLMQRWISGK
VDNTAIFPTDPAGVSFAHNTGGPEVAQATYASGGLNTPGANTPIPAGPTSLNTSLSQLAGPGDWIGKSSGFPVEFVDVCQTIFRQMFRVYSHLYWAH
FIDPFYHLGLEKPMNSCFSHFVLTATEIEMLKPHELEPMQPLIDLWAANGTFPKESKAYACANLKAGERLLALSGVN
>RCO7_06769 | probable Ribosome biogenesis protein erb1
MVSTGGERKRKAVTRDVSEHSDAESDAEFGDGLLEGILSQSEDSEDDSADEDEDEDDDQEEDLDELEALDSDEIPSEEDEVANGALVKSNGTLKDAI
GTLRILDDNDDDKPNYTITTDANGGERYVYEEIDPVYDSDDSDAADATNTIGNIPLTFYDTYPHIGYDINGKRIMRPAKGEALDALLDSIDVPKGWT
GLTDPATGKPLNLSQDELEILRRIQTNEMPEEGYDPYPATVEYFTGIEEIMPLSAAPEPKRRFLPSKHEAKRIMKIVRAIREGRILPYRPPEEQEEE
DEEVHYDIWQDEQARPDHVMNIPAPKAPPPGYDMSYNPPPEYLPSKSEKKEWESTEPEDREKEYLPTGYDSLRKVPGYEKFIKERFERSLDLYLAPR
VRKNRLNIDPASLLPKLPRPEELKPFPTVCSTLFRGHDGRVRSLAIDPSGIWLASGGDDGTVRVWELLTGRQIWSAKIGDDEAVNVVRWRPGKDAVI
LSAAAGEDIFLMVPPIVDPEIEIASRELLDVGFGYATNAVQALTKDGARKEPVAKWTRPGTRLEDEGVLIKITVRATVKVISWHRRGDFFSTVSPTA
QKSAVAIHTLSKHLTQIPFRKLPGIPQTVQFHPSRPLFFVATQRTIRSYDLQKQELVKIIQPGARWISSFDIHPGGDNLIVGSYDRRLLWHDLDLST
RPYKTLRFHTKAIRAVKYHKGGFPLFADASDDGSLQIFHGKVVSDMMENATIVPVKVLKGHKVKSALGVMDIDWHPREPWCVSAGADGVWEDNII
>RCO7_06768 | uncharacterized protein
MGRPRKRQHAELHLEPRVETQSTKLPDLGVAFSFGYDGGHIAEPYSTNGQPAFDEVPDIVNLPEISIDGPSIWRFAAGATGPAIDFKDGPLSTIESQ
LPSTETVPLLSMNSNASTSDSDISCNPTGPCSCLASMYLALAALQQLPSDIASALLVVRSAAGTASESIWCPQCGSVALENPNPPMDAFQNTMLLGT

ILPIIANGYKVLLKMVDKETELAAAAGRMKTIRFTDYGGMCGKIHEMKEPGVCLENQMLFETVEMPPQEWRTIVRSMLRVDIYGHEQPGFKHKGLKD
LVAEMEFRQTTRHNMLEAHARHGTMDAETFQGRQCPGERVHVCLQVLRVAKFAIDQLVIA
>RCO7_06767 | uncharacterized protein
MRIFKSICSVAVLSVTVTSTPAGWLEERSSETVTAHKSELEARANPQLRIMVAGASIAFGYASSDGNGFRLGLQEAVVAAGNDVEMVGTVRSGTMKD
NANEAQPGIKINDVTARIDAALPKISPLPNIILVQVGANDLAAGTNVDAMVERITKLVDHVFNAIPDVNLILSTLLPSGKTESGVVTYNARLRGVVE
AQNQKGRHVYFADVHTGFSSADILPLPDGTHPTDAGYQKMAQVYAGVVVDIAKTRFAPPPPPPPPSSPSPTPTFVSTSSSILEVQSTPTPEPVKSTT
SSESTTALPSPSSSSISQSPTETPTEVITSSAALKQLAITAVDSSTTFKSTAPVSRETSSGSVSATLSAASTTTPAATPSASAPPNSGSGPSISQPG
LLINVIAMLACALPLVAL
>RCO7_06766 | related to cross-pathway control protein
MASSLFIEPAGTISSTDFVLFERSPSVRSAPSLSNNHQAATSAPRRNSSHLASAQSLQNQRVAAIIQSTGHSITTSALTNRFNTAQSPQHFYASSAP
SSTTALQQQRQTRPQVPLFSQSTGSIPQTPNMVMQGIIHCELSAVGRDSHKATDTDLFEDFTAFDGGASTQNSFSSAFSSPAVPTLYDTHMNLSSSS
STNMGTVSPQDLLRDPFASAPNSTAFTNLTSPDSQYHQSPDFADYDVSPFISDNQDIDQALSGDPWYPLFPQDDQVEKQNSQVEQSPLLPEEELEVS
EHLRRRRSGTATSPPSGGIRKRDKPLPPIVVEDPNDTVAMKRARNTLAARKSRQRKMQRFEELEDEIAKLKEERDHWKSLALRRNGP
>RCO7_06765 | S-adenosylmethionine synthetase
MAPTNGVAHHNQGSFLFTSESVGEGHPDKIADQVSDAILDACLAVDPLSKVACETATKTGMIMVFGEITTKAHLDYQKVIRNAIKDIGYDDSAKGFD
YKTCNILVAIEEQSPDIAQGLHYEKALEQMGAGDQGIMFGYATDETPELFPLTLQLAHKLNAAMSAARRDGSLPWLRPDTKTQVTIEYKHDNGAVVP
VRVDTVVVSAQHSEDISTEELRKEILEKIIKTSIPAKYLDEKTIYHIQPSGLFIIGGPQGDAGLTGRKIIVDTYGGWGAHGGGAFSGKDFSKVDRSA
AYVARWVAKSLVHAKLARRALVQLSYAIGVAEPLSIYVDTYGTSDKTSAELVEIINKNFDLRPGVIVKELDLARPIYFQTAKNGHFTNQKFSWEKPK
TLTL
>RCO7_06764 | ATP-binding domain 1 family member B
MSKFGVLVMGPAGAGKSTFCSALITHLQNNRRSCFYVNLDPAAENFTHEPDLDIKDLISLEDVMEEMGLGPNGGLIYCFEFLLENLDFLTEALDPLT
EEYLIIIDMPGQIELYTHIPIVPALVRHLTRTGALDINLCAAYLLEATFVVDRAKFFAGTLSAMSAMIMLEVPHVNILSKMDLVKGQVGKRELKRFL
DPDTTLLDDDPTEGEVDDGEGEAGDSKTMMRGNSFKRLNKAVAGLIDSFSMVSYLRLDAQDEDSVNGILSYIDDAIQFHEAQEPREPNDEIEMEYGE
ED
>RCO7_06763 | uncharacterized protein
MDILQEYLPTIMHTLYTLEPYTRLPLRTLNTLYTQATPLLMPYISSLLNTLHASPAILSLAAIILLLVLALQILSFVRRVMMFWFRLVMRLVFWAVL
GLAVAVVWQRGVGRTVEDLWMWGNEVRRVWEGEYKRWEGYQNQGQNRGGSAWGGGAYAGRRTNAASAWR
>RCO7_06762 | uncharacterized protein
MSSQTEPKDASATRSGILTPTSDNSLNLSDGVGFGGRKRKRDGNSMEDLLRTKFVVRPYPPTGFVKSQSLQPLMLLPRSNFSLSSIDIFSAAKGLAS
SRLYETHVKILELEERMGSQPTVLIARLDDTRLLYAVERESRGLYALLQLGSWVNLQELKAAAVVSKEDSPERAYLQPSSKLPDAPAEANKFSSKKR
LAIEAIQSMIKRPSTGLLTESQSDTQSPVVKAESVPVFVGSPLPTEEATRTGENAATFSSDLEPIPSMAVEETAVQPTSAEIFDNVRAHYLEALYLS
KASLAYFAKGPLSRARAAFHLDYDSTLELNDLITFLESMVMSSTLLEKKYREGVPMCVSLVDVHDQSAEDVAQTSTKPKKKKMTKKMKHGKNGLYPT
EEPLIRRWWATHDDDADTGAPGSSREEVTKSRISHLRIRETQLQMIVILEVLALQPLATSTEGFGGGLPTSLPTTEIVGSKERASKSKKPDHLAMLI
DVHIDRLCIWQSLALETSNAPGVSQTISDLQSGLLSQTKHNDNILRDFCVEVIAPFFQSRLPDRCTAINRKLGGPVVVSPPKLRIPKSSSFSGAISR
PGAATKRPVPAKPRRSLKRVLTDDRERRSISVGPNKKIALMRSATMPIIPGLKREDSEAASLSNVPIAESKSQEISRGGILNSRRFSRREVDLNGLV
PEMDAKAKKLANIDAELKEAISALKKPNREQAGKALADTAERRSASLRKSKKPIRNPLFQSVQISATPRANRQRDVFSQQSQISSLERMVGEASMIP
ASSIPRIPQSASRSSGGGVETNPLFSHVQATPTRKAVPAFPRRFMGESNLGEVPSSPLHVRRSSAQLFPAVPESIAKNSATLLSFGVEDTPVKRKSA
GSLEHGHPIKSSFSNDKENDRKITEITTNLSLGFTEMGKNDSIYKALGWDDNDEIDDLA
>RCO7_06761 | related to MAP kinase kinase kinase Wis4
MSLDLSPRSVRFSEGAAEERVKDLDTLKTPRVMERPHVQTSDSGGSGSSAETQDELVLDSRLVNQAAALPLPDLRSSVSSMTSSMRSHRSNADASGI
YRVETASPFSPTTAVLNGATSRPQRPTAPARTPSSTYAPARRPPQPPYITISDRNRSMSTSRFRQDPNASYRAQEKAYVQRLREDQPMEYFEPYTPS
VGYGTGSDSEDESSAEPQFDGDAYDQETLLFYGNESMQPTAEDLQDPTNRERLEWHGMLASVLTGDVVRQEKKRLIGASDKQGANLNTEIWLGVRSK
NCGRTLAAQRRMIEDTRATLDTLLDEIVRFQVQGESEAGKAPIDQVRDVVAKIEKCESLYPSRLALEVANKLAASPQFHATCDAVISWHNTTELINT
ELGILQNWVGNAELDFNRAKERSPSGNGLSDESSFIDRLLKEDGLRSLQGDKSIIIGVSEVIMKAKRTLIQNSEGFAKRHLPPYIEELLTLINFPSR
LIEEIIKVRLQFARKMKDSAQQNSMMQEQMISQFQILLKLAIRIKQEYLTISQPEPGWDLPPCIDDESFDQIVLDALKLYFKMLNWKLGGNKNTFKE
AEVLEQEWEFSNEIGRHLQGGDVEVAEQFSSLTHKAFYRLSSTFERELQRKPKETAAEMTKRYKQSLDSVRVRQRMLQRFSRQLSDRFENATDFSIS
LRHESLQNLYSRLIETGHFLVYTASIEHDGIFLIASPSLYNRPQDIQSILGTCYHSEQVQEDPTNPYILVLRPENVVPWDGRQVDANIREPATDVKM
GHLRLIADGSQIRLQNARQAFLESIDMHLDMVVEQRSNLKKVNLKLTEIKKVVYKLSNLIMDSVEIVRKQTDGMDCQELIQTCFIFATEFGQRSLLY
MDRNRKQMNNLKLTKLALDWVSFVCDDCIATDRKTFRWAVQALEFAMKMTQGQHILALGEDEYTRLRAKVAGCMSLLISHFDIMGARSTLAAQAEKQ
RMEAIAGQFRKMDMSRMLDDEESSRYVREQRLEELAYLDDARKQKEAERQALGRVLEESSEADRSLTFLSSSASNVNMRWQQGNFVGGGTFGSVYAA
INLDSGHLMAVKEIRLQDPSLIPTIAGQIKDEMSVLEVLDHPNVVSYHGIEVHRDKVYIFMEFCSGGSLAGLLEHGRIEDEQVIMVYSLQLLEGLAY
LHESGIVHRDIKPENILLNHNGVIKYVDFGAAKVIARQGKTLVAAEPGKANKSMTGTPMYMSPEVIKGENPGRAGAVDVWSLGCVILEMATGRRPWA
SLDNEWAIMYNIAQGNPPQLPAMDQLSPEGIDFLKRCFVRDPKKRASAAELLQHEWIMAIKSQVAIEPSTPSDAGSSHSRGSLG
>RCO7_06760 | uncharacterized protein
MVYMIFRLPLFTYLYAIRMFYEQEHASEFDSKTFLTGKNSLHDQIPPVLAIFGDLWDNNSGPKLPLQNTSKAPGYLYYMTGDLAAAAHILESSRLTC
DEQTDAHFILHTNALLAQVKMLQEKTDEAILLPRRALRYMEFSPFTAEKEWMTTAQNLGIMLIQQSLSDDDGTKLDMLAEAIQVLTKLLAKSAACSP
EITSTH
>RCO7_06759 | uncharacterized protein
MSASSAPPGDKFSSPSTLVIVLAVVLGAIGLILIGSLIFLMCRYRRGQLPFTNRGASPINDDEIASWRTTGQKQKLTIPSPTYQPPVREVADVHVRP
SGWTWAVSPSSIRTISCITDPQLQAQAPNARAGLTDEVIPGAEPFLPQPKRQSSRLAKVPPGHYRTKSRRSSMSARSIWSPDRTSNDYIYREQPHTT
WYAVDGAATPSSHFRTEHSSSSPGTSSYEEYISGGLSPRPERRARAWEQEVQREDIGRAIA
>RCO7_06758 | related to DPB4 DNA polymerase II (epsilon) 4th subunit
MPPRKTDASKVATADEATPGKEQVGVRDGINIEDLNLPKSIVTRLAKGVLPPNTQVQGNAMIATTKSATVFVNYLASHANEHASAANRKTIAPQDVF
NALEDLEFPDFRNRLEAELARFNEVQTDKRNAYRSKVANKSAGSADQAEDDVQGDKAGQPAAKKARLDGEEGANGDREAEADVDADETLDADQTEDD

DDVPDDEDEDANDEQIEADEQMEEAELKEVEDEALDNGEDSD
>RCO7_06757 | uncharacterized protein
MFVKPVAAVAVFASFVAAQSNATVDPNTISPTMRSQWCLAQKNTCGTLCSGNLADNDCDATTLAYKCNCGSNSSAPGLQYYTNTMPTFICEEVFRVC
KKANEGVAAAQKACETNEQQNCGHNDPAKFVAAAVSTSASAPSSNPTGTNSPASGTSAPSSSSKAAAATMMPASFGWPRILDYGWIARTGFA
>RCO7_06756 | related to dityrosine transporter
MAEDQPASSTSPVVKAEPGQISVGGGEGPNVSTLASSDDDKKRFAHLRDNYVVRKIRRIISWTPKRCRWDPESPPQFSIGLNLLFGFAATFTVANLY
YNHPILNILAIEFNVSNEQAAQIPTVMQGGYAAGLLFLCPLGDIFRRRAFVLVLIFFTATMWLGLCLTNSFPVFLAISFITAVSTVTPQLMLPLVGD
LAPPHRRATALSIVVSGLLLGMLIARLLSGILTQYTSWRAIYWFSFGVQYLILILLWFHMPDYPSTNPGGLNYFSMLFSILKMVFKHPVLVQACVVG
FLTSSIFTSYWTTLTFLLSEPPYSYSPVIIGLFALIGIGAICIGPFYSRIVIDRFVPVFSVFLGLTYCLIGTIIGTYTGKHTVAGPIIQAFAIDIGI
QSSQIANRSGIFAIEPKARNRVNTAYMLSVFCGQLMGTAVGNRLYAKAGWVLSGSASVGFICGALLICFVRSPWNPGWVGWKGGWSIRRRDLGPKKE
ESAVEQVLDEVSAEESRLGDESVKTVVEKEVSEQEKQDMIAPVSHIQST
>RCO7_06755 | uncharacterized protein
MAFTDLIQSITGITHLLDHKEASIAQKMSWVSQGETTRMEDQAYCLLDFFDVTLPLLYGEGPNAFFILQQEILGRMDDDTIFAWEGHGTGRLLASSS
RLFQGAGDIVMNTGDTDRPPPTMSSKGLGLVLTPLSPDDFDSLAGADRLISLVLYRQTGGTARRRERLLMRILVTDIDAVDPKRTTIVYVPQPLQYD
EKNIG
>RCO7_06754 | uncharacterized protein
MASFSHDTIPQGSPERGSRLERPSFSSQKTADRLRECERRPSIAPTTMGTKKKQQRRSVFREEGLDDLRSSVYRGGPDPGASPRTLYMVEEDMHKMD
MVRTHEEIMKEKSSQGESLSSRKEDLHSHDNSWYSKFAMGSRPMIKSSASAPHGSFPSLPKVALIVFLIAVVVPGFRYTQGVDKVNIGGADAGVIRT
ADLVDNASSIEGRADSPTSTCTRWAHQIANVNGTVYIYGGQAKSTSGQNTDTWNNNFLTLDLTKTWKRTDPALKGLPQPVGPPAVSMGSLWHSYTSL
FLYGGEFSDSPPKSPLPVSTWEYDIKAAKWTEWANPKTSIGNHSEAGNIPVQRSAEGAGLSVPELGKSWYFGGHLDMFTTSGWSNQIARVYLRSMLE
FTHPGYANTGVSSLGSTNAAPQGGTYRNITEGGLQDSAGFTERADGALVYIPGWGNEGIVLGLAGGTNESFTDMNTIDIYDVANSTWYKQATSGESP
PIRVNPCVGVVAAPDGTSFQVHLYGGQNLIPFGSQIQYRDMWILTVPSFTWIQVPIDSSQSPPPARAGHQCTIWDGQMVVIGGYVGRDISCDSPGIY
VFNASSLQWQNSFVSLGPSSGSSDTPGPSGSGQFSETVDQGFSIIQGSRGYQVPALVQSVIGGSSNGGATATSPAVGAATAGPIATGKPPTFTVTQS
GSIVTQTASPGPGSGSSNNGIKKTGTNTGAVIAGVIAGLFAILAAYLAFCSWLYRKQLKLYKDHVAMAQRTAFTNSPENAMWSSETGSEHLAMVKSN
EKPPGVLLGPFGTEIAGSGGRQSGSVGRSSTGSRLTPGSGAAGTSGESSGSAYEHGYGGGVMPGGRYGRMSEGDEGIEYLGATDPGGYGHGPPEGRS
QTAHSSVEDLLGGQEPSFFAVILNPRRTLRVVNQD
>RCO7_06753 | related to brefeldin A resistance protein
MKFFSQLLVLGLAADATVASSWFSKSVYNKWHETELERWLSDNSVPYPTPHDRAQLETLIKDNWQTKISQPYSDWDSAQLSAYLKQKGIETKDAAAD
NTEGLVAQVKKYWYETEDKAEDAWSSVRDWIFDSWTESQLKAFADKHGIPVPQPRARDTLLQKVRSGYESAAEKAGETAAYPGNWIYQSWSESDLKE
WLDVHGIPAPQPTTRDKLIASVRRNARVASLKAADLSASASKSAAAASQTLSDQLLDSWSDSQIKEWADKNGIKVPQGSRRNELLAIARKHRAQLTG
DNVANSAKSAASRASDSGASAYGAATSAAGNQYAKATDDAALKADDLFNKASATWSESRLKAYLDARGVPVPQGGKKDELLAAVRLNRHKAATGWSA
WTFDTWTVDNLKKYLAASGDKAAKKAGEQADATREQLISAAQEAYTTASKSGGVGYASVTSYLAKQTDSAKESVFDTWSESELKNYLDSYGFDVPQG
STKNQLQAYARNSRNYFQYGTTTPQGTLWAKLGNTFEYISNQLSFGAASGRKYAEEQAEKAAHLAKEQAFVASNRVGEAAQRATDRVKEEL
>RCO7_06752 | uncharacterized protein
MPILRPYATLSSFTRRAAPRPLRQPSAARPISSSCARFAAQGYGDGKGDPRGENPQDQGASNDIKHNAEHPGPAPPSEGQGTGAGPTKGGSGGGKSP
ADASAQSGGSRSKEAKETGSSPTGGEIGGRSGGKSSSPEEKSKNGAAPKLAGDDVPGSDNSKEKQAEVEQHNKEFEQGHDRAPPAAEDKVDKKFWKG
KGGTVENE
>RCO7_06751 | uncharacterized protein
MRFSTISVLTVAYLAATAFANPFDLETRRDKVCNKISTAQCCSVNDFGVANLECESPSKKPRNVKKFKKYCGKKGKVPACCAPSANGDGPVCTGP
>RCO7_06750 | related to haloacetate dehalogenase H-1
MFPGFQEFDIAVTLTVTIHGIKAGNGPPLLLIHGFPQTHHIWHKITPSLTNSFTVIAIDLRGYGKSSKPPSTISDSHKTYSKSVMGEDCIAVMLKLG
YKKFSILSHDRGARVAHKLSVDHPEAVEKLMMLDIAPTLAMFEQTNQFFATAYWHWFWLIQPAPFPEKLMMGDPELFKGKFFGGGHACSGSWSYIEE
QAMSEYMGMFKDEACVHAMCEDYRAAATIDLDEARKDRDEGKKIKCPVRVLWGSKGVIEKSFDCLKEWRSVSDGEVSGESVPSGHYIAEEVPEILLK
HVREFFS
>RCO7_06749 | related to Auxin Efflux Carrier superfamily
MSNSVVASFLGALEASLSVLLTIGYGAVAARYNLLKSASARDINKLCVRLFLPALMIANLGDELQAKTAYRYIPVLIWALFYTLASMALGWVLKRMF
KFPAWTIPAICFNNTTALPLLLLQSLQTSGILKDLTMGKGDTAEEAMKRAKSYFLVAAVVGNSLTFAVGPRLLDDEETPDSYEDKKAQEEQENGSES
EDEHENPTNESGRTAEEQEEHATETTTLLPDRIADPGAELGGVLADTFEKYWSRLPAALRNHLHFVSSFFNAPLIGAVIGAILGLVPPFHKAFFSEP
MEGGIFKAWLTSSVKKIGELFPALQLVVVGAKLSASLLKMKEGKDVGKMKLVPVLSIFFIRFILWPVISIGTIYLLASKTNLLDDDPILWFVLMLLP
TGPSATKLTALADVSGGSEDDKHAIAKFITLSYAISPLICFTVVGALKASLAAKS
>RCO7_06748 | uncharacterized protein
MTTIKMQPDTIMTAVVATTTPPRPSYRKHTRALSRDLGFKTIPMFEMPVEFTIPENTVSGSYTNMLNRARGGSSPPPPSSFLRRTGSCREGIFAANH
SHLCRLGFGEWEKQE
>RCO7_06747 | probable PUF6 Member of the PUF protein family
MPSATTTQTSSGGTKRKSAPIKNEHVKESKKPKIAASVKSSLKKGRAPVKVEVSSDEDADDSDSDSDGGAPVEHRPNKGNLDDDDEEMLDEEDLPKA
ADGLHPERAKAVVTNSQSSREAHAKQKALAQERKAAKPLADELARTKKIWERLRRKSHVPIEERRRLVGELFEIITGKIKDYVLKHDSVRVVQTAIK
YANPGQRKLIASELAGSYRQLAESRYAKFLIGKLLVQNDDEIRDIIVPEFFGHVRRLIKHPEASWILDDVYRGVATRHQKATILREWYGAEFALFQK
DKSEKPTGDLADILAEEPGKRAPIMRSLQELINQLIQKKMTGFTLLHDAMLQYFLNAKQGTEEVTEYLEIIKGDEEGDLLKNLAFTRSGSRVVSLAL
AYGTAKDRKQILKTYKDTLQMMAADVNAHIVILTAYEVIDDTVLTAKSIFPELLSKDHEKQAENIVFSANDANARTTLLHPFMGRSKALFPASPSMD
LEILAEIDNIRVTTSKKDPEIRRSELSKALSPTLVKAISTAASDLVSTSFGCQFITEVLFAAEGDKTAALEAVAMTAAGDPTYIQPPVMEDSDQTEP
PSHLASTAYGGKMLKNLIAGGRFDPKTKSIVPVEPALNFADILYPYIKDSVLEWATGSSSFTILALLESPTFSQKDEVLQILRNLKKQLQKAAKDET
AEQKSRREVAEIEKSAMDVKGKTKKSKPVKERAVGNRGSALLLEMI
>RCO7_06746 | probable GIR2 Highly acidic protein with anomalous electrophoretic behavior
MGREEQKEEREVLDSIFPEEIQDISETEFRISVLLDITNDDDDDSEPPTVTLQVKYPEDYPEEPPVLDLLTPQNAPTHTYFNVASDKDILLDGLKET

IEENMGMAMIFTIYSTLKDNAEQLVAERQAAARAVHEEKLMILEQEENKKFHGTPVTPETFTSWRKDFRKEMEEQRLREEEADEAAEKKKNRGRDAV
VQLTGRQLWEKGLAGKIEDDDDDDEDEDNLPAVEKLKVEA
>RCO7_06745 | related to TPR domain protein
MAKSKPSNKKANKEKKATLKKTSGTTSKAKMSVSPDILLAEAAFELQKGNIEESVKPALKALALLDTDSQEALLALNLLGEIHVELGDIDSARQYFL
QAATIDEDGSIPEELGGGAEKFLWLAQLNEEGGQESVDWFEKGAMSLRLQIEALLDSGKLSAEGEAAMTEKTRKLAVALCGVVEVYMTDLSWEEDAE
QKCESLVTEATMVAPQFAEPWQTLANVRISQQRLEDAQAALKRSLDLWKDLPPENPIVPEFPARVSLARLLMEADLDVEAIEVLERLVGEDDSSVEV
WYLGGWGLYIMGEKQKNGEVKTENGDGDSWRVSWISSRQWLDHSLRLFKQQNYEDERLGEHAKELLASINAELGGVAAAEEEDGSVDGSDEDDEDEE
MGGA
>RCO7_06744 | uncharacterized protein
MPIRNPFAKRSDVQTGLAPYEEGIRPLSQNGTRPVFEKVDTTGSKASSAMSIKSGQEPVEYKMSVVNDSGVYLPPSPPEKKGFWPKRSHPSVSSIST
RNSEDIEPFSISRESFDSYRRSFDISAKSPVIGHDLGRQSLDSARLPRLPRSAMNERRFERQPPTAEEGFEDVGLNDEQAKQTKKKGFFAKFGEHNA
EASTQSSTTSRFHIGGRKRAQSGVGEELGNIPRPDTPGTNEVKEVH
>RCO7_06743 | uncharacterized protein
MFFHSWELWEQMTFVLALAIAAVIVIGYSKLSWRNRLVQRQELVDEEKRARIQQLRSSGQIVESRKSHDIPFGIRAVQSGVQVDGIWISRTANPNPT
RLKLGHLRGTSTDKMSGSESSKNADISEFSRGEVLGPLLREETSLFGNGNFSGRYQVQDSMGDRPKSVGSPSSYKPRTASHRRYGSHGIYDEDTLGK
LEGKVKSKEKVHTHYPQRARTLDTEGESSSAADNERSPNASYESDSTLSHKRILANDRSHQGLLTSMPSIDIASLSLSTVAPARPVNIVGPPQTSRA
EYAIIPIESPSEELSDPFATPFMSPLESPKMKPNLPPTSVHPDWLAGPQQSTPVTRISSPFVPGELHINKSIRNVNSGFEVLPAGTFGVPRGSKKAE
WKGSEYNDDAGGRRTSGKLQKKPRLSMGGRPSSSSEKP
>RCO7_06742 | DNA repair protein RAD51
MASDEVEQSQSGVEEMGVGGPGAPTPLSALEGVAGLTKRDIQLIVEGGYNTVESVAYTPRRILEQIKGISEQKATKILTEASKLVPMGFTTATEMHQ
RRSELISITTGSKQLDTLLAGGIETGSVTEIFGEFRTGKSQICHTIAVTCQLPFDMGGGEGKCLYIDTEGTFRPVRLLAVANRYGLSGEEVLDNVAY
ARAYNSDHQLQLLNQASAMMCETRFSLLIVDSATALYRTDFVGRGELSSRQTHLAKFMRTLQRLADEFGIAVVITNQVVAQVDGGPSAMFNPDPKKP
IGGNIIAHASTTRLSLKKGRGETRICKIYDSPCLPESDCLFAINEDGIGDPSPKELEKDH
>RCO7_06741 | uncharacterized protein
MEPSLPTYSYKEIRLNLESTTQGCTVAVRLPSHGASTYSLRATQKRPHIVDVPVAEDENAFRARYLASEASIYHRTYHQSPRSFLWRILEDGKVLSI
QSVDISKPSTVADANITLRLTLPSAIKPGCIALSDSKEHDVLSVFILVESKQLYTLTLRPDHFRRAVSTEDNVGDWCKTYSSAAFSLKAPHRLVALS
ADELLISTIDGALLRLGRGSGGDGSAWKEIHYNEGGWGLHVRSMRIFNNSSTIVYGGQHLDHATATSIASPGVSIHGKQYAFTVCLDHRIRVWNLST
GKLAFTKDMLGQELDPTEQSKQAKKIIDPSQSQLVKVYGKGNGNSALCVTYSPLGSGQFKFWSVAPSRDGGLDLVDLFEDHVFEPPAPTTEIWTMCD
FAVLNHSTSPNDFTIWILWKNNVAHYLHRLEFQKSDDYRLLRDTWANGWEATVYENERVVKEPSLCLGDASDWTDVWLEFVLAPGRFTVATIETCLA
IYSRGLGTKGAAPKSGALPERLCATIAATASLSRGSDGELDYDSFRIATHHYWKRFFALLLEIDKQRGEAMSMAIDPYGEMPWVILADGITAIRHCS
PLEKLLKNKPRVSGGEQYVAWPLWAAGSFRDSLLDLSEPFIHACDTQLLEEIFQEPSLTATARMRNLYEKCDFPNQIGNDEYDQLETELGGHFKNLT
PQVYSSILGLLNTSGGLDRPLVQQLAEFGNKLLVRGVQETVSIHRRTCLEQLLLLILIENEINHTEDGIQFESAAVFDALIKLLKKLELLRWLCSTE
LTLRQPSSERSLSITEKSSGSTKKVAASLGMVTVFEGVFRHLFGLDLRGGESMSSAVTQSILEVCAPDSHLYETSPSLIQCFLLNQDRADLAIELSR
FGDHDAFSTYIQGRAYLAADDASAAAMLFKKAAFGMAYPDQKKRSGHRSASYLDETEKRLLNAGLPAYYSHIVGLFDKEKNYSYVIDFASLSLQFIK
PDLDDPHLPSLRTEMHSRLFNAAIQTARYEIAHSTLTLFTDTVLQHSSLRTLVNKMCETPYASQLVDLPFISLQDTVDSILLQKCQSIVDVNAGIPY
HNILYAWRIKHSDFRGAAAISLERLQKLQSSGEGDKMIGDDGLETPVTRQYVSLINVLSCVNPKQAWILSEESHQKSNGASVAGKTAPPKRKVVTLE
DVRKAYQAELDRIAAIENNQFAFGVDGDEMDVL
>RCO7_06740 | probable PEP8 - vacuolar protein sorting/targeting protein
MSYFFSTPVDIDIVLEDGDDRQMVDMKTEKGRREKAPLYKDGESVKGAVTVRPKDGKRLEHTGIKVQFIGTIEMFFDRGNHYEFLSLGQELAAPGDL
QHPQAFDFNFKNIEKQYESYSGINVRLRYFVRVTVSRRMADVIREKDIWVYSYRIPPEMNSSIKMDVGIEDCLHIEFEYSKSKYHLKDVIVGRIYFL
LVRLKIKHMELSIIRRETTGAAPNQYNESETLVRFEIMDGSPSRGETIPIRLFLGGFDLTPTFREVNKKYSTRYYLSLVLIDEDARRYFKQSEIVLY
RQAPEIAAGAGQQTAITGAPPPERTPIPQA
>RCO7_06739 | related to Sm-like protein LSm8
MSLQHYVNKKVLVLTSDSRTLVGTLLSCDQMTNLVLSQTIERIIRPPVDPEPSSEVPHGLYLVRGDNVVVVGLVDEELDDSIDWLQVRGAVVGGVKH
S
>RCO7_06738 | related to inosine-uridine preferring nucleoside hydrolase
MAPLNRIIIDTDPGVDDVLAILLALAAKPEELDILLLSVTYGNVEVESCLRNVVALFHVIEKEKEWRRARGQLAGFEAMSASKPIVAIGPEHPLEET
ILMADYFHGVDGLAGVSHSHPHLSPADTWKTLFQPPQAGATAKDTAAAVELASPSASFKASQVPAHKEILRLLKENPADTITIVAVGPLTNLALAAA
EDTETFLRVKEVVVMGGAIDVSGNITPVAEFNTYADAVASARVFALTSPNPASTMPPAPKDLEPLPPYPKKLSKLLNLTLFPLDVTTPHALHRSLVV
DKLQPLIQAGSPLAEWTAAFVLKTLEKIESLTRKQADPGLELHDPLCIWYMLTRSAPSWMLAPKAPEDIRVEVSGQWTRGMHVIDRRNRKKAGAPDA
QIASPGAVDITNPMEQLTVAHPEAEIEEDAPGDSHSWLHANKGNRINRIVSSPGEDAFGPYLLERIFG
>RCO7_06737 | uncharacterized protein
MPTTTTIAGWAAILAVGGAYYWVNGQRKQKNLRSINHKQANKNSEPRKESKAKKSKKESGLSSGDQDVKPTQKKAKQVAKPVIEETVVGTSSSKTAD
KDEKNADLEFARQLSNAKNGVVDAPKSQSSSRQKSVKQTRAQEKPVVEASDNGTASSTTGADADDDQSPAASPELSATTATNGDVSDMLEKSAAGPS
VLRVTAPTNPTPAKKVKQQSFEVQETKKQKQNRKKAEEAKAIREAEEKDRKVKLEAHRRSVREAEGRAAKDGSAFMASQAPSSSAWTAAPAVQATND
TTIPASKKLELLDTYEPSNGHVDTKPVEQIKSESKLAQELAFIPEDEQLRLAKEESNNWEQVKAKYPRKKKAENQGLKENKAPKDEKTSSSNDDSND
FGVPPVIAPTGPGKKWQMTTVHVEPNGKIVEREEEVQDSEWEVA
>RCO7_06736 | uncharacterized protein
MSLDVAIQSVAFYILSCSTCAKISHRRKAKLQAKRERAEKHEMESEQPGLYRHPSPFSTNPYWTEEIMLGPGPPPKKGGSKNASQRALNTAGQGSSY
AGSTAMSSETPSSPTAVEDSRVSGEGWNRKRYQREDEELWGHDIPGPGQRIMDAIAKAGSSAGRLLEGRLSKSGQIREEDNPSPYYYARNPPVNDLH
PPVVSTAPASRDETRWMLQPPPPAKVMEGKERVNRNRAGSNTSSRRGNDGPPLSRQLTDRLVDAKLQRGESPYEEARTEPEPNSSPSKAKLSRRRKN
SSVELSDSCDIVLRRKQKPQPISVSTSGRSSKDIVEHIPIPVRPTTGLSSETEEISRPALATIVSSSNEVLQVKQQHDVLPFRELSAPSDSAMSTRS
ASTTQRLSPQANSMPVTLLHVPAKLPGSATFQFPRPATVEDEPENLVPAN
>RCO7_06735 | uncharacterized protein

MSSDALPISPTAFAAALRELPISTLHLKAMELRNSIAHLDYSNEQLRPFANGTEPSTNGTPDADCVEAIRENEVVIARQTERIQLLKEEVERRGASW
SEFRSKEEIDGKMVNGVGEEEGEGRQGVNVGDEREERSSAWTDGTFQTGRIVDGELRMDGDAQANGTAVNGTSNHTGGRLDHEALRRAMNERMRALA
EEGDDDQGMHL

>RCO7_06734 | related to mitochondrial rhomboid protease
MKLADLADKELTKLTFLTARLAQRSIRQFSILSSPFRLNDAPALGPLPSSRVWRSSNAFRLPAGIRTFASQDRIITHFEELPADYQDEQGLLFRSKW
LSKEETMKIFGKGIDVNSANRLLRVLHGRRVAGTLADPSLTSGAFQKRYIAVGLKWLRENVPVDEIQCAGLRAQKELADMELEIVSDSERIGLWKPN
SGNTKNVYGDGVFDRVRKAKEAKLDAIEAKKKGQADEIEQNTGTLQTTGPESRVELRRPGENPRLKYYLERAVVAPDKPPEMTAWARLWPSGLFTVL
FIGGCVLFATTYTPPRKENRAWPDMPPAAATIISLILVNAIVFGAWHVPPAFRILNKYFISLPGYPRAASMLGNVISHQSLHHFGVNMFFLWFVGVR
LHEEVGRGNFLAIYFSGGVFASFLSLSSWVLRNSFIASSNGASGAIAAIIATLCLLKADEKVRLFGVFPPENWPSISAIMLLAIFVAMDVYGVRRGN
SVVLVDHWAHLGGYASGTVAAFFVRKQQSLRREREVERRDEVEVADDAKEGKL

>RCO7_06733 | uncharacterized protein
MATPQRDDTLIGTDRPNTHASANRWRHQESSAFRAHAGPRGASEKGSSKDLADFLNSDRVPGTAGSANAQNGDGTPTYSAQHDPVGHDKHADGTHGS
LEVKCGPLLNYRRMENETWFGSVLVVTKGGGLGDSPDVPELKLRAAPAGRQSENAGSNGNIASQRARGDNYGVVNGVDYSNFQQPEYQVTQNGAQTN
GGHTNGVSTNGHASEELKSRGTKLYSDRDNTFWRFDLQVPMQQAELKVEYEIPALTFTSGGKTDKQSFYIPAIPESMRIMFHSCNGFSVGTDEDAYS
GACLWNDVQREHAKAPFHVMLGGGDQIYNDGIRVGGPLREWTDISNPHKRKEYPFPESLRKSCDEYYVNNYIKWYSTEPFAGANGQIPQLNLWDDHD
IIDGFGSYVDDFMRCSVFRGIGGVANKYYLLFQHHLAPPPSTYTTDAPQTTGHEKVGLDQRQIDNTYVLDEKTIDSSYIIGAKPGPYVVEHSRSIYA
RLGARIAFFGIDARTERTRKQVNYPETYQIIFSRLRKELSEAQASSSPIQHLVVLLGIPIAYPRLTWLENIFSSPIIAPIKFLHKRFGFGGGFFNHF
DGSVDLLDDLDDHYTARTHKKERLYLIHQLQALASEFSARITILGGDVHLAAVGRFYSNPKLQIPVANDYRYMANIISSAIVNKPPPQAVANLLAKR
NKLHHLDHDTDETLMKFFDKDPGDSSKTSNSNHVTMPSRNWAVITENSAGVHQHPVANGNGAVSHGGTAIQTANNNQATSKAKDGHSWLHDGEVDAG
TKHKAANSETHGTYADGSLDVCIRVEKDQHDRDGKTQSYGMTIPTFRFEPGISNKTLEKRHPAEGTVKEHHHEHS

>RCO7_06732 | related to glutathione transferase omega 1
MDSEPVLHQQLSSQYRALQPQAAQAIQHDQHGQPHLGHHTLESQGGLDLDLNNSDAVFHQELRLQDPNGHGFQPSHPFDHGHGHGQMQIQDNGSPHT
PQNNNGGQFGILAAGSIQHSPMPRLQEIDHMFGALDGNDQKSNGHLSTKVVVDPPNLAEWRQRLFNVDEMITLSEDEFQTYFPHVDNVYSHRSTQRY
KRKPFVSHYWDCRLKGRPPGTPKSTDPNKKKRKRMARERDLCDVKIKITEYFPGAMLRPDFVPDGGPIAPSDPTQSNNFFAPGQPGAALNQQNQFGV
PYINNNIVAGHPGATGARYYTIQRVNGNGGNGKGDGVPGPHKHELAESDRVKKNSIQRLTIKKDKEEKKTQKTYHKKASGNALATVKKHSKEHELKL
FGSCFCPFVQRVWIAMEAKGLQYQYIEVDPYKKPQALLEVNPRGLVPGIRHGDWGCGESTVLMEYLEDLGAGPPLLPPNNPQLRANCRLWSDHINRK
IVPTFYHLLQAQEFAKQAEYTTKLKDEIAKIVDMADAQGPFFLGPQLSYVDIQFAPWIIRLSRVMRHYRGWPDPPPGSRWGQWLDAVENNEFVKNTT
SLDDLYIDSYERYAQNRPNTSELADAVNGGYGLP

>RCO7_06731 | uncharacterized protein
MTVQSATNPMEKITDTPCAANEVCVQRLTGNKKPYASCIPIVDLVSWRTGPAPFEKGCTNIDVAAGGSHYVGTILYDVNDNQIEVSNINYHGEPGDT
PEGTASQISILTSLLFLFNLRTYMQVCITSGGFTNLKAYTWAYN

>RCO7_06730 | related to xylulose-5-phosphate/fructose-6-phosphate phosphoketolase
MPGEEIDRPNPKALNSLIPQDVLKLAVQLEKLQISDADLKGLEEFRRASNYIAAAMIFLSGNAHLERDLTHDDIKPRLLGHWGTCPGLTLAYAHLNY
LTRKNDLDCIYVVGPGHGAPAILASLWIEGSLGKFYPQYTNNKQGLHNLITGFSTPRGFPSHINAETPGAIHEGGELGYALSVAFGAVMDKPDLIVG
CIVGDGEAESGPTATAWHAAKYIDPAESGAVIPIVHVNGFKISERTIYGCMDDKEMVTLFTGYGYQCRFVEDLQDIDRDMATSFQWALDEIRKIQKA
ARSGQPIMKPRWPVIIMRTPKGWSGPKKVDGEFVEGSFHSHQVPLMAVKSNKDQLADLQKWLLSYGPAKLFTENGDVIESIKSILPVKAEKKLGQRA
ETYKAHEPLKVPDWRKYGVKKGTEMSCMKAIGDLLDQSLVDNPKSLRIFSPDELVSNKLDAVFNHTGRDFQWDEFSNARGGRVIEILSEHTCQGFLQ
GYTLTGRTGIFPSYESFLGIIHTMMVQYSKFNKMARETTWRADLSSINYIETSTWTRQEHNGFSHQNPSFIGAVLNLKPDAARVYFPPDANTFLSTA
AHCLRSKNYVNLMVGSKQPQPVFLSVEEADAHCQAGASVWKFASTDDGLNPDVTLVGIGSELMFEVVVAAAILRRKCPELRVRVVNVTDLMILEAET
LHPHSLTNDEFDSLFTPDRPIHFNYHGYSNEIKGLLFGRPNLDRISIECYKEEGSTTTPFDMMLRNNVSRYHIIEAAIKAGAKHNPMVAIDMTTLLA
EVRHQVTKVQEYIMETGKDPDGTFDIPKFEGTVFQGGKKGDGQGGGKEDGFFVN

>RCO7_06729 | probable acetate kinase
MSKIILSVNAGSSSVKISVYRTGSSGQEPKELAETQIDGLTSPPSQLKYTRGSETICKDKKLEEKISSQKDAFGYMLDMLINDSEFSHITKQEDIGI
VCHRVVHGGDFETPQIIDEKTYHKLESLTDLAPLHNASALEIVHYCIEKMPKTRNIAVFDSEFHQTIPEHIRTYPINQEIAKKNKLRKYGFHGISYS
FITRSVARYLGKQESDTNLIVLHLGSGASACAIKNGKSYDTSMGLTPLAGLPGATRSGSVDPSLVFHYASDVGKLSPNSTTDLHISRAEEILNKQSG
WKALTGTTNFGTIASSDDPKMKLAFDIFLDRILNYIGGYYVTLNGKVDALVFAGGIGEKSDLLRRKVAENMACLGFEIDQDANQKEIKDVVQNVGQE
GARHKLLVCQTDEQFEMARFCSVDDKLFN

>RCO7_06728 | related to cyclin-like protein CLG1
MLTSGGVCAVLDYEIDQLTEYIAEMAQRIVLPSGTVSPAFRKFVQGLLTSTRLPSTTILLGMNYLARRMNMLKAAGPCKVTDGVVWRMLTIGLLLGS
KFLDDNTFQNRSWSEVSGISVSELNTMEHEWLVAMEWNLYVNLDTSKDFNAWLSSWNEWRESRNMQRKATLDRLAPMPLAPIDTNVQQTRPYSQIYN
GYPKTASRERPQSGFHPGYEQSVWVNSYPTPHLTPPSAPDSGLNTPEYMSATGGAPRYNDWAIFNQYSRGYQPQTHATYVPTHINPQLTPFTPYDNH
YGRHYGNIWDHSATDCNCGSCNMQSKQPYFMNHGYGQPVIAA

>RCO7_06727 | uncharacterized protein
MPFKVTNSGTRWHVNDAGVYFYRLTRADATSYLKHMQEGMRKEVEARRSREDQAMLKWQVEPTVEEEDVNPQKRAEGNHKKSRVVTKFLEMGERDVE
HREPDKDQLCKDRLELTVSKWTEEEMMEVLRREKMCLERDRAELAVRERDLQEQLEQMELTRRLPETEMLKRAAIIRTQQDSLEIEKLQFELFKIEQ
SEEARKSNTRILDRDRVVQDTYTLDRVDRWLAEANCREESACRRQQEVWDVEMEKLQVRADKLKELEARVLADIEERAAVEQDLSLRMVEEDSRSSR
DLAHYDGHHQNGQLAGGNDQIKAEDDLKLTEVEHNESPNV

>RCO7_06726 | uncharacterized protein
MSHPSAATKSSTLKRHTRSEQITTRMSTIYGQIHQIVDQVSSIQTQLHAINSVCYAIEKAFNELCLVSFDEASQWTDFDEKNLDASLREGDVYFVVD
DEEKYKEIVRRIVEMEMEDRLKAEGVKEGRNGEEVSE

>RCO7_06725 | uncharacterized protein
MSPKNDTHLSLCLAQANLSPLHYRHGAIIVRGGKVIGQGFNTYRPGFDGGALKSGILPSASLDGPAIAELKQRLKSKPKNKSKKENKPDERTFTPFE
STGYGHNANIALSMHSEMMAIQSALSLSSGTQSSQTSARSTKCFVKPCFRLQGDSKKRKARARGLKAYAKAVCEDAVASAGTVQAYSGEFSIQKSSF
EPATSQSVSAGNWQRGQRQGGGQRVSQQGSERERAGEHMEKCRETAIEEETFASLSEWVSRGSEPQSTIRKGVSIVDSESSSSDDDLILSRQSKAKT

AKNPSIPTKPQQILITKNKSSGKATIAERTKDLRLKGSDLYVARLGTEQKTSKKHDRSEESELSPPSPIPSKSAPTSLHDELSSQSRSTSLCASKTK
PEPFPQPEIRASRPCYRCVSAMHAVGIKRVFWTTHGGEWEMAKVRDLVDALEVGIGGDGKGEGEGLGTGQESKGVFVTKHEVLMLKRAMGF
>RCO7_06724 | related to nuclear localization protein NPL6
MGRRPGRAAAKNAAAALKNTPQYDDGEDEQMPDAFESDAASQQDGEDDNAEDGTPAAESDAEEVHSTPAPEPVFRKKRLGRPPKNRPADWDAQEPEN
QSETGTPRRGRGRGGGFGRGGGRWGKRGGGPSHVTQQPIDKDGNMMDVIDDELDLPEDPEGETKVDKMGNLQGGREYRCRTFTILNKGERLYMLSTE
PARCVGFRDSYLFFTKHKRLYKIIINEEEKRDLIDRELIPHSYKGRAIGICTARSVFREFGAQIIVGGKRIIDDYEVAKFRSEGVVEGALADPNDIY
TPGEVYNKNQYVAWHGASSVYHNGVPSVPLQTGKPIIGAKRKVMINDVNWMLEHAREASRFNAALGAVRRQTLGGIYDPHTNIMHFPKTMQPTHARW
EQIDDNKAAAEELRNGHDQEQAEQSIFPPVKPIYSKNYLIVDTVYESAPASTFGIPGPDGDYYDLGLNGISGISDDIKAELPEECRLALEEALEKEM
QWKNKWGSESQSGHRRAPIIDKGVV
>RCO7_06723 | related to serine/threonine-protein kinase SCH9
MAGNEMDLLKQATQAMMSRYVCCLIGATMTVKPQGTVHAYTFSLFVLPIEQSAFQGDVGLDPTCFSAPTSSENGGVALPVFRTADILETVDGVFLHL
SIYVQKPGLSFCIVSTLFLTDGLQLAMALTDLLCSRDDDANGFDSDTTRSGVATPQPDPSDKRLPGIMHSYFGQVGSGSSGSSTTSPNPGPLATSVR
GHEVESKIPSSRPEELDAAEAQPHVTAESNDSAKTASACPQTEPEVVLFSQNEHLRLLEPAHAPAPELPRSALHSYPTPPTSQTPSLHQLKLSDSGS
EDEGKTAAKAAGLTSSHHNSLSESIPSSARRASLMNPLSSVVTTSSVHAADFSNPSDRNPATSSDIPSHARLSSDCLESLSYDRLKKLTDDVPRAKS
NCPTPTRALSNQTHKSEGSNGSDKATGQDVKAKIEVPPAAAPLSPPAGAQAPSLKGKLTVKIVEARGLRKSRDPYVVAVFQRNELVSKGPTPSDAEE
NEDPTSSPMGGIPITRSGSDSGRPMAIPMKSRQSSNTSLSDYHDFKSKGRSSMTNPKWDTEAVFDVVGADSRVNLTIYDRSSAAEEFLGHVDLEANL
TENDNSPTKGWFPLRGRNDTDSDLPGEIHVEITFQRTEKKHYGPDDFQILKLIGKGTFGQVYQVRKKDTRRIYAMKVLQKKVIVQKKEVAHTVGERN
ILVRTAMADSPFIVGLKFSFQTPTDLYLVTDYMSGGELFWHLQKEGRFDEKRAKFYIAELILALQHLHMHDIVYRDLKPENILLDANGHIALCDFGL
SKANLTNNATTNTFCGTTEYLAPEVLLDEAGYTKMVDFWSLGVLVFEMCCGWSPFYAEDTQQMYKNIAFGKVRFPRETLTVEGRNFVKGLLNRNPKH
RLGATDDAEELKQHPFFADIDWEALTKKLITPPFKPKLKSETDTSNFDPEFTNALNGASSLNARAAALAAGVATSTPLSPTMQAHFKGFTYIDESQM
DEHMQARGIKDDYDDTDEDQKQDRDWENDQRGSRMSGIQKTNTNEDQSMFNGGHFDIYLAFERSSRIMISCTHYRLAIDNEGVPNLYYPFADQRAFL
AVLQEITHSSSISGREFEMRLGAFGRKAC
>RCO7_06722 | uncharacterized protein
MYIRGATARDLHRLAEITITSLKDDPAFDFMWPYRHEYPEDNFFFWQQTLQSWLYDKKITFLVTVLDTSDCGLESQIEIVPDTVISYAIWARHGNSN
TARQRWRAKNTFFNNIDALTTKMEVWSHGRKYRRRDADFARLLALDKMGKAIEEQFWKDMPERWVLELMVTHVDFRRRGAATELLKWGLNEADREKA
PCKVEASPMGKLLYAANGFHDLALFTVSAEGQKESLELWAMRRDPVLQELQDRTRT
>RCO7_06721 | related to F1F0-ATPase complex, subunit h
MFTPVLRATRSSIARVARQQATGMASRRTFITPTAVRSADLVQDLYIKELKAYKIPAVKANDSEGQVKHFKAPATPKSPEEADIANELKAYETQTVD
LEGQAEGGAAEPEVDWFEMEPEEEEAKH
>RCO7_06720 | probable 26S proteasome regulatory particle chain RPT5
MSTLEDLEDLEREQKEDKKDDKKDGDKDKKTDQNDDAEMKDAEPEEKEEDLIDDEIYSLSTSEISTRRRLLDNDSRIMKSEYQRLSHEKATMGEKIK
DNLDKIENNRQLPYLVGNVVELLDLDPTSEEQEDGGNIDLDATRVGKSAVIKTSTRQTIFLPLIGLVDPEQLKPGDLIGVNKDSYLVLDTLPAEYDS
RVKAMEVDEKPTEKYTDVGGLDKQIEELVEAIVWPMKEAERFKKIGIKAPKGALMYGPPGTGKTLLARACAAQTDATFLKLAGPQLVQMFIGDGAKL
VRDCFALAKEKAPAIIFIDELDAVGTKRFDSEKSGDREVQRTMLELLNQLDGFASDDRIKVLAATNRVDVLDPALLRSGRLDRKIEFPLPNEEARAQ
ILKIHSRKMTVDGGVNWPELARSTDEFGGAQLKAVCVEAGMIALRMGKNKISHEHYVDAIAEVQAKKKDTVNFYA
>RCO7_06719 | probable transcription initiation factor IIB
MMAPPEMPSAAGATGDWTENLNMTMICKDCKEVPPNLVEEFSSGDMVCGSCGLVLGDRIVDTRSEWRTFANDDQGNDDPSRVGDGANPLLNGSQLTT
TISFQDGNARSRDLMRTQNKSANDKATKGLLAAYKEIGAHCDAVNIPKNVSDTAKHLFKLVDDAKAFKGKSQEAIIAGCIFIACRQCGVPRTFREIY
ALTKVSKKDIGRTFKVLEKFFANDSEDKAKAISNGLLPSTDTYQTTSSTNASELCMRYCSQLGLQRQSFVKVSQGLAEKMSTVGDLAGRSPLSVAAA
CIYMASYLLGRPKTPKEISSIAGVSDGTIRTAYKYLYQERERLIEPEWIANGKGDMANLPVG
>RCO7_06718 | uncharacterized protein
MPHSKRTSATVSDDGESPIYSWSEHGSPYSYHSQWYPSPFIVESTGITYTTAEQYMMHQKALLFSDSEIAVKILSSTSPKSRNILGEKCPISLTRCG
RQIGGRIVEEASYWKFQVGRDEGVSLRNRLLGTMEREIVEASPRGRFWGVGFGEKNAEKRRTDWGLNLLEKAVIDARKKLTEEGSETDEVPGKAEGE
SEKAEPVDDGERHVKRQKKSNK
>RCO7_06717 | related to multifunctional beta-oxidation protein
MSDPGAGFEYPESEVSWLKRDVLLFANSIGCTAADELHFLFVLPPDLTELHPDFAVFPTYPVILPFKQTNQEVIDFYAAQRAVPIPGVPKFDPTRVV
DGQRSIEFLKQLPTTSEGRTFVLKSKVIGVYDKGKAGAVVETQQEIVDKKSGEVYTRAIGSAFFVGQGNFGGPKGPASKSYPPPEGKKPDASVSHQL
TQETALLYRLNGDYNPLHATPEPGKKMGFGGAIMHGLGSWNFAAHGLLKAIGGSDPKNIKEFQARFASPVKPGDKLVTDIWLTGNKEGEWEEVRFVT
KVEGGKVCLSNGKALMKPVAGKSKL
>RCO7_06716 | related to cytochrome P450 CYP4/CYP19/CYP26 subfamilies
MSNVDFIVSHVGVGSVVDILTSIRGSTLMVLLLSLTSCMFLYVRSAIKYHHDVEFGNQKGCKPYESKLIYHWPLALDIMKTAFKAGRDKKLLAFFTT
HFDQLHPTTEVRILGGIGYVTQDPENINNLPDFHLGPRSLAMKAMIGNGIFTQDGAAWMHSRESLRRQFIQMQYQNFKGFHEHLESLMGKLHASSGV
TDLQPIFYRLTLDTTIAMILDQPVESFDHEIGDLFSKAFDQASLATGTRARLGDMYFLYQPKGFSKACETIKSYTYQFALDALEREVKSPVETEKSS
FISKLYRDNEDMQLVRDQVLNILIAGRDTTAATLSYAFHLLLRNPATLETLRGEIESVVGDEKEITRAQIQQMPYLHNVLQETLRLYPPVPINTRFC
KKLTSLPVGGGPDGRSSLLIREGMPVAYSVYHMQRREDLYGPDALVFRPERWNGSELANIGYGYLPFNGGPRLCLGKDFGLMLASCAIVRVMQEFPG
IKLVPGTVLEEPGTERQHLTLTLSNAQDVRKFVSGEAERRYQYQRTTFFEVMISFHDMERDNVQSQKHNGICMASRLLQSPQIMTKGNRPIKSTLFL
PTLYRPNAKLNAIDIFVCGIMSSYIGMNVS
>RCO7_06715 | related to leupaxin
MLSRGRSKDSKDRNRKVTPPGPVYMSNDQFANYLSDLRTNRVTRPSGARPLPASNRRDSDRGLASKAIVEPAPISPVDSVPRSSSVLSHRRAQSSLS
TYSSVTSRTGRQLVQSPTPSEKDPKPLKASDVVPTATYMERGSRWMEKEEAVSLREAMEDMAVKPEIEEELRIHKAAQDEASELVYQHQFPQPAIQP
DAPFKYKDHLRKNSYQHARAQSVGRYNGLNIATGLARDMPRSVSGGSNSSGGLQSPRSRISSEGSDYFRQRAASPEAAIRASAESARDIRPSGESRK
SFGSLASSVRPLGSRRKASGKRNISGEVTSTFTGEQIWEEPEQDSADRGSSSEGHDMPEPLRIKPRNPLNRVQFAQDMGMGARSQSTPPEPTKRFSA
SEIHRNPPSQSRNPNYTANPLPEAQRPKFKPVADEEEPAVPMKDGLEIRSEDIRQATSMRLKDRSPKLPTPTAVSNKPGRPIVSFDSNWKPNEADVK
PEVRRRSPFDRINRGSPSSQRQSLPARSDSKDVPSNIPTIQLPVNPPTQVKKAATVPIPSINSPDSQPSVPTINVPDSRPSVRTINHPASTPTIPTI

NFPDSAQPNVPTINFPDSAPSIPTINLPDAPQISISAPSIPQITVGNASISPSKRPLPTPKPSAGRTGQRQAPPPVSRGHWSPAGRRATATCHQCQL
PIEGKVCKLSGGAEHFHPECFICFTCGTGLESLEIHPEPKTKCAERLDRIRRRAQGEHILEVEGATMAEDGDERLRFYCHLDFHELFAPRCKHCTTP
IIGEHMVALGQSWHYGHFFCAECGDPFLAGDSHIEKDGYAWCLNCQTKRTERQAPKCKKCNLAVIGEYVQALGGEWHEKCFRCATCQSSFDDGAFFP
LKMQDEGTAVLCVRCIERELKK

>RCO7_06714 | related to protein MCH2 (monocarboxylate permease homolog)
MADQANESLSEKTIIPDVPEVPKPSEDQKPDDVPPDGGYGWLVVACVCLINAHTWGINSSYGVFLAYYLDYDTFPGASALEYAFVGGLSISMALIIA
PLATVCVGRFGTRFTLGIGIVLETAGLLGASWAYEIWHLFLSQGLAYGFGMGFLFVASVGLIPQWFSTQRSFANSIAAAGSGMGGLIYSLATNAMIK
SIGLGWAFRILAIVACAVNVICTLLIKDRNKQVGSVQMAFDVSLFKRVEFLLLLGWGFFSMLGYIVLLFSLPSYARSVGLTASQGSVIGALLNLGQG
VGRPFVGYFSDSFGRINMACTCTFLAGFFCLVIWIFAKSYGVLIFFSVIVGTVAGTFWTTIGPVGAEVVGVKILPSALSIVWIVLVTPCTFAEPIGL
ELRQDSGDIYLHGQIFTGFMYIAAALCMWFLRAWKIQELSRVKETQAQRERDIRDDDAVMRPNLSRHASRISVKSTVKAAKGLWSWQRV

>RCO7_06713 | uncharacterized protein
MPGLEAFKAYLSTSSLHPSTFSGTHLNNLIDTFARSLIVHLADEIPSLLELSKFGQSLPLLRLINAEGAKSPLKLSKLGGVPFFAQKLDTEFEEGIW
SAWPMPVVVRWLIPRTVGKWNREWWRWASCDESGRLRELLGPESFE

>RCO7_06712 | uncharacterized protein
MISKPARQGRFATSRFKLIETPVHAQNASKPYDQYVEAASVMALAHNVMIRGLNSIYLQAPHMEPIDHSSFISYCKCWVENLDEHHEMEEGVFS

>RCO7_06711 | uncharacterized protein
MSSTQASQPDPKSPTATPATNNDDQSQDVSMDAPDSPPENTHAAAAPSSTLANTAGRVNGDGGRPSSGGGSSSTKTPGFGAPGSSWTTKKFSEEYEK
AEANMLDRAWENKYGDPLLDIQQQQ

>RCO7_06710 | uncharacterized protein
MSKKASIPDAWDDDDWNTKADQADAAAEAAKVEEQVKLTKAQRLAQHAEANKKIWESADEPEVPYFLAAREAQAPPLKQEFKPALKVLSRKPTPKMI
QRVDPATGLAKMTIEDDEEEEVQKDQPTQAELKARAEKARQEKQRKYNEARARIFVTGSGSSTPGNVTPPADSIRGKGRGRGNGRQEIPRPQSQSGS
KELFDPNYSAKPGYTPRNGETRRSGTSTPKDEDQVIRAPRGPDSSGRGFGNRGGRTS

>RCO7_06709 | probable Cytosolic Fe-S cluster assembly factor NAR1
MSAILSVDTLNDFISPGVACIKPVETLPAKPQSESNEYEVSFNTDAPPLSDLSPAQISLTDCLACSGCVTSAEAVLVSMQSHAEVLTELDSGPALRI
KRDGSGVENIEDGGRIYVASVSPQTRASIAATFKVTEREAGYMIEQLLSGPKGIKGRAVYRNGFQWVVDTNAAREACLVLGAEEVMQFIIAGEGNAN
GDEAGSATKQPKKPILSSSCPGWICYAEKTHPHILPHLSRLKSPQALMGTLLKTTLSRKLGISPDRIWHVAIMPCFDKKLEASREELTDAVWEGTGT
RGIRDVDSVITSKELLMLADSRRVDFAKLPRTPLARLLFPEPKLDAFLFPKSKSRKNGVQASGTSGGNLYYILQYFASQHEGATVQTARGRNADVLE
YSVTSSQGEILFKASRFYGFRNIQNLVRRLKPARPSRMPGGKPVGGARKPAGKVTGPESSYIEVMACPGGCTNGGGQIKLDDPIISGTDPSEFKAGP
QEQKEWLAQVDEAYFSGEEGSFGDISEARDDLVDGISPSYIKDTLAHWAATTGLDLDRLLYTSYREVVSDVGKKADAEKVIEIAGKIGGGW

>RCO7_06708 | uncharacterized protein
MDVFYSYSYGSAAWLTMQAVPLIISPTIIITFLSPDVREATPLEEYFSRSLGLTLLALGTMIILLTGSVPLTSSISDTTNAAVTTEASDPKAPYAVP
TLTISLAYHSAMAFYCYARYAATSQVCYVLGTLGSGGLAAIGLWCVLFASTSGRISRKTGADKRTSGFPFASKESASAKKRQMGKAI

>RCO7_06707 | probable IN2-2 protein
MPQIVGKEIGPIGYGLMGLTWRNEPPSEEQSFKAMRASLSAGANFWNAGEFYGTPEHNSLTLMNKYFTKYPEDAQKVVLSIKGGLVNMKPDGSPEGV
RTSIENCLRLLDGKKSIDIFECARVDKNTPIETTMKALEGYVKVGKIGGIALSEVSAATVRRAAKVTKIVAVEVELSLFATDILSNGVAAACAENDI
PVVAYSPVGRGFLTGEIKSPDDIPEGDLRKKMPKFLPENFHKNIDLVEKLQSIAKQKGCTPAQLAVAWIRSISKKDGNPEFFPIPGASTEARVIENS
KDFTLSAEDLKAIDSILSSFTPVGDRYDARGMSHAEG

>RCO7_06706 | uncharacterized protein
MDDSDDSSLESPLSSVNELEWDNDADDPDQGTTADIPHEQQEKIDISLDASYKAALPTFDDAMSISSDSEGEIPVSPANRMDDDDVHEQVTKCIWLG
CKRGDMGDMDSLVDHIHNEHIESGTRGKGYLCLWGDCARKGLPHASAYALKAHMRSHTREKPFYCTLPECDRAFTRSDALAKHHRTVHETEALRPSD
PIPKSMSAAHKNRGLKPNIKELQPEEHLPVHANGTTNGQGPLGPQGWTSSYAAELAFTAEEEARGAKKLYHLLRNEIQWAEEEGESLKKQAEMMEEL
RRTEWQEKELLLQQTTDTEVIWQERRKMVLQGAIDLPSSDAIRKAALKAGSNAGSPPRMAPSSPSPMVRSFESTRDAAEVLAGMRQD

>RCO7_06705 | uncharacterized protein
MPLNQKGKPWPAYFLVRTTGEVVPLIAVDELPPGTDVIGVPRFLDLEETVGMLNLGLQRSSGAFYQIVDDGGNVKVEGVEGDDKASEDPSSSVSERT
LPQSSATATGTPPPMAPNASPTQISRGQARANPTTTNTLARPTQNHVSPNPHPQTQLCRHWCHHGICKWGQKCRYHHIMPMSTSGLSEVGLSDWPLW
FRRMNPGYFAAQNANLNGVVNAGRVAGGARGRRGARSAGCTHGGGSGGACCGVLHGAGAGAGRERGRGERPLGVPREKAGGRVFKSEELGEKIIARL
KGMTKKHAVKEKVVEKASERLSNASLVERAAARETREWEDENDEGGPASEDDVNETEVVSLVKGKLVDI

>RCO7_06704 | related to tubulin-specific chaperone e (tubulin folding cofactor E)
MAFIKAKDTSRVSHFVFCFSSSPTAASFILSSSRTADPEQSLVAAVREKYGSPATIDASEVNVVSGKTVEEVGFDKIRAQQGRLHELKIVLVDGQRI
STAENSALEIRNVCPMIEELDLSRNLLSSLAEVARICTELDRLKSLRINGNRFSDVCDVSRLASDKPYVSAFPKVTELSMDEVLFDWGWVIGIVAQF
QHLKSLEVSMNGFKHLQNHFISEGLTSITMEYNGFQSLTDVLVLQKLVSLEALKLKGNEISKIAEQPYEISELSAFGNQLTYVDLSNNAVSEWKFVD
DLNHIFPGMTALRLSHNPIYKTSKDAGSFTSMDDSYMLTLARIRKLGTLNFSKISSADRINSEMFYLSQITKQISEAPESREKEVISQHPRFAELCE
SHGAPTIVRKEAGVMNPNFLEARLITFTFYLPPSSHEGQTEEIRMVREIPMSFDVYRVKGLVGRMFGIRPLSLRLIWETGEWDPVAGYEEWEEDDDE
EEEEIDEETAAMRERGKWMKREVEIEDSTRRVGNLVDGMEAVVRLELR

>RCO7_06703 | related to splicing factor 3A subunit 2
MDYQNRAGSKFGGGGVASTSATNADRRERLRKLALETIDLDKDPYFFKNHVGSFECRLCLTVHQNDGSYLAHTQGRKHQTNLARRAAKEQKEGRTGL
DPVTGMPIGMVGAQVAVKKNIVKIGRPGYKITKTRDPVTRQQGLVFQLQYPEIAPDVTPKVRFMSAFEQKVDDPPDKNFQYMLVAAEPYETCGFKLQ
AREVDRTNDRYYTWWDPDLKEFWVQVMFKTEREERYSGVPGLAPSSTSRR

>RCO7_06702 | probable serine/threonine-protein kinase cot-1
MDNSNSNSNRFYLNLNNDRSAFPDRAYPTTPSTFPNPIFPQGQSGQAQAPTSQAQQQQSYGTGFAPSGYFMNNPYPPNYPQQPPSSSSSNYQQAPQA
PQASYQQRLAPAADATNGLVHQFSHQNLGGRASPYGNQRPRTAGATGQQAYASYLNAPMPSVPQQQSWPEFQPAPERNADRYGSLAHTNQKKCASLA
EGFFKDSVKRARDRNLRQSEMEARLADPNQSQSRREQTWSNAGKQEGKYLRFLRTKDSPDNYQTLKIIGKGAFGEVKLVQKKQDGKVYAMKSLIKSE
MFKKDQLAHVRAERDILAESDSPWVVKLYTTFQDYDFLYMLMEFLPGGDLMTMLIKYEIFSEDITRFYIAEIVLAIEAVHKYGFIHRDIKPDNILLD
RGGHVKLTDFGLSTGFHKLHDNSYYQQLLQGKSNRPNNRNSVNLDQINLTVSNRGVINDWRKSRRVMAYSTVGTPDYIAPEIFGGHGYAADCDWWSL

GTIMFECQIGWPPFCAEDAHDTYRKIVNWRQSLYFPEDVQLGPEAENLIRSLVCNTENRLGRGGADEIKAHKFFRGVDFDSLRRIRAPFEPKLASNV
DTTYFPTDEIDQTDNATVLKAQQAATGPRIEQPEMSLPFIGYTFKRFDDFNKNSR
>RCO7_06701 | uncharacterized protein
MLPKTGLGPRRNPFCSTAEAGCLPRCINATAPARIV
>RCO7_06700 | related to TIM54 (component of the mitochondrial TIM22 translocase)
MAESKPSVASEPNASSASKPEVPVDAKPKPAKPLGPPNPIWKYLGFGENFRPKLPSRNWTIFLTITGGFTAAVVYDKREKKRAQKKWCKLVEHIAKE
PLDAKAMPRKLTVFLEGPPTDGLRVAQDHFKDYVKPILVASGLDWEFVQGRKEGDVRAELAERIRESRLPPEERTEEDVVTATRRNSSVKEFEGPRG
DIVLGRHTWKEYVRGVHEGWLGPLTEPPKQVEDTKEKETFETMPGITLLSEPKEVEATPAAEAKTDDKPKKPPQPSPFISVSAYPDAPTPANLPTEL
DPSTPISFPHILGFLNTPKRLYRFLNRRVLADSIGRETAAIILSTYRPYHTSTTSDAPTSFSAEGADGEAQNGNNDSSVPQTAEQQTALIEEEKEWH
KKARVRVDGEPERTWLEPIVLDPRIASRMRRFELRPEDEARARTITVPEEEIEGTIKGGIRYLGREGIKMLGFGQEKKHEPVAGDGEDVLQ
>RCO7_06699 | probable NMDA receptor-regulated protein 1
MPQQLSAKEQSLFRTVVRNYEDKQYKKGVKAADQILKKSPKHGDTLAMKALIMNSQGKTDEAFALAKVALTCDMKSHVCWHVYGLLYRAVKNFEEAI
KAYKFALRLEPDSQQIQRDLALLQIQMRDYEGYIVSRRAMLKARSGLRQSWTALAVAHHLNGDLAEAERVLTAYEDTLKNPPSKTDFENSEAVMYKN
SVIAEQGNIQQAWDHLQSAGKFNLDRLAILELRATYLMKLDRKEEAVKAYRALIERNSEYKKYYDGLLEAMEIPETDQQARRAVYDEYAEKFPRCDA
ARRLPLDFLEGDGFEAAADKYIHRMLNKGVPSTFANLKHLYSNPSKKEALPVLVQQYIDSDRSETNGEPKRNGDTSKGASAAYYFLAQHYNYHLSRD
LDKAMEYIDKAIELEPESVDFHMTKARIWKHRGDTQKASEIMEQSRLLDPRDRHINTKTAKYQLRNNENEAALKTMGMFTRAETVGGPLADLHDMQC
MWFLTEDGQAYARQGKLGLALKRFTSIYNIFDVWQEDQFDFHSFSLRKGQIRAYVDMIKWEDQLREHPFFSRAALSAINIYLKIHDKPLMNGANGDV
DANGDDAAERKRAAKKARKEAQKAEREAAAKKEAEPNKPVRADEGDVKKKDDDPDGVKLAATKEPMIDAMKFLTPLLQYSPKSIDAQITGFEVFIRR
KKYLLALKCLLAASSLDKESSTVKEQASRFKAAIDKDSDSISPKAKEIITSEFAKLAGSS
>RCO7_06698 | uncharacterized protein
MATMISAPSFSKALMHAPTSAFQQNSSNSKPSVTTSSVKQVTSMTKKDLLVVSPYLEEDHLLDLSTLDTANQLLAKALVDLRFIRDDHRTAPYVDSF
NWPEIIDSVHDLAQMSGFNWTKTDLSRIPPTTVYSDLGVLDKAAHAEATASGGFLKYIFSSPDSAGRNLATCVWRSRQDASNGSVGPGHRQAAQATR
LLYTEWAIERLRLIIDDDVKSWRIVDWSA
>RCO7_06697 | uncharacterized protein
MVLQSRFEPSLPSFKLPAVTIKPFTLKSLELNLPTPTCVQTIKPDRNGHVPPGTFNVLWSYYPGFIAAVVTASVFGLLTMLCIGEAVYFENAYCWVL
CNQRSAGIITISQLSILLAPLWMNAFSSMVLGRMIHFYIPNHRLLRLKASTFATCFVLFDIICFIIQLIGGDMAGVGAPPEQMKTGLDIY
>RCO7_06696 | related to PET8 protein, member of the mitochondrial carrier (MCF) family
MSTHTDVLLAGGFAAFTVDLLVYPLDTLKTRYQSPDYKKLYHDASKNAINRKVLFRGLYQGVSPVILVTIPSSGAFFTTYEAVKSGLSKVSTSSSGA
TLIPQPIINSAASSIAELVSCFILTPAEVLKQNAQMIRRPASGSAAQIAFQPSVTLQALKQFNKPSQLFRGYTALAARNLPFTAMQFPMFEHLKESI
KVYRKDKGSLTGSLMETAMITAFSAGSAGSVAAVITTPVDVVKTRIMLSAAAENSEEEAKKAVEKAKKEGQSLDKLAKMKGGTKKSGLTVAREVWIE
NGTKGLFRGGLLRAAWTALGSGLYLGVYESGRVYLGGTRDKPDESD
>RCO7_06695 | related to caffeine-induced death protein 2 Cid2
MAHPSPQPELKPSFCFSTVQLRDFLRISRSSIDDSITQNLNALLTPAAGGFDPSSTSSRTPRPSNSRRIPQTSCQNFKNQVLFPSWQMRSDVLNYCA
SVATSLDPDDPESVLRQVESEKDRERIVDERLDPYSSRFYPRETRTERLAELVRQERGVENIVRARSWGLVGERCGEDYRGWEEALNDWRKGREGKE
>RCO7_06694 | Eukaryotic translation initiation factor 3 subunit H
MADAVAKEIPLNSVQIEALVVLKIVKACSATFPTTATGSIVGMDINGTLQITNCFPFPTADVAASDSHPNDHMAASNIAAAAPRSKSNIAYQNEMIK
YLREVNVDANNVGWYTSANMGNFINSSLIENQFYYQSAPNERTVALVHDVSRSSQGALSLRAFRLSPTFMAAFNESKFTTEHMQKSKLTYKDILIEL
PIIVHNSHLLTSFLHQLPGELPSKELEFPASLSDLNANAPQMPLYPNFESLDLSVDPFLERTCDQLLDSIETHYTELNNFQYFQRQLAREQTKVTAW
KTKRAAENATRVTQKLAPLPEDEWERLFKLPTEPSRLEGMLNARQVEQYSRQVDGFTASITSKMFAVKSNLLPDSE
>RCO7_06693 | probable adenosylhomocysteinase (S-adenosyl-L-homocysteine hydrolase)
MSAPASKFKVADLSLAAFGRKEIDLAENEMPGLIATREKYKADQPLKGARIAGCLHMTIQTAVLIETLTALGAEVTWSSCNIFSTQDHAAAAIAAGG
VPVFAWKGETEEEYEWCLEQQLVAFKDNKSLNLILDDGGDLTALVHKKYPEMLKGCFGVSEETTTGVHHLYKMLKNNQLLVPAVNVNDSVTKSKFDN
LYGCRESLIDGIKRATDVMIAGKIAVVAGFGDVGKGCALALHGMGARVIVTEVDPINALQAAVSGFQVTTMEKAASIGQIFVTTTGCRDILVGEHFD
AMPNDAIVCNIGHFDIEIDVAWLKKNATSVQNIKPQVDRYLMKSGRHIILLAEGRLVNLGCATGHSSFVMSCSFTNQVLAQILLFKSEDEAFGKKYV
EFGKTQKLAVGVYVLPKILDETVAKLHLDHVNAELSKLTSVQAEYLGLDVEGPYKPEMYRY
>RCO7_06692 | uncharacterized protein
MATQTALALVEIAKPLKKITVPIPEPKEHELLVKISVPGIIPVDQKIRVEIRTTPAASSPSYRASTWSAKSWNRLYLASPINSLAVITNTHFSTNYT
PLLYRKNISDADAALCPVNAFTSAVALFSGGGPSSNFGFPFPGAVESGTIDCEAVTLIGRVVVTASLESEKELRSYGATHVFDRRASDLADRVRALD
GDELVYLYDTFSGGDHTFGVSLLSTSKKGTLLHLVPRKFDEAIAKQKESWV
>RCO7_06691 | uncharacterized protein
MFALVYLVSADSVPLRAKDVTAKVIKDLEKEYNLVDVANFESEGIKVIPTEKHG
>RCO7_06690 | probable REX2 - putative 3`-5` exonuclease
MAALSNSHPLVWIDCEMTGLDIDNDVVIEIFCIITNGNLDVIDEEGWGAVIHQSKETMDKMGEWCTRIHGENGLTDKVIASKTTPEQAADELFEYVK
KYIPEPKRGLLAGNSIHADKAFLRQEPYKKVIDHLSHRLFDVSTMKEALKRWGSLDQLLEVPKKKTLHTAKDDILESIQEARYYKEAIFQGKK
>RCO7_06689 | probable PGM2 - phosphoglucomutase, major isoform
MSVQEVSFKSFTDQKPGTSGLRKKVVVFQQPHYSESFVTSILLSIPEGVENSFLVIGGDGRYWNPEVVQLIAKIGAAYGVKKLLIGQGGILSTPAAS
HIIRKRKATGGILLTASHNAGGPKNDFGIKYNLANGGPAPESVTNKIFTTSKTLSSYKIADLPDIDIDTVGTKTYGSLEVEIIDPCTDYTEMLKDIF
DFPLIKKFFQSHTDFKVLFDALSGVTGPYGKAIFEQEFGLSSASTQNCIPSPDFNGGHPDPNLTYAHSLVEAVDKGKIHFGAASDGDGDRNMIYGAN
AFVSPGDSLAIIAHHAQLIPYFKKQGVYGLARSMPTSGAVDLVAKAQGLNCYEVPTGWKFFCALFDADKLSICGEESFGTGSNHIREKDGLWAVVAW
LNIIAGIGEANPDITPSISKIQHDFWNIYGRTFFTRYDYEDVSSEGAAQVVKDLTVKIDDKSFVGSKISDRTVAEAGDFSYTDLDGSVSPKQGLYVK
FSDGSRIVVRLSGTGSSGATIRLYVEKHSSDTKTYGMDAQDFLKPDIQFATDLLKFQEHIGRTEPDVKT
>RCO7_06688 | related to M.verrucaria cyanamide hydratase
MSSPAVEEFSWTAVPRKLSTLLEQSLASSTAAKPISVASISLPDSPLAKEVHKYAKQELSTETYNHSMRVFYYGQAILSQAFPSWSTSSFNETYFLT
CLLHDIGTTDKNINATLMSFEFYGGLIVLDLLKQHSAPISQAENVAEAVIRHQDLGDTGTLTRLGALIQLATIFDNMGMNPTLVHEDTIKNVVESYP

RLKWSTCFAKTIRKENALKPWAHTTHLGENEFPCGVENNQLMAPHGA
>RCO7_06687 | uncharacterized protein
MASTTDETASNTASLDTSWAGEQTLINEGITGGRLSQAQLNEALVPATSKGFKLGFVDILSVLFSAEACVKQDAIDASGWQDMKQDNAVVRLFLDHG
LDPNATITHGEPVLRFAFHGRCARGLLLRGADPDVFGPTKRTSLYGTLNCGELELAELLIAYGAKVMPNLIWAAVGLRRPYGELATKFLLDEGLDPN
QAASKEAMEQSSTPCSLVCRAENCQNAARRRCRSKSYR
>RCO7_06686 | uncharacterized protein
MPSQPLTHFRIFQICLVAALLTLLYFAYTASRFSAFPTLLPPTSPWIPGTKSGTVSAPEEEYVAFCVVHRNQRSELPEFFKHHYHHHGIRRFYIMDD
QSTPALSSVVENWGIPRSTLSFQYYDQQAQHQDKMMQTHIYSECARLYGAHHTWMAFVDADEFFEAKKEGETLTSILREFGEKTEVGALGVNWRLHS
SANLTKRPNSMRKGFTECVDDPEVLPVKELPRYKDNRLIKSIVKTALFVKPLTPHIFETKEGTHTVGEHGDKIEAGDGIRQPITRDRIALHHYTLKS
REQFEEKTKNWSMKGWEYWDHIEGLPQTHCEEMKKYDP
>RCO7_06685 | related to neutral amino acid permease
MALGNDDESYAAFNNETREKPIALDTKDDSGSNGDLESDDAMRRNAGNKKVGNRIAPVLPHLKGYDFGDESSIAGSDILGKQIELEAGNAIQYRTCS
WQKTAALLFSEYICLAIMSFPWSYHILGLVPGLILTVFVAAVVLYTSLVLWRFCLIHPEVRDVCDIGQMLFWGKTWAWYATAVMFLLNNCFIQGLHV
LVTAKYLNTITNHSQCTIVFSVVAALISWFCSLPRTFDALSKLATVSAFFTFVSVLLAAIFAGIEAHPAGYNPDPNFVDPVTGIMGGEPIVTALPVA
GTSFVLGMSAFLNISYTFIGQITLPSFIAEMKNPKDFPKALWAVTIAEVFVFGIIGSVIYAFTGNQYMTAPAFGSLGNKVYKDVAFSFMIPTLIFLG
VLYASVSARFIFFRIFEGTIHKTQHTVKGWVVWGAILAATWIVAFIIAEVIPFFSDLLSLMSSLFDSFFGFIFWGVAFIRMKRADGGVQWLRNQTMM
GYLELGVNVFIIMIGFFFLGAGTYTSVQSIIDSYAAGAVSGVFTCASNGL
>RCO7_06684 | related to alcohol oxidase
MSSEYDFIVIGAGPAGCAIATRLAKSSSKPSVLLVEAGGDNKDAAYLVPADRFNLAFSQPQLNWGYKTAPQTHLKGQEIDYSRGKGLGGSTTINFSC
WLIGADEDFDEWAKKVGDGTWRWKNVKERFKKIENYHVDIPREHQKYFNPKAENHGTTGPLNLSYADIWEKGLSDVFVAAEEVGLTVNPDINSGNPI
GMGMGATCAYKGERTTASSYLQDAPSNLKFALNTIVAKVLLDGKKATGIKTVEGKEFFAKKDIILSGGALNSPQLLMLSGIGPADELQKHDIPLVHE
SPEVGKNLQDHGFSTVTLLQRPGTNDRMTFETDAEAVAAARAQHTKDKTGMMNSIYGGVPMGWFKSDAVYASEEFKALDKHTQEHLKKPTIPSFEIA
THTPPLFVGDYELQPTDSYLTALAFVMNPQSYGEVTLTSANPLDSPKSDPRLVSHPYDRRVLIEGVRQMMDYLEAPVFKKNTVKMIGCPKSRSDEDI
WDHCSGNMFSSWHMCSTTRMGKKGDEGAVVDTDFRVRGVQNLRVADLSVLPLLPNNHTQSTAYLVGETAAEKIIAEYGL
>RCO7_06683 | uncharacterized protein
MSSPSPAYPAYQTHRNSQSFDSNLPPAPPPKPSSQEVSRRGTPAGSQPLPPPPPPPPQTQTQIQEALGAYRANSEDLQTSQQARFRERQYAQQTQDP
GEEWLPKILEDKPKQDLAEILARPALLAALAHSSSTAHPSIAASQEPLQAALTENIALASHLNEQEARLAHLRSSTQAQLLSTHALERQWRQKQSDM
DRALAPFSPASLYQRLNQGMQEQEMVCGALEESFLEGDDGIATEREAWEWVKQYREAKKVYYSRQERKERWDEGRVGGWR
>RCO7_06682 | related to F-box protein involved in pathogenicity
MDPLHITEFASERYFSKLRQLNEPSDNAASSSEAPAAVAIPNPPLPTGPTFTLPLGRQRSLDNDLPPLDLRPSEQKKRSSGHDLTALRTQRRPTFAG
SFGRLTSKVNVIHKGVPSIVEHREEILAVDPVAAQNLNLSDLFLALPNELQAQIIAPLPIHTVLTLRLVSKSFHTIVTLNESTIARYHIANSLPAYS
LKLYPLPDPAWINLHYLCSIWHRLHVAEKLSTMIAAQAAKEIFLRNTDALRREFEPQHRRMRQRLMPLVFTLFHFFETYRDIHIKRLTSEPPLHRQA
YTLNPIEAEVMAMYDDQTLLKVHQVFPLVVSSFSRRLRPPSYVGTLERSIKGYLKDRPADEVYATILAVGGLRQAQRFWETKGYNARRAAVDTWYGF
LTRSPVEAPPKSKMSFVSHFGRNRAKQAAEASSSDSSTIHDATSCREWFCVKPSCQAARRRHSTDNLVFYSSLADGPPMSPLPRDLLRLMLPDLQHL
SNIWMHTAEALILQRQIVPRAQDIKRNTHVLLELIRDDGMVLDDWTSGTPVQANMNTEQQEGMGVPGGLSD
>RCO7_06681 | uncharacterized protein
MATAAASLTSDTSSYPQFQQFVGGMPLAAGGGGSNNDNAAPNAQHLDKQQGLNTDMEMAQASRPLGQNHQQNQNQNKEQTSGILSARPLALDLNQAN
PSLSMAELEAAEAASTKALIEGVLGPNKDGRVRNPVPSKLKGKTDNKQGNFGVMHMGVSPGKKSEVQGQGRDAAAERDAAARRTSENTASRAKAAQS
EKYVPPKKRGLDASLIADPRSRNSPFGGSRDTQRSRPLAPDETKSEQARLLTLLRSINPVTVVDQICKAVAYFGGIPGAPPPEDGIFPESANTRETG
ALFIGWLAEIFPDLTPRSPEVLKDQAAKKKGRLPKGVKDAGDASEAPNSRNGYGYGPAVSAPSWGLPQSLASVNAPTAAAAAAGPLGDLKFPAPEKS
FEQPSPETSLKNQVEDSSSKRRRGRPKGSRNKGKDGQPDSEAANLTDGQNPGQTAAQSPQAQTTAAKGTQPSPALAPMAKPVINSYASSFNTAPAAK
PVSNDQAQNNQYSGQQWQASSQASQPGNASIVPPGEELSPEERAVLEAFRQQPSDGVQQIQQAAPPPIVPTKTTSTQAGQKRKRAPAKPKPNPATTP
KVPASNLPQTDHPPILPPGREAQVGVGKDTMQWSSVGSAGTAATTANNPTQTLITVPPPKRVRQRKPKAPANTDTPSRNQTASVVNTTPPIPPSTIP
DSQATASQQSVQQSVPQSVSQSIPQSIQQTIPQTAPVARPAAEGLEAHYNYFQQQQQQQHSGRSNTPTMPQQQVQQHARQHSQAQSVTPQQSTPQLQ
QQNLMQHQKSQQGQQGTQQASQREDAQKTTQASSARPSSTGFYNQGIQPTTAAYSQQYPSHQPSQLYGTHTASPQMTNSSSNSYRTNSTHNPMSQPS
PQFTQPENNYRTASPHTLGQPSPSFSQTSTNYRNTSAHNLAQHSPAVTQAENSYRTPTSHALAQPSPAYTTSRSHSQSQPSHQSHYNHFSDSSYIDL
PTLESLGHSGSTGSTSIGLANNTYGTTGGFGQGIPVGLGNSRTSATSNSLYGSSSGLSNPYDASSNDLLRGVGVSRSTSNTGSGAYGSSSNTGGVSY
GASSSRLSNPFDPTSQDDMRDQLLRGYGRR
>RCO7_11587 | related to Nuclear pore complex protein Nup107
MAPMTRSHAIIPLPEGRQARQHPQKSREVSWHFPGSDTQSEREPSVEPPASYDEDADMASNGEQEDEYTKKLPDKGVEKTEDILHPLREAANRVGRE
VERFAEILDGYNPQRATEQAERHDMMVDLIDFYLQIATDTVQNLRKFHGYERQKKSGLRWRKKMRGFEITDDDEHMDIEDIEEPELTSAGGHTTVED
LERWEQEAQTWDLLRRLVHLRFPAPGDRSQSLQKFAPINQYSSEHELWEDFLEKDELALERKTVLQWLKETADESGEDISVLVQDLQRNADRGDIIA
AGWIHTKHAIKGSKMNVGQSSSQTEPLITQLDPDAMTRQKRRLQEQDQYFERAIWLGCYEMLRRGKSPADISEWCMERTEVWRAISMGGFPDERSDD
DVDSGDPESSALWRRMCFALARKGGCDDYERAVYGILSGDIQSVEQVCRSWDDFVFANYNALLKTQYDTYLRTALPTSSVSSATLNFESFDAVQFHG
TPETAGRRLIDTLKTKDLVAPETLQPMKMLQGVLISNQFSHFIYQQGLALSKAANASGLSNLIPSKDERPENEDSTKYVTMDDHDSLRVLTHVLLIF
MGLGLDLGGILKVTEVENVIVAYISFLRLAGKEELIPLYCSQLTGTRKYAILCRNLIDVTDDEQRITQIRLMRELGLDVQEFVSLQARFLLGDFPDE
VPNYPASGKFKLFDAVSPSVENPFPRSRRPRKDFFGGDNDAVSKIDMLLIRSMEWYLLVDGMWSETFTVGTLLYLRFFKNMNLGAARELAIKARSSE
IAITKTPAILGKIFDFADLGNTEEEDLTEVLDGSANQKRLLKKHLLAEAKTYRELEALIECLDHVETVASIAVILEEDETPGAQKHWRKSLSQSFGL
IRVTLEPLLKGWLLTCQNEGAEAQLKLLREAYLPETILAYISVLQIGGTTLTRDLLMECMELSAVIAGDDSDVLEVFRNTGRMQELVEAFAMVSKDL
LVITAQRAAPGSRSTCVTLVLREKPGTVESIQRSRAEY
>RCO7_11589 | related to ubiquitin-like protein modifier
MSGSDENASPGAPEKPEAGASEHLNIKVTDNNNEVFFKIKRTTQLKKLMDAFCERQGKASNSVRFLFDGSRVQPTDSPDTLDMADGDTLEVHQEQIG
GGN
>RCO7_11590 | uncharacterized protein

MAEPKALESSLNKLSINPQSSKSSFSLQKKQTVSESWDDEDLEDSGDDTDRPLSAHQSADYPSAPPPTPISPSTSFARDTTFVNPYGYGGIDGVAEQ
RSERPNSRPEKTDAVAKRMIAGALGVKAPKKTEEQKAYDKAIREKEIKRRNQEKEAAVRAKEDAERSKAAVWDD
>RCO7_11591 | related to succinyl-CoA synthetase subunit alpha
MIQQRVMRGGQMTRKHVPFSTSSRHPSYEDTISNLKIGSHTRVIFQGFTGKQVWICLLEYSPATANAKESIAWGTNIVGGVTPRKNGEHLGLPVLPS
VREAMEKLKPHASGIYVAAHQAPAAIEEAIKAEVPLIVAVAEHIPIHEIMRIHSILKTQSKSRFVGANAPGIISAVGKCRIGFQPLPCFMPGRVGIV
AKSGTLSYEAVASTTRAGLGQSLCIGMGGDVLAGTNFVDALNVFEHDDDTDGIILIGEIGGEAELQAAEWIKEYRKRSSNPKPISAVIGGIHAAPGR
VMGHAGAFCLPGEPDALTKIRYLKDAGVTIVNHPEKLGEAMKKLLGKSGRASSGAASAGASQRGMHTMRSLRPSARSTSPNSRVISQRRNLYIREDL
AKDLLRERGFNASEYSGKGTKRMLAVGIDRMNMSPCIIASPSTDPENSRAEAKKFPFLYNKEVDASQIQAIAKHLQLGSSAKEALPKLVSGLVKLYM
EKEAFLLETTFVERLGDLKIVGANFGFDDAAFRSTKRQADIHGLRRIEDEDAQEAEAENDGIVYIKLAGDGNIGTLVNGAGLAMNTVDALADAGGKA
ANFLDTGGKATSETVKKSFQVILQDPRVKVIFVNIFGGLTLGNMIANGILLAFKELEMRLPIVVRIRGTNEEEGRRIILQSGLPLHAYDDFQEAAAK
AIELANKA
>RCO7_11592 | uncharacterized protein
MEDVPPPRRLDFEPDGIPATGATLRDQEAPALSSSRALARFEFESGRGNEGTKILMVEWSDDEAEGPANMGDWEVSWEGKTTVLSAKDGAEGKLHRL
YFLLAPGASVPPIIRLSQTGGKTMQTNPLPAIFPSELGVSATTQGRKGVLHTVWAKKRLSVLQSEIEVEMKNGEGVGLEMAVQEKQWIEENFGVGAK
ITPDSQYLTSPTSPKTPGRSGRLTERLKGLKLGTSISELSSSGRESSSIDAHPLSPDTGDVAVSSFSLFHGTPSRTPRAVAQSPPQHLLARQNDSVN
SMDAIASGCLSGKDDTEIEDGLFAVKLSPRSPEMQKSPFSFATSDTVPWLRKE
>RCO7_06680 | uncharacterized protein
MDNITPSLEIVSWMGSATWATYAVGGLLFYILLCSTLRFNRRDAMLKKYNFIDRKSLARMTNVEAQAIISQLAELEFPKTFYTSIQFALFKTYGIPT
ISSLLYSTKEFSTPENASKRYADTGVLIQEFSGHHPKSERVLKALARMNYIHSRYQKAGKISNADLLYTLSVFITEPVGWIDKYEWRCMNDLEICAI
ATFWKSIGDAMGIQYTGHLARSEWTDGLDFYQDIKTWAENYEAEYMLPAKSNKATADELVPLILFYVPTSLRNAGTNMVGVLMSDRLRASMMYPTPS
QAYYRMADAIFGLRRFMLRYVALPRPGFMKVRELSDEPDQKTGRLHTNRYVAHPFYNKPGFFNRWGPEGWFVRLAGGDVPGSKGDLYLPDGYKFEEV
GPKSMKNQGLNQTKAWEEKLMAERPAGCPFAFAR
>RCO7_06679 | uncharacterized protein
MAGYLKMLLNPVRSFTELRSLLWPTSVGSYLDTEKTRVSHYCTSCPESSKAIGSQKWTNYVGGTASVPSPVDAAEYSCCGGDTDHQSCSIFGSECAA
IHRCFRESEQFKIDVGSRTASHFGTRVPNVDTTPSALKTEMKSLILECTHVRNLTPTTDQKRTTPFGEEILGELYVPRYQRAVSDIFAGRNGSADGE
DNTSEQVPRMEPCQYRPISNLILEEDSLLTRQIKTCGVPIDPYSTPAVTNTGPCCPKAVAPKGYHITHAKPRDVAKKEVAVGQGYLEVTNARRVVGN
QWMDGV
>RCO7_06678 | probable H+-ATPase V1 subunit c, vacuolar
MSVPTKYMLVSLPTAISPSNDKEEAFTALRSTVSGDSIAVLPFKIPEFKIGTLDALVQQADDLAKLESVCEAVVAKMGESLRNLLEGDEDKISQQKI
VNDKPADQYLRTFNWNKVKYRADKPLAELIESLQKELASIDNDVKSKTTQYTQVKTNLTTLQRKQTGNLSTKSLTPVVDPSILIHESEYIETHLIVV
PNNSKKDFLKSYETLSPMVVPRSSIEITKDDEFVLFAVTTFKKHSAEFQHKCREMKWTPRDYKYVQGGKEEEQKEIEKVSKDERKVWGEALRLGRTG
WSEAVMIWIHVLTLRVFVETVLRYGLPLDYVCGLIKANVKSAKKLKIALDSTYSYLGGNAFGRDKKGKVTKDDSALSSEMAAAGMGGQGGEGNEYTA
YVYYDFEIV
>RCO7_06677 | probable MET14 - ATP adenosine-5`-phosphosulfate 3`-phosphotransferase
MATNITWHPSLSRKERNEFRKQRGFTIWFTGLSASGKSTVAIALEQHLLHLNLAAYRLDGDNVRFGLNKDLGFSEKDRNENIRRIAEVAKLFADSST
IALTSFISPYIADRKIARDLHTSGSQGGDDGIPFIEVFVDIPVEVAEKRDPKGLYKKARAGEIPNFTGISAPYEKPENPEIHIKTDEQSVEECVVKI
VEYLQSQKLLP
>RCO7_06676 | uncharacterized protein
MATAETVDLGLAHPPKEGSINAFNEIEIDLKKMLQHLRHEHDKHEPEYFAAVKHLSNEQLTNFSADNLKEVRVAQTAYGLHLLGKVLLPDSGDRYFM
FRAFIPGEAETARLHSIHTEEVEKSDGDKVYRAIFLQNDPLEWFDT
>RCO7_06675 | related to MAK21 - protein required for 60S ribosomal subunit biogenesis
MARKNKKPAIGTNAPHSKSDSLVSFDEQALLALTAKIENRFGKNSSKTERLDQGSPEGSKTSRSSKPETSKNHQKSNIKESKGESKTKAPELVRGTK
RDASGKVKIASNSTGKSKTQPSKGRDDNGKDDRATLLQEILALGGTKEDLDLVADAVSEDEDDETSTTKSPDKSLRKELASFVAGLGIEGQVQEDTD
SGAEEEVEDGWEEASGSDDSGNVSESADPKKIAEVPAKKAESTSVETHLSSNPNRLVFEARPDWHAAPLAALPSPETSNPSRYQIAISNLKAYAKVL
LEADSILYASKHLSSSSSHRFLSTIMASGTLSDKVSALTLVVQESPVHTTKSFESLLTLAKKNSRAQAVTALGALKDLLGMGLVLPADRRLRSFAGQ
PGLIGALQEDTVTTWYTGQQLPGDISKAHLIAWAYEDWLKDIYFDMLKVLEGWCNDEVEFARLRAVTYVYELLKEKPEQEANLLRLLVNKLGDPDKK
IASRTSYLLLQLQTSHPLMKPIIVRSIESELLLRPGQSSHAKYYAINTLNQTILSGREEETAKMLLGIYFELFVALLKKPEPKVVVGPPINRKGQVQ
GGGAPMGKKAKAKATKEEEAKLISEETTEKMISAVLTGVNRAFPFSKSDDTSLEKHMDTLFKITHSSNFNTSVQALMLIEQLSTSKHLAVDRFYRTL
YESLLDPRLVTSSKHALYLNLLFRALRADLNIKRVKAFVKRMLQIVTLHQPPFICGILFLIRELEATFPGLKSLLSDPEEREDEDEVFHDAPEGDVE
LGTKDCKTQSTPSVLYDGRKRDPEHSSADKSCLWELVPFLMHFHPSVSLFASRLLNDEKMPPKPDLMSHTLTNFLDRFVYRNAKASAGGAKGGSIMQ
PLSGGDNKGILLSSRSAGKIQQPVNTEGFWKKKVEDVAVNEVFFHKYFNQIGKSKRNFGKGKIPARTSGDAGDEEDEQEDEIWQALVDSRPEVEGNQ
DSDMDMLDLDDSDMGSDMDDMDDMEVNVESDDDRGREAEYSGSEASGGAPIEASDSEGGSDIDELFAEELQTAQPKDTTKGDETSKRRKKKFKSLPT
FASAEDYADMLDNEEGEDLG
>RCO7_06674 | related to E.coli prolyl-tRNA synthetase
MWVPTGGIAASVNEDSHAKLIRAGFLRQAYSGIFHMLPLGRRVQDKLEALIDKYMFKLGASKLALSSISSEELWAKSGRLANTSSELFRFSDRRNAK
YLLSPTHEEEITTLVSSTVSSYNQLPVRLYQISRKYRDELRPRHGLLRSREFIMKDLYTFDNNSTLALATYQQVKEVYARLFDELKLPYLVAEADSG
DMGGNLSHEFHFPTSKGEDHIISCSTCDYVANEELAESPICQRQDEDIEDGTQSLPTDVRVWRGISRDRLSLVNVWYQSPDTVVASSTDGHEINMHA
IKAILPYFDPSIDDPLSLWIKSHEVAAPQVKSALSESRRLINLVDSRLPKFVQRAIELQDSRLPIFPKLPEKMLRSIEVQFFDSDQSTQRRLNLLRI
RDGDLCPRCTNGPLKVQKAIELGHTFYLGTRYSEPMSASVAIPIAEKTDVTENVPLEMGCHGIGVSRIIGAVADTLADSEGLNWPRVMAPFEVVVVP
SNENEEAAIAAYDIISKTSPESADLLFDAVIDDRAQPFGKKMKDADLVGYPIIIVVGRKWTEGVCEVQCRRLKKRQEIHIRELGAYIRSLLAQL
>RCO7_06673 | uncharacterized protein
MRDLEVDTITPYQLNLLDYVDTKCAILSDLLSRGGDKEAEANRDSIVAACKAIDRICPETQALRRPMEKLFKEVEFVEADLEVLVNGSVRAEGVART
ALKQS
>RCO7_11692 | uncharacterized protein

MSYINGTKTKPSRALYFKSEERINAQGEKRIDYTSYSPELAIKYYKRLADFERVNKKALGAIKSIISLENLDRFKDKTSVKDLWEAIIATYGSTSLE
EINEYTSVIQASLVYLKQLKCEILKLILASLIFKGLPSSFDSFASRKYKEISNNLSSIDIEGLIRDLISEEARMNTSTDLQANRAFKGKNSKGSKKY
GHYNKTNHIEANCHIKHPELIPNKSTNNKKKSKGKGAKESKEESTKALMSSFSSTSSSSSTADQAYATIYNYRIVLDSGASEHYTPNKS

>RCO7_01323 | uncharacterized protein

MSSQSQATLSRPGRSSTASSVSSTSSGGWLELTSAQQSSKLRSEGGLRAGSNPFLELSVAAISKETNVSHTATNKEESQRLFLLRARNN

>RCO7_01324 | uncharacterized protein

MSIPQETSLILATVRGLQSVGMAGFSAMDTLSIVKRSSPSKFSSRDRHNHQRLKRDIDLEKHDVSEEDDTEDDSDDDSEYSSSVVSSRETSGSYSSN
QPMLRRKAPSPRNSMAYKLPNKIIRYLCLGLISTLIIFVLGLVRMSIVSSRRVEVGDIGSRPAPRPPTWEKFEFLTRYYGGMRTLVPFAENRPEYPS
AEDEVPLSNDTNPASLIRDVPISVPYDAYNNQTRSSYLDEYMPVRECYLDEQARIRVPQLHYYQGRPSGFPDNVMGSYDLLGLPEEICFERFGRLGP
YGYGYARKYGGTGTGQQGDVEGSEGVWTAAGTDDVHQIDYTSINWGAAQKRCHLANAARFGTKNPVATIPTTPAIVKDGQHMNEVNPRQSNLTTTTK
KHLPRNAVVIRTWDTFEYQEEDILHLRALISELSLGSGGEYDVHLLVQVKDEPADPIWADTETYQKHLNESVPAEFREIATLWSETQMLMIYQGIFD
SFIRDRPVHGSYRGLQMAMQYFAHTHPEYDFFWHWEIDIRYTGHYYNLFSQMSSWTKKQPRKGLWERSSRFYIPSVHGSWEDFKQMVRVQTDMGTES
PDNIWAGLKGSKAERPKGDKPIWGPERPRESEDWFDIEKDPKPPTTYEKDKYVWGVGEDADLITLNPLFDPEGTTWLLESDITGYNSSGGLPPRRAA
IVTASRMSKRLLNTMHRETAFKKHHAFSEMWAPTTALHHGYKAVFAPHPVFVDREWPTAYLAGVMNAGRNGATGGSRTSVFGDKEHNLLGMSWYYNA
GFAPNLWRRWLGFKVNNEGGEDFELAVDEGRDGKGVNGMRGGEGRMCLPPMLIHPVKGVDLPVEVSPEKEGIPESNPDA

>RCO7_01325 | uncharacterized protein

MTTTTTTQLLVQEPDYVENLKAMAQHDILRVTLNGPTLFLTIIAMILAIQNLQPSLTCTLLALAPLPWIVYNDYVNFLNLGPGGTPSTFKGYLKITC
LRLCALSDPYKPADKLEDIRPTLGYHNRAQSWLPKRSGPRPKIAGIAPQRQLDQLGCAEMNRILRISLENFAIKHPDVTEKGESCFEKKGLALFARN
PINVTCRGEICHVHDSDRSMHLNLHPDDAKVVIEQGWGERHPLSRGGWMTAFVPREFTMIYAPRDRAELDVICQIIEAAGFWVCGERFKLAAESQPL
MEIDAKAGVGDQCA

>RCO7_01326 | related to DNA-directed RNA polymerase small Zn-binding chain

MSREAYQVPTQAPAPSRDAFNAGTAIEGPAIIYTCGDCSAKVPLKRGDPIRCKECGHRVLYKERTKRMVQFEAR

>RCO7_01327 | related to XPA binding protein

MATPQASAATPPTAIVCVGMAGSGKTTFMQRINSHLHSIKEPPYVINLDPAVRNVPFDSNIDIRDSVNYKEVMKSYNLGPNGGILTSLNLFATKIDQ
ILGLLEKRTTRDPAKPEAKPIKNILVDTPGQIEVFVWSASGAILLDSLASTFPTVIAYIIDTPRTASTSTFMSNMLYACSILYKTKLPMILVFNKTD
VKDAEFAKEWMTDFEAFQAALKEEEDSGSFGGVEGGGMGGGSGYMGSLLNSMSLMLEEFYSHLSVVGVSSMTGAGITDFFEAVEEKAKEFERDYKPE
LERRRRKREDEKVENRERDLDKLMKDMAVSGEGSGAKPAMKAPDMDTVSDMEDSGDEDDEGQDGEGLPSRYRQALEETGGASAPTNEDHSFTRYLRA
SQMNM

>RCO7_01328 | probable cell cycle control protein cwf19

MEGLDAFEKTLAEEKKSREKEEKHSRRNDREHGNHRHRSSHKSRDDHDQEHQKDGHRHKRSRQSRDGKEDSHQRSRKHAKSSDAHGDPTSSDAEAPN
SVPKPTRDSWMEASSAMDVDYTQRGVKKIVKAPPPKPDYDLKIHKNELNLQLQDLAEGKKLEDMEVEEEVEYIFGNSGSQWRMTKLKAVYTQAEQSG
KTVDEIALARFGDLKSFDDAREEQIELDRRRTYGKGYVGKQKPSGELFLERKINMGIRMQHEELHIPELPRGVVIEEQPGGVTVVLDSTTLNRMKAQ
LMKAKLKKSPDAPRLEKEYDEAMATFAENPSDPGVVVLGMMENRLLAGTRGEVKSIDNKRGRERGLVQDNEDMSIEDMVREERRNRGQAGGEGMRAA
ERIAKDGKFDDDLDYMDENANKLAKRVQKSEINLKNAAVGEFQKMNRILDSCPLCHHEDKNLPPIAPLVSLGTRVYLTLPTEPELSEGGAVIVPIQH
RTNLLECDDDEWEEIRNFMKSLTRMYHDQGRDVVFYENAATPHKKTHAALQVVPLPYSLGETAPAFFKEAILSSDEEWTQHKKLIDTAARAREGLGK
SAFRRTLAKEMPYFHAWFNLDGGLGHIVEDSNRWPKGDLFAREIIGGMLDIEPDVIKRQGRWSRGDKRLAGFRARWRNFDWTRVLTDG

>RCO7_01329 | related to acetyltransferase (nodulation protein nodL)

MAQQNNPHLSNNNSHLQNGSAPPSPSMSGSQQPPQQQGGQRPSSYPDPSSNSYPSPTAAHAQYYPPPNQPQASEPYRASSTGSNNSMSLPSMRLLDQ
QGQQQQHNMGPGIPPVAQMGTQMGTQMGTQMGGPYYHNQGQTLPHPSHQYNVTSDPSGQMRYALPVSADSRIMSGGRHKKEIKRRTKTGCLTCRKRR
IKCDEQHPACRNCQKSKRECLGYDPIFKQQPGPAPIQPAPSSNLGGMLVPANPYGHQPQMLPYGAPMYDPALSAGVNNPGSGQHQYEYANAIDPALA
DVSAAPLMHTSAPTYQTTAPAKRQVSELLDQQPQPPRQTRDIVNDPSSIDEVKHLYYSIYAPGLENFIESKWYSTKGLNRILSNKFLMEQFGALLFH
FGKTSQEDPKEMIFTGSVESRTVWALATMVRGSEVNGPKEVKTVPASDDVTEATNRLDIFETLLTGRVAAVNPLTAPVPGSTDHHRLRELEFWHTLG
SFVVLPYEDNNAIKDVDDTLSALRNLLDGRENRDVLYSIAVIRGLGQRVSEYTDNETPLHLDESDNKSKLLVAKKFVSDEASGAGTTNVIRRLCDLA
ARSWAQPSLPPPSIHSTASPEPK

>RCO7_01330 | probable glyoxylate reductase

MSKPAVLLLGEIDHAHKEWQDSIASIANVIKPKARSRAEFIEECKSGAFDQVVAAYRTFMSVKTTGLIDEELVAALPKNLKFLCHNGAGYDQIDIHA
CTARGIRVSHVPTAVDDATADTNIFLILGALRGFNTSMLALRQGHFRGSNLPPLGHDPQGKVLGILGMGGIGRNLMKKAAVFGMTTQYHNRSQLPAD
QSGGAKYVSFEELLKTSDVISLNLPLNEQTRHIISTKEFDIMKPGVVIVNTARGAVMDEAALVKALEKGQVWSCGLDVYEEEPKVHPGLVANPHVML
VPHMGTWTVETQTKMEVWCINNLKSAVEKGKLVSPVGEQKDM

>RCO7_01331 | probable anthranilate phosphoribosyltransferase

MSSCVESSAPQHISITPLLRRLWPSPGENKVTADEIALAIAHIFTDQLSSVQTGALLTCLHFTGWDRRPDVIAKCAAAMRDAASQIDRVALDKVVKA
RGKPEGNYHGGLCDIVGTGGDSHHTFNISTTSSILASSLLLLSKHGNRASTSKSGSADLLTSTLPTAPNLTAVTPETIARVYERSNYAFLFAPVFHP
GMKYVAPIRRELGWRTIFNLLGPLANPVEGNIEARIIGVARRDIGPVFAEALKMSGARKAMVVCGEEDLDEISCAGRTYCWNLIDRSTSQDESTHNI
GVESFTISPSDFGLPTHELKDVSPGKEPHENAAILTSLLRNQLPTDDPILEFVLMNTAALFVVSGICEADSSDMGHGDDGKVITERGPGGGRWKEGV
RRARWAIQSGEAWKQWRAFVEFSLFIYFQELFSIHQCYAILLWLGNRRSESAEAIESMGQLFILARVEATIPHERSGARDKMYLLPRLTNICTWPIG
GRFISSWLRILGDTNRRLQLAYRIYVN

>RCO7_01332 | related to ribosomal protein YmL11 precursor, mitochondrial

MPPRIQPSKAIASILRSRRPLRVQRQYATAASITPAASAEQMTGSAPPISRYPSTQPPSYKPPEFRKSQLMRQYASLLRSTPLMLLFQHNNLKSMEW
VGIRRELVKALQKVDEARVAAGYPPENMAEGIKIQIVQTGMFAAALRVVEFYKPDSQSLDPTKPSALPPAELTHTLSKAAHEAVVDTRTAHALAPLL
SGPLMLLTFPTVSPQHMKAALSILSPSAPQFPAPTRRANPGWHDLPVQSGLQKLLLLGARVEGKVFDVEGAKWVGGIEGGMEGLQAQLVSMLQGFGA
GLTNTLESAGKSLYFTVEGRRTMLENEKKGASEPEKGESNTE

>RCO7_01333 | related to phosphatidylinositol phospholipase

MPMPPLIIRNLTATPLELKVVERFETAASEKNAKNKGGVSRAFTGLMSNLTSPAPMQLVAKSESCRTQDVSVSVGPFETKTTDIRPNVNQVMRLTLE
TDGQRYTIDTPTPSQRSTALAPLSPDPRFEFTGVFIPSTSHLAIYSTANLESWMRKHKDETPLSALSIPGTHNSPTHHTALPSVRCQAVGVKEQLNN

GVRFLDLRVQPESPDDPSKDGLILVHSAFPISLTGTKYLRNLLNVVHSFLDANPSETVIVSLKREGIGKATDQQLSKILHTHYANDESRWFVQNRIP
TLGESRKKIVLIRRFGLDDSLKGEQGGKGWAIDAESWPDNCADGTCSSGEIRVQDFYEVAESENIQKKIGYLTDQLARAAQCVCALPGDANPAAAET
AQQPFFMNFLSASNFWRANCWPDRIAAKVNPSVIEYLCRQHSATDGHLGDGSTGIVVCDWVGQNGDWDIVRCIVGMNAKLQMR

>RCO7_01334 | related to histidine triad protein

MSESDCPFCNIATQWPPSDNPSGDYESISPSAFVVLSTPLVMAFLDIMPLSPGHILITTRKHRSKISDVTDLEARELGSYVSLLSRALANVTGTWDW
NIVQNNGAAASQVVPHVHYHLIPRPKLNGEERNKSFTMFGKGMRSELRDEEAAELAEKLRREVGRERGTMERQRSKL

>RCO7_01335 | uncharacterized protein

MSSGFISGGTTDIPLERSDEWLEAQKEIEANALRRAELARQTDGKSLFETLEANKAAKQEAFEEANRLKNQFRGVDEDEAEWLDSVLESTRAEEDRI
RRETAEGLSLFRQQQEEADKKAREGIDPVATGAGSPTAKEESWATSGRKRKRTKEKEVLKGVKLRKTSTSTDAVKPTKADTQAPRVESPKGQLQSQA
SQRETCAKPTVSDTKKVSKSPKPTPGLVNYGSDDDDDW

>RCO7_01336 | aldehyde reductase 1

MASTNVTSKTFTLNTGAQIPALGLGTWQSQPHEVEKAVEIALRRGYRHIDTALAYGNEAEVGLGIKNSGVPREQIWLTTKLDNPWHKRVQEGIDSSL
KSLGTDYVDLYLMHWPCSTDPTDLKKHLPDWDFIKTWQEMQKLVGSGKVKNIGVSNFGIKNLEILLNDPSTKIVPAVNQIELHPNNPSPKLVAYNTS
KGIHSTGYSCLGSTNSPLYKDETLLSLAKAKGKTPQQVLLAWGVQKGWSVIPKSVNKERIETNFELDGWNLTEDEVTKLDGLKDRFKVCGDAWLPIK
VFFGDDE

>RCO7_01337 | uncharacterized protein

MAPAPGFYGPAAVKAMRHALQTTSRFIQNRLAQIGRPLESQFQPVLVRSSTRHPVHPAAALRQAKGRWYTTHSAINATVRRHMSTGSASGPNVNRAA
FPTSATASAVSRLTIRTPFSSTLRPKLTGGTLPRSSGGYSLGSSRPGGARYFSHTPAAPAEVINNVSAAVRAFWLSGQKAQFDGMTPAGEKRYRRIS
NLQEKTIRQMQAVSKATPGSCIDFHVNPTVTALSPLGTTFGSTMAVSASNLNTEGLLDVLSVDFARVLKDLAATMNDLKRLASLGDLSITLEGKSIL
RVRFPGCDAETVEKLCNEVGVQRGIISQDRDFEARAGTHMALLFPYAPASEHCLSSPGGSKRSQTGHEFEYEYRDLGTVEDVIERPWVEGYESSEDA
SDGESAYFTKSHSEHPNSSDYEGLEGIYRFLEHCDNLRRI

>RCO7_01338 | uncharacterized protein

MSSKKSQTPNIRARDSARQRRFQVMGCCSSSVSPSPYPAQNHQNGNSASPINSSQPASQNMIPRPSTNASNQSGLQPHRQPDLTKLPTKDLKPHVWK
SQERTWTRAQIDAERIAFFDTRVTGRQEIWQAIRTALEVLWAGGEPEEDGDRLATAQVILKAAGVTIPSGNLTRDVYDGLGARYDLPDYVVSDPTNL
VELSTKSVRDDGNKSEDGGAREDEDELWRKEEIRRGKAVVKSEDMTDIRVKLSDRETPPLVVSVNKQDLVRIITQTINDEAELESPKHIRLAYMGKM
LLGNQTLQAQGWQEGHVINGYVLG

>RCO7_01339 | probable TRM11 Catalytic subunit of an adoMet-dependent tRNA methyltransferase complex (Trm11p-Trm112p)

MEYMIRFTQSHETFRLAEIKALAVYEGIDLEILSYSPSSPYCFVKLASEVEAIRLIRRSILSKSIFEVWGNGSTYEDLHDNVRGVSQHLWPLYKTCS
FKFTIDSFQGSRSTTEQRKLIEGFKFLGMEGPIRMKGAEQKFCLSEEWQYDASALGVHQPQSVHLGRWLGGSERDSILKYDLKKRRYICTTSMDAEL
ALITANMTLAGPGKIFYDPFVGSGSFPVACAHFGAIAFGSDIDGRSIRGKGKTSLHANFVQYGITDYFGDSFVADLTNTPLRIARIFDGIVCDPPYG
VREGLKVLGNKDPTKGKEIVYRDGKPQHLEETYIPSKKPYSFLAMLDDILDFAAQTLVENGRLSFWMPTANDEDQKIKTPEHNCLEITSICTQDFNK
WSRRLITYRRLPDSEVKEGPVRKERVKETGVDADDLNPFRKSYFQGFKAVFR

>RCO7_01340 | uncharacterized protein

MLNFLADTKIEQKCNVTHGVLGHLDPRQPPVKRKPFAAILSQGFIQKAEFILPQEVYEIIKKDVLTDFAKLVYSRVILPLGALLEGEFFNEYIKKGN
ILMLSEGKSDIDNVYSLREGVLTLHLDKESYERAGIVGKPDGVKGKRGTKPRWVVKIELRSPSMLHGKKGFDRIVYTFKNVLNIPVTWLFVDLGKDT
PTPSPMEAHFPIIKTVTPEVQEMQVNAPSLQPPTDIDSSYGGDFEDYAAETHEWLSLILLDSPRIHPEDKIDPYLSHYAPPGDIHTSHGLHTAWMGL
ARDLQDMENIVLY

>RCO7_01341 | related to ankyrins

MSATVNLLLLAADNPAKVLQHLREDPSAATIQDEHGYSLVHAAASYNHTDLLKAVVNDYHVDVNIKDEDGETALFGIETVELAQLLVEELNADITLR
GESGQSARERIAEDGEFPEVAVYLRTRELQDLVGGAGSHIVSENPATQRNNGIHPPAPLPEGMSVDFGTMAPEDAGEPLDPEFKRRIDELAARDDFN
EEEGQEALRKLVKEALGGEVGEERNNRQRTS

>RCO7_01342 | related to tRNA ligase

MADPGNVPYQPQDIQEVQTLIKNLETGLKKDPKAAKKTYSCKSTAFDVTNSPEKLVVHSWRFQDWDYKRPDLPTYARGLFTGKTERGQPEISIRGYD
KFFNTGEVHATEWRTIKQATKGPYELSLKENGCIIFISGLHDGSLLVCSKHSTGPRNGEISHAMAGEKWVDKHLASVGKSRRDLAKELRKRNATAVF
ELCDDEFEEHILAYDKDNAGLYLHGININIPEFMTYPGAQVQAFAVEWGFRKTDFLVYEDIDSTKSFLDEVAETGHYNGRDIEGFVIRCKARHDSAN
DFGDWFFKYKFEEPYLMYRQWRECTKAIIAGKTPRYKKHARITEEYLLYARKMLAENSKLGNEYGHNHGIIKLRDDFLKEKNLKGSDIIRSEYAAIG
GAPEDVSKNIILVPIATLGCGKTTLAVALAHLFNWGHVQNDNITGKGRPPRFTKEVLTLLEDQPVVFADRNNAQRHERDQILTDVHKTHPHVRLIAL
NFAHTAESIDKIRQVTQDRVLTRGDNHQTIQAATDSKKVVGIMEGFINRFEPLNTETRPDDGFDSVIELDPTLDSRENLETVVGQLHNLFPKLITDM
PSSEDLDEAIKFSLSEYGPEIRHTIGERPSRDNNRNKKMGREPAPPIAKKQKPLEYVSVNLPKSQILDVLETAFGSVSTNKARFFKQLQNNRRVQAD
FHVTLIHRANSKAFPELWQKYSTLHAGTADPWNPSAKIGDCKILLEKIVWDNRIMAIVARVVDEQWECTNEVAHVTVGTRGDDVKPKESNDLLKRWI
EVGSGDDSGIGEVVIGGRHVVDGVVKGVLSR

>RCO7_01343 | related to GATA transcription factor

MAGTGASSPFIKDEPEDQFFSSHNQRFTQQAYNIPQPQQHFHQFGNSHGGSINPNDLTMAGNGVPIPNGAYGSSYQNNYNNQASTSSFSKGIATFDD
DELLESLGSNDMHSNQSGMQGNGYGIDFDYQANGIYNGHNGNSALSIDPNHIAGYSNTPDGDPIQSPFVSNFNHEQFRHMAPQHFGSPLHSGSYTGS
PIAGSSMHNGLADGGFSKQQRPRLNASLGRKSSTRSPLTPKTTSNMAALQIGSADNSNLSQPIRTHSSHRHQKTLSGQWDQTPSSLASYPGSDFSPI
QGVHPNPQISDILKGASMPTKLNNGHSVGSAPALQSQEMKRRRRRESHNLVERRRRDNINERIQELSHLVPMHRLEDEKVRKALQNNSPLSPSLVGI
SGPGMSPPQATSGLAGPGARRATAGNITTGIPIEEKDKGPNKGDILNGAVSWTRDLMWMLHTKLQQQEELAELIHSLGGTFPFQQTEDEKRMHTELM
DAMVKNDGSKFEYSRAPGTGLRVPKHTDVRGDSVGSGQGGQLDNSLSPDNLSTGEAGMGGAGQYWSAHNSGGSGAGSISFKEEDEYGMDLTQ

>RCO7_01344 | related to SFT2 - suppressor of sed5 ts mutants

MASSSFRNSMNSLGWSRREPDLPVNTSQQTGLLSSIKSLNPFGDSGYVRLPTVEGPGAPLPARNRREEDEAWFALSRWDRLLIFAGCNIGALACFVL
VFALWPIMMAKPRKFALLWSLGSALFLASWAAMMGPWTYASHLMSAQRLPFTAAYFGSIALTLYFSLGLQSTILTLISALIQLACLIWYLVSYFPMG
SSGLRLATSFGAQRAAAWMTG

>RCO7_01345 | uncharacterized protein

MSTTTSNHNGDAAAAPPLFSYAQAAKGRAASTTASAMQSHRSTASVNSTAAKETQSTINTPSIGSERGDRSVNGSVEAPSKVEVAELHQSTPETTQT
STSSLKPSSSTASPSFGTASTSTLPKEDKVDDFTLVGGPDSSKDRHGATTDKPDGEGRRGKKGRKQKNAEKEAEKEAEKEKEEVKPEVLVPAPLPTV
NFWQQRKEEAAKGKPSPVLGQNAGPGDLNTTPNGKISEKKRGKTEEASSPSQNGGHKDAQNGRGPKKGGDTPGKKEDQSGKRAGARGSRVNEKDEKT
LTNQLPPPVEDAMSWPTPETAIEDEKRKIQEKTEKDDKDENAPNKPRPKEKWVPVPYIPSVTFNTPIPTRGGRGRGGTRGGGRPEAAGRTGHFTNGV
GEKLQNTSATEVSPTDRDARSSSIPPTTKSRPSHEPSSARKPSVAQGGEKVKTNPSKNESTMDIRTLPNGGLPEQSFEVNQDIRGDNKGSKQEQNFF
ENQSYQRSSAERKGDQSTRAPDQSKDSSNFSKDGMNQSRGNESQAGRGRGGFRGRAGHGAFTNGQPHPQHVFTNGHGGPPAPNGYPIRQTSGPYSPP
PQPLPFSNQYAPPPSRGGRGGSRSQSIPHNGMYGRYAPNGGLAQHVSPIQASNQMYEYQHMQGPMVAQQYQPYVDQVSVLQMVTMQIEYYFSIDNLC
KDIYLRKHMDSQGFVFLAFIASFKRIQALTQDFELLRFACQETSIIELVKGDDGFDRLRRKEGWEKWVLSLEERDESVRNGGPTFLRSQHNQNRGSM
NKHVMSPVAFSNGVDSGHRQYANGNGVPAPAMSNGHNGAYFPETPLSAAVPEFAPGVLPNLNHNNTNGHATLEPLDMETTFSDEEVAHLTLVFKAPK
GGEDSKPKSPFHGMPSRTFSNGSIDGRTIAEELYDDQRQGRSMVNGSHSSDTGSPDSLRRTKSPFGAMSPTQSSFNNGPPVMWVKGQKQPALVSPGS
SEELYTNFRARALQQRDASAPGESHTDMKLLYEFWSHFLCRNFNAAMYHEFRNFAFEDAQNKAMSGVNSLVSYYAEVLSSKKKVIPSVLALHYVDLV
KNEDPSGPRPALEKLRVAWRDGALDMKSRKKIDNLVDAKLREELERANQQKSDLS

>RCO7_01346 | uncharacterized protein

MRSSTTIATFISLLLPVSSLQIPSISAPFDSPQFENTILLSNDTLSPPPPQRNELLKKRDGSCPANFNSCRAFRDSAGGACCTVGSICTTDKAKNIA
CCPTGAVCTGTLNVAPAATTGPGGGGGGGAVFGTNLAATTPTITSNTPTITAAPAGPVSYVPNAFFPFPYIPTTYANSALCNSAFQACQTNYAACTA
ALDGSSPNQGGGFGVTIVAPNGGVTATPTMQNVGVASATSICSSLSAQGCYQIQSDNCAQFGTGTENGFQAGITPGNGAARPRATGGCLAVGVMAAG
LGMGMQMM

>RCO7_01347 | probable Modin

MTFDNVNQNVFGFTALIVSLVALVTTVMQVLQQYFSSAEGYRRCAESVMGQWAQGTKRKLRFKELRIEVTFETPVIFVAPPTNTRGPIAGKDIHYIL
GTDESYANTRVPLPQVQRAAEVEATSRVHTADDEKASWVNLLSALQLKEQQSRAWDQEWRTKTPPREGFTKLKDPLYPLAVGLQYKTRSWDFIPTSI
TKPYATSAICHLVEMMAMLGLYWKVFDQSIWNLRAEGNGFILTSTSVQGLGVMVNFATTGKSNFKENRVIPSEAVKELTFGTVPNIFDDEKYLNRDS
DTQSLDLVFGTPEDVENTLESIGCQAKTLERYKKDHKHIFSVSFEIIGMLSKVFRLPGSNFRMLPNPTSDNWGKRNGAKASWKIINLMAIFQSQLSK
LILTSSPPLSQANPISKISTQWARIAALGCSDEANLPLEVREAIHQALDLQTEYLLSIQQSEVLAVVVAHITKVVEVLEVSTSPLNVIVLANKEEAL
MNYYFTKIRPAVVGTEEKKDGEEDRNTIWIALIFRMLCWFLLHDFDKADAKIVPSDLKGSRMPIYIG

>RCO7_01348 | uncharacterized protein

MLSSLVTLALLGSTAFAQEKRAIQDGAQFTSAANAVISQYIPSTALPDLESAISSAAAAASVTGDAKSLLHSAILAESAPSWLGAAIPSAYSSQFAA
LKGSVEVLRPSASGSSNSGLLLPILIPMTTTDSNGNTVTTTAISLSTRTEVQAAASTYSALTTQVVDGVMSVFSTVVTGASSVASQISSGGSSVASH
ISTGVTGVAGTISSGGSSVASHISTGVTGVPGTISSGGSSVASHISTGVTGVAGTISSGGSSVASAASTGITGIIGGASSLLVGGTSSSTAGGTVPT
GVSGAAAGVIGMIGVMIVL

>RCO7_01349 | uncharacterized protein

MSTYDSYDRQDDRRRSHRHRDPRDDREPRYVETQETYVRSPVSVPEPPYAVRTTDVIRRPAREDSDLSIEEVRRDFPPPGAATYTQRTMVRDDRYGP
PVRSRSAERGSHYGGGGAYLDPRRSHNDLDNRRRDTRGTYIEQEFKPRRRSLSRNQKIIAAVGGAALAVGGKELWDRKQADGRPVSRNPLQSAAVGA
AGAFAAYEGAELYAKHGGKAEEKVKTYVAHQGRDGHVEEYSDEETVRPKSKSRRKSIVEGALGLAGIGAAAKATGGSRGGRSRRGSDSDDSRDRSRG
GRGHSPEGPAKYQQAAKAALLAGAAEAFRVRNEPGGWAGDKGKRILTAAIGAGGIDAAADRDPDRKSKRHILEAVVGGLAGNRLINGSRSNIEDDGR
SVRSRSRSRSRSRGPGGGASTGPLAALATAGLGALASKKLLDRSRSRSRGPSKSQRGSSRRRRDSPDSYDSRSPSPRRGDKKDRHKRSKSVTDYARN
GLAALGIGGAAAAAGSGRHRDRDEVVEETSVRRSSRRGGGSDDGYSGSRRSRDYGYTDSRDPYGDSRYAESRSSNVGSRSGGGRRKKGKDHRNREIA
EGRRDASDSESSLGSSSGDDKRIKKMKGKQLLTAGLATVATIHAAHNVYQSMEKRDARQKAVAEGDMTPEEARKLKAKAALQDVASVGIAALGIKGA
FSEIKEANEMRHECKELREMKEERHKKRVERLQYGGSPRGSPRQSDSGQVARRRPEQREQRYAPSNASRYDDYGPRYVDDNPYSASLPAPPVGYDRR
G

>RCO7_01350 | uncharacterized protein

MFHLLLPEHQIPEYKIIDTEHADTPLLQDLPTPRLNGSQSIRQNWPQIIHVTVQIIIWITGEFFELLITRSLQKGNKICDSSLKVGLLDASASVGQG
IALTVLLHAMARSWAGFWPRANTFIELANPYILMAFVFVGLIYPGNAKRNCEATWSPKLQLQLLHWL

>RCO7_01351 | probable COX19 Protein required for expression of mitochondrial cytochrome oxidase

MSFGGPGGAAPAGKPSPPERGSFPLDHDGECKDVMMSYLSCIKRVKGMNDPECRLHAKDYLACRMDRNLMMKDEMKNLGFGNEKEQDTGKEPKKDEE
QGVKGELRW

>RCO7_01352 | related to RMD11 Protein required for sporulation and Meiotic nuclear Division

MAYPTASMESGLIAIALVIRSRDGPRFVFHYPPHPETKASRRKGLYGTELDESDSGDETHHPEGSDLDDGGNNPVHKFQKLELSDSMMESKDHVEAI
EGDGHYDNPSGEHVVPWEHLFDFHTTDLESILTPSKAYHKKRFELSLDPLYFVSCPMHVRPDGSWNKKKERKSRRQKADTDTVVSGKSKSAQNESKD
TSETGTGTSAGMVFEEGYEHGGMTMFNVVFILNVPKDEADERITTIYEHVIKKFNKALKHGQASANYVWKESEMILMMKEKAREDRRPMSWLWSEIL
LKSTLAITIKDVFTSISNNKIATFRIGSNPPEDVSLQIPVPSFLMSIPSSAERAVPGLLLTTANPYDDDEGIEDPSYINKHFALLLLDDESKIIAEI
QADDTELSAPLIECIRICKPTLSFLQVAQAHSIEIGSLLILANHLIQYRRAVAIPPLHPREIYIVSPNCDNRKLPVASMAWKKSFPLAPSLSNFLAT
LSLAPRPYKIHAPSKDHRPTYLDMLAWLIRGGWVTQLRTFAWILVWPEIIYEVEYQLRAESVEKAKKGIKSHNGDSSSAESLSTDESGAEKESDTDS
NAPLTTEQVAENARLERLADKVAKQAAEEAAEFAKMPRPEATDHPSVNNAEHLKRLVPYIIKDPHKVSHEESLYIAAISKRFEEEKPKECWPRFEKY
FNGTEALEMIALRENMKRKETWGVVMSFQEHLLVCKHW

>RCO7_01353 | pre-mRNA-splicing factor CLF1

MESSRGPPRVKNKAPSAIQISAEQLLREAVDRQEPALQAPTQRFADLEELHEFQRRKRTEFEAYVQRNRINMNNWMRYAQWELEQKEFKRARSVFER
ALDVDATSVTLWIRYVEAEMKTRNIQHARNLLDRAVTILPRVDKLWYKYAYMEEMLGNIPGTRQIFERWMSWEPDEAAWSSYIKLEKRYGEFQRARE
IFQRFTMVHPEPRNWIKWARFEEEYGTSDLVREVFGSAVEALGDDFMDERLFIAYARYEAKLKEYERARAIYKYALDRLARSKSVSLHKAYTTFEKQ
FGDREGVEDVILSKRRVQYEEQVKENPKNYDAWFDYARLEETGADVDRIRDVYERAIAQIPPTQEKRHWRRYIYLWIFYAIWEEMESKDMERARQIY
QECLKLIPHKKFTFAKIWLMKAQFEVRQQNLSAARKTLGQAIGMCPKDKLFKGYVELELKLFEFVRCRTLYEKHIEWNPANCQAWIKFSELERGLDD
LERTRAIFELAIDQSVLDMPELLWKAYIDFEEEEGEYERTRQLYERLLDKTDHVKVWISYAHFEINVPDEDEEETEEDEEKPVSEAAKVRARKVFER
ALKSMKDKELKDERVSLLNAWLSFERTHGSKEDIEKVQKQMPRKTKRRRKLDDDSYEEYIDYVFPADDAQTAKLSNLLAMSQAWKQAGGGLTGEGGQ

>RCO7_01354 | related to U4/U6 snRNP-associated 61 kDa protein

MSTLADELLQDFEDSGSEGEGENEGLFPDKEDAKDGLNGNATAAYPGANGSMELDGDEEEVEEDEEMSGVANTGADVEDEEETKAKVEKMELGGVDD

VRSVARLMKTLEPVLEKIAHFQSLPPDKQTTTLGSIEDNPEYHLLTQSNTLSTSIDTEIMIVHKFIRDHYSIRFPELETLVTNPLDYAKVVTIIGNG
PMDGESIKTLQTSKNNRLGVTLRSVLDGPSVMIVTVEATTTKGREMTPVELDRIMQACDMTLALDKAKRTLTDYVQSRMNLFAPNLTALIGSLTAAQ
LLNFAGGLTGLAKTPACNLPPLGSKKQSGTGFATNVGVRQQGFLYHSPIIKGIPNDLKRQAMRIVSAKVVLAARVDRVHTSRDGSTGEELKAACLER
LEKLTEPPPNKGQRALPAPDDKPARKRGGRRARKAKEATAMTDLRKAQNRMVFGKEEREVGYGTGEGTKGMGMIGQANDGRIRNLQIDQRTKAKLSA
KNKGWGGATPVGGSASSLRGFGQGTGSGIDLRGKGLRASGVGSTVGAGSGTASSVAFTPVQGLELVDPRMQSEMSRKRKAEEDRWFKGGTFTQVGGS
GSMGPPALPPNKKVDTGKQKGNMAPPPIPSK

>RCO7_01355 | uncharacterized protein

MESNDPSNAPVASGSGGDPPSDSPPKYVPQFSAATEMILKRIHTGQASTLSSIGITGLPPGYEDMKRNVLQGMKTSMNMELPFIPPVTGRRKPFQTG
TAKERIPIPRKKAGRPSATPTGTPGESAGEGKKRTPKGRAGKRKRLDDTEESSEESDDNMSKLGGDSDSEEEEDSTPDLPKITQSGRQVNKPTQFTP
ATYDTPNKRRAPSRRAQEQALCKKCQRGHSPQNNMIVFCDGCNLGWHQQCHEPAVSEEAVKDETSPWFCADCSRKKGIKSGYETTAGVSWQGRSSEE
KTAYLNSLPHPQLVSLLLQATVLHPNLPIFPPTPSGQLSQAQAYMPAPTPAPRPSTAQPMRTNTYAQIPFPPSATSAAGLFKRAEANPSAPINFIRK
IHPTQHGAMSTPTPPAMASPAFNHASSATTQLAIQPTDLTNDNSESRESTPASPPYPKAGNGLMAKLGPDEEDLDWLVDNSDFDSFSHVVYDERGEK
MEENGMSVNEELLS

>RCO7_01356 | related to dis1-suppressing protein kinase dsk1

MANRPPRVETLNYRPGGFHPVHLDDTFKKGRYTVIHKLGYGGFATVWLARDTTRERYVALKILAARLSRDCPEVEILRRLKRSEDHEGKPYVMSMLD
HFWIEGPNGSHLCVVSEVGGPSIKQFNDCPGFTSGSRRLRGDVARKVALQSTEGLAYIHSTGIVHGDFTAANILLQLANIDQWSVEEIHERLGAPQT
QILQRTPGQTGEYSGPRYTVNAISMKLVDPRWLSDQIMIIDFGIAFMGEQSSTDIGTPKNYCAPEFNFKSPRSISSDIWALGCTIFEIRTGSCLFCY
RGAPTRDQMLIAAVKILGKLPDVWWDLWEDGRTWYELEIKAGGRLAGIVPGTLYHDIMKIGLHDGDSDTAQPTHKDLGFGTDNKAVNESHKRKLSSS
EKHVTTTGRLVALVEELTTSEANYVMAQIENPHTGSSNEKSGSTREKTDSGTGESLKVQSGSGTGSGSGSSAAKSGEKSISSEGISTGAGAIVGTAI
NSTPGIDAVAADTELPQAGEIDVPLTIAEFLEPSGTIISVVEALTLENALRKALQFLPEKRISAAELAKHRWFSDNFEGQI

>RCO7_01357 | related to alpha-methylacyl-coa racemase

MLFSVASRSLARAPGALRNLNGFSSAFCNVRCRSFADVVDNDMTLPLKGYKVLDMTRVLAGPYCTQILGDLGAEVIKVEHPTRGDDTRAWGPPYAKY
LEGSGKEGAGESAYFLAVNRNKKSLGLSFQHKSGVEILHKLAAESDILVENYLPRSLKKYGMDYETLSKINPRLIYASITGYGQTGPYSNRAGYDVM
VEAEFGLMHITGSRDGPPVKVGVAVTDLTTGLYTSNSIMAAIISRARTGRGQHIDVALSDCQVATLANIASSCLISGQKDAGRWGTAHPSIVPYQSY
KTKDGDILFGGGNDRLFGVLSDSLGQPEWKTDTKFAVNAQRVKNRIELDSSIETITKTKTTREWLDIFEGSGMPYSAVNDVQRTLKHEHTLARGMVQ
EMDHEACGPIKMVNTPVKYSESKPSIRSVPPMLGQHTDEVLRSIGTTESQIEALKAEGAVR

>RCO7_01358 | uncharacterized protein

MDSHYILYNHVTSEQLSEAADFFSANYGVLGQSAVTNMGPSIRAGARVKISPKLLKQKILPEGCENIIIIRSYRGSIASSLLATFKKELKDDVYDVG
ILSSHPFSISAVARVFGRRVENVDLDTMKLDAREILASCPVKYVREAELHGALFEDSPVDGRVSCADTQFWVDHQEPDAALKIIERRGILWPLGHLP
EGHEYLLIVKVGVTATS

>RCO7_01359 | uncharacterized protein

MAGTDKTVAAMQKGRVEKAKSKKAKKEAAQARARVAREARTGKKPVAAKVTPKK

>RCO7_01360 | related to transcription factor IIIB

MAPPAKPKPVRKANPLKNRAPVKAPPPTLVRQAAAGAAAAARAAAATPAKRACPNKECSMPTVVDGICHNCGFIVEESTIVSEVTFGENSSGAAVVQ
GSYVSADQSGARSIGPAFKRAGGGGEDREATIRDGRRQMQSMGAQLQVSEPTIAAGVQIFKLAAMSNFIQGRRTDMVCAVCLYSACRKYKPCKVMLI
DFADLVQTNVFKLGHTFKKLHEAVTIAKEGIQPVLPEELIFRFAQRLEFGPLMTKVAEDAIRMVQRMSMDWMVMGRRPSGVCGACLILAARMNNFRR
TITEVVYIVKVTTHTIQKRLEEFKQTPSSALTVEEFLHNEFLESAHDPPSFYEKTEEFQKTKKRRKRKGHDGIDQEREGEGEVDGGEGSPSEHGESE
SPNPDTRQKPASSEEATSTSGGVSESQIDPSLRTTTAPDQPAPPVVELRRDADGFVIPPRPIQSHDIPIDPALMADAIEDQSGTSLERLNEEYNDTM
TSVEEEDGDDDVDISALTSTPASKKRKRVPKGINVPPEWSEEEAILEKQISEMISDPNTINLAKNYAQGIPASERTSGSITVHDAILEDTEDYADDS
HTDETMFDPSTSHHEESYAQAEERVAERMKADELKNPSRVICMDVDIGEDEFEDDPEVANCLLSAADSSRKEKVWVNHNKDWLRKQQLKLWAKKEAE
NGPPKARRNRKKKPRIGEGQTSAASSPGEAAVNALKLRAFSKKINYDAIHSLFSDGPNKRSDKNALGSAGTSRITSRAGSEVDDSDNESITSAALSI
SDSISSSVMGESITMIKTAEPRNSRAARARAKARAAKAAAAAEAEAANKVVEDDDEDEDMDDDDYIKPVAAGPAPTEEDEEEDWRSSLKKSQTPAAQ
GEDQEDDEDMEDYDDLGGIEPGGLGDYDGDNTVYGDEDEEEDYGADEYE

>RCO7_01361 | histone-arginine methyltransferase CARM1

MADETMKGMEHSEVHYFNSYNHHGIHEEMLKDEVRTRSYMNAIVQNKHLFKDKVVLDVGCGTAILSMFAVKAGAKHVIGVDMSTIIEKAKEIVEVNG
MSDKITLLQGKMEEVEIPFPKVDIIISEWMGYFLLYESMLDTVLYARDKYLAPDGLIFPDKATIFMAGIEDGEYKDEKIGFWDNVYGFDYSPLKHTA
LTEPLVDTVEIKAVVTDPTAVLTLDLYTCTTADLAFSSPFVLDCRRDDFVHALIAWFDIDFTACHKPIRFSTGPHTKYTHWKQTVFYLREVLTVQQG
EQIRGVLDNKPNEKNKRDLDVKISYKLETDDVTRKSEGSCEYKMC

>RCO7_01362 | uncharacterized protein

MSGVPSTTAPLSGQGGAQVPGAAQTPSSGMSTSAASGVGVDSSSYGIESTNIKTASGVELNERQKVIVGSVLDLFKGFPTHKKMSLWNDDATFADPI
TKAQGRKQYEAQWWGLKAAFSEIEQQYHSVTSAGNPITMDMKTRYKVKGLGSEKVIESVIRIHTDEKGEKITQVEDRWNGNLPEGPIATAFRNLNSV
VVPAMVGVPKNDGTN

>RCO7_01363 | probable phosphoacetylglucosamine mutase

MDAKILAASEKHPKPADRVFQYGTAGFRMKATLLDSVVFRVGLVAALRSRKLGGQTIGVMITASHNPPEDNGVKLVDPMGEMLENSWEAYSTELANA
KNEDVAKVYKSLEEKLKINPATPARVIYARDTRPSGPKLVQALVDALEAAGAEYTDYKILTTPQLHYLTRCTNTEGTPQSYGEVSEKGYYEKLAAAF
VRAMKGKKSTGPVTVDCANGVGGPKLAELIKYLPKSSEGVEIKILNDDVLKAEVLNHDCGADYVKTKQRAPPSSKAGPNERCCSLDGDADRIIYYFN
DPEHGFRLLDGDKIATLAASFIGDLAREARLADELKIGVVQTAYANGASTKYVEKSLGLPVVCTPTGVKWLHHAATKFDVGVYFEANGHGTVVFSQQ
ALKAFKTKEPESPAQAQALETLRALSDLINQTVGDALSDMLLVETILAHKSWTPREWDLTYVDLPNRLVRVEVGDRNLFKTTDAERKLVEPQGLQEQ
IDALVKKFKDGRSFARASGTEDAVRVYAEAATRSEADDLASKVAGICRQEGGAK

>RCO7_01364 | related to Crossover junction endonuclease MUS81

MPDCPNELWLGLAREWYETARERNSKGAQTYKKACASLKACPFEFQHPSEVVQLTGWGTVLANRLTKDLQEYCDTNKLPMPQRPNKRKKKAATATEE
EAGSDAEDQATPKKKPRKSKPYVPAFKSGAYALLIALSTAEKGSREGITKANLIELAQPHCKSSFTAPSDPNVHYTAWNSMKTLVNKDMVYEKGRPT
RLYYLTDEGWDAAEALLKTIDPSQTNLDTFNTAKTADAAGSDDEGLSDAGSPGRRSNARPSFQSPKMPDILDIVPQGKPVSSAADLPIFLPIVLEPG
SFSVELVLDIREIRAKSDRDYMQNNLTTGGIKPIMRALALGDVLWVAKLHDPGLLKRRGAEGDEILLDYVVERKRLDDLVGSIKDGRFHEQKFRLRK

SGVKNVIYIIEEMANAADRYEEAVASAIASTQVVNGYFVKKTQKMDDTIRYLVSMTKLLKDKYEMKPLYLIPTKAVTTTNYLPLLEDLAKKQPSVDY
HITYDAFADISSKSGNSTLRDTYLKMLMCIRGVTGEKALEIQKRWKTPKDFVDAYNRIEEREGKGEQARRKKMDLVSSEMSNLVGRKKIAKVLSVKI
SEVWGDVKT

>RCO7_01365 | uncharacterized protein
MAGDRVEIPEYLTLQGLGALKMGQIRFRLSRASISHDSKASKPDLLPLLALAWLGLVEEDHDADPALLLKVKGWCGSLVSALEQDLSDAGIQKGPNK
WSSIERLIRAEFREESSDDEDDEDDEDDDNDEDVEDTDEPNGEASGPLSKVAKFPTNAPKPMVMNLLLSLFYANIGTYAAEFAAAYPTCPVKTVARV
LQVLDEVSAIKDRTHLTEICKEPRGDQYRLLSWLSSNFGSNITEATQASGLRIKGFPETVIQFVLANPVAGHNDLFNGHLRKAKGKSMLLFHGTTQR
HLQSILRKGFTPAADIRFGAGLFMAENPQTSYYYAAKERGMKNHWKHWPKSPFEEWGILLACQVTGKGRPVRDDDPGTHVINKLDSIAIRYIFILPW
GSIDEDLIRSAPARSVVKTEMEAAFKTIHEGIKDGNSAKDGGEEVVEPEVDQGSDEGEVQIVESGDYDYDEDEM

>RCO7_01366 | uncharacterized protein
MVSADEGMVGEKRFVPYKGYGLLLGCEVLGSGRAVYDSTEPRGYRGHISSTKSFQPAMMAAFHKIEKGLEKSYYKGPLDKAPPKIEEQVVEQAQHVM
EALQPARKQVALAVPFSYYLLAVVIAVRMFKQWRQL

>RCO7_01367 | uncharacterized protein
MPRGLRRRKAIETIPTYHAPMAMKTRSILKGPKNIYTEPVNNPRIADNAGQLRWSNAGLRQKVDSDAGGPNINIQTTIQKIQAYKPPEYVSPYGEAR
KVISETSKTRTSVVRTRPPGRSSQGIPPWRCCFAQRGIPEWDRHVDISIPGTFRICIALSCQHQKCKDCLWETSELPDHPQNRIRADSKLDETEDSS
PSPPEMDEDAPDEENQTVAEKRSMAPPSMGGINRDPRTGRARLWTKKWYGKGETRS

>RCO7_01368 | related to PER1 protein, involved in manganese homeostasis
MILRQAYQLPLTLLLLLSLLTIQASASAGDRLPSFQHCVEVCKQENCAGGHPTSIPLLHQLLFWDCPAECDYTCQHIITDQRVAASERILQFHGKWP
FYRFLGMQEPFSVFFSLLNFLTHQNGLSKILSNIPASYSMRPYYIRFAYFGMASWVFSMIFHTRDFAFTEQLDYFGAGASVLYGFYYTTIRIFRMDQ
GGKRMKSIVRAWTIFCISMYVAHVTYLKWYDWDYTYNMAANVVVGVIHNLMWSWFSYRKYSQSGRIWTMWPGFIVAWIMVVMSLEVLDFPPVLGCLD
AHSLWHLGTVGPTMVWYNFLLKDAQDDIAGQRLKA

>RCO7_01369 | uncharacterized protein
MQFFSIITASFLATLAIAAPAPVAAPETVAEPAQIEARAVPLIDLWKNSQFLDLKFTGSSNAGTCVNLPSNFNDIASSGKAKPGFRCTIWVNANCKG
TGFSFNASPGSASFPAWINDTASSWKCVAA

>RCO7_01370 | uncharacterized protein
MFNQGYFRLQRNIPLDSSPRDIVRFINANISSWMASNRRNCFAFYVKNDGSSLRHGFARYMEHSKYGICTDSENFGLLPAILCVSGNLHYSMLPVLA
YMSWVDWNSKYPDSPPGGLSATGLLLVYLLSTWMMLAYARKVGWNIALVQCGRTIRQRAFKAEWDLGKEFRSPDQQLRWWKNMIIDETSEGKDPIIK
LGFGEPEIVSRYLGKSNLGPYADAYADAGLLEDALLKVLKEE

>RCO7_01371 | uncharacterized protein
MHLHNIFRLLGLPSPASLLEEAAAREGYRRHESQQRQHQETSVRLAEAGNSNISHCHDKSQAIKPETCEEAEGGNILVGLSVGVSLEGAERCRTEID
RERERKETDSENVAGIERPVVGPIGNDVEAEEKDGSSNICVNFATFEHQDKHHGTKPKDKAPYNGGQKKFIIHGAGFKSSKSQERLGEWYLRHWNKN
HRRQVVKAEYRRLKHAIFEYKGHFFC

>RCO7_01372 | uncharacterized protein
MGCSNSTPFTTASNSAEMRRIRKSQISPSVVIESSPSQSITSIYSNDREEDQRHRYDTSTPPRPPTARGPTASCREKNEDTMRRTTKMIKGRAARPG
ISFQAPTPTIQRAAKKKNHLSLDCIIPFPFKSSAGTGFSIVHSPSTRPASSASSAGNDLPEEFPLVAPQIGKLIHAIRAYSFLNTQTKSQTLQDLRN
LIEALPRPPRAMRCRQLLGTLMDDVGNLYEREKGVWRRAVEGVLVGEKVGKAGYNFDFEDNKRGGERDRGRAKKEVGLEGLWEEFISLRIDEMREMA
RTLNGACKLMCIFNLLSALRAGSEELLVLDAEISMRLESDFEVVLGELKDFEGTGFTALGMDGGEGEGGLSGVGQIMGESASMQWRVLSIVQGKRKE
GLQWRMENVKRGRGEVSVMLLGVVEDLAEGGE

>RCO7_01373 | uncharacterized protein
MDLQYSTLFLERQGPSADKSTKDKPGASRLKKLFSRVLNAPSKDSLALDSSSSSVGTSKSKPKNLKQDQQIRSAQHAEHLWDTVVKLTKPVSKMSFG
SAKAQTVAVNLQPPLRPVGGNQTRNNKSTKLSQSIRISPPASISNSPTSTSVPSSKQNDTFYKGKGKPIASSRDSKFSSISSLPSLHTLGISTSTTE
TNTVASSPTTSLALSTIAAHITLSRSEFSQIQSQLRRIHRRLLYQEHVTGNLVANLLSLLIRQETLIQNESHNHYHAKSSTYMHTKVRHHSAHTQNM
LSTLLTIRDQLGRIFSRKEAFLSHSVTELGIFRKVLQEVERVAVEGIPEVGSSKMAEELQFVLAREDIISFLTELDKGSGVQKRLDAEALKVVRDRA
GEERWVKKGGIGDRVTMGRFIGFVESRIEVLGGVYESLEGYMEGVGNLCDKSEGVSAF

>RCO7_01374 | uncharacterized protein
MSTRKRKQDDEELVALPSDDSEEEEEYEDSEVDEPAAAGNDEDESEEEEEEEDEEEVEEAEAQPKKKRKTEPASTEQVPGTKAKAPAAAEDEEEEEE
DAPENEEDKEDDDDEGDAPSAKTAKTAKDSKAAAGEDVEEVGEEDEDDE

>RCO7_01375 | uncharacterized protein
MNTAIITTATPVATVTDTNNRIVNSNLPPCQPPIIQPYLPYARMDALPAWATSAGGSDERHGPPFNPKEKESHIDLKVRLATDIMLDILLKPKTSYA
GTRDLLEYSSSLPLVVRSLVEQHRKKLLPRLQFLGTAFGPGIFTSPKFEEAFTKFEEDYDAAIEVCSLEVDSGIFLFNMCEELNGLFADIVRFLDNH
RDICLDFELAARYDVELRDSKRRRPSPDPYNVLFFQGRFGRVREIEQPLFPGQLGGLHTSKTSVYEPFSLRSIPEVTIRQRLLDEAFRARSNDSDKF
SIFRLLTRRVRKIKKTSPYNTQYMDLMVSSLAYGYRPGGLAGMGHKIDRQALTIIIRFGIGYFSTKDSGFNKFIGPWAQRYCKVADEAFEKSMDNKT
WAHEVGKVMFALLNFLMVSHDALLENYVDEKLPATIKILYRGNLEFRPATSRFSISRGRICMVNKSQADSREQLKILMNNNKIAAALGEIKDELVIS
FKDLTLPHDYMELPRRKVLDGWVSSDDDEDDDEMFPPLRVDSKDHIDALWYILQSSPSTEGETSAETQREGPIMGKVVKMVSKSSGKVEDRFITVSI
SPVSSQAGSSSPAHEPQHNAAVQSNRDKGKGRSNLESTNIISSKVNDDNRRSAENLHGGSGESSGTTEHTIKHLRKRNIHPRARLNAYLNDPTINIF
SSLPNSSRPGDPLFLPRVDVRACVKSLAEAKASENLTQAQPQATHQAQQETFEASKEGRHSMQLLDTALATELNIHPKWPAKVLEVGRPWGKDWSSQ
PIAAPEGLSSSEGWTIEWSEKRANEYNFSDEGFDVEMEDVLE

>RCO7_01376 | uncharacterized protein
MSDDGSEAWSIVSPDQSDNDMSMSDIEGFASVLSKPMKRKRAQNSPTDTMNAVKPEAITQSIRLTKQTHNFQKVAYNMALRNKNPSSPSIKVGDMSI
SDITKAALKNNDEELLTAYKLTLRPATSRGAPRYIDDQTVEFIPSSKLTEAALKNNEEELAAAHEEALMPATTKMETPGGTTRRVMNRDYFESNFQP
GLSPGIEEAKKKVQNIVYQNLSRQGLVGSETPLTFVPDMMLRRKTIVKKVPLNCAESPTVNRNSLETQPTKAANRASRGSMVTKGIDEIKQDSQKMP
PPPSRSRNSKANTPYTKLKWKLPYGRSESQKSSPVDPLTGLSLPLGYNRQPSGLYSNTIEGVELGPGDSLLSKEKYLAGMPLKVDGIHSNQILLETT
PGPTPMIPAHPLDVLTFQNEQNMFNHCYPDTTLQYLAGNQGRAHSIWSNATEALPYSTKIPPAQPFASRGLHNAQQAVPQDNANMRGLAETGPHNGP
SLNVSGGPGQGSSACWSPTPTTHMAMGQYLKPGEAMILDEGADGDNANKKAAKTKPGKAW

>RCO7_01377 | uncharacterized protein
MGLFKHKEKAKSEDLANAQIQQAQANKNNPNHNPAPRDGLSTPRPLQANHSHNNSYNDSTYYSSSNVSTADSSNANPEPRISQLPAQRPYQPPGTTI
TTTTTTTTTTTTVAPDGTSHTYSHPYNPSTDPPPEASEVKVDQKLPVNAGTKTGISQPTPQNVNQTLSQAQAPVQSQTPIRSHTPVQSNPIRTDNLP
NKMPAAQTQGRPNPTIQQTAPTPGSSNPNSFFQPPERKPTPNQSEIQQSQFAPPAGPPPTRPMVQTHNSGNNPRLEAELPAVPLSPTTTGGRHIPPR
SELRHSPTMQQGHSPSFVPEGPASPIMPERSNRRRSRDGMVAPLNVSPVHRSHSPSRTSSPAVGVGAGVYPSHQNRPIQQNEVPSYDPSQNIGTETG
TDASFKPLHQDHSAQGGQNPHYGSSQTAATGYVNGTSTNLLNQHSSRTGTGYGTGASTNSLGQHPSQNHISNQPTGAYYRNSPVAAIEDNEPFSPVS
PTTSSTYDPSGCPKTPNYSRPGISGVGTSPSTAHSTVPSTAPVPVSKVAAAPGTTPLGTSTAISSNPSAVPQKPIGKRQSFTATLKGLHGAGEALRG
TVNERIAHVAHDKAEEERMRLVREQGMNEYRGSGLDARGQALREGFREKSDSRARTRRASRDGGVHGSEGPGGLEPLTERDSERSFGR
>RCO7_01378 | uncharacterized protein
MSTPMALLLATLPPININNVYYHMMIVHPNSVPLPTNPITWEHRAWERKYDRAEYKRHQIYARVLAEVQERIKGKLVEEREEGGSRGGGRNVKGRGK
GNWEGGREGNEGKGKGKVKEEKKGEGKKGEKKKGQDGRRNGMKKGGSGSRKIMTRSMTRKMIEGKK
>RCO7_01379 | uncharacterized protein
MSSAVLLEDVEAAFPDEELPPYQDEPVEAHLLPTASASTSNAAIQLGTYAPPDLPFQTHDHSCREYRTRFPLYSTDSESLYKAIKEQAFYPPNYQVQ
IYVSSDADAEEGADELKRWCDRYVADKSGWKSFTLKRKIINHDKKRLEQLLRSAIAETNYRGHVSIDFPEQRTSLIVYSPGKISEWRITSWIRWVFY
CTFLWIFAWPFLFIITARYETVKAIYRYADQPPGDMRRRCIVMTEVEWFHRWQSAIKRAAIARMMCRDGPLDEHYRLATERTDVRGELHGRQPEAPR
TGNAFADGAIGLLGQGLRLASDYNDARGWGADS
>RCO7_01380 | related to spherulin 1A precursor
MYTPITILSLALGLAAAAPTNIYSAKANFTVPSVTAASTPASSPQPGPSAACSPKASAKDLALFEKLTSAPNANIRQSYLSDADYVFDFKNKCDTEG
FIASGKGGEVVRADRASMPALVGQGGAVAIGFLGPCGFNTPHVHPRAAELNLVVEGSLFASVTAENGARHMSHTLTQWQMTVFPAGAMHTEFNPDCT
PSTFVASFPHEDPGVGQIAQEFFGLENEIVKGSAGGELSIEGADIDKFRKLVPANVAAGVDSCLIKCGISKR
>RCO7_01381 | related to dehydrogenases and related proteins
MAPHADSPDEDVDRLPAPPRPAMSLNPPRLLIIGAGSRGTAYARATGESTNGIVVAVAEPIAYKRKLLGDAYIWGKAGPSQGQEFEDWKQFLTWEQE
RRIKAARGEDVPEGVDGVFICVLDEMHMETIVGLAPLGLHVMCEKPLATSLDDCVSIYKSLLPDLPNATPSKIFSIGHVLRYSPHNMLLRKLLLEDK
AIGEIMSVNHTEPVGWWHFTHSYVRGNWRKESTAAPSLLTKSCHDIDLILWLLCSPPPGSTKPAHIPTVVSSLGGRQYFSKTRKPKTAGNATNCLSC
PAEKTCKYSAKKVYLGKQYPGLGSGNTFWPVNIVLPEIEECIASGGIQGGEAALTAKLAEDYTSETPEVEISSKNWFGRCVYEADNDVNDDQVVTMQ
WENDPVPTSDADTEKALIGRGAKTAIFHMVAHTKKQCDRYSLFYGSDGEIYADSTTITVQDFNTGATKIHKPHLAGGGHGGGDDGLARQFILAVDAV
KNHGVKIEEAQKEHVGCSLEEVIRSHAMVFAAEEARRQKKVLDFPTWWEENVEKRLVK
>RCO7_01382 | uncharacterized protein
MEGNQEFPSSMSASTPFYQSAAWKIMEEEGRVKWTKIEIISLESQEVSLVDREMRLTMRRELIEDHIAVAKDFLNSVKHTPADFRRTLAIFSSPEFL
KSMEELIGFELFSKDVVEFETWATKLINQAGEQVGTSVSQEDDVAQESDPRGLTLLEPDYNTRLAELSDEYTQLKFRLMGLKPSYNLKAIKVREMKR
KLHVVNRTMRDLFTEIKKTKGLLLFLIELLKLLFGTLSTCTWTISTVDKDGGHVNGLLGRRISCQHFQSASYSLESTFSSSFGS
>RCO7_01383 | uncharacterized protein
MNHAGCSFHNFRRIKTIGVDEFDIRTLGLLHLFLNRFKGATAIAPIGADSAHRSMQGAMTAYQRSEHFWMRFWVDFTLEVIQKIMCGLEYRWQEWHF
VIEKVGERFNASELPYGISSMWSNEKWRMGEKKLYPGV
>RCO7_01384 | uncharacterized protein
MFVCKDAFAAFKLAKPNRLKWMLEGNAVRFNPNTDAIRITKDSLYQIHHWHVNARKPGGWKKQFHGLLNVKHFYFSQSDLAFDINSPVVDYIDAVYK
VEDDKRPTAEKRSGNYVEKREDAQSFELRRMYRTQMSMKMFFKGFAVYLLRDKSVSVWIEDEHGVAHLQVKPPPKLAAAATA
>RCO7_01385 | uncharacterized protein
MSFPDQKTEDRADESAFMTFSRIINGSYDSHSMPEIVEFKQYEESHHRDSGLLIDWEEEIISVPDFLTAGLEVTAPTTSGGSFDDSHPSNDNTQIAT
TMDDPQIEYADSHSTMGRYEYVPNPSKSTAFDMSRTIHVQNHAFDRPIPQMAIREYSGIISQFDLGFESGVQLASSTYNASYSLVAFHQYPWFNSPM
EKALAYVGYLGTNHEVSQLDSNIYGNEASAIDLKSHAKAASGLSHSIQDLSEDARMMSRMNSQYKEFDSFQDDPVGWNVFSRGPENFHIFCELPLEL
RTMIFVEAANATGFVSFKINKSLSICQESQRKRPLIEK
>RCO7_01386 | uncharacterized protein
MTSNSSVSTVSAPRTHGQWRTRLLRLGPCLCWIETLLGFLTLATIIAFQYTEPKFFDIIALKRIGFLTPGLLVFAIIPEPIYDMYDDQSGRQEEKDL
KADTKRANKQKKRAQTQAWEHTSGLSVSSTNPHMPLTPAPGDERDIFAKQQEERLARLHSSFGSHADIVKWKRYFVLGTWAVEAVCVLTLLGLSVKG
VVKGDVEEGKRCEVKKAEVVGCGESCFEEDRRKETETVRDTATQTVNLRDGTCAGSASVSVSGGGGGIGVVKTLVVLTSTTKTMR
>RCO7_01387 | probable glutamate carboxypeptidase 2
MPTDEKPNKYEAPAPIPTYDEAVGSSSQTTLLPRNDNARETAEPAEREGLLGASDTAGRTPVPTRRIGYRPPTVEDVPDEDDTFLNEDGTQQRRSSE
EDEIRRELQEMDIEDPPAPQSAWGKRISSLSLPFLKKWPAWARWPTIDASFCIVLGRCFAIFLVMAVVYLLFMSDIFTSAAQRMAGQMFEPESVRIH
VQQMADADHIKEYLRIVTNADHLAGTEGNFVLAEYMQEFFKSNLLEKVHMDQFDVYLNYPKVGGRKVELLQEDGSVKWSAKIDEIPVYGEGARAQTP
VFHGHSKSGDVTGPVIYANYGSREDFKVLYDGGIETKGAIALVKYYGSQGDRALKVKAAELAGFAGCIIYSDPRDDGFVKGKPAPHGRYMPEGGVQR
GAVSLMSWVVGDVLTPGWASVKGAERVSKENNPGLVNIPSIPLSWGDAQHLLKAIQGQGLKCTDEKWQGGVPNVEYWTGNISSPRVHLVNDQDEVEQ
QPIWNVMGKITGVEQKEKSVIVGNHRDAWVYGATDPGSGTAVMMEVIRIFGDLVERGWRPLRTIEFASWDGEEYNLIGSTEYVENNMARLREDGYVY
INVDVAVGGSKFVASGSPIFKKSLLRVLDRTSDMAKNASMRELWDKRGGELEGLGAGSDYVAFQDMAGISSLDIGFEGEPFPYHSAYDTFEWMETVG
DPGFQYHKILAQIWALLILEYADRSVLPFDMSAYSSSLTKWSMDLDNWVQKKGINHDGSTPWSIEPLKEAVLQLAKDTRLFEKWENEWITIVEGGGG
FESATLAAHRKSHNTRMANFETHLLDLEEGGGIPNRTQFKHVVFGPQLWSGYDEAFFPAIRDAVDVRDWTLAQKQVKKAADTIMKASRKLVGNA
>RCO7_01388 | uncharacterized protein
MKKPSATRELSSKQNFGRENYDTLITKCALHGSKLLKKPDQCRAVYLASHLWWAVPIVAKGETEDDEKKLYRDGKRVLECLQRALRVADACMDTAVS
VELFVEILNRYVYYFDQQNDAVTTKYLNGLIELIHSNLQTNQESATIDMPKRHFQRTIEYIKSREYEGVVTTAAK
>RCO7_01389 | probable vacuolar protein sorting-associated protein 35
MASPPAVEDQARLLEDALTVVRQQTHLMRKCLETPGKLMDALKCSSTLVSELRTSSLGPKQYYELYMAVFDALRHLSSYLKDSHPVNHLADLYELVQ
YAGNIIPRLYLMITVGTVYMSIEDAPVKEIMKDMMEMSRGVQHPVRGLFLRYYLSGQARDNLPMGNGDGPEGNLQDSISFTLTNFVEMNKLWVRLQH
QGHSREREQRTQERKELQLLVGNNLVRLSQLVDLETYKNVILQPLLEQVVQCRDVLAQEYLLEVITQVFPDEYHLHTLDQFLAAVSRLNPHVNVKVI
VIALMDRLSSYASRESEAQPTEDREKLEQEAITKLLEAVRLGKEKKPETLTAEVHSEQQAAETNGSEPPKEPETEEPTAKTAPTEPTQPEIGFEPTN

GTDGVEEKKSRGIPENIKLYEIFFEQVMNLVNAQHLPIQDTTALLVSLANLALNIYPERLDYIDQVLDYANQKVKQHANSTDLHHIDSQTNLLNLLL
APLKSYVSLFTALSLPQYIPLLHSQTYPTRRAVAGELARNLQKNLITISTLARLEGALEILKVLIKEGTQQPAGYPGVQQRKATETDETVEEQGWLA
RIVHLIHSDDNDTQYKLLQMTRKAYAEGNERVKFTTPALITSAMKLARRYKAREHYDDNWESQSSALYKFMHSSLSTLYTRVPSSAELCLRLFVTCG
QIADQTGAEEVSYEFFAQAFTIYEEAISDSRAQFQAVCIIAGALHELRNFGRENYDTLITKCALHGSKLLKKPDQCRAVYLASHLWWAVPIVAKGET
EDDEKKLYRDGKRVLECLQRALRVADACMDTAVSVELFVEILNRYVYYFDQQNDAVTTKYLNGLIELIHSNLQTNQESATIDMPKRHFQRTIEYIKS
REYEGVVTTAAK

>RCO7_01390 | uncharacterized protein
MRLNTSTPTLFALSSLFCFGSSLPFLSGRSPVLEPPMQRAPYAVVPVDGGPAATDDGSPIAIITKTIVQTPAPVTIVETDKVTLPPATNVYVSTKII
EGPISTQTVLVTITNSPVAKTETATTTATKYAVIDVSPPPVTTVIPPPAASSTPSTTPQAPPPVPTPSTASSIATTPSSSPTEPIPATPTQTTSAST
TSSNPVASPISTSLQSQPSGLTTTSIPSATAPCTETSTSSSSDTISTSATSYNNGQWHGNTGYPSWSNSTGSPTGSPPAPTLKTRLEAAGEGPSSHG
FMAAFKRIISWK

>RCO7_01391 | uncharacterized protein
MADEQSHFMRAPSEIRLMIYSLLFDDDDRNERTFEIRNQNPDVYKRRAPHVRSHYRVLGRDLLRQSQTTTYQLVTDVQLHVSIMGVNRKIYEEATHI
LYGNRSFSFGRDIEAVVPFFSDMTKQTRSKVQEISLLKQGSVYSRDYDRCEWSSMCDFLREHMQLNSFKLTVEGGRPALGWEGLPQYSASDFKTLSN
VRYEPLEWVWEVLSIKGIRNVEVFSEINHCPPSHSTAMAFFAAFSSSIEKGFSDFLRSELLVEA

>RCO7_01392 | uncharacterized protein
MTGATSMETLKDFVQPSTTFNQPVMADPPAREKLNLPAPSTSRDTIPTSVYNLPYQTQIQVHSDVTSNLDYFPLLSLPLELRLKIYTHILPSRHHKI
VTSIPPTNYFYNTSSFPPQTTYPFGRSAPQNSKTPSTPYRVLTKNPHVSFPHQTITASLLRTCKQIHAEAEPVLYSSNASIWEFSVHLDALIGFWDE
RSRVARQCVRNLRLGFEVPVFENGGLESAIGDMIGRKAAAWERMVQFVGKGMTGLKEIDLCVWCADGTGSGFPGKTERPLLDEEFIPSVDFRCLGDR
ETREEMERRWRQWKWTADLLSMPSLRQMKITCWAALPLRMDHEVELGVTVPKFDSWVAGRMVADPVLREKMVKDRVVVCEKVVDLKKSRCSEKGWEF
EYGV

>RCO7_01393 | uncharacterized protein
MTSLISPEQIQVPHPPRPAIRLENLPYDLRLMLWQTTFEDESRVILANSSMKVREAIPPENNDRREIMALILGTSVEIPELATAALPEKKFNFDFSL
DYQSAVRLAQTFFPREIEQDPNFLKNLFKSRLAQNMMRSSKSIYFIPDLEMFAKVAIEAEDRAARVRSRDASPLVTDKLATCVFLMPGNQIESIAIE
PFACYPYKTVTDIDEAKKAAECVVAALYDIPTLKSIYVVQSPEDSRAIVLDTPRFKPFPLGQKTTSFQAAGETKRRRLAMDDVVGYESISGTRRLLR
EKWERHATVQKYSSYMRDFTGPGIGTKRPCPAVRVVSWDS

>RCO7_01394 | uncharacterized protein
MASKSIDEVSPSSEPGTPTPTQCSHPRSRSATMIPYMSRSVSKEVADARVSSPGSRPLSPFPYFSSEEAAALQAEDDNLRLEVPSVPVRPISPFPNL
PYVTDAASLQLAVSKYPDRIFDSIQNLVHERDALRNGLIITTNELKSVADDLANTRVDHKAARHRYEELFRVASAKQVILWKYIESLHSQLAVLNRQ
PDSNVGAGNGLGLYMGVRGGAGMGVAMEKWISEGVDCDRASRNGEEGSEKGTEHSFWSTDGSLGTRSLDPSAKFQQRSPTKAHNDETSPISSIYYAV
QDPFRNRPQPQWGPQPMVFPAISQQAHMPPYSLMAPLSPRWYGICPHSLAECTPCPLGVNCQFVPLCPRYNAYSGDGCASFNKGGKTACRFAHEYRF
CEDVIANKKGGCVWEQNMGKAVAKMPPGKKGEAWHMRMRVHRSQIHDAEWDSRVLLLSMREAHARGIFNGQQITRGRTLY

>RCO7_01395 | uncharacterized protein
MSKNPYLTLSAETQSTDFNKVDVDDAKEELEASNKVNAELEKQIALIKQKNRILEEQNAVLNQMNKTLQDEQKNQTDLVMNQAANIDLEYTRLSGIL
YEYGVNATRLRNERAGLKYSLDTARKFAEMEAASMKLEYEAKIVELKEAYIKLREDSKAKIPSGTEADDTVQYKAKPHKEECEDGMVGTGQDIDAGA
KCLLPNQESLIDMVDEKFLNQASLIDTSDEKFQRLEVDVPFLRTGNEHNTTKPNSGIGHMPHICPELAYSEAQTLRLRSEVIDLAARLSLMSSNALV
TFQSLFEKAVATTRRNFGKIVLTMDEQQLAEDEVDKETAARIVSFSRRVCESGHWPLSRLERDVQELVESTYGHFRDIQKSLNDVAIQYTDIQTRDI
PQVSHHNSVYLSCLYSENENKLREYAATYGAPGSGSVTEVPDDDFIALKDLDKVKKASCHRAQVELALASIEKASPRVSCISVVSGEQAPVEEWTEA
IALESMVTLVN

>RCO7_01396 | related to C-type cyclin
MTTVERYRPPHQFPSDARSKFKTAISSSNSIVRHIPPAVPSPPRLSRNSPPQRPKISSIPPPSYIMAVDQLSQWLFTPDELKSTPSICDGLDPADER
CRRAKGVNFIIQVGILLKLPQMTIGVASTFFHRFYMRRSMVEKKGGLHHYSLAATALFLATKTEECCRKTKEIVIAVAKVAQKNASLIIDEQSKEYW
RWRDAMLLYEELMLEVLTFDLVVKIPYSYLIEALKTFNFEDNKHIRNVAWAFVNDSAMTMACLAMPPKDIAIGALYFAIRFNEQTAPDDEETGAPWW
EVLGGTPDRILQAVEFLNEFWSDNPLRKSEIPYAGYTSSSDDLERTRRRVGSQGSSIISPPSINGDAYVSPKRQGIEEIEKASKILVENGDVISSKR
KEIEDTEEELATKRARTEDAMSEEGAIEEPGEIEQDTDSVAT

>RCO7_01397 | uncharacterized protein
MVVQFALGPAVSCIPTPGKIRRQERKQRRRQTAPMKFSFSRTFLFGGFITLAFLFFVCYAIATSTSSTVKIFEPKGKPNQQYLSRPDKIKSIKASSS
DVTIKVAASTPTAIITKSNLAGSMTTSALSSLSDKLLNQHAKASALQEEFKVKYTAHYVFLKDKVGALETMVAQVALLMIPNAQRSHDATCPLYQPE
KPNFDADEIADMIAVLLATNRGSPSKNLRETIQYIESRGGSDQKIDLPTLTKLLLPILEAINAINDHDIKFTDWSNNAARRFSENIAETNVIAQGCL
VKYGAGYKGGYCSEGNARCAILMKVCHGVFKTQAF

>RCO7_01398 | uncharacterized protein
MACLTTISGAPHEEIAHTEAIPKEETNHCLSTNFSNTGTTTSNYTDATTLQMLQDYLYLTTDDVVKFLVNGPTNVSAISSQLTTSPFEKVWVPLEIF
DKYPKLPLELRRLVVSQALPAPAIIVLKHETLFYTSHGQKQRTVRFIPELSMVYTLADLRSSRAMSLMKVNTEFRDVYIKAFPHHIKICQARRERKE
SKLRYSKYDVLYLSSFFGRIPLDRTFKAIMNTPDPALPFQQITRLAFSGAILARLSDNALNLADFMLTFPALKEIKVLDHDIPAKDGFKKYTNGGSH
GANPDPKETAVKMNDNWTAQVDVLVNLMKVKPGVTAEQAVVPKITFL

>RCO7_01399 | probable reductase
MASPAVTGPILTLNNGVKMPALGFGTFANEGAQGETHAAVLHALNAGYRHIDCAWFYQNEAEVGSGLREFLSANPSVKREDIFIVTKVWNHLHEPED
VEWSIRDSLSKLQTDYVDSFLVHWPIAAEKNEDRTVKIGSDGKYIINHTLTSNPEPTWRAMESIYNQKLARSIGLSNFTPAGISQILSFAKIPPAIN
QIEIHPFLPQTDLIKFCLSHSILPVAYSPLGSQDQVPGTGEKVSTNKELLAVAESKGVSLAQVLIAWGLRRGYAVLPKSSNESRIKSNAVLVELNDE
EFNKVEKVAEGRWTRFVNMKGTFGYDVWPEEN

>RCO7_01400 | probable CDP-alcohol phosphatidyltransferase
MPSFDTSEARPSTPSEAQRNRLQKITSNGGSPAKFSSTLNIPGETGNGHPNSIEVPASRSSVAESEALMHSLSIAPSQVDRRNSRNSFGASLPIPRS
KRQSRLSSVATQDGRPTRPGMPTIQPTRDILSSQVQDMAVAKTAAAKDMAFAFDIDGVLVHGDRLIPEGKRALEILNGDNELGIKIPHIFLTNGSGK
PEAARCAQLSKILQNPVSTDQFIQSHTPMSALAEYYETVLVVGGENYQCREVAKQYGFKDIVVPNDIYASYPTIAPLREHFTEEQRSTSTPRDFSKV

QINAILVFSDSRDYATDLQIIMDLLQSDNGVLGTKSKNPNEQSIPIYFSQGDLLCPTEHPMPRMSQGTFRIALEAIYKAITGHELERVVYGKPELAT
YKYADEIMTSWMDTIHGEERLPKNIYMIGDNPQSDIIGGNMYGWKTCLVRTGVFQGGENDESNPANFGVFANVLDAVKTAVRNELGMDFKFEWNDSL
NPVTADHSISAIE

>RCO7_01401 | related to DUS4 Member of dihydrouridine synthase family

MANVGRSDEDREVVRLGLGSGSGLDVNPMKLFDVAKQQGRVLYCAAPMVRYSKLAFRQTVANYGVDLTWTPMILAKEFNRSILARDSDFTTSPSPTP
TIAQLGVNSPLEISRTTTFLAPFTNGIDINCGCPQSWACADLLGAALMSHPTLVSSMIASAKSTLQTLSLTSSFISSDKESERYKTVSVKIRIHKDL
RKTLDFVREVENAGVDFITVHGRMRSTRSSEPVNLDAIKLVKEHARVPIVANGDVFSRADVERIVSETGVDGVMSARGLLEEPGLFARSPTLTTSKN
HSAAVGEGSDDDQSQDNRWEVLETFLNNVIRAPIPFKLVVHHISEMVGSDRLQTGRGLIGTLFTKEERAALMECKSFLEVLDLVDGVRGVRRF

>RCO7_01402 | uncharacterized protein

MSTAEDPIQDHRVLSLTGNPWISYAKAVGRRLTVRHCMLEKDIPVGKERIEWQCRCGKVIKDDFVKLQPGGIARYRDSIRQQSSTLDAESRRGPIPA
NLNPGEVGGSHIHE

>RCO7_01403 | uncharacterized protein

MDSLPTEILGLILDWEVRMCERQKNIILNIRLVCRAFDVALRPYAFRTLQLEFSRFLRSHPNPGVKGLEGVGVICEALYLDMMVVRDEEEIDRLSSV
FHGLLRKVPEMIPLLDSLRRYCLNDTTFDETDFRRVVEGVLELTPNMKRFKLNLPFQVVGQTSRTATVLLATALACLAKRPEEHKFLQTMVLDHVSD
TTLMHICHNPMDLSNAISTFSVLKHLVLSIKRQESSPTAQSSFSSNLWLLIEKAVPLESLCLIGWNIRRDMNTRRHCHNVSYNPWMMRSLPFSRNIT
GKLLHLRNLELKRIDINPHTFIDLITQISSSLKELYLNQVYIKVRGPPDATRGSHLWIGGIGRKKEKICWVAEGLRAIPELKFEILRATGLGYDDFQ
RAPDPELPTYDLDDPTGLSRNFDQRFVSAVLDGPDPSPVPDVTEDKPEPEMKIPAVAPPVIDRSTYDADTFQRTHNTTSEYKRSIDGLFVNHNEQAL
KELQNIITVADRGMNMLSAEIDRARMEGEIARQGG

>RCO7_01404 | uncharacterized protein

MSTVYTTDSTFHRSHSSPTLPELVNFDFPLPATRPNDELPRSASFHSLPTLDALHKSEEEKNTAAERPALVRSQTQDVREDKTVAGNRLTKEERPKL
ERMGRRKSLVARPKSWIAKVKGNSPERQNASETVVTTPSDAPPVPAISKSIRDKDSKTKTVSGSFATFARKSWITHSRSPSPSSRNTSREIETEGMT
TVDLKMTGSPLTSSQHVNTTSNSENAAPTPSTDSPPKARSATTFQKIKQRPASVLMNFTNFNSSNSSTSSLPRSSLDNKSTPRTSIDRVPALPTTFS
TEKFHINYEPARKRDELWSAFRSLENDFSKFQSKSWSLKTNVVRASLLPFLKNHVAHPSNKNLRPEELDRRVTVLNKWWTGLLEVLDGRQNQTVSGV
DRPILLEACYMVMTRPEWRLSPSHFAPLAERSTNRSPEKRQVSRRKSSSASSKSSASQFMTESVYHNTRNLFVHNLLSQMSFVVDKMSLRHAPASLV
NFCGKAAAYAFFFVPGIADILVRLWKLESDVLKRVSDVLGMPRRVNKIELDDVNCAFPNHIQGLGWTSVKTTVNLLRQTPTLPILAAKIAWNGPWIA
RWCGRDSDLFYVFVKHYHVLVEEFMPDGLSLAQKARAPGFIIVQAQVLAALDATIHRQPAADPLPITFDDVLAGADASAAALPLPSNNSARLMAENR
LIMLLRDFISERPSDYEVARRTFAEAFGKMMQASAGRTSLFDHNACFVLLDFAEEALNIYVRFHHAHDLDWDYIDWSFWLDVCKKMLESENSMSEIR
LFSFLYGSWHLITHDERRKEIMCLDWLLPEQTFDKFFNHWCPMVRAYYMRLLCWRLCRDDGEASELNTKIFSTVSLRIKTNWAHYLFLKQSAEKSNS
LPPSTAPCLPAPGRRLLIIRNDSHMPSASLFLGFDGTVSSSSPQGLSGLQTFPSSKRQSTSPPNNNTADPAPKLSADSTTLGPNKKRWTFVGKILPA
QFSATPSTTSSPSDPLPINPEQPQTGISSPTKTLEEARLQTALSRTSSSASRHSRPPLRTDSSSTDSETSSASSTYRVFSFKFSLEWNQHFEKIVPA
QGSLGRANSVLSSASGSGGGERGDGGATGSNERRIVPPRLPAPAQAWIGARVPGMSCEIASRDPGLPVSGDRVGERSERVQRAKYAGRALAEWALVV
GECNNFVERRRGEGVPGLKWIEVPVLGTEGFRKFG

>RCO7_01405 | related to Pdr3p

MDSPEDHPTHASADGDTNIRRQRIKQACEPCKKRKRRCNGDQPCSTCIKYEYKCYFEVVQRKRRSRQPEGLQSGTSPLAGSVTLEPITEIEKEIPSS
STNETTPREANSGAAFAQLLRNRLEPRHTDSASAASWNIGMNEDQQELPSELPRIISKHQMKRLSESYFITIHQLYGFLNRQVFDAKIEERWKAIYV
PDPYDSILCGVAALGSQYLGEPSKSMEIALVECAKRMLELTSASNTPSYENAASWTLRTIYLRSTTQPYAAWITSCTAMLTIDGLGTGADPDDESEA
GIINRRRLFWCATVLNTWVSNEYGRSKVEVSKQLLAHLSIRPGDYTPDLLYLYRISERLDPKKPSTASDFEAGIAELVTFQPPVDALCLSQSNLALA
LYRRLRFVASTISDETIRRVITLGNAGLDAVLRLIVERQPWWHVANVPFQFICTLLVIDTEEALEHLRKAVDTLQAVAECFPTRSLTETLSSVRRLI
QLACKQKRGQLNLLEQSLASKPAVLRAELPRMDLLSGQGQSPTTWSPESLDFTDFDWEKFFSTDVSVLEYPIPMP

>RCO7_01406 | uncharacterized protein

MMYRAAGRVYPELFDPPNPASFDYEHRYIRKPNTREILIYTDRACSRNGQCYLRGGCSFLYQPSVFNEEGALTHGVTVSFSLEACGPTGVLNQHTSN
RAEPRAVIAALQSRG

>RCO7_01407 | uncharacterized protein

MGIKSEEYVDTHRFRVPPRPITDIFTSKDTAIDRSKCTRTVPMRVLVLGVGRTGTVSMRDALKRLGYDNTYHMMSASVENPPDCIMWQRAFEAKYDG
IGQFGRKEWDSLLGHCQAVCDWPAICFAKELIEAYPEAKVILTTRNVDTWHASVMKTGYWRAKDPELEIASYFDWGAGLYYPMLTKFFETFFKDDFP
NKGKEVFVEHYKEIRNLVPKNNLLEFSVSEGWSPLCEFLGEPMPLNEPFPHANNADSFVKRCRARNRAQLCNAAFRYALIALCIYIAYWLLGCVMMY

>RCO7_01408 | related to E.coli tetracycline resistance protein TCR1

MGPLPPSESSHDAPATWRNLPRKDQLFVLAFCRVFDFMQVASFQTICYYQLKLFNTKLPEETISWQSGIASGSFSAAQIFTAIIWGRIADAEWGGRK
RVLLIGLWGTAVGCLGLAFSRSFVAVVISRLLAGGANGTVGIIRTMISENIKERKHQSRAFLLLPASFMIASVVGPVIGSWLAEPVATFPSLFAADS
WLASFPYALPALFSAASMVIIGFYVFLMIEETHGIRKAHFDLGLHCASVIRRAVKHNSHEDYSTLENDDQESEDEQIELPEVKALTMMSLSRPSAKS
KPSFRSIWTYNVIATLLAQAIFDFHMGAFGNLLPLFLSSPRRSVARYLPFIFNGGFGMAPRSVGLALAILGCIGIILQFLIYPRINTRLGNVQCFRI
FSTLFPVAYILAPFLAILPQDSASLKWLGITAVIGIHTTGRIFVLPATIVLLNNCAPDPSVLGMVHGVGQTTSALFRTLGPVVGGWAFGKSWEGDFI
GGVWWGMAVVAVVGWAASLLLWERAAS

>RCO7_01409 | related to annexin XIV

MAYQPPYGAPPGQGQYQYGAPPPQQQYGQPQQYGAPPPQQYGAPPPQQQYGAPPQQQYGAPPQQPPYGQPGYQQPQQPQYGAPPGQYGAPPGPPPGQ
YAPPQQPPYGQQGQYPPQQPPYGQQQQYGAPPPQQYGAPPPQQGAYGAPPQQQYPQQGHGAPQQQYTQPTPPSLGYGPAQHIPYDGIADADALRKAM
KGIGTNEKALIAVLADKDPLQTAVLQRVYQERHKKNLINEVKSEVSGYFEDGLTAIIRGPLAQDVMLLLQATDGPGTKELVLNDVLLGRSNADMRAI
KEAYTRTYRRSLEADIKADLSMKTERHFLMVLGATRNEESSPVIPQQIDQDVLEIYKATEGKMGTDELLVCQILTQRSNVQIAAIAHTYKQKYQRDL
EVVIKKEFSGHMESALLYQLRTGVDKAMRDAVLLEETMSGIGTKDNLLVNRVIRAHWDRNHMNQVKGAYKARYRTDLARRIKGETSGDYERLMIACI
YER

>RCO7_01410 | uncharacterized protein

MGGSAFSDLFTPRMPPHIYNLILSQTIIKLRQHFTHVSSPIEAPGKADFGDIDIVCHGPLTTSYNPLVTSKKMVTETLAEVLEANSWIIGQPTQAMK
FAIPWPLEHVSVTSPPGENSTPVHGEKFIQVDIHIFPTLKEFNWELFHSAHGDLWNILGSTIRRFGLTVNNLGLFLRIPEIEMLDRKKSMIFLTDDS
NAILEFLGLDAETWWKPFSSRDAMFEYAAGCRMFWVREVFEDGEAERNVVGEIPILLKEKRKGNENVIAGHEGGEAGKKKLKHNDRQRMAKRPIFLA

WIEEFIPKCRQQGRFLEMKASREQIRDEAFQQFNEKEAYDTRLLEWRLERHKDELWRVVIKGNVPVEDIDPVLRAASCRFLKSVLMEAELWDGRVLK
EAERNAEGFWNWDAVKRFVEGNWEEAGHRGLVVQQKRAVESMNAKAAKKARLSEEQGK
>RCO7_01411 | uncharacterized protein
MEYQYFDRFYSRTSVQIFPSFDFGLTRQILLQACETNAAIRHCVIAIGALDKTATTQNRGRVSFDSPDWTANASNHHRIAMKQYAKAVGIMNASAST
SQFNLRDTLLTSILVLCFEAWNGNISLAVQQIHTCVKLILQWKSSRGSISNPGSSPQPNVVESELLLIFDCLAIQVTFFSSGDSAATSRGLHLLGSA
GRICFGSLPDSFTDLQDAEIYGQEILRQGILFLMQHNSPEKYANASRNVISPEILAEQAIITTHALRWRHNFEKLKKNSAPKFVTRYTKALELFMAS
NYTATATCLSNDETVHDFYTDIYSQVVDLAGEILNELTNDFSSSDLQASKYSFDNRYILPVLMAGLGCRNLSLRKRAIDLLLMYPRREGIWDSECAA
KMVLWISGLECNHSENGYIPGWARAAGLVWTTDLETRTADLRCCQRITPLSDPVEKQTTISW
>RCO7_01412 | uncharacterized protein
MVKHNIEDYFQPVPKSHAPAKPILKSAI
>RCO7_01414 | uncharacterized protein
MGGADRAGGKAKPLKAPKKAPKGEMDDEDKAFQEKQKADAKAKADLAASVKGGKGPLNTGSQGIKKSSKK
>RCO7_01413 | probable serine/threonine-protein kinase ppk5
MASRASSDEGEIRDGNVEKATKSLPQYEGTSVDRPDRNRSSISASKSPEYEYISRNRRSRERSRSPYADYQPRGSKRARDEEYSDRSRDPRRFKVHY
EDYHQDHKRNSRGSYRDLDRGSAEPSDLRYDDRDSYPEKRPRTRSRSPYRASSDRDRYGRGGNSRGDNNRNSRYGNDSRRHDLYNEDVRSREIKDQS
VSKREQSPLPAENARREAKSTQGFSQQNGYQSHNNVKHEQYSTQIEPPAVEVPEEEPLDEAAMIEQRRKRREAIKAKYRGSATPLLVQALQLGDKSG
DSTPGRKDDSMRSARSASPMVSDPSTPIEMQDPASPSAFAFTNDQDLSNGKAGGNENDGPSAADYDPTMDMREDKKRDDQRNGDEVLSSAYDETLPT
TEQDVLLPVKLAPVEDVSKKSGDDFDMFADDDDDMFAEEPAPGARPEASEGPAKAVPIPQAKELDIGMLDNWDDIEGYYKIILGELLNGRYHVQSNL
GKGMFSGVVRALDVMTQKLVAIKLIRNNETMRKAGMKEIEILQKINNADLDDKKHMIRLERYFEHKGHLCMVFENLSINLREVLKKFGRDVGINLRA
VRAYAQQMFLGLSLMRKCNILHADLKPDNILVNETRNMLKICDLGSASDASDNEITPYLVSRFYRAPEIILGIPYDFAIDIWSVGCTLYELYTGKIL
FTGRTNNQMLRSIMDCRGKFTTKILKRAQFAHVHFDEMANFISVEQDKLTGKDTVKTLTFAKPSRDLRTRLMSASKGLTEAETKELTLFADLLDRCL
ALNPEKRITPAEALKHPFILKMLK
>RCO7_01415 | uncharacterized protein
MTSQPPQNPSPPPVYKPFTLHFQQSPLGSHPLPDLPPPPPSYKRSPSPTPSTTSQPSLHELPKYTPRAPVTSSSTTISPTPKAQPDSGLTTWAAWNP
LNWISASASQRNHFTTVRRQRDPMAGRVGTDLDACEQYDIEQRESREAKGDAGGEVARDISMMNINFEQYHIDDDD
>RCO7_01416 | related to VHS1 - protein kinase involved in G1/S transition
MHTTIYGLPSPPQSPQPSQQVPWCPSTPESRIGLVLGHTLELVRILGTGAYGVVYLAIDHSTGISYAVKALSKTNANGEPLDTRQRKFQAEEIQYHY
MASAHPNVVSMHKILDDPECTYVVLEYCPEGDLFLNITELRTFLGNDALVRHAFLQILSAVDHCHKLGIYHRDLKPENILVSQSGTKVLLADFGLAT
TDVRSSDHGCGSTFYMSPECLDQSSRSASYRCAPNDIWSLGVILVNLTCGRNPWKQASVEDSTYKAFLRNRNFLKTILPLSDELNEILSMIFTPEPE
QRITINALKQKILGCVFFSIPKSESQIPSPPVSPVSSSVIEYESLSNDGSLMSEDGSLTGSCSTLSDNDSESSCEFEPTPVLQPRIITAPITPPTSP
RDVDCGSFEPNLEVEQPKWLGPYENAKLTTNSRGAQYNVERSSYRSPVAQIEYSIPPSEPQGQPWRQAAKPNTWIPQCGNSYDYQQFDPYHGGYVHS
ASAGYSGYSGYPVYCTPYCAPYVC
>RCO7_01417 | uncharacterized protein
MERRKAGVKIAYFTVREFERRLLQVEEEVEEAELAVLLAFTPIPVEDIDEDSMRREVIRRLHLQTTLDDKRVAKADFEVELQHSLERYDELRDLLQE
AEEWNEVEEDWIFCERRNVTTIGRRKSNSLMAVLQTMTRESRPRF
>RCO7_01418 | uncharacterized protein
MSSRGSRAPSGPWNRLKPMNLDPLEVIGLPSKGDNRLLDYKAQERYYTKIVERYMAFCSDAGRGHELLRRMAAMDVSNQTQSPRIVENQRPQTAPAN
PSPSISMSANKMAANADLSGQKDLSVLVMAMRKLREGIVASKRVDDFSIQAYIFCIRLSILVKHMESYHPAILHLLKKLHTIQPLTNTELQEFVGYL
VLDLACRQNDLSQAYLVRNEYRLHDNKVDAILRALAHDNYFLFWRVKRSVDGHKAKLMEFAEDGMKQQALKCLGRSYLSIDLPTLEHSTNTTWPRLT
KEYGVGWELEGMKVIIRKPKTK
>RCO7_01419 | related to PHO36 (regulatory role in lipid and phosphate metabolism)
MSVRQRRGATTEVVKAAAIKLENHVENGLTVLWDDLPSWQQDNHYIHSGYRPASSSFKKSFSSLSYLHNESVNIYSHLLGAVMFSAAGVIIYAAVRP
RYETASWSDILAFGCFFLGAALCLGMSGTYHTISNHSPLVAKFGNKLDYVGIVFLITGSFIPSIFYGFYCQPHLQEFYWTMICSLGLGCATVSIFER
FRTPAWRPYRAGMFVLMGLSALFPVLHGLELYGVHEMRNRIGLTWLVLQGVFYILGAGLYAARWPERSWPGSFDIWASSHQIFHVLVVMAASSHLYG
LLRAFDYHHGTPRVTC
>RCO7_01420 | related to 3-oxoacyl-(acyl carrier protein) reductase
MAQRVAQIASHLNYPSGMLAGQVAIITGSGQGIGAETARLFANEGAKVIVSDIDGARAKEVAENINKSGGKALAVPGDMLNAQYLKVLVKKAAEFGN
GKIHIIVNNAGYTWDGVIHKMTDKQWDNIIALHNTAPFKLVREAAPFFRVTDGEPRCIINISSTSGVHGNAGQANYGVAKSGINGLTKVIAKEWGPK
FGVRANSIAFGHILTRLTAAKEEGAFVTTPDGEKIALGIPTGQGAQGKDANLDIPLRRAGTATEAASSILAVASPLFSYITGQVLMVTGGRNM
>RCO7_01421 | uncharacterized protein
MEHAKKGHHNSNDATDNLYTAPRDRGSSQHDSFSYTPAFGRYVGQPNKARSSQKCTQTNRGAGRTSQSPETNLQPECELISQRKASHSKASLRETNS
LYRPELARGSWESRSKELSSEDTHWEELDGTSRSRASSPEGFLEAKPGGTSLRRSSQSGPTLLDLPTELLSTILNYACIHRGHIKPEQFTPGSTQFS
HEYPLNVNRNGIIIRTPAIDTYGRRHVALTAIANKYLTGPLLIFRSSIQLSQTCRRINDIVINDFLFYKHNRFDFFDTASLLKYLVVLLPERRNAIR
SIRVHWDCNMGSQAAAAFTILSTCRGLKYLELDITLLAPFFEFESEIRSFRSAPGWTELMKLRGVNVKLVYAEKDHYGWNFISDVLTVVYGSRYAPY
GLLEGNLCLQEQLMNWNRKINTRTNNLHCPRQPQSSYTIKEREAANKAGMNHHTFNYPPGLDFFPGDPPDEQLRRAYEFEFNDPIDLRFDLRDLQEE
RLRRLPEIYRCKRLIFCEKEKH
>RCO7_01422 | uncharacterized protein
MQSAQAQRSMSQILWMVMPWTGPLLNTIAGFVPFMYYNRLAVTTPRVTQFLASLRTAQLNPLPIGAAGFCWGGKFVFLLCGESLNSNGRPLIDFGFT
AHPSNLVLPLDAENVKLPISVAIGDVDVMIPKKQAEDMKATLEAKGEHEMVIIPGAVHGFATRAKPGDEEGTKQGLQAEDQAVNWFNKCFSGYEKAY
T
>RCO7_01423 | uncharacterized protein
MVLYSLVTLESEFDITDFIKKLARYPTYEKSKTAFQLGSHPSCPQTHVLQELPVLINRIMTGDSFSRGWRSTSATLFFTCLSLIALKEMGGTAVKIN
ESMVSLATTLKYPESDQTLRKTYTGIESLDYGMRHIVAAFLPGVAGWDINTQVQQIYFLASFFPIISIWSVEAGRQGNASSFLRWTSVWALFYQTVG
GAVVIPLWYVLFFRNSAKQSSWSPASRLLDISYAKALFPALSLGYLLPTIALYIPFPDSGFRIHQAFIVLWQPSPLYVNLLIFIISTFITKQETTKR

ATKSQINLKYLHRVYSAGLAVSAIVHIVIMALCISQRLSQVSFVHSLLHVPATERLTLSGSLHYLFQVDCLVILTAALASAWGVMWDLKNFGKADIS
TGEIAIQMTVSTVLLGPGATVAGVWLLREHMMADKFVKKA
>RCO7_01424 | uncharacterized protein
MSASDLHNIVPRAGTDRTSILEWDGENLLERTGSVFVTKPQICRGFKKNQKSNGFSDLPTELKLVILKYALPNPRVLSLEYNAERNRGASDDEGFSD
DENASDNESASDDESDSETEDLEDFNPEGFHLQPCSPGTEQILNYRLICRMAEEIFQENYSKLEPEILTSKESELSAIDSWLASTITDDSYGAVPQT
RQYIDRKRDALLLLGDTGYNPHREKSILWFMAENKVNFPGVANIVVYLDNFYWRYSPLGFNTVLRNLASARSLKNIKIASSGYVPATNILDDVYFLD
TSLETRQILQMADVTLGRVESEQPDDSYRLWGFDSTSEATRLAKDLRYESNADDSLWAAIRVEYCIAVNLRTARIRQFGPPQIPEEVLIISHRLESF
CGRCMVPCSYDGSLPTYDTYYRLDSVFTEDWPLGR
>RCO7_01425 | uncharacterized protein
MAKSLTVNAHLLTDAEVQKLQSSYPIEAAAIMTSREVTRKKVIDDRIGAEATAAFNKAVTDLDVEALTYQPGHEEKDEIVWQAEELARERIGSLAQY
SFNASHERGYDEGYEAGLRAAGGVIGGSGASKRTQPSADSAAGGKKRSRATRRVINDDTDDEDSEADPRPKKFRKRANKIAAHDMEDADEDDEMDDD
DNGAGDGEAGEVAEEDEDEDQSGDDEADSNNEQGGDNEDEDDQEVAAPVIQRTASDNKISYQRAEFGCYRSPRLPLHTRDLRPLGDNQSKGIYLANP
ECAALSILRAPTKAWSVRPPGGKFAQEFAQVNPAASTKLEQKNGKLIADGLAEEQRDDVLEEDMRGVERSDSEKQ
>RCO7_01426 | probable dolichyl-phosphate beta-D-mannosyltransferase
MAPITKDKYSVILPTYNERRNLPIITWLLNRTFTEQKLDWELIIVDDGSPDGTQVVANQLVKAYSPHVLLKPRAGKLGLGTAYVHGLQFVTGNFVII
MDADFSHHPKFISQMIAKQKELPTNGGYDIVTGTRYAGDGGVYGWDLKRKLVSRGANLFADTVLRPGVSDLTGSFRLYKRAALTKAIASTESKGYSF
QMELMVRAKAMGCTVAEVPISFVDRVYGDSKLGGDEVVNYAKGVFMLWMKV
>RCO7_01427 | uncharacterized protein
MSSAQPLHKTVQKKPRKGPLQKRPALDFTKPQKLVTITAGKGTWSQDFVLHKALITHHSTFFRSAFKSTLAEGTSGIMKLEDVTTEAFGLITHWLYF
QKFPDTPHDDLVSEGQLETLAKVWTAAERFQMPALQNHASGIICELLVTPISMATKTAVYEDRYCDYLACIKHIYFSTPAGEHKLKSLFLDIFHYHQ
VSYADRIDEFPIAFCQDVVRRLTTAIPASRKTWPVCNKSRFLVEEENEV
>RCO7_01428 | uncharacterized protein
MEAVRGLDVAFESGRNTAASPQVTRSGKRCSESPPPAPRKKSKGLKCFSDSKAERIDIHVGEPGQIFSFFFELITEQSPFFEKAFERKSASGQTKVL
IFKGDGCHSLWITCSVAIFQVA
>RCO7_01429 | uncharacterized protein
MVEVTVEDRSANDKSGGTKVQVFTIHHTVLTCYSSSFRKIVAADSDCNTMVINGCGTAFGLLQHWMYTSQIQGPAGILKLMEYVKMWKITDHIGIVG
IVDDLLHLIKETMPGPNNDTGNTLKDFQTIAYMGSYSGFKEIAIAKTLAIMRGANTPRIFVDMPAAMRASFTLAMMQECVSLPGWDNGDGFAGVRQR
VHEIGAQKNSPRADSVINHAGSSAYETTCSSDNENEDKSDEEAVPETGLLSHDEVPINTPPSAQRNHQAKTGLFLDAENESEYGGGDILDDIAGKGD
EGTNADVCELGIFGWPNGFIV
>RCO7_01430 | uncharacterized protein
MARPLASPDFYAVLEVSPTAPIAVIKENYRRLALKFHPDKNRDESAAATQKFQELSRAWEVLGDLRSRTEYDIFRVRRGGNERWWETSFAGSAFRNG
SSCSNWEYEQDEDEQELVERARRRREDIDRAASARFRRESRSSMVSEEEEAQARVADETLRKSRAAIWKAAASQDYRHRQQAWFEYRQRNMGALTEI
SETRRAVEKAEKELENQTSETESYVEKVFLDAIERSRTSGAEPGDHDHIVLEKLFHARRVYISRLTQGIERNKKKLDDLTRDLKWEGLSYEAEEARF
RREKVLEALEILGPRDLDTPLFCILDRKGLTINRWNVLARVQAAAVVSIPDPTEGPWHDSGDWKRVAGEHTCGRCDQKSFHIIVDCSPAICPCCGMI
ACNSCYRDLKLLQEFDRWMVSEQGEMQESLFSLGFDSSAG
>RCO7_01431 | uncharacterized protein
MAGLLGNLTNSLDNTLTGGDEAKGQGGLLGSVSGAVGKTVDGAGNVVGQTTNGVGNVVGQTTNGVANTAGQTTNGVANTAGGLTNTAGGLVGGATGQ
QEK
>RCO7_01432 | uncharacterized protein
MDSVPTPSHRDEYAEDYSDVASIHSGNERRPRRKHVRGGRKGGYEEPTPEETAGLLGPEDGDDNEDTEEDGNDVCQYCSKKSKQPKPQRAKSQPRRR
KIPEPFETGIRAFNVRRAAGGKRPVGVRTTSDKSKPRSSDAKTPSKKNSTSMSEDAGYETQSHESGSKAGKEDDESEEHEQEQADGGKPMSIRLDLD
LMIEVFLKAKIKGAVTVTFL
>RCO7_01433 | uncharacterized protein
MSDQEKQQTYEEEEEYQTDSADEQNNQLVQPTAKKGQRTMQRAPRQADQQMQQQQQQQQQQVLPAEDRTTGSMGGRTGAIRESRIKDRPVPAQERD
SSLKIKIELDLEVEVDLYARVKGDVTLGLM
>RCO7_01434 | uncharacterized protein
MPLGILTSIAACPAIIGTTEAVRQGQKQNAKEAHRGRKANLYVSCNDPSRKSRDIHGGTVVLRNNKLYVTNVNPKSKFLPEEGEDNVESQGHQFAGY
FFGYPNSNWGKRGEGYVSTISDDPPQLNWIYVDKDTYEIKYGLKVQAEGNLVGPWNITPIDRRLNFDGWEGFTVVEEKEGVWALYFDVDDDGLAEKV
PVTRRIMELTRGVLACMRESQMGGMSIDLVYKLRSVGVTFTREVLRNKTLIKPAKENTRMQLQRGERANNGNQEFCILAWNLFYNATQASRHQLCLF
PHHQKLPIVKDDDLENNRFSVFWESVIKLHHISQVYHPIPILSASDKTISHFLTSQDRT
>RCO7_01435 | uncharacterized protein
MSTPRTPKAPQIPPGHGETPSKTPTSLRKKRVPTNTDINSGEKLTSKPSPRPPQQLDDAQSPSSPIRKKKRVPRPAADEAPPTPQASDEAEPDQEEA
EAPKKIMKKKRPTAPAQASEPSHPESQRSDSGKKPPFDNSQGQPEEIPKKIIKKKKPTAPDPAQAQTESQEPMEEQKPQPKQKESSHSQQQSTFDDT
TASALQKPILKKKKKPTPAPEPESEPEPEPEPEMVSEYEHGDEGSNENSVNGSVDQENDDLEDDNQDRDDEQSEDESGEDGEDQPLSGAPLGDANNA
VDDISQKGQDTSSKLPDQGQQGLDDAAKGAAEDARKQASDTSSKVQDATSESVDKATSSTPLGKDLSDPSKGTELPNGDKAGAQKPAKKLPSLPDTI
HKKKKPSKPLGGVTDSVEDESKGTTEQATSTADFQDKTKSKLGGVEEKANSMAEDVKKAAGQATENADKAAEGATEKVGDVASGATDTVGNTTKQGK
NLPEDVSDHAKNSTKNVQSVVGSEGEEVAKIETKHGDDQIGRKAEAANVNFGGIEIKVETNPSGTTLTIKIPGTSQ
>RCO7_01436 | related to MDN1 Midasin, pseudo-hexameric assembly of AAA protomers, associated with 60S pre-ribosomes (large subunit precursor)
MTDIASRPASNMPKVPRTPSNSGAARQTSKKSNVAQSQNHNMSEVNDTKASTNGRDPFAQKDLESVAEGQSQDGVTNDGQEEEEEDEGTEVIPAGSV
DQEGSVLDKNGVKIGQVKGEATSELQGSMVDQEGDIMDAEGNVIGTADLTQADSKSAAGDKPLLEGQAPFGVQDNGDITNATGSVVGKLAEGKPQDL
VGTAIAAIDKRGNLKAESGSTLGKAELQDKVLPGSSSEKPEDTDDDAQPSMKSGSVTEKQEPEAASTEEVKNQELTPDAEKELDDLKPEDSVSKIGQ
EKASDAPDAPATSEAVKDQESNPADEKDTEEKSEPQDLSILKDKTVNKLGKIVGDNGAPFGQLIEGDAKKIAGKKVDGEGQIWDDKGKVIGRAELLP
ESEREVEASGPFEDFPDSIVDKSGNVVFESKVVGKLIEGDGKKLEGKKVDADGDILDKNGNTLGKAERFQEEDIVPEEEAPAVDLSILEGKKVNKAG

NVVDDNGKLFGRVATGDVAKLVGKKVDSEGKIWSESGKVIGTVELLDVDDRDQGSDSPFEDFLDAVVEKSGNVIFEGQVVGRIVEGDAKKLAGKKID
KDGDVLDKVGNVLGKAERYTEEDAPEPEKIDTSALAGKRVNKLGNLVDSHGSIYGRLVEGDAKKLVGKMSDKNGDIWDDGGKIVGKADLVPESERDG
QKDGPFTGFESPVVTKDGKVGDSKGAIIGRLIEGDAKKLYGKAVDTDGDVSDSNGNSLGKAERWEEEEKEKTNSPVEGRKVNKEGNVVDENGDLIAK
LTDGEITKCSGKEIDADGDVYNSKNQVIGHVTLLDEIPAEPEPEPEPEAAEEEPKESQEEIDAKKQKVEDTKLASRMAFSIQESLDKISPILKNITD
EIDAVERQKEADRDEQKLVDKVKPLIEEGGRILTETNGTIRGMDPDGRITSHAKQKAATREASPEEHHLAELLKELTGNVTQTIEKAKKKIAGMPHA
KKELNPLWNLLAEPLGQILAAVGLLLSGVLGLVGRLLSGLGLGGLLDNLLGGLGIKGILKGLGLGMVTESLTGRK
>RCO7_01437 | related to 6-HYDROXY-D-NICOTINE OXIDASE
MWTSTSTTFLLLLGIFGLLAASQSLKPLTLDEVKLRIDEFVVQQNGSQSARADSCEGCSLACSFLASTLPGQIAYPGSTVYNFQESTYWSTFQASNS
PTCRFSPTKAVGVSLAVLTFQVTQCKFAVKSGGHAAFAGASNTDDGVTIDLVNLNQLAISSDGTETAVGAGNLWHDVYSYLEVKNRTVVGGRVSAIG
VGGLTTGGGIAFVSGRYGWACDNVNNSHLDLYFALRGGGNNFGIVTTFHYATYPQADFWGGSRTYLYSPETAAKMNNAFYWLNVNAPEDPYAQVILA
YAYTASAGQYIIVPIMQHGKPVANPPSLKNFTEVPGAVADTLRIGNLTSMTLELNVSNPGGFRQTFWAVAVKNSPTLLTEIVAIFKEESDKVNDAAG
IVSSVAIQGLPLNVIEKFSKNGGNALGITPADGPLAVLDITYSWSNAADDERILAAARAVTKRINDTANAQGLGHPFVYMNYATKEQSVIPSYGDEN
VAKLKATSKKYDPLGVWQVLTPGYHKLF
>RCO7_01438 | related to aquaporin
MPRLVSIRDHFVASLGEFCGTFLFLFFAFGGTQTANMSSSTATVSTGPNLQQLTYISLVFGFSLAITVWIFFRVSGGLFNPAVTLSLCITGVVPPLR
SAFLLVSQIVGAVAAAAVVKCIIPAPEVMFNVQLTKGMSVAQGLFLEMFLTTELVFTILMLAAEKTKATFVAPVGIGLALFVAELFGVYWTGGALNP
ARAFAPNVVMGSFPGYHWIYWLGPALGSLLASGFYALIKFLNYEEVNGDQDKASDEEKTIGSSRNDYEGRNPKTVSQIREPRDSRRSQTSQRSPRQT
AGEQNRHSNTPHYEQYDHYQN
>RCO7_01439 | uncharacterized protein
MHSTILTLLASAVLVSATACPQHKLDERLARLPCASNKEAISECLSGPIDGRHLNQVRNCLVAGGCSTDDATAEVRWWSVSCATEKGEWEPQGDLKN
RQDNDDDEETSNARRTTTSPSPAQATTTSDSTIESATSTVGTTPIPTLSTSSTTSALSVVTNSATDPLICSVTSTKSTTKCSISAGHTVTCLPTTIT
IATCAPGMICFPDRKGAKSCMLRKNEITTSGLVVAIAFGVGLSASLIAVIVTVILGRKKKRAMRQAHFLNVAAGKGEGGGEDGFARRQMVMSDAALP
LIPNGGRDDRYTQQEHYDQGPRAQGESTPESTGANPEAGITPVPKLELHQGLGGLGQNPRY
>RCO7_01440 | uncharacterized protein
MLGNANNVNMTIFSVPALRKLRGHGTLLRAVVTGDS
>RCO7_01441 | uncharacterized protein
MPLVVPGITSGGKEQSKTEEWTNKLVGKNLGEKSDATTFARADLPKEARVLQPGSIVTKDFKPDRLNIHLKEDGTVSHVDHQ
>RCO7_01442 | uncharacterized protein
MPFHRSRRSLLPIFEDANAMKVDTIPIATAKDWVWVSTPVETSEKSEPATCATCQKSQSDLQTSLKCCARCQTTRYCSVACQKEYWKAHKLVCGKPI
NPHNAGLTDDKDLPSSLEKDVFILLIDCHRLRMEDEYTFKGDAATGSLYGGALNPLPHFRKFLDKAEKKEGILPEWWDMQKRTMCEKEAVFGTWANI
NHAVEKSDIVQHYKNPMAPMTLRALGEKIYGEGFM
>RCO7_01443 | uncharacterized protein
MSAPSPPPGPGPPSHSFFTLRELKKREPTTTPIPEISISYSADAKRDMGPTSSSSMDLGPSLGQGAALGPQQTHKIATWGQEWSTPAPRSCSASPKT
GSPVPSRVLVSPSPSDALNRARQLHPRVRGTDHAAQIKQPRPFTSDDVMASVANRDISTNVAKEFSQLAIGRMGDKSGTPPDVPGTRMRIKSKPNRL
NSATSSTTDTYSEDSKTSSRNTPKITLQQVTEMLRSTINNNSTPASVRNFQRRELYFSVAFYTPQGYFLPPMQSLMVNRLMSFRGLIAKLQRFLYDN
LLDSRLTAKLLVQSVQVRVFEGHLKDLPRIEGWICGLDEEENETTTLGPSEVAKGTRWVAWEATDTHGEQKGAAEDFWNTVVERMVRDLYKLQDPSK
NHVGDRPPMLKIRTVAHLHSELGSQGDGHIFYLPPDAVLPTPAVVVTNITSGGSIASDGSGGSDGQMKDQKSNLQRLAEDKREITQLQPGFDHFSQP
NPLHHNNATRGTSNSTMGTDEKVTESAFGQASLGLPNTSNVPERSVMLNPFANSFARNPKHGRGSPDSMASTPSTQRQKTGRPKEHKIHRGKGPRIS
RRPQPLGQSLGSYLPPDVFDGSLDDATEAFEDVSLIASSSIGNSKNDTASDLKEMEANFEPSPSCTSTNEKGNVDEPENKMSRCEKDYYSRVITLGI
SFGDSRSFWVEKGGYPKNVPMPMDPKHNWEMYQHWGEKPSDEGYEDKKLIHDWFSLSHIPFYGPVCEPWSKGKRTERIVDESGKGDDENAAVDSCTS
VPMLPYTPLDPKILAQLTLEFLSQPSNLPLRTQKYWEEQENMKGLTEIDDDIFFPASNPELVRRHEASKVFQARAFRNPSRTKFDLASVLGATERRV
TSNHSKYLDALAAEKGTNSDVYETMPSEIFRTATPKLGTNKTATTFNHSHAAADNVFQSTMKGVGSFSSFSKQDFSPNAHGGPGFYELSRGIANHTP
AREADSFIADFHSNTHGAEMQNNVAGDSEQTFFPRSSFSDFSAMANEFGTNQNASVQAEFTGTGNGNDDSGGFDFRPGNVTWDGRISNTAMNGPRGG
GNSQIPNSFDMSSSMSGGGPADYRTSIPYDTQQLTGYPNNQGWTSMNTAGATYNSFGSQAHPYNGPSYSTIQARNTSVFPQYNSFSQQAYATPTAPA
RMQSRFFNPTDSNRGNPGHERFAFNNMAMTPSNTNHPTVGSFVNPHTNLKYPPTGSFYHGGNGPNNPHSRTHGLHVESNPTALSRARRPIPIRLPPG
NGLHATTQQFQLPSPTRQAINYGAGPDRASLGLGSGLGTGTSVILPPFVRRTPSPEKKAFQKASMDALSAAIETAFNGPKGSPSARKKA
>RCO7_01444 | related to vacuolar membrane protein HMT1
MVPTAPDELWTVIEAVHYGIPAFTSLYFLISLSITVCTLQTRRLRAQDQHVRRDVMLGLIFGVALTYLLETFIIVLQIFLIGIYPEQDLVIYLIASA
IAFGIQCLALTDSKFPVWYPYYRTWFIGIVMEMFLLIVPNVFLPPTKPFEYARLSTQILRNVLLITLPLLYFGLRNDDKYYDDSDVERQSLLTKKGG
KKPSSQASTLNGNGYGTATENSQDSDNTDNASDSSEDSWLARQRKDQAKIDKRLEQDGNWFTYAKGFMIFFPYVWPSHNKVLQFRAVLVCFCLLATN
ALNVLVPNQMGVVIDSLTHYHDGEKSSKIWLPITTYTALRFINGSAGISWLKDWLWMPLEQYSYDALSTASHAHLMSLSSDLHDSKSSSDLSQAIHG
GRSVTELLDLVYFRVLPMFIDLAVAFGYLWTHYGAYMGLMMVSTVVSYLYITTKLYSKRAEMRREYITIYRREYTMGQQSLDGWNTASLFNMIPYER
RRYSGVVKDHMKSRGSFEMSTHFIGATQAVILSLGLFGALWLGVYQVAYQGQSVGKFTTLLVYWGSLQSPLTFFSTMYKQISYSLMDAERLLELFRT
KPTIIDAPDAKPLVLGKGIVKFDNVSFAYDERKPTLTDVSFEVPSGKTIALVGETGGGKSTILKLIDRFYEVTSGSILIDDQDIRHVTLDSLRERIG
VVPQEPMLFNDSIMNNIRYARLSASDKEVHEACRAAAIHDKIESFPDGYNSQVGDRGVKLSGGEKQRVAIARAILKNPDIILLDEATSAVDTETEQL
IQEGFKTLCQGRTTFIVAHRLSTIMKADHIVVVMNGKIVEQGSHDDLIHRDGKYHDLWSKQIFVKPAKSRSRSRSPEKRDTSIINDLTPTRQRVELA
KAFKTTRHEEPKKEAMRETSEASEVKATKTSEGKTETEKEAEVGHKREGSKLKPDAPEFIPSQLPPRPQPQLPAPLSKTQAKEAAKAQKKLEKEEKK
TASLTKKAGKRATRFTGRLGGDGIASTGDDPQSTDLPLEIAEEDISGIDNPNPKRARFSNRRHEAKSEPTTRNDSLDGQQDSDLTAVSSGEGQPLMQ
NAAMQRRRVSAPSDPPAQQESRSTRHRRNRHWRLKNRAADKAGSGSGSISVYVSTSGSVFASSGTSMEEDSAGPPPPLPSPAAGVLLKGSVPKVTFA
TPSLGHLLGQLQLPGTTHT
>RCO7_01445 | related to protein phosphatases
MATTKQRLALSIIDFLNTSLTDGTLTDEDRESVEVAQSCIAESFKVDPTDATPKDSQSLLQIYSVYEKLKTKSPAPAAPAASSSSPTDAQMKEAESL
KSQGNAAMAKKDYPAAIDLYGQALALLPGNPIFLSNRAAAHSASKDHESAKADAEAAVAADPKYTKAWSRLGLARFALGDAKGSMEAYGKGIEFEGN
GGSDAMKKGFETAKKRVAELEAGDDDSEDDEVASRGPPGGGPGAGGMPDLSALAGMFGGGAGGAGGMPDLSSIMSNPMFASMAQNLMSNPDMMENLM

SNPRIRDMASQFGGGGGAGAGGAPGGRGAGGGMPDLASLMQDPSIAEMARNMMGGAGGAGRGAGAGRGAGQ
>RCO7_01446 | probable GTP-binding protein
MLARSQTPVHLEAELSRALVDAGGRVTCWTPLIAAIKLQIIRRDFSIHRTERSFPPVRAAARNLIRRAQLFPQEDFDWSRTSRSCRSLQLQLQPLLF
SPSSHTFTRLKSAAPPLLTSITTSSFTTPRLFTSFSSLTFKRSAARTATEYQSLLSCTVLINSDNINNNNNNNNNNRNYNHIQTRSYAKKKMPPKKP
VKEEKLLLGRPGNNLKSGIVGLANVGKSTLFQAITKCHLGNPANFPFATIDPEESRVIVPDERYDWLCEKYNPKSRVPAHLTIYDIAGLTRGASSGA
GLGNAFLSHIRAVDAIFQVVRCFDDAEIIHIEGDVDPVRDLTIISEELRIKDIEFTEKALEASKKLTRRGGQSLEMKKLKEEEACIEKVLALLQGGG
DVRKGDWTVKEIEYINPLFLLTAKPVVYLINLSEKDYIRKKNKHLAKVMEWIKEHAAGDPILPISICLEERLTQFEGGTEGEEAKKELKELGVESAL
PKLITTMRKVLDLGSFFTTGTDEVRQWTIRNGTKAPQAAGVIHGDFEKTFIQAIVYNFIDLKELGDEAEIKAKGKIQTKGKEYVVQDGDIVLFKAGA
AKG
>RCO7_01447 | uncharacterized protein
MAGPGHKKPKKPNHRSTLSLQKTDIRINIYDLLPPGKLSSILWTIGSSLLHSGVVINNREYAYGGHDRRGLTGVYYTPPRAIPPGGTFRLEILQGFT
VQPQEDIDAIIKLASEEFQGTSYNLLTRNCNHFTSYLCEKLTGRPGPSWLNRAAGIGVALPCVVPREWIAPPDFETAEGELFEDQRDVIVGERTGML
GNTDTSVSVVRRSVEVEEFTDDDEWDSGEERRLGANGKGKGKIMWDKNKNGNRRVRDTSGRIVPPAERAPISNTRESSLV
>RCO7_01448 | related to ribosomal protein YmS18, mitochondrial
MSRIASRRLLAKSPLSSLSSSSCLPTTLSLRQISSTTSLLAEDSNQRPKTPSGRAYPTLPGGSNFRKGVAVARPPVSPSLHPQARTSDLSGLLGDLL
EQNKSQRQQGRYNRYGSPPDFAADGSGNLLAKDGEHVDATWQLHIYAHRHNVHITLVRPPSWIHPQTGRRYPEKGDNRTIALSLAAGNLGFRHAGRK
HYDSAFQLASYVMARMQESGISSWIGSLEVFMRGFGAGREAVTKALLGLEGKALRGKIVKVTDSTRVKFGGSRSKKPRRLG
>RCO7_01449 | related to mitochondrial import protein MPI1 precursor
MNSLRHTAMRTPHNVHLTSIGRPVAHAAVYRRLLQQSQVSNLRSLSSIPSSRSNTPLQPSPLRSRFLPQELAGPLSPRGFHQSSRLGDKQQTAPKDE
AAEGESAKRASGEESEAGNKEKEKKEGESEGEGKKEEKEKEAPPPPPPHGDKSPWQVFTETLQTEFKASKEWNESTKALAAGAQQFTENESVRRARE
AYESTTGAVTSTAGKVLKGTAGAVGKGAAWTWETPVVKGVRVGVNATASVIEKGTRPIRETEAYKNVKDVIDDGSSSRYGGWVEKEERKKKREAREA
LEAAKLGLHGRRVEVATEDPEAGTNVTLHKDAAWKESWRDFRDSNRVMQGIFSMKSVYNESENPLISTARSISDRVAGFFAENETAMVIKKFREMDP
GFQMEPFLQEMREYILPEVLDAYVKGDTETLRLWLSAAQFQVYDALSKQYTTAGLKSDGRILDIRNVEILSARILDPGDVPVFIVTCRTQEVHVYRK
KDTGDLAAGMEDKVQLVTYAIGVTRTPEDVNNPETRGWRLIELQKSGRDYI
>RCO7_01450 | uncharacterized protein
MPSIASLSESRNNSIISILRESPQGEAQLQDACAWYTGYLEFKIREHWVGFFRDLLKKVNPLSDIPYNQDLSAAFEVLKVVVDGLSREGVALFDTLD
NEKLLKYTNDERTHAKQLVFVVFGDPVPRGIRSQGQHTPNHQQLSRNLYQNQETDKATSSSASKKDIRRLRAEFGV
>RCO7_01451 | related to polysaccharide deacetylase
MVKKVLVGYGVDIDAVAGWLGSYGGEDSSSDISRGLFAGTIGVRRLLQLFDKNGFKATWFIPGHSLETFPEECAMIRDGGHEIGLHGYSHENPTEMT
LDQQRDVLDKTFRMLTDFCGKPPKGSVAPWWETSKEGAELLLSYGIEYDHSMSHDDAQMYWLRIGDSWTNIDYTKKAEEWMKPLIKGQPTGLVEIPA
SWYIDDLPPMLFIKKAPNSHGWVDPRVVERMWLDHFDYFYENYDEFCFPMTIHPDVSGRPHVLKMHQRIIDHINKHEGVEWVTFEQMSDDFKSKNTP
EVGAVMPAEAGAILKK
>RCO7_01452 | related to VPS9 domain protein
MQPLNPFLSAFFKSTVPSQCTPVHHHILLVPTTEVLLTSRDRESGVLYADLAGSEEFLGSHVLRIPANHATAGGKDAPNMRESRGKAKQYTTFNGRT
VVVKDSFVYSNKGFKTLNQAQLLVDTLYYPDSLEPRQWLIYYISRPLLGIFEEVKIIKAIVPIHIPNGRPALPIGSPSHTESPMSPSLPKKKDIKSF
NDLLNNFPMIARQMQPGLERLFKEFNSVFDKPLPPPPSASNIPDPVPDGPIATAMKKARSNSMTSASSFRSNGHADKRVMEDFYAEDDEDVMRGALE
TAVTSAIDLFQMVDKQQLSLLGATTDLTGPVVERLIERYVTEQVHDTVLYPRLCAMKRPEDLELESKIRQMEFVDISQVGIPIQGGQRGKHELTLRL
GRAVEEFRKLGVAGSPQQMMDILLLTLKTVTLFSDVPSSINQSGPSEKVSPVLTINADTLVSLLLVVVIRSQVRYLQARLLYMRNFIFIDDVESGEM
GYALSTLEAVLSYLARDSGGLRKASRRNNKLWQATKKGDIKEMMTIMEPERDYTDDEDEAVADDTIDQDAPWNQSNSHSRRNSSRSGGTGRFSQAST
LNHVFPFQIEHRDEHEECLPALRRPKQVTLDMRSMSSSSEMSFCSRATTIDSTSSGIEGDTSIERLSQTEDSFGESVPMMAIQNERSESLKYLFTLR
NYFPIDMVLEDTNNEGTTLLSAAVQLGHTELIDIILNFIYHAASESVVVEYLAKQDIRGRSVAHYLFNAPTLIPRVGRLLPWRQKDRNGQTPLFALC
RCYDHGDYRGMVEAGLDAATASQGDGQPLHLDDHVDAKGNTLLHIVNDPQVALRILLHCDSDVNATNDKKFTPLMVASKYGRLDMVRALFGDPRVDL
FAKELRGLTAVELAKDDDVRNRIDDLILFSGQPAADGRITAVVRSFFVEDATIRLVVKSGAPSNNQSFTVTTCRRSLGDFEHLAKLLALENPASWLP
AISGMRSPFQLPSKPSRAVLRDVQIRLDLFLKILLAHSTFSTHEMLWEFFLVPDILADMMEQRSKLKAQTRIETVREEYEPVEDVRDVERFVDHARD
MVRSVNYSTKSVARRANMILSCTTDLYNAWQLASRALSTLEFLPATHASALSAYVSCLAPTSTSPYSTFHSTMLSIHSNIIAMLLSLSRPTSLIASI
TTSRKAIERNYNSLSRSTRWPLGLLDETRQRLNEEKEDKMRRTKDEADELGRELRYTQQVVAGELAGWQDLHEKLGRKAVRDLARGMLVQERSTLEG
MKRAMRNLKIAPVVVSVSPSILSAEGEMEINGRSSASGGGSNEVDPSRFL
>RCO7_01453 | uncharacterized protein
MRYSPAIVGVLAFCASEVVAFPAAAIEYAARAENEISARENIEAAVAKFQSQRRAPGFDAAQQYVSTHGQYEFKPPTNPNTYTGDQRGPCPGLNAMA
NHNYIPHNGVANIQQFIDGTYKVFGMGKDLGGFLALYGALVDGNLASWSIGGPTPSVKSLLGLLGTPGGLTGSHNKYEGDASPTRPDLYEYGNDYKV
IIPQFQEMFSLQPDAATANYDLSVLTPFRATRFQQSIEKNPQFFNAPFAGLLVQPAAYTFIYRFMSNKSAEFPEGRLNQEVLKSFFAITGESGNFKW
TEGHERIPENWYKRAIGDEYTIPYFLGDLLAAAVRYPQFLNIGGNTGKVNTFTGIDITNLTGGLLNGATLLEGNNLACFLLQGVFQFLPDTLLSTVG
ELGALLSKLNGITNNALAPLSCKKLVKINKDQFSQFPGAKGLF
>RCO7_01454 | uncharacterized protein
MKFKILTLPTLALAQLGAMLFEPMNSLCVVYTVEEKPIHISTCFPSSTVATIAGCTTTIPSATCIDTTITESHTLNPPSHTNVPAPAPTPADDPVFE
YTTITTSVLTTFCPSPTTFIHGTKTYTITEATALTITDCPCTYTRTKDSSEIATTTPVSPPATTPVVPPPESIPADQSTSLVLSTYYSATGVPSRSV
EIPVPSSGPRTIPSSSTEVLLLPSASALSSTLVDILISSSVVIIPSSTENVPSPTPTEDSCAFIYFPGEYPTEIGNGTLANLPTPAVYTYNEITYSF
GFLGKTFGDKAYAEKNHEPTPTDGFAYYQVPNSILPATDECSNFGYLYHVDSGLCVTANATSNGEGPKFDGSELVLEPCGLCAGKPDIDQRFCVAST
EGIANRDRPYQCLFFYGDFVNPLPYYGTVYGEGPDLAVATLNAGPGDCIWLLFPQPTCPEGFDLTSDPNNCGSCGNICPTGDSCTNSVCTTLPAPGP
LLCESGQEAYKCEVNQLAACGAHTACFCLASDAGNAFCADTVNGSCGGPPGCTTTSDCGDGLFCAVGTCCGYGICLSATTCANPRNFRTMVKLDPSV
DSVFTKGTGPQKRI
>RCO7_01455 | uncharacterized protein
MESLEKGDVVDEHLNVYGVEGLKVADSSIVIKMVGANIYSTALLVKEKATEIILKELMGL
>RCO7_01456 | uncharacterized protein

MSASRLRTVSNVWPPWLPGALTGVENHLLASQTAPAPLLSMASFKTLSTTSILSPKPIPRVARPNRLLRSAATLPNYASIPSALFQPQPQHKNRQIR
LFHQHRQQSNINKQSRDFETAAQLVKPQTSAYEPAESNSVPKWTPPASLEDRPVCIIGAGVLGRRLAVLWASRSRPVALYDTSPSALKSSRAFIAGE
LATYCAENGTQPGHVSISSTLEDVVQNAWMVIEAVPEDLEVKISLLGQLDRIVAKDVVIATNSEGFRSQELVGEVSNKERVLNTLYYIPPKNKCVEM
MSCGYTSPSVILFLAGEMKGMGLKPIAVPGGGIKSMIFPLDVLFRDFFGSEKGVCEMMDEVGLDTVLKSEKSRLPNTRGSDCFWGAKGEEHVEWLQR
EFVRKGKLGDKTGEGLIVKRRRSVKGKKAKDSAGQEAWEKNSVDVYGL

>RCO7_01457 | probable ATP-dependent rRNA helicase rrp3
MAPSVKRRKTDENVPSGLLKQSKKHKKVAGNIAEPTEASSCSNTEHATNATTADGDADELDLVEEGGDAGKEAPKSFKELGIVDELCDACTALGYKA
PTPIQVESIPLALQDRDLIALAETGSGKTAAFALPILQALLDKPQPFFGLVIAPTRELAYQISQAFEALGSKIAVRCAVIVGGMDMVPQAIALGKKP
HIIVATPGRLLDHLENTKGFSLRALKHLVMDEADRLLDLDFGPILDKILKVIPRERRTYLFSATMSSKIESLQRASLRDPLRVSVSTKYQTVSTLIQ
NYLFIPLIHKDVYLVYLMNEFVGQSAIIFTRTVNETQRLAILLRSLGFGAIPLHGQLSQTARLGALNKFRAGTRKILVATDVAARGLDIPSVDIVMN
YDLPPDSKTYIHRVGRTARAGKSGHAFSIVTQYDVEIFKRTEAALKMQLDEYEPVKEEVMVFKERVEEAQRNARNEMKNLHEDRGNRGSVLKGRRPK
TGGAKRGRDDMDREEG

>RCO7_01458 | related to mating protein SSF1
MARRRTKKRTHLGANNGPSGAGPAVAKKPSNAPKSMIIRIGAGEVGPSVSQLVKDTRLMMEPGTASRLKERRANRLRDYLTMAGPLGVSHLMLFSRS
ESGNTNMRLAITPRGPTLHFNVEKYSLCKDIRKALKHPKGGGKEYLTAPLLVMNNFTSPASETDSPNKIPKHLESLVTTIFQSLFPPIAPQTTPLAS
IRRVLLLNREPSIDGDGTYTLNLRHYAITTKALGLSKPLRRLNAAEKLLHSQKSGKTKKGGLPNLGKMSDIADYMIGGDGGDGYVTDGATSGSEVDT
DAEVEVVETRAKKILSKRRRDRSEADGKKDSTRGGIEKRAVKMVELGPRMKLRMTKVEEGVCNGKIMWHEYISKSKDEVKALDKKWEQKRQQKAARQ
KIQKENVEKKKKANTKTEKGGEADDDDDEMDVDEWDSEGLEGDGEMDLNEEMEDKGEWEDEADEIAAG

>RCO7_01459 | uncharacterized protein
MWKSHAEDSNRDMFQNGVPFFLMASRAFDDGDLRHEEESFVFLYLEEKGSSKEPFW

>RCO7_01460 | uncharacterized protein
MSAFANTQTGSTFSVDQTGLVQDTERLLSPQLRIVPDGSPILVGQDGQNKCSICWGSYAESVESGNGCAGGGPRILSCSHVFGRDCIIDSMLAGNNN
SCPICRKLFHLREAGKFFSQGIMDDLRAQIEFNAGIQDPVNNDLSLLAREAFHICLIPTYNFVELTMDVASRDPILTRKDIIIYGLGWIITQTVYVV
AFAVWIPFVASICILIMLRYEIRRIPLYLRRLLSFFTRQQHITYYLGMLILVSVVNFEMFLRWAGPWPMLEIMFPPDSRVWYGYSWIIDQIFGVGMY
VASWNDPQFDMPELQ

>RCO7_01461 | uncharacterized protein
MDLSGLEDYLETQQIGFTSILKSTKHIDPEELKRALIKHHAQMIMIAKGKYPIEVTSPGPETPVKPTTGPGSGKGINKRFFNDWSSDDGDAYEPPIK
VKTSAGRYSYVSKPHRGFGSSSSSTPVTPKTETPSSSGPQTSPFEGRGRMQPAGASNLFKKNQNYSESPNGYKKYDVIDLSSGPDSDSEFAEAKEAK
ESESDRVGRDGEVMKGNSTRGVDTARRGRGQASRRGKATTKSTPSTAKKFSFGSKDILDSPSDESDENIPPVAVKKGESSGFQSKQYGKLDAKMGLT
ASEISIHRKNISAFEKQLSETQDLLKMTNHVLTRKPILEKIRQLQSFIASNKLSLGEGPKKRGQKFKAATVEDASEEEDDSLFVRKAV

>RCO7_01462 | related to Stress response protein nst1
MPANQRQKTAQYPPSPTSKTSSKYTNKDGSKFITVPKVFNISESSETSPAMAQATTKTNAQMPTSPPATDGSAPAVNRKKQKRRQKQAAKLAAEQPT
APLMNGARSQATLKGQMQDLEERFRDQALNEEDYEDNGQFDPAEGDPYYSDEDGDAYSASYSQNGSATNEYSRAPSNPSGKRVKKKKKSKGLQSEPP
GHMHHGMNGLSHNHVSLPLPPLATNMPRGPGISKEKIWNTSSQEERERIKEFWLSLGEDERKSLVKVEKDAVLKKMKEQQKHSCSCTVCGRKRTAIE
EELEVLYDAYYEELEQYANHQGDGVPPMMPPPRRFGAMSGLQPPNRLPPAFNGQQPSRGRIVEQLGDDEEEDDDEDEEEGDEEYSEDDGDEDDYSDE
EPEELPRSHATDFFNFGNSLTVQGGILTVADDLLKNDGKKFIEMMEQLAERRMAREEDARVAFSNPPYGHPPNGAMHPHNHAHNHPPQQEDDEYDDE
DEEEDEYDSQDEDYDEEEMDTMTEEQRMEEGRRMFQIFAARMFEQRVLTAYKDKVAKERQQKLLEELEEESRADQLKKAKKAKDAQKKKEKMAQKKQ
ALAEEKAKRDSEKAAEEAALREAEEKKAEEQRLRAEEKRKKKEALKKAEEEERARKEAEKQRRLQEQRERQAELDRKQREAKEKERKDKEELRLRER
QVREAKEREQKERKEKLENEKREKDAQNKANREAKEKQKRDDLIAQQTTAQAALVATQLKRPPIHLPASLQPHPIASPHIPIATPAIPKVPTPIKLR
TTSSQPESNSSVPQTPQTGSASQNVSPVPSTPLQGSPGPIGPPGKNQAQNLYLHHPQATSPMHAALKSPPGMHQASPFGGMPPMNMGFQPGLPMMGP
GFNSGRMQHDPMFSHQPQFRPMAGPNGMPLHPGLGMHMPQGRGFPLPHGPPGFPQQIPNGLGGIGQAFGATKDGPPPQPHSRQHSGTYEPLTLQAQP
IARPAPIGRPGSVVHGQHRNNHGKNDMDDLSNHLGSSALLDDSDEPLNSGAGARRSSAAPGGINRQPFVTPFGIDPATYGGPMNGYNGWGAPNPFGP
SSLPGSNYMGGVGGGGGWGSSANNSFGAHSHQPMRPSQPRSISVRLMLCRACKSLEGTTADNFFPLNLIKEKVDLLNPPNEQPVSEKEILDICETEG
NGVNGGGAFDIRNEEDGKPVSIRFGDDDTSNRPMGAPGEIGSPIVGFSSMRSFPGPPPGLF

>RCO7_01463 | probable GTP-binding protein rho2
MAQQQANVMRRKLVIIGDGACGKTSLLSVFTLGYFPTHYVPTVFENYVTDCRVDGKSVQLALWDTAGQEDYERLRPLAYSKAHVILIGFSIDTPDSL
DNVKHKWVEEANERCPGVPIILVGLKKDLREDPVAMEEMRKRSQQFVTTRDATEIANDIGARKYLECSSLTGEGVDDVFEAATRAALLTFEKGEGGG
CCVIL

>RCO7_01464 | uncharacterized protein
MSLHRSPTLLSALRSLTQHIHTPYSSLPRTTCISASAIRTFSSTPSVQKKDEKKNKIDPRITLIRYHMQHPQTPRPLRLSRMRALRHWTIHRAWMLV
RRAKKEKEEGELMRMYQSMHSACEELRTMDPPTAPNAGRLYRIAMEKKGIFGKGGVPIEYARFQTDTPAKEAWNHGWTR

>RCO7_01465 | related to UPF0613 protein PB24D3.06c
MAAPRKGLVHQYHKRLTAFEHTPGKSTSQPQNILLFIGGLSDGLLTVPYTTPLAASLKPTWTLAEIHLSSSYSGWGTCNLEDDAEEISKCVAYFRSI
KTGQIVLMGHSTGCQDIMFYLTSAEHSRHAKIDGAIMQGVVSDRQALEMHLDPELYKGSCVTAKAMVEAGDGDEILPSKTMDDFFETPVSAKRWLSL
ASPDHNGDDDIFSSDLTDEQLGKTFGKLPKETKVAFLHSGEDEYVNPDLDKAGIIKKWAEIVKRGGGSVDEINSGVLEGASHNLKKASEDVMAGLVK
RVLGFLEGIEGKGAHL

>RCO7_01466 | uncharacterized protein
MGISPQTSVFKAMGEPNEISLEVMKSSFSSGLDVLTRTIFTSSTEFTDPLSFPEYTTLGTCHFYTTNTTPIQQRNKLRANKIRKVCQNHGWLAGWYA
LSQQAPECGLHEQFINDVRTCVEVYSRIRVSTNKKSALDVSITVKSSPNTDSMHEIGPKGLGGKAWLVDPDYMEIRDRWSSSGYAPMGPPTVFGWNA
MNKKSMDTQDEGSCRAMQMLGTVDYDLDLDGAHDIGFAHSLEEASKNVLKRGSRIQGGAVAALLNSDLQRFVRSVQMEWVEEGAGSYIIGPEDVSVD
DWVKTNAIDCAAIMGFGYQDSSRHTISLKGVFVGNLLANMHDSLYDMGCSSRMSTVMYARGSGVKGHKIHQATAAVAIACFDNIAGRINQMTDSDTL
YYGDCMGIIAFSWSAFNGRYRTWERFVKYSRQLKRSNSAEAGEILGLARKCPVLKEETSDANIATAWEEALEPGSSEKLTERNCYAYTPPPGIEILN
TKGVSQPDICKPCNILFIDAINTTDDAVRGIEGLPQSVSSCRALGLAAAIHRAAVFAASDTCCDVCACRIGNWGDSVAYRVLVALMKSEEKASAREW
LLQNYIVGCVDFWPISVPSVLAGFDMVGDLKYDNGAMGIRDVVDC

>RCO7_01467 | uncharacterized protein
MASSKPEVQLVPWDFTSSEHVERLLEQRIACGWDSEAVEGWRIKQKSGAFNLQWIVISETDPERVAKLLKHTSAYPSEITSIPDTALSYGGKTRTIS
SPQHFFIPVGHICLGPVSAHYDDVKEPFPEGSYWISNFYVSRALQSTGLGRAAMDTVESIATSEPLNATVLGLNAINKIDIEREEKYEALGLPIPPV
T
>RCO7_01468 | uncharacterized protein
MLPRSLLYMILAFTAPCIVTGIVTPTNAAADFQKIRVGAPFTISWSGATGDVTIALLLASGATVFTIGTAIAGNSYIWNPPALSRADKYILQFVDAT
LVKSESVSFDFREDPIPAARDATSLTSSTTRSTSLTKTNNRTSSTNVNPSPTMSSSLSSPTVESQQTSITANPVPTASQSSHHGGLSAGAKAGISVG
VVLGVALIICLVLLAFWIGRRTALNSVMNDDRGTNDMEDHGGGRWYGGEKPKHDPGSAGSRHNLLKRTADGRNSRMGTMGTMTTDGMGRMGTMTTNA
GSRMTFNDGRSSRMGTMTMTDGGDSRAEIITPTPMSPIIQSPLCMSPVDGKSSRLGVLSDGRTSRIGLFEFENSTDARGFAGGIRIVEMEDFKI
>RCO7_01469 | uncharacterized protein
MALDLNQEEVQALEEEQVLLSAPVNGKRKVSAALLSPPSTQGSISSSSGSTGSASVRIRPGNAQIPFDLPESDKSVAAVEFCGFTRTRAGEIFGRWA
GKQVQNPYSLVDFMIGEIDNLNLEPLVSMERSEAMVLLGISEELRTALTLPKFTAIWRSERAHFWLVDTVKMRYHTLQTLLAKLKNCAVETIRQRKT
WGQGKRAKVAGAFDPAGASSSSTPASQQPPSNFSAIVSSKSNTLPSAYVVVQSPPTIRPDHYVYYKGKSAAQLMAGPNGDNLILEDGSINMDAIESF
RGGDFNMRDQAWYFSTEEGTAEQYRQYQIARDTRAETWIVRISLPKSFVDGLKKKEIWYSADFKQFVWYCRNKGNKGKPVPSKFDDWLPSGGAQFIE
GHICFRDEDFMTGLKKEDVQQHISESNLMYNGNKKATQSVFVDLNLRERLNELLRGNIYVEIFSPVDTPYGSM
>RCO7_01470 | probable N-acetylgalactosamine kinase
MAGTVPVARSLKDIYAEDDLSVQTTRWEKLLQQFKTNYGSSPDFVSRSPGRVNLIGEHVDYSLYSVLPMAITADVLLAVRVIDDTAAPEGHYRIKVS
NVQSTKFSSHEFDIPYDTVNIDAKVHEWTNYFKSGLRGAVEHLRQKNGEGYKPKSMEILMDGSVPAGGGLSSSAAFVSASALAVMFANGEKSVNKTA
LTELAIVSERAVGVNSGGMDQSASVFSVRGSALLVSFVPTLKARPVRFSKTEPEISFVIAQSFVQSDKQVTGPVCYNLRVVECSLAAAYLHAVLNKT
SKPLPVDSGPLGISLQGFQSTYFSNQKSSLSPEAQLTELIALTQSTLTNEEGYTREEIASTLSCSVSQLNDRFTSTFPIRAERFALRQRALHVFTEA
LRVLQFLYILEDPSQDPSSRAQSLGDLMNATQASCKDLYECSCPEIDDICSIARRAGSTGSRLTGAGWGGCSVHLVPVDRVDAVKAAWEKEYYSKRD
LSKEQRESAVVVSKPGGGSAVLVLGEGGVL
>RCO7_01471 | probable acetolactate synthase
MLRSYPARNAVRALRPNSKCIRQLSTSSAPAAVGLARKVPATTRSQATVATASAPSPASRKRESPAPAFNAPTRQENPLQSAHNARSQPEMDESFIG
KTGGEIFHEMMLRMGVKHIFGYPGGAILPVFDAIYNSKHFEFILPKHEQGAGHMAEGYARACGKPGVVLVTSGPGATNVITPMQDALSDGTPMVVFT
GQVVTTAIGSDAFQEADVIGISRACTKWNVMVKNVAEMPKRIAEAFEIATSGRPGPVLVDLPKDVTAAILRKAIPMGSTIPTLPSQASKVAQAHVQK
RLEPTIARVATLINGAKKPVIYAGQGVISLPEGPKLLKELADKASIPVTTTLQGLGGFDELDPKALHMLGMHGSAYANLAMQEADLILALGARFDDR
VTGAVSKFAPAAKLAASEGRGGIVHFEIMPKNINKVVQATEAVEGDVVDNLALLNPLVNSTSMTDRKEWFDQINFWKEKFPLSSYQKAERTGLIKPQ
TLIEELSNLTAHRKEDTIISTGVGQHQMWTAQHFRWRHPRTMITSGGLGTMGYGLPAAIGAKVARPDALVIDIDGDASFNMTLTEMSTAKQFNIGVK
IIVLNNEEQGMVTQWQNIFYEDRYAHTHSENPDFMKLADAMGIQARRCVKPDDVRDALTWLIESDGPAFLEVVTDKKVPVLPMVPGGSALHEFLFYD
DSKDKERRKLMGERTGGKHGGD
>RCO7_01472 | uncharacterized protein
MADSPITPSSPTTNTNTLSTPSTPTINRNPSFHLSPTHSQHRSPRLPSSGPGSNLSNLTLASSPSFRTAKTTLSPSHSNMSTSAITSKDFSFLLRPE
LYHPLTLLDVPPPFRASGGQVDPSTPLDVLLSTGHFRAAAIKAASLLTSSNPPLSPSDHVQIFHLVYTRLASLTLCNQTTLAAQEVKALEDLNSAYY
RDEATGKHLVAWDLRVLAVRLQGMGFNDARRGVVGYYDLAREARLTLTALKRSKSAEKQKGEEEGRVEELEKEIQLWTHRLAELGIRVASALIEMDD
LEGATRFLSTLKPNYDSDSEATSPGSRLSIQRALLWLCVGDVDAARACVGEASGIGSGEGNEREVIIALAAMADSEFSQAVGLWRTLIDSSDDDDGE
KAMWRQNLGVCYLYLGRMDEARTILESLISTSHSFHALTFNLSTIYELCTERSRALKIGLAEKVAGMQNEMLGEGTMDGVGEGMGIGGSGVGKGGWE
KVNGDFKL
>RCO7_01473 | uncharacterized protein
MEQSTSDLTLPASDDTETNHCPNSCNMKQVSCDSILPRSRNPELPNELIAQIISQAELKTDLASWCLVSRAGRSFATPYLYREFWTAKAGQNVSVRD
VITSLEGFLNLSKFQSEKVRSFEARYITGRSNIEMFDMFKMFWKCFNVATRLESFVMSCPLPPYPSFIAPILQLETLASFTIYFPSIKSHLHEYREN
AKLERELLQLNNLKSFKVYNVWLPSWATARRIVTVLRNSPKLLEFGISLHEGPEFLQIPSELVFASQPSPYLFFHENPAERPRGDTCIFNMIFEEFC
NPTDPVTGRPLSNNTTQSTPRLNLKRLYVGNNCYLPAAVSQLTNLEVLEEMSLSFLHHDARSIWAGSAIRINDDVSLSDIARLASGLKRINFSWTDI
EDRDNPSGMTFPSSTALLNHLDIFRMRRSVLLDLEYKLRVKSLYTGQT
>RCO7_01474 | uncharacterized protein
MAPGRDSKPKRASQDALPGPSTPGSNKKMKSDEPDFPVGKHGKDEIFMVHKEFACHHSPALAEAFSTRRHKPYRLRDISPGTFRLFVKWLYTRTIPA
PPEDVDSDDHVVIKDDDDTDNIQEADRTSTDLDTSSVAREPISNDGVRSREPMLQYDTVEEYYAKRDSKVLDYFYLIQLWILAGRLRVARLQNVVMK
HLYDFHTNACYSSLYPYVYEQTVSGSVLRQRIVDRCIFTALCGTFSQSPQNYPKQLLIDIANTSVNAIRSEAHNEADLVCMGPPGSYTCMRWWVDYL
VPENV
>RCO7_01475 | uncharacterized protein
MNSRNSTPDSTPPFSSSLTTMDAPCSAQKASSQASISSPIARSMSHTPGPESSQQQAQLKKKKAPSLRRPQSVVTIFIGPEESKETFTIHKDINCHY
SNFFAKAFGSTSMRVRRKL
>RCO7_01476 | uncharacterized protein
MSHKMGTIGAARTSACTKKPKVDFSKPSALITIVAGKAPHAKGFSFHQDIICFYSPVFKNDIAQGCNSIELEDVEVSTLGLLAHWIYTQEIRLENPD
TCKNSATVVNTHLLPLSMLWKLASRFNITGLQNTVINKMVSILDAINIVDATAFVVGVYEDETTINTPIRALAIHHAAKSLTPELLADIRPVAPVDF
LYDMSMAFVQHNDLTHNSNRYNFIDPNRFHVGIPEVDEEMLDLELKDLDCEDPDDEKDDENVLQEHFRDDATLVADEVSGMAVPCGDDFHKEDGVDV
DQEDVMVEEEDPLGGIFD
>RCO7_01477 | uncharacterized protein
MSPSKASTGASLPAAGKVGEVTSGLIATSLFQSLRSSSRLKIIKRCSTATCQPLHTRKRATTSSSSTKTSSAIIHPSLPQRLIAISAREENTKVMIF
DDIVPILFGSFVHWLYRKTVAADGGVVPAPEMMVGLWIMAERFLIPTIQDQIMDKLFEAIPSQFSIPTINATAKAIHESGSKVLISMLLNRISHERG
SIRDAWVDGLSIELLRRFAKGQFDHSPGSSSKIYHVAARVEEKAKSKPLLSIHSYKLSGDLGSGLTSRPSKRSRNDSEHEDWFHGITTR
>RCO7_01478 | uncharacterized protein
MKEEEGSRKSLIVKLKLPYTVVLESPSGSLNTQPAASANPTMASSVAAKTATKMISRRPSMHALDLLPGHPRALGFDFESTTVLVPSRTAVKYKIIK
LQNMVIDAFHERLSGEAWLGKDLCRQRTALGFILHQGWATWNRMIFDELLATKNQGVAQGLKKSQLEGRVPDRRPASYYHIPDPKVEK

>RCO7_01479 | uncharacterized protein
MVPGNPTAAKKKFSIHKEFLVHYSHYFASALAQSQLDSLIVENVNHAAFGHFVHWLYHQNLDMVEQTSTLVTQVNIWQLSQRFGIPSLQKCAMDVMH
ALASRNLTLGFGLGCHLSHIFEVAASAHCEDLESFLCEVLVKTKQRAVFSVLIKHAGVKLAQRVAVGLKDQDDSSITLDLSPASDHYIPPNHRSRDL
M
>RCO7_01480 | uncharacterized protein
MLKKPSLQQEQTTVCVELDTDATGHSKQNKRYFIHKAFLCFYSPFFTVWSTNPKSTDVIVIEGISHEAFGIFVHWIYYQDLKSLDITPSFNDMIRAW
NMSASIGVPVLQNSAMDWLHEEAFLDSLTKNKQELHWGEIFKTANQAASTALLDFCAICWRLRKTTSWLHKWWSIPSPAMMADVILRKTQCASDPEV
SALLPVSKYRIPIPAPADN
>RCO7_01481 | uncharacterized protein
MASHAPSQAPRERSSPTEQTPSSTNYEASTMQQITYSQPEPDLISSNNVLQIAASPPVADSTSLPIIQSTTESRRCWICQQDDTDDRPEDGEWRRPC
PCSLTAHDSCLLDYIADQEAPKSGDLVPQVAINCPQCKATWIIQRPQDPILKAYGAVQQFVDSMKVPVIVSTSLGFLYSGCLVYGLNSICMVFGRSE
AVALLGGPIRLGRYDNSFKSLFTRSLHILEPFLPTTLWAYNYNLLLSLPLVAPSLILLRTNFADQASAVILPIYFLKHQKTHPNFNLTWPPSPGLTF
ATMPFIKKAYNALYKSLFSSLEKKWDLAVQRKPREGETAEEIQNQNPDGEAELIFNVEWGREEFEVPAANADVGAAVEEAEAGQEGQDGGIENANPD
ADPNAGPMRHVDNWNLRRNIPPAPIASTVLGALAFPTISSTIGDLLKLALPTEWTGGFGRGGFAGGFLRQKWARSVVGGCLFVVLKDAVTLYCKWRK
AKNFGKRRVLDWDKREMLSHK
>RCO7_01482 | uncharacterized protein
MKYMERWLPHTNARLFAIVIENEEKAADNKTTAALENDYHPKGMSVSIIHPVSRKDTFERYFSLTTIRSSPACTNYKPYSPDTTPAEKNTSALSEDW
WAVNQYGLMGFGGAGIFLSFPLAEVISEHKDEFQSHPRTTQQET
>RCO7_01483 | uncharacterized protein
MRLRFVILAFFNDGNSVATLSSQTAPPSRTIPMAISLMEKTWDDINVLHSLAPVREKMGEEDKVTYRLLDSVRVNAEGEDGTVVRHVYWSDGGSAGT
HTVIIVYWKAGLSVKRGNDTTP
>RCO7_01484 | uncharacterized protein
MEEEREAEITGAYATAITQDLSRIYGSWCSTRYAQSSGSIDTSISRSAADHLSQLWMINHSLRPNYPNLEFEQWLRATRLVSQDFYTIVTPFVYKNF
ESSDEFLVGRLIYDQDDLTPLVKERDLQYTTQLRLPSIASEDIIEDIAIFTPLMESLDRDKIPAIDVDHLDLISYANSMYLYAFMQGSSRTRFLEQE
DLCMIDKRLLQFESRVHYPKSKYKRKSKALKSFIWSVPLMKNSRSSASLERSSGALKFQRAGDTQSHASDLLLFLKTVPSKDLAKVQSLTISDTACL
IDKGVALEMLLSRAMQEMANLRIFVILEDRWWDMFSIDTLRAVGANSRSLKLRVFQIEEYRDRLLDTNGLYLIRDQCPLLEIFNIDVDFDQPEEKLN
SALIAISRFQSLTKFHISAGMSFIRKGCSFDSIDIIDPEFDCGATHLQVLNRKKPGKEFDWVALHRAKISAITASYWAYVGLDTIWNCMPSKFLLSE
NSFVDSRSLCFSTMAKLAKSRTFPECLKG
>RCO7_01485 | related to alcohol oxidase
MFFPRSLPVLAFVFGIVSTANAIPSGQAFQIFNRANQINDTYDYVIVGGGTSGLTVGDRLSESGKYSVLVIEYGILDNNPDILSGGVYKAMDPTRQF
DIPSVPQAELNNRSINVRVGKAVGGSSTINGMQLFRGTSAEYDMWSELGAEDSTWNWAGLLPYFKKSVHFVPPLDALAKEFNITYDVKAAWGQDLSN
NLYAGYPNYQPPEIKYMYDAMSKTPNVPIPRDGNAGSNGLFWWPNTMNPRTYTRSYARTGHWDNISRSNYHLLTGAKVTKILLNGQVTVGVSFLSVN
GSEFGRARALKEVILAAGAIHTPQILQLSGIGPKDLLRRAGVPVKVDLPGVGANFQDHGYIPAVAFKWTITPPVPVTNSGGDPKTMLSLNIGALLGL
PAISPGSVDALAAIYEKQRSSKYLPKNTHPDVLAGYDAQKKTFTRILRWKNVSMLWQILQTSPSASAIFQHPVSRGTVNIDPLNLTSEPIVDYRALS
NPWDLDIMVELVHFIRRFFTSGAFAPYGPIQTSPGPNVTTDPQLRAWIKEKYIPSVYHPVGTASLMRRELGGVVNEDLLVYGVQRLSVVDASVIPII
PGCPTTLTVYAIAEKASHPCLILCWYSNELQAADLIKARQ
>RCO7_01486 | uncharacterized protein
MQYSYALVGLAAAASAQEYQFTSTFNVTATPDQVVSNAGLPAPGPAAALGQFNYAIDSKNDIICYDITLVNFVGAYQSPAKTATHIHEGAEGKAGPP
RIAFPNPVGDDNLRKSSGCLIGPFTTGIKMADNVTDTGAGFRLAQIEANPAGFFTDSHSALFAAGVVRGQLDQEFEFVDTPEAPTYPNGTGNPTDGH
ELVTATYTKTLEYTITSCKAEVTDCPYKTKPLVTKTVEVYTTVCPASELSTATLYFPGKPGKPAETHPAGPAPPCPGCPVAPAPPAPTPPCPGPGCP
AAPAPPAPAGPCPGPGCPVAPAPPAPAGPCPGPGCPVAPAPPAPAGPCPGPGCPVAPAPPAPAGPCPGPGCPGAPIVTYPVNPTPALPTKPAGTGVT
PPYVTFTGAAASNKVGGLLVVAGLAAALL
>RCO7_01487 | uncharacterized protein
MLKIAIIGGGPTGLATAISLAEKGRGKIEIHVYERRWKNGGDGICYSSSIRRDQVVTLQDSVTNLMSKDTRLALFQDRPERVWPLSANISIRKVENR
LLRRCQDLRGLVTLHSMVVEPNTLCKSSNFHVVIGADGASSCLRSAYFDSTERGKSYAAGIALKRPAGLPWSQPLNLFLTLGQTRYLLNASELDGGG
YLNMQLIEQEWSEMVNVSGKPVTFGNPGCVRIDGQLPPGFETHQLFAPSENGGALWKSIKEGLKLFGFDIEDVVNVVRIPIVVQAVKDCVQHMPHVA
RPHALVALVGDAAMTVHFWPGTGLNSGIKSGIALANEITDAFHDGQLTGLPISAVRGYTEFMLRLQVREHDQRSIPILNLSGTPEMLAWLLERAHEV
PQKVAIEWLIDTMGQIATRLQMRQDWVWKPVRNIKKQLREVLMQLDLRTLQEMAVTFPWPTKEMSGDEILPHFEQESCCFRQSLPRATQALFHEEAV
TIMRWKTLGRDYKSKYERNVYEKQRDVIFHSKSALVLSGT
>RCO7_01488 | uncharacterized protein
MAAVHGRYLGIQPTAKHSTREFSHSSQCTASFSKCLKEDIKEEQREAIWATAVMLANIAFASLNISSHEDAWPLKMSDPSDLQWLRLKVSDKALWKI
ADPMRPSSAFWKISNTFSDILQVSPQEVSMEFLQDSRKYAASTARLPPRTKYTLHLHTLFRDSWVYRKVLLHEAKYSRS
>RCO7_01489 | related to zinc alcohol dehydrogenase
MRSAQWTTSPIESTLHPNPSTPIPSNASSLPNNSSLIKVSYASLNSVDLKASESFIFRLPIVGSKAPHIPSCDFSGTVISTNNLPHLKPGDRVVGFT
SIPKFGTLADYVVVEGSENIALLPDSVSLKDAATLTVAGQTAFQCIAPYVSKGDHVVIHSASGGTGHFGIQIAKLLGCTVTAICSAVNTSFCKTLGA
DHVIDYNLGPVCEQFRKSGRQYDLIVDNVAVGGPIYAQAHHYLKPAGIYVTIAAGPDWGTVSGIFKTLLVPASLGGGRRKSVLLGHRADRMELEKLV
AWVGEGKIKPEIERVYGLGDAGEAFRRLRSGRTRGKSVINVEQD
>RCO7_01490 | uncharacterized protein
MLEIKSISQFNALKSSSSLLIIDFYATWCGPCKAISPVFAKLSTPHASSSSIVFAQVDVDKAKDVAQQCGISAMPTFQFYRGGKIIDEVKGADVQQL
TTKVGYYIGEVGKPARNTSSSSNTQGSGSGSGSGSGAGEKKVESLRSLIDVEKGRLVNATLLSSVRNIASPPPAGYSVASTSMPKVLIYIPFTSPVI
PTSITIRIAASKPPSSTDMQSAPSRLTIGSNVPVTFRKIEDKKTGQVSETNDLDMEESLKRAEAEQSFNVFSDEFVDGKVELKLKGSKFGKGVKSLL
VRVERNLSGEEKTVTKIGEMDVLGIRA
>RCO7_01491 | related to BUD7 protein
MVAPAVPELTEEILHESIDARTEVLAGLRELGPPDLVQLIKQAPRNPGKQIGVYHHVTGVDASSSASLAAYINTLTYKENHQSTTKIVEGIYCCYNA

FSRLDMRVHVTIPGSVDSYCIDERGEKRVASDELWLETYLCSVLRAYSYADDGSGDTIRKIMGVRRFNPVTNTETEHRFLQAAEQLFFRGWQLGSDS
VVQVPNNVSNHLTSGLLKYFHTTGRFASGINLFEKLRTRNVEVSSLLAKVLFMGNEEVQAVRVLHESVKQSPMDYVMLDTQAEFLMQKALNPNAPDL
KQERLKLALGCADRSTVAAPSEFGTWARLAEVYVAMEDWENALTTLNSCPMFTYQDKDAPIMPEPKDIHLPTLPETRLDEIDSEPESKYSEQVHPSL
LSLRAAQYKGTFKHAYSILTEMTAKIGWDQLLKIRSNVFVMEEEYRSEKQPAQGEHIQRNPSIDLLRGSPGPPTNGDDHTDDEKSTNGESTAPTLVA
ENGDAAASTDAEVEKPSHTVTPEEVKGGNEDAEATEEQLSRFNNKRLCERWLDSLFMVLYEDLRIYTIWRTEMAQYRAQQMQYKKSAEEWEILGSLA
FRLHHSPEAVEAYRACLSIRFSPKALTGILGDFEKEKNTRETVASVIRLVTWQYRWYSEFSPDLLYTIRTLIEDEGAVKVRSIIQATSLPQNVLDLT
HHYAALCAAFRSSGTEG

>RCO7_01492 | related to transcriptional corepressor HIR3

MNDALNIIPDENPDDEIDDTKELQIEEALKLYQVALKLHSQGPEHYSEAASAYTNLFNSDIFQYPESVTEFLRLDKHPEVEFTEASHTLGLDIAAAV
AEASPSTLPQILYLSYKNHGQFILDCVKGSLRLEPLPPGALNYQAKAAIDNFALALASDESDTELWRRTARIGSMLGSRRIARYCLEAAVEVDDDPT
VAEVDPMSLEEGFAGEQLKQELEILLDTTSLSHPVMAPYLKKKMPKFISKSMDPYPFLPDATTSLQIDRVQVDAAEAVHAPLSINLDYRSWLAVGER
LCEMSRDPTASRILLNFPPPGTPAQAESFSQPDAALGDDTLSAEDQIMKDVGTTDSPAAESNEAVEPTPVASKLDESAIETIATATVPISDDRRPSN
VLLPTRKRSQSAAGIRDTPEEENGAQKRSKRIRNRDNTEGAAIDSAALFAEQLKPFVSADENVFAFVSSLLEKLGVDDLGTLNELQAGLQSETTSDH
TDILVNTAARDLRDILRTWDDPKASTFVNGKAEDVLGSSAGSANAGLAAFLDQSKIGPQRINNIPLFADSDGLSEFANKVNNAWMPFEDVVWEWLCA
ILPTYMDTLWTEQMKVMVVRIITYNDAEIFIRLGRELKSSTHNPLLLSQWQDMAQILFELHIDIYSRITNPTSAVPFETRLLTKERLGRWADFTADV
IRTSKRDQDEVLLSRYLWASVFYATMAESVSREHKVLCWSDLQALLQKSGQPAIELQNNAVMPEISIEAAEREVSRLTTMEFFFNLFQTDCSDPSAI
IETLEPVLDPESACESMEVDNEESVLATETADGTPPALRDMWKFLKSGSTSLRLFLWQRLCDAYYSIGYITKVFSCHLKSIEIIVADLRTGDYVDTA
EEPRRHKLLLWLKALDDLLVKALTIALNDASTCFEIIDERHIKSTCAALAQLARVLHTAAIFDDEIRVGMTQLPQNAAYAPHGSFNEFNIKLREMQV
RTWALQYTMIKEAANQNIEKFPSPAKDLADYLALVHFSLGLRKCCKASNKIFLKMMKVEMIRLKDVENWEDYIGQVLYDLYGVRLGVGTYLLDEHGC
PAEKLDRRTVLNIADQIIVIANRMPIKDLLKHELRGTLERMQTAVGPTKSSPQMQHNLRNYTEYLKTSIRPSDLYRAWRGQVQVDSLPVVTPESHLA
DQNWFLLLGMINLTKFRATKRIGPGSQTDDLRVAATFLRLQLQFSGDFWETWYRLAQCFDHELEEEVLWSADRVNNHRPDLVRLQRSSIHCYIMALS
TAHRFAADDFETAEKLSEMCFDFGMRIYSASREPFGMEAFYVDEFEKHMSGSEGMYKKALHDELSPYRAWNFALNLFKESLKDRPSNWMAHYMAGKC
LWKAYCKADQEWDSRIKATRPPMEAVLNSLTNAIKLAPKLNNSSRSEPLLEPHYKLVSVTHKLVSMASMTPQEGADLLQKQPLAPDKGAPVVINSAE
EWQTYILKNFRHLRAIDKQHWNHRILARVATILFDDADPKFENANAARNELKDSIFTKTMHIQVWKSDHERAGRHCVYMERYVKFMVKLLVITNDKS
SLEMLVKRVKKKNNEFHRADKVWADCCLAYIRLIRRQAGIEASADDNFKSETHENFENLSNRLDQWLEDPRVTQPIKDAFKEINDLKKLNGTAMKAT
PIDDLISDIWATLHLQVAKMLPNPDQPSMGNAQMDGGADSPSPLQSMRNMGPMSLNNLVMDMNGTQVPVPVTFAGSEPARARKIGISRREVLKRAEQ
AYARMPDIPRPAPPAARPRLVEPSPNLILGSNDGSGPSKPRRGTSTPRVQTPAQQAREVDLEQDDEEEGDHPNQQLESELAVQKTLEAENGGDEEGE
GDGDTESVRGSVHDSADDESDLSDPPDMDDFDPSSMFPDMQFGVQSGDEDEAEAEEHEADTQRAEDEGGDDVDMDGDKGAQEKEVLDEEGEGEALGD
QDSEDSEDSNDQDEKEEIVFVEGRSESPESWNRRMQRNRAIEHAMNRYRHHIDHEYSDSLPEGEEFVPSEEDIARAAESLRGENPWRKF

>RCO7_01493 | uncharacterized protein

MGVLKESMKSLLLKLPGLRELCIEDDWQSYFDIIGVFTIKSRIERLELVQIAEFLEDHDTDQMSASELHRIARMCPEMKMLRINIGEELYAIPRFLE
LTATGFRQLETLILESNEQLLQKALSRALYLL

>RCO7_01494 | uncharacterized protein

MDADYVAHLAVACPLLEILTLNLDLKIPDDVEIFVKKITRFPKLRKLNLALYKKNIGTSDVLEENHEADLQAESDASTSDNNVGVSDPTEAETAKNL
EDPMYDSAEAIMRNLQLGKVGVPIEVITLEVTIDCEHNRCKLVVCVDDTYEYQYPRRISRGSGRFLSMSVFRSCAKRNLV

>RCO7_01495 | uncharacterized protein

MPKMKLNTSLVLAAIVSSCCAASQEENLSKRAEDRTCSLGIGRQFADIYWDVTIYNVAQPKPQDFNIMAQLKMAKMDKGDSIAVSWPPHTINITNVD
NAPVFTYNEPNLKAEFTDFEPGETKVALQFQVGTSKWTTDDCSASSVVFSAGREGWACNFPCP

>RCO7_01496 | uncharacterized protein

MIEIKLSSASQLVEEKKTPDDQNLQPSTKLIVEKEHSMSSLQMLDQLRNLDRLMNAHATRNKDDDIPGIKRDMDSKEYWNDDEDQLDMRPEVQIECS
FNTDSGHLIDNHNIE

>RCO7_01497 | related to beta (1-3) glucanosyltransferase

MFKLILSIVLLACLTLQASALPTITVKGSKFFADGKQFFLKGVAYQGTPDDPLVDTRQCQLDAKLMSSIGTNSIRVYHVDPFVSHDGCMSAFNDAGI
YIWLDLDTFTTQIVQATPTWTKEQFGSFAKVMDAFHQYDNLGGFWIGNEIITSLGGSNAAPFIKAAVADIKAYENLKGYRDIPVGYSAADIAELRPM
LQNYLACGSPESAIDFFGLNSYEWCGPATYETSGYGGLQAMALNYSLPIFFSETGCNVGGDRTFNDQRAIFGSEMIDTWSGSIIYEWVQETNDYGLV
DYPNGQIYSGAPREIQPDFDNLKNVWKDTNPVGVEAGSYTPKFSPPTCPSATGGWTVDGDVPLPRLGSEVVKAVADGAQYGTQPSTPRPTPTSLSSI
MVSTGMPTAPLFSACNPTADCSASDMTLGVWSSPGSVSVSQVTIPRVISQVTVSQVVSQVTLTQFSESSGVAVTPSALVPLSSGVELISPAGSISSS
IDPKPINKSGTGTAAPAATTTSSQSAGTALRAFNPGDWIKKNANPGVKSGLVVSIFLILGFLFISAAFL

>RCO7_01498 | related to amino acid transporters

MATTKNHRCGAAASPSIMIASSRPSRWKSFKRNPNARIVTEATDLEGRPLPDQPPAEPALAMKLKERHLQMIAIGGSIGTGLFVGSGSALATGGPAS
LIIAYGLVGIMLYCTVHALGELAVAFPIAGAFSVYSSRFIDPAWGFAMGWNYALNWLVTLPLELTAASITVSYWPGAKSVSPAALVVIFWFVIVLIN
FFGVKGYGEAEFIFSIIKVVAVIGFILLGIIIAAGGIPDSPQGYLGAGYWYNPGAFNHGFKGLCSVFVTAAFSFGGKELVGLAAAETENPRKSLPSA
VKQFYMVSLTIVGCLVPYNDPELLNGTGSQDGNASSFVIAVKNAGISVVPSIMNVVILIAALSVGNSSVYSSSRTMAALSDRGQAP

>RCO7_01499 | uncharacterized protein

MRGTFTSQPGYYGSWLGLMMNILILIAQFWTTIWPVGYAAETPREIAQGFFEAYLAMPIVILFYVTFKLVKKTKFKKLKDIDVTSGRRDVDLPAILA
EERAIQAGWPWWKRWWNIAFGVEG

>RCO7_01500 | probable hydrolases or acyltransferases (alpha/beta hydrolase superfamily)

MPFITTKDETSIFYKDWGNPTGQVVTFSHGWPLNSDNFESQMFFLSSLGYRCIAHDRRGHGRSSQPWDGNNMNKYADDLAELFIHLDLKKVMMVGHS
TGGGEVIRYLARHGSSCVSKAVLISAVPPIMVKSENNPNGTPIEVFDGFRAAMVADRAQFFRDVPSGPFFGFNKPGVKFSQGLVESWFQQGMMCGFK
GAYDCIEAFSETDFTEDMKNVEIPVLLLHGDADQVVPIGDAAEIGIKLLKKGTLKVYPGGAHALPNMETQRVNRDLLEFLKA

>RCO7_01501 | uncharacterized protein

MLMEERGIMKDYYLCFFIDGLDELDDSSHDHSALVLKIQSWTNRGDGNVKICVSSREDNSFLNNLTVNQRLRLHLVTQNDMRTSVEASLDQFDRFAT
IASGNRRAFVQKVVERSDGVFLWIKLVLYKLRDILEGGGSLEDLHETLNHLPKDLELLLAGMLMSIPREDQNEAWAMMALLMAANQHHLVLSLFDYS
HIKECLERHKSEEELVLMPVTNIQILARQRKFAQHVNRVLKGIVEVSYERAYGNLDEDGLLQKPAGDLASQGTQNVTHRSIYEYLEYSCPREMKSYI

DNLAVQTIVLRCMIQCLTKVQWDLTMSR
>RCO7_01502 | uncharacterized protein
MAEAFAIVGSVAAILQLSEFAVKVIYTAYGLHNSVSGFTKTNEEVEKLTTNLGGLL
>RCO7_01503 | uncharacterized protein
MWKRLNNPKGPKGVRPSPLAVQEPRKLYDGEGNNLGLVGYSRQEGAYDNQRRAPERPRRTEDMPSKGLPRLPFEAIAHHEDQDSTFRPASSIYSQPS
PNPTHTRFHPNQYQTPFTERGEDVSPESSPELYSVNNWYVEPATNISSQSPGYENVSPIDEMPHVSHLNLGRPDSSSNSPSSNIPVLRRDKSNTVAV
VAANLVSRKKPSENPRGRVAHDPRWDPYSGEITTSDRGKPQSVKPGTFTIPGLRSVHKETGLPLGNESSITSPGAKQHTSFSDRVRRLKSTTSGAPV
EKPGWKGATGRVTLVSPVHDQLDMPPISLPRKSSKQTASPDSESFSSGGEVSPATIVRTRSGETSPASASHASPSIQAVLDTGSMNQAANSNFPRND
NTRSPITVREDPVAVSQSAAAGTLVRNANNGASPSGPQESGGWERDEGTMANIERNFHEQLNSVSSPIAEKPEPEYVQPTSRFSVTTYEPSTANNTP
RPSTETSDSHPMPFNSHPTQSPADSSFLLNRQRPRVPDSPRTNSIVSRKAVPALSNPVFISMTSVPAHIPADKRSSNIAKNLPLSPAEASSRDLVTS
LEAQLENLAHRRINITRSIRQMTELMPKDSVMETQEVRKKREMEKERVKGLREEEQEIRREEHRLGLKLHRAWKRADKDSVFEPTGLWVRRVTG
>RCO7_01504 | uncharacterized protein
MSQPTATSKAQAPIRTPGAAIAIWKTKTSKGFGAPSQVLGDRYCSLPSTSRIARRLRGEGITTEPPVLRDDCNSGSTPDLSALQARKRAWIESEPLW
KTRLGDSWRGAEVLGAGSFGVAGLWTRVDTNTLEDGKRIKHVVVKQSKASPAAVRAMRGEAEIMQLFTSVETKHIVKIYRKFIVEPVQGQVDPTVGG
AGNFVARIFIEYCESGDMSQFLKTLKRKFSAENPIPEELVWHIFRCLVLGLVAMEHGNELLEGESWKEKVLHNDIKPANILISNNDNQHLKTPVVKF
ADFGVSRILPEKQSIQWIQEQFFTPHYRAPELVQAETKYPSYSIRRSSTSSSDDLALPDAIYDTNIKLGAHTNIWAIGKVMYNLINRSHSFSNNSPI
FYFGHPGPPQKIIRTQGEAIIDAPYGATLRRAVMRCLAVNWRDRPSPREMLGICEDVLKKIEKAPEGFRAGEGVGLGKGFDEGHTFYPEPGDPQLL
>RCO7_01505 | uncharacterized protein
MRPEAFDSITNEERVCQLCILREQEKALRKEHEELSMKAHEAYKKHVEASRFLCEHDGLKTAIASTLSAGVGVDDMSLWYTADMERAKKGAELRVME
KKITKLREEMQQHFWDSV
>RCO7_01506 | uncharacterized protein
MSIEAVILRLMVPLLCTLHILQLLSTRMSTIVMVMNVICWLPAYTSYWGERYQTNDTIVCHCMNAEDTSGRESGSRKEDRISYSEQSNQSTFPDTDQ
HLEALKRSPGRIAESENAASKLAALIQEKVELEYELAESSILEYKRSETKRAALKILLEGMRWESDDSERRMHRMGGETLQSLKVEIEALKLEILRD
KRRSSETTLVCESGS
>RCO7_01507 | uncharacterized protein
MAHLLQLPRRIFGFDVSTIVMNILSTDYCNFYETVLRDRYLMPTAILAHATWIVYYIHNLTILNFDETHWSRKIQPCMHIIILCAMTLRHGMYLGEQ
KEVKEWVDDWEEEQDDTEQLRRQHEDLRLQHEDLRLQHEQTRVSKFRISHRTPQFTSLRRQLDQHKVVRRNFFCRGEDRREVETKKLSRDLEQEFEG
SIAAFQHQFDDISKAKDALDMAVGKHDDQADGSENKEEIRRQDISAKRDKWRMMAEKLGHLKPERTEWAAIRSSTNMSEICAERLARLDKMVESCER
RRNVIKNVLDWRARAMKGYTEAANDTEVDVSPINTSEEKETVVNRHIPSPIERENKEEKLEISLETFERFLYEKKEHGYAKGSRDANKKPEKGNLLL
NSDVAPKEDWVFVEGS
>RCO7_01508 | uncharacterized protein
MFKRIFPILVLIGYFSSGVDAKPVAQAQAVPETSSPSAVDSTSTTGSDSHETPIGYIEATRQELKYILLDMISDNNHLCKELSREQEEAGCKDTNPF
IVTNWSGGMKSYTNPVEWDFRMSGIKKEIFDREVSKRERRGRLDCVELRKKKKEAGCREFFDRTQEKRIEEMLDGRDGTLLKIEEAMLEEKAMRDLV
DL
>RCO7_01509 | uncharacterized protein
MSASTSLLPKNKKDDHPIFLRVCHAPWAGIGQKALVGLRGLTATYMLVSFAMIIDYEAKHTKDGKLAWFKFSNISYGIQTLYHWVTLIWTFMHLHYP
HHSTSTPSNASAVQKLLSPPRQNPSTQNRTWFSIFYTVAQTWPLVSTFIHWAILVPKGKATVPGDHTFGHGEFKTFYVISKYGVNCFIVLLEVIFFS
SIKRQFPVGAHIVGLSLLTFAYIGWAYIGYIVTDKWAMYFLNHKEMKWEHVIGSWVGFVVLTNIFFAVVYSITATREYLTRKGENKNAGYQQLPN
>RCO7_01510 | probable signal peptidase (endopeptidase SP18)
MISALQNPRQAASQLLNFALILSTAFMMWKGLSVISDSPSPIVVVLSGSMEPAFQRGDLLFLWNRNLVTETAVGEIVVYNVKGKDIPIVHRLVRKFG
EGPDAKLLTKGDNNVADDTELYARGQDYIERKDIIGSVVAYIPFVGYVTILLSEHPWLKTVMLGIMGLVVVLQRE
>RCO7_01511 | probable ubiquitin-protein ligase
MGSSQKRITKELAEVMENPPAGIKVNLVDESNIHNWNIIMDGPEGSPYSAGKFQLLLTLPHEYPFKPPKISFKTRIWHPNVTFDEHGSMCIGILKAD
AWKPSSKIMSVLTATQQLMLEPVPDDAVEQSAAQKFKEDRDGFDKDAREWTKKYAEKK
>RCO7_01512 | related to rabkinesin-6
MTTNMESKTKSSLFEVYLRLRPPPAGQPTSERFLTVEETSEDAAPTHITLNPPNDNRRRAIEKFAFTEVFEEESTQLDLFQGTGVLPLVEGVLGPQG
GEGRDALLATLGVTGSGKSHTILGSRTQRGMTQLALDVLFRSISNNILDPATTTSLHATVAASDPSEAQVMSAQMFLDTMYNDPSAASRASSRAPTP
MVVRVLTFFEEPLHASSKNLYPSLQALQGIDSPNINTQTGSPKSIRVVTGAELVSSRIQTRSQARKYQSSKIESQSVMGASFIPSYMQSTLAKAVKY
VTKSPFKGESSYIPPTPRRNLLQKPSILPQNPDISNLTVNADQNAEYAILISMYEVYNDRIFDLLTPAIPGKSAKDFRRRPLLFKSTEQSPDRKVVA
GLRKIICGSMKEALMVLEAGLHERRVAGTGSNSVSSRSHGFFCVEVKKRRRGRMVHQWGGSALTIVDLAGSERARDAKTQGATLAEAGKINESLMYL
GQCLQMQSDLTSSAKPNLVPFRQCKLTELLFSNSFPSHTTIPSTPSHSFLTHTSHHHPAPIRNAQKAVMIVMADPLGDFNATSQILRYSALAREITV
PRIPSITSTILAQSTASHYFSPRSPPGSSCDQHLDRSTMEIAALEIARMSEEIDGLREELANANEARMEQEAHMESLQEKVLEMEMQVREECVAEME
AQFQTEIARWKATWQAEQDRNDEHLDRKLEIYTRSIDAADVDLSTTTDTAPFHDLQDDKENSHSGPGKISNLQIENERLRREIEVLRREGALRSPSK
RMPLRESKVGRDRSQTPDGNLDDVEDEEGLEERLDRLSVSSHGLGVASSKADRSPTKKSRTTGIRD
>RCO7_01513 | uncharacterized protein
MDGCKLPSCPPSSYCKLHCHLDRKLSGKQHLSGDEAEVVQDYRQRRLEALNKEENEKVGDHVEMNNHQSIKEMSKNDDPSNSELYDVHTAMPAKNKI
FEPELHSEEKLTVQSQLNTQGFYIEGRWHGSVSNDESSKRSGTNSSPAHDGYKTRISPSVKQQADVYTEKLSHAKSEGGQMTVSTPSPSISVVWGHD
FRNEASHKAHQDMQDSDSEDLSPSKSGKSSIFIGNSGMSLGKKTYGIIVGVDNEDRTSEKEVSKQPGPRQEEEDDESDTASITSSVQSVDSFSPSTD
GSSISSVFGPEGAAERLVDLILFDTDISPLLKLALTLNDVHIFEAKLRRLLKDLGVNLRQEGRSKEQRHAARFVRYRARNTAHIICNTLKSAAETSK
HESANAERFVADRASDESGSDDSEQGENGFQQLEEFIRSSDAIKVLKKSLEGYIRSVEGGVQDVTRPMGSPQKMDPVDFSEIEIQDMTMTNPNPHGI
DMNEKFVAPELLVVDDFIDSLDSQGTPVVRVPCQSYLRGSGETIEVQMVMGQTGRCGKMVQDDFIELLPGGIDRYKESLLKESREAKEAASRHMKLH
HGREANWVHRLTIASLSFATISWCFLLTVGTNKLLEIISLDITGPYLASIAKFEIAAYTTAMASYFLAIIFALYSDYVKLTRDSTCIKVAASTSEGR
KEGHPLTELSSDIHVRSGIDNGIATRISTAERLFLLLFHDDGQYATRLKQLDMTVLGATTDQVIFEALRATYRSIRGKWTSKISLRTLVWIKFVHFE
IYRGELVDVQKLDVIPPPDHFDYRYSPAPSDVTPPIGHKRMMHLFHNPECAGADSVCVSRFPKKLREQLKCCPIKGVNPGWGLQFVEDWDYRKFGIV

TFVVFVFGSVVIAIMLTYLEKSVQDAFAVSAYMATLATISIGFVQWLLT
>RCO7_01514 | uncharacterized protein
MHDSTTVFSSNDASIDGDIGDPLLDPTLDAMINPRAPLPGHCIAKLLEGENPDSDSWASRKRFDEENSKERRKDLAAGVGAGSVLTSYLR
>RCO7_01515 | uncharacterized protein
MTLKMTTQPKPSPEEVEILILGAGWTSTFLIPLLKSKKISHAATTTTGRDGTIKFRFSLPNSDELAESDHLASYKALPTAKTVLIVFPLKGSEETNY
LVSSYLQTRPHTSSSSSTWQKIQPAFIQLGSTGIWTIPDQPTWVTRHSPYNTSDARAQAEDALLALGGCVLDLAGLWGGERNVRHWIDRVAASKEGL
GTKKSLHMVHGIDVARGIVAVHERWEKAKRERFMLTDLMVYDWWALILGFAGELDVENGTEERAEKQIKWIGELMQEQDVRALPRDMKSLGRCYDTR
EFWNTFGIMPTRSRLSSVIIGGQY
>RCO7_01516 | related to dipeptidyl aminopeptidases/acylaminoacyl-peptidases
MESKKVVRFGTWTSPITTDIVSGSSLIFAEVYANPTSGKIYLIEGRPAEKGRQVIVEVRGPETIDLLPAQYSARSKVHEYGGAAATLSPDGDLIFVD
HSTNGVFSLSPKGEVTEILAGNPNLRYANFDMHPQDTHLIIAIQEDHSAPLLVDAVNTLVVIHSRTKKAEIVVKGADFYSQAKFSPDGKKLSWLQWS
HPDMPWTGSEVHVANWENGKVGKTTKVAGKAREESISMPKWHIDNTLLFASDRTGFWQLYRYDPVSENTTYLHLKGYEDAEMGCREFGLGSCTYLSM
DANTLVITYNKDATNGLLLYDIAKDYVTELPTGLVTIDQCALSKVSPTVFAVIGATLTSPEALYLIDITRPSEKKLLKTSISVSLPPSIFSPAQTIT
FPRTHGDIGTPSHAIFIPPQNPSFDGPAGSKPPLIIFSHGGPTSHVSPGLAIHAQYFTSRGFAYCYPNYAGSTGYGRDYRAQLDHNWGIKDVEDTIS
CVEYLASQNLIDISKVGISGRSSGGYTTIQALTSFPKFFAAGVSLFGIGNLKALFEDDPHKFESQYGIALVFPEGATGEEREPIMVERSPCLHAEKI
ESPLLLLQGDIDRVVPIEQSREMERVIKQRGGDVRMVVFEGEGHGFKMREHLKAAIEEEEGMWKRTLL
>RCO7_01517 | probable BCS1 protein precursor
MSTLPSGTTSTTTFTSPSTSTYLLPLDALFNNPLFAGGLGLASLGAVAAVGRRGVVRGASLVKKRLLINVEISKRDPSYQWILNWLSIPRPQAGFIT
SRLTRIHDFSINTISRNAENGGATKAHMALQPGYGKYIIRHKNAYLQVNREKQSTANMQTGEPHETVTLTALYAHRHIFEDIFGEAHHMAMTAQEGK
TVMYTCQGHEWKPFGDPRKKRPLQSVVLDEGIKERIVDDVKDFLARQSWYVDRGIPYRRGYLLYGPPGSGKSSFTQGLAGELDFGVAIINLSERGMT
DDKLAHLLTKLPIKTILLLEDADSAFRNRRQVDEDGYSGGTVTFSGLLNALDGVAAGEERIAFLTTNHVDRLDEALIRPGRVDMTVRIGEATRHQAG
EMWDRFYGDVDTDGKGKERFLQRLEDLDLVEGVNGEGKKKMNTSTAAIQGLFLFNKDDMDGAIKMAEGLIPRVYEPESPVEGIKVSA
>RCO7_01518 | uncharacterized protein
MRSPAFLTALVLGLSALTAAFSSPNNIEERLIKEKRDGGLGGTTPPKAITTFLDLTLDQQLSALLADTTALLDTVFIVTGKHGGMGLSPVAVLNRG
>RCO7_01519 | uncharacterized protein
MTSSPRALQRSHPRPIRVLITLFPDFNTFDANGPIEVLSQANGNSSSSMFIITIASSNPLTRSIENISIARDISLRDALARVEEWDIVLLPGGAWEE
ISKMLNLHWERKEESGFVEFLDQYADKKDGLILTVCTGSLFLAGLRKLDGRIATTHWAYLPTQKKLCADNNSTTKVVRARWVDSDEEGLPRLITAGG
VACGIDATFHLLELIAGPELVEKVARAIDYQRREEELQEDYVIPAL
>RCO7_01520 | related to dienelactone hydrolase family protein
MRVQLQLLAFVAPLTFASPETYGYDPVLKHEHPGQLFNHVSSKSKCIGGVLTNTNSTGKYETVGGTNTYLAYPPGKPKNEKKTDVAILYLTDIFGTQ
LVNNRLLADSLALAGYFVVQPDLFNGDPIRVDQLGDPSFNITEWSQRHPQAAIDAIVTSSIAAMKKDYGVKKIGGVGYCFGGKYVARFLAPGKGLDA
GFTAHPSNVVADEWKGVAGPLSIAFGELDASSTPAQRAAAEAIFQSTNITFQTNLYSNAEHGFAVRTNLTDPQKAFAQESAYFQAVRWFDAWIK
>RCO7_01521 | uncharacterized protein
MKTSQFRQALGRAAIGFASLSTAQFTFSPGSNGPTYSIAVPSGSSISSSSTGPLYFRLEAPTSYQWVALGIGSQMAGSSIFVMYADGNGNVTLSARK
GTGEVEPKADSTLQAGVELLAGTGISNGKMAANVKCTSCRLQSTASAPDSPWIAAWSTGSAINSASNSATLRQHSPNSRVEAQIDLSRASISSDSNP
FLSGGAATPGTGSGSPATNPSSGQPAGPGSNGSGPGSGNDNDGKADGKPKGNSNSNNGGITIGGSGSKANAIPDYQKAHGIIMGVVVVLLFPFGAMF
VRMGGSGIVHGILQILSLCALLVGLGLGIKLADLTGKSLTSTHPLFGLIIGGLFLIQPIFGIIHHLQYKRNFARAGVSHVHIWYGRILMVLAVINGG
LGLKLACNSKAGAIAYGVIAGLVGVVYIAMCLFKRKGSNSGPFSHGLRKEEIAPASGIGGGAGQGGYAMPDVAHYGNGHAGAHSQAVAFK
>RCO7_01522 | uncharacterized protein
MEGIEYTSAADEECYLLRIPKEIRLHIYRYLLIPTPTRMISISPGDAFQDDWSEDEVDDMSDEDEEDAKNTDSDSESDADMGGGSGREYITAEEANN
FLAEDYEAYKKHPAILRTNKQIYNEAITMFHEEAILVVEPGDIFCLGEKPEDLDFGAAHQAVWRHNPLKGFGRNVNGMVVYDSPEIEGGLLEPHVFA
RFKRILFDANFDFEHTQNVELWIDDETNVIRTEDAEKFKALMKKSSIMKDFVTVIGHSQLSSLEISLEVEVMANSNMMMQEMLDESDDEADEVEDKI
DKLMEVANEKCTEMFLDSGVCDPLATLDNVQSFDLTFGLEHREEGQKYKPLPRHVKMIAQMKKHIEGQFEE
>RCO7_01523 | uncharacterized protein
MGLFSKDEKAPPPSYESATAQRGALDVQKSSTVTRRSPSPAGPPPPSNSQFRFPRAFGLYSASSFSGDLYIAQGADDQNPLYYISSHSGLSSQPSVV
LHSSRDPNSPPHATADFHSISSTIDLTLFIGIPPGSAPQTCAMESAGMMSSSRMFQAPIPSTGQLEMFEWKGSSAAEVQMLDGRSHGKKCVRVSTGE
VVAVFTHPSMSFDKRGKMAFVGDRANLGEAFEVLAVIGVIAVVEKERRARQRRNNNNRF
>RCO7_01524 | probable protein kinase
MKSPNPALMTVRGFNTPTIGSGDEDSDYGPRTPSRRHQIQDVVSANSSPMLRSTSTSAMGGISKMKLQLETLNLDNDSRNSSFVRSKRQLRSQPQSS
TGTNTSDGYSDDDTSDITSYEVPLESDFISESVAEKPLYGAIEGGLVQDTSARKMTAADFDPLRCLGKGTFGTVLLVKQQSTGRLYAQKQFKKASLT
VHKRLIEQTKTERSILESVNRHPFVVKLFYAFQDHEKLYLILEYAQGGELFTHLAQERMFTEPVAAFYMAEMVLALEHLHRNLGVIYRDLKPENCLL
DTDGHLLLTDFGLSKVAVDENDKCNSLLGTVEYMAPEVILGQKYGMAVDWWSFGALGFDLLTGAPPFQGQNHAKIQERIVKQKLVMPYFLGSDAKDL
LTRLLRKEPNKRMGSNMPKDMQIIKKHRFFRKIDWKKLARREIEPPITPLITDPELAENFSADFTELALSPVLTSIDKKPWNSIVEKEKDENPFGGF
SYVASQSLLDGSGFLEMAGSAGVGASAGLAV
>RCO7_01525 | uncharacterized protein
MDEHREILYKKASTNLPDWPKGPNDFYVAILSHRKHVRSCEHKDLLWLKVRGKNTVAQVKAAHSRRVGRKVVLYDGRNVVTDDTQIRYLNHHRSDVV
VFWTKRDEGREALARVTGKSVTIRNETSAMRNMRAESAKHRDPIHLSKDVLGDLTKGLEAINQHHEGTILKAEKGLRLYRVICSDCPVWTHYCPLQA
SPERIVDAVGIAAKHIDTDRHKHFVRHKFNRIKEIADELPDLYRRYPGSEFAVEVLPFKTEAPLVTCATCPEWKHQTFIGELLRMTMAMLEKHLKSR
DHQNALDTEMEVAAEPIVQNDQPSTKPENEFVTLMEPPFEQSSDDDDFDAMDVDPKPRVKFPRHLLEKYKVIQLDDLDGLHCQECRVNITDPTTPAH
VQISDAADHMNKAKHHCSFLSFLLSEMARVLDNPHRASSHAVRLKELIMKHVKKYPLAKLELAPVLRQNNVHVLQCIVCKGAGFHKYMFKNAVDKFA
FASLRKAAHHLASDGHQRAAEEAAAAPSSTASKLAQHARFRGIESTKDQVASTSKSPHTRPGKPHITESHLITAARANHPVVAPAIEFAFRSFAHNK
IDCEFCNRFYDNVCNGNLTKFTTFEILEPLDHVSNHAKAADLKEGLAHLSRPGLACVLETDMRDDGLTMTCRSCPTFSYQVLWSVNDAMITAEAHIA
ERKRLDNSAGPSNSTHHSNVLATQTLPLKQASSVLLTAMDNMCKKYSPESSIFVKDTQHKSPMCEIKCRDCLNWSFTSLFSAPSSLKSEKCLDLFRC
VAKKHLRSKEHRVALKRRIDATAVATNASETGVFSANGGTEISARGIDEKDPAGVTNAQKSTSTFTLKMQKAQSVHERHFPDCSYCSGFFRSIAGHL

KLPRALWHAFRHVYNHMHMAELEEELHKLYGPTTIVRMWGQNIRIMCNYCPGITYIQDNALAGTGWDNEFAAVESHVAEPEHVARQQSADRATATSG
HPAASSSALPVSSPQPLPAHPAESPPEEPSSETLLIANSQKHFPEHASDIQEAFSKYTDGGVDCGKCEGLFEDISLMAPAKSENWDTDEVMAGVKHV
ISHMKRGDLAVSEEEEEETMSDRTESESNDKKEAEEEFTSIRVLEPKAHYLPSTIRDLAIQEISTNSKKFFPTQASAIRKAYLQYLDADVDCEECDH
VLGCLSSVTAGRWEWTAEEAENGIGHLLEHVMGDDDIESEDGRKADSGEAVDEGEDEHESEEDTAEDDTSEEDSSEEDTEQNTTIIVLPPTATTTTP
TTHPSLTPLHAKYPTSSFSLQKNARNEDCFTCLDCLRTLSSGSSMRNYEQHLGSVAHRKIIAEK

>RCO7_01526 | probable cellobiose dehydrogenase

MYHKIMFLSTYTLQILLVAAVAADWTTQQWDAIIVGAGPAGIIVAKRMADAGLQTLLLESGGPSYGVTGGDLDSLLIRIEINIFQSWLKGTNLTRVD
VPGLYKSIFSNGGNLTCGALVNGYGGCTIGGSSAINAGLFFEPPASDYDLYFPAGWKSLDMKNATKRVYTQQPSTNITSQDGIRYLQTGYDAAKKWL
VNGLGFTDVDVNAKANNKTKVFGHPTFNYANGLRGGPVVSYLQSASNKANFHLQSGVLAVRVERTGAKATGVTVMVNGAEKTIQLTSTGRAILSGGA
LRSPSLLMYSGIGDSATLSKLRAAGKLSSNMTPQQWINSTAIGEGLFDNPNTFIELSGPSIKSYTYSYDNPPAVDKQLYLQNRSGPYTFASETSVFW
DTVKRSDGSIAGLQGTIDSSGYGDFLDSNTITLNVYGTSGMKSSGRVVLDSKFIPGPDNNVYYSNPQDAKDIASFIFKIFQALPASGLTPRNIPQGA
TQAEIEKYITTPSRYAVGQVNHWSSSCRIGKCVDHNTAVIGMSNLHVVDGSIVAPLTVNPQFGIMAAAERASELILGLDGRTII

>RCO7_01527 | uncharacterized protein

MHVGDTKALQEKVESQDQQLVAWGEVTPLREELSSLKELLEFKNSKIHTLQQDAKAKEKFLEVEKSSLRLEYNNLKKDVQDRTRFQEQLDELKDICR
SQADRIQVREAQLNQR

>RCO7_01528 | uncharacterized protein

MRFLSRSRTLLCQLRTSSYEDIERTLMHEIQDAHGKYTGPGSKQINEAIGSRQPGEVPRHKLTASGMCALTFRPPFDYEDIGPFRCRLRAERDENAS
AASEPLPTKKRVSRRELLDISLSFMAEEEAKYSPRIRASEMEFDAISPGENEEARADSATSDHGSMDEDDAMNEAIARSLKDEEFEREMERVLASSA
NEHSANYAF

>RCO7_01529 | probable arsenite efflux transporter ArsB-like, puative

MATDEVDLDTGKIKEWRSMVTLIAFILTNLITLFPFHVPVYVPRQIYNISYDALSKIRVISPRRVQSQNEPTFEDDDNNGKTKPFVRFHFPLNFLTA
PLIADLFLLAISAIGRTEVHDGTIGANHISPIDIMVFFITLAYIAISIDASGLIRYLAFKVLQKAGKVGHRLFFYLYAFFFLLGSFIGNDPIILSGT
AFLAYMTRVSSNIVHPRAWIFSQFAIANIASAILVSSNPTNLVLAGAFQIRFIDYTANMIVPVVITAIVLFPFLLYIVFADESLIPLSIKMHELSDE
AKARKPINPNIPHGRGNAEEEEAAAAEGEEGQLLSLEEIMNPFLDKGGAAFGAVIMAATLVTVLALNAAAQNGKERPVFWVTLPAAVVMFCWDVSFG
WLQRKETREIARRGRMEVETARAERALREEEVRKEAVTHVAGVELGTMNSHRPQNAADNAGTRPPYVTLMVSESLEQSPENPPRLESSLSMLVPGED
QNSRPSSHTMTAADEKQPISAPESVHPQADPAKTPHEVRDKDDAISPSNSDEHNNAQNRTTLLSLSVDSFRWAQETFPTCSAVVAHLPFALVPFAFC
MFVLVQALVTKGWVPVFAYGWDHWVDKTGTVGAIGGMAFISVILSNFAGTNIGTTILLSRVIQTWVEIHHRRENDPITNRTFWATVYSMAIGVNYGA
FSTAFSASLAGLLWRDILARKHIHVRRRDFASVNLPIIAISMAVGCAVLVGEVYIMRDNNAYGPSMAGSVNTA

>RCO7_01530 | uncharacterized protein

MPTLPYTSLHALNSHESTNSTSNALDVICAWPVSGQYGPGSRVLYYVLIAACVFARKTEWLRNACLAAALLFPAVAAVHGIVLAAVHVDGAVDMDIF
GAFQLCAIGILAAPVTVRVSRTYFYDPGRNAIFLWTGLLLAGLLSLTVEFFRIKTTRCRLDDAGNPMPTDPESFPYDAAPLCGLTCSVAEGGPVSPM
RGGAVNNIYVIPVPDRLTFHTATLLAAACCIPAVLSLISMWNKIRKINWILRWGNGEIEDEKVDKEIEGTNGATILSMKGLNSVIRRLLSVVEVTVF
GAAVLTILILGEMNFFSKPVRYQTEPIASIGQWAPLVGSGLAAFGSLYMLLSSDQPDRDANEKTLPHHCNCSAHDHTPIASPSPSSTPFATPAIRRS
SSKDGRRSLTELEIAPQSSPNLTQTQTHHSRRTQSDFGGRRKVANVLTNIGNYIGTAAQDRFDDSEFKHGRAVDYPELPGEAYRNPKLIQTRREYNP
LREETGRSRAPSFISNGPGEGSIRGVSPQSPRSIRQSSTQRPQLGILPGRTSTEEQIPMSSASVPIDQGRRGRRDTLEVPSPIHHAPARNGLPP

>RCO7_01531 | uncharacterized protein

MTANQCRRPFLPTPTIGEDFSLCTLRIDAQQGSNVFLETITTCCKTAPIKRDFCWNYCAVEESQFSTWFACIEAIMPGTRDAACQRTDRSIVTYAST
TSKTSTTTSSKTTTSSTSTAAPTAETRSNSDSAGRVNSRGTETLPTSGSNGTNATGGAPRPTDYVQAGTSKAFILSTGGMMCAFLALSALSL

>RCO7_01532 | related to Fe2+/Zn2+ regulated transporter

MSPSERAMFRRHAAAASCNVPEISDDYNLPLHVGALFIILAVSFSACVLPLVVVKVPKLRIPPTTLFLVRHFGTGVLVATAFVHLLPTAFLSLTNPC
LPRFWHETYPSMAGAIALAAVFSIIIIQMVLSPGKNCCAFPASMMEKGPVAGQDQDRGVVSRDPPEETAPGTFHGRDVSMGRQLQQVTAHSATLAAL
EGRPSQPSDKHGMEPLSSGTFMSPEQKHKKETMQCVLLELGILFHSVFIGMAISVATGNDFVVLLIAISFHQSFEGLALGSRIAALSWKPKAWQPWL
MALAYGCTTPIGQAIGLATHTLYSPESQTGLLIVGIFNAISAGLLTYASIADLIVEDFLSDESWRVLRGKRRIFASLLVFSGAFGMSLIGAWA

>RCO7_01533 | uncharacterized protein

MSPEQISRPDIGYGRPGCLFPSPTQASSIAISEEHSHLTEWKDTKGSFSSLLSGIPYDPWLKKLISDRDIVFIMNNAATMKRHWAVATRVLETIAMK
IGPLDTDGIDLFYTIGEDYSLHDVKGWSIPKTFKTSMQNAKGDTAIATGPT

>RCO7_01534 | uncharacterized protein

MTLMTLTDGLWEGCTNRGDVEKCITSFLEELRGKLRKRQSRWFSIQFISFGEDAHDLERLRQLDDHMPTEEDVIDTKPWWYHDFSKLILGGITDVGD
RDEPPSLSPTPSTSRALKAPTSTTLSTPRSLERKTS

>RCO7_01535 | uncharacterized protein

MAITEFVVPSFKQEADTIAAFPTTVGPLRRTAGKLVLENGKDVSERRKAEHFLTLVKSDDFAGFIDIVKPHIIATPSPQIYETDISPALVFGCALTE
GMSLNREEKLWIGVLGWESMEVRIEVLSSEAVGEAKKAMEALVWNSFLADFPSRGRRERRPFEISPLVYIIACLSMTEIRGSPRHPVMRVLRATK

>RCO7_01536 | uncharacterized protein

MGFNYQILILPIRVLQAVFAIIVLGTLAYASTFYNSPSSVSFLIFTSIFTLLALVYLILASSKFPKFTHKYAFLGVEAVTMIFWFAGFIALADLLGD
AGCGRWHGRGSGTCRASTAGTVFAAFEWVLFTITTAVAALGLWRTKGESTLKQNPETAVHV

>RCO7_01537 | related to alcohol dehydrogenase

MPKAIVMQHIEGKPGKVYYPLVIKDIPTPSPGPKDLTIQIHAAALNHRDFFLRQALYPSPSFDVPLLADGYGIVTAIGTSASKSWLGKKVILTPGRG
WKDSPDGPESPSGYAILGGTKTFSLGTLSEVVVVSEDEVEPAPTHLSSAENAALPLTGLTGWRAFMTKSGNAEKGRNILITGIGGGVALNVLQFAVA
VGCNVYVTSGGQEKIEKAKAMGAKGGVSYKEEGWDKELKKQLPKDRPYIDAIIDGAGGDVVAKGARLLKAGGVIVQYGMTVSPKMDWSMNAVLKNLE
LRGSTMGSRQEFRDMVAFVNEKNIKPVVSRSVKGIENLKDIDSLFDDIRDGKQFGKLVIELVTEEVGGISMLNISHPVIWDLLMSTHITDDTHGYSY
IDDLLSGAPITHVHEAYIDRRRTAESSSLRSSPSENTLLRLGTQFPTQASKPASSPKISINMPVTSTFLYKPQKFRDAIQY

>RCO7_01538 | related to GTP-binding protein Bms1p, required for distinct steps of 40S ribosome biogenesis

MEDQNNRAHRPSKEKKTKHVGDKNPKAFAFSNPGRLAKTAARSHDLREKRLHVPQIDRIPEEPPPRLVAIVGPPGVGKTTLLKSLVKRYAKETLSDP

QGPITVVTSKRQRLTFVECPNELEAMVDMSKVADIVLLMIDGNFGFEMETMEFLNILASSGMPGNVFGILTHLDLFRKPQTLKDAKKRLKNRFWSEL
YQGAHLFYLSGVINGRYPDREIHNLSRFISVMKNPRPLIWRNSHPYTIIDSFRDVTHPTKIEEDEKCDRTVVLSGYLRGTNFSAQGQRVHIPGLGDY
TISSIEALPDPCPTPYMDREMQKLTGKTGRRRLDEKEKKLHAPMSDKSGLKIDGDTIYITREKGFNFNTEDDEEDRGQGEELMVRLQKERKTLGESD
GGLQLFGGGSSITKDDEGTGRKEQRSARFVDRDGESDDENMDDEGFVSGEELDSGDEAEISEDKMGKAFRKSADKTEGDVAFADSDSDLGSISGDEE
VDSGDDDDEDDEDGEESDEEGALRWKGNMLQTALTLSGKKKSFRTSDLAKFMYNDTLTPEQVLSKWRGESEEEEGEDIEEDSDEDTFFQKSGKENLE
EKMEDRAIPILDYDELATKWTTGDAVEALRRRFATADLLTEKKGDQSGSDDGEGSDSDDEGDGEFQDLEASEAEKPDDLEAEREKNAKRKEELKLRF
EEEDAEGFHNDKAIARREGGQDEEFGEDDWYDAQKSLIQKQLDINKSEFELLDESQRVNVEGFRAGMYAKIVLENVASEFVTKFNAKMPIIVGGLSP
VEDRYGFVQVRIKRHRWHKKILKTNDPLIFSMGWRRFQTMPVYSISDSRVRNRMLKYTPEHMHCFGTFYGPLIAPNTGFSCYQTFSSKTPGFRIAAT
GTVLNVDEATEIVKKLKLTGTPYKIFKNTAFIKDMFTTAVEIAKFEGASIKTVSGIRGQIKRALSKPEGHFRATFEDKILMSDIVFLRAWYPIKPHR
FYNPVTNLIGWDAMRLTGEVRRDQNIPTPVQKNSTYKPVERVARHFNPLRVPRALAAELPFKSQIVQMKKQGKETYLQKRAVVVGGEEKKARDLMQK
IMTLRNEKDKKRREKKEETRKVHRKKMAQNQEKRDEREKNETKEYWKKEGKKRRADGDGAGGGGGKRRR

>RCO7_01539 | related to proteinase inhibitor PBI2

MPEFIVAVKKGLTEKQYKEAQQHAVDKGGKIVSEFDRNGIMPGFVVDFPADSVSTLESGPHVESVESNGEVKTQ

>RCO7_01540 | related to branched-chain alpha-ketoacid dehydrogenase kinase, mitochondrial precursor

MRGVKFDHLLRAKVFTHRSFTQCSRLARHPYPSAHKWSHPPSSTTIADDDVASLSSEKLHALSLADLVKEGRPPLSEKALFSSANFTLSLLPIRLAH
RIQALRNLPFIVVSNPNISTIYNNYLHSLSTLLPYKSRTISTIEDEIKFTNVLADLVETHSHTIPTLARGFLECRKYINSGEVTRFLDEHLRARIGT
RLIAEQHIALHLSSQPHQNTHGEADPASSYIGVIDTALQPASIINSCGNFVSEICELKYGVRPTWIIDGEPGTTFAYVPVHLEYIITELLKNAFRAT
VESGRSHEPIVITIAAEPESPRGGMSRSEQGGIIAPIDSNSPIRPFEDPAPGVTIRIRDRGGGISPEVLPDIWSYSFTTFSDEDLPGGSGSMDALNA
LSGAGGEGSSIAGLGYGLPLGRAYAEYFGGGIVVQSLYGWGTDVYLRLKGLGKPRG

>RCO7_01541 | uncharacterized protein

MSSSLVMAQTLPTKPVRPVKARKSKKPKSRHQSSPASAQPTPELTQPTRQPAQPAQPAQSPPQPASTMYPLLHDDVSRLLEIRGHPFTFYPLDTEHG
CVRSYDTAIKGKFKCLNRECRTKAWSSKVVAITIREFTNKQYNALVYNQRCDACNILGEPKLDDTYAERIAYRLLKWSGVKQEEPVFNKQSRGPHLS
PLCEGCKAGRCAEGNRNGGLEGLATRLGNVSLGGN

>RCO7_01542 | related to carboxypeptidase A

MKLSLPLLTLPILASSCLLPEERDGLPRAKVLDRRQSSNNGIPIATGDRFSGGTIAPRGLGTQTVTLTNLLNVNEIASGLKGLASVYGISTFTTPYK
TYNGATISGGKAGGNGTCNSAYRVYLNAAIHARERGGSDGLLYFIGDLLYASKNAIGLKYGSKTYTAAQVKTALSTGIVFVPLSNPDGVAYDQSSNS
CWRKNRNPKSSTGSASSVGVDLNRNFDFLWDFTKLFASSARGSVASTSPTSETFHGTSAFSEPETQSIKWVMDTFSKVRWFVDLHSYAGDVLYSWGS
DEDQSKFPTQNFLNASYNSVRGVLTDTPGSGNGYGEYVPPAENTDNIKAATRMGAAMSAATKRTYSVMPAAELYPTSGASDDYSYSRHFADPSKNLI
HGYTVEFGFGNTAASCPFYPTQAQHNQNIQEIGAGFMELLLAGADIGLGDAVAC

>RCO7_01543 | related to putative glutathione S-transferase

MAQLILYDLPTKGRPSCWSPNPWKTRLVLNFKGIDYKTEWVAYPDIEARLSPHVQPNPISDTPYTIPTVRFPDGTYIMDSKLIVARLEKDYPTPSLY
LDSPILEEMQPIIGKIAGPLRPVWQPRVPINLLGERCSEYFHRTREEKLGKSLVQFAKEEGGEEAWVEALPAVKELGVLLKRNGGPFVLGKTPSYAD
FVIVGFLQFFKKIEEDMYQRLVKIEPMLGELYDACKPWLERDGH

>RCO7_01544 | probable spliceosomal U5 snRNP-specific 15 kDa protein

MGSVVLPHLITGWHVDQAIMSEEERLVIIRFGRDWDPDCMRQDEVLYRIADRVKNFAVIYVCDLDQVPDFKQMYELYDPVTLMFFFRNKHMMCDFGT
GNNNKLNWVLEDKQELIDIIETIYRGAKKGRGLVVSPKGRSFRSVVMWRGADDLQIIRPDTDTRVGLMLNGVLRDVRALTWQGFIAG

>RCO7_01545 | probable Ca2+-transport (H+/Ca2+ exchange) protein

MTFNMHSIRRAAHKEAWASDSYNPFRKTNSRSQTWGPKGNDLEAGPRQGQRGLMQDDVAESPLSAVQTEPTLPGSRKYSNGEEKSSGGGNKEGEYEM
TTASSPNAKAREADSEETAIDQTSTRPRSTEEKARKRFLSRFLKKNKNMEREVPEEEENEKKRPWYKGKILPHKEPFTLRNQIQRTIFNSWINILLL
AAPVGIAVNYAGVDRKVVFVVNFIAIIPLAAMLSFATEEIALHVGESLGGLLNASFGNAVEMIVAIIALTKDEVLVVQTSLIGSILSNLLLVLGMCF
FFGGLRRTEQFFNKTVAQTAASLLALAVGSVIIPTCFDEFAAVKDQKHVAALSRGTSIILLIVYIGYLYFQLKTHATMFNEESQKVAMRPRKHKVPA
GAISKGLAKAGGIAAGAGRANVEDRPPNDELINATAYEDADDEDEEPQLHIAVAWATLAGATAVIGICAEFMVDSISAITASGAISVEFVGLILLPI
VGNAAEHATAVTVACKDKMDLAIGVAVGSSMQVSLFLIPLLVIIGWIMGKDDMDLSFDGFQIAVLFVAVLLVNYLIGDGKSHWLEGMLLQCLYIIIA
VCAWYYPQTDGAGNPVTEAG

>RCO7_01546 | related to protein RIS1

MALDFENTSGDFMDEDPYQVHDPEPEPEPDTELPQDQPIPSIERTAYVLEPRKEQAIKTPQSTSPSNIKDEAQSSTVPSTKYTPEVQRGVPSDEFRT
PEGSPAGSAQLPATASPDRRVVYSSTSSLKAVLAPAPPIVFGALLRPPPEPSSSSYMKGKPVNKPIHPIQGNGGPVTQSSTPTATQPDRMILDDDDD
CIIIDPSQASLANQEKWKSASPRVLEDEVVFVKEEKRAPTPLSAVPASTGVLEKMMEKRRVGPRSSNPSVRGSGPPRSNLTLPSVPSARAPVPPRSK
KPDLTAARMLSAQSAMLSRNRFIPYDNGEGSSRGHMRGTPARNFNHYENDAFGPAEQQDSVMGGTPQEDTAWMDEEEEEEGADSVYDGWINTRNQLL
RKQRNNTITTDESLRLFKLKQNIETRDRLCTTATQEEEHELDQDPDSLFLAESREQTISRRQVERQRRLSEDRELESLDKAGKAANGNWDGEYDEHE
AMARMFAEADEPDPRDQPEDLGFTKAGKPRKRRAKNAKTASEYVSRQEEQRREKERAKAQKNKTNGRKVKSPVAVKGKGKGKAKDLGKSKRGKTKSK
GKGKEVFTHGQSLLAPGNFRRFDKNQDTAAMMILEDLMSNDPINDRLQNPIFNRSAENEIIGSQTKATQFQLLFANIPEPEDEVERGAVRNDKAKLR
DASKSFGYAKCKAVNGKWLIKGMKSTLYHHQLLGAQWMVKRELSSQPPHGGILADSMGLGKTVQTLACMVGNAPGDEDRKRKVKATLIIGPATICSQ
WIDEIATHVDPKVFPKIILYKTSSNLSPGVLEDADIVVASYHTVCSQFPFPNKEGKLEIARDGYQSWHKKAVANMGVLHRVNWYRVVLDEAQSIKNN
ASRTSLACQNLVSVYRWCLSGTPLLNRLEELFPYLRFLKANYSMNWSMFQKYFCDPNHTDSNNRIATLLSYTMMRRTMKTSILNRPIITLPEPLAKV
MDVQFSAEETIIYRITENRFRKNLNTFFKQGDASRNYGIFMVQLLRLRQCTSHPFMLERTIKESWTTEDVQELEKLLNKFQTNGKPFYEQCKLWVET
NEAHREAARDRGEVVQDDEMLPFGRSSFGHTFDMDHALQTLNETDLYERVTCSLCADIPTDAHKTDCGHIFCKDCIHTFAAQLVAQGDNYMTCPQCN
RVFNQVSRMSRPDAEPIRTSRRSKSQSKKGKGTGKERQRDQDDDDDSDGEANENLKLSKGKDLMGFEPKTADSSWVTKSDIDPDFPLTPSTKTAALK
ALLLKGFAEAPLDKVVIYVQFRTLARIIGRLCNAEGWGFLYLTGDASLDHREKAIRRFRDDPHAMILVAGLKCGGLGLNFPFANRCISLDLWWNHAV
EQQAFGRIFRIGQKKKTFMTRIVVRNTVDMRMLAMQVHKMQDIEKAIPQAGDMKERQNLTLNQLANLFGFLISDGDGQIVSVEADYRDEEEGDGGGL
GGDAGGGEDGDGEGRRGRGGDRKRTNTGVRAWEDVTMEGYSNGMEENVQEGNGSGGRGQNRGYENAEQGYGNNVFEQAVDEDEDI

>RCO7_01547 | related to pre-rRNA-processing protein ESF1

MPKHKAPTGAASSEVSDPRFSNFTTDPRFRLPSKKHTRTTIDKRFSRMLKDDDFSNSATVDRYGRKLSVGGKKKALERLYVPDDEEESLGAEGEEEV

EVEVEDDEVVAKELARAENYDPARGGGFSSSEDEEEEEDEEEGGVEIAEEEFPDVRAEAAAVEMGEVSSRVAVVNMDWDNIRSVDLMAVFSSFVRPG
GKILKISIYPSEFGKERMEREEMEGPPKEIFAQKKEEEFEDVDSEEEDSEEEEEKIKRDLLQGDEGKEFDSAALRQYQLDRLRYYYAVVICSDEATA
MNVYENTDGSEYLSSANVFDLRFIPDGVEFDDKPRDECESVPAGYKPIEFVTDALQHSKSKLTWDTTPEEASRKDAINQAFSGSRKDHLDNDLRAYL
GSDSEESEAEEVGEEDAETQTGETEAKLSKKELARQKMRAALGLSTEPTPSSKKSSKSAPVGDMEVTFTAGLSSNPSGSVFTNAPPIDETTAERYVR
LEKERKARRKEKAKAKREGRDPDAEGEAENGGDAEEVADKGFDDPFFGTDDVAKEKASKSIRKEERLKKREAKAAATAASAAERAQLELLMQDDAAE
DATHPSLKNIDHFDIKEIARAEKAKKKGKKYDKKAKEVGEDGGKRGGLQQNFEMDVADSRFSKLYQSHEFAIDPSNPKFVATEGMKKLLEEGRKKRD
REVGDGEVGEVVSVDKRGRKKRKGAEEEGELSGLVERISKKARQ

>RCO7_01548 | probable POT1 - acetyl-CoA C-acyltransferase, peroxisomal

MTERLSSILKHLTPGSSGLSQITSKNADDVVITLAVRTPLTKGFKGGFKDTELDYLVYALLKKVVEKSRIDPQLVEDICCGNVSDGKAAYKVRAAAL
AAGFPNTTAASTVNRFCSSGLKATQDIANQISLGNIDIGVAMGAEMMSVGGDRLEKPFHPEILENQESRDCMQPMGQTSENVGKDFDISREKQDRYA
AESYQRAEAAQKAGWFDDEIVPIVAEVKDPKTGEVKKVTLTKDEGPRWGTTFEGLSKIRPAFPDFGDRSTGGNSSQVTDGAAAVLLMKRSRAIELGQ
PIVAKFVGATVAGLAPRIMGIGPSIAIPKLLSKYNITIDDCDIIEVNEAFASMAVYCKDVLKIPHDKMNIRGGAIALGHPLGATGARQIVTGLSEAR
RQKKKVLLTSMCIGTGQGMAGLFINEQL

>RCO7_01549 | uncharacterized protein

MAKRLSFRVHGEVQGVGFRFFTQKKATSYGLTGWVRNTSNDKVEGEAQGEEEILGNFLKDIGMGPSHSTVEKVEKQDVDVVNGETDFEVRR

>RCO7_01550 | uncharacterized protein

MPGRDPTTHIYAGLEDVIGPVVDDRVETMFWSSIPLRTVDSVLNCSLLCLVLVLVLSPLWSAQLFRKPFPIISGIWSHLLYKSFLALFWNDGGWSVI
WLQVLLPNFVMVILIAVFGVFLGGALDAEERTEWIDCLELFAGSKKRACILSSTPSQLHFTKTNVIKAFQGIIRALRKSKPRYEHRCKKEVADQNKL
DYQL

>RCO7_01551 | uncharacterized protein

MVLSPAIITTLLLLSCAESIYADEIPMENVPAYTTAFDANPCCTSCAVIPSASFKSKYCKDHPITDPAPCLCTDPALSIELRSSIWNYCIEKCGASS
APYATSILADYCRLNLPPRTTGQSPGIAIGTPTEGGKGSATVPTATSTTRTSPVTMSAPGGGEDKLSTDGKAGIITGSVTIVIMLLLALAGRKFKWY
SRVKARIRGHGYHAPEVNMSDS

>RCO7_01552 | uncharacterized protein

MATHETVLTLVSALHANIDSIHTTLQSLSSHPTHEAELQRLATEREARIFDLRTEHAQALQILANQRLREQQDIELKRQKEAGELEEQRKREWKEVL
KRREQEDQERERKIQEEELEREKEKRKEDECREAERESRELILAEDIEKELERVEDEIETRIEEGKKALKKLDEKRRAINAEIDKALNMPTVIPEIR
YRSRTRTLSRTGILEAVTLPPRAPNVPDVQPKNIAIQASDSGVIPDRNDEKGELDGLRTPELINARLQENNVSSTTRRNSGLRTFGLGLRSISPDSA
RKPAGNRELRAMPGPKEKFPDLNQSYSESEQKSPGNVSPGTQTTVLNISLGAPLSIHTRELNLGANLPSTSDPMIARLFKYHDPMTGRLFTYMRYPE
AKQTSSAIISPSEPMSSKNLPIESPIVLPTEERSSGSRPTECHDPMIARLFKPYDPMIDRLFSDNSSDIKQSDSIKEIWFTRLSSTTKDEALREDEQ
PASTLCAGEAHSGARSNDTFDPMIDRLFRWNPMIDRLFRSDSSEIKHANSATDILVAPQLSTQDKVLARETVDEQPRTIRSASTPSIKFHDPMIDRL
FKVYDPMIDRLFQDTPSELKQKDNTTTSPPTLLSSTTDMALGQEVKIGEQSQKIRPKTSPPMKFSDPMINRLFQHYDPMIERLSRDNLSETNYADRL
EHNPLVHEMKAETSNRSWEAFISENFGTPMKERTKSADVSESAQMTPVASSDDLVRLELESQETMLFGERHLVLPRNSSCPVASREPSITITHDDPT
GFAERTRAVNAASRHVDSEPWPLRDEEDQDLIHGATANVHTRELHASQIVLSDSSDYWSRSETESEDSDDEAEPGQHFGSLRAHAIEMIEEDDLLPD
NLSDTNTIGNDSYENMSFEEKYGVPRSSTPIRSLSRIDSHTESSHTTQAAGDFFHGESDSGDEIHPDYGAQDSYPDNIADQYLQRIEPALEIVPEHE
PLTEFNDTYTSHRNSGIFSNLVDTFRNDFPAVPQAQFDNHQPGSEYALGNAARLRAVSFDDDYPEYIGVESSQHETSLHVPNHIADTVPSFEIDAHS
DSIPTTPSDTSSSSFVDTIDNEPVIKNASRDRGMTVSSQPADDLSVYTAKEQSFDPNFANAYTSFVASSPGFPPIGEASHDLVDLDERPGSGYSSFG
EQTGMKVHRDKISSAKGNDAVPLDDISFNGEAQKAIVPGSTQNPAWSTEWNGPVLESNETPTSGSPFQPTRTLPRTPVLLSINSQSTISPTPSSSLP
SPSPSPKNRRPAPPIPSTTGSLFVKTRSVFESASPQGSPAIVPSPITAFSAVRHDSPPPPAHRRSVGSRPSSLHITEPANHDSPAEKETVIEPEEDL
DEEAFMPKSLDGNNKPPSPVFVHGRSGSDSSLSKETNGPVVQKKKSTPFLHTLSRIVGGTQNHGLEEDSVHNFVREPLLARNDEQ

>RCO7_01553 | related to glycosyltransferase

MARINGMAVNASLPFPEALRGKKLLLATESFGPVNGVSRTTLNLVTYLRSHGVHVAVVAPEISTRSSAPVISTTTANNNEIEVRLQGYPLPYNPELS
VVYPVRLSALYARTFKAPPDLIYLASPASLGFQILLQVRQQQRPVPVLLNFQTDLSGYCEILFPSPLDNWAVWVFRSVQGYLFRHVSVKTVFYPSGF
VRRYLEKAGVQNSKMMNLRRGVDCTMFNPKKRDVEMRKRLAPNGELILVCVSRLAPEKGFEFLAKAAKRLDAQGMKFKLLIVGGNKNPQVVRDIKNY
FGYLNDEGKVTFAGFLKGEELSKAYAVGDLFLHCSITETFGLVVLESMASSVPVIARDEGGPSEIVEDSKSGYLVPPMDLDGFVEKVLRLGKDVVLR
ERMGLAARELAEDATWEKINNRVAWKLAEALDVKSVVEPASFSIPIYSWLLLHPGLRGWLSSIIVNVKLVGGLSIIVGIWAGLVITYLLAQVSLLVR
ARAPWMIGALPGR

>RCO7_01554 | related to UDP-glucose 6-dehydrogenase

MQIRRLXPVDRTTRYPLPAQMYSIANMDRKASMPISEVDSEQYYNYVSTAPTTPDGSLTFSPILQAMRLHDALEDASVGGITRITTTTSLDQSVSSN
TMVKNICCIGAGYVGGPTASVIAFQNPDIKVTVVDRDPRRIAQWNSKHLPIHEPGLDYILRVGRDGSRAFRVAHDPTYSCLSSSESTSSCTTSECES
QCQEAGELEINARETNLYFSTEVSKNISEADIILIAVNTPTKMRGLGAGRATDVTALEAVTREIALHAKSGAILVEKSTVPCRTSELIRDTIQVYRP
NEHFEILSNPEFLAEGTAINDLLNPSRIIIGSSSTISGRVAAATLASVYSWVPISRIITTNTWSSELSKLVANAMLAQRISSINSISAICEKTGADI
SEISHSVGLDPRIGPKFLQAGVGFGGSCFQKDILSLVYLAETLGLEEVAEYWQQVLTINNWQRIRFTRRIIRCLNGTVVGKKLTILGYAFKKGTSDT
RESPALECIKSLLEDAPMEIAVYDPYCNPSTVSSEIGKLLGEDVLRDNGGCIHIYADVYAACEGSAAVLIMTECDEFRTASKTSEKSSTATEEKKSL
DPRPFAALEPTETEILALNKHLSTGAPLPGSIPDSLQRLNPERNCGDGCRDCENSLFLKSVAAGSGTTGIGQPLDWSRIAYRLQKPKWVFDGRGVLA
ADVMEGLGVRLEKVGAVGWEGIGGK

>RCO7_01555 | uncharacterized protein

MQDNRARKTARQKGSSNDPNLSSAQMKSVTKSAIKKFSPFLLTGLAAIAEHHWLKKDDSSTEEGNAREHRSKPSRSHSERGALRKEKVENEEEAEVR
ALKDELARMRDEIKNRGDEALIGDDGARAIPVESAIPPSLVRGPRSLHSEHVSFQHEQPEDFVKMPFAPTPPVSYPAPFDEFRATRPPQLYDPLDPS
MRGLDRNREFEGSDFSSRLRQYRQRSNLHRNRNSKIQRRSIRENEDKSWHATKVAAVAGLVEGLHVDDGKGDWVGMKGVRVGTTAAATFGATYLRER
EPRDYRMREVVSDVGTGILVSGLVYGKARDSRPSQKRRWTLC

>RCO7_01556 | uncharacterized protein

MRLLQLLTGTALASVATAGFATYKEIRSGFDNCNIIHYEELDRSDTLFLYIQIIHGQDYSDVIKDFKTLAKNYGERGVKAIPRVRYGKADGSVTSEP
NDLDAIKEDVATWVGVFSEVKDIITIPVIQAGFLGEWGQSGPFVPGKGIYETTANIAAKKAVIELLLPLGIKIAVRYPQDHSVMGYEFNRQVTIHND
CIFNNGPGRDDGGTFPEEDIETWRAYLKRVASNNTYGGEPCDQASGSGYDWTNYADVCGDNGLIAYINEFKVAYLNPANPPELQKLFNDPAWASCIE

RMGAALDSYA
>RCO7_01557 | uncharacterized protein
MGVEELIEAYHTERKKIYRIHEAAAGAMQEMQQELRKIEKAKIKLAKAIVKANEKAGKEKAKERVKKMRQMVETAKEKQRVKIFQSDTPSSRRSSMD
GDTIVNLAASDFHKASDAPLKADETSLSLQYITHGASCEIPTCEVYR
>RCO7_01558 | uncharacterized protein
MMSQPMPLVIGNSQASRPPTHAARRYHSSEERYGAVRCKKKPREEIDARAAYDDHGSSDDGFGIMDDEPCAPQSLTFEEGAWEETGMTTTYDVPGTK
TLPPNNSTIKHKIAKIDFKKVVFSHMVIGKLRQVAFLKARLRNNSKITLLKGPLGLTLDGSFLGQAVFSS
>RCO7_01559 | uncharacterized protein
MGAGRKVSRSGRKVLGESAPVVSLPVFSINLDLPLQPSTFNLQPSTFNLQPFFDTLSHISLPVTLLGTFFVDFFLLWEIGVVVVRERDTFCGRVTTR
DDDLLLDCEIGSFLFSQEFFTFIQASSSTSLLSPIAEHKITMDHWCFDCGAGFASFQAVSSHCRAKRHRVGVECDDPDCEDLFIDEDTAQVHYDEEH
RIWCYSCDETFSSEDELDCHDRVYHNFPCYTCDKMFRSDAALDQHNDAKHHNYCEACEEWFFSEASWSTHLDTAHSFVCPECPERSSYRTASALQAH
QDSPAHSFECGKCERKFRTTQGLTQHINSAHFVCSKCNVHFGTVAELTDHTTITHVFACNSCDMKFDTTSKRNAHVSSAHVVRCNLCKETFKTEETR
RVHIDTKHKFPCTGCSLVFGSTEELAKHVSDKHVFCCEHCPKSFFSQQLLEAHISTSHKIMCKKCFKTFASHKNHAEHLEKEHVIPCKICKEILLSA
EDQLKHTAVRHGYSCCSCVESFATKLELTAHRTNTHGIECHECDQRFMSPSTFAKHFMEAHMHKCTICKAYFDNKDTFKEHTASAHENKPALICGLC
KDGAFPNIAAHEKHTAELHSAQSEPDSIFYESFEGFSPEKESEISKQDGLLNQENLSPNGTQNSKPASHTKEPFEIKYPPMLKEPLPPQCTSCPNKL
FLSQATLEKHFIESHADNIKQSCHLCYNLNFDSSSARLKHHADDHSFKCPYCIAQFERSHLLVSHIDDSHTYRCTYTRCGGLPFTSAKEMDKHIKTH
EMLDKGITEKENKLTHISNNESGPATATTKPSTSSCSPPNCKACLTYHTHHGTIYSCKECEGADFLSPEDLNRHIKHSPFHGKPKYDCTECLMEFAD
QIKLLLHIESKPHKTKACELEAVTSSGWAQFWKPQAVGKTSCLRPRSVSPDYRLPQNASMSVFYLWKSKTHLAPTGTAIGSPHGASIPSLPLKHPRK
RAATN
>RCO7_01560 | related to VPS36 protein, involved in vacuolar protein sorting
MFLKHIDLTTALRPSYLPDEVLLFVQDNVGMYEGKFKIPDHQNGQVYLTSHRICYVDNGDPRKNSTAIDLKDVERYDFYGGFLKSSPKVTLVPKPIK
RSSIHNRSVSNLSQASRSATSSPAPTNSPFHLPAPELSPASIATWICTICSFSNPVPSNFDPHTANERTTLAPCLACGIKPTFALVMKAAISNATNR
PAASPIPVRAPIPLRGRPDARPYSDIYPNSQTSSDQLQSAQSAKGPSFICPRCTFENHPSLLSCELCGAPLLSQDIPTDLDKTPIRNESPGPLLQHP
PILSTENVESIKLSFRAGGGPIFAERLKTSLQQRKWLLQGAPPVPTAAEQTKATSSSGNSTPNPERVKTVGIAGLEQRRLELRRNNELVIGNAFEDL
EALMASAKEIVALAESFSLNGSSGAETNAVANALGLVTTKDMLGPSNSSQTLYISELSRNLAEFLTDDARGILRKAGGIISLVDLWAVFNRARNGIE
LVSPLDFEKAARMWEKLRLPVRLRQFKSGVLVVQGSDRTDEKTIRTLMAWLADLHVFPPDKDLAWDWKIYGRGVTAQDAAERFGWSIGVAEEELEMA
EERGVLCREEGVEGLKYWENWLDETQYPNRGCAVSAA
>RCO7_01561 | related to leucine permease transcriptional regulator
MNSSWPSTIPPPPGTQTQTQVQYGYPQAPAYHPVQVRQHFAAPIHYIPAQQVPQQMAAPVVEKKKIDWPAPVRLYVQRSFESENLIADISRSEMEQK
LRETIAAATDNNTLATIDWNILPLPQQMISQERAQVKAMAWKQESLEMRMGTNGHANHTAHNIVSKKRKSQELGDDSMPPWRTNKMEDRITDKRQQP
LQVEKLSKSQKNLEKRLRRFDGGYKPTYARSPTPEPSSGPVVGTCQILEKQYFRLTSAPVPSQVRPEPILRQTLDLLKKKWKKEGNYSYICDQFKSM
RQDLTVQRIKNEFTVTVYEIHARIALEKGDLGEYNQCQTQLRALYMQNMGGNPVEFKAYRILYFIHTSNRTALNDVLADLTTAEKEEKAIQHALGVR
SALALGNYHRFFRLYLDTPNMGAYLMDMFVVRERLVALSNICKAYKPDIKLRFITEELGFESDGDAAQFICDYNGQHLLEEKNDELRFLTGKAGALF
EAARSAAFAKVDIKGQI
>RCO7_01562 | uncharacterized protein
MHLPTHLVLLAQLAATGAVAVAVKHGTIGMGITMYKPPCAYACHDSLSTLWLNCTTFAMPGDDMDGMTGMGMKLIKRMDMGGESEATTSMECTASNM
PWLQTLAYCLKDRCGADGVGEKQIEKAYAKLSMSDTAVYSEMLPTEAPKMELEADAKWLNQTMLVNYAKWYSQRQTLQEFEYQEDLHVQLSVAIMVI
TVGVALLAGIYMNFSSKSLGNLLPIWLSKFLLLPALFNGKHQTPLAGNIGYAPSRMLSFVIFVYVFLNIIFSAVPYKSVSPQTTNAWFSDSKTEIST
YVSNRTGVLSFANIALSILFAGRNNPLIWITGLSQTTCLAFHRWAARVATAQAVVHSIIYTYIDFWGGGSAKYYANVKLPYYWWGIIATVFLCFAIG
FSALPIRRFQYEIFLVTHIIIVIVALVGCWYHVIIRFYYKWGYEVWLYIAFAFWGFERLSRMAIIVYRNMVGGSSTQAVAELMPGGTFMKVTVYPSR
SWTFKPGQHAFLFFPSTGRFWENHPFSIAGWDTGSTTSTTDSTVQPGTGPLTQKDEEKDLEITTAPMDSDSTSSRRISHTQQAYTQHHPTLARPSIT
FLIRPMKGLTSFVQRDLSVNTSELAYLPLTLEGPYGHTIDLSHADAILCIGGGIGITALLSYIQFFVEARRALSPAIKASRLVLAWSHREREFAGIV
RSMLPVDAKALGVEFLWTCTGADAAKREEGVGIGRLDISAVLEAEVGSVKRLAVLVCAPGGLADEVRRQVVRLHGQGGTRIDLHEDSFTW
>RCO7_01563 | related to bud emergence mediator BEM1
MFLLQALRRSLKNDKDKVSHISINQKSAIAIVPPKKVIRALYDYEARTSQELSFTKGDFFHVIGRENDTDWYEACNPALPDARGLVPVAFFQALGKT
ERDSGQSQKSPQAVRAPDHDSGYSDNSGSGTLPGTETQRSSRTMSKGSGAMVYGIVMYDFAAERPDELDAKAGEAIIVIAQSNPEWFVAKPIGRLGG
PGLIPVSFIEIRDMGSGQAVADASEAVQRAGVPKVEEWKKMAAEYKNSSITLGKFEVPNSQQAQQRAMEQSMDKMSLQQGQQQNGYQQQQQKRQSEQ
ARAFQQQHNPQQNAHASKSTSQSYAPISAKIPRYCFAEDKYWFVIEAALEDGRHWELSRYYEDFYDFQIALLTEFPAEAGNTGQQKRTLPYMPGPVN
FVTDAITEGRQRNLDAYVKNLLTQPPYISRCTLVKQFFAPREGDFEMDPNAVNEEYRLSGVSQQSSNDSPTNGASRHSSRGNLNGGGYGGLSAAPAH
QRGQPSLSSNNNNLQPRQGSTLSQPSNQSLSPGLSGQPPSAMKVKIYFGDDLIAIRVPTDIQYQQLYEKIRERLKIAPGEEIALFYKDEGSGERPGM
LSNNDLDFALQRNDKLIIYVEYN
>RCO7_01564 | uncharacterized protein
MQRSSANLIFPCCPAPAAERSVIKSEGSHDNAKEGTVTIRQPSTISLSDFDKLLHKLTKETNILAGMYQVQLQHPSKGEAISRIYQMQEAKYTSNLE
FNKILQPVMAMSDRQMVGVPWDFRQSQHTRRFNSDPPLPEDTVLSQTWPSYARTSPPPPNELQWAPPAVTRHEGAAVSPQQGLSDQSLSRELISVQV
QVTQPPQSDPQKLCRQCGSLVHQLKHHPNPNTPEGYLRGCVHCNSLYHRLTTCPHRDMFADNEWYYLRECRTGLCPVEDFRDFREIHRLDADGRLEY
SVEMHLPLTPRPAVGKKFEVATAPAVSGLRNAWQQESTQRRQKICKHIQDRSHVFVLDEGTFAELEDSWVAPLPSVANIARRGETTASQSNQLPQRS
SVHPTHSSQPSNPPATSRKHTTPLQDVPAPKSKYASPKDGKIQTKHQISDKKHSTKRERKRSSSIQSAESWHSNSSTTTWKEGTPGMNRPTKKRRKD
PARAATSRYLSAGPRRRKSHDRRRVAVDRSNRIN
>RCO7_01565 | uncharacterized protein
MPPLPPYIPFPSPMRIGTDICQIDRILSILQGRHASVFVKKILRKEEIDEMGKRGMDRVIAQWNFFSGRKSKDLMDTDWKTATRTSDWKEMCKPPVL
SCDSPSAAVPQRAEMIQSMVARHHDYDEDHDQNADEDAKLGKVWPKQNAEEIEREMERTDRALRVAARWLAGRFAAKEATMKAYTSRRLTYHSILIL
KPPPKEGVEGSVAPVAIVLGQEELRREAEEQKSEKKEGEAKKEEMKERGKQRKLEKEKENEKEGSREMEMKKSAKKVLSKEAQLKEWVKELEARERR
ERIDRERGHLVLRMGTFRKEGDRDRLRNKDRVGSADEEAQAIVEGEQENERLVSKTTERQMEMEKARVGREVRISISHDGQYATAVCLAVDE
>RCO7_01566 | uncharacterized protein

MAGFNANPFAKRDSHNVQAVWTYKVLTILTWLLVVITSINYTFAHPHDDKKYWRNTIWGQNKAFHTPFAMNALMGSLYWLALFLSQIVYMWHLFSKN
SDHVQSAAAVGSHFIFNNLLQFAWVMLFARGHFIWSEVILVINFFNLSFLYFRHNIYARAIHFPAVSGPLAWIFVALYWNGAIVVNAHTLPARILAN
VAIWGILVYGLFFLVVFKDYTMGFALSYLTAALGVGQFFTKTIAFQWIFAFTIMATLFVATLGISIPGFFGKEISFRRDTNVVSADQERAPLLDDA
>RCO7_01567 | related to aminopeptidase
MKLTTVSLLALSAASINARFVEKHETDQVVISSIEDERFLIETSPGKTQWVTEEEKWELRRNGQNFMDITTTQDLGATIQTSSKKTPSFPSKPTLQK
ELNPLLKSLDKDNMQANLETFSAFHTRYYQSDYGRQSSEWLLKTVQKTISDSGADKHGASAVQFKHPWGQNSIIATIPGKKNSTVVVGAHQDSINLF
LPSIFSAPGADDDGSGTVTILEALRVLLTSEDIIKGNGENTVEFHWYSAEEGGLLGSQAIFKEYETTGRDVKAMLQQDMTGFVQGTLDSGKKESVGV
ITDFVDPALTEFIKTIVTEYCSIPYVETKCGYACSDHASASKAGYPSAFVIESAFSDSDKHIHTSDDTTKYLSFDHMLQHARLTLGLVYELAFAKL
>RCO7_01568 | uncharacterized protein
MAIYSSVPPPHQSFPPTTATTPPNQTIQPIDIPTWTATIPVQAPNITPSTSTLNKGVTLSIPIEEDVEERPKKIKGEGVAKARRDSMKRRDALLKGK
EGSRRRQRWENDNLLNNPHVQPPLPSDWAPSATHRVTHVPYYLAPLWDAGVARLAAERASLSSRSATYNARSGIIEEKGRVPADLKSKLKKAKGAKT
LLQELESEVRAFVREFDRAERVREARLKSNSVQSKIGRSRSSTQESAGSEVLVEADSEDEEIVFIGRDADGNGITMSDEVKQVMEIELQREKIVYEG
LEGSKEGGFARWLVHSLAAYYGLASWSETRAADGKGMKRVAFVGVREKGGFGEELPRPLWAGAAASEV
>RCO7_01569 | uncharacterized protein
MPSSSKLLLFSFATSLTNARPWTGAEQTNVYREAGWSPAPTPLPNVPAYIFKRASLDVNICGWIGGNSRVPALCSAGSSCIHDTIHGIVGCCATNGP
CTQGVYTSCVDKNSVGWVPNEGLQKNGIYSCSGDAVCYRNAYPGGYYQYGCGASQDATSVQTTYAGQPSDLLLQVVFTGVTFSPFSTMATTTSASKY
TATSSSSSISSSSSTSSRSSSVRSSTSTSSECRSATGSSTLKAAEKATPTAVSSPTSVTAEVSVKKESENKGVIACAVLGSIFGLAAIVGFALWWGR
RKRNKRIDNRAGSFITQHQQDTPPTSGPFQRIAPFSPYEFMGMSRNQSSATTATANQGEANVTGVISNQYDNPNVYVSVPYQPMPPRSPPPYPRTVA
TLPDSEVGEFQTLNPPPPPATASTFLVSPSEIDDFSRGYNDAIASRSQERDTHIHIGDMPVLMPGVVAPMLLRGGSGSSTSFTASRRRSQDWGVTTE
ALRAQRPRVVSTPIENQPAGWIPRGLSMRASGSLSGTGIAGRGRTEERGGSRSGNGSPEWAIPPRSPLRSARPSRQGHGNGRQRYQLVDEVVDDVPI
LRSPGLRAGRGMRRESIKE
>RCO7_01570 | related to histone deacetylase HOS3
MARDKPPLPPANSSQAALQQSIRRLSLNQGSPTALPSSSQPSPPARNLEPQRSRSGASPNGRIPPRSPLHRSPSSMSTTSRSSTPTLLRKASMNSLH
GVGGVTPSRNSSNSRRSSSTQFNNNMGKSPLSEIEDPRPTPPRHTAASIASNYFKGELELHDMEDDTRPADVIVILHDACYGHRYSRPRTSKATLST
IVERPERIHASILGLSVAYVCLGERHIDGQFPLHPGRDATSIPSIPFRFRKTTRKMALSSQAVTNVHGAKWMAELKIMCDNAESRLAMNGKELARPD
MNRSPDQATPAKLHEGDLYLCAESLDAMEGALGAVCEGVDAVFQGAASGKGPLRTFVAIRPPGHHCSSSYPSGFCWLNNVHVGISHAALNHGLTHAA
IIDFDLHHGDGSQAIAWNSNTRANSASKNAQQWKKTSIGYFSLHDINSYPCEMGDEEKVKNASLCIENAHGQSIWNVHLQPWKSELEFWELYETKYA
VLLEKTRNYLRNQTERLRLSPSGPKPKGAIFLSAGFDASEWESSGMQRHKVNVPTEFYARLTSDVVKLAGEEGLGVDGRIISVLEGGYSDRALCTGV
LSHLSGMSAGDPMIIKKERSPTGLGYEMVQRIGAYDGIPHPETLTAGSQIQSYDTAWWSVPRLEQLDALIHPDAPAPEPRKPRDVVAPTYSTPTQSF
IAKVTSPSARRTISNMGLSNNSPRAVSRAPSPPPPEVDWTVAAHELSKLLIPTERQTFSCRPEELSAEATRARRDIQSILMPSTEPVLENPSSRMAL
RTRKPAKPLVDSTDEEEKKPNAKTGRRKTVAGAAMLAANAASSRSTTPMPDYTRATVSSHRLSVSSTTGSTISEVPPSLARQNGYRITSTGNGRPGT
AQSVRPDSSMSIRGHNQAGPMITVKKTRAPAQPRPEAKTSRTRRKSPLDDSAGTVGTVMGKRTSSSNSVLLPINETASAAAKTPPVGTFQVADMDSL
TSGMKKVKISLTTKAQRDAKATAKDATGINPTGGKSAAAKPTVPKTTRPPPARKQSARKETAILAPVKHHAPVAETNGSTVPVNQDGELLDITTLPA
TPQSSIPAHLQPPNDVPLPASSPLRPASHGNTTDHPSLAPAQFQAQNQPPQHAQHPLKSTPPPHPKSAYVPTSQPVASTPDIFIPYQPEGPMPTLAS
SSNSLRWLEPNTGTPSPMKPAVHNPGGGAGNGIGCAVKKADLPVWTSTGAIPFAVQGGLVKDGDVLKGNADVNEKDGDKKGNGEEKEIDIWAVPETP
RR
>RCO7_01571 | probable tRNA-guanine transglycosylase
MDRPSMPSALTFDLVARCSTTKARAANLTLPHGPVQLPLFMPVATQASLKGLTPQQLEATGCRLCLNNTYHLGLKPGQEVLQAVGGAHKLQGWKHNI
LTDSGGFQMVSLLKLANITEEGVRFLSPHDGSPMLLTPEHSIGLQNTIGSDIIMQLDDVIATTSPDTERMREAMLRSVRWLDRCIAAHANPETQNLF
CIIQGGLDPEMRKECCAEMVARNTPGIAIGGLSGGEAKADYCRVVSTCTSLLPELKPRYVMGIGYPEDLVVSVALGADMFDCVWPTRTARFGNAVTR
FGMLNMKNAKYARDFGPIEDGAFVHHLAAKETAGAHMLTIHNVWYQLALMRGVREAIIGDRFPALLKKFFSDLHGGDKSKYPEWAVEALKMVGVDLM
VD
>RCO7_01572 | probable AFG1 - ATPase family gene
MGAIRVRAGGVVLRAVGGASSGRRGICVRCHQEWSEPCNSQRETRYARRQTVSGSDARRRAMFTLPAPFIAGQRRAFATVKNVNPDDRGPLMEYDDR
VDSGRLRNDEHQRGIIESLQHLHDELRPYHAPPITHPTLETLKPPPKSMFGRFFSHGPKPAKLKEIPDNLPRGLYLYGDVGSGKTMLMDMFYETLPR
SVTSKTRIHFHNFMQDVHRRLHKMKMEHGNDIDAVPFVAADIAEKGNVLCFDEFQCTDVADAMILRRLLEALMSHGVVLVTTSNRHPDDLYRNGIQR
DSFIPCINLLKNRLHVINLDSPTDYRKIPRPPSGVYHAPLDKHASSHAEKWFRFLGDPEQDQPRSETQRVWGREIIVPKVSGRAAMFTFDELIGRPT
SAADYIELTRSYDSFVVTNVPGMTHRERDLARRFITFIDAVYESRAKLVLTTAVPLTQLFLSKDEVAENVKQDKADKKGQTADEEALDSTMRNLMDD
LGMNMNALKNSSIFSGDEERFAFARALSRLSEMGSRDWVERGMGLEEKGGKKEKDDWMKVRSKQLEDSM
>RCO7_01573 | uncharacterized protein
MKLLLTLCLVTSLFSSALANTCKIQYGESMCLTPENPDYDAIACEDTKCFNLVVDWDRQQHDDGSYLRGERVALKDIDDDWTIRGWYFDGVSLSRLS
ALQADS
>RCO7_01574 | uncharacterized protein
MYFLTLATLLFSYQAVAADAPKPFGLFNHSIIHAPVGKEQMTYPRYAELADGTLLATTWLEQGTGGKHFPVFESKDGGAHWTHVSDLVDKVNGVGIA
AHPFLSQLTEDLGDYKAGTIIATFNSVYHNSTGAATILDLYISTDRARSWNFVSQIATGGPKNTNAPVWEAFLLPYKGQLVAYYTDGRDAKHSQKLS
HQTTTDLKNWGPVVDDVVYQNSTFRPGMSVIEYIPPLDQWILVYELLTGVDSYGANFPVWYVMAKSPLEFRNSVPRPIIVNKKTAPNACPYVAWSPV
GGPNGTIVVTSTNKPVYTNSHGGAIDKWEEHDTPARSTYSRSIQIFKKFPDHLGIYEGDSADEWGKGPHVPYSFTVVSLRETLLK
>RCO7_01575 | uncharacterized protein
MEFDFRPCNFVQFERLPKEIRRMIYAISSDRDPDVNLYAPEKLLVRVFSELFSDSPRKPQYERLEYKFSLVLVNRQRASQVNFVNRETYREYLDRYP
NFLQLRWPLPGVRSSPIRFNARIDTIQMDVPSLFAITDVATPLDSATGVGGNPGQGSPIGLNIQQLRGFDWIQKLEVNIQFAPDDPAAPIVPPLIPE
DLFGIQWLRTNILTGLLGPMVQNDTIPNDMLPNTLLREYLSDTYYLYYSEEEDDNMFWDPDAFNVHDAYMRLDRNRHACMEAFFKIRETGDGSTVEP
MSPGNGQLPGRMSAQGLL
>RCO7_01576 | uncharacterized protein
MASSCKEYDDIVTYIVRSAVPDTLRVITDFSGENTDFLAGISSEKRNLWIEVVRRMQRDEIIELYVITTSHDIEICLNPATDVEQYPERGDCAWIKA

FFFGKGAQHTSRDYASRVIVYLESHDGLYVPPALRPDPIWPDASKSPLVLYNSTTPFPDPKTATNHEIKAWFADPTKSGLGAWPGVGILSLAAWKPL
HVLLESITGLEMSGINKLVMPGCEAVLGNMDSSRPISKDQKNQIGAIAHPLILYEIDVDCWWMGIAGARHWLMVALQLYATVSASKWKSLKSAEVRR
RNKMRSGVPARIVLKMRFSKKLVLGANVRMAEKDVCLWYGRLQRCILDGDQVGMALTEHILDTRDFMSKLAEARLALKNFVEESESYINV

>RCO7_01577 | related to aspartic proteinase precursor

MLFNTLLIVAAAVSLVSAAAVERERLAVVPLKRKSNASSLKSLIRQGQNRLAQINGLSSLDTSLVSSGVVTNMDTYYTASVTIGGKDWDLIMDTGCK
PKPAEASNTWCGAREPYEKTATGISTGRDFFLRYGSATVSGTEYLEKVSFGGLTVNSQSIAAASNSTGVDADGIFGLGPVRLTRGSVAGRDDVPTFM
NNLKAQGSIKTEVFGISFRPESGNHTKDANGELTLGGIDASKFTGPLTYFPRLTKGDGAYFWGINVTKFTYGTTVLSSDISMGIVDTGTVITWIPTP
AFEAFLSITGAQFESRNRVPEWTRRPTANFSITFGSTTYTLTPDQYLLPTDQHAVFGLDPGKYYAFLHDGGTEGYTTIIGQKFLEYYCSVYDETNSR
IGFAANS

>RCO7_01578 | uncharacterized protein

MSDKDSDKKAPPKGPAPTGLPPREKLSPAFQKIIDKSDSEDNFYDELYDGTAPQSTESNIRYAAYLTRVRTALLSAQRYVAYTSDIGESFRPVAHPL
LVRSAYGISWAYILGDVAHEGYKSYCANQRILHPDLSREAATERYNNAETDVKDVAREVGVSLQPGKVTPLEDYRTVMAQRAIFQTVASMGLPSLTI
HSIVKYSGRALKDSKNVRLRTYGPIGLGLAAVPALPYMFDKPVEEAVEWVFHKGFQMVGGKEAVGDAPATGREQILEVRNENAAGKAARKGNKEKEL

>RCO7_01579 | related to IAH1 Isoamyl acetate hydrolytic enzyme EC:3.1.-.-

MADVVIGGAGDSITQGASDQDRGFGMAAELQAAYVRRFDVINRGYSGYNTDHALDIITRALPTPQQASVKFLTIWFGANDSNTNPTQGQYVPPSRFR
QNLLEIINHPLIKSHSPPVNIILITPPPFEESMLVDLMKVWGATGVTRKAADARLYAEIVKDVGREANLPVVDAWGLCMEKTGWKGDGKEGDGESMP
GGDPEKRNEVLEGLLFDGLHLSPSGYRIVFDGLIKIMKENWPEYPPYKMPFTEKVPWEIELGDQMWDVNNDK

>RCO7_01580 | uncharacterized protein

MSTTVHIPPPSGQNLAHTPTAEYQSVEKGHLQRQPSEFDPFNPEKFEKERLPDALAAIADDQPVYAAPIAKVQQSMADINPVPAIQQTTHDITQSFE
ADSHDLAHSSEVNGALQDGNGQVRGEVRDIGWHRPNLEIPDPLIGGITNGHLFAMIRRFNKDVFAVQAVPPHVARGLDLNEAWSDEYTNDKLPLHLQ
RLYLSIVLDMASFGKQVSRLRSWKETRRTSAFCTVYFLAWVLDLLIPLTLATLMLIISSPSARDTLFPPAPRALVNMNTGGLQNPASRQLGTVDSLT
GAPEKQEGEAIEEEAANFVSNVRHMVQRAVGMHEKEEGHGDPLEGKVPKPIRKGVKAIKAAGTDDGHATGEVDQTQKPMEEVLWNKVNPEIVAKVMK
KVPHVVGEIVDNWERFANAISSTPPFSNLTFARIDAVILPLFLGSFFITSYMVYKGAGFAVGLGIFGDPVLTPALEWLNRNYPNYLEMLEPKNNILR
GVPTNSQLTLTLLRIGEVHNTPIPPVPTSNPKDADQHQAVNLNDLPVGESPAAKLSAIQEAPALHTDTEPQQKEEPKHKHLSKITRIFKGNTKGAVE
TKLAIDHVRAKAGSEKAKGHLGVLPKRENLVYAGPSHFKGRLDGKQGWLCIVQNQTQRPTLLYTTKDPRSMAERNGDSRNEKLDPQIGREELAPVVE
IDIEGIQKLKRATAFVSKAIETAVNWSEEKDLLASLEVEDANGKMWRFTALPERDELFNRLVAVGGQRWVNL

>RCO7_01581 | uncharacterized protein

MQLHAVALALLLSAAANAQFASLTSSLGNAVESKLTSKASAAASSFAATYSGPGAGIVSSVVSNPSGVMSIASKASSLAAGATSTAGAQVKQAGLGA
GAGLGAVAVAGLWAVV

>RCO7_01582 | uncharacterized protein

MPSIVDIGLGKVGSNSHPIHPSTVHLPIAFLLAGSGLDILSYFTTHSAFLLSTVTSLSSIFTRNATPIGVLYHLSLFSYASTIAGIFTSFPAITSGL
FEFYDLVQTHGLDFSNQKIKITSIHAALNDVALFGAVYNVISRYGREAWISNGKNTLVSMALFGGMGYAAFLGGGLVYTHGVGVQRMGKGKEEKEAG
RVKEIAEAKKEL

>RCO7_01583 | uncharacterized protein

MAPEIPNQVYPLYNTTFSLYRLSPLHTGSNETLSNSRLRELARQFHDILAGEVLRGVRVGLGQEDDALARVGALQTVTWRLLPEEETWSAEDETEMA
NDDTTMSLAACRGMIVTVTYEKMAYKAILLRDERGDYTDTSMVTLKEETAGFQNFPLMLSRMPGSLREVFVNFLVETFDNRISPLQFPSRYLIDTFE
RYVADISMGEDGEPMDMIERSRVLRNTIKETLVVVGFDLPVGSAALKTVEINLAREDLPRMIARGKMIGRQEDTDSPFFDALATYIKGHLALDLRHE
KVKILRIACGAFVLGTEGKLKLTHMAGGEDGESSRGAATRRLLYGFISHAAGSSSAT

>RCO7_01584 | uncharacterized protein

MRSKTLFLLAGLASSIIANPLLNSRQTDTCSQQRLTCGAVPGANQSLCASQKSACDACEAAYERYIISPNSNKSLAASLRNECFAASTVGDGTGVNP
IISSLTVAGTTPTSTIIVATTSVSSASAGTTTAASVCDQQRLDCGSAPGANQSLCAVRKNSCDACEKAYESYVTSPGSNKSFAASLRNECFAASKQG
TGEGVTPIISSFSAAQAGGSSATPTTAAPSYPTASASNTAAAQPTTTSDFVTYGNGSALHSTTMKPSTILSTGTASGAGAGVPSSTSTVVIGAAESL
KPFGAMGLLLLGAAMIL

>RCO7_01585 | uncharacterized protein

MTSYSPKSQTRKLEATRITLTSLKPHDDVLGSLYSSIGSPESVNEWPKMLTDIKSSSDAEDAREKFTSAAKELLGPHDFMIFQEFNHGAWIPMFGAG
DGLKSKRIILGNPLIAITMLQHDVNAGLFVPVQILVQEKKEGGTEIFYDLPSGLIAGVNKDQELVSAAERLDEKLAALLNDVLS

>RCO7_01586 | related to monooxygenase

MGSIGLQSQAAVLSSNRCEPGSFPLVTAQFPAGSNLKSDNPHRIAAVWVSDLNKCLSSPSKETLSDLFLVESYWRDQLCLTWDFHTLSGPSKIHSLL
QRNPSRIKSISLDESTLLRAPTSSSLDDGKVQTVQAFLKVETDVGSGQGFVRLIEEKGRLKAFTLFTFLKELKGHEEATGKKRPFGVKHGEHDSQEN
WADRRKKEESFDNGDEPTVLIVGAGQGGLTVAARLKMLGIKSLIIDRQERIGDNWRSRYHKLVLHDCVWFDHLPYMPFPEYWPVFTPKDKLGDWFES
YVKLLELNAWTRTTLTNSSWDDVTAQWTVNIERIVDGKPQTRVLHPKHIIQATGASGEPNMPDIKGMSKFTGTRLIHSSAFAGASPSHGQNKKAVVV
GCCNSAHDIAQDLYENGYSVTMVQRSTTMVLTCDTNLRHMAGLYGEDAPPTDDADVMFMGVPNAVTKKMNMSMTDIQANEDSATLSGLEKAGFRLDR
GPDGSGLWIKYLQRGGGYYIDVGCSQLIIDGNIKVKSGSEISEVTTTGLLFEDGERIDADEIIFATGYLNMRTQCRKIFGDKVADRVKDVWGFDEEG
EIRTLWRDSGHPGFWFMGGNLALCRWYSRLLALQIKGQEEGLMKRG

>RCO7_01587 | uncharacterized protein

MGKRPDLQCVWPKDGSRGRGRRGFWGRLDNVLTGKGPDIFLQLRGSRSPIMRDQWQNWDSYSSQLAHDQEKKSRTSRGLKRYDPYTRQYKEWATPND
WSVSGVDGSGVGPHNKGRTRFTREEVVKMGKLRAANGDIDGRTMGPEWNERGPKRFGPEFDDFWQNAHRQSENRRLGLPLLWEGNPLMQASQQNSSD
MEDWLRMEGI

>RCO7_01588 | related to 6-HYDROXY-D-NICOTINE OXIDASE

MVSLLRLLVASLAGVASTAVVASAQAGVNPNSNPNAGCEALSKAFPSYRGPLVFYPDSEVYKWENSAAEFWSRVQILAPTCVFRPLTGGDVALAVRL
LKDTSAPFALRSGGHMGIAGANNIDNGVLMVMSNMTSLYLSPDKTILSIGPAYRWGEVYKFLTKFGLSVPGGRLSPVGVPGLLLGGGINFYGNQRGF
SADNVVEFEVVLADGSIVLANKDNNTDLFWGLKGGSSNFGLVVRFDVRTVPSKKVFAGIVTVSSENVPALLAASAKYTANITDPKSHIIPATVATTR
TPVDFIAAVILFYDSETDSNPACFKPFFDIPAISNTMAFKTVADFADETGTSVVPNINNIFASGTIVGKNYDELLKGIQITNEVFYSRLPLLYAQVP
ESEIQVVQLDWQPFGKLWIEASAKTGGNALGLDCSKIYVAYAEVVEWKSSQYDTICREWTKDTTDAIKNATIAAGFYDPWHYMGDSASFQVENFYDG

YGQASKDKLLAISRKYDQSRLFQTLMPGGFKLGA
>RCO7_01589 | related to integral membrane protein
MSLAADGITYSAPPPPGHTPNFNQPHEGLDLIVCVGIFVSLAVVTTVIRIYTRTRIISELAADDYLMLLALACSIVLTAFALDLFNYGLGKHLWDVP
IDVLYPHFLFNNLIAAIIYCPAAGFSKISILLFYRRIFRSRSFNRNIWILVTFTAAYSLSGMLVNIFSCRPVHGSWELSLATTAVCINRPIFYFSQA
GLSIFTDFATLAVPLPFLRALQLPLKQKLGISVVLMMGAFVCVVSIIRLLSLKTLLANMLPEATTPALMWCVIELNTSIIGGNFPTLKPFLKRYLPG
LLGTSRGQKSASYIKSGSHNLQTFDKPPYAANGPKAFNRTTVTGMDKKARDDNESEEYIIQRSSHNSETELERTEQLRAGPSNGGMNGAGRITKTVE
YSLTTSKFERDQKY
>RCO7_01590 | uncharacterized protein
MPTIQVGPDSDLQLQVVADIMGNSKKVVVVTGAGISTNCGIPDFRSQNGLYSMVQAQFDAALKNPPWEKSDEFDIDDRPRKKRKQWYYEVVAPDGKV
VDVIDEEIAPPETTQPENSQPEKSSPEVTQLEPLQPDIFQPASSHEFQTPHAHKRSSRSRSSITNTTTSDSRATTPSVISSTESSLSSCTLLTPEVP
VSFSEIALPNDKSPSFARAISTNSIAVANHIFDTRQSSEASSPPPSHSLSTQDISFREKSFNAQPLSQNSTAANRQSLPNLKGRDLFDAMVWQDAFT
TSIFYMFISSLRQRVKRVTTTTQSHKLLRVLRDGGRLVRNYSQNIDLLEEREGLCTDLSMGTGSRGRFSRRIGVGVASGSRAAAGGCESVTLHGSLE
RLRCSLCNVESNWDQEARMEATLAGSAPDCPTCEANSNKRTGNGRRKLAVGRLRPDIVLYGEDHPKAHLVSTLVTHDLALGPDVLLIMGTSLRVHGL
KVMVKEFAKAVHAKGGKVVFVNNTKPPESTWGDVIDYWVEWDCDKWVIDLKSRRDDLWLPPGAITADRRKSAGAGAGPTSRRKSGDSAVEPKAPKKR
PQCWRDDKQNGAYFVFKILDQLGTFQNDKGQTTQRKKYWTGPPLRASLPTKKGKSVKSEPVKGTFRIKFTNLQKPLVMTGDFAPNMKKLKSAPAPPA
EAEYPQNTHATIVTNYWQNLRSLAPELGQAPLYLQAPLLQFKGNVRPEYTQLNGEAPVYQKPFAFNSSSNHLPRIGSLGAWAIEKMNPASHPPVGAA
FPLIHTPKSQKSVKFPSPPLLNLQPEERKIEHSYVTRASKRFSTADTIVVHTSEGSDGAEGAIISTKKDASDVVEVAIIVGEPIVGQEVTGTPISDR
IKGRCSIDAIISSPEDGTTWHDAQEVL
>RCO7_01591 | uncharacterized protein
MPAPYDKRFVKIYRKAQRVHLWTDAELLMHFEGALEQVIECMPDIPEDEAMLKALRSWVRFLFPGVNLPRLLSYEKETDWVPKYGNAVVALSSTPGT
FCWNNITNGVQWAWFNPSPGDGGKFQDTDPSLKVEEEIGVKCGQFNSVLSHFAPSPDSMTLATETLAPSSTNNQENNRNVISAALTASSLHCGIKFS
PFESKVLEFRFNEYSSLEPFIAAKALRAGFSQEQLDDGWMKSSDQAGSGLEIMDRRMFSTWLKRATGAGCVFPGRNPVTGEYHMYTHNEMVENPELT
FKEPELRGYARTPLSSPERPIKRVGASKTNSQ
>RCO7_07117 | related to sulfate permease 2
MSSASEKLGHALAKGLLIKTEYRKDATETLSRGDSVFSTLNAENYIEIEPTAAEYFKEIAPTGESVKKYCRDLFPFMNWIGHYNLQWFTGDIVAGLT
VGAVVVPQGMAYALLAKLPAEYGLYTSFVGFILYWAFATSKDITIGTVAVMSTLVGNIVIKVQKQHKDIPAEEIARTLALVSGCVVLFIGLARIGWI
VEWISFTAITAFMTGSAITIGVGQLPALLGIPGINNRGPAYEVFVNVLKGLPKADINAAMGVSALFLLYFIRFGFESASYRWPSKKKIFFFLSTLRI
AFVLLLYILISWLVNRHIGGNVKKAHFKILGKVPRGFQHAGAPKMNTRTISAFASELPATIIVLLIEHIAISKSFGRINNYTINPSQELVAIGFTNI
FGPFLGGYPATGSFSRTAIKSKAGVRTPLAGVFTAVVVLLALYALTAVFFYIPMASLAAVIIHAVGDLITPPNVVYQFWEVSPLEVPIFFIGVFVTL
FTNIENGIYATIAASGALLLFRISKAKGRFVGRTKVASLTQDNFTKLEARNASSAESEQYSTLSRARDVFLPLDRKDGSNPDVQVKQPHPGVFIYRF
NEGFNYPNSQQYMEHLTETIFKKTRRTLLDNYAKLGDRPWNDPGPRRGQPAEARTHLPILRAIIFDFSAVNNVDVSSVQNLVDVRHQLDRYASPATV
GWHFANISSRWTRRALASAGFGYAKSNSPELNWKSIISVAEFDDSASTINSQEKRKLDIEHQSQDDEIRGDSAPRAPAYEKSSANVTVTGKSVPLYG
FNRPFFHIDVFAAVEAALLVVEQDENEVPV
>RCO7_07116 | uncharacterized protein
MNPNNDNKDSRKQMSSSRLFGGIATLFSNPSALIALRVPADQDRPSGFILTYFGSFFHRQKQYGSSDSDPDSSSAYIYESSLQRAIAIISSILSAII
LFGSIVSLYFVHNSYLSLGMLGGWTILFATVVGWLMDGKWENVFAATAAYLASVGCIYQRELGWGSS
>RCO7_07115 | uncharacterized protein
MQQTQQSYLNDSWIRHPTSYCLNCPAQQIFDGEEKLLWHALSCHTEKLPTEDDEALENFKRSFIAGSKCPSENHSHPRRPNDNDANSAQPESWPVKN
KRPLSFQSFDTPRGSFASNENLKIPTATRSDDITIQDLFDNADNAQSNQRPSHVRSLMNRLTALLYRSIEPDTVLQPSPSEETRWDYANGGRHRPWT
ADVFLEYSQARDRVHDKKRRSQSYTRRPENRRQVLPIKIGNQTYLACPDSGSGKNMTSPAFVAEKKLKMREGPKDNKPFELGSGKVVWSIGKVFIPV
NIPGCLLRRKKQPFYVLRNCPVPLVTGMPFLEEIEVLTKNQNLLKDCPPEISEISTLLWIGSPRNRLKCTMNGHGLDWRNPVTVAVEPVPIDIGTLP
VNLEQHNRKIQPETPIEAGDGVGIAFHVLPGLPADVAFGRDLLEKTDAFNLCPDLTSTPGSSNNILSDKFISL
>RCO7_07114 | probable TfdA family oxidoreductase
MSSIQTQTQQPDISYHPDFQKYQLRSERVKSQNASITKLPGDFPTKLEGKLVWEGKDFKDESQWTLVLSDSHLEEIDSALKNFKSLDKSIGFVNQQT
FPLPKLSTILRQHAKELHLGRGFFVLRGLKPDNYAIEDNIIIYAGVSSYIGSIRGRQDSKLIDGVRRSSMINHIKDLSKTSVAGNIGAPAYTTDKQV
FHTDAGDIVSLFSLNVAAEGGESKLASSWRVYNELASTRPDIIKTLSEDWVRDGYGNSVEPYSTKPLLYHTPATPTSNERIIIQYARRGFTGFLNLP
RSPDIPPITEAQAEALDAMHFLAEKFSLTLDFQKGDVQYVNNLSIFHARLGFTDRPGQERHLLRLWLRDPELAWKTPDRLKPRWDELYKDVTEEEQV
FTLEPRIRGGAGKA
>RCO7_07113 | related to extracellular serine-rich protein
MVSLTCVYVLAIFLFALDVAGAFSRSQPPIPTGTGASFHRGNGTHKHRHPGQPEGIAINNQTRLHRPRSWEPKKVVVDQDKPIVIITNTTAIKDNDL
GLTPHLTKRQSSVTLSTKSTFLVIARDATIAYSAKSGLNDYGIAFEVFVVPSGGATLPALTSPTRVGNYGGIVVLSEVSYANSGGNYASALTDTQWN
SLYEYQRTFGVRMVRLDVVPGSATGTRVLGSCCDGTVEQLLAFNDTSAFPGAGLVVGATLSTQGLYHYPAAISNSKLASPFATFRPAAGFPTMSVAG
VINDFKDGRQQMVFFLGFATDWSTTSILLTHAWIHWATRGLFAGYRRAILNTQVDDMFLTTSVYSGGLFRTEPADLEAHISWMASVNAKLPQGSNYT
IEVGHNGNGNIGSSYDIDGQDDGASVCGSGPVQYDSQTPASAEYVKPPGTGTSLWSNQAGDYPYSEQCVILDPLRNWWSTDANRDAFMHVSHTFTHE
SEDQATFYDVSKEIQWNQAWMAHIGISLAVCFSGRGLIPPAITGLHNGDALRAWSENGIVHAVGDNTRKILLNANNEHWPLITTVSGDNFAGVYIMP
RWASNIYYNCDTTACDVAEWIAIASGSGSITDLLTLEKSTNTRHLLSLHHDAYMFHQANTRQADVGITTAPGGGLTAKSGKWSLLQMWVETVLGEFA
RVVNWPIISLKHDDLAASFIQRMARDKCKYTMTLIVDTSQKIITGVTIASSTNICTASIPVTLPGKVRDTLGFVTEQLNSQDPLVIWVPLTGSEVKL
TFSVPISW
>RCO7_07112 | uncharacterized protein
MRLSAYTLVAICATVASSADLNVPSVISEFYPSETPKIDGNASTSLAEALHSIQSTWQNSHKFTSARDAIYSAAPTGEVQSSLAKSGWNYGQVTTQK
WYKDVPKAQKTDIADYRKAVESAAAKIIGTPSKSKNGCMPTGVPMMMGAVGVIGGAVVAAM
>RCO7_07111 | related to aflatoxin B1 aldehyde reductase
MPPSLIFGAGGIGRGVISYSWVDASQTSSLLTTLEALGLTELDSAAGYPPGAPWVTEGLLGETKAAERGFVIDTKILAKREEGGIGTLSQEGIDESL
AKSLELLGTKQVNVLYAHAPDSSTPAEETARAFDKHFRAGSFQKLGLSNYSTAQMAEYLKVCREKGYVKPSYYQGHYNAITRQGEGELYPLLRAHGI

KIVAYGPLAGGFLTGKVSLPSSDKEKILKGGRFESGKFPLYEVTFDKDDVHAAVRAFALKCEQKGMTPTEVSLRWIMWHSVLTDGDSIILGATREEQ
LKKNVEFCQKEKLDDDLVKACEELWTTARGVIGGGWAL
>RCO7_07110 | related to low-affinity hexose transporter HXT3
MNDQISSSVSESGTVFEDVPVNTQTRNAGVEKGTYEDSKIPFMTARTFFMCILVSMGGICFGYDTGQISGFLEMENFLYNFADQREPTLAFTWRRSG
LIVGMLSIGTLFGALISAPIANHPRIGRRLSIFGWCIIFMVGNIIQIAARYPKWYEMMVGRIVSGLAIGGLSVVVPMYQGESAPAHIRGAIVCCYQL
FITIGILLANLINFGTESISNTGSWRIPLGIGFAWALILCFGILLFPETPRFDFRQGNIDRARKNTARLHGVSENHRVVRDQMLDMEEKLAAEETTT
GFLEVFKGKRMIYRILLGVGIQAFQQLSGANYFFYYGTTIFSSVGIENSFVTQIILGCVNVLCTFPGLYMVEKYGRRKCLTLGALWMCMCFLVFASL
GNSKLYDAQGNADQTIGYVMIVFASLFIAAFASTWGPMAWACVAEMYPGKYRSQGIAFCSASNWFFNFYLAFFTPLITDEIDFAYGYVFAGCNLLAA
LLIYFFLIESNGKSLEEIDTMYLLEVPPRKSANWELPADVVAANALAREQGQRDRGLRERKHNLGTRESRNEVENTESGGSGAFFVPVKS
>RCO7_07109 | related to aminopeptidase Y precursor, vacuolar
MKLSFSTYTAILATITSLVEAGPVARALPLVESNWKTELIPDEQNKLRRVLLRSELLSKGATLQGFAYATEERNRYIGSPGHNATVNWLYDTLTNTG
YYDVYIQPFPVESSSATGTANGAPLAVAAMTGTPAGTPSAEIVNVANIGCDAADYPAALAGKIALISRGTCPFAQKATLAKEAGAIGTIIYNNVAGD
LAGTLGGAGNFAPTVGISQEAGKALVASGGTASLNVIVKSVLTYNVIAETKGGNHSNVIMTGAHTDSVEAGPGINDNGSGSIGILEIALKLTSYSVN
NAVRFGWWSGEEEGLLGAEHYVTTLPAEEADKIRLYLNFDMIASPNFVYQVYDGSGKTFNISGAPGSAEVQKLWEDYFKNDVNIATEPTAFDGRSDY
GPFLDAGIAAGGLTSGADEVKSPEQVAIWGGTAGAILDPNYHTARDTLENLNVGVWVQMTKGIAHAVATYARSFASLPLKSKRSVVAKRDATFQRKG
GKFLW
>RCO7_07108 | uncharacterized protein
MTLKRSLKRAASDEDDNVEPSQGATSTESVLPSASRPRKRFTNHQSRSIEAAPAPGPITNAGGPGPYNWAEDPSSPTIVSANAPRQPTSRSRSRKAN
DSNYVPDASDELSDRDSDSDSEDERQSFARREKQRADKRQRKLEMRALRSQHRQAEGDARNYGPKGRAPLSDSVESEDESGSDSESNKNGSEDKSRT
VSDEANGENEAIDNEDGDRDSEDSIDSFPSLHDSDSDSTAIKKQNIRAAGLVKARIGKGPDWNPASPEPAIQVEEAGEHSAAESSESSISEYEVDSE
DYDDRNSVYRKLKEIRACGAPTKAGGICQIKIKAPDGKAPFGCRLHRDFIPDIVAVVRSAAAAASLERRNGRVYRNALREDKRKKRARRDAGEEGSD
EEDDESDSEDDEVTGGPSRRDNTDDDGEDGGE
>RCO7_07107 | related to LSB3 - possible role in the regulation of actin cytoskeletal
organization
MPVWDKAKHSSKAAFDKGWAAFEKLGAPVNNFTNKIGSEAFWPQGLGPESDKAARILKSFCKDGFYKEENTATRSTTTVPAVAGNPAGVILATGLPA
TGASATNVSNTGTPVVSTSPPTSPGPKGKPKVLVKIPQKVIQNCVGLAIFTVMRTGLWVSGAGGSGVLIARKDDGNWGPPSGILIHTLGVGFMAGID
IYDCVIVINNRKALEAFKTMRVSLGGELSVVAGPLGAGGVLEAELIKNSKKPIFSYVKSRGLYGGLQIDGTIIVERNDENAKFYGERLPISNILAGQ
VKTIPVQTKMLMEVVKQAEGRTDVDPVVLEQASHVPPPSDLEVEKMSEPTHDQKVSFAPPPNYGSVPVGTNGAGLNDEKTGYGNQQAYGVPTYNQGE
PSSYYTGQQNQTAPNYDDHSYFGAQPTGTSQYPPGSSTSPLQNPPSQHTSAAAGSAGSDGFPPYDPTLYEAPTPLPTHDAHPLPLGQNPVIGGTGSG
FAPPPGPPPAQGLQRTDSGFPVPPPRSPRRDVQDKQDLDGPPRYA
>RCO7_07106 | probable Acetylxylan esterase 2
MLAKATVLLLVAQALSSPLDIEERQSCPKIHIFGARETSAPPGYGTAGVTVNLVLKAYPGSTAEVVSYPACGGQASCGGKSYSASALEGTRTVANLV
NAYNTKCPTTQIVLIGYSQGSQIIDNALCGGGDSTIGLSDKSTLFRASAIKMIKAAIFMGDPRYVAGLPYNVGTCTAGGFAARPKGFTCPVAPIIKS
YCDSPDPYCCKGHDSNSHQQYGNKYGQAALTFIKSKLSA
>RCO7_07105 | related to 6-hydroxy-D-nicotine oxidase
MLYFILPLLFAVSSAAIIEKRQTPSKSDVCYTIASQIKGDVYYPLSLSLNYWKGVEHYMTSSYAEATCVVEVADAQDVSTVMKIIAATGTPFAIKSG
GHASNPGFSSTTGVHISLTRLSQVNLSPDKKTVEVGTGLEWSEVYDALEGTGVQAVGGRVAGPGVGGVTLGGGYSWLTNQYGLACDTVGAFNIVLPD
GSIKNVDSSHVDLFFALKGGLNRFGIVTSIIFNTFPQPHEVYGGTHFFETRAIPELIKATAKFQNENTDPKAQLILTITGGLVPGAILLLHYDGPNR
PASFSAFESIGGLSISTVRTQSFASFTNSIPSKLGAGHRGSFHTLMVTGLTENFIKAVYNESSHYGSLALLNGGTSLSYDVEPFLKYGEHATDSAFP
HASSPLPLNLYWVWELPSKDAFWRNAMQQSVKTLTEVAKREGIFNEQDPVYGNYAQDIYSGAQLYGPKNAERLKTIQRKYDPTGVMDLAGGFKL
>RCO7_07104 | related to L-fucose permease
METVEKTPTNTSVAIDERKKSKVVPVDDHVVTGAGHITTRESIVPVALVTILFFMWGFAYGLLDVLNAHFQVALGISQGQSGGLQAAYFGAYFIGPL
TYSGWVVRRFGYRWAFITGLSIYGVGALMFWPSGVKRSFVGFCLSMFIVGSGLSTLETAANPFIATCGPPKYSELRLTLAQSFQAVGTVVAPVLASQ
VIFKKVDDTSLTSVQWVYLGIAIFVFLLAVVFFFIHLPEVTDADMAEQAAVSAQETDFEDLPLSKQYTLFYGVIAQFCYVGAQVAYAGYFINYVSWV
RPGTTHATGANLLAGAQGCFAIGRFIASGMLKFLKPRLVLMGFLTGVVVFACLVIGLKGNGGIAAIFLVLFFESCVFPLIFTLSLRGLGRHSKRGAS
FIVAAVSGGALFPPVLGAVADALDGNTQKAFFIPLIGFAIAITFPIYLNVFKRKSLDGWTEKVKVGIDEPTKDVESGSLHEKERADASHTEKL
>RCO7_07103 | uncharacterized protein
MPDPNHKQVSSKHIPGRLRALDTLLQAEDGSREEIAVLGVIAFLNPENIGEDILKPDITQSQAPDYPISESNFQKACKNLISSSIVWTGPAQSSLDV
SPEVQKRVRDKIAEDAIRSESFFIHVATRLASLWPYTNETPVPHTQGRKARWRRCAMLRPHVESLIEGYFDLKLKRHVAQPTIKFVELLKEAASYHI
ERGEPEEATRLLDIAAPMCESAKATPRLTEYRPEIYRGYVGLAHITREGRLYLKYAELNFNVELERFKESGKETASLASAYDHTGIVYNLFSRHEDA
IRCFETSIAIRRNLEDFRKDWLFIPKYHMAHVYLHLGDDERAAGILDSAIIDRVEVHGEYDRYSHRTGILCYTLGDIRKHQGRLRESFALHSRAYDN
FRSTEGPTNLGTLHCKYKVATHLARINDYNTARKFLDEILTHYRITPHARPYICRTAFLYADCLQEEGKDFSKMLQEALKVFNEYSPYKRNTMGSLT
EKDVASVVSYDYL
>RCO7_07102 | uncharacterized protein
MNSLSSRQFDITSFIRRRPTITIPLVGASTAALMWCIKDYRAFKALGPGGIPYNIFGWALITIFVRPFALSEKDTTWTGDYPSKGAHHDILDLEERK
GGRAKLAGIAPHRQISQKAPHSIQAPLAELFDDIVKKNPELLETKRSLYEKHHDAIFVKFSLLEDLNSAIPATARVSRGEIGHIHADASVHLYFSPA
DAKVLIEKKWAERHRLARTRSYLGMVNMFGVAGTYLMVYGPRDEGELKTMKTILENSVKYMTGTEYL
>RCO7_07101 | related to O-succinylhomoserine (thiol)-lyase
MSAKITTRFGAAVPPAPRHSVTCHMPTWDDAEKFAADPVASTRDFTSVYPRLGQHPDILKLSDLVLQNLGLDDKGCLLFSSIKAARECVQYLTSSKE
SDELQQSADGIYIKAFFGKDHFFAVLFPPEEVPIGYQFWRVGGVGMSSRFAEANLCGELMNTAMPESDGSRVLFVGPAHTILRERIVNYLRRAVLDP
SSLKSMPSPDDVYLYTTGMSAIYRPHQYMLQLYGGTSISFGMPFITTMDIMEQFGPGYKLFGRGDERDMLDLKDFLEEERQNGRKVQAIWTEFLTNP
LGVAPDITRLRELADEYDIVLGIDDTIGSWANIDIIGKADILMTSLAKTFNGYADAIAGSAILNPASRKYKELKPLFDKNYFPELYYLDAEAIERNS
RDYLSRTTKLNHNARTLATYLLTRSEEPNSPIVAVYYPSINPSRAILKQFMRPATEEFTPGYGCIFTIELRDIMTASTFYDNLNVHKGGHVGAPSTL
AFPFTMGVHYTRLPWAEQYGFRPTQVRISAGLEETDILIEEFRLALEAVDALKTAKLQ

>RCO7_07100 | uncharacterized protein
MSQARSTHGMSLRRRPSAVVPHAVVPSLHVDSIFSSAIVKTRSPKPISRLQNLLRQLPKIMSKPLETFTIFPELPDELRGLIWKAACFEPIKVRFSA
FLNTSIHSILMKMPEVKAKDRVPAILHTTSESRLEALRWYKATRKICPPGDCQNPFHDRFPWHFDDIYPSPNVNTRVSYFNPAADTYIYSSAGGGYC
DPPWYTDACIQFTPDVFSGMKSLQIDLTNAFLTDWNELLLELNSLVEVTLVRKLYCKGALCDGWDYLAPHAVSSEEKLLNNKEEPRNFPTTIPLDEL
MEMLRKTPAAKSVKWTTAISCYNERYHRFSVIRHNLALDKKDQTI
>RCO7_07099 | uncharacterized protein
MESNVLPSLYPPPMSPPKNPRIKQVMAQLPSLNIPQPSVPLHEFTSFSYLPDHLRARIWHFAASETRYIKLIALDYRVPASYQKWDSRVSDQPRAPG
ILLACWESRRVGSLHYKRIFEKAQQLSENKDLRWRGTNEELIEAKRAAQLTNSNIIYVNFSRDIFVHVRCPAIAHEQGAEHIHNYNFKPFFLQCVER
IQQIYSENNGMPFPIQLFAMSRIWDYGFELGEDSKEVIKGLTGVERDVHMYQLRLCVITGLFHFLGGVHLKVLLWEWNVELR
>RCO7_07098 | uncharacterized protein
MSTSVESSDRSAALLEFTPSSRLPVELRTVIWSLATSNESRIVKVFLHAPDNKAWDPRVDGSIETPKNHARHEESRVVGEKFYMLCHEKQQTGEAGL
PTKIANEDNGVVLINVAVTLTINTSGNALIINFELDISVCEPKTLIMMLTDCNSGE
>RCO7_07097 | related to myosin heavy chain
MPDPAEFQTISSLPSSPPPAAVAEDGTSTKSPANLPRRAASPTFSSSSTADHDDEGSSPVLPPLPAPTFRGRTFEHRSKTPPSNSPVSSHYYTASWG
SPYQQPAGSLRTRSHGHSYTLSSEPSEDSPIRHLEFHTPFLRPAPTFARLHSDPEFVSHDGLISAAVLANRARRPATGLTEDWIRQHTGGDSAERNH
WLSDDPGDSEHSSLSGSISGENRDWLGADADPRTPTLKRFLAREKAHSRAVRPRGHRRQLTTDTLTQEDFAEDFLDHSIPKMSLTNENDMEMAMNTS
SPENVRPPTPPPKDWRAPGLPVAVEAPPKVPTPAPGPPRLKKKVPWKGKNIMVLLPMDDERGHQGKAPAPLTEKDVGAMLKEWEQLGYDTAGFNLGP
NVAQGDESSQGQSRSPWPLVKDLAQDRTQKKYSVKIPNRKEWDDAVQELQEAKLRALGVSFGDEDPAPKISPAVSNMNSRRTSMTYPPLPFSPPLPT
PSAASSHMTQHQNPFSPLLMPGAGMSTSQSSVPGSIASPVSMHAHMHGKFNPRQSVSFTGSEHPFGSPFQYPQANSPGVWSPQQMLYQQGAARGGSP
SVQNLGSLMSPAPPFSPDGYFPQGGDVMSQMHQRQQLLQTQLSHQQQLQLQGGAKASPRLQEVREIDDEDESLSKSPSKTPEARIQNNPNDLQKEID
DAEYHLEEQMQRELEHDDYSPHSDKDEDKFPLDPVKIHARNTSSMGLGASRFANSDGPVLHHPQPHSRGHSLSQRPFQENESGPKRLLNKPDLSDVG
TNPSNLGTPNQSTLSGSGPERSLSVASNPWAESDAAQTDNSTVPPRKGHKTTMSTLNVAAKEFKFNPSNSFIPSQFAFNSNNFQSPINAFTAFAPPV
SAPPSHLSHSSIANSSKINIAASAFTPGHKEFSFSASGPSFRPDAPAFTPLITTFSNSTGSGSDGPRSSIFGNIDLSSLGIQKQSKKNKAIPIIRPD
SRHSQDAENEDVEDDMGRLTQGAGRIKRARGAKDEGDSVPLFAEPTMPLGETTREQSPPKESLNVSSAAADKENSAPHEGTPAESSARTEESGKDFV
PWEFKEKKQAEDFNAARPFTSQRYGSGLPAYGNYKSPEDETSAPVEDPQKSKGHKKNISSLSATAKPFEFRPGAFNFKFGKEPEQAPASPSVHSLPP
SLPVSAGLSASKYARSPSPPIREPTPGQSPDTHMQPEERTQFQGVLPHADGTPEYDEEEDHEEAFQEDSEDQETFREQSLEEIDEVMRLMNEAESAP
RPDSAAFHQPNPQRQINLPDPDNSSPIRLLPQHIMRSDAPSPSPRRFQALPGETRIFSRVNDDPFIADESPIHHLSNMDSLPPSEWDDVLSETEEAK
LLPRAQFFDNHVNDLVGGLLSQRLEPLERTLENVQMSLDMMAARGQSRRRERRSFSGALSDADDEDDDNPRRSLSPRRDKKLDRIRAIVIEALAAQN
SRPASVSTASAILPDFRNVLQAIEEMREQFGQSMHLDLRNEDLKKNIEEAVERRMPASRTIVDKTASSKEAEYKAKIAELEERLLRSDNENMSRSAD
VEERLLRADIRTEEETKSRRAAEDRLAEVQRLLRISSDEETRLREAMDERDVKIREIANASDLKVRNAEEQRAKTTMRIALLEASQDNSQKTQMDLQ
NRLAATETDLRGSRKETSHWQMEAERALEAARRHSEDAEQANETNKELRRTMDTLKTQMEESIRVREGMRGKLMSLQADMAAAAREISEENARRAKK
EAELVARQEVLDARLQAEARTRERLELEIERLEGGERDGMRAVSEAKKLEAMVDELRSENHAAHQDSMRFKREFEEARESGLAEVQRTRHYMQLEID
TANNQVNVVREDLENQVLRARAEIDQVKLDADTTRVRSEMLLEEAETSKQTLLKDLKNKHADILEDLQTQHERQLSNITEDAQRHEQHLLERLSLSA
AKTEHLQDRVSHLEEKLEIASQAALAAASAAKNARSSSIASPTSTSTNMNGATNRSAHQLPEKISPQALRESIMVLQEQLQAREQTIESLTSQLSTV
DLDVPTKIIKRDDEITWLRELLSVRKSDLQDIVTALQSDRFDAERVRDAAIRLHANLQMEEQERERAANGGSALSNLPSIANTLRNAASPRVAQAVG
PLAAAWGNWRKGRGAVEIDGENGSGSSTPTRETNSFLSGLMTPPATNTSSSRGGNSSGGKQPTAFGSTGQRFTSAQLANRPRNFSGQRRRTSNANTN
ALMSAGQGGSNPSRANKASPSKSSGGQSSRSQGRPGSSSTVLGLDHGMGGSRGGMKGVPSTPPMMRKSSYDADALSRAEDYSDAGFYDDESFAGEGD
DGLEEEEELYDG
>RCO7_07096 | uncharacterized protein
MSDSTLHSVLSGPDQGGVITTPSRADSDEEVARHPDSSSTESQQLAEENIVSPTSIAIDSENSGTNSQTVTPKAAVTLGTTQIHVSPATAATLPSTQ
PNIRRVKVLWPKLVTRSHYGEQRNMVLQWGVHWYSPTCMLTLLVLGLVTMLGHHLVNDRLHGREVHDPQWPQRWGLALSIFGKVCLAGAVEIAYKQR
LWVTLKKRSFTIKTLNGACYDPLEFLNIELTIEFNHDNNANISAPVESWIVNDGRQGLAYIDLMPSNTSIAYYTAPSMNLQRISTLSLLSNSGPLQA
TNPCVGGSNCSYQLSFKGPLYDCQEASQDNPNTLLAQSQLAPHGEAICTSFSDIIEDEDGAPLDWLLVDATNESTLGTFTKEPSLWIGYVINTTVPV
SPYDPSLNWPYIFERHVLQCKLMNVTYHYDINFLYGLMHIEHSSTTDQVPLLEDGSSIHPLVAFNYGDFMFRIPQDSLRHRQPKKRPPLDALISQTP
LLNQTSQYAVSDFPRAISQQFANQIISLCTSPVLYAQIKITAPCTTSKAILVWNYKPFWLIISYSLAVFLASLAVIEGLFAFAKNRYSADTNFSTIL
ATTRNPDLDRLAEGMCLGQSPPLRNFPEAKLRFGELKRRGSEQLEAHTTFGLLDDVGPIEFGKKYI
>RCO7_07095 | uncharacterized protein
MSDSPIQPLSRLRVLLRHLPQLNVKSAPSPLTKYTLFPKLPFESRRRIIAFAAHEPRKVMMNFIPDANLHPDILNFYPSKATLLRQKIQNITPAILH
VSYEFRAEGLRYYTLCEFDAGSLKGTGSSVKAEINRHIYVIYGVDHFHFALKDWWSLGYVESSKITADLAEVLSKVKYLDREYN
>RCO7_07094 | uncharacterized protein
MPRLQTLLQRLPQLEITQPAFPPLEESRLFPKLPIELRRMIIAFAAHEPRKIMIGFESGVQKEMYPILSYGAPLQQSTTPAILHVTAEFRREGLRYY
TQCESNDALTLWKQLPYSQDRLVPLFYANFDVDRFELAGNPSHMGPQDQPPEANGHKVLQVNMIKGSEGSVLETARVAKKGKKMVKRFRSDLGDEAG
HSESLPTMNMKLTWASYFVSSERDAHPVECGSLGDMSDY
>RCO7_07093 | uncharacterized protein
MNAMNATHRREQTCQREQKGRLFAQRNRLPNLTERLKPLYTSLRMGLSRYNAAPKSAAQSCRLRNLLSSLPAIDTKPAPTQKEFTLFPTIPVELRVK
IIGFAAHEPRQVLLSYDRKFFSHYHPSSSITSLPQRHIPVILHVSKELRAEGLCYYTLCELKKDDHAPILNANRSRMTLFVYANFAADHFKILPNFQ
GGTERVHLWDYYSMGTCNFTDDVWGRIKYLSYTPSLHELFPYRLTATLKYFPNLKKLDITATGSIPWYSKWETSRNESKKSLERELYAVDISKKLSD
GLKSLVDLNPARQLQLKDKPWGVRWVWMDAGADEDLVPTQSGGNRTKRNDIA
>RCO7_07092 | related to Tripeptidyl-peptidase sed3
MKLSIISLLVGTVLATQDSYRVFEKLSAAPEPWTLKDDAQKVDQNLAFKLRVHLKNRNIASFKQQVLDVSTPSHPSYGRHLSREEVNSMIAPSSEAF
AHVMEWLESYNLSSKATVESDWIVIDSTIGEVETLLDTKYEVFENSDTGKKAARTLAYSLPASLHAYVDIVAPTIKFSAPKPQLSTIVKDFEKSKNL
KAVGSLHDVHDGLDVVACNSSITVDCLQALYKFKHFRGSRRNGNQIGLAGFLEEYAQHDDLEQFYRTYVPDAYDADFQEILINGGLNTQDATGGNQS
ITEANLDIQYGAGLAYPTPSIYFSTGGRPPETVDYELDNEPYLEFLTYLLAMKKIPQTISISYGDSEWGVPASYAHTVCDLFAQVAARGVTVLASSG
DSGSGDNCTQTNPNKLLYTPAFPASCPWVTAVGGTRYVNPELAVSFSGGGFSDFFPRPSWQNADVSSWLSTKADPKYTQYFNASGRAYPDISAQGVN

FHTILEGEDGLVSGTSASAPAFAAVVALLNGDRISNGLAPFGFLNPWLYSKGKSGLTDIVGGKGRGCPQIPGSGFPAVAGWDPVTGLGTPDFPKLRL
ASTGIKL
>RCO7_07091 | uncharacterized protein
MSAAYPHTLKEPNMDVDSNLFPSSMSALDISKKDQAAKMAIPIWEEKKMTSRIKALLSAPPLLVVEKMPVPTCARLEVFELFDKLPPEIRSMIYKLM
SSESRCVKLFEGSRRRRARMHAWNSNVQGQSRHPAIVHVSPEARWQALRSYTICHDRPRIYIDKALITESGLVLSTQSMKLDNAGVKNTYFIDFAKD
YFSHGQTKFRVSKLRLAGPGDFNFEAGILARIQNVHQQQCFGRAMRGFDDIWTSTTETTAMFRHRIWENLRHVTIVIEEYSAFDRQETFCWTMKRRR
IEQAFTYLVKANQIALWRQLSNADTRELDDMGPVQSQLHFKWRMEQVVDETPCAPKLARSTTIDPGYYRQLLDEDQKTLIRCAELYRARGD
>RCO7_07090 | uncharacterized protein
MLSPTHHILLFGGTGICGTIFIRAALEAGHTLTLYVRTPSKLPADITANAKIHVIQGEYGDEEGLKKAAGCGAKVFVSMAGPTLGQTGGMAITKALQ
TIYAHLLTHSYDRILVLSTPSYSAPEDGRSLKWWVSINLYIRVLPGDAYDEIRGMAQATVDLGEKIKWTVFRVPLLSGKELGSAPNKGDAEDGKRER
EEVNACYVGDKKGRDGLCLDRGRLARWVLGEIGEGKWVGALPLISNA
>RCO7_07089 | related to membrane protein
MSAVWLLGHETLSDTLSSLSIQEALSGIFGSVSLATWIFLLVPQLYLNYKTGSAEGISLAFLGVWLIGDITNLSGALWADLVPTVIALAIYFCVADV
VLIAQCLYYNHVNASRTARHASVISTTSVTEDEPLLSHRRSSDTIGLPGSHRRRSSALSAGGNSLAKIVEEEAADGGGTWVKNSLSILGVIVVGTAG
WAIAWQAGVWVPQPEDGKDAIGPQATALGAKILGYISAVCYLGARIPQIVKNHRDKSCSGLALLFFMLSLMGNLTYGAGILAHSQEKEYLWTNLPWL
IGSLGTMVEDAVIFVQFRMYATKSSGVTVE
>RCO7_07088 | uncharacterized protein
MEKFEEALRVQESLGAIIVDNVTFSEWNSSVSKLPIWKPALRVDAIDSKYILTWHFLAGFATYPRGLHTFSDVMKYTAEAPEEENNQWGMSMTELEA
NENALQASGRDTAQYRESIEYVFGCTTAPVAGCPQVSVPLPAYPDGWAVERLAKGLTTTGPNIPTGIIFVGRRWDYATVIGAAHSFEKSTQHRRSYK
PTVGTQIDLPLNHPKI
>RCO7_07087 | related to triacylglycerol lipase
MAPIPFLGRLNIAEYIALVGSFILVGLEAVIRILTLALPSTIIKLLYRVSRRLFNRFISPAAKKSQSKQSDISTKLRNASDFVDLCAAFGYTAEEHI
VQTGDGYLLGLHRLAYRKGEEDEKVNHGKNSVRKGVVYMHHGLLMNSEVWVCLTDEERCLPFKLVEKGYDVWLGNNRGNKYSKKSVHHSPTDIPFWD
FSMDEFAFHDIPDSIAYILETTSAPSLSYIGFSQGTAQAFATLAIHPRLNDQVNVFIALAPAMSPAGLSNSIVNALVKASPQVLFLLFGRRSILSSA
TMWQSILYPPIFVRLIDMGLSFLFGWHARNISTSQKLAAYPHLYSFTSTKSVVHWFQIIRTKSFQMYDDDVQPVVSLSTFSKYTKVAKFPTRNIKTP
IVLLYGGSDSLVDINIMKRELPSHTIAIEVPHYEHLDFLWARGVDTLVFPHVFDALDSFCGAEHSKEEFERYRSARHASIAATKMLALPRNYLSGNS
SGENSPSTYADVAGTDPSTESDALISLQTSNGHNNGTRNGVEPLLPSPNMRKRARLNTSYDDSSESCTSPSYNSDRHIKTISVDNTTLDGNASEKEI
HTGDNSPVGKFRAKRSNSIGSNISFAGSGNGSGRRGISIGVGKAISAVSKGDAAVGTVVSSDEGSPRVKGKGKGKKGR
>RCO7_07086 | uncharacterized protein
MATDYVALPFTIIGALCGLVFIVVAIGFFPNSALAQQVHPDNKGLLASNKALKDSNDAILASNEANQALNEAILDELRTHSRQSELQLDLANLQVDA
IHEVLQTLDDMRH
>RCO7_07085 | related to PET191 protein, involved in assembly of cytochrome oxidase
MPSSCRDIREALAQCLQESDCVMVQRNKPGDCLRPPLIDDMPTKCQQLKKGLGECKRGMVDMRKRFRGNQPIAVSRELEGGGPAGGAGQLYAGKPAF
ATTVKETAGDEPEPRDWREVENEKFRKGL
>RCO7_07084 | uncharacterized protein
MLRSFLQIGIQNNWKKITPPIFRAANLQDHIMPIILSIQKQSTQIVGSPTGIPKSPFEPARRSQETTTSESFLRFATPNPWTHITPPIFRATNLQDH
MMPIILSNHAQYVVDTTTGLHRSPFYPKRRPQGPQKTSRNTEAGSKAKTARMDSKKQTKPLNGSQSDNGNQQPSELSSARSGSQNEKRNPKIYEFRR
YTDYRAISSSALVSSEAQLPKGLSISKSLSNRRREHN
>RCO7_07083 | related to YER185w, Rta1p
MDSLLSSAMSIVARKTRIELLAECTIETCPIDSSYYFYRVSLAANATLAALFAISLIGFLVTYAVTRRASAFTFAVTAGVILEIIGYAGRIMSWKNQ
WSENGFLMQIVCLTIAPAFIAGGIYLCLRRIVYAFGPENSRIAPETYTRFFIPCDLVSLLLQAAGGGIASSASHQHKSTKIGDHIMVAGLAFQVATL
FIFMVLCADFAIRTSRRYKSLGEAAFDQNPHFVTLRHSLKFKGFLAALTLATICIFWRSVYRVAELAQGWTGDLIKRQWLFVGFEGVMVIVACLALN
AFNPAFAFSEGVTGLGGLGSKKKMRKEREKTNGSGDNLSNSDVDAGVKTAV
>RCO7_07082 | uncharacterized protein
MGAAFYALDGNILAVDTKDILNVNDNKFAKPDPSDEKLPAGDFYGMDTSNVAEVTPGVGIGFVIFRNATGGDEVDRGSGIIRVTLGTTVPIATRVGP
LITGADGIQVGITSILAAEGYIYVYTNYGPNGLMVGRAKCASAFSASSYKFRTTFGSWVTGIPTTSNMNNYGSYMFFVGGYGYDMSFHTSDAPYGPW
SDEYRVAEAVGYGIDVHLEFSPDGDHSVLYVSSGAADGITMRKIEFRY
>RCO7_07081 | uncharacterized protein
MASVAFATPENWKRYDLDNNDLHVRNEGCDNPTTFTFAKPVPTAKSTTSSKILFSSVLATSKKATSSSIAVFSKATLSPKLSSSFRASSSSTKPPDS
TTSGKTASPTGTLPSPSDFTSQQGTKWNISTVGYIYSTSMPDLSWDKGRTSVSSPPEPDFGTSAT
>RCO7_07080 | related to NADH2 dehydrogenase (ubiquinone) 9.5K protein, ubiquinone-binding
MPDEQLIRGKARDIYGLSSWPSSWNVIDSKSTITCNSPATPETYRRVVAYHQLNTMSAVPRFFSQPIRYMRWAAIEKPAIFFSIVIGSLGPVTVFTV
PPIRRMLGDEQRPEIPLTYPIPTGPRRTLEGFEDE
>RCO7_07079 | related to oligosaccharyltransferase 48K subunit
MRWLIPALFLGITSLVEAINMKGDYRLLVVLEELADKSKYSKYIADLEARDFSLTFESPKNEKVALFHLGERAYDHVLILPSKSKGLGPNLTPKLLL
DFINGGGNIMLALSSSVPTPSSLVSLLLELDIHLPTERNSLVVDHFNYDTISASEKHDVILLPRPDAIRPDVRNFFKGHGKGEEVIAFPRGVGQTLG
NASPLLTPILRAPRTAYSYNPKEDVEGVEDPFAVGPQLSLITTMQARNSARFTVVGSAEMLEDQWFDAKVQRSAGFGGVAKDAKAVSTVNQAFVKEV
SGWTFGEIGILDVFNIEHRLNEDGIQSNIANPKIYRVKQNVTYNIVIREYFWERFRPFVLPAGDSLQLEFSMLSPFHRLPLQYVKSASGWGNYTTSF
KLPDQHGIFNFKVNYKRPFYSNVEEKNTVTVRHFAHDEFPRSWTISGAWPWIAGIGVTVTGWVAFVALWLWSKPVPLKLATSGKKIQ
>RCO7_07078 | related to SAM-dependent methyltransferases
MTQDATPPTDRDPPSIYAIKDRAAVPKFADRDSGTTKPYDSGLRYREVWGSADLSNLTEEQRIARNQHADKLNEAYYDFITDHYQGGWGNKFHFCGY
YPGESWDQAQARHEHHLALSMGMAAYMKVLDIGCGVGGPAREMAKFTGCRVTGVTINDLHVERSNELNRACGMQDQVNMVKGNFVDLPFKDGEFDQA
YATEALCCAPDMLKAYQEAFRVLKPGGVLGMLDWVLTDKYDDGNEMHRNIRNEVERGGSVPLLTSVKAHVQALEEAGFEIVVENDRATDKSNPIGWW
TTLDGQKYDGMTWVDRFYCFMLTPLAYNTVWFLWKILDVLHLCHPARMEALETVSMCVYSCRDGGREGIFSPMHLFVAKKPEMEKDK

>RCO7_07077 | uncharacterized protein
MSMSSRGIPSRRHGSHRSTKNRSLPIRNTNHSTYTYTPPAQPIAPLTYPLRISEDKLERALVLYTDYYEAKTRKTFDPSQIEAQSPLSQLAGFLKIP
GSSATPSVASYVASSQFTESVVSFDDEASPNSPPGKPEGGELMSFDGKRVVTRKRRPLNPIAKAKAALVRHLVSCCVCRSRNVSCPLEHHDIARLEE
LRVQRSSTPRPQADNASGFSNYSSQQTATSLQTGSVNAPSFSQSQSLMGIGGIGGDMIAPVAKYTSHLDIQSPVGGAYDEITLDTPNRSFAVLDNPS
TDISSNPYSSYVDGQMLALGAQRQGLYYCQHQHLDGICLEAFTTPEDLETHFHNIHFPFTRMETPSRILCLACCDFTDHVDAPCMNCHAVDRIEVWV
YGHFIGRGVEISSIKFDLDILRDGEAAYAEGFRDEIDRANWTPTTTTVFSDTYATEIMDQGYWIHDGETNTNTDNGIYDFQADLEASFNEYRNTTAH
TAPYVPSHHSYQGDMSPIFDDKGFQGH
>RCO7_07076 | uncharacterized protein
MTTQPGPTSASMDVPHSQNTAPVLEFRCLYTADIRRKQQKRWQDGRLRFHTFNKRVMVYDEKSNFVGDTHWKGSHFEEGEELELERGGILVEVGECI
GKRDQDLTELVDKRIKDREERVAAKVAASPSATMYRGQSTPTESALLRPKPLNAMLTPTGHYGRAVMPNTSPFEERQATKRDESEPPAKKRRQNDMT
SSKNGYAQNLMGAPLSLGSAKPSSTPTIRYEPFKARSVHSSCSEAIDLTLDEEEERRASDLRRKVAQEQKAAIERPSPRQKKTKRSPPAKSGYASNL
TGTPLMLSSSVVRPPAKVTTSRASIQQHDHEGGDSDSEDDEWKASDIQRNIAQEQRAAIERSPPRQKKSRRPPPAKSGYASNLTGTPLMLSGSGVVL
STKSVLPKAPVQQYDLSNGSSNSESESSMRVESVPRPGAQLSRKTAVPQPRKDNFEHFSEAADSSENAMPSSKVANIVQEVRASSPQARNLFEEDSP
AEEDIIIDDEPLPRSIVTIPSEKSKEKLSNKRRSEQESSIIDLDPSPKKLSRVKKRQKEMPATKATRPSKATPNAQSRSSSLQDVETGTLDLHHAGS
FSTSAIQESSAIEPTPDRPRSALRIKSRPARQMLMLMSRPSSRPTASNTSFDSSRPNVRTESKTADAPKEVELSQATIQLNAFCENQQAELEARLRR
IESKTVVRHVEEEDEDEGLDHQMIDVLLTQKTLPGKLQEKPIRSVSSKRSLVQGRQSREIAAETIAGKPSSTSSEPCNPDQMHGSSQSNQVLISSAA
TEMQEQHNRHTEPPIPAPSVNRLSNQKNHISEPAMSSQAKDKNDPAAQPRREATVRASESSERSMKIGNEEAVLTRESLPLERSNSVKSPPTEPQRL
PAKSCEIENLTISEEPLNVELCTSDAVLSKEPFPRSIVMEKLPPTQFKPNSINTSSSPPIKEPNQTTPAAPAAPIIHHSPKSKNPLPHSPDLTKTPC
SSMQSSTARFLAMISPSPAKNVPSIFGSPQQKVPLVESIFGPSRSSEDEQKHLITNERQPNVHEDLAEKPIAITKSFSAVEGTLHDKSGPDAGQGVG
FSSAGGGAGVARSLGMSLSTSDLAAADSFVKPRVRMGMGMGMGIGAPRARLANPATRGKPLHTVAASTVESLSTMSTSTSMPPPPLVAKTAGLLRIE
RERELEGEKERNEPLPAVPLDGPWSREAWDLFGWHGPGVST
>RCO7_07075 | related to RVS167 protein (reduced viability upon starvation)
MNSLHRQFGKLTHKGAGDKASVSVLLNDYEDADKVLTRMIEASKAWRDAWVSILGINVSATTLFEELYNPIAGAGDGHGRDPVMTARAQLDRTSKLK
DVFTDLKTDLLEEVNMMESRVIKPATEAKNHIQPIRKIIKKRDNKRLDWERYIDKVNNYQRKVKRTDRENAALVKAEQELAQAAEDFKIADESLRET
LPPIIQAAFSILPHLLAVHIMIQNTLLAQYYTALHNYCEDTGFASPPPPMGEVISSWNNDFKPTQMSIEDIPVLAHGRAIHQPMTPGDDGGRKPTTT
VTGLNVRNGLMNRKPSTQGLNSQSVSPHPEKRVTRIPSSNHVPKFTPQPTPSPPPESSPAIYSPPTPGPDYSSHLTPQSSYSSHSPAGPSMDYFQRS
STNSSNSSALQVQKKKPPPPPPKRIGSQNLAVYAVALYDFEGQNQGDLTFSEGDQIKVTKKTGSVDDWWEGELRGVRGSFPANYCKLA
>RCO7_07074 | uncharacterized protein
MKTFTAFAVLAAGAELASATFFDFPKFNCPANTDNKCNPQQSSGFDWTDLELGSFESYGQFSFSGWECAGSFGSERKRDLISGRTFKDKCITGKAHH
DKSKSPSFSCGNTPDVKDFSVVEFEVSVEFDCELEFYFEMPNGSSCKQKTHCSKGGSVVRNRQCGGATSVTVVYPPQQQGPGVGRTDCELGVHHIAF
DCNPASPPVYPTRSTTMPALPEVTPPSDSETDSGPFTTDSPDEDVSTVSKPEEATSTADVVFASPSSISVPEITPTANVPVPTPVIMTSSTFLFSNT
SSNVGIPSLPAQVVSSSSEAIITPSVPTTSAVGIPSPSSTSTAPVDIITVIITTSTTVCPFTSTHVTGGLTSTEVGITTSTITLTSTSTICTKCNAS
PVSSTPGSPVVTPGPVANTPIFTKPAGPVEPAPCPDVLPSCLNTWLFISGCASNTDSSCYCPSSKFVSNVFECLSAYAKNDDEISRAQQYLQGICAP
HIGQNPAIITGATTTLNTTMVPTQTPVPVTTIEIFTTVTVPCVESTGSLSGSTMSGTSTVTLISTYLTVPQVVFQTLTATTSGGAGGANLVAGTPAP
APASPTNAGPISIPSGTLSVSRTGAPSGTGSPIPFAGGAAQLSFGFSAVLGAFVIAMLAL
>RCO7_07073 | uncharacterized protein
MSEAYAQLSTFDILVIPGGGSNSVLAGNTEPIHLIKAFAELPQKSDGSLRTILSVCTGALFLADAGVLEDGMKATTHPLFYGELEELCNERGEVEVV
KERFVVNSVREENCLRVVTSGGVSCGLDSCLWLIGEVAGTECKENVAEMVQ
>RCO7_07072 | related to nonribosomal peptide synthetase MxcG (component of the myxochelin iron transport regulon)
MSTSNDTPRYGKRLLPQIIDERAKSGYSRPFAMYPKSTDSSAGFHSISYARVANAVNRLAWWLDSSMPDDEEKEVPFAYFGPNDLRFVIYLMAVMKT
GRKVLYASPRNTVKAQLSLFEKTGCRTIVLCPSVKQSLQFLIETSGLRQLKSPGLDQLLAEDLVPHYEYNVSWEESTTAKFLTIHTSGSSGDPKPIP
LGKSYLGGKDCANCLPEDQGEAAMKASFSKENVLALLPGFHAGGIGVHTMTGFLEVTLVLGHPDVPISSEYALELLKTGPATVLISPPSILEDLSKD
EAALEALSKLKHVAYGGGPLGPSAGKILAGAVPHLFSIIGSTEVGIFHIIMGSSDLYDSLHYFDNIGYRFDEVSEGMFEHVIVNDERTNKYHHIFDV
FPELSEYRTKDLYSPHPTAPGWRQYRGRIDDLIVLSNGEKIDPIPMENKIQSHPSVRSCLVIGGSRFNACLLLELKDDQIPRNDEDRRARLEEIWPV
IKEANEVAPGHGKILKPLVMFSTIEKPFLRAGKGTVQRQLTVKAYEKEVDDMYASQEGSLLIECLTLTGSNKSDDIKIFVREILDQALDREELKDSD
DIFQKGLDSLGVSVIVRRLKTALKVCFPSSNFEDISPRLIYGAATVDELTCAIMALIESKRGATHTNGVIPTRKARMQSMLEKFSTNFPSIDTQHPP
APVEGPWTVLLTGTTGSLGTHLLAALDRMSPSKISKIICLNRSADAKERQRKSNVSRGIDATWHDGGKDSKVEFFQADFSKESLGLDSKVYADLLQE
VTVVIHTAWQVNFNLSIDSFEPQVQGVRNFLDFSSKSANKAPFLFISSISTAMQWMDKHSDLKVPESIISAFEAPRNIGYGESKYVSEHLVDKFAAA
SGITTAVLRTGQIAGPVIDGGLWNKQEWLPSIIASSKHLGILPVSLATMETVDWIPVDLLSTMIVELAEKVVSGKGEPSQGTTVYNLVNPEITTWKT
LLPAIQDSLGIEKTVPFSDWVEELHQSSFANNGALIEANPGVKLLDFYRGVSEKSEASEGSRYIVDNLRRDSKQASDLRAVSPDWMKSWLKQWNF
>RCO7_07071 | related to cytochrome P450 CYP3/CYP5/CYP6/CYP9 subfamilies
MLHFVDLQASWVLSLAAGLMLYSIAGMVYRVWFSPLSRFPGPKLAAATLFYEAYYDVIKTGKYTFKIRELHKKYGPIIRISPYELHVDDPEFYETLF
SWTAPRNKYEYYTVQFGTPKANFSTVDHHLHRLRRQPQNKFFSRASILRLEPIINGMIEKLCSRIDRFKTSGEPMPLDLAYRCLTTDVVTKYALNKS
WDYLDSEDFSPKWFETIKATAGMGHLIKQANWILPVVRALPDSVMSRLSPDMMLILDWQKDLERHVQTVIDNIANGTDKHDPVLPRTVFHTLLDSDL
PADEISKDRMAQEAQVIIGAGADTTAHALSTITFFLLNSPEKLEKLQKELKEAFPDRDTSMKLTDVEKLPYLSAVIQEGIRLSYGLSTRLARIAPDE
VLQYKDYSIPAGTPVGMTSVMMHHNDTIFPDSYTFTPERWLDPAAAKRLERYIVTFTRGSRQCIGMHLAKAEIFLTTATVFRRYDLELYDTVRERDI
DLAYDGFIPQASPEGRGVRVVIK
>RCO7_07070 | uncharacterized protein
MQQPQSDFNDRWIQHQRRNHKNNQILSCISCPDKHIFSSEANLWDHALIDHRERFTFAENGDVSDGSKQTYLEECRQKKPNKDSTLTRRSNDNDTKT
TLPESQSAQGKRPLSIPAASPRSLSGIGKLQIATPQDSQDVHLGDRSDEDQATPEQPRKRPATGDGISNGTATPVRDSSPPRRSKGRHISGGSEKDM
FNTRPKPESKQLWTEDKSPMSKSSATDPSNIASVQAQRSRAQALQTLSKKSFPATAQIARQAQASQTGPMILCRNTSIQSLPARQDSFDIIMQPETR
PISQEQLVAEVKGIYAGLVMVEAKCIEVDNKQATLAQADPTSQPRLNNEQWQALIALHRTLLHEHHDFFLASQHPSASAALRRLASKYAMPARMWRH
GIHSFLELLRHRLPASLDHMLAFIYLAYSMMALLYETVPAFEDTWIECLGDLGRYRMAIEDDDIRDREVWTGVARHWYSKASDKSPTTGRLYHHLAI

LARPNALQQLFYYAKSLCVVIPFTSARESILTLFEPVLNSDNAHGQYRLPPLDTAFVKAHGLLFTNRDMEKFDPSCQEFLGLLDNQIGRVTRKFMEQ
GYYIAVANIVAVLGFASKANPVVQAMAETSAGEADLTMAGDDDLALKSFERARHLSNETLEIILRRIGDPNVLPFIHVTLVFIYHAAKHPRAMKLLE
GGFPWQSLTMMLNTLLALYPTHARIESTEFPLPARGDSRPFPEDFAMRGLLWAECYYPESWFANDKIDDAEKYLEVASMTDDRKERILFLACRIATL
GGNMAYDGNTFQVSGL

>RCO7_07069 | uncharacterized protein

MPKRHGMAGGMRLGQLGPGHKICPSSSRLDVISSTAHGNATELVMWPTCVDCICSAPERDPGLQQFNGKELWYGHSSPCRLIESASFTSPFRFTSER
FDVRSLVLVTRGRDPGSSWSRGLELIMTGEAGLMTPDIMRLSS

>RCO7_07068 | related to amidase

MAIKVFVLFVVLALTKVGWSSQKLYQRTPSYPDLLDVGAEELVAGLECGAWSSVDLTKAYLLRIQEVDARLHAVVETNPDALSIAANLDAERANGTI
RSALHGIPMLIKNNIATHDQMNNTAGSYALLGATVPRDATVAAKLRTAGVILLGKSNVSQWANFRSSNSSNGWSAYGNQTLSAYYPNGDPSGSSSGS
GVASSIGLAWASLGTETDGSILSPSSVNNLVGIKPSVGLTSRSLVIPISSHQDTVGPMARTVSDAAHILSIIAGKDESDNYTSAQPWDSPPDYIKAL
NLSSLRSARIGIPRKVIATFQDKTSPPVISAFNAAVQVMKEAGATIVENADYPAWEGYIGDDNETTVLEVDFISGLAAYLAQLKTNPNNVTSLADIR
DFTQGSPLEQYPLRNTATWDDALSLGYNNSDYRFWQAYQASYYFGAEGGVLGALEKYKIDALILPTDYSSGPSARAGLPVVTVPLGYYPPNTTIVKS
EDYGLVSVAPNIPFGISFIGAKWSEASLIGYAYAFEQRTKVRCQIKPYIAPTIQLADVVGR

>RCO7_07067 | probable SQT1 Suppresses dominant-negative mutants of the ribosomal protein QSR1

MSSSKDLNDLNDPHAGDDEEAAMLDQDEMEEEIIDDGDAAMDSGSSDDEGEDREQEDEIMEEIQLQNDSSAHFDFHPDSIFTIAQHPTNSNLVATGG
SEGDDKGGIGYIWDSTPNVTDTPVLPASYQTSPQEGPTERKSLQPIFKLEGHTDSINALAFTLPKGEFLFSGGLDGRLRAYVSNPNGSKWKFICEVQ
EVEEINWMIPCPNPSSPNTIALGANDGSVWVYTVDPTNKAAPLVILQTYFLHTSSCTAGSWSADGKLLATVSEDESLYVWDVFGDGAAAGLTQGDSS
AYVVGLTSIDQRFAVEGGLFSVAISPAGNFVVVGGAGGNIKVIGLPRLSSDTPNPAAKTSRNKAVTGKISASAGQSGMILADLKAQGDGIEALSFSA
PPLTLLAAGSVDGSIALFDSAHRWAVRRHIKEAHEEHSVVKVEFVKGGAGYMLTSCGMDGVVRRWDTRGGTGMANSGFVKEWKGHRGDGEGGGVLGF
VQGGDGGRIVTAGDDGVSLVFEASVA

>RCO7_07066 | probable phenylacetyl-CoA ligase

MVFSPPSWVPKLPHVPDNVPISKFMLDDAYGRHPLESSRNPFTCGLSGRTFSATEVVTRVDHLARALAKEFGWKPNAGTEWDKVVGIFALNTVDSMT
LAYAVHRLNGIATPANAAYSASELEFQLKSSRAKALFTCIPLLETSLRAAKAAGIPNERLYVLELPKELSGDKQIPFKTASQLIDAGSKLPALEDLE
WEKGQGAKQTAYLCYSSGTSGLPKGVMISHRNVIANILQIGTFEKPTRDKRPEDQRTEVGLGLLPLSHIYGLVVIAQASTYRGDGVIILPKFELQSF
LKAIQTQRIETLYLVPPIIIQLAKNQSVCSQFDLSSVKAIFTGAAPLGAETAEDLQKIYPEWKIRQGYGNPENDIYFGTSGSLLPGFNAKIMSIEGI
EISGYDQPGELVIQSPSVVIGYLNNDEANLETFLDDTDGGGRWMRTGDEAVVRKSPAGTEHIVIVDRIKELIKVKGLQVAPAELEAHLLTHPSVADC
AVIPVPDDAAGEVPKAFIVKSSSVGLEDNDRMVKREIQKHVEEHKARHKWLKGGVEFIDVIPKSPSGKILRRLLRDKEKEARRKGGARL

>RCO7_07065 | uncharacterized protein

MIYQSLLLTALAASVLASPVPQGQGAGADSCPAEALTPDTWKKLDIDDFLIKWVEKNYTARSNDANTIQSLASTFGAPNFFCGLDSFCNAGQPCVPI
DLPGWYVMVAIQNWNSYMNGVNTAVSFASSILSLTLPGIVSDFLPKTVDNVTPLKTVFELFNTVLGVVPATGVVGKGVSALNGGFPYLLTRFTPPPP
TDKFLQWSNVAGSLAGVVTQYQDTISNAFENILHADPLAPDHEGIASILTGGSFLGVSRNFTSSDLQESVQATLTRAAIGAAISASGVYVLHFHNAS
PCRDDDVSICQMNGGSNVNLVLKHPNWDEAGDTAKTLVEKYGFTKDDFLTSVASCWNSKGKTNNFDAWGDDGLPLDAKVECVFYIPVCDLEPGKLLP
GASDYIEHCAQAVKL

>RCO7_07064 | uncharacterized protein

MKVILKTRRGASKALTPPTSPPLGEGSVLKLPVSQTTGLEIEKIESKGSQPSTTPPSKLETPITPPPEPKAKSRKRAAPSTSKKQPKAKKVKVQKAG
SDDENSDAEDGDGQDAQRAIHLRPNLTADKPEAFSQPLVFAHTRGGLCDTVHQFKANSAGTYQNKIAGKSRYLGILCDGGVATRDHFDDQVVICTVG
GGRIKNAEGQMVLKADHKPTHQLALSALESKMQNQPVVVCIGQSNTMFPVKLDAYYNVLGYFHITDVWYDRYEKSCWVIRLEAVDLLTRPAWSVKAL
PFVPSTPSATRAPVLTCSSCSRDTKEIYTVGWFCMTPKCDEYYQIGGELVPLEGLQYTQIFLGERTQFMGQVPTETAPVFPTDLLSGEATVQLNAEI
KQGFLCPVCGCCCRRLRWNHFSCETPSCLTVYKVPRKVLTVPEVLQQKLKPSEMESHTGGGVTSSTMPMGGYMVDMYAFPDANGNQQDCYVYHFRSN
EIINSQPNGSDDLFASLQQEDLDLKRQPVKTGGHVVEMVTNNFTKNFGSTYKWFVPQDSDSFEASPDVVLRVLMRNTWAANSVMEHLEIDYMPPNEL
LLVGYQKKNQMKFHDDGESTLGPTVTSLSLGGGAVMKWRRKKVGAQKASLPILQIYLQHGDFMVMSGVEFQRQFEHAVIPDGDLRFAITTRTILCER
ISDPKERAHAIKSGIIPARASEFEYDGDMDLSRESSGSEHSSDQEPSEL

>RCO7_07063 | uncharacterized protein

MVVIRRKVRENRKSSDEYDAETGISTVWFRHASKDPYRVVAGLDYACPWPYDTDKPVSSNTKTVIDLIRLDYEKVLSRHGITFQGEELQSLSRRDHN
DYTDTLLLMSLDDGVSKWCDAADEIQTMIDEAYRAYTPQIIPGGPSVYSDYESGSDSRFVFENKACPIRVELRNPLKFYCDRTGMRRLCANGERGTL
ALEKTQDIVMDKAELLCGKENISSVSWNLRVRVALVHPVDGMPTVMIGVKPRARKNWAAIEEEMCKAIEGVLDEEDTKVTVEIGPGWIQQGIYLDPK
LLN

>RCO7_07062 | uncharacterized protein

MPVSENNAQQCKISIGGCDTELSVSTIEFYLASKDPYRVVAGQDEYPTPWPYNRNCYGVSKYTRDMFHRIESAYGAVLVRYGITVLCISFESIAPLN
SGSEVYIDTIVLISHDEDSSSWHLAADEVQALVDEEVLRTQPKKENRIRIELRNPTKWYRGRSSAVSPGTEEHSALLSTVETMKSKAEEACLEHLTN
ITWVLRCPLIPYCAKPSVPTVMVAIKPGSKGQWGHIEEQLRLALCTVSEGDVDVKLELVAGALLPNLSNGSQYSLSQVNSDHWCPPYTGASIGVRGS
REAGSIGPWVHFHDKGFLTTHHVAAAHRVVSPADGPPLKRLYAEIGINRKEKKARKPPIVDYPAPLDTAQTKERYETYAKRFPDNAAKDPEDLKNMD
DLYDSGGLGTVLESSGYYRKNKEGRRMDWAFIRLNVQNQHMFGENTTATGPNGTLCHTYT

>RCO7_07061 | uncharacterized protein

MGVVKRRAPSSDISTVEFDAKTGSSTIEWFFAAKDKYRVVAGTSYPTPWPYDIQRVSDNTRQVINQIRARYEAILIRHNIKLHMELQESISPKNSAK
YTDTLLILTLDQDNTTWLAAADEIQDLIKDAVRNQRQGETRIRVELRNQDEMYRDFTSVVRSGTFAHTALLRTVEPILKTAMDFCGRNLTYVTWVMR
SGPSEVAEPKPTVMVAVKPGSEDLWHVVDKALKETIEENIGDAVDIELVPGQVLRDASVDLDPRQPKFISKILLPPGSGASIGARSSPDAGSLGPWV
YFQRQNGPKIKGFLTCHHVIARGDMINLIANDKNGIARQGRAPLSTITVDYPAPVDARKTKRDLRDEISNGYSVGTNQKMLDRIVTLETAGGLGTVM
HSSGHDGISGLDDEQNKMDWAFVRLNNDRNFGQNITEPYDPDDGPVTRAMLGYGSIRVRYDCPGKRITTIGTPAMDAWMAKRGRSSGVTSGFVSAIN
ASCHWTDGTITREIHVANTLAQKAIPMLRPGDSGSMMWNERGEWVGLAIGCTSNDDSAIITAAEKVVEDIRSSTLGGRITLE

>RCO7_07060 | related to nitrate assimilation regulatory protein nirA

MDSASNSKRRRGLGVVTANACTECRKKRAKCDGKTPCGRCTSQNADCQYEMPVRQSKEEMRSEIETLRTHQRANDRVLAALVSGDASDNVLDQLRRG
EAVETIVDRLDDSQSSMSSMSGSNITTSYARPGDRQTIGGALSQARSIVSSPLSLVGYSPAEGSTTQSQGRAEGTAWPTWGGGNVSATQEAETADQG

DAMVWDVEPLSYPQQALLGGPLIDNWPRRSESDPASQSERQEARGFGQATILGSTFGMEELPEQHSLNKNQSWTTVTTDGAFVEHLMALYFCWEYPT
FASLNKEHFLEDMRAGYPRYCSSLLVNALLAVGCRFSKQPHSRTDPDDSNTAGDHFFAEATRLLEMETDHHSLTTIQALGLLSIREASCGRSSHSIF
LAGQSIRLAIEMGLHFDNQDGRSETAKLDHAVRSATFWGAFSLDQVWSLCIGRLPYFSRNAKLVTKPPIVEHIEVTAWVPYTDDGAPLDTPCTQPSN
VRSVYKTFCELSEIVHKSLYMLYTPGKPVTSKSLNDVYTEYIRWYSEIPETLRLGHNFTPAVLFAHMYYHTAILLLFRPFVKLKITGSGVSPRDLCA
QAANTISVLLKSYSKLYTLQRTPSFVPYFVLASTITHAMTLGNSQAGPEHLQQAIADLREMASCHAFAGRAVDIINFLIGRWDIAFEILGADDDNKS
KNKSNSNSNSSNGDEIGNKKDAFDLENLCKSKSSSMNLFSPNMYSTDTVPNGIGIVPEGGDPIFWLFPMQGRPMLDSVGDELGKAGFDLQTD

>RCO7_07059 | uncharacterized protein
MGSLLNEHPHPSNKPISLGSTNLLQTPLTRTGHGPGLLLIVPHDYQGPISGDLNKTLDPDPLRKWAEEGFAVAEVRLSARAKTAVEDLQQAVKALLE
MPQCNKKEKSILSPTPPAGDYGNT

>RCO7_07058 | uncharacterized protein
MSYYDSPPLRSDRPRDEQDSNSTTPLRHNTKLYPESRGRPHSPIYTPEGRPESSCLLGEKHSKQGASTSTIDTKSRLHVLTPLSERQQADQQQSTFL
PPKENLKRDTSTTAIDTNTPPLMERWDSPTRFCSRSPSPAHLRYRSPSPLSGKNQGNCKGECYGAYWDSKIPPSRSNAPRSRSPQYEPSKRKNTFKQ
PQRPGHQSSATPQSSKPLPHNPVQDNSTCSNTYSDDEPETIPIHPASWNNYTSSATKEELISYLVDRGVHPKLAAVEVGREFAKYAPQWAAGGGDVF
EGLSRAELRERAGRERSPSPDSRPRPRAREQTRNRGQDEGPRRARHRSPPPSAYCPHPLGMIWVGRYM

>RCO7_07057 | uncharacterized protein
MPSTRQFFINLKIEMFGSGINQGKKDKPSFESRTYRYSSASSRDFNHAKQRSRSVSTIATTSSVATTSSTSSTRTTLSRASTVASKPIRIISQPRNE
EVYTSSVPGSWPEEEEEGEIEDHYGHSPPQSYPRIQHKYSKPQFYQRTQYKAEPSYNKIRYPVQTPTPIVRGRNTVYIKPMTISNEPMGTRRHLRSG
SDILIVHHPTPQDLEDY

>RCO7_07056 | uncharacterized protein
MSMETPIDTGAVSAFKTTPTQQNIDLFHTQTSSMISKLEASSPLRDQLLIIQTVGTLSALLVNASILHINCHNICGLQIHIPINLYTPAALKHTSLQ
MSTPHLPYIDLIRFPSIRDRLLRSQDVIDGAEVWGDIMDDVQVWGSTVVLGMTGVGIWERVP

>RCO7_07055 | uncharacterized protein
MPRALHDLAGNNTKVIAIGTDIPKKEQVDQAFAQISRDIGKPLDILILNEGLFSGVRPLGIETVDEWQAVFDVNVIGPYLVSTAFIAKAAPDSTIID
ISTGGVHLDPFPGFSSYAATKLVGSKIMQYVQQENPGLHVVELHPGQVLRILKMASELAGDVVVWAASKEARFLKGKFVLVNWDAEELKASAKEIES
TRVLTLGLEGFNALT

>RCO7_07054 | probable MFS transporter
MANLSSGSDLESPKAELEFAGGVTASRFSSKENHNIEPVTLTEEDNKKICRKTDKVILSILVWVYFLQILDKSVLGYGSVFGLQKDTHLKGNQYSVV
GSIAPIAQLVWQPFSSILIVKVPHRILMPSLVLGWGIAQTCMAFCHSFADLMAARFFLGLFEAGCLPLFGVITNQWYRRSEQPIRVATWFGTNGLAT
IIASALSYGLGHIPSETLKSWQIIFLFVGLMTIVTAPFVYWKLDNNVATARFLTETERAQAVERLRANQTGIGSRELEWSHIWEVATEPKTYLWFTM
SLLLNAGASVSNVFGPLILKGLGFDKYVTSLLNMPFGAVQFIIILLASYAVQKSRLKAPVLLALVLPVITGLAMLYAIPRGDTAGLLVGYYLLAFLF
GGIPLIVSWIVGNTAGTTKKSFIMSLYNAGAATGNIIGPLLFNAKDAPTYLPGLRAILIFFVTLAAVIILQVVNLMFLNKMQAKKRVVNGKPAVIHD
ASMEKHYAAVDTTAGIGQHAFDLTDRKNDEFVFIY

>RCO7_07053 | uncharacterized protein
MYHREFKACAQRLRPKLGEQDLVMWVDAICINQADIPKLNGQTANMRAIYQYAESVAVFLGMESSRSAGAMRFARDFNKCASREELKKLETVLVADM
GYPGRGRKGATEPVLQAPIIYKHPHNRRPSWTITLTLLTHYHHTTTSRTPPFSQKQEVHRKDEVYALLGVSESVNKFGPIDYSLSMREGHIYTATPI
ISTSHRLNVICVKQHDVNQQNLPSWVPDRARPPTNTGSTVVGHHHYQPAFTASGSSLAAVESLENSYVLKVTGLVIDTISTVGRAFKQRPRRAPSEV
VPVLQVSHDWWNIFVGTHSNSLEWLSHFRAYDILPIFVLSDGLLSDSDNLRLDPPSRSNTGTGTLALSSGSAAQSMADEEENLNGNGDEDVEERLQL
SAILSAGLLMNRPRIFVLRGGNVGLGPAGTETGDVVVILLRCRYPLILRRKGEGWALVGEAYVDGFMYGEGMTGVDEDIDLLESFVIC

>RCO7_07052 | related to DNA repair protein RAD16
MSEAASSQMTHEVNDLQEEIAFQRVLLSSIDHNVKDREAAEQDVRNEIHSLESKLNRLKRAAKASTSKSSSQTLQPSPKQSRSSSRQRTATDDFTMN
QDQGLSNWQAPQQMASTPSMANPFADTMDSPQLDLPSRKRSHSTQLDGHLAPIDNKSRRTTPSPFGTGPPTPSTSSSGYAYPLAGDGYFDLTFDDEF
DAFDKTFFRLQQDEVARLEQERLDAEYARSIQDPVSFPQSDGPSSSMQPPARNAFHRLHGVQQQPSSSASPYASISTSQTQNQTKPGRKLPWQHSSN
HGKSTVKAEPESMASSFKQETHGFAKYTNDPSLSYSSFKEEQKSRPMPGGFKDDSSTASDSDIEVIPASAFHDNGRHVQTKVERNPYAPESSRSSVA
NDALQHALYGSQVKHEWMNGAQPSMNGGFPQGQQQIDLTDYDWMNGDPSGWNGGIQQGQQKIDLTDDPDPPPFSEFFASQMRDVNPLAHLIARANNG
NNYDELSRYLNLGEDRMDQLSNVLNDPRKNAEEIQALLENIQPDVDIAPENREGTPAALVYPLYEHQKLALTWMKAMETGTNKGGILADDMGLGKTI
SALALIHSRQSQDPARKTTLIVGPVALVRQWDRELRTKTLPQYRLSAHMVHGSGRKLPWDELRTYDVVFTTYGTLGAEYKRLQKVYDKMRIDGVAHL
DQNEMKKTFPLLGPKSTWYRVLLDEAQCIKNKNTGAAKACCTLSAVYRFCLTGTPMMNNVGELYSLIHFLRIRPYNEWTRFQETFGLLTKPDPSKSR
RSDAENAMRKLQALLKAILMRRTKKSLIDGKPIITLPPKTEEIQHVVFDDDERAFYSALESKTQMQFNKYMRAGTVGKNYTNVLVLLLRLRQACCHP
HLIHDYEEAPANPEDANAMMELAKTLAPDVVNRILGADGAFECPVCYDVVINPKIITPCGHDTCANCMTRISDQADQQNLANGQDGAVPLRCPTCRG
ALALNKVIDHSAFKMAHNPEPVADEMDSDTESDSDDGSETESEEDSEDSDGYLKGFVVPDDVEDTDEEDDEAEDAEEAEEAEEADEEEVAPKKSKFN
FKGKEKAKEKRRKSKGKGKTSVKTHMSIAMLKKEATKTANGRRKYMKYLRKNWQPSAKVTKTVDLLGEFMAAGQKTIIFSQFVSLLDLLQVPIDEKK
WKCLRYDGSMSADARNDAILRFSESDDHNVMLISLKAGNAGLNLVAASKVIILDPFWNPYIEMQAVDRAYRIGQQNPVEVHRILIEGTVEDRIIELQ
EQKRKLVESALDENAAKSLGRLGIAQLAFLFNGNANPNANAN

>RCO7_07051 | uncharacterized protein
MASRSLKPASYLASAAQQAPNRSPRPSFTRSSSNSSTISTRSEDSIVATLRGLSTADGKEKCKSMMESSKAPSRSTTPVDGYGVALLEYPATPRPAT
YAPPGPSLIQSQSILSGSASVTQQRPLDTPGRKRSQPIAIELPPRGTGTGTAAYTPLSARGDLPGGYFPNHEEVTKSYRSHPFSNHFGKLHQPQPES
PNMSPTFSPTSDTTPKMSSHMLTPSAFGQLSPSIPETLRLPMGKYHPSNYKSPISTGSSTTTSTPRGSMPPSSLTIPAQPIRRGSKDRPVNERKSSE
VKRKLQEYQRNMIAQARSAAPARATVDSAVVKDVRPVIHSPRLQPLGSPGPITPFVLEEADGYIVAGSTEVRKENERQIQMILSRPSQASPVESRV

>RCO7_07050 | uncharacterized protein
MALEKSYIAHSVYRFLQFVFAITVCGLYGVDLNRANQAGKYSDGKWIYAEVTASLSAAAALLYLIPLIARIPFVFIGDLILFVLWIALFGLFGDMYI
QEHAEGNKGIARMKNAVWVDLVNALLWLVSAAAMAVFWVRHRGGRSMWTGRAKV

>RCO7_07049 | uncharacterized protein
MDPIPKEAQRTSPLPPISFSIDPSYRHKLADISSRATLSDPLNILFQSEILGPSSKILEASDIYTSTLIRVHTKVALGSFIVEADDFAAVACWEPPA
SVQPAHTESELTELGTQRPVFAAFLRSIELARTECLGEVKFWQLSLMARDPERVSKGAVRGLLEWGLGKARREGYPVWCVAGNERARDVYAWLGFRV

VSVVRSGGEVEKGVQSWCMVCNWPVE
>RCO7_07048 | uncharacterized protein
MQLVFAFTIFCLSIFMRVEISAKGPHWGGWESGLPILIGTSAITCGVLIYIIIATYATPRAYNYWAILVLELVFLGLWSLGFLLSFSSQFKTFPGCI
HVFVLRQGDYVEIEDCTDHTGDPAYMAAANARWAAMGFSGSLLLLWFVSFIVVTVGIARHRKRGSHSKVMV
>RCO7_07047 | uncharacterized protein
MEPQHPRSWFNKNPHTSTSTSTSTSTSTSDSQGPLGLSTLHVPSGTVSSDVVFVHGLGGGSMKTWTKDGDRALYWPREWLHQEAALQDVRVHTFGYD
ANWGKRSILTIHDFANALLNEILDCPSIPRGTTSPVVFVAHSMGGLVTKRAYLIAVAKKEFASLAARIQGIIFLATPHRGSDCAHFLSSLLSLTGGE
RPYVNDLGRDSAALNSLNDDFPNSCSNLLLYSFYETLPTNFGMKKVFIVDRDLATMGYGNERRAYLHADHRGVCKYSSRNDPNYLTVKNALVSVLSI
LRDRFHSSGQEVSNERQQKLDNLLGVFDAPEDDFMSADIIRMDGSVEWLVRKENYQEWIHYSNPPIYSITAKPATGKTVLSGKVIAHLRTLQKRCSF
YFFRHDTKEKSSVTSLLMSMAWQMAHFEESILNICLQILNKSDHLKADYRTIWRKLFLEGIFKVRCEHVHYWVIDALDECSSEAELISLLIKTSEVS
PIHVLVTSRNRFQSRQSLGISKVRIEYEAILEQDSESDISMYLYANMDALPFVNASGQDSIVRQILDKSRGCFLWVTIVVQELRNVFTSTDKQRILD
EVPEDMNDLYARILTTMSKASYGKELAKAILTWTVCSSRPLNVSELLQALQLSLKVSIDGLENSIRTCCGQLVDIDSKGQVQMTHLTARQFLLDPGT
DSEFRIDEKEGHCRILLTILECLNSDQTRGAKHRRSNLCGFRIETTALMNYASTSLAEHLLYATATDQEIILGLATFLRSASVLRWIEYIARHANQQ
RLVDVGKALGTFLRENPDQISSNSSINSTSTLISSWATDLVRLVMQFGKNLDAHPKSIYHLIPPFFPSATALRRQFGSSARSIAVRGLRAETWDDCL
ATVVDMLEQYSSLACSKTQFFIGCFSGKIFLYNQTTCQKIGTIDHKEPVRHLVFGEMKNMLISAGSKMIRLWDLESKTELHIFDTPQPSMALSLDDE
EHLLLGALKDHRLRFWNTETGGDPEVIEWTQGLEAMTIRLYRRPTAAAFGIGCDMLAVIYKGQDILLWSIASDKFLALYSRESGAIAESLGRPYGSS
GVRCLTFGKALNAHLLVCAYTDGELVLFDTSTGAVNARIVAFAHVLACSSDGLVLATADPAGTIQLLRMETLELIYIIASVEAGLPDLTFSPDSLRL
LELRGSRCRIWDIADIVSKNTRQRPILTNLPINPAGPSKGSILITSIACDASGEALFVGKEDGSVHLYAIPSGLASKKIFSHAHGVSIVSLQFEAQS
HTIISVDSSSRTMIHQIVYQKQSTSVSQVLFDYRVDVAVGQVVCQPGLEHVLICSAKFDMLWSTTAGGNILVITRLRQDREPYRWINHPHNRDQLIL
IVKHTAHIYDWRTLQRLTGESGIELQGELVPELSIRSIVPCFGGTVLATKFSEINQGHAESKLILWSVTEFTRTSTSAIPIPSYRALSDDIEVLIGT
TPAISGNLDRLIFLHGSQWVCAVDIETAKTNQFVRHLFFPEDWLSPAKGLDLIVEVTSLGDVLLVKGDEIAVVRRGLHVPESLESDSESLLFESGTA
PLAHRPRKI
>RCO7_07046 | uncharacterized protein
MAAPMEVLHIMTPAEWGKPIDVHEKWIRFVDENVQSKFPPGTVTDGIRPHGASYWTRTAEISTKTADGSPRSYFLKVSQGNNGKGMVTGEYASMIAL
YQALPKFVPEPIGMGTYAADPEIHFFCCELINMTDEIPEIQAFTSTLAELHTKGLSPDGKYGFSVPTYKGTIPQYTAWHDTWEESYYHSMKWFMYAE
ETSQGFDEEMQTLCQGILDQVIPRLLRPLETGGRQIQARLIHGDLWAGNTSWNIDRNMPVVYDAAALYAHSEMEMAAWRPIRHLVGQQYMKAYFHYF
PVSAPEEDQDDRNLLYYLQVRIDVQAKETMRTLLAKFPGGYEAWAKEKGEEPVHRIMPPTTIGLELKQRPV
>RCO7_07045 | related to phosphoglycerate mutase
MSDANATTPRVFIARHGETEWTINGRCTGNAEIPLTEHGIAQVQGTSEALVGAGKLIDPSKLVHVFSSPRQRALVTLDMLLGKEHKKRLQHEGKITV
TESITEWDYGNYEGLTPLEIKESRAKSGLPKWDIWTMGCDGGESAEAVQERLDKLIGEIYELQKPHMDGKSGEPADVLIVAHGHILRAFTKRWLLYS
MKFPFTMMMEPGAIGIMSYAHHNVDEPAILVGMAFPRPT
>RCO7_07044 | uncharacterized protein
MASLCIGLNLHLNEDAAAGIKKPALIAIRTPMEVGLSPLS
>RCO7_07043 | uncharacterized protein
MNIDLMINLYDSEGCPASPSLRSYTGTLYTTISESGMAFDSSPSTSPKTFEETQSEHQYVLQGITTELPLIYPRWDLPEPEERAWATTRPQAMQSEI
SYQHGYNSYLVHLAPLEYILRGFDDCEHIGRLSPDNSQDVTSSDDVFIELSAAFSPDLFGANLETRYGGDGFMLE
>RCO7_07042 | uncharacterized protein
MSRRGDPERERERERFHSRDGPPVRTRERYEETDIYSRRGPERGSRPDFLRDDYGRGDPGTLVLRERDTESFSRPLERRPRSPSPVRIVRETRERVV
ERSPSPPQQLERVRTRVVERERRSPSPVQSERVRTTRVVETRREPSPPPPDRLRARVIETRERFRERSPSPVRVRERIVERERERFRERTPSPHIDRV
RIRNFEEREIRQPTPSPSPSPPPPPVVRAPPIHQEIITHHRHIDHGFELARVPSPPPPPRRTENRVKETDIDIHTHRGHTDVDIKTKTTKSSNPRSL
TPPGRHDHYHDDSYLYEKERDQLRVRDTRLDIQNRRSVSARPEHRERSRSRTRIDIRGDDDEADYYARKASERAHIGEAYNGATKDWAIIDVPPGTE
RVKMDGIGGGSQEVTWQKYNGVRRSKFIPERERERDRLSDRSERIEIRDEPRRETSGLEIEISSRSRRQQGGGSYEREYERIEETTNQQVGFPRAPP
KQRVGDLWTEITKDLVVKEAIEELGYDFEETEFFYYVIQYLRYEDVLELVSLSETIRRERQERIREIQRERDRLERRDRERDEWERRERRRERDSGF
TDERILEREIIYDNRGPPPRRW
>RCO7_07041 | probable Catalase-peroxidase 2
MWSSLLLLLPLVAAQGCPMAGMNKRDILSQRSNEPSLDALANSFGKCPRFSDAAGGGSRSYDMFPCLLKLDVLRQFSPEQNPRGKKFDYAAAFSKLD
YYGLKSDLRALMTDSQPWWPADFGNYGPFFVRMCWHSAGTYRSHDGRGGGGMGQQRFAPLNSWPDNGNLDKARRLLLPIKQKYGRAISWADLIILTG
NVALEEMGFPTLGFGAGRVDTWQADESVFWGAETTFVPQGNDIRYNGSTDFAGRASKLEEPLAATHHGLIYVNPQGPNANGDPKTSALDIRETFKRM
GMNDSETIALIAGGHAFGMAHGAGLGTSGPAPAAAPMENQDFGYLSTFKSGSGPDTVTSGLEVIWTKTPTNWSNDYLKSLFGNTWTLVKSPAGAKQF
EALNGTVDYPNPFGGGFRRATMLVSDLALREDPTYAVTAKAWSEDLQALTKAFAAAWFKLTHRDMGRIDRYIGPEVPKQRFLWQDPLPTVKYTQITA
DDQTHLKAKILATAGLTVSNLVSVAWGSASTFRGGDKRGGADGARIALQPQVSWEVNNPTQLQTVLSALYTVKKDFNSESNDKQVSLADLIVLGGNA
AIEKAAADAGHEVKVPFTVGRVDATQEDTDIESFELLKPQGDGFRNFRNTTGWSVARTEELLVDKAQQLTLTVPEMTVLVGGLRVLNTNFDGSAKGV
FTTRPGKLTNDFFVNLLDMHTAWTVDASGELFTGKDRATGAEKWTATRADLVFGSHAELRAVSEVYSEAGGDEQLVEDFAVAWAKVMDLDRFDVKK
>RCO7_07040 | related to nucleotide diphosphatase
MALPPSSTRDASFLSPLHYDDDASSIHSERSDQDSDSEDDEVLMGARTSADIRAHDRSVLLEEEERDKLLEDSRRRGRRGSSLAMRNPLVRNPLKGL
FSKSYAELPSAGTEMEEVGVGPVPAIGSGSAKGVKKQRRRERRNKKKAKLMAKAERGEDGQLMYEMEEGGLKEDSETGASSETEGSDEADRRGLKGL
QDDKIKRRRSWRRWFFIHLLIAVGFSILVLGAWKLSLHRKSAVPVQTMRSNGSAIFAPTTVLISLDGFRADFLKRGITPRLNALVKEGVSPIYMNPS
FPSVTFPNHYTLVTGLYPESHGVVGNTFWDADLKEEFYYTHPNAMQPKWWGGEPLWVTAENQGIRTAIHMWPGSEAHIMDIEPAFLDVYNGKEPLDN
KVRRILELLDKPGQENQLAEIVDMRPQLIAAYVPNVDADGHKYGPNSTEIRVTINDVDTMLDHLFLGLEARNLTDIVNVVVVSDHGMATTDISRLIQ
LEDLIDMSLIEHTDGWPLYGLRPKNTADLHPLYDKLQKHAVTNPGFHVYLRDENMPERYHFSKNERIAPLWIVPTTGWAIVTKEEFDVADGIQHGKT
YSPKGLHGYDHEHPLMRAIFIARGPAFPHAPNSRVEPFQNIEVYNIICDSLNLVPNPNNGTIRLPLKTVGTHTQETSSEEPGDPEAPKSSSASAIPS
TMPTSSPSSPSSEPSQTSSQPSLHTGPPSSIPDPRPDAVISIPPLEASSAADPGEFSPVLVGVDEPVPETERPVVNDESKMTDKEKTFWKWFKDRLD
KVKGWFAGKGKDGKGKEGENKEGKSGNVKESRR
>RCO7_07039 | related to GABA transport protein

MASLKSIKSSHSGSDPRRPSGTAILPDGDSPNFEGLGADDAALVALGYKQEFKRNFSLWTTFCVSFAVLGLLPSFASTLYYGMGYAGPGGMVWGWLI
SWFFIQCLAMSMAELCSSMPTSGGLYYTAAVLAPPGYGPFASWITGWSNWIVQVTAAPAVDYALSAMILASASITHPTYVPKDWQVFLLTVLVMLIH
SCISSMPTLWIARFNAYGSTMNMVALFVVIILIPASVTGSETHPKFFPSKEVWAIQNGTDWPDGVAVLMSFIAIIWTMSGYDAAFHLSEECSNANIA
APRAIVMTSGVGGIAGWALQLVVAYTVIDIPAVLESDLGQPWASYLIAIMPQNTALAILSITIVCGFFMGQGCMVAASRVTFAYARDDCFPFSSWMK
KVNRHTYTPINAVWFNTIVGILLLLLIFGGSVAIGAIFSVGAIAAMVAFTIPVFIRVFFVGNRFRRGPWHLGKFSKPVGCCACAFILVMMPILCFPA
VRGNNLTAELMNWTIVVYGGPMVIVTIWWFVSARKWFKGPKINVEHHMLGREDAVVEGVEGSSDDIESHNYPSKKAEMENPSVSLQTTEIK
>RCO7_07038 | uncharacterized protein
MATESPRGRARSRTPLSDVSKGRGGSRSASRPRRSITPRSVSRGSRRNSRYRSASRSVSRGRSPSPVRSTKVVIEKLTKNVNEAHLREIFSQYGQIR
DLDMPMNRSFNTNRGTAYILYTSEADAESAIAHMHESQIDGAVINVSIVLSRRKFSPSPPLARRGLNLDPRATFNAAPSARPPPPGRRRSPIPPYGG
RPERNGDTYRPTSRSRSRSPRRHRTRSKSASSRSRSPPRRGRGGGGGGGGGRRASPARNGGRRRSPSYSSYSSYEDRSRSRSRQRGGRGRR
>RCO7_07037 | uncharacterized protein
MEMGKSEGYTPEEACPSISHEISNFQPADGNSKNSRAAANSNKSQRSDLSRFDASYDCTGHLEPTETRKPRPASKSRKSGDTIIEEGCHDSDHESSL
NVESHKVTKLKPLKLRSDDAYSVEESCQHSDHDAFLPPQRIPLPKSPLESPSGSGECLPLDHDQPTRGQSSLAAATKLVDGKSPQTNTSSRNVKQSS
KKVEKRVENLRRRSSLNQCCFDSDNEKPPGNSKKAKKAKRKADRKIRKDLEEINKKAKKEAEKQNQNERKRIKRQEKQKKKEIEKRGNQDKKEREEI
DKQEKKDKRVTILTYTIPGDNHGTDTDQWLSPSDAKKVRKLISSRDEKIRKSQEKLKTVIDRMKQRKESEISKVKGKNRSTYLEEHRLSTCDVIQTN
DGPSDFGGHDRTPAQAFPRGIQIMAKNTNTLEGGFPYPKELAQFGISKGDWSVFCLKLTEPLANWKIAYAIEKILDICAEEDVTFFRPKGFILRLDM
PGEEQYGLDMMDIYHTKLGSIHTDNFTAMPRGSKVEGYGGAIKHKHHIPERSKDRKHLESLRDKAFRSTRLMIDPIIALKDPELATQRGWAGWIIAS
KKAQKLAAEAPPKRMDNKPWYGYFPARWDRWPPSKHLYYDRFRGAFHPTGTKKNPNSCFIPDYDSMDQRGSPYTSSVIPCDEVEFAVLHPDQP
>RCO7_07036 | probable dehydrogenases and related proteins
MKRYAIIGLGGRSSFYYAALAKDFQATSLIVGLCDTNQTRMNVANDALVELEYPSAPLPTYKAEDFEKMIKETKPDEIIVTTMDRTHDIYIIKALEA
GCNVITEKPMTIDEMRCQAIIDAVNRTGKKVRVTFNYRYAPHNTKVYELLGEGVIGKVNSIHFEWALNTSHGADYFRRWHRDKRNAGGLLVHKSTHH
FDLINFWLRSSPVSVVAQGGLMFYGRENAEQRGVTEFYTRAHGSEVAKKDPFALHMEEHEQLKKLYLNAEHEDAYYRDQSVFGDGISIEDTMGVLVR
YESGAILTYSLTAYAPWEGFRVVFNGTKGRLELDVVEQSYVNSGGEQGAEGALEKCTVTLRPLFEKPAEIEISSGAGGHGGGDPVLLNDLFGGGDGE
DCFGRAADHIDGARSILTGIAANRSLRTEGVVLVKDVLDLKR
>RCO7_07035 | NADH-ubiquinone oxidoreductase 20.8 kDa subunit
MSGRPARFNQSTLIDTTPLPAEIPAVTEVGSSSAPLLSASFFIGARCRPYNDDFMQCKTENPGRGEIDCMKEGRRVTRCAKSVIEDVNKHCLAEFRK
HWTCLDNNNQQLWQCRPAEWKLNKCVFDNLKIEKVIPDTPKGETPVHLKTRQIYSHHGP
>RCO7_07034 | uncharacterized protein
MMDNSNSGIDFEAGRGRDAVLDYQVSKRPALIRRLFSISWTHCLFYVSRLWRSHLAHIFRRNLPSPSNLRPLTDQQRKNKGDEFIGSIDTDAIRALA
STYNGGLPCSIRCRLKGSFNVCFILDFSDGTTRVVRLPIEPAIHDVWGKVISEVYTMQYVLDHTNIPIPRVYAYGRRRLRRDSSAYQVFMVLDYIDG
RPLTKKLLRDSPEDCRRRFFGEVVDMFAQLRRLEFALGGSLMPSATAGPPARLWTFMFPREESFTPRSTIGLEFEPKIVGAFSLRKNELQVDGYTAA
RSTAKTANEFLRDRYQLLRYMWQMPCRELGQEEAEREEFALHALSLEEAQKALGLQADSSGESFCLSHPDPRVHNIIVDDELHIRGIIDWEFSVTVP
RHFFLPPSWVTGHDLGSIAPKLSAEFMNVLSSRKHLSCSHSQLARDWDFRNELTLPIAYIMLDPSDLVLLFYRYIYPKLYNESRDKVVTNFFQNTEN
KEPQVTLVQRLRASEQYTQYLKDNNLFDDDSEDPEWQKIIGRTVEAQKKLQELRQWCDKTQGELTRLEGQRPT
>RCO7_07033 | related to nuclear pore protein NUP57
MFGASKPVGGGLFGSSVNTNTQQASGGLFGSSLATNNHQNQQHQGGGGLFSSLGQSTQQNQNQNQNQTSGGLFGNLGQSTQNQQQQGGGMFGNMAQT
QQSQGFGGQQNQPQQTGGLFGQSQNSQQQQPSGGLFGGGLGQNQQQQQPSSQFGSVLGQSQNQQQQQQSGFTGGLGRSQTNQQQQNSLFSQSSQPAL
PQLGQSGALWQANNGVNPREKSIPDQMQTVLEKWDSGNPNCVFKHYFYNKVDDNMAPYYRPSPNEDPKAWEEALSNKPGPGYIPVLCVGFQQMGDRI
KLQQRNLSNFNVRLHEINASLSKMMQEHETRTSIRTIDARRKHVVLKQRCLALAGRVQVLRNRGYAMAGDEEDLRTKLLALEKNVTDPGLGARGEEI
WARMLIVQDRARTLRNEIEKAGAEATDVLDEETSSQAKKVLEDYNTQLSHLKGELESINKEFLEWQKEQGGTTALKAKETVKIDTQARRLQFV
>RCO7_07032 | related to GNAT family acetyltransferase
MSNFKPKGDLVTKPPALHPDPNKTLIGQHGIRLVPTTKDNFDGLFASVCGPENDDLWTYMPSGPHRTVEAFSATLTARMEDDEWLLYTIFPTSSFIP
SQVSSSQIIAAVKAPTSAIAPMPLGIICLINFSPANLSIEIGHVLYAKSLQRTPASTEATYMLLRYAFEELGYARVVWKANSWNVPSRRAAARLGFM
EEGTFRKHLVVKGVRRDSVWFSCIDDEWFLQGRGSVKAGLEGWLEKSNFDEKGIQIRKLEDIRNSLTVGGRA
>RCO7_07031 | uncharacterized protein
MFGGPPPPMGAAELRAAEAESTLTIQKVLAGAILLYLSPFAIDMVSKLV
>RCO7_07030 | probable glycine decarboxylase P subunit
MVPSSLAVRAQLGRAVTQSRSSSTRSIQLTRPWTCRTSSSSTATSIPIGRRTFYTSSAKDDSNITKAADISRGSYLPLDTFARRHIGPTPSTTEQML
KALDPPVESLDEFVKQVLPADILSASDLEIDAAKSGGEEGFSESQLLARLRTIASKNTIMRSYIGCGYAGTRVPEVIKRNVLEGPGWYTSYTPYQPE
ISQGRLESLLNFQTLVCDLAALPISNASLLDESTAAAEAMTLSLNALPASRQKSKNKTFFVSHLVHPQTKAVLQSRAEGFDIKIEIGDVLADGGARV
KELGKDLVGVLVQYPDTEGGVEDFKGLADIIHEQGATFSVATDLLALTVLTPPGEFGADIAFGNAQRFGVPFGYGGPHAAFFAVGDKYKRKIPGRLI
GVSKDRLGDKAMRLTLQTREQHIRREKATSNVCTAQALLSNMSAFYAVYHGPQGLKNIAERAINGARIIESGLKSLGFETGSRGKGEDGSVLFDTVV
VNVGQGKAPEVLQYAVSKFGINLRQFDDSRLGITIDETVDAKDLEEILAIFKQFTKSDAEINIEQIIKSLPGSGTLPIPKAFKRTSEYLTHPVFNTH
HSETELLRYIHHLQSKDLSLTHSMIPLGSCTMKLNATTEMAPVTWPEFASIHPFVPADQATGYKVMIDELEADLATITGFDAVSLQPNSGAQGEFTG
LRVIRKFQEQQPGKKRDICLIPVSAHGTNPASAAMAGMRVVTIKCDTKTGNLDMEDLKAKCEKYSEELGAIMITYPSTFGVFEPEVKAACDLVHQHG
GQVYMDGANMNAQIGLCSPGEIGADVCHLNLHKTFCIPHGGGGPGVGPIGVKSHLAPFLPGHPLVKTGGEKGIAPVSGAPWGSASILPISWAYVKMM
GGRGLTHATKITLLNANYIMSRLRPYYPILYTNENSRCAHEFILDVRGFKETCGIEAIDVAKRLQDYGFHAPTMSWPVANTLMIEPTESEGKDELDR
FIDALISIRSEIKDVEDGKVPKEGNVLKMAPHSQKDLIVGEWARSYTREQAAYPLPWLQEKKFWPTVTRLDDAFGDMNLFCTCGPVEPVDGEDRITG
AAAPMPT
>RCO7_07029 | uncharacterized protein
MTDLPTPHEVDMGEPPAEIKLEPNSASIMHEEPDKIFCAQPLQKIAPEISQPETTVPLWKNSPEQDRKRKVLINEEAAEHAYRYFIAVKKILKDFSH
IQSSQSRLKDIDGILTRKKECKVRIGFLGGTGSGKSSLINALLKEAILPRSDEAASTAVAVEVSYNASDNPQQMYRAYIEGISEAEFVQEIDELFAD
KLVWDQGGGLEAGEVDFEMHARMNATFTKVKCLFPKLQVLEDLKKTSANELLVHPEVKRLLDAKYHIKSPNSKDFTDRIQGYIEANSQHKDASQKIS
VWPLVKLVRIYTKAAILKPGIILVDLPGNLDTSAARVAVAEEYRKNLTISVIVAPAVRASSDKSAHDLLSSAERRTMQLDGLYKSDSLFFVVTKIDD

LQNFKKYVKDHPNMEQSIVDLVNNLECMASQIDDLEREHKEKLKPRGKLQDLSRKYKEAHQTLAQQVEKILDALSSSGMKRKRIEDCQDSDFSAATT
QQKKSLADLRKLHTLMGKNSADIFSNGNELFSIQESRKQIEEEKLITECNIRAACIQNRNQVHRTAIQAEYDAGRAMMGKKSSWKELSIFSVSSDVF
ACLHEDQDKDYAMRRGFFNKADTGIPGLRNALIATTWETRERNALTFNEDAECSLARMKLWVSDNSADFKMSRDEREHVESRLNILVEDLEAKFSKL
RIETSKETRRLIETGIITKLFGFSKVASQQAKEIVTNWALLPWNNHRATNKRRGVWKSGSTIIDWNLDLAGNYLDLLVESWTKTIHSRIRNLQKSYE
RKVEAIVFDFCQILLNSAKEFDPAINEAICLLKENILHLGTTLQNSGADNFADVISASKDSHRLVQPRVLSAWEDVYDMCGAEKGAGVWNRNRRAHQ
DHVMNAGGQPMYKGCGFAIKNELRPACDEMSDKFDHSFSEAVNLVKEDLRIMLERHTVDINSSVESLASTEHDKRLLQQALAPIFTDLERAWGMEPL
PEVVEEDEVAREVEDVADNQNTETLDLDALLAD

>RCO7_07028 | probable DELTA(24)-STEROL C-METHYLTRANSFERASE (ERG6)
MAPSGLETEDHTRDAAFNKAMHKESSGAKGGFSAMMKKDKTAQKAAVDEYFKHWDNKSAKDETPEIREARKAEYATLTRHYYNLGTDLYEYGWGQSF
HFCRFAYGENFYQAIARHEHYLAAKIGIKDGDKVLDVGCGVGGPAREIAKFTGAHITGLNNNDYQIERATRYAQKEGLSHQLDFVKGDFMQMSFREN
SFDCVYAIEATVHAPSLEGVYSQIFKVLKPGGVFGVYEWLMTDKYDNDNPRHREIRLGIELGDGISNMVKISEGLRAIKAAGFELELHEDLAKRPDA
TPWYYPLAGDFSMMGSVFDFLTIARMTKLGRGITHKFVGLLEMVGIAPGGTQKTADSLAVAADCLVAGAKEDLFTPMYLMVARKPLK

>RCO7_07027 | probable pre-mRNA-splicing factor slt-11
MPPQIKQDLNRSGWETTDFPSVCENCLPENPYVQMIKQDYGEECKICTRPFTVFKWKADRTARSKRTNICLTCARLKNCCQCCMLDLSFGLPIVVRD
AALKMVAPGPQSAVNREYYAQEHEKEIEEGRGGVEAYEKTDEKARELLRRLANSEPYFKKQRRVGPAEGEGVEGSAASTALTTGGPGPIRTRDSRGG
GGARGSVRGGRGGARGGRAFPSAAQLPPTAQDIAPPADKSITSLFVTGVEDDLPEHKIRDFFSPYGKIRSLVCSHMSHCAFINYNTRDGAEAAAEAL
QGRAVIAGCPLRVQWGRPRPIGTMDKEERIATGREGRTAFAGSGRSGAMRGPDHGQTAAPEKDDLANMSAVAAPPGAGDGPQYASLAGNN

>RCO7_07026 | probable FMP36 Found in Mitochondrial Proteome
MATSAYRSLLRSARLAFEGDTHLLTAARSQARQNFRQNASMSLDDPAYAPAIAHAQDVAKILRENVVQGRLGKDDRYKLRIHEHTERGDNDTIKMPN
GQKVVIDGKKCSDK

>RCO7_07025 | related to zuotin
MQNSNPIGLEITQLRASFNVARTCREDNAEFQPYWIEDHSTASTIQCREDDEEFQTYRIEDHPTASITAELLNVPGPSCDIPRSRRKGTVTEETIRH
LWDSESGTGHVLATKLGRSGSIKDERILKSQPELSKKAEGKRRAEENNMDDCNTHLAASGPAEEQPEDSQSPEQDEDEDEEDDDDDSATIYEGDEPP
GTAGQDTTTTKKKKKKRVRKNKKKKSKSKSKSKAQPGLEVFEGPWADVLRQLVPIAKTLINADKWSSLDIAIKYCEFHSLILRTLREKCNDRADQVT
DFAIAADKYCITIRSHKDHFKQAVQNLIALQGEKPELGKAKIEQLLTEQDQEQLKGLQDSLLGYFRRNGGWGSHIAFVIKQVQHLSPLVWYWLCISS
CNRLRAAKRQKSLGKYKDDPTEDSDFKELARNVFSAGLSTTADSFPDILYPLTQEDRKEIQAKFLKADTASRESLVQKAHDNCGDAVNSTLLERKIY
FFCLFLFRFRELRPEDEVLDMPYPFGGHFLPNTFSNTDSHSLQASHPQVILPLPILPGDWTAEKDFKALGSLSAATQRSIEPVGPHFLAHARRARHK
RTFSEDDRIQAQENVKKVEEDDSGEISEPEDPSMLLRDAKDWKSQDHYAVLGLSKYRFKATEEQIKRAHRKKVLKHHPDKKAAAGSTEDDSFFKCIQ
KATEVLLDPVKRRQFDSVDERADVEPPSKKQLKDGKYYKLWSNVFKAEGRFSRVQPVPKLGDENSTQEEVENFYNFFYNFDSWRSFEYQDEDVPDDN
ENRDQKRHMERKNNNARKKKKNEDVARLRTLVDQVMAGDERIKKFRQAANASKNKKKNEKEAADKKAAEEAKAAKEAEAKAAKEAEEKAKLDREQGK
KAKEAAKAAVKKNRRVMKGSVKDANYFVSGDASAASIDAVLNDVDLIQGKIDPDETAALAGKLNGLKLADEIKSVWSGEVKRLVEAGKIKDGEVKTI
V

>RCO7_07024 | uncharacterized protein
MSSTFSQAVAVATRAAVVPKLSPEEFAARAAESNLPFILGMIIPFFVLAFLAVMARMYVRFMVVKVMGIDDYIMLAAMACSCVAMGIFCWQTPHSLG
RHQNTVSVADMITHRKANLIYSTVGAVLGLHLVKISICFLLMRFVNGRVYRIALWSIVIFLVLFTVACWGTLVFWCLPVRAFWDVSLRRLPSTYCYP
IDQFTNVSLINTSFNIATDVLLASLPVHVIWNLQINHRQKVSLIGVLSLGYAAVALGVVKAIKQVQLLTDNDATWSQSVQMWGYVQLNVSIIASCMP
ALRPLFSWLSDAVSSNHRSRATGAQVNTRSGYFRQYDTSGTGQRTNVASGMRSFGGGDMESDVPLRDIKSGNTAFVSASASPNSGADKSWIDIEGDS
GSEKEILPNGQHQGQTGIVRTTEVTVKSDNRKDWNAV

>RCO7_07023 | related to monophenol monooxygenase (tyrosinase)
MRFFDILVAATAVSAVALVPRVETENAHEAIENFVPEDDIAMLGLAGLGNLTEHEEAAVKSKAKRSGCSLFDVTIRRDWAHLIASEKKAYIAAVQCL
MAAPSRVDHTLYPGAKSRFDDFIVVHANYSRSIHGTGNFLTWHRYFTWTYENTLKKECGYKGAQPYWNWGTWAHDPARSPIFDGSDTSLGSDGSFVA
HNGSVAGRGAIWVPSGKGGGCMKSGPFKNMANNMGPMQPTMHGVLANPAGFYAYNPRCLKRDISAYASSTWTTTRQIITLITTRGVKAFQDNINGDF
AAGNLGIHSAGHYTIGGDPGSDFYQSPGDPVFYLHHAMVDRTYFIYQTLNLPGSLTDLDGTQTVFNMPPSPETSLDDVLGMGPLGPEIKIRDAMSTL
GGPFCYIYL

>RCO7_07022 | related to response regulator Mcs4
MAIGDLTTRLRAAFTRRHSNASSFSQKSTTSTSSPGGEQSRKARSVRSRASHKIPSLGGGTTIEENDRKESAEVGNSDGEAVAEAGEGPRDLSRDAA
GQNLTQQLQIQIQGTCSNDRREIPLPSTPPSTPPPTASPSYLQPFALDAEATLDDSKQNSLSTADFPTPNTDIFPVPEEDEDGSISPADSTTGKGNG
KILVTSPGETTTIAAAIKRPAEPQRRQSLLPHQQTTLIKTLLETELPPQSNPAILDYFANNGPSTISGNMVSRKIWVKRPAASATLVTIHEDDLVDD
VRDMILKKYANSLGRNFDAPDVTLRIIPREQRQERTLGPEEPMGRTLDAYFPGGQTVDEALVIDVPVKRTPKPSPQPQRIYYDELRPTENGSDYFPP
MPPAVPSPHLPHSVPAGVNGQNAHHPLTAHSMSVLTTGHVPALPSPGGSSRRHHSNRPRIGRQHTSSPSVIGSLSQQQQPSLNNDKSSAPPVAPPLP
SPPAPQTNDIGLGTQVQRVATPPPPRVQSPRPQSNHPKRSKKAKVEHPSLPAGMLNGGVPPINVLIVEDNIINLKLLEAFMKRLKVRWQTAMNGREA
VNKWRAGGFHLVLMDIQLPIMSGLEATKEIRRLERLNSIGVFSSSASSSAPETAADEPEGEDKLPSTVLFKSPVIIVALTASSLQSDRHEALAAGCN
DFLTKPVNFVWLERKVMEWGCMQALIDFDGWRKWKDFSQQADTDDKNSKSAKLSAANKKKKNRSSLGANPGGSTSRLAIQEETEGEEGK

>RCO7_07021 | related to serine/threonine-protein kinase hal4
MTPQPTMPHGPDKPSNDGHPQPRSDKSSPSYFSSSQSRPVALTMPIPEEEAIETYRSTPDGPTTPTKSRNMQPTLEKWDKTDDYQNSLSIPAFVANT
SNPVPEPEKEDQREQDIPIPRRSTAHDRPHVRKGLSGLFRRSATQSEKITPANLESPPPRGTGIGPSDEPGLGISREYRRPMRRMTAHANDITKSSP
VSPASPMDASKQHPPVSLEQLSLANDRKKNRSSTGFSHGIRERLIKHRITFSPTEANPDRRNRATSMDLASTPRELTQDDSQVQLPSRQVWGMAAHT
GTGLKSRRLSMNLPDTFIVDEVELYSEFSDQSKIIGRRGKTIGKGATANVKLMHRRGGIEAFAVKEFRGKSSKEKTEDYEQKVKSEYSIAKSTHHPN
IVETIRLCTHNGRWNHVMEFCEQGDLFGLVSQKYLSREDHLVDRLCLFKQLIQGLNYLHTHGIAHRDVKLENLLLTKDSKLKITDFGVSEVFAGKHP
GLRSAGGQCGKDMGEVRLCPPGMCGSPPYVAPEVIAKTEEYDPRPLDVWGAAIVMLCMTANGVLWNEAKEGSSPMYDDLFRGWTKWTSGHSTEEKDI
TESDYPYVAFFDQHISPPALRRILLTMLNPDPSRRASISTVVKNRWMKNVECCQANSHDDSRACIDASKMSGKAVAKVVHHNHLPPSNHLGHKLVRL
PGGTDV

>RCO7_07020 | uncharacterized protein
MTATCVRDAKQISYELFGEKLRLIQQCFSETQPGIEKHWFYSKRPSKVELAMSLADYIDWSPNSILIPGKDFKAIRRSFERCWDKYYKLQVPANDFM

QFSERDPYKLVVVPGKGRGLIASRDLKGGEKILEESPMVTLPQNYDIGLLFLLPQQALEAVFMLHNEIPDFCYNRWLDRSPYTRLSKYLRGIINSNI
CRVLDINDSPRMVLPMTGSLFNHDNKPNTSRKWNKRGEKMLFKIIRDVKMGEELVIDYCPPSTVRCNIDRDVILRSRGLWSGTVTEGGLEWVRGTKR
GYEEVN
>RCO7_07019 | uncharacterized protein
MNNRPPYAAAQGPYQEGDIGDERSRPPVIQYDPPPPQAQAPPFQQITPPSTPISRKWQSGRVWAQGLVPKKKISKKWQRRLYWIVPLCIVALVFAVL
FEIYKKDFERWLKPVSEWLKERESWSWTIPTAILVILSFPPLFGHEVVQLIIGLAYPLGVALGIACAGAVLGEAACFIVFKYFCTGWVENKIAKKVN
WAATARVTQEAGFRGVLVIRYSIVPPHLANPLFSCTGMKFWLYMITVVLSLPKSLVFVALGSPSSKDSQTAKWGKVAAIAVVVIITIFASMWIRKKM
IVATRTIMAERGISADGSDEELGMLNDGVPRPSTAVSGSDTSYKSEVQEAYPPYQGQATEIYQPYRAHEIGIATSMPSPYSQQGHAQQSLHTTPVTG
YA
>RCO7_07018 | uncharacterized protein
MEDNSLLTFYDISSPLQPRTYAPNPSKARLALNFKAAPFRTKWIDIVDIPETRKGLNCPATRKFDDGSDFYTLPILEESISGKVIGDSFDIANYAED
RWPNRGGSLFPPDSTRTGLDYKSPAQDTAFFAPLTSNKGSKNEEYAKFNMHVDATFSSFIVLVAQYLPFNPKTAEAAKALFIQRAHLKSWDDLTIQG
DARHQLLMAFNGSLTSLAALFKVHDDGPYLEGSEANYADLIVGGWLNMFSVTMPKDEWNEFKTWHDGVFGRLHETLQKNYFECK
>RCO7_07017 | uncharacterized protein
MSNTARSLDETIDPLAEWGTQMWDDTLLALDRMTKQAEPTGLLGRDFQTVNELLNGVSTPSPASFSSSTQETDIFLSVQLAFVITKFKLVREIELRS
NNTKPIGMVTSFFTPTILALEKSVESFAADRSTIIERYQEAMTRLNPGLAHLTG
>RCO7_07016 | uncharacterized protein
MKSNCPVAVWKSDGRFSQDDWVMVVINFFLLIFATLGSLCVAYGFGLDAWDVGNLPLALGIFFWDELVYILILGLSKIAIITFYLRIFPYKRIRITC
YVLLAWVALNTTLFMLTALLQCVPISLNYFGWGKDGGRKRCLSLNAQAYASAAINITQDVVILLLPIPWLFRLRVSLKQKIHVIFMFSLGFFICVCS
IVRICKVHKFSDDSRNPTRDFVDAIYWTAIEIYVSVIIPNLPSMRSLLARRFPTIFGLDIQNVGYRNYEPSNLPAPSCRSYEQSSRVDASHTPEDVE
MGSTSTSRDKTSSHHIAREVEGDGYFNNSRMGNGRWANL
>RCO7_11668 | uncharacterized protein
MVRWHKIAINASMNPSAVLSGGSTNNEMSVDPEMYIHLKGVMDEVIATAEKVLGTPLPKEFASSDAILKSTQKNTSGSKASMLLDWEAGKKMELEVI
LGNPIRIARAKGYEMPRLQTLYALLRKAEEKREQSQSKSRL
>RCO7_11669 | uncharacterized protein
MASANPPRQPAPILPPSTPSNTSSRPGSQHGPSPANNQQQDTPTPTPTSEARMNPPPLPRPVNTPAREMREESVASTAGGSSSRKPRQNLEERDHIL
MLTHCYDQRANFKEGTKAQFWTNVNTAFQRDTGKVLAQMSASVARLVEARRRQISDWEAGVIPQKPGGELNERLDQWMEFLKVEDGDNEAERMKQVD
ARRKIEEARKEARRQAIAAEALANASAPDMNTYLGPPPSNQPPPPPVAQMGHAPRPNSQPHPLHRQQPPPPPPVHYSQQAHPHQYSPAEHHQEMVVA
NGEQDINGNRPHKRKRGNERTLTRELQDQLAQQQWEAQQFALAHPPSPPRRVVVEGTLTKDDWKDIMGNDARLRTLENKVDKIELIVSQNNKLLLQL
LQNQSKERSKSADEGRGPVHLEEDFDRDYL
>RCO7_07015 | uncharacterized protein
MAPRSIPDYIYSPHSSIVGSPSPKPFMSSNSPTQHQPISPPKTRSASAEDNAAALIEDWRKYTQNLRTQNEGERAHMDADRARLEEVMAEERALWDK
ERKILQARIDELQTMLGLMPLSPAFRFPPLHKPQAALSAVSPGSNAVSVTGSSDGSSRSVPQESGRNADGSPFYAPAPRNPSRTFNPSAAEALRVDS
ITSPRETAIRVTSKTLTPSDFGIQSPPTGHNPENINQSPAESIDISRIQPGLEGVAIKASAVSPAFAAKFLSPRSPAKLSPDINPSPRDTTNRGRSP
SQENKYRKTLEVASQPENRRLTMHAGHTPNHSKSTLSYLGGGDGESGNATPTQEHHKETENNHRPSMAPEYPNKTVTGTDTHENEDDGDRKLSGPLS
LPNAHTTDDPFLDELVQKLAVEARKSTESSPVRENGRGEISENGRSKNGRSLSPRKRRQNEVDDEEENDEGPRLRLKPSTNFGRPLGSL
>RCO7_07014 | uncharacterized protein
MARRYVPSLAEENTIYGSLMTYDYRSSTRRCSNQGPTLKFTPFSSLPLEIQTRIWSMSCHEYGSTHARVQRIAKDPRPKRPGAKPPSRPATLRILAP
NRYPVPAFLHTCQSSRALALRYWTLWPCVDPKRPHKEDGSSIYVNKAHDTIYFAEGLIDDFLFLRCISRAPQPDSGLPKNDWSKTYEDYSVFLAGVR
HYAIDWWSWLMGTVNGDGLWISLLCISSNEDLTIVINPLTQLSDTKGMSSKSPRLKEITPGTVRAEIVDTILRHIRSSPDFSRDATSADVLDTQVFK
QGWLASEEPYREYMPNLKALTVLWTDAGQEDDQNGSKDELYLEQVKSQCRYHELKFTLESMSFEQEDLRKQMRDAGTAFPDFTISMCGGHRYGSRNS
L
>RCO7_07013 | related to Mac1p interacting protein (MIC1 protein)
MFNLSSLVQKAQSLIDPTQALNISASDRNPAKSTLFRNQFRLPDSQTPLQEITAELTISPPIAYSPNATQGEKDRDRDRGYHYAGKLHLSQSYLCFS
TQPTSFLQSASTSTSSGFTGQTHGAGPGGNGFTLPLCAIRRVERLHSQSFQFALAITTWNGVSNTSSNDSSKNPISQQKITIQLAGSRQACERFCDG
LKKGLKNAVADVGKLKRVVAECYSEHLLSGEKKSNDPPDAGLGMIFRYPGDARKLRDRSKMRLWGEYLRENGRNVTLIRQPTFHKLIRVGLPNRLRG
EIWEQTSGALFLRLEEPTLFVDTLAKYEGRDSLAIDEIEKDLNRSLPEYPGFQDERGIVRLRRVLTAYSWIDEEVGYCQAMNIVVAALLIYMSETQA
FFLLRTLCDRLLPGYYSTTMYGTLLDQRVFESLVEKTMPILWEHLVKYDVQLSVVSLPWFLSLYINSMPLVFAFRVLDVFFLEGPKVLFQVGLAILR
INGEELLDATDDGAFISVLKGYFSKLDESAHPKSENAKLRAVTRFQELMVVAFKEFSGITQSSISEQRMKHKDAVLNNIESFAKRTSIRNLGPDSKR
LAVEDLGALYDRFYGILYERMQRSQMIQDETERRTKASKAKASEVFTGLTETQNIEKGRVGLGPSPTLMDYDGFREFLAGISKWAITDSPSPQERDL
ASEKDKHSYFGNSMRRKEVSLSPWGVGNPEPADHEFMRRLFRRWDVGMNSALNLQDVVTGIAHIKGKGDIMGSITYFFELYDDDGDGKVDREGILRI
SEALLFLSRRGLNGSLTPSSSMVGLSEYEAGNGSLDIPQGTTNERFLSSVSAFIRRCFEYADPDHPQNQEDEKNTTGEADGTFGIGDDSDEEEDLLD
LDTEKTPKKDKTTMLPALGAPANDQRRTSKANTEAANAALDPSKPLHITLPTFRMVVLADELLEQFFESSFPASFRISDKLVANGPTSSSSLTTFSN
IGFGRSATAGQGALGGVGGTSSAGAVPPGKGLRGVLDNIVTDGMRVAAEVRRRMDEAQKEMERNAINKPAEDEEDEDEGYDTRTSGAYNGDAERRSV
RSEDRDLLEGADAEAGSIRGMDGVSVVKQPTLSPAASSGDASGRSRSASTATQKVVEFEQ
>RCO7_07012 | probable amino acid transporter
MSDLEQKNEYDEQVHRHHAPQETDPKSGVKRALKTRHLSMMALAGIIGPGLLVGSGGALASGGPASLLIGFGVIGIIAFSIMQSLGELATLYPSGGA
FTTLADRFVDKAFGVAVGWNYFIIWAAVLANEYNTISAIFVFWSDKVPLWGNTTEELTVCKLLKLTGLVAYFFFSIIYAAGGLKGQNEPLGFRYWHD
PGVFADGFRGVAKVFVFCSTFYAGVESVAVAATETRNPRRAVPLAIRQVFWRIIFIYMGSAFFFGLTCPANAVGLIKGGSKALKSPMTIAIQTAGWE
GGVHLINAFIFVTCLSAVNSSIYIGSRTVLFMAQEGKAPKFLGFTDKRGVPIYAIVFINLFGALSMMNISTGAGAAYGYIVNLSGVSTFLVWGAISF
IHIRFRRAWVLQGRSIDTLPFKSFLYPHNAYFGLFANIFLAFVQGWTTLSPFNAGNFVDAYILLPLFPLIYFVYKFVYKTRYWNLNDIDLDSGRRED
LDAQTEAEYLSTSDEVREGAEQPFWKRLAKNF
>RCO7_07011 | probable 1-phosphatidylinositol 3-kinase
MEPFSFASSETIDIPVNIRIVSLEGEQTAIPFSTLIKRPDLRHVGSNLSPHSDLYVTIQLWADSKPLTVPVQTAYKPFRNERKWNEWLTLPINYSTL

PLSSQLAITLWDLSPAGGEDAQGHFIPFGGTTLSLFDNENQLQKGRQKCYVHRRKAADGLDSTSTPAVLPKGRRHGAKRKGNMKAVDKEREELDRLE
KLFKKHEMGEIPRVEWLDQLVFRGLEKRGLQASSTSIKALQRRRTRNHSTILTLDGTSEKQSNSEQESDEDPAGDERFTLFVELPRFDFPIVFADHE
YPPPPISSLQHLSSSQSNIILKPPPEVQYGPGINGLGDNDDHGFGGRLVRVYDPEIGARDNPAESKHRRLVRSHRTGVLDRDLKPNAKVRDELNGIM
AYSPTHMLSPEEKDLVWKFRHHLTRDKRALTKFVKSVNWHDQSESRQAVQILAKWTEVDVDDALELLGPTFDNSAVRTYAVDRLRKADDDELLLYLL
QLVQALKFERISPDSNKDATQDSSLAKFLISRATNNFLLGNYFHWYLMVECDDKSEDQAASYRKLFAKVEYDFMMELVKIPEGKEVRKTLLRQAELI
TVLSKISMDIKVSREAIPKKTERVKTFLADPKNEIITIDPPLPLPLDPSILITGVDPADTLVFKSSLFPVMLSFKTLSKQKYQIIFKTGDDLRQDQL
IVQIITLMDQLLQKENLDLKLSPYKILATGATAGAVQFVPSMSLQSIVNKYRGNTVLAYLKSNNPDDKAPLGVRKEALDIFIKSCAGYCVITYLLGV
GDRHLDNLLLAPDGHFFHADFGFILGRDPKPFAPAMKLCKEMVDGMGGASSEHYRQFKQYCFTAYTTLRKSSNLILNLFSLMVDANIPDIKIEPDKV
VLKVKERFHLEYSEEEAIRHFDTLIEDSSNAIFPVVIDRLHGFVQHFRA

>RCO7_07010 | related to NSE4 Nuclear protein that plays a role in the function of the Smc5p-Rhc18p DNA repair complex

MSESPAPFHDDLYGASPPPSNQHRGTNNALHGESPSPPTSVSSDKENRSSRPVVNKGKGRAPMGPPSRVTSDSDRNKRKRGNEEPLTDRSHSRRRTV
EVDEDEEDIGYDPEQPLDVRREIRAGMRESTKNLLENRSEYLKPNSTGLKDTLIQANNLFAKVKQTADATIDSRLLGHVAEYVDKKAVALISGDSSQ
GIDVDEFVSRLKQFMRHGQNAEEAPSSTQRARQEEGEDDGELLNWAHLGRNACIKHNSRPSVPGFLLGPLSLEKRAKRIIVRRAVQRQAAAEETRPE
ILAKGDVHRDENQNLSALSQMILSTFRSALSEAQEAVDENLREDMTSEEEQALMDQFNVADIAGASGISYFKFVINPYSFGQSVENMFYVSFLIRDG
AVGIRTDERGLPYLIIIDESDKLAAADGDHPKHQAVLALDMKTWEELIDAFEIETPMIKHRKEIEHSNIGAKGWYA

>RCO7_07009 | pyruvate dehydrogenase E1 component beta subunit

MSRLLRPASRLISSSSARPVNARSAFQSFPRVPAIVQSRGYAKESGVKEYTVRDALNEALAEELELNPKVFILGEEVAQYNGAYKVTKGLLDRFGDK
RVIDSPITESGFAGLTIGAALAGLHPVCEFMTFNFAMQAIDQIVNSAAKTHYMSGGIQPCNITFRGPNGFASGVAAQHSQDYSAWYGSIPGLKVVSP
WSAEDAKGLLKAAIRDPNPVCVLENELLYGQSFPMSEAAQKDDFVIPFGKAKIERSGKDLTIVSLSRCVGQSMIAAENIKKKYGVDCEVINLRSIKP
LDIESIVKSVKKTHRLLCVESGFPAFGVGAEILALTMEYAFDYLDAPAQRITGAEVPTPYAQKLEDLSFPNEPLIESYIAKMLKL

>RCO7_07008 | probable Autophagy-related protein 3

MNFIHSTLDRVREWAPVSHTSTFRQNGQITPEEFVAAGDYLVYKFPTWSWADASPESKRASYLPAGKQFLVTRGVPCHRRLDDNFAGDAGQDETMVG
DGEDFKAKGGHFAGDDEDGWLRTGGLAASQEARARDVRTVDESGNMGEREEDEDDIPDMEDEEDDEEAIIRDPKADGADSSRRTYTLYIAYTPYYRT
PRLYLSGYLANSQPLPPQLMMEDIVGDYKDKTVTLEDFPYFSNNIKMASVHPCKHASVMKTLLDRADAALKIRREKLKAGKILPGAKDAGMEGLVDD
FSKTSIKPEDKKAILEGAKAGGNGNDEWEVLQHDAEAPDEEVAIRVDQYLVVFLKFMASVTPGIEHDFTMGV

>RCO7_07007 | uncharacterized protein

MLPKMLLIGAAIGHLVVAQTSKESSIWVTEVPTYVRPYAIQHYYAQAHIIGQRIYRFPVSGPSSDYAFALTSTNAPGSPDLGVFPQHKTPYENFLNF
RDRFQLWTEKYGIEETRILMSGDYGAIPENTTRYYSDNGSGY

>RCO7_07006 | uncharacterized protein

MAEFYHLYDLPLDIFKTLLDNIVESIVIHQLFAHEIPGAPYRSPGFTFPNNSADRSAKRVLGEFILFRTLADGKRYWNLSARLHRILEVILPGLDHT
EENYHTALKALVAVVADAHPGHGPVRLMDCTNGDPLLDETFRSDYLKITARPGSSQIFDEIVIDARKEGIVCIANLPTQAFGQSLLINAAGGGQLSL
VVRIMDARTSAGYIMDNYELTIALRASILGDHQDTVNLLLAPKNGYVEYSIRLPRNSVCLPKYATSVNRVDIFNVLCKRLKVPKIHVELLVEAAYNS
HIDFVKLCLANGADVNELLFQKGWKLLLAAGARPTDYTCRWHSLTAAAQRGHHEIVADLLAADVVPAHHGNWNPLVTSCNYGQSRAVEVLLDSGVEL
WYKERALGIAARRGSESIVRLLVSRGAEIDGSDCVSHGSEPPMKEAMSNVQQNVVRVLGELEAKDVNPS

>RCO7_07005 | uncharacterized protein

MPHFQSPEPVSQPDSFFSDSTAQIQPQTHSQSEERAQKIRVKNRRKLYLDRHPSYFSSPDLELADPLLYDRCIRRFQSASEREAEGRAKGYSGVLEA
DMYRTEAKIAALRPKSPPGCPPSSHLMRPREESAGFVPFVSYSRGNHGEVLPEEDDEVPTTKEDGLERWKFGMTLRFLKGDDEDFDYAPVDGSDELD
DVERREREESWFEGEEPEWVDEAGKSGETGIQDF

>RCO7_07004 | related to protein-tyrosine phosphatase

MSSMLATEGVAKLPSPPFITVEGIYNFRDIGGYPVSTSSNHSIRSNILYRCAEPSKITRDGISTAQRLGITHMYDLRSSNEIERNRVAGRGGIVQWE
GCQRVFVPVFEDKDYSPEALAGRFKDYASGQPEGFTRAYSEILAGAPKSFRVILLHLAHQPDKPLIVHCTAGKDRTGLICALVLSLCGADDETIAYE
YSLTEIGLTHDWKDAVMAHLMQNPALTGNLQGAKNMISAKAENMRLTLKMMEEKFGGAEKYVTEKCGLTENEVGMIRRNLVMDKAAVHAKHNL

>RCO7_07003 | uncharacterized protein

MPPILRCTAKLPPAVCTRQVCRTGVSSRSFSTSPRYEQRATRARRAFHRWLNGPGRNFVEPREDSTNYLHAYNNLGQLKRVVEAARDGSASAANAKD
GTGASSRRAVTPTTSTPEGEKEAPEIPPETKRDLRPFPLNADFVSQPVLGGMVKEEIWYNIMIEGKSVREVSAVLGVEMARVGAVVRLKEIEKQWEK
IAKPLAHSYQRAINKMLPKTLLALPEERPNLHESINDLPVHRMTGQQIWHPTSESRHFTREDAAKIFDDNLLPADARVPHPELAVMHKDYMENLSSQ
EKRQRTTDRENAEQKKRAEKAVRQAKKEEAIKKVDTGRWEFHFTDINVDAVGKTGRGHKGVGWRYGLPHDDRNRGKIKIPTSVG

>RCO7_07002 | probable TATA-binding protein-associated phosphoprotein

MSSQLELPDRNSSAGVIHFLGRRNDELSLPKATVQKIVGEILSNSPGMGLTKDARDLLIECCVEFITLISSEANEISEKESKKTIACEHITKALEQL
GFGDYVHGINEVANEHKEQLKGREKKANKLEQSGLSTEQLLAMQEAAFKDAAQRHG

>RCO7_07001 | uncharacterized protein

MDHEGVNVFTSANLQSSLGQTVDRSLRRRQLPEALLNDAKGFQYVIQFKIGNPAQNVVAAIDTASPETWVLPACRAGDRPNSATTCRSHDGYDHAKS
TTSKDTKQSWSLFYGTGNVTGEFWTDDLHLGGATIKAQQFAVSDYSTSGLNGIGVMGLSYGLPMGTTYPAIVDQLVAQNITQSRAFSLDFRSVDTSE
GSIIFGGIDTKRFYGKLMKHAIISSADEVDEFPLYWINMTSLSLTLLPETSTHKPAAPKVIFDKTITAFLDSGTTLSYPPRSVVRRVAAAFPGAKSD
GDGNYIVPCSVANQTGFMDFGFGEQIIRVPWKELMWFAGPGLCHMGLAESDGVSNMLGGTFLRAAYVVFDQDNNNLHLAQAADCGSNLVAIGRGKNA
VPDVIGDCPSPSYSNHSPGV

>RCO7_07000 | probable enoyl-[acyl-carrier-protein] reductase 1, mitochondrial precursor

MPIRTNLRANQSLVPALRGALGANGGNLTCRRFKSGPYGYTQAKALVYSKYGEPSDVLSLHNHSISPSLPPSTLLLRTLATPINPADINQIQGVYPS
KPPFTSLLGTSTPSAVAGNEGCFEVVSLSSSIKTLQKGDWVIMKSTNFGTWRTHALAPETAVLKIDNKEGLTPIQVGTVSVNPCTAYRMLKDFEALK
EGDWFIQNGANSGVGRAAIQLGKLWRLRSINVIRDRTDAAATQALKDELLSLGATHVVTESELMEKSFAEQVKEWTNGGREPVKIGLNCVGGKPTAA
MVKCLSHGGHLVTYGAMSKQPLMLPTGALIFKDIKFSGYWVSRWSNANPEEKKKTVEEVLDLIRLGNFKDTPVQELSWDWGTEEEKLKEAVQGTLGG
FRAGKGVLVYVNT

>RCO7_06999 | uncharacterized protein

MPSTNGNPSRFELPQLTPVNYSLTEGTGIPPPPDSPIEEDVPAPAAVDASEQSHTTNGHGQSTTTTSEDTFAGRGRADSSADQPPMSPASSTRKGSM
RRFLSRRSLNTNYTDGTNTNISQEDLAARPESAMSFASQRPSLAKKKSGSWFKRLGSSRRSSTIYEDKSVVATTTAPTAPVKIGPPPPKLPELDQFK
AGIKNDDEGSLGAGDMFKDIK

>RCO7_06998 | related to glutamyl-tRNA(Gln) amidotransferase subunit A

MAYGRQEVEWTLRGNYPPDSMITDALVGQNNEPSSSGSDPERGWISSCNLVRLQDDADGAEMLQIRRVGGKPYPIIASSYISRFTNDIGRANEGKDL
LAVKDNIATRQYPTTCASSILRKHRSPFSAEVVTRLQNQKFVSAVVVGKTNMDEFGMGSHSLNSSFGPVSDDVHFPGHSVGGSSGGSAVAVVDKSCF
SALGTDTGGSIRLPAAYTGIVGFKPSYGRVSRWGVIPYANSLDTVGFLAANVNLVRNDFDKVNKFDSKDPTSLTTPFRERSGNMRNEDRFQERRRRP
RSKDDIPNESAFAKTTIGVPMEYNISELDPHVRAAWEETLQIMQDNGATIVPVSLPNTKHALSAYYVLAPAEATSNLAKYDGVRYGTRSDSRDGDGE
VLYSNTRGSGFGDEVKRRILLGSYTLSSEAIGNYFIKAQKIRRLVQRDFDRVFIISNPLRPREQFDLSTMHESIELDDKLGPAQVDFIVCPTAPTRP
PTIEQVAKQSAVDTYMADVFTVPASLAGLPAISIPYHFLESKHSLPDIPNFAGIQIIGQFADDNRVLQCAQELERFEAFRSAVTAPVRRRPSLRVDK
PWIDQLRKDKWEAMENERRTVCATPLEALKITDGPGAAETPERTDAERLQEYNTKFEAWTESKQFTVTHTYKSGWNKLTRFLAFLERVEARTKEREM
DEKRPE

>RCO7_06997 | related to 5^ nucleotidase

MRDLPWGQLNFLQTTDTHGWHAGHLQEPQYSADWGDYISFADRIRKKADEKGVDILLIDTGDRIEGNGLYDASDPKGEFTYDIFKEQSIDVLTTGNH
ELYQADAAQREYERTVPNFRGNYLASNLDYINPKTGNAIPMAQRFRKFTTKNQGIRVLAFGFLFDFTGNANNTVVQPVEKTIEEKWFQDAIREDVDL
FVVAGHVTPRGPEYKAIHNAIRNQNWDTPIQFFGGHSHIRDFKKYDSKAFALQSGRYMETIGWLSIDGIKVKGKEHALEEIGTEASSYTVKRRYIDN
NLYGYHYHTGLNESTFPTDLGKNVSSFIHQARKSLKLDYNFGCAPQDLWLTRAPYPSNDSLLTWLEKEVMPDIIVNEERKDVPTFAITNTGAMRFDI
FKGSFSRDTTYIISPFVSKFRYIKDVPYKSAKGLLKLLNNNGPIFSTSGLHASHLAPPEQSSISAGFISPSSASHPSFLPVGDAQSPIFSSLPNLIP
GYTTTDDLGTDGDDTIHAPISFYHVPNCIQAPISFPSSRDPDTVDVVFVDFIEPWILLALKFSGESYSKKDVESYSEETLTDLMAGWIKRNWGQDYA
SAKTLKIDHHPGNNSAIMALNKSDEK

>RCO7_06996 | uncharacterized protein

MEIPELPTILLALIGFLASYLSMQCFTDPNSNTTASSTVQDRITRFTNPNFLLVNRIIVLAIGLIHALLILNPTTPNYLLCPKPSNLNLSLFTWTRH
SSICLLLILIFAPLRLLAFAQLGENFTFKLDRPQNLVTSGVYAYVQHPSYTALAVVVSAHWMLFQRSDGVAGCWMSEAVARSQWWSLVGWGSVAGAL
SLVRKRVVDEERMLKETFGRQWEDWHRRTKRFVPGVI

>RCO7_06995 | uncharacterized protein

MAVVTRYHRLSEENTRPSLDSTGEDEHFLDPHDHDNPSTPSKQKQIKYSFHPTIYLRCVSSFLYLSGGIAMLLSHREQAMPASIFVFIAMGRQLWVP
LHHLLTGFLRVRIRNLRIEFRKRGSRITTKEPKNKFPTWLLVGFVQMAIDIVLATLVLGFTAPVPYRSWYYGETLGAKIVVPFHYLSAADLGRGSRL
KFEGRITFDKKDDDEDEVNPPSLPVYRDATAAGAGEPSLDVPKGVQTIWISTYGMGTISHYEHALIEVGMIKLVTSKLGEIQTV

>RCO7_06994 | uncharacterized protein

MDKNLPTSFFPSDRYTPSVEDVISTKETLFKNFKLPIELIDTIIDFAEYYPRTSMCRIGGELHVRSGGSGSSESTEDRFLLRSLPLGYVTDKSYPNT
CSMDGGCRSYPNIPASPWRNYDSLPSDITEDMKKQWATKSQMRGETSCRKIVFTIISHDQGWGGASEHKGTFKGSFTWFDVGKEKIHLSTVSDTIPG
TDAFPTLLLEHGSTSRRENRPLACTVETISPKVHPNSPNRFEHPLLPTLDCLQKNRTSKKKAEEYKIVWSCHDGIDPDSLGGKALEEQGRGRNTANG
QFVRDMRVGDIVTVWGKARFPGWVNMIEKVQIDVYWAV

>RCO7_06993 | uncharacterized protein

MSLTICTISCQKLDKPLHSLLYTKIRDFITNNPRPANEYLSTHNLGILFPVGSKMPELIWVMNTIMFEQVGETWCLVAKLQDHIEDAASPFVFLPAP
KNECCNIEVYIGNSCYGRDRPNKCLGHLLQEYQTTDGGYLAMPEHKWVGSIVVLRSRSYDRNDDEEEGLRGSVEDNKVYEDITLAEFRSALQYVGKD
ALLYESKAENKYFLRNERSWTKGFKISYDGDMKVLDKKQFRDVLVASRHMIHHLIRKKNVSAISAHMNVALCVFKCGFQSLVVEAFNAVTVNGAFEN
HDASILMLCADPGDADTWEHLTSPSGIEAMSLRFSP

>RCO7_06992 | probable dis1-suppressing protein kinase dsk1

MNGSSIKDAAIKKAKAVANSANGQASLNKKRKKDLKPIITTDSQQHDAEGPIAMASNQASSAGSTGAANPTTKSAPMNRSPSSSSSREEAAETTADE
EDSEDYCKGGYHPVQVGEKFKDGKYTVVRKLGWGHFSTVWLSRDNVTGKHVALKVVRSAAHYTETAVDEIKLLNKIVAAKPDHPGRKHVVSLLDSFE
HKGPNGTHVCMVFEVLGENLLGLIKRWNHRGIPMPLVKQIAKQVLLGLDYLHRECGIIHTDLKPENVLIEIGDVEQIVKTYVKDEPKKENKEENPNG
RRRRRTLITGSQPLPSPLNATFNHADLMRFPGSSANSHTSLNQMMHEGGSKSNSPKSEREEEEKHKQREKTADLLTREVSGISLDKEKKKDEPTGFE
KISVKIADLGNACWTGHHFTNDIQTRQYRSPEVILGSKWGASTDVWSMAAMVFELITGDYLFDPQSGTKYGKDDDHIAQIIELLGPFPKSLCTSGKW
SQEIFNRKGELRNIHRLRHWALPDVLKEKYHFKDDEARKVADFLVPMLELTPEKRANAGGMAGAEWLEDTVGMKGVSIKGLEVGSRGEGIEGWSCEV
KKR

>RCO7_06991 | related to bad response to refrigeration protein 6

MFSSNQTRRSHESPMDWEWQTSGPTDPKSPFPQGRKGNFESPKPKSSFMGASSTPAAPFRNPSFTTPRKPFDQELFSEVSGAESSPADNADAEDTPE
PAKSSQTMTAFSSGTARQPIFGKYGASFLGSSPGRADQRRGKYANAIVHKVRKRKRMERDYALMRGHRDGSDSESDDSETRPRSRGNKHPKSEAPQP
GYIASIFNYIESHPNLPNVLSYYAQLGVNGFIAALTIFGIYSFWMTVRADVDKASEKERTVVLAEIAKCAQEFVVNRCGADIRLPALHVPCDNWEHC
MNRDPNSVGRAQVSAHTFAQIFNSFIEPISYKAMIFVVLIVTVCILINNLAFSTFRSKSNHNHQMPPAPSFYPNQPPTPWGHPSQTPQHNNMVYDAY
GGQMYQQIMPSATPGQRSPSKGNRSPSKGNRSPSKGDRYLME

>RCO7_06990 | probable SPN1 Protein is Spt6-interacting putative elongation factor

MSDEERDTPPPPAANPNLDMDNEENDVSDNESELSEVDEAEFAEFDPTTVALEDRPLVGIDEDVAKTLKAGKRKRAEGEGKKPKEAKRDKKKRPRRE
DDEDPDGQVLDGKRTKKPKSVRSEREKGDKPRERRPPTPENEENMTPEERRRRALDKAMDAALKNPNKRRRKKDEVDLEEAFDDEIAALKIRMEKAC
EADNFAREQGQPALQKLVMLPEVVALLNRNTVQHSIVDPDTNFLQSVKFFLEPLNDGSLPAYNIQRDLFAALTKLPIEKEALLSSGIGKVVLYYTKS
KKPEIQIKRTAERLLGEWSRPILKRSDDYKKRKVATKEFDHQAAALAHRPSGTQLSQMPPSQRITMSQKELERERVLAQPIRSARARMESSNTSYTI
APKSTFDATKGLDPSTRPIGAGGMEAFRKMTAKQGKKRS

>RCO7_06989 | uncharacterized protein

MGGLGSLSVGVEFGIVFGCLIGAACIAGLTKLAWSKRKLRKNMTRAELETSLRSDQEKLVSWAVEGVDLFRGQTIEQGHFNEASRTRPSSPSPSYVL
SPNTLVVDWKKSEKPAGQSASSSSNLLSRSLAPSCLNHTRRKPSPSGLQPPKVDTSLVDGICGSYLPLPSPRSSKSFSEILSMTGVFDEVDSPSWVS
PLDVHYSRPSTPRVRPTSYLPKLQFLGEIEEIGQFIPSPSSSVRHTKSESSIVSAVTPLATPPPVLQLSRGAKSPVLSDFPLKPHYLPSRGSRGGAR
SLFPANDDQIQASPRRGAKKPQESPHSVSLNDLVPQTVSVGQFDFPQGMRDWSPSSFEQSPPKNAYWDPTSPAFPGPIHSNDGFSSPEPKIRDAAIN
IQHVPISRPSHLWKSSDETFELKRSHTSATSSVYGTSTSILDYNKGTTPSFDSRPRSRSTSATPKVDNQTRSASNLKIETDSSSSRSIIRSRDSVHH

HCIITSAEPKTNSRSRDRNQMHCYPTSSYRSRSGSVQDRNIDSDHSRKSALWNSNEISHSPNSSVSSTSSRGIIYFDATIETPPVPQVFSVTSQPAL
PFPEQMSGKLKTVNETAQISVSDFYDAYYQRSVLGQRARAASLAAQRVRTS
>RCO7_06988 | uncharacterized protein
MIPINITTTRGFLIRNVRPHEHEAYGSINELVGSPESWRNDFVNWANTGATQLFIIRRGANGQNSGLLAVAEGTVMGFIRIVNTVRHDVSFRVHPQF
RGQGVMKEVLNSTFSHVLTNVANYRLWVETRSDNYPVIHIMNNVFRLRGQLNHFGGGGVFWQFGWVEWTAPR
>RCO7_06987 | uncharacterized protein
MSIRTTSQRLLIRSVHPQEALAYGTVNELRASPQELVEDITEWYNQRATLLFLILQGYREPSLGALSVAEGTVVGFIKITYNGEVSFRTHPRFRGQG
YMKEAVRATFTYFFHYWPHYQFEVKTRSDNAPVIRMMASYGLGNGQAGGWSAVGSLVWRFGRAAFRPIG
>RCO7_06986 | uncharacterized protein
MSSTSGNNTQVDAETLERWKTLFGYDDQQAKDAVLLHRKDPFVHVSDEDWAWVRQGHERAGFDREAYEHLHMMKTLVSRYHRKVKARNLRMYEHVGD
YARISLEGYFTLDILTQMLGEEEIGTVDSAEKWCYINDDQANRRKMSSWVDSVTEALARSKSSYNEVWKAIIKEASDTSLSRAGFHAGPRPQNSDIH
VNFLKLDYAQPEVFLEQAGGYLTLARSPTNLHQLRKEFSIADLERSRPSRPRRTLPISQLPASAMNPVMPPRNLIGMRRFLRDYRTYPDLRLPKFGN
APRLLTVSEKVVTAQPRRCTVRNTTNSHVARPHPVNMPPSTSGTQQQSKPPDSTQSKPPDSTESSTTYEDRRRRQEQLRKRRTVLHQDLAEKILSRG
KANCMKAFHRFQAPRTASDMIVRQLVLAKHLAASSTIAMTDFNIASDASETWSQFMRPSVQV
>RCO7_06985 | probable enoyl-[acyl-carrier-protein] reductase 1
MATQKYNKLAGKHVLIVGGTSGIGYAVAEGSIESGASVTVSSSNPSRVQSSISSLKTSYPSAQVSGHACDLSTPNPEADIEALFEKTGKVDHVVFTA
GDGLAQMKVEDITLEKIVKAGQIRFFAPLLVAKVATKYLNPGPGSSIVFTTGAVADKPIANWSVVASYAAGLHGMTRNLALDLKPIRVNLVSPGAID
TELWKGFSEDQKKAFFKEISDKLPTGKIGRPEDVAETYLWLMKDTNVTGFVASSNGGELLV
>RCO7_06984 | related to RNA-3`-phosphate cyclase 1
MLNQKVVILDGRTGEGGGQLVRVAIALAALTGTPIRIENVRGKRGSGVRGGGLKAQHVSCIQCLAKATEAEVTGCFVGSKTIEFKANLSPDAIKNRN
IIVKAESAASILLVFQAVLPFFLFASDESGSPITITIQGGSNVSFSLSYEYLDQVLLPSLERFGIRVKRELEHRGWSHGTYELGSAKFMITPLPFGQ
PIKEVDWPVEHGSISRIDVSYLVLNELQATMREALTKVLAYQYPSIEVNFVLEEDSRHRARFYALLVAHTTKGFRVGCDWLYGGKTKVPSYKNIVLE
MAKKVVADLDAALMRDFATDEYLQDQMVVFQALAQGRSRIVRGVNPFPPDEEELDLTFEPFGHGSLHTTTARWVASQLLPDVKWYNEGRICYGVGWK
VASDLTS
>RCO7_06983 | uncharacterized protein
MRLPLSLLSLTLAMLPSTLAVLADEAYVVDYHHELLGLPQPHTTFFHRPRKEDKASLLYTLSDLGVLGAVHPGTGKVLWRQVLGAENGFLRPVEGEN
VVASGAGQRVDAWDAMSGKEVWGNVFLGAVKDLEVMETAGTDNGSKDVLALFEEGGKGVLRKLKGKNGDVAWEYKDHSDDIPLQVSTNVEHVFLVSL
HGSAGPYNLKVMTLDPVTGKKITEYTLSTKGDVHEAEDVLLVGANSASPIIAWADKSKSNLKVNILGKSSSLHTLPLKESDDILKVSIHAPELIQSL
PHFLVHSHSARSNRADVYHIDLKTGGINKAYSLPKLPGKGAVSVSSQEANVYFTRITEDEAVIVSSVSHGILGRWPMKAAKDSATYVHGASEVVQKT
PDTYSVRSAVLTSAQDWVLIRNGALDWTRVEGLSGAVAAEWAEIPVSESLAKTLEAEAHSNPLSAYIHRVNRHAKDLQYLPAYLQQLPSRLLTSILP
GEAASQKPGVLIRDSFGFSKLVIVATQRGRLYGLDAGNQGAVAWSLKAFDFPGGKKWDVRGIWVEQIKGTFTIRGGDGESVLAELTTGKVVERTMPG
SWPTVQSTVVVDSPSGPWLLPIGLDGNPGEIPAAWSPSTNLVVQGKDGHIKGLKFETSRDISVPVVAWTFQPTSGQKIVNVVSRPPHDPVASIGRVL
GDRTVLYKYLNPNVVLVTAVSDESSTASFYLLDTVSGDLLYSVSHEGVDTKQPITSTLTENFFVYSLWSDIGTSKTALPASKGYQIVASEMFESDVA
NDRGPLGPTNNSSSVEPTDNPNAEPALPYVVTQSYLISEPISHMAVTQTGQGITTRQILCTLAGSNSIVGIPRTLLDPRRLVGRDPTPLEAEEGLFR
YHPIIEFDPKLVISHKREVIGIQNVIASPAILESTSLVFAYGIDIFGTRVAPSMAFDILGKGFNKLSLVGTVLALWAGVFVLAPMVRKKTINGRWQT
S
>RCO7_06982 | uncharacterized protein
MRDDQPLLVLLPPPHNVLEDEVELPSLIMSWSILFAASGMMWGIYFIYDIPASLSTPLQHHLGLSDSQYAYLVAGLYTAYATPNFVLPGLCGFVVHR
YGQKRVLMSSLAIAILGQTIFASALQGRAEGRWGLVAGRVFVGIGSEIPGVIASDTVTRWFHGRTLALALAMLLCISRLGSVATSVLTPRLTEKYGV
VGASWASTSIAMAVSICCAAYLIFLDRHTIVAEDSKPLALSTYKDSLRRFPRVFWILAIICFASYGCLGPFNNSAQRFLSSRFYEGNERAAGLAVSI
PNTLSGVLVLPFGLLLDFPRLNNYPVAIFLSSGLLLTAHLCFLMQLTGPVFPLLLLGIAYGLFGTAFWPAVASCILEAPTGVPDPELLAAFTPKQPS
RLAPNISEYSQPAFNSEGAADTSRISADSTFTSAYPFSQTGNEDLLVIGYGLMTSLLNFSMGITPIVLAGMEILAAFTGLEICFVALAGFSLCAAGK
LINDWKVKRIT
>RCO7_06981 | uncharacterized protein
MAKCRMRNDAQLGHVESLFPHVKGDWWKDAFNEMYLRTDGDVVEDPAITEAECNEMLSIEAVSKLFNTGTAGGRSLRVLDLCCGQGRHSVYFAEKYP
NIEFHGLDSSAYLIEIARLRAKEAQCKNVSFDVGDARHIPSEDDTFDLIIMMGNSFGVYSDEDDNAALLEEVGRTLKSGGTFLADMVSAEYTKSNFQ
DGGWEFINGGKFPIPNSTMTAGDKSSETMIACRERELSTDGKWLASREMVIGMSRGILQDLFYKFRLYEVEEMERLLHKSRMVLDRGACQELFGPAG
EGTRNGDLGMMASRHLIVGMSSKGSDHTNGSSITPNASEESLPNVFVHPCLVINTDPVKGRVVRVTTDVEAGTLLMVDDPYALVPDITPESGDFLPC
SRLECSKRVTDPIASVTCPQECNSDVIWCNASCQSLGKARHDLECTWLKRNATRIVQNHGQYDMTMLWIIVRTLVSRSLEKQLETDKQVSQPTFISD
LNSLDFKFAHNYIEIQKLRNNYEAIVSSKIEHYHALVNDFLGPNSGFQSEVEMQEIVDLICKEEMNAFCLYPKGTSAPGVTKGRGRAYALGLYTRAT
WMNHDCEPNMTHKPNRNSQYTFRTTRDLAAGEECTIAYTDLMEPQYADVKSRRAFMKEWFTFDCTCRRCEREMAAST
>RCO7_06980 | related to pleiotropic drug resistance proteins (PDR1-15), ABC superfamily
MYSHRSTWSGASASSVAGLDISESDPSSTQWDPTNANASYTTTPHQALDVERNEIESSLSKDTIFPSDVEIVSDSDSIPAILPIRPPRKKKLNVRRN
PRPPSSLSSAMTLNSRSGPFFGRRAMEDDMDQLLMRQGKFGSVTATESVIDQKENNVKELDKHMDKIFGRTRQKESEEEKTRHLGVIFKNLTVKGQS
QGNSIQPTMGDVFLGIPRALQSFSQRGAADASPAMKTILNKFTGCIRPGEMLLVLGRPGAGVSSFLKVIGNQRKGFERVEGRVSYGGEDADVIASRF
RSEVLYNPEADLHYATLKVKDTLRFALKSRAPAPHSRTDGETQEDYIREFFQMSTKMFWIEHTKDTIVGNEFKRGVSGGEKKRVSIAEALVTKATTQ
CWDDPTRGLDSSAALEYVRILRSMTNTAHMSTAVGLYQASEDMWNHFDKVLLIDEGECCYFGPTHSAVQYFKDLGFEMPELMTSADFLTSLSSEHQR
KIRPGFEEWIPRNPRAFAEAFRTSDQRSINLQDIAQFESRLYGMIEKRRDAQSSATRTKNYALPFWKQVWILAHRQALVLKGDPQTLVGKWGGVLFE
AVIIGSLFFNMPKTSSGVFLRGGVLFFMLLFNALLALAELTPAFEARPLLIKHKSFSFYRPAAYALAQTLLDVPLLFVQVTSFNLIVYFMSGLGRTL
GQFLTANVFLYLLTMTVYAAFRAIGATAPSLDAATRLTGLGMQALVVYTDYIIPPKKMKPSLAWLRWVNPIQYCFESLMVNEFDGLTIACVGPNLVP
QGPLARAPFQSCTVQGSRPGEAFVRGSDYLDVSFGFRRSHLWRNFGILIAFLIFFVGVTALGMEMQGPSKGSSGVTIFKRGQTPRKKKTVQVDEKIV
EDFQGEDSDDDRSVFDPNEKPPLDKQEAKSAPPPSLGADAQSTFTWQNVEYIIPYEDGNRRLLHNVHGFVKPGKLTALMGSSGAGKTTLLNVLAQRI
RFGVVTGAFRVDGHPLPSSFQRSTGFAEQMDIHEPTQTVREALRFSATLRQPRHISLQEKYKYCEEVIDLLEMRDIAGAMIGANGMSLNQEQRKRLT
IAVELASKPQLLIFLDEPTSGLDSLAAINIVRLLRKLADAGQAILCTIHQPSAILFEYFDMLLLLKRGGRTVYFGDLGPGSRTLIDYLEKNGAPAYP

PDANPAEYMLQACGAGDPNQKGSDWADIWSRSEENARLTSDIEEMVRKSSGSRPPVEDASEYAMPAWDQVSTVLHRSFSSMWRSRDYVTGILFLHIF
VGLFSTFSFWKLGNSLIDMQSRLFTVFMTLIIAPPLMQQLQPRFLDARNLYASREAKAKIYSWFAFVTGVVVSEIPYRILAGTLYWMCWYFGIGFPR
GDMVPVKVWLLIVLYELFYLGLGQGIAAFSPSVALASFFIPLFFMFVIAFCGIAVPFFALPSWWKWMYHVTPFTYLLEAMLGLVIHKVPVVCSFDEL
ALIQPPPMSSCADYMSGYIAQAGGYVLNMPSGYCGYCQFANGDQFGVGFNVFQRNFWKDFTIFASFVMFNFVFIYACSWFYLQGYGQIKSYFGAAAA
QKKQQKKIRGDEYV

>RCO7_06979 | probable cholinesterase
MIGFIVSALALTGAVVSAAPTLAARNDSISKDCSTSELPIVDLGYALHQATVNETGNYYNFSNIRFGAAPIGDLRFKASIPPTTINRTLNDGQQGSM
CAQASPYWPKIASAFLGGSDAATLANVSSQVEAASAALTVDSLKAPDPRQTEDCLFLDVIVPESIYTSNKSAPVLVWVYGGGYVNGDKSSTGNPATL
IAQSQVDEGEGVVYVAMNYRLGLFGWLSGSTFLEQDGVSNAALYDQRLAFEWIQQNIHLFGGDPARVTVMGESAGAGSIMHQITAYGGVNGSAPFSQ
AIMQSPGFSPIPGDAQQVETYHSVLSQAQALISPDIRDVASLRDLDFKTLAALNSIVVARSSPYGTFSFGPTVDGTFVPKLPGILLSEGKFDSSVNV
MVSHNSNEGLTFTSPFLQSEAAVATNLKAVFQTATNDTISYILNTLYPAVYDGTYPYDSIYSRATLITSEISFTCNTRFLNLAFQNETYAYYFTVPP
GLHGEDIQYTFFNGDTTTLNNGLPVQPAIATAMQKYITNFAMSSIGSPNGRGVPFFPQYQDNSTTLVVGLEGVGALVKDTTANERCAWLMEGLYFNK

>RCO7_06978 | uncharacterized protein
MNANRAPEVYAVAAVFLALTWITAFLRCYVRGVIVKKFGLEDYLAMLALILFTATGVFALQGISHSMGMHLADIPLQNLTPAMIYWFSTELAYVLAI
CALKMSVVVFLLRISVKRSHTTILYTTSAGVMIFTIGYFMFLIFQCSPIDYFWNHFSGKLGFCFDPELVGALTYAHSGLNAFADIVLAVLPVVIVSK
LQMSPRTKVTLSIILSMGAIACVAVIVRIPYVKILVDNAKDFLYSSTDVVIWSTIEPGLAITAANLATLRPLCNSYLSRKKVWGTTTARGKYGHSTD
LSGYSKRNGYIRNPGMEKEAEMNLSNLSNTRHQVTIEATHTTKSGSRGSQSKLQKSPSWDLERQSDQAKEEWPFSREIPPIEIAPAFS

>RCO7_06977 | related to integral membrane protein
MRFLKGVTTMTETTDDLSRPMSVSSTRKFKITNKWIDRACAYSGLLYTSFSFIFFIASGNFPPAAPSLTAQQTVQHYKDHNVGYKVGASFFVLSGAF
YGSFTAAMSQQMKRIPGVGHSLIAAQEVSGAWACITFSVPAIFFATTAYRLDRPAEITQALNDLSWMMTFMPFAPFIVQNWAFAFAVFMDDRPKPLF
PMFVGWVNFASPLLLSSGIAMHCVHRGPLAWNGALTFWLTAIVFGIQSVVNIVWTLLAIEKELE

>RCO7_06976 | related to benzoate 4-monooxygenase cytochrome P450
MYIQTCAALSLVELSAYLLMHGVQSIYNIVCCFLVLFSIQYAVINLYYTFIFPFYVSSLRHIPGPKDHHSFIGHTLNQFRANGPYELYLSWSRQWPS
APFIRYISFANTETLLVNSLQAHKEVLSTKCYSFVKPPFFARIVGEVTGMGLVFAEGEDHKKQRKMLNGIFSTPNMKKLLPVVQWHGKHLTETIDQR
IGAEKSAVVEVVSLFSKATLDIIGLLTLGKELDTFTAKPSFHECYDLIFNPSPLSGALTAINTYIPLRSWLPLEANRSFVAANDGVKRILREQIRLR
QKEMATLQTAEKDSSLPISRDVLTYLLESPPSPQQPWTEDALLGYLLNFMSAGHETSATTLTWAVHVLSTHADIQTRLRDEIMTLPSDPDYTQLEGL
RYLNNFCREVLRVYAPAVMIWRQAAEDVTIENTFIPAGTNVIISPQLPQSHPDIWGPTAEEFEPDRWDSLTSEAASPYATQAFSSGPRVCIGKGLAM
LEFKSLLVDIVRKYSFEPVETKLVLENYLTLRPVGGLRVKFTMVGDTEKRAI

>RCO7_06975 | uncharacterized protein
MSHSRHDSAVSELDKLGDVSKEEYAEILSKFLSDVDFFMPPQEYDFSLEEPVMEYFAKQPNWPAHLTAKAVYMAKWMSTGLGMCYPFAEKDIQVAYG
IHATYVLFIDDIIHELGDSLDEFAARLVTGQPQKSPILQSLVNFLLDNSSYMGPYASAMNTKATIEFISGCMMERDYDGKIVPPVGAKKFPGYFREK
TGYTEPYAHFCFPEKTCPEKEYLHVYLPCVMDLIEFISYANDILSFYKETVVGDERLNYICNIANTHGLSASDALKLVCQQVTDNVLTTRKVLKDYP
EMLATTDEFFRGYIAWYLNQKRYKLTDIAVKDKQGNLFDLTPSEPKVLVKEPRKEVLASSLGKRKADVYSCESEVSLDEGVVVTEVTV

>RCO7_06974 | related to transporter protein
MSSLDISGMSPARLTSNRPGNGLFGYFTDPERRIVLKLDDFLLVYAFIAGLTKDMDQSATTQAYVSGMKEALELNGNELVEFTTYFSIGYALWMFES
TSWPGLVNLIFNWYTQGELAKRLAIFGVSGIITIVWGFIGLLVIPDSPANTRALWLTESERELARLRMSRQGTTVQEKTSGKQLQKKLAFMFRSPVT
YLFIISYLQFAWSQRANSYFLLFLKGLKSTDGTPLYSTYKVNLIPLGGIRSPLFAMLVIAVGVLAGWPASDRVIMGFYFLTFATSAWGYSITAWMAE
ILRKEPEARAVLIGLTVTLVYIGHATIPLRAWRVSDSPTYKVGFPVATAFAAGGIITILAMYLWTKKNPELQEYGFVGEAMFLAEAARDKSTVDVKE
DTSVNVINKDD

>RCO7_06973 | uncharacterized protein
MTTTTTLTFHPFPRLSFELRIAIWDMTVEPRIVEVRVVTRYPKPAKTELSSADAETWSLNRPMRHLRSSTAAPVQLQVCREAREYLTTQPKARFLYS
RAFSELAQETYDGSDSMLRHDPELVRYVWLNLDLDVVSIGDTDVHEFEAVGYQIKRLRLERLLDDEYFARSEVQSISKVFQNLREIQMVCSGGIRDG
YRRTEDDDYAGLAPENVYFLDPEHLGGSKMNSVNLDAMVTKEYLSESALEDLEGCIPTELWEELMVQQTAGAQG

>RCO7_06972 | uncharacterized protein
MKISFLLSLVELAILSGTASCTDYPLLPNDPATTSDCADWYNNFDNQSCLWVRDYFKATPEEFKRWNPSVGLDCKPWYDWTSYCIITWTKFNASQTT
TTSSKTTTVPTSTALVLGPSPTAWTDMGCYVEEPKQPLLDININPNGDASLSIPKCWQACYRRFYQYAGVQNGNQCWCGSYVGGEWATNQTHCNSPC
TGNTKTFCGGPSLTQIFKAQANVPLVSSTTSSGKVTSTKA

>RCO7_06971 | uncharacterized protein
MLYHSASIVLLASGLVSASVTGRSTLRLQTRDGPSPGLPYAPGTSAYCSWWLDVTEATTCETIASNNFITVAEFRRLNPSLPTTCAVEVGKSYCVEV
FGEPAPTVSSTKSSTKTSTSTTITSKSTSTRPPTTTTTLVPSTTKVGNGISTPTPTQATLVNNCDAFHFVTSGQTCDAIASIYRITVDQFKTWNPSV
GQSCTGLWADSYACVSIVGHTPSPTTSGNGIATPTPTQATLVNNCDAFYFVVAGDSCETVSAKHGLTAAQFQSWNPSVGSTCSGLWANAYACVSIVG
HTPTKPAATTTAPSNGIATPTPIQPNMVKNCDRFYKVKSGETCTTIATSQGVTVQQLTTWNPAIKSDCSGMWLDYYMCTSIVGHTPTTPGNSVQTPT
PFQTGMTTSCKTFHFVASGQSCQVITSRYGITQANFLKWNPAVKSDCTGMWANAYVCVAVL

>RCO7_06970 | uncharacterized protein
MKISFIVTLSVLVTAVCAGGYQGCLERVWLFESYVIDQHNPVADQKIGWQCKKWNNANGVCEGDIWVACKGRQGRTKCNFDDFQKFLGNQTPEIAKV
SQGVYRADGSLDNTATAKKCLWAWRNGGKPVFNFRGHKAVRNGKVDHNDFIKRIGTINNANYNKPDVRKEATDAAFKRVDDTLTRITQARQADHGPH
LIKSAKNNLPGMTIIERDMGANPFYDGPYTPPATPKNPSPAPDTPRWTTVDFEATINWVTTPSNSRALVTAWLDNLYRTGGDNSAKEHWQVLRSYKT
MKDQTNRCRK

>RCO7_06969 | uncharacterized protein
MKVSSFYILVAVLSRALASSDLNVRGTEDELDLWLSAVQAQPLAALSSCPISCSMAGEDSWFLFPEASQLASCNETMLLNIAVQAPKDSSENATPSV
IRACTADFDTSKSMKLAFVPDSTKASLCVTANKVLEEGSITIHQPSVGGEFLPGHVMSAGSQVKSYFASQKPSCNHNAIAFGYSQSAVIGVFVGAEL
HQHGVMSDVLDKFLKYSQEKSFSRSTVVQLCGIGGLGADYSIGIVISSSKNLEFVQGAVKTWAEGKCVSKSDTGEDWMTIMLKVPAPAEELLLSNNT
LSSANGTMNPRQSTPRDIDIPAFSRLRPRSDCKFVTVQANEGCFAVAQRCGISQTQLQGFNRANLCNSLVLSERLCCSSGTLPSTLPSGNTDGTCKT
RQVVPGDDCGSLAKKCGTSGDDFMKANTATNLCSKLTEGQHVCCSQGKMPDLRPKKNADGYCAVYRTKKDDYCSKVAASLMLTVTELESFNKNTWGW

NGCNLLYPDFNMCLSEGAPPMPAIVSNAVCGPTMNGTVRPAAGTNLTTLNPCPLNVCCNIWGQCGLTDDFCIVSKSTTGAPGTAAPGKHGCISNCGR
DIIKSSAPAKRFKLGYFEGWNFNRKCLTMDASQIDTSAYTHIHFAFPNVTRGDFRIEITDPLVKEQFTYFKSLQGVKKIVSLGGWDFSALPGTYMIL
RDAAMPGNRDIFKRNIVSFINEHQLDGIDLDWEYPGAPDIPGIPADDPANGLNYYRLLASIKAEVGSAKSVSFAAPASYWYLRSFPIKQMAQTLDYI
VFMTYDLHGQWDAGNKWTSPGCPSGSCLRSHVNETETKEALSMITKAGAPSNKVLVGVASYGRSYKMAQAGCDGENCLYTGNNRNSGAAKGRCTNTA
GYISNAEIDEIISANKHNKLWKKEGSNMMVYDNTEWVAWMDDETKAKRSEFYDSYNFLGTTDWAIDLQQFWDGSGNDGNDDDGDGEDEIFTELTPCS
ASYTSLEQLTFRTRSIPPHCLEQYLVDVQVAVFDGALQKYEKLINDGYDKKFSVWEGYIKAQIPAQLNNFMASDQVDKFFKCGEMKAVTCCDTCQHA
WCGTKCERFNGCKNGKQVVPRDKCPKVEFVSPGSGGDHPNTTFTLTDRDGFFTELLNTWGIEEEWITFGKRQMSLANGCKYANEDVLDCIAWNSIHF
HEFPLVDLAKTKMHNPKDIIVKALPGTGDLLNRYRDMKTIAEYEEDFEMSDLVDAGSLPAFAVEEAVAQMQKIFDEAKEIEKKEREEFILNMIMAFL
FFIPFIGPTGGTIVATGVRTLLRLVEVGAEVGLAVYAVVNDPDNAFMTVFSTLLGAGFSRGKFRDAASSRRGMSSTEYNSLGNLKTKLDSIQSVRGA
VCAL

>RCO7_06968 | uncharacterized protein

MKSAILSVVHVVQVAFGIYNLYLAADSINKLLGYEDMSKKAAKYSKTAEKQLHMTRSTQASGTIAEQLLISTLSAAYMLVTLPQVGNQGMAGLNMLA
LVLARKHVGNFWSDKPRVPVPGAGDFNEAAKKTEEVMMNLAIFAATWFVVGGVDLLFAAFES

>RCO7_06967 | uncharacterized protein

MENTAHIIPPRGDHIMTIILLHGRDSTATEFAEEFFEEETSDKRTLLEVFPTTKWVFPSSKIRDSARRIAAGFEDKSMSQWFDMYSTEDPSENTDIQ
IDGLRGSVSEILDLVRSEATLISSDRVFLGGISQGCATAIYALLFGGIRLGGFIGFSSWLPFEQEITTKMNESGGWSIDEYRMYYNHKILNSSAEST
LITSNGEKTNVLKTPVFLSHSADDDVVSITNRERLSATLERLGMVVSWKRYEDGGHWIHEIQGVSDIVSFIHSCTRDKREN

>RCO7_06966 | uncharacterized protein

MAITDTKELAKGYTAVNNTQFNAGLFLIRKLGSLAGNKVLDVGCGTGNLTNHLRELVGKDGSVIGIDPSTERIAIAQEFKQPNLSFEVGQAEDLSRF
SSGTFDVVFVNSTFHWVQDQPEAIREFSRVLKSGGRLGISGGSGDFVAIHEKIKEDVLSREPYRQYSEQGGPTFIKQQDLEGLLDQAGFSERKIVVN
TILKTAKDGAEMVEWLDTSSSGATYGGIPLDMRPKAREEMLIEWAKVTTKEGIRMPMDLLVTVAVKD

>RCO7_06965 | related to multidrug resistant protein

MIDSEPKACGSTCVNDFTEKVQGDLKLLDVEHSIKPPNTLATSNFGLTAEHDNAEFIVWWDDPGSPENPINWSALKKWGNICTISMISFIVPLVSSM
LAPGVPLAMQEFQTASKTFATFVVSIFVLGFAVGSLILPPLSEIYGRTIIYHVTNILFLGFTIMCSLSQNQAMLLTARFLSGFVGVATITIGSGTIA
DIMPREKRGKAVSVWSIGTLLGPTVGPVIGGYVAEALGWRWIFWSISIVIGGVTILAFAVLQETYPPVLLERKAAKLRKETGNPGYRSKLASNLTPQ
EIFRTSIFRPLKLLTCYPIVTILCIYVAVLYGTLYLLFATFSFLFREEYGYSTSATGLVFIAGGIGTFIGLAYVGHFSDKTLQKRAVAGKAITPEDR
LPLITTIPGALAFPIGLFMYGWSAEKHVHWIVPQIGTAVTGFGSIIIFISIQTYLIDAFEEYAASVIGANAVLRGTAGALIPLAGLTMYDGLGWGWG
NSVLGFAALILAPLPWLLGFYGARIRRLRLVNVKL

>RCO7_06964 | uncharacterized protein

MQLKVCIVGAGPAGFALAADLSSRGVSVLIYSHPSHPRHAKNVISRGHLKCSGAIRGNTFLRITFCIREVVEFSKIIILTVPSTGQRTVLNELKNFA
LHQHTIIAVPGNLFSLIADAEVKIGHILETNISPYSCRMNDDGELTVFGKKASISIAALNQHVDITPNFKAKIQRIFSQRLQWCHNVVEVSLSNING
VFHPLMILMNAGRIESTPGEFLIYCDGLTRSVAKAILAVDKVRLEIGAVFGFKLDGVIETSNKCYSAHYTDLVDLARNSEPHKMLKAPMQIENRNVT
EDVPDLLVAWFGMASILGVEANAVASVVGLASMATGTDFMREGRNLRNLNLEGMERDELIERFGVKDVQ

>RCO7_06963 | uncharacterized protein

MHRRNSSKALDRRKSTSSVQSKHDSIDPKLARQHAHTAATLAFARARERTSADMGHSGGGLSRSNTANARQPDRYISAPHSSTDENGDHPAIKRQHS
VRFVGPTGIHRSQSLGTRATQNPLQHKLSNATLRPMAITTNAPVPAAYRPPSRSSSIGKASIRGGTVSQYVTEDAFDEYYTREDDIASTPSSYRRVR
RSKSMFSPLKAPSVFYTNGTPDRPESSYMGGRTAASYSQTPSTQPKQSALRAPKSMSFLKGRRDHTQSDRNDNAVQLARDRFFRDAEQQRLREQPSF
LFRAKAQKQQQDKSFRKSLRASSANSYGLPVGSSNQAIASKESGLKDVARKASKTIRNKLKRVFGRSSKDEDPVTIPNQQVDARETHVRQYNGDDKT
ADDTFANIPHPNEASLSRVTSRVPSLHAIASNQQLKSNAGSVRSLDSDDKSRVTSWTSAGANTVAAPLNQTQLQEQHQRLSIINEIGSHVPSSSFSR
ARLANQFSAYPVVHRQSKSTGHIPAPAVDSARVYSALMKRLDENSPNSKLEATHKSSVENFGISSQYINHSPATIRQVPPSSRNTSSSDSYDKFDQG
GQPFHDGHRYVDPYTQQWVAADLNQEPRRHADDVFSPKSASNNKENIPMAQPGRNIKLPTPAALSRHGSSAASYRTVPEAPRITPQEAAKRNEPIIH
HPKIIREARSTFFGGGSSHTISRTTSPFRRAMTESDYSPVILSSDIPLPSQAAPMRNPLYQASEPSVSTETVNNPQVPGKAYSESIYSRTTSGQTPF
AAHSSVSLVLDRDVADMPFYNPAGPGDVVIIDRTTYRPTMPIGNGHRATSSASSVEWKKWMSSEVAKLERVKENSNTSYVNYAFPTMPKSFQKGHVR
EAAQINDDEAEVMPTQVEVMPTKLVAIKQPLGLVQQQNPNIQSVPTFNMQPIPILRPILKNRSNISLVEEPKSTNVRVPLIPIPPPLPPPPPPPIPQ
RSPLRQMHSKSSLRSVGTVNTIRTISAPNSAIKHSSMSGRNLLHKRNPSQTTLNSTKASIKSVETPAKLIKRHRRPSTGYSASPGSGLTGAVERQFG
STSTNSRYRTPTGPGTGGSERFRDAEEDVYGVEGAGLLGPNPRASVTEGEAQAMGSKKMVDLFLSSRRKRMVSQSEVGGSFI

>RCO7_06962 | probable subtilisin-like serine protease

MRGLIGFALLPLLASSAPTSSSSSFSTETIHEGVAPLISSSNSVEVPDSYIVVFKKHVSEAAASEHHSWVQGAHEATESSRTELRKRSQQDIFAGLK
HTYNIAGSFLGYSGHFDDEVIEQVRRHPDVEYVEKDSVVHTLGETEGEIEKNAPWGLARISHRKSLGFSDFNKYLYAADGGEGVDVYVIDTGTNTEH
VDFEGRAHWGKTIPSGDADEDGNGHGTHCSGTVAGTKYGVAKKANVYAVKVLRSNGSGTMADVVKGVEWAANAHTEKVKKGKKGFKGSAANMSLGGG
KSPALDRAVNGAVDAGIHFAVAAGNDNADSCNYSPAAAEKAITVGASAFDDSRAYFSNFGKCNDIFAPGLSILSTWIGSKYATNTISGTSMASPHIA
GLLAYYLSLQPASDSEYAVADMTPKKLKESIISIATEGALSDVPSGTKNVLAWNGGGSSNYSSIVEAGSYTVKSSKQAKLPISIKLLEEAIEKDFNV
ISGEVVKDTKATLSKAEKISKKMQKIVEAELHELLEEMSS

>RCO7_06961 | probable beige protein homolog

MSMTTRRPRSSTATSTPPESTKATAEIQLLLDNLSQTLRTRSDSTYPDLPTLTDQSQNIRQYLIASSETGRACDDFRHLYGFQILLDSLRAFSGFYH
PTKRSKKDKTQLFCLLESILGILGQTFREHYGNQRYFKRRVEGGGWAALEQAIASIGIGGSESDPWSEAQLLGCLLSFALDDKRLETLCQTVIERHT
AEKQDNKTVANAEDIAIKDKSVLEIVNTKLEEILGDHALLYNSDIVPTIVDFWATVPRQPNTSVNPAALVVIQVLKKVGYVSKHNLMSLHSTGILST
LLPLAFDSDILGSTERESVESLCASLISLGITSLSDAQYLICSKSPKAADFLLQSMKESHGPSYIQFDLSLHGFASIELPTLGRAFPPPSTSAGYTF
AAWIYIDQFDAKSFTTIFGAFDASQTCFLLAYFDEARNFILQTSVVSSRPSVRFKSTVFRERRWYHIAIVHRRARTLTASKASLYVDGEFAEGVKCQ
YPAAPPTNASTDSFTSFTSSASKSNPVQGFVGTPRDLSSKLGPGVVFSRWSLASFHLFEDVLSDDLIAVYFRLGPRYKGNFQDCLGSFQTYEASAAL
GMRNDLIHPGKEETSDILSAIRDKASNMVPESRIILSILPTAVLRDDDRHKYHESLLLRGLNQASSSNLFQLTHNSGTAVVVNAAVPSINEALIRQH
GTSILTGDPVVVVPQSLDDAMWRLGGFAGIALKMVENANTKDDIVRAVETLFESIKGSWRNSEAMERENGYAILGALIRGKVGAGVVVSSKLGPEPS
LMDSDDREKLGFQLLSLVLDFVGYDHQKPEESFIINPLAYRILLVDFDMWRKSAAITQKLYYKQFVVFGVNSKFHQFNSRRLFRMRIVKKFLDALKA
EAFSHEVFPSFMEALKSLVICNLTSEIFRFLALFITYAYHKPATSTSRTPKTVTGTRPSRSGSSSQGPKRPSISTILDGRDIASNTSLTRRQIGNRI

LAMYSDLLCDKANTSNIRKFARTVTNKWLLHLLTEDDPEVVVHGTKILARLLVVHGSGYVTKFASKTGGFAIMRFRLRRWWDVPTLWPICFSILFGR
DVAEVDLEAPFELFSLLEPFSNCKIVYPGVLPVIMSMLQHGLKEVLHHQDDPDSPLLDRGNSQDKSKECLIVPAGANRRRSMSLTKELEARQTHQHK
KERLSGQATVLHTVIRFFADLHSKSSDFRDFAISSDYIRHLLAVLFPIVVSTDAVSPETELNSRDSALTFEGDDVIIRPISRVSTTPTPIVRTSSVE
TMLPPSPTAPRARPLRRGSSFILLTSRPSEFSPSSARLNVIMSPKKKLTAQNLSNSLVEELLELVINVFIDQVMIRKEFPGFNLCLKVPPGFQEHQA
YFESYLLRNTIPQLNNTIQLDQKSLREPKLIQNTARFVSHIGEAVFEGWFLSGAESLLDFAGTQLEYLQRPEISKIKSVRLCSQAVTSIKNVFLRVV
LLRLSELDNAQVPEDEAVAFMDKLLYWQAVLLSSDVSEDNFLKLICYQLYLKLVDSRDRIRLAAANLWRIILVQKPEETSTMFHNTTTNDHRTLASG
FRKLMEQDNETFFSWVDEQRVELDALFLGAMSKTWEDFVNAENEKTEDAAKTRVSKRREKLRQWHAEELNDEDILFRHDLASTLWMKNIYSSEHLKH
QRAQQDQQDNFTFLASTFSRMNHELHRPCAVFEHESSGKWKLDRTEGRNRMRLRMLPDREAPAYDYQPKRRVTDAANTLKLNTKVPVAPGIETPVSA
LRIEGALDGPSDRSSDSLANSQQEAASGSQGSVMPEEDFELVDDPNDPGEDDTYEDKNRKVMRSLQQGDQVQQVFNISRIIGLEACEGLLIIGKNFL
YLIDNVFQRSDGEIVNVSQAPKEERDPYLQMIAGKNPADKRAQPVKTDQGARADQEARSWKWSDVLSISKRRFLFRDVAIEVFFTDGRSYLLTAISP
HFRDELYSKLTSKAPHTSGSSSLPNPEDGWRLEALKVSEEAPASFGSKFGNIFNSSAWNPAMRRWAKGEMSNFHYLMLVNTMAGRTFNDLTQYPVFP
WVLADYTSEELDLDNPATFRDLSKPMGAQHNSRAAEYIERYKTFAEMGDANTPAFHYGTHYSSAMIVTSYLIRLQPFVQSYLLLQGGNFDHPDRLFY
SIEKAWQSASKDNMTDVRELIPEFFYLPEFLTNNNSYNFGLRQGNGGGIDTVKLPPWAKGDPKIFIAKHREALESPYVSRYLNQWIDLIFGCKQRGE
AAIDSVNVFHHLSYHGAKDLDNIVDPIERVATIGIIHNFGQTPHQVFSKPHQAREDTRNKARRLDTSAGVLTRLPFPLLESQERVANLIYSAKLDRL
LCATAFRLNLAPHFDKFVEWGFADNSIRFQFNDSSRKSAGLFENLHVGQISTCIFASSQLLITAGEDCVISAHTVITSPSKPVDLTPRSSLFGHKTP
VTVLAVSKSFSTLLSASQDGTIILWDLNRLEFVRKLPNHNNSSNSRGPVECARINDVTGDIMLCRGQKVTLYTLNGEFLLERNVCDNHDDYIASCAW
YEGTGNEWVEHSLCFTGQRGGIVNIWRKGISKTGKWQLELVKKLEHGDTRGKRGETAVGSLTVAGGSGRMGSLRGRGRSSLGGRDDVAVTCVKPMAQ
CVYTGDEEGRVVSYPPSDVCERGSQEEKLTESQYEWDIVQRER

>RCO7_06960 | probable metal-dependent amidase/aminoacylase/carboxypeptidase
MSLDPPTSQSINLSPYEELYKHFHANPELSNFEVNTSQKCLSHLIALNVFTLHTNIGGHGLVGVFPNGPGKTIMLRADMDALPVLETTGLSYSSTIT
ALGADGLETPVMHACGHDMHMTCLLAASEVLVRCKDSWGGTLIVLFQPAEERGSGARAMFDDGLYARIPIPDFVLGQHVMAMRAGSVGLRSGTIMAG
ADSLRITLFGKGGHGSQPHRTVDPAVLAAHVVVRLQSVVSREVDYNDIAVLTIGSVRVGQTENIISAEAVLGVDFRSTKESVRDKLVKSIERIVKAE
CLASGCVKEPKIERTRFLPNTVNDEAMSSRLKSAFGKFFGRDNFEPEIQVTTIAEDFSILASVNGTPCVFWHWGGVDPVLWDEKVEEGRLDDIPMNH
SSGFSPSIQPTLKTGVDTLVVAALEFFGGKEEAKL

>RCO7_06959 | uncharacterized protein
MAPEVLTFMPNGDVTLTLIRHVYQEVGASVSNNKSSAVVEEPVLDEDAEIEAALGIEPEDLAEDEEILFYAPDAPGSENGPSYPPPPRANRDSDPRD
RSASPPASFWAALKRQAAKINVERAVEESEPKPAVNAVKVLVSSHEVHCIVSSRHLILASRYFETVLSGDFEEAKALRATGHVEIPMLDEDLESMTI
LLTIIHGASRKVPRNVSLELLSNLAVLVSKFGMLETVEFFSDTWIDHLQREGLPQAYTKDVLRLLFVFWVFDRETEFRDMTRLAQREADDKFEEDVA
NTEGIMIPLGIVDAIKQARLSAIETALAAIHALIDKYMEGSSLCDAALDEELRYACDAMVLGSLLKSSRKIGIWPKPASPFPGRKYRGLAKAIRGIK
ILDVCSKTNCRKWNSHGPAGNSHGLEDVIEEKLKEVEESLDGLRLFDFAKKSEEYIPVLRPPPPPPVINIPVNGDPKKGTHGIKKHSQAYGERVAVV
KPMQNGELIPEELRAPVGPSQSRPSPTTSNSKEGKQSVQEQHRFEIPRSLRSSPDHQPQQHGNKPELQREQPSPRIEPMQRRSPPSVVERQGGPKVD
DRVRMPNQHEIRSETQQRQTSQRVEPTRGRSPPSPVEQRSQSEIRTTERRPSPSLFDWPSQNLGCEPEQEVKAIPRSQQSSGFTRQEIQAQYSPRDS
MQDLSIGKPMSVSKVQKRQNSNGVVQQEVETQSILRNGYHENSVKQTPLATAQQRQPQHGHGQRDTYAQSSARNSVHEIIVSTPMSVSSSQQKENGQ
YGHDKTEQNGHISQNGRHDQEVRNDLDRQNGPTTLNGAPSRNQANGRSEENRQNGHSSGPKEQNAHIGRLESDRINEQNERIEQNGQHEFVTALTTM
SNRKPISNPSTPTSPTFREEATAPSSRDVSKVAAQDKRLTRTPSYKKLPVGREDVKSPPPEEPRIASMNHDAMMEGVLSSNRNGSGHPAVASSQDER
LTNIPAPVATMRKVPSPPAPTPVPAPAAVAVQPIKNRGRDRKEKSPPTGVFVGRESPLKQVQLAGEQEEEMDKKDNEMVIEENVWMPPAQNFRTRNG
KKAFSTRFS

>RCO7_06958 | uncharacterized protein
MRAPSMFVEAFPGVDIYRAISFPSQRFGFSKFKASFRNSAYWFPPFGYGQANHALITIRIYLTKFQVASAQGML

>RCO7_06957 | uncharacterized protein
MASKSHKDSEEVVRSWGFPKVFTWTDTPNFHYSPHTHENLTTHLVLKGEMIVKFPEDKNPVKKSFGPGERVDIAAGRSHEVWIGGAGCTSVIGE

>RCO7_06956 | probable acetyl-CoA acetyltransferase
MAPKNDIPAYVLGVGLTKFIKPRGLREYPEIGYEAGVKAMLDAQINYDDVETGIACYCYGDTTSGQRVSYQFGMTSIPIYNTNNACATGSTGLHLAR
TLIKNGAIDCAMLIGFEKMEPGSIKSKWSDRPSPMGLSAKMMYELSGKEIGPPNPQYFANAGREYMENSGCVINPMTPDMEQKLEILRRSGAFLIST
RRRTHMHRATGTNCKWFNQIYTLEEVENSPMIHYPITKLQCSPTSDGAGAAVIVSQSFLDARPHLKSQAILIAGQSLMTDTPELYSRSAMQLVGYDM
TKRAARAALREAGVSAKDIKVCEVHDCFSANELILLDGLGFSEPGKAHEMVRNGDITYGGQVVVNPSGGLISKGHPLGATGLAQCAELSWQLRGWAN
NRLVYGSTVALQHNLGLGGAVVVNVYKRADGGVNEKVSDQEIKSKSWLGYNAAVKARAITTEDAEKVRSRTCRSLWALGETEQKLSARL

>RCO7_06955 | probable methylcrotonoyl-CoA carboxylase biotin carboxylase chain
MFPKLRALPRASPYNYRVLSTSSSSSIGTPITSVLIANRGEIALRVGRTASALGVRCTTIYTDPDAQSQHALSSPFAVNLGSANAYLDGERIIKVAK
EQSCQALHPGYGFLSENSAFAKRCVEEGIVFIGPPWKAIEAMGNKSRSKDIMIQAGVPCIPGYHGGNQDPSYLLEEARRIGFPVMVKAVKGGGGKGM
RIAFNEQEFKDKLESAKSEGRNSFGDDEMLVEKYISTPRHIEVQIFADKHGNAVALGERDCSLQRRHQKILEEAPAPNLAEDIRQDLWGKARAAALA
VGYEGAGTVEFIFDNDTNEFFFMEMNTRLQVEHPVTEEITGEDLVSWQFKVAAGERLPLDQEAIAQRIAERGWAIEARIYAEKPSQNFMPDSGKLIH
LKTPQISESVRIDAGFIEGDTVSSAYDGMIAKLIVSGENREVAIRKLYSALQEYEVVGLSTNIEFLKKICKSPAFIRGEVETGYIQKHNDELFAPEV
IEPEIFAQAALGLLSKELSTPASTVGQGPHGSTVGFGARSQRNFTFITTDSPENAHVTVSIEQSGRSMFELEVAGGGLNQSYSNVICEPKSPSISTF
FPHTRIESTVITDGDKITLFQHGKQTHLTLATTSWFEKALGLKDAANSVLAPMPCKVLRNEVKEGDQVEKSQALVVIESMKMETVIRSPQNGVVAKL
VHKEGDICKAGTVLVLFEDAQVD

>RCO7_06954 | probable NAD(P)H-hydrate epimerase
MKTLSAKNAAALDRDLMSIGGFSLDQLMELAGLSVSQASNFPPLLHDHILTKPSQSIVSILPAWEEEFSLPVVLVTMVSIDCSQSQTQLNLKLSKSH
DLVTNVLLIAKIGGDGLVAARHLWQYGYKPTIYYPKQGKNELYQRLSSQLKDLNIPFTSDFSSALKDTDHVVDAIFGFSFSGEIREPFPAVIKALQE
TTVPVASIDAPSSWDIEKGPPASGPGSEFYPEVLVSLTAPKPLVKFFKGRHFIGGRFVSPDIKKKYDLDLPEYEGIDQVVEVGSNGQKL

>RCO7_06953 | probable ribosomal protein S16, mitochondrial
MVVKIRLARFGRRKAPFYNIVVAQARTARNSKPIEVLGTYDPIPKPPVGGEGKPFKDIKLDSTRAKYWLGVGAQPSDPAWRLLSLAGLLEPKYRPKS
TS

>RCO7_06952 | probable AVT6 - involved in amino acid efflux from the vacuole

MVSYSAMGGPSDSSSDTGRRQRRRSSRDMKEHNLGGEASWISSNINLVNTIIGAGTLAMPLAMSHMGILLGSFVILWSGLTASFGLYLQTRCARYLE
RGSASFFALSQITYPNAAVIFDAAIAIKCFGVGVSYLIIIGDLMPGVVRGFNENADSVPFLVDRHFWVTVFMLVVIPLAFLRRLDSLKYTSVVALIS
IGYLVILVVYHFCKGDTMADRGVIRVIRWGSLVQTLQSFPVIVFAYTCHQNMFSILNEIKNNSHKSTTSVIAASIGSAAWIYVLVAITGYLSFGNSV
AGNIVGMYIPSIASTIGKAAIVVLVTFSYPLQVHPCRASVDAVMKWRPNGKRTARNSPNGSPARSMPLLTGSSAPPVARNDTISELRFALITTFIIV
LSYIVAMTVSSLDKVLAYVGSTGSTSISFILPGLFYYKISAPDSIHHQRLAKDEDEDESDSDSEGLLGTRKLKSNHWRKTILRKLSLALAIYGLFVM
ILCLGTNLFFTASAH

>RCO7_11442 | related to transthyretin-like protein pucM
MSTTAPARPPITCHVLDTTTGRPASSLSITLTCTSVPDIEFTGTTNHDGRITAWSNTLGPKGDKGSYVREKAVEKGGVSEALRAMIDEQGADSGDAS
RPAGSSLWKLRFDTGAHYGIENTFFPVVELSFLVNKEEHFHVPLLLGPHSFTTYRGS

>RCO7_11443 | uncharacterized protein
MMSEKGLQHSRWAHSDRGRESLKQRPGDWTCASCHFSNFQWRTGCFRCSAHLGNAPDASTYKHTIVRNVQTADYHNGYLQQAEVPMRAVKDSLPEVS
GRGLAVSRWAPRYANMNQSAQINSTLWTRTNQQHTQTSSPTPKSSDLGLPYQVQHYILVMIQRMLEESCFEFAGRWLPDFLHAKGWDCAEAVELSTW
KAILPSVLPANALRPMSNYTLEGALSDAVRIRNSATHRHLCDNEEIRRMSLQAQDLMSMLGDGTRADKFHRLWLELKEWDLASKSDAQGARSRLEAA
LTGISERPVDDMDWTPNATMSLQEVLAEGATAQGPSQPGYVDVDEMDLDCMALD

>RCO7_11445 | uncharacterized protein
MSRLPSKQGVSHLAINLLACCVYQNNLHFTEINWSAILRHINRKSSDQACSVVLKNTSEFGQVTPANSMNWENIKAQLDVFKFKGGNEIAAIAKANN
QLLRCHTMCYAWDVVNEVVNEVVNEALNDYSTFRNSVFLRVLGQDFIKIASEAAAIADPDTELYYNEFRIESPGAKSKAALAVVRTLLDAKVKITGI
GLQSHFIVEGTPSKATHVAKLGGFTA

>RCO7_11446 | probable Methionine synthase, vitamin-B12 independent
MANIHRNPPFRAEHLGSLLRPKELLQKRAAFEAKELSRDELTTIENESVDKIVKLQLDAGFRAISDGEYRRAVFWGTFFEELEGMNEIRNPSMEIFR
PYVPDIAGFIEKGHKPGQSCLCTGKIKHKGKSTLVGQFEYLKTLVPEERWADIKLTMIAPPWYHLRYKDGKAFPKEVYATDEEYFWDISMAYRAELD
ILYEAGVRNVQIDDPNFAYFCSEKMLKGWAEDKSNTKTPHELLDAYIKCYNDSIEKYKDKMHFGLHICRGNFMGSRHFSEGGYDLIAIKLFQTLNVS
SYYLEYDTPRAGGFEPLLHLPSHKNVILGVITSKFPKLEDKMEMKERLFAAADAIAKGAGQTREQALERMGVSPQCGFASHEEGNLLEWDDMKNKLE
LVRAVADEVWPSQA

>RCO7_09142 | uncharacterized protein
MSSFSSTSSSSSTADQAYATIYNYRIVLDSSASEHYTPNKSWLLDYKPVSKKSITIANSDILPIIDRGDIPIITREGDRVLIKDHFNTYYLEVDVNH
KLLEPVSFKVDSNKSSKLDLYYKRLLHTNKEFIYKTIEGSKGLKIQKELDLSDCSACNSGKIHAISSTKPISDTPPLTVFNIDIAGPFKIKGLKGER
FFLTITCRSSRAIWVYALKHKAKAYNTLIEWYNIITTQFNKTIFYKDKGIIYEYTSPYSPEQNAYIKNRSHNSVIKKSPFEVLFGKKPTLNYIRVLG
SLTYFLINKRTNKFEDKSDRGILVGYKSANNFLVYIPEKRAIISSKNVLIKEDLTFKDEVISKEELESFNKKLNDCETSDRSNRVISSPINTPKTDL
SRAEKSEKIDSKTANNSLNKEKVIEDIELNLFNDIAEEVPNVTTRSYAKDPDIALAIQNNKRLIQEQKEAYSVYKNVINLAC

>RCO7_03767 | uncharacterized protein
MGKVLNQVLRPCTDKVQGVYANAGKTDQGTGYKSNNPDIALAIQNNERLIQEQKEAYSVYKNVINLACQAFISSKSDEEIRLSPDPERILIKKDPEV
VIYEPKSYKEAINSPYKDYWLKAINKEIASLENHNTWKVVDSNTKTIKLLKTRWVYKIKELESEYYEFKARFVAKGFEQLYGINYLDTYASVVKQMA

>RCO7_11441 | uncharacterized protein
MPSLFLKSFPGKSATKSTYSALHLAPAQSLYRPGLLNLRPSTQLSQKFKGLLKHGHGRRIRLLKISLELLDRDELEWFASSVKPLGEWARHGRLEAI
TIVAEWEKPRDVQEFKEIQNLRRHGEVLDGRLFKESSTWTRMVISTGWPRFCHWGKQKWLKEMLLDPSGIHELLLEIHRVFGGTMHVDGMLVFKNGE
KIVREYQFHPRNGEIRIVPGTTGNRQAAAKYSDLMAARMTNNYKCP

>RCO7_11440 | uncharacterized protein
MPTAIKRRKLAISTKNATTKSRALNAFTTVSKASTTTKEVIEKNFQVDVATSTHQPAACNKRKFVEDEESVQKETISPANTKTIARRAFLQTPKTPH
RPILKQSPPSTIDTPTNGARNLLDRFCIASKTPTRSPLGFSSSSSNLATSIPPTSNLPTELLDMINLHAAFLTALSIHYAHHGTHAPADLRNLCPDV
ARAWGKRRVTLEDVRLLLGIQNSSAPETKDARVSRLSLSDYGHGKICIEIRTLGKGGRIARPVNEDLLNEVFEKGLTSLWEQKRAELDVKEFVEGLP
HQGITMCSSLVKMSPLLAKGQRRLEDLRAGITIKSPAIAQKVEVASPKLTLLDRLRAKAIQTAKLPPPPSKADIARQAAMGRIEEVVSILVILSTST
SIGQSRISFTLPTIIGKLRDSFKTPMSKEEADTCIRLLATDIAPQWVKLVKMGKVECLVVNRDERPGEGNIKEMVGRA

>RCO7_11439 | probable multiprotein bridging factor MBF1
MSEDWESVTKIGSKTRGGGVARETVVRGKAALNAAQRSGGIIGTEKKFGAGNSASKPGVEGQHLTKVDRSDDIVKPTTVGKEVGTAISNQRQAMNPK
MTQKDLATKCNTTQSIVADFERGSATPDQKILAAMERVLGIKLRGNDIGAPRFGAKK

>RCO7_11438 | uncharacterized protein
MTSLAAFLGLLPVAGALLPGTPIDVALLIALASTKRWEYIRPFTYLINTTIAVTILSTTTTLFILLQVYRYVRTLQQPSSPCLDSGFPIKPLLFPCE
TAHVRMFPQTHGFKYSYLLVGIPVGWSGLVGGMVSSDVERVPHKSWYSRWLSLQPGSAWYTVNADDYLLRGHVEGGLKGKLDQYLESEGIEPSQYAH
AYLLTAARFLGYASNPVSIWHLYSAKKQLAALILEVNNTFDEKRIYFLEPASSASSMESQDKRSSPRYTQTWPKDFYVSVFNSRNGSYSLSASDPLF
PHMSKAGSVDITITLNNTSSSPKLVARVYSAAEALDPTIMSAWDKSSFLARWWWVGLATFPRTVKEALTLLMRKKMPWVFRPEPRATTISRKADETE
VFIEGIFRRWLRERVEGSDEDVEVRYTSAGLLGKETEEEVMSSASAQLSDGAIDMEVKVLTPLFYSRVIGYDNIEDALWTESTESATVFLSPKIFTK
LISSTSPTSTTLKHSKKPSRIPRIEHRYSILNLLRRRPPPIPVPTKERTTTLPISWSHGKGDSDRGQESFDAFVMASGIEGEMKIYFNRVSKLMSAD
LLAFGSLELLDVEIFLLKAAVTWVLVKLFL

>RCO7_11437 | probable DFG5 protein
MFPTLPSRASAAVAVLLLASTAVQAITVDLTSVASIKDTAATLAYDMMTFYKGNVSGGIIGVLPGPPPNPPNGYYWWESGAMWGTLIDYWHYTGDSS
YNDVAAKGIQAQVGEDLDMMPRNWSQSMGNDDQGFWGMTAMTAAETNFQAPPAGAPSWLALAQAVFNTQAKRPDNECGGGLRWQVYPYLTGYDYKNS
IANGCFFNIASRLARFTGNNTYSEHAEKTWDWIRAVGYMDKDYNVYDGGHIGHNCTDINKVQFSYNMAVWLLGAANMYNYTNGSPIWQERVSLLLNS
TFNTFFPQDIAYEVACEPKLSCTTDMFSFKAYVTRWLAATALLAPFTRPLILPKLKTSAVAAAKQCSGGANGRMCGVSWSKGDVWDGTSGVGQQMAA
MSVVFTNLLALEDIAPPLTRATGGTSEGNPDAGSKSVENPAAIKPATGADKAGAGILTTLLLVGVTGMFGWMSL

>RCO7_11436 | related to glucan 1,3-beta-glucosidase
MRCTTSLLALTATLSGVHAAAYQGFNYGATKSDGYAPRVQSDFQALFQTAKNLVGTSAGFTSARLYTTIQAGTASDPTSAIPAAIAEDTSLLLGLWA
SGDAFPRELTALKAAVAQYGTAFTSRVAGISIGSEDLYRSSPTGIASGGGIGATPETLVSYIGQVRAAIAGTPLGAAPIGHVDTWNDWVNGSNKAVA
DACDWIGVDAYPYFESTKANGIENGAALFNAALAATAAAVGNKPLWITETGWPTSGKLSGQAVGSTDDAKTYWQQVGCPRFGVVNTWWYTLEDTDNN

ASPNPSFGIAPGSPLSSTPLFDLSCNGVSSSSATPSSTASGSAASASASSVLASASADIAGGFVTSGGALSPSKPAGYDGNIVAVTSTGAAGSSPTG
GAGSYPIGTGVAGSSPSGTQGSSPVGTGILGGSPMGGGSGSGSGSGSGSGSGNGTLLTNPTPTGAGSGAPASTSPAVETGNGASMISSSMVGAMGAM
LAAFALL

>RCO7_11465 | uncharacterized protein
MKFKGDRDSFSSKVRIFYDACLRAEIPPEEYI

>RCO7_10754 | uncharacterized protein
MADIASPLLIDEKHNWALITSQIDAPESPIGPQADMKETVDIADVLSKLDDERRERNASDAPQPLRLDDAEPPISVPFGNGIQVDIVSAPEVAIGSP
TSSGPTLLRAVTTESGSEPKVLEENSPPPRVTEILGLQKKAFWITFSVVLTLALGIIAGTVAGVLSSRKTSKPETPKKKMPFKMQTWENVDKTGSSQ
IFYLEGLYTTAFGVRSYEWIPGKYTNAKDMDACSMALCFGDHQMGWRGGSRFSGNNTIWPGYEFADMVILKCGAVYANPMCPLTKEGVTMTAPIYEA
PAPTGMGAGNRTVSGMGTTTSSLGTLTTGVAQSTAK

>RCO7_10755 | uncharacterized protein
MLVWIVYVLVAIHAPPSLGFHHVLPRHINHKPTQVIAGVTVMDTPLVRAAQAYAREVSSTVLYNHVMRTWLYGALVVSHNTTLQEIIDLEVHAIGSM
LHDLGLVLNGTWISQDRRFEVDSAFATIDFVEKHLQHDRNEVSGAWDANRLQLLFDSVLLSSEYKFSLSKQSTVTLVITGVLVDVRGIEEQSHDITT
AEYDSVEAAFPRLDFISGVNQTLVELCATKPNSTYDSWQQAFGDAFVPGYSAEGSRFVDIFGHSH

>RCO7_10756 | uncharacterized protein
MPPTTIPTPHGPLSIYFGEAKDEQILSCHGLAGVAFGQPLSSADYIKSEDFMMRLASKQGEQRWWRIWCVFLGEYPGRVLASCKTTRRDMLMKEPST
GKVYDHLGHCISSVVVESAHRGLGIGAYLLAGIKYWLDTEGEVALSMLYSSKEDFYLRYGWTPVCTPELFLHIQKSFSETNWGHLKLPPISILHAKD
VRPLCERDITALRSEISHVRIKEGEIVMTLLPTAELIGWLHGRAEFFGLNLFDKIPFNKEAICEEDSWVFWHHDFRKRCLYIQRMRSDEQERELKIR
CLAALLIAARREAETWGLSFLASWDTSPQLHDARWGLNSVDGEEERDYFYSSWHRPWNRTFGFAPERAFCMELIADTMRDISLYISRRIEDLPIDGE
EEQIELANKIKAKCNACFLWVRLIMDELEGEEREIPVAKTILSWTVLAAQPLTVLELSVAIEQELKIKLSSHQGAIERLCGQLVSIDASKDLVQIVH
ATAREFLLSDEAGEFKVSNTKGNEDMALACIKILSKSAAMIPPRRHLLENKRSLPLSSALLEYATVYFSEHVFAASTSDNQILQELCLFLKNSALKW
IETIVATHGLHILIKAAKNLKGYLDRRAKHESPINPLARAVDVNIFLDSSTLSYTFDNIPAAPKYKTAKWAYHEIATSIASGNSLIAVGTESGDVNL
YSSQSYQKVNILQHGFAVDLIEFDPVGSFVAVSSRKLLTVWELDDKLRWKTRIEAGRSYQWDITTGALLEEQSYLYQIPDFRDDSRSDIGKAPSTAS
LSSEQELLALPHVNQLAVAYNESHLALYEPWSGTLITSVEAQWPAILSSVTCAVDSRTLAIVNFLGYLRL

>RCO7_10757 | probable sterol C-24 reductase
MAERYSLRQTPKKTEHLGFVETPRARRPYNRRKSQAPEGGTEDEADDSTSANESTTSNTGRAPSTRTRSRTPSQKVGVTKGDATMNGNGHTNGAATN
GYGTIDVKTNGGASSVGNGAAKKADDAKAIIDGWEEGKDPKIDYSGTFDFGGSFGVTAMMIGFPLLMYYMWIGATFYEGRFPHRAEGESMGEFFRHM
GNLVYEHAFPSAYAWAIYWTFFIVEGAFYCLLPGVWTYGKPLPFEGGKQLRYYCSGMWSFYTTILIVAALHLTGLFKLYTILDEFGPIMSVAIISGF
LVSIVAYFSALARGAQHRMTGYHIYDFFMGAELNPRMFGILDFKMFFEVRIPWYILFGLSCAAAARQYEQLGYVSAEVWFLIMAHFLYANACSKGEE
SIPTTWDMYYEKWGFMLIFWNLAGVPLSYCHCTIYLANHLDTIHLDYPPGLRTPLLIALFTSYLFVYWVWDTTNSQKNRFRSSERGTLSERKTFPQL
PWQAVTNPRVIKTASGDSILVDGWYGDIQRCKEKYGESWTEYERLVPHLFIPYVI

>RCO7_10758 | related to ubiquitin carboxyl-terminal hydrolase 10
MNNGGRHHQPAGQGMPPDMGRRRPHNQYQQHHNQHQHQQQYQPYPQQMYPNYMQQPYGSGYYAQPMPQQYYNALPPHQYQQFAPPPYVRSPPPATQQ
HYTPAPIPQQQPYPRTQQSPAVPIAVSVPYQPPPPQAPSSTQSTHTIPVPMTPPTPQTALSTTPSPPAQEETPRSNFRAPLPWYTPGSELSWPARKA
RRKRKAVPKADLSTPTSEARGEKRSEVSGAETEDKAEQKIGDEEASEFKQVEEEATARSETPISHHASEDNSTNPTTPSSQQTPASVTGETTPVPSK
QKANGVIVPAIPRIILHDTKTTPEKKEVGQPETSVAAETSVVEAKSGSTETEEVREAGPAPKAWSKPKLWAGLFNPAAAGSNASLSESRLNSPPPAV
MKSNAESLAEALRSFNAVNNDSKVAFLKPRGLVNTGNMCYMNSVLQVLIFCTPFFSFLDQVSKRAAHSFKSETPLIDALILFKQEYSVIDSAVSVDQ
LKRRLKEGDLEQYGDSFTPDFVYNVINRLPRFSSMRRGHQQDAEEFLGFLLEGLHDECVYVMRNSSSNNTSAIVTPPNGPSPISELGSAPGSVAGKE
NGWLEVGPKQKAAVTRSSGTIATGSPLTKIFGGNLRSELRVPGLKDSVTLEPYQPLQLDIGAPHVNNIVDALKGLTRSEVLHGDFKSPKGPNVTATK
QVFIETLPPVLILHLKRFQYDNAGGTQKIWKKVGYPLELEIPKEVFPRQQRAAYTHTGLPKYRLIAAVYHHGKNASGGHYTVDVRRQDGKEWIRLDD
TVIRRVRSEEVAEGGSEEDPKVLAAALDAHKKDVPTNGFAAIDGQEEEDQDGWKQASGTGKKWSAVANGTSTPKAKADKFSVKDNKVAYMLFYQKI

>RCO7_10759 | related to human transcription regulator Staf-5
MNPALQNTSSSGGKSLNISSSHSPTQQQNQTPSPGCESGSRRSTSSAIPINASPRNIQGHKKQHKSSRKPRLAGADEDAMAESGVMRSQNSRRGQTS
ITHLMNITLPPRPQDYRNTITRGSRRANVYGIGSGHHSSDKARYIHANYRFIVRPNGEYKQQAINADQHLDWNDVLQILASAVSQEASCPICLSHPV
APRMAKCGHIFCLPCLIRYMHSSDDANPLPEKKARWKKCPICWDTIFSSETRPVRWYTGQESPCPREGDDVVLRLVMRQPGSTLALPRDGAEALPRS
EDIPWYFAAEVTDYARIMKGSEEYMLEQYDGEIHDLQQQENEDELMFGEEPEWTRKAVNAVREAKEKVEGIGHPPAIAKQPAEKKPKKQPIQFTVMD
ENAPEMFFVQNASTSGLNLSDGISTLAEIQPSGESTGLPATQPEPHPHLELKHQRPNQGESHHVDAPYYFYQALLHYYLAPLDIRILKSAFGNFSSF
PSTLLPRVERVSTGHIMDYELQKRTKYLSHLPDGCEVGFLECNWTDVVSPEILFQFKDEIEKRRKRNRDKETREERDRARAEKAEDDARWANARRKR
PSIEPDTISSQAFVDVASSSFDVDASNSSPPWPTRQGSSFGPLASPSTSPTAPRTVWGTALVAPASPETNAQRMENEGDDGWLSSWEQELRAENAEE
ELVRQVQAASLDGPETPKQGTQGKGKKKKKMITLMSTTARRAA

>RCO7_10760 | uncharacterized protein
MRISYFMLPLIATAHEIPGLYTKCAATDEIMSTPSFGTKGAVLTVCAQSTIQGSPSEIYDVLIDFPRYHEWNTFVYEVQDLPSNVTSAEDVYVGMPM
TFRTFGLVPVTNSTSYEVVSYLEPDYETPFSAWGTDYGMGLAGLQAEHVNVLRDLGNGMTEYVSWETFYGAGATAVLPLKDALVTQFEKQGQDLKTR
VEGMD

>RCO7_10761 | uncharacterized protein
MAPIKIAQWFVNAKSLSRGLYHARRAVIAAGPDLTRLSAHHLQRRALNVNSTQKVTLGFIAAYTVAIALLWNLPYIRWSLWPFKMLVIAFHEFGHAL
AACCTGGRVKSISLDPREGGVTHMYGGISAITLPAGYLGSSLIGALLIFCGFNIVASKVASIVLGVCFLLTLWWARKDWLTIATVLAAVGLLVACWF
IKHAEPLRFVVLFIGVMSALYSVWDICDDLILRKVNESDASVFAQRYGGSSQCWGVIWSIFSLCFMAAGIVAGIAAFPETFSQQEDDSKNFIPT

>RCO7_10762 | related to ketoreductase
MSEGGSGFIASHIIGILLSHGHSVVTTVRSEEKIRKLRDLYPNIPTSKLDFVIVEDVGKEGAFDRAIVSEPPFQVVIHTASPFYFDVKDIKSELLDP
ALHGTTSILKAIKAYAPTVKRVVITSSIASIVDSIKPNDPKQIYTEADWNPVSYEAALKDVRNGYRGSKVFAEKAAWKFIDDENPKFTLSTICPPLV
VGPTTSCISSLSNLNTSNIRFLEFIQGKYKGPVIPETGNYLWADVRDVALAHVRAFEVDGAAGKRFFTVASHFCNKEIVDILRENFPDFEQNLPDKD
ASGGTYPPEGPYGFSNENSTKILGIEFMGLEKSVVDLVESLKSLGV

>RCO7_10763 | probable FACT complex subunit SPT16

MGDIKIDKNLFQERLSHFVSAWKADKRAGDALFNGASSILVLMGKTEDAAQFQKNNAIHFWLLGYEFPATLFLFTLDGLYVVTTAKKAKHLESLKGG
KTPLHILVRGKDPEHNEKLFADINNHIKAAGKKVGILPKDTSVGPFIDEWKKAFSNISKDVEEVDISTALSSGALAVKDENELRAMRNASKACIALM
NPYFVEEMSNVLDEEKKVKHSALANKVDGQLDNTKFWQSVELPSKQKMPADFDPSQLDWTHGPIIQSGGKFDLKMNAQVDDELLHAGVIIASMGLRY
KSYCSLIARTYLVDPNKSQESVYKLLLQVHSLVMKEVRDGANTKDIYAKAIALVKSKKPELEKNFLKNVGAGIGIETRDATLILNGKNTRSLKDGMT
LCVTTGFSDIENPNPQDKKSKTYSMVLSDTVRVSANSDPVIFTGDAPSDLDATSFFFKDDEEPAPAPKKSKKDSAVGAVATKNITKTKLRAERNTQA
DEGAEARRREHQKELSRKKQEEGLERFAEATGDSNATAVKKFKRFESYKRDNQFPPRVRDLAILVDVKNLTVILPIMGRPVPFHIQTIKNASKSDEG
DFSYLRINFLSPGQGVGRKDDQPFEDASAHFVRSLTFRSHDGDRLQDIANQIGNMKKEASKKEQEKKEMEDVVEQDKLIEIRNRRPPVMDNVYIRPA
MDGKRVPGKVEIHQNGLRYQSPLNTQHRVDILFSNVKHLFFQPCQHELIVIIHVHLKDPILIGKKKTKDVQFYREATDIQFDETGNRKRRRYGDEEE
FEQEQEERRRRTQLDRDFKSFAEKIAEAGKNENVDVDVPFRELGFNGVPFRSSVFCQPSTDCLVQLTEPPFMVVTLEDIEIAHLERVQFGLKNFDMV
FVFKDFHRAPYHINTIPVESLENVKEWLDSVNIPFSEGPLNLNWPTIMKTVTADTHQFFVDGGWSFLQTETDDEDEDPESEESAFEMSDSELAASEE
SSDEDSDFDSNASAEASADGGSDDDDEQSEGEDWDELEKKAKRKDRESGMGESEDEAPKKKRKH

>RCO7_10764 | related to cell division protein CDC50

MADPQPGMVHEDSISSQDPNNTAEKTKTKSRKPANTAFRQQRLKAWQPILTPKTVLPLFFAIGIIFAPIGGGLLYASAQVQEIILDYSKCYADAPDY
PMVAPMKDKDVTLNFNKNSSNTIRSEPTWSKRRIDVSYGPPEQNISVSTIQCTINFTIPNAMNPPVLFYYRLTNFYQNHRRYAKSFSTDQLKGTAVS
ADSIDGGDCEPLTVEMVDGVKKPYYPCGLAANSVFNDTFSSPVLLNVPGRPTSNETYDMESKKGISWESDRELYGESKYKWSDVLVPPNWQERYPKG
YSKEYHPVLKEDESFQVWMRLAGLPTFSKLAQRNDKDVMRAGTYSMNIDHHFNVIEYGGTKSVIISTRTVMGGKNPFLGIAYIVVGAICILLGTLFT
ITHLIKPRKLGDHTYLSWNNEAPGASTAAGVTAAGEGRA

>RCO7_10765 | uncharacterized protein

MESWKQGRGELFDHLKNVYDQIGESIASELNNDKYTRISTEDLRILRETSANVQRIAESHGRMTDELEVCRAAVKKVEELERENKRLAQELQKKLKE
ESTPTPISKPTSRVQDAIRRDRTPGSSEPPSSIALIEPGETKQVMQKKYEELVKKYNKTCQKFDAMKGAKEQAETLAKEAGDKCQAWKDWGNGMEEK
VEKRDEKIRKLKEDIIALKSKIAGQSDTAAAQSISIPQTENVEVSPSLKPIASEVKVAEVQVPASSPPKVARPKVLDEAFASTHSRVLEPHDHLDET
QMELPVLPDEDHVGDTSFEPLEAHHTSSTEGDPDPVLPQSSARGEAETEPGIEHEKHSSPAVFISSRSVKKRSSRGQNTDETPGPKVKIEVVELSSP
HTPVLGNYVNVAESMDLDDIGEKVSTPRKAPNVNLVSQHMSRPMANSQNSSQSCSHSQAQGDTSTATVHTPVRSEKSVLQPRSVNAKILPRTSDDSG
RASKKRKVAIDRAVSDVTEDGEANPTSEDLQRQKIIKDDRLIDLLSKPSPNRQVLSPPKSRSTVRPSTSILSALQESASKRSSASTSALAHELLGIT
PRKQMQLAKSSIETHKPSREISPISRPSLNRASREPAETTALKQATTSLLEASRPISGQVPGSSAESFKPSSGLSSTSSKARSIPDEGVSSRGESPV
PGTQLPARRDLASAFISRTTTEVAKSSPRTPTLSRPSRPVASKKKLIQTEAEYEMDPDQEPVRARPLSKLSLSDFKVNKAYNNGTDYAYNEVLRGKE
ARACVEGCVRPCCGPKFRVLAKSELDIRPSTLSQEGRDDSLLRDYLGIDADRIKNMSVAEREEILIQAKTREIANKTGKHRQAYVRGASPTGFWRTD
FATTQEEKEDREKEREYDRLEVEHRWREAMRGGGAYIFRDE

>RCO7_10766 | uncharacterized protein

MFKLLLANKADPNLPASEYPAFKCVTHDRVHFLAPLVAAGAKLDSPKGIIEEAVKHGVNPNGRSSKGHSALTTAIRENRPDFVDLLIMRGADAHVRG
EDWPMVLAVAEPLILKRLLTVVKELQAFKGIMARAVHADQLESVKMLLAAGVSVEDKNGGVFSPLTTVIREDHRPIVKYLLTEAGGDVNSPGEHLPV
VKSLRTYRGNDTEILELLLEHGADPNMMYRGWNEIMQAVENGNADVLRLMARKAGVDLEVRDEMGRRLLRWPLREVGMRRCKF

>RCO7_10767 | related to aminotriazole resistance protein

MPTQSPNSSTSRSGTGLLATGSSRSKTTRSNIISTKTAHPSQRHSNQPCSSDYTPRPSFTTTLVNSDVNAFDVEADMAFALIASDPNARPKQFRTLF
EEYIFVFTAMMAIASTTFIQGVVVINTGTIGRDLSMTSAQVTWIAAAIGLASGSFMLFFSNTADLFGRKLQLLVGLLLLSFSSLLTAFAPNALILNI
LCGFLGLGTAIIAPPAIGILFAIYPQGKRRNTVTGALGVGNPLGFVLGSISSGIATKYASWRFSFVVIAIFFFILAGATIWTVPAVPRTGNAGILVK
QFDYLGTFLTVAGLACLTAALTEAPQLGWHSYKLILLLVIGILCICTFAIWEHHAILPLLPPSIFRDSTFTMSIICVGLGYMSFITNEFWLSLYMQD
VEHLAPLHIAVRLMPQAITGVVWSYLGQALISFVSGTVLMGVGGLGYLCGSVLLLFVKPETSYWAFVFPSLCITVIGADFQFIVSNLYISSRLPASQ
SSLGAGILQTALRLSISSGLAITSAIYGAMSQTPRGLSNPTFPFNRAFLCTVVMASISLLLVPFLHIDRQGMKKNSDEEAYELDAILRKSLSQVSIK
SSASTRYFGGRWGDGCSGADAWGFGEGDWKWSEYDRFEVCLECGQERVALDHDHIELTKNAFDYNPTRRI

>RCO7_10768 | uncharacterized protein

MELPLSLELEGWTIRYDVLSSRNAPTQSTQGKWVIFVHGTPWSSVVFKPTMEVILAKGSYNILVYDLPGYGKSQDFDPSTNNTSKNDFPGDTSVKFQ
AYALAKLLRYLKIDGRDRNPAPAIVAHDIAGTIVLRAHLLHDCDFDTMMLIDTNCVLPWGDGFYKLARSEPQTFLKLPSNIFEAVVRAVTCSAVHDP
KVLQTSSAWEDALTLPWLGQQGQKSFIRQIAQANDGDVAEMLDADMYEKVRCDVKIVWGEQDQWIPREKIETLIKMLGERFKEKAFIPHAGHLVMLD
QPGRFAVEVFDWLTRFGSERSLVGS

>RCO7_10769 | uncharacterized protein

MLPPTPPFSALPLQQDGPRGNAWGLYGEKDELGMLNRLTPETTLSASKEIVHGLRIPTDWPLNMPKVPCFGRQTFHQHIFEKETRVVNDDTLTFNTQ
SSTQWDGFRHFGYQDHEVFFNGCKQEEIMTSTKNGTHVWVANGGVVGRGVLLDYAAWAESQGITPALRETTEITIQELEAVATSQGVTFRPGDILFI
HCGFLKSLEQLPEEEASAYAANIPPSAIGVKSCEESIRWIWEKQFAAVACDMPAFEALPFQSTSHWMHEWLLAGWGMPIGELFDLDTLAKECARLKK
WTFFFSSVPLHVQGGVASPPNGVAIL

>RCO7_10770 | uncharacterized protein

MILPRGIQLPRAEDALNLIARQYNYGRRCNPRYQNCRSNFSRWGRWVLAGILIFFGIFLFFMFLCISKRRKRRAALHSTPMTAPAGNAGYNSGYNNG
GYNNNAPTQQYAPPPGAPPPTYAGNGGYNNDYYGQQNGVAQQTYK

>RCO7_10771 | related to nucleoside-diphosphate-sugar epimerase family protein

MAILLTGGKGKTSSRLGRILKDAKIPFIMTSRRGDSGFSDDLPVAKFDLTDESTYKGPFQHSSLKGEKISAIYLVLPETADPVTPSIAFINYAVGKH
GVKRFVVLSGTTAAKGGPMVGKIWEHLARMDVEYSVLKASWIMENFSEWQYPGTIKNQDKIYTACKDGRIPFISAEDIAAVAFHALTDAEVPGEAVR
VLGPELLTYDEAAAKFSQALGREIVHVRLNEEQNIQQYKSLGLDEATARFMTWLEVNTSGGSEAMTNDIVERITGRPPKTLDVYIQETKAAWQ

>RCO7_10772 | related to C4-dicarboxylate transport protein

MSYQAGPTSVDDLVNYKKAILRDDRRDTRIRGSIEATLEFFKSKQSDAPPLPAGRPAYPTDSSGLNNTMSYPQISRPTMAPQYNDYNDMEKRPSNFN
DFKSEKMDIEAKPAVHHDDHHGISAGPHTLKERLKHFTFSWYAFTMATGGTALTLSVVPNRFSGLTGLGTFMFLLNIFFFICVTSAMITRFIIYPEI
FISCFTNFHEGVFSATFWLTCATMITNTVAYGVPKSGPWLIEALRIAFWIYTVCATLHAIIYYQIIFVNQQLKITNVLPGWVLPMFPAMLVGTLAGA
IAKTQPPQHAYPMLIAGLSYQGFGFFMALFMYPLYFGRLLTSGIPAYLSRPAMFIAVGPPAFTALALINMAQDVQVTKIFDGYTKLQGVANQALIPD
LFSIMALVMAIFLWVLAFWFFVMAFIAMIDGLPHNDFHLNWYAKVFPNVGFTIATIKIGERIDSPAVQLVGTAMAAVLFFSWCLVFFCHIKAFLGHM
ICWPGRDEDAH

>RCO7_10773 | uncharacterized protein
MLRLNPVQILLSCSAAFFILVLFTHFGTDNGITGVSSGITGVMTRGSVKSLMARSEKIWMKTVKQRHEVFGKYGELGFFPAIDGPTYFAFPYSVWDL
VPASWNCPHEVERIGRMGDGGKWVCGMSRYEKDSRPCILYSFGVQNESSFEQEMLQRTNCEIWGYDFSVEAFGPAITDEYSSRTHFLKAGIGGSTDE
EKTPPFYSIQDLMKKNGHTYIDILKIDVEYAEFEAMTSLLSHTASLMQEFPIGQMLMEIHLFDGYQKMEGPQTLGQFLNWWEELEERGVRPAWTEPN
LLAVTLGLEDQMPRLAEYTFVNVQDRKSLLW
>RCO7_10774 | uncharacterized protein
MAHIADMMVGPRSGLGSNNYIARELSPHPPNDPLPTTNESSTTEEAEKYVWRMHQPTEPRKYQLFPVAKEKLSIAAGQKNSDGESSQGTTTGQNGTT
EKDRSLLTNAVRLKTKETAATRRRKPSMPAELGPMTTVQEVSMDSPTIPGRPPLHERSISAPGNNWRQHVFGESMLSCISGPALDEEAEMAISSVSG
SNGQAQANIQPDSQVFDEDISQPLPAPSSYSARNKSRSASPSLPLLSPKSLAPLVIPQSSQSHQRHTRQTSVSRARSRPRSVRCGSPPDVPPKSPRM
KEGSPHPRASPYTPMSGSSISLLSTSTAATSVSTTPNTTFTLPQFPTEGRSSPRPSTRASNSPVPPVPTLTTTQSHMGHTKSSSDLAAQHSLTHQRS
LSGLSAPKGHRRYESESSASITDRGRSSRRSPSEGSPAKKPSTAPTSNPSSTPHPETSSPRDRSEEQRAFEHLPAGHSSSTAPDHLPASEVTTLRKQ
AIGQACRFHVLCTKDVDALSRELRALDERCEYLRKTHRSLRSGRRNLHERICSYLRSPRVAKFSHESMLRQEEALCELDTSIDDWVFKLEQAENRRT
RVRQKLLEHVAAACLMNSSDAANPSVSPTSDAALTVLLGGGSVVLKPALVTSQAASRDPNTPPRSPTKSPSPDRLQRVVEEVKVSPPETPLRRDGRC
VESIRIYADSDISALMADVEDEIKRMGEEPAIETVTAPVAIPVAIPVLTVLPVSEKKEEPIQLPILLNAVAFEGMALHKQRSAVKLRN
>RCO7_10775 | probable Leukotriene A-4 hydrolase homolog
MASKITMPRDPTTVSNYNNWKTKHTIADFAIDFKKQRLTGTVTLSLESITEKESEEIVLDTSYLDISEISLNGSKTKDWTLAKRSEPYGSPLTIRIP
GGAPKGTIIDLAITLATTDKCTALQWLPPSQTGNKKYPYMFSQCEAIHNRSIFPCQDTPDVKSTYDFRIRSPLPVIASGLSTGASAFKHGEDGEAGT
LLYTFHQEIPIPSYLFALASGDIATAAIGPRSLVSTGPEELKDAKWELENDIEKYIEVAEKLIFPYKWTQYNVLVLPPSFPYGGMENPIFTFATPTI
ISGDRENIDVIAHELAHSWSGNLVSNASWEHMWLNEGWTVYLERRIQAAVHGEPHRDFSAIIGWKALEDSVNNFGADHEFTKLVIDLKGQDPDDSFS
SVPYEKGFHFLYYLEKLVGKAAFDKFIPHYFTTWSQKSLDSYDFKATLLDFFASDAASAKALQSVDWDTWFYTPGLPPRPKFDTSMVDRCYALADSW
SSPSFVPKPSDIAGLTANQTVVFLEKVQLFKTPLSPSQSQAMGKAYNLATSRNVELSFRYFGIGLTAKDETVYHPTAALLGTVGRMKFVRPLYRKLN
KCDRKLALATFEKNRDFYHPICRDMVEKDLKVGQ
>RCO7_10776 | uncharacterized protein
MPYPKKHALFSSLSSLPTSVYNPAYLSALCLVIIQVGIGCIMRSSQTGGQYTFSTSSSVTISEFFKFLISSALICRSAMEERRARNGNDGLGGHELV
RGEEGGEVIEIGMMEEERQEGNGKQDEFLDAGDYRGSGSGSGSGSERGDDERLLFGGASEKGCGSEYRRTSLLGAYVKSLRAVSVENRYGFAKLALL
YALINNTIFVAYKLADPGTIALVRSGVIFITALIMVLALRADISKIQWTAIVIQLCGLATTQYTPETGTSYSLSTYIVLLFQVFVSSVAGVYNQSLL
KDDKVSLHAQNAVLYGCGIVINGVVHLTLSFLTNDEPGFFVGYNNSAAYLVIVSNVFIGLAITAVYKYANAVIKCLATAVATGILLYISPILFGTTM
APLIIPGGLIVFITSWLYMECPAPKRPVVTFSDEPPQKRPFNFVPSGPKWRNPILGISSFASVAIVVFCETMTLPEISIAVSREVLTSPMNNTLAFI
RFNGRRPERVPLIEKYAPFFRTLHLSMPGQIQSQHRTAFENLTHDNWGDGLVTYVQIARTMQLILELPKNESETEIGGLLQFHFDVWIDPMDFAEED
YNKMWIATSRHNDNAGGGPTFLCMTKRERFDSWVGLAKDRNWQYPLLQALSDLEKTGTDFTFDPEEWCTGWSDIYYIPRHLWVDYIYLAAFFGAREV
FHEMAVPTIMHILDQSRRKRELSSIINYIGNCFGGCCAGGGKLDDILSHRCGHKLDYAGDQKPVKAFYDGLDYAAGLLGTEIERPEWLDQSHRRQNW
TTFTEALTPEAVAAWQSASSKTPWDKTMGHNMPESFAWNVTGAEPALTAKELYDIAQAERQRVQIEKGRIADLKQAAEQAKKLEASELAEKQRQKDK
SQLAEQVKNEAVKAEGSVSVVENET
>RCO7_10777 | uncharacterized protein
MPGLLNPIVFTDSPDPESLPITTSSSADSNSSMATSTITPSTSLNIIIPIGGIGSRFSKMGYRYPKPLINIIGRPMILRIIDNLSLRKEDTLWMAVN
AEIDDEFRIGQLVMKTFPELDFRLLRLKHQTKGASETLYVATQSMGKEYMGRRTVSLDCDTIYWADILQNVRDIPIQYGAVFYFPDDGIAPIYSYIK
TEEHPLPTSPNASSTDSKILPTLELITDIREKIAISNKANTGAYVFATASLLHTWAGKNIDSNALRADVGEYYTSQMIGTMIHSAKLPFLGLVLAKR
DFSCVGTPEQLEELLMQMKFGEGGMGKKRKEVKKRRFCFDLDNTLVGGPAVSGDYSTCPPIWKNIKLVQQLHRAGHHIIIQTARRMRTHHGNVGAIL
RDVGPVTFAQLDKYEIPYHDIHFGKPWADIYVDDLAVHANLDTMKEIGWLLDEADPSSLLSPTSLPTRPTTPLPSQNTKTLIAAPPANLLPVFPTVF
AVDYLPETGNSTLEMEYRQGLTFTHLLVGRSLTEGRLLKLLTALHSIHTTPSSPLSQRLPISAALGEKFAQHSSFDNGLHSGGVNIYANYGTKLRSR
YHNNAALYESLGPSAAECFSRLNEFLDTYEAEERGVHVPIIHGDPVLSNAILSPDDKSVSFIDVRCQLENTLTMEGDLHYDLAKILQSLLGYDHILF
KDLSALPLASEPILEECDERILQGLQDVFWRWLEEKYTSRVHRKTLLRITASLIFSLIPLHKRELGGVFLRFCAETLERARLVLYKRVGSGVAFKGV
DGTDGRSVVETSVLGKGVGEQGVLEKDVVEKLV
>RCO7_10778 | related to ariadne-2 protein
MLTPQQVDPDIASPDSRATIPCMFLSRPRGCQNSSCPYLHVVNAPAGAKDSGQDLEANIEEEDQEHGDDFIRNLLGATVCFGEFGHTLKVSFPSDFS
LVCITGLVPGTTTEDFVEVLREFGYDLTAECVRISKLVGSSEPKATVKVEDPLFAQGLCSKLKTQRSNLKAAPIPINARLLSCRKVYISWHKPTRSV
WVNFGSGEVANRVAQKFRDGRYKCLGQSVESSLGKCSPGRGGQRASSNPSAWTIILSDVPSNSTSRDIEEAIKSQYDKPRHVELGPCSYQASDAEIS
VIVRTQLEEHGLLESFYLASTNKGKRTKATALFADEADAKSACVLKNRPLDILGKGKITITMIQSVKIKVSTPVYIATKSEIDVRIKGWKERRLGLH
AYPDAIQRFTTLKVEGDSAQDVANARKTLDQILSGIILRTGDSVVWDSSLSSNGNAYKKVKSIAKELHVLIIRNKTQRQLQYYGPIAKVQDIVNQVT
DMIREEPSTNRDIQQHQDTIIKGNQASEVRPMLEIASAAEGKCPICLDDEPDTPIQTLCKHSYCFECFENCCRSAASTNKEEFRVECQGDGGNCTVV
FKLAELKDHLSSSAFELVLQSSFEEYIQKHLKDFHYCPTPDCGYVYRCTPVSSFKPTAYRCPNCLEPICTFCHARHGDYTCAQYQDIESGGYEALEK
LKKELNIKDCPTCKTSMEKTEGCNHITCGGCRAHICWVCMAVFRTSGPCYDHMREQHGSIGLEDLDHYLADW
>RCO7_10779 | related to glucan 1,3-beta-glucosidase
MALAASLSVASAVNRGFNYGAVTREGAMKDEASFTAEFKAAKGLANTDGAFTSARLYTMIQSGTTNTPISAIPAAIATDTRLFLGLWASAGQTNFDN
EIAALTAAIKQYGERFTSRVNGISCGSEDLYRISPTGLKNDPTGVGAQPADLVKYIGQVRKAIEGTGLSSVPVGHVDTWDVWRNGSNSAVIDAADFL
GFNTFPYFQVTEDNSIENAPTLFNKALEITTAAAKGKPVVITETGWPVSGKSAARGVPSPANARSYYETVGCNTLFGKVDTYWYTLVDANTAVDSQP
QFGIVGTTISTTPLFDLTCDPVKNSTSPSSSSTGSATASASATGTSVPKPTGTGSVSAGAGSGNGTSSGSGSSSGSGTGSGNGTSTGGGSSSGSGSG
TGSGTGSGSSSGSGSGSGSGSGSGSGSGTGTGSGSGSGTGSSPTSSPTSSPSSVVANAASSIKAASSIIALFGAVAAYAALY
>RCO7_10780 | uncharacterized protein
MPHHLFYWPQYPSSISGPFKTELNLVQGLSSKSHLTAQQNKRPPHLSEFFGARLSRDLAKSDRMPVFSHSDLQRKNILVERIQISEKEQFRIKLVDW
ESAGWYPAYWEYVAAFFAFKWDDDWSVRVEDIVDAWPAEAAMMKLIYQDLWL
>RCO7_10781 | uncharacterized protein
MSYNVFKIRYTLAMSDLDMPGLRYYNVIFVETQKDGSGIVHYVTGDITSGMVYATKQGRRPETSDTFYAKEFLGTIESVNYPAEIDRVLNAQPPPPK
QKHFNIRTMRTEQMKPDGSFYESGEPRPPMIECTEWTEEQAIPALYNSGILRRA

>RCO7_10782 | related to putative protein
MKLLTTLLVLGASLHNVNADEYIPPGKTIMYFLRWNTNAQFQKFDAVMTAPPIKNSGDVYLWPGLQDIDQTGVFQEVLQGIYGGTGKWWMQTMWCCS
NSQRGDGIDVLPGNKIAISNTLSGDRVNWLTNVTVGSISNNESFALGYKAMNQAILCIEVQQGAAWDFGPLTWENVVMVVNATDHAFCLIEPENWND
LTIYSMTKPKAVTKDGLTTCTIDKIVMERPA
>RCO7_10783 | uncharacterized protein
MSSIVAMFVGVANAAKFPEVPVTEAVPIESSEREVVCIDTSLETGVEVAFAAVLVLPFPEAGWFEVFLSFPAMTPPIAPPTAPPTAPAMTTITKAKT
SRKSLLLILQYRFPATPAPSLELFPWGVTALEYAGRDLKC
>RCO7_10784 | uncharacterized protein
MAPKPGTPLSTVEVSSSENTTVSLFYLDASNNIILATYISALSGLDLTLRNTFIIVPSTGVHPNTQLAAIYLSSAFGYRLYYQSPSSVLQELVVDNT
GWHNGEVLPVAAIAGSPLSVTITKVESPTPRLVVFYVDDKTRTLFSVTYYIEWKLGVALSTTALYAWTTNTALASITQTNSVYIRAYYIGSDKEIYE
MLDPGAGTVWSTDSDRDPNWPKADFSAAGGLVGIGWDDQVRVYYLSGGVVKQLSSKGSDLRRDSNAQEEGKQISAVSLYGEPANFQNSHHATSINTL
VFHRLRWWERKLPPEYNETYDQSY
>RCO7_10785 | uncharacterized protein
MASLEDKFQNACDTGDIPGVIIIASDAKGTFKYQKAFGPKNAAGGKVDLNTTFIMASCTKLMTSIAAMQCVERGLISLDEDISRVLPELKDGQILKE
AEPGKEIVYQKPETASTLRHLLTHTSGMGYDIMDPRYHVWRASRSETPGIMGIPLLACISIPLLFEPGTSWVYGGSMDWAGVAIARLNNTTIEALWK
GIPDQDMPFPTMSAPTSEGVEFTDELIYDDPTADEYGGSGAIGSPINFTKILDSLLASDGKLLRRETVDQMF
>RCO7_10786 | related to nitrate assimilation regulatory protein nirA
MSVAVRPQVGIERLPARRMSNEPRESMNCKSCRKRKIKCNRLRPTCEACQVFQCPCVYDAVPKKRGPKTDVLEALLKRVDGLEKRLKDEKKAGSDNN
EGASAADEESPNSDAKPKRPLLETVDIPNESAVYSPISISESSPPAIQPDVLLDTYFGRCHGKVYYILDETTTRQRMQLNQIPSYLVFAIYAVSARY
TVHPNGYHAAVRLSEDYAVRARTELDIDEPSVDCLQALLLLTVAFTAAGRGKKAHMMLSSGIGMAMALELHREFDVKSMATPVEKEMHRRLFWTCYL
MDRFMACGSKRPSLVADKCIQLRLPAWTPGPTSLPIEGEFFQNGSNLQYHSGSGKKSQGSSGMLLDIVRILGITNRYLAAGGVKGDSHFPWHSLSNL
SKIRHDLDIWASGTQDVFSSIDTLFGQPDSTTLVLSKLIYHLIHCLIYRPFLPIDLAELAGTGQHQSWQIEATNLCFLHANAIAELVELGKRSSSIE
WPAFVGYCICTAGTVHVHGTHYKGSRQDEVFAESSDFLSREMQQLSELRYAWSSVQHQRDTLQTIYGCHSELVKSLASNPMRYSPVFHLEDFFDRYS
DLGQFFDGAHISFEDIIPETLSQEAYAGHALYAPRGSNASMDFKNSIMNHQGNNIVSKINTDPHSITSKRKQSSASRKKHLDLKIAHRNSHSGHPEN
TLLTPNGVLSDQNLGMLQQQHNILDVQTPISPFHSRNGNGMQDGQAPISQSPFSPPYPFPTLNSQPHPHQQEQQQPQPKQHNNHTDYDPMFGMSSVG
FNYTSSTNNGNGLNGNTNGRNGNRMNGSAGAQEGMTPGARSIGEHSNGTAGTDEKDPFLSLLEQLAENENNMRGPSELDFFLSGAAA
>RCO7_10787 | related to L-fucose permease
MSDFNRTMPSRGRTVFVVTTITFVLASFFVIARLISRFGVLKHRTADDWVMILAWLLAFGLSFAIDFGTARGLGRHDVDIPESWNRSLRGSEYAFTI
LYNPALMATKTSILIFYLRMSRNTQKILRIASYVTLAIVNIAGVVLTFLNAFQCSPVSAAYDPKQSNQKCISIVTLYLCSAPVNIITDLAILVLPIP
VLTSMRLPSRQKTILILTFCLGIFVTIVDVIRIYYLQQAVTNQTIEQSRLGTGVDFAWNASTALMWSAVEVNVGIICACIPTLKPLVKRILPSMLKD
RSRGTFETEKSGSFSSQPPRDSNGGQRPSEAESNTGLNPLPPAHVGATQEEEMDMMGFLTVPGGMGAGLAPSNTITRTQTHRTAITENTVYFGFVNM
RRPKSMLKTRGKESFKYCFMVTILFFLWGFSYGLLNTLNNEISQIAHQTIGQTICLTSAYFGAYFVGALTVGQWVLRVGGFKATFITGLCIYGIGTL
MFWPSAVLTSFPGFIISNFVVGFGLAVTETAANPFLALCGPSEYAEFRLLMAQGIQASASILSQMLAEKIFFPSVAAASLIDVQWTYLAVALFTVIL
ALFFYYMPLPEASDKDLAEQATNLGIDTSQKLFTTPKLGMNPTILCTSLTLAVSAQFLYVAEQESTSIFFNKLLESLSPLQPLTLPASSYGVIGHTS
FAMGRFTFALLTLVFPPRLLLLITFVGGIIFAFLTTTLSTTGNGIAGPAVVFLFFEGPIFPMVFATGLRGLGRKTKMGASFLTAACSGGAVFPFVML
AVQRWNGKSVQYSFCVVVALLTAGVVYPIYLNAVPKVRRVVDPLKVDDILPHNGTGRVHFPPVLEQWEREGAVSRMSYRLSFMVEKIKNPRPGSGGP
WVEHKESIAAEPGSGSGDRNEDRGVGGQGKG
>RCO7_11553 | related to rhizopuspepsin-2 precursor
MFFNNLLVVATVISLVSASPIEHHDTKRPIVVPMRRITNVSSVSGKDRLAARRGLTTLGSRASSGALQNWDIQYVAPVEIGGKIWQLNVDTGSANTW
CGARKPCEKSATGISTGRKISLIYGKGEMHGIEYKDTVSFAGLTVKSQSIGSATSTKEMIMVDGIFGLGPVELTDYHTSGIKRVPTFMNNLKAQGSI
ATEVFAISYRPESGNHMNDINGELTIGGIDTSKYTGDLTYFPRVTTGPNAGYWGIAVTKFTYGSTTLLSNVTAVVDSGSTMITLPTAAYNAFLSASG
GQRCDQDLVCWTTKPTANFGITFGSRTYTLTPAQYLFPAAQYAPWDVPTGKYWAYIDEGDHSKHSALIGQKFLENYYSVYDAPNARIGFAVNS
>RCO7_00685 | uncharacterized protein
MRFSILLPLITLPAAKAFGGFTRSCTGIAFNQPFLSANCVDYSRKRQHSQVNLSYWVENRGGNLVWATNTGESFAHCSCHLDTSKIGILDCQCPNSN
GGSTRSRLNLGPHCDNQNGYLTCDSLN
>RCO7_00686 | uncharacterized protein
MRFSVLLPLVTLPAALAFGNFHASCPDIAFNYPNLEVGCRDGRNALIPSTYNLAYRLINRNGRLIWGKNPGHAFLACKCTLNHSTAMLGCDCGGFDA
NIHTDIDLNKYCENKDGHLICAEHA
>RCO7_00687 | uncharacterized protein
MAATADSSKPFIPLSGIAEDGLSNEKEATATYFCVAVQLVIPTQGPGLVNAFVCDSRKVTALMLASSVTIRD
>RCO7_00688 | uncharacterized protein
MQLLAPVTVLLVTLTSTSLAYPAVQVYGNAPKLNLRQESAPDAPAEGTSSSNTPSNATGSSSGSAISNNTSNNACSSEILALAAGIQSNIDDQNNEL
TTVNALGMVLAQSPMDMTLYGATQTSLMGFVTKGISIREGNQKLAPPDNGAIPGLAKVAMAQMEELNLTMSLAMPPSGVVNISQANGTVETLKKDFA
GGMVQNKANLEAATSGCRIPNR
>RCO7_00689 | uncharacterized protein
MAASFEDILNSRIFKFTVGQNIDGKSTTFTVHEEAIAALSHPLQSLVRSGLSESETGHATWEHVSKETFVRFAQFAYTGEYSVPKLVIRVAKAMEDE
KSIGEEEIAEQDAEIALDDDFNHWGFSAAPVERKNKRKGKGFGFAVKDPQEPDISLMRFQEALVEPKALGGHGSDETDPPSFFEPDKIYSDAFIGHA
SLWVLGDYQLVDTLKALALYNLHKTLGIFQITKENMCDVIDLVRYSYADEGAGSTEGVSELRHMVCLFLAMHQRVLCQDEGFVELLAEGGQLVKDFV
KYFTA
>RCO7_00690 | related to sterigmatocystin biosynthesis P450 monooxygenase STCS
MDLPHNWAWMGFSAAVLYLTYFVVNFIKHRSFYKNVPTPPHTMLLGNLKVLGEAMKRYPADIHPQPMFTQIGVENNLRGLFYVDLYPFSFPMVFITD
PAVALQAQTSPNISRHPIAKKFLRGVVGTNSIFSTNGAKWSRQRSWFAPAFSLSYLLKLVPGMIEESLVFKEKLTKFAVSGEVFSMNDATMKLAIDF
IGRTVGDISLKSQTQYSSIQDNFVRSFSWTVGQTDPIWKKLASPFMMDRYTRKLDAELGAVIKQKYRDAKKDGTEKSILDLAWKGYLKDIGKDGGSK
AVRADLDPEFMQIALDKLMLHPNERPGIRLTECSAKTFFVGGHDTTASLMTYLLYYLSINPKYLARVRAEHDSVFGSDLTTTISTLKAEPHLLNKLP

LTSAVIKEVLRLHPAGFTVRKAAPGTTVTFEGRSYPMDNHMICVLASAMHRDPAIWTNPTEFDPDRFLSPDTHSLDAWQPFEKGPRNCIGQQMATLE
VRVMAVIIVRYLDFEAKFKDHGLSVPGWGGQAYQELNMSAKPKDGIPMKAYLKAK
>RCO7_00691 | uncharacterized protein
MLLYIFPAILIGFISSVPTVRAESQHLLQETKDGSAINITINWSVSIITSKTTNTLQVVVNPPLLRNNSVHDKCYESLATISADYVRFVPWFPYPLL
SVPEIEAPIILPPETCITSWNFTYADELMADFYASTPDVSHMIDFSTTPGWMWLIPSWQQYDYPRDITVTDFGYNKGNELRDSSLKEVADYYERLVS
WYVKGGFVDECGVYHHSGHNYTIEYWEVLNEIEAEHDMSPEYYNKIYDAIVEAIHKVSPDTKFVGLALGDNSKDMKYFESFLNPANHKPGTPIDFVS
YHFYGMPSVASSESQAAQSFAQTDEFIVDVERIEEIRKRLSPSTRSTLNEIGTFDPQGTNVVNPGYEVPAEYFVWSGGVFAYVFAKVVTMGIDVVGE
SQLMGYPGQFPSVSLVDYWSGELNARGRVLHLLQQSFGPGDVVVETTFDGQNLGASIHAQAFITKSGERKILLINKLNRTTEVTINGSEGGKAEVVD
LSTGGKMWKTLEVGGPNFNLTGWATVVLTEQWRERRSEL
>RCO7_00692 | uncharacterized protein
MPISMLETAQFATSRRLLAQLVIERLVHGSVIMTGLETWLHISSNLPPTRAEAEIKREVKVLLSSDAALYLKARNWHNQVIRPEHLRRPIYLQMTIE
GEQKSREQLDPGTILEFVYPWFQHIDVLGRKEMIMKEVRNSAANQEEWLEIAKQANTPTLDSSAVEWERTMIWGHPTHPMHRSIGAEPPLDTIDSCN
IPDMLEPDIIFMSVPRCDLIITGDFEELLQPLLCTLGITVFDKEHIIVPTLTRQQPAIQKYFPRARAVRTLHGSLALSNYRTVILRPEYKYQLKMAL
NCTITSAVRAITPGAARTAPQITKMLIEVLPKQLWFYEDVSSVVGSQISSDEAKQIGCILRLDLESRARANDEALVVSAVLLQGTVHSEITYAEKIF
GLDTVEKKKVWFREYTALLLQVMIPPVVDHGIGFEPHDQNVVARICTKTRALKGFAIRDLGGIRLHLPTLQSQGYQLNSLTETENWLATSNIEDVWK
KVRYSLFQNHLGQMICRLDLENEGGQNIVRQELVSILRPETGGVSKELFDFFMAEKVSCKPFLRMKMADNYRESQEEQSGSYVRASTIHDRVQMGQG
TTFLPGPKDASIAHLTDQVLEQGYVILPNIFTPEQVSLANSELARLSAIAAGPASKGGRNAFEGFSTARIYSLCDKSRAFDCFPIHETVLKLNDYFL
QKAYLMTSYHTVVIGPGEKYQEIHTDDGLINLPRPRPLMGIGTMISLDDFTSTNGATTLIPGSHLWPDSRQPTRAEMIPAIMPAGSMVYFLNTLWHS
GGANTSSASRRSMTIQYCQPWIRTYENFTVAQGWEDLDVLPKRLLQLMGFSTHDFMGYVDGRSPRAGVEMRRKRLLEWGAGLKEDGQGEVGEEAQKE
EMRSKL
>RCO7_00693 | uncharacterized protein
MVSLDVFQEEFRKLKEVDHRKDQLIERLILQVEEFQINLTEKKLHLEREQTTTKVYQSKHKEVRDELKKLEEDIRSNNFVSVLIDGDCMPFLDALVI
LAQQGGLEAVRCLRNKVCEYVSKELKLPSNIAVRIRVYANIKGLASAYFFNKVLERQDDLSMFIRGFNMGHPMCDFVDAGDGKECADAKLKAWFDHD
VADVQCRAVFLGGSADNGYARLLQPHVGDNLEKDRIVLIEGPPFATELAVLRDSFIVARFPDVFRTTKLPARRVSFTTTPPRTPVPPTYAATIGRAV
DAVRRSQCALCGR
>RCO7_00694 | related to Cupin domain protein
MSDRPLLPNGLPDVQRLITTHDPSGKAVFSEDLSSESSFREVDLGANFFLGYTTKGFPVDLNADNARTVPKDIQSYEKDLNSPPGGLSIHNGTALRF
VDFAPSKEPYMHRTESIDYGVVLEGIMELILDSGQKKIMRRGDVCIQRGTMHAWRNVTENDGWARMLFTLVAAEKLVVGGQDLAENLPGKLGDKGPW
QSLT
>RCO7_00695 | uncharacterized protein
MSRNSVPPRVHNPNGAHIWYKVTVCERIPFCLLMDLIGPFQLWLLRTLNVHATLEFHYAPRVLQVAAEGDITDNSSVHWPADRLVVELENFTLDAVV
PEILKAQKYVIFDLIRRVEGVAPSDFPLPEVNKFLTAKSFFPSFVLNASGVYLISGEQRKAADSAEQ
>RCO7_00696 | uncharacterized protein
MSTTIPDQDNSKSVHRTGAVPCQSCRTLKLKCERILNSPCKRCRDNGTECVVALSGRFRKDHHKLSLHLHAEEGFSSPALQSNIPVQLPRIEDSKPT
NRTLPIPVTAHSDSRYPYTNINTKTSTLTSIPGISSDSPNLFLGLAPIYFVPSAELFRGASYGYGPNLSRLGIKRKRSAGDMLNDTDSVPDHQVDYK
EMIKFFREKLVVFMPALQAKDFEDVEKLFTDELSVVYCICFVSAIFFPDSAETQAKLYPKIESISRGDFPDGNSREKSISHMKALLILCSYTKISAS
SPRASNLRKHNISFWALKSYVELYAIQHSFFDSFQGLRAEIISPRKDTPIHETTAWHRYALWLQLFIVSHYASVVTSTPPGVKIDATIRAVPWLIQK
MGMHPQFRLLAEVELYLLWETASKIQPELNEWYYYPSNSSLNAVAESNTEHAFQKVEKDLEAWGAKCEQYTEGGLEGSALDYYCRCMRFYFSSCAIR
QILRPSREFSDLASTQIRRCLHYANEVLTWYLQRTQSKKGHDRNRGDIEQRDHNGENGGSTNEHIRVTAKVGHCFGQSAGLPRRRSDLRPATWSP
>RCO7_00697 | related to integral membrane protein
MAASGNLPGTSNSLQVQIPCIIFFVLTPIFIAVRLWSRIHMRAGLKWDDWTILVSFVFSMTVSILIMLSCHYGFGQHIKNLTPYNRKMTLQTFWIAQ
GFYKLTSNLTKASIILLYLRIFVQKPFRIACNMMLAIILAYMAATWFATIFQCNPIPRAWNKTIPGTCIDLTKNWYANAGFSIATDLIILVLPMPLL
WQSRLPLNQKAALMGVFALGAFVVVTSIFRMQTLDFSTKTPDITYDILSSLWTMVEPNVAIICACLPMCRLPLTMLFPTVFPPKTIKSTSYASGPRS
KNGNYGHAGTAKNEWVPSRGGAKEERAINLTSVSRGLGDDNSEEFIFHDKETAMNYTDGKRIHKVTDYTVTYEDDDTNTIGRGKVQEEVSKV
>RCO7_00698 | related to hydrolase
MKFLQHAICLSIGFLELAAAVATDKVVEHPIPEDLNGSNFTYPWPVKLFKFGTQNAQRLEMAFMDVAPTGRSNGKTALLLHGKNFCGPTWSATAIIL
AKAGYRVILPDQIGFCKSSKPDRYQFSLQQFSANTNRLLIQLGITKATVIGHSMGGMMAARFALMYPDVVTKLVLTNPIGLEDWKALGVPYVDTDTT
WAQEKSSNYGSIRGYEQATYYVGNWNPNYDVWVNMLVNVYNGKKADKFTWNQALIVDMVLTQPVVYEFPLIKPKTLILIGAKDNTAIGKQWSPLDVQ
AKLGHYEVLGPRTAAAIPGSTLIMFPDLGHAPQIQAPDRFHKALMGWLST
>RCO7_00699 | uncharacterized protein
MTWETKYNRLDISRDNSDWSKTIFRAHGLPSSVKTFEDVASLLVMGLGLGDCSKDYIRIYSLATAQDFTQNFRQLPRSKTSTVMFVTIPSLIHDDPG
KQEWRIPGNAPSRNVDDIILDVHFIGMTPLNDVEAGREHLFDCIAISGLASHPFGSWQPKGGPKTFIWIRDSLPKDLSGARAIIYGYNTKLDDSRSF
QSVSDIALAFISQLETYSWTLSSARPVCFLAHSFGGPVLRDAMVQLDQRADEGSTCLLNLMRGAVLFGVPNVAMEQSYFRAIVKNNANAGLVDDVGR
DSNYLDRLNESFSGASFRNRLRFFWAYETSKSPTVQLSADTPVSVTALENLKTRGQRPDLETLQKVLLTIIPGFSAAYVIIDALDECPDLAGDREKL
LKCLNLIHQKDLKNIHLFLTSRREEDIETSYRLIEGDSERTDIDLMTYKPAVDHDIGLLIDSTLATNSYKSWPEVLKAEARRDLI
>RCO7_00700 | related to complex I intermediate-associated protein 84, mitochondrial precursor
MRSQLTRSVFWRLLSNEGYIPHCPSRRALSARISNRHASPCIVRPPCRRTLFGFFQKAPRQHKDPALAPGLTPMVDFSVMDKLKARPPPAQDLVKAW
RIFFQHKVVKKESLDTMEAGHVLRVFKHLQELDSEFADCRLSMDDLRLPKKLFQDVRGRSPKIHNVQTAELVKGLYGEWVKSEGQSEGVRQKDLHLL
IRVLTRSGNTAEARDLLEAQTFESDINSVKTQRLCWKSILRGFALEDNEAELLKTARRTEEREELVYYSAKQNIMTEFYAARNDTENTKLWYSKPLV
TVDGLKKSGQADPKTLSAVLRYCIRNDESEWCKLVFRDVLESDPDKTTWDVVLQWASGVMGKGVEDVERMMKVIIRRSNDENPVTPDIVTINGLVEM
SMSLNDSYLAERYIALGEKFGIKPNGNTYILQMKYRADANDLRGAQEAYDRLQAEEVENDDDLPAINTFLRALCASKLDNYNRITSIVSDLDERDKR
LEADTVSALTKLYLHRDEIHEMIDLLQTQSYKYTVEERLRIIKTMMDYSLNPETTNVRSWECYTIFRQIFDELNLEQRTTMMNEYFRRGRCDMACHV
FGHMRQHSMLPRRPVLSTYVSCFEGIASLADREMLDMVHNMLKMDSSIEPNTKLYNSLMLAYTACDDADRALDFWDDITNTEEGPSYKSLEIVFWAC
GKKPFGDRKARDIWGKMRRMEIEVTPGVFRGYVSALAGQGKFEETRDMCEGMEKEFSLKLDVETLGTFYNSIPGQSRKDLVEEWAKGISPDIWRALC

KLGQTTQEEGHRLFNMTREMKA
>RCO7_00701 | probable dCMP deaminase
MLIGLCGGICSGKQTIADYLVQHHSFTQLHLRQEHINGISFASIDISEDEDSGGAKRPKAKTLVNGTKIKNLKANTFNTIESLLDFITKNWQEPYVT
TDIHTEPILDALSRRPFFILVSVDAPIHIRFKRFQERASSTSPNITSLEDFVLQSDEYLYNPDDGLLPLISRATIKLLNTSDDLAHLYARLSGVNLL
NNDRLRPTWDQYFMTLASLGAQRSNCMKRRVGCVIVQDKRVISTGYNGTPRGLINCADGGCPRCNEGQSSGVGLGTCLCLHAEENALLEAGRGRIRE
GSILYCDTCPCLTCSIKIAQVGISEVVYAQGYSMDGETAGVFKQAGVRLRQFIPPANGMIHLER
>RCO7_00702 | related to APG7 (component of the autophagic system)
MALKFAPFGSEIELPFYTALSQFKIDFDKLDDSARPVLGLYEPRVTSTPEESCRMQVLGNALTSDDVPTGYIRAEGKIKNVNTVENFKNLDKAAMLH
TAAKQIWDAINDGTIYSIPSLLSSFTILSFANLKKYTFTYWFAFPALHSEPVWKQVEGAPSNQLSGNETGALADVLGTWRYAHDKREHGFFLVKKTS
PSLPLSERPSTPGASGDELNYDWVVGSLREFESGFFNGISQEDQYVAFVDPSTYPENPGWMLRNLLVLIKRRYKLNRVQILCYRDVHSRRHEARSRI
IVLETEGQAADTDVMPKVTGWERNSNQRLSPKTTNLAQYMDPSHLADQAVDLNLKLMKWRIAPDLNLNKIKDTKCLLLGAGTLGTYVSRLLMGWGVR
KITFIDNATVSFSNPVRQPLFDFKDCIDGGAKKAFRAAEALQEIYPGVDSTGFVMSVPMLGHPITDEQNTRLDFETLEKLMDDHDAIFLLMDTRESR
WLPTVMGKAKNKLVLNAALGFDTWVVMRHGVFAADGGPAALGCYFCNDVVAPADSVKDQTLDQQCTVTRPGVAPTASAQLVELMVSALQHPDGARAP
APKISTNQQSTSRISYERDPPNHPLGLIPHQIRGFGATFQNLLISGQSYDCCSACSPKIVDEYKRSGWEFIKRALTEKDYITELSGLAEVQRRAEEA
AGDVDWDSEEGGMDDEGEGELL
>RCO7_00703 | uncharacterized protein
MPEVTRVTRSYREGYASDDDDRSSTVSRSRAGGDGSYRTVQRYRVAPSRADDIEIDRRSTTRLDIPRAGGERIKIDRRSERFIEPQRPRSAIDVHSA
RGSTFTSERYMEREPIREPERERERERTRTVVYERDQREPERRDWDRASARPWEVERDVNVRETDIVRVEKRSERREEPYELDRYTRETEYYDRPEP
PPQPIIIRQRAPEPQQIIVQEAPPAPPIVLPPREQEYQIVRQTEVRQEVERPEPRRTEDEYYYRKDVREVGPARREEDVEYDRRDVAIRPRDSVSDR
DYSDGEDYVVKRKVIRRERSRSGSPHHRRHLAEGALAGAGAAAILANHRNKTGDGDGHRGRNVVGGAALGAIGAEVITRARSRYRDYSRSRSRSSSR
QSHRKIKTALGLAAAGLAAAAAAKYVSNRQANKEEAGRGRSRTRSVSRRRRSYDDYDSYDDDRRSRSRSKHANPKHRAASIAKAGAATAAVAGIVNH
IRSKSRKRSGSRSKSRIRTGAEIAGAGLAGAAVAGLYENRKAKEDTRELDVEDDRSRDRRRSRRRSRSRARSIGVYSDPGVDPELGMVQYGTEPVYT
HQETTTYQRGYDFDPALAAGGAGAAYGATKSRNRSHRRRHSRSSSSDDRRRSRSRSRSRVRNIAGAAAGTAAAAIGINQYKKRKEKKEMDRERERRR
YEEGPVPEENYYARDYQDDYSPSPPHASGGSYYPQNNAFPPPPQPQPGFTLHTTTSTTQVHQEGIPAYNIPAYNPAEHVNQPQIPHPDPYGYPPNIG
HNVSVDDRPSDQAHFVASKSVPTPVHATSAASATPYFPPPPVAPYPDEQFTRDPFHIEEGSHINPFRDALPKTRPDPNLKQRRRTPSIPSTLTLSPF
SSPPPSPSTTKPTNKSVVFAPLSPTSSRRLAAIHDTAAKTGSHTHEHDVAHPDVSPTPSDDGIIGSSALVRVPQPQPLSQAENRVQPRVRDRERDRN
RNRDDPNSLVKRHRRRHRRNSDPSSDRPTQSSKHSRRRHDRHQHHSRSRSRSLSPHSSDEIEVLPDRFDRDGRPLDRYGNGWRRSERTGDAGGGPGL
GGLGGLAGLLGGGKGGEGVGQTEMVEKLATGFGEVVEGKKSWKDLLRGFVAEGGDLGRGASSEDVGRGGGKRERRRRRER
>RCO7_00704 | uncharacterized protein
MEQQQPLPPLPASCLLPDTNTNTAPTQSNPTTTPSSTHNPPSFSTSKPTIIPSTTTSTKPKPTPKPKPPTESKMDDPTTRAAILALSNQMSLTATLT
LPQKTNRKGQPIDSRPTLKSQYNAMTIKRGRKFYQKGCAGPAECKNVLCEHKYSLGGEKSSSSTKTPSTTLTIPELDAKTQQILKIVMDKSAKNGYK
VTEAYATEMLVKKEYKLVDAIKGIRDDIDRREKIIHQTGRMNIPHEWALQTAYTANTPSASHPNSQSQLSTSNLPCHSYLSSDRDTFISIIEQEDRD
IAEVLTQGWQSFYGKMIVKAKGKPTKEREEAFKIYHAEAVYREARGKMWRELHGESHRGLTEPAEKTPDVAKKEKIILYFDDGTSMAEEPFPEDDPN
IESKASSSIPSRAKPNPRPANKNSSIQKPIPKPVSGNSNVKSSNGIGSIASPIIVVDGAEKNVEEIEIKSRQDEMPEEFIFDGNTTVVALQTHADSL
IRENIHLHNTNYNLRVSFIERLRGEINNPPEPKIIFETITKITDWDLQFIYALDDDELPVLYSHELFELLDKLCRAMHAASAKAADVDLRAGIKKAW
KNAPLGNGRLLQAIEESFVVSPGLMAVTLFEKWGQTIDMAALLDEVFFYLDIELPVLDNKAKRARKEDKKLQGMLKRCLEWWLNKCTYPKDLSWKTR
GQRKMRFGDQLLRKQVEMKFIELASANTPTETMNKSNAKLYTQCLAAANRNDQTLIVFTEFERYRNMMKQFRADGIQPARILAGWRIDIKDESLHNL
LATLMLIAAEEEETKYTEVIQLFREAIHEELFQLYQWAKHDPDSFVRNIKPISLLAILGDPELIRDAEPTDEMVWDWVLRFQIAKSRLSGDVHDILG
WAAYLDGENSTKLKAMNVAAESVSKIDGTINIQAMDLGDLRPVKGAMDALLKIVARDFSKSKLCETECLRETIGRLRRENGSPDFDPADDDQFRDTI
TEQDISDLYNEINRVEDHFEKTRENLAMSKVTPEFDAIVDTKNHAEQSNEDRQDVELGAMRLDDDTEIRPKVVFSRRDNEPIRITLGKDPLNSNIGR
EERMIGFIGAREQVLDYLASKAGNSDTKPARPYQATVEDEDEEPSLYMSMDEILTTLLPHDPDSREIRFLTTDVPLRDGRGSSEAMKVIVNEFQKEV
AESHQTMRPTQLLIDMMASFKRSLNRGEWESLMSFKLQFETAIDEGVDLVVPGMGKGRAKDDRLSSSVAKNRPQLQRVVDVLAADMEADRTREKLAY
KAWKERRAMPGGVRRGVSTGDESELFTKSKPMANRRGI
>RCO7_00705 | related to circumsporozoite protein precursor
MLSQTVLLALLVAIAEARFGQEQGNGAIAAIGALGNLGTGGQAATLSGGSIQFLLGAANPCGKLTQADLIISQLGTSAEAVAAARGLVAAEQNFNPF
AVSIPSVCSDPTLPKSPELRGVVPLIDPAVGGQDIENANSKKSVTTPFSAAGMSVAQVMIAQGFSNFTAVDVAGKKVAASALGGATNGANGNTPPPP
PPAGNATANSTAIASSDCGPATKFVTVTRAPAATSSNCSPQVTVTVEVPSVATTSANSSAVAAPATTGATAAAGKCTGSGQTMVCSAPAVGARKVSD
PVTGTFTGFQASTIAGLDFGLCVPTMKFELGLNGRSATAGTFQAQDPLCNKGQQEALNPAIITNRIKDQMTNACGANKAAKDAIAAAQTMIVALGTR
DASTAETFNTALGFAGVNINPDNAPQTGLVGHV
>RCO7_00706 | uncharacterized protein
MVHVAGSKVALKAAVAAVCWASNRIDVFRTGTAKNDLQHKWWDGSKWGGFESLGGTLESVPTVSSWGKDRLDVLALGTDSAAWHINWNGNQWSAWDS
HGGIFTSSLHVTSWSKDRLDYFGIGTNAACYHNVWSGSSWSDYESLSGVFTSEVTSTSWGKDRLDLFGLGTDSGCWHNWWNGNKWGGWENLGGTFTS
AIVSTSSEENHLVAVGRGTDSAYWHNTWDGSRWSGWKSLGGAFTSEPSIVSWGPGRYDIFGIGTNGDMYQKYSTSGGNSWSSSWGNLGGTLVSAPTA
VSWGKNRLDIFALGTDDKVWQKYWDGSRWGGWVSIG
>RCO7_00707 | uncharacterized protein
MAQVNTRNTSAMQFIFFFVTLFLTFVSTSPVKKNFQWIPPVQSPISASGPHLISFSRIATFSPPKLAAATATVSSTPPQPVTTLPTPDPPSAENCGN
IYIARDGKINPTTSVPKAACPTTLKIDARYRGASHVGRFNAAVPTQPHLPQIADKQTKNDLQNRIDPPASTSSASPIYIARDDNRRQIKYHLLSPLP
DSDSTSSFPQSNGQGSTTSVVRKQHVTVPPPGGDITGCVIYIARDSKITTTKRLAPYGGCPTPPPQRQLDSHYVRVEKDVDHEPIFNTLATSGLTTL
TVVGSTSTGRETGGVVISGVHSSKTIATIQPSKYAVDGGSGTFTVITSLPTATRYVPFAERIPPPEWLSTHIKSPDPSTITTSNKSTHIHSDNKPAT
LALPGHELLA
>RCO7_00708 | probable IMP3 (component of the U3 small nucleolar ribonucleoprotein)
MVRKLKHHEQKLLRKVDFTTYRSDNNHRDAAVIRRYNIQKPADYAKYNRICGSLKQLAHRLAALPPDSTFRRKHEELLLSKLHDMGILPSNAANAKL
SEVEKNVTVSSFCRRRLPVVLTRLRMAETVQAATKIIEQGHVRVGTETITDTAFLVTRSMEDFVTWVDGSKIKRNILKYREKLDDFDLL
>RCO7_00709 | uncharacterized protein

MASPRFQCLNATKQIVRSGLSSRAAFSTTRVAQADGPPRSSASEPLDMLPGRTPQSPEFQSRPRSAFVNPIQTEAQRKPRMNEQNANLLGMFSRSNE
QRQRQAASQNRGATTAEEMQNRNLAQDLSKQITRRWRSGDIYAPHDLSEVEMAKWKTRSQPKHDVFDVLDMNPEEHYRNFSMISEYMTPMGRIKHSK
ETGLRPVNQRRIARAIRRAIGLGMHPSVHVHPEILHLRHERNTSSSPFRALTPSP

>RCO7_00710 | pre-mRNA-splicing factor prp1

MSGRRDFLSQPAPENYVAGLGRGATGFTTRSDLGPAREGPSEDQIKEALAKRAAQLGAAAPTAYGAPEKKEEENDDDERFQDPENEVGLFAGGAYDQ
DDDEADRIYQEVDEKMDRRRKARREAREKAEQEEYERNNPKIQQQFADLKRALTTVSDEDWANLPEVGDLTGKNRRTKQALRQKFYAVPDSVIAGAR
DSSEMGTTVADDGPSGDNESGTMTNFADIGAARDKVLQVRLDQAGSGTDSVAGSATNIDPKGYLTSLAKSQVNSGEAQVADIKRVRVLLESVIRTNP
KHAPGWIAAARLEELAGKTVAARNVIARACEFCPKSEDVWLENIRLNDNHNAKIIAANAIKNNDRSVNLWIEAMKLESEARAKKKVIRHALDHIPQS
VMLWKEAVNLEEDPADARLLLAKATEIIPLSVELWLALARLESSDNAQKVLNKARKAIPTSHEIWIAAARLQEQIGNTTINVMKRAVQALAKESAML
KREEWITEAEKCEEEDAVLTCGAIVRETLGWGLDEDDDRKDIWMEDARASIGRGKYETARAIYAYALRVFVNSRKLWLAAADLEKNHGTKEALWQTL
EKAVEACPQSEVLWMMLAKEKWQAGEIDNARRVLGRAFNQNPNNEDIWLAAVKLEAENKEPEQARKLLEQARQEAPTDRVWMKSVAFERQLGDVNAA
LDLVNQALQLFPGAAKLWMMKGQIYEGDGKLPQAREAYGTGTKACAKSVPLWLLYSRLEERVGNVVKARGVLDRGRLAVPKSPELWAESVRLERRAN
NISQAKNLMAQALQQVPTSGLLYTESIWHLEARTQRKPRALEAIKKVDNDPILFVTIARIFWGERRLEKAQNWFEKAILLDSDIGDAWAWYYKFLMQ
HGTDEKRADVIAKMILSEPRHGEVWQSVAKDPRNAGKSQEEILKLAVGKLE

>RCO7_00711 | uncharacterized protein

MSSPGRRKVSSRPSKLSTRRTPSYTEKAARTTALLPDYYGGLREKPKLLARSCRSSWYRSPVPEPHDTWTWDVPKKMAVITSEVLKNTITPELRSNA
VKLLSTMEPQCWIAVDYVRLGQDKKLSDNPAVVLITVERSSNLFLRGDGVCDFDVEIMEGLPDECHEPRAEGDYVTVDMKGQRQRKYPRVGSSIGLS
RDHEDIKAGGSGTLGGFIKVDGKVYGLSTHDNLLGKVRREAYPTQAEESVGRNLYAWVGAKSQLGTVWKSSGIRVGSKTTTGHHHRKNWALIHLENP
TRFTDPDLFVNKLPYFRRIRFTTYVKDAMTLGLQSNKDIENMPRYLKRSLTTEEFKHRQGLVEKENKQQVVWKYGRSTECTYGGSSYIESSFRDVDG
TVSDKWIVLDTPVYNYNHQRQFSYGSDTGSLVWDPDGFVVGML

>RCO7_00712 | uncharacterized protein

MSTVTKKPPASSTHGRKPSTDPTATASPPPRPARPTVPSTASATATANGVARSRSIRGASPVSARGSMQRPAAGASHLSSASTNYDADEEAHAETVA
VLDDLKERLRKTEAMSEQYQKQAQVLQSRLDEAVQEHEKLEDRIHESDERLEALENEKRDALRQKREMESIYEAERSSMTKEREENSNREEEMQTII
QRLKDSLNSRSNVDEEGRISRRSNNSSPIDSQFAPAAGLNRSDSRNNSKLLLQKDRLIESLRLELVEAQIKLVEFENMGGGRLQEVERLLLEARMTN
ARLMEDNESYQLLLSEKTLTGDFAKSEFMGSASHNADALSALEGRSAPASLADELSEVMEGDSDSIRRLEAELKSAKGENKALTLYINKIIERLLQH
QDFEAILDQSSDFKPGAQGGANTDKDLPPPPKEQASGASILQRAKSVAMGGSRRPRPHSQMPATFSALTDPDTAPSIPFGLNRSSSHRNGGRPKSEQ
YTGGAASVVNQMYRGGPASPPLHGPQTPRHSQSFFAPPPVSGTNPNAAHRVPSTGQVPTTGNFPGMNKGESGSSGTSESGDVSTPPSNSPPRAEKAT
TFAGNKPRPLRLVQDHPENKRDDDRSKRASWMGSLGWAFGKKEDGGEKEESIQE

>RCO7_00713 | 60S ribosomal protein L30

MAPTKKAKKTADSINSRLALVMKSGKVTLGYKSTLKTLRSGKAKLVIIAGNTPPLRKSELEYYAMLSKTNVHHFGGNNIELGTACGKLYRCSTMAIL
DGGDSDILSSQAEA

>RCO7_00714 | 60S ribosomal L10 protein

MARRPARCYRYCKNKPFPKSRFNRGVPDPKIRIFDLGRKRANVDEFPLCIHMISNEYEQLSSEALEAARICANKYMVKTAGKESFHLRVRAHPFHVV
RINKMLSCAGADRLQTGMRGAWGKPNGSVARVNIGQIILSLRTKENYRPNALEALRRSQYKFPGRQKIIVSKNWGFTPLRREEYMEKKAAGKVLVDG
AYVQFLSNKGKLADNVRRFPAAFQEA

>RCO7_00715 | related to alkaline phosphatase

MHLPTFMPVAILVSITQAAGHVPVVTGPADWDRDAARSFIYIVPDGFGVASQTLARDYVSAIRNGGQIDRPKTFQLAADQMVLGSVRTQASDDLVTD
SAASATAFGCSVKTYNGAIAVDDDRQPVGSILEAAKLDGFKTGLIATSRITHATPACYAAHVFHRDSEAKIAEHEIGYGHPLGSVVDILLGGGRCYF
KPRGQAGSCRKDDIDLLEFGKDKGFNVFTDRAGFDKLKGGEAAPLPYVGLFTEGHMSYEVDRQDNVEPSLLEMTKTALVSLEKATEKSRRGFFIMIE
ASRIDHAGHSNDPIGHLHDTIQYNEVMDFVRSWIDAHPSTTMLSAADHECGGLTLPFYNPLVFQAANASAEALGAVFGKYTGSDPASFLRTIVFPQY
GLTNPTDAEIATLVALKGKSTFLNEMGKMLSARGGVHWSTGGHSAADVTLFGYSSEHGGKTLRYNMAGNWDNTQLPLYIARQMNLDMSVATKALRAK
GTQWVGRSLEKRFEGEDGEDHHHH

>RCO7_00716 | uncharacterized protein

MQLSQLAIILATLAFATQILASPIPYITKVDTASGQTKYVCVDSDLSCLTKRILEAVASKAAGVEEYIGHAITSITHEHDHLDRDIDDIITSSMNVF
KSSLHPHMLRRNVAFEAWTIISQIWKEIGRTRWSWIFKLESSVPCGILVCLMFNVHLRSPPSLPEVFFKNNTRRLKFNTITTCMQDNLRRSCVLHDV
DIKYEAIWK

>RCO7_00717 | uncharacterized protein

MSSPSKQQVGSSAMEPSSSTGALDSTESPVTSTADRSTQDRRKEVFDIVMAMIPVCWIAIDYLALGYGDYKEFQPVVLITVEEDKLLVNEAQRVVDK
IRDVFLSHIDVEIMEGSRKIWGTTSSR

>RCO7_00718 | uncharacterized protein

MKDLTALSLLILSGSGAASIINSREYRPNEHLVLVDCGIGLLPNGASTSREMAYYPGSYNPGGGNTKWVQPEMIANVPWDGSYPWRRGGVTTKFPNG
DSFSVWLNPDIKDWAQSNSYAGDAKHTYGNDFKCWAEHGKTAFTLADGKVCTSAYICFHAPDTPAPAPTPAPPRPVYKTKTNYTVSSKDITVRIQGT
NAELEAWKPENAFRHFNDDDEGLQCKGSEYQIGSDCKIQYDHCFFAVRDNVEEMKSFLYKAIAPKVASSFKKKQGHYNGSCPPGGPCTPGYTFEYAE
YTYPQTGTILVSVFPEGQESKSTTQALIHFRVICPNTGFCGLFCDNNLKDLIDFGTSLRTGDGRNMYRRWGALGCLKWFDEYDHKREERLGREDRPR
LEERKLSIDVNTMGGKKLN

>RCO7_00719 | uncharacterized protein

MTGMKPVSGQASLPTPSSTKSFWHREPSQILLNHQTTSALPTVADLVIIGSGLAGTSAAHFLRQDDTGKDLKVVMLEAREACWGATGRNGGHCQPFV
YANTPDIAAFEMRNYTYLNDLITTNNIPCDWRTLSGVHAYMDEALYLESLSLFEKNVSENPEVANLVTVVTKDSTNPSLADLRIPTAAGAFLQKHAA
SVWPYKLVSWMLESLLAGNEERAPHFNLQTNTPVTHLQKTDDGSWIVHTPRGMIATKTVLLTTNGYTSHLVPSFSDLIVPVRGEMSSLTPPPSMKPG
SENAPFEYSYGFIGNGKQNRHQDDYLIQRPYTRDNLGGELMFGGGRSHAAKAGVGVSDDSSYDLPAAEYLRREINVIVDIKSEEEELEATYEWSGIM
GYSRDERPWVGEVIEQLGLGGGKGLFVCAGFTGHGMPNTCLSGKAAVDMILGKKGDDVFLPASYRLSSDRLERARAFDQVHVADAKW

>RCO7_00720 | uncharacterized protein

MSSPGKRQVSGSAPESSPSRRKMGSSDQTDSSNLSNPSNIFSPRSGRNSRTSRDSEAMMSPQAIESQDTADYYEGLVGNPKLLARSSRNDWKSERPF
VKSSFGGGGKEPALKKMFVITNKNLQRGVTAGRRKNVTDIILTMNPMCCIAVDYVRIGYFEDPSKNPAVILITVEQKAGLSPKEAQRIVDEVNEVFL

RSNVSGFDVEVVEGHRSGLADEEDPEPEERDDGLYPLPPPVEYPHVGASIALRRDMAVASGVGTLAGYVEVDGKVYGLTNHHVVLGSDRKEAFPTRA
EKKAGTRLVVVQPATLDLEELIQKVKSQRTRLSSKTKKTKSDEEEIKKLDSHIESYKSYLDRGEDTLDRGAKAQMGTVFQTSGKETGSVTTTGHCHR
MDWALIELDNPARFKDPELLVNELPSSELNRICKPHYVKEAMKLGRTPDKTIDDFSSHLKRHLTTKEFRAEQDAVENRDKQLVVWKVGRSTHYTHGA
SSEIKSNFVSADLMVSDEWLVLDTPAHVPQRIFSAKGDSGSFIWTSDGFVAGLLWGRRTKAQQTYVTPIEAVLDDIKKCCHAKEEVWSLLALTTLIS
TTTEKYDGKNEGKEGQEEEVKKKYERSKSSRRGRQGSRGGRR

>RCO7_00721 | uncharacterized protein

MWRRYCGARLRVYSPKRISSVRMNSTIIGDSGRIYTDGTVLRRHPQDSKLDIFKARYADKSFIYKRVPKAFFDLSRRLANDFPSSRSLRTHVDCNSE
ESILIYTYFRDTLLALLEDDPAFPPDERLKIMQGVGEAIQELHAKDWVHADIKPDNVLVDWTCDSEGKKVVTAVALGDFDITCKLQEGESRLTPHAM
GNAMWRSPEGQTGITTRASDIYSLGLVYIYILGGGDFLILNDYQKLVKAGISPEQEVVTRHFCYFGPVPESLYQQIKDEKWRNALQLASKMAEVEVE
ERPMLRMTVWGQELGETALEMLSGMTNLDPKARLKINQVLALPFWQEGDS

>RCO7_00722 | related to multidrug resistance protein

MNRSDVQAASPSPCQPSNDDTFGPIVKDCRSGFDFTLLFEQTILSVGPASLLLLFAPPRIVTLLKSSAKTRFPSSRFLKSVVCLSLIGVQLGLLVLW
STNPVTQATLPASTLPFIAAIAVLLLSDLEDRRAVPPSLLLSIYLLASLIFDIAQVRTLYLRHETSTLLGLSTTSVVLKAVLLVLESRSKRRYLRAP
YNGYSPETTGGIFNRSFFWWINPILATGFRRLLTLDDLFQTDALLLTDPLRNRMQNSWEKYQSRGTHRLTASIFHCLGWSFLSIIFPRLCLIGFNYS
QPFLISAAIKHVSQPSAARDENDGYGLIGAAALIYLGIAISTTHYQHAVNRLLVGFRGATASLIYSKTLKQQAGVQDKEASLTHMSSDIDQLAFSLD
ALCQIWAQVIELVIGLYLLSRNLGWVCVAPIVIVVISTFCAGHVTKLIGPRQGAWIAAVQTRVGMTSTMLGSMKSVKMMGLSNILMDTLQIQRVMEL
NLSKKFRVMGMWRMIISFLPTTVGPMATFLIFAIKASVNGSERLSTSQTFSSLSIITLLTSPAEEFLQTLPMIGMATGCLARIETYLLSKSCEDGRL
IQGRASTAVARDTEDGLELQHLDCSDGVGLSVRNASIKPSPSSPITVRNIDIDVVKGSLTMIVGVVGSGKSTLLKAMIGELQCEKGAILANFKHSAY
CSQVPWLQNTTFRNIVTAHERPIVEDSQWYTSVLHACALDRDVLDLSDQHNTIIGSRGVTLSGGQKQRLTLARAVYARKGIFVLDDVLSAIDGKTEA
LVINHLFGKRGLFKKLGSAVILATHAIKHLPIADNVLILGTDGSMIEQGSYEDLRARKSQFLGSIIVEEQPHPSVNQKASNLNQDPKLAGQAFVRRK
SATDAETAELTRRIGDASVYNYYLKSIGWKIAIVNVATALIWTLGSNFPPLWLTLYANRTVQEVGLFIGIYVATAVIALAAATGLLHNLYMKLIPKS
GAGLHKILLASVIGAPQTFFDETDSGLILNRFSHDMTLIDASLPGAAAMCFSAFLQCLAQFGLIATGSTYMALACPALVICVYFLQSYYLRTSRQMR
FLDLEFKSPLYTHFSETIEGLSTIRAFGWEDYFLRENVKLLDKSQRPHYLMLCIQRWFNLVLLLLVGLTAVIVVALATTLTSTTTGGRLGVSLSSIV
NFNFSLGMFMMFWTMMETSLGAIARLKTFEKETESEHNEEETFIPDENWPKSGAIEFISVPASYGLSPALQDISFSIKSGEKIGICGRTGSGKSTLL
SVLLRILNITSGTILVDGIDLSVVPRELIRSRIVTIPQEPFILSGSVRFNADPTSTTTDSSIIAALTKVVLWDILAARGGLDVDMAANPLSQGQQQI
FCLARAMLKTNAKILVLDEATSNVDIETDRVMQRLIRKEFKDFTVLTVAHRMDTILDSDRILVLDGGRLIDIKDPCNGARASAS

>RCO7_00723 | uncharacterized protein

MRASLLNFGAMALSTVTANTYPDCEPDNCYRNLINPRFAQEIGGFCIGYLSESIIDIPQDYHNCAGDSQAIKSACSCITYSLTHTTSPSSATSTSAS
TSVYTTSSLIQITSSSSSAEPVTSGESTTRSNEGTATSTTSYSTSTPLEISTSTPTENSKPEPPISSSTSAASISTTSSSKTDYTTSTIYAITEYKI
TTCAPTIPDCFSAPHVTTSTYILSTTICPVAPFPTSTPTGPVTSKYTYYTTETHSSSGHISTIVYPTSTGIVTIVVPTQIPGETLIFNTLPPFILPS
VAPGTGGAPTKTASSTGLGVTAAAAKRLSGGVEMLVGAGGAIVVALL

>RCO7_00724 | related to FK506-binding protein 2 precursor

MKNVLSFLALVAVGSAVAHEELKIEIIRAGECSSKTKHGDFISVNYNGTLTDGTLFDSTYSKAGTTTPFAFEIGGGKVIRGFELGHLDMCIGDRRKL
TIPPSYGYGNRVVGPIPANSTLIFYTELVAIGGGAAPSKK

>RCO7_00725 | uncharacterized protein

MPQLTLAAALMSVAHGSNDVANAVGLWVAAYQTWRNGAILEDADSPIWIIVIAALLIGVGFWFFGYKVVRSLGNKITHISPTRGFVINIASSITVLL
ASIFGLPVSTTQCQLGATIGVGLCSSSTKAINWKQIGFIIMGWIFTIPVAGWIAGLLMAMGLNTPHQ

>RCO7_00726 | uncharacterized protein

MPALEEVTWIIAVTSVAFCASSLGNGANDVSNSYATAIASGTLTFKQAGVLAILTEFAGAVVLGGRVTEKIKNGVINVHHFDQHPSALVLAMGCVEF
GTSAWLTIATSMGLPVSTTQTMVACLAGVGIASGATLKWGWQGKGLSTIAAAWLISPLFAGVVAALIQSLLNVTVLNRNNPYESALRSMPFYIAATC
TLFPVFILLELLGKQSIQGFGIARFVVPIVGTFIVILFLAYFFAIPNFRRSLEEDKKDCRLRLIHIPMGPLLLRENPPYYLPNKKECTAHFVSVEAK
SSSSSSIESGRTSHTNSGNIPIASETELLASDIPVIPLTPKEKYGHS

>RCO7_00727 | related to PENTAFUNCTIONAL AROM POLYPEPTIDE

MATKQLQSMPTPARPKSTNGITNVTNVSTEDNRIVVIIYGQGQGKIVTIFADVLGKPYRLAPSFSDVEEDDRGAVIGIATSDAMETIVTRNRTLMVA
INAHCVNLGMPPDVDLSAASDYEFLYTETPFFRRDLSRFIAFTLGQISHHEALITKPRTYFISTTFPDVRTALSNLDILSVGSDAVEIRVDLLKEPL
PDGSYGSVPSMSYVGEQVMLLRQRTELPIIFTTRCTRENGRFPMDNPALYYEYLYRAIQWGCEYIDVEVWLPEDIRRRLYENRGNSRIISAFHDFSG
TFKWPSPQAQSIFNESKKYGDIVKMITIINSISENYELEYFRSQIKANNPNGPPLSAVNMGQLGQLSRALNTVFSPITHPLLPIVAAPGQMSAAEIN
GALSTMGQLPKKNIYAIGSFRATPQATFFEKCFNELGLPHNFQSVDRGVRGSVEAFCLQPNFGGAYINPPLPASQPYIPHLTDAARTIGSVDTIVVR
GDGASSTFVGDNATWKGIRATLTRDFAPSAYKDRAAIILSGNGEDAASIIFALRSLNIGKIYTVGFKAHGPLAAGIEPFTSIESVQRVEYPFAIISA
LPPEKSHLVQPLLRHFSNGRTYQNGYMTGPGGGSRSGSSSPGRDGGKGKVFLDLAHGPRKSDPHAVAEQSGWTAYGVADTSAFTTVETLRLLVGQNV
PYSFVRLASGRGLY

>RCO7_00728 | probable low-affinity hexose transporter HXT3

MKFFSKNRDADHSSSSTAVPSTANSIDNPSAQRQAVVGEKDFHNGNPTSANQTSANTKPPGITMRTVAMTILVAMGGFIFGYDTGQISGFLEMRVFL
ERFGQTTEVTETHPFGLYFTTVRSGLIVALLSIGTLIGCLIAGPFANKYGRKWCIPVWCMIFNIGVIIQMAVGPGMWVGIVMGRWVAGLGVGGLSVL
VPLYMSETSPVNVRGAVVSCYQLFITIGIFTADCINYGTEAMDNTGSYRIPMGIGFLWSIILGLGIIFLPESPRHDWNHGRSERATTTMSKFYGLAE
THPLIVNETGEIEKVMQATQGDHPWYEALTGPRMFYRVALAMGLQMFQQLTGANYFFYYGTTVFSGVGIDNSYVTAMILGGVNVGATFFGVWLAKRA
RRRESLYISALWQCMCFLVFASVGQFVFKPAVPDSSSAKTAGTVMIVFACLFIVSFAATWGPLVWACIGEMFPYRYRAVGMALATSANWIFNFLLAF
FTPFITNDIDFAYGYVFAGCNLAAFFLVYFFLIESSGKTLEEVDAMYLLHVRPLGSGRFEFDEETKNSIGDGGLGTDNMRLEGKGKNMHKQKEAGVA
GVEQDEGILVKDETGGNLPPMSGGAAGHAR

>RCO7_00729 | uncharacterized protein

MAEAVGLAASIAGLIWNTGQIAKTGLFIKGFLSAIKDAPNYIRSLAAELESLSATAAKTGGTPTKCKSLDMNYRHGDVLAHLASNISCIRNDLANVV
PAIHNLSQARVGEFSALESMLDSVLQRGLQRHYREFAVSGYDGLYIGQKKPEPSRRPQLPPEESQESFSCSSAMNLRDKIVSKSVFRTRFFDIEIGP
EMSNDHTNQITRRPSQFFPNLSQNSRNIYQIQRNSGMVYGGSLCKTFRTYNTVPHDAPILKACRRLDLAEVRRLFREGLASPTDCDTDNSVHDLSRL
FKRQTLIGLEDVLTDSSRMLIMQSSEDAFHGSSRYLSISLSESYLYQVLFGQQQWFFDNTVTIDNPEYENYFFEKDLGILTDPDGPKLQSELAAKRD

YAPINEWVHSCSSVVKFRGQIHILLYFASERREKIFHDCVFNRLVILLRHGMDPRFLCCPKCFVEGGLGIPSGQVSCTGLGRFLDLSELWMSALDKA
GFTQFEIQDIIDEDLFAGLPELLDCELEYTTRYEQRKQFIEELQRGKFTELSDGELLDVCNTLEDMWIDGEAKNLFPGRDFRLFGGGKFYDQHMRDW
ERVREIWDSELDGCIPAGCEENEIEKIERIEREVAKAKTRKEFESAEALVCNEDQVADEFYDNVTSHENTKHTSNIGFFINIEADHTLELASDDHSP
HLCHDQYLGT

>RCO7_00730 | related to phospholipase/esterase

MSSTQEPANGGILKEKKPRTPNGQYPEPEISSPQSEHRQTFVILHGRGSTAKKLIPPLLEMETTSKSNLQKAFPHAKLVFLTASRTRATLYGRAYTH
QWVNGWKMDDFDNRQDLMTPGLHTSCKYVHGILQKEIAVIGEQNVVLWGLSQGCATSLTSLLTWDGKPFAATVGMCGYLPFATQIEEIATGKVADAE
DDGISFSDDEEGGSLFEGERVDKGSLSTQAVQFLRDQVDLEDKAGMVFQEIPVFLGHGIDDAIVPVEMGRNARNCIELVGGDVKMIEYEGLDHWYSP
AMLDDIFAFLSQRLRIHE

>RCO7_00731 | probable kinesin-II subunit

MPPQGGGNIKVVVRCRPFNGRELDRGATCIVQMEGAQTVLVPPPDAEERMRSGKGGAKDVGQKVFAFDKSYWSFDKSDPNYAGQDDLHEDLGKPLLD
NAFQGYNNCIFAYGQTGSGKSYSMMGYGKEAGVVPKICQDMFERISQMQSKDKNVKFTVEVSYLEIYNERVRDLLNPSTKGNLKVREHPSTGPYVED
LAKLVAGSFNEIEHLMDEGNKARTVAATNMNETSSRSHAVFTLTLTQKRYDTDTKMSLEKVAKISLVDLAGSERAQSTGATGARLKEGAEINRSLST
LGRVIAALADLSEGKKKKGGKSMGQVPYRDSVLTWLLKDSLGGNSMTAMIAAISPADINFDETLSTLRYADSAKRIKNHAVVNEDANARMIRELKEE
LEALRGKLSGGGGGGTEEVYAEGTPLDKQIVSIVQADGSVKKVSKAEIAEQLNQSEKLYSDLNQTWEQKLQKTEEIHKEREAALEELGISIEKGFVG
LHTPKKMPHLVNLSDDPLLAECLVYNLKPGTTTVGNVDTVGEHVSEIRLNGTRILDEHCTFENADNVVTLVPSPGAAVMVNGKRIEEPKRLRSGYRV
ILGDFHIFRFNHPMEARAERAEQSSLRHSIIANQMGDFEKVSPSPSPRPGHERSYSKAMSEADWDGTRPDSPMSSQRGRDSDWSFARREAASAILGP
DKQIAGLTDEELNILFEDVQKARAERAGQNMDDDLDSVTSYPIREKYLSNGTLDNFSLDTALTMPSTPKQGEVEDKMREVREEMQIQLDRQKEEYLD
QLKTAEASNVEVEEIRKEKSRMEESLREVKEDMLKQLQAQRKEFEERLQSMAPRSVEGPAPLTEREIRIAEKVVEHWKGRRYVRMAEAVLQSAANLK
EAQIMSQEMDESVVFQLTIVDVGHDLCSSYDMVLNGISGEGDDLFLEDATKPCVGVRVIDYRNSVVHLWSLEKLRDRVKSMRQMHQYMDRPEYLKHF
QLDNPFMETCMPQYTHVGDVDVPLAAVFESRVQDFSLDVLSPYTSHAIGMIKLSLEPSSARAPSSTLKFNVVMHDFIGFAEREGTEVHAQLFLPGTS
AEGGVTTTQMIKDFDEGPIRFESVHSMSVPMFGPTNVCLRVAIFAKVSSMHLDKLLSWDDMRDNVVRPKQKRKNARIAESQFHTEEKHDLFARIQIH
ELAENGEYLPVEVLQTSDLDKGSFQLHQGLQRRIVINLTHSSGDALPWDDVSGLRVGRVQLVDHVGKTPDLRSSSPEIPLKLVIKPKVQQNANGTSN
VTIIGQWDSSAHESLLLDRVTPDKYKVQISLAWDVSSPKLADLMIFSIDVCGQILSRSYVRSTSMFASLWQTVRVVHSTSGIFSVALRPTPVKRAGD
LWRMNTQNDFVKGEEGLTSWTPRGVSLIRDYIAAKRRKQRHAEIEAARPIFSRITFPAISAPPTSNGDTPPVEEETLESTISEDEKKVLEKYIKLWK
LCQDPITNILTPTNVEPPTNGAPPTQAAPPTSPSLLASITQVPKNPTVLKGGYLLTPSTDSSRWVRRFIELRRPYMHIHSVPDGEEVSIVSLRNSRV
DHQPQIARLLRRDGGAVNARGRAQANDEDRVFAIYGTDNTWLFKTRSEREKVEWIFKIDQSYFGASGSGSGDGTEDDDYY

>RCO7_00732 | related to C6 transcription factor

MEENSQYLQRAVAKILSVLELPSLETFTDQNREISQVVSPKSVAERLQATIEPRLSRTAAMAMTREHSLEPEPSKIDDTLVSAPMGSLYEVTRLRNL
RSNPNAKSGPRVVEDFISKGKVSEAEAEELFHIFSTSLNHYLWGGIALVHENLASVRQSSSLLLAAILSVTALHIPGRGKTFDVCYAELIALVCDSM
FERYHVLDGIRGLCIGAFWLSDVSWKLSGHAVRIATELNLHQSYSRAIRGSQEHIEGARLWYFLYVCDHHFSIAYGRPPVIHENEIITHHERFLELP
TITQADLRLHSQVALFLILTRVYNTFGADIQQTLSEESLVRLRHFNIDLDSWRIKWEPLLAPNRYVLSYPAKGVILHLNFGKLQVGALALRGMTHPS
DLIPDRRELVGTAINCAMGILQMVLEDMDVRTSVVGVPIYLSTMITYSAVFLLKVHQKWGYFKIGTDPVLVRDLVTRIITLLTEVRAGERHLTGHIA
VGLTKMLDRFTAWEEHEQSHAQHIPESRQGRDQTDQTGYDYPVDYSSFAWSGSELPFYDKNYLPIGFFDVLAPTFDVGNGDHR

>RCO7_00733 | related to hexamer-binding protein HEXBP

MDSYGSAPPARGCYNCGDASHQARDCPTRGPAKCYNCGGEGHMSRECPDGPKDKTCYKCGQPGHISRDCQNPAAEGAGRGGGGFQSGGGSQECYKCS
KIGHIARNCPEAGGYGGNQGGFGGNQGYGGRGGYGGGAGGQGGQTCYSCGGYGHMSRDCTQGQKCYNCGEVGHLSRDCPVENNNERTCYKCKQPGHV
QAQCPN

>RCO7_00734 | related to VPS62 Vacuolar Protein Sorting

MWGLRRLGLFVLFVILSWFGLTALHKHLDPNNRTPAQVREDAYWISTSKNWLDRQACRWIGLCGLAHWHPDPAVRPWNKKRGDKRQGRDVQYVLNEG
ENGRDGQDREGDDDRDLWDRIPGQGQRLKPGDWDGDTRVLKEVPQFVLDHAPLVHLYSGEQFWPSDIREHLAHVMPYNNMTDLNITGFRPTVDNLHE
LNEGRKGAFVFLHSKDDVEERPEWLGSAYNKPVPYDDEDEDDEGENEDKEEDVPLDEISTGAVPSEEDLETWFDPYGPKHKISAPIPPTYQSQPQTA
NKTPPKKSSKEPYREALRRRSPILQKPGGYSRAPAVLVLVDKGSGILDAFWFYFYSYNLGTTVLGCRFGNHVGDWEHSLIRFHNGVPKAVFFSAHSG
GLAYTYSAVEKGKGKGREGRPVLYSALGSHAMYAQPGSHPYVLPFGLLADVTDRGPMWDPAHNYLAYHYNTSITHGADAKAFPEPSTDPNVFPPSSY
SHKPSEPSLQQATNPSTLQMASALQPAANNPDAPMGWWWFAGHWGDKLYSLGDWRQWRFVGEYHYVSGPFGPRWKNLGRSKVCQSRGGCTIVDSLRE
GKGRSWLS

>RCO7_00735 | probable monoamine oxidase N

MNSKDGFQWTEQGGLKQGVPTIGKIEPKSNLSSIDHIFDVIIVGAGYAALTAARDCTTSGLEVLLLEARDRIGGRSWSSNIDGYPFEMGGTWVNWGQ
SHVWREISRYDMRKELEISQNYSHGVNEFSLMVSGKTSSWTHDEEDAVMESAIKKFVNVDGQYGRLVMPFPHDEGHNPAVLPYDRLSAGDRLSQIED
TLSAQEHACLKGFILLCSGSTLDTMSFYEFLHWWALCGYTYSGCIEYLIKYKFRGGQSSFAINFWNEATSTNNLSYSFDCPIATVEDNGRIVVATSE
DGRQFRAAKMICTIPLNVLNTIHFSPPLSAVKQQALNIGHLNQCVKVHAEVTNKDLRSWSAIDASSKLLYALGDGTTPAGNTHIVAFGANETHLDPE
KDIEATTQILKDLVDMDIKRLVFHNWSEDKYAKGAWFFPGKEFITVYSEALRARHGNVFFASSDWAVGWRSFIDGAIEEGARGAMDVIRELRIVRHS
L

>RCO7_00736 | uncharacterized protein

MTTTLTNHESPRGARLERKMSKINMLAMTFAILNTWIALAGVMGTVLSWRICCGCLRLHFLCVMQRLHDCKFRGACIYMADSWGPVPLRIHARQRKM
EEDLVVFNVGWLSIVGWLTMVTTAAYFAAFFITAAIIVATDGTYESAPWKVYLMFVAIIVFTTITNLYGNKIMYQCITGIMLRTDATYVFTSFSNTT
GWPSGISWILGMLQSVLSLIGSDAATHMSEEMPRPTLDTPKAMVYSIVVGGITGLGFILVVLFCSNGLQTVLATATGLPITALVHQSTGSATAASIL
TLMLAI

>RCO7_00737 | uncharacterized protein

MCFGLLYLGPAVAFNAYVPCTTLFLNESYGAPILMLVVGGRKVVSEQAVNFKLGRLGPLLNKISVIFIAITSIFLCFSSQMPATSKNMSEFDFVSAE
QVRWTRYLNPGRPAVRVFCITGDEDMHEAGPGAKDLDDFG

>RCO7_00738 | related to CHA4 - transcription factor

MLTSTNKRKRIAQACKQCGNRKVKCDGVTPGCSRCVADGVECFYPVSKRNRWISNPAVRATPSTPSAPSSEAPSSVPASLPASLPASEISSNLRGQL
FRTYFRCIHPIWPVLYKPLYDTLNHTELMEVLPIPLINAIFSIAFPLLDPDSHGTHSTNDQAHHFFLEALRLLKEHGVPQRSQSIFAMKPTIIHCQV

LTILALQQHGIAAFSQAGTLCAVAVSMAIDLQLHIKSVTDTYIEAQTKSRVWWTVYVLEKMLSCEMSRPTLLRFEESDTPFPSVEESDEYEFFSEVS
QTNNGKPRSLKLRTISAFHTSIQIAMLMEKVSRQIYSIGARTKIREDRIFGEETRLRIWAQLKDYEQALESSPLKLDISGQGPVLPVTVTNYVYLWL
TTILLHRPFIEHWQQDRGSDELSLVHEDPYRICCVAADHICSTLQKHSELIKSLPCDLVFPIFVAGNVLLRRWRQSRRQDISIQQSLEMCVRWLNAL
GKSWKSAKARRQVLAESMETITPPNEQERSLPSWQALNLAIEGWVSEEDFALDYMQWISGVDVPSFLE

>RCO7_00739 | related to RTA1 domain protein
MNQCTSVTPQCPVSATTYGYRPNLPGNIILCAVFGICMLAQLALSIKGRTWTWLIGLFIGCGLEFAGYMGRILMHSNPWDQSSFRLQIVALILGPSF
IAAGIDLTLKHIVIYFGAQYSLIKPALYTWGFIGLDIFSILLQAAGGGLAASGESDRKLLDIGNTVILVGIALQVFQLVVFGIVSVYYAINVYRNRK
ASAVIDGPSNPISLKYFMGMVAVAYVCVLLRCVYRLPEMAGGWGSTLQRDEPLFLGLDGAAVAIAAIALAVAHPAIFFPVMGNGRKERVVRDSEKFP

>RCO7_00740 | probable vacuolar basic amino acid transporter 3
MDSRAETPTGEKEVGRSVSPTPPGSLNKETIETKGSLYESPTDKEDGSIHEPTTAQGGGDQDGEYPDATRMAFIVIALLLSIFLVSLDMTIVATAIP
KITDEFAGLDLVGWYGSAFFLTVGAFQSTWGKGYKYFPLKTTFLIAIFIFELGSLICGVAPNSTALIVGRAIAGLGGAGIASGAYTIIAFSARPDKR
AAFTGLMGAAYGVASVIGPLLGGVFAEKATWRWCFYINLPIGGISAAIILFFFTTPAQAVPVKAPLKEKLLQMDIPGSFVIMGAIICYILALQWGGQ
TKPWGSSEVIGCLVGFVLILALWVVIEYYQGERAMIVGRLLKDRHIWSAMVFNFFLAGGFFLLLYNLPIYFQVVSGVSASDSGVRNLPLILGTTITT
IISGGLISAFGVAVPFMIGGSALATIGAGLLYTLGTNSSSSEWIGYQALSGLGIGLALQVPIIIGQAVARPEDLSSVTAMILFAQTIGGAFFVSAGQ
VALSNVLQSSLLKYAPLTTPAEVLAVGVTEIRDHFAAGIVPGIVKSYMEGLQAAYAIAIASAGIAVLFSLCSKWTNLKGKVQAGGAA

>RCO7_00741 | probable mismatched base pair and cruciform DNA recognition protein
MSDKNTSTLQSYVDSATGAVQSALGNLTGNASDQNAGEAKKTKAELEHDASRATAKVGNLSASSSGAVTKDDPKRTEGSWNQTVGSGKEALGGSLKQ
AGQRQNAEGKGQEAEGQLSDLGSGIGNRVSGAVGGAVAGITGDREAQLKAQEQHDIGKTQQRGAEHDISKQNA

>RCO7_00742 | related to KES1 - involved in ergosterol biosynthesis
MSEKLPIQQKSAFFSFIKSLATFKGDLSSLTAPPFLLSSQSIVEFSVYWAEQPSLFVAPASEPDPALRALAVLKWFLSTLKEQHSSKDDNGKRKRMK
PLNPFLGELFLGKWNDESEEGKTGTTRLVAEQVSHHPPITACRIWNEKHGVQLSGHVAPKASFSTTVNIDRKGYSIYHIDKYDEDYLITMPKIHIEG
IMTGSLSPELSGTTYIRSSSGYTAKMCYSSKGWLGGRSNFFTATLCRDDEKEVLYTVEGQWSGEFTIWRGDKEKVMEKFSTSSIPKTPFTVAEIEKQ
HPLESRRAWRHVVDGIEKGDIFTVGHEKSKLENEQRDLRKQEKAEGREFQRRYFSMMEEDHVAEKLAEGLQGTSMKGDMDGHHGIWMWDEQKYDRVQ
QQEIGFKNGCRSPMRPRFDSGVWGTGVGKLE

>RCO7_00743 | uncharacterized protein
MNTQQKSSERAFALQKYLLLHSQHDALQKHLSSISATSPTATTSPNQSPSRSRFSSLSSSPASSTSSDDPTSFLTSLPSKSEPHLPTTVTPHHRRSG
SMPRHSQRPAFRTRRSSLPTVFDESILDSIEEDENKLKDVNLQIKSTLTELLNCESVRCDGKYRMWVQTRLMDAEMELKRERTKSCDRRRSEDLGLS
GLTI

>RCO7_00744 | uncharacterized protein
MDAGGLAQMSYNNFPSSNGLSMPGSGFASRRANGSNIKRLSFEPVKSSDGQDNGAPTPRTSRSHLLAGLRTAPKSATSANFPSTAPPTQLQHNTGLG
GSVYAKEDSYGGPKTSNNFGQRGGYSQMNNNNNQMYSVPEQILAPPEIMVDELGQEQMDPNLYAQLVATNMYLAEQQQRLQQQLASVQAQAAAAAAQ
QFQGMSLGMQQQQFATPPITPQNIYQQQQVKSNMQPIITQVQGQPGVYSHYDPNTGMQQYFMDNSYQQQYMVQMAQQQQVNYSPPQQHGTPRFQVSP
PPQSDTPTFTRSISPPKKSSSPPQDHAPLPPPSAGAFRRGHRKANSMALGTDVPSAFEGPRSSMLPKSMGFPSTPAFGPGQARAGEHPIRQPRGPPS
LDELIAKPTTKFEGSKNFATRTRRSAVNNLVRAGIERRRSPGGTRSGSMSPVSEVADNTFSASDNDSDSGRSGSGSLSGRPSPDSPRTSIHGAIGSD
RPSSRSNERSMERKSTASLDSSFTAASVSGDESVIGGSFAAIFKNGGKKTDVTDAERKSPMLVLTSAAEKRKTSFF

>RCO7_00745 | uncharacterized protein
MADPNQTGNSSGIPPSTIVSAPPKARGNPPTRGRKRSVNVSSNPLDCPITPGEEKLSLLRRQIIQLEGQEVKDQSVPQAQTEHKSQSEEIEFEPTES
KSSAAPRSHPVNASLASARGRAPSSNPQQSIRVSPRMNYQNYIDSPGGSNPRQAPPSPSQGMPNGMNGGMGMGGGMVGYPTPAGHQSDLNYVMSMVE
ELSSVLRTNAQLTAGVVDKMGKVREKAQHLNLNNDEMIAVVASELNEDSKNLEKENSSLRAALEKSEHSKTENFALAVHGANILADITEKMHRFKEQ
HEMDTLAWHKNYRQQLTDERQENLELRNQINDMKAAACRANEHLRDMRKFVTDHDELHELRVQNVQFRQERRFWKRKAMPLIPDDDSEWSDDDDLID
PEEKKRQAANLAEKNCKDMEALAGGGGEGQGQGQTAIA

>RCO7_00746 | related to short-chain dehydrogenase involved in D-alanine esterification of lipoteichoic acid and wall teichoic acid (D-alanine transfer protein)
MSLEFPHSTVLITGATSGIGLALAEKLLSNGSHVIAIGRREENLRQLQEKHGKERVSIYAFDVNELEKIPEFVREIIATHPTLSSIILNSGIQRRLD
FTSPSTISLDSVSAELTTNYISPIHFITAFLPHLTNLSEKEGKKTSLVFTTSGLALVPIVRCPGYCASKAAMHHLIMCLREQLSSIPLLKVIEILPP
AVQTELHDSKHQPDITDGASIGMPLSEFTDEAWAGLCAGETAIPVGVAKRGYEGLEVGRQKAFRGMVEGGVGKL

>RCO7_00747 | uncharacterized protein
MLYNWRLVLSALSFSGLIGHGQFVSGFWIPFRHTAVARRDVDTAALDLSNLGIVKQYVCPKDTNLMKRQSTTITVPKSELRNLLLQIRLLELQLIDI
LLNDGIDTGSGSTSDIAAPTFLTGVISSTITTSVPLASLSSAISSVLSQMTPRSYSLTTTETCSTPSASPADPTEASLASGTGVASGTRTIRVTRTT
TATTITITTAPGFEATTNVAAPSTAAAPISDLVDTTNVADINTTTTLPVTLSTGLPESLLTRDTLSSPPELPASAPTFVETTTSEVTSERAIPTSET
SLTGGGFIEVTNTVSLAAPAPTSPSTGYTFNAASESNIAVYFGQTAITGTTSLEAQCADPNIDIVILAFVISQRIGGIYPAINFGAACGGQTPEMVA
QAPGLLSCPELAGNVSSCQNNYGKKVMLSIGGATSQISFTGEDQARTFGDVLWDLFGPPGNVDVGLRPFGNVEVDGFDIDKEDRLPSYFGILATTLR
SHFTSSTAKNYYIASAPQCPYPDASTPLDVLLLSDFVWVQFYNNPPCEIGSSGFAASVDQWSSALEASTLATKPRLYIGAPAFPEAGQSAYAKIGNA
EGMKSIATEVKDMNVPNLGGIMFWDGPMGQANIGGGMDIIGWAKEGLES

>RCO7_00748 | related to Zn(II)2Cys6 transcriptional activator
MSAPNSPIDFFDLAASLPHAPILVNEESGVTRGNDDDDRDLLTLRRRCELCKQRKVKCDRGQPSCGWCTRNGAICEYKERKKPGLRAGYGRELEQRL
DRLEDIIRSHSQILETSFTNQSNSLPSDHDTPRSAGFRSNDGLRNHVPHAETALFLQKPSIFSSNQSIDFSNPMPQTPGVTGLHSDHFQQGMQQPNS
VHNQAHQVASGHASDFYSANQAPLPSPSLNISPNQEFSDHALPPYDLLYALVDLYFKHVNTWCPILHRRTTLDALFGPSTLDEADKILLHAIVATTL
RFSTDPRLTEDRRTHYHDISKQKVLLYGLENSSVKALQALVILALDLVGSSNGPPGWNLLALITRSVVQLGLAVETTSVSVSPNYPSIYTLRAMVLP
EADNFIEEESRRRLFWMVYLLDRYATIATAFEFALDEKEIDRTLPCRDDLWNKNQPVQTRYFRTSERTEYDVEKPENLGTFSYYIEILGILSRIHQF
LKKPVDISALSDVELWQGEYRELDNMLTSWKFDLPADYGNMAKLFQPGGNKSINCGWVMLHATYHTTVIRLHSSAAYPTTRSPIFTPSYSASQRCHG
AVENIAALGEFVVQNGMLPKLGPPFAFTLWVAARLLLVHGSTIEHKLSPQVQFFVDTLQEMGRHWRVAERYTAILQRVLDEHRDSECSAGASGERVT
PSSVKILADMRRCAYDLDFLISKQPKHIGMVSRMPSVTPARTPAPNELEYLDVFDFFNVPRLPVAPGDVGHANGNGNGNGVGNLHMTELGHGANEFN
ITNFMVDANSDWLFKNQS

>RCO7_00749 | probable starvation sensing protein rspA
MAAAGAARSFPTIKAIRTFVVDGVGSGGDYHNVEGGHWLIDTSISTPMSRWEKYRASRTSWGINVLGSFCVELEGTDGTVGFATGFGGPPACWLVHQ
HFERFLIGADPRDTNHLFEQMYRGSMFYGRKGLPVAVISVIDLAMWDLVGKIRNEPVYKLIGGATRDRLDFYCTGPEPTAAKAMGFWGAKVPLPYCP
EEGHTGLKKNVEFLRKHRESVGPDFPLMVDCYMSLNVPYTIELAKACLDLNINWWEECLSPDDTDGFAQIKRAHPQIKFTTGEHEYSRYGFRKLIEG
RNLDIIQPDVMWLGGLTELLKVSAMAAAYDIPVVPHASGPYSYHFVVSQTNCPFQEYLANSPDGKSVLPVFGDLFLDEPIPLKGYLDTKQLDKPGFG
LTLNPAARLIPAKYLLTPNPERPLGAPAQAPKEIEEKKLEEKTAEKTEDEGVLNGLVKGVHDLTTA
>RCO7_00750 | related to short-chain alcohol dehydrogenase
MAHHLLLSKTAAITGGTTGIGRAIALEFLRQGSNVAINHLNLPSDAHHKESLIAEARAIREKDAQAGRLIEVEGDVSKPETGKRLVEEAVRTFGGLD
VFVSNAGVCQFAEFLELDHDLFTSTVGTNLHGAFYSCQAAARHMASQGRGGSIIGISSISALVGGGLQAHYTPTKAGVTSLMQSMAVALGKYKIRCN
ALLPGTIKTQLNEEDLNDDEKRKYMEGRIPLGRTGVPSDMAGPAVFLACEELSGYVNGSQLLVDGGLFVNLQ
>RCO7_00751 | uncharacterized protein
MANQIAREEGMGPLERGRLRYKQKDYSGALKAFNEAVMSSTDQMLLTALDSRAAAYEKLEQFMPALRDGKAMIEMKPKSSKGYLRTGKILQLQGKEA
LALQIYARGLAKVPSGADKERQLLVTLHEKLRQVLKPGKSMNFVELLPFELALMVCHNLDMRDRVICLAVSKGWKGVLESSTKLWTTLDTTYARKPV
SLKSLQTHFRRSHYTLDRAIITLKANIDAGKMNFVTRTCKNLRELHIAGNGIIGSALHSNLPGATALQAVSTSGCTEVPLHTVQMVIGACHKTLLDV
KFLCVQGSKSVVIPGRWPMASSLKTIHLRGCSESILDFDGLRDSTMNATTVILTNWQIRTHLIDATPWKALEHLDLTDTQLNRLPDFPSTLKHLVLS
ENRVLNLGPNEERPHPLPLLEIFACASTALDAEALKAITAASIKAGNLKRLTIGDRMVNPNTSCITNEFPACDTLEELSVANMILADRQAVEIVALY
PNLKRLDMSGTGITGVAVKRFIESGVKWLRINGCDNISADAIEWARGKEGVEIIHNLMSRGVKSRASARFADSVFGSSFDL
>RCO7_00752 | related to tryptophan 2,3 dioxygenase
MLPPLPNLRDYGISPEYGFLPPDLPLERLPDPYYNKWEAIVANLQGLILSKRLRGVIDQLPVLSTAGLEHDSEWRRAYSLLCFMAHGYIWGGDSPSE
RLPASISIPLIHVSAFLEVLPVATYAAVCLWNFKPLFQDEPVDNMENLATLMTFTGSIDESWFYLISVAIEARGAPVIPLMMAAIQAARINDSVTVA
ACLRAFAERLDDLGTLLQRMHESCDPQVFYNRIRPFLAGSKNMVEAGLPHGVVYEDGTGAEKFRQYSGGSNAQSSIIQFFDIILGIEHRPTGEKKDA
APESEFQGAAPPPKHNFLLEMRKYMPGPHRRFLEDVAKVANIRDYVERHRNNSELILAYDACLAMLREFRNKHINIVSRYIIIKSRESRSLSRSESP
VVQRRNIATASREDQSDTGKKNLKGTGGTALIPFLKQARDETGEPAIDAWTRRVMNRDYSIKGQGDFFSGKLDELPVDEDDTCGLAGNWTLDENSGG
LCHY
>RCO7_00753 | related to component of actin cortical patches LAS17
MAAVKQQVLNWLYSVLTSEYHDITRSYGDVAQTLSHYSSLSPRTEVYTYENGKSALLLHLSGTLPVVFRGTTYRFPIALWIPHAYPLEPPLIYVVPT
DGMMVRPGQHVDQQGKVYHPYLVGWAQYWDKSNILDFLAILREVFAKEPPVVSRQQQNPPPRPQSQAPPPIPPPPPGSVRSASISSLNGPPPPPPKP
GSNAQQSPVGEPSRQDSGPPLPPLPSQLGNAQYGQQSPTYNEFGRNPQRTSSLRYETAPPLPLQPQRQQSLRQSLGGPVSLIPSPQAQSNQQQYQPL
KSPNNSQPSHNPQQQFIRNNTVHQQPQWQQYSQQHPPQPQAKPPPPPDLMDGPLVLAVPSEASANLPAPPVPPNPEKDMLLHNIGRTLYAQRQHTRG
LTASSLPGLESQRKAMLTSLNSMQAEIQALESLNNLLSSNTKILHTALHDADAVIDQSQHRTAPNIDELLVAPTVVGNQLYELVSEERSLGDALFVL
GRAVEKGRITPAVFAKMTRTLAREWFLKKALVKKIGNGMGLATY
>RCO7_00754 | uncharacterized protein
MTYNTTKISLSASQGYSKQESCIRRKNHPSSSARPSNRVSFNLASLVTKFEALDALNLTFTKTTLHPAPGQVSRKHSTRKGTTGSNYRSRLSTIFSP
RRGSPAKHDHEFSNEDIQAVQAEVFDSPKTPETARLKKKLDARRLEKEQTLYEPSNIMSRDGVEDITDVPQRGAGSIAAPYVQNEIPDEKRRGSLRD
RIQVYDGVSAGDTPPANPTTTANTAAPTTQVSFPRSRLLDKSYFLTPSTGSSKRTCAELPDVDAVTPTRSARTSIGRQSLKFGPVQNRPLNQTSPGG
SFYSDVTSKAAKGTRQYGNGQDASPSRIAVQRQRMSGPIRERRNTTVATKAQAASGTGGDGSVPPPAAGDDESDKLSSRRIVSSKIEELYRARSLEV
KRDNARGTAKQPELTANLSTEASKRQLLEKKTVESRPGKLAEITRTKVAAMRKLFDGKFSPRSASPEPCCGLDPILDAVDTPSSPPSSPPEERIHEQ
TSVTPPAPEWCGLSPTPTTSPKTLSQLIDVKPSEIEQAPGVSERANAWEKSMTGAMHSSSPTKKASPTRSKLIEEKLKKFENTSESAQPGRGKMFRR
RLSKSLRSIFEISSRRSQEEEPGKSKPPVALAKYERTWSPVGEGAGIKRGTIVERWAKTPTAFSSQGDGTASERESISLSEDVEFGKMIRKSAECSL
RQPRPVRAVEMQSMARICKDRVGGTMDRDKGERFRQRRKL
>RCO7_00755 | related to pheromone receptor
MSSSLSAAGFDPKAQSISFLMADGVTPVVLSISDIDAWFYYNATLCINYSAQMGACLVMLLVTAVLTKESKRRTPVYILNLLSLFLGFLRALLLALY
SISAWAEFYAYFSLDWSVIPGPAYATSVAGAVIPLLMIITVNMSLFLQAHTVCKIMRKEYIMMISFVSGLVFLLAVGFRFAQTITNSLAIMTAGHYF
FQAWITVGALATETISIWYYSIIFTSKLLWTIYARKNLGLKKWSYIQILAAMGGCTMIIPSGFAILQFTTPDDFPEAGTIAITTVALLLPLSSLWAS
MVTTEANSSFNAEQLWGSRASHDASIGSSMERKTFGSLSTSPSYFSTEQKDSTSHISPTTIDTVIESAASRDSTELDLEKMGVRVDRSYSVHSGI
>RCO7_00756 | probable alkaline phosphatase
MVQVTSLFLLATATTASFVSNLNYRSPSHHHPSLGVSIRKVAARNTPSAAWKPSQLSFTHGVASGDPYDTSVILWTRAAPIGSDNDNSNITVSGLVP
LYSHETKQYVKASKAPICVSYKVCLDAHLNNCVDDGKAYTSSDIDYTLKVEAKHLKPFTRYYYQFNICDSDNVSPVGRTKTTPSKGDVINSAVKLAI
YSCSNFPFGFFNAYGNPARKDSVDFVVHLGDYIYEYANGEYGWGNSIGRIALPDRQIYTLYDYRKRLASYRTDLDLLLSHQQFPWIPVWDDHEVSDN
TWKSGSSKLNNTEDSFIKDGGISVDQRKMNAVRAYFEWMPIRQVEMDDNLRIWRSFEIGDLLDLIMLDTRQYDRSITDLYWNTDYVHAISNDASRSL
MGPRQENWFYNQLTRSSKRGATWRVIGNQIIFSHINQSLAYGNENPLNYDAWDGYQSNKNRTLSHLYDNKINNTIFLAGDSHASWVSDLVWLDTHPY
DPSTGEGSIGVEFAGSAVSSPCPYGQNITLSNANNYSSLLQGANRELQWQDLYYRGYYELSLDKKSANASYFGMPTIATRNGYEISLANFTVIAGEN
KLQRINGVVGGGVVESGSLKFGHTSGGNLTNDTATGSYFVSSFKLDTA
>RCO7_00757 | uncharacterized protein
MLSISLLISIASLIPRATWSDGLVVPIASGKMLYRQKHTSHSQFWGIPYAQPPAGDLRFQPSQTLKSDGIKNATAFAPYCMQRFNNGSTIYTAQLPQ
FLRPQEQALPEFLYIPGGGFTSGSANWIAKFPDQWIQRTQGQVVFVMNGYRVNVFGFPNAIGLTDQNPGLLDQSKTVEWARDKIAASGGNPKRITPW
GQPARGASSNVYGYACLEDAIVSILISDSESANLRSSPEIQHSNFTPLASLVGCGDLEAKLALSKIIESSLRP
>RCO7_00758 | uncharacterized protein
MSDQMLVPDGRSPTDIIKPVCVEELPNEVLHQIFGYLVTQPPSSRLGALRDEPNFNITKSEEKTLKAISVTSRRWRAMIIPTLFKHSQFIVRGDSSL
DSRLSQKMKPFFNFITSNSLYTIMSFALIVYDREVTNKPFGGPRCNDFAEFWYLLFQVINPTDLLIVAPPEALGRLTDCRVNLIDEKSFDCECQYLR
LQMRSESPQIGAYSWGGWEKILNENGAEIEGAFIDPITWVRISSTERTSSSALFSIRPWENLLLNEGSFIKVYLEPDHDRKRFPSILPDLVGLGHSN
HALASSTIRDMSYIAMFPVSSHFFVLVNNLPRLDRLYTQIVPQNKMLKDIHKMKNLRQDVLWIERNGCYAWLMQKIFSTPTLGNYPLLKILESGDQA
DRESWEPAAHFIHRRRQGWVIAGDGVLVKNPEAAPPTNPVIQNMYDENPIAFNYSLVRWAWNGTANLPVSTQPMYRYGRWT
>RCO7_00759 | probable methionine synthase II (cobalamin-independent)

MSSKRQERPPFRAEHLGSLLRPKELLDERHAIDSGKGDEKKLAEVTKSAIDEIVKEQLNLGFHAVSDGEYPRHMFWGTFFPGLDGFEEVTDFDMDIF
RSYVPDIAAFTESGHKPGETVLCTGKIKHVGSTYVDQWNYLKNQLPKDKQREAKLTLAAPNWYHLRYKTGRAYPKEVYPTDAAYFADIAKAYQAELQ
ILYDNGLRNVQIDDPNLAYFCSEKMLAGFKADGESSEALLDSYIKLYNDCLSTRPSDMHVGVHLCRGNFVGGRHFSEGGYDAIATKLFQNLNVDTYY
LEYDTPRAGGFEPLKELPKSKNVILGLVTSKFPKLEDLEEMKGRVMQAAELMANGSGESRGEALKRVGVSPQCGFASHSDGNNVGHKEMIAKLKLVR
ELADAIWPGEP

>RCO7_00760 | related to aflatoxin B1-aldehyde reductase GliO-like

MTFGPDTSTGARITSLDDYNTFLDHLQAAGYNEIDTARSYVGGKQEAFTKDAHWKERGLTLATKVYPDKPGKHSREVLTKEFNTSLKELGTDCVDIF
YLHAADRSVPFAETLEAVDKLHKDNRLPDELTEAQPTLWGHPEGQVRTARAIELHRLVITVHGKPFLTTLNASPNPTISEDDKADGFDAQAFEVAEV
VLTCKFNNWVRPTIYQGMYNAITRSLEHELIPACKKYGLDVVIYNPIAGGLFSGKYKSKDIPTEGRYRQVILQITSPTLPSLRGLKSKLAIDTAVHI
GELYRKRYFKDSTFEALRVIEPVVEKHGLTMVETALRWVVNHSALNVKDGTDGVIIGVSSLDQLDQNLKDCEKGPLPEEVLQALDKAWKISQPDTPN
YWHLDLKYTYDTRKALLALAK

>RCO7_00761 | related to Laccase-2

MENNDTSIHWHGMRQMGSGEFDGVPGVTQCPIAPGDSYTYRFQATQYGSTWYHSHFITQYGDGLQGPMIINGPATADYDEDLGMLHLIDWSHIPVSF
LWNSAKHGGAPTLSTGLINGTNTFNCTGSPDVNCIGGGKKWETVFEAGKKYRIRLINGATDGHFQFSIDGHSLTVIGMDLVPLVPYTTDSVNINMGQ
RYDVIVEANAVPTNYWLRAGWISACAANRNPQDITAVSRADVKFAFGDHFTWTINSSTLFLDWKNPTMLRVHNTEKNFPTKYNVMPVEITAADPTWV
IYVIQDLSGAGITHPIHLHGHDFWVIGQEAAKFDLETSNLNLINPPRRDVASLPGNGYLAMAFKKDNPGTWLMHCHIAWHASQGLVMQFVESESQIE
ASISDPTLLNDTCTAWNSYTSRALYDQDDSGI

>RCO7_00762 | related to putative snare protein syn

MSYTQYDQYGGNPYHNGPAAENGQGAHAQPGAPGGPNQEMSNYSQTSNYSSAGAPAGAGAPTSSSTVLSQQDFLARVDYAKSEICGLSSNIQEIASL
HQRALASPDGNSSAQLENLVTQTQLKNTQIRDQIKYLELDALKTQDGSKSVKARQAKQLKGEFEKSLKEYQTEEVAYRQRYRDQIARQYRIVNPEAS
ETEVQEASELDWGSEGVFQTALKSNRSGQASSVLGAVRARHNELQRIEATLTELAAMFADMAQIVEAQDPVIEHTEQNAEQTVVDVQNGNKQIDIAN
DHARRRNRLKWWCLLVVVLIVLAIALGVGLGVGLTKSTTSKATA

>RCO7_00763 | related to ERV41 - component of copii vesicles involved in transport between the ER and golgi complex

MNGFSSQGLDEDAFGEKRGNIVQAFDAFPKAKPQYVTRTSGGGKWTVAMLLVSALLIFSEFSRWWRGIETHTFAVEKSIGHNLQINLDIVIPMHCED
IHVNVQDAAGDRILAATMLKEDTTLWGQWVDARGVHRLGKDANGKVVTGEEYHEHDEGFGEEHVHDIVAATGWGRAKFAKTPRLPWGVAKGDSCRIY
GSLDVNKVQGDFHITARGHGYQEFAAGHLDHTGMISLHFVLHSQDVVLMCVGTAFNFSHIVSELSFGEFYPSLVNPLDRTIETTENHFHKFQYFLSV
VPTDYSIDTRLTSRYVFTNQYAVTEQSHAVGEYSVPGIFFKYDIEPILLMIDERRESFLRFLVKIVNVVSGVLVAGHWGFTLTEWARSIWGKRSRGR
SDGVIHGRSHEMDD

>RCO7_00764 | probable dynactin

MSKKPVKGEYIETDTGNKVSRRSQIIGTTNIILGGKTVIQAEVIIRGDLLRTYPPSASSEKQGNPVAVAIGRYCFFSRGCELRPPGKLYKGQFSHYP
LKIADHVFIGAGSIIEAALVGSHVNIGSNCVIGKFTIIKDYVKILDGTVVPPNMVIPSFSIVAGRPGRVVGEIAEGEVDGMDLRDVYRAVGNT

>RCO7_00765 | uncharacterized protein

MPIAHFSLPYSSLLEATAFYLAALKPLGYELFLALENQVVLKLKYGGPDFWLHTAPTDQKGNVIKSAGLHVAFTGGSQKAVREWWEAALKAGGKDNG
APGERPQYPKGYYCAYVFDLEGNNIECAYYQPLWLSAFQLAPSVLGATVVGALAWWIARRE

>RCO7_00766 | probable PRM10 Pheromone-regulated protein

MSSDYLTASENAPSHEYIELSSEENSQDTSANPSRPSSAGGLPTNSNRKSRVRFNSHSEANDTQNQKSIFPLRAGSIQQQSEPLPPTTPDKIKQSPA
HSRNNSATSLLRRTPEIEKINPFEDPSVPIGPPLGVYKPRPSLIRNYSSFGENFEDVSEYDEKAFSALAAQERAQRVASLVGSHSAPASRRNSMEEE
TEEEAARPRRTRTGKYPVRIDDIPLANMDSRRTYDGAESDDDSFDREVERNKGSSSTEAHKLVRAHTRKIHSESWKTPTEQTPGLISGQVTPTDEQH
EDDYVPRPTQYRGGVLSSLLKLYNAPSGQQSRRGSESSPGTGSPSQHGTGSSGMNTPRLKHAKWYNHKSQSQDTLAGLIEASAILGAQGGVATPKKT
RPGMGKRSHSGRLFETAKRTIGPRPRLEDEIRITVHIAETLSRQRYLLKICRALMAYGAPTHRLEEYMKMSARVLEIDGQFLYIPGCMIISFDDIST
HTTEVKLVKAPQGVDLGKLKDVHEIYKEVVHDVIGVEEATQRLDIIITNKQKNHPWLLVFVYGCASASVGPFAFQARLIDIPIAFLLGSILGFLQLI
VAPRSDLYSNVFEISAAVLTSFLARAFGSIRDGNLFCFSALAQSSIALILPGYMVLCGSLELQSRSMVAGSVRMVYAIIYSLFLGFGITIGTASYGL
LDSNATSQTTCSNQLGDFYKWPFVVIFTLCLCIINQAKWKQMPVMLVIAFAGYVVNFFSAKKFPSSAQISNTFGALAVGVLGNFYSRLRHGVAAAAL
LPAIFVQVPSGLAASGSLLAGLSTADQITNTTTYANGTVKLSGNLTSTISVTSPGDLNTIVFNVGYSMIQVAIGITVGLFLSALIVYPLGKRRSGLF
SF

>RCO7_00767 | uncharacterized protein

MASNAPTILELKTSFLRAQILALSQPLRPSANFTASNTSDEENALRQKSIDDALLKLNNQLKQHNKLAYGPQVQRHVAEQVDRLYWNAGERGVRILG
PEDEWAERGSDYRQESVIDQLPEEWSENASTKSPEQAAKFTELSQRLTALNEKRRIARERLERYKRLQEMVSLLGEDAGVQDNLITRNGEVEVELEK
MRRLMLRVERGVGALEGKGQGEEMDVDVEGEGDGEEQGKIFALLSGDV

>RCO7_00768 | uncharacterized protein

MAVSGPITGVSADPDPFKWNQERWSTTGLEKSSPNPNDLCMNSAWGYINFQIANMNPNTGCTLNNQDCAKRLSDIIVTPIMVASGKSMDDISGKFFF
SLSSTQ

>RCO7_00769 | uncharacterized protein

MFGAPSIGDEPPRKRVRKGTRSCWECKRRKVRCQLSSEDVPVCAGCLSRGTTCLSQEYPEERDLSSNGNHVGERLGRMEMLLETLVAKISAYEDEEE
AQKMMTPESIGNDVLTPFTTSGSDPSTSTPLISIFDNPILGRRDNSISHTPVSQSASTKTCSRPSKNERVRQILVDLLPPQNETNMIIGSSSSWFLT
QALENHAIAKIDTVSTSTSNLAELSKQHPTKIARTLMFLAVCLQQLDPQFDRSKLHLLPTPTARMEKMIVTVQGLVASDDELVSTLHGIETLVLLGA
FHINAGNPRRAWMTFRRALNIGQLMGIHKSDTSIEGGRQMWLQVTQADRYLSLLLGLPAGAVDPVYKADETFDNPHVNKEFLFGRKMCDLSSRIIER
NENASTHAYATTQEIDEDLDSLAKEMPASWWAIPDIVSNDRSAEAARTFDKLMTQVWFFQLEALLHLPFMLKSERRFEYSKFSCLKASREVLWRYLA
LQSAENKSFCCKIVDFGALTASVTLFLGLLEPVVGTESLERISDRNLIQTVLESMEELSQRGKDVVATQSVNVLKSLLAIDDGSGRNTGNLKLTIPY
FGTISIIRPHKTPQEGKEGQKTLPYVQQQQQLKEQDQQSPQPQPEAHTINQNLPQQNWPSHGFIPQNTTQQNPLALPHVSFISSQFPPEDPELLSQD
WGLPVEMDTLFFDSLLNTDIEGNWIF

>RCO7_00770 | uncharacterized protein

MDSPKHLAIRPGRLTRRRLPLSCGTKLKCNREKPCQNCVARGDSNAASCAYAEKTDKKIPGQLDPQSDLKEMRKRLNRLESSILSIMSSDAGKIRDR

ASEVRNEDMLAGPQRISVDTRSTAWDAILNEIGGMKEAWSEDNDKIELTDSAHRSYCTAREHQPGILAGLTAPPDRFTILQSLPSREAADRQVPFFS
ANLHYSLAMLTMSFTKEPSYDSQHWANPSKTSIIWIGLLYSILCLAMQSYNRSPDDAPHEYQENGPELAELYRLQTAQCLVIADITKPTEFMIETLD
LHSFAEYDTEQDGDIGTAMLSGIMMRLALQQGFHRDPSQLPGLSIFQGEMRRRIWSAVNQHELLWSVQIGLPKAIRYSESDTQAPRILYEEELYEEM
TELPPCRPLTTDTEVCYQVFKWQLMRCYGRVVEFVHIIEPQPYEEVLKLDLMLLEVHEAIPFHLQFGTLEQMKNDPNSRIMEKFILKSFWHKSVCIL
HRKYWDTAPSDTPQNSRWVYSRKASLGSALSMLEMQYTMHQACAPGGLMSKMKWYHFSITNHDFLLAAMIICLDLMSVEVPECVMPPEQKLDAIRRS
RAIWQSIANDCRDAKRAMKVLTAVLDKLSKKYTYLTQVTSAPASASLGNMSQTASPNFMPGGFAPGNNQILGKGYQHVDSQGYNTYFTDCVGVGMSS
SPEGFSNSNLSNPNGDSLMQDNFLDAFSTDLTIPSDFDWNGWDQFLAGQSLQLNQDLAGRFGAQMGNGGMDFM

>RCO7_00771 | uncharacterized protein

MSSRLLLRSNSHLRLPLPNSSFSLALILLRSYHVGKASSVNTAIARGLRKSKGIGFRGPRITSSDDPRVVYRKRNAIPAYDTITRSDYTDKSVSRNF
RDTTKSNSDRWIGRGKDVNEGNRPRPVQGAPILRSEGFGNPQVFGRYGEKVTPRIRKLEYKETSRGNENSFKSLGSRFGNESGRDTRSYDRTSRLDY
QSTSPAIASYPSVSARNRSSGSSQKRLTDTKSGSTSESRYSSSSDQPKDRFGSDREQSRLSRAPQSDRPARFGRDSSSAHPSDSFAPRSIPRDRGST
ERPSKPFEPRSYPHDSNSTGSFAGRSDTTKSYKFGERNYRSNKSEYSRETVSSFGQRFPGKMEDRREMRPNKEDNKPETFVRSMNEDPRAVRDGTKS
NRPRTDGQFEPTKVVSYTLDKNVPISIPYTTPASEFLYGYSVVEAAMSSQRTPRRKLYKLYIVKGENRLDENRDDRIKRLAQKNGIKVVSVGKESLP
LLDKMSGGRPHNGFILEASPLPRLPITHLGEFKSENGQEGFSIAIDHQSKEEADVNGTSNFVRTTPSLPGRKPLVLLLDGVVDPGNMGGIIRTASFL
GVSAIAVSVRNSASMTAVVLKASAGASENMTMFSVSKPAGFLVDSKKAGWKIYAAVAPNKDNFSSVPESLSTDDLDDPLSEAPCILMLGGEGEGIRW
LLRAKADVDLYIKGGGQALNVDSLNVSVAAGILCNSFFAKKTGKSAMASVETSDEVVVEEDAPANENTLF

>RCO7_00772 | uncharacterized protein

MADHISDPEKSESDRPHTLLEEQRVQEDLENSPPHSVLSHRPRESPKASELKRGNAVSVMVSPPARPWEYQPYQGDTTVETILKDTKGADGSSWYLI
EFESGTKQRSFQPVLLPIFALSFKFSSPLGLKHMPILVNSLRTVGIASRREYKCLRLATSFQHFLNFQTTQNRAPLKPLAFERXNQLPLLXSHTLLF
XLSRVFTLPFDLCHHISRLSSSASGTASRVVLSLWICTSISAQTGFISSSTFNXHRFRCHXRHYFNFATAKTPWISIIASLRTLKAICDRVPNPRXL
ASVFVRRLXRLAMLTPHELLSFPTMNSLETRRSSRSVDLRRVVSHYXQATALDKAAGPTVAHPPEQSMMRKARTPIRMVPNQHVSLDQPTPDYLAIR
SSMNFSRTVKMTMRMSXPVQHSMIVIQILCICSRNGRNVTRIAKALNNLRMELLKAKVGGDLVEIAALLPHLSVLSPAVALAARELQRIXESETWTK
RCMPMMSQSATPQKLSVFARYTSLLLRTRPLAASITRLVMFVRAPEHTLTRARVLSFTAKAVLPRYTESVXDIALRESIWSPKLATRISSCSAVAVL
ASXRRKIDLRLIWICVRNARNPGLRVPPSLLKEPPSKRKSYGRRTMEMILLQRFPAIXLTIPSTSFSDARLACALTIMSISHLXDQRGLSPMTSMSM
SMRPATSAXRSILSSGSAKNASRCLPRSRHWSLGDRLIVIRTKVKPSKSFVKMRRSIXSSGLTCLTSDVRGCLEPGYGVXQLLLCVRHSFVVMRASM
NCQSTHLKTLSRKSSCVWRSSSTLNMMMSSSTSRKKLIRLRLTXSTRFLSSFKALGTKKLFGKSHQDLRMGHVGATLLQPTMSTXLANIXSNQLQLS
XKHAQILSDLXISRRRSSXRTNPPLXLEEKXCLTRWRDXTGCYTTFTKRKTSFLQMRWAXVKPSSLSLSWHPWSRTILSAGHFLLSHLTLLAPIGVE
RSRNGLQIYGSLHTTASRRLATWRWSMSSIQTVVPIFEPMXLXHRTKLRWMTTVDHSSKRSNGLVXLLMKASVSKTTRTCSMSHSRLSKLRSKFSSQ
APRFRITSASSSIFFNSXTTPSTLLSWTRNTPSLQRRIFLSCTNSFDHSSXGTLALSKQDCIADLTLXTNQTSSAEVPPYRLYLFKYLQLTSLQVPL
KTLLQLRNGQNALDLYNRESEDSQGDMRSSAEPEMTGKRVRTKTIKAGYVDTTRAALLSDDELSGDQAIVKKRRLEKGRVSLLTSNSTRQSSRANSR
PPSRTIHDEESSNSDPDGAKSARVTRSANTRLSGNSKFNEFFQDGEDDDEDELAGPTQYDSDSDIVYMQPKRSQRNKNRQSTQQSKNGTAKGKGRGR
PRRNRSSSSSPERPEPSRRSGRERATKDMRERDMDEEMYADDVAVSNTPKVISIREIYQPVAKDSPFGRFHNQTCDVCSGTGTHSNKGTSPLVYCQG
CSTSVHRVCLGYRAQREHLVTKVGHENFVLQCRRCVGVVEKKDRSAPHLDLCQECKKPGPSCAAFAPKRTSKQEEKLREENDGDDPITEVSGNLINN
PKHVLFRCTSCVRTYDYEHLPSLRSKRSKSNDVDVDVDETRDKRLKEYSLKWQCQECITMPAKVQALVAWRPSDRDSYQGQTVEELREDEKEYLIKW
TDLSYFRCTWMSGAWVWGVTATTMRKAFIRRDEGINELPKYTFEDAIPEEFLRMEIIFDVEYDDEFEHESEEADKAAINMIDQVLVKFQGLGYEEAV
WEEPPGPKDGARWSDFVAAYNEYVVGKYLKQPAAAIMKARADTFRSLNFEKEVELKDQPSALTGGKMMPYQMEGLNWLLYNFHQKKNVILADEMGLG
KTIQLIAFMASLVKDNPECWPFLVVTPNSTCPNWRREIKKWAPDLRVVAYYGVKKARDMAMEYELYPDGCSDLRAHVVVTSYEAPVDDHSRSFFKKI
KWAGMIIDEGQRLKNDENLLYVALKAVKAPFQVLLTGTPLQNNKRELFNLLQFLDNSINAAELDEKYAELTKENLPELHELIRPFFLRRTKLQVLKF
LPPMAQVILPVSMSVVQKKLYRSILAKNPELIKSILGQTKTVLRPAERGNLNNILMQLRKCLCHPFLYSSAIEEISKTDSEEDVQRKLVEASSKFQL
LKIMLPKLKERGHRVLLFSQFLMQLDLVEDFLNGLGLPFKRLDGNVGSLEKQKRIDAFNAPDSDLFAFLLSTRAGGVGINLATADTVIIMDPDFNPH
QDIQALSRAHRIGQKKKVLVFQLMTKDSAEEKIVQIGRKKMALDQALIESMGAEDDAGVDLESILKHGAQALFEDDDRNDIRYDSASVDKLLDRTQV
ENTNTDEEKTAESQFSYARVWANDKGTLTDEVGDDNSDEAPPDLSVWDKILKQREMDAAAEAARNMQVFGRGKRNRQVIDYNKSNLDMQMDDDPSPM
KKPLKRGPDNSASDLDFRSAADSDGDVDGEDESDARVDPGELESNSKGRTPTKGTGKKAAVLKKVTPVKNKIVTPASAQKANKAGNSIVLQHAKAGK
QVKDSTPSKKKNPAPAMAGKQVNKSAAPKQKLPAPAAPVGNIAKQEAQTSKQKPVAKSVASDKAVKQQVQSSQPKPKPKPAAKAMASDDVMKQQAQS
SNQKPVAKRVVSGEVVKPQARPAKQKPVAKFMAPGDGEDKKQQAQSSKQKPSATPMASDEPVEQHNPSISASNSSTTEAVPANLMLKSQKPSPTQPP
TQAKSMSSKAGPLPNNSCTVNNSNKESAAQTPKPNPETTQTPKPKIMLQLKTRNEIPKQRTTLNPPWPLPLPSQPRFTEICGICRAAHIGVGKTCPK
MSSEAQIRLMLDALNSSKDSPEKIDASREILLKALRDRDHERKARRGK

>RCO7_00773 | uncharacterized protein

MSDQDLASAIVPADGSSSPAPTHILDQSNDLDTEMTYPLTLMDSHSISSGSPSPDTMSTFQDNRGRNGQNLNQGNNQGAPYNPVPGHQRNSENRRAQ
AAPLVNAQAPYNPNIPNMNGPPPGPPQQAPSSVAPSAPTSVPLSTVCPGSVHPTENQLNTAYGYAIRRGENSFTRLLPADQYPMTGVPALQGAEGLI
ILPPTVQPVPNGNMPERMVPLQVVMGLPPVNIPFQPARPLVQTLSNTNTVQARINAIVQSSSNAPTPARRREKVYCDKWIHEGTCAFTQLGCKYLHR
MPMDRETQMTLGLNNGPPAWYRRTEEYLTRPMEEGQMVILGSPVSGNRLQGPWRRNDGPPAQPNFGVQNFEQGRRTTQGQQMGGPQYGSAQMGGPQM
GGISHVRGYGENSGYGNQNRSFGPIAPPGPPRFASNNNVYGPFKTEKNNDEDEMLFKARQHF

>RCO7_00774 | probable dihydroorotase

MSSPLAKFDGLELPPAADFHVHLRDGPMMETVVPLIRAGGVNTVYVMPNLIPPLTSASDAMAYKNRIQQLEPDINIMLTLYLHESITPAVVRGAKAQ
GIVGIKVYPAGVTTNSQSGVSSYEAFYPVFRAMEQCGMVLNLHGECPSDHAKNITILNAESKFLETLEGLHSMFPKLKIVLEHCTTKDAIETVNRCG
PNVVGTITAHHLYLTIDDWADDAFNYCKPVAKWPTDREALIKAAIGGTGKFFLGSDSAPHDISAKKGSSGKTAAGVFTQPYLLPLVIDAFELAILRG
VITDEEVTVDILKGFLGGHGRKFYGISDPSNEAVILSKGTEIIQQSFKGQGVEVVPFRRGQSTWSIRWK

>RCO7_00775 | uncharacterized protein

MDSMRSLNTSLPGPTPPAAAATSTKHQDPPEQLLTAFKAAALSVTNLYKSAAADQGRARAEGYQDALDELLGFLDKEDIGLSDGEGWRVRRWATERL
DGRDPSTINAESDDDASDKADRGSSPVIQRSQSSSRLPPTSNVIRAVSPVRTESAPPPAIIPTPVDSQRNSIPPQTTFTFRSSHLYPQDADLVLPDL
DMNDSTRAPSQDGSVTSHTSNTVSSGLGATRPPRPRHNNHSRVSTRPSGNIGRGSGQKRKINFGEFFDIGNLDRQGRDGFGGGGKRGRFA

>RCO7_00776 | probable ATPase component of chromatin remodeling complex (ISW1)

MAPRSTRTSGADTDTSMVDGSEPIGQLPVDPMEVDETPDFTEDSDTNPNTTASSVVGDPVDGRKKRSQATLLRRSVFGKKHDVLGESKEDDTIRRFR

YLLGLTDLFRHFIETNPNPRIKEIMVEIDRQNAEAEKEVKKGKNRQGGAAVAGRRRTEAEEDAELLKDEKAGGSAETVFRESPGFIQGGEMRDYQVA
GLNWLVSLHENGISGILADEMGLGKTLQTISFLGYLRHIMGITGPHLVVVPKSTLDNWKREFAKWTPEVNVLVLQGAKDERHALINERLIDEKFDVC
VTSYEMILREKSHLKKFAWEYIIIDEAHRIKNEESSLAQVIRVFNSRGRLLITGTPLQNNLHELWALLNFLLPDVFGESEAFDQWFSGEGVDQDTVV
QQLHRVLRPFLLRRVKSDVEKSLLPKKEINLYIGMSDMQVKWYKKILEKDIDAVNGAGGKRESKTRLLNIVMQLRKCCNHPYLFEGAEPGPPYTTEE
HIITNAGKMVMLDRLLVRLKKQGSRVLIFSQMSRLLDILEDYCVFKEFKYCRIDGGTAHEDRISAIDDYNKPGSEKFVFLLTTRAGGLGINLTSADI
VVLFDSDWNPQADLQAMDRAHRIGQTKQVVVYRFVTENAIEEKVLERAAQKLRLDQLVIQQGRAQTAAKAAANKDELLNMIQHGAEKVFASKGPTGV
LAEGAELNDDDIDEILKHGEKRTAELNARYEKLGIDDLQKFTSESAYEWNGQDFTSKKKEIGINWINPAKRERKEQSYSMDKYYKQALSTGGRVADS
KPKAPRAPKQVTVHDYQFFPGTLRDLQDRETAYHRKVIGYKIPIAEGPEDALSDREAERALDQEEIDNATPLTEEEQEEKEALSQQGFAEWNRRDFQ
QFVNGSAKYGRKDYDAIADEVDSKNADEIKEYAKVFWQRYTEIADYSKYISLIEAGEEKTRKMEHQRKMLRKKMQQYRVPLQQLKINYSVSTTNKKV
YTEEEDRFLLVLLDKYGVDSDGLFERIRDDIRDSPLFRFDWFFLSRTPVEISRRCTTLLTTVAREFEDASAPKANGTANGKAKREPEDDENDEDSVL
GMAPAKKKSKNGVKNKALDNVRSGAGSKATSAAPSSRASSVMSTASTPPITKGKGKGKKK

>RCO7_00777 | related to HAD superfamily hydrolase
MTNPLSKEPRRFAPLGMKSKDPDMELVKLKGIVFDVDGTLCMPQNWMFGQMRSALEIPKNVDILDHIHSLPSSEQDAAQEKIRAIERSAMSSQEAQP
GLVSLMEYLETKKIPKGICTRNFDAPVTHLLEKFLEGKEFGPVVTREFKPPKPNPAGILHIAKTWGFLNNEGAGDASQLIMVGDSIDDMTAGHTAGA
ATVLLVNDVNAHLAEHEHTDLIVSRLDDLIEVLEKGFVGRIGSEEESNTREGRARFERW

>RCO7_00778 | probable dual specificity mitogen-activated protein kinase kinase 1
MSDAIGSVRTLKRKNVKGLALAAPAPRPVAPSESDLQIPGGNGNDSRQTAQLEIGIEYKLDLKREDLEVLKDLGHGNGGTVSKVRHMATGTVMARKV
IHVEAKEEMRRRIVRELQIMHDTNSEYIVNFYGAFLSETNDVIMCMEYMDVGSLDRISRIFGPVRVDVLGKIAEATLGGLTYLYIKHHIMHRDIKPS
NILVNSKGQIKLCDFGVSGELVNSVADTFVGTSTYMAPERIQGQKYTVKSDVWSFGLSIMELAIGKFPFDASEHLSDGDGAPSGILDLLQQIVYEPA
PKLPKSEAFPQILEDMIQKCMAKAPEERPTPQELFEREPFVQAAKRTPVDLKEWAVSLIEKDNRKSHLAPQLSPSTQQLLRSADSPTTAYATNSPDF
SNSLPTPTSGDIPIGGGDVRSAVTSPHYGDRSPIKNGSSSVGRATGAPYQNHPGLGPRVSTTNSVPKVTTLNVPENSSNGPSSANGTSFSTTTSLPM
RPAPPAGPLPPPPVPKKENAPDGDVKKESRRQATFGNGMYGSGYPASGSNPNHYEY

>RCO7_00779 | probable transcription elongation factor spt6
MSMRDLINGEAELDDEENDESFDEETGEARPSKQRNPDLDDSSEEEDDDDEEAARAVREGFIIEDDEDEDDLEQRRRRRKKRNRAEREQEEAALDEE
DLDLIGESIPEWERKTAAQPKLKRLKRGHREDVEQRRERGLDEIFSDDEEVDAGQDQDRGFARQDHHRVDEFADFIEEDDLEDDDERQRHQEEMEVA
RPRERGYVGGTEASGLDKDALDDMEAIFGNGEDYDWALALEDEADIREAGDHNLELKDVFEPSQLAEKLLTDEDNQIRWADEPERFQLDRLPYKGLQ
ITEDQFKEEARWITSLIWPKKQLPSDLQAPFTRAIGKVLEFFVVDEVEVPYVFQHRKDYLIHAKKTRSRDNNDQDEFVVSAEKLLNQDDLWRILELD
LKFRALIEKRNVLERTYNSLKVAGSVDDAMVENMLPVAVTMEELQDIQDFVYFQYSSEIKDLAATNGDIKEKRRPGGKSTIFDRIRKGKAYSLVRAY
GITPDQVAQNALREGRKQYTEDSSLTPIDLADSLTLDSEFSTGEQVLLAARQMFAEELFMNPRMRKHFRMNYYMMGVVNCRRTDKGLRKIDEQHPYY
EFKYLKNQTFSDIANKPEIFLKMLKAEEEGLIEVKVKMQNEQEFRKQLFSEFASDNFSELADAWNDERQKVLDLAFTKLERVITKGVKESMRTECQD
SVLKICREEYSKRLDQAPYKPNGMMLGTIPRVLALSNGNGDPAREPVAWAWVEEDGRVLEHGKFDNLSRNEKSREDFVELVLRRKPDVLGISGFSVE
THKLITSLKELVEEKGLKGAEFEDPDTGADRSEPLEIVVVNDEVARLYKDSTRATLDHPAFSALTKYCVALAKYLQNPMKEYAALGKDIISLSFHPN
QQLLPEDKLRKQLETAMVDMVNLCGVDINEAIADSYTAALLPFVCGLGPRKASAVLKTINANGGVVNTRDELVGDPDSGKLPVVGPRVWNNCASFLS
IEYDSSNQTSDYLDNTRVHPEDYELGRKMAADALELDEEDVKAEVDEGGPGAIVRKLIKDDEQEKVNDLILEEYAEQLERNYNQRKRATLETIRAEL
QQPYEELRRNFSSLSEQEIFTMLTGETKESLCEGMIVSVNIRVAKEDFIIAKLDSGIEGRVEQQEGSDLSDVSLNRLFSMGQTAQAKLLELDRRNFS
ARLSLRESMLQIAFRRRIDHDHGAWDTLQENKDKEELREKDKATGRTQRVVNHPLFKPFNSTQAEEYLGSQAPGDAVVRPSSKGNDHLAVTWKVADG
VYQHIDVLELQKDNEFSLGRMLRIGGRNYTDLDELIVDHVKAMAKKVTEMMDHDKYQSGTLAETEKWLTTYTEANPKRSVYAFALDKRHPGYFHLCF
KAGHEGSPHSWPVRVVPNAFELQKTPYPDMKALCNGFKMRHQKDQRK

>RCO7_00780 | probable oxysterol-binding protein 1
MAGLEQLEIHSKSYIVRWVKVDEGHTISWSVQPHKKSINFGIFKHPGSSSAATPTITSALEEPSAASFSHLDPTSERQRRASTARNDASTAQDQLRA
KGFIAIQWFGKCEADKVSMGTYAVLPGKGGMYGLVFDNTFSKQVSKTATFVLLTYPSNAPPHATHHQQVPQGSISTAGAGNAGKSSSPKTGAKASES
VDSLQSHLAGVSRGNSTLGRESENGIPTYHVGVLSKRRRKKGQGYARRFFSLDFASCTLSYYYNRNSSALRGAIPLSLAAIAANERRREISIDSGAE
IWHLKAGTAKDFEDWARALETASNSARGIKPETSPSPERLRVDTSGLHAGAPNPDEEREWEQVEALVSRIVGTRDAVRRLCKDTAPGVTKRNMLQGL
GLTALSPDVDEGADYFGSSSPPEKRPFWRRKSSAPTTPRMFSQGISSQLAVPVPATVTEVSASGAITPSSRRSRRSVAPEESMYDHCSALLNDLDNV
LDDFSTLLSNSKRRRMPAPMSSVSRHSIDSTSTAEFYDAEPGDTGPQLMIMRRSDEDTQPSEAEDESVTDASSISTIEDEYSAAHLNGKAALFPVKP
KTLDPLPISADVKRRRTVPAATVMPPSLIGFLRKNVGKDLSTISMPVSANEPLSLLQRITEQLEYAQILNIAASETDPLQRLLHVTAFAVSQFSTNR
AKERAIRKPFNPMLGETYELVRSESDVPGGFRVLVEKVSHRPVRMACQADSARWSLSQSPAPTQKFWGKSAELITEGRVRLVLHLPDGNDEFYSWNI
ATVFLRNVVVGEKYVEPVGSMTVTNETAASKATVDFKQKGMFGGRSEEVVVETYGSDGAPTGLGLVGNWTTNLQVSEGGKAKGPEIWRVGELVDNAS
QKYGFTTFAAGLNEVTDLEMGKLPITDCRLRPDQRAAESGELDLAEQLKAKLEEGQRARRKEMEARGDVHKPRWFTKIEGGYEGEEVWKLRGGKEGY
WEERARGQWTGLEDILTG

>RCO7_00781 | probable oxalate decarboxylase oxdD
MHSSFQILVALAAAGVLPAALAAPAPQMSKYGENTGPIAGVSPPIPEATAASGSLYGDKSLLGEVAKPYPVSGGDSAIVSDYTLVNGQEAEAKLGLY
LDFNSVENPQPIRGEGGQTDPGASKKFFPHLQNNFREQTFAYNITGTYAYERLNPDRFAPPGTDSKSVPNAQWPMGLSHNRFGTGKQSGYARQQNSQ
QLPAATDFAGVDMRLAPHAYRELHWHTANEWSLIMKGSVRLSAVNEKGETFTDDVGAGDVWFFPAGVPHSIQALDEGVEFLLVFDDGAFSEDATFLV
SEMFLRNPKEVLSKNFEAPISAFDNIPQNELYIFDGTPAPQNISLQNQTGPAGILPYEESYTYHWSQQEPYVVPGGSVKIIDTTTFPIAKNFASALV
TIQPGAMREMHWHLTSDEWNFFLQGSARITVYLAPDSSNTFDFTAGDVGYIPASNSHYIENTGTEDVIFLEVLNQPVFSDISVAQWLALTPKQVVKD
HLHLPDSVLDNLPKQKTYLKPGNKNMTALAADPNGTAAYESGNGERVRE

>RCO7_00782 | uncharacterized protein
MQKAFKLLGLAAKSNDLSNGKNEGKDSADSVYKKVRPSYCLPPGKRLERGRERSLQESLNNKVDLLNPPPVPTTAPKWQAARKAILAGKEDSSRTEH
EQEVRANFEGLKIKRRVALGPEQKAQEEKEKAVRMWQYKVAEESPEEVGKLAGNSSQEEKRLLHQEGEKLDASSKTGSRISRPNRVDAALRSRIQED
RSRGPKKAISTSDSSKETSADSATRQAGSSSRAKGSQQAAESSRRSNAPSPPRHARKSSNSQSRLRSRRDSIASTSTVSSKAEVAVHRESSRNTRSS
IKPGKSTSAATSLPGAPSKKESTLLQQPSQGSRSTKISRRPEQPHSQSSGQQPRSEAQGKSISASNTKDGNSSQGSSRVSTVRNTEKQSSQTKTDDG
NSNQTSCAVSTLGNTPKQSLQASQLRRVTNASGAESASSTQRQSAESQDMRDKTKSQGTSQATSRSSYPSKQPQTTQSSTSGVSKPQKQQSQPTKRT
SMTQQSQFRATLTPMIGGNAKCTTRAYDFESEAAFEPQTVFYRGLGDNRRTVIEGLVPLSPTDMAIRARRIEQESQIRTPGSQAGPGDSTRTILEAT

QPMTSEDTKEDQRRRQSAAKKQEEATYVELPHSEFNRGVGDMTRYVFHTQKLSKRSYTAYIWPIS
>RCO7_00783 | related to APM1 - AP-1 complex subunit, mu1 subunit, 54 KD
MTGAIEALYIYDEHNRPILTHTYTSRPLTASQLLPLYQSHPIPRSNFIYLPNTSPPTLVFNVVHSSLLFLLTSSTEIEPLLALEFLHRVIDILEDFI
GSPILAQKIESNYDVVAQLLNEMCDAGAISTTEPNALRDLVEVEGWIGKLLGGINLPGKPGFSASSNSNMSAISSSGVAANTPSLPWRRANVRHTSN
ELYVDLVETLTVTLAPSGRPLAAFANGTIAFTSKISGVPDLLLNLSTPSGKQNLNNVMELPVFHPCVRLARWREKPGELSFIPPDGRFVLAGYEVDL
LPFQKGNSGTTSSSNLKLPVSIEVKTCLGPQGSDFEVLLFITKVSGQGNSLISDSSSRSSSRVGVRSTGAFSSGLGSQAGTSSTPTLEDLVVTIPLP
KEVRNLSEIRVSRGDTTYNPGEKNLEWHIPAKDAVTGGATLRCTVVGPLTKEEDFESNGFRLEGDYDYEENAYQSSSVKADKSEVTEEQKDVKRIAQ
NKILMPSSATVSFSVKGWLASGIKVESLVIDTRKSRGVGEGVKPYKGVKYLTVSRNGVEIRC
>RCO7_00784 | uncharacterized protein
MGARNPQIDQLSRPEPLQEILKSDMVDDCTPCRITGAAAFEGLGAYSYFSGMSQLKAQEAKILASGSMFGMRSRRAGITGIALTLAGMGFWRLVN
>RCO7_00785 | related to 3`->5` exoribonuclease
MAITILAPAPAVPYQHANDSEDESDDGGADLQGDLNMRPSKRARTSAKDLVTPGETVTDDPQWMRGHGTYVASSSTDIIATVAGTIQKTNKLLSVRP
LRARYTPEIGDLVVGRIVEVQAKRWRVDVGAPVLAGLPLSAINLPGGILRKRTDTDELQIRTFFSEGDLLVAEVQSLYQDGSASLHTRSLKYGKLRN
GVFMSVTGTGGGGGVVRSRRQVWTIDTVSGGGPVDIVLGVNGYIWISKHVEVAGGDTAVTRMEEVVSSTVYSSQNDEIGPETRREISRIRGVINLLV
EEGIRVDEDMVIKGYDAAVLVESEEGENTGYLAGETGKKVLMLLSG
>RCO7_00786 | related to ADH7 - NADP(H)-dependent alcohol dehydrogenase
MVEFTVFKGSKEGKIIEGTTKKDIKADEVLIKVTHSGLCGTDEHFKKADMVLGHEGAGVVEEIGASVTTYKKGDSVGWGYQHDSCNHCKQCLTGHET
LCPERAMYGYNDHDQGSLAYYSVWKADYIFKIPDSIPREFAAPLQCGGATVFNALRSHGTKATDRVGIIGIGGLGHLAIQFASKMGCQVTVFSSTDS
KRDEAMRLGADEFVITKGVKELQVSGKIDHLLICASFQPDWKQFLPIMAPGGTLYPLTVSQDDLSIPYMPILEKELSIQGSLVAARAVHNEMLAFAA
HHQIRPIIEKFPMTTEGIEKCMKHLEDGNMRYRGVLVAP
>RCO7_00787 | related to aldehyde dehydrogenase [NAD(P)]
MASVKIAPFETTPVDAISSTVNLCKTTYRSQKTKPIAYRLVQLRKLYWGIVDYSDALVEACKLDLGKPAFESFLSEIDWCKNDIIFVTKNAEKWMKD
EAAPDIPLTNTLLNPRIKKEPLGTVLVIGAYNFPVQLSFGPLIGAISAGCTAVLKPSEVSPNAAMIMKKIVEEYLDTSAYAVVNGGIPETTALLNEK
WDKIFYTGNATVGTIIAKKAAETLTPVCLELGGRNPAIVTKNADPRLAARRLVWGKLHNAGQVCLSQNYIMVEKDILPAFVEQLKIALKEFYPQGQK
SSPDYARIVNNRHFHRIKKMVDDSRGKILIGGEMDETDNFIEITVVQVEDENDSMIVDESFGPLMPLLAVDSVKEAIRIANSVHSTPLGLYPFGTTK
ETNKILNEVTSGGASVNDAFFHGSIPTLQFGGVGDSGQGAYRGKASFDTFTHFRSVTTTPGWMEKLIDVRYPPYAGKLAKWRKMSLAKPNFDRNGHE
IRGVGYWFGFVTSWGGASAKGALLRWAIVILLAVGAKKTQFNNGLPSWLR
>RCO7_00788 | related to RSM24 - mitochondrial ribosomal protein, small subunit
MARALQGVCLTARSCLCSQTVYRYGASSIGPGRAFSTTIPRVKRTNRIRTGLSKARKSDSEDAAELLDLERQIAEERKRNADGDEWTAVQAKIDAQA
KPYELQDTQQRRKLKDTFMNMGEAEPWEDEYTMEDDDDDLNSLAHGELEQHREMRHYARIIAWEMPLLSKLVQPFQPPTREMPLRFRYTTYMGEQHP
SEKKVVLEFSPADLPRLTKQQTDKLRKLAGVRYNPETDVVKMSCEMFETQSQNKRYLGDVVGSLLREARDPTDTFEDIPLDTRHHHFKAKPQFPKEW
AITEARKAELQQYRAAMISKDQQMELTGQLIDGIQQIEEGLRKTSLKESIPEPVMIGRGKGGKKVAVRR
>RCO7_00789 | related to ALG13 Essential protein required for the second step of
dolichyl-linked oligosaccharide synthesis
MIKECFITTGATAKFTELISSALSPECLKAFVDSGFTRLNFQCGDSISAFEQLKPIDTMGLEINGFAFNRNGLIKEMRACQEKKGVSRKGLVICHAG
AGTILDAMRLAVPLVVVPNSSLLDNHQEELAAELEAQGYATKADTLNLALAITKASQKEEKAWGGHNNSFAAIVDDVVGYEDDIRGRLD
>RCO7_00790 | uncharacterized protein
MTIAIGFAISEASKEEMYEVFQVLAAAYAKDEVWVHIFKDCNAEEIHPWLMANMNPRWTMPDMKTFKVTELSTGENHGWDPEEDYHRKGTMVHPDYQ
NKGFGTELTKHCNAISDKSGGRTWVPARPTSVKMFRKNGFKDIGFVDAHLERWGGPRDKSITWTLCRNASSS
>RCO7_00791 | uncharacterized protein
MGFTTGFTGGVTLTLGIAYLTVLAHERNRRVQGEALRSQSFVLERLLNPAPLPPPQTRAELAREQRISLIETAKDRWNAEVENAMRWVHRTDWDNVR
EGMEGQAARLIGEGLQKSRESIDEAEKAAGPEVQEAVDRSRAAAKKGADQAAIAIDRAAAKTIHEADRAGVEFKEGASKIAAAAKEKLSEAGFKAAG
ARDAVTASTERAGANTRSGAHDATEAVKHSAGTIDAARGAVRDAVSKGIEKGKEAIGKAQAAVGLATEKIESKAQSAGLSHSSAVEKALHERYQQPF
FHEKTAEEALAERYMPIEAKDNSRLRGV
>RCO7_00792 | probable 50S ribosomal protein L17
MAGGHMKYRHLGRKSSHRQALLRNLVTSLFTHESISTTYPKAKEAQRLAEKLITLGKKNTEASKRRALSIFYTPHELLPKLFGTLRERYAERPGGYT
RVLRIEPLKADHAPSAILELVDGPKDMRFAMTAKTVARQRKEGQKMNDMTARNVEKVTRYRQNGEEDLEKMVTKMGEFSLRQRDEFSSKNSRLALGE
HDPGVKKHDMPKISAED
>RCO7_00793 | probable U3 small nucleolar RNA-associated protein 25
MAFVGSKGRGSSSGGSRGGRRGSGVGSRGRGGSRGGAGPRGRGDFRGGRGRGRGRGKPVFDSQRLAQQKENEDAEKSDSESSVAEEVSDIESSGEDE
EPAPLVRPYASLLQSFTEEAAPQAKRRKIDHVLEPVQIDEDEDENLDAKVDEVEEPEEGPETAVEGVDEGEEESEDSSDPFEAHFAAPDDNILARRL
KALELNLWLNQKLSHPFLGKAVVGLPEKEESKTALPGAVSGPSDLKLKQKLLEAMAEQKSTFDPLERVIAPLIFNYQDLFYCERNTAKSESLRRLTC
LHAINHVFKTRDRVIKNNARLAKEDSGDDLELRDQGFTRPKVLMILPTRESCVKMVGMITALCEPEQQENRKRFDDSYVEKEEKFSVDKPEDFRELF
GGNDDDMFRLGLKFTRKTIKYFSQFYNSDIIFASPLGLRMAIEGKEDKKGDYDFLSSIEMVIVDQAEALLMQNWEHVEYIFEHLNLQPKEAHGCDFS
RVRSWYLDNKASYFRQTIALSSFNTPELNTLFFNQSKNWAGKVKISGTYTGAIQELGLKVKQTFSRIESPAFATDPDARFEYFTTAIIPSLIRRTKD
TAGTVIFIPSYLDFVRVRNYFSTSPTTSTLSFGNISEYTSVKDVARARSHFFNERHSVLLYTERAHHFRRYQLRGVKKVIMYGLPDNPLFYKEIIGG
YLGRSIQEGKLEPGEGSVRALFSKWDVLKLERIVGTERVGKMIREKGDTFDFL
>RCO7_00794 | probable eukaryotic translation initiation factor 3 subunit F
MAVSPENFLHLARPLAPASIGVQPTTAPLNVVVQPQAIFSILDHSIRRDDSQTQATRVIGALLGVRSEDGMEVEVRNCFAIPHTENEDQVEVDVEYQ
KNMLALQLKANPREVLLGWYTTSLALNNFSALIQNFFASPETGTFPHPAVHLTISTEAGKDIEAKAYISAPVGVNAERAAESCLFIPVPYEIRYGEA
EKSGLELISGAKDSENRAAPVVSDIEGLERAVDQTVDLLERVSEYVNSVLDEEREPSNALGQFLMNALSLAPKVDPQDIERDFNNHIQDVLVVSYLA
NTIRTQIELSQRLATATLTMGGSDAVATTGGEGGEQKGGQGGQRGGRGGGRGGRGGRGGGGGDRQQREPREPREPNE
>RCO7_00795 | uncharacterized protein
MAAAPISADPSRLSFAKVAASAGKDMSLGSLAEAVSTNSILDSQKENTPIQAQKTLAYGLGQLDGPKMSSTYETSLFPLEGSHKISVESVSRRPGES

PSEPPSHTLSTVSTNTEAKLVDAVEALQVSSPMPSLVVNGSGVSDTKSKVDGLEAFSEDLFQRTDSGSELGTKPPSLDGKSITSGTTFALDEKESLR
PDDSASVKAAEDDDTFSARGSIVAGSRIGSEAAARAYRAQFYEVPDRRSMQPMQERQNQGVVTPQSGSSSQQATDDGNSKPLLVGPTDVPEGFNLFY
RQTPDEKLLEALESPKDRMFLLRLEQDVIEFVKDSKEPFIDLPPCNSFCRMLTHKLADYYHMTHQVDAVAGAVRIFRTPFCRLPPALTSISNPPTTG
STPPPSMPTMKIMRRGGDGGTGPSPSKATSETGSDGRDKSLSAKEKLSREEREAAYNRARERIFGKEESIDTEEMNEMSRSSSVSTKDRAAQGKRPK
PPKQRRDDSEPFDRRSEYTRFFPQPQVPTWIPQPQYAVMPTQPFTGPVQNNYQAAVPPQFVQPSQQYNPSMMGNPSMQHYGTMTQVNGTFFHSRSLV
DGRQQYPQQSQPRFQPHSAPITTYGTPVQPPQPQAHQWQQQQQQPVYQNQFPYQPQTPVRGSPGPIPYAFGQLPSTVNPADPKSQHPIPGSFNRHAF
NPKTQSFVPNNPAGLPISQPLSHHGSPHQGSPHHGSPHLQCNAFSPPQTQYGNGMGYSMARQGSNNSLPSYHASPHIASRSMMQQNIPQGLPPGMPQ
SMHPGLPQGMHISQSGQAGTHLPQYGDPSTLPQRPPMGL

>RCO7_00796 | uncharacterized protein

MKRYARGPASGAPSKASATTLCQNYECKAVIQERPYVSRPSRTQQLLNPKLQPKLTSDVPQDLLRKKGIADELLAKADQERGMKRDRMSEGEEPSST
KRMRSASSASVSTISTRISRSPSPQRDDKEYSIRRAGSTSPVVRRKSPSRTPPRRLTDSEKKRRRDSFSSVDSYSSDEDIISRQRLGSRSTRRRYQQ
ASPPARGRTTESRSPHRKRRDLSNDRQRARNGFGGVENRHPPRERSLSPFSKRLALTQSMNGR

>RCO7_00797 | uncharacterized protein

MSSTHATLGAAADERKARLAKLKTLKRKQPSDEIVAPESTQSPSPPTQPDVTKLHLSGRNYDPETKGPKLGFEAPPTLAVEKTLEQQAKEVEDEIRE
KALEEELDEKGVDLFKLQPKKPNWDLKRDLEKKLEILNVRTENAIARMVRERIEGAQKAARSKAGNGAVTTSEGGDEMGMEGIALVEGVKLREREEE
DEERREKEDDEML

>RCO7_00798 | uncharacterized protein

MERWSTLDLPILPFLAPRVFTPWPRRIRRSHSGPKATARAVSTQQSWDNKEEISRGDGIEKSSESAGGQNDFWSKYESIWGPTNRKKRGAPLGASAN
PGSRQEDAMTRSHADVLECGTAFIRRMPATCRRSRQPREQSQSPESEGPKQAFDEENEQKPPEEEWAAMSKAKRILHLKKLWKGLKRAKNRSKLQKQ
ARGMLKTRIKFVRLAPEKGLGKFHFSTSWNWRFAMLNARYDEATNGRVRSKVATYKKPRISKNFIKELVEDQSLEHIRERWTKLPPSRRRYLWAEVM
LTTLEDYPNQALDVLQATFMSPYPEGYTLSDSIDYIMSHADDERIPLKGDFLLGLSKTITLILKKGPKDHVHLSQRALFRLVRMVCSENHALEFRTG
RSMSDYQKGSMIKSIYRTLVNVNHPMHANTLIQFASGAAKKTGTKLACEILQRLKDEGTDFNTPKILSLCSTLLSRIHQQSLRGLGDDTISTTNIFR
FVLEAGAEPNIITYNLLLKSSLDVGDHQTAWQMHEMMIASGPIPDAHTYSMLLNDAKLRVDSSGIRAVLDHVRSGGIRNDHIATDILHAILSLHQQE
RRTAMTSDQPIKSQKPIFSRLLQVYYDQFDIRPLARIIPYFANQFPDLMEERGEDMQDLMREPSEATLVVMITGYLDNPQDSRTVRLFYTHFRSLLL
QNDPVVAPLMKTTHVWNSVLMALGKFGRLADCSSLVGDMLSGPDHTFDQSRPPVSVESVETEPRVSGDNPRLSLSPDESNSEPLDGQCEPKTEIAPA
DDVLQPICQESPQPETSPRSSLPALPNLPSSRPLILQPPKPDVYTWSILLKLFMEQRQPLAAEKVLTMMLSRGIVPTQVTYNTLIVGYARMDDTVMT
VDALHRLEQAGFSADDSTMNALAALRNRRALVEAMTRRDLERMEGSAHGGFEERLVNEGVGRMKSGGDGEREMLGDEERELQDLWRVDEEKEKKFLE
DDVAEEYAVDER

>RCO7_00799 | probable NADH-ubiquinone oxidoreductase 19.3 kDa subunit, mitochondrial precursor

MLTRRSVYSRSKRLINIEIAKPTSFLIPYRSIAAISSSSSKPASPGLTPNVSGNAGSPPQIMSVTGKPRREVALASQEGKKGAVQYALTTLDQIANW
ARQSSLWPMTFGLACCAIEMMHLSTPRYDQDRLGIIFRASPRQSDVMIVAGTLTNKMAPALRQVYDQMPEPRWVISMGSCANGGGYYHYSYSVTRGC
DRIVPVDIYVPGCPPTSEALMYGIFQLQKKMRHTKITRMWYRK

>RCO7_00800 | probable protein phosphatase 2C

MGQTLSEPVVDKTSENGGDDRLIYGVSSMQGWRISMEDAHATILDLQSVAEGGKEAKQASVDSRLSFFGVYDGHGGDKVALFAGENIHPIIAKQEAF
KKGDLEQALKDGFLATDRAILNDPRYEEEVSGCTASVAIVSAKQIFVGNAGDSRSVLGVKGRAKPLSFDHKPQNEGEKARITAAGGFVDFGRVNGNL
ALSRAIGDFEFKKSAELAPEQQIVTAYPDVTVHDISDDDEFLVVACDGIWDCQSSQAVVEFVRRGIAAKQDLSKICENMMDNCLASSSETGGVGCDN
MTIIIIGLLRGKSKEEWYDEIAKRVANGDGPCAPPEYAEFRGPGVHHNFDDSDSGYDVDMDQKSKSFGGNQRGRIILLGDGTEVLTDSDDTEMFDRS
EEDRDLDSQVSKGQAAESGDSDPKYKSVVDGETKSVKTEPEQK

>RCO7_00801 | uncharacterized protein

MASRALIILFAIYGPSSNAVPTVAFPINSQVPPAARVLIPFSYAFPISTFQSDLPMIYTLSSGPTWLSLDSTSRILSGTPSLEDAGTHTVTGVPISL
TASDSTGSITLNATLVVSKNLAPSVRIPASQLVSSGAFSAPSTLLYHPSTPFSFSLQPGTFANDDGGTAFNYYAITSDNTPLPSWIKFDRNSLSFAG
QTPDYQSLIQPPQTFGIQLIASDIEGFGGSSLYFDVEVGVHLFAFKNAESVINGTIGERINFDGLLGDLELDSKPAKVSDLVAISANTPSWMTFNNS
TFALIGTVPADAISSDITVQVTDIYGDSADALVHVYITAPLFTKSIGDLNATIGSTFSYDLGAYLTNKSDTILTAEIVPQQYSISFNPQTFILAGQI
SPSTQPSALVVTLSATSKTHQISDSRFFKLLLTADAMTTISTSARHSSIRSPSPTSKVAATSKTSEAEPSVAKSRKVLSTRVILAIAIPFGILLLAI
LLAFCCYFQRRHVAKKQKEFGKIEKRSISSPLDARPSVAESFHTLEPVPSIPPPPLLQLNMSGFGVQRGARPGAVLGTISGAETSEKDRRGNVEVNH
RARRSQTMSALVDPGMSRLMNSHISSLGYRVRSKSNNSLSDYSWSNTQESGYPTLRSSGTGSFQTHNLARRYSNYSRKGHTQHSTILLSSTPSDAAR
QSVPPSLPREESILNLQNSNFPLSSLDSFSALEKRGTFLDVNEDMPSVLPSKEVPIPTRSTKRQSKVTSTMNRPRDVGHSRAEPLFSSTCNTAKRRS
IGHGQDWSESRNLARDSKTWLTIATSIENENRRSLAGASSTYEYRRPVSMSPRKTIRAVTKSPSIAPDSIILSESSDNSRLSRPVSRRVGSSPFFGG
SSLRNSGKVTKKHLRTSYADSPTVPEEAIMDSLEETINRGLREMSDETDPRDSRSISFGMAREGTRQLRSYIQTARMRTRSSIRSFESRDSRFDSAP
GEMAQMANSPEKESRNNEGVWEDYSFSEGSLETSRSGREEESDMGRRGDAGIGTSISKSTPSSPDIDRATRAMDGVGRRLGIVDARDVRRMDTRRGV
MDYTAYI

>RCO7_00802 | related to putative N2,N2-dimethylguanosine tRNA methyltransferase

MASRSVSPEFDPLSFGEDLTAVPAYKAASTTSVTFSKLLEPPLLLHEDLKSGCGGQLWPAGMVLSQQMLRYHKNSLKDARILELGAGGGLVGLGVAL
GCELDNPLYITDQQNMVELMRKNIELNGLESRVKELVLNWGDPLPEEVVSQKPNLILAADCVYFEPAFPLLLTTLEDLLELCKESVIYFCFKKRRKA
DIQFMKKAKKKFMVEEIEDQDRGTFSREALFLYSFKRKP

>RCO7_00803 | related to phosphoglycerate mutase

MPDKDAGTPRVFLVRHGETEWTISGRYTGRSDIPLTPNGEKQVSSSASVIVGAGKIVDPSRIAHIFVSPRTRAQRTYELLFDSASRQDLSKNYETTE
DIREWEYGLYEGLLTAQIREARKGRGLDNVRPWNIWVDGCEEGETAAEVSERLDGVIRKIRKMQGPYMHGEKPVDVVLIAHGHILRAFAKRWIGFEL
SRSLPMMLEPGAVGVLSYEHHKVDEPAFLLGVNMGASDEK

>RCO7_00804 | uncharacterized protein

MPPRCCNVIPLSVVKRHLTAEELEEWSTPNKLYCPVPTCSAFIHPRLYQKQTKSLPPQAEHRTTGTSDSTSPQAPTTEIEINNTKCPTCSVEVCTNC
RTFAHDGYCTDDLDPALAAKLTKWKIKRCPGCRTGVRKVYGCTQIECRCGYHFCFECLGEINICGGGCENSGPEDTSFSDDGYYEGDGHVFGPEPNQ
NFNPGWDCVHLMRPPPANFPLEAECQRCLQTVQHTHLIVPRNRKSNQASLQENGGEEGDSALEALETLNSQEAWQCTRCAMNLCSDCSKLVQQSDTQ
SSSPRD

>RCO7_00805 | uncharacterized protein
MQLSLLPVSLLLSLATASSTVSFSSKPVTSTECAGRGVLDSCVASTKAIVADCGSTDWGCLCQKWNDVLTCYTASGCVNDPTIPTAQNSKDTYCANA
SIYPSSTSSPTSRASASTTATTTQSGTMPAQTTSGTGSVRTATTSGGAAASPTQSGSGAVREGVVGAGSVLMGVVGLMGALL
>RCO7_00806 | probable ubiquitin-protein ligase
MASSSRNDSSLPAQPNLRLTIIAADGLYKRDVFRFPDPFAVATLGGEQTKTTTVIKRTLNPYWNESFDLRANEDSILAVQIFDQKKFKKKDQGFLGV
INVRVGDVVDFSTTQDQMLTRDLKKSTDNLVVHGKLIINLSTNLDAPPRGNQPAGAGPSNASRPSLATPQGSTLQGASTPGLSSQPPPIIMANGATV
TGPTPGHAPAAGSAGTSANANGTGPARQAGTFSSFEDAQGRLPAGWERREDNLGRTYYVDHNTRSTSWNRPTAGGTAETQRTERDANTQVERQRHQN
RTLPEDRTGANSPSQQAQPPPAANSPNSATMMATGATTAGTGELPPLWEQRHTPEGRAYFVDHNTRTTTWVDPRRQQYIRMYGGQNANNTIQQQPVS
QLGPLPSGWEMRLTNTARVYFVDHNTKTTTWDDPRLPSSLDQNVPQYKRDFRRKLIYFRSQPALRILSGQCHVKVRRSHIFEDSYAEIMRQSATDLK
KRLMIKFDGEDGLDYGGLSREFFFLLSHEMFNPFYCLFEYSAHDNYTLQINPHSGINPEHLNYFKFIGRVVGLAIFHRRFLDAFFIGALYKMMLNKA
VALSDMEGVDADFHRSLQWMLDNSIEGVLEQTFSTEDERFGQTEIEDLKPGGRDIDVTDENKKEYVDLMVKWRIQKRIDEQFQAFITGFHELIPAEL
VNVFDERELELLIGGIAEIDVEDWKKHTDYRGYTESDEVIKFFWQTIRSWDGEQKSRLLQFATGTSRIPVNGFKDLQGSDGPRRFTIEKAGEFNNLP
KSHTCFNRLDLPPYKSLEALQTKLTMAVEETMGFGQE
>RCO7_00807 | related to polyadenylate-binding protein 2 (Poly(A)-binding protein 2)
MADTEPKVEDNIMANELDENDEAEISAMKKRVEEMEEEAAKLREMQATLDQQTHDLSEDKEDIDMRSIFVGNVDYAASPEEIQAHFQTCGAINRVTI
LLDKFTGHPKGYAYVEFTEPSLVAQALVLNESVFRGRNLKVVPKRTNVPGMTRGGRGGRGGPGRGRGRGRGFPGGFSPRGGGEGGYRGGYRGNRGRG
FAPY
>RCO7_00808 | uncharacterized protein
MANATRPVVEITAAGLGKRRMSSLDEGMSGMEETDVPEAKRSKPSSVTSEPVMDLNGEETVNTTPEFVDSRSQIRDAIDSQFSLEILLKHNELRLIN
QELAKCQAALEQLRRCHLIPFPPTVPNPVSSEDVSNGTGPAVGYGDRVPQWAPPFGVTDGPYSRHYTKWLIPDPKFDGVVVESSEGSRAGKSVPDAR
STRNSFNEGSTFSSKSRSHRGTASQKLQALPSGYPPVKEKAGPCVLKRGDGVMVKLICIDCQRHDFSSTQGFINHCRISHRRDFKSHEEAAVACGHP
AEFDEAGHLIGEERAPSLAPGVHPMVRSAPYDKAAYSALLSRIHSSMDACKRSSPSGTTSMASPPVPPNANFVPSASTPHLSALMRSRGFGGNLEEL
VHEAKTQVTFEEYHESDSSDEEQVNIGKQPMGFDGTNSPPPVVRMPARPGVLPGPLGRPSSSKGIDGRLGRQPGMSGISSRMFHETPVIDTTSQARP
SCRFSDSHFDGTGHDMDIDMLDGPSIIELSPNTVASNNAPSLVSDDGEYDEGDDAASTSSADEDEDSDVAEINIDDDSMEKVIPRTVLRDRASSIIK
KEDKHVSFVSPVKEAGRDKRSRNA
>RCO7_00809 | uncharacterized protein
MSRTTPKARSGPEGHAFRENAAKRKAGSQLQSESGAGSGALNRDGIEDGAAVAKGSGKRKRKRNPQKEGAGDEIGAKRRKNTEDGQHEGGDSFIVGG
ERDGEIPIEQDENLSADAPVPAKKPSNDGGSHPLLIPIFPGLESTYRVTTLSIISSSNIGKKVCRILDILSLSQTTDQNGENEKGKGKEGNGNGNGK
NVLMLYAKAPVACKLISVAEIAKREIAKEGGKWFEYCCVGEVVTPITKPEIKKPKEKKKVDVEDRDQEGGKNREGSEEDEEDEEEAFEVMKTPFERA
LESEGRQKIRALPVMSLYLSRGRIESLRTVYGEQTNAQEVK
>RCO7_00810 | probable negative regulator of cdc42
MSSQPLLQSAPGKRIALPTRVEPKVFFANERTFLSWMNFAVILGALAVGMLNFGDKTAFWSAVAFTGVAMLTMVYAVWTYHWRAASIRVKSQTGFDD
KIGPTLLAAALLVAISVNFVLRIVNYDKIGSKA
>RCO7_00811 | related to cytoplasmic dynein light chain
MASSSATPPISYLRLKQIANDACQSALGNAEFYEHSKTEGWNTTIINSILRSLISESSPAGGTPAFKYAVNSTIIQHLVPTSSLNRVKATQESAVSP
EKDDATITTSDAKAGPTGTDGKPHVGRRGMHSATGAYWNDKTDGMWSFKYEGGESKGLDVVISVIYISL
>RCO7_00812 | uncharacterized protein
MSFSILDYSTRIQVVDMLEKQDITNMALTCRDFLHAVQDQRRLGFAHDVSRSVTGPLASTNTVTWAPTVSPSASLPSSVAADYDALANTDTDVPSSP
EEDEWEFEITPEIIRRLSLLPVRQSTANIEGLPTELKLEIFSYLDQIDSTCLGLTSPDMYIVHRAIHGTKIPLNTRRVGPNSLESAWEVVGKQECKQ
CKMYRCELHEHIKTWMPQGLEYCSMKKNFGLRAKENSTHQSCFRGKPSKPHRCGRHPLRTTSVHQDDSSFSIPH
>RCO7_00813 | related to aldehyde-alcohol dehydrogenase
MAAPNETYRPAFPPNPKPYISIGLPFPEACAHHITQTFRASKVYIIVSNSISQTENFTRLKSALGEKIVGVRKGIKPHTPWDDIVEIVNDVQDKEAD
VIITLGAGSLTDGAKIVNFALANNISTLDDLSKLAAEASPQNPKACQIPVINIPTSLSGGEYSAIAGGTDTRTQHKGLFTHPSMLAHLVILDPALSI
STPERIWLSSGIRAVDHCVEGLCSLDSKATPETDKVLEAGLRLLVPNLLLTKRNWEDEKARLDSMLGVIESMKGLSSGVPMGGSHGIGHQLGPLGVG
HGETSCIMLPAVLKYNAQHGGEEVKRAQQKVLDILWEQETLVELLRKKGLEKETADAGDVVGAIITELGMPRTLKDVGVGREKLDALAVNCLKDKWL
KTNPVPLTEKKQVLAILETVVGDGKSSL
>RCO7_00814 | probable carboxypeptidase Y precursor
MRFSNIVTAIALTASVASAAIQSGRSLKHVGKADKPRNIHRSTSPTKTHDRPSAHKYLTPSTAKYVVNGSKIPDVNFDIGESYAGLMPISKAANESS
EFYFWFFPSENPAASDEILIWLNGGPGCSSLEGLLQENGPFIWQYGTYRPVKNPYTWVNLTNVVWVEQPIGTGFTQGTPTAEDETEVAAQFMGFWEN
FMDTFDLKGRKVFITGESYAGVYVPYIASNMLDKNDTTYFNVEATMIYDPAIAPFAIQQQIPAVQFVDYWSGLHPFNDSYRAFLHNRSESCGFNAYL
EKYLTFPPPGPFPVEIPGNNADGTPTDDCDVFDTIYDEIQRLNPCWDPYQVATTCPQLWDVLGFPGVQDYLPEGAKIYFDRTDVQKAINAPIGKWKE
CSDGVLEPDNSDWPLYSVLPSVIERTKRTVIGQGALDFMIMTNGTLLAIQNMTWNGAQGFQEKPKSPMYVPFHHESSQSTLAGSGVMGTTHTERGLT
WASVNLAGHMVPQYAPSAAYRHLEFLLGRVESLSSTVPFTTMDYPQPKGPLGNGTALPPRVVARGFEWEF
>RCO7_00815 | probable UPS1 Mitochondrial intermembrane space protein that regulates
alternative processing and sorting of Mgm1p and other proteins
MVKFYESTFQYDYSFPAVTLAYFLRYPNPYSTHVLSTDVISRNIDAAGRLHTLRVHRKSSRLPSAVLKLLPQSVLGNVSGGKSESYILESSTIDIHE
GWMKTESKNLDWTGILSVVEKQEYTRNVPADEDDNLSLEVGTTGVVTTVMFKSRLGDRLRARATRKGEAAAEEGEEPKKGFLASWSTSGIQRSIEAI
ASRKTEKQLGKSKEGMQVVLERLRNGGLVAVLDGMRKDRETAFGRDSVWKNT
>RCO7_00816 | probable tryptophan--tRNA ligase
MADPSPKIEAALAADAATTKQTVDPWNVAGEVGADGIAKAINYMSLIDEFGTKKILDEDLARFEKVTGKKPHRFMRRGIVFSHRDLNLILDRHERGE
PFFLYTGRGPSSDSMHIGHTIPFEFTKWLQDVFDVPLIIMMTDDEKYIFSEKRTIEEVQRYTVGNAKDIIAVGFDPKKTFMFSDYDYMGGAFYRNVT
RMSKHITLNVARAVFGFDGSSNIGKVHFGAVQGATSFASSFPHIFGPEEVVTTQIPALIPCAIDQDPYFRVTRDVAARLHFAKPALIHARFLDALQG
PGSKMSASIDTSAIFMADDPKKIKTKINKYAFSGGRETEAEQREKGGDAEKDVSFQYLTFFLEDDAELEQIRRDYTSGKLLTGELKAKCIEELQVYT
KGFQERRAAVTDDIVADFMSLKRLEWKGNPNPIVVAQEENEALAAGEKAESSTELTGNQLKKIAKQKQIEEKKAAKAAEKAAKGA

>RCO7_00817 | uncharacterized protein
MDVELKKSGGRSFSFSELDLERMNKEMDEQIRLMKEEMVRHAVHGPEEVKAQTKWFWQGNWKYGSEPLGGSVLDDGRLVNPIARPKGIRGEL
>RCO7_00818 | mitogen-activated protein kinase 13
MSDLQGRKVFKVFNQDFIVDERYTVTKELGQGAYGIVCAATNSQTQEGVAIKKVTNVFSKKILAKRALREIKLLQHFRGHRNITCLYDMDIPRPDNF
NETYLYEELMECDLAAIIRSGQPLTDAHFQSFIYQILCGLKYIHSANVLHRDLKPGNLLVNADCELKICDFGLARGFSVDPDENAGYMTEYVATRWY
RAPEIMLSFQSYTKAIDVWSVGCILAELLGGRPFFKGRDYVDQLNQILHILGTPNEETLCRIGSPRAQEYVRNLPHMAKRPFPTLFSNANPDALNLL
DHMLAFDPSSRISVEDALEHPYLHIWHDASDEPGCPTTFNFDFEVVEDVGEMRKMILDEVARFRQHVRIQPGQQDHNQGPAVPIPQAGGGWSNEDPR
PQEYIQQNATGLEQDLQGGLDAMRN
>RCO7_00819 | uncharacterized protein
MPSLRTICVGLLLAPLLQLSVAAPATPASPAGAKCTGPPPSLPKTGNAVELPASTLALKYVAIGRGVQNYTCASSTSPAVAVGAIATLYDATSLAYS
STTALHAIPPMAVNVALPQGGASSSGSPLNLAAQNLKPLGNHYFDAAGTPVFDLTSVKKSLFAAKAANTTAPASASKGPGGQGAVDWLYLKSKPAYN
SVGLGEVYRVITAGGKAVCSQAGPQSVQYAAEYWFYG
>RCO7_00820 | probable mitochondrial precursor protein import receptor tom70
MAAQSPIPTGKPFPVFASSTPPSSVWDRISTWASENKAVVYTIAGVAIVVSGAGVAYYLTDSKTNTAGRDSPKRSKKEKRRKKEEEKKPADLEKGAA
EPKRQAPTVESVDELPEVDETTVGSLSEQERKDYAAKLKAAGNTAYGAKDYTKAIDLYGKAIICKPDPIFYSNRAACYNALGQWEKVIEDTTAAINL
DNEYVKALNRRAHAYENLDKFSEALLDSTASCIIDGFRNEASALAVERLLKKVAEAKGKAILANKEKRLPSPTFVTNYLQSFRARPPPAGLESDAEV
EENTGTGELQHGLRAMEKKTGEGYEEAAAAFDKALELGDLGENEAFAYNMRGTFRYLRGENREALADLTKSVDLQPALTQSFIKRASMHLELGEKDL
AAEDFEKAMEQNTDDPDIYYHRAQLHFILGEFGDAAKDYQKSIDLDRDFIFSHIQLGVTQYKMGSIASSMATFRRCIKNFDKVPDVYNYYGELLLDQ
QKYQEAIEKFDTAVEMEKQTKPLGMNVLPLINKALALFQWKQDFAEAEKLCQKALIIDPECDIAVATMAQLLLQQGKVTEALKYFERAAELSRTEGE
IINALSYAEATRTQLEVQEKYPRLASKLQGMSGGLGAPPMQ
>RCO7_00821 | uncharacterized protein
MYWVAVLVNILVLLTWLFILSYSFVLIPKRFMWLIRLGERRRILDQLAQTEPHKRNEKMMDMCFPWIGGGIYGTDDFMLYLDTKFRMMEDAGMFGDN
GAVRHELSWGHLENDSFIERVLEVARMRHRYGKSIIAEEFRDLLGRSPGLSVALSGTVWQFRKDLEEWNKTQVAVQNEKSGIVLVDREDKEGFVLID
IE
>RCO7_00822 | related to manganese transport protein
MASNIDKVEHVSHSEPAIDVKDNARIMCEKMGSNELVVEIQESERRRPHLGDYARNLGDVFSKQSIRKYAGVLVKFGKFVGPAGIISVAYIDPDNFQ
TSISSGVQFKFKLLFMVLVSNLIAIFLQSLSVKLGSVTGMDLAQMNKAYLPRWLNIGLWFVAEASIIATDIGQVIGTAIAINILVPKIPLTAGCALS
IVDTLFILYFYRPDGSMRGLRLFELFVGAFVAAIFICFCIELSYIKDTPVGHVFKGFLPSKAVFKGEGLYQSCAILGGTLMPHTIYLGTGLAQPRLR
EFDVRNDTYKETFNSPKSSALKLYKPSLSAIKACMNYSIAELIVTLFIISVFVNSAILIIAAASLTEEAGEADLWGMYDLFQDTISKAAGTIFALSL
LFSGISAGIVATMAGQMVFEGAFNWTIRPFYRRLITRVTALIPGIIIAAVLGRDGVAAALNGANVVLSVALIFLTFPLIWYTNFNKYMMVETESAAS
VETFEVLGEGDIERVEAENPKVSMANNWPTAIAGGIIWVIIAFMNIATLTLLGLGIVQPD
>RCO7_00823 | uncharacterized protein
MVNTDNVVFNIAAFTGGLFVLEFGADKFIDHTAKIASRTGVPPTLIALLTAGAEWEELVVVVAAISQRQSPLALGNILGSSISNILGAFSLGLIFSP
SAITFDRSAKIYTGILLGLTTFFSIFILFCESLGRIGGGLLLVIFVLYFISIAWAIYKGTVSPPVDSDTDSDSDSSDDSESDSDSENDKDSVPMKEK
PMHRNNHLQVRRNSTSSNSSTLRDLESGQHTGAPPSPANPPDQHDHNGLHKDIFDDIDLSPIQTIKSGGHSNIYHITHLSFGFLALSLSGYILSHSV
TTLSTEFSLSSSLLGITLLSFATTLPEKVVSIFSAKRGETGIVVANTAGSNIFLVTLCAGVLYLTGDIASLKGSVTLFEIGTMWASSVVLFGIVMLG
GRRWMGWALFAAYIAFIVCEFTLVRDIDV
>RCO7_00824 | related to pepsin precursor
MSATQDLQKVSIVTNEKYEKDGLKSYVYLLQKWGFQPTQPGPYVQLDKASESGHLGLLCKMGGNSPTARTLVQVDASGTKGEVTADDQQNDALYLSP
VQIGSQPQTLLLDFDTGSADLWVWSTQLPDAIQTSGKKTGHAIFDSKKSDTFKATTNSTWKISYGDKSSASGTVGTDDVILGGLKIEGQSIELAKNI
SAQFTRGIGDGLLGLAFGKINTVKPKKALTPVENMIAQKSIPKSAELFTAKLGSWRDANEPDKGEGFYTFGYIDQATVDASGGEIYYTPVDSSKGFW
TVDSASAVVNGKEVSQPGNTAIMDTGTTLALVSDEVCEAVYGAIKGATYDKDNQGWVYPSDTTIDQFPDVTFAIGEKQFIIQKEDLGFVDIGNGTVY
GGIQSRGDLPFDILGDTVLKSIYAIFDVGEMRFGAVQRPEQYQNITPSIPE
>RCO7_00825 | uncharacterized protein
MPPDEYGAIPGDEDATYQRIPRKTFLGTGTLITIIGFGVVAGLCFGIGFGVGQNWNGAEHSQEVDWSHLSQAGLLQPQSFLPEIPIKEVKFDFPTKY
AGTGSDADSLWRDMMPIGAGFVRVPHPRRFDMPESKSIEGDPEEGEVYSLSITHQLHCLAVIRHVIMKYEKKDRSRYAGEGHEYHCIDYIRQAILCA
GDTTLDYAAVVKGSDGVERRLGFTGANSTHQCRDWDAIRDWAIEHRSGDKAGILI
>RCO7_00826 | probable peptide chain release factor 1
MAIEHEQLITESSDTFDAKIAKRIGELKSVAEALREWENTRETQDELQKLFDDPTTEAELRELASEDLVATVEDLDLLSRKLSTALTPKHPFEDMPC
LIEVRPGAGGSEAAIFAADLLRMYQSYCTRRNLRSSVLKYETQDGDSSDSPALAEAILEIDSPGAYGQLRSEAGVHRVQRVPATEQKGRTHTSAVGV
LVLPSLPAASSDGKEMWEEDMNDPNSDYYVNSTDVKTDVMRARGAGGQHVNTTDSAVRLTHIPTNTVVSMQDSRSQHKNREKAWQVLRSKLAQARRE
AREEEVMKLRRGVIGVAKMGRGDKVRTYNWGQQRVTDHRSGLSVHNLDDVMEGGDELDKIIGSVRTWFSDREIEGMLAEEEAATSST
>RCO7_00827 | related to lincomycin-condensing protein lmbA
MPLNVKSVYPATEPQFLDFPSRRSVVHSTEGMIACTQPLAARCGLKIFDLGGNAADAAVAVAAALNVTEPTSTGIGGDMFCLYYDAKTKKISAMNGS
GRSGAKSTLEATRKALGVKDGEAGEMPLDSVHAVTIPGAAAGWVDTVERFGSGKLSMEQILNPAIELAEKGFPVSEFACELWAAGTKSLKKASPNYA
ELLKADPSAPDGYRAPRPGELIKNPGLAQTFHTLAKEGKKGFYTGRIADSIIQATNDRGGFITHSDLEAHLEAGTEPVNPISYVFKGQNYSKTHPEF
VDGASGQGSNEDDHGVELWEHPPNGQGIIALMALGVFEALEESGKIPVFKPEDHNSAEYLHAVIESLRIALGDAAWFVSDPSHSKIPSAELVSKPYL
AERAKLYNAAKATDKIHDHGSPAHNPSDTVYFAVTDKHGNGISFINSLFHGFGSGIIPKDTGFVLQNRGGGFRLTPNHPNALAPSKRPYHTIIPAMI
TNAHDGSLHSIYGVMGGYMQPQGHVQVLLNMLVFKHNPQVALDAPRFLVGADNMPGDGNGRTVFLEEGISEEVCEKLKSMGHEARIVKGYERALFGR
GQLIRSHVEDGVIVSSGGSDLRGDGAAFPG
>RCO7_00828 | uncharacterized protein
MSPTPLNTSSSSSKPIPTPTHLIIVCCHAIYTGPSSRASSPSSASVNPSNWLLAPFQKDEVPTFISHIKTGVSLLAASPPGRAILVFSGSKTRPEVD
LSEARSYLRVCEREGWWGLMDEDMGIGSKPKPIPTPEKKDQISTLDSVTDAESGEGRDEDGRGREKQRCLRDYVYLEEQALDSFHNILFSLLLFQKR
ALSWPERVTVISHAFKRARFVDLHIPALRFPVNRVEYVGIDPEYMSPEKEDGSVNGGFDGERAHGVRMGERERGYGAWEVDGLGVREGLRRKRAERD

FWDVSQVWFEGEEGEKRRERSGVKSRRVEWRFVDRDGREKRVVEEVLGEEGRQPWEED
>RCO7_00829 | related to SLY1 protein
MASSQNTLRDRQIRSIERMLNLNHDSEESSGDHNQASNGGTISAPILNSEGDPIWKVLVFDDLGRDVISSVLRVSDLRAWGVTMHMHISSSRRPIPD
VPVLYLVEPTSSNLTSITSDLSRGLYSPAYINFLSSIPRPLLEDFAKQTAEAGTSESIAQFYDQYLNFIVGEPDLFSLGMRKDNTYWALNSARTKDE
ELDHVIDRIVSGLFSVMATMGVMPIIRCPRDAAAEMIAAKLDRKLRDHLLNSKDNLFSSQNNRPSTSSGASSSRPVLIILDRNVDLIPMLSHSWTYQ
SLVHDVLKMKLNRITVETPVDENNPAKGSTKKAYDLTSNDFFWTKNASMPFPQVAEDIDAELSRYKDDATEITKKTGASSIEDLQNDTSASAQHLKA
AITLLPELRERKAILDMHMNILAGLLNGIKNRQLDTYFQMEETVTKLSKQQIQEVLESAERGTEPMDKLRLFIIWFLSTEQDVSRSEMEKYEELLKS
AGADTSSLAYVRQVRATTRMTMMTSAPSQNAPQTSHTGSLFGGFGSRLGGLSSITSKIQESGIGGNLGANFNANFENLISGVKNLMPVNRDLTVTKI
TESIMDPAGASSSAIAKTENYLYFDPRSANARGTMPPPSAARKGDQMPGGMGPGMAATFGQRRQGFSEAIIFTVGGGSMDEYGNLQEWAKRTGAGGS
GASQGAGKRRVLYGSTELVNGEEFLKLELEKLGSEIV
>RCO7_00830 | related to tpa inducible protein
MEGHNGHGYVADDMSYDDLMSDTNWPGSNDQQFHFQQQQQQPVQYANSQQNFHDQYNLSHHQHQHPQYPAVTYSNSPYVPQYPQHARPSDVFGPSAS
FTEPALNGPTGYHGNDSSFSFGINNLEPATIAPQNLQYSIPPGQNTNRTISASTLQRQQNGLVDTLNQRSQDAIPTYYQPSQIANFQTPQNSNLRYP
NLPNDTATEPRQIIKNVVDDSPYQNVIQTAPSSLQQIRVAPPPNPLRFTYPATDEESKTRLPYAPFLAWDDEPIHVPNGLKTALPKYQPRKPRSGKD
VVPGLDLSTTLKPAATSAKRGRPRKIKAPVSQYQGTSQGPKPTAVNKLRDDGSREARSPSVLTETSSSEEEDSSEESEYEDEEEMPLVDIATIRGHT
RPTSAPEAARWDAIGIIWKDPNSSPSNEVVSEAVQEYGNFLSALRVQIKANSLKIEEAAARPADAQRLKNERLILLESLYQIIDVANKLGYAPIVEN
LGGHHKMVNGLTTTLIECIKVEDYKGKLPTAIFTLLARFQNMSDDLLKRLKFDSIQKRWIKKGADETKQIIIDILANTIDARERAAKMKPDVDQVEK
EKKMRDKVDLAKPQSSLQTPNSTKRPLEGDSTNGKANKKFALDTTSTFNPSSKPTPIRRSGTNLLGIAAKPPTKALPKKREVSPPTESKLGAILASI
EQPPELRKAPVIPARAPETPQEKSRRERKESRRHLRVKFKDGPELEQIRIFKHEQVEDEGRQDEMLRDAHDDRSEGMMHKQRVLEVMDDEEEYQPMD
ADDLPYPEPKAINLSSVEKSTRFGATYTTRGGNLEVSTPEQRTQQRREGLELMVVYTDTMDIPPSAKEPHQVDTGMDDGSGRNLKGPTEPWLVERLQ
EINQYGPEQATQRALLRQSEEQWKSASQPDGTTVPSGNMSSALQQSSAPTQQVSMPSTKHDLVVQQVLEHLQRITDSLKGLPFPATEPPQWMTNPAQ
RHIWIEGYNRDMGVRHQVEIERNIAQLQAAQFQAPAVPAQYQHQALPLHAAFTPPMHPPHQAVPDVAQQVQGYLASFQNGGQNQQPDYTNWGVHAGL
DQGSNYAVQHQQPHYDQSWGNENRNPKDNRSQETQAGKSKRGYEMKTMSTYEDSPFDENGEYKGKKKPCRFFREGKCAKGNKCTYLHE
>RCO7_00831 | related to tripeptidyl-peptidase I
MPDHDLFEKTLFEVSDPSHPSYGQHLNHEEVRALTKPEETSTQAVLAWLQASEVPENDIKDQGEWINFTVSVLQAETMLGATFYYFSHNADKLPSKQ
IRALKYSVPSNIAPHIALIYPITRFGQLRALRSAPFTSEYYSQISSIPSAPRIPSPALNVTACNATITPACLRALYKIGNYVSDPMSTPDSKYAPYA
ISQNSSYALVNDGLATQNDTVDDDVEANLDIQYAASLAYETNITYFSTAGRGPLVPDLDQPSQADNQNEPYMEFLDYILALPDCDLPQTITTSYGED
EQSVTEGYARTVCDKFGQLGLRGVSILFSSGDTGPGSACQTNDGKNTTRFLPIFPASCPYVTSVGGTYHVEPEIAVTFSSGGFSDLWKRPKYQDAAV
KEYLSILGSRWKGLYNPEGRGFPDVAAQGSRFHVVDRNRDVNLTDILVGGTSASAPAFAAIISLLNNARLSAGHKPLGFLNPWLYKTGKKGLTDIVG
GGSKGCTGVDIYSHLPTPFVPYAGWNATKGWDPVTGLGTPIFDVLLGLVERGHHLGRIE
>RCO7_00832 | probable low molecular weight phosphotyrosine protein phosphatase 2
MAIAPEPISVLFVCLGNICRSTMAEGIFRSIVSKPPYKSLIGLVDSCGTGAYHTGSSPDSRTMSTLEDNGITDYEHAARKVHVSDFEKFDYIFAMDR
DNLHDLQRIHKRGGGKAKVMLFGEFAGKKKAEEVDDPYYGARDGFEVAYEQCMRFTKNFLKDVFPDVKA
>RCO7_00833 | probable chitin synthase 3 (chs-3)
MNNHPYQGARRSPSPGHPLHQGYQLEDASSYGRFGGSPAPGRPNLEIPMGPGRVQTPSDRLQAQPTYSVENINNSYGHNEDYEQSYPLDPNHNYRQD
YALDPQQHHDAYYQPPYQPPPHEEHPLTHYPSNPDPYYDDHDDNHPILQAHDTSYGPDPHSAPGFKEYDGTPSAAPQPTSLKRHKTVKEVQLFNGNL
VLDCPIPPKLLNQVNHAQPPERDEFTHMRYTAATCDPEDFYAERFTLRQKLFAKPRHTELFIVVTMYNEDDVLFARTMSGVFKNIEYMCSRKDSKTW
GKDAWKKIVVCVVSDGRAKINPRTRAVLAGMGVYQDGIAKQQVNGKDVTAHIYEYTTQVSISAKKDLVELRPKQQPVQMLFCLKEKNQKKINSHRWF
FQAFGRVLDPNICVLIDAGTKPGKDSIYQLWKAFDLEPMCGGACGEIKAMLGPGGKNLLNPLIACQNFEYKMSNILDKPLESAFGFISVLPGAFSAY
RYVALQNDKAGNGPLEKYFAGEKMHGANAGVFTANMYLAEDRILCFELVSKRNCHWILQYVKSATGETDVPDAMAEFILQRRRWLNGSFFAAVYSLV
HFYQLFRSDHSFIRKFMFLIEFAYTTISMLFAWFQLGNFYLVFHILTTSLGADNLLGNVGKILGVVFEWLYLFTLLTCFILALGNRPQGSGKAYMSM
VIFWVFIMAYLMFASVFITVKSIQAELADGQFTVADIFKNQIFYTLIVSLASTYLLWFIVSFLFFDPWHMFTSFVQYLLLTPTYINILNVYSFCNTH
DITWGTKGDDKAEKLPSATLKADGKVDVSIPTDDGDLNAQYESEMRAFSTKAPEEKREMSASEKQEDYYKGFRSQVILFWLMCNFGLVAIVLSTAGL
DRIDTTNASSDKRSAIYLAVVLWSVAGLSAFKFIGAMWFLVVRMFRGV
>RCO7_00834 | uncharacterized protein
MATTNPLADSDNSARHVSSKSICIAGIDTEIFGLDELSPNTNMVSCIWLLHPRLQAKEIMAGVAANCINMWNQNPEPDKSVGLIAVAFDQRNHGGRK
VQDLANQAWREGNATHAQDMFSIYHGTALDTSLLIDHLGSYIFLGPDDPAVTQHLVMGISLGGHAAWQVLFNEPRVTAGVVIIGCPDYMNIMTDRAR
LSKLPNYVSSSPPGSRFLGSPSFPSSLLSALEKCDPRALLFSSTPTPPTSSITSTQKSQLATKLNRCLANKSVLVCSGGADKLVPYSSSAPFLTFLK
EATDKETGWWKEGGCVVDDRVYEGVGHAYSEGMAKDTVAFVRGILEKEVKSRGGKEKEGSRL
>RCO7_00835 | related to phospholipase D
MAHTTEEPISPMTRGPRSRSSILQNDSIPAGSVAGRQSGLQTMLGSQETSEVSPKITYSSPTADDTTLGQSIEAIDYMNGGIPHEYTSPSGQLDGTT
SSTQRQSALKHTGSFPGDPGAAGAGISTPTGRRSVQFKRHDPAADSLGHTRQESLEDVETPGKERRVGPSLISKLKALASSGSLQTHSRNQSYSANS
VEEGTGSAPLSPIADRNSRFPHTLHEEDSDADADAEETADEGTGTENVRTKRKSRFRRPQENSGSSQTAPNTPRARNMGHTNSPSEGNRNGIPFLSR
RATDGSIEPRGGLSEGEGRDRLNSQSAWRRGSSWIGGRRPNSGGQSGPDFDGTPGHTRRPSHLRRITALGGGQSEGEGQTPRRPFLGAERATTFGAQ
RWRMLKHGLKLLGQKKEEHKVDYLKSAELMAELRAGAPAALMLASMIQRDEHGNKRIPVLLEQLKLHISDSTPGIEDPSETERHLVFRIELEYGSGL
NRMKWIIHRSLRDFANLHLRYKLQGSSDKYIQLRSDIDSRPKQPRFPKSTFPYFRGVRGLGESSEEEGDNAPAADETVGEATQSEAERKKKKHRPSL
ANNRHKTGVNGIDLGSNANDELIAAQQSRAFVEKQRRRLEQYLQEMIRWLIFRADSNRLCRFLELSALGVRLAAEGSYHGKEGHLVIQSAKGLDMRR
FLTPQNIFARHSPKWFLVRHSYIICVNSPENMHIYDVYLVDPKFQIIRKRSKLSEIRGKEIVDKADKATKHPQHHSLKLLNSERKIKLLAKNERQLR
QFEDSITFMLNTTPWAKDNRFGSFAPVRTGAYAQWLVDGRDYMWNVSRAINQAKDVIYIHDWWLSPQLYMRRPAAISGKWRLDRLLKRKAEEGVKVF
IIVYRNVEAAIPIDSEFTKFSMLDLHENVFVQRSPNQFKKNQFFFAHHEKICIVDHSVAFVGGIDLCFGRWDTPQHSVVDDKPTGFEPSDLPKDADH
CQLWPGKDYSNPRVQDFYQLNEPYAEMYDRSKTPRMPWHDISMQVVGQPARDLTRHFIQRWNYILRGRKPTRPTPFLLPPPDYTESQLEASGLTGTC
EVQILRSAADWSLGISETEHSIMNAYCKMIEESEHFVYMENQFFITSTETMGVKITNKIGDAIVERAVRAHKNNESWRAVILIPLMPGFQNTVAEQD
GTSVRLIMQCQFRSICRGEDSIFGRLRAAGMEPEDYVSFFSLRSWGRIGPKQMLVTEQLYIHAKVIIVDDRVALIGSANINERSMLGSRDSECAAVV
RDTDMLWSTMDGEPYLVGRFAHSLRMRLMREHLGLDVDAVLEEDRKAEMDREEAEFETRMNSIYQENDSDSDADKPRGPNDDQINNAVNRERLHSFN

HDVDWEQEGNPHIVADTFKPVTYDKRVTHNAQHAAEVEGESIDNWKAAKQTGLDLGRDSILVDGGREVLITSIAPEGKGTLSHPARPHARSVPQNHI
DASTGGNHNLPPTPHLPRRNTEQLGLTQLSQLPALPAIDDTDIGGPPVYLDASGNAVPKPYNPLTADITPANIDKDCMRDPLNETFYYDVWLRLGGN
NTKIFRRVFRCMPDNEVSNWQEYTDYVAYAERFAAEQGGGKSNERQEEEAPGKSGPPGAALIGGGLIPQAISHASEKFHGHDSEHPTGTVAEWADDA
EKRNANQHDVSVNNEEDTNGQLDGMNEKGKGRASDEMPASPVQPAGNEIFPSLDSTFLSPPENEKSTYPRKTTFSSTASGDKEKGSTTGSGLGNQSS
TKRRRRGTKGSRRGFSSSDDLLSHGDAEELLGMVQGHLVMFPYDWLAKEELNSNWLYQVDQVAPLQI
>RCO7_00836 | related to ubiquinone biosynthesis protein CAT5
MAFQPTTRRLLVSASRVPICNLAPIRRHQPIQTPVRSLSTSQCRSSEATNIRNGEETHYVSQTTKIKDGPEAAADPAPRGKPLSQAQRQFLDSALRV
NQAGELAATLIYTAQSPVVVASHPHLRPLMKHMYDQEAGHFKTFNELIAKHRVRPTAMYPLWTFAASALGWGTAVMGREAAMACTEAVETEIGSHYN
EQVKVLLEMADEMEKNGEVIGDDLRELIGNIRRIRDEELEHLDHAVENDAQKAVPHALLTGAIRAGCRGAIWVSERV
>RCO7_00837 | related to Pol II transcription elongation factor
MSLSDIDDELLALAGDSSDEEDNAPATATKSSSGTPDQPATGKSSTSKGKKTGRTIDDSEEEGEAQVPRCPISSGRSSPHSLRSGPMDESDSEDDSP
AFQDDGERYPFEGKFVDAKDKAQILDMNEIEREQTLAERAQEVERDRQNRALRQLLKSRDLEKNQNKKRKAVDSDLQEDPRKTQRQRTKLGGGKVGE
ASTGIDSLKRARAEKNDRQRRREEDKDRNKDRSTARDDYSDGDADGDSEVEWDDGKSKNKKSKSPEYRDAEPASLADVQKVRIGRTRFAQVCFYPGF
DEAMIGCFARISIGADKETGQNIYRMGIIKGFAEDRPYAIESATGKLFKTTQYVRAAHGKSERNWPFISCSDSGFTESEWNRFKVTCQSEGVALPTK
PKLNQKMGDINSLINRSWTEAELQEKLTKSGALVQKFIPIERNRLNGMIKEARARGDTVKEEEYRKELQALDGPKLAYSTSLQPSPKKSSTSAGISQ
QERLAILNRQNRKKNAEEVRQAQINERRAAKQIEAAVARGEVVTEDHSRRLKTRAKFKHNVEDALILTNDKSGAQTPASSTPNVTAKKPSTAIPHLQ
KLQAEKKGIPSLRRPLMDDDIIGSLDLGIDIEI
>RCO7_00838 | uncharacterized protein
MDVTSLLNANSIAVEQQRKEETDAEEGNLAVPTKLPSRNRTPWDAGGYSLPINSVSNPTTSPRAEEGQLRESQSTPTSPRHKFSDSRSSLSSWTSSL
QSASHSRFSSMSTVGSALPSINLNDAHSSMPGQKPQALDFDFPSRMEGVQSSNPQSGGSISPTECLDALALVAENEMAEISKADSSDFERIQSVPGP
RPSSPSDAILIKRASAIPSLRLDTGEQELNGMNLAQSHMHFLSAPHEHQHQSLTTKSHKRALSAPNFPASMGGFTMPQSLSMGPRAEPTPPSSLHPD
RNSPTNIPHYVPPATPPQNNGEVPAPEHILCMYIPNCDTGSQLRKAISHIFGRNKMCTRLIPARVWVHYCRKHYQRSRYRNPKEYAKLQCDLVQTQI
RRVHEWSVENAARGLPGVVQDWGLAIRKREQKRLDEINGSKKRNMASFENSDDDDGPDSRASNILPATAVPDWLLQQCGKGYSTQEILQIFNRLHTE
ILQDTMPCFPDIEILPNIVVDSDEPKSPKGYAKRNVVSGGHKRAQSLGVAAMRTGSQDDRRMSHPDVWNMGAHNPDFSPLQKKRRANGGMNEVEEYG
FAPYPRSRIAERPLQRGPGQLAHRPAFPGINENGVEDRFQDIVYGQTPLAAPTPQRSNGQSMAAQLEMSNGRSARRPSHQRSQSDMGAFIYSREYSP
SVAPSSAYGPQAGHYGHASYDQGYQPRRMELNQETRFDNMPQQFARRPDVNHDGRFNEMPQQFSHVQTHGRHQSMSMVPSASMYQPSAYYPQQPSVQ
YQGVPASQARPRVVESQDHDMYTGRR
>RCO7_00839 | related to endoglucanase c
MHFSVALAALIGSASSAIIWDGRFNSFSTSAEISNWSWSNQVGPYQYYIHGPSAISSYINLSSSYKNPADSGSAQGAKFTLDSTSFWNGQTMRRTEL
IPQTTAAIASGKVWYHFSMSRSATNAPSIYREHQINFFESHFTEMKSGWISGASGNSNPALQWFVGGQSKWSVNWEAGVWHNVAYEIDFSANTVAFW
HSTGSDPLTLTVAAIGVSTSSNGADWHLGALELPVSGQADSNEDFYFSGVYIESGSLSTSVAGPGGAVVVSSSSAVAATSSTPSKPTSACTLRTSTA
KPTTLSTSISTAQPTTSKPAAPTTTSSAPAPGGTLAKYNQCGGIGWGGSGTCVEGTKCIFSNDYYSQCL
>RCO7_00840 | related to ornithine decarboxylase antizyme
MAPSKQNHSSSNWNGETVLNNVLASAYAGQSGIPEVGSSGMLSPPSSPPLAALTSANELALVSKNNSNPKRETDGKRKSRKEGAAFLIREECERLFC
ETMKVVFLGDAGKTTNNGSIAIGANAHSPPDESVNVYNDYFVKRPSQALDAWVEIWDYAGGCSFRAFVGGDGDKKSLFAFFDSAVVGRDLKQGLMAL
IELADTVFAVNQVVICLDRNVPDADRKVFLKSLRWVGFELISLDMWANDLDVTSERWLYLGMEV
>RCO7_00841 | uncharacterized protein
MASQYARPVFPTYLLPTFTFPFRRRQSSTSTSTPTTSTSPPGLSYSPTSSTDTSPSSSPPNAHFIPKDISHPSLSNKPGNHSRQASQEEPHLHRAQP
NTLKCVNCSSDIAFASQIVSKGFTGRHGRAYLVSLPPLSVSLSGNKTQDKDATMLANTKIGRSVNRELLTGQHVVADVSCAVCNEVLGWKYLDAKET
SQKYKIGKYILEMKRVVVAVGWEDVFEKGEVVGEFMESGRVVEEDDDVVVFDSEDEDECDDLFAGSWDPEVVTKRRGKRTWTRKKAALEV
>RCO7_00842 | related to MPE1 Role in mRNA 3` end formation
MSSSVFFKFKSQKEFQQIKFDGTGISVFELKRDIITTARLGDGTEFDLSIYDEDTKEDYDDDTAIIPRSTMVIARRAPAIKKGAGKAARYVTGKMPV
NAKNSSRKEQAKQSAKSSTTSNAIAQMNNASMTEEERMAAMFQAQSEQWNDQLQEMGKQTKVPYQNTHKKTANNPENEPPPGYVCYRCGEKGHWIKE
CPTNDDPNYENKPRIKRTTGIPRSFLKTVDKPVLSGDGDDAKLPSGIMVNAEGQFVIAEPDKASWEQFQAKTKSSAAAQKAAALGDKELQDRGLECS
IDKRIFIDPMKTPCCEKTFCNECITNALIESDFTCPACQTEGVLIDDLKPDIDTSDKIKAYLEEKNATAKVEKRSQSPSMKLESMPEVKTKSKSPSP
NPVAKQMSKSPQASPSTPSLDSTAPVKTENPKKRPADEVLENVPKVPKGPKAMQHQEAQKQTMQQQQMINSMNGFPCMPFMPQNFYNGMPNMPNMPN
MMNGMNGYGMGMQNPMMMNPMMNMNGMNGMNGMNQMNGMNGMNGMNGMNGFNGFPNMYGGGYPNMGMGMMNGGNNMGHGNGAQHYNNGSGSGNGGLS
ANNSAASACQFPNQQKTVFSEPLPNEEDNAYFRKPVNPGRHNNRQRKTRPSDYREL
>RCO7_00843 | uncharacterized protein
MPSQTPTQITTPIPRRRSPLLNNSSFGQKQDLCLTSYLSTKAQSPYTFVTRDIENDYAPPAPPPPSPVNYPSDSWSTACSIRR
>RCO7_00844 | uncharacterized protein
MAGIVFANNDSMITQILRLVGHEDVNTCSAWKAPFSVDARGKIMGGARWSLTVIYLLVHSHVLVEYLRRGLAGRIYLPYGVSTT
>RCO7_01895 | uncharacterized protein
MPLKAKNKARAFRSLSSNPKSSSATAIEPPAPFQRAPKTLEPFLSKLDPSHIYITHIDTKPKDFKQKIFLIPVLMNVVIIGFILWRIKIIGPFYMKI
CSSFMGYPNEMTVDTSTLSFNEAFLIMAKRAVTFFADLLIYIFIWPWPRDFFAGRRIGNPIAWRLAVGFRPQEVIVRRSRKWDRTIGNMLEEGSGQN
EFFDIVRRAVDPIWMAEKTGYLMLNKDWDLDWKSIIIATKMVDQKTLSIQDFKTTILLHNKDFGWLVIETAAAGGSAAEEEGRRKIVAFKDELTALG
KENLFFRWIELVQYESSRPGGFSSERQLDTMAKAKDMFESQGVDFDQFWAKVGGMEGMPGMDQM
>RCO7_01894 | related to TAM domain methyltransferase
MTEASEVPSVTPQSQSQPQTNPASHEVRVDNFDDNDSSYGGDLDAASETTSLYSLITRHVYENGRRYHSYRAGTYWGPNDDTAQENLDLFHHIFNLS
LDGNLFLAPIGPNPQRILDIGTGTGIWAIDVADQYPSASVVATDLSAIQPSDVPPNLEFQIDDFTLPWTFSKNTFDFVHARCIYGSVADYPALYSSV
LDHLKPGGWFEQSEISVIPKSDDESIKGTSLEKWGPLAWECGEKFGKSFKIAEESRDIMERAGFVNVQRKTVKWPIGPWAANRKMKEIGAYNRLGWD
EGINGWAMFLLTKYLGWRSEEVEVMCAHIRRDLRNKHIHAYQDVTICWGQKPESITAGIE
>RCO7_01893 | related to cytochrome P450
MAKVDFESTKDLTLKLAFLLFYGCLIYVLALAFGRLVLDPLAGFPGPKLAALTNWYEFYYDVVLQGKFTFKIQELHRKYGPIIRITPTELHIDDPDF

YEQLYNRDGKRDKSAYFAGRFGYASDSFSTIGHDRHRMRRKAMGPMFSVKKIEEFQPVILAKVEKFCRKVARYQDGQVLPLSRALTALTTDIITEYS
FARSYDHLDSSNFEDTFQEALIAIYVVGHFALHFSWVFPVLDVMPEWVVERMQPEILPVVGLRKGLAKQVREIRDGLNAAHKHVKHPTIFHELLYSD
LPESEKSDARLGDEAQLIIAAGLVTTSWALTVASFYISKDLRILQRLRKELAAAGSTSSRPLDWHKLENLPYLRGCVHEGIRLAHGITTRDPRLAPD
TVIKYGKWVIPKNTPVSMTNVDILMNESIFSNASEFVPERWIGNPGLDRYFVPFGKGSRACAGISLAQAELYITLAVVFTRFEFKLYETDLSDIQME
HAYLVPYPKWVSMGVRVKVKEN

>RCO7_01892 | uncharacterized protein

MSCRIGLSWILVTAVSGLHWFGPQETISANATANWTPAPTKSAGDSPHRLFKKEGTYPSNLCGWQGPNHQEVYCKSDHYCAWVTDIRVVGCCSEGGS
CDRVFTSCTDKRGSSPEGPSVLGVMTCTELCYRNTYPLGYYQFGCGSYSKGQDVVTSHKSSNPDLSLAIVITGGILQDRTVSTTSTAPAPPLGSVVT
VLVNTSDDIPTSTARLVSTSTSTMMIAVLEPSKTSSSLIGVRPPAGTTITTLVINSSASESSSAKSSGSAGENTDGRMLDGDKKGLSMGVMIGISVA
AAVVGIVGIVLLAICLFRRQKQRKKAQRFLSTSTDGSDLPVQQEDPTRGTSDNPTELYQDHPMPSKEVHFFHSGASTSPSSRRDDGHTNSLTPTYEL
DPTNVAVQQVSPQSAISISTFPSDSPHPRSLTPGPIFPQYSHMYELPTDRTTRLTELDNSEAQQPIMYASYGRV

>RCO7_01891 | uncharacterized protein

MFLFHDSRYYPHIDPMGCSFVECTWIHNQSQRAGAGAGASASTHLMTQHSIFVTSQFAPDRPIFHIHNNAMNRPLLRRLPYALRPLTLCRKLSLWKA
TIPNVKIGKDILSYHPVSSPTRNVYPDPDNIKIGLSTQHRNTRSKYNYMTLSEFLKDHAKPGKILVPENIHDETPCFLYKSMAKNSFGKLGPVKKQH
SIHIYQQHISLPATTEYAALWTQRLYAALLSGRNVEVSVHCKFKNARIHRDPVTGTFATTMAENIHVRPDVLLSSMPEGTRMIIDPHADMLTKSCWV
LGNSENITHKFAKVRKNAFAFKEWHDAEKREGRYRDWSSGQVVNNEKQVQKIIRTEKLYLPNVPRTQRKSPKSRRQILEVMRREEEETQTGRNTPEV
EQIALRRLKNRIKNWPRDLRHPSTLGSTEHAEMLRLQMLAIDQQENIETSTEQSAVNNSNSSTRVNESGPARNASASTTATRKTLEPRAMEKNISTS
PRRTAAVEQASSFRNITNRQQTTRPGAYPNIIWSPSKSVDVSEQGSRFNISRGSKTVKMTHRGRKRSQITVNTDSLFQKGHRQGGKWF

>RCO7_01890 | uncharacterized protein

MAAIAATTSFPQFGSLPTELRVMVWQLAAGKNVRRTIDVEIRCTNPRYVGPLAGKNRPRTGPDSERGGSRAHVRYDWSCVCVAGPGGFGLADNSWLP
HVNQEARNEYLLLNPQCLFLENGRRIWFKTVRDTIYMDCISLYTLHMYTWMQDHLLPVPNIEANLQGFGGILNLESGLDRVNWAGLQIGNGFFAGDT
ILTGLRRPIMQRNPPAGSAVAQAAWTADNSKPGAVAHFRALTNGLVDSVRDYHPSQITVVWRHIEHGLVWHPPPGVRDDVNAFYT

>RCO7_01889 | related to SRO77 - polarized exocytosis by regulating SNARE function

MAGFLRGKQAGIQNDLSAGILPELFAPDDQARHGINSQIGCLAYDPVQSLLAIGTNESTFGSGQIYVFGQRRVQASFTLPRRASVKTLQFCSDRLIS
LDSKNEIIIWDLVHQNKVAAYAPPGIVTSLVTDPMLDWALIGLQNGEIIAYDLDREKLAPLRLPNFWRERSPRSRVLSIVSMQLHPRDIGQLLIGYN
EGAVIYSFKQNKPIKYFDYEVPVGSPGGNPDPLSHNTVRKPQLVHVFWHPTGTFIGTAYTDESLVFWDPKDGRIVMARTLSDSHVNIPGHQTNSFGN
TPGTFAIKEPFSRIAWCCKANPDDTGILIAGGMPTTVTENGLSFLELGPTPVYSTSTWQALSTHLEAKQTHLLPTPPGAEIVDFCLIPRTSPHFAGA
QDPIAVIALLSSGELITLSFPSGYPISPTNQFHPSISFVHPFITSMSMTSVDRTRWLGMVENRQQGPQLVRGGAEGIKNLRRYESRNIIQMAHGDGT
VRIWDAGHDDEIENSAMLQVDIAKALDRYGDVNITSTSMGSSTGELAVGVATGEVVIYRWGANKLFGRDAPNPTQTIPGGITDIASRAESSLKEGLQ
PFVLYDMAKGPITAIKMSEVGFVAIGSEGGFLSIIDLRGPAVIFNSAMTEFMKSDKRSSFMKKGSSQTSSAPDWAVTIEFGVMTLEGDNYSSIACFV
GTNLGKVITLKILPESNGGYTAQFAGFSALADKIISISPIVADTGRPALATGAAVAALRSGQQTHGTLVAVSQTEARIFKPATAKGAHKTFDDFLCD
SANVVDFEGRGHALVGVFGDGKTRAYSLPGLKEISAAPIAMLDRTRTTNSIVTTSGDIFGWTGPSEIAMLSVWGTAQTLRKSNDKIFNPEALVPPRP
TISNMQWIAGTQYVSPTDLDLLIGGPDRPPSKRMMAAAAAEDRARSSGGPGSSRGAPSTLSTEGWGDYMTRQLNERTEKLNIAENTTDRMLESSQGW
ADGVNKYVNKQKRNMVLGGITGKWF

>RCO7_01888 | uncharacterized protein

MSIPKPTFVFVPGAWHSPSCWSKIVPLLSTHNYTCLTPNLPSTVGDTSVKFADDLEAVRSAILSETTQGRDVIVVAWSYGSLPGASAIKGLSKTTSS
QRFKQGGEDGKENGHVIGLALIATGFCATGLDFLTSGGGKPPPFWTASKSGFAELTLDADGIRDLFYHDLPVEEGEKWVGEVTKQSLKALTEGGELV
YAGWKDVPVWFLGTKGDRGLPFSVQEMFVGMARNEDADVVMRKVDSGHAPMLSKPEETLQFLLDAARAFVE

>RCO7_01887 | uncharacterized protein

MTQPISTEELLRRLDEQHQAYLTTFRQIHEALAKKTCGNHQVLPTSSSSPSVTAKTSAVGTVSNLMLTRASTFPRPLTPVPPFSPTPDSPRLSIAVP
RRHRKSFTELDGGRPVTIQSSVTGESDESDNDDDLYVQIPLPSYKYDYEDLRSHLKTYTFKEHGEELLKTVVSNKRLLDPALFPKYPEDENWHHSHY
SVFDVSTDGAPLSRREAVKDGTVSIDSAVWQAIQDLNADSNPQRPAVGRITVVREPSPIMLGALHFANNKDFDMDEIFQYLVEEDKSTAHMLNRSFS
PDHRRQRTFVFEFDYFTIVGDEVQPMPWQRSDSAEKILRKGEGHIPISRCSSVVALSLGGYPIRKLRNPARKARTQHGFVYDPWAPWQVLSIQCYPD
HKHSMDSHDSTDHYVNGPEAFLNTLLAEFRDAQKRFEDIYIKISKLVIPPADFMFNGDLRDKLLFEDAEFTYSRRYFWAYQTLGLMNDSIKAIMDAY
EDTFTDDVWEGRHKSLWPMIDHDSHRNVYWRKRMATLKEEFDRDIKNMLKLFEKNDDRRKEIRTLRDQLFSGTSVLESRKSVELSAVTILQGHNIKL
LTLVSIFFLPLTFVTSVFGMSNMGDEVQFTDFTITMIAVCVPFFLLIGSLNTTSGMEFWRRKWHVVLAWLFRNPELLLEDSSPKRDNGNNPDFRKKR
TFSHNEATQAIEIRKAQTELRRQSSISLSSMRNQERENDVASPSNTPPQIEISGEEINSHDGSIESTLPKGMKHIISPTVPAEKGKGSVEGPKRVSW
WERLRVRRRKERKRDGENV

>RCO7_01886 | probable ASF1 - anti-silencing protein

MSVVSLLGVNVLNNPAKFGDSYEFEITFECLEPLQKDLEWKLTYVGSATSDEHDQELDSLLVGPIPVGVNKFVFEADPPNTSRIPDAEILGVTVILL
TCAYDGREFVRVGYYVNNEYDSEELNADPPAKPILEKVRRNVLAEKPRVTRFAIKWDSEASAPAEFPPEQPEADLVADGDQYGAEEAEDEEEEVVER
GEAAAADPDAMDQDNEMAEPEGDAAVEESDDGSEDLEAESSGSEDEELEEEEEVAGEGDADMDMDGVQKPLASGSGVPVQAADAVMAH

>RCO7_01885 | related to mRNA 3'-end-processing protein rna-14

MAEEDLEIALLHQMQAGQDSIAWEDEGANGAAEGELPSNTEHTNEQEVKRENVADDQVLRALSPSGSAEESDDEEYDPASLSSLPAITVAGQDESRP
SSTNSTRKPKTVGGFIADDSDEEYDADADAATPVQPVEGLQPAAANNSTRALSPSPLHNSVTPQELQTASVNQDDLEAAQTSFKLPVNNIASGAPTS
VPTSSSQALTSAAPTQDGSLPKARLPHDRIGLLEDRVKEDPRGDIDAWVSLISEHRKRNKLDDARAVYERVLKVFPQAAELWVAYTEMELENDNFSA
AENIFGRSLLTVANVQLWLVYLNYIRRRNDLTNDTTGTARSTVSQSYDFVLANIGIDKDSGRLWQDYIQFIRGAPGQIGGSSWQDQQKMDQLRKAYQ
RAVNVPMSSLNILWKEYDQFEMGLNKITGRKFLQEKSPSYMSARSANTALESITRSLNRTTLPKLPPAPGFEGDQDYLQQVQLWKAWISWEQEDPLV
LKDEEPELYKQRVLYTYKQAVMALRFWPEIWVEAADWCFNNGMEKDGDSFLNDGLLANPESCLMAFKKADRIEFTLSTGESDKSLAERGSLVRAPFD
TLLDTLYELAKQVKIQENAELKKVDETPYVDDIDASIRAITKADDDEDNDADVQYQEAAKAARRKVVQETYAMQTDLLSRTISFTWIALMRAMRRVQ
GKGSPKDSGKDAVGGSRKVFADARGRGKLTSDVYVAAALIEHHVYKDPAGTKIFERGAKLFPEDAGFTLEYLKHLLSIGDTTNARVTFQTVVGRLTQ
KPEMVSKAKPLYAYFHKYESQYGELSQIAKLEQRMAEIFPDDPKLSQFAARYSTEGFEPTCIRLVISPATQTRPKGVMQSIEQPQLVMQVSPRPQYA
QEASRSPRPQYIQTTNSPKRPFPVEDNDSELNRPRKLARGESPLKGAAGRRLDQQKRLQQGTPSSWNAPPFVVPRDITFLLSIIPRADLYSATKFKP
DALVRLLQNAIVPDYNTWKQAKEESQAPAPPRYGNNTFTLKQPKSKNHQRSQNQFQPSSSQMQMSGGSSLRSNSYPVPEYRSLPAPVNSGVLSWNRR

IGMTAELPVPLSLQQLQATSGVLSRPADGSYNGLEPGSGNRKPAVPPRLWSAASWY

>RCO7_01884 | related to argonaute like post-transcriptional gene silencing protein QDE-2

MYPSFFPPFLPNPARIINPSTALFHVEELLSLTSTPNTSLIHIYLFISTPLNSSISQLTLTFSPSLIMEPMNFRVGREADDSPKYDFPNQLPLRNNN
FNTTGKAVTIKVNQFKITDWYHGDIQQYDINIGNGAEKRGKIMAVWKSKAVQEKLRASFPPGAQYLWDGNKLAWSRYKIGELRITVDFDHEKGRTPR
PDREADKVFCIIRPTSTIRMAAIKAYLSQTIQFDKAILDAITFLDHCMRQGPSEQYTMIKRSFFSRGTTSHQLDNVVVAMKGVYTSIRLCSPNSSVG
PPGTGLALNVDVANGTFWAAQDVHQAARNYCNQRNRQLSYTVFRDLLLPIKDGKGGWVKSEDFKNLAKFVKLKFIVKHRGKNDDKKEYSIKKFTFEK
GDKYSNTGANAKNTFFKYKDRANNTEKDISVFDYFKKIYNYELQFWYLPLIVTDRSGMFPMELCTICPNQRYNFKLSPDQTANMIKFAVTRPKERIQ
SIEHGVNMLKWHEDRYLKHFEIKVNPHMTETAARILPNPEIQFDRAKLNPGTAGRWDLRGKKFLLPNPEPLKSWAFVVVGNCIPDANVRNFINVFVQ
TYTGHGGRITNKNPLIYRQNQNEDLPTLVGNSRRACGDAAKALPQILFYILPGRDSFMYERLKKNSECRFGLMSQCLNVAHVNKAQPQYCSNVCMKV
NAKLGGTTSKIVTPKGFFQRPTMIIGADVSHPGPGSPQASMAAVTMSFDRDCCRYAAAVQTNGYRVEMITPANINQMIIPYVKKWMSVVGGGNLPQH
IYYFRDGVSEGQYSHVLNQEVADMKKCMADAFGPQTQNIKWTVTVCTKRHHIRFFPKANDNAAADRNANSLPGTLVEKDITHPYENDFYLCAHAAIQ
GTARPVHYHILLDEANVPTNDFQKMVYQFSYQYMRSTTPVSLFPAIYYAHLASNRARAHESRPASDGPRGGQKFEERRGDKATTQDGTSNTGSNNQT
EAAPLLPIGNADAEEIMWKIRSGMWYI

>RCO7_01883 | related to NOP9 Essential nucleolar protein required for 18S rRNA synthesis

MPQENKNARGRRDEKRLKRKREQGEEHPNANKRQKSQEPEDLDVQFIGTDNAVPMAEGGEEEGGATERPFYGMLEDEEQEYFRRADELLERNDFPSD
EERSLFLANVYREAEGKELKIACSQSCSRLMERLILLSTVEQKKKLFGKFSDNYPHLIQHRFASHCCETLFIQSAPVVTEELTADSNLKKVDVEKVV
EVDVDTEGKEAGEEELPSMEELFLATLDEIEGQMTFLLTDRFASHTLRVLLVILSGRALEKASTRTLMQSKKKEKISITGLDTTPTELSLNKRAVPS
SFQFAVDKIISDTIATMDTTFIQILATHPTGNPTLQLLLELELTNPNSKKGVNASEKTIISALLPDDITAEKSESQTFINGILYDAIGSRLLETICT
FAPGKLFKQIYRTIFKDRIAAVARNEISSYVAIRVLNRLSKEDLEEAVEAMIPQIEDLVKRHRTVILKTLLERCQARGADTKGLVDAIAASYDPKTS
NVLLKMSCIDDIATLLISTQPTEESSTAAPPPKPSSSQLHGSLLAQSMLTIPGPPALLIQDSLLSLPPQILLALSIYTTTSHTIQAALLPTLSNTIP
FRRKLVNTLLFPPGEDENSNMSPTLTLALSNTGSHVLDALLTSTAAPTSLTTLSTPLFSVTERIATILLGCEPQLRDSWTGRIVLRNWSLDLFKRRR
GDWVKKTKESALDTMRALPSSSLTPDTQPQPDENEDDEAEVKLPKISAPGMGKKNRKDRNKAKQAAKEEAKGPQKSAIQLAREKFAKGKLEKNNPSS
SGKGKDFRTGANATKPVSA

>RCO7_01882 | related to glutamic acid decarboxylase

MSFQENPLSIRNGDANTLTSLNRADEVDDLLKAVQSLIIPFIKAADEDASSKHTGHGLAIAGGGPRTSLIEHHRPEKLAQIMSLDLPGNGKGKEGLL
ATIEEVLKYSVNTWDQGFLDKLYAGTNAVGVISELLLAVLNTNVHVYQVSPALTVIEKATAKAFANLYGFNGPHAGGISTQGGSASNTTSIIIARNT
LFPDTKTSGNGAHKFVLFTSAHGHYSLEKAAQMCGLGTDNVWSVPIDDVGRMIPSELEKLVQKAKDENFTPFYVNATAGTTVLGSYDPFAEISAVCK
KHNLWLHIDGSWGGPVIFSSKHKYKMAGSELADSLAVNPHKMMGVPMTCSFLLCPDLTKFHKANTLPAGYLFHEESVSGEMWDLADLTLQCGRRGDS
LKLALSWIYYGSSGFEAQVDAAYDVASYLATKIQDSQDFVLVSENPPPCLQVCFYFAKEGKLGAEKEENTRRTSEIAKKLLPRGFMVDYAPGDKGSF
FRVVVNRETRKETVDGLVLAIEDLGGSL

>RCO7_01881 | related to N-acetylglucosaminyl-phosphatidylinositol biosynthetic protein gpi1

MPEHDGLMRIFWPLDIPKSDSPGVIVGWRNSGLDVFVVAILEDVDARSVENALKVGTLFRNANHPIARIHELCGQSSMHVLGLANTPGVEVENLQMH
ATTGSSPKIPHISCARASTIQIIVFDRPLPHRMQYISLNPISLALGDKFEVPTHAPGTVDAEEEREELKNRKRVKALVEKMKLHTVTKHPASPKELA
LPRIVNQINCSFELYTLLQKNISLVGTRSRRSLSVSERVVESATTMRDFVILAIWQIITVYLYPIIRRAFVIALFCHRLAAETLLLVLEWRAKPDYA
ALKDISATAQQVEIRLLQFSYLPLQHLTLRRRKDDWESVTTSHPDYIRFYNSLWLVANDVIIGIALGSFIIDNANWVSEAISDFLRLYSIEALQRTI
FWLMYWPGGLKLNNELASFLGDLFLWVIDRWLSCLEMLRPVLPHIIWFVGFSSFAGASMPIALFSDLLSILTLHIYSFYLAAARIFNWQYTILLSLF
QLFRGKKHNVLRKRIDSCDYDLDQLLLGTILFTLLFFLLPTVIVFYLTFACARMAIISMKAALDTQLAFLNHFPLFALMLRIKDSQRLPGGIRFELR
DAQLITTSPNGLTLPPTSHIYLKSVPLTFRAMFHQYFQLGHRIKKHYMSPRVLLGLATGKFVPPIHRKNLYSLQYSMLPARRAGVMEMWHALTAEVP
KKMSAYDGKINGKRANGIRRQYGH

>RCO7_01880 | probable MDM35 Mitochondrial Distribution and Morphology protein

MSASLAPECNEVKERYDSCFLKWYSEKYLRGEGKTDECAPLFKDYKKCLTTALKERGIDKMLEEAREDHKENDAALMGRKXRTMDLVFRTMGTCKVL
AVALEWR

>RCO7_01879 | related to nucleolar 100K polymyositis-scleroderma protein

MDENHDFKNLQDQLQAALIATTRTVGQISAEDLGFHRTFNPEVGTELDEQSERVLALASALLKSAASISDLRAPTLEDTDDVENNWRSVVDVVDSLL
EKSDTCLDEYTGVIKRKETTTAEPSTQMPSRSKKQGGNTYRNQNLLKPQLAFDVKPDNDNDSPWKPLLTSKPHAIVSLEDSLPTFTNDHDQIQYRHP
YETEILQLQYPERMHQKSEPIPYLPFESTSATFVDTEEGVLEMLEELKLASEIAIDLEHHDTRSYVGLVSLMQISTREKDWIVDTLKPWRQNLQVLN
EVFADPKIIKVFHGAFMDIVWLQRDLGLYVVGLFDTHHASRSLGYAGGSLAFLLKKFIDFDADKQYQMADWRIRPLPEEMFFYARADTHFLLYIFDN
MRNELIDRSNPDVPDENRLETTLQKSKETSLLRYERQVYNMESGKGAGGWYTQLLKTPSLLDNEQFAVFRAIHEWRDRIARIDDDSPTYVMAQHAVL
SIAKNLPTDMVALLRLAHPVPHGVKSRAGELLDVIKQARVQGKDGPSMMDILRPETAGPGSKSSSPINSGPAPIPKTLVAVMDGEGLRSDNSTFWGG
AFGSSVWDTPSTSQIANKNDNLRLAVPLPPLNSEIFGTPQGFAEQVEIAIETHLPPSPSPKPETKINEPFTLKRSSKRKSEVVPDADEGDGGGEFDI
SLDIEGEEKASAKRQRKAEKKAKKAAKKAALAEEMDVDAAEEGDEDDEVVFDYSKAESVLNGKGDGAKGGKRKSKPFDPYVKSMDAPKGMRRLQTER
AGKSHTFKN

>RCO7_01878 | probable nucleolar rRNA processing protein GAR1

MARYGNSNGPHAPFTLTALNRWSVADKDQLPPVHAVKALHVYDFDNTLFNSPLPNPKLWNGPTIGFLQSQDTFATGGWWHDSRILAATGEGLEIEEP
RAWEGWWNEKIVELIKLSMQQKDAVAILLTGRSENGFAELVKKMVKAKGLDFDIISLKPAAGPNNQRFSSTMNFKQVFLESLVETYGVAEEIRVYED
RPKHTKGFRDFFSEYNRKQNVNPTRGPITAEVVQVADGATQLDPIKEAAEVQRIINDHNRAITGGKRGQRLQIKKTVFYTGYLISNTDTQKLLTLAQ
LPPTMPDTEMKFLANNVLITPRPCQASILEKVGGMGSKTTWEVTGTAVYENKIWAACVRPVPETKKYYTENPVPIVVLALRKGARPIDAGKIQNWQP
VPPEKQYVFDSVVGEKVLLRIEEEDSGENEYESLFPTKTHKRKHAPDDDGNSSRRESGQFSSGHGTGSRNENNPPFNGRGYHQNNNGSVRGGGRGNN
NNSRGNNQRGGRGGRGNGGRGRGRGGGGGFGYKSLDDVGEKPSPSTPSYNAAVSYEEFPPLQKQYQTPQQLVQQQFQQYSQYQQQMQGKNGGGSGSK
GGSGELSY

>RCO7_01876 | related to transcription factor SKN7

MDKGEMGGPAANNSSDFVRKLYKMLEDPSYDSIVKWGDGGESFVVLENEKFTKQILPKHFKHSNFASFVRQLNKYDFHKVRQNNEDSTPSQYGAGAW
EFKHPEFQANKKDSLDNIRRKAPAPRKSAQAPEEQYPPHQMDLVNSQLIATQQQLQQLSEMYQDLAQGHVTLLQQVVALQKIVKAHEGAMMGVMGFL
HGVDANQRRASRIAGPFNNAGGAIGEGALGDDGPPASPLQKASALLDEFSTANMPDKHLEQMSHDFHLRTDFSTTPPDHGSTPLLPRAETTGHHVGY

PGGNDLDNMVYPVGRTNGIDPINSEHINNIPYALPPSNALLPPNDGLLAPDVVPGPMSSGSSVSGSKKRTEESPWGINKPHILLVEDDKVCARIGSK
FLQTYECGVEIARNGLEAVNKMNNAGNSYDLIFMDIIMPHLDGVSATACIREIKPNIPIIAMTSNIRADDIDMYFRYGMNDVLPKPFTKEGMYRALE
KHLSHFKKSDSDQPFAMTGQPQMPQPVGFVTPNAAHAPLGLNMGQLSAPQSLKEEASPGKSPITASAWHSPNQLPGPSPIGSTPGGYMQPMGDNRQY
TMTPTHQSMPPTHQNMTPTHPHPQSGFPPPGGQMATPRNGQPHRRGISDMSGGLPNDQADKRQRMFPPPGFPHQ

>RCO7_01875 | related to GCD6 - translation initiation factor eIF2b epsilon, 81 kDa subunit
MAHAQKPAKGGAGGGKAAPKKKGPSATKKVDDDREETLQAVILADSFETRFSPFTLETPRCLLPLANTPLIEYTLEFLAMSGVADIYIYCGAHTSLV
ERYILSSKWHPSSSASPFTSLEIVKTTARSVGDAMRDLDSRDLITGDFLLVHGDLVSNLPIDAALTKHRERRIKDKNAIMTMILRAGGLESHRTKSK
GITPVFVVDPTKNRCLHYEEMNPLQANKYVNIDPELLSDHSELEIRTDLIDCGIDICTPDVLALWAESFDYEVPRKHFLHGVLKDYELNGKTIHTEV
VEDHYAARAFNLQSYEAVSKDVLGRWTYPLVPDSNLLAGQTYKFERGGLCKENGVILARTCKVGKRTVIGKDTSIGDGSVVSNSIIGRRCFIGKNVT
INNAFIWDDVSIGDGSTVDRAIIANEAVIGKNCKIQPGALLSFGVRIADNKSISDNSRITCAKRKTNGYSDDDDEPLVAMPTNTAIVGESGSGYSYE
DDSDVEDEATTFHSALIYSTSHLNISSESISTISSEVSAASPHEGRSRHSSFAGSILSEDGDGNVTSSNEGFHHDAVAGLLDSLKEGGDLGAARLEF
MGLRLANDATDHQMRRAIAVAFTKRITQLVEGQKMEASKAAAAAFGVAGAESFLKEVAVGSDQKEDDQVDFITCLQRDLVHRVNGGVILAAVSQRLY
QLEVVEEEAFLRWWVESEEMGDKEDEEMKRAREKTGVFVEWLREAESEEESEDESD

>RCO7_01874 | uncharacterized protein
MALQAMVANVRRTLAGSQQRHHGRWPSTERQEQVIGNLLRDAFVDDCICPCFQKGCRIVTSLFKGGSDRLRKIDRCKNDYEVKHDTLDRVLLVAISI
RRMIKPSQPQLTWMPSETVRILTFEWLGLTHTCHEDLMTRWTPPRAPLIHEEIQEIQQAERHLIQQHEDLVIYFSAKYTELELPLVTFLEDLWRPRM
LEVPNPEVNPVKEGDERNWCEC

>RCO7_01873 | related to transcription factor Ask10p
MTNLHSDAAIPPPSQAHTDRGYGANSSRANLGANAVATTDFGSAPGYPTNVSPVAQSANNRGRFHEEWEASQRGSSIIDGPMQRSDSVMSQGDTLIL
SRGGTLKKKASLRKTGSVKRSSSRRSSRAGSVRSLALQPAGDEDETHSAFYSPVPTTGNPTEILANRFQAWRKVLKDLITYFREIQSSYDHRSKSLL
KISNVINNTSAPAMFLESGGIDDALQILRGYHKSAIAEANKSRDIENDVILALTGLRSDLNQKIKEIKGLTSDFKNSVDKEMEATRRAVNELQEGLG
QSDMDPAQMTGKKDPYLLKLAADRQVEKQIDEENYLHQAYLNLEASGRELEAIVVGEIQKSYNAYAGILKREADAAYSTGEELRAGPIAMPKDHEWN
TFVRNDEHFVDPNIPVRQAQNIHYPGRDNELAQEVRAGLLERKSKYLKSYTAGWYVLSPTHLHEFKSADKGQAPIMSLYLPEQKLGSRSNEGSSSNK
FMLKGRQTGSMHRGHSWVFRAESYDTMNAWYEDIRTLTEKSPQERNAFVRQHARSISGTLQRAGSVSSDGMMDEDDEEPFTASKANIVNTGPKQDEL
PTRPKPGGRFPSDINLSRGLQAPPSHSSGSSGFEKNDVVAAGGALPGNAMHQYGDDAASPTHAAYVNQQAKEDGVNPYTNQRMSLDLGRGRSDDQFP
ASGLAAAGLGGAAVGAAGTQAYHEYEDEKSGEYRQQLEEQAAREATSITAPDTHEQQSEQKAAQEVAVYAAPDSGLANATPEASMGTDPDSDLLRHR
SETAIYTALDSGLKNPGTDSSFMSGARSQGDITSNVTASASTSSCTNPIEVALRPVTDLRPSLAAGQHHESVQSVSQLHVPGEFPMDGRVTER

>RCO7_01872 | related to Orc3p
MDEFEYHLESESQFWDELDEIVSAKCSTYQLIDNALRSFISFTKTFKDEYLSSEHDFATCLQKLLQSKLFRRADDYVRIQMVYSLQQEDDPWALYII
AGFLLFDGRQHEAVFEMMSNEGCFPRLLELIKMGKRDDARLHRLFLELLYEMSRCQPLPVVELGKVDDDFIIMLFQIIEELSDDVDDPYHYPVIRVL
LVLNEQWLVASTKSPPMAHTTNRVIKVLSDHGSSYMTFGENIILLLNRETETSLQLLILKLLYLLFTTPATHEYFYTNDLRVLLDVIIRNLLDLPNE
LISLRHTYLRVMHPLLAHTQLNQPPHYKHDEILKVLSILGGSSNAHWEPADETTVRLVDRVAKVPWLRNDDDDPVNEGEVARKLLGISLSPEQTESK
VSVLDVAGVMEKPGVQTPSRRLENEESGQEPAGDDDGKSKGSENENGNKVSEEGVSPTKKAPPPVKSRRHPPPPIPPQIQANGSSGKKMPPKAPPRR
RTKLKSVALVENLENETAQEGSSIAESR

>RCO7_01871 | related to Gbp2p
MRDTSRKTVAPGHPLHTLLSALLSGCTTASVVYNHTVYNHTVYNHTEETIQPNPTQLNPHLRSPRSPNPSLHAPAAATVTVRLRAPLRLGLYPYPIS
SHHITSTSHPQLHTLVTLTSILASFSIAFSRLQVASKPSPYTDHTALLTTDHLHPVLFRKVEHLAMSGAETYVSQRERSPRRRSRSPRSSRRRSYSP
RSRSRSREDRHRSDRRSRSPISGAMSAAGAVPHRSFEERAQAREQMLASLKESSQQDRRVYVGNLSYDVKWHHLKDFMRSAGEVLFADVLLLPNGMS
KGCGIVEYATREQAQQAVNTLSNQNLMGRLVYVREVRSGHTFYVDTIGNHQIKDREAEPRFTGPPAGGRGGFEGGQGRGGFGGGFGGGMGGGMGGGM
GGGAGGGGRQIYISNLPYTVGWQDLKDLFRQAARNGAVIRADVHIGPDGRPKGSGIVAFESPDDARNAIQQFNGYDWQGRPLEVREDRFAGAGPGFG
GRGGFGGGRGGFGGGFPGRGGPGFGGRGGFGGGFGGARGGFGGGQYGGQGGAPGAGYDANAPSAAPNAFTDYATAGTDRSEIIYVRNLPWSTSNEDL
VELFTTIGKVEQAEIQYEPNGRSRGTGVVRFDSAEGADTAIEKFSGYQYGGRPLGLSFVKYQTPGTGGGDAMETEATSLTQDQIM

>RCO7_01870 | uncharacterized protein
MCQVVPYTLPCCRKVYVSVTKLPSCPNSWPNRKCPPELCIQVRGYEAEDRDAGTCWRCTARRTGADRESLRPRIDRATLVLGLDEIGVTGRRRREEK
NGNCWFCGANGGCNTCGAKDIVVEDEEEEVREIRFGGGGKRRRDNENRKGKEVVKRVKLEKREYKAPTKGFEYPAPDNSSRPQQPYPQFYKQSPHVS
GQTPQADYSDVTNQFGHFQAGPSQESKLTNWLSTGTYPKDSSEPANAYVGQQMSHSTHDAGQASWPSQYYSDKHLVLQRNDDSSSTHDPQLWFDHTN
QNEEYLQSGQYHINGNLSQPGSATSITLPEDNASRPYNIIPDEQNSLHSLVVDQQGVHAQQYENHNYTLYPYPNIHSDAQDIYNQDNRYAQGRFHGD
GSQYRMIQAVNDETQQAFNLENALQQPDSDSFPDPNIQPDLEDLPLQWNATELDDKTLARLIKKYPRGENSHVEMELNHVTVNEHGHP

>RCO7_01869 | uncharacterized protein
MSKGHLSNDDFFLRLSELFDERRQKDHGSIYLTQKRMTYGQDTDHDIRVESPEPEIKTETPFPDQIISTPLPIIIRATNGKSKANRSKKIKLSTIVE
ADALEAFYSKYAEVCKLGMSGLKKRDRSKAKEKLKKKKKLGGAAAVESKKDKA

>RCO7_01868 | related to osmosensing protein SGD1
MPQRNTLKLPKGIIDQLGGEEALSGGRKKGRPQAGSRKDVRKAARNEKKALRSGPPPAKRAKIYHDESQHSRNRPAVVPAPPAAKPSRDEFMKEPKP
KSILKSTKKADPEPKISKKRRSVSPPPRVSRAVQDKLAEEDEEIAALEKKLGLKGKKGLPQSFKDDGLDELLEGLGGEAEEDEGISQKRKRKAEGDE
WLDRKRREARNAAGKAGILDDDSDLDEDDSEEDDEGADDDGASDISLDGPGFSDDNDSGDEEGELDDKLDDDNDFDGFESGSDDDSEEEVAKPVKRI
RENPYVAPVSAGAAPAEKYIPPSLRKAASSDSEELVRLRRRIQGLVNRLTEANLISILADIEKIYRENPRQHVSSTLVDILLTSVCEPTTLPDTLII
LPAGFISAIYKIIGTDFGAQIIQRIVELFDEHYVRAMAMGNTGPAASTTDSSKETSNLMMLLSEMYNFQVVGSGLMFDYIKMFLEKLSELNAELLLK
IIRASGPQLRQDDPSALKAIVTMLRPAIESAGGEANISVRTKFMIETINDLKNNKMKTGGAASAITSEHTIRMKKTLGTLNTRTMKGSEPLRIGLKD
IQESDKKGKWWLVGASWSGKLEDGSVEPSTSAFGKTRVSVEDAGTSDLVQLAREQRMNTDIRRAIFVTIMSATDYQDAHLRLMKLKLKKVQEFEIPK
VLIHCAGGEKAYNPYYTLIAKKVCGDRRLKTAFQYCLWDLFKKMGESEEDDIDPDDEEDTLETRQIVNLAKMFGTLLVDGGLSLYALKNLNFSYLQA
KTKIFMEVFFITVLLQCQRQAENKRDEQALRHVLGQARDTPALIRGLQYFLKKVVSKTDIAGGEEEKDTVRWACKVAGDTLKDLASDAA

>RCO7_01867 | probable dihydrolipoamide dehydrogenase, mitochondrial precursor
MLRSLVTPRAAARSAFKQCSSLPTIIAPTSIARWSKRGYATEAEEKDLIIIGGGVAGYVAAIKAGQEGMKVTCIEKRGTLGGTCLNVGCIPSKALLN
NSHLYHQILHDTKARGIEVGDVKLNLAQMMKSKDTAVSGLTKGVEFLFKKNNVEYIKGTAAFAGEHEIKVNLTEGGEKTIIGKNILIATGSEATPFP

GLEIDEKRIITSTGAIALNKVPESMIVIGGGIIGLEMGSVWSRLGSKVTVVEFLGQIGGPGMDNEVAKATQKILKKQGIDFKLNTKVMGGDPSGDKI
KLEVEAAKGGKNETLDADVVLVAIGRRPYTAGLGLENIGLETDDKGRLVIDQEYRTKIPHIRVVGDCTFGPMLAHKAEEEAVAVVEYIKKGHGHVNY
GAIPSVMYTHPEVAWVGQNEQEVKASGVKYKVGTFPFSANSRAKTNLDSDGFVKMIADEETDRILGIHIIGPNAGEMIAEGTLAIEYGASSEDIGRT
SHAHPTLAEAFKEAAMATYGKAIHY

>RCO7_01866 | uncharacterized protein

MNMNLASHGFGNPPWQSPSFDLDQCFIFQPDPHRGYDACRSPTAIVRDHHNLQYIGSSAVAYPHLYYPQPSYSYDFGGYPNIRYQPQDIPPYTGTRY
TVAEFHEANVVTIAPQMPQ

>RCO7_01865 | probable delta 8-sphingolipid desaturase

MASKSSPPQRKETFLSRRQIEGLIADGRSIIIVNGNVLKVDPWLQYHPGGDMAIRHMLGRDATDEVTALHSPEARKQMERYRIGRIEGRWVNFVPPI
QGGRFRAYFEDTPEAESEEDYPEHQTPSSDISRTPSPIFDSAEPISRRRVVTKSNPLLSSASSVSSLAEPEDGMSYLDAQTKEQIDLDIAKYPSLDL
GTQDEVVRRYRLLDQRLREECLYDCNYTAYAIEACRYTFLFSMMLLFLHLGWYATSGLFLGCLWHQLVFTVHDAGHMGITHNFHIDTTIGILIADFL
GGLSVGWWKRNHNVHHIVTNSPEHDPDIEHLPFFAISHRFLESLTSSFYNRVMAYDGFAKFILQYQAHLYYPILTFGRFNLYFLSWEYLIRGLGPKK
GPAWWHRWLELTGQVFFWYWFGYLLMYKSIPTLSARLTFLMVSHMITMPLHAQITLSHFAMSTAELGPHESFPQKMLRTTMDVDCPQWLDFFHGGLQ
FQAVHHLFPRMPRHNLRRAQKLVQEFCIDVGIPYALYGFVDGSKQVIGKLGEVGRQAAILAKCQRMTAEKGDILHGH

>RCO7_01864 | uncharacterized protein

MARAKHDQGSAERIARCRGINSREAKSAARSAKHNKAKSDQSGGEGGTGTGSGSSSGGDSGGGDSEECPNINRSGGRCSTRDPCVAHIPSWR

>RCO7_01863 | probable enzyme activator VAC14

MEPSIQRALNDKLYDKRKVGALDLERVIRDLAAAKEFDRIKKIIQQLCNDYAYAVHQPHARNGGLIGLAAAAIALGPELARYLDEIVPPVLACFTDQ
DARVRYYACESMYNIAKVAKGEVLPYFNDIFDALCKLGADSELSVKNGAELLDRLIKDIVSESAATYVSILQTSEEFMTETDKEAIDESVDLPTAFS
LARFIPLLKERIYVINPFTRTFLVGWITLLDSIPDLELVSYLPDFLSGLFKFLSDPNRDVHVATQGALERFLSEIKRISRIKKGIAESRKSRSDVKR
KRSGSMDSENSVVPDVGAEEDSGSGDEKEVSSDDDWVPGQDVQVNHKEILEMLTANLDSPLEEDSLLESLRWIVEFLDICPEEVLPFAPKVLAHLLP
AMASGVETIRLAAARVNSSLMDYVVSLSDEGAPADSNSGPSRIPTSVMRDSVGHEGRDPSTNTRGSLSNSREFDRRESEVQTPPPPYKAPTTPSPIQ
PQVDLDYAAAVNSLTLLFLNDHEATRVAALTWLLMLHRKAPRKVLAFNDGTFPALLKTLSDPAEAVVTRDLQLLSQISRNSGDDYFTAFMENLLQLF
STDRKLLETRGNLIIRQLCVSLSAERIYRTLADCIEKEEDVEFASIMVQNLNNNLITAPELAELRKRLRNLETKDGQTFFVALFRSWCYNAVATFSL
CLLAQAYEQAYNLLQIFAELEMTVNMLIQIDKLVQLLESPVFTYLRLQLLEPEKHPHLYKCLYGLLMLLPQSSAFAALKNRLNSVSAIGYLHIAPRA
YVPQSRNNSVVEAISTFQFHQRQKSSETHTPLFSTPSNASTTSFDRSSRLKGRDEGGIRWNELLEKFKSVQDKARRAKRTGGDFDDGLGMMSDPRAA
EGLDAKAFKDLARLQGPPIPAKDIAAPTNAQPANKTKSSLAKFGRLGGAVARPKR

>RCO7_01862 | uncharacterized protein

MAHLSPSAIFSPSVARLQQAAAKDWNYIDAWLSTKFAGKNPPPYERNHDILKALLALAALNDTADEERDLIARVEARALEDLQAKEDADSHTELLHS
LEDNLTKVGQTSLDTLAAMSVVLNQPVPTIERLGRGIVDLQVTAYDLEQVSERVSVLEAHLMNELDNINALIKDLQSDEYQPSSDLMKQTIDYQRRA
KALSAKLPEQRDRMGSTATGSGPSKITIQDVKLEEDKFKAMMETVKDLEAKVKSYHGLPQDIDLARLELEGLRLELRGLTLQRDSMFEGLVERESPK
KTRS

>RCO7_01861 | related to interferon-induced double-stranded RNA-activated protein kinase inhibitor

MIVNISAFAFATLLSSSSLVQAISSSEIPHDTPISSLLASANAHLAKGETNDALTYYDVAISRDPQNYLTYFKRGATYLSLGRTVQATSDFDKVLSI
KPGFEGALVQRARIKAKNGEWEAAKQDYLSHGKSENDLVELEESKGAAALATAAEKAGNWEECVSQSGAAIMVASKMLSLRRTRAHCRFERGEVMEG
MSDLKHILQMQPGQTEPHLQISAITYYALADLERGMDQLRKCLHSDPDSKKCKKLYRREKTLDKQLAQVNKHFEKKQYASSLKVLLPSGEDVGLVQD
VKDDVKELREAGTIPEHAPNDLVASLVEMVCEAYHELKNSKKSTTWCDEALTYNSNSLYGLFNKARRHTEAENFEAAMQTLNQAKEHHPSAQQVNQL
LQQAQIELKRSKTKDYYKVLGVTRDSDELQIKSAYRKLVKIHHPDKAHKAGITKEDAEKKMSSINEAYEVLSDPELKQRYDQGDDPNDHEQQRHQPF
HGSPFGGGNPFGGQSGGQQFEFKFGGGGGQFPNGFPFG

>RCO7_01860 | Eukaryotic translation initiation factor 3 subunit K

MGIPFDYAPDRPEHIDTILNGLDRYNPETTAIFQEYVVQQCEGKFVDCFANLALLKLYQFNPHLTKDETITNILVKSLTVFPSPDFSLALHLLPPHI
LTPISASSALPAAGDAPLSEAVQKLNVLNNLLGQASYSLFWSTLDSDDLYADLIADVAGFEELIRVRIALTISQSVREVERPVLESWLGMQGDTFEK
FINGVCGWEIEGSVVKVPLNKENEAKGTVVRENVKMEQFSRVIRRAYEQPA

>RCO7_01859 | related to pre-rRNA processing protein Utp22

MAPLSTKRRKLDNGRSVSPSENEAADIEQVQSQKLEVKSAQTAAQTRPKRADDDESSIYAGSLSKSSLFKLQVDELLNEVQPNYEKRLKGVDDLLRK
LKGQIEGIAKRDAVSVPQASKILLKSHKIKIPYPDPKPDNSAAYKLSYQKPTNVNVVGSYASKTMVKLDSVLSVDMVVVMPVTIFTEKDYLNYRYFY
KRAYYLACIADGLYDSISQYLTLSFEYLHGNTLHPIIVAKPISTSKSITEPKYQIRIIPAAPSTFFNKAKLQPGKNAVRPKDASETESPAQLSTPFY
NASLISDCSFEPYLRYLHSSAKLAPGFKDSCILGQVWLRQRGFGGDVATGGFGHFEWAALTALLLKGGGPKGHNFLSPGYSSYQMFKAVLQFLASSD
LAAKPVIFEAGDLKFSKGDTPILFDGLRGMNTLYKMTPWSYQLLRHEAKISLAMLNDSTFDQFESTFIIKSSQNLQRFDSTIRIAYSPHVLHNLSCD
HVSSYRLFSSKVYDVLREGLTDRVGIIHLQEPDVPSWSVQSDGYPQQEAALQVSVVYDPANIDRLVDHGPAAEEKKKAAKFQNFWGDKAELRRFKDG
SILESLIWPPGSAHAIFQDIVTYLVNRHVGQNSSESLVFIGDGFDKILPGSGLNTKHFDSLGEAYRVFEQRMRDLEELPLQLRQLSATSPQLRYSSI
EPPLFSSSHPMKIPADILIQFEGSGRWPDDILAIQRTKIAFLLKIGSLLQDRSITTRVGLENEELPLHNCAFLDIIYDSGVVFRLRIHHDREQTLLE
RQVKDKSIDHHAREAAVSALSVYKKTFIHLPLHTQSIATHCTRFPLLSPTIRLTKMWFDKHMLLGHVSEELVEILVARTFLQPYPWQAPSSVMTGFL
RTLLFISRWDWRVSPLIVDFTGTMTSSEVDSINTRLEAWRKIDPSMSRTVIFAASNHDHTGTGFTDKGPSKMVASRMTALARSACKMVKDKATDLEP
KSLFAASTSDYDFVIHISPVFIGERRKGEKSKFKNIELQEKADLVLTGYQPLQLYIEEIQKLYTNTIVFFNGASATSTIGGLWNPLYVAPRAFKVNS
AFATKVVNSEVGDLEKVVLDKNAILAEIARLGGDMISRIEVHR

>RCO7_01858 | probable O-succinylhomoserine (thiol)-lyase

MSVIELGESVPALTPHATSVSLPKWSDNIAYEEGRERVLSKLTTGYPRFFIHKIIAAFAEDIVKKHGIPGEQAMLFPSTRTARRCLKFMHSRDSSVT
PVQIRIVDLVLDVSRTDSEILKRVSPAISAVIYPTALFPLAKQYWQHSGDGCQSRRAEFCHGLFQEGILVEKNILQPSANAFQKGPRRYQKGSADTT
PPKVHQNGTDATAKVSNGLSENRESSQFLEERFGRNLDVSFVDNAKSAIRRRIAGSLMGEIDLSTEPAPDTGSNSRGVANVSESDVYLYPCGMNSIF
NAHRMMLEARGQMKSISYGFPYVDTLKILEKFGPGCIFYGNGESEDLDDLETRLKSGERFLALFCEFPGNPMLKCPDLQRIRKLADQYDFGVVVDET
IGNFINVHVLPYADVVVSSLTKIFSGECNVMGGSAILNNQGRYYQALKAVAEVDYEDNCWAEDLIFLERNSRHFVSRIERINGNAELICDVLRAHPL
VQNVYYPKYNFSRQFYDACRTPAGGYGGLLSFTFKKTEQAIAFYDRIETAKGPSLGTNFTLISPYVILAHFMELDWAAQFGVPGDLIRISVGLEEAE

DLVSRFAIALKAAEESSTT
>RCO7_01857 | related to DNA repair protein rad18
MAPQKRARHEDDAEILAVESASSALQTSSSNKKARLSNVGAASKDRGTPSRSASMSSSDDSDDELPDAENTAGGPLAASTQYETQRDKGFQHLRDTK
EDDEKAYNRFIARGKPMGDNRAADNAIIRKITCRNFMCHDNLVVPLGPLINFVVGMNGSGKSAVLTALTLCLGGKTTSTNRAASLRNLIKSGREHAT
LIVELKNEGIDAYQPDLYGKTIIVERHFSRAGSSSFKLKSVENRLISNKKTDVDDIAEYYQLQVDNPMNVLTQDAAKSFITASTPANKYKFFVEGVQ
LEALDREYKIISDTCDQIESRLHDSKGDLQSLKKTTDAAVERAALVEKYDGIKTELKRLRKKLAWVQVADEEKVLEALEQKVANAERQIVDAEKNAE
LKATQFDGIEEAIRRGNETIERLEEERTPVTEEVEAARRAHEEASKDVIKFHAQQKAVIEALKEAKNRVRSINEDIELEQSRLHAANGGAQVQKLED
LATAQRAADEATASISQNEEERPLLEESLRKAQFDMTKLESPLRAKTEELNSAKSRLSSLNSDRGDRMAGFDKNMPNLLKAVQSDRGFREKPVGPMG
LHMQLLQPKWSNIIESTLGNALNGFIVNSKPDQMKLRDLLKRHNMAYCPVSIGSSQPIDTRNHEPDPQYDTILRVLNVTNESVKRQLIISHYIEQTI
LVANRNEAMRIMYDGPRPRNVKNCFTVHDKHRDRGFKVAFSGGGGRDMGPIHAPRGRPRMQTDSESQINLQREICQSLDGELKAHTRAYERVRGDVG
KCRDAIQQNKRAQAQLKVAVQRAAARVENLQIEIDNLQGDDGKLDGLKQDLIPAKEALQLQEKNYGDSALEKDKLNTVATEKKRNLEAAKERLAEID
AKLGKIQNKIRNMDQARKLALTAKNRALEEVEEYREYKASEESDRAKQADKVAEFNKDATAICSKVALHPDDTEASLSRVYDTKKKQLDEARKKQGA
SDEEIQEAAVKARAIFSSAVSNRKELEELLQLLKKSFMLRLEQYRGFQKWISARSRINFSYLLSERAFRGKLVIDHVNRLMDIVVQPDETNKSAKGR
QTKTLSGGEKSFSSVCLLLSLWEAMGAPLRCLDEFDVFMDDVNRDVSTKMIIGAARKSVGRQFILITPKALGAGMDSDADVNMIKLLDPREKQKRID
EMLN
>RCO7_01856 | probable COQ9 Protein required for the biosynthesis of coenzyme Q
MASKILLPRSIPRHLSPRALTLSYPRPYHSYDHPAPAGPFTTIEASILSASLPHIPSHGFTNTSLSLGAKDAGYIDASTNLFPQGAFSLVHYHLITQ
RLSLADKTRVLKVKEGERPLGLGGKVKALTWERLMANREVIHRWQEALALMAQPSNIPTSISELSSLADEIWFLAGDKSVDSSWYTKRASLSTIYAA
TDLFMTRDKSPDFIETREFLDRRFGDAQVVGKATGSLGQWVGFTAQAGLNVLRSKGVRI
>RCO7_01855 | related to rat apoptosis protein RP-8
MAQYDSDSSGGEDGDYTETNVLLGYASKEASDDTISYLGGRPTWLDPTTPPSAALAKCKVCNDLMVLILQLNGDLPEHFPGHERRLYVLTCRRRTCR
RKEGSVRVLRGVRITETVNKKKEIKPAEPRAETQSTKPAVDLGAALFGGNPFSNSNTNPANPFSTSSASGPSNPFSPTSSSSNNPFAAPGSVNTPKP
AEKPAPPTSPIADLPKTFASALSLNIDTLKFGPLPPPEPWPQESELPAAYPLYYLADADYETLDKIEDLSLPTQTMEIDEGSGSGNHKEDKDVYEST
IDKTFQKFADRLSQNPEQVIRYEFKGQPLLYSKHDAVGKLLSGSGKGNEKVTTASVNGNHIPRCGNCGAGRAFEVQLTPHAIMELEKDETSLDGMEW
GTILVGVCEKDCQQKGVYNGVGFVEEWAGVQWEELNDRR
>RCO7_01854 | related to bck1-like MAPKKK (ask1)
MTSSRPRSSSTRSNKSDAHTVPAPSPRITSHEDFELSDGIVLNDVPQYNLSSSSNLLIPLYGVGSPYPTLASTSSPIRPRAGSTAGDPLPSPSFSSN
NSYRPSARPGPGIQMYQPGQRHHSAADGSRYLPPPPPMSPPAQPHMMSIPPPPPPLRNVASQSHQHGGVMIPPPPGPPPGSNWQSSWGRSYDTRGFP
LPPPNPPLNNQHQIYNPGQNYMAQQPPPLLIPPPPANEPQMSATYIPHGDSFGPGVGIPGFGRTQEPSFNRGDSAEFSAVSESSRSTSRNTIETGLS
TPLDDVSSYYQDRDRMYQSSQTTVNRFNNIHMPEYNPNSSSTGPLLNAQHSNRGNLQQTSTSSSNTPISPNEAGSQWPMDRVLLWLATNLFSNDWQE
TFRALNICGSVFLELGSGHGGRGNFGMMHQQVYPRLAKECSNSGTGWDQAREREEGKRMRRLIRSIVTGKPADTSKSSHIRRESSTANTQSAGTDGT
VENSPNLGRENHVSTPSTANGDDDSPGRSIFKGPGPGFGTRRSSSRSTTMPILSNSGGQTADSEAYHSQNRNGHRTALRNIEGDGSRRHSPSASSET
GEGQFRGPALRLEGSPKSSSPGAFANLYAPNNAGLSASPRSRNFGHRASNSTDSISSNAAIYGSGVPPGASQILRGGMGGAVGEMNLVRNQDSRRHG
VDGARPSPSDPGDRSATSEHPTSTKESKGFLKHFRKKKKEDGAGPSPEEPSLESPTSPSLGFKPAPFLENGKNSSETSLDWPSSTFSASEYDKFAHT
PSYRGQRNIPGRNFILLTTDGLNYRLCDVTDVDSATGIRSVICLTLGIMDPDFVQIFITDLGRSDHDEALDDQKLVLNRKAKADQAGSLKFYVRAPA
NSAVSSSASQSTGVVANFGNKLGLSPRLPSSTPLDEEAYAALNGTRRRSSSSPPSSRQNTVKGGAPPSHDPPDPPIAQAQSDALRDRLMQFRNSQLE
GGERQLPESERQAFMELAASEHRAEMERKQKAYLAKKKASKEAPTTDGSFGIVGRNVDFDQPRNSPFEDKKLESLFPQRKPPPPPAESATLIKANSL
SKRSGQQAPLPLTSVDSDGKRLSAEEQSTHYPPQEMSEYAKRKAVPAASSPQASSGIAAALIGMGSRLGGVGHPSPSITSSQSKRSPPSSNEQVERG
RSAMSTVDFGVNGSRGNSPRSRSGTPGSTTWGKGDKPFIVPDYGEDGGASLTRDRSLSLKLPEDNATAGTREEGIRRIASSTDLSPSSANSKPATNT
PGNRKSYGPNLDFTESNVDFKNSPKQMPQTDSDDDSDDGLFAVPLASRKMEKKSSMRRVMGTDDSHSDADSIGKRPSLTIRTSRSKKGLSVSFSSPQ
NANSAASVNTSRTPEFDDDSARVSSRRSQRRTPGSATSEGGWSAESSEEMNAKLLRRESFAREDVWASRPPAEALINHLDAFFPNLDLDQPVLETPA
NTSPPVSPVAEQETIEQRAAAQAGMSMGEGSTSNTIRSNLSYNDGDTLGSDESTLKALERPGSMQSIAQRNVRRSGGLGRMKSIREVARGAHEANKR
FTAPIQQGVPSSTMLRRKSTKMFGANIVQIKPKRGSMILPQIPQDTIPKRQATFRWFKGQLIGKGTYGRVYLGMNATTGEFLAVKQVEVSQKAAGND
KEKMREMVAALDQEIDTMQHLDHVNIVQYLGCERKEMSISIFLEYISGGSVGSCLRKHGKFEEGVVSSLTRQTLSGLAYLHREGILHRDLKADNILL
DLDGTCKISDFGISKKTDNIYGNDATNNMQGSVFWMAPEVVRSQGEGYSAKVDIWSLGCVVLEMFAGRRPWSKEETVGAIYKLGSLNESPPIPDDVS
DNISPAAVGFMADCFTISPTERPTADTLLSRHPFCELDQNYNFLDTDLYAKIRGAY
>RCO7_01853 | probable pyruvate decarboxylase
MTSTPPDIRTVALGSPVDVAEYLFTRLHQMGVRSIHGLPGDYNLVALDYIPKLGLKWVGNVNELNAGYAADGYARIKGISALVTTFGVGELSAANAI
AGAYSEHVPVVHIVGVPSTISQRDGMLLHHTLGNGNFNVFADMNKEISCAMAKLNDPNEAAVLIDHTLQQCWLQSRPVYITLPTDIVQKKVEGKRLE
TPIELLYPTNNPDKEDYVVDVVLKYLLAAKSPIILVDACAVRHRVLEEVHDLIDKTGLPVFVTPMGKGAVNEEHPNFGGVYAGDGSQPDVQKRVEAS
DLILTIGAIKSDFNTAGFTYKTSQLNTIDFHSTHVAVRYSEYPGVHMRGVIRKLIDQVDVSKLSAVAGPKMENKVEENEDSVDTITQAWIWPRVGQF
LRRNDIVVTETGTANFGIWETKFPTGVSAISQVLWGSIGYSVGACQGAALAARDAGEDRRTILFVGDGSFQLTAQEVSTMIRLGLNPIIFVICNDGY
TIERFIHGWDADYNDIQQWAFNDLVKVFGAAEGKSRTYQIRTKDEVEKLFHDAEFNSADVLQFVEIYIPKEDAPRGLKLTAEAAAKNNAKQ
>RCO7_01852 | related to P.falciparum dihydropteroate synthase
MADTNKRKERAGGDRDEKGTKRSKGGSGGKWQTPHQKAKIASRGSGKIEPGDVGIWATCAKNMEGRATEELKCAERFYGIKSGPDEDEEGEDDIEAS
IQKELAAMDNKQSTTRLFSPVHLDMPCVLFFKTSPRIEPVDFVHRICKEIATKPGVRKMKYINRLTPMTLMAKATEKGLQELGTTILQKHFIMAAGV
DDGSKSGAENASEEMPHSSYAIRPTTRAHTAPLKRDSVIKSIAESISKEHNVNLTTPDKVILVEIFQSVCGMSVVGSDWEELKRFNLSALYDREKTP
KEKAISDSDAKPETTTKDEAGVESIASGSEQ
>RCO7_01851 | uncharacterized protein
MSSPKVALPPHPRRMPPIYTLPIQRLKEITSHVAPGAVLRSMKELKSPQLPRLFILKMIDNHPLLLSITPRLSVRLMRHEASIMASEASLVHFLTGT
TTKRSISPVSPRSAEGRSRPEPVALLELVPKLLKHVSSTRETPYPYSVFEYIDGVPISSLSYPLGPSGRRSVDNQIGSLARELASRTSPSGTFGMAN
RVLPDPSSKVQASTAPKLQGSETWSEAFRTLLEAVLRDGEDMSVLLPYEAIRAHYRRLSWRLDAVTSPRLAVINISQDTNVMVERTNLKDGLDTPME
EVTLTGLRNWSQGVFGDPLISGCFDSPSQDFLEGWVEGGEEVIEDEENKGSRMLLYQCYRAVVAIVTEYYRPQSDSSKRELDGRRKLTSALKVLNGL
FNDEDEALKRVRSMSVDLVSAAKRQKLDDNENERSAAY

>RCO7_01850 | related to sgt1 protein
MDLPDLGFKGFGEGFEGFPKRLPEDCVEYSLFIIKSKLKSQKEVLGRLEEVRKESLRMTERLLKEYIWQREAFKLEIESDKGLMYLHGLTNYGDSVE
DEWLIVYILKELSYLFPDLWIKVVDTDGEFLLIEAANALPRWLNPEIADNRVWISNSKLRIIPLIAAPASSSAKATAPVSKSLTIEEAHRTITATPQ
ILINSPLLEEEAFYRLRNYPSQISASLHHAPITIPRKLAYLLHHRPASIAPAVEAFYLRDPIALKPLQSSTSNLILPPEDLVTVSTRFTKVLYAQLK
SQQFTPPESWKQLLFKSGKHAPSDHIGAKKYAKLELGMKVTSGFEMLLTDSKNGDNRTVRELKILIEDLETDDDVDLPTDEEISKWEGVSREDDETW
LDINFEDFERELEGKNKGKERSGAPGTFGPEPPPGFGDAKTQADLKKMVERFESFLNDDDAGVDGAEMDEMDIDNDDDDDDDEEDSEDEDKDVSFDE
NEFAKMMREMMGMPPEEDEETATNHTRTSRTRSSNSRIQELNSSDDEDDEEEATELKKVMDQMEAELNEAGALNLDPTPRKLAAVKGKAKAGNEEVG
SASEATDDEESDGEIDIDFNLAKNLLESFKSQAGMAGPGGNLMGMMGMQLPRDEDDAASSMRRHQT
>RCO7_01849 | related to myosin heavy chain
MVQAGIGGLDTPRTNLGDATYLSSQQLDFDISQEQSFQSPSKDNNNLLQQLQNGRRGAINLKTPRSRAALGDRRNLPAGLGGGEFTPLLKSATRNSA
LRNGKENVPATPAFLKPGGLDNITEDMSPLPNGSSFGESRNGSYMAGTPIPQIDSSSAASTPMALLPRRNEGPGVLQDGNQLSLREQENVIDKIEKE
NFGLKLKIHFLEEALRKAGPGFSEAALKENTELKVDKVTMQKELSRFRKTLASAEKDVDIYRQQFIEMQEKVKRKMVDQDQRQEVDRLRQTLEERDA
EVNRLKSQEIQFEDLQDTIDDLKADLREKDRLLDNRDDELENFKDDLQKRDSTISDLQNSLKDAQRKAIELEENAQVSEELEEAKETIEELEQTLKR
AKAEAQDTKEGLQQDLRRLEEEAEDAKDEREQAIKEKQRAEADLEELQEEIANKSMTTKGRSRQIEEKANRLQDELESLREKYDVLEEDHAENAREI
KKLNEKLEDLNQSSEVREQKLKDRIEVLQKESQSSARECEALLQRIETTKSENFSSAREREALSRRLEATQTEHQSFTKERETLLKQIESLQNELYQ
KSDEKNLLQIRHDALTAESASLQRDLARSEKTIEDLEDKLDHEKTLALDSERQLRDQYKNEINRLNDQIETLQAQLEEVKRDYDGHTELSARERKTQ
SSQIEAAEAKAASLQRTIDRLQEAEGSLSTKESKLKQSLESEKERHTSEESLLHRQIQELQQDLDDKFRTLENNKDTMLGLREELRTSQREQKMLAE
KVEGLEDEVEILQTSLDDESEQANNEIIAAKKESETLRQQIRSLKDDLVKAEFAAARTQAEIESFQGDLQAGEESKQQLSLRLREVESQLTSIRKEK
LGFQDQLANLQSELQSLRTVKADVVAERDELQSQLRSLQQQGEETFRLDQERVELRSAKMKLDGEIRRLREENKATLAQQEAIEHDLQQEIDRAGAE
EARLNTEIGDLQRILRGSSEKKELAVAKKTIQKLEARIQELETQAASADGQTDVAHELSIIRHDLSSARQKETDFLQREATQKDVVRTLKRQITDLE
RKVHEVEVSRFISSPHSSIGGSARKSEIVELRAQLATAHQTLKEVRSQLKEAEKEASKKLTALNIEIQAQRTAWDSEKDELEHALDEAELAREELEA
KNATSEAAVTRLRSKIDRLEKALTHERQNTGEDRSIVAERRDLHEMLRETQLQSESLEIVVQERDHKIAAITSAEQELRAQLKRVRYERALHRSEAV
SLHEQLENMERKYKKAKDKWSSEKKTWETQIKAWEEEMTHHDAEKAHWDAEKKHWDVEERHWELERQTWLAEKKNLTRGVRFANMSLSINEDAEQLQ
ALKLAMEEREKMHVKEMRGRAMQLEWLRAKCQREENFRDDAAYAKRYMGMQIDMYRACNETDIRMLEAAGIKRPPRRPKKRPTLRLVATAIIATVRM
QMGAAKWAESRKISDRIEAKIEQQRIQALQLQQKEQEQVQTAKKSGGRR
>RCO7_01848 | probable Metacaspase-1
MSGYPGSNYQGGYGAPPPQQYPPQSNFYPPQQNYGPPPPQQQQGYGYQQPPPPQQPYGYSQPPPQQYGGYGGVPNNQPPYGRPNMPSVNSNAYVNGN
HAAPAPPPQAMQSFGHGAPQGYAFQYSNCTGRRKALLIGINYFGQRGQLRGCINDVKNMSSFLAENFGYKRDDMVLLTDDQQNPMSQPTKQNILRAM
HWLVKDARHGGQTKDLDGDEEDGYDEVIYPVDFRQVGHIVDDEMHRIMVTPLHPGVRLTAIFDSCHSGTALDLPYIYSTQGVLKEPNLAKEAGQGLL
GAISSYSQGNIVGVASNLMGFFKKATTGDDAYNKTMATKTSPADVIMWSGSKDDQTSADATIAAKATGAMSWAFINAMKKNPQQSYVQLLNSIRDEL
ATKYTQKPQLSCSHPLNTNLLFVM
>RCO7_01847 | uncharacterized protein
MFSAFSNIGGLPPPSADAAPRVIPPPTPVRFPQCSPQSDAKVPRKRGGVSLVKLLQNIHRPTDIRVSHLEAVGVHVISDVSPQDLLPDASYLPPVEK
WNKIASEDLLGANEATRKPLSNGCLSPGVHTYRDRQKELLTDNTAAFRSIRRIPTPAGESPVRLGNAYEFFKNLEFFSGYWPDTSLSQKPQPTKSET
TDSTDGVKPVPSHLQTHVPSGNGAQLPPDYRQHLITAFVKLVTYDFGCNVSFPRTEPRLHLTPSRVPSPKATLPPSYFNSSVTFVYRLPVERSAARA
GIVEGPVATLSARNSTVFKNPSDEILDLAREVVGVLITAQHRAREGRTEKRFGNAKWWTCTPRWGGGPGGPIGREGDKAEEIALALAAGLPEKLPTS
ATGPTPPVVEEAPGVKMANEVKRQIGGLNGSTPPKRSKKAGGKESSMMAIYEQYRKMNAPSATWDRKARYSAIGKVAGQGYDDIFLMSALNHHISIV
RARVSEKLLSVLDGGEDDEWDRLEIRRTKWYDLYLGEERVEAMGCIWGVMAWLMRKVENPIDGESVASGDDKEVEKMDLS
>RCO7_01846 | uncharacterized protein
MSSPNLPAGFSITTIDGKRCTAVPRSLTTLTGDLATAAVAQLPTTTTQVIASTTADAAPTTFATSVVQNTVPDTSPNVITTPTSTALAVPTLITTQN
LSQSSIASVTSAIAASKSTTPTTSSSTPLAVAQSEVHASPTAATGENNGLDTSDTSVPSSTTSAPPILATSSEQPGESSASTGISSQPKFTAAPVVA
GVVGSIALIAIVGLLFFFLRKRRKTRESLLTPLTTGRRSLFYEADNNSVGPSGRGNKWRTEFGYQTDRVQTVGSRIKAGVVAVGASLRSKVVGERSG
TPNVNLNRGNSQFLDGPIPQHSRNNSIASNPAQSTIKSKATDFWKNLGCKIGFGWAKKSESRDPFAAARSMNEKRAMANGSPDFSQLLGMDDRDLQI
QAERRRASLVGNTGSLAQLGSLGLNFNTAEDPFADPKKASVTPGWRPPNVKGNPFADPSTKTNPFADPVVKPDPTIPKSNTYIAAIRRSRGQSIDAG
PTSNNKNPTSMYRPPSGAIESRYPSSLAPSHDSYRDTVASFATNARKGKGRSDPFDLERPELWRPRDSDLYPNPLVGTKGLAAGSAYNQNQRIFSAA
SYTSRYSSGASSLGDWGEPGPALGPSQNSSLRGNASSSGGSVDYTSGKPGLDDDRPVSRQISKASSKNGVGKAM
>RCO7_01845 | probable phosphoglyceromutase
MVHVENKAVLIVIDGWGIPVESSPKNGDAIAAAETPFMDAFSMNADGFTELEASSLAVGLPEGLMGNSEVGHLNIGAGRVVWQDVVRIDQTIKNNEL
NKNEVIMKTFDAAKNGTGRLHLAGLISDGGVHAKQDHLYALLKLAKEVGIPHVYIHFFADGRDTDPKSGAGYMQGLLDKIKEIGIGEIASVVGRYYA
MDRDKRWERVEVGLNALCVGDGEESSDPVKTIKERYEKGENDEFLKPIIVGGKEARIKDGDEVFFFNYRSDRVREITQLLGDFDRSPLEDFAYPKNI
RLTTMTQYKLDYPYTIAFKPQHMGNVLAETLGTQGVKQVHVAETEKYAHVTFFFNGGVEKVFPLEERDESQDLVPSNKSVATYDKAPEMSAAGVAKQ
TSKRIKDGQFEFIMNNFAPPDMVGHTGVYEAAIIGVATTDKAIGAIYETCKEEGYILFITSDHGNAEEMKFADGKPKTSHTTNKVPFIMANAPKGWS
LKQTDGVLGDVAPTILEAMGLTQPEEMTGHSLLIKS
>RCO7_01844 | related to microtubule-associated protein
MTSNAQTVPKPVSLKNLPDGLSPDSIDTLPVLSQILARLQTPSNTSTASTAGSPPAIFPSQAVSSTGPLTIKDIPLATDGIKHKLQKAKSLVKELPD
MERSIAEQEEEMRELEERIRKQKDILGMLRDVGVNIKREREQRERYAGVDVMES
>RCO7_01843 | related to tubulin folding cofactor C
MEEATAPVQPAASSQSNINQRFYRHFQAECTELQEQLAQLGNYSLAGGEKQDAIDHVNSGITRLSTEVSDASRFVPAYDQRVYSQAIKALEEKLSEA
RAKFMPKPRFQFKQPKNNSAISLNDAAELAQQKRLKSPEFDRSLHSSDESSIATTPAYLKTPPSEVNSRDTLGKLPSFAKNYNEEMIRAPAGPVRKP
SFSQATNVNISGHTHLHIILPSSASRATASGSLTNLTRCIVDMSVPTANGAPFAGLAIQDIKRSLIIAGHVAGAAHITGVEDSIIVVASRQVRMHDC
KNVDIYLHCASRPIIEDCSNVRFSPIPECYMTSQQAPIQNQWDQVDDFKWLKVEHSPNWSVLPDDKKLDENVWTDVVPGGPGVGLEDILKKIELPGN
>RCO7_01842 | probable NADH2 dehydrogenase (ubiquinone) 21.3K chain
MAPADEQYHPKDAVKVAINGTLIMGAAGGMISAIQNTLSKRNVSPWGVFTKTGGTIAVFAAMGGTYEFTRFASANLREKDDSLNTALGGFLAGSVLG
LRFGTTPAVLGFGALTAVVMGAYDYTGGALTGYRKDPEIDEFERKQALRKNRRRPIDQTISEIGEGRGIYGPGYDERRRERIKEKYGIEVPAKS

>RCO7_01841 | related to UBP2 Ubiquitin-specific proteinase EC:3.1.2.15
MDNLPLGPGKTAPRLILDLLDYDPKKSFGKNLLADPAPQYKKGLWDARHPQACRHSLMRKESTRAPASNDEQPGADSTYEVAAYCNKCRHHFKISVD
YTQHKAFQKSCRQSDNENLLHHFRRKVSTTGKDYRTQYGANMYDHLVECHDFGCTGTSCPASLSIKISAPRLGKSFVDMLTDKTRLDIRGRKEIAKD
PSRYQGVEPASPATALLYLRSYLTDAKSAKGTKPRNIAKRNKKFVIAFGDDCNDLFEALGFAMIEEPAELPDEGMNGFWKLPIVTDENQGYINDVIF
EIDVLYQNLPQTEQNHPGFEKVYIRPVPALKDIERSLGCFDYPMISRTIDIDSQEHPYYKSLGAVETFTDDYLSWAYDRQCSSDPANKPYYFDCLED
LANGRKSSDLQMKVTIAVSLGEYGLKQLEDSFKFFGLDADTKEGDDHIMGLFKSRVASAPRQKEEAKACLMIIAKHRSSEAIEALAKDDTMSFEEAL
EFLNVASNTASDSVEAAAIAMALDGDRARVARALQVIANHRPEDFDIQRAAAQMELGNGASYLTVSDAYTRLQIAGTGPNLPDETVLTYYQSLSSGA
PSGSKDSFAEALRTIALERKSLYLLRKLHNPDAVVHASTADPVGLDNIGNTCYLNSLLQYYYTIKPVRELVIDFPNHRMELNEQNLKVKRVGGRIVD
KSEIIKAQKFVEELGGLFENLKTASTRSVKPTKQLAELTLFSSEKQGEFLERRKSISTPSGPANIDAIMGAPVLGPQLPPPPLAPPSSRKTIEDDIE
MIDDLTDRVEARDDSSEATLVDMDQAPTGGDKDSIAASKVDANDVVPDAVMVNGEYDADGVSKPLSPPEKPPPVPPRNKSGLVISTTEHRKKDLAAD
DDFWTFGTQQDVTEVIGNVTYRLQCAIKPTSIEEESGEQVDIIRDTFFGANTTYTEKEHSTDTKVEAWPTIICFPGKDGEVRDLYGAIDIIYDAQPV
EVEGKRCPQYFSISKLPQILQIQIQRTDFDPVRQSSIKNRSPVAFPETLYLDRYVASEDPDSAVMRRRRETWKWKSQLRLLEARQKVLENSKEEINV
PDALLAVKDYFTALQEEEIEGIEIPSDLPEALEERISQVSSELDRTSKRIDEIKKSLKEQFTDMRDYGYKLHSVFIHRGEAGGGHYWVYIYDFEHDI
WREYNDEHVSEVKDRRRIFDQTGTADGTPYYLVYVQAHRLKELVDVVCREVQDIPVELGNWSGQMDGVVNQNGNENDTEIEDEDVDLRHVEYANPRP
IRPKPVSSEHQPVDGHGNPW
>RCO7_01840 | related to Plasmodium yoelii rhoptry protein
MDLRGQRFEIDLSDDDEQPETGSRIPTDAFPSISSPFVGDIKEREIAAPPSAPKMKTTPTGFPEHKKRTRISAFKQQRAGSAEPALVTDTPNAFALR
QTPTNASLMTQNTSNMDGERRQIDEENRRTLAAMSAEEIEEERKELVAGLNPALLEMLLKRSNLDEGRGDTGIEPPPATTKENAKAVSETAPEDRSQ
EIRSKEVADSVPAPKPAGKRIDPAKSVRFEDDDNEPSSPINLQSASSAQPDPLPEGIHPSMHFPTAPTVPDLDPADPSFLENLHAKYFPNLPADPSK
LAWMAPIPTHGSIADQESPYYPSSQGLSASALRFDFRGGLLPPRIARAVPITKGLHHHGEAPEAAGYTVPELARLARSAFPAQRCMAFQTLGRLLYR
LGRGEWGGPDSEITKGLWQCVEGGKVMTTMEEAAGASGGHQGSKVYAVEAIWLWQKGGGKVMKAF
>RCO7_01839 | related to HPC2 Cell cycle regulatory protein
MVGERRRTQDGARSVSPSDLSSPPRSSPEAASPAAKFQNNFKNSPSASSSSNNNNNHSSIIVNPSGVALSPADQKPPRKKPGRKPGSTNKPKTNADS
PSTSTNANTDAPPKVRKQRKPKDPNAPPVQRKKRNTASDVGNQLDIRFANDIKLQAHPSQTEAPPHFHGPVLASQSGKHEDIQQRPIQSFFNPPPSQ
SQHSIQLQQNPSQETGNTPKAIRTSGQNYDPIRSNYDPVRETSHNPFGHPQTSPSHAHSINRASASPSISSLVDPPNHALASPSIATQSFYQHQQSR
FHQTDGHSSVPPSPTLNRVGSSAPVELGLSPQPGPVLLGSQKPEPTHAAQPGPSTMSKKMAPASNAPSSTAASPKAPKAKASKETNEIFPEPPPLPG
SGLMGIGGGGPADGTEFRAPTVVLRIPMTGEVNNYINFTQLAEEQYGWDALHPRLAAQRDRLARVAAAGAALERSGSNKESGDEMSLDSEAEGEGEG
SNVDMGGMSDGRTGTDGGKKVPRKRKMKEDEYDKDDGFVDDTELLWEEHAATANDGFFVYSGPLVPEGEKPTLETRGDGAPKRGRGRGSRGGRGLSR
GASLLAGQQIPVRPNGLPAHGPGSRGGLTTRKPRITKADRARMEQEKLEREKMGNMASMPGGYGSMPHLASAPSNLGATPLVFNQ
>RCO7_01838 | probable citrate transport protein, mitochondrial
MATAPEKKKERPSALRSIIAGSTAGAVEIAITYPAEFAKTRTQLNRRLADGQKLPWPPFGKAWYAGCTTLIIGNSLKAGIRFVAFDQYKSMLQDADG
NISGPRTVIAGFGAGVTESLLAVTPFESIKTTLIDDRKSANPRMRGFLHAVPIIARERGLRGFFQGFVPTTARQAANSATRFGSYTFLRQLAQSYTA
PGEKLGTAATFGIGGIAGLITVYVTQPLDTIKTRMQSIEARSLYKNSFVCASLIAKNEGLLTFWSGALPRLVRLMLSGGIVFTMYEKSIDLMDRLDP
DKRYV
>RCO7_01837 | uncharacterized protein
MSRSIAYKHQIRALSRWPIDTLRPDCQFQNVMRKRLERHFPATTSQAENTPGAAKAVANSALDERLELEKANVLYALVENRFSRKYPITGSLMTPKS
NPNHYTNLIRELDEAPRSSWVERTIKRWKGFLRFQ
>RCO7_01836 | probable metal homeostasis protein
MASQRYERVSPNDAETPISPIIPSSPPPSFRSRASSPTRHAAVDQNLADAFDADGSDSDEENDGDDRQRLMRGTPTTSAEQTDSESFTTPASDDHGP
MVVERRQTHIPVFMAPPPTANGRVYGGGSGSDGVFANLSAKPERGEKLEEHPPSYEQAAADAAPPYWETTILAPGMGGPDEVYIDGLPVGSVFSFLW
NGMISMSFPWVGFILTYLLHTTHAAKNGSRAGLGITLVQYGFYMKGGASDSTPANGQDPTYQQPPDPNSHDFDPNAVNGNTAQGMGAGSGGWGDIAT
NDWLAYIMMIVGWFILIRAASDFLRARRHEALVLQSPERGLNVPIIAIGEEPATVV
>RCO7_01835 | related to protein-L-isoaspartate(D-aspartate) O-methyltransferase
MAWQCSGQTNVELIDNLYKSKLITNPRVRDAMAKVDRAHYCPDSKSAYEDSPQSIGFRATISAPHMHAAAAESLVRFLEMEGCRVLDVGSGSGYLTA
VLAELVCDQRGGEGSGNRNAIGGKVVGLEHIRELRDMGEKNLGKSERGRELLGSGRVSFVVGDGRKGWVGQRVGEEEQGWDVIHVGAAAVELHQELV
DQLRSPGRIFIPVEDPHGDGQHIWVVDKDANGIVTKKKTFGVRYVPLTDAPR
>RCO7_01834 | uncharacterized protein
MHATTLISALAFVGTALSVPLSLPRQANACFLVGKTTLPAEVVSAANFLAPLVTCSSSVKTISGVPDVTSGSTSFSSINFATSSQSPLTFALSEFAT
STPLASTNLKLFQDRANVYTATEAGIRSAGGALAIKAPKFFLAFQIARIKAAQGLENKDPGQQVDHLLGKVTKNAVRESKATLDAITALSKVLA
>RCO7_01833 | uncharacterized protein
MPPARTPQQYTAPSKPVKTERTHEENQERAYIAASRRSDRSLEARVESARRASEIHKRRTGRSLRVTEKDVMDEEMYEEEDDGIPRQYRQLAAHLQT
NNPDFNTRLEAYLTANVAMRSALERTIRNSYRQSGEQPYPVQYGNMYPSPMNAHQQQPQQQQYQQPMMQQNMQLPQQQQNTYRQAPYPSPRLGQDGR
PASFSGSSATKETKLATSPVLAQGSTPSLLDRRMSMPVTPGTASSPTTSTTMSPLQPTQNQKPSFPQGSFPQQYGMQQQHANGLPNMDMGNFTSFST
ALPGNAVGLLGSNFGFNDSSPMMNNDGTFNFGQVNQALPQTASFGKQQHYPSYAGLNSTLAGPATITEEPNLEPQDFFDDAFISANSGATPAQTPGL
DGDWNSFVDLDGPSFPSSQDSQT
>RCO7_01832 | probable NADH-ubiquinone oxidoreductase 23 kDa subunit precursor
MASAKPITMLVARSRPSAHLSRSMRMIAPSASPLAAFSTSTFRAATPSGPPPAGFRLPKPERWDQSKESTLDKAGKFFLLTEMARGMYVVLEQYFRP
PYTIYYPFEKGPISPRFRGEHALRRYPSGEERCIACKLCEAICPAQAITIEAEEREDGSRRTTRYDIDMTKCIYCGFCQESCPVDAIVESPNAEYAT
ETREELLYNKEKLLANGDKWEPELAAAARADAPYR
>RCO7_01831 | probable NADH2 dehydrogenase (ubiquinone) acyl carrier chain precursor
MFRTALLRSARSASRQVAQKSGAIARPASQSFLLSQSRFAPSAFQAVRCYSATAGLDKPEVEGRIVDLLKNFDKVTDPSKLTPTSHFANDLGLDSLD
TVEVVMAIEEEFSIEIPDKEADAIHSVDKAVEYILAQPDGQSQLQEHYYEVDTNPNPAH
>RCO7_01830 | related to trans-Golgi protein GMx33
MSSGLTRRRGGGGGGAGGDNEEGESSRVASPAPKAGASRDTSGPETSYENGENGHKIAFDPRDISESAERSKQPKLTLMEEVLLLGLKDKQGYLSFW

NDNISYALRGCIVIELAFRGRVSMQKDSSRRRFPLADRVIEVIDDTLTGEVLLDEALKMMKASEKMSVSQWIDLMSGETWNLMKIGYQLKQVRERLA
KGLVDKGILRTEKRNFLLFDMATHPVADGGAKEEIRRRVRNVLTQRTVVLPGSQFLPENLKFRYTRTIAMVCAAYAANVLENALATLGHEARERAFA
QVDELLAEYSQWPFGKRAGGASSGVGANLGQVIGEEVTNGKDEELQLEVVAACLSVFTRLDSLL

>RCO7_01829 | related to RRP14 Protein involved in Ribosomal RNA Processing
MDSSIQDRLRAHAESFDGLLSLIPADIYYGKDNSDQWKKKKQTKEQAAAARRAKLDPDSATSKTAKDVMDERARKRKLDQVEEAEGFDIEGVEKELP
KEGLKLAQDNKAKKQKITDGTNGQASTEESKAERKAAKAEKAKLKAGKKAEKRKEKKSITKQKLQEKTGKKVEGQEADVEVAADIEAEDEPVGKEEK
MVDGEYSDDGDTVIDEGPGGEINFEADGLEEQNESASPESSPPSPTFDNPTEPSANTSTSSVIPPATAPKHIKLPTDPELLRSRLAARIEALRAARK
ADGPDGRPARNRQELLEARRKKEEQRKAHKKEIRLKAKIDEDAKREAALASARDSPASSMMSPLIHSPEQNFSFGRVAFADGQEMSEDLTALKNAPK
KRGPQDAASALKATEKNRLRLAGLDDTKRADIEEKDLWLNAKKRAHGEKVRDDTSLLKKTLKRKEKSKKKSEKEWSERKEGVAKGQAMRQKKREENL
QKRRDGKGVKSKGSKSSKSVKGKKKSRPGFEGALKGQMTH

>RCO7_01828 | uncharacterized protein
MTPHVEANSLSDITQLAGNPPKYPRNPTESKREPLTFYIMRVPGSRDIILTTLKPQLKNVTAEDVASSLYYLHYQTADDAKFLEEESNTIAEETSSI
VNKPLPRKPLPESARSSLEISRQLSAASQRSRPQEPTIGIPRRKPVGSDSPTRKPPPQGHQNDAALRRPLGPRLQSAIGLEKIQLPGIENTPSDRTS
CSPSPSKRSINLSRTAEILAGNVEVDKETFSLTLIRRDPASGAQWNIGSVTGTPTSDEGQSRRATSTLRSRKPYFDLSIHITTPGYNYFRNPQPQGH
AGDLTNAYRMSGPNLDAKKLQMQLRTKSGFSRSVCMEGSSFWNRSSIQNKRALSEISDKHMSASGTGSDGSNSGLPGTLSSSEESKGYTFTSPWGGR
CKFSTASGGRSLRCKHSLPAPVSASNDPESASAAQPSVAVSELRFNLPSSAVFTQAASVSSTHANGPDGKRFSIPKFSHIRNKLSGQKIAPQLPPRP
QPASYSALYPSDDEQLSPLPPRSNTQAQIDISGEEELVVRHYANSHSTPKSADSTKRDNGDENRLDLSIGQEKAGGGNRGKRAKLGKLIIHDEGFKM
LDLVVASNMGIWWSVWESENW

>RCO7_01827 | uncharacterized protein
MQLTKVFAIFSLAATSLAAPTVEMVEKRTDGPAKGLGCGTQNVGELKCCDQKAGTAPISTLGITPLLQSLLGIGLGTVPQIVSVIEANVQCIPILQV
GQACSNVQVCCIPKGVFSGPGAASAATQGGLITLLNGNNVLSNNQFAICPAVVV

>RCO7_01826 | Rad54 homolog MUS-25
MMITPPDEISSTPTVTRKRLGTHGGTPQTADRLKRPFGLTLSDDKENNYPTPSAKPSAVQGSQRLYTPQSVDKLVKPFRCPGSATITRTSEKPTRKK
RKVDYGGADGSKDEEEKAWTNEDRLALANRESNKFPVFQVKDKETMFRKRFAVPLVNKDITSYNPNRPPPTLGLRQGAVFIAKALHDPSGEFAIVLY
DPTIDEKPRTIEEARKAESTEPAKIDAPLVHKSLAEILGIKKVVDNERPKVPVVIDPRLSKVLRPHQIEGVKFMYRCVTGMTEDNANGCIMADEMGL
GKTLQCIALMWTLLKQSPDAGKSTIQKAIIACPSSLVKNWANELVKWLGPDAIQPFAIDGKATKEELQQQLRQWAIATGRSVTRPVIIVSYETLRLN
VDELKNTQIGLMLCDEGHRLKNGDSQTFTALNSLNVSRRVILSGTPIQNDLSEYFSLISFANPGLLGTRMEFRKKYELPILKGRDAAGSDKDREKGD
ATVRELLTVVNKFIIRRTNDILSKYLPVKYEHVVFCNLAPFQLDLYNHFIKSPDIKALLRGKGSQPLKAIGMLKKLCNHPDLLSLPDDLPGCEQFYP
EDYVPKDSRGRDRDIRPWYSGKMQVLDRMLARIHQDTNDKIVLISNYTQTLDMFDKLCRNRGYGSLRLDGTMNVTKRQKLVDKFNDPNGSEFIFLLS
SKAGGCGLNLIGANRLVLFDPDWNPAADQQALARVWRDGQKKDCFVYRFIATGTIEEKIFQRQSHKQSLSSCVVDSAEDVERHFTLDSLRELFQYHG
GTTSDTHDTFKCKRCKPDGKQFLKAPAMMYGDTSTWNHFVNDGLKPIQDLLLRQECGDEAVSAVFQYISH

>RCO7_01825 | uncharacterized protein
MAPPPPTAIDRFFATYQSPILMTTFGIQVLHHQYIRRTTPTYVSSAASFRITSIPRPLRAGLLWGAVFVGLLTQITLAKKAIRDCSDPVIAVGTQRK
LWARKVVEGL

>RCO7_01824 | related to ornithine transporter 2
MSADFWAGYISGAVGILIGNPLDLIKVRLQALSSQSPSTLSTVPSGTIVRYANSFTSASSLIRGATAPILGYGALNALLFMTYNRTSLLLNSQSPLG
ATAPSSLWTTWLAGAIGGLATFVVSTPTELIKCRAQISTSSSTASSWGITREIIRREGVRGLYVGGVVTALRDSVGYGFYFWSYEIMTRFMEERMRE
RSTDGRENGVGEAAKVLLCGGIAGVVTWVSVFPLDVIKTRVQTQQYQQGSLPIAAAEGAPLLEAATKPAPRRLGAVEIARNAYRAEGTGVFFRGLGV
CSLRAFIVNAAQWAVYEWIMKELDPERKKAVVGNFASDDDVMKL

>RCO7_01823 | related to ferric reductase
MESDWLREGIRYALRASLYTTKTKEDTPPSRDPRLRKLIEKVLYSRRFILTYHIVILAFVVLLSASHWTSRAIRWRRRRVARLQILKDEDEYDGDAK
SIKPAPVLSAIEDLRLVYSSSSSTIEETASPPRKDLEDDEATPLLQSDTNHRSRSSLSSFGQALMIYQPRPIPVINKALPSNGTSFVVLAFLSLNLF
YIFYDIGINVIDFVVLADRFGLVFSANIPLLYVLAAKNQPLKFLTGRSYESLNIFHRRLGELLCLEGFFHSAGFLVVWYVLFKPSGFGLVRFLLIRR
NLIGTGMLLTYELLYFTSLGSFRQRWYELFLGLHVVLQVLALLGLYFHHHTGRPYVLAALIIFIMDRIVYRLGIKSMTVNAQSKILEDEETVKLSSI
ITLRRRPGFFGLFHISIDAGWQATDHIFITIPSLSHTHLLQAHPFTIASAPPNPGDEVARMDLTIRAQDGFSRDLLNAARLHKTFNLRIDGPYGSSH
TREMLEDADLALLIAGGSGIAVSWPLVWHLLNTNRSTDTEIAPTTSPRKQKVILIWVIHEAAHLSWIGRESLAEAELLGAEIVIPRATEEIGRPDLE
TIIQELVDVHASAKGNKASLVASGPDGMGRLVRNTCAGLVRNGREVKVAVEKFGW

>RCO7_01822 | related to prefoldin subunit 3
MTDSIEKPAKDTTAPTNPRGIPYAPFVDKVEDYVTSRADVEKTLKKFQEMISKYQFMESNQQRRAAGLKDKMPDIQKTLDMVQFLKTRKPGSEPIEA
TFELNDTLYAKAHVPPIDEVYLWLGANVMLSYPIDEAEELLSGKLTGAKLSLANCEEDQEFLREQITTMEVATARVYNWDVTMKRKEKNEQESIEDV
EKGTPNG

>RCO7_01821 | probable phosphatidylinositol/phosphatidylcholine transfer protein SEC14
MAEDNGTLKLDPKYDQFDYPIVSANTQSGHPGHTTPEQEAQVYQLRMKLEGDGYTDRLDTLTLLRFLRARKFDVALAEKMFVDSESWRKQIDLDDLT
RNFKYEEKPKVSEYYPQYYHKTDKDGRPVYIEQMGKIDLNAMYKITTAERMLNNLAVEYEKLADPRLPACSRKTGHLLETCCSVMDLKGVGITKVPS
VYSYVKQASAISQNYYPERLGRLYLINAPWGFSGVFNIMKGWLDPVTVEKIHVLGGGYQKELLAQIPAENLPKILGGKCECAGGCSLSDEGPWTDPQ
WAKPPKWAQAPQEKAAVIDNTATNPPTIPDAGVAPPAAAGVPVAQQPIHDQINSIPA

>RCO7_11648 | probable threonine-tRNA ligase, cytosolic
MEKAQKAVEAVAEGVKSVAIGEKKQKVKKEKGGDGGADAEPQFLDDRLQVFKRLKTKFDAEIAAKSREPITITLADGSQKAGTSWETTPAEIAKGIS
NSLVKRTVVARLNGDDEQLWDLERPLEKSCKLELLSFDDEQGKKVFWHSSAHILGEASERRFGCSLCIGPPIDNGFYYEMSLPDGASVQQSDWKPLE
TLVSQIVKEKQPFERLVLSKEDLLEMFSYNKYKQHIIKDKIKDGEFTTVYRNGPLIDLCRGPHVPNTGRIETFAIMKNSASYFLGNKDNDSLQRIYG
VSFPDKKQMAEHKKFLEEAAKRDHRKIGKDQELFFFHELSPGSAMWLPHGTRIYNTLQSFLREEYWARGYNEVISPNMYNSELWKTSGHWDYYKDDM
FTFMSEKDTFALKPMNCPGHCLMFDHRERSHRELPWRVADFGVLHRNEASGALSGLTRVRRFQQDDAHIFCREDQIEEEIMQLFDFLHKVYGLFGFT
FKMKLSTRPEKFMGKREVWDMAEAKLRSALDEFTKGAWELNEGDGAFYGPKIDITISDCLKRDWQCATIQLDFQLPQNFGLEYMTSEMVVKPKDDGD
AAAKAKQDDPKKSGAVGPDGKKERVYKALTPGCARPVMIHRAIAGSIERFTAILTEHFGGKWPFWLSPRQILVIPVGNAYQDYAKEVQGIFKGQNMF

IDVDLSGNTLQKKIRTGQLAQYNFIFVVGDQEMNGREVNVRNRDDSSSQDRGKPVPLEEAIAKLKALRDERRSDNPFPGDVKAVEPEAHS
>RCO7_11649 | uncharacterized protein
MSFRGAPRGRGTGANFGGGAGRGGGGFGGRGGGRGGFGQRDNGPPDSVLEIGEFQHACEGEMVCESTNTKIPYFNAPIYLQNKTQIGRVEEILGPIN
HVYFSVKVSEGIQAASFKTGDKFYIGGDKLLPLEKFLPKPKPPPGTAKPKRAGGARGRGAPMRGGRGGARGAPRGRGGFSAGGRGGGRGGFSRGGSG
GFTPRGRGGASRGFSRGRG
>RCO7_11650 | probable CHO1 CDP-diacylglycerol serine O-phosphatidyltransferase EC:2.7.8.8
MSKRTSSSVTNGITKQDSTAAIDKQKKLLSEDTGHFSLVKAMHLADLITELNGFCGVMSIFASLRYCLGSPSAHGNLWAAMFLMPLGLFFDFMDGKV
ARWRKKSSLMGQELDSLADLISFGVAPAVSAFAIGLRTPADHFLLTFFVLCGLTRLARFNITVGNVPKDATGKSKYFEGTPIPTSLSITFLMSYWIS
KGWILDNIPLGTLATGTIFEFHPVVGLFVLSGICMTSKTIHIPKP
>RCO7_11651 | related to zinc metalloproteinase
MAPSFLKDLKRRSKASFRTEKSTDGSSSNETNTSTPSTSTLNSGGGHEGISTTPTPPLTSSNSASNLQGLDNTVPPPLPSRPTVSIASKRYSTAGSV
SGMSGLGSPSQNCTLPSSPYAPRILNVADNAWVYQKVLSVYGTIADPALQALEGCITVKRVDDGFPATDWPVCESHFKVLVYLLPGPNKLIFNFTSP
KLANNNLGNPIHSSHLTIHMIPPLASPPLQLVVLMGQDSPGTFDSVPARIEREDNSLETAIKKFRMSAYLWQAFTAEQMYRNKLGRRVFRFEEEWTN
GTASYRDKGAGTMRSEAKVHVVRCSKTVAELRDLDLAQQNPNAKHSGDLFSIALQAVKGYFNPLPGQKQYVSVLLLDAHWDKSHNMITGHAALGGGS
GEIQLAVFGSQALSSYPSHIEEIVPAFSDCTPTDTDWVANDCNESGSSWEAANIGIGAHMHETGHLFGCPHQTSGIMLRDYVTLNRSFVTRECYSTR
TKSKGGLVLADQECSWHRLDLLRFRAHPAFAIPGDTPRHVDDSVQAWPVDNGIVMVTASSGIAYIEMFLDGEELCNHWQEFGEGPNSVIQRQKELTE
PELRARLPEDRRKAKLRLSIKSVAGGSHEINDFGLLASKASRVKLPNGQFAFKSSKSGLSQMNGSKPDQVVLNSAVNQPTLLTQVKFYHGFALDGVE
FCYEDSTTQLFGKRGGSCSDFNLDTRKGEYITGFYLRSGFWIDGLAIMTSLGRKSAVYGNATGGSGHTLMPPRGYTLVGVYGSVADWVDGFGIIISR
>RCO7_01820 | probable cytochrome P450 52A12
MKLPIATAAILVVVSYVIFLVLSSFLTSRRHARIAQELKCEEPPIQKNRYPLGIDQIIRAFAADKAKQFPVDLIKRTVDVGAITYSYSVLGTKFYFT
ADEKNVQAILATQFSDFDLGPLRRGNFWPLLGNGIFTEDGAGWEHSRAMMRPQFAREQISDLVMTERHVQNMMRAIEVNMHANGSTDCVDLQVLFFR
LTLDSATEFLFGESVDSQVRLLPSHQDGSQNSSGASAGDFATSFDRGQTALATRARFGEMYYLSNPKRFQDDCKACHEFIDHFVRLALSKDIRDKEK
QRERGSKDKYVFLEALATQTQDPIELRSQLLNILLAGRDTTASLLGWLFLSLARDPARYAKLRNIIIEEFGTYNNPKDITFTRMKGCQYLQHCNNEA
LRLYPVVPINGRFANKDTTLPYGGGKDGKSKIFIPKGSTVDYSVHVMQHRKDLWGEDAEEFKPERWANRRPGWDFLPFNGGPRICIGQQFALTESSY
VTVRLLQRFDKLENLDTDPIIRHNLSLTNCSGNGVRVRIHAV
>RCO7_01819 | uncharacterized protein
MYHFVAGHYHTLGLPSYPFSSIFLARPLSFPAPDSRSKIPQSVRSKRVGTSSRDGTSSQSTPLDIQSILHLPEDAVWGLRHKLHSLFLTLQKYTLNP
YSTGDVSPATPAIPADHSAPRRLFFSPLLRLPIEVKHLIYSHLLPPTCEPPVRAPHPRQLQTHILLNQPILTIPLSLNHQIQSEAIPLLYGSSPQII
HMKVDSNLWAHKTQRGDIVLLTENHLRHQTLEAEARVSEVQKGLVEVRKWLSGAGLQTLDISWQEPPQTYRWEQKKTYWTV
>RCO7_01818 | related to nuclear pore membrane protein POM152
MNGTPRMRSAYPSTPKSAQQSPDSRDPPQDVSRVRSPLPNLPDTTTKSSAPTLSIPVIPVNLIDAPTQRMAAFAIYGILFALRVYDWWTLVQEETTS
LGYFIKWFIIDGVYLYGVPLMRIPWLEWSEATSSMAWILHAALNAMLMFRVPLPIEGWLMAAAKTFFDSEISVSEHNVRPSNILHNSSLIMGKQIIN
VLPEGSVTMNPDQFSFCIDNARPVASIPLYFNQTKPKSVELLRIDFDTNLNETIMLSHKEVNNVQKSDKDSILTINYLARKPGLYRLQKVMDNTKLE
VQRRMSDTLVVACPKAVVRSTGGDRCLGDLSDLTMEIEGTPPLKIVYSRTVNSDQSKHHFQSIQPENFVSPLLGYAGTGTLVKAGSPDVTWARSHRI
TVPLNESMMPGGLWLYSIDEIHDATGNVANFSSEAEDVDHIYPKGVHLEQAFKVHERPLLKLEGCDSRNPLMAANGKSMALPVKYSSPGRTPDDTSH
TLTWKFSPLTSLTKSGDHGDEVVLEDFFAKTANSRPIIRQPGLYTITRVKSKFCEGEVREPASCLLLNPPEPELSLSAENINDKCAGNSIGLLVDLD
LIGSPPFIVRYEEITKSGTKVKTVNVDGLRKQIELKPKDAGHYKYIFTTVDDSVYKGHQLSGDSMVLEQDVKPPAAASLRRPSGSIDACIEEPVELN
VEFSGEKPFTLEYELVHDGKRKKTRETNIETDVFNIRTDPLSKGGEYLLALTSVQDKTGCKIFLNSEVRFTVRRQRPKVSFGHLEGKHKTVEIEGKQ
VALPLRLTGRAPWSLKYRNNDDPSGKILEHRVRLTNDVIKVSQRGTYEILEVSDDQCPGTVDPAASKFEVEWFPRPKIKIADSAVLIPDGNKYVKRE
VCEGDVDTVEVNLIGSAPYNVKYQVRHKAVHGSGSIINKEFEAALGSATISMDTSKAGSYEYRFSELSDALYDHEAKTYTPVILEQKVNRKPAAHFV
KPGQSYKYCKEELDGNEVIPIKLEGVPPFSLEVDVKHQGSSRPETVKLPNIDSNQYDFKIPHNLLSLGIHQVSVRKVRDAHGCQQKTEYGAPHVQVQ
VYDVPVIHSLDQRKDYCVGDRISYTLSGTAPFEIWHTFEGKSRVAKSQSTTFRRIAEAPGNFTITAVKDRASDCKASTKIEKIIHPMPSVKISKGRQ
VEVDIHEGGEAEILFEFWGTPPFEFTYTRSTNARKGQRSQILETRHETSEEHSMSIRASQEGTYEVVAIKDKFCSFSTQRTDTASKQKLLQF
>RCO7_01817 | related to 26S proteasome-associated ubiquitin carboxyl-terminal hydrolase
MKDNVKAPTQQQSLEPAASTFEEQRQLSSVSTDTSGPSDCSQEKGLSSISSLQAAMPNSKSHEKSPVRNTSIDAAPPTHAVGSLEITTNGGVQSTDG
FSTMPTRSLRKRKEPPIFASDPITEALRPLTDEERQNWKGWVELESDPAIFNHILRRWGIQDVKVQEVFGLDDTCMSFVLKPIYGMIFLFRYHDDDA
EAHDDAQKCPKHVWFANQTTTNACATIALLNIVMNVPGLDLGENLQAFKETTQQLKPPYRGKRLGDNAFIRGIHNSFARRMDILNADLLLKNEYDDW
VKTNRNAPKKAPAVKKKQTKKKWKKKKMNDEPGYHFIAYVPIQGEVWRLDGLQREPVKLGDCGNDWIDVAKANIMQRALQYQDDGVEYSLMSLCKSP
TRLAIEGMASNLHLIQAVERALSELIPDWRIFMEAGTATTIEDTSTMCKVTRDLVDRATPSASERAKLDAAVNDPTKLQDLYNKLVKEQDGLKNIYL
QEVGMVGQEDEQALKKKIDHTATLYRAMQALAEAGVLGDIVNDVQRAGG
>RCO7_01816 | uncharacterized protein
MAAPTCSQNVGGERPRPIFTSLPDELLQQILSFCPPGDLLHIQILSRRFHTLAGEPLLWRYHCRTAFKYWAGRHQIQQKFLQSVGDIDWKLLYIQRR
RLDVQISGLLDSILGSQSNRISKFESISEFGYDAKDTLLQHCRTDDSVEDVLARRYYANAVLDHIHRAKALNVWERSVSGEAVPLEHALGAFDLFVL
HDQTGDPAEISSILDGLASQFELEHPEFKDCSVRRTAVAVVIFLRRHNLTGIASEIAYRDLQNNYISIALQDRDHPSLPLISVAIFCALSQRLGLNT
RCCAIPSHAHAMVLPPEGETLDGLQLAPGDPPAEAMYLDPYRSDEEVPLSNLRRMLVEWGVPEPQRIGALSDCSTADVVLRTSRNILATVREYRANA
TIGDTSGHPRITLHANPFADLDNSFYSTLWAHFIFASPAQRAGRAPQGQFVPMIMERFERLYPMDASLIEKYLVPLYNNTGQGTLQDGLRIVRAADQ
TPKQVRRRNTPAGKDGVRYKVGQVFRHRRYAYTAAITGWDIECGMGSDWMAHNDVDSLSRGRNQSFYHAFVEDASVRYVAEENIEIIEPEVPTSLMS
LAGRYFNRWDKERHVFISNIRDEYPDD
>RCO7_01815 | uncharacterized protein
MKFGQKFKEALEKDGYPLEWVDTAIPYRQLKKLIKKTQQELEILGFDSNTLAQLQQSSADEGAPSGEGVAFQYSFEGNDNFVPKLSFVINVNDGIPQ
DAQLSPETRRLFEALALGQPGSLKVSSFGNDGQSENLAVEVSTVAGQSGNLRRIDVHLRFDAEFFGQLHLKSSEAWEAREAHAQEILTNEIQELSKT
VAVVARPNPATLHKSDLNRWRELFDVYLEAAVFFSTNEIDHGSRSSVRAAEQLQWFQSEVVKRDIMSKFKVKNSHAALKQFVKINIDILELMKFQEL
NNTGRYKIMKKFDKKTGLGAARTFPKLIPAGSVVGDTMARAVCAQISQEVVQLVPRLEDHACPVCTDIAWRPVRLQCKHLICIQCAITMQKGRKRFC
PLCREDVVMIADTDSIDRDLEAYLRKWFPKETLNKQIDNETIDGIMKFGPYYRHPSEHNCAIM

>RCO7_01814 | probable Probable cysteine protease atg4
MTTVDFGKYKRIMQYFWDPEPTNDTASRSPIWCLGKQYKVSSKTSALETTATSGIRPDIKSTPVQSARPEKLDTPPDSTASSIDSSLAYNEEDGGGG
WPALFLDDFEARIWLTYRSNFPAIPKSQDPKAASSMSLSVRLRSQLSQPAGFTSDTGWGCMIRSGQSLLANALVMLRMGRDWRRGTVNLAEREIISL
FADNPKAPYSIHKFVEHGATACGKHPGEWFGPSATARCIQALTNDHESSELRVYLTGDGLEVYEDSFMKIAKPDGKCFKPTLILVGTRLGLDKITPV
YWEALKSALQMPQSIGIAGGQPSSSHYFIGVQGQYFFYLDPHQTRPALPLPAKVEDYSQEDIESCHTRRLRRIHIKEMDPSMLIAFLIRDEKDWREW
RQSVQEVQGKAIIHVANQEPTLQGVGTERAGAIDEVETFDDEDDDDTILNA
>RCO7_01813 | uncharacterized protein
MPRSKKASRRGNFQASRGGRGGRQSNDTSFIPFSGTSSPRKAHGFTLQDEARNTDRGSAFWDKRLRDSKVSFVSAGKIVPTEPDETETETALAEMTL
ECPKTSVKETMADEEREQEEQSSAAEWHEATHEESASSFVKTSIHEGTFDFIVDTQGSGPVQTGLPPPTVYPASPTPSNSSEEVILFRGRGRDPSQH
PGSSTKTSQLSRKIPKNIDAKIRVVEDRIHHQTELLQEVIADTRPSVSQPSTKNIHEADFESILPQKSRRRGRRADGRGQNKNDEQLEEDAIIADYI
KNMDEDDPLFKSFNQRDLGGMEEDTWQDTEDSSGEPAAEPTRAGQVEWNRSDFEDFDDLGTSDAVVGEVQAILSKRERVSGIQYLVVWEDQSVDEAR
WVPVASLTSFIAQMFIETFEAEERLIAEFQGDDEDTYDSDDSLEVDVEIEDDEDDADLIQRKIDSMNDERIARLLSKQEELGMGSDQILLFDEDEDD
EGDFVKSSFGASAAKFTAPKSSRKSQRAKGDFPSAVLMADAYDGFNVMDFDRPSLKKKPKGRKGKLVLDDVSDSELEASMRAAWDNDREKKKERKQE
REELRSQGLLGGRSGKVDMKQKYKEGMGIYAIREEIKNFLIGGNTTLSLPPMDKTDRKVVHELANAFNLKSKSAGKGNNRFPILYRSTRTLSFDDAT
FAKADARISRRFLPRMDVNGKRDSGTKRAAGVGGFNRAAVSYRDGDVVGGSAPELAADNRGRAMLEKMGWSSGTALGALNNKGIMLPVTHIVKTTKA
GLG
>RCO7_01812 | probable HTB1 - histone H2B
MAPKAAEKKPAAKAPASKAPAEKKEAGKKTATTGEKKKRTKTRKETYSSYIYKVLKQVHPDTGISNRAMSILNSFVNDIFERVATEASKLAAYNKKS
TISSREIQTSVRLILPGELAKHAVSEGTKAVTKYSSSTK
>RCO7_01811 | probable dihydrolipoamide S-succinyltransferase precursor
MAESISEGTLKQWSKQIGDYVEQDEEIATIETDKIDVAVNAPEAGTITEYLANEEDTVTVGQDLVRMELGGAPQGGEKEKAGSEPKEAASKEKPTTS
DPEPSKNDESKPASSPPPPQEKKPEPKKESPPKQTESKDSKTSSTPALGNREERRVKMNRMRLRIAERLKQSQNTAASLTTFNEVDMSSLMEFRKLY
KDEVLKKTGVKLGFMSAFSRASVLAMRDIPAVNASIEGPNGGDTIVYRDYVDISVAVATEKGLVTPVVRNTETMDLVGIEKSIADLGKKARESKLTI
EDMAGGTFTISNGGVFGSLMGTPIINLPQTAVLGLHAIKDKPVVVNGQIVIRPMMYLALTYDHRLLDGREAVQFLVKVKEYIEDPRRMLL
>RCO7_01810 | related to NADH2 dehydrogenase (ubiquinone) chain CI-B22
MSTKQVVSSLYRRSLKLSLDWAVHRYLWRGQAMYIRSLFEANKNIKDPRQQRALFQEAEAELEKWKHPDPYHAPTAPGGSKFERNLPAPILTPPTEF
VK
>RCO7_01809 | Histone H2A
MTGGKSGGKASGSKNAQSRSSKAGLAFPVGRVHRLLRKGNYAQRVGAGAPVYLAAVLEYLAAEILELAGNAARDNKKTRIIPRHLQLAIRNDEELNK
LLGHVTIAQGGVLPNIHQNLLPKKTAKGGKNASQEL
>RCO7_11694 | uncharacterized protein
MGGDGNAWFTEHASIRSVDGFGLRLKDYFVSSTMNHTYQCANIAIVDAVTREDG
>RCO7_11695 | uncharacterized protein
MPVLVRYYIESDTSSTGIPMNLGPIIYSSSYMIFSTILVIASKSGNYNIAPRYIRAFLKIKYNNTLILELLYLFNKLNSKLYKYYLVLKSNYKLISY
LNLNQIKELNSIIREFTKKAIFKAIISNTKGKRNLLSSSEIALDLDTLGPSLKKKPRRISYYTRSITKAILVDLGKELDIVVPILDIPELLRAPENL
KEKANKIEVIKEIEF
>RCO7_11323 | related to acetylxylan esterase precursor
MFFASALLLAAPVALAAGVDRLATRQSACADTHVFLAKGNNEPYPGRQGKLVNAICSGLASCDYEDIQFYNPVESPYCGSVNEGVANGIAQITAYNQ
RCPEAKLVLSGYSQGAQIVSDILAGGGGTFFQGCVQTTSAGIDINSAAGRKIAAAMVFGDLRHTANQPYNVLSGAGGQGLFPRSGSQAAALLTYTSV
FHDYCVANDPICAGGKVVADHLNYFDIYTDEAAAWVKSQLLKAPSGSAPPPPPPPPATVTPSPSVSVAPYPTSAYSNGTYPVSSYTAIMPIPTATNT
IVVTVPCVTLAPSMVASYTSKYLVAVPTTLTNAPGHATTAAIVPVYPTTIPTGTPSNGTVPVTGGAQGLAFAPVAAVNGYDDDTSDV
>RCO7_11322 | uncharacterized protein
MSASSLSVSVPGFLSISTKPNAPISYTFFPAIDLHPTPYYKTLIVCVNGLGLPAASWIPAITTLQSLLQSCPAILTYDRFGQGLTTSRDPLDGQKGK
ELGHDFLDVAYDLHQIILKVAAKKLGLQRSQVEHGSLQLLLVGASIGAPIARLFAQSYQNLVSGLVLLDSNIANVNYSDFLPDPESPDFDADSLLST
DCTLKQYREARLKVTNMFDLNAKNPEGLDRTNSPVLLPYSNQPKLLGPGESGPLLSVVGHDPDTFADVSLAMMGIPKSLSKITNEYWAQYNDSLTEI
TDVGKCKGVVTAKGCGHFIQKDNPYFVAQVISDMVKELGC
>RCO7_11321 | related to glucanase
MKYSTFVAAIPLLQLAVAQPHRRRHVHEHQLVEKDNVIVTVVSTTYAQATDAPQVIVYVDQNGTPVSTTTEGLHAPAQTPAAAPAPAPVVPAPAPPV
EAPVEAPVVAESVPAPAPVAPEPVVSYPTVPEPVKTSSAPVAVPTYPSGGESSGFGLSYSPYNGDGTCKSLDQIQQDFKSIPNEYGLIRTYGTDCNQ
VANVLSIVKERKSKLFAGIFELANLPGQVATIVKAANGDWSSFHTISVGNELVDGGVAASTVVAAIGTVRGLLKEAGYTGYVVTVDTLVASRANPSL
CDASDYCAVNCHPYFDGKVAAKDAGKFLTAQIPTLQEKLANKNQKIVVTETGWPWQGLPNGAAVATLSNQADAISSIKGAYASHPEDVILFTAFNTM
WKKSSATQFEAEPYWGMGGTNSPSG
>RCO7_11320 | probable OTU1 Yeast OTU Deubiquitinating enzyme 1
MRTRIRAPAGAFIIILPDDATVGDLIAQITEKTSFTSFDVKHDFPPKSLLLEGRDKALPLSELGVKLDGEQLIISPKDDGPIEEETKVTGVPSEQKA
TRGLDGTGSASLKEHKPVSLQRKGMVEDVPEVYLPGRGTTVVLRVMPDDNSCLFRAFGTAVLPGDDQSMTELRSIIATAIHSQPETYSKVVLEQEPD
DYCRWIQTPDAWGGAIEMGIMAKYFDVEICSIDVQSLRIDKFNEEAQRRCILVYSGIHYDTIAESAISTDPEFDTKIWETDDDQMLEGAVALCKKLK
EKHYFTDTGGMAIKCNECGIIVYGEGQAAGHATQFGHFDMNEIAT
>RCO7_11319 | related to member of RSC complex
MPSQPREENAPPVETKIETEGKAEEPTVPENNATPTEPLPTSEASAPPSAPASAPTPAPMKESAAAGLTKKDYEIMTGILHRITNHLDDEGREVAGS
FQRVVSRRALPDYYEIIKEPIAFSTLRGKILKKQYSSYRDFIRGFALICHNAQVYNRPSALVYSDAITIRDLFKAELQKLVEDKTITAEDAELPDLG
EIPDVEDSPPPDPDDEDQEQDVDEDEDEDEDEEVDEDDSDDDQTRRKGKKIRRSSTIKREGRGEDGSKEDPESQKKRGRPPKVHTPMEARINSVLKG
LRKFRNTISGDLQILPFERLPDKSQMPEYYQEIKNPIAMDLIKKKAKRKKYHSVEQALKDLELMFENAKLYNLESSQVYKDAVNLQKEARILAEQEK
KKPDSDFVDDDGRLPVPEILYNNEIWKVGDWVHLTNPNDVTKPIVAQIYRTWQDPKGEKWINACWYYRPEQTVHRYEKHFFENEVVKTGQYRDHKIE
EVVDRCFVMFFTRFNKGRPRGFPEDKEVYVCEARYNEEKFKLNKIKTWASCVPDEVRDKDYEMNLFDVPRKMKKVPSPIKHLLREDAKEDDPLPKPT

WGAPNAPPIVGAVHKRPRETNESPPPEPTPSPPPPSPEPVRRSITSDRQYERADSAISASASNVPVPSPRASQTLPQTPYGQQFAPPRPSASPAPLQ
HQNSYGSHGSTSQSNVSHTPQYTSQNSYQNNSASTPAAQQPNPLANYNHYQNSAAPAPRPVATVSNTHTSHTVYNPPRPIEVYTLPEMAHNAIPTDI
RTQFHHDELGRVIFYTTPPLDINPIPQDKQTLGHSLRYLADKARAKQEDAKKRKDRAVELETAAGERLKRMKTSDEGTTNWIIAKKLEALSKWNQDM
ENGTDEMYRQLHGETWQEVRDAELAKLAVEQEEAFKRERELELFKKQREERKEVKIDGFRWV

>RCO7_11318 | related to LCB1 - serine C-palmitoyltransferase subunit
MEFQDAQKFVVRSVHEITCTFQKVPGSAMLIRYIQSSYQDDPVRSAIELILVIFFIRYLLSPSYATNTGNFVKLSEEEIDDLVDEWTPEPLVAPQTP
FEEAESEKLPIIVGPTGPRVKLASGRTVTNLASYNFYNFVGNEQVKEKAIQTLRTYGVGPCGPPQFYGTQDVHMKTEADIASCLGTEGCIVYAHAFS
TISSVIPAFCKRGDIIVADRAVNYAIRKGLQICRSTIRYYEHNNMEDLERVLQKVIKDQAKKPLTRRFIVTESLSETVGDCVDLPKLIELKLRYKFR
LMLDETWSFGVLGRTGRGLTEAQNVDASQVDMLVGSLAGPLCAGGGFCAGSTDVVEHQRISAASYTFSAALPALLATTASETLNMLQTTPEILVQCR
ENIKAMRAQLDPRSDWVHCTSAAENPVMLLVLKSDVVNSRRLTIAEQERVLQECVDETLANGILITRLKSMPVGPGSGKDEDWKLQPALKICITTGL
TKKEIEKAGVTIRHAITKVLTKKSSSKLALPPS

>RCO7_11317 | probable 1,3-beta-D-glucan synthase subunit
MSGHPQQQGQGHYDDGYGHHQQGNTDSYYQDDHQYYEHNDRGQYADQAHGGHHQGGDGYYDESGYYNADANNPYQHEGGYYEGNERGGHYQDEYYND
QYYDQGAPGAGQQAHGQGQPRRRGDSEEDSETFSDFTMRSDMARAADMDYYGRGDERYNSYNESQMGGNGYRPPSSQISYGGNRSSGASTPNYGMDY
NNVLPAGQRSREPYPAWTSDAQIPLSKEEVEDIFLDLTAKFGFQRDSMRNMYDHLMTLLDSRASRMTPNQALLSLHADYIGGDNANYRKWYFAAHLD
LDDAVGFANMKLGKANRRTRKARRAAKKKQGVDPQNEAQTLEQLEGDNSLEAAEYRWKTRMNRMSQHDRVRQIALYLLCWGEANQVRFMPECLCFIF
KCADDYLNSPACQNLVEPVDEFTYLNNVITPLYQYCRDQGYEIQEGKYVRRERDHDKIIGYDDCNQLFWYPEGIELIVMEDKSRIVDLPPAERYLML
KDVNWNKVFFKTYKETRSWLHMLVNFNRIWVIHISTFWFFTAKNSPTLLVKNYEQERNNQPPGSAQWSAVALGGAIACLIMIGATIAEWTYVPRRWA
GAQHLTKRLLFLLVMLALNAGPSAYIFIFSEKQKEKMSLIIGIVQFFVAIATFFFFSVMPLGGLFGSYLKKNSRQYVASQTFTASYPRLAGNEMWMS
YGLWICVFVAKLAESYVFLTLSFRDPIRYLSTMKISSCVGDRLIGVILCEWQPKILLLLMFITDLCLFFLDTFLWYIILNTIYSVARSFYLGVSIWT
PWRNIFSRLPKRIYSKVLATTDMEIKYKPKVLISQIWNAIVISMYREHLLAIDHVQKLLYHQVPSEQEGKRTLRAPTFFVSQEDHSFKTEFFPSQSE
AERRISFFAQSLSTPIPEPLPVDNMPTFTVMIPHYSEKILLSLREIIREDEPYSRVTLLEYLKQLHPHEWDCFVKDTKILADETSQFNGENEKNEKD
TAKSKIDDLPFYCIGFKSAAPEYTLRTRIWASLRSQTLYRTISGFMNYSRAIKLLYRVENPEVVQMFGGNSDKLERELERMARRKFKLVVSMQRYAK
FKKEEMENTEFLLRAYPDLQIAYLDEEAPLVEGEEPRLYSALIDGHSEIMENGMRRPKFRVQLSGNPILGDGKSDNQNHAIIFYRGEYIQLIDANQD
NYLEECLKIRSVLAEFEEMTTENVSPYTPGIENHKTDPVAILGAREYIFSENIGILGDVAAGKEQTFGTLFARTLATIGGKLHYGHPDFLNGIFMTT
RGGVSKAQKGLHLNEDIYAGMTALLRGGRIKHCEYYQCGKGRDLGFGSILNFTTKIGTGMGEQMLSREYYYLGTQLPLDRFLSFYYAHPGFHLNNMF
IMLSVQIFMIVLINLGALRDQTIMCHYNANVPITDPLLPTGCANLQPILNWVYRCILSIFIVFFISFVPLVVQELTERGFWRAATRLGKQFCSLSPF
FEVFVCQIYANAVQQDLSFGGARYIGTGRGFATARIPFGVLFSRFAGPAIYLGARSLMMLLFATLTIWQPALIYFWVTLLAMCASPFIYNPHQFAWN
DFFIDYRDFLRWLSRGNSRSHSSSWIAYCRLTRTRITGYKRKALGDPSSKMSGDVPRVPFTNLFFGEIIGPLLIVAVTLIPYLFINSQIGVDKKDGR
NADKPDPYQTNALLRVGLVALGPIAINAGVLLMMFSMACCMGPILSMCCKKFGTVLAAIAHGVAVVMLLVFFEVMFFLEGFVFSKALLGMIAATAIQ
RFIYKLIIALALTREFKTDTSNIAFWTGKWYSMGWHTISQPSREFLCKITELGMFAGDFVLGHALLFIMLPVIAIPQVDKAHSVMLFWLRPSRQIRP
PIYSMKQSKLRKRRVWRFAVLYFFMLIVALALLAGPMVAGSMILKTTDSMFANPSKTFYLLQPIGYNNNDTRNATMTGTGKPGGADSSGASASPTAD
SARIRLF

>RCO7_11316 | probable GAS1 Glycophospholipid-anchored surface glycoprotein
MKTFGLASICAAALSGAAFLASPVAAADLPPIVIKGSHFFYENGTEFFIRGIAYQQDLSSNGTTSGTTTFTDPLADEAGCRRDIPLLKQLGTNVIRV
YAINASLDHSVCMGLLQDAGIYLLQDLSNPSFSINRNEPTWTTELFASYAGVIDAVANYSNVLGFFAGNEVSNEVSNTNASAFVKAAVRDMKAYIKT
KNYRKIGVGYATNDDPAIRIDLAHYFNCGTVEEAIDFWGYNIYSWCGDSSFTESGYDQRTLEFKNYSVPAFFAEYGCNTVQPRKFTEVGAIYGKNMT
GVWSGGIMYMYFQEANNYGLVKVSGSTVTKLPDFAALAAQLAKVNPTNVNAANYQVTNTALQTCPAVGTEWAASDALPPIANADLCSCMVSQLSCVA
NKGLSGNETAELFSSVCGLDKTSCKGISTDATKGVYGAYSMCNGYQKLSFAFDQYYQSQKKVSTACDFGGNAKTQQGSSSTNCKNLVSQAGSAGTGT
VTTAPTGTGSSSNSAGSSTHSTSKAAAGGLTVPRFDVGLLQLGIYVLVAGMAGAGMVML

>RCO7_11315 | related to human MOG1 protein
MASFTSTPLFGGALIVDLPNSFADVSTIRQVPDHQEVYLDKDGFTSIIFDITERVGLPGSGPAVDGAALTTHLEDIVDSDDDTVKVWNTSNTQFSKL
PEGTPAYTLIATQTPPPKPGSKSPDFTAIVLTLIRLEQEMTDVLVTINVPHIKGEYTVEEIDMQMGKQGKLIENAVEYAAKIWETFKIKDWGLFKEV

>RCO7_11314 | uncharacterized protein
MARLVEDSEDEFPDIAAIANRKPVSGNTASRPRRGKSVQTNETREEPSNATKRRDEIAKIRVEGSRITARRKDDEEVVRMRPKKRILNQTSENPLLR
PLATSASSKEVSGVTKWVVKIEPRRQKLVRKQVPDVDSEDVSRLGSGGQDAQETVESRKQESPSKKVVPKEKLKAPTRKVIDLESDSEEFEGASGLS
DFIVDDGIILENESVIESPPRPPRSVRKLVQGRRRPAVLEDSESEDLELQMGKLNFEDDVFQNSGKRSRDLKNILDDYEEENLPPLTASKIPDDGFK
TKPTKPSKTTTKQDMLTSDLEDPFTLSYPELQPRKLQSPKKQFPRIPSTPHRQSMDTFWQQDVVNDWNDEYSPQKILFPKPKPAEDISPQSSPEKSP
TKQDRVAKEAKKAFSQSKHALAESFLAELDTTITNGEIARLSSSTGGVKIIWSKKLNTTAGRANWKRETIRSSTSAPIGTTIYRHHAAIELAEKVID
DEHRLLNVIAHEFCHLANFMVSGIKTNPHGKEFKVWAAKCSRHFGDRGIEVTTKHSYEIDYKVKISEYQRFVKENMKRVKEENPGSPQKVVMGLVGK
EYQLYKASKVGDGVNGVEKTGMEEVTARKEGSPDEDVGDVVRKLDFFDLRSP

>RCO7_11313 | related to protein kinase C inhibitor-I
MAACIFCKIIKGDIPSFKLFESDKVLAFLDINPLSRGHAVSHPVTPRDQIATTPRYFRPQYQPALDKSRLVIPKHHGEKLLDIPDDQLSEILGTGIE
IARARQFANGDRLVIQPVVKKLVKATGAENYNILQNNGRIAHQEVDHVHFHMIPKPNREEGLSIGWPQQKTDMDKLKDLLADIKSKM

>RCO7_11312 | related to CSR1 - phosphatidylinositol transfer protein
MTLSAIQLFKPVLLRRTRLKNSRLSSLFSVHSCSRNRTSSSTFVFPESQGPRLYASLHCGARPISTSFPTSHSGSKHFAIKPQRQLLANVHHKTSGY
ITQPLKSSLSSSAAVVFFCAVVVFFASISGSSGSPKEESLSTDIPREPRVGTESDIAKMTGEALAGRPGTLTAEQEESLKQFWVAVLRVFGLLEKDV
SDIISETGRARSDTTDSKTPKKKRLSMFRKKDDENSPSTKVNPEDDKYGQTKEFHDALANMSPESLRATFWSMVKHDHPDALLLRFLRARKWDVEKA
LVMMVSTMRWRSSEVHVDDDIMKNGELGSLEDANGSDPVKKKLGHDFLAQMRLGKSFLHGMDKDGRPMCFVRVRLHKQGEQSEESLERYTVFVIESA
RMILSPPVDTACIVFDMTGFSLANMDYAPVKFMIKCFEANYPESLGVVLVHKAPWVFQGIWKIIRGWLDPVVASKVQFTNTKSEMEAFVPASQIIKE
LDGSEDWSYAYIEPVPGENDLMKDTTTRDKLLQSREALVSEYENATLDWINGSGDVAAVKTKRHELANGLRGDYWKLDPYVRARSIYDRVGLIQQGG
KLQFYPGKETVAAVPTNGTTPGVTSADDID

>RCO7_11311 | related to outer kinetochore protein - part of Dam1 complex
MSSRTPQEAYSSEKRPNSSTRRPISRPTTPLRPSSRSSLRESGKASLRGASDLPLEAFEPSFAELNDSLADLDANFMHLALLQESLSRFNNNFSSFL

YGLNMNAFCVDFPEAPIPDSFRRARDQEDRLGRSTGSDRFHGEIDGETTFLTTDTSFIDNPPTSSKATSKFSTPAPASRTGGRGGSAPSGRGGAARG
GLRGTRGSGLARATKGLSVK
>RCO7_11310 | related to BUD20 Protein involved in bud-site selection
MGIPQKKTKTKTRRRLRDLDQIHTDIADQKHLLAHKNSKAPEDLPGLGEYYCVECAKWFESEHAMVTHRKGSTHKRQVKALKVEPYTQREAEAAIGL
GAPDNGPKMAAKENTKDVEVEMENSIMVDDTT
>RCO7_11309 | probable aconitase
MLSSSRQLFAATQRRAIAHGIRRMATVSDAPLDRKVPQNIHEPNNMINYKKMSENLAIVRSRLNRPLAYAEKILYSHLDDPHGQEIERGVSYLKLRP
DRVACQDATAQMAILQFMSAGMPSVANPTTVHCDHLIEAQTGGAKDLARAQDINKEVYDFLSSSCAKYNIGFWRPGSGIIHQILLENYAFPGGLLIG
TDSHTPNGGGLGMAAIGVGGADAVDVMANLPWELKAPKVIGVKLTGSLSGWATPKDIIGEGTNAISATGMGTICNMGAEIGATTSLFPFNDRMFDYL
AATKRTNIGEFARTYAQELRADEGTQYDEVIEINLSELEPHINGPFTPDLATPISKFSAAVKANNWPEELKVGLIGSCTNSSYEDMSRGASIARDAL
DHGVKAKSLFTVTPGSEQIRATIERDGQLQTFEEFGGMVLANACGPCIGQWDRKDVKKGEANSIISSYNRNFTGRNDANPATHSFVASPDVVVAMTI
AGSLHFNPLTDKLKDKDGKEFLLSPPTGAALPDRGYDPGQNTYQAPPEVRSSINVAVSPTSDRLQLLEPFTAWNGQDFTDVPILIKCQGKTTTDHIS
MAGPWLKYRGHLDNISNNMLIGATNAANGEANKVQNFTTGEFDAVPATARDYKKKGIPWVVIGDWNYGEGSSREHAALEPRHLGGIAIITRSFARIH
ETNLKKQGMLPLTFIDPADYDKIQPNDKVDLLATEIAVGKPMTLRVHPKDGKTFDIKLAHTFNAPQIEWFKNGSALNTMAKAHAS
>RCO7_11308 | related to rhomboid protein 2
MAPSLPQFSAVRFRSYIFRLPLCTRGIILVIGLFWVAGMQSVWDVQKWGALTPKEVGLSSMYRTNTFPLIHAGFFHAFMNILALTPLLERFEAEHGT
LTTLALFTGPLSTIPALLYTFVERGVLRMNTTILGASIWVFTLVAMEAVKTYKSNPYFMLGTTQIPTWITPFVMVLFVSVLVPNTSFLGHVCGLAFG
YGWGLGYLKFLAPPERALRWIEGKLNLLGRLPHYVSVDQKTYGRYGLAKTGALKSASGVLLRHNPLLLKLPPYLSFLCIVVGVAWLLVLPLDDYSRK
TYISENALLPGQVHTYFAGSDQNVFRGYKHEVDALEGKSNIEVNDKLEEFFKASGLKVARQKYEYKSAGETYSGENIYAILHAPRGDATEAIVLVGA
WRNVEEELNRSGVALVLTLARYFKRWSLWSKDIIFLVTADSTAGPQAWVDAYHDTHQSPDIESLPLKSGALQGAVVIDYPFDHRFESIHVVYDGTNG
QLPNLDLLNTVVSIASGQMGIGVSIQKMWKHADNYQDRLQTMLRGMLKQGLGYASGPHSSFIPYHVDAITLQPFGDGWQDEMAMGRVIESTFRSLNN
LLEHLHQSFFFYLLMQSSRFVSIGTYLPSAMLVAVNFTIMAIFLWIKSGSPKSPAKKAAEKGEKKQLALVQEGGVMALVPEEIVTVRERELFLPLAV
VAGVQFLGVVPLFIFNHTPHYLLEPVFIFTILLNFLLPPLLSTTLTTYFAPTSQQYTLIKAFSLLLLGLFLSALATLNFSLAFLVGLFSAPLTYIQP
LPSHPIIAYILAGLLMLSSPTTVVLAGSWHWGMGVGQVLKEAAFGWDVWGMNTQVVVWCVWWPAWFLGMMSLFGKPRVEDDGDEDEKEVERL
>RCO7_11307 | related to 26S proteasome regulatory particle chain RPN9
MSNTDIPNFLEDQRDNAPAELQHMYLDFEDLWERKLWHQLTDSLVQFFNHKESAPQRLAFYKTFILTFADKINQLKLVTLALSAASQCKNSEERLSF
LTAAANKVNNPNSQDAYVYATVAVATVKLELKDLEGARKDLDKAEKILDNFDSVETIVHAAFYRVNAEYYQSKLDFASYYRNALLYLACIEVTDLSP
AERRSRAYDLAIAALVSDTIYNFGELLLHPILNDLKKDDTWLYDLLFAFNRGDLAAYDVLAGHISSNSLLAEHRDGLRQKIYLAALTETVFRRPPHD
REMSFRTIAEETKVRPDEIEHLIMKALSLGLLRGSIDQVDEIARINWVQPKVLDMKQIDNMRLRLQEWDSSVNQLGNWVESKGQDVWAA
>RCO7_11306 | probable NADH-ubiquinone oxidoreductase 39 kDa subunit
MQKSCSPSSMNGLRTAVRLGRTSANTAPVRRHISDVTITRTGKPIIRTQGGRSSLGGHTVTVFGATGFLGRYIVNRLARQGCTVIIPFREEMAKRHL
KVAGDLGRVIFMEYDLRNTESLEESVRHSDVVYNLVGRMYPTKNFDLEDVHVEGAERIAEAVAKYDVDRFIHVSSYNANANSPSEFFRTKARGEEVV
RSIFPETTIVRPAPLFGFEDHLLHKLAGVTNVLTSNHMQERYWPVHAIDVGEALEKMLYDDTTAEQTYELYGPKNYSTAEIAELVDREIIKHRRHIN
IPKAILKPAAGLLNKALWWPVLSADEIEREFIDQTIDPSAKTFKDLGMEPAELASLTFHYLQGYRSTAFYNLPPATEMEKREEKKYLHVLDDQ
>RCO7_11305 | related to NADH2 dehydrogenase (ubiquinone) 40K chain
MDETEEDPVLSSSALSALKEFYSEREAREKQFEDLKAVAEQSAVSTSNKPLSMDVFTENWNESQFWYSDETAKTLAEELLVGAGSGTSIAVVSAPSV
FVQLKNILAASSKAESEKPKLWLLEFDRRFEVFPEFVFYDFNDPTVLPADMKASVDHIVCDPPFLSDDCQTKAAMTVRWLSRSWGVAPEKRSTDSRL
ILCTGERMKTLINRVYRPQGIATTTFEPVHSKGLSNEFFCYANFECEKWKWKGDDDSTS
>RCO7_11304 | related to ubiquitin-specific protease 22
MGSSRPVTPASPRVPRIKAAQPGVPYFGCEHLRLLLEGQVDVLENTIRNYRTCMCVISDTTPIIPQTSKASNGQPLTTLTPNYLCLQCSATTTVAGR
IAHGVETLHRFYVESRNGYLFCQLCNDFVFDPTLEDLRLRKLGTGSFSTRKRKLDDMFTDAAKEDSQLMSINTNSTPCRASGIRGIYNMGATCYMNV
ILQSLMQNPLLRNFHLCDGHRSYECTRKNCVACAMDEMFQAFHAQPETVGYSAHNMLACFWMSKRKAYEELASNKEQDAHEFFQFLTEELHEINANA
QKQELEEGAPSPKRAKTESSCNCIVHQTFYGRTQSTITCQGCQDARTSVQQFMDLSLGLDVLSKKKSIKAAGLSVKRCLEAEYKQDERCEYTCPKCG
TKEAKKLSSIKSLPNVLSLQLKRFKQYNGSASKIETKVSFPLKLDMYPYTSRARGRDPKQNPELARGCTYELQSVVVHVGHYISYSRVGNQWFKFND
HNVTLASKSDVLNSEAFILFYVIQSLA
>RCO7_11303 | probable metallo-beta-lactamase domain protein
MATQLVSLQEVERLSKSVIRVLGGNPGKFTLQGTNTYIVGTGHQRLLIDTGEGEPAWIASVKDVLRKENATVTKAIITHWHHDHQGGIKHLLEYSPS
TSIYKNRPEDGQLDIEDGQLFQVEGASLKAMFSPGHTQDHMAFVIEEEDAMFTADNVLGHGTAVFEDLLVYLQSLEKMRSKFNGRAYPGHGPVLEDG
PGKIIEYIKHRQIRENQVVQVLKSTKSAPGVESSNEADDWTSMEIVKVIYKDVPENLHIAANGGIIQILRKLEKEEKVVEDSKSERWSIRNRAAL
>RCO7_11302 | uncharacterized protein
MAPKATAKPRRHKKRKSRTEVSSDSSDSEPERKQVKKSKSKGSGAQDVNEALSSSSEETTTLKTSSSEPKDADIEAAFAQFYMQRATMEFADDLEKL
RTSDDFKDEAVPMLIAALKAGTAMFSMDEKKRIVLAGREKEA
>RCO7_11487 | uncharacterized protein
MDANALRIEGKPIDSYTDSGVYDASYYYSMSAEDHTQSPSQRDWNRYPTLANDGRKTPSQHHMTDPQARFRLTLPTDEMETDQSLSDDPAYDPVQIP
IQKSCQSAEPADMSDMLLLAWVLLMRRYNGDHEIHFSWGYTEGGAGTVSTGLIGVQRDCLVADVLESIRLLRDQSPFSVDYVTETSESYIYFNNASL
TSNGRSNWTYRIEVRECESLECDQTLWLKPSWDHRVMGKPLADALLSSFKGILRAVFSNSTQLVAEILGMNEQDVEVLRPDLSRTSSYSSFKSAGSP
SRGMSVGIEA
>RCO7_11486 | related to L-ornithine N5-oxygenase SidA
MASNTQEIGDDLTWTRNEQVSIPSKVSPQTTIEDLICIGFGPASLAIAIALSDASSTAKVSFLERQPKFAWHAGMQLPGAKMQISFMKDLATPRNPQ
SKFTFINYLFSKKRLNTFINLDTFLPSRLEYEDYLRWCAGHFEERVSYGGQEVVEVSPDAVRKDGKVTQFQVVARDIVTGELTTRIARHVVIAVGGKG
RIPSELPQVSPRVVHSSKYSQQVSSALPDRSAAYNIAVLGSGQSAAEIFNDLPARYPNAKITMVIKGSALRPSDDSPFVNEVFDPERVDGIFAEGAE
LRASRIKADKATNYGVVRLGLLEHLYERFYMQRLRSEDERDWQVKMRTNRKVVRSREVDGKLLLTFGKVVDDVQVAKEGDEELLVDAVFVATGYERN
AHEGMLVKTRGLLTEMAIEAKKFPVRRDYKIAFDERKVAANAGVWLQGCNESTHGLSDTLLSILAVRGGELVQSIFGNEVVEKRIRAKL
>RCO7_11485 | related to long-chain-fatty-acid-CoA ligase

MASSTIPLQRLQQTQHHLAGTSTENPTDLSIVHGELEPPLRDLTLGSLLDEQCEIRGDKECLVVAHTGVRWTYSKLQQQSRILAKGLLAVGLEKGDR
IGILASNCEEYAATFFAAGYLGCILVVLNATYTAEEALHALKHSGCKVLFIEEKYGRHSNAELLSQLSEDRNRTPELKTIATLHGTFEKFTTYSDVK
DGLSSKISVEEFEAARRLAHTHDVCNLQYTSGSTGHPKAAMLTHHNLINNARFIGHRMSFTSADVLCCPPPLFHCFGLVLGLLTCLSHGASIILPSP
TFSAPAVLSVLSSERVTALHGVPAMFEELLSLPRPSTFSCPHLRTGIIAGAPVPKPLMERLFEELNMTEFTSSYGLTEASPTCFNATCTTSIERRLN
SVGKVMPHMHCKIVARDGRTVRIGERGELCMAGYSLQKGYWMNEEKTKECMVRDESGVLWLHTGDEAVFDAEGYCTITGRFKDIIIRGGENIYPVEI
ESRLTSHPSGHVSRSAVVGIPHHKYGEVVVAFLLPSSSSHWLDRPTDDELRVWVRQALGWHKAPVHVFWFGDEEVGMDEVPQTGSGKVKKHVLRKVG
EEIVQGLRTKGLEAKEKGKRKVVVSEIAEEEQTMQWMFLTRRL

>RCO7_11484 | related to pyridine nucleotide-disulphide oxidoreductase AMID-like
MGSIETPIKILVIGGSYGGLSAALNLHDLCNGKEARATRYDPKGASGELIPIEIKIVDERDGYYHLIGSPLALASEDYAKKNWVRFADLPALQLPCI
SWAQGSVVSIDTETKAATIADNILGKEYAESYDYLVVASGLRRQWPAVPQASTRKAYLSEVGTHIREVKDAKEGVIVIGGGAVGVEMAAEIKMVDPE
QKVTLIHSRAKLLSSEPLPDDFKDKSTEVLLEGGVELIVNERVTENVEVESIDGSPRHRVTLTSGKQLFAGKVIFAVSKSVPTTTFMPKSTLDANGF
VKIHNTMNILADSPSARAHYAAGDIISWSGIKRCGAAMATGHMAAVNIHKEILRSRYGIEPTFIEFPEIPPMIAVAIGKKAVCYHPNTGTTNGEDDL
KRMFRDDLGWSICWNHMQLGVEWTKNVL

>RCO7_11483 | uncharacterized protein
MGFMAILNGGPGDEAPDIVGARATRWLDEQTIQTDELAKFYQSRDYKIFPESVLRKQESLINSVVAYHSQEETVSLGKHLMVEVKGYAVPVGYDGPV
ESVEVSGAGVVTWVEADFVGRMTTFSWAIWMSRLRLERGKKGTNWSRATSAGENAQPRLSAWNGRGVGYNGYRDARYLTVSCV

>RCO7_09637 | uncharacterized protein
MKVLDRVLLLSIYVSSSMEFCITXXXXRLSLAELSTSSQKNVLTRKAKREAFKRKNSKGSKKCNYYNKIDHIEANCYIKHPELIPNKSTKKKSKGKS
AKESKEESTKALMSSFSSTSSSSSYSSTADQAYATIYNYRIVLDSGASEYYTPNKSWLLDYKPISKKSITIANSDILPIISRGDIPIITREGDRVLI
KDEFIYKTIEGSKGLKIQKGLSFIKIKVLFVNILVLTLLRYKSANNFLVYIPKKRAIISFKNILIKEYLTFKDEVISKEELESFDKTLDDCETSDCL
NRVISSPINTPKSDLSRVENSEKIDSETADNSLNEERVIEDIELDLFNNIAKEIPIAFISSKSDEEIRLSPDPERILIKKDPEVVIYEPKSYKEAIN
SPYKDY

>RCO7_11777 | uncharacterized protein
MSSFKGDKLPSSLLQVRRTY

>RCO7_11482 | uncharacterized protein
MSYIDGTETKPSRALYFKSEERINAQGEKRIDYTSYSPELAIKYYKRLADFKRANKKALGAINLEEISRHINRIIDNTYSSYKNIDKYTSVIQASSV
YLKQLKCKIPKPILASLIFKGLPSSFDSFASRKYEEISNNLSSIDIESLIRDLISEEARMNTSTDLQANRAFKRKNSKGSKKCNYYNKIDHIEANCY
IKHPELIPNKSTKKKSKGKSAKESKEESTKALMSSFSSTSSSSSYSSTADQAYATIYNYRIVLDSGASEYYTPNKSWLLDYKPISKKSITIANSDIL
PIISRGDIPIITREGDRVLIKDVNYVPSLKTTLLSSKELTNKDWKVTFNKKGINITNSSINIKARGYYNTYYLEVDVNHELLEPVSFKVDSNKTSKL
DLYYKRLLYTNKEFIYKTIEGSKGLKIQKGIDLSDYSAYNSSKIHAIRSTKPISDTPPLTVFDIDIAGPFKIKGLKGERYFLTITYRGSRAI

>RCO7_10225 | uncharacterized protein
MLSKSRRVEIGSLTQPAEGATMYMVAENTSIPVPKVHCAFERKGINYTPMVRIPGKMLRLGWLDRSPESKAKILSQIKGIVDQLRLIPPPSDQVISN
IAGGPLFDSRLGGDRTMDLLIHYKNFIDISAKTTMEMRSCLTQTGLW

>RCO7_10224 | related to gEgh 16 protein
MQYSSFILSAAFAVTSVTSHALVTAVTGANNVVMPGLTVNDGVPRDCPSAGCGAQSDTSIMRANEMGTDKASPLGRTKTDGPVMATRMMAIFMDGAT
NVTARAIDANNNLHKRQLAGLVGGLGGGAGGKTDAGVKTKAGTMETGVAASSGVGASDGLPTTSDSGEITMTMHQCNQDGAGPFNGQIDPTSGGTDN
AAFKEAKVTQNVPGIAAGFSAATTTDYAVKVMMPAGMTCSGTVGSAQNVCVVRMANKTPAGPFGGAGAFTQSPAAKKRAIEYNLSKRRMARKLHAKK
N

>RCO7_10223 | related to PET112 protein
MAPTVLRRYLFGGQLPYTGCLRQLRHSRKTAQSMRPQRHHTTHASTDSSSVDPPNAYRKQLKDEAKLRKADGGKKSNKDNQRLDEWELTVGIEIHAQ
LNTARKLFSGAASTINDVPNTRVALFDVAMPGSQPTFQRETLIPALRAALALNCNIQRTSRFDRKHYFHWDQPSGYQITQYYEPFAKDGYIILCAHD
GIAKEDGEKIKIGIKQIQMEQDTAKTVSQPGGIHWLDCNRVGLPLIEIITLPQIHHPSTAAALVRKIQTILHAVDACVLGLQSGGLRADVNVSVRRR
GTEERHSYAGVSGLGQRTEIKNLSSFKAVEDAIIAERDRQIDVLESGGTIEGETRGWTIGSTETVRLRGKEGEVDYRYMPDPDLGPVVIGEDLIEHL
RSTLGVLPDEEVDILTSQYGLTIKDAMSLVTLNNGGRVEYFREVVDEYQRQTSGIDSATAGRLCGNWVLHEMGGLSSPFADEGNPLQMTSEGQCIIS
STNLASLLTYLAANKITGKTAKKVLAILFENGLETKEETVEAVIEREGLWFTPLPEQEMEDLARSVLDDKTVEEILAGKTGKINFLLGKMMRADAEG
RIDAVKATEVLNRVIEERRQV

>RCO7_10222 | uncharacterized protein
MTTKYTIPSVESILEDSEDESSEELSTKGEFADEKHRKARLVHDSAIKANMGQERERSRERERDRSRRHRSSKHTSKGKSKNIDMKRSNELSREGYG
ESRLRHRHGHSNKSSSSAPTSEEDGPEDHRAILAATRSRLTSPSMISTFTAQTTATSKSSSSSGSNSTVTQASVKQVSIKRSSLGKKPEVEEAGEPP
MSPACPDPPNVFQFLDEQIHDNGDGEEEEDDNEEQSHEADSDVESEESDQEQEQVPQWSPSRIGDNLLEASPTTNLRQSTRTFSSASSSFHGDDNGS
EPAIDVDTDRSSSPERSVDGHEEAPDPLLEDSASNKVASQIAAAQQRQDGMQQFGTPNMPRGNVYLPHVPSSVLSSRPQYHMQQRTLPRAEKLPVTG
YELLAMRLSTRPDTENEGRIKPMYRKFEALNHRLLLHLQDELSELEEQLHRLDHADTQSRRTEHPGYIVPASRRLAAQVGGELQWHKTDILGKIGYK
LNQYNQALSSFNSTQSLHQPNPEDIENYRSYLQTEQPIIEAETHFLDPTDDLVSIYPDHPAPPSFLSSQPPSSISSSSEVSSRNSVSTAPAPVPPLS
ASSPRNQPDLQPILPGLATAIAIAILVPILTFSVIPGFVGRLTVAALVACFMVAALVQSGIVNRGVLLGTESCMCAGIYGGVMIVLAGIVR

>RCO7_10221 | uncharacterized protein
MKITNFLYGVVAAIALLSGTADAISGVATYYSQQDAAGSCGVYHHDNEYIVALGYGWGHNSYCGRRVNIRNPKNGRFIQAVVADTCPGCEKTKLDVS
EGLYVALVGELGLDPFAIDWNFA

>RCO7_10220 | uncharacterized protein
MSSFYTKFYGSQVGGKSTTPHSYTSSPLSLLKQDILSALQFYKYLPYIVFPLTPQLSGPLCELYPSWGNLYDIFLHSILIIMQLPFLLSVPFWLMFP
LWSVVAGVVVFAIVNNAICAALNGTKTVVGSRAEFAEAKKEHEHEQWIFLNGVAVGRNWLQNNVDRLALTFGRPILGVHNRTNGIIFDVIQCLIQRN
FTYATQDVRDCYAVVKSTLYQPHLTKVIFILHSQGGIEGGLIIDWLLQEVPQDLLAKLEVYTFGNAANHFNNPHLHLLSQHAALRHPNVPAITKTTA
SVRFHEPTGATPTQNKTHDISSSEFKGRSGTNGVLTPLTTTTQPSQLTAQPKPPAYRQISRQESTSGKTIRYIEHYAHTYDFVARWGVLYFTKNMSL
GPTAPRFMGRVFEREGKGHQMNMHYLDGMFPLRPVDVRSTVTGGLKGGLGDSGFWGADEREGMNPFMDSILELGLGDQNQTDALSQTQIPSQNGGRE
IDISDDVTSSRETLTISYLGAHGTTIEENENEDETGVLVKDMSPLSPATIRRFGGISAQRLGKIVNGKKEEGEKIQFKVKNLSRLWLYVNGKSPRID

ETDVGIARMSTI
>RCO7_10219 | related to VPS41 - required for the vacuolar assembly
MADESTDQGDTGTSKKPEERWKDGDGDTNERKEEDTVEESEEETDDGDEDEDEEEDEPKLKYARMTSHLAPVYRNGDATSAFLVGGDKMIIGTHNGN
IHVLSLPSFQPLRVYHAHTASTSSISISPFPPPLNNAVPEGVSRVVSQAQTPRGSPSVTSEASAASPRTPRVHLVPNTASNAIYIATSSIDGNVCVQ
SLVDAKDVQLRNFGRPVQAVALSPDYKNDRTYISGGLAGNLILTIGGKAGASQSTTTGTAAATASGWLGAIGLGGNTGKDSVLHSGEGTISTIKWSL
SGRYVVWINEHGVKIMRSHLHLDTSDLESAWKRIGHVDRPQDKGWEEMAGVWKGRAEWIDERSLETDEDDKARENSVPSPATAKLKQQASKNSARIE
KLVVGWGGTIWIINVHPGGVGVGKHVGERSLGKPEIIKILRMDCIISGLSLYTPTLLLVLAHISPDDDDEDEQPKGHKSKLSTASTSSEPRGGIRRR
QNAKSPELRLIDLNSSQEVDTDTLTVSRYERLSATDYHLGVLPAARAAPASQSSRGTLEALAGMGSGMWNATINATTLLSSSASVHSNGSKGSDAKQ
SVASSARTKVGLRSPAAHPHIAVPGMKIFIQSPYDCILATKRDLSDHLSWLLDHEKNQEAWELIDEHPEVISLSPERLADIGPGVPDSVQGSDDFYD
DASTVNSASKLINSAVEKEKRRVGELWIQQLIKAGDWIEAGKVCGKVLGTAQQWEEYVYTFVGAGKFDEITNYIPTTQLRPPLKSEIYEVILGHYAA
RNRPRIRDLLDQWPPDLFDIKSVTTVLENQLKYRDVREDSIEDGEIGRDWRIVMESLGKLHVSAGRSREALKCYIKLQDADMAMALIKEHHLVDAVA
DDIPGLIMLRVSKEQIRSAPIEELRDATEEAVQLLVDEAQHGLVSPQVVVSQLQEKNMTLYLFFYVSSLWKGDGIEEHQGESRERLVAESKSLVDDL
ADLAVHLFAMYDRDLLMDFLKSSTFYTFEKATQECEEKDYIPELVYLYSKTGQTKRALTLIIDRLRDVSQAIAFAKQQDDFELWNDLLDYSMDKPRF
IRGLLEEVGTAINPIKLVRRIPEGLEIEGLKDGLGRMIKEYEIQHSISLGVARVLRGEVALAQTTLRSGQRKGVKFDVVRKKGQHIDVETSDVPTYA
SMSVDGAVSSKIAAKEFIENKDEPEPPEPGHCVGCRKPFSDWEGETLVGFACGHVFHLTHLLGLGDGEGEGNGREALVTPPEGGLDEYGEWSATHSV
GAKVTHARLLRDRIKDGCPVCTSGREGLIQSALF
>RCO7_10218 | related to permease of the major facilitator superfamily
MSSDPEKHAVEQIERSLSQESNDARIAQFTPAEQRKIIHRVDRRLVTTLGALMSKALKLHGTQYSLIVLIFFIPYVLFQPPATVVLRKLGPRRFLTA
IVLLWGGLMIGFGFVKKWDQMVGLRVILGVLEAGFFPGCAYLLSTWYTRYELQKRNAVFYLIGSMASACSGILAYGIMQMNGLGGLGGWRWIFIVEG
LLTCVLGIVGYFLIVDFPEHASKSWKFLTKAESDFIVARIEVDRHDAILEPFSLKSYLANALDSKIWGFACLFGLTTTNTYAIAYFLPVILRLGMGF
DIAKAQCLVAPPYVAAAIVMYGCAWLGDKYHIRAPIIIGNALLGLIGLPLLGYAKHNGVRYFGVFLATIACNANIPAVLTYQANNIRGQWKRALCSA
TLVGFGGLGGIVGSTVFRDQDAPKYGPGIMTTMISSGLVIVITCLMTLKFHRANQRAERGGKAIEGQEGFRYTL
>RCO7_10217 | related to non-ribosomal peptide synthetase
MPPTWNHSDLTQPEKANRDFDDVEKGFFNSISHLPTLPPSVRLDEKPPSYIDSTLWPTSPVHEGTTPFSSVPVLTLSWPGNSKPPTLTPVAPKKPVR
ESRWIRAQLWFNTYRKFFTFVTLLNLAGIIMLSLGRFPYAETHTGALVLGNLLVAVMMRNELFLRFLYLIAIYGLRSWAPTWVKLSVTSILQHVGGI
HSGCALSGAAWLVYKVVEIIRHRSVQHRTVIVTGIITNVMILTSVLSAFPWVRNYHHNVFERHHRFIGWLGLASTWCFVILGNSYDIKHGEWRHDAH
SLLSAQELWFALFMTIFILIPWLTLRKVPVEVEIPSPKVAVLRFDRGIQQGLLGRISRTSIMEYHAFGIVSEGTKSPYHYMICGVQGDFTESLVRNP
PKFVWTRELKFAGVGHASAMFKRGIRICTGTGIGAALSTCIQNPNWFLIWIGSDQEKTFGPTIAGLIHDNIPPERMILWDSKKRGGRPDTMQLLKDT
WKSFGAEVIFITSNMKGNDEMMQGCHAAGLHAFGTLGHYLEVHITGA
>RCO7_10216 | related to GAL10 - UDP-glucose 4-epimerase
MTTQAPPPFEFLPLGAIIRTFLVGGPSNLNIVQNFPKQSHYVSHNGPFFGETIGRVANRIASGKIDSLNNKSYQLTQNNGVNALHGGNVGWGKRVWE
GPSPVGVKSIPGLEGGELEGGESVKFTLRSEDGDEGYPGTVDVSVIYTVGLQKSSTGKEIRVLGIEYQVELVGDEVEETVVNVTNHSYFNLSGKSTI
EGTEITLCSTAYLPVDDGGIPTSSKTASYPGLKAKEKFTLGLTEPDVDDCFIVDPSTASSIPLDTRSSPLTKLVAAYHPETKVHLEVLSTEPAFQFY
TGKYIDVAEINEGGEKVEKRGARAGFCVEPSRYVNAVNVPEWRAQVVLKKGEVYGSRVVYKGWCDE
>RCO7_10215 | uncharacterized protein
MNAILTCKCWTKKLVARMKKTPQEKAQAKARKGVKRPQMFMKKFKRVNTQESVGSFEHSLMRRGNSY
>RCO7_10214 | acyl-CoA dehydrogenase
MGKSFTTADVAAHNKPNDLYIVVDEDVYDLTTFQDEHPGGKKILTRVAGKDASKQFWKYHNDGILKKYKAKLQVGSLDTKAAEPEPEPPKKEEKKKE
IVKPEAESGAVVPVPAEDIEVEALEPYGDLIPFADPSWYQGFYSPYFNETHAALRAEIREWVTEKVEPFVGEWDEAKKVPDEIYKEMGTRGYLAGLM
GMHFPVEYTKNRIACVPPEKWDNFHELIMTDELSRAGSGGFVWNVIGGFGIGCPPMVKFGSPELVKRILPGILDGDKRICLAITEPDAGSDVANLGC
EAVLTEDGKHYIVNGEKKWITNGIWCDYFTTAVRTGTKESGMNGISVLLIERDMGGVSTRRMDCQGVWSSGTTYVTFEDVKVPVENLIGKENKGFKV
IMTNFNHERIGIIIQCIRFSRVCYEESIKYAHKRRTFGVPLISHPVIRLKLAHMARQIEASYSWLESIISQISNMPEDLAMLRLGGPIAGLKAQATV
TFEFCAREASQIFGGLSYSRGGQGGKVERLYRDVRAYAIPGGSEEIMLDLSIRQSLRVGKVMGMKL
>RCO7_10213 | uncharacterized protein
MDAIAETEINDAFDEHTNTPDLQNSDPSKQAAEEENSKSDADSSSDSSDSAFVFDERAVDEDSDADSDVDARELIKSLVEEVGEDIFSQVSEIDSSI
CAPCVNIVCAFSDQAELNPIRTKVKASAATLLHHRSMKALLECSSTCKMCLLILHLLSVNGSDVMILAQKLSDNEEVLVKLLERDKEEFEKTVVKPE
RYNWRRRVWRLMVASTKAWFEKEHGQTGVVWYEGAKGPAGVHLSGARVEILLTWARSMKVDGKNVDVDALSSSSSSSSSKSGNGSLDPSVDAHEPEK
ESMSASKTASNSPEATQTFDMLEDTSDAPPKPNYLAAITDSIESAHMLELLATARSLEKRYRLHSREYQLREVRGYKGQIVELQVVYGTERYPARVF
STKGDNISAEKYLGRPVYRNAKSPETLALMSKWFKNCFQNHAECRWSSNASELDPILPSRVVDIGPATSEDFVPRLLSPGSQRGKWAALSHRWGHAN
ILRTLSNNVQEIEAGIDISKLPATFRDAIFLTRHLGLRYLWIDSLCIIQDSPSDWLKEAASMPNIYRNSFITIAAAATENSTGGIFVDRSWLPTSKP
CTIPVQIRSGSEHGTLHFDVPFDTNIQGNETNYLRSRAWCIQESLLSHRLLMFVTLQMSYTCVRQGLVESRQTPFTISCEERNKILEKFQHRSSNDL
RTHQDELLPSTLRSMIITWYDILYDYTRRDLTFSNDRLIAISGIVAVVGSSIEDDYVAGLWRRDMPRALLWSPFEEETLPNAPHVSRGPPLYRAPSW
SWASVDSPISCFLCRERMPDPPIATVLEVNTTLVGSDMYGQVSAGFLMIKAPLRRAVVGETSQVWPQQPLLKLDGWEEGDITHAIFDLTVHDMEEGS
KCWCLLITDVYGLILVEREERVESIAENWGGGKESVFERIGIFHSRNTEVVRSVWFENTDFRTVIIV
>RCO7_10212 | related to allantoate permease
MDRITNTTKAQIPSENVEKSGSSSIEIIEAQGFDKKASKKLVRTIDWHLIPFLSLIYLLCFLDRTNIGNARLDHLERDLHLNGLQYNDCLAILFPFY
IAAEIPSNIMMKRIRPSIWLTFIMVFWSAAMICQGFVSSYSGLMATRVFLGIFEGGLFPGVNYYITQWYPRHECGFRMALFFSAATLAGAFGGILAR
GISEMNGVGGIAAWAWIFILEGLLSILVSFSAYWVINDYPSTAKFLTEDERVEVKRRIAADHGNLSDHFAYKYVFQAIKDWKIYIHMFICMAGFCPI
YSFSLFLPTIIKFMGYTANEAQLMSVPPYVVACVFTIGASWFADRVKQRGVFMLGFQVIAIAGFAMLAGTDRPRIQYAGTVLAAIGIYPQIPLGLAW
NGNNIGGNMKRGTGIAMQVMGGNCGGIIASYVYISRDGPRFIKGHSLLIGIIGMALFLTLFMTCYLRWENSRRDKVERETGTTYSDDEKREQMEFAD
NAPWFRYTV
>RCO7_10211 | uncharacterized protein
MYQVSCAVITEYQSQQQEEVGDSQHNFGEGWTHIAHSMADVRRVNDVKDVLLIMR
>RCO7_10210 | related to USO1 Intracellular protein transport protein

MANLDNDNTMVVDDDRPLSIRRTRRSSAGLSQNSRNSSPYPPSQNAALHPHGMATPPETPKRNKKKVRFSDPGPAITSDYASSGLTPFIRRTSLATP
KSKRRQSTPGRLWNRAGFDVEPASGTLQFAPLRQVLDGRVKRRIKRNGLSEEINVIDFDKRMEARGRKSEVERLRGELELKDKEVQSMRDELDIASQ
IEGESGHSLPTNTALASKVQELESQIRHLKEELGRRESDNADTIEDTHNWTLAARDPYDFEDGDDDEMMITNYDDGFHDMTANDELMTTPTRLNTSF
PSPPSTMPNTPCKSVYSLNAGIQASLPVPDPENEELRDQLQVLQAEIAKLAKVVALNEDNATRLSEKLSEFIPVDEPHDTSTLDAALDTVLTQLVLT
QSQALENSTAFSALASEISALGFSGTSPDATLANIAKQFRQARLDLEYLAPGEIAEGFENEKLLGLLVGRMRVLLEKAKQGDQSVDQYHEQELLLRQ
QLNDRVSVMDALKTDLSSASTLVGSLREEVREKETDSERLRSALEGYRSEVSSLETLISRIEEEGRETEQGLRSEMEELQARLNNEVAQHDVTKAIN
EGNEILLPELEKRLSAALEAAADVQAQLSALTATHSAMLAERDAALAQILKLSHAASTDVQDRESVIAELRSGILSREQTHGSALALRDARVAELRS
EVERVNEALKSAHSTILHLRNENKEVKERAERGRFVVRDMLRQMGRAEEMGRGFADLEDVVNGVEERRASVAGVVSMPSAGDGGVVRKGAGDGGVVR
KGGMFDAGLARRSSAGKSGRKRRRRYDSGLGFLEEGEEDETTEVEM

>RCO7_10209 | probable MOSC domain-containing protein 2, mitochondrial precursor
MLDILNPFSSPSATSEITELRIYPIKSCRGISIQKSFLTKQGLDLDRRWMFVDAETMKFITIRDISQMTLIDTSLDSTSSNLTISIHNTPHNIAIPT
RPSASWLESNTTLSRVNIWDHETDGYVYSDAINSIFTGFFSKPVKLVYKGPTPRILRGNGAPELLGREESTNFPDVMPVLIANESSLRELNGRLREK
GHEEITVERFRPNIIVKGAEEGDTASKGGLPTAWSEDRWKTVRILPSAEQKSGLASLLGAGGDERPLEIDVQARCARCQVPNVDPDTAEKDKKEPWD
TLVSYRRVDEGVKWKPCFGMLSCPRSEGDIAVGMKFEVVATTDDHNYIKGF

>RCO7_10208 | related to formaldehyde dehydrogenase
MKHSHSEHHNGHDDHHHHHHDDTMKAVQFEGKAFNMKVQRVPIPKIIKSTDAIIQVTSSGICGTDLHVFHGRVPTKPPMTMGHEIVGIVHCLGSKVN
DVKVGDRVIVVSIISDDHLGGEADDELVGGLGIGDIPGFVNFDGGQAGFVRVPFAADNLLLLPKGEEHELDYVLLADIFPTSNWALDCSGFVFGDVV
VVFGAGPVGLLTVYSAFLRGASKVYSIDRVPERLAKAKSIGAIPIDFTKGDPVAQILKREPEGVDRACDCIGYECVDAKGKNVGNLVLTQAINVVRV
GGGIGVIGVYLPQDPRGTTPALKKGIFEIPFGESWFKGQTIRSGIVPLREYQPALLKMINSGRAKPSFVVDRELRIDDAPEAYQEFSDHDFIKSVIR
FGNFRDQEEDSSGEEEEEERPLRKRKRNGTSV

>RCO7_10207 | related to apsB protein
MAEGDEHAETASIASSSTDERPQTARKLSRKVPGGFGIDDLDDLSPEKQEFNDSTFENPAVIGNANRQNKRIPSLDPATLPSLPPPSGDDSSLYNHS
ENEGSDALGDTVDERALQRHLNDVESSFMPIMSPISMSGNGNGQKGADDTFLFDGAQLPPQHQQRSVTPNKPQAQKQEPDAPLSPLTPANAYQTPGV
FHDANMDESMDTGETTSALETMSSSPTAAAAARTVSRAISMASTGASDASYDGQSPSQERIENEESNDTEATPKKKKSRKPAESSGDRSTLKDDTSN
RSLNSSYGDAGNTPGFALLGRKSSGKRPKFLRSRHTSQQSSVSSLLTSAGSHDGSEATLGADYALQSGGAVPAEGSSRSSMGLSRSISLGSMASAID
EFSGNGQDGSLATLTEEDQNRDRNLGEVSPPETPRAATVRSSLAAPTDTVIARHVRNVQVPASLAQEYRNKNGVSPKRSGFAVSSLGRNGKNMTLKE
QSNTIERLSKENFDLKLKVMFLSDRLDKLSEEGVKEMISENVELKTGLAVMQRDNKALKRKVKDLEKRLKDDEERPSTAGTSGGNPSPKWFDQEGAQ
EREEELLYLRERTEEYLVEIEKLRNDSITRENEKRNLAEVVRQMGERRGQNVEAREEMDVWKDLLEQETSRREQADDENKRLREEIFRLKTDTVSST
GMTGLNHTTNIYNITKKRQASPSRPKSGLSFGGDDRSGAMSSATTLADDLRREAEQLRHENAELRREVGAQTSMLTSRNREKERLYQEIEDLKLGQR
RGGGSVAGDSILERSASRAHERSRSRNSAGTRITNMDDNEREDFENKHAELRDRINSLKIHNQDLQRELESCMEDFETAVQQKKDAESLASELQEAL
ELAEADLVTMQTDRDEALQGQEEAEIMFESLRKEAQEELDGFGEEADEANAEIERLRIELADTTENFNALQNEMREMSEGLVRLEDDHESKARRIEE
LERELDEANREMEQMESNLVEANGKIKRLMVQQESSQGEIAFLREEQDGDKIKIGDLEAAVKSAEDSLHEERERIKELEERISNERHQRETVAGREK
QEVQQVINDLNREASSAKDEARRLRKSLTSREVEAAEWKQRLMELESNLREALGDLNGTRSSLLSSIAKLQRELENTIRDLDATKASLAEKERLIKH
RDSLLESHALESRKLADMLDKERQSHRNTKHQFETFQKTQQHTTRTLTQHESRVLELETSRQQDRRKISTLENSFKDQMNERNQLLLALWNRLSALC
GTDWTHNNSLINGRALPSLEAVSTMLPGFSKNLLAAVKTIESLVGDFRSRIRSVEKDLWKEYQTLESNLEIRTKRLDRLETMARSGIPGAGGGIDGK
AEIARLIEKNKGLKKEVSALRAVIDVRNNIFEGASESPSVPTGPRNKSLDKSRTSTLTRHQSASAVETRTVSRSMASAPNTGAGGDKSLAGSSRGRD
RSLASSSGRNKEKGGEGDESEGNGMDIRWQLRLQELEYKLKAEREARLVDRAGARQRLEEKDRENEELMRLVERERGRLGIGR

>RCO7_10206 | uncharacterized protein
MPSNFDHERRERPSPGNTTTTATEPHSMASLKILDAEDRQAGKFVTAMRKLYRPLGFQKGYNFPLFIIFGGAMLGFTLARFSYMNIGGDASSSYKSG
SAPGEWYYARSGHYRFGITLHLVTIIPAGFLAVFQFIPVIRYKALLFHRLNGSLILLLSLLGNVGALMIARRAFGGALDVQSAVGVLAIITTTSLIL
AYVNIKRLQIDQHRAWMLRAWFYFGVIITTRIIMIISALIISTQKDYYSTRPCGEIAFIVSGSSDLSNQPEFFTQKYPGCVNASKNTPAIVNASMNG
KAESIGVALGMSFGMALWVALFVHAVGVEIYLNATPRESERLRMVSYERQLERGFENPGSAGLVVERWGDARPWAPQVKASKK

>RCO7_10205 | uncharacterized protein
MDSPGVRCTVSRIAGLNVNATAFIPANALQATAPEFSPLLRREYHGATVHYGPGAEVLQVRLTSDSSSIQIKGLSDASPANVQTVFDVLGINFPVAS
IQMNQSELGIIATIRFDDPAIAQLVLEKFAGSGLNSKLTMSLLINLPKPFQWVQLGGVKCSWTKNGSMGFIEYPSSTPGLESLSNTISHLLTPSGQA
VKCIATRPSPYERTRHLRSFSLNNLDTNTNVSWVKETLANAGYPVPKKIKMVHVGSGTTLDDASCVTTIEGLLRSIGPLDSFSSAESTNGGRLMVNA
IFCNPGDAMTAVSTLKDRFPVDFPASKKLTIENEVSMKVNILDKIASALDTKLQALCVEMQKNGRDRVQIRKQHGKGHTMVRFSDAGEHAVAELAKF
KIEIEKLLVGTVVYESGVPVWDKWFGISEDAGKYLHWVSSTCKVYVLRSVAQGHLILYGGTDQHRRRAGDLLKAKIADLKVENAYTIRLAKNKSISE
TLEVLKPVFGEKLRLVVSGGSTMVKLLGSVADISKARLLLNPSSAPQAGECPICWGTPEEAAIHLDCGHTYCLSCFHDLCAAPIASEHLLPISCSGT
TTTGIPCTHLINLSLLASHLTAVEFEHVLQLSFDFNVRTHPALFAFCRTIDCSTIYRRSSTTTIITTPTLTTCSSCLHTFDTLCGYHHPLLTCAEYA
DVIDGTDALLKNSKELGVKRCPSCRQALEKTGGCNHMTCGCGQHFCWVCGMGFEGPEETVSHLNEVHGGIESDDEDDDDVEDELQLPLVREDFDDGW
QAFAPF

>RCO7_10204 | uncharacterized protein
MFRLFTTSRKVPLCISKILSTSFRTTAILRSSDNPADSNLNTSSKSPPPGSENANQGTTDGYNDSIFDDAVADILRSAKLKARRKENKPPPEKIGAD
GLPIGKRPTEYDENGGIIKKRRVPRKKVLKLEDGLPIEKQLVEYDENGGIIKKRRVPRKKVLKLEDGLPIEKQPTEYKEESEIIKKKRVPRKKVLKL
GEDGLPVTNTTYKRAQDKLGSDFYNKPGLSPRDDVRRYLTRVNTIGARVKGLSQKSGDRKRMNIVSEAACDVILDRLGPSLQKHIGCDIIDINPGAG
VWSAKLHDMLKPRTHILLEPDTKQFGQLLEPLLSAPGSTYRLVPQSGLVWNHLEAVLSKEYLPHQTAWEREDPRLEERNDTLLIVANLGYYPRKNYR
GFPSLAQMVMYQLIGAIKAQTLVQKYGRARMLIWMNDEERHHFVPKSINQRRKPAMEADLVCEEITEVASSTISSSARDREQSIDIRSLQATLRKME
NKGIKVPEGRESVALQTLKGAENTQQGSPVIEKTPATRKKTPRFAAERRFTHFTEEFEATFEILRSAWRLPDNDPSKIAKLAEYKERRRRWQEEADK
TIKDSYQKPMLLNCESRITFNTPKSLLAWDRREMEPLRLDAKEFFPAKPMCLIDIQPKRLHPVLRKTNNYDILEYILTVFYVRWVQSVNEGLANLLP
GAHEWLVKECPSLRDPLKGGNPDLDEMTVRCLTDEMFVEMVEAWARWPFRPSQFEILSIMGGATHDTGVGATYDQEDMYRSI

>RCO7_10203 | related to STAM-binding protein
MALIVEPQGFSRGCGKNKWSRLIDVQHATDKTRYGWRSGNGNAGRGDLDRRSGTDIIPLPRFCLHTPPLGTQTAPSGFRSDEAQTTKHDHRQGPLTL
IFPPPRDRIPDRNSVLVQHFDFEISAVDGRLQISPAAETKRGGAAVMAGSSFQVSKPMNVKEIVAKAQDFEFSPYIAMKVWLRSADTLLREAQIYQE

EGNDQQAYLLLMRYATLVTEKLPLHPAARSPENREGMKATAKQIPIVIHNLEVLKPRINARYAAWEKNMERRREVSVFAGHERSRSDVAAASDPAVA
GNTTTLAAADHSQLAVKLAHKEIKRRDAARRATRQAGVSEQEEQERRTAGLWDDWESALSKDRFKEEDEMRRTMESTRRRMDGAHDGQDTSRRQSSL
RSTPIVPLGSGNSEYRYPSVAKSQPLEYDNNFDSRSSLPTIPNLPPKPPKQSASSDLYQLQPPPLPSKSILDPPPVDMAKANPNLNFTFRPSAYLES
GEPLRTVFLPPTLRNEFLRHAEPNTRNNLETCGMLCGTLISNALFIQRVVIPEQKSTSDTCETVNESTLFDYVTSEDMMLLGWIHTHPTQSCFMSSV
DLHTHFGYQTMFKESIAIVCAPSKNPSWGVFRLTDPPGKQAIAQCKQSSLFHPHAETNIYTDALRPGHVFEAEGLEFSIVDLRT

>RCO7_10202 | uncharacterized protein

MKVPWIITLVPSTFAITLLQVLQTNPELSTLYGYVNASADATAFLASSNNFTFLAPSNNAISTLVKRKGNATLTGDLILASLQYGMLKGGYPTLSFS
DASQYVHTNLANPGYSNVTGGQVLELTADEGGNAQVVSGNKTTSNVADELLCSGGIVHIIDKVLSIPDPAVLQISAAKMEYFVSILSTAGYLNTEKA
DYVDGIMRLPDVTYFIPNSAAALADATLKAGNSTAEELKAVFQYHVVPGFLGYSNVLKDGMSLKTQEGKNLTITMQDGEIFVNSAKVVASDYVVANG
VVHVIDSLLDHFNNSPPPKANKNSDLITSSSSLTNSSTTSDSAPAPKSFDTSSPDRKISSSQGLSTGTKIAIGVGVGVGSLLPLAVIIGFLIRKHKN
ENKWNKYKESDLISNTDSAPSEMESFYLHGGTIHKKDNGYATEYRVEKIDRHRMSIGPEIPIRSPGRALRREKSEHESYL

>RCO7_10201 | related to Endo-1,4-beta-xylanase xynf11a

MLFNFFKSLLLTAALAKAISLDEEVFGRSFDLGSKLHRRDANASLPSDKQGTGYHDGYFYSFWWDGMGGNVTYHNLDKGSFSVTWNNTHNFVAGKGW
NPGSRKTIVYNGTWNAINVNSYVACYGWFVFPLAEYYVVEAYGEYKPSAGTASKGTVETDGGIYDIYQTERYNMPSINGTATFSQYWSIRQTKRVGG
EITIGNHIDAWAKSGLDLGTQNLQIMAVEGYRSSGSAYITVSEKGVDGVPYPNRTNSH

>RCO7_10200 | uncharacterized protein

MAPHPIHPTVPAPPAPPALPLTAWARKYGKFSVNDRKSGLTPTGYTFPRLGNQLNSESIYEAHQTRKLLGFTSRELGQLDCLPTRELVPSTLPTYIL
PMLRIENWEIEPAQPDFGRDALYPMANGQGMWVASNPVVWSLLKPILSLATTMLMSIHILPWFDALINAPRVPIPATRLSPEDQGRNDLYSFQARPA
IQFGQPTASPIDRDKAFSILQHQFKYTFGFMKFGEDPQGSEHDPEASAMTSTNYDYMRYDPTPNKIPRVFTWLDYAGFEHLLRDDLNSAERMCIEWS
VANTIAHEVMHAIMYLRTALKGDFHGIENYFELEALAEVGNSFEKAINLGSTRPFLTADRLQSPPVAIPPLGYFFHRLYPTAYNIEDMDPDGAVLIN
PSISMVDEAFPIPITFYEDMQQEPFWSVAVRNFGHGLLHYRSRKEGSRTTLSITSNTREITYSKRKRFSALGHAYPALNNRFIAGVETLRLALLLTP
EERRAMEFGRSLLISSKGEQAFWDSSALQKTRVDAAMTIMGSVNNVQLTQETQRTVLLGLIQCMVEAISNHQVQIAAIHGLEAVNRVTYPDRRAALM
EWNRGTRVFLNALQTAKKGNHIEITPMLLDLEVARMVLVDPNKLTQLTTEELNEFQSIKIARAEYIQGNFTSCRNICAGILGTNWCSILARCSASAI
LFALDKDLYGGWDERKGDLVIANDMMDYCFAAAPAAWKALWDSLKIDLMDAVNALQRPSSPNQQLPETE

>RCO7_10199 | related to lipase B precursor

MVCGVNKALSDCKPIGIVGPDIVAELFIAAVVAFCKMLKSILYLSCLGSAVLALPSPVENVRVERAAVIQAIPANIIKQSQLDNVLAGLKGDAKELT
LGASALADVISAIVPGPSPDDIASEISSVASVYKANPTAFFENAATLVLNGLAPKGLINDYIAETSIVNSDKNYNPRAASPAVYPKKSPLDAPYSVD
ENTLRSALYIPKEFSYGKVRPCIFVPGTGATAGSNFLPNLGKIFTGSDYADPVYLNIPKFQLDDIQINAEFVAYAINYISAISGGKNVSVVSWSAGS
IDTVWAHQYWPSTIGVTSDLVSISGDRHGTVLAYLLSPAFPKVPSTPAIIQQQYNSKFIQTLRNGGGASAYVPTTSIYSIFDEIVQPQAGPNASAFV
RDDRNVGATNIEIQETCTVLQPGGTLYTHEGVLYNALAVAATIDALTHEGPADLKRIDMPMVCQEIADPRLSIVDVLATEALIPIAALEIAAYNPKI
FEEPPIKPYAQKDVPRA

>RCO7_10198 | related to FK506-binding protein 2 precursor

MRFLLTSTLLFTGLNLATADGSDGYIIQIGNGASCPKKTKKGDTVGVNFNATYTNGHPIYTNYPSYGFGPPIPFVFKIGAGQVIKGWELGFLDMCVG
NTRKITAPPAFGYGVDALGPIPLNTPLLFYVELKTVTFAPAP

>RCO7_10197 | probable alpha-glucoside transport protein

MANDIPEPVGTMSDSTIEKAPQAQHTEHALNMPGKHLDDSAKAATATEHNTTVWQGIKTYRKAVFWSVLVSASIIMEGYDTTLISSFFAYPSFKQKY
GTYSGPKYGYQLSAPWQTGLQDIQAVGNIIGALGNGYFTHKYGHRMVMMVSLVMMTGFIFITFFAPNVECLLVGAFLCSIPWGTFATMGPAYAMEVC
PLVLRGYLAAFVNLCWAIGQLLSAAILKALVNNKTQWSYRIPFALQWIWVLPLFIAAYFCPESPWHLVRQNRLEEAEQSLQRLSQGADNVDHQATIA
LMLHTTRLEEQEELGTSYFDCFKGTNLRRTEIACVAFLSQVTNGGAFAYSPTYFFEQAGIQADTSYSIGLGGTGIAFCGTVISWFIMNRVGRRPIFL
TGFCGMVFCLFLIGILACVPGVDTSTTIKYVQASLCLVWLGTYSMTVGPIVYTIVAEIGATRLRTKTVVLGRSTYYVGNIVGGVLQPYMMNPTKWNF
KGKTAFFWASLATITTVWAWFRLPETKDRTFEELDVLFLRGVPTRKFAKADLEDEE

>RCO7_10196 | uncharacterized protein

MASTGTTLSGSEVIVHRVRTKYRWPPLQLNFWLFIMLVGSSTILGINAYFLSVQSQMKAGVPWYFSYWVAASSLALIFLLTMLYLISQRALLPGIVI
MGAFILFILWVVGLIIISIQLWGPSGVNGTCNIYVNSRPSTGPNINTLAYLQQRSICQSWQAQWAFELVGCVFLLWMMIMAYQVYQDNR

>RCO7_10195 | uncharacterized protein

MDFLKKGADMLNKNKASGSEQPAQAQAGGAAPAAGQPAAAAGGQDYGDKAFDFIAKKTGHQMDPNTSEKITDGARGLYEKQTGNKVDPKWSN

>RCO7_10194 | uncharacterized protein

MQGKAMHVEEKSKVHPPHTHTLTLPITNTAIIRTPQENQILLPLTPPLSTDGLHSHSHTHSHSESPSSSPPQVVTTVLALIRQQQQGRAIGTDFPQQ
VRATPLEYHDLLAELEKEPQLKAFVDEKLRWEYNPLNTTLSLQPMPTVLHDHFADQLAETTVTQLKNIALTSDNTEHSTFAAQISTLGSGTLLLREH
GLDSDREEIDSADIHITKQPDKSFHHPEAVYPGVVYEVAVTQGFKSLKRKAWTYIQSSGANIKRVVGFELGNRGGKEARVSMWKPLYITDEVGDDVL
TVETVIDRKLFRSSDGSPANSTLSISLPLSAFATSEIATFPSDPSTPSITIPYTSLITYLQSAESHQRVIDPGKGEVPTGKLTKRPAKRKRLSTSSV
EELSIEREGEFCSREEEVGEGEKGDGEFRGRIIASGDSRMSSRSGSKRRHPR

>RCO7_10193 | uncharacterized protein

MEIPSDRGMVEPTSATAEVRAWVYGRFDLGLQSSYSTTRERLQSRSGKSVYG

>RCO7_10192 | uncharacterized protein

MARHILALFLVSGYISSLAAGVPTENTSDSLTTRDFIEERSIVCDSQNRCCARLDNSQAVGPCICHSAGWPQPQGTACCQNSAYNCKADTSQGIKGP
MTCDTCYTY

>RCO7_10191 | related to capsular associated protein (CAP10)

MTFSAPTRRAGGRFRYLLLSVAIIGLLFYLRRSSPTFNSSYEPIEVTPGHLPSIPGQDNPKAPGVIPPGPEKTADAQLPKPEKPLRPSDPAKPSPAE
PVVKAKDAHPIETLIKKANKDFDELLKKESKDLKSAAAEYRKKRGRHPPPGFDKWYKYAEDNKAVIVEDFFDQIYHDLAPFWGLAPSLLRKEAHSFE
MTLSIRNHTTKASSDWFWTKIWQNMTESIQHILPDMDIAVNAMDEPRIVVPWEEVDRLMEIERTKKTLPAADKVIQEFGSLPKNPDPDVKVRDKAWI
SEPPFWKVAAAGCHPDSLARKAEQQTDYSTTPQISLKYTTPHTYRGYISNYTLSTDFCHQPDLQGLHGMMIRPLSISSTKTLFPLFGGSKLPTNNEI
LLPAAMYWNGEERFSGGDDHGAPWNKKMDKVVWRGVATGGLNKADNWRGFQRHRFVAMTNGTQVSLAEDWRQAPQNWALPVSSYNLAASQESRLGKW
VDSWADTGFIDLMCVKPQANLSCNYTEPWYSVKKGEPMSKQFNRKYLPDIDGNSFSGRYRGFLLSTSLPIKSTIFREWHDSRLVPWKHFVPMDNRYM

DFYGIMEYFLGYEGETIKLMGHDEQAEKIATEGQAWANKVLRKEDMSVYTARLLLEYARLSDDHRDEMGWVGDLR
>RCO7_10190 | related to formaldehyde dehydrogenase
MSKTTMKAVVFKGALKIEIEDRPIPRIIHPTDILIKVRYSALCGSELHVFRGHQPSETGFIMGHETTGSVIEIGSSIKNHAVGDTVVMPFTVSCGAC
FYCQRGFSSRCSQSLLFGCPSLDGGQAEYMRVPLADATAVTAPPGIDEKKLVLMADIFPTGYFGAANAFKGMDESTIAQSVVVLIGCGPVGLCALIN
ALEYKPRVIIAVDRVESRLKLARGLGAEAFNDVEDRAGLEARVKELTDGRGADTVIEGVGHADALKTAFDLLRPWGTISSFGVHNAEIPWNGNQAYG
KNLRIQMGRCPVRSIFPEALEMLKKNQHKLDFMTDKFMPLSQAVEGYDIFNKMQVQKVVFVPEHQ
>RCO7_10189 | probable pho-2 alkaline phosphatase
MVPVSRIALIISSIASFTAAQTFQRLGACPTLGCVLPPDQTDFLAGQYFDIRLEVHAPVNGSEANGGIPDPNFSFTIAKKGGAAQAATTFFKQPEPA
LERWNFTWFEDLFAQDAKTPSVVRVTSKAYRRVALYEPGEYVATLSYYNGTKTVANWLVRPLQEQKKAKNVILFIGDGMTTNMITAARLIGHKSVNG
RYQSTMQMDKFPVLGHQMTHSLDSYITDSANSASALYSGHKSSVNAMGVYADSSADPFDDPKVETIVELLTRVWGSAIGVVSTAFLGDATPIALTGH
TRARAQYASLIEQSLHGVQNYSWTPYSGADVFFGGGAEQFLPGTGSYQGKDYYKEFSDAGYSISTNNTSLATQNGDKKALGVFCTSNLPVWLDRNVF
KANLNKTTNDPSGNKKPALDLPGLKDMTLKAVDILHKRGGNKGFFLMSEAASIDKQMHTLDYDRALGDLLELDDTVKATIARITELGELNNTLIIVT
ADHGHGFDVFGSADTTYLSSKSDDREKRNAIGVYQNSGQSQYTVTNASISYNTGVNFPVNWDPRYTLAQGVGAHPDVRENFKVHKSGPRTPATNITG
KPSNDYYVNPTDNPDGYIINGTIQTYEAQGVHSLTDVPVFAMGPCSENFAGVYNNIDIFFNMAQCLGLARGSPDVPTLNANGSSGPIPATSGSVPVN
SVQRGLWVGMVAFQCAISWFVWGL
>RCO7_10188 | related to cellulase precursor
MKGVNIAGFDFGVDIMGRAILKNVNPPLAELGFSDGAAQMQHFAKDDGLTFFRLPVSWQFLINSNTITSGAGNSSQARNATGTLDTVNANKYDLLVQ
ACLVTGAFCAIDIHNYARFEGKIIGQGGPSDAEFANLWSQIASKYANEKKVIFGLMNEPHDIPDMKLWAASVQAAVTAIRAAGATTQMILLPGDDFT
GAQTFVSNGSAGNLSTVHNPDGSNTSLIFDVHKYLDVDGSGQHLECVSNHIEDTFQPLATFLTANKRQAILSETGGGNSPSCLTNVCNMLMFINANP
DPYLGYAGWAAGGFNTQYNLTETPFGSAGNFTDQSIVKQCIVGMRTGNGIASRKRHVRTRRARGV
>RCO7_10187 | related to PLB1 - phospholipase B (lysophospholipase)
MFALLIVVVCAVFNLAAATSPYAPVPATCPSSLIRIADGLSPDESAWKTARKVLADNSLRAWLKATNPEFDTSGELPTLGMSISGGAYRALLTGAGF
IQAMDSRDSAVGTSGLYQSLTYTSALSGGAWLLSSMADHDFPTISSLLANQWSSAFDHGLFAPRGGIQTVLGYRQILADINAKEKAGFTSSLTDLWA
RLLSYQLLIGADGGVASTLSGIQQKSNFISHNAPYPIITSLNADLNKDACIPDADAAIWEITPFETGSWNPLVYAFIPSKYLGSTNGNCFTGFDNLG
FVLGTSSHIFNGLAAVATGLGPTLDTFCSATDGTADTSSLGKVMNAVIKKFPSLTERMSKAIDAFYALYPNPFYGFPSALAVSAQKTLHMVDGGESG
QLNPILPHLLPARNVGLVIINDNAGDARKLPSYPNGTAIYASFLAAKAAALTRMPTVPSPSGYHYTGEPIFFGCHDVNVTTLVWVPNRKDTYESGID
TFTFQTSKETTAAMIANGKAVMSKDGTSEWAQCLGCAIMDAGGRSVPSSCGACFDKYCFKG
>RCO7_10186 | related to alpha-N-arabinofuranosidase A precursor
MFNILPFLAGFAGIATAVKIKVSNQGGNATSPLMYGVMFEDVNHSGDGGIYAELIQNRAFQGSIQNPSNLKPWTPIGDTKLSLQNTSIPLSWALPLS
VNVVASGTGGLQNPGYWGISVKSQTYKGSFWALGDYAGTFTLSLKSASTSDVWGSVKIPSKCKTGQWIQHTFSIQAKEAPNTNNTFVLEFEGGKGSL
NLNLISLFPPTYNNRPNGLRPDLMKGLKELNPSFLRMPGGSNLQGNRYHFRWRWNQTIGPLTERPGRPGVWTYQNTDGMGLVEYLQMCDDLKAEPIL
AVWSGVYLQGDGAIPEAKLAPYVEEAMNELEFIMGSTSTKYGGLRASLGFPNPWKIRYVEIGNEDNYANPEGYASYRFRMFHDAIRAAYPSISIMSS
TGDHTAVAPGSSIDYHEYNRPNNFASEFTKFDNVDRSHKILIGEYASIQGNAAQPNASVSWSVEPFLSFPNWVGAVGETIYTLGAERNGDVVIGASY
APVLQHLNSTQWIPDLITFTADPAQNVFSTSYYAIQFLSAYRYTHIAPMTTDTPFSPAYYVAGYDKDTLDYTFKAAVYNTTTSVPFEISFAGLTKDD
STATLRVLSAPDGLSSNVPGGPNVVRQETHKLNAKNGVFSFSLKQYDIAILTTKSS
>RCO7_10185 | uncharacterized protein
MLLSLCTFLLTSFAARSIAQSVSDFGSSGGSGPKGGVGDLSRPVLFAQAYITDGKIASEYPDLVLRELTNSSPPVLEKSETNSCNAIRSVVIDDSPE
GRRQEMLGFGHAWTDSTVSTFGSLEEDILDELMAELFGPDGNNMGFMRHTIGSSDMSGTPYSFDDNGPHYNEGQPDPNLENFDLGPEGEAMAKMIAR
MGDYKSDVFLFGSPWSYPGWMKQNGLFIAPRLLGGSQILNNTFDPQFTPQAVQYFTKYVDAYKALGVEVNGLTLSNEPLNSQGGYPCMYLGADDSAR
ILNAGLGDAMKERGVKILAYDHNTDQPAYPSRMIQGSNGNVSGAAWHCYAGNVNYTVLEQFNQAFPSTPQFMTECSSYLPSNYSIYIAQQFIPSVQS
GASGGAFWVLGTDPDYGPHSPYGGCAGCLGSIIVNSSTTYTKTHDYYMMGQFSRFIRRGARNYAVRKGIEYGGGTTEAPQFILMSVQNPDSSWAVIF
LNNYGTDQDVELSFTSHPGSVWHGTIPQLAVVTWLIPPSNLWMVNNGTASPTSTSYSTRNGTTSGTTDEGHQFTCPTTTMSPKTSSTSTTTTPLLP
VPHTDSVPARTLAAAQCLVSACQS
>RCO7_10184 | uncharacterized protein
MQFRVLLVSLALATQVAAFPMGGSSLARAYTPEGSDEVSSGQNLVEATDNEVYQRDNTDPDRHEAQEQKDKASADAKEDKEQAAKAKAAASRKAGNN
AQADKQDKQADREEAKEQTAKNHADAQEGKEQAAKAAAAKKQAGGAQTGATKAAAAPKAAAAKPAAAKAATGKKGN
>RCO7_11404 | uncharacterized protein
MEYSSRHGGHLGSNSRTELVQTRVVVDSDRTRLEFAYREYAKAISLLKNTIAQKGDVSIHTSLVTSLLLICFESYHGNSDLAAAHVYAAIEMMESHV
KKREGFEREKVMCLSSSRGWMNSIPPSVDNEIVDMFSMLEIQASSWGDTRSPALHHERMLRCQAATSFMPPEFSTISDATRMMYQVMLRGVHLQLPF
KSAISLEEVPKAIDMDVYIPPGPVVSEPQYLELQSTLGTFQQWRQAYAPLLRRARIGNSGANTLRAATMLYVQYLSGYLWVSASSPRLEMYYRKYTS
ELQELVDCCKMLGAENEAEDFFSLDFRVVLPLQVVVWNYHHRALRREVLDIFRRCPRREGMWDTRIIRAIVEWVASIEEADLGDVVYVPEERVVTIG
EIKIFAESRSAYIKGFQFMDGQMVSLEGTVADTEYPSNKPDYN
>RCO7_11405 | uncharacterized protein
MRRSDTSSAGIPVNLGPIIYPSSHVIFSFKIGRLLSLDCDIAPILLNYVNIEYTILSGLLLSSKAKDAELNRGSIIATYLLSREIYYSYYYVRDYYY
IISRDLSFKAFYREGFRSSNSRFGEEFAKKAIFKVTISDTRRKRNLPSSLEIVSDLDTPGPSLKKKARGISXILELLYLFNKLNSKLYKYYSALKSS
YKHISYLNINLLNYVNIEYTILSGLLLSSKAKDAELNRGSIIATYLLSREIYYSYYYVRDYYYIISRDLSFKAFYREGFRSSNSRFGEEFAKKAIFK
VTISDTRRKRNLPSSLEIVSDLDTPGPSLKKKARGISYYTRSTTRATLADLSKELDIIVPVLDIPDLLEAPKDLGEKASEIEVIKEVEF
>RCO7_11406 | related to c-14 sterol reductase ERG-3
MSHRHTSAQKRLPSDPLPPSKGTTTWGRSGSKRPWLRSALSATPVLLGPLAAVSFEIALHHFNGSLAMVLTAYREQGILPVLYTYGPRWDSKALVAY
TCWIAFQALLYVGLPGPTQQSQQTPAGHLLSYRVNGLRAWILTYSLLAVLSVTGVLDLASIAEDWSGWFIATNLYGFLASAIAFVKAHVAPTHPGDR
KFTDVAAYDFYMGIELNPRLGEHFDVKLFTNGRAGMMTWTLIDIANLALQYRNGTLSPSLVLVTLLHSIYVLDFFANESWYLRTIDITHDHYGFYLA
WGCFAWLPAMYTLQAQYLGRYPTSPSPAYLAVTFSLGLLGYYIFRRVNDQKDVCRRTNGDCMIWGEPARFIVASYTTSDGTLHKSLLLCSGWWGVSR
HANYTGDLLLSFSMCAVAGTTTLLVWFYGIFMTGLLVHRCLRDEERCLAKYGSSWKEYCQRVPWRLIPGIW
>RCO7_11728 | uncharacterized protein

MSSFKGDKLEAIIATYGSTSLEEISRHINRIIDNTYSSYKNIDEYTSVIQASSVYLKQLKYEILKPILASFIFKGLPSSFDSFTSRKYEEISNNLSS
IDIEGLIRDLISEEARINTSTDLKDNKAFKGKNSKGKANYYIKHTELIPNKSTKKKPKGKGAKESKEESTKALISSFSSTSSSSSYSSTADQAYATI
YNYRIVLDSSASEYYIPNKSWLLDYKPVSKKSITIANGDILLIIEVDVNHKLLEPISFKVDSNKTSKLDLYYKRLLHTNKEFIYKTIEGSKGLKIQK
GLDLSNCFACNSGKIHAISSTKPISDTPPLTIFDIDIAGPFKIKGVLKIVARIRAFKLDNAGEFKSNKWTIFYKDKGIICEYTSPYSPEVLGSLTYV
LINKRTNKFEVKSDRSILVGYKSANNFLVYIPEKRAIISSKNVLIKEDLTFKDKVISKEELESFDKTLNDYETSDCSNRVISSPIDTPKSDLSRAEN
SEKIDSKTADNSLNEEKVIEDTELDLFNDIAEEPIVEIPKRAFISSKSDEEIKLSPDPERILIKKDPEVVIYEPKSYKEAINSPYKDY
>RCO7_11761 | uncharacterized protein
MISAFTQSNIDINTLYIYPPESVENYANKLLLLWKALYSLNPNISTIKSLIEELKYFFKLKDLGVIKDYLGIEIDYNRDQGYMKLYQASYIEKVLAR
FDLSDYKPKNTPMDSKVKLEPNPNKATKEDISWFQQVIGCLQFLTLATRPNISYAIIELARFSSNPSDTHILAAKNVLRYLKGSIKLGLVYINSSSK
YVSGYCDSDYTGDISTAKSTSGYSFYIGSCLFSWKSKLQSIIAQSTIEAEYIAINSAVKEAVYIR
>RCO7_11727 | uncharacterized protein
MAVQVQSPIRIIIRLQESPSEDLDVLTAFAKQPDIVREALLEATSLVQPQNTDVALLQIQIKFESVLKQPWKEPRKIRQLLDACRQQKVTSRTEKVF
FEYGDEYGVVGLCLVSQPNGHTLLRQIDALQDDDIVKLVNKVKKITKRPAVADFIEEFKGIPFALVSNPPPQLARPRTRRKVKISPTEDSRSSSPEE
TDLGTSEVNQNNKRRRIAGARVHTTQDPLRNQIRLTLPDIPADAANSLQHLFPSYPQYLLQNEPPEWLDLQQVRSSLLRHRKKLPQDKTSSTMFDNQ
TMQIPGLAGQVGRNISGPEFMPNLPLEFEVQEGWNILGTETISDLPLEFEAQEGWNVPGPEFIPNLPLEIELQEG
>RCO7_11726 | uncharacterized protein
MSIPAFSLNSRSISVQTLYIFKDGQDIKDIDWQKDGSLSIEAFKGVDAWHGQLSLQDHRNDWPKDGLQTDLSKFDELVKLLRKIPRTQIYPESRGHE
LTIFKLQQGGINEAVYFKAPRLNHCRDDGSNDTAIRLLDEAKINETILYNPHPNLGNYLGCVEEEGRIVRLAFKSPPNIMIDDTREAILIDHDSCAP
LGSPLTKGGWVTGWKGPLAGEGRHFKESSVECDNMAIKEIRMWLGDHGAYNIRRK
>RCO7_11518 | uncharacterized protein
MAAPEFVASASPSRLRTEDVPENDIPIQSALPRPVPETFQRRPNRNIDIHHPHYPRGSNLLLRLFAPDSPHGGLHYGYLLAVCGIITGNRWDGWLVR
SGSESGGAGSGGGREEGGGGEGAGGRRTHIPHHELLPAGKYDFYLDHSTFEEPYPVCLSFRQWQFPHSNLPPGDWRSCSTPPSDLPGGRQLSASNLS
TTLTLRDASCRMSGSAEGTQIAHIIPRTESDWHQRNSMYTYHVLSSRSLDEDLSNLLLLRADLHINFDRTKFVFLPKSGLGGDPQVIVHLVEQSIEY
EYLYHNRAVLELKDIAPEFLFARLAWTIFPFLEAFLESGGRRRVIILRTDLIPETKWMDRDTILEIGPASQRVRGGKKRARVAYIDAGENVSIEQLE
NQEQEYQNTPRRKRRRRASLSNPDKYDKFSSTIHPKRARHYYKPTTPLSSPPPLSFDSLVPTANSMFPEARSQSQSQSQLQAQSQSTQLRRTPSDAH
VHDQNQPISPQELLLSPSQTHPTAPSRRSSHADSPLDTLRLPTLQNSSSPTSSPVNLCHPPSHDALDTLKATWLDKERQRSDIQHTWQEEKEWAKEI
TEEGQVMNQEEAARLLAHYGAEFKED
>RCO7_11519 | uncharacterized protein
MGGGDSDSDDDGDDDDGASDLDWVMTELSHVIARKTYMYAPSVSHLTAARISPWLLPGSPQVREEITLD
>RCO7_11448 | uncharacterized protein
MLKAIKARRRLASSGQSRKDRVQTLSTTLIEDREEYIGYSSCRSQSSDRLTTINLLLLGTRRSREVSLIRDSGLAIINSLLPEARSSIEAFISGDSG
LATINSLLPDAKSSIKAFIIEDSGLATINSLLPDAKSSIEVALIVSSGLTAINSLLLDARSSVEVFLIEDSGFATIKSLLLRAGSNINAGLAKDSGF
VIIDTLLLVARSSSKAVLFADYISTLR
>RCO7_01245 | uncharacterized protein
MIKPFSEPPAESYAAKHAAKPRSDNPKFIEHYIQVENIDVEGIEGLPFIFKYPATQPPIITFKKCLEQIRIDRNTPAEVPGKTLGLEWFAQGYINCQ
RAAVATPSSKKAEDGSSEQKMIVGTLVARISSTTSKMVTKVCVIVLLRIMDQDDWLDAPWNTSDERVLNLGTVLSKNITLMILWLHHSVGRSLCIAW
VYTVTRDDSVEVAETKFSFRVSFQMKLALLLQVIFRGMFNVDPPMPEFKLDVEEWRSWNNGTAATYILQ
>RCO7_01246 | uncharacterized protein
MKLTLPLLSAALYLFSPVWAAGGKTRFDIGLIFEYEDSAQLDHQGLLSAVKSTLTNNLTHVDEIAVERRIEFSTSLFRGISANISGVGEGVTAGLLK
GALQELDNVKSVTPIEISNSKPGTVQRGNAIAHDHPSNLGSRELQSSMKRAQNAPDGHIMTGVDKVHAEGNKGKGVKIAVMGDGFDYKQEVFGNSIG
PVTGVTGPAVEDNDPYSDCTLDGTSSFGIMGANPTRFGVVGTAPEASYELHRITGCADLVASDLFIKAAIGIHERGVDIITTTLGFYLQYPDSALSS
VVSRLNQNGTYFQLAASNKGSKLYTGQSPAAGTDNTAVGSVYNTETPIYTWGGKYTTKGKVVQIRVGVTNSMIFPTSFKIWTASTQASDRINTGCLP
LPANLPLPDFNTTAVLITQLPGDECDVFEAQKNYIALGARYILFYPTTPETPVTGFTPYFGFSGIKGTTNLLSAQGAALFAAYQQDKDLDVSIETSD
DHNDTVTYLSNNISGGRMAAYTSWGPTADGRTYPTFSAPGGQVLTTFVRKFGGFLVFYGTSAATSFNAGVAALVKARHPDFDGLTIRNILSTTSNPM
PFNDNSTKAYGFLAPVFQQGGGLVDAYRAVHTNTIVDTPNLSFNDTTHSPYQPKTLSFKVKNIGTKAQSYKAYHIGAVSGHGIAQDPYSAAGKDDLI
KGFVASYAGVSISPSSFTLAPGSQSTISVTVDSLPAGLDPKRLPYYGGYISLNATDATQTVTVPYTGIATNLKTSIGIDPEAALASYLTGTSERTAP
PAGSPPVYNVTYQGAGKTFADGALPSTTYRINAAALVRTYEIALVKSNGDLFLNLSSASNDYSGENYWWLDGSDGNYTFIPAGEYRWRIRALKIYGD
ANNVNDWVSHVSDPWVLKYTPESVGLPGGGK
>RCO7_01247 | uncharacterized protein
MSVHKRTPYIIMGLRPGNSVVLVISRAKYLLSEARMAADPNFDYDTAQAAFEPIIRATSRNEILKNIPDIPRYVPMTAAD
>RCO7_01248 | uncharacterized protein
MVEFDVHNLQKIKMFVHIAQAVMILIVWSVEIAVFKGADVDGRSGWFFGLCFLTIPALIYLTMTPRFPRTRKLANPYAMACVDALFCILWISAFASQ
ASFNSSGKCKDACGLSKAVVALGVFIWLFWVITTFMSLYGVVYYKREGYLPGASRAPHNANQIDPDKEAFSTAPHDDEYAPVHNTDDHELPVHEGTS
FGGLGSGGLGSGPGPYDANSYGGGYVPPTVHDEPTGYTGYSGAAPVNTSALGRVQFPDARYSNV
>RCO7_01249 | probable adaptin ear-binding coat-associated protein 1
MESIDPATGRPLPSDAIQRILFISQSVHIYNIPPLTSTKGYIAASWTADNSKRQIFTARLRVLETAIPSPSSPSGEQLKTDILLEDPKTGQLFAAAP
YTSPAIVEQVLDSSRFFAVRVEGEGGRKAVLGMGFEERSEAFDFSVALQEVRKTLAIEDNGKSGGKKPVKEEKPVEKKDFSLKEGETITVSIGGRGI
GRRNPKKEEEQESGFGGRGFSLPPPPGGSLGSFLPPPPSAQEVKAQKRLSQTYETLKPDKIEDLGFDDGEFGEFQ
>RCO7_01250 | uncharacterized protein
MSHLKPHTPEYFWIAPSSFTTTSIHPYPRSHPARTWPNHQSTTTTPSPSPFRTSSAIQLERTYLLTSLQTHSQQIIHLHKTLLLLSNPQIPHLASPN
DRKLRKKIGWMKHRLQQAIAQERIISSRLSQLEAESQAREQWLAMEREHERQRPETWYGAEEQILGYQRGLCDGFRIAIPLNPASVIFQPDISIQAQ
RCPRPQFTWPIWKDERWEDEPELSAVSTFEPSQFSAALEFLTSRPSPYSSSEFSLSEYGGPKRASGRRSASLDLGLLGEGTGTLFDHVPTNGEHVDG
EEADVNMKDR
>RCO7_01251 | uncharacterized protein

MSSTNRYKFCITRTVPWIFNDVDTEDNGTPMAGGSGPQTKAKSTKTPPRDAPKSTIKPPPTTKTSRNSEDAFGPENNPGSQLKR
>RCO7_01252 | related to lactonohydrolase
MSYSIIESIVSHTLPNLSSFATDQINPRGNPGSFLSFEKGLPNLRSAPSTIDPTNGEITILQYSHAFADLIGPQPSHSVLLSETTTPKERFSYTACV
FLPQHDEIFMTSTLIPSDFSLQAPKVYTFAIELERTDPVNGDNHIRTTRWRKTPWAQMYTGLVNYEDGVLICARANEGPGTGGIYYMPRWNFPQGLV
TNHQGRALTSVNDVVVAKKDGCFWFTDPDFGFEMHPNQRPDLPCHVFRFDFEKSELRIMVNCLNKPSGLAFSPDESVLYVMDTDCPQGDESFDRPKA
TEIYAFDITEGPFLANQRLFAYAVGGGPSGIKCDVSGNVYAGCGDGIGVWDPEGVLLGRFLVPGGVKDFNFGKNGELFICSENTLRRVQLAQGTKGA
LLGI
>RCO7_01253 | uncharacterized protein
MATQAQLDEKARKDRAGATVPTLESLATPAQVAEKLRQDRAGASSASEFATSAQLAEKARQDDPYSSFATLAQLAEKPRGRAPPLPPRIPSAQIVPP
PPYTSDDAGRSQLISEQWRSEDPRSSSTHSLVPSESGRDGRRTLLLIFIHGFMGNETSFQSFPAHVHNLLSITLSETHVVHTKIYPRYKSRNVIDFA
RDDFSTWLEPHENTHTDVMLLGHSMGGLLSAEVALQKPSSLATGKPFRHRLLGTINFDTPFLGMHPGVVMSGVGSLFRPTPEPLKPQSSIGSGTNTP
ALDGTSQYAPSTVTNDSSLSLVQSITSPLASPPPKDRFFNAPFPNDVRIAERSGWANILHFVNKHSDGLTAATKQYFVSHLEFGGCMADYPGLKNRY
ERIRALEDVDDTPKSGPEYQAPSRRVRFVNYYTASTGRPKQPKFTPDEVADKDGELKAVGGDMDEMSLEDETQALSTHSTTIEQRDGTTYFEDTSPI
EIQMQDLGENSAVQDDVQELKPMQHVDSMPTKDDEDILSDIDEEEPHIQASTAEPTEPDIQRSPAELPLPPILSLPTEPSPVDLDAYTDKDSRKIAE
REQKRIIKAYQQALKDRESAIRDRKKLVEKREKKVRQEHEKEEKAKEKKRLKEENEEEKRKEKLRVEEEKQREKQRLEEEKEEKKKATMSPKPRTRQ
ASSPGASSKEEGKSKRDKKFCMLPPEYGGKRDKCWIRVYMEGVDEVGAHCGLFFPGPQYESLVGDVGERIGKWVEEDATKRAVREAATS
>RCO7_01254 | probable cytochrome b5
MSKSFSVADVAAHKSAEEGGMYIIIDEGVYDVTGFVDEHPGGSKILKRVAGKDATKQFWKYHNESVLKKYAPKLQVGTVGEKAKL
>RCO7_01255 | uncharacterized protein
MSTPSEPPPPYEASSSSNPRPAAAQNLEVPNARNGIPPHDRRSMEDEFRDLPSGWTRQYDEQSHHQFFVDTRANPPRSIWHHPFDDEQYINSLSSDE
RARLQSLHRVPTPADLNAESSDDDDTHPSSAHPALPPRNTNNVEKLSGAHKLGRRMKDKLTSSTHEEREVQRRRREEEERQAYQRHLHIRRQMSKAM
ETGQPQLLGKDRNGKDVYIEPPQMPMGYGGYQRGGYGYNPYNQGPFGPFGATGGQRYMRPAYPYSRPYGGGYGGGFGMPLIGGLAGGAVLGSLLF
>RCO7_01256 | related to arabinose 5-phosphate isomerase
MNLDHQPVQNSEVYLMHKSHNQPVLPPSPHSPSSPCERSLSPPLDDLMSMTPPELSDSCSVPFNGRLSNAVHVLGTEATALSCLTRLYETEPVARSG
FDLAVEAITRFRGEKGQLVICGIGKSGHIAKKLVATMNSLKIRSTYLHPTEALHGDLGVIGRHDTILLITFSGKTPELLELLPHFDEKLPLIIMTSH
THPSTCEIIKRRPDGILLPAPIHKSETDSFGFNAPTTSTTVALALGDALAVVISNEIHLNVQAVFSHNHPGGAIGQAVQEPKKISDLTILFETIPEI
DYRKTTGAHVLMVAYKSPSGWVRLGDDMVLPPRRISGLQSDDLDELATCISGLMVPSKEWIQIEGDTSISSAQEWVRSRRSSGERKLSDDAVLAMMV
EGEVAGVIEVGTLMA
>RCO7_01257 | uncharacterized protein
MENIKPISRSAAALKALDYANKQIADLKLNFLPPEPHIVTVPTDHPFRDVSSYEYRNTPFARYEVRYLQHMTMISEGRRGVARAEGGWQARVEGESP
ASLAARSSNATPSHAKEAKVPSKRISIADYKSLKLTGPKPSPQKEDKQNRTLNMSKNEKPRNEKSTPNHKIPNSNGNLKSANHTPQSAKMPQVREPP
KHQLPPRPKSPPRKPYDLKPSEQKKRPIESGDGRQPEKRTKTGHLREASPMKATQTPSRDSAKATARSVKVTPLPDRLSPLPDDLFDMAGSPGEDTI
IVRDKSSAKSSSMEYSREIGSLSPLRELPEMLPFALHPLLDQELDRLSNKKRKNESADMQEHAEKRTVGARFEEVRKPDVPGVARKTVSKVGHPPKR
PSESNKRPPSTKETMVVKLKYKKRRSKDIQRILGIQAKPGKEFLALERQRKARLDPSFDDDIEEEVPLSVTAKPTAAKKRPSDSEVVGPPPKRSKLP
EIDAAKAKTSLEPPFKSPAPSSQSQKGLLATPKKGDAIKSVAMRKVDSGDGNARTPQTMVTSTPASAEKPRVNGERPPIDERAHREWSKLNENSLKL
KRRMDEILQIKGRGIESVSESQRRLGFAVALECIAMYMTSFAAKDRSQKSRSAQSWEDAIKLWGWLDGLVKKMPVYHALSVQLGAIIREELGRCYLE
ILLGGNREPAFIGKMGENERQRDHCWKEAHRVQSDLKDLHVVDILGPWTTTTDAAAHVKSVLELYAKREKTAWKPFVP
>RCO7_01258 | uncharacterized protein
MPPRTPIRRIALLRPLRPPNSPRLFTQNTLCCRSRPQLPFLSSPTRKPTARFLTTERKTWIKDEIWKAGKYTIVLWTGGVLVLMMAFGLQQEYLNHK
FPSPDEWSWVTRKDWRSVRWAEDHEEDGVSLVDWARTGEGYRQLLRRLEDPNIDGGGLLDLDDGAILVAGIGKTGYDISNKSEPWRRGYYELLMGAA
RCAEHLDGYVRDKTRNIAFPANVVLGPSNPNPRPVPPGSKSAPREEDCEPGFEPPEVYYMRILTTQGFTERQRIDAALAYAVWLDYKNTPESALEMH
KWALDTAISKTTRPEIDPNTGVITTDGLPSANILRVATALGVHHAINSNLTLALPIFLSVLRARRALPDVPTTMRMTLTPDVEETSLLQKTRNTILS
IIKPPQFPPPPEDGTLAPLKTSKEKCEEAGIMTYIGEILYASKVSKTNREDGLAWTREAVDLAEEELHKKGIDKDGKKKCKQCLEVGLGNWMAMVGK
MAKDEKDAKANVQSGGWLGFGGEKRETIGRWESEEQVVIERMRRAKDLLDPKA
>RCO7_01259 | uncharacterized protein
MNSRTLILAAFLTVGSAVRVPVLRASLAIAGDTCGAVGVITDFDKFIEDRFDNQYTTVSSCALACAGVSGCHSFVVRIAGSRAPFCELHAGSQKQAG
FVEGNNGTRTASMYQGFDMACFEFIEVGSAIPSSDVNPTASSSLSVKSSSWATESSSGFETTSFRDPWNASESSSSQSSSSFSDLRPISVTSSPFPT
LNPGRATSSPSSSAVSGPAAPIFFELPPPRHRSSTFNHSPALENGSSTSLGNSSTPKNNSTFGNSSTGANTSGHKISLDPLHNNESTYNDESQVKNP
ELNNTQLGNLGNNSTSVNFSTLKTGSDEARSSGHKVSLGPLRNKMWNWKDNSQVKNPELNTTQAGDVNSPISDNDMGSVSETSVLNSTLSPSSDPKS
VTEHILSTITTHTTTTSTISNRSTITSTLSFSKTILNQPARTSMPSGYILQPIYEIFEIHVTNLDQCPPQSIDCKIGDAIEHHIEVGEVACLSDVQG
DGGRVCYEIGSSTPELHGIAIPIELESGAGPVELESIAVPIELNSVTVPLSTPSPSREGEREGEGGVHTIERRIDDLRPRLTMSDSASPLEARRFGA
IYRSTGFRGSSKSSDGVSSQQTMRTWKLLGLIVVVGTFLWL
>RCO7_01260 | related to SGF73 - SAGA associated factor
MAAGSNSKANASDDDTTIKVAPKKEGKDKTSGTIKLKKPPPKHNKPGNWRDGSITDGSSGPPDPSMRPYVVITTNSSTSNSNSLPVSPGPIVNPLDD
AARDTFPTGRPLEDGTSLLQCKHCKKSIMKDKMPSHLTQCLETKRQKAQRKKEQKELREKERKKKALEEERDEEGDSKMVDGEESEEDGEKGGTKSV
KKSAGKKVEDGEKKGKKRKADGEAEKGPKMKKKKEEPKPKAPKARGPVDVEKQCGVIKDGVPCARSLTCKSHSMGAKRAVPGRSLPYDMLLAAYQKK
NQAKQQKAAIDANAPLEDEDEGHGPVDSDEELAAVQYGLLNWNPQPVVQPIISISIERQYQKERLREQMMHATNGGTINIFKVVGLGAQKLRPDQMY
LGEGADGAGGEGGGEGIDNKNLGGLNDGMAAVAAKRASGFNMQLPPQRKGSGNITNRLIPGV
>RCO7_01261 | uncharacterized protein
MNNSQFRKLVLDTPARQASSSSPTDNSTQRNGVTPSALGSRMRSSIPMTPRTIAGYSSTNAFARQLAERNASAAASGPSKKFRSAAAPKGAKLAEGY
TDRSKQLRGGDEEEEENDKVTRVKALEEMMKLQQIDEETFIKLREEILGDEVKDRAKLVKGLDWGLLERVRRGEVGVEDVLDGGKREEVVDEEGEDV
NDEFERLEDIKVEAVIKEREKKKGEMAPPALTGKKRNRDQILADMKAARQAAKEAAAPSLGAKFKKVGESRARSRIERDGKGREVLITVDEQGNEKR
KVRRVQEPEPEKGHNLPMPEKDVKPLGMEVPDIPKVEEEEYDMDIFDGMGDEYDPLAGLSDEDSDVEEGEKESEKEDGEIKPAPGSMAPPPKPASSR
NYFNEPSKSTTDDSSRPAALTDPTILAALRKASSLNLPTSEPSNAEEAAKEARRKKMLERDDRDAQDMDMGFGSSRFADEEDFEEKKIKLSEWGKGG

DDIEEESGKGKEKRKRGPKKRKGDSNSAADVMKVLEGRKGMGA
>RCO7_01262 | related to methionine synthase reductase
MSRPTVLRTMTTSHCIPEEPVNNFTKVSSVPGLSYSSSSSADEIEEPPRPRRASTKLISQNAADIQRLIGEPGTKLIEKCCGGGCCMALTKTDGWTY
ERVPLPDNDAFRALGLKIGSIPTTLSSLPDVPAQTVHISSIKQGALPPVEELKISATGEEAIDFTPHLTTEETKLDTSVHPPSFVQPHPPYDVYSAK
IYNTRELTKPGAEKRTYHFDLDVTDYPEESGVDFRVGGAVGMVAPNEPSIVDELMDLLLIPRYLRDRDILLKTDGGRWPTVWGDEQARELTSTRRVL
LTWCSDIQSYPPTKQLLRLLAEYASNPDEKKVLLFLCSAEGQGVFCDFRTGPHITINQLLHAFPSSKPPLDHLLSQLQQLMPRFYSMSNDPHENCVY
TAGCRRLIEIAVTVHETPNWRGGPRTGLGSGFFERQAHKFLEAEKKGEKTDLRVPMFKGLMANPLAKEFVSDGPMLLIGAGVGVAPFRGFVQRRLKN
ANCANKVWVLQGVRDSLLDELYSGEWGVHESEVKKVVQSRKHTGKGKYVQDEVRAQADLVWFIINALDGRVFVCGSSKGMGEGVKEALVDVVMAKGN
LSKEEAETFWKLKGEAGQYIAETW
>RCO7_01263 | probable sorbitol utilization protein SOU2
MTSLRLLPRVTSLAPKARPLLTKASISSSVRLCNAYQSRSPPKAPDAEAVALKKGPSPTYLGTTKRLPEFNLVDKVVLVSGAARGLGLVQAEALLEA
GATVYALDCLETPSKDFFRVQKRAETELGTSLSYKKVDVREVEQLNTIVEEIATKHGRLDGLIAAAGIQQETSALDYTAEDVNRMLSVNVTGVFMTA
QAAAKQMVRFGNGGSIVMIASMSGTVANRGLICPAYNASKSAVIQLARNLAMEWGEHNIRVNTVSPGYIVTAMVEALFEKFPERKEEWPKQNMLGRL
SRPDEYRGAAVFLISDASSFMTGSDLRMDGGHSAW
>RCO7_01264 | related to Protein OS-9 homolog
MQQIIAAIFAVPLVLASQTVFSVHDDILAFPQYDVIFSDSFISDVEASQIVERASAGIQSSSQSSSPSTGIESRKDDVPFDSQRQTYEMMYLNDEQH
LCTIPIVNIPLKNETSEAEARAAEQKELLRATNKGWELLQELDGGCLYFVSGWWSYAFCYNNEITQFHQLPPQPGKPLLPPQPDPSTKSFVLGRAKG
KGPPSKEDEWENAIEVPKKSKASEDSSRTGLQIKGDTRYLVQKMEGGTTCDLTGKPRRVEVQFHCNPHVTDRIGYIKEVTTCSYLLVIYTPRLCNDV
AFLPPKANKANSIVCRAVVPEDDMKDRLELQEIEKSQVEASEKPAPINVGGIILGAGKWINKEGQRMPIPANFGQPVQGKVTQVIGRAKGKAEGGKI
EMASEKELKKMDLDPAVVESVKKEVQKMAKEKGWKIEVVDEPGEIREILGIVDGEDEEEKEDEEGEEGTEEVFYKDEL
>RCO7_01265 | uncharacterized protein
MVQMYTIAGRQFGSHVLAMITLGVLGGGAALSMGGSTVKKTQGPPINASSPDEESFIKDFLNKAESDEKKASPAVK
>RCO7_01266 | related to CAX4 protein
MTDTAPLASLSLTHVHYDPNDHISYFCAWLALVPQALCVIYATLIWSTREIEILMMFGGQMACEALNFALKRILKEQRPKQMHGKGYGMPSSHAQFV
AFFSLSLTMFLLFRHVPKKPTPSHTPLTMGLRVVLSGLAMGCAGLVAWSRIYLNYHTEKQVVVGYAAGTASAIGWFAITTVVRQSGLLEWILEQYPV
RLFRMKDLVVEEDLCQAGWEKWESKRLGNNESIGKKKI
>RCO7_01267 | related to HFB30
MEDERQEELDCLTAIFPEILVDADNPFSVSMEIPVHPTSSVQVLFPASSDGLIPTPPLSAHFEQDEKEPRLAIAVESQNLSYLPSLQLHITLPDGYP
ESKAPTFKLSATPAWISRKQLDGLEGKGKEMWEEAGRSSVVYGYIDFLQQEAENAFGFAKEGRNLEVPQDFKISLLDYDIKATEAAFEKETFDCGIC
LDPKKGTVCHRMIDCGHVFCVQCLQDFYNDAITEGNLISVQCLTPGCAKKRGEEQVTKGRKAKPQLSPSELIQIPLAQETVTRYVKLKHKAELESDK
NTVYCPRKWCQGAARSKKHRKPVGFEDTDTDYEEDDDGEKGYIAGADRLCICEDCSFAFCSRCFQGWHGELTSCMPRKDNGELTEEDKASLEYMKAH
STPCPTCSARAQKTHGCNHMICFKCHSHFCYLCSAWLPPANPYNHYNNKASSCYYRLWELEEGDGDDVVPGRPRPEMQDEDEDEEEEMPEPIIEVVQ
VPEIIEPEEPREPLAPLQREGPLVLRINHIPAPPPPPAPEVPVRVPNRARRQVPGPPAPNQRQIVRQRNVVPGGRRLNEAEEREAAEERRQEQAQQA
WVQMFVQMAMNDEEDQLESDDEEDGGAWEIPVR
>RCO7_01268 | related to xyloglucan endo-transglycosylase-like protein
MAYSSSIFFPSGNEGSAALRTTHTTCCTTSYPNGEATSIPFCFYALFIAQDIHLSLIPFGSTFNIFPLPQSHFAKPSFLIRSQSQFPISLNSFITLH
IMLYSQSLPQSLTMLLPSPLPSPLSSSSSHLLTSLPHLPSHPAAPKIAIRATDFRDIAGALDLPPLITNASLATNASATLSFFEDETWKSEWVVQNW
NNTDSLGKDTPVFMVNTANNVYIERSNSSSSSHRSHLTLRTARHPSFQSVAEIVSFSKSYHQLSLRLLARVIGSPGACAGIFTYHGRSIPSSVQEAD
IEILTSDPRNRVHFTNQPFVNAAGNDVPQATVNSTVSSDGRRDWTAWNVFRFDWEEKRSVWFINGEKVAELAFHVPRDPSALILNMWSDGGVWTGEM
DHFEQAYLQIQWIELVYNTSSVKAGGANEERSESGEVSRSLEKRKLAHEKGCEVVYGVDEMGGEIGTPVLLFNNTGVAMSVKDEAVRGMIWIPLVLV
GDLVFGYL
>RCO7_01269 | uncharacterized protein
MSSVPSYTVFIRLPFARGDFVDPISVEWDASKDKALWKILSKASKNSDIDWNELATKFEVTLAFLLQQAAWLYERQLLQVRAQMRKVGVSKGSAAPS
PVPWNNSESGGGEGMRWTGSGGGGPRVASALFSRKDTPIPKNESPTSGRPLEPPFSRTSSANTTITSRNLPPPTSPRPQHAVLKRSLSPAPKPHHIP
TSQTLSPSSSSSSESVPTHQSRLLRRPSRFSKKSSSGKPPSDLIEDSEDEEPAFMPILHQDPSATLRGDPRNISTRGKGPAHGSTSRKQVEQSQTSD
SSASSTPVSAAVNKAVRNERPVGPLSPRRTAELAGMRKGSGKGSDGTPSMGSSFSDLDDASVTQSALEEALASNMQAGGGMASRMSSISHALRSSDH
SGYPHEVPTIYCSMMASH
>RCO7_01270 | probable Putative metallocarboxypeptidase ecm14
MQRSPLALLYLLFGLLACTVPFAAAFAVPWTTGDQFPTLRQHASEPQSHNSHSTFPFPKLTWLRDTAIQKLFGVPQEVQTGNEKVVSRPTNTQLPAT
ILAKYGGDVVLRFNLSSATEEMALAKAADTLFLDVWEFTNNWADIRLREDDVPSLLGLLPKSLQAAYSNLMPDLAKSIYQSYPSLAFQEQQPIRSDR
SFTPFLKASGGADNIFFQDYQPFSVLVPWMRLMASMFTTHVRMISIGTSYEGRDIPALRVGVSPTLQQESKAPRKTIIVSGGFHAREWISVSTVTYI
AWSLITSYGKNPGITKLLQEFDFVFIPTTNPDGYVYTWETDRLWRKNRQQTNLRFCRGLDLDRSFGFEWDGTTFQSNPCSESYPGDEPFQAVESHRF
AEWAKNETEHNEVKFVGFLDMHSYSQQVLYPYSYSCTADPPSLENLEELGMGIAKAIRISSGEQYSVASACEGAVSPRIKGSKVSRMETGGGSAIDW
FYHEMGVRYSYQIKLRDTGSYGFLLPKDNIVPTGEEAFNAVKYFGDFLLGNKGIETTLFPESSEIVEHADSGIFNELIEVENDVEEYNWELRRRKR
>RCO7_01271 | related to ureidoglycolate hydrolase
MPLAIPGPSQNIYLQPSPLTQTTFSKFGTVIANLAPLLNPSSSLTSKDIPPNAVVANQGSALKFLDVSLMADLYAQAPSEMPSKAVINLFVCAPRTL
TPSSKAGEEVFPVEILERHPYTSQTFIPLGVSPDEAKDVKYLVIVAPSLPPSSLDEGFSVPEIGTGREGERNRLPGRGLPDLKNLKAFVAHGGMAVT
YGAGTWHAPMVVLGRKPIDFVVVQSVNGVGEEDCQEVVFGGKIGVTVEMGKKISSKL
>RCO7_01272 | related to dnase1 protein
MQFFSTIFAATALATIASAGSVHFVNQDSTQRTIIFTPSAGLESLPELVIKGSETANQTFPTGWIGNWYSVSDGEENIPGMLGEVRFDGFLGATYYD
VSAIVNPNDVNGVKEIFPLHSNEPVSGCQTFPCSNAYNKWDDIATLSTDGGDLVCLLGTVSNERKRSLISKMSRNLVTN
>RCO7_01273 | related to permease of the major facilitator superfamily
MPPPNSKGPPVTWMSLPNKPQLFILALCRLSEPLSNTCLLPYLYYLIRSLQTGDTSQAQISRQAGLLVSLFALSQFATSVPWASFANHYGRKPTIII
GLVLSIISNIGFGFSTTIPAVMCWRVLAGIGNGNIGIMRTMTAEIVVERKYQSRAFLFLPLVFNSGVVIGLALGGCLADPIVNIPTLFGPEGVFNFA

DDPKGVAWMRVYPFALPTICNGLALMCSLFLAVFGLKETMPGLEDRKDYGVIAGAAMRRGLRSIFKKESTGYSAVKEEDSDNDLMDMRSPLPKIEIP
VEIASISPPRPKLLITSRAIWTREVAVTIVSFGLLPLHNSAFMQVFPVFLSTPPSEFPITSALKFNGGLGLPSPTIGLFLSAFGIFGILIQLCIYPS
LQAWLGTLRSYRVALATFPFAYILAPYLCLIPSSHYILQFVGIAFILFLQVTARTFGIPSSVILLTNSAPSPLALGAVHGVGNMLSSLSRALGPALG
GVIFGWGMERGVVGVVWWSYLLVISMGGLAWSWMLNEGERQAEKGSREECIELAKKEENEKEGPIEGSNRR
>RCO7_01274 | probable serine/threonine protein kinase
MAQYFLDLVYTLTNCMSCFPGSPQLKINNRSFKILRLLGEGGFSYVYLVQDTSNEALYALKKIRCPFGQESVALAMKEVEAYALFSPHPNIIRSVDY
CVSSDRSDPGAKTVYILLPYYRRGNLQDIINANLVNHTKFPERNLMVLFLGVCEALTAMHNYKVGQGPGGSASQRKAKNIRGEAAQADQEAAEENEQ
RRGRQKGREVDHDSEQQEPLMDDEVSQSQVGVAPGDIRAYAHRDIKPGNIMIDDDGEQPILMDLGSLAPSPTPITSRSLALAVQDQAAEHSTMPYRA
PELFDVKTGSTVDTKVDIWSLGCTLYACLVGKSPFEMRSDETGGSLSLCVLGGDWRFPDEGAGGKKKAVNQPGQSEDSEISESIREVVRRCLRVEPA
ERPDVDELIEIVKGVIDGLPEDSSS
>RCO7_01275 | related to 1-phosphatidylinositol-4,5-bisphosphate phosphodiesterase
MSTLMSPAHAAHFRPLIQAGGGDASSEISPHHLYLSHGVQEHLLRVYDGLRGTDPVLSKAKFEEWLQTVQEQEGLKLDAQEYKFEQFLEAVYYQRGF
EAIKEVGEKDLSKPLSNYYVSSSHNTYLSGNQLMSKSTTDAYKNVLIRGCRCIEIDVHNGEAPENKSSENLSQTFSNSPQPANKADHKRHISGSTLS
SRAAAAFEKADEIFDKAKRKLADKLGPDSSSKKDDGGRNVTSSSLEVENPSGRPSSIRSAMSGEPLVLHGWTLTAPIGFRAVCKSIRESAFLTSKLP
LIVSLEVHADLDQQEVMVDIMKEEWKGVLVDVPHEGCDPETRLPRLDELMEKILIKVKKAVADKQDLTPAPATLSPSLTKTDSESISGSEDERGTGK
QKVKICENLSNLGIYTHSEHFIGFETKSATKPSHIYSIGENQIQELHETQKQAMFSHNRNFFMRAYPAGFRIDSSNVDPSEFWRKGVQMVALNWQKL
DEGMMLNEGMFAGEHGWVLKPQGYRSETKESIDFQTLDLKITVLAGQHIPLPEDTEVKSFHPYVRCELHVEKEQEEGQEPLAGEHRKKKTGYQKGDH
PNFGEGGSVIEFPTIRKVVEELSFVRFKIEDARYAKDDLAAWACIRLDRLQQGYRFVYLLDAKGQATPGLLLMKIEKKLAPCRLTRSTLLVDETKPV
VKKKSSVDIKNGAPVKKVSTVDIKEKPLARNLNGPLKEDKPGVKTITSLGVKEDEGLEKGGVEKDVERVVAQDLTIVDVGGETKIILQSSETPVKDE
KPVVEDMDVATKKDETPVIQQGTVTVLEDEKPGVEDKAVLQQISELEVKEGVIEELPTGVKKDEGPVPILNL
>RCO7_01276 | related to peroxisome biogenesis factor 7
MLEFRTQGYNGYDLKYSPFHSDRIAVSTAANYGLVGNGRAYILGITTVGNIVNLAQFDTTDACYGIAWSEAHENHFAVACGDGVVRMYDGSAPGSLP
LVNYAEHKREVYSWSPSRAQSILTLPTHSCTYSVAFSPFSPSVITSVSSDSHLRVFDIRTPASASNHLVSLIPIHGPAPTLNSQIPSSARSPPSECL
THDWNKYHGSVIATAGVDQMIRTFDLRNPNSGAMATLAGHRYAVRKLAWSPHFSDVLLSGSYDMSARIWTDGSAMGVNELGSMGPSRQLGEMDAHTE
FVTGVDWCMFGAEGWVATTGWDERVCVWDSRAFVAR
>RCO7_01277 | related to endo-1,4-beta-xylanase
MAAMPFVSAQLHELAVKAGLKYFGTATDVGELSNATYVKILRDKREFGQLVGGNGQKWFATEPQENIFNWTMGEVVSDLAKKDNRILRCHTLVWHSQ
LAPWVETKAWTKATLTAAMVNHITQVAKHWKGQCYAWDVLNEALNEDGTYRNSTFLHHIGPEYIKIAFRAAAKADPHAKLYYNDYNMERVSDKTNSA
RKNIVKFLQDDGIRIDGVGMQAHFEAGRAPNLEQLVENMELFADMVDEIAVTELDVRIDLPTNTTNLAQQAVDFANTVDACLQVDACIGVTVWDFYD
PFSWIPDVFRGQGAGTLWFPDFSKHPAYNAIIKVLKKAIRENEDDHPHHPHGPGKPGKPGKRSWLSLTL
>RCO7_01278 | related to glycosyl hydrolase
MLLSTRQVPLILLWALHELSLVSGSAFRISDQQSILNLQNEQQEPIRNEPNHPKALPALLDALDVLQDEYFAIWQGIWPTSIDWTSAVIGTYLSASL
STISTSFSSLSSPKDAENILNKYFSQLSASYFGQDAFALRQEAYDDMLWVVLGWLESIKFINTHSEAHYNKSATSGWYGEQWTPAFAHRAHLFWDIA
SQGWDTSLCDGGMIWSPYLTPYKNAITNELWIAASISMYLYFPGDDNTSPFGVPGVRDGVAKPHDPKYLAAAIEAYKWLNESNMTDAMGLYVDGYHI
SGWSIGKQKSGLKPNTTCDERNEMVYSYNQGVLLSGQRGLYEATGARSYLEEGHQLIKNVIAATGWNLEYHNIFPEENSHGPKLGKWHGLGRSGIME
ESCDEEAYCSQDGQTFKGIFFHHLTLFCALLPEHLVLPSELYLTKEVPSNPKEVKGWHDKMCLRYGNWIEHNAKAALSTLDADGKFGMWWGAPAHSE
HEHKPDIEVGIPGHAVDYRNNGIPQLWKEKKGSGRDVGRKRVVKTDDRGMRIRDLNDRGRGRTVETQGGGVMVLRALWEVVETR
>RCO7_01279 | related to 28 kDa heat- and acid-stable phosphoprotein
MAPGGPPGGARGRGGKFKKFTRGGGKHFSKNLRPLDADGNEIQEKDPNASSSEEESSSEEESSSEEEDTNKPALSREERRQAAKAKKEAAIARKKGK
VVEAGDMPSSSEEESEDDDMPANPNHSKAARNQAKAAPPTVEEVEAGVKDMSVGGKGKKPVAELSRREREAVQAQQAKERYQKLHEAGKTDEAKADM
ARLKLIREKREAEAARKLAEKEEQEEANKEKKADIDAREAKRREAAMGPSKGKGKVSKK
>RCO7_01280 | uncharacterized protein
MSSCGHSTIFCFLPPTLTFLSENFNTLIPNTSINRRHLRCRLCDLLDTQALANLAETSQGLESEADIEKQILELKEAITEGTQKDTGNALPRLQKKM
NDAVKATDQRIIEAWKGHWAIWGPGEGPDRADEEVWDVEIEIEFPDEEIKAEEKVQIPSEAAGKAAVKRSIKASADRSSKKSKK
>RCO7_01281 | uncharacterized protein
MDPTTTGINSLKLPSETTQITIPTLPANARLEYLGEGAANIVYRISISRSPVQASTPPFTEIEEYGEGTPPPSEIEPYEGEENVQDLSVFDDKLLRV
RKNLPTTLPSVEAQDQWSKLIFPLFPPSQLVHQSLISLRPQGYNHITALNASLKSAEAPSPSDKDKAPVIARPKKRHGVYLADDEYGLLVTDMSGPG
VVQFKPKWLAQSISAPAGASRCRQCALRAQREALGPQQHNPGLTLARQEEFCPLNLLSEDKNVNMNTAKAITWPHAEPDTVEQLENWLGGFGREMMK
GLKDAQVRMGGRGVLAATPDDEYENLNLRIAMTLRDCSVFVRLTDDKGKEAGEIEAKMGDLDVKSSGKLSYWQETERSLIDGGWYTNKEAGRNWMNA
CSLTACSVDLSKSEKKKDM
>RCO7_01282 | related to histone acetyltransferase subunit HAT1
MADHREDWSTEANEALQISLVAPEGATFETLYTFHPRMTYSIFGDEERIFGYKDLKIDLRYNYSDMRPNLDIKYKKKFPAVGETEAQDIKGLLEPFL
PKLAYEKPSIFTKALSDIGSKLWRPPGELWQTIETDGKILEVWKGSLADIAVQQILKRIQILVPLFIEGGTIIELDEPEWVLERWTVFFYYEVNKTS
KSVNPYSFMGYSTVYRYFLFQAGTNGSGSTKQATADFTLPLNNISFSSLPCRSRISQFVLLPPFHGNGYGSHLYNSIFDFYLAESETVEITVEDPNY
AFDDMRDVNDLARLRTLPEFRVIKINTSVKPDPHALTPNNIVDLPALEKIRKRTKIAPRQFLRVTEMHLLSRIPKSIRKAELASESPKGKEQEFSLW
QLWVKKRLYKHNRDLLSQMDKEERVEKLDEVLAGVVEDYTRLLGKFKGMKELQEIENMGKGKEGEDEEAEGPLPKRPGTGKENDEDSIPKRKENGKR
RSPPTDDEEGVDDEPLPKRPKV
>RCO7_01283 | related to phosphoglycerate mutase
MTTPRVFIVRHGETEWSLDGRHTGTSDIPLTANGEKRIIATGRALVGDDRLIVPKNLAHIFVSPRLRAQRTLELLYLGCRTKLPWQDTRDHEDKDIR
TEANVQITEDIREWDYGDYEGVTSKEIRERRKQEGREGSWDIWRDGCPGGESPEQVTERLDRLIATIRQTYHAPVIGLPKSQAPPGDVLLVAHGHIL
RAFAMRWAGKTLRDGPTFLLEAGGVGTLSYEHQNLEEPAILLGGGFMVDVVENSNQAQKKVDLEGSG
>RCO7_01284 | related to C2HC5 finger protein
MSLSQLSRLFPLPEEDLQQVLEYAATLSKQEAAEHFNNLLGESPQSIEFISSFNSRRHNPTSTQVAASQPPASESFGVPKTNRKTPKKKAPLHALPA
RRIESTYAAQGTAYNKKNEDDYIAKRPTPANSGTSTPNHAFSLDPKPAAVQAPFKTPPSASGALISDAFKSKSTPSTRTSSPAPSSSKATKINITGG

TSMHGASTILNELDAAIRSLEISTNSTLMLESKKRACNCIGSRHPLLTAAPNCLNCGKVICVKEGLGPCTFCSLPLLSATEVQAMITELRSERGREK
MALDNSSHRRAEISKKTAPFSVPSLQQIPISPAEAAAKEHRDRLLGFQAQNAKRTTVRDEAADFETPITAGVNIWASPAERARTLKKQQKVLAEQEW
NARPDYEKRRQVVSIDLVKGKVMKKMAPVEKPVYDHVHSEDEVEEEGNPLAEVTGNAGKAGAFSRNPLLRGMIKPIYDKGTGKGKEGHEVVKRNTWR
RVQDNLEDNEEIILDGGAFGGHGRGGGDRAEVDEPARSW

>RCO7_01285 | probable allantoinase, mitochondrial precursor
MDIRNDSSEALYPTPAYTPPNQSSIPLTVLVSSRAVIFDEENNLVVSPATITISPQTGTITSILPTVLPASSFPTNTIYIDHTPHLLLPGLVDAHVH
LNEPGRTEWEGFNTGTKAAASGGVTTVIDMPLNAIPPTTTVNGLSEKVKAAQGQCWVDVGFYGGIIPGNAEQLLPLVEAGVRGFKGFLIESGVDEFP
AVSSSDVALAMSTLAKEATTLMFHAEMIPPITASVGDDVQISLPPMDPSGPLSSYDTFLNSRPPAFETYAIEEILSLAHLAPDLQLHIVHLSALEGV
PILRAARDRGVKITAETCFHYLALASEDVADGDTRHKCCPPIRNAVNRDGLWEELSKPDSVIQTIVSDHSPCTPELKLLPEHLSHGCGAGSGSVKGV
NGEILSAEEAEEKERGDFFSSWGGISSVGLGLPILWTEATARVNTSKSPISILDVVRLCALNTAKQVGLSHKKGSLRPGMDADICVFDDEASFVVGR
EQMLFRNKVSPYQGKKMRGSVKQTWVRGSLVFERGGGNGGFVGKEGLPVGKLLLERRKV

>RCO7_01286 | probable carboxy-cis,cis-muconate cyclase
MKHHLMVGTWTPPGAIFTFEFDDETLSLEMIKRTEINHDEPISWMTFDHQKKNIYGAAMKKWSSFSVKSPTEIIHEASHPMTHQPEASSPSTNTRAI
FVLAAKLPPYCVYGNPFYNHAGYGNVFSTTPSGALSKNIQNYPYSPSTGIHGMVFDASETYLYSADLRANKIWTHRKAKDGALTLVGELDAPDTGDH
PRWVELNGNYLYVLMEAGNRLAVYVIDEKTHCPVFTQITYPLIPPGIPNAKTMYRSDVTFLSPSRKYIYATTRSNSPLLTGYISVFALSPVGAITRQ
ICMNPTPTSGGHSNAVSPCPWSDEWIALTDDEKGWLEIYRWKDEFLGRVAHLDVKEKGFGMNAIWYD

>RCO7_01287 | probable 3-ketoacyl-CoA thiolase B
MANSVRTGLSNILRKEANDIVILSSLRTPITRSYKGHLKDAYPEELLATVLRATLAANPNLDPALIQDVGVGVVLSELGGSKAGRMAMNHIGIPSTT
SFYTTNRACSSGLSAITNVSHQIATGMIDIGIGAGMESMTRNYSSKAIPTVLWPELKESSVKDARDCIMPMGLTSENVAERYGVSRADQDAFAVTSH
QRALKAQQEGWFDKEIVPVHTQYQEVVKGEKVGDVQQVTVTKDDGIRANASFQGMQKLKPAFKENGTSTAGNSSQISDGAAATLLMRRSTATELGLT
SSIIGRWAGTAVAGCKPDEMGIGPAIAIPKLLEMTGLKTEDIGLWEINEAFASQAIYCLRKLGLEETLEKGKVNAKGGAIALGHPLGATGARMLAGL
LPEMDRQGLETGVISMCIGTGMGMAGLFVRE

>RCO7_01288 | related to CCE1 Cruciform-cutting endonuclease, mitochondrial EC:3.1.21.-
MPLTLPGTLKLVQLKIVAQKCGIITTGTKTILIRRLQDEISQSQNESDAISNSKEKAGKNVRILSIDMGIRNLAYCILDVPAKTVQLPGSLAGKGGG
KGKEELPSIQAWHRLAVSSAPIVNGAEPLLKEAFDPETLSRAAYTLLRTRLLVAKPTHILIERQRFRSMGSSHILEWTIRVNMFECILYAVLCTLKA
EGLWEGTVRSILPGKVGPFWIPEDGESKVDVPTEILGESGIKEGEVKAKGKGRKKVRKTTSAKIKNKGAKIDLVRSWLGNGDMVHLGNEEVTEMARR
YVKKWDRAPGGRKKVVGVEDAEEKMGKLDDLADCLLQGMAWIKWEENKRAVMNYGAEVLLDP

>RCO7_01289 | uncharacterized protein
MDAGSREGCVIVIRLSECQAFENKIKRLVAELGSGEYDLMREWILSASGVHRNLWHSWPEFIKRETDVIVEQKIPDVEMMSMQEGKQEGLDSVGCWT
SGKKGLGQATYLQGSMKESMNSVHASEDSAILPDLGDQTVDSSRYQDSLGARDGEMPPSDAAAFARMRVQANELSKSDQIYFGKQLGRCLE

>RCO7_01290 | probable NUS1 Putative nuclear undecaprenyl pyrophosphate synthase
MPRATRETQIYRKDAKLNHNLLTKEEREILIKPYLPSPPSQSPSRPSGKSPHKIPTILISKPIPRSHLGIRRFLRNQLHALLYAIVHTIFSIYIRLR
QAYHAIKDRILAILYYHHRTPELIQKDVKGLRRLPKHLSVILKLEDGARGGAGLEQLVDEVAEISAWCACVGIPMLSVYEQSGILKGYVPATHRAIS
RKISSYFGPQQPALSLRAPHIPSIESSPSTPGSESPNTPISHLSVLLLSAEDGRDSLVDLTKTLAEMSQHSKLSPNDISIDLVDAELTESVMGEPEL
LILFGPNVELKGYPLWQVRLTEIFHVQDNDGVGYQVFLRALYNYADAQMRFGR

>RCO7_01291 | uncharacterized protein
MNNYSYNTPPGHPGAYYPSFSATPSPAGSPAGGNHGYYARPGPSPRQHSRHTSSGDAYGYSSPRGTTFSPRYNSSGHYATAANVSRDKSSYTRAPRH
HERRSSYSFHRASHGDSDEDDYEYVDFVMDGVVYRQYSRRGNQSTFNYRGRGTDKYSSQAQGYAYDRDDYEDSTPVYEQQPQPSSRRRRQSSSTPQR
PSSRQTSSTPKKPAPVAKATDADARKHRIPPGYSLKNWDPSEEPIMLLGSVFDANSLGKWIYDWTVYHHGPATPIADMAGELWLLLIQLAGKVKRAE
ECMGRIRTKENKEMVDDFIESGERLTDKLKKLLKSCESPMLKAGKRHGKESAQLGKNAGTEFVDSIFGRDRQLESTEKFMSSIRLWNLRFDANCEDI
LRRPGQ

>RCO7_01292 | uncharacterized protein
MFPRTPVYRWGAVAAFLLFAAWFHPTFTGGLNAPEISYSSNGVDDLGYVKKLLSDNKVGPEIEYASRTIRYVSDAQERKSITEIDQELFPTAFRNIT
ISRESKLPAGKIVDLHVKQSPRPDQVDVSDMIFAASTTYGRFTDPNTSPIEEWTRWLTDGHGASNGAGLILALFDTTSDNIAKAAKKLKEVGINATV
VPSNKELDMAGRYVDLVQMIYNHPTRPNRKYLVLVDDDTFFPAISSLRERLSTYDPEKPFYIGTFTERSDWLIANGAPFAYGGGGIVLTAPSAKQIV
EAPCLAKNNETGKYVLDSDQGDRLLYNCLTVHTDLTLTYLPTLHQHDQFGDPAGIYESGQLFHSIHHYKSWHRASPARTHVVADACGEECVYQRFQF
SDNFIISNGFSIAHYPQGIDFDPLQMEQTFSSQHEPSAAGVDVVFSLYFGGLRKRLAKTGKKRSWEILGARKEGDGRVKQVYLKRWSDERWYVEGGV
PKPEEDPRDSVVVLTWVP

>RCO7_01293 | related to VPS72 Component of the Swr1p complex that incorporates Htz1p into chromatin
MVDDEDVSMQETPARIEEESGSGSGSSSDEEEEPQVEWLATGREKRSTAGNRLHSLLQQEEADAEDELELLFAEAEDDVGFSDVEADSDVQMDESSD
DEDEGPAAGDDDLDGEKELQKQARAEKLKKRKAERGMPKGFMKKKRVKIDATIVQANTAPVPRPKKKSERASWLPTADEAPTRASARGTTKESKQQL
HAQMVDREIKRLNQLRQMEKAAAKKEAAKKPAMTQEDRLKEAARVERSNARSLSRWERAEQEREEEQLAKLAALKNRVLEGPVITWWSGVGEWVGGK
LSKVGKNLVIEEKERPTKKKKAVEMEESETGSVVAGPTKTTQEEGKKDGEKGSELSTKEVKAATFPTTASSVEEPKTNPKVNKEPSLPGLVSSKEAI
PKEATPKPEPLPERRYTPTVPSPRYTPSPAPQPPNSSVLAPPAGFPMSAPPYSSVLAPPAGLPLSAPPLPPNMFHRQYPMPSHAFDGSVPLPGFGSY
PPRPPPVSVPTPPVPVVQEPVGPQEDLPPKIEHAACNYFILENFDEVAIKDKNVQTQIIFGRKFLKAPRSKHSHEICVITGHPARYRDPHTGLPYHN
SYAYKEIQKLKRSEYKWSKLVGAYFGPGGFSARGVPDRFRNANAAAPVLPRVDAAVAAGGAAEAVSEKPVVVDAKVAAASTSATVINTSTSACTSGS
TAAQ

>RCO7_01294 | related to Altered inheritance of mitochondria protein 31, mitochondrial
MSSTPLPSSFDGNTDFYDENRWQKFSRRLKEEPLIPLGCALTCWALFNASRSIRAGDSNRTNRMFRARIYAQGFTLLAMIGGSMYWQTDRQKRKEYD
VVVAEKKAKEKNALWIRELEVRDEEEKELKREMERRRERSERRKGGEAKKEQATQGGEGEKKGVLEKIVEEGKGASSIVDEKERKKSVLESVSGLVW
GNK

>RCO7_01295 | related to TUL1 RING-domain E3 ubiquitin ligase EC:6.3.2.19
MPTQQPPPQEYARVVLIIVLLFFLYTSPDQGTPQGFQSPHDYAAERTDRFRHSLDVLNRTKWQDFSPKTEDKSRFEAARYLNLTGFREDDDYAWERL

DTFKTRSQEFTKEAKSGNQLGDTDNGAPMEVYRNITGIVKGKWVRNTAGLNGSQRTGSLNLTETSPGINWAFQDVEYWTRNVTGTTGKMMLRLEESD
HGGVDTLADTPNLKDQRASLRSAHAAREVAATLTIQDESSSGDGWDMKVHGVHWPDQGVILMTTTSEKFSGIFGLPHLTMNLDQFKSSQRLLNKTLE
AKVESIEKSIWIDLSNPWSSSPNDPGDGTLPAPHCEYVVYVQVYPVDLLPISPKSRLGSASIIDAIEQELRFPNGAPIPVVPSLKMSTVIFSPDCGF
MLESMGPPSFAPEDGTHLNGKKEQMFVQDIQKWLRLFALVIFGQTLLLKLQSQEASTPSTVGRVSLYTIAVMLMADALLFCSTSLLSATAPNLFPSA
LLVSFSTLMSVILGARFISAVYSVQEPERREALRAQLAAEAAARPTPIPRPVPASETVRTAMPIITAAGVDVVPRPAVIPAPTRQVDEPIIVPSDQD
LDIEIDIAAGSGAAAAVPLLPTANRPATTQPPRTTSSFGAVYIKFSLTLTFILFLSLFAISWPVALRTAYIDTLSFIYLSFWVPQIRRNVIRNCRKA
LLWKYIIGQSALRILPFAYFFLREDNILFADTDWKAFCVLAGWVWIQILILVGQEILGPRWGLPKNWYDEGWNYHPILSEDNVESGGLPTGLVRTPG
SPTLGRARTSEDTGNRSKKEGNTRSVDCAICMQLLEVPVVAAGVSTSAAGSVVEMLARRQYMVTPCKHIFHSTCLEGWMRFRLQCPICRENLPPL

>RCO7_01296 | uncharacterized protein
MKSFTTVLVVLCLLQQASAHYIFWQLTYEGTKYPSYTYVRKNNNYNSPVTVLTSNDLRCNDGGASGASTETLPVKAGSEFTFTADIAVYHQGATSIY
MAKAPGTAKEYDGSGQNWFKIYELGPKFTGSGEPSWPLYTTYTYRIPPATPNGEYLLRIEQLAIHNPGSTPQFYVSCAQVSVSGGGNGQPGPLVSIP
GYVKGTESGYTANIYNNFKSYMIVGPQVWAAQNDTSAPAETTSITAIPIVTTKSLTPVGLPTTLVTTPVGTISSTKVCHFGTTSSTTTTTSSTKVCH
FGTSSSLNPITIPTTASSTSQTTSIPSPVFSLSPITTRTSNPSGPLTIYVTLPPTIVTITAPASGDGKTVTVTTISIFTVTTYDTVTVTATINGGNT
ASTNTPPTETGNDGGGGAGTIAMYMRCGGKDFTGTGTCAAGSTCRFNSEYYSQCVAG

>RCO7_01297 | isocitrate lyase
MSGRMNLPAVDVNTEEKIYLDEVASVKKWWSDSRWRATKRPFTAEQIVAKRGNLKIEYPSNTQSKKLWKILEDRFKTQDASFTYGCLEPTMLTQMAK
YLDTVYVSGWQSSSTASASDEPGPDLADYPYTTVPNKVGHLFMAQLFHDRKQREERVTTKSKADRAKLANIDYLRPIIADADTGHGGLTAVMKLTKL
FVEKGAAGVHIEDQAPGTKKCGHMAGKVLVPISEHINRLVAIRAQADIMGSDLLAIARTDAEAATLITTTIDPRDHAYIMGSTNPALQPLNDLMIAA
ERAGKNGAELQAIEDAWTAQANLKLFNDAVVDTINAGVHVNKKELTAKFLQDVKGKSNTEARAIARGITGVDIPWDWDSPRTREGYYRLQGGCECAI
NRAIAYAPYADAIWMESKLPDFAQAEQFAKGVHAVFPEQKLAYNLSPSFNWKSAMPRAEQETYIKRLSKLGYCWQFITLAGLHTTALISDQFAKAYS
KQGMRAYGELVQEPEMDGGVDVVKHQKWSGANYVDELLKMVQGGVSSTSAMGKGVTEDQFH

>RCO7_01298 | probable tyrosine decarboxylase 1
MDSKKFKEAATSAIDEIINYYDTIEDRRVVSNVEPGYLKKLLPSAPPQDGESWADIQKDIESKIMPGLTHWQSPNFMAFFPASSSYPGMLGELYSAA
FTAPAFNWICSPAVTELETIVLDWLAKLLNLPDCYLSTSHGGGVIQGSASEAIVTVMVAARDKYLRETTAHLSGLELEDAIAYKRSKLVALGSEAAH
SSTQKAAQIAGVRYRSIPVSTENNFALTGPALAKVLDECKAQNLEPFYITTTLGTTATCAVDDFEAIAAIIVEYAPPDHPGEIWVHVDAAYAGAALI
CPEYQHLTAQFQHFHSFDMNMHKWLLTNFDASCLYVKKRKDLIDALSIMPSYLRNEHSESGLVTDYRDWQIPLGRRFRSLKIWFVLRTYGVKGLQEH
IRKHIKFGEIFAGLLETRKDLFNIVAGPSFALTVFTIVAKEDGKDIQDKVTKEVYELVNKRGEIYITSSVVDGQYVIRVVSANPLAEEKFLRKAYEV
LVDTAEEIKHGKVSTRGKLNGAVVDGKGEGVGEVVVLNGSAAE

>RCO7_01299 | probable DAP1 Damage response protein,
MSGKFEPKTPVNLAPPKSDPISKEELAKCDGTGSDGKCYVAIKSKVFDVSGNKSYLPGGSYHVFAGHDASRALGMTSTKAEDVNADWSTLDDKEKGV
LEDWLTFFSKRYNVVGVVEGATNQ

>RCO7_01300 | related to calmodulin
MKTPPSKHFTTFDTIKFPTKRRAAEPAEESTAIRKPSKLAKENNITAEEETEIKEAFEIFHEKWEGEKDKVIPIGDVKRAMRALGIPPTAHELGEFI
SILDPDTEGFATYPSFLAICALKFHARTQTSDTHTQEVDEAFNMFMSGTKGAGSEGKITLATLKRVARSLREEIDEDLMRRMILEANGGAGVTAGVG
KDEFEGVMRRAGVWR

>RCO7_01301 | related to Mediator of RNA polymerase II transcription subunit 8
MAQPSLNQEDIKVLEQVRQRVFQLTNNIASLKSDVLRSNPLPPWYMNSLVSLKGNSLQTSASILASNIETLTTLMSKNADLLNRTVVYPSTNYPGRS
QEAILTQLLRKKLEPSVESYVSEARTSQSQFAETATPTSEKESTELLNFALDWLGGRIVKYVTEDAGDYTIEERERGIENVNTGLKRKLDEDASEED
DTDEDEDEEMEDVGVAVTKVRRSSAGEVEFELSEVKKIDPDAKMRNIEDILRFATTGVAADGPR

>RCO7_01302 | uncharacterized protein
MESSLCSAKQQIISRSSGSGPNILTIPLEIRLHIYNYVLMSHPIHHPHLAPFDPRPKFSSLNTVDFHPTMKRANRPPFPTEKITYTLITSPPRQTST
QSPLELVSELKSKSEIPAAYIETLLPGRRQRTKIQGKISTALLSTCKQIYAETANMPWHANTFSFVNWFCSGVYAARAFMKGLEPWQQREMRCVSIE
VLGKDLWGRMGGIEREERMSVLAGSEENGLGEWRELCTLWSGVRDLKMVIKGSLSHDALSVSAPGLSSSTTISGPSETPAHSNRGSILTENFHWIAH
GLLALTGLRTVELEIEDVDTSREIKMEFCAALERTLNFEERKEGRLDEQGWARDKGVVLVERKMILRDEKDDKFVYYGGEPGDEEVWREG

>RCO7_01303 | probable glucanase
MSNGFLKVEGEKVVDGKGNRVILRGAGLGGWMNMENFITGYPGHEHQHRAAMLKVLGQEKYEFFFDKFLEYFFQEADAKFFASLGLNCIRLPFNYRH
FEDDMNPRVLKESGFKHLDRVIDLCAKHNIYTILDMHTVPGGQNPDWHSDSGSSYAAFWDHKDHQDRTVWLWEQIAAHYKDNTWVAGYNPINEPCDP
QHWRLPAFYDRLEPALRKIDPNHILWLDGNTFAIEWKHFDHVLPNSVYALHDYSLMGFPTGNRFKGESDQLTKLEQDFVRKCSFMTENKVPAWNGEF
GPVYSDPRMDADAEEINQERYNLLGAQLAVYDKYQAPWSIWLYKDIGVQGMVYTDPDGLWNKTIQPFIEKKRALQLDAWGKYPSKQVTDVIDPLAKW
MDSVAPEATKTYPTTWATPRHLVRNTIETFLAQSFAIEFASLFKDFSMEQLDEAAKSFSYENCKQRSGLNKIMSDHAEIHKNSGTA

>RCO7_01304 | uncharacterized protein
MQSPIPNSSRNQPSASQTVRRPVVRRRGPLHLTGSNSNSNRSSPSPISPKMESNWESENRTIDQKSIPETKKIMRNSLYLTFNAPRVDDYHRGIFLS
NPPTVTDVPHRCSGSLHHATYAIPTDAPPGSPRSWFPEERPVTDISTATTLVLLYRLGTLDPNSKLGSIEDQCSQIRTVLNSVPLGRKNRESQLGPL
AEGEGNPVLDGYDCIIWTIDAMNALAKANLISMADLDCNDGAHVMAKARERAGPVDAKSMVGKDFGGLTVINDPRQCS

>RCO7_01305 | related to E.coli molybdopterin-converting factor chlN
MDWRSNQSARQSRDYEDHDQYILDSDEEEYEEYPRVRYQQQHLNKDQYQNNSPSTFQSRERSPPATSHIAEEAVVGYSKAHREGKGKGPEEAKEKMS
SWLSRTTSSLQAQFAATALVSGAVVAGAIFGFQHLRRQELVEDLKSSIPALGREHQADKLTDFGAAPPRAGMSKEDERSLAFAERAQRGDYDDELIL
EQLARNRVFLTDEGLAKLRTAFVIVVGCGGVGSHCTAALARSGVSRIRLIDFDQVTLSSLNRHAVATLADVGTPKVSCLKKRLHQITPWVHFDLCNE
LYRQDASARLLGEWKDRKPDYVVDAIDNIDSKVALLEYCYKNDLKVISSMGAGCKSDPTRIFIGDISTSTEDPLSRTTRQKLRRVGVASGIPVVYST
EKPGPGKAQLLPLPESEFLKGSVGDLGVLPDFRVRILPVLGTMPAVFGYAVANHVILQVTGYPTEYIPAKGRDKMYDGILAALQGSEEKLVRAAIPG
EDAKGLKLALTAADVGFIVEEVYKGRSAISGVATRLLLVRWRKPAGKVVNLEVDGQKTSLVAARDLVCMTKEEAAVHEQEIIKGTKTPEDLYDRETV
ETVEGRIREELGYEKYR

>RCO7_01306 | related to F-box protein Fbl2
MTSPFPDMIHEVGSPADIHVEYSEAIAIERPKLKGRAKLLSGLQRISSSPSLAQFGRRRATSSPYNGRAALSCVSLASGSFQRNYDSSYSSGAGYST

APTSGTTTPGLDTPYFDGTLLPIRRIDQGAFAPGTSTPTSALPLSRSRGNTQSAIPEILEDYFSLPIAVSKPVRRADFDFWGDMPHEVRISILSFLT
PKELVRASALSPAFHKLCFDGQLWTSFDASEFYKDIPAESLVKIIVAAGPFVKDLNLRGCVQVEHYKRAEIIVKACKNLMNATLEGCQNFQKPTLHN
LLKTNERLARLNLTGLTAVTNGTCKIIAQSCPMLQMFNVSWCTKMDARGIQSVIVGCRKLKDLRAKEVRGFENLELAQDIFETNQLERLVLSGCSEL
TNEAFKTMLHGQDPETDILTDLALVPVRKLRHLDLSRCTALTSAGVKTLAHLVPELEGLQLSGCTTLTDSALESVLATTPKLTHLDLEELSELTNTL
LSDSLARSPCAAILEHLSVSYCENLGDTGMVPVIQACTNLRSVDMDNTKIGDLVLAEAASMVRARSARTTSARARPSISLQLVVFDCSNVTWTGIRE
VLSRNSEVKQPKPSESGATYPTEIIGLRCFYGWQMTVDEHQKRIMRGDLPAAGRLVRKWTEWMMANEEAGAQGGGARRRRRRAREAQMMHADEEEGG
AGGMVGGIGRRRRARSNGCAIM

>RCO7_01307 | uncharacterized protein

MTTTRRVLVYWSVMELAKRHISTPTIAAAQFLRVASGNRPQRLKVAKKLSLAKPPKFRLEDEDEGNYLRYKTGEKLPIRFMEAENFEAHGSDRPGYS
DSSV

>RCO7_11192 | uncharacterized protein

MRFVSIIYLGLSAFTTVQATEHGNNGECGGIADCVSGVCQGWTGSNPGPSSTGSRCVGSGNRGDACLLIKSTSCKAGLTCKASREGGRYQWEMSIED
MMVEATLGITALHLYTSMKSSTLVIWQESWSLKASNSHSSSIHHEDKAFNARVTPSRFVKSTLSGKGDLELFTIRSKPKSLKPKRILSPSKSLYAED
A

>RCO7_11190 | probable Nuclear distribution protein PAC1

MSRLLTSRQADELHKSIIAYLSANNLSDAAAALRAELGLGHDIFDAATATKYETLLEKKWTSIMMDLELRNAALQSELDNATPTSLSRRNQDPTSWL
PRSPPRHSLESHRESINCVAFHPVFSSVASGSDDCTIKVWDWELGELEKTIKGHTRAVQDVDYGGPRGGILLASCSSDLTIKLWDPADDYKNIRNLH
GHDHSVSCVRFIPSGAAGAPSSGNLLVSASRDTSLRIWDVTTGYCVKTLHGHTGWVRAVCPTLDGRFLISTGDDKTARLWDISAPNSECKQTMVGHE
HYNECCALAPPTSYQYLAPLAGLKKPPPTSSTAEFMATGSRDKTIKVWDARGTCLLTLAGHDNWVRAVLFHPGGKYILSVSDDKTLRCWDLSQAGKC
VKVLSDAHEHFITCLEWAPGIAKDMPVENSGSSEAQNGKSNGTPKTNRAGAIIPDAQIRCVIATGGVDMKLRIFAN

>RCO7_11189 | related to AP1-like transcription factor

MASPAVSTPSSAGSPPALAPAPSLAIQTYNASNMNTLAPAAGAPTMVTRKEWIIPPRPKPGRKPATDTPPTKRKAQNRAAQRAFRERRAARVGELEE
QLDEVKDDHQKREADLRNKVSKLEAEIERFSGEIHSWRVRCDTLDRIAEYERKEKEAALSELSYLRNGAKTTGTDAVPLPPRHLRHHDSKAVEPQQH
QVPELDSQMGCGGCTSTSNCACVEQAMAISTSGCGNCTPDTHCACLEETIKGAENIPPMELKRPHSPAGQYIEKRQRYSEPSTPLEIDFTAQFSSKP
IQSQEVVQTINRPPGESCGFCEEGTYCMCAEAANAANQEYRDDNRLAPLLNENTPPLSDSEVEAPSRKLPSLQPLQMHRPVNAAPANSCVNGPGTCQ
QCQSDPKSGLFCRSLAAIRASGGTVPDGCCGGNAGGGGCCKTLPVATPSQPPPSLSCADTYKTLSTHKNFDQASDELNTWLGSLHATPPAHPGRAPM
EVEAASVMGVLKLFDRRFGRG

>RCO7_11188 | probable inositol oxygenase

MAPSATSPYPSRSGADLEDVSDMVDEINIKKAALRAQEALATTTESKSVLEKEKSQFREYLESNEPVYNLYKEQHIKQTVAYNIAVREKFQTTTRAE
MSVWEAMEKLNTFIDESDPDTSLSQIEHLIQSAEAMRRDGRPRWMQVTGLVHDLGKLLFFYGASGQWDVVGDTFPVGCAFSDKIVYPETMALNPDYN
DPRYNTQYGIYSPGCGLDKVMLSWGHDEYLYHVFKDQSTLPEEALAMIRYHSFYPWHSGGAYCYLMSEKDEKMLEAVRAFNPYDLYSKSDEVPSVEE
LKPYYLDLIDEFFPKKILKW

>RCO7_11187 | uncharacterized protein

MGQAFSGPNAFKFLNFTPEATAVLQRQPILFLTLVMVPLALTSLGLLAFYIHILTNRPYKKPKPVKGVAKGRCIEEYTGLIENNVGGRLRLTVRDGR
LE

>RCO7_11186 | probable sterol 24-C-methyltransferase (Delta(24)-sterol C-methyltransferase)

MSSTPLLPTTTSLSIDLIPSTHARDAAFSKIMHGTSADEKSTFMAMIKKDSAAQAMAADAYFKHWDGKDGRVETEEDREERKEDYANLTRNYYDLAT
GLYEEAWGQSFHFCRFAPNESFHQAIARHEHYLASTMGLKSGMRVLDVGCGVGGPAREIARFADCHVTGLNINDYQIKRATRAAALCGMSNQLKFVK
GDFMHLPFPDNSFDAVYAIEATCHAPSLAECYAEIFRVLKPGGIFGNYEWLMTPDYDPLNTQHRTIRLAIEQGNGIANLVPTSSALSALHTSGFTIL
ESRDLSLPSNLAYPPTLPSSSITPWYYPLTGDFRYLGSLGDLLIILRMTRFVRFMMEIFLRALEFVGLAPTGAARTANSLARAADGLVKGATEGLFT
PMFLLVARKPEAEMSEEKTRE

>RCO7_11185 | probable GEL1 protein

MKTFAVAAALAATLVSAVPEQMVERASSLPAITVKGNAFFNGNTRFYMRGVDYQPGGSSKLADPIADPATCKRDIAEFQKLGINTVRIYTVDNSANH
DDCMSQLAAAGIYLVLDVNSPLYSLNRKDPHPSYNAVYLQNIFATIDAFSKYTNTLAFFSGNEVINDDSTTPAAPYVKAVTRDMRAYIKARKYRQIP
VGYSAADVNSNRKEMAEYMNCGSDDERSDFFAFNDYSWCDPSSFTTSGWDQKVKNFTGYGLPIFLSEFGCNTNTRKWQEVKSLYSTDMSAVYSGGLV
YEYSQEEANYGLVEISGSTVSPLPDFTALQAAFKGTPNPSGDGGYNSTGGASGCPAKSANWEVSSNDLPAIPAAAAAMMKDGAGKGTGLTGKGSQNA
GGTSSSTVPSGSGSGTSSGTQTSGKPGATSKGAAPAIQVPFNAQPLFVSAIALGFTALGAFLL

>RCO7_11184 | related to 4-carboxymuconolactone decarboxylase family protein

MRLPYVDPSTITSPSDKAIVERVRARRAPRPLQALDLTLLHSPPVADGWNSFLGAIRTKTSLPDDIREIAICRVAVVNEAWYEWMHHAPLAKGGGVS
EEGMKTLGKGDLSAYGKGEGGLSEKQWAVVRHTDAMTRNVKVPEDVFEELKRNFSEQEVVEITATVACYNCVSRFLVALDVGEKNGTKGPEDSDK

>RCO7_11183 | uncharacterized protein

MKEEWRPPGVRDVASLSVRLWGRIASLLPVGDQAALALTTRTLLARVGAESWWELEKEENRKEKLRFLMKLDEQLPGHLLCFSCAIYHVRTQRGEES
LKKANVLNRLYFCPRVGKPGHEQPRTRISPGWNLPFTFVQLVMRGYRYGVSSHGIPVNELGRRWKDPYSEWTHQSCFYIHKGHLLMRVSSKSFAGAK
LPPSAQRHLLYSREDYTPYFSACAHWRDGELMPACKCALSHIPENRLTTAQQFKSGPLIKQNLLRPNAIVSLCSRCRPMRRCPECPSEYLVELKLAE
DKEDPMNRFKQAIVVTRWCDLGDGTSPDVIEWAAINGLEVEGREHYDSFKMMGRRAISGVFEAQNGVTMPGQRLISLNPKGVTRGEDDEDWY

>RCO7_11182 | related to MTG1 Peripheral GTPase of the mitochondrial inner membrane, essential for respiratory competence

MNALLSYIVDHASRTQSLLGSRVLVVGMPNVGKSALLNALRGAGMNNHTKAARTGAQPGITRKIATSVNIVPKDGRTGFEGVSLVDTPGVFVPFVPD
GESMLKMTLVGSVKEKLIAPTLLCDYLLYQINRQPDGPKFYAKYCPPTNDVVEFLESVCGKTGMLGKGGEPDMDRAALWMMYRWRHGHLGAFILDDV
VEDGLMNKTNEEIGTSVSQARKLAKEAQRARGKARHAASIAV

>RCO7_11181 | related to alpha-acetolactate decarboxylase

MSPPTNEIFQFSIISALMSGLASESSSIPISTLLAHGSLGMGTFASMDGEMVILDSIAYQFHADGSIDLCPPTQLVPFALITPFQPSLQTSIALPNK
ASLSKSLDRLFPEAKNAFVIFKAEGVFRRVKIRAIHKQRFDGEKLDVLAREQAVRTLENVRGTVVGFRSPAWSVGVSVVGVHAHFVDEGRKVGGHGC
VVLEIEAEDGTEITFEGSVSGSFRLELPQSKEFGERELDLDVLGIEKAEG

>RCO7_11180 | probable Mitochondrial thiamine pyrophosphate carrier 1
MSAIGEHLKDEGSKTQVVIAGATAGLIARFIIAPLDVVKIRLQLQTHSLSDPISHRDLRGSPIYKGTISTLKHILRDEGITGLWKGNIPAELMYVSY
SAIQFSTYRTITLALQHVFAEHKLPTAAESFVAGASAGAVATTATYPLDLLRTRFAAQGTERIYSSLAASIRDIARQEGPRGFFRGLGAGVAQIVPY
MGIFFSTYETLRLPLSHLSLPYGSGDATAGVLASVFAKSAVFPLDLIRKRLQVQGPTRSRYVHRNIPEYKGVSRTLREIVRKEGRRGLYRGLTVSLF
KSAPASAVTMWTYERVLKILMNFEKKES
>RCO7_11179 | probable permease of the major facilitator superfamily
MGQPEKASKVLVAAPAERLVRTLQEKYADITLRLIEEHGDCFEPMSENAAKKVQRKLYWRIMFLVCCISLMLFIDKATLGASSILGLFEETGISLQQ
YNNLNMFFYIGYIAALWPGHYLLQRLPFGKTVSAIIFTWAVMVFLHCVATSYAPLVVVRMALGAVEAVIIPAIEMTIGMFFNREEQAFLQPVLWVTT
SLAPVVTGFISYGLLFSSSPVRPWKLFMVTTGSLTFALAVWTWFCYPNNPAEASFLTLEEKVHVIKRVQKSSQSSIEQKQFKKEQFIETLKDPVSWC
ALFLSPFNRWEFLIFNARGLVRLFTLQAFTLMYANNLTYGQQNLLVRSLGISVLGSTLVKAASGGFGVCVYITATILIKTFPGNAAYHGLLWCLPAI
AGGIGMVTISWDQKLALLACMILAGGTYGVTYIVALGWTSSSAAGYTKKLTRNVMFMVGYCVGNLVSPQIWVPSARPRYYGAWISMVVVSWCGTPLI
LLAIRYILIRRNIEREALRAEAFDGHSDLGFATVDIEENGEIIQKRVAIEMLDLTDMENLEFIYPL
>RCO7_11178 | related to amidases related to nicotinamidase
MAKAFRELIGVSPSTASTSDSVLVIIDAQNEYAQGHLKTENVAATRKAISTLLEKYRAASAPLVHIVHQTPSGAPVFTPDTELAKEFSELEPKSGEK
LIGKQQPGSFTGTDLEEFLKSTGRNKLVLTGYMAHVCVSTTARQAAERGYDVVIAEDAVGDRNIPGVDAEQLVKVTLAELADAFGSVVKSSSIN
>RCO7_11177 | uncharacterized protein
MRPTPDPKPDGRAHTKKKKKSSKTKTATPAQPAIVHTKRKEIEGEDGWIHIVDKPRSFQPDASAKKHILQGGDFEVKGVSYVHRTLVEMKEDSEHWK
RSWEDRPTCENLKDKLKEVEMDRKISNVVVLGLGSLQSARREGRRSSATQLAALQTIVDGLQNKSEIQVVFQDPQFTVLDKEFLVSLGYTVVKHPQA
FAEVGEGSLVYAIHCYADVYKAVAERPRPAVLIGTDVGNFARFDASEDTMAKELEKMVDGYEAIEFPQLRHDFSDTKIYLRPTSKGESELQTPVATE
ETKSEESQTQEIPIAIEKNKSEGSKSNDTPTVTAEAESKESKSEETLISVEEHKVDESKLEDIPILTRHEGQ
>RCO7_11176 | related to nicotinamide mononucleotide adenylyltransferase
MDMDNGWYWYWYWYYGGRDDLTPAPTPAPAPAPAQAQRRQITHEQSQDFHEASNCVLHFIASRDQGVFAFYWLPYLTQQPRSRGRFALRITQSYIAY
RKPSHDMASNPQVQPASAQSLQNYTFPRDRLRLTQTDATREPLVLIACGSFSPITYLHLRMFEMGADFAKFNAKFEVMGGYFSPVSDAYKKAGLASA
HHRLRMCELGAEQSSWLMVDPWEAVQTEYVPTAQVLDHFEYEINEVLGGAEKPDGTKVKCRILLLAGADLISTMSTPGVWSDKDLDHILGRYGAFVV
ERTGTDIDEALQNLQPWKENLHVISQLIQNDISSTKIRLFLRREMSVQYLIPAPVIEYIEANGLYEEENVDSSKAKAKELISESSSKS
>RCO7_11175 | related to hydroxyproline-rich glycoprotein precursor
MAAHPGEDLAATLFADVHYFYGSPAAKPPHHRFDKGSYVYLFENASQRRARIEVANNAGTAEQDAFTGHLDAAHVQYSYKHSTLVTLTVDGSHAQRH
SPIDHNHDWHLPTFDPRNENKYMYKLHTLDIYFWMKEDAILFINSIRRVLPQQQITVQDEPIAPPPHPEDMSPVVQKLENIAVSDPSYQQGRTRDSR
TTTASSGGGFPGPPISATPQSIEAVNFVPMAYNPAAPPAPETIRHREKTPPPEDGASNPLTAAAVSDQGQSFGNPYGQHGFSGPPQQQQHVQQQQQS
YFTHPPPPASMPPMTTQQQYPNQSPQNVQSPYAQHFQNSFAPPPTTATGGNPYAQPPPAQVLSPPPSAPPYQNQQQAQQQQQQHSNLPVTQFASYPL
SPGISPSKSTPSTSIYSPGMPGDTRTPITGPPAPAPHVAPPGGFSQHQYTSTGNTAPLMTDYSIHQQVYRPTESEAYKPPKKEARAPRGNLEKRAGQ
LEKGLGGIWKRVEKKIG
>RCO7_11174 | agmatinase
MRTSILSVVVALATSALAHGDHNAQIPIAGPHKALWYNTLPGDGGTQADSVFSGISTFGRLPYYPCLASHDVKYDIAFIGAPFDTGTSYRPGARFGP
SGIRQGSRRLNLYGGYNVPLATNPFNSWATVLDCGDIPVTSYDNTYALTQIEEGHNSILSRAPATNANKKGPAKNGKTLPRVITLGGDHTITLPLLR
SINRAYGPITVIHFDSHLDTWKPKVFGGSPSKVAAINHGTYFYHAAQEGLLMNDTNIHAGIRTTLSGMSDYENDGYCGFEIVEARAIDTIGMDGIIK
KIHDRVGHDKPVYLSIDIDTLDPAFAPATGTPETGGWSTRELRTILRGLEGINIVAADLVEVAPAYDTNAEHTTMAAADALYEVMSLMVKKGPLSNM
MNEDEETKDEM
>RCO7_11173 | uncharacterized protein
MSSPLKLRSLYRSFLRELPSRPLTEKPSPLKTRIRSTITSNSRIPIEHAEQYLQYIKAQRMYATLLERYNPGMNMDDEERIRMTARRVGMDLPEEFS
YGALDPAEGEGGKKE
>RCO7_11172 | uncharacterized protein
MRLFTISTFGLGVGVVLAGADIQIDFPGFLRAPRQERNLQTFTGALGGVKAEAITGTSDPKRPFAVGSNTFTKYSDAAVRTCNNQKNACAKVANGNK
NSGLSVGQCDDQESDCTKIAQSVNPSTLAGAGNAGNAASPSSTAAQLEATTQQTPPQATTTQQQAAPATTQQAAPPSPPPQSSAQQAPQVANPVLQS
SASPVEVSTPTALPVIAPQPTLHSSDEKFFYFCDP
>RCO7_11171 | uncharacterized protein
MKGECGCSSASSCNCGADCSCSSCGK
>RCO7_11170 | uncharacterized protein
MRTTSNLQERLSIKPVPLSRSNEGSNSSGREEDRNISTAALSSIFYFFFFSSKHHSQKSIIYYQANKTSSPLRKPSTKNQQPSTWETVHVLHARGAL
PARAAHAALTKSHVVIDFTARHPMSAASIYTVYHIGS
>RCO7_11169 | uncharacterized protein
MASSEVDMKFLGNFARNIQIDQPLLSQSLFQILGNITMFSEKVIRARKLRRLDTTRDIQSVDLYCRIIWYTRECLKILEEYVIPNVVKNVELKVLAH
KLRASFFHLFVLFHNHPPITLKAIVHTPPGLKSPPVTTKIDKGKGIDRGSSPALEEYDPFRTTSVQPTHPLEGGPVGGHPIITPPPPVRLPNFLVPA
DDFRPRALGYFQEATALADNLLWGSHPLRLSVKVEYTAFLYDCLHERERSRLLAKQTISEVYNAKEGMDDQMFEEAAQLVGILGKMMRRGLGVGGSG
SGSLPSAGAGGREGGNSTRTSSPRRQNVMEAVPSPGMSNPI
>RCO7_11168 | related to mitochondrial acidic matrix protein
MLSLRSFARAAPRTVFRLTSSCRQARPSSLLQSAWKQPLRCSTASFSTSISRKATTSGESDVELAEKLSSEIQMENDLKEEGGVPTSVKDYIENGPF
EVIDTPGQEEVVLKRTFGDEKISITFSIADLNAMGPEADYQDPAMADESDENGGAAQAATEENSENEEDPSFPARLNIVVEKPNRGALSVEAVVQDG
MVVIDNVYYYTNPAHAHAKSADMVHERQDLYVGPPFGNLDEDLQVLMEKYLDERGVNTALAIFVPDYIDMKEQKEYVRWLENVKGFVEA
>RCO7_11167 | related to syntaxin 8
MSNPNQYFLLADHIKLSLLERQRAISLNLEPTSQDGHISRSLDSLREGLESIIEERIRFQEAGDIPASSTLLETEKNLQKQYNDLASQFRGVPTSTT
SSTITHPNDPSLSADFARATERPRNVSSSSFLKKSLRTSNITSAGAASPKSVRFSDSPQIQDEEESSARNALFPYRDDPTSAPPDQSHLDNQQIHAY
HSQVLAEQDEALDRLGESIGRQRELSIQIGDELDEHVQMLDDVDRRVDRHQSSLDKARKNLGTVARKAKDNMQLTVIVILIIVLVLLIIILK
>RCO7_11166 | uncharacterized protein

MSFILRTSRFAAASRSVAVARPFSSTSFMANKEHVEKSESHEKEKKGGKLSTDSEEAVHADRHNKDTIEELQKKSTEHLEKKK
>RCO7_11165 | uncharacterized protein
MPTSQLPSVSSIPSLSTTDRAAILDTLFEPCSALRTLSVQLLQSQTFSSYNDLIASIGVQLTDLAESPSTSDTELLDKILRAHPRLGAQKVNSAQSQ
AEQAQLNAGGQDEATRLKELNEEYERAFPGLIYVVFVNGRSRTVVMENMRTRIDRGDIKLERAEAIKAMCDIAANRASTLYSV
>RCO7_11164 | related to XAP-5 protein
MASNPPSGISTPNPRFTSQTKTAEDLLSTQTVGLVNLSDYRKRRAEAIEQKERDVQDAILGAVSGQETLSSDGASTPNLPPLKKKKRKAGTPKLSFG
DDEEEGEGTDAAAKSNTASPRSGTPNEGMVRRKMGVNTSVGLVPKALTKGALMKEAQAREGLRKEFMVLQEAVKRTEIAIPFVFYDGTNIPGGVCRI
KKGDFIWVFLDRSRKVGAELGVGEKVNSRREWAKIGVDDLMLVRGSLIIPHHYDFYYFIINHSKGPNDTLLFDYSPDPPKHIVPVPDPMQADNYNPL
STPSARTKPAADIVDNSELEGIDDDPTITKVVDRRWYERNKHIFPASVWQTFDPEKDYQTEVKRDLGGNAFFFS
>RCO7_11163 | probable cellulose 1,4-beta-cellobiosidase II precursor
MKYSFGLAAYAALALAAPNPTPTIEKKDVSKRAVCASAVTIAPGSNPFASRTLHANSFYASEIAVAAGSMTDASLKTAAEKVAKIGTFLWIDTISKI
PIIAPTLLEVPCTDIVGLVVYDLPGRDCAAKASNGELKTGELTRYQKEYIDPIVAAIKAAPNVAIALLIEPDSLPNLVTNSNLTTCQKSASEYKAGV
AYALKNLNLPNVAMYIDAGHGGWLGWDANLKPGAEMLASVYKTAGSPKQVFGIATNVAGWNAFSKNPGEFEGTSDAKYNKCQDEKRFIAAFSPLLKT
AGMPSHAIVDTARNGVQGLRLEWGDWCNVKGAGFGVHPTGSTGDSLVDAFVWIKPGGESDGVSDPSADRYDSFCGHADAFNPSPQAGQWHQAYFEML
IQNAVPAI
>RCO7_11162 | related to cis-1,2-dihydro-1,2-dihydroxynaphthalene dehydrogenase
MSTSPVMLVTAGTAGLGAQTAKTFAAAGYRVVINYSNNATRASALLLELEKISSIPPTPIKEPNPGPVVLAVRADLADKLDVAGLVSQTIEEMGRLD
VVFSNVGWTEVTDFNDLDDNVDEEMWDRCFNMNVKSHLWLFHAAKKYLEQSEGSFITTASVAGVKPSGSSIAYSVTKAAQIQLVKALAVISGPHIRV
NSVSPGLLLTDWGMKFSQEKRDAAQARTKLKRFATVEDCAEQVLCFAKSKSVTGTNAVIDAGSSL
>RCO7_11161 | uncharacterized protein
MSQKSENMFLAAYLFSEAPTAKFLAQHLDAAVTYVNQIPHSYLLARLLRLLFSHHHFLTNTELTYYILNPAPRVHSPSIERFSSLETILGVAKTPGD
QEVLIRELRKQATVPLPKSGQRPGHAMGFFEQGTFIGAGLFLSIVLPSFAYEV
>RCO7_11160 | related to glucosidase II, alpha subunit
MKFRDGMWMVADDKRPEYAEEVYSIQEHPEGNALSLLCPTKRIINRADSLNAPTLTIDIRAPFDGVISVETTHWLGALNPGPHFDLYPAGKPEKCDA
EITKTASSTTLKSGSISATVKTNVHDFDIRFHATDGSRELTSLLNRSVGFAYSPVPGNELQTGDMSKLQHYIFTQSTLSVGESVHGLGERFGAFNKV
GQAITLWNADGGTSSDQAYKNVPFWMSSRGYGIFIDTPDRVELEVGSERCCRVQTSVEGQRLKWYIINGPTPKEVLAKYSILTGKPGRVPTWSYGLW
LSTSFTTNYDEKTVNSFLEGMKARDIPVEVFHFDCFWLRAFHWCDFVFDSEMFPDPKAQIARLKATGLVKKVCVWINPYLGQASPVFKYAASKGYLL
RRKNGDIFQWDLWQTGMGIVDFTNPEACAWYVSCLEGLFDKGVDAIKTDFGERIPTLDVEWFDSSLDPRKMHNYYAFLYNKVVYEALQDRFGENEAV
LFARSATAGTQRFPLQWGGDCESTPEAMAESVRGGLSLGLCGYSFWSVDIGGFEGYPPPWIYKRWVALGLLCSHSRLHGSNSFRVPWTVDDDDSSEQ
GCSKTLAKWTSLKARLMPYILSQARIAIEQGIPLSLRAMCLEFPDDPTCWFLDQQFMFGSSLLVAPIFSESGDVEFYLPRGKWTNFFTNKTKEGPGW
FKEHHEFDSLPLYVRENTILVLGKWHETRTVYDYSQGVEVCLYHTMPGAETTIVDSEGEEVGVLRIGGEGHLEDQEFLKGAWHVSKNGRSTIKHRIE
D
>RCO7_11159 | probable homogentisate 1,2-dioxygenase
MPVTKFTTPEKYKYQNGFNSYHESEAVVGALPIGVNSPQKPPYGLYAEKLSGTAFTAPRHENQQTWLYRILPSAAHSPFNAREASTYNTNPEGDKLH
QIPNQLRWDPFDLDESVDWVHSLKLIAGAGDPTMKTGLGIFIFAAGKSMDNNMAFYSADGDFLIVLQHGVLDIQTELGRILVRPNEICVIPRGIRYR
VELPEGPVRGYILELYQGHFQLPELGPIGSNCLANARDFQAPVAAYDEGTTDTYTVLSKFNGHLFAAKQNHTPYDVVAWHGLYYPYKYDLGRFNTIG
SVSFDHPDPSIYTVLTAQSDHPGTAVADFVIFPPRWLVGEDTFRPPWYHRNTMSEFMGLIGGEYDAKTGGGFQPAGASLHNVMSAHGPDAGTHEKAS
NAPLKPMKIGEGSMAFMFESCFMVGVTEWGLKTCRKVQGDYNEESWTPLKSQFKVPKGVKRVSNRIDGGEVEEVIDIGQSVKGKGAKDEMEEKQLPH
YT
>RCO7_11158 | uncharacterized protein
MASEPQACGPAPPEAIYSDIATGFAALQAHAKAHGYAFAHQDTKPFRALFVCDRAGKYNPKGKSSDIHPSKRRKNTGSKKCGCQMRVCLLKDRASTE
VQWKLKVLEATHNHAASADSTAHPAHRIASITAETRVAISSLAKAGISNAQILSALREETPGASILLLSKDISNLELQINGFSPQFYPQTGPLERLF
FIHPTSIRLWKQHSDVLLLDCIYKTNRFNMPLLNICGITGNNMVIQLGLVFLSGETERDYTWALLQLRDLIAQHMIQEPISIVTDRELALIKCIETL
FPSTRYLLCRWHVNMNVLAKTKKYFPGLIKGTTGNWERYPTFEVFLSSWNILLASTTEEAFDATLLEFRSQFPAGATSYFTSPIEGCYATLKLYLQP
SLWSTMPSYSLEAATRRPESVYSAPLAPLPLLNPLKVKGKGRLKGALGGRVAPSNTRREPLLFELPSSSAPVSLGQPSTIQNCVSSTAIAMQRLEGG
HQDSYEPGTRRERGYMHSMSSIYHSDSTIDATTASEMSIQRDIIGGIEVYTQDAEGEDDFDDFT
>RCO7_11157 | uncharacterized protein
MMLCNAATIHGWPAIMFYVHAQDLRMIDTTSRLNIDSTLDISRYGSSSLSLDHSTSFLARSPPLLAQPLARRPSIPSTLLKPSSFSTFPLHVFNLIS
HFSTPNPSPFPKEPCQEVVNLDFDARVPIPFSIFPSSYRSDDVAATTQTHVEGEIKLPQQEQRIGREGQSSFQANLPPRHNRDHEQFLEEVHIAREE
EHHHRPSRREDIYIREETSGSPSGAVATLAMQRRDPPALVFQRYFSLSRIGSIASPSAGSTWAPASQPSKHTSTHIDVELPHRRHHHPDTTVHVEGP
QRRRYEGTQIDVAEREYRSRFQPSYREETRFEATVDPPRFQPSYKEEVRVSGSTVDPPRFQGTQREQVRFTEETVDPPRFQASRSHVHVSEETVDPP
RLTRKSDKMGYYDEDGHYHSIRHGLHKAADRVMGRHHHHGHSHSHHSHHNHVDREEIDITIGGNRGSSAQQVSIPEPAYTPNTVTIPCHHIRLGDLL
ILQGRPCQVIRITTSSATGQHRYLGVDLFTKQLHEESSFISNPSPSVVVQTMLGPVFKQYRVLDLQDGSVVAMTETGDVKQSLPVIDQSNLWSRLSE
AFETGRGSVRVLVISDHGRELAVDMKTIHGSRL
>RCO7_11156 | glutathione reductase
MAPITKECDYLVIGGGSGGLASARRASGVHGAKTIAIESKRLGGTCVNVGCVPKKVTFNAAMIAEAIHDSKAYGFSVNHSAPFDWPSFKKKRDAYIL
RLNGIYEKNLGNDKVEYIHGRAHLLGKNEAEVVLDDGTKQTIRAKKILLAVGGHPTIPQGIPGSEYGTNSDGFFDIAEQPKKVALVGAGYIAVEFAG
MFNALGTETHLFIRHDKFLRTFDPMVQDTVTAEYERLGVHLHKNSSQSKVEKDEKTGKLTLHYKDANGEGKLEGLDTLIWAIGRSPEVEDLGLEKAG
VKQNERGQIIADEFQNTNVENIYSLGDVVGKVELTPVAIAAGRKLSDRLFGGEKFAQSKLDYDLIPSVVFAHPEIGSIGLTEPEAVAKYGKENLKIY
NTSFTAMYYAMMEQDAKGPTKYKLICQGPEEKVVGLHILGLGSGEMLQGFGVAIKMGATKSDFDSCVAIHPTSAEELVTLK
>RCO7_11155 | probable Autophagy-related protein 17
MTNHDVSLETLVAHLLASKRSLASISTVWRANEIVISARSALEESAVLSARTGFLRSGVSEQVKILKRVRRGVEDVYKEGQQDFKNVIRTLDSANAR
LESTMDILRSTMVEAAFRPEEEEPRSLLDFVDEQGVETMRDALKESIREAREAQTEFDSSILSFDDDLRSLKAAMKSSPQSSIFLSSSNISSPIPSY
LQTLETNAQEMAALLDSLVSHFDLCVNAIRHTEGGYAAVRKAASSQPPEADPVSVSGVMSAEGNNPTTEHPISTEERQEMLDVLEKDAAQLEDVVME

LRDYLQEMETKHEEILEYISHLTTIHTETTLAYSTLEAVGARLPSYIIASQEFRLHWEETKLNILDQLSELESMRIFYENYFSSYDSLILEVYRRKQ
SDEKVKSIMRKAVEQVEKVYESDMREREGFRVDVGDYLPVDLWPGVNAPARKWDFVQNEEGEWAVKSLPVLERTVVEAAGRRDKERLKKGDV
>RCO7_11764 | uncharacterized protein
MTFYSNLIKARIKARFYYTINRAQNEPDFTINTDDLPLIFKKGLFSKTLEPINQNPIEPRLVTVRCLYRGCSKVFRNQRVNHSTNSELNTSDIEEAS
SQGSSSSQTAITQAFRGLKRPASPNKEPFNLKKYKWLLIRFIIENNLSFRSISSTSFRELTLYLNEHYIDSTLKLKSHAISMAYLSEPHSGKYLFKV
LSKALEEWNIQDRIISITRDNASSNDTLIEAFIKDYDIKGIKFQGDIACLAHVLNLVVQDILKNIIKDAYSDLDDRGSIANIENNREEDLNNNRLRS
IEIYYFLAKEN
>RCO7_07854 | uncharacterized protein
MCFVRWAYIGDYSTENVGISSFVEEHVVEEDDWDFGLSRRKKDKNRGKHNVGITLCYSCIRGYRIKVDLDKRVEIYLLAPANPRFHYT
>RCO7_07853 | uncharacterized protein
MFKEVVSLAIILGFIWNIIYVEHPDTRSYTIVFVGSLGALAPFVLGWHCWNEVKKGVPLREILRWRYWMHSKSRIPDHEEENDSEIRNGLVSGDRNG
GAEILNERHFRISAFQYCPKSQVMRVYFDHTCEVITVKVTTL
>RCO7_07852 | uncharacterized protein
MFSEILRLELEGFDIKVVDLKTGDLKTGGVKSNIFANLTHSELPLGSIYDVARKDADLVLAGEKLKSLKGVYCDSDIWYATGRPIFSPFPMLPDSSA
ENVVSDLTKANPPYQMWRGGQAWMERFARFATVLPVWMFAGQMKKLTGLDGVTRKIQESRLLEFAQEEELGMKLA
>RCO7_07851 | probable xaa-Pro dipeptidase
MDEKEVLLEPCPPLENKHQIPNIKLRARQCLLRAFLLVVTCFVLISNYSDKEISEDNSSSHSIQGFQECSINNFLSTGLPFLDPASPLPVSEFVERR
DNLAAALVADGVDAFVVEPGYTFQYYANISQKDWEVWEPEERPFLMVVQPVKNESAGEIKAAVNFLAPSFEVERAKLLGMPFVDKLHFVPWEEHWNP
YETLLKAWKTPGLKKRNSRPKIMVDDEMRDFIQRGLGENGFEVVGLGGEVERVKQTKTEREIEIVRAVNTGTVEAVRAMRLCMYPGLTENEVMNVLD
NTLRAAGMEPFFDIVLFDEDASNPHGGTDGSKVLEAETFVLIDVGAHLFGYSSDICRTFFPPFFPKPTTTAEISALSPHIREKLLVWDIVLQAQTQS
MRALHQGNSAASVDIAARKVITDAGYGKDFTHRVGHGIGIKAHESPYLNKGNVNVTLRAGMTFTSEPGIYLVDKFGVRHEDILLVRESGEPEVLTTT
RAVGPWDP
>RCO7_07850 | related to GIT1 - Glycerophosphoinositol transporter also able to mediate
low-affinity phosphate trans
MEKDHEAQSIAPGLGETTYSKLSVTLMIIFSGLAIGSDGFNASIIGNLSLIFSVMYPDLSTVMYSRLSNAFLIGMIVGMLGFGYISDRLGRKSGAML
TTIILVTGIAMSAASSGKDQLGMFWMLVISRGIAGVGAGGEYPVSGAGATEATDEDAGPRKHRGFIFALIADLSATLGFVFGGLVPLLLILCFHSNE
KHYNIVWRLSLALGAIPPLSIFWFRYKMAVSTAYRKSSAKKQRIPVWPMLKRYWRPLLGCSTSWFLYNYISYPFGLFASTILNRLNIGSSLTRNMGW
GTVINCFYIPGAFIGGYLSDKIGRRRTMALGFGLQAILGFLLGGALGKIQDILPLFIIMYGVFLTLGEVGPGATIVLTSSESFPTSIRGQCLGFIAA
FGKAGAAIGTAVFAPILASYGDSVYKGNQAVFLIGSAFAAAGAISSYFVIPDISTRLENEDEAWKKYLRDEGYEIQWGDEETKDPEGLKMDAVKS
>RCO7_07849 | uncharacterized protein
MKSQNRLAGAGAGAGAGRGCLDLTRESKQKPSHHSSIPTHAAKHCRHRAVRRKTLLRSRSSSSSSSQQLFLLLIFLTCCISLSSAKPGVIYVHEQLV
EGPVQTRPIASGAEALGSASLSGYILVDQNMPPTSNSHDEEHDHDHDLPRGANELKKRAEQPRITSSSPSSSSTLPPTSTKGGIVAAVETGVKPMPR
PFDMGFNNNITADCASFMSNMLSNSTFQSCLPFSILLQNSQTFFAASKSLVRITQVLDNSCAANVTLCTNVLSSFATNITKPTSCATDLSSRNPIIQ
QALLGLKSYKPLYTASCLRNPDTSAYCFADAITNATNPTDSHVYFLPLNISLVGGSQPTCDSCLQNTMAIFEQASSDRTQALASTYVSAATQININC
GPQFVNASLPAPVESSAAMPSLHTNPAGSVALLAVLIAWLL
>RCO7_07848 | uncharacterized protein
MRLQFSLPLLGLVLTSIVLAASSSCQKDNCLRAFEGRNGGDKALSFCKTFTSGVSTATTSLPVFIAQCTGSVVARASSACSCFVKTYVPQSTQSMSS
ISSKPTTSPITPSTSKSSMSSTSSSTSAVSTPSPTAPCLPRFSLKGASETAFNPTSTPFSLTLSCNKLDTQNYTVFSSGDGSTDPFGTLVQGTNATE
SSLQIPGFSPGRYTITVVAFDTTGNAIIQYFSLLFGSITMPVLVVDESNAPVQNVTVTADATIYPGIRQVGVTDASGIVKFTNIYQTSIGLFTETAD
NKIGVNGVAGTSNTITIKLIPFRPASDTTKFNESDGITGWTGGVTKDIPLSKRDNVLVIGTNAQYNLQTAHAEPKVYPFTKSVYIKYKFQTAEVPGG
YFGTQYNDYFIVTIRSNTGNMISESHSMNELGLGAFDSAGNTKFFTLNMPVNPKTEWVQFDVGVSNVADAALDSQIIVAKLGDLTCDQCGSCETCPG
DPMCQPTCVSPPLKSCAFYAGCAEATLQCGAGGYPLAYGQKNCLAFQADLTKYTPAGQDFIWNTMHCLQLALINIIKCDSTCDTAGNAAFDSHPKCY
VDSGFCDLPVMDWYQVVKTVGTDLLGIKPIRQILQTGGTCASKKITEIDAEIDGYVQQAKNDMANAAVYLAKALVMKALRKFVQDLSNGVFPIPSL
>RCO7_07847 | uncharacterized protein
MVIPESRQKDGPIPTYQIDLSLPPAERYVQLATDFAPEIKSVTSLLDEVLQLFIPWQWARELVEWLASIFLYRVYSAEETKELRGISEASGVDLYFL
VALNVLLDSLLGCTSGGVMTSMGQKGGDGKRMMHFRTLDWGMDPLRSVLVVLEIERLVGDSEFPANLFLLNLLIADGLRAAVIERDLDSAEVRIDSE
FIIVTNNDTMSKDSDTKSKVTNEKEKSTLGLDMDDWIQESSERMDCVWRK
>RCO7_07846 | uncharacterized protein
MVTIDGTQGSGYSLWLIVLFLGILLGVASLINNVIYNIYQHPLHGIPGPKIAGATYLYQTYYSLRGTSTYYKRIREMHGQYGPVIRITPDEVHLSDT
DNYEIINCVGSKFAKSTQFYDGFTIGYSTFSCGPNDIHRIRRGMLEPFFSRRNVMSLECIVQERALKLSDLIKTKFARKEAVDLNHAFRSVCVDVIA
DLAFGSCYDLMDKNDLGAEFFEMVRGIGPCLWIFQQWPVLAKIVVALPPSIVKRLNGPLKQMMNLREHCRVQVRTVKANMESGKKLDKPSIFPALLA
PPPGIPVPTVEEIKDEALAVLAAAADTTGNAMTVSAYNVVSNPEIYKRVCAELQAAFPNADDILDYAILEKLPYLTGIIKEGLRLSFGVPGRLARIV
PAGGATFNGYFLPGGSFVSMSSWMQHQDELYFLNALKFDPTRWLDPVEARRIDKAFVPFGKGSRGCIGINLAYCELYVSLGTMFRRYENLLSNHLTE
EDWEYDDYFSGYPRPGATKFHVTAGDDTKRER
>RCO7_07845 | probable 2-succinylbenzoate-CoA ligase
MSSPRTRLQSLTSHLPPSSSSPTVPSSNAPIPPKEPHTHTLSPTFFLPRAAEIEPDAEAIFHVTANGKTLRRNYAEFADRARGLAYFLVKHGFKRVG
ILAPNTPAFLESIFGIAAAGGINVAVNYRLKMDDITYIFNFGEVDSIIVDKEYLPLLSDFRSKYPNIPFIIDTDSDATEGQLSGPFDEAVLEGLKYD
IELGKHGWAGLKAQADDENATIAIPFTSGTTAKPKGVIYTHRGAYLAAVGNIIESGLNYHSGRCGYLWTLPMFHAMGWTFPWSITAVRGTHFCLRKI
DYRLIWKLLKEEKITHFNAAPTVNTLLCASKEAVKLENPVRVTVAASPPTAHLFEQMTNLNLIPVHVYGLTETYGPITKGYHMPIWENLPIKEKYSR
MARQGHGFITGLPIRIVKTEQPEGVLTDVAKDGKEIGEIIFFGNICAKEYLKDEEATRKLFAGGGLHSGDLAVWHTDGSAQILDRAKDIIISGGENI
SSVALEAMLVQHPDVLEAGVVSVADSHWGERPKAFITVQEGKSMKGEDLIEWAKHESAISKFMVPREVEVVQELPKTSTGKLKKNVLRMWAKGDYSE
K
>RCO7_07844 | 60S ribosomal protein L13
MSTFEQVITIDGKGHLLGRLASTVAKQLLNGQKIVVVRCEALNISGEFFRAKLKYHAYLRKMTRYNPTRGGPFHFRAPSRIFYKTVRGMIPHKTARG

AAAMERLKVFEGVPPPYDKVKRVVVPQALRVLRLKPGRKYCTVGRLSHEVGWKYQDVVARLEERRKVKGAAYYQRKKAARRQLSDAQKSAKVDDKTK
KQLAEFGY
>RCO7_07843 | uncharacterized protein
MVLAGPGKVELMDPDEPEFSNGSGCGCGPTPYNNLNFVQLSPSSKASRSDKVATSAVASGATLTLTSIIQHLPDSLQSYLNTSLTHLQSAYESLPPS
TRSTLSTVAKYTHLDTVSPSAQLASALLLLTSTLFAVSMSGWGRSFFGGSNARFSPFGSRAHPPNVTDEDFSYITSQDLAQPGRAYDPQGRPPPSMQ
AEDDVLLIKNKGVTYPVKFPAYSIGDGKLQVRDVRERAAAVMDLKSGRNIKLLYKGQQLKDDYKPCRDYSLKNNSEVLCVVGEATGSDDSGDEDSAS
AQEGGGLFKKKRNRSSKKKKASKKKADANPSPNSGDPSTANSRTASPALPKTVIEKLDSISSHFHTKILPLCVQFTLHPPEDPKKKDFEHKKLSETI
MNEVLLKLDAVEVEGNDEARDKRRALVRETQGVLNGLDAKMGGS
>RCO7_07842 | probable glutaredoxin
MSAAKTKAQKIIDENAVAVFSKSYCPYCTATKSLLTELGANYYTIELDQVDDGSAIQAALKEINGQTSVPNIYIAQKHIGGNSDLQAIKGDLQKKLK
DAGAL
>RCO7_07841 | related to FMP22 Found in Mitochondrial Proteome
MSLRNTSLRVLRRPLTHSTQCLNAQIQPRLTHRAASTARSTAKAPPVERLDPITLHRLESERRAYYKRRSYYAAGGVLFGMLGIYFTATSIDLEKYP
PSGPAKPSSETPSRPSGVARLDSPGRADDPLVVLGRERKVVVQKLGEEAEEIPDVVQTGTSTIPTFPRVLDFVDDVQTGHPEGLGRKGENALVEYQL
LGVGLRTVTFLGIEVYVVGMYIATEDIAKLQKGLIEKVAKGASSLVKGEKEDLRRKLYDPVEGTKIWSELLKDTGVRTLVRIVPCKDTDFGHLRDAY
VRVLTEKARNGGEEYAGEEFGEGVQTLKGMFNRGGVPKGKELLLARDGRGKLVVWYDDGKKGAQRLGEVRDERVGRALWLNYVSGRKPASEPARGSI
VDGIMEFVERPVGTVATQVQLQKPA
>RCO7_07840 | uncharacterized protein
MSHLPPPSSANASPSLSAPQLLSPSPAKRLQSLSPRPSSSSSPLEIITVPLPDPDNVNIEGEEIHRLPEARGQHGSLEHQDTFKLRFPGSAYIRQEG
RDCPRTGILIGFRLSQ
>RCO7_07839 | probable F-box/LRR-repeat protein 2
MAQLETHPSYRTDTSEVEGDSQSSSSNSPARADYEESDFYAGNNDSQSSIGVPTFQDMAVSEGNCVTASNRLPAEVLIGIFSKLSSPLDLLNCMGVS
KLWARNSVDLLWHRPACVTWNKHSAICATLIKSRPYFAYRDFIKRLNLAQLADSCSDGSVIALQFCNRIERLTLTNCNGLTDSGITGLLQGSNHLLA
LDISGVTEVTETSMYSLADNCHRLQGLNISGCTKISNESMTAVANSCRFIKRLKLNDCEQLEDSSIMAFAENCSNILEIDLHSCKLIGNDPVTSLIT
NGQTLRELRLANCDLISDSAFLSLDSRKTYEHLRILDLTSCARLTDRAVEKIIEVAPRLRNLVFAKCRNLTDLSVNAISKLGKNLHYLHLGHCGQIT
DAAVTKLVQLCNRIRYIDLGCCAHLTDASVMKLATLPKLRRIGLVKCSNITDDSVYALAQSRNRFPRHFRNNEHGQLYEASAGSSLERVHLSYCTNL
TMHSIIGLLNNCQKLTHLSLTGVQSFLRPDLEQFCREAPAEFTEHQRNVFCVFSGVGVNGLRHHLNSLAPPDGGYDPTARGPDDDEDDDHTMTGMIG
ATAMMGAAVLNADDDDADGDEELEDADGSTDQT
>RCO7_07838 | uncharacterized protein
MTRGPYLSSSQVHALHARPHILERLTRLTRFFSTLLKLPFHLLFILFSTLFNTRHYGRPSWSFSFRALRFIAAKYLWAMNPGTRPSPDVLSLSARQS
IPRLEKPSKAELVIVPAKEGVWYGDAIHEFVRPLPCPCFWMWREKEMVNPSTDSSPIQERKVMMYFVGGGMVQGHPLESPLGWAMMEITKMPIFGVN
FRKAIAAETAFPAALQDAVSAFYYLVDQGFRPENICMMGDSGGGGIAITAMLYLRAYREKLLQPGSCILVSPFLDLVDDYQSDEETLNLDILDPTMC
SIAATQYTENRPDLRATLLSPGRGKLTEPYTLEGLPDILLCYGDAEIFMPGIQSFSKHLLEEGNRVECHRGLDQVHCYPYYTKDRTPASFYGRLNAF
LAGEVMVGECVD
>RCO7_07837 | uncharacterized protein
MICGGEEESIIDSGGGRGVDWLAIAGASIIASTSTSTSTIASAIAATESIVGLVDSVIVLLVLIFRVILASYTSAEGSRVRSLVDLRPFGAFILILE
ADLEGIAAD
>RCO7_07836 | related to aminopeptidase Y
MAVTLVTCAVYLAILIPLLIVHETVPSAPANPTVYRGLNLTEAWLDLEELSNGYHPFNSRRNDEIRNWLLSRVEEILDSNGVKFEKGETVNVVQEGI
QDSADSISHDGRVSSVPTRGLRDRSADHIAGRNEPPAVIIFNDLVSNYTSNALTSIGVSGRKLGSSVYFEGNNIIVYIRGTEDEGEDWWKPVPPYTH
RVHGKGGVMVNAHIDSVSTGYGATDDGMGVVTALQLVKYYTTEGNTPKKGVIVLLNNGEEDGLYGAKAFLSHPMATFVHTFLNLEGAGAGGRAMLFR
STDSEVTRAYASARHPFGTVVSADGFGLGVIRSETDYVVFREEGYRGLDVAFYEPRARYHTDQDDAKHASRNSLWHMLSASVSTMDYLTLNTKDFIG
SRGDHDNGKVKNGGGSDGVWFDLFGTVMAVFGLRTLFAWSLTLLITSPLVLMLVSYVLVRQDKYYLFAGSVKPEGHESEAVSLQGWRGAFRYPFVLL
ISSAFTVGAAFLLRKFNPLIVYSSQYAVWSMSLSLFFCVFWFLMASWNFARPSALHRTYALIWMFILGWLVLVGATVFQDRYKVGAGYIFVFYEAVI
FAAALIGLCELFALPKKSSVVEAAHDEHETRDALEAVPHSDAIIVSGDAEDDNNDDEEPSEETPLMGGKTYRSGIGATFARGYQRVVSPQHDVADAV
DGAGDETIAFGDEQKWSSKMPTWTWLLQFLLLGPFIIVVVGQVGLLIVGALFQTGSDGSPLLLPYLFISLFSILLILPVTPFMHRITHHVPTFFFLI
FIGTLIYNLVAFPFSANNRFKAYFQQTVDLDSGINRVTLAGIEEFVRDIITEIPSAAGQNISCTSKNTVRQGLSQCTWGGIPPRVVDNVEEGVPPEK
GYKDWMKFQVTRAKNSNKATFNISAVDTKACIIRFNDPFTAFTVHGAAKPNGKWDNVPESGSDQIKLWHRDWDREWIVDVEWPVSEGKTEGDEGRSG
RVVCWWSDHNHSGTIPALEEVQRFMPQWAVVTKLADGLVEGSKAFIV
>RCO7_07835 | uncharacterized protein
MDSTRANYRDKIKAKAREEDHRLVRQMKESDLRNRSLGDKKKKRLAEFSKSVQSVCDWIAPGFYYNRDSSTTIPKAVTDLEEWKLIVLKVKNDRRTQ
DVDASSLGPFIATHMKGSVERRARLEHAKMLEGIFIERTIALPVDKAAVPKVDESKKIAKVPAGPLPIYRNPPPKDVFKAIPQSSSSPTGLRKRELV
RQGSVRTQPLRFNEDPVLLNRDTGRYSDTVCPPRTPITAAGFTFAPKDPMASSQLLTPAVKPTVHFKPFAVKSAAAASTVPPTTAVPQKAVFKAKKE
MDALEGKVLRLAERKIHLEGGKALENGWFEIADDADWDFC
>RCO7_07834 | probable MOT1 - transcriptional accessory protein
MASRLDRLVTLLETGSTQLIRNTAAQQLADVQKAHPEELFNLLTRVVPYLRHKTWDTRIAAAKALGGIVDNAKKYDPNADDGFAKSEKKEEEEEGEE
EEEEEANQPIKKEEAVDDLPFVEGQLSLGTLDLVSILKYGKELSRGDGKSIDYALAQLDPAQRLEHQKKTLAGRLGLLGEYLEEDMDMDLPPPRPNG
VSLSLARPPNGSQEKAPSTPSGESGLSARQLNQLKRKRKREAQHAGSKSRLVDLSIRRSSTMGSVDISADSTMSDIVDDATVNGNGVPDYFNLDRSS
EVDEDSKVVSEFKGPVLPIKSELQTEEEVDGGEWPYERLCEFLMVDLFDSVWETRHGAAMGLREIIRVHGGGAGRAMGKTRAENDTANRRYLDDLAC
RLCCIFMLDRFGDYVSDTVVAPIRETVGQTLGALLIHLLPTTVFAVHRILLRMVIQDDLQLTKPGWAICHGGMIGLRYLVAVRNDLLLKDSDLIDGV
IKAVMKGLGDFDDDVRSVSAATLIPIAKEFVNLRPEALDGLINIVWECLSNLGDDLSASTGQIMDLLAKLCSFPEVLEAMKQNAARDPEQSFALLVP
RLYPFLRHTITSVRSAVLRALMTFVNIEGEGTRDWLNGKILRLIYQNILVERNPDTLNLSLQVWEALVKYLAKDPEDLAEQFSAHVGPLMDLTLHPI
GVSRHPLPMNATLFQKPSGSTYSMPSGFVPTTIRPVSPPSPSAPPPKKQRRKSTKNAEPIVTSSSHDVDGHMMQGDVDLVGMDILIRSRVSAARAMG
LVMSLIPDGQLEAYDSNIIPSFSSAFSSTQLTAALIVDEYAKNCTSKNQAARFITPLQQIVESERPSNYRDLVSFTQLVRAQCSQLLNTFRDVGKVS

QGKLPILAVVVQGEPEAGPDAFSIQTADKVVNDDFERLKKAMPASQRLISTQALTEARDNVAEVIETAKAIKEQRDIRIKAAAASALTAMKYSPKKP
THIIKGMMDSVKKEENAELQQRSAASIARLVELFADGGRAAPAAKVVSNLAKFSCIDTSETPEFTPNAAFKDNILSLRKEEDRRDHPDAAKFALEAR
NARIVRRGAKEALEQLSNIFGANLLEKVPTLKTIMEDALKHAFAGDLPEDTKDPEKETGQAAVDGMSVLRALTPTLHKDVYPFVIKLLPLVIRALHS
ELSVFRYMAAKCLATVCSVMTVEAMTMLVEKVLPSISNPIDLNYRQGAIEAIYHLIHVMGDNILPYVIFLIVPVLGRMSDSDNDVRIIATTTFATLV
KLVPLEAGIPDPPGLSQELLKGRDRERTFIAQLLDPHKVEPFNIPVAIKAELRSYQQEGVNWLNFLNKYHLHGILCDDMGLGKTLQTLCIVASDHHN
RAEEFSKTGSPDARRMPSLIVCPPTLSGHWQMEINTYAPFLTCTAYVGPPADRARLQGQLGKTDIVITSYDICRNDADLLTAMNWNYLVLDEGHLIK
NPRAKVTMAVKKLLSNHRVILSGTPIQNNVLELWSLFDFLMPGFLGTEKVFLDRFAKPIAASRYSKSSSKEQEAGALAIEALHKQVLPFLLRRLKEE
VLDDLPPKILQNYYCDLSDLQKKLFEDFTKKEGKTLAEKASSGDKEAKQHIFQALQYMRKLCNSPALVMKEGHKQYEETQKLLAKQGTSLRDPIHAP
KLTALRDLLVDCGIGNEPSSENEVTTETSFVSPHRALIFCQMKEMLDMVQNDVLKKMLPSVQFLRMDGSVDASKRQDIVNKFNSDPSYDCLLLTTSV
GGLGLNLTGADTVIFVEHDWNPQKDLQAMDRAHRIGQKKVVNVYRLITRGTLEEKIMSLQRFKIDVASTVVNQQNAGLGTMETDQILDLFNLGETAD
GIDKPAGNGDGGNEEDMVDATGEVREKGKKGWLDDLGELWDDKQYEEEFDLGGFLSKMK
>RCO7_07833 | related to serine/threonine kinase ARK1
MASYNSAMPATASRAAFGPAAPMADPSAPAGTFAPGTKIQVGSQKVIIQKYFSEGGFAHVYLVKMPKPIDGTDIAVLKRVAVPDKEHLANMRTEVET
MKKLKGHRPIVTYYDSHASQLKGGGYEVFLLMEFCNGGGLIDFMNTRLQNRLTEPEILKIFSDVTEGVACMHYLKPPLLHRDLKVENVLITSTGSSK
RFKLCDFGSTAPPRPAATTAAECRLIEDDVQKHTTLQYRSPEMVDVYRKQAIDEKSDIWALGVLLYKLCYYTTPFEAQGQLAILNASFKFPSYPPFS
DNLKKLIASMLKENPKSRPNVYQVLREACLMQGLTVPIKDIYAGRTQSESRRNQELPKQEAIASPPPVGAVFSPPAPVQQAIPDIVPMRRGRPAAVP
QAQAAKPSPSPMRGASSDPWAALDSKTSSPSIDDVSSRFPSLDQFSLLHDGGQFDFDKSSPTKSTANRDLNQRVAEKLADDAFAVPAQPQPATPSTA
KPTSNVVSRAQNIISSYPALQQATTPTIVYQPTPTRPPTSLYVSQGTMTSPTPPPLGQQPSKYAPTPAQRFPQTSDHHRSSSLPRNQEAATKSHLQR
PEDKQSLHPTISRNPSFTKLGHVRHSSSSRPSLEAGRPSLEALEPVARTKSSNSRPRPTSTYLESNMDFLREKEKEASGRPSLSERRPSYKALETAV
VDPSSDEETMIESNVDFLRNMEDQDTSKKDRRRSSGGGLKSKRSSLPSMSLSGTKTLLAGKFGDAFKRFEHNANAPAPPRTPSPLNDMERRDLTPIA
GSEATDGRSDDGNMFEDMDNMPPEQRREVERRRLSMEEKRVSNAAAEYRKRLADRGPAAPRSIGGVSRAASIQNKVQSLLDENQGPSPVKKTAEGYG
RFTDSGPPPSTSHFEQSANPYAKPASSLLRKPISQSVGGVIHPRTVPITQVETNYSKTRSPLPHQALAHSQSHPQSQPQPILSPTTVSRTAPRPSAP
PKPMHLNSNATGSTNSLQQNQSSPPKPSSFPHRPLQARPDMTAKEKEDYIADFSKRFPSLSGIELVETSIDGPGAGRAGPSAGVVRESGGLRGREI
>RCO7_07832 | uncharacterized protein
MNSYICKHRTWPSSPSIIKSPSTRTTSSSETPRITHQYPCPFSISYLSKSNNQARIRCKDMEKEPRVRGIAELCARCRPTGLGMGVGLGSGLGGGRR
RWECEWGVGAVTGAKRDEEVVKDERALSGNVVEAEGMEVDLPLPSDESAKRSVVLDIAAIDDISTAAKSMDDHHGYDLLLSAENGDAEEARTPAFSI
FKKVLEVITQGSSSPARKDVKMGERAGTSVSVNEITSTDESRDGGSGEGKGQKKQRWVNVDEDPDWEVVVSGEKDYGKSGRGRKVN
>RCO7_07831 | related to glucose N-acetyltransferase 1-A
MLVYPSNWSPDEMETDPALKNTLTRKAHLLREARDKYYADLYPIDALNEDDSSRAIWTDPYIKLLAFNLTQFSRVLVLDSASQPRGNLDAVFLIPKA
VLAMPWVYWGELKGWAFSNQVMLIIPSMSGFAKMEGEIKRSSTNPDQYDLSIVEKLYKSHTLKLPQRPFHLTTGEFRRQDHSKYLGSGSAQKWDPEV
ALQNSKMLHFSDWPIPRPWDGAAQTMLNRYMPKCLKSEWFGATNCKDRMLWMQLYAEYAAKRKGFCGSHFEVKVQDQKPDAMVRAGRYFHDDLM
>RCO7_07830 | uncharacterized protein
MSNMSNVGISAIPKLLPIAGAWAAPFTLYNIFLSSRIFSQRIKKEVYFGDKDTSESAEKYSVLELASHSHTNFLEGVPLAFILLIIAELNGGNREAL
NYTMGALLALRIAHAEAGLMIKGNFGDGGVGRPIGYVGSLGVLGGLGAYAAVLVKGYWGF
>RCO7_07829 | uncharacterized protein
MSSRDVAKAPVAWEHFISSSSQAGWMHLPETLAKYTAKYETLYPSARILAIITTSIDAAFLPNSASLKRIKAAMDILYTLPPSTKVLVHFFSVGGAW
STCLVAKTYATKTGRPLPVTGMILDSTPGKVQYAATIRAFAVALPKNPILNALANIGIRIMFFMYIFAYWVSRKLDMIAQVRVDLNTKMYFDTDAPR
MYIYSEADDKVHWEFVEEHMRDGKALGYTVQGDRWVDTMHCGHLLADSDRHWKSVTALWESVC
>RCO7_07828 | uncharacterized protein
MASPNSPKEQAYIDTNAAYARIVLQGTGQDSETTINVLLQELKSAYATINSRQTDVTTLSAQIKAATDRATTAERAAENNAVLAVQNAGKASVETAR
AEVESLNALTENVRDWNPDFTGCLNRISDADLKELVDFANDVTGAAPSLLANIRKLIDQQGTAWKGSKSGSGRACEIDIDEYIQLFDRTIRNSRVLQ
NRVTGLETQIRSGASGSVYRGEDPLFVDEEVERLGDLLDEANAEIAGYRITVQENEKLRIALDTAKIDIQQLNGKVNSALRETSYYRKQLKGVANSS
LIPGSGHSLSDLEKARLTNDLEAAKVRSKQLKAEVATAESETSGLQDEIFDLENTSSVSGSFDPEIARLKAQLETLEDREATLNNEYSAALDKVDEL
EVRANDLETKRLEENLAECRESVRRLGEDQITENQVELEELRHTVETLRQQVKELTQERNQAGDQRDQVVQENADQAANADAEQQRLQALLDDCNKG
RDQAEKKADAAKAKASPSGDLTKLRKEIRELKKERDDLQAQLEIAEQSPSEAAITNKDLQNQIKELNKELIKAKRDLKKSAKKFDKAEIEVDRLQGV
LEDSDAAVVRIRGERTAAREERDTLRVRVETAEETLRKSVQTSQTTLSDTVRALRTKLQDAKRDASAAEVVQTNILALNRELTIERDSARAQQGGLA
ATIEPIEGHPENGGGGGQDDNDDGGENDDLRAQIRNLQTNLARHQLQREATNTENTKLSIDIEDLEALLETIKARLSECLKGHPDYDDEELIKALEE
SDRARERRENDRQNRNDASQSLRQELNDAQVEVRRLTDEIEKLKASYAGEQEDEIAELKTDLEALNARIASADSGSSLSADERAAYLLQVEPLQRRI
GELEQQVEELNQQVENLRKENAKLAIDLNQVKADLLDKMLDAVGHLRKAEIDEDAVDRAEPAKDDDVLDDDEIDNNAVDPADSEPEEPSEEGDSSVE
IITNRTPSPPPTPKTRKGRKPGKKTAAKAAEPKKTRGPTKGKKAAKAVEDEPVVAKRQTRSSAAKRKEAPEKTVAKGAQPKDKKRKIFE
>RCO7_07827 | related to branch point bridging protein (MSL5)
MAWRQQGSTGSNNIPLGNKRRFPGDDVSPPHSNNENSYHAPAPSNGNSDGGFKRGRSPVREEPNADGSRRRKKRNRWGDSTENKAAGLMGLPTAIMA
NMTSEQLEAYTLHLRIEEISQKLRIDDVVPADGDRSPSPPPQYDNFGRRVNTREYRYRKRLEDERHKLIEKAMKVIPNYHPPQDYRRPTKTQEKVYV
PVNDYPEINFIGLLIGPRGNTLKKMETESQAKIAIRGKGSVKEGKGRSDAAHTSNQEEDLHCLIMADTEEKVNKAKKLIHNIIETAASIPEGQNELK
RNQLRELAALNGTLRDDENQACQNCGQIGHRKYDCPEQRNFTANIICRVCGNAGHMARDCPDRQRGATWRNDGPGAAPTPGVGRIGAGDAVDAEYEA
LMQELSGAPASAAAPQRIEAGPGGNFDQPPQEDVKPWQRGPTGAAAPWQKRGDDRGFDSRDSASSGPSGGAAPWARDRPRGNDNRGGDNYYGGGQQG
YNNAAPPPPPAGGNPAPWAQAAPAYPTAAAGYGGYTAPGYGNGYPAQQSMGAPPGLAAPPGLSGAGLSALLQQFAGSPPPPPPTSSIPPPPPGNAPP
PPPPSDAPPPPPGN
>RCO7_07826 | related to URE2 - nitrogen catabolite repression regulator
MSSTSRPNIHLYTTQTPNGIKISITLEELGLPYEFTKIDIMKNTQKEDWFLKINPNGRIPALTDTFSDGKTINLFESGSIQQYLVDEYDKDHKISYP
KGTREYYEVNSWLFFLNAGLGPMQGQANHFNRYAPTYIEYGAKRYTNETRRLYSVLDAHLAKSSSGFIVGDKLTIADIAHWGWVRAAFWAGVEIDEF
PALKKWEAKLLARPGFDKGRQVPGPDTTQELKSDPEAMKKKAAEASAWIQAAMKDEASKK
>RCO7_07825 | uncharacterized protein
MATDGLSPPGSSSYSSNTMYVGDGTWDSTRNSFLLPNLVGLNFETMRYNGMGNRFASMPGYHGLIRAHGIIAVMAFLVLLPAAILMAQFYSRNPFWA

LRMHIYLQILVVGLSTVVFITGFNAVGLNRSLTNPHHGIGVAIYTLILVQAIGGWWIHKREKKRIPVKLPVKLVLHQWLGRTIALLGFAQVPLGLTL
YGSPKWMFILYAVWMFFLLVLFFVLCYRAIPPLDGYVGGRERSRSHGGTVMSDRKPSRFGGLLGPLALGAGAAALLGGKSRDRSRSRSHSRSRRTEV
ISSRRGSGSYVEQEKYDERTKKSGGIMDKALKAGALFGAAGLAKSFFSKKKGRRDDDDYSSVAHDTPSKRPARRHSYSDSELTESVVVSRMEEGRRP
GGGILPGPGDPVLAAAAISAAAPRPTTPRPVRRQSSHGSGSYSYESTLSPSRRHQSTHKARNGILAGLGLGWFAKKMKDRRDKKEEERLDRIDRERM
EEEKLAHHGNTPSRLIGDGTPYSGRRPQRRPSIAESSELSSIITDPHIVRPGAIPPSNVPPPFQPGPIATDMEARRSRYDVVTEPVSMPPIPHDPQG
ILHVEDSGSEAYVSAGGRPHRRHSDRRRREGEIAAAAAVAEAASHAAREEARRRRSRSRTGQTDIVSPPVSVKVKVHGDKDRNVTLRRLTEQEAAAE
REARRSDRRRRRADSLSSLSGTDTATSRRRYRREEGSRRGHSPPPAMAPLNPPAPPFAAGRKPKDSAYYSGQPGASSPAAALPAGSIGSPESHGTWS
AMSPSVDGGDGAEAAAERRRRRRLERNQRGQTATATVDFT

>RCO7_07824 | related to endo-1,4-beta-xylanase B precursor
MHSFVQIFVASAALVSSVLALPANISSELTKRTSVSGFKDNYYFTYWSDGKSQASYNNGAAGSYALSWGTGGNLLAGKGFKPGSTSKTICYGGQYAP
NGNSYLSLYGWSLGQRSNQLEGMVEYYVVENHASDYDPSRAAQVVGTLVSDGSTYKILQTTRHQQPSILGTATFRQFWSVRVDKRSSGTVTFQNHVN
AWAKAGMKLGEVMDYQIIATEGYMSSGSSSITVSECAGGSGNKNGSTGATTGGKTGGSTGGSTGGGSTGGSSGGSSTGGKTTPTTPTTGKSTPAPSH
PASKNGSHGKNNNKNNNKGHWAPWWGQKGKPPGNNGH

>RCO7_07823 | probable acetyl xylan esterase (Axe1)
MYLATATTLLFMGKALASPLDIEERQSSCPNIHIFGARETTAPVGYGTAGVVVNLVLNAYPGSTAEAISYPACGGQSSCGGLSYGNSALAGVKAVAS
AVNSFNSRCPNTILVIVGYSQGGQIFDDAFCGGGDTNIGLSDASIPIQASAVNKIAAAIFMGDPRHIPGLSYNVGTCNANGFAPRPSGFKCPSAAKI
QSYCDSTDPYCCNGNDANSHQQYGNKYGQAALTFIKGKISAAGTGGGTNPTTTTTTRAGSTPTATTTPENPSGSFVEHYAQCGGAGYSGATTCASPW
TCKAQSQYYSQCL

>RCO7_07821 | uncharacterized protein
MDYAQYTGSTKYKKLVGESLVLNSYGQVHDFFGTDHEYVSNVVGRWNDDVEWYATAAVAAAELYGPHSYMPGLSGNGTWISLVQRTIDEVYDYWNTE
CGGGIVWSTDSLHPIPYKSGITQLEFISLATRAYLLTKNETLLEISEKLLNWMVDSKVVDLSTGTVNDGVNTENCTVRKDQWSYSYGCLVGGLIHLH
RATGNSSYLSYAGNVATTGIAKFAPNGVAEELCEPIFLRHLAYLYPVTPDKALKSRISSVIRSSAEAALVTCDESWNCAGDWVGPSSQWYPAFRATH
LVASALVALKVITG

>RCO7_07820 | uncharacterized protein
MSAKLLNVEEAIYASSSQDSDSKRYSSFSERPPSVFRLSAADHALLCQSIGALSDDENHKLSRPHSHMYPPKGLPNGLYKDVIRSRTLAQHEYYFTS
LLFTVALVLQLLLGAALTALGSTSASTNLRITLLAAANTILAGLLALMHNSGLPERYKNDWTEFDEVEMFMRELVETGIIAGGWTRDQTIEHCYALY
RRAKGTVTKNKPTSYTASGSASSSLKASKSVHKS

>RCO7_07819 | related to glutaminase A
MLWTTCLLAAAAVVSIEASSLKPPVLPLMVRNPYLSTWLGHAREDPWEHWPMFWTGQEVGLSVLVAVPESETVFPLLGRPQDSLPKSGESFTVSYPK
YLGATFDASTTNLTYHIPAAKPSHDPAEIILSFLSPITPTSTLRQSIPASYLTVHVSGNFGIDVYIDLNGLWVSANRGNEIVWEISQTQGSAKTWKI
KRRVEQLLSEDADRGEWGTLHFTGPSDVRYEAGTSAILRKKFARTGTLQNIMDDKFRSIMDEEPVFAFTKSFKLNATSAAGDKTHDSVLFTIAHIQD
PVIQFASARGITLMKPLWANYYLTSEELLRFHYHDFKKAFALASNYSIQLEKDALVSGSEDYKDILALSARQVLGACSFAGTPEDPIIFFKEISSDG
NMNTVDVIYPAFPYFLYTNPKWLAYLLEPLIEHQMSGQYPNDYSMHDLGAHFPNATGHPDGRDEYMPVEECGNMLIMGLALVNSLKYDTEPASIWSA
AGEDTPWDSRGGSFPLHIDAHGIDDTFGGPISAKGDKQARQWIQKSYKLWKQWTGYLIREALIPANQLSTDDFAGWLANQTNLALKGIIGIKAMSEI
SELVGETEDAKYYRNVSEVYIKRWEDEFAISRDGTHAKLAYTWHGSWTTLYNLFADSLLCFHLPSILDLEEVAGQKLLAESKKSRTSFVSERIYKIQ
SDWYHNVRQKYGLPLDSRRLAAKSDWEFFAVAVASKQVREEVVQSIALWVNETSTDLPFTDLYETEGDGGFAIHSFKARPVVGGHFAFLALERACDG
KAVAGLSFLDDVPASEFDILTRNDRKGRLDGEL

>RCO7_07818 | related to TATA-binding protein associated factor 2N
MASMDYENENGTRYEEEAPRYEPRDRSASPRPARRDSPRGGARRSASPSNGNGHADSRGPSVKNERGPPQDDGAINPGSNLFVTGIHPRLSEQEVTR
LFEKYGDVEKCQIMLDPHTKESRGFGFVKMVTADQADAAKEGLQGETIEGRTLSIEKARRSRPRTPTPGKYFEEDGRGPPPGRYGDRYDDRRRGGGG
GYGRDGGRDYDRGGYGGRRDDRDRGYGRDDYAPRGADRYSRDDRYSSGRDDRRGDDRRGGGYSSSGRDYERGGDRGSGREAPPPAAAYGDPAPRSEN
REPYGGGERPAR

>RCO7_07817 | uncharacterized protein
MPTHRGIKISVVSQLELKLHPEFPHPESSQFTYRSPDLRKGATKFTDWTPPSASSDSKADRLLGRQSVVSVYIPSMPATRFWIRYNIVEAASTHSDW
FYFKLFMNGRLITSWGTNAKTKPSGQVMRGLFEPSGRWNYKHDGTVYHNMGTEARPFIFGYEEEDLSAANDGGLIEVMVFRARGRKRRLQKPMEFKD
QEAYGIMQADMRYRMPSGGLLDRPQEAKFYDWHLKDPKDSPFATFKFHYRSWDSLKNLQLIPHNHPRTLLPASPSVLSLNGASQDLHSKLEEDTDEE
EIIAHVKRSMSSMILNDDPWLTSVFDDSPERVTSSRNSGSSFVVPPEVSPLFSRRPSTKELPTSRFSTAVIDKPASPQNSWKGYLDRPLPEVPSRNN
SLRRQQNYEPSGHTRNSSGISHAPSIAASLLPYLDRDSASPEPIIGIAEVVEVSPTIPFSSPIRSSPSPEEPSTKPTRTQRRQGIAFPPPNTLFSMT
NITVRKTRKSPLKRLSIQQSQDLDFYSPSPSHSPCPAPSRSKIQPPSFDTLPSENDGYQAENENENDQPTLDTSQNTTAISESEWMCRTPSPVKASG
LPRFESLQKLWSPGLDNKRSSRETTGTSASVMGMGMEVIQEQKTENENVFVSSRSVRSRSGSSGPMKNRTRDWYDGSKRPEEHVPDEDDVFGNEDMK
QGNWI

>RCO7_07816 | uncharacterized protein
MASGYGLTGVATDLLSSLVVVLVQIQIPDQTSLKLLPRLCFPFWQEVLACYVVNTTAEDDSGKKICRPVLEDYYECLHHKKEATRVRALQQAYRKAA
AANPRDDAPKAGAIRNLGLIDKEEDTKAVLGK

>RCO7_07815 | related to protein transport protein Sec39
MAEPDLSSAKAILLAVQLASKGQLTPLRSLISNHKRTLHKELVLRVLLSYLPETLDSSEYVPFLKYVDAGTWVEESNEPVDISSLEGLSDGDAKKKV
RKLGLLPLLWPNAPEDAPTNPVVLFLIHRSLRIDLSTGLITQLPELLVPFLHLSDYLRTWMISTILPLLRLNEYHPDEGTVLTIPKFENLDDHAGVV
LLLSKTGKNQPENTASDTTVGRDLRGLIGPWMYGDTRTKRRKIRKHSAFNLQNVEPLEEPSATNDKYHGWEEVFKWIADQAGTSWKTAVECIEQWNG
PGDVDLGGYEDGTMWLHEDEQLHLKARYARSVLAAAYLVSEETEAALNGAQRILARIIKVMDQDRIPTLQAACALLTPVSDIEGSNLFSTKNAPYLR
NHLLDDQNPFTAPKPESIHLLHALVISAFLCTRAKYPVSIRRAGELAIVQDEHEQRLAFNNLMHHAANAPKEDDKYWIRIRNEIIWLRGWGIEELSE
GSDALKGRGIFGQLTKEFIEVEILKSLLSNTHYNLAQSIYEVAMDTVLSRDVLHDAILAAALNAYDNATNANRTRGGLKKCDEILHTFSETLQGSQE
FEELQHLVQVTHEVGKYRLVFRQGEPFRPVNLRVHNDPISIIGKILDQNPRSYTKLGDFINMGHNMVLAGLTKEKAKSANAVPQAAQKAVAEKRIIS
MCIDAALAEEDFETAYSYVTTRLRDISGPAHARAPDLERNNKGLFAALPPKVLDDWSWRAALQAGRYERTSNTLKPTHLGNTSGNLDIRHLEQRMDC
LSQALRLAPKATLQEILNVYRRCEEKLEQLVKEEAKIEAAWDEEGDDKLMPGGFAATPLKNNSTTSTSRTVEEAPLSLFDLSRASMARAQSGFSALS

IVRGGNSTRQEKSIPDSLRGSAELSRVSTPDSAGLNAPMRKRDQLKNVAVGGLASGVGWLLGAPPVARTEDQNRD
>RCO7_07814 | uncharacterized protein
MAGKLERFAKEEFETILKERNVVENLNRLEDLIGEARRRKARSTGDADGYGEGNVVPPHTLPPSSLLRSHTTPLHQSQQSHLNAKLQTTESQNATLI
EEIRRQRAEIEELLKLGEMLVRDLEGAGNRLGEKGEDLAKRGREAEGILAEEES
>RCO7_07813 | uncharacterized protein
MNVVVKGASSHGAADFENDDGTTATNQISTVPTNRHSMDGFFGQEEVRHSDDPPAYDTLPDLSTIRRKFNIQPREDEGREVLPPYSSAISIQSVFLM
KMELEGAVHQATDRNWYRVVVTLQGTALNLHKFKGSALFGAKDDGGKPNDSLASKRGPFLRSYNLQHADVGIAADYLKKRFVIRVRAEADQFLLSCN
KIETFVLWLQTLFAAIDLAPPLDDREIPRDLSIPRRIRRRNRAGFGTVQLNANLVREQEEIISSQFPQLSRPDSAEDAGHGALSTVPLDNETIAEET
ESSSTPPSMMTPSPSQSMASLAIPTPISRAASTSRPTILSRARHAIQTTAHLNLTPTVPNPSITPDGKWRPQHQWTHFYDMLYAKRCMAILTQRSPR
KSNLVIMMGKQWVVDWATGKLERCQPPDYGELEYKDTIGELRSGQSGNLTRI
>RCO7_07812 | uncharacterized protein
MFDEEFVTFSFGNALLNLVGAPIVVDTSDFPGIQIAARSLSQDFSLVTKRSSPPVHFWTGQQDASSLGSSQGAIILGSVAASPLIQRLEDDGKLCLS
GIRGKWESYMTAVVENPFEGCGKALVIAGSDKRGAIFGAYTLSEQIGVSPWYWWADVAPKFHPQIYALSVSTHQGDPSVRYRGIFINDEAPALTGWV
RENFGKYGVEFYKKVFELLLRLKANFLWPAMWPGYPNPGASFFTDDPLNQATAEEYGICISTSHHEPMQRMSNEWFTENPDGSWNWLTNKQKITEFF
EEGIRRSKGCESYVTLGMRGEYDKKMVTDDPAGVVRDVVRTQRRIIGDVLGKEDGVTQLLALYKEVQDQYDTGRLEVPDDVTLLFADDNFGNIRRLP
HGKEMERKGGAGVYYHFEYVGYPRSYKWTNSNSLGKTWHQLQEAHRRNAKQIWIFNVGDIKALEVPLRFAMALAWDINSIQAGNFSKFFVTMAERDF
GPELAAEIGTASLEYDGLVSMRKHEHIEPDTFSLLHYNEAEHILNRWKALLNRATSIYDRASEDTQPSIFQLVLYPIKASYIFVALQVTLGRNQLYA
RQRRNYANTLAKEVLDLFDEDYSLSEEYHALLNGKWNHIMMQTKYGFGDTWHAPSRDMISGLCYVQKRQNSNPIAGQMGVAVEGHEGVRPGRCNEES
DRTHPSRRDLVPGLTLGAMTRYGPEDRWFDVYSRGNTDVNWTASVPYNWIKLSKASGTLVPGDEDARVRIMIDWTQISEDFDEEILVDICSAEGAEG
DFEQVHLPVLGRTCPHGFTGFVEADGYISIPASAFVVKTPYRALAEVGLTSAGSVGLDPALDKENAYLTHEIYAFTSSIDAQLLLYFNMTLDLDPSH
LMEYEVIIDGHSQTLLLLEESKNAGDLPAGWAEAVQDCVWVKKHKLGNAFRPGRHTIQLKPNHSNLLLEKLIVDLGGLNKSYLGPPPSYISQGESSI
SS
>RCO7_07811 | uncharacterized protein
MKFTSITNFLLRRQTVVFPPAIVVAPPTGNFSRFWVYNLGPLDDSGVDVHMGVMPPGGWFGVAPIPPPRIPLRDRLAWPAVLFAGAGVDWEFGGVDD
R
>RCO7_07810 | uncharacterized protein
MNSFGKGEEFIDATTLLRWKMDDSRRKRVESKAGASTPSPLYIKRDVRSPFLANVNEDRMRDDFREVETSILKDQLATLRNRVKALENQGAEDRASM
QVMHQNMLKLSELISNQSGKPIGASQQHPQRQVQNNRRQFAIDLTKPDESKKEESVPEQTRVLEVALLPASISTPVNQLSPVVPGVPTPASPASPPI
VEQLPINLAPKTLETAAPATISSHDPKTMKICAPIGVPPPTLLPSQHSIHHRSARSSKLGSNRVDKSANQRRSIARKMMQDKMASMKEQRADLWLES
ELRILIEVIDEHKKRSQTYPTYTEVVQAYNSKLRGVIQQAGEETTRGTILEKNRLAPLRTRGGISNMMMKYGLLSCQQTEKDKVAADPDDPEAEDDR
GSSQNGSMADIDTQMEG
>RCO7_07809 | related to DNA primase large chain
MIRQDFNRIDSKRRTGLDHRKKQFAAPAYQHVEYQHRLNFYVTPPTADITLEQFEQWAIDRLRVLAELEACSFRNKSATETAAHMKPLLDKYLPLSS
STSGSTTLQAERQKDHYSHFILRLAFASTEDLRRRFSRVESMLFRIRFQADNLKERQTFVEGLNLDWETVSDDERREYSDELRAAGGGYPLRIEEES
YFKVDWERVPELVEHRKVFLKAGKAYVPGREQLSMVVAEFTARLDKALEMTSRALPRLDEDDRLTPILAHLSNNFTTPDANYSSSATALTGADISAR
NIDTLSSSFPLCMQNLHRSLRRDAHLKHFGRLQYTLFLKGIGLSLEECLIFWRSSFKKITDDVFNKEYKYNIRHVYGDVGGDSNRRGNGYSPFSCQK
ILTQHTPGPGDSHGCPYRHFEVKNLLPLLEAVGIQDQEVLRGVKEDVGKDKFHLACNRVFDYVHKQEIKKVKDEGTWTSNQLETLIHPNEYFKRSYL
LKNMGKNPTEQEKGDVQMEG
>RCO7_07808 | uncharacterized protein
MTSILPPDPYKLLGVTKDAKLPEIRSAHRKLVLKCHPDKVQDAALKAIKQDEFQKVQQAYELLSDDSRRLQYDEQVKLFELRKEMGRGNPTPRSNPF
EFEVKKAESRANSTPRSNPFEFEVKNAEPRPNSYGRQKVYTYPTGVPRSNEDVYEERHMPRKSASGDSERRRAAAMRDEEMRIREAAARKLDEERQR
QKEREKDSSKRAHREKKKSSDKDRRRGTDEKTRSRHATYVEDDSSDDDAHRVAASRADATRAAERKLRHRMEEEIRIREEAVRATEAARHAQSPREA
PMTEKWKDHKDFAGAYMQAARRKVAADTDLPHPGMRRAETFSPASSASYRQYTAAPAQAQYSDDDMPKRSSAGRTKESNRRSSETPAVRTEKSSRRR
SPPAPTADPYIVEPPSPAAALRGKPTLTSYASAPPVFARDQPSRSKTQEYPRSKEAAMPSLPRASTFQSGDRPRANGSSKPRQDFSSESEPDSPVYA
AQRSHSPPQARREPTRYVVENGRTVPIVAPTRSHRSEMREEYPQVASETPRGTPARPPIARKSTSSERPRTNRSQSTKYYQAEPEPEPIVLTARPKL
YREGSGQRGSSRVAPGGAYFDKVSYVPNYGHENVIYSAHAAGVQDYGRRGTEGRDREYSSYHRGPVYAS
>RCO7_07807 | related to phosphoesterases
MTNQGSYLELKRTIDWLEEADFEKKIVIAGNHDITLDTEFYAQHGHNFHNQTSQDPVQCQELLERSSTITWLRHESAAFGYCGDEAEGLWSQIPLDA
DIVLTHTPPRSHLDERKGQTPVGCVSLRKALWRVRPRLAICGHVHDGRGAERIRWDLDVSDMKYKKETVEKWTDPGAGNKKMSLVDLTLNGRNPIAN
NARIADSLAVPPEEMAPSLHFGGYALEEIHESGSSAKNTTLPAALPPANHGRGGLATSETCDVEGLSRRLGRRETCIINAAIAASNYPHTEGRKFHK
PIVVDIDLPIWSIEDRETSRHRLHQSSKTSFTDLQLE
>RCO7_07806 | uncharacterized protein
MAAVSAPQASSSLTPPSSSHGGQNLWNYAVPSQSEISQKSAEHSKPPQSHTNGHALGHQTSRTDLTQRRPDYTSTRSTDSGYLAPARISALNRKDSS
TSETGSAPDSLLDLYGEKRSGINNNDYGDRKQAIAVEEDDSERSRWIHRDKLARIESQELQAAGIIFPQARTLSKSGRREHSRDQQGNVARSEQEQS
RQRVETVPTEEEESSESNVWDLRLPEEAASEEHMEGYQDISGGVKGVSRIPVLKTSPLPIPMLHLERDTPIRRSGLVEEDSIAYPKSRGRSQSFKAL
EEITDTPTPARRLVSESSPTKKTPLRKGSVSANRAASAGQRPKTRSGSNQLNAGQRPTTRSGELGPSNSTNKRPEGDPPWLATMFKPDPRLPPDQQL
LPTVAKRLQQEQWEKEGKFGTTYDTDFRPLNDEVLRAPSPAAAPPVIEAEKKPEQPLDPEWPLRDPKSPALSTGRPGTAGNGSYSTMPKIHTGVPMG
VGPLPSPKLPVRTQEPPEDSKKGGCVCCAVM
>RCO7_07805 | related to CCR4 protein
MADAYRFPQQSAGSFYYPQHAQPHHPRQQIIRNSTPPNNNRSVFNADTPSPSRSPDSHSSAPNLYGMFNQGHQQGQHGRVNGGPGRGMPPMMYNNFQ
HQNNQQQHHPQHHANLQQDHAAHTTNGAIASHHQTYSSGVMSSATPSFTPHALQNGHSATTRGGQAVQITEHWAKQLELHKQSEKAHGHMIEGGAPN
HYARIKAVENKGLAPPPAPDPDAQESTENSLGRMSNQVTKQRQEWFNMDLSGQGLKVLAEPIFRYEFLRELYVASNKLSKLPASIRHLRSLQHLDAS
NNLLTELPPELGMCVFLKKLLVFDNSIQNLPNELGSLFNLEVLGIEGNPLAAELKQEIMERGTPSLILHLQNQTPIPLPPNPREIVELQEGEGNPNQ
EKFKVYSFNILSNQACTRKMYGYSAIQALDWDYRKDQILADIRNSDADFVCLQEVDQETFGEFFSMKLAYDGYKGVFFARGRAHTMRTEKDRSAVDG

CATFFKSNKYILLDKQLIDFRAIALSRPEMKNQKNQEDIFNRVMPRDHIGVATFFENRQTGSRLVLVNTHLFWDPAYADVKLIQTAILLGEVSRLAE
KYADWPACKDKKTYSLADEDAHQDASPEPTPQASKEYATKTAIPLVICADQNSTPDSSVFELLAKGAVRPDHPELLGRAYGNFTKEGGGIEHPFSLR
SAYTNLDKSPLAVPFTNYVPTFKGIIDHIWYSTNVLENISLLGQVDPEYMKTVPGFPNYHYPSDHLSLMAEFAVKGSKPKQKLIEPDFGTSSRTSDR
RRN

>RCO7_07804 | related to NADH-ubiquinone oxidoreductase complex 1/LYR family protein
MPVPNSALRKEVITIYKELLNLGRGYPLGFDYFRPKLHKAFISNASLTDEEGIRQGIKRAEFLKKEIEAFALDVKLTAGDHHEQSPESSTTTTSHL
LCNSAIEQIQDCTANTVLLKLATISIVDIHYSSSSHFEYPSPDSAYLLIEPCPRPRYGISLASTGLT

>RCO7_07803 | uncharacterized protein
MKVRLQPRPHALQCLLPALKQHVRPLSLSIPRSSNSSSTPPTSAPSTNNARWLSNIKARIGKCIMFGMSEKQTQEAATVVKAIGEEWRALVSGREGF
LVGRKRAGLLRHSVVWGEMDRMEHVNNVMYIRYAESARVNWAYNYAVHIDPEHGKEWMETVTPNGFGMILKSMKTDYKFPMTWPDHISVFHKLSHLP
TASDSSFVLDVMILSELHQRPAARCVEDIAVYDYLKKQKATIRPFMLKAFEQTWAEQEAEKVRVEKMIKEIENTVKTIEKATWDREGAVEEFGGRS

>RCO7_07802 | related to NNF2 Protein with role in chromosome segregation
MPRGPATSKRQPGAANQRDTRHENGLVGPGKKVQKQKSNGQLNGHAKPTESNSSTPPLPGTPPPSSNGHARRPMPGGENMAENKMVAGLSRKASVDG
SSDSASDVYQNASGAPPAVEHRQINVNAAKNPLVHHDALSFALTVLWACPLWDTLAILIVLLQIPPTFLSIVHLLFATLTFVPPSTAANSSGLSFTD
ILQGTLGTPSVGTIFLIDVLVLMVWLFLWSPLQDIALDLAQTVIALTLGGGTSGKGAGMKNVVWCFSVIGLSHYFHGNTIQSFGLRAIMASNGFIAS
PDPDDPLEPHSGNSSKRHGLIRSILAIHILTQGVVRYIRDWYVRREKRDSSASIADPEAGKALDAGSDSTTTPQTQENDSPASLTVGIPIATIKKKK
KQSAQVRSRQPLWAALASTKIVMIKEYETSHTASESAGTNATGANDLGNAPFQSEADRIWVTSIGSDEVAFSTSYFPVHKRQEGSEENTGLDPTGID
MTKPFYVKVNNTTWQPTRINSTAESEQTQGDQVRWSGVIVGLAPTSSYQCDFYSTSDDSLIFSGRVRTLQSSTADLSIGLSPGPHTAGRPGSPTSTL
RTSIGTQELKLQEEKRTLKSNRKDQKSKLALVRKEIDRFAAAVQSTGPNDEKQKQKIHQSNLNRTQAEERTQELESEIASFQAVPTDDTARYSSAKS
EIQSQRDKHKLARSEFNTAKAAAEREIEERKNELHALKHKSDTKKAKLSLLNEKHEELTDANAKGLDEAERKEREREAKRKNREDIHEFYINRDQHL
NLQIQEGTSALNAVAHAIETLRGLHRQDMYQADQSPDASNQNLSTGFPPDAIPENGGMNASAYPWNPPSSSAFSSGTTSSDLTVTAGPNYSPHGVRT
RGRTSSMLSNVSGFTQSSSEGPSGASAFYPGTGRHTMWSDAREERKESSASGSASGSGSLSDPKSPTARNLGAASRW

>RCO7_07801 | succinate-semialdehyde dehydrogenase
MSHDVPKLSDPSLLKTGVAYVNGEWIKAKSGKTFDVFDPSSGKLIGNAPEFDAADTQKAIDAAAAAFPAFRIKTGRERSKLLRKWYDLMVENSEDIA
KLITWENGKPFADAKGEAAYAASFFEWFSEEAPRAYGDTIPASVAGNRVVTIKEPVGVCGLITPWNFPAAMITRKIGPALAAGCTVVAKSPGETPFT
ALALAELAHRAGIPKGVVNVISALDNTAQVGELLTTSSTIKKVSFTGSTSVGKLLMKQSSSTLKKLSFELGGNAPFIVFDDADLDVAVAGAIASKFR
SSGQTCVCANRIFVQSAIYDSFAEKFAAKVKEFKVGGGYTEGVTHGPLIHDRAISKVDAHVRDAEKKGGKVIQGGQKMPELGPNFFQPTIITGMTVD
MALASEETFGPVAGLFKFETEEEVVKIANSAEVGLAGYFFSRDVQRVTRVAEALEVGMVGVNTGLISDPAAPFGGVKESGFGREGSKYGIGEYQVTK
MITYGGMGGALQK

>RCO7_07800 | uncharacterized protein
MASGHNEPKLLYAINGINAYHIENGKEECLTPTGGQTLSLLMVPTSSPFSGLSSADPQSAAPEEDFYLHLHLPPELDLPLPATTQIYHQPPSSYLIP
RWDLGPDSGAFTRIEFPGVGKGKGNQEDVDTFETILAQCTAFLERASPPRSARPNASRSTSEKEPPIPAYNPSAFKPGEAYVSGSSSSKTGGQIVLI
DEENGSVVGELGEGFQVVEDSKMKPGSKDPVIISLPQDGSQNIGVAPASQEYLEMAMHPAYKNSTLVSKAAMASRLIVTTSTYVSKTLQSQADSFTQ
KTKPNAKPMTFDATTQTRVRKVHTFTEGAAGLSAKTVGQVSKYAQNIGASLGRRQGKDTHRGIGPNGQPVSDYKPGLLNKSLMAFSTIADGIDQAGR
TLLASTSTAATTVVTHKYGAEAGEISKSIGGGVKNVGLVYIDATGVSRRAIVKSVAKGMVVGKMKGGGDLVVGGGDGGVIPAPANAAAQGRFTDDPS
MSGGRSTPDLVGYGMAAPPAYATGPGETLEGQKAYLPDQKR

>RCO7_07799 | related to Zn-finger protein
MASSSRFESEEASFTTMDEKDPTLIGSHCQYTYCNQLDFLPFRCESCRGTFCLDHRSESSHVCPKAGEWAARRRRANLSTPSLGAGKSMIKDIEKPC
ASPTCKITIGTSLSTSVHCGTCNRDYCLKHRLKEDHDCKNLVPIGARVGHFDAQADTAKNALGRLRAWGLAQKAKASTNATRVLPKPKPTSAAARMV
AVNNLKKTAKGDEKLAAEKRVYLSVEAEAATTSSKFPSGAFFYSKDWVMGRVLDAAAKSLQVENVNNQGMEEKDKLRIFHVEGGRLLEFNEKVGEAL
VSGNKIVLLRGVGPAVPDLIQM

>RCO7_07798 | arginase
MTTTSMIQPKFLTNGDELGVVAVGFSGGQCKPGVDAAPSALIESGLLTQLKDELGYKLFHDNTVHSYKDLLPASDPDYRGMKNPLAVSAVTRKLAEQ
VYTHAKEGRMVLTLGGDHSIAIGTIAGTARAIRERLDREMAVIWVDAHTDINTPETSDSGNVHGMPVAFLTGLAKDEREDVFGWLKKENLISLKKLV
YIGLRDVDRGEKLILRENGVKAFSMHDIDRHGIGRVMEMALGHIGTDTPIHLSFDVDALDPMWAPSTGTPVRGGLTLREGDFIAECVHETGNLIAMD
LVEVNPTLEPGVDDIGAHMTVRSGCSLVRCALGESLL

>RCO7_07797 | uncharacterized protein
MLSKILILAFMAAVIVSALPGNETMAIEQGTVPYCSDLLFVDDGSFHEVNCTIKAENANFQFSFPEFDNTDDDVASSDISGNIDDIDTNNSNIDNGT
LIDNTTSTASLIRRSKKKNKNPPAPMPVVPVDERVLWQEAGDTNTTFKQCINNGPVPSIADIKTLCSRVDTNYVIRRAGQTLPPPKGKNKNPNNEAL
AGPCVCKVWSYKSAVFSVCNCDTCEALIISSGLRDKCREISQYCTTQGFSSGFIKMPETGAMYEQHMAEKGDKPDAKLRLGELSQGMERTCRSGDAQ
KLGQDTTGTFIQCGKYKNLHHARKCWRVTDPENFWYIKDK

>RCO7_07796 | related to triacylglycerol lipase I precursor
MNFFSKSLLGSIFAAALCTLSNAQALPIVDLGYAVHQATLNASNSGYFNFTNIRYGKNPVGSLRFYPPIAPTGRNTTVNNGGQTSIMCPQAGPAWIS
ESREFIADLLTGQNISEYTHPSMMPEMSTKNLTALLKPSPGISEDCLFLDVIVPQKVFNITKTNGTSGYHEAQCEPGQPCKVPSGAPVLVWIHGGGY
TTGSKSSSGNPSSLIATSLENDDEGIVYVAINYRLGMFGWLSGSENITSNAGLLDQRLALNWVQQNIYLFGGDPSRVTVIGESAGGGSIMHHITSYG
GLGSLPFQKAIPQSPAFQIIVPSQSEQIFANALKNASAVTNVTINTADELRALPFEALYAINTIMTGLSMYGSFTFGPAVDLTPNSYVPDLPIRLLA
NGSFHNVSVMAGHNTNEGLLFTPPFVQTQDDFNFAVRSLFPTANETIVDKLTTKLYPPNFDGSLGYKTPVERTALMLSNSVVTCNVKALATSLAGYA
YVFGVPPGLHGQDIAYTFFNGDTSTLNQGAVVNATVATTLQRYITSFAMTGSPTAEGVLDMVPYGDAYTISAISSKGLFQPALGMRLPDSGAVEACD
FWEEAPYYTIS

>RCO7_07795 | uncharacterized protein
MQLQVAVLLILGAKESFARMHSIAVCVANRHYIYWGSLPNSPSYSYYTQYEILKKETICACNYYLHREKGGTQPWDHCHDCHIENDMLCVSHSWSIG
GDEFNYYCEHLCGAEGSEAN

>RCO7_07794 | uncharacterized protein
MTSLTLLTFILAAVSTLVSAAPLTQADLNSTIWTPEHVLQMHEVILYGDDGRMEVVHESVYHRLLESQGVTMGRPETTITDPNSDIALPQAVKANDT

SLTKRYNSCADNVISVQDGSQTFVDWDVQMSPVVIGSGAGGIDVCVSGGYSVSNSFSVGGGAGFLALKQTVEASVHIDYSKTWTTQTVVNVKATVPV
GWSGCMITKPTVTRRHGREFWGCLGSMTPHGTWQADSHEEGSYAGVKWVGGAITMCAKKQYPLTRCEGAGHFI
>RCO7_07793 | uncharacterized protein
MNTCTIYYGSSTAKCFATSTRSHFTLLSSSSKVRVGWKLSGACQTKGISSTSQPTPESTSLENEHGFPRGPASGTDVAANVDSTAHETTAKETCTIS
KSQSSSEGNFQSTFIHNASTIDSPSSASTDVPKQPFKRRPLPLSPLMNPAILQAKQKRNAAKLSPTRTPTPFQQQLARNPFARALGTPVRRCAVSGT
KLPNFFLQGFRVMSDPETGEPWYVPTKLANKHLSVNRRESLDEAEELDEEGEWNGSKGLEEIENSTEVEVVEAIEQSKKLRVVKGVKDSEDSAEATD
LNGSNQLAEAEEMDRSEASKELIRLKLEFRPSTIGYQAYTLNRNDLLKSLLKTGKKSSRNKPASTHNMLMPMSWRGVKSAQKSYEQSGWRQDMQDFV
PMIMGRRISEALTHIGSLKRGYLVGCTGWEDALTKKQIAAFLWTGGKGDREVKVEGSPEFATLDVGSEDFDANKKFLGRRKQKIPVYNLQMLLGEEK
MDELRRIVPNSVFEKELVVLRHKNATVKLQLQLWKIQGYLAEHPESQFACPERTSKNTHEDEPTEPSLAGLEEIR
>RCO7_07792 | related to endopeptidase Clp
MFATKILRAPARNVFRQSLRSFSSVHSRAEPPKSWTPMPLITETIGGGYRQSDIFSKLLQERIICLNGEVNDVLSAAVVAQLLYLESDAPEKAITLY
INSPGGSVTAGLAIYDTMTYIRSPVSTVCVGQAASMGSLLLCGGEKGKRFCLPHSSIMVHQPSGGYFGQASDIAIHAQEILRVRRKLNEIYIKHLTK
AHTLEDVERLMERDRFLSAEEALEMGIVDEILQKRTEVEDQKKEGENNT
>RCO7_07791 | probable YJU3 Serine protease, localizes to lipid particles
MPTEVEGTHLVGDVSLYTKTWKPDVAPLAKLVFIHGFNDHCNRYYELFPTLASRGIEVSSFDQRGWGQSVKRPADQGLTGPTNQVIADIASFIKSQL
PCSVPLFVMGHSMGGGEALMLASDPQYADLVRDIRGWLLESPFIGFPRGFAPMWPVVFAGRLAGRLLPHKQRFSALPAVNLTRDQDVVKSLEEDKLL
HGNGTLEGLAGMLDRTTSLNQAKAQLNPNVKSLWLAHGTEDKGTSYDESKKWFERQTGLEDKEFKTYDGWSHQLHADLPENRTVFASDVADWILARV
GGDVRNSKL
>RCO7_07790 | uncharacterized protein
MPVLQYLCPSTSRILSRTGGLPVSLYSCSSRSYSKRVVKENDIVLLKHRVNPSPPIITGKLRAGGKTVISAHNKGRDHVANDDIIGRELRDIVTSKR
GTSFRILEPTLAEYTDNSPRIVTPIYSQDASLIVSLLDLHPTPPRPNDPEDTRLEIFEAGTGQGALTLHLSRAIHAANPPVPMITAYSPAENNNGQV
EEDLKNERDWRAARRAVIHTLDIHPAHSAHAETVVKNFRNGLYFPNIDFHTGTIQDYLSERLETSVEPFLDHAILDLPSTQSHFEIVCKTMKPYGML
LAFCPSITQINACVLLCKKKNLPLFLEKVIEIGGTIGVGGREWDVRLVTPRASKKVIKETEDVNVPGDEVVKDRSDSDAMSIGGNESSEQIGDTSSV
DSLMVCRPKVGTKVSGGGFVKDSALYLCCMIPNIVHIVFKITYALQDSETSASMVAPLQRRPAKKTSMKLNWFTGII
>RCO7_07789 | probable DCR2 Dosage-dependent positive regulator of the G1/S phase transition by controlling the timing of START
MTRRIVRTISQLGALAALTLIVVFLLDSKFRVLPSAIHNALPAHHPGLVITDITVTSCSRINVFTSCKLDAAAWHRVEKDLYLGKGWVSSAFVHIKR
KKEEELLPEDKVIVDVKVGRLDPSTGVKGEGDERWESRPAGLWLKRSAKRHASDSHDAITSVDVLFGADAVDPRAGWQMVGTPLLLDTSGEGHEARL
SVRKGKENAHSRPVPRIGENGKFKIMQVADLHLSTGTGACRDEMPVGHNGGKCEADPRTLEFVGRLLDEEKPDMVVLSGDQINGDTAPDAQSAIYKY
AELFIKRKIPYATIFGNHDDEKSLSRAAQMSLIESLPYSLSAAGPENIDGVGNYYVEVLARGSSKHSALTIYLLDTHAYSPDEHNFKGYDWLKKNQI
DWFKATAQGLKKEHAGYTHIHMDLAFIHIPLPEYRDDKLPRIGAWREGVTAPGFNSGFRDALVEEGVVMVSCGHDHANEFCALTSNEAKSPAMWMCY
AGGAGFGGYGGYGGYHRRIRLFDLDLNEGRIRTWKRVEYGEMGKRIDDQIIVEGGRARALDA
>RCO7_07788 | probable ubiquitin carboxyl-terminal hydrolase isozyme L3
MTEAPIHDDPDVPKGRKAFVPLENNPEVMSALVHKLGLSPTLSFHDVFSIEDPELLSFIPRPANALLLVFPVSKSYENFRVEEDSNKEVYVGKGSEE
PVIWYKQTIRNACGLIGILHAVSNGSSKEFIQPGSDLEKLVQDATPLGPIERADLLYNSQALENAHQSAASQGQSSTPDAEDNIDLHYVCFVKDEKN
NLWEMDGRRKGPLNRGPIGEEDDVLSEKALDMGPRLFMKREAETAGGELRFSLITLAPSLD
>RCO7_07787 | probable pyridoxamine 5'-phosphate oxidase 1
MALHPPQNTSKLIFAPANDKTNSQADQYTKGALERDQLDLTSPFTQFHTWFTHAQANSVHQPETVCLSTASLPSGRVSSRMVYLKELDTSGFVIYSN
FGTSKKAKDLENNKWASLTFWWRELERQVRVEGRVERMTKEESQVYFDTRIRGSRIGAWASRQSQVLEGREQLEGWVKEVEKKFEGEEKVPVPEFWG
GLRIKPEMVEFWQGRESRLHDRFQYTKLEEGGWKIERLSP
>RCO7_07786 | related to transcription activator amyR
MTSSVKRACDACHRRKVKCDGINPCRNCSSAQLSCTYHAIPQKKGPKGSRAKVISELRENQRQSTLSSKVANRMNGISSPPCSPTRTPTPGLLSNDM
IKECIEFFFANMYSTLPILHRGRLEQQAMYADQNVDTYCLLTALCAFMMIQPGMGIPGDPLGLDSLPGANLVSGNLLMEETLRVRKSYDHLETPTLN
SLVTSFFLFGCNFGLDLHNKAWFHLREATTLAHILDMQKEDTYAQFDIVESSRRRRLYWLLFVTERAYALQRHRPLSLQATITLPTQSDDPTDAQAH
HLNGFIHLVNLFRPFDDSFIALWNKTRTDCSPAYLSALQKQLNDALPTYLDSTENQTADLRTSQQWLRTMVWQLSIQNGCLSSGNGDPSMTFQYPVD
IARDLIGMTSQFSQSSMEVHGIGLIEKLFDVACSLTDVLSLLPPNPDPFQLGPRDYLHDFMTLLSVLRNGDHRFLPLLLAKVNDVLPKLVSPMLQTV
PDTPAGMCADVDIFDGFGSAGVGVASNFPGYNGNGTSGGGFKIEPDTDFNGNAISGMPTYDRRLEELSSPVNENGENTPFASPAVLQSPIEYAGMGD
YRGFPGMNAPRIVSNMGVHNHTRNFGEGVGGVGRPLDFKREFESTMGLLSQHRQMGNGMDVGRRPPLRQDSGNSYGMPIPPRSVPDQYRHLQRGNSG
GSVEMGSGGGDMSFR
>RCO7_07785 | uncharacterized protein
MALVAQRPFQPEVNTAPPSPTSSVSTTVHAPRPVEFDSSGLRVSTPIAKERDSEPKPTPEPTTVPDAAVATTPIPITNPTQTSPTAELPPAPKLVVN
TSTITPTPPRSILKAGDIHQAKHPSADPPTTTPSSLNHTSKAKPDLNPKSSGKRSRGKSIKEGAFYAFVLLPLSCWYTRGGKNLGTAAPTSAEGKLA
GRKSEMLDLGDDSGEENDDDEDERRVRVSSTQEVRRSMHSRKNSVGQAGTDGVTSNANVAGRRQSFSASVPAGVVVGSSMGHGKSNSFSSMRGGGAG
SGFGAQRKEFADYGVDKGAAAVNCGDMDLGGEMDGSRLSRKQTRTGSPAPLRRRLTDV
>RCO7_07784 | uncharacterized protein
MATHAKIPLPHIERTATQPRNGSLHSVILSRITQVNSSIRLLRLTPVHKAPINFLSGQWVDLHIPNLPSPGGFTLTSTPSVRSSYLELAIQAPPPNG
RALTAAHWLWRPTSQILNTALAVRVGGSFTWPPPLPTKDTKRVVFIAGGVGINPLMSMLSSIAEEKEKASSERLGFTVVFLYSVRAAIDSTGRSEEV
LFLSRIREIFDVLGEEGDFKLFVTGDEENIRGELSGDYGGLAAQRRRIENSDLEAALGEKSERGGTVVYVCGVPSMTDRFVKMAGKADGMDKARVLS
EKWW
>RCO7_07783 | uncharacterized protein
MRLSFLASAFLAGCAVQASSVVEDLRAFLAAHKDRNGVSDTDGDFLDWKSNAFSTNSTTAPVLPKGYIIQLKPGSDLVKRGQDEHSLFHKRASLDIQ
YSTRVEFKNPELFFGLSIQVKDDANETTIQQIPNVLRVWKIRVIPRPIVTGRSGNFGSSLRAVVPNITATAGSKADVNSVHRLTEVDRLHALGIKGK
GIKIAIMDSGVDHRHTALGPGFGPGHKISFGKDFVGDNYDSTGIPETDDDPLATCEGGGHGIIGMQDKEGSPFGLVGVAPEAELGMYRVFGCSGGAP
SDILMLGFEQAATDKVDVLSVSLGAYLSWADEDPFQFITAALEAKGIAVVSSSGNSASFPGDMISPAIGKGVIASPRDRTTNTNFPGIGKDSRGRSF

KYAGDPWPVQAPATGLTVYNIEKVAAGSSSPKGCSYDAMDMAAAAIQNKNNSILAMPRGGGCNWRTKMEVAKRYGFKYTLVYATEADDIFEQEYSVL
PPDYPYHAITINEVDGRTLLGGLSLSKPNEYKLFFPSGVFESHVQVTGGLVSNYSSWGPTSDTLQIKPQVVAPGNSILSTWPLEASGYAILSGTSMA
APYVAGALALLKSQFPNASVQQLREKLQSTANTLPYVFDNSLRTSVAQQGGGLINVYNAVNYQSSVTPSELNLGDLDQLRPREIIIENKSSQSKTYI
ISHEPTGEANLLPSLSGVEIPVIGVSGLPGLYASYATVKFSSTSITIRAGQTANITVTFQPPTDLDKEFLPVYSGFIKVTNNNDQFKVAYLGQPYSR
YKADYIDTSTNFGEKLPALIAYDEDYNPYNVPELETFDFGNKTAGKGYPYLQWVTLQSSIYFGAEIVPYNTSFVPDFYGFTFNESNPYGVPASALPL
QYPKFPFSNIGIETETYGLWTDSEQYFRPALFLYYLEGVAYKFEKQSLGQLPDGDYRALLRVQRWGGDQKKSKGYQSWLSPVIRVKRSS

>RCO7_07782 | uncharacterized protein

MSLASGGALQAAAPTALAIPPPQAKFQRFTTPNNTRSSRRLKKQTERGAELEASKAKKVTNNLITPSSSPPDIASNQIARGSSEDSVVSSKSDQAVR
KVSPSGKNMIMLRFQGENVARVFGSGSSATQSVSPTPSDKIDIVASLPVPKKGKATSGVQSPAAKKPTLNATDERASMLVETKPTNHWETETKDDGA
QPEPAAAPERRVSKRKKTSSALETPKNEQDNLAVLDDAQAESTVTPKRQVSKSKNASSTLDSSKNRTKRNNTSSTLKTAMNQTESLPTLMSSPSSGE
PTPSKTPAKHDLSEETSRPTAAPARRGHGKRTLTTALPGQDKESQFRPAKIQKLSPPDLKPVAVPEPIVTVVDSTPENTELTAWLFAYGKEGCERYM
RDKFPGCNFEGYGYGRLANYEFVLHHDAYAKAVPKAGSEIYGSLWKVCEAIRSTLETKALKHGMKYHSIHSIQPVRKDPNFEPGMWNAPLVNHAEPL
KCWMGVCETLDSDEEMKAGKLEIKVNFWKRRGLSRVIMEMELAGVPQEYFDRYTRGWVPPPRNPFDTGYFVDRKEKKPKKAKPVSPSSDSQVS

>RCO7_07781 | related to acyl-CoA sterol acyltransferase

MSTSADVIPNGNGHHDHILRPRAMKPGNPAVLRTQSAEGITIPRTKDGSQNESVSCQTSGRSTPVPADAPPSVQSISSARKQVRAQQRRRLFPTIEY
ASRVSHFDRNSDYRDFQGFYILFWIALTIMATTTMLRNIKDTGSPMRVQIWGLFTVKVWELALADGLMVLTTSISLPLHKLFRNKPGKTSGLRWARG
GIAIQSLYQVLWFSVWVAIPFLRQWTWTAQVFLILHTFVLLMKMHSYSFYNGHLSETERRLQALDEPSTASKAPAYQYPGSGHTPTSEERLQKDADE
KTELARLREDLAIELTSPMGSVTYPKNLTWGNYVDYICCPTLCYELEYPRTDGIVWSQLGYKVFAVFGVIFLLTITSEEFILPVLTESALRLETVSS
FSETALILAETISLLLFPFMITFLLVFLVIFEYVLGACAEITCFADRHFYSDWWNSTDWLEFSREWNIPVHHFFRRHVYSASRPHIGRPLATLITFL
ISAVGHEIVLACITKKIRGYGFIAQMSQLPIVMLQRTKWIKGKQVLNNVCFWCSMILGLSMICSLYVLI

>RCO7_07780 | probable gamma-adaptin precursor

MSSLKQFIRNVRASKTIADERAVVQKESAAIRASFREESGDSNVRRNNVAKLLYLFTLGERTHFGQIECLKLLASPRFADKRLGYLGTMLLLDENQE
VLTLVTNSLKNDLNHSNQYIVGLALCTLGNIASVEMSRDLFPEIETLLSTANPYIRRKAALCAMRVCKKVPDLQEHFLEKAATLLSDRNHGVLLCGL
TLVTSLCEADENEGGEEGIVEKFRPLVGALVRTLKALSSSGYAPEHDVTGITDPFLQVRILQLLRVLGRGDPQTSEQINDILAQVATNTDSSKNVGN
SILYEAVLTILDIEADSGLRVLGVNILGKFLSNRDNNIRYVALNTLIKVVAVEPNAVQRHRNTILECLRDPDISIRRRALDLSFTLINEGNVRLLIR
ELLAFLEVADNEFKPIMTSQIGIAADRFSPNKRWHVDTMLRVLSLAGNYVKEQILSSFIRLIATTPELQTYAVQKLYTGLKKDITQESLTLAGAWCI
GEFGDALLRGGQYEEEELVQEIKQNEVVDLFSTILNSSYATQIATEYIITSLMKLTTRFTDPAQIDRIRRILQGNSASLDVEIQQRAVEYGNLFGHD
AIRKGVLEKMPPPQIKEESRVLGEATKKSSKSTNRKSKVVKPAEQDLLFDLMGDGSMPATDSGANGSQNNTDLLADILGGSSPPANSAPHQSNMSSI
MDLFDGSGPSNPPAAVASTSSDLFSGMASPPPQAAPASVPTHPCYDKNDLNIRLQLQRNSEGTIQVMARFKNISMYQSVSNVALQAAVPKTQKLQLN
AMSNAELGPGSEATQTMRITGSKGPPLRLRLKIAYLHPSSGSITDQVDWSEPS

>RCO7_07779 | uncharacterized protein

MRCSTTATTAALILIVCAKPSASESEVSNGGFSSNTTIVDHRVMVSNSTSHPHANDTGMFCKRDDPVCTYITQTPAVIVPGNWTNNPELEISDLDYF
KFDEENIKASQANDFYAAWTQSFQNEPEWTELGEWRLFAKHFAQTYNFECDLTFGSCINYPSLGDLQRMWAGSEHRALVRRIFFTFHRFTIAHNYVN
AIEEANDRAHAYLIGIVPEIISTFTLQADAAKTLKCEHIHTVIDTAVNIGFQMLQVTLVGFITPELAQIGPLLGEDKEKLKALTEQYESATGEAKQN
LNKQIKNLEATGPRGKLRWLNTPVPENSRSTKMLGDAKGSEIQWWTIPLFSWGGWADNTLKGIKKNHQSKNQFIGPGISHGAVCSEFEGDFVDNSPA
NRDKLAARLSSIFESTRKQRQFMFKTIYTGYIAEPGQPSGTAMWLKSRDWTGPGSVLDDMRDISGLEEEVKAALVKSLITDVLTADFNYIKCGYKDD
AAAHCKKAETATKGKDLSVFCPHADTDPQFMCDSRRWYFSDARAHDIPMVAAKKFEYFANGKFNLTRQGFLEESFRNYELYTYSNPDDFGAWPYGNS
TGESIGFNLPVCVTDKPRFFEKKGFPSICGDWKASETVSFLEAMNAGNESSIFRYRHNKLPMRLHTDIIPAALDDFQPVTRFLGLCANSLRFPQHKE
NNGVAPNWLKIQLSRDIDCELVENGTKDMTSEEEANRWFCTNAGGHTIFQREKLRVETHFTKWVPNHSTKCKSWLKSNGVVASDKVRPGT

>RCO7_07778 | related to acetylcholinesterase precursor

MAPFSALKFAYAFTFVNLAWTTTATHSEGVSWSIGQTVHTSSGSVQGHASKNAPSVSEYLGIPYAKPPVGNLRWAAPQNPNSPSANIKGSAFGYSCP
SNGATSFAAKLPGLFKQNLTGSAIQLLDSLIGQTGDAFNEDCLTLNVWTKPQSGEKKKAVLLWIHGGSFNTGTSNIRAYNGYHLADTQDIIIVSINY
RLNIFGFPGAPGITNNFGLLDQRLAIEWTRDNIHSFGGDPKRITLAGESAGAGSVDFYSFAWAKDPIVNGLILQSGIANPASSNASVANWLVASTLL
GCNSTSAASSVLACMRSKDQDLLLKTITALPTFGPAVDNVIVFSDNIARALAGNFIRKPMLIGHNDNEIGLFRILFLALGQTLSDSSWTLQNLFPFN
CGAALRAKTSSAKVTTWRYRYFGDFPNLALSKSPPSGAWHGAEIPMVFGTDLEVQNVTGRTAAQEQIGAYMQGAWAAYVKDPEDGLKRYGWPKYDPK
SKTLIRLGFENRTSTNLASPADYDFSCPWIFTLGQALLNSASPQTAIDVLASLTRPVAQQVLALFEA

>RCO7_07777 | related to sucrose cleavage protein

MPSMPEGLPIDHFKPLNGTMVPYAEQVLICTGKDDWLSRIEDENSGDNLAADIKELMGRGGVYSDPYHNVSVINSSFPSSSVSSRPEVQNSSAYLLP
SFKYIPFLPRVSFDSVQALVKGHLLPTKLHPRHDDLSPIHKDRLLRSDDQGRLLHGVRDVKDVLVLICGHGGRDMRCGVLGPVLREEFEAQLEKLDL
KVLKGPVNIESEDKERLLLGKNDGGFKGSARVGLISHIGGHKFAGNVILYIPPGAKTADGKPNELAGCGVWYGRVEPKHVEGIVKETVLGGKVIEDL
FRGGIRQGGEILRLEIGHDLSSR

>RCO7_07776 | probable CDC21 - thymidylate synthase

MTAEPINTANNVPKHEEYQYLNLVRECLEKGEHRPDRTGTGTYSLFAPRPIKFSLVSPEGNPILPLLTTKRVFLRAVIGELLWFISGSTSSLPLQAA
GIKIWDGNGSREYLDSVGLSHRAVGDLGPVYGFQWRHFGAEYVDAETDYTGQGVDQLAEVIHKLKNNPYDRRIIFSAWNPKDMKLMALPPCHMFAQF
YVSYAKDTNSEKGKGKLDCQVYQRSSDLGLGEPFNIASYALLTHMLAHVCDLTPGTFTHVLGDAHVYADHVDALRTQLEREPRAFPELEITRERGGS
IDGWKLEDFIVKGYEPHKAIAMKMSV

>RCO7_07775 | related to theta class glutathione S-transferase

MASQMKPLRLYGGILGPNPGKVAVLLTELRVPFETVTIPISDVKNPEYTAVNPNGRLPTLIDPNNGRIKIWESGAIIEYIIEKYDMDHELSYPQGTE
KYYHCKQFLHYQMSGQGPYFGQAWVFTHYWPEKLPAVIGRYMKEIKRVHGVLEGILAGRDWLVGDKCTYADLAFMTWEEIAMTLAEQNPGFYDIEKD
FPNVHAWQKRITEKPLLKQLSQERIVLMDKVMAAGRE

>RCO7_07774 | uncharacterized protein

MNPPPPPPHGENPKNMPPPGNYDIFIIPEHSKGGGFIYLPSLKPTTNSFAAGFACALVLVAISSALAPIVQAWWHSVKGAGGAGMILLILAVGVGAW
ALGRVQTDGGPGPGGGGGNGPSPNSGSHHTHSSSHSNGYAGPPPGTGPMPGAGPMPGAGGGGMPGAGPMPGGPKPSSWQRPESGTNGASAAGDAGSN
TNTNGSAGASGAARSAWERAREETKKKQEENKAREAEKKRKDELEKRLRELREKEAREREAREAKKRDEEARLAKQKADEEAREAKKRADEAKKKAE

EAEENDKKRREQEILQKKRKELELLEKRLKDAREREARERATRESKKASDEPSKPKGSTYAFSAVGEKTNPWPQGRPITPDPPRSNPTSPPKRPPPP
PTAKTFKGTEADTLSYRPYDKPKKPMQHKKSLSSLYSESSYAASHSTSRTTPPPSQRGPYSTKDPDKIVIKAVYSFNNAFLRTPTSQLVSGVGPVTD
GLILRITTEGLFIDDDVRGVPQREWDVKAWTMKLVEVWCPSFGQDPAGVSASARAASNTSQKQSTFRRLWGLDKEKPASSEEKDALLVEMLQLCKTN
CRLRSSSPASSAYSASSYDSRSSVSDSAYGSSVGSSSPSRDNARTDNRGHQTGELKTARLHVLRANIRDQDGKKYVFVVPEEESWKVAFGLQRLRKG
SLVRAMGVSGMSAGDARSTLENLGWVQ

>RCO7_07773 | related to syntaxin

MAPPLEITIPSTILSSDQKSKPYTLYNISLRLPLRTFVVQKRYSDFCTLHSQLTSLVSSPPPAPLPAKSWFKSTASSPELTESRRVGLEAYLQAIAE
SPDKRWRETSVWRSFLNLPSTNGSGSSVRSELVQANQRMGIVGAGQVASDPGVWLDMHREMKGQLHDARLFLARRDGATTPQSQHEAGANAKRCLVK
AGGLLGNLEDGLRIMSESEKRGTEGKVGAGELRRRRDLLGSAKVEREGLEKLAVSLAVKGQHKGSGVGNAAATQQDKNALFGPNVNRPSGRVLGAPV
PETDKTRELDNEGVVQLQKQMMQDQDLDVEELGKIVRRQKEMGLAIHGELELQNEMLKRVDEDVDRVGRKIEVAKKRVGKIK

>RCO7_07772 | probable EB1-like protein

MGESRQELVAWLNNLLQLNVTKVEQCGTGAALCQIFDSIYLDVPMSRVKFNVNTEYAYLQNFKILQNCFTRHGIDRPVNVEQLIKCKMQDNLEFLQW
SKRYWDQFFPGGDYDAVARRRGSGAPPPSSAPAPRTSAGAAKRGTTPTTARPRVAGVGGGAGSAALQQENATLKETVQGLERERDFYFSKLRDIELL
VQQACEEDPEIEKQEDGLIKHIQTILYSTEDGFEIPAEVEGIDDQETF

>RCO7_07771 | probable glucan 1,3-beta-glucosidase

MALSSALFTALCFFLLFVNGAPAPSPVPDVAGVKAAAASGYWLESIARKGTVGYGTAGYQIFRNVKDFGAKGDGTTDDTVAINAAISAGSRCGQGCD
STTVTPALVYFPAGTYSISKPLVQYYYTQFVGDATNLPVIKATAGFQGMALMDADPYADGGINWYTNQNNFFRQIRNFVLDLTAMPFSAGAGIHWQV
AQATSLQNIVFKMRTDGGTANAQLGIFMDNGSGGAMTDLTFEGGKYGAFFGSQQFTTRNMTFRNCQTAIFMNWNWAWTLSGVSIDNCGIGIDMANGG
PSSQTVGSVLLVDSTISNTPIGISTVYSTNEASTNGSLIIDNVNFSPNVPVAVYNPATKATVVGGNTKVTSWAQGRSYKGANSGSAVQGTQNPITKA
ASLLNSAGNVFTRSKPQYEKEPVSAFKSVKAAGAKGDGVTDDTAAIQALFNSVSASDIVYFDHGAYVVTDTVKVPKNIRITGEIWPLIMAGGNGAFK
DQNNPKPVFQVGQVGDVGSVEMSDLIFETLGPQPGAIMMEWNVKEASQGSAGLWDVHFRIGGTAGTQLQSNTCSKNPTVTAPANPACIGAFMLLHVT
SKATAYLENTWFWVADHELDLGDHNQINIYNGRGVLISSEEGPVWLYGTSSEHSVLYNYQLVNASNVYMALIQTETPYFQSNPNAATPFKSQARYAD
PVFAGSSSVNKAWGLRIVDSDNVIIHGAGLYSFFDNYSQTCLDTASCQDNMVSVENSAGIHMYGLSTKAAINMVTLNGRSAALDKDNRNNFCAAISY
FEVAGGNNNTPRC

>RCO7_07770 | probable cinnamyl alcohol dehydrogenase

MVYPDTFQGFQIEDPKNWTDFKLNEMTPKPFGDFDVDIKIQACGVCASDLHTISGGWGDQHFPLCVGHEIVGTALRVGPKVTLIKPGQRVGVGAQSY
SCLDCRQCKNDNETYCRHQLDTYGAKWPETGIISQGGYSSHVRTHEHWVFPIPDGLPTNKAAPMLCAGLTAYSPLVRNGAGPGKKVGIVGMGGIGHF
GLLFSKALGAETYAISRTHSKEADAKKMGVDGFLATADKDWNKEHIMTFDLIVCTASSMEGMDLSEYLGLLDVHGRFISVGLPEDGGVGVKTKDIFG
NGALIGASHLGSRKEVLAMLQLAVDKNVESWVEEIKISKEGLKSALTRVHGNDVKYRFTMTGYDEAFGA

>RCO7_07769 | related to bromodomain and PHD finger-containing protein

MATLPSTPRRPASSRIRTTLPRSVGSVQSDKPTLAITASEPPRKRSEPARKRRKYIPGGPGGGGRYVDDQGNEVPVGGTGPGGYNYIGPRGRVGREN
AAMGLVPEVYSRRDRSTRTRTVLPRSEQPPMRFTSAAQAAAVVQSDGYKPREERAWEEFHPNLDIDAPLRAFGAHEIEGIPDSRPATPANGESSANA
LRNGVLDSKSKSDGILTPLGSINGEVLTISIPGTPGGGKRRPGRPPKDPVAFFTARAMKELGATNIIIAPATSLPKTPKAMPPVTNMNAKERLTLPQ
PSYRKTDTLARFEDKALGLVRYVDKSMANVGYQESDIFVRPERTLIKVSDGNLDEDMDLGPGYKSDAEGVVATGTGSVGRVEYDMDEQDDKWLEAYN
ADRKSSTWEPITREIFEITITKIEKEWHALERRIPKPNPKPPQTHRPRSSSAAAVNGEPQAGEEQDSKCAICDDGDCENTNAIVFCDGCDLAVHQEC
YGVPFIPEGQWLCRKCQLIGRGIPTCIFCPNTDGAFKQTNASKWAHLLCAMWIPEVSLGNHTFMEPVMEVEKVPKTRWKLTCYLCNQRMGACIQCGN
KSCYQAFHVTCARKARLFLKMKNNHGTLAVLDGTTVLKAFCDKHCPSDYAKDNDVARATRDARSFYKRTMRGRLWADSQASALAMAATHRHAVTEHQ
PDESQLTGAKVALTLADSKKKGNQPQKPVWKLPSGAPVIPKYSFDIVEKSLQRFNIPKRKEYTADACRYWTLKREARRGAALLKRLQLQMETFSSME
IPRRNFAGMGPAGRTRLNRRIEFAQTLIQDLEKLKSLSEDIVTREVEKYQAVTLEEDLVDSVYFPIARMLPQIIQKSLALDIRAIFTDGLLKIQKKV
ENRFFTTAMSFAHEFLDIFRNGIISDPQVKPETAVSKELEKGSTVKKTPLDIKERRRLGKRIIKAVQPQLEAAIKSEAEISGKSIERHLKDLVELLD
STYTAGQDSIAVSLGDTGSLGDFDADQDTKRIGADESTDGSAKGKQTSNIAENVEMSDVDASDDVVDNANTIILPNGDETNSTDTRFAEAEEIASKN
AAETNGIKDSSTTPDADGYVSTHDVVQPTPPTPPTSNGDTSNDQADILANGGIPYYLKDFQPEGTSLIQGADAMSTFSEELSEMDDEELRGLGADFK
SATTEVVSDVIVASPSKAKKGKAKKKGRRR

>RCO7_07768 | uncharacterized protein

MNISLSLALSMAGKPKPSSKSTSLPASTKGTLKCKSIASKDFSLYKGISDRPLGWKPKRPERKSARLSTWNIELAETVVKMSMRKWEGAARRSVDWD
GLRRDPELWYHDGNCHVHLYEQGQSRRGPAFKVSIDALLKANCRPLLDRFLAICPGGSPSSQWSSDGGYFSQTKDKLYELYIPAPPNVDRGEAFLYH
TATRNFFAWLFGKSLIGVHLGGALVGLLNSMNEFRSKEEDNVQGIMDFMDEEGYADMRKAPDHALAILYFAEHFHFKDLWIDAFAHCTGMNERLIVS
PGFEYITRSTRALVTRSRLEMDTRLDQCGEQLRSFLSDDLSESHLGLSSAARLHLDKFRSFLQSYYVAKLGYYPPACGKGGAAFPKSIYAQMCSDFH
KLYEYLVDKTRTAGDSLHLSQAGGVCVLQNLRAFDQRHKYQPLEYPFPQLPETEDTSRPARRLSLIFKADKMKPDPRLVTLSNLVKATNGLDQTLLE
STLVRAYRGFEKDCVFFPTKDRSEKLSQTDARKVRWILVYTILQTLLSAILAPDEVRDTHNVPYNICVLTAGCPPWKEQPYETQLLTQSDQMKLDFE
NATSESLSDTQVTSTSEIRPDIDYFAITRARVDSEASISSASSKKGTVRKALSTLGNMPELRHPKPQRASYHEILVHGYGNGINDVCIIARPAIASP
EDSKRKNSDSSGRSSMEELSSRWSNTSYGAVDSPATSPSNSRRGSDASIETSKRSIKIFLDRPTSAFGLAGVPSNICLESSHEGNEILQPDPLQIKK
NENDIMKVTTEVRLNGRRVNLARLMMS

>RCO7_07767 | probable dynactin arp1 p62 subunit RO-2

MSSYVPYTYFQCPCTDTFVPSHRLGETSPISQEENSDDDDRTFDPRAPRANYSLYPLEHLLYCEDCHQIRCPRCVLDEIVTWFCPNCLFEVPSSTVK
TEGNRCTRSCFQCPICIAPLSVSSVEAPPEGLGAEYASQNGPYILICAYCSWSSKEIGIQFEKPNGIFAQLAKIRNGGEAIVTAKERRKDREERKRD
FSGASMSEESPDQEILRMLDSNEKLDAQSHFSNLKAFYQTQLADASPVGALGFSGDYGYGSPGALSRIMGLYTGGSMVDKKSKSKVGNMREAQDALE
GLQLAPSDEEAIAKLHIQGWHSTSSAVQRKELPNYDAQFLNDLRPIAYLLRTKRSKRCKTCRHILSKPESKIQTTRFRIRLVALNYIPTIIIKPLQT
TAAIYLTPLKPVQFLLTFKNPLFDKVKVTLATPAKTPGRFGSKVTVLCPQFEVGANTDAWEEALREGGNRNSSGEKRRTKAEASEGQHQAEAGKVWE
RGRNWTSVVLEIVPASLRIDGPGFMRSEELKEDGGSLREDEDVVEIPVFVRVDWETDSTQEEGAGLGGKEKDVREKRELAYWCVLSVGKISRD

>RCO7_07766 | 40S ribosomal protein CRPS-7

MSAINKIAANSPSRAKPSELETSIAGALYDLESNTSDLKAALRPLQIVSAREVEVGHGKKAIVIFVPVPSLQGFHRVQQRLTRELEKKFSDRHVLFL
ASRRILPRPKRSNRSRTSQTQKRPRSRTLTAVHDAILTDLVYPVEIVGKRLRTKEDGSKVLKVVLDEKEKGGVDHRLDTYSEVYRKLTGRGVGFEFP
QSGPAEY

>RCO7_07765 | related to F-box/WD repeat-containing protein 7
MARPDDRATSRDAPSESSRTENTPFWQANNEDRPLKQLPFRQRLQSLPLIRRESNLFNFKNHTSEIGNQLSPDDGKKQGGLKGLFRKASVSMKNRQR
RFSQMSSNAHSEERTQSPWHRRLRTATSFNRNSRYLADDIDANNLSNFNDSEPFAPVPGSGTRPPRIPKNGGFAARQNAALHNGMEQGREISNPYLT
SSGEGDRESAIAMPFDSSDHVQGRTEATTESQKTDVYAVASSTINRDFISSLPTELGIQILSHIDTKTLRGLFFVCRRWHAVARSTHVWRDVFLREE
TQSYATGIPIPLGGGLGLPAMNSNNDWMALSQARHQLRDNWEEGTCDAFYLHGHLDSIYCVQFDENKIITGSRDKTIRVWNLEKLTCSLVIGPPSVV
EDPSFTTDMEGRRVHYVASNRNLEEGNRLVRGLESTPKTVSFPMHHEQSILCLQYDDEILVTGSSDSTCIVYDLQNGYKPMRRLLHHTEAVLDLAFD
KRYIVTCSKDLIICVWDRQTGGLLKQLLGHTGPVNAVQLRGNTIVSCSGDFTVKMWNIETGNVIQTLRHHTKGLACCQFSEDSKYIASAGNDKLINV
WNANTHQLIYTIDEAHDNLVRSLHIDSISGRLVSGSYDTGIKVFSMETGQELLHFPHWHTSWILGAKSDYRRIISTGQDPKILILDFGKGIKHIDKL
RSETSRIGLPDVAEDIGNGFILGEAFPRVDTHVP
>RCO7_07764 | uncharacterized protein
MTTPAFALPRFYTAFFLIIEPISALVGAFYAHVRPLEYLQLTHAGSAPILDGTIPLSTCIVLSQLANLYLLFAINEALVLRSTADLRVWKTVLFGLL
LADFGHLYSVSGLGFDIYWNVLKWNRMDWGNVGFVYAGAAMRIMFLTGIGMNTASGREAAQRRTQRANLDKSK
>RCO7_07763 | related to SUC2 - invertase (sucrose hydrolyzing enzyme)
MEDSGGAIDRDEDGKSKSYKATTPHQQSKIDSQAHKNRNQPISFIMLLLGLIFAAFAVAQNSSSALTPSTTKAFDAGVPKNAALPGDYNGKWRPQVH
FSPPANFINDPNGAFRDGNGIWHLYYQYNPTGTVAGNQHWGHATSKDLYTWQNEKIAIFAKPDAQIFSGSIVIDSNNTSGFFPNQKNGVVAIYTLNM
AAEQTQEIAYSHDGGYTFTNYTSNPVLRLSPPSLQFRDPKVIWYEDHWVMVIAYSQEFVIGIFTSPDLKEWTHASNFTNHGLLGLQYECPNLVKMPV
RGEESIWLMAISLNPGAPLGGSITEYFPGSFNGTHFTAVDAAARLTDFGKDNYAGQYFYGVPETEDPVFIAWASNWQYAQQVPTGSEEGWRSAMSLP
RTSHLIRNATRTGWALSSYPYDLSPVMSDSIASSQSLKNGSIIADYSTVSSGALYFQVNCTSIKPQGTLNFTLSASSTRESVSGGFYFEGDNPFWVS
RANVLGFGQTNPFFTEKFSVGNTLNKDGTFTLEGVIDRSILEVFLDRGRNSGTFTFFPEGVLDTIEIRTAGLNEDALVSVSIWGLKSTWAPQAGSDG
LVHGNVGGNQTQVIKRHF
>RCO7_07762 | probable FZR protein (Fizzy-related protein)
MGAQEELFSPGISRAHVAKSSNSLNTTIVATPPRSATPPPAIERRRSDRKPVEEIAQHSRASGTPGADAVDPSALSKALLREFEDAGRPRDVTPGGS
PSRKRQRVYGDRFIPNREGQDLQASFSLLHDDGSPATPSKQKKRTPHGELHFQKTEEANRTFSTLLRHEIFDTTIPQPTPPDLSPDPSSLPSSHNTT
THDPTRSHTPPNNSSSTSLPASMTPSTPHKNLFTYMSPRHHTNIAGHPTPSRTPQSRHGPHLDSRSELYSLSPVRLGSQQMLLSPRKQPRAVSKVPY
KVLDAPDLADDFYLNLVDWGSSNVLGVGLGSCVYMWNSQSGRVNKLCELQDDTVTSVSWIQRGSHIAIGTGKGLVQIWDAEKVRRLRTMTGHTARVG
ALAWNDHILTSGSRDRLIYHRDVRAPDQWLRKLVGHKQEVCGLRWNCEDGQLASGGNDNKLMVWDKLNETPLWKFSEHTAAVKAIAWSPHQRGLLAS
GGGTADRRIIFHDTLRGTVINEIDTGSQVCNLAWSKNSNEIVSTHGYSQNQIVVWKYPSMTQVVSLTGHTYRVLYLAMSPDGRVVVTGAGDETLRFW
NVFGRKPGQREEGDAGGGGKLGDWGVIR
>RCO7_07761 | probable Integral membrane protein
MSDPIPIPGSEQAAESGRLSPELSRVQSSSTGTSPPDGSKTPLMSASSIPGSPHLSRNPSFSGSSSYQEDWEAFPPLDRLTVFDLLDNFALPQQLEK
LQRNISAQTDKVRKQRDALKTRGSYAKDRVVEQWRRRVPTADEQLERYRKKMRENVDRLGRRWNDTKVVTAREKFAFICGVLNVLVSGYLIGGYPEY
FHYWYTAQLLYFMPIRYYTYYKRGYHYFLADLCYFVNFLCVLTIWFFPNSKRLFISTYCLAFGNNAIAIAMWRNSMVFHSFDKVTSLFIHIMPCVTL
HCLVHLITPAHQQDRFSAIYTIKTSPPGSKTHYGLLAMTLWSTIPYAVWQLSYHFLITVRRREKIAAGRPTSFTWLRKSYSKAWIGKLVLSLPNSLQ
EPAFMFIQYSYAVATMLPCPLWFWYRYASASFLMAVFCWSVYNGATYYIDVFGKRFQNELEAMKKEVLKWQNSPDMMTSPLMTPRTEASADLGAVME
GSSDNKNHARSNSVDRIPLLNEQIGSSAMDMDGGAKDVARERKIGDLPHRMGL
>RCO7_07760 | related to SMC1 protein
MGKLIRLELFNFKSYKGHHTLLFGDSYFTSIIGPNGSGKSNSHVLQVAFASQDLVYRGRVLKTSKINDDGSAAAPGEANGDGEAEDEDTKSQRPGRN
DPKSAWVMAVYEDDAGDEQKWKRTITNQGASEYRINERVVTAQQYNESLESENILIKARNFLVFQGDVEAIASQSPKDLTRLIEQISGSLEYKAEYE
RLQEESEQAADNQNYNLHRRRGINSEIKQYQEQKKEAEAFQAKVDERDDAIVTHILWKLYHFQRVMDESTASIQEHQENLKEYRRGVDKYEKSLEEA
RQAQTKVSKDVAKVERSIKKKEKEVEAKENALVPIDTKVEDSNNDIERLRKRIESVIKERDIQVASVQKTKKDLATVEKAEKQFELQWKETLKKQGK
QLSEADFKEYNTLRSQVVNKTANNQSKLDNLIRQMKTDEVTVNSLKGKVEALQASVEKYEADVSSITERKEATKLSVKEISKEIDAKKKEFNYIQSE
RVRINQLHTEKEEKLVALMKTIEEATSGRRQNAKEQRTKDTIIALKRLYPGVRGRIGDLCKPKQKKFEEALSTALGRDFDSVVVDTEKIGTECVQYL
KDQRASPMTFIPLDNIKVSAPDANLKSLSKARLTIDTIDFDSSLERAMAYACGSSIVCDDLATAKDIIYKKHMQVKAVTLEGFVIYKDGPMAGGRLP
DNKGNKRKFGDDEIEKLRSQAERFREEIEALPKVNRRGAAEETLQSDLTSLEQRLVYAKSELNAFEQNLASKKKELANQQRQLQEMAPKYEEKKSEL
ESITNTVNEFKEAVAKVQDEIFAGFCKRLGYSDIRAYEAQQGSLEQEAAEQKNSFEVQKQRLARQVEWETGQQKATDNRVKGMEERVEALEALIEEF
SSEKETLENAIDVDRAHITELEDEVHKLKEKLATKSEKVNQARNELQKRSKEIDSRTKAIATLETEVQRNASGRYALLRRCKLEQIAIPLTDSSRKL
DSLPVDDNVLQTDPDAMDVDEDDETSAEVIKDYGIEISFEDLDDDLQKPDEEEVEEQLLQRITDLNSELEKLNPNMRAIDRLDGVEARLKSTEKDFE
DARKSAKKSRDAFQEVKEKRFDLFNKAFSHISEQITHVYKDLTRSSTFPLGGQAYLDVEDSDAPYLSGIKYHAMPPLKRFRDMEHLSGGEKTMAALA
LLFAVHSYQPSPFFVLDEVDAALDNANVEKIKNYIREHAGPGMQFIVISLKTGLFQGSESLVGVFRDQEANSSKTLTLDLRKYV
>RCO7_07759 | related to nonphototropic hypocotyl protein 1
MAGRAIHNKSMYPSRQASGWSLFPPPLHVGGDMNSFRIRRLSPINDVQDQESNAGAEVSDIPFYRPSQTSSRKLEPPEKLRKPENLHPAPHVRDLEA
LIASPARFPLHIASEDNGSIDFAPLTHGIASHECRQEQKKEEPEEMMNRLDLIERSSESRSDLRDGARGGSREESRGDVRADSVLESRKTHRRGNEI
PPLSSPSTVDSGSRSISHASDASSPRTGASSLPALQQKGADEYDQLEPLDDDDIDPGSFDLVASSPQGLKQYSLETRSEQLFSTEHLRIIFNEPSLL
LRFTAFLSAHRKSSIPILIYYLDAIKALKAISYSNAIAEALDPISGFDFTTTNHTQTTNKVLEEKAAQAFGVLVREDLPAYITHTYLQSVSLSIQRR
VTGTLPAHLREASEGLAEVFCLTDPSRPDNPIVFASEEFHRTTQYGMSYVIGRNCRFLQGPKTNPHSVRRFRDMIKAGVEHSEVFLNYRRDGSPFMN
LLMCAPLRDSRGIIRYFIGAQVDVSGLVKECSDMESLRRLVVKAEDDEERDPDDDLSHVTENSTQKDEFQELSEMLNLQELDTVRRWGGRMHREKEE
EASDSNFKGGNWSKPRLLINSTSPEGPNSFSKPSGQGSGRLSGIYESYLLVRPYPSLRILFASPSLRVPGILQSPFMAKIGGSNRVREELTQALADG
RGVTAKVKWVSKTDQEGRNRWIHCTPLLGSNGAIGVWMVVIVDDEASSPAEKQFRMAPPIDPKFGRSIPTNRDDSGSLRDFAMGHGANSRRRNDSHD
NSSAASFHGTERTDRSASPYSLRI
>RCO7_07758 | uncharacterized protein
MACLRTPPNLPVPRRWIPLVFFTIFATIFWIYSPVRKSPWSWPSDPSHTWRHSSSTSDRQFLHKPSEGDLSANIPITKVDFQPGVVKATGKPYTRTL
FVPRTASEDTGWIQELVNKDKYFDYKVYVVDAKDAPLSPPKNKGHEVMVYLTYIIDHYHNLSDVNIFMHSHRHAWHSNELLDGDAVQIVSRLSSDRV
QRDGYMNLRCHWDPGCPSWINLGNVEEDVGKQEQTMLAKSWSELFPMDPIPNKLAQPCCAQFALSRDRIRSLPLSKYVFFRDWLLETSMSDYFSGRV
FEYIWHFIFTGRNVMCPKEHVCYCDGFGICFGGEEKYDAYQEKVRQRKVLEEELRIWNQVNTKWYAGDKTVDQPEVGKNTDLSRKIDDIVAWCELKK

REAIERGDAARYRAHEAGRIWNEGDSF
>RCO7_07757 | related to cytochrome P450 8B1
MSSGVERGSSFTASLLKESRGSMILPTAIVAVLGILVLASRRLGGVDENEPPLMTSRIPFCGHLLDTTPRNASQSLSEYSSKFPSYPAFTLRIFSSR
IYVICDPSLVQAAYRNTKTFDFGSFIVESSQRAFNIGEQGMKIMRGETSPDFDPSGPYLNGNTGDSFLNEHHRIMVELLAPGLGLSEMNRGVLERVA
ASLNAVSREGETGGLYRWIRDVLTLATADVLYGPQSPVNNDHSLIDNLWDFEDKMTLLMLNFLPTIIAPKAYQGRIRIKSAFKSYYANNHQLTASRL
TQAHLACCQKWGFTPDDIANFEISTLFLATTNSVPTSFWHLCNIVSSPALLEEIRSEVESIVTRQASEDDGKEEAVMDVTRFQTHCPLLVSTFHETL
RLIDAATSVRAVTAPTTLSSPGSSISYSLKSPAVVQLPSGICHTNPAIWGPEPTMFNPRRFLPATKASLDKETRQAQKQGYFPFGGGKHYCPGRHLA
MMEILSLVAGLVVGFSVESLSGDTFRVPDLAFQKLGTAVRKPVRDVDVRLRRREGWDNVRWRFGSIKEGTIDFKAMTREAEE
>RCO7_07756 | uncharacterized protein
MSYKIPLVRLNDGTTIPAFGIGITTESTDVYERVYEALLLGMFHISVIGTDHLDEIRHAVELSGVPWEVIRISVTAPEGAVLTDTIREAMRGLQRPY
VDIFLMDAFSYKTPADVTIAWSLMEGFKHDKRASSIGVANMSRKDLEVIVSGNSGILPVMNLKEFHPLAYTPESVLWAQSQEIKTCSYKPYEDFERS
VRVFSRTMLLSERSLLAWIRDSGVLIVSTFTTRYRLLLQLEMFDGAYDKDEFEAITALRYRGPKPAED
>RCO7_07755 | related to translation initiation factor eIF-3
MPPPPPHTKPENVLKRAHELMGVGQSPAALSLLHEHITSKRSRNAPITSLEPVMVLLVEQSVEQKKGKLAKDALYQYKNISQNTNVGTIELVLKKFI
ELAEEKVKTAQAKADDVQSSLETTDATTGVDDLEASETPESILLSTVSGEQSRDRTDRAIVTPWLKFLWETYRTVLDILRNNARLEIMYQSTAMQAF
EFCQKYTRKTEFRRLCELLRNHVQTAAKYSAQMHAINLNDPDTLQRHLETRFQQLNVAVELELWQEAFRSVEDIHTLLNLSKRPPKNVMMANYYEKL
TRIFLVGENYLFHAAAWSRYYNLLRQSASMVAAGQSKKADNPATSEADLSKAASFVLLSALAIPVISTSRSRGALVDIDEAKKNKNSRLTHLLGMAQ
APTRAVLFKDAMSKGLLKRARPEIRELYQILEVEFHPLSICQKISPILAEIGTDPDMEKYVLPLQQVILTRLFQQLSQVYESVDLEFVENLAKFPEP
FQVTRDTIEKFIMNGNKKGDLAIRMDHATGVLSFDTDVFSSTKAIQANSGGGSAESETSSVQRLQSTPSEIVRTQLTRLARALFVTCQYTDPSYNES
RIKARDAAYSRARAGAEQEHLDILSRKEVITKRKEEASEIQAKKEKEAATRKRIQAAQLQEAEDKRLAQEQKDREEKRLKVELERVRKEELKKQIDD
LKLKGGDIKFDDLDNIGSDDIRRIKLAQLEQEKNSMTEKLRVTGKRIDHLERAFRKEEAKKLPQDYASQRELDLAAYEKTKEQTLKDAKAKHLESVE
LKHRLSRLVSHYESYRETIVERRHDEFEKRRRDAQRELEKAMASRKKEFRDRKAREKREIAEQERILREEEERAAKEAEEKAARDEKKKAEFAELKA
IREKERQEALEMAALQERRAEEAAARKAEQKSAPRGPPAMERGGSSGAVRPPLPLAGAKMGWREKEKLRAEGKEVPSARTESPMARAAPVSRAPQME
QTDSNDRPAATGPPRIALAGGKPSWRDREAAKAGGGESAGRAPAARTPSQSGGAPLSRGRSGRGEEERDGSPAPAAAPSGDSLKPSGAPGRFVPPHL
RNK
>RCO7_07754 | related to putative protein
MRSLNRAAAFTSFTPLSRLEKKRHCDYDLRSSQFPHIAVPVVSTAIQEAVVKSPYAESCQPPGTPSSNTIHSRQTRLARQLGVATVSNKDTLDMPSG
YSSREDPGQIKKNKQSMADLKLRRLTELNTRLREDLERERIPVSAASKSIISYTNSTKDFMVPSVWGTVEKKDDPYAPQQSGGCCIVM
>RCO7_07753 | uncharacterized protein
MENHQDAALPPRYPRVTIEFCTQCKWLLRAAYFAQELMSTFSTSLGEVALQPSTGGTFIVHLQTESPSETEGFPATIRQHLLWDRKAEGGFPETKEL
KRRVRDVVDPKRDLGHVDGKKSITTNPEPSTLATNANTSAQEATAQNASITTPIPRAINRLQAAVSGEERKFTPMDVDVNSRPTSSKGEVVDEVEVL
NERGKIQVGGEAGGGGYCRPGEDCEDCA
>RCO7_07752 | Serine/threonine-protein phosphatase PP1
MADQNDVDLDSIIDRLLEVRGSRPGKQVQLLEAEIRFLCTKAREIFISQPILLELEAPIKICGDIHGQYYDLLRLFEYGGFPPEANYLFLGDYVDRG
KQSLETICLLLAYKIKYPENFFILRGNHECASINRIYGFYDECKRRYNIKLWKTFTDCFNCLPIAAIIDEKIFTMHGGLSPDLNSMEQIRRVMRPTD
IPDCGLLCDLLWSDPDKDITGWSENDRGVSFTFGPDVVSRFLQKHDMDLICRAHQVVEDGYEFFSKRQLVTLFSAPNYCGEFDNAGAMMSVDESLLC
SFQILKPAEKKQKYVYGGLGASRPVTPPRKPKH
>RCO7_07751 | related to Leucine Rich Repeat domain protein
MDTEDGQFFIKNLAHFVRTHEKALANALQLRRQQAPKHGSSQIVSGSVGGTATPTSPTSTNPPSSASSATTSSTLAAALSLPYLTFASHNIKPAKLA
LTPHHLFYLLSRFEDLGIAVGPMNVRLENLHSDTSAANYVSFLSQSQRPKGRGGSDNGSIHSVSSVRSVMSGMSSLWSNFGLGAGGAAARTEKQKAA
IEADLKYLYSAFTKIPCLRLAPDRRARLIEGYEEFPFDSAVPLLAFKNISALEISDIDIRQFFGWDRMAEQLRSLTVKRAGVDDPADLLINIVLDDM
DKRRRRSSKAQMSPTSTYGTATSPRRSPTIVHAELVKSNSAPGSPDKHHHIGEDSDERGASLVRSGSDGAKSPTKSRPRSNSPSRPNSSRTGSAHGH
LRGSHKVKRSGSGSSHSSMSENWHNPRSSSSNLLSMGVLPSSKWRFLKHLSLADNGLTSISASSLAPLANTLHSLDLSSNLFAQIPDCLASLTALRA
LNLSNCMIDSLHSLKRNPLPAISALNLRSNRLISIAGVERLYPLERLDLRDNRMADPTELARLTGIPDIREIWVSGNPFTKTHGGYRVIIFNLFRST
PGYTEDILIDTYAPGYSERRQLVERAAEKANVPVVKPRPQDHGLSTVEVNKPIIDYPNSREPSVLRKERPIPAATTSEIHTSSSGRRRRTPKRRIVD
LSTSETSPSKPVKPAAKPTTDQATTGATGSDSGYGISPDPSPRTVTSYVPSEPRQTQSQVEVPRIDTSVVPRLPPIETVTYETPLVKPQTTTSPEDW
KVSGEMYRKKLEALRNEVGNGWLSVLSEEGWDSQPNPPQTFGAPDYSPGNTIRPSSTTPRANSQQTIHSGRTLG
>RCO7_07750 | uncharacterized protein
MAQNVPPPGPLPRPPPILPCIIFLNGYPGVGKLTIAKALASHVPTRSCRLINRHVLLEAVQAIEPTQSPYHDLLRDQVRDVLFNALKNIPDQNLVII
TTACLGATAPEVEQFLRYVDIARERKVPMFTFNISCNESVNIQRLCSVTERKTQSVDPETLKRMRGQSRLMDPLEPDIDTAGLNIFHWNVDTSDYSA
EEVARRVTVMVYSEMEYFLRRCQQSGHSEVYCKGDGEGGQRRLESPTSVEGED
>RCO7_07749 | uncharacterized protein
MSAFSRGLLRHQCAFQTSRVAQFFSSKSSPEVRFFSSSSILQAARTIRKPKPLKSVVPKHKPANPPANASTPAKAPAPLLVYKSYATSLAEKTHPTH
LYEAPSHTIYMLTCYGTAGFCFSYATISFWSNYIKAPPDLATWVPVALGGVSFLMACLGGWVLLGPARLVKSIIAVPRGVNMVKGVLVKSGGPELQL
EVELKKMFPVPFFPRRKFLVPPEEVELSHRFVPVNKRVSLQEAQRIAEMDKLAIQREKEYELNHIMTLPFRRISQLLFKMFVELKRVWTREGMMKVI
IQKQAYKVDISSGWALEGGRALDRLVKIKP
>RCO7_07748 | related to pyruvate dehydrogenase complex protein X precursor, dihydrolipoamide acetyltransferase component
MASFTAACRLSARLTSRQLRQDASARGFRTSTACLAAQNFTMPALSPTMTEGNIAKWAVKEGDSFVAGDILLEIETDKASMDVEAQDDGIMAKIFQG
DGAKGIKVGVRIGVLAEPGDDLSSLEIPIEDNQSSSSPKEETKSASSEAKSEATPSKDPSSANFSSVPMKKSASPAKEQTRPLLPSVEHLMHQHSID
PSKISEMTPSGPNNRLLKGDVLAYLGTVSSSYPAELSSKISKLSRLDLSNIKLAAPAPKPAAIQKAAVPTPEPVKESQIQVPISMKAVLEVQKRIQS
TLGVFMPLSTFIARATEVANDDLPRSKFYKPTADDLFNSILGLDKVDTTPGVRGTFLPQVQALPSAAPRSTSAKSSVKKNDIIDILSGKKTSVSSKP
SGKPLPGLSNVVNVFSLSVPAGDEKRAQIFLQRMRTVLEAEPGRLVL
>RCO7_07747 | uncharacterized protein

MATETSSFPAPLDLMSDITTSQMLDSKTTKPPIKFKTNTHIPLQKYQLTHNLLYERYFFGESYISGHLQRLQNGVFISPNIHPSSAPDEQGVHFSKT
YVTFVAIAFTLHPSLSEEHRFQSATVEIRAANQDVSLLRILRFAPHLAFGRISSASLKWNFQLGASLGVAQGPAKADLEPKVGFEKDLVVGSFMRIQ
GSTRSISPALASSNEPRIPDTTLVWSLEENSQQEGGLPREFTFVFLLERPLPKKCTPQTQSAVQKQLPTRPQIEKAATEGEQVLCCGQASAAASAKY
ERIAGIDVKVEEPETAPATPPRSPPHKRLMKKSPDLVYTLLSKARSKSEEIVECLHSKTTELEKELSRFSKTLQHTYYDDPAPLHVTGNMPNARRVS
AISTIDIEKVFTPLHFHIGVKPRITNAPDKSTNLFSSSDYDQSIVEGQVGQRFGAYEEEDEDDEDDDDDESVLVDGLFNFAAMSGHFEDLVELPGSS
VGTIEPSLPAK

>RCO7_07746 | related to CRH1 - family of putative glycosidases might exert a common role in cell wall organization

MFSKSIFAVAATICELATAQTFSSCNPLYTTGCPANTALGKSINVDFTKGSVNSFTASGNPTYDSSGVHFTVAGPGAAPQLASVFYIMFGKVQITMK
SAPGAGVVSTLVLQSDTLDEIDMEWLGADDTEVQTNYFGKGDITTYNRGAFNPAPNNQGEFITYTIDWTSEQIKWYVGNKLVRVLTPATADKNQYPQ
SPMQIKFGSWSGGDSSNPSGTISWARGPTDYSKGPFTMTVQSIAVTDYSTGTQYKYGDTSGNWGSIQAVGGKVNGNSGAAAAPVAIADAPAITSASP
SIPAGLGDNHGSTAHQTGWPWVATTTLATITPVPTVAGLPSGWIITSEGKIQPASSAAIPLSTPFPSAGLSPLPLFPPLGGGLDVSTGFDDRGFPTT
YTRQYGWATMSKSYDDRGFLITAGPTRTVAGQAEQTQAACFGPNCGNAGKAMSASNSKAVGAQKNPAWQYFAVLGALVVMIQSLLL

>RCO7_07745 | related to disease resistance protein aig2

MGDNSAFFYGTLMAREVLYRCIYGDEKLTPVTKILAAQLTHYPAILHDHSRQKILGADYPGVVSEKGRSVRGIYVTGLTDGDIWRLDIFEGEEYTRT
KVAVNLLIKDGEKEVEGEEKATETYIYTQADVSLEKVEWDYEEFRREKMWRWANTSEEYAEVDAAIVTAGHGGHDPTGGRGKFASAAEEEKKEILES
AV

>RCO7_07744 | related to Ser/Thr protein phosphatase family protein

MRSLSLYVLTAAVSGAVAGDSCYGPSSEVVHERLIRRIQPESQESATDPRSPLEWGQIQFMHTTDTHGWLEGHLKEQNYGADWGDFVSFQRHMKQKA
GNLGVDLLVVDTGDLHDGAGLSDAALPNGVLSNPIFDEIDYDVLTIGNHELYVSEIAYEHFYNFSKVWGDKYVTSNVQILNPATGNFEYIGAKYRYF
TTAHGLRIMTFGVLFDFTGNSNVSKVIKAADMVKQQWFLNAVNFTQPIDLFLLVGHNPVNRKDSSSTFGLVHSTIRALRPDTPIQAFGGHSHIRDFK
VYDDKSTAIESGRYCETLGWVSISGIKSSSYTGLMKPRGVANPSKLATNISTSGLVYSRRYLDWNRRTFEYHATNSQASTFDYHSGLRVSSDITAAR
KKLNLTSLYGCAPETYCLSCKPFGAAGNIFNLIPLALGATVINASRSDVPRFIIINSGSIRFDLVKGPFTYDDSFIVSPFNDAFQYIPNVPYDMARK
VLAGLNGAKLQDKRDESLGLNYNSMPSMKDTCVDPTIGFISSTTELKIRGITRRQSVITPGYVTTDDFGSDGDDTPHVKIPNYIQPNYIQGNGSFPV
DGSTPAVVDVVFFDYFAATVVKVLNGFGGAYTLADVSYYVDKNYNAQNYLPDYAKLKWQANVPRCPVGEGIGYDN

>RCO7_07743 | related to 4-coumarate-CoA ligase 2

MATESLFPPMDIPEVDLWDFIFEGKRTFPDHQVVFVDAKTSRQYTFQEVKNTAIAFGKALRSKWNWGKGDVVGFYSSNCVDTPALTFGALWAGGIVS
PANPAASVKELAFQLKDSGAKALITQLSTFKIALEAAKLAGISQDRILLMGDEKRAGITHAQDLIASARKSPPLQRPVCANTDLCFLLYSSGTTGLP
KGVMLTHRNIVSNTMMTDVGSPEMGPKDVLIAVLPLYHIYGLALLVVHSIHIGAKVVVMPAFEPQAFLGAIEKYKVTLAHLVPPIILLLAKSPLVDN
HDLSSLKSIASAAAPLTLDLIEAVWKRLEIPIKQAWGMSETSPAITTQLVSDWQTTMGSVGKILPNQSLKFVSEAGDILPPGQDGEIWVKGPNVFPG
YLNNPEATANCMTEDGFMKTGDIGHITRDGHVYITDRLKELIKYKGFQVAPAELEGVLVGHDQVADACVLGVWNADQATEVPRAYVVKSPAAKNIKD
AVLEQEIVSWVSSKVAGHKKLRGGVHFVDEIPKSVAGKILRRILRDKIKAEEKSSRVKSKL

>RCO7_07742 | uncharacterized protein

MSAYLLMNVIFIFGTVASWVFAATFPSVSTTFSSVVRYQFDTDVDWFGGAYVWYGLPLGCGKEFCGVATYSSTNLQTWHYNGLLFDPNIAEIKSLCG
AFLSGNCGRPHIIHSAINNEYVLWVDAKTPGYAIFTSNCPIGGFVHSESRDLVVYQPPGPFKAGDFSVHPPFPQSIYVQKLTSDMRNTNGTTYQVIT
NGDLVDIEAEYPELWKRGDYLYITASDTCGFCTGTLLVVYRSRNISGPWKRQIMSADTCGGQTTGVLTLHAPNGGPPSYIHMADLFRTAPISGTRTA
AHGHQFEKLDFKAEGSLRDLYCSPSKSVNVALVLGNGVPDPKSGCAVSTRMVRETLALIQSPAAYLPLNCGAPTSSISITIFRYDNDTNFFTPSYIW
ETLTSFNVDSASLSLALQVVCVPAGKSVRKGDNLGFALGARGTAPMCILVKNGSINAGNHDDNDVYGKSDGNGRTLFANGPGQVSLRGKDGNAPPVQ
VLSQELKWYTIAN

>RCO7_07741 | related to 26S proteasome subunit YTA7

MPAKRKLDNFDPNKSDSDDTDFDPSQTRPSPKKSRKSSSNRHAGGGRPQKKRSKSSRYRGSDLSDDDVDDSLAEESFSDPEDDEEVEMNEATGRPLR
KALKKSVNYQENSDSSIAEMVENTGSDDEPKKKRPSKRSRQVIDDPDDDEQVDSDEDVLSTRPKRKIVKLKIGTPQAASRATRAGSAARTRGRGSTE
PTSAGLNRRNTRAHTEEGDGQISLSTSGNHILREGHSPEPIGRSRATRGSKGLKQPASTIKEEAHETSSHEQEGVDITMATEIAGTDEQDEADAAID
RSDAVMDLDADGDELADVEESTGQPVATAEEDDDDDDDMPVVRPGRTRGSHAGPVVSDIDPAAEAPEEAAKEQPGHRRLTRGSKQRKSGAEADSDFE
ADEDIHEEDELSASDVSPKKKARNDDSESSRAGRGRRARQAKSKSTSRRRGSVDSADEALDPDEIAEELADLKTSGRRRRPAPREPSEILYEQRERG
GRTRKKVDYSIKPMDQIYAADEGEDAAATPTRRPRGGRNAASQPWERNLYTTFGPFGGGGGPAAVIAGPWGTGATGGVDSDSSDDETMQRPSGIGGN
VGMTPTTAFPPGLLPGLGQTNNTDNMAAMSGNPTNLGKIKSQKALADADPLGVDQNVDFSKIGGLEGHIDQLKEMVQMPLLYPELFLKFHVTPPRGV
LFHGPPGTGKTLLARALAASIGSGGRKITFYMRKGADALSKWVGEAERQLRLLFEEARKTQPSIIFFDEIDGLAPVRSSKQEQIHASIVSTLLALMD
GMDGRGQVIVIGATNRPDNIDPALRRPGRFDREFYFPLPDIEARKSILNIHTKDWGIDDSFKTSLAHVTKGYGGADLRALCTEAALNAIQRTYPQIY
SSNDKLLVDADKIKITAKDFMLSVKKMIPSSERSTSSGAAALPKAVEPLLRHQLKTIETILDGLIPIKKKTTALQEAMFEQYEDGDQGFGRETLQQD
FEKSRVFRPRLLITGEPGMGQSYLGGGILNHFEGLHVQSFDLPTIYSDSARSAEAAIVQLFAEVKRHKPSVIYLPGVDTWYHTLSEAVITTFLGLLR
SIPPTDPVLVLGITDSTPEKVNPDMLRDLFGFSRKNRFVIERPSRQSRVEFFSTIADYVRKAPKDFPEPLDRKKRTLEVLQIAPPPPPKEPTKEEIK
ALKKRDHQLLNLLKVQIQPIMDQIHRKYKKFRVPVILQSTIQYLYDERDPDFVRPDIAQFRPFELDQDKDGVKGLRETGSNKFFYNLETTTIEERLS
NGFYARPKDFLADIRSLAKDAKHIGDKERALKANELLANVEVDIATIEAMPAFADCENVYQRQLQRAQERREKHEKRIATERTSGAPVQSDMPESGL
NSDEQNSGPVQLGVGLPGKQPMSIVTPFRTPSGLSNGSSANYGPSPGQNGSGPSRSDDVQMSGTEDLASQGMQPPHHPSMTNGSRPNKQQSQNSIFH
PISQDTSPADVINYASTTTSGKKTSEGWSTQATPGISHNDSSSPIERTGLDSELPDTQGNTQNEASSEEWAHSQAQAIARGHLNPLLSSQTPSSGSQ
LSQPPAVPPFSAGPHMPISKSRPSGFANLLNDSPIEPTSSQASSQKDIIIDDSFVGDLINQLVDGSSGCSIEQLEQINRELMETLWRMRGEYNRNKV
VTALAAMFNETITDIEEMQKVLAASQPNR

>RCO7_07740 | related to D-amino acid hydantoin hydrolase (hydantoinase)

MSPPATSKAVEGPVYVATKTTAKSTSCIIGIDVGGTNTDSVILQNDRVLACHKTPTTPDIQKGVELAIEAVVREAGILADHVGSVKIGTTQFVNAVL
EQDSSKLDKVAIVRLCGPYSRGSPPFVDFPPKLRSLMEGHVGYVDGGYQVDGTIILPLSIDQLKEQASIIKSKSISSVVVIGIYSPSNPTQENEAKK
ILAAELGPQYDISCSYAVGRLGFLERENTSILNASLRRFSRHVIDGFRYAVQKLGRSKLYITLNDGTLSKASTAAKYPVRCFSSGPTNSARGAALLA
KAVMSDMSDDKEVIVVDVGGTTTDICALLKTGYPRQSAAFVKIAGVRTNYTIPDVRSIALGGGSLVRTSGDRLSVGPDSVGANLEKEGISFGGKTLT
ATDLVLKTVSNEYYVSSEVRSPALLEIQRALEEAIDIVKTKQGDAIVILVGGGSIIIPGKIAGVGKVIRPEYLAVANAVGAAIGKISGSVDLTVVPG

ARTIDQEIEAATKLTIERCVAAGGNRKTIEVVEIDKIPISYVTNGATRLLVRVVGDLVDGYEESHSAPDSPVSRDTLEHASLSPLRKQDSEKVPATI
KGSSYEITESVNLESYRPRIEGDFWYLSELDLQFLQDGTGVLGVGSCGEPYPAYIACLLALQNGEDLTIRRQDTLPDDAVILVAGFMGSPTVYLERI
PGLNEVTDAMKGVMKAAQLSKFDAVIPNEIGGMNAFEALLAAHRFKKSTLDSDLVARAYPMVWQTVRCLQDIPVAPAAVADGAGNIQMFPNPRDNLH
AEELMRDACTNLGSLAGMCVNPVYGIEARSLPKNSFSHAWMIGRSIALSRSLKQDPVTSLLESEHGILLFTGKIISVNRHVAKGFTRGSVTLEAFSE
SHPSSSSNSDSIPSLVVDFENENLSAILKTPGKDNRVLAVCPDLITFLDKANGAPLGISDYKYGLRVSVIALRAPPIWVTERGLKMGGPKAFDLDME
YVGVGTGEYEPPKSVWEMFGEGK

>RCO7_07739 | related to AUT4 - breakdown of autophagic vesicles inside the vacuole
MAEQGRHTMEEEVDKLVIADVAAASRDSTPPHDTHDLDQYNPVSPPATKKEVYSYYLYYAGNNGIGSFQYSNLLFQNLIYQAGFNPNVLPLGSSSCD
LDADAPCHVFWGGGNKHKAYSSVVLIASGLTFLSQALVFISVGSLADFGNWNPWVVRGFSVLCWAFEFGFLGVTTGSKWSIAMALYIISGVAFWASY
VFFNAIFPKLAHDLPEIREASESLLNGTIDEAGYERKCSMSRSKIMNMSYVCNNVGFTICTALSLAALVAIGADDSVAKNNWGYSVSVAVCTGFWIL
LAIPWFLWEKKRPGPKLPAGGSYLTFGFKQTYFAAKQVWTLKQTFFYLIAFFLLADGLTTTLTLISIAQSQVVMFSAISNTHYLMVQGGSAGLGVFA
AYYVQKFFNLRTKTMLQITNAGCVIVSCWGILGIWTDKVGYHNEWEFWAYNAVYGLTFGPQFSYGQAFMAELIPRGREYMFFSLLGIVSKGSAWIGP
IVSSAIVDANGNQWTAFPFAAALTLLPFIGIFFIDEVKSRKECAEYLVKEASALRKLSEETDGKPHTP

>RCO7_07738 | uncharacterized protein
MAPGLGIKAPVPRTRTGCLTCRKRKVKCDEAKPNCGRCERLQRECTWSDELQVIPHKRQFGSSSGSSSEQSFQNALSGQNFVIEFPNLDRGTIPYMH
HFITFCCRFLAYSNDNEGNPFQEDLIPLASSSPALLHSMTALAAGHLSRSQPQHVITAANHYSMALRELNSSLSDPAIARSDSTLGACLLLCVYEIC
QSESSLWLEHLQGARDLILFRGGPNTNDYLTRFFSLLDISGSLSSGGGPLIQGNYWVDDGPNQNSSHLPARRWPYYDDGNVMTDKFHELMTFMARLS
RLSALSMSDLGTQQPQDIVSQADEIHRSLLEWWQQCPPALRDQSNDWRTQSRPRKLTVPETLEEEAWSSTKSCKDGCIIYMNHILDPLGKQPQKQEV
IEAVTDILEIAKEMPRGYGLEMGLYWGLFMAGVAILNDPVAEQLIRTKLRAETNSNIYHADRALELLEVLWKRQHQYSMKFDWRQVQTQMGIHIFIL
A

>RCO7_07737 | uncharacterized protein
MFTSRTTIRAAARSARTPLRASRQTRFQTTDVNSQAAKAGGASGLVGGLAGGGLVFLAGYGYYYFSGAKTVVNAASASKAQFQKLTQGISDAAPEPN
EALKWLRNTTQQYATFIPGAKPYVDSAFNDLDKVQAKHGKEVDQIVNKTYTDLKAATKSGMSMDTAVKAWNILENAMAQLGELAKDSAGEIIDEHPE
LKEKFGGSLDQLKGMADSYGPEAKKELDQTYQSIKDVIKGGVSVETFNKVKKLIEEKTEKVKAMGDEAWRKGLEQAKPYLDKNPEVKKLVEENADAL
KQGNVSEIFAKVKDAVSSGNLDSLQDYVKQAGEKAKNTGFGKNIEQYAKMIPGGNEILPKLMKLQEVARTRGDDAERILKEAFKDVQDVLTKKTDEL
EKLAESAKNDAKK

>RCO7_07736 | uncharacterized protein
MAAPRTIRTASGKKLPDPPDFDQNVFRAVEAEWLHYALGPNSEKLCARWVTVTMAGGKRHVQLQKDDGRGHSKRPNTNVDSSGYYMLHAVDGRPSML
ILTVQDMVEAVYRHYLSRGPDEKTQEVFCRRFGNMYEGTRKEDIVWILNKIKIRTKEAQQGLLTPYTTSSSSNISRSANTTGAHAVQSPRKARVIVD
LSSPMKTTATDRSLSASRKRLNTVSRDFSERESSRLRTEEGTWSNYIATQSVRHNPPGSTSTDDRASTANLTSVSTRTEDGKDSMSRLTPGTSIDPT
FDIGKTTRIDGATRTTKKSESQESTDWSSLNNGRSAGQGNVITKTYDISRSVNTKTNGISSHDKIIKTDPESHAGGIRNLMSRSGKQTRTEVSKEFS
AVEICQGSNKGGNTSMGGTAMRGTPTKVNKGFGGAARTFISPMTPVKPAGYPKTSAEVCNGYGPPKISLSHGTPTKKPATPMGPRADSARFPIYGPG
GTPTHKSYASGTTPGLPFRAREAFMGNYEKKAVDSTAHLYKSAPEPQKYSKEWQESRIGLELSSKQKENAAPVSPRVNKAPAVGPTGLAGVLNVIAD
WSSGHTRVKAAATGANSYPVIRKVSGTDGNMSTKLISGGPPGYQGSGIADCGYTGPSGVTSSSTYNTPQKPSIDFKVSSTKPTQNNCASGQSTPADK
NSRVLKNSLPPKPTGFNTSSLNSTPLNVPRKVSAANHNLSDRIGTNPPTGPAGWNSGPSLSYRGPRRQSPPPPRDAPPPSASNSCDTYRPKYENSGG
SRRDEYHDVVRSGYGPGPGNDSRSGFRGAPGTEPRSDPRESPRFDSRHAARSVRHSPQFEDYRARPGDQYFDSRGRY

>RCO7_07735 | related to tpa inducible protein
MDPFQQMGGGPNPAQIMAQQQQQQQRLVQGGGGGAGGGAGAGGAQAPSQIQSMIFSTLQQQTGALTGWRTQVLPNERMGLIFNVIGNLRLASQNQPN
PTNLSRMIEIAMKFEKDLFDKCQNKDVYKQEVQMKLEQLLERRSQNQASMQQQIHQQAHMQAQNQQAQAQQQMLMNQNNMSGQGPRVMPPQPPQQGF
SHLQRQMQASPLSGQQPPQAPMGLPNQGPPQNMAQNQQQFVPMPQQQNLVGRPNNGQQLTQQDNAVVNELTSRLMAQANEDDKNNLRVSLQQRMDPA
QLTKYQAQGVDPVFIYYRNQAIMRLRNERGRSMQQAQAQQQQQQQLQNVPVAPQMQPQRSMNPSPMNGQALPPTSGGGNQEFGSFMGNMENLVAQQQ
QQGVLAQEAGQMVVPASVPPRNGTPQPGMAGQGIDMVPNPNSRAQQQQQIFNAQQIQQQRMQHAQQQQQQHQTQVRLNAQQKAQQSNGLRGQPGGMG
PGPNPPQQSPAMATLNAPLRGLSQPVSHPEPQVNPNAQFGQPLDPRFMQGNRPSPANGMTFANINPAMLQNMPPEAQRTLANLPPEKLNEVVKQWHE
TRNVQMNAANMAGGRPQMSMQGLGQVRPGQQMPPGPFNPQNGGNQFMMGNPGQRPSQPMAAGMNPQQQQQQQQQMVLQQQMANLRENQMQPRGPQNA
PQLDQRTVQGMDNIEVPQVFLNHASMPQGSPPEVKKWGQLKQWVSQNPMLAGTNSLEAVKQLQRMHYAQAVRNRQGQNGMQAGVQGHSSVAPNAPVM
VAPVAPMNAVNSANVPGAGQIRQPTAQDILTMRTHPSGRFAQATDDQIRTMFMKQQHQQLQQRQGHGQEQGQGQMTPQQHQQRQQIMASQLSRMQQA
SGQPPHMTGQPNLSQAGQVQTRPGQVPKQNAGPQPNTETGAALTNPNSNRPTSRAQPNARNAAQSSPPPQAPKNLKRASSDDVIEVPNPNAQQPSLP
VQEPVQQPRQQITQQQVAAMDPETRKRYENALRNAQNSNQGQKVWTDRLAVISREEQAKLPPTLPEIPMDEELKKKTAKALMSVLPMMNNVSRAMTR
LFVIQHDEPQLRRFLQARFRYAKQFRGEFAQPNPILRDNLSIGIPEVENIASMLAAIVQKLSAMFPNMKKPDGAAKNQQASAPQGELQHAQPAQPPT
PLNAANLHQQQQQLSKLQHQRSNSRNSNTPAAPTSSQPPFPLGATSPHGTPAYAGKNPLKQEDLHIPARKKQKQYSTPVPGQITPGSNPSPQVSKAV
SPDMKRQPSDIKQRSKPSLCCSEPECDRHNVGFESPEALKAHTQEEHIRPLENPFKYVQENLATALGLDEHGQLKKPATSGVAENGESTTKMTSSDS
RQGQTPDVKGESTSAGATPMNRQVSMTRQGSVTGVKTNLPPKSVPPKDTVGKAQPGQKDATRPKESQAEAAAPDPWANSIIDPHDLFQSFQPLETGA
GGAISDMNVYRSITPNDTPESSKDGISEPNSDITDGVALDISLDMFDDAYNPFGPIDDGLFDMSGFGLNCQDDVPMFDVDPPAVNYHSWDDLVDPSV
LDKPFSFETGLFSMDANYDPLSI

>RCO7_07734 | uncharacterized protein
MASAISPTTRPVLGDLNANTPLGRGAEAMEGGKSISPNKPGPLAASLSKESLPESTNVHSVPLYPSLLAAKRKIYLGDVPTQQDAKRLKETGDAGET
RQTVQQSGGELHEVLQVNPQQRNRGGELGRQGDHTNEPTSPASSCTSLDDSALNDSQLTNITIPDDNILPPRPFLTREQLRQKAREVKLRLSLASYK
VRTNQIDIPISRLEIRSSTTSSRIPPLPRSTTQSSQAQQATRPSSAPQVPYSSFQGPSAEIKQAQQATIYSSPPARCSTQELSLASPTKSENHVSRA
GFATPLLPRQQQGLLNPPSLGGSPSWEERGNELTSSVVKGRAADGLLSLMRQS

>RCO7_07733 | related to zinc finger protein 615
MASKAEKWKATDSLNFAPKRQRNDGIPACLNVNEDSGEDEDEHGTEKIEFSEEEDFNADTPITPFSPGRKRFPSELKTIRCTYEGCTKVFNRPARLT
SHLRTHTNERPYICSYEGCDKSYYEDKHLQQHIKGSHTKERQYACDWDGCNKSFLTSTRLNRHKTTHTGQHIYRCTAYPPCNEPFRKHQTLQRHVRS
VHLQLAPYPCTYVDPETSVLCKAGFDGATGLRQHVDRVHSATRITCFLCNAPGFKTDRELQTHIRKEHANCAFCDIKCSSQRELMKHIEIYHSGITV
EQRKNVPCTYAGCNKRFTKQNNLNTHIRTAHMGERFICGTFDFSAYPEFSNFDSGDGCGDDFASKANLMDHIRTAHLGLKSVINANRQKQEPTEDFV

DFGDTEDEYVDLAEANGNDDYMPTLKKSKRGRKAETSVVDELSRIDPRRTIHCLVPSCRDMFIRNYDLDVHMRTAHPVLPPTDPILPTLNGQLSNPS
IGSSLSSLPQNMESVYPFATNFGQPLGGMEGDLNWELHPQAMEGGPFWVGADVDGGDYGLGRLAGNQDEWTQEEEEMERLIG
>RCO7_07732 | probable DNA-directed RNA polymerase I, II, III 18kD subunit
MSDDEGGDGGFSPGYDNDEPAYDEMEPEDPYEEHQVVDDVNASQNPDQLLATGDNGMEIVSSGDPGAKANRSAKDKAPKDKKIPHDKRTTTPYMTKY
ERARILGTRALQISMNAPVLVDLEGETDPLQIAIKELREKKIPLIVRRYMPDGMYEDWTCEELLQ
>RCO7_07731 | probable esterase D
MSFKTTATIASFGGKLLKLTHDASTTGCEMALNLYLPPNKGNGKIPVLFYLAGLTCTGDNGAEKGFFQFAASQKGIAVVYPDTSPRGLEITGEDDSW
DFGTGAGFYINATAEPYAKNYKMESYITSELPKALFSAYPELDSSRVSISGHSMGGHGALTLFLKNPGMYKSVSAFAPIANPSLCPWGEKAFKGYLG
EDREEWKKHDATELVKGWKGDFEALVDVGTGDNFYKQKQLLPENLVEAAEKAGKKGLEVRYQDGYDHSYFFISTFATDHVNYAAKYLTA
>RCO7_07730 | related to Protein mesA
MASSYTTPIYKFQELNISPLTMPRPMTSRAMTATETRDSNGSIGAGARRMSLSSFPSSRSPSAMSRHSRPSRSPNPPMIDTDRTSNPSSNSKTPSSG
VSSQHSSLSAPKRYNPDAHPRRKLKSQYPRGEVENHVEYILVASFDIDKGPIMEHQYPVAITGDEHMLAELMLPDQAHVRNQDWTIFFLHKDTSQEE
EEAEMKEERKRRRQRRKDRAAGILDPEDDESADEDEDEDEDQDSEDTDDSEPEGGEGPPLIYVLNLVNTKTDKTAKRGAVPLLLLGLEEYFKSPHPA
TLALLYEAVNTMDLSLMPRLSLLERHLLQASDNKDLFVEKFEQMIQIRMSEDRGELPEGASAMSESPERRMDLTRNGTKAHVVAHSMYSVPRDTHEF
ETKVIYNGIPIPIKVPVAVSPETVGDFSLIKLIQTFGDTHAKSPQPFALHPHLTTSGAYTHPIIVLANALLTQKRVIFLGYNRPSGEVAEAVLAACA
LASGGILRGFTRHAFPYTDLSKIDDLLKVPGFIAGVTNPTFENHPEWWDLLCDLPTGRMKISNRVESAPMTEGIAQFQTQNPSYASLVNVSSSTNSA
TDTTGDTAFMTDVLRSVAARHGEGSIRTKWRAWVERFTRVSAAFEETVYGASALYIGVEEVEPGNENVSGHGYVWPDETTKLKELAGGVHRIEGWRN
TRSYFSFKQDIAQLYDLRPLKALDLHHLHDRLRMTKMTPSTSREIYLALAKYTHSYDEICQLLTVAPESQAGLFYVALGLFHKDKDVRLRVLDLLER
ISEHEAGRHWWKALSRFEKLAYYRIRREADAEARNKMGENGDMRQSIPNGQSMMAEKRIS
>RCO7_07729 | related to myosin regulatory light chain 1
MAASYKPSHLSYGSPRSSPFRRPESTSNPTSPSPLRQSTPNPSPAKMATTSTTTPSRLVRSSTVDSETESTATTATATWTPKDLTPANRDREASPTR
GAASPGFGEMLTTRNTGDNNALSKLQPAQVRELREGFQILDRDSDGQVGRDDVADMLTQLGLSVNASEITSFFPPSTSQTVTLPTFLNTLAIQLSAL
SPSAELLSAFSAFDEDDSGQVDLSELRDALLNTAPDPGEKALTEREVDRVMSGFTSRRAFGKHTHVSGLGKRGEVFKYLEFVASVAGGAGVDGKSEM
GSED
>RCO7_07728 | related to integral membrane protein
MGTLAKTASPVGSEIFTVVALLVISLGVLLLLRHYLPLRTTPAYLLVPIFFALSLPASIILLVPIDLASSARNQDAGSRGIWLPDRLLLVGWRISYW
LTFALTWFILPILAEYADAGYRDPKDRLLFSLRSNAQYQALLFGAGIVGMIYVFVTQTASFGSLKATVMALAYCWGLLLAIYLMGHGLVALPRKLYR
NASVSGRLRRIQASAAKVHEKMEDAIQKLEDQEAQVAELAQRKTGSASKFKDWIEELADDSHLPESRPKTLTRCMSAPAVNVPNVVTERYLAELSRQ
LNRARHSRARYLDEWDRLLHDAVETQAILDSAASKRIEIGQPSPEANLLDRLTIFTPYTRYLYLYFVLPYMRIGLGVFLSFASFCIIWSEVIKSINP
LLSIIAVTVVHHPTSERGQIGFAGQVIAACWILYMCVAALTSLTEVKVWRGRALVKRNTHGESAMWYAMQVAKLSVPLSFNFLTFLAPDIYEDTVFF
QFLGKLIKLTKLGAWFDWLFPTFILLPVCATLFNLYGKVKSCIGYGGVLEDEAEDENESGYGTGSWREGRDLIERELQGHSSLGSLAADRRYVPNNP
NNRTAPTISVPPAQRRALGQASASASTSRPGLDPQQRDTAPEDENFFEAFGHRVRNTFDTVQTPKWFQNVGEGIKRPKWMGGDGEGGAEPSRSGSDF
TRWFGGGRSEGQVRL
>RCO7_07727 | uncharacterized protein
MDDYMFKANVDRCRSVPEVTTYLELFSYSDPSLNTVEEHPLTPDEFENYLHRRGAFARPKLPEGVVQLAAMRLILQQNAQQQDTFAPHVISLRPEVY
KSMVVTLNLPYRAIESTSAVGPFFWAAWDQNEEKPHLQIIYRKSDVRKKGYTRGWELMLSHDVKNGLTTGFVKGTPSSDIVECIKHLKECVLQIGHP
MLLPIIIFSHDVSFKTDIKQRDARDWLRRLEHAVSMRSEIEEREGYVKEGVVDLDAINRDLVECHSQVLWKRPKAYLEILKSIEVAMTKFYKGLPEH
RQEKTMKALQDSMLARMDFYRVKLQGIESYAHTTLQRLEIQRSALYNIIAQKESKLNFKMAGEQRKLAHSSKRDSAAMKIISLLGAVFLPGAYLASV
FSMTFFNFQETDKPHVSDQFWIYWVVTLPLTAIIVGIWYVWEKKRESRYNREDADLEKGSEDMERAIMAMMRKRTMSKASTWETNKKQE
>RCO7_07726 | uncharacterized protein
MAAATGTRSLGSALPTDQAAILQDLEHGAVSAAEGNEDEDPNGADSRFDYLFEEAEDEDDTYPILGLDTVQEDPALTDQDSAALLESLAHLANYEPP
LLNDHDHFESLLQAAATAEVVDAAEVDLSQVCDNFALYDELDAYEYFKRNFDPVPDATDIDLDHVLDATDIDPDPVPDATEIDLVPEDTNVDPVSDT
STNKRKRDQDQDQEYEPDDDSGTSPQTPPPRRQRTVSDDDEAEQLALERELWGPPEGENEDSISRSEQQDSPVPGIDARAFGLHSATALFRRPSSAS
KKYTRAPMSKLFTSLELTAEQFLQMQAAAKVYMLDPDHPERRDCVGNKGKGEMDMVKLKLFACVESFLEDEGWGPRYFTDENVERSQSRKLRWPEMK
NKIIQLVTPLMRRMVTNERQRLYALETRQKERSQIHSKNQARLLHIPAEGWIPVSETRRTEHLAPVQYPVVDPKLDDYPYNPDLSFHLNENRQGEEF
LDPQEPEPSVPKEVGENGENAMNCSYLVNLVHDGRRVHSQVILKPDVCSGFASLVQHIHEMMSGATGGQAQQLDSVKVLGPTGLVSVSDEDSWKAAV
DLVQKNEWLDGEVKCVVQVVDRVIDRVVVDLTV
>RCO7_07725 | related to NNT1 Putative nicotinamide N-methyltransferase, has a role in rDNA silencing and in lifespan determination
MLTDKIRLSGPETHEPEDYLSSSLAVIFPDDITNQHGDRDSSVIYLSPKYGSMDLTLADPLGDDSRKLFSHFLWNAGVQLAEFIEEGRAILGDGGKG
EEAGEAGRIEKEEWSVKGKRVLELGAGTGLAGLMAGLQGAEQVIISDYPAPEVLKNIEANVERNITSRKAKSPTEVAPVEVKGHEWGELDDAFSVEN
KGSYDRILVADCLWMPWQHASLLKSIEWFLREDEGRAWVVAGFHTGREKMKGFYEEGALKEAGLEIDRIWERNAEGFEREWVEDRGVEDVTERKRWL
VIGILKKRVG
>RCO7_07724 | uncharacterized protein
MGSMTIAETTYHMLSRHVSNDHEGIDFPLYPEPNMFSHNFAFGGQNFNMDSDYSYTRTQDGYRTSTGMGSGTMYAEAPHYPLESPDHRATHSTYSTA
SGPSATSSAMGSPHSIHGHLVPVPEWASQELGGNPGIVQYDNFSHGNDFSYQQATGMDDFAIELNSSKPNFVGECESVSRSASCQHGSISSSSESFT
PSSAFVTSPKMMVSTMDQMKVDTSVVSMASPITPFSAVRADFNENALRSPVSSFSQSPSDSRRQSQSHHAHLYTSNGFNSRSQDMRSPVSSTSQNFP
VETSSSYASFHQSPFFSQSSGSFVAPLESSCWFPLSIQSQSLPTAIKWNSRLTDSAADPSILHPQFPARPTSATQSNESIYPPPKYPGSPLSHMSRS
PRPMTQSSQSPYSHASSYPYPQPRRPSIQSYDSQDGNFSSEESKEKGRCTYAECGKVFKDLKAHMLTHQTERPEKCPIQTCDYHVKGFARKYDKNRH
TLTHYKGTMVCGFCPGSGSAAEKSFNRADVFKRHLTSVHAVEQTPPNSRKKTSGNVNSTKKLSGYAPDATGKCSTCSGTFTNAQDFYEHLDDCVLRI
VQQEEPSEAINAARLAEVEQDQAVHETLRNNALPITTINVYSADEDEDEEDFDDDDDDDFTLRTTSRKNKNRNPANGVQKSRGLTHSKGGVTLNTKG
RKKRKDYPSSWGCPSSQMKMKKRVLCVFDGPRRLWKDDMMLDTDYEVRMKLQNEKAYVTDLDVQTMRRADAFHSSTEEEKGPWIADDLTGMDLEKLM
EVKRE
>RCO7_07723 | related to E3 ubiquitin-protein ligase hrd-1 precursor

MGRLVWYAGASTALAGGVVLSALNQRANFYSACVYISQNNLCLFILINLIGLVYGSFMYGLQRLCYGPLRPIETEQLYEKSWFAITETCLAMTIFRE
EVGAWFLVMFTALLTGKVWGWIGDGRVEILEQQPPANPRLFHYRLSISLGMSVIYDLLLMRYTINAVIQQARPNMMVMFLFEFAVLTTTSIATALRY
VISRIEERVTKQQTQERLIERRREVRESRAEMIQQREATAAAAVQAGQVPQEPTEPLPEEDDVDEMDIEVPGWEAKGHWVLTLDLITDFFKLGIYVS
FFVILLMFYGLPIHIMRDLFLTARSFFKRLSTFVKYRQATQDMNARYEDATVEDIEREDTCIICREEMRPWSVTNPVVPPAAPGQAPPARPATTVNE
RTRPKKLPCGHILHLGCLKSWLERQQVCPTCRRPVIDVPGAQPAHGVANNGNAAGQGAQPAPGQQDGAGAQPPGLGRPQRRMRMLNFGPLRVGFGQA
NLQDFAQGLAGQQQGQQNGAPGAGNARIYGLELGFPRRAQQQAQAGINTNAAGAGTIQDQLQHLEQQTMAEIRSLQVTQQELHLVQLLQVELARLRL
LQNGLPDPLAAGFQVPLAPQLPQVQLPQGPLGIGRIGAPVATPQMSRHVGRTSTAAIPSGSAELPPGVTIPEGWSLLPLERLEGAAAIPEATSMANP
GPSASAGLAPTATTQGDFSHMAGDSNNTLTPTPTQNPDGPSQASSVDSSDTNAVHTPLSVAADQSINADPNTILTQRTAASSKTGESVVSAQEESGV
DLDAEASALPYWGSSQLFTGSNSLAKPSNTSESSSRPSVAQSMPTTTAIDQASSNTVPSLAGGGSYISQGTDGAEEETISKGKAKAATVEDTADEAE
GA

>RCO7_07722 | uncharacterized protein

MDVVPYFRRITVDRNQPAQKLHDATVYATMQAAARDLEVGQAMARGPAGSSINNGGGNPTQKKKFDFSRSPRSFASNPFKDADILDEAIDHIMGLLG
KEWYEEVTAEELAAIKQAMFAIGECGMPMEQARCIECGARIGGRDHQAVDGVTRAEEMER

>RCO7_07721 | uncharacterized protein

MPKAIHELLRREIRASFNEVLLGLFRLLQEDDYTDGGVTTGVVMSTYPRAVEIPEERHDNDEADISEIKIIPTEGENRSNHAEYLPSTNLDMPHFLS
DQAQRHLDTRFRLLRHGIFGELKEALAGLILTAEQNFSLIENPWVNLGNIRAYSYPKTQVQNLSFDHRRGLGVQLSFPQPTAARKKSESQRCRWWDD
SKRLEEGVFLCLLSFKGEGSSSLLFFNVSGKEIDHKKPASLSSQDNYATITAKLASNCKACLEESERPGYGRKSINVKAQTTLDRGQCQALVSALSY
EFVQIQGPPGTGKSYLGMNLMRVLLSAASTADLGPIIVVVEQGGFESVGRHPFDIWLSAQEWYDGMDFEATEVEQLLESADRSGVSVIAPPGKQRLA
EYWVSALRKDLSDHLYESMRTTEKLRQKLTDVHDEVDHRVLLTADVIGVTTTGVAKRIKTLQHVPCKIVICEEAGKIINFGLSLESPTGAPYQSDRS
QFERLSVGEPGHPPFPVSQLNSQRRKRPEISNLIHSAIYPRLIDHASTCNLPDVVGMRHNVFFLDHDNLQDGGSNDNHQKSHSNVWEVDMTHALVRH
IVRQGVYSSSDIAVLTPYTGQLQALRAKYRREFEIVLSDRDEEALLKEGFVDSDVGASSGVANPQAGKKPLARKQMSELLRMATVDNFQGGEAKVII
VSLVRSNKEKKVGFLKTSNRINVLLSRAQHGLYLIGNAETYSNFPMCSDVLNLLGADEAVGQSFSLCCPRHPDTEIAASRPENFERLSPEGAVN

>RCO7_07720 | related to glycogenin-2 beta

MASDEEDVYATLLLNDFYLPGALVLAHSLRDAGTTKKLAVLVTTDSVSADAVVQLQKQFDFIVPVERVVNQYPANLHLMNRTDLHSTFTKITLWKQL
QFRRIVYMDSDMVALRAPDELFDLPQPFSAAPDIGWPDIFNSGLMVLNPNMGDYFALLAMAERGISFDGADQGLLNMHFKNNFNRLSFTYNVTPSAH
YQYLPAFQHFQSSISVAHFIGSEKPWTQGRETHRGSTPYDQMVGRWWSVYDRHYKESSVESSREGSSSIVQYHTKGEFRPVVPIVSSGQEYQPEEIE
SERSKPKPEEQLLDTTPKVLIEVHEAYVPPVQTNSEKEKEPEPVPEAQVQYSAWDASKAPPPTDSRPEASNFPSTHYDMSSDPTPFKAPERYPDPPK
NMYYEVPKTPTYQKPTPIFPWEKDAPKASRVFLEDNISVVTAGLTSKDGASQKGVDEGNKTPTTVSPTTPSISISPVDPWQTYARGNAWDDVPEIER
YIGNLQKNRKGNIQVLQGYGSGIEQVSSPGARRHSIRLTDFPSEYDRPSLPVTPAPIRRPTFWGEERDKEGDLPTAEGVPSQEDWDPLAQLEQLARR
QSDVLASKLGGDQSPPREIPLRPLPYGSEGVVSPTYVAQAPSSGTSGSEETPRTKIEEPSFHGPGALFDKDDRFSSKGSTQAPLGPSEGERDALDN

>RCO7_07719 | probable mitochondrial Fe2+ transporter MMT1 and related transporters (cation diffusion facilitator superfamily)

MAHNPDVLHSITMKPHPFHLYPNRSDHSTRTHNPTQPTPFSKPGASTAVEAADTEDHDPVSRHTVITMNDVEDQRLPRYTRENDPYRLASAYKNESE
LQLIGANTSRKRDGCGPIKFNGDAKKARQIQKFYETQNENIERMLKPVEDHCADAKAEEKDDRVKFQIAVYGSFGANIILAALQIYGAVTSGSLSLI
TTMADSVFDPMSNITLILTNRAVKRVDPNRFPSGKARLETVGNIVFCFIMTTVSAILIAFSCRELSVPPENDLKKFHLPSVIAVATAFVTKLALFLY
CWALKDKYSQINILWQDHRNDLLINGFGILTSVGGSKLKWWLDPMGAIIISCIITSVWLHTAFSEFLLLVGVTASVETQQLITYVCLTHSPEIEGID
TVRVYHSGPRLIAEVDVVMNASSSLRDTHDVAEELQIKLESLPDVERAYVHVDYETTHKPEHAYKKDI

>RCO7_07718 | uncharacterized protein

MSGKPSKTNRSSTQESAHDYQQQRGNQGYEIIKEDARVEHWVQTRRPPPHERPPPLSEDVIKKLEDIPGLEIVNRD

>RCO7_07717 | probable beta-glucosidase 1 precursor

MGRVSLLPAFLALLSFSSGLINRPNFAAGVFAPDNESLDIERRDDVPKGFVASPYYPTPAGGWVGSWTASYAKAALVVANMTLAEKVNLTTGTGLLM
VPSTLSNPLGFNIWDRIFGRCIGNTGSALRLGFPSLCLQDSALGIAATDNVTAFPAGITVGATWNKALAHARGAAIGAEARGKGVNIQLGPAVGPIG
RKPRGGRNWESFGADPVLQSWGGSETIKGIQDMGVIATIKHFIANEQEAYRMDIPPHGLMKALSSNLDDRTLHELYAWPFADGIRAGVGAVMTAYND
VNGSASSQNSKMINGILKDEMGFQGLVMSDWLAQIGGVSSMLAGLDMAMPGDGGIPLLGVAYWGYELSRAVLNGTVPLDRLNDAVSRIVATWYQMGQ
DKKDYPEPNFSANTADASGPCYPGALFSPTCQLNEHVNVQANHATVAREVAREAITVLKNVNNTLPLTRSSVLKVFGTGAQKNPDGINACNQRSCNK
GTLGMGWGSGTANYPYMDDPITAIKAKAAKVDFWNTDSFPSGITAVTGDMAMVFITSDSGENQYTVEGNDGDRKESGLYAWHNGDNLVKAAAAKYAT
VIVVVHTVGPILMENWVDLPSVKAVVIAHLPGQEAGASLTDILFGDFSPSGHLPYSIPKAESDYPASVSLMEFQAFQVQDTFSEGLYIDYRYLNKHA
ITPRYAFGHGLSYTTFSKTSATISAEKPLTSVPPARAPKGPSPAYSRAIPSAAEVAWPLGIDKIWRYLYPYLDNPQSISTKAFTYPVGYQITPQPDP
VAGGGQGGNPALWDEMFSISLKVTNTGTVAGKEVVMVYVQYPSDNSWDTPIIQLRAFEKTATLAPGANETVTLQLTRRDLSIWDVISQNWILPVSSS
KPFTFWIGNSSSGLTLACESLSKTCSGGRTPPVV

>RCO7_07716 | uncharacterized protein

MPPQLLPASAAAFAPRATSVNVVLSSKVEPWLTQTLKRINRVKRPLNSVPQHQRCLTETLSSSTAIWTLTSLMVAKAPDAELRKDENPLIEALFNHQ
FLHIEAYIVHVDMVLRNEVAFKLTPDSIEALIEYHQDIHCVDISASTYNWSEKELQVKKMHEEFIQAINKFVYRTHVTALEGLEEDGAGELLCGKSE
EVKTSIMALFRPLLPPPPRIIDVVRQPPLLPSLAAGTSWWSQSNLSASIPAPVDSWRVIPSSPSTTSSMDSTSLWANMGIHEMQLPSPTPSYSQPYS
TAGLYYLSPMVSAPISPLPLPSMLAQQQCGISVGYGNFGHSWDRYQDYATSM

>RCO7_07715 | uncharacterized protein

MKERKQILRNKQNKNNKERTNEEYEEDEEMKVRKRKRKRKRKRKRKRKRKRKRKRKRKRKRKWKWKWKEKRRRSRDREWIKVAPEREGRRDREGGDE
YEETPTGFCIAGSWWIVGRVYISLIFSFCFSPRIASLGAVSSPNQIPLMPMAPAVPGTVGASLLSFTTRRLLACRRVLVFLVSLREAGLVGESGEMK
RLFTQFIRRSLRDAHEYESTLVFPSHFWHLTGRWSGARDSSLDQALLCF

>RCO7_07714 | related to nasopharyngeal carcinoma susceptibility protein LZ16

MAALHDALKSLGPLEMTDTPVDDMKPFLRDAFSKGQLLVDSVPMPGVPEGVASPEGRSHASSTASSASDISLSHARSDPPNGEVAALQKEWKTVKLN
AKDNPLGMSVYKLGGKDGKGTWFARRSVHEGLGFTKWKKGLEREFPETLKVQGGPGEGNIRGIGGERRVEYLNAEGVGKVEVYLLSAQFPGPTAPRD
FVTMVITSDQALSDTSGGDKDVPRHFMVISRPCCHPDAPPREGYIRGQYESVEFIREIPIHKIPKKSSSTSNLPATRNRAASTLSRDAILRNAKQSH
SSLNGESDTTAVNDVASSNHEEPKSEARARGKTISFDMSRGSDAKGDNMDIPREDDESECNPIEWIMITRSDPGGSVPRFLIDRGTPAGIVSDATKF

LDWACAKDITELESDDGAGLDANGGVDKNTQSHQRQKHDHDRDLHNFQTNGHLVGIEEATASVTETSRSHALHVKPQSEPNLDQGQTNGGLYGMVVG
VAGAAGGFVAAHTPAVISSNLPRATEETSIGGSRRDSLSSISSNSSAGTFASAMENYGERGIDAASFITTESSAQQKATALQDRELQKLEEKKRRLD
EKLSRTREKELSKKSDDSVKEEEAIRKAEERHEREKKKQEEKYKREVEKLERRKEKEERKAEDRRKKAAEKDEKSRLLREVEELKVEVSILKKEKEI
LRGQVGDLQAENTSLAARVGKLGPQGEEVLRDVRAEVGRTGRLRAGSLKGLTRSSSFRSSSSGEKSVENTSSPCVTSDP

>RCO7_07713 | probable Snf1p protein kinase interacting protein (SIP3 protein)
MSDAVVQAATPIPQVAKPLSLIPVGLKEASLDSPSYRATAVHFSDQVEIIEKWLDAYVKSISKLVHDVSSLEETFNAFLLRSVPPPNVSEAVLDHDY
TLLAMKRFGEGSREWWSQVISGMKKMDSNIVDPIKSFMTGELRNFKDARRYLEQSQKTYDNTLARYVGQSKTKEPSSLREDAFQVHETRKAYLKASL
DFCLLAPQLRYTIDRLLIRVSSDQWKEMRRSRENGGVSFARWSTEMDRVRGWSREMEAGEGVFRRELQIARREIAEAASQASKPSRELDDYNLSTVV
NLGTKGPSTVNIPQGKEGARSEKQGWLFLRTISGKPARTIWVRRWFYVKNGIFGWLVQGTQSGGVEEGEKIGVLLCNVKPAVQEDRRFCFEIMTKSQ
KILIQAETQGQLMDWLESFEVAKNNALEASAKDSYSHPGGLDPAFAITPPSIPEFAAKTADGHVARGSDDLAGAGAGAGAEKVGALPLPGPEMGSLA
SRSSVDVSATRRSVTTREDGESSRDHATRIMQKLDLHRKATIAPADLPAAPTPVSSGGIASLISASHNILPVYSTAAIAQLGSSNPARSQTLPLNIP
QTTSTLAPLTLANPPAPTNLSKSAVIVSGERGIGVGRSDATGGMPSGIMANLWGSSNWGYINRLEKGEIKLQASNPSVPPSPMIKPLEPSLRLGDEN
RKPDLGVLETPSSMGSLTDALVNPVSHRRTTSVEVESARLQSHFAPKAEVFPSNYPLALKTQEAQFRMLFPNVSRDDKVLLVFRAAWNPNEQQEFPG
RVYVTQHDIYFYSHHLGLVLISGVSMGSITEVTAAPGKDCDFIFLHLSEDASSAYTRITIKTFLEPLRLLQTRLNYLIDVSQSKEPFSLENTITALI
KMENYDPMRSPSMESWEDVSVNTPVDDGTLTGGSRKDRDLRATIHVERGLHLGRVNKEVTKFQLPSHPIFYEPRDMQRKAIERQFDISPKALFHVMF
GDKSSIFQLLYNERRAQRIAQGPWIANEGSPLRRDFHFQIDYVDVFRRSRQANVVDYQVIEVMNDHVCYVIADFKTPWHLPHHRDFMLVSKIVITHV
AKSKCKLAIYTKVAWSKAPTFSKGLVERQALDDSALDADDLVDVITDQVRKLGPHSRTKKAINIFGHVGQQTSVSLFSATESGQSRRPQIKHRTLTN
MLMETIGSFGESAISSVMMWTFAAIRKLWEISSAHSMLGTALILSMLVNVFFSSRDTSEWWSQRSAAKFMSRIGVGPNPVMGKAIFLRDLNDALVIL
PTGQSDQLGSQCYDRFRDIVNVTDLDSTYQKAGTLLSERATQSTAKRLRRTRQHLASYRHDLMIALRVVNNVEREIIKAEWENWLLDENQRCRQAQA
LLQRDGASNPSKEAGAQQILETRKVDSSRRLDELRRWHEDYCGSCRLEQEKLLQPRI

>RCO7_07712 | related to nitrate assimilation regulatory protein nirA
MSSTQPLHPSDSSESDPRNLEHLLMEFGHHAQNAALATPPHVHADVVGNPQFANFSFSYDAAASSHSGRTADLTVDTSDPYGINAFSTGSASAHRHS
ITTLHHDHRNSVASLPEDPQDSITPMTAVPRASFSNGPLGRTGNASISDGSEDASPASNRAGGLLDGAYNDGSGLGSGAIDGSDLGGRAKEDKNDPN
PPWSELKTKAGKERKRLPLACIACRRKKIRCSGEKPACKHCVRSRIPCVYKVTTRKAAPRTDYMAMLDKRLKRMEERIIKIVPKEEQDVTVISVTRA
VVKPGIPGSTTVKNANGKKRPADDAFAQELDHWSKTVSTSNIDGGGTKPMPLMIQEAEENRLSTEGAEALPSVELQEHLSEIFFENVNGQTYHLLHK
PSFMRKLRAGTVPPVLILAVCAISARFSTHPKLSTFPAFLRGEEWAAPARSIVVRRYEWPNITILTCLLILGLHEFGTCQGGRSWSLGGQAIRMAYA
LQLHLDLDYDPHKLNGTAQLSFIDREIRRRTMWSCFLMDRFNSSGTDRPIFIKESSIKVQLPIKEKYFQLDMPGPTKNLQGEVLHPINAGEGQLSDP
DENMGVAAYMIRSIALWGHIVNYLNLGGKDQDKNPMWHPDSMYSRLVKQTEDFESSLPTHLQYTPENLHTHETEALANQFLFLHVSVQQNILFMNRF
AVPVQPGGRPPPDVPKDFAAQAGVKAFRAANKITALLSDGESHFITAPFTGYCAFLSSTVHVFGSFSNNPAMEAASKKSLAINIRYLTKMKKFWGMF
HWMAENLKQQYRACADAQNQGASANASSKSSSIFQYGDWFDRYPHGVSKSDFEDPLSGVKKEKGDDAVLGEKSGLHTVEQFFDTLEAPQTTHDRDHD
KNMRRKTRKRQSSRPEELTLTPVDTDLSHMRHGNVSTHQNVHQVTPGYNQMTPSTPLNMYHPQQTYYNHEVMLPPHQQGILPQLDRQLVFGAYANMD
TTTQNMLDGQGWQMGGGMSSFTTEPTSAWFMPFNMEPPDMGHEQDGFHSMGGAYGIGGMIDNNGNMEGHTNG

>RCO7_07711 | related to KRI1 KRRI-Interacting protein 1
MAKRKADSLSQTQASESSSSKKLKANVPAVEKKSNLLEDSDSGSTSDPETEGGVKVEEPDFRINKEYAIRFEHNKKREELQRLEEKFASDTRKAKGQ
YGDKYDEESESSDDEEEDDEGILATEELDAQISDALNAIRSKDPRVYNTEATFYRSIEENSGDEEAIKVAEPKRQKPMYLTDYHRENLLRGHTGADE
EDEAAPRTFVQEQEDLKKTILKEMHAAADGSDSEASEDGGFLIPKTKPAASNQGATHPSRLAKVKVNLDISSADKNPDTFLSNFMAARAWVPGDEAR
FQPLESDDEEEDDRADRFEEAYNMRFEESKGSNEVLKSYARDVIAAKSVRREDPSGRKKQRDTLRDKIEASKKEREEERAQLRRLKIEEAEEKLKKI
KRAAGLRGRTLKGEEWADFLDDGWDDKKWESEMNQRFGEDYYAEVETKSDSDNDDEAKSRKKKVKKPKWDDEIDIGDLVPEFEEGDSKQPDFTLSDS
EFSDDEDDTAPRESKSKQDRKQGKQSEKKVARLERKQLEDLVDSKMDLDLPTKSKQPTVFRYRETSPTSFGLTARDILMAPDASLNEFAGLKKMATF
RDAEKKRKDKKKLGKKARLRQWRKETFGNEDGPEIVLKTDQPKAKLGDEMDIVEGGRKKKKRSRKNKGILQPE

>RCO7_07710 | probable VPS21 - GTP-binding protein
MAEATAPKPSSSVKLVLLGEAAVGKSSLVLRFVNDDFQENKEPTIGAAFLTQKCNLPTRTIKFEIWDTAGQERFASLAPMYYRNAQSALVVYDLTKP
TSLIKAKHWVAELQRQASPGIVIALVGNKLDLTNEISSSSSNLAEDEDGDVVDGEDADGDARKVSVSEAKSYAEEEGLLFFETSAKLGTNVTEVFTA
IANAIPETSLKGTRGPGVSQTTSGRNEDQSRVNLTGPRDAASKEGCAC

>RCO7_07709 | probable SCS3 Inositol phospholipid synthesis protein
MDSPSVTLRRSHRIQQLSSSPGATDDSSPPATEANAIPLSSSKMAARRSPFLPTTFESILLSVYPITLLAGSLFGLLDPAARASPYNPTTQSHFANT
APSYFAKKSNVFNVFFVKQGWAWVTFGYLFFLFTHPAIGPAALAVTPKRLRGLLRYSIVTLWWVFVTQWFFGPAIIDRGFTLTGGQCELVEAADAGH
LEMDTTRQFVTGVACKAVGGKWSGGHDISGHVFLLVLGSMFLFEEVFHVVLRAGGAKEERTIIMNDGAVKSADVEARLEKGVDSSSEWTLAARTVLG
IGALCLYMLLMTAAYFHTWFEKFTGLLVAFSGIFFVYFLPRVVPALRDVLGMPGLISTHAPTVYWLRLFAPKLLGMTHV

>RCO7_07708 | uncharacterized protein
MVSRRGNTQEIPGTDLPPSTKPTTSRGRTWAHTPSNLAIIWLFISLPLVAWDVGYVMLRPLSMPGGSLHWPLWVPYELYGKVDYIYGWKAFNERNGF
TAAQTLLNIVETSMYMYYLYILFAFGRQSHAQGRGAPSQSKVGFQGQQRYVDGQKGAVAVLVAYSAAVMTFSKTVLYWMNEYYSGFENIGHNSIRDL
ILLWIIPNGAWLLLPSYMIYMAGSEILQGLTIVAGGAVSSSDDVSWIKTE

>RCO7_07707 | uncharacterized protein
MKASTVIAILSASAPGVLAVTRYDDNFVPKLDPSLLNTPAYARFQDKTVVTLVADHYDNEKRDVEPDPNRPVTLQDGLVFVLQCTQAGFRKPSCVSF
GAKPGACVSYFDFQSGNDTSVSDTFNNRVLSISTNTGGACQFYKYLFCDNKGDDRGLTVDYNYDISVAPADDPRVPEYVGNITSYRFLDCDVKGDDR
GVTISYNYNLVESSVAGQDDYSGDYASNITSYRC

>RCO7_10543 | uncharacterized protein
MASILTSCGPAPPVAIYSDIQTGFTAIQAHARAYSYTLRQRDIRLFRALFICDRAGKYDPKGKQSDVDASKRRKNTRSKKCDCQMRVTLIKDRASEQ
WEVKVLEATHNHAASADITAYLAYRIASLPAETRVTISSLAKAGVLNAQILSALREEAPGANISLLSKDISNLV

>RCO7_10544 | uncharacterized protein
MKISVIFTGLSLVTATLAWPYAIVTSRSLGEKRDIESVDRRDIESVDKKRDIESVDRRDIESVDRRDIESVDRRDIESVDKKRDIESVD

>RCO7_10545 | uncharacterized protein
MSQKSKWCDTFSGSSLTAAARLLSTPKKNYDPIHNAAESFDPQEQPEFENHLVSDPHAYRRLKRLLVLCIGFGSGCIIFSLFLLGISGLLLRNALNQ

SQRHDWQLAPNSDDEPWIPQNPDSSCLAFEASGSRGCGHTPTEAVAQGCIFDVMTTSWQHPDCYDEDLNAEIMALHAPWPFYWSSGPPNERPTAPEM
LHLIPLEELGFYEGTFWATKEYHVWHCIYAWRQMHRAVEKGRKLDGFLRNYEHTAHCGRLIINATDHSGNGAGIAMESAVTRASIKYPLC

>RCO7_10546 | uncharacterized protein
MFSITGFLRSKRAYKALPHNEDLDLEEKDICPSPLLISRPRSSHSYFNLLPWVLCAALSVALITMSITHHKFRHQNTYETGFDTELGPANSVLGLTK
VKFYGGVQIDPNGTYYLSSNPAEPNYVGPSSPELDETWDRMLLHQRYLGLTPEEVSRTDFKVDEKDWIFDLYWVSPNTFHSLHCLDYMRRSLDREYY
TDIKELPPRPFRMTHRMHLDHCIEALRQTLTCSLDMTPVPRPWIPQAGIYHADIDQWHTCRDYSSVRSWMDWRNRDEKDADFINVTHRYKDRDALYA
KFNPW

>RCO7_10547 | uncharacterized protein
MASIHVTITPRYDLLHNVKSLHVKMHIESLQFKAGETILTFPSAINSKISTSLASDLSQTIDDVGVLPVRRQGVHSSANCEWIALRDTSGGVKISYE
AEVLVSETLFDDGPTTDLRPDQGGLIGSGLSFVAIPAGKETFRLVVEWNLAAAPEGTRAVWTFGEGPGPVEKIGPASLLGDSVYMVGPVHGTPATPA
VEPSSASYGFYWFGKLPPNVEVIREIHEAFFLKVSRFFNDSPSVSNPYRHFVRYNSAKKAFGGTSFVRSHIFDYDDQIAQVHDYDLVRRMAHEMVHS
FLGPSVTNPDIDWIFEGIKHTLSIYLPFRPPNQFRPGHYFQETLSMLCMKYYTSPYLEYPLNTLLELAAKDDAYAIEQVETRAWAFVIGTDFAARKL
VEKTTPPQRPIEDLAIKRLAIKKKQGEPHGINQWLDLLTPLMGGDARRRYEDMYRGEVILLPVEVFGAKSHRLVQCDQEILDLGMDRASFEQGMVRA
IKDGSRAMAAGLVDGDRIIWSSHFWRCAENFTAEMKVVVNREGKVFETKFWPRSHEKARCWQMVKVEDA

>RCO7_10548 | uncharacterized protein
MDESESRREQRPEGDKQSARGRGSSVLVTACDQCYRCKVRCSGQRDACDRCVRNNNTCTYSLGRPLGKPPKNGRGRAPKKRNHSPRPKRLSRSNDTQ
ASSSSRGKRPQLDGVCIGGAGGDSEVSKFYPLVRSQILPYFYRVPSTSVQLLRSISSMHSVPLRRSPTPPTQDAGTSGTSRGESSDPIATEVSHLPS
IRRDDDGDIDGDGDIDIDGAGDNAPNPNPELRVLAPRSMTTAAADVALHGFELLEMPPLDMEMHVDVDMNVDLDLDLEGAEMSFDPSLFGYFLHSPR
PDDPLVASTSTSTSTSISTTEELSQAEDANTNVNANANANAALITPPISLSSAGGVDRSGSGPTQTQLPPDLMRLISDLYSAPHSTNPDQRFDRTLL
LARQGLDVVRSSIPALAAPDSPNSPLLCVIIVQQMLAIYKSLQSRIASRLTSSNVSTIEKDLQESVCVGTFEVEGVESRCHVLNAIVNLEVVKLERV
MKQLAKQAEELSKDGNENGNLAHLILVALKACSSTNTKDEYRCKYPYKYK

>RCO7_10549 | uncharacterized protein
MAAEECIPFIPESSAPSSNSSTCHDDDSATLSDVLDAEKGGRYHDNDYSLVALEDFSPSSQKDGHIGFRARLTAYRRNFALGFLTLLALGVLSTVTI
QAIRTSSMKIVAPGRIPGLEYTADGRLLTCGDTFEEAEAAGCKFDIMTFVYTPPACYDEEAALDAVNGDSELAPSRATGVWPWWRYENQTDPLPQTV
EVLSSIKPVWTNNVYHRAHCLYLWRVSHRAMTRVASSPPGGVWVYEKMVEWAHVTHCNKLLNNMEKPESWPAQAVKRIGSCVRLDGPSEAATTGGRG
LFG

>RCO7_10550 | uncharacterized protein
MSKTKEKYSRLGNEDLEEEMSYQPAESSRISRVRMLYLGMEADEEWPLGSSIDASNDFLVPTVSLAFHMTKKYGTYDEEGNRAWDELVPVKHGLFAL
ADPYRYDLQPGHEDKNDENVAWFGVAVFHQLHCLRALRDTVRQLKTGQPARDWGGPDHLEHCLDYIRQGLMCSADTTIEWPVFVKNESGKDGPITGE
GIEHQCRDWNAVRAFGMRSGELIDSLGKQ

>RCO7_10551 | related to general amino acid permease
MSNQFIHKGDEESASGPKDIRNPHPRSISSGSNGFTTGVDDGVGEVNRALKHRHLQMIGIGGAIGTGLWLGTGYALTTAGPAGLLIGFLLLGLAMIG
VMESLGEMASMFPGSGSFPHFAGRFVDPALGFCVGINYAYGNAISFAAELSACAVVLQYWPDNGVSPAGWISILYLPSIVIIAAPVRFYGESEFYCS
IMKILAFIVIVVTSVVVDLGGAPTGSRLGFTYWNNPGPWVQYSGIAGLGGRFLGVLSAIINAAYTYSGAECVILVAGETKNPVREIPRVVKKVWFRI
LFFYILGVILVGMLVSSADPLLVSADDASGSPYVIAFRNAGIPTLPHIINAVILVSAWSAGNSYAYASARTLYSMALSGRFPKIFTKVNRFGLPWVA
AALTLAIGALAYLSISSGASKVFLWLSALTAQGALLNWGSICLSHLRFRAALRANGMEPDDLPYRSKWLPYGSWYGMFCCYILAFLSGFSVFVTGQW
DTATFFANYLSIGIYGGCFLGWKLVKRTSFVKAAEIDLIHGRSTSKGHKEIRTIEKEEDRLKSPLRRAYEWIL

>RCO7_10552 | probable SEC23
MDIEALKEQWSEIEDRDGLRLSWNVFPSSRMEASRLVVPIGALYTPLKEKPESPLLQFEPVICKQPCRSVLNPYCQVDVRARLWICPFCLSRNPLPP
HYKDITANAIPPELHPSNTTIEYRLSRPAPSAPIFLYVVDTCQEEDSLSALKESLVMSLSLLPENALVGLVTFGTMTQVHEIGYTECPKSYVFRGSK
DYAAKQVQEMLGLTSGGARPGMQQQQPGRPMPPMGPASRFLQPVQQCEFQLTKALEQLQKDPWPVANDRRNLRCTGVALSVAVGLLESSFQNAGGRI
MLFAGGPATEGPGLVVGPELREPIRSHHDIDRDNIKYYKKALKFYDNLAKRTAHNGHIIDIFAGCLDQVGLLEMKGLSNSTGGHMVLTDSFTSSMFK
QSFVRVFEKDADDNLLMGFNASLEVLTTKELKVTGLIGHAVSMNKKSTSVGETECGIGNTCSWKMCGIDPSSSYGIYFEIASQGGPAQHQQTPQKGM
MQFLTYYQHSSGQFHLRVTTVSRNLSGPAGDPAIAQSFDQEAAAVLMSRIAVFKAEVDDGPDVLRWVDRMLIRLCSRFADYRKDDPSSFRLEKNFTL
YPQFMFHLRRSQFLQVFNNSPDETAFYRHVLNHEDVSNSLIMIQPTLDSYTFDQDGSQPVLLDSTSIQPTHILLLDTFFHILIFHGETAAEWRKAGY
QDQEGYENFAALLEQPKEDARDLITDRFPLPRFIVCDAGGSQARFLLSKLNPSTTHTTGAYGGVGAQTAQTIFTDDVSLQTFMDHLMKLAVSGTN

>RCO7_10553 | 60S ribosomal protein L12
MPPKLDPNEIKVIHLRATGGEVGASSALAPKIGPLGLSPKKVGEDIAKATGDWKGLRVTVKLTIQNRQAAVSVVPSASSLVIKALKEPPRDRKKVKN
IAHSKSITLDEVVEIARTMRFKSLSKELKGGVKEILGTAFSVGCQVDGRSPKDVSDDIESGEIEIPEE

>RCO7_10554 | related to UDP-N-ACETYLGLUCOSAMINE--PEPTIDE N-ACETYLGLUCOSAMINYLTRANSFERASE
MIPQVAHHPRPVSQQFGTQGFAIPPFDPLQQPRRLDRPAPLPFRSARNDGSSLAPPHRAYPIENDEAALRSRAAHGGFASVSLGGQYVQQHQSEHML
RRKTPSGTLAAGYDGTPVQWSGRAPAFKHVVLPVSESSSNNTGMYSMSGVGHANTRWISSSLGNNYQQVNHMTRLTGDGHDLQLNSGVPPWAQAQFP
TLSSQNVWDYIQTQRPPGLYPNNGMQIPTVLQPAYQPSPGPTASDDAGLYGPYWPDGRFVPYRPAAVRDDGGNSNNVPSMCQGSGHQFLPSAGLLPP
FQQLSFTDDMNMVGRNHHATTSTRSGSVAFQEKFYNFRTSTHTSNGHATTLYPVHDDCRTPTAQSPSSASNPRIKEKTLSWAHGIYVDLLASLHQTK
KESRKSRHGQGFRTYSKSSIYPKPPRQPASVLGSTNWSDTDASESNSSGHSNNPMSAQTFSQNPSATSSNAWHRRGELNDLNNIRPPNQDMPHYMSP
FQTYPQAPISPSSKAREALDTLATLCAESGWQWIDGMLLGGCLAYGLEEYKKALDWYTKIIALDSMWVEPHTNFPDAGLTTAARHVEAISNLAATLL
CLNRREEAEQYWLRSVKLRPSYFEAVEHLIGLLCGDHRGTEAVNIIEFVERSLRLPRPEETFDYFSETSSNADRESCGSNGTLAETIAFDFDLGKKT
FSSPQIPESDDLSTYPGFGSSGFSIPGSDSGRMLALVHAKGNMLYALGDINGASKAFEEAVLISTGGCFRGIQDLIKRIVNVLSIDGLHPLRPVIKP
PTTSISSSPLLLPPDRALQTARLVFTKNGELPGLCHVPGGLARRAAVSTTSNSLLSLAKIFQDAMSNSSSRQRISRMPNGVGDILALYYLSLSLQPS
PSTANNVGILLASVQQPPSSRSLESRDSPAQPAIPGVVPGSGVALALAYYNYGLNLDSRHAHIYTNLGSLLKDIGQLAAAITMYEKAVACDGSFDIA
LANLANAVKDQGRISDAIGYYRRAVASSPDFAEAVCGLANALNSVCNWAGRGGVILDGGRQDRWHVDETGMFRDARSTGQGSGWMKRVVEIVAKQLK
DGSTWGRGILMDQAHQTFLQQLETADSEERWPAEKMKSMQETTGSWAGQRWEGSRVIRMIERATKRAMHRWYYDRHVLKRHLPPSQYPRPRVPGSLT
VPTAPTVLPFHTFTCPLSAKDIRMISQRNALRISCSTLKASWMQGCVFPPPPPPAPYLNVGYVSSDFNNHPLAHLMQSVFGLHDPSRTKAFCYATTA
SDNSVHRQQIEREAPVFRDSSGWSADRLVHQIIQDEIHILVNLNGYTRGARNEVFAARPAPIQMSFMGFAGTLGAEWCDYILADETAIPHDTLRPWR

RNIDLEDQLLDQQSLEEEGWVYSENIIFCRDTFFCCDHAQSEPRERSLSWDEEQSRRWKMRKELFPSLSDDAIILGNFNQLYKIEPTTFRTWLRILD
RVPKAILWLLRFPDLGESNLKRTAQDWAGENVASRIWFTDVAPKHQHISRARVCDLFLDTPECNAHTTAADVLWSSTPLLTLPRYKYKMCSRMAASI
LKGALPRSEEGRQAAADLIAEDDIQYEELAIQLASGLSYNINSSGYGDGIGRLGELRKLLYDSRWTCALFDTKRWVSDLETAYEEAWRRWVANEGGD
IYL

>RCO7_10555 | related to regulator of conidiation rca-1

MSSSHRRGPWSQGEDAYLVQLVHTQGALNWVRIAQLIGSRSPKQCRERYHQNLKPTLNHEPISPEEGLQIERMVGEMGKRWAEIARRLHGRSDNAVK
NWWNGSMNRRRRIDIRRRTSTHHSSEYEERNQSVHFARPSTHHPLSINSTNFSSRRGMDGPLPSPAVSDASRAESIEIAPSLISDASSVFSVSPRLA
QSPSLDLPPLNSFSREHKRPTLPIIPLRPTNAFLSPEIDSPAYTFTRFQSELKVHPTSAQSPSFQRTDQHYPLLSHSPRTYHPESRAQLPTAPPTPV
QLPPLQLTPRRMNPEYSAERDTRMNLSSLLG

>RCO7_10556 | related to telomeric DNA binding activity

MSAVASKNLYELLGNNHDEDSDKEPEPPVKVIDKTPARTTKRNAPAEAPTSRAPAPTEGRGGRRGGFNGNEGAFRDRNAGSANNRTKPTEDGRQDRP
ARAQGTYDGRGARRGGGRGGNNMDRHSRTVGGESEKQAGHGWGAIEGGAELADEQAGEAIANAEAKEALGGDAAPNDTVAEVEAEPEDNSKSYSEYL
AEQAEKKLALGAGIPEARKPNEGSKQDKKWANAKAIAKEEEEDFVSASAGKAKRERERKQKQTIDIDQRFVEALEQRGGRGGGFPRGGGRGRGDGPA
RGGRGEFRGNRGEGRGGRGGRGDGPSRGARVGGGPPPGGSASINTSDTSAFPSLGA

>RCO7_10557 | related to MEAB protein

MAEDMSIDKKEPIREASEESMDINSPTPEPEAETGAPQEGVTQQKRKGGRKPIYATSEERKQRNRQAQAAFRERRTEYIKQLEDTIRVHETNLHNLQ
TAHRSAADECLMLRYKNSLLERILLEKGIDVQAELRAKTGSPHLGPTHMPNMAQAPTVQRAIMNRHQQARRSNSSIAPKLEPGASLHSPQSRPTPSS
HASSPTSLSPGFLPQGVMTPPASESQMQYQQQQQRLQAVKPQPPRAIPGPSGLLGHAAGGMGASMGPKRPGIGGPGSAGGAPMGTAYYPPSANYQSH
MEHIKQLEQEYDAQADMVDDQETESGPGPYPKPMQSPQQQMPNQFQHLGNHGRQGMRPGEPAQVYTSMTQQLLDPYDPMLDMDPFGLSASMQFPSSF
SFDTSSMR

>RCO7_10558 | related to glucan 1,4-alpha-glucosidase

MSAPPRRRSSRLRTPAKSLSHACNHLESLAERDETPSLASGPQSNLDSIASSPSAPRTPATTARIKPPLSEMHPSKVHQSTTQEPDSGLRLGFTDMN
TTRKTDQPSGLTQQTPSKTGISSPTFDFTFARPGPQLGPEAQRMMDELREEALRIKVKLAAEREEEKRKEGESIGGRKIAQPKGKAGRFSDVHVAEF
KKMDSIAGHPSSFRAQPGRFTPVSKTLKRTQSKAQLDDREDMYKKTEEAAENTNSMERLGNTAPAKRARKHVSEDTSSARPVSRDDNKVLPSTPTMS
RSQSTMLAAITTPTQASLSRAAGTKKTQIPSLSRSPSKPNLTKESTPRAMTKSATTNNLSSISKSESHSFIQSPSKFDRVKSMLRHPSFSSKKPAAK
PTAIPSLKRSPSRPNLDKVLPSVPSTPGADGGLKAVKHVNFTPDTVNKNSATIQNSPSPVKSGIPRSTSKINLGSRLETQLPSVAKSNAMEMEYPSV
SCLPKLGKPSNPVEYPSLSSVRPLPPTPRQAPPPSAPGTFTFRSDHTINFGASPGSFGSSPGQASVRQVRRSVLPSTMPGSFPSGNKENTAPLPSVP
HGMSNKKRRRVESDDEAEEDSERSPKKSKTAAGGHMQGHMLFAPKLQATPKPQTPSPAKKKGVMSLSRLNMLARPKMRK

>RCO7_10559 | uncharacterized protein

MSSSTHQTLHSPPAFSPEPDPTTPDLHSAFICTICWQSQPRGSKPKLLGNSARIVCRACWRAVLDLSICWVCGECIVRGDEVVSLGWCFWHRACFGC
LVCGTKLDVPAGIVDCICQEGEGDGGKTEVDRRGEWGRRNGNHDEAGVTGSTRCVGVELEDIPLCTVCEDETLGESPRYVLERGLETVTKSDGGLSR
SRLDMLSEGLDDTTSGLAFASRSSSSSPRRTRGKNRTEETLRSFVTCRTSNPSNGDDTSPLLRNAGIGISEDGSADERHSHSDIEARDMQSPQKPAD
QTPAKQQTASDIVYVSVLDPLGEPAFRPSRFKPLPKWMNLLPTNVQRRRQRRIMNSPELAAHLKEPREGSGSYASDGADESETDTLASGSITAGRAG
SAKRKGAPSSIELPTKVQKRATIAFDPTPRGDDLPEDAACMATRCAQSSLEFPCSTSHAHPCTHPSRPSTPYPRSPYPTRPSLSRNETTSYFSHRSS
VASIKQQELTPPHSTHFRPGSPESERTISPMKNSLVLSTPGSMIDFAKPSYSSEYLDRYQPKPASQVRYEKHVPREAEPILENIKRRVSGDKDGGEA
SMDGADGGKKEKDKGKGKGFMLGSE

>RCO7_10560 | related to negative transcription regulator

MAPPARVRLVIVKKAGPELEAESGPSHKPLTASSSSTTPQQVAADMAPVGQTDHDVLEKQVKEAIQDLYQIMVQTNAYNLTSRPSSAVLEATIKQFD
SQLLRIHQTASKSSNLPLIPPELIQYVDNGRNPDIYTREFVELARKGNQLMKGKMDAFASFRDVLANEMGVAMPEIREDVLRVVRETGGREEVVGRE
DVVGREEVVGREEETRAEGEARV

>RCO7_10561 | 3-isopropylmalate dehydrogenase beta

MTTHNIVVFGGDHCGPEVVKEALKILRVIEAERPSAGKFNFQEHLLGGCSIDATGEPLTTEALEAAKAADAVLLGAIGGPKWGTGKVRPEQGILALR
KQMGTYGNLRPCNFASESLVDISPLKAEVCRGTNFNIIRELTGGIYFGERKEDDGDGTAWDTEPYSRPEIERITRLAAHLALQEDPPLPVWSLDKAN
VLATSRLWRKVVTEVMAQEFPQLKIGHHLIDSAAMLMVKNPRALNGVIVTSNLFGDIISDEASVIPGSIGLLPSASLSGVPDGKSRCNGIYEPIHGS
APDISGQGVVNPVGTILSVAMMLNYSLHLPAESKAVEDAVRIVIEKGIRTKDIGGTNSTAEVGDEVAKVLKDVLKELK

>RCO7_10562 | uncharacterized protein

MFYSFGNPNAQPPTPTQTPTSGQFPSTTAFQTPRNSSSFENRGGWTPTFAEEYSVFNATPGRLTSSQQHFAEASTPEHSNASTQNRRPSAEDLAPEL
ATHAHHLSTNHSFSLPPIDPSNQLHSSPGPYPITESQFDGHTSSHITPRKPRKRLEEAFSGQTATPPATKSKGSRKLAPKLPTDTMQNGSQDRHYGA
SQTPTHQQNPMSFPSNSAEFYYPMSAPAIAPDFPSTKPFWDPDASMGGMDLDFGHEDPSMFNAGSSHRMSNSLDWGRYNQMFQETVNIPTPTSNIVP
QSEQTTLKRQRTLAPKLSKPTAELLPSTMAPFDFNNVSASEDPFSPLAFGGVNPGLLFGRNDLVPMPSEFQDVSLPPTRPVTSHVELKPYQHQLRES
MRDQEELRRSRGSREDSRTRRLDRGTVSSPVKGSARPGLHRTISESRGRRSQGDYLAMPSQMRQLNSSQDRVSSRPSTGRISPVKHQRPSKLVSIPE
VDGPRTRTEVKFTIDANGRARTETVLVAEKHRTGRGGPSARSEGWESSQYGDESSSDDELILVPSRNSSFSLPQLKPVKIGIFDMSTDQRRSSSGYS
QSESSSQRSFRRDSLGSEAETVVEEDDGSGDAAQALRKVVESRRRGQRNLRNPQHHRYTDSTPRGNSHYGIHSSSTNMSPTTITDPDGGTTPSSTKS
GTTRCVCGNSDSEGLMILCESCDNWLHADCVGLNHRSLPPVYVCAFCARTPNVRGGRIRETAKGTSRLGASPLAHKSFKSFR

>RCO7_10563 | 40S ribosomal protein S18

MSLVTGEKSNFQYILRLLNTNVEGKQKVMYALTKIKGVGRRYSNLVCKKADVDLNKRAGELTSEELERIVTIIQNPTQYKIPSWFLNRQRDIVDGKD
SQILANGVDSKLRDDLERLKKIRAHRGLRHYWGLRVRGQHSKTTGRRGRTVGVSKKKGG

>RCO7_10564 | probable SDO1 Protein required for cell viability localised to cytoplasm and nucleus

MPINQPSNQIKLTNVSLVRLKKAKKRFEIACYKNKVLEWRSGIETDLDNVLQINSIFLNVSKGQTAPSADLAKAFGAKTPVNDIILEILSKGELQVG
EKERHAQLERVHNEVVGIVASKLVDPKTKRIYTTGMIEKALEMLSSQGSQAQSAGSGAGTSATGEDGEAKPKVKEHVWTGVVATKSAKSQALDAMKA
LIAHQPIPVARARMRLRITCPTSILKQAARSGAPKAADDEEVEDKTKGTVKDRILSYIEQVETQDVVGSEWEVTGFVEPGAFKGLGDFIGNETKGQG
RVEVLDMAVTHED

>RCO7_10565 | Carboxypeptidase Y homolog A

MKLLASAVLVGAASASITNQQQIIKNFEAQAPFKDAAKSITNAWSKSLNHLVESMNDMTAEAKAIWDEVTMYFPEEMDKATFFSAPKPHVKKPDSVW
DFIVKGSDVQSVWVENADGEKEREIDGKLESYKLRAKHVDPSKLGIDKVKQYSGYLDDDEDDKHLFYWFFESRNDPKKDPVILWLNGGPGCSSLTGL
FLELGPASIDKNLKIHNNPYSWNANASVIFLDQPVNVGYSYSGSSVSNTIAAGKDVYALLTLFFKQFPEYAKQDFHIAGESYAGHYIPVFTSEILSH
KKRNINLKSVLIGNGLTDGLTQYEKYEPMACGKGGYPAVLDAGECQAMSNALPRCQSMIQACYDSESVWSCVPASIYCNNALLGPYQKTGQNVYDIR
GKCEDTSNLCYSALGWISEYLNKADVQKELGVEVSSYDSCNFDINRNFLFQGDWMQPFHRLVPGILEQIPVLIYAGDADFICNWLGNQAWTNALEWP
GQKDFNKAEIKDIKLDSGDKYGKIKHSGNFTFLQIFGAGHMVPMDQPEASLDFLNRWVGGEWF
>RCO7_10566 | probable ribosomal protein L17.e.A (cytosolic)
MVRYAATEIHPTKSARARGAYLRVSFKNTRETAQAINGWKLQRAVKFLENVQEHKEAVPMRRYAGGTGRASQVWWTGKQFGVSRARWPQKSAEFLLG
LLKNAEANADTKGLDTGNLVVKHIQVNQAPKQRRRTYRAHGRINPYMSNPCHIELILTEGEEVVQKSSAVEGRDAHLSSRQRGVRSRKAITAA
>RCO7_10567 | uncharacterized protein
MSDISCSPLKRRKIKGSSSPAMHSMNTKIKSLALKAVGFPRSSEKKSESVSTWIWPPNQLPVEIFTLIVSYLPRSGVQNMRLVNKEFDRKVSEALFR
IVVVPFRPEIYGITPETTGSHEIPHGSVMLQDQGMRVFQGFGRWIKRFAMSFEIDYCRLARPPRKSDQEVILTFWGPYRWPYKTYNRYSQLEGLEQT
ADETRTMAKALKYICSAKELGLSIDGGLGWLAGPDINQRVAERGDKPAVFGTPKFVPEPKLAAPKVSRPTSQAPPTDSTYHRYLRMVLEAGVSQREA
DAAVQMLQAADHAAILPGDDGSLEASLATTIIQRNYGPAQRLIPAPPVNTTTPIDTTMVTFAGEDLDWSEDLEEDDNQTTTTVSRRNARLAKTLKDD
SLKPNDLTNAQREMLLEMEWAQTAFMQSWAIAIIDNHSTFKGIEKLSIARLPGRHLTILRREDFWDSLPALRCLSLAVIPDWREVKKEATSWVQDSR
VSHSQAVSAVYALFTQQIGRREHIKDIHFEWLCGGEYAPGLFARNQNILAAPVVSSAMNMVNRSQQQDVLDLPHVENLSLKNCWFSPHILKQFLNPM
RKGVLQSISFDSVSLTSRITRGATPGHITQGAQNAQLPQLAAQAVANNFVNLQPNPFGGLSTQVPNQSVTAPHPNAPPLWLEGPRSGSWADILNRLT
PSTTLEDIRYARGYAYEAEPTEPTRLTKLSFESCGYVRVPLDFDQTVLEAGMITPRQPATIKKRITELEDQMMKPLEPSILATIINHIEPVEVQTLE
NAWNMNVGSWRISQPDLVLDAQLDGFQNAGLGRFGGVVEIAGIRASSTRTFF
>RCO7_10568 | uncharacterized protein
MFSPPPREKARASDSDLPEGGCRYIMLHPEVKGLRCACVGFALNRTIPAGSTCDCGHQACYHIPWKEHASVERRELEALRKKIDMLEVGLDRARSGD
RGGFVDRLGRLEELVDRTRGETETEFKSVYRAQSSLFSHIGNLTKRTPYYEDHIEALEDGVQGIRNQLEEMDDASMRLEDKVDALEKTLTLETPMVS
RRRKASTPPSLRMDNDTECSVISEEYDTSLSPTTHESRLPSHLVMTDELSRISSFRERVSSVGSGSQSWTLHVSLLPTSSQPFPFEKDTAAYKRCLS
RGLHQVVVIPDTDAVSFRKAVSDAFANIIHGRPWHPLVARLCDAKNLRGLPMLRQLDDYLFGSSYDADFLQRNCAVNDESGKILDLYIAMASDTISW
SELEDTPSFKPGLEDSWLYDPLLDGPSRKTAAQDLDTSRPAAGDIITAWSPTLKRNVSEISRAPSFGSSEAEGTRPKIARCTETAMKLLERRAEKV
>RCO7_10569 | uncharacterized protein
MGDKGVMQMDEEDEDDADAAISLNPVTVYFGTESTSTGPLE
>RCO7_10570 | uncharacterized protein
MGELHGAVSSLLDAFARGIAIITAHRKRRKNGRIPIDQLSKSAETHLSQSLKQNWTEVRDAYGRIWVDLDLDLLTATVSIVAWIMTSYNPLILDAKK
AEARSSLQAIMFRLNAGFVSVIERFTKGRSNSADYEVLLNLSNSSRLEAISAFQQLSHRLSRPSLALPPGPRKSNYKSSAAHRGKKIIAPSSAKHSK
RAHHSAKSPSEPSISITPLGPASPDRWVRPKAGRKLSLESRSSGPSTPNKQRSSSKPLAPLAPSAVPCPASVTRTSPPRPTNQSHLPSPNSLESHPY
KNEDVSMPAQPHRLHTDVPRADQRESFMSFASDSTKLGEIPEDKWAKGNISEGERFPITPFYPVQPYQVPEKPKSRFMRLFGR
>RCO7_10571 | uncharacterized protein
MSPTHPRYAGKSVNRNEELRAAGLFDVHFHHGVLLDALSPIPSLAKTIPSTPEKSITLPPSYHPSVGGKFLASGPPPPPRNRPSTKPKSPIAKSSLI
KKSSYAVTKDMVRRLKCKKVKTATLLCNRPAWRPSPRLPDQMEFATSKPGTSWTRYEHEALYVLLVAQRNEEIQGDTSVVPLKDATLFTKMVAELEA
HFGVERTSDSARVYWNRYGRQKSGWDERCGVEPGCSLVTSAQGSKAACDVAPKKVFKRLYQKRS
>RCO7_11713 | uncharacterized protein
MYLIIPGIYTLYLIHSLYPAYSIRVTIKVLDRVLLLPKSLLELALFKRSIEKVFKELEFIKADLDILIVDSAKSGLIEFIKKAIFKAIISNTKGKRN
LPSSLEIASDLDTPRLSLKKATLVNLNKKLDIVVLILDIPDLLEAPETLGEKANKVEVIEKLEV
>RCO7_11497 | uncharacterized protein
MRGVEEEELEEEEATKEEKAPKEEEEEEEEIATKELEEERESTMIYKVRIFYDAYLRAEILPEEYNKAFLLMLKGAAL
>RCO7_10572 | uncharacterized protein
MSNMDMDIEMDIDMGLTDDLGIPEIELLPDTTSFSGLQEPQPILNTPNDISDSNAHELTPSKVHLRGLDNLTDKDIRAFAAEYYGEHRLQRVEWIDD
TSANIVYDTAEIAKAALMAFSAVEITDVSQIPVLQTIPAKSFPLHPNTRLEVRLAVVGDRKQAGARDRSRFYLFNPNYDRAEQRKRNPRGPRTYRDR
EDGGYRSQRYDDHEQQKRERDADFDASLYDDDEASLAKRSGGNYTHHRSSSNSETRRAQSTKRDKELFPERGPRSSGRLRDRSASPVRDIVGDQDLI
EDRIAERRRQQQAAVSNRLAAQALKTAKQLDPDAPKELFPSKSSPSHRRSHAFDAADPADDAADLFSRIPIPLTDGSTDSRSRGGSLASRITGKGSK
SSGFSIRGTAMVPPSQVFNIKGAARVKELFPATLGDNSGKELFSGRLEGRGGRRQKAEDLFS
>RCO7_10573 | uncharacterized protein
MSDWLRPVFGRRVQASSSSDRPSSVSVDESAGSEDGIVPAGTPRLRPTSRVSSYLGIRPSTPPIPQTSTPDTVYSSRDPESVYHEPSQDQMAEMLKV
VMMNQSFGTAVPVEYNSTISHVLEAYQEMRMELRRREETIEELKESHTKDIKDFEALATQWETKEQNYKTEMKKLEVLLSKTDGGLEKVSLARSKST
VHGSQKVGESIKRDIGTIKARHAARSSKEHSDKDGEEPIDASTSYRYRADRFFKTRIQTDPQVSPKAGRSEHRDTRKLHSRASTSSLSLNEAPTKIG
EAASYFEAANQDLATLAQAQLKALERQRAHEEFGIDLGSSSSESESSTNTYHETFSPVALPRGLGIGYQNPQLDALKRTVSKKPSNLSLKDSFTSEY
DMLSKDSPQQMGFSFRPGDDAEALAQRKRTGQTPRRPASTNPRAQSSSEAAALLQQQNLEPSSHLTAPKGEPRRPTLPSARPSSSRHRSVQDFEGFK
RDESNSSLVTALRDNSSRSSVNGSQNSIQTRRKLSRSSGNSEAITAAALALSSATTAKKSSAQRKSGSDSTDGASQGGSSSRKK
>RCO7_10574 | uncharacterized protein
MAAPILADEVMHTILRIYDNSCDSKQHQTPRAEAAHIADLQAPARSKLNRFVMDYVASFGPSQILESDYLETSSDYVTDWQVFIHGGGDLVWFIRRY
LYKYLIHATSLPAQQLPKQGKYIKAPVLNQALHLWVGSR
>RCO7_10575 | uncharacterized protein
MSPIDHAGDYGVGQSSTISVRNFICTSLYRSQLALDKILDGSGATMKLVMPCISNRAIAFHEGELDRVPMFRPFFGFIQSSSTKSDVQSELSSGFDE
SVPVFFITTIYTLSTAIELFSNCSGIQRAKKVDIVCNELSRFGSGRSVVIGNVRTPSTQVAVMFEETGEYRVHDLVHELQAAKAFSESSKLFKGSR
>RCO7_10576 | uncharacterized protein
MADLLKAKYLSEPLKAKMSEYACFCDECERSQSATECDRGLRQKRHTANVGPINFFRLFTCPDIVTLLVGPNEVRLTAHRAILAFTSDFFDATLYGS
FKKAQSNIMRLPEETPARVAAFLAWSYSGSIETSVCIRTLGSRSPSWLPGVH
>RCO7_10577 | probable xylulose kinase

MSSQDGPLYLGFDLSTQQLKAIVITSDLKVLYEAKVDFDADLSKYGIKKGVHVNEAEREVYAPVAMWLEAVDLVLQRLKENGTPFQRIKGISGAGQQ
HGSVYWSKTGEELLGALDPKESLVGQMKAAFAHPFSPNWQDGSTQKECDMFDAELGSAEKLAEVTGSKAHHRFTGPQIMRMHKNHPEVYRATSRITL
VSSFLASVFLGKIAPFDRADVCGGSLWDIQAGAWSEPLLKLAAGEDGLDSLKQKLGDVREDGGGSMGSISSYFVQRYNFPSDCGIAPFTGDNPSTIL
ALPLRPLDAIVSLGTSTTFLMSTPKYVPDPAYHFFNHPTTAGLYMFMLCYKNGGLAREKIRDTLPKSTTADSWSTFNSTALSTPPLGQSSPTEKAKI
GLYFPLPEIVPNVRAGTWRYTCSSSGSDLKEAQDWGSEADTRAIVESQILSLRLRSQKLVNSPAAGLPPQPGRIYLVGGGSLNPAIARIIGDVLGGA
EGVWKLDVGGNACALGGAYKAVWAIERKEGQSFEELIGERWRESEAVEKVDIGYREDVWRRYGDVLRTFEEMEHKVLEGEERNK

>RCO7_10578 | related to mitochondrial iron transporter

MAGLTTTQTRSHAGHSHHHHENTFLTSKNKNDAGVRITRIGLYSNLGMAVAKGVGGYAFNSQSMIADAWHSLTDLASDVLTLATVSWSIKPPTALFP
TGFGKVESLGSLGVSGMLLFGGCFMCLNSCEILYAHFFLDAHAAAEAAAHAHGHSHGHSHGIEGPSIHAAWLAAGTVVLKEWLYHATMKVAKERKSS
VLASNAVHHRVDSLTGIVTLFAILGANFLHNASWLDPVGGFLISLLVIKAGWGNTVSSLYELADKGIDDEVKASVRKAAATSFETIKDGTEIELREI
EGVKSGQNYLVDLQLAVSKSWTVEDFKEVEEGVRQTIGSKVRGVRRIKVRFVAKDDAESTLFDEFISGDISPRASPEPEEHDHDHDHSHTSGNGKKT
Q

>RCO7_10579 | related to sirtuin type 4

MKPPLMRIPYTGPLPAPNIIPRNANTITGAIAALSKFLTAPPSPSLRQDGVGDPTSTVILSGAGISVASGLADYRGTNGTYRVNKTYRPIYYHEFLA
NHEARKRYWARSFLGWTNLYKARPNPAHYAVKHLGELGLVRSVVTQNVDSFHSVAHPELPTLELHGYLRSLTCVTCHNDLPRETFQESLARLNPAWA
AFLMEAMKSGALNTENPDERRAKGMKTNPDGDVDLPGAPYTTFRYPACPRCLANPPIAGDGKQTIVEVDEEGAWKSSSTAGILKPAVVMFGESIASR
VKEAAEQAIDGSGRLLVMGTSLATYSAWRLAKRANERGMPIGILNLGGVRGEDAFFQSLPMGQSGEYGARIELATDKVLPGLVDQLRRTGYNQHKSH
GPEGVPEEQPNRGVFKDMLS

>RCO7_10580 | uncharacterized protein

MRTTVLRRILLAPSAIRASLDPFPQALPTLTRPYSTSPGITKSSFWVSLIPKPLRKSSPTAALKAKVKSKEWNPATFFIWIFLLIGSMSIQMITLRN
DFAAFSRRADARIGLLKEIIERVQKGEKVDVEGLLGAGDAVREQEWEEVLQEIEREGQAWEQSRKSKPKHGKNLEEAQQAIRASKSQATSPKEPLTE
KPKSNAPSGFY

>RCO7_10581 | related to cell division-associated protein

MASLQTTADSVRVAVNSASTCTPATVSILSELLLPKPEAQNTTISNTKKPMKANSTTTKQKTTRTPAAKTRTQKIVVDEEHGDRPQLSPKERSILAT
EIINATLKSLSEAIKAPAQGPVRRQVSSKDLVKSSARKALRRSSSLPQSPLQPRSLNRVTSFPDISSRHSRSSSSASITSSGHRSVAECARIAFSCL
RTLQAAKVPGVDLPPLQLENGMSVLVGKLVSLGLDDLAIKELRILKRRLDSGDGVKKILGTKPVTTSTIQTLAELLDYGKAEFSGAKLGLVITSQLQ
ALRLMTSCRKPKVIEEGFEILHTENSSSPTRLLLLAARESKDQKQTERIVRQMQTLSEILLSLCPSISSSEDALAQECRLSICPEVSFKLQTLALHN
RFIWWGLAGHKGDQSKEILDPFLRCLSAFARRSQIGPRNTYRTAALAVTDIHTLISDCSDSRPRALRATLAGIFRLLSSLAREAEVIDEAVDWTLKW
QKTLDPGVDSEAKRCSVLARLVALKLQVLSKDSKDEEILLSLLEELERPFKGESSEIDELMTEISGVRRSAISVLAQCRVSPGATSKGALSDGICQM
CESVVFLMPRLSLRYLGTSPDTKAATKDILRYEQRRQFINKSALHAIDSGLFLIKMLLGEGRASWELVDSKLQDCALLCDRLDPKSGDVIVHDGSNS
ASYHVRISNLYYTQYLNMRRNPGGVKDGQQMRALRRSIDSIRQRPQQERRMAQFSTKLERMADYCKTTSRYDELFQTLLTLRDELISDGALDLVVEK
ASDQSPKTIWNDDDVASILGRTIHSLLKVQLRYLKGSAQTQLVQELWSTEEKGAVLEHQLDLFSTMSAEGSPAGNLFSSIINELLLAYDPNQYPIRR
LRILIRRLSLDVETDDSIREVLQNELQGSYLANINSHGTNDEGLQGYLDHYKSLAATIIELAKDEPELEVLKQGLATWFSIRSQCPNLADFEKQVED
VAGLLTHLSTIGDYLQMKGLDTVRVAALRLIAEINEFGDGVSIPDDLVLSFTHLGSQWLQLGYSGKAGLAFDRAMGYAVRNGVTSQATLQLHLSHCQ
YLLAIGSTDKVEDSLAAAQAMYADEKDNMQRSRSITHLQHRTKLNVLISNAYLVYSSLALERGSAHIALSHAKQCVRLVRRAWTNIEEQDRRKPSSP
TSGPTDDVDKLTQEVSQLSMSSITLPSTAIHNQASSGANFWALVTPLFRSLNHLASIFAHHGMFQETIYYAEQAHKLAKEVGSNAHLAMASAFLGST
WLKAGVLDRGSELLMEAKQLCSNVKSRDTALLSYHLGNMHGLLGEPDEEISAYSKAEATIESIGTVDYIDSLERVPNHSDQLSGLEDKMVQMTITKR
MVVMARKTPARAKVAPKRKTTTRAKSPVEILSSVAQECPQLMSLTSMIARQKARALVLTKKFADALIILQGIDTGHLNQLEAIDHSLAMAKQHLLHS
LEQMNADPVYSVLQDSTISFPSVTGLAKTEKHGDRLSVLKASPPKKGQAARNAKERAGRKSPLPDSFFDKLRQAQEQLTSIQSIAIAVAPVSVVHTV
SALLNSVAILLSAAGQVKGRSLAHPGLASSSIENARTLALRRERKAIQGDPTALKLNELAWPKLPTNDSRRSSIGHASDLSKFQREYVDIIPKAWTV
ISISLSDSRQELSITKLQAGHSPFVLRLPLGRHNSMDADEEVFGFEQGQAELLEIIEMANESAHDAVGMTGREAKTAWWEEREGLDLRLRDLLENIE
KVWLGGFTGIFSQHARRPELLARFQKSFQNILDRHLPSRRKTGRKGTGPRITLDSRILELFIGLGDASDEQCDFSEPLTDLLYFVVDVLQFHGELNA
YAEIDFDSIVIEMHDALRGYYSAVHTSGQTDEGRHTILVLDKALHSFPWESLPCMDGLAVSRLPSLGCLRDRILTQQKDAVENAPEGHYISLSNASY
ILNPGGDLKHTQSVFQKPLQNLNLSSDITNREPSEEEVKDVLESKDLLLYFGHGSGAQYIRAREIKKLDKCAVTILMGCSSGALVERGEFEPHGPPV
NYMHAGCPALVATLWDVTDKDIDRFAKSTFENWGLFEADKEVSGGRKGKGREKKEIKERSGNMVGSVSLVEAVAKGRSACHLRYLNASAVCVYGVPV
YFR

>RCO7_10582 | related to tetratricopeptide repeat protein 2

MNFFSKSPKKSSKKTSDSDNNDSRPPSAAASASASASSRSRSPTKKSTTPSSSSTKPSKPTTREENYKSGQGSSRSSRSFTKPTTKTPRHPFDPNTH
PLNLPPDQLRRLSARAVNKRTMSEPDRMDVDSDNHNGAPSSPPPQASMPGAFDSPKPIGTPLSSNGEGPVPPPHKSNPTSPVAASPPTPEEAEAFKA
AGNKFYKAKEYKKAIEEYTKAVEAQPSSATYLSNRAAAYISNGQYVNALEDCTRADELDPNNPKILLRLARIYTSLGRPQESLDTYARIQPPASAKD
IAPAKAMLQHINVAEDALKNGTTGSMALHALDQAEKLLGLGAQKPRKWQLMRGEAYLKMGNVNALGDAQNVAMSLLRNNNADPEALVLRGRALYAQG
ENDKAIQHFRQALNYDPDFKNAVKYLRMVQKLDRMKSDGNADYKAGRWQSAIDKYSDALEVDPLNKGTNSKLLQNRALCKNKLKDYNGAIEDCERAI
QLDPSYTKAKKTKANALGQSGNWEAAVRELKELAEQDPSDATMAKEIRNAELELKKSKRKDYYKLLGIEKDADDTQIKKAYRKAAIIHHPDKNRDDE
HAEERFKDIGEAYECLSDPEKRARYDSGEDLMDPMEGFGGGGGMGGGMNIDPEILMQMFGAQMGGGGRGGGGGGFHSFAGGMPGGGRQRGAPQGFPG
GFSFQ

>RCO7_10583 | probable Exportin-T

MDTQVENAIEIAWNPASEQTLKAQAFDFLNQLRTDASGRQACVALFTRTPKCAEVVRLVSLDVVNNAIQTQQLDLQSLNYIKETLWEYVRRTYGSGS
QDQVDPASLQNKLTQTLTFLFMALYKQGWESFMDDFLSLTSLRNNGVRDNFVGTVLYLRILGSIHDEVADVMISRSKDETMRNTDLKDTMRARDVDK
VASAWEEILSQWRGQGDSIVEMCLKVIGKWVSWIDISLVVHRGTLNILFDLAGRINPGNGEDKVRDAAIDTFTEIVAKKMKPADKIGMIVFLNLGTV
ISQLIASPALHDLRTTSSYDTDLAEAVAKLVNNVVFDIVKVLEDTQAESPTRAQAEQLVQIFLPLLLRFFSDEYDEICSTVIPSLTDLLTFLRKAKP
LPPAYAAMLPPVLNAIVQKMRYDETSSWGNEDEQTDEAEFQELRKRLQVLQKSVAAVDEALYVEILSNVVGTTFQNLEQQGGQMDWRDLDLALHEMY
LFGELTVPNGGLYAKSQPSSVAAERLIIMMSTMVKSGIATFAHPAIQLQYMEIVVRYCSFFENQSDFIEPVLEQFVRLVHHSHIRVKTRSWYLFHRF
VKHLRAHVGNVAETVIQSISDLLPIKAEVPSETAEDDMSSDESDHSADAAFTGQLYLFEAIGCISSTATTPVEKQILYARTIMDPLFSDMERNLGPA
KSGDAQAILQIHHVIMALGTLAHGFSDWTPGGSSAVHNAPKPEVSAEFGRAAEAILIALEALRSSFDVRSAARASFSRLMGVLGVGILPFLPRYIDG

LLSQSSSKDEMALFLRLLDQVVFGFKKEIYNVLDSLLTPLLQRVFAGLAEPITGTDDEVQLAELRREYLTFVQIILNNDLGAVLVSGSNQAFFESLV
ASVTTLAETVTSGTGNLAASRLAFSVITRMADLWGGPAIATVGPQATSSSIPPAPAFDGFDRFLIERFHPICWAVLREPTFRPATDAQAKQVLNEIA
GLEQMIYMKTGQMFLDHLQQSFFPAMGLDGTDFIKSMTTSADRKGLAGYLQGFLRQRG

>RCO7_10584 | uncharacterized protein
MDRNEGIIRWSPDLSRDEFTIFNLNNKVCHLYEATGHAQPPPGRFDYKRISKHTELPAVNTYDWSPTVRGLVAVGTAHGEVSLLRLDDNSNACLTLP
LKLQRPCQSVSFNTTGLLAVGLDRVRNDSCLQVWDINERLAGWKSDEKGWSVPSTNSIEPKKKLEGSTSITSIRFFDDQPRTLVAGVKNQSVRIHDL
RDPNSVVINFPTRCNNNIAIDHLDPNYFASSSLDQPGVIIWDRRAGGRSIASPMYLESFDQEEVPWGAVLRLDRAIEIDKNTYVKQLRYSREQRGAL
GVLSSAGQLQILQTKKEFIEPGSSNDVDGSPELLEIKKSYDLEYPYFEHNHRRKYEHRIVSFDWLNLGTSELQGRVIALRANGEFEIVQMPATTANQ
MSQLIPWKPPYHDGDLYLDLMHFADPAEQEKILAPLASIAVKSDVAVFGPERFTTEKMISALYEEVKKSLESTEDLVVDLLAPQSTALGARTSTASV
PESVDDFIQLSLEPKESKRQSAFAVTSSESALFATLSSREQNEKSHFTATSRNPSTKATREHLNHVMLHRAVQGYLFEPKANRDVVVDDPWLQDVWE
WIAGAEEATQDDGMVSMPLDLSYMGVYTIWMNLLGENSQSRLIDSTLFPDSSQWERLISAINNRAGRPNFEGVQTSKPHHRQLCLAICGLLKSSEQL
EEDLIELEKAGKYTTAAAWALFEGVPERAVQILKNGGNELLFIAMALDIKLKNNASLDLYDTEWSKALESHPQMGADPYLRAIYGYITTGNWRAIAD
ARSLPLRDRTCVALRNFSDEKLTEWLTKEMEEAIRTGDIEGIVLAGITDNMVDIFAKYIEKFMDYQTPILVMSFCYPRYINDIRCDAWRKAYKDFLQ
RHKKYILRVKFEQQSTIKSRLRDDTPVIKPPPRQITIRCLNCDANTANDLENSGATANSPLNLSSSTTKININPLTSFGTNAGLSCPRCGCHLPRCA
VCMEIVGLPRSDRPEMSTDDRMKRMANFPTFCLRCKHVQHMDHSIAWFQRHNECPVPECQCACNESRGRERS

>RCO7_10585 | related to rRNA-processing protein efg1
MAPKRKHQETEPEEAVHPSRQFQVPGIPKPAKKPRKFEPPVYKKQAHASSVNAIKKRIRDVSRRLERSENAPADKKLEDERALIAYQQELADAEAEK
IRQKMIKKYHMVRFFERRKAERQLKRLRKRLLETKSTEEVETLKAEMHIVEVDLNYTQYHPLSEAYISLYPNVSSAGGEEEETRGDTGKSKPPIWAE
VEQAMEDRTLRKLRNRTSNAPVRVPMKPKMVDRKPARARARPEPVPVDTTGLNRRERRKLLGVKDTRGKTNPKSNGASHATEADVGQDDGSDGGFFE
D

>RCO7_10586 | uncharacterized protein
MAQQPGNNSISLNFQAMDDFVREQQAIIDQKENVKPVPVKKSKILLDEEDVVIQNEALKEMGDENWIGKLTEYRQAHPVAGEGLDWTEQDMPGKFGP
RFNCAVKIAENNESFGDGKYGFSTKVPFFDSKKIAKKYAAMRAVRWLIQHKHMPDDGSVKFPKAAVSAPAPKTARGPDEPSTSYASQVPDLCVRLGF
TAPRYVITAALPSTPLWNGYADFGADPRIDGKVGEVKDVYGKKAAKEQVAKLVLDFLGDIERQRSGKESLVQSSPSEKDEKKSVVEEEKTSEEEKKV
ENEQNVEKKDNDEKEPEDENNDCDAEDDSKRKRSSSEPTITSIKAVKIGNVSNVAVSLPTCYGI

>RCO7_10587 | uncharacterized protein
MAASNLPFEVKRLIYDHVDLATIKSLRLVSQDWATTGVELLFLPSFVIKSSVKDLSRLINIGSRQKTARQAARIIRTINFWSNDWDPLYLRSIVCSR
HVHLTNYEVLHFVPTVEEQKALEELDGLIQQRTIDKNQGESMETLTEAFKQVPNLQTLHITCPNGFKHPILRKVWDEYNLETYRKPYRDAGPLRFRN
ILSAANEAGLNITKVRHEQFNDNFFITEWDTVNHWNWSILTKNLRSLSLDVNGIHESLNGSCFAFQTEDDTGHEDITSTSVPEMMPLLPHTLEYFAF
RWESLHPFTLDIVATSATNLHTLSLIGIKIPPYAFLPFITSHVPKLRQLQLGNAELGLKLLSYEIDYDWEMILTILRDTFGNSKQLEKFQLSGVIKS
AYGRNTAGVSSLGGPTWMLWPIYRTTDEEWQDLPWSHKRSRTKEIERFVVEQGEWPMVAADDVSDFVT

>RCO7_10588 | related to dual-specificity MAP kinase phosphatase
MATRVPGVAVGGDSFDRPHSGEDARSPSYPEGPILMHEPSVHLYLEPKLEEALNFDVIINVAREVKNPFKVADEREAAGSVKDAKVDIAPAMSDTPP
DTAMSMLSFQTAFEVQPSSSAESSPTTPKPSVERTLPEYIHVPWDHNTDVKDELWDLCELIDSRTKEGKKVLVHCQQGASRSATLIIAYHMFKNQSL
GPNEAYSQTQSKSRWVNPNMSLLFSLNDFKKIIDKKKSEKSTTLRKPTAKHRPTLSADAMEAPPTPTRARGNSTPIISARDTPPAKPEVIHESPLAT
NSATTRLGGFDFGFGNMAINNERPQQIANDWEDLMSPRLEEMTSTQSFSRTFIPEPEPEAVPNLFSPRTFEFPRSSFFPPQPAPLAVSKDPRSPPTK
GEAPITRSIDDFL

>RCO7_10589 | uncharacterized protein
MAPLSSLSDANGRTLKRPFTAVTISTPPSPKRTSTSSTVDFQLRKVGIRAERTLTKSSDLGGRKTQIYPTMPSAAGPRMYENHIPSFMSVYDMDARA
IESSVLGPLSKLSSSTAHDTIQPSFRAQTEEHQNAHIHSHQHTESTSTQASDSTDSSPTTTISTVDSSSLSDPSPSSSPESPVTLVPLSSFSGSSFG
LDSFQSLKMEGLSPPQIPIQRPMTSPSPRRMKNLKSLALNLNPSIETLQTSEPSSPSSPSFIKPPNLTGRRKPSLLSLNTEERLEAFDLVPTDTLNA
KFWPQWWDDVGREEASTWPFKIQGIYPRYENVYY

>RCO7_10590 | uncharacterized protein
MDIPTDSLRDSTASRLPSYRRTDLFLKSASVHGQTLSFDIKVNNSTGTGSDDERLSPIRLSPLQHNRHQSTPLPPAPGSAIANATANPDSSSAAAQC
PQKPRDNENGPRVSRQFTFPATSPRSEPPRLSPLPPASEPSKRTKKIGGKSNPYPPLSMNNRGQAHLFEPVDVDLASSTTNWVKQQMTALQDKSNSA
AEQGLAGHHEQHHMQVQQTPPKQPERRLSLARSQTEPASRPKILPIRGFKGSSQRSTDMASRRSSSYYGDDATLRALEGFDNAPAQSEQQSENNSDE
SDLFLQAAREEELQAKSNAHNGNDLTKSNSIRARAPSSPAYQKYPESRFGQRASLPPSSTPTSYQPPQPRRRGSDHDNSVKGMRTMNEQEGIAQALT
YRPEGRDRPAALEDPNRSIYDAVNSRSNPTTPKDSGGREISPEQPSFNGRRPSVPEANLPQRSYRQSNLSYTTPRTYNSSPLISRTSDIHEMPETPR
AAEGTASTVSTTAPSTVWDELEDLKSRIHRLELTGKLPPTSGAAMSRASHDRPPTATTTVTTISSSPKQRGRGNSISPVETSAEPTPPETHPLLHSA
LAKSKSLLNPEIYRTLEATAADALAISSMMGTSGQPGPISSSQSTVGGNSAVSDRQVRRKADSMCRSLTELCLALSEGKNEAAPPVIAQSTSRPSSR
DTELYPSIETNNTRQLVPTDLSRMKSSPRALSRLEARRSSLLSTSALPSPRYTPSEAGTPTQSSMAGRRTSLLLRSRRGGTEELEEDEDRFRAPSRA
TTEVGRFRSSPREYASQQAPPERNSIVQPVVSSLPVRRHYQSTSLTNTVPAPTPPVSSLGGRRFLDRATPERDTNSLVGRLAEDRGQRKSSIGLSNY
QVGRAGSVNRRSHQTHPNDRDAGQQRQYQ

>RCO7_10591 | related to HUT1 - weak similarity to human UDP-galactose transporter related isozyme 1
MARSKQATPLRREPSSDYTSKVDGTPSRSARNSEKRMNGNENETLLHGSTAEKMLEDNVPGVKEAGALQFLIAVGGIYGSFLTWALLQERLTTTPYG
SEKEIFKFPVFLNTVQSLFAALVGYVYLQYDTKGSATAPIFPNRRIIVPLFLVAVTSSLASPFGYASLAHIDYITFILAKSCKLLPVMFLHITLFQR
RYPLYKYLVVLAVTSGVAVFTLHAGSGKSKPSKAAINPDRNSTWGLLLLGINLLFDGLTNTTQDYIFQSFQPYKGPQMMCANNIMSTLLTLSYLALS
PYLVHTSIGEYLGMDITSGGGGEFSAALGFMARHPSVWYDVLGFAICGAVGQVFIFYTLSTFSSLLLVTITVTRKMLTMILSVVWFGHTLGGKQWMG
VGLVFGGIGAEGIITRREKAAKDKAKKVAEKKEL

>RCO7_10592 | related to coactosin
MSGVDSPEILAAYEAVRSDKDPINYLIISYASAIGDKLTLSSTGTGGVLELAQKLDPSQAQYAYVRVEYANDTESKRVKFVLVIWIGEGTKVMRKAR
VSIESGAVKKVLGHHSIQVDARDKGDLVEKDIVVSLRKAGGADYNGGRG

>RCO7_10593 | related to poly(rC)-binding protein 3

MSSPQDNAPNGDDLADTMNNLNVNNDEGRLGPDGEPLPKTEEEYAEAQLTLRAIVSSKEAGVIIGKAGKNVADLRDETGVKAGVSKVVQGVHDRVLT
IAGGCDAISKAYSIVAKALLEGAPQMGMGGVVSTTGTHPIKLLISHNQMGTIIGRQGLKIKHIQDVSGVRMVAQKEMLPQSTERIVEVQGNPEGIQK
AIWEICKCLVDDWQRGTGTVLYNPVVRTQPGGGPSIGQGAGNGRDSYNNNRVMRTGNGNDFSETAPRSYNNRRSDSDAAQRGPPTHDENGEELQTQN
ISIPSDMVGCIIGRAGSKISEIRKTSGARISIAKAPHDDTGERMFTIMGSAKANETALYLLYENLEAEKMRRSQGNAQD

>RCO7_10594 | related to TBC1 domain family member 5

MRSLEEARLRWQVTTSHAASLDSLKKSVKVDSDVSPCTSGLRSVCWKAFLLFQSTDVTSWSRALDDSRSAYTSLREHFLRYIENPNEVTSALDPLDD
NQHSPWNTLRQDEEIRAEIFQDVERCMPEEPYFRRPETQRILLDVLFIFCKINQDVGYRQGMHELLAPILWVVEQDAIDGREGTIESTAGTDSLMKL
ALDPAYIEHDAFTLLSLVMRSAKSFYELGEPDKRQSTTGSGTPQQGVSPIVERSKRVHEVYLARLDPELAKHLIDIEILPQIFLIRWIRLLFGREFP
FDDLLALWDTLLAEDPGLDLIDMVCVAMLLRIRWQLLEANYSFALMLLLKYPSPIAPNGPYTFVDDAIFLRDNFSVAGGVTIISKYSGKSPAISSSD
SRPTTPLGQSPGHKRAISRTKSPVPSPARFLQQQGGVEAILQGAAKGVFERGERLGINQAVRDAVGEAKKQMQGLQTARNSPRRTSDVMRWSLDEGR
PIPNPRASITAILARNQQLARMLEQAMDDLRIASMSPEGDKEKYVQAMDLAIAKVDFVKVYLEDSTMPLPDLHPAPPMSDPLMAVSALQPAAEIPSK
VGALEPSTSSTKNPDTQATSETVTTESTNLNPVPVVARKTDTLPDQQTSTEKAESLLTPRPKAPVPTRSTIAQSSFSWMLEPDIPSSSSVQSSPPSS
ISPFLKSGRRPTSGPSREKAAFLFGDDGGEPTSRPSLLEDSEGVFNMGTMKASKAKS

>RCO7_10595 | uncharacterized protein

MSSDLLAEFDSFYKPASDKQPTTTPASNDFSFLGTSYQSGTVSHGGQQWKPSAEHPVGSIWGNMNSIKPTVLPQSNSTGQDDVWGSFEVSVPQTKVP
VQPVSIAQANYGDRGTSSASQARPAAARNSTLDVFSNNMDDLSNSRGNTGPRMEVTKTSPAQKPSYDRDILFDADEASAEIEDDDEFGDFETVATPE
PVLKPRPQPQPLPSQSLINMFGATTLKDKTFKRPTDLLATPSDPSPGLPYPQAPKSPSFRERNPFGDMGPILETRQLSNVKNESRPNSTSPVTAWPN
FAPPKPDPYVDSLATNNVEQEWGDFAELPSETPVLKSLRPSTGIEADAWAWDVADGVIAAKPEVNEAPPTNIPPPSVILTLFPPLFDLPQSRLFKAV
ADQPFSLKNRIMSDPSTISFLRAYLLIATVAARIIAGRKLRWKRDGFLSQAMKIGPVAAGGKGGMKLTGIDKSEVVREDREAADVFRVWKDQLGRLR
SAVAVANTSLRDSSSHLAIPEISEAMHVRIQEGGMTAPKQCLICGLKREERIAKVDIAVEDSFGEWWIDHWGHRACKNFWQEHRSNLKGR

>RCO7_10596 | uncharacterized protein

MNANYRDYTGHRWEPVWNDEYLFQAYAPFEDAARHHPVFPDGLIPDKSMSFTKQSLAEEKESTQQKTMPMRANMTRISNTHRPTRIVAEINAATMEL
EASPIISGADRMMEMPMDAFNTLFEGQEIADTPAFVIQDLTGAAVTGLKNQGGLRATIVVKGSEGQVAEASDLLEDYQLHYSINGYAEEHQAAYAPS
YRRGRGKGRGGVRRSGREDGTGGGRGR

>RCO7_10597 | uncharacterized protein

MDKGQAHTQPAGDKPMEGREENPFVARKHLGWCGRFEVDEWYCRCGRLAKCVATTQGRHLGRKVYSCPIRDPRKEEDLQPCQFFLWGDEQEIAKKWM
ELNPTTPRKQPPKPREIRTPKSPKNNGSSKKMNDWLKLGSKRPINDISDGDVSEGKEEGKESDEDFVVVGNEEDKNVFGEENLYDISPSRKPSKVAR
FVSAGQPLNDRLHDDRNALPPTPVTGGRDGNRYFRGRNVSPIPIRLEAAIDLDDQEPLPEGKLDLINKILAVIKADYPDLKASTGIAIKHEIEEEAC
KLQAEIKVCRRTITRLRKEADDWEKEAHRLEKFVVDITAGSFADDPVVLSEDGGDA

>RCO7_10598 | uncharacterized protein

MASSTDSVHFIINPSTTSPSAAHHLIYFITGNPGLIGYYETFLDSLCRLLNSSQGNKNIYHIYGRSLSGFVDSDLGIRKTPYSLEEQINISLSNLKS
QCLPSERNSEPEQYYHSVILVGHSVGSYILLELIERLGKSSPINIPAGILLFPTVTHIAQSSSGGKISALFRIPNFAKKMGIVAKALVYLAPECALK
WLVGIVAKMPREAAEVTTRFLKSRMGVWQALHMAKDEMDFITEDKWGEGIWGFEHEDLSSESQAPKLIFYFGKNVRLRDIHAADWLTTKDHWVADHT
RDALIAARGRENEDKGSSKPVMMIDESGIPHGFCIHHSETVAEKVAVWIKALMTDV

>RCO7_10599 | probable SNF2 family ATP-dependent chromatin-remodeling factor snf21

MASTQSAPAVQQPGSSVPMAINPENTKNNLQKYKAMKDAGVSEKDPEFQKLHQYLTTMSQQRIFQNQRAAFAQQQQQQQMVSQQNGTTAANGANATR
TAPAPTTVPTTQVAATTSLGSSVISATPSLPSAQKGGVQRSTPVGSGGYFSPEQLGILKSQIFAFKCLSKNMGIPHATQQQLFSSQKKSATSIEEVS
EPSASKGDDVKTATHGVDGAIGAKDSDPTKVHEYKGFLSPRTKLLDKIGYSNHQRREARPLIPSIMPSGVNFEKIRQEREVVIYNRIQARLADLKAL
PANMAHLEVRGDKLTLDDSLKRKALIEMKMLGLVQKQRNMRERIGRQMIQYDNLAMTANRSHYRRMKKQTLREARITEKLEKQQRDARETREKKKHS
DYLATVINHAREVNIAANNQRVKIGKLGRMMVAQHQNIEKEEQKRIERTAKQRLQALKSNDEEAYLKLLDQAKDTRITHLLRQTDGFLSQLASSVKE
QQRKAAERYGDGAGEFLDDSSDDDEEEEQDVRKIDYYAVAHRIKEEISAQPSILVGGTLKEYQIKGLQWMISLYNNNLNGILADEMGLGKTIQTISL
LTYLVEKKKQNGPFLVIVPLSTLTNWNLEFEKWAPSLAKVVYKGPPATRKQQQQQIRYGNFQVLLTTYEYIIKDRPILSKIKWVHMIIDEGHRMKNA
SSKLSATLTQYYNTRYRLILTGTPLQNNLPELWALLNFVLPTIFKSVKSFDEWFNTPFANTGGQDKMELTEEEQILVIRRLHKVLRPFLLRRLKKDV
EKDLPDKTEKVIKCKFSSLQSRLYKQMVTHNKLVVSDGKGGKTGARGLSNMIMQLRKLCNHPFVFGEVENQMNPLNTSNDLLWRTSGKFELLDRILP
KYQKTGHRVLMFFQMTAIMDIMEDYLRYRGIIFMRLDGTTKSDDRSDLLREFNAPDSPYFMFLLSTRAGGLGLNLQTADTVIIYDSDWNPHQDLQAQ
DRAHRIGQKNEVRILRLISSNSVEEKILERAKFKLDMDGKVIQAGRFDNKSSETDRDAMLRVMLETAEAAETLEQEEMDDEELNELLARGDHEKAIF
DEMDKERAKDMTYGTLAGSKRIPRLMAESELPEIYMSDGNPISDEPEEIKGRGARERTTVKYDDGLTEEQWLNAVDDDEDSPEAAAARKQIRKNRRE
TNRLKRAGELPGSIENSPAGSRDSTEEPEPEPTPKKGRGRKPGKTEKRKADELDDEPPAKRKRGPTGRPSKGGASSDMSPKHRSTLQASLRKVYDTV
MKITITNSESEESDEEGPPDEAKGPYVLVGPFVALPSKKHFADYYNIIKEPIALKTMEKKINKEDYSSLADLLKDVRLMVSNAKTYNEEASGICIDA
GKIQDAFESLIQEEIKEHPELGEGEGSTPNGGSTAPTTNAGTPNPGPSSGKIKLVFNANITGNGGSSGRQSDDD

>RCO7_10600 | related to tetratricopeptide repeat protein tpr1

MSAVENGVTNGGLNGHAATSPGYMVMSKRFSDIPSAIDIPVQGEDDDQAVEVDLEDLLDDPTELCTLLENEGAARTYWMTVSLAYAKQKKVDHAIEM
LIKGGQAMKGGPKEKLSMLTCLCWMYLWKSREAPRVAPEGALVSEAKTKEYYLQLSTSTLNEALRINPGFPPLFLARGVLQLLKASLQAPSKSSAPG
VLDHDKADILRASLKSFEDALRVSGQRNMMAQLGKARALFSLGRYAEALEGYQDALHKMPDLVDPDPRIGIGCCFWMLGFKEDAKTAWERALEINPD
SKIANILLGLFYLDSSSHVPTNGPEFLRLYKKAMTEYTQKAFKSDKDLPLTCATFAGYFLSRKSLPNVDTLAHKAIQYTDVNAIASDGWYLLARKEH
YEDEYERAADYYRRADEARGGADRGFLPAKFGAAQLSVLKSDFGEAKLRLEKIIQQSKNVEAMILLGTIYAEEVFHSQPTSAREEKSTEFKKAVGYL
ENVRTAWKDSKKNLVPDASVLLNLARLYETDQPEKSLQCLQQVEQIEYDQVPEEERPKDSEEETTFKNNVRQSLPPQLLNNIGCFYYQGEKYEQARD
MFQVALSACIKVGEKQEDMDTDALVTTISYNLGRTYEASGLLDEASTVYEGLLTRHSDYTDARTRLAYIALRQSPTEDGPKAVAKLYQDSSADLEVR
ALYGWYLGKTHNKKGHISEDPELRHYKHTLQQYEKHDRYSLIGMGNLYLMSAREMRRETEQEKGKRSNMYIKAVEFFEKALQLDPQNAYAAQGIAIA
LVEDKKDFKTGLTIFIKVRDTIKDPSVFINLGHIFAELKQYSKAIEHYELALTKARSPDAQILVCLGRIWFLRGKAEKSSQAFRNALDFSQKALALS
PDQIHFKFNVALMQIQLAASVYGLTEMQRTLAEVQSAADGLEEAIEALDSIAQHPSTPYPKHDIEQRANMARNTMRKQLERSIQAQKEYEEKNAEKL
LASKQAREIELKKREDARVAAEEAERARKNKIAEERQKIAERDRELADARHEEERAREAAELTTDSETGDKVKRKKKPRAAGTGGKRKKKNEDGITD
DEESGAETRRRNRRGSGADSDEEKPKQKKRRLAKKAAPEKPNKFKSSEIVVESDSDGDDGAAAAAREMDNDVEEANDMDVDAASEDETVYAPAPSKR
KSRRAMIDSDEDEDEDAAPAPIPGKQDSPAAANSDPADTPMADSDDE

>RCO7_11775 | uncharacterized protein
MKKAIFKAIISDTKRKRNLPSSLEITLDLNTPGLSLKKKVYKISYYIQSTIRATLINLDKELDIIVLVLDILDLLEAPKNLGEKASKVEVIEEVEF
>RCO7_09545 | uncharacterized protein
MRGVEEKELEEKEATKEEIATKEEKATKEEEEEEEIATKELEEEREKDIKFKGDRDSFSSKVRIFYDTYLRAEILPEEYSKAFLLILKGATL
>RCO7_09544 | uncharacterized protein
MDPATPPTKLRIFSIGDVTYKIHMTDQPAVVCLAPSSAISLATVFDVKQEGQITFDVEWLKSKISFYQTNDDVFQNAFLRTIIIHGVKDENIKFAPD
TLGVLEERSPFVQLDAPLTNNGLLAVAVPSRLRYQPSSDQPLAGLRIAVKDNLHLAGLKTSLCNKAYYNVYPKRTKTAKCNQQLLDAGAVVLGKTKM
NSFGCWEEPTEYIDYQAPWNPRADGYQSPGGSSSGSGAAVAAYGWIDITIGTDTGGSVARPGLWNGCFAMRPSFGLVPVEGLVTSIKAFDMPGLLGR
DLHDCKNLIHHWYGSKSSLRTEAFTRIVWASDFWGWCGPKSRDLAERFVLDLEAVAGLSHEKISFREKWAETCPEVANGTSLDDYMQLPADDIWYDD
YHNHENFRADYWKRFQKAPYIRPAVRNGWDYAKTITQLARDEAVARLEIYRVWFSKNIMNEGEGHTMLMVPIEDMEPRYRDEFMDPVRGHPGVCALL
LAPVIKAPQLVVPIGEIPYKSKVTELEAVLPFAVGSLGLPDL
>RCO7_09543 | uncharacterized protein
MFSLGGGRAPIPTVYIAAAPKKSNKKETPPPSPRNGKPTALVSLEPAIDGPPSPERIRAYTEQMKRSSMFGNNSRSNTLSSGTCSSRSRESIIASTD
HVSLSRRSSSRSNNSSMLRHDKPESVQIFSSLFSRSGRKTKRVTQTLGLRNTPSTGLEEGVSGHSSAKQHYYGKKSSPDRRKFISGPYNFQHVTHTQ
QEHLPNLGRATEPELISEFSAIRASQIPTHGELRGIRAEDLHFENFSSEALSVLPGEIAPTSSARISPQRTVRQLSEPAQLSTQRAMYYAKSHDNLR
TVLPQPPDSPPSPPCPPTLPARTSSRTASILFETFDPLATTTIARPHTNGGFSKPAPFVVPLPSPTLDEQDDATITVTTPGNEAWPLTTPLSGTFGN
ELADVQEEEEETLSKKLRWSTASAELRMSQSVPALRLKSQTQTVDRPEARRMSTTLGQPQTAATFEAPKQYQTPPGVQINDSWESDIDWCYENGEES
CDYPIFSADCELPTMTDVTLARPQLQLSLQTEERTYRGRFRPSLSVTAFDAPDLSPRSNVSTPSSDPRAEANLLQTGHIRSPSHASSFKESHGFNLS
PTLLIPADFESQMEQDAIYTKNFGADSSSGKLFMQDPYVHAVSPIDEGESSTSSYRSSDFSRRSTRSSSSTRASGTSRGSQDSMMLLGRSSSMNRAH
RSIESNSSLPDLIPSTLRRIDHDLSTNIHALMLVDDVVDSAPSPDIGGPIPTLASIQHRRNKSLILERELRNEGPQTTLPVSVVQKKDAIEFLGNLS
PVAEAFPHVAAEGKTMVHGRKTSAPEAVAPLREFKSRARASTAAAAIGKRRGSYMLFPQT
>RCO7_09542 | uncharacterized protein
MQYQLSDVQHSDAEVLVRKCEIPANRRDPLRTIMFPNANARLSEEDEEIVKWTVESLQESLENNVCYFRKVMLGLDFYVGYAVWSLEYGSQGMKKAP
APDMRCESWNPATLDTRAWAEVSDRLREERKRVLHGQQTIWRLTSIQVAPEHQRKGIGSMLMQWGCDKADLNRWNSFVMASPAGVPLYHKFGFKETG
QVWTELGIFKSMFRESKKAV
>RCO7_09541 | probable aspartyl aminopeptidase
MAASKNVSAAIAKANDFIDFVNSSPTPYHAVHSAVKRLAAAGFTEIRERDSWSSTLRPGGKFYLTRNGSSIVTFSIGHKWKPGNPIAMIGAHTDSCC
LRLKPVSKKTGAGFMQVGVEAYGGGIWHTWFDRDLSIAGRAMVKDGKGNFIQKLVKVDRPILRIPTLAIHLDRSTTFDPNKETELFPIAGLIAAELN
RTGKTELAEADKEQNGEFKPLKHMSERHHPYVLEIIAEHAGVGVEDIVDFEMVLYDTQKACIGGLNHELIFSARLDNLGMTYCAIEGLIESVSSPSA
LDNESCIRLSTCFDHEEIGSTSAQGAASNLLPAVLRRLSVLPGNQDSVSDNSYEQIREHDADLATAYEQTLAASFLISADMAHSVNPNYTQKYEADH
RPEMNKGTVIKINANQRYATNSPGIVLIQEVARRAKPSADSTTSAGVPLQLFVVKNDSPCGSTIGPMLSAATGVRTLDLGNAQLSMHSIRETGGVYD
VEHGVRLFESFFENFGELEKRILVE
>RCO7_09540 | uncharacterized protein
MASTSIPGENFEVRQTSATEDWHPEPSKSLPLDKARQALVDDIIALYSCEPTIERVKRYTPDCVYDDQFVYANDRYKMAGQWFALPKLFKESKNEGY
EVVRSDDEVIQFKNEQSWTFKVIPKTATINALVTLSLDPETVHSDFIRVKYHKDQANDKDYSHEGLGFTFKKWQADQVAKHMDSKEVEYFEADKTAG
GTSSTVFENITLVKEPLFRKNKATSGPEFTISDHKTATKAANPISEEIKRDPEDQELSARSGSSAKQALFDKR
>RCO7_09539 | uncharacterized protein
MAIVWDPRATLGIYPDEFGFTCAGTTQKGFRCRNSFIRNQYLLQAGEILDTLSQYHLVWLISDEPRLLATLKTLSWLTLCPRWHQKPGRHNQTLTVT
SHWLQVLRSAEKAPRRGWQTSIPTTPSLQLSPTTPTSSSAIHQSQLTAYAAIPSTAPSFLPSYLPAPAASTATSHSRPSCTRSSMLVGTLKPSEPIR
QTQAPQFNTGIILSGPIRATGDVTLNITLNSKAGSNITDPPRNSHGHLTPPVSPSQTRTPPCSSPPSPAASVSHRTPLATFSSSVSTSNQAFTHHNI
EALLARIDNLEIQLQQVTSRRSSRSSRSSGSSFSTAMFTPISSAKNSDPVNFYRHIYLAINNDTFDFRTIFTRTIHHATFAKLFTSDSIGVVERQPS
SHTYTSIYLASNNDANEFHIIVTNASHLTASAKSFT
>RCO7_09538 | related to long chain fatty alcohol oxidase
MKSQVIEVVGHLPTLLPDGPDEGPFTDANWTTLLAIMDTVISSIGRVNTTNINEIHRKIISEEEYQTIATHLKETVIDPPDNKDLAEYLSERASSIP
QFQELLKRSLVNYAPEKSRKGLGFILTSLNTRVGCLMLTGYTTPFHLQPIAIREEILERWRLSYLPPLNVVYKSMTSIAKSIWLKTSPTFHKVSGYP
PLPHHFKAKSGHKYDFLQFSSGEEPEIVETDVVIVGSGCGGAVCAKNLAEAGHRVLVVEKSYHYPPSQLPMTEEAGGIHLYENGGSIQTDDGSTSIV
AGSTWGGGGTVNWSATLQTQNFVRKEWAQDRGLTFFESAEFQTCLDRVCDRMGASTEHLRHNHGNRVLLEGSRKLGYHAKAVRQNTGGAEHYCGHCT
LGCGAGEKQGPVVSWLPDAAKAGAEFIEGFTVDRVLFDESSGVKIAAGVKGKWVSRNTNGGVEGPISGRIVREVEIRAKKVILSCGSLWSPLVLLKS
GLQNPHIGQNLYLHPVNTVNMVFKEDVRPWEGGILTSVCTTFENLDGQGHGAKLEATIMLPSLNLVLHNWTNGLQYKTAALKFRHTNGYISIARDRD
PGRVYADPVSGHPRVQYTPSIFERTNILTGLIALLNIAFVEGATEIHVMNSGIKPFIRDMDSSSSSANSDAGITDPTFMAWVEEVKRVGNKPPMASF
ASAHQMGSNRMSVLPQDGVVDPEGRVWGAEGLYVADASVFPSASGVNPMVTTMAICDFISRGVGRELDGEKTG
>RCO7_09537 | related to VPS27 - vacuolar protein sorting-associated protein
MATDFAMPGQQHTASPTQYNLYNSQQISPTNSATATPNNTSPTSPLSGVPAHLAAKNRQLRPPKSPLYVPAVLRPTDPPKRTARHSPLTPPHSKDNS
FDDSDPLRTLIRRSTGDSGKSGLGAIVETEWSMEGLNGFEKVKGLPNRDHWKPDSDSVVCDDTACQVYFGFLSRKHHCRRCGNIFCDSHSKHVIPLD
QDSNYHPEGARVRACEHCYMDYLSWKISRSSRSNSESSHDQDTPSTPTVSCAGRVGRIGTVFGQKNTGAPESLGASVPRDWNWSTF
>RCO7_09536 | uncharacterized protein
MSTLLVLSAVGNVGKKGTIMVVHHTDCGLQGADEESIRRVLRESAHGEGEEIESLLEGVRFGAFESPDESVKEDVGVLKASPFFKGMQIFGFVQDTA
TGLLREVVGTQ
>RCO7_09535 | probable ADP-ribosylation factor-like protein, member of the arf-sar family in the ras superfamil
MYHLAKGLYLYATSKEEYSVLLLGLDNAGKTTFHEQVKALFLPSHPVPKLKTVPTVGQNVSTITMPDMYLKLWDVGGQHSLRKLWQSYYTSCHAIVF
IIDSTDIGDGNLEHDNSGRLEECRLVLEDVLSHSETEGVPLLVLANKQDREDCVEVVRIKEGLVKKVFEGEKGASIRDSRVLPVSALTGTGVKEAVE
WTAGILYFHTSFPVRTQ
>RCO7_09534 | uncharacterized protein

MAPVPLDSSISYIPAAVAGAHLSAIVYLSLVAGRTMYRSYLALPPSSATRHREHLRRGHVHSLPESLIGDKGAFRAGEHPGRFHFVRWLYDTPLYRD
FLEIVAEKARHFWWSQQINLGLISWSTYLALEGQRCNISNLWAFLALAQMVNLSYAQNLFFVAVLLTPVSLPGNVRDLTRGSVPVTLSRYSHSLDRM
IPKKQVGFVPKPAIYMTLLVTSFATVFLIPYSANTTAFLNVSSLTKILPFFLLFLPYVIPVGWGNISTNPHDSHSTYITLFRIISTFSTALHLKSTA
LALFNNLPESTYYRHSLLHPFKEEHLTVIGRGSVAFGRIFGAMGEHPAVGFVASDLILTGLSLGYWGAIRDLDATDMLRSSIPFMSRTKTGPSKDLL
GSIAGTIKTEAKALIAEYVQSITQPRQAFRAPNSAAYQVTNCRTENSADKPRRGPGRPKRSEANKDTTMQVKERGSVARQRHGPISGDEQIRTRSEK
ERDEDDDYAPSVDERLEEGDEDAEEDFEIAAFVWGLLSVAGLGTGSSAVYGAETISR

>RCO7_09533 | uncharacterized protein
MASTTMDVIEAEWAERTLKFPSALRWVDFEDREDGTKAPPPARQLEWIDYGKKRTTHKLVYDDEYLYDDEYQRYVLYTFTGARIKKHEVVVCSNAIG
KLFKFWCADKSAKPATFTKTWFECYEGLLSSDVVWMVEQFQLLGAGDVKIMARKAQNMMGFINPWDFDQKKNKSKPTRAMKRSQETKMPAQAYTKGT
QCYEDKGCGKKSTGTKQPGLLRIKVTSKTEDIASKSRIETSKVTKKADDMNSKSKIETCAVVKKTEDAVRKPTIETGKVTKKTEDIASKSTIETVTK
KAPDITSKSTIGAGAVIKETGDVDSKAAIQTGTVARKTEDTASEHFPTYKENLKRPSPESVPASKSAGTGNKLAEHLDEPSDNQSEEESAPGSDDDE
IDQYGNYKWDNESDEASYEEYDPQYSQKRIPLMLLPAGAKQGKVEPEDYPQEYNMVTDRVGCYVTKDGEKEFFVYKPEGGWMEYYMITHCEVQGRDS
TQTLVERTLIRRPV

>RCO7_09532 | uncharacterized protein
MEHPDAPATLNTISNTTRYRLSPQKLLQVMTGEKIKMYIGLEEKLYLVPRELICYYSTVLNMHFNKETCIRKEIPLRKAKYVKNNAKHLYDCLPAQF
DMLLECMLQGGISKRWINGYEAIEECIALLECSAKLDMGDVVSEAVFETVRSAIKKSVPTPAAPTETTITRRDVSHRGFTAEHIKVVFDATKTGNPL
RVLVAQDVLSRQGLKGTGFEDMEVSVPEFAAELLNQFRESVSFWAWTDPISGLQRTFDGHE

>RCO7_09531 | uncharacterized protein
MAGALPILGGRNARHSLSESNLHSLRKPILQAVPELPETQHTAAEVLPRSRTSSRALAMSKLSIKSSETSSSNGKRPATHSFDRPRKLGTAECMAKM
ASGHWIDVVVGPEKKTYKLPADILAYYSPIFGMATLAGPTIRLPKDSTADFEALIDFMIKGTLQDALAVDRWGDLAIERCVSFVVYAKKYDLGPVDD
IVYDLLKAALMSDGDECLRGHHIERIFNSTSIESKLRVLITQGALSFGGISTGPIAAYRKQENQVQGFAAELLRQVRLASLSTSWLDPLSGSKKRSD
KDWHGGRSTSVLSEEEIWIVSDED

>RCO7_09530 | probable Translationally-controlled tumor protein homolog
MIIFKDIITGDEIISDSYDLKEVDGAVYEVDCAMITLGAVSVNTGANASAEEAEEGVEDGAVQVNNVVNSFRLNSTQFDKKSYLSHLKGYMKKVKET
LKAKNAPEETITAFEKGAQAYAKKIVANFKDYDFYIGESMDPDGMVILMNYREDGTTPFVTVWKHGLEGMKV

>RCO7_09529 | related to SUR2 protein
MANISMTTNASAMNDLPPLPAYTLSPVEPLISFLPDFYLCLIVPIAVYWIASMFFHLIDVYDVWPQYRLHTPAEILKRNHVSRYEVARDVIIQQIIQ
TAVGAVLAVTEPEDMVGKEQYDITAWATRLRIAQRALPQLLGLIGLNAAAISKNMAGTYPVLAGFLAGGKYPSLNVGLDAAGGSPVASFANWEIIAA
KALYWVIVPAIQFFVSVVIVDTWQYFLHRAMHVNKWLYTSFHSRHHRLYVPYAYGALYNHPVEGFLLDTLGASIAYKVAGLSPRQGMVFFGLSTLKT
VDDHCGYALPWDPIQHITSNNAGYHDIHHQSWGIKTNFSQPFFTFWDGLLGTMWKGDTKARYERGRKAAQFKVDSEKVEL

>RCO7_09528 | uncharacterized protein
MSSMANGDIKTMNPADKFLTPRMPPSPPTLQRLNTSSSVLTKKRSARSLSPNSKRSGWPPRMFLGFRLPYQPSSQSVDTRGRSSSLSKVQHSRVHAS
TPNLREEARKARSVPPTREASPQSFKRLHSRDPSPHLVQDSTAYNTTVLDIPHEIEEEVEEGEDDDNFACQLSRMSFTEKCITPLAPPPSATRPPPP
PRTCSASMTRDVQKPLPQLPEEDLRPQPLRLRPAFSMANLPRSHFSTSTVGSSPIASPTDSHFSFISEHSISSDTNDDEEDLAADVGSGDDFTYSPI
SIDIPSGGFSGYSLPEADYASEQTLRKATPLSQLSPTTSRATFGAPHPAFEPQVEQMSALQQLLNEMGYLGEVIAK

>RCO7_09527 | uncharacterized protein
MLRFRFKTLSTRGRSRAVVERVFQFLLGVNVVSVIYRYCWISTCPNCCEDWQKHTLTALLSPDVSDPFKCSALQNKGQWLDPGTKWDPRNAFRSWQP
PGCMMHEYTKNDIQECFQDKKLVFVGDSTTRQIFWAVARKIDLQKAQREIEVMLDLDEKHTDLEFEADGIKVQFIWDPWLNSTRLAEELELFKAYSP
ATSEGAQSAGLVLLGTPGLWYARHGQENYFKDFRTAIDAIIPYMDHPSENNTSIPVPMTLASRHDSPNLLLLAPIQVPRYEALSPSRVETMTPEKID
QMNAFLQQASAHSRADVVWSYSLMTWDGDSPYEASGLHVVENVANAKAEVLLNLRCNADAAGKGFPFDRTCCSNYTQPGGAQWTLILGGMLILPTIL
FCQRKRVARIESMLPQSEVIVALTGFTLIVCYCFYTDRTQIFDKVHKKFEMNQFLFGCGIAVAIGILSIQRCKSISASAKKPREIDFLPREQTDEWK
GWMQAIVLIYHYTHGSSHLGIYQIIRLLIAAYLFMTGYGHAMFFLKSEDYSIRRCLAVLIRLNLLSCVLPYMMRTNYLFYYFAPLVSFWFLVIYFTL
KIGHVHNSSLTFLIGKIFISATLTTAFTKIPGALEFVGTVLHHMCSISWNIPEWRFRASLDLYIVYMGMIIAAISFRSSRLGSGSVKTTAAIDRLIL
LTVKFRLLFRAVLVTLALGLPPGMWGLLRKSHTKQDYNWWQPYISFIPVLCYIVLRNSLQVFRNYHSTVFAWLGRCSLETYILQYHIWLAGDAKGLL
RIGLWDSRVETLMLTAVFFWVSWHMAEATQTLTRWIVGNTACHIRKHSDNDEIAGEKNSPYLLPKLKSGDVALPTSHFSSSTGGSARFGNVLTKLGN
SLKLRVSLIMFIMWLGNVTYR

>RCO7_09526 | uncharacterized protein
MTLSESPPAGDTPAQAAQLIHPFDVPAKKALSLCDQHHEMVTIIMKGHETKPDCKYIMHKSVACYYSPVLDNAFNGLFIEGQTQTFTIEDFAWPGTF
GAIQSWMYTQKTDTWKAEWGNAYGAKLYALYILADRMLMPKLQNEAIVLLLAAKCLPLRWLEYIYKETSPESKLRLCIIDQSASSLTWAKVKGLYLT
VDTPAEFLLDVLSALARDIPPIRQNIKAEDYLVPET

>RCO7_09525 | related to myosin tail region-interacting protein MTI1
MPDIKEIAKGGWHPKGKDGKSKESWRGDFKGIDQISGWMGKKKGASGGDDDEHISRPLHSLKDPSAFGPPPKNVNYHGGAALPNQTTPDTGGWGATL
SRDEIRAKKEAEEEEARREAEEAAKPKGPPVPYRKDTTGLSTAHLPPPPGRKDGADGRNPAPADKPKPPGLPPRLPPRQNSNSTPPLPPPYPVKTPE
PDAHRGVLNQGALSRLGAAGVSVPGFGISGAKSKQPLPPPSRSSTQSPVIAPSVNNSQLNELQSRFSRLSSTSTPKPEAPSQGTTFAQKQAALKTAS
SFRNDPSSVSISDAKTAASTANNFRERHGEQVKTGWQSANKLNTKYGITDKVGAYGAPPATAQEPETQSPQAGMRGNTNGSPLDGLGVGTLGKKKPP
PPPPAKRKDLMGSGVGQEPLPPPIPLSSKPKPPPSSPSRNQPVDLDLDLKSQWFVKGQFPPRTVSAKSYTTSSGWSSSGSRKSHWLVAHMRFADLSS
TKIRVSWDGSSPEYTVKAEQRHTPPPPPLSRRELEECRERYSEQVAAWSESQMGSKVGNGECWTLANEALKAVATTYKAHNQEPCMASQSLVHGHIL
YTYIPTQSRQPVPAGGILAAGVARGDIIQILKAKFESADGGWQTAGDPDHTAVITGVDPDGTLRVVQQNVGGKKIVMKGTYDMNEMTTGEVRIFRAV
GADWLGELNTDW

>RCO7_09524 | related to human band 3 anion transport protein
MPGTSNHPVTGSNTEKDQSEPIRKDATTSESKTSDYTVDGLKGWRRFRALRPCRGMYYDIRRRLPYYKSDITDAFTYRTFASTVRMYFINLLPALAF
TLDMQRRTGGFYSVNESLFASALAAMVFSTISVQPLTIVGITGLISLFNYTIYDIIKIFDVTLYARFMAWTAIWAAIWHWLVAVWNLCDYMRYVTDF
SSETFGMYVGIIYMIKGVEELVSLFDSCGSIDGYLSCVIAILYFGTVYTLEKIGGGVLGKPWARGLLADYAYPIATIFWVGFSHIPGTIKRANISTL
PISRAFYPTQPRSWLIDFWTLDVKWVFVAMPFGFLVMLLFYYDHNVSSLTAQAKQYPLKKPGGFHWDFFLLGCTTFISGIIGIPLPNGLVPQAPVHT

ESLTVYETDLQIIATDEGEGNEIRRPAVRASGVVEQRASHFLMGLAIIGTMTRPLLIVLHTMPRAIFCGVFFVVGVSTIPILRIRNVSDVRLVQWGS
IESNGITKKLLFLMSEQRFIQRSEPLLQVRRCKIWLYLLCQIVGVILPVAISQTIAAIGFPVLVCILIPFRWKTMPKWFTVKELEIMDDLTANNEVV
LASLGGAPKLPQTSSVEGNGVE

>RCO7_09523 | related to THI3 - positive regulation factor of thiamin metabolism

MAEEQCKVTALPSSADTLHQLMRILGHDFRADMNSLVSSLSSRSSIQIKFNAEIYVEPRISGDSEEVQVPPVHMGSITVNVGELRNDITTNQTCNVV
SPTPARGSVDRDDLTTPSTALSQPSRSDTSPVAFDTLSNDFHSSSHSRKRRKTAGALRVTEHQEPFTPAGSSTARQLQTKPRDFPQRKKKNEDGIHL
LQPSSVDRFIAGIWKQVFSSVEITPISLGDVSSIDSVGSGGSIETFREINSLCLRITKMTKSSRALETIIQAHWVDCFEARIKNIGVEKPFLSGTET
KMSALREACSILNWSEKELRNRLSIWRGYKEIKDVGGWVCLVFAGSGIYRFCKYRGGFGKNLATRLDKLRPSLEVAADTLHPEWRELLAVIGQDSQR
LYPGHPHDWVVCDGMAPATLKSTYTQWNPNFKFTHIETSVLDQALWSREDPRRIAGTKTAFCSDCGYFQSDSISANECKCFPELYGACRAPVPVQVF
RTPIGKNNGLIARCEFSRGSAIGEFAGLITKGMDGIDVMQSGHDEKRYQIYQGTMGNYTRFINHSCAPNSQFQKFCWLGSERIILVSRGVEAGAEIT
VDYSHEYWEGLDKTCLCGEPCCRYSRG

>RCO7_09522 | related to tricarboxylate carrier

MSASLPGGRELPASQYDLGTYWGRVRHSANISDPRTLLVNKAGLEHAKSLVAGYKQGKINELNEELWKAKKIVDSTLHPDTGEPVFLPFRMSCFVLS
NLVVTAGMLTPGLGTTGILLWQITNQSLNVAINNANANKSTPLSTSKIAQSYFLAVGASCSVALGLNALVPRLKKVSPATKTILTRLVPFAAVASAG
ALNVFLMRGEEIRLGIDVYPVLSDSDKARLAKEGKSESAVASLGKSKKAATLAVSETALSRVLNSSPIMVIPPLVLVRLQKQEWLKKNPRLTMPVNV
GLIFATSLFALPLALAAFPQRQAVDASSLEEEFWGKGGEHGKVVFNRGI

>RCO7_09521 | related to LAMMER kinase-like protein

MSTPSTLPPHHHNYGYSPHQGYQSNNPYRAGNNNLLNGGSRLGAAYTFPTQSNNGGTSSNSIGVPDPSRTGHNTTQSSRLESSSAEMPVSSSTSEAP
KPNSKKRQRSREPRNPDWKKFYENGLPKEVIVIDDSPTPEPSASVLSNTQPGRPAAAGSTRHTAKKRKYDDVGVAYDPVYHLEPSYANNVSPDYQDT
TGSASTDRTTSAIHTTAATSLGSHSSNGQNGYEVAAQAGTKRKRQTTRLQTNNEAKRKLEEINGDAFTNYRPPPKPPIKAPDVQVKQVSDNSYTKNT
KVDDDDGHYIVVPESDLTERYQVLKLLGQGTFGKVVQARDRQSKRAVAIKIIRSVQKYRDASRIELRVLATLKANDNENRNRCIHLRDCFDYRGHIC
IVMDLLGQSVFDFLKGNAFVPFPNSQIQNFARQLFTSVAFLHDLNLIHTDLKPENILLCDSAYQAFTYSRKIPSSSTTVNRQAAQRRVLLDTEIRLI
DFGSATFQDEYHSSVVSTRHYRAPEIILGLGWSFPCDIWSIGCILVEFFTGDALFQTHDNLEHLAMMESVCNKKLDTHLIQAVNSMAKRNSGNPAAK
FFKRLKLDYPQPDTTRASRRFVKAMKHLNEIVPDSNKFCKNFLDLLQKIFVYDPAERITAHQALQHPWFKEAATPDDGTEAAKIRANRQAGLAAASH
PAPANHRTNGFR

>RCO7_09520 | related to purine nucleotide binding protein

MILRLQPLTRSSPFLTHKGIRSITQYFKESRVFPGPRLRTSKRGGYYIVFEKQKENGVNSVSRIWRPWVKRRKGELDRMKSYVQILSTPTVDTPGTT
LLLHFDNKRYLIGDVAEGTQRAAIQRKLGLSKVADVFLTGTIGWGNSGGILGMILTLADVATVTLEEKKKQAELSRLRKGLDRAEEIEKNFLNVHGG
KNLTHLLATARRFVFRKGMPLYTNEFRAKKELPTSFAEPTFKDEQIKLWAVVLESETSKTRPRKRSHEEFSEETSPTSINGKEETPEQQEDRYDQMR
KSVVSAMFRSGWRLDALVKKKLSEVQRPAAIFFRNAEGEIQKYLGNTLDEDPSVPDIDVLVRNPWPAATIETLPPTTPSETSVCYFIKNHPQRGKFN
PKVAKEFGVTPGPDFRLLTSGESVTTSAGNVVTPDMVMAQGSEGGGFAVIELPDVSFVGPLIGRPEWTSNDIMSGIGAVIWILGPGVVEDSRLQAFM
REHSGLKHIVSSKDCCANYLSLESPTAAAIRLNLVDAERFPIPQFCNEPPLAPVENQPYVKARIGHTLQLEPKVELQDTNVVAYLDTLTVVKEASSE
VQELAKIARKEITSPEFLARLEESQKDIPSKDAEIITLGTGSALPSKYRNVSATLLRVPGYGNYLFDCGENTLGQLYRVFGDEIAEILRDLKVIWIS
HLHADHHLGTVRVIKAWAKETAGNEQTKNNSLIVASHDGMTKFLKEYSEVEDFGYERVEPVLMEKSRQYLHTFSEEQTKIVGLTTIKACGVDHCHGA
LAVAFNFTNGFKVAYSGDCRPSERFVEIGKDATLLIHEATFDDELRSDAIAKKHSTTSEALGVGERMNARRILLTHFSQRYQKIPVMKTEGKDQVAI
VAFDYMRCRIGDFAKFEALKPALVKLYEDKAE

>RCO7_09519 | uncharacterized protein

MTTKQIEALRASLSSNADVTTTALKFTESIAQAIESGASEEALEEKLSTSWNILISLAAQTDHGSQDPIVEFVKAVQKQKAGSSDRTVTIWGSEVRL
WEDMPLLGAGMRSAWNRAPDSGSEDDFSIPEWTNLNAFAARLTASSPAIPTLDYSLYAIWTMRSAFEDETADAAAVEAAKMWFLYAGDVIERLSREG
KSFDGPIAKGGQRFGGKAWRGFCEERLAVWKARLGREGY

>RCO7_09518 | related to Guanyl-specific ribonuclease F1

MFELTTLLPLVLLFTTSTSLPVLEERAAATCGSVLYSAAAVSAASSKACSYYKAGSAPGGYPHTYRNYEGFEFGSIAGPYQEFPILKSGALYSGGSP
GADRVIITTSCKQVGTITHTGASGNNFVACTGTT

>RCO7_09517 | uncharacterized protein

MADGQSLALQSIDSFFIRSGLTVQDRLDCFAFVEELYPDKSISPTSCQGYCSMTTLVGEHLIVQFRPSKYRLNLLVTSAARDVYGTFAPETKYIATL
PASGLLVYIMDRIRGITFKDLQASSGTRGISTQFRARLCRDFAVFLSRSWHRGAEKPMELGTVGRSIKTRLQSLCKDLPIRFRATARHILTNLHHIE
ALPCVLTHGDIVPANIMVNPSTGALTGLVDWAEAEFLPFGICLYGLEELLGKITPGGFQYSAEAERLRNVFWTELRRNIPALQNIHVLQVVKLARDL
GILLWHGIAFDDGAIDRVVQEGRDIEEIQRLDSFLDVEILGQRDHKPKL

>RCO7_09516 | uncharacterized protein

MAAIERRMDASTIFADKISEQASNELVAATVTKLAEEAGVFLYGTLSDIVEHVTEFSASLDMMLQVYANIAQISSTYSQGAQDTMRELSWGNSEEAG
RLDPLLENFATGETLPTEDYSTPQFQEGEVKNHPDHVLDRVHDGDNNGGSQIRYAVAFVNSTLNPRERKWDEARFVGAAIMLRAFAKFMVTDTGLSS
DWMQNLEAFLCVKKC

>RCO7_09515 | related to protein involved in cell growth

MASNRIKRLIICCDGTWMDSDDGFKKPTLIPYQPTGVLQVPSNVTRIHRALRRTGRDGVNQILFYHSGVGTGSSKVDMIAGGLLGVGISENIREVYS
FIAANYTPGDEIVLIGFSRGAFTVRSVASMINNIGLLTRTGMNDFYPIFKDQQNFKNRRYRDMFPDIPFPNKPSGPNFLRDYKQRLERDGFTRVRDP
NGNRIMTHAVAVWDTVGSLGIPNISLLAKLGLPHSTIEYKFFDTNLTGNIRHAFQALSLDERRSPFKAAVWERANSHQTTVDLRQVWFPGAHSNVGG
GYDDQEIANISLAWMMDQLASIGIAFQDEYIVKVFLQNVRYYENPPKQQAKLSSIMSRTPQWAVDPIYEKHRPVRPWGLGKIWDSKSSFWHLSGTAW
RSPGLNMRADPDTGLLTDIPMRDTNERIHSCVRVRLELDGLGLDDKGLYDPQALTKNWRLRKLSLRVQDPIPHNAAWGPGAPGSEGTVPKEVRWVWE
YIGPPEDAPVERYMVEETLGPYERKLLLLNKGRKFYKRFRRRKRRSRPDDDYDHGQYDIEGDLTEDKSVTPIPVRSSQTRSSRSGTDERRRRRKSQP
VIVALESEDSLVDDRNRLRSKNASALPIRGASRAGSLRGEKTRPVSMPMPMPVPTAQESTTSESESEDSLVDEKDVRKRLREKERYGDRDRDRDGQL
FDEKRRGSRAPSRAPNRPPSRAPSRLPTRQRDRDDDDDEIVVTEEIGDRRRPPKISGRSREGDRGNRDSHVDGRKY

>RCO7_09514 | related to Na+/H+ antiporter

MSIQPIPTSFLPYHEPGIETILILSSLLLVLNVINTAFDQLIFCGLLGQVFVGVAWGTPGAKWLSVETEHVIVQLGYLGLILLVYEGGLTTSFRSLK
ANLALSAAVAITGICFPIAFSFVLVSLSNATPIQAFAAGAALCSTSLGTTFTILSTSGLSTTRLGVVLSSAAMMDDVVGLIMVQVISNLGASSDAFS

AETVVRPLATAILLGLVTGATYAGTSNLFAAYLAGAASSWWDSEVPHINGAVKTSTSTQDIAVIREPRTSAVNGPVVRSTGSLQDTRQVAPEHYNPV
VSTGAGVFETHYETALRCILKPFFFASIGFAIPITDMFRGDIVWRGIVYTILMLLAKLVTGIWLVRLDISWPKVHLSKALRSILNFPASCIGLRHSK
QKSKGDSSSAPTIAGQDSNHEPLSKSTDDAPASAPAPATASLKLSPPMNPRPSDASPPLATSTQASKISRPLSLYPAAILGTAMTARGEIGFLIASL
AETTGIFSPSGESISESSEIYLVVTWAIVLCTIIGPLSIGTLVKRVRRLDRDRTEGSGNGKGDPLGIWGVG

>RCO7_09513 | related to amino acid permease 2 (AAP-2)

MAGQHDTDDIKSPYDSSSRESTRNPEATLMPKEEYPIGRGDKSDLQDMLRLGKKQEFKRNFNLLSTLGFISIYMATWEFVLVSLSAGFSNGGFGGLF
WVFIGTVTCYSTIVASLAEMTSMAPTSGGQYHWVSEFAPAHQQKFLSYAAGWMSTLGWLASVSSSVFVMTSLIEAIIDVSNAGYLFRAWQYTLIMLA
FLAITIFFNTWGAKTLPKLEILSLFGHLGGFFVVMIPLLVMTPKNSAREVFTEVRTSSGWNNTGTSCLIAQVTVLYCNLGSDSAVHISEEVENASIN
VPRAMWWSYILNLVMGISMLIVMLFCIGPLDGVLEAQSPYLALFKNTGSDAMATALLVILFVLISLGNITALATTSREMWAFSRDMGFPFSRWISKM
NQKRQVPDNSVYLTSIIAGILCLINLGSTFAFNIIVSLTLLALLSTYMISIGCVLRKRLLGEPLPPARWSLGRFGIPINMFAFFYCGFVMVFACFPT
DLPVDTSSANWAPAVWAGVLVLSGVIYVVHGRKHYTPPVVFVEGRRAEGMELQHVD

>RCO7_09512 | related to cyclosome/APC subunit Cut20/Apc4

MANLPGFQILSEKTLHHAADPRLITYCPSMDLLALVTTDQQVFIYRMNGQRVYGAIQKADKLGVESIRWKPNGQLLAIAWSDGSVRLVSTESSKIVL
QFSAGDNVGGVTCMGWAMCLIHRSSPSSSKKRIESWGSFLAMDGGLSDEKVPLDLPQDLSLVDIEISLPKLSVLAAAGNSDDVFSSRSSLDALFRPF
DPKDNSSVNVMVVGTKEGNIHLSIYDSFEIGSFVSPVIVDGSPCYLVRHASHQNVSTHALLMRPSKSDGSLYFVPMDLRFISASSEYISLLASRSTA
LNNLLRYIHQVQVLMVSEWKSTQDLPSRFLRNINETLAEKDSNRDIVQALYHSVATGHTFPAVREWLVDELSERGHKRWDKAVTAGLENLRRLVHEN
MLPALERCSIILSRFLGIVKFQGSNSSMGFTTQQINLIMDTVACLHLVSSKILIQVVDELELFSSFSAWLRHEIDRLASESSSTNVEAEKESSLDHS
KVLLYLQTVMTSSPLATFFGEAPSVGEGEQSWNHSMHGLPMFELLDKELQKQERGLPYLQELPRVNSLCKFLEQQAHTIFGQIAEAEKRNVLFGKPQ
SVGLVELDGPIDMRMSIIVSDQFFFKKHLTYLKNNHVSQTHIAFVPKGSSGVVHVVRAPFSIENGVSSRQGISSSAIQLGTGQIRDIKFLDDTCLLV
LWELEGTARLLSIYYNSTDMEHSLNYAPHSGNASVSESLSNKEVLERFSQYRIPGDGTFVPGKIEIREQDVGQSHEDARRLCLLSKNMVHYKIAKFG
ATGELFYRQGLRLTFM

>RCO7_09511 | probable coatomer subunit delta

MVVLAASICTRGGKAIISRQFREMQRSRVEALLASFPKLADTGTQHTTVEQDNVRFVYQPLDELYMVLITNRQSNILQDIDSLHLFAQVVSSICKTL
DEREILKNAYELLSAFDELVTQGYRENLTISQIKTFLEMESHEERIQEIISRNKELEATEERKRKAKQLEMQRKEVSRSGRNAIPRAPVYPTYTPPA
RSVVTETYDSYEAEKNKSSRSAPKGKGMQLGKKSKTTDMFERVRGEMGAEVEDSASSPLVPNNPVHVESTPAPASRISSSLDRDAIHVTIAETISAK
LSREGAVNSIEIKGDLQLKISDPSLTKVKLDLIANASHNVQFRTHPNVDKTLFNNSKAVQMSNTAKGFPVNNSVGVLRWRAVPKADDSSALPISFTV
WVNRGTDDTYNITVEYELTGGDSLKDVTVIIPYATSEPAVSSFDAQYEVSGDSLEWTIGLVDEDNATGSFEFEAQAGDENEFFPMQVKFGKTKPFID
VDVTNVTLLEMDEDVTFSKEIKSVADAYMIE

>RCO7_09510 | uncharacterized protein

MEISSDLGYGDDQGDIDIDLDLTAGPGDEDYVLEDADANCNTDFANDFHAQTLAAVNDEIMVDDDDKPYQMEDAEVMDEETEYIIEQESMSFANDGD
AVDAQIGEQHVASEANGHYDDLEPTNDETLEFDLQDDTQQDRQATLPEDVQDVVAPHTKLADDSKQDAPVRESQTPNSNHHSPPLFASTEPRSPAAT
VVEAAGTSPHISPDHTGPALPDKTEVVNTEGLHVSSNLQHVVVVYREVEYTLFSNSEHDDPDSYFLSDISIAEKPLSALFAAIREVIREDLAEEDEL
CIVVDSLGLQAEEVSSIVEDVTLSQVLDLYAKLSQNDGPEYAGGCHMILKTRSNFSRRFANLFQAAAEGLGLSAFNYWDDQSIGPDDSEDLQESKNE
FVPVIKDQKINATAEDDEEQPQYKHPENNDTGNNLAAQHADHDGLHLSGLPTSNVQHQPIPEGTSAAGQSKIASSKSAASEVSEKMQDHGSDIDEDG
DLIDYSEEEDVAIEKRSALTKHTDEQEANTGTYTDFISSNCALPQTCFCSKCSDLIVEDFQKKDELLRRRSLDRRQSSSGAAPEEDEEELGESDPGD
QELKTEAEASESTDDHARGRERPKPQVAKGENPDENEIRYEEFAPEEREDLAANDYENFTEDHLEHGEDQTKNGGLVIASIIQAGTENDENIDPHEL
NGNGEDFDDTHPYNEFSALQDNYSGAPTADFENEGLEFDIEGVNSFDETRWPQTHGDHVLELDERNGTIDLPRPSKSSSLDALETADSSVTMDADEI
QYEDSTRDETGNLPGLDTHATSERIKSPKVASVVEPKDEIDYEDDEAEIEPSAQISAGPRATQKGNGKRSITHVEFNDAQVSQTNDAKRPRS

>RCO7_09509 | probable DUF803 domain membrane protein

MLEDKYIGLALAITSTLAIGTSFVITKKGLIDAEERHGFEGDGFSYLKSPIWWAGILALAAGEVANFAAYAFAPAILVTPLGALSVLIGAVLGSYFL
KEELGTLGKLGCAICLIGSVIIVLHAPPDKEIQTIDEILHYAIQPGFLIFCFAVAVFAVTMIYKVAPKHGKKNPLVYLSICSTVGGVSVMTVKAFGI
AVKLTMAGNNQFTHPSTYVFIILCSICIMTQMNYFNKALSQFPTSIVNPLYYVTFTTSTLTASFILYGGFNTSDAVNTISLLCGFLVIFTGVYLLNI
SRGDPNGRKMMAGTTQDGIATDIISGIQTRRSMQLRRSLDPHRMSVGSNYGRTGDREGLIHAYDEEEGVGLTSLTEDSDDDPPPLAKGKMNGNGNGS
ANATKKSFSEPADRPRKSSSR

>RCO7_09508 | 40S ribosomal protein S3

MASTGVPGAAISKRRKFVADGVFFAELNEFFQRELAEEGYSGVEVRVTPTVTDIIIRATHTQEVLGEQGRRIRELTSLIQKRFKFPENSVSLYAAKV
QNRGLSAVAQCESLRYKLLNGLAVRRACYGVLRFIMESGAKGCEVVVSGKLRAARAKSMKFTDGFMIHSGQPAKDFIDSATRHVLLRQGVLGIKVKI
MRGSDPEGKSGPQKSLPDSVTIIEPKEEQSVVQPMSQDYGAKAAAAQAAAEAARATEQGEEAPVEEQQ

>RCO7_09507 | probable myotubularin

MADKLRIAKIENVQVLGGGQISTVTLHLTAHHLILVQTVTPPLQQDLSTPPPIPKTRESWIAYPMIGYCTFRPTPPGSGQASSIRLRGRDFKFLTFN
FVDDKQARDAFESIKGATCRLGSIEKLYAFNYEAPPPEKKINGWEVYDAKAEWKRQGISDKGIDRGWRISKINTDYGFSPTYPALLPVPSRISDNTL
NYAGRYRSRVRIPVLTYLHPVNNCSITRSSQPLAGLRGNRSIQDEKLVSACFSACTQPDEIEITSSTVSRASPASSQADLSSSGENVEFSETEKRED
ELISSSSTEVVGDKPHIYGAQQHNLIVDARPTVNALAMQAVGLGSENMDHYKFATKAYLGIDNIHVMRNSLDKVIEAIKDSDISKLPPNRDLLAKSG
WLKHITGLLDGSALIARQVGIQHSHVLIHCSDGWDRTSQLSALSQIMLDPYFRTIDGFIVLVEKDWLAFGHMFQHRSGFLNSEKWFQTQNDALAGSA
IQPGGNGESRSDAIENALLSAKRFFNKSNQSQDAIADSDGEVIAAEDSPKNKKTKDSLADKEATKPKETSPVFHQFLDATYQLLHQYPNRFEFNERF
LRRLLYHLYSCQYGTFLYNNEKSRLDARLHERTASVWSYFLSRRAEFTNKDYDGGEVNDHVKGRERLLFPRLEKVRWWHEVFNRTDQDMNGPSNAAT
DNYLGSQDTPGANRSVLTSVETAHHVAPSGSGTKSAPESINNTPAPSSLASLRDGIAGLGIGMGKNGSGSKVPSNGKEALEVEMQ

>RCO7_09506 | phenylalanyl-tRNA synthetase beta chain

MPTISVDKAELYKALGQEYTTDEFEELCFEFGIELDEDTSNSERPIVNGKQAPAELKIEIPANRYDMLCFEGIALMLNIFRETTPLPNYRLVAPSSG
KIQTITVHPDTLKVRPYVSAAILRNVKFTQEAYDSFISLQDKLHQNLARNRTLVAIGTHDLDTVQGPFTYEALPPKDIKFKPLNQTKEMNAEEMMQF
YENDKHLGKYLQIIRDKPVYPVIYDSQRIVCSMPPIINGDHSKINLKTTNVFIEMTGTDRTKLEIVNNIIVSMFSQYCSEPFTIEPVKIISEHNQET
RQTPDLSPRTAEAEVDYINNCCGLQETPERICQLLTKMCYTAKPSSKDKNLIEVSVPPTRADVLHQCDIMEDVAIAYGFNNLPRTSPNKASTIAQPL
MINKLGDIVRQETAMAGWSEVMPLILCSHDENFAWLNRKDDGTTAVRLANPKTAEYQVVRTSLLPGLLKTIRENKKHSVPIKVFEVSDVAFKDESLE
RKSRNERHFAAAWYGKTSGFEIVHGLLDRVLLMLKTAFVTHEEGLEGKKVDGYWIEEVDEPTFFAGHAAAIYLRVDGKAERIGEFGILHPTVLDKFE

LRYPVSTLEINLEVFL
>RCO7_09505 | protein phosphatase PP2A regulatory subunit A
MSDGPDKTDELYPIAVLIDELKHDDVLLRLNAIHRLSTIALALGAERTRDELIPFLDESVEDEDEVLTALSGELGGFVEYVGGPEWGHVLLSPLENL
AAIEEPLVREKAVESLNRICEELSSQQVEEYFIPLTIRLSKADWFTSKISATGLYNVPYKKASPPMQEQLRQQFGLLVHDETPMVRRQSANNLAKFV
KEMPATIVVEEMIPLFQHLASDDQDSVRLLTVEILIAIAEVVPKEQQSSHGVLLTALRSLIEDKSWRVRYMVADRFEKIAKAVDDEVVSRDLVPAFV
KLLKDSEAEVRTAIAGQIPGFCKLIDRTTLLNDVMTTVEDLVSDTSQHVRAALGTQISGLAPILGKQETIDHLLPMFLQMLKDEFPDVRLHIISKLE
LVNQVIGIDLLSQSLLPAIVQLAEDKQWRVRLAIIEYIPLLASQLGVDFFDAKLAALCMGWLGDTVFSIREAATHNLKKLTEVFGVEWANEAIIPKV
MAMGAHPNYLYRMTTCFAITTLSTVVSLDVISKSILPMMDKLVADDIPNIKFNVAKSYGELISVLKRLPEEGTVYSLEQAGDTTPPSARSEALIQER
ILPNLKKLQEDSDVDVRFFATTAASLVEGEPMNTSP
>RCO7_09504 | related to anther-expressed protein SLL2-S9
MLHNSWDNLYINELSNHALDPTDEGTIWFDDSAAEDKVLTFLQTKIAEEHILGSETTKSNCSFLDLGTGNGHFLFALREGDEGDQEEEEEEEDEQGW
GGRLVGVDYSERSVEFAKRIAVDKGFEKRSEREVEFVKWDIMTEDPSSILSGTNAQGFDVVLDKGTFDAISLSEEKDVRGRRICEGYKERVVPLVRE
GGIFLVTSCNWTEEELEKWFKGGELEVMGRIEYRSFCFGGRKGQTISSVCFKKRPVP
>RCO7_09503 | probable beta-glucosidase 1 precursor
MWIMKDLVVAVASSLYGKELLLNHRQAYPNTTAPGSGGNSQYSPPFYPSPWMSGQGDWEGAYEKARDFVSQLTLLEKVNLTTGVGWEGEACVGQVGS
IPRLGLRSLCMQDAPVGLRFTDYNSVFSSGQTVAATFDRGLLYARGYAMGEEFKAKGVTVQLGPVAGPLGRAPTGGRNWEGFSPDPYLTGVAIAETV
KGTQDAGVIACAKHFIANEQEHFRQAGEAAGYGYNISESLSSNVDDTTMHELYLWPFADAVRAGVGSIMCSYNQINNSYGCQNSKLLNNILKDELGF
QGFVMSDWQAQHTGAASAAAGLDMTMPGDTAFNTGDSYWGTNLTLAVINGTVPEWRIDDMAMRIMAAYFKVGLTLNEPPINFNSWTANTIGPVHASI
GANIQQVNWHVDVRGDHARLIRDIGARATVLLKNVNNALPLIKPRFVAVIGDDAGPNINGPNSCSDRGCNNGTLGMSWGSGSSNFPYLVTPDMALQH
QALADGSRYESILDNYATSQINALVSQAYATAIVFVNANSGEGYINVDGNEGDRQNLTLWGNGDDLIKNVSARCNNTIVVIHSTGPTLVSEWYDSPN
VTAILWAGVPGQESGNSITDVIYGKVNPAARTPFTWGTTRESYGTDVLYEPNNGQAAPQDEFTEGVFIDYRAFDRANTTPIYEFGYGLSYTTFEYSD
LEVVKHDVSAYTPTTGTTKAAPVFGNFSTNLSDYLFPNGSFPHIWQYIYPYLNTTDARTASADPLYGETAEKFMPPGAIDGSPQPLLAAGGAPGGNP
QLYDVLYTVTAKISNTGSLNGEEVPQLYISLGGANQPKVVLRGFERLSIDAGDSATFTADITRRDVSNWDTVAQNWVITDAQKTVHVGSSSRKLPLS
QTL
>RCO7_09502 | probable c-14 sterol reductase ERG-3
MAPKPSKTVAVKHAEPHGYEFFGPPGAAAISFGLPLAVYAFTFLCNDISGCPVPSVLAPSTLTIARLKQEVGWPSNGISGLASWDASAKVLGYYLFS
LILHRVLPGEQKQGVELESGGTLNYKFNTWSSTMVTFGILAAGTAVQGANFPVWTYIWDNYLQIVTANILIAYALATFVYVRSFSVKPGNADRRELA
AGGHSGNMLYDWYIGRELNPRVILPFLGEIDIKEFMELRPGMLGWAILDFTFMARQYRTYGYVTDSIVLVTFFQVLYILDAYWMENAILTTMDITTD
GFGFMLSFGDLVWVPFIYSLQAKYLATYPLTLEPLATAGVIGVLSAGYYIFRSANNEKNRFRTDPTDPRVAHLQYIETASGSKLLTSGWWGTARHIN
YFGDWLQSWAYSLPTGVAGYLVQRSSVAPAAGRSLADKSFVYSGPTEKVEVLQGSARGYGMIVTYFYVLYFAILLIHRERRDEAKCIRKYGDDWAKY
QKIVKYRIIPGIY
>RCO7_09501 | uncharacterized protein
MRTSFAFLIALPAAIRAWSFNAYNLGFHGVYPTHNYVSLGHVTPRVQISQWDPRCDDGSLILMSPRGVNVPNPGPVILDPRGNLVWSEGKFGQAMNL
QVQRYRGEDFLTFWTGESHGPHSNGSYIMLDSSYEVAYTVNTVDIDMGGDLHEFKNTSNGTALFTIYQDRQVDCSDVGYDGLCWVDDCIFQEVDIAT
GELLFQWRASDHVPLSHSYKLRHKDGKTQKKAWDYFHLNSVDKDDLGNYLISSRHMRAIYYLNAAGSILWSLGGKHSDFTDLSGGNASNFKWQHHAR
FRGNNTISFYDNHAKTVFHPLVEYSRGMLVQFDFNNMTVELLQEYKHPDNILSISQGSMQIMPETGKVMVGWGNTPAYTEFTADGEVLCDTNFGAAI
WYMVLDFGWVKSYRTFKSKWVGKPKTPPAIEVFAGQIFASWNGATEIVKWRLEGATSLKATHDEFAIVEEIDKDGFEAVFVRKSWERRFVRVAALDK
AGEVLGYTEAVDSTLEESVPISLFQILVSVFVFLVVGIFVWTYREMLQKQSSRIFALGRQQKNRQQYELLDSSENSGESV
>RCO7_09500 | uncharacterized protein
MDVRPWSDSEKRYVLAEAIKCSQVPFDSLFNFVKSQFPVTAWPWEDMLLPNGRTLKQCKEAFEDPRLGSSVPDFQHQVQSQVQSLSPSLPVPTSSAT
SSGAKRKSNYDSYSPGHPLKRRQSIADPITTARDIRPKPSNTGSHLSQPTFSTPEPKKRGRPSKKDAERKQQEMIARGDILPPVSSVLGYQPSVEDG
SIPGYAPILPALTPALHYAPYKPISEAPIHKDIPDSAGSSGKRRRPKALPKSSKTAAKQPGESSFNANPTIDSKVESEETQTITSAATPESVPVASL
IEAAKIVPSNFPVTATATELPTATPLPSEQAPDA
>RCO7_09499 | related to histone-lysine N-methyltransferase
MADDTRNLPEAVDSALEEMKLQEGGSPVEDGDTIMVNGHHEDSSAPRNLQRSHSSSPAIKQSASQSPGRDKSASQTPRIQEEEEKETIGGGIVVTVE
PGKAPKLSRKSSQKVISRPPPLYNDIADSTEEASEIFQVIKDCIYGSKHMGSSEHDALDCDCSEQWSNGANQACGEDSDCINRATKMECVDGDCNCG
SGCQNQRFQQKQYANVSVIKTDKKGYGLRANVNINADTFIFEYLGEVINEPTFRRRTQQYNDEGIKHFYFMSLTKHEFVDATKKGNLGRFCNHSCNP
NCYVDKWVVGEKLRMGIFAERNIKAGEELVFNYNVDRYGADPQPCYCGEENCTGFIGGKTQTDRATKLPLATIEALGIDDGDGWDSAVTKRSRKKKT
GEDDEEYVNNVQPKGLDEEGVRKVMATLMQCKEKWIAVKLLSRIQRCDDDRVRNRVVQMHGYQILRTTLTTWKDDNNVILQILDILYKFPRLTRNKI
SDSKIEATIETLVDSEHEDVAFEAKRLLEDWNKLEVAYRIPRKKFDPTALPIFERRNTDREEVTKSPATPLVVAPKGPRSNLPQRNLNFASARPPFR
RPPLSNVLPSGWFQAQDEKGNTYYYSKSGQTTWQRPNIPAYEPPPPPKAPPKSVQTARAIQDIIDSITKIDPKTPTQSIPTAESTPKEKKPVEKWRA
LSQEKQMKLYENTLFPHIKHVMQKFTKQLPREDLKKFAKEVGKKLVASDFKNNRVEDPTKISEKQEKKVKSYVRDFFEKAVQKRKAHDKKKAEKASL
NGSASRAGAVVNGGSTAEESLLVDDDLDPIVDFSPTALDAPPSSVPATPSISASGSTSDLKRKRDDEDGIEIDTPETGGTGAADESFSDSHKRLKED
EVTPPPPPPPPPVGGIPVDTLAGEDTGDENGIVIVNTVLESEEQLELRLQEEDLMRENEEAMALELAVTELESVKENLNGNGNLNGIGLGINLDADA
IMESANEGPGKRSLS
>RCO7_09498 | uncharacterized protein
MPPDLNIETEEQTAHRPKWNVRAAIGYQSELFAVCAICAF
>RCO7_09497 | AP-2 complex subunit mu-1
MAYLIRSSVLMPEYQGPAVRTPPALGRPMSSPRTTSVNNNPTSASHFLKFKMLSGILIFNQKGENLIFRAFRNDCRPRLADVFRIQVISNSSIRSPV
LTLGSTTFSHVKHENIYLVAITKSNANAALVFEFLYRLIALGKGYFGKFDEESVKSNFVLVYELLDEILDFGYPQNTETDTLKMYIMTDSIKSEKTM
EDSAKITMQATGALSWRKADVKYRKNEAFVDVIEDVNLLMSATGTVLRADVNGQIVMRAYLTGTPECKFGLNDRLLLDGDSVSTLESGNRLGTKATK
AAAGSVTLEDCQFHQCVKLGKFDTDRIISFIPPDGEFELMRYRATENVNLPFKVHAIVNEVGKTKVEYSIAIRANYGAKLFATNVVVRIPTPLNTAK
ITERCTQGKAKYEPSENNIVWKIPRFTGQNEFVLSAEATLTSMTNQKAWSRPPLSLNFSLLMFTSSGLLVRYLKVFEKSNYSSVKWVRYMTRAGSYE
IR

>RCO7_09496 | uncharacterized protein
MDDFTQIQLANDQKSSDNMDSPIQAYANSVIFSFVGVLVFITCVLCGMWIHRLYTTRGFHLADFERLTTEARSLAQETSLIRKDVEGDYSSDLAVKI
LNMELINAAEELDSGIRVALSAWDDIMQPDEGDALDEEDGVGGGKIDRKGKKKLRERRKSHGRYVMGLMRSKCFEGVERREEFSPGLQAMHLEVLSR
KINVQAGRINRCLASGSGTHGTPRKSIPKRLWSLSHSQLSAESPMNEKYACASSPAQRSALHGATSALLPTPQRSTSIPFSDDERYGMLGPVQKERT
YV
>RCO7_09495 | succinyl-CoA ligase subunit alpha
MQAFSRCARPALQAAVRRQAYSTSTSPYALTAENLRINADTKVIYQGFTGKQGTFHAQQAIEYGTQVVGGTNPKKAGQTHLGLPVFANVQDAVREVG
ATATGIFVPPPLAAAGIEEAIAAEIPLVVCITEGIPQHDMVRITDILKTQGKTRLVGPNCPGLIAPGQCKIGIMPGFIHKRGRIGIVSRSGTLTYEA
VNQTTQTGLGQSLVVGIGGDPFSGTNFIDCLKVFLEDEETDGIIMIGEIGGSAEEDAAEFLKEYNTAKKPVVSFIAGISAPAGRRMGHAGAIVSGGK
GGADSKISALEAAGVIVERSPAMLGKTLHAEFVRRDLI
>RCO7_09494 | elongator complex protein 3
MAAETWTLTLEERQRKPKETLPPENERALRACSDIVSFLVQDHEAQQDPSAPKKDVNLNSLRAKMSKKHRLSNMPPLTAIIAAIPEHYKKYILPKLI
AKPIRSASGIAVVAVMCKPHRCPHIAYTGNICVYCPGGPDSDFEYSTQSYTGYEPTSMRAIRARYDPFEQARGRVDQIKALGHSVDKVEYIIMGGTF
MSLAQSYRESFISQLHNALSGYQGSNVDEAVEAGEMSNIKCVGITIETRPDYCLATHLTDMLRYGCTRLEIGVQSLYEDVARDTNRGHTVASVAETF
CLSKDAGFKVVSHMMPDLPNVGMERDLDQFREYFENPAFRTDGLKIYPTLVIRGTGLYELWRTGRYKNYTPNALIDIVARILALVPPWTRIYRVQRD
IPMPLVTSGVENGNLRELALSRMKDFGTTCRDVRTREVGINEVKNKIRPSQVELVRRDYTANGGWETFLAYEDPKQDILIGLLRLRKCSKKYTFRPE
LVGQPTSLVRELHVYGSAVPVHARDPRKFQHQGYGTLLMEEAERIARDEHGSTKISVISGVGTRDYYRRLGYWLDGPYMSKNIKPKDNEDSDDDI
>RCO7_09493 | related to endoglucanase
MFLLQGAAILAAGLLSGSVEAVASQAFTWKNVKIGGGGGFVPGIVFNPSLKGLAYARTDIGGAYRLNADDSWTPLMDSTNNSNWHNWGVDAIATDPV
DTGRVYAAVGMYTNEWDPENGSILRSTDQGNTWAATKLPFKVGGNMPGRGVGERLAIDPNSNNIIYFGARSGNGLYKSTDFGVTFSKVAAFKWPGTY
FQATTSSYTSDPVGIAWITFDTTTGTKGSATPRIFVGVVDVGQSVFKSEDGGVTWAWVAGEPQLGFIPHKGVLSPAEKVLYISYANAAGPYDGSNGT
LHKYNLTSGAWTDISPVSVATTTYGYGGLAVDLKNPGTIMVAALNSWWPDGQIWRSTNGGVKWSPIWEFSGYPAMNRSVPLCILVDTFPKEFPQNVG
WMMECLVIDPFDSNHWLYGTGATIYGGHDLLSWDTKHNVTLKSLANGIEETYVRTLIVAPGGPTLLSAIGDVGGFTHKDLDVAPDQAWHTPSYGTTV
DLDYAGNKPSNLVRTGESTTEIGVAVSSDYASTWKAYSGASLSTGPGKVAISADADTILMMATSGAVISKNSAAFSVVQTLPLGSAIASDKRNNTYF
YGASASSAYVSSNGGTTFVKTATLGSSKVVSQVRVHPNVAGDVWISTDVGLFHSTDFGSTFTQIASDVTAAWNFALGAGATKSAYPAIYGFFTIGGT
TALFKTEDAGVTWFIISDAKNGFGAVGGNTVGADTENYGKVYVGTNGRGIFYGVASGKLPPSPTSASSTSKPTSNPSSPTSSKPPTVTSTKKSSTAS
SAPAPTGAAPAGPYQQCGGGPSYTGPTTCIAGWKCTFANAFYSQCSQ
>RCO7_09492 | related to chitin binding protein
MLFSFNSILAVTSMVGAVAGHGIITKPWPRAPGAASLAACGPNVTNNIKGDNTSHVEDLPEAGALDPKYHADKCNLWLCRGLQYADNKEHVVSYKAG
QKVDMEVYLRIKHFGSANVSIVDTKTNKIISPNLVYWAKYADEKKATVPAEEKFSFKIPKNLGSKCATAGDCVIQRWWYGTGAKQTYESCVDFTVAA
PMVMNKRFRRV
>RCO7_09491 | uncharacterized protein
MLSITDPANFADPWVFTTEHWVTSQSPGTTSEDFARRYCDLKGSVRSILDWADELHGENMCFMALKLSLETLILENEVKDSGGLTGGGNLDHTDELK
RRPEEYQMTD
>RCO7_09490 | uncharacterized protein
MAPQYTRASPRRSPRTPKTPVKLTGSSLHSEANFFLLRPRKIRITKNVRLQNEALERAIEAELRSEKLAIEETTLNAHIIFPNRRPRITKAEQAAQD
QPTFESLKVGEPAMSDASGHVTCKRGTHEVQSKEPTESDTSGHVQASANNLKASIPTVDRPALEMYLARSTTSHTQFQANKCALKHIKKQVCLYSEK
TELVQPSDSAYTHEYRSHIEISHEKHSSDSSRGIQEDGRFLAELKRQLRAKLKEGLLSQEILEAELEAELEAALEDNSDTEDCSQQIETHGGADIPR
AHPEHNPVEDESESWGDYENKDDFWKQFKEEDKSEDELSEPPIKAYQKTPKAITPKGHGKAPKSPVRRRGHFLARNSHKSMPSNVQVESQQYAPSTS
GPSVHSSGYWESEAFNAGRHERKPPSRHLSPPNPRAVPSDLRISDPEQDFALPRTKVQEQKHRRLVFGTPSSHFLPLPQHRHHTPLGPKHATSSFQA
LANQAPPRFRPQDHSYQRARNVQEINVPGVNF
>RCO7_09489 | uncharacterized protein
MASSTEGVIDWNKPSDTDVVDPSLYRGMTLSSFTSFSMSPEPRVTFNIAFPSRTLSALTQTRYFLIHILNSNRVAAMIAHSFAKGSANEADPESGGR
KGWPPQAALDKLRESLKTFDIIDHDVKPGLEGKHRRKRKVRLPLIDCEYATKSILECQVLGESDRSGGGLIRIGDHVLVVAKVTRILENGDPAKISQ
NHTFTPGPGLGYCDGDYITSGPIPQQIPLKALKSLTGHLDGKSVEPDVREDDTTAGKAALNQ
>RCO7_09488 | related to ribosomal protein YmL36 precursor, mitochondrial
MACKLPSTGLRRAQLAPSNSCSISATCTAQQIRHASLLKRPHRPYTFTQLVTLSDGSTYTHRTTSPAPIYRSAKDTRNHPVWQPSLHSLRNVEQDDA
GRLKAFRRKFGRGWDVDGAAEQAGEGAEEGMDGNGDGGLMDLISGVKPQEAEVKKSKKSGLQQLEEAVEKSGKEATRAKPGKKAGVWG
>RCO7_09487 | related to VACUOLAR PROTEIN SORTING-ASSOCIATED PROTEIN VPS5
MDLEDGVDSPWGDVPSNAPAADTPGFGTETETSKPASSSLAPPAASQPAKSPASRNARGPRRPATQQVRLEALDDSLGPLGPLGDNAPIPQADQPPA
PPQKEQVLTHNARQPLATSQSSISQSMLDSVDLNDDVEPTTGPRIPPPVQPPQTTPLRRDTQPSVSIEQAAKPSFDITVGDPHKVGDLTSSHIVYLV
RTKTSSKAYRQPEFAVTRRYRDFLWLYTSLHANNPGVVVPPPPEKQAVGRFDTNFVESRRSALERMLNKTAAHPTLQHDADLKLFLESEAFNVDVKH
KERKEPLGESKGMFSGLGITVGGGGKFVEQDDWFHERRVYLDALENQLKALLKAMDTVVAQRKGLSEAAGDFSASLHALSTVELSASLSGPLEGLSD
LQIRIKELYDRQAQQDVLTLGITIDEYIRLIGSIKQAFGSRQKAYHSWHSAEQEMQKRKGTQDKLLRQGKTQQDRLTQMNADVADAERKVHQARLLF
EDMGRLMRGELERFEREKVEDFKSAVETFLESAVEAQKELIEIWETFLMQLDAEEDDNIFYKPPVEPSARSPPPSEAAPALTAEDDD
>RCO7_09486 | probable transcription initiation factor TFIID subunit 5
MSHPSGSGNGPPSAGMGMQHQQAGQGQGQGQASGSNSMSSQNLNQIVIEYLVKKGYNRTEQMLRQESSNLDKDGRPIQPRVEDLGSVKYAKGFKMIS
EWIEQNLDVYKFELRRLLWPLFTYSYFDLVNTDSGGEIDKFFREFSPQFERVHGDELRVFETIKTREQLRDNPIAKLYLGTKYRIPINNGLHYNLLA
HIETKSKEGGSVIEYLLQSFCAVNPTERGPLNQFSFEAIVGRGKDRDSEDAALEEGIDGVFNGVTNSDITDNNAILKLAMMPMEAELAQDVRAELED
EDAKQPPPIGKNTLVEEFDQSIKREESADAPSRNEIPLPPSRARDVVMEVQKIKENRDRFRIDGRSSGIGPGVSVCMFTFHNTLDTITCMEFSDDTN
LVAVGTEESYIRVWHLHGDPLPSIVQSTAKDSPPSNSRRLIGHSAPVYSVSFSPSIAGPDSADASTPSTAPKLLLSSSSDKTIRLWSLEAWTCLVVY
KGHEGPVWNVRWSPFGHYFTTCGWDKTVRIWGQDHISYLRLLVGHDSSVNQIAWHPNGAYVFSASDQVDKSIRMWSFTTGECVRVFAGHTDFISAIE
CSPSGKILASADGSGNIIFWDLAKGQIIKRCKGHGKGGIWSLSFSVESTVLVSGGADGTVRIWDVEIPTDPHKAEGEIVGTGGQIDATRINGATAGA
QPSTAVAAGGKKKGKDTTITPDQISAFPTKKTPVYKVKFTRMNLVMAGGCYLP

>RCO7_09485 | uncharacterized protein
MSSTSSTGEAPAAFRPFSKAEHIQQLNDIDKSITQLLQSAGFALKTLSDAQDTTEMPVNDRKEAFQKESESYLTTLQKVDVILRRNIYGLEEANIIP
ADKKKRKEAAASHVTGLKPVPEIETGGGDVGSLGKLDIGWLNSRSGRVGRDMEAELWEKAKGFLEGLEADESDGQNEQSGDVDPSN
>RCO7_09484 | uncharacterized protein
MDYSWSKTRPRYLYRVYHPNTANSYPPSSGGQSLSKIKTKYQKFISYDEGENLEEFLQTIRSHHNQFLDFSPYISFFSDKVEAVQWTLAARLVSRGT
TRLLTIDITRERVRVGMTLWKLQDIQDKIG
>RCO7_09483 | uncharacterized protein
MAEAFATDPILTYLLPHMTPTQFTAYLPKFFDSLLGAAAMNEGIFTEANDFSSCTILMPPGCHVDNLWTLLPADFIGMVWGMGVKATYRMLGELGPK
TDAVKLKALHGQKKYYYTFFTATHAKDRGRGLCSKIIKEIQAKAQKDGLRVWIEGTTENSASVYAKCGFELVENIEVGEGLADTDGKFEKGGESVTT
RGMVWWPKGQDEKKLYPVVEKRRGNWVAGTVLSVISLVLAVYVALYLV
>RCO7_09482 | uncharacterized protein
MCPTWLATVHGQPSLTSTLAIANEAIEALKLEKKQAHEELKENKKLIDSLRRDLRPKKDNTAALNATIASQRVQIHKFVKSQHSFSLQIKDLLHTVN
IKDVSQADMRDRLVKQAAKLPSAARNAHRMEKLYTMKVEDLTKANVQLGRANASLKRVEFKFKRTLTEVLSYQARDDALKGRKRASISVE
>RCO7_09481 | uncharacterized protein
MHFLQPVKSLDIIRILLWVFVVSVSAAGSNETTFSIFQNSNVPLRILPLGNSITFGFQSTDGNGYRKRLLEKITISGPAQYIGSVLAGNMTDNHNEG
HPGAIITEISNYSRVSLVLRPNLILLMAGTNDMNNDLLAGASDRLGDLIDLCFTACPDSVILVAQLTPSANASVEARIEQFNPTVMSVAAIREQRGM
KIAVVNMMNFVTTADLEDGLHPNDVGYAKMADAWYEGIQRASMKGWFTPPVDITTPPQSNGNASPLIPVSTSASSSFNFNPSSIASSIAWANSSTLP
TSTASTTSPVLTSSLVFMSSQAPATTAPSTSTTDATLGALAAPTMSRFPMASQAASRNATNHASLSFGRNSLGNYYLVYLLAFVGVWL
>RCO7_09480 | probable hexose transporter
MGLLKVPRVHQNEALKPVKPPKGHFFFAGRMFPRIKWWKDTNLRTLYIYIVVLILTNTANGFDGSMMNGLQALDYWVEYFDHPKGSKLGVFNAAMSM
GSLIGMFFVPYMIDRWGRKIGVVLGCCIMLLAVGIQTGATNFGMFIAARLILGLGDTIVLGAAPLLIAEISHPQDRAILVTLSGASYHSGAFIASWV
TYGTLKIKSDWSWRLPSLLQSVCSIIILVLMYWIPESPRYLINSDQPEKALDVLAHYHASDNREDEFVQLEFTEIKTAITLDKEAEANGWLDLVATK
GNRKRIGIITAIGFFSQWSGNGLISYYLAPVMKSMGITNPQTILGINGGMKSWGLFVNIFMSFQVDRLGRRPTYLISTVGTLVAFTIWTIISARYAI
EPQKSLGTAFVFMIFVYGTFYDFKSGLLASYTTEILPYGIRAKGFTWLNFCVTAALTFNQYANSVALDALAWKYYIFYCVFLAFEVIIVYLFIIETR
YTPLEEINKFFDGDSAIDVAELAIAEVNELKLKDGTMVHEVEKI
>RCO7_09479 | related to xylosidase/arabinosidase
MPSTDINPIIPGFAPDPSVVLIDGTFFLVNSTFHLFPGLPIYASKDLLSWEHIGNAINRQEQLSLANSGTKICPPDVSQGVTGDRMLATGGLYAPTI
RHRDGVTYVICTNVLQPLPGPKQNFIVSTTDIWSDQWSQSVFFDFDGIDPSIFFDEDGRVYMQGSGGRGPMTKINLFEIDLKTGKKLSEEKTIWEGT
GGIYPEGPHIYKKDGLYYLMISEGGTHENHMITVAKSKDIWGPYDAFEENPILTARDTDEYIRYTGHCDMFQDQEGRWWGVCLGSRKNKTTGTYIMG
RETFLTTGTWEEGKWPTLKQVKLNPVLEDGTAITRAEGAARLTSKPLVDYLYIRDAVLSHHHISDDAKTISLTPSKADLSQWEGPVTFIGKRQREHE
GRSEVAMKILSPPADSQLKSGLAYYKDEHRFIKLLYDYDACSIVVETVNKAKDISKTSKVDLKLKENDSVSFLIEYTETKYTFSYRVGGDEKVAWTS
ITSIKALDMNGPDFVGPVVGIFATSKGPDVRVEFHDLVVE
>RCO7_09478 | uncharacterized protein
MKSAGLYLISSTTVVPEEMGSSHFSLFTRLPAELRYLIWRFAIPGPRVISIKPAVRNTHGFIIASEVKTAKFKAVTSVPAMLHAAHESRTVALKYYD
IAFEEHPKIPTMFFSYDQDYLHLNIYSFVPLFTGIIMSEESSLHKVRNIMMCPVYRTSYSVLDAKLSRVFKSLKRLIIPHTHSYGDVRRVRTEHAGK
HYFKELRKDHGVAIPGVDVEYKTIMIMSWGILVGD
>RCO7_09477 | uncharacterized protein
MGSTVSRILGVAHTKPIVTVKAPAHRSSRKHSVHPALDRCTALFTSLEANSSFSGPDPASKQFAFFPKLPAELRLMIWELALPGERIVRIQEFVESS
PHDRILQAYQCIGSKARVPTLLHVCHESRTLALKHYTIILKNRLLKPTYFNPDLDTLLFASLSDLFKFAQPDDLYQSVRLSQFIHPGLYHFTSLYNF
TNYLPKLSVDEESIEKKVKHVVIGWSKSIPFNIWNQFTPWEEIERSVTLDVIAGFKNLDTLLVEDIYFEQIGVAAPAPPFADQMFKTKLMRRWEERR
NSARPFPEIKIVGPTKMKQIRRRAREARLYSGQRFGISTYFGNSAR
>RCO7_09476 | probable ATP-dependent molecular chaperone HSC82
MSFLNTTYYSEYNPQKVNLMPANLGTYGKLQVTIPISALSHLQSLLLHHTQEITHTAIMAGETFEFQAEISQLLSLIINTVYSNKEIFLRELVSNCS
DALDKIRYEALSDSSKLESGKDLRIDIIPDKENKTLTIRDTGIGMTKADLVNNLGTIARSGTKQFMEALTAGADISMIGQFGVGFYSAYLVADRVTV
VSKNNDDEQYIWESSAGGTFTLTPDTEGEQLGRGTKIILHLKDEQMDYLNESKVKEVIKKHSEFISYPIYLHVTKETETEVPDEDEEETKEDEGDEK
KAKIEEVDDEEEEKKEKKTKKVKETKIEEEELNKQKPIWTRNPSDITPEEYGSFYKSLSNDWEDHLAVKHFSVEGQLEFRAILFVPKRAPFDLFETK
KTKNNIKLYVRRVFITDDATDLIPEWLSFVKGVVDSEDLPLNLSRETLQQNKIMKVIKKNIVKKVLELFQEISEDKEQFDKFYTAFSKNIKLGIHED
SQNRPQLAKLLRFNSTTSGDDQTSLADYITRMPEHQKNMYYITGESLKAVQKSPFLESLKEKKFEVLFLVDPIDEYAMTQLKEFDGKKLVDITKDFE
LEETDDEKKIRESEEKEFEGLAKALKNVLGDKVEKVVVSHKLVGAPCAIRTGQFGWSANMERIMKAQALRDTSMSSYMSSKKTFEISPRSPIIKELK
KKVEADGENDRTVKSITQLLFETSLLVSGFTIEEPAGFAERIHKLVSLGLNVDEEPETAEEAADEEVSGDAPAESAMEEVD
>RCO7_09475 | uncharacterized protein
MAPSKTHLLAIALLAISARAAEPGYSVAPPSYTKPGSPPNPGPGNGMFPPGFPFNNPPYSPPSPGNGMFPPGFPFNVPSYAPPGLPPVTVVPPVTTN
TAGGVFTTLPPGGPGGPSGNSGGPEGSSGPGGPGVSIDPSCPRTVLSYTVVTHISTTVISYTDTISFLSTITNSLCAPIIPTLPSVLTTGTAGGVFT
TPSILGIALTTIPLTTFVTSKVTVPSIPTLPTIPGGPLPTGPIIPTGPIIPTGPFPTPPTTPGVVDPTSSKPLSYIPPPVPTYPASPPVYPPHYGYG
RL
>RCO7_09474 | related to lysophospholipase L1 and related esterases
MPQLCEPGNLPPAPFTQTGAVFEDSTIRQTLHMSIGGPSIRIRLSNAFGVSDLSITAVTVALPAKGLAGVSAIVPNTVKPVTFSGSNSYIVPNGGLI
VSDPIDLKVEAQSMLTVTIYLADGQKSSSNAVTAHTGSRTDSWLSKGNQVSALSFTDPSSVSVAHWYYVSAVEVYVPQTSRAFVIVGDSITDGRGSD
TNQNNRWPDRVLKKMQLNPSTANIAVINQGAGGNRILHDGLGPSAFSRIDRDVFGHSGVAYAMIFEGVNDIAGPTDPTTQKQIGDRLIASFTQIAIR
VKTFNMPVFAATITPFSAPGYDVSKASYSNPEREKTRQRINEWIRTSGTFDHVLDFDKWLRNETNPSQMIEDYHDGDYLHPNAKGYQRIADMFPLDI
F
>RCO7_09473 | uncharacterized protein
MPPTLSQSDAGFPKRTRSRRPLFTVLAFFGIISWLSLIAFMRRDEMMEVKSATTEPSAPPTPEVTPLVAEQYGLGEHPALSDMIQLMDLPSTYLPET
GKNRHSGRLIIVGDVHGMKEELQALLDKVKFDKKHDHLILAGDMISKGPDSVGVVDLAMELGATGIRGNHEDRILLAAKDMQRAHLDTGAPGPSEDT

EKKQDMLEEESFSHGDYKDRKLVKALGHQRIKWLKKCPVILRVGRLGSMGEVVVVHAGLAPGVKLEKQDPSLVMNMRTIGKHGVPSEGRDGTKWRKV
WNKFQKKLPKHERTTVIYGHDSHQGLQVEKYSIGVDTGCLRGGKLTAVVIEGGASDHSRKLVHVKCKNGQGK
>RCO7_09472 | related to translation initiation factor 4e
MALRPSLFTKGLPSGLNDTGSPAEQRDDAKKNMLKAMRPLPTQHYWNVYFDRQQKEQAKSADGTYTATLEQIGTQIESVQDFWRYNNNTPVDQIKMR
ESIYLFKQGFQPVWEDRRNIDGGSWTFRVPKANGPDFWTRVQLMAIGEKLQSILDVGDQLAGVGLSVRFNSHLISIWHRAGSNQKSIDAILATVLEE
LPAELKPKPDNYFYKKHSDHAGFKAPAVTRPTVPSIKAPNA
>RCO7_09471 | related to glucose transporter-3
MASAGLRQCVRDVTLYLVYLIFISTLGPLQFGYHLSELNAPQDVITCKKQAVADDVGSEPDSKLPQCIPMSEAEFAALSSMFVLGGFIGAITSGPVA
GAYGRLWAMRFTSVFFVLGSCLATLAASVPVMSLGRFLAGIGGGASTVIVPIYISEVAPPEERGLFGSMTQVSINIGILITQTLGYYLSRGSMWRII
LAVGAGLGLLQTFGLCFVPESPAWLAAHKSPQEAIRTLQRIRGSGASIQDEIKEWDTDRVVEEEERLLVDPESRERRPSSTSKASSKSVAHVGFFQV
IRDPFYRPAIIAVIGIMCAQQLCGINSIMMYSVSLLHGVLPITSSLLTIIISLVNLFTTIACAPLADKIGRKTCLLVSIFGMGTMSLCLALSLRWEL
KLLSAISVLLYVAFFAAGLGPVPFMMASELVGTEAVGATQSWALGANYVATFLVAQFFPILNAFLNERLGGKGWSYFVFAGLAAASFVFVSWSVPET
KGKKDPDEVWGRLRRVD
>RCO7_09470 | related to RNA-dependent RNA polymerase (involved in quelling)
MPPNAPEPPGTPTRRTTTKDDPAFATRLDFLCKDWDLGLDIKKRTTDDHGEPTLDCKCVGLLQFSHHKKMFDRVVNEFDKEARVLYQGWVNKPKADR
GTIPPATRRQRRPVNETERDILLQCLYKISKDYQNAWQRTSGGTPKSILEKIRDSQFDVAPVSTPKIIAPSPRRMDSEKRPRDESFADIPVTKKTRI
PDLPPQRSLSDMAPPRGRPLRQESYPENSSGRKASASVSRSANTSFAESEASEVFSQNGDNFVATQETIPDDVPEIRDAFTTLQEDKYISSHYESSS
FEARVGDILEDEMIEDSDHLRAPSSVEEGLSQDLLDFGIDKGSSTTSPTSYSPSSQHHQESTGKTVAKAQFRERLKNIFPVIPKCLSAARLCVIYEV
TRVFLHADVSLSELNAPITPALEDYDTLWKFLRSLPCLQDRSFPERSNREAWNCALENYEKGFLSVVFGGSLTFRAEEDDGAFFRLKLEPLKLEFSH
RLGRRFGHDRFFEVLMPQLSGRHIPTALEKLGRRGPQIIIKWLIETSHSLVGWNWKPFMVKDKEQRKQKQLILKKDVESVDTSFRIFLFAVDGPKFV
KKDRLITHPDPRLRPKMSIATLLDCVRPLNARNEGQPFLKFFNRTTLALSRNSPTIVLKPEQIRLVDKDITFSLDPNKEDPKNVMNDGCGKISPNLA
LKITQKLGLSYLPTAFQGRIGEAKGLWVVDRHEKGGNDWIETYPSQRKWERGEGNSAEWNDPSHLTFEVLKCSGPLKSADLNLQFLPLLMDRAKNPQ
RMKRALSDILKQGLALKVEEIVNAMDDPQSFRKFVRDNNPNLKERLKGGIAFKAGLPVVREERLNIFLDAGFDPRKLMFMKIMAKAAFKSKTDELKE
KLNITVGRSTYAYMVPDFWGVLEADEVYIDFSSFIDNVSGFSGATLSGDEILVARSPAHFVSDIQKVKAVIKAELVGLKDVIVFSAKGKPSLADKLS
GGDFDGDIAWVCWEPSIVDNFESTEVPAAYDLVKEGLLKQDKTTYKQLVSEIDGKEAKVSAFLRKSFEFNMRQNLLGICTSFKERVCYTQGSVNTWQ
SRYLSQLLSNLVDQQKQGYIFEEDDWTRFKAGVLKGIKARTPLYKTDELVPNADHIIDNLKYVATKTVDEALLSFHESFPDPPYWDDDLPKFFYKFA
DLARGDSVWTKLLDDLKADITELHVAWAAKFKGKNKSPSKRNPNSREDDESIPDFTEFCGNLYERFREIQPHDDTHASQGLLMTSGSNSELSNWELL
KASAAVASAVKFRVPNLPRKVYMSTFVWWMAGKQLCHLKAMCNSEAPHSVIQKMYIIQKPDATIIRRLRSEGMAVNLEDTASIANEDDLDAVDED
>RCO7_09469 | related to short chain oxidoreductase (CsgA)
MATYLVTGTSRGLGFALITHLNSLPSSEVGVIFALARSETPALKTLIERAAGRVVLVKADTTDESSLQKVAGDVESRLRGKGLDVLVNNVGMMTNVP
NGIASMDDLASHFNVNVLGTHAVTRTFISLLERGTQKKIVNITTTLGSLGQAGSYSFSPSPAYKITKAALNMLTIQYALEYAEKGFTIFALSPGWLK
TDLGGGDMADLPAETGAKAALDKIFAATKENNGQFLNILVEGYENVPGPNKYDGKNPIW
>RCO7_09468 | uncharacterized protein
MDSIHVVSKLDNNKHATFELPTSSQRRELKPSSILVRTALISLTSNNLSYARGGSMLHWWDAYPVPSSAPSPFNDAESWGIVPAWGYATVLQSNIAI
TQGSTVWGFWPTSTAPVQLELTSAGIEGHWIETSPHRQKLMTTYNRYIVQDTTVTDDVKAWSSLFQGVWQGAYFLNKYVFTADPAVEQIHPLGSGGA
WTTEDADLKSAVVVSLSASSKTARSFAYHLASRQASACPLALLQITASSDLKSPASQFPIKTLDYSEVFDRSGTWTAHHSPSKIVVADFGARGNALA
QLLESFKSTPSLASAKVVVLQIGSQQKVYTGDEMLAAREAMTNFGKIQYNTAGIQDTVMSRHGQKQYFDEQNKEWEKWLGGVEDNVGNMKIVWLKNV
GGEASIEDAWERLCQGSVASDEGLVIKL
>RCO7_09467 | uncharacterized protein
MHRTSPTQLLYLGAIGAYTLWGIAFFNGTLDRMNAAIEKGFMPDGRALRSTYTGYPLLDGRLTYLSAFYEVLSNSLTTGPRLLFLDLNFVLSSTLLW
VFIESRRRGVRNISLRHPVPFAMLWNALGAAFIQPLYFYAITQSQATTRDPTIPLNEAIALFVTTIPTLLFPLFLFAPSYLDWSTYEHHGYIAKFLG
TPFLMVVICVSTIALMWPKFGLVSPKDAKKPNEDKKWIVASYVMAGVIAATVHIATIIACLQSLDGDINFTRLFVPTLSKVSSLSTASGIHNGTVHA
SILPIEYQKLVEGYHIFTQFDTIVVTFSCIVFVHWLLSNQGNTKIPGSKNMSGSEMKELASLVVGSVLIGPGAAGSFALAVRESRLREEKPTGKLQ
>RCO7_09466 | uncharacterized protein
MTITNSNTGRDAPFRVIIVGAGVAGLVLAHALEKASIDFILLDKGIVAPPWGTSITIHPHGCRILHQIDCLDTVSALCSPMGLFFQRDQSGKELLSQ
GFFDAIARRTGYTTLTLERRAYLQVLYDKLPDKSKVVEHARVENIIEENGIVRVILGDGTEQVGDLVVGADGVHSKVRELLWKNANEAIPGFISAVE
KRSMRTTYNALIAFAPMQAGLGKYDMHCVSNDKFSFLILCQPETIFFVAHCKLPDDKQCRWPNRARYTQEDMDNLATKLADYPVSESLLFGELWRNR
TRAHLVSLEEGVLDHWFFGRTVLAGDSVHKVTPNAAFGGSTAMESAVALANVIHHAVNLHPNKKPSDVEMKTALTSYQASRLARVKEIFNVSWMLTR
LQAYDGWLFYFIQRWVMPVIGLDFVAKQIAQTCSEAPKLNYVQFAEERGTLGWKEGKDAIKYQAAANRKKIIAWHGPSGAERVFPVMFGGILLVTST
VLWLSGWNTASIHSAYLSIM
>RCO7_14015 | uncharacterized protein
MATVKQPESIRDQPCIHHYDPPATLDLVQSGAGCNLQDTANIQLEYWSRKRCLRDLAGQIE
>RCO7_09465 | uncharacterized protein
MASPNFMSPPDSPGNATARSRKSSTEPKKRTSQAEQRGIPGRLACDVCRERKASQADLPRQLAEIQNRLAQAEAQLAAAPELSLSDHFPWQSDLSFQ
SFQDYGLEKGMGMQIDMPTSIQFPDMAITSTSQDEFALANFDWKAVETPTIETNGQATTPIDTSNNIYVSLEVASPPLVSKGELQQTAASPHPKILK
GCEISAEQMASLHDNYFELLYPHMPILSKERFSSERSSPRSSIERGLDYAVALVGALIEPDSLGLQRACYGMARKFVEMCEQDEEGTNLTSLGVFQA
LLFIIRYELTAKRFTRAWMTLGRAVRLATILNLNEMDRPPVNFRGQSELQQLLPETQDPSILEERRRSLWVLYIFEGYASTRTGLPCQLQDNQIIAC
LPSPGSLDDGFQPLSMPFLSETTTLQGIPHISNFAGIVLMISLARKSYEHGRGQSEGYWDRHYRLVRLLNERTSSLSIHLTAKTVQEDIVAFSLYLN
LCAIEIYLHEAAIDEVMRENLPKLVADESRKRSGAAAFKIASAVRMNWPAFRSKHDMFTLQGSFIGWALVMGIKALTRHLLDVEDGVSNGAADSLRL
LIPAIDQLEDENGHWHSSIAGASGILRTWDERHSGFHMGE
>RCO7_09464 | related to DHA14-like major facilitator; ABC transporter
MAEKSSSVVENDTELRMRAEDTSWPAAGDSDGPDEKSPRSIQGWRWICAYCSMLSTTFLFALDNTIVADIQPSILEAFGHVELLPWIGVGFGLGTMT
ILPWGKAYGVFNIKWVYIFNILLFEVGSAICGAANSMTLLIIGRVIAGVGGCGMHSGCLTYIAVSTTMKERPMYMSGIAILWGLGSVLGPVVGGAFA
ISSATWRWAFYINLVIGAVFAPAYLLLFPNVDPRPGKTLAEKLKMIDWISTAVFLAGATCFTMAVSFGGTTYDWHSKQEIILWTMTGVLLLVTIAVT

IYHPGVSLADRLYPAHFLTQPILFNLQLQVFLVSGIMLTMTYYIPLFFQFLRDDGPLDAGVRLLPFIFAMVFFSMINGGLMPKFGYVTPWYVAGSAL
VLIGSACMYSVDVNTSTSNIYGYTILVGAGSGCYLVAGFAIVQSLVPVSEIANAVGAMSIAQDLGMTVFLAISGTLYQNLSLQNIRPVLPNQSPADI
ADLIAGTSSQTYKNLSAAEKLLVIPEITSAMSNVWLFFTVGGALSFLASGFLWAKNEAFAYWHSKLHVILYGKSFGQHLSGARSRYWNPLIIDQMNK
LNNSVISKTSKRRAGEHRGHRIK

>RCO7_09463 | uncharacterized protein

MPGRIVDHFDVVVVGAGWNGLIAARTYLELSPTAHLLIVDDGLTIGGSWSKEKIYPNLYAQISHPLFEYSFYPMKKEGISGDGYIPGWTVQDYLVSF
ARDHDLTRRTRLQTNVVKVEKIADCGGWSLETSSGPDITCAKLIYATGPTSSAIVPSWPQDNFVKPIVHSQHVGRHLEFIQKTVTRATVIGGAKSSF
DTVFLLLKAGKKVDWIMRDSASGPLSISAPTFLGLWNTVNHVSTRMAASFSPSIMNTSGFWYSFLQKSLPGRALTRAYWRTATYLSAHHAGYSQSEE
AEKLRPKPDGYGMFWGSGGVGIASVPDYWKVFHAGDVTIHKTEVESFSHQDVVNLKNGRSVQTDFVVLCTGFDKGYKAFSKELQEECGLYYDSDKVS
KWTKLDAIAEEQVNERLPFLKNAPEFYSKATQKSSHGPSRHYRRLIVPHLAAKGDRSILFPGLIHSVFTPLTGEIQQVPSFSHVLSPCVQALWGAAF
MLGLLDVPSQEVMEQEAATFNAWTRKRYLEQGKKHAYFIYDYLSYIDTLMRDLKLKTNRKSNPISEMLMPYSPQDYSGVISEFLAARKDRARVSIEC

>RCO7_12018 | related to polyketide synthase

MPYLRDGSSSSSSDSESTGYPEIKVTQRIVRDADYAGTSFEGCTEKPLSEQLEPIAVIGMGCRLPGDIKAPSEFWKMMYNKETGQTPRVPSSRFNID
AHFHSNNDRPGSFGVLGGYFLQETLQEFDPTFFGITPIEAMWMDPQQRKLLEVVYEAFESAGATLDDISGTTTAVFVASFTADFQQMAFKEPAFRHS
LAATGVDPGIISNRISHVFNLNGPSIVVNTACSSSVYAIHNACNALRNKECTAAVVGGVNLVLTVDQHMNTAKLGVLSPTSTCHTFDASADGYGRAE
GVGAVYLKTLSDAIRDGDPIRGLIRSSATNNNGKVPAVGITHPNLNGQANVIRKAYERGGLLDPRLTGYFECHGTGTAVGDPLEVRAVANAMNAQRM
DEDGPLLIGAVKTNIGHSEAASGLSAVIKAILSVERGVVLPTRGVTNPTPAIDWKGWKVQVPNEPTPFPPQLPVKRVSVNSFGYGGTNAHIIVESAD
SLLFEPQSYKYLGSKGASRTRIPRGAFHRNRPFLLPFSAHDKSTLKRNIEAYGSVARSYDLLDLSYTLSRRRTQFPSRGMVVASHASLDSAFKEGLP
EFMFADKKKTPTLGFVFTGQGAQWAKMGSELMLYYPSFLKSIRELDMALEDLVDPPDWTLEDALNEDAKTSRVNEAEFSQPMCTAIQIALVQLLQQW
GIIPSVTVGHSSGEIAAAFAAGLVSASQAITLAYYRGKVVKDINTNGAMLAVGLGAEAVSRYLENLNGEITIACHNSPAGVTLSGNADALQSLQQVF
TDENVFARLVKTDGKAYHSLHMQPAAAKYEAALVGAGLCMKRDPLALSTCKMVSSVTNSILSEDTVLDAAYWSANLLSPVLFNQAVQTIATSPELSK
IDMLIEIGPHSAMSGPIRQIKEKYSFEKLQYLPSLIRGTDSAFSLLKLAGELFLRDYSLDMERITAVEESSPSGKTFCKTGSLIVDLPPYQWDPSKK
FWAEARSSKDHRGAKFARHDVLGSLTFGGSLAEPTWRNVLRIRDLPWLKDHSLGGEAVFPAAGYFSMAMEAITQLNELKDAPLSIVGYILRDVSIKN
ALVTPDDDAGIEVLFTMRPSIHSNDENTSEWWDFNVSSISAEGFHSDHMAGSISLSTQKQRPTPRTVPNMPQRASGKSWNQALRGVGFDYGPTFQDM
EDISFDGKTYAAACKTQIKNKVDSMVGEESRHVLHPASIDSCLQLLIVAIYAGRTNAMSCGAVPIQVDQVEIWTPTESQIEAGNAQAYSWIDKRGVR
SFVGSNQLVASDGNLLMEITDMRCSSYEAAVPLRATELAKPQPYGSMVWKLDFDSLAETTDLDVAALIELANFKNPGLRVLEIGSENAQSILKKTAD
VNLTSTESISEQAEILSKEFKDFKNFKVEVIDPALDLGNQSFKEASFDIIISSAQDLAGLRKLLVVGGRLVLPESSSALSEALKSAGFSGIDLQLKS
GITLTTAVDSAADHRYDGDREIGLVYRQDPPAILAAVKNELEAIGYRVVVSALESTEKLCEHIVMLADFDAPLLPSITEQEFLGLQRVTNTARTILW
ATSGGLLKGRIPEFAMASGLLRVLTSEQNSLNAISIDFDLTNTSVDDIARMISRKGQQQVEYVQSTENEYYISASEVYISRLQSNTALNSIYSVDET
DVSEAAFDSTKALTGKIQSGKIVFETVDRVGGELGPEEVEVKVSFTGLNKEDILIVSGADYPTTFSHEIGGVVEKVGLKVNHLFPGDRVVGFSFDKF
ATFQRIRADLLQKLETSESLSELTSLPMGMGAALHGLKTLAGLQAGENVLILQGTGLAGAAAIQVTKALGGTPFVVVDTEAQVTSIASQFSLATENV
LLATDMLQLKKKHGRFDIDVIFSAGWVNAGLARESWRHIAPFGRFVDCGRKNVLSRSALDTIPIARGANYMAFDMLDLYAWKPEILSRLLALTVALY
RQNTIIPPQPLVTKHISELNQSVNSFSDDFETGKVLISHETSDRFVDLIPSRPSLKFRSDATYLLAGCLGGLGRSLTAWMMKKGARNFVFLSRSGAD
STQASILVEGLRVAGADVIVVRGDITIQKDVERAIESAPANFPIRGVIQAAMVLRDGLFHNMSYDNWSTSTGPKVQGTMNLHAALKDIPLDFFVMTS
SVSGTLGTPGQSNYAAGNSYLDSLARHRILHQKSASSIILPMVLGVGVVAEKSELEEALKNQGMYGIDDEHLVDSLEAGILEQQRGETTDHMVVGLD
PSQLRKAVEEAGDYVESFWTADPRFKALVRAMASDSNSGSGAGASQTILATIKAEHRAEDAFELVKGYFIEKMGRILMLGAEEFEEDGRSVASYGID
SMIGAELRNWIFKELALDIPFQQLLGPALTINKFAEQVCNNLGIMLE

>RCO7_09461 | related to MNN4 Regulates the mannosylphosphorylation

MAVLTSMDERRRRSRNIVFGAFILLVVIWTVKLAYPKHTIISLYQSHRQPYAPIYSDLADTEEEDEPAKKESPWKSRPSSKEGSQGTGLPETAFNAS
VSNKAAVIVEARFRAALIPLILHYNSVLGPSWPILIYTTAESVGMFATSAALARYIKTGTIQVRLLPQSTLLQNSESVNRFMTDTWFWEDLAPVEHV
LIFQSDSMLCANAARSVDDFFEYDMIGAPVSIDAGVGYKGGLSLRKRSTILRVLDDYDWEKTPKDGDKFEDQWFFNRMADIQAEEAVEGIEPKDEGA
INLPTVEITRTFSVESIDYPHPLGVRRVHRWLDDQKASLEEWCPEYKLCSVDSIAEKE

>RCO7_09460 | related to putative multidrug transporter Mfs1.1 (major facilitator family protein)

MSTRHGTAMSSQHGSIHDGAAEFCCSLHYSPEARRSIQTRSRENVASLASSKTCCCTLHHSPLPKPLFANDTTSVTSQDTSKPLPLIPSGETAEEGG
KKDWRFWMIFVSVCVTTLLVAIDLSIVSTALPTIAQDLNANELYVWVANAYVLASTAVQPLFGQAANIFGRRSLTIASVLLFMLGSGLAGGATNIGM
IIAARTIQGVGGGGIITLGEIIICDLLPLRERGQYTGLLAGTYAIGTIIGPVLGGIFTQHVTWRWIFYINLPIAGVALMFIVPFLNLKYRRVGTVWD
RTKRVDWLGNFVLIGAVTSILLALAWGGTKYSWSSWHILLPMVIGFLGIGGFAIIQVSGYVDEPTMPPRLFSNRTSVSIFVMAFVHGVLLLYVTYLL
PVYFQAVKKASPTRAGVELFPTATTIAPAAAISGIIITITGRYRIFHYLGFILMSTGCGLFALLDEDSSVAAWVGYQVLFGLGNGMVYNSMIPPLLA
SLPPSEVATATATWTFMRSFGSIWGIAIPSAIFNDRVNQLVKERLANAPAIAAQLVNGKAYERATASFIASLGADVRPIVVGIYVDALKIIWYASIA
FAVIGLPVCFFVRSLDLTSTLETEFGMQEKKIEGRRSPA

>RCO7_09459 | probable uncharacterized membrane protein, predicted efflux pump

MADRNDSRSWLSYFLRPKSQSSMPIAPPTPPNEQTSLLPKDTEPDANRAPIFQSSEGSTYEIDKNDSATKQWLTEFLILLRGSVPVILAYTLQNSLQ
TFSVLIVGRLSPEALATAAFSYMFAMSTAWLIALGGTTALDTLASSSFTGSKNPHDLGVLLQRSFIVLTAFYVPVAVLWACSAPVFRALGQEEYICV
DSAKFLTALIPGGLGYVYFESMKKYLQAQEIMRPGTYVLLFTSPLNAGLNYLFVYTFKMGLLGAPIATGISYWLSFILLVLYARFVAGSHCWGGWSR
ACLSNMSTFARLAILGVVHVGTEWWAFEIVALAAGRLGTISLAAQSVIMTTDQVMNTIPFGIGVAASARVGNLLGARNAKGAARAANVAAWLSMLMG
LLVLIVLMSVKNFYAKIFNDDLAVIKLTADVMPYVALFQIADGLNGSCGGSLRGMGRQHIGAAVNIVSYYMGALPLGIWLAFHGWGLSGLWVGQCIA
LYLVGGIEWLIVAWSDWEKQVENAFSRMDDCERVEAGESSGITGGT

>RCO7_09458 | uncharacterized protein

MAAPQGFISQERCANTGGYGCGTSNNIVVCNTSGRWVYAAFCGGIQHCTLIDGQPYCVNGT

>RCO7_09457 | uncharacterized protein

MEHTLRSKIYTKAKFWDKYRLYLGVYGFNNVPHTEGDFHWALIIGPKVEKNSPVVGFKFVNYGIHWRMKEQAVNDIRYDCQSMVARIVIAKVADRVR
LFDLLRKGADRAYHDDTKTFSGWIEAMLQTNIDDGKCVGTAELDFQKITAFAEDYVINKARAGRYEFKNEERFLPKPTYDLLAGKELIP

>RCO7_09456 | related to S.pombe beta-transducin

MAFPSKPLTQLLGSNGPVHALTYSSSPSTYILTGSADRSIRLYNPSRPSSGPADPLAPPKPTQLIQTYSAHGYEVLSLSVANDNATFASAGGDRSVF

LWDVGTAQTIRRLGGNQGHTARVNTVTFAGQGDSVLVSGSFDASVRIWDLKSQSYKPIMVLEDARDSISCVLAGRDGGIGGSEFEIVTGSVDGRVRC
YDLRFGRTETDVIGTSVTSLERTRDGKGLLVGGLDNSIRLMDRDNGGLLKSYKAQGWKNEEFRLRSGFGSRDRWVLCGNEDVSGPDGEVMVWDTMSG
EVVERIKVEGSQAEGKRKIGMDGKEKIRKNVISCVAWKENGRGDQWCCAGTDGIVTVFGPP

>RCO7_09455 | uncharacterized protein
MCFIFTCGEHEFSKQLQGYDGVICQCHNCGNYSARVIKRNPWFTFCFIPVIPLSIHGYEDVVCSICNFAQPLPNRQDVIAMKDGGGGGGVLLQHQQQ
PGGAPAGWGGGGPGAGPSGGPGAPKPQQNMHYG

>RCO7_09454 | uncharacterized protein
MPPKRRRSIASPEHELPVQKRSRGPPPQSLPPRTLNHVSRLSDELLIRILHLLPLPTLLRSHLVSHRLYRLSSDSQIWKNLYYDRFVLPRALRIPGI
KNAPPRDESLVFSSRRSKWLSEDVLVNRGDGKRTDWKSRYRLRHNWSRGVCEVREISLREERSKGMLVRMAEGVVLTVDEHDGLRGWDLKGKGLIAQ
SALENGEAPTCLAVDEQDGSGGLGVAVGFEDGGWRTWKLDLTEKKFVEGHRHPPSSNGMLSAVAFAYPYLLTITEEQLLSLYSFSPVPVDEFVLSEP
LQIPLEIMEVQELGEVLSSPPAAPREEAKTSPLDQPGQPRLLASLKSHTSWPPLSLSIRTTPTTLIASIAYTLQTYTSGYTVGLQELHLSLTTGSVI
FSRLTSALPQGFTSILPATSSTPPSPSSTSETFTGSSSRNESSCPTSLSYSHPYILATHPDNTLTLYLCNSTASTLTISPGTKLWGHTSSVSSAEIT
PRGKAVSVSTRGNELRVWELEGGLSSSSSGFNAGLKKRGRIGVEKSVVVRPTASKDEKQLPSLGAHRHFRDEDSDDDSGWSRRWVGFDDEVVIVLKE
SGNIGRQALMVYDFT

>RCO7_09453 | related to allantoate transport protein
MTTNKADTVGETIAPNTTRGSDDVVYEKGNHSSSGDIAGLLVDTAIATAITPEQEAAVLRRVDMFLVPVMFLSFALQYMDKACLTGAALFGILPDLD
LIQIQFKGKAPVIDTSRYSYASLIFYWGYLLGLLPGVYFSQRFPLGKYVAITMFLWGGTTVCTVAVNSYQGLYVQRFFLGFTEAGIAPAFSLITAMW
WKRQEQPLRYAVWYSSVGLGTLVGTLIMYAIGQINGDLAAWRYQFMIIGTITSLWGVALWFLLPDSPLNAYFLTKEHKVIAVERMRWEQIGLENKTI
KMDQIKEALADPKTWFYVSITFLCNFTNGAVTGFGSIIVKSFGFPPLRTILLLGGAGVWAFFFILVGGVISCYVRNTRSIIAIFCCLPVIAGAAMVW
QSDSWSAKGSNKGVPLWGFYMMAVFSTTYVMVLALMAANTAGHTKKAFTAGLVWASYCISNGIAPVTVLTQEEKQHYPTAFTIILVFMSLTCALLVA
FRFYLEWLNKKRDALGVVDLDAAALTGFNDTTDLKNENFRFQT

>RCO7_09452 | probable POB3 protein, that binds to DNA polymerase I
MDITFTDKLHSGRETFDNIYLDLSKESGKCRFAETGFGWKPSGGGDTFTLDLSNIGGAQWSRAAKGYEVKILLRNSGVVQLDGFSQEDFERISKVFK
NWYSTNLEHKEHALRGWNWGKGEFGKAELQFNVQNRPAFEIPYSEISNTNLAGKNEVAVEFALPASGDDTGTNGALGGARGKGKKAGAGKDQLVEMR
FYIPGVTTKKEALEGEDAASDAEGAEEEQNAANLFYDTLMDKAEIGEVAGDTFATFLDVLHLTPRGRFDIDMYESSFRLRGKTYDYKIQYENLKKFM
VLPKPDDLHYMICIGLDPPLRQGQTRYPFLVMQFKKDEEVTIDLNMTEELLKEKYKEKLESHYESPLHQVVTQVFRGLTGKKVNQPAKDFRSHHQQS
GIKCSIKASEGFLYCLEKAFMFVPKPATYIQFDQIDSIVLSRVGGAVSASRTFDITVIMKGTVSESQFSNINREEQKPLEDFFKIKGLRVKNEMDED
NSALLAAALREPDMASSDEEVVAARADRGSADEDSESADEDFKTDSESDVAEEYDSNHDSSSGSDEEAGPGSDAEERPKKKAKVAK

>RCO7_09451 | related to Ras-GTPase-activating protein binding protein 2
MATNGTFGSQEQYKSTTEQYPATSGAADATSGNASGNDLSKDEVGWYFVEQYYTTLSKSPEKLHLFYGKLSQFVSGLEAEVAPVSVGRNAIQERIKD
LDFQDCKVRVSNVDSQGSYDNIVIQVIGETSNKSSELKKFVQTFVLAQQPTGYFVLNDIFRYINEEGEEEPVENTQEESAAGPLVEDVEMPKAQAAS
EEAAAPLDAEVVDKKLEEVAEPEPVAEIAPTTNGAPAPEVEETPAPASKVDPTPAAAEKAVEEEVNEPEKPKAPVPSPAITRAPSTTKPAAPAQPTG
PPKPLSWASRAAAAVGSAPKPAVPVIAPKASTPPTQARQAPASAKPAQAPAPTPAPAPAPETDNENGAGWQSVGNDHQKKQNRPQSISGPPEKEGTM
GYVRNVTEKVSTEDLRTALSGFGNLIYFDVNRAKNCAFVEYSAPEGYQAAAAANPHQVSGEAIYVEARRPKPSAYGGNGYGGARGGLNQRGRGQFQN
RGRGGGGPPRAGRGTSRPSMPC

>RCO7_09450 | uncharacterized protein
MQSQKILEEYGFEILGKFGAGGFSEINEESIVFSPFVSAPVKQILADIARPALVISDGFGAFNDSEKPWADADSPRTQQMWQEHQSYDFPVSPDDAQ
LNDSNLHKLILQFRIATEVASCQ

>RCO7_09449 | uncharacterized protein
MVASNKVPELTGPGSPQLSDVVLDYGCSEWRTSSQRAADLYNSGIKLWEKQGLRDVENQLAHSTCLNVFTVCRIDGSLAYIKNPNFGITNPIWVPYV
EFRDYWRLVKEQPKDPPDISLLVTAKMEEPYTIELSGVQGTPGLEV

>RCO7_09448 | uncharacterized protein
MSTPQITSKRTSARFSTYSAAPSVTNTVQTNRSSDSAHQEIKDIEEGLLKLENKKLATQRFVPSKEKTEHLSSLALGAKLERALGRRMGGQDAVMRV
RSKNTGKEENVPESEKVAA

>RCO7_09447 | uncharacterized protein
MPKPKQFTKMPKKRSKHVQSVPETADEYLAAGVDFEEAGEKWRGGDAAKSTRFFVRAIDCYDEALKKFPNSFDLAYNKARVQYELTQHPKLLRLLPG
SLLDLLQTALTSSQFALSLNEENADALFNLAQVLTSLAENLSESSTDGSTLDLIEQALRLFQLCLECQEKQAKESAAQAQLAESMLSNNGDAPHGQP
TDVVDSEESGISVSTASAMDIDDGKEPAQDERWASIVEPVTNDVLLDTVLAQLETLSQLCGLMLNVSEEAIGRVETYAKDLINFKLDQYVTGTDRFL
EANITKANFLCAFTNLQFQANLTDINRYAETIQTAYSTITLEASAEGLCSYAEALIAFNSSARILTTTNPKVNSRDTLAARWLALSKALTHLTAASK
IPEVDNIVKIHIARGDVEVSRFQLGHTDIVFEPARDNSEVLLKNAGKFYVGAKNLASTLGWEDEGIEAAFKQALVKGLLGDGNELKVGLHEAQKGTA
LLVELLEDGLVTREQLHKMDIKDF

>RCO7_09446 | uncharacterized protein
MATLRNLPALVRKKFSSAQQQGDLTFYATQVCILQCRGLPFQLRFSPSLANKPKSNKTKAASSEPFDSFEDPPAGLHITSLPPSHFIVLSKFPVIPD
HFILATKDFK

>RCO7_09445 | uncharacterized protein
MRSGIEPGDDWEVLVDSLIKEPQPALPFSYFSARIPDNASPEQLHRTYVDLHSRACSLVTSSDAVTTSPSFSKSSISYNLGFTDRAMILCPRMSEGL
NIVDSSGNVIGPITLKGTILGGKLLVKSEEEWNTLRHDITKLTDILQSIGIATALEQGGLLQRSNRW

>RCO7_09444 | uncharacterized protein
MFINAEPRYVSNGFETFVPYHRAEALHSALVEMTNNDINAWSIFRPVVPQANDDWEGDLDEYGGNENFHVHSLYGGYHAEISSIAQNKGGDLPRNVA
FSQAYQPQYQSYKTVSKSQPLYQQSVPEMSYFEQPSPMLGHDYSQMSLGRGRGSFAEFSSVRDSLMSRSSRSQIDTSNSALTSSDGLPHLAYAEEEH
IPINHSTATRSPRTLPSSHTPPRAAINHQTVGSMPATKTHKWQGTLRSSKAVQNMYEDPFRHDGLPTYREQQYDPWGSKYVSKSAWNQQCLASNTIS
PKMLTLNVSSTSLSSSASSQGSVLALSEPSPMMSVQDLTAALEPEPLQVVEPQPTRPRRQILPDSPTSSRRFVPVVPSNDLLPSTNTQKRSIKVSKI
QGYNRRRTSTTIRNPPPVYYSPSPSNSPQSSDAESFRSMAKAQAKTKSVEPPLPRKAMMGKDARDDFLVASKLAGMSYKDIRRVGNYTEAESTLRGR
FRTLTKDKKQRVRKPEWTDNDVRLLKQAVRKLTQDYSLSTNKIPWKHVAEYISRHGGSYHFGNATCRKRWDDLEISG

>RCO7_09443 | uncharacterized protein
MAPSTSNIAFTSPINRPGATPILTRSQVWSMLQLKIRSAETFVPTAISSTTVQSTSTDASSGNEVTIREVTFIEGSRRVKEIVTAYEDCRIEFEQPD
GSHVSNIVSEGAEGELYMTYVFEWRHPGVGKEELETLKGRERGMSRKAVEGTIEAMRRLVTERKY
>RCO7_09442 | related to putative tartrate transporter
MEKKDNPNGVVVQQEDIDLKPYADEVDISNRDYSGAVLVLSDEEKRLVKKLDWRIMPVLWLMYWLNYLDRNAIALAKLDDIEEDLNLSPTQYSTCVS
ILFVGYILGGIPSNMLITRIRPSYYMGTAMVLWAIVSTLTGISKNFTGLLLTRFFLGITEAPFYPGALYLLSIFYTRKEVATRIAILYTGNILATAF
AGLIAIGIFKLDGKVGLEGWRWLFIIQGIATFVVAIIGTYFLPDDPTVTRWLTPEERILANERIKRDTVEERGKISTVKGLKEALSDYRVWIFVFMQ
HMHLAANGFKNFFPSVVKGLGFKREITLALTCPPYLIAGAVSIYWSWSSGRRNERTWHITIAKAVAILGFILGFAINNTAARYVSMIIFAIGTYAVN
SIILGWVGATCGQTKEKRAVALSIIVSTSNASFIWTPYLWTDDYNGRYTLALLTAAAFSLLCAMAAWGLRFALMRENKKIKQETEDESVLYYAY
>RCO7_09441 | uncharacterized protein
MPTSPRTPRTPQHSRGPSAIDLSFATPLSYSESPRRLSKSSLHTPTTPNRHSLHRSDSAGVDVFSSGGPGAQSNGLGNLADELADAWQEGEEEEDDE
DFEPDMNFQEGCGEDREPTRDSGVDVTTSPVQDPPKSANLTPPTPMLGRGHKRQPSEYDGSDYGGDSDLESPGMPSGLVARMDMVESLARRGTENNG
TDRDDVVMRVIKGLKDLGGQSSVEGNATRLITAHSALSTHILHQTRLLQSLAYPLFSPLSLPPDEEFIDELLPLLVSTGESMPRPTAAAFNSLTQLH
SLTADLVQTLNYLSDTLHMSRQTTTTATRRLRSARELVAELREEEEKREEGERWLKRHNWGERLGKRECAGVCGDVVGGFEEVCNGWRARLLAQAEA
VST
>RCO7_09440 | probable N-acetyltransferase 5
MTSLRPFHASDVFKFNHANLDPLTETYDLNFYFSYIARWPHLFNVAEGQDGTIDGYMMGKLESSPPYAITSPHYLPFHAHITALTVSPHARRLGLAR
TLSSSLEVAGDEYDAYFVDLFVRKSNRIAQTLYKGLGYSVFRVVKGYYVDDLSGKAKGDGEEDEGEDAWDMRKQLRRDKEGKHVRSDGEKWEVTPDD
VW
>RCO7_09438 | uncharacterized protein
MAVTYWRSQPPDSISYQNDGTTPEPSSTVRVRRRSRDAIPPGSVAARIKLLQSFKLLLPGESGALTSRRAREDSLSGYGRRLIQRFGNPAFQSAQPD
QDTQVEDKHSYLGLNIARSKLEEEYDLSDSLTRYSRSPGISGQIDRRTDTRTRYDAVSLRGALSRMESLLPASLRDHSPDLDVLKEIDSLGNQSQHV
SPISIFPSSAKKHNAGMFSGQIKTRRSRFSDPEATIATTSTMRRQNVRDLFDDFGIQRPAGLASREVSSVHHHHKPRKVTLEFPEEHDPLNTEKPLI
TGHESQSVQPHYSKVHHQHELDPNVKREHASEMLAQSRDPPKPPPLPQMVSNRKKEDIKSAKQFDESRKTKVEKIKEVTEPPPKEYTPSSQRTLAEH
PTFEASAKLTNGISYMIPSSEYDHDQIHSRRSSSSPSRKHPVDGPNRIAEIPSSVSPQTQTSHPGSERASRKLALPSFIKEKRKERNQSSVEVLKHR
PLSHREDLQKIQPNCTEQINLPRHSGVAEIAQKLRRISNPQAECYPYAKRTSGISSRGGGRSKQKRIRKLKLKIVDWSPKGRKKAGEEHCLSDDDVV
SEIESYKPGQRVTTAEAEGDFDWADDSRVEPGSEYRLSVDEVVLDQMVRDSGRFHELRSESEHEPNLSVDIAARKLERECEREREESIHDCVWKMRFE
ELRRKTRDGDGDAGLGIMGVTVLVHLKGREDLIATAESWTGGQLKV
>RCO7_09439 | uncharacterized protein
MAVTYWRSQPPDSISYQNDGTTPEPSSTVRVRRRSRDAIPPGSVAARIKLLQSFKLLLPGESGALTSRRAREDSLSGYGRRLIQRFGNPAFQSAQPD
QDTQVEDKHSYLGLNIARSKLEEEYDLSDSLTRYSRSPGISGQIDRRTDTRTRYDAVSLRGALSRMESLLPASLRDHSPDLDVLKEIDSLGNQSQHV
SPISIFPSSAKKHNAGMFSGQIKTRRSRFSDPEATIATTSTMRRQNVRDLFDDFGIQRPAGLASREVSRYIGEPTYSTEQQTLCHLCSWSSSQDSVK
CWRCNHRFCVQCKAHTSQLPTKERNLDYGIQNKQQPGFQKIVSKPKENRVEHDPMKHLTRPSRTQIQYAIMRKPSSSPIMFPDSQDPPIPQKSPIKT
HSVQQEGQAPGPVHVPSGHKTATSVKESPFLIADMKSRHSLQLFSVDMRVETHHIAHNHHSRHSERQWLLDYTSTIPSENLSCDSHVSSVTYHSEPS
HNASAFPRRKPRHRVPECTDNGYVADTSRAEEAVDIQSCCNSQSSKHYPCTAQPSGSGYSHATCTASGLDSAPSHGRKRDFVATHDVPEYVRCRGYP
RKGHARHRSPISTGIVGECQHCLDDYRCEACQSTHHSVHHHHKPRKVTLEFPEEHDPLNTEKPLITGHESQSVQPHYSKVHHQHELDPNVKREHASE
MLAQSRDPPKPPPLPQMVSNRKKEDIKSAKQFDESRKTKVEKIKEVTEPPPKEYTPSSQRTLAEHPTFEASAKLTNGISYMIPSSEYDHDQIHSRRS
SSSPSRKHPVDGPNRIAEIPSSVSPQTQTSHPGSERASRKLALPSFIKEKRKERNQSSVEVLKHRPLSHREDLQKIQPNCTEQINLPRHSGVAEIAQ
KLRRISNPQAECYPYAKRTSGISSRGGGRSKQKRIRKLKLKIVDWSPKGRKKAGEEHCLSDDDVVSEIESYKPGQRVTTAEAEGDFDWADDSRVEPG
SEYRLSVDEVVLDQMVRDSGRFHELRSESEHEPNLSVDIAARKLERECEREREESIHDCVWKMRFEELRRKTRDGDGDAGLGIMGVTVLVHLKGREDL
IATAESWTGGQLKV
>RCO7_09437 | ATP synthase delta chain precursor, mitochondrial
MNSLKIARVALRARPAAIRTPLMRRGYAEAVSDKIKLSLVLPHQSIYKSQGVVQVNIPAESGEMGILANHVPSIEQLKPGLVEVIEESGSSKQFFLS
GGFATVQPDSQLSINAVEGFPLEDFNIENVRSQIAEAQKIVGGSGSEQDIAEAKIELEVLESLQAALK
>RCO7_09436 | uncharacterized protein
MGLQDFFTWRPQTSATSPSLAEEDLVADVDEPPDNQIRRDEVRTEFQKSLVRPQNDRKVSLLTKAFHAPPEHETELNKSDMHITTDLTRRRSMMSNA
SIASTAELTSDGGLTSPARTNTPSPPSPSTPFSHYTLGSKTAAMPATTKMIGHTPLLEVMGVSPKAQPVAQAPKKRCISFVCDGKKEAAAKAAKKAA
IPVVEKPSTPPTTVAPAPRKCTIKFACPGPKPSVKPAKEDAADPPLLKPSEPPKRTTSRSPSLPRKSPRQVPRSTPRDTTSAGRRTSQSPVAVRVKP
RYIIADEQTINNSEATRFHEFASEEVREDDWIRRDGEIVRSKITINDTLKKENAIRQLGNEAEAEALEDEEEEEDDEEEDDEDDEETQNGNDSDNED
DEDEEEDDDRDSVDYSDDSASDGNESDNEAGFADSDESDAEGEFNFWTPGKRMPGRSSIEALAYRPSAHRTASTSSIDSLNHMEPEAGPKRLRRRPI
KIRPGTPDLPDSTDFVCGTLDEDRPLEDAYVSCMEARKNARHKQTPQDIDPSFPTSDPEDEEDEVDAVGSGHESDEPIWLHGKFEESEDDQRCGRRR
STTMRRKSPAPSPRRFHSPPTARRLHSHPPKQRHHSPPPKQRLRSPPPRKLFGHSPKRMHSPPAAQTVRSPAASPTSTKGITFAPLGSRPGLTHTKS
LPRTPNAFCRAYHASRLIAANGNATEGNENTDGHVRGAIDIVKGLEKKRQRRKEKYNQKQCNRKSKGHSDRKPPLRGSERMRELGLLMAGKTGQHDP
YMLSA
>RCO7_09435 | probable GTP-binding protein SAR1
MWIVNWFWDTLASLGLLNKHAKLLFLGLDNAGKTTLLHMLKNDRVAILQPTLHPTSEELAIGNVKFTTFDLGGHQQARRLWKDYFPEVSGIVFLVDA
KDHERLSESKAELDALLSMEDLGRVPFVVLGNKIDHPDAVSEDELRHQLGLFQTTGKGKVPLEGIRPIEVFMCSVVMRQGYGDAIRWLSQYV
>RCO7_09434 | probable lipase 5
MADLRHSTDGPSPLSEEGYDESLLPDFHRDFLSDEHLQAFATALSAPDPSPSSDDLLSPTPTGSFHDGGSRRASSIGNGITGARSPSLGRISLDSAR
GRGDGGGRSRDSLFITAQNDWAPVNPAGRLNSKGSGSKKSKSGGGKIRRKKQRSSDETREGYFYALLKWPLLGIVITWVAGLGVSYLYTRLYIWLYE
HFVAWRGKRERLRKKLHATTNYADWVEEARQLDAFLGNDQWKEEDEYAYYDHKTVKRVLDQMRRCRRRIENGGSGSASASSGSSTEKAIEDLKALVE
ACVKNNFVGVENSRLYSQTYYGTKNLVQEFVDEVEKCVTLLVNTNQLDAEEKRTLFKRMHTNYGRTALCLSGGASFAYYHFGVIKALLDADLLPEVI
TGTSGGALVAALIATRTNDELKKLLVPALAGRITACSDGFTTWIPRWWKTGARFDSLEWAKKSSWFTRGSMTFKEAYERTGRILNVSCVPADPHSPT
ILTNYLTSPDCVIWSAVLASAAVPGILNPVVLMMKTRSGTLVPYSFGHKWKDGSLRTDIPLKALNLHFNVNFSIVSQVNPHINLFFFSSRGSVGQPV

THRRGRGWRGGFLGSATEQYLKLDLNKWLKVLRHLELLPRPLGQDWSEIWLQQFSGTITIWPRSVISDFWRILSDPNPKQLGRMLHVGQQSAFPKLK
FLANRLKVERMIERGRRETRVGVRRGSIESILSEDDMRSLLLRGEGSATGTEDEEGLVTDEDEDGDGDGDVGTTGDEDEDEEEEMNEAEKEGLLLDL
KGAM

>RCO7_09433 | probable alpha-methylacyl-coa racemase
MAAENDSSLTNGNRAPYSVLDGSREATSFLRKVAGTQIPTEIAQHLEDITLTTATDGTQIYFPCPFKETEATVALKSVEAAAVAALARLRFPNDTPK
RKIEIDLEKTATFLFSTYIATIAGMGKQDPDVKAKLKNTDLLQAQAILYRRLSANLYETKNPGEYYHIHGSLEAGKTLNMIGLESHRPDLTDYRECI
DVIESHVKKFTIPELEQMNVKEKQAGVPVIKWEDFKQTNHGQALLSIPPWEVRKIADSPPVPFATFSASTKPQVLSGIRVLELCRIIAGPAIGRTLT
EYGAQVIKVTSPNLSDVPFFQVDGNTGKHTCDLDLKTPAGRQAFEELLQTTDVVLDGYRPGSLERLGYGPEQLVELTKGRAKGIVYVAEDCFGDKGD
MAGRPGWQQIADCYTGVAWAQGEFMGLSEPVVPPFPMSDYGTGCMGAIAALTGLYKRATEGGSWVGRTSLCQYDVFLLRLGLYGPEVKERVRREHDE
KFFDLRHADSVDEVGGRALKSMKRVHPELFDARLMQTAFSKGFGEEISWCRSPVAVEGSRVGFERASRPNGFDPPTWEGWEVEKEIVDG

>RCO7_09432 | uncharacterized protein
MDTGFGNPKTTINPSSKSPIRPGDDHIPQNEFLANGQFSATVGEQTHNGFPNDMIARGDYPDENIPHESLEIPATVSNPASAPDEEAVLYTDTRMLQ
DPTGRLLYIGDSAVLSFLQFIRILVEKVSGQSLFTQDPMRHMIVEQIVSLPPNIRQTHLIPDRQTANVLVDSYFTNINGLIEVCDAKTFMMTLDQCY
TDPLKIDPDWLCLLHLIFAIGLVMASPIPGSFEDSIIKRLRANPSVDQAEVFYANAKHLNDPSTGFEDSGFWSIQALTLMTVYMLAVSRRNAAYAYH
RMAVTSSFALGLHREESMNFFGGAEQSVRRNLWRSLFVLDRFLSTSLGRPTAIREEDCSGNTLLTGERSPFSQAPFPTTANATYTGPNAVGLEASVR
SCHAIGVILEKVYLKRKISTKLAQEIAHHCKGWNKALDPSLSHRQARSASPSQGMAILHVNLLDCHSVILLTRPFLIFLMFKKFLSPGESSQRAQTS
RMEKLASACVIASTSSIALVQSARECKYLSQRNPFVLYFLFAASLIVLSNEFCGLYQNPDASTSLNQAIGIMHYFSQQDPQARRLLDILDSFHKVVV
HRQSVRAQQQGIARSSGVTPHLPPALMDDNIDVMANLTSGDTPHLNSKSVFPSPMPGLHNTRRDSQNMSFSPLSLNAPTSQIDEHLILADQRHSSQS
SIDNFFDLVKVSSNTNSGASSEGNGSYSNDEIDFDALWQFPNLNSGVMTPGMVSGVPPAGMLGEPSFMNDMQAFDGDFHAPL

>RCO7_09430 | related to P.ciliare possible apospory-associated protein
MVDRPKKPTALATTPGLPPQAQVNITHSHSRVSAVLPTGESVEILLFGATVISWKDSAGEERLWLSEAASLDGSKAVRGGVPLVFPVFGTAPDHAAT
ASLPQHGFARTSRWEFLGKSTSESTSLSSSSAGDDSVKLDFGLSASNLSEESKKAWPYAFGLIYSVTLGREGLTTSLVVRNEGETAWDFQTLMHTYF
RVKDISTVSVTGLESSSYSDKVTPRAEPYTSNSSALTLSSKVDRVYTPAKGPSSAVIVSEGGKKKFSIVRDNLNEVVVWNPWKEDAGKMADFAPNDG
YKEMLCVEAGAVKGWLTLEQGETWEGGQVILVAN

>RCO7_09429 | probable ubiquitin-conjugating enzyme ubcP3
MASSTAQRRLLTEYRSLTNNPPDGITAGPVSEDDLLYWEALIQGPEGTPFEGGVFPAELKFPKDYPLAPPSMRFLGEVWHPNVYPSGLVCISILHPP
GDDPNHYEHASERWSPIQSVEKILISVMSMLAEPNDESPANVEAAKMWREQRPEYEKRVREGCRRMLGL

>RCO7_07988 | uncharacterized protein
MAATKPLRIGFVPEHFSTPLYYAQEHFGLDAELIPFPSGTGHMITSLRDGQIDIGIGLTEGWVAGLGKDDVEDDGGYRIVGTYVETPLCWAISTGSK
REIDSIADLKNGKIGVSRIGSGSYVMGFVLADQNNWLSPSSPNPFEVIPLETFEKLRNGVNDSTADFFMWEHFTSKRYYDNGEIKRVGEIYTPWSSW
KIVAATSVEKGDRRLEELFEKLDRGVKYFEENKEESVKYISTKLDYSEEDAREWLKTVEFTKKTKGVDLKVIQRTVEILKKAGVLNEKGMKPGVMVT
HIR

>RCO7_07989 | uncharacterized protein
MGWLWGSSDPADDDNKGKDPLRGLDPSLRDFLKKESPVKYETATSQSHPAPIPTPQPQDSLSPKTQTTSSQSTSTSTSKTSSSFPEAANETQVPSQS
LYKDGRYAHLWKTYESQYEVENANKTDQEKINDVLEGYKYRKHEIGKAALENCALEQLEVNYCFKNGSWGSRMTMCRKENREFERCYTMQAKFLKAL
GYLSTFDRPPEVDEQIQMHADTLYHRMLDQERAVADAKASNTPPPVFAPLLSSSKVPGAAHANKPENELQPSDLPEKVQVAFKKRLEGLSNEERELE
ERAIKAEIQAGVEVAKNLGKLYEVQKEERRVRKEMGRETIGDKIASVLGFR

>RCO7_07990 | probable phosphopantothenate-cysteine ligase
MSSTNTLNGESANKHHPTSTQTTPRSSISSSSLAAHSSSTFTLSFKLPDSRPSSPTSSIFSSSSHSSQSSMANNNVVSEPVIPSQTAADVAERDYFS
ENPSPPLLSKHTQLAEEFISSHALAGRRVVLVTSGGTTVPLERQTVRFIDNFSAGTRGATSAEYFLESGYAVIFLHRQFSLLPYSRHYSHATDCFLD
FLHEGPDGNVVANEEYREKMLRVLRKYNAAKEKNLLLTLPFTTINDYLFVLRAIAQLMRPLGPSGLLYLAAAVSDFFVPPERMVEHKIQSTTAADRV
SQAKAQEQDQISKEPEEEETFDNFDSIPKVPRSKRLIVDLDPVPKFLKNLVNGWAPEGMIVSFKLETDPEILVHKAQYSLDRYQHHLVIGNLLSTRK
WEVVFVAPGQKDRWIRVPRSRARKEKSLGEGGGEGGDRPLDPRDLPEGEPEMEIESLIIPAVEELHSRHIEKVKARS

>RCO7_07991 | probable solute carrier family 35 member F2
MATKQAIIETNERGPMGETYRKSSDGLDSNALPVSSLDANGDRRVEDTDVSPEVLANALETLEGKKKSWYSYLLTKDFWIVLLIGQILALCITGTNT
FSTLLVEKGTSIPAFQTLFNYILLTLIYTTYTIYKYGFKKYFKLLMVDGWKYVILSFLDVEGNYFTVLAYRYTNLLSAQLLNFWSIVCVVLISFFIL
RVRYKWTQIAGILVCCGGMGLLLASDHINGSNGGSPSTMLKGDLFGLAGATFYGLSNVFEEWFVSKRPMYEVLGMLGLFGIIINGITASIFDRGQFA
SATWDGDVAGYLVGYTIILCLFYSLAPIILRMASAAFFDISLLTGNFWGVIIGIKVFHYSIHYLYPIAFVLILLGLVVYFLAGSLLGDSKKPWLGAN
QEQGVAGIGTAKRKAINQARRDGMVSATGYHVG

>RCO7_07992 | related to trihydrophobin precursor
MAEDSEDVDNFSLLSREEEIYKMNTNSLQKSPHLHPHQQSNNLTSLSPNTTTIFHYQSISSTANMVSFTQILALSGLFASALALPANVERQVIALCS
SGTAQCCDVDVLGVADLNCEAPPTIPGSLTEFNDVCASVGKIDMCCLIPILGQGLLCQSPTPN

>RCO7_07993 | related to fusarin C cluster - hydrolase
MFKFFKSGFFDFEFLRILGSAPFQGAEIGECLDARSKLKDDNPELWYETWDAWGDEATKLGEEALASGDKVAGRWAFLRASNYYRSSEFFLHLNPQD
PRLLASIQKSAYAHDRGVALLDSEVISFNIPYDKGLELPARLYMPTTESRVPGRVPVILQTGGLDSTGEELYFYGAAGAIPRGYAVLSFDGPGQGLS
IRRDGTTLRPDWEYVTGKVLDHLFNVLEPDNERLELDLDRIAVLGATMGGYFALRAASDSRIKACISCDGFYNMFDIVKSRMPGFFINGWLSGTISD
SLFNSVSRFMSKFNFQLAWEFAQNEWCYGVQNPAEMMRFMQTMTLQSPEGTEYLDRVRCPVLVTGAEQAIYFEPRMNAERIMDNLGHLDGADKQLWV
GEAPAKGGLQAKIGSLSLMNQRQFEFLDRQFGIQRFVPCKHI

>RCO7_07994 | uncharacterized protein
MSPQTPSTFTTLWFRWKALKLPWRKRVLKGLDLQGNTFWEFADALSADKHRMRRIVQYPPSTHYSEIKISPQWHQWLRHTRHEPPSLVEQSQDLVRQ
RNLKVLAAQADARWAAKPSFLDSPEKRQPLPATQIEDSAAGRVEGDAESMVSEQAAGHTVAQEGNTQKTQVADGHDRLNERLQQEEKKPNAEDRKKD
DPWKNVRGGPSEEWQPSAWTGNIAPRR

>RCO7_07995 | related to cell surface spherulin 4-like protein
MKSSPELHSSSDYEHPKPARRNCKSRFCGVPLWILSLLVSLVVITAIVVPIAVMFGRKKNSSGPAPRSAVLVPLYVYPDPGAWDPLFEAAERYPDLN

FTAVVNPASGPGDEALPDGNYTRDISKLNSYPNVRTVGYVSTRWTSRNISLALADIQVYSRWATNSSIPNLGMRGIFLDETPSIWNASAQEYLENVA
AAIRSDAGLGSDPLIIQNPGTIPDQRFMPSCNLSVVFEGTYETYQIYGFHKTISAFQSSSKNDRSKLAAVVHNFPPSLSSKKENKLVKDLRRVAGSV
FLTGLSVDYYSSFWDGWAGFAQDMAAK

>RCO7_07996 | uncharacterized protein

MAFNSQAGSSSQAFETPPFAQYGSSPRAQHNAPQFDVLEWYPHFQNCLRFFLDHAQHESVVQALAAFLNIQLPFQKQPNPVISSNASSPRSAGQDAP
HLRQQNALHHQQTQAVSLLPYIRRLVVTGHDTPGILHGFFGDDWLAGIGQLHEVERRNYMFAAKSTNWLSVKQAYDMGPDETVPFLSPLKDAGEKEI
QQAESTWSDWLAMQGGSF

>RCO7_07997 | uncharacterized protein

MVFSEGSIKGNFSHAEPSANVSGQKRKRTPPIVDDGGRQSAPPPSAGNQAQINYLMRAKADRLKLIEGDSEIFSDVLGMIDDYEGVLQRHESLAANL
GAKLIGPLLLKSFEKLFDGPIKIVTASFGLEQSPVSWLDIVAFARTNPLEFVLSELAPNFNVCRFWIKGGQVEISEDDYRLIMSGGPERMIPTQPLP
EDEAAELGTLNILETRLAMLVKKADAVASKARQLNYHLSQRKKAVLGKKATEPAAALDSDNRNFSPQPFTLVNGRSTGENLKIQQHLLDQFTLARRQ
VAPHGRPKTTNRIPTIEIPPFHTFNGHETDTRRMSQPLTASEDGSEGQYRVLMASKIEKLSRGDPIYPPCDRCRRLDFDCTKHLTACQACTKKHAKC
SWKDIREGELDQIPQLPVVSRTQSQGAESRPASVPFEVDPDLRTEIDGGIRGGLV

>RCO7_07998 | NADP-specific glutamate dehydrogenase

MSNLPSEPEFEQAYKELASTLENSTLFQQKPEYKTALQVVSVPERIIQFRVVWEDDKGELQLNRGYRVQFNSALGPYKGGLRLHPTVNLSILKFLGF
EQIFKNALTGLNIGGGKGGADFDPKGKSDNEIRRFCVSFMRELSKHIGADTDVPAGDIGVGGREIGYLFGAYKAQTNKWEGILTGKGGSWGGSLIRP
EATGFGLIYYVGHMIAYAGQGSFKGKTVAISGSGNVAQYAALKVIELGGTVLSLSDSKGALIAAEGESFAPEDISKIAELKLKRQSLTEFSGSKYKY
IDGARPWTHVKVDIALPCATQNEVSKEEAEALVASGARFIAEGSNMGCTQEAIDVFEAHRKANGDKAIWYAPGKAANAGGVAVSGLEMAQNSARISW
DSEEVDEKLKGIMEAAFKNGLETAKKYVEAKDGEFPSLVAGSNIAGFVKVAAAMHDQGDWW

>RCO7_07999 | probable 2,5-diketo-D-gluconic acid reductase A

MSLANPIELNNGILMPRIHLGVYMTSGTETSIAVTHALAAGYRAIDSAEWYANEREVGSSILKYLERNKDQGVKREDIWFTTKLKENRGYDHTRKSI
KEIRMDAGRAKRAECWRAVEDAVEDGEVRAGGVSNFGVKHLQELLDSKPKTIPAVNQVEVHPFNTRTDITSFCQKNGIVVEAYAPLARALRMKHPKV
VQLSQKYGCTPAQLLVRWGLQHGYVPLPKSVTKERIIANLDVGGFEIDEEGMKVLDGCDEYLVTDCQ

>RCO7_08000 | uncharacterized protein

MADHLGPWVRLEGISISQLPAEGKGVAPNSRDESEKVHAGSASTTTAPRLQTFIQKTIEESVPFIDGVAPKNDGANVTWKLKGSPRTYDSSEAPVQV
YERVVRGKELDKLEGMSQFSANRRDETWFCRRSSHRNAPEPKTASWKEFVRCFKEHHAESEHAFTPTVIGDRQAMSWDTSGIEVEVRGERWAGITVV
IEEMKHRIDPKPLSNRVFTVVQIIAALSGTSEFLVISIPITDFGKSPYADFAKDKSLVAGAYASVERIRILPSNGEIEWIMATASDAGGLIPQWVQN
LAVPAAVAKDVDFFMSWIPSQRTNKDARPAPIPNSTE

>RCO7_08001 | related to succinate dehydrogenase/fumarate reductase, flavoprotein subunit

MERITHGKYDRELGRTLVEESTSAIQWLASNGVRFQLSFNRQAYKVNGRYKFWGGLCLKTEDGGRGHVQDHQKAAAKHGVKVLHQTGAKKINLDPET
GAFKSLLVDRQGKKLTINATSVVLAAGGFESSPRMRATYLGPWWDLAHVRGTPYNTGECLEIAMRDVTAKQAGQWSGCHSVAWDANSPQKSGNREIS
NEYTKSGYSFGVTINIQGNRFFDEGSDIRNYTYAKFGRAILAQPQGVAFQVWDSQTVGWLRDEKYRDEIVEKIHGISIEELAQKCANKGLENPTAFV
QTLNSYNEAVYNHRAENNSELKWDPAVKDGLSTQSSKTQLSVPKSNWALPIDQGPFMAIKVSCGVTFTFGGLAVDPQTSGVVSSLTGKVVPGVFCAG
EMLGGLFYENYPGGSGLTSGAVFGRQAGIQAAAMARKSIRPSPDGVASRL

>RCO7_08002 | related to glutaminyl-peptide cyclotransferase

MDLPLSRILLLLCSFLGVIAYTPLSDETLRNIPAAGADFDIKKGSILAPILVPRVPGTPGNLAVQQHFVNWFTTNLPNWTIEFQNSTSTTPATGKKQ
VPFTNIVITRDPPWTKPGDVGRLALVAHFDSKLTPTGFIGATDSAAPCAMIMHAARSVDEALTRKWDAMKADGTNGLEEEKGVQILLLDGEEAFVSW
TDEDSLYGARSLAEEWEATPHAAMSTYRSSLSSITLFLLLDLLGASNPNVPSYFKTTHWAYQSLAKIESRIRGLKIQQSTSGKPFLPESDKSPDQFN
GAWGVQDDHIPFMARGVEVLHIIPTPFPSVWHTMADDAEHLDMPTVEDWTRIVTAFVGEWMDLEGHFPPAKAAPQHIKEKRKSEL

>RCO7_08003 | uncharacterized protein

MAVAWLGEEPEGVEIARIFRSYGKGPKLKQSGLWVTHQFKEDSRGRRPIIWGKKTALEAISHNPYWSRVWLVQGLLSTPLVILLRGSGHFFEDQMDL
WEALSLRLLEASSGISMNNHGRLPDRGVYCANPTRLSRTCESKFADRRDRIYGLLSLATYIAEIARPRSLEERCTAVP

>RCO7_08004 | related to mitochondrial import receptor subunit (Tom37)

MLELHVWGPAFGLPSIDAHCLAAIAYLQQAVPRGKWQLIASSDPGLSASNSLPALRNGDIWIGGFRNIFHYIAQFSAGEWILDAGLPEQESADCIAF
SSFVDSHGQPLLDLSLYVSSQNYTTTTRPLYNSIQSFPLPYLTPPSIRAAAKIRTAHLGLSSLDIDTDGPQDTTPSIIPSSLRIPKPTVTSLLAASP
ETNAQIRLTALAEDFFLPLQQLRKKKAFMVSDTQISSLDCLVLGYLSLMLVPELPQPWLSRTMREKFPALCAWTQELRETCFGKDSVRLEDAFLIES
KDSELDARLKRSSSKGHLPWSRPCNRGVVDVGGVFLSGLVESVPVVGTWSKSTRMRNHGGSAVEEEGNGAWRYWGLLGSLVAGLGMGVGLLLHQGVI
SLPGEESETKKQIRRPRDMGHLGEALGFYGNKSDLTRQSTIENEPHGEPVVEVEVGGGMVRSTETVS

>RCO7_08005 | related to nicotinate phosphoribosyltransferase

MDFNGSSPFPEGVISFLDTDLYKLTMQCAVLKYFPRVQVTYAFKNRTPDKKLSREAFLWLQAQINKLGNIALSNDELRFLQSTCKYLNQPYLDFLKE
FRLNPREQVVASFTAENDTQSGSDVGEIDLQIKGLWVETILYEIPLLALTSEAYFKFMDTDWKYDGQEEKALEKGMRLLEAGCVVSEFGTRRRRDYH
TQALVFRGLVKAKKEGEAKSFTGKISGTSNVHLAMRFGIPPIGTVAHEWFMGVAAITGDYETATEAALRYWVGCFGEGVLGIALTDTFGTPIFLRAF
NQPIGKLPKPAFSAPADEQDTSGAAPPTKTFAEVFTGVRQDSGDPANFVKVMREFYDKSGIASKKTIVFSDSLNIDLCLEYKKIAEEAGFDCTFGVG
TFFTNDFIHLNTGEKSTPLNIVIKLSSAAGNQAIKISDNIGKNTGDQETVKKVKKELGYKEMDWSLGNEAHRWDK

>RCO7_08006 | spermidine synthase

MSEITHPTIKDGWFREISDMWPGQAMTLKVKNIIHHEKSKYQDVLIFESTDYGTVLVLDNVIQCTERDEFAYQEMITHLAMNSHPNPKKVLVIGGGD
GGVLREVIKHDCVEEAILCDIDEAVIRLSKKYLPGMAISYQHPKVKVHVGDGFKFLDDYKNEFDVIITDSSDPEGPAESLFQKPYFELLFGALKEGG
VITTQGSENQWLHLAMITKLKKDCKEVFPNVEYAYTTIPTYPSGQIGFMVCCKDGSRDLKTPLRKWTEEEEEKVCRYYSSEIHKASFVLPTFARMAL
R

>RCO7_08007 | probable nicotinate-nucleotide pyrophosphorylase (carboxylating)

MASQYGNPADLLPVHWKSQITAWFAEDTPSFDYGGFVVGDSERTATLYGKSHGILAGTPFFDEVFEQAGCTVKWHLKEGSVVDPGSAGKLAVATVTG
PVRKLLLGERVALNTLSRCSGVATKSRTLDELVRKAGYKGILAGTRKTTPGFRLVEKYGMLVGGVDGHRHDLSSMIMLKDNHIWAKGSITEAVKAAK
SVGGFALKIEVEVDSEKDADEAIAAGADIVMLDNFDGEGLRVAARSIKQRWAGKKEFLLECSGGLTAENVGTYINNGKTNVSLDLPWLNLSQTSISF
RQARFTKGYLT

>RCO7_08008 | related to orotate reductase (NADH2)
MASTPLRLLRFSQNPTRRLLLAQSRSTFLPRAAVQFSRPVTTAAAEASSLVTRLRNLLYGTSLSLFAVFSYLYITDTRASVHQWLVVPALRWIYPDA
EEAHHAGTKALKSLYSFNMHPRERGSRKEEVDLSITVYGQKLQNPIGTSAGIDKLAEIPDALFALGPAIVEVGGATPLPQDGNPKPRVFRLPSRYSM
INRYGLNSKGADDMARRLRERVRAFAYRSGYGIGDEAEEFVLSGGAGVPPGSLAEGKLLLVQVAKNKDTKDGDIEAVKRDYVYCVERLAPYADVLVV
NVSSPNTPGLRTLQRVEPLTRILEGVVAAAKSSRRKTPPKVMVKVSPDEDQDEQIEGIVEAIWKSGVDGIIVGNTTNRRDIIAPADHPLTQKEKEVL
NEKGGLSGPHMFERTLSLVKRYRQLLDQGPPVESPEPQLTHQKQPAQLAAIPSPRDEISTKISNKLSATKDVVSTAVSAAVSGVKDSVSSVKESVSG
KKHEEKVIFATGGITNGKQALEILNAGASVAQIYTALTYGGSGTVTRIKREMSEEVRRG
>RCO7_08009 | uncharacterized protein
MYAPAYGYGPGNNNSPSPYNPNGSNPPPQHPHQQQQQQQQQQIQHQQQVSQPQQMMYNPQQYVVGPGQGLPQSPFPGPPGPSMGGGGNAGAMGMMQ
NNGMAQMAGGHAASPYQTPYSSSPYGGNIPTSTTANLPPNFMPPTSGASAFPMNAMNMNPQHQAPRMQPPPPLSTPTQPGPRHSPFAGQHNTPPNAG
PQSQFSPPQQKNPAHIQTPSNQQPLPAGNILTPQTPNFPPGAQGGGSGQAMMTPLSPTSESREKQRVTLLLAINQELLMEVMKQQAQTEARKEGSSP
ATASPEGADKEKSEQEKAEKAKQPSREYVECMRRLQSNLAYLAAIADRSHKPSSQIPAHPAIMTAPSVTPKPALALTDSPLSDLKKEETHDKKSDDK
KSEGDEDRTEIMKEQYKKLQALFPGVDPKKEPQVSGANPAMRAQAQQHATAQMQAQAQAQKQQQQGQAQVQSQGQIQGQNEGQNPGQGQTQDLNAQQ
KLQNDHMRQKMMMQQQQQQQQISHQQIAQQNMQTMNQQQVQQQQGQAQSR
>RCO7_08010 | related to peroxisomal membrane protein peroxin 16
METLKTAAHKHMPPISPPPSPRRLLTLYSTFILKNQSSVTQIESALRSLTYIIPGRFRDAELASESLHSSIQLLSLYHDTLLTRAVAKLPGMPQVRQ
KEQSSHNRYTKFWIGHSRFYRRVATALAVVQYTQLLWEMMAKRKGERVRWRVVVLLEVLKAVCRLCLLRITNSRPLVTPPLPEREVIPEVEAEEEET
EAGEFEDEGFSEIKERPRVISHGRGGKEYKMKRTGLSLPSLPNPGDISSYLLSKVLTADDIKAPNALLNKTVGSAQLAELLHILQPVVYAVAMSRTK
DKKNWQPWLLGLSLEYAARQLRKDGLRTTALEREQWGKRGWAMGWWAMRGAFYENVTKGFLHGASAKLPSLVSGVLDDYLYLWDGYYFSTSAE
>RCO7_08011 | uncharacterized protein
MKFTTSTTLLTLFGGALAGNGIFAITGSSSSNNVNLRVDSGDIGEAPKCAGSAPIGSFPASGTIHCVDGYSLTFKYNSLHEGIAATYTNPTNTFTYN
VPNNGCIGSNCQFGFTHNFPGKKARALKV
>RCO7_08012 | uncharacterized protein
MSDNQAPEIGNDTQVIKDNSENDPKIETIDGAEATPEKKACKTSLEAEILCEQILSGSDEESEDEDFDLDDSGYDSERDIDSAWGYFTPKKTLSQLA
QEAVLRSLTKAIDGNQATARYCCGGSIPLVAPKHAKPVLKANEGENKGENKDDEKSDEQKDERKD
>RCO7_08013 | uncharacterized protein
MAKIQVALPVSIRWVCTTNTAITRNLTIAADTPSRFDDRSPASYLTKACGRKGIEQSNFTIDSHPQDHGIIDALSQNFRIMPIACKFDDNDRVSTAA
EESKIRLISKPDLLGHFVVCLPDSHKGGYVTISDKGHSSVFDWSDSANQCRHWVAMTKNCAVKISPVTEGTQILLVYELIITKQIGDGLGSGNIIDP
KLSPLYQGVKDSLLEPGFMKTDIRTHTSTKMGKRLPFALRGVDMVFNSVFKSLGLNVQVRPILDPDDIDMVLENRFEKEFGDGYNGYDDYGELPWLC
IGENESMYFDEYNLLSFDQGLDFTWPMEERHGDTFLNSPYSGGKKPRELAVVMMEDSSEEDMMYEGYSDRHSQSSERLHSLVGKLVHVPKLAHIVMD
F
>RCO7_08014 | related to regulatory protein for the arginine catabolic pathway
MESTPEPDQPSPLLVMSPAREERAPTSISNMPFDDAPGLDALSAAATSNFQYMRPLPGAPQNKLKFILNPTRPESSLGFASPAIDPVLLGSAAVHIH
DDPPPVDEHEVAFLLRHFGETAGQWMDLFDLGCYFAHHVPVQAISNPLLRYSACAYAAKQLGRVQGRKAVVGGNAAQQADMELYPRLESANWPYIGA
KYYDRAISLLMEELSKSRSHGTPVTPMTVNGDASSPLSAQLSHGGQLTPSIKKRRLSRPRNSSHADETLAAAAILCVYEFLDNANTAWSRHLSGTKS
LFDLAEKEGMMPVQSPTSPGAISERIRPSRARKATFWNFARQDFLAAFINECQTRLNTSDISIWKAAGLQLDDEGFVLPSNTEDSHFPERQAVMRED
MISNALIWLMSKIINFIASGDSVDHIYPQDPASPSAFIGINQMVILERWKELERELEIWRDGLPETFSPCARLPPILDESLPPSSARTMFSEIWYSI
PMVRLSALELLQ
>RCO7_08015 | uncharacterized protein
MGRNRRGTNGRNFDHLIWEDRKAPRECPTAQGPRSSPGRPSFQPLQGPRNNYERFNTPPERRQNHPKQPWDVNQRNAPGRSINLSTPHCVDQGFITK
SRWLKAYLTRSFSAALSQIEQWYPDDGGDEMDWQPDSTTVFKQLPGPTCICGELSRSAGNSLPRTAGEDVLQAQCLLEETQSGGFDGGSPAGDCRNE
SFSMKRSSGFSDTVGTVSDDVQRRDVSL
>RCO7_08016 | uncharacterized protein
MADYSTQKVPDLKKLLSERGLVISGNKADLIARLQEDDSKKNGGAAASGAAEDEIDWDEDDNKPATEATTAPAAAAVAAGGVGQVATPIAVPNQQAA
IDPSTTNDLTVKQPETTTTTDDAPAAEAEKVEAKPEEPKKDFTIGLGMSEAEKEAEKRAARAKRFARPDAPAVAAEPAKELTEEEKKLEERAKKFGT
DKTREQKEAEKEKDVVEDIVKGLNSALPERRAKRERGAEGAQGRQAKRQTPDRRMEGPRRGTGGGGGGQGQRGGGRGGDRRAGGGGSSAASGGQVMK
KITDDPNEKAKAEARAKRFAPTAPAS
>RCO7_08017 | uncharacterized protein
MASCKSGFDPPTRPGDLPRGRRPEAYLQAGSSGSPAKERREADIAHSLGQRESGRGAVPSTRPSQTGLSNPSMRDPSPNTRQRHEKFARPERPKGVT
TSSFGFGRSTSKAPAENVQHELTGKSSRNTLRRKPSSIAQISGNFRPGIERAGTSSPMKWSQSSAEKRPSIDSSMRSAEAYNEIFTRPRTRAPPVKD
SPPIIPELDRYRNRPEAFGPHSRVHAGLPPKLSTQDLPPPTPILSGTSVYSGGSSHHRYSGYSGSGSGYSASPSTRFSESPGPGSYSRDTTPTSMLS
QSSSIIAPLKITTPRLRHASPAFPRPPITSVTRRRAVSIPAEEETTSDDQHGLPSLRESLTSSSSNSTVKAEAKTTEKMKKKRLSPMPPSPPPRTSS
QKFRKSRSDEQDSPSKSSQAPPTPAMTSTESSPATAEVVQSLSAPAKRCGPPTRPSREGAPDLQSQLGESMAVIQSNLAEISFSPDRRKSALPRGGI
TSPPLGPRSQQSNRHRSRNPSPVSFKSFPREATPAPSGLGIIPNMRAYHNVPLSRTVTRTPSPSLADTKPRFGLFGRRTKTAPELPTVETKVLRKGP
VAGTGHEGYGRYSQRGRSTSTASLTRSRDRSISGASSSQDSIASTRAHDPFLLERMSPVIIAGGGEIIENQNNNSELFRSESNTSLVLGRPSTDSKA
SSNLSREGTRHTLWPSAMPEESAKRMLTIVKPQGRRPSDSSDDGIGRSSLAIRRSSQRPNKSNNSLNLTRPLHTFRGVSPSITSLDASIISKGSRLD
VRAELEKTSKGVLTKPKKFEKRSRSPRKWNFFHRAQPTLKAESQPPLQVTVAQPAPKSAAVPHYAMLDSSDEQQDVEPIDLEDILRDADVVSLSNEE
LDMLQYGEIQEIRQSIESRKSATVSSADGKAVTLTCPEPIQVIPEILQTNLHLVEETAPVRPSRLPQVGRIPKVISARPETTSPKSFSRPFARLSTA
LPPFKQQFVDKESLGLGPSPPKSSKLEPIHTIYPEMEDMSRQCSTESKSGSAGASHHDFLAFSPRKNSEATTSSSGCLSLAEITAVIPETNAALEED
EVWDEYDDLIVNEDTVKVPTSATSSQGVPFQYESYESRRIRKSKFQAVESPTLTSGPKIKEQAIELPLRRSALTSSSVYSADMSAGLREALNTIPTP
TSPMSFTDFFSGYGDRNNSANDVSAQKPRRSSNTSSRKSTSSSSHSHSNSSRMRTVSEQESSSPMSQVNLRVGSMTVSKWLTFGHVLFSPAREEIMQ
LEGFTKRHSILVIDGLGNDDWSFYAAETYPNSTFYNLSPTRPLSNSQRNSISASFPLAPPNHRQIQYVSTSHKFPFPSSQFDVIVFRFPTAMSEASY
RNIIAESKLVLKPGGYLEMSILDLDMLNMGNRARRTVRSLKVKLQIASPDISLASASDTILRIVSKRGFSDVKSCNVGVPVVSTIPSATKDKSKHGK
DSGSSKGKGREPRQVEELSLADMMKDESRAGDESITKMVAKVGRWWYTRCYEMGVIPEGDGARSIFNDRSLLRESEKWNASFKLVVAYAQKPVVGRR

RTASL
>RCO7_08018 | related to alcohol oxidase
MNSLSILTIFTSFWACDTFAYPNSVHQAQHHTHSDELHSSYDYIVVGGGTAGLTIADRLTESGRYSVLVVEYGYFSDIPTLPYDPVNPIDSSPESLM
YNITSVGTRKQLVGIGCVVGGGSAINAQAFMRGTSEDYDRWGTLGGKDSDWNWKSLLPYFKKSCTFNPPDPELAAEFNITYDVQKAWGGTGPVLASY
GDWQYPPTKIMYEAWKVFPGITYPRDGSEGQAGILWIPSSKDPTTETRSYARTAHYDPVRERSNYAILTGHKVAKILTTGRKNDIVATSVQVISRSD
NSSLATIKARKEIILAAGAIHSPQILQLSGIGPKEVLKAANVSLVLDLPGVGSNFQDHSWFAMGFNFTTPILPNRASLLNNKTFAAWALELWEANRT
GPYSIAQGGGAALAQVSLPVIAPDTYPSIATSISQLDPASALPPSTDRTIIAGYRLQLHLMARAARSKNTAWFQMGLGGNPFGSPDQWVFNIHPLSR
GTVHLDPADPHGEPLVDYRMLSNPIDLRVAIALFRGTRAYFGSGGAMKLLSPVETKPGVDIKSDAEIGTFLKRTLDPSQYHPVGTCAKMPLELGGVV
DEELMVHGVHGLSVVDASIMPLIVGATTQATVYAVAEKAADLIKARA
>RCO7_08019 | uncharacterized protein
MPVDHISLPVKELEASKAFYTEILKPLSYGVFMEFPGNAVGYAPAGKRSDFWIAAPAEGKENQDSNLNITHVAFTGSSKAQVDDFHANALKAGARCN
GPPGFRPQYHEKYYGAFILDPDGNNIECVFFDL
>RCO7_08020 | uncharacterized protein
MPAAVWTLRTPSTAFYQYFMQYFTTSTSIAGNDDLNYDIVEWIEKNVIEKQNPRALVAKTATVSDHALAYFDKKKPGEEQAPSIKYVPTFERTGKEP
LVVMVLGRSVTPIKRFLKMCHEAAGENRKTTIAVYLCGSDSSGEWWWRRFNKSMRPLETFHLDERTKEGLIPSLQKDVELMALFRSLPSQCFVLLED
VARIWVLVWISKSTAMQPTTFNYSMPSSEYPRNLAIEDIDAIGMQRSSAIDVIEAERKQATKHLPHEERDASTRDQGNTTPPSKITLSGLLNFLDGL
ISQEGRIVIMTSNFAHKLDKALIRPGRIDRQVYLGYTSPPTARLMFLRIFPPDSNSATPSHLNKQDLAKLATEFASYIPTDMLTPAEFQGHLIIYRD
SAAEAVKETKTWVTEHRRSKEEEQEWAKRASLWKAAQKGRILTPEVEDKATKNKDEP
>RCO7_08021 | uncharacterized protein
MSRDMFSFIIHVLSTISLNSSRLAKSVVWDWLPFKFFIGLYLTFAFHAEIQEALELLYAQNSWLIAFEVLLLFKFVKVVVHTLSFLLYKPYPVPPIP
TVTCRDVTVIIPTVGLIDEDEFRETLRTILANLPAEIIVCTVGKDKLGIAERVCAEELTEAELLRPTPTRIQSIAVNAPSKRKQIFEAFKHVRTSIV
ALADDHVFWGERYLVTALAPFEDPKIGGVGTNKRVRRQPFQFSFANFLNFTACNYLERHNFECTASVNIDQAVFVISGRTALYRTAIFKHPRFEKEY
CRETWFFGLVGKEGFDVDDDNLLTRFTIGVAKYKVWFQNSPDCTLETTLGDPGKFFKQMDRWIRTTWRSNSTSLFSDMTPWKTQPWSVYAVYFSSFV
NFALLYDIALFTTLWYGSGNAPFPWLHSCLKWEDGDWSRQLSSSHCAPALWFSSLPNALHEIDRATFMWILAIMLFLTKMIKPLPHFWRNPADTIYI
PFYILFGYYHSLIKLKALLTVWVVSWGTRPGVK
>RCO7_08022 | related to cat eye syndrome critical region protein 5 precursor
MSETKGRSVRSRAASIGPTSIAKSALPRSKAGKGRSRAATIQLISIAERAPCKREEKDFGFAFDIDGVIYKSGELCPGAKEAMKFLAKNNIPFVFLT
NGGGKTECVRAKDMAENLGVPVTCDQFIQAHTPFKQYAADFEDKVVLVLGGVGDACREVAESAYGYKNVVTSADFVIAAPGVSPFDEMHGDYFKKTA
RALPETMNASGSQSGVKISAIFIYSSPREWCLDLQIIIDLLLSESGIFGTVSSNNKSPELPNNGYLQDGQPKLYFANPDVTYATKYHLPRICQGTFK
LALEGMWKGLTGTELIANEHYIQIGKPTQLQFEYGEKSLRAVAKGDLKTVYMVGDGPQSDIAGANNYKSPWGSTWKSILVQTGIHQAGTVPEYEPTV
EVGNVLDAVTWALRQEGIECEVVG
>RCO7_08023 | uncharacterized protein
MVSAFGDHLRSVKRPRRTFYHDLLKDAPNPGLFVEDSGPVAFPFLERDIKCIIEANERSALENKTAETPTRKTNWEVPCDKIKLNNPSWERLIAVVL
SSISSELEIEPTGRGILATRPFLVLYGPNSTVVPFKSPSESPVFGFLDVTLPSKYTEGELHIQHDGRKEAVPSIERSEYDCYCLAWFANVVSTSSPI
SEGYRLVLRYTLEHRLAGPTCCAIPRAQEVMKLQSILTSWTKQKDQVAHKVLGYVLTDRYENAQLDHIKFSNSDQLAVAQLIEACAEAGFFLSLSNL
TARIASQADREKSSKGRKRGDCPRDSFQLGRIVDLDGKELLGCYRMDFKEEDIVQDRPFEDQGYILDEELEEYDDCAIKLYRKTVVILMPLEARVSF
LYGPSAPDYNARVKEILAHFCSFSKSVVEFVELENDIRQICDAVLLTISWNPEHVGNSGYARDVHSWVLKAIRLLGDQALLRRAFPIGFTSLDDFEV
LYSASKNITPNWLNDSLGQQIADTTDFLSKSGIIGKIEKFISSIWIDIQYESAIEGLNFGTNENFEEVIHAAACLENDSRLETILIPSIKRRLLGNE
MIMLLLSQLSVEKQIPNSVFEALVPQSIEHFVVNKHKAQFYQSMSTILLHSHDLGLSMQFQQAISKISHAASKASLDELENDYLGFLGKFVATIDKA
NCMALPIVQGLCQHVINLIALKCAPIKNKWVLSPCGCGCSDCNELDAFLNNHLVDGAQFKRTTEQRAHLEQRLRTYHPTRVRTVTVMVPEIPYILRV
IKVFSPTDSPIQHWFEKYEALRASMTSLGTKRLQYLLGRHYGTLMTLTPIWFSPVIPKTVSEIVDLTVRDGKASLDVPITSSATFGNKPGSRFDSAP
ISRDVPGYLVSDHKTSSTTSNPPIRLPFPSQILASTTNSTTLDVHNDHAAGHILMSQRTESPAAVAQAIVRPSLPRHNAVQRSVAKTTATKGADNLL
SNTIIVKTENLAPSSLQSTSMQRPGKFHAGDTFASVSTESLRTPPPPGRLGTLQNGSLALSKRKDPPASVEKSSSSNSSLEPTKRIRVENPANVPGG
VWGSLDAPSPPLPDNHVPPHPPVWLVKSLAALRPRFPGHQFKAIMRHLPVSRDTKVPHADPAFGYPLPADLTYMWIPRIQCSDCPAKLYIPGSGKSV
TNFVIHLKAAMHASNVQKRLQQQIS
>RCO7_08024 | uncharacterized protein
MASNPLTASTSADTFHDFPRLPPELRTIIWKLGIHQIRVVEIEKIRANDLGVCDISRFTSKTLVPGMLHACAESRSIALQRYGRIIFDGIFTGSYIN
WDLDYIGYKPSQTLNTPEEQRCLCNSLLWMPSDDLAKKCRRLVIFAYTPKAPRTYVPLELKCLEEIVILFPADLGSLTQGGGNIRLAPMTDPDANEQ
IKIFEYTHARTLISLKPFFPELKPLNLMRYSRGPKKRLKSPEDTGGGVLYPDEALLLSKPELPKRVGFKRYRLPELRQAALDLGLSNEGQKKDLIPR
LETEEKALFREEMREYQEHMLDYSTKVEKLLREPEKPLLKKFQTHTPTQLKASAKRRNLEDSGSTAELCARLRAHEESMHLEQKKAWELVLKDYQKM
KARVAKVEFF
>RCO7_08025 | uncharacterized protein
MATVSGRNSPGSSNHSLMSDDLADCPEEDAPFALTDTTEVIEAELSFTPDPSLTPQMNMFDRRRIEALRARIDAAEKSFKGHSRSTFSFPQFARFPA
EIQHMIWKYAAFIPRVIEVLSDERFFSFRSRTLAPGMLQSCYDERKMGLEIYQEICRSGMAPSEIPFWKATYINYEVDTLFFESAKDFRRLLSVLKT
REGNSGSFIQCRARKNQKLKNLKTIYHVYKYTKGISEAGNLTLTDVTDQEDPRNRFNSRKFPWLPSHKSAILKRDNRVLKA
>RCO7_08026 | related to DUF1295 domain protein
MALPVIKSIVDCSSLEKTVYPYIPQLYDLPQQILQSYNNPTGLKNLYLATNPLISGFAFSLFLAPLFLIVSEINKNYSQVDRLWSILPTLYNAHYTI
YAHMSGLDTKRLDNMIAFSVVWSLRLTFNYWRKGGYNIGSEDYRWEILRAKIHPGLFFVLNVLYISLAQSVLLFIITTPTYVILLTGRLGDELTTAD
MAFARLLMALVLVEFFADQQQWNYQHAKKEYLQTAKVPRSVHQEDLDRGFVVTGLWSWSRHPNFAAEQAIWVVLYQWGCYTSNVLYNWTFIGAMSYL
ILFQASTWLTELITAGKYPEYKEYQRRVSMFLPRLYTDAPGDFSDQRKTVDEKAEEKVPEKQASKKNAAVRK
>RCO7_08027 | probable FMP29 Found in Mitochondrial Proteome
MSTISTSPYEHFFHYTSGRWLWDEESQLRERVVIFNVQELQRIAVESIGAQSCVSITKLAEGGYNKVFRLVMDNGSVAIARLPNPNAGPAQKTTASE
VATMDFARTVLDIPVPRVFAWSAAADNPVEAEYIIMEEAPGTQLGGVWDSISISDKTAIGEGLVEIEKKLLSVSFTRYGNLYFASDAFPGCEAAQVV
GDISAQLKGDVEKRFTIGPVVDRDFWNGKRASMAIDRGPWDSPECYLKAIANREIALISTFAVPKPPNDIFVASEAQNSPGFHLSLYKMFSYIIPYI

LPPKKALSAATLWHWDMHSANIFVEGNRITSLIDWQDTWLGPLFLQYRHPKLVDYNGKMLLKLPEHYESLVGDEKAHTRNQVEKSVVLHMYETETAT
KNPSLGEILHMHHGRPRRETVHFAANTWEGDIIPFRQCLIRLERDWDELGFDNPCPIRFTEEELQAHYRDGEGWNERADFWDSIAGFVSRDGWTSNE
TYDQALEMFAQLREEGLKTLTGEERVKFEAQTRWAEKKG

>RCO7_08028 | related to DNA topoisomerase III

MPGKILCVAEKNSISKAVSEHLSGGHFQTVNTRVQYIKNYTFTFDFGATLGWGNCDVTMTAVSGHLTNAKFDDEYERNWEDPPPASLFNAPVRIKVD
EEKQDIAQNIAQLARGAKALFIWTDCDREGEHIGGEVRTEALKGNARLVVKRARFSNIERAHVLQAARNPIDLDDRQVHAVAARIELDLRIGYIFTR
YLTNNLRSLGGQMAVNEAGNKRVISYGPCQFPTLGFVVDRYFRVRNFVPETFWSIKVTHSRDNINVSFNWKRVHLFDRAVVVIVFERCIAAKMAKVT
KVQEKPTSKWKPLPLTTVELQKMASLFLRMNSSEAMSVAEILYNKGFISYPRTETDRFDKAMNLKALVEKQLPDPRWGGYARGLIDGAFSDPRQGRN
DDKAHPPIHPVAWVAAAQLSPEEGRIYEFITRRFLACCSEDAKGHASTVEIEYGEETFSANGVVVLERNYLDVYPYENWNNSTTLPKFTPGERFEPT
EAMMNEGHTSPPGYLTEPDLLALMDANGIGTDATMAEHIQTIKTRSYVYTRPRGGGGNNVGARGGRGGRGGRGGRGGRGGAAAPAGGRGGVEEFIPS
TLGVALVDGYDKMGFEISLSKPFLRKETESRMKDICEGRKTREEVLRESLRQYKQVFEQSRDRLDVLKASCRRYVLNNGA

>RCO7_08029 | related to STB3 SIN3 protein-binding protein

MANMASSARDIPKAFGRDSLTAVEARSILATNNHPLPTPPNSISPSLPPHAMKPYGPRSTNLHVLENVDSDIDLQDGQGSERDNVVTRGRDMGSPGF
EAAGNITPHLLARHHLPEILLNHGPLAIRHIMGFLTTAVPGFSGIPPAKARRLVVGALEGRGSGGEGGGVKGNVKFEKVGWGRWDARLKGHPARSSK
GGNRQTTPPSAPSSYSHGMPIAQNGGWKAGRDRLHAPESSWAGDSAAFSHDDDAMMLENEADKMSLDGDSCSSSEALDDDFMDDDDLMTDEEDWAAV
GAAALRAASYSASAGRRTFLSPHIRAGTAGKSLLSTIANFMPAQTSQCPAGVDFAAFGVTSDSQERDAVEALLQLGSV

>RCO7_08030 | uncharacterized protein

MYSVPEFTLRCMAQMARNPDPAHATFDPAPAPEPASVRDGLNKFPVSTFKHICGIDQFLQETRIAFYMPPSSDQDSSNIPNNSSQPSKPSGKASAGL
QTSAKNGKKNGQAKNSGGGVLAAVTKNASKTLTAKLPAQTNGNQSPEMKPAGSPSNGNPITSPLLDALSSAALEKSPSQNTNEWARNVPAYSSSPSN
LINLGESPPTFPGEDRLSNFGWNTTEQRGTSNGNNPSASPPSGRRRPLSYQLDGNSPQGMEDHRSHVSPYAARRSSMYSQHARYAQHPPLPHQAQAH
FYGAPDANLILSPPAPGLVPGENGFYSGFDCLPTPQYLSKSNDNVVVSGYEGGVSICAVSRRGISKVSSKFVLPRYSDSTWQDVADVKKLVLIFGVG
LEGLRGSVYNARILPWTASGGSPCMPHIALVIHGPMLTSDFSSSGDDHLPPPEGRSDIPTESLRGSPGIRGQPTEESESIEYYQTTVEVYSLGSKAH
VATLLSLPKTQLTMPTSSPLFRAPPPVGSLTIRADSGNIIVASGITGETWIFRQEDSKNAQERFACIGKVWTTVQHGVTVEPGPPSTAFHDDWHTAD
QPLPQKQYKACILSMNGRWLAYCPSVSSSQASLHALVPGLSSTAKVPGLTSHAPPNLPTTNCTIDTPGGESVMKHIVQIGTQKFIEAGNYLTQQGLS
AWNNYRNKPPQNQPAAGLPYQTHATSHQFPPTHGLQTPTPLVAKDPGLISILDLESLARHPPSSSSSPHPVATFRVPQGCSFLSFAPNGLALFTASK
KGDVQFVYDLMRVQYSKSSFLKSGLQGMGMQGPQVREIAQFSRMTIARIVEVVWTSPHGERAAMVTEPGTVHVLDLPASAFSWPPLRRRSTSQQPNE
PSSEAVSPALTATGVATSAVNSFWTAARPLVDHRRRSSVGISARTVGASAGLGTQALAAGISRSVGAATGKMNEMRKSASNKLHLPSSQVLPSRGCV
LILNGKRNDTVIVLGGGILRFYTIKNRRADRPADKQKAHKGAKFVEFRLPSLPDFRGPDITRGFSKIANLELTERDHEESRWKSRMSPPPVSQGHGT
ESSIPQAEIESNAPYQPFHTDRRVSLLVYHQDEAAPMASSLSVSALVSSPRVTAGAKTSQTSQPRNAWVFGGPIHATKIDVGPPHNPDDDFDLSADH
RALPTSAIERVLKVTDSTEDMEQIVITTRRRKGISRAGPDNTGEGLEEGFFEDDCEVLDFASQRV

>RCO7_08031 | probable dolichyl-phosphate mannosyltransferase polypeptide 2

MVSFRLLDTLVGLAMLVVASVVFLYYSIWTLLMPFVDYDHPLQNLFPPRVWAIRIPVILILLGSAVVGSFLSVVMIRSNRKRVAKAKAAGKKKA

>RCO7_08032 | related to CWC22 - involved in mRNA splicing

MEVARGRTDEEKQVAAKAEYEKLLTMRSGGTYIPPARLRALQSQITDKTSKEYQRMAWEALKKSINGLINKVNVSNIKFIVPELFGENLIRGRGLFC
RSIMKAQAASLPFTPIYAAMVAIVNTKLPNVGELLLKRLIVQFKKGFKRNDKAVCLSATTFIAHLCNQQVAHEMVAVQMLLLLLNKPTDDSVEIAVG
LTREVGHHLEEMNMAVSIVVFDRFRGILNEEDIDKRVQYMIEVLFQVRKDKYKDNPSIKEELDLVEEEDQITHRISLDDEIDVQDGLNVFKFDTKWE
ENEELYQRTKAEILGEGSDEDGDEDDSDDSEDDEDKQEEKALEIKDQSNADLVQLRKTIYLTIMSSIDPEECCHKLMKVSLPAGFEHELPSMIIECC
SQEKTYSKFYGLIGERFAKINRLWTDLFEQSFAKYYDTIHRYETNRLRNIARFFGHLLSSDAFGWHVLSVIHLNEEETTSSSRIFIKILFEDLAEEM
GMLKLQIRLKDDALRPYFTGIFPRDNPRNTRFSINYFTSIKMGPITEEMREYLANIPKPALPAPPAADSSDSESSYSSYTGSSYSRSRSRSIGRSPP
RKDQASKRQRDFSSSRSRSVSRSLSRSRSPSRSRSLSRSRSRSPSRSPYPRRTRPRSYTPDRSPSSPPGRRRSPSPRGRSSSPAHRRRASSSPPPRR
RRSPSPAPRRRSPSPPPKRRRLS

>RCO7_08033 | uncharacterized protein

MDAWQREDSHSRRPNIKRPWEAGYVQSAQFNARNGSRLPSIGASSYRRPSLPSRVTEADDIWGIHNESESRNGGAKRARYEDSDHHSFSREVVNLKS
AAFPPVNDNGPDTNYTPDQSSLKPLSSRLQPDPLRVVRRLGDADNVSLDKACHSCNGLIMQGFLGNEDSGSAEVLKYSAGLLNKTVLVLARIIPETG
GVARNGANDDLSLTNNCPPEEGGLKPTLHWLLNRIQHVNDLAERLMQNVPTWIPPDIDRNFTSNGSNAQDGLEGTMKRRIDADLGDTQRPRDAPEDT
DTDAKLHIRRRSVATTLSRTEDLLLMRNSLERHSLHPALHSEPTQRNLMNPPPPPAAPNRQLLSPPGRSLPSPTSLNFYPPSSSSYGSSSQNPIHLL
PSGPHHAPLDNYLPPIAPVHSSDALQVHASALQHEISVQKIALSSLQDEHNNLLAALKGSQTRAIALEKKHRVSDTEIISLTEEKLRLQSQVVVLER
DVEDLARSRDEFRQAAVEEGAQYVEIVKRASRLEKVAGEEKKEWNRMKIEMEQKIEALGRGKNWTDIMSSASHHPDNIHFPASSTHVQNELKMEPSN
DPIPSSHTNTIQQDSNLELEEEVRRLRNRCAEVESALRAVQEESRSMEGIVEALGLAGKSILERADRTLAGS

>RCO7_08034 | related to MYND domain protein

MDSDQEEETSYLLQKRRDITNALLESPYDLIAYIERAEVHTELGYPDLAAGDSYRALLLCDECANEGFEYHEEALEALRSRCSDGIPLALRERKTST
VDPPGGEEGISFIEEDHNKTLELTRIASIRCYRSLAICLLLCGCLKSAYDFCTKGLVVATKDEELLQAKEYIENMAKRRLKVDQVEINELPDQGLVR
REIYPWNDHEPDRYSQETIDFLNGQLAETAPNVEVRVTELPTLLEFAGNNIDDSGSLPTNKQLGLFAKTDIQPGDTILNEFSLLAANNRLKESLCDA
CSLELPPLTPDSKVVGCPECDDIMFCDEYCLIRAQEEYHPAVCDKDIDTVAKDPDPREKPYALYLLLLSRALAMAETQEVNPLELKEVKYVWGDFLP
SSANALSLKPDAPPPPVWTLPFSFEYNIAGPLHVLEKMDIDIFSTLATYDLWILNTLYSKFRGTASARVNKRNGHPEVAAVHPLWCLANHDCNPNVQ
WEWEGRMRLWCREKRIDGSSGGIKEGEEVLNHYCDIDLKVQERREWAQGSLGGWCMCDRCRTEAAKEVHVKTAATNGVGKEHLTNGHV

>RCO7_08035 | related to AGA1 A-agglutinin anchor subunit

MSAIPSRTRSLRKPSELGIRYGRPHPADVDALETSTLQPERTSQSPSRLPVKPPTRSTRDISITSRPPNTSTSGTIASNGSMRPPPPRANTGKPATT
GGLQRSTSNRRSNPPAAPEPEPVKKDRSRPPIVTSRHLRHASTSSSSTSSNSTANVSNHTRTRSSSNLLNSSTALQPSKRNSVEIPKLQPPAADPQL
RRQAFSTYQQHFSPAKNLAPKPHPAAFLAPPSPSKLPSNIAISAETAKLQNELLQLHLLHRDAAQVEKEWKASAKAKLGARFYSIVDKNEELVHLEV
EETGRINAMALKRWQDVGTPGWRLDEKIQVLDEVVSGVWNLGESGGKYSRVVRKFERWFKRCQDILEMRAHDEGLDGDDVVFVEELDRGWKDDCLAL
GRKLETWRDQLRELGVPAENGSSLSIVVNGTRSLVSGMLTELSTMAQIQRDAMRMEMDWIKSMNDDVLDDEADTPAGAIWRTR

>RCO7_08036 | uncharacterized protein

MSPAALTSRSLRTDLPPVSSDAVKAPVMIVRRPVGGDGVSGNTETENSAGTASTGSVSSKYSDSPGFPQSPSGSSAKEDSVSCVDSADRPMPQLSAE

DKEQQNSDEEQQTKSHKLSSASISSFEAALNPTEIWRRRSESVAFPNLKLQKSNGSTASPLKRQEQPTDQPPLPKSTTGRKPVPARPAPPQPVFMGT
KISKLRKKGSREDSSNNDGSNPAPAPPKPYSAHRLPTPEYLKADNQHVISPSILSPVSPITPPDDNPPLVPRRSESRSLTTSNTSSDATIVSPTTSA
PTPENHPPIRPHIPVAHSRDDSDTLTITAEAVIVRSPQPQKPHASARILTPQLSSGKPSPMSLESPATQAAYFPSIKSPATRGVVIPGPALDMSHFD
CYQSHKFMRGANNMVCPVGCMICQRQDTDKRWRCTWCCLGVCASCSRLLDSVPGKDLQLALEKIGART

>RCO7_08037 | uncharacterized protein

MKPTCIIPLALLGLRAQLVAAQVSSYDYSDSCGCTETTTTTVYLPGTCVLSEESSTALGTAVTTSTSASAIESSSSDSVTATSPLSTTTELPEVTDS
TTRVVNTIQSTISIGQPGGTTTDFPSQITGSTFITVPVPTSSEDQITGTDSSTLTPTVSSDESTSGIIGTATVTTEAPSSPSISDIDSSTISDSDSS
TATPTVTFDESTSGVIETATATIQTPTSSSTSHIKSSTSSDVETVSSPATYYSTITESTSGPEVTSSSNGISSIETSTSTAGGVVVTPSASTNGPPS
ASSNSDTSSEESTPLQTPKGTSASTMTSQPEVIATPSSVTASISSESVSDDCTHETVIPSTTRTDEGQFTTRPGTDTPVPTAGSSTPYEVPSSTSTN
DGQFTTTSEIDTPIPSVESSTSSDAPSATSTNDGQVTKTSRDIPGVTASSSISVRALSTYEPSSISSLDTPSASKTPLSSATADGQFTTTSQNSIST
PSSSGATSFPAITDTFSPGPTFTETSLAPTSSSFPAPIETSYSPPSYTTYGYENGTATTLRKVRKAKHEHHTK

>RCO7_08038 | uncharacterized protein

MLDDTIGSVVSLSSYELNCHQYSSEGSQKTCTSP

>RCO7_08039 | uncharacterized protein

MSPFSIYAVALFGFVMRVNSYPSNVTLELSPPSQYEYKDPDTGALKPYVPFDFENWDIDSSLYEGVPMIIKTTVIDGKTLKFQDFDLEHLSVDQLRN
YVFNGDEYLHLNGSHSLSDNEVEYLREVFVSRDLGIAHRGHGTQPRDLLKRGGLPNECWEYEKQNWCQPGCTYTYTRTTVSTINRSVYGLFHYEEEA
ICGPGTITHGVTRTAPASVAFSSKIDLQTWGRGFLHQATRILKDAGFSVTRVPDSVSNTYTYGGFCYPKTRCEMWYRPHFQVFKGVITLSAIASDQR
THCMTDQQSAWEAHTPLPNGVDGGPYLHGICQRRNARGCIEIRPNNLMSYCP

>RCO7_08040 | uncharacterized protein

MLLFSTSSWKAQLTFLAFSTICLPTEAANICYLETSIECKESRYPYKLPTRVGQTFYAPGFRQGKIYVKLQSMQDLHAHGAVNVRYNFHLYGSSQPY
WIVVSRPGDDGKFCYAVADNCDIEFLDVNRNNLPPQFFLACYNCQLVVDGDICDDSLYIGHIEKVTWHRNDAQLLFQCW

>RCO7_08041 | related to Deoxyribodipyrimidine photolyase

MAKPRVIYWFRTDLRLHDSPALKAALDLNAEAFWPVWTWDPHYVYRARVGTNRWQFLIDCQNDVSKNITKINNNSKLFLMREAPQTLFPKLFIAWRI
THLVFEKDTDAYARERDAAIMEAAREAGVEVVVRSGRTLWDSDELVKKNHGKPTMSISQVQAAGPKVGPIPRPIPSPKSIPDPGETSVDFVQHQPEQ
APDFNSKYRNQNDKSYESIAGPKGDFAVPTLEELGFPAATTSHRGGENNALKVLDELIANEKYTATFEKPNTAPTQFLPQSTTLLSPHLHFGSLSIR
EFYWRVQDVVDNFSGKSSQPPVSLTGQLLFRDMYFGAQAKLGYAFGQTMYNSHCRFIPWHLPSKVDHETKLVTGEYHIDSPQAEEWFQRWKYGMTGF
PWIDALMRQLRQEGWMHHLGRHAVACFLTRGGCYISWERGAEVFEELLIDHETACNAGNWQWLSCTAFFAQFFRCYSPIAFPQKWDKQGEFVRRYVP
ELAKLDKKYIYEPWKAPIADQKKAGVSVKGDGRSKEVGVYPKPMFDFAERRTICLDGMKNAYKVAMYGDHEKVIDGSWREMFGDGAEGPTEGKSFVD
AMNGFGRKIRDGDDVDVENDGAVAEDERGAAEKGGESKGGDERKTGTKRKAAQATLDGIVKRAKRK

>RCO7_08042 | probable MRL1 Mannose 6-phosphate Receptor Like

MHFPRLPTSLLITLALHYGVNGAASDEKKLLEPCTISSASGNFYDLRSLSIPVPTGDKKVSKGVKVDDWLARGYDYHNNTANFTLNVCAPVVGALED
VVGVEKNLWRNVSAYYEIDDKKYSIGQNSSELVLRGRRLVLQYTNGSPCSAEKKKKNSDRDEGEVETRKDSEVRRKSTLISFHCDKDPLATQAAVTF
VGTDPDECSYHFEVLSRAACITAEPAKQSVGPGAVFTLIGIIAILVYFLGGVFYQRNVAHARGWRQLPNYSMWSGIGNFIKDFFIIATSSCAHFMPS
RRGYSALSVSANGNGRGRNGGPEDENRLIDQLDEEWDD

>RCO7_08043 | uncharacterized protein

MSSQPIPYTSAQIAELTLLETVHLQAQITSLNYESFLRVLLMREAHTCSERRADAAMQWTQKRADALNEVVMSAVRDEAETRKSNMDIKSGAECYSE
DTLTETRNAVYLKE

>RCO7_08044 | uncharacterized protein

MSKASLSCARFGNLLGFDSAMMNGLQALPQ

>RCO7_08045 | uncharacterized protein

MSAPKQGQEEEDKEQEDEEEEEEEEERAEEADKTFSSHSDSEANSDSESESPDPSTPSAESTTRKEAPPEKHAPSRSDQSTASAPQRASPPAKQALA
IASRLEPPTQPPNPPIAIPFTPIQTEEIAALTLAILKSHQTSLRLESQTRALLLQSAHLDHKKRLDAESSTSISCAKAESEKRLEVLGDELIAKIDR
EREMNETEMRLKEEWQEAREKRSTKFTEANVKATMGKVVVGGGAVMGLGAGSPIKKSAVLPAIWMSRQTTKVGESSKTTVVMGEKAVEDEDDDVDLG
VKPENATPIKKRKLGLD

>RCO7_08046 | probable ubiquitin--protein ligase

MASNRLRRVAKELADIQNDTDSNIFCQAVDNDLSHLHASFPGPPDTPYEGGTYVVDIKIPNEYPFRPPIMKFQTRLWHPNVSSQTGAICLDTLGTAW
SPVLTIKSALLSLQSLLSTPEPKDPQDAEVASMLMKNPEQFQKVAREWAVKHASAPKSTQWEVATAMHPSSSKPNPQKVLSREEEERVMIARYQGYN
RDLIDRFVAMGFELDRVVDAFNFVRIDRNNGEDYELEEAYMGDITARLLGEP

>RCO7_08047 | 26S protease regulatory subunit 6B

MGNQQSGLGGAGQGGENKDEKDKKKEKPKYEPPPRPTTRIGRKKRKAAGPNASAKLPAVYPTSRCKLRYLRMQRIHDHLLLEEEYVENQERLRKAKA
VKEGGAPVSAASDPEASDRNADERGRVDDMRGSPMGVGTLEEMIDDDHAIVSSTTGPEYYVSIMSFVDKDLLEPGASVLLHHKSVSIVGVLTDDADP
LVTVMKLDKAPTESYADIGGLESQIQEVRESVELPLLHPELYEEMGIKPPKGVILYGAPGTGKTLLAKAVANQTSATFLRIVGSELIQKYLGDGPRL
VRQLFQVAAENAPSIVFIDEIDAIGTKRYESTSGGEKEVQRTMLELLNQLDGFDDRGDVKVIMATNKIDTLDPALIRPGRIDRKILFENPDQVTKRK
IFTLHTSKMSLNEDVDLEEFINQKDDLSGADIKAICSEAGLMALRERRMRVQMADFRAARERVLKTKTEGEPEGLYL

>RCO7_08048 | probable Probable beta-galactosidase C

MRLLNFFLVISTLFWGGFATDNGQTTAVTWDPYSLTVNGSRVFIFSAEFHYQRMPVPELWLDIFQKFKANGINTISVYFFWSYHSSSKGVYDFQTSG
KNAQKVFDYAKEAGIWVITRAGPYCNAETNGGGLALWGSDGSLGNLRTSDATYYQAWLPWITQIGEIIARNEITKGGPVILNQHENELQETTHAADN
TLVVYMEQVKKTFRDAGVTVPSTHNEKGMRSQSWSTDYQNVGGAVDIYGLDSYPGGFSCTNINSGFNINRKYYQWFQNNSYTQPSYLAEFEAGYFTP
WGGSFYDDCAAEHDPAYADVYYKNNLAQRVTLLSLYMAWGGTNWGHSAAPVVYTSYDYSAPLRETRQIQDKFYQTKLISLFTRVSTDMLKTDMIGNG
TGYAVSSPLIWTWELRNPDTRAAFYTVQQNTSKSRDSVTFSASLNTSEGVITVPNINLDGRQSKILVTDYTFGKNLLLYSSADVLSYGVFDVDVLVL
YLKPGQVGQFALKTGFASAAHIIEGSAAVNVTSTNNTTTFTYTQGSGKTTVKFGSVLVYLLDQESAWKFWAPPTTTNPNVKPDEQIFVLGPYLVRSA
SVSHGVVHVSGDNDNATTIEVYTGNPSIQTITWNEIRLSATKTSYGSVIAQIPGAKERAISLPVLGNWRSADSLPEKSASYDDKNWAVCNKSSTLSP
IAPLTKPVLFSSDYGFYSGAKIYRGYFTGANFNSVKITCSGGLAFGWSAWLNGVLIGGNVGNASLTTTAAVLPLPAASLKSGDNLLTVVVDYHGHDE
TSTAKGVGNPRGILGASLLPANGTGFTLWKVQGNAGGSKNLDPVRGPMNEGGLYAERVGWHLPGFKPDSTFDRAGPSTGLTTSGIRFYTTTFHLDID

SDLDVPLGIELAAPVGTVARVMIWVNGYQYGKYVPHIGPQTRFPVPPGVINNRGLNTVALSLWAMTDAGAKLDTVKLISYGAYQTDFDFNRDWAELQ
PQYDTSRLQYA
>RCO7_08049 | related to zinc alcohol dehydrogenase
MAATMKAWQYSSPSGALDTKLQFATEATKPTLNATKPQMLVEVISMGLNPADYKLAEMGMLGNVAVSKPASPGMDFSGRVVTLGQATDVFKVGDVVL
GRIDPTQFGTLGQFVIASYDGCAVLPKGVEPDHGAGIGTAGQTAYQTIVPNVKAGDKIFINGGSGAVGAFGIQIAKAVGCHVTVSCSSAKIELCKQH
GADEVIDYTSTDVTQKLVENGLIYSLVVDNVGNSPGDLYTKADKFLSPAGKFVQVGGSASLESARIMSSRMLLPKFLGGGSRKFVLYFTKNSRDDLA
QIAEWVAEGKVKVPIEEVFEYEDAPKAIALLKKGKSKGKIIVHVGQKS
>RCO7_08050 | uncharacterized protein
MGMANHEKGTKRMRAASKDGSMEGAACGIQIPIYNNGPDKNPFRPPGYIYSTPRSTEVASEPDLINVPASQPEHLICEYCHMTFENKDLLLGHRLRT
PHGFTDEGKITIVPPGSGLDDHARIITPSEGQFIDEYSNIARVPALSNLRAPSGPEVVNPPPFFEPGCPATGVFLPVGTRVTLLPGKPPVWYCPWKG
CDKKNWKIWRLNRHINTTHVAVRRSYHICNCGQAYATMTGEEDHRTLTGHVKAI
>RCO7_08051 | uncharacterized protein
MDESHIPKSFVGEHREGSSSWRCSPQVVQASQSPWNARHSFVSTQRSHFNQEEISNTAFGLQTYTGEQEQEGRQHRHDQHNYNQHADGASACLESAR
SSNSKDLRNSEGERYQGDCAFPTDIGDIQVYDQYYPASLHSNGYSDFPSLGHASGIRRSRSEVNPVLIAKGYIYDSSYIESKQHVELYQPVKAEEPS
TYHVPPPLYNHHAVPHNRGMQAYDPQGQFADPGPNPYSNNPYAVESWKSPGQEILHPFPGSQVGHVSTPFRNDPSAHYHSRRLDSTNDKRIQIEEQL
QQNSLPPIHNSRLGSTILQQNSASHTQSPAMLNPRDSTMMGGSYRQLDGPISGAFCFICQIPFLKAASLKRHDRENHGLQEGVQCGYCNKWVNTHGL
NRHVQDVHLGRKRFACDVDGCTAIFTYENRLKVHMRQGVHGDLNLLQQEHRNLHTHSDVMDSGDDRERLRNAFFDAMEDVGNSSPGYDISSGFDEIG
TAYPMNKLRDHVQPTNCKGRSYELPFLENSNQAATPKLQLSASQCWGSLRTNVESTFGTAHSSMNALYDNLGYYRIDSRGKNMEMSNQWSHGHQQFE
QLAENGSGFIPQPANFFSPSPQAAQAAEGFGLGSTFTGETRYQPTQTAFTGRPYSSDSSAETHGSVFPKMSQSQALSSQQNPSQSEAESPELFQPSV
PHGVSSENSVRVMCTWPNCEKTYVHRKGMDRHIKTFHMGQRPWVCQECGKTYQESSALKKHVFKLQHRDGRYRR
>RCO7_08052 | uncharacterized protein
MVMENHDPTPLISTSSTPEAHSSVVIEHSTFIGLDLPIREFTLRNCARHNVQVKISCLEDCEVTGSLTILTECSIYGSTLRDVKLIGCSVFEKIRVR
NSKLTIFSARYSKLIKCNINLSVIKGCNIQDGIINKCGAENSELLGATRQIMLCPLSTLFKFGIFQAFLNRCNFDHGSRLVEIWTTAPYRRQIYSLI
RALRGDEKLYHELLEVQKNLVEFKIGRFRGRKLVYLPDHAVNTVKKLVINHIHFGVAPNIIISDPKPVQIRMKSAESGNGIESIRRVSQWTVNAKNL
RRISVQFQWWVEFINLNDMVQMVNKGFGMQGLLERVSTGYKLVWSWEASESSVLEWSETSSPRYMLGYMSSAH
>RCO7_08053 | uncharacterized protein
MSSPFESTGQTRDTYLSPQTLDKSDKSSKETSPKTRISRKIRGSEQSYCDSNQEVCALRKVRAENRALIFYISQHCGKSMVSLAVAFTGDQELRDKI
LDII
>RCO7_08054 | related to sugar transport protein STL1
MERQRAGSVSTVKTYAGLMGRPLGLLISTIATTGFLLFGYDQGVMSGIISADPFNAYFPETKDNSVYQGFVTAIYEIGCLLGAIFILAFGDRTGRRK
AMMLGGFIMIIGVIIQIACIYGHNATAQLIIGRVITGIGNGINTSTIPTYQAECSRTTNRGLLICIEGGIIAFGTMIAYWIDYGASYGPDDLTWRFP
IAFQIIFGIILIVGTWFLPESPRWLIMRDRHEDAIDVIAALSGLETTDSDVALQHSLIMDGIKASGHAGGEVPYSALFTNGKTQHFRRLLLGSSSQF
FQQLGGCNAVIYYFPILFQSAIGVSHNLALLLGGVNMIVYSIFATTSWFIIERAGRRQLFLWGTVGQCLSMVLVFACLIPDDGKGPSAKGAGVGLFT
YIAFFGATWLPLPWLYPAEINPLRTRAKANAVSTITNWLFNFLIVMVTPVMIDQIKWGTYLFFALVNASFIPIIYFFYPETKKRSLEEIDLIFAKGY
LENISYVKASFDMPFLSDQEVEEMSKRYGFADSDEETKIGGGNSDNEKGDAALRNRNVGSNRSLQMQDTEDGGVRND
>RCO7_08055 | uncharacterized protein
MLPTDHQEPDTTASTASRIRPDDSNASWPCLEVEDARNEQVTGSTRRPLSYSYWRAACWIVCSSTAVYTTKRLMVVHGSHYPLRIAFRSAAATLIVY
IILLRVNFGSNKRLGTKIRGWGLRQPDGDEFLANKHWISMLPASLAAAISFPMLFEGMLHMPNLAVLIMLFPLVYTTESIVLFTCCCQSRSRKSISW
ETIISIAASGFVLYEEYRLMVPGLVLGVGGILLMGVSRAFFIIEAERVGSDSAVQSRLKAYHGFVMMTLLFSLLFSGVAWYHCENGGSKSLGKRTVV
LILVNLGSIVGTLFSGTSLLAYSPISFADTTLQFAHTPARGCVLLAPFATSLLGLLASIFSNPVSSTSTVQTLAYLVSSLCLFGGENVHAFVLASVD
GIHRSVKGLSEKGTEPPGGLSRFISTSAISMLLLLFSLLISSFSNYAITSLSSGLPANFDTAFVPPHRFDIVVAMYQENAASVKSMLAAVKTTALLS
TLQPRIILYTKDPKQDRNKLQVDTGADIVERLDNFGREGGTYLWHIVTKWDELAAQTMFIQAHAHNTREIIPRIGSYLVNETGMLSLGFTGVTCSCH
DCSDRWDWEDKAGVIPALYEKIYSRACDPDENILLSYKGQFVASARRIRGIDREIFRGLLHTVTSKEGWSHDTDASHHLTGVGSEEESPSNPYFGFT
LERIWGLLMQCGTDAKVAARCPSLLSGMGIDGKADDSYIFGPIRIPVIGLVWIDDDHDDDDDDDDNDDDEDS
>RCO7_08056 | uncharacterized protein
MHGNVTPDDPPPGNPSSMPGWNSQWSLEHQQFYYINTSTGERRWFVTFRPQNFSVRIRILQDPYNPDPNAQISYVCYAEALIRYLPIEPIPTPSPSS
QPKPEKAAPTQKIQRKAVGAQSIRSNDVSPVAVTQIVQANSETVRAPLPLATDICFPTSSVQGHYQAPQVTKPVTPAPTITRNQSPPVTQTPKSPYR
QLDFSCRFATLSIEHSQAAPANVPGSWPNQAPASQTVQCTQPQPKVAKAPISPMNDQPNAHNFSSLPSTTHFRPPPPLTQYQSAPTPQLPDLPAPGN
AFAPSYNQQNVSSSPLIAPQPVVQRVPPPPPPRNLVPHQMQQAVGQYYAPPVIYSIQSANENHTIQYPIASRSHVIYQQQQQQTDFAPDSLQQYPSV
PSAVALTQNQQSYSAPQTQPLQRYEPPKLGSVQPMPYSGQQLSTSPQQYATSSQNPATGQYAYLPPPPPAIQYNQQNVTGAMPHQGQSMDQKSSLPG
QHASQFQEIPNQSTPVFMQASSFHPPPEKLSQQQHNYASEVRNHQIAPHGSTSSKTTTTQQCSTTSPTALPLKHYPTAPVIAQGPYQPPPPQTHASN
APPLYRYSSAPEAITYHERMITTQSTYSSPPEFVRNPYAQQVAHVNSFYGPPPQRLGTQKQPMPQRIPVPQGQTGFQQQQPNLQPSESTSAYSHQGP
PHPQAQILSRPQKHYQIPNQAPYQTQAPFQTQSPPLPPPRKSSSISTSGMMNKMGRQFSDFSKSATEKTKRFSVSQPGLKKWGTRAAVGIVAVGALA
LGVDAMGDAAGMFEGAGGEGGFSGGDFGGGEEVFGGGGWGDVGGGGDYGSGGGEEFGGAGDGGDGERVADAQTEVDANAAQLAMEQVGRENALMLLD
PVGTEYETLYEARTTAGVNALI
>RCO7_08057 | uncharacterized protein
MDTGNFSVFTVGEKPITPNFDDSGNPVRKRQQHRKSRNGCGNCKHRRVKCDESLPSCQNCTRRNLKCNPALVLNRTGNSEKPLAAQPEPPKQHVPVK
SPEPLPSLSTVLQQSLAIDFESDENWSSDDKSLFRHFRDFTSHTLAMHTDLWCTFMLSSALNNDYLKSAVLLLSSAHINSSLPEHHPTRRPVSGYFA
DAIFGLRKALSDKITAQSFDSIVGCSFLLLHYSWAADNPEPDIFHHFREVVGIINGIKNCVVEGQDLLQESALYEVFRHRPGVKLEKFIEDSPRKLK
KTSVLFDHSVLCGLGTKNVTGASSDNMHAIQKLTIVLQAIELSQSDIKNSGVFHDVVRYLFTWPLQCTPGFMEQIENQESVSMLALLYYYAAASNVG
SRRVWWMQDRARTIYSTLRARLEGRCGECTDPAIALAEGRL
>RCO7_08058 | uncharacterized protein
MPRRPHQKSRNGCLGCKKRHVKCNEGRPECRNCLNTASICIYQNAAPASGPQSPAVHTNSSMSSLPSPAATNPAIASSYWSPASEQPSMGQGVVNML
HLELLHHAKSVGDSVDCFGISREECRSALEEVVQHGFKAPYLMHEFLSLAATHLSILRPRQSTFFRNQATELQTSALSMFNAEIQGKNGGDLSSDYF

SRFVFSSILGAQMLYDTIAYRDGDFTNFVNDFVRYLRVTKGVTINIQGCWEQLHETSLRPFLEAGNRALAGGTESISPECERLSTLLDSADLGPSSK
KAYQAALEFLQAAYHADRLAVEVDQDQSSSVLYGARTGVYAWSILVPVEYSELLLQRRPEALAILAHYAILLHRYRKSWLTGDGGRYMIEAITNFLG
PYWEPWLATPNEELRNDP
>RCO7_08059 | uncharacterized protein
MKAEVSTLKNFSREENEDLDKICVVSSTKTSNLAVISQLIYAGPGFARQIFNFLEMFPDTSSALSRPSVQDDDAQFTPFPRLPPELRLIVWKAALPG
PRVITILPRALAHPVETYEHPLPRSPLVHLQVSTRPGVRELLVPGQTPRLARSNAVSPVLLFVNGESRKVALARYEIAFKTQISSPIYFNFAHDIIY
LPNIELVQHFTDPEYWRTIGSQSSQLKHLIIGVKWLWEYIQQCAESIKGTNSLDTLILTVDDIEPHYDGFYFTAKDKVYHFLPDWRITHRHRVFQGR
LVEPKVIKFIGLAETRLLAARSNTGMLDLTFDFCRFSAYRNQDIDNLRITYCLWTVTDLDSKVVGSARKYSGICNLESAREWCNDGCYRPCRSSLDA
KGDVVVPGAKMADYARSCSLELMT
>RCO7_08060 | related to transporter (major facilitator superfamily)
MVVATEADPVLTRLVDADKVPWYKKKNLRNLYFLLFPTCMGIEITSGFDSQLINSLQGVDSWKNYFGDCQKVMVKKKMETVCFSSSLTGIIGACYAL
GAICSLPFVPMFNQRFGRRWSIFFGSAVSIFGAVLQGASQNLPMYIIARMILGFGIPFCIIAGSAMLGELSYPKERPFMTALFNASYFIGSLTAAGI
TMRTALMKDNGKSSDLAWRIPSYLQLVPSMVQLLLVFFLPESPRYLVSKDRREDAFKILAHYHSEGDQNSLFVKAEIAQIETTIKMEMDASKQTYLD
LFRTAGMRRRALLAVAIGFFTQWSGNTLISYYFLRVLDMLGVKNSHTKQVINVGYTAWGLVNATSIALVVTRFPRRRMFLVCTLGMFACYFGWTICM
GLYLEGGSVNRAAGIMAIFFIFAYSPMYNVGYNSLTYTYLVEIFPYAERTRGLAFFQFWSRGANFFSTFVNPIGLEAITWKYLIVFVVWVLFESFVV
YFLFPETYNRTLEELSFIYEGQEVQNQQSMATEKYIQAQEFEVGYDGRELPTDRPAPIEMVDVAQPEAPQATAQATTTESKKIN
>RCO7_08061 | uncharacterized protein
MAYPVHRIDSLSSDLVMDDDMEFAWDLCHTLFSQFKVSEHRRLSPSPDQVLDDMVATARKLYDTLCNESQNLCRPTSHVNPQDQLQSDRSPLFSDSD
GCYGHQRRSSRSLHLDQAASVPSECSSSTANCGSFSCSNSSRWIHNAIAKYLLVSPQDNLTREAVVALIEVYNDRREHMQDPIQIEAAKEEDIAIER
AIHRLELLRVEMREAEDRREELEMAYLESDCSCSHPGAAIIDEVTALLDVADQMYKIRERWLLKSLRSKNLANDVVKARKDLKDIGSHELMKDINDL
LDEATSLLFRDTKSSCPADHADLPGDGATSPGTQNLGNEEEVPELISADMQGRNGGDYGKESFVEASES
>RCO7_08062 | uncharacterized protein
MPLSNLALQERLLQSPYVIEDLKAVLASLDEEIETRICAKKNAELVENKRLFKAKIKKETEKKGEEKVCECQHEIRQLEAKILDLCEDLETKVVAVP
DLEEEIALKKPLFQVGVDIRKGCLEKSRVAEYNGYTADKDIIEKRKIAAHEGNWIADASLYHFGYISLESFDRESDLFNLWADNYGLLTDKSGDMHG
ALKAGTFPIIIINCINVMFTILVARRKTHHPYNVKKVCFALIQSLVDLWNTGGIGGNVSRFSEDGKFLGIVAEVEDLRNFMLRPTRRSSVQSGI
>RCO7_11671 | probable sodium/hydrogen exchanger 4 /H(+) exchanger 4)
MSALLGTVAYQILQERADDEGDEPPDSSSQMEIFSSWALFIMIMLLIAALFTSYMLQQKKVEAVHETVISIFAGMTVGLIIKLSPGNSIQALLSFNS
QIFFNLLLPPIILASGYELHQVNFFRNIGTILTFAFAGTFISAIVLGLILYVYTRIPIDGFEMSFVDAISIGATLSATDPVTILAIFNTYKVDPKLY
TIIFGESILNDAVAIVLFETAQRYKAGGAAGTLGLISLLEGIGIFLAVFFGSLLIGVIVGIGTALVLKYTFVRRFAKIESCLIVLIAYASYFFSNGL
HMSGIVTLLFCGITLKHYAYYNMSRRTQLTTKYLFQVLAQLSENFIFIYLGLSLFTNDNFQFKPLFIIITVLGICAARWAAVFPLSRLINWFIRYRA
KRRGKDVADEIPYSYQAMLFWAGLRGAVGVALAAGLTGANAPALKATVLVVVVLTVIIFGGTTARMLEILGIQTGVVEEIDSDDEFDIEPIPNASYY
KHNGFGNDPRRNGSVQLDGLTSRRDQERGTYVSGNSSPVNVPKGLIRKNSAARREDSDELLHPSAAEGSDIDIDSDSSDLPPAAKRITNSSLLSRAD
SDPYPTSGSVVHEGPSITASGAINSLFHGTAEDQAAWFKQLDEGFIKPKLLLDSGKHNGGGSSGSGV
>RCO7_08063 | related to sugar transporter
MATNEPDKPKGQQITSPALSGDTQLDGIAEPMGKPLHEESPLLSPASDDDDDDSSNGLLERESILQDDFVDNYQETKGLFYMVLLTISIGGLQLAWA
VELSAGTPYLLALGLSKSLVAVVWIAGPLSGALVQPYVGMLSDRCRSSWGKRTPFMIAGGLATIGSLLALAWVRELVGGFLGLFGASRESEGVKIAI
IVFAVGFVYILDFSINTVQAGIRAFILDCCPSHQQETANSMASRIVGIGNIIGYVAGYVDLPNYLPFLGNTQFKILTVIASTSLASTLLISISTVRE
RDPRLEPARPKGKGGLIAFFTTVFKSIKRLPPLTRQVCEVQFFAWIGFFPQLFYSSSYVGDIYVQPYLLANPNMTADEIDALYEKATRVGTFALLVY
AITSLATNVILPFFIAPSYDAALDSSASSTRSYTTRFSRFLDSLVIPWLTLRRAWMISHLIFASCMFSTLIVRSITAATILIGVVGVSWALTLWAPF
AIISAEVSKRDALRRSRKIASAHRHSVASSDADAESAPPPHAEEEEEEDQAGVILGIHNMAIASPQILATIASSMIFKFLQKPRGVPGDRSISVVLA
AGGLSTLVAAWLTSRIKDEIELPEELRHEEGESGGGPQARRALRRSISLNRSRSYTGLNY
>RCO7_08064 | related to PBN1 protein, required for post-translational processing of the
protease B precursor Prb1p
MRQRITFLQDPADSIDPSKLLVTSTSISTPELVAAREERITFAFDELPQELYKVLKASHELHIRWVGESLFQTRAPLVARLSPGLHVFYTPLRNDGL
SEFLSPLLKKVFGNLDCLSPVESFTTLPRDRFSHSSASQYFSPLPNLRDFKSYLAHKLCPSRSSNTDPTCLPRVQALSSASTLEIDFDTISHALTLT
AFFPSITQSLSLSKPSSHPSSRMEIGILSVEKAKETEELSLGGFLAVLGENTKPSPTLFSFPARHHPLPISQTFTSNFIHPTGLHPTLELNITSSIP
PLDDRACSLHAHLTLPRAVFVDKYQISDPLFLASKNLAKIHYITTPIDLEAPAYTLTSWGSTVLLELSPPLSKPKSKPKPESKSDSTSSNQHQVFTS
QVPLHLRYLPPAHNSSGLTNLEIPYPILFWACTADEGSKFPVNPFDRVNLGYDGLFGPRTLFFHLSPSVAQGDRLVNSLEVPVLDLDRSRFVESLTA
LGVGLGFLWVMWCLLRVWRAAGYGSGSGALEGVKKEKKTE
>RCO7_08065 | related to DUF1183 domain protein
MQLLYPILLALLALSNPSLCAKKPKDAILLSSVKTLTLRSNALTSHRRVSAIPQLRCTGPACKYHTVERMRCTNQGASYNEEDIEWSCVADMPEDFK
LGSTEVACEGYASRDDPYVLKGSCGVEYRLLFTEKGEEKYGKSGSGWTGGGEAERSKLGGALFMLIFLGVLFWIIYSAWQALPAGGLPRQARRGWGG
GWGGGGAGGGDPYDPPPPYPGKRYGAQQEGWRPGFWSGAAAGAAGAYMAGNRGNRQQEQPRGSSWFGGNSGGTGGMFNSPSPPTRSSSGSSSSARHS
STGFGSTSRR
>RCO7_08066 | related to spindle pole body protein NUF1
MEDRKRSAGEDLAPPTKRQAVNGKASLDTDMPWSSDLEEYQKDAIYRRMLEYKRESAALQSQIKELQKRSTDHDDHLRVADQWWTQLLDEISLLAQD
LVPEIDNDASFPTALSFKGSEDFQSHLASKARDIKSKLQIIFTRLASARGEQSPDIEDLQGKLTKLLASQREYVVKLERMRTERDQLEERLESASLR
CIKAEKKFDRAKSSAVAKLEQQAINAGGAAGTNENGDTEMTNGISEVSEASHTAYKEAAAVVEKQREQLDTMAAENKTLTEQLTLATTRFSNLTEDD
YARTELFKQFRAQHEDVIRRINHLEATNIQLREDAEKYQAERTAFRTQVEGESEVITGDLESQLQRVETDLTRIRAARDELLADQSIRKASQDHERP
SATHFTDLIAGRDERITALECEIERLKASINEQSCQLTPRSDVDSLGLEQLRRKYEALELQFEAINKELPAMQNAYTKVQALSTKKVIDLSILEEKI
AIIHAEKAKADQKYFAARKDMDTRILEVRALKGQNAKSSEIISQLKDVETANRTLLSNLEKQLSDMKQSNTSVMAENKKMESTTRDATSKAETLGKQ
VVELTNILKSKDANNLNTKERLRTAEVDLEKLQVKYDHVQKERDQWKAKSMGKQSGEEEMLRTLALCTICRKDFKNTAIRSCGHTFCNNCVEDRLAN
RMRKCPNCSRAFDKSDVMTIHL
>RCO7_08067 | uncharacterized protein

MAKALVPIHVTKFEEACGLPHLSQLVCAAASKNSILAVPPLHYSTVKDPPNSNHNATLNAQYWIAIMLKGRGKTFAPKKVVRKPQGSAPSSTRPFVD
RPSQITAPQAQQENIQSASQKVIDLDPIVENVPPPVEAVRPQLPRHEVQQQVDTSATLDVENNARLELKRKERDHATAPPPPKRVSTAIEKPASLTA
QNEPPAVLRPTQATASSTESGLATISDSPLPTEPVPSTTAVPPAEPFGEVAQTTPKVIPLNSKGNVEASPKAQAPVTRVSPEVGTLDEPSGGTANVQ
DKSLSNVRQPTIRTSEVNTSIPTPPASSANSVQTEPPQSGTPTPDIPIETTERDMPESSPERSPEPPRHRYPSPENIVRLADETQTESSNMGRAGGM
GTENGSGSIILRPGEVTQASAIVPVGALNPDGTSGAVQAEEPPAVEGNTNKDTGKPKRKYTKRKKVQPPGDMEDARTTVGMQLNRPRRVTGKTKKGR
KGKDGTKSRKERATTPDGASDEEIDQSTLTMTDLCRDLRIGKKFSRHQEIKDRIFQNKERNMKNKMIMNNPEIDGMVGPAPSGAPMGEAAVEAPGSG
SGAGAGAAEAAAVSAPEKEPSPEISVEAGQGPQIRIVDGQIVLDESSLQIDRQARARAMAEVMEEVIEDDFTRVITSGTYMKREKSMLWDHAATIRF
YEGLAQFGTDFEMIAKLFPHRNRRQIKLKFNKEERAHPERVTRAMVGPKKKNIDLKNFERLADEKLVEVSVIEAEYDEYENEMLAKEKVELDAAAEI
TRQKKAAIQGTSAAARKLLATVSDDEDDPRAGSAKENRGKTQSEQPKRRPPKKTAKKNKHSHYAGGDVVTVLETISY

>RCO7_08068 | probable beta-glucosidase

MSRLSLPKDFHWGFATAAYQIEGAPEADGRGPSIWDKFCAIPGKIADGSSGDVACDSYNRTAEDISLLKETGAKAYRFSISWSRIIPLGGRNDPINP
AGIAFYKKFVDDLLAEGITPFVTLFHWDLPHALDERYGGLLNKEEFVADFANYARVLFEAIPKVQYWITFNEPWCSSILGYNTGFFAPGHTSDRTKS
AVGDSTTECWIVGHNFLIAHGAAVKIYREEFKPKNGGEIGITLNGDAVYPWDPTDPLDVEAAERKLEFSIAWFADPIYHGRYPASMIKQLGSRLPTF
TPEEIALVQGSNDFYGMNHYTANYIKHKTTAPEADDFLGNLETLFESKTGEIIGPETQSFWLRPNPQGYRNLLNWISKRYNYPKIYCTENGTSLKGE
NDLPIEQILDDEFRAEYFRGYIDALAKAVTLDGVNVRGYLAWSLMDNFEWAEGYETRFGVTYVDYEGGQKRHLKKSAKVIGPLFDALIEK

>RCO7_08069 | uncharacterized protein

MDHDHSLTGGCSCGRNRYIIRIPEHATEKPQVVFDSGHGHRRFQATPLSAWLRIPISWYESTTYAFMDDESHSSIRRTYTSPSEQSSKRHFCGFCGT
PLSFWSEEPPADAQYISLTLGSLAGKDLRDLEDLGVLPKEAVEDAVGERTMIGESAELVKADGAGEGLPWFENMLRGSRLGNVKTSWGERRSHNGRF
RVEWEIVEWSEERDGGDGSKSPAKRKLGEVNEVDMMEQ

>RCO7_08070 | uncharacterized protein

MSKPGADDDANAHKAIVVGIVDGSQQRIKDFKHMLTKFDNQLAGLGGEIAKEISVKEAALRDRNNLAQVNDDLYQQNGKDKAVDLGRFKSLMEDYAK
ILEDKRRIDFEIEELNILNKKKDETQRGDLKKLMDENNGNIQRLEDKVKILTAEIGHLKGVERMFILELGNITEKHRVVQQLTDEVGARKVEIEILQ
RSQVKAKEEIATLLQKDAAYLSRMEVLSDGNDLLEDANRKVTSEAARSDDLQRKVQNTLRDFLMDTEHLTFKDEANHKSMMALTISLKERIQALEDD
KAASDLVIQSLRYSQTTMIKENEVLKTQICLLNGEHLGSLADIQALQDSKPAAIEKNEAVKAGVSAPKSTHQASLSELLNLKGSQQAMVEDNRILEA
HILAQQHRPAMISHQTSHVESHDLNAEIQVLKDRIYELEDDRKLIEPLTKLGVSVRMAYLLYGRNQALLDNTVGEVAYRKNIIADAALFQAGFLSEE
GAGELFLECYGYPILMSLSYDEMPKYRMMLDLFTQFDNVKGCVAEFSQLTLSSEWAERKQVIVSLQAVWNEARASDSMQFEGCWNVDSKLKKLEDLN
QKLHVNLISLLNEDLRAMDEGLPEYGDSY

>RCO7_08071 | uncharacterized protein

MEAQDNPGGSMSKLSQGAKDMAGSTATEKKIEPDSMVSLQGQIRKLYHDLKTANNQLSLVRQQKTMANDELKVVDNKYEKKIKGLEKDVENLTKQAQ
KDSQLAKKVQGGDDEQGKQVTALITKNERYMKELDELQTEIRAIHCISKGIHPDKVDKQPEKYKEHPHKWYKESLEKWIADHAKLQGRYKALEKHVE
DRKKIDTMELNASITRYRVVALMRVLDAIFETAGADKLDPITCIARNQHLRDDVQGLRDCMVKVIDLVLMEASDRVAGGPTVEINSIFRDEMTRFPA
FDRCERLRQVLIPGFGAPAQQVSATTTPSSGAPIGETTKVNAKGIVVQPSDSQSNKMPISKKAKKAKKKTKSANAATVKPTASSSSSTPVANDATQG
SGPKKSLAKSINETNPPKLGPAKMNGSATKDVDATSKALQDENQALKTSKVTGKQPKITHVDASKILSQAQYPVTETSSEEHRLIPCYTEEDMRKIQ
DKVARLEARLLRKVDDNLMARIKISALQEKHCGDYPKPCTHITSTKINLQSNNCDRVDCERYRLYIREAREREEYMEKYIEVLSPMFLAGQAVRLQF
LEEARAALAGEKPDENIVREGLKAARAANGDLDNLLLTEARNADDHFTYQAFQDVYKAKSHEDWEALPELLQKTLNCQATIRFAKNLPAVDGMRLLL
NAHENLCDRLIKRFYKYVYGKTALYEANSNHWVLINQLEWLTDEILMFDGENSVKKYEEFMEKENKKPKVTVKRYPGAERTWRKRNLETESAAE

>RCO7_08072 | uncharacterized protein

MPPIDHDKVYETRRESLTKRADSLRVLLLQTAEGTSPEVFMRMRLHSQIHSEMVELHRQCYDLDRTDGERRWNVEHDEGMKRQHLDLTTKYEKELQA
RMQEIKQIRSTNEILKVDNQSASETAMESTTTVTWLKALNNALRKSLQKHKSEAQQHMEVVRIIALRCAQDSEESQSKETELIASKAELATLKLKLA
DMTVQKDQAELDTVSWGHDKNNQIKNLEQEVARLIDDRNNAKPLVAIGTAIRLRYMATVCKQAFGEGSAIKYTIRHGNTAAHSDNVEADYAVFEAYP
KFEERDERHFAHIYGTSPKRYNSYVAYKEKFKILKDQVLRIPKRSNNTNSMREAYSTLREIDTVIAKFQSSASHEDDCSCFDCGEHKYYNSALSSPV
SDSWSTQYRNSY

>RCO7_08073 | uncharacterized protein

MDACLQAVYQIPDSQGLLDPMPPIDHDKVYETRRESLTKRADSLRVLLLQTAEGTSPEVFMRMRLHSQIHSEMVELHRQCYDLDRTDGERRWNVEHD
EGMKRQHLDLTTKYEKELQARMQEIKQIRSTNEILKVDNQSASETAMESTTTVTWLKALNNALRKSLQKHKSEAQQHMEVVRIIALRCAQDSEESQS
KETELIASKAELATLKLKLADMTVQKDQAELDTVSWGHDKNNQIKNLEQEVARLIDDRNNAKPLVAIGTAIRLRYMATVCKQAFGEGSAIKYTIRHG
NTAAHSDNVEADYAVFEAYPKFEERDERHFAHIYGTSPKRYNSYVAYKEKFKILKDQVLRIPKRSNNTNSMREAYSTLREIDTVIAKFQVGKRRFEG
AARFCESVAELEKEAADIGDMQSERGKHSDHLSSASHEDDCSCFDCGEHKYYNSALSSPVSDSWSTQYRNSY

>RCO7_08074 | uncharacterized protein

MSGFSGESTKLSKAAGLPTQDSVYTCGLCLLSLDGARVRGLSTLIILRYLMANIHDGLPPHEKRKPYEVFDLIGGTSTGGQGRPSYFATL

>RCO7_08075 | related to DUF567 domain protein

MSRINLPPIQPALGVNPAYCVNKQTTLVMKEKVWSLSGDTFHIVDENNHEVVQCRGQTFSISDRKQFASSTGQPLFSLRTRLLRLHKSFYAEGANGQ
VLFEVKGKFSIGSSKMVATFANASTKQNIELLIKGDWFDRSASITMGNIVVAQISRSYFNMREIFGGQQTYYVTVAPGVDLALIAAICVCLDERENE
KK

>RCO7_08076 | uncharacterized protein

MSEIEETDLPVLKAEDAASGVNGEKSIRTEIPDSEADTEDAISPMKGPAGAIENRASDENMDVDEQDGEKKGLPASMASAGGMEDEALKNGNQEELE
DEKTGERQTPGLQPVTGDEISPHVEKDPANRSSNLSSNVDIDSMIIFPELTTSDLQPTHTQVLTQTQTQTQIQEEVIDSHFADALAVMSNVGNGTQD
IMSSIEAGIQGANNDMNSSGDIDSRQASQIANVADQKDDITTGDEVLDSTPGEGLSSDKIMDLNDVAAVSPDVALLVPESDEDEEIPDTGPPSKETK
DERISHSMIPTDSQSTPFAPNTGNENDTTAANTSSPAETKQVSKIQPQHETPNISFNIPPHSKTPESESPSKETTSLPLKSEATAPTPAKPKSEKFK
SPMAMKSFKASDVFQNKDVLMAELKAIKIASIQARNASLEEEIGKKKAKLEEVTRELKHPAAETVKLHIKLLHDYNDIRDVGQGLVGMIADNRGVRI
GELYEEFGVGLRD

>RCO7_08077 | probable TIF6 - translation initiation factor 6 (eIF6)

MAVRAQFENSNEVGVFSTLTNSYALVAVGASENFYSVFEAELQDVIPICHATIAGTRIIGRLTAGNRKGLLVPTSTTDQELQHLRNSLPDEVKIQRI
EERLSALGNVIVCNDHVALVHPDIERETEEIIADVLGVDVFRQTIADNVLVGSYMSLSNQGGIVHPKTSILDQDELSSLLQVPLVAGSVNRGSSVVG

AGMVVNDWLAVTGLDTTATELSVVESVFRLGEGQGPGNINTSLKDTMVESFY
>RCO7_08078 | uncharacterized protein
MPPPTRTGYDPVRDIYVTPYAQQRALPPPPPPQVPHATYNNGGGNLSELADAAYHYGGGSNTNDQHTQNMSPPGPPPQAYQPGNPLSAPPGHFQMQE
PLHQMNINMTTHMGPGMGVFGPQAMYQSHAHTSPYGPPPPPPQQQQQSPRSAGGPGSRRATRELRPAPPASRALQPQPPAPNQQQYRGYGSYQ
>RCO7_08079 | related to nucleotide excision repair protein RAD23
MKLTFKDLKQNKFVIEAEPSELISDVKEKISKEKGWEISQQKLIYSGKILQDANTVESYSIEEKGFIVCMVAKPKAAPAVATPSKAAAAPPATPAAP
IAASTPAPPQAPAQSSSTNSAIPATPSPAGSGAAPAAIPSTPSGAASGATSGISMGAERASQIAEMESMGFPRTEIDAAMRAAFYNSERAIEYLLNG
IPENIQQQQRAPAPAAAQGEAAPVAATVNQGGNSGGEEPVNLFEAAAQAGGRGGSAPAGGARSGGNMFGGGGAAAAAAEGGLGNLDFLRNNPQFQQL
RQVVQQQPQMLEPILQQVGAGNPQLAALIGQHPEQFLQLLSEDAGDDAPLPPGAQAISVTEEERAAIERLVTLTGASRDHVIQAYFACDKNEDFAAN
FLFDTPDDDMEG
>RCO7_08080 | uncharacterized protein
MGFTRALPLVLGVLAVSSEVAMLTFDIIFAIDLSRSSSPIRTTAVAIVASGLSTITTALLLFMLGRQVQDRKGAPIRDLGHRNKHDFLLAAFGGLFG
VLSAVASAILLGFLRCMDDLSKRTISSSTNTLVIAAFIIWAYSLVSEAIFIICMVITPRKEFQQRIQQYDPEAGPQNLPQMMESTRPRASSVQTSSV
HRKTPSIDSAPRSSGRSRAGSDTKSSFRSSFSHVVRPISSKTKLISQSHRSPYRAPSIDSNQRETIVSIEDGFDSWDTSAVDAHSREAVASASPTLP
RFLETIPASPTTSRSASPGYPLDLEPPKSRQRSRSYSPANSSRDLAKTVRNASPTESTNSEAHIHPLFRTDSPTPPPAATPGTMVTAAPGAGQVISD
RESIRSIHRMRSESLPSSPSPLVHSASLESIRLAIEKEEMERERWDKMGGERTLTPPIPDFVFRNSMQVHNSRRRPMGLGMVGEVRDE
>RCO7_08081 | uncharacterized protein
MSKMANSNQNTPQIAKFAPKPIKISTRPPQTPTEFHFFSKLPLEIRLRIYTLSLPGPRLIPLIYNAPITPSPLTPHHEHEKRYQPRYLSPYPPLSPS
RTPVKHSTITSPNLPPLSPLFHVNFEARAHMYTLYIACLPLSGLSASQAQKQILYNPAIDILFLPSRAGYNASFNNFTAIHTLTSPAALRGIRRLAV
SEAVFLEEEKSRWRRTQITLGTGADVDIESEKGDDVRGGRIDGVTGKNLGIFWDVVMRKFTCVEEVWILGGGMEGQGQIPGEDIERCGGSDVSGSLE
SFDNERAVRLLRKRRLSFQGKVERAVRTLEEESGWIAPRWRIVGCQDEEGKVLFSGGRGGPTSVKR
>RCO7_08082 | uncharacterized protein
MNAITQYIVNNSKLELSLIKITEATPDTFLMSIESRVTNTGATSSSISAMELDLVGPEGAFGRVNLPVIKTNSAGVDVNIASQTIKITDKTAFKAFV
TAVLRNEDLVLQLKNGKGTVKAMLGLSAKIDYNKDCALKGMNGPKTSILKTEVLGGQRYRSTMRVINPSPLELDLGTIKQEIRNLDGSVIAVQQGKM
YLLRGESEYVVEGMVVGKALGKDVKLVATGVEENNWHNETITAFDEPIVLTDELKTTQGLKLSDDRLIRNPPGAVAPYTPKSELEDSSLRFLIHHYV
TGFVDSTVTCPGIRREWYLLAFRDPAFFNAVFSWTISHAAYFQQIELLRNFHLLRGVAIQLVGKRIRNGAHDEGTINAVVVFAQQKTESPDRVIAAS
KRVLWPEPYVQHVDHENGSFVPSISNEELGDYLLFVTPAVCSPDTPLAVLANTQRWSSPTDPSYPRDAVRDAGKISTLSGIMIGHAFLASNVANTVV
GLRCREAKVEQEAQIGKANASAADQGECECGRGYLLDIELWMGESSKLTDPIHPRIYRQVCVSMKTTFAQLNNIINVVYLHADLGTRYMFLDPTWNR
YQNSNNTLVPEQTDRDLEEESQSFLHYHKEAIRTGRTKVCSEKCERSFDADEISKWINVSEKRTHFWYFGNEFPTKYRCYLITLVGRMGIGHPKPWL
VQGSGFYRIENDKGQCGNSIGGTKLWETPYNHFATLTFKELLARHDEKGSIFSNGTFLFVNKMLTKSLSDIWTAEE
>RCO7_08083 | probable aldo/keto reductase family proteins
MAAKLSVKDVLALPNSSVKIPRIGFGVYLSPNKTCINSCLTALKAGYRHIDSAQYYENEQDVGDAVRQSGIPRSEVFITTKIIAAAGSVDKTYEKLL
GSVEKIDGKNGYVDLFMIHTASGGSKNRKEMYLALEKLLESGKTKAIGVSNWGIGHIEELKSFAKVYPPHVLQIELHPFNQQREVVDFAHKNGIIVE
AYCPLVRNQKADDPTLTSIAKAHNKTTSHILIRYCLQKNWVPLPKSDTPSRIEENVNVYDFELSKEEMTKLDSLDQGSAGAIVQAVTNTL
>RCO7_08084 | related to inositol polyphosphate 5-phosphatase ocrl-1
MASSTPRTSVDKDHVVPELAPTTSSPHSLSKAVHARRAEYTRPQKIRIKIGTWNVAACPGTEKDLGGWFVDGKGIDKRLAGMKIADGISKDKSQIHV
ESVGAQEERWTKKDSSIPKDDEGTIVGGEEIGIFVLGLQEVVDLNSATQYIGRVYTDPEPTAKWRKAMMDGLPLGYVMMAEQQLSGLLLFIFASPTV
APTISSVSTVSVGTGVMGYLGNKGAVASRIVLGETTRMVFVNSHLASGADPAHMDRRCWDVTQILQRTRFDPISWSGVLDDKHESIGDEDFAFWFGD
LNFRLDGLPGDDIRRLLMLHTKGEYDIGQKSRNKIDLELGRDGPIIIKSVDSDSDSENEMIPKPSSTCSEDNSSSSALPDPDDFVQDPSQDPASLQA
TLDSLLPHDQLMQARKKRKAFHDGWREGPITFLPTYKYDVGSMGMFDSSEKRRAPSWCDRILYRTRRDKLEYDGKSQEEEIARLKDAEMKARGIDHA
ADDEDVLFDYNPDEDGGEEPTSNQYDEYDEGEENDSGAVITKEGYLDRIRQDVYTSHQRVLSSDHKPLDAVFTLEYDAVVPELKAKVQQEVARELDR
AENETRPGITVVVDHSADDAPQPDEDSAAAVEGVDFGEVAYEQRKIRNVTIANTSQVSATFSFVDRPGEPGEEDRIAPSWLSVSVEGSSADGDEAAM
KNQKKEVTLQPGDAVNATLELCIADITLVKTLNKGLQLDDVLVLRVTDGRDHFIPIRGTWLQSCFARSIDELIRVPEGGVRALRPPRKGGAPINRGQ
EVCWSAPRELFKLTEAIEILTDRAVADANMLDDAQPPADFPGWPFDAKSWTIKDTSVRQTRRSPVLNALDSDLNLIDSLPPEIPAIEKLEILSEILI
MFFNSLVDGIVPDTLWTQIDQELSTRKQATSIEATKSSVLDILSTSPNHNISFVFFTSMLCRVASELSPVPKHSWRDSLTGSARSSMDTVRRSLSWK
GKSPIAPPDPAVLRRRAVEKAYVDVFADVVFRGMGGTKEKERRREVLEAFLEGGRA
>RCO7_08085 | uncharacterized protein
MPPKTPRKSRRGNPQSSQAAPVQASDYDTEAVEVSNVPTRTPAEINFSVLSRYVPSLETIICYAPSAQLYTMQSTGSWEKESAVEGTLFVCQLTPSP
VTGGGRHCVVLLNRKGLENLIVESGEIQHVEIGADSFLMLGFKPRSQNNEEDMKVLGLFIQAESPPKEEICQIIKGHWEEAVRERSLAGGNDGITNL
GDGFIPSREEEGDQKVMGRRLSLSELFGKQ
>RCO7_08086 | uncharacterized protein
MNSIRGMFDSIKKPKKKRPSMIQTEATGNFRNLALDGTNERQLTDITPPLSGTRPPISRNWSRYEYAMPPTEPMAKRVAEHHRLVRKIIKFLIHPMI
QTALPPDAKIADLNCGAGSFFNELSGDMTKKNYEMVGFDTMPEIFPGTGARALYKLCPGNMRFIEQDILHQCPAAYRGYFDSVHTSFLGPVLVSDQW
NHAFDLMVDLAKPGGWIQAGTSKACHQEMAEGIAVLDAWWDNRISGGKRVGLIAKEHPDIAAKREELYNTAELNDVRQDIDKLAVQAWERLLMHLTL
VPDSGWDKQRVERVVMGMEAEVNHGVYITLDVQVVIARKKTVDEMEVDAQSRRAEAHRRKLEVTTADATLSSEEAHIQSLRDNTPVSPSTASGRSSV
GNFGYVH
>RCO7_08087 | uncharacterized protein
MRKVEPTYLGCNPRKPYASCYNNLSSLVPASKTAANPCPRFSASLLFFFSILILLPFTILFFLPTLIIPKLTLRIERTVAQERRSLRAGAGEHGTDL
AVAAGERDRILVLKDREDMAESFAVVIVVIIVVVVIATEEIGEPGCDGVEEGYCD
>RCO7_08088 | probable MFS allantoate transporter
MTQINKSEEKIPSETIVPSQSNADGALQMLEGGGLGPVDPAKSKRLLRKVDLYIMPLICAVYFLQYIDKISISYASVMGLRKDTYLTKDDFNWVASI
FFFGQLAFEFPTIRLIQLFPLAKYVSINVIIWGTVLACLAACKNFAGLMMCRALLGVAEAAIVPAWVVFTSQWYKKEDQAFRVGIWFSMCGFAQMFG
GFVAYGIATHVGEDPNALLKGWQVIFLFLGLLTVLVGVAFFFILPDSPLSAGFLSPEEKALHAEHLRANGQGIGSKIFKKEQFYEALTDPNTWLYAF
WVFAANIPNSIATSFGNILVTGMGYTATESLLLVTPLGAYEVVVLIGLTWLARRTDQRLWCCIVGHIPSIIGAILMATTEKAPALIGYYLSGGIPIG

WTTILGLTSTNIAGSTKKVTVACIGTIAYTIGNIISPHTFQVKDAPRYLPAKISIVIIYVLITIDLYVIRWLAVRENRKRDAAKAALGGSYVVEKNH
EFLDLTDRQNLEFRYSL
>RCO7_08089 | probable inosine-uridine preferring nucleoside hydrolase
MYLLATINVVLSLAGSALASPLHQKKTINAEKRYAIIDNDWLSAGFIPYLQALDAGIEILAITSSTANSWQKQCAYHALASLEIGNLSCIPVYEGAT
YPLINTYERFQAWEAIHGKLPWQGAFTPYNATAEAMGRDPTAGSDPNRIVKGAFPEGLPNITAVAGVSAAQIMIESVHKYPGQVSIYTAGALTSVAL
AVRTDEKFASLAKELVVMGGYVDVNMFQATGSVRQADINSDINLMFDPEASKIALTADFPNIVIAGNVANQVQSTQEFLDEIYEVKNPYTELVHKYY
GTKFPFWDETAMAILIDPSIATNTSTVYLDVDISYGSPSYGNIHLYSEYLKPPNVRNVTYVNHIDADKLKAMIKRSVQYPKSCATLS
>RCO7_08090 | uncharacterized protein
MEGTCLCGAITVRVNDSELFSRRRGHICRCENCKKTAGSSAATNLIIENEKIEIIGEENLKRYEDSNTLSGTPLGRYFCGTCGNPIKSVTPLYEGKT
VLKLGIFPKIPTPEWESFSGDRQTWEKALDGATQYKQKSFGEKTG
>RCO7_08091 | uncharacterized protein
MGKNKRLKQNGGQQPKKHKISKLTRPSGVSKAQAQKKNKDSLPTNASTDSKANTKPHFHTAPTIPFSPSENILLVGEGNLSFACSLITHHGCTNITA
TVLEPSLKELKEKHPHVEDNIQVIEDGGGSVRYGIDASKMKYWNAAGTRKGTGGGMDRIVFNFPHVGGKSKDVNRQVRYNQELLVSFFRQAFPSLSP
TRGSSIIVTLFEGEPYTLWNIRDLARHSGLEVAQSFKFQASAYPGYKHARTLGVVKSKGGKEGGGWKGEERSARSYVFVRKGEGEVAGPGKGKKYES
SDDEDENGMGGPGVESTDDIEGTEGEEEEENDEEAEDLQED
>RCO7_08092 | probable AOS1 - forms together with Uba2p a heterodimeric activating enzyme for
Smt3p
MNSAQQQANIEKLTAQPVFPAQDLSIHRDAPAPLAEKSQFPAPTGISADEIALYDRQIRLWGVQAQEKIRNAKVLLISMKALANEIAKNLVLAGIHS
LTIVDHEPVTANDLGSQFFISEPDVGTNRGEAAAPQIRKLNPRVKVIVDQTDIRMRGPDYFGAFDVVIATDLHPDSLNIINTATRINHKPFYAAGVV
DVQVKKESGKNVEMVTKRESYSTWFLASDAATLPAEFLKSKRRLKAVTPILSCLRALWEFVQFNDGRMPSTTEDLKMFTVLATQKHKALGLPDETLK
SDVLRKFLQNLGSEIAPVTAVLGGQLAQDVINVLGARQQPIQNMIIFDGDSMEAPSYALHPEGLLGEALLPLSVGAENGVMMDGILPIDGSFQPEII
QV
>RCO7_08093 | uncharacterized protein
MQSDNFDDPPASESYRETADRIVRGILNNTQSPDEISPSGELYRAIGRAHHIRGVERQANLQGNGQAMSSEQDSDRRRQMHRENNEPSPLFVLPPNP
PQAEPTPRHRGYPRQTARRGTGRTPRLVISDRHQERNQAQRESERETSAQREREVNASNGLADLQQAGRQLEQASSTLRALLDDPVPNISSPALTPH
THSAEAEQSRRAKRRKIDSDKLDSGFKGFRYGKYGQVEPGKLKMEIVSCDGGIFSEHGGNYAAENVLKNDSTVYCTKSNRCNLVLRHQGATVFNLKE
LIIKAPHSGYTAPVQEGMVFISMTSDDLLTRTAQYQIQYSPPRPRRSASQRANDLPPIMSVRHNEDGSMSTAQARARRLYNIGLEDEDCDYRTAQIP
SEFTENAPAFQVTTECSDSEGDEPPAHSSRHRTLQRVMSAIRFEDSDSSDDEGVDGEHPSGPWHEDYLLGIGRSPRLRQRETASNITLAEAAEASQV
ATQEAVRAVGGELMVPHARFFIERDKSKCTVRFDPPVSGRFILLKMWSPHHSSTGNIDIQSVVARGFAGPRFFPAVTLR
>RCO7_08094 | uncharacterized protein
MDLRKSLALPTLRPSQLIFCLTPFKLLLPRCFDKPVLVVDFNGERNRTNRKVMTTMGFQDVYIPEDFYEVYPEVAPAAFFNSKPWDPATRAREIRDC
RSNEGSKVEISAILVFGTGDSSLSPAEEFARSPNKLLTQILKSQSGDLREPARSNGDKSFPNDGYQQSHAPMIYYEISSNEYQRWRRQLQLDWKKET
GRDLLHQHEIGGKPASSMFTYAKKMLDKQQKILYGEYANSVEKIVMIGDTPSCDVTGTNWYKKRPGQGDAWKSALVEGGTWNKERDGVPKQLDAPNF
LAPGIEAAVRWGLETFGMGDPGTLEDITTGDGHNDEDTCNSEDVKGASLSFNGGDSKDDEVEEFDNQDSDYEKYEDWDVSKHNESNEYCCYTQYVYE
T
>RCO7_08095 | uncharacterized protein
MHCFHKLSRKSSDDSLKNMDQSEIPMTATERLIKRSLSCTLDLTFPRRKSNQIPNTTPAFVFDIDGVLFDKRRRLPGASRSLKYLQEKKIPFVFLTN
RWIETDVEGAALMQDYFGTSGISPMQYISAQSPFANLVPRFGKQLVLIVGSCAIRAKFLADFYGFENCITPDEIYAANPSRYAGFVAPDRKAERARR
IMIKAILVFDQPRKPHHDKMLIADLLLSVNGLVGSSSPKNGKRRYPNKGYQQDEQPEIWYTLAMPFVRTMSEHWQKLTGMKIENTVILGKPSYENFS
IAETQLLDTHRQLHGEDASTIDTIWMIGDDIDTDILGAKHQNINSMLCTWKSVLVTTGVYKNGMLNGRPMLYWPSFFSTGVWEAVQLALRQGYNHKW
WQQAGGDWEEISGTSQNM
>RCO7_08096 | related to actin-like protein
MVGKKSGKALLREEGLERTDNNMRQSTWPEIAMINQKNYYTEYMKRDDQVLPFRLQQEANRDKMIRNAKDKDRALARTGNTDVPIPTNADGDQDEDE
DAAGDGADFSKIIVIHPGSQNLRIGLASDALPKSIPMNIACKWKECESQEYEARPKRQKLDGTPEQLFGEEFSKRIGKMAAALKIDMRANKFKVLPN
SKELVINFNRRAVPEKIPEHNDPIRIEWTEIPKDDTSKASYYTGMEALRIPDDSEPPYKMFWPIQQGWFHEDDYMTKEHLFDDFEAILETAMRKELG
LIHSLEWEQMSCVVVIPDLYDKRYVEQLLEMCLKGFEFKQVAFVQESLAGTYGAGYTSACIVDVGAQKTSICCVEDGMCVEDSRINLKQGGSDVTDT
FIKMMLHDHFPYADINLKRRYDFLLAEELKINYCTLNYSEIAGRTHDFHLRIPNKPTHKYQFKTYDEVIMAPMGFWDPSLFDNSHKLAGRRKFIDRS
YNAYDVEIPDDPPSAAQLAILTSIKPSIATTANGFSMNAQSELATPSKEKPNPFLSRMDTETNGNSRITSAAGSPAPEAANTPVPSGPFVFGANGTN
GESPGPNGIANQFGNQFTNGSHNSGTPIPPAGMFVDQYARTQKDLAIERDSILPIAPLDQAIITSITHAARGDEKKLRDFFGGIMVIGGGSKTPGFG
PFLEEKLKARRPDIADKLLVGAAPRDMDGQVVVWKGASVFARMTSHESWMGQVEYERLGSRALHHKVLWNY
>RCO7_08097 | uncharacterized protein
MMPRTIEEGFADQALLTYARYCEAVEKSQRWKDIENLIDFSVCLNLSTEGLQGNFGYSTYIPYSTVPVKSRGFSHLENTLEKIVSEPYNTKLAERDD
SSYYFSYIDSQKETLSEEVFIVVVWRFLPIGGNTYC
>RCO7_08098 | uncharacterized protein
MSALSGSDRQTHAETAWYWLGRSLAVAFAEWLDAQVSISRASG
>RCO7_08099 | related to multidrug resistance protein
MAGDQEKTEAESRRTSSRGDSTDEHESMTKREIERQPTQIPSPSSDPALAKYDSSVVRIKAKDEDLYAHLPAAEAEILKRQINVPPVKAGWRTLYRY
STKNDIMIIIVSSICSIASGAALPLMTVVFGNLAGQFNGYFAGTTSRADFNATIAHNILYLVYIGIAEFITVYISTVGFIYTGEHISGKIRSHYLEA
CMRQNIGFFDKLGSGEITTRITADTNLVQDGISEKVALTLNALATFVTAFVIGFIKSWKLTLILSSTVVAIVFSMGCGSSFIVKYSKQSLASYAEGG
TIAEEVISSIRNATAFGTQDKLARQYDVHLANAEKYGFKVKYALAVMVGGMFLVIYLNYGLSFWQGSRFLVSGEINLAAILTILMSIMIGAFAIGNV
APNAQAFTTAISAAAKIFSTIDRVSPLDPTSGTGKILAHVDGTIELRNIKHIYPSRPEVTVMNDVSLLIPAGKKTALVGASGSGKSTIVGLVERFYD
PVGGHVYLDGHDVSTLNLRWLRQQISLVSQEPTLFGTTIFKNIAHGLIGTKYEHENEERRTKLIYEAAKMANAHDFIVALPEGYETNVGERGFLLSG
GQKQRIAIARAMVSDPKILLLDEATSALDTKSEGVVQAALEVAAAGRTTITIAHRLSTIKDADNIVVMTEGRIVEQGSHDDLLLKQGAYYNLVEAQK
IAATQEMSPEQQATLDARDDALVRQITNKSLGYEEDPDDKNIANKLFRTATEKSQSSMALQGHLAAGEQRDSLWTLMKLIASFNRNEIGLMFLGLFF

SIICGGGNPVQAVFFAKEILSLSIPLEDPRTGATIPGARQKLRHDVNFWSVMYIMLAIVQFIAFCGQGIAFAYCSERLIHRVRDRAFRTILRQDIAF
FDKEENTAGALTSFLSTQTTHVAGLSGVTLGTLLSVITTLVAAISLSTAIGWKLALVCTATIPILLGCGFFRFYMLAQFQRRAKKAYETSASFACEA
TSAIRTVASLTREKDVLKIYVDSIEAQSKKSLNSVLKSSLLYAASQSLMFACVGLGFWYGGQRIADREYDLFQFFVCFSAIIFGAQSAGTIFSFAPD
MGKAKHAAQELKILFDRKPAIDSWSEDGARLESVEGNVEFRDVHFRYPTRPEQPVLRGLNLTVAPGQYIALVGASGCGKSTTIQLLERFYDPLVGGI
YVDGKEISSLNINDYRSYIALVSQEPTLYQGTIRENVLLGADRQDVPDSAIEFACREANIYDFIMSLPDGFSTVVGSKGSMLSGGQKQRVAIARALL
RDPKILLLDEATSALDSESEHVVQAALDKAAKGRTTIAVAHRLSTIQKADIIYVFDQGAIVESGTHNELMVKGGKYSELVNLQGLGKTH

>RCO7_08100 | uncharacterized protein
MNEKTVTPSQSNAMLWKSKTYSDLVIECGGYPFQAHRGIVFTQSGLLERRYEDLLPGSLQAIEVASEEGFMEKDFMEQALTYMYTGDYDDSTQADDA
MVSDTEHSPREFGGDTMDPPTMTVHKALIFNTGMYLAAHRLQIMSLKNAACKKIENYFIHTELDQDWELFADSVELLYTNMPIFTRRATKQLRDILV
SKAVEEHSAFVISDSFTRVTILCPEFVATFTKKLSNALGRDESFEAERDDALQELVEAQAELKIARKNLVQEKAAQKRLPASDEDYKADAS

>RCO7_08101 | uncharacterized protein
MTPLYIVSVLLAAVASATQVVKIRQTSPDTHALKSLEITNVDLQVSNGAINGVTFQATLPGTGGTFRCATSDDTDPEGFAPSKMYRCAKGSPLTFTW
DDQNGNNLHVWLTSEDKSYSGSIAINPSSAEDKVMALNEILESPATTPNVEH

>RCO7_08102 | uncharacterized protein
MKLTSVLCLAFATVIPVQAFKVWASFTDELIDVGDLDIFWSVWNRMYDVSDLHGGLSDVSRGALNGNCNHASQKPQITARVILDGQWGSVGGLNGWR
MRDALISSMWRTIQVAGEQHAYPVYNHCTGFTWQEGVPLHKWAACGPVAHVKCLENGGCPYGLECQGFKWGHKLPSIVRINVYNHQGALRPDAYQVR
ISSSSNTNGGGGCGKAGAISEVLASFVPGIGTYFEKGIKILCRQGGLP

>RCO7_08103 | related to protein disulfide-isomerase precursor
MFASVFTSGLLMSIAGAAITSIAKPSYEDFVSNGESSLVLFTADGCAACDTTVKELEQTQLDLGVIIGEVNCAEEPDICDENRIFTVPTLMLSVGDG
TMVKYRDRLSSLSITPFMKRQSGQAVTEVAGLEGEDFQNPTSITVVALLEADDAVSRATFDTVATKLRAHYAFMVCTDRSTANLEGVNLPSIIVYKP
FDERKVIHADIFSPKAIEDFLRKVTTPLIQEMDPEVYDSLIEVGKPVAFIFTNSLDDKYNLAEQLYPLANQTKDDLTFLSVNVNDYPKIGQSLGLGD
KITRGFAIEDVRTTRAYPLLVDTLSLDAMKAFVQQFLSNSLSPVIKSDPVLKLSSQSSSLATLVGSNFEDYVMDRSKDILVEFCVPWYDYCSDLQKV
MDSLGQKYAQFNLSNKVALATIDVSTNDVPVRITGYPTLILFRAGDNKAVHFDGTFFELLSEEQLASFISANSMNEVVIPLGEPEQSSILDDSPVGK
DEL

>RCO7_08104 | uncharacterized protein
MNHLIHTRIGFESFAKQCLNLSVPQYLSNACMEEGFNRIIGIDLVSNKSATCRYIIRVPRFEAAQLDRDLAPLQLLQHRSNLRIPEVVAYDVTVYNV
LESPYMIQKRISGIPLFPAYPDMPHGTKCAIAKEFGKVFSELHSIKSVVSGRLTLSTVNESLMIQPFNSEDSDTAVPYEAGDAAQPILATLCVWELG
DRE

>RCO7_08105 | uncharacterized protein
MAGIPVYTSSPMKASKPSATTPQTDAPGSQGEHIAPNAAPTTATASATSSYMPAQPTSVTFPAPTTAAQQRYAPLQPTATTKIDSQPPAPQPGAVPT
PSSRSAVPPPPKAGESYQPHQTAAPVQSYPPQMSYPPAATYGSIPPSSTTSTTNAPSILFPVALPTAESAPRSSLEHPPGYHQNVYASELTSDQRRA
QETEQANNSSVLGLSNQDKGSTGGFDSEGVWDTAKKWAQTAGEKISVAEAEVWKKINNE

>RCO7_08106 | uncharacterized protein
MESSQAHFRQQLQTPSFQFNPNNKFRRDDPPRSFPTATMNTNEMAMKSEAVGLGMWSSPTPQHVTRPRPATIHETGFSYCVPEEYNSLPAWDSSTMP
MQPLNHGLPQTYTVHQDFYPPVPNSENGWHTKPCDDGLDLHGFDTDMGMGQAYTSDESAPILDLRYPGPGMDSDRLSLEQSYTSRRMSGSSFTMSTT
GALSEMPSYEDFSTTLSEAPSFSSEYPPPSNRNSLMSSTQLSPVASPRMTPQNRSELVRTQSRGRASPSPRPSMRSAPYTMDSTRNKRWSTGSYAPL
PNRRPSPFVYHQGHEVFTPHPPRMSSRHSSPTVSNTQLPLNLSNLQQTQQQHPFMMANNNGFHRNNMLLPSHNYHEPQQFETPPPLLSHGLFRMLQS
NADPHSLHSHYTDLSDPPDLYASLHEEQVPPPPEDMNPSDPDLTPHEQELRFDGDLYTPRWVRGHGNKREGWCGICKPGRWLVLKNSAFWYDKSFTH
GISAATGSPFQEPQETRRMDGNPDVWEGLCGSCNEWVALVSSKKKGTTWFRHAYKCHTHPKIKDAPKRRRESSHTRALGASTMAKPKIETPMTPQMT
PRNDSSVNNTPATGMLPQNQRKTISPLEGMSTMI

>RCO7_08107 | related to Trimethyllysine dioxygenase
MNRETRRLIQTESTKPSTKNIPTTTTPIVLAQALAAKPKETSYSYEPRKTKSDIHSALNERYEVGGILRQGKDTLDRLDEKGLPTWGKWGIPLKLEA
WTGSSISALPHFWLRDNCRCEKCVNQDTMQRAFDTFSIPQNIQPKEVRILKEGLQITWANDGHVSTYEWDWLVKHRKNTNIPMTAQEKKKAEEQHIY
WDSSIASMPPSVHYDEIMADNTGVGKWTEQIRRFGFCYVEGCPVSPEKTQELLERISFIRVTHYGKLAHISSTTSLTQQGGFYDFTADLTMKDTAYT
NLALPAHTDTTYFTDPAGLQMFHLLSHTSGSGGSSLLVDGFHAARTLLRESYSAYEILSKTPISWHASGNEGITITPAKKMPVLTFGDLREGEAPRL
LQVRWNNDDRGVVALTEDGGMGAEKWYAAAAKWDEILKRKDMEYWAQLKPGRPLIFDNWRVLHGRSAFTGKRRICGGYINHDDYISRWRNTNYSRKE
ALAQIL

>RCO7_08108 | uncharacterized protein
MAIQQRSSGVFSRMQSLVDNYIVTPSAREQYYKNTSTFAHDQPLLFTFLFTQLLLSSTPIALFLTFSLGLLLLSLVSALLFSLFWIGVALLVLVPTV
FITVSLAIAVWVWALSSFLIARWVYNVVPVSVSGRTEVALPNGKTAVVEKTGEGFGDFKGEVKD

>RCO7_08109 | related to oxidoreductase
MATKKYNVGVIGYGMSAKVFHIPLILTTPSFTLSAIVQRTPTLSNTAITDHPNTKIYHSTAELFADSSVDIIIITTTPETHFEFASSALKSGKHVLV
EKPFVPTSSQAQTLIDLSLSTGKLICVYQNRRWDSDFLTIRKLIEDDTIGRIVEFNTHFDRYKPVKPDTWKGTLGMDNAGGVLYDLGTHLIDQVYIL
FGLPESVTAMFENQRGDGASEPDSITVLLKYGSKGPLVTVKAGVMCVETEQLRYWVRGTEGSYKKFHLDVQEDQLKAGKKPGDPGFGVESEERAGTL
VVLEEGKPVGRVCRNIEPESYAKLYEGFAKAVEGGGELEIPVKACEARDVLRIIEAARESAKSGRSVSL

>RCO7_08110 | related to fatty acid elongation protein
MASSMVHFTTPSSDLFQFPPSNDPRTLPSPPAGSTLFAPPFSIPSSVYNAVLDVRVPITIASVYAVSVFTLNQYNRSRGNKPWAISKTKAFFWFVVA
HNIFLAIYSAWTFVGMFGALQRSLPRWTGIATIRPLVDSLCKVHGARGLGNAVAYNGTISEWVSTSSNVLLTEVGTPDPTDVGRLWNEGLAFYGWFF
YLSKFYEVLDTVIIIAKGKRSSTLQTYHHAGAMMCMWSGIRFMSPPIWMFVFVNSAIHALMYTYYTLTAFSVPIPRGLKQSLTTMQIMQFLVGTAYA
SLHSFLSYDIPVQVAGVEETIKDAAAAVSSSMAAAATFAGLGKTIMKYLYRAAGEEGLAENVNGQQQVPAYKSASSSGGGKGSSNGIQYHNEYQTVP
CIDTSGQTFAIWLNVFYLTPLTFLFVRFFVKSYLRRSSQKSGKPSKHIMAEGAGKDALKGVGRELNAGHTHAAPNGTPNGTPNGKTNGKANGNGKTN
GTPNGTPNGKTNGRKH

>RCO7_08111 | related to carboxypeptidase
MFVSIVPVLLSVASIAFSQFVPAPTDLINTTGYLDLPVRYKEVPAGICELDPNVKSYSGYVDVAENEHIFFWFFEARNIDPSEAPLTVWINGGPGGS

SMIGLFQENGPCRVDIDWNVDSNPYSWSNVSNMIYIDQPTQVGFSYSIPINGYFDSDFQFVALPNATCPDYAVDSETCGTYSSPIQTLTANSTRNAA
PNFWKTLQGFMGAFPQYSRNGFHFSSESYGGHYGPIFNEYIEEQNAKNIPGAHKISLETVLIGNGWYDPLIMFQSHYNYTVSPGNTYDYSPFNASVK
SELYDNLYGSGNCTDQIKNCAATGLNDICRAANAFCASYVENLYDKYLGRDKHDIRFLSPDPFPSKFFIDYLNAPEVQAAIGAYQNFSESSLTVYDA
FVTTGDESRESGTVEALNKLVSQNVTVMLYAGDADYDCNWLANEVTAGEVKAPGFDCAGYVNITTSDTVVHGQVKQAGKFSFVRVYDCAHEVPFYQP
LAALEIFDRAINGKDIATGVHSPADGYLTVGTKKSTYREGNSTIQYEIVPWDATYNTTTGLPNPPGGLKRRGLGLLSKEGNLRLRF

>RCO7_08112 | related to cyclin mcs2

MSEDERYRTSTQYRLWSYTPQSLFALRSSTNQIAADRVREAVRRAREARSNASSADASDFESVPVSVGEVDCLTVEEELKLVAFYCRQTIQLGDHLK
VPTDVKATAVQYMKRFYITNSLMTYHPTDILKTALFFATKTENHYFRLTKFADAIGGTKAEDVLASEFLLTQGLRFTFDVRHPFRALEGAVMELQAL
SHGIIPVLPSANAASGDRPASMERRVRDAHGKAREYLKTSALLTDAYFHYTPSQIMMASLMIADSRLVEWYIKSKMTTSAGEMQSKVLSTIKSCAEM
LRTVEPNSEPSPTERKELKGLAKKLTKCRNPEKMDLVALQRAKREGDEADEDKIIKKRKLEKEKSSADDLFGPEIKRP

>RCO7_08113 | uncharacterized protein

MAPPKKVKATPAKRSRPNGTSEETEAPPAKKISFVKNKFSQSNKADLAPSLTTDQHRRTQYCDLEDEDSIRKYTEPEKQKRFKPMVMPVGDFPRFKD
GDTIIELVFMSSKYTYQLHSSVLQRASPWFDQLLRMDMTKAGPNPPMVIDNSCVGVLWARFELQYCPRLETHVLERTTFTLVQTTGGLPVPEKPAPR
IQVGNKVIAGYLSSTFLSQVSNLDDGIVMVQGTNVAVRRAPELAENCQDRSVNSSPSKQRLSSSISCGISENRTAGKQDYSNDDVDMIDLSIDDSEV
AGGTTKAKPILILEIPAAIPAEEDQPHIKDKNLENVPEMHQIADATIHLSEGGVVENLVNLPTNLQDLSTLSSIQNKAKPILEAGTSKVFHAFQDNR
GGATYEHLDRTSLSLDTAVQDKNVIKKEDSDDEVLFQHETLPSSAAPNEKFPEVSHGEIDGNQVLPHEETFTGVLSTPETHDLAVKIEPFSDILLEV
QRSNQVKPAASALSEIDIDRSDVKSVRPNAFDSALDLYTEPFVKDEEQFSLAPESSPAKEFHNSINLLVSAASPGMVDTPEVKLEHDISLACTPGTK
SEDLDFDSAEYEKSQVKGCPTKFLERCTKKPASKNDDFINSTFADIPQQDGPSEQKTVRDEMFPKNLPAAVRQQSSIKGNHFSSAGFAVSKRPSENH
AQTPDTYKKQSMVNRVVSGPKIRIGESQGIDGSVLNDGHSMHAEKGQAISVAPTNSYKVKSVISADKPSDKLLCAYNNLFLMCYSRPPIIDTQEVEI
AYEQSHLLITVATLYGCVPLVRPYINSALLRFGRQLYMAIMADPPRWIQLSIYLESELIFHESMIHIVGNLPYWPWPSLQFEELFTSISMLIEQKMN
ALRTLKASVNKSLFSNTVSEVEVFSRPMGEDSFDPWFVGQYWKDWFAKSLAQANKASDDGQKCVRGKVYRDLYRSGETYLPTILVLDAVEACLKKDL
STRSNRQGVEHDLKTLKEIAQKEVRKLCANYSMLSVDDAGINHLTCIKVEEHEFPWAKVETR

>RCO7_08114 | uncharacterized protein

MLCIFLLSSWLVTVSGGSLHARAEIPSPAPASALLPAPVYSGKQLPIVALGPPGGLNESIIPSEIPDAKRISVSQNFRIQAAVCNPVISTPSDYWMN
RMDHTGNPRGYAPFLNNFYTYPVWRNVLDYGAKNDGSSDATPGIQAALNYYNGQTTRWQVGSKMAIPAHVFLPGGTYLLKSKLDLRVGTIIMGDPQN
PPIFKADAGFSGETLVQGYDGTVNNGPPETSFLTAFRNIVIDTTAVNKDKALVALQWGVAQGCALGNVKIIMPNDSNGHIGIFLQAGSTIAVTDTSI
QGGVIGIQNTNQQVNFKNIQFKYCRTAYASNGGFTALLQKVTFDTCGLGIDISGGGAGNIVLLDSTSTNSGPTVKFRESSTSGPRNNQVVINNLKHD
TTNAIAVNQDNVVKLAAASTVDTWVWGNAVPGQFQSGVSYVTPRPAALLAADGTFFTKDAPTYAGYALDQFLNVKSVSGFPVNGDGSTDDSASLNAI
LQQAAQNCKIAYFPYGVYVVKSTLLIPSGSRIVGEAWAVISGAGSTFKDANNPQPIIKVGNVGDIGLAQISDMRFTAAEVLPGAIILQVNIAGTSPG
DVGIWNTQVNIGGGADSTIRTQCTNQDPSSCKAVFLAVHLTASSSAYLQNIWVWTADHFVDGQASPQIISTGRGILVESTKATWLVGTGSEHHWLYN
YNFNRAQNVFAGLLQTETPYMQGAGAYQLAPAPWVADSRYGDPDFSWCGGGDGPCRSSLGQNVNGGSNLFLYNTASWSFFDGFWNGQYNEPCGNDNT
CQTNMLRVSGNPSKLFWYGIATKSASTVILDGVSNPKKVNNPGGWGANIAAYRQHPKGYGNLPSQILGQSFIRRASGLIGQGVMAPPKKVKATPAKR
SRPNGTSEETEAPPAKKISFVKNKFSQSNKADLAPSLTTDQHRRTQYCDLEDEDSIRKYTEPEKQKRFKPMVMPVGDFPRFKDGDTIIELVFMSSKY
TYQLHSSVLQRASPWFDQLLRMDMTKAGPNPPMVIDNSCVGVLWARFELQYCPRLETHVLERTTFTLVQTTGGLPVPEKPAPRIQVGNKVIAGYLSS
TFLSQVSNLDDGIVMVQGTNVAVRRAPELAENCQDRSVNSSPSKQRLSSSISCGISENRTAGKQDYSNDDVDMIDLSIDDSEVAGGTTKAKPILILE
IPAAIPAEEDQPHIKDKNLENVPEMHQIADATIHLSEGGVVENLVNLPTNLQDLSTLSSIQNKAKPILEAGTSKVFHAFQDNRGGATYEHLDRTSLS
LDTAVQDKNVIKKEDSDDEVLFQHETLPSSAAPNEKFPEVSHGEIDGNQVLPHEETFTGVLSTPETHDLAVKIEPFSDILLEVQRSNQVKPAASALS
EIDIDRSDVKSVRPNAFDSALDLYTEPFVKDEEQFSLAPESSPAKEFHNSINLLVSAASPGMVDTPEVKLEHDISLACTPGTKSEDLDFDSAEYEKS
QVKGCPTKFLERCTKKPASKNDDFINSTFADIPQQDGPSEQKTVRDEMFPKNLPAAVRQQSSIKGNHFSSAGFAVSKRPSENHAQTPDTYKKQSMVN
RVVSGPKIRIGESQGIDGSVLNDGHSMHAEKGQAISVAPTNSYKVKSVISADKPSDKLLCAYNNLFLMCYSRPPIIDTQEVEIAYEQSHLLITVATL
YGCVPLVRPYINSALLRFGRQLYMAIMADPPRWIQLSIYLESELIFHESMIHIVGNLPYWPWPSLQFEELFTSISMLIEQKMNALRTLKASVNKSLF
SNTVSEVEVFSRPMGEDSFDPWFVGQYWKDWFAKSLAQANKASDDGQKCVRGKVYRDLYRSGETYLPTILVLDAVEACLKKDLSTRSNRQGVEHDLK
TLKEIAQKEVRKLCANYSMLSVDDAGINHLTCIKVEEHEFPWAKVETR

>RCO7_08115 | related to exo-beta-1,3-glucanase

MLCIFLLSSWLVTVSGGSLHARAEIPSPAPASALLPAPVYSGKQLPIVALGPPGGLNESIIPSEIPDAKRISVSQNFRIQAAVCNPVISTPSDYWMN
RMDHTGNPRGYAPFLNNFYTYPVWRNVLDYGAKNDGSSDATPGIQAALNYYNGQTTRWQVGSKMAIPAHVFLPGGTYLLKSKLDLRVGTIIMGDPQN
PPIFKADAGFSGETLVQGYDGLCTMPTAPNFGKRTVNNGPPETSFLTAFRNIVIDTTAVNKDKALVALQWGVAQGCALGNVKIIMPNDSNGHIGIFL
QAGSTIAVTDTSIQGGVIGIQNTNQQVNFKNIQFKYCRTAYASNGGFTALLQKVTFDTCGLGIDISGGGAGNIVLLDSTSTNSGPTVKFRESSTSGP
RNNQVVINNLKHDTTNAIAVNQDNVVKLAAASTVDTWVWGNAVPGQFQSGVSYVTPRPAALLAADGTFFTKDAPTYAGYALDQFLNVKSVSGFPVNG
DGSTDDSASLNAILQQAAQNCKIAYFPYGVYVVKSTLLIPSGSRIVGEAWAVISGAGSTFKDANNPQPIIKVGNVGDIGLAQISDMRFTAAEVLPGA
IILQVNIAGTSPGDVGIWNTQVNIGGGADSTIRTQCTNQDPSSCKAVFLAVHLTASSSAYLQNIWVWTADHFVDGQASPQIISTGRGILVESTKATW
LVGTGSEHHWLYNYNFNRAQNVFAGLLQTETPYMQGAGAYQLAPAPWVADSRYGDPDFSWCGGGDGPCRSSLGQNVNGGSNLFLYNTASWSFFDGFW
NGQYNEPCGNDNTCQTNMLRVSGNPSKLFWYGIATKSASTVILDGVSNPKKVNNPGGWGANIAAYRQHVGKMRGNIMRRSRYDISFANQYYTNH

>RCO7_08116 | uncharacterized protein

MSLSTFLSAILLAGSVAAMPLEAVPATPSKFASLNGTAKIPYFGHVSGNLQLPKGNSFAASAAGTTVNGVEAVWNINNEDGIGEGSDTYRQYWGDGG
PEAGWPAKSQWVSFRAMFDNNKQIMFGSCGWNGWGTDNSGEEVGQIYNAIQKLARETGVDHRFILATIIQESGGCTRVPTTDNGVVNPGLMQCHNGA
GSCNRNGWVQNPCPANIIELMVRDGTAGTVFGDGLAGCINEATSTSGWGSRAIYMAARLYNSGIVDQGNMNNPFTATPCYAMDMANRLTGWVMSEHN
CPL

>RCO7_08117 | probable chaperonin

MATSNMNFTDRASKALSDAMAIAESYAHPQLLPLHLASSLLDPPIDESKDQQATVNASHGSASQSLFRQVVERAHGDPQAFQRALNRALVRLPSQNP
PPDQISMAPSFTKVLRQANELQKTQKDSFIAVDHLIIALSEDTACQAALKEGNIPNVKVLQEAVQNIRGTRRVDSKTADTEEEFENLKKFTIDMTAM
AREGKIDPVIGREEEIRRVVRILSRRTKNNPVLIGEPGVGKTTVVEGLAQRIVNNDVPDNLAACKLLSLDVGSLVAGSKYRGEFEERMKGLLNEIEQ
SKEFIVLFVDEMHLLMGAGSSGEGGMDAANLLKPMLARGQLHCIGATTLAEYRKYIEKDAAFERRFQQVLVKEPSIPETISILRGLKEKYEVYHGIT
ISDGAIVAAATLAARYLTQRRLPDSAVDLIDEAAAAVKTERESLPEALDNLNRRLQQLKIEIHALSREKDEASKARLAQAKQDASNCEEELRPLREK

YESEKNRSKSIQEAKVKLDQLRVKKDEAIRSGNDQKAADLQYYAIPEQEVFIKQLEKEKLQADQALSSNNPDSGGSLITDVVGPDQINEIVARATGI
PVTRLKTTEKDKLLHMEKVLSKIVVGQREAVTAVSDKIRLQRSGLANPNQPPSFLFCGPSGTGKTLLTKALAEFLFDDPKAMIRLDMSEYQERHTVS
RMIGAPPGYVGHDAGGQLTEALRRKPFSILLFDEVEKAAKEVLTILLQLMDDGRITDGQGRIIDARNCIVVMTSNIGAEYLQRATTADGKIDATTKA
MVTKALEDYFLPEFLNRISETIIFNRLSKNEIRKIVDVRLHEIQKRLASNGRNVAIDCSPAVRDWLGSAGYHPSYGARPLARLIETEVLNRLAVLIL
RGSIKDGETARVVMDNNRIRVLSNHDDSESSSDDDMEVDDDDVAEALGGEDNVMELYD

>RCO7_08118 | uncharacterized protein

MKIPILPPGEIARRAVQAKESIKVSKQTRNVAKATDRTIKKAFGIEEQKKSKPEHGQQIFVFNHLQKNHVVYSLTRSMNNNAALAQLPFNGKKSVPA
ALRKDLWHPFAQIRFPPGAGTIGLSAFQKLREYRKRHELEWGTEITLGEDGKHKSLKERGKALCDQRANSVADMALVLSRLAPAPLEDGVETREERE
KNIGLIGEGSGTQVEILWNNMYDAESAEKWADNVVHAPMPAPTPSGGKRLLKKREIAALIRGEIAAKKELYEALDEKRIELERDRQESGIEVSAEQL
EQEEAERRAEMAERLKEIKLEFRVDERNAFLEAEKKAEAAAKYARQVALEQRRVGADTFQGTPEEVEAAARAAAVAAGIVSQSPPSFGTSYTIPSTK
TKSPASKVANESLQQAVLDPVARQAKKQAARDLYFKRQAEQAERKANDPEWYEMVKAEGMKRKAEKGLLAA

>RCO7_08119 | uncharacterized protein

MSTKPIFVATHPRACSTAFERVFMTRQDTLACVHEPFGDAFYFGPERLSPRYEEDEKAREESGFAKSTYKTIFERIEREGKEGKRLFIKDITHYLVP
PEGKPATIAPSLGGKTIKKGVGTNGETNGAANGTKGTNGTNGHRANGHSKAPYPYDTAAEPGNPTVVPAEILKQFHFTFLIRHPRHSIPSYFRCTIP
PLDAITGFHNFMPAEAGYDELRRVFDFLIKDGQVGPAVAGKHADLKDGEVSITVIDADDLLDNPEGIISAYCKEVGIDYTPNMLTWDTDDDHKRAKD
AFEKWKGFHEDAINSTSLKPRDAAHKKKSKTVEAEDKEWREKYGVEGAKVIRDCVEANTPDYEYLKSFAIKV

>RCO7_08120 | uncharacterized protein

MKSTILSALLISSALSAAINDAAVNDAGLEARDPDYASCHCIGYMHNGNSVSAVVPNGLGNVRSGNAQVFNRDGDEIVGNTCAVSWTRTKYCSGWST
GLTGPTGRNCDGKPFAHVDSRVVETRLGRA

>RCO7_08121 | related to transcriptional activator Mut3p

MAGDIFGQDTLARAAPEHTSGASSPDQFDGDEDGGSSAAQWQSQSQDQSQPTRNTAPLQKRRRVTRACDECRRKKIKCDGKQPCTHCTVYSYDCTYD
QPSNRRRNPAPQYIEALETRLHRAETLLRSVLPNVDLNDPNIDALIQQRTQSAKGSQVLGITENVSDESEHESQLRSMIESTGQLELDESGNWDFHG
GSSGTVFVRRMREQFGGLLGNNQGPLFPKLARPSGIPTFDSPRSMTESPITEGGLANTIDLPSRETAKALCDDALNCACSLLRFVHQPSFYEMFNRM
YDVSPETFDDAENRFLPLLYTVLALGSMFHAEPGKDPNAADQKSTYMSGIDEGLKYFRAARNMLDVTDCRDITSLQAVIFMTLFLQSSSNLSTCYSY
IGVALRSGLRMGIHRNLAGNFNPIERETRRRVFWVIRKMDTYVSALLGFPQMLSSDDIDQPLPIEVDDEYITKDGVLPMPQGKTSLLYAASNAHTRL
MSTLAKVIKYIYPNKGLEQSLQGSAQSSYVISHAKIREIERDLAGWLDRLPMALRPGGDGSPEVLRVQQLLRLSYAHVQMMLYRPFLHYVSEKGCAG
RTIDERSYACAAACVSVSRNVVHITAEMKKRGLLVGAYWFTMYTTFFAILSLVYFVLENPDKAGSAEILADANNGKDALKGLTKKSQAADRCSTALI
GLFEQLPARLKEGRSLVPTVQKKKRSAPLTAQSPTDLRNVHPSQDPREPVMGISRATTFPMQANAAQNIDSPRTSLDSVRFQSNPNLRHSYRDLMSQ
PTDMSPISTPITSPSSSLHPSYSLPPQFGINTGVPDLGAMMFPSNDPFAYPNQPMMAFENVKQENLMMNNSQVPPIYLPNGLPGQEYDDLQGQLFGP
LPPYLAQAQAQYDFQGAMASGNMMGGGQNLNYHAGVPINDEMNFDGIFSGDGEDWSNMITDQRYR

>RCO7_08122 | related to COP9 signalosome complex subunit 1 (G protein pathway suppressor 1)

MSFQTGSNPSVPASPTQSRTKKTFMVHEQPKFDLESYLSNYKGRTRLERLLLIGICSSVLSVDALKLAVREAKQGKDIKQYLEAQNHLEAVGPNESE
AQRDLVWMEKTERLNHMESQRLEAELKGYKNNLIKESIRMGNEDLGRHYQAIGELQKAFDAYSRMRQDVSINKHIIDVSRHLIEVSVELKNYNAVLS
NVQKIKSITTPLEEDKTLQPYLCVAEGLARLDDCNYRGAALHFLAANAGIGLSCNTIISPNDIAIYGGLCALATMDRNELQHKVLENSSFRTYLELE
PHIRRAISFFVNSRYSACLGILEAYRSDYLLDIHLQKNVNEIYYLVRSKSIVQYFIPFSCVTLDSLNQAFAAPGKTIDKELAAMITRKDLDARIDTQ
NRILTSLPSAPRSSLQTSTLTTAKEYEREARRRIQHMNINGADLDVKASKHNGLSVSGMTDFFEGGFGGGNR

>RCO7_08123 | uncharacterized protein

MSAPKATVPKFGSFKPKAALTSEPENPKAESLKDVKERTRSKDEKEGKRRHHKRHRSKSQERIIASVERETGSASALEPVNTSSPEIFVIDIKGDVG
NLVYGSVHRYNVPPFYRYGSGYVLGASSDLKIDRNHGDSRDIILRFWRIPRSREKYVFSKIQKERPRLLKIRPEILAETSSALDSDFVPLQAQKGKK
RKQSTGNESSDDEEQQDYRSIYGKPKDNGQPADGDLQYLTESDSSGSDAGRKINLDSSIRQRNVELSRNVEKCPQDISTWLNLIDHQDVLMKAGDGR
RRITSAETKSTADIKIHMYEKALEKVQSLEDREKLLLGLMAEGTKIWEVNKQSDRWEQISEDNIDSLLLWTSYLNFKQSTFTTFRYDDLREVFLKRI
RVLLETVEKSTEDARGALYQQLIYVILRLTLFIREAGYTELAVAIWQGLLELNFNAPNKKLSKRESMESFKEFWESEVSRVGEEVSLGWNSFVVNST
DIEIPDTVTDKVDASLSSGDIFRTWSVAERIRMKCSQTPARTMDEVAEDDPYRVIMFTDIEDFLIQLPRGTEGLLTSCIEAFLLFCRLPPMTTPNSQ
TSRKWANDSFVRDELLECSSDWIKNQFFSECHQNNDPDISRHSFLHTPFPSCVSTPELLFGNTFAGNDYFGSPPSQDSIFQARYSGDNGPLSISWIR
NTLKQIVQAHFTEDLAEYYLAFEFHHSPTTIKKIARGLLKQHPSCLRLYNAYAMIEWSRGNKDIANGVFSTALSMHSNSTTILRNSDKEQANDAITL
WRNSVWLNLEAADNTSALRCLLSIPDGKPDPSITLSPMVQIRAKQYLVSTRDFLCSAGDFIRAVLYTESPPTSEPQSPTQGSILPALAVYHTFANTL
HARSQLKPPIAIHTTTMHQSLARLLTYHIKTGPFRPSLLRSTLTPLLTTSSSPDSPHPHPDSHSHSRSNSILLSLYARTETHLHLSQRVRTLLQTHT
LTPPIDTLSSRLFSIKYELETGTVHSARAAFEHAVASDVGRGAAGLWKLYVLFSVYGFPEERRKGKEKERGKGVGKGKGAKDVWYRALRACPWAKEL
YVLGMEEFGGGEDEDEDGKGLAFEDLRGTWRVMGEKECRVHVDLEDAFEEIAELGTSGGMKRVSYE

>RCO7_08124 | related to UTP10 - U3 snoRNP protein

MATSLAAQLSVIAANSENSLNLKAQKAKHSKSLIFEPRIAASQSFDTIYTLCHEGFQELCLLDGRFLEFQRDIFSEQSQEEDRSQMNAAQNSELDRR
LEAFLGLVGGRLRLTPAIKAVEWLVRKFKIHDHNTSFLLLTFLPYHTLPVFTTLLSILPEKLPQEYRFLQPYIRSLTSPPRHTIVQVATTAVPFASA
LNSYVLRICQARQNYQALLAFWAGIMTEAVAGMMDKSRSGRQGVQTQNEQEVILRLLPTLNEGLAMKRVPDLRVGCYMILSIMASKGGLDDKMLIAM
MDAVVLGWTEETTVPGLVCLSILAQNRSAKKTPKRVTKELLRVPNLPNLLTELSKQRRVDKLANGFCVALVERVRSTSETTHLLTIRQLLEQQLLSD
AQAACNFKALLLVAFQLDATSSTHQDLRSHLASLLVSLTQLSGHVGFVFRGVLGDTEIDIDDLELKLQTTLRSIEPPPSPTGDAVMVEADNSGVIPN
LSALLEALPKKTVSETTFLSHGTSHIYPDLCRAFIASASNNLDLDAFDEVPILRRQSALADTAYLSFYMRTWCGPYPVTARASALKMATRCVSGCDA
STVDFQAVLPYAIAALADHATKVRRAASELLIAISKVQRTTPEAKKKSAVKPPRWASHDLYGVGNTEELTWLSADVFARLLSEVIVPGLEECILDRK
HVESMFEKSLNSARGLETPKKQDVGRLPQIARIAILTALSSHVIHTPLYAVKLRLLASLNQVRSIAGTTRTKVLLPALQHWVALSSTEALQHCQDEQ
IDVAELDEQLLATVVANDKEGLQYLASIITGEVASTRPEFLEAVFKRLRSVWSSLKGESRLTTAQILMDAAHSTSEDLNGLKEAISAGSADLLRTSP
LSSDILLSFVNQLPTAAMLSDKPPATKRRRKSHGEVARAPLQDSKQLSDAIKKVTFVLQLVDSSEAGKHPELLRGLFNVLAELQHFKAQVSSELAYL
QGLVLASLLAILKAHKVDSSIKLDRSAIRADLLVDCVQKTTSPQVQNAALLLIASLADTAPELVLHSVMPIFTFMGSSVLKQNDEYSAHVISQTIRE
VIPPLISSLRKEKGNPVTGAAELLLSFIAAYEHVPSHRRKALFTSLVQTLGAEDFLFALLAMLVDKYGVTDSIKSFTAELTGAFGVEVQLQSAVKYL
DLVSDVLKPKPTYSYVLLGTHDDGDSDPQKIAMTELALLPHLLSQRRLISQTGKLLGRDDMDAARVRDLYSTLLESILALADTLKDQKRLHNVCGDV
LESLLGLLSTSEFVKSVEGLLDRPNEALRRKVLRSLEVRIDQESASDPISRISMLSFLPQLTAIIRESKDVLYKHTAVGCVDKISEKYGKKDLEAVS

AAAETIASAHCLGQSDKRLRVMALLCLSSLVEILREGIVSVLPVAMPKALEYMESSVQANDDAQKLYSAGYAFMSALAHHLPYMVSGAYLDKLLHIS
NISAEADLNDEADESRVQCLQLVAKQVDAKSMFGALEKDWAQASKVGALALHEYLEVLSIAVDKHPKTVVTKYSPILAKIFQNAFDLRRQWTLSADE
QVTVEAIAEIEAEVNDVAIKMIYKFNDATFRPIFSNLIEWASSLPKKDQMGRALRLQSIYGFMAVFFENLKSIVTNYATYLLENAVEILGAVDPKDE
ISRELWFRVLRTLTKCFEHDQDDFWQSPSHFTVVAPVLCEQFKNAATLPLALDLIPAVVELAAAADSPDHHKELNGAILKHMRSETASVRLAAVKCE
QELTDRLGEEWLSMLPEMLPFISELQEDDDDVVEKETHRWIVKIEGVLGESLDSMLQ

>RCO7_08125 | probable RDH54 Protein required for mitotic diploid-specific recombination and repair and meiosis

MFKPFKPPASRSVARPAPTEDRVPDSPPPAKRRKLLIHVIEDSPPKKTIAPASSGVLAPRKPLIPVKNPVQAKPVDGSSSECSENYYMVLWRKYTTK
KHKTWDGDGVLSVYGGYAHLQDVSGREMGRCMFKDPLLPGSTLSVGGKDVEVDSIITKADFLAGRPFLINNALHPSTPASLPKVPITLPKGKMPLFG
KKREDASELEEIPAQNFYATSKSDAMKAHFKNPLLSTTIMPQNQNGSPTPRHDPNAPGALVMKRPKDCPKGKQIVDVVLDPFLTRHLHEHQREGIQF
LYECVMGLRNYDGRGALLADEMGLGKTLQTICLLWTLLKQNPISGSDPVIKKALIVCPVTLIENWKAEFRKWLGNERIGVFIEDGQGKKKITDFTHG
KSYSVMIIGYERLRSVQADLKKGAGIDIIFADEGHRLKTASNKSAQAILNLNTDRRVILSGTPMQNDLSEFFTMVDFINPGLLGKYSTFKKEFEGPI
LKSRQPAASSRDIEKGAARGEELSELTKEFILRRTADLLAKYLKSKTEYVVFCKPTQAQAEVYQHIIGSPFFGKALGASESSLQLITILKKVCNAPS
LLKSKEDAPSNPVVAALLDVIPPEIMHKSNVNASAKFRVLDKLLKTISRTTSEKVVIVSNYTSTLELIGEHLTSMSLSFLRLDGKTPQKQRQGLVDK
FNKSDASNVFAFLLSAKSGGSGLNLIGASRLFLFDVDWNPATDQQAMARIHRHGQKRPVKIYRLVLAGGMDEKIYQRQVTKTGLADSVVDGKKSEGS
FSPEELRDLFRLDMSDGCQTHQLLGCECKGVGADLAPPPDVEPDLPSALPVHDLEDSDDDLFFPTANAIVSGTKANVAAVEKKLAEDAKKKKSKRSE
GKMQALMMYRHIDTSVFRGETEDVFGYQNEDVKKADMVLDDKMLAEVLKEDNCKINYIFAKRDRAVEAKV

>RCO7_08126 | related to translocation protein SEC63

MSTDYSYDDQGQFFPFFIFTVVGIVTIPLTYSVLKPSTDPGATAPRIKSNFRPEHADLVDSQRKAQRRKERKLKRAVAVVAGWAIMAFMAYLIIVTA
RIIPKIWNPYDILGIKESASEKEIKSHYKRMSLKFHPDKIRPDPAKNQTIESLNDYFVELTKAYKALTDEDIRRNFQEFGHPDGKQSYSIGIALPKF
IITDGNGKYVILVYAALLGVLLPYLVGSWWYGTQKLSKEKVLVESANNLFREYEEGMTEGGIIRALTTGLEFQDILKGEKADSGLAKLESRILADGD
VTPLAAGLSAKERTKLEDLEGGVRRKALGLLWAYLGRVELDDNALNQSKVDVAPIAQTLSSAFSVIALAFTTTGPIMASYSTTQHLLQAIAPGGSPL
LQLPHITQSIARAIEGDAKTHLSLQQYMGLPESYRKKVSVGKGLLTEAQYQTATSVARQLPRLQVEKAFFKVVGEKFITPGSLVSLVVKGRFIPPGS
VNVPELNELDLEDVDPDEDDVDAINGRGTKGKDGKLTKEDKPVQPPLAHAPYFAREYSPRWHVFLTDSKQGKIAVPPFTFTTFDKPIYDESGKPTFN
MQTLKAQFQAPPSAGNYTFVFNLVCDSYIGFDTKSEVTLVVADASQAVEIEEEEEISEPDEDSIAGQMHALKSGGVSGAPATKKKKKPVQVQEDESS
DEESNTDGEEADDTSETDTDTDEE

>RCO7_08127 | uncharacterized protein

MAAARRGQEPLNIDLPSGEPPNLDLPPLSALFLIYFDIKAGYTIGWERSLSAVELEGVVEYKSLPSGLHTVKEDLIYFVHDNHAGLSAFINAPAAEE
SRNARMIAVGIMVPLSYGRLGRSWKHAEKLREMASELIIDTTQTEVLERYWDEHKAHGPSPPLDTDSLLDSPSSLKLKPVRAIPGKLNGHGRSRSAS
DGTALLPPGHSLSPYHPAWSLPRLLEVFGPLIFPLHRAALLRKRILITGHAPVQETCDFVYNISVLSNIPLAVSDLLAPTAPPQRLRPLFSIGVHDI
HLLEEDLRLSKAAALTPSSDASDASEARDEPGCGWIACTTDSILAMKSALYDVLITMPPPYSEDANEKFWPKIESPQGIEMKATQRDLRRYQTLRWG
LSRHISHPPSPVDRRISESELAELQVPRTSSSSSTSLPRDTLMLDLPDTDHIVEPLSWSALAYSGFMWWASSGEERGDSEEETDADTALLSGLALSP
SSQPPSRSLSESTSSIVSKGKGGAGSEDLSAKQEMAIIAYFHRLTTQMLTTLSDIADATDSDDEREDEQAALNQSAEEMDGNEIGPPVHVSSEDVVR
MGLDVWSATDHQFIQAVSKEYFGRRAYVEGRNVDVCGIRLC

>RCO7_08128 | uncharacterized protein

MAATTYPNSRFHPFPTLPPELRLKIWQLARPGPRVLHLLHNPRINHLVSINPAPAILHTSQEAKVETLKTLKPFFDPRWPATVAATRQFPCVYINPA
IDTFYFPVINNRALPTPLLTVTPPPFSLPFVPDVLPHVPRTGHILRVQACDLDDMQLSTSALFAVRHIAFSEVMWRTFFAPAVNTHVFLLEFRELET
VTVVVDCTFSLTRKQLSFEELLGERGDGTFDVESKKDRERGLRRVLLDGMVQRTLGVEEPLERKRILEGYRGGMMAKLNDLKTRDTTWKVPRVEVKV
VMRGDWV

>RCO7_08129 | uncharacterized protein

MFTMNGYTVTPNHRQNRRRERPGSRTRRTITRKASVHFDLHEGIIDAHDAEIYLPSHRAKPSPLLRQNFDQNWQRWKARQAEEKAVAEMDRFQAEKE
QLLLFGGELGDDELYRLGILYNDNEDLPQDFESSTIACDVPFQQSVPMFTLRQDTPQSLPPLALECPNHDNTASVSSPHRILGFNSGDWTFIHTPYH
ADLSSSPSSEPETWILIDDS

>RCO7_08130 | uncharacterized protein

MVVFADPNANTTTKCEDGWTKSATVDKTPFSYIYCGGGPSGNGFSAFRFKTYDSPGKFELQITHSFSDPNHYPPPYNYVQYFAPATFELDCGSSRNT
NRCVRPGPIRGIINQITN

>RCO7_11659 | related to multidrug resistance-associated protein/mitoxantrone resistance protein, ABC superfamily

MTLAIQLEATSAGALGVSLVNILSFSRDLNYLTSSEPGLIWKRLSERSPESGLDSVLRNASLVIPSGSKVGTYGRTGSGKSTFLLTLLRMAEIEDGD
VLVDGVSLLTIARNIVRQRIFTMPQELILLPGTIRYNVDPFSKHPDEVILSALTEVGIWDTISAHGGLESPAEKIPLSRGQQQLFCLACAILSKSRL
VLLDEITSNVDAATEARMMDVVNRKLSGRTILAVAHHLRTIRDFDLIIVLDQGKIIESGSPDRLLQQPSTFRAMWELQ

>RCO7_11658 | uncharacterized protein

MYLSSSFLLIALYLAGPTVEAAKFDGPNYESLPLDTIFPGPWEGNIRAPLNKSYIAPVEILNSEGAVSGGEAVLKDADSEGISWKISPGGLITFEFA
ENIAGKVCFEVQSIKNDPYVVLAYSESPFFTGRQCDATGDAQARDLPLAFSIKKTGINCVGGGYNRGAFKYLTVFVPDSDDIPTEGGYMWHDGHSAP
QREYAPAQQQSWYNSIGQKYLGWSSSSKNDKSKMPAVAISKLWVNCTAFPSNPNGRAYTGYFDSSSSLLNRVWYAGAWTLQLSTLDPTEGGSIIDFN
RFFDHNNAPRGAWYSNYTIAHGKTVTTDGAKRDRMVWPGDMTIAVPGIAVSTYDMLAVRNALDIIYERQYSDGSMPYAGPPMGSFGEFSDTYHLHTL
IGTYEYILYSGDLDWLKPNWDAYLRALVISINKVDETGLLHVSSNNDWIRPGMTGHNVEASSILYEVLGNSIKLAKWTGKETTSNGEEWSTTRTRIR
QGIDSLLYCEQDGLYADNMGRRGCTGPEKVLPQDGNSWALMSNVFTSDSVAYNVSQTLRKRWIKYGAPAVEFPNVISPFASSFELLAHSAAGNNDAA
VELIELMWGYMLDGPGMTNSTLLEGYRIDGYVHYPAYWSAARNSHAHGWAAGPTTVLMQGILGIKLLTPLGKTWEIAPQLTKWLNYARGGFATKLGK
FEVDISLMRSLSTGRKVEALNIAYPSGTTGTVKFGGKAQIRSEEMSTNLFVYRFLDDSHEEDEEWQAWSADDLQDFVRDDTWVKPSAEERPEGVVDW
EVLEANYELSEQRFNPDSRMAKMALGQRDDWDPELVVVKQKNHAKGEESLRNSFEANTAEWQERGKEVERVGKVDL

>RCO7_11657 | related to HNT3 Member of the third branch of the histidine triad (HIT) superfamily of nucleotide-binding proteins

MKKSLEDAITREELQGTAHSASSASPRNAFSALMNKRKASPPSPVNSKKPHNKNTLSTRDGLGAYIDNPDKYDASRIIYHDDNFVAINDLYPKSSVH

ALLLPRSQKYSLQHPFDAFEDAEFLASVQESANKLRDIIGKELQRQYGKYSKQDIPREKVLNGEVEIEKPEDMPVGRDWNKDVKVGIHAHPSMNHLH
IHVLSVDHYSECVKHRKHYNSFATPFFVELEAFPLAKDDVRRHPGKEGYLSSDLLCWRCEKNFKNKFARLKEHLSEEFEEWKKE
>RCO7_11656 | uncharacterized protein
MPASYVAQGAAQAIEDVALARDQKIKAISQGDDNPDLLGDGKTYSFLWGQDPAHDFLEKFESLIKQALHLLQSVV
>RCO7_10357 | uncharacterized protein
MHFSILLSLVTLPATLAFGNFGNSCAGISFNYPNLEATCLGFGKERIHSKFDLSYRLINRNGKLIWGTNPGHNFVACTCTLVRVTTLSCDCGGFDGR
VHNEINLNHYCDNQNGYLTCS
>RCO7_10356 | uncharacterized protein
MVSLRIWFDKHNVAFLAWLDYTLEKGIEFDATIVDHLVRATGNTFSSSQVKDRMGRFVREERKNTNGRHASVSTLREKGSRCLHSLNEEHRKEVQLL
AQQYAVEYGSGESIPDMPEMLATQADRGQNTTMTMKRVDAVNFDVEHEDSDSVQAKPRTPARGKASHGSLDRTTMMGATSTTRISNLNTSTVSTFSA
NLMSLQAKVCRSNAENDSTRSQWHQEVEKLEIKNKRLKKNEIDLRAQITHLKIAQQDRQNAGMNPLEGLLFSKDEEIWHLKQQNHEMRSLAGFSQLA
PDQPAVHLTDEIPNALQSIQSELYSILHGHDLAIPLLQPSFVQKDADLALLLQTLCSEDSELPIQHLLTTYLRFDGIVLVRSLAVAALQQWVFATDF
PNFCRTEEPQILTSYRKAVFVYDGWDCLRKLELAAYTALLEDDTFTEGVVPRKAEQLASRLSKALAPLFARSADDEANASFETWGQPTNVCEDRRFR
FKGLFEAALKLKAITTVTDNKYEFEVQPLGCLIAHDAEGNDHGSDQWFHASILVYAGEPAYPPDPMSDALVQTTNFMTDVPEDKRLRCLSKTYLTVQ
KSPETAIGEYRERMAPVISPPNSSGRRKTKKRSREAPQESTELPPSTGTQRQKRRRPARSETAKEARTRDEDEEDDEMINSTSKSEDHSNMLKIIRF
EKLANATYDIISDDSGPSNHESDAESSRPRCEKCGNSFHSEKGLEKHLTRNTCSYCTICKIRFAGNSDLRRHRDSEHYARKKGAFKCERREVSYDEE
IVAIEIELNIEPEICGQTSLANDRPMSLASTPAQKDALKDPTGKEKLLTFGNKMNHSDEQITAEDYYDDDNDDQIPDIAAEDSTGGVKCPNCRVSFK
TSGCVTNHLRKKVCRPCPECGKWAENKHAMTKHLSDEHKPSTFSINLHKGGNVSRPKSSARPKDSARLKNTEEIIPSAFRMDKALVTVEIPSSESQI
IDSRGTRLDESKRLDTSNHISRTKSQEVVISHDNSDIPQVESRTACEFDYNVQQKMMISSMIVTPTPESHSSPTYAQMRHDLMRDTNSSNLSVREMT
ENEDSHSRRSSSHQLSRPQDIHVAPVPSDRSQTFKPDSLLTSHPSQESLVSGISLEISVAQVSRPANASPSPTAVLSPTQSSSPHNESEATIDGLIR
VLESEAPPDSNTPAGTTGPDEDLQRRHRVLNEGVGQDMKFNSLVNEGGSLQHAIESNVACPLESDKRMPSGDQKMTDGDEVDMIPLVLNSHDQNAPS
NLTGLLVGPLSQPVQSSRFRQLFGNILGGSKAREDME
>RCO7_10355 | uncharacterized protein
MSTTSDHGMSEDETHEHEPVVVETPIVDTPPEGTRIRQRRIPACLPPSTTPNVRKSPRIVSKASKSIPHLSGNQHVRTGYLQPKTRPHSRPISSKEE
LYRPKKLKTSSQGENITYRPRLRARPFISPRKDHEPRDLPTVASHTSAPPQPSAQNFSLGVDVGVTFTTVAYVTHNLNQKHPRIDPREVKYITNWPD
DGIAGTRAQIPTEMWFSSVSVPPYDDGDSDGSKESDSGDNIVLDDRIKLNSAADCLSEFSAPNKRQASPGNEKISEHLWGYSVHQQRYLSSTDRDVM
GHIDRPKLILVEASHTDSDRARLSPRLRHLIENGTIQSHGGGPEDILDVLIYILVKILGHTKRQLTEREGYTPDCPVSFALTVPTIWSARSSRILQN
AFQAAIGLTDFGTLVNSSLENVFIVSEPEAAATFLLGYTHQMLPGETFTVLDCGGGTVDGSTYTVTSSYPLRLKSEVGQPCGDNCGASYLNDAFEKR
LLKRLKDESYLDRDGETREDAVRYATMEFENRGKRNIDIAKRPVGEVRIPGLKGDLARRLQGQELKGFKPGFVSLDKDDYDEIFGPLLERTAAVLSK
QLYGALHLGIELKKVFLIGGFGANPSLRSFLRSYLDKFVKTVKLDYDIDLHITNEQDSMTAIAAGATLRALNLDDGPKRRAVSSFGFLRREEWMPHA
ECYRNADKKIDDFDHLYYVSVIDYFLHKGEVVPPKRRYQPFKSTHSFELDEEQFLCEEILYVNDSDGTKSHYDVGHDINAGAQMVGTIITDMTYLRD
EGLISPVIPQPDKDGIVRGKPHYEITFDLVPVVIARDMRYEARYPANNHSKVVQTGQISIAAAFEPGTG
>RCO7_10354 | related to metallophosphoesterase domain-containing protein 2
MSSTKISTRFMIVSDTHDFAFGDAEKYDGLFKLPIPKVDVLLHCGDLTIRGGLPSYKKFLKMLGSIDAELKLVIAGNHDLDLDGDYWARKHSSDDEE
EDLAQHEKAVELMTGPMAKEAGVTYLVEGMHTFTLKSGAMFRIFTSPYQPEFCDWAFPYERNEDRFNPSQHVAESVKSIAENPIPDFPNVDIIMTHG
PPAGILDWTFNNDSGVGCEASLRAVSRARPLLYCFGHIHEAYGCKLVTWKDEKKIGKEAIEKEDSQPNGYPGTSSDWPLKFGEETLMVNAAIMDFRN
RPTNSPWLVDLDLPKAE
>RCO7_10353 | related to glutathione S-transferase
MTLTIHGSPYSTCCQRIFTVLAEKGVEANTRTLDFATGEHKHPDFLKLQPFGKVPVLEDDEFFIYESRAITKYIAKKYAGQGTKLMPEEGDFKAYGL
FEQACSVEQSYFDGPASGICWEKVFKPMKGLGNTDEELVNKHVAALDAAFAVYDVILGRQAYLAGDELTLADLSHLPYGKMVKDQGFEGIWTKYPNV
DKWFAALEKRESWVKATGGK
>RCO7_10352 | related to Mg2 transporter protein, CorA-like
MASSPATETRDFSEPSDGPIPPQHVNFDLEAGAHPATPNDLRPSTSVKSDQSIDMGITQSPTMLRRRNRANTTKSFATVDVTPMRPNWQAGQEPGLD
PSKPNGGRTELPTFHEVCQITIVDFSEDNMVGYELDNEQLIQFLKAKQEPWVKCRWINVNGLSWDVIQALGQYKKLHRLAIEDMINTTNRTKADWYA
DHTYMVLTLQKLIHLHPDNEDSDSDDGDMNSVRRPKRGRFGKFMHSIFSGKRSKKKYQEKRMMAGLHDPSNGFVTGHTEGVSEPHLKNLKTLQRYHG
GPNKERMEYMEKHSPLTARKYAISAEQVSIFLTSDNTVISFFETSADDIEEPILQRLRTPDTILRQSCDASMIVQAILDAIVDLAIPVSTAYQDVIG
DLELDVLTQPDLKHTTSLYVVTSEIMTFRGFVSPIVNLINALRDHKGATLTTGMGARSDTTKAAKTVNLSSMANVYLGDIEDHIILITDSLDQMRRA
CDNMIDLIFNTMTAYTNETLKQLTNITIIFLPMTFLTGYFGMNIEPFPALQHGERYFWIIAVPVCVVTVLFLMRDSIRWWLMKNVQRRGITRRRRGR
LEREKEINKAADAKRRF
>RCO7_10351 | related to fructosyl amino acid oxidase
MTPSIPLDHNSSILIIGAGTWGCSTALHLARRGYKNVTVLDRYELPSPISAGNDINKIMEEGSSTSSSGDSLNETLRRLATHGWLHDPVFSPHYHNT
GYAICAHTPAGLEQLIKHEKIHENPDFDILDTPEKFRALMPEGILTGDFPNWKGGFRKTGAGWVFARGALMSAFQEASRLGVEFITGHPGDAKTLLV
ENGDVVGAETADGTRHLSKTTILASGAQAPDLVDMKDQLRPTAWTLAHIALAPSECLMYKNLPVLFNLESGFFMEPDVEHGELKICDEHPGYCNWST
DTTGNRINIPFARKQIPKEAELRVREFLTHTMPHLAERPFSFARVCWCADTPDRNFLIDRHPDFKNLVLAVGGSGHGFMHITSVGGFIADAMEGTLD
EVLKQAFRWYVLREPITFSLLLRCFKIFLRHVLSASHDKLPLNKQMLMHHLGRRPETAVGRDWTDVQDRMGGPNKVMDFGDVQEWTDIKPDRRYESQ
>RCO7_10350 | uncharacterized protein
MIGGLTGLSSSSKLLLHTIPVILRERSSKPGENSVKASSGVNGAPATFQALASSIEYEDTEICADTVKSAEDVFTISRTKERELSWEWGTPSRAPKG
RSEEEIISSVIFATGGFSGGATANGMLALYQPDLKNYLSTNEAKPRWQFLNYEFQGEDTGDPSKFLAAEMLMGEGGNLIDEIGRRFVNELGIKKVFA
SATTAVVKMN
>RCO7_10349 | uncharacterized protein
MASKTTTTTSMEAKNAPESTALPRNSKDSMKSTWRTWDRSRWNHSQWMMEYLGLHPTDLNRKIPVFQKTDKISYMPHSEGHKWILAHAVWPLVVHQA
YTYYTGRGLTLLVGLIFYSFAFKFNAIREINKLRELGHQYGYFDGDKHERDQVPDSRTKEVMRSLMATSTIRPIVSVFLAYNSAQTPLSTLSWYLPL
EIGLYAVILDFFFYWYHRVMHESDTLWKFHRTHHLSKHPSPVLSLYADKAQEVFDIIGIPIITYGTMRLIGLPMGFADWWICQQYIVWTELWGHSGL
RVFVTPPTTATPFLKFFGAELQTEDHDLHHRSGWKKSHNYGKQTRLWDRLFGTSHDRIEAADGNIDWTQPISLSLW

>RCO7_10348 | probable U6 snRNA-associated Sm-like protein LSm3
MADVDDGAAASSQEPLDLVRLCLDEIVFVKLRGDRELKGRLHAYDSHCNLVLGDVEETIYVVEEDEDEEESVKTIHKKSEMLFVRGDSVVLISPHTA
S
>RCO7_10347 | probable GTP-binding protein 1; G-protein 1
MATKGKQLPHERRKGETALSEFADYVEKQQKLRYPPGGSAAATTITEEHSELDILDTLNLADSSPSVRLKELLLTRNEETFTKLVSLLETRIEEGHG
ETIFEIGFENSGESMQLGKDEWDTCMKRLREAAVKVRCDCQVLVTKHVGGEEEAESTKEITGKEKDRDCSGKILVRQHPATVEEVVETRIAVVGNVD
AGKSTMLGVLVKGGLDDGRGKARVNLFRHKHEIESGRTSSVGMEIMGFDTLGKVVTAEVPGRKLSWEEIGKRSAKVITFTDLAGHERYLRTTVFGLL
SSSPNYCLLMVAANNGLIGMSKEHLGIALALNVPVMVVITKIDICPPHILEQTVQQITKILKSPGARKIPIFIKNKEECINTATQFVSQRICPIFQV
SNVTGESLDLVRAFLNILPHHGHYDAEAPFEFHINDTFSVPFVGTVVSGIIKSGVIHAGDTVLIGPDSLGQFTTTNIRSIERKRIPVAAASAGQSAS
FALKRVRRKDVRKGMVVLPKLEQNAPKVYREFVAEVLILSHATTIKTKYQAMLHVGPVSQTCAIIDIDRQYIRTGDRALVAFRFVQRPEYLAPGDRL
LFREGRTKGLGIVKSVGYDFNKPLNPDNVKERENGKIGEGDEKGKADEGGEIGKRTEEPLGKAGSKA
>RCO7_10346 | uncharacterized protein
METVTGAVTGAVSAVTTTVSHAIWGEGESPETKKDAIGKEPVSGKLGDVKSGEPYDKGNVDAGLEGSTSTSSHTGTGLPAKSTLTSSPKPTTTESTS
DASAAAVLLPESEASRRETPSNFIADSNKPSTAAQTLPSLTSENKGEGLTFTKSDGLDTITGTGAGVGSENSAVPRDMESLEEKASRVPGTTGFDTH
TPEPVSGSAGTSSAAHTSNPATTAGSTTGTTATQSSGLQKETLDKFGLLEEKRIKPETASEPKVGESSTPHDHTAPALTGKPGEIKTAEHTDVKKSL
EKTDSGEGDKEKKSLKEKIKEKLHRHKD
>RCO7_10345 | related to 5`-3` DNA helicase
MARKTPKAAYVVFRGRVTGIYRTWKECSIQVLKFPDAKHKGYNALEAAQQAWQEWDEQRLREAKDLIASRRPLQPVEKKWQYLSVKTRITAKPGSKR
EHCVIDLTEPEDVKSPPFKKEKLDSSTDEGPSIEALPRIKLSDEQEAVAQLALDGHNIFLTGAGGCGKTITIREIMHRFDERQTTYQVVCPSGIAAL
PLDGRTMHSWMGWNTDSMRETLQTLKVVGYSEDRMKAFRSPSVIIIEEISMVENQFLERMNLVLQEVLDCHRPFGGKQVIILGDFHQLPPVIPFQFC
LECGNTIEKLGVKIKQCTLCRKLFQEGDKWAFKAPVWKALHLRHIRLEKIHRQKSAVFKTILDKIRYSQDLSEDEWKILEKPKTPPSNICAVRLMPN
NKAVDAINERELTAIKSPSRPWYCQDRYFKLYDNKDEIGPDPWMDTQPLKRHRFPESIELKEGAKVVLLHNISVKKGLVNGAQGVVVGFQTLKGAAC
PPSFHRVEGKAKIRGPGPPTRYQTLGMPIVKFAKGPEIPIIVVESTSRCGTNECPYLATRVQIPLKLAWALTIHKSQGMTLDFIEVSSNDMFEKGQL
YVALSRGTNIEGVTLTGRKREQLSNDSDVLEFYRGTEWETFESEKAEESKDLDEERVQEDTLKILEAVEDVKDIPESRDSQCPFPDDEIMFWDPPPL
TGRFRISNSL
>RCO7_10344 | probable nucleoside-diphosphate-sugar epimerases
MKILITGAAGFIGQLLAEVLLNDESYTVVLTDVILPPIPKGVKYPQNAIHMQADLCADTSKVINKTIDAAFVFHGIMSSGSEANFDFGMKVNFDSTR
NLLEAFRAVRPGVRIIYASSQAVYGRPFPEIVDENVRPTPESSYGAAKLMCETLINDYTRRKFIDGIVLRFPTITVRPGKPTAAASSFLSGMIREPM
NGKESIIPLRDRTFGSWVCSPRTLVLNLVHALKLDLTKVPPHVREINMPGMRVTIQEMMDALVKVAGKDALSLIKEKEDPVTEAIVRGWADQFDTKH
AYALGFHPDGSFEEAVIDYQKSLE
>RCO7_10342 | uncharacterized protein
MEVYSGNIPTLFRKRSGYFNNASSCSQYEKIYLKYSQQSNVPLYQSITIISFLSISRLTTCDLDLVFMSPAQILVSSYPVYDRIFSIASVAKWTYVE
STDKSDEQR
>RCO7_10341 | uncharacterized protein
MRKDSREEIAVTVEGGSGAKVGDRVALFTLLVPAGISFSASGAATPTLVHEDGSGWRDSMAHDVIRGAGWRGLVWRGDVRKRRVEEGMGEGSYTSRK
RRQARAHAMPHAAVAKPGGADTTAQIII
>RCO7_10340 | uncharacterized protein
MTNPDTATRQRRHDFEAYPEDKVEAHGCNHDPSNYGDDADDTFPSIKKLLDPLLRKEIAAIECQGTRAWPMILEDDGGTPDHTADSEVNPTSNAGPV
PVFKLGQRAESFNREPWWDVEGDCFVYEDLHPLPSLDHEDLVFTPAQEQPIPRCDSLEVSQGQTKPYGDDRTTRSASEESAARSLIITLDEDGGKES
EEKFSDLERDMQLAFEEQEELSSTSPSSPGRRSFEPSRPPTDAICERSWSAKLQSSTRLRSQKDMDGPREQE
>RCO7_10339 | uncharacterized protein
MATMRLGEIERHTSPFVIKDEQTYTRGLKDVKGPAPRIDLEVQHSSAASTSTTMSRRMLDQLTERAAEELGWKLSSAHLYVGIQTEGRYKTIWALLP
MATSDVVEQWTDFFRRN
>RCO7_10338 | uncharacterized protein
MHFTRLLFLAATAVHGLVVTPNAAEPVGNVMARHPEELAQLLDKTDLIPRQGGGSLAGYGKCLFQFPLFGINQNRRQSFQDIIDSHGTHSYILPGDM
AVEIVATYVGNDNHIGVIISSDDLLSGSIVLSNYVDTNARTPRQTIQIDFSRGTTRQCIRLPRLDGTWYVQKS
>RCO7_10337 | uncharacterized protein
MPHWQGRELALYLLLTGAGELVSTLEAEIYSKDLPVSKGLPGVVDIVLHLLNSRISQEQIRRTLGRAYSYSKDNDSILSNVPQLDVSFGCTASSNAD
LDRQSESLRIANYDIEPGYLRPTLVD
>RCO7_10336 | uncharacterized protein
MVNRLSVSSVVEKLHALESEARSTALDDLCEQHPEIQTYLKTKYFKNPLPLSTQKTSRLRYLQVLSIDRPVLDAHKLYAKYAPWSKDTASFWRSEGF
AILLEKTNSHPLRFIYDATVREQRENEESCLRRRFFALFWFDYFMARYPGRGYDHEYKDLNYEIAGIETIADDKIVSTLRDLIKAGRRYYKLTERFS
NGILLIIPSSVGRSTLEQKLPLGDAAFEEFVFPLVGDWEKCAETEGIVNLGASIRRSLFERCPVQRAQSSP
>RCO7_10335 | uncharacterized protein
MSSRRESDFVRLEQLLREADERVEWERRRAEEAEVRAQLEEEKTKPTTFEEYLHACHKFLSKPLRIQTDKSLVLPDLVNAMDGFSITAAATLERVSE
FIPIDAKNFSSIQYLKELGQELCDRPLASEQDLEAYQRLAVKRPTTHIISHLQRIEEARHTFDLGEGINFENHANTLSDSNEEVQQSLQELRISSKG
LDPRSNPKPRNADQICVYKEADSSRSLYMVMEYKPSHKLSVFNLRAGLSRADKGFLNIPEDVINRIIIPTDPEDKFVYHSEWLTAAALTQTYAYIIK
NGLEYSKVVTGEADVFLQPKEDEPHTLYYHLAEPNIEAEAQDESQDEADILLCRTTVSQTLSFCLMALESELRVVSRKVLVRFVGPILCQFFSHKIG
CRLG
>RCO7_10334 | uncharacterized protein
MPDASTEYPAKSAEQSVTKFQLPRLKENINKVIRQYNEAGIPEFPRKIHLSLSSVCGSPNTAQTSPKSSPPSLAPGTESSGIKRSAIFQSPTAQLAV
YTSSSVLDNNQDIGALDFGQRIVATSGASNFSRKRKRVTPPNETESDPTAGSDISSDHPSFTGTQEQQVIENASLLRIAKVFDEYMCSAIRRVTIQS
DLKAAVTTVLPVWGGPVDCLISLDVYEREVEQLAIALFNAKVKWVEQVLHVILKEGITLIIPHSETTLKGVLDKAIIKVFGSEIHHAITESPGYYQF
IARIKRGSSNTEQAI

>RCO7_10333 | uncharacterized protein
MSQSLLARSIAQRTAYKVVINEVKFLPFGENGLTSIGTANLNGCSAVMVLSNFGAILGHIAPLPDNHAGNPAAGDEHAESKMSLLKSLVYIEDVEVT
IRNHPSGGESLTTSYGSSLAAPLAYTPQAVPGYGSSSNSYSIVPAVASTPEASSSDEPYYYVRDRKSSMSLTPPPQSSDMAGRLILPDISSSVREER
TTEPPSPPTGQLPLPPPLPRILPSSLRPFDNALERVEVKLLKLASNEGPPDISGRLHLSVFYESVVEAILYQYPSVLSYLFFMRVGEPRFYTKTVIE
ARSPAIFQIFLEYGWNINELLERTMSLALGYVSHDRVLTEWFLDNGADPNAMCSWDFTLMSEAMCQASLDTIKLLFERGGNIECGQLLHNAVQRVDP
DAIELIGMLLDKGAPINDIQYKNHAPSWRDRCLFGLGTPLYYAA
>RCO7_10332 | uncharacterized protein
MSAALLERIERELCRMGKELWNIDSPDDFFDKVFERLSILKAQLEVQRSLQATANLLRRVPGNKALPKQQAMKVRHLVRFAFRKNSRQELPGRGKKG
KEGRHRKLRKLDCDALKLCGLSYTTEEIVKLGNAEFEILQERTEEFIHHRNLSCLLYRPDVDKAVDSRLEDPEDDESFDKFMQTYTARRLSTRKRKY
DAILLPDEAAQAPTEKYANRTEDDNGTEPSQTSAKKKTNTYAGDTFIVDIEDARYALSFDDHIGEKQWANS
>RCO7_10331 | uncharacterized protein
MALAETTAKPKQLEPPSPSTDLATTEHHQQTTGRSSNLTDPAMEETLRATLSSLDKILEKLSKLTTIDNKEK
>RCO7_10330 | uncharacterized protein
MAPTEIIPHGILISHQLPATLPCSPCPSTPEQSKVSSQAKSRTIVVRGFFPWAYVYPSKPLLTSPSSIHTGNITAANSTDGQMLAIGGASGDDPTTR
FGFGDSSEEDENSLPSTRSVLVDSTQQPLKKQTSLKEDHNTFKKEQAFIGDVFEMAEGDIEESTFDDDDDPSDWEDLVEDSRDLRTEKIFQRVDTRS
NLTSRQSMITLLLHGQPCNANALANTAAAMKPASALQRSVRTSRNGPSLAVSPKSEDNLPLIMKDSLQPISEVPRSQPQPITPTQGLALSPRSTRKN
MLESELTAQTSWARYGHPEANTGESVYRSKSG
>RCO7_10329 | uncharacterized protein
MIFISSGISESVAKDARASLDAQVGQLQKEGKLDPGKSSYEQLRWTPETIAAAQEFQTTVDLTPLKKLAVTAKQEDI
>RCO7_10328 | uncharacterized protein
MGIASVSSDLARNEVLISVLSKFSPTDIIKSTELKTTFRGFFRRGTVEDSLQLLQWVSQTDRSDTHRHISLSDTISSKPSLNILDGVPSPHKTSPCG
TSGDTSTLIAAVLSPVSEPQNCIHPTSPTANAPLIYPGNSVVNYFAVKGVRADRINRLNRYIDYFVNAEVLPLEAYANLWSDKGKMFAGSENGMRRL
CRLQRGRLQIEERMSQYGTAARLCLMFSIADVAHYASTATPAELGLRAHRSRTTAALEEIAKVNNISKEDLHQDKRKSRNYFELLFGSGPGSLLLTG
SETAFWEVNTNKEDVCLALEYIQIHLPELHYTLISLNGVGARTMVQGLLAYRWTVEEIKSSPILFMKAIRKHLDENLTIPMTERVVPASHHTYTTNQ
SLKKRSCDEVCTCKTKEDHTHKFQTSNQSFFACNNRIAETSPLGDFAVEHHCPGIASITSPAGDIPDDITRRHIDLCAVDYLPISLEQDPGRERAST
IDPNMTSTLGARGGLPSSLETSPIQERALTINPSLLTIDPSMTSSLGAVDYLPLWSEIHIGRRSSQYIQT
>RCO7_10327 | uncharacterized protein
MALTRRACGLPSRAVEECLDGLTHIQLLLKYRFDKLDILKDAYEEVEKELRNPLARWIFSTSVQSTGGSTCPSDTFAPILHPIKEIFENRELPLISV
LRRLKILGVLHQDILNGLNPRWEGLREEDFSFLENVTTRTPQELARLLMEKDLSYSQKLYPNDFLDPAELRTESP
>RCO7_10326 | uncharacterized protein
MAGSVIGLEMEHRIEHVDSMASNLVWSGLGSPVQHGNDASHAGGHEHTEIIHGPNSHEDFDSDSALGLGDRHSTTTISSEALTPVEKYGRSYCAYQE
GKYLMPNDEQERESLDGQHHLFRMTLGGRLHLAPLPTIQRALDIGTGTGIWSIQYGERKFLLDSFTLNLDRSRRKSWCGGVRSRSEPDAARLVRFLF
VVVFERANSLQGTAELEAFKALAAGGIIEMQDVIFEFRSPDHSLEGSALATWAEKVKSAFGSKGIDLTSASRYKNDLETAGFEDIHQKEFI
>RCO7_10325 | uncharacterized protein
MTMDLQANDSAGDAIPFWPALIFSLVVLGVCSVRLVACCLLPERTWRQLGICSISTIVDSIHLILETVEAKLQWIILVAGTVLSILALGFSLWYSMA
ISPFIPTLSANIVEGINTQRSSWSSSNDLSCNHVFILHEPFQAGSASSILMATTNGILLVVNLVGLSPKDLGLWILCVISSVCTFRFALWKWGKKFF
TYYDGTIGITSGT
>RCO7_10324 | uncharacterized protein
MRWRHKGSPPLYKHRLRRIAFELSQFTATPYSTQKPSPLAAALTIVGRRKSTYATPRNSFYLLIKSSLSSGNFFTNGKCTSRGCVVSSASQSARDPS
MPQDSYQLPAVKFIIDNRVESALVEVRSLLETFQRHVQVVFRAGVMSSQETVHHAGLLVRQMSPDVFKWYMAVSGIDDVSFLRFELTDVHCSSEMVS
TIAGGNLYDFQMLEQHIWDIYWLTSRAYGTPVKFNIIINAAGHPSSPLRTTSDQQSLRSTAAGLIAGRVNIELEDHKTTGEHRRVYSDVCGVVIDER
SASGWVVVTGNGFPYRQVRTGEGVTGNPFL
>RCO7_10323 | uncharacterized protein
MDSITKLEPSLTIDVVDFKEPRTPTMTALNVAKLHDWQSRIKDAESELAMERKRLY
>RCO7_10322 | uncharacterized protein
MGSSDYYTILDLEKDFLSDQLKKQYRKLAKLTYPDKTAWPNAELAFKKKHVTQGDADSFKSLIDFTAKPFSLRSSNTPRHPPGYSLVLFKDKTEIIE
SPTAKRRSREALMRGDQLDERDLFVPKDRTVKLLKERRGRNLSRSSVYSANNGGRSDSRSSVTAEEVAGMKKEM
>RCO7_10321 | uncharacterized protein
MSQSVIEFFDQYSGLVNNGEYLDRLKFESLDVAAGGYNWSTIIASKDRSNFQALKHMAFTLFATSLSENSSLEEFRILVTTIPSQRSGPISQPTSSI
ITKRTAASMIAQCT
>RCO7_10320 | uncharacterized protein
MANTDRYTQHVDSIRTTSDEASALRNLDVAFLEKDASWPPMLLNHIYRWMHRHNLYHIGPSRVVIFSALIDSIVRRTSLPPTEPNKSALASKCSALI
HEITLQWKKDCLLIQRGCGFSKHALLKTAWAAQEESFRQTEYTLCRSLPHLEHCDMIVSVAVAVGEDKRGADVPLCRSVKKQRTDDPVIAASDTSTS
DCIDIDERPHEASETDPSTSTLPGTVSLRREHIEQQSTRQNQDSESSPSLTAQHSHDGIPRKYSPQASHLALHNTAGSALDEADLRPDKIRELSVLS
GTLSQRPSACDGEGSSTAASNQEGVQRTALNRLYSIKHSDATISVTSLEAAILGQIGMNSPLSVTQASPLAGSLSSPTLRSEAPGQEDPKVPKQYSP
PRQQDDFGQAPEGPTIESSGIRPVVVAPIARSQSPPR
>RCO7_10319 | uncharacterized protein
MRRATRSSTKTFASDKPMKPRSVDRKISQVDGRTIALEATPELLEAAKKKPVQSLSHRIDELTRENGRLRLEIRYHQQMQEAIETLQTDMKFAVETM
ERSILEFGSVQEVAEED
>RCO7_10318 | uncharacterized protein
MDDFTTDEDTNDNDDEDSGGDRKSKRRTMKNIKLRKKQTRTTPTKTKADKLTARRPADRIPPPAFIKALASGKKPGNHGGSAMPAPKQTRAGRSGKR
KLPPFPILESGGISLDTKTTFDVPFGLGLVRRKELPIS
>RCO7_10317 | related to chitinase 1 precursor
MWNTLKLPAVAVLCFVPWCSGIREAKRQENSSCSKYRTAAYYANCFLSDPEADTSNACGGQTAVQTGAQLYGYLGQFYLIKKSGNLKVLLSIGGAIY

SQNFAGSASSEQGRNIFASSAVDLIKNLGLDGLDINWEYPVDEAEAANLVLLLKETRKQLDQYGNSLRTKYHFELIFAAPAGASKYRTLDLAAIDQY
LDFWNLIVYDYTGAWLVPKITGHQVNLFSAGDASTPFDTKSSVDYYTSHGMASNKIVLGMPIYSRSFIKTTGLGQSFGAVGNGTWEKGVYDYKSLLM
DGSSEIYDEKLGASYSWDPTKQELVSYDTVEASRQKARWIKSINLGGVMW

>RCO7_10316 | uncharacterized protein
MTNILLPKARESQPNETLQAVADNIYLRLLLPFTDVLCFFALDLGGLQPIARRLAAWLDVGHPPTLPVIVPPQIIIITETSTADLQESQLLEHFLRL
LALETRTDPSTCFAAIRVVTLLPDGHISSTARHRKLKESLMHTSDQCLQEEIGLPYPVQENFDVVFGTSGIIAIRLSICGWTIEQATENLEHYAELA
FQPRSLWNTEILLISQFLQVIDFMISYLADSRYSADNLEAALREAFGSNRSMLDYSNATRIGTCVGLPVTTIRDTSIYVFTNYNGVGTRSRYHVFGP
NDGSSRVPFARCGSAAPFYFKPKHITGLGTFQDGGLRENNPGNLTLEETAVIYPSIDELSLMVSLGTGSSRPSDIPRMSPSRGIFQDGFIARLLRVF
KLSFGSIRGHKFRSRRREGRKEQYFRFDMEFDGPEPALDNTTKMQELKTAARAAVHGSTELKRLARCIVAELFVFELDHDPSRENGKYLCTGRILCR
RRANHHAFDILMKQLSKKSIKFFVEGRPIEGLIDKLIDRRSAFTIQLREGNMDSCSISGSPFTINGLVSAQELSAPFGTSNHRKRIRVDLADVSYRK
RQRVRA

>RCO7_10315 | related to vegetative incompatibility protein HET-E-1
MRLLQFNKDSDFNLIEFFEDEIPEYAILSHRWEAGEVTFKDMTDGTSEGKAGYSKIQFCGAQARRHGLKYFWVDTCCIDKSSSAELSEAINSMFRWY
QKAAKCYVYLSDVSSLKQKGSNTFAECSWESAFRASKWFIRGWTLQELLAPRSVKFFSLEGHRIGDKTILEKQIHQITGIPTTALQGNPLSQFDVEE
RFSWAKYRQTTRAEDKAYSLFGIFDVQMPLLYGEGKVKAFQRLRDAIDLPFNGPAKDFLSLLPYAINAPFDSRDHDHKPVCLHETRVDLLQEIYGWA
DGKDGQEEQRIFWLNGLAGMGKSTISRTVAHEYHEQKRLGASFFFSKGGGDAGHAGMFFTTLAVQLARNVPSLRQYIWRQLVLNPLSSLNSESYQTY
IIVVDALDECEDDKDIRIILQLIAEARSLTTVQLRMFLTSRPAIPIRHGIRAIPQAEHQDFVLHDIQLMIINHDIYLFLEHHLGIIGQELSIRAGWP
GGEVLRQLVKYASGLFIWAATACRFIQDGKQLAQRRLDRILKASSSAITAPEKHLNEIYLAVLNHSISSNYSDEEKGEACDMLKHMLGSTVALLSPL
STSALSSLLQVSREEVNSTFNDLHAILDVPNDPVRPLRLHHPSFRDFLLSKDRCGQFWVDEKEAHQLLATGCLQLMSHTLKKDICDMYAPGIQATQA
DCSRLQRYLPTEVHIYNGVGLRLPIPTTSISSYRLTYCTGSRHLGGWDTKSPYWHTFIHDTKRFVLYSRSAIEQAPLQLYCSAVVFAPGNSIIRRKF
ELCIPDWIVVKPEVQRNWNAALQTLEGHTRWVRSVAFSFDGKQVVSGSNDRTTFEGHTDSVTSVAFSFDGRQVVSGSDDRTVRLWDAATGAPLQTLE
GYTDSVTSVAFSPDVSDHWILESDMKILWLPPEYRQRSSCLFRSVAESTGSGTPHTPAKLRPHDYGKNVLRTMIMACEVRPY

>RCO7_10314 | uncharacterized protein
MTDWFLQGGYQSGATKHKAENDVSSVIIGYMPKFEHIQYESTAGVVF

>RCO7_10313 | uncharacterized protein
MKCPELIINYLEGIKKFYSDLVEGDEHAMQKIDPATVKAMELRAPRASTKDAKFLYGKIYGARIFSAFSDPERAEIWRRLQMFEGLVPSLDTFFNDV
LYLELLVDSVRRLTQIPNNASLIEALQKRFTGVNQEDGLIRIQRTEDAFVH

>RCO7_10309 | uncharacterized protein
MYYYGNKISIASEYLELSLADTSFLSFPFDEWEVATIITEVLNSSGYLLLRGISCKELSMSDIRISAEGKIKIILDLAQYGRKVSDESTRFAYTLLD
LPFIAQIVEEMLLLRYEQELNKTSLPHQC

>RCO7_10308 | uncharacterized protein
MVISWTPGKQDTIKLFVQPRRGLTRKLLYHAANGHLRDPVVIFSGPHGTSIAMDEYESVLIVASGFGIAAQLSSLKKLIYGYNARLGPDGIGAQSFL
NNTLEEDKLDDRRILLITIHLESHDIVIPFGKRAIMYPGPAPLSRIFLEEVSGENIKQPEKQKVQQDPSIAESWESERLREPRLIESGQTKDTTRDG
KMLVIVSSNDDIRDQMRALVQGYIQEGVSLVELDYQPK

>RCO7_10307 | uncharacterized protein
MESSSEVIACLCSALMRILNIERSTIAPNFEYEFLDELDDEPDSYHYSKYFLNPDLAYNEAFLLMARILSLTGANIRKLDIERDDENRAHGMDGALF
RDAFRGLRNINIFANETDINNGWRTRKLARILSGATDL

>RCO7_10306 | uncharacterized protein
MVLDIKETGGCAAGKIRALGQSRVILVVWGATFSASVTETKSDKNATRSFQADSSEQSALSEVQ

>RCO7_10305 | related to dynamin GTPase
MAEQYINGTFPKGTIDFPSLRGLRSAKSTHRLDQIAHVRAKGVGDHISLPQLVVCGDQSAGKSSVLEGITGIPFPRQDGVCTKFATEIILHHHEAEV
RITATVIPHASRSKLQRERFQAYHRVLSDFSELPGVITNAGALMQLRGSGMDDGLTFGEDVLRIEVVGQTGLHLTVVDLPGLISVASEEQTEEDVQL
IGRLVDSYLQSSRTIILAVVQANNDIANQGIIQRARKFDRAGQRTVGIITKPDLINKGTEGRIALLAKNLDTTKLKLGYFLLKNPSPAQLEDGITLE
ERKHQELDFFSSLVWKEHRLDPTRLGVTPLREYLQDLLDGHIERELPKVRTEIKSLLASTEAQLANLGDERPSTAHMRMFLTRRSMEFHGLIQSALD
GNYHERDADFFRDHHSTRLRAEVHRLNGSFATEMRENGQKRKLFSVTSSEDGSDQDSDSESEVSPLLVNQQVFNKWVKETYLRTRGRELPGNYNHVL
LAELYHEQSSRWAGIAENHVKKLFDITTEFVDGAMDHVVHEENMRREIILLANTRLEEGKALANEELQKLLADEKRQPITYNHYYTDNIQSARESSM
KDAMQIAMRAAVEKDWNGKFHVSNTPLELEKVLTSLQKRVIVNMDDQACAEAMGGLQAYYKASPVRCRSYVQKLTKLKVAIKTFVDNVCRQVVERHI
LSALPNIFAPTTVMMLSEEDLVRIASEPEKQRERRLALQTLAEGLKESLLDLRT

>RCO7_10304 | uncharacterized protein
MDSISFLEEVLNYHFIAKSVLNEALTAPGAEGDKEGTAEEKAKYEGNRLLARFSKCVLPLLALGRRCPQRNSESCSTAKKALECAIAAKDYTIRATA
LRIPGSMKLSPRQRGVVAEETLRQAIYAIIGAIWQDSDENLRRTEKAVERLFIGTEILLETASQELASNPTNLNLDNPESSLLPRQITQISASYNFI
PTTTTEGREGDQHQLQPGQDSSTIGTARKKRKASTNNSESRQIIQLTRCLARDEQRCLRTGLPFSSMDSGIAFNGLQLPPRDSGLAIKTLSYVIASP
ESIVALQEIIIAHRTSVAQKQFMGEFRGDCNLSLADRVKAIKDAGSEIAYLLFMKRCHTHQLFVDCSKGSRRTSDGFVVDTVQSLSNQASSRLGNPQ
NLEDSMVAEEIIKEVYPNLTPGTELYQKKKRFVHRLRKLGERFDVLVNSFSYGILGLLSWPQGDLLDLPVLSNADEL

>RCO7_10303 | uncharacterized protein
MASNCHTSNNKLCSPTDSRIDPSATLNSPCATSSKVVVVGIYGLPGSGKTFLLNLLRRELRNELFEFYDGSEMIAKISPGGLEAFQGLEEGEKVQWR
QLAIDTIRNECANSGRVAVVAGHFMFWPEEEEAARSGDVTRGRPSASLSYLSGWQEQEKMQLRSLCQDYNLLLAEKFLDESVVAGQTEVETVLKILV
SQPAGGNDLLKTLFGSSLGYSYTAFRQATLLYEEIADDEEFDSTSLLKLVAKESHVGAVIISCGLRRVWEKVLEREGLSKVVEVIGGGRIADGFVVT
ARLKALLVSRLQKYHQKYVWAFGDSLLDLEMLGTADQAIVVVGDEKTRSRTMDLGLFNVIRDGGLQARQVVLPSDAMPRLDTNMLPLISMADPDFVY
SMLRYRSR

>RCO7_10302 | uncharacterized protein
MSESLAAESRWEDVDTETFIRFAQFAYTGDYTAPQMLIEETHTIHSIESSWELPPMKKAGKKYSPYPTKLIPSFKNLSYPIPMPRFNFAITWKPTVL
EGPSQNIEEILIIHASLYILGEKWGIERLKQLALFKIHKSLCLFSLDIPKLEHIVMFVRYVYERTPDLRTKLDGLRELICHYIGTNTRLTAEGTTFL
ALIEEGGAFTRDLWKLVAPMAGAVELI

>RCO7_10301 | uncharacterized protein
MFSSSSYDRFVSRGRGRGRGNPRAARRDSGQDRLATASEIISSPSPPTGPVLATIHYRELETDRPFSSENKFNVKAGKPPKWTPTARPTKLAEDNPN
GTYYRDPNAAYFPSYPIEPVVQSIFEECPDFDAQGVDIFSCGSTLGNLLRFARNVETEKPFRFLVEVVGQTVFLLRRENSPKEAITDIRGYGHSFPE
ANTTWDADIKSSDTHQRIVRYQLGHLCIVMRFEADGYLVEEVPAKKTHASPINEKVGEDMLISALAENTISAHTPKNSDSLKIIRGQGSVPQSAIFD
LKTRSIKKKKHDTTLSDQLPRLWIRQIPFLVLAYHDSGLFRSEEVTVRNIKPDVARWESEKKGDVRKLIDLIKKITVVVKDTPGRKLEVLYRYGTGL
ELRDQVEGVASVLPEYLAAQWTARGNEVELRARALRNCSVNRGVRLDHVDNKKRVAINNKIIDTLEEDEYD
>RCO7_10300 | related to ECM32 - DNA dependent ATPase/DNA helicase B
MPPNDNIDVMETAKSITNGGSFLASSSHETRVIGYKIQHFLKAKESSANTNPVNAGPGGRHDNDFVDYRKTAIFPTSDEFMSDTQPFYRPAREVVEA
DAADRIGIHLDNQFRLLREDMLAELRDDVYIATGKKKGRRSPVILQRLMLAGSECGEPKKWKQCAVKLHCGLGMEKFTKMSTAERKTYLKNNPRSLK
HQSFGCLIQGDQIVAFAVLDRDEAGLLEDPPAITLKICGDDALKTFLLASKGTTQIDYIQVDTPFYAYEPVLQCLQDMKDIPLAYSLLGTTLDEASQ
TTLAIDSALIDLLRAKGTGKSFIGALITKAFYEHISETILVLSYTNHALDQFLEDLLDNGIPPQSIVRLGSKSTPRTAPLNLFERQKTSNFNKSRSG
WEIVNNFESLVDVYRTELTIELKSFTQAGVSWKDILAYLEFSDDDDRFYPALLVPDEEDGMTRVGKGGKDIKPDYLYDRWARGEDAGIFEEQAAAHE
EIWSMDTNSRLRRVKRWTTALLNEGATKVATLVSRYNRYQRRLAQALGERTAQTLKSMRVIGCTTTAAAKYASDLRNAALGIILVEEAGGILERHVL
TALSAKTKQHILIGDHKQLRPKYSNHAISVEKGHGYDFNRSMFERLVLVNFPHTTLSKQHRMCPEISSLVRHLTYPSFQDAEKTLKRTPKSMPKSLQ
TVETQNRRLARLRLLRDRLMVDNDPVLNDLDSFDLVRAGLLSEASANVNKRPIKISTIDNYQGEESEIVIMSLTCSNEKGDIGFMYSPERLNVLLSR
ARSGLIMIGNAQTFLKSRNTDQAWTLFLHFMKEKGHIYDGLPVQCQQYPHKKFLLKITRDFDMECPDGGCSEPCGAQLGCGAYYCPSKCYQLYDHSK
MECQVLIQFVCEQKHTSQRPCSKSQGPCAICAEADRQRERIRERNVQLDAARDTKRATYALQLEENQAEIDHQRRILQDHREDGNSARLLKQKRQDL
ANLKGTTKNEALDDLMGMIGLEDVKDNFLAIKLQVDTAVRQGLDMSSKRFGASLLGNPGTGKTTVARLYAKFLTSVGALSGSEFVETTGAALANDGV
PGCIKKLETIQNNGGGALFIDEVYQLTSGGNLGGIAVLDFILAEVENMTGRVVFILAGYNKQMEKFFAHNPGFLSRFPHRFQFKDYKNHELLQILVY
KMNQIYNNRMEVEDGPGGLFVRIVARRVSRGRGREGFGNAREIENTLSKIASRQANLIGLSAVKKSIQALFGTVQFNYRRELDEAPLVEYSLNKVFL
GPPGTGKTTVVKMYGQVLADLGFLSDGEVVVKNPSDFVGNVLGASESTTKGILTSTVGKVLLIDEAYGLCGSLGESSTSDPYKTAVIDTIVAEVQSV
PGDDRCVLLAGYKEQMEDMFQKVNPGLSRRFPLASAFVFQDFEDGDMAKILDLKLSNLVFTTTDMGKRAAMDVLRRARNRPNFGNAGEVDILLDYAK
ARQQQRLNEEQVSDDHSHFKPIDFDEDFDRGERADSNVGLLFRGVIGCETIISQLEGYQNTARELKAMDMDPREEIQFTFLFRGPPGTGKTSTARKM
GKVFYDMGFLAKADVVECSATDLVASYVGQTGLKVQNVLENALGRVLFIDEAYRLAGDGFAKEAMDEIVDCLTKPKYARKLIVILAGYDDDMNRLMA
QNPGLTIRFPEVIVFRGLDPTDCLNLLIQLMRGRQLDMRKNNKDLDLSIMEVPTLDFRHVTLDQFEILGRIANWANARDKPVAVVTEEHVRTVLESM
ISERGQRQQAAEVRPSPRIQNGQALPPPPRAATTSSSAMNISEEAENTQRVAKSLPPAAPANEFRRDSRVSDTVWEQLQRDKQAAKQKEEQDQKEAK
RLREEARLQHEMERRAQEELLAKLENQRKALEEERRKEAKVQQQLRTLGICPAGYRWIK
>RCO7_10299 | uncharacterized protein
MTEPQVEPASTSTSSTWSLVMTDTIRDREEALILDEHLSLLRKLPQEHALPEIRTTPIFVMPILRYAETLLPLRDSQPFPQYGLLGGLSNYLQGQEG
SGEFGNPDPRIFFNIATPSSTFICGSQGSGKSHTLSCLLENYLSGSKAAKLPKPLTGLVFHYDTFISDYGGSPCEAAFLASDPKIKVRVLCSPTNIS
TIRNTYKRFNIDIEPLQIKESDLNTKRMLELMAVKNGEPVPLYIHTIYRILREMRTVQQASGTQFNYREFKSQVMDSSLAPTQLVPLQQRLDALESF
MPKIQVHSNQKGKRKEKLQAPNRDKKDWSSKPGHLTIVDLSCPCVTSENACSLFNICLSLFIEQSIDGGRVIALDEAHKFMDTSPEALTLTNTLLSV
IRLQRHLGARIIISTQEPTLSPLLLDLCSTTIVHRFTSPGWMQALKSHLAGIMTSGIHTQVDREEDTKRGNTNSSEKGQAPEIFDNIVKLRVGNALL
FSPSAMIGLPQDSLGRLEIRRLRSGYMKITVRNRLTTDSGRSIMAT
>RCO7_10298 | uncharacterized protein
MCSLESSSLEDAFGELSLTQETNQSLVTRTESDEPDGRLSIFEKLQGISANAFSRPVFYRVIDSSSPASASNGGLRARLYPPPSLEKVTRDNMKLVI
ESHAILSSRKLTPFISTTPDLLRAFNIAGQRVLEGKQQVTIILIDPWKLQDGSYVECNALRLKSGLGTLPKYETEILVWAEIPVGAIFGRRTWSELL
RSGLFETLPSLNGSGRQIKLQSFREELLHHLDDFSPSSIATSLAALGMDPSSFAMKQIFEFLLGQVLGFRVHRQLQTIEHQLIADHMSKIVEFDQAA
HSLTIIAGKEKLIMYFKQDYISHVNRLQPAFDS
>RCO7_10297 | uncharacterized protein
MDDVFRLATLIVKMNKDFSKIVHKEGFTRAFNGSLGLSIPDELPDDATAHSSVQTSGITIEALEYPELRSIMAQAEARPEPAEDSIMKWIAYKYNRS
KEFKYYCKDDTLCDRLWDKLLQSLLPSYEKAVQQASFLVEIERHGNLITTNHYFAENTKDIPGEPLLLLKDILGAVISNDDQMIQDLHDILKSYYKV
ARKRFVDAVCLQAVDHFLVSSTTSPLWIFSPHFISKISETELHQIAGDKEETI
>RCO7_10296 | uncharacterized protein
MKIDELAFHEKAVFLEACSRSQKEESPSQLNINVQNKLDLPSARHFLDSFALVAASPGGAPNVTAACLELSQSNSKEITIRIAKNEDFNVQARQRLS
QITGIMNRLSVRVDTQMKARPVEPGKLGACKDVDLDENEESERLAKSHWTEIRELVDKLHITTDLEAIKQLARLAYNVRHSIDFHNLVRTQCQLRKQ
SSQILERIGKVAKFFRSAVSLVQQKYIVHAEMLLLTFYEEHPQIVLATNYIGISKRSCYLCANFIRFHNFFAIKGQHQQLYCLWTLPADVTFESQAR
GAIFMKALSDLDSLLAHKIDKVTRPQHKLLAFLKESVANFSRATITARAHSLENPGVVVESDEGVGLSTSRMPLRNRGEHPDVRLEPRERGISELHQ
DRVNTEISSSPVTEEGSLPRHLETIEYLQAPLAVFPKLEILTFNDPDEELQYVEKRSHHHRTRRSRHTGGHYHRKRRRRAPSAQRYNHQVTMKAATR
RQKIRSPVLLPIHASTQLSKRTTRKRRKSDTVGYLNMLLTCLKSAGRAALETFWERI
>RCO7_10295 | uncharacterized protein
MSTTPFLDCFETWYLPRRTTENVFLSIVRATLIQIKGREEQEALEKALKKRAVLKKQEPIEGEESPEVGGIGNVEDEKSCKAAGEAGRARGFEEDEG
DEGLDECGLLSATILSSHTDVLQRAWTSIVYRTRTMALNATAGSQPRITQGR
>RCO7_10294 | uncharacterized protein
MKSPPLETLLPSLSKPKILWDNLRCKSIDQIEELNLFNRPKVSY
>RCO7_10293 | uncharacterized protein
MSRLRERLDSVTFDRSDDYENDTLRLKEEIEFSKQCLEVCREATNQVSTQKIHVIGEVVADGDCDQVVVTALADLFHVGTVKAQGRSMQLVGSMPAD
TLREMSKDRYGSRFASLDGRLEVGQLEAVAVSPSPLVTTKIDSSAIQSDQVQESGSLATVEGIYNRPSSNEVRKRRAEGGMKSFFSSVSGLENGMRG
GCHARHCALRGLILNDIRYSASYYSIVDYPTNTDNERCFSIVKSRLQAYIESRVEAHKPPSPSNNHGALDGTNQALLSSFRLKRIAGTGLKEKLITA
PPRQKQLVVGKDEKLVQDTALWLKDELKNMSMETYIRENIFSDISQFQLKDEACTLADHLWKLSDEVENESAAVVWSIRYIATCASVVGTVFTSPSK
VLTDLEEPSTFLNQVSSRTLEHWQGLVRIVNTIVNMMLLKWGDKAYVIYHIFAVKRNLLSNIARESHASQKIFASKVAEALELIDAPYGFDGERLFN
PARVLSGILLTKRCDVQVSDIKYEITLLKL
>RCO7_10292 | uncharacterized protein
MLYNRENGRHMNTNDAKEVLTYIYGPLTRHYDLDITVKEKPILGVDDLLLLLNHHWARDTSTFPTERHRVQFALILLLLFATGYRPAEDVDDNGFED

TEVGADADFGFDDQDSALTGLGSENENGFDDDVAIGDVETELRQFDALCYEDVRLLVVRNPVAGERDVLAMEVKLAHHKGAKRRPKPTIFFFTEVDD
PIFCPITHLVSLAIADGAFEAPSLTTVERVFEHKKPEMSKIPIFRQDKRPATGVIASPILAVTYSQYKDCLNRLRLTAGFLEKLTSYCFRRGTANVV
DRTATDAVRDQVIRHNPNSAVYNGAYINERVPFDILSAVLERPSADGILRMLTHMSLMRDPRAPVHVPDDVLVALPPDPRIVDLEQQRAQLKAGAYK
IQGSEVEAEVRRLTAEIGTTRTRRRNIISEEYRADYFRRRPIEDIERQNSRQQEEEYIEPVVEHQIPERAQLAELICTHTTGITPQEIVARRIYSAG
LIVVLCRRREVPRRYRLRVTLPQPPIIKEESPDLEPFPIKLAKDQCPICISDESKSYNERIGSFCRPTKMIDHVERIHLKGRDPRAKIECFHPACKS
QGLVLEHVEHFKGHVEKVHGVKLREPRFVPSHK

>RCO7_10291 | uncharacterized protein

MTDLKAPSKRGDRMESERPKPPKTAAPTPQPR

>RCO7_10290 | uncharacterized protein

MSYINGTKTKPSRALYFKSEERINALEEISRHINRIIDNTYSSYKNIDEYTSVIQASSVYLKKLKYEILKPILASLIFKGLLSSFDSFASRKYKEIS
NNLSSIDIESLIRDLLLEEARINTSTDLQANKAFKGKNSKGILDSSASEHYIPNKSWLLDYKPISKKSITIANSDILPIIDRGDIPIITREGDRVLI
KDVNYVPSLKTTLYYNTYYLEVDVNYKLLEPVSFKVDSNKSSKLDLYYKRLLNNNKEFIYKTIERSKGIKIQKGLDLSNCSAYNSGKIHAISSTKPI
SDTPPLTVFDIDIAGPFKIKDKGIICEYTSPYSPKVLGSLTYVLINKRTNKFEDKSDRGILVGYKSVNNFLLYIPEKRAIISSKNVLIKEDLTFKDE
VISKEELESFDKTLNDCETSDRTNRVISSPINTPKSDLSRAENSEKIDSKTANNSLNKEKVIEDIELDLFNDIAEEPIVEIPKQALAIQNNKRLIQE
QKEAYSVYKNVINLAY

>RCO7_11373 | uncharacterized protein

MVANLYSAYSIRVTMKVLDRVLLLPTLFKQVNKLGVATIFFKSKIRLSLAELSTLNQKNVLTREKRVDYTSYSPELAIKYYKRLADFKRANKKALGA
IKSIISLENLDSLEEISRYINRIIDNTYSFYKNIDEYTSVIQASSVYIKQLKYEIPKPILASLIFKGLPSSFDSFASRKYEEISNNLSSIDIEGLIR
NLISEEARMNTSTDLQANKAFKGKNSKGKSNCYIKHPKLIPNKSTNNKKKSKGKGAKESKEESTKALMSSFSSTSSSSSSNTADQAYATIYNIRIVL
DSGASEHYIPNKS

>RCO7_10144 | related to cell division control protein 25 (GDP/GTP exchange factor)

MLMTLRSNGIFPDQQNTFMQPPFNTSSSNNPSYPADSVKQYDQESTLRTSSPLQSPPSQYSPSSSAGSFAAAAQKSRVAAKRRSPPLMSGLIGNAPQ
PVMYVRALYDYEADDRTSLSFHEGDVIQVITQLESGWWDGVINGVRGWFPSNYCQAIADPEDALEGTQNGTGGDAEDDEDVEEEETTDEVEEQYEEE
SAESERDETAQLPMEGTSNNERTRADFWIPQATPDGRLFYFNTETGESSMELPLESPSSTTENGPRDRMNINIPEKTRPPPEMMARGYTQDEEDDSD
GNSASELEGETLMLASRSSYPRKRRSLMSNGISPAISMDSINGASPIVRSRPVDPFINPNLSMVTAMPILGPSATSFTSPSLNPPHAATIPRSFFDD
GWATPLTWNRLVANMKKAVDRYREAINNNDRSEYVRRAEDISDHLRLLLAAGSGTTDNHSGQPSIISTNKALYPHFRDMMSKFSKLVISSHIAAADW
PNAESYQKCLQEADGVLQGVFSYVEVARQQRGEDIPRLLPGFVIGSTAGGSWQNNGLGARDPLTSNFLDEEDAVPEPSAVLDNNLTERLEDLKRQLI
SSLRKLEEHLVVTEKIITPYRHEMLGNNVCSAAKKVLETYKPWVSTVESINLSSLVNSFRNPSLVEFARHKQSLYDNISDLILACQTVAGPLGDEWA
EVRGESLEGRLNYVRQCAKHLETSSSHVGFSLQLLCEEVQLSSQAEDQEPPQLPPRDDRPRERRVESMPYERSHQRTDSRVTALRPGVAGIAQSQSY
SEGDPAANYRKGENSKVRKFFGEEPTRRDEQDETPDCLKLDHEEDISYDTKSTPPQLKGGTLLALVEQLTRHDKLESSFNNTFLLTYRSFTSARELF
ELLVKRFQIQPPEGMVQSDYDIWRDRKQKPIRFRVVNILKSWFDNFWMEDQSDDTKALIREVYTFARDTVKTTETPGSGPLMAVLEQRLRGQDTTAK
RLVLTLSQSTPQPIMPKNMKKLKFLDIDVTEFARQLTIVESKLYGKIKPTECLNKTWQKKVAENDPEPAPNVKALILHSNQLTNWVAEMILTQLDVK
KRVVVIKHFVLVADKCRQLNNYSTLTSIISALGTAPIHRLKRTWDQVPAKTTAVLESMRRLMGSTKNFGEYRESLHLANPPCIPFFGVYLTDLTFIE
DGIPSIIKKSALINFAKRAKTAEVIRDIQQYQNVPYPLQGVPELQEYILSNMQAAGDVHEMYEKSLLVEPREREDEKIVRVLAESGFL

>RCO7_10143 | related to DNA-binding protein

MPVASMNVLPTAASSTAMRKSSSTSTSSSLAPEKKYKCQFCNRAFSRSEHRSRHERSHTKERPFKCQKCRSTFVRRDLLLRHDRTVHAKDGGVPLHS
DVKRRAGPKPNPMSGPSKSAIAIDTSALEQIEASSDGMVDLETAAMLMTDLHHKATAAMRNAGVGPYENRPGMAFSHGSHMDSSVTFPSGAISLPQV
QWDAFMPQSVTQPKSHSITSTASGSQESQISFTSTGTLQPDPNQLPPLNMSAASNYNGLVPALQQMINSLPPSGAATPSQMSPSQPRTGRPSPKAPE
ILNDDERNIILDNIRSSDSERTIPESFRLPNLGSLNRYLQTYFGLFHHHLPFLHPASFQATEVSPSLLLAVLSIGALYAFDQDQAYVLHIGSKVIVN
QFLQNKENFSSRKCPLWTMQSSLLNMIFASWSGDPKGLEWACSIKSLLANMVAGNRYELKIRTDKREGVPPTRAEWVEDEGCRRTYYAVYIFFGLLT
LSYNHTPAISFNEFEDLALPSTEDMWNINVVDDAAWPERLEASQASSFMEAHDKLFQGESLRYSAFATRVMINALFLEVWYHKRSPEALQDVVTEYK
LRLALETWERSLDLCEPERASVPLSAPHTGHPLIFNAMAMFRNARARLEVDLKSIQEVLRYHDPYEVAAAMTHAQVKVKRSSEMIKVIQECYNCIET
AALQGIRWVARTSPTNWSIEHPLCGLDLMVILSLWLYRLENDEEPATEEETVMYNKIRDLFDEESFAISAGKLSSTVALQWASMQDEVVVWGITKLM
GESFRLHSQALVGCDDDMNCSEVSTPSMISQGPDDNDDSVY

>RCO7_10142 | uncharacterized protein

MRPVLTIRQNLWMEYLSRKALPGPRPEEADINQARMVAEIRKSTEDSTKASCKARNTAKSTKTDGITKSIESEDSFSWTSKSRRERSSTGLEHTDSR
CLAASKGSVDKWQDTRGYKRDECPELYQPKYKRSQTQPSHSSLEQGMGFHEQDFDHNPFRPVTEKPTFLIRRFCLVPLSIPRARAPTITSPTIPLKA
AFREKRRGNLSEQINASLDPRQSPIHAETRQIRSRRPRDSKKTGWCHPSKGFTYVCENTKEGDLLRQYILDVCNRMPWGLDQLNSDHMPEELLHDIF
TASLGEQIKVKVEDGNMEMDMRRYYLDVEN

>RCO7_10141 | related to HNM1 - Choline permease

MPLTPENDADAAQLAALGHKSELKRNFSPLAMLGLAFAILNSWTALAASLSLALPSGGPSSVLWGLITAGVCNLALAVSLAEFLSAYPTAGGQYHWV
AVISWKPWVPLLSWITGWINVSGWIALICSGGLLGSQLIMGVISLVHPTFVPQRWHQFLIYIAYTLIAFVVNAFLTGSLPVITRAAFFWSITGFAVI
SITVLACASPNYTSADYVFTEFINETGWPDGVAWLLGLLQGGLGLTGFDAVAHMIEEIPNAAVVGPRIMYACVLIGVFTGFIFLMVLLFVAGQIDGA
DGIIESTAGPLLQIFYNATGSKAGAICLLIFPLLCLLFATTSIMTTSSRMTYAFARDGGLPYSRVFAKVHPKLVLPLNALYLNVALVIIFGCIFLGS
SSAFNAIISASVVALGVSYGIPISINCIRGRKMLPDSRPFRLNSVVGWTANLIGIAYVIITTVLFLFPPELPVTGTNMNYCVVVFFLILLVSIFQWF
VDGKKNFSGPRVSLDDLQDGEVVGLDPAMSSEQEQGASMYKNASGKK

>RCO7_10140 | probable CDC11 - septin

MDDDLIRNRRKKTAKKGVQFCLMVCGGSGTGKTTFVNTLCGQKVLESKDCDDASNAHLEAGVSINPITVELEMEEEGTRIALTVVNTPGFGDQINNE
EGFGEIITYIERQFDEILAVDCRIKRKPRFQDTRVHALLYFITPTGHGLRELDIELMRRLSPRVNVIPVIGKADSFTPMELAASKKLIMEDIEHYKI
PIYDFPYDEEEDDEDTIEENAELRGLMPFALVGSEETVEVSGQKIRARRYPWGIVEVDNPKHSDFLAVRSVLLQSHLADLKQITQDFLYENYRTEKL
SKSVEGGDEADYSMNPEDLASQSGRMTEERLIREQEKLKEVELRMQKAINEKRQELLVRENELKELEAKMYRDHPDQLEAPASTVQIES

>RCO7_10139 | uncharacterized protein

MSPSKSTQKKAIANPSDRPRGRPRGKVSATRLGELKAARDAHNTLVCKSRRDRIVADEDIPGALRTLAPPLARRIITRACEVRLKYDWEQLERSLKS
KTPNHAALSGFPWTTRFVDGTFGPRYHGNGIWECNQLMLA

>RCO7_10138 | related to stress response protein rds1p
MRFSTVAVALAAFASSVSAGPIIKRQSDSTSTDIDAVILQYALTLEHLENAFYKKALSEWSQQQFIDAGFSAKFYDDLKYVAHDEEGHVVYLEAGLT
AAGAKPVQACEYSFPMTDPEEFVALASVIEGVGVSAYLGAAPLVTSKAYLTAAGAILVTEALHQSQQRNAIGEVPAANVFGTPLGFNAVYSIASGFI
KSCPATNMPLPVMAYPALTLQSGLPTAQGANIQLETSNATASGSFATFVSGINVAAVAPMSSSGNTHMVEVPMMVEGQSYVFITKDNSGNLTDSNII
AGPAILEVTPLSPTFNLTIT
>RCO7_10137 | uncharacterized protein
MSFLNPFRRAPSGDTWFLAGLSTSFPNITASGTTPLSNSLPCQDSEILAPGCKVFHVPNNDSSLATGLDMNPGTATDSKEIAPASLDLRDQVVVFQY
QADFHAVDHSCPHSSYPLSKGTPFDIEDFGVRLSAGIRCPKHDWSFDLVRGNGDRGNYRLKIWETQLRPVAGSGRSTADDKEEVKEVWVRRKQRMG
>RCO7_10136 | related to xyloglucan endo-transglycosylase-like protein
MRAPKALILRFLLALALAVCQVFGYCECGYRAWINTNHTVAGSEAVTGEHGSFKRIHTDIDPRLVDPAFGTSYIYTDLLETDFLHSDSIAKNTDWQI
QNYSVTAAANRGRFGMEFNTANVKLNRIEDPKNWTGPGEFGGDPGLQMSVESNVTTAGFTLCAQINSARQDMMDGTFRALIKLPPVSGTCSAFFWYH
NDSEEIDMELLSSQFNRNKDEFLVNLVHQSTQSAAQGFSVIGKDYQVVSLPVDPTSGFHEYRIDYTDGIILFYIDSLVIGAMNSTKPDVPGHLILTQ
WSNGDPGWSGGPPVAPAVLSVGYVKAYFNSSDPVRQGDAERRCNDPSEPGAVCDIEDYRPPANITSLVNNLQTPALNTPFFSNRENMTNNQTVYRSD
GNTCQEGNFLRPIGSLIMVWFFLSLLRLLFKLVDILVDYIHGDEAADRYDEEAAGWYVREAADRH
>RCO7_10135 | related to cullin homolog 4A
MPSPGEKSSGNIASPTQQSKRKNLDQTRPSVPDPFLTPSLSGPILRTNPETSLPPPSKRLKTSHTAGDQVLSTEMSKIAGLGHRPQMVVDLTGNKMH
SNFQPNTGARKLVVKNLRTGSRTKDAEAYTTRTWNELDEALTSVFHSQNTNVALETLYRGVEYICRRNKANELFLHFKSRCKTYLEKEMLPQLENEI
GTSNVDALRTVHKFWSKWNEQSTLLRGIFSYLDRSYLLNSKDLPQLQDLSILQFRHAAITRARAKDGRRVGEKAIRGMCDLIKSDRERRTELFDGDL
LKDAILMLHVFGIYSKSFEPEILAQSDAYFEEFAEECATSSMKEYISSCDNLLNREATRCDAYNFDSTTKRSLHESAHRILIESRSMILLDQVGFAT
LIETNAMSSLKSLYKLLSLSKIQGELKPPFETYIKTIGSAIVVDVEKLDQMVVRLLELKRSLDIIIRDAFEKDETFTFALREAFGSFINDRKNTVAS
GTSKTGEMIAKYMDQLLRGGLKAVPLSLTSDAKDRDAAEKQGVASTGDEDAELDRQLEQALELFRFIEGKDVFEAFYKKDLARRLLMSRSASQDAER
NMLAKLKVECGSSFTHNLEQMFKDQDIARDEMAAYKESENRSSKSLDLQVTVLSAASWPTYPDVAVNLPSEVVKHIERYDLHYVNKHSGRRLIWKPA
LAHSVIKAHFKKGTKELLVSAFQAVVLLLFNNIESGEGDQSENNLSYQDIQAATALVDAELKRTLQSLACGKFRLLTKHPKGREINDTDTFTVNASF
GDPKYRIKINQIQLKETPEENKHTHERVQKDRQYETQAAIVRVMKTKKTRTHAQLVTEVIEQTKKRGAVDVTEIKEQIDKLLDKDYLERDDDTNMYV
YVA
>RCO7_10134 | related to nucleoporin
MADLNSLETLQSLYADLLALSESRLSSIERLGAQLDAHIRDFKNLLDKKPRSDQSRHILANGKLDISGDEYTINEDFQQGTLQVANELNLDELEAAR
IFLDVQDETDSSGRSAITNSIIRFHQRRKTVLDCLLLIIQQSAEEDQDEALREDLQAIVAQIVQPENGSARYTQRCLSSMGDIKVGLQGLTDSLNRA
SLLGQAQQVEAVEAIEYQRVSLIKQHESLGVIVVYLIKENHSVEAELDLLLGVLRRADKYDNLLLHYLPALSAFITRFGGSEPGRDMPDARALHNRI
FARVDDSNTWALAYVHASVKVIWLAEYSGWYVEHSDGSIPDRQLADESAQRSTQFSEALKDGAFDFILSISADVKAVEWQDPARHGLRQWLQRKVPV
ILTDTVPFSPDFQKVLMEQLEGFIESFITNLPDVVRKLRTEEDEQRQSSKEHEHDLDLEKFIVIISYVFEGRSKAAYDGFWDVPDGALLGFVHWASK
RASTPLVSAFCEMLQAIAEDEDCATAAHQFLLDEGAQASGKMRRTASLTWNQIFKELTFFSSKIRDRPAIPQPQNFRSGKPHSDIAEAEPESAMMLE
SYLRLITRLCSESEAARNFLAQHPTFHITDLLFQLASSAIQPRLRACAFTTLQSLLSNRTREAGEYLWAALDVWISGGYSSGASAPKNASVTTSAAS
MASILRGLASGFEEPNAFVRLLYSLVLPYRDEAAFHDALPFPETLGISTRQPGIDPYVDFAMGQIFATQPQELHEVVQVRLLQLTCLDFIATCLDTF
NEDLVIFASQTNVSVDAAIQASSLQNYMLLHPFSRVMEWMFNEKVMAAVFAAVHQDPADVACAAPDSPLVLCLLRGIHVITTILNLQPTYLDIIRPL
MKSQPNYRRVPVANAAFSCFEDGVLNHLTIFPDLGRYCGTGHAELVIASLKLLEKLSASSKLSFAPNTGFGRGSDRNRALAALDDDAEIISNILLLE
MEEDIDINQGPDSSAYIIQIQILEFLNSCLRAASGQPTIAHLLLGFQCGPGGLSVESDGLFNRGVSLFHTILNLVLQSPVGDESGPSSWLVALSLKG
MHILKELWTSPISAKLVMSEMRANDAGFLMFVREGVIDPNFTWDGIFLSDPTFSSTSSATCFSSYLYRRALMLQYISAELRQVVRSHSPSLRERIFE
TLMGSTTVDDGQKIDHATIFDLFDFMNPDLERGPNPPQLSWFSDADLYACLDDSTDVSSAFDISKLDELLGLRRAELTHTGRLENPTDANMVDAQAK
DLLDFYAQDNAIKGIGAARLTVLRAWVQLTLVMVESGEFDGTARTAFVLRALQTIMPRLESDFDDIDKAMELASLAKSLIFKLDFTSDSFKTGDMGN
LVSDRLFHLFQTSLRAISTLGSKVALKEYYYNICFRYLTGMSDLDGISRMHKRHSIQAIKSAGERFIDFVCDDALGGSPTCRISALLVLVALVKLGE
IENSKYIIESLARVNFISILVESIQNIATDLRDIAVQDIDMYLSYCHARLALLLSLSQSRFGSAAVLNAGLFHFVKESTLFSIDPDLGVDIEGPDAV
DKHYNLLAAIMRILCAAVLSRGSQNQQTLDQGLKFLSENRSTILPVLKISAGLTNADDSSPDQTVNELAASYMLLITVTGFLEFEDQTTNKKHTTNG
YTVFT
>RCO7_10133 | related to phosphotidylinositol kinase
MGELYGDGDIRLDRTLEACRGKSQKTRNDGMRDLKAFFDRRHKANIDVLTDQSFHKIYEDVFEMAVTELQVFLAAKKSTKGTAEFRLDTCGDVVRTV
ITAGAAKLRPATVEAVLEHVTQTLPRPSGGYYEPLAQHYLKALIAIFEHQANVEHLKSEVWVQAVEFCLSGIKSYLDDYVQEPLSSRSHSGRGSSVP
TSSANKHGHSQEGSLNRTHAEDLFQVLHLLLCAPNVPLGTVYSAVGNCITRFLRMSGSNASQTQQVAFSTLNIILRFARTDQTTFCQSAAQDILPVI
CRFWQGKAIVKDEMLNSVRDEMLIFIFYVHLHLERTLMDGDAPELLSMLEELLEAFKLDYAPRSDRDQLHLSDLDMADFCKRDPRKMPFCLYAFQLR
PYNVKAERNWAILRSIGLVERLVSLGQQQVASSETSGHDDLDNRPSKRQRIVHHSDRLFDLLRSKDENLRLAGLQILPFVLQDSQLPASVLSELLTQ
LHICAIDKRGNMTSWALLAIASCTTQTSAAEIPPSEWAQLWQCGARSLTFSATCRAAALELHAIIARGLVRYHEIAEDVGAIITSADSSGPTVLCDS
SIFLMVDLLNIRIREVPGASLITAQHIIRWLFARWNPDDGNFAARYSIHVQPLHVTALLRACLGLPAISILVDTTMPCGSLAQAWEYHLRTQEVVRY
LLLLNDKSTDTIVLICPSCPKTLDSREIIYSLSTIHFQTARKLVLELLQPKSRDILQNWKSYVTDRSSLISTDMFRGVLYSCITILLLMPYFVGMTL
PQLNELESDRKGLTKEVTSFLTESDAKGSRSLQSHTETMLQSIQPYLPPLDSIAIAQSSRKAQHLLGFFSILADNMSQRHTATANSSLPRDVDFMDI
DDDDFVDSKPHGKAGSHRSDMPRQDLALEMWAGSFNLMVTGHLMLVAAMHATPEVEGVVSVSFVDQLVLLNDQQFMSSRWLLRQVLDSDLVLDEDCA
YRILERVGELLQSDEYDRCEVALGTCLDALTGLGPLWSMCDDSSVAEAAPQLYRWFIKVFQKNVISPEIQKSIAELLLFLMRANPEYGIAWKKPTAS
PRSTLFSILQEGTIIVKFCIGNQVPQIFDLFILKDHDNVFEDVFTKLPMDPNWLEGISFRLYVLAKLASRWSTLLRRCIYYIFEAPGKMPNCIKHAT
TCLKEVASSLQVEGPREVFALFAPQLLYTWLGNQKIEDIPFAIFGFSSLKDLVDDAQEEAAALMIMRGQDEHAQKLAKILYIEYGDLMQNCFTKIVA
YSVPYDLATPLNQGEIRTSGEKRIKRHIGEEVFRDCLHLHFADIIAILFNIMSSEQSVDKYFLKEQALANAGKIMRQIKDMGMSTAELPAPQQPHFK
ARYLYAEIEHLCKRTGYDVRSLYTPALVVSVARKLLNGMHPALGSLYACSVLRKLRVLISLAGNTAIQGYPLEMLLQSMRQFVTDPECADDAIGITK
YLMSAGAADLLQKPTFVAGLALSLSGSLRSTFDSQKASTTQESQHQSTKSKAQSFYAWIGEYLQEYESPALESQLQPSFKKLVRSAFKSEGIGNADK
DSAESEYLIQLLKDEQRGGVLLERPSRSLALSLLSSNFRSPMSFRADILGEDVLSMDYAAVVWKSCRGSSRQAYLSWAARVMGRAFAASGQVHEELL
QESTLSQIKELSTSADADRESQSCILSLLRELTLGSSPLNAGLAETALRVIMSHFDGAPHQRHLPESLLVASAWTPYQIPPSDLAQDIEDIKSLAEV
LAAGAILEDKWVQDLSIAVARSVPDEPLLQALVPILQKVTGFADRVFPFVVHLAISTIDQDQRSRKDELSQAFVGWFDGSEGIKKNNLKMLLNTILY

LRTQPLPHEKSMADRSHWLSIDFLKAATAATQCGMFKTAILFAEEHWSLPIKTSRRSSAVKENEFGDISPEILLNIFENIDDPDMYYGVQQTASLGA
ILARFDYEKDGTKSLAFRGAQYDSHIRRRNPHSALDVQSLVKALDVLNLSGLSSSLLQAQQSVGMTPAALESMFRTARKLEQWDIPVPSTGTNDSVT
TYKTFQAVNMANSGTAIEIAVNEGLETTMKNLVLGELSASALHSSLQTLASLVELDEVFTSRGSPQFEEILSRFKNRSTWMKTGRFDDISQILSCRG
TTLSTLNQEPRLQAIMKVQPIDTRIVEVETALLSSTINRAHGALQESLSLATSMIDLIKPCHDVGVSPEVAIHLEAANALWDQGEMGSSIRMLQALD
DGQSLKNQTIVVERSDLLTKTGYRVSVARLQPADKVIGKYLRPALKELNGHTTGTLAGQVFHQFAKFCDQQLQDPDSLEDLARLEQLTKNKESDVEE
LQKLNKAATANEKQNVRRNLNRSMAWLKLDREELGRHKSSRDEFVRQCLENYLLALAAFDEHNSNALRFSALWMEHSDTQLANDAVSKHLNQVPSRK
FAPLMNQLTSRLQDTKDHFQTLLFGLVLRICIDHPFHGMYQVYTGSVSTINDKDDSSVSRRSAATKVSRQLEKSKAVNYTWAALQTCNRLYSALARE
KDEQRYRSGQRFPVKQSVAATNLNNKFPKLALPPLTMQIPLSLTGDYTKLPTIIRLDQTVRIASGVSAPKIITAIASNGVKFTQLVKGGSDDLRQDA
IMEQVFEQVSELLRRNKSTRQRNLRIRTYGVLPLTQDTGVIEFVANTIPLHDFLMPAHEKYHPKDLKPNACRKAITDQHTSAPDIRIKTYRQVTERF
HPAMRYFFTEKFTNPDEWFLSRLAYTRSTAAISMLGHVLGLGDRHGHNILLDQRNGEVVHIDLGVAFEMGRVLAVPEIIPFRCSRDIVDGMGITKTE
GVFRRCCEFTLETLRKESSTIMAILEVLRYDPLYSWSINPLRQAKIQEGQSAALAQDIGKVHEKKAVNEPGEADRALTVVNKKLSKTLSVTATVNDL
INQATDEKHLALLFSGWAAYA

>RCO7_10132 | probable triacylglycerol lipase V precursor
MRPTLILLGLLPATLAAPPVKRAAAPTVAVAYPAATIIGRPGDRVETFNGIPFAKPPVGQLRLKPPQALSAPQGTVVATGIPKSCPQMFFSNTNLPG
GLPTEALGLLLQTPLFQTVTNAGEDCLTLNVQRPTGTTALSKLPVLFWIFGGGFELGSTAMYEGTSLVRESVSNGQPIIFVAVNYRVGGFGFMPGKE
ILADGSSNLGLLDQRLALQWVADNIAAFGGDPAKVTIWGESAGAISVLDQMAMYDGNIQYKSKPLFRGAIMNSGSLVPAGRVDAPKGQAVYDRVVNT
AGCGSAASSLDCLRKLDYNTFLNAANSVPGLLSYSSVALSYLPRPDGKVLTDSPDILIGKGLYAPVPFIIGDQEDEGTIFALFQSNISTTAQIATYL
SDYFFPDASKAQLDGLLATYPEDWSAGSPFGTLFLNALYPQYKRLAAILGDLVFTLTRRTFLATHAKIYPNVPTWSYLASYNYGLPVLGTFHGSDLL
QVFYGAYPNYASSSIRSYYFSFVYNLDPNVGSPYRDWPRWNKAQQLMNFYATGARLLADDFRSSSYDWIVANVRSLQI

>RCO7_10131 | related to UPF0052 domain protein
MSKRHIVVFSGGSAANNLVDVFGKLAEDRGCSLSYIIPISDNGGSSSELIRVFGGPGIGDVRSRLVRLIPENASFPETTAIKTLFNHRLSPDPSLAR
IEWLELVESRHVLWTSISSEKRELIRSLFNTINLEIVKRLRPTSSYNFQSASVGNLFLTGARLFTGSFESAIYLLGAITGVPGNVNVIPAINSNFSH
HIAAGLEDGTQITGQNAISHPSAPSSAAPPGGGNTSSGSENQQTSQQEQEEDEEHMSPTTIRARTLSADLSLHDTIEDANLPGSLPTLRKQYITFLK
CHTSLLPSRISRIWYINPYGQEIRPAPNPKVVSSMEEASAVVYSIGSLYTSIIPCLVLRDVGRAIAGVFGGGGRCKILILNGSLDRETRAEGMEFTA
MDFVAAIADACFSSSSSTSTPPPSTQIKAPESTYKDYVTHVVHLQGQGAPRVEKAELARLGVECLRIYGRKVEVGDGEEGGMIYDGTALGQALEAIV
GGGKRKEGVVSRRNTLGFTGEGG

>RCO7_10130 | uncharacterized protein
MSYHPFRSYAAAPESLNEFSAQGRPEVANSHSNINRQDSTSPFGLFASDQAADEPSPWSVSSSGNDYDSLTLPPINPDNNYNELPSFNDAPYFDALP
RIQSPNPFLPGPSTLNTNSRPQSRSSQDDQEPPPSNQQQRRDPPPVSQYRVAVFESPDPFEDLDLDFADLSSLLDERPSGNSTRRSSFVDLTSSPDM
APTTRKRKATEPGRGRSRKVTKSASKTSRPTSAAGTRAKSEVHTIDLVDIDDKAEYEERMAKEQAETIKKQNQAAATRSVKLAEFQCIICMDNPTDL
TVTFCGHLFCSECLHQALYAGEKKCCPVCRSNISSKKTAAGKQPKNGAFALEMKFMTAKKKGKQPAQG

>RCO7_10129 | probable DNA polymerase gamma
MPPPKELVELSRDHLQRHELLGKNTDNSPPISFDLPELQGSTLDEHFYKLGMDAAEPYLSKAKQFTRSNGPPKPRKWVQRSGWTKYYPDGRSEQVDA
PQEDMLCFDTEVMWKESSFAVMACAVSPTNWYAWLSPWLLGETENDRHLIPLGDPTQPRIIVGHNIGYDRARIAEEYDIKQSKNSFLDTMSLHVAVN
GMCSRQRPTWMKHRKNRELRDKIAGETDNAELATLLGNKALTEEEEELWVGRSSVNSLRDVAKFHLDISIDKAQRDAFGELDRGGIRSKLDELLDYC
AADVDVTHRVYRIVFPNFLETCPHPVSFAALRHLSSVILPVDKSWESYIANAEATYHKLSDAVQERLIGLTDKALEIKGDSEKWSNDPWLRQLDWSG
QAIKMVKGKKKNDPPRPAARQKMPGMPQWYKDLFVKTNGPIGLSVRTRIAPLLLRLAWDGNPLVWSDKYGWTFRVSLEEAHKYITAQMQECAAFDEK
DMALRDDMSGRYFKLPHKDGPTARCANPMAKSYMPYFEKGILSSEFAYAKEALEMNASCSYWISARDRIMSQMVVYESDGAKGTEWVESSSETGYIL
PQVIPMGTVTRRAVENTWLTASNAKKNRVGSELKSMVRAPPGYCFVGADVDSEELWIASLIGDAQFKLHGGNAVGFMTLEGTKAAGTDLHSRTAGIL
GITRNDAKVFNYGRIYGAGLKFASTLLRQFNPGLSEAETTKVASNLYKATKGSKTNRKALHKKAFWRGGTESFVFNKLEEFAEQERPRTPVLGAGIT
EALMSRFVNQGGFMTSRINWAIQSSGVDYLHLIIIAMDYLIRRYNIDARLAITVHDEIRYIVSEKDKYRAAMALQVSNVWTRSMFSQQVGINDLPQS
CAYFSAVDIDHVLRKEVDMDCITPSHHEKIPHGESVDITTLLTKPNSYLDPSIISTDPPNPSSIQYTHRTPVMETLSSNTDISFLKAQITADDKELR
EILKDQRKTSESDSRPVAPKKRASTSGVDKEKKTRNILPYQNHAHLIEDTKSVSDLLGNDFRNSFQNSGFQQSQQSGGKKSWGWDRPSTLRARPSTR
W

>RCO7_10128 | related to tocopherol O-methyltransferase
MAAPVSAQATESLSIVDEKADVSAKYDIPEPEPFISFNALKDRIRHHYELASDYYYSLWGEHIHHGYFLTPSDTKERAQVQLIELLLEKSGLPVGSS
VLDVGCGIGGTSRHLAKIHGCNVVGVTISGRQVEIAQKLTLEAAGEKPETSDADTPEKLGDGSVRFVELDAEKMGDFFNVEPNVKKFDCVWISEAMS
HLPNKELFFKNAALLLNPGGKLVVADWFKDEELTEAQFKADISPIEDGMLLPPLCSQADYVRLANGADLKTFAEPFDISRQVSKTWDVSWTLIQNPA
LWAFAVAQGRDGLAFMQAFRAMRRGFANGTFRYAVMAFQK

>RCO7_10127 | related to cellobiose dehydrogenase
MRCVSSLLALAAGAWAQQSSASVDSNTGITFQGMTAAAGFYFGMAVPKPVGSDFIGQMVVPITTGYGGLSLTGSMVGSLLVVAWPNENKVVSSLRET
RGYTSPVVYANASISLIPIANGTFVNSTHMSYTFLCQGCITGSAFSFKADAEMITVGFSFSKTAPNNPSSAESATFVFHEAGHGAIGLALNLAGSQN
FAKWASMATASPLPGNSTTPASGGSNSTCTTTTKVANSTYDYIVAGAGPAGIIAAQRLAETGKSVLLLERGQASTFTSGGKATVAWNEKVTQYDVPS
MAYYLTTAADTSEYCTDTANMAGCLLGGGTMVNALMFVRPQDADFNDKWPTGWKWSEVSASAAKLYKRNPGTTLASKDQQRYDQGAFQVFSTFFKTL
GWSQVDAIKEPNRKTKIYSFPAWDIQDGLRAGPVKSYLPLAKALSNFELTLSTKVVRVIRNGSTATGVEVEISTGARQIIKLKTGGSVILASGSMSS
PRILYNSGIGPADQLTTVKTGSACVTLPDKADWIDLPVGKNLKDHPIYTLTFNTSSANSSMVAKDFTSPSQINIDLFSKQSGPLVQSGQRINFWTSM
NTTSGMKYFQGTCNSPGAGQLRIKLYLTHGATSVGTLGINAQGATVFTTDPWMNTEDDKTAVAAMIDQILNAAKNSTILKPSDSKLTGASMVAKKSF
ASGSHFVGTAIMGETKNGSAVVDTDTKVFGTDNIFVVDASIHPDLPTGNTQAIVMVVAEHAVAKIIALGASAASNSTTTPSQPAPPYVNATTNLESE

>RCO7_10126 | uncharacterized protein
MSTTPILFDYRKTQPLTKNVQNLSNLETAGSPYSQKIHLFCAAAGVTIKSCEQAPVLPRPTLDNLGITYRRIPVLAIGKDIFADSSLIIDVLGALGQ
LKSDPAAKAFEVFANSLFQVALRIAPPALLEPSFVKDREDIFPILGDKDYASLRPSALADIRASFEVIEREFLARGTTFIDAFGMNKEPGFEKKDFP
KLYTWLANLPSKQAQNISDEEAVEAIKNGKYIVQEAPAVRNDPLGLKLGDSVTIETTDSTAGSSPQHGKLASLRIDTVAIELENQLRLHFPRRGVLV
KKV

>RCO7_10125 | related to zinc finger protein

MNARSARGNLVPNSRFISIARAQLDMHIVYRAGHQHSRTHVGSGMQCPFCKKSFATASGVTIHLESGSCSGCDLDRQKINNMVQRMDTNNVITRPML
TMPGYDNNVQDIATERSWNGRAYACYFCRRQFGTLRGLNAHIKSPVHEQSIYRCPGRGCGRDYKILSGLVQHVESESCGLMRFAQVQQQARNGVQSF
VGRMISN

>RCO7_10124 | uncharacterized protein

MPPKLWTCSLRRWLLANRPIAYQHTPPSTVATFTTLTERQNANHVMPILSAERSNGTSEDISEEELYRYTRNRWMHMSERYLKFDLQELLKAAVTSV
SSEGARYCTRVFKCREGLNNKAYLLTMDNGSEVFAKLPSPIAGPAYYTTASEVATREFLRGVLNIPTPRIVAWSADRNNNVGAEYILEEKAPGKPLG
SLWYQWPMDFKLEMISQIVEIERQLASTKFVRSGCIYFREDIPDNMCCDNAILTSGPLDSSVLDRFQLGPLVSSGLWRGVRASMDLNRGPYNGQLEF
VEAMATNEIRFIETHAHPRKNYHRSSTETELPDEVLDLLNRYLQLASAMVPPSGTDDTDFANALASRPPS

>RCO7_10123 | uncharacterized protein

MFQHPGTVADGWTLAELPENYDNLDQTEKAKIDSDRKSETCHKYYEVETKIQNPRHWAALKLENASVRTEPSRLVVNDLCPGSGKCPVSFNECELAL
HAAEEESMSNVGEILRLFRDRWGLPPNGMVDPTEFDQIRTAVEELRISFIESADDEAERELFAKLWPYQVQTPKS

>RCO7_10122 | uncharacterized protein

MSTVMTLGDCKSLWQYLKNVDDDPGVVYLVLFAAGQPRIDRATAVVVGILTEKVEDKDDFELIVEVEAEDVKDAVEVAAEASEDKVDCAETEEEGEI
TGTPEVRGVGRRDQVRVSLSLH

>RCO7_10121 | uncharacterized protein

MHRARKSLFEFDTLNQRGCDAGPELFSYVERTDWTVNEPEVGPHEEWHTIVENNELLDSDDDDEDVEGVEDVNGEGDDEDNDNHDVSDSDSHPHPDE
KSHSADSDHNEEAEEVNTEIADSENSDAVSDAI

>RCO7_10120 | uncharacterized protein

MPRLRLYYMTIHKRSLISLIRRYHIRIRLDCDPNFSADKATQSFTGVEELSIEVSQAQFGSSNYKVLRLFEGIRSVKRARIYGSVTAFPEYVRWLQG
SMKTPQGMDFEQFDKEKHQEHLISNAWSFLPQKSSTQLGSPSRRRLSTKLAVRGFFLGVLFAFSSESRYAWCFIGSRSIRTTFESSRKLFLVKRSRA
SANIEAAYKPCTASRQQLLLIASATSIGTLPIGTDDDLVPLALEKNNITAVSDPNEEIDFGHRDHEYSSNEGGSEKLNLSEGESTDADQEAGEERAD
VTLDDAHYRPRPTVSRTSALDELCRLAKPLNVMIVQPSKGHLTPHCFLSYQHSNSENGLHNPPSQLIPRQRRVDQ

>RCO7_10119 | related to CTNS protein

MAFSFLAILSWSFGWIYTTCWSLSFYPQPILNYRRRSTSGCTIDFPTVNILGFVAYFISNAAFLYSPRIRGEYALRHHGLEPTVKFNDLAFAAHAVV
LSALLLSQFIPSLWGFNKRSRRDPGARPSKPILGVFFGSIVGVAIVALVVAGRHDVDVKTGWAWIDVIYAVSYVKVVITLVKYTPQVITNYNNKSTV
GWSIEGILFDFVGGILSVLQLGIDSYLQGDWAGITGNPVKLALGNISVFFDVIFIAQHYFIYAKEGKILEEDEERDPLLGEREARIE

>RCO7_10118 | uncharacterized protein

MACLIWVFSCGHKSLQLNDQDITAEGRISLFLRGKSQQAVNKCPECTKVDDDTMKTKDGEEGKSRDILDAMSAGLKKTLGACQIVWADKLGAIEKKL
AMGPVLKPSPTVSQNLDTALAKARLFFAADLARFEVKKAASKSIDPNVPPRQPAPKQIRLWGVAVRELEKAKLLYGKAIEAILANAEGTIQRAWSEP
LMDSKQ

>RCO7_10117 | uncharacterized protein

MKVFPCADDVNQCGRNRAVITNHINSLCSDCTERKENNAIRLHRIVTESREKGAAQQVTCQDYGTSTLSLTEADAVVMPPTGPLRSLSDSMAEDDAA
ATVPDNAEQVEKGMQAIDRAFEEIDRVLGADMGQDKVVQPKSRTSKFGKIFLCCFKGNSNIDSIIISSLRATDPVAKSKGLSENGDSWDEPEVNGNC
ISEEKSPINDNLFSKDYKYVLGNRRPSHQNQQGSYFRGSNNQRRGR

>RCO7_10116 | related to transmembrane transporter Liz1p

MGKLRTFFLGEVSSKEERKLVQKLDFFILTYCCLSYFFNFLDRAAFANAYVAGMREALNMTGKDYSTVLSVTTAGMAIGQVPHGLIIQKIAPRIWFP
LMAVVWAGLTMVTSSVKTMPQLCVVRFLLGFCEASTYSGTMYVIGSWYKPAEIVKRTALFTASGQVGTMFAGLMMTAIHKGMEGMGNLRGWQWVFII
DGIITLPVAVFGFFYFPDIPTTTKASYLSAEERALAISRSPPLRPDTHNISPLSLAKRVLLTPIFWVLFFWSPVCAAIEGFPFQNNFLLWLKYHKKT
FTQSQINTYPLGVQAVGIVANMLSAWHMDVTGQRVPMALLAAFLQIVVGSMLIVRSLSFAGTFFAFYLSGAAYMVNPLIFGWANIILQRNGDDAVRS
VTLYAMNIGSQVLWTFWGILFYNGADAPYWKKGSIALLACCGVMLVYVFVVKKIDDYTLKKAYIDPSGESGSANGVDSEEKKADAKVSEPSLEEVPA
K

>RCO7_10115 | related to samB

MREVNFSIPNVNKASVGITTALYDRRALDCTSTLPLINSLNHLAYLTTSSARIRDILTVDGGVERLVCLLKAGRSKDMMDMWKWNLAFQCVVNIGVR
GSENVRTRVVEADMVPVIATILDNYIKVVDRCREKAEEAKKAQEHRLHHTSRSSEHRGSHKGASFTNRPSRFDTEFRASRRQAPPPSIDIPATFTTA
PLTAGSDAMDTTPTGPQFGALTSPPERTTFSVHRHHHHHHHHHHRAQDARQHFLPPSRHNIQPLATAVPSMDAADGFNLRPVRDVDRLPSMVPGFHS
GLTSQPESPTTPLPPNQIRSPTVRPTSMAPPQIRSRRRPSIRHQASMVGENDDPNADSMASDESGEPEMSGVSAGDIDSTVNIQDITMEENDSMLTA
VEAPLGLAPTVSETQNAGTFNITHRNIAIDGIIMNDATTPTGPTMVGTSPAQPTANTPPAMPNTTIPRYLLDRPTPTSGQVLAAMPRDEDVLMSLQL
LAYVSKYCNLRSYFQQSHLVPKLKIGSELHLLDVEDGSASSSPCSSSPHASSSTSACDSEEEEYLLPDDFNIFPLVEKFTVRHHSQDMQYWAGVVMR
NLCRKDDSRGGIRQCAYYQCGKWEEFTRQFAKCRRCRRTKYCSKECQKSAWVFHRHWCVAATP

>RCO7_10114 | uncharacterized protein

MSALKSLIGNNVTSTRPYESNKMLISDSNPKKVIALAIKYRPDLPATSNRNLSSYPSPHSLSGPTRRAREHCPRDTFSDQSSSQEHDLNRPRRLRRK
KADVLFMGCPASLLAFSTAILKIFVDSHLACLASPCPPSSPPLVNSSPSPVSAQQNEAVICRVRHDKLISGYCLELPMLRRTDGQMKIFPQPARQSH
MSAQYFEKEAFTNQHSGRSALLLKSGPLDEAEASTSSPRDGIEKMLDPRYTSGKSFHSFMTLAHSR

>RCO7_10113 | uncharacterized protein

MAPPMKSKLKAKSTAAAAALSRKRKRIANAAGSLEDIDIVGGMEDDVGYDSGDSTISESRAALLKLKLEKDASDKKGDKQIDKQVDQKSASEKQDDK
KVTNVKKVIKKVDRQSHDTVKVIVRQESEIFHGVKSKEPTDLDNHPCHLLLEVNVIPPPGVGTQNDSSYRNILLQAVPGSQLKIVGNVVIDSDNKAQ
LTTGAGKTSADHNGRIRMEIPNVSMISIGYTHAERIIVLWVHGESGWLQINPSEDYRIIYEDMRKAIAFRFGIEQYYYGDPRQKIHQSEDDEIYDVL
KSCAAFNVGDGAVDVECILRCKYYQKFFLSQMVQMDIENGGGVAKGSLLYKWLLRGTFVLSPLANGGRFAREPFAVDYATSPVADGHVSEDEVDTNP
AADNDPSTEAVPKMNKPFHGPYLSQQFPQGVPAKGSLPEHFAALICHAVESKRCPDAKKKLTHAQIHNAIYRDFNTGNPLVVSKTLLHYFGQATIKF
LPLEFKDYPFWDSLNQPRKEFAYYEGLNLHPTGRDGKIYPAEDGIACQSRFEKAIGPEGLKRRTKQNNNRMEKSAAKAAKGAASLFNDVTESSESGA
PPAKKRGRLAKVSKEIDAITEPPPNHTAFADMSDNQRSKHVLATVLTIGARLDAVNVASDNNSIGGVEPRPAGGRVRSSRRLGL

>RCO7_10112 | related to pseudouridine synthase

MTPKKIMEGVFAVRKPTGVSSAQVLRDLQKHFNPSELFAPWLAAERAARERESHNQRKRRKEKQIQVKIGHGGTLDPLATGVLIAGVGKGTKSLQDF
LLCTKVYETVVLFGTDTDTYDRVGKVLKRGPYDHITREMVEEALEQFRGKFMQLPPLYSALKMNGKPLYEYAREGKEIPKEIQRREVEVLNLELVEW

MEGGTHSHVAPSDEAGHAEINIASKLWKQENVQPGARPGKMEKVKSEPEATEVGSAKTFVDKVNEEANLEKAHGFVNSSKAVNATVEESAIQPAPET
ESATTPIPNEEEDLARENFERKKRKFSEDQDDLILERPPTKSRKAAPPSSADTAMMSGGLPSPTEESAPQPSIETLPVAEAENKDEPKDQIKEEAME
DTNTDIKEETSEDSKPKGPPAVRLRMTVTSGFYVRSLCHDLGAAVGSAALMAELERTRQGEFELGKNVLEWEELEKGEEVWAPRVEKFLDEWHEKTK
MSSDASKARSS

>RCO7_10111 | uncharacterized protein
MDIPQMVSGMSITWDGCDILINGIKPNLRDYHDEESAYYYDEQNGPIIEINGDVLTINGIPVNPSDYEIEEETAPREREAARRLARHEEVGRLITHS
VLGVVFAVLAYCVAIGLSAGPLSVVE

>RCO7_10110 | uncharacterized protein
MSSTFHMRDSYISSHNSTFSSSRSIRGTYTSNGISISWERDFLRINGIRYRASDFQVEATGDLIVEIVNNVLTINGIKATSLNTNAGGMELATGLCP
FRKPLDGVVNLLAILIIIFGFLALADFL

>RCO7_10109 | uncharacterized protein
MASPITFGVELEFNLAYLDADNILEDPTETRQLFFPTTAEATKFVEQIYRDTYGGSIPSHLSESVAKFAYQKSIQYAVRDTLISIGCPVSGYSWNGD
GDPSAWDILDDSSISATYGTAYNWFPMEINSPALPFTPASLELILKVCTTITEKYLTDPNESTGLHVHLSAGTTTFDFRTMQKLFVFLWTFETQISS
LHAEVRQNNYYCRGLREASHMADEFPRTWGVNPSNLQGIVEFYNCENIESVLRAAECAQRTKFLAFNGNNALEKVRYPASNSKPTVEVRQHAGTLDG
ERIVSWIKLLAGIIQRLETIHPESFLQLIQLAELEKWEKVEEISSSISTFTNPQTTTAIVSTRSKEVLKAERTGMMKVFQSLMLVGAVCEDEDVGGL
NFNPDDRVWSMIRRTDGRRHKLTPLFRPYSE

>RCO7_10108 | related to rRNA processing protein EBP2
MVAKTKSKLKMALAADKGTDFLKQHLKKKEKAANKLNKEKASKKGGEKPEEDWVDVEEEKGDGGAELDQEASESDEENEEPMKIDFARLDESDSDSS
AGDNDRNDENSEEEDDEDIPMSDLEELEDDEREDLIPHQRLTINNTVALTAALKRIALPISKLPFSEHQSVTTSAPVEIADVSDDLNRELAFYAQSL
SAVQDARKQLKAEGVPFTRPTDYFAEMVKADEHMAKIKAKLIDEAAGKKASAEARKQRDLKKFGKQVQVAKLQERDKERKQTLDNIKNLKRKRQGAD
TETTNEAEMFDVGVEEEIGAKTSRKDRQGPNKRAKKDEKYGHGGKKRFSKSGDAQSTGDLRGFSSKKMKGVVKQRPGKARRAGKK

>RCO7_10107 | uncharacterized protein
MLSGCSDEHDYDRERKYRCYNDEADKAIAKVADPNIPHSYILEDGVDDLDFFDVAFDEFKKETRTGRQVLAPELKYQIAFEVLMPEPRVIRAIWRRS
TKCLTYRAHRPANMMPFILKAFGGFLRARALRFVDPAPDLGCPSYPWFQYNSDTLFIDYRRYGSRDVDAQEYVDAIKLAAKKLQVHVNAGKPVVARL
RVRVFRNIAGIESINLNAHDHYHTWEDATTQYQHRNQWDPARMQKMVNNSDLIGTPPYPFTVRLFKCDSTEFIYGDKPLREEWEENNSSDDGDKDEE
DGSDNRDDKDN

>RCO7_10106 | uncharacterized protein
MDPKSAPKDSLVTQPREQENPSGHKRSLSGNILSKLSFLRASADDNQDHDGAGPSSEYDGEISPKKSGRAMAVAVQQQKTRRRKGSLRKAALLGRGA
QREKKELRASPLENDLDLAYGIDGTISPTSTEKSHWNSGLGLGLSDTAPRPSIEGYASRSNDILLSSITTLPMGTEDRAPTATSPTLTYTSTDEDDI
LSIRNHGILAARPGTMMSSASDSYFSPGSGSLTRRRSGNREKSPLSLGGLAASPLPVHDDEWDYAETEWWGWVVLIVTWIVFVTGMGSCLGVWSWAW
DVGETPYAPPELEDDPTLPIVGYYPALIILTSVMAWVWVVVAWVGMKYFRHAKISGD

>RCO7_10105 | related to Anopheles mitochondrial NADH dehydrogenase subunit 2
MASSLPIPAPPRTPTPPTPIPEDLSEGGLGIDGGPRTRRSIITYDASSLSPLADTFPGRFGSMGSPMPSSAGLGTPSFSESLGPPPPGGSRSPFNFQ
TQSIKDSPAMANSVWHDNLLTPSSSPRSLARVKFASESVANQKSPKNIGKRRGHRYKHSSVSAQHQIFLEPPARAPLALPASLPIPTWKEAWTSRST
EQTTRIAWCACHALVAAYVLFSADGSLALTALSHLIFFDAVSATICVVVDVLSNFEVWKRSSIRHPFGLERTEVLAGFAMSVFLLFMGFDLMSHNLK
HVLEGLGSHAPHHPHSHERVSPGSVDSAAVLSIVATLISAYGLKNHARIGKAMRFAMISSLPSVLSNPSHFLTLSCSAIMLLLPLLTIKLYLWLDRL
LCAIIAISMFVLGVRLAMTQGLMLLMSFSGDGVSDVMCEINKEPMIVSVDEARFWQVHYGLCMANLKLRVRGDELSLQKLRDRLNLLVKNRLGGGYG
KGASVKWEVTTQFTIDK

>RCO7_10104 | related to glucosamine 6-phosphate synthetases, contain amidotransferase and phosphosugar isomerase domains
MCRFLVYKGSDEILLSKLILDPTHSILTQSFDSRLRLDMRRPHNGDGFGIGYYTEPKLGPEPCIFTSTTPAWNCVNLQRIASKTASHLIFAHVRATT
EGSLSDDNCHPFCHGSLMWMHNGGLGGWKHIKRPLGQRLADKWYLGVQGGTDSEWAFALYLDTLERMGYNPTCPPKPGFGPSVLRQAMLKTITQIND
FIADIPDSVLEKEHVDTRSLLNFAITDGHSVVCTRYVSSRTDEAASLYYSSGTTWEDKSTKGEYQMDRRDKGADIVLVASEPLTFERESWVTVPTNS
TLTIHKQTVMVHPIIDEYYSHNPYHRRSSQFAQDKGLVTNEKAALTGTKSAVAPIVSTRPVPNVSSNIHDSLTSNLTNPMHTSPVSSPANENGPPKR
STPLSDLRNISLLSLASQTSSKQQQLGNTKKKRKSPSFIEPPQDTSPSQAPDSPLQRTFGTPAKIAQYFPEIN

>RCO7_10103 | related to dynamin-like protein
MSGRLLSARLLPLAQRVNNGVARHFHHHTTSSAGGLLKTDSAVRAARRRIWPAGSTAFSNAVVVRNASFVRILPKLLLKFARIPALFAGATITGLAY
VQYQATQAGNYALDVFKSTKETVTGVAGGIFGGAKGIADQTLQGWNKTKEDVPLPEWLQKVLRIHEEIGERPGGEGGGGPGGEPPKEARLGIAAAGA
TAAAYGYDQSSEDDPRSGEEAARDDQMMVLTKKMIEIRGILQTVGQSDTLNLPSIVVIGSQSSGKSSVLEAIVGHEFLPKGSNMVTRRPIELTLVNT
PDAQAEYGEFPALGLGKITDFSHIQRTLTELNLAVPDSECVSDDPIQLTISSPHVPDLSLIDLPGYIQVVGHDQPVELKQKISDLCDKYIQPPNVIL
AISAADVDLANSTALRASRRVDPRGERTIGVVTKMDLVDATRGAAILNDRKYPLRLGYVGVVSRVPPQSTSLFKKGSGGIAIAIAKNEHAFFSSHPL
EFGQDAGVSVGTTTLRKKLMQVLEQTMAASLQSTGDAIRQELEEATYEFKVQYNDRPLSAESYLAESLDAFKHSFKEFTESFGRPQVREMLKKELEQ
RVLDLLASRYWNKPVTNLSPALPEPDSLADLPTADPDSLYWHRKLDASTSALTKLGIGRLATTVVANALQAHVDNLISQSTFASHPFARQAITEAAS
GILNERFYSTSDQVENCIKPYKFEIDVEDSEWARGRENVADVLKTELKAVDEAVKAAEQSVGGKRKLKDVMGFVDKARRGEVEVVGDGASGAGGFSS
DLLSKGREAIFLRDRAQLLRMRLTALRSKQCSTKNSRYYCPEIFLDVVATKLTSTAVLFLNVELLSEFYYNFPRELDVRLGRGLSREEVERFAREDP
RVRGHLEVIRRKELLELVLGKMEGLRDLEVEERGRRAASSTNRVSGGPRKGKEGKEGKGWSLF

>RCO7_10102 | uncharacterized protein
MCVTTTFVYNCAHKHLTRQSCDIRNELLCADLDNTRVRKYYECPACIEYQLNVEDDEEAMRRRERDREWVREMRKETEKEAESDGEGEREEKEGDEE
SGNRKRKDEIEEGDEDGKGKGKKAEKEKTQDHKGKAKAKAKAQSTSSNTMRSPMGKAKASTASSSQLPGSDNGIGIWLKDVKISNPDPDPNNVSSDN
PPPSPRPSNLKLPRSRLHTRSGEAISARRSSRIAERDGEGDVVMSDVGSKEAEEEDVVEDAVIKPLIVVKLRSGKIPDLSPGDGAKKEADEKGEVSV
GDDGDVKENAVFDGMKDGGF

>RCO7_10101 | uncharacterized protein
MPQYPDWMRWYKKPSYVDVNQFATTISDKAGTVSNPSSPRNSIETKRKSSHDIPSKLSLERILKNRTCSPMSLYDFYMYLKYIEHSSENLEFYIWFK
NFEAGRLTAFPELPRALTPVDVNGSGTSSQTSLAKPGNYDNFKAEKSQSTKAQDNFEFEDSEIYARIASFISPGGACGPKGCDNGRLSPLYKRPFSV

VERIVTEAEAKTSTEIDDMRRAELETIRTLFLLPGSPKELNLPAPMRRKVLDAIATSTDPKHFAPVAEHCYLLLKSCSHRNFIRLGVSNGTFETICM
ATGLGIVLTVSGFLAMLLLAFASPSFRHCSRWRGLGVWPMWSVGIGLILSGLRGSCFFLLLFSRRQPLPWERFEDDPIVTKKSRFIRLVSKLMIFDR
KMKVKDDALRRLQRKVVLQSIMGGMGFATLFVIVFLCLPIWKKV

>RCO7_10100 | uncharacterized protein
MDALQMGIDDAPGNAEILETNTKMMDTFKLSRANQIVKIEKSGNGGLVQPGHSTSLCTAIQKKIQTALAKTKILHQAEVIRLERARKAVLETTTKSA
WMSNIPTAFAFTITPTSTNIFTSSHVLSEPKETKEAALIAEKLEIRCKTWEGYLNRIKNSGEEVLGSLEGDVLDGSWGNGMIVAEKDIQDTWVEVVR
LMAT

>RCO7_10099 | uncharacterized protein
MAAEQQRVGIGRTYLCGHVLQQDEVYGPYGDPIMNLPMVREECASCQELTKAENIPKHKARVYAESLRDLANHRSRADGFRRDALGNDVSIQEAEIM
KREANALELAWAEGVMNIEMVANRTLNDDEELSARRTVVMAEFHAAVSRLNLLHTAELNRLEQSRGPQPGYVGILTVKVLRARCKMWEFFILRITEL
ATLVQSVQDRKSLKELLRLLEVEWESVVKHLNLG

>RCO7_10098 | uncharacterized protein
MEPEIEVEMDIGSGICTKDIKKPPRKKLIVVITSEKLKKLNPEPRAEVGIEAEIDAEKIDIGSKIGVKDGERPAVKRERKKMILVIRSDKLKTLFLP
QPKFEHGLEVEGRDMVLGMKDIDQGLQEENAYIDEETIHDLFMGNGELQTDLEQSETSDSISTINGKKRKFSKDPETEAIIPTASEYMSTVTSSEDD
SDTKSLIYKKRKFMLKFRLDPNTLKRFNSYPENVGFSSTLSSNSSDDGTVDTTTQPHSPSPSPKVARTPTPPPQTHAQTYPQSLLITSAPEAQTNLD
AEFCFLCKSTHSSPCPLNPFPEYTTLTRAPVVFPTNDSSNNNIDIRSPFSRNLVAQIPTISSGLNMQPLAYRPLQPPTSTIPTNPRMQKCLTCEGIH
SGTCVSNAIRLDEIEGNLSLFDTLTRIGQVIIQEVQSHLAAHALASASSSPDTSDEDREIIAEAASIQAEKDIEVLIKLGEMFMDWDANSRPLLLEE
AMREGDMEEVECVRGEIKKVRDEDQEQIVSRADAERWFDDLKGFLSGGGRGK

>RCO7_10097 | related to MKT1 protein
MAIGEDDIEDESYGHQNGHIIVQMDDESWHPDPAVPVDHTRLGHRRNSEYSLRLGFIDGSPIEYGRARAQSYAPLRNTIMESAEPPMLPGLDQAFPS
LIVNGSRNMTGNPAQDRYTMSLIDYAIQLCYPAETGELGSNWPYANNNCDAVQDAEFSVNSDVYKMPFSDTKNAVIGVEATSYLRNMIHLHDQPAHE
PLLAALGGDPIALKHHIENELDKWSSNHMRPLFVFDGQSIVGKDEMTLRNGKAALTKTQKAWELYGNNQPEEAVKTFGTSGAVRPQDLYHILQEVLA
ERQLDFQIAPLSACAQLAYLDTIEEAYIDGIMGSKELLLYEINDAIINPPTATDWEEKAFSGIFKSELLTKLNVTAHPEMFHDALLLVGTSFLPPFP
PLQIENIISSQPYTLIDAINLLRTSNRSVATTCSTFQDILETRDPTWLDKYRKAKLSVKLCPTVQEDGAVIIRPSDGLHSDHTEYTGLRMPDELYHY
LSKALIGPRIMNCFVHLKWHVFPTLDGVVSDEYKKLVTQSLLPLKETTAALVSSRLARAIQFKDIEMVFWFDESLKKTLVHRNMQPQTNQQTDSWGV
KDAQLEEQAKSIGFAPGTLSFALLALQSKDFPAASIYVASPKGSHVTGIDSKMELQSNVLWRFLHLRGYINDQHQLSNWGKALASTLKAITPSVKKY
KDIHHLEEAAFLAFELLRFDNLNSRNRHGELIGAPLRGTDEDKANCILIGRLSCLLKLRHQNLGYTGPLSKNFLSYHSIIKEVRETDRDLLEGVLAS
LLLNGQGTRPRDDCNGLGRSLPFSKDIDTSLGIAVKTYLDDFLKAEWTADQREANKADYVKKYLPHSVNFAEDLDVAFRFFDAVYEGVSTLGKEISE
ADKKVWDNAHAYLVKRK

>RCO7_10096 | related to gibberellin 20-oxidase
MTLSLEPASGPMGQIPVIDISGSLPQSEIAKRLVDAATTYGFVYLKSLGKDIPVEVIDDIFALSKSFFESPTEEKEPCRIQTNNRGWVGMHAETLDT
TNQRIGDFKEAFNLAEFFNGKAQQPLPPAFEPHEERLDRFQNYCHDLMGKILVLFAIGLKVDPSKGGSDWFASRHRGSEPSSCTLRFLHYPPIPSNA
DYKPEIDIRAGAHSDYGSITLLFQRPGQPGLEIIPPPTASHLLRDYRNAASWTPVPVFPPGTENDASPPILVNIGDLLSHWTNGLFKSTVHRVVFPG
DGKEGGEDRYSIAYFGHPMGSTILEPVPSEMVQELGGADSGAGMGVEAMTADEHLMSRLKATYGTLYDEEKDTEATKS

>RCO7_10095 | probable importin alpha SRP1
MAERYIPEHRRTTFKAKNTFKPEELRRRREEQQVEIRKAKREENLAKRRGITGGDGSRPGASLGAEPDSDDDTAPTESQLNEDLPQMVAGVFSEQID
LQIQATTKFRKLLSKERNPPIEEVIKTGVVSRFVVFLRSPHTLVQFEAAWALTNIASGSAQQTQVVIEAGAVPIFVELLGSHEPDVREQAVWALGNI
AGDSPSCRDYVLSCGALKPLLNLLGDSRKLSMLRNATWTLSNFCRGKTPQPDWNTQILPALPVLAKLVYSLDDEVLIDACWAISYLSDGANDKIQAV
IEAGIPRRLVELLMHASTSVQTPALRSVGNIVTGDDVQTQVIINCGALPALLSLLSSGKDGIRKEACWTISNVTAGNSTQIQAVIDANIIPPLIHLL
SNGDLKTRKEACWAISNATSGGLQKPEQIRYLVNQGCIKPLCDLLACPDNKIIQVALDGLENILKVGEMDKDAAGEGQESINRYALFIEECQGMEKI
HDCQTNANEEIYMKAYNMIEKYFSDEDDVAEVEEGVTKPDGTFGFGNSTAPQGSGFSFAGPNGDSMDM

>RCO7_10094 | uncharacterized protein
MSAQDPSQALALPPGFKTIMEIRDLPHDQLVRKVLVSLVGIVKDFQPPMQTSGTDFKCTIELIDHSIQHENYGIKFVIFWPEQAMPRISGPGDVVLL
RNVKAQMYSGTVSFITTFPTECHVLSASEFSEPSFAASKARWRSFPPKFKVPSLVETEYAVWAKGHASEFDLPSDHEFHERSFQAMKINDKFSLLRD
VKPEKFYNILGQVIRVHDRMDVLSVYLSDYTANSEFYNNAWCPGGPPSEGQDGDVYGYTKPMTKDSKDWPGPFGKMSIQLNLYDEHAEFVREHVKID
QWVLLSNVHVKYGKMGGLLEGYLRGDRQRFDGKIQVQIMKRSEIPNGDDPRWIDGLRRKREYEKKHEAQKKALLCEDDGLGNKRKAEDNGEPKLNSK
QRRIKKRAEADQKGVALEAKEAERSDLNGNIKCCFQERAPVSLIEILEPEHALQTSGPGYLSPFTLRKYRANVRIVNYAPERIEDFSVWRRESEYDM
LSEYSGGENTDLEEDMRSYKSGKGFAKKIWEWRFWLQVEDAGSSSRSKIPKERMWLLVDNASAQGLLGLDDDAANLRKNSELLASLKEQLFKLWGDL
EEQKSAKLSKQSNKSDEPPPPSFESTTGTRPTFGEQPDLDSDSEGEGSVVKISKGISTKSYADRSQGVILPIISAGDDDDGSLKPRNKAFTCCIQQY
GVKVHEDDPSKADAGERRRWQRIFGLFGTSIA

>RCO7_10093 | uncharacterized protein
MLALTSCTGKLGKATLDAIIDHNLIPLKDLVICTSSDINDDRWTSLKNQGVQIRSFNFDGPIYPSTFKGCTSLYLISTPKISMDFNNAPPGSGREKA
HIGALKAAREAGVTRFFYTSLAFGSLSGAGVMRAHLRTEDFLRELQEENEGVKITVMREGLYNESWSLYLGYFNPDGDERDEIVLAGDGKISWTAIN
DLGLASALVLADSTGRFEGKTFYLSRGKGARSLSDVARLVGEAREREVGVKVVGREEYVDCYVKRGMERPSVEWWSTTYAALEKGECEIHDSTLDEF
LASKGVKPTPVEETIRAMLRKE

>RCO7_10092 | uncharacterized protein
MRISVFQRRAAAIDSRNLVWPKVRRQDEGADTDAKTDIVDTAAPKEKDNTDLAGEDKKDEAKPDGSTLSAEKDIPAKVDTPKQEESPPKQDESSPKP
EPTPKLQPIQKSEPTPEAKPTPKPEPISQAEPTPQADSTPVVEAPLAQTTPPIEIAPPAAAETTPIPVETTSPPVETAPLPIESPPSATITPPETSI
VAFSSSSAAPIIESAAPTSIFEVPTTSISVPESVTPVPTVTDPATSIVETVTTAEQPVAVPSSAVVDLPASTPSPNTDDVASSDPVNNPATSPAEGT
KDTPSTTPTDKSALSPISAGKNGPSPVQISDEPEQTSSEKPSPDAQTPASSPSNSQPNPTPAPQVGGGAVASSTQSSQGAASSSGSSSNRPSPTISS
GSSVFSSGLPVANIVSSTNSSASSATRTASLNAATNTLSSSGFDSTSSSVLTNAQLSTLLTVTTSNTASTTLAPSFQRLSAEADSLPTAKLANQENG
APGSKGAGGTLTGGTDSNGNPLNGNGISASEDKIQASKSTIVISAVAISVGSIALFVGIVFFIRRILRTRRVGKAESPPSSPLLTPIDSPMPLSIAR
NMAQRSDGNDFWGFSNGTTIAGPRDEKTGEGYQGVAPLSPLPPAANFGNDHNPHEFGGFKLFPDPNQGNGVGQMQRPRDF

>RCO7_10091 | probable SPB1 - required for ribosome synthesis, putative methylase

MGIQKKHGKGRLDKWYKLAKEKGYRARAAFKLIQLNKKYGFLEKSKVLLDLCAAPGSWCQVAAECMPVSSLIVGVDLSPIKAIPRVITFQSDITTDK
CRATIRSHFKTWKADTVLHDGAPNVGTAWVQDSFNQAELALQAMKLATEFLVEGGTFVTKVFRSKDYNSLLWVFNQLFTKVEATKPPSSRNVSAEIF
VVCQGFKAPKRIDPKFLDPKFVFADLADPTPNNEAKVFNPEIKKRKRDGYEEGNYTQFKEVTASEFIQTTDPIAILGGMNKLSFEQPPNGDVALAAI
DKLPETTEDIRISCADIRVLGRKEFRALLKWRLKVREKFGLVTKKSKAPADEEVAEIEPMDEELKIQEELQALSEKESGKRKRDRRRENEKKQREIV
RMQLHMTVPTEIGMEQAGPNGEGSMFGLKAIDKSGSVNKIAKGKMAILTEADHRKDLDSGFGGWETESESDDEEDKLDRELDSLYDQYQERKSDTDA
KFRAKKARKEHEDGDWEGFSAGEEASDDDKLEEDSSDESSDDDESTSKRPLLTDLKGGDAKTAGGLSRRAAQFFDNDLFRDIGGMPEEEELASEAED
EEEVSEALDKLQSIRPMAAAVEDESEENVPMAGMEDDSDEGGFEVVKKTTAEKEWEEQEPKKDGKLDIDIITAEAMSLAQKIASGEVTTRELIDEGF
NKYAFKDRDGLPEWFLDDEHRHDKPHRPITAAGAAAIKEKLRALNARPIKKVREAKDRKKFKSAQRLEKLRKKSALLQDEEGMTEKEKATSIAKLMS
NAAKKKPKQQVKVVVARGNNKAIAGRPRGVKGKYKIVDARLKKDVRGEKRAAKRKK

>RCO7_10090 | related to lethal(2) denticleless protein

MSSTEPKGQLEPAIFQENTSIEAIHGSSPPQSPKRGKKERRAPSVTPRKFTRFFTPRSTHGSLPNTRSRRALNDIAAPNTSNRYTQSSPLQPFRDIN
GQESSPLGFTRESKRRKVFHTMEMSNGKQLGFVGAHDEDSNMAGVLSSPCERAVQALHYIEEDEEATSETEDEEGQIIEPVKRIVRIQNRGLAGQLL
HRSTGTSTRHYLYPVNDWQDHTAKFYSKPEDVHTSMSILHDGARRTIPFCARGLSAPGSSLVAIGDEEGYIRILESAKGGKPPFTKTCFTVRLHSNA
IIDMSFTDDDSRIATASGDQTARVFDMQKQATLAILGNHTASLKQVRWQPGAGNKDVLATSSRDGSIQLWDLRCNIADGPVNCIVAPRDNDPIYDEP
RRGDGILFNRPVTTIYDGHKPQTQVPAAIGDPDQIIAPFERQARSGDVSITAIEFLPAGREHLLISASEADASVKLWDIRQTSLRNKPRGPLASTAQ
PQSHNRWRHFGVNTLNLSGDGSRFYTLCKDNTVYAYSTEHLMLGYVPELSTINPVRASTKLATQEGLGPLYGFRHPKLHATTFYVKSDIRKARNGKC
EMLAVGSSDGFTILFPTDERYLPRQSQAHQLDVTAGNDLPSRIFENRPTLRRSGSGSFNSRVDDSLLISTNGTALVRGHDREVGSISWTSSGDLVTV
GDDYLIRCWREDGDDAKDLRVGGEKDGRRWGSGWADVEESYDDDDE

>RCO7_10089 | uncharacterized protein

MSQPSRSGDRGEPPRRRNDLPPEILEIIVPALQIGGLSGMSGLLVGGFAGVIRSSTPFLFAVASGVQWSVLGATYCASRGFVLHAWRKDKVTPREKI
SASAIAGAVGGTAGGLLRGRKNVIPGAIMFAIFGATGQYLYNKADARKSKQSQVTVERDLKDSWLNSKWSPMKVLSDTEYEGMLQEKLLSINAQIAL
VDENIEALRGQEREITAKEILNESRTAKGK

>RCO7_10088 | related to translation initiation factor eIF-4B

MSLGSFLQDEKLGSWADEMEDMPVYSRTGYGGGGERRTYSSTTGQYGGASSGGYSVREELPLPDKPPYTVHLGNLSFDATVGDVTEFFDGCECTNVR
IIEDKLEMKPKGFGYAEFATRDGLKQSLTLNGTPFQGRNIRISVADPPKDRGDRPDAREITDWSRKGPLPDLPSRSGNDRRGPERSDRGGFGSDFGG
ERGERKERFPEGDGKIRDFGNWDRKGPLSPLAQTERAPREGGRPRTNDGPRAEGYREAPAAQWGEGRGQGSQDGSRPPRREFQERPIVERAPTAAEQ
DNQWRSKMRPDAPAPAPKSSVPSRDGSEAPSSPAPGNALPVGRPKLNLAKRTVSEAPEQASPTTAASGDAKASPFGAARPIDTAAKEKEIEEKHEAA
AKEKKDADEKAREEKREAAKAKAAEEAAEAEKRAAAKDGEEASKPEETIETENADGEIVDDKAVKPREIVRDARPKPVETGAWRRASNGPPTPRDDI
PRGPRGGRGGGRGRGEGRGGRGNFEQRQYSNGRAPQSPAQASTPTGETAAMEEDGWSTVSKPKKNSRGGNQGSRAIAS

>RCO7_10087 | related to phospholipase

MRPESPSSQSEDPTITLLETYSSLNSSVITTLTSLPSPLEFLRFVAQNRPFVIRGGAADWKAVREWNVTTLKEVLDGVSVNVAVTPFGNADSPVRSP
RTNELLFVKPHEEQQPFSTFLDFIIAQEKAITSQTSSSTGRSPKVPGGEVRYAQTQNDNLPSEYSLLSSHVPSSIPFSRIALSSQPDAVNLWIGNSL
SVTALHKDNYENIYVQIIGRKHFTLLPPVAWACVGERVLKAASYARRGKSSGEEEEGAGEKERGCREKGFEIVEEEGDGIPFATWNPDSSASAEEGN
GTKYSRFVEPMRVTLEEGDMLYLPALW

>RCO7_10086 | uncharacterized protein

MSSSEGEEHCIESSAAEEENILKATKRQRMNKRLSRYVKAAEMSRRGYKSTSTDHAAAQDGQESDGAASRKEGKVIRQGDEILQLFPSYAKHHVKLS
PKGLEPVIHLPGEFEPSVQEVVVEDEDDAIVDVDVRGWVYSPHRGPLPRKYRVLIGLARKLSGIPAPEETKEKNKGFPETETDRVKIEKERRMIATA
AGETTRRGIVEEKLGRMGEYSEAPTTEMESTIKEKDSPLQPTKEKVKLGASAVPTSDTNIDQESQASWQKISDMTPEELREADTQLLSRLRHFTNWP
IVSEPVTMTFSNKTTTATQTTLTNPAGHFSLRASLPFIPTEVRASCASHANLTASQPVIITQPTGISVITDIDDTIKHSSVSSGIREVFRNVFIRPL
DKLTIKGVAEWYQTLHSLGVSFHYVSNSPWQLYPLLVSFFSTAGLPDGSYHLKHYNGMLRGIFEPVAERKKGTLEQLMRDFPERRWMLIGDSGEADL
EVYTDVVLENPGKVVAIFIRDVTTDAIQEVLQKSGVKDIPNGTISDPARNSRSQIGIGEHSSNDPITQKQNLTEASLKSHTAYTQHLLNPATKPEAR
IHSQSYRALASSYLPTSWQSSISNISISSDASTVSSDDLESLAEELQTWTERWARATVITEREGVVLRSWAVGGDVVDECVALVEREGRECGIEVEN
SIIANS

>RCO7_10085 | catalase-1

MQSVLGGAVEKAGEAVSGAIGSNKKITDIKKDTIEPTKNDLLTSDFGVKQNSHDVWLHASTGDRQGPALLEDNHGREKIMKFDHERIPERVVHARGA
GAFGNFKLYESAEDVTSAGILTDKSRNTPVFVRFSTVLGSRGSADSVRDVRGFAVKFYTEEGNWDIVGNDIPVFFIQDAMKFPDVIHAGKPEPDTEI
PQAQSAHNNFWDFQFLHTEATHMFMWAMSDRGIPRSYRMMQGFGVNTYTLINAEGVRSFVKFHFTPTLGVHSLVWDEALKIAGQDPDFHRKDLHAAI
ESGVFPTWKFGIQVCPESRQDEFDFDILDATKVWPEEILPVRYIGELQLNKNVDEYFTQTEQVAFCTAHIVPGIGFSDDPLLQGRNFSYFDTQLSRL
GVNWQELPINKPVCPVMNNHRDGQHRQTITKGKINYYPNRHSIIPPATAAQGAYVDYPEKVVAMKQRLLSVKFSEHFDQAQTFWNSISAIEKKHLIA
ALSFELDHCDDPIVYERMVTRLTDISLDLAQAVAEKAGAPTPTKAGRPNHGKTLKGLSQFDFTPEALGLTPTIATRQIAFLIADGFNYVEYSSVKAA
LSAAGALVFTIGPKRQPVKSSSGKTVTPEHHFEGMRSTLFDATYIPGGEHIPTLAKQGRVVHWIREAFGHCKAIGATGEAVGLVRTAVGIEGMVFAT
GNEEDAVVDCYGVVTSGGVAGGDGLLKMVKGAKGFLDAFAFNVSQHRNFQRELDGLTEMVAY

>RCO7_10084 | related to ribosomal RNA processing protein RRP5

MAPIEKKRKTGPTNESFARSRNPVDGDDRPSKRPRADEQEGEKPTKAKIPHAPKISQLREEDAAFPRGGASLLTPLEHKQIQIEATRDVLFEQGAKA
QTTEEAGEDGETTGKKKSRSKPKRKADGKKGNSAPEPEEEIVRIEGLSYQRLVAGSLVLGQVSQINDLDIALSLPNNLTGYVPITSISDKITQRIEA
TIAADEEDDEETEIEDVDLKKLFKVGQYLRAYVVSTKDEEAAASGKAKRHIELSLSPQQSNSALTPQNVVVNNTIMASVESVEDHGLIMELGLSDPT
IRGFMSSNDIGSGMSFSSIQEGAVFLCTITGLNSNGKTIKLCIDPAKIAHPKKPNYLSEAPTIDAFLPGTAVEILVADITPRGISGKVMGMLDVTAD
LTHSGAGASDTDLEKRYKIGSRIKGRVICTFPNAQPAKLGFSLLDHVMFLSSHQAIQDKQKKNPLDILPLSAVVEEVTVQKVEPGMGLFVDLGLKGV
SGFVHISRVKDGKIETLSETTGHYKTGSKHRGRVIGYNPLDGIYLVSFEETILAQPFLRIEDITIGSVVKGKVEKIVVNERGVGGVLLNLAEGITGL
VSEAHMSDVQLLHPEKKFKEGSLITARVLSTDPGKRQIRLTLKKTLVNSDAEIFVSYDNITVGMHSPGTIVNILPNGAVVQFYGTVRGFLPVAEMSE
AYIKDPSQHFRIGQVVNVHVLNVSPEEEKLTVSCKDPSAFGLAQQAIMKKLKVGETVSAVVTEKLSDSISLDLQGLRASLSVAHLTDGSPQKNASAF
KKIRVGQSLTDLLVLEKNEPKHLIVLTNKPSLIQDSKASLLLRNFEDVKENKVVHGFVRNITVTAVFVQFAGGLTGLLPKVKLSAEAMQLPDFGLKK
NQTLEVKIVRVDHGQQQFQLAMVDSAAPQEPAQPSVPSVAVNQAAVNPVDSTLESLDDLTLGRLTKARIASVKDTQINVQLADNIQGRIDVSQIFDS
WDDIKDRKRPLKSFSPKQILNVRVLGIHDARNHRFLPISHRSGKTLVFELSAKSSDQTSKPQEPLSLDQVKQGSSWIAYVNNIQESYIWVNLSPNVR

GRILALDVSDDVSKLQDLEGNFPIGSAIRVHVKHVDAANNRLDLSARSAQSSEPLTLKGLSKGQVVAGKVTKTNERHIMVQLSDSLSAPVKLTDLAD
DYSEADPTKYTKNEIVRVCVTDIDLPNKKIRLSTRPSRVLNSSLEVKDPEISSVSQVKTNDIVRGFVNNVSDGGLFVDLGGKVTAWVRVAELSDSYI
KEWQNEFRVDQLVKGKITFVDRAKNHVHMSLKASVLDKDYVAPLSFNDLRVGQIVTGKVRKVEDYGVFIVIDGSQNLSGLCHHTHMSDKKRVVDVKK
LYEEGDAVRAKIISIKRDTKRISFGLKASDIGDIESDDDSDDEDLSGMQGVKITGDSDDDDEVEEEEKDGGIDLDNVKDIGSDEDQDGAESDEGMPD
ADDAGVPALSTGGFDWSGNALDEMDYQSDAGSDSEATGEKTKKKKRRKAEITVDRTGDLDVNGPQSVSDFERLLIGEPNSGDLWIQYMAFQMKLGER
KDARDVFERAIKTINIGEETEKLNVWIALLNLEVVYGRDETVEEVFKEACQYNDAQEIHERLISIYIQSGKHSKADDLFQVLVKKFSQVPAVWTNYA
HFLFTTLSSPDRARALLSRAKQSLPPHEHIALTLKFASLEFHSTAGSPERGRTMFEALLTTFPKRLDIWNQLLDLEVAQGEKDVVRGVFERMVKTNK
GLKPKQAVAWFRRWSEWEEGNGDKKSREKVLAKTQEWVTAAAKRKEAAKGGEE

>RCO7_10083 | related to Rotein of unknown function

MGSLRKSKRARTKPPNVDEPANGSTSTLPQVEDSPSTATPSTSATDSTKDSSDKRRDAPNPSKSMRPEASASRPLNTKGSWYGTWPRKAVASTQVAR
ESILADKPTNSSTVDLSRFEAKKNPTRPGTPAARPPSMYLGKSKETLDITMGEALKPEGLADKDGKKGDQLMSNTNNVATEESQKKQSEASEVPSQP
KTEQDPVRPSTASGWLGAWLSRPTATTELTTTSDKPSEAVETVNGSSEEQVSKPAEVTETIGNIAQKSTEQTAQPATQPLAASWFGLWSTAAPSTAA
EAPDQQLPVKVAESDSDTVMGDASAIVSAESPIAAQILPSVGSSSWAFWSTEPTKTTNKLPETSVEPGELAVAGEASEDKPGPAKTAVVKSKKKDKT
SKRARPQSAEVAETAVNAIQPQKLKATSSTSNLAAKTAPPNLLIPSVRNTYRLVENPSIFQQITRLILRGHQQPVKHVFLTKERPKIKKALAIGIHG
LFPAPLLRTVIGQPTGTSIRFAKHASDAIRRWADKNGSLNCEIEKVALEGEGKIAERVDNLWKLLLNWIDHVRKADFILIACHSQGVPVAMMLIAKL
IEFGVVTSGRIGVCAMAGVSLGPFADYKSRFFSGSAGELFEFANTESTVSKRYEDSLKIAVKYGVRITYCGSIDDQLVSMESSIFCTVSHPYIFRAV
FVDGRIHAPDFLSHLVGFALKLRNLGVSDHGLIRELSAPLAGSLYTGEGHSRLYDDGNVYDLAVEYALETTSVDDVPLDIKKYEIPTNANPYLLPWI
MRGLLEEDFVKTELDQETTQLLKQFDDWKPATKVLKDVKYRLEAVRSKL

>RCO7_10082 | related to protein-lysine N-methyltransferase

MNRLFGGAKTGIKPVKGKVTIIQVKGEKKATPLPSVSKARQQASKGSQQSRGSSARPSSSTNSRPPSSASTSPGTSATPYTDTQEPSAYLGVSKRKA
SRQLTPSNSEHYIPLMNDDSDSGNSSNSELINDTKYFKRQRREQDVDTKRRLRSRKAFSDELGPEFPMIHAADLATKSGGAHPATASSQTVTVELRY
PSASQRERFYLDCGKDKIDSFEEIVDVARIVRDVYLTTHQATIFKKSDSGVIRRLVKAKNAITSQTNPKLDPNLLENFKCAVKFYNRNMKSLLEAGT
LATNLDNMHHLPLKMIQFIMQQVYDRAVSPNVELLGKYKPASDETYGELLSPFVDRVLQQCNLKSDQVFVDLGSGVGNVVLQAALEFGCESWGCEMM
PNACELARKQAAEFKARCRLWGLAPGEVHLEEGSFFENKAIGIALKKADIVLVNNFKFDPETNDALRLLFLDLKDGCYIISLKSFAVGNDRNPEDPA
NLIQNIDGGNFGFGDVSWTGNYGPYYIATKDEAHLARMRAANKR

>RCO7_10081 | related to Autophagy protein 16

MTSWRDDYIQALQDRNQREQASYQKLDVDLIAAFTDLLDRTASLEAEKASNLYSDPKSSDIKARDTPQVQAPGTNDGTGHLRRDLAESLRSSRQLQT
RIKSAEMELVKLRMKSKVETRQIDELSRERAYLAQKLKDRDEELKGKTKLLDDVHDEVISLNLQLNMSEQKVKDLKAENKELIDRWMARKGREAEEM
NKAFEER

>RCO7_10080 | probable GTPase Rab7

MASRKKILLKVIILGDSGVGKTSLMNQYVNKKFSASYKATIGADFLTKEVLVDDRLVTMQLWDTAGQERFQSLGVAFYRGADCCVLVYDVNNSKSFD
TLDSWRDEFLIQASPRDPDSFPFVVLGNKIDVEENKRVISSKRAMTFCQSKGGIPYFETSAKEAINVEQAFEVIARNALAQEESEEFSGDFSDPINI
HIENDRDGIALSQTEPPTSQYFSDALSEKRKKAMVERQHVEFEWVMVLHKDLSRRSGVCSLFTECLMDLL

>RCO7_10079 | related to integral membrane protein

MSAQEPPVPPAAATDVQLSRESRSLDLSRIQSYDSRQSLASLPSGAKEQGFRAGVGLGNIARRTLGIFLLLVTVGLWTSSNFLTSYIFADNTYSKPY
FVTYFNTSFFAISLIPIFWRISHQHGFSHIRTSMAEFWQQGKTSYTAIGQKSGCDEDDPDALSGSQARLLVDNDVGPALDLSGDPHPREEMLSVSET
AWLSLEFCFLWFAANYLVAACLEYTSVASSTILTSTSSIWTLIFGALVKVEHFSYKKLIGVLASLSGIILISSVDLSRKDNDDHRGNFPHKSQGEIA
LGDAMAFGSAVMYGIYAVVMKKRIGHEDRVSMPLFFGLVGLFNVILLWPGFLVLHFTGVERFALPDTGKIWIVILSNAASSIIADYCWAYAMLLTTP
LLVTVGLSMTIPLSLIGQMIISKQYSSAVYWVGALVVLLSFLFINHESRDEDEPHARREGIDSIV

>RCO7_10078 | uncharacterized protein

MDTSYIDTVLAGSDIDPNDHSSMSRSIIWTSSVLYAIVLSLAVLRIIVRTKLRAPRTATFHPRAFGWDDYLIMGATVATGCLAVFSIVGANLGLGKH
IMDILRDHNDPKLEATQRIVLLTYGCWMSYAVANALTKLSIIASCLRIFLNPFFRSFMWFMVVVVTLQGIASVFTIIFECDPAPSSWDWTVKRKSCI
DIQGFFVSISIFNVLTDFAILVAPAFCFWKIQMARKKKVELIALYSIGLVGCLFGLFRLGKLGGLKSLDITYTGALPLNNSMAEVSFGIICACIPPL
RPALRQILQGFQLVKRPSSVTKDTPANTPEVIDTPRFEHKRRPTESRIEETGSRLVYIQNNIELEEFDEGPYRQYMGSSMTSLRPTPSESSTIHERG
SATSVKFYV

>RCO7_10077 | related to HMX1 ER localized, heme-binding peroxidase involved in the degradation of heme EC:1.14.99.3,EC:1.11.1.7

MSDNDTIPTPSPLPSPPIAPHSLSERINRSTRPLHTQLNRLILTRLPLALPPYTTNPSTYVSGLLHITPIYATFEDLWASLLVSPSLPTTLDACEPG
QPLLDSRSIPLISNTSDSPLLIHTPKICTRTQSLLSHLRIPGLLRAGRLIEDIRTLTNTPDNQINVQLRAISHSGPLAEFLQHTKSSVETNPHVLLA
YAWVLYMALFSGGRYLRLALKEAGGQGEEFWTRSSSCHRPYSLDDTYIPPRSTSRPPARNTKFSASESNTTSTRRSSTNPTHGLRLPPPEPGVRVIP
GLKFFSFPGAEDGEDLKVLFKARIAEAEILLTEGEKEDIVREAGFIFTHMLQLVNQLDAVIGTTEGIGAGSGRPIVNGEVDARGRPLSACRDSVSVA
KERMSRETTDEKITSESSNRSPVTVSRDEDGSEKAKRKSSSNSFLRVITIPLATTIIQFRGRIPTFDQVVRRFSKPQVTFATGDVEVDVDGKEKIVS
ENEVVMSGDAGSFGSGSVGLAMPVLAVLLLLVFWLLYKMK

>RCO7_10076 | uncharacterized protein

MNPTLTHRPTPEASEVIHPPFFRLSQEIRDMIYDLVVGLAGEAPSSPAACGQRMDNGEQGYRSSRWPDPCTYKQPPADYATFSEWNRYDETPVRINS
RSLIYVNHQVHAEMKEATSRLKASSGLTYILDCIIENKNVLWATWLHVPVVSSRVDIVETQVRPMGD

>RCO7_10075 | uncharacterized protein

MNNTKEYNFSTAQIDSNPKQYASQVFNSVEPRNKASSHRNHHIDSEGQISISSDPENESAHSIPFLVIEDPLIPASREYRRKVRHHVMKAVHSRRRA
VNKSILKKQTLMQKESSPTKPNSAASKFFEASTTSVITSRYSPSEHYTGTEEEEPGLSIESSGAYKYPESQGSHFVTGNRSDFTTFDHSGTAEDPQS
VNSIFYPPIRSTNGPSTPNGSITTPKVSVWMPSRIIRIPNHRSPGNLSHTSAEVLPYIVASEDVLGTSDTTIGSIMPLFSVEVGAPHEPGTVFLSKL
KYGQIAGGNVAESIHHMNGLERIVRLRGGIACFGNNRHFQIKVLLIDIIVSAMSNTTPRFNSPIIVPIPPKILGIRLNHISDSPLGSSRRLETVIRG
SPLRSKSIEILQRMQDLTKDPLSRTYALPPVSSPTADEPSSLFYTVHLAATIYSSLIKPKRGNLAERSSLPCTEELSVSSPINEKTWSLYPGIYLWI
L

>RCO7_10074 | related to FMP27 Found in Mitochondrial Proteome

MALLNPTFIFGVIVLAYFSSFIIFAILRILTGISIQRIGYFSLRRLAYTPKDGIKIQIRGLGVNLHRPTFAQPTWVSIVLTELAVTVDLKAADGEKS
EGPEEAVEGDDGPVCDFEPKKEPLSRRTSFGPPRSKSWERLMGIKERIKRLHCNINWIRLVDVVATNCSVAVVDVGQIEVGSFTVAVDTRRKMVDRG
RMFTHLKSPKKEQRPAEWMITVRSVLFTPEGGDSLEVLDHATLNIHGLLYKELDGLRDAAISVKLGRVHIPYDDINTCINRYKGCRRLYVQETPDEE
ISVQDLIEELDRPGSREEKLVQTVSDSKEFASSILRGIKEVQFAVSFVGFTTQIKAVKPHGTPIYLNASMKEVGVDLHRLDQKSPAHRMYFSSKDVA
HQALVAALAISIGVDDGNGKPERLVYIPMATTTVRTTLPSKTVEFVEDNSAAERNANILFANVVITSPSIDLDPKHLPLVLAMLHSKPKTRDSNHPQ
KHVVISRLLPKANVKFSMHEPVIRIALPPVEKSAAEDDFDLIISSISSVSLDIESSHSAVGELHYSLGSTFRVQSHDLYYQTSSGAHFDLLQTESLE
LKVQLNANPEVHVVATGNLQTFSIHMIRPEISDGVRQIVRQLRLNVEPTKKTHAKTARDPNFVRALPPWLLHFQLSGSDFSAEVAGVDEDISDDTRG
VALQLQSWTADYKALKVDSLEKKTSRRRTWSRSLTPDPEVFLNMPISPRKKQQQHPTDGRRLAVHVRGLEAFIVESTEKWEHEPFVAMPRFEVALST
SSDAQGPVFHVNSHVRQLLVQYSLYRHYAAGVATKVLRKAFVRTKADRDEEQSRASTREVYDSDLLSPLMSPEDFYTRDAPEYPFTAGELVTVDFRA
TLVQVKAQMPSDPAVMLQIYGMEAGRHRWSPPFLHSKLARMYAEAPRMKHVWARLISAKGLRVDMRESRRKRSTGETVDEKLIDVNAEAIRLAIPHQ
LVLHKVFDNFVNTLKSVQQLHHRFATGTNEYILNKSPEGPKKLPKISIRSRALLFELEDGAFEWKLGTIYRTGLVEQAQRIARDAAFRVKAKKIEDE
EMRKDSSRLRNRSAHPRGRSTHKDAYAPKRSKSEDSHNHEAHHSRSERGRALRYDPEGTCGMSSSAKISIGEAHKKLQRHNAQSWKRRIDRIYGLAK
NGMKDIRGVFWGPDQLPDDMEDVENILEVPQRPALMATLISDLHITIEQPSFPMHQLPDFIYSVGKGMPYDMEYSLLIPMHVQIDMGEARITLRDYP
LPLLHVPAIKQGQSPRLPAWSLKSDFVIAEEFRGPESTRRVKVDIVPAKKCQAGGTRTGGFAIDVRRTVSPVKSYSDIKVDINTGFPTRITWGASYQ
PAIQDMMMVIETFTKPQVDPSDRTGFWDKIRLSFHSRVSVAWKGDGDVHLMLKGTRDPYVVTGNGAGFLMCWRNDVRWNICRDEDPRKFMTVDSGEY
ILAIPDFSYQARNESKLGRDSDSMTSFDSFKRGAAFKKVVMKLSGNVQWLVGLMFERNLNQEGKRSFDFEPHYNVILKEAQFAKAPPGEVYDAFRGF
RSHHIHMSIAVKAPVEREWSVSNMEKSNSYNTVHLTPRFFSHFFAWWSMFNGTMSLPIRQGALWPGIEKSSKKFGRHLATIKYNLLLAPLFISHIYK
HKDAEDHSADVVSATGLKMRLDSFMLDMHQRREEFPTHDKGRKTQGKTTAMKMHQAQLDLLSADIRAITASIAGTTPEDLQKASAPTLVSQQDTPTT
DLSNFEIPDNDFSWIDMDDFVELDWILPSEANPETKIMPLAYAPRFTYFRQTDHGDTISGDPDRTSPFGHEQTHFCIMSKDDDPRRVQCQLIQARLD
QLGKQIESHGQAVGDAELACVRDDNNASLRADLEQLGRHGTFLHNKRLFLESMLHRMAQRIHTDKKRAVPDGDADVDSDGEKSCPKTYDAAAEGMDT
NPGADFISDFNNRFVIHNMQLKWNNLLRNIILRYIHQVSQRRGFVYYLSRRAVKFILDIVDEQNKAKVPKQTTTPETDASERSPSPEVRHCEPTSED
VEDRINELLADGRDFVNADDSQSPRKEPEKNQRVSADNLHTGIGREFAPQNSYHLRLIAPQIQLQSEKNSKAVVLVTAKGMEGKVVEVMDKDRLFDD
VSGLVQRRFSVEMDSTQFFVTHQKWFSSQLIGMYSGNHYGVPAGSVWPPWVPMEVMFDFKIDPFGFKRIVQKTSAILIYEKYNPLRLKYNDEISSEG
IHATAATNKVENRMDHLYVEFPKIFAICNSAQYYAMYIIVLDLLMYSEPLEKTRNERLEKIMLASDFSDLRGAPEMVIRLQERIRQLEELKTQFQIN
SKFLDKQGWEDRLALDRDLTSCEDELFFMMKAITSSQRKYDATQTSGLLRWIISSDQIVWHLIRDNNEPLMEFQLQNAEYDRVDNSDGSHANNMSIG
KIIGLNLLPDAIYPEMFAPYSDAERGVFNEGENQQMLSVSWNMLEAIAGIPVMDRFEVNLFPMKIQLERDVGKRLFDYMFPGTNDTKTKSPFMVKHM
QPVEDEDENEDSNTNGRRPSTVPGYKFDGDASRRAGSLELRLRPTMHSVAPPNTAVVRKGKASSLYSRDNNEGHHFRLFQSSSKNSSSSRGIATKTL
GKKPSIESLQSSIISRPALGRSSTITSNIDSQSTNGDSKRFGMHRSSGKKEKPSDDLTQMMSRASEYMTLAHVKITSVVLCLSYKGKGERNIEDVHD
FVFRLPEIEYRNKTWSNLDLALALKKDVIRALISHTGAIIGNKFSRHRPNAAQQHRLRELATSSMLLNPSSQDNSHDNSDASSSMFGTSPIARSDRS
FASSNYRELDRTPSNSSSLHSMQSNGRSQIFPASLMMTPANKVQDRSESTLESERSPPKSTKSNDVGFVAATLGRLKKNQRESSPSIGGGQADDNEE
IPRKKKGGLKGILGGLNQHSG

>RCO7_10073 | related to Probable zinc metalloprotease Lema_P086240

MISSSWAGLLLPFLPSISAFHNYTSSPNSSVPLPTFPGGQLPPITSWPSNLTGVPYATQLPDDELTSILQQVDPLRIKAIVETLVSFGTRHTQSSQT
DPERGIGAARDWILKEYEGYARGSGGWMTVELQSYIQGAAGRISAPTNISNIIATLKGSSEPERIVVMSGHYDSRNTNVSNFIDDAPGADDDASGVA
IAMELARIMSTHRPVATIQFAAVAGEEQGLLGATYMAQTLANRSANVQGMWTNDIVGSPIGDDGKNQSNIIRIFAQGVPTNETKSRAAQRLSIGGEN
DSPARQLARFTVDVGSNNATGLQVETVYRADRYLRGGDHSSFLAAGYAANRFTEPREDFAHQHQDVRVENSTQYGDLPEFCDWYYIARVGRVTGAAA
WSLAQGPDGPRGVSVDTAGLTNDSMLKWKRVNGAIGYEVLWRGTDESSWRGVIDVGDVESVVVEISKDNVVFGVRSVGENGFKSPAVFPFPG

>RCO7_10072 | uncharacterized protein

MSSNKTSSKDSRLGNPLPTSSSSSITTQNENAALRGASLAFGRPPVKPKPQIHNYSGKNGALAAAKSVGAIGGGGSLRQNTRSSISSMQDDIGEEQW
LFQQNTGSSIGSRIFPPGSGRNSVQQRRSQYGGGGGYLQPPGAGGNTDQGRSASFIAATLAASRSASLSPNVTGTGQQESSAAKPRRPGSSRTPSVR
SANSSRNSDHALDTTPIPPTTSLIGMFEQNAASTSTVKRPSARRTERATPTKVSKSNGSPASIQNRAPSPMASKPKKLPVNHTKPTLETIQSVSGEI
EPRKPPPTGRKPSISTTTPIKIPPPTKLRPQKAETPPGDDDGDSDDSFVSASDYQPSEHPLSFRAELAMQNRRLKSQSHSNHSAPSVTVDSLANAIV
ASSLASSRAASPAKSLFSSSLYPVPPPPRRSNRSGLFHKEYDASRTPSPAKPAGLRTTMRKPKSKEDIDEGAQRRIKKTFGKKHPNKHHEGDRKRWR
DAITERERKRYEAVWASNRGLFPTPIPTTKGSGTRDENTVPNVVVRDVFSRSRLHIDVLEEVYELVDRGKSGRLEKEEFVIGLWLIDQRLKGRKLPI
RVSDSVWKSVGALSGLKVKIRKKH

>RCO7_10071 | uncharacterized protein

MLQPRSFLFTRGSAAPSPSLKSKETKNERSEGKAKPLAKRDTRDMSSTTSTTTSTESSRLTTSSSPVVIPLRGHRDTTHDRKRSQRGNSEKRELVRS
ERRTKNVHSADEIPPSVAALLALTSIPPQKSGSLRRRSGAGQRLTVDAILRHTGASEKEFGMSLGKSPLDLLLSPPDEEDEIAQSETGRESVVSTRT
LSSDSMPSLDDEESISEASPSLNSLVTPGSGSRSRRYNPPKRAQSLPLSSSTETHPLSEVEVDELDFRVFQKSPEEEEEDALEQMEVPRRKSAFKSN
LTASLKALRSAARSFSNLTTPMITPDDFLTRSIISIDPQVPFTDERMPPRLEDTPTPALRRYLNPTTNAPIEAHVTYPHTQTMKSTTCTASIQMQTY
KISRPSKGTTPIVISRRTQPTTEDVVEVSAGPLARQRDMRENSDFIRVAVMEMLMRKKGKLDDQKPGRARWALPPRIPPTKAYEISEDGIPARWIAV
TY

>RCO7_10070 | related to DNA ligase 4

MPSQISQIKEPDEDALDDHELQYGHGPTTEEELEEKYPGRPRNHSKTLPFHELFTTLFDPLNENKAKPSGPHAARKKGPGSKSLSPHEMRRSIIERF
VSRWRSQVGDDFYPAVRLILPEKDRDRAMYGLKEKAIGKLIIRMLKINNKSEDALSLINWKDIRGSSKSAGDFAGRCYDVLVKRAMRTKVGDMRIAE
VNSLLDKLSAVSKEEDQLPIFNKFYNRMNADELMWLIRIILRQMKVGASEKTILDIWHPDGEALFNVSSSLRRVCWELVNPDIRIDEETRGITLMEC
FKPQLAQFQSHSFQKMIEKMGLDETEKEHVGEFWIEEKLDGERMQMHMKEDDNGNREYRWLSRNGKDYSYLYGTSTGDEDSALTRHFADAFDEGVES
IILDGEMITWDVATDVMVGFGTLKTAALAEGRNGFQLNAGIRPLFRVFDCLYLNGTQLTPYSLRQRRDALEASVRNVHRRIEKHHYTVAHTTAEIET
HLRQVVAEASEGLVLKKPSSVYRLNDRNNEWMKVKPEYMTEFGESLDCVVIGGYYGSGRRGGALSSFLCGLRVNQNHITSGANPMKCYSFCKVGGGF
RAEDYAKIRHLTDGKWNDWDPKKPPKDLIVLGGGERQYERPDVWIEPCDSVVLEVKAASVGASDQFGTKFTLRFPRFRKIKDDKSWDQALSLEEFDE
LKEKVEAESKGKEFKVENRRMAKRLKKAIVIAGNDSKVKIPYAGPKTKIFEGLDFCVMTEMLHPVKKSKAEVEQAIKLNGGNIFQSVTAREGIICIG
DKKVIKVASLIRKDEINILKPAWVYDALRQAEADGPDRPRFLLPFEPNHLFHMLDTSQEDFNNNVDVYGDSYARDTSVAELKMLVDDMIHPKNSTFS
ADDFLRQLEEHGRGLGERPGSMCRGCVVRFISSGQGYMDEDIDLLIAKNRFLFSGGRIAESDEDEEITHFVMVDVDRALVKGVRQRISSLTKVPRIV
GMKWLEDSWVEKTLMDEERYAV

>RCO7_10069 | uncharacterized protein
MGPQTTTATIDELEQMFEEHPSLNVSLQDFEPTSSEIGQSPRFGYPSHHSGFLSDTGSEMADSASGGRYSPPAWRRDENGNRSSGFWNRSLLGKRGR
EDSRESSPEYESADDGEDATLATAARTRLPTGSISPQKQRSPSPGVYPQGSEDFGRTFGGLVKQEHDRDSVHTAENANSYIRFAVRAEVQHRTEPFE
AAFSFVRTKFNAVTKSWASLATSIIVAFVSYLALQRLFQPGDPPPVPDLVKVAGLAKAFEPLIFYSENGVQQVGDLQATGVAVWDLGESVRSTNMTS
APIIVKELDDLSDSLKTLAIELTRFFANVDGDVDGILIVMDWARRELSQLQLLPPSPMTSAFDNVHTLLTKCGFLENPSGTPTRVGILATSIFGLSS
QQRTRQTLQRTFTEFLSVLEESINSELTHSLALFSLFEAIDRQFGNLARTVARESDAQDSAQDDLLSSLWTKLLGPNASTLHKFEKNKKLLSNIRSK
TVQNKNILEDHNRKLLMLKANLENLRRKLVSPLVRANGSTLGVDEQIRGLEEVSGYLGGVREKQKTKLMEFLYGAGSNSARRIAGVERGEVDGHWER
>RCO7_10068 | uncharacterized protein
MPKLPVGKCATCDAEDVTLRPNPFTNEEQCEDCRGESIVGVSDAKKTYKLKEEDLEGLQMKTEPQPAFLGGADRRWYLVAEIEERAEKVEKEKIKIK
SEKEAVKKEKEDAKEAAKKEKEDAKKEKAKEKAKEEEEDAKEAAKKEKEDAKKEKAKEKEDAKKATAKEKAKEEEPKKDGKRKRNSEVSANGDEESG
DGEEDADEEVEKPAKRGRGRPVKAKTESTAPAPKGKAKKVVPASSKGKKEDITANGDAPAKRGRGRPRKAK
>RCO7_10067 | related to Nup98-Nup96 precursor
MSFGGGFGGFGQNNNTQQSAFGSGGGFGANNPPATTGFGATANTGFGATNTGGGGLFGSGGTGTTGGFGAGGGFGATNNNAFGAAKPSAFGTAASSG
GMFGGGGTATAGSSGFGGFGATNTTSSPFGGGNTTSGGGLFGQNKPAFGGTATPAASNPFGGAATSSPFGGGNTGAFGAPQSTALTTTGAGECQGTG
NVQFQPFVEKEPNSSSNQQNSFQSICFQQPYQKFSPEELRLVDYAQGRRYGNSNNQPGAFGASNFGGFGATQPASTGFGAPAASNTNVFGGGAASTG
FGASQPASTGFGSTATTGGLFGAKPATGGLFGAQPAAQPSGGLFGAQPAAQPAGGLFGAQPAAQNTGGGLFGGNNAAKTPFSFGTSQPAAANTGFGS
TATTGGFGSGGGLFGSTNTQQPAATGFGAAQQPAASTGFGFGAANTQQTGGGLFGSTAAKPAGGLFGAAPAATNTGGGLFGNTQQPASNNLFGGSAN
TQNSGGLFGAKPAATAGGMFGNTSQQNTTGGGGLFGGGFGNNNQTQQSNTGGGMFGAANNQQKPGGLFGSTGTQQQGGSSMFGNTATQQQSGGMFGS
SLGQPQQQAPQQQGSSFLGCNNSIFNPAAQNQQNQNGQSLTASLNDNTAFSGSSSIFAPLANNQVNNPGPIATPLSSNVKTRKSAALPLYKLNSAST
ARLSTPQKRTGFGFSYSNYNTPGSASSTSSTPGFGGSMVGAGSFGRTLNKSMSTSSLRRSFNTEDSILAPGAFSASPNARHYGSTGSVKKLTISRGL
RHDLFAPPTPQSQPAAPPAIKKRVSFGADVNGNSSASGSGSSSPLKQVYNNGGSSDPSADTNENSQTSSSGAPEMSEVSISNNQLTIVREEEITPFA
AESKTSQTPKEPGAYWMKPSKEEIGKMNREQRKKVMDFTVGRHGVGQIRFETPADLSAIDLDEIPDGIVVLTKRSATVYQDAAQKPAEGKGLNLPST
IQLEDSWPRKKDAGSARGYQKHIERLKKVDGTTYLDYDKDSGIWTFHVEHFTTYALEDEDDDMEDEFGQSTLSAPPDTPAPNSATLKSARMDESFAS
QSQMTYTESDPEDTFEFRKKKVLPGAFDDQELFEDESGDGENDEQNQESFLDERSAGSQSESGVDEPMDQDDENQDDESVSIADEEMAGSYLDADDT
AELVDSQDGDESVHGTMETPGAVLRARMRALKSAETPSKKNFSAGDDWANTLQATISPQKQNRALLKSMMDVDGNRPDSEPTPMPKRVVSDGRGFAT
SIDLMNSLFGQTRSPVKAKVPAKPKGFEWPYAKRPKTGDHDMSDMSDTDRAFHDSMKPQWGPDGTLVYAAPPNVKPFGRSSRRAREREGLLTVQKKG
VVSEHRDVCFAKFSNEASAALLRKQKDMSIIDNSTGVPQAHLPRGFTFSDFFDESTATNPAASHEKLVWQLASILFDEVSIPEDLEEIPNIEERLRK
DKLSAFWQKLVDDASSKGAALATSDEEKAIASLSAHRVPDACGHLVNARDFHLATLVALIGSKDSTRKGIRQQLSDWHKTQMLSEFSQPVRAVYEML
AGNVCVCTGSKDLNNRMDSFIISKRFGLDWRQAFGLRLWYGILSSEPLDAAVEAFAGDLSQDKETARPDAWYIEQKVPVLWNDENREEREDLLWGLL
KLYTFNDSDIEDVLRPENSQLSPLDTRLSWQLSRALTSSGRARYTDDDSQKADQTTLSFAAQLISEDSWLDAMFVLLHLSSDHAREKSIQDHLAHNA
GLIGAEDSHSFTTLTHTLKIPTEWIWEAKALYMRSVERNPSGEVECLIKAGSYNEAHRTFAREVAPKAIVELDYDILRTLLHGFQGKEGTIAEWHLG
GEIYQDFLELLHNDKKGAPIDDLVLERLLSGLPAVVQESRHPSFMETVAVETISGEVAKTVIAIGKKGDKSNLSKILRLPLTEDKYLKHTVELSLEY
YRGVMASAR
>RCO7_10066 | related to spindle pole body component, centrin
MASTAHPSFPQRPYSSTLHGKLPDRQGNAFGGSSHPAGRDVGRGERERAQRENKEPEVPPVTDEQREEINEAFSLFDLDKDHRIDYHEFKVALKALG
FDLPKSEILALLTQHGVPPLPASQPPSQKHQIPPPSTDPLPPGRLTLTLPSFQHIAAKLISERDPRDEILRAFGLFDADDKGMITLDDLRRVARELG
EGLEDEELVAMIEEFDLEGKGGVGRDEFVGICMS
>RCO7_10065 | probable epsin-1
MSKVIRSVKNVTKGYSSVQVKVRNATSNDPWGPTGTEMSEIAQMTFNSSNEFYEIMDMLDKRLNDKGKNWRHVLKALKVLDYCLHEGSELVVTWAHK
NIYIIKTLREFQYIDEDGRDVGQNVRVSAKELTSLILDEERLRAERSDRKNWKSRVTGIEEYGPQEHQQPQRRVTRPQRAQRADEEDAEYKLAIEAS
KYQEEEDRKKRQSRGGEPVDDDLAKAIKLSKEEEELRRRELEEQNAASLFDDDPIQTAQPTGFNQGYQQQTQVDWAGNPIDPNMQQQQTGYMNNMYT
GYQQPQQQQQPTGFANGYSNGFGAQPTGFDPSYGQQQQQQQLQPQHTSFNPYAQQSQFQQPQQQQPEPLIPASTNNPWATNSQPMAIKPTPTGSNNP
FATASFARPQTATPSKPSLSTLQEQKTATFNNSSFNTNPNPIASFQAPPKEQDPHHARLNALLGSGDGMDTFGNTGEMRIPAQHTAPGTFVNSSGAG
LARLTGQQTGTNPFLQNQYTGMPQSQYGAPGHQIPAATGPAGMSNGFGGGYGAQQQQNANPFGQKPQQNNGGGNDLIQF
>RCO7_10064 | uncharacterized protein
MATLREAARRRLNLDPLTTSLNLPQHQSHHQTPSSALSSTSLSAPFGYNPSSFTPVSAVRTSAYNPAQWSNSPSVTPDSSNHFSSANSSARPQDLEI
APPPPPPYSPPRSQRTSMIIGEEPSSGISPATRLSPANQYRSSPEASSNTAFPPPPHTRQRAGSSDRTPHLFNVSSFSRRSAQPAQQEAPRFTPEVN
RDHGLGSRRPVPISIEAPSSEEEISLLEDSRPPASRRAVSTGAISTPSSSRSRGSSTSRWAPGMPLPPPPPGPPPPSSRSQSMSRSTDRVVSPPTRR
PGLISTLGPVPPTPAGWVDEDVSGRGRSPNHGLHIDTSSVSSSTAADSNSGSSSSGLARAHAVRGEKSLRERRTESKTRRSAVTEEPSNNPWAESIT
PSDIVLPQSLLTRRSTITRSTPRSARSQHVETPRSADSQYTTPVQTGPGTGSRGSTPRPLMSTNRPEAPTPPFSPGQIKAAFAEGSPSIPPRALPTP
PLQSRLTMSSPSRPVSNIMHTPNDDNTSLAPLVPSRPGSRQSSHSQLSRIPPAEQFSRAAVERHQVFAQKEAAAATDGERVRIFAEFIVHESRLRRE
RYASAIDDMGSEILELTRDLFRPYSSPRRGSTVSRSSAWTPESSTGPRSPGLVGNRSHRGSLMAALHDAPTLQTAPEPSSGSTPSSPAIGRPESTWW
TGYMPSLSPIPSMSVSEAQDGSDSRGRPSSRWWEVSQEGSTGTPSLRMERSKRESKYMGMPRELRESLQYDNGDLRATQNGKGIDMSEPREQKTYGA
NEYPPEKVGLHEPSNRSSSSKPQEVSARSPAPFSPALTTPTLNPEHLDVSRLVTLPPPYPRHHPAVNNNHPDLTSIRTVVRVISDLTEVEATKERFS
SVSNQIQEDLVAEKKKRRDSLRINIQREVESGQMTYSDAAKVEETALATEQEKTKEASKLDFELFQAQVVSPLNDLLMDRVNRATELFTQLRSKLFV
DAQQQSPNITQEEGDEQPELLEKLTLLKWIFEAREQLHRELFDLLSDRNNRYRDMVIIPYRLAGNEEKVLNAELFFAEDASKRKLAFEQEVLKRTEE
FMDIIEENVVRGVEVQLSAFWDIAPSLSRITDKIPSRIDQNFAIQIPAAEYEENPSYYTFPMQYLYSLLGHCEKSTYQFIESQTNLLCLLHEVKSGV
TLANCRLMRTQRIAQGESEEEVDLELTLVEKDEEVRLTDDLKEKVRCVEELWSSALGRELKGVKERIVRFLIEQGGWDEDA
>RCO7_10063 | related to cyclin pclA
MSYSSGEMNEAALERFIYTPVSSEMISYLAMKATEVIQCEKTTSYSSPPSPPQTPSEEPDASTLPSLERFISNLVRKSNVQVPTLMTTLVYLERLRQ
KLPPVAKGLRCTVHRIFLAALILSAKFLNDSSPKNKHWAEYTKVRGYENFGFSRSEVNLMEKQLLFLLDWDLNISSDDLYTHLDPFLEPIRHEIERK
QEYARMKEARKRAARDQQLAEEEQHRTQYASASQYWLPEYQQQRTLGGQYVDPTGMIMGRPRSSNVRYDSPPLSTEVPGLARSGTADTYSSVSSSAS
SYVDSMSRAGTPSSSISSYMDMEVENATEGQYCRDTNTCSPGPIIRDIVQIEMDSQVLYPQHGKRGMLPYEIEREPVVEDKPAKKQRMMGGNIFSRF
LGGQRDRSSYAS

>RCO7_10062 | uncharacterized protein
MAEDTLPTKGHSQTFRSTPINNRIGYSQYFQAASIDVNTGYSEHIEFASIDEDVPYSEHVEFAPIQPNSSSGFMPEMDSHHPNTGHSQHFEFRPTSH
NSLAPAMHGRERLGLGEASGSSEGTNSNTSTPPVNTPETPNPANWPSENEEDDEEDADYEDDVSEDDESEDDESEDDESEDGESEEEDDDDNVPSKE
TTIIPPAGPEHTHTFIFLHSREDYGSELSRSFFQSTSKSSPGSSLATLFPSMRFVFPTAPLLRSERHAEGLSESSFDKQLEGEEVISQWFDLWDVAE
PGVKKGLMRKGLKASIGKIAEIVKEEAEIVGRDNVILGGISQGCATALMALLEGNLKVGAFVGWCGWLPFSREIRNFLFLEPESWEDTTQSFSMHVR
RVLERDSTDDEERQLVRGEGPKIHSTPMFFAHSEDDETVPFKLGKEMNRAMNRLGFDARLKSYEDGGHWIHSDHGVDDMAGFLERALGLKREV
>RCO7_10061 | uncharacterized protein
MATTMAYCKDSAASSSSGPVRKKLKTSDIPLSSATRLSIDELAHKFKKKGGYDSLRKQVWEDLERTDFEKEFTQSLLQVAEDEIEKNPSQLLKLDRG
KAAALIEGAVDRAGVYQIAESRIDALIDAHIEDIEKGIRALRREDVGEETANAEHARGGKTDQQYAEEAANRRDAREKIRQEARAKELAAIDEKRRE
ERAKRKEQEKKEEAELDRRRAERDARRKAEREREEEKEKELRERDRERDREKGRRRDRDSDRDRDGRYRRHDEPLGRRDSTRDTPRDTPRDAPRDAK
ETSAKPELSKEDIDRLEQEALSDLLKEGKKLSQRSRHQMEVEIDESLAPPPKKPTPASAINPISRDSSAKSDVKKPLAVPTGPKADAFKTPHLPSDR
LDDRRRSRSRDRASTRRSSRSRSRRRNDSRERDSRPRRRDSRENRRRRSSRDRSYSADRRRSSYRDDSRNRGKRDRDRSRDRVRPASPPPRDSDLEK
WKVAEAKKREEQAKAYKLAQDEARAKGLPVPGWSDRPPREAGTPPRRTSDTRIVSPVSARKAEGSREKDPERSSRARSRSRSPAASRGSRIERSTSP
INIDRYVPGVASRSTRRTRTEMRDGLAKKSVVDEAGREVEVADETGTGQGQGLEVAVREGKGPEVGIEIVIGNDLIGVAVVEVDENLPGENNQTNLY
DMILYGETR
>RCO7_10060 | probable NADH2 dehydrogenase (ubiquinone) 14K chain
MVHKVLFWTGFGIATRLWQLGLEMRPFFNKESLWAYPFFGGIGASFGYWLSGVEQRQRGVLQERRSILLDKRARRAEREKIESQV
>RCO7_10059 | related to translation initiation factor eIF2B, 71 kDa (delta) subunit
MPSSDPSTVAELITSDPLVAAQTKIAELNGTANAVTAQDVPATGEPKLSAAELKKQAKAEKAARRQQALAEKQSGAPPVTIAPISSPQQKAEGQKGA
KSNHKRGASTTMEVRNLPVRGPPVVATLPAAPKKEDKTVEFFRHLYKQRTTTIAGASREVHPAVLALGLQMSNYTICGSCARLVATLQAFKRVIESY
TTPRGYSLTRHLTSHVLSPQIEYLSSCRPMSISMGNAIRWLKLEISKVDISTPDSEAKRDLCDAIDRFIQERVTFADQVIATSAAEKIRDGDVIMTY
AKSSIVQRSLVEAHQAGKKFRVIVVDSRPLHEGKHLAAALVALGLEVKYCLINGLSHNIQDVTKVMLGAHAMMSNGRLFSRVGTALIAMEANEADKP
VLVLCETIKFTERVALDSIVHNEIAPADELVIRGGPLEKWGDVKKLQLCNPMFDVTPGEYIQMIVTESGNVPPTSVPVLHRLGNESQ
>RCO7_11721 | uncharacterized protein
MTFSTVLVVASKSGVPLLVPAGALSVAYRIYYLRYIRAFLKIKYNNTPILELLCSFNKLNSKLYKYYSALKSGYKHMSYLNMNAVTRSIEKVFKELE
FIKVDLDLLIVNSAESKLIAEIALKQIKELNSIIREFAKKAIFKATISNTRGKRNLPSSLEIASDLDTPRLSLKKKAYRISYYTQSTTRAILVELSK
ELDIVVPVPDIPELLEAPENLGEKASKIEVVKEVEF
>RCO7_11722 | uncharacterized protein
MSSFKGDKLVGRSNYIEWLNAASLYLEVNGYISYINGTKTKPSRALYFKSEERINAQGEKRIDYTSYSPELAIKYYKRLADFERANKKALGAIKSII
SLENLDRFKDKTSAKDL
>RCO7_11685 | uncharacterized protein
MFGYGPSLPPATSYANLQRHEGWRRGSAESDDAWNRYQDALQSELYLWYGAENDLTAWHALCRAIGVEPLPKTCEQCEEAARRTHVNIVDLIEWGRN
GSEEKVHTFRNVAELRNYTKETRKIFRNTFDQEGSNIVLRHLLRKIFRESL
>RCO7_11684 | uncharacterized protein
MFAGRLWCRFPSPRLLFHPSTRIIRSAMASQQYSIQAMLLPPLPPRAFHSTGFEVIDPSQLVEEERLPFYNCDHYYPMRISEVLKDRYQVVAKLSYS
LCRDLRQRSYQVIKAHVNTLKHNQELEVFNHLASITREHSAPLGISIRTLQDLHKDKILAQSVIKGALNQVLFRLNFLHKANVIHTDLHSDNLLIAI
IDDSILSKVEEDEIRSPSARKQAWDFLEPEGLFGIYDKESEELNNAHHLAAITALLRPPPPKFLIKGKNTSKKMEGISKLMSSSTIDCVWEHKIQLL
TWDLVFAYALLSEAKGQDIVSFVQERISNPETTKSAMGVHVMTDCKWDPGMLATSKGINLNAHDLFYSPAIATMQPNQFVFDIDENIPATFNPLLQL
AWDANFGMITPVNTI
>RCO7_11683 | uncharacterized protein
MSMVKSPQKVGKVTMAQVQHANGSLGGQWLSAINIAEQTVVNNYPQVDAIQIAGARAHQSHEVDTHSNINSVKFFAGSKRVISGHVHMNGKLDFGKP
TPGSSSAQVATTAGAGKTIGGGESSSSSTQSATTTDLTWRTNTQTNYAEWWDGKEWVAGDWSDEYQKWYACYNGQWYYWGQRANATLLIDLK
>RCO7_06656 | related to G-patch domain protein
MASPDSAPSQAPEEDEEDDYMNMIIAEPTVPVKETSMQRRQRQKREAEIRGRVKSKAEVAEEDKSAREAALSKSLLEDTASTKSKGLAMMAKMGFKP
GTALGSKDNAGARTEPIGVTIKENRGGIGLDTAKKRKFQEEFEREAKRVKAEEGDYRERVRKEREEARLEGVVGAAMRVAERMNEEREEAEASIFEV
PEGAKKRTISSKPLKQVNILWRGLVRKREEKERDRRMRYDLHQSLSRLPTYDDADEDKEDKRALGKDRPQHTLVEDLEEEDPELDDFNELDPAERLH
KLVLHLRAENNYCFWCKFTYPDKDMDGCPGLTEEDHD
>RCO7_06655 | uncharacterized protein
MPPPQHLLASKIRGFVCQSCTLKLKGPPRPRIPWAIRSVSTETVHSRRQGAIHPTPDFKDPQVEDQVEDEAEFDEESILKTLEEEIRARRIDAAEHG
ASTPGGVPKSAVRYFDETPDGVRKEVEDDADGDTLDAMEKDLEDLKSDTEVMLESLMGGNAGSSPLADNLRAEILAMECADLANMSEADRTRLRNRI
LETSDSAPIDSSYATPSFQPGLDLCRTPSQLDSVAEDVKITEDVYIPVSEFPVAQHYRVQQLNDALRMKPTAGRSKRGKRTVLRATGAADKSHLLQV
WKAYSLCRNALMSAGHAVPRKTWIKLWNIFQVEGSHNLDRWAHLKTLGDDMIRVGVFLDHDRRLMHFEATFIEGDQSRAILSWENSSIRKDSQYWEL
GARMLAQHGEPEKALKAAVLCLQQSEASTSYRLLLPIIRAYLHQNTESSIKLAWAVYVRMRVSYSQFMTMEDYDIITNSFLDANQSDLALGIFIDMM
LTGQSSASSEDSTSQYIAATGTHDELNSLEIVAHELNWQSPRALSKLPARMSNKFFMGKWMKKLIGNGDLDGAKKVLELMIDRQIVPSPIQMNGLIG
AWFREGSEKNRALAEDMAWRMIQARNDFVKQRLLRQRRLDSRLRLRPVESTDLPSTRILTPTPSATIETFSVLLSQYRRRQKAHRMGDLLEAFEKSG
IPPNTQFMNELLLTNRRAHDKDSALETYQTATEEQGISPDYNTYKVLWGLLKKEVEPMRGRNRPSSSERYHRCRNLFADMVSKLPKPTTEKFPQDLY
RLIVQTFSIAQDLPGTAVAIRALQRHFDAYPDSETARIVVLQLSRLGLMSELGKKKVRLNTNSSITQARIASVANILRQLKDEREKSLVQQGVSLTT
LKGRALKEEALEILLDLLKFAERQVSSEAGQITAQKSQQTATLMGVPDCPAWEDDTRSM
>RCO7_06654 | related to origin recognition complex subunit 3
MSEIDEQVSHIGFDAEDHQIAYVYNPAKADDEPLTRPSKRRKVAKTRISAAKDAQAKLFRFDCLINGLESQECADLRQTLFENSWSATEVRIQSILN
EANEDTLTEVTTFINASYSKRQAEKVPTGFVVTGPNITSQGLLFNQLAAHLKSEVNGPVVILRSGDASNLKAILKQLLRDATNQKLSMNDDEDISAH
KDGRKLLNYDLEILHEHVESHGSQAVVIAFQDSEAFDSNLMADLISLFSSWSDRIPFLLLFGIATSVDLFNERLSRSASRSLKGRKFDVEQTSSQLE
RIFQTAVSGAEASLRLGTKLVSELIERQQDHFQSVQSFVEALKYSYMCHFYGNPLSILNDVSTSSSLSKLLQSPHFELIRMLPSFKSLIEGLVEAGD
MDQAHELLKDDNILLQKVTDSLESRNSDILRILRAMHMAVTCFPEPVPVIELYMTTFEGKLSESDLVKSVLENIKRMAPEDFINFIRTAIESTKTGS

IEKDLVGWMEEEPAFIRDLSEIQSQVSSILEDSQESGRPVRSSYAIHSTGVRTTVIAQRVQLSYEKSSLSNQDKEFTALVDRLSQLLISYFTLESPQ
NMFLNEVWLFNSTSPYRDYFTPRPRAVIERALSAPYDYLNCECCEAVEGLSSTHPATALLYQMYLETGLLINIYDLWSAFFEMLNGGEEQKMDERDA
LVLFYRALADLKSLGMVKQSKKKADHLAKLAWKGL

>RCO7_06653 | uncharacterized protein
MQSTRSHNPALDAKIRQMALPLAPLVRLTTGEVHPIFPSTLLNFWLLTSSQCDELAHFYHQRTPSIYSTHYPCPVEWRSDATLEEKRRRIGRFIGLR
GCESPMRILTEEEIRRGVREERERAEQEEGRKARWY

>RCO7_06652 | related to endoplasmic reticulum translocation complex chain SEC66
MFDIDWIGLAVPFAYLAVLAGSLTTFSSVYRKRKAAASATLAPWFPPHMQRNIYLSLLHLEPEDSKEKAPKVPESVLRAALLERAVEDIHRIIQIRT
AKQACSTLLQRGSVGDDLWQRFLRAEQEMEEELRDVVMEANGLSPDWGQTIFQSANEIATNTIFRNRLNEIQAQTESEKQWWEKRRASVQTEFMKEL
ESPTSTAAKTTTTSKTGSDEDAILVEGGRPAVINKGSIRRK

>RCO7_06651 | uncharacterized protein
MNNDSTPSDLPSSVPTTAPATDPRSASEAVPAGAVDDTSDSAAAVESQNVQPDSPEKKRARDQTKKKFGFINNLSLQLDVLIYVELCILYYMDCSLF
RLLLRAINQMMFLSPKQKFVPAAPIHKPYIGAIFAPNFICILLHLFTERSSASESMRGYLHGGVIIDLIGQKGPTSKCHLVMLDLLILALQCFLLAV
HVERERLSAVNDALASTSPTAATGIPREAVISAQSLDAEERGVLGESIATSEGDIELQLMPHTVSGDSPFRNENEADEGRNEERERLLAEPPAPQDD
DDDGSLDVMWSGMAIVADFHILHNLRRQWLDYGNATESAIQTIGFSTAFAAHTASRRMNAASARFQRDVETLTS

>RCO7_06650 | related to RNA 3`-terminal phosphate cyclase-like protein
MAAPAPEYLRFTTHKSLTHRLVLSSLTGRPVAISNIRSSSPTNPGLAPHEISFLRLLDSITNGTTMQISYTGTKLIYSPGLITGSVSTGGSDVVKCV
LPDTCRRGVSWFLLPLCMLAPFSKAPINVRFEGEGVITSATETGDISVDTVRTAILPLYEAFGVMGSKLELRVLQRSCTGAGGKGGGGVVELRFGSQ
FRLPKTLHMNRSPGRVKRIRGVAYCTGVSASNNARMIHAARGVLNPLVSDIHVAAQYDQAPLISSKDRANPGGKKRTGIGFGLSLIAETSAQGVIYS
ADVPAPSDGGITPEDVGMRCAYQLLETISYGGCFTRVSAPTVLTMMAMGSEDVGRVRLGRDVVGTEDFVGLGRDLKRFGGSSWGLRDVDEAESSDII
VSVKGAGVGNVGRKIT

>RCO7_06649 | related to SRP40 - suppressor of mutant AC40 of RNA polymerase I and III
MSDESSPAPAVNSAPIDTEQTRPEEVTATEVKEDVIVKEPEANGDAEISASAEVATDDAPAEIKEEGKPTDEQTGSEDVAEDKPAITTQEDVEMKDD
TRTENAGPKAAGSSEVLVETPVSAAKAKGGKRKSTGVPEHKGKKLNKKSSVAKMTHTDAQPGDYFYVRLKGFPLWPAIVCDESMLPSTLIKSRPNSA
ARPDGTYREGYEDGGIKVKDRQFPVMYLHTNEFGWIPNYDLVDLNPEDVGTLQPKMRKDLAAARTLAAEQHDLDYFKDILAAFLEAREANIAAKEAA
KAEKQAKKAAGKKDKKSATKAVEDDGHGDLEMADATADLESDGADPTNEPAKTNKRKAADDTPQGSESVKKARIKLNVKPSTNGTLTPKAPKTPKDA
TPKTAKPKKAKAAPKTAELPVVATPKEPELSAEEKRAKKEKEILFLRHKLQKGLLTRDQEPKETEMKQMSEFIAKLQLYADLEVSIIRATKINKVLK
AILKLPHIPREEEFQFKTRSQELLDKWNKSLATDTPSAAASAIANGNAEAKTDTGSAQGSSTEATNGIKELLSEAKVNEKVDEKAEDNTVTEKAATP
EAKDAPFETEKSLVEATGEPKVTVVEPAPVESSA

>RCO7_06648 | related to ATP dependent RNA helicase
MTDQQRDVSQYKYSAMSNLVLQADRRFVTRRSDEVTGDPESLAGRLSIRDMGSRNAREDAPKQKKKASGLPDVERGGLQEGQDVLEREQRKRKRGEP
AQLRGTGILSAADALVEGIVYRPRTSATRATYDLILTTVANNLGDVSHEIVRSAADAVLEYLKDDDMKDFDRKKEIDDLLGATLTPKQFNELVNLGK
KITDYETQDEDEVMGDGDAGAEDGAEIDDRQGVAVVFDDNSEDEDGQEMVNEIRDESSEDESDGDGEDRPGEEETAMASGAAQDKNEESRELSEEEE
IIIDSAAGNDSSSKDKDKSFIPAREIDAYWLQRQIGAIYSDAHIQQGKTQDALTILSGSPDDEGGEEKQLREIENDLAELFDWENHDLVHKLIANRD
KVVWLTKLARAEDAEARGVIEREIASEGFKWILDELRGVTQPGDSKKRNLEIKMDIDVPQSFINGSEKPDQKGDGGLVGNLQPRKLINLENLIFDQG
NHLMTNPKVKLPEGSTKRTFKGYEEIHVPAPKKRNDPSDRDIPVTEMPEWARVPFGSTAKLNKIQSSCFPQAFNDDGNMLICAPTGSGKTNVGMLTI
LREIGKNRNPETGEINLDAFKIVYIAPLKALVQEQVGNFGGRLKEYGITVSELTGDRQLTKQQIADTQIIVTTPEKWDVITRKATDLSYTNLVRLII
IDEIHLLHDDRGPVLESIVSRTIRKMEQTGDPVRLVGLSATLPNYRDVASFLRVDPLKGMFHFDGSYRPCPLRQEFIGITEKKAIKQLKTMNDITYT
KVLEHVGTKRNQMIIFVHSRKETSKTARYIRDKALEMETISQILRSDSTSREILNTEAEAVNDRELKDLLPYGFGIHHAGMSRPDRTSVEDLFHSGN
IQVLVCTATLAWGVNLPAHTVIIKGTQVYSPEKGSWVELSPQDVLQMLGRAGRPQFDTYGEGIIITTQTEMQYYLSLLNQQLPIESQFVSKLADNLN
AEIVLGNVRSRDEGVEWLGYTYLFVRMLRSPGLYSVGADYEEDNALEQKRVDLIHSAAAVLEKSNLVKYDKKTGKLQHTELGRIASHYYITHSSMLT
YNHHIQQSMSSIELFRVFALSDEFKFIPVRQDEKLELAKLLGRVPIPVKESIEEPHAKINVLLQAYISRLKLEGLALMADLVYVTQSAGRILRAIFE
ITLKKGWSAVSKTALELCKMVEKRMWPTMTPLRQFPSCSRDIIQKAERIDVPWASYFDLDPPRMGELLGLPKAGRTVCSLVSKFPRVEVQAQVQPMT
RSMLRVELTITPNFEWDDDVHGTAESFWIIAEDCDGEEILFHDQFILRKDFALAEINEHIVEFTVPITEPMPPNYFVTVISDRWMHSETKLAVSFQK
LILPEKFPPHTQLLDLQPLPVAALKTDDFRALYPKWERFNKIQTQTFNSLYSTDENVFIGAPTGSGKTICAEFALLHHWSKPDAGRAVYIAPFQELV
DLRHNDWQQRFSKLRGGKDIVKLTGETTADLKLLEQGDVILATPAQWDILSRQWQRRKNIQNIQLFIADELHMLGGQAGFVYEIIVSRMHYIRSQTQ
LPLRIVGMSVSLSNARDIGEWIDAKKHNIYNFSPHVRSVPLELHIQSFTVSHFPSLMLAMAKPAYLSILQMSPDKPAIIFVPSRKQARSTTRDLLLA
CLASDDEDRFLHADVDQMKPLLERIGEEALAEALSHGVGYYHEALSTSDKRIVKHLYDNGAIQVMVASRDVCWELDCIAHLVVVMGTQYYEGREHRY
VDYPLSEVLQMFGKASRPLEDKLSKGVLMVPAVKREYYKKFLNEALPIESHLQVFLHDAFVSEISTKMIESADDAINWTTFTYFYRRLLANPSYYSL
ADTSHEGLSAHLSELVETTLKDLAETKIIDLDDEDDSVTPLNAAMIAAYYNISYITMQTLLLSLSGRTKLKGILEIVTSATEFESIQIRRHEDSLLR
RIYDRIPVKMAQPAYDSPHFKAFVLLQAHFSRMQLPIDLVKDQEIILTKVLGLLSATVDVLSSDGHINAMNAMEMSQMVVQGMWDRDSPLKQIPHFT
PEVINAANASGVKDIFEFMEAMDPSENPNYGALVKRLGLSQTQLAQAANFTNSKYPNVDLEFELEDPEDITAGDPAYIKIKITRDVDDEEDVDNTVH
APFYPGKKMENWWLVVGEESSKTLLAIKRITIGRSLSVRLEYTVPTPGKHDLKLFLMSDSYVGVDQDPSFSVTVAEGMDEDEEDDEEGE

>RCO7_06647 | uncharacterized protein
MEQQHSFLEIIQKAQRSLDPYIKQRQEAAQIRRILASHLSSHVHQNRGISLPRPLSLVGTGCEVDGTSHGVRGLQKEYLRCVRANVKAKAEYDEISR
QHQRRLEDGGRELKGSSSIDGVASSLKCFIDLVSQRQMHERLRIIQDYVDVLAQKPAATLDHLDPQMVLKDVEALPKMPSEVLNGSGPIKDPAAVDL
KELVDQLEKSVLRAKMLLQREQNLLAKIKTEDTTITRDHGTRLSAVGTTRSTLINWIESELSRAGEGNPESCSLNTSSPDKRGKHFIASELLLIQRQ
YKRYTKARESLVTAATDLSVLPDAPVAEIQSSMESSELYCICSGMEITHPYLEEMISISNEQKAVIQQKSHLTISLSKQLKEANQGLDRLADESHLL
PTYPMSAVRTQRNGPEGPVSFGDEISNHQEPDSSSRARAWMYAAQSSSYATGAIVSDKLDEGRTTLNDAQRVLLELQDLLGLEIRSGDRSGTQQSRD
IWAVLHGNLGVIKADGMD

>RCO7_06646 | probable phenylalanine-tRNA ligase beta chain
MASGQNIQQGDLPSEVLQALSRDEPLLSSEAFPAQKSADVKSALDRLASRSMVTYETIDREEAVLEPEAVEIEANGSHEARVFEALREAVAGLTVSE
LEAVVGDRNVVKVGQGKAFKSKWISKGEGERLVASTDSIQDVTREQLHVIQETRTHPDPKVITDLKKRKLVKMQKVIAYKIHKGPKFALEIVKEETD
LTADMLASGAWKTAIFKPYNFKSLGADQNAGALHPLNKVRHEFRQIFFEMGFEEMPTNRYVETGFWNFDALFVPQQHPARDLQDTFYISDPKVADKP

HAENEEDKGDYEVYWKNVQEVHQEGKYGSIGYRYPWAEDESLRLVLRTHTTAISTAMLHKLASQKGPDGRPPPARYFSIDRVFRNETVDATHLAEFH
QVEGVIADYGLSLGGLMEFMEIFFNKMGIEDLRFKPAYNPYTEPSMEIFSFHKGLNKLVEIGNSGMFRPEMLEAMGLPKDMRVFGWGLSLERPTMIK
YKVNNIRELLGHKVDLSFIERNPAVRLEKT

>RCO7_06645 | probable carbamoyl-phosphate synthase (glutamine-hydrolyzing) arginine-specific large chain

MALSVRFASRTSSLFRQVGATSSSPCRTFTTRTSSRFLAARSPASARKSTGYVRLFSSSCLRPNQTQTAPNAKAYLESGVVKVAANPVNVKKVLVIG
SGGLSIGQAGEFDYSGSQALKALKEAGVASVLINPNIATIQTAHVLTDEVYYLPVTPEYVTYVIERERPDGVFLTFGGQTALNLGVQMERMGIFERY
GVKVLGTPIKTLETSEDRDLFTKALGEINIPVAQSIAVSTVDDALAAAKEIGYPIIVRAAYALGGLGSGFANNEEELRNMSARSLTLSPQILVEKSL
KGWKELEYEVVRDASNNCITVCNMENFDPLGTHTGDSIVVAPSQTLSDEEYHMLRSAAIKIVRHLGVVGECNVQYALAPDGLDYRVIEVNARLSRSS
ALASKATGYPLAYTAAKIGLGHTLPELPNAVTKTTTANFEPSLDYVVTKIPRWDLAKFQHVRRDIGSAMKSVGEVMAIGRTFEESIQKAIRQVDPRY
VGFQGDKFDDLDYELANPTDRRWLAVGQAMLHEGYTVDRIHDLSKIDKWFLYKLMNIVECTHELEDIGSLFGVNKELMTKAKKMGFSDRQIANAVGS
TEDEVRTRRKNFGITPFVKRIDTLAAEFPASTNYLYTTYNASTHDVTFEDRGTIVLGSGVYRIGSSVEFDWCSTSCVLALRDMGKKTVMINYNPETY
STDFDTADKLYFEELSYERVLDIYEAEHANGVVVSVGGQLPQNIALRLQETGGAKILGTNPVDIDKAEDRQKFSEILDSIGLDQPAWKELTSVAEAE
AFADSVGYPVLVRPSYVLSGAAMTVIYSKDDLKEKLEAASNVSPDHPVVITKFIENSEEIDCDSVAYKGKLLVHAVSEHVEQAGVHSGDATLILPPA
NIDQTTMDRVKEIAIKVAKAFSISGPFNMQIIKVADPNGGLPQMKVIECNLRASRSFPFVSKVLGLNFIETATKALVSTNVPEPVDLMAIKRDYVAT
KVPQFSWTRLAGADPFLGVEMSSTGEIACFGKDLVEAYWASLQSTMNFRMPEPGEGLLFGGDVSKAYLAAIVDYLSPLGYKFYAAEKEVKIFLESTA
KNNIKVEVIEFPTDDKRALREVFQKYDIRGVFNLAKARGKTVLDVDYVMRRNAVDFGVPLFMEPKTAELFARCMSEKLPRKEGIPGEVRRWSDFIGG
KPL

>RCO7_06644 | probable nuclear protein localization factor and ER translocation component NPL4

MLLRFRGPDGMYRISVEPTDTFAKLGNKLVEVLPSTVDFNTLSLSNQPSGGDSKLLKDITRHKVSQIGLSHGDLVFISYKNNSEILHGDSDGATTPS
SATTIISSTNRLNGHIVLPTNEMPIDPLPVTSPSEKIKNPWESVIQSAVDNRLDKQSGKIPRKRDVKMCRHGEKGMCDYCMPMEPFNAEYLAEKKIK
NLSFHSYLRKINSATNKPESGTSFMPPLTEPYYRVKPDCPSGHPQWPEGICTKCQPSAITLQPQPFRMVDHVEFASPGLIENLLNFWRQSGSQRVGY
MYGRYTEYTEVPLGIKAVVEAIYEPPQANELDGVTLLEWPDEQKVDAMARLCGLQKVGVIWTDLLDAGAGDGTVICKRHIDSYYLSSLEIVFAARLQ
SQNPKPTKWSDTGRFGSNFVTCVVSGDEKGQIAISAYQVSNSAVEMVRANIVEPSADPTVMLVQSEEEEDGTTSRTRYIPEVFYRKINEYGAQVQEN
AKPSFPVEYLLVTLTHGFPDDPKPAFIAPAGFTIENRLALGQEQEHKTVAQRLGIDKNGQVKPEQALRAISDFHLLLYLDSNLATMDKDEQALLCRV
ATQHDPAEGFQLLSTPGWATLVAILASIGERPSKRPSPDDGDSLSERLAKRVGGVRLD

>RCO7_06643 | probable mitochondrial integral membrane protein

MAIWGNKPNDDEAISQNGESATHVVVPRASLEAADERTRLLPPPSQGYLSPDDPAVSPYNLWSVRFLRYFTVLFSIITFLWWVLLLVSIFVSPPGLH
NRGSGFFDFSYTTLTLGLLLLGLMFFSSPSKAAQVSCLVVAVVLLLDSILIVAVPRLRVEEGWVGIASVIWALVIAVWTVITDRIVAWGKREEEERL
TGRAESRRTLGEWTSVLISTIILIVMAVVAVLMTATLILRSRDASLAPPGNRYYVDGDKYQIHIFCEGSTNTTGKSGKILPTVLFESGDGPFESGMM
VVAENALANGSISRYCYSDRPGFGWSDNAPSPFSAGMAADVLSEALARAGEDGPWVLASAGVGSIYSRIFSSRHGTAIKGLLMVDPLHEDLLYRIGN
PSRGFLLWAWGIISPLGLDRTPAAIFKGRTREDRVYGRSAYQNGKFIKAKLQESLVADSLTKNEVSSARHIQLEKTPLALISSGIEMKRDRAWGKKQ
EDLSHLTKKLISWDIVSKAPSEVWRTYEGRETIEKRLKELVNA

>RCO7_06642 | probable protein phosphatase methylesterase 1

MSDLQRSFAKAKLASYPATMPLIPFRESEQDEESDHFNTELPMDDDSSSASSASSASSTGTIIPSRNENLFARPQGSPNKRTMDQIPWTTYFERELF
LESVTESSTIVHHAYLTSPVGNAPLFVTHHGAGSSGLSFAVMTAEVRKRLPSAGILSLDARGHGATTITPEPKIIDLSLQTLSADLISVLDKAKTQM
NWEEMPLIVLIGHSLGGAVVTDVAKSGKLGNSVLGYAVLDVVEGSAIDALQSMQTYLSTRPAGFPSLESGIEWHIRSRTIRNSMSARTSVPALLKHD
PATRSSRCWTWQTDLAATQPFWEGWFVGLSKKFLEAKGGKLLLLAGTDRLDKELIIGQMQGKYALQVFPEAGHFVHEDLPEKTAMVIVDFYKRNDRS
AIVLPPKVSDLLRAGKRV

>RCO7_06641 | uncharacterized protein

MYVPVQTNTSIPIPEIVGWSDDASNAIGSEYIIMEHAAGVQLHHKWPTVGGDQQVRCIDAIYQKVKEMVDIKFPAYGSLYFADAPLGADSKQTLDKR
FCIGPHCGAIYWDCNACEPRYYHNTMPNQGPWRDLTTYCDGLIDTGISRIPKDDPVPHDRPRYHGSVEAHLRLLKSGRVTIEKYDDPTVITGIIDWQ
SSSIEPAFWYADSVPDFASPVAHPSIANQLEPNSELCAKAFDVCTQFLVLKLSGPRLDVEDGLVAFRHELIETSLLWKELGLEGSCPFPTPTPEELA
SHQKEFRKFEAAHDLKNSLASLLDTASDGWVPLENWEATELAHRELFNGMLQATLDNESPQDDEPVKDERDLREIWPLDL

>RCO7_06640 | uncharacterized protein

MIRTHTPLLETQQITGDIRHAKGCFLNSGASGILEILPSGDVIKSPWPGQNGVESRKELSTENKIYCKLGPHSRLVRTIDWNSYDCSLTMEYMPQGD
LQSFLLKNPTVTETQRLRWAKEAAEGLQLLHDADVLHCDVNPKNFLLDTNLGLKIADFGGSSLEGSKPAACSGQRFSIPDKDWLDPPTVQDDLFALG
TTIYFIMTGQLPFPELREDKVEENYRNRRFPDISEITCGRLIEECWKLQITSAQHIYTSLQSMT

>RCO7_06639 | uncharacterized protein

MMLNALFFLPGLLSLTAALTSYELEIPTAVPSSRTIPPSQATVSAQLSSYLAGLATAAPFSSAFSYLAINATASASLSVFEASISSVFANRETLASD
YLNGIPGPVRPFFSSVYSVEASILSKNGFATPLTVEPAKSTETGKGSGTGTTGGTGDGGAKGSANGPGKKGAASRETGLGRAGLIAVAGVVGFISLV
VAL

>RCO7_06638 | probable replication factor protein

MAGFFDMKARKEAAATNGSSSKAPAAKESTRLQPWVEKYRPKNLNDVTAQDHTITVLQRTLQSSNLPHMLFYGPPGTGKTSTVLALAKELYGPELIK
SRVLELNASDERGISIVREKVKDFARMQLSNPSAAYRAQYPCPPYKIIILDEADSMTQDAQSALRRTMETYSKITRFCLICNYVTRIIDPLASRCSK
FRFKSLDVGNAKRRVVEIAEKEGVALEEGAADTLIRCSEGDLRKAITFLQSAARLVGAVVEKQEGEEKETADDPMDVDREKKKVTIKSVEDIAGVIP
DATINKLIKAMQPKSKGAVYDAVSKFVTDLVADGWSATQVLFQAIIYTETIPDIQKNKITLIFSETDKRLVDGSDEHLTILDLALRISNVLSGP

>RCO7_06637 | related to copper transport protein

MDMGTSTMSMASPTPTMPIDMGGATVATAPATVMTSMPMDMGMGKCKISMLWNWNTVDSCFIAKSWHITSEGMFAGCCVGVVVLVMFLELLRRLGKE
YDRFILRQHTRHQTSILNSNSASSSNSAAGNSPPDAGKDVAVSCAPQSSRAGGMPPFRPNILQQAIRATLHMAAFTVAYFVMLLAMYYNGFIIISIF
IGAWLGAFVFSWETVDVGGPKEEVTVCCG

>RCO7_06636 | related to tRNA dihydrouridine synthase

MTTVAKRVPIPPKGVDYRGKLVLAPMVRSGELPSRLLALHYGADLVWGPETVDRSMIGTTRKINPLLSTIDFTRLPSQGSKDPRKDQKESVIFRIHP
ARESSCLIFQIGTSDPVRAVAAARIVAGDVAGIDVNAGCPKPFSTLGGMGAALLQTPDILCSILEALVKEIVPEFQIGISVKIRLLETPEKTENLVR

KLCKTGITGLTIHCRTTPMRPRERAIREQLKMIADICREHGVACLMNGDVESRAHAEQLIAEFGVDGAMIATAAETNSSVFRPEAEGGPAPWKEVVD
EYMKTALEVENRFGNTKYLLGHLVPGKQPAHKEITMCKSYSSVCKVLGLEQFEALAKEVDEKLGITAETEAAMGRRGKKNKSAMAAGGNQGKARAEG
KKKKGLSERGVENQPSVPLEV

>RCO7_06635 | probable inorganic pyrophosphatase

MASQYTTRKVAAANTLEHRIYIEKDGVPVSPFHDIPLYANEQQTILNMIVEIPRWTNAKMEISKSDLLNPIKQDIKKGKLRFVRNCFPHKGYLWNYG
AFPQTWEDPNVIHPETKAKGDNDPLDVCEIGELVGYPGQVKQVKVLGVMALLDEEETDWKVIVIDVNDPLASKLNDVEDVERHLPGLLRATNEWFRI
YKIPDGKPENQFAFTGECKNKKYATDIVRECAEAWEKLITGKTTPGEISTTNLTVKQSPSRVTPEQLPPLPQNESLSPAPIDPSIDKWFFISGAAA

>RCO7_06634 | mitochondrial ribosomal protein L44

MITRFLTEVSTVFNPFSPKAKTARIFLSFLPGNARQSMKVDTKLLPRNSQERSFVALKFKDGKELKLDAEKLGIKGVVDEVDRHSRILARQEELNG

>RCO7_06633 | related to protein transport membrane glycoprotein Sec20

MSFEMISERLKALQESNTQLKELINRLATINFQPGSVPLGDNDEENVMQELAAEIHSLIREEEEDFDLLNEEVEECDEGKRGSEMESQKVELKGAVM
RGRRELRLCQAQFRKAQILAKRSLVAAQRAERDLLLQSYLEPRSGNSSPAPGQQRRNQQNIELSKDEKTVNASSDVTMALRRTHDMMAAELARSKFA
HETLNESTAALAQLSETYSTLDTLLSSSKNLLGTLLRSQKSDTWYLETAFYILVTTIGWLVWRRLLYGPTWWLVWFPMKIFIRSWMGVFTFLGLFGG
DPEKEAASVSVSPLMSSMVSQATVIHSSGTRGSRATGGPPNSQHVQAGGGGEDAFVGHHQGSVSASSEESMSEQVGKIVDEIQNHEGAEEAPAENPQ
EEEPVSEEAEPRNPKKRMWEEPPQKAEQQAQKKHDEL

>RCO7_06632 | uncharacterized protein

MKLLIFSLLASGAISAAVGEAGLKVKRSTACNCELYFGADRVFTNGIATSPGRITTKAYYSTSDGRGSQRIDPNPCRVTWDRGNNPTDCSTWKQYAG
PNGGACPKSIQIKTRLHCGGID

>RCO7_06631 | uncharacterized protein

MNLGPVIYPSSYMIFSFQIGHLLSLDYNTAPILPNYVNTEYTILSGLLPSSEAKDTELNRGSIIATYKAINRIYRLAKSSSPITTIIREFTKKAIFK
AIISNTKRKRNLPSSSEIASDLDTPGLSLKKKARKISYYTRSTTRAILVDLSKKLNIVVPVLDIPDLLEAPENLGEKTSKIKVVKEVKF

>RCO7_06629 | related to vegetatible incompatibility protein HET-E-1

MTAPVTQKESLRHRLRGRLHRLRQKSRGLLEISKIDSSSKVLEGPKHETNSQHVPSTAHSLHSIQIRNIPEKPSNTGNDAIQAENDQSTLHAAVHSK
EVERNCFARPSTPRLDIDTVSNSSDMWSTAYREAVNSLGEDLDMAIFKGENVAQLFRQLEEIEKDGQESVFLRGVKYLHSLQVPLERFKLALDLATP
LTSIEPTTATVFAVVRSVTAIAISIATADIEFAKQIGEMLGQISYIDDCDTLGQKTNKLDIHKALVQVYQKLLEFYNAAFDILTRKGAKMVMTMILE
TNRLPEIVQDFLRHADYLRKLVEKATLEIVEDIRAMLYDHEIARWLGSGKMSQQSKYHTDLQNLRADEACEFLLLDVKFISWYTASDSQGLVILGDM
GCGKSVAMAFLVDELRKRNEHQLPQPRICYHYCRDDETGKADYIFSALILSLLEQFSGLKRAFFEWWKEAGAFGNFDPATDVRKLEAFLQKILETLD
RPLFIVIDGLDECDRASQDSLLDSLKNLLQKTTRLKILLSSRPQDEILERLHGTAKINLSSDNRRDRVIVERTVERKLSNLPVDVKALIIETLSRLA
QGSAIWTKMIVELIEVRRIRALEPMRTFLDRMSLPAQLSELYISLLSRCTADDPENRKLVTVALEVLAITRRPLSVTELAWAVALGTDQEGVTNVAA
LAKLVDHHRVMSLIQPFVAHVNFDDVKKRQVRLVHQSVKEFIISDMATNRHDLQDQAILRTAHQGLIDRRIGSLEAGLLDICIKYLLLNEIGRTDLF
SEEQVAIEELPQEFDLFSNDEEPIVYDPYCTWETWEENMIRYEPTDRGFGELFVYASCHWPEHYGAIMTEHCPSLESIEDLCQAGSTRLQNWIKQYC
RPQCTIQPRFLFDSKLYDPLSITSLYGSEAMLRDMLQSSKFDKRKFLPHPAMGAANQILQWGELSRLTMLFSSSSIGPQLRNVAFFRLVIEQWSSSK
TNYQNWDVVFDLVDDVLDILVQERWGNELLCIAASNGCIPIIQRLMDSAQHKAELKTELQRVTQRETHDRSFGKPVHQSIGEAVLGNHVDVVEYLLR
QQGIEAHLHYRNSRGENVLHLAARFCNPAMFRLLAPRFKEGIPQTDDQEETALMRIIQHSVSLDRYESEQILLVADGAPGDDCSVDEQ

>RCO7_06628 | uncharacterized protein

MASDERKIQRAASVPIGFLGLPDKIRLNIFKRVLVVAQPIYLFQDKGSQKVESFAPERPPRWLALLYTNRQVHDETSIVLYGSNHFTFMDTANRQGN
LLQSFFNCIGSSNAGLLSRLCINFPIVENGKGQSGTVMLGEDDIHSLRLLKGYCAGLTTLETLIYSRNSGSLIKAGDNESKFIREALSQIDAQLKAI
SSLEKVVVRYYDGAPTPLVVELMHGLGWVVLRGR

>RCO7_06627 | related to 4-coumarate--CoA ligase

MPFLAEGEVSIPTKDILSWTFDDPRFDPDEPIYIDAKDSSRSISSNQARVLIRKLVAGFHAAGLKKGDCVCLHSFNDVYYPILFLGIIAAGGVFAGT
NPSYTQFELVHHIKTAKTKFLITESIPEMLGNAVAAAKESGIPDSKVWIFDVLGDPVPRGFRSWKELLGHGERDWVRFDDEKTSKETTAARLFSSGT
TGLPKAAVLSHHNFIAQHTLVHEISMKDWRARRLLCLPMFHAACVPVAHTTPLRAGQVSVIMRRFELEPFLVNIDKFQITDIALVPPIVIAVIMSGL
ASKFSLKTIRAVTVGAAPLGKDSQDRMRALFPAGTYVNQVWGMTETSCVASMFHYPEDDVSGSVGRMLLLLDSKIVDDDGRDITDYDVRGELCVRGP
TIVKGYFENPKANAESFDSEGFFKTGDIVYCDSKTKKWYIVDRKKELIKVRGFQVAPPELETVLLSHPHIIDAAVIGVKHSTEADVELPRAYVVRRD
TPEGKALDEAALKKHCGERLAKFKELTGGVKFVDAIPKNASGKILKRVLRDMAKDEDDKTKAKL

>RCO7_06626 | uncharacterized protein

MSRNKVQDFEPFKGLGTGAFEGYQEISSSSTGYTKYHREASSCEIWQRLLNFEDKSSPFHYPDTLWTFDDGILIYPCAQAQSYSLYDLSTGAKSNID
LASDDKIIRRIRLKDRVLIVEWCEFEPYHQLNENEMVHRHFATAYGIKQIEGYHWNVVFRNEWKIHFLGLPLNSHDRFFSTHTSAHYAIYMWQNNRS
AWGEDDPIEALTIWDIASPSPYRPSEDPTGKLKLPAEGPRVVRRFSFADLDFYQIRQSWAPTVRCLELDEGHIYVIQENHRWLVGQQASEYLPPLHH
VKTTGIPFGTGPMWQDECGANGDTDISFCDKQSNVRSPNIAPCWRHAEFPYLTITEVVDSDAGVVLSAQHCFRLEVLSFEITPRYNMNEPQYTVSLR
YDLWPQVLGKGKLCGDERFIVGENANQEVVILHFDELEFRGMEN

>RCO7_06625 | probable F-actin capping protein beta subunit

MSEIDQFDSALDLLRRLDPKHTTAHLNSLINLVPSLTEDLLSSVDQPLTISRCRKTGRDYLLCDYNRDGDSYRSPWSGEFETPVGGSGVGGVDDQGN
NDGAGEGAVPSERVRKMEVRANEAFDVYRELYYEGGVSSVYFWNLDDGFAGVVLLKKVATPSTKSEGTWDSIHVFEAVDRANKAHYKLTSTVILHLS
TGNDLLGEMDLSGNMTRQIESELTVEDDTSHIANIGKLVEDMELKMRNLLQEVYFGKAKDVVGDLRSIAPLTEANREKSAHREMIDSMKPR

>RCO7_06624 | related to DSF2 Deletion Suppressor of mptFive/pufFive mutation

MANRPNFIDLRSQSHGPFGSAMPSPRMPGGLPSPRLHIAGDVPPELSPLDAFAAQSRLLARQLEQESTGGRPVSRLPPLTIANSLSQGRPGYLRSAS
ADESTPITPATPVSGQKPEVETTGFRPMSVHPTLGGLVHGMITPPRAGPSRQLGSIDDEEHRGRRPPSIAEIDNEFGARREQSPPPLEKEHTLRRES
PSHMRPRPSAESMRQRANQNRRLQDGSLGINGYDSRALAPPRSPFSHRAPSPRSMSESSDDDYNNLNASTGMSPKRKASIGSALSNSPISPYSHTTR
SPSISSEMSVGGTRLPRPAFNFSRPISRASMNGLPLDVPSRQASSDSQPSFVLADDTAHTPVSMHSEGFPESNDNAPAPSYVYSKFSLPRGKMLQRD
SLIFQAGKQQMHTAWQLPDSSSNSPARGQAPPSPPSRASISLLRPENLTPRPSLDPGRPTYDRSNTFDIGRSSVEAGHKPTLGGRASSDYPPTLRAR
PQSASDASTIKARSQHSLATTVLLSAEEHVTKAIEYHEAGALNKSTYHLRLAAKQNHPTGMLLYALACRHGWGMRPNQREGVAWLRRAADSASLEVA
DDDHLLKEGKTVDLLEQRARKAQFALSIYELGVSHMNGWGIEQDKALALRCFEIAGNWGDADALAEAGFCYAQGVGCKKNLKKSANFYRQAEAKGIS
MIGNSWIYKSKYSGDADDKKISEFRQGGSPNASKDDKKARDKSRSRAFFGRKTTS

>RCO7_06623 | uncharacterized protein
MTPPIGTSVRRLTRDRWLLGSSIVCERVTTRIPSIAIISWQDGDGTFYLRERVEEDLVLLEDGLETGLVHEAGTSAAVWSIGVDAFCKVKAWREGME
LESKTIEFVRRRAPEIPVPEIIHTWIDHSWNRTFLILRRVKGQTLDEEWPRLTSNQRLEIGNKIAAYCCKLASISASRFETATGHAVVEPFLNSIAD
ASHPSWIPRPIGPFSSESFASYLSTVAPGSRLDVGDLFHFYHADLGPTNVMIFESTVTGILDWESAAYYPRFWLATKPRVSAGFYLQKDRTDRKAWS
NILGNSLEAGGFLQDIDVYNNWKLKKCNG
>RCO7_06622 | probable epimerase/dehydratase family protein
MNEKPAVLIIGGLGYIGRFLSLYIHKNNLASEVRIVDKVLPQLAWLAPEFQEACANDKFMQADASKEQSLPRIFDRSNGKQWDYVFNCGGETRYSQE
DEVYKVRSLALSVAAGKEAARRGVKAFVELSTGMVYKPDSQPSKEGDKLKPWSKIAVFKLQAEEQLAKIEGLNLIIVRLAHVYGDYASQFVATALSL
ARVYQHLQEEMKWLWTKDLRVNTVHIDDVTRGLWSVAEWYATQSQAGWDVKSMGKIPTFNMVDKGQTCQGTMAEIIAKIFNIETGFQGQLVSTFARL
NMDSVVDDVNDEVLQPWADLLEDAGITRPGPLTPFMEKELLKDTDLSMDGSRLEKVVGFVYEKPKITTELVQSMIDSYTRIGWWPVAR
>RCO7_06621 | uncharacterized protein
MNASPARSTPGSLFEVGESYKSIVSIAKQQLLEIAPGNSTFAVGVLRHDKLDDIIPENFYWFKVKGKHSIGKVRAAYGSRATQDLGVPVHCALKFDN
KIIPESTQMRRLDIMNDNFVIFTAEEAMDLDSPIASNSTPSRDPLRPTTTQHPNPNTMGMGPPTTPITTEWSYTSPYMASENIHPNANVKIERAPRP
YGPVVKNEINDGQSGFSQYANAPDGFQASANVFHLASASSVKREAAANGAFMDDVADAPAIPDANQPSMNERVQKIITEGSPEELEAEVKVWQEFLA
RLRKPLDGFVSQTKDAQHWVTQIVQLQKQNVDTPTIIGVVGNTGAGKSSVINAMLEEERLVPTNCMRACTAVVTEMSYNKSDNPNELYRAHIEFIQA
SDWEKDLKISLRELIDSSGQISREYSNPESEAGVAYAKIKAVYPSKTKDDLANSSVEDLMKEESVRRVLGTTRKIEKPRAEYFYRELQGYVDSKEKA
SEDKKRNKKKEKGEKKQMEFWPLIKVVRIFTKAEALSTGAVIVDLPGVHDSNAARAAVAQGYMKQCTGLFIVAPINRAVDDKAAMSLLGESFKRQLK
FDGTYSRITFICSKTDDISITEASDSLGLEEEISEDWETIDTIDKELRAHRQNIKDLKESKGVFSELINDAEESLEQWEKLKERLDDGETVYQPSKK
RKRSAELKNKSRKKAKKARSGISDDDDDDDFIVDDEENEEDEEDGTSQVDSDPESLSDEGDPLTMEDIDAKLNQLKEDKKRARRERIEMDEKLKDVN
REVKALEAAREKIETKISAVCIAGRNEYSKGAIQRDFAEGIRELDMESAQDEDPDQFDPENDLRDYDEVANSLPVFCVSSRAYQKIQGRLQRDKPVP
GYRAAEETEIPQLQARCKKLTEAGRAANCRIYLTNLSQLLNSSGLWASNDGTGLNLTDVQLAAETRFLKLRLQKLEQGLDKAVKDCLKDMTDALAEN
IFEHYDELVEIAISEANTTVANWHRAVNRDNRELGGYYWATYKAITRREGVFSNAQGPHDFNAQLTEPIIKHLASHWERTFAQRLPRVLASFSRAAK
GLLSAFHCEVEARTMKTGTGSAGVAMLGQQLKNYEHIFGTLATQMTDMINNLQREANREFTPVIARNLSTAYEWCANETGGGQFNRMKAYMSQHVDN
IRGSMFSESCAEVKTLLMNMCKQVSRQMSDNTDVVFSRIERDYLEVISGTQLPGQSMPRWKRQMRAEVARVIEDRHQVDNQDVQEAASTKVKEAADE
LATAAVSEHDGESRVISSTSQVKGEVVDDS
>RCO7_06620 | uncharacterized protein
MPSSTKPKLPQLKTPMTSTFPSELSALSATFPSELSALSARSPLPGYADFIKQEEYIKTPITPPIAYTDFLKTMASPMIGDKLSSGRTSPTSAPSTG
SSEYSDCSCNCETHKSPTSALPSAAFVFPSSAPSTGRLGRLRIPPSPAFSGAESPMSATSAVRSPFSARSARSPFDWDFKSKGRYFDIKSPKSTRAS
VRQVREIVTRTVTYTPRMSPAPKGKRRKIE
>RCO7_06619 | uncharacterized protein
MVKDVFLTTDNMPSTAGCSGLRNATPSFEATVIKKLREKGAVLSGETNLSQWNNYRNYHAPGNTPSGWSSVGSEGKGIFVAEQDPRGCSSGSAVAVA
LGLVPVELATETQGSNAAPACSAEVVGLKPTSSVTSRHGHMMEADEHAMEKFEEALLVMVSLGAVIVDDVKSSEWDHNFCMNPDWVHSFGVGLRANR
EKCDVIAARWWTDTTAPVSGSPQVSVPSPAYPKGQAVERVARDLITIGPNVLTSIMFVGRRWDDYMVIAAAHSFEKATQTGEFSDHS
>RCO7_06618 | related to tRNA (guanine-N(7)-)-methyltransferase subunit trm82
MSHPQMPYQCMVTCGNVLVAARGSNIDSFNLENGSLMSTWTCPASQETQKQKPVVTEIQKKEETADVSIPVEGENLEENGPPAKKRKLSTESAEVKI
DETPIPKTNQKQQEGKKKQKQNSRSVPVASGLQAPAVIALASTKDGKHVIAVTGEDKSIRVFESIEDGGSHKLQHISERAMPKRPCSITISADDLTI
ISADKFGDVYSLPLLFTPLPISQFPPSTPQTPDSTTSKPYIPAANELTIHSQRNRKALENQKRQANRVTEKAEPTFEYKLLLGHVSMLTDVALVAVQ
GRNYIVTADRDEHIRISRGIPQAHIIEGFCLGHTEFITRLCFAKSRPEILISGGGEDELFIWEWLSGTLLSKANLKSHVDVVRSDLEVFKGDEATVE
AAKIAVSGIFSAQVVAGSETEDIMIVTCEGVPALFTFALTSHNRLEHIQTLRLSGNALALVSNSSGLVVSVDTIHKEGSISELRNDNPENLTCLQSY
KFEKEQLVPNGVAFAKGEESKETEAVGKLGNLLYGLENLRKREGDAGDE
>RCO7_06617 | probable 60S acidic ribosomal protein P0
MGGRSENKAGYFDKLKTLLEEYKSIFVVGVDNVSSQQMHEIRQSLRGDGVVLMGKNTMVRRAIKGFLADSPEYERLLPFIKGNVGFVFTNSDLKTIR
DKILANKVAAPARAGAVAPLDVYIPAGNTGMEPGKTSFFQALGVPTKIARGTIEITTDLKLVEAGTKVGASEATLLNMLAISPFTYGMSITQVYDDG
NAFPADVLDIEESQLLKSFSSAIATIAAISLAANFPTLPSVMHSLVNSYKKVLAVAVSTDFSWPEIDELKDRIANPDAYASAGPAATTTDAAPAAQA
AKEEEPEEEAEDSADEGFGGMFD
>RCO7_06616 | related to MutS2 protein
MLILYSSVRAIGHRRVLNSQCLLSRSLHSSAFTRIPRTTQSLVLAYRGQSRGKKTKSSIKLDELPQGVIPLDPLPLEQDAPPSYSTVVQQARTNMRK
FENCVLLTRVGGFYELYFEHAEEFASLLNIKEARRPTRPGAPVVPMAGFPFFQLDRYLKILVQDLNRYVAIAEEFPNDASGKVKAGGLMHDRRVTRI
ITPGTLIDENFMDPFSNNYVLAIHIAEDPVDSASQDPLPDSSSFLRENMRIGLAWLDLSTGHFFTQSTTLANLPPFLARISPREIVLDEDLQTSKDH
GIFEVLADDHHHLITYADPSKVKSIAEWEPMLESPVPARLIPDFMAEEVAAGSSLLQYVETRLQGSNMKLQPPSRQLDMMGIDKNTMQALEIKKTMK
DGNLTGSLLHTVRRTVTKGGARLLDSWLSSPSTSLDVINYRLDLVTNMLNDELLRERISILLKCSHDSHRLLQKFAFGRGDPDDLLALASTIYATRD
IVATLSHDSSGDACIKSMINRIDLTGPIELATRIREAIDEEGIMQQQRLDDSEAGEMQALAEAIVTAEGSKEDSSVLPKGTRKKKPTSIREHYSDDS
EPWIMKPAASPTLTRLHGEILDLSTEKAELVNSLSQRLGATTLTLQFRPGLGHICHIKGKDTKLPLQSSEGDLIRSVSSSKSTRCFHHPEWTSLGQR
IDTCKTHIRLEEQRVFHALRSHTIHNIIKLRRNAAVLDKLDIACSFALLAHEKHWTRPLLNQSTTHKIVGGRHPTVEGGLEEEGRSFITNDCFVGSV
PQKKIWLITGPNMAGKSTFLRQNAIITILAQVGSYVPADYAELGIVDQMFSRVGSADNLYRDQSTFMVEMLETAAILKRATPKSFVIMDEIGRGTTP
SDGTAVAFACLSHLHNVNKCRTLFATHFHELVDLLEEEGISDDVGFYCTDVLEDEEGEGFRYDHRLREGVNRRSHALKVARLAGLPEEAIAVARRVL
EAKMGAKNL
>RCO7_06615 | probable flavoprotein wrbA
MAPKVAIVFYSMYGHIKALAEAEKAGLAKAGIEADIYQVAETLSQEVLTKMHAPPKSEYPVIDAATLATYDAFLFGIPTRYGNFPAQWKTFWDTTGG
QWASGGFWGKFAGVFVSTGTQGGGQESTAIASISTLAHHGIIYVPLGYAHNFGQLANLSEVHGGSPWGAGTFAGADGSRQPSALELEIATIQGEQFG
KKISTVKAVEGENAAEKNAAEKNTPGNGDGNGNGNAKKESGAVAKEQKDKEGPCGLPSKCAIL
>RCO7_06614 | probable DHA14-like major facilitator; ABC transporter
MSHIVNTNEKMVAMDDSPAETLKSDSSVLFDEKGREADGSTMRGSTAHTNEPPSIEHQIRAKEMQAGSDELTRINTSQDGAEYPTGVKLGLISLALC
LSVFLIALDNTIIATAIPKITDQFHSLPDVGWYGSAYLLTTASFQLLFGKFYTFFSIKYVYLVAIGIFEVGSLICGVAPNSTALIVGRAVAGLGSAG

IFSGALIIVAYSVPLVKRPMYSGFIGAMYGIASVAGPLLGGVFTDKATWRWCFYINLPIGAITMIVILFFFKAPHREAVKSQGWKEDIKAFDIYGTA
VFLPAIISLLLALQWGGTKYAWGSWRTILLFVMFGVLVSAFIAIQFWKQETATIPPKIMKQRTMWSACFFSFAMGSFFLLLVYFLPIWFQAVKGASA
VQSGIDNLPLVLSLIIVSILSGIGVTLSGYYAPFMVGGTVFGAIGVGLLSTLTPDSSNSMWIGYQCIAGIGIGLGMQQPLIAVQTVLDISLVPIGTS
IVIFVQTLGGALFVSIGQNVFSNGLVEGLAKYAPSVDPLSVLRIGATSLQSSPDLNKADLPGVIMAYNDALTKAFLVAAIMAAVTIIGSGAIEWRSV
KGKKIDTAMAA

>RCO7_06613 | eukaryotic translation initiation factor 2 subunit 3

MAANGDRYGNDMDSDSDSAPGSPGLDAQQDFDDHVEDLEEKPIKSALKKSTHKEPAPTIIRPTLPEQTEPKDLDLKSLTPLTAEIIARQATINIGTI
GHVAHGKSTVVKAISGVQTVRFKNELERNITIKLGYANAKIYKCDNEDCPRPTCFRSYKSEKEVDPACERDGCSGTYRLLRHVSFVDCPGHDILMST
MLSGAAVMDAALLLIAGNESCPQPQTSEHLAAIEIMKLDKIIILQNKVDLMREEGANAHYLDILKFIRGTVAGGAPIIPISAQLKFNIDAVNEAIVN
TIPVPLRDFTQDPQMIVIRSFDVNKPGAEIEELQGGVAGGSILHGVVKLGDEIEIRPGIVTRDEKGAIKCTPIFSRVITLNSENNALKYAVPGGLIG
VGTRIDPTLCRADRLVGFVLGLKGRLPDIYIEIEVNYYLLRRLLGVKTADGKQAKVAKLAKNEVLMVNIGSTATGAKVVAVKQDAAKLVLTSPACTN
VGEKVALSRRIEKHWRLIGWATIANGVTLDPSTS

>RCO7_06612 | related to middle part of C.elegans myosin heavy chain A

MATAGTAKTLPRFLLPKLSWQASPIQHSTFRRALSTQSTYNKPSRERNEQRDNGISRRLQHGFQRPKMSILQDPAHQRAFHATARRSRDHHFDTLKF
VQRLQEEGFTESQSVAMMKVLSDVIEESIQNLTRTMVLREDQAKATYAQKVDFAKLRSELLSADTAESATTRASHERLTNDLAKLNSRLRDEVGRTQ
ASVRLDLNLEKGRIREEANVQELKIKETETKIEQEVAGLREKLESVKFSTLQWLMGVCTGTAALILGAWRLLM

>RCO7_06611 | uncharacterized protein

MDQARPWPYGRGSSSNTSAFNNSPGSRITAKLAASIDSLYLILGGNTGKDEIETALKIAGGNADFAYDVLITSPKPERRDQQKMIEDHAVLSGVSDM
ANRDDVCEIIKVLPLQSSRYILAMYNHCRQNKQDTISRILDDYAITTKESNKLEGSGMGKGKGKDAITEDRAVKSELLPERFGKCNPFTATPRASSS
ESEDLPAFTPGSSFGSSSQSPKQAIAMRPAAKGFNELADNLEVPATKVETDSDEDYQSDIDMNNVKNELENNEEEEDDIYGLFAKDRAAGSESGSEA
TLAASDSDVEDNTPDAARGNGEGDVNMTLETSNREEETEVELSDKDKQAFLKELFPKASRNEIERELTLNEENMEAAAADLEIQFGLGGSEAGEQER
SVSPGIGPSRARKPENHKRRSAAMDEGRQSKRVRCDKNDEGEDTDELDAADKWVLKLLHSESGIQIELDSGVHPCKIADNFLRYIPGFRIWLDENPA
RAGVDRTLKVSEVSLETFNLAMQWAVCSTGRLTRTQRRSKTIEVTAFVDLAIFASTVNLSLGKASATFMTKLKALLVKHRDALKGVHIAKAFKNLEP
GHQVCNLLVQASIRPYAEFQNSGDDRNMIAGSGSESESESESDADLNSAQRAAYRRARFCFNSELKKFEVYRTQLLDEFHHVWWGRINHNYKHSRKH
LCSRTSLTDPLTDESFEI

>RCO7_06610 | probable eukaryotic translation initiation factor 3 subunit M

MAPSTSQVFIDGTFADLAQELAEYLHIGPEIQPLLDENKKDDALKKLVTASPALNSSPEKEFTAAYNLLVYLVVQSPSVNMFLPRMCENLSKPISSS
PINGSGLALNILTTIFNLLEPDNEVRFNVFQAVLRLVKTSGLFEMLRPQLTKLDAWLAEWEVDEEDQRKLYCQIADIAEESGEDKQSYQYILKALRT
FDPKDAEEISSSEAQTISLRALKIALLSNSHFDFHDLTSLPTIQALSDSHSTYSELLEIFAEKELEDYNDFRDENEGWIEEEGLDNSKLHRKMRLLT
LASVAASTNSRELEYKRIAKALQIPAEDVEMWVIDVIRAGLIEGKLSQQKQVFLVHRTTYRVFGEKQWREVATRLDQWKESLRAVKEVISRERQAAE
AQKERDMHEVERKVAGASGMSAGRRIGGRDNMVEMGTD

>RCO7_06609 | probable UMP-CMP kinase

MAHPLPRLFTRRFCQASSFPRSLNSTSRTSFRSSIRNPTPATRRGYASGNPNSSPLKIWPFVGIVVAGSGAYALMVRSRVDMPPTTEQIAAPKKDTP
TFSPENVTVLFVLGGPGAGKGTQCANLVRDYNFTHLSAGDLLRAEQDRAGSEFGDLIKSYIKDGKIVPMEVTVQLLENAMTEVVNKDKDHKGKFLID
GFPRKMDQALKFEETVCPSKFVLFFDCPEAEMQRRLLERGKTSGRTDDNAESIQKRFKTFVDTSMPVVDHFASQGRVVKVLATKTPDEVYKETREQL
EKRLGKVF

>RCO7_06608 | related to ECM29 protein

MDRELDLVGKVEMRIALAKDDKLESILKPYLPPLLLKLASEHAEVRNKVVSTCQHIKIRLAGNQNIVLPVAALLKQYKENPDSSMIRHFDLMFIQQS
VGKLSSSDQMALLPTIIHGLAKDAGKPTCANIFNLFLRLLPQLRIPLRGSQQDTELRTHLGLDSHIEDAQFIASWFGKLMLLSVIRSSASGVTCPGL
TVPEYEFLILNGKQETWDPSSEEGLNLTQTKILVLAFLSSGAFTDDERFLPALFASGDSNSRISGVGDDLLKRSTMSLEVPKTIEKLLNIYFTLKPA
LQTKLLVLLTKSAVSTTFPQQIVKIVQEAISPDDNTNMPAKGLETVKFRNALFNYMNWVARIGCAGDLAQVAPQLVGFMRTYIEDQGWPVPHERSAD
AAALRALAYETLGSLAKTTPSIVVEKDLSLVRWLFRSLTEEGSSETIFVSIEGALSSLLNAFAPPLSENLRNDLRLLLLKYMTLEEGDAVVRGARSA
TVRWANRCLDYSDVVGRWIDILALGGRTDERSDVVEEGKKGLDPYWYRLLNSVAGSSECPLPDWDEMVKVFFTSQSIIESSSIANSMKSGMDVDSVS
VFGNFSGSKINAFPSAVNYCRRMLLISALQKSETPLTVDADWERQLDVLFRSDKDSRKTMKKHVHSIDEDALFIFLTASFEGMLCNDGNGLPDCGRC
FVDIASIAPSKVIGKISGRALELLPSIKSNNVATRFVAAQAFGILAPHPANTDQIVDDAIESLITDIKPWLTAVGADANKVHGSIIALGFTLSRSCF
YGRAKSWNHTTAQKAVASLLEILCGAKDTSTNEAVLNAVGQLSASGVLTAAQLDSSSAKSAGVVELLTADAKKGNEKSIAALGRLATIFTAELDDRT
DTESTLNLILTGLYSLFEIKQAEVHFTVGEAISCLGACWDSDVLLLSLDVDANYNGRPKKHLTLEKVLQRLLEDCKTTKPSLKKASGIWLFSLIQNC
GHLSEIQARLRECQAAFMGLLSARDELVQETASRGLSLVYEQGDKDLREKLVKDLVASFTGTSAQLKVDDDTELFEPGALPTGEGNSVTSYKDIISL
ANEVGDQSLVYKFMSLASNAATWSTRAAFGRFGLSSILSESEVDPKLYPKLYRYRFDPNPNVQRSMNDIWTALVKDSSATINQYFEEILADLLKSVL
GKEWRTRQASCAAIADLVQGREFDKYEKHLSAIWQVAFKVLDDIKGSVREAALKLSMVLTNTLVRQIEAGTESRHAQAMLKEVLPFLLSGQGMESSA
KEVRIFATITVLKIIKNGGKALLPFIPSLVEQLLGLLSTMEQEGIDYVYLRAAQYNLTEAKIDNARSTAVSQSPLMEGIEKCLDQLDEPTMKDMAFR
LENAIKTSIGMPSKIGCAGVLVSLAMRHAFVFKPHADAFLKVTEKAVLDRNNAVSAAYARSTGYISRLASDEGLVRLAAHAESLYFKAEDETHRQVS
GEIIYAVSKFATDRFNSVAADFLPFVFFAKHDLDKHVKEQFEKTWGENVGGSRAVVLYSKEINEIAVERLESPKWTIKHTAALTIADVVVSSGSEIS
GANAAAIWPVLEKALALKTFDGKEKVLDAFVKFTKSGKALWSAEPSIAAQMKKIAIREAKRNNDTYRPHAYTSLGDYSEARTDIDMFDDVYNIITPV
LEDFNSEDKMDTSDDIKDGNKSYEPAATTAGVSALFKAVNIKLLDPSPLTHLPELLDIVKTVTTSNKVTVATNLELYERSKVLFDGLRKKTHTQGSN
HYELALKFFAVLDVSSGSGIENLRLKRAEAAEMVVECLAGGVFGTFKDGRDDLKAEMKKMIVEARKNERSPGVQTALDRSLKALEA

>RCO7_06607 | probable UBX5 UBX (ubiquitin regulatory X) domain-containing protein

MEENIEHFMAFTGATAEVAKRYLGLTENDAQQAIQLYFDSPDLATGVDSIPQASSPSVPTSTRPQSGAQASRRLDATDSDNEDLMDIDFNDGSDDEV
SRVAAISRAAELEDDEAMARRMQEEMYAGGDASGGHDADGVRAPIGRKTETLVGGPGEDYAPDDMHAALLEQMRLRAQQPSEQMRLRAQQPRTPRLG
VFNQAPVSSIWEENADPAARRQGLARATGGASESSTKNQRLAELFRPPFELMLQVPWDVARDKGKEDAKWILVNVQDPSFFDCQSLNRDIWKHEGIK
ELVKENFIFIQYSKDDPRGAQYVQYYLPQKDSDSAYPHIAIVDPRTGEQVKVWSGPPVPPAGEFLMQLVEFLDRYSLDVTKKNPVAKRKPEKSKSID
VDRLTEDEMLDLALKNSLANNDSPGPKPDDPDDLTKSFGDVKGKGKEVEEENTAEKANVSDIQADTPFSKISSTNPHTEPATGSRIQFRHPNGRVVR
KFNNDDTVRSIYEWLKAEPLEGKEGIAFELKEGGGMGKETRDLIEFLDVTIKDAGLGGGTVMVEFLED

>RCO7_06606 | related to severin kinase

MASGAGMMSGVVDPETIYTKQNCIGGGSFGKVYKGVDKRTGQAVAIKVIDVENAEDEVEDIIQEISILSELHSPYVTQYYGSYLRGSDLWIVMEFCS
GGSCGDLMKPGLIGEDYIAIIIRELLLGLDYLHGDKKLHRDIKAANVLLGSNGQVKLADFGVSGQLSATMTKKNTFVGTPFWMAPEVIKQSGYDHKA
DIWSLGITALELANGEPPYSDIHPMKVLFLIPKNPPPELEGNFTKAFKEFVELCLQKDPRKRPSAKELLKHPFVRRAKKTSYLTELIERHERWAVHH
KGDDDDSDDGQEDAPRSNAGNEDLWDFGTVRPANGRGTGRGTGRAGLNAMGDSATNARSSRSSETEDDYAVQPRSSSPTKMKDSGYVSSAETIKAAN
SPTVEQPPRLNSPQRRPVPVLQNTSPAKVPLPPSPEKHRSLAPETPRPVQQFYSPPNTDSPDYDRSLQEQLSRDMRYLNVGSTPSPQLVKPPIPSNH
QPQKRESDTVSRLPTQQPLPKLGPIKLPEIPPFRGQPLQKLTNQPNASMSKPLQSSHSQPLASQNINPRHTGQQPLPALPSKLRDNTPSRESFSSES
SRPPSAMPAPAPNSPTGELDALNDVIFPALEEALKRRQYHLQQMFRNAGTTPKQQRAQAAHEKLRKLVYKLAHVCKEIDHFDKQEPVGMGKDVDVFL
EGLLEEILVRVEPADDDEGNEKR

>RCO7_06605 | related to cytochrome P450 phenylacetate hydroxylase
MAILDIINTTQARLLSGPIQSLAFLVIFTPIIYALANEVNAVEKYQQWSRTHGAMYQIQLGNIPIIVVLSNTADITIGTSPCSDSLKRRRKDLESKD
FVAELLRYGKSGNGIRMDSQDDALFDEITYVEDEIGRFRSTTGNLQDYVPLLRLNPFGFDAWRSEHISRVFRPILTMLSGGLGTVTTLLQWSIVLLA
QPLDVQEKAWKDIPHFYSDEQPLCDPLEDQKYFTVLRLTISRASIKDVTYEGVVSKGTVYFINVFACNRDEARWSDPEELRPERWLEVPDAPMFTYG
IGYRMCAASMLANRELYLVFIRMMNSLENQKFDDVDAHPVSGNSDPTSLVAMPHKYKARFVPSNSSALEKGFSVVDEPFQHHFLQSPVLLLGYNLLS
FATKADSITTNFCNTNRFTDTINTIPDSNPIQPVGIYSAFPLEL

>RCO7_06604 | uncharacterized protein
MKLIVGLFLGATLGSAAPQSLPRNAFEGLNERGLPQCHSDNLYRIFIDKRYSSSASAFCNTYITSTSISTVNPKATVTVIARITGATALITNVIVAT
KTNTIPQANPTITLTPKIKRDRDERLDKCPGKAGTYAANLISSACSCLVEPASVVSRIVTAPLMTITEKNTIILTRSTTTVQSTTTTVDVIGPPKAI
ETIHIPLKVTVIVPSYCTDGDFEAANGGFFTPICGFSYALSGNTLTIQHAGTFMDCAGICDSDPICPYFSFSPTATDNCLVYGAGFDGSYTPVADNS
FNSGVRSA

>RCO7_06603 | related to cytochrome b2, mitochondrial
MPKTFDAAEVAKHNSTESCWVSLYGDVWDITDFLPNHPGGSKIILKLAGRDATEEYDPIHPPGTLQDNLKPEANLGKIDPLSLRKPQVDAAQTEQQL
EGSPPMSNILNLDEMEEVATKQISKKCWSYYYSAADDLISKSLNNSIYKRILLRPRVFVDCTRCDTSTTLLGHKVGTPIYVSPAAMARLAHPAGEQG
IAQGISQFGAIQIISNNASMTPEQIVEGSLPGQIFGWQLYVQNDRKKSEDMLVRINKMSDKVKFICLTLDAPVPGKREHDERGSLVGASLPVSSGVK
TADEPSRPGGGGVGQQLFWGTAADLTWKTTLAWLSKHTDLPIVLKGLQTHEDAYLAAQYAPQVKAIILSNHGGRALDTAPPAVHTLLEIRKYCPEVL
SRIEVWVDGGIKRGTDVVKALCLGAKAVGVGRAALFGLGAGGAKGVERTFEILKAETETCMRLLGVERISDLGQKHINSRAVERDIYDGDAGLEKLG
LWVKANL

>RCO7_06602 | uncharacterized protein
MSRSSAVSSQKSIADDHTPLPPPPTCTKIHDKPREFRDHGSWKKMEVKGEMGVRRSRFGAWVRGGEVEQEDDHEALMVGEMLKRSEMGMIVARASFA
TTGSRSSKSPSKQRFMTEEEKYRARGNTSLFGGPKNTPDSSRYASDATLLDDTDDDGDLESDDDFEIPLPKRRRPDHVDSQTSTACLRLNEHRFGDQ
RFEQRSGGASQVDVNRSSSASMISRPSDRQQPASYQQQRQQSHQRSSLSRSTASTASFRLNPAGQPNQHQRQRQPQVLTASPCESPYLSSASQPIPF
HLRQATTFLTPTSTFSDATSAILLAQAQEEADTLPRRRKEFEEYCAQAWRHEPALRQLRDEGKLEEARDLFDAAKAALYFARGLGGGGD

>RCO7_06601 | related to cytosolic Cu/Zn superoxide dismutase
MYTSMVAVVSTALLTLASAQNTTDLITGKLGNSTVASNNPIGKVYTATLPEKPFFNPKNPKGNIKGSISAAATSNGVGVKFTVRFENLPTSGGPFLY
HLHASPVPADGNCTKALTHLDPLIRGETTPCNDEYPQTCQVGDLSGKYGSIVSDPFEESYNDEYASTVPGSPAFFGNRSFVIHFANKTRITCANFVL
ASNSTASRAKPKNTRANDPATSSTRPSPSPSPTGSAPPTQVTGAANAISASLLSLTVVFGLFFML

>RCO7_06600 | uncharacterized protein
MLLPSALGCDSSSQMPKTRFQSAPFASPPLSPPPSSRPNINNIYSTCRALQSMLSPPNHLPSPPTTHADAPSSPMKLRLRERKRAEESTPSLTSRRK
ITKRAAPPPRGINKRTRATDDEMSRDDVEDGDSEQEEHIERPSTPKRMRFAPEIIPLGLARSDFHDLRLADVEKQGSETVFPSVEGFSSSGDWSTDD
DRLLVELVLEKLKLTKSEWQDCARSLGKDRGSVGRRWKSLMGAGDVGLKSRPRRAKIHGTWR

>RCO7_06599 | related to trans-aconitate 3-methyltransferase
MPVPHPSDPTFRSYSLDDAKLYAAQRLAYSPVLYEVILNHHEATGGKHDIVLDCGCGPGRATVDLAHSFDRAIGVDPALAMISVARERGGKTRSGKE
IEYVVSAAEDLSNIEIEGLEPESVDLLTAATAAHWFDMTKFWSEAAKVVRPGGTVALWSCSSSFCRMFPHPSTPNAGAVREALLAVEEMMLAEYRLP
GNDMVMTMYDDLPLPWDVSPPVTSFPQAKYVKLEYDRDGVLSNGKSFFNGSQTYSLADIENGGGTASMVTRWGKANPELVGTDEDVMYVFAKEIGTA
LGGQDWLETGSETAILLFKKSL

>RCO7_06598 | uncharacterized protein
MKPIFGVMQAWSCIVISCFAIVILSVIGALFKANHHSMTGTMEDPENHAAVAATVFSAVIVYALFLVGCSFQAFLHIRDNRRGAISLS

>RCO7_06597 | related to hxB protein
MAYNDAVEVFRDTEYPMMKGKVYLDHGGATIYAKSLIDEFSKKMMANLYGNPHSASDPAMLSGHMVDSIRIQTLAFFGADPEHFDLIFTANATAAIK
LVGESFRDLAASNPKQPAFWYGYHKDAHTSIVGVRELSNERHHCFASDDEVDDWLDGRVGSTGQLLNSEGLPGLFAYPGQSNMTGRRLPMGWTKKLR
ESRTPSHQNTYSLLDAAALATTTQIDLSDPDYAPDFMAVSFYKIFGFPDIGALVVRKKSGHILGWRKYFGGGTVNGLTVIHEASVQRKDATLHDSLE
DGTLPFHSIIALGCAIEVHRRLYGSMRSISQHTSFLAYRLYHGMKSLTHYNGVPLCVIYDEPDKSTYGDATTQGATIAFNIMRSDGTYIGHSLIERT
ANSKGIYLRSGGLCNPGGIVSLLQIELWQYKRAWSAGYRCGDPSIEVVNGKSTGLVRASLGAMSTIADVEALLFFLEGEYIDNMRKMLVFAGKVDNL
GTDAYGMEIMRSNDSGIGSFAQSTYNSGGHSFSSPGQVNARRMISSPNLRAPMRPREPRIHVQKSFYEHRPTTANSHISQVSQVSQTSQTFRPPPIS
YYQRPDAARAMLPANNMRLSDSIDQGYYPVKLNVHDPKPQKGRSVLKFWKPRRPLMQASHNDR

>RCO7_06596 | uncharacterized protein
MAESSSFIRDGSFTSEFDDLVSDTMKQWSAMGLSVAVVNNDAVTAKGFGYSSYPDNPVTPKTLFNAASMTKAFTATAVSFLVDDDKKVPEVKWGTPV
ANLIGDDFVLSDHRTDQVTIEDILSHRTGLPECDDYCFGISAKSPDTPKSVVRRLRHIPLSQPLRSKFQYSNIMFTVAAHLVETLTGKYLGDFIREK
IFEPLKMTSSYYGPADVEKRGSAEDIAVPYGYDRGRKNILRSLGWLNPKCMINKSGPISEKGHEELTKPRSITDDDIIPFKSHTCYALGWDVYTYHG
ELVIGHDGSVGGFTSKMLFVPRLKWAYVSFSNCNTGYQVQQKVCWSLFYDLLKVPPEKQFDWDEHYQKLQEKDLPKTKEELYPDLPEKPLPTTLDLS
AYTGEYYHPGYLSHVVELRDGKLQMSGIDRTWPYILTLDHVSGEFFIGEMNLVDSHDKYNLRAEFKISPDGIVRSFGVEYIEALKGKKIWFEWK

>RCO7_06595 | uncharacterized protein
MSYQYPLPSSGMEPSNMIPGFHQPSKDHEQPSSPAQMKMDSPSLKNRGNAAASKSAKIKRSMSTPNVRGQASAEAAALALSAEKRRNKLGYHRTSVA
CGHCRRRKIRCIAAPGDPHNRCSNCIRLKKECNFFPVDQQPLPEPQRRGSKAQSGTDRASEESSPSTTSGQVLSDIPQTLPYPHLSMPPIQDLGGPQ
MKRQRTESFSPETKGKDLTSFSLIEFSNSPAVVTTSRNFEYTQPAHHGATNWMAPEASPSTANPKTESSQSYWRVNPQDSPLTPAFSPFTPGLQIST

TQNWPTPHTEVSPREDTAWSAPQRSISYSNLEGLHNQHQSTQYAQYPPPPPINEHAYTTKPRVLQSSSMYPPPIQTSASPLASHDPISATSSETHPQ
PHSAHSLPPVPYSNWQQPYSYQKPAASGPDQYSAWNGSQGQQHLPHLQTEQGHLPPPPGYGYGDPSNGMYYPASHQGR
>RCO7_06594 | uncharacterized protein
MRDDQGIGAEESCNTGITLLNVLQPHPEDRLHLRLHRARSVILTAQELVEIRAAQRTFEGAYIRTALGQFSFALVVLKIFTAEFYSIGALFATYGVG
ILMVSLYRRYEGNRQFFSEVGEDGLGRKRFRTSGNAVVVLTALSVGAYASLIVLTARLDS
>RCO7_06593 | uncharacterized protein
MSPRYPSTSPPRDPHNPRDFDDLGLSSHQPTTPFSSLLSPYTNPQTLSNFTSPSYTPAELDYSNYQSSELDDSDPFFGVNFDEGVQRTDSIPITARL
GNVAYPSTYSDADLNRSLPALPTQAELRSSDANIGNSIYPLSPNHSSIHNTPSPNNATNDRKIKTTISQHELTSGLHNVRFQGRSLAPTVTSIQLTP
ENSGSSHTSAEGLEPSTMPLRPEQSPHLTISHWGDGQQQNPPYSFIQSNLQYGETNGHGFGRQLPVQQPEHYLRTSVQRDEDGSWLSNEVTGQRGLD
PETRKGIADEIPTLKEEDDNRKRLHKNIEVDEWRSQADGSRDTEDEIPSESYFPSHENWYLKGNVSSKRTQEEIHNEIPPLDDGASLHENRLVEGQI
YYDINSDHINEADKVELINHPRYWKDNPSMPHITTSRFQPETAKEAMKKFNSHADTISIASRAATWGTRRKSESDFEGILDGGFLKKLSISTSKGKE
DNRPRQNSLFDQGLDRLANFARKRSDSKLKRARSSQNIPEDAEAPQNLRHNSQDTLAPPMRTPSFGKRPTPSINTAFAAMAGPLAAVGTTHTRRTSV
GAPTISPKSPGHLRFPNIINRVRSRSDLTSQDKSGQTGIADLWRNSGGPPVLAATPNHVESSRPEPLHQDSHDREEDEDEDDEAEENDMKMSFEQQG
NPIDPSYEGFKTHVRLLNPDMHYRNKWLVSRIARQQVIRYKSLLELRVKHSQDINARKCSAGPHCSAVQTEALGKPLEQDQTPLGLYVVTEFSDTDS
NPGDGTLTEDTFPQGVPMPPTKNLPAEFECQLCFKAKRFQKPSDWTKHVHEDVQPFTCTYETCKESKSFKRKADWVRHENERHRRLEWWICQVDECQ
HPCYRKDNFLQHLVREHKFPEPKEKTKAAIKKARLSEPAWKMLEQCHKETANQPQDEPCKFCGKTFTTWKKLTVHLAKHMEHISLPILRLVEAKSID
ANTIISPIGEQILTPVTPTSRAKFEAHSPFNMDSISPHTPTTSHFPSSRFEQPSYFPTAGLRNGYRMHDSTPQEVQYTNTNGHSHPMYPGTFGAQNV
DHSRGFNNMGSDNRNHGNQSRAYGSMDSSFSHPKVEQPRDFGSMDSSFPLAISNLNYSMQQTSGCSNPQVFSTAPLITTYQTSNMLGASDAGYGFDP
MALNVNQSFAPLPMNRAHGSTSSFGHSPQNVPQMPYYEHQQ
>RCO7_06592 | related to alpha/beta hydrolase family protein
MTSRILITPHLGIVIASSLATTLALFTIFKCSTPCQDIIKSPREAQLLNLSSEEKDGLPYPPDLLPGGRDVTSPYGTTRVYEWGPEDGRKVLFVHGI
STPCIALSEMANGLVAKGCRVLLFDLFGRGYSDDVNLPHDSRLYITQILLAIASSPLPWTPEGFSLIGYSFGGGIAADFTVAFPDMVKSLVLLAPVG
LIRSEHFGWQSRLMYSGILPTRLVEWIVRGRLGGYPAEKPVMETGSEGESLLADDLKRNRDPKFENAVVVVVKDRPNVTVADVVGWQLEEHKGFVRS
FVSSMMWGSIEGPRPAWKALGERKEKILVIVGEEDPIMLVDELRIDVEDVIGAERVQFRVIEGDGHDFPISAPERVVAEVSEAWGINM
>RCO7_06591 | probable dUTP pyrophosphatase
MSATSPPHLPLPKRQKPNPISPSQESSASTSATMSATEAFPVPVTKVSEQPPLLIKKLSDKARLPTRGSEFAAGYDIYAAKDTVVPSRGKVLVDTDI
SMAVPEGTYGRIAPRSGLASKHMIDTGAGVIDADYRGQVKVLLFNHGEKDFEVKEGDRIAQLILERIYTPEVVEAKELEESVRGAGGFGSTG
>RCO7_06590 | probable pyridoxal kinase
MATFAMQSLGCEVAALNTVQFRYGQAKGTRATAEEITDLYQGLKDSYLDDFQMMLSGYLPGAASVEAVGSIARDLKLKSTMKPGSFFWVLDPVMGDN
GKLYVAEDVIPAYKDLVKDADLILPNQFEAETLSGVKIVDMDSLKQAITTLHEKYRIPHIMITSIAFPTPGATPSLSVVGSTFTSSAAPRIFGITIP
AIDCFFSGTGDMFAALMLVRLREAVNNTPDLMQTAAWVSGDEVEATDLPLAKATEKVLASMQEILTRTKKQMDEELEKYHSQIGARDTEADTKKLKL
MTSKAAEVRLVRNLDCLKFPEVNFMAEKV
>RCO7_06589 | probable proliferating cell nuclear antigen
MDLELTTQREVASVAFWRNAYFALLLDPLVGSRTRNITQHHRDLSILVASHTLIARQPFCISILNMLEARLEQADLLKKIVDAIKDLVQDCNFDCND
SGVALQAMDNSHVALVSMMLKAESFSPYRCDRNVALGLNLTSLTKVLRAAQNEDILTIKAEDAPDVLNLVFESSESDRLSEYDLKLMDIDQEHLGIP
DTEYAATISMPSSEFSRICRDLMALSESVSIEASKDGVKFSCSGDIGNGAVTLRSHSNVEKPEMNVEIELTEPVSLTFSLKYLVNFCKAAGLSKTVK
LCLSNEVPLLVEYALAGSSYLRFYLAPKIGDEE
>RCO7_06588 | uncharacterized protein
MDAIYIDQGVEDSRQCRSRSSSHLSSTAAQFQDLNISTPDFRDQGSHPSPKTALTAPVPQQHTPFPLLSDSDLDANWSRLSATEDHSGSAPLLRLDP
VQLFPEDHQYFGDQRSLRSSSNPTTMSAIGVQQFDSRFDASMHSGLRHTYTWPQIDINDQFVHQPNISSDQLTPSLLYDEPKLLPMFSRSLSSSPPR
PNLTVEQRELKRQRDHARRDSKTQMRRERSASNTSNHSNPYITSQHGSPEMIPRTLPEYTSNLTPSPLLSQGSSQNSPALRSSSFLAPYSPPLNDHA
ASDMYGPVYSMGPNDFTSNPAFPMPFSNTGGEPGLQALVGRPQSMSLSSATDASSQYLSQVSPSMGLTESGDHVRVVHSRPKPQCWEHGCDGRQFST
FSNLLRHQREKSGAAQKSSCPNCGAEFTRTTARNGHMAHDKCKARRN
>RCO7_06587 | uncharacterized protein
MTANTPSPDLSTSDTASQPDDHLLTIPKTSAAYKATNGMKAVDVSDDSDSYLMGTPASVASDNMEYPGIDMRTKISQLLKDKEQEWTAVAEKKGPLR
LLDLPMDVLKEIVKEVTHTNDLTALALTHSALHGLAIPHIYSRFDIVWPDAAATTDPRTGVDALTYGLATLCMGDIFTDHSKAQSFACMNCGTENTT
ECTHGHNLGSQGQRRLGNQYPQFTRKFSLGNGPPDWVQEYLITKESGKMLGTLVALAVARMIHLETFVWDMPTGVLRDVWLALSSLQNRDGNQDCRL
ERVWVRWHDNSDPTVAVPAQGANGGPSTTPQLLANSQLTSVGWTVPSGSMPSSQGPSYPLTYSQGRVEYPTLSVLPPLKSLSVLDIDELDYLDEMSV
LVAKSKDRLRELRVGISAKAVKRDFALAWDGADLHQVDHKAQWPGASTIGERRLGGVLGVLLGRIFDIRKKQKVKPQKKDRSPSMASSTPIPQEVTQ
MTANAAILDLNQQDIDVSPQYAPGYSDQDSLEVTWTGKESIQSSGAILSSPFNLDGQPHSNGNGLDLHPPQLSTGEVDSAQSDVDSLTALISAHDLT
ATDENTLINTSAVPSDVTAGPPLRRSHTQSQKQAHFSESKPAERERLDGNLKLQTLELERVPLSITVLQKAFDWSVLTNLTILDCAQHDRLWVMLRR
HFQPTPINSSHSLKSAAGTQYHLNLKRIHTDAASPALISFLKETLAPNTLETLFLQDRRRPLGAVAVTIDAIYRGPLKRHRASLKRLMLDSSDRVPR
SVTSPSDSSRWRAWVPNRDVLNFITSGRMCSLRELSIAIDYTNWHHFLQRLPQIPHLRSLNIPFIADHVTPAFDPRELALQVVDVIVLRPEVELCYM
GVSHKCFEILENRSHDDAHGSGDSHSSAANGGPGGTQTDEEDEDEDEDGSDEDEDDEEEEEEEDNGTAIGAPLGVDPDETESEMSDHDNSDSDSWDG
SNDGRSSVRLRLREILFYDDKVSIFKARHGKL
>RCO7_06586 | probable C2 domain protein
MSSASSRPRVSRRVTSIQNENRMSRNPSRIRAKAISYNDAYTFALRVAYLHHLLQPRPKRKQYVTAPKPVKARKTVLIGDLVQEFSLIKDTKSAKFP
HGFMSPLERRMQGVLVNTERLPGYNDAAVKRTFAEAYTAFTEAGFRRRMDKERRVEDLVLIFYSNATKALQKGKAPDDDSWKLLVDRHVALFVRLIS
ATLKAQGNDKDRPELMSRLGTLESKLLTNDQDLFVDTADGPGGTSIEVTVPLSYDVKDMPMVQVVARIFGLALSQVQSDIDTSKTMWTEEAALADLK
AYQHCLNANTKRTLRRDDFDLEEAYQAWKRAEGPYLSHMMAVILQARPELVKSSGGPNRPLAPVRSSSSSPAEDQSYSDLARSIASPIESGSPYGFD
QPVDMSSLSLEDDKPGRLFLEQSTYTFIPPDPRSFYRSILSHAMTFDQLHAPQATDGQVAAPPLSRMTTELLNELCVRWRIPQFSRLVLFLDVAAQK
FLDQEIGLEELDASFEFAKNPPSENKRSSTYLPTAGLSAFDQSQWTVQDFALYRQILSTLNDGLLRDLYDLLQHCYDSKPPSPGPVLLILECHIHSD
PSFDLGAGELDAYKVQLADGLRTKAASVYRGYLEAEVPQNQEEWQFYHVVQLGKCVVKLCERIQKRYRKNPDIMGVNPLTILVETMFPSFENDAGDL
IQRILQVAKTNNSEVDLQDGFDLYKELVEIRRIHQAALPERPFAFHIEELLADFVWRWIRVSESKMVELVDEAIKQDQFQVRSDHPDQSATDDERHS

VSIIDIFRLFNQTANQIFELEWDDDVQYAKFMTALSKSFGIGIARYCEVLEQRFVKEMDRLSPAQEAALAQTKQEKWMQLAKDAWNNKEKIEPFQFY
PESFVKLNNIEYAIQQLDVLEKTMNVDACADVLNKIAPPKEKQRRPSKYVFTIKIVEAEELKACDPNGTSDPYVVLGDEYQKRLAKTRVVMRNLNPR
WDESVDITVQGALNVIATIWDWDTFGDHDFVGRTSLKLDPVHFSDYMPREYWLNLDTQGRLLLRVSMEGERDDIQFYFGKAFRLLKRTERDMTRNIT
DKLSQYINASLSTDALRHLLSRGGISASVTSLWKHRQSIMPTLTPLDVETAIKPLFTYFDENFAIMKQTLTDASMVMVMTRLWKEVLLALEGLLVPP
LSDKPSSQRPLTQQEMDIVFKWLELLFDFFHARDEETGEVMGVPADVLKSPKYHELASLNFFYFDATDNLIRTSERMISASIQRANVQRNRLSAPPS
LGASFGGLMGATSMRRSKSIMLSRNLGTMKKAKEEKRKEAQADPSDDMIMRILRMRPEAAGYLRDRSRQKERLAAAAAAEMIVRQSLAAGASRFGAN
NLPRR

>RCO7_06585 | nik-1 protein (Os-1p protein)

MADEATLAATCSLLQRLANNVPQPAIQSNHGLKLPGVDTSSKTALEYEISALFARIQHLEANANTVNTLNLPDTPNETGAPSAFADVLTGNGSRARS
KSSAMKQNNNMNSSLTGRDTATGERPQKLPKLSNDELIETLQQEIVDQAEQIKEGKLKQSAIEARMEEQAQHQQHLINQFEAKRVASLERELKKHQQ
ANEAFQKALREIGEIITAVARGDLSKKVQIHSVEMDPEITTFKRVINTMMDQLQIFSSEVSRVAREVGTEGILGGQAQISGVDGTWKELTDNVNIMA
QNLTDQVREIASVTTAVAHGDLTQKIERPAQGEILQLQQTINTMVDQLRTFAAEVTRVARDVGTEGILGGQAEIEGVKGMWNTLTVNVNAMANNLTT
QVRDIAMVTTAVAKGDLTQKVKAECKGEIMQLKETINSMVDQLQQFAREVTKIAREVGTEGKLGGQATVHDVEGTWRDLTENVNGMAMNLTTQVREI
AKVTTAVARGDLTKKIGVEVQGEIASLKDTINTMVDRLGTFAFEVSKVAREVGTDGTLGGQAQVDNVEGKWKDLTENVNTMASNLTSQVRGISTVTQ
AIANGDMSQKIQVEAAGEILVLKETINNMVDRLSIFSNEVQRVAKDVGVDGKMGGQADVAGIGGRWKEITTDVNTMAMNLTAQVRAFGDITNAATDG
DFTKLITVEASGEMDELKRKINQMVFNLRDSIQRNTAAREAAEFANRTKSEFLANMSHEIRTPMNGIIGMTQLTLDTDLTQYQREMLNIVHNLANSL
LTIIDDILDLSKIEANRMVMEEIPYTLRGIVFNALKTLAVKANEKFLDLTYRVDSSVPDHVVGDSFRLRQVILNLVGNAIKFTEHGEVSLTIRKAEQ
DQCAPNEYAIEFSVSDTGIGIQADKLDLIFDTFQQADGSMTRKFGGTGLGLSISKRLVNLMRGDVWVKSQYGKGSTFFFTCTVRLATSDISFIEKQL
KPYQAHNVLFIDKGQTGHGREIITMLRQVGLMPVVVKSETHINLTGGGSKAASAFDVIIVDSIETARRLRLIDEFKYIPIVLLAPVVHVSLKSALDL
GITSYMTTPCLTIDLGNGMIPALENRAAPSLADNTKSFEILLAEDNIVNQRLAVKILEKYHHVVTVVGNGQEALDAIKDKRYDVILMDVQMPIMGGF
EATAKIREYERSLGTQRTPIIALTAHAMLGDREKCIQAQMDEYLSKPLKQNHLIQTILKCATLGGALLEKGRDIRTSAKDESPAKAGGTTNGALAPA
AAPGDSSLRPPLEPRAYTTTGPINHGSLESPAIVAGDESDPLARLLMRAHSS

>RCO7_06584 | probable negative growth regulatory protein NGR1

MAFQYDPNQQNQFSQENAGNGMQQQQGPPPPQGMQPQQGNQQQGGQEGGSPAPFQQQGGQDGGSANGDAKTTLWMGELEPWIDENFIRSVWFGMGES
VNVKMIRDKFSGNAGYCFIDFASPAAAAKALSLNGSMIPNTSRPFKLNWASGGGLADRRDDRGPEFSIFVGDLGPEVNEYVLVSLFQARFPSCKSAK
IMTDPISGMSRGYGFVRFANEEDQQRALSEMQGVYCGNRPMRISTATPKNKSGGGGPPGGMPMQGGPPMGGPGMPAAPGMYSMGAPPPMGYGGGGYG
APQPMNQFTDPNNTTVFVGGLSGYVTEDELRSFFQGFGEITYVKIPPGKGCGFVQFVQRHAAEMAINQMQGYPIGNSRVRLSWGRSQNNSGPAGTPY
RPAPPPPQYSSMGMPPAHPYGQFQPLQ

>RCO7_06583 | uncharacterized protein

MADNHEEHLEAPPRPSIEDPGAHDLESSDSEDHFSDAQSGLEQPSASDGPSIPGVDIPHTRVEKVDDEASYGDEPGTEAYRLREQDAIPDEIEILSE
NKTPAPTTPLSKPSTPPGGQSIPLMIVEKVDPETPSHGEVPGTLAHDMRAADAVPDLVVRSGERSRSSSTARSRANSTPGDLPIPITKVEKIDSSPR
HGEVPGTKAYELRRGDAEPDIVEEVGDAPGSPTSVGARSPTITHARRMSSAAGSKGTTPVMSDEYNEDEDGSDGGFGDDFDDFEEGEDAEFGDFDDG
FQEAASTPPPPQSIPVAASFPVLDFADLDSPEAIQAATGQYMNALFPPDSIDTSVLPPLSAENSIFLTPRSASLWSQLVAPPPLQPPNWIRSRIRRL
FLVSLGVPVDLDEILPASKQKKLILPSMNLNPSSGSPRTSTDLRSISRLKQGGDSNASSTSVDSQGKPSRSDSRRRKGPPPAPQLDLISARQLCSFT
DEALEGLTIEEVKAHIKKLEEIQGVANEVLEYWTKRTDEKLGDREAFEGVIENLVKHARKVRK

>RCO7_06582 | uncharacterized protein

MANNGQSPFSFGGTAAGASTGQSPFAGFGTGTPATSSPFGAAQTTTAKPASSNLFGNLGTGGTGASPFGGGTAAGAQSSLFGGNKPASTSGSGATTP
GLFGGSTGVAPAGGIFSGQASSGTSTPGLFGTAGAAKPSFGGAAGGFSFGNQKDTNTTSTATSKENKAPAASGGLFGGAASKPAGPNLFNSATSGTT
TPAKPSFSFANSTTPAGPPPTDNAQAPKSMFGSLGQPSFGVTKPAETSTSAAPSSLFSNPGASTGGGLFGGSKAPTSSGPATTQTPVTSSDAPKSPF
SFQTATPTSSTPNTQSSTAAPAPANSLFSKPPASNTPAPSPFGGFKPATSTPATSFSMFSAAPATTSAAPATTPSLFAGLKSPAPAASSTSTPSTTA
ATAAPSLFPASTANAAAATSTPASTSLGAGLGAGSSTGPATGLGSSVGESTAGATSSQGGAAFGSSTAGPTPQLTRLKNKTMDEIITRWASDLSSYQ
KQFQEQAEKVASWDRLMVENGDKIQKLYLSTFEAEKQSTEIERQLSNVESQQDELASWLDRYEADVEDMFQRQVGQGESLQGPDQERERTYKLAEKL
TDRLDDMGKNLSSMIDAINEASTTLSKTSRADDPLSHIVRVLNSHLTQLQWIDENASVLQNKIAESQKAGQSIGPNGYGGPESETADSFYRSVMGRK

>RCO7_06581 | related to H+-transporting ATP synthase inhibitor precursor, mitochondrial

MYRLSLTKAVRPAARAFSTTTRVMAGGDTGAPRAQGDAFTKREKANEDYAIRMREKEKIMDLKKKLAEQHEHLKTLQGHLDEISKGSGGEQK

>RCO7_06580 | probable 14-3-3-like protein

MGYEDSVYLAKLAEQAERYEEMVENMKSVASEDQELSVEERNLLSVAYKNVIGARRASWRIVTSIEQKEESKGNSTQVTLIKEYRQKIEAELAKICE
DILEVLDKHLIPSAKSGESKVFYHKMKGDYHRYLAEFAIGDKRKESADKSLEAYKNATEVAQTDLAPTHPIRLGLALNFSVFYYEILNSPDQACHLA
KQAFDDAIAELDTLSEESYKDSTLIMQLLRDNLTLWTSSEAEPTSTETSGPTAAATTDDAAAPTEPKADAE

>RCO7_06579 | related to CDC14 - dual specificity phosphatase

MTPAVKYGQIIEYIPDRLYLASYSSPPSADTLFPYPDPAPSRRSPSKRSARAVDGPSAILSERDRTPPCYFSIDDSLLYNAFHHDFGPLHIGHLYRF
AVQFHDILGAPENKSRPVVFWSKADARSRANAACLLASYMVLIQSWAPHLALAPIAQADPPLMPFRDAGYSQADYGITVQDVVYGVWRAKEQGFCAL
SQFDLEEYERYERVDQGDFNWLTPDFLAFASPQHTPVAPISPTSPLFATLPSTLKAVDAHPTLPSPFKNVLKHFSDRNIGLVVRLNSELYSPSYFTA
LGIEHLDMIFDDGTCPPLSTVRKFITLAHEMITVKKRGIAVHCKAGLGRTGCLIGAYLIYRYGFTANEIIAYMRFMRPGMVVGPQQHWLHLNQGTFR
EWWLEEQFEIKMKEKMANMVPHTPTKLSSKRYLLNSQIATPPNGSRRSPLGEVDNEQRSSIGVQEDCLPAPTPGQPRKTSRAAERHHPYSRSISYST
TEEERVLQRETEMISIHRSSNEDPDGEDEIQFRMRSSRKSSRSPAGRSISQTTTTIYSSIDHDSSNDIENIGSGPRPKTPGTMKSGSGSSTLAKVRG
SPKRSGDSGSLRGSKEPTGVRKTSGRVGSISSSRKVSGL

>RCO7_06578 | uncharacterized protein

MAQTLDPKLPCSLTIDLPLPTARLATIALRALSVDAELSPLVRRSFSTIASSTSTSSPEEANILRTQYKATTNRMLRVAVNGFMESLSVVLGTMQEL
DVDVLGMEGGKDEQESAEIYK

>RCO7_06577 | related to transcription factor NUC-1

MNTSTGWDGQDQTLSTAQDDFQQFLDLGINGLGDGLQFDFPEFNQQGAQIMVQTGGDNMDTAMGNGNQGMGQDTTMQEHMPAMTVASNHQSIHGPAI
MKGHASNESLSELDAQIQYLQHQRHEQQQRQIQEQQRNFYAQSGMIPPTPNSLEMHGGGAHYYTQPDAQQQAMYDRYQRQMKENEMAFTPLVSPAVT
PLDPHFSIPDYTVPGAYFSPLSSPALHAQADHSSVYDHRLSGATNLPIDTTQDTHCGPASSVILARKPGKKASQQGSKPRSTRAVRQSPIVKPKKGR

KNTITVVPAQALGDILEPSHAQVKRSKVDSSSQSVASTEESENGSISPEHLSDMAPPPLPSPAIASPHMQAQQVRGQKSVLCSPATPASLMRLAQSP
QIGQPGSTQHMDLDDPGMDGFALPESATARPQLSRLDMQDDGQLTPTLSSTDAKTPGFQPLPSPSFTRPGTASQSPQIYAQNGTNGTSTTTRKTPLL
NSRSSKKRASSSVLVSPALLPRISPSIKPLLPGGSNGNGDTASLLLAASKSNYQNILEGTHLPGVSYPTELSTNLTSKRTSHKIAEQGRRNRINSAL
QEIATLLPRGSKDSGGEKSGSGDAGDTHEVASAKSAAQSANSKASTVEQAIEYIKQLKKDIANANLRAEEAERLLKEKVGEDIKF

>RCO7_06576 | uncharacterized protein

MATTNASRVSDDLLSSLRSAVYDINIQLYSSIDRSSSSSTDQALLPTLAKLQDNFNSLSSLVSSTPQIQSLVAAKEQEYREIAFTSRSVAGRGRGRG
KVPMLCCHYLRWVMESSLQRTLASPRRQSDLCCNSKRATITRRPSAAENTWNGVATQMAVAFDPRNPHRQRGSRGQRANDLSALRLADCKYLKKNHN
PFFSNRFLAIYHQRIRVPDSRTLPRISFKEVVNSLIDQGAGENDKR

>RCO7_06575 | uncharacterized protein

MALPVPMYSLNHSCSALFNNTLYTYSATAFQSLKMERGAEWSTLAMGVPVTGGVCVKSTPVNDTSAAALYIVGGNANDTNYQGLQRYTFSKKTWESI
TPTVAVTQNRLYHDSVYLNASDTILIYAGTQDGSKQLSSQTFTIEASPPHTVLAYEADAPPAISPILIQWTESKAMYIGGSETNTKAMIFSPSKSWV
DSKASFSNPIYNTSNVKAVALNGNDGSKTIYTFDMTISPNTVNRTILIDANGNPVQNSPPVREKHVTTRNIEERAQLTVADWPEYNGTLAPKETRTS
FSLAKDQSGMVVVTGGNDDDVLCIFRARSNAWANATAQLSSKAVSQQGLGSPPSTLSSTPASPSTSPSASPSSTPSTSPSLTAASSPESSTEAAVSA
PDRDTPFPTKIVAAVIGSIAGAALILVALLLCFRWRRKSRQHPEAGHQSPASERPEEKNVMDFADGGFSELATTRHFQGHEPSDSKGSVSSMAILMG
RVAYDRGDDDEIGRGVSNQFNLDYKGTISKPIPPQEPPVIYPRDEKTVSFAEGKSDRPPLSGIPVGPRPRGSTKGQRRGSTRRSSGWNRYWSGRNSL
NILGFGSKRTTYEGSDRSSEYSIQQMPTHGSAVVPPLNVSDRPELNRVASGSPTVAHPSNKFPLSGAMSGQIERSGSISSMSSFNDDRYDAYSSGVP
ASVSEHQNGWNPVGDVGGNSAWNMRTSNYSESVYTTTINDRDTRFPSVEPGVPRLPTAPSADMSWLNLAGGSRI

>RCO7_06574 | uncharacterized protein

MEFRNFDEVNVENFRWQLGRNRVREHEDGRPLRIAHWRNNLTALSHDFDLYFVACGDKIHITKPRNLYQSIPLYPDLVIGLPRSPEAHSVGGYIDPI
QPHDVNNMKVGKLGNREILLIVCDDGDVLAYYTRPLSMETELVISDVQPFFHENVGKSAWGLAIHQHSRLIAVGTNLREVHVFAFAINFVVESDSQE
EPTGGEWPARSLSDSTSPFGTVSKLDLRSNASEELGAILERKDCRLKLPLGRSGSNIPSVDFVSDENGEACIVLATDVNGKLWSLDLAQRETLKWPE
IHREPISQLGSDDVYRPRGWGVLCIPITYFMRVQSPQEALGIKNLQSAIKLNTESSALCFQSLDISSSIATVGKNSIIHPCCDHFINRPQAPNTLRL
ESSPPLPPTRPELSWPDVRSYVIKLLQNFESTKCMVQQPTMIPGYQSNDWVSAMITLLSSKDWYSEAVGKWVYEIYDRVKIQWREGEGFYEAVSQLQ
FLLRLPLVARYHISTLDKLQQSMVGGLQMATLQNSQLSKTQLASIAKKSKAIPWLQEGQMAVIRTSDHDLELIPPNPNMLSTICRNFIQQTLPRNIQ
AVVERYERLNMFAVVPELSLLLVASERGRVGLFTLTRLDDDFADVGPVLMFRLDRILPFTEQERNIRHFGPLLGMAVGPLQGKDKDGGVQRKIWRLI
LHFEDQTILSYELSRGHGPDGLEVF

>RCO7_06573 | probable Methylthioribulose-1-phosphate dehydratase

MTPSLDTASESTNNNDHLIKSSDPKHPANLIPDLCKKFWGLGWVTGTGGGASIRDDDLVYLAPSGVQKEMMKPEDIYVLEMSKQLDPKKRIYLRSPP
TFKPSQCTPLFMAAFTKRDARCCIHSHSQWAVLITLLLEIQSQSRSQSQAQAQTQTSSDSHRVFEINNIEQIKAFGRGYQKQGNLGYHDTLRIPVIE
NTPFEEDLTESLEEAMDSYPDAYAVLVRRHGVYVWGDTVDKAKAQAESLDYLFQLAVEMRKLGMPWLSDIS

>RCO7_06572 | probable calcium-binding protein precursor cnx1

MRFSATAAISAAALLSGTVNADAQAVLNEASSSAASAAGDAASSATKLPELPVFKPTKIKGDFVEQFTDDWEARWKPSHAKKDTKGADKDEEWAYVG
EWAVEEPHVYKGMEGDKGLVVKNAAAHHAISAKFPKKIENKGKTLVVQYEVKLQNGLECGGAYLKLLRDNKALHQDEFSNVSPYVVMFGPDKCGSTN
KVHLIINHKNPKTGEYEEKHLSTAPAARIVKTTELYTLIIHPNNTAIIKLNGEQVKEANLLEDFSPAFNPPKEIDDEKDTKPETWVDESRIPDPEAT
KPEDWDEDAPFEIVDEAATKPEDWLDSEPLSIPDPEAVKPEDWDDEEDGDWIAPTVSNPKCDEVSGCGPWEKPLIKNPEYKGKWTAPYIDNPAYKGV
WAPRKIKNPNYFEDKHPSNLEPMGAIGFEIWTMQNDILFDNIYIGHSVADAEKFADETFNEKHPIEQLIELSEKPKEDESKPARSPSDLVFTEDPIH
YVREKLDLFWTIAQNDPIQAIKFVPEAAGGIAAIIITMIAVLIGVVSMGGATPPPQVKKAAANVKATAVDAKDKVSEAAASGIEKAKAEKRNTRSTT

>RCO7_06571 | probable Methylthioribose-1-phosphate isomerase

MAQRSLQAIKYSRGKLEVLDQLKLPHEFVYDNVSTCEEAFDCIKAMRVRGTCLLRNSNDGFKNSKTRTGAPAIAIVAALALAVELNAEKDGAASKND
LLKFISSRLDYLMGSRPTAVDLSNAIKLLKKQSSEASYASTGSDSAAACSEIRQACIDTAEKILEDDLATNRKIGRYGAEYLRRQQMPILTPVDESD
ELGYYTTSPPGTQGAPDRTYRKLSVLTHCNTGSLATSGHGTALGIIRSLHSMNYLDHAFCTETRPYNQGSRLTAFELVYESIPSTLITDSMAGALFA
RKKTEKNIMAVIVGADRVARNGDTANKIGTYSLAVLARYHGIKFIVAAPTTSIDLETETGASIKIEDRAPTELTQITGAVVDKDGKVDTSRTARVAI
ADQRVGVWNPAFDVTPHELIDAIITEEGEVLRNSKGRFSFQSIMPERWAAQVDGAMNGAAERTRKQSDDNAIQFPMDD

>RCO7_06570 | related to nonhistone chromosomal protein

MTDLATIFAELGISHYLHDFVEQGFDTWDTILDITESDFDALGVKLGHRRKLQRKIANARGLSSDRALASPRNTPNEDRPGDDNKPVGTKADGKDGN
GSVAGAKRKYRRHPKPDEHAPERPPSAYVIFSNKMREDLKGRNLSFTEIAKLVGENWQNLSPGEKDPYEQQAFSAKERYNNELAEYKKTDNFVEYSQ
YLAEFKARHANPQQTSDADASKRPKLEAHTSVASTGTSSSGTSQQDSPVNQPRVEQPLANGGQWQPVTTPTSPIVSKPTQAFNGQTTQAVTSPTILP
GYRDSIFPSLPWRDAQRDEVISRYQPLPSIASVKDRQTSFSAAPHHDPLNPSGPQQHARRTEQSHPAPLLKSESTNRSTVSTGSTISSIYYSPRTPM
DPPMERALPIPSIYSQKPFKNQLPPIRPPSLSPQPSLLGHPQQSPKLLSKSDYASSIPSLRGYGPVASHHTVNEHPDFRNREYINSNLADDTILDPV
SALLRAGEIVNQNSRGHAAS

>RCO7_06569 | uncharacterized protein

MPQSNDVSAIAASDEHDLAQTLKQIASLEKKIDDLLASFEESERAKVEEVNAKLGNETGGSGGKEEKA

>RCO7_06568 | related to cell division control protein CDC18+

MASSVLGKRTRSTTISASKRVKPSHQPEIFNDENENPFVTKITPNKTHDAEPMEVDESTPAKHGAAGRRIQNPTPQTPRHRDALSKAVPITPRHRVM
LAGKPLTPRTPRTPLTPGGSITTVYSKARQLFTRSTEPGRLIGREAERDELTDFVEQCIAKTSGGCTYVSGPPGTGKSAMVNEVTDSFEPSFTVKKA
YINCMSMKTSKDLQGNLLENLCEGIEVLEGDEIKTLQGMFVSRKKNKTVYVVTLDEIDHILTLDLEILYKLFEWSLQKSSRLVLVGIANALDMTDRF
LPRLKARNLKPQLLPFLPYSAVQIKTVITTRLKSLIPADSLTPDYVPFLHPAAIDLCSRKVSSQSGDLRKAFDICRRAIDLVETETKQKHDQALIEQ
LEQQCPSSPSKRPLEENANFASRAPVARSVTSKALSHSLAALTVETAPRALISHVNKITSSTFGNGANQRLKTLNLQQKAALCALVAVEKSKREAAA
NVMATPSKSKNVAPTIKALYDIYCKLCTRDSILHPLTSTEFRDVIGSLETLSLISAVDGRNGSFVALNAGPRKGRAPKFGGGIGVGDEKRVGSCVSE
KEVAQAVEGLGAGILKSILHGEGLDW

>RCO7_06567 | related to WW domain protein

MAGRQGKPDEELFFSRPSNSNGEDSPTVEPLRISKPMSPKPRADSAASGRMNYSAPTSKHSFPLPPGASSSASPLPYPDDDDIYTRPVESRKQKAPY
PEDIKPYSGRSGSGSQGRPETSGRIGSNDSTSRLNTSPLDKRGPGLAERRGTAPKPLPESPGPDVPDKEGLFAKQPRRDPKPAAAAPRPAQSNTPSY
PEFRQQYYPPPVPGAVELNGASAENHNLTAPNAMNRFASSASNSTTRATRGSPPPPETPIVGPGEQAGGGIEARYAAAGISGTATLSSLQAQNAAAA

QRQNQYGTPPVPQLPQSPGLLPVQHQSIPRPWTPTESPDNQPHGPPTVYQGPNQVSNSPPPGQQQSRPSTASQPNSLEQDFQRMQMSHSPPPAYSSV
TPGSSGAAQTYPNEKGRTGSIPAPINTVPKPNIASPLTSPALQHPGHPAFANDPREETSHPQHAVAQAASVQQFANSSPFQGAGPSSPPPLPEGWIA
HLDQNSGQYYYIHLPTQATQWEFPKGPTPLNHPDTVPLSPTVSTYGNPLASPGFSVFGKTSLNSPGFPPQTPGYAESIMSMASQTPTAAGFSGPPPS
AGVDMYKIAPTNGVYFGPYLRYVNMDMERGMWLGTIMLVTDAPQPPTIHIHQSVDLSPNPRQLKPSPIYTHQRYTFYRYDVDLQMGDGPSDKWTYAI
TSHLGCTRYEFLVAGRHETNWRFIAHSGNDFAMNTSVNERAKLGGIGFMWKDILQKNVECGGFHVQLGLGDQIYGDRLWKEIPLLKQWLAISGKENR
KSAAWTARHEEDVSHAYFHYYTSHFDQPYLREAFAQIPHILQIDDHDIFDGFGSYPEYMQSSNMFKNIGRVGIEMYLLFQHHTTLEILRNVNSDIDL
FTITGSGWHFVKFLGPAVVVVGPDCRSERNHRQVLAGPTYQGIFPKVATLPPSVQHCIWMISVPIVYPRMESIESIAHTISTAKKGVTGTYNLLGKV
TSSVAGVVGGKEVVQSGFTALKKGMGKNGLMGGVLNTFGDIDIADELRDMWTHESKDLERTYLIRTLQGIANQKGIRMTFLSGDVNCCGAGLVHDPS
HPSDHKTMYQVISSAVVAAPPPSYVLKMLHNNKPLYVPTNGQKSTNQVSDTKEDMMEIFQTDTNGGPREMKKLMGRRNYAAFVAYDPEAVPGTAFSG
SSQNGQTGLAKLSLAVDFIVQGDSGFAAPTKYGPVIIPSLEFGR

>RCO7_06566 | probable branched-chain-amino-acid aminotransferase, mitochondrial precursor
MSGNAVESLVNLTDAGIEAANQAVRDEPAVKELDASKVTLTRTESPRKVPEANSEEVWDMKTCTDHMLMVKWTSTQGWHAPEIKTYGPLTMSPIASC
LHYATQCFEGMKFYRGYDGKLRLFRPDKNCARLLMSAQRVALPPFDPVELEKLIKAFLKVDGPKWLPKSQPGSFLYIRPAIIGNGPEIGVTAPGEAL
LFVVAVAWPDLSGSSRPGSAPKPPGLKLLASKSDVRAWPGGFGYAKVGANYGPAFVAHMEGRKAGYDQILWLLGSDFQVTEAGASNFFVIWKTKEGK
LQLVTAPLDSKIILDGITRRSVVELARERLIEGSKYLSAEAQALEVVERTYTMIELEEAWTDGRLVEAFVSGTAYFITPCSAISFREKELDIPMGDG
TSGHYATLLKKWLNDIKYGNESHEWGVIVEED

>RCO7_06565 | uncharacterized protein
MLAKQLLFISSLLPLIQAQETVLGVYIFHRHGDRTSKSIPPTSLTDLGYQQVWQAGNFYRNRYVDADASSPIFGLATDIVKTSQLSVEAPVDTVLQN
SAAGFLQGLYPPVGATIGTQSLANGSSVSAPLNGFQLIPVNSVSSASSGTNSENSGWLQGQSGCNKAIVSSNNYFFSKEYKEKLDATAGFYSNLLPV
VKGIFTSANNSFKNAYTISDYVNVALIHNSSIPSSELLSSETVFQLKTLADDHEFNLAYNASESIRAIAGSTLAAQVVQQLNQTIVGKSKVPVGIQF
GAYASFLSFFGLAQLPAVSENFTAVVDYASSMSFELVTNATVSNTSYPKVEDISVRFLFSNGSAAANPLTTYPLFGQSKTVLPWTTFVSEMNKFSIG
DQETWCAQCGNTEGLCARSATTSSSPSSATPSPSSGGGISKVVAGVIGAMVTLAVILGLEALFLLVGGFRLVNKKRLAAVASSPIAKA

>RCO7_06564 | probable amino acid transport protein GAP1
MSDRDVEADIEQCHGYPKDKADKATIPSYASGSVREPNYEETTIVHQPYFRRIIESFKRDPNLKITPDGVIGANGHVFHSKAAAQNTANSPLARKLK
GRHLQMIAIGGSIGTGLFVASGKALEAGGPASLLISFSLVGIMLFCTMHALGEMAVLFPVAGSFSAYSTRFLDPAWGFAMGWNYAMQWLCVLPLEII
AASITVNYWDDQQKYPHSIFVSIFLVLIVTINMFGVRGYGEAEFIFSLVKIVAVIGFILLGIILNCGGGPDSGYIGGRYWSNPGAFNNGFKGLCSVF
VTAAFAFAGTELVGLAAAETANPRKSLPTAIKQVFWRISIFYIASLTVVGLLVPYDEPRLLKGGNAIAAASPFVISINNAGIEILPSVMNVVILIAV
LSVGNSAIFGSSRTLAALADQGQAPKFLSYIDRKGRPLLAICFASSMGLVAFVADSGSQGTILDWMLALSGLSSIFTWGSICLSHIRFRRAWKAQGH
TLDQLAFRSQPGVFGSWIGFTFNFLVLVAQFWTGAFPVGYERLTSAQQVKHFFLAYLAAPIVIMFYLCYKFYFKTSIMRSKDMDLTTGRRELNLPAL
IAEEQTERAAWPRWKRGYKTLC

>RCO7_06563 | related to alpha-mannosidase MNS1
MNVRDPFNLHRSPAYKILRGTATLAAANVSQRVREAGVQAIESGRQVAEDMSFSIPKNVPSFTDPQRESENRVWGSSGVTARTAGHSNGVISGMQDR
VGGFFDKSRADLPMYKDKPYSYASSRRQLPIWKRKRALGGAGIFVVIILYFLGFFGSSNIEKAKSKDRWSWLQTAEKPGAKVNWLDRREKVTDAFKL
SWDAYSRYAWGKDEFHPISKQGRQMAPHGMGWIIVDALDTMILMNLTSRLSHAREWIATSLDYDQDQEVNTFETTIRMLGGLLSAHYLSTEFPELAP
QKDDDEGAKGEDLYLEKATDLANRLIGAFDSPSGVPFASVNLRTNAGIPSHDDGGASSTAEAATLQLELKYLSKLTGETLYWEKAEKVIQVIDDNGM
EDGLLPIYIYANDGHFRGSNIRLGSRGDSYYEYLIKQYLQTSKEEPIYEELWDQALAGVRKHLITYSEKAHFTVLGERPDGLHGQLSAKMDHLVCFM
PGTIALGATGGISEAEARKLPSWNKRKDEEMKLARELTQTCWGMYKAMETGLAAEITHFNVNDPPLPESAAHKVDVDFANIEDNKWKEDFVMKSNDV
HNLQRPETVETLFYMWRITGDVMYREWGWEMFKSFMNYTAVEDEGGFTSLSNADVIPPVTKDNMESFWLAETLKYFYLLFSPNDLLPLDKVVINTEA
HAFPRFRLGPLFKTGWKRKPRGADGKILPDPPKVAGRTVEVQRVGQVKTAPKT

>RCO7_06562 | uncharacterized protein
MAYQEDYQHWPFLNQEEFELVCAFFDQKYVSAELGPTRKIFKIRSRRVATTANSYIEILRLLEPPDDEDELSKALGMLGGGRELGERNEERSDDMIM
MDSVDEDADQEALRSVPSANQLPSYSQYSHQPYVTYEIHLHATYRMPTLWFTLHDLPMGDPTFDLDSVYRYLVPAQFKSGLRAAGITGGISAAPHPI
TDVPAFFIHPCQTREAMESFDCSKKEYLMVWLGLVGGCVGLWVPPEMAESAT

>RCO7_06561 | related to small nuclear ribonucleoprotein U2B
MSRVIDGQAPGQSATARKAIGNIPSYAPNQTLYVGNLPSSKIQKADLRISLYVLFSTYGPVLDVVALKTMKMRGQAHIVYRDVQTATQAMRALQRFE
LFGRQITIQYAKSKSDIIAKLDGTFRMPSAATGEVTATDLQRSIFDAPPSTATEAPATGGTLKPPPGPSTDQTMEEARSPTASAAGQKRRRDEESEP
EEDSEGDVAMDEDSDDE

>RCO7_06560 | probable Arp2/3 protein complex subunit sop2
MAAPEVHHLFHHPIADHSFSADKQTLAVARDTSVELYERSSNGFKLKDELKGHDKTVTSVDIALSTGRIVTCSQDRNALVWEPSPTGYKPTLVLLRI
NRAATFVRWSPSETKFAVGSGARVIAICYFEEENDWWVSKHIKKPIRSTITTVAWHPNSVLLAAGSTDAHARVFSSFIKGVDERPDPGVWGERLPFN
TVCGEYLNNSAGWVHAVSFSPSGDALAFAAHDSSITVVYPNGADQPPRAVVSVSTQLLPFMSLIWNGESEIIAAGYDCEAYRFKGSEGGWQLTGSLE
SKGRAGAGDAREESAFNMFKQMDLKGKTKDDTQLKTVHQNTISTIRIYEESGGVVRKFSTSGVDGRIVIWNA

>RCO7_06559 | uncharacterized protein
MFRNDNDNRHNDSRSASPPAMRRQIPASPPDPTSRGYGGARHGFNSSSYYGRTIGIPNMTYRLPPITATRPAHNHFVPIRHYTGQAAQRRTSSSAAL
GADIGMSSTGREDTDMTTPDPLQRPSQYDGITIPDQVTNPLPHICFCNRNGVAIQNHSPIDIATEDQENTRPYHRLSVSDILNHSPLPGTQAQNGEA
SSAPNTGNSSDDTDHPMLTPPRSILAHSEASRSSISSDRTQRPPFDTIEKRCYLLNTVYHICMDATSTYIINLRPATRNRHNQLPRHRNHGSTRYQP
YQFHRRGRHVDSTADLHARRRTLMDNISSISTYIWRRARSDEMAPHRAEGDAVHAMRGLYRWSEIVVRGIESDGREDGVAAEGPHVGDIMGMKVAVA
AKDLCRWLGDDGAWNHCCGVMNELRELSEKGKEGEIVEGRIREVYEESEGGNIT

>RCO7_06558 | probable pre-mRNA splicing factor ATP-dependent RNA helicase PRP16
MARDDGETSPKRRKLDFNPLRSDDRFAVPARPANRNGPQGSSVSRSQSRMGNDSRALTPRSQSRYPPTPRQQEFDKPEPFVSEEESKALDRDWYAGD
EFGHVFGEDEHNPFASYDNAWAEQQQEAAVVEKKSGKRISARASQKQKDVDAWETNRMLTSGVAQRRDMGDDFEDDEEATRVHLLVHDLKPPFLDGR
TVFSKQLEPVPAVRDNQSDMAVFSRKGSKVVKEKRQQKERQKQAQEATKMAGTALGNLMGVKEEEGDSAAPAPGEVEHQGNSKFGQHMKKNEGASNF
SQNKSLREQREFLPAFAVREDLLRVIRDNQVIIVVGETGSGKTTQLTQFLYEDGYAKSGMIGCTQPRRVAAMSVAKRVSEEMECQLGGTVGYAIRFE
DCTSRETAIKYMTDGVLLRESLNEPDLDRYSCVIMDEAHERALNTDVLMGLFKKVLARRRDLKLIVTSATMNSKRFSDFYGGAPEFFIPGRTFPVDI

MYHRSPVEDYVDQAVQQVLAIHVSQGAGDILVFMTGQEDIEVTCELVQERLNALNDPPKLSILPIYSQMPADLQAKIFDKAAPGVRKVIVATNIAET
SLTVDGIMYVVDAGYSKLKVYNPRMGMDTLQITPISQANASQRAGRAGRTGPGKAYHLFTEAAFKDEMYIQTIPEIQRTNLANTVLLLKSLGVKDLL
DFDFMDPPPQDTITTSLFDLWALGALDNIGDLTGIGSKMTAFPMDPSLAKLLITSEDYGCSEEMLTIVSVLSVPSVFYRPKERQEESDAAREKFFVP
ESDHLTYLHVYSQWKSNGYSDAWCTRHFLHPKSLRRAKEIREQLGDIMKMQRMNMISCGTDWDVIRKCICSGYYHQAAKVKGIGEYVNLRTSVTVQL
HPTSALYGLGYLPDYVVYHELILTSKEYMSTVTSVDPKWLAELGGVFYSVKEKGYSAREKRVTETEFNRKMEIEAQMAEDKLREQKRLENESMKTVK
KPLIGTALKKVASHGAVKRPVGKRPGRGF

>RCO7_06557 | related to WD repeat protein IEF SSP 9502

MSMITATAWVPRGFAAPFPTKYTFDEEEFLRIAELAKLQLDDANEDLEDARKEVEGGKVNDAMKEDDGSDDEAPSKTIKSQGDEDDDLKEYDLDHYD
DEDDDAGEQGEGMGMGMFGNVKSLAYHESNEDDPYITMKENEEDDEDREELQILATDNMLLAAKIEDEVAHLEIYVYEDGADNLYVHHDIMLPAIPL
CVEWLDLPVGKSNVDKDSRANFVAVGTFDPDIEIWDLDTVDCMYPNAILGQGGEGKDDGTGEKRKKKKNKKSKKANDEYHVDSVLSLAANRHHRNLL
ASSSADKTVKLWDLNTTRCAKSYTYHTDKVCSLAWHPKESTILLSGSYDRTVVAADMRAPDAKAPTWGVESDVETVRWDPHNPNFFYISTENGIIHY
HDIRKAPSSPSKSKPVWILQAHDESVSAFDINPTIPGFMATGSTDKQVKLWNIQASGPAMVVSRNLDIGKVFSTTFAPDEEVGFRLSVAGSKGVVQI
WDTSTNPAVRRAFADRIAPVEGEIKERLVGVQNDSSDSESDDGAAETGEGNAGEGWESMDED

>RCO7_06556 | uncharacterized protein

MALSRAFTTRRNAKVEDPAPKRNLATKHSFGSNLRQIKISAPVELLSTTNMLSYNAPDLYPSTTSSSTSRSSTQSGDESDRSTGMASPPSSVESSPT
TADSNHLSCYFGKSATTDNDAPLIPRRSPSHTKQLSIERSASRLSSSRKVSAPALQSSVNLFSGAPTATEQQQHPFGKELAQVSELAEEYGISQETI
AVVDEEEQELISRGLFKFRAEDYMSEIQGLFLSTFGDARPAMSSSMWI

>RCO7_06555 | related to HPP family protein

MSKLFSLNFDVDRYLNRIVPRSRLYLLPKPASWFLGHREAPRKPIGNVAVWFWSFIGAFAGILVIEAVFMTKVLQSDGAPIIIASLGAAAVLEYQTI
DSPLSQPRNALFGQIFASVIGVGITKLFKLNSNFEDLRWVAGALSVGLASSVMGITKTIHPPAGATALLASTSPDIEKLGWMLVPLIILGSVLMVAV
ACVVNNIQRTFPIYWWTPVDLNPKTGKPNGDEEKQDKDEKNANSNSSSSFDDYVQGTDGRIVIDGEHIAVPSWVELGAEERLMLDVLRQKLREGEAM
EREGEGLRNTRTKDSGDTHVNKP

>RCO7_06554 | uncharacterized protein

MAHPAPPIGLEDPFVGPPAASTAFPRDATHADIGQRMRALSHTSLSRLNSAKIRRGSESASPGSRKTPPIYSFVRSSSLKQLNNVSVSTSSLVSLNI
SPLHTINPAGSSAGTRKGPDLSPASRSKVQQSLIQAGISASSHFNYSIGPALLSKPIRVAPIPPSHTVQHENGPTSPPSISVHSTTPQHGLISTEFV
VMNDGPISPLTPVQAIHHFPTRPPSTVPYLEQFTLFGDLPVELQQEIWSIAISVQYYNEKRFLRVAPDSESLERTDDESTDAQLRIISDIHRRPRMV
PTLLHACHYSRKEAIKGYELWGCADPITYEDNDAKIYVKMDIDAFFFGDADLENFWVFHTLMNESEPETEDADDTARTNFVEQIGMIKHFTFDYELW
IQILEYDALWLANFDSANQLTIAVRNPNHEDLKKDYALRFMRPVIPGTFRNEAARIISAMTFRYLGESRHELSEMNWPESGRLQINVRSLSTGPSIG
NSAEDEYLLEDVLIEGNRSGLISDRYLESRLTVIHQDHSFAFDG

>RCO7_06553 | related to Fre1p and Fre2p

MDAAWLTMPLMFTGSRMFECGDMSKADCDFYQQRWHFWYIADYVYALPTVAFFMCTIGIFLISYLVSNLLLGYRQSRGPLVWQKFVAGTRYLSYRGF
HVKGLRWNSASAGVLALGAVGVVYFFCMDLIPGPYYWADEMFGGSPPLATRSGWLALGCMPFIFATATKTNWITLLTGVSHERLQLFHRWTSYAFFV
LALLHTFPFIVYHVHWKDMQAHFAGSLLFYWTGIVAIIFQAWLTFMSHSTIRSMGYEFFKITHFISAAVFMVVFFWHCDYTLTSWHYFVATAAVYVP
CFIYPWLRTIFEYGCTQKARVSVEDNGFTRVTIPANFTWAPGQHCFLRFTGFGIVQSISAHPFTICSMPPKSIDEPSELVFYIRHRRGFTAKLHQHA
LNNPGIATPVMVDGPYGGVSLPQLHGSDRVLVIAGGSGAGWCLPFIESFFRFNSNSTPKDEELGHETSLPEKKDVRSDVISTSSSRSRNSNPSAASL
RVVLATRDTASRFWFERAVSDLLARMCISSRTSSSAQIQVFVTGEAGKKLSGTSSKIPHPAGSSTSGDIITQSEDDAPPPVSMPGTEYEGRPSLPII
IRDEAARAADVGQSLSVYVCGPDEMQNDVRNAVAKQNLDIVRGSRAGGSVYLYSEHFSWA

>RCO7_06552 | uncharacterized protein

MDMSMTMSMAPSSTMPSMPMGTSSSSMDMPASSMMGMSSMAMTFFTSSTTPLFSMSWVPKTAGQYAGTCIFLILLSAIFRGLLAVRVNLFQVVRVLK
HDTEGTYGDCGKAAIRPWRAGEAVWMASMDVLLGGVGYLLMIAVMTMNVGYFISVLAGIWIGSFVFARFMASSASH

>RCO7_06551 | uncharacterized protein

MARQQETNVEGIKKVLSMEVDGNTESEYRIQVNNQVKYIVVQPGVYDFDEILSFPPALLENLPPFPPGNWTSMNVARSPDGTPTGTISSKPLEAVTR
IWHPRTFDVLGLKETGRFGARVRIVEWEGREVVAKIARFDFEIPRVENETRVYEKIERDRIKYPDLAAISPAFLGHLTEDGRVMGMLIEKLEGRRAR
IEDISACEAIVKRLHTLGIVHGDLNRHNFVVDEQSGIVRLIDFENAKDYSDIQAKEEIDSLKDQLVEDTGRGGQEYFSD

>RCO7_14000 | uncharacterized protein

MIFSTILVIASKSGDYNIAPRLNSKLYKYYSALKSNYEPIGYLNLNLLNYINIKYTILSGLLPSSKAKDAELNRGSIVATYKAINRIYYLKKSTTLT
TILEITII

>RCO7_06550 | uncharacterized protein

MEDAPEQKMILASLAYHWSEADRAVIRFSKSRGLEYSREFKNGGTASMGCLALQPLEILHNILRELDFESLGAMRCLNIQSRDVVGTLPAYRDLATF
AHNALRALSATGLLSKHSAKYLYSILCQDRCIGCTSFGSFLFLPTGCRCCFSCIETNPEMVIVSASAAAALFGLADKALRQIAIITTVLGDYGISRK
THRRRIRIVSRQEARKVGILIHGSEEEMERAIALGIRRGKVLRENDRPQRAANRSIPQPPGANDTLRFMACTPFPYLDVQRRRIDNGVCCRGCEYNW
YRRDEDFPSGYSISQDLFRKQNKTFSEDEYLVHFENCHSARMLWDGYILKGKRLSESVRSTIFRT

>RCO7_11701 | uncharacterized protein

MLDLDLLTIDSVKSRLIEFTKKAIFKATISNTKGKRNLLSSSEIALDLDTPGPSLKKKARKISYYTQLTTRAILVNLDKELDIVVLILDILDLLEAP
ENLGEKASKVEVVEEVEF

>RCO7_06549 | uncharacterized protein

MRCHKEEATKEEIATKEEKATKEEKATKEEEEEEEEEGGEGEYYNTVQKEKEKSYRKEIASFSRIFLEEMKFKGDRDSFSKEYSKAFLLILKGAAL

>RCO7_06547 | related to double-strand-break repair protein rad21

MFYSETLLSKTGPLARVWLSANLERKLSKNHILQASVKDSVEAIVTPNQAPMALRLSGQLLLGVVRIYSRKARYLLDDCNEALMKIKMAFRLSGNND
MPTGIHMPSRDALMLPDVLTEGDNLEMPPMPDASFLFSQLDDDSHQRKRRAGSRDINLQEDYTGSQFLQSSIENQNDEDLALDVMDDLDLGLDFGLD
LDDFNPKAVDRSIEVGRDAPAARALEDDLLSELDIQVPAKDNFDAGERDTSLNLDFGGGDFEMDDTVRMADEDGDVDMMNMGDGPDGTLTTAPLIRP
GRISESPLSDIDEAFAAEVEAEHQANQSSALFRPEDEADDTTIILPQRVRKQKVLRPDDETMIPNHQIKEQQNQHDKILRPQSFLPRDPDLLALIEM
QKNGSFVSNIMGEGRSAGWAPELRGMLSLAAVRRTGELKRKRDSGIADMESGDEQGHPKSPRLDLGEEEDLAAGLGSAGLDRENTILAADGTVIEMP
ADDGFMMPQEDEHEPSVGLSPGPNFDETTAPLVHPADSGPVSLGTKHAVHLLRDRFGSEAASSPDKRKKASVLFQDLLPEATTSRADATKMFFEVLV

LATKDAVKVEQAEALLGGPIRVRGKRGLWGDWAEREAGGEIAEEESAPNAGLERSMAVAIAA
>RCO7_06546 | probable calcium P-type ATPase
MSNLPTSAGASSEPPSRPPSEGRSRSRSRSHVRSQSSVAKSVADDYSSLTPQETAARLQTSLTQGLSPAEALARLHNQGPNELPHEDPEPLWLRFLK
QFKEPLILLLLCSAGASVVVGNKDDAISITVAVTIVVLVGFIQEYRSEKSIEALSHLVPNHAHLIRGEPPRPTSVRTPAWQPGAADVPEEERLMDTT
SIAEAEAKVVAISSKVMAAQLVPGDLVLFTTGDRIPADIRVTKASDLTIDESNLTGENEPVRITAEARQSYTHVRQRTNNLEPPGSPAYASAGSGTV
GADTQLNSTTNIAFMGTLVRSGHGQGIVYATGANTHFGTIAASVSETESPRTPLQLSMDSLGSQLSQASFAIIAVISFVGWLQGKGLLEIFTISISL
AVAAIPEGLPIIVTVTLALGVHRMAKHNAIVRKMPSVETLGSVNVVCSDKTGTLTMNHMTTTKMWFFGGEGPVDVDSDDEATESKPDPVMQRIIRIG
NVANNGRLNRRLHDEVPQSASSIAILSSTEESEGHMLRSRWVGQPTDVALLDLLDRFKEHDVRAGFGPRLGETPFSSERKWMGVTVGDPSPDGTSIA
REIAYIKGAVDRVLTRCDTYLTKDGREVVLDATRRQEALDAAEKLAEEGLRVLGFASGPVGKHAKSFHSSSRSSTPTTRQAEPHVSHNEDVYKGLVF
AGLIGMSDPPRSGVRKSIRRLMRGGVKVIMITGDAETTALAIGQKLGMTIATPREHTASSVAVKPVLSGAEIDEMSSEELEGAIGNTSIFARTSPDH
KMKIIRALQARGDIVAMTGDGVNDAPALKKADIGISMGLQGTDVAKEAADMILTDDDFSTILKAIEEGKGIFNNIQNFLTFQLSTSAAALSLVFFCT
CLGFKNPLNAMQILWINIIMDGPPAQSLGVEPVDPDVMSRPPRKRNAPVLTRPLIIRVLTSATIITLGTMAVYTHEMLSDNEVTKRDTTMTFTCFVL
FDMFNALNCRSESKSVLRGEVGLFSNTLFNWAVSLSLAGQVAVIYAPWLQDVFQTEALGLEDLVALVLLASSVFWVDEGRKWWKGRGRRRLGSGYSQ
VV
>RCO7_06545 | uncharacterized protein
MASQTPSTRYTLASTETAFAILLPTLLASKTDSLRRIHDKSFTKWAAHINILYPSIAISHLPHAIPLIQNAVSSLPFSKLRVNLDDVGVFKHRKNAT
VYLKPDEESEFRLRELRKILTTVLGCEESEGTVEGVFRPHLGVGQAAMLGSGIGNSIERLSEQARKVANLEWNCRGLVVLKREASGEMTVLEELRFG
DGLDAIEEEEEEEEGGAAVDEIVGLEPCFSFSSNDDTWLRKSGDLKTIRADNILISSYNIMAEPTADPFITRLPLIIEAIALLNPTSAPLLQILTLQ
EVNDESLPLLLLSPYIRRTYPYCSHTASSLLPSARNLVTLASKPFESSVVSFEERHKSALIVSFRFASKTLSVANVHLTSGLTSEAVKAKASQMEQL
MKFLNVREHERRRRDVIVAGDFNLTTSSRTIRTALDRNLITPATAQAVRNVIDLTVWEDAFLSSDFEFELSMLGHDGQDVFEGEQGATFDRATNPIA
AQLEPPIDQSPQRYDRVLFRKGGSISRDRFDIFGLADEKGRCGSDHYGVRAILKFAESSSANDSNESARSSDASPSSEITIVEDATDLAPLIDPYLP
SIHDISQREQAIQLLQSTLAKVKGLKSLIMAPLGSYLMGTYFPDSDVDLLAIGSVVPAVFFDFAGRVLVKFNKGQGEQENFKRVHFVNSLVSIVEVT
VNGIKFDLQYCQAEELVRAYHGVTPTPSLLDLVFDKGLIAKLSPSSIRPLNTYRDSAYLLLTIPNLPSYRVAHRYLTIYLKNRGLYSAKFGYLGGIH
LQLLLNRVVKLVSVSTSPSTCSPEGITPVSAATIVRTFFTYYSNFNWAAASVADPLLDPPSKVPRSARDAIFIPAIHIPTARPNVASSCTKLTAQTL
SSQFSRLAQHLESGDWEWALQTKEACLADFMRSSGAFVRVGIDIWGIGSDAGEGEIAESKVREMLGALESRFPRLLVSIGRIPGIEGRVWPARLFVS
EEEEKGKEKPEEGQLKGYYLLGVSARDDMEKDSKQVMEGKLVTAVREFERGVLEAKEFVEGSKNVWLVVDVVKRKEVLGMNLVLDHQEWSMKNQPGR
PSGALVSSLNLELDGEEEVALSSGVTAPTSTPSPHASQGSPKSSKAIKAPKTTPLRPAHEIIARIKWDPDLDMDNYLIGYEDRFVGVKEMPLGKWKS
ESTDEEFIPMHRVVWMRLKDETSAGNEGNIVWDRRRKIDIFFGSGVGAG
>RCO7_06544 | uncharacterized protein
MSSPSQSAIIWPKEFLPGTTSNFVTNEVIVSNLTAIQIWSFLSNISKWSSYYNNVSQITPPTSSPSLKKGDNFHFSTFGFPVLACTVEESVTPESGK
AGRIAWSAKLEDGENSVSVYHAWLVEDLDGGRVRILTQESQNGKPAEELSSKKPNKMLLGHQDWCEGLVRAARGEKNVETNLKAAGLGAYAKDM
>RCO7_06543 | uncharacterized protein
MQSLVFLIAVLFSLLSSAFGNKVIFINKDSVPRTICWYPGAVPGSDPAHPIYFPKIPGTYVPAFGHGESPGIVHGGSYMFKSIYLGGDCSNMNNVEG
EFTFNGHEGKTWFNLSAVKSYERGLGDQHSQIHFFRVAAGLYPQAGCSSFPCDNLYKFHNDDTHTLNTEQSELTAIICNGSCNAD
>RCO7_06542 | probable MFS transporter
MAGIDDLPIARSVDVKTDVLKSGSPDVSDAEPPKTTEPQDAGSDDERAMLLGGELERKLVRKLDIHIIPVVMALYLLSFLDRVNIGNARLYHLERDL
GMHGNMYQTAVSLLFVTYIICEVPSNLVLKKFTPSRWISFIATSWGIIATLAGFVQSYAGLLVVRLFLGAVEAGLFPGLAVYLTFFYTKNELAVRIG
YLFVSAALAGGFGGLLAYAIGHMDGLAGLSGWRWIFILEGIPTVFMGVATLWLLPNDPEAAYFLTHEDKKLMEVRKACEYGQTATAQEFFKKDVMKA
FKDWKCWAFYFAQFGVDTMLYGFSTFLPTIISQLGKWSTAETQLLTIPCYATGAIAYMIAANLSDRTSKRGLFSLIGGASSVIGYGILLSNAPSGVH
YFGCFMVAGGLYIVVGLPLAWLPNNSPRYAKRTTSTGMQLTIGNCSGILSSFIYPATDKPRYITGHAVTLSMVGFACVVYAVMWCVYSRANSRRDAG
LEDYKFEGMSEQEIAELGDESPRFRYTI
>RCO7_06541 | related to carbohydrate kinase, contains PfkB domain
MPMPIFKHTSPDSRVLQLASEVSTALGSNQPVVALESTIYTHGFPYPANVDLALGLEEIVRSNGAVPATIGILKGKARIGMTKEEVIELASSAGKPD
TMKVSRRDLPYILGNGLLGREYTGGTTVSATMILAYRSGIKVFGTGGLGGVHRGGEDSMDISADLTELGRTPIAVVASGCKSFLDIPRTLEYLETQG
ATVCTFADGRIGDIDFPAFYTRDSGVKSHAVFYNAREAASMIYAQEVLGNFRSGHSGMHSGLLFANPIPVEFSIPKAEIDIAINQAVKEAAEQGFHG
SANTPFILARIKDLTKGNSLPANKALIESNVTMAARIAVQLAALRRTQGHLSRKGKDPQYRGKASDQGKQFAVVDKPPAAQNKIGAPPENTGQSSEI
VGEDTQEESIAPKRETRADHSIYVFGSVAVDLSCDHTPLEEAGVQTNSDSPQMHTSNIAAIVPSIGGVGHNVALAAHRASGDSAVQLRSFVADDLAG
SSVLSALGEEGLDTSGVKTLPSKLSETHRTAYRTAQYIAINDQKKDLVLAMADMSLFAIISPKPLMMAGSSPSLNWVVVDANWSRSNIKALFKYYHN
INAKIAYEPVSAAKSVLIFEPDSTSKLQPFPNNTIDLATPNQHELAAMHAAAKKNEFFESQEWWTAIDALGIPSSGARDRPDDSRLTDPDSAPFILS
RCANGSKEIGGVYMRLFPAAEVLEDVVSVNGVGDTFLGVLIAGLAKGVKLDDKLIDVAQRGAVMTLRSKEAVSPHLGELKEELNWLARG
>RCO7_06540 | uncharacterized protein
MLVPSLIATALLVRSITAQEIVNGQISTPGIAIIDSPQPNTPLGGDTLHIAIDISSNGQLQLPPYPDNAPSSIHNITLFLTSYTTGKNFTITNGTSS
AGGDIMTQEPGSTVKHVNWVWPDCFVADGAHVNNDAAKGIYNISIHQNFRLNGTDLYTIFELPIRITNSISSTSSRPSCDSLTNPLLDQASLNASAN
SFTRIPGTPIQGGGKDGTSGAGMVDWRTSGHWVWMGVFVLVVCI
>RCO7_06539 | uncharacterized protein
MASTLAGQGPPTLIDSLSPTDHATAINEFSSRLKYYPKLPAINDPLFPQALLAFGNLISKLYHLIRMARSEAIAGASSARVSVNSNLVQGAMPVQRS
DASLRSQEEDAQRQIALVQRQEELLQQQAEQIRSRDHVIQQQGQRIQKLTNENVQLGKRLYSLDAQANGWQLV
>RCO7_06538 | related to a retinal short-chain dehydrogenase/reductase
MPMHNGWLPREGLTSEPIGRFIKKTALNPAFTLAFLLLARYTKQGSDLAILHETAFSRIRKLFYFGLARWASNYLDRGVLDNWTSDTYDWNKEIVLI
TGGAGGIGGEVVKLLAEKMIKVVVLDVIPMTFETASNVHYYKCDITSPSTIASVAAQIRKDVGEPTVLINNAGVARGKSILDATEKDVRFTFDVNTL
AHYWMAKEFVPAMVKANHGIIVTVASFAAYVTVPNMVDYGASKAAALSFHEGLTAELKTRYGAPKVRTIVINQGYTKTPLFQGYNNESKFLVPTLEP
ETVAEAIVVKVLAGHSAQVIIPGFGTTLTFLRGFPHWYQLRLRSKGENIMTKWHGRQVIDVEKWKEGEKEKENEESASTVLVPSAQM
>RCO7_06537 | uncharacterized protein
MSTTNGSNHNGATSGASLSPSSLPTQLSKANLQHVQATQNLQTYLNTPHDYERVKLGLSTTRMKGDGASNENAWDEGWKVACGGRGI

>RCO7_06536 | uncharacterized protein
MSIFNSLLWREVTPGCYERGIDEAEQFYTSMAKTWEATGHTYFAITACTGISISESPVSGGSSLDARVEAAFRWGWKKMRYDHPTLAAPTQYDHHSK
RCKKVYKTLRNEQELEMWMDETFKVIDTEQTGEDFANTDPPAGRYATLFLISQSDHCTSDLQRVSWDIVFRCHHDLVDGIGTLMLLNNLLHHAAEAF
ESSTEQGIAFGDEHKNLSPPLRIAAGIPIAPSVDQLAKLARIQSTNKAARIGKCVLGVPFSPDAEAPGSSQRSAIHFSPQESSSVVAKSKLFQSTMT
QILHTAIALAIRDLQPKTSEAYEARYFSYSLVNLRHCCVPPYHKPRHAASVYHCVSANHLVVDLTVPAESIATHDQSLEEFQSTLGQVRDFYNNAKI
DADYLSIVPSLFSIVTPKYPSTTSDIPAPNQSPSVSLSSEGIVDRIVQPKQGSFEILEPWVVGAEYSTGIGAFLGTWNGALCLSAGYNEAFHSKAKV
LDFLESVKRIVLDGLELDHSHVETELQVIATS
>RCO7_06535 | uncharacterized protein
MSPDAVPSSLTHRSTHHTFVGFEPESHSYYVNSSSQPDKQLKKSRTLEITLSRRETEQRISDESAFSQTECFSEEKAAQASPAAGSLRIRSTYEKLH
FQKPELDAEDPNFGKISLDLEDWENIYDTKPSPRELRERKYISYDRKYKINSEDTDEIV
>RCO7_06534 | probable MNR2 - Manganese resistance protein
MTAPPPRRGSPLKNVDEIPQRPEPTAIQSGNAASSSATLRPDSSTPIPKKKRNHRGGKKKRRRQSFAASTEDGSGMPETSHSRMNTNSAARDSFYRL
QGRNLSNTSIESEALLDHRDQQSIRPRRSSTMGQSAFGVPLYDSPSYRPSYQNPFVSSENVTRRPRTAKKDSEDEDEDDVIDERAPLIPSSARAKSS
GAVLGQGGNISKSMGPSPGGRRRSSSKASSVNRKGKTIFDRQSPTFPSYNDEYNVNYPPSVPGSPTLGASNRDMSFGDMMVRDDFAPARASMRDSRD
GDSEVAVDDASKSGSLQRESVFQGRRHTIAVEAEGDVCFPVEGMSDMGEEDMGQRQDDAFRRPGPRRRRGKWPDLTMLDEWSTYEKEGRSEERRAKK
ITEPQLIGGRLRPIHKGWHRAEDDAPYRFTYFNEDFQSTIHSQTISELVQPGGSFRELFIPDPPELSDSSDSEDDEPERQRDDTMFHHVDGTNGDSR
APTRQGSLADYPRPGSRLGGSAAGDGKLDAKKTSGITSGVATPNENINSPQYKPSPTAPTPEKEKAKRFGERPTWWLDVLSPTDAEMKVLSKTFGIH
PLTAEDIMMQEAREKVELFRNYYFVNYRSFEQDMNNEDFLEPVNMYVVVFREGVISFHFSMTPHPANVRRRIRQLSDYLILSSDWISYAIIDDITDV
FAPLIQNIEDEVDDIDDAILKLHAPDKDEKHYDDKKSDVGDGTSGESGGDMLRRVGDCRKKVMGLYRLLGNKADVIKGFAKRCNEHWEIAPRSEIGL
YLGDIQDHIVTMTGNLSHYEKILARSHANYLAQINIKMNERQEQTADVLGKLTVLGTIVLPMNIITGLWGMNVWVPGQQYEGDLTWFWWLTGGLLVF
GMSCYFTAKWLYKIV
>RCO7_06533 | probable DUF895 domain membrane protein
MADPQQKSEHKVDAEVLSSDNEAQPVTSQYIKPKWYRSTFYNALILGICNFLAPGIWGAMNSLGAGGQQKPYLVNAANALTFCLMVVSCFFSPILVK
AIGIKYTLVFGTLGYAPYAAGLYTNNRFGNEWFVLLGAALCGISAGVFWMAEAAIALAYPEPHNQGRFLGLWLSFRIGGQVLGGAINLGMNANNSKA
GKVSYNVYLAFIALQALGPLAALLLNKPDKVQRTDGVKVKLAITNNAMYELKANARLFCSKNFLLLVPVIAQAVYAEAVFFTFQSLWFSVRARALGS
FLSGIAAMLGGNILGAWLDSKKYSLKTRARGAYIAILGLQGVWWIWATILVTDFHKSKPTFDWVDAGFGKGFALFLFWVIGFQINYMYFVVGELAGT
DAEVIRIAGLLRGTESAVQAVSYGLNSIKIFADVGGVYLNFGLWALALVPGWLVVKKIGVSLGDKKLEREGHASREREQAIDVQASKK
>RCO7_06532 | uncharacterized protein
MTVENFDIERSDQEMIHRTLVASISFWLTIIRLLQIALSFTVLFCTGFTAHILLGDWFHTFGLSFVTFIVAMLFMTYVFVGPQRFRKVYQYKVHIAM
EIFVTCLWIATVALLSWECQTWDAASDIVGDFLSSELAAMAEALPNQDMGILSLQAATALASINCVFWAFTLFMCKCNPRFLEPEDCGIPT
>RCO7_06531 | uncharacterized protein
MENPYTEDYTAVVEDFLNHYDLMHAAPLAWATDQLFGGIYFVILTHKTLFDGSIEEVKAAGQVFGRAIVENYPQIQDRIRGALADVIMMIDDTIAHD
ERLYESIRGIFEALDTEFKMQDEGLEKIIAGCEMLAKKYKLTRDMRTVRRQITFWREVLDGMQGGH
>RCO7_06530 | uncharacterized protein
MATPPRESTTMNINTLRQVIADMQKELRDRAIGDHEKDVFYINWKFKDDEDSAYSFDHHQTTKRYKDGGGLPSEWEDSALENLYRGLTDGRVRAVAL
DEEKQILGESSAWDMPKKTSAKKHRLPDRLRDRMIATIETAIGRQLIPRSAKLVDPRKSDPKPPNLYKWQFSDGYPNFPAKTGGISRWNSGQIQACF
EALDKQHLIVVNVDPDSTEALKSPKIEVEEVDPSEIDRSLNTLGSEKPSTDSPTPSNRPNSDKTSFQSPARDVLRPVVVPASSPVIVSVEEEQAKLI
QVPFKGIEGAKDQISNILNGLLKDQVQELKYKWEARHTSAQNGLRAATENSEQKLHAEHEAHRKTLSNLLPLQREGEKLRTKLAQLERDLAGGKERS
QIEAERLRAKIIQLEQDLDEKVSLARIEGRQFMNEGLLKDLSSAMEEELRILRLAHFEQLVKVRAESYELGVLAGKKKAAIPSTAASSSQATSDLES
LEIQHEEYLKLARKGGRKTAYLEFSLGLESSLDDVLGTQAESTSNRKIRELMTIHQNWHDIPQRVLPSHMLPEGHSPSAETLHLLAKLSKEVDGVAA
SKMLTKHIDQRCANSNRQPEDRFLTDRDLLKVLGRNTSSSLSEATSPDLVRKVHTPLPIAESQINESQSTVQQTSQISTEVPNDESPQKCHGIFDQY
DEEHLVSRHKATAPITPLTSAATTTAGHEMLISSNPPLLGSLSNPPKRSSTDLSTVAAKDPKRRKTYATSVMPARIQEVHLPEENGHPSFPVSASDI
FADSPKKVKAIPNIRKDKGGEDEDMYGTSPPRETRRRAGTKKVDGA
>RCO7_06529 | probable ubiquitin-like protein ubl1
MLIKVRTLTGKEIELDIEPDYKVSQIKEKVEEKEGIPPVQQRLIFGGKQMADEKTATEYALEGGATLHLVLALRGGACL
>RCO7_06528 | uncharacterized protein
MPAASLVDLCTKACIKNIRSLVDVGSFEYLQIRTVLKRVESPEQLHQIELNSPQLLGEDAELWQSFISRHIPNWRTKNYRPKNPRKWYEIYCKYKRE
QQEEIARDEEILRNSMMGLKQAREGSVSKIVDLRSLPKLPRDPRMIANNGGVPIKKGGVFRKEAPSTLNWTSGSKTKMTDGKSVLTRARREAKEISQ
MGKLARPTHSLSGPLGQVRRAPEGMVKEHRTAAQPAIKILSRRHQASLGGTFTGGIRGPTLEEREKKLRAAMAGGSVSKQDSASGMKHTMVGSSEDE
MDDFIVDDEDGDDLFDEHPEPASRPNSRPVSSSVSSCPTSRPTTSQPYQQSSSPPVSSSRSRPKPSDIISSMVSKPRTRPASSPPPALVVKNSPPPR
SGMGQRPPTSKRKEVDVFNRGPKKRRIN
>RCO7_06527 | uncharacterized protein
MASFKFLDSRDEDELHKSRLLNVEEKPFKRVTKRLLAKDSLLSKPIKLLTPPPESAGGEVESNDASLQKQLDDRRQFGEDVEFDFAAFDYSISRIQF
LLNSNERERARYQADKQRILETAQAVRDSTAQLRLQLEESKKTLEQRKKFDKLAEKITNNQLLKPRDVQNASLEKLENECKGLEMESHAYSVTWKER
RAQFGKIVEEGMQLRRLIRDEKEEVERREGMDGGEEDGEVGDGSRGGMTPKHSSQSENVTPRPDSLPEPGLKARPLQSGSLSMESRSNSRAASPAVS
ERRKEVEQSEDSTMGEAGSKVEEGDVAVDTPMAEAVDSQLEVQTPQVIVEEPVEDQAGKGATEAGEAEDKMDTT
>RCO7_06526 | related to beta-tubulin binding protein
MSPPSPLAIATSSLQRLVKEEVSYEKELQVQETRLEKILAAKDDDENADYKLKQERAAIQETKNVFPPLRQRIKDALQKLEDQVEDGQSNGAVESEI
TKAKEVIQSAREASKD
>RCO7_06525 | uncharacterized protein
MTTASPAVVATEQQNSDSVYKHYHGFPAPKGTTTSTIVPSLKEPASPTDSGPINEDSHVREPYWGPETDYIFEVHPLRLPKLSPIDSESNARVLAKM
MRQKLLFEIMKFTGLEPRKRIIGSAYLYLDPLQPDLTEPHFYEWRFTPEYPGFPLRPLAKWREEETRACHVALKNGDVYLVDPRNPGPRPPREQGAV
PEIGQKIPGSEAHNRQRLVAIAEAAFSKRIVTKTGITLFDYSLVLDGDGSQGLPGWRWKFPKSGIMSKFPELKNFWNWTTEEILHALHALLQNTLTL
ERLNHSQAHDAGFRVLPQAASTAPRPHNTYGLMSNESSRLYHNPIKPPYNPIKPRLPQTCNALLVNQNIHPIDSKLQINKPSSAGYYQNPINLETPN

QARSEDRFMAHTNAAVAPRHPRHMDITLTPNSYTLDNLVTQLSDQSQLWKQDWKDLQASKARERSFAKANDEQATRIGVLEKALSEIERSGIALNGE
QTSAQAAVPNGACVITGMEGFYKREISELKAQNEELKEVIQGQEEDFKNAIWLRDRNKELEAQLVEKNKEATSAYEALAVLSSSSALSRAAGLSTSG
LESSQVKCDRCVRRNQFCVNPGGPCGYCRGINKVCTFETSTGIGDVLEKARKATESASQFLQRREYKSPYLMAKERATGRGDEEQSQVQGISILGRQ
EQQVQRASDSPQNFPKVVRPQSISSSTRDSERGTPQPAPTVDETLKRPADENLASVNKRLAMVYGVQSQHICDSPMNGTWETTVAELDEQFRF

>RCO7_06524 | probable protein /AGR_L_3363

MPQIAHGIDAADVHVTIKLLIEQLVNIEDTTGEFLLHLEDGRVIDTKGWNGWEWTHGIGLYGLWNYHTVRFLPPLLTLIDNMKCPGLEILTELTTQL
TGSSEPLKIIEAWFTARFEEGGTTKNINTMASMLTLAYLYEKTGNQTCLPWLEAWADWAMYELPRTKFGGMSHQTYNNLNAQELWDDTLMMTVMPLA
KIGKFLNRPSYVEEAKRQFLLHIKYLFDAKTGLFYHGWTFDGNHNFAAALWARGNSWLTIVIPEFLELLDLPPSDAFRVHLIDTLEAQCRALIQYQE
PGGLWRTLIDQPLNEGSYIESSAASGFAFGMLKALRLRYIQGDEFRDSAVRAVKALLGKVSEQGELMDVSFGTAMGHDLKHYKDIERTSMPYGQAMA
IMALGEFLRVYI

>RCO7_06523 | probable beta-1,3 exoglucanase precursor

MKLYVSLLLCFGLVAEVLGVHDGKSFWLEWIAKRGVAPFNPDGAAYPVYRNVMSYGAKGDGVTDDTAAIQKAIAAGSRCKPGAPAVRCESSTIAPAT
VYFPAGTYLISAPIIQYYMTNLIGNPNAGHMPVLKASAKFVGIALIDSNPYLGSADPAYVSTNVFYRQIRNLVLDTTNQPAENLARGIHWPTAQATS
IQNCVFKLSQASGTRHQGVFVENGSGGFLNDLIFYGGGHASKVAIYQVWDWSWTYIGLSINNCNIGIDMSNGGSAAQLVGSVVVIDSTFADTPVGIS
TSRTTTSSPKAGGGLALENVIFTNVPVAVKGPTSTSLTGSIGSITLSTGWVQGNVYSPNSSPNAMSPVSSFIRPQSMLQGTRYYTRSKPQYETTNSA
EFFSVRAAGAKGDGVTDDTAVIQSLINSASSAGKIVYFDYGVYKITSSITIPPGARIVGESYPTIMGSGPFFSNINGPVPVVRVGAASGQTGVIEWS
DMIVSTQGNTAGAVLIQYNLASPANTPSGMWDVHTRIGGFKGSNLQTTQCAATEPQPNNNCIAAWQSMIIGNIANGLYMENVWLWTADHDLDDVKNK
NTQITAYAGRGLSCESAVGNIWLVGTAVEHHVLYQYQFMNTKNIFMGFIQTETPYFQPSPRATLPFPVFPARHDPNFADYCAGKPANCNLAWGLRVL
NSNNILIYGAGFYSFFNSYDKTCSDHTASVYNEYCQTQIVGIDNGGGTEQSYSGSTVFMYGLNTVGAVSMVDRNGASAAAEKDNTGNFAASIIRFVT
NVPGRSA

>RCO7_06522 | uncharacterized protein

MDNALALEDQLSKGEEVMAGITIKTTDYVTHNIIAETIERDHDSVIFVSAHSDSIPAEPELTIMVQAQSSEIAIQLTNFSVTNASSKSDLEKTRLLL
NFDMLASPNYSLQVYNGHGSAFGEQGSSGSAEAEKEFERFFTEELGQNYAEIEFDGLSDYQPFFEAGVANGTTATGIIDLKTYEEANYSEAW

>RCO7_06521 | uncharacterized protein

MLRLAPSARRFANVRYKSQNALGSHVSFRSQITSQRLARSHDHRTHRRHLPVPLKSATQYDAPRGNEGNPELLGKGTGPLGEGPAAKDDLIRVPSVI
FRPVSRYERSSSKSRIPLFRSGLRHFSSGPRQLEVLRKSSSHPVQDSQEGEGVSSRERDLDESSLSTMDDDDMIYMEEWISSRDIDDFQYGMSRADP
QDPELVSTDPVSKTVPPESEASADSIGLDRPFQDGKDVAEGGTPHRRTMDSGDTTKLSIPRLDKNVPRPAPIPSQLAEISRVSTASSPAPIYARRAT
RKSSPIVKPSDTPRSGSEYQRRLSAQMARAARSSATFSPNYFSDARPRDDPKEFASRLTNPYPYYQSLGLTRNMVQSPKYGKRTLNLDGGRSSDFDL
AELSPSSTSYFTSEVPIHVDTRADDGKTHLNDAQDNNIDPNDPSSSSSKINSPGSITVSTSDAALESSALIDKYVDKTRANGQDTHPDNADTDHPSS
TRSKFDVVDANIVPTVDSVLESPPQVANSVAGFEPDLQYPRIESAISLSYTSSVLSEQDSQHQKPSLDQNNKQGSPALPNVPYTPMPTPASVDHGAP
KALDEDLAAKDNISTSTSISRPSAPDAAPTPISSAKFRKSRGYKPEKEPQHSDPELESRLEEYTSFRNQPQRPRASKLFELPYEAPLFRRYRTKTSR
LDYGDGFGPRARISYFPVGKPDPAGEAPLFRRHLSKTSRLDLGDGSGPRARISYFPAGKPDPAEAFGFDVRRNAKEDPNAFPRMRFIESRSEVGEDE
RAVKRDAELQPQEKSFFGGDSKVESAELRDRARTEIQANYSPVKIEPDTHVQADWTPAPYSVACEVDKARQSSIGPTYDVLKSELPNEANKTRQGQV
WKTVVVRQKSSKGKKKEEKKKKMEEKKRKMEERKAKSVVRNKRRALLRAARKAEKDDLQNEDVKANNRLEVEEEGSGYQLMRQQILERFEERLKRKE
ADGSDGNTRETGERTSGLDQAELEKSLWMKKSALASEDVLLQPDQSIPGHRDAKASLIEGAPDNARNETAILMKQSETLQERRTSLNSAKNQNAVRD
DPTSSRSEQIIGPSIETTVSSSSPQTVNFEKEFWAAENLDTKPVSRKPRTITKETFENIFEKSNKTGVRLSWKEVKVMQREELDKARMELRIREVSR
KEAERIGVVGTPESLKKKVDDLKKVGLSIRKRDNEERRKIGKGKGRGGYGKSSDKLANRMFSRREEIGGGETVLDRGDLSQGGTNEKRELDTSSLDP
VNQEPKPERADGNLKITRAVEGEDRGGMIEGGKVKISRYIKEEGRAHDRDGGRHLGDHSSDRTEGRNLSSQKDMDEWKGRASDARLSGKPFTQKDAE
ATPKVTGAKVVSEWEREDTRNAKIRHLNVLKRRAVSAGRAGQKVLRQAKMKLRGFDQEATAEVREKSRGRG

>RCO7_06520 | related to vacuolar Ca2+/H+ antiporter

MAGIFSRGHKPSTSTNSNGNGPHRTSSRRQSESQRSAPWDYPTVSNTTSGSREKPHDILPTHTNNLNRSTSNPNGGKKSKVFNGIQPEGESGRKGFH
PFKFLKICWKSASYASKLVNLLWPVVPAAIALRYAKPDLHLEIFILNYIAMVPCANLVGFAGQELARKLPKVFGVLLETTLGSVVEIVLFMVLLNKN
QFQVIRAAILGSILATLLLCLGMCFFIGGMKREEQKFHEAVSEVGSGLLLTAGLGLSVPVVFATALSNHELVNKEDLDHKVVMISRIASIILMVAFA
IYVWFQMHTHHGLYDDLFENEEMMDEDRHKDLRKAKLTFTECIFALTISIALVTIIAIGLVEQIHHIVEEYGVSDAFMGLILVPIVEKAAEHLTAMD
EAWDNQMNFALSHVLGATIQTALFNAPLVIIVAWGLHKPMDLNFELFDMVMLILAILVVGNFLRDGKSNYLEGALCVLVYAVIAVAAWFYPNPLEGQ
HGTAEGATEAVAEGAAEVVHRAIVAGLGMS

>RCO7_06519 | prohibitin

MSTPQDAWKKLQQMANQAGKTGGPSPKGVAGGVGSLLLLGGALMVGNNALFNVDGGHRAIKYTRIGGVSKEIYSEGTHFKIPWFETPIDYDVRAKPR
NVASLTGTKDLQMVNITCRVLSRPRVDALPQIYRTLGTDYDERVLPSIVNEVLKSVVAQFNASQLITQRENVARLVRENLSKRAARFDIMLDDVSLT
HLAFSPEFTAAVEAKQVAQQEAQRAAFVVDKARQEKQAMVVRAQGEARSAELIGDAIKKSRSYVDLKRIENARAIAQILQDAGGRNKVYLDSEGLGL
NVVESYEDKNKK

>RCO7_06518 | related to cleavage stimulation factor 64K chain

MSKAPSKSVFVGNIPYGLTEEQIIRIFSTAGKVLNFRLVYDRETGRPKGFGFVEFPDSDSAASAVRNLNDHEIMNRKLRVDFSNDGDNDDTAAPAGY
QHQPPPMAFPMPMQMPSNGFPPPPPNQDNNRNSSIPPLPLGVDLPAGLNCPDAISRTLNTLPPAQLLDVLSQMKTLATTDAARATELLNQAPQLSYA
IFQALLLMGLVSTEALSSVVEQASAAPPLQMPPQQQQQQQYAAPSSSYPPGFPPPPPHMSGQLGLQMGTPPVHGQGYPPPPPQQRAPPPQQQQVAQ
QQQSNPETEALMAQVMAMPQELIDSLPPADRAQLLALRASYGR

>RCO7_06517 | related to secreted dipeptidyl-peptidase V precursor

MVLLLPSHMGLLTLVATIISLTTATYNTNATRQFTPEEMLSVSRRGSALPNAAGTLALYTTTQYSFKNHSNAHGLWVMNLTNNESWLYTNSSAVSDL
VWLDGNTFVWFVSEKGGNTSVVVGDATTPEVEPNSAGSIPGPVSGLKLVSTGNGTWGYAFTGSAARNGSIYNPALAEKLRSAGMLYTHIFVRHWDTY
VTPQKNSVWYGTLSSHNSNGTTGFSISEPVNALNGTGFESPVPVTGGTDQYAISTKGLAFIAKDLTLLKPIYTKSDVWYIPLSNFTCAPPAPQAVLT
PGMEGASSALVFSPTNSSLSFVRMKDHSYESDKNRIFTVSDVTKNLNATEIHATDDGTGSWDRSPGSLVYSKDGKILYAVAEDFARTRLFSMSSDPS
QAQTPALIFSEGRVSNVQWLAGNKLLVSSSSFLDNSIYSSVDPTTAASSNATSGITLLSANLGFGTKWGLSRSQIEDVYYKGYGDYMVHAFVIKPST
FKKNETYPLMFYVHGGPQGATQDAWSSGWNMMLWAEQGYVVVAFNPTGSTGFGQNLTDGIQNQWGGRPYQDLVLGWDFICSNLPYVNTSRAMAAGAS
YGGYMMNWIQGQPLGRNFKALFTHDGPFSTLNMASTDELWFPEHDFNGTLSQNWDNYARWDPANHTDQWSTPHLIVHSELDYRLPVSEGMATFNILQ

ERGVESAMLIFPDENHWVLKQENSLVWHRTAFGFLNKHVGLPTPGEGNDEVVDAVLMDGEWDY
>RCO7_06516 | uncharacterized protein
MVDHPCQAWRKPNLQAVVHAFATQYPDGPQPTLAELSAIARNLEKIVSPDGSFNHDAPIPTGTPSVPKVTYDDSGIKTSEHIVEIPHGDDAGLHTIN
GSVKSSDASTWSADLGGVEVYCAESWGGSSA
>RCO7_06515 | probable M-phase inducer phosphatase 2
MEASSPLAAMQQNSFMPSWGMDNMYTSHPRTHLSNSGFGPGAFNFRDLSMKRPSNYSSKPDYFQIKPVRGSSPTASLAADLSQNFHIDMSNSPQLPT
PRRSLFTSNLFGTIDGRDCVTTPPIPSSSPGPLEERMDISPLPHKLPYFAAQIDIQSPTPEDVNEDSMMPSSPPRPAFLDAPRPAGLERRKSILVRP
SLTRTKGYSTNTIPRNPESQLPPFRFGAGSSKLSTTTSMSLGECFMESPPQERRPQSANSPSVSIMGPPRQSKPFGSMNGISFRNGSPIGNHTRRPS
NPLIRPRKQFRRSLSMFESPADVMKAKKDEIPTSRLHTVMDVDELPQPGLPHFFQEGQPDSIPRITRETLLKVLDGKFDPSYDQRMIIDCRFEYEFE
GGHIDGAVNYNDKELLTSQLFETSLPGKTLLIFHCEYSAHRAPIMARHVRKQDRSTNAEQYPKLTYPEVYILDGGYSTFFSEHRSRCFPQNYVEMDA
KEHAYTCEREMGRLRQNRAKLGRAQTFAFGQYGQIDDSPTAPNRTRGNTGGDLMMTGMTSPGLGHDRGYARRMVSY
>RCO7_06514 | probable SLD5 Part of GINS, replication multiprotein complex
MDISDILEDLNARHLERDSFAGGDDYSAGNGTTSGQADLQALTRAWVNERGATELLPWPKDGLIDRATNRIKHQIELVERMTGDMDPKTNFSLIIIQ
TEVERWKFLIRSYLRARIAKIDKHTLHYLSPEHSDRLSETEIAYATRHQQLLHSHYLSSFLGSFPQNLQNLNDTAGGINMIGGPDVEEGVFVRGLGA
KDGSAESAITVRGRGRDGDGEVDVERGEVVIARWSDVKDIVERGEMELV
>RCO7_06513 | uncharacterized protein
MDPLTALSLASNVIQLIDFSSRIVSNCRGIYKSVDGALPEHQELELVTEDVLRLSKKLRNQRSEKPGTFGLEPGKSRREFSDEHSRTLEQEIAHKAL
SDMCISVSEELLLRLAKHKFTGGSSGQRKWKSFREALETVWSKKDLDALASRLDQLKTEISLHILVTLKERFDLESIQNARRFEWLDKNTKFLVKEL
SQSRDAIERNLDMETAEEQHVKTREIVINALQRYMQDEAKRPRPIEKMKNFDMLKEGELKESDHVHEKMEFEDQIHSTDEEKFNERQKISAQKISDA
KIDMEKQRIKYEIEFRRSILTSLSFDTMESRYLDIKDAHERTFDWIHEGEFADQTPWSNFEEWLTKGSGIYWINGKAGSGKSTLMHYIFKHSKTRKM
LAKWSGDGSEVLTPGFFFWSGGSLDQSSQLGLLRSVLYTILTGNQNLVPVAVPARYENFPNSLIENEDFQQILCVERYHRWTLTELKQAFQRLLKED
FGYMCLFIDGLDEYYGDPMDTITWFKSTISRKIKICISSRPWVVFEEAFSYCPQLKLQDLTTEDIRIYINDTLCSNNKMKNLFISEPTAAPELVQGI
ISKASGVFLWVRLVVTSLLRGLNNNDQIKDLQRRLDLLPAELQALFSYMLTLVEPVYIREGSQILQIMLKYQQISAVLQKDYPQVEGLSGIELSFAI
DSDDSYLFQSPVNLMPDSEVGDRIADIDCRLKVRCAGLLEIPSYWQRDSCPHKGRIFSSKIGRARVQWLHRTVKDFLESDGGREMLRKNTLNSFGVN
FNPSRPLLIASILHLKRWFLNMDVINGVHPLPGLVARSMATAYQAERESGQPETEILEELDGVVQQLSPMSPKRHWVEHLYHDGGMINFISLAEKHC
LKYFLCAKLLASEDKPSELNLSSKDSYLGYLDWSKPAHLASHEQSLSYMSKNKRLLSIMLKIGCDPNRSCHEDKSGWHIFLRALVQQTPVQEQGAAW
CSIAQLFLEYRADPSSKLVLDGHMYSPRDIISEAFSRNYPLLCDALMATMPIPQQKQPHRRAKTWLVRKIFRGSTNVT
>RCO7_06512 | uncharacterized protein
MIFFKNNFQETSAFKNPENLHGLIEKMHNNGVMKSSTLVPSKCESFCYSHKPVYSGLESLNLSFGMENVVVGVANSFCAVSAVSPLYNALQQQNMLK
GHWRDLDNITAANVSELFRGSQPVTAKQMVNRLYLQCNALVLRLREAFKSRLGIEHQFGGFGIDVLSRQACKVMVSEIFYDAFFKELYDSQDLGSGR
KTGKSRKGKKLEDAVEGSRMLSIAVEVLGVFLTELDIPVVAAEPFHVNGSCQFELDFNLSKKEIVHALKIMGKFQ
>RCO7_06511 | uncharacterized protein
MFDHLKASVRARKQSRRPESAIPRMRNDEEAMSKQEQLDATMSVFAKIKRTGSIRDLLHPPIIRTKPLTFSNLFGSTKEAAVMPFFKDEKANSNALS
TACTSASASTVVEPSIIACSGLDGPSAIRRKPCPVTNSGILSPFNYGEPPKFDPQTPRADPNIHKLARSVLKHRYTTKFTLDFEPPLGVNRHEYDFI
WVTPEELDRKVLEDIIWVRERYAQAGREEPDCNDVIFWYSEEDSC
>RCO7_06510 | uncharacterized protein
MPHKIKTQAHPNSQTDFDGRAKHLVEQMLDMSIENKQMSALAKPVHPKLNRDNIVGEFARYFGSESKLENWQRLCSDVGIKDILTSIKQCKLALRRV
WVNIYDLIAAVRQSKVPRCFRNEFDLRTYTINSRKIFPKKKAKEGGPVRALLAHIF
>RCO7_06509 | probable UTP18 Possible U3 snoRNP protein involved in maturation of pre-18S rRNA
MPRQRSKKLSASRGLDSKAPLRQDIVSGGGSQSKNESENESDNESDIESEEEDEKDEEEEELDRLVFGDGAGFKAMLGEGMDVDSEEEDGQGIEENG
SEAGLAHVDDADLFFLDSGPSGSSNSMILHEPAHAKGDAPAWEDSDDDRLTVSLAGNSRLRKLRVNEEEDMISGGEYSRRLRTHFERLNNVPAWAQA
RPAKRRRRSSAGSNSSISSDEMDVDTEDLSTLPLARLLQSAGSLTRTPVSPNKRTKLRPEVLDIQQTRSIADTQSAAISSLSFHPEYPILLSSGSQS
TLYLHHIDPTAHPIPNPLLTAIKVGKTPLHTSAFLNPAGEKIFFSGRRKFFHVWDLPSGTIEAVTQIYGQKDEQKTMERFKLSPCGRYMALVGSSRK
GGGIINILNARTTQWVAAVRVEGANGVADFAWWSNGEGLTAIGKGGEVAEWSVSSRSYVARWIDDGHAPTVITLGGSNGPKSLGGDRWVVIGSQSGI
VNIYDRRTFVTDANEVSILERPQPKKSFDQFSTPTSNLVISPDGQLLAFSSSGKKDALRLVHLPSCTVYRNWPTDKTPLGRITAVAFGRQSNILAVG
NKSGKIRMWEIRG
>RCO7_06508 | uncharacterized protein
MHPSPLNYLRTLTIAFAVLLSTSVFASPVKAITNLETLSLNIKISIADNDYTSLTITTTTTILTTDQGPEMELNREKNPAFESLDHCAPSGSPCHAT
GCCSGLCYREAEDEYGICV
>RCO7_06507 | uncharacterized protein
MYSYSNGSRTLPRGFRYEEPHTPEPPSAEPRQPSPPRQRLKVRRRNDSSLQAPTQQFLASVAAADVPVPTIELAQGTMEDLEMPDRKDLSVKTGLLA
PLTFARRAVSPPKTPMPVLSIDLPVQRPNWTMGSPSPAEEYFSRPGSSLSDDSDFSDDSFYSGSRISRPSDDGSCTSPESDSADPFQFPMPAKGNGR
AGLLDADIFQPLNGKLRSKSRKDAPWSHAQSAHLWCTYIMYLQDPTVTPFRISASAVPPEGVCYRVARESRRSWKGQKIAAPLRRSSRLNSVLLSSS
SSMTQKSGSNTPTVEYPKSSYAKWPHSGGATRNHLRAMCRKKDNTSVSRHRHLQSRSPTPFTKLQWRLRTPEHRPSAFNTKDIALSLTTSTAESMQP
DGPLAQLSAELPLPGPSSFPPLDEFKPLSFGHSRGMNFSLSEASGRRLGSPFVSRTYGPSSSQGLDPFEPRPSPSRTQSDTSRQLRSPLRIHKPHSL
NGTQKRRAQHDLEEELSPSGAIVRPSILNEQLFGTPLNNRRVRSRGFSLGDEALRNHIPGLFRFSPPLQDAPKTSVPQPTAMSPMEAPKLLPSATFE
PSIKRLGSPFSELGPSNTFPRRVCPDGSATIKRSAFATVQAHQSHQTRHSIESFDFGDGPSLQSRLQNLDSRLKQIREREEAAKKKQQQQQLP
>RCO7_06506 | uncharacterized protein
MAIKQRKGTAIQLSIALLFLSFTIIYFCSRDSDITKVTKPDYKNILQTATSIVKPSSKKNTFINSLLLDKSEIDGAFDNTTITKLCKTTEWTEGLIF
RCEGAEGGIANVRNVVLNCVRYAIEAGATQFIVPEILLQTSTSGPKGTPVPFTHYFDLPYFSQTLSSVCPRISIVGHVNDLYNFPSTATPVSLHPTA
VTTSLLSGFILASPGNWSSEFKNFLNTTHPKPFSAAVPVLVSLNAPLLQFPLSYDDPHFVASFGRILRFREDVRRVAAGVVWAMDQKHKLGMERAMG
ELKGKRWYGAHLRTGDDAANAGWTTYATQQGNYVSHAQKSQLSLMYLSSTSTSDTRKFTLYAAGKNVTVETTDSLLAELVPPQGTASVGKYKPRKGS
EQEWELLQGMSWDQQLLVDYEVLLRSSIFGGVWESSFSWGIAMRRHVVASGEKGWVSIAQTGVGAVLPNRLGTRNANKIEGIDGDGRLEEAHPPVEL
ESPEPSYPMGRRAEAEPAPKPISQAAPAGSHPGFGADHPATLSSAEISLMQKLEMDSRNATGNGKPASTVHTEARLGTVAWEDGLSFVFGPVGNKAG

GKGEDENAVGWRVRASLWP
>RCO7_06505 | uncharacterized protein
MRRNSRKVVVHVVLFLAVLMLIIILNLPESNSKFFAWDRFRYETSSATLLEARGICPGLEKTPKPVLVVSRVASVDLGT
>RCO7_06504 | uncharacterized protein
MSPDTAVEEFCQNLGIELIQLQAGIPHNVILHVHRKLIDKLHLSLPTPDTGVLVLKKSNPEVLEQFVVWLYSTTRSKLLLDLSNMPLLLDIYAFAKN
YEILHLEEDCLLATSQFPLIFFVIEPIMSNGNSLHVHTLISDAVTGAIKLTEGFDTDSNSVRSVHLLIGFYMFGLKLESPTLCNMTMDALQQHMGAA
FVFTYEEIDNIFRRTHWCPWAPIRAYCAALIHYQRNMSKPDGDQEYIDDDEAECYLQIPGFRKHYGEYERAFRGFDAQGVPCWDPRLQSGFEKCYFH
HHSMEVGDEHRAECGTGDSEAGSEEEEGVEEDEEEFEGEDEEEMSESEEEDEEDEDGMDWHQPLVAVGNKRKAEESEDDEEEEEGQGRRKLRRKY
>RCO7_06503 | related to flavin oxidoreductase
MSRINKAAPNAPYFTPIQSPPAGTALTPNPPTLFSPLQIRDLTFQNRIWVAPMCTYSASNGHLTDFHLVHLSAFAYRGASLTIIEATSVLPNGRITP
ECAGLWQDSQIAPIKRIADFLHSQSQKLGIQLAHAGRKASTLAPWVSEKGKGTAGEDENGWPGDVMGPSAICWGEGFPQPREMSEQDVRDVINGFRD
SAKRAVQAGVDVIEIHGAHGYLISSFLSPISNRRTDRYGGRFENRIRLLVEVIQAVREVVPKGMPLLVRVSATEWMEKLSLESWDVASTIKLAKILP
GLGVDLLDVSSGGNNEAQAVTPYNDYQIGIAGRIRKELYEAGIKDLLIGAVGMITEAEAAKSIVQKVDDTVEITDENGGLAKADIVLIARQFLREPE
WVLRVAYRLGLKVQWPQQYHRGQFVKGSRI
>RCO7_06502 | related to peptide transporter PTR2
MPMKVDVDVHLAAYKNLDTPSFIELTFHHPHHSEFTADTMATNIVQDAQTTLAGTHADAHLALEGKHSMVVADADRLSIGAHVNEPTEEERHILRRV
PGSIPWIAYALCLVEFAERASYYGVQPLIGNFVNRKLPPHGNGYGAPPRGGEGTAGALGMGTVASSAVAQSFNMLVYALPVFFGWLADQKTGRFRMV
FVGVFVCGISHVIMVASGAKSLLANGDAKIPYFISLYVLAIGAAMFKPCISPMLLDQMKETKLTTKTLVTGEKVIIDPEATTERIMLWFYLMVNIGG
FVNVGTSYSAKYVGWWLAFGIPLILYLPLPALLWYLKKKLVILPPGGSDLGNVFKIVGICFRRGGVKKIFSKKGGFFDAAKPSFIAESGRHIDVPWN
DMFVDDVKRAFQATGMFMFFPIQSITDNGLGGAQSALTTMLKTNGVPNDVINNINPFAIIIGAPLLNYGLYPLLRKRNIHFGSIKRITLGLFMSAIA
SIGYTVLTYYAYKVGPCGKHGTSLDCVNADGDALTSNITIWYTAIPVGIGGISELFVNVPAFGIAYSMAPKNMRSLVSGMNLFAAAIAYAFGLAFSG
LIKDPYLTWVFAGPTIVGFVAAPLFWFMYRDLDKEEYTLTENKEQEARLHKEDQMARELAAHGESFDEKTGRRDEESIAAHPKELQG
>RCO7_06501 | uncharacterized protein
MSTHKPHHLISLGSSFAAGPGIPPLSLRSAGRSSKNYASLLSQHFSFQHTDLTVSGATLSNITSAPQEFFGTTFAPQITAVTEDADIITITAGGNDL
QYVGGLTTEELLSTWAGRLFNLFRTRSQPAEAISIDELAENFINVLDAVHAKAPKAKIYLVAYLTLLSPATESGIHVSLSAEAIKKYQQIAEDLLNA
YKLASQARSEWCSLVDVAELSKEHGILTDEPWVEGLSIGSIWGGNPMHPNEKGMRAVADMLIERLESDGFVAI
>RCO7_06500 | uncharacterized protein
MPIKAHELNKFIQWEKECDSSTATRYIVNLRDADSIRDTDRGYVIRDREIRDAFREWRASRGERREKGEEWGGEGEGEEKMERKDGKEKKDEAKEKS
EKKEKKPEKKDKKSDAPKSEKKESSKGSKKEKKGISEGKLNKCIQWEKNCSEAGASRYIVNLLNYGSIEDSDTGFVLMDAELKDMWAEWKEMKIQLF
LEIKLERSRANFARGYWETRCGLTM
>RCO7_06499 | uncharacterized protein
MNPQYPHEKSSMPEKGSAQHSIPDILAPAYTPFRTSFASLSLHRSDRIRLLSFPQSEIDGLRNVIQVTYAKGLQAEQKYGGSHEFKLYGNPWYGQSS
DAIASRVIIREILSYLFSVGWILHATTDVSKKQLDKDTLFFRKQQTPPPPSEWISISFNRFDRLRLIGADEQLRYAMKNLLSGMMLLQEDCGWKDQR
LNAWEFKIKGYPWMASGEETMSTRLLLMRMLECLEGSGWSLYASVDQNTGSGNDTTETDSWYCVRGLGWVPGSAVFHR
>RCO7_06498 | uncharacterized protein
MLQEGTRAEMGSELWESNLRILGADFRAASDVFSFVTIVKQKLQIWSLNGESKLDILIKNAAQTLTDPLDQDVKATQQEKKLVVQKITERSKFQLTS
SIYEARVRGDVQPSHL
>RCO7_06497 | related to QRI7 - similarity to H.influenzae sialoglycoprotease (gcp)
MRPPCFLIRRFKYPPKIYLQRRKLLTLAIETSCDDTSVAVLEKHSNNSATLHFNEKITSDNRAFGGVHPIEAHVSHQRTLSGLVNRALQSLPFAEPN
QSFDVILVNDKHGASPRQKPDFVTVTRGPGMRASLITGIDTAKGLAVAWQIPLLGVNHMQGHALTPRLVSALEPDGDKKENPEFPFLTLLVSGGHTM
LVHSKSLSNHEILANTKDLAIGDMIDKCARDILPPLWLEGATDVMFGRLLENFAFSKTKPEFKYVSPKTFGTPRQEVGQIYDWKILPPFTSPGPEGA
RKWADTFTYSGIGTSVKRIVEKFPAMDDKERCVLAKVTMMVAFEHLASRVLFALEKSEIKVNTLVVSGGVASNQFLKHILRTILDTNGHKDIRLLFP
PPYLCTDNAAMVAWTGMEMYEAGWRTSLEAMAIRKWAIDPKADDGGILGIDGWERNDLQ
>RCO7_06496 | uncharacterized protein
MVGRNVSAPNLRELGMSVFASKLSKSAPSSSKIEPVSLAQIQDFANLFALLIGDYTVLLIEFGKEEDITIRKLYKLCGLGSSHRLLRGQSNAMKLAQ
TFKNRKEEYTQDRKWVNEKDHLKDRAEILDLNEQLKSLGGNVQQLKDELEGPGTYVYKRSEKDFNFLED
>RCO7_06495 | uncharacterized protein
MAFLAPVHASLIAVFSPVNSPSPFHSLD
>RCO7_06494 | uncharacterized protein
MAQLISRPTDMFIGRLQGKTSEDKEYVVNKQNR
>RCO7_06493 | uncharacterized protein
MADIFKAKYPAVFRMLELDDNPNNDPSIERNNAEKILKHVELLKLDYSLIKAAFPPNDPRFREIFRDTKAKVVLGGLEKTAQVNSSRVRETLEVKRK
RCDDANHSRGFRSTNDGEQDANDERIALEDRMRRGDLIGSFREAGDELAKLKRFLEESFTFQYQAGSAYYFLGPLGEQRRKPGELLQDDDASSTYSS
SSRSNTISGEPQDPIAGPVQDTHSVTLAAPPGRSDVKSNEFQTLPAELTQDIQGPTLLASSDRTLSDGSQSSSSSKTIRSESASNNSATAGKEQSHD
QHKSRYGRARKPTEKARDGESRHILAPEERRILSTAARSKIAVAPILPPRKAPREKPQERRPQATPEKKRTPTVPPKCEFRLPTVRPTNKALLHGGQ
AQITRKNAQTSTLPVSRAQDKSSIAPILPPKKAYGENKFPPVTLKKAQLSTTPQGEPSAKRILILPNSPQTLKQKVGAATMQLQSSVESATKHKLKF
YNTPESLFPRRSKEQDGTGEVRSVGVAKRDSGPPPKRQRLA
>RCO7_06492 | uncharacterized protein
MKLADIQDENLSLESKCAKQEAREMNLYIELSQLQTINDSTSAAQKKQRAEFVEEKKRMREKEEERINKDKDEMARYKQTTTWKLIEVRAEKDRLVN
NVEVLDKMNIQSDLSNTELKRQREKDDITSPLPTSLALETSIDMLK
>RCO7_06491 | uncharacterized protein
MTIIKKESDNSTIYEHPLCSAKHIASMATSHSMQQLDEIFKLAETTDPPDKLHTLLQPVQDNVIIREQHFEEKLKDQIARIQMLKLDLSQANSKVEE
HYETLAAVKEELRGMKTDNLRFRREAMDDQQMIQVLQEEKVTWRKGGGGRIAELERGAKEWKVARTDLQQTVELQKEMLFGLRVSNIAQRGEIHFLK
QDIEHLKDKVEMNRAATDWLAENGPSLKADFFSLRSEVTRLRERGHQVAQIMVRGARRWERAMENTNSVQKESPHHHLNDTIDTRGHSILRGSYITG

RDTTEIDDFSGNRAMPRHTWSGKQRRTDENYRASYTGVFNYHGGRHVNGRTKTGDLHFGVHREQEDISEVWGSMSPDPQ
>RCO7_06490 | uncharacterized protein
MAGTRSRPPLSPTNTHISINSSPDTSSHVHKSSTRKLRAKSSSSKPKASLKSTSPAIDVPLDRLRGDIILGIAGLEIAKGTTYIWELRLQITRLGEE
KTGLEEGLQAESFQLKKDVLDLQSSKAELEERVRDLEKERVELRGEFDENIKEREAELEELRVKTLGDEKILNNQDYKIKGMAEEAEDLKTKNTGLV
GEVTSLKEHLNGVKRTWEDVKEGMVKVDEKLYGSTAGSKKPTIERI
>RCO7_06489 | uncharacterized protein
MDKVKALLEMKSETTPPARPVEITIQGTAEQQKTILKLLRQYSFVNHDNEITFDQACTFFGYLKTESEYNDFLQKRNMEHQRQIEFHTILLKDFRRL
QSEFHHLQILHDNAFDLLNECLERKRELEINCMQKDLQILKLEDIIEQRDRTNDYVVDQIVAAEAKVKSFKMQINRVKVHGAFLRFRVALLKRINKK
LKTGYQGLEQRVRDSEEKLAVTTCGGCLTRKNSDSEADMDESDAKRHSRESV
>RCO7_06488 | uncharacterized protein
MAYPHPFQYDLLDGNVELITLPEADDDANFLSTMYREMDQMDVFEQSANQNLQVEAPVQLGPNPNLGFAPSSERIPALRNSEIRDGPGTYYPDEAQI
SPVTPSMGVDHNPGYPFVPHLDMDPTWLQDVAFHSAVPGGNVDSEVSPSLHNMAPNYAAGHEAPGNLHVFRGPQSGVQYYAGPPAYDHQQYQTIAQY
ESAMVPQAEVPGYNNQAQQHSQVQQNQNGVFNQGYGALPPAIATPFPSLAQPSQLAGPRKRGRKPDSPDKVKKNAYNMELRDKKKADRLAGREDPID
KLRREHRLFKKRIAALEAENEKLHEQQRHCQCRGIPPSSIPSTSGSDDNAKEDEDDEDEFSFGGG
>RCO7_06487 | related to RNA-directed RNA polymerase
MDVHVRNVPPQATENHFGSFLKGHFKSLLIRSVHVNKPRDKTFAFLTFLHVDEAELFLRHYGQTKNQTQYNAAQFNVSRYSAIQRSYHQPQPKVTSV
NLVFLGQPIYCQKSSKEANPYLLRVLAKEEKDRHTKVTKLTKVDQHIHYKPQVLPAFFAAASVSCGVWSYIRSNLLFEPQVSWELAGTLKFGEHSTI
LTLDSGLRIDFLHFATLCIAAEEGSTPSFIFSMREAPRFFERIVSDPLAEMMAQLGMQTPNNSPQNRRAGPERHRLPCMDGKHAKVAGSCFVYRVAL
QPVTVGRDDVAARMQSLRLSKSLPRIIHRRTDVIRPQQTFEQGVKMLEAVLSSNSTSIPFPLAFQILKLALDGYLPPLTVLKMIPDIQDMVRRTPIP
ICVKSIRKLFNQLSYAGPDSEATEFELEELLQYLKDNEEQCQREDAAVDKDLKGSENIAIIHRVKITPSSIRLCGPEVEANNRVLRKYPNHHEYFIR
VQFSDEDGQQVRFSPRVSNQRIFHGRFKNILRNGITIAGREYSFLGSSHSSLRAQSCWFMAPFVFEGSLLYDRIMIQELGNFSAIQSPAKCAARIGQ
VFSDTRTAVAIDHNLVIEVPDVERNGRTFSDGVGTISVAMMQRIWDALPKAKRIKPNLFQIRYRGAKGMISLDTRLPGDCMLLRPSMIKFDGSTWPD
IEICEAAYRPLTMYLNRQFIKILEDLGVEDHFFLNLQAQEVQRLRSITESPINASTFLKRQSIGISLHLPWLINELAYLGLDFRRDGFLRDVLEMTL
LVELRLLKHKTRIPVDKGWHLHGIMDETGFLEEGQVYCSATIDGVPMALIKKNLVITRAPALHPGDVQLADGVIPPRGSPLSELTNCIVFSSKGARD
LPSQLSGGDLDGDRYYVMWDDNCAPKQTFQPADYSRLPPIDINRAVTKDDMTDFFIQFMETDQLGRIAVLHRVMADQEPTGTLHMDCLKLAEMHSTA
VDFSKTGIPVDMSLLPRYNKWRPDFEAPGPHVNIEKQGGLSLEEIDDPDTDDPADEDDDFSKHRYYESSKVLGKLYRAIDEREIFEHIKRRSLNPDI
SSEATVIDSVWDHVRTKCALFQYSHHLEWARDIRAMYEETMLDIMINHSEHTLHAVSELEAFIGNILGRTGAQSKNQRELSTTMKERFDEHSAFIVN
CIVKDGTEWNEESLERSMACLCVSLEKKDVYKRWENLLSFRYLAAGVCLREVERVPGL
>RCO7_06486 | uncharacterized protein
MTRSNKDTFHDIQQQSFTNKTVIIGGGIVGSAIEYYLSRDASPKQIHLTNTAKDRVEAYSKIPGAFQRVGGLEIASTEAGIAQLHNRRGLAHASGLS
GQRSYLPLTQIRLHRISTPEMSRPKLCSSNLRVPLTHTESSNTTRLKQKRRAFVILGAGVSSLTARIDHSREDESLFSIRIELGTLEAMTVTAATGI
WTHTIHDSALTVFQHPAQRKSKTPHTSFNEMFSVTPGSMPFAGAVPSIPGLYIAAAVWITQAAGVGRLTSDVVLGKWLAKEDLDTLKNFRCMPFCWR
GLLDT
>RCO7_06485 | proteasome subunit beta type-5 precursor
MDTLVAQYSRPMFEKENYAEEDQMELYQSTPSLSLKFAMPPIAQPSAWLRAATDDHANPNCPIKIAHGTTTLAFRFQGGIIVATDSRATAGNWIASQ
TVKKVIEINSCLLGTMAGGAADCQYWLAYLGMQCRLHELRHKRRISVAAASKILANLVYSYKGMGLSMGTMCAGVTKEEGPALYYIDSDGTRLAGNL
FCVGSGQTFAYGVLDAEYKYDLSEEEALALGSRSILAATHRDAYSGGFINLYHVKEDGWVKHGFNDTNPIFWKTKLEQGEFSNVTSELV
>RCO7_06484 | uncharacterized protein
MDDTATYRVEEVSSGNKANASSATDLSQNRNMWPPSSYDRDDDAKTGEITFQNIKLATKSMAQMQFSYRLARSTLRIVVFIIYGDSNAQIGPFYGDL
KDGMKVDYEGKDSAQFYLKNGNEFWINAGGKNAKAMSF
>RCO7_06483 | uncharacterized protein
MFCFIFSMVVAFCAVILPTAILSSACTARSLPLSPIEVDAFSAVAPSTSTSSPTAIATPEPSFPALRSCFRTSSLPSKKSVRFLTQDAFNNQEDADL
VDFHSFEVDVDTPLRPCSVSSNSPHIPGAKYLLQFSPGSIKMVKHLGTYDIPSQASLHRPRCKNIINYRECFDCRRPALERYNWQYTVFPAPLFALS
AHLPVYPLPTPGLTERAVTREKLTYFT
>RCO7_06482 | uncharacterized protein
MQEPSQGIQRELLGHVHLVSSYRFPQLAQIHPDKVAEYLLGAPKIARDQATFYWTYLDRPADGTVLLVWQSPQLGSEFPSDGYIWSPGESPFAIEVQ
GGYTLEMYQQKTGYAPNEPVATHSRRRYRLLSSRSNPNAPSPDPSLWIIHYTQCEAHDRVPSNVIPVDMRVREIMNTRGYLQSHGQIVQKEFMLHDR
QNWPSIAFPRGQPRGQPMYGQGTPVPRVPQTMAYPPQPHSTGPPNKRAKTQASSSQAAAAVAAGASSGAEADDDEDYTRGDFFDLTTPRDISIARYK
QNHEWMEEILSSPYAIHQIVPSDLGLGVRGELHSLTDGIFDAPFNPKKDVVKNSYVGRLDPGKAEMFRQRANEHITETNAEIERMKVKHAKRLAKFK
HGSVVTQAEKQLRTAVDNPDDVGHEIWRLEGRIEENEDGKVINKATGKVSDIVAQVEASVGRHAAAVKELIRIQDGGYEEPATVQSPPPIIPTPHVA
TPASNNGSTHNSLHNGSNGSQHSGVMVGDGDMDMSNSAAGLLDQYHTGGPSSHATPGTGSNFPTPQPQPAYGQAHSNVGTPSNLPTASPQPSQVQVP
DTGIVNEQGQSDTTSGEWVVVPPGGVSPTIPASGGQAAEPTTSAKLPPLSNPVTSGISNTNVSATSHQSPYHPTTAPTSNVGTPTANTPNPNPTNPN
SSSSNINTPVNAEYNASPNDFADLGDIEGAEQFANGGDLGGLGEFVDGDGDVGMNEGMDDSAFGDAIHGLEGGEGEGEEGLDRDGL
>RCO7_06481 | uncharacterized protein
MVDAAVTYVTTLLAAVWNLGGLAELFVEEVSGEELREEANHEAELKLGYMRLRWEKEQEKRGKGGMLWLADDEYLSGEHLFLDPVAMKLYMQSEKDY
LNDAFLAQALNSFCIT
>RCO7_06480 | related to glycosyl hydrolase, family 15
MQRDNRPTLPPGTIAACPSPETVRSHPNPNPNPNPNLIPPPPPPATEEARRAYLRADAHRVTSVAHQALIQGNSRPEAANYPPPPRTPIGLATQPAS
SPSFLDLDAHTNGIAPRADRLHQRAAIILNKHSKMGAPTAIQTSRRNATGYLPIENYGLIGNMRTCALVGIDGSVDFMCWPDFDSPSVFCRLLDKDK
GGYFTISPPPDKQYTTKQQYLPSSNILQTRYIHEEGVVDLVDFFPRPKNNYVVTKTSKQMPYREGVSVQDELKKWLVRRVECIRGKVDLDVEIFPAF
NYAMDEHTTEILLPDHPPGCLDSKTVTFSSKNLKLQVDVTIDHGEENAESCPTVIFRKETRPGIVAHIHLEEGQAISFVLRDDIPDHVTRDVTTQVL
DQQQHDTQTFWFNWISKSTYKGRWREVVSRSLLILKLLTFEPTGAIIAAPTFSIPEDIGGVRNWDYRFCWVRDSSFTIYILLRMGFTAEADAYMEFI
SERFRKSRSAEGALPIMFTIRGETDIPEIEFDSHLSGYRDSKPVRIGNGAAFHLQFDIYGELMDGIYLYNKYGKPVTWEQWVAVREILDYVLTIWKE
PDMSIWEVRSRKQNYTYSKVMLWVAFDRGLRLAEKRCLPCPNRNAWMAARDEIYEEIMNKGYSPNLRCFVQSYESGDYLDSSILIAPLVFFISPNDP

RFLRTMDRILLSPEKGGLTSTGLVYRYDTEHVEDVAGVGGREGAFSMCTFWLVEAMTRAGVYEPKYLPRAVNIFENMLSFSNHLGMFSEEISRSGEQ
LGNTPQAFSHLALISAAFNLDRATDLKKGAGRMD

>RCO7_06479 | probable phosphogluconate dehydrogenase (decarboxylating)
MSGPTGDFGLIGLAVMGQNLILNAADHGFNVVAFNRTVSKVDNFLANEAKGKSIEGAHSIEEFVSKLKTPRRMMLLVMAGKPVDDFIETLLPHCEKG
DIIIDGGNSHFPDTNRRTKYLAQKGIRFVGTGVSGGEEGARYGPSLMPGGNEEAWPYIKDVFQSIAAKSDGDHGDPCCEWVGDEGAGHYVKMVHNGI
EYGDMQLICEAYDIMKRGLGMKNKEIGDVFTKWNKGVLDSFLIEITRDIMYFNDDDGEPLLEKIMDSAGQKGTGKWTAINALDLGMPVTLIAEAVLA
RCLSSVKEQRTKASTVLEFVGRQSKFEGNKEQFLDDLEQALYASKIVSYSQGFMLMQEAAREYKWKLNKPSIALMWRGGCIIRSVFLKDITAAYNAD
DNLENLLFNDFFNKAIHKAQPGWRDVVAKAALLGIPTPAFSTALSWFDGYRTKDLPANLLQAQRDYFGAHTFKIKPEFANEKYKEGENIHVNWTGRG
GNVSASTYQA

>RCO7_06478 | uncharacterized protein
MKVQISSIILKKQNTKHQHAARRESPGGPRQDLAWSSTLAAAAERYAKELARRNRGLKHEDQNTVGENLAQSTGYIRSNPEAVRAWISEKKYYHGEP
IGTKKKSKKEQVGHYLQVIFKPVTKVGMAIVTSGKETYNVARYDKIQMEGERPWGSATMIPQVQDHDKIKEKEQAKQKEKAKGIIKTTEIDKTTRNE
KVKVGENAKTNEKKNAKAEEKESEKAKVVTKENETTMKDRKTMEDRKTTENGQAKDNSQAKDKEETNETVAKRPEIAMHKRAAPPKTLLKGILKKPT
ENEPSYPGQSTYPATEPSRPNEHRPAVFNDSPGARPSPREPSPRRRVFEEVSLWEYIEDSISRELAEFQR

>RCO7_06476 | uncharacterized protein
MTSSDAKGSILLVGANGGISIGFVVNLLKSSSIRSFAADINSRITSGSLAPISALILNAGAIDTDKEYFTDDGFERTFVVNYLSCFLLTLLLLGSMD
RDHGRVIYVGSTTSDVRWWVHQNSYSRKEQRDEIVKASPEMMAKGLETFPDGDVMKTGQRRYARSKILLEAWMYELQRRLNSDPSLSNISVLGHDPG
WIGTTNLNRNANVPIRTLLAVLGLVARFTWIFSSNPILRTAEMNGGFLLTLCFDREKFGEHPKALYVDGGVLYKTVPKRRGGSFKGIYGGRVWSL

>RCO7_06475 | related to retrograde regulation protein RTG2
MPRLNIAIIGAGPAGCMLACLLLQGQTANTPAISLTIFEAETSFNFRAQYGTLEFHPRTGVAALKVAGLYTEFFKYARYDGSALRVKLSALEDGDPE
IVRVQLRTMLLAALPEGTVEWGFKLEGVVQEQGAQEGDPLLFLVAIRGGRSRLVALDGGASLGSLDQLYYRHNILQLHKQQLRSPTTKMTTENGGKV
ITIDNYRAEMSQYSADGPNQLYGLVDMGSNGIRFSISDLSVPRLLHCIYRERAPISLYDALHESTPTSKEFHFSPSIIQRVADTMARFASICESYRV
PKDRISVFATEAMRTAENRDEILAAIKKSSGLLVDILSPGMESLFGAMGARSGYTAVDGLFMDLGGGSVQMTYVNSGLEDGYDILAAGAARSLPFGA
AKLTLALSVQDTAHATKTELRTRMKDTFDELTHKFPHLKWQSESKEGITIYFCGGGFRGYGSMLMHTDPIQPYPVPAIGGYTVPGNRFVKWQEMLHV
NNHEEGKIFGMSKRRREQFPAIGSVVQSLVQAIPKIKQVIFCSGGNREGVLYMKLPPIIRESNPLALLPGGAPNQDPEVLDSIVQTLVTAMPEGYPI
IISPEILHFVARNTWQAMGDPDGANSAKALHNPITGMLAGLPGMTHEIRAIIALTMSARWGNDLGPVDQAVHDNLRALVGHETAWWCDYIGTLASFL
ATIMPALPVGEKSLDEIVRFLAMTSNGLGKKGHHVGIRLKALVSSKAHRGVLIGDLEGMFKKVGKGMPLKWKVEAEVENF

>RCO7_06474 | related to monocarboxylate transporter
MDLNNQDSHSDLEKASAVQARHDSLDPPPGEDSEAIENTKPEDEYPDGGLKAWLVVAGAAGVLFCGFGHANAVYQEYYSTHQLRDEAASTISWIGSL
QLFFLFGGNLIGGPLFDRYGSKIIWPAILGYILAMMMTSLCTSLYQFLLAQGILGGISLGLSMAPAMAATGQYFDKKRGAAMGLAIGGSSIGGVLFP
IILSKMLNSSSLSFGWTVRILGFIMIALMIPAGAAIRPRLPPRKNKFFLPEAFKDPQYSLLIASTFLMMIGMFMPFFYLPTFAVAHGMNTQLAGNLL
AILNAASFFGRVIPGVLGDKLGRLNALCAAGLSTGILVLCMQILDSNASFIVFAVLYGFCSGAIISGMAVCLAQITPDPRNLGTYMGMGMAVIAIAA
LIGPPIDGALVDKYHSFDQVATFSGVLVLAGGFGVVLVKHFNPKGIVSKA

>RCO7_06473 | related to transcription activator protein acu-15
MSEPENHLHLPATALVPATPAAPLRKRRRPALACEQCRRRKIKCDRTYPCGQCTQLKTSACSYSSPAPVSSHVDRGSIQKPKQAVQVEPRADSTLGR
WAKENGISIPSHTRVIESASTSNYAPSPSTSSPRGPTSPEKSRTSVSSPAFDEIHELSQTANNKQLLNRLIDKLSDPKDSPHSTVRREEFQFSLEQK
DQVRGTVSKTRFFGQSHWMYSFGAFDQIACMSIDPSSNTPGLHDTFHESDVFRMLGECKAISRAAKATPHNLYLLNPHFRESVPSRDVCDKLVACYL
RTSESIFRILHIPSFHREYNQYWLNPAGTGSPFIIKLLLVMSIGAVYYQEPDSAHWRGQALQWLFAAQSWISTPFEKKRLHISGLQIHCLTLVSRLD
NAVAGDLIWNSAGSMVRMAFQMGYHRDPSFLPNMSPLHAELRRRLWATIMEINIQAALDSGMPALISTDDYDTEPPANLDDDDIDEPVTSMPKSKPS
HVFTQTSLQIRLLSSIKLRLLIVSHSNNIRLEPSYEEVLRINTELSKCLKENNAFISKVLQSSPHPPKIFQMDRNNFDIAIRRYLLTLHRPFSARAT
RDPRFYFSRKMCLDLATMFLTYPSTNSSEPSPPEGHQDDYTRMTILRGGFCKGLIINACIVIFSEIIAQLEEETTFTDQSRMAREPLKNLLRGAVDL
LAKRVEFAENNVKGHLFISVVLAQIEALEVGANQEVNVIEAGRKSVALCLELLKRRIPQRVSAGDYDRHVEDGTSPDGIGVTGGVGEIPDPRMDFTM
DDWNMDFNLPDSWLVSGWEDNQPWGLQI

>RCO7_06472 | uncharacterized protein
MPRKSSLHENEPVALSSDMMALLSKPPQSRMQRLSMLLPSIVTSEAKNSEETETVLRKQNPSESPALEAPTRAPLSAPSYTTNSSSDEHPRPSPHTS
TPRKLQKQSTTSLQPASARDASPSPHNLEGRRQRESSLLPPVDMNQPRSVSDPISSAPVSAHTSDGEIEKWKKRRSWLSAGGRSKSRSKHVSQDLEA
ERSRAWISAGGGRIDYNLNIILGGDKIPELWDDSREANMYVYLHPKSSGRGPQIKCHSLVVQLSQLLLDIIYDNSVPSASGSGRPRSPGFEGRDSLG
IEDATRNLAVGGSGSPLNAMPQNPDNHPTSESDDSGGSLHSPTDVPRDLHLYFPTGILSSDSQLSEQDVQSLVDARNFFAFFNGQPLISTRTRPSYY
YIFMNVASALEKFDFSSQDGTTFGEEADRAFAFYRHDLRLTDIRGSRAKTVEGLVLGERMKCPELYSETFAHAVGKYVSITSLGMPIFHELSPSTKL
QLQQSYRDLVKQQNAASLRLTDFNYPSIFSGVANSTSSSESKLIRFKNWKMNFVSMRRQVLAFYKKRYGYWPPKAGGKDLIILQGGLNRLVLKQLYA
DLCALYDLLVDRKALTTRGVQASEDREDGLNVSPTTAALRKLLAEFDRSSPPVQPPIPYDTPKVPTILSIDPTYPALSPKDQHKLSTRNLKEYEMLL
LLAKSHNDDALSKNEFLEMYMAFEEKEGRGKNALELEEQRYGHWIFLYALIQSLPMLVTDAPTLQYTDGVEYFLCQMPANPRPWLEDGARANRSWYN
VAGGGGIVSLPSHMVDFSVEAVYGRSHCWKLAEKLVGDDTEFFHDQSLKDSLMFPLHPPPKVGEGEVRPPSRGRQRRQRGSSNASASNASLGGYIGL
ENSKVRHMSRQAQRQSIALGLERMVDPGPGHDGGFFEERPGTSGGSWSRPLSRADMNGSRRPSRADVGGSRPMSRGDFGGVGGSPALDDSRGTSPMI
GTGRRAASRSGPSGELATAGQAQSGSTFDDILGSMNSAQQKVEKKKSIMGFF

>RCO7_05909 | uncharacterized protein
MPLRLVLRSVHNLAILRKMPHKPVKPEDAGRNASAELREKSLTKAEPVLDEETLTQDQDLSQNLEDTSVLHRIAICGPPLLLFIYRTEVAEIVTTVV
TTISRTATASLYHQYCMNATTFYCGLIDWVLGHGHLIMLIIQSTATFSAAAWLLFRAYKTLRTPVNILIKVLGVEVPDAPEVTLAGIKSTAITLQWS
SPVPSPKGSVVKYLIQVNGVNVGESSRSETAIEVTGLKPGHFYNVRVIAVAPNHFQTGSRVLRLSTLRKDGRPYQGHSGPASEKDGEDDDDDDDYSD
SNDDTQLGRGHGVEIQAATLPEPAQSPMVREHSGGFPGGGSQAGQRRNTGGRKHSPSTAAADQAARERAISKLPEETMHQLTEKFEHTRRETEIAAV
MIARELEDFKEQYLQLSKERDVHKQTLKDKEEQSEKVKKDANTAERLNRVAQNKKSQREKVLKDKKAEREKMRDDMARWKDEIETMRDEKEKWRMEK
AKLGTAKDDEVSDIQRQIAQQQLVFEGLEKEIQARGRQIRDLEVERMKLPGSADDEESQAQDALDKKEEAEWQAVERSLVSRLNSSSQRLRDIEIMI
SQQRSQLSALEVAHHAAAQQPMMFHGDSSGVDFDSTGGQGKTKPRRTRNRRSRTSTISSPTSAYPTLDSPFSSTYNNCNNPSPAFAPAPYMQLSNDT
GMVIQADHMSGMSDDEIRHFTAGAPLSPTATSLLPSKLLLDDEHDDQDRQDEHDGRAPPLGHAMYGSIGESYDKDPQSPASSSRSASLISSPHDSSH

NLALYGVSSHDYPKDSERRSVKSPLSAFGTIGSPATEPTAQKGGIMNLFGIPRMRGKTIQEDGPALGSLKHGQSQSFPRSSEEPEAPNIKHRRISLS
SPNWGSIFKGSSAANTSTQGNAPAPARPLGARSRRGFPFSSNSVDEPNHSERDLSSPRPISISSSDFPRPSTDSAPFGWGPAPEINRNSPLAANWSV
HTSAPQPWSRNPSRRPSIQHGSSSALTADSAPDDYDDFAGQASPPPVGVIGTRPASSHKPPTPRLNPAAPAFEKYGLPLPSKNDRGKGRAVEALTSP
DDLSPHDITNVSSPAASRKSRDAHSIRTQNSMAESHESLDRAVSNTTSEFPSGSSAKEKDGSSFRQLLRKGSSSKFSIASFRNKENGLFSGKKAVSS
NANSDKENSFDEFGEEGGYGRSGDSITSSPMIGSIGSGEWKGKDKEAGTPKEGRMSVGWGLFTLKKGRGRESSEVDRSEAEVTGDET

>RCO7_05908 | uncharacterized protein

MALFETDQEHRYFKLFVDRIAGEICPYFDSEDWSRMILQACTGESSIRHVAGAIGALGKFYTIQHAGQSIAGLGKSESDCSSSPGSSSISEGQSGVR
DLVGEQLIRESYIHQRQALILYDKALKKIREDIAIGNQTIRTALIVTIVVTCLEALSGRHKFAAGQVYTGLNLIQEWKAQQKQAEQHPQGFSSPARD
VVDDFLVQTFGRMEIQAMSVFDPRPVEVHKMLKLEGKEVVERMPPVFNSIAQARIYLDLINRRLMHFNMSIHDRRTRPPASKPGPPSTLKPVGWSTT
DGSLPEPIPLIDGKKFEYSPPTASILGEQTALNNELALWTATFRPLLTFSLAMGRQEAISALTLTISTIASQISLRAAFFTNELSFDVFMPEFKLIV
EQATLLLETQRAHDLARHSASASASPSSSDFSSRLHSPSTSSGPMMRFAFEIGVIPPLYLVMIKCRNRRLRRRALHLLKEYPRREGVWDTVAVTHLG
RWVIGLEEESARQMSMSLSPVTVIGESESPAASLNSASTPTSGSETSGRGSGGFSASNGARKSSGRQVIVTSSYDTAYDHASASIYSNGHSNGDPLP
NGHVEVEPESIPGIDIPEEIRVRKTWMRFDLIERTAWLNCLQRDHITGEYIDRTETVNW

>RCO7_05907 | uncharacterized protein

MAPYTASMAIPLLVGLLTLGADAAFKPPINNTLEHAVATECKTCPYSLCTNKAFYDYDTAVTLLCWTRGTVIDGDNTWLRTSDNCYVTQYDLMEYSG
DYTTDLSYCGKASEEKHLTFDDVTTKYDAECNICPDYGSCETIQYRKAGTDLTATCWTGDGAAVIDDTTWVKTTDNCYVAQIHLEEPANKAVLDNCG
PIGFIQVNYTTNVAVASARKDQLIPASANSKAKVKAASWSRVQQREALAAAEAEAGALPAPIPAPLAEASAELHKRYLINITVGEDYAYCHEKTVAT
SKVLKKYEFGKEVRMQCYVSTDSTVANESYWYKTTDFCYVREGDFFESLFDRSQLVRSLYSGVHEGLANSE

>RCO7_05906 | uncharacterized protein

MHTPFLLLLLLLLPFLAVLTGAIPYTDLKTNISYSAFFDTTTTGYSFGIALPLNATSGDFIGLVTGKGTGWSGTSLGGAMTNKLLIAAWPSGKTVLS
SFRKIARYGSPPEVTGAFTLLPIANGTYTNSTHWSLTFLCKACLLTDGTTISRTAATDMLGWAYSSSPPATPASKATTFSKHGAQGQYAANLTAARK
ASDGKKFPILIERPFPTFVLDSASLAAFSLQPSQSVKDAFKTCGILNSFRI

>RCO7_05905 | related to peroxisomal ABC transporter 1

MASQSTLRSSADPIVDFYKKLSNLLQQRLKGTSKTARLLGALALALSIIASGEGARRLWKSRKAEKEQGQRLLRRNSGLKNKDGSRVIFVPYKDSTS
KVTIHPTKALTFDAHRRLFLNPPRVSGLSDGSTPQIPPPQTKPGLNLAFLHQFLSLLSIMIPRWTSKETGLLLSHGVFLMLRTYLSLVVARLDGEIV
RDLVAGNGRSFIWGIIKWCGIGSFASYTNAMIKFLQSKVSIAFRTRLTRYIHDLYLNDNLNYYKLANLDGGIGHGADQFITQDLTHFCAAAASLYSS
LGKPFVDLLVFNYQLYRSLGPLALTGLLSNYFLTATILRRLSPPFGKLKAVEGRKEGDFRGLHARLIANAEEVAFYGGANMEKNFLDKEFKSLKRWM
EGIYTLKIRYNILEDFVLKYSWSAYGYLLSSLPVFLPAWGGLGGIQELADASTKGGRENGRMKEFITNKRLMLSLADAGGRMMYSIKDLSELAGYTS
RVYTLISTLHRAHADAYFPPRGTHPELYSLSDVQGTTQKGFDGVRLENVPIVAPSVFPHGGEELVDSLSIIVHSGEHLLISGPNGVGKSAVARIVAG
LWPVYRGLVSRPRSVGTDGIMFLPQRPYLSVGTLRDQVIYPDGEIEMRDRGRRDIELKHILEEARLGYLPDREGGFDTRKEWKDVLSGGEKQRMAIA
RLLYHEPRYAVIDEGTSAVSSDVEGLLYERCKDKGITLITISTRASLKKYHTFNLTLGLGDDGSEWDWERIGTEKEKMGVERELADLRERLSKVKEW
EDRKVEIDAELSKVWVEGGEELEIPNYVEQSAGSAE

>RCO7_05904 | related to plasma membrane phosphatase required for sodium stress response

MSNEIVQPTEEDLSRSKAIEGGKAAKPPALDTSKFTNTPHPPSSSTQATSTQNTATTEESENTALSGSLHEKDSARLADEEAPKKNRGLLPVPSRSS
SHKIQPSPTTTGLSGATVRDPTDSIGGQSKESKGSILGLRRNGSATSSKMSRTQQATSAGPTGAANNVAANPTISREPKKKGLFSFLCCGVPDSANT
LDSNDAAMPANKVTKAPSGRPATASRPEQGNSVSASTADNSLNRPQTEKEALSQDTQQVAIDGDQNEVTKSGQDVQTGGVTMPSPNGDLTQTTSNTR
DQPLPELPKEAEPANVTQTLTPSVLVQTPSRSESKDSTAQIPAEEQRDIDGDVKMNDSEPVPVAKEETANPPLRKDETVNKAALPPPPPVSQPQPGP
SEDKANPEPAEQKTQWLLPPIAPRFQGKKCLVLDLDETLVHSSFKILHQADFTIPVEIEGQYHNVYVIKRPGVDQFMKRVGELYEVVVFTASVSKYG
DPLLDQLDIHNVVHHRLFRESCYNHQGNYVKDLSQVGRDLRETIIIDNSPTSYIFHPQHAVPISSWFSDAHDNELLDLIPVLEDLAGSQVRDVSLVL
DVAL

>RCO7_05903 | probable translocon subunit

MTTGRPSSPTPPGGPKTAIRRRAAADQKDKVANARPSSTRAAGAGGSSSTMLRLYTDESPGLKVDPVVVLVLSLVFIFSVVALHIIAKVTRKFSS

>RCO7_05902 | related to sterol glucosyltransferase

MASEPSKEGQASEVPSSVIACAEAAIIGNIEDDEPEAISRKASRVYRPHFSRASTHSSTQSVKTHKEKSTKSNQYHVPNILSEDGATEAPPAYGEKH
DQIELSQDGFDTKAKVTEDGRINININEKTRRLSNLLVPALRNQLSLVEHEKGHPLPPGYIPPALGGLPGQTPPPKLNVVIHVVGSRGDVQPFVALG
KTLKATYGHRVRLATHPTFKPFVEENGLEFFSIGGDPSELMAFMVKNPGLMPGFDSLKSGDVGKRRKGMEEIVLGCWRSCIEAGDGLGAPPSTSGTE
DSAFDAGISMDSNPADRPFIADCIIANPPSFAHIHIAEKLGIPLHMMFTMPWSPTQQFPHPLANIQHSNADVNMTNFMSYALVEMMTWQGLGDVINR
FRERALGLEPISLIWAPDMLSRLRVPYTYCWSPALIPKPKDWGQHISISGFYFLSLASSYTPEPELAAYLAAGPPPVYIGFGSIVVDDPDAMTKLIF
EAVKKAGVRALVSKGWGGLGADDLGIPEGVFMLGNVPHDWLFQHVSAVVHHGGAGTTAAGIATGKPTVVVPFFGDQPFWGAMIARAGAGPAPIPYKQ
LTADKLTAALAEALKSETLERAKELGAKIKEEKGSETGAKSFHDMLDVDNLRCSLAPGRVAVWRVKRTQTRLSALAAHVLANAGLLDFGDLKLYRPR
EYETEKGPWDPISGGASALLGTIASVGMGVADFPIEIFRAVKKTSTKGGDTMSTNKSPEKPHSGEATPLASPVPFASTSRNDLSKTVVKGDTDLNSL
HGQTSDTTPKTSYDTEWSSADTPATDASSTTFARGNSLKQALSGSLCRSSSRSSSKERGSLSRSNSKDRHSRSRSGSPFGHRRRQTEEFDPTKLTLE
NATRAGKGISRIVGAGLKSPMDFTLGIARGFHNAPKLYGDDTVRVQEKVTDFPSGLKAAGKEFGYGMYDGITGLITQPMRGAEKEGAAGLFKGIGKG
IGGLILKPGAAIWGIPGYTFMGIHREVRKMFGSSVLNYIISARTAQGFEDEQSATPEERSEILNRWLDHKDEYQSEKMKVQEHGVDGQETGRLTPKG
FMQTRHLTFDERKRLQQERKLTREEERKKTEGELGKRNCTFCRRDNSHSQKARSVQTTPMVPTSDEDQAAEFEHAIHASVAASSRGNSEEDMAIERA
IRASIRELQSAERPMITNQEVLERAIEASITSSGRHASELSFDGQLHQGITMTDEEAEHQAGLEKAIKASLTHYKLSGDAAVDDVDTDEDEDVKLAI
QISNTEPTAESEDDDMMKLALQQSHEDSAKERTEEETVIEYIKKQSLLEDQHRLAKEGKHKGVVAVGEEDSMSQADEEALRKAIEESMKTAGGGEVS
GSAH

>RCO7_05901 | uncharacterized protein

MADKRPKRKSAAKAESANKKIALAATAPLEATDQMTREDYEEEKPAHLRKSSVRPEASLENTIDTTSPTPTDKLATGVPGLTNVQVLIPQPQSATRN
KKPPSKSRLQGVPQAGTSQEPSPSLQPNNTLPRPRDQVLPPTGTFRLPAHTLPKTSTTKIQAQQTSALGNVQHLLTSEAALPSIVARPSPQARSQFR
HSAGPDPVPILGPVPKPSVIQQMVDIIRNTDTHQKSPQNSGGTSNSLGLKHPQATKSFDLHSEELGPARRGATKSTEVNIASQAPEGHATAAQNLGR
RVLPEGNRLLAPGQQPQQSLAAKHFVTTQPISTQTLQLGNTLPLGSTSQSAPRQEYPPILPPRPITYSLSSTKSAEPANTITPEHTQPEVVAGRQSS
DSDNRPRASSQVSGGSASKSSVPITISANLAAAAAKFSKMKGAAGKQTANFPHSQKPNTQVIGDMPPPPIRRRSNSANAALSAPRNQIGSLPNLSDS

NPNNIDQAHVMGGKPRSTIQPPGLSSRNRSASQSLMMTGLGLNASNRDQQLEESDATLSPSPLKAFHMHIGRSNPPGPLNSADTRAPPTEATSSNAE
PLFAGRMYQLQPEKPCSLNLDSELVTDSFSGADQDPLTQQRNLDFQYKPDPLPFIPELARMQRQQQETPRAFGLMSEDADADAVVEFDWEFFNSAGS
APIMSPVTDHNENPLLFSHEDDIQDEPQYQGQYESQFESLFELQFEGRDENHYDGVYEGVYEGHDGGQFEDGFEGHDEVHGKGQFEGRFESHVEGQA
EGPDSGQSASSQSQGQKFPESLASRFQTRVSALSSMKNRSPDADEDLRLSTAFAKTLENLIVGRAADKDRAAGKEREPQRDVSAGRKDFVPSGLAVT
QLPAATEEVDRSQNPTFHEFMTENDDDSCVFCNYESSIGIADSRVWLPEEASLGYCGECHEETREVFALWEDIYKLPHSSDEETKDKYKLWLEKSAT
TPLKELGDAVDFRSQLRDEMSKPSRLNSIMNASRCHDKDGGKDRREQRKEYTTPSTVRNVPLGGRLPVRRAVSGEMNRNNLAAGVKRTFNESLSMDN
QKMGNSSSNLHLSPPSLSAHAPSLPLLNPIPPTQSGSSNSATSMPPTMSISVPQVNAASQVTAHDGAITPNSAVFMGILNISAPPGSQMTDTTTPFR
TSTPNDGGAAVPSPTLRNASITAASIDTSSRPASHSAQPTGPSGVPRYFNAAPSSSFLNQPPMSLSDGPAFCRGCPWRQIDFTKAKICTACRDGKML
ICSHAQHTNFRILAEMPGVFEGTAQVHGLGRIGRGGKFISDGRYANCMVCPGLATHGCIDCPLRLCGGCVVKLTRMSKGKMNELLSCFNAQREHIRN
DSFLLRSDNKGF

>RCO7_05900 | uncharacterized protein

MFRFIRPRQPLISISRLPLKLEAQRQGGELSNFQVVSIKRARAGIKTIIGTTFAIYIGTTIYSKAVLDPLTRAAAEILNDLPADESEEEAEPLFIPF
PGTTKQLPVVPYRGSDPEWQEFIKFSRDKKLAQNVREDLAGYVASIAAKHPLLAARCGTDMKLRRFWLDVDFPPAPPPEFERKGLELGTGVTTRTVD
SATVFKIRQGLWPSAVMKSFWSFVKVALADDTKRVAAMLGIGSASPPLTFDQLLAQHQQLIQDGQAPPLPAKASTPGLPPQGSKEMIDTSAGKSESA
EEESEPKDIQEVVIRINSRTMAIYAHFFRPIMAFKAKLAQTWKPILQHPPRGSILVSGLVELDSPKATLVFDVRAAYNPKTKEYDPSSLLIQLRRLQ
PKKQSPAR

>RCO7_05899 | uncharacterized protein

MRLTPSFLFSALISAASAADHANVYIFDGAKRTATNTPSLSPEQARLVFAQRLGTSQYHGIGDASESTLSYINKFGGQHESLFQDTTDDKAAELVLI
VEGVSSENAKPLLKEWSSTVPAFTISNPPCMVANQKLVSDLQKQSGEGSRDCSLESAINPFDRDCWNGRSNAIHFDLASKGESKIDELMAAQKRLLQ
FAEKAAMNVVVVLMPESSRTSKTTGKAYGSYEAPSQPSMGKVRRHAAEEPITEPPAVSSPSKFSTKQLQSSNSTNSTIKPLPKLPPLCHSSKDACQS
STNNCSGHGTCFKKYSTSKAACFTCACTTSKKSFMFGEKKYFQISSWGGAACHKQDVSVPFWLISLFTIVMVGTISWGIGLMYSIGEEKLPGVIGAG
VSSGKTR

>RCO7_05898 | related to acetylhydrolase

MAQALGAATSHNPSPPSPNRPDDVPHHSKQPNSRPPSGLREKILRTPLPYYSGPYSVGMMDIEVPVRDPRHFSEITRNKKHLLELETVLFTVFYPSG
FGSGEGRSPEGKKEWSRPTWLPRPRVEVARGYGRFAGLPEWVCAGWFGATTAFTKLPAFRNATLAEHWPPDTNSREGGYQTKNRAGTRPPGEPEKPC
FPLLIFSHGLGGTRTTYSSVCGEFASYGFVVVSLEHRDGSGPRTFVNIPKRESAGEGLSNGKVDLGGKARERGYSKMDYVFPKDNARDTSPANEQGV
DAELRAAQIQLRLAEIEEAYYVMKLIHDGEGESVARGSLRCKTHGSIGGSSRGLDGIDWEAWRNRFHLQQVTMLGHSFGAATAVEVLRHKDRFKFVG
QGIIYDIWGAAIQAPGDESRHRIDTPLLAINSEAFMYWPDNFSAVMSLCREAKKHDALVWMMTVRGSVHISQSDFSLLYPRIASLFLKMTINPRRAI
DLNINASLEFLRKVMPDRVSKMNRGTNEHLLEVSMLDSLPEEHRPDEKWMAMRLRIPHELRIRLRPQWVRRYDRKRRKDSVAGDLPRDPLGNVLEGL
EDLKLGEEIWMHVAPTKEELGKHGLRPEEGVEGREESGMVGVGGEEGRCREQHRGIEQRYMDRG

>RCO7_05897 | uncharacterized protein

MASAERKRQPALGRKDTFQKMLDLEKLNKINRMRASSPFPQVTSTPKSPPPPMSDMGQHPPLPLLSIDRSVMASTLSLTMPPAKFAIPAHSPKYVIM
PGGDLLPQDDELSEPESAISSICQSPSWEDYNGKRRKKAKEEERERRRREIEATNLRAKQVQSPESTISQPKRLSKPPPANRRLSKVTIPTERSVSA
PAVPTLPTMARGDVKKEIKKTPSDKAKRNSLEAGFRGLMSATQAVHGPWKSSQNSSPSNHSTPGMSPARHSFSSKPTYNDGGFVGGVKLDHMRQTGT
TTTQVNMHEHKKVGWSDRGPEALNERDPTPRPTGNSSSSTSMAESLRPISLYDEMIQSPRDWDTISAQNTTATRSLASPTKNLEESTPIMEREARRN
RPSHPPTSRYFPDENEELGSSQRDSSNGSRHTSLSRSRNTEKRRSYHIPTLSTVSSQPATSDCESTHDRGRAAVQSTSDRKSRKLEGPAGNAAAPVK
MSYPPEARGRADFDRFQQRERESSSATTSRDASADSTAAGKKTKSRRGSFSSLFSRSQSRTRASSETSVASSPAPSMSSPPTKKDAPRTTSFSTIGS
KSKPPKCDVDPTSPYLDEEYVLNQLHRELTTKAAVPGQKRTSSKGPFQGLKSVAKFAFARHSIASPMSPTGSFPTALEVQGSKRSWSSDRTSLDFAS
PQISSVMKAETGALASEASSSAREFTLPEVPSGPSVRSSARRNTDLQRNSRDPTPKAFDRRRSNYSRSATDSSEEDSTLDESSNTTPNASRPQSQKD
YFSVRGDVSPVSPVNDSSSTLQSPQGLGLTVVTLVDETTSSGNSWCEPGVESERKEDEDHLTTPTGNSPTFDSNTFHLNNSSPQVPQGPLTPPADDS
DPRRRPSFSRSMSTPELQDLSFLPTLKHQALTRHTKRLSRPASLKVSPKETAKKAEEALNALVRPPTTPMPNTKSEGSSPTAPKSSQHLQNARLFLP
GARSPSHSNRGLHNPSSKITFQPGPPRKNSTEPLAKVFVICCKCKYFQDMPSKVYERMTKQDNVATGSYLGIGNLVDTSVKCPWCTHGMSTTCCEGY
AAVVYLNEKLHGGGPAEIGAR

>RCO7_05896 | uncharacterized protein

MEQNRASRSSAQKRSPEHRSRDENLVSSAADRNSTSFLEHKIALSGMSTIQNLSYRSWSTRRSISSSTTAVDQRLRHSYSFSSGYEAYAHISYRTSS
EGRLCKDHQDREILYIGAWVQEEKTFDSGIPTTDKSPRHESLLPNCDAHVDHQCEKK

>RCO7_05895 | uncharacterized protein

MPTNEAFAEGMFSSAIYAGDRKIVNQALKCGMCSNAFVEDRSGTASWSDRPSINGRSTPLGIAARNGNMPIARLLIAKGASIYTGANLGFGVTALHH
AVLNGYIEAATMLLDMGADINAQSSSSGSPLECAISCNAISIVDLLLQRGALVNDLPKPGRRTPLQLAATLDDPDLVKRLLRLGAYANAPAPSCFDC
NENIRCADIRTVGTALQGASANGSVHICQTLLDSGANINAAPSICTWNNRKKGMTSLVAAIRSGNCDLVKLFLNRGSDVDDERGCHTALEAASSANY
PDILQTILSVNPRLDTNLCVVVETKDIHLILTFFEAGADINAVQKSSVADSNMMQAYGAETQWSLLSKAVAIGDKDCVKILLRLGAWPNPEPGEGVV
IPIVEAAYHANISMINMLLAAGANLDMQEDYAARPRESGSTYYSASLNALQAASEQGDPQLVRYLLSSGADINICAALLRGRTSLQAAVESRHTELI
QFLIEEGADPDSPAGGYSGVTALQAASKRIRNRAPNALNGAAFFGHLSTVRFLLASGAEANAPVYGQTALQAAASGGYLHIADVLVKSRADVNAVGS
EIGGQSALECAASYGRIDMLKFLLNAGPDITSDLGHARFEKVIDLAIERQGTPRQLSF

>RCO7_05894 | uncharacterized protein

MSSCLFSTSVPGYPRASAGLTIADHLITNEDGSEPMDWQPEGILAVEAWKYQAITLPALVAAGGPFALPPLYTYHPLPINFSAMAAFHHLSSLSTTT
TSQVHEVELALASWQQQQVVLAIEQDRVFLATKYGEAVKKEKSLADVLDVVRMQMELQERFAGDGEGLRRFVVQQQQPQQQQQQQDQQQLIKEERCE
ALRQKQADQLAASASLSLSLSSPPPPLLSSSVASVTTTTTTTTTTPPPPQVKPGVSDQGSAFRGI

>RCO7_05893 | related to 1,3-beta-glucanosyltransferase

MVRTTPLVSLLATAAVLTSSASAALDPIVIKGSKFFYKTNGTQFFIKGVAYQQGVSQNGGGSIDRNTGYTDPLADTTSCKRDIPLLQKAGANTIRTY
AIDPTKDHTQCMQLLDAAGIYVISDLGEPNTSINREDPEWNIKLLKRYTSVVDSLASFTNTIGFFAGNEVPNNLSYTGSSAFVKAAVRDTKAYIKSK
GYHAMGVGYAADDLPSVRANVAAYFNCGPVEDQIDFWGYNIYEWCGNSDYVTSGYADRVQEFSQYSVPSFFAEYGCNTQGGGAAGRKFTEVAAIYGS
NMTEVFSGGIVYEYFQEENDYGLASADGTSISTLADYAPFSSQLNAAKPTGVNSATYRPTNTVGQSCPAVASTWAVAETGLPPTPNQAVCDCMMSTL
SCTVNTKNVNDTQIGDLFSQVCGYNNGQACTGISTNTTTGKYGVYSMCSPAEKLSHAFDTYYQQQKKASTACNFGGAAQVIQAAGAAKSCSSIIAAA

TAAGGATIPSGGSGSGAAQSTSKKSEGNGMIFAASLGMGKLFAVGFTILAFLSGAGMILL
>RCO7_05892 | probable gamma-glutamyltranspeptidase 1 precursor
MFFVNALLVGFAAHVVANSDAKLGAVASESAVCSRIGTDILKSGGNAADATVATQFCVGVIAMYHSGLGGGGFATVRSKHGTYEFIDFREMAPAASF
QTMFSPPLSNAEYSLYGGLASGVPGEVRGLEYIHKKYGSLPWKQVILPAVKVARYGFPVTADLVRYMDTETFMVTDKAWAIDFAPNGTRLGVGDTMT
RKRYADTLETIANEGPDAYYHGHIAETTIKALQASNGTMTLSDLANYTTKLRPTVNIKYRGFKIHTGSAPSSGAVVASILKIIEGYDMSTPSKLNES
VHYLDEAMRFAFGQRTLLGDPEFLSNLTTYQEGMHSDATAAEIRTLIKPDRTLNVSDYNPSAYQILTDHGTSAVVASDKSGLTISMTSTINTKFGSR
LMIPETGIIMNNEMNDFGIPNTINYFGLSPSKANFVEPFKRPLSSIAPVIVERADGCVYISHSAAGGSRIITEVVQHLWHILDQNMTSAQALAQPRM
HDQLAPNTVSFEWASDFQGVKGYDNKTTAYLSSLGSSVSFIAPGSTSGQGLRILPNGTFEAAGDPRQLNSAGYAV
>RCO7_05891 | uncharacterized protein
MEKLPNFHEWTKDELLEECDQRGLSRVGAKNDLMKQLYPNEIQKRRSAYERHKARGFAQDPEGIRLLSELQNLKRDWRLAARHQHEAENDYVQTRLK
RAENDREESMQSANTFAQDEHSNIKRRLKVHKQRRVARKAARETAREVLKKAIQKPVREPVQEHFNTSSSRDISMKPSQRSAIPTHVAPIAPMLFST
TSTTSTSAPASARAPASLPVTAPTSSKKSGWALLGIRSKAPTPKVRKG
>RCO7_05890 | uncharacterized protein
MAAVLVQESTAPLVFTKFPDLPLEIRCLIWAKASPSRPRVVQIAYEADKETWRACVDSCGGLPRIIPVCREARQEALKPYTRLLETWIDLAEDTIFI
SDPMFNIRRPRSMFMDSKFMSSIKRVAFTEDVYFGMKLLYESFPLLVDSPGAIVRKMQGLSHFTIALMEDGGGYGWDSDEAVEFEYFDEDSSTSELD
LEEHGDFEEQNEQELTVPDGGEIADPDLLQYGDSTQNEDADEHDIDDGDGDDEILGQEPWLAEQEEDATERLRKGYFRNVGDIHFQSAIHSPDYWDT
WYPYLQRISSDFDEQQVKDPDWSRPKIAVVEVKYGLHYIGQSDAIDWRSGPTPEEDGSSADSSEDSSENDI
>RCO7_05889 | related to Zn(II)Cys6 transcriptional activator
MHAVVLIWLTSRMNRACDYSDAAPTPTSDDFNALKMKVMQLESSLHGRHQPPTSYTPSSSNALVEAANLGQQMQPIYNPAQEISWQVVQNRFPAIAF
LDGQTFRYGGVVVPKPNVEIPGDVLQLLGDANEIQDIVTKYFDTVHKWMPIVSHKRMTRNLANPLWEGGPDLGLLFLCMKLITSTPPDGIEATQSSL
YTSAKRFIALLEATGSASLHLLQANLLVTWYEYGQAIYPAAFMSAGWCVRYGNMLGINGNEEAVELLGRTDIWVEQEERRRTWWGVLLADRIICIGS
QKYIQNSQEPSSEDILPSPGYIWESGENTAAEQRKVGMPLDVAVDPFQRLCQVYSLLGAVIDHHYGKKLQEEQDQFTFATQLYSELTSLIIKITEES
NNDPIVIASPLALAYSTLCRLCDRYCRPSPRPGASMPATTAASEMQTQAIEGLRGVASMIKEFANQVSAVTPQPQDLDRTSPIIMDALYSAAAHFAW
MVRESGDETCQNALDTLRNTMRKLSIRWRSAAEYLRLLEAQEFTYAVGSAGS
>RCO7_05888 | probable benomyl/methotrexate resistance protein
MQSYLAYKRFWKHARDQYERDKKRAEQLERGITEHNIGDTENEKFGHRPSSIDSSFDTDVASHLQSPDSRDPEKGEQQPGQGEQNGDHSSSQDQNDI
RRNNTLSTIHTSQSFGSRMGHTMTGIEVRELSEQLTKRRSRAGTRTNINSNSKDLPVREKVFVVGYESEKDTMNPHNLPLSTRVSATMLIASIGFIV
GFASSVDSAAITQAAEEFGVSEVAESLATGLFLIGFGVGALFAGPISETVGRNPVYIVTLAIYMIWTMASALAPNFAAQIIFRFLAGFFSSTPLTCA
GGSLSDLWDPMERVYTFPVFANAAFMGPIFGPVVGGFIGQSSLISWRWCEWITLIVSGLILTLVVFFQPETFASILLKWKATHLRKITGDDRYVAEV
EIRAESFWKRLTHALYRPFLLTVREPIVILFALYLTVIYIIFEGITGLAFLGIAIGLCFASLLVPLIHKWAKRDLAAIQETHGPEARLPPEKRLWFA
MFGAPAVPISLLWMGWTNYPSISYWSGLVSSVLFGYGILCIFMSSYQYIIDTYEIYAASALASLTLIRYIAAGGMTVVGIPFYQNVGVHWRLTILAC
ISALMVPVPYIFYSYGSTIRSWSKYAPNRDN
>RCO7_05887 | probable NADH-cytochrome b5 reductase 2
MFARQVFRAAQPLKTQTRRYATEPSSGGSNTAIYSGVAALTAAAGYYFYSSGDNAAKVKSAAQDAEAKAKDAVGAAKAKVDGATTKSAFTGGQQGFI
SLKLDSVEDVSHNTKKLRFELPESDHVSGLHVASALLTKYKGPEMEKAAIRPYTPVNDEDEQGYLDLLVKKYPNGVMSTHMHNMVPGQRLDFKGPIP
KYPWSANKHTHVALIAGGTGITPMYQVARAIFNNPEDKTKVTMVFANVSEGDILLKKELNELENKYPQRFRAFYVLDNPPAKWAGNSGYITKELLKT
VLPEPKEENIKIFVCGPPPLYKAISGVKKSPSDQGELDGSYLEQLGYTKDQVYKF
>RCO7_05886 | probable DUR3 - Urea permease
MAIEPPLNVGWGYGIVLGLGAVFAFGMILVTWVLKRYNHELQTSEMFSTAGRTVKSGLVASAVVSSWTWAATLLQSSGIAYRYGVSGPFWYASGATV
QILLFATIAIELKRRAPNAHTFLEVIRARYGTPAHIIFIIFGLATNILVTAMLLTGGSAVVTSLTGMPTAAACFLLPLGVVMYTMFGGIKATFLTDW
VHTFILLIIILIFAFTTYATSETLGSPKAVFDLLVEASARHPVEGNAGGSYLTMQSTEGAIFFVINIVGNFGTVFLDNGYYNKAIAASPVHALPGYI
MGGISWFAIPWLCATTMGLAGLALESNPAFPTFPERMSDADVSAGLVLPYAAVALLGPGGAICTLLIVFMAVTSASSAELIAVSSIFTYDIYQTYLN
PSASGKRLIYMSHAMVVGFGLTMASLSVGLHYAGISMGYLYVLMGVIISSAVIPATLTLMWAGHNKWAATLTPPAGFVCAIIAWLVTASKTCGKLDV
TCTGSNNPMLAGNVMALLSPLIFTPIFTLIFGVDKYDWKSMAAIRKGDDHDLAEEADIDLELVPGENTTEAQRELEQVKLLRASKIAKGMTVLMTLA
LLILWPMPLYGTGYIFSEKFFSGWVIVGIIWLIGSLMCVGVFPIWEGRKNLYFTFKAIWFDITGKQHPSKHHRPEATYVEGKEPGTDTPPAMNEKSA
GVIEDRSS
>RCO7_05885 | probable competence/damage-inducible protein CinA
MAREFPPEKVRAIVAEVSKLLKEKKETVSVAETAAGGIISASILSTPGASGIYKGGLTLYTLESRIAFAGWTQENIKTYKGPTPDIVAGLASSVRST
LGSTYTICESGTAGPTGGNTPNRTPGYVALAVATEGGVYKRELSTGHEGDREANMIAFAVEALTLLKDVIKGDAKL
>RCO7_05884 | uncharacterized protein
MASKSLRPWEDVAFNKQAECLALIPSAWIIPPSVLKDISLGPESDTNVIALDIPRKSGILANTELAIAEGYNARELAAKLGAGELSSEEVTLPFSKR
AAIAQQLFNCLIETFFHRPLERARYLDAYLKEHGEPIGPLHGLPISLKDSFNLAKKNIQFLVYSDLPPGFDHLTTLPIHCSKPGKR
>RCO7_05883 | uncharacterized protein
MSSRPGRQRLRVKTSCAECRKQKKKCDETKPSCLYCLHYKREFCWPTDFVDGRHGRQRASSTFSTPSAASSSSLSERLGLPSTTPVKKIEEVQISSG
TGNYGPQSGITWFPVDLGKGHEKLLFHHFSTCTLPTAIRRHAHPAYSKYHDVIQFAFERPDIMRVFLGIAALRIGHNNKNFAIKAIKFYTPSVSAIA
RSISEGKVNGTEEWLLVLIAFMTSRFELRSNVMLHLRGLAQVFYTRKLRNILPQQQRPFHRISAEAFAYHLATYSLLHSADEIDAVAQQFSWSDLEE
FKEAMPFPEASRLANSPILGLIFDLFTILDLAEKQLMQELRRQHEEDQKESHEIALLYTLVTKLFLSKILTPKIGVENINIQHVLHQALYFVGKCKE
MIKEKVVECRQWTHSGQIYRSSTIIAAIWKDALPNNLNAPAFSPQRPRGLDRLLHIGGLLDTLSFTS
>RCO7_05882 | uncharacterized protein
MSTDSKLNDMQNANPDNFDEGSGKDPESEEIDYPSDSDNDSDGDGASDSENDGGTSSSSLSERLGLPSTTPVKKIEEVQISSGTGNYGPQSGITWFP
VDLGKGHEKLLFHHFSTCTLPTAIRRHAHPAYSKYHDVIQFAFERPDIMRVFLGIAALRIGHNNKNFAIKAIKFYTPSVSAIARSISEGKVNGTEEW
LLVLIAFMTSRFELRSNVMLHLRGLAQVFYTRKLRNILPQQQRPFHRISAEAFAYHLATYSLLHSADEIDAVAQQFSWSDLEEFKEAMPFPEASRLA
NSPILGLIFDLFTIVVEVTRLSRHTP
>RCO7_05881 | uncharacterized protein

MSLAITPYTRLLFFEGQPIPNGLFAKWIKAEKSPLPRDSHPPPIDIRHDSTGDMEIRKLLYRGHSAEQLCWRIQRYAGRRGINLTSSQAAVTTRFQE
AHDNAMNLPGDLSDHDSILLEYFNVFNSAFFLGALCFCKLRFEWQENYIQGSCTSGAHADRNLIPYNFACLIRIRPRTGEIPDRELLLKAYIEVLLH
EMLHAWFSLYACKCYLCIDQSRAYIGRTSSHGEGWQLAALAIEQATEPLLGIRLKIGRGESMVAEHARRCDFAKLLTGLADPNSSNLSTTPLAIRSE
EVQAQKLNSHLHFDLKPLSAMYKFEYSGSKDQYFGVPSTKRSARQTPAQNVNHILQETFRSGSASAAEDS

>RCO7_05880 | related to P-type ATPase

MAPAYLKVATRDAPRQSISTPAHMATTTLKVGGMTCGACTSAVEAGFKNIDGVRSVSVSLVMERAVIVHDPQRIAAEKIREIIEDRGFDAEVLATDL
PSPMFSQKGYLYDEDNDGEEEDEPMTTTTTLAVEGMTCGACTSAIEGGFKNVSGVKHFSISLLSERAVVEHDDSLLSAEQITEIIEDRGFGATIVES
RKSEPTKSLKTRRGSSSRKEKVATTTVAIEGMTCGACTSAIEGGFTGVDGLLQFNISLLAERAVIMHDPAKLSAEKIAGIIDDRGFDAKVISTQLSS
SGQSTSAAVAQFKVFGVKDAASANSLEAKLQSMPGVNSATVSLATSRLNVSYQPNVAGLRALVELIEADGYNALVADNDDNNAQLESLSKTKEITEW
RKAFKTSLAFGLPVFLISMVIPMLIPALDTGRIILIPGLYMSDIICLILTIPVQFGVGKRFYISAYKSMKHGSPTMDVLVVLGTSAAFFFSIAAMLV
SIVFPPHTRPSTIFDTSSMLITFITLGRFLENRAKGQTSKALSRLMSLAPSMATIYADPIAADKAAEGWDVAIETAKESKTDSAQEGNAAEEKVIPT
ELIEVGDIVILRPGDKIPADGTVTRGETYVDESMVTGEAMPVLKRKGGLLIGGTVNGTGRVDFRVTRAGRDTQLSQIVKLVQDAQTTRAPIQRLADT
IAGIFVPVILCLGFLTFTTWMVLSHVLSRPPKIFVDEASGGKFMVCVQLCISVIVFACPCALGLATPTAVMVGTGVGAEQGILVKGGAALETTTKIT
QVVLDKTGTLTLGKMTVASVRLEPTWQDTEWRKKLWWTILGLAEVGSEHPIGKAILASAKQAVGLNVDGTIDGSIGDFEAVVGKGISALVEPATSSE
RARYRVLIGSVRFLRDNNVIVPQAAVNASEEANIKAAGSAKSPSAGTTNIFIAVDGQFSGHLCLSDTVKDSARAAIAALHKMGVKTAIVTGDQRSTA
IAVARLVGIPSDNVYAGVTPDQKQDIIRKFQDAGECVAMVGDGINDSPALATADVGIAMSSGTDVAMEAADIVLMRPNDLMDIPASIQLARSIFNRI
KFNLAWACGYNVIGLPFAMGLFLPFGYHLHPMAAGAAMAASSVSVVGSSLLLKFWKRPRWMDDALVEEKGQLRRKGSGWGMGGAVGKVTDLVRATTR
RNRKEEDGYVPLRNLEAV

>RCO7_05879 | related to ACOB protein

MEQMKSMNALAPFLALTKTANSPRAAANLIESATSASNTFIFAELLQAPNIQALSSSSEFSSHLSLLKIFSYGTYSDYISSTSLPPLNPAQMLKLRQ
LSLLTLAKNQADLTYANLLSHLGLETLRELEDLVISAIYAGLVSATLDPYHQLVAVTSVSPLRDLQPDSIPAMLSTLNEWSTRCVSTLADLEKQIAG
IKAEAMKRHREETEWNAQVEKLLEVKAEVSFSSEEKEKDVKKLSFSAVGKKLGFGAAAKRGNGAVAGDGEVNDMDVDEDDEGSKVGRDTRSSKKRGH
GGK

>RCO7_05878 | probable RAX1 Protein involved in determination of budding patterns

MADTTPSPQPDLNRSRLPTLFEVLSRRTLAPVDLFFYYIYMRDQQRSVDYLDFWLDVAQHMSMCRHYVRELRRSVMIGTPDGDRTGSRRSSALLEGL
GEMHHAAGGPSMLSSEKEKSQDAQMSAYLREEAANGGQIGHSPAGSLGSNVRQTESNERPRPSFMSSPQVVSDSNSPDHTVARADIRSSAEKILYTF
LLPGAEREIILPDSITHEIILSIEERGRDDPEVFDAAKDYVFQAMERDAFPGFLRAKALGNLVPPSLMMRLIIGLLAMFGGFWAAFVLIFLDLGRTT
RTWLILPFTIGVYALCSHQYAIDPILALAGYSEYSFMSFGRIREPYVRRLLNKRAIMVLTVSTVITACLVILFIFVPGKRL

>RCO7_05877 | probable 60S ribosomal protein L31e

MSTKAAKKPAGKTQRSAIADVVAREYTIHLHKRMHGVTFKKRAPRAIKEIKAFATKSMGTTDVRLDPQLNKKVWEAGIKGVPYRLRVRISRKRNDEE
GASSRLYSYVQAVNVKDAKGLQTALVEDA

>RCO7_05876 | probable ubiquitin-conjugating enzyme E2-C

MSVAAALASQSIMTFDEDTQNSAPGMLPAAQASKLGARKGADAQSTTKRLQTELMQLMTSSAPGISAFPSADGNLLSWTATIEGPDDTPYADLTFKL
SFAFPSNYPYAAPTVLFKTPIYHPNVDFSGRICLDILKDKWTAAYNIQTVLLSLQSLLGEPNNASPLNGEAAELWDKDMELFKKKVLDRHEDIDDE

>RCO7_05875 | related to protein kinase chk1

MEPLQSQLDPLPRDLPFRIVSKTIGRGAYASIKKAIPPTEITPVFAVKFIHKAYAVKHGRISAKQIAMEVSLHSHIGQHPHIIEWFATGEDVIWKWI
AMEYAEGGDLFDKIEADVGVSEDIAHFYFSQLISGVNYMHSKGVGHRDIKPENILLSERGDLKIADFGLATLFEYNGATKLSTTMCGSPPYIAPEVI
TCSKSTQSRGGPKAAGYMANSVDIWSCGVVLFVLLVGNTPWDEPTAQSWEFEEYINKSGRSEDDLWKKLPNMVLSLLRGMMNVDPSKRFKFNSIKQH
PWYTRKNHLITVEGKSKDPLMLATEMLQGLRIDFNKHPSQSPKARQSQEAMDIDIDEIQSRFSYTQPETPINDVMFDWERPPRVHAANFSASQPTTV
NDSHICTMTNGTTHPFESLADEPSMSQFAAVPSVPLSLTQHARQFRDIVPNYSLTRFFSQLSAPLLLQLLADALHHLNVPIPPVSQMQGREHAGWIK
VKTVDGRQCSLSGDIVVDTYSTDAGELLEVRFVKVKGDPLEWRRFFKNVAVLCKAGVFRPGES

>RCO7_05874 | uncharacterized protein

MTTTSMNFSMSSPVSLEVAHGVTMERTESGRSIISDSIYESSYDQVSSPQTTFPDFDAIAASQVKQYTNKSFSHRKYERHSRILRSLIDDDNNIVDD
VALDSILNSANALFFSGTLKGRVQWEWSSQARYHSELIGTTALRRRADNDGFETLIVLSEPILRSTKYDRRLLLSAFLHELIHCYLFVTCGFEAKRD
RGHTRGFHVIARIVDRWVGEGYLGLCSMKANLDNFRRDVEVNTMDTVMCWERDVERERKLEIHPKIMDSGMMEVSISSSRGHRNTDLFYDYGYEECD
QSPQLEPGGLVVNPPALKADCIGAVEVPFSWY

>RCO7_05873 | uncharacterized protein

MATKLDSLPSEIILQIASLLEAPDIVTLQHVNKRFLSLGRDDTSWREQCFQSSSFLSNLRRRRQLLSSDNEQDPQFRDLARALAAGNGLGDSRLAQP
RDEAGDLKAQSNERIRILANWDPSYLTENVKWYDEYIARNAPISTSWLQQPRNRDSNDHEYLEVRGMGIYTSTGEDAATMVVGPLDDGSVCLWSLTG
APGQKGRIIARSKSGLISLDPAPLNAEGRRPKMINTGVTECVSIDSARKRAYFAVQSGLVEVDLETLSVISHERFPFAITALSEAKHPVPLTVGTNL
SLHLHDSRARRLSRPSEIGTELIDSYDTEFGSLASQKSHSLDFRALLDPEPSPSFTHLHHPGPLSILHLPNSGSEWDGNGGIYVAGRFPSILNYDRR
YFPRLRGTIHSGARLCSMASLPYSFASVEKDLARRGELSIEQVWEFKNRPGRTLMAVGEYNSKGSLEMYGLSPSPSHSTISSDTSYIQNSVMKNRQT
SSSSKLLSVSNHGTRIVVSDGGGNLKWLERDGFTETRRWNIAHGSIEAPRGIFGTLGDSYMDSGSGDIVLKLANTRNGPDKNVNEDDLVLWTGEKIG
LLSFSSKPGFSADSFEARGGQTPEELRREMQEQTYSETMGRALEANANEVRWLRGLGLRPS

>RCO7_05872 | uncharacterized protein

MESRPPNSRVNCDLRDPDNPDYTQRAEIDTTKVLAKGNSVKSTNPFRKNEDVLSSEVSRVPPPEERNIMGVRKNTPVRAVFDDLGTAHSSITSRSTR
SGQRLISNKNSDPAEEEDSIPLQTLAPPKRDQGYSALKDLPTSPQPVILPITQFTTGQDYLTGVDERFAVQGAGLTEPIRPNLPEQNQSILATIKNA
FVSISSPSQAPWPRDRQSSENDQDLRSLENQDNDYEAEHAHDFSNYPSSAGPFRFPSSTPGGMHSSNVHTTNNGYPTSYQFYHPPASSPPIPMSTHP
RKFPRLVSGSTEVSVREGSTVCNIVQHYAGSEGLEGDGSDFEQSRGARHFEARSRNTFIPRASGHGLTSSPPFHKTFQPSGLQIRKQRKGEASGTTR
TPAAHPIAVRDPDSNEFFDESTSDTANSTLPSLPRISHRNPYRFNQARGIQAHADPSHCVYEDSPFQGPSQEARLPLEREVSQALRRASGYSAYSAG
SVNSSVVDYSAMWNHDNNASFQPNMTGHVKGRGKEVARDPNDVGVGHIFDEEAKCFYDEHAIPADWINSRQGIRVPIDRMGSFSDSPPGTPIVGNPQ
QSGQQRSSPADDVNDWETVGESAFGLEYEHENGTGLIGGGVHRTGSSIANTSDEGTASIHFEDLDEFGLTERIAQHPANIEYSGDYRQRDLKSTKMP
ILMPVFNGHKVNGYMADSNRIRPSPGPAFFRPEPLTEAHRNPFNSTPPDVMPPARVAKPKGNLRSHLAPTNPRAVSSSQHNTQRDRSGTYRKPIFKG
QSLRQASAWTDSYRQTGPSVSTQIHPFANNDNERPSSWDHVMIFAKGGHVPGYREDGTRICDPFSPEDEVDVRELLDQEQNADNLTHLFGQNGAMYP

GRDFPSSSRQAPGAFYQGLRAVSDQKRPIHPGQHDGAVKSARRQSIAKPDGKTSLRPLSLLNGRLPSTPLRNVSNQSDMLDSGDFVYRSPLAPPKRS
TWQMLYSNSRLLELQRRAGADGVYNSQSGMSDSIEGLSRRHLHEAPRLLAKPRKVKNDSRAKKWKVKFSKTVLVICCFFPPLLILFALGKMDGLILW
WSGGRFQRFGKAQKKWAGIVLCTEIFIITVLLVTFLAWFFGKRRA

>RCO7_05871 | uncharacterized protein

MFTSSMRRVAFTAPQTPIASTLHLSSIAPRTATQIFSCRQRRHSSSKPSSPADGSRGVNEINSAPEKKSKKKVKDTTAANLSAQGRDESMRHLPSVP
STQHIPHLQICASDFFSLYRPMSLTHIFPKAVTDEAFASIFKPRTKTNKTEGVISVLSEIQQDFENMSRQMSGGVKISAVQAAEEGWNDTDDVRADI
TAESYRRKDTISQTKNLDAVMRGQEVVESSMEFPTHIMRGRYRPFHPPPVPLPQDTSESLLAGAEAAAQESAEEDPEPLLRTYTAMLTIKESTDANG
DVTYLAHSSPLIEDAPRAGPTKFLERMQQRREIYRKQRPGQTDMLAISVKRQRKLKMKKHKYKKLMRRTRNLRRRLDRN

>RCO7_05870 | uncharacterized protein

MRFLETVAVCLLATNTPVLAHPQPVAEIAAEGREALREVDELFAPVSDLYKRKGGGGGGGKGGGGGSSGGSSGKGGSSSSSGSGGTSGASGSGGRGS
GSSNVGGSTRTGSGVTPRFGGKYGGGASTPYKAGGVSPRGIAPVFLGVAALSILPGLWLYGAYGYGYHNPYSFRNRTARRNGTNTTDTPTRDYVQLI
TRLVSRQEDAGVSETKPVTCLCAEYAVCGCDDDGNYTFLDSIIGDGDYFKLNTSLVNVANDANGTSTIYLNGTLPNGTTAAGGTEEADGSSTNANGS
TNAAVRTLVEASGYWVMVAAVGLTCFAI

>RCO7_05869 | UDP-N-acetylglucosamine pyrophosphorylase

MEAVKNVLEKMHLGGEGNKSAAKEPSPTELQELKEKYTKAKQEQVFAFYDELSVAEKAALFEQLSSFDPEHINTITDRALNPPAQTKDADKETGLEP
LPESATASILDSKAEDIEKWYDSGLDLIAENKVSVVLMAGGQGTRLGSSDPKGCFNIGLPSEKSLFQIQAERIRKVQHLAHKKSGKGEVVVPWYVMT
SGPTRGPTEKYFQENNYFGLDKENVMIFEQGVLPCISNEGKILLESKGRVAVAPDGNGGIYQALVTSSVMGDMRKRGIQHIHAYCVDNCLVKVADPV
FIGFSASKDVDIATKVVRKRNATESVGLILLKNGKPDVVEYSEIDKETAEAKDAKQPDVLKFRAANIVNHYYSFRFLESIPSWAHKLPHHVARKKIP
HVDTEKGNTVKPEKPNGIKLEQFVFDCFPMLELKQFACMEVKREDEFSPLKNARGTGEDDPDTSKKDIMNQGKRWAQAAGATVVSSGSDDGIEVSPL
ISYGGEGLHKLKGQTITAPAVLEKELQ

>RCO7_05868 | related to G/T mismatch-specific thymine DNA glycosylase

MDHLVKIESEINGNGESLNSVSAPLPPSFKGRLNLADYSFSPKTKSDNKSEHSKQSPRLSSPAISTPKRKSTHLTPSPSPTKRSKSRTPSGYAPPST
YAYLPELRDILQENLICVFIGLNPGIETARSGHAYAHPSNLFWKLLHSSGCTPRRCSPEEDGDLPRLFALGNTNIVARPTRNGSELSKSEMDASVAA
LEEKIRLYKPDAVCIVGKSIWESIWRVKRGRKIKKEEFRYGWQDAEDNMGRGEGGDTEEWEGALVFVACSTSGLAASLRPPEKEAIWKELGVWVEQM
RQVRADALVRKLEE

>RCO7_05867 | probable sporulation protein RMD8

MSAANGKRGPSVLVTDSRERPPVSRASSTRTPVNGPNVVQRRAPTRFISVDNVLQYASEIPSGQARGPPGRRPGPPAQRRPSTGAPGVGTRIAQQNV
PGRSTKVVEKLVLIPETEDEKEGSDEEPSEFGGNVRLDGEEGPLKDAEMDVLKKRGGVRGKSYAERLPKAKRAEKLARVTAYCTAQNYKPKAMAAFV
KEKHGAKTKLYDDCLYTVYHLPLLPGHEGFRIRSSPILKSPGGKAVLDEEIERSEQRDYHEGYFEDTDTYGVRGGEESPRDESDEMKQRREEDERNA
REVIRVLAQGKRGDSPNRTAPDATTFGEMFVFSYGVVVFWNFTERQEKDILADLTFSEHETGISLVTRPLQEDEYETEELHFEYSPLVERPRVFNDM
ITLRSGDHMVKLTMSHAMAQSTKLSFFEEKMNQTMQDAEHVPKHLALTGQLGMSRTEIVKILGRLFQSRVDVNLSSNILDVPNFFWDSEPTLHPLYI
ALREYMEIAPRIKVLNERCRVFLELAEILSDSIADTKMTAITWIIIVLIVISIAVTVTEVGLRFGILNKGKADRDKVLTPVGTNWTSMDFTQPQLHA
ICGAQFVGKTFKDM

>RCO7_05866 | uncharacterized protein

MSTSPDKSVSVSQTSGSLKVPATPDISKTVADLDIQDADEEEDGGEEAYLRGEKEHFETLRPHVHQLCLDLGFGEPSTIEQIKGGSFNRIIGLMLPS
SENSECILRIPRYPTSEQGDPHDQEVMDQVAINLHLAKYDKFHIPSIVAWDATSNIALKSEYVVQTKLQGRLIGTEEVPITSYRAPTSINAIQITGY
RNNPVTNGPLMERQPLPQFISALVEHRKQRHSDWGVLGMKCDRLKEITVEMQRAGMFRIADNHSVLWHCDLSASNCLIHQTSKSSDKNGNDQDAVHF
TSKTGNNVFEESVVESAREESVKAYHHTVELRFLERGHQVAIHTIELDLAGSLSGITCHHTVRFSDGKGRFEGTKYEPPSHDLPSRLQDKTSLSVPV
EGTNNGKTAGEWSVSGVLDWDDALAVPLVLSRVPPLWLWLSEDKRPPLLTHDRDVKPGEI

>RCO7_05865 | uncharacterized protein

MFAPGSPTLLLLGLASFVIGTSTGTGARKCSQNNCYRAFNGDEYAEDAKSFCSSFTTATTTNLIGLPTHAAKKCSLVAQISSVCACAYPAGTGIPST
PPGINPTTIISLISSTLDVVPTVIPTKVTPPLIPSAIVSIPPIITVSPPASGTSPQLPSSSCPESCSSEISSSLSASMSSSLSSSLYSSLSYSLSSS
LVFSGLSSTAKSSPRTSAPGSSTISSAAITSSSSAFDPSQTSAIEPSSLVVSRNTTFITSEIAMSTVQPLSEISTSSNSVASLASSAVQTSSGLRSS
SVTFETLSLSSLALPSTIDEPSISSATPLPTLISSISVSLEPSVIVPSVSINLSSSLTLPSSSATLSSLVLKSTIEISSVSIVVPSVVPVSSLLAVP
SSLVSKIDPLSTVERSISSSSTVLNPVVTTSSAVSYSSEVPLASTVSVEANNPSTAESFASVTSAILPSSFTILGAQSTSIIADSSAEVLFSTIPSV
SSGTLLTESTDATTNSATTESSYQTTSSEVSPPSIQSASIIEVSTTITPESFFTRSSSPSLPSDSSIFLSTFTDPTLLSSSTLSSNNTSQISATIIT
LTTLLKYTTPFLATTTPIATLPIALRSPYCAADNCLRAFRRHSGQEFCSQFTSDQGLDSTGGPNFPTFVTQCTGATYERVSSACTCLNNGGSQTPTF
TFTGFEPAETESVESVETALGRK

>RCO7_05864 | uncharacterized protein

MASSQAGKAHQSLNVFKKPLGLFSKQPMTGFYRNGYCDVGPDDRGNHAIAATLTDPFLDFTASRGNNLRSIGLTAGCKWCLCAARWKEAVDHANSNV
EAGDGAKASVVPKVHLHATSEKALDVVKMEDLKKYAAEPEVGNAGDVAQGHGGMGGAVKDSQEMSGRGSMTTRDQNGA

>RCO7_05863 | uncharacterized protein

MPSLNIPSSGLSLQTSQGNASKAGSISRDAVGLTLSNEMLEEMIRCVQNGKGLQLSLGENPSISYGSKVQQLQTSDDPFTCDIFQSTTTTNSESSSR
AEMSSQLKANPAKGTINVPNKLNHSFFTSLTGRKLMPTAFSEAAGRANIKSSTTTAPAKPAPKPSNTAGTDHALAQLQGALASEQQKKLANTTQIIN
GNLAAPRRGGPPPKMLTNKSKFLSSKNNSLASDTTRSMPSSPALSGVGSPSLGPTSIPLSQQQAEKDKEARKPVIHLLAVEPLSEKTIQNRLPDVAE
QDLNNALRKVGDLNDTTGKWELRKGYWKELDVWAYKYSANEDRQRAIDNAVKQYDKMRLGVSEPQWERLLVKAERGTGKSLSKLQADIAKGVARKNN
SQNTDGSGRETPNGDEDLLDEKNLSKVKGVDTARSSSQPPTTKPKKTSEKEAQAKRLFSKNPPKSANKPAPKDKPLPKDKPAAKAAPAPARKGAPAP
KSGSKVLSAEYVEDSDEDAEHQVPVKEKPKAKPQPKPQAKPVMKRAREDEPDTSDSSIPLSKKVKKDVPPTTTTNHATTASKHRVSDASQTSRATTT
SSYSSYNSAKNKSNSPQKSSPLASSPPTNASDMEHSDRTSSSASPASRFSTKNTRSPIHKRHQKSSSVTSSSSGRSRIEPKAIELATTYRLYYPRYV
KLFEEVTAEGDKRTKSKERDLLDMHYRLLKMRKEIQSYMAEE

>RCO7_05862 | related to dynein light chain type 1

MRLVELDPSSLAGAGGLEIAINPRGTSTTYESSNSLRRVAATTTDLTLISSYPLTVSYSSDNTEEIAIQCTVESQRTYLPGECPLELFKMSTTEKKE
KLEAQIKSADMTDDMQQEAIDIAQEAMTKFTVEKDIAMHIKKTFDERKGPTWHCIVGRNFGSFVTHETKHFIYFYLGHCAILLFKTQ

>RCO7_05861 | probable multiple RNA-binding domain-containing protein 1

MDSSTPAIASSRIFIKGLPPSISEDEFKKHFGTKYTITDAKLISSRRIGYVGYKTPEEATKAVKYFNKTFIRMSKIGVEIARPISDSNLPVSRKAQR
EQERENVAARKQEKADAAAAAALNAGTKRKRDDLDESDPKLKEFMDIMQPASKPKTWKTQTEDEEPPTKMQAIEVPEGESDGEYEVVPKKARKRSPP
PPAEVPLEVPLPATAVEPERTKEDIPEATAPTTDEDWLRSRTNRLLDLVDPDEIGVATTVDPVQAQPAIVVESTAEETVSQEGPPAEAEAEEEAKQE
DPTIEAIKATGRLFVRNLPYSATEDDLKEHFSAFGFLDEVHLPVDAAGTSKGFVLVQYSDPNAAAEAFHNLDGEPFQGRLLHIIPASAKRENKLDEF
AIAKLPLKKQKQVKKKMEATSAFNWNSLFMNQDAVNEAVAHRLGVSKSEMLDPTSADSGYKQAIAETSAIQESKSYFSKNGVDLDAFKRKERGDTAI
LVKNFPYGMSLEELRKMFEPFGQVLRVLMPPIGTIAIVEFAEPSHARAAFASLAYRRFQDSVLFLEKAPKNIFTTPSSNVTIVPSDREVGKSGKEKL
SASDLLEKESAVETLDTSTLFVNNLNFTTTSDILTETFQPLDGFISARVKTKTDPKKPGQVLSMGFGFLEFRSKAQAQAALATMDGHFLEGHKLTIK
ASHKGLDAAEEKRKEDNAKKQAGKRTKIIIKNLPFQATKQDVRALFGTYGQLRSVRVPKKFDHTTRGFAFANFITAREAENALEALKDTHLLGRRLV
IEFAADDAVDAEEEIAKMEKRTGAQVNKVAAHKLTGGSRNRKKFDIEGDEEMD

>RCO7_05860 | uncharacterized protein

MDYRRRILPTDYTLQLPLDNPSEVSRTRQPLSDSAGNAQHHSLASAGLYHDSKGHHNVPTVPSQPQRQSVGQTLEVRRQGTRRQRQLRFNRNPIVEC
AQYQAYRNRQNREGSDEDKIWPDVLEDAFLDALMYLPRMGRMKFSYEGKPHGRNELIRVYLWLSYLKSLPPGARPNHGLKRTRKQVSSHIQVLKNLF
KEHPAYHHMFPPPSDPKNGFEDSFKDDRSHSFKDDPCLQALSQGRLPTNMYGQFEQQSHVVMTPTSPMRPVLFWLLMTSSSISFDDCRRDFHEEDLN
NEDLVAHKFSRLSMQRQRDSLESVPSWRQRFPLLQQLSSSGELDCEIVHMEASLNLLTNQPPEGSELCSRMVLAMPGRQHDTEWRIVTTLSKPPELY
RDQISDPPLQAQAFAVDVTLTDNGETRIKVPFPASPWAQAFSCLQSIQSKFEEKQENSFNTGMGSTRPAREYVESISMYQEVQSAPGPDSPFVRRSI
ILWTFRQASSSERNGTTWRYLDSAPLPRRMCMSPSPHSSHQLHPSMNENFNSWSNTPLQLQHSSMQEPFVQGLATPPHTAGPQSPLFPPSYGYSQSY
DMPSEKLSFISNTNTIDSDSTLVDNDVAANIDNFLTNSHHHLNCFEQASSQGWQLPNAENFDVDPSWTNYTVPTTTPALGWDSAEAKTHAWPDLPLD
GKSWDHHIIEGTGDKEWTEDISNSPVKGSENQIEQSIEQKLLPWNESHRSPADIKQNYDQLTVDTIPEIINNESENLRAENKDLEWQDDQDEFDYAA
LAGRLK

>RCO7_05859 | related to cel1 protein precursor

MLTSTILSLATFSAVVHGHGMWQKLRINGVEQALLYGVRAPAVNNPVTVVSGASITCNTGLKTPVSKDVVTIPAGAKVGAWFQHIIGGPQGANDADN
PIASSHKGPIMVYLAKVDSAGIASETGLSWFKVAQEGLDNASGKWGVDTMIANKGWWDFTMPSCLAPGEYLMRVELLALHSAYGTNGAQFYMSCANI
KVTGSGTKTGSATVKFPGAYSSEDAGIKLNIYAGTVPNNAGKAYTPPGGPIALAC

>RCO7_05858 | uncharacterized protein

MSLATPRVVPDNSDIFVYAVRGDIAGMKSLFEQRIASPFDIGVGTGRSALHYAVNYDHLELAGFLVHTGANAHTPDLKKV

>RCO7_05857 | uncharacterized protein

MDHCKSAVRQVGIMEIASCAVGAVSLALQLPKAVKEVYTLLDSIKDAPRDLAALKRELEISEWIICGMSAMKQSYGTNEEAFQVVRLIQEEYWEVLN
DLRSLVTTLTYGLDSRSTARRRWAKVDWACRAEKFGKLKIRLHDAKLNFLLVQKSPDFSHSVSFQAAQRIQESELTNTSIMVHAQTDSSEATYHPEA
QALDFAFTIGVEQISLDSDMAVILEDATVTASSELLSIEQSLCDSATRTGSNDQLSTFTHSIEQHHGDELPAQSCYSHSKVRMRQIGPSKCKIIRNK
LGEIHITAMTCKVIPSWNLEGNDPPKGNPAKIERRTSYIFIPHKWVVKLGMRKMLAFSSQVRPMNINVYKIRPDTFTIFEYCRNGNFDGVKSLLKLG
QASIKDINEFGETPLHLAASWCQTEICTLLLDAGADTTLVDLRGSSK

>RCO7_05856 | probable RCO3 - probable glucose transporter

MAIAIAWHKPDNVAGSSAPAIMVGLFVATGGLLFGYDTGTISGILAMDAFREQFTTGYVNTHDLQLDVSPGQSSIIVSILSAGTFFGALLAAPMGDK
MGRRISLVIAVAIFSFGVLLQTIAMAITLLVLGRFFAGLGVGIISVLVPLYQSEMAPKWIRGTLVCAYQLAITTGLFLAAVVNILTQGMASRNAFRI
PLALQFIWAGILLLGLLLLPETPRYLIKRGLHEEAASSLSRLRRLDITHPALIEELAEIEANHEYELSLGPSTYRDVFFGSPHLGRRLVTGCGLQIL
QQLSGCNFIFYYGTTFFGRINLTNPFVIALIFNAVNVVSTIPGMFLVESLGRRRLLMIGAGGMAICQFIVASVGTALPPQALPHPHGISAAGVVLIV
FVCLYLSFFAASWGPVAWVVTSEIYPLKVRAKSMSISTASNWLLNFSLGYGTPYLVTSGKGYANLQAKVFYIWGTFCALAVVFVWAMVYETSRISLE
QIDEMYERVDRAWKSNTFEPSWSFQEMRDEGVSASGVQLTDTSEEPRRRTGTSTSTADSNATMTEEDKIIARLGDVDLSY

>RCO7_05855 | related to fumarate reductase

MAPRVIVVGGGLSGLSAAHTIYLAGGNVLVLDKQGFFGGNSTKATSGINGALTRTQVDTKIQDSVKQFYDDTLKSARDKARPDLIKVLTYKSAAAVE
WLQDVFGLDLTLVSRLGGHSQPRTHRGHDAKFPGMAITYALMQRLEELAENEPERVQIIKKARMTGINKEGNKVVGVQYEFGGETQSVEGPVILATG
GYAADFTETSLLKKWRPDTFDLSSTNGVHATGDGHKIVMAIGGNGIDMDKVQVHPTGLVDPKDPGSKWKFLAAEALRGEGGLLLNGDGNRFCDELGH
RDYVSGEMWKEKDKGKFPVRLILNSKASNVLDFHTRHYSGRGLMKKMTGKELAKEIGCTPEHLQSTFDAYNDIADGKKKDPYGKKFFHNGPVNVDDD
FHVAVMEPVLHFTMGGIEINDKAEILNSEGKPFEGLYACGELAGGVHGANRLGGSSLLGCVVYGRVAGDTASNYLFRNALNGSVAGASSRLGQISLH
IDPSQPGKISVEWNSEGASSSSSTEDKIAQQKQTSAGPVMDGASSDPGKVSKPTKKEEFKIPEKEYSMEEVAKHNTKEDLWVVVKGVVMDVSDWLDE
HPGGPQAIMNFMGRDATEEFEMLHDDEVIRKYAPSQVIGRVKGQQVTLEA

>RCO7_05854 | related to FAS1 domain-containing protein NCU02579

MRLGIFPLLIAPFFVGALLPNQNQRFLSNPNSNLGPAMPPPPNPPPSSASDSTSVILSDVLGQDRSINIFAGFTRDFAQISQRFEDSRMNTTILAPI
NSAIMALPRKPWEDPKDYESLGTEAYEGEKGEERAHRNMRRFVEAHVVPTSPWEEGVRFKTLAGGEVWWENKEGVKMVQPGNIEVSSVVSKVHNGEV
WILKGVRNYA

>RCO7_05853 | related to transcription regulatory protein

MNSQNHGPPANFDRDRDIEDHRSQRALQEEMLQREQRERERHNERQERERQHREQYQTAPPHQNSAGSIPLHQPVASRLPGAIHSPGGLLANHGGGPP
SGPLGAPSGPGNAFGGPLHGEARPLQHNPQQATSQLQQQQGFGPNIMHQNSVGGQGGNPPFGGPLPQQQAQLQQQQHAAQQQQEAARLQQALPSFGG
PIAQGHQMPSAPALGQPGQQPILNDALSYLDQVKVQFADQPDVYNRFLDIMKDFKSQAIDTPGVINRVSDLFAGNPQLIQGFNTFLPPGYRIECGAG
NDPNTIRVTTPMGTTVQSISGGRALPESVVAQGGGYYNPGRTGWQQQQPQHSIESPEAVFSPQAQGGAQIYNPAPPQNVYENVATVNAHQQQQRGVS
QLTNAAATLGHPPRNAQTPTPGGQPGMNNGAQPGGEKRGPVEFNHAISYVNKIKNRFQDKPEIYKQFLEILQTYQRESKPIQGVYGQVTELFKTAPD
LLDDFKQFLPESAAQAKAAAAAKVVEDAQVSQTPQAQGSRERLPPIGSFAVPASTSKEGRKRPRNSGAALGSQANVVAESSRAAQSSAGNKRTKLTH
KSNAPDASAVSPTLTPMMPEPLPPTSTSGATAEELAFFDRVKKYIGNKSSMNEFLKLCNLFSQDLIDKNVLVHKASSFIGGNQDLMNWFKDFVTYDG
QEDQVDNKPKAPTGRVALSNCRGLGPSYRLLPIRERQKPCSGRDEMCQDVLNDSWASHPTWASEDSGFVAHRKNIYEEGLHRIEEERHDYDFNIEAN
AKVIQLLEPIAQSLIAMNTEERENFRMPIGAGGASQAIYKRVLKKVYAERGPEVVADLFRDPSAVLPIVLMRLKQKDEEWRFAQREWEKVWAGQTSN
IYLKSLDHMGIQAKQADKKNFSAKHLIDAIKAKYEEQRRQRSLKGRASVYQFSYEFADREVVLNVLHIMLVYVTNASQHNPAERIRISNFFEKFLSH
FFDISDEDIARCSAGIDRGTPDDDSEDTAHVELTNGRGRRAGNGKKTDLRRGVLDKARNGVRGRGQKDDSAAGSKESTPDADSVAEDDQDAVDEPVL
NRVTDQRWTTLPGAIESGRPIQYPGLSPDQQFKRDWYSLYANQTLFVFFSVFQTLYRRFKEVKDCEDSAREEGTKAAKAKPAKAIGLIADFEDHTAA
ALNDPNFYYNKTLENVAHFIEGDLDDANYQGWFRRYYLKKGWQLYTIQDLLKHISRLGAICSSNDIKEKTPDLLDAFYQNRKHEETSFNTEINMRKQ

ADKYVKEQELFLIKWYPNKSQATLKWVQKEETTFEMDDMERKERWQYYNSSYVRVDATEGVPRGSLQKSLLKRNRRPDGDFDESISKRPLIHHEELN
LRIEVNTYKIIYREPGTEYFFYSGNPMTYDPITDESSTRERLRKFENVRTDRFKEKFEMNNAWMKGLDRDEVAKINNDFRNWIDGSSEEAGAEDDTM
K
>RCO7_05852 | related to protein FR, involved in hyphal branching
MAPSYYNPNSNSHSSKREHEPLTPFSLILLSLPPSLAAPMQRLWSYASGSERQTYGPVSTASSHSRIPRGWQRWNPQQLLSLPNFFVLAWVLTLLWG
ERWVFQSSVESCKWDSWERWPKEATPHHLILIADPQLIDPHSYPGRPWPLDKFTMMHTDNYMKRSYISLQNKLHPDTVFFLGDLFDGGREWKTAHGN
LPDPSWANGQRPSYEQGFVEYWGKRYGEDFWLHEYDRFGKIFYDFWNLAGSKAGPWQRGRKIITTLPGNHDLGFGDKIKLPIRNRFEVYFGEGNRVD
VIGNHTFVSIDAVSLSAGGSQHDTKEITKPVEDFLDNVQSLQRKAVARELSLIAGEEKVVQYPHVVEDISKHTFENRPTLDPGPDAPKLPTILLTHV
PLYREPGHPCGPKREHWPPATPPKGQLTPVIPDLRNAISISKGYQYQNVLSESDSIKLVKSIGNVGHVFSGDDHDYCEIVHSDAKNNAREITVKSTS
WAMGVRKPGFLMLSMWNPIDASGRPLHSMSSSHGSTATGPVTIESHLCLLPDQLGIFLRYGILIVLTLLALTIRAILTPILHLAPFSKSSNHSPGES
DIPLLPTNKQDLKHTPSSPEMLAQHHPSASKSSTSSTHSLLTGGLAPRSTAARTRSVSPAIGYGLPATQIRLSNTPPLLNGASNGSYPVSEKSNGAG
GGVRYGEDFGKRRNDMWAGGQRTPLQIIGREIWTSVWRVTWVALVVYLYLARYG
>RCO7_05851 | probable periplasmic beta-glucosidase precursor
MSESPESQINDPIFDKFAEDSEDRSSGNANDTPISDLSPPDSPVAKNAAVANAIDKRAGARNLAASLTLEEQVSLLTAADFWRSKSIPEKGIPAFKT
SDGPNGARGAIFKAGTKAALFPCGVSLAASWNKDLLFQVGKHLAEEAKARSAQVLLAPTVCLHRGPLGGRNFESFSEDPFLTGKLAASYITGLQGAG
VAATIKHFVANEQETERFKIDSLVQERPLRELYLRPFEIAIREANPWAVMSSYNLINGVHADMNEHTLKNILRGEWNYDGMVMSDWGGTNSFVESIE
HGCDIEMPVSTLWRGEKTLRAIENGELSKKAVADAVANILYLVERTKGGDMSAELPEHEDDREETRKLIRDAGAEGLTLLKNEGSVLPIKPSDKIAV
IGPNANRAIAGGGGSASLNPYYNTLPLESIRAVAEQDVSYAVGCQTYKWLPLAADYCTTTTGEQGVSLEFYIGDKFDGQPTVIQHRTNTDLFLWDSV
PLEVGNIWSCRAKTTLTPKTTGLHTMSFSSVGAGRLYVDGEVKVDIWDWTEKGEAMFDDSQQQLFDMQLEAGKPLQVVAELTNELRPFWRQKAESRT
HGNGGVRIGYKEEDKKNYLQEAIDAAKTADVAVVIVGLDGEWESEGYDRKSMDLPADGSQDRLIEAVLKANPRTIVVNQSGSPVTMPWADRVPSILQ
AWYQGQEAGNALADVLFGFKTPSGKLPTTFPKRLEDNPTYHNWPGENLKVVYGEGLHIGYRHYERMKIAPLFPFGHGLSYTNFTYGKPLISSTILGD
GEKIIITVPVTNSGIVQGAEIVQAYIHDEKSRLPRPEKELQAFTKVFLQPGETQDAVLSIDKYSVGYYDTDLKEWIAEQGVFEVLIGSSSADIREKT
SFEVKQSFTWVF
>RCO7_14018 | uncharacterized protein
MAETADFNSPQAPGQLEEPSKVHLNSPDSISPGTDAREATELARLRSNYTRATSYRQAGSSVASIKPDGFLERFSYTVRAFWRRQISITVAHETCRD
HLALERTFLGYLRTSLALSMLGIVVAQLFRLQHAPVPNPHFGFFVLGKPLAIICQGTAIYTVLIGVFRSWRSQNAIVRGKAISGGIEIVALAGGIFA
ILIMFTVLLIAVDISKEI
>RCO7_05850 | related to cobalt accumulation protein COT1
MLGIDAAFLVLELGTGIWVGSLALMADAFHMLNDIISLIVGLWAVKAAQKSSTDKYSFGWLRAEILGAFFNAVFLIALCVSIVLEAVQRLLDPPEIS
NPMFILIVGSLGLASNLAGFLVLGGHGHSHGPEEHDHGHDEISSAEEGHSHGGHSHSHSHGDQPASADDGPIGDIYPEAVVGRATCKSRQGQHIRFS
TEDSDATTSVDSPSKSPIKQHRRRTSSIKNGRYSTPDDFSIHPASFRKEIIAASRLQVDEDGNTTSEDETVLDGPDENSPLLAGNGSSAKSHGHDHA
HEHSGPKPRSDSWHAGHNHNKPKKAKKDSHGHNHADMGMNAMILHVIGDALGNVGVIVSALIIWQTNWSGRFYADPAVSLFITLIILKSTIPLTFAT
AKILLQATPDHLDVTDIKEDIQELPGVISCHHVHIWQLSDTQIVASMHIQVEFPISEANGEKYMELAKNVRKCLHAYGIHSATIQPEFCLDKAHDHT
GERPGAVGLDGIVGRPRCGLDYDDTCLLECVDDCTGKGCCSSQAADSQHDHSSHDGHAH
>RCO7_05849 | probable GTP-binding protein
MPPKKATEDVKSNVVAFGRVRKNLKMGCVGLPNVGKSSLFNLLTDQNAAAENYPFCTIEPNEARTFYATFGSLHQCTQPTPSSLQVTDIAGLIKGAS
QGEGLGNAFLSHIQAVDGMFHIVRAFDNDEVLHVDDSIDPSELCKKDLDILAKTIISEEAVVRKAGGKFKMNPLFPSTVAKIKAMLENDQPVRDGSW
TSAEIELINEKMQLITTKPTIYLVNLTQKDYLRQKSKYLPLIAKWVTSHGGLPRDIIPFSIEFEEKVYTFKDDKEGSEKWLQENGGGKVNSRLAKIV
TEGFEKLGLQYYFTAGEKEIRCWTIPRGCLAPQAAGAIHGDFERGFIKAEVVAYQDFHDLCEGGKSMGPIKAAGKYRQEGRGYEVKDGDIIHFQFNV
SPVKK
>RCO7_05848 | uncharacterized protein
MAPSALSSSAALLLLSVSVASAAVSCTLDAGGVPGSICGVFGQISTVDYYLEDLFVETTAETCSAACAARPSCLSFNLADGNFCELATGTQRQLGFV
ASDADPWYKGYDMTCFTCTGLTSSSSSTVFSSTISSSSSSSSLAPSITSSSSSVVSTISSSSSSVASSTSSSSVVSTTSSSSSSVVSASSASSSSVE
PNLTASTSGLVEPTISSSSSSIEPTSTASSSGSVVPTISGSSSFTEPTSSCSSVKSTISSVVSTGRPTSSFIFRNSTTSSSSPTSTKSGSIVLTTEA
PSSTSSTSGTTSIAVLTTSTVYATSFYTITSCALGIVNCPFGSVTTKTIALYTTICPVSATPTKPVSTSGATPFTTSTVPTSVATPLTTTTVYATSV
YTITKCAPGVKCDVGYATTEIISLYTTVCPATQISATSVKGVPHSSAPAVPGHSAPAGHPEVPVSTVMVYPTGPAAGAVSSPVVPETYPTKPVEEPV
PNSSLVTIQTNTIVPTYPTAAAVPVNNGTATSQSSAKGNVGTASIYLSVTGIPTATPSPITSNAGNALGAKCFGMAVVGGLIGAALL
>RCO7_05847 | uncharacterized protein
MSNRGYYDDNQSGQGGDYGGERRQEGGYGSQNNNDDSYGGQDDGGRRQQGGYGGVENEYSGRPVEQGRHNNYGGGAGYSGGDVDDLSGAAEHAERHA
GSSGESSIFSSVLSSLSQNKQHIGNSNLNEQDAVQSHQQFFGGGGGGQANSGSMGAAAAMQALKMFSGGSSGNTQKGNSQNAFVGMAMAEASKLFDH
QSSQGNVSNANKESTVQKAGEMALKMFMKSQMQGGGGSSEASGLMSMASKFL
>RCO7_05846 | related to PFA4 Palmitoyltransferase
MPAMKIPLALPAAEQIAIPFVALLISFLSYSSQVLFCYIEPGPLNQKQALWFNILVAGVWWCYERACTTDPGKKGWVDKVAPIKDADEADGGVLTFD
RKLRWCKKCDAVKPPRAHHCRKCGRCIPKMDHHCPWTTNCVSHTTFPHFYRFVFYAVLSMSILAYHLYIRLMVIWNNRNLPSYLGPPTWAIVHLFIL
LVVNSFTLFALGILLLRAGWSFVINTTMIESWEIERHEALVDRSLRTNGYVYASGGQRMRIQHQEFPYDIGIWSNLCQAMGTKNVLMWFMPFGGGPN
IDSAGTWALNGFEEVDKAWPPPDPDKMSRGERVARQKEDARVYGTPEEEMAAFRKRQQQDHKRWGETKYGVEESEDDESESGTESEGEETVEVQKKW
TNRDGDTLHDYGVDEDAEVLSEDDIPLGELLRRRKARVFEHT
>RCO7_05845 | related to putative multidrug transporter
MLTSILFFFVGPVVSALAKNFTMMPVGRSIQGIGGGGILSLGEILVTQLVPLAVRGTWFGYLGSMWAIGSVTGPLMGGAFAQNVNWRWIFWINVPII
AIGTVAIVMFLTLNKTAGNLVQKARNFDWFGSIFFVASSVSFLIPLTWGGIMYSWTSWRTFFPLLVGVAGVFGFGFYEHWLSERAFDSEGNALPGNN
TEQIIRFTIFNNRTMLITYLEPLIHGIVLWSLLYFLPLYYEAVQGYTPIISGVAILPETSFVAPMSVIVGIICAKTGHYRWATYTGWLLTTLGAGIL
ILLDPSASIVSWIFLNVPIGIGTGMLFPAMGLAIQAAGRQEDAGHAAAI
>RCO7_05844 | probable Myosin-1
MGISRRPKGDKAANPGGGRAAASGSSKPNIKKAAFDTTKKKEVGVSDLTLISKVSNEAINDNLKKRFENAEIYTYIGHVLVSVNPFRDLGIYTETVL

DSYRGKNRLEMPPHVFAVAESAYYNMKAYKDNQCVIISGESGAGKTEAAKRIMQYIANVSGGGNTSIQETKDMVLATNPLLESFGNAKTLRNNNSSR
FGKYLQLQFNAQGEPIGADITNYLLEKSRVVGQIQNERNFHIFYQFTKGASSTYKQNFGIQGPSTYAYTSNSKCLDVDGIDDLAEWNDTLNAMKIIG
LSQQEQDEIFRVLAAILWTGNIGFKEDKDGYAEVVDQSVVDFLAYLLEVEAADVVKAITIRILTPRNGEVIESPANPSQALATRDALAKALYNNLFD
WIVERVNVSLKARQATANSIGILDIYGFEIFEKNSFEQLCINYVNEKLQQIFIQLTLKTEQEEYAREQIKWTPITYFDNKIVCDLIESVRPPGVFSA
MKDATKTAHADPAACDRTFLTAINGMSNPHLTPRQGNFIIKHYAGDVAYTVEGITDKNKDQLLKGLLNLFGNSQNEFVHALFPHQVDQDNRKQPPSA
GDKIKASANDLVATLMKAEPSYIRTIKPNENKSPSEYNVPNVMHQIKYLGLQENVRIRRAGFAYRQTFDKFVERFYLLSPQTSYAGDYTWTGDAKSG
AKQILKDTSIPAEEFQMGVTKAFIKAPETLFALEHMRDRYWHNMAIRIQRVWRAFLRIRIEAATRIQRMWRKKRIGAEFLVLRDRGHQLLQGRKERR
RMSLLGSRRFMGDYLGIAATSGQGSRIRNAVNLAANEQVLFSCRGEILETKFGRSSKAMPRILVLTKSKFYIISQHLVNKQVQIAIERSIPLGAIKF
VGTSTCRDDWFSLGVGSQQEADPLLNCLLKTELFTHMSMAIPGGGFSLKISDSIEYAKKPGKMQVIKVVKDSPMEQDFYKSGAIHTKGGEPPNSVSR
PMPKGKPIAAKPFTKGKLIKPGGPGGRPAKTTYSTRNTKPVAHSNGTATQGRNMPAPPPAAASVPSHTRSIPSASSARSVPPPPPPAPPAAAPPPRE
PQYRVLYDFNGQSANEITMAKDELMTILQKENNGWWLARHPSGQQGWAPAAYLQEEAPPPPPAAPAIRPTPPPPPAAAAKSNGHGPVVRAKPTPPAP
PAKRPAAGGRKPAPPAPRDSGLSINGSDSGRSTPTPSFAGGLAEALKARQSAMQRDRNEEADW

>RCO7_05843 | cytochrome b-245 heavy chain subunit beta)
MGFTDELKAQTRGSKLLFNFLFHGFHVFLFALGWKKQADDPRLAGLNTLTFSVWISRGAGLVLSVDGSMILLPMCRNLLRYIRPKVKFLPLDESQWF
HRQVAYSMLFYTILHTTAHYVNFFNVEVTQIRPVTALQIHYAQAGGVTGHIMLLCMLLMYTTAHAKIRQQSFETFWYTHHLFIPFLLGLYTHATGCF
VRDTTEPFSPFAGADFWDHCIGYEGWRWELWGGALYLAERLYREIRSRRDTTIVRVVRHPYDAMEIQFRKPSMKYKAGQWLYLNVPSVSHHQWHPFT
ITSCPFDPYISVHIRQVGDFTRALGDALGAGPAQAKLYDSVDQNGMYEVALQNGQTMPELRIDGPYGAPAEDVFDNEIAVLIGTGIGVTPWAAILKN
IWHMRNGPNPPTRLRRVEFIWVCKDTTSFEWFQVLLSSLEAQSQEAASRRGGQDSEFLRIHTYLTQKLDIDTAQNIVLNSVGAAMDPLTELKSRTNF
GRPDFPRLFEGMRDGILDRTYLSGLEGDMQTNVGVYFCGPNVAAREIKKACKKATCREVNFSFWKEHF

>RCO7_05842 | related to quinone reductase
MRGIQIEAYVKGPSDLKIIDLPDPVPAKDQYLIGIHASATNFFDLLQIAGKYQHQPPLPWISGSEFAGVVLSTPSSLRSPKYKVGDRVFGASQGGYA
TKVAALEKVLKPVPKGWSFFEAAGLFVTAPTSYGALVTRAGVKKGDYVLVHAAAGGVGLAAVQIAKAFGATVIATAGTEHKLEVAKSFGADHAINYT
DPTWPDQVKKLTPKNRGVDIVFDPVGLIDKSTKCIAWNGRLLVIGFAAGAIEKVAMNKVLLKNISIVGLHWGAYAINEPEMIEPVWDGLFKLIDEGK
FRGTVFTDKEFVGLESVPEALKSLGSRGTWGKVVVKVPQEGQSKL

>RCO7_05841 | related to deubiquitination-protection protein dph1
MALEESTIDVDGADTQISFKVKTSSDGMHSITIAENATVLDLKTKLSGEKYENLPVNRMRLIYSGRVMKDPESLSTYKIKAGNTVHMVKSAASNAVQ
NPAGSGTGLPARPAVPTNMATGTANNPLAGLTGARYAGHMGLPGMDMFGADAGMGAPPSEDQVASMLDDPNLQQTMNEALQNPAMVDMMINSIPGLR
NNPQARQMFNDPEFRRMLTNPDAIRQAASMRRLMQGGGAGGGFPAPGVTDTTPGGTAGTTPNQNQAAFNPFAMQGFGQPGAAGVGNPFGNLFGAPSQ
TPAQTPPAPGSAGQQTPGPADPNAAAANPFASLFQGGGAGGQNPFAQGMPNFTPEQMQQAMQMMQQGGLSNMFGGGAANPPAPADTRPPEEIYADQL
RQLNDMGFFDFDRNVAALRRSGGSVQGAIEQLLT

>RCO7_05840 | Peptidyl-prolyl cis-trans isomerase H
MPPTILPATGNPLVFFDITLGGEKLGRIKFELFADVVPKTAENFRQFCTGETKNHLGRPQGYKGSKFHRIIKDFMCQGGDFINGDGTGSTCIYGTKT
FADENFERKHTEAGLLSMANAGPNGNGSQFFITTVPTPFLDGKHVVFGKVVDGMDVVRMMENTKTGYRGKDIPNQEVVISLCGEM

>RCO7_05839 | related to ring finger protein 11
MAVLNQIMVEALHIVERQITNGENSTVAQPTPLMQPTTQPTTTPTPTMSPSNNNNNINNGPTSSPLLFFVALGFGVVFTNLWIIVGVKYCFRYNARN
RAIRNGEDPDPINMENMPARPHRRRREKKLMTMEEVNDRFPLTKYKSWVASRAREGLSTTGGVTAPPSRPGSVRGVDGVIPSSPAGTKHSVNTRPDT
AASDREVAISSKNNFGADDKSVDAIVAEKGFESQTVEEQNRLEQVNTTTGTIDKHRTTNSDDDEDDDHIHTAVPPELLTNPGDSCAICIDTLEDDDD
IRGLTCGHAFHAGCLDPWLTSRRACCPLCKADYYTPKPRPEGEAVEPDRTGRRRQNNPQQPQPVFFSMRGNRLLFPARFGMRAPAPTSGAEGAGNPN
TSRVGHRSRRQAAAAQTTSTSPVQSDQGGNLNGQQASTRRWNPFSNITMPAMRLPRRNQQVPTEVSPSQLEAGNAR

>RCO7_05838 | uncharacterized protein
MSSVGPQLPRHLAKRKRSTNEDEGAHSPPRKVQAATASPPRTVGPTMPPTTNPDELDVGESSEDDHGPSIPTKPASNAPTKRVLGPSLPPSKNPEEL
SLEDSSEDEYGPSVPTTQSIATKELVSPPKRILGPSAPPASLSSRPSYPANNSSDSEDDYGPSLPPAPGSHAESLLHTAQAIERARSTAEAASSKPQ
RAEWMLAPPSDSDFSGRVDPTKLKNRKFASGKGAKAPSEKSGISAIWTETPAEKRQRLEDEVLGRKEIASSGRGESSKKDKKSKELEAEERATARRI
KEYNEKNRGRSLFEEREKMQERRGEKVEEEDDPSKRGFDREKDMALGGRLGNGQKKEMLAKAADFGSRFQKGSYL

>RCO7_05837 | related to VPS8 - vacuolar sorting protein, 134 kD
MSSSSVENDSGAEEATINGDELDGVELTPTRDTENNGRQTAGRVVEFLEEARDNDPTPEQLGNGTSQYKDAGQIDSPSEDESIDALPRRAGSPIDSL
LSIPDDSPSVQGSVLSSPGGSSILPSVASRPGLESPTPSFRPFDRRFQSRLCSSNLSVPRASSPFLNSRSRTASLSSQIIPEPEDTDTPSPPWEVVR
WTKLKKMNGQAFSEVGKRNFGSPTCISVSASIVLGTSKGIILIFDYHQNLKSIIGPGTKAVESGAITSVAISADHLIVAGGHANGSIFTWETARAAR
PFLHIPSLDSGQMIKRTIDGHVPDVAIRHLGFLGTRHTALVSADDRGMAFSHLATRGLGSVGRTVKTTRILGRYPNDLPTVGKVRKPSTVLAFAPLP
LGNVERGTDSLGLTAMLTPYLLVIVSTTPIAQTQHKAARPKEVAAHSALSGCLAWFPAVKLKVRDPKTGSDVSKVKLVYCWSNVLTVLDADEVVSPD
KDKPSSLSFKARSRWKAEEAIVAVQWLSRSVLTVLTITQRLIILEDGSMRMTEAFDLVHKHIFHQDIFSKQLHTLVEQLDEEDESMHGVAADAFCMS
FKAYKSRMFLLGFNDVSIGTLSSWADRLIALMEDGDYIGAIQLATSYYTGAADKLTIGLPEDTALRHVMVKDKLVEIMTASLKFAFGQKQKRKVSTD
EIPLKDLADACFEACLSIGDVDFLFEEAYEWYEDGDVEGIFLETLEPHILEKQITVVPPTVVKAMVTHYVTKGMESRLEEMICNMETMTLDIDQVTT
LCKQHNLYDALIYIWNQALHDYITPLIDLLSLLIPLVQPGDYFTNGNVMEDPIYGVNALKMFPYISYTFTGRVYPTGEVLGDQEALDAKAELYWFIF
SGRTITWPKNTGKPFLTQPTQEYEPSFPYLRMILKFDAPSFLSALNEAFEDSFLNDTPERAVNGGSNRDLSEEHVFGLSVNRQYVITILLEVMNHND
FVREDIIYLDMFIARNLPKFSQYLLLSGTALHKVLAGLCDYPGEDLADDAQLSAEYLLSVYHPPDLEGLIPLFRKASFYRVLKSIYKTDKQYGKLVQ
TYFDDSEDRDAVFDCIGECLRPRSGLTKRQIRDVHEVIEAHASDLMHLNAIKSAQAVESYAPALHQKFLDSQSHDSELQYIYLHTLFEPSEGHTNEA
KGSRHPQFIEKYVQLMCKFDSTHVAAYMELVQASDLSLDKVLPYMEESGVIDAAVVLMAREGQLKEAMKRLIQHLKKLESAVLGLLNSSTEDLQSTH
AGEAIEDLLEALQKYINVGIWLCQSHTKTPQSRSINSPIRKKTSPKTELLPDEALWLDLMDTSVQITTKLSASLSDLEDSDDIDREKLLAQLRTLVQ
RIFTALLTSTSSPSPSGASLSFLRILRMFLTRASISSPNLSDLRAVLASVFSAYAYEESILSLTNCLLDKDLFVNVQTAAALRQRGWRPRGSTCEGC
GRRVWGPGVSGDVFSKWEEREENDVKRRKQRRSEQAGVELERGKGRAHVRNSSKLSVTEMGRGTGKGAGSEEGEGEGEQEEGIQQTNDAAAKVQPEL
GPLVVLACRHIYHQSCLEGVQADDVSEVEVSLEAYTGMSVALVRAVRDTSTAVAVPFPCQ

>RCO7_05836 | uncharacterized protein
MGVITERQNFSDDGFIYDDRRSFWWTRDGQIVRWSVFFGLFTLLLAYMIGGYWHAKKRLSKGLAPLRYHRWLLSRRDRARYDPTYQTPAVYYNQYPP

QQQGQYGMHPMPPPLYNTADLPPTYQPPAGATKIDPSQWRAEPTRRPADTTGEPSPAYDAPPGPPAATVQANHTGASNNPYRP
>RCO7_05835 | uncharacterized protein
MDRVQATSNIRKRKAESQDNERLNKRLSLLNLERNGEKLYVPVEHPTPNTNFTKPKSPARPQPRSHPQEDEDVMQLDNTKHKVYIYDLDAELSDSES
SDDGKLVFLPDIQKHLRETRIPPMVLPNSEGELAGNNQLVLYNIPSSLTVPEEQDSVRKAIIETRARARANAITSQQSELQTPDARNWFRHMEESGT
TSTPTPGFGVPGPAQSMDVETPVFRIQEPLDDDPDAMDIG
>RCO7_05834 | probable alanine--tRNA ligase, cytosolic
MAQEKWTAQVVRTTFLEFFKSKGHTIVPSSSVVPHNDPTLLFTNAGMNQFKPIFLGTIGQTDDMAQLKRAVDTQKCIRAGGKHNDLDDVGKDSYHHT
FFEMLGNWSFGDYFKQGAIEMSWELLTKVYGLDPDRLYVTYFEGDASAGLEPDLEAKDLWKKVGVAEDHILPGNMKDNFWEMGETGPCGPCSEVHYD
RIGGGRNAAHLVNMDDPNVLEIWNNVFIQYDRQKDRSLKTLPAKHVDTGMGYERLVSVLQDKASNYDTDVFHPLFLKIKEVTGARDYTDKYGKDDID
GIDTAYRVIADHIRLLTFAISDGGVPNNIGRGYVVRRVLRRGSRYARKYFDAEIGSFFSKILPALIEQMGGQFPEIVEKQQDVKDILDEEEVAFART
LDRGEKQFEKYAALAVKNGAKKLSGADVWRLYDTFGFPEDLTKIMAEERGLETDDAEIEIAKETARLASMSVKEASHTFAKFDVHQIAELDKMGVPR
PNDDAKFSKGDSTAKVSLVYDGKSFLKSTDGLPSDKPFGILLDKTNFYAEQGGQVADTGKIIIDGVAEFKVLDVQAYGGYIVHNGYLEYGQLQAGDE
IICEYDELRRQPIRNNHTGTHILNHALREHLGEDINQKGSLVDQDKLRFDFSHKAQVTLPEIKKIEDSSNAYIKQNCEIYSKEVDLDLAKGIEGVRA
VFGETYPNPVRVVSVGVPVDELLENPTNPKWREVSVEFCGGTHVEKTGLIKDLVIVEESGIAKGIRRIIAYTGDAAHEVQRLAIDFNKRIETLENMP
HGSEKEAEVKSVQNDLSQLSISSLTKEELKTRFAKIQKGLLDEQKKKQKAEAKTALDTVTGHFAENKDSSVYIGQLPISANAKAIAEVMNHFKSKAK
DKSVYLFAGSETEIVHGVYVGTDHAPKGVTAEQWAASVSEVVGGRSGGKEPTRTGQGTNPDKIKEGVAVAEKWLAEKLK
>RCO7_05833 | saccharopine dehydrogenase
MSGTTLHLRSELGKALEHRSALTPTTAKALIEAGYTVNVERSPERIFEDSEFEEVGATLVPENTWREAPTDHIIIGLKELPVEEFPLKHVHVQFAHC
YKQQGGWEKVLSRFPRGGGTLLDLEFLTDDKNRRVAAFGYHAGFAGAALALETWAWQLTHPASEPFPSVSSYPNEDALLVDVKKAIAAGKEKTGKDP
RVLVIGALGRCGSGAVDLCLRAGVPTENVLKWDMAETAKGGPFPEIVESDIFVNCIYLMSKIPNFVDTKSLDTRNRKLSVICDVSADTTNPHNPIPV
YTVATTFNEPTVPVEVKGEPRLSVISIDHLPSLLPREASEAFSKDLLPSLLHLKEWRTHPVWSKAEKLFQEKVATLPEA
>RCO7_05832 | uncharacterized protein
MAFSTRLPGALTVLLYLLCFRNGVRAENKPLPGFGDTIQVLGGMQRTDQDFQDGLALDVLSPKPRTLVVTQNKAPLAALYMTGATGGPFVAVSNYSY
IIKMNETANDLIAKIEVPYNPVTLHQQDLLEANTYVATMAADRKSWTVDDSMRNVHRSENNTRIVKMTSLEGEYILVARKSVDTSNVFVQYGQGAMR
TVNMTAGVGKQSAEFIDGMRFTVQTKVDLKMNVEIREGVNPGTLPPNTASLNSFMWIVNTSKPMEKIDAEMLVPFNRMMLAAMKPDGSSPSTMLMVA
RRPLNATSGTFLPFNQDSQYVRELPQDKVVLPQVSQLDGQYVLLVTQPKPVGETTPRAGSNKPGRRNVERRSQARKRNSLDTRYRSP
>RCO7_05831 | uncharacterized protein
MNSAFGSKRKARKIQVDEDEEDGARNGQVAEPVNTLSTAGSITSIPGRKTFKKSSLRQSIAFDDRSQDGDDGNGPRVKNKPTIGRSSSLMKKKKTGS
SRLSFGPGDNISGDAVEAPEDHEALTPNKATLGRRVIEGTALKRNLSYQGLPMRSNDDDDERPTYSKDYLNELKSSTPTTPKDLTILHATAEDEEGL
DASELEGAMVVDLDGDLDLKSNLAFIPSEAEIREKKERRARLAREKDFISFNDDDGRDRQQISLLPQKKKQESRLVKEDEDIMEGFEEFVDDGRISL
GKKQEREAKKRQKKEMADMIQEAEGNSEEESDDSEAERRAAYETAQRRAGMDGLHKHDEPVDVNAAQMPPKITPLPKLSECLERLQSTLSSMEQELA
KRKKQIEASKQEKLEIAARETEVQELLKQAGARFAALKADTNGAVADPQYLAGPSATFDSPLIVDRGLESFGNTPTVRPAVRDIG
>RCO7_05830 | probable small nuclear ribonucleoprotein
MPQAQPELKKYLDKRLFVQLNGSRKVIGILRGYDVFLNIVLDDAVEEKDGGEKVRLGMVVIRGNSVVMLEALERIGGGPREQRGD
>RCO7_05829 | related to arsenate reductase (Arc2)
MAEAKTENWWDALPAPRAKCPEMTADELMKCFDDMDLTNDPRSFLLVDVRRNDWEGGTIKASLNLPAQSFYQSRKILLDLCDRASIKQVIFYCGSSS
GRGPRCANWMQDYVEDVSKFGRNSNLKILILKGGIKGWVKEFEGSMMDGFGEKYWEQFK
>RCO7_05828 | related to A.ambisexualis antheridiol steroid receptor
MVKKAIDSRIGALIHNGMQEKKRSFFVVVGDRSKDIIVNLHYIMSQRDMKQNKSVLWAYKKDLLGFTSHRKKREQKIKKEVKRGIREANAEDPFELF
VSLHNIRYTYYKETEKILGNTYGMCILQDFEAITPNLLARTIETVEGGGLVVLLLKGMSSLKQLYTLSMDVHSRYRTEAHDDVTARFNERFILSLGK
CESCLVIDDEMNVLPISGGKNVSALPPPDLDEPKTKSQMELENMKEALQDTPSVGPLVTLAKTVDQAKALLTFVDAIAEKTLRSTVALTAARGRGKS
AALGVAVAAAVAHGYSNIFITSPSPENLKTLFEFIFKGFDALGYLDHEDYSIVQSTNPDFKKAIVRVNIHRQHRQTIQYIKPQDAHVLGQAELLVID
EAAAIPLPLVRKLIGPYLVFMASTINGYEGTGRSLSLKLMDQLRQQSSGAKANGSEDAQLADRSTGKAAKVQSTFTGGRSFREVSLIEPIRYAEGDT
VEKWLNTVLCLDATLSSLRNAGYPHPSDCELVLVNRDTLFSFHDVSEKFLQQMVALYVASHYKNSPDDLQLMSDAPAHQLFVLIPPVSDNSKRLPEP
LCVIQVALEGRISKASVANSLSRGKRAAGDLIPWIISQQFQDDEFAGLSGARIVRIATNPNCLRLGYGKKALELLVDFYEGKFANLSEEATPYIEET
ITRVTDEEIANSSLLDDNIKVRDFKKMPPLFSKLSERRPEKLDYVGVSYGLTKPLLKFWGQAAFAPLYLRQTANDLTGEHTCVMVKALGSGEDVSWL
GSFSRDFQHRFVKLLQYQFKEFPSELALIIDELANKGAKLDTSLQHQRFSKQDLDRILNPWDLKRLASYANNMLDYHVILDLVPDLAKSYFIGPLKS
EITLSGLQQSVLLAVGLQSKDFDTLEKELEKVQSSQLLALFIKTIRKMSTHFSDVVSGAYESELPARDNIGVSREDASGAHDDEIVDDKFVPLELGL
EEELEEGGDEALRALKEKQRELIDALPLEQYEIEEGAPGWAAAEEQVRKGGKKGAVVSVKSAKGKRKPDETAAEIYAKEMGEKAHKKSKRGSKKERT
>RCO7_05827 | probable acetoacetyl-CoA thiolase
MASAPVYIVSAVRTPIGSFLGSLSTLSATDLGGIAIKAAVERVPEMKPEDVEEVFFGNVLSANLGQNPARQCALAGGLSEATVATTVNKVCASGLKA
IILAAQTIMTGNADIVVAGGTESMSNVPHYLPTLRNGAKYGNQTLVDGVLKDGLTDAYGKKEHMGMAGEECASDHNVTREQQDDYAIKSYQKAQKAT
EAGLFTTEIVPVEISGGRGKPNIKIEKDDEVKNLNIDKLKAMRPAFMPNGGTVTAPNAAPINDGASALILVSEAKLKELGIKPLAKILGWGDAAHAP
NKFTTAPALAIPKALKHAKVDASSVDFYEINEAFSVVALANMKILGLDGGNVNIHGGSVAIGHPLGCSGARIATTLINVLREQKAKIGVAGICNGGG
GASALVIESLQ
>RCO7_05826 | probable ribosomal elongation factor EF-2
MDDLYDEFGNFIGEAEESEDDSQHGVDAGAYVYDEEYPEEEPEVTGQELMEVDDEGPSNAVILHEDKQYYPTAQQVYGEDVETMVQEEDAQPLTQPI
IAPVEQKKFTIQEADLPPVFFERTFMTDLMNYPDQIRNVAFAGHLHHGKTALMDMLVLETHDITDRLEKKTGKKRDEQLRYTDIHVLERDRGISIKA
APMSLVLQSSQGKSHLLNILDTPGHVNFVDEVASSLRLVDGVVLVVDVVEGVQVNTEQIIKHAVLEGLPLTLVVNKMDRLILELKLPPTDAYFKLKH
VIEEVNTVIENTLPGQGEKRRLSPEKGNVLFACSSMGWCFTLQSFAKMYAENFPPKTKGAAGINVPEFARRLWGDIFYNPRKRSFTRKAIEEGAKRS
FVNFILEPIYKLYSHTISESPEDLKDTLATLGITLKPSQYKTDAHVLLKLVCEKFFGGSNGFVDMVVEHIPSPVEAAEDKVLRYYTGPLDTNVAKAM
KECSQDGPLVIQISKLFNTSDAKNFHAFGRVMSGTATPGSQVRVLGEGYSIDDEEDMSMATISDVWIAETRYSIPTDGVPAGNWVLLGGVDNSIVKS
ATLVPPTLPDGEDAYIFKPIAHFTESVFKVAVEPINPSELPKMLDGLRKINKSYPLITTKVEESGEHVVLGTGELYMDCVLHDLRRLYAEMEIKISD
PVTRFCETVVEQSAIKCYAQTPNKRNKITMIAEPLDQGIAEDIEGGKVSIKSPNKVIGKFFEENYGWDLLASRNIWAFGPDDLGPNILQNDTLPSEV

DRRLLQSVRDTIRQGFSWATREGPLCEEPIRNGRFKIMEVSLASEAIFRGGGQIIPTSRRACYSSFLMASPRLMEPVYSCSMTGPADSVTSLYTVLA
RRRGHVLTDGPIAGTPLYRVSGLIPVIDSFGFETDLRIHTQGQATVSLVFDRWSIVPGDPLDKDVILRPLEPASAQATARDFVLKTRRRKGLSEDVS
VAKFLEPELFTSLKESGVLGE

>RCO7_05825 | probable protein FAM96B

MATLDNANPTILSESELSSHRRTRRNRGDGTQKSGIRELLMAKPGYALDPFYMSDFSDTDSDDDSSVEPIDEQEIYDLIAPISDPEHPLSLESLGVV
KLQDVHLVSPRDPTKRTALSHVLVELTPTVTHCSLATVIGLGVRVRLEQALPPSYRVEVKIKEGTHSQADEVNKQLADKERVAAALENDNLMGILKK
MMKPCMET

>RCO7_05824 | related to Cutinase transcription factor 1 alpha

MAGEPGTRRLLPQSSQMQSFSFAPTNFGQRENQKNYVFVDEHNRHKRLKVMRACEGCRRRKIKCDAATTNTWPCSACIRLKLHCIPPTVNYDRDFPT
NQGFEGDRAEYESGGSGDDDYQHQLAMQQHMGGPHKNIPPIYTQQMPYSDPASIYQSGGYGEPSSSHSQPSMHYSSIQTPNSIVDQHHIYPPQPSYS
SIPLQRQQPQPHTPEAYEQDHYGEQNLADLLGELRMNEAGSAPYLNNKSKTKTMLEEPAFEDADAYKLALPTTLSGPDLKVRIPPELMPDDQTCMEY
FNMYFMNVHPYVPVLNKSLFYQQWHTNRDSISPLILEAIFAIAGRLADEPSQGHQWLALASKHADSFMDVPRLSTLQGLLIVLKARESAPKRGYYYR
SWMTVVQCVQMAKDLGLDEHFDEHKAGRPCGSDLADCIMKTRIWQTAFVCELMVGSPQGRTDLAVDMDTVDLGIPRSVVGNDEAEFHVTRNFTYFTK
VILNVRRMNNVYAKIKKKKDWGIDPDFVQLNPSFESWMNDLPLDLQVTFSPDGSRPWIPSHFIGNLHSYYYLSIIMLHRPQLTFMEPTGMDGGWKHH
MMICYSSAKLLCRLQESILDSFGLTGLLCMQRGINFTIYCILTCTVLHLVALTSPDPDLNTDAREYFTRHMRILEKCTSSWPMPDMQQQIDALREAF
SADIRKPFVLKPSFPYASPSGSINSTPPRSIAQYRPQGPAQQALEQQHAPQQVSYTAHPISPPISAGGVDTKSDSPAVQSLVMMATGQRGSQPQPST
STGVPMADPSTWNPSRIFDQWNTTFGTPPAQSTSAPPITPLRLPVSGAQEIPTLPELQNLPNSNLNPNSHPLPPQQYSGAAIPSFVSPSMWQESVAS
VYEGGLKRQHQWDYDESIVKRAR

>RCO7_05823 | related to metallo-beta-lactamase family protein

MSTASTPKVTSVSEPSPTKAQTPTAVDFDTSRFEDLFEAPLHEYNIHTPEASMVSETDNLLICTACGTQFDEESRLLLTRCRICDDPRQFVPRTGQS
FTTMGELRQGPYKNRWKKLDEEEDRLWMIYTEPQFAIGQRAILIKTPQGNILWDCIAFLDAETVDWINEQEGGLVAIVISHPHYYTTHLDWAEAFEC
PVYLAWEDKGWLNRLDRMGKARTFIESTEEEIEVRGEKTGVLILKPGGHFPGSLVCLAYKRLLIADTIVTTPSGKGDWSLGPGGSATARPEGLNTYV
FMWSIPNMIPLTPDEIMGIWNVIKKHEFTRTHGAFFEMEVRDGGGGSKTSVKKRMLESMQIQIRASGWKEHALLKEVIK

>RCO7_05822 | uncharacterized protein

MTTERGEEQHWSSQAYQNSASFVPKLAGKIIGWLDVQQDDRILDIGCGDGIINLQLAQVVSRGKGSVHGIDASPAMIEAARTSAAVDVAAIVDATTL
LSNPELQKYSFDKVFSNAAMHWILRPEETRKDFFEGVRGALKVGGKFVFEMGGMGNVAEMRTALLSVIGQHTSLEQARAADPWFFPDEIWMTTMLEQ
TVGGFKVEEIEREYRPTKVDAGGIEGWVRLMGKQFFDSVVDEEEREKCVKEICGLLESVCRSPGGGNWIGYVRLRARVRKI

>RCO7_05821 | related to histidine kinase

MSPLQSFNDASNMPAEHHNAPPYGDALSKSDGDHTSIVSPLQMSTGQIDGLESLKADTYDKGRGQSPTRRLSSSNLLHLNISQGPSPADLAMLALQY
LPYPVMVLNNHKTLVMANDAMGRLLGMDDDDGDTASDDGMSITDKLKGQTLNQLGIDMLQDGRPVWVTWDSFLNSIAEDVGQHVVRDWHSTPSEAGE
GDVTPTAARAGPIFGFSKPRAVVHDAVVEVVVPQEKSSQVSVATQQNKAVKHTLAKMIITVWEIEDDSFFTLTFTNTESNHTSQPAVGKPRQVTRAA
KHHHSIGSVGSGSRSGSSSVGSGQSSNHGGSLSSSAITSPTNASMSTSPFPPLGPPTHASNSTAPSTLQKIILMKDALMDTTSVPILAMWKDESLTV
PNKAARRLFHSQADFSDVKDGYDLVTKWHVWDETFTIRMDPSEYPISVIVKTQKPFESRKIGLIDPDNGKKLVFDCLGEAITDEDGNFLAGVVTCRD
ITTMTEAITEIKVKDEQRFQLICESMPQMIWTTTPDGLPDWFSARWYEYTGLTEEESLRQGWTTPFHADDLASAGKRWNHCIETGDPYSTEYRCRRK
DGAWRWMLGRALPMRNLQTGEIEKWYGTCTDIHESVETRFAAKRLRQQLLSVITHAQVTLFAVDRSRKITLLEGAFIWDLENDMESGDESVSSKQTF
GDQFVGKSVYEVLLQSKAPRDEHGVPASLRPIEDILTGKTMEEVEEHCIDDRWYSTKFVPILGKKDNGGRVNEAWIDGVIGVSMDVTEIKDRELELK
AQEKENTRLLANEAAAKEASRLKSQFLANMSHEIRTPIAGVIGMAELLADTDLDEEQRDCAENIQRSANGLLTVINDILDFSKVESGRLDIEEVQFS
LSVVVRDVSKMLGFAAERKNLMFKSDIAVGVDKDLIVMGDPGRVRQIITNLLTNSIKFTSEGYVKFSVLKQRETADVFEVKFVVEDTGIGIEEEVRQ
RLFKPFSQADSSTARRFGGTGLGLTISKNLVDLMHGQIGLESSLGAGTTATFTIPFNKPQFHNGTAALIDIGSLPDRLQSEMSVSCSSSDYEQAVGG
SPMHTHMQRGLHKSRSISMTPPIPPELELSRDERAKVKILLVEDNAINQQIALKTIRKLGFAVSAVWNGKEALDYVLDADSPDALQREPDIILMDVQ
MPIIDGYRATHLLRHHAPYNTISRTIPIVAMTASAIQGDREKCKKAGMDDYLAKPVKAKALEKMLVRWAISKRVPKTPSVSEDEGSDCAESEEHNCG
TAAIPVFGRAKGSPQSSLTAGNQSATMKPERPSMSERQSSHQLTLPGTENEGDREGKREEAEEKATALRDEKLVIAAAKPGEIVTLTPSSLGAPGNG
APFQALTEENVGKLEREALNASAQRPEHSKRKVSMAITADSMAKENGSAECSPDSEGMGKRGVGLRGGEDENPRSESRERPKVARRWMDSQRTITSL
DDDRSKQA

>RCO7_05820 | related to NAM7 - nonsense-mediated mRNA decay protein (RdRP)

MAHQQIRSFSLVLQHSITPDDKEWSYQIPTLPSSTILNSHGLIKAITVVTNANMQQIELRLQDSALNRAICSEPLDQFLVISFSDFRLRVPKPPEIQ
GHGITQTVPATARESADYIVKLLQTGIVLNDIQYHFYGHSNSQLKSKSCFMFAGTKSQVSRKIEGLGDFSRMKTVAKKAKRIGLLFSVAQIATSVDP
KRCEDIPDIETHDYVFTDGCGLISPRFAQELARRVKISFRNIRYTPSVFQIRYRGYKGVVEVDPTMKGDKVLKFRKSMKKFSGGDNLSFSVVDYSKP
YGFGYLNDEVLLLLHALGVETAVFLRKQAEHFQFLNEATQDPRAAFRFLTYSNKPDLAERVLMESLESVQPTVAKLVSAELAKTINKRDEQRCRILV
PKSRLLFGVCDAWDVLKEGECAVKVTQDGDGQARALHGMDVLVTRNPCLHPGDLQKFKAVTRNELAHLVDCIIFPSRGRRPSADMLSGGDLDGDTFF
VCWDSDLIPENLAQPAEYPGGREQISFKPISDQDRLEYFARSTNASLGRVKNLYLDWARLKGPISAECQQLNRLFSNCVDGNRIKIPLSLDSPPKVS
VDTNPFVLDTLHEAAKEFISSRQVNGPNIDGYDFDAVELLLGRDNMAISEFELIRLTHRWCQKNNSTLQDFLHFFDLNLLTAGEKAWILSQLPPTSE
MMRLVANSLCQSSLVDYSELQPFKLHYSCLRWKCTFNSSQDRLARFLGCAARAIETFHRKFIIVRVDERLTLGIYIPQKIERGQEGQVDDRVRLFAF
PHSQGTGTSQRLSLPTKKTYRLYCDSNVFQLFQGARGNTWIHLANAVSDDSSYRNAETERGRRHGRQETLDAGTNFDCRASVALDKFSQGLRKHIGI
VNRAGILGAEIYVISNRDLRSMQTLDLWLQYVDTREVIPLFERQAREYNLPSLQGVDWSAQPDYIVQIAKDSIMSGLKDFDDTRFMGLFIWLLDRGE
NAKLLQCYKYLLLQFQARTLSELKQEAAVRAMVGFLSKAPFLSVTFSAQDLWTSSSPEMCALLEILAVDILRAHVLAAREHQDFVLKPFQTVISQVK
SMSLTEVAGLVELISLTIRSPELALDLLLETLEPQSNRLLHHSEPKSRHYIRNLIGIALDHISEATEAKIPRKDLLQLKLGLPDSSGFCIVDCQMRL
DAPFGALSASDHVRLTVVGAPLNSGAPSPFSMDALVEASQPGQASFRCFHPPPTYLEECSWELLNCGSFVTSKTMFDAVHALATNADECCLISRFLL
DSPNDPDNITESIQRTSFDEIFSISTLNTSQNAAVRATILHPLTCLWGPPGTGKTYTIVQIIKQLQANSETQRILVTAPTHNAVDNVMRRYMNETQS
ERSTTIRVSTDVRKVAEDLRKYTCDAMLGKELNSNYSARNKARDQIKKARLIFTTCIGSGLGLLRSEKFDTVIIDEASQQTEPASLVPLTKGCRKAI
LVGDHVQLGATVQPYAVLTSYEVSLFERLYTQAIPDDGIVLGFSKVMLDTQYRMHEDICKFSSDEFHGGKLLTGIPKSTRPVPESRFPWPSRDEAAQ
RTIFLECSSLEDLGRKSKSNAGQADACHTICKLLNAPPLSGKEPSIAQDHTARPPFIAVLTPYSRQAELLKSKLSVFSDVEVSSIDGFQGREADIVI
FVTVRCNMKGEIGFLKDLKRMNVALTRAKTGVIVVGNRSTLTTGTADPESTIVWKRLIAKLTEVKLASQ

>RCO7_05819 | uncharacterized protein

MMPEERQPPNIYIVGAQCTGKTTLVKALEHYFSFKGNLKIDDGNLISRPQIITEVARSVLKEHSFIAEDITSSPTRALALQKLILKAQVQAEAQAST
THQDTWFISDRSGADPIVYAKEYVSDVAANDLLSSPEWLELKRGMEQSLVVVCEAGADWLVDDNVRLMPESKDAWTGFHQLFCACLDTWGVNYGVLP
CAITAHQDRINFVLEQWLAKQAGGNRRGSCH

>RCO7_05818 | uncharacterized protein

MRSTISFPAGLAAVILLASTTTVSAHTWVEQVRKVASNGSFVGAPGFIRNFGPRTAGVNIDAVNSNILPPNGRSNAFLQTDLMCKSNQLKGQQTKDY
PTLKASPLEQIALQYHDNGHVTLYDTNQGKPAGRGTVFVYGTSQSLDSDTYLGIHRVWNAEGTGGDKRGKLLATRPYDDGRCFQVNRGSKLRQASIN
YPTDKSEDILCQTDVQLPADAPTSGDYTIYWVWEWPTLGKDGKIVVNESYTSCMDISMSSKPLLTAGKFIAQKPVGLDANNVAIEAQMIDQFLVDPT
AQPSLTSDNMPGGGATQMNQGVAPVTMSGSPAQATPVVTASNSKANPITQPVPTLKPTLASNQGFLTITVTAKEIETVYITLNPAASASSKPTAKNP
LTLTSTVTVIATVSSSAPAISNPAFTTFPAVPMSSATATGAPQPSPFLTPNNQVQNGGVAPTRRRKRSARIDIRS

>RCO7_05817 | uncharacterized protein

MMSTLFAKEQSTSFTCIRVNDSTFLIIEDDAFGEEPYIYAKIYSDHILLTDTGCDFPRQKHQSFTSLRHYLESYPLTINGGKCLNPGGQKKYVIICS
HCHYDHILGISQFTDANPTIIASGFERSFILDDLPTSSLCKYVNAPTPQYEISRWARHMQYLSLDDRAFRVQFLHTPGHTPDSLAWYDIDEHHLYVG
DTFYERKRAVPIPGLPDNQGALGAILFPEEGGNWIQYMSSLDTLHSFVLFQNMELRRQHGSSHGSTPRVKVCCGHLTYDADAEFMISEVRGLFGKLI
AGKIPVTSSIEKRGIIHDFWLENEESRYSVMAPRHVAAEAREHFHPKASM

>RCO7_05816 | uncharacterized protein

MALESPLVTSSPGNIMSAFSPYTEFSLSPNSPAMNGPTRYQSLSTRNSQESSHLRPNSIDEHSTNGLQMTSPSDMVGPSPVTSNGTETTEIEDEVSD
DVQPQEIRPSPPRMVGSADSQATLKRLSTNLPDHFRASLEDESISVIHAPEGYGNFNLPDSLPIIPPRTSDRSTPTPYEQEEGNTPPTIRVDLQVPK
DKSPQPSPVSPPPIHTDLSPIQFGLENATPRAQTRQEVEALSGNYGSVRSSSAHSLQGIPEEHRNAEEDDFEARTVHTSDEEVHALKTALHECWTLC
NTLASLSSIHRERIFSYSGTGDAHETAWKCCWRLCQKLYDSRDDNHEFHVRPTLDLCRDFCQALFDVRQRKDEIADSVLRVSFELNNHLYNTHDRNL
PEAFRERTLDFYITLCHRLMKQRNELAEETDALLRACWGLAEMLFSLRQNRREGKAPEEELLGSAVQACWELCDLFREGWTQVRPDRGTPRPSQTTF
TQTSDQMSRSSHTKSSSLPSLPENPEHPEHARTRYQPETPTTEFEDTPISPEAHSPNIPNILVLGTEGTRASNARWSSATSSSSYSQGSQKSSSTVT
TAASPEDANLTRLKILILKAAMNVGFSRSPTSATPNSADPPAFQNFIKALPTGSFGSLPTHTKLLASYRNLILSDSTFRSSNALPPVGKNASAIDVA
KSVGWMMRSGQYPFLKDLFKLVFGFHLEEAEGRKHVSITV

>RCO7_05815 | related to DNA-directed RNA polymerases I, II, and III subunit RPABC5

MIIPVRCFSCGKVVGDLWERYLKLIDAQVQDGEAMDQLGCKRYCCRRMIMTHVDLIEKLLKYARPIISLAIYFTKTQGQTEFIDSTI

>RCO7_05814 | related to small nucleolar ribonucleoprotein

MASILKRKRAPADMSDTVQRSKSVKTKSGTPLRNPIQYPGWEAAFEPPPATELVKVEVPNGDSKEGNGRRDSLQSLEYDDLVGKDSKENNGVGESSG
RKKKRKGRGDKLRAEQSVKLSKEQSHKRVELPALVSTFKKTGQEPWKLSASIGGRMVNADPVFSRDEKFLIVAHLGAVHVYSTTNSLLTRSIKLKLN
EVVDLPPQIIAFCLSPTDSDLVWVACSDGSIYSINWTSGAGAKDYWGVSSSGCIHMTVASMKSAERRRDVVFTTEARKDGGFRITANELAPPNSSIQ
TVARTIYTSNQRINFLKTASDGSIVIAASGNKVLIGRLRSTEYDTIDKMRYEFRVFESTDAIKSLDIRVTQRPGAEGLKKANPLKRIPVVDLVVGDV
RGVVFLHNDLFPRLWIESDGKISGVSLTLAPRKLHWHRQAVHTVKWSLDGNYLISGGTETVLVLWQLDTGKQQFLPHMAATIQNVVVSPTGSSYAVQ
LADNSAMVLSTSELKPTVNIAGIQTCVVESGPSIESQVERLEEATWKFPLVQKTPAVISPSNTSQLLLGVGQTQLVRARKPLIQSNPFLQTIDLGSG
HNLSRQALTRTNITSVNAAPGLNRITEPRITHMKISYDGEWLVTVDEWTPPQRDVHLTKRQKVDLIENPPRREVFLKFWQWNQESALWELVSRIDAP
HTSTRESGDAGRILDLAVDPSSLRFSTVGEDGVVRIWTTKTRKRDGVVVRGRDNKPLRNWNCDFAVALDKAELLDGADVPAPSGCVAFSEDGSILAA
ACNSNGGLVHFMDPDSGTIRLSQTGLFEDEIIGIEFLGQDLITLSEKLIVFDLVSEEARIIIKASAATKSLSTRQKQEMMHLSIDSKSRTFAVALPT
IRDPSSLRTATSELVVFHQDARDPQLKEAFPTLITALLPALSSEGFLVLDTAAEIHSVIKKGTQSITMLAQSTSALQLDAAEDLADLIPTDQNEDEF
EDAEEYPTPAATQDGDEEEEDDAPVVPQQKLAEIFNIGPAFALPPLEEMFYQVADLYAAEPQRQGVALG

>RCO7_05813 | uncharacterized protein

MSSPTREGSANTGSANGLDEKPRLSEGEKKANHIASEQKRRQAIREGFDRLTELVPGIEGQGRSESVVLKRTVDHMREQLAERKKLVAKLEGMGGVV
EDELKK

>RCO7_05812 | related to threonine--tRNA ligase

MRSSRALRLLQIRSRPSHASHTISRIQTIRNGYCTSCDPPARTKKAKSTNKTTTTLADHRQLGLEQELFMTSTYNPGSPIFLPNGTKLFTRLTNFLR
AQYDNFGFQEVITPTIYKKSLWEKSGHWDNYADDMYSVTGRGASGEKKGRQIGEDEEYGLKPMNCPGHCLIFASKQRSYRDLPLRYADFSPLHRNEV
HGALSGLTRVRRFHQDDGHIFCRPSQILEEIKRTLDFIKMTYGVLGLGPYRLALSTRPVDHFIGTIEEWDNAEAALKEALEASGQDWTLNEGDGAFY
GPKIDVILKDSDRREHQTATIQLDFQLPKRFDLEYQAPAPELEQKGETTTDPALLEVQGPVTPVMIHRAVLGSVERIMALLIEHHNGHWPFWLNPRQ
VMIIAINDSEAVVEYAQKCKRILQGIDSGNETPHGAMRMESQDRISIDLDTSARSLAKKVREARLKRYSIIVVVGQQDISTNRVVVDLRGIPNGEEW
LVDDVLLRRAVSDLEMSVEPEIDEPPPGDSKVRRIQVQTTMGSKFIRPLGVPRLEPHQLMNLRISAQQLKFFLLNLNTSYKG

>RCO7_05811 | uncharacterized protein

MPPGKVKKPQLGDSWVVEGENDDDLEYSPQVIEYQPPARKVTPPRKSTRGGTRTPEPELVMPSLDINSMDGSWADTISTSARKRANQSAEKVLEARR
RNTRTSNTSPAKLSRGKNPPVEASNIQAAQGDNSSSFRDIIDVAVEHLAAIMSWLLDVITGALKVLKKPLSYFLAVWLLFGVGVVVRNLVTNSIYAS
MSPLCRIPGASLLNLPFCPVHQVDTRHGSPPPVEFDDLMAVQAKFEEVLEESAGGVSLPLDMKRGEASIRDLRQLVRYSQLHSKNELVLEFDGFIET
ARIASYDLQKFNSHVGRAVDSVISTTRWTTRVLDGIQERDGSRGSVNAFINDRLLAPFQPVKFTESVLLDQYIQHTRIVEEEINKLIIEAQAILMVL
TNLEDRLDVIHGIATRDDMHTKALKEEVLAELWTMVGGNRGKINKMDKKLNLLQHVGVYRKTAYAHVSGTIIRLQAMGAGLEDLRERVGSPELLRDR
LDIPLSVHIENINKGVERLEESRLNARKLEDEHLRRSLERGRLEGAMIDG

>RCO7_05810 | uncharacterized protein

MDSKPEETSIQFPDDPDAIPLERLTRRSATASTAAPAESSRNHNNFYGQSICEDRQGSQSSQGDEGISSTHQPKEEIERPNVDTNPVEFGGLIRMVS
SGSSQSREIRRANAEQAGVQNLNRTRRSREAQHEVVDGVRLPQIFLRESEFALKNDKFGASIEISPKAAAIAEEALEDEADPLRQSASSVRDNPGGG
KYVPAGRCFLIQSTRVCRKCLHTNWKGTGQLRIEQHCARKIIEKMELHMDRDDSIFLNTPLWSSYPEPGHMPIKENNDFDILTNHIQHGRHVWVTEV
QTHFGFELKNRSILNTRHTQDLWRARTLVYAPHDDPKAHDPLIKFCQGDGPIWSEVLGISSLLKSDVLQSTMAGRIEGCSEAERQAWLEVKWHLPYI
VRHSVAHKSDDNYREICEKCHIPSGVFKAPDTCKSNFEDKFAKGKEVLDMTHLVNPDYRDPEDRRAEIERLEKERDENERRAESMLKREPEGRERVW
REHGARNKNIVEDKNEANNYADGSPGSSRDGPRATESSPTRPELITDNADNAASSDAVTGDQDSVAVYSTSSSTGPRDSKISRSWGEAATRHQSSDG
RFSQRVSSSFRAIPPRIRKSIGMKAAKIQVPRTKRNERLNGTQLTSASADPTPLPTPPNSA

>RCO7_05809 | uncharacterized protein

MRASVRYSNGGVIIATLLCITASAGPFIPRRDGVSDAFNPWVSVNPSGLPIATYTPSVTTIKGVETTLNPLPFSLTATGTALQTVSQSAETAAATGE

GSFQECHNRDSKYAPFCNPKNGSDVNVDGKYYVTWDRDYFSQKNASVNIIANYINDTGHGIVAFISDPVSVSDGYFVWTIQKDWLQDMKENNVTLFL
NRINPPLGAPTSLEGPTVRVQVYEKPIYHQPPSEPPKGQSLYIALPTVLGFVILIVIGGYFWNRKTHKIGLGNVMGRRSGYGSRKSKSQRLGLGKQD
EVGIQLRERELMADGQYRDIPAKITMSPGRERERRDSDGLGSLAGSPTGMGGQNYFRDELKRQGGMR

>RCO7_05808 | uncharacterized protein

MNSAGYKYSYISQLPLMFTLIDGGRDFGPSSNGLTKKQQQLWATVGDFRDRVLQDPVHYNDDPTVQQYMLELWTWNQYWYETPFPGHEPEKIEVEDM
EEDGYDPASLEFETAPEYEGNIFAYTPSAVLTQYHPFNSDSEVDHSQGIHAHHSLSSPTRHYPTIQPISEESLRTECREAILQHKGPDYIPYHGWDE
ETGIPRYSILCLASNGFFALCGPRSEYFRVVKQHFSSTARIMYQRARNGLMVIWIEAPRTNHVVEFRENVRMWNAFKACWAFLKCWSDAAGEGGADN
IADFLMGWRGDERVGEVIEMEYPPLQVYNPFRR

>RCO7_05807 | uncharacterized protein

MSFMFPVRATSGSSSMHRRDPQSAGSLPAISEDGSSFLEPRDAPPVPERAWNRPPYKNSALGTPPSLKSGGSPPPYTHFDSSKDELQAPEGDKLTQL
RGRLENNKHISKRGGWKRLAIIAAIVILCLVGLIVGLAVGLRNKHNGSSSERSGSSSPNGGASGTVVAAPDSSNNATFPAGSYRFDTYLNTASANCT
SNPATWRCYPYFTYATSPTQSTATFDWIISPSIGNKYTISSTQNFFSIIFNNASLSLMNAGADDEHYFFQTMMDKPTKPVAQLGSQNVASTCFFNST
TLQGSLYTKMPKTFMVNNDTSSMDTNGPFSAWPFAVKVEQVASAGSGTPTCLGPSGENLGEFSVADTTQLCDCLYLNTGT

>RCO7_05806 | uncharacterized protein

MAVLEDVPGLEVYIKIDKFALQEYDDDEEVQASISPVEQYKRTRTVTKYVESATDEEFTVDINLNPGFIMTSDLATSIQIDGKVVRNPLIQKSARKA
YLTGKEVHTRMTDVIDGAQTPVPGYDDQFLLQKFRFSKIETYLEDEKLKDVEKDSQRIAEVGEIVVTFYRAKTSGRIKSKRARDAIEIIMENAKVHE
KALKGETKSHSVLLGPPCGLVKPTAISYRLLDGEDRPLAIFRFKYRSHDALKSLLIIERTPSPEAEVAPTSALVDVHKLYPSPSIKREHNSNSSDDS
PRKKMKPGKSVIIDLTENSDDEIVTSLN

>RCO7_05805 | uncharacterized protein

MNNNNNKNYNQHAVHHLKSTCKTRGLSATGNKGDLVRRLVEDDRKLASAVAVPVYNFENDPKGFHRLAFLNGNYQELHRSSLTADEAIINTLTLRIK
KAKSTMAANQADLAQAKDAKKQEDLERGKHESHLNAECLEEESLFVPLKDSCETGGRMDATVPEVIQRLCTENKRNHDESVSDDSATNAKKISTGQR

>RCO7_05804 | uncharacterized protein

MSPPKDDLQSPLQFKNPPLRRTQPPSQEPILIRRARLFESYHIGRIAARTYFNTPLTKYLSPYREKYYGDYEFGFQTRAQARMFSPRNITYFACEKS
RPEEPVGYMQFVRMGDDEFANKLDREGAVTWWVWVMMLSWVWGVYVTTKLWWVGGNRSEDPEAVKKFKAMTEEGDELYWQGREDRRNRWHAQSVVVL
EEHHGRGIGKRLMAEVCGRADSDGVVTGLEASASGEWMYRSVGFELLARFKDEHNFGGDGGGVMIRHPKGHKNVDVKQ

>RCO7_05803 | related to nitrogen permease regulator

MIQGIFFARFLSEQGSRVVHQSPPGCIVPEPDVDKPRLFDFETTAEYIIPKQAFCNRFVTICEPENKYRILGHPVCIKDEKYSRNEFMFNFCIVIGI
EVDQTPYESVVRRLASTFTEMEIQNEYLSLEDLSSTQERRSIAALIEIIKEDLNNYNECMIPVDDANTINMKLFPNHSHPPPVKSWHVPISTMKFSE
IMDDTWDLTMKKVIKQIDGIKDVRRIAQDADVALDLTKIALQHLLYYDSILMLDLFLFGNIYAPTPEVNDFIADRDGMQDECANYVYINGPRLPNFY
LCRLFTSLSTSRTLKEWLKLHISQGFSVLNFVDVRRFIQFGIIKGLVYRVQKYAVSPEYLSSLVSGQNKVIGGDAMQKYLDGCHSFDQIITEKNLAE
SKIREQLRRVVDFVTIYR

>RCO7_05802 | uncharacterized protein

MEIPILRRKPSYATITQALEKLKLKPSSWEGNAEPEDAKLGDDGSDNAFLMSVIMSEFDWLQDTQDKAGKTLSIDEQKERLVQEASSRISERCGRSA
AGEMTRTWVIPKSLNTPEIRFDIREPPLTGDQIGLKTWGTSFVLAKRLEYIGSEYLGALVDNESISYLPTVLELGAGTGLVGMAAAAVWSTNVLLTD
LEDIQDNLLFNINKNIATVTELNGSISGDVLDWTKPQEALELLIVTQFEVVIAADPMYDHEHPALVVEMITKFLKKGSESRALVAIPLRDTHTEGMA
LNFSTLMENSGFSAVYRDHESFKDDWTSENDVQVQWTIWRRVDRTLTP

>RCO7_05801 | uncharacterized protein

MVGTSKWMPEWIYFVWESNNAGKKPNQIVVDLDVRFPRSGKAFNTGGVRYVLANYPDPTRFPLSQVMSGGIEKMKKPAQASQASPRMAGAIHKDLVG
SSAIPVGPSYNLESQTYPSIKTVTGGPQSFKFYPGQMNMHPSTTSSTQHTMSHLPTCGVNYSLSIPRSHAHPEQSFNGRKQGQYPTATYSGENANDP
MYIDGDGDGDEIRPKDMERTSSRQNNLAGYGQKQFSPYMMGNDGRGQHVHQQQGSSQAISARMQPPMDPNMSQFIEIQAQQVMGGFNSQNVGQVGLG
QGVPFNSNRGIMQGASSQFHAPNAFQVPQQYQKVPHDISATKSSARLDFGGSIDKVPGPNHGLQKVSGNASSGHGHTQTDRPLHQIPPGGQFSQGMM
GHSKDLSKKNNVPAVVAGSIARAEPPTKPSGVQTSQTSPTLKLAPSFTISSLNEDDFELVEADNAGENAQLLDLLAESLINTAPILRPDSYSKVEAP
AYQPGMKRKHQEDELSHIGLSGAPAHLSNVDRQMSPNKRHKRDELKQVDVSGVGLQGNNAAVTGQTSTKGAFSNVGNYYNTLQKHSTQRSQDPAQQP
NPTIRPQSQPQASQNRPNVSQKPELINLFNMQSSTPPDYDVKLLQEFRKLHGGRSPEQEMQRLFDLVQHTKMNNKDGKLSSEQENGAKIHGNQIKYK
ASQLLRSSSNTPQNPKQLQENGPKSGGCANGLPQSAMSLTKQRMQHKFMQEKIAQSRNEGNSGASALKPSGAFKQLYHQQEALSNGSEKEKTITQSP
QHQASPNTNTTGAPPAYQAATYLKGAVLPNSQSRPQSKAPPTSQPTLGMSQSATSKPPQSGASANGTGAIYRHQAPTNVNWQISTPQQAQYKYNGNG
ASNKQAPKGDLHNPNMARPNTAPSSTSYEAYDPLYLVNYFNYKQSPPAIQSSAVHPSPNSNARPSMGMPGQIQQQSPAGVAHMSGSMQPPPFQQPYH
RQQAPDVPVNTSSTGQGLYQSPYQQNGQIGPHSAPYQYPRNSNSRPAPRKKMHTQPKLQAAKAAGAGRPFKAPEQKANKPNSASNTSNSRENTSSPE
TVSPNTTASSVLPFANANDVTMLHLQGPIFHQHFTFPTTHDGWSTMMDHLNSDYTVSKIGTVIIMNKPQFLGGVTWPHDKVPPPPPALIPPQTTSGS
NLPMPPVYSQHLYTAPIPAVATVPLPAPSTIPLPTTSGLTLPIPPGFSQKTHVAPVPAFVPAPSKSSVPQSARQPSYPAKILPSPSTAKVTKLNVHN
QAALPKVDQKKGTSNTNNSQPSFLKPVLSVEVDGQKQVDSQNACSKTSVCDADSSENIEQLPMELHVDEEDDYDELFDGPLDDLDEVVGDGDNLSGG
DPNDESSASVPLGDPPAEPPTDSILPTPSPKLDQQKQDTQVNTQDPTPKAHTGDRKMSFEERMEQVLGAAVSRMDNDDQEYHYDEELWMDPPYDVFG
NRDQDVFDFGLQ

>RCO7_05800 | related to S-adenosylmethionine:diacylglycerol 3-amino-3-carboxypropyl transferase

MASLIPSILARDPHTQIIVVGAALVVLIGFIFASSFRSSTSKKVEDEELTAFRSFLRFFYASFLKPHTGDGTENGQQDALESFYKAQAGVYDATRKR
LLRGHEDMLGLVAAQLVQKAASERTHDPKRIWVDIGGGTGWNIEAMSAYVDVEQFFSSVYLVDLSPSLCEVARKRFARLGWKNVKVVCQDARTFRLE
DHEEMLEQVGSDVGFVLPPSYFSEDGASIGGADLITLSYSLSMIPDFYSVIDSLTSLLAPTGTVGVVDFYVQSIVDLSCRNYTGGMINRHVNWFGRL
FWRAWFDVDRVGLEAGRRDYLEYRFGTVISADSRNVLLGSIPYYVWVGSPKRPSTSSSSNYPHEIVERLDAAATESPYLSPINHTNALSRTVEKATP
PELHSKAYDAAVINLSSNLPLPSFFYQNHYWRIHYDDQLKKHTQFGHEFIYAFTWEDTRVDHRLLKLTSSDVVLAITSAGDNILSYALNSPARIHAV
DLNPNQNHLLELKVASFTALPYADVWKLFGQGKHSNFRELLISRLSPHMSSRAFQYWLNNTHVFTSTRGKGLYETGGSRHAIRVIRLLATTLRFSKQ
IAALLAAKTLNEQREIWTTKIRPIIMSRIFSYLIVSQEKFLWAALGVPHNQLAMLEADYLASETISDASADANPLGHSEKDLNSSRGKAVWEYMVQT
LDPIINNSLIGEDNPYYLVCLQGSYSQRCHPDYLQPKSHQKLSRGNAFDGLRIHTDEINEVVSRLTPGTLTVAVVMDSMDWFDPGAKEASRQIEKLN
RALKMGGRVMLRSAALTPWYISKFESLGFHGKRVGARIGGACIDRVNMYASCWLLTKVEVVASSNPQSTRTSSIDLEALEI

>RCO7_05799 | probable nucleolar complex protein 2

MAKSTSKSTRKFEKNHLKDVLEKRKAGAKIKQRNQVKAKRQARNAKDAEFEGKGGEKVSTGKAPLKEDPFGKMNVDDFFQGGFDLPEKIAKKKTKPK
AAPEKLGKRKRSQPDEENDDSSEASYEEAPVLSDSDEGSEAEDDVGMNKGAMDALASKDPEFYKYLKDNDPEALDFEDDNGDLAEVDDLSGSEDEQP
KKKKKKSKKDPVKEVHEEEEEVEDASELTKEMVAKWTKAMKEQHSLRAMRQVVLAFRAAAHVNEDDGKEYKYTISNSQVYHELLVTALKYVPEVLNH
HIPVKETAAGKVRVSTDNKKFKTLTALLKSYTSSIHHLLTALSDAPTLKLTLASVTPLLPYLLSFKKVLKNIVKTVVNIWSDTSSDEATRITAFLVL
RRLAVIGDPGLREAVLKTVYQGMIKGSRTTSVHTIQGINLMKNSAAELWGIDAEVGYATGFTFIRQLAIHLRNSITNNQQESYKTVYNWQYVHSLDF
WSCVLSEHCSPLKEAESGKESELRPLIYPTVQVTLGAMRLIPTSTYFPLRFHMMRSLLRLSRATGTYIPLASALLEVLNSNEMKKPARPSTLKGLDF
TSNYKAQKSYLKTRVYQDGVGEQVCELLSEFFILWSTNIAFPELALPVIVMMKRWLKDASNKTSGNKNIKVNSAFVLLLQKVEANAKFIEQHRAKVE
YAPNNRAGVDSFLKHFEWEKTPLGAFVSGQRKQRDEKAKLLEEGRRDEDRKRKEDREKEKAAGSDEDMEDVEDDPEAGFETEEDEE

>RCO7_05798 | vacuolar protein sorting-associated protein 28
MNPTRQAYAPTPHSYIPNTTLSATINLDEEVRLAETRAERDLQDSLAEVFSIIITLDELEKAYLKDAISESDYTEICDRLLKQYKQILADDAVSREF
KDLETFKSAWDMEVPRATERIRIGLPSTVTAPSINTTAGGSGGSNGTLILEATQDFITFLDALKLGLLAKDQLHPLLSDVIQSANKVADQDFEGRGK
IVQWLITLNQMKATEEVSEDQARELELDMNSAYQGFKATLK

>RCO7_05797 | related to mitochondrial inheritance component mdm12
MSIDLNWETLTTGPDGTALAEKIRDFIHEKFQTVTLPRFIKGVTVHAFEFGSIAPEIEIKDICDPLPDFYEETEDDLGEEGEEEDQDGEWEARATDE
ETLRERRRMDRVERTNGPSQVNHYPPYIDTRLPGMRSMQNPGDIGSPFLGVSTPGIPGGTSNLHYFHSQLATGLSGTQTPLAAVAGAHLPHGWPDYS
NIHAGGRGHRHTASGSSLSPPPTADGKLQSLREKASVSTLATSISTTRPHTRDGLLEETIEEEPTSPPRRFREPKTEDLQTVFRVRYSGDIKLSLTA
EILLDYPMPSFVGIPVKLNITGLSFDGVAVLAHIRKRAHFCFLSPEDAYAAIGAKDDNAINSNSMKMGGLLHEIKVESEIGQRENGKQVLKNVGKVE
KFVLEQVRRIFEDEFVYPSFWTFLV

>RCO7_05796 | uncharacterized protein
MALGRPRLLTVLHTHATLTLYCTVQQAITRKMQNDRATAASKCSDGQGRQQGLRASVRRLRIGASGLAAFRFDFAAHSMPLLQGYHVCGQNFEVLKP
SPTLETGEKQLHLSVAIFTLKDGNICRSSETADQSYFSDISMTGAHLPRALIVSHELTPVSLCSAEVTCLIYASAYRRPSLWPPSKLAYSLGPSVNS
ILRKTTAVIGACTTFNLYGPGCHEYSSISLALIVSHTPTASFGACTTRWPTPQRLGRSANQPANC

>RCO7_05795 | uncharacterized protein
MATTLPSHSDILALSFAGQENNVPAAEERAEESIHRFLSLAPTTSASYPFMKASPAAKAVSLGNQPAIADEALVTAAMPIEKNRRSSSLSSDGSLMQ
KRRFLKLGPVHFGVSEGDWSEEVVE

>RCO7_05794 | related to flavonol synthase-like protein
MSFDTIPILDLSEAKDPSTKPRFLKQLRHALLEVGFLYLKNVGIPEELIQEVIKEGVSFFDLPMEEKLKVEMKNAPSFLGYSRLNAEITAHTTDHRE
QIDLSTDHPVRTPDQPLYHNLFAPTQWPSSSHMPNFKPVYSEYITRMGEISIFFTSLIAEAIGLAPTAFNKYFDVDQQHKLKIVKYPDLKDLGLWKE
GEEAPEGQGVGPHKDSMFTSYLLQVTKHRGLQVQNLAGQWVDCPPIDNTLVVAIGQGMEALTQGVCMATTHRVLSPAPGTGARFSVPFFQGVTLDAE
FDELNDWENGGGVGRVPEDIKEMRRKVVARNGGRLDDVEFTFGGGNAARTLGEATLKNRIKSHVDVGERWYPDLLAEIREMQRREREDAEKKAASAA
DGGFGQAVEAH

>RCO7_05793 | uncharacterized protein
MGNGAKAASKRDRKDDKTTVAKSQLKSNEKAMDIQCIVCRSTFLSTSRAPALTDHASNKHSKTITECFPNFVPAPAKK

>RCO7_05792 | uncharacterized protein
MAATITQTEFKDALGRYPEILKTHGKTPIDGSVTIEDLDKFRYQIAPMNFSKNTGRVMELSDVEKLVQWKIHHGAFRPTLPKLVASNTNDTVAAATK
DAFAAYANDHKDIATVISKLTTPLKGVGPATASLLLAIHDPQNVVFFSDELFSYLTADGRKVEPKYVTKEFETIHAEAQKIMSRLNCTPIELEKVAY
VLVKEKVPEVKKAGRPAQEPEEKKAYTGAPRGRPKLTEAEKKAQQARREAAMTKPSKSAINRTRTGRVVKPTDYLVNQASDKKTPRAKKPGHPAAKV
ATAIKPAKKRGRPATAKTEGVEKKVKAKTAATATKKVGRPAGKVVAIKKPGRPASTASKKPGRPATAVKNAGPAPAKKAGRPAKAITVAEASASTPK
KRGRPPAAVTEATTATPASKKRGRPSQAEKNAVAQTPASKKKKTAATPATAPASLVKRGRPSAAASAAKRVGRKSLA

>RCO7_05791 | related to GRIP1 associated protein 1
MNGRNGPLSPVSVGESEWSGISKYQGRENDSPYFPPNNRGQLATPPISSGSNGTMNGGGFPPRGSSANSPAAGQPSPPSSIARSSIGTGLYAQSESG
RSKKDEQFESALSEHYVALKRYLAASLRDEKGNPRPNRARDKLLRLSPVQFQELSTDVFDELLRRQQSGRRTPNGGQPDGGPPPFLLPKDIFHPKRN
QARQKLSTLPPSRFRDLATDVYYELERRFPKFAGGDISRMGSPASSMRGPPSRNGNGTPVDGMPRMRRPSDASSVTAYSMRSESRNGPRPMNGMNGA
LGVPPSPGIPPNDYGRPTPKTFQSNTIVPNKSTMVEDDETGGEDNDDDDGDAFGLEGAARSRNKSLGGSSETDKKLIDDYQLQVAELRDKLESMEDT
LKQKDDELNNVLDGERSRATALNIEKKESTDLRLDLERKLAEAQNLNDSLQTELDRMRSSQANNERELRSQIEELRAAVPQPGAGTRGMGNSDVERE
NQELRDELRQQQVVTDQVRREAQEFLREMRVLSERSESSYDREEQLSNAVNKLEEEVKDWRDRYARTKTQLRSLRASSIGLTIQQDAAKYAKESGFT
EANGLVKDVHVTKYQISIDELLQTARVDDPSRVIDFMKSVVVNVRRITQDIDDAPKSSEELVREQTKLKSRVSATANNLITASKNFASAKGLSPVSL
LDAAASHLTSAVVELVRTVKIRPTPAGELDDDDDGHLAPVDTTGFFPVRDPRQLNPSPLFQGPGNARMSGDSSMYSPVNSPRESTMRPRSSGKENWA
GRQRSMSRGAQSGNAYMNGNKALPQAPMGVGFGIRTQTSDVEELKIYLEDQTATLVQNIQSLVSSIRSEAGITAITTQINAIADVVGTVVTSTETAM
SSTGNSVLRMQGEPIIRKLAGIRQRLIDAGQAGRDIADENRDDDEGERAWRAWNQSLPPIAFEIARETKELVLRVDVIDGDRGQGGDDDFS

>RCO7_05790 | RNA polymerase II subunit A C-terminal domain phosphatase SSU72
MAQPQAQSEASNGSSTNGERVDPGGFKLKFCTVCASNQNRSMESHLRLAAAHYPVISFGTGSLVRLPGPSIDKPNVYQFNKTSYDSMYKELESKDPR
LYRANGLLNMLERNRNVKWGPERWQDWQVGVPRLDQNKDRGSEGVEGGVVDVVITCEERCWDAVIDDLMTRGSPLNRPVHVINVDIKDNHEEALVGG
RGILDLADSLNKAAIEERERNPAGFDSGSAASRSGFDERVPEIIGEWQERWPNLPAVWTLAWF

>RCO7_05789 | related to Nap1p-binding protein
MSSTPDTSSPGSPSPVSSPSSNPNHPPLPPLITSPPSKRSNLQRPTSHASKNRLSQYSNQSVPSRSRPPSHIFPVFHSSLPYTTVRDFAYPVLHPMH
YGAPMEPPQPTSGMSTPASETHRRLSDPPTSWDSKGTWAPGSWASEGLMKGEQLAPIHFGDGPPWSEDEDLQSPVVVSSRHRKHKSSAGGFGSSQGR
GRGRTRREDGERSASMLSQENYEQDRGFFVGREGDGSERYYVNEGDEADGPGGEVLTYPPEQARHSTLAPYNVPGQRDSHFAGTLPSRSYTDEIGQE
YRSESDTSSSASSPGLTRHDESRYSRDYQFTIASPDEEMHGKAVALFDFERENENELPLVEGQIIWVSYRHGQGWLVAEDPKTQESGLVPEEYVRLL
RDIQGGLNSLTGQATDQLLSPVAPDSGTPTQADHGQAFGHATTSSNGSNGYQQPIVSTFSTSSKDLHPYPQHLLGTPAGQPPPQVIHYHGQRGGSQA
NTPTLPSSQEGARDANSQDLKSRKTEESSNSTPIATLPDTKLETPIQQSDSPRNDSTESPSNAEKDISSP

>RCO7_05788 | related to pyrazinamidase/nicotinamidase
MTTDFKPALIIVDVQEDFCPPNGSLAVSNGRSIIPTINRLLSLPFVLKIATQDWHPVDHISFASNHDSKKPYVDTTTITNRSNLAESCTIRLWPDHC
IQDTPGAELLPELDVGSVDHVVKKGTMREVEMYSGFCDPFGGCGSGLVERLREGGVTDVFVVGLAFDYCVKATALDAAKGGFKTVVVREGTKAVDPE

AWGKVVDELRELQVEVVGVDGEELGRVKELKVSSTD
>RCO7_05787 | uncharacterized protein
MARSCSQKLYKSLIEGTSFVQASVLPPRSLKLQADDTFNNTVERRDDAHALNPAERGMLNDLRDAYQGFSWDTAYPGGAGPRGEKGTKDGGCDLDLF
KVILEATRNAVRLATFSGTDLIQEDRSFNKFFVRNSIAPAGGRWISSKDIQNTFASIKHNMLVPSRFPIDGTRKRRRPQRVGLQCKDTALPLGGHEG
CAGTAVYLRSDAQRQCYVEWREFRFLTYSDRTTRLNQILEGPRRSEADLGDSRWISYEQVIIHEWLQTDIMGYSEHLNDLVDEIDDNSPKRRVYGMS
EARDYAWKFMKGTKQSINKNVALNDTLKFLLNVENYVWYFVDKMGWTGNGNSYPNRKRRLEHRTNQITRRVLTDESPLTNPSTLSPATWPANCHGEL
AIDTADTSVLVCDYVIPPFEDYPTSIPDPEPYMPYPEPTVPAPALPVVTLPSDPKNCNCNESGCTRESPSCCANGTC
>RCO7_05786 | uncharacterized protein
MWKHHRPGRIFLSLVFIDSNKIKRQYTESEVDGIFSTALSSILEATRLELKQEVTTLGIAFPDYLSDETRQLQEVAARLVPDLAKSIVVWSYLQSVR
KGYRLDTATALGYSKETDIDQEDSLLLHFDYQNTLLEVSFTIIGTNVIIREGYFQVADYGGPTQLASIRVGLSSLLPSK
>RCO7_05785 | probable 3-hydroxy-3-methylglutaryl-coenzyme A reductase
MVRSLLKTFFLPTRAHGATAADAPATPVWVNKKVTPLLQSLSRRACLHPIHTIVIVAVLASTTYIGLLEGSLFESTLGKADWASLSEGSRQLRVGAE
TGWKWQTTEVDSPIPKDVDHLALLTFVFPDSLATSSSQSAPLSHTVPLPQNLSITELPPTSNPLAAISHDTTLAYSVPYQQAAEFLAGAQELPSAIT
LPHDESARRGQQAELITEQKMWIMKAARASGTKSSVRNWASNAWTEFVDLIKNAETLDIIIMVLGYISMHLTFVSLFVSMRRMGSNFWLFATTLFSS
VFAFLFGLIVTTKLGVPLNMVLLSEGLPFLVVTIGFEKAIVLTKAVLTASLETRRPQPQGGPRATESDQDSGVSPSSIQYAVQMAITEKGYEIVRDY
VIEICILIAGAASGVQGGLQQFCFLAAWILFFDCILLFTFYTAILSIKLEINRIKRHVALRQALEDDGVSHRVAENVAQSDEWPKSDKAGNNETNIF
GRKVRDSSVPKFKVLMVSGFVIVNILNLCTIPFRGGKSNAQAPTVTGLSGQGFASVMTPPPMDPFKVASNGLDAIFEMAKSNDRSTVVTIIAPVKYE
LEYPSVHYGNMGSWAPQETQKAEHSEYGRVVDSLLKSLEDPILSKWIVFALALSVILNGYLFNAARWSIKDTIQMPPHHAVDPAELQRAEHFNDAAT
AQPPRLPSIGDGAEAAALPPTPAATDDEEDGLVMVRRQPEPAIVAQPPLRRTQAQMEQMLKDKRAPELTDRELVELSLQGKIAGYALEKTLKDTTRA
VKIRRSIISRTPATSETTNLLESSLLPYEHYDFDRVLGACCENVVGYLPLPLGVAGPIVIDGQSFFIPMATTEGVLVASTSRGSKAINAGGGVTTVL
VGDGMTRGPCVAFENLTRAGAAKVWLDSKAGQKTMTDAFNSTSRFARLQSIKTSLAGTYVYPRFKTTTGDAMGMNMISKGVEHALSVMANEAGFDDM
EIISVSGNMCTDKKAAAINWIDGRGKSVVAEAIIPGHVVRTVLKSDVDELVELNIAKNLVGSALAGAMGGFNAHAANIVAAIFLATGQDPAQVVESA
NCITLMKNLRGDLQISVSMPSIEVGTLGGGTILEPQAAMLDMLGVRGSHPTNPGDNSRKLARIIAASVLAGELSLCSALRAGHLVKSHMAHNRSAPV
TRTNTPAPAGSQTPVTSAISLMQERAGLAMSSAATERAAEVTR
>RCO7_05784 | probable stress-induced protein STI1
MADELKALGNKAIAEKNFDEAISKFTEAIEIEPTNYILYSNRSAAYASKREYQQALEDADKVTEIKPDWAKGWGRKGAAKHGLGDLIGAMDAYEEGL
KLDPNNAQNKSGLASVKRAIDAEAAEDGVTGDPAAGLGGMFNDPQLIQKLAANPKTSKLLADPSFMAKLQQMKNNPGDSQAMFSDPRMIQVLGVLMG
VDMDMMSGMPGGGARGDSGSGPREAEEDVPMPDARPASAQAQPKKAPSPEPEPEPMDEEAAEKAKAKTAADAEKKLGTDNYKKRNFDEAISHYSKAW
ELYKDITYLNNLGAAHFEKGEYDEAIKACEKAVEEGREIYADFKMIAKSYARIGSSYEKKGDLPLAIENYKKSLTEHRTPDTVSKLRAAEKSQVEAT
RQALIDPEKAEAARELGNAKFKESDWPGAVAAYSDMIQRAPHDPRGFSNRAAAFIKLLEFPSAIDDCNTAIKKDPKFIRAYLRKAQAYFGMREYSKC
VDTCTEAAEVDVTKANAREIEQQQQKAYSAMYSARENETEEQTKERIQRDPEILNIMQDPIMQSILQQAQGDPAALQEHMKNPGIRVKINKLVAAGV
IRVGR
>RCO7_05783 | uncharacterized protein
MPGPQFGALGATFTIVRALQSVCLIAIIGMTSNFIDQMVKLDQNPPPVLIGTLSVTAITALYIIISYVLYWDSMLPFLVSTALDSTILIAVIVVSVT
VGKPLSYLDCIALSNSGGSTSSFLASVGENMSKVNYWVWAGASKTTCFELKSIWGLSISLCILFTFSSVVSACLWKKLKFVSGGGKDIEN
>RCO7_05782 | related to DNA-directed RNA polymerase III subunit RPC6
MASAPDIAALKDEVYNGCFSVWEADDLNPKMTFRQQDIMDLDVIPGDDLNVLLVVVQKLIDEKFFRTVHAPDGVAWMLRTKEDAKRYRGLTAEQEIV
YALIDEAAADGAWSKTIKMKTNLHDSIFQSAIKHLKAKNMISEMKSVEHPTRKMYIMSSLRPSERATGGPWFTDGELDEEFINTVMKVLYDYIMKRT
FYQAKHNVVPVRMPKKLHKKMTTEEIKAARNEELGPRVKEEEQPESEIAAKKRRYDNMLPMPAGYQGYPTLNELTLFVENANIFSQTLAANDIQQLL
DIMCYDDRIDRVINGSEGVSYRALRKSLRDEDEHNSLLSEVPCGRCPVFDLCEEGGPVGPSNCEYFNDWLSI
>RCO7_05781 | probable peptidyl-prolyl cis-trans isomerase
MPRLPIQQQPLLRPFAKSFINKPSTTRYFHATSANMTIKTFFDVTWEGPVLDAAGKQTSKVAEQSGRINFNLYDDVVPKTAENFRALCTGEKGYGYA
GSAFHRIIPQFMLQGGDFTRGNGTGGMSIYGEKFADENFSRKHTKPGLLSMANAGPNTNGSQFFVTTVVTSWLDGKHVVFGEVADEQSLAVVKALEA
TGSGSGKVNYSKKPTIVKSGVLE
>RCO7_05780 | related to cytoskeletal adaptor
MDLNSLKEAAANLTLYDLKAGVRKVQNAVMNYTEMEAKVREATNNEPWGASSSTMQEIANGTYNYQLLNEIMPMIYKRFTEKAAEEWRQIYKALQLL
EFLIKNGSERVIDDARSHLTLLKMLRQFHFIDQNGKDQGLNVRNRAKELADLLADVERIRAERKKARATRNKYTGVEGGGGLGGSSVSSSSRYGGFG
SEEASGGGGRGEYGGYSGGVYGDGGGFGGQSTDFQDSGSGSRGASGGGGGRDRFEEYDEYDEGAASTSGRRQAEASSSSSSRRKTTEKPAAKKPEPP
KKKEPEVDLFSFDDPIPISAPVAKPAASNVVDDDDDFDDFQSATPSAQAAAPSFSFAAPTATTTSNTHYASPQPLSAPKAANLSDLVGFSSISPTPS
SNATPVNYSAFSPPAVAQQPRPTAYQGSQPNYFTSVQAPTQQASNPAPGASSIKAPGAKPAGGDAFGSLWSTASAGIKKTGTPTSGPALGQLAKEKA
SAGFWGAPAASSTPLQTQKPNQNQQSLGNGLDDLLG
>RCO7_05779 | uncharacterized protein
MSRLLCTQAAFWILRTVLAITKVDVSAAPTKFRTHDIGDDFKDIKMWEVARATSAATTFFPSISCGLQEIEFIDAGFCHNNLTEVVFSEAGYIFSDE
PCDCVISIGTGHGDVVEVTNARLSILNASKKMASHSEAVHHSFRNPVFVRPMYVLLGGTLIAEAEERRTHEFWLAYVLKLQLNIPPQVLLSDPVFLY
TALDDYLSFHLDWVSSSEFFELIVERHTHHKLESQYKSRGAAKIAQGQLVLRGLPTRCEHCGTHYERFLELDNDQDGSQTLV
>RCO7_05778 | probable FCY2 Purine/cytosine permease
MGSFTARKEPDVEAGEKRVDSLDYVPDDGAIAAETFVLGDSWYAKIQRVAGKMGVEQRGIERVPSDERTDAPISQVGTMWLSANMVVSSFAIGALAY
PVFYLGYVDTILIILFVNLLGITPVAFFSTFGPRFGLRQMVLSRYFFGFYGVKIVAVLNVLACVGWSAVNVIVGAQLFHAVNPSMPGWAGIIVIAAA
TFLVTLFGYKIVHTYERYSWAPCFIIFMIVLGEFAHSGHFYNIPMGVGLSEAGSALSFAASVFGFATGWTSYAADYTVYQPVDRSRKSIFLWTYAGL
ILPLLFTEMLGATIATAMAANDGENIYMDGYHSSHIGGLLAAVIVPPLGHFGKFCLVVIALSIIANNCPNIYSVGLSLQLLAKKSQRVPRFVWTFVG
TLIYCAIAIPGYGQFENVLENFMLLIAYWLAIYEGISISEHVIFKRGFSGYDPSIYMDAKLLPPGIAAIISFLFGAMGAVLGMAQVWYVGPIGKLCG
TEFGGDVGFELAFSFAAITYIPLRYFEKKHFGR
>RCO7_05777 | uncharacterized protein
MPESASPSKREFNIREANPKDIEAIASLGSRVFTASFGYSLSTRDLEAYLQSGYSIAAIISDLSNTNIDTIVATDSQDHVVGFSQLTRGTTEPCLEE

MEKTVELQRLYVSEDCHGAGIGRKLANRVEELAREQGFVTMWLGVWEDNLKAQKVYEKLGYVKIGHHDFVMGDCVQTDWIMSKKL
>RCO7_05776 | probable transcriptional regulator
MYLRAAHADLHLPTLYKFILNNPLGILTTSLPSSNFHTIQTSHIPWVLDIPDSDTNSNPDSDVSTPPKARLRGHLARVNPQAKALIETATQTSSSTL
QQEVMILFNGPTHHYITPKFYIETKPATGKVVPTWNYSAVQVYGKATIHFDTSSSNTGEFLTSQINDLSRQSEEKVFGYDGKEGRSKAWSVDDAPSS
YVSLLKKAIIGIEIEVESVEGKFKMSQELKDGDREGVVKGFEALGTDEGDEIARTVKDRGLKKEGVKV
>RCO7_05775 | related to peroxisomal membrane protein pex13
MATVSPPKPWERAGAGGANSALASSGIATGNAVTNPASTTTSSATAGAPVIPERPSSLTSAVNRNASAYSPYGANRLGGMAAPYGGIGLTNGFTQST
QATFQIIESIVGAFGGFSQMLESTYMATHSSFFAMVSVAEQFGNLRNTLGSILGIFTLMRWLRTLFAKITGRPPPADATALTPSAFASFEGRKFHPD
GSPAQSPRPSKKPFLFFLAAAFGLPYLMGKLIKALAASQEEEQRRLAALGQMQIGPDGQPIQAQIDPSKLDFCRVLYDFTPEAGAAVQGIDLDVKKG
DLVAVLSKSDPMGNPSEWWRCRARDGRMGYLPGVYLEVARRPGGPIPEIKSASQSGSRTSSMTSQTKAPIISGKAGELSVESFQKSQFYS
>RCO7_05774 | uncharacterized protein
MAAKKILVGFRAAGVQGGSFVKAILRDAKRENWPVCGVTRDVSKPSSRALESLAAEAVAADLNNALILKLTLNNTSEILACQRPFSCPASTCRTFRN
LSVKLAMIGLSVSQCLAPHPFHSSIPPTMLASSLRTSSLTARLGATDYYTADEIVKQFKEKFPEAGKTGKAAEVPHRKYKDILGDKGMPADIQEELL
QNMRLIPEIGYYS
>RCO7_05773 | uncharacterized protein
MSHQNRPTFGSRPDPVTLRDVRSDSDPSRLSRNSGSTRPSNKEPALITSKWTIGWQTPTLMIGSFAFALVVAIIHLLLFQYLDGREANGPNSVAPQA
YIATASNVLANAFGFSLRASLAVAFCQYLWLLFRAQTMKVSTIELLYSIRTNPFHLFRMAVLRATPTLCVMASIIWLSQIASSFPPGAITITTARRV
GFQTVSVPSFNASYMGNGSGAEAEANSLIKLSISETGAGFVPGEGDVRKSSGLLIRLARQVLLTGEAFPIKSPCGANCSYSIRFEAPYFECNQSTKS
STHKAEALLRIYSGKWFAPLTSASKYGPRYNGTYTLANFNSTTLTPTFISNNTGEFGAAEVTVNEDNTICAPGRAKYTVYNKYENNIHTRNFTREPI
DRLLNLALTTHDGAVSVPGFSLNGTLVYGTTPANWNTAALNYYRDNNMMAITSAMMSWIQGEFRASLAEIEQNETIPTIYKAAWHEPVILDSTGSVA
KPVGVQNNTMIDTTRFNAVFDKFQDSDAPEFNITTDMLNEYLLNTTISIMSAFGRWPTTANATTIHTLTVYSFSEPLNLIIPYFLTLLVSVPFIVMG
FLALLKNGVTATDGGFMQLITTTTGSAIIDKAAAGGCLGGDESVPQELKDMEIRFGEFVGRDEPGRVKRAGFGVDSELTSLTKGADYGIMRWI
>RCO7_05772 | related to TOS1 Target of SBF
MKSDKVNLLLVIARFVGLSLADLCQKGGKMMGGNFYCQAVKAVRYQNVGHAGFYEEVVGMSNDGTCTTKAKHFNSPLSPFDEELSLHIRGPSAVKQI
AVYVPGSDNKVTERAHGHGHSHAKALHNIHQNDIAKKDKVIATIDGQVVSWENNWFDPSADSSLTTLVTETAKKPSTDVSTFEITVTRTAITTTCTI
SQVIGTDVSKTSTAIPIFGPMPTIPSVTDVQDDSHDNSKQKHAYKRTSYYEASLQTVENLAFLGNFGGQGSGVWDSIYGNSLSYINCNATSGASTHQ
ILADTLIPSNREVIITTGNKCENGDCGFVRPGAVAYHGFGGDDKVFLVEIGMPSDGQTGVNGADAPAVWLLNAKVPRVRQYGIDGHCSCWPGCGELD
IAEALSVGSRLLKSTVHAEASGGDSDYFNRPMQGTMTILTVLRGDEIFIGIVPNLKFPDKLTSQQMDAWMHSDATTISDFTIA
>RCO7_05771 | related to Allergen Asp f 4
MRCSTISAIVMAVVIGEAVAGPAHYHLHRRAHKNMKKNVDWESLDWANMGIDWKDAYAKGQTDKTPPAPASPAAPAAPAAAAFKEVPAAPVAAPAAA
PAKSSPPASGAADVVSANSAVSDVVDDISSLLGGLVGASNSRKAFGLPSPVHGQLGDDYIGNCGIPYGSNVIKVDSTSGYDFTNTFVNTGKKAMVIN
LWQKMGSDKLPLSGSANAPKNTTLTFALKPGQSQVVAFQEDTQVAWAQVCNEFHDSGAYATVWGEAQFRKAGSGFDYSAIMSKNANNYDMTITSKEN
DCVSSQTENFWLAAYKPIGNSDGSCYVPGPTMHLTTKMGGVIS
>RCO7_05770 | uncharacterized protein
MQCDICFRPGGQGEKKLHFLCPTDARNQLYEGRIRNAEVLLENDALNSQIADLFPNRKAQENDAFLQTSKNSVNIAATAAEKDQAIDRTNQIISQAD
ELRAKVELAKEEIAKRKANVARRKSDMASASNGVEARRTRQVEEVKKATGMIKHKWNMNHATTASSRTFLCGEAAKLYGLKKCRRTSGAEEYRIGGM
RIMDLMTLNSATPAEISTALSHIVHLLMLSTHYLAIRVPAEITLPHRDYPLPTIFPVASSYKYTDVPFPGSTPSTSSNTSPTASRHAEAPIKFPHPR
PLFINKPLPLLSVEDPSGYCLFLEGVTLLAYNIAWVCKSQGIPVGEGSSFEDICNLGRNLYNLLIGIKPRPSPGSRASSAQSTPIGGGRDTDGERDK
KNPANTTMGNYSHGTAHSFLGGAIGTEFIRSWKLTSPTKLTDQLKSILLSEVANREWEMLDADAWAVDDEMGNDGVVVGARKEATGRLQNLGMQSFM
SMRTIVEAVEMVGGDRERMPGTSGYTKIVKQAFARMNLTIDEVINIVMTLDSMLQ
>RCO7_05769 | uncharacterized protein
MSSTPQPLPETPSKPVAVVKPRTPLPGGPTNGTSKKTMESPDEDVPEASKRETQQPSSSIPIPEAESAPASKPAEVDSQSRQENEHSDMDEEEEEED
ESHLADFDWSDWEQRYTSNLKNLFAEELEIIEEFDAYATSFSAWAKAGAQRDNARMLRTRKEFTHLAESALEDKANHYKGVVDAFQAAMNMLRRQ
>RCO7_05768 | related to Oxidoreductase, short-chain dehydrogenase
MRLFSNAAPSLTEKNLPDQSGKVFIVTGRTGGLGHHLVKMLYAQNAKVWIAAHSEEKATKIMDQIKAIHPSSRGALLYLQLELNDLTTIKASAEKLL
TQENSLHVLWNNAGVMRPPQGSKTKQRYELEIGMNNAAPHLFTKLLTPLLKQSPRSHLLEPKAGNIYQGTEYSRRYSQDGILSVSVDPGFLKTDLYH
NLPRWQAPFMNLLLHDPIYGAYTELYAGLSTDIEMSSNGNFVEPWGKLTPARKDTVLGSKSREEGGSGIATDFWEWCGKQIAEFV
>RCO7_05767 | uncharacterized protein
MATFTISQDDLASFHATHFSTSSVSHFSGHFLGPVEEEYFEEEQYDDGLGYYEDGVKRTLTDEQIAIFRHSEAEALLRKQRHAAEEKDYRSVYETEQ
AVPTVEGMHAHDVAVEDESPTLAPTLTPSQPEQLLTKKEKKIAKAKERGYFKQNIKPDLRKRTWDKVDTGLGSLDYEDDVGHSKSAFAKPARRRKIS
YED
>RCO7_05766 | uncharacterized protein
MSDPPSYDQHLLDRLNALRKSSVELDPNSSKSGIKSSPTSTPETNLSDRLRSLRNGTPSSPSPSPLPAPNLATSSITSFPSSSSAANHEEDSDPLRT
NTFTNDEERTLDELLADLGPDDQWTLYPDDPEDIQKLLDEARGALPRDEEGKSELHNAKQEEGGDSDEKGRGKNEQYLSRDLDMSAFALENEEDEEK
EKGKVNLERESREAQDIVQRMLDEVNLEKAHDPKDTDDEDAPLPKKSQKQKQSLDFESDISARLAALSAPSTSTDSLGLPSAPRFKPIDKPLKSVMK
KKNYTDEEVDTWCIICQDDATVKCLGCDGDLYCAGCWKEGHMGPDVGFEEKGHKWLKYRKPN
>RCO7_05765 | probable Probable lysosomal cobalamin transporter
MALIQMAFIWVAYGIAVGLVALVAAIFTYTYQTPRDRSALVSTVTIITLTSLLATVLLLPVDIALVSSTTSTKLGAKKDWATPEAVHRILVTLKIVY
YSLYSFDAVLCLLVVPFTYFLYEEYDDVEAEEGTQTFGQRFLGALKYTIIFVVLVVILFLVGFFVPVAKDRKGAHYDLDYFKRLLVENHGVRALTFS
LGLLIALGTLLYIVYTAAGIALLPISFIKSAPSISAPQLSETTATALEQNRERQRQLEGRNAGRDGGVSAKDQRELEALVREERTLVRRERLAAEAQ
GEGKSFIVRSWTKICAVFRPLKLIGGILLLILAIVIWASMLITGIDKAKNSICKSHCGYILGNINVFQPVNWVFVQASRVFPVDYVLMLLLVLFLFS
SSVVGIATIGIRFLWVKLFEIRKGHTSPQAMLVATVMLTLIMLAINYSIAMMIAPQYAIYGAQTFCSHPTRFPGDQPDCSKHPELVKPCSELSSGEG
SKHVCTPTVVTTFLNRVTINFSLFGALTFWAQFAFLAVFLIVFITSLFRTPKLNLSELDEDAEADEEEGLLASTGRRFGATWQDIRGKTKKSTGAAG
RGIRGDDNGRASDG

>RCO7_05764 | related to pre-mRNA 3`-end processing factor CF II
MQCYTELTPPTAVSHSLNLPFTSASANNLIVAKTSLLQIFTTKVASIEVASPKNTQKLNEKWDPTINNGDGLEASFIGGDSLLRPDRAKRTKLVLVA
EYTLSGTITSLARIKTKSSKSGGEALLIGFRDAKLSLVEWDPTRPGISTISIHFYEQDDLQRSPWAPSLKECVNQLTADPKSRCAALRFAGRNLAII
PFKQDDDDVHMDDWDAEIDGPRPVDQTVSKAMNGVNGQEETPYSSSFVLRLAALDPNLINPIYLSFLYEYREPTFGILSSTQMAASSLLFERRDYMT
YMVFTLDLQQKASTTILSVSGLPYDLFEVIPLSAPVGGALLIGTNELIHIDQAGKANGLAVNVFAKQCTSFNLADQSDLAMRLEGSKIEQLSIQSGE
MIIILHSGEIAILSFHMDGRSVSGLSVRRVASEAGGSIISAAISSICPLTQNTVFIGSESADSMVLGWSRKSSQLSRRKSRLEVIEEVDGDFSDQLD
DEDDDDADDDLYGDGPSTTQASTHGIAKSEVVNSKAGDYVFHVHDSLVNIAPIVDITFGNAGFCLNDKDKADLEGVTGDLELVAAVGRQKAGALAVL
HRNVQPKVVGRFEFPEARGIWTMSAKKPTEKGLEVKKEKSASSGSYALDAQYDRLMIVSKALADGTEISDVYVLTAASFEALAGTEFEPAAGATIEA
GTLGNGMRIIQVLKSEVRSYDGDLGLAQILPMYDEDTGAEPLIVSASFADPFLLLFRDDASIFIAQCDDNNDLEEIEREDDALLATKWLTGCLYTDA
TGVFIAVQSDKGQETGYNVMMFLLSTTGALHIYALPDLSKAVYIAEGLCFVPPVLSADYAARRSAARETITELIVADLGDETSKLPYLILRPSTDDL
TIYEPFRTISESTLPLSSTLQFLKINNPHLAKNPDVSAIETEDDVSAKRNEPMRAISNLGGYSTIFLPGGSPSFVLKTAKSTPKVLSLQGLGVRGMS
SFHTEGCDRGFIYTDVSGIARVSQLPKDTAFAELGVSLQKVALGEEVHGVAYHATSECYVAATSTLVDFELPKEEDHHHPHWAKEDITFKPTTELSH
LKLLNPINWSVIHEIELDPYEVIMCIKSLNLEVSELTNERRQCIVVGTGLAKGEDLAIKGRIHVFDVVTVVPEPDRPETNKRLKLIAREEIARGAIT
GISEIGTQGFMLVAQGQKCMVRGLKEDGTLLPVAFMDMNCYVTSVKELSGSGICVFADAVKGVWVAGYTEEPYKMMLFGKSAKNMEILQADLLPDGK
QLYVVAADSDCNLHIMQFDPEHPKSLQGHLLLHRSTFSLGGHLPTSMTLLPLTRATTLLTPSPSTPDPEDDAASSTIPIHALLLTSSTGSLSLLTPL
NEAQYRRLSTLSSHLLNTLYHPAGLNPRAYRVDKDAPEGMVGSRTVVDGTVLERWMELGSQRRAEVAGRVGCGVEEVREELVGLQGGLGYL
>RCO7_05763 | uncharacterized protein
MESPGDKNWATKYLIDPLNAPEPSEETGPGTHFTSTMNRSSSTSKSPAFGRSSKQPPVSTYPTPPQSASPTRSSFHPSNPYSPSHRQVAFGDLHEAG
PSSRKSSGEQSSKGKGHSRRRGSSLDERFPGDMSHRPLDQLRKESKAANRSPHLRKKHIPGADSIDKLDKSVIGGLYHHEGPYDATLQSRNMNPKYA
PLEAVKGTNEEAIRATPREYIRDSLIKHVPLQGTAVIPPGFEDFSGKRMDYEEGADLMREPDAAGGAYKRWDHVKYLPEDLKGKGEPSYSIEKALKE
HKAESARNGLSRDARSYEMQPQRPGAGRQRSVSGNHEDFRAYSRPSASAFQAVDGGGDQMQRSNTTGKRTGEGLKKRFGSLRRNKDTAES
>RCO7_05762 | uncharacterized protein
MALVDYPSSDEEVDTSDCKANKDTNLKRKRDPSSSLPPLPSGFHDLYASATRVSVRDDPSLHEGRKRVIPHIEGNWPTHIYVEWYPSTTEDATLSNL
ISALQKAVPLVTNAKVHSSVKSDVGVPLPLHVSLSRSLGFSAAQKDEFVDALSRVLKTSGIRPFPITFTGLKWVSNFEKTRWFLVLSIFKPESDGLN
KILHVCNSVVKQYGQLPLYPRQPTEPAFHVEKKQNHRKSENNHSALGWTDMQDATDAFHISLAWTLRNPHEELLELTESIAKEHLDELRKIEVRVEK
IKCKVGDFVTSVPLRANFFEHV
>RCO7_05761 | uncharacterized protein
MALERAARLSLVLTTRNGRSTKMRLSHTLCNKSSDAWPCLQSVSIDPLVNISNKVFADVKLTNPASVFSPVIDSKPFDGSPVQTLEEAGPLTLVPGA
TISTGGDRRSILLAYWPPKLPFKGSMLVYMSP
>RCO7_05760 | uncharacterized protein
MPGLTRDELSGDQGLSIASNPCGNRCYQIGFGASSTSSSKDCLTLEIVRPSKLRGTIDKSVIVCTVSTRLAPKQLLLAYVFFHGDNFNSGEKSEYDG
RNLVKASIALGSPLLYIGVNYPLGFLGFPSGKEVESHDALNLGLLDSRLSCNY
>RCO7_05759 | related to ERO1 protein, required for protein disulfide bond formation in the ER
MKIAAQVFCLAVYPILGASHTADSKTASIAKTYSPDVCAISPKAIVSDACASYSDLDTLNRELKPSLTDITQNTDFFAYYRLNLFGKECPFWSDESG
MCGNIACAVNTLDNEEDIPEIWRADQLGKLEGPKAGHPGKKLQEERGPQKPLQGMLGDDVGESCVVEYDDECDERDYCVPEDESAGSKGDYVSLVDN
PERFTGYAGEGAKQVWDAIYRENCFSTSSFPKSAALGSSSFPEKGPAISELQSVMRQGGLQQALEQQQKRTPNTPFVTESGLEHEDLCLEKRVFYRV
VSGMHTSISTHLCWEHLNQTTGAWGPNLQCYKDRLHGFPDRLSNLYFNFALVLRAVTKLGPHLKDYTFCSGDPVQDRATKAKVQALTSKAGTAPQIF
DENLMFVNGEGPSLKEDFRNRFRNVSRIMDCVGCDKCRLWGKLQTAGYGAALKVLFEFDDNSEDISMLKRTELVALFNTLARISDSLEAVGKFRGMV
EAEVFTAEEEEIHPDRLTKPHHVVPGKEYEDPTETDYVAHEKESYQRHRLPHNATFSQELFAEVDLIWRVSKFVVKSWINFPFRAWEIFVLEVSRAW
NNYIGLPVRPRTWKLQRPTLDEL
>RCO7_05758 | probable cyclin-dependent kinases regulatory subunit CKS1
MSDMDYNRRNKSPRPLTESEKARLEEFIDSIHYSARYSDNEYEYRHVQLPKNMLKAIPKEYHDSSKGTLKLLWEEEWRALGITQSLGWEHYEVHEPE
PHILLFKRPINYVPPGQ
>RCO7_05757 | related to member of RSC complex
MDKRKVNSGGPTSEELDDRAAKRRKLPNSDIDLMQGETAETTTQVGLKLLETFRHTADKSGRLVATPFLTLPKRQQFPDYYEMIRMPIALDTIEAKL
KRHEFPTLTTLESYIKRMIANAREYNRRGSEIFDDSERLRKALSNFMTRWNPAYKLIPGYAPFPTPLPDTPEPTSRTETADSDEDAPGEADYEAPPT
TTKKARGRPPKNPQAPRKSATPALSEFQYSGGGFQGLSFQDAQEKFVDDCIAQKEYPEDDFAAFAPFVELPSKVDYADYYKVIDHPVSLKTLKKGVK
GVRGKYAPTGISNYATWSAFEDEASHIWKNAFKYNEDGSDIFVLALEFKGFFTKLLMEAKKAAPDGAPKIKLQIKQPQAAVPNAAQQKFTLKFPGRP
TPAAASPTPTPLAAIRANGSTAFAVSNGAGPRNPFASVTPAPSLEQLERARSASGSVPSPTGSNPALVKNEEASRNSPAVLAPFNNLRASSQSVSSP
GLATNGMLPPTTPGVSNAYNTGGFAQSFNHQAQYNPPNPSFDSKWRQPGKNASDAMITNLSLATHPGLNISKHFRMDLPPSANMAQQSITINLPSTH
YYLQIKPSIAQNLLDRQHKLFVTSGTQRLHAMPLIPGHPVDHRHPLFEARLLPGVNRIDIELIAALPKGSSKPPNGQEVELEKITIFANLLKA
>RCO7_05756 | probable heat shock protein 70
MADEVYDGAIGIDLGTTYSCVANYEGTNVEIIANEQGSFTTPSFVSFTDKERLIGESAKNQAAMNPRNTIFDVKRLIGRRFDDPTVKKDIESWPFKV
VDQDGSPMVEVEYLGENKIFSAQEVSSMVLTKMKEVAEVKLGKKVAKAVITVPAYFNDNQRQATKDAGAIAGLNVLRIINEPTAAAIAYGLGAGKSN
KERNVLIYDLGGGTFDVSLLNIQGGVFTVKATAGDTHLGGSDFDTALLEHFKKEFTRKTKKDMSGDPRALRRLRTACERAKRTLSNGAQTTVEIDSL
FDGEDFNAQITRARFEDLNSKAFNGTLEPVAQVLKDANIDKSKVDEIVLVGGSTRIPKIQKLLSDFFDGKKLEKSINPDEAVAYGAAVQAGILSGKA
TSADTADLLLLDVVPLSLGVAMEGNIFAPVVARGQTVPTIKKRTFTTVADNQQTVQFPVFQGERVNCEDNTSLGEFTLAPIPPMKAGDAVLEVVFEV
DVNGILKVTATEKTSGRSANITISNSVGKLSSGEIESMINDAEKFKNSDEAFSKKFEARQQLESYISRVEEIVSDPTMSLKLKRGTKDKIESALSDA
MAQLELEDSTSDDLKKKELALKRVVTKAMSTR
>RCO7_05755 | related to RRF1 Mitochondrial ribosome recycling factor
MPSPLSIRANVLRRPISRSITRTDLKPSPLSQIRYARPTFSLPSRQQFSNTPFLLKKKGRADREEAASSQSEEVEDPFDFSSLETGIEKVLDKLKND
LSKLRTGGRFNPEVLESLRVHLVKDSKNSEKLGDLAQVLPKGGRSLMILVGEKDHVKPIVSAIQASKDLNLQPVQDSQNATQLNVPIPPPTKESRDQ
ALSAASKTGDTANAGIRTARGAMQKRLRAMEIKKAVRPDDLKKASKDMEKIVEKGVADVKKTVDAARKGMEQS
>RCO7_05754 | uncharacterized protein

MFKWHVSSAIGRSRPAAHDLARVTDGIAASLRQFSISASRSAQEDDSGDKLRITRQYSNPDILNEVSSLAPNPSRGIDARSLAARPPQQFTRREDSR
FAPRGGSSFAPRVAFRGPNPASSRDGGRGGARGRGGIRGRGRGRGKGRGAKRNRRGGDRGPREKTEDEGAPIPMTPEELEYYDDRMGGFQAPYKPIT
SAEDLARWGPPVISSPRGVMESLVYKMAVATDNVSPEFKSASDHHAKMMSGAGTLFENAEERRRSKGVYRKAGKLSKDDKEALMKQWVAGRYECPQD
VANPGDVLAQVSALTRRNETYLPADGKKFEDTLRKLLPANMRDPNPQQAA

>RCO7_05753 | uncharacterized protein

MLMPRFMPHRASYKTDPHAYNTKESRNFLTIPKHQVQPNPTKFAFTITNMLRRKPTAITLTTEDIAIYEDSRAREAQAQEEEHQAALEAERRAQYDT
PQRQSQNTRDPNDELRPLPADRARAQQQQHVKTREERLGIGMGNAGGSRG

>RCO7_05752 | related to TSM1 - component of TFIID complex

MDANGMPVGEKPKSEPEYGFVVVSQKVELEIDFPTQSLTGCCEITILPSNHTLKEITLDARQCSIYSGQVKVDGVAADFCYDDPMEALDIHERWLWG
VQQATQQKQRLKPLSMTDDMRSQGSMVITLPQSVKITEVDPLSEIAVPMAAFRGPGLPGNRASSIALDTPASAISTHPKTSAGQFTNFKPLVVSVSF
SVHSFREGLHWVGVNESDSRFSHLYTRHSIDRGIASCIFPCVDDSSMRCSWNISIKCSRTLGDALKRRPRASRKQHHSFTKDSPSDEFEVALSEDEK
LLEMAVVCSGELTNETTDLEDSSKKIVSFHVEKLVAPQHIGFAIGPFEQVDLSDFREVEDDEKLGQGQAVPIWAYCLPGRSSQVRHVCAPLAHAVDH
FSLTFGTYPFSDYRLVFVDDQINDTEHTASLTVCSNRLLFPETIIDPEVENVRTLVHAVASQWIGVGITPVQPHDRWITIGLSHYITGTFMKTLCGN
NDYAFRQKTLSDKLVELDFQRPSIHALGEVLHLGSFEYEFMQLKAPLVMFILDRRLVKATGSTGLTRVINKIILQANTASENTLSTDSFRKLCEKIT
KYRQLDTFWKEWVLGSGCPRFHITQKFNKKRLCVELSISQKQDTMPTQRDLQKDSFLREIKEEVHSIYAPDVQPVFTGPMTIRIHEADGTPYEHIME
IREANQKIDIPYNTKYKRLKRSRKQKERLNAAGADPNAEGGEDSLLYCLGDVLQKEEEKEAWDLREWDADTEAKMDMESYEWIRVDADFEWLCERQF
PGMASYMYVSQLQQDKDVVAQQESMLWLQTVPPHPLVSTFLTRTMMDTRYFHGIRTMAALALTTHASPAASFIGLKQLEKAYSELFCYPGSMTPQPN
DFSDKRAYKVEMAIIKALSLIRDSNGNCPKKARKILLDVLRFNENSNNQFSDNFKITTLLSALAESLIPKREASNILDMGDDEEDPEPMEYRKAVVD
ELDRYRRNDEWIESYQNCFTVTVLDCKQRLMNAKIIPLNAMEFVQYLHDGNSEYVRIKAFASLIELGYLTNNNIACLLLNAASTDPSPHVRRHLFEV
FCVGVAAIAFGHDKRPEPSNAKTNGEAAVNGEKDVVMSDSGVVLTGGSDNAEGEGDGGLIIEEDVTRDAEARAALIARTKTLDGALAALKVELRDNE
VLKEALWEAVKSTVIGFVEQFDILDICQIIYSSVESLTIKLVYPRYWRVTYAGKGKLLFTQKEKIRTKPFRQLPPATLVVEPPKPSLPPPPPAPVMV
PMPIPKPTPPKSSQSLKLTLNRTSTPTPAIPPTTKQATHSVESMAPPPPKSAPKRPAPEHTPSSDDRPRKRSKIVKIAMSGLGIQRVMQIQRQPPSP
APARARSTKSDSPGPKQSSWPSLGPKASPKPRHALPTGTSAPRTALPQTSSTNRTPLPQTSTNGRTPLPQKTHTAPAAPRTALPPAAPTQRHALPPS
PVLSNTSQSISPPPPPPVHRTPTILKIRTPLPMKNSNTIAHSASPLPSKKRSRILKLKVPPGFLRRLAE

>RCO7_05751 | uncharacterized protein

MASHPTRASRRAEGLTTRSGTRINVANIPGTQQQSNIGKKKRLKDSVEHEDDHSIAKKKARIAIEIHSRPKDQQKPRSLVISAGLEDSASPPQQRAA
SPSPPKQQETPTLTEPSSPPARAPPRNHHEKAVNGIKHELDRLQPNSADLKDEKRKLRSQEGIRFKSELSAYFPEYDEIIGNEPKEEHVLNLDTPII
ILDNAKTSKHHSRKPNAQEEYPLKDFSDYLFTDLYDAQRVDFSWMDKNFKGEVGEDPLSDAYFDSIHRKPERQERAIRNMDKGRAQHEKDQVIRLLE
GLQGYDWLKLMGVSGITESKKREYEPAREYFLRGCEAIIEKFRIWKELEKQKKLEREAAVAEAEAEAEQEIEEPLEVVEEEEEGDVSDGDPPDYSDV
DASAARQLHEEAVARSAPSTRHPETKPELELIPEEHQMVEKEFKSFYKMPHLREAALGKHRRSHRSASAWGYPVPEVTETDFDLPEEYRDEETLKIR
ARRKRRDRRVSKS

>RCO7_05750 | uncharacterized protein

MADQQEHRNNSLDAAHQALLKTRTSSSDSSIYKKKCDSKISISTGASSRSSHQDYLNSLEVPTTEMVQRIAEVQERKEEKIMQRLSGEVNHEEREKA
AGVIQRNYRGHRERRMLNGLSLDPSTRWAEAIREAQYRNLTTPKPRHALESNVGNVGEDIPASNMHGSGTVNIARQNWKKIGLITRRAGGDEDSDSK
SSEDDDVTPDHEREERRKRKLEAKMQRQKAAKIMDLQYFLEMVDVKHRYGSNLRTYHEEWKKAETTENFFYWLDYGGGRFIDCQGCPRERLDRERVR
YLSKEERLNYLVKIDKEGRLCWAKNGARIDTTEQYKDSMHGIVPADDDTPAFRHAEGEAATGLQNHDHDHSELSSDSEDEADETSARADKYATPELD
KARGVKKVSHVSAATIFNKLLRGSVKKNTWIFVADTSFRLYVGIKQSGAFQHSSFLHGSRISAAGLIKIKNGRLDKLSPLSGHYRPPVSNFRAFVHS
MKDAGVDMSHVSISRSYTVLLGLEAYVKTRRRGKRFIKKLVHGKDKIMSPEELAKREEATRDKSESAAKEARFLEMKREAVERDKDNHNARILEKLH
LSKSHAPMHGSEVSRQKETDSDVQISGTGPENAIAPEGRRNE

>RCO7_05749 | related to ethanolaminephosphotransferase (aminoalcoholphosphotransferase)

MAPSKKEAAHECVSEDALIHLKSYKYSSVDKSMISNYILKHYWNAFVELLPLWLAPNMVTLLGFFFILTNVICLVIWMPDLVGPGPSWLYYSFAFGL
WMYSTMDNVDGKQARRTGTSSGLGELFDHGIDSLNCTLASLCETAAMGLGTSKSGIFTALIPCLPMFFSTWETYHTHTLYLGVFNGPTEGLILACTL
MILSGYYGPEIWTQRITDLVGHHYLFGYHEFFGTYSVRDLWVPVLVATFFGAHLPFCVINVVKARRRDKLPVMPVFLEWIPMGVFTFATGAWLFSPY
STLMPDNHLVLFCMTMSFVFGRMTTKIILAHLTRQPFPMWTVMLTPLVGGAVLGNLPRVGLPQISAFLELWYLRAYFVFALIVYFRWAFLVINSICG
YLGINCLTIPYDKIVANQEAAKAANGNAKTTTVPGKRAD

>RCO7_05748 | uncharacterized protein

MPSIFALLAATLLSTSVHAQNIYNIAPDSVSLSTRQGWCHSQQASCPLLCLQLQGESSTTEANECDAESLQFECVCGNGLSPNATEFSQTIPFFECQ
EFGNQCVKACSGNTLCQSACRADHPCGAQNPTRVNITTSSSASSTNLPAGATTAPGGAVVFNGLGGGAATTTTPAAGAQPTSGNSNKSGSQTALDVG
RSYSFAVVVAGLFAGFAMVM

>RCO7_05747 | uncharacterized protein

MEAILNNQQTNHGHRADDELAATRKYELGTTTKTLTASHSEHEIDGIDSPIISPVSSPPYWVQSHTRSFSNISVESIPAGGITLQDNTDEGDSKNKA
CWARSVYIEDHVVVNGSRTGIGAFVVWNITVDTLRGGSMRVRKRYSEFHDLRDRLLQTFPNSQAAMPPLPSKSLISKFRPKFLENRRSGLQYFLNCI
LLNPEFSGSPVLKEFLFS

>RCO7_05746 | uncharacterized protein

MALAPRFAGQKFTASNAPTLHTVELYLDYVCPYSAKLFNTVYTSVFPLIKQKYASKVQILFRQQIQPWHPSSTLVHEAGVAVLKLQPAKFFEFSKAL
FDDSKSFYDVNVVNETRNKTYERLAKIGGKVGVDEKEMYKLLHISDKPGEDGSLNIGNGVTNDLKVLVKMNRMQGVHVTPTVVFNGVVENGISSSFS
AEQWEEWLENNVK

>RCO7_05745 | uncharacterized protein

MSSSPSDDDGSSNTVVIGAALGVSGAIISIGLCGLSLWRRKRNAKQNKAFELQHDEAARGPVYRHDSISLKAFEVNISPVTPKAYPRASDHPAATQE
VPSRNKAYELGA

>RCO7_05744 | uncharacterized protein

MRASILVNGLVCVNTVWCATLEVGSGKTYATISDALAKAAEGDTISLAAGTYKEKLTIAKNNITMKGPTFPSLDPAGNKATITAATYSKDVKGNDGS
ATLLVTGSRFSLYNINIANTAGNDSQAVTLAIKGSQNAFYASNILGYQDTLYAHEGSSFYGSCYVEGAVDFVFGISGQAWLQGCKIAVLKPKGTITA
QGRTSADSTGYIVLDKAKIVTGPSAAPNTKGTNFLGRPYGDFSRTVFQNSDLGGVIVSEGWEPFSPGQNTRQVLAAEFNNANANNGNGTRVSFASKA

SKAVDIGEILPDHQKWVNPKFLGVSAP
>RCO7_05743 | related to sensory transduction histidine kinase
MNPEPKSIFTSKKDFTATQPNRDRVSPLTNLALSFATSTLNPSVKEETQQVGPEADPSIPGRRVSLGEAAPARGRLLSGTVAEASVEVNVHDGTLPA
ILPNIAASRRISYPPSHRTTLFPPAPPHASKHPRGGSRPASTEPPQKRNQPAYIKTRHHTLDSESLQSTISTPSDSPPSPLFFSSHQSKKRPYLPPK
LSSSDTASTMLNKTRDESGRVTTLKIARGSLSTSSPPRASSTPGVLASAECKDVTRSSVVKLKHSVGMQTLESVGVVELLEQDERPTFILDLADPSN
FTPGSPLQLLFSNAALKAHGPVLDMVVGQADLDSPGVAVINDFPEFKAWALSFVKNGESLDVCLPSMKYAGFTWNCSTLRKRLRLISGSSNTSIVAI
PPGSNSNGAPSSSSTVSERLRGTITTRLAQSPLVRSTEPGDYFGDAASITRSPISFPSQHDISDLVSPSAELENGPPKQAMLAHQSEALTNELMRSR
YPDNPCFDWTRIPLSAALPKHVQFARSIDWASTALGPMEDWSFDLRAMCNLIMGSPHPAAMYWGDEYIAIYNEAYILLAGQKHPQLMGQSYKVAWAE
IWSEIEGVFDNGRYSGQSTMKDDDCLFLKRNGYLEESYFSWSIVPLIGDDGSVVGLYNPAFEKTRRKIAERRMLTLREVGEKTANAREVKSFWGQVL
KGLEYNEYDVPFAFLYSVSEESDNDLGSMHSGSLAQTPLCTLEGTLGVPPDHRAVASPLDLKASDESFAPYLRESMRYNKTILLTTEDGTLSSDLIQ
GLEWRGFGDPCRAAVVCPIHPTTGETILGFLVMGINPRRPYDDDYSLFIQLLGRQLATSMASVVLFEEEIRRGQRAAQLAALDRQELSKQLDLRTKE
AVESETRFTRMAEFAPVGMFIADGSGAITYSNDTWWEISRHPRGVNSANTWMDSIKDEDREGVEFIWKKLVHKKTAVTHEFRFKTPWQDRNGNRSDT
WVLMSAYPERDPDGKLKSVFGSITNISQQKLAEDFQKRRMEEAIEMKRQQENFIDMTSHEMRNPLSAILQCSDEITSSLMEFRAAEEGSRSPLKLLE
TLENSIDASQTIALCAQHQKRIVDDILTLSKLDSALLVVTPVAVQPVAVVQRALKMFEGELESNDIAMEFRMEKSYMDLGIDWVKLDPSRLLQVLIN
LTTNAIKFTHGQEKRTIVVSVGASLERPGGNESDVSYFPTRSKRKNMVTEDPEWGTGDEIHLHFAVQDTGRGLDAKEKTLLFQRFSQASPRTHVQYG
GSGLGLFISRELTELQGGEIGVSSERGVGSTFAFYIKARKLEGFAEDTPLSSTISSLRKSSSNAAVTIESKKNSSGDAVHRSHTTGSRQRSTMTPPA
TSPQPQPANDVRMDHAKIRILIVEDNLVNQKVLQKSLKNQGFITELANHGGEALEFIKTTSFWKGREEDGVELAVVLMDLEMPTMDGLTCTRTIRDL
EVDGTIVKHIPIIAVTANARLEQIETALTAGMDNVVSKPFRMPELIPKVYELVAKSKSAIDSSTNVDTEESDVPPL
>RCO7_05742 | uncharacterized protein
MLTESISTQFNQTQLNLTQSDQGTGPYPASYTLDDTLRNHTIFAPISPPPGLKLPVLLWGQTATVFGTFLLEVASHGFMIIADGIPDGPEMPEAIAY
TLWPSPQGLVEAAAWIVKNAGTGKYTNVDATRLAAAGHSCGAIQSYFAQDQSKEIKYIGIFDSGVRNDTIATRPLLDIVARIKNPIFYFFGGPEDIA
APNGERDYTNIPASTPKWKGILPSVGHGGTFWKPHAGEYAVAATRWLEWVLRGNQTSAKYFTTTANKTGTAQGGGFLVEHAKLNQIKVKPI
>RCO7_05741 | uncharacterized protein
MIPPYRSAYELQVSTCPSFNTENIIWASGKTATIKNPSLTAIYAGNSVISRTRYYWRLRIWDQFDEPSDDIWDTAEQAWFETGLLLPSDWQASWISA
PAITTSGSSAKDNKVIYLSSSLQLAREPVRGRAYATSCGWYKLFINQNNVTGTALVPRWTPFDQFTEYQTYDITKYLKTGENVISVVIADGRFRGQI
GITEGPCRYGDRLSTILQLEVNTVDGKTITFGTDETWRSLKGAIVRSDPVWGEHTDFRISDEWLGKCDALSSNLAEKVPVLTKKLIAEEVERVEEVM
RLPPKAVLRAPSGAQLVDFGQNFAGIMAIKLRGRAGSKITITYSEVLSSDGELDVDYLKLPIVPHIIQRDVVTLGDQAAEFQPWFTIHGFRYAEVHG
LDYDLSPSDVQGVVLASNIPIVGGFTCSDARLNKLYQNIVWGARSNFNDTPTDCPTRERLGWTGDIQVFSSTAALLFDCQTFLRRYMRCLAAEQLAD
GTIPSYIPSGASQFSGHLSFMNRTFAGSTGWGDASTMVPWALYRHYNDEVVLLRQYESMKSWVNSLARRAREKMSWKRWLFNKLGAGCGDLELYILD
TGSSYGEWLRAGSGIPTIIKDLLFPNAAVSTAYLAHSARLLSDIANILGQKEDAQHYLAVSKRTCEAWRTAFVRRHGTRIAGDYQDDYVRALSFDLI
EPEQKQAAVERLVELLAQAGYHLKTGFMSTGLLLPVLAEHGRADIAYKLLMQDTVPSWLYPVQKDATTLWETWEGYDGKGNAKMSHNHYAFGTVAQW
LQESVAGLKAVEPGYRKIRVEPLIGGGLTHAEASLETPLGFAKCAWSLDKEAGIVRLEVVIPPCATAEVVLAGSRVETVGSGNYVFEYKVQP
>RCO7_05740 | uncharacterized protein
MLSQYSAIPDIVFCVAGGSNPSQIGFLADLSPEGVKSCLESNYYSAVFITQACLKLWIQNPDKNRVRHVVFVSSAAAFVGLPGYIAYTPPKAAIRAF
ADTLRQEILLYGDKDMYQVHSAFPGTFITDSFLAEQASKPEITKIMEGSNVSDEKIQSKTQSASTIAAKILHGLDKGYFSITSDWESALILNNMRGP
SPRDNVLLDLLLALVAFLVWPFVRRDFDRKTRSYGRKHPAQFKRSDA
>RCO7_05739 | uncharacterized protein
MVNVAVASGTRGVGRAICGSVETPDDNNLDLEVELGTKVVGINYGDLASAKKTLDDYQIHTLSIPSLDFEYRLSKSLRRPISSVMRPNGCFEDYFGI
PKVKSYLTPVVVVLNIQHKVAAIPVTGTPADPPQQMCQNSSLLAWD
>RCO7_05738 | uncharacterized protein
MFRFPRIMISRRWKWPKVLIALFALELAGTVAALTLFGIAQPDLFRTRLWQLGADNGWNSSPKARLYAYANYRPVPSVPFIWSKTITDFNVAISVLC
TFILLVKGVMFVVHLWYPLLSTITNAIIVALWCVSIYGQTGPDNSDPRHPSSVAWYITKSCDVAKASGNHHNCVLAKSTFATTIIMMFIFFLNLLLG
IWSMIPSAMERAANDVEVDDMQMTKGSPVSDNASKPEWEMKNVPRQPAVPYTPRTLAFNTLDRQLPLRSQEGPRWA
>RCO7_05737 | uncharacterized protein
MARRRKTPAVEAQTIVVEAARSFSDPAISREPSASSANTEFDESDEEHWDTYSPRVKKTAEQKRKEKIDKELKKIKEEIEKNLKGWPWKECPQKLLT
CGPFAFNYTVGDGQNSSPRFKLPQILQKSSLLKKLFSNDIVARTLLSIIFKQHSSAWKFYSSCQEVTAIYDYKIHLWDMNGTLEHGGYFHNCEKDRF
GPNAPTDSWNQGSVASIIVIAPFRRASGPASYYEQVQNLHTMSIAMSNFADNLQNLQIHRNHFLTPQLLALLIPKMTNLKVLGIYQCQLLSVSEIFR
LLDIIKTDRPLGRENQIYLDFFPTWHQGPKCVDDDTDMHNTHFAGTYGVTWDNTDMDHCRAIWGIVIRALPIALAQNIDLTSKGTAFRQWLDKGLLW
RVEETLEAMLDPGTDPRKLVALADSRNPDHEGQWQRFSNDAVIGCRPEGYERYVTYYRCNHCNTHLFGIFFKYGDLYDLQAFNENKTREANLTCLGC
KLKFIFFFERDHFKREKRRLMRAWLHSGPVGDDQGEWNTADLRKALSDFHTRRIILKADALDQKRLEAMNMPNRKLRHDPEYDARQTPIPYQSYGKH
GFQKRSPTADVPEKKAGERSPWDWVAMCTRNAHMRCD
>RCO7_05736 | uncharacterized protein
MSAEAKPVEVLPQTAETPVVEASKLVETAPVVEPTAAEPINTTEAPVVAESSKEEVTEVSPAKEEVKPVEEGVLGYKGPGLLKSFIFQKKFFYFGAE
PVEHSKLASYLRGEKAQDTANKNASWAAHTGKGLLFFTKKANEKATPAGIINLSDVSDITEEGTTDFHFTLAGHKHTFQASTLGDRDNWVAVLKGKV
AEAKELAPTVVETEEYKTAHTHLTKPVVVAAATTPKRSVEKVEPVKEQKKEEKAEEKKEVKEEKKEEKIARQSRSASRKRNSIFGGFGIGKKEEKVE
DKKEVVPATTEAIPVVPADEEPAVAVSEPIIAQDTTEPASAVEATYAAPVEARPTASKRNSIFGTLKSQFSQTKEKKPVTETAPAVPPKETEPVSDN
APVIPAVEESEPLAASVASPATVPVEAVEAPVTNGETKAVDTPATKAEKRKSSLPWLNKKKDATTSDEETEKPKSPFAKLRDTVKGKSSPKTEKVAE
KPTATQEVEPTTTQAPVVAEPTPVVPQSTTQVSASA
>RCO7_05735 | thioredoxin reductase
MHSKVVIIGSGPAAHTAAVYLARAELKPVLYEGFLANGIAAGGQLTTTTDVENYPGFPDGIGGSELMDAMRKQSEKFGTEIITETVAKVDFSQRPFR
YWNEYAEDQEPNTADAIIIATGASARRLGLEGEEKYWQNGISACAVCDGAVPIFRNKPLVVIGGGDSAAEEALFLTKYGSHVTVLVRKDVLRASKTM
ANRLLANKKVTVRFNSEGAEVKGDDRGLMSHMVIKDCKTGKLETIEANGLFYAVGHDPATALFKGQITTDDEGYIVTKPGTSYTNIEGVFAAGDVQD
KRYRQAITSAGSGCIAALEAEKYLAEREDANPLESETAEKGNTVVVPEYRNNPLL
>RCO7_05734 | related to subunit of VP52-54 complex

MNGASKAPSSLDAVDYDPIEHLNTIFSHPSTLSAIGGTAAALRKHQDDLSTSISTLEAAQAQSDESSLLRMQSAKEELAELFSKIESVRTRAIETEQ
TITSMTADIKRLDGTKRNLTLSMTALKRLQMLTTAYEQLRGLAKSRQYKECASLLQAVLQLMRHFNSYRSIDQIANLSRNVADLQRELLEQVCEDFE
ISFAKGEVAAKKSVLGEACLVMDALGENARARLVTWYVNTQLREYRQVFRGNDEAGSLDNIGRRYSWFRRMLKTYEDEHAGIFPLHWRVNEVLANTF
CEGTRDDFKGILERSMRRLDGGKIDVNLLLSCLQETMDFEHSLEKRFASEPRASIDTLSSVEEKPQTFDRSISEAFEPYLSLWVDSQDKQLATMIPK
YRNQPLLPPDEEFSSQAVIPSSIELFHFYKTTLAQCAKLSTGERLLDLSKTLAKYLDEYAQQVLLYFLQAPGGATLENTILVLNTADYWHANTQQLE
DNLKKRIDSDLAPKVDLSSQCDTFMGVASAAVLALVHRVEISCESSWREMRNTNWSKMESVGDQSSFVAELLRHVNSQAEEILPMVAKAQYARAFCD
NLVEHLANTYIANIVQCRPISEVGAEQMLLDKYVLTKGLTTLLSHSTTATSSSTTAQAGFVKRVNQSMARLDPLLKTLQVRPPEGLVKAYLIHIGDR
SDTNFRKILELKGIRKQDQPSLVEMFGMHRDRNGNEHLVAMSPILTPLMNAGGIGSGGLGLGAASALGAASGIPNLQTRFDPAGFGEKLFSAARDGV
ERMGTPSSGSAVGDKIGSPLGEDTKATVEGNLKSIGKFFRRDMSGFGSIGGRFGGSSG

>RCO7_05733 | uncharacterized protein

MASHDQRRLETNFSAPEILSPISPLSSRTISLFDDHYAGCEKYSPYSDKLSPQSLSEMKPWPLRPQKLYRGLGEYRWWESTVDFIMVLIPLPFFILG
AAVIAVNGKVVEDRELDILQQSIKGAATLFPISFAAIAGRAAVKYATYKLEQGTTLGVLEQLMGSRTVASTFATQVQLRSFNLIGLGLLLVWSLSPI
GGQAVLHILYTPEKYTTSKANVTYFNSRQQSYSAPAGPFQNQWYPGFTVLFGSSLLAPPSVKRSSMDIWGNVKIPFFSSLSLNAPKDDDGWIQVSGA
NGSLAYSSLFGMPIAGLEFGNTTVTVESSYIELSCSNMSILPILETPTKELIKNDLISTDGPFFSFENASDHTSWTIGYKGEDLIAFGKTENSMYLY
PQHCPDCLPEEFASVSFPPGIIAFQEWAGFETATSVLCEPSQVYVESSIFCVRKSGSQNCEVTAQRPSLRPRAPPQITYLSFPRVALGLSALLPNST
PNFGAVNQFQNYLYDPFSQTNIISGSNSLSSDGRSRLQDVSLKDFGDRLGQMLNAYIHASMWNSTPYITGASFKGIENNLVGGNAASFLPASTIDLT
AMIQNQTAAFTVSADQINESQVYFAFFPWLIIFLFSNSVMLLAALVGVYYSRKTIVPDYLGFVSSLAKESPFIRMPDAGVNMDGMDKAKMVKEMKVR
LGDVSDMENGKSQIGRLAFARMEETSPVKKGRMYV

>RCO7_05732 | related to carboxyphosphonoenolpyruvate phosphonomutase

MGNSTTPESTASKLRSQLRNKNEIIVCPGVYDGFTARLALDAGFKNLYMTGAGTTMSKLGIADLGVATMNDMRDNAAMIASIDPSIPLIADADTGYG
GPLMVGRTTAAYISAGVAALHLEDQVTNKRCGHLKNKELVDETTFVSRITAAANMRAQLGRDIVIIARTDALASSGYDVALSRLKAAVEAGADVAFL
EGVTSVEEARRFCSDMGELPCLYNCVPGGVSPVLRVKQAKDAGYRLMITPTQALEGVYQAVEDVFRRLRDDGDASGNGIGVRKLFESCGLEEAVAFD
VKAGGKGYGKGV

>RCO7_05731 | probable chitinase 1 precursor

MANFFGPVPPPIPYASRSQLNTPRRPSRPSLDASLASLTRKNAVYYPNYRCYRGETPATLNYNCISHVFYAFAHLSADGGIFLSDEWADAQMPVDGA
TGCLGSFMRLKEQHSYLKLILSIGGGAASQHFASVASSAASRDNFGRSAKGLIDASGFDGIDIDWEHPSDAQQGADFLALLAAIRLHLPNHRYILTA
ALPAGQWALQHIDLNRAQDYLDLINLMAYDFAGSWSTTAGHHAQLHPGNPGEPSGSAAVDYVISTGFPASKILLGVPVYGRSFLGASAPGHAFNGCG
GEEGTFEYKQLPRNNAEEIVNTRVVAAFSTGADGGFVSYDNPETVKIKAGFCLEKGLGGLFYWTGTADAPPGPRSLIGAGFKALHGG

>RCO7_05730 | related to mRNA 3'-end-processing protein YTH1

MAAVLSLGPGSKDLARQILEHQAPKYSFSFSPFLLENYRHGITPDRPTCKAYQQGHCPLGPRCSDRHTAFNSNSNFNNLVCKHWLRGLCKKGESCEF
LHEYNLRKMPECNFFAKNGYCSNGDECLYLHLDPSSKLSPCPHYEKGFCPLGPICSLRHVRRNLCVFYLAGFCPDGKTCKNAHPRWPTDLPRPTVRV
EKDPEELAEEQRLLMERAEREQAAERERYNDGEGGGGRGRGGRGRWHHGGGGANWGSGRGRGGGGRGAGRGYHG

>RCO7_05729 | uncharacterized protein

MSADDQAFLDVLSSVPNDIWRYSNAIADYVDQHLAKVSNTLREALSSSQWIPESARPRPPRPPPQSFAQAVASSTTFIAQVHQWIFKNKILTTVIVI
ALGGVTYHVVKRKSSYRKKRRAKRANNGARLEVVVVAGSPSEAITRSVMLDLERRGFIVYVVCNTIEEELLVQNESRPDIKPLTIDIVDPSSARASI
DRFTAHLQTPHAAFQGAKAHHLTLRSLILIPSSTYPSLPIAALSASNLSDLLNTRLLTPILTLQNFLPLLQRLPFSHPHLHANSAGPVPRPSVLLLT
PSIITSLSPAFHAPESLINSALTSLSRVLTAEISPLNIPVTHLQLGTFDTSTFTPHSRNTTTPSAQRAETLRWDNSTRLSYSKNFVASTSTEGSKSA
LGKGTPLRELNNAVFDAIVRGRGGIVRVGMGSGLYGFVGRWVPSGLVSWMMGVRRVEGGVMQGEFGRGLITAGPASSVGSESERGPESPASRFPISR
LGTGDSEYISVSGDRDNDKEHGVDGEGL

>RCO7_05728 | uncharacterized protein

MARGPPKLNVLVEPRFDENGHAISLHISLTFDCRGLGRDSTLLTSPASLLEMGDGIQLHASDESGELLIILDDLKESRQSLQKQWLTTRETFGSVKV
HYEVRPSQEDEFKYGRPVIGLHKEPGGLLGSGFAILPILPAGNAYTNTVEWKLTGAPNGTRAVWTYGEGSEPVARVGPVSVLRNSVFMVGQIQSNPR
VAVENSTANVEEGHEGSTSDTYGYYWFGLLPPKIEIMKNIHYACFTNAQKMFGPDDDSVQDFKHAFFVNVPEADRVCIVDPLPYRSFIRNTRTTKAF
GGTSFAHSHIFDYDDQIDKVNDFDVVRQVAYEMAQIWFGLPPLEGYDWFYEDSTVNMLCTRYYTSPLIKVPFKDVLKMASTDALAREHMSARAWAFV
FGVDMKARILAKHELKTAYPVERIAMLALANHKARDDANTIKYWMRLLTPVMGKELKQRYVDFRDGIPIVLPEGLIGFNSQLRSFKDNVLDFGMDRE
SFSAGVVKGLQVGSRAWVAKLENGDKILWSSHEWRCVDSSDEKYAYMVLEIERDGKQRKIKYLPRSFDEVDSWELRMAKGME

>RCO7_05727 | probable WSS1 Protein involved in sister chromatid separation and segregation

MAEHDALILQYSHLAQLPREKEALHSIKKIASLVKPLMRARGWTVGTLAEFYPDQQNLLGINQNRGQKICLRLRYPHDKTQFLPMEQVVDTMLHELS
HNVHGPHDAKFHALWDQLRKEYEGLLSKGYTGEGFLSDGHKLGGRRVPRDEARRIARNAAETRRTLSSGSSQKLGGRPVPAGTDIRSVIVSAIERRN
TVLKGCGSGNKDDDEIQILADTATQNGFKTKAEEDEANDRAIAQALWDLVQEDQKKEYGNLYIPPTPINPTGNGGGDVGPPTATAIKREAPFSPVKS
NARAPPVRQHSDRPVSRLVAQGSSKPKSKLLSSRAATAPAPAPMRSQAPASIQSPDPSSLAHAPSGWTCPVCTLHNPISFLACDACTSQRPVILTQQ
LGATQRQKDSVSTTQHPGLQTQTWTCSQCTTIMEQKWWTCSTCGKLKDSS

>RCO7_05726 | related to beta-1,3-glucanase

MATTTTEPTLKISLANRTPFRNVNAYVTGLAINNSYRFVLIQADGHTPYYPESPSSTGAPLAANCAIPLGPPGSSTPVTIPRIAGGRIWFCMNDTLT
FLLNPGPGLVEPSVSNKSDPNYGKDWGFCEFTFNDFQLFANISYVDFVSIPIALNLTNSSGARKSVTGIPRDGLQQVFNGLVAQNSKDGKGWDRLIV
RAKDGSILRALSPNTAIVMDPSLFQGYYDDYVNAVWKRYKTDTLSVDTQAQWGILKANVDLHTNLLTFPTIGAFSKPSARDIFSCSTGPFSGYPSNT
DVMGNLTARLTAALNRSTLLEDNTQPGRNVDAYYKGGNGVTNHYSRVVHAVNRDGRGYAFPYDDVGASGTSDLAGVVSDGSPALFEVIVGGY

>RCO7_05725 | probable glutaminase GtaA

MRSCRTIFALAAALFGIANAASTFSPARPPAIPLAVKSPYLNLLQFGGSNGENGVYLAGQWSQFWAGQIAAWTGMIKVDGTTYTWMGNPGPQSVIQT
AFEYTSTKSVFIMNVGGKIQMNITFLSPVTPEDLKRQSLIFSYLDVGVHSLDGAAHDVKLYTDISAEWVAGDHSAVAQWDYDTTIDDIAYHRVYRQT
QLEFSETADQADWGNWYWATKKTDKLTYQSGSDVDVRGAFQSNGKLADTKDTNYRPINQAYPVFGFSVDLGFVTRFVNTLYTIGLTQEQAIQFEGAS
GVVPLASLWTSFFTSETDALSFFYNDYSTATSTALSLDNKIATDSVAAGGQDYLTITSLSTRQALAGTQLVGNSTKQYFFLKEISSDGNTQTVDVIF
PFYPILLYLQPSLAKLLLDPLYENQESGQYPNMYSMHDLGAHYPNATGHPDGKDEPQPLEECGNMLIMTLAYAQRNKDVAYLSQHYKILKQWTQYLI
EEALIPDDQISTDDFAGSLANQTNLALKGIIGIQAMAMIANITDNPVDGANYTNIALDYITKWQGLGIAHDTNPPHTTLSYGMNDTHGLLYNLYADR

LLDLNLVPQSVYDMQSTFYPTVKEKYGVPLDTRHSYTKSDWEMWTAAIASESTKNMLIAELAKWINETPTNRAMTDWYDTKTGDFGGGFTARPVVGG
HFALLALKS
>RCO7_05724 | uncharacterized protein
MGVAGFHQSDTRVLIYIGASILLGGSITSLGLGNFWPVVASEVSSSRLRAKSSRIGFIVNAFGNGVFTIVVPYLVNADAANLGAKIGFIFAGFCL
>RCO7_05723 | uncharacterized protein
MPSFFPFQQGTESRGPAIESSPLLGRFRAVPDAQRRARRSNSGGFLGSLTGSRGLRSRYSLVFGGSNGDDSDEGDLVDGEDMGALKRWGRVQRDLWL
EPKQAVVAKVVDKWWTRWAVLAVLPAALAVAWVALPFPQYELPYDDEADVFAALGHKIPGHGEARVEINFWFFLLVYYGCYNLTALMWITKVFNIYS
LNWWPESLGFPFTVSVIAVISVAVPIPIYYFPQLRQFTVHNTAWICWTFFTMGMPLILACGILLNHERHLGLRNSLSDTQRIFTSSWWTGDNDTFSG
RERLRRPQAQQSIFDPNAPLEVALASDNNRVRDRNLALRKRWLPASFMRFIWFCAALYIAMMAYVLGEAYAEIYLRTLPHDTFQTIVYVYTWVVTVH
VLDALTGWILGGNDGERVGSYPLGWIFKLYFLLTYQTYVRALYARLRSPQQFILLQVLSSSLLIILAPLTISKPFHYILSILSINGQTLPEYQKYCT
RNTFLRSAAENVSMLAFLGSILVLHYGGNKDVYPYFAFDRHSLGDTDLSPIDGGEAYDFGLTFYASIVTWACEIIAAWIVRRLLWYGWSVDVTGEAK
QDLATWPELLPTGVVVMVHVLQNMLFSIVRLKFH
>RCO7_05722 | probable adenine phosphoribosyltransferase 1
MTTNNTIQDNATRLESVTGTSHASRSTELASTKQKLQAALRQFPDFPIKGIDFVDILPIFADFETHTRLIRVLELEVLQFSNGIKPDVIVGLDARGF
LFGPSLALRLGAGFAPVRKRGKLPGPTSEAAFEKEYGQDVFQIQADAIKKGQKVLVVDDIIATGGSAKAAGQLVQQLGGDLIGFLFILEVDFLKGRD
QLPAPVVTLLSSENL
>RCO7_05721 | related to UV radiation resistance associated protein p63
MAAETSRPLLLPRNRKLRHLQGIYLRNLTLSRPRGRTIDDAGLNLSSQRLEVLQEEEQTLHHSHSSEDLRPPKLRRRSSNWVGASPNFRQKKLEDVI
DSRMADTFFTLHCKGQDDPIYISEVVEKAMNPTFRFFDLASFGPATTRLDTVTVKIWVKKDDFVPLIEEEVNLQSLQFIGALKNHPFPPNCILFHLA
DGIYTIDIASKPPIPKAVQALSTSSFSALMRLSNLDESIQDALATREEITTQINAILQSRTKDDAPQAEEELALAKRYVVAEKKLLKSSIRRRAELK
ASIKSRSEAIKSGNEVQAKVVEDINNAQDKLSKCRTLLATATSDIHGQRRRICEELLKIFPIQPTTHALLFTICGLPLPNSSFEDEDEDVISAALGY
VARLVDMLQYYLAIPLPYPISPYGSRSIIQDFISILSDNQRTFPLYTKGAVRFRFDYGVFLLNKNIESLAESQGLKVMDIRQTLPNLKYLLYVCSAG
SSELPARKAGGIRGLLMARGMEISSRRGSADSGIGGGQGEAIRKAVENGGVETKGPVIKKAGNGAYHPSKPVSFAVNNSHGLRTSGLRENVSR
>RCO7_05720 | probable xylulose-5-phosphate phosphoketolase
MASAADEAVVKSISPYGLARSTVEGKPLSAEEIRKYDAYFRASMYLCLGMLYLRENALLKEPLDIKHLKARLLGHWGSDAGQSFTWMHMNRLIKKYE
LDVLFISGPGHGAPGIISQSYMEGVYTEVYPDKSEDEEGMRKFFKQFSFPGGIGSHATPETPGSIHEGGELGYSISHAFGTVFDNPNLITLTMVGDG
EAETGPLATSWHSTKFLNPICDGAVLPVLHLNGYKINNPTLLARISHEELTALFIGYGWTPYFVEGSDMESMHQAMAATIERCVLEIRGYQKKARDS
GKAFRPRWPMIVLRSPKGWSGPRKIDDKLLEGFWRSHQIPIPDVASNPAHLKILEQWMKSYKPEETFDADGKLIAELKELAPLGNARMSANPVGNGG
LLRKPLLMPNFKEYALPNINPGISNLPSMSNMSKFLREIVANNMANFRVFGPDETESNKLGEIYKAGKKVWMGEYFEEDQDGGNLAMEGRVMEMLSE
HTCEGWFEGYILSGRHGLLNSYEPFIHIIDSMVNQHCKWIEKCNEIEWRAKISSLNILLTATVWRQDHNGFTHQDPGFLDVVANKSPEVVRIYLPPD
GNTLLSVTDHCLRSTNYVNVIVADKQDHLQFLSMDEAVEHCTKGLGIWDWASNDQGEDPDVIMASCGDVPTLESLAATALLREFLPQLKVRVVNVVD
LFKLISEVDHPHGMSDVEWKAVFTDDRPIIFNFHSYPWLVHRLTYKRPGQLNLHVRGYKEKGNIDTPLELAIRNQTDRYSLAMDAIDRIPTLHNKGA
AVREKLMNLQIAARTWAFEHGIDPAYITGWRWPYPRA
>RCO7_05719 | uncharacterized protein
MAILQVAQTITGSKGSYELTRAIVNGVHRSRVFKAKILYGTDSVLHGSHVLIKTTTPERRKFLSQEHDVYCKPAISSSPFVRKLYDKISDPPCLVLE
WMDQTLAEVPPETQFRNDALYKAIFEAGLHAVTALYDENLVHADLKPDNILISDITSPEPTVKIGDLGAAVEHGFNEYQVQPYAMRAPEVWQEYRCT
HRSEVWSLAATVLAWAKPGILGTPGIKDGVWPDLSCIAKLMRAFPKWAALPATSRMNELTWDCAKALSNARDPERPSQYYIEAPSLEKELQSFLDET
VEIFRFLLVTDPEMRPSAASALLSSEFRALINKAMVTENIK
>RCO7_05718 | related to oxidoreductase, FAD-binding
MSSSNGSDIDTNHRGGPAGLVRVISNEESGAVIIYPEYSGNRLYESLGNLKMNPLIGMTVPDFDTGDVLYLTGKTEILIGKEADSVLLRSKLAVKIT
ITSARFVEKGLKFKGVHEERSPYNPSVRYAANEKIAQASVTEDILNYATLLKVTPITPSISRFRFKIDESSAIPTWKPGQYATLTFEEYLDQGYSHR
RDEDPQSLNDDFLRTFTVSSPPSASKNEFEITIRNVGRVTSFLFEQQQRAKLAGNFKIPLKGFGGKFRIEKQQAGGIIPVIAGGIGITPLLGQLDSM
DVKQLRLLWGIGIEDVGLVADTLRGYPQLAGSTTIFLSGEDADSDLEGLRILSDIVRTGIKIERRRMQEKGCCQCHRES
>RCO7_05717 | uncharacterized protein
MSSPKPGLWGMVRICDGPLGCLKMRLEKREALARDRLFVLYDELDGFLGEVEELVGDGEVRGWWRVVWDLRMITASFRGHNLEFREEKEDAGTKYEA
LDEGKDTEDEGEDVADKGEIEIENQAV
>RCO7_05716 | uncharacterized protein
MGKTKKKKKGVLNTSSPRSKQSVNEEIDDGACMKPVEPVKLELEAMGELEAIVEVEVRNGDTIRVQTDQNGGADRREGYCGLQDDRLRNEVLEISDS
VLGRPKSEISIARLLKRSFRIIIQDLFDDLDSREWNGGEAFQDESTN
>RCO7_05715 | related to sorting nexin 4
MENDDFANVDWQNDPAGHGGRSAVKNHGGESEDDGSGNTNSQRRGSAGPLGRHADAMDLAGVGEGVLECTVTQPIKENDGSKDAYVSYLVTTNTTFP
SFQKPTTTVRRRFTDFVFLYKTLSKEYPACAVPPLPDKHKMEYVRGDRFGPDFTQRRANSLHRFLARLALHPVLRRSALLIIFLESTDWNATMKSRP
SRVGSASDQGGSGVFDNFTDTFINAFTKVHKPDKRFIEVREKSDKLDEDLGHVEKIVARVTRREGDLEIDFKELAEQFQKLVVLEPGVEESVNHFAH
SVEDTSGGMRRLKEHTDQDYLGSLRDMQAYSSAVKNLLKAREQKQLDFEQLTEYLTKNTSDRDILAATHGGNTGGPGGFIQRKIEDVRGVDPVSSKR
ERLRKLELRIEELTREVEEAKKTTEAFDEEVVREVQDFERIKRIEFKTQFGGLADAHIDFYGENIEVWERYVREMSIAPIA
>RCO7_05714 | probable suppressor of mrs2-1 mutation
MSASSQLVRNAAQSSFMGGARALPRTGPSSAYTAYLRRNARNMPAMMPAMAILIPLTRGVSTDTHTLGNGSNVPPPGFNAQQAKKPLRDSEAAKPNT
KEALEEAKETMAPVPNDVATAASKTDATEDQSLAELAGIKDKSVEKASAKKEEKKLTLGQKIKKEAQHYWDGTKLLATEVKISSRLAVKMAAGYELS
RREHRQLQRTVQDIARLVPFSVFVLVPFAELLLPVALKLFPNMLPSTYEGQSSKDKKAGSLRATRNETSSFLRNTLKETGLPLSPATAHRDEFTQFF
RKVRATGETPSATEVINVCKIFKDDLTLDNLSRPQLVGMCRYMNLNTFGTDAMLRYQIRHRMRQIKRDDRAISYEGVESLSVPELQIACLSRGLRTH
GVSPGRLRDDLQAWLDLRLKHGVPSTLLVLSNAFMYAQGKSDSEFNTQIDALTGVLSSIPEELFHEIELEVHNAEGAATNKQRLEVLKEQQELIEEE
NEQDNENKSSGRATPRDDEDIDEKEERRLQAATTDAEKSSVNEAIAAEKEGAEVKKMEASADKRSS
>RCO7_05713 | related to adenylate kinase
MRLSKAARIILVGAPGVGKGTQAERLLQRFPQLSAISSGDLLRDNVKNQTPLGIKAASAMRSGALVPDAMILRLILHELKTRGWLFPAGQPSMTLNS

SSASAALQDFDTDSYVEQPSLANSYPPPQTSDDPSASFILDGFPRTAGQATQLDALIPINLVVSLKTPFDVILGRIAGRWIHAPSGRSYNTTFHAPK
VPGKDDITGEPLTKREDDDEETWKARLEKFNETSEPLLEHYAKKGVLWEVQGSSSDEISPKLYEEFERRFALGP
>RCO7_05712 | uncharacterized protein
MLFTKQIITLAYALLSMSSVVVATPMPCSDAVRDQVLSGKVDASACCSYGVCKGDVNIQGA
>RCO7_05711 | uncharacterized protein
MQTSQNRALPREVEDRRRGSKHYYSDVYENPDQLGVQRSPVRETAPRLPQHQVSIEPGIPIANNASYRQRGAGEDMSRPPSYSNGAPHEELLNKTNE
AIKRRQEQQQLQQRQLDQSQQQAASRRQGRGYRRTEESGDQSPTTSVPSDRSNWTDREVPREINISGPGSNQTNPVSNNRQSLPNTRTRADPVPRQQ
SPRVAAPQSAQSRYQGQRGPENGEVAGETIPRLQSPSVMSSVLKPLNGKIMEYNAQMDEAQKLMDNLDSEILALQSRRLKAEQLHLAAKTKHDDYRR
QYQGVERAMRGEPEVSFSRLSVESERPNTQQTVQTAMHAQQQQQQPQQQRRENQFGGEGGNPAMRSRTESWNSMGDGKRESKGFKLRNIFGS
>RCO7_05710 | related to serine/threonine-protein kinase
MSSISQSIKNLIRHGKGGRASQQPHDDPTTHVSPVNVHNSRHQEHAPPQHPNNHYANSDPTMNQQHNLPHAGGEAYSTADLDNRNRGAQAGNVAAHS
AEQKQKKGKVDHEELARIVAEENESKGKLPKYPDLQRWQLIEKMGDGAFSNVYRARDLEGQVGEVAIKVVRKFEMNSGQRANILKEVQIMRQLDHPN
IVKLVDFSESKQYYYIVLELAPGGELFHQIVRLTYFSEDLSRHVITQVAQALEYLHEECGVVHRDIKPENLLFSPIPHMPTKNPKPKGPEDEDKVDE
GEFVPGVGAGGIGTIKIADFGLSKIVWDNQTMTPCGTVGYTAPEIVKDERYSKSVDMWAMGCVLYTLLCGFPPFYDESIQVLTEKVARGQYTFLSPW
WDDISKSAQDLVSHLLTVDPAKRYTIKEFLEHPWIKNTKEPTYAARDAPPLATPAVERQKQLGINPALLESPGVGRRQDFRSPGQVNLREVFDVSYA
VHRQEEEGKRRKNFKPGYRNAAAMNGLNPIDDDEFDEEEEYQEDNGIPSKVPKARDADVHQVEQGMRNTNLNAAAAARAPPAQKGYGQHSAAVTAAA
KQQVRARKGNFELSLDNSTLLGRRGKKGPSGLSQSTTADE
>RCO7_11675 | related to D.melanogaster troponin T and human nucleolin
MATKRSKASAPTDDELNKLLESIGDEETAAPAPTTKGVSKTTKPAAPATQIEQDLLAELDNLENLGAQPPSRPHTPRIQSIKRTATGTPPPQPTSTR
TSEEKASGPRPSGDSTRSFHTSFTPSATSSDLQEAEKKTPIAQPAEEAPAASTGGGWWGSVFATASAAVTTASAAVKEIQQNEEAKRWAEQVKGNVG
VLRGFGGELRSRALPTFTNILHTLAPPISSHERLQIHITHDFIGYPSLDPLIYSTFSRVMAQVEGGDLLVIQRGQESTARPNSEAGYSGSGGLAGWS
DGPWWRQGNEHRDLGSVKGMVEGTKLVRVSAESYASEYFASHGGLEAAAQRATENLSESNPVRSSDIFLAVQAISHDAPEELFQGGSAKKDESGAVV
EEAEKADDLVSFALYLHDPVHSITFHTISQAVPAKWMRWLDAPSPMTPASPVSPSKEQAGFFNHVEGDTYNSSTSNMPDEIAEIIDGGGVDPREWVA
EWVEEILTLATGVVAQRYVARRMGVGEGGIGKGKARQEEVLDDGGGEAARAGLF
>RCO7_11674 | uncharacterized protein
MERSKSVITDMRASPPPPAQPEILADEQSDSVSTAVTGGSSSNVSKTAISHQCEISLANLSGNEFNSHVENCTAGSKAVIPANDTQSSSLTSPPRSN
DRSGELPANYVPPGEDLAGAQKSQTDAAQQVESEKSQTDAGHQVEEDSSDSEDEGSITAYARGEQVYYESEVEEDDEETFIVHGAVSQLTSVNPSIR
SSPVPISEIEDAQVAPTANGTQSVQPSVSSSKPISSQPPAEDDRPQPSQSSEMPQVSITETIINSRATKSLNGILKHPMAHACAQPESVPEVVPTTE
PTAQSARTDSISQSSQIGAVPQSPSEFVLKITRSDSIDSSTRSGSIPKSTYSDSVSTSPRAASIPRSVPPGAVPESGHPGSVPEFTLTRPQKKKAPK
KIPFQKLTPVETFEAYLAKPEEMSYDQLYHKTAVVAKALVAMQEEYDRLDKKTADYDAAKKYEAKLAAEAKKVIDDKETAEHDLVLLDLHARFKEEL
KKPLKEYNLWLEQEQAAADPNDPETNRPYYWLDVKQIKNPEVMSKVHKRQRLLEKQQEAKPTTPLVDAPLPALRKGDEEVRKKRDVLLDPVVFEDRK
TADVYMADYSKHKDAIGNQVLKNRNAAVVVEEKDENGRPKRSRGKRAYDTEQTNTPGGSDSEEAALGKRRRTARVVQDLPTSPARRKTATREASPKV
SVFPKSGKRIGRPPKSKGDILPPIPKSSSKSKLQQSHLPPPSNPADSSDSDDEIADPQSPRELEPVEEAELQEAAESLVSQTQAASTVPTKPKHAGG
RPRKNPILNAQSEGGTPEVKASPKKGGRAAKPKGARGGRAKNGGSARVEPVQLIEENDVIQSTEKDDESRFASASTSRPTTSSSAMTTSTGRASRAA
SRAATFEASQAATVGDIAGSVASETTKKGRGGKRKRAGVENGDQEVIQSTASVPKKRRTGPKKQDTILEVDENELVTPEATGEAVTESSTTASGRPK
RKMASALPEFGYAALAGEVEEFDPDDESEPQPQKRRKGVKATRTARKGKEVKQEAIPTESEYTSEAAEETISEPKKHQWVKLTYKKPEMSRSEMSHH
NTDISDFAGPVAKQTRAPKRKPKEIKIRQYSYEDATGNSSAATGTTPRDSEFPSAVQTGDETDGLGTNSRPVSRKGKGKAESYTPNLESGAEMSGHD
GDGEEGGFTAAQEEARKKAQKSRKLAEATRERWAKGLMKGPMEKRAATNAAKKAAKDAAKGGIPDGMPPSSFTPAPFFSELPPVANPGLSLSFLSSF
ATAPPMAQNPFSAPPGGASDMYAHLEPYSYVGGPPLPATYGHPMPFMPPPTFAGPASFAPPPATFAQQTTFLPVTVAPSGKASSPRKAKAAPAKKRR
APAKNAAQASALTSAPSSNPQPATQAPGMSVSASASTLMAPAPGATRGSTRVRKPTRRNQGLDGAADDEEEDDDVDEVQSVYAPGHFKSEYERYQAL
TSPRSPLTLGKRKRKSLMDLSAMRDDEEEEEDDELY
>RCO7_05709 | related to carbonic anhydrase
MRSSTSTFAILFATLFLDNASASCGHGTSLLKRKVNYKREEGGEAKKVVEVGQFGYIGSVGPTNWAALSAENGDCAVSKQQSPIDVTNTTTTLVAPG
TLAITIPNVEAAEFENIGTTIEVVMEGKGAQTVVGGKTFELKQFHFHSPSEHTVNGEYFPLEMHMVHEATDGAIAVIAAQFQLSETGETTSLLTSII
SKIGAISAPGSITETGPLDFAALVQALSSQSLSNYAGSLTTPPCAEGLQFFITTQQLPLDVATFNQIKAVVGFNARFTQNVVGQDNLLAASAVTVGA
VELALAGGQARVVAPVAESGKALVAPVAAPAAHVAPQVAAPQVHTASNMGDASQIVKSLTGLDLGSLLKAN
>RCO7_05708 | uncharacterized protein
MSLKIPAKRLLKDMFDGQKEGNKSLKPLDFSLLSEARTRSLIFSKRPLGFSEENASVLELHSFLDVKRISSKVSVLELHSFLDVKRISSKVLRGGRS
PIDSAKSEDNSPTCRKKAWKTSLLQEDNEESFQDFLHPHLSGLLQYIKPSQLLARYFFVVFAGKLPSWFAMFRQNKVSETVYIITRDPNPLCAELGP
VSLRKNVGFDLLPEFLADG
>RCO7_05707 | probable deoxyribodipyrimidine photo-lyase
MLSKKAATNGKRKASPPVEPAPKKSKITSDSTDPLRQPHETAQEAEDNGIVLREFYPKEMNNARAKAYNSDQLPRPIELLNNALKDTKAARQKILAK
DAVVHWFKCDLRTMDNKSLHLASEKAKEKGVPLIAMYIVSPQDFQAHLTSPVRVDFILRTLEVMKKDLAIMDIPLYVETVEKRRNVQGRILDLLEEW
GASHLFTNVEYEVDELRREARMVRACLEKGIAMDVVPDTCVVSPGELSSGTGKQYSVYSPWFRSWTAYVHSNPKVLDLFDAPDKNPPTAREKFAKLF
EQSIPDAPANKTLTDEEKKRFRSMWPAGEAEAHERLRKFCDDRIGRYGDKRNFPAQGATSSLSVHFASGTLSARTAIKTARDHNTTKKLDAGNSGIM
TWVSEVAWRDFYKHVLAHWPYVCMNKPFKPEYTNITWEYNQEHFKAWTEGKTGYPIVDAAMRQLNHCGYMHNRCRMIVGSFLAKHLLLDWRMGERYF
MEHLIDGDFASNNGGWGFCASTGVDPQPYFRIFNPLLQSEKFDLEGEYIRKWVPELEGVKGKAIHDPYSRGEGVRAKKMGYPQRIVDHKACRERALA
RYKEGLGRDTA
>RCO7_05706 | uncharacterized protein
MFPPLEFAKMNLAFYVDLIQALENDDGHTANSPVSSAKRITSFNMSRNGSWSQISSSGGAVPKAFNAPGMKTDVRIRVFDREFHCHSVVLRLYSAFF
RTFLDSSDNQSANRESQFRYDYISVMDPDGGWGLEAARTDVHSPTILSPLKDGMEASTDEVAFEKLLCAMYHKKYSINSLRELSDMTRLADFYCCLP
TFSTSLYSALWYSPLLIAEIPPNCNSTLLLAQKLRHPLLFREALVHVVCQWKGYSRFLEGHYGLVCAVTSAYNRVCERLLAANQDLFLAMNLGGQVR
ADICAATSDIERSELPSQNAHFYRHLFNQWEVDQEEGMESILEALRGLLENNLVLERKGGLAGEAEYKHGFLCAEISDSELPWNMEEEDW
>RCO7_05705 | related to mannosylphosphorylation protein MNN4

MRLIWLLALPAALSLSIVSALAIRERHADLYSVRTRIHKDLLSGKGGDAAKKYFHESTFHPHYDGRFADHQLGYQERKKALSNLVQTYLATFSDLGV
ETWLMHGTLLGWWWNRKLLPWDSDSDVQVTEASMHYLASYYNMSVFHYKTPRIPEGRDYMLEVNPNYVNREQTDTFNVIDARWVDTSTGLFIDITTA
RYNHTHPAGLGMLSCKDGHEYRDSYIFPLRDTFFEGMPAKIPVGYKALLEAEYKEKALTSKYFAGHRFDDQKYEWIPVLSKGLRKEEADKIKPKKEV
SKTGQIKQKEAKQDDQKLQPAKQATPSAQEQQKPNGNDRATPSTPQPKKDASTPPTSQMPVPVEINSEKGEVSKVAKPQQPAVQRVAEEKMAKKEIK
KEETKMKTEEKRKMLEEKALMKEDKRLASQKKSDEKIAAIEAKQV

>RCO7_05704 | uncharacterized protein
MHFSTTTLFFALFTTTSLSAPVSTPNLAHSIKSRALTSVPYNTFSISSGVGGSALSEANTAFPITPSSSTSASDLSIINAAAKVSEQAEVGTGGFND
AIAAAGGQGTTEGKALQVGKIKNKVLKLQTDVLRLEIQAAKGKGGLDAQIQQQKTKLAANVKLDEANKGVTSKGINFAG

>RCO7_05703 | 60S ribosomal protein L23
MAKISRGAPGGKLKMTLGLPVGAVMNCCDNSGARNLYIISVKGIGARLNRLPAGGVGDMVMATVKKGKPELRKKVMPAVIVRQSKPWRRTDGVFLYF
EDNAGVIVNPKGEMKGSAITGPVGKEAAELWPRIASNSGVVM

>RCO7_05702 | probable histone deacetylase RpdA
MTTSFAPLDAPNFKSGDDKKRVAYFYDSDVGNYAYVAGHPMKPHRIRLAHSLIMNYGTYKHMEIYRAKPATRYEMTQFHTDEYIDFLQKVTPDNMDT
YSKEQGKYNVGDDCPVFDGLFEFCGISAGGSMEGAARLNRGKCDIAINWAGGLHHAKKSEASGFCYVNDIVLGIIELLRFKKRVLYIDIDVHHGDGV
EEAFYTTDRVMTVSFHKYGEYFPGTGELRDIGVGQGKNYAVNFPLRDGIDDITYKSIFEPVIKAVMDYYQPEAVVLQCGGDSLSGDRLGCFNLSMRG
HANCVKFVKSFNLPTLVLGGGGYTMRNVARTWAYETGILVGEELDSTLPYNEYYEYYGPDYELDVRASNMDNANSKDYLEKIKIQVIENLKRTAHAP
SVQMTDVPRTTMTGGVDEDEDILDDLDEDENVDTRSSKRKNDQRIARDDELDESEDEQENYKNGVRPQDSASNRRNMMDYQNENGAASDVEMDSGVV
SPGPPTPPSPAPAQLPTTLSGEVGSNAPSRADTPKPVIDTEGDVDMTDSSAQPVQTAPSPPASPAPTSAPVVEAATKSAEPEQPEVKKEAVAEGIEA
DIPTEEVKGSELPEPVDAAVAEANAEVNAEIMQRKLSGAEAQP

>RCO7_05701 | probable multidrug resistance protein
MLRHGRAGVPMEVMGLMLGEFVDDFTVRVVDVFAMPQSGTGVSVEAVDPVFQTKMMDMLRQTGRPETVVGWYHSHPGFGCWLSSVDINTQQSFEQLT
PRAVAVVVDPIQSVKGKVVIDAFRLINPQSLMLGQEPRQSTSNLGHLNKPSIQALIHGLNRHYYSIGINYRKTALEENMLMNLHKQVWTEGLQMDDF
RVEGGRNNDRLKKLVDLADGYEKRVKEETELTKDQLKTRYVGKVDPKKHLEDVGQQLIEDNIVSVSRQMIDKEASAPKEKSCANGHVNGDAMDVEEE
L

>RCO7_05700 | uncharacterized protein
MSGKDIFLSTGQVEPFIERSQPSSRKRISCTWWGWEIASMLASLTCMSGLVVILFRANNRPSASWTSFISLNATVALLMAAAKATLLMAVSACLGQA
KWTYFSKKFRHLSHLETLDDASRGPFGALKTLINIPWGWATVGAIIVLLDTTVDVFAQQVFRLEADFLPVLDGFATFGYAQCYDTGTTNHGHQTDDP
FMLDDSTVDSAMQGAVLRGFYQNTWSPLFSCTSNCTWANNYTSLGFDSSCSNVTTETLSTKLCSKNGSNVTCNFKPPGNISLTTQTVLTTWLTIAIT
NSSSLLGEAGGFVNTGDQPDHLASISSGLVRTAVWTNISNTIHGQDDDGLISEDHIIECTLSLVAWKYSNISPITNSFSIGTKENIPLGRAHRLPPV
PGIGYPNVDRYWFNSSSIPEMYVLSTNIGALGRACQSTQGVTGAFAHQNVTAVFIKVAESMTGQLQQSNTILGYGMTADTSVVYIHIRWTWLLLPIF
VEIAGAALLVSTIFSSRRSRNVHLWKSSPAALLFHSVFPDGLIVSELKGPAELNRRVRDLKIRLV

>RCO7_05699 | uncharacterized protein
MRISSTFILTITLLSSTTLSAPTSDALAMFAVPDSEGISPCRCVRICYATIPGMADYCNNCDKIKDQYAQIQCFTNVCCECVENWRCGLH

>RCO7_05698 | related to mitochondrial translocase protein
MLARAALRAVHTPGSRTIPATHRIASSIVWSRSMAQNNRSPNQGFNSTQKKSLGSSKPSNAPIRRQGGPASISNQKSPKSFDRRQPQVGKGAAGAAS
NAASKQSQDLPFSEKQPEFATGASSSGNTAPQSSSPSAIDPAEAKAPSQPLPDLTQGIPSTLEYETTGRTSPLLKLNLTEAPEQESEGEGAGGGGRG
KGELPASAYVSSNEKKRLRLANYMYAIFAVASVTGTVFLGRNWETEEEEKAHLDAPSGWAVGLMWNRAKARVRDQLNYYNEPAFRKLLPDPDPIFER
PYTLVLSMEDLLIHSEWTREHGWRMAKRPGVDYFLRYLSQYYELVIFTSQPWAMAEPIIRKLDPYHIVTWPLFREATRYENGEYIKDLEYLNRDLSK
VIIIDTKASHVQKQPENAIVLKKWEGNVQDNELVGLIPFLEYIHTMAYSDVRKAIASFEGQHIPTEFARREAIARKKFQEQVAAEKAKKPKRSGAGF
LSNALGIKHQSMMMDPQDQTPTEAFAQGKMLQDQARERGQRNYEALEKEIRENGEKWLKEEAALEEKAKEEATKAMKSGFSGGFGGLIGGGGAAKE

>RCO7_05697 | uncharacterized protein
MQKRPNNRLALRPKKPFPSPNASRFTTPASSTLTSAVNSTYPSEAEDEDATSKVKPFPFLSLPSELRNRIYYMVFAAAPAVIDLDPSTHRIYHRHQL
FALFRVSRQVHRETKHHFFSTHTFRIFPTYPGRYFKTKRPLLARLPAQSRQSITSLQLRIGPGWNNPPKGWVVNDALGLKDCTSVRTLKVFVECDPS
DVIFAGFRKSEGFYERFSANLLAAVLNEVPSINVVEFDAYSSVTRTGDMMSGLGAVVSKYEKIVAWGEERGWDKESDQVWLDAILMHGGGRLSKSVA
VFA

>RCO7_05696 | related to RLM1 - transcription factor of the MADS box family
MGRRKIEIKAIKDDRNRSVTFLKRKGGLFKKAHELSVLCSVDVAVIIFGNNKKLYEYSSSDIGEILARQQYYGGASEHKGPADFSGKGKMDDDDDDE
DGSGPSHHGSVEPQMMPPQFQNQAAFQHIRHQTPLASPPIPNAVFPHHQQQRQHTPQPQAGSRPTSRNGPRRTISNLGPQQQQQQQQQQQQQQHPH
PAPPNGYAFMPNPAIYNPQNGSNMPQHSLPQHMQQTPQMQGPPPGVPQGGPQYPNYSAPPQQHPHPQQVQQLYAEEQRRASLPPAFPQQERPLSRTP
PQPQQQQVSLQQDPQEEPEEHHAAPQQMLEPVKRMSIKSRSIFTPIDESRSILSQHWASSTANAEPSREAPTSHNRAQSVDVGAVTRIKTNDSPPPA
PRIQTHSKNRNISMSSMPDGFTPPSRTNSAQLGNPKRPVLKVQIPDEPSDGGSATADSLSSPRSSTNATESNAQRNGHRNSDTHSSGVVLPPPSPSA
SALLSAGASGPPNPFARPHPISQNSQANSNNGNVIDTPVSALPSRFMNVDFLPSPSSFYPEWNFSGRNDSNTLPSPLNFATPVVGTGPSFLREDSGG
RDSGVGNGNAKRKTPEAEAESGDLKRLKLD

>RCO7_05695 | uncharacterized protein
MAIPQQYHALDNHSETDLHNTQLQGSQEEAELKGDFGKYDSVDTTRASPSTPSQYGKPAVSPASSVSASTSMVSKPLQHALHISSESDLHNTQLQGS
QEEDDFGGDIGMDGLVDTSRASFSTPSQYGKSPVPTASSASSSTIPQGSQEEDDHERDMGMDDSIDKSRASPITSSQYGKSVTTCLTHKLFHECGLH
IPDFSSDKDLDNIESLDSQEGEEEENDDDFVSYEDHALSVIEAHLCTLFDDNLPLLAKIVPKVIYPARASLELNYRRENKALPSSGVLNEADDDPSS
SVYAPTAPLPKSKKNAATFNQSSDKRPRSNSDETNEPDEFPGGGRKKLRKLFDEKVLTYACHYHKLDSAAYNTQVLRKYRTCLALSVKAGELLRIK

>RCO7_05694 | related to F-box protein PpaB
MRRNRGGSSSPFRTNGVPIPDSLSLIRSFNIETNPTRPVRPSPLTASTIPDMPLDLVDRIRSFPLFLSAPDSFLAAIGKHLRPQVHSPHDIILTEGD
EAKAMYWLVRGAVAVTSRDGEATYAELRPGAFFGEIGILMEVPRTATILARTKCLLVVLKKEDLRLELPNYPEMEKAIMEEAQERLTILNKKRMESG
FGPKLIATILPSRSGKLAREAAPGEVSTGDVGVIKEGAVFNSKKRKSPSPQTIEDPAAGSALGSGLVNVRKTLKDLPLFSTLPPDILHFLGLSAQPK
TYPPFTDIILQGSPGNEIYFIVRGEAEVIHESTNGQAINQASRVSYIRPRLKQGQYFGEVASLALAPRRTATVRSITTVECLQISGEVLEELWRRCP
PDIRRQVEETAKTRIGKADEDEDVPMTDADGFSINNQENGDRPSTPIQSALPLVTLTPSKPASPHKPSRGEDNDNIEPIDPDPFLSVDMDNMRARSR

RGSYAPPSPEVVPGQELDMSSGPKTRSRTQNSVNAKLSHSVTPPESNFRPKRTKTVSRRPSQRSRGILPDGILIMIFSYLDIYQLMRLRTTSLHWSK
ILTTSPKICRNVDLSLYNRKVTNRALIDVICPFVGKRALNIDISNCFHITDEGFSTLSTFCGTGAHGWKMKSVWDITANAVLEMANNAKDLEEIDLS
NCRKVSDNLLARIVGWVVSEPTAAQQQNAARYKQQNITIPPVGTVVGCPKLKRLTLSYCKHVTDRSMAHLAVHAHQRIQSMDLTRCTTITDGGFQHW
SIYKFAKLEKLILADCTYLTDNAIVYLTNAAKGLKELDLSFCCALSDTATEVLSLGCPQLRSLKLAFCGSAVSDSSLRSIGLHLLELKELSVRGCVR
VTGVGVEAVVEGCTILETFDVSQCKNLQKWLDAGGEERSRRMYGRKKLRFETSKENGSLR
>RCO7_05693 | uncharacterized protein
MNTKSNIMRKLLRQPTATSTPTEIIDISSLEYSKLRPSASQYTVFSAGVPVHCLDRSPDGLRAVIAGSKVFKILRIDGPKITEELDLRAIIISYAST
HDPSAATPEQLNIRAVKWSWGDLDSYIITACGNGRITVYDLNRIGEGLEVGRIQEHVRQVHKLDISPFRNNWLLSASQDGTVRSWDLKIPIQQQGRQ
GLTFKALATFKCNADAVRDVKWSPTDGMEFACCTDAGVIQKWDIRKVTAPVLKLTAHTSPCFSISWHPDGEHLISGGIDQTCHVWDLSKKGDRTQKP
RYTFVALAPISRVSWRPACWSATAQGKRAAQVAVAYDDSNSGRNLTSTVHIFDLARSSMPFKEIEQWNTAPTSLVWNSRDLLWSVDKEGHFTQTDVA
FVPQLINRRSLSTFSFSPMGDVLMMLEARQTPKRPRPNITSPPSPGYNHTGSGPLLSVSRSDSEEDVVGSFLGRRIKKGHRRQHSGRGQSLSTTPPT
NIGFADGKVLSLDTGLKVTGTYKPQQVMAIGHAPSSVKREMYQYFSNRYMMRLVKASYPEIHSQPGNLRAKMIMESYARTAENVGHFRLAQTWRLLS
FTIGTHLTRRAEFHRQSRLHVKPPSIQEPERDTMTESIVETERGEETLRRLPGPQPSVDIAVHLHEIPKIQEDIESTSNVATPLVRPVRDQIVHETR
EAKAMHTPMVIDEELALPEASHPRTPSPIPVPGARQSPDRSSSSLEGYDFYGIDSFSTGIDCAAPVKKAPLRLEYHEQSQHPPRIQPHRHDSNESFQ
MFSTSADSHGSKFMESSDSDPQSVNQERQGLRERVSDWEYRDQHDFRHRPSIDSEAPTEGSSLGDLGPQSLEERGARNGIPRSPSSPPVFRLLEASA
PKDIDNTPVKNHYQDEESPSSPTASEKTSGNPNLIDSDFQPWPNDPDFLIKPLDPIILVQRAIDFEAQTGALNAAAMVLLLRPLLPCSAFDGIQAGA
ILRQYHNRLTSMKLFTEAALLRNLCVPLYPAIFAPSQENITVGYFCTDCNKPIENDPLTPGSVWKCPRCRKSIDACTICQHRELPDDTGFDDGDVLL
DSALWWWCTGCGHGGHTACMQAWHAGAEFEEGDKYSGGCCPLEGCLHPCLPGKWRDRRVEGRKAIKARELDLLVRENSRQGNRGTGGRPGVPIRRDA
REVKQSSAVEGVRVALNGFSGSSRGLERKKSVRLIVPEDE
>RCO7_05692 | uncharacterized protein
MVWSPLGLSPAAGAHLPPLLISTAFTASSFEVHLTDLTYIWSEKLNRSEILKRSKDEVTSIDPGEDGQMKIFLEKMKLGLSGEDGTALALTINHGPD
RPSLVLSVSVELPGRLAALQWPVRLLAAPQTLLTCHLTMPLLQTQYALMREKTSLIDALKDKDHVIQKLMDKIEEQGIDLGQMFPQAAGKLGRKVDR
KKAEEKVRGIARFDVDSWRQGLSHEQPEDTSKLIGEVFEKQTDGITVVPVTYEEQESWWDDIKGLTVHLDSGKISTKGPSKVKPKAQIPSLQKDETQ
QEDDAFQTQSKPPPAISPSKSAFNSSKVDASTDTDDDDLNVLSQRSKAPLTHATPKSTKKLGALGKKKAAQEPTPQPPDNQYDDHSTADGTSPLPKL
KGKSATLDEASVPHIPQNKLGKIGGKKAGPLPEPEPEPEPESEPEPNEEVDGEKATSPSPPPAPSKAKKGKLGRIGGKKKAVVDEEPEPEPPASTPP
ESSQGSAAATPKRKLGALGHGRKMKREDGVKEEESSQRGRGGSQMEKEKTKTPEPERRETSLERADRKRDALKRELEAKAKAPVKKKRKF
>RCO7_05691 | uncharacterized protein
MNSGSYNNHQPQISSLLADYQYDETLDHPTQATHPMFTSSDGLPQNPSHHILSSSSLSPSILPDSTFNLHQPMSISMPMSMSNSSMAWTDPYRSSRA
YETQNSTNSNNHSDYYNYSPSNIAGNEHNGSLFRGYRHQQQYQRQQVGQIPRYSPNLCGSTIGNNGLPLEDSYEPSAYLLDSGRTTMDSSNSNMESP
YDYQTMSNGRELESPSFSHSLFLKIEHDDTMSVMSFDRPPPFDMHSSRNSEEGNSSREMTAAELEEHNVEPYAKLIYRALMSAPNRSMVLQEIYQWF
RENTHKGSSNTKGWMNSIRHNLSMNAAFKKTERKTTGDDTKKSTEWVLEEFAVRDGVQSTTRYRKGAVTKKFIKPGAPAPSRGSSGRKGGMSTKQVQ
AKVQHQQRHRSGGMSIKGEEQGDGDPTRSTHSIDNTRRSEYHQQARSQISQRQRSPLTPPSASTITSPTVAPYFYPKVEQFDMPYEDLYRFEDVSGV
CIDNESPLFSNGADAHYQMGRNISNHHF
>RCO7_05690 | related to cactin
MDSGRRAMIAGRDSPARDITATRRDQSSRVSKPSRPSGNRPTDNRPRNNQASLEDEQSRKWVSEEDSFVLKQAKKKADIRVKEGRAKPIDWLAVILR
VIDPDRDLLDDDEEEIQHDVVDPEGVFEGLNDAHLSELDKDIGSYLALEKNKKNLDYWKTMQIICNDRRQKLKPLGPEERAVGSVASDVDKLLGPKT
YEQLESLEVQIRAKLRSNEPIDVDYWEQLLRSLLIWKAKAKLKKVYQSVLDSRLEQLRTEQQEHAEGVRSKMQELLGDPIPVVEEGAEDSATGADVS
HIVQRQHNFQYSSKYDPEPLLKLHAEDKTSEVVDESLFLQKIVAERRKVLKLGYVPMRQATTENGASSSSKAVTTTTVGIHPPGTQRFITVVNEDFS
QATKALYEREVARGVDEDEEIFTGEETVATTSTPQWADKYRPRKPRYFNRVQMGYEWNKYNQTHYDHDNPPPKVVQGYKFNIFYPDLIDKAKAPTFK
IFREHGRKRGESFAPAGEEDTCLIRFIAGPPYEDIAFRIVDREWDYSAKRDRGFRSSFDKGILQLHFQYKKIYYRK
>RCO7_05689 | uncharacterized protein
MAILKDVPGLEVSIQSDNEDLPEYNDEGDFTQSKFAHLSEGSRSQKYVECKTDAEFRIRLVLKHPFKIDCQSLAFKANVDGHGIAQATCSQAWFQRS
SGYYMELISARLDRISPTQMSSRALKFSSIKKVDDPDSHRVKKDAKALTGIGEILVTVHRTVQKDVTMPATGNYITSQHKLPTEVAEKALKGKAISH
GVSYGEQKIVSRTTRETIDLDGPSNPIGVFVFKYRSREDLQSELIIPRSPTPEVSQAPVNARPSNSHSATASRGARLALLKKEMAEIKAEEDDGSRG
QKREWEGEASGSGSGRALKTIRGAGGSVIIDLTDD
>RCO7_05688 | uncharacterized protein
MRSFTTVPLLVAAYLSSFTEAQDSYTQSNEDRCQAVRTNASWFPNATYNASGSISIPGFRVNDTYPESTWTWSRYVINGEKPGNRTAISQTITLQTD
PIQNLTDASSLPYTGCVFAFNDLSDYKNRGNGDDGTCSSVFTSACRAHILQIVTQNAEALSARSSGSRQDFSCPSLFGSSGSLTSDDSPCKDIIAGT
VSSQFLSSNFTDGGNTLEPGCPLVNPGNSTLEDEPFFSWQGASTESGNFTLYNRAVLNALPVLMVGWLKETDDKTAQSGAVGGGETRWTDARLMCVS
ANQTRPGSRDLAEVERASGAGKIVGKWTVSGAVVMGLVVGLLP
>RCO7_05687 | related to aldehyde dehydrogenase
MASQQPPVYPLLINNKPHPTIITFPVSSPVTGKVLHEFSSASISDIDTALQAAQSSFPAWKRLPPPQKRDIFLRAADLLTSRTEELKETMMQETGAA
APFTGFNITLAIDMLRDVAGRISSIQGFIPTTAQEGVSAMVVKEPFGVALAIAPWNAPYILGMRAMLFPLAAGNTVILKAPEFSPRCSQHLVQALHD
AGLPAGVLNLVAHRSENAASITKHLIESPIIKKINFTGSTIVGRIIAELAAKNFKPVLLELGGKAPAIICEDADLELAAQECAVGAFLHGGQICMST
ERIIVFEKVLPDFEVAFKKAVAAFAPEGGAKPVLINAAGVQKNKKLVADAVGKGARVLHGDVKAGEGTSMMPVVVVGTKKDMDLFYTESFGPTVSVM
AVQSEEEALELANDTEYGLNAAVFSRDLGRALRIAKGIECGAVHINGMTVHDETALPHGGVKSSGYGRFGAGGLEEWVRTKTITFKD
>RCO7_05686 | probable Glucan 1,3-beta-glucosidase
MVLLKALAVTAACLSLVGANPLKERAQGFDYNNNKVRGVNLGGWLVLEPWITPSIFEQWANGGGVVDEYTLTAALGKDEASRRLNAHWSSWITEADF
QEIASMGLNHVRIPVGYWAFNALPGDPYVQGQIPYIDKAIVWARRHGLKVMLDLHGAPGSQNGFDNSGQKGPIHWQSGNNVPETVTAIRNLAARYAS
QTDVVTAIQLLNEPASWGNDMGQLKKYWYDGWGTVRDFNKDVAVVIHDAFLDVQSYWNGFMNYESGVNDVIIDTHIYQIFTEEQISLKPCQHVQAAC
ANIPKLKGTDKWTVVGEWTGAQTDCAKWLNGLGRGARYDGTFEQGKGYYGDCKTKYQGTVDGLLPVDKVNMEYYIEAQLDAYESHSGWIFWAWKTES
APEWNFRDLTRAGIIPQPLTARKHPGQCSTSQCMVPGN
>RCO7_05685 | uncharacterized protein
MAFDSKRPLYKSPLLPPKHQPWSESYTVDSASKDELARKVVNTSKIPVIEFKSGDVPMPFLDPSIISRRIQEAKDMETKPDRERIQDEPSQNT

>RCO7_05684 | related to zinc finger transcription factor
MEGGGQGVGANAMSGEASSPTTSIRPGTGGSYNKRKRNGIGFESSHGSGGEDNEEEAERRRQPGVKRACNECRQQKLRCDVVQDPFTVCSRCSRLKL
ECKIESNFKRVGKRSKHAEMEKQIERLRRSLQRAQAQGFTVDEEEDIESPIANGSYSRHNQSYMGSEEAVSSLLHLKQGGSYQLPHIVHEIENVGLT
EVAINDLFNEFWLCYHPFLPFLNPHQSPDQYYAQHPLLFWAMVAVAARRYIADPGLLTAVSGPLSRLLWQTVGEVPNNHFVVKALCLMCTWPLPTST
TSTDPTHILCGVMMKTATGIGLHRPKHTQDFSRVSVDLNREQLHDRVTTWAVCNIVAQSVGTGYGQPASTLYDWTLAIRPGEETPFTLPKELEARLQ
IERFCDKVSKEMYSNASDPRGVAGDELRAILTRVYKREYSELRVSILSRTDLSPVVQLHLKAAGLHLRLSAFFDSSSTPGYLSDLMGLWLATVEFLD
YVLEHNTPTLENPRASILRYATNYILQMIDAACFALLKLLGSFFSASIDFDRGRLLFHRTIHVIRSMSIINNDLPSRLAELMVQMWNGARVEQRSQQ
QATNNKNGNELRSLVDDSLQLKVRCRMSMSLMFDSIWRWREEFQAQGRGSLEAAMKNPTNPDSAAESSASSVHMDPVMLSPSQQGNHHHLNPAGSAT
PSSHGLPSGMMGGVGYGENNYEVFDPLNWMLDGLVDFPYSYAAVQGLEQNGMS
>RCO7_05683 | uncharacterized protein
MAGVKEEYGQVDNTYLVNHLGRTQANNFTPYSAQSSVSSFNVPLQYDSNLITPISATSSPNLTTISDPSMSMEPHIKTSPVVLSPTYGLYSPEDEFF
PRYNPPMKHRDSGALHISIADNFFGPGSPFACSSPHFGSYGVSAQAPSVKASDPSPMFHNSPTTQSAEGYSSNGYYFRNQTPALGVSGYKSNSQTPI
HIAPSSSSPPILIAPSPSILRPATAECSSEARCRNSKTSNQMSRPFKKLPEQKRSSIGQFNSLKVQKSGTKRSSAAQAATYEKLMAAAKIHHLSTEE
HVLLQLRVRDGRKWDEIEKKYNFAFPGKAKSKECLQMKKMRLIERLLDWNEVEERALNLSHEASNVTGAGEWPAIAKLMPQFGSKHKWSAEGCHKHW
DELQSKASISEYEQTQAQAEDFRRHRTSSSEFTQQSPSQQSWSDGSGSVSHSPYSDLPGHFMAAMSSTNMDDSRSRASDENVQQQMQQQSICHMQQQ
IVYQQRQQPQHQQQRQRQYEQVEQTRHHNWPSGH
>RCO7_14001 | uncharacterized protein
MVRDNNTPEVSAFDTPANSGKDPPDPETIRKQGEGLIRQIKSSDYVDRPLHSLFKEIYEGWTVDSFKSVKKSSNDDLIFTLRTKGVFIEEGDEPAQE
LYKLLYTPWDTIRSSWTLKELESMAGEKILSARLQYMVLNPPVLEKQISAQQQRDEREKEMINDIAAQQDELEYERSKKEFHRLRQRRRTTLGLPPV
SEFDFDEEHYEPPQQDRDSTEEVQQYKETSSDQNREEQRHHRKRTPKNAGSGGGGARGGGSYQGGEGSQGGGGGGGGDGYQGARGGEGEYHDTVRKE
KEKSYGKEIASFSRMFPEEMKFKGDGDSFSSKVRIFYDACLRAEIPPEEYSKAFPLMLKGAALQHYYYGLNSIPGTSLIIKFDTILKNMMDQFESEE
FSRSSLTTWNLLTLESIKEKNPGKTTSECFDILSTQIRELRHSIPFELRHEKFVINKVITACQSSEACQIALAQPTTSTEKTITSIRTSIVNYEHAH
PATSTTFYTNRKFRSDSDKGQAYGEKGDSKGRFRIQGEKKMNTLDKEGNAKKCWVCNATDHMSFDHTVEEREKAKEKFKAKNSSKFKGNFGRVFEKA
YRQYVAEYEGTEDEYIATAFTSCEAGSDTDYDSDAQPEALFMTSMGPVSVAAAQLMTETLANTAFKHLLDTAEEATEENLTAETMISSPRYNSSVFH
GIMIDTGAAKVSTVGKGQYEAYKALYKAELLPSRGINVKFGIGKATSIGMVIVPSPIGKIQFEVMATDTPFLLCLDDMDKLRVILDNLRNVLVTPQG
DIPVVRRFGHLFLLWKESLETYITECFQSNTRVLTETDLRRLHHRFGHPSVRKLEDLLQQAGHEHNSGVLKELTKLCKHCQLHGRSPGRFKFKLHDT
DNIHFNYEVVIDIMQLDGRQVLHIVDQGTTFQNGGFLTNISAEHVWNRFKQVWIDTYLGPPDFIVTDAGTQFKSKEFVQSAKTEGSTVKVVPVEAHH
SIGKVERYHGPLKRAYTIIRKELPHLSQDMALQMAFHAINCISGPSGIVPVLLVFGAYPRMVEMDAPSPSVSQRAAALHKAIEEIRKLRSRRQVNDA
LNTRNGPSSTVVRDLPLNSLVLVWREKGFWDGPWPLISTDGENCVVEIDSGPTTFRSTSIKPWYEEDIDSDEPESIIPEIILSPPPVLLPGVPSLST
TKSNRPILVPKKQPHRDRRKPIRFRDDNVEVYLNYTDELFIGFPVVEPQYAASRRKEIDGLIAAGIFELVHKDELPAGARVFNAKFIDQTKFEGTQK
AYEKSRLVVQAYNDSGKNQVLTTSPTIQRVSQRLLLVYAVMHPEFKVYSRDITQAYTQSTSHLIRDFFVRPPKEILAWLHWFLRCVGPMYGVPESAN
HWFGTYHGHKVKKLHMVPSTFDTCLLSVSGEAGTGALGLQIDDTFFVGNKTFIDAEERELQKAGFKSNEREQLTTLHPIDFNGGHITLETDGSIRLS
QQSYDKTLRIIEKEPVNLTNSRGGIRQGLTQIEQFAAQRARGSYLATVSQPEASFDVSFAAQTMNPTEKDFELLNKRILWQKLNCSKGLRYVKLDKK
SLKLVVFTDGSFANLKDFHSQIGYVCVLTDKYNKANVIHWSSVCCKRVTRSVLASELYAMSEGFDMAGAIKTTIEQIMEITVLPLIMVTDSKSLYDC
VVRLNTTREKRLMIDLMCLRQAYERKEISEVIWVAGPDNPADAMTKTNCNGALKELLHTNQLVIKPMEWVDRGNLDDLKPEESL
>RCO7_10056 | uncharacterized protein
MATCRPVKADIGIGMEKDTKGLVMLSSVSGDPGRLVVSAIHSLLMATPESELRYAVLPRTYKNRAGHVKDYYSENPLVREPAEEETHQWWYLSEQKP
EEVYAIKFYDSEALKSGDGSVRSMCPHSGFRVEGAEDAPPRRSSELRVWCIWQCI
>RCO7_10057 | probable peptide methionine sulphoxide reductase
MPGFMSRLMRPFSASTSMGLGESAPINSPEGAQLATIAAGCFWGVEHMYRKDFKGKGLHDARVGYIGGDSKNPSYRAVCSGDTGHAEALQISFDPSQ
VSYRQLLEYFYKMHDPTTANRQGPDRGSQYRSGIFYHNAEQKSVAEEVTKLVNEKWWKGKVVTEILPAGEWWDAEAYHQKYLNNNPGGYECPSHFLR
NFPAL
>RCO7_10950 | uncharacterized protein
MAQRVMSSLLSWLFPTWIQQPAKIPTDTVVKLSAIENSWLMRSMNTNWSLRFNEVLDTVRLQQALEKLITTGPNWRKLGGRFRLDENGHLELHIPAG
FTSSRPPVQFTSEEHNMSINQNVLNEILPSNWERPCIIDFPERFDDILAGPNAPVCFKDWIYTDRPVLAVHVINFQDATFITLTYSHSLIDGVGKLE
IMLNWCKVLAGRMEDVTPMAAFDDDPFRTIVESSNKHSAEAYLHEGKRLMGWQKYYWLLRMIGYLFRFRNRRQRNLVIPSSTVMKIREEAERTHSDD
YLSDNQLITAWLVRMACSPLLNTNRPIGISSAVDLRGFQLGEIQPKTVYLQNLLTFTWTNIDANLLFHQPLGVVASQMRSSLKEQLSIEQVEAGARL
TYNAMARRGTIDLYTDKNSLVVTVSSLAKAKY
>RCO7_10949 | related to enoyl-CoA hydratase precursor, mitochondrial
MPRRYLVVGAASTIARFTSFFWEKKLKNLESNLQKREVCHIRILSLNCSTSRNAILKALLSNLDSQIFNVQFQFDPSTYDELPNSSPSHLGTTRALI
VASEDDKCFCAGADLKERKSFTDAETVVFLTLLRSSLNSLEDLPIPVIAAIAAPAFGGGFELALAAHMRVVGSPDMRFPETRLPVVSGAGGGEEALR
LGMADCLLEEDHSGVKSLRLRVLDEAVILAREICRGGPVAIRMTMWVFKQPGEEAEDLAYRRDLKTQDRKAALAGFAEKEPAFVGR
>RCO7_10948 | related to cytochrome P450 CYP3/CYP5/CYP6/CYP9 subfamilies
MISSWRMILLAFSSIALVLIGICIRNIFFHPLRHFPGPLLQRASRVFYLWYDLRGVSHWKVKEWHEKYGPVVRISPDELSYTYAEAWSAIYGFPHRD
GTGNFEKDDRWWVKSIGGDDILTADEEGHRRMRRLQSAAFSDRALRLQGPVIEKYTSLLIHRLHGLASTDLPYSATVDINLWYNFTTFDLIGDLAFG
EPFHCLRDMKWHWWLTAVFELFRVATFIRAARRFPTPIFYAILLLIVPKRLLKMREDQYKFGLARVNKRMQQEIDRPDFMSYILKVEDENGMTLQET
YTAAQVFIAAGSETTASGLTNATYLLLENPHTFQKLKDEIRNSFSEEKFITISSTAHLRYLNAVIDETLRLAPPGPGAFPRKVPKGGRVVCGAFVPG
GIAVGIHHLSIGRSPLHFYQPESFVPERWLGEAGIGFENDKKTATQAFSFGPRNCIGKNLALMEMRIIMCRLVWNFDMELHPDSRGWLSRQKMFTTW
HKTDMKVRLKARKNMP
>RCO7_10947 | uncharacterized protein
MATSRRDTTRSPPPSSETTSQAEQKQNSNRSPSNLNTIDKPWNIINSTIKFHNADHQFWWDRTGRMLARLLEHAKYSAAEQYRELFFYALHAVPFLG
ASADGKNYLLHWPSPTTPDNTPIDFSWEWGLDGTGVIRYQFEAIGPNAGTELDPLNSTAADSWIQQIKDQGLVPGHDLEWYRYFKSQLLLPDVERTE
LTTQTIIEETTVKAGTVVAIDMEKSGPVMKICFYPGLKALELGLSNLELCARALRSLPQYSFMKGQIEPLLTYLQEATKRWNLETGILGFDLLDPND
ARIKIYVRAPHTTIEYLMDAVTMGDRIDMSQYSDRVLTDLRDFWTTFLGGAPDVVPDDAPGRARPGFYYIIKAGKPVSAKLYISPVWYCKNDADVMV

KLRRYFETRKQGPDMLSQMANYERALIDIFGQRTIQERCGSQYYLGCALQKENLRIVTYSSPQTFDCEQDLRKQKK
>RCO7_10946 | uncharacterized protein
MKSTPSETSLSSGKKENTLSILIHTFNLTGHVLPMQAIAKALVARGHRVVWTTATGQEARVLASGAEFIATNKVDFCDLGLQSAVTYNECISALVDG
RLLAQVTDFRRVLNSADLRVDCLLADAFPMGAAAMFDLGEVPMWATVGVVPMYTPQSVPKSTSTVGTIISTPEHLLPSINAQRKQLGLLDTEAKSLH
YSPFLHLQASCASLEFDKNIPETTHYVGPLVAPRDQSTFTVEQSWWLEVVGHPCMVVVTQGTYAVNPSLLHVPTIEALCNEKDLLLIVLSPLAEDIR
EQSIMKGVCLDSVRLATWMPYDLILPQCRLLITNGGYGSVTQALSFGVPLVCAGTTEDKKDTAARVVAAGAGIDLATDTPTRDQIKAAVRSILYDKS
YKKNAQKVQVELNVLGGSEKACDLLVEAIAKNARSNQ
>RCO7_10945 | uncharacterized protein
MPYIKNRSYNSVIKKSPFEVLFSKKPTLNYIRVLGSLTYILINKRTNKFKDKSDRDILVRYKSANKFLVYIPEKRAIISSKNVLIKEDLTFKDEVIS
KEELESFNKTLNDYETSNYSNRVISLPINTSKSDLSRAENLEKIDSKIANNLLNKEKVIKDIELDLFNNIAKEPIVLNVTTRSYTKDPDIALAIQNN
KRLIQEQKEAYSVYKNFINLAFYAFISSKSYEEIRLLPYPERILIKKDPEVVIYDPKSYKDAINSPYKDY
>RCO7_10944 | uncharacterized protein
MLRLLGSLTYVLINKRTNKFKDKSDRGILIRYKSANYFLVYIPEKRAIISSKNVLIKEDLTFKDEVISKEELESFDKILNDYETSNCSNRVISLLIN
TPKIDLSRAKKSEKINSETADNLLNKEKVIDDIELNLFNDIAEEVPIVEIPKRAFISSKSEKEIKLLPDPERILIKKDPEVVIYEHKSYKEAINSPY
KDY
>RCO7_10943 | uncharacterized protein
MTVLERPITTAITTPADDFPRYTYARRSLTSSSQSMSSTSGPTTPTSPAFIPAPWYHFSFRTVVLISLPLFSLLGLYGTLVLGQANGTFKAIIALMQ
SEKPRLPATDDELLMHYTSIGWLDKQLTILVLFFAPVVEMRGDALSMFTIFGVGQFGAAWTLMVMESFRMGNRGRVVSFVGIFGIIFQNISYTVTVP
IWLFLHLLTSPVAKPYPGTHSNTVLVASAWDLRILPISITLGYIVPTILMGLSSPSIVSPVTHQRLIALWQPFPLWTVLIHTSLRTTLQLLTGTLFS
STTKSKGSLPTSRSQIPLGTTYLSNAKHVYRFILALCMLAHLPILVLSLLPSSLISASSFPTLHAMSTQSPREIYIPYLPTPTHRISSLAEGAHTFL
IWDVYVGSFAFLLWGILLYRNATMEKAELDPNTSLPIYKELLLGERIMGGMVWRKLAGKVVLWCVLAGPIGALSVLLWERDAIVRRKIKQGI
>RCO7_10942 | related to feruloyl esterase B precursor (subclass of the carboxylic acid
esterases)
MHLLSLSTAVVALASFAAGAKNQLQNETDFDAGPTAAKMHTYIPSNKLALAPIIVAIHYCTGTGPIYFNETKYADYADEKGFIVLYPSSPSSGGCWD
VASITSLTHDKGGDSKTIVNMVAYAIKKYGGDADRVYVTGRSSGAMMSNVLAGAYPNIFKAISAYSGVPDGCFFVPGAEAGQPIPTWNNDCSSGISI
KNAQQWGDLTRSFYPGYNGTYPKIMIWHGTVDVAVRYPNFAETMKQWSNVKNLTLNEIADNTPEKNYTQYVYGDGSQLVGYSGFGVGHTVPVHESAD
LAWFGLE
>RCO7_10941 | uncharacterized protein
MPCSVRAVDATSMRCDSEDDSPMLIRRRSPIQQTEIRLPPSLIGGETPMREESQGGSPSATAREGRKITRSMDRGAPGDQAMISGGKTLEKQELAKR
RSLYYNEAFACRQSNTSARERITKESMIVADVRTNVIVHDEYTVTTDLSYYLSQRYQRPENSIVVTLTHSLCLLFGGTFDPAYTLSITALPSQLQPV
TNKRNAALLATHMQESLSVNPRRGVINFVAIPEENLANDSITVSGEIEDLEKEMSENGSLQRSLSRGRVKTRRQSMRSLRGVKNSPMSTHEEALPLT
PTVNQSNVPPMPAYPSEKSDWNRKVEKAQKKMGRRKSFIATIFGKAG
>RCO7_10940 | probable Ras-like G protein RagC
MPLLHTGRRRTKLDRMYNGPARQGPVRHISPAQLNLERLYEQNRANAQKNDPATAPGPAPGPAAKGKPRLLLMGQRRSGKSSISSVVFHKMPPNETL
FLESTARIQKDSMHSFMDFQVWDFPGQVDFMDPSFDLNAIFGEMGALIWVIDAQDDYLEAIQHLNNTILNLQPTYLHVNIEVFIHKVDGLSDDYKLD
IQRDITQRIQDELSDHGVENAPINFHLTSIYDHSIFEAFSKVIQKLIPHLPTLEALLNNLCRASGFEKAYLFDVLSKIYIATDSSPVDMPSYEICSD
YIDVIVDISEIYGWNRPATYIEGLEGPPWNKKIEDQVACKEAESAIVLTDGKRPIMLREVNKYLALVAVMREGSYGKISGITENVSTTVEGLLKAFE
ITRQRN
>RCO7_10939 | uncharacterized protein
MFTKLSILLLLPIVFAQNGEFQPKPGYFPATGDDINAGGIFCISLRDYGKYTKDHPAGVTGSESPKAPGAVTSGSGPYPAVMISDPSLPNHTIYAPK
TPPGDLSMPFISWGNGGCGIDGAGYRNFLTEIASWGYVIAANGAIGGSDGSRQSKVQDRRDGIDWAMKGGAKKYGNVDTTRIVSMGYSCGGLESMSV
AYHDDRVKMLMLFNIGIFMDEKRYLLQEIKVPVAWFVGGPKDMGYLNSQKDYALLPKTLPAYLANLDTGHCGTFAATNGGKEGKAAVAYLNWQYRNN
ATSKAILLDPKAHGSLVADKWNVTYKNWA
>RCO7_10938 | uncharacterized protein
MSPSVPQAGPATNDNLEMAQPSNKQSMQPALPSPNTTAKDREAEAEQEEVRMRGGELCPGRFCFIIPCPLPCNCCII
>RCO7_10937 | related to Extracellular metalloprotease MGG_08041
MVRLTLTAALASLLPFVVAIPTELWTREDFRGECGTVTTPQDLAVIAAVAGNSSSFASTNGFLASALPSYSIEPWQLGDITVKTWIHVVSVDGTPAG
GNIPESQLIAQIAVLNENFAPNHVQFTLEGITRTVNAAWSTDVTGAEIQMKSALRKGDYKTLNLYFQTVLRGNALGYAYYPAATTVGSRAFNLSGAT
NLFSTVPGGSATNYNLGKTVTHEVGHWMGLAHTFDGLSCSGPGDYIADTATHSAPSRGCPIGLDTCLDGEGPDPIHNYMDYSYDSCYEEFTALQTKR
MFDMWNMYRQPRACSADNCLRALRLDSIPGRLEESQAFCGEFTKFLVSEVTQVKSYAVSACAGNVVSRVSSACSCLPTPTAT
>RCO7_10936 | uncharacterized protein
MRLSYAALVIFASTVMARATPHTSRVDAVTDPFHCKSFGSDCSIKLIPNTETYQCNCTTNPNSLPDLARFYSDNNYKGFEYQGYGNYKSCQNLPFPL
WDQETGSMTSNTNPAVICCVFTGLDCVKEGRHWTPVDPKVQEFQGYYHSGVRSFMCNLKVDEKSTCDGL
>RCO7_10935 | uncharacterized protein
MTIFVDIRLYCYNSIILVIASKSGGKRYLLYLFTVGVEFNLFSLDYDTAPRLLNYINTKYTILSGLFLSKKVFKELEFIKVEFIKKAIFKAIISNTK
GKRNLLSSSEIALDLDTLGPSLKKKARRISYYTRSTTRAILVDLGKELDIVVLVLDILDLLEAPENLREKASKIEVVKEVEF
>RCO7_08710 | related to mixed-linked glucanase precursor MLG1
MYISSPLTLGLLGFAGTSNALMTNSSGTYESLAHARYHLVDTYNSKNIFNDFNFFDGADPTHGFVSYQNKSSASRRGLISTANGQAYMGVDHTTVNP
PLPGRASVRLESKKAYNHGLFIADIAHMPGSICGVWPAWWLFGPNWPNNGEIDIIEGINRQGTNIMTLHTSPGCSIDTAGSQNGTILQSSDCNFKNA
NNGCGATTSTENAYGDSFNRNGGGLYAMQWESAGIYIWFFPRNNIPADIRSGTPMTGNWGAPVVAFNGGRGCDIDSHFRNHNIIFDTTFCGDWAGGS
AWAEGGCSGFGSCVDYVGQNPSAFASAYWSINSVKVYQQ
>RCO7_08711 | related to cellulose binding protein CEL1
MKSFTPVLAGLSVLASQASAHCKNPIIFRSLTIRDSHDEDIFNQITYGGTKYPIYQYIRQNTNMNSPVTDLTSTDLRCNQGGQIGGNTATLPVVAGG
SFTFTTDTPVYHNGPLSIYMAKAPSTAASFDGSGQVWFKIQDVGPTFGAGGAVTWPLAQSYTYTIPKSLPNGEYLLRIQQIGIHNPWPGGIPQFYLS

CAQISVTGGGSGTPGPLVSIPGFIKGDESGYTANIYSNFNSYTVPGPAVWSDGNSGGGGSPAPVTTSVAPAVTTSKPVAGTTTTAAAPVTTSATTGP
LAQRYAQCGGASWTGPTACVSPYTCKFSNSNYSQCL

>RCO7_08712 | uncharacterized protein
MSVTSSKPEMQSDFQEFDVPVARPQKSGAFRAVESVGLGLTVLALLLSVTIVGTAGDTLGVYNKTTLGSGFPIALWPRDFDLRPTVALVTCGTIIML
SSITFLIATKVPAIKKINLLSTGISYLSPTVSLVVSLVATSFFYGVNASETNYSLQSWSCQWASIDMDVQPHWSTLCKESKTALYLTVVIIPLQVIV
LGTVAWSALAQKKQIAAYERKGSPALS

>RCO7_08713 | uncharacterized protein
MHIRRLIALSCMTAAFVRAADLNITYLASLLDQTPPCGVGCLTTLLAEMPFGLPDPGAICLNETLEATAAACVFARCDFDGQKQFANVKRKFCVGIP
IQNRAWAVTIVGILFASISVVAMALRVYSRYSIVHILGVDDWLACAAVILLIPYTVINIYNGQINGYGRHFWDLDPAKVQNMLQMFYVSELLYITTL
TLVKSSILVFYFRVFPSQRFRIINLMTLCVVVMTGLAIFLCFVFQCTPIYGLWNPQLKPQCLNINTLAYTSGAMSVALDLIILILPLPAIVHLKMRL
KVKLSLCFMFGLGSLACITAGIRLKYIVVASTLADPIFHPITGDDIMPALWSFVEICVALICSCLPALRALLSRWFPSIFDLTFRSNPEDIETPLSR
KTELAHYHTSQGTAERTKTTFIEKDGPSYNKHSRVDSMAPSRASFKSSVIFPLGLSNEFPSTHPSHGCKDSETYTARVSIPPHGRRDSDTYTARVVS
IQQSMHTQMEPLSEEIPETKVWINPCFDDQGNPMESPNAVETTFSSSQSRISLAGSEMSDFSLWALEGPRASDEVRAEERREFVYRVAELTSVEELK
RRAQEKREWEDAQGWIPENLDAHAAGDRFEYVLITTRDRSRFCYDTHGVLDLRDGVSASDGAGYSVRET

>RCO7_08714 | uncharacterized protein
MVQQLPESPLQPGNLYQRESPWSRNERNTFLDTSQERLPPATTVRQAGTVASSSLYGNSIDSALKEYVGIPGIKNWALIIQTDEESGPRTFTSQNLK
PYRNEFFNEPFRQSFTYSALKANAHETYPKSSYHQDAGVYSQFDSDTRKHNNGSEYIRRPHRKSRSEESERDGSIGAKRRRKVYGAQSREKSNEDLP
VAHSTQKQDLKISDDAQVEAFYTTRFKNMQQASCKIMGKAFVKLVEPKKQTHHPYTKGDDKAPPWWPKGTGDDAVRHKEPDHLLRRERLILLVHILK
MIVEPVHLQCPEVRKLKLDVKALEAATLEAMSTWFADKEHPENEQKRPFLKEIFKVAKQQERYKDGGLNADTIIHVRSAERTSADEDSDGDSENCAK
YEQDDDAGDSSVHIPTPPESLVSPSLSHNQQFQQAEDHNMRSMRGLPLRYPASSVDQMGYEDQSFRSMGPYQPQSPNPMDPGRRNYIPAFPNPSQNI
FPNAWPPNPVTSAPVSQYYAASPQASLPSFPVLPQPQPQQPGHMVQPMHQYHDGIARYDNITPLGHQTRTGSLGHAHHQMPNPNAFQDYMGNENTQY
THHEMKNEHHHLHS

>RCO7_08715 | probable multidrug resistance protein
MSAQRILSTGSLSGLHTRPLFNTLSSNTTSSSSDNYGSDYLSSSKEKHPFCSNSEGWGPLSPFRYDFTPCFMDVWVGSVAVYGILFGAVAIWWLAVI
LAIGLSVAVQLVFQVLNYPVVWAGDFRFWTSILTILSLGVIFAIQWLEHSRLRNPNGVVLFYWLFILIAWSVKLRSLLSQQVYRHHLPFFIAYCFGF
GLAWIEFALEWLVEKKTSDYHALGDDEECPVEYATVFSILTFSWMTPMMRYGYKKYLTEDDLWNLAKRDTTKATGTTFKEAWDYELENKKNPSLWIA
IFHSFSGPYFRGSVFKTVSDTLAFAQPQLLRLLIKFVYSYKEDSPDPPQPPIRGVAIAAAMFAVSVGQTMALHQYFQRAFETGMRIKTALTAAIYGK
SLKLSNEGRASKSTGDIVNYMAVDTQRLQDLTQYGQQLWSAPYQIILCMLSLYQLVGISMLAGVGAMVLMIPINGLIARLMKTLQKEQMKNKDQRTR
LIAEIINNMKSIKLYAWGSAFMQKLNYVRNDLELKTLRKIGAAQSVANFTWSTTPFLVSCSTFTVFVLTQDTPLTTDIVFPALTLFNLLTFPLAILP
MVITSIIEASVAVGRLTAFFTAEELQDDAVILRGAVEENGEESLKIRDGTFSWDRHSGKDALEDINFTASKGELTCIVGRVGAGKSSFLQALLGDLW
KVQGSVTVHGQTAYVAQQPWVMNASVKENICFGHKWDPVFYDKCIKACALTEDFAQLPDGDETEVGERGISLSGGQKARLTLARAVYARADIYLLDD
CLSAVDQHVGRHLIENVLGPHGLLSGKTRVLATNSIPVLMEADYICLIREGRITERGTYNQAMAMKGDIANLIKTNSNSQDLSAESEATSSDSSTMI
DVEQAGEDEKDDEIEEAQEHLAQLQAIRPGGSGVKKRKGSTGTLRRASTASFKGPRGRLRDEEDGHKSKNKEFSEQGKVKWDVYAEYAKTSNLFAVA
IYGLMLIGGQTAQIGGSVWLKRWADINGKAGMNPDVGKFIGVYFAFGIGGALLVVFQTLILWIFCSIEASRKLHERMAFAIFRSPMSFFETTPAGRI
LNRFSSDIYRVDEVLARTFNMLFVNSARAIFTLAVISTTTPAFVAFIVPLAAVYYWVQRYYLRTSRELKRLDSVSRSPIYAHFQESLGGITTIRAYR
QQERFAQENEWRVDANLRAYFPSINANRWLAVRLEFLGSIIIVSAAGFAIVAVTTGTKLDPGMVGLSMSYALQITQSLNWIVRQTVEVETNIVSVER
VLEYARLPSEAPEVLHRHRPPISWPASGAVNFNEYSTRYREGLDLVLKNITLDIKPHEKIGVVGRTGAGKSSLTLALFRIIEPSEGNISIDSLNTST
IGLLDLRRRLAIIPQDAALFEGTIRDNLDPGHVHDDTELWSVLEHARLKEHVSSMNGGLEAKIHEGGSNLSQGQRQLVSLARALLTPSNILVLDEAT
AAVDVETDALLQTTLRSPLFSKRTIITIAHRINTILDSDRIVVLEGGKVKEFDTPEKLLEQRGAFWKLVREAGLLEGGGVGR

>RCO7_08716 | probable CBF1 - centromere binding factor 1
MSDMDLEHSGLQEVANAMRGEDISQKRKRDSESADDPRRGNNKRISPNSGKDHQDVEALQDYNLHQGGHMDHNGEHASTAAAALAGIYPTMTVPQPT
DVSFATQGSDGDRNDSFMDNSQQDMGYGQEGVHSQRPGNSKPPVGSEEWHKVRKDNHKEVERRRRETINEGINELSKIVPGCEKNKGSILQRAVQFI
TQLKENETQNIEKWTLEKLLTEQAIAELSASNDKLKAECERAWREVETWKKTCQSAGLAPKKEDGMGGDL

>RCO7_08717 | related to macrophage erythroblast attacher
MADQITSKLNPDSHLILDQPLLRLPFELLRKNFKVAHFNVEKESTSVKTILKETGLASQSPTASSPADVLKNVDSMLARMRGLKRKLASCAEEEARL
HQQSASRIRHLGELYGMQSLDDVKYEDWSRTRLDRLLVDYLLRNGFKDSAGALARGKGIEDLVDVETFVQMGRVRESLLNGRVTEALAWCNENKKEL
RRMESNLEFMLRFQQYIELVRTQDQAKLLESITHAKKYLLPFRDNYPKEVQQACGLLAFPPGTRADVYAELYSRSRWHSLSDLFTQTHNKLLSLPSV
PLLHIALRAGLSALKTPSCHSTHPHSTISSISPTSSSSLTTSVCPICSKELNDLARNVPYAHHTTSLVENDLVLLPNGCVYGLNRLEEYSRKAGVEK
GCVKDLRTGEVVQVEKLKKVYIS

>RCO7_08718 | uncharacterized protein
MPSLSGLIAIGAGVLASNVAASPNIITDFKSFTKGFQKPLILSSVGGHATCILGNIPVQASAMNTELKYPIPANQSVVTDTIVEFLQVGSTLPAEVI
GSKRNISGTYSISSKLCYPVGKSPNASAIQFLTHGVGFDKSYWDFYSSAYSYVDAAALAGHTTFSYDRLGIGASEHPDPIQVVQAALEVNIAQSLIE
SLKSGAIASTKFEKVIGVGHSLGSELTNAITSQYPTSLSAAVLTGFSTDVNGQPVFFAGLDLTIARETSFLRFPLLNNGYVVSNNIAGNQFAFFRLP
NFDPAVLVASEATKQTFTIGELFTNSEFVSPAEEFTGAVLVVNGENDLPFCQSNCLVPENKSQNTLESLYPSRKESSGVYIAKGVGHGLNLHYGAGD
AYKAIFEFLKKEGY

>RCO7_08719 | related to putative arabinase
MKISSLLPALLALGTHARPAENTELQVRADSSLVGYLGVFFLGSAPNVYFYLSNGNNAFSFKALNKGNPILDPTLGTGGVRDPSIISGGGSEAGKKW
YIIGTDLDIANTTWDASQRKGSLSIYIWESTDLINWGTERLIKVENNDAGMVWAPDAIWDSSKGQYLVHWASKFYSTSDTSHSGTPGADVIRYAYTS
DFRTFTAPQTLISAGQTSLIDLAYVQLGPNSYARFLKNESATNVYMERSDTGLFGTWTRPGGGTTFIHSKVEGPYAWKDNVVEGRVNLLLDYFGADG
YRPFTSTNMNANAWVDADQSALPKNLRHGSVIGITQNRYDALNAKWG

>RCO7_08720 | uncharacterized protein
MKPAVNVNIEQVYFGTMLGRGYIQVEGIIPSLMCLLSLQRRNAEMFIQMPQTKSRTGNESGLVSSNTAVTIQTHLREDSAHVMPRQGTPDETSKGRK
CAPIAGDNSLKKHSTLVTMQIKPVCENLDDCIYNDMEVKSELFEPEAANSSGNQFSGAVNHEAPAHDSLGGPTRLLIFKPAGADVASPSGHLVSVGR
VGNTSSKAKVKDGFGGAVDFKKGLPSTPEEVQKFYKEQHTKIENDLQEIQQLADAEDLEEGFQGEDADG

>RCO7_08721 | related to SWC5 Component of the Swr1p complex that incorporates Htz1p into chromatin
MPPELIPDDEEYVSDEDSDFAPDTAPAPEADSSDEESEAEEPAAITKQPQPKKRKRGEDEVAEDVGFENSGDEAIMTEGTKSRRRKGKKNKEEIEDE
GGEGGLVKTRSMRAQEVVEKKPLANTAEATIDVDSVFLEMMSGKPAAADPQPPTEPSSLLSPDGSKSPETRRTTISLPNARIEASRSPSTLSEGPDS
MIMIKRAYNFAGKVHTEQKLVPRNSAEAKLFLATNAPVSEMPEVTAAEPEDSLFTKPKRPLKKARRSIFEPVIEISPRTDLYFGLRKQSDITLVGAQ
AKVKKFNTVEKSAMDWAGFVDKEGIADDLDAAGKSKGAYKARQEFLARVEAKKVEDDRKARGLPILL
>RCO7_08722 | related to BNI4 Bud neck involved
MAALVQSYPQQSSTITMLQTRPSSASGILQNASQTQSHHQYSANSQQMQRNSVHGMSNGIGTTSYRGLAPIAPYAFTSPPNLATPGQRQGPHLRADQ
RTISAPSGMVHLSESTQARSRYPAPHSVSTTSSSSSYDLSSLSHRSGPKDDSVITGTARVVPGAARPHSVVMGSNNGNLAPQTVPSPVKPSPDRYRR
PNTRRRESSASQQPTTPTGSSMPNVMQFYGNNSQQASLPQVLPQSFNLQMLPFSNPTTGITSDKKSTDDLVLNRSTSQEAMKRYRRRSIHTIDAGDY
GGMPGGLVQQGSRQVSSANGRIDQQQQHPLRSSPVGVIRPASSHGRTVSSESVTSIRSAARGFDSRPGSATKREASASMAPLNPAPSSQSTSANNLL
ADHSSTKHDSPRLVNIPPRASSTDAAKRIANPSPLSKPMTMSPESSVSKDSFTSAVQSVLQQAPAKPTYAQAASGPASPAAQQLAALNDKEGKKSKT
SRLRRAFSFGSAAELRKASAENSAANNAVERSQQRKDKYQEEQDAEQARIAQRQEAGGIGSGIYSGQGNIFTGSTDNLSISSTASSASIMIRKMGKG
MKKSTRSLVGLFRPKSVIGVPAADGPLPQASQAQVSMVTVEAEREKVNVNADPHDQVGGGTGFPRLERNSIDAAHATTTISERLGSASTENSTARRS
IVGGEKERAEVLAAVKKGILKRTGTDSGNSSPVIRPLDSKSANFGLPQIPNVNDSPNSSAPSTPNDEQQAQRNNGSVTLGGEDYFMSALRFRGDSKS
VPGTPQGTSTKRNATFSPRIQFHDTWPSGEYDRRGEIATCNRLTPMLAQQIKEEINNFKMEMVVHENSKIYTHFF
>RCO7_08723 | related to tRNA dihydrouridine synthase
MTAGDNMVEGCLLKKGEGMVRGSGEGGLLKKGGDMVRGSGDTILRNKKEKLHGRAFYESIGGPKFVLAPMVDQSEFAWRMLSRSFIHPSSQRDLVAY
TPMLHARMFSETSKFRDSHFQPLRSSLSSPLPPSPLPPVYLDGNPSIDRPLFVQFCANSPTDLLSAARYVAPFCDAVDLNLGCPQGIARKGKYGAFL
QEDPDLIYALINTLHKELDVPVTAKIRILETKEKTLQYAKKVLSAGASILTVHGRTREMKGHKTGLADWSVIRYLREQLPKETVLFANGNVLRKEDI
EECLEKTGADGVMSAEGNLYDPAIFSEAPKVGEEGREFWRGVDGRGGWRMDAVMRRYMDIIYRFVLEVEPPVREPLFLPSDSERAAGAISLSSLVTG
TELHSQNSNGTATTKRKLNSDPLGGCDEPQSPASKRYKIIPPPTNPPHSAPNSNSALQSECESPQTKSDLKPQKNKARAAKTTSPNLLAMQPHLFKL
LRPLVAKHHNVRDALARSRAGDIEAFENVLKLVETACKIGLTEYHATGGSSWEAEMEKDLAAQKAKVKSADVKVKEGEENGEMDESSIETVRACKRP
WWVVQPYVRPLPKEALAKGSLTLSKKEREALRRTGDPFVDLEKIEGKGGHMDVERVGEAEGQGKGEGEKVEIPKDGLVCG
>RCO7_08724 | uncharacterized protein
MENTDIVIITDFIMPPAVANPINAIALPTFALLAILITYLPLRSFYRVKNIAACSIMFVLFVINLMAFINGIVWPSDDWTKWWLGYVLCDIEVVIRY
PITLALASSLCCLSKSLADALDTENACLNPSAKMRRRKMCMEVLFCWAVPVMQMLLHYTVQAGRYMVAPVWGCADQLDNSWPMIIIIIIWCPVFSTL
NVYYAALMLIRLFRYRATISAALSSTGSGLAPRKFIKLAFISLLLITFYLPLSTLFVYFAIPKTLVPYSWSRIHNPETWSPILFIHTENQPSLQYYG
WAGVTVSGLMFAFFGFNDDAVDTYRGFLMKCGAGKVWPDLTLSREERRARDLSDETLGSRGSFASHLDLVGKAMKYFDAGSRKESSATGITLVNISM
TSRKCSQGTFSNTTTSLSHAPTNTSNFSTFPLNQSFNTGNADIISPAPSHFNDSHFNFSTSPTTPSHPEILPPLPTTLAPKTPLKAHKGILSLFRTH
LNIPFNDFTFASSPSLSSSEATKSSSRSQQPEPTNLSSTSRSAFDIEAQKKNPSWLHGTSSMPTQNPTTVSSKIWSGPGPASFLSLSQSQIDKDTEA
IDFSIHAPPCGGDSPKMGSRAYRERERRELAQSTTQSLSSSSPTKSSHETKKENQTRFFAANVHRELGMDILPPTSAQKGGMGGVTVRRSLDIVEER
TD
>RCO7_08725 | related to lipase 2
MPLISDLTLNVAKFDPASISEQCTKLNDSIISKFNATPAWYEVGAPKYREMRYRGETALPAPVLLPQAVDISIASREKGRYIPCRILYPQSRKTEEE
RKGSKGVVLHFHGGGWVLGDQRSHDGLLQLYADAVDMVTISVGYRVAPEDPFPKGPEDCFDVAEYLVKNAESVYGGPLIFIGGESAGAHLSVLTTFH
LLKTHPAFHLSGGLLLHFGCYDLSVAPSSMHYKKNLILNGPVMKHFIDAFLPDIMPEQRKIGAISPLYEDFAPLRGNLPSALFTIGTDDPLVDDTVN
MAMKWLIHGGEAILKAYPGGCHGFIGMPPSVLKEAGEALEDTKTFMKDRLAASSA
>RCO7_08726 | uncharacterized protein
MPDDTSSPPKTPSSPISTAPRRVLTTDESSQLRHRPPTNRFSTSQDAPPTQGIGRRSSNFSEYSLKEARNTFQASTDDFLLPKPGANGNAASHASSA
WDSAPLAFALLPALGGMLFTNGSSVITDVMLLGLAAIFLNWSVRLPWDWYHSAQSMRKNEEYNADTTINEDSEDENPLSSSTATLEEVPEEEDESST
PSSKATRRLPAHEAAINELYTHELLALLSCFLFPALGAYLLHALRGQLTRPSEGLVSNYNLTIFLLASEIRPMAHLVKLIQARTLHLQRIVNANPPY
DSTRGSVGEVQDLTRRLEELEARKSITETKITAAEPALSGKQSAVLTTEVRRSLQPDLDALNRAVRRYEKRATLQAFQTESRLHDLESRLNDAISLA
AAAANNTQNRRGFSGLVGDVVALPVQAFSAIASVPLNMAVCLAVWIKGKLIGQKQVMVTGRSERKMGNGRVPTNIRIDRLQGRSGKT
>RCO7_08727 | related to aminopeptidase Y precursor, vacuolar
MKVTSITAACFAWQSFTSATELLTPEKIEAGVRQVDLERNLWNLNQIAKKNGGNRAFGLPGYKASSDYVLERVQTRFGDQFDTSLQYFNHTFEQTND
ISVTGPDGEDVAVITLLYNNATPLPGGVTAPLIDTPVDDVLGSACNAAQWEGINPTGKLVLIKRGTCAISEKLKLAKNLGALGVILYHNLEGTPNSA
TLSAENIGLIAPVGVIAKSVGEAWKARLAAGEALTVTLLVDSVFETRESWNIFSETKEGDPNNVVMLGAHLDSVQAGPGINDDGSGTSGNLEILSAF
RHYKGFKNKVRFAWWGAEESGLIGSLYYTSHLTEQEADKIRFYFNYDMIGSPFPVWAVYKGDNAGDAPGAQILLDYLVAKGKPAYYGSFGTGSDYVG
FLQLGIPSSGLFSGAGAPTDPCYHLACDTTSNINAEALTLNSKAAGWAAAKFALSLDGVPPRKKTTVNRRNKMELRAEFQKWEKAAHEAADTHTCSH
KNNNVV
>RCO7_08728 | related to PHO11 - secreted acid phosphatase
MISSTLTVASIALLTTATSATYSPQNYRFNPLEHLAGVTPPFDPLDPPLDPSPPQGCNVTRAAYLVRHAAIYLNDFDYESYIEPFVEKLSNASVDWS
KVPTLSFLSTWQVPFSDAEQEMLTRSGKLEATRLGVDIAQRYQGLRTPKKIWTSTAERTVKSAKSLAGGLAEDSSDVDVVQIYEGKKSGADSLTPYK
SCPGYIGSAGSDQSSEFLKLYATPPAARFNAAAPAFNFTTKDIYAMSLLCGYETVIRGSSPFCDLKVLSPNEWLGFEYTNDIMYHYNTGYGSPYSGA
IGFPWANATFNTLMTTQNNMSNSSTDQDLYISFTHRELPPTVLVAMGLFNNSAFSGADNINGTMPNDRINHRRAWKSSHILPFLTNVAIEKMECESF
AFDKGTYYRVLVNDSPQPLDGCSGGPGESCKESDVGPWLQGRAEVVGDFGTTCGVENANSTDVLGIYGN
>RCO7_08729 | uncharacterized protein
MSSSSAGINSVIGNISTSTDTTLLPLNDPGCNDTTCHAFQEAMDASQAEIPFASQFIYGHYIVFSYCAVVLFFKSESEFKTNPKIWQKIKALWRFFT
YRNVGLGHGNRISTGQALFLIPGSVFVAMLTFQQKYYFRPRLSYGFPPLGVRTGVMALSLTPAIVALSGKFNLITLVTGMSYERLTVYHHWPAFNGL
TWKTGQHVHLRFCGLKWWESHSFIITSLCDETFVTNKDGISTMSPLLFFIKPRKGLTRLLMKIAQQRETLKVLIDGPYGANNLDLIEGDEQIILVAG
GSGISVILPLLTTICRRLAKAKSKLRSVRLIWVVKYRCALSWVREELSTALSMVCPGTLEIDLYITGEKNGTEQLAITFGEDDIEMVAEVDEEKEDG
KDGDSGEQRLIHDSADFQDLKEDGSHDCLFIDDLDLEPGMDNGCGPPEHIQATDDEDEKLLLSQPREKRRIDIEYGIGCNVMHRRPDFRNLLPRLLL
QGSRVCVVGCGPPEMHIDLGNAVAACQTRVLRGWVREVRLRTEAFGLKR

>RCO7_08730 | probable Superoxide dismutase [Mn], mitochondrial
MAFTLPPLPYAYDALEPHISSQIMTLHHTKHHQTYINVLNATLASQASASTKNDIVTQIHLQNNLNFSAGGHINHTLFWENLVPASSPSASPSSAPK
LTAALSSRFGSVSTFQDKFTAVLLGLKGSGWGWLVQDVESGALEITTSKDQDIVPAGKKPLLGVDMWEHAYYLQYLNDKAGYTKGIWKIVNWAKVEE
RFVGGYDAVFGPLAGLRSNI
>RCO7_08731 | uncharacterized protein
MATSALRSAFIESQSRRHQTRSVVRATTAFLSPSTDTPPPPIPKIPRQRKLKRRAIEPEEEEVEEVEEEEEEEGQGEEEHIAKFRLASLRKLFHREN
KDRRHHKPGYEGRKTKPHEWAFRAMGLKAMKKQLARKQQRVRDKRSKEIGRITPPTLRKWLEERMDTEEHPSSVLQKSKREQLALDKIDFMENGTNL
NKPGHIRYRPWKGSKLSMEVE
>RCO7_08732 | uncharacterized protein
MTKLAQITALILCCNFPGSSIGAIISGGIYTNALKYELAKQLGAGADHGLIDGLYNCITGAVPKWVTPEKEAINAAYSNVIRYMTYTAVGTMVSSFI
LTWFMPNMKLPDQNKLVEH
>RCO7_08733 | uncharacterized protein
MAIVVTPSSSIEIPVLPIKSVEDFIPHLARNPDKPITALLEPFKKFENELRKVYAQQPEHELVTGGKNVNLVPVFAGYQQELKIRARSLKTESTDEK
SKFIMPLSNTDRKLNGSPAVVSSLKDFQKNFNLFSESSLADLDWKNVVVAGSAVTTALLPVPEKWAGSKRSLREYYHEHLAQTSDVDLFIYGLNEEA
GLEKIRQIEDIPEDHSEEPDVYDIDIIAWDYGLSPLHLAILNGHVEVIELLVSEYGADVLLPVKLMQPGTSNARGAIMSILLALSLPAKKGKQIVKL
LLKLGRDDILDILLAEDIPRALSVVDEVTQSQWHQNGNSPLITAICQENPDMVRKLLALGAKPEIDFDSWVMTYLAQNTHARNFTPEQTRPQYENST
TQPIIAAAIKNLGQTVQDLLDFGANPKVLEKKSYNIVRNPRHSSYRVGQSVLDIIQAELKLLKDWKPMDMSKKPETLRVESTYTRGLKAYSYWSAQM
NFLARKRENEQAWDDWKKKTEIQEPGMEEKQAAIRRLITELEVAEEALIEAGSKTLAEMYPGLPKTQERISFNLFDRRNHPAVPYKTSLTFAVPELN
HAKKDGYFRLFEAAWDNDLHTVKMMTLAPWQWKEGSPIELPLRVAIMDGNGFSPFSIAVLRGHYDLAKKIVDICMAQYHKDDGLTSRQRWTMRTGDS
DDEYDSDGDYHNNRVFPIYSEFVNDRFTVDNLGEVSNIVNSIVLPSEMIEWTCMPQRFLDTPRNDLATRSTLLEHAVLSGNMELLKFIIGIGAEQKA
LTAEDDDDQTSYTISQSVFFAAIKKGRTSMLAEMIKATGVGIPLNALVRKIGVEIKTKSRLYQGLSVGGKKRADWAQAPGGELKVIEERVPPLLQAA
RFGSVESVEWFMSDAPLRRYNEFAEANKHDKRIKTLTDSKKGFEKIISSWMNAKSELVIHCAILSKPYGSRSQKKYLALIKQLVSPDVISILLTAGA
NQRLRDKVGRNVVHHMLAPKNDLRVNTSVKNLEEMIILFEKHAVKDMILERCTERPGALTPLAYYMAKNQGKHRKPDIVSALSHFSNGEDLTMINGE
GDLPLHTAVKQGMSQLTSFLLSLNPSLLYRENAIGRTPFELAREIFTSSQVEDPISMPSANISYHAGSTDYDHITNIHPFRFVVEGPEEEESKKRTW
EICAAADKEIREANDGEGKRKRRLVSLFEANEVAKRVTSLKRGYGGRQIAVNECLIGGEEKTDVVSEWMITL
>RCO7_08734 | uncharacterized protein
MQYSFSAIALVALVGLAQAQIPACATKCIADGVASATKCGATDLVCQCEEANQSAITTAATSCVLTSCGDQALAVLSAAQADCAKVLAAGPASSAVA
SVSSAASSIVASVSSVASSVSSVIASVSSVESVASSVSSVISSVSSVASTFTPTTTTVASSTSTSAASASSSASVSSVTSSPSSTTSSGPAQTTGNS
AGQLVVGAGSLFAAGIAVLAVI
>RCO7_08735 | uncharacterized protein
MAKNQTEDIDEAEEDRMLRLQLQPDSDSEDTAGKNVKQGPKKENSTAGANKSPGHKKRKSDARDHLSPEQKKKKTKAAENMNPEPIKGKAKAGGVKK
PEPKKMNAEAAENNNQELKKAKDKGHTQWSPETDFPEDSGVPARIRGERKAAYQVQLLVQWKNYPEEKDWTWELESELKQSTPHIVNAWKTKRGSQT
TDSEGMIEHTVEKILSKKMYKGVVHYLVKWEGYEKVKDRTWEPCDRLKIDVPEIVEEYERSHTKNFISKSRRCRQSAHYTIEINARPSGTQALEGRL
TANFVDRSTKLNT
>RCO7_08736 | related to protein MCH2 (monocarboxylate permease homolog)
MASQSTQSIALSTLSQSPPSSESTRNVCLPQIPNTSSNFDPAADAIIAESRLADAQVPDGGYGWVVIFACSVLTFWFVGTSYSWGVIQAALVEQKLS
NPAVLSFVGGVTVACISFFALLNVRVVRLLGARWTAIIGVLALGLGGVLSGVATKSVGGLFVTAGLVMGLGCSLSFIVVSTIPAQYFNKKRGLANGI
VYAGGGLGGTVISFAMNVLIQKIGVEWSFRIIGIVTLATGLPAAWLIKERAPIKATNFIEWSLFKNIRFTTLFFAGAIATFPLFVPPFFLPLYSSSL
GLSSSAGAGLVAGFNFSSAIGRLVCGFLSDWIGPVNSLLISLILSALSMLVIWPVSNSLGPLILFVIVNGVANGGFFSTMPTVVGSVFGSRRVGVAM
GMIVTGWAGGYLMGAPIAGYILAAYGGEHSTLNAYHPAIFYAGSMALGSAILVGSVKVMLDKKPFKKL
>RCO7_08737 | probable transcription factor steA
MAPPQKPETFMLSSEAQQSLPQDAQVALQQVDNLKYFLISAPVDWTPDQYIRRFLLPTGEYVSCVLWNNLFHISGTDIVRCLSFRFQAFGRPVKNSK
KFEEGIFSDLRNLKSGTDASLEEPKSGFLDFLYKNNCIRTQKKQKVFYWYSVPHDRLFLDALERDLKREKMGQEATTHAVNEPALSFEFDSSQSLFE
QLTKAQQANSSSFSAQQPSYSQSQSQSTSPVMRAMDSMPPPQMIPQAMTMQEDMNPMAYHQMAMSQQQVPQQMVKRETDFGRIQYNQNGVPISQTHQ
RHASMPAYGLEYSPAPSFVSSQYEDYSNRGISFEPITPPQQALGMGGEPAYIANEETGLYTAIPDHMGGGMHGMMQLPPSNLSGPQFSHATRGYGAN
NVYSVIEGSPTYKQRRRRSSIPPGVAAMVAASASGQQQQQAYTSHRPSDLRRSVSTSVGPVAEGDESGNNSPPGLSYSNGMHQLAQQHKDLIDMSRH
GTPLSTVEDSPAMNPMALQQNDYGHLSNEELSGEGSIHDSPHIRHLQGPNGVMRRARSATLMELGPYPQKSHSCPIPTCGRLFKRLEHLKRHVRTHT
QERPYICPHCNKAFSRSDNLAQHRRTHDRGDGSEGPYGGYSGEEEEYEGEDHLGSLEEASPNSENGYLPPSMSQAFGSMHAQMGMSMPMSNAGMAAP
SQLISHQMMQQPMQQPI
>RCO7_08738 | uncharacterized protein
MRLLDFGVVILGLTSATSARTLNHSQYAKEAFFEPSECSSPEVVQRDLTQSRNVKRGLSNNITLRILTVGASIAHGYPSVSGNGFRNALRNKLVWNG
NPVNMVGTVQTGSMVDNDVEAWGGFIIDQVAAKAENSIKFQPNIVLLHVGDNDMKLNFDVANAHNRLGTLVDRLFATIPGVTIIASTLLPSSALAGR
EKIYNANLPGMVKSRQAAGKKILLVDMASSFFSLADITSDGIHPTDAGFDKMAAVWYQGISAASSAKWLVAPTKTSFSDVVTADNKCDKTVVNEVGP
YQIDAGSGRDDGPYVHSAIAGGNYLGVGNPAAAGVHWADINGDGLDDYVYVSTDLSGGLGVALNTGNGVMGPYLRVTTFPASCPRSGVRFADMTGDG
KADVCCLDANGDLNCWKNTPGSESRSPTWVPTGYLIKSKGYSQDFVRLADIDGDGRADYVVIGTDGSMSGWRNAAVDNSQPSAWIPFGGIINNLSST
YSPSRWRFADLNGDYKEDLLYVNENGRVETFINKRGLNAGLGPVWKSMGVTHGGGSSPTDVTFGRIMGTGRADYASMTERPATGTVAKSVYVTINKN
MGSGGTAVKGDGTRYCDMTGSGSDDYIWISLMGEITVYGNTHKWGTWTEYGVVYNVERSRREVYFADFDGNKRCDILLVDKATGATTVLRNDFANGK
FSFTNIGVVTGTATCTEGYGHDLHDLGVRWNDIDGDGRADFLCMQSNGQTYAHLNKGVGQMVNQGQIKHTEGKERKALRIADINGDGRDDIIYVDLV
ASAIEVWTNDGATGQIGDDAAGTSAFRWVAQGQVVPAQTTRGSCVEFANINGLGRADTILIYPETNQQFVTLNTCAGLTPVEPHLPIPPAMSYPIGA
>RCO7_08739 | uncharacterized protein
MSDISILRTAAPYHIISYGTLLGTEFFQTFIGGIVSYKALARPQFSQLQQKLFPVYFGIQTTLPVVLALTYPASKLGLGTSSGFRGVLADVNKWSVL
VPIATIFVTSLVNMAVVGPATTKVMRERKHQETRDGKKYYDPAPHSEEMQKMNKDFSIMHGISSLLNLVGFISTCWYGVSIAGRIQ
>RCO7_08740 | related to ATP-dependent DNA helicase II, 80 kDa subunit (KU autoantigen protein
P86)

MSKEATIYVLDLGSTIGDCHNGRTISDLDYGMEYVWDKIATVMSANRATLSVGVVGFRTDETDNPLDGDGEYENICVLKELGLMDIPALESLRSKIH
SSNTEVGDAVSAIIVAIDLMDKYTVLKTGKPAKFARKIVLVTDGQGGIDDDNIDSIYRKLNESGIELVVLGIDFDDAGFGFKEEDKTSLKQSNEAIL
AKLVEGCNSGMFATMAEALASLANPSVKVVRPFKQYDGRLGLGDFEKYPDSALYIDVQRYSRVKQAKPPSASSFVSAAANATGEANAHSSHTVEDTE
MMDAPGLSAVKSSVAYRVNDAAAAGGTADLQREDLAKGYYYGSTAVPFGQDEEGVTRFNSRQGFSIIGFVPNDKYERYLTMGESSITIAQPVNDKAR
MAMSSLVHALHELDSYAVARIVTKDGKAPQLVLLAPSIEPDLECLIDVPLPFAEDIRVYRFPPLDKIIGSSGAVITKHRYLPSNELADAMSNYVDSM
DLSSFGEDESGNPAEFMTIDETFSPQVHRVNQAIRQRAIHPDANLVSEAESQLEALLKVSGVTKVPEKVKGRKGREPAKPASGLDIKALLTSRKKKN
EIALENAIPEFKQMIEIANKDEDIEKATAQMGKTIRQSLHSTTGDAGHAVTFSQMKVFRDEMIDLDMPEIYNDFCHDFKKRIFAEEFGDQRNFWAAF
KFQKLGLIRATGDSEGANEEEATDFFKFG

>RCO7_08741 | uncharacterized protein

MPSSESTKKHLKLQPEQNDHNPTDSGSESDEYITSGGATRENKDIVYTSLGDGAEDFAQQFATYQLKQGQLTLEGESFIPWAAFKKYPYTYIGNSNR
QRVNEEFFDRGKVVNEPWDFFYIYRGPSDLNLQPILLVPTRQVDAFLKRINQKLDTALTVPSGGANGAFQVTFTNDGTPQPRYLGFSINNDMAESLR
KNVPPHYFKLDGEPGTVGTPSDRSLAAFRTKISLMTQAQKGKKIVNKEKQKKDRIEKQQAWSHSIKRVQRYLGLRESTTGRITTIRASLGATEYGWA
YYEDAVKQALAKLPPSAVFNADEAAPYAQEASVVFVCIDVEAYERNARVITEVGIATLDTNDLKSLAPGEGGFEWMKKIRARHFRIKENMHYSNTEF
VAGCADKFEFGQSEIVGLKDAPHMISTCFKPPFSGSGDAAPDENKPKRNIILVGHDVGADVHFLQSIGYDIHNLSNLLEQADTAIMWRYLKRESNPR
NLGSILADLGIIGWNLHNAGNDAVYTLQAMIGIAIKQIEEKQKKLETKDLEKKNRISEHVKEAVEMAVEREEGWSSGGENSDGGAPVPIVRQPTPQA
KKDVKSQTWQRNQPAASTQASRGPAQSGNSQWGAHSSQLNATTEAFSTMLISNQGPRDRSSPWRLKSASGPAGASKTSGSSAKTAKLESLLKKSSIS
KGSGHPPAKGDEKNGGGNQGRAW

>RCO7_08742 | probable heat shock protein

MASILAMGAGVAVAAFLGRAGLVALRRSRGEAVGALGKAFYKGGFEPKMNKKEASLILQLSERQLTKERIRKNHRTLMMLNHPDRGGSPYLATKVNE
AKEFLEKNG

>RCO7_08743 | probable 60S ribosomal protein L24

MRIETCYFCSQPCYPSKGITFVRNDARLFRFCRSKCHKNFKMKRNPRKLKWTKAFRKSAGKEMVVDSTLTFAARRNVPVRYNRDLVAKTLNAMERVS
EIRQRRERVFYKKRMSGNKEREKEANRKLVAENEHLLPRMRASERKLAAEAGEEVEEQPLEREKTKVFGKMKERRKVLVQDVEEEDGMDMD

>RCO7_08744 | uncharacterized protein

MAHDTRDSDAAEVQTFLEKNYNTPSPEWLEGLEKQFVALQALLEQGTNTTDDDSSKSDDEQETSPSAARAAALPVVKLEHRTFLIGCDEYLICHAIG
TISQNTFEDIFWQNIDEVNNESLNSGFEVYSAGSSKFEFRFRGYHFDLSYSRWEELVRNYSSVLDAPVGFLKTREADLIYAQLVRAREIRASYKNSL
STASSPEVVRIAFYYLRAYAIERGAFCNGHLPRHDSRYFQTQQVLVLVEHALQDLKENETSLTAETVVAKVFDGLLANQAFVSRYQVGLESFPERTA
SAIAPLSQSALMKVRALPMQAKMNCAFFIKIDVEYNGSSSILHGKHLNMIEEQVPKLRNSILNSIQRPMRKVAPPSCMVWPGRLIQKSAEPQKSSNW
TYVMGWSYHTIDQLSIQQIVESWSRSIISQDEFDTSSCFVIAELCDRIEMTNVLLNSTTSFRRQTIPGPKRADLPLEPPSSPKPTKKSKQKSKQLPS
SSESTTTLRTASHVISRLKHDPGSYDIDDFKVGYEDRFGGLKVKPAAEWQLDQQHKEFIPEHRIVYFEKSERGAGKDVLMWDKRTRIDLFFKSGKSA
EAIVTSTPPYHPQTKNQDTHLITIPRPNTNQTDTSQNFQMSNNHTYRSALPPGTNLDEGIRAFFETFYKTSDTPDAQDAYADSFTEDADFVMASKKG
RGREEILAIRKGMWATVSSRLHTPIKIFPFGSGADELMLYGTVILELKDGRKADVEWAARAKMAKVNAEWKMAYYQVYLDTAAIQNAK

>RCO7_08745 | related to pH-response transcription factor pacC/RIM101

MSAPAQEAQQEAVAAPVAAAATASTAAEAPRPVVAADDNLSCQWDKCSERCPSAEALFEHICEKHVGRKSTNNLNLTCGWNQCRTTTVKRDHITSHI
RVHVPLKPHKCDFCGKAFKRPQDLKKHVKTHADDSVLLRSPEQHGHPSQSGYRQGGGKATAGGYYDHHQMHPGSAAPYGHHPAHNNGYYAPQQPTSY
GPVYYPVNHGGDIGQHAAYDSRKRNYDALNEFFGDAKRRNIDPTSYAQVGQRLMALAGLPIHGGGISDYMHAPAMVPIDGHHGGHGGPMPQHQYALP
LPNLRTKNDLMNIDQFLEQMQSTVYENSNAAAAAGIQQPGAHYTHAGVNFRQSHSPPQTSLHGLGHMGSHMSSSHANASMMGHSSHSTTSGTPALTP
PSSSVSYTSGQSPVSSHGMSPISRHSSTSTAYPSLPAVSLGYSPHSTTAPTSTLGPNFDSDPRPRYSGGMLQRSAVPKSEMMDSSDNDSTPSPKETT
PTIRNSVISSNIDPALSGVASPSAQSESGESAKDRAEEAWIENIRVVEALRKLIQDKLERREYVDEDVPMGGTDSEEVKQEEKSSESLYPVLRADDD

>RCO7_08746 | uncharacterized protein

MLLLSHLSSLRKAARKIKIKIKEKEKDEDEDEDEDEDEDEDEVGGAQHLFLALAIVADALIVPLSLSENAGGILAAGAAPCGLRLETFMIWREVII

>RCO7_08747 | uncharacterized protein

MSDVYRKVGRGGAGNYYSKQDIEEATKNANDSQTLPTTSSSTTVPQPSRGPEYLHTGRGGAGNFIQPSSLQSSGLTQTSEDMHSTETSRPAEAPEQR
VMGSSKPMYRGGRGGAGNYYDDGEEKRRIVEEREYEEKRMRELQGRVEVDVERGLRRPEKAYAGEKGE

>RCO7_08748 | uncharacterized protein

MASSKEIQLHSTRPLGQQRLSVSTHSGSLPKNHARNHSHTVSSGSLITSHRVSRRKSVTSNAATNIAAMVAAVGEAGDATRVGVPISGRRNTMSKNT
SAKSAALGSLPSPPASLPGHKFRLSVNGKLDNGMTDLGESAIEDDQNDEMDEDDGKDSKQARMRRASEGQHVTKDGKKANDLKCEKCGKGYKHSSCL
SKHLWEHTPQWTLTSKLLISKHQQVQLLEAASVLVAMNQDGSTPPDSAKDFQSDQDSASPAASGSSEQRDGSSSAETTPPPQSDMYNAYSTGSYTGR
HKRYSSGHSFSRSYQSAPSANHLNARSVPAVSGFGNFRQSSQERRPSSSGININQEDDGLAAAVELLSCSFGSTGTSRSIPVTLPEDAPPVPHIPAR
YLNQNFSGSTLTPSLHPRHVESYTRHQIHHDGDIKMEESEESVVDDEEYDRRSRGRSDEDEEGVFGRMEE

>RCO7_08749 | uncharacterized protein

MEGRRVNNRGASNPELDFHTKATSSTTIHLLATQIPSAFAFRTTQPSGMSSPTAKAANKATAVLAQGDAVVRASTIPAVLRFPIVVTLSLTLSALLY
SVAAEYTAGDLARVSRTLDQWWQVSVLIGWRTFELGLGWFGDYDGYDLASLSLLSHGPPLYLLGSFYEIHPVTVISSLLIDALATYIPFRLLRPLSL
AHSASTSKHSLTVRNKDIITSNSIQIYTTILAGSIYAVTLFTSYTTFLPVYLVTHFDGIPSIAAAHTNSIITLFPTTFLLGLAAKSFIFTPTITASP
TDEDVQIAAFRPETATLEETFWFNVWGYNSRKKVMIKRTATLMLVTGVNTFVQTFVTIDGVEAVGAVVYSAVWVTAALITGVTLGLVGDV

>RCO7_08750 | related to p33ING1b (ING1) protein

MAPATAMDVALENGSPSSRRNKGKIAEAIQSMSNLNASMEALDLPTDPDAQATVTDFLDFTEYLPADMIRSLTLIRNLDETYTDASSSVNGLTKQYG
NLPNIAPDKKPDPVKLREEISQNLEQAVSARTLAHAEACRMAENVDRHYNRAKNILAKLQAMAENYPPSREPSPVPQKAKSPIATRPPKIMLRIGGE
QSAPTRVRKHRAPRITVPGEVLAPYELDYESYGSDSGSDSDANEPITPRATPGASQNLGTGKIKLKISKLAKKDKTEKERPPRQPRPPGVMGTNVHS
AVAGISTSNALAMLKPPPQGAVKGDDSLPWLQLNEWELAILRKRMKKNAIWSPSDTMISRELKQLGRGIEAYRMMRAEVEAAGVPYDKPEPPQLRGE
TVHAEGAISVEALRSTDPELTNRGMKLNQAKKLKKENLAKQYAEEAEASTRKIANISEVMKSLFEAPQKDDKKANAKTPSKSRAPARKRKRESPAAG
ETEGEKTTEGDAKLTRPPLKRSKTETPVPAPLPLATKQSPILPPEATPSISVEATPLSTPLEKPTDPLALAVPVLSPRKSTTPILPPTRELKVIKKE
TKKVTETATNTRPSRTSLAGLAAAAPHVPEPLPLKRPTSSRSKAASVEPAPLTGSSAVERSRRASTARNTPAPPEPRQVNKRAKRPAPGVVTTGSEG
SASVSVGKRKAATRKKASTKKVKKDGREGSVIREIFDEIDDEGNVIDPTEPRYCLCNRVSFGTMIGCENHDCEKEWFHLECVALTDVPPRTTKWYCP

ECRVTLGIGEKGEVTARGKKK
>RCO7_08751 | probable mfs-multidrug-resistance transporter
MAHLPSSSASSRTATETAAQPDIEAQKKPTQKKRASHWELVFDQTHVTPEVLSWPYKGSGTEGDPYVVEYIDGDRRNPMLFPQWKKWTITILVAIAT
LAVAFVSSAYSGGIEDILSTFKISTEVATLGISLFVLGFAIGPLLWAPLSELYGRQVLFFGTYLALTAFNAGAAGSQNIETLIILRFLAGAFGSSPL
TNAGGVIADMFPASERGLAMSVFAAAPFLGPTIGPIVGGFVGETEGWRWVEGLMAIFTGVIWIICSFTIPETYSPVILSRRATKLSKMTGKVYKSSN
EVSHGSKTIGAEFKTALSRPWILLFREPIVLMLSIYMAIIYGTLYLMFGAFPIVYQQQRGWSAGIGGLSFIGVAVGMIVAVIYSIWDNKRYIRVEAK
YNGNAPPEARLPPALIGSVALPIGLFWFAWTNYPSIHWSVSIIGTAPFGFGMVLVFLSIMNYLIDSYVIYAASVLAANSVLRSLFGAAFPLFTTYMY
QNLGIHWASSIPAFLALACVPFPFLFYKYGKGIRLKCKYAAEAAMFLEKVRGGQASGSQQRQEGGSAHEEGQEKKRQEESTGEADDQSKKV
>RCO7_08752 | related to protein phosphatase 2C/pyruvate dehydrogenase (lipoamide) phosphatase
MAIAMQEAFVKLDGSIFKTAIDAYQTNLPLQDKLANMAPAFAGSCALLSLYDPEKNKVHVACTGDSRAVYGQQNDQGVWEAIPMSIDQSGYNEAEIA
RLKKEHPGEDEQIFSGGRILGIMISRAYGDSRWKWPVELQEDLKKRSGGPSRLGPKYKVLTPPYLTAEPVVKSLNIDPGKPSFLIMATDGLWDKLSQ
QAVDLVSKWLKTPTTSRTESNIALEMTYEPYDFSGPESSERFVKEKMTVQDSNAAVHLVGNSLGGNHHEMIAGRLAYGSPFSRDVRDDITVQVIFFH
VPEQ
>RCO7_08753 | related to NOL1R protein
MSLYYEAGELLTSPANTGGSLKSRIFSKKDLKSQPAQIYALAIETCKWSSVLKEVVENAEILRLEHKLTPILSILLVHDLLLAKRGIALPATHGLRT
SVEKHKGRLQAEFVKARIRRKISSVEAFKVFIAEGLEDGSDKSDAPYPRWVRINTLKTSLEDQLETTFAGLERAVSIVAVRKRGAKRLFIDGNIPNL
VAISPNFDLSKSDAYKAGEIIFQDKASCFPAYMLDPLPQDGNLIDTCSAPGNKTTHLAAILMEHSSEPDANSQIIHAFEKNKGRAETLEKMVNLAGS
NTITKLHPGHDFLKSDPKSTAYKKVGALLLDPSCSGSGIIGRDDMPELLLPVLKSAAPKHGSRPPKGASKAASAKAAEQNAEIKKRKREDHDASMDV
MVDDDGEVTAISSEDELKNRLEALSKFQLELLLHAFKFPAARKITYSTCSIHAEENENVVQAALEHPIAKKAGWRILKREEQVRGLKDWPVRGLQEA
CGGNDELAESCIRSNKDDEHGTMGFFLAGFVRDLNPLAEMDAKFLRDDEGHLVRDVMGFPVPADVEDAETMSHEEEQQVEKPQEDLEWGAAPNLETE
MPSKSAKAAVNKHTHSALKKRTQLIKPDKKRKKTK
>RCO7_08754 | uncharacterized protein
MSSATTESPDTIYGALNISTATADIKIEGIPKIHVDVAASGNSVSRHFCGDCGSAIMSVVTVRPQQSILKGGLFVESGVALPAPGREQFWRRSERWE
LAHPGLMPIL
>RCO7_08755 | related to potassium channel regulatory factor
MDFAALMNQAMSKSNSKASEPEPSKKFMKRAEVEEERRLKYLADQRALEAEKEAKLKQKRKREADEAEAKIAREEKRRKLAEESRIRREEREAEEER
ARRKRLGLPDLVTEVVEEIDVDDIKEEDLAEKLREIGQPVTLYGESHKQKLRRYRKLSIVMTTGPIPTSLELVDEKDMKVDTVPKGSEERKFLFRQL
ASYFTMILKEWETALEQEKRDTFASKAAYNAMVQSKENMTPLFRKFEKGDVDEGVLEPIVEIVKAAQERRYVDANDGYLRLSIGKAAWPIGVTMVGI
HERSAREKLHESDKGHVMGDEVTRKFLQSIKRCLSFAQVRWPPEDIRQLMG
>RCO7_08756 | related to nucleolar rRNA processing protein GAR1
MASLIAKIDRQTTTPFHLKLFYKNGSFNRLDEFSMNAELPPHVQIYTWQSCTLRELSHLLSSALPSLLPDPAIGTRLSYRLIFPDTRNTGPASGPGR
YMTKDLGSVIIGEGGPGILPDDEEAAIVRRGPMAGPLGGEPEKTLQDARFVIGDYICCAITPSPDNGGAAPPPPTGPSRSGFGPGRGDFGRGGGMGP
RENGFGGGFRGRGGPRGGGGFGQGFVPNGEWRRGEQLPEGHGGGGGGGRGRGSGGGFGSGRGGRY
>RCO7_08757 | uncharacterized protein
MAGHHNHPIALDPALVKYNNMWINRYKYFRWNGRTAKITFAYAVAFPALIGYLAYTTDGKWDMRGKRKGDTIVEY
>RCO7_08758 | related to glutathione S-transferase
MASAAPITTAKPKVILYWLEQSRSQRILWLLEELKVDYELKIFHRDPKTHLAPPELKQVHALGKSPVISVLAPGASEPIVIAESGFITEYLLENFAE
GTTLLPQKYKDGQEGKIGCETEAWLRYKFYMHYAEGSLMTFMLLALVAGQIKSSPVPFFIKPITSGVASKIKTGFLDPNFVTHFSFLEEQLASSPGG
GKYLCGPNLTGADILLSFPLLAGRTRTGLTKEKYPKLDAYVDMMEAEPGYKKAVAKIVEIDGKFETTL
>RCO7_08759 | related to Bacillus licheniformis esterase
MSGSGSGGPVAQSNTTFDAYDLPSFTTHLYEASDDNEKDQEAMAVSPLSKEDAQSLIELSMSRVATHLKSARTPAIEKAAAMEEVEAGGYFDSDFET
PPALERFPENPSNPKEHETVANSGSYGKEVSELYKPMNGLSLGKLPSPNFEEPPLPTPWLTGPKPFASEHKDTTHPSSIAAVFSGNGSRTRSLSGGA
EALRKLLPKGLPSMAQVGNMFGSSSNTKARSGGSLSFSREPSRSNLARSASPSVSGGSPSWTPRSQTSEPSSAPRSQKASFGQERPAPLRRSTSDNS
LLYHSLSRASSLGDDSRFENHSQQVNSRVKAIRDSLQDRSSFRMPQMPQMPSLPNMPSMPSMPRVSSFGFNMNFINTASTPARWRTETNYIPDILTG
TIAKKKSSTEPPAVAPGMIGAAVSRPEAAFETVRTPTDGPNSTFLDRAMEDLTGDVVIMGGYRGSILRSTKNNRQVWVPVKVGLNIRKVDLEVGLEP
EDEERMPETIYPSGMLQNIGPVDISKRLFKRLAESENARCGKLRVWDYGYDWRLSPHLLSRQLQKFLETLPSNNLNASGYPGVERGALVIAHSLGGL
ITRHVVNRRPDLFSGVIYAGVPQACVNILGPLRNGDSVLLSSRVLTAQVNFTLRTSFVLLPEDKGCFVDIKTKEKYPVDFFNVDDWIKYRLSPCTDP
PLPPKNPPPSALGGLLNMPGSLLSLPMPNKKSTSGSSPPMYQNTMTEAGGTEDSRRSPSPPSKTTRAADVLRGLEGGTDRTLAPQMAGMSKKANPVS
KGQSTNTSVSTAVTIPREKAIAYLERTLRETKKFKQELHFNPQHSAANVYPPLALIYGKAIPTCCGAKVDGLDSIPCADVYDNLAFASGDGVCLAKE
AMLPKGYQVAYGGRISSDRGHVTLLGDLNAVGRAIEAVLKGRTKGIGKGTGTGVVMDSIVT
>RCO7_08760 | uncharacterized protein
MRFSIAATAFVVTVASAGNVVYKTEEITITSCHPTVTYCPARSTVVSTTTYAAAVTTYAGEAAPPHPTGYANVSTSAVPTYAAAETYAAGVPVETYP
AENPVETHPASVPTYPASNPIVQTISTCVPTVIYVTVTPTGAPTAPVVTPPVNTYDPKPTGGVFPPHNNATHNNNTKPPNPIEGSASNVQGSIVFAL
AGLAAFMIFA
>RCO7_08761 | uncharacterized protein
MSHQKTTDQGWQPEYFASPNPWWNNLAPTSNAYIQYQPFYQTPYASHPTVRETAQERADREEAENGPVVPEEPEDTIFRDESGDLRSDDEDQNVERP
DIIVRPTALMNFERNILQIKKPTKSKKPAKQLPSTSNGIILGMGDVDETDGDDDGEDEEDGDNDEDSEQPARKKRRYFGPTGPGTGTKRGPRKAAPM
APDVARRMGEANSAWLAKEPERAVELALEVVRLNAETYQAWVLLATVWNDLGEKSKAANALFYAAHLRPKHLEAWMTAADYCLNQTGSARESFYPTA
HECYSFALRQIPHSYEPRIEKARLNVIRGCTNVAVADFDKALNLRPHDRGVLEELASASLDIGMANVAIAQYQKTIKHLRTAPDDTGAKFSWDDTGT
YVSLLEYDDQWEVAIKETKSIVRWLLGREDEAFWDDVTHNDCEYDLDNSRRRAVPKFVPGKYPSYTYGDGLVLELRMHFYYLDPLNDDDQDNVLEYP
QLFREVSDALFEATYYQEALNFYEPLRQVPEIVDTKMLINMGKCAQELGDQSEAEEYYLAAALDENDVESRTALAHIYEAQGDKESALSIINEIVLL
QKEDRPQKRKYQRRKEPAMLTSENIRTIEEEGAESFLQPEVVRKNKKGKDPLESKRKLRDKWGYGRKIEAAQRLQKEFIVIERTRDRMRAGDIDATE
EWIHAAEELTDDFRSFKAFYPWEKFVKFEGYNQATLVEGYASLTEDLSAMAERLSRDKDVIASLEEGNNNTSFVVPEKYRGLAFAAWLDIFMEYAIC
LAGQLQLEKAYAICQAALDSTVWCHSLEDTFVIQLCMCLCSVLASDDQTALVSSKYFTKKFQFTTDSYRLTSALARVIHSPVSWYCSGPMQKFILRQ

IKTMDFSLVDEQGRKKIMEKGSYSAVDENGNTLINTDMDINLLMMYGYILYSSNSYSLALNYFFRCYALDPQNPVINLVIGLSYISDCLKRQTENRQ
FAILQGKTFMMAYYEARKNSEFLEERQEAHYNMARAYHMLGLPHLALPFYQRVLNEVSHAPRSMREDLVVDTAYNLQQMYTTAPFLLGIKHLIEKKS
PKPLVDMDFVPTATSRDLLDRNLARDYMRLGLYARSTTMTFRRAMGKVVSTKSSVEWKCHVANEQRAMRYFINVLF
>RCO7_08762 | probable VTS1 Protein involved in vacular protein sorting
MSAVGNRNSTPVESSSSSLRPPRPGAIGSANHHLRASADMTAFSAAPSSRPIRPSSDFYGTQQGQAQPGETDASDKIAQQWIADIDQYETTLEEMAA
ATLDQDFKDELSAIEQWFRVLSEAERTAALYALLQQTTQVQIRFFIQVLQQMGKNHPMSGVLSPASFDKDPMSNRLNDAMGKLSVDGPRNSLTRPPP
TPAAKRHSGLDPSTINAMFPDAAAAIATEKAKFTQQTGAPPSSNRNSAAYDPRSSLVAPTISAPADGDKGAVPPSPWGSRSNDQATRPKASADQPPM
GQFMQPPPSAGLRSPSGGKIQNTSIAGLDGTDMPLLSPYNAGNGNWASMVNTPMVANFNQGGSSQADMVANATAMKLAALSTVNNRFALDDVRKYRR
ARSNDGGQGPLSPGLQNNMQGANVVMINEHGQVLSRDQILALQAQQNAAFGRRSRPSSPGLAMQGGFGQMGFASPQNNGFLASPLMNNGMGSLNVGS
FGMGGEHPGGYISDHSDMNRGRSPRGRRGSSKPPEDPTDPSLLQDIPSWLRSLRLHKYTDNLKDMNWTELVELDDSALEARGVNALGARRKMLKVFE
QVKEAKAEGKLA
>RCO7_08763 | 60S ribosomal protein L29
MAKSKNSSQHNQSKKAHRNGIKKPVTTRYPSLKGTDPKFRRNHRHALHGTMKALKELKDGKRETA
>RCO7_08764 | probable peroxisomal adenine nucleotide transporter 1
MAGQSKEMIPPWGLAVAGATAAVIANAMVYPLDIVKTRLQVQEKRKPTDASSASDEAHYTSTWDAISKIIETDGLLGLYNGINGALIGVASTNFAYF
YWYSVVRTLYLAQQKVPTPPGTIVELSLGAAAGAVAQVFTIPVAVVTTRQQTQSKAERKGMVDTATDVINSEDGWTGLWRGLKASLVLVVNPAITYG
AYQRLREVLFPGKLNLRPGEAFLLGAMSKTLATIATQPLIVAKVGLQSKPPPSRLGKPFKSFIEVMQFIIKNEGPLGLFKGIAPQITKGLIVQGLLM
MTKERMELLFIFLFRYMRKIRDEKLSKIAEIAAEKAKVALPLVTK
>RCO7_08765 | related to calpain-like protease palBory
MEAKAKAAESSIDSSLNKVDALRAAITAAELYMKAAGLTSNDQSKARFRGRCEELLSRAEQIKKGEGWDPAKKDFSLKAPVSERSISRREEIILLEG
SKLHGFIFPPWSAEPADSIFEEGFNGSPYYTEPGDLKLSGSQMNNFDGWKRPNELSSENARLMTATSDIDLVQDITTDCSVVASLCAGTARAVKGHG
KLLASIIYPYDKTSMLPRISRNGKYILRLHFNGCYRKVVIDDRLPASNTTRSLHVIDRNNPQLLWPALIEKAYLKVRGGYDFPGSNSGTDLWVMTGW
IPEQVFLQSDDFQPEQLWRRIHKSFSFGDIMVTLGTGKLSRKEEKALGLAGEHDYAILDMKEVGSQRLMLVKNPWCDGMVWRGSHFSASNDFEKTWT
SELQDALPLEAPLSPGTFWMSFEDVSQHFESLYLNWNPGLFRHRQDHHFNWTIPSFQSPGSFIHNPQYAVSASCSTPVWILLSRHFATGEEAIARDN
SHSPQNTLSSPSGSSKLGFISLYIFTGSGRRVYLSDDALHRGAFVDSPQTLATLNVNPSTSYTIVVAQHGLPLPKYSFTLSFFSRSPLEIATAPDSL
PHCTTHTGSWTTRTAGGNASAPTYPLNPQFSILLPTSSSITLILETDQEELAVHVKLVWADGKRVTAVTGKDIVGGSGDYRRGCAMASLPSVAAGNY
TIVCSTFEAGQTGNFTLRVGSQIPSTVLPIAAETAGRLSLRLPVLVFQDGVDRMLAPIMPSRLTRLRIIARCPSTTPNSRFSPARSRPLIKISIELG
QGPNKRIVDVSGNGEFSDSPMGIRTADLDLSPGMERQGGLWVVVERLGGRGGIDEVEVEVLSDGNVIVGLWGTGDG
>RCO7_08766 | uncharacterized protein
MGDLQIVVAGGWWLVAGGWWLAGGPGPASKGSLVRRRESSETWRYDVDRPLEKIAARRLILIQYWSTHARTHAPTCTWDVTDSSKVAEWVLMHLCLQ
LGSNQEEEQVDRTGLDWTGTR
>RCO7_08767 | uncharacterized protein
MTTVDILRPSTNDNFYDPDDVGPRDSPRTQAMTVNLVPSPSPPPTVPLPPISADSTPGPEEGRKGPTRSKVRPSQGDAVLIAHMAGGKHIDIARKAG
EDPLASNMEGEDAPMDGTTNIVIASVEQKVESQDKVEKEEGKDDTMDVIEEPVAQNNHITPNFLATLAADALRQTERHSPEEAQKNVPPKSPIPKSE
SPAPEAEFMEGVKTTPIPSIKNLYVDDPSSSVSHLSPERRYDSAAKSPSADGELPPIRHHSPQSSLTNGNGSSQITLPSITAQLGDINHLAEVATAG
ENVFAQSPPGRAPPRFAAVPSHGSPPKSPNDVFRNQLPSPSGGFFPYPNSNRRPSQSSGEPPPPYQSPNSGSSTETPSSDQSGSTPLLGMNRMSIEG
ITNPQIGGFQCNYQGCGAAPFQTQYLLNSHRNVHSQNRPHYCSVKGCPRSEGGKGFKRKNEMIRHGLVHDSPGYVCPFCPDREHKYPRPDNLQRHVR
VHHVDKDKDDAQLRDVLSQRPEGPSRGRRRRTGTS
>RCO7_08768 | probable nucleotide-sugar transporter
MAFKGIIPVLVALMLLTGVCNTLLTKYQDNICVRDCDNPDLSKRKNFEQPVIQTMQMFIGEMGSWLFVGAFALYKHFFAKNITAQENGYAPVNTQDH
GPDNDAASVRSTTPINPALKSMAIKEDRIPLKGWKVALLSLPAICDICGTTLMNVGLLFVVPSIYQMTRGALVLFVGLFSVIFLRRKLHLFQWFALF
TVVTGVAIVGLAGALFKDHKAAKDAILLVREAAVALNSNARSPAAVKTIIGIFLIAGAQIFTAFQFVLEEYILEKYALEPLKVVGWEGLFGFTVTVF
GMLVMHLAVGRTSGGKYGYFDIVEGWRQVTSYEAIRTSSILIMISIGGFNFFGLSVTRTVSATARSTIDTCRTLFIWIVSLALHWETFKWLQLVGFA
LLVYGTFLFNGLVRPPLERCVVSDYEELLPEEPIEHL
>RCO7_08769 | uncharacterized protein
MASPLGSVPVHNEAPEPFPELNGPSSPTQTPIRPTASIEQSRNRQESTTSTLQGRLRSVSKTFQESSPPTGFMVASGQIASSIPTLSQIRRGSYGSE
GWSGEGQIVEKQRRESLGRRGSSQTGDSLPGRRSSNNVSSPREVSGQDVFPQTVPEVADESENHNGIPMQSTSMTDDTQKHAVVDQGLEGRGSNDTS
MKKSGPSKEVSEYKTTPFDNGYEFPPKHKWTESTAIFLKASWGFFITPIGFLVVVYGLNVVAWGGMLFLLLCNASPAMCRPTCNDINSPRRIWVEID
SQILNALFCVTGFGTIPWRFRDLYYLMQYRLQKKEIGLRRLAGINRGWFRLAGSQELPITLGPGAIDTELPNTPENTIPFPISKIPDAPLTGIRAPP
TAIWKLDFVIWTMVWNTFLQAVLCGFMWGYNRYDRPSWSTGFFVACACIVAAAGGIMGFIEGKHVKAIEGVPVTEADQERLRRDRELGITHYNNIKA
EKPKEKKEKKGLFRRK
>RCO7_08770 | related to tRNA splicing endonuclease delta subunit
MAPSATISHPPTSPPPPSALSETLLQSTKSPHPPHLHNLALQIQHDLLHQHDWTLLQIHTHSPLTTLPLPRPLISGLPPRRAYIHPDEQVEILKAEH
KSASGERSIAQKPEREWVLPTQLMEKMSLRKLAELFDAVGTVPPGGGEEDDGEEGGGEGEMKKVGWQWQGENRQKRILLATLHDDSTVVYYIMHDGI
VKPRQN
>RCO7_08771 | probable Yippee-type zinc-binding protein
MGLSYNVYLNSHKIYGCKNCKAHLSNHEDIISRNFRGQHGKAYLFNNVVNVNAGDPSERNMTTGKHIVRDIVCRQCSETVGWKYDKAYEASEKYKEG
KFILEAELLCNVT
>RCO7_08772 | related to ferric-chelate reductase
MSSSIRLLAATALAKMVSGAAPPGPTGPVAVAAKKEAAKADDINQDFYNYFFVVCGSLVVVMILWRLSTEMVKYVRHLTSLGNEKQAYFVAPSERFA
SFKKHLLYAPIFSKRHNRELQLSSAVNMGTLPTRLQSLFIIGYLGTNIAFCVVSINWSLPYGDALKQLRNRTGILSVVNMIPLFVMAGRNNILISWL
NISFDTFNLLHRWFGRIVVLEALAHTLAYMLAAVARGGWSAVLASITGSPFITYGFIATVAFVAISIQANSIFRHAFYETFKYIHIALAILALVGVW
YHLKLAEVPQLTILYGVVGIWAAERGMRLIKLVWRNGTGSKALVEALPGNAVRVTVDMPRPWTFKAGQHAYLYMPSIGLFTSHPFSVAWSEEAENLE
GEKLAMNRQDILAMRKTSMSYVIRERTGFTKSLFKKAEGSPEGKFYTKCFTEGPYGGKHMMASYGTVILFAGGVGITHQVPHVRNLVAGYTNGSVAA

RKVILVWIIQSPEHLEWIRPWMTSILAMDKRRDVLRIMLFISRPRSTKEIHSPSATVQMFPGRPNVETLMDLEIENQVGAMGVSVCGSGALSDDVRS
AVRARQHRSNIDFVEEAFSW
>RCO7_08773 | uncharacterized protein
MDLEVPFPSSNPNTYTPIRRHESTINTRLLNADQEQEWTSARCHRLLRALTSRVAILKKDLSRFQSTGKSTCSKGKAAAQYQSKAVDTEWTKTKKRI
RQTYSGRGGRGLNGFEATKGGSQGSSSKQGRKSFTPGEVTIPTPILARARGENSVPQAPLWVADEEPPIETVRGIKRPRARPAAADGGGSFQPCRTL
RDLRQKVTATRYTIYEGIYHGLEALLRATTQDRSEERTKTKGPRSLLSMALRTVPRYISQQEGLLEAHMEETGSKTALYQRDISTEIYDELESFGSS
GHGWKRLKVIVRSHGIQVILDAIQLGVFDDEFCGVLIALCINTFAIDEAQSILSALLSSRMYASPKTLYDTLDCPLSMLSSFYDFTSRTSFQFRELS
NILANGLLPVEWLATKELGSVWTRAIQHLTPGIIDEDAVAFVDSALPLLSFAGANPSNSISNAVTEAAKNTFSSLLTILSSIVRLSREDQQNNCIES
PTRTGYDHVIVILKKCLIQCGTSDIQILLLLSNLVVREESLSSTDPDDSLIDSLLTGLQLKGNSSGASSAYAQAVSFVCQVARCCGRVSSSLGFEHL
ERIHQVLETSSSEKNGSNIIHSLIVDSAFAFAQKVPDRKHIDYASSMDTKFCARMLDLDTSLHGLNEEGCDDHVSGFRWEEGIGEWVTATPALATRS
RIIAPKAFADEFECDTPYRPAPKVRRLEKRPGPVVHATSSPFSSPNFDDSVRVQSLAGSPSGSGLEMSESEGNEGPLLEDVGLVDSEDEINSDGSQE
VLESGSEDEASKMEVSSMEQSLIVYGSSKSLASIASLERPLIERVPRLQGKLLCNSNSWHGFEHSIVSSASSAVSDASPESTGCREFVDRAPRMGRR
VLRSSQAWQIFDDSDDELSILSVSSSSQSGQTLKNIKNAGTSNARRPRKVKSARTLRTRSMKVAAPSDSEDELCI
>RCO7_08774 | related to translation initiation factor CluA
MAENNDAKTVSPETPAADSPNKTTDLEHATTNGKAEGEEQIETIFQLTVNLPHEPKKIQIMVSSQEAMHDVRQSVIETPGTFQYSCFHLQHKGQRIN
EFIQISEVEGLTPESELTLVEDPYTEKEARLHVVRVRELIGAAGDRTDTLHGVLSGLSLHDSVTASENSADGTAAHPMSAYDFEAPGVLSNLLPQAQ
DPAPKTVKSISVSPWNPPPYHLRQKGHLLYIQVTTIEGEQYQITAHVSGFYVNKSSNAKFDPFPRAAPKAYSAHSLLNLLSELSPAFDASFQRLQEF
NGIKEPLATFQITNATPASPWVVPNSTSTLVSHQPDITRTQESYLISGIENTETLRDWNEEFQSTRELPKETVQDRVFRERLTSKLFADYNEAAARG
AILVARGEVAPLNPTEDRDAQIFVYNNVFFSFGADGVGTFASEGGDEAARVATGKDVMGIRMVNQLDIDGLFTPGTVVIDYMGKRLVGQSIVPGIFK
QRDPGENQIDYGAVDGKEVVAADERFVPVFEKLSKALKVKQHAVWDKAGKRHVLEGSVETKGLLGTDGRKYVLDLYRITPLDISWMEEYGTAIGSPE
QVNGASKSAYPHRMTVLRPELIEAYSKSKLREWVNGELEKRRAAQPEKADNKAIEGEDASKKEEATEASDEEKKVSLEENPDFDKERIDISKFSFSL
NPDAFSGQKPETDADKEEMAKDEQDVKLACDFLRATVLPELISDLKEGDVGFPMDGHSLSRLLHKRGINIRYLGKLAGLAEGKRLECLRALTLQEMV
SRAFKHVASKYLRYLPTPLTASCIAHLLNCLLGTGLNPKPRADIDESMAALYPEIDLDFQKVSPESLRKEVEGEILRRYQYTIEDSWVANIKPVQLL
REVSLKLGLQLELKDYLFTPHQTNGAVELAFNGNTKDNVPNGEKTSKKKKKARDGSPASIPSAKVSTPHTFAPDDIINIVPVIKEASPRSSLAEEAL
EAGRISIMQNQKKLGQDLLLESLSLHEQIYGIIHPEVARVYNTLSMLYYQLEEKEAAVELARKAVIVSERTLGVDNAETLLSYLNLGLFGHANGETK
QALIYIKHALELWKVIYGPNHPDSITTINNAAVMLQHLKEYHESRLWFEASLAVCESVFGTDSINAATLLFQLAQALALDQDPKAAVNRMRQSYNIF
LAALGPTDKNTKEAESWLEQLTQNAVSIAKHEKDVEARRLRAGIQVSPRVTLGRTRPQPQVGQTAEATSGRDPRKGLDSRSIDELLKFIEGTDAKNN
TPKKRPGRSTNPKRRGGSSAPVS
>RCO7_08775 | related to ARG8 - acetylornithine aminotransferase
MAPSAVTEPHHEGLTTFPVKNGRLLKEYGDLSNGHLSPEARKKTEFLLDRHLHRSFPVVESAKGHYLHLTDGRTIFDATSGAAVSCLGHGNQRVIDA
MTAQLTTGVPYLASTFWGSEIVEKLCKELIDGTEGKMSRVYLTGSGSEAMEAAIKLSRQYFYENNKKTSRVNFIAREHSYHGNTIGALGISGHVARR
APYTPFLMGNVHHISPCNAYRQRQDGESDADFVAKKAAELEAKFQELGPETVVGFMMEPVVGAALGCVPSVPGYLKAMRDVCHKHGALFILDEVMSG
MGRCGTLHAWQDEDVVPDLQTIGKGLGAGYQPIAAVLISHTVVNALLNGGGQFIHGQTYQGMPIQAAAALEVQKIKREENLVENVRIQGIYLEKRLK
ALLGDHSNVGDIRGRGLFWGIEFVKDKNTKEPFALKMGIAQKVHDTAISAPFNMTMYPGTGTVDGISGDHVILAPPYNITKADAEYIAQVTSDVIHQ
VFG
>RCO7_08776 | related to forkhead protein
MAPSSKRNARARKEVNKDIEIPDSSPSRPAKRRKNHKAEETVEEPVPEPKPEEPLPTSRDDLTMDDDRLIEAVIPFLAMPPRFVQVAKDHSNEHFEQ
TPNHSVTAYAKLAGKDWSFYVTEIKLSIGRPPEAEPAAPSGEGGDESAVFPSKEKETAIDIDLGPNKVVSRSHAEIFYDSENECWTLRVLGRNGVKI
DNLNLRRGDRHVLVNGEILEIGGVEMMWVMPTPNGTLQVHDRYLQRAGLIQIDDDKTQDGDEPSPASGPLHFPMNGQMPIAPAPPNYRRPGTPPGQR
SKHPYLIGKSPGFHGGSAMLMNSEDIDYSLDANGHLKPSYSYAQLISQAILNAEGEKLTLAGIYNYITDKYAYYRQQVPSGWQNSIRHNLSLNKAFA
KVARETDEPGKGMKWHIVPEMRDDMARSCFRGGRGGHRGSPGTGSPAAFVARIPKEGTQNGMQRLKPSPISPPGLNSFKSHELQQTPDRAGQMSRSM
EDVPGDGSPLPRHKKQQGNSFGLSDDTPGSPPTLPSSMAQHDENSSFVTPAPHRVHPRLAPPSTAQRPSQHMPTSSPAPFWKYADIGNTPMKGPSFD
LSPIKGSAGGGPALPPSSSPAPARRPSAASPTRNALPVKQEDADDIEDDEEEDQGFDLARGFQSIGSYHAPAATGVTVMGAGST
>RCO7_08777 | uncharacterized protein
MKYTAVVLAATFAVAFAQVKNYDQYSPCFGKKDKDLCKYEIDYVFHDYTTGNWKRMTCEGGLHGRCQPDNNHVNLTCQQADVNNCATKFVPTCDKDA
LTCVPPN
>RCO7_08778 | uncharacterized protein
MSFLQELSSWASPNPVTTSPAPEIGSKAPSTSKLSFPSSDGKPTVITFLRHCGCPFAEKTFLSLRDLAAKDPGKNYIAVSHSSGPATTHWLSSVGGQ
GKVRVIVDDERELYGKWGLGVSSTWHVLNPWSLYAVWMLGKKENIWNKPTESGSRWQTSGSFAVGKDGLVKWDEVPKAADQVPDFGDAVRALSN
>RCO7_08779 | related to beta tubulins
MHEIITLQLGQRSNYLASHFWNTQESYFTYSKDEEALVDHDIHFRPGVGADGSETFTPRTLIYDLKGGFGSLRKINALYEIEEPTVTQGLWNGPAVV
QRQAAIEQSAYQQTLDQGIEPSPLTTESVRYWSDFNRVYYHPKSIVQLNEYELGSALMPFENWNVGEELFNSLDKEHDLLDRDLRYFAEEADHMQGI
QMIAGIDDAWGGFAARYMDRIRDEYGKTTIYFWGLEDGFKFVPREKRFIRMSNTARSISEIALQASLFVPMTVPSALLPSYVTIDPKSRWHVGGLLS
TAYETMTLPSRLRLQNGARESLDELVNVLNVNGNQNIAKLRMSIDHNSAPTGHHRSARLNIHAQGRDARLPSQERRNEDSTSHDDNELKTHDIDFFP
TEASEQSRSRRTVKVPHIFGQAETYRADDQKKNHSEQTDDEAGHERARRRVAGLTIIQKTRVSLSYPLLDSFPHIFAHASTTSSLGVGTSLSTDTTV
ALKIKNLQYIVSRAIGVDEREALSNSLGELAEAYEEGWDSGTDDDDD
>RCO7_08780 | uncharacterized protein
MKSSLILAILALVSSAVAGYGHDHDDVYTTTTKVYVTYTSLCPVTTTAVEGGKTYTKTYTTTSTIVDHVPTTIVTTVQLPDSTAYTGIGVTSTITSL
CPVTETKTIAGSVATVTWTSTSLIYTIVPTKVDVYTTLAPSTKYIETYVYQTSTSLCPITETKTVSGYPVEVVHTSTSLIVVKVPTTIFQTTTVLTT
CYATEDVYTTLSKYESYYVTVSAGSTISVYVTKTNTILLTSSYTVTHTLEPPTTKATVFVPITLATSIGVTEIVTIPSEVTATLQGSSVFTTIPFPT
KSTVTAPPVTVTPAPSTTPSPSPSPTSSAPLQISSNAAPTNAPFAFAGAMAGAMAMIALA
>RCO7_08781 | related to MFS transporter
MFVISRYLPFASSTTTTQACAYLFAVCLFSISFLVFLNSSVSFVITDLIGVKDGVGDLVGTLGFADELVALFACPLWGILSDRLGVRWVCVAGYTIV
GLALFVFVQARNVYPQLLLARVLFSVGGAATATMVTAILPSMTGGNRDIHEAEEPSISNGDHRSRYALPTDIRHSFSPSVDSEATITPATYSNNSRT

SPATNGHTRASAEKNSSSPPRLAGLVGVFTGCGALVALSVFLPLPAWFGQKKGTTQGQAVADSFYVVGTISLIVAGLCFFGLRGLKGEEGKGWRLLL
GKSPSSEYEPLGSDENQRPRRTPFLPYWRLLLDSTVLGFKDAQIGLGYLGGFVARASSVGISLFIPLYVNAYFIRNGFCQGSPNDPSPELKKECRAA
YVLAAELTGVSQLIALLCAPVFGYLSDRYRRFNVPLLVASVFGIVGYTAFANLESPEPSNIKGRGGSPAVFLIVALIGISQIGAIVCSLGLLGRGVL
GDEGGYNLSGQLHDPQSSSGAVPNDAAETAPLIASSRKKSSSRSHLKGSIAGVYSLSGGAAILLLTKLGGYLFDSLSVGAPFYMMAVFNGILLVIGI
GSGVYREVKTGQKQS

>RCO7_08782 | uncharacterized protein

MLSTYNIQTAQRSCWVHSLIADTNCLTCESDLPSTFQTYTYPSPDDSAGSYPYPASIAVPFSQILSSKPLFNTRISKLATDYCRPLQTIHDSYPERY
ALSPEEDPYSERFALSPKTDVRPWMAYDGRIIVRGGKGKRNLKMKRLLPKPKEEGPIGVPRGRVSQAIEKVDERASRNGGRGEGKEILETLPEESED
DDPIHLPRSRSSHAKEYQAKETQAKEMDEKVTRLTNETARLEESVKKLKAEANKLKLKARRQGKAGASSAPNTDKEIPSPARLRRSATRGTPREDTP
ETVEAPRTAQRQRKVGRGRSPKRRSGDRKSLIVVLATRGEGKQVEASRRILRQRTPVNYAE

>RCO7_08783 | uncharacterized protein

MHTTTTLTTCSISTIPSSSQQTQHHLEHTQQTEEFLIEQYTQVLEALEAQFTRLSKLLLDIEEGSFEGRAIEDLLESVREAMRCNDVGMAETRRDLW
RGFWEDGADGEGAEVQGPGEMSGDGTDIVK

>RCO7_08784 | uncharacterized protein

MLLAKDLTELQLWNISAIERIASAFSFISVVFIITSFLMLPEFQKPITRLIFYASAGNIFMCVATMISRAPIHSTEIIHPNLCRTQAFLIQMFMPAD
ALWALAMGVNLFSAFYFQVTELQRYRLEMCYIAFCYGAPCIVASVLLLVSTEERGPIYGNATLWCWITSDWDDYRMYLFYGPIWIICILIILILIRL
CYTMVMNRLNLSVQTHGTDPTVAQNTGGGTGTKTKRFSSRSKPASPIPLQDMSSRGNTTQDQTPGFFTQALQKHISGCGSGDLPDLPAHLPGTYPAE
PKQKSRIATIFGAAYINAKRLFFRQPARVSQHRNTASADAALKLIATVALFFFFIMLITWIPSSANRLYSVVYPGHVSLPLLYLAAGVLPLQGFWNC
VIYCYITRKACKDLFMNLRQHRRWSADSLRSAFAEQPGNHRTTSGGIITSIPSHTPSRTRTPSRPISHPAGFHASGSGARYNARPFEDEDGSVTSFE
WNNTEASCPNWSRRPNQGSRHMLDLDNV

>RCO7_08785 | probable Adenylosuccinate synthetase

MATIVLGAQWGDEGKGKLVDILCPTVKLCARAQGGNNAGHTIVANGVTYDFHLLPSGLINPDCVNLIGAGVVCHIPAFFKELNDLEAKGLQNVRSRI
FISDRAQIVFDLHQIVDGLEEVELGGKSVGTTRKGIGPSYSTKAARSGIRISEVFKADSFNERLRNLAAGYKKRYGDLFTYDVEEEISRFNEYREKL
APYVVDQVPFMDSAQNSGAPILIEGANALMLDLDFGTYPYVTSSNTGLGGIFTGLALNPTKISNIFGVVKAYTTRVGGGPFPTEDLEEAGTKLQEIG
REFGVTTGRRRRCGWLDLVVVKYSTAINHYTALNVTKLDILDTFPTIKVATAYIDPDTGDELASFPADLELLGHVKPKYVELKGWEKPITGAKSFYD
LPKAAREYVEFIEEFVGVKVKYIGTGPGREAMIER

>RCO7_08786 | uncharacterized protein

MLSRNRKSPNYGTKSHQECVVTAGLLGSRCWTETFAVGDSRHPKRCRLQFSQWLWWSYKQSRKKKKKKKKKKKKKKVNYGVTFLLLVLDGECEGHE
IK

>RCO7_08787 | probable PHO85 - cyclin-dependent protein kinase

MDKRHPSSFQQLEKLGEGTYATVFKGRNRQTGELVALKEIHLDSEEGTPSTAIREISLMKELKHENIVSLHDVIHTENKLMLVFEYMDKDLKKYMDT
VGDRGALPPVTIKSFMHQLLLGIDFCHTNRVLHRDLKPQNLLINVKGQLKLADFGLARAFGIPVNTFSNEVVTLWYRAPDVLLGSRTYNTSIDIWSA
GCIMAEMYTGRPLFPGTTNEDQLVRIFRIMGTPSERSWPGISQYSEYKQNFQMYATQDLRVILPQIDPIGIDLLQRMLQLRPELRISAHDALQHPWF
NDLVGQMRPPPQHLGQIPMQQRGYAQQGVPSQGGYEY

>RCO7_08788 | probable cell division control protein CDC12

MRPLPGDDAYAGRSRSTSFDNDPTPLASRSQVPQMSYFIADEKTVEYSRSQSPQSPRKQKDVSKSSSYGVESLENTISSLTQESDDTDEKLRNARLK
WKKNLAKRMSRRSEEDLSQPTSPSMGSFDDASGDVSPSLQHVSSQATISRPFTPLSYGSPAPPSLLSGPDSRRNSDAGSLMDEVASQAIVSSGDEDK
DMGVEMQDSGSAPQLVMPSIKMPSRRPFTERGKNMGRLKVLIAGDSGVGKTSLIKAIVQTCEDIVHVDPLSATPISIPETRRRSSRTKSKRESENLQ
TTTHITEVYASTRSYPSWWSDLEESRVLRRRKSMGDSILERNLCFVDTPGFGNQTSCLECITPVIDYIESQYKKVTTLEDMGQAEMINLLSGNGGSQ
VDVVLYLISSKIKSVDIEYVRRLSALTNVIPLVARADTLSTLEVTSLKEVIVSELETANIRPFLFGLTPQAAQYTSQLSPPYAISTAPSRDQDTMDA
SLLMSPDYIQPLVPSELHTLVSRIFDQDSISWLRHSAAKKFVAWRASSTPIAKPQSLYQPLTSSVSGSQGLTGPVGATTSYALARITDHTQREERIA
QVRLANWAAELQRSLHNERIRFEALARSERAVWLTERLGECVSDGTIVPISEARKDDPAYETGAVVKHGTYSRRRATRDTRGGVDKYDPLGLLMLNE
ELKRKGWVVLKVISSFGIISGLAYWVTRTLQGSESDTAMFGFGGMGIRDWLDLGAIDWR

>RCO7_08789 | uncharacterized protein

MFDVSWTDPARETVGQRNNRKEQEAVKGNGARKKTSGLARAPSIRSSNSSGSVFGQKTSSLLKIFSSSSSRKDVTSRAGYHTQTPASTIEELPKNTQ
RLSICTSGSDSSGHAIPRKTTRIPKNGFFGRSPPYYSEGELSAHSEASESVFSGWTSTSAKTESTWDSSEESITGPGTVVQPVSESSFITQDTKVTV
SSRGSNNIAEHTATIVHISASGTMPILVEDSSGKSSGPFSTFEFPLPGATFPKTPPRETTSKVEFPLPGAVFLTSPEENTKNEISIRRNAHPITKRP
PRCYTWKPPETWECSTYSPKALSPQRRTSTSLRPIKEKHHKVPLSEIAHLQRSIRLMEAASSKIVLERLKEKWAEVADASIYRELEIEKQMWMLSAL
RKLKNGGTASCSSLSALTTAVAVHHLSTNPLCPKSYPNIHPLQVPGPTSQLPYASGIFTSIHAFPIPSLLAASSIPSVLKECHRTLRSAVKAPGLTS
TLALQVLTISRGGTLHLTILDPSPLPATLGPRLRSWLDNHLILHLEKQFMCLNPSRLFPIWLSDAGLRGEGSTIVNVRFFASVTSTTLDVSSNVREE
VNGAGREDTESTKQELKSIVGRMLWKEIWGAYVQGDKWWWEDARILEECERMGTMWEYAVIEAVKDG

>RCO7_08790 | related to purine transporter azgA

MYSISNAMDAFDKKVARSTFGRVFRLEGSGHSKERKGSRFMTEVRAGLTTFFTMAYIIAVNSSILSESGATCVCNNTSDSSCSKDMEYARCLIGIKR
DLTTATAAIAGIGSVAFGFITNLPVALAPGMGLNAYFTYQVVGFHGTGSVSYGLALTAVFIEGWIFVFLSLIGMRQWLVKVIPASVKVASGVGIGIF
LTEIGMSYSGIGLISGSNVTPTDLAGCPPEYIDAYTGRCSSHKMQNPTLWIGVMGGGVLTAFLMSFRVKAAIIIGIAFVSIISWPRDTTFTFFPHTA
AGDSKFDFFKKVVAFHPIQNTFIAQDWNVGAAGGHFALALFTFLYVDIIDATATLYSMARFSGVVDPESGDFPRSTLAYCCDAITISIGSLLGCSPA
TCFIESGAGITEGGRTGLTAITTGVCFLISIFFAPIFASIPPWATGCTLILVGCMMMRQVTSVNWAYIGDALPAFVTIVSMPLTYSVSYGLIAGLFT
YTVLNGLIYITKVISRGKIQPPDADAAEYWTYKPNNLNPPWFVRAAQGKLWKTGKFDDSETRSVDGATVASEKELVENAATRVE

>RCO7_08791 | uncharacterized protein

MAYISQMMLMRLKAAEDGIDVKLIYLDYRDALLRLQQVENASTTSFGAQQYVAEHQTWDMNWPEAAFPGVDPRDPTTLAAPHLLQALEPAQSSQQEK
SNHQPSNNPVIYLPNSSHASVKSSFPELRLQQRNLNRKGRRGRAAARTELARAQQKLLRCHNCGEEHQARDCPKDHTLQYNDPMQLDQQLSSAPTAK
TQMHSSIDQAITTTIKPPNGQFQLSSLDIIGVQTLRAILQNCEAKRTSGQLAEQKKDTVLPIYTSSKPLISPILYRIQTAARAPTPVPVNNDAFERG
RVPNNIGNWNAETAAIWLDEHRTKTVINQASIPSPKNLRKESHEPCTKTIPNQNHPTILSNSHEVLAPSTLQIPTSATMAPVSNTLHQHQESENPPS
PVRKPFPRSTNQKPSRPPNITQMIYPPTTPPASPVAGCTNCKRSGHQWKECKEPCTLCDRARHTAGECTFRLR

>RCO7_08792 | uncharacterized protein
MYRSIKKEIYVAAAAPGRPYPIPVAVARVTDVLAECRALVLNENLVDDIDPQLLCYKYEYKAWVMLFQSYSEFPDGNAYKGAWEGEKVLRFCDHQAN
EAFLREGGELEQMVEDLKTEVALVNDELIIDANARKLKALVANLKAEQDNKILDGDLQTANTALEKATTDKQSLFGELKTAKVALEKAMVDKQELET
RLVVLENSEAKLHKIKEKHRLNDLERQRGGKKINKLERAASHTKLMNRDGSDKYLQSADIEDPPTSSLIPDSNKRQKVE
>RCO7_08793 | related to DUF1275 domain protein
MAFTNNGTMTSGIGNRQHQRGSDEERPLLGHEASKGNWRSKLTVNVNRDWADIVLLLCYIITGLLDSASISTWGSFVSMQTGNTIYIGIGLAAPRES
QRWIKSGVSLISFCIGSFCFARFHRYFSPSRRWVLCASFSFQTSLIICAASILTWGPKSATIKEDITWNVLVPIALVAFQSCGQAVTSRALKYNALT
SVVLTSIYCDLFSDAELFTMHNVERNRRVGAPVFLLFGAVMGGWLAHSTIGTAGVLWIAAALKGIVVISWFLWPAEKE
>RCO7_08794 | probable oxalate decarboxylase
MKFQNSLVLLSAMLSELGNSIPFQDNPRQRLLDGKPLPASLRKSKVSSPYTPGFNDPYDKAIDAVGDKLDPLPIRKGQGASVLGPWNWERSRQNANL
VRPPSTDRGNMANMRWSFADSHVRMEEGGWTRQTTVRELGTSVELASVNMRLDQGVIRELHWHKEAEWAYVLDGEVRVTAIDYDGGSFYDDLKKGDL
WYFPSGVPHSLQGLGENGTEFLLVFDDGGFSEESTFILTDWLAHTPKSVIGKNFNLAPEVFAHIPSAEKYIFQGTKPGSIADEKPTGNGVKKSKYNF
THRMLDQEPKKTSGGEVRITDSKNFPISKTIAAAHVTIQPGAIREMHWHPNADEWSFFLKGRARITIFAAEGTARTFDYMPGDVGIVPRNMGHFVEN
IGDEPIEMLEIFKADDFRDFSLFQWMGETPKKMVIDHLFADDPANGEIFWNKVKSAEKDEVTLPDESKDDTEAALHEL
>RCO7_08795 | related to sulfate permease SutB
MANFKIGEKLTTLKTVVRTDTTANRVRDFVVKSAPRLTSATAHYLLDKVPIVSWLPRYHPSWLLTDAIAGLTIGVMLIPQGLAYAKIATIPIENGLY
SSWIPAAIYVFMGTSKDLSIGPTSILGLLTAEIIVDLKDEYDVVKIANAVSLMVGVYSLAMGVLGLGFLLDYISVPVLTGFISATALIIGFGQVGSL
VGLSDVPTGVFEVIGDGLKRLPDWDGPTCGIGIGTIIILLALEKVGKMWGNKHYVIKYIASSRAVIVLVIFTLISYFVNKDRKDDLLWGVSKVDTHG
IVAPTAHDTGLISKVATRAIAPLVACTLEHLAVGKAFGRKNGYTIDQSQELNYLGVANLANSFFGAMPVGGAMSRTAVNSECHVRSPLGGIVTAAFI
LLTLYVFSPALYWLPKSTLSAIIIMAVLHLFGPISAFYRYWRISLADFIASMLSFWVTIFVSAEIGIGCAAAWSVAWTMIRSAFVTPDVHANMEDEA
FALPRRTSSFETGRHDSRTEHSGLLIPNDTVIIKFDDAIFYPNANRGKRSALEAIQLVYEKVSHGIVRNRERSWSVAAEKLVERRRKQQNITLRDVP
LSIVIWDFTAVPFVDVTAILALGELKEDIRLHSGKDLQLRFVGISKTVRERFLRAEWMLTDLEGWRKDGSDVVYPSMERAVLHREGSEGLVLEAVTI
GNEKTK
>RCO7_08796 | uncharacterized protein
MHNFHHLLRVASVLASSAGVTLGGPVERSGGPSVLLCNDKNLSGYCVNLRVPSGLCVTFTEDINDKISSLRPAPGSTCLFFVTPDCSVNEKWFHWDV
LSLPDLSVTPVHGPEGSTHNFENQLSSLECWTDAF
>RCO7_08797 | related to alpha-glucoside transport protein
MESNLHSSEKPAQATEIEAHPTSSQGPVYDNDEKVDYNRSGAIDAEKIEHDMTVLQAVKAYPAASFWAFVMSCTIIMEAYCVFLMGQFIATDQFAQD
FGVPSKVKPGQFIIEASWQSAFQCSGPLGALIGVFIAGPITSAIGYRWATIGGLMALNGFIFVFYFGNSQGMFFASQILEGIPWGIFIANAPAYCAE
IVPMRLRAPATQMLQMFWAIGAIIVGGITYHYQKQPNSSAYRVPIALQWMFPTPLAILLYIAPESPWWLVRKGRLAEAEKAVSRLGRKSSGDDPKDA
VAMMRRTIDNEKSIKQPSLVELWKGRDLYRTLIVCGVYASQNLTGNLIANQAVYFFKQAGMTPDTAFALGLITSALQWLMVMLSWVLTTYLGRRTIY
VYGQFISCGFLVALGIAASVGQSTAASNAQASLGLIVSVLFCLGPAPASWVIIGETSSVRLRPLTTGVGRAAYYMVNIPCIFLASYMLNDDKWNLGG
KSGYVWAATAFVCTFLAWLYVPEMKHRSFREIDILFHRRVPARKWKNTVVDINDDE
>RCO7_08798 | uncharacterized protein
MTSKRTRPVEGASDMDWAPEKRAKQARSNNSVAVSRPGIKSLADDIQDVYEHTPSTSLPTEVSSGFQAFDNFRRRILTQKRRLEPPLRACSVASTTH
SSAASSNRAKKDENMSDSGDADDEGSNFSAASSRVNTTVSSAPSSVISSSQSANEDVNMQEDRGDTKSSPSLTFDQELAIERMVRLMRSNHNGNRLS
VELNEKSSRISDNIEDLVKSMGSLAVEIKD
>RCO7_08799 | uncharacterized protein
MSCIISTATIEALINEHPELTFTEFPNLPPELRRLCWKFALPGPRIITVTRCISQFVKNDWQDSEYGHQPLAASNAIAPAMLFVNIESRKFAFRSYK
LMFKHHLLKPIYFDFGHDTFFFPSSSLDLESFLVLDDGEVTSEDHARVERVNWRPSI
>RCO7_08800 | uncharacterized protein
MFCLRGKFDFGHFWEGPQDYPASQSGSFQAVKPGSELSMSSVMSSESAHALSGQDTLVFTLFPALPPELRLMIWKFALPGPRVIALLTREETTTSNS
NRNTSWKFYDDFQSPASSNPVLLHVNQESRALVLATYQLTFDKLLCRPIYLDFARDALFFPTVSQLRNFILAGHKGSDMESWGKTWRQIQAVRSIVL
GLGAVGICEYDLARTCIWLHGALTGLHNLILTASPQPNQSGDVVPLESSEPYLKGYQACLAEHKRQSPVGTVSRAHISTMEVDEVLRSCEGKVRMIE
EAAPVHEGSTNAGLW
>RCO7_08801 | uncharacterized protein
MPQSKGEDSGSREMASTLGFGFINTDDLESLAFDESLNWKVVGIKYLKLPNMAILTIVSIKGNSRNVGL
>RCO7_08802 | related to nik-1 protein (Os-1p protein)
MMEVQTAMPPTARSAGSNRDMRESQRALELRNPSCGLGGELAKKTLSSHRFFAPNSPANTSNERDLNGSLNNDGALDAYAETIVWRLNGVHAMVSLI
DRGTQYFLAGCLRPSGKEGRILTADQWFKSLGENTLTELTGCSVVPTPGGLCENTLSIDRTGEKYPCFVVNDLSQDPRFACLPVVDGTVASYRFYAG
TPITTDNGVSIGSFFLFDDKPRPQGLHLHEKQFIHQQAANVMKHLETKREATERRRVALMSQGIAKFLERDAEEPDEQALPPPATQDLPFKHLPPGR
GRKSEPCNAKLVDSSSVDSSSKPDKVEQKDGGSIIDKIRLTLDQAANILRESLELTAGGVVFLDTAAGYTEIETDAYADKDTEIGATVNEFVKHERR
LNASDQDFSPEENDAFAKKLSRRTTRRASDRYKASKVLAKSTAGSVTWDSDSHILDTKTLQTLVASYPKGNMWYIDDEGYFSSLEQVDKMGLSKSAS
PSGRRASVDITQQRAEANMLSRIFHKARQIIFLPLWDAGGDRWYSGCFVWSQSAVPVFTIDSEVSYLSAFTNSLMVEISRLDALTANKMKSDFISSI
SHEFRSPLHGILASAEFLRESEPDATQLELISTIQNCGGQLLDTINHVLDYSKINSFEKSGNKQGTISNELYQMTNLALLCEDIVNGMIAANEYRGT
SDKTNVTTQPQNKDRSKRLEVILDIEHKNWEYNVQPGALQRVVMNIFGNAQKYTDAGQILVQLRILHTPDLDSETVSLRIRDSGRGMSTQYMERKLY
HPFAQEDTFAPGVGLGLSIVWSIVNQLGGKISIRSELGKGTDVEITLPVKRTEQTVSTSRHSDLTKVSRDCKECILEICRRSAGKSVSFSRTKAGLS
PQHDATWDCIKRYCAEWYGFEITSSGGTILISDSDIGSDVLDNSRVLVVHDQLVPPTKQEAKSRTRALESICHPIGPFRLARCLLALLNRDLIDIRL
NGEEHISHRADNSTQTPLGSPEERAVLDGIIATDYGFHSRIPVPVPLPATAEMDDSQAAKTTYNLPGLTSSAEQCSNDLGVAMITLKLPPSRNSTPS
VQAKTTTISATTTSIPIRPKPKSTKPAPPTTSLHILAVDDNDLNLQLIQRFLKKRKSDIIATARNGIEAVEAVKKAGPADKFDIIFMDISMPEMNGF
EATRLIRAYERSLNPRHRFLSEESQDDINEKENENASRSANCMGSLTGDEKTEGVENGEWDGKRAYIVALTGLASRRDRDEADDSGFDDFLTKPISF
AKIGELLKKLSKEKEEEEEACEKEGR
>RCO7_08803 | related to NADH-ubiquinone oxidoreductase B12 subunit
MRLTSIRRAPRSITGFDPKALAAASGTPANDPWARREAWRYSGPFTRWNRFKGSFPGLGIATVAFAAYCGYEYLFLNDDHGHGAAHGEGHH

>RCO7_08804 | related to CCR4-NOT transcription complex subunit 7
MPPPMQRFGGAPNNLASHYQQYPSHSQSHNAGLPPPSLTSNPGFMNANSMSNAFSMNGNAMSLSGGFGGAGLGIPGGTGLASQAAQMGFANANNQGH
NGMDHQVRVTGNKTRTRDVWAGNLKEEMAILRCLVDKFPYIAMDTEFPGLVARPMGSFNGKSDYHYQCLRCNVDLLKILQLGISLFTEDGDSPPATM
SAANLGLDTTQDETRKYANAMVQLPTTWQFNFKFSLEEDMYSEQHIKAAELTGVDFPRLSTEGIEPDDFGSLFMSSGLVCDEDVYWVSFHGGYDFGY
LMKLFLIDPLPDDEFEFDRLMKKFFPSIYDIKFLMKYAIRQHAMGHATPLDGQSSEVLQKFEQKSTLDILAESLKVKRQGVAHQAGSDSLWTGKVFF
KMRERIFNGELSEEHIGKVWGLGFTEYPIPNAHIHSAPTYQHQQENVTPGQNGYTNGGPSTPNTGNAGLATPGHNSNGGSMGPQTPGATGAFGAFQY
SSR
>RCO7_08805 | uncharacterized protein
MTNPRILLLGGHGKVSLLLTPKLLSRSWDVISLIRNPAQKAAILDLGKKGELPGKIEVLVESLADVKSERDASRILELAKPDWVVWSAGAGGKGGSE
LTYAIDRDACTHFIRASLASPTVTKFLLVSALSSRRSRAAWWDEDSWSIVRKMNEEVMPHYYKAKLAADETLTVLAEEKGRDFGYIVLRPGGLSDEE
ESGRVVIGKTPAKGKVSRGDVAEVAARLLEQEGVRGWFDLLGGEADLESEVKRVVKDGVDSMEGESLEVMKKDLKL
>RCO7_08806 | probable RRB1 protein, involved in the regulation of ribosome biosynthesis
MSDDEDYEVEGIKLSEDDPLRAFLPQAFGKKSKEADVAAQIGRTKRAVDKAPAIMTGTNDGVSIAHNAESNDKDSDDDDSDDDSDQSDDDEFPVSHE
LLLKTHDRAVTTTALDPSGGRMVTGSTDCTLKLHDFASMTPTTLRAFKSVDPSASKTSANSETHPINHVEFNSLSGSTFLCISAHPQAKVMSRDGEV
LAEFQKGDMYLRDMNNTKGHISEITTGTWNPVNKNLFVTAGTDSTLRIWDVNHKRCQKEVIVHKSRAAGSAGRTRMTAVVWGSPLQGGSNILVAAAM
DGSLVMWSGDGPFSRPTAEIREAHKPNSWTGGIDISADGRMVVTRGGDDLIKLWDLRKFKTPVVTVSHPSTSDVYGVTNIKYSPTSTSIITGSASGH
LHILNPGNLKPELVTPVTPGSPLITVEWQSKLNQIITGSANSEVHVLYNPNTSVRGAVDVMSRAPKKRHVDDDPNFTTDQSTGLSGDSIVSAGGVIT
SAGATSFAARHPTVGLTASGRSRDPRRPQIPMVTPFMKSQPDAQHISEAYSLSSMRDEDPREALLKYEELAKKDPLFTNAWKDTQPVTQYADFSDEE
EEDGPDKKKARRG
>RCO7_08807 | uncharacterized protein
MFLSTPTIGRISTTAFPAANSQLGNPPDILGPVALLEGDSKLQRWSSLIGIITAIIGNILISFALNIQRYAHIRLHQGRTARKEKLKKVPKSKGGYG
ATSTNDNVAEVNGENGEGDHLLSSSFNSDSSEGSHEENSSYLQSPYWWAGILLMIFGEAGNFLAYGFAPASIVSPLGVVALISNCVIAPIMLKERFR
YRDFWGVVVAVGGAVTVVLSAKTEEKKFGPHEIWGAMTTTAFEIYMGVTVLLTAVLVWASPRYGHKTILVDLGLVGLFGGYTALSTKGVASMLSSTL
WRALTTPVTYALLAVLISTAVMQVKYVNKALQRFDSTQVIPVQFVMFTLSVIVGSAILYRDFEKATANSVSKFIGGCLLTFFGVFLITSGRSRNDDE
EEGESDEEGEERIVLADHEHNEEEIRNQEDSRRQDSFRKRSVLQSGDGANDDQSSSSRRDSHVSFAEPRPRTPRLQSSSSYKPFVKVTPPALHEETP
LFSSPWKPSFDKHLQPSAHPGLLATLSSPVLPSESQFAPDATNPLLRTTSQGDVHTHPNEQQSPAPPLPDRPVTPARHSISRMLPGPLLSPLSGGLS
AVVADSLRRGMDPRSKSFRKGLRRTKSGSHRLTNPTDEEEQLGTSPLKHSETYENIGTSPGPAGSSRITRARSLSTTLGDLFKSKRQKTDKYNMSDD
EEAELGN
>RCO7_08808 | uncharacterized protein
MPTPDQGTGSLLHDLASLSLSPRKRREDSIKEPDLSSRFSQWISRAKAHPNEARRHRSHVAKEDEDIEGGSKDWRHESKLLRRELAALKRDRDELDE
QRHKTTADLKRLREKYRKTTDKLDEYRLKFQDQDVALDRERASVQILRGDVSERDGEIDQLTKDCTKAKSRLQRTRDKLDRERVEVSRLNKGLLEIK
TQKYPSSENQDALSSLQALRVKHDDIQRKLTASLEEIKTLSTENGSLEEYCTRLKGDRDDIRQRLSREKAQNAAQTHKLLELMNAKTNLEKSRDLLQ
PIVQIGVDIRLRNLETAREIILKIKQGEKDRAILLSGNVAAHRANGAVDAALFVAGLIPEDYLPEATKVFKKLYQVSPADYGCWSPMVLRMIDCQAT
IATVQVQHHFKKFDTTHLRNEHDRLHGFLLSRRKRLSSGEFEGDPKAKELLSRIEDIMEEIVDLSRGKGKGRKIFQPFEYEDSEVEGQHLKFVNGST
GVGSVAASISEVDDDSEESDSSDIDDPTEEEEDSSDVTAETGEDSGESGSGSEDESEVAHGTDSEG
>RCO7_08809 | uncharacterized protein
MSKEKDDKVVKPTPEPSLNDQQQTHHTGLISMLSRSDDRTLQSVRSVCILSEQKRVQSQDIKEFSASPGSYHTPSGNLRSAHFSAKLASHFSEEDSP
TFGRTRLVSWEMLDTFYDCTEYTEIKQASLLHSQDQIKLNKMEVELAGCKRHLEAANSEAALAQTEPATLKGFFLNLTKEFKINRDCMTVDTALSPA
EANADDQDNSHNALCQVDQEVAGNSTGIAADILDAINDMEVASKGIRTLMEILGTENAYLKRTLETCQSTIADRLVQINTKDTEISGLQKELTKQKD
LTSNAKTNASNLEQELTLLKEDCVAKEPLIQVGAAVRLAFLERSKPKPHDSLMLNHDIFSASTAAAQDGNVLADLALLRVGGCDAAKFQVAFSDLYR
CNFRAITAAGPVLLQAFKLHATARILNGGNGMPNLRLSFDAAFITICNSARQRTLEGTPEGQRLLRRAESSLNETVSSLGDAGEGVSSASQESCSTD
VTFSSSNLLTIKAKASIASADRVLASGDMMDAGRKEIDQEEHGDDGEDEDDDEDDDEEVHHERPNSLKMAFRELKFENKTPISEVQRKGKEPVEAEI
KKVLCQYQLDLDEGKESGNR
>RCO7_08810 | uncharacterized protein
MSNTKENYRPASKPLVQFNPKALEYEPQVFAKPIVLANLNYAAPSASNTLPASKALSSLETSEALRDKLEFGIRKAKVDRRTAEAQLAIVNAERTIM
RRDIQEMMDDAETARMYTEDLRQRFEEVVRQNEKLVAEAETAKLKKDQYAIKIKDLEQEAKLRGDRYSVKTQELKDQNIRLEMKMDNMQELKRKMEI
METKTDEVEQLKEEINRMQTNVAKLETELQVKDPLFQVGVDIRTRFLEEAKMSLWHVKTWDKISGEYFLKKHTVDSAIIERGYKAAHGGNGMADGSL
FVLNKLSREWATKETKCDSACPSANDGEVPDTAGSDETAFEHELEALKPEKTNIFEELYHFRPCLYATMPSKMLEAIDYEATIKTLILFNEGLDRPL
AQKHQALDIIGTVLRKYPGLPREHFDTDADVLSRVDRVKALTEMIILYDRRRTGKTRGARRSGSSYQFSGESLI
>RCO7_08811 | uncharacterized protein
MSYTTPPDIVTIPGTPKLPNTSRWDWICCACYKVNYLGRETTQYSECRFCQHERCRRCAISWKESTVSCDDDQHTSKPYEKMREDETDYTTPVEENR
CNRCTMERRERDERIFKEEEAVSLASRLGRCEGRNSSASEESARSEIGGIGVIGRMAGRLAI
>RCO7_08812 | uncharacterized protein
MAPRSHDYPLETDQIQRSILKQAQPAASAQDDQTAYPRRVYGTPLQDTDVLSLESAGVSIHPSAYGDAYGEIGDRKSGLGAPVTDDGRVNIRINRFN
RGLFRVFTPALRQKVELVDENSSSPLPYIPTSIGGSEGVPPPPPLNMVVQVVGSREEVPPFIALRKVLKETCGHRVWLATHPNFKDFVENNGLEFYS
IGGDPSRLMAFMVKNPSLMPGFRSVLSGDVHERRKDVAEYFQVY
>RCO7_08813 | uncharacterized protein
MRLATTLARHNLEHHKFPWTIPKKDIIEEGNSAAHGGSAVAHALMYQSFFPAKQYDDEQAHLFSIAYGFLPEIHLALPQRTSTARDATRISSPSTFF
DLWFVQFPFTVSFSSTTSFLKNLETYFGARRLDRDGGKTLKLLWAQTQKNGFPDDDFADFLPAGWVGDGEKKSVSGYKPRKRGPGHMSLKSPNIDSP
HSNTLHRSTLKQGSSKATIPGSRAVDSSSLPISTKDLTTTKEPNIGSIDNVSMAATTEKKQSSVSISRLQVPSSLLRQPRTAVETLQEQNKSLKLAV
ERRDRELKHANLRITKFQSAIVKAEEERAKVENIFQEKVKSLQEKLRAVVPAPELQMERDEIEGQRQKATSELKKLREKSEKVAKRFSVAGKKLIVV
NEDLAIANVQITSLTVARKDLENTIRSLNRTTENSRISQHRLQAQLLREQASNIRFQIEINNLTASNSVLSEQLNISRTTLNRSAANSKQSAESSTA
INELKNLRFSFNKLTIDLNKSLRDVEDIRHDRDSYKADYFRAREQRDGAKTKVLELEMKYRRQSRKIESLVKEKQELEEQRDLLDPIVQIGVDVRLR
NLEWARETVLNIPATDIDRAIILSGNIAAHRANGVVDAAMFEADLVPEEYIEEASEVFEKMYDVKPRDIGRWSEKMLRLIDCRATVLSLKAVNKAGN

SSALRREHEKLEDSLFKDHDLLTRRTFENNPDTLKEVKLGGGNSPDLVNQRGCAAVLMTKKILPY
>RCO7_08814 | uncharacterized protein
MVVIKDIDWAALTAKMAAIKDVDHQPERDEAEVTMKSIDHISDNKKMIEEYEKSLLEAGEDIPRLQNEEPTLKSQLAELQESHDRDEKEFGIKKADW
QKKNVRMETIAFSAETCSTPESDDKIDLDERIRLIEENARLLILRRKLKNLRGKIEQKQKQFNRNAELILAAKSVRSKLGPKILDLIDTIYKLKSYL
PSYKLHGTHGVNRTSEDHAVCLEEINVFKKTIAELRSEVASQKSINQNIPNALRAIKNPIEKLPEDKSKSVVGNMEISFERGRKFQFGEMAGLYDAG
CAVRARKLEWLSSTNDEMIIGLGNKASHYHQAAQKLLEVLDWHVAIKDFCLQANGNNYQITKFGEMSRALLLSICVPSLNTEDLLKHFDKPESVKAI
AELKDLHKTGLAKHNAYLKNR
>RCO7_08815 | uncharacterized protein
MDSYQTITNTTYETQHQDHVPDFDSLSFHLEVLSSLFLLSSTPRPSLRKTLAPHVQHISPCGPPSISCPSSSLSSISTSTNSRDQLRSRSSFFTLLS
NVKLRDSQDLTNLVFADSYSYGHAFTATSTKPLSRTQVIVFIVMSSPTQSAKGGSNPITPPSARPITPTKSAGTNHSFKTPKLSPRVPTSPMRYFSE
EVRTTDGICPTLVITRGHRESTHFEDYCSTDPERDQLKYTEKLELLKKEVQIAGMLREIDSINDRIHEMQRIFEPANAHLERLQQAYQDIVAVHQSK
LQLIEQTKATSNVPNGTQDLSRAAIIDAHKAKTKVAKLEFEAMEIEIEVLEAYDLFEAEKSAMETKFADFKAFQVTLEKKSVAVAGLKDDYEQSNIT
WIAKYKDGESTAAPATDVTVHDALGSLKQVSEENTTLQKKVLELSAEKGAAADEVHVLNQRVMALAAAEAKIQAQAQELAALTAFVDRTKKDVEEMK
KSAKTKYVDVKSAIHVKALEDKIEIMKPIYRLGRSMRYRNNYSLLRTKCSDQNININLDKYEDGYSAYFGGNVLADSTMYHAGFDDEDTHGRDFNNF
EILHYGVPANVVWELRNDFKILADVLDMASDMKAFISKSEKTDDEFGTIEFKEQFDKVLPRIFPSYKTLAITTDEQFKNDPDLVDAYEEMSRIASVT
AAKNYVERRKGVEDSWDQPWENAWMEFEDVLYEANSLCMC
>RCO7_08816 | related to 5` Pro-FAR isomerase
MTKFRPCIDLHSGQVKQIVGGTLTTTSTDLKTNYVSKLPAGYFAELYKDNGLEGAHVIMLGPGNEEAAKEALAAWKGGLQVGGGINNENAKQWIDWG
ADKVIITSFLFPGGKFSQERLDSVLAGLGGDKEKLVIDLSCRPKGDTWFVAMDRWQTITDMEVNEGNPPFLYPFWYSSHRFLLPPASIKSLEEYCSE
FLIHAADNEGLQKGVDEKLVEKLAEWCSIPVTYAGGGRSLGDLDHVKTLSGTRVDLTIGSALDIFGGSGVTFDEVRERDWRARLVKANPHQFKTQSN
TIPEADSTSRYTGSRSDKQFGGWEVAWQLSMSESGMAQLKADIRNARKVIAKELVRDPRSSKKLKLSSLFVVDRYDILMTAGSSLKMELEKLLRQMM
VLAQARTALTLCNWELNGNLERPALETNIIVQQIVEEELKARLLRPGLEDNIIVQQIVEEYLATRERRNAPILAVGYSIRNRYLENSAFHSRNKATV
LTGNEAAHDGDALADAILYHPLVPNYRKDTRWNPYNFASTPFAKAWPADFFNAYAKAQLDVVRADFADGKMENFIEELEKKAEDLKKTNISLSKQER
WKRRAENVGLKVTTTMLCRQGFEIFGKQSGFFLPRAMLEQLRNSTRPLTSCSSRSCTAAQQWLTDIVSLRNRGLNT
>RCO7_08817 | uncharacterized protein
MSTHLGKRKRAVSQKKPARKPESETSEAEQPDAQEIFRRHFEAQFKPLPAVKKEIVVEPMVEDESEEDSDWYGISDVEENGVQVIEHTDAESRMAAM
SKEELKSFMSSKIPKNAPTVSVLRDNVGGKVDDEDASEAANLKKDRALQRLLSESHLLESSNNPTLNGNNRHKATDLRLQALGSKESILRQEKMPMS
HRKGIISKASEKETKRRFDARENGIILEKAKMVKKDIAGKRDRGIGAPAVGRFNSGTLRLSKKDIYDIEGPKRMPSTRGRGGGRGGGRGKGKRG
>RCO7_08818 | uncharacterized protein
MVSIQELAVLDEHRARNKELEIIASQLQGHLVKLGCLIGEEERELGLIATKFKTKQTLIIAAAADADKIEAATDHSIYGSQVEVEDGAIEAVKYRER
MHKGKTVRQIVGLVSRRDRKMKNVSESYTEKINLCLTSALTTIPDLTLVRKQDYSYAGWVKLAPGLLSLLSSDADLEPQLASTSRSPTNSENSVLLI
VKDEEIAELKKKLNLRPTKNVQELNNPHQCAVSSPALAASDSKGEKTSALELELDGSKSELTVARREVEDLQAKLDTSQKARNKKTTGYNKLKAEVD
EFREEKVHLEECADFCEDVIAGWLEGGKERYVDGLFEFLPSRGFKNHYINGTRNDRVHGGNLKLVQTLLDLGRLNADG
>RCO7_08819 | uncharacterized protein
MATKASEAVENTTLVALTTNIAEDLIKILLATRDKLKETIEGKDKSMSSLYVAYGAKTKARTGKFEQGKALAIANLRDIESVSSEDEDSEDGSAITA
ITDVLEKEHNKGLERSKARNEKRLGGVQQLHNEEVLEITKKTILALSKTVASYEESGVTEDNISIPEVDHTNEAEFQVFRQKVVALELDLNAKVVEN
IELMRQVKQLGGMKEDLTAKTVQKSDLEKGQVKQPSELKGSLKSDSVEISSLKEQVSSLERKIQLQEPLLQVGIAVRRGFIAVSKRVFIDGDLEMIW
TYGDKASDKIKELNHAKNEASHRGNFPADVELLRRGLISRADFTHVYKKAAPFAIASPDNFAVLNMFGTLTSCYVGTPYSVSKQNDDDFQKITDRYL
ALWKQKSAEPLSSAYPNKQTQFWNLAEIKLLAVNLQRVCDIVVAYEIQMSHGEGHRRKRKDPIVPSPVKKVVSSG
>RCO7_08820 | uncharacterized protein
MCKLYESESGMYLAVNTLIITRLPQKKRKKRFAEAELLAKLRRYEDHLNAYGADIDAINSGGTVSLPGTSNSKRTTEGSSVDQHLQLPIRRGIKHAN
HTPWTGVNEEQLFDTEDMLQGSSEDETFAKPITRTFDAIKSDAGEMLFYTPTDERLIDLHPPMVQIFRLWQTFLDNINPIIKIFHAPTIQAQILEAS
ADLDNISKEMEVLMFGIYATAISSLTDLECNNMFGEDKEVLRLRYSGGVRQALHRAGLLRTSNVTILQGLVLYLVSCLNFHIDPRSLFCLTGIAVRI
GQRMGLCYDGSSHGLKPFETEMRRRLWWQIVILDIRVAEVSGAGCSSLTYMWTTKLPSNVNDSSLYPDMRIPPPEHKGVTEMVYVLLLCEATSHFNK
MRSSQEPLHVKDKELDDFVAHLENTYLQYCDASIPLHALSIFMTRIRIAKLRMAPRHPHLVNTKQMNADDKDMLFSLSLDMIQNHNTLLKGNIMRFF
WHIVINVPFPAYVCLLVSLRTRIQDEMADKAWEAFMEVFNLRAKFWDRREESRPKDSAIHAAVANLALKSWDAREKARPGIEVPAMIVKFKEEVRAK
KAKFSKAESAQTETPPQNEGGFDDVAFTDSFWMDQSNDGMGQAADLGSGLMNGILTGQENGSVGMGMGWDFWNDLIPMNGKQSGNGQGFNGPNMYSS
>RCO7_08821 | uncharacterized protein
MGYIFMQWDDLWPELMKGPLDPETDPADSTKILRVPRDVVAENKPETYQVLEHLETSGFSATGGPHIRFKDFRVPGANLLEAARTAGPVITRDFSSS
AALVGAIATGIMAVAFEAALTFAKSDARGGSQALIARQGV
>RCO7_08822 | probable sulfite oxidase, molybdopterin-binding component
MSENMAPVASESVNRPDEWKIEQGINGAKLPFLDQTGPETVKIHPVIWGDLTRDDAAIEAVGNRDELFKKELDGWKGYVEWEKYPEKKAMAHKILTS
QTFPPNPEYQMGPIPDTNPVLPGDDYKAWHAAIGGELTTASDDSWRMVLEEKHPDMLHLLQFPYNGEPPKRLVTSKPITPNSLHFVRNHGGIPIIDK
EKWTLDLDGLVANPRSYTLDDLMDESKFPRMEKLVTMQCSGTRRIEQITLYAGQGDEVPQAPWAEGAIGTANYVGISLKKMIKDCGGLVNGGKHLEF
YGAETYFKADQAMNYVVSVPWSKVKANEVILTWEMNGEPLPKIHGYPLRVVVLGYIGARSVKWLYRIKVIENPTLAPVQSKEYLYFNQQIGKHNQRP
TDGIQIQEMPVSSAIMSPWNKQVVIHNGSINCKGWAYSGGGRWPERVELSADGGFSWYAVPNDQMSKKHKWTWRTWEFDLPCDVEGWIEIVCRCWDN
SLNTQPLTVRAAWNWGLHVTSSAHRISVYSMNKSRPITRDRLAKFESTGTPLAPLTCPEHFVTQSWEDYGKFWEQNDPRDVDD
>RCO7_08823 | uncharacterized protein
MISIFIPYIIRVYIQSAAIPPKSASKISIKAPKGRKSTKPRTRLPSALVQLAKITLKINTKSTATKSTKPTIDSVAATVLATVLATVPVTTGQVWRS
LPISRNTYC
>RCO7_08824 | related to alkaline protease (oryzin)
MFSVRTTVSVALALLLTLITLVQSTPVAKRGSLLEGLGLSLGVPLQGLGVPITNADASGIIPNKYIVVYNNTASDDQVEKCRAMITTAMKKRSIHAR
GLDGRTLSNIITPFAMEGWRGSILEAEDAMMIDINNMEHVSYIEADTEIKINALVSQPAAPPGLRRISHAATGENGYVFDNTAGKGIVVYIVDTGIL
TTHKEFGGRASWGGNFVNDNNTDENGHGSHVAGTVAAATWGVAKQAELVAVKTLDAKGAGTNSGVISGLNFVATNATARKLAGKAVMNMSIGGSKSA

ALNAAVEALTRAGVTVVVAAGNENQNAENVSPASSSSAITVGAVDANDAKASFSNFGFDVDMFAPGVKVQSVGISSNTASAVLSGTSMACPHVAGLA
AYLMSLEKITEPAAVIARMKALARTTGAAVSGADAQTTKLIANNGNGF
>RCO7_08825 | uncharacterized protein
MRFSKAFLALGLVSLAHTSRLYVSSYSGNITTVELTEKTDGVELKATFQSQGCAPSPSWLEYYGKTSTLFCTDEGFPTPEANFTSFKVDSDGSLTFL
DRVTTLNGGVNTVTYMVGKDKLMAVAHYGGSGISIVNTTDPSDLNVLKTYVFTFDTQAPAGPDAAKPAVPFIHQVVIDPTGRFLLAPDLSADQTHIF
AFTEDGMLANPVGQKPLWVVEGSGPRHLVFYQPDGKKGKTYLYLVIETKNMLHGYEVMYTATGTMEFKNVYMDTIFGGAELPAGSAAAEIKLTPDNK
YLIISSRSDKLSLAVSLNATSIADTLATFSLDPQSGVPMLLKLSSAGGLGPRSFAINNAGDRVAVALNGQNRIVILKRDVQTGIIDEQLGSLDLDIG
AASGLVSSVVWAEQDIENAANVSAVAEITPQSSTQGPSLLSSSSDSTTTTNITMLVTETVTISGYSATASLSLPTLTEAFAPTSTLVQGASSVSSLL
GKSTRSPFAIASAVSGLLTFPTNSRLTTTPTGSPVSAPNSASSHSLFVGPFTDGRFPFTNPLDSTTVPLTCTSGSGSTGSIVYSISTIELRATPTPV
GRSVVQKCKRFYEVKTGDTCDGISAGIQIPSKDFLEWNPSVGAECAGLIAGVWVCVGF
>RCO7_08826 | uncharacterized protein
MDLKELINQFNKLPRFQPDPINPKNIVNDEHWYFKIHPAHDKPGDTLHTVSTGGSWHEEGPVDVPSSPLPHYRARKVLALLLKSFIGNLGPAGTAGG
LRPFAPCSWDTDYQYLATEEEMKIVGVRQDVVFVCSVPASMIEIEQKMWKFGQEVKDIATAGRSS
>RCO7_08827 | uncharacterized protein
MHRLTRLEILIEAEPGSVLHNSAKVNGMEIGCPHRSPGAAMDEVASTILKTKEIQDVIKRDMGPHGVLGTVHMSIASGILPTFTNKFGETKVTPEML
RECSKHYLLACATVNKGETDEKDFDQMGSDSHDD
>RCO7_08828 | uncharacterized protein
MSRSRPHFFKVRFITKIMFRKNQIKLGLLNGREVMKVKVKKALAFKLLTVQHPPAATTKWESASSTYIISTAPLYPELGDHKSMSASSPTFLKVPHH
VLPIPEKQPDIMETLIHYQGASDKDFLMTFVMNNGKM
>RCO7_08829 | related to ADAM family of metalloprotease ADM-B
MRFFSCSSFEVAALASGVLFTVGCVARSEARDRISHVYNVENPIIVTQSQQSHIAHDSSFDLIFNLENDAPRVKLVLEPNRNILSSTAYVNYLDGDG
NVRHAEPVTRDAHKVYKGNAWIKTEEGGDDWAEAGWARVYVKRDGEAPLVEGAFTIAGEQHHIQLRSTYMQTKRDGDFHPKDEEDAERMVVYRDRDM
KTRKGKRDTEEGRCQSDQLEFNTGPENPLSERDGIMGVSWNSASLGSLASRQLIPGGNSGYGDLRSSIGSTDGCPTSLKIALIGVATDCSYTASFPD
AQAVRANIINIVNTASDVYERTFNVALGLQNLTISDAQCPASAADSTPWNVACTTSDDIEVKLSQFSEWRGSRRDSNAYWTLMSGCRSGSVVGIAWL
GQLCVSNLRGSGQQSVTGANVVARTSSEWQVFAHESAHTFGAVHDCDASFCAAGATSQCCPLSQSGCDASGQFLMNPTSSRDMSEFSQCTVGNICSM
MRSNAVRTRCLVNNVDVPTISGAQCGNGIVETGEQCDCGSAEECGADSCCDPTTCRYRGNAVCDDPNDACCSRCQFAAANTVCRASRGPCDIQEVCS
GTTGSCPTDAFQPNGGSCGDAADQFCAEGQCTSRNLQCQQVVIQGTSGNYSNSCDDDLCRLRCSQSTNSQFCTQLNRNLLDGTPCNGGSCNSGRCSN
GNDPATNGGGGGGGGESVGSWVSRNRGLVIGLAAGLGSLALIVLACCICSCCRKSKKRKAAAMPPQRPTMGQQQGWGGPPPPAYPSPAYTTFMNRNN
PPLVRYA
>RCO7_08830 | uncharacterized protein
MPLQLPPSTSRTTSLAPNNIPAILSKPKHQPATPTRRSTSARDLSASASRNSSSGLVWAEDYCPDIGSTSPGDKNKENLPSPPRAAATSSSKINQRS
VLSSSEEDSYQPKRSPQRTLTALLPFRSNPSSRSPSPTKVDTEQGDYMATLTGDKDGIIKVADRRSGLSSWFTGSSAPVTVGVPIMEQESTTSATQS
RDTSPARLQNIMTGIPTTPRKTNTGGGGMFNFFSPKSPAKTPTIQIPAELNDDEFFTLDVHTALFPSGSPTENDPFSPAAFKNLLMNAEGLLSKLQT
AYKIRTLSLHDFSVEKEAMTEELEEAETRAQCLKSQLEDMAHQMSVKDNMIAELAAGLATEKQARAEEKLAREQSIALVKARAERDMKRGSSNSEIS
VGEDLGISISGRRRNRASDGSSEDSGSEYEVESVFDSTSVSGIGSRCRSPTLTVTTTSGASIAGTVDSSCTPEIMQASFARVVPNPGLNSGRPKLLQ
QKSTFQKILSGIGSTSVEEEGTRMGEEGCSNCRGRDASVAWDTVGLMRAENKGLKDRVGELEIAVECALDVCNGLT
>RCO7_08831 | 5-aminolevulinate synthase, mitochondrial precursor
MDSVLRQSKSMCPFLKKTSPATLRSLSTSVTRQASPGGGSMSNLQTIARRCPIMGKALAVQTAKSSKVGLGGVAALGAIRAFSGKVASGKAKLHTSR
SNDARALDDTLFGREVPYKNVKPARPVQVNNDPKFDYESFYNVELDKKHKDKSYRYFNNINRLAKEFPRAHTDNPAEKVTVWCSNDYLGMGRNPQVL
KSMHETLDEYGAGAGGTRNISGHNKHAVDLEASIAKLHAKDAALVFTSCYVANDATLATLGSKLPDCVFLSDSLNHASMIQGIRHSGAKKIVFKHND
LADLEAKLASLPTDVPKIIAFESVYSMCGSIGPIEGICDLAEKYGALTFLDEVHAVGMYGPHGAGVAEHLDYEAHVAGKPKGTIMDRIDIITGTLGK
AYGCVGGYIAGSTKMVDTIRSLAAGFIFTTSLPPATMAGAQTAIEYQMEYQGDRRLQQLHTRAVKDSLAERDIPVIPNPSHIIPVLVGNAELAKKAS
DMLLDVHGIYVQSINYPTVPVGQERLRITPTPGHVREFREDLVGALDSVWNELGIKRTSAWAKEGGFIGVGEQGKQLPEPLWTDQQLGVSEVVKEMK
AGSPVGVMEALLERETTATAKAVAAAA
>RCO7_08832 | uncharacterized protein
MDVQSRHLKQRASIVASSDSHNIPADPTFPERNSAPGSSPRSLFKHQDGKPFTAHRDSLEVLVYTDGACPLNGQQGSRGGCAFVYLGSDDNPRPWNP
PPGAYIIHGAYFFRLEDVGPDGFKYEPTSNRAELRAVVAALSHARTKMFSDDSGNHVEFSKLVIATDSTYLVDGATTWCKTWESNGWLRSCGKPAKN
QDLWKLLLERCRTLQTKKSQEIAFWHIPREENETADSVAKYATTRPPRLKFGVPLSGNIPIFIDPSQV
>RCO7_08833 | uncharacterized protein
MIDAVSDLRPIDITSDNIQTGEDEVGAVQ
>RCO7_08834 | uncharacterized protein
MRSFSIMLVLGISILTSAQDLPTHLGDQGECERAYQCISGVCEGNYGKARSSTGARCHGSGNKGGMLPSGAFIILLN
>RCO7_08835 | uncharacterized protein
MANGIDSYETFSVCDLRSQGGPPSILYEAMTECCVPGSAIRSFQCWNYCAVAEPAFSTWLSCVATAINTTQGAYCQRADQSPVSTATSFPISHQPPV
SPAPQPPFTWPVITTIATTTRSSASSGVATTAPVQVPQLVPRSTSTPNITINNSAPPTEFKGGANSNTKTLELSVGGVMFALLALSVFTL
>RCO7_08836 | uncharacterized protein
MIGQLLLSLSATGSILGPFIADFNETHVLNPRWPPHAKFHNGQTMSLGLGLGLATLYYTWRRSSPRRPSVEMRRESLFAAAVFGSLYWGAGLSAILY
PGTLAVDPEFGEGFPQFWLFVGLGVSSWLGWFVETWGLKDEVEKKRL
>RCO7_08837 | uncharacterized protein
MSTHEILILGGHHSGLQLAHYLLRHVVPKLTQASSSTSTPTTYHITIVTPNTEFFWNVASPRLIINSTLIPEEKVFLPIAKEFAGYDESLFTFIQGK
ATALDPETRSVSISSGTTKFTYDSLVIATGASYVSPVWALNDSEAFLKTEISKVREALKNGKSVLIAGGGAIGVETAGEIGHHFPSHDTTILSGSTR
LLPKLLPSNSASAEAKLKALGVKTIHGVKLSSSTNHSDGTTTVTLDDGSSRTIDIFIDATGAKPNSSFLPPSWLNSTGHVTTDDQTMRTPFPHIYAL
GDVASYSSGSIMDATNAVAPLGTSIAIDLAKAANLSTVFAQKVFKTMKDSQFVPTGPSGGVGQLFGFKLPSLMVWAAKSRTYLVWLAQGVVEGGNVK
KP

>RCO7_08838 | probable cytosceletal binding protein
MSWAGFKKNVNRATTQVMMKTGHVEKTNDRDYEVEERRYRTMEAASMRLQKEAKGYLDSLRAMTASQMRIAETIDAFYGDAGAKDGVSRSYKQAVED
LDAETIKALDGPYRTTVLEPISRFCAYFPDINECIKKRNHKLLDYDAMRAKVKKLVEKPDKDVTKLPRAEKETDMAKAAYEQLNEQLSTELPQVIDL
RVPYLDPSFEALVKIQLRFCAEAYSRMAQVQQYLDADTREQYAQGHLDSRVEEVLQEIRDLSISGTV
>RCO7_08839 | uncharacterized protein
MPSRGNPNVPNKQRKTASRAKVQKKNAANKISKNPRGTARSDVLHPTSGPLAPISGKKARKLQKLQNNARRRALEKAMEEDGEVEMTDAPKATKAKA
KEEKKTGEEMEVDATS
>RCO7_08840 | uncharacterized protein
MGDDLHTLSPTALSILNHPAAIAVNQDPKGRSVYLVHHEKDAAPDIFGLSSIQVWTGTLYGGDQIVFLLNAGGKDTKISASLEEIFTHDRPEGSAPQ
VKEEWETAEPEKLFKDAKVYNGTEHSYKEDLKNNDSRLLGKKIGEIAAGGSWAAKVNKHSAEMFRLRSVDSGGKREIHSKKEL
>RCO7_08841 | probable alpha-glucoside transport protein
MEKNTKDMTQEVTPSRLENEDHSLKLKMQGSELNTAALEGTIIEHELSPLEAIKAYPTAIFWALMVSMCVIMEGYDTILIGNFYAYPEFAKKYGTFF
PGVGYQLTAPWQAGLGNASGIGAFFGALLNGYLVTKFGVKRVIVGSLIFLSANLFIVFFAPNIQVLLVGQMICGLPWGVFATIAPAYASEVLPLSLR
VYLTSYTNMCFIIGQLIAAGVLAGLVDVHSQWAFKIPFAIQWVWPAFLIPLLCFAPESPWHLVRVGRLEEAERSLKRLVRKSSGIQTKTLLAAIVHT
NDLEQELETGTSYKDCFTGNELRRTEISCMAFAGQILSGSTFAYNSTYFFQQVGLNTNTTYKLNVGGTGMALFGTLVSWFLVIPHFGRRKIYLCGMS
VMASTLYVIGILNTKTSISGVGMSQAVLTLVWTFIFQLSVGQLGWALPAEMGSTRLRQKTICLARNSYYIVSVISNVLQPYFMNPTEWNLRGYTGFI
WGTTAFLTFAWAFFRLPESGGRTFEEMDILFAEKISARKFAKTDLEIYRGQGVEEVARKVAVVCAPSASHSCISELERKEEPSLLSN
>RCO7_08842 | related to sexual differentiation process protein isp4
MSTNEVVQKAPSLYHSSSDEKKVPKLAIQTVASVDEISVERYEKELNVTGEDLLKAQEDAKNLDLEQTREIMIKVMKIHQKDPNFPIEVVERIQEFL
GNSDVFENPEKHAHLIQEMKTEAALITGNSPYAEVRAVVDNTDDPSMPSSTIRAWGIGLFFVVALSFINQLFSIRQPSISVGSNVAQLLSYPIGRAA
ATWLPDIGFTLFGVRHSLNPGKFSRKEHMLITIMANVGSSTPYTDNIIWTQVLPLYFNQSYARGFAYQILISLGTNFSGYGIAGICRRFLVFPSYCV
WPASLVTIALNSTFHTEKNEPVVSPFFKKIFTMSRLKFFAWTFAAMFVWFWFPDYIFTALSAFSWITWIAPNNVNLTTITGFNTGLGLNPFPTFDWN
VLLFDAQDPFMVPFFSTLNKFLGMFIFMFVILGLYYTNTYNTSYLPINTNRVWDRFGERYNVSRAIDARGIFDPTKYEAYSPAYLGAANLVIYLAFF
GIYAAAISYAYLYHGHEIKMGFKNLYKSIRRQKSYNQEEYVDIHNKLMSKYPEVSEWWYFATLVTAIAVACAGIAGWETYTSVGVVFYGIFLCLIFV
VPIGIITAMTGVEVTLNVLAEFIGGSFVAGNALAMNYFKCFGYVTCANAIAFTNDLKLAHYVKIPPRHTFCAQLAATFVSTFVCIGVLNFQINQIKD
VCTPDQVNKFTCPGINTFFTAAVLWGTLGPHKMFGKNGQYSALLVGFPIGLAVPIIIYYAQKKFPKQNWLRQIHPVVMFYGALTWAPYNLSYVWPAV
PLGWFSMVYMKRKYLDFWSKYNYILSASWSTAIAICGVVIFFALQWSEVELDWWGNNVVILRKDSSYFGTVGKSQCRHQISDHHNNALGLCLSAPSH
EAHDRRFSLPQRPTALPPPLSVLTEWISVGSPSVVLGHLQSVKASIRGK
>RCO7_11688 | uncharacterized protein
MRLSNRRSRANLGLSIALLSTSYATSNEYTYNISSDKLTTINSLLLGAKRSREASLIGDSGLATINSLLLEARSNIKASISRDSSLATINSLLPDAK
SSIKASIIGDSGLAIINSLLPDARSNIEVALIAGSGLTTINSLLPDARSSVEVSLIEDLSFAIIRSLLLRVRSNINAGLARDSGFAIINTLLLVARS
SSKAVLFADYILTPR
>RCO7_05098 | related to acid beta-fructofuranosidase precursor
MSTSAKTKALLPLWHAGPAFHTRAPSGWLNDPCGPAYDVTTGTYHVFYQFLWPTLPYDKEGIFAGCVYPTAPDGKPGQLTAFYTSVCSLPFHWTKPY
PRNAAGLPPGNLYDGGTTWQKSEQNLILAEEPEGMIVTGFRDPYMAAWPAMDNVRGKTSLYGTISGGIRDQDPKAFLYAIDPNDMSKWEHIGSLLEL
PVGHSLLRKWGGDFGVNWKYANIMTLKHGSEEHEFAIIGSEGGLQREHLKVGDEAYSTWCMRVAGKLQKQGGIWMEYEFSGVLDHGCFYAANSFDDP
RSGKRIVWGWLQEEDLTLSRREAKGWTGHLSLQRELSYHKITNVVRAIKTPLSEITSIHLKDDDNGTKALEKMAYDLFRNSNA
>RCO7_05097 | uncharacterized protein
MRNQTSFFAVIVVLPAPRRPGSTQCWFSPRERHELADPHGRPATLETRGQLPRLGHPNFRPQVVSLYSEAPTRATTNSQRHNTSFSLKQIQNPKWKP
RNTSTTAVYAAEFLKHKFRMPKDLRQAWEELKPHDDPSKNYSTYPRVSGQLVRYRDGQYVFPVTIGYPKQVLNLIFDTASGDFWMWFWLMPVEMLYN
GSGSTEAALWEGQSWGATYAVGSNYGTVWSDIVCIDAIGVSGNPIECSQRVSNCSCIHGFPCQWGMGIIDFGFIDEKKYIGSIAYTPITIIPGGGAF
WAFIWTGFSIRSDKFNRTNIQVMTDTGGNISMFPQSIANRYYKLLVGSYKQTDGAWIFPCKATLPNFVFGVGTSRIVVQGKNFILTNLPDGVNCIGG
IQIHDYGKMRMGFAKRTRL
>RCO7_05096 | probable Pentafunctional AROM polypeptide
MGSTTANPRSPTRIAILGKEDIIVDFDIWRNFVVEDLLSNSPSSTYVLITDTNLSPLYVPVFTQAFKAHTSSSSAPPRLLTYDIPPGESSKGRETKA
EIEDWMLSKQCTRDTVIIALGGGVIGDMIGYVAATFMRGVRFVQVPTTLLSMVDSSIGGKTAIDTPLGKNLIGAFWQPQRIYIDLRFLETLPVREFI
NGMAEVVKTAAIWDEAEFAALEDNATLLMSTIRAKSDNTTTRLHPIRDVLKRIVLGSARTKATVVSADEREGGLRNLLNFGHSIGHAYEAILTPQVL
HGEAVAIGMVKEAELARYLGVLSPGAVARLVKCISSYGLPTSLADKRIQKLTAGKLCPVDLLLEKMGVDKKNDGRKKKIVLLSAIGKTYEPKASVVE
DGAIRVVLSDSIEVSPGIPRGLKNEVIPPGSKSVSNRALVLAALGTGPCRIKNLLHSDDTEFMLTAIAKLGGASYAWEDAGEILLVQGKGGDLHASP
SELYIGNAGTASRFLTTVVSLCKPSTVNSTVLTGNARMKVRPIGPLVDSLRTNGVDIKYLEKENSLPLDVPASGGFVGGDINLAATVSSQYVSSLLM
CAPYAKKAVTLRLVGGKPISQPYIDMTTAMMASFGIHVVRSKTEEHTYHIPQGVYQNPPEYVVESDASSATYPLAVAAISGTTCTIPNIGSKSLQGD
ARFAIEVLRPMGCEVVQTDYSTTVTGPAVGSLVAIQEVDMEPMTDAFLTASVLAAVAKGTTRIRGIANQRVKECNRIAAMKDQLAKFGVVCRELDDG
IEVDGRPISTLTRPEEGVYCYDDHRVAMSFSVLSVGTPKPVLITERECVGKTWPGWWDVLSLSFQVALAGKETASAHSHITSRSRSVLSDKSIFIIG
MRGAGKTTAGGWAARILNRPHIDLDIELERTVGCTIPELIKSKGWEEFRDAELSLLKRMISEKPKGYIFACGGGVVEMPDARQLLSNYHKAGGIVLL
VHRDTEEVMHFLRRDKTRPAYVEDMMGVYLRRKPWFQECSNFQYHSKGGESGALSVAREDFARFLSIISGKSSHFDEIRKKRHSFFVSLTVPDISAA
AGVLRTAVVGSDAVEVRVDLLQDPNSANGIPTAEFLSLQIAHLRSIVTLPLIFTIRTVSQGGRFPDDAQEDALKLYKAAVRMGMEYIDLEIAFPDEL
LQTITEAKGFSKIIASHHDPSGCLSWKNGGWIQFYNRALQYGDVIKLVGSANNMEDNFALARFKSTMAAAHDVPLIAINMGVIGKLSRVLNCFMTPV
SHPALPFKAAPGQLSAAEIRQGLSLLGEIQPRSFYLFGTPISASRSPVLHNTLFQQTGLPHEYSRLETDQAEDVRDMIRSADFGGASVTIPLKLDII
PLLDDITEAAKIIGAVNTIVPIAVEAGQPSRLVGENTDWLGMTHSLISASYATVSSGPPGSALVIGAGGTARAAIYALHSLAHSPIYIVSRTPSKLA
TMIATFPAEFNIIPLSEVKAAEEITKVPRVAIGTIPADKPIEQNMREILATLLRHPETETDKQRTLLEMAYKPSQTALMQMASDAGWVTIPGLEVLS
AQGWYQFQKWTGIKPLYDDARAAVMGN
>RCO7_05095 | related to 26S proteasome subunit RPN4
MLLVLPNHRRQLYSQSIINIPSQQQQQQQQQQDHLPGSATSAAAAATLTNTSFSASGLHISTPQPHYYNNTTSSILCSLEEDQPLFDYQTQQQFPSS
QSHPLMQSEHSNNSWLENGQLTPRSTTRAHHRESSLSSLGSAGPSSPYTANISNPQVVGDIYHEFNNYHHNSSKPLTPAHTPSQEHFLTPHYSSFYH

NPAFAMSNDGLPKPTASSEMMAAPEFNHSGRPSMLSTGAHDSPSTPPLYEEDREKNGEVSRFDISLSEYLQHCDDLAYRNPVPKLDRTMTDVYNDEL
YNPNFTSAPSSTPAPAVILPPQDDVFSQRLQAANSQHLSANIQTPLTIPSRERSPFRQGSPLAPTGNSFGQQPPNVRFGTAQHLRQQQKAESDARAL
QQQLDRASSEHSTPKTISPKEVDLVYHENEEDADTPLFPAQQIPRQPSLYRQQQPTLAQDPSEDDNASQRSYGSMATTRRESSSAYPASSQTTQHQG
SFNFVPPAVAGSVRQIPQQYPFVPNSRRQTSNLSNVSGEEFPSTLTSMESSSSEYADTSDLKKPTGTTADTGTYTCTYHGCTLRFDSPAKLQRHKRE
GHRNSATIGGGDEGGMTSAAQRNTQAGPHKCERINPSTGKPCNTIFSRPYDLTRHEDTIHNARKLKVHCPLCTEEKTFSRNDALTRHLRVVHPEHSD
LSKSRRRAGGGLHD

>RCO7_05094 | uncharacterized protein

MPLLSNNPVSSPACPFSCPSSFYTAPRSPMSIADDDILPAAEGAQSPRYAYREAVPVNVEVKDHCHIYLDEQIYSTALTLINDLLVTGASHPNHKTR
PAVAPDSHHIELTSALLLHPRPTSQKAQNLVIPSRAITILRNALLILGPRNANLKEALSFSPIVGSSKPRRSRKPIKYEDGSSASDTEDKQEHINGV
VANSGRIRRCAKDFWHTVGWAFNCSVVCPRRWKVWKVWLDYMLDALEADWADRQRSDESKNSDNEECWEQRRQSLLVKYLAHAVGQSYAMKRIVRSA
FADGGAESLKDFPEVFPNETKRPKYHSGQKRKRDDLKGKPFGNHDDEDEAEFESDDTSDSSQDVAGDDTMSGEIWSGGMDSMPLRQRVVMLLSRVSY
FIPDCFANLQGVYDEIYQCTVRLPLQTFILFMSTTESSRLPRDVFVSLAQLLLARLLPPSAPSPHTIEDRDDDGMTQMMLEKCFLPFAASNISVTDN
GRVSILVENFLRILVKAGVCRYTSSLKTAVEKGIMARENKAMKVDKRKRESDTRGKADEGDISMLKASGYRMRCLITVLKRAATIG

>RCO7_05093 | uncharacterized protein

MAHLDHVIVLVPYASLANPPAWISENFTITPGGQHADGRTENRLICFRDGSYVELIAFVNDDAKNREGHVWGDRQFGIIDFALTHSTGDASALFSEL
EKRLEAVKWKDGEVKVAYEPPKAGGRTRPDGIDVRWTVTQPKQLTIYIPESRTETLPRAYAAIAGASDSMNKDFHGILLERQVKITGTQDVRLVSQT
PGEEWQLDAMRERGGVFLGVLTFGAMVGPDGLESSRRMADRQGSFGEIYLDQDR

>RCO7_05092 | related to NEUROFIBROMIN

MNGDSGLVFTLVDRLTTRVTCDIPFFHSSAYFFADLHASLQLPHRTGSPSHDFNRDEIVVLTRGTLIGISASCIGTVVEALTQLLEELSQPFKSIHT
HPIHVLHSELYILELLAECCAVHWASVNTAHLVAAEEEAVSDSGDSDSDLDAKTPLSLGASYGQNRRAPQNRLLERKNPPGPLTDELVKRLIDAVKL
FSRPVPENYILPATNILDDVFKELPSEEMVFNGQLNGSEASRLLVEKSDPIENFTRGIIEYVSYSNWYRVLEYLKSALQQAAHQPTGNAAQANFIAD
DDRNALVSIRLISSFWVDGRKLSVVIQELCGSFLHLRKSFQTTVAIVLPLLITRWLERNPGEFIDLHSTHQRLDGGAETLFDMSNTMFDGGRRKAIL
YPLQTSLLLLLPDVFEYASNMRVVKNSSSIAKKVSFLELLRKALRNRNETAIYCLTSVLRVARHFPLDNDAAILSYALDVQEEVGEAVFRRYNPSMD
AANIGTSLMCAAFVSLVHLDFESCVESLTPICLASNAPQDFKIAVISACSHLARQTNADEYLPLFMKLADFVRDQLRVTALRRRDSYADEQYTKLKP
LEVANSADLVYTILLFLDASSLTLFNGAPSFASDWLISFEETFATFSTYLATDDERIRNLANTVARKTMSEGTMSFWRKSKGGDSKPFTQKFWRTTS
AITATAADSLIGMGNDETGTLIFIHDYLESRLHLLKTITELTEVPDDVPERAIACTKLETAFLISLCSSDISVCQLVTKCISLFCEEAHLVDDSSAA
NKSSVPTIRNIDKYLEISTRGFRFTGLVAFQKRVRGILRQIHYPTAGILIAWETVFEYWFRTSKQIFSRSSDMLEEKLLVEWRNCSGFLASLGGACT
SDLALASEDSSLTGLRWIDRILPDTYDETLLSKYMKQSIQLLASNNVRIREATRETLSTELSPLLYFPLFEALESELGVLFDTTRTNTSLSIESRVI
FAEQAAALLKSIVERLGGPAETGSPASLDVGTLTLNFAKFLDDLAEGASILKVKIKICQLCETVTQKKELLNLRNDVRVRNQLLEVIFSWIARPGSP
KDAVISAGARVEELHRLQRDLDRACLKALADLTYRLPLQPAEGQTDADTSDLKSQMFHTYFNRFLSLLNFETAESGRNEGRSMNTGGDESLSPSELA
ISALSNLLSANIDVGLKHSLGIGYHEDIDIRTAFVKVLCNILIQGAEFNNLSDSAVNERYDELLELLINDMSLTIALCDACPSMEVDEMTISLLNIF
DSRGLAFVLLEALLEHEVEETENEAELLRRNCVATKMLSVYAKWKGAAYLKATLQRVLERLVLTSKDLDLELDPARTSSPEELQKNALQLRVVAKVF
IDDICNSAAHIPVSFRKICSIISSAVMKRFPDAKFTAVGAFIFLRFFCPAIVAPDVEGLITTAPSKEMRRGLLLIAKVVQNLANNVLFGAKEPYMFP
LNDFLTQNIYRVTTFLREISVPPNMVEPIIESESFDFGSCVAMHRFLYDNWDHVRQKIVIRERKGADRSLLDATKSHVPILDALRKLITNLGPPPMN
VSWNRPAISSNSPPSYSRFQHFMLRNAGRNTESLVSTRAVYDGGESKVITSQSHVLANANVTQDGLPMICIILRNIDTEATDYELLLFGYLKIASRM
WHRPFGVLLDATCYSGQNEPQDALFRKLDLLTPSELTKQLSRVYVYNMNSAFRKCFRRILRLAAKSENSAFHPKNVDYHLIGSLQDLQAHFHLSQLH
LPKETISVVTDTRFVFQPIVRLSKTKGKIEVVIKVGSQFVQVTTTKKQEVVPGLRLHATVNDIFRLSEVDEAPTSIQTEDDSAFGLRTENGKIVMYF
TSPRKPDVLQAIRGAKAKYGKELRTLSSFERLVRPQDVPGTLLNIALTNMASSDSVLRLAAYDLLCALCRAFKFAADSKFLSAKELCVPLNPTRFII
DISERLAQSEPQLTADFLNEFFVGWESFPYSQRPISLAYMAPWLPGLRTSLIPNDVDSDKAREKVAAIFRRLIEVAISDVALGTTLEQHIWPAITSD
EIYTDIFLDEIVKAALSFGMNDERTEVLGSIISSLGTVSVRGKLISRLRKALNRTSLRPTRHLPENTVWGEICILIRLCLLTSFDSGSQSQLYLPEL
FHLVTMLANTGSLDVRLSIHRLLINTVHAMCTALGLEEGKTARLKDLLTSLSESWTDSLFNIPNRDGVSVTSSQDSGIPSLTAIESLAVVLSEISTV
AAVTVDMSNAWRSRWMSLVASTAFQSNPAIQPRAFTVMGCLAREEVDDDLLYQVLVALRSSITRFIEENDSEMLIAIVISLTKMMDKLPPASRYGMQ
MFWLALSLVRLVPLTLFNCTALFLDAVLNNIAKSGDFQGGRMVPTLLQGRISLEDAALQLDEFYGIHFNVENFHFAVCASLVKGLTDSVTKATAIRV
LTTFLETTTSNSALETKSQKEMSAFPYLGLLISRAMTPEESKENLWLAGWISTDDDFTAEGLLDVVDLETIKDKELLLNAAISIVDFQYLEDMVQNR
GLLWLNRVAEKRPTVVLHLCGPIIRILDDILISCQNAVTLESAHLLMRTLTSNPKFTDGVDTSEMLEDVLDGIGFGGLWRSSTFHIVNEHDRQSTAV
TDRLIELIIA

>RCO7_05091 | related to dna exoribonuclease Dhp1p

MGVPALFRWLSQKYPKIVSPVIEEQPREIDGQEIPIDTRGPNPNGEEFDNLYLDMNGIVHPCSHPEDRPPPKDEEEMMLAIFKYTDRVVNMVRPRKL
LLIAIDGVAPRAKMNQQRSRRFRSAQEAQEKAEDKAELLKMLKSQGGHIEEPEIKKAWDSNEITPGTPFMDILAASLRYWISYKLNTDPAWAKMKVI
ISDSTVPGEGEHKIMEFIRSQRSSPEHDPNTRHVIYGLDADLIMLGLGTHEPHFRVLREDVFAQDNKPRTCHMCGQAGHEARECTGKAKVKDGEFDE
KDSAPALKPFIWLHVSVLREYLAAELYVPDQPYRFDLERAIDDWVFMCFFVGNDFLPHLPSLEIRENGIDTLIAIWRDNIPHMGGYLTKDGNVDLER
AQFILDGLAKQEDAIFRRRKQTEDRREANAKRRKLEGERGGRGGRGGRGGGMQDSPSNGRQNRASNVAPEGLPLFAPGTGISKEAAAMTHDMVVNRG
AIYKANLANKSAAAALKSQINGSASTEDNTEAAPDGNFESPASALGKRKADLLDDDSSTPGRNTPQPGTPKPPNDEPTPDTVRLWDEGYADRYYEQK
FGVDPRDIEFRNKVARAYVEGLAWVLLYYFQGCPSWDWYYPYHYAPFAADFTNLSEMKISFEKGRIFRPFEQLMGVLPAASRQAIPETFHDLMTDPD
SEIIDFYPEDFVVDLNGKKFAWQGVALLPFIDSERLLSAMAKKYPLLPPEVAARNGVGKDVLIVAEAHEALYADIATNFYSKKQGPPQFKLEPRVSE
GLTGKVEKNESYMPHGALTFPLKSGEMPSLDDDRSIRHVNHFAAEELSLHHF

>RCO7_05090 | related to transport protein USO1

MFAIATPPAKQSVSETITTLSGRLNSSTLLEDRRAAILGLRSFAKEYPASVASDALRGLIGSLSNDREDVDTVKITLETLLMLFNPNESSPEASEEI
ALWLADEFTQRQDNITLLLDFLDTQDFYSRLYSLQLLSAILASRAERTEECIFIAPLGISRLVAVLDDRREAVRNEALSLLTYLTPNSTELQKRVAF
EDAFDRIFNIIKLEGSLVHGDRIVEDCLIFLANLLRLNNSNQSFFREAGCVPKVSWLLKDAGKVSGEDDIAEWAKTQRNRNIYALLAVLRLFLVTGG
VGTQTNQASFWQHGVLDQVLHLAFSRSTEMQIKAEALTTCADLIRGNPALQEGFSQFKVTSVLDEPSDDGKKIGSSDGIPQVYVIDGLLDLTLSVPL
MSAFDSRLAACECIKSYFFNHPVIRKHFLHRAIDGHTAGADETANVITTLLQPLDSQASSDPYRYWFAAVILFHLVYEDANAKSLVMSITEGDAAQG
EEVVTCLQTLTGNLVVGIQRNLDERVLVAYLMLLCGWLFEDPDGVNDFLGEGSNLQSLVQGVSSSAGDGVMVQGLCAILLGIVYDFSTKDSPVARAT
IHPIIASQMGREKYIDRLTKLRAYPLFRDFEVLPQRLSSAQPGGLPEVFFDTTFVDFIKDNFSRLLRVIDRDPGMEIPVVANGVQKGISREMVDSLR

SQLDEKEKALQKAQEEVVSLGRQLGQEQADHRRDKELSCVEMARIKNVNDALQRHHDNDVKRLQAEQRQLIQDHQQHLENVQKASDATSQDHQRQLE
HVQKASETNADRIRKRTEAEIADLQAKISKLEADLTKANISIDHTTRFISDILQANKDHIQDLQTAHLEYQSNSTEQVARLQRAEEKAKDLEARADS
ATESAKKVAASLAEKEQEKQAVQSELDDLLMVFGDMEDKVKQYRDRLKALGESVSDGEDEDDADEDEDDAGVD

>RCO7_05089 | isoleucyl-tRNA synthetase

MSIDFPKEEEIVLQRWKEIDAFQRQLELSRNRPSYTFYDGPPFATGLPHYGHLLASTIKDIIPRYWSMKGYHVERRFGWDTHGLPIEHEIDKKLGIT
GKAAVMELGLEKYNAECRAITMDPKFMESEWWVFKTIFEKGAVYQGYRVMPYSTALTTALSNFEANQNYQEITDPAVVVSFPLLDDPNTCLLAWTTT
PWTLPSHTALAAHPDFEYVKIHDELTGKNFILLEKLLGTLYKDVKKAKFKIVEKIKGSAMLGWKYEPLFDYFYDEFKEYGFRVFNATYVTDDSGVGI
VHQAPAFGEEDYNVAMENGVISEKRPPPNPVDERGHFTSIVRDFANMHVKAADRAIIKHLKGTGRLVVDSQIRHSYPMCPRSDTPLIYRAVPSWFIR
IPEIIPQMLKNIEGSHWVPSFVKEKRFANWIGGARDWNVSRNRYWGTPIPLWVSDDLEEKVCIGSIAELKELSGYQGELTDLHRDKIDHITIPSKMG
KGTLRRIEEVFDCWFESGSMPYASQHYPFENKDKFEKSFPGDFIAEGLDQTRGWFYTLLVLGTHLFGVSPFKNCVVNGIVLAEDGKKMSKRLKNYPD
PSIVMSKYGSDALRLYLINSPVVRAEPLRFKEAGVKEVVAKVLLPFWNSYKFFEGQVALLKKIENLDYCFDPAAEATNTNVMDRWILASCQSLLKFV
NEEMAGYRLYTVVPRLLELIDNTTNWYIRFNRKRLKGELGIEDTKHALNTLFEVIFTLIKGLAPFTPFITDTIYQRLLPHIPKDLQGEDSRSVHFLP
FPDVREELFNVEIERRVGRMQRVIELARVSRERRTIGLKTPLKSLVVIHPDPVYLEDVRSLEGYITEELNIQELVLSSDEAKYNVQYSVSADWPVLG
KKLKKDVQKVKKALPGLTSDQVHQFVLKKTIVVDGITLEDGDLVVKRGLKDNESSKNLETNTDDEVLTILDAEVYAELADQALAREIINRVQRLRKK
AGLQPTDDVKMEYTILSDPDNVGLANAFLSQASVIEKALRRPIDHHVKTDVEGTVSNTPEAGIILEEEQEITKAAFLLRLLKL

>RCO7_05088 | uncharacterized protein

MPTRTRPIEKLAQAIGKCTAEASVYGKCVVADYNSVHKDKCLTEFLRLKNCYIAASKKP

>RCO7_05087 | uncharacterized protein

MPPPEIPQSNAGHTHTEPAEPYYSNEDIAILHDVVVLAQEIYPRLPERERLSTNALFGAYYELLPKLGIDTDHDNRYARVLFKIGGQRGPATLYEKF
EAVLARMGIEIEFDHENYKDGEEHRQPENSEARHRSGVISSRSSTAEGKQSHQKHRRNSESSAWDLGTDLKSQPTTRRNSFSTIGKDHSRVIVKKET
FQRAQIIPLPGREKDAHTSTSKKEDTNRNVGAWLSSKPEKRRKARGRSISTHGSIRVRRQSTSRNHEGQYPQTTTPSVPASDYDLTNSSITAATSTF
EEEAVPNWTEVVVHRPAPKPEDLLRIKATLFFQARLHSLIKQKLWSWRDRARDLQEDNFGLELIAINHKQVALSRAAFNLWRQSLQEKRKSAEKKRV
FAQIEQQSAELRQHVIAQRALYHWSDYANYHVARTAAARKRIVRTRVFNAWKDITIGNELKVRHYVLKRMFGAWRRRYTSSVDDGSFTVQKYEGNLA
EKVFRQWVRKLWETKAFNWRAEATKRQALFRWIIVSHNQWESRHSAEERRRQDLAWNAWKIWKTRTEVQLCHEKDAIAHYHKYVLRGPLLKWRLETK
IVPAKIKVQTKVATGTLRDAFGIWRHRASMEREAAGRDRVKILEEAFTLWCHNFRSKLMVARIDKRLAARALSTLHLREVGISMQRQQQQRQLHAGF
EFWKQRAAVARARRCEQEEIAQSLITRKTQADAFRTWAFRAGSRKRSEIIAAHYHDPRLLKILVTKWTAQAQHHKELDRRSRDANYYLVLTNAIKRW
KNATEISKREKRKSAFAQVKRTVKMNLIRGVLQIWREKARNLLNLQAQATAVSGNKAVILGMELFDRWRARSEELAELDILWQEMTLRKHFEAWKNR
SNAVQALKTEAILTYQEHRESRAVKQWSLLALKVKAQDNYVANIREKNAKKNFRKIFTYWRQKALQQRPVKRVAFVESSQLGMTTQAEVWSDFGEDV
DMDDWAKELDDAGAISTPIPGYLSTPSKRSQRVMAVAARFSTTPKAPLSTPFERQLRAQWSGGAPSARRPLARSTLGVDRGFADIPESSMNNDQEPR
N

>RCO7_05086 | related to RAV1 - similarity to Drosophila DmX gene

MRAVLPGKPRAKLQAVCTAYWNDKRLIAYITGNAFVILTGPDSVLQTIYDDDEDHLEAIAIDETSGKIATCAGYDVRIYKPYGEGEDALKWSLQHSF
SLEETARVSATTLSWGVAEELLVGGACLTLFATADTPATVWKKELANSVKYADFSYDSAYIASTGKYDRLLKLWRRLSFGSEDTRFDVVYLPHPATI
TNMHWRRPYHADQTIENVLYTVCADNVLRIWAASDPHDVQHLQLWGQIDLRDSIQPRGLSETSKFRFAFIIDGRDFMFAIEHAVQSKRQEDKIDHAL
SHLIEVANRSPEICVVVDEHGNMSAWGLENIGSKARKKTDIFNVAHLEGLSLGLPTALGDDSSYVQFYNFCNKSGGALNILVHHFDGNIEYFESNVA
DLFDPSPRKDRLAPKAMWTGHSSSIKKIVRNVSGRAVISRTDGNESIVWKHIDHEGGASVARQSVITEKEHIHRICVMRQGSFVIFLHHHRISVWDT
RSLKAVLIATCEYSLVGKPLCILMLPEERKEGPIAHFATISSKMKGIVWELKLPHSGGIASERNGHYEPSITEFCQFDLGESENLSYVLSVDPAGSP
PVMTGFLDTFARDIALSFTRSGELRSWTARLDLKAKRVDWLQTCSVATGIPEPSLASGSSIRKAALVDSSRSGLTIWDIRGAQLEFAQSYESQDTIQ
DLDWTSTPDDQSILAVGFRFRVILLAQMRYDYLNNGPAWASIREFNIRDLTPHPIGDSTWLSGGNLIIGAGNQVFVYDKEVDHSAPAVMGLGLPARK
SGWDLFEVVTRFNGPLPVYHPQFLGQCTLAGKSVLVQHVLLALHKILKYHVEGEAIDNYLDMDLHDFYTSSNVTSSVAVSKGSKSFGAYSDDDEADE
TVTESVAATINEKLTKIALPQLSRQEQIHLADAVECVAIVEKQRRSMDDNAARFMLFFRQHILHRGRANEVHLSWREINWAYHSNSQDILADMVSHQ
FHQKMLWEHARESGIFMWMTDSTALKARFEVIARNEYTKSDLKNPIDCTLFYLALKKKTVLQGLWRMAGWNREQVATLRLLSNNFQDKKWRTAAMKN
AYALLGKHRYEYAAAFFLLADCLKDAVNVIWNQLKDVQLAVAVTRVYEGDNGPVLKELLTEKVLPLAAQEGNRWLASWAFWMLHRTDMAVRALISPV
CTLLETPQPPDMSSKLFLTDDPALVVLYAQLRQKTLQTLRGASKVTPKVEWEFVLHNARLYDRMGCDLLALDLVRNWEFLFPAPTIFKSIDSSDPRI
MLRRRSSLVVADLLMSDSAMDMKFGGHRPPPSVFEEPESNSLLDSFGF

>RCO7_05085 | related to permeases - unknown function

MAPDRGSTRTSEYQSISTPPTNLDSPDENDDYVGNESLEAAQRRRSDARKFIANHASEGQNFTLRGILVGLGVGLVICFSNMYFGLQTGWISSMSMP
SSLIGFAFFKTFAKHLDLPFTPVENVLVQSVAGSMGTMPLGCGFVGVMPALNYLLKKDEQGPMFLSLWNLIIWALGLAFFGVVFAVPLRRQVIIREK
LKFPSGTATALMIGVLHGKEATVDGPINTTSQNSTARNVSAAYADSGVADEEGVKKGQTSSWKSKVKLLTISFALSGFYTLGTYFFPVLRNLPVFGF
ALAENWLWTLNPSLAYVGQGIIMGPATTTHMLIGAIVGWGILSPVAKTRGWAPGPVDDWETGSKGWIVWISLAIMLADSVISLGYIALRPVVMNGRE
WVADVRRLVRKRDWKGFLPFDSRKHTRGYAPISGEGEDVATPLHENGPGTSGHETPEDIKELPEPDAPPEHLVNNSTFVVGLVLSIALCVGSIRIVF
GALVPLYATIIAVFMALILSIMGVRALGETDLNPVSGISKLAQLFFALIIPQSNKNSVLINLIAGAVSEAGALQAGDLMQDLKTGHLLGAAPNAQFW
GQIIGSAVGAVVSALIYKLYTSVYEVPGDLFQVPTAYVWVFTARLVTGKGLPYMAWQWAFGAAIIFTAVTAVRIVGGGKKWHPYIPGGIAVAVGMYN
VPSFTLARAVGGFVNWYWKSYRRREETPIVILASGLILGEGVVSIVNLLLASAGVPHL

>RCO7_05084 | probable sterol glucosyltransferase

MATRSSSVPPESAGPAGTLSNHRPQSTEEPAVATADSTRPGISRQWQTARVTAAPQWEAPGMKRYPTSFSVSNKPAWKHNTAVAADDDSTTSSSSDD
DDDDDDKEHKKHFRRKRSNGGQRPKGHYSRFDVGNDEFKTRGRVSKKDGRLNISVNETSNRGYLAKALGATFLKHVGTHGDDEPDLKDKRGWKSDAS
SETITTDLPRPKLNIVVMVIGSRGDIQPFLKLGKNLKEYGHKVRIATHPAFKDFVEKDSGLEFFSVGGDPAELMAFMVKNPGMIPTMDTLKKGEVGR
RRQQMAEMFEGFWRACINATDDEKDVSNLKMMGAKSPFIADAIIANPPCFAHIHCAERLGIPLHLMFTFPYTPTQAFPHPLANIRKSNVDPGYANFM
SYPLVEMMTWQGLGDLVNNFRVKTLGLEPVSTLWAPGQLYRLKVPFTYLWSPGLVPKPKDWGPEIDIAGFVFLDLASSFKPPEDLVKFLDEGEQPIY
IGFGSIVVDEPDKFTKMIFEAVKKAGVRALVSKGWGGLGDDNTPDSVYMLENTPHDWLFPKVSAVVHHGGAGTTAIGLKCGKSTMIVPFFGDQMFWG
NMIGEAGAGANPVPHKQLTADKLAEGIKQCLTDEARVGAEKIARDIEKEGDGSRNAVTSFHRSLVLRGHNSMRCSILEDRVAVWSLKNTSLRLSALA
ADLLVERKKLTWKQLRLIRHNEWNDFEGPGEPISGGATAIMSTVTGIATGVGGVPYKIAKSSRRRAKHEEKKRRKSEDARRKSQDAGRNNGAGGVVY
NKDSNTQKPNGKPENGNRNIAQASGGPETKGKEPKLPNGSAAQGMSSTGSKLDSEEHKHSMDRVTSGPDLGKHTMSGEPVAAKKAANEEQKAQDQKA

KNEEQGDDNDSVLSDDPEENVAEEIGKNVTLGVGKTAGFIAKAPMDLTLAIAQGFHNAPRLYGDETVRRPTRITGIKSGLKAAGEEFTFGIYDGVTG
LVTQPYTGARDHGPVGFVKGVGMGLTGFVLKDLAAIFGPFGYTFKGIHKELQKGKQPTHFIRKARIMEGQRDLSSLDEKEKKTIGETVNHGWQVVQE
VFAIMAEKRAHGLRGRVHAMKERKTWRANGAFENVEMAEKALEASRRGESLEGVFAQQREELQLTKKPRKNVAQDLAQGKSGDQIEDKQVVQENASD
SGLPAKEMPNIIGRN

>RCO7_05083 | uncharacterized protein

MIRLPATTIVLGRSDLLDHEKRLQTRGRDKERVIETDKLNERLARITVRSQPGSYDHDKNKVGQGQDQDEICHHEPCTGKQALDIPDEYDPESPSHE
STNSFEDTLEEEDHATNNVGFERSPENLMHGTPRPVSISKHDFYYGGFVETSSPSFADYTPHTPNDASTPQILQIPSSSRFRSRTHLPRSPLYVSQN
ASTSPERRPTSGLTPRVASRVATHNTPGIIFSQPARRPSRITTRITTRAYRHQTNSFSFDSSERSSAAYEQERAVSSSTDGRAETTDRINLSEDLRG
SSLHSSRTASSDSYRISATPDVVGEGESIVIDANEDDEEDNDWDKNIESSSIPFALPPPFSTVSRSASRANSLPHSPAREHFTSYPSTSPISFSTTS
SRTLADARSPSRRSSQAIVEHHAIQAGSPSGSRFNPVTIVNRAISIYRTRSPFSRQGSPQPTSPSPSPSPTPRQDQSRRASANIEPTTPSRVYRVYN
DAESPDLQPQTPANLPESRHQSRYHPSYTAPVTRAAARRGLSADINDLETLQQSMPRQRRVPAYTPLRGGRSASPVGLVQGGFQGLYGGRENGDEEQ
SWIEGVRFNNAGTRLWGSRDAQNDGGSLRRTPEPDDWRVGRRN

>RCO7_05082 | probable 3-phosphoinositide-dependent protein kinase 1

MAQNDLSLGPLRLTNPDEASPGISRDVPLNSYLEPSQASDETPVQISNSRDARSSPDPQTQNRRHSIFNLLRRGESEGTSPPRNASRGSEPKTANTR
SESSGSESFVSHKDPLARSAAAKAYRQSMPSNHQAQQQAQFPPYQAGAMQNGNRGYPPPGPGRPVSGIYSAQPPSGAMPSREYGSQRLRTESSKLPI
TGVPSRSDSRAAAAAMQAGVPSREPSHRERAYSSNNPIPAGNAPAPPRRSSRGMGGGHTDSTPGGSSSSAPRYDLDGILVPSNEEWKDKGAAVGVRE
EYDANGKLVLRQVKKGVRDFAFGRNLGEGSYSTVVLATDRQTLKEYAVKILDKKHIIKEKKIKYVNIEKDTLNRLIEHPGIIRLYYTFQDSSSLYYV
LDVASGGELLGVLKKIGSFDEECTKFYGAQILDAIEHMHNRGVIHRDLKPENVLLDDQMHVKITDFGTAKLLPDPRIPKDPTKPYDFAAEEEESTRA
RSFVGTAEYVSPELLTDKNACKASDLWAFGCIIYQLLSGRPPFKASNEYQTFQKIVGLDYQFPPGFPSAARDLVERLLVLDPQRRLSIEHIKNHEFF
DGVQFGRGLWRMKAPRLKPYIPPTQEPNLIKLNGGGVNSGAVSAGSGYSSVPQPISTSRAGPNSSNGSSRPQPRVITELPPPTQLDIEWSPVLTRNN
ERILKLGNLMVLSAPLPNSPNSRNGEHEPHEKSKLSRFFGGSTTKKRQRLVMVTSSARIILAAAGGDEKKTKSEISLLASECSWRTHIDSKGQELWC
VNTRGTHYTFEDSKSSVTTGDPSKSSAQEWIESIERAKDMALSQNMGGSYNSETGFDMGSSVSSPSSTIHGTSVYPEGFSITDRAGRNHLTKSQASL
GGEDTSDKATMKKSHRFSKRQSKNGLSTPF

>RCO7_05081 | related to 20beta-hydroxysteroid dehydrogenase

MSSQSLNPVFASGNLAVITGGASGIGLALATKCASYGMNVMIVDNNASNLSEAKKAIKGNVETVEMDVARIEDFENLKACSKITESHNGNISLLALN
AGIGLKSDWTDTAYFHRIMDVNLFGVIHGLNTLLPLTTAKASSTSPSSIIITGSKQGITNPPGNPAYNASKAAVKALAEHLSYDLANSSPDTSVHLL
VPGWTFTGLSGKQPFAKEGEKKGKPEGAWSSEQVVEFLEKKMQEGKFYVLCPDNDVSEEMDRKRMLWTANDAVMGRPPLTRWREEYKEEAKAWMSNV
KI

>RCO7_05080 | related to SWI/SNF complex 60 KDa subunit

MQPTYRPFPQQAPQRSPAPAVARRGIGPMVSGAHPQQQLTAAQYQAQQKSQDAALERAKARSTKPVDKNIPEGVEDCVIGDGVQRYRELRELERKLD
STMMRKRLDIQDSVNRNVKRYRTLRLFISNTAEDQPWQADTLDVDAFDFSTNMDSSYRVKIEGRLLEEEDDGLDNDDSDDEDDAMVEDGKEEKKKAK
ADPKKYRFSHFFKAMTVDYDRNKTKDGGDQSVEWKKPAVAPNTATLPNAADFDQLEFKRGGDENTNITINLVRDDDPERFQLSSVLADILDTNTATR
AEAVMGIWDYITVMGLQEEDEKRAFECDDRLRALIGREKGYIPQVPDILIPHMTPLAPIKLAYTIRVDKEFLENPQPTIYDIQVQVDDPLKARLAAY
LLNPTYAANLREIVEQDKHLATLVQAIMLSKSKHQFFEALSKNPTDFIAKWLSSQKRDLEVVAGEAPRAGGEDPSSDEWRRGGQNSIWASENVKQSV
KLMVGPRVKV

>RCO7_05079 | conidiophore development protein hymA

MSFLFGRRPRTNTVDLPKQAKDQIQKLDGPSGAAKAEDLAKTLGQMKFVLQGNQETESSPEQIYALVTGMIQEDLLYLLAVNLWRLPFESRKDTQVI
FSYVLRFRPPTASPKSEPIALSYVINNRPEVLVELCNGYDHKESATPAGTVLREVLKSHSAAAIILFDDQSVGSPGPKGLTGINQELRQSGNGVFWK
FFKWIDQGSFEVGADAFTTFRELLTKHKQLVAQYLSTNFDLFFDKYNNILVKSESYVTKRQSIKLLGEILLDRANYAVMTAYVDRGEHLKICMNLLR
DERKMVQYEGFHVFKVFVANPHKSIAVQKILLINRERLLVFLKEFLQDRTEDEQFIDEREFLIKQIKNMPATPVEPTQKPALLGSQAR

>RCO7_05078 | related to protein arginine N-methyltransferase 3

MTEEETTAVADTTESQKYAASSGSSENSDILDLKNDEGWEDAEPDQEEIHFISLLDDEVFTDIHAMLKHCKDKHNFDFLEIRQKLALDFYGSIKLVN
YIRSQVHSAQKISTDISKANFENDKFLKPVLEDDALLFSLDELPEVTEELQSTNSDKGKIVPSDSEPLAARVIELEEDLRRMQLQFDNYRSTVSETL
DERWKAGGSSKSAEEREEKRDDDSHYFSSYSYNDIHETMLKDSVRTDAYRDFIYNHKSLFAGKTVLDVGCGTGILSMFCVKAGAARVIAVDNSAIID
KARENIFNNGFADKITCLRGKIEEVTLPVDKVDIIVSEWMGYCLLYEAMLDSVIYARDKYLTPDGLMIPSHMNMWVAPVADPEYIFDHIAFWRDVYG
FDMKAMQAGITDDAQVLHVPARTIVADPFPFMQLSLHTTTVKDLVFKRKWQAKLKEDIDALDGFIIWFDSFFMPSRDDTVPENARAEEWTKDGKKGI
AFTTGPGGKETHWKQGVMLIENTKEKPANHKAGEEISGELEYAVPKENSRALTVGMTWKFGENKERTQSWRMR

>RCO7_05077 | related to flavin-nucleotide-binding protein

MSDSDLPAYPKLARNTVQRYGKPRGKYDCKTIHEIVNTTQVLHVSFPTPDPTDPFPAMIPMLGFMASYESQTDISSPLDLYLHGYISSRLMRLGQTS
PNEEEEEGLPLTIAATHLDGLVLALTPNSHSYNYRSAILHGYATPVEDAEEKLWAMKKITNGVVDERWENSRIPPTKTEMTSTQILRVRIVDASAKV
RSGGPSDDRADMKNDDIRAKTWIGVVPTWTMYGTPIESPENRVQKIPEHITKYITRENEAAEKKAVAAVKRK

>RCO7_05076 | uncharacterized protein

MAHPQPSMDITDFDEVALSGNESDASYDMADDEVPQTAQGTGNSFRKPAFEAPKTDTINEDNDNDKGKGKALELGPENSNRYVPHPSNIHRAKIGQT
SDEKETEEEKFYDMYSDQRLGRLRRTFKQEGQLVLDLLESLVGLEQSGWKDVSLALQECARKIALMFGDDIPKMKRDLHTALDGMAVVRNENNNVWI
ENKKVKLELQKETKARQNTKEILAEAMETISKTQNQYMDEKWARKAAESLYEKARKVASTFEEKYLREVNGKKVLVHGCEQLEEPNGKVLARLKSQL
EARELQLQEMKEEHKKEFLIRSQLQAELQDKLEQEVIARNELAAKLRSEEDLFADIKQLDNARIHVIEELDVTKIQLRETAEELDAAKARNRQAAAG
PKLIEELGTTKTKLLRATEELDATKVKYSQAVEDLKWTKISHCAELRSEQDAKEDALSESIELKEALATANKQVKSLSTQVKGLVTSYVERAHLIQK
HDTQLNKLMDQLNEMMKLMTTHNHKSGNAESGSTSEMLEQIREKDARIFSLRAQFDVATKAHNKLVDDKTALSTLIVRLEKDIEEEKNYSEKVRRAI
STIFQQIYKMPELEDMTQLLVKSRGTDVAQQEALDEIARMVTSFCNKIMSLDEQYRAGSGPFSPSTESCTDVENVETVSQELLDTKSELASSIAALK
KATQNNLQLSASHATALKKLNQTNLQLVTSHAAALKELNERRGQINEFEAMQVKLQLNEGRAVAQMKQMKTESQCMKDLHNQDLERILRLEAELHNL
RQQKNL

>RCO7_05075 | related to PEP5 protein

MALTSWKTFDFFEVNQVNPADDESRSFFDNNEISCVCSGSENLFLGSHDGVVRILSSSFKILRTFQAHDTGSITHMKQVEGTSLLVTISEDISNEPV
LKVWALDKPVKKTGLPTCQSTLSIQNGRKPFPISAFTALDDLSQLAVGFANGSVTVVRGDLVHDRGARQRTVHESEEPITGLEFRDEERIMTLYIST

TSRILKLSVSGRQGQAARSVEELGCAVGCMTLDKRTGDIVVVRDDAIYYYGIDGRGPCYAHDGPKSLVTVFGAYVALVSPPSTNISHPKSNGLRRFG
GAQAEDIFNTSTFTLLETGLKFVAHSESLVSQIKTLFKIWGDLFALTQDGKIWRYHEKPLQQRLEILYQRNLFVDSINLAQKSGMDAQQQNVIYRKY
GDFLYQKSDYDGAMQQYLKAIDNTEPSQVIRKFLDTQRIHNLIEYLEELHEHHKATADHTTLLLNCYAKLKDIGKLEKFIKSPGDLKFDLDTAISMC
RQGGYYDQAAYLATKHGEHELVVDILIEDSKLYSEALQYIWHLEPDAAYPNMMKYARVLLEHCPKETTKIFIEYYTGRYQIKEDEVVPEIVAVQQGY
AAGAVTAVQNLRDLLPLPYMNTSAVASPPIQGNITATISDNQIVKNSEPALAPQYTPPQPRGAFSCFVDHPDEFIVFLEACLEEKDLKKRDKIDLYT
TLFEMYLHKSNEKKGINRDEWEAKAKKLISGKDIPIDTSNVLLLSHLSNFRDGTILVREQAGLRFDVFRSYTSAKDTQGAIKALKKYGPEEPQLYPA
ALAYFTSDPRILEEAGDELDAVLKKIDEDGLMAPLQVIQTLSTNAVATMGMVKVYLQQTIERERKEIASNRRLITSYRNETVDKRQEITDLSTKPQT
FNNTRCSFCGSQLSLPAVHFLCKHSFHQTCLNMEIGDDGNVEGSCPNCRKDNDTIRAIRKAQDESADRHDMFLDALARSHDKFGTISEFFGRGVMEV
PPKIE

>RCO7_05074 | uncharacterized protein

MGSISTNSDFALTETQKAHFLQHGFVKIPRCFTRDQAAEFTSTLWTRLGMDPNDKSTWTKEKTNMPWHRHVPVSDFAPKAWAAMCELLGGEDRITDT
PEFRGWSDGFIVNLGREGYSADDELDLRALDNWHNDGDFFVHFLDSPEQALLVIPLWTDIESKGGGTAYDHPEGTTPWMTSTLDPNYTTYEGLEYWR
SLAWDKSKISDSAFQEATGEVGDVYLLHPLMLHSASKNFSRTPRVITNPPVSLKKPFCFDREDPSLYSLVEQKTLRDLGMKGGLKGWKITGERKPWI
SDRIRKKEEMKNLELERLSGESVG

>RCO7_05073 | probable WD40 repeat protein CreC

MFVLPPPPRYPSVNAYNAAVANGTAPALIETNNVLSHPTGPEYQLVVGEGTYVLKEDLHLATPPPHPSEAPVQNPNPLATTPQPATAGTKISLLTFS
SKSSAPLLYKVDTSKSVTSGGLSGSIQEHPAEDRVSADNVPGSSDGTSLTGSARATLSIGSAPAFGEGNSMLAAAGKEAGKRRKPKNNIAKSNSSFI
SRCIVNENMAKRVQDRPANGYFAFANINRAFQWLDLSSPQKAEHLTKILFTKGHCLCHDINQVTKALNHIDIIMGFSTGEIIWFEPISQKYTRLNKN
GIINTTPVSEIRWIPGSENLFLAAHMDGSLVVYDKEKEDLAFLPEENVYHTNGNSEYVNGNRETAKLHVDKSVHSKNQKFNPVSFWKLSNQRINAFA
FSPDNRHLAVVSEDGTLRIIDYLKEQLLDLYASYYGGFLCVCWSPDGKYVLTGGQDDLVSIWSVAESTIVARCQGHQSWVTAVCFDPWRCDDRNYRF
GSVGDDCRLLLWDFSVGMLHRPKAVSVRQRGSISSRLANPLQRAETQNTTTTRLRSNSGLSASDEEEHLIEHPVEPRANTAMLPPVMSKIVDPDPLC
WLEFTEDSIITSCKSGHIRTWDRPRDVANKSEITLSSP

>RCO7_05072 | probable vacuolar aspartic proteasse

MSAVRIVCVGDDSVGKSSLITSLVKDVFVTNKIQSVLPQITIPPSIGTPENVTTTIVDTSALPQERNTLRKEIRKSNVILLVYSDHYSYERVALFWM
PYFRSLGVNVPVVLCANKSDLSTNGNTAQVVEDEMLPVMAEFKEIDSCIRTSAREHHNVNEVFFLCQKAVTHPIAPLFDSKEGNLKPAAVAALRRIF
YLCDKDQDGYLNDQEMNDFQVKCFDKALSAEDLDNIKVSISKFSPNSDVDKGIDQKGFIQLNKIFAEKGRHETIWIILRTFQYTDSLSLKDSFLHPK
FDIPEYASAELSPAGYRFFVDLFLLFDKDNDGGLNKSELDALFAPTPGLPSFWLETSFPSSTVRNEAGHITLQGWLAQWSMTTFVSPSTTLSYLAYL
GFEPVGGSRFSTTSALKITKPRKRRRRIGRVERNVVLCYVVGAPSSGKSSLLDAFLNRPFDSLYRPTIKPRTAVNSVELQGGKQCYLILEELGELEP
AILENQAKLDACDLICYAYDSSDPDSFSHIVSLRAKYPQLDELPAIYTALKADQDKTTQRSESQPDEYTSTLNMSAPLHVSVTWNSISELFITLAEA
ATNPSSAFPKSEEEAPDRTGMYIALGATACALLAAGMIWKRTAMAS

>RCO7_05071 | uncharacterized protein

MRLATDLNLEFSILALGAATPTSSPAEAAPTSGPTTPKVPQSIKHAWISACPYQYRGNSSGLLCTSRPHLLPFAILQRGIQFGFEEGTTGIIKLQET
EEVVFKIFLTWLYAQSLWSKDVKESWPDLGHLISLYIFADMARIPRLNHIIDALIAISDSNSELPSSRELAFGWENTSASSPLCSLIVDWFTLKPPD
GYSDGGISRLPVECPMEIMKAIQPMISQYRGTKPGRKAISDIHPSKYYIADDPANASIRH

>RCO7_05070 | probable nucleolar rRNA processing protein GAR1

MASQRPHPYNNPGYLPNGGSGHTGLPPGAAPLLPNNGRVIQTGGVRVLCVADVRGNLRSLNELAKAARADHIIHTGDFGFYDGSSLDRIAEKTLKHV
AQYSPLISENIKKAIGAPGGPVKQRFSPNDLPLSELPQFLDGSLKLDVPVHTVWGACEDVRVLEKFRSGEYKVDKLHIIDEARSMLLEIGGVKLRLL
GLGGAVVMHKLFDNGEGRTTIAGGQGTMWTTLLQMGELVDTANRVYDPTETRIFITHASPAREGILNQLSVTLKADFSISAGLHFRYGSSYNEFSVN
PTLDHYRGKLAASKASFNDVWETVKSEVQPAISQNEAQQNLLQNALGIVDKMPSTALGGNPFGGPVGGANAAGVGQVDESAFKNMWNFNLADAAFGW
LVLEVQDGRIGTEMKAQGFNFAHRGAKQHPIQQQANQPQAPATVSGTPGASHAVVAAAPPTGPAQRQPPTQPQVPFNQRGAQQPLRGPAVPDIKPES
PAPQQKPATPQPQTNVVNLPGPSDKKENEKASTTTNGTGPDATSPVSKSTGEPIVGLFIMNVTSDEAVRELFKDEDKDKILKIEKWGQSNKVAHFKT
IEERDAILAGLPDDVKSRNGEDRSRPLVKIFQPRENSKPFTGTRGGAGSWGSSRGGNNAGNAPGGYRSGGASDSEGGRGGRGGRGAPRGARGEGRGG
RGGRGRGFKNDSSPAPTSSTPATGGEA

>RCO7_05069 | probable COQ5 - ubiquinone biosynthesis, methyltransferase

MASRSAIRPFLLSAKQKSFQPSRINRCLSNRTESPSQTQPPNNEKTTHFGFETVAEAEKEARVAGVFSNVAASYDTMNDFMSLGIHRLWKDHFVRGL
NPGSSSSTPSPGWKMLDIAGGTGDIAFRLLDHATNINNSPQSTITISDINPAMLAEGKKRSLGTSYANSSRLDWLVANAEHLDEIESDSIDLYTVAF
GIRNFTDKDRALREAYRVLKPGGVFACLEFSGVTNPLFDAVYKRWSFGAIPLIGQLVAGDRASYQYLVESIEKFPKQEEFRDMIKTAGFVVPGKGWE
DLTGGIAAIHKGIKPVQK

>RCO7_05068 | uncharacterized protein

MDSKNAVPAYTEGDAGPPSYDDTISSHHTTAASPTSQYYSSQIQSQLKTLNAQIASIQTQRDILSHVQEEKILSLLAHHIHLYISDFANTGLRKGSL
ILVPAKAIQDPKAIPTDYDFSEPSEYDRVVKVTDKEIDRYGATQDLWYWEDENMAMRLAGYLRPSLPDPRTVDLPKRQEQVPLPTQFKSWGFFGKKK
REERPPLIEERKDESSQPKAGVTSLGREGEDRVVVDIKAEEVVFRTENEFGMYGTEKGWGIVVKLRVVVELM

>RCO7_05067 | related to nodulin

MFYASAEANEYLAITGARIKTLKIVKSAVILPFQKCKRFSIQPNDYPMNLQAMTREKLQFLLPVVFTIGPNVNQRGGTAGQAPVDGGRIEDAPEDHG
DALMKYAMLLADAESTKKKSGGAQAPKEHLQNIIKGIIEGETRVLVSSMTMEEIFAQRDEFKKKVSKNIQGELSQFGLKIYNANIKELRDAPGSSYF
DSLSRKAHEGAVQQARVDVSEAQRLGTVGEAQRQGEQNREIAKINAETAVQKTERDSERAGAEAVLATRQTNYNKDVNLAQIEATRATEVRDEELRK
DVEVKRAETELERLRATDVVKATILRESKQQAADANNYEEQARSNAAFYTQQKVADSNAYTEQNRANAAFYSEQKATDAHAYKMKVEAEARFHAASK
DAEANLIRQQREAAGLSAMAGAYSDLSAAFGGPAGLIQYMMIEKGVYQELAQANADAVRGLNPKMTIWNTGNQAGGSVEGGQGGQGGIDSIRNMYQM
LPPLMSTIHEQTGVTMPEWQFGKLAHQIGEGEGQVAQVNGQAAGGKMVNGKGVKGANAANGVPH

>RCO7_05066 | uncharacterized protein

MLTSLTQIALLVLPLALAAPAPAPDPVAEPHPMITPRASLTDKTPTRVQERDLLDSIKGAGGYVESLLGSFPSYVASGVPNFFQDFPTGSAVQSSLG
ISDGDLAAAPTQVLNIPSYANWTQQGWNLRFRGNVFKQPNISESKLNDLADVFLIGTKIKDLPPDQQTQARNLTAEIFVVQQGDRNVSFNIEPASSQ
GVDGTNGGSNAVTPGGGSQNITLVGQTTAQGDYDQFLPIANVSGPGGFLKPGNATTNIQRLNVYATGTNTGNATSYLVPTVGLTIISDIDDILRVTK
IYQPAEGLLNSFARAFVPWMNMPEVYANWSRSIPDFHFHYLTTTPEQVTRNYMDFIYKTYPGGSFDTRPLNFSDVSATLSIRKYLLDRIFMTYPNRK

FILVADTSNSDVMKDYPQLAKDYPGQVQCIFLRNTSSTDPSDKFPYDTSGFKGLDNSTYMFFNVPDDLKGLDIMNGQCVNSTVKQTLTFSYQGLPFG
LSKKGAAGRIEIGNAVTLAGLVMLFAAVFGTL
>RCO7_05065 | probable argininosuccinate lyase
MAQQPIRLWGGRFTGASDPLMDQYNESLSVDRVMYSQDIKGSIAYARANVKTGILTKEEFDIIEKGLGEITEEWEEGKFVSRPGDEANERRLGEIIG
THIAGKLHTGRSRNDQVATDMRMWLRDELNTIEEYLVDLLKVIAQRAEQDIDYIMPAYTHLQRAQPIRWSQWLLSYAVAFQLDLERLRFTKKTVNKS
PLGCGAVAGNAFGIDRVAMAKELGFEGLIMNSMSAVGDRDFVVEVLQCAATIGSHLSRWSEDLIIYSSLEFGYVKLADAYTTGSSLMPQKKNSDSLE
LLRGKSGRIFGAMAGLMMSIKGIPSTYNKDLQESVQPMLDTVKTLKDSLQIAARSLATATINPEKMRAALSPDMLATDLAEYLVRKGVPFRETHHLA
GRMVALAEDEKKGMDELTVEQFQGVDKRFGADVLSVFDYERSVEMKSTTGGTSRSAVLEQLEALKKSFDE
>RCO7_05064 | uncharacterized protein
MRDRGIPLPAGAVLISPWVDLTHSFPSVAANNPLDYIPPHGFHQKPSPSWPPPNSDDLLAIEEGIVKSLSKKDHNINPNPQMEVDAVQGFHVEPDPP
SGTQNENAAAGTNGSVPTANTMPGSGRDLSIMIDGKLVEVKDQIQMYASNQLISHPLVSPILQPSLGGLPPLLILTGGGEMLRDEQIYLAHKAANPT
KYPPGDAYLDESPHDHNRNQVNRWKPTDVQLQVWDDLCHVVPTLSFTRPAKYMYRSIAQFGAWTLARAQKTEIEILDDDDVSVISQSESDEEEEAAE
QRKAAALDPRQSSGQVGKAGDPLPPFKNHMIRQRVDRHGNIYNLEPASELAGCNLPPSEVGIIKEGPVKKWMAAKMEWDTKFASTKRRIQKQRAKEM
AKGYCQFEDGDVPPPSALAGRRKAGDNLKEEKNKKSMGMTMWALWGSKHDEKTMNLEKEADKAPETTKTSAVDGAGARSLSDTKTTQGRKMDKGERP
TYSRSRSRRRAVKDEHQTDNAGDVDENTPAFDLLAMQKQQVGTPLDENLTPAFAAQPPPSDEASPSSNNPAILVRAPTNDEEYNLKRPKAKGIAFPF
SLKGHQSSASMTTLTSSIGIPPASDVRNSGTFSSGVPQNEADFEATTSTGMSTEASKAGQEPQQGSFEENLVNGKAVAATSSEGKAVENGEIVSAER
PPIETFVTASDIMSFPRPAP
>RCO7_05063 | related to TSR2 Twenty S rRNA accumulation protein
MDSSNGSSSRNAPSPEQCQAQFELGIALSLYSWPSLSLAVTNNWGGPDSEEKRQWFVGQTIDLLQENPDVDDAWIEEFLLNVMLDEFEVNVDDESGY
EVAEQIVKLRRDCGKGDFKEIEEMRVKWESKRGNADLGKMFERKERAEEEDETDGSEDDDEDEDVDMDDAPPLARVREPVAAEVDEDGFTKVTKKKR
>RCO7_05062 | related to DOS1 protein
MDLAYDHIQEQAIAPENEAEKQEKKPETTLNADFQEAYKAISSSPWGAKLGGFFGNVVKQGESVYQQGQKELNEVAEEATKGFTDLRSSLISRTRAL
SAVQTPVTGEQTDKGIEGNGEASKEKDKSTEEALKESEGVLARLRLEAGKRLKEIEKAEDAADEALLKFGTNLRNFLRDAVSIAPPSEEAGAQGSTV
LFESKDASGKRVIHTTRFDAQLHVIHSSEDSFTKDPVSEEYEPWKKTFGLDSKTDDISKDLETFTELRSSMEKLVPDTVTYGDFWTRYYFLRHSIET
AEARRRDLLKGAVASTEEEVAWDEDSEDESSSKVTKPKAETPRPASTESSTTLHPAAQVQDAASLKPEEKRRSQDEKSQADSDGSYDVVGAASGAPS
RAPGSPKEPRKGDESEEEDWE
>RCO7_05061 | related to AP1-like transcription factor
MDSTAARSTTVHPRLNLSARQEELLFAALNSNNKTTKLETTSFQSPDQLAMAPVALTESPLQAPGSGTVGSEESPFIDYDYEFEGDGSFDYGDFNNE
SQVQMIGNLPGSSSDGDNENNDKRSHPEVDGEEEDGGGKRREGDDKTAKKPGRKPLTSEPTSKRKAQNRAAQRAFRERKEKHLKDLETKVEDLEKAS
ESANHENSILRAQIEKMSMELREYRKRVSSSGAPGRNTAPNNGLPTYSNGFGNGGLNNPNDVNFQFEFPRFGRLPGPPAASILNATRSSTAPSVASK
QDLSPVDQGHISPRNQSSQYPVSNGSTAGLAHTSAQYDGGDMSALSGLFSPSLLESVGKTPPFEYFANNNNNNNGSNGSRSSTDSANGHMSTGHNTS
YSSPSASSNSNQGPSSSCGTSPEPTMQSPIYNKSLDSTLTTIGEEHSAADTTGEGEHTFCDKLNMACGNPNNPVPQTLSETGANSGNFGTPAFDING
IDWFAQQNNNQFDPQLFGDYREPQDNILSSETYGDTFFSDAFALDFTSPFNMAPSPAPPKKDLVAQIDEKQNEEDEVVPGEDTTQMLSCNTIWDRLQ
ACPKVKDGEFDLDLLCKDLQKKAKCSETGAVVNESDFNKIMKSYAAQQAAKST
>RCO7_05060 | uncharacterized protein
MMTGQRTFELIPTSLVKSNGQRRPMTSKAAKKAYQQANRGPKVSRAEQRRRDNAELEQQKREYEKERAAARAKAAREKKAAKANAEKDARRKQGLPE
PSRFVRPSQSTISRFMRSEGGNKRTWQQMESLAEDSDRTISDAEQGYEGPSAKRQLIDEGSDDEFGDFPAFSQLDVLEQIASSELSVKESPAPGLPT
KSRLSSQKCRNGASQELPKMEKADEDSILNTQALDDLVTTQLLSDLVEAVTKSDSLEPPDRSLTKSQRNTVQVPSISQPSPRRSGRVAEKFGKAHQS
SSPFRRSTVPVVEIPAKSAETMRALNEAVSSPRSDGPTTPAVLQTRSTNMPPPCLPPKVTMATKPTSTPQKPHFPLQAARNLPTKPVSNLPPSSTQA
FLESHMDDFFPSPTQAVRDLLDDLDDIPSNTQVARELNPENPGKGHLETMFSTQDFILSPEDLVDIISPRRSPSKPLREATSESLNRRERPHGYGSL
SPKEIKKVELEDFISTQDLVLSPVDLEEIISSRRTPQNPLQVANPGVLSSRNNMDGRKSTPEKTKIDDHEFMNSQELAFSPVDLEKIISSRLTPLKP
LPEANPVSLNQGENADSGLKTSSEKTRNDSDFFMSTQGLAFSPGDPEEVILPRRTPPKPFNEAAAKALNEQEYSHVARQRTAQDPKNDTNDLISSQK
LVLTPVDLEKIVSPRRTCPKPLQEVTLEFLNHGKHASSAKKPFPERPENELDEFVSTQDLILSPEDLNEIHSSPYRPALPSPPKGKPSFSNHQRHKP
SQARANSKRRFFEEKDEDLYYAAIHESKAAGGQAVPIKPPPNNFLSAIRNRSDSTDYGDFDSDLPGLFEDKEDEELEAAIRESKITAELEAKRLAAL
TAETEQLELERVLSNSTDYADFDLLGLSEEHNQNTHSTKPTNKTRAENLGDVAVMGKDNGGKAKPRRFFEEKYEDQMHAAIYESRTMEATKISIMGK
EVVSPNRFFKEKYEDQVHAAVCESERLAMRDGVGKDEEKRNAKEQEKEKEKRKAMETGKGNVKDNGKEEKKDTGPGKEKRKMKRILSAATDYGDDDF
MDCELELVGLC
>RCO7_05059 | related to protein carrier KAP123
MDQNKFLELLKGIQTPDTEIVKASTTELRKTYYPNPQSLLWLLHILTSHDAPEVRQQAAVEALRLISKHWVALPEDQKPAIRERLFETTLNETKPLV
RHSAARVIASIAAIDLEDGQWASLPQSLFQASTSDKVAHREVGIYTLFSLLETAGDVFEDKLPGLFSLLSNTIKDPESPDVRVNTLLCLSRVAMLIQ
PDEDPENLARFQEMFPAMVAVLKAAIDEENDDRVMQSFEVFQTLLGCESALLNKHFKDLLIFMIDLGADTDIQDESRTQALSFLMQCARYRKMKIQG
IRDMGENLTLKAMQIATEIDDDEDEDDVTPHKTALGLLDLLATSLPPRQVIVPLLKALPQYVNSDNPKYRQAGILSLGMCVEGAPDFIATQLDGLMP
IVLKLLNDPVMGVRGAALNGVARLADDLAEELCKHHAELIPALLKNLDAATVQASSEAENEKNLETLKGACSALDSVTDGVDKETVAKYVPELVPRL
VQLLNHEDLNVKASAAGAIGSIAGSAMDAFLPYFEGTMEAMSKYVTIKDSTEELDLRGIVTDSMGSMAEAVGPVAFQKYVQPLMQASEEGLNLGHAR
LRETSYILWSTLAKVYKEEFTPFLEGVVGALMASLNQEESDLDFEIGEEAREILGDEVVIAGKKVKLVTPATSKVEIDDLDNMEDDDDEDEDWDDLT
AVTAVALEKEVAIEVLGDVLSNTRKNFMPYFEKAIETIVVLVEHSYEGVRKAAIGTLWRAYACLWALMEDHTGEKWTPGLPLKSQPSEELLKLGEVV
TAATMSVWEDEVDRAVVTDINRNVSASLKLCGPAIMTQDKFTELMTSTVAAILTKSHPCQNDMGDEDDHDDLDEEESSEYDWLVIDTALDVIIGMAK
ALGTQFGELFKVYQKPITKFASSSTNYERSTAVGVIAECTRHMGAGVTPFTAPLLKLLIHKLTDEDPETKSNAAYALGLLIFHSTDSAAYLPSYNSI
LGKLEPLLQTQRARTLDNACGCVTRMIMAHPDKVPIGDILPVLVDLLPLKEDYEENEPIFTCIAGLYQHQNADVISLTPKLVPVFEAVLGEPAEQLE
DETRAKVIATVKFIAEKNASLIQGHPALLAAVRG
>RCO7_05058 | related to GNAT family N-acetyltransferase
MFSPTSWHFPNFLISANPTIIQPSAINQAFGTDAMYRAKPMNESVLKKMLDNSLCFGVYALPNSSAEIAGLSNPPQIGLARLITDHVSFAFLTDVYI
LEQYQGQRLGEFLIKCVDETLNSWPEFRRALLVSDTKGKGFYEQMLGMKELVQGGNGFTMMTRKGAGSVIQI
>RCO7_05057 | probable phosphoenolpyruvate carboxykinase

MSKPSSYLNNSADPVQRTSSPYPDPRELGPKSKILNSRTGNFHSTSLRNMVTINTVNKTALHPGGVQPVKEHTELENELHEKAHIDYDRVAIVPNPS
VAALYEDALVYETGSAITSTGALTAYSGAKTGRSPLDKRIVKEPGSENEIWWGPVNKPMTPEVWRINRERAIDYLNTRNRIYVVDGFAGWDKKYQIK
VRVVCARAYHALFMRNMLIRPDRKDLEHFHPDYTIYNAGSFPANRYTEGMTSGTSVAINFADKEMVILGTEYAGEMKKGVFTVLFYEMPVKHNVLTL
HSSANEGKNGDVTVFFGLSGTGKTTLSADPNRMLIGDDEHCWSDRGIFNIEGGCYAKCIGLTAEKEPDIFGAIKFGSVLENVVFSPETRHVDYEDTT
LTENTRCAYPIEYIHNAKIPCLSENHPTNIILLTCDARGVLPPISKLDSAQTMFHFISGYTSKMAGTEDGITEPQATFSSCFAQPFLALHPMRYAKM
LADKIEHHKANAWLLNTGWVGAGAATGGKRCPLKYTRAILDAIHSGELANVEYEVYETFNLAVPKTCPNVPSELLNPRNAWSQGHDSFRQEVTKLGG
LFVENFKKYSDEATEDVIKAGPQL

>RCO7_05056 | uncharacterized protein

MPSETYASQSQTRPSIGQHRSTNSIHSEQTNSLSTTPPQYGKPKKHGHVVGGGGRGHARVPSSKALHKLTKAAHANDAGGSHTDLKKLARNTSSKDL
KKNSSHVSLKRNRSAADVQKRTKAAQEQEDKRRSVNFEIGDTEDAWENDSSASPALSRSASRPASGNSSSKPSAPNSQSHSPPQSPSSTARSNAATN
GSEEKQTSRQTADAKVITERLLQRTQSHNTTKMSLATATPSAYVPDSPEKSQNGTPTVGSGGNEVVSRFVGGSCTPSENSPFLNNHKNDGRSKQTSE
DMKRAQSMGNLARPDQERDDDEESVLAPRSRKSSTGHAYVPPQQSRTQQKLWLQRASSNIEPQQMAPGVAMNGLAGLHGNLGGTSLVGAAGYDGRDP
RIKLQLERTGLEYLVVRRHQDPIGQAIKRLSLLPGAEKNRRIPAHKAKSVNGEQSMNAGHYGLSQSLKESRSRAKKGSNKQNAGSSANGANSSYEGH
SGSLDEGDMSDRGGDNNDTGALLRSMWDKSYDYSASAD

>RCO7_05055 | related to PAN2 - component of Pab1p-stimulated poly(A) ribonuclease

MQVGRLLLPPPGPNVLPTPVSTFAFDNSQELLWCGNQFGRVSSFYGNELQRYTSFKCGDGPVYQLLFHEKGVIALGAKCVHMAMRRGPPIWHITHNE
MKDLRCMSYTNKGTGEILVAGLQDQMFVIDVEKGVITKQAPTSNHYTMMRRSRYICAATQKGSINIIDPADFRVVKVWNAHSSLIHDMDAQNDFIVS
CGCQIRQGQPYILDVMVNVFDLKNMVASSPVPFPAGAAYLRMHPRMSTTLIVVSQHGQMHIVDLMNPNSSNIKQVSTMAYISMIEIAPSGEAFVLAD
AECNIHLWGSPSRMRFGDVSHPVEFTDPEETHIEVDWNPNIPLSSIGMPYYREQLLSSWPSHLIFETGAPPPKIDPQFLATLKSADWGTFGRNRSTS
KRYQVENTRTSERTPASLQAPKFLSEKAREASHDGTDERRLSNAHDVGVGDDTSLKADVPVWYENVEIKYSKFGVDDFDFGYYNKTKYSGLEIHIPN
SYANPLLQILHFTPLIRNLALQHTATRCVNELCLLCEMGFLFDMLERAEGSICQATNFLKTFSYQPQAGPLGLLEEDALGSSLTTMLQGLNRFLLDR
LTQDWKSILPQNTVFDQILATSATTGIRCMACRSEHTRPGTTFVNELLYPLPKIPVRNTRAHKPSFSQVLKSSVERETTSRGWCSRCQRYQSLATKK
TVHGVPAVLMLNAAVNSAEAKQFWAIPGWLPEEIGIIIDQGQFFCYQGDDLKLHIQRGMHNITVYSLVGVAAEIMSGVNQKAHLVSLVNVAHSLPTR
PEENRWHLFNDFLVRPIKAAEALTFNTTWKLPSVITYQMKAYNNKIDDGWKQTLDTKVLYMDTNANPVKTYQPLAFPQEAPIEGTIIALDTEFVSVR
RPEIEVNAKGDRTTVRPIVYALARVSVVRCSGEDEGLPFIDDYIHIRDTVVDYLTEYSGIRAGDLDIGVSKHNLVALKVVYKKLWILLNLGCRFLGH
GLKQDFRVLNVHIPKSKVIDTIDLFYSAANLRRLSLSFLASYLLKEEIQLDTHDSIEDARTALKLYKKFLEFQDAGILELMIQDIYQNGRSMGFKAP
AARKDGHLIERTMTPDLPVEGSGSGAHHAVNAVVGGGSGPTTPVRKPVGLAPGTGSTTFSSGWTPGKGGSGLSGSPLR

>RCO7_05054 | probable UBC8 - E2 ubiquitin-conjugating enzyme

MSSPRRRIETDVMKLMSDYEVTLVNDNSKSCDSAGSSLKANASPVQEFYVRFKGPEETPFQGGLWKVHVELPDQYPYKSPSIGFVNRIFHPNIDELS
GSVCLDVINQTWSPMFDMINIFEVFLPQLLRYPNPTDPLNGEAAALLMREPKSYDAKVKEYVAKYASKEAADEAGAETDDDDDMSSVGSFGDDEDDE
PAGPMEEV

>RCO7_05053 | probable ketopantoate hydroxymethyltransferase

MSTPHSLIKGARALVSLSSRPASSAARPFVVNFQERYSSHSPMGSSSPSQRKKVTLNTLRSLYKKGEPITVLTAHDFPSGHVADAAGMEIILVGDSL
AMVALGMEDTSEILVEEMLLHCRSVARAATSAFTVGDLPMGSYEISPEQALETAIKFVKTGRMQGVKLEGGLEMAPTIRKITAAGIPVLGHIGLTPQ
RQNALGGFRVQGKTSAGASKILEDALAIQEAGCFATVVEAVPSEVAALITKKLSIPTIGIGAGNGCSGQVLVQVDMTGNFPPGRFLPKFVKKYGDVW
GESLKAIESYRDETKSRSYPSPEHTYPISKEELAKFERILD

>RCO7_05052 | probable Ubiquitin-like protein ATG12

MSSPSPTPSRSSTPNPNTIPDSATHAPDIPLTLASSIILTSLPHSAASALQTALDFPNPKVAVHFKAVGSAPTLRKQVCSISSAQRFEVVVAYLRRV
LKVGEGESVFLYVNSSFAPALDEVVGNLHRCFKDSKDQLIVTYSMTPAFG

>RCO7_05051 | related to E.coli X-Pro aminopeptidase II

MKFSRPVLQQLHKAFQPTRPRCRFQVLASAHRSRTTSYTRRTYASVSAAELQFGQPVHETHPHLLRAGEITPGITAQEYANRRAKLAASLPPNGVAI
LASSNTKYRSGAVFYEFHQEPNFLYLTGFNEPEAVAVIQRAGSSSDYTFHLFLRPKDTKAEQWEGARSGEQAALDVFNADESGDINQLHTLLPPLIS
AASEVYTDIAKCSGFGHFFRNQDAPPNDFQKMIKDSKVKPLKPLIHELRIVKSEGEIANMRLAGKYSGRAFTNAMRRQWTREKDLAAFLDYDFKFCG
CDTTAYIPVIAGGSNALSIHYVRNNDVLKDGQTVLVDAGGEYGGYITDITRSWPVNGKFSDPQKDLYEAILRVQRSSVSLCRDSANTTLDKLHQITE
QGLKEGLKSLGFDVSGDAMDILFPHHVGHYVGLDVHDCPGYSRATQLKAGHCVTIEPGIYVPDDERWPAHFRGMGIRIEDSVCVQEDSPLILTTEAV
KEVVDIEALRD

>RCO7_05050 | related to DBF4 - regulatory subunit for Cdc7p protein kinase

MSSKRAPLSSNPNAINSPYRAAAATASKQKRSYATVQREEAYGQPPPAKKQMLENYQTIRTPPRQQLNQNSVEGRVFTRKSNASQQSAFERKLVAAR
EKPQQTVTKAEKTTEENQDSIRQWQKHYRKIFPTFVFYFESISEEVRIKYTKQVVALGAREEKFFSNAVTHVVTTRSIPPIQPSKSAETPVTSSTND
SQESQPQTINPTLLERSSESANTHSDLGGRTKFAFEAPINRRPAPQGQDGEVRTHQGRNADVLYRARELGMKIWALEKLSRMLGAMFNEEIGQANHG
HNTRSNSVSTTLPRTAREADLSQLLRNERINGPSDRDPTVAAKELTLFKGPFIYIHDIDEKQRPIMVREYAKVAHKEDGDWPQFRSVANGKCPFVEE
IDYTQREAEKEKEAIRLQRQQEKEKAIVPRTRAATVQAARMQPPRITGKRSLAEMESASNRNIVTVSTKQTNPFTSNNNSFPTLSEREASSRSNQNA
FVSRAGVGRLCGGEPVASGLQQSNITSAIRSTMISSTAAQPGAKAGTSKEVHGLQRKVLEKNSGGPGSYGLTSSHRMTDIVGAVREESAARPSRLRA
QDKLSLIEEDVDPSEVEDNARKVEATRKAKAVQQRRLEKRDPKPGYCENCQDKFEDFDEHVLSRKHRKFAEKLENWADLDALLNRLARPLRADY

>RCO7_05049 | probable ribosomal protein S6 kinase 2 beta

MGNGQSAVCFSDEVNLNHFRLLRVVGKGAFGKVRIVERKDTGLTFALKYIRKDEVVRSESVRNILRERRMLEHLNYQFICNLRYSFQDIEYMYMVID
LMNGGDLRFHISRKTFTEEAVQFWIAELGCALRYIHKQGIVHRDIKPDNVLLDSEGHIHLADFNVASDFTPGKPLTSKSGTLAYLAPEVYRGTGYTN
GADWWSLGVLFYECIYNKRPFEGSTQSTLAVQITKANPKFPVTDPPVSMPCLHAISSFLEEDPKKRIGSASFYSFTDNPFFRPLDFEALERKEIEPV
FVPSSEKTNFDATYDLEELLLEEAPLEARARRQKPREQLKDDATEKEIREDELYKMIEAQFTPFDYTTAALNRLVEASDPNAPTNLSPSDWNQPLQN
DQTPSVGRVISKANSATSRRRSKSKSQVSSVASASPPAVPPLPMTNGQPTSLSGSAGRQGNNYHPPLSPYQASYSRSQRPTGTRKESMGGGMQVVLG
ETGSWSDLAKNDTTLPADAKIEVAPKPSGMLSFLGRKKGRGHSPKPQERGILGKEGARVVISSGE

>RCO7_05048 | related to prostaglandin F2-alpha reductase

MASLTINSKQRMNSGYEIPTLGYGVYQVPADICGDVVTQALQAGYRHIDSAAMYRNEIPAGQAILSSNIPRSSVFFTSKVYQPSLTYEGVKAQVSTS
LQNCGLKYIDLMLIHAPYGGRSGRKGAWKALVESVSEGKVRSIGVSNYGVQHLDEMEEYMKELEEEGGKGMGGVLSVGQWEIHPWLPRKDIVEWCRT

RNIIIQAYSPLVRSQKLDSPALQPLIEKHHKSAAQILIRWSLQHGYVPLPKSVTSTRIVENAAVYDFELSEEDMQRLDLDGYFVSGWDPTVAGLDR
>RCO7_05047 | probable 3-oxoacyl-[acyl-carrier-protein] reductase
MLSRTLEGKIAVITGGSRGIGSAIARNLASRGCSLVLNYSSPKSSEQCISLAKELEEKHALRCIGVQADMGSISGPADLIQTAKAQLLLGSPFRIDI
IINNAGVVNNTKIEDTDPEDFGWMYRTNVRGPLLLVKAAIPYLPQDRSGRIVNVSSISSTEGFEEQSIYGGTKAALEAMTRTWSRELAERCTVNAVN
PGPVMTDMWTSMPLSHRAGLKPWVSHTPLAAVRPGLDNADLVADADTVGGRPAYSHDVAGIVSMLCSEESSLCTGQVICANGGMRMAI
>RCO7_05046 | uncharacterized protein
MQAEPAESSMQYAPFPEVLSAYGATRYSIGNNFSPGSVGLAASSPEQLSYNAAITRWFDLLATDADLDASQVFDSIEDLQSHGESPRHPNPSTPGFA
GASYEGFPVAGHHRTLSTTSSSLHLKERCPAYDAFKASEKQQWLSSDPIQLQQHEHTLFENFIKHISLWIDLFDPWRNFSTFVPHLAMHNVGLMKAI
LTLSARHLSLNPDANQQVHDRNDALQYYNETLHYVAKAMQYDSYKTSLELLATALIVSTYEMLDGSGMDWERHLQGVFLIQRSQVIHGDSKGLKQAV
WWAWLCQDIWAAFRENRKTFTFWKPVRTYDDMNPHELAVRSVFLVARVIDYCSREAIEACGGNMAIRIQEADRLTQTLQEWHQYLTAEFNSLSWKRS
SSDVFEPIWIHPPSLAVAIQLYNAAQLLLLINRPSRGGLNDFLWQAKLKQKCIANICGIATTLDDYASSVLSSQSGTCVQDSKERKAVVELLRTCRQ
RTGWPIKPLEQELQKLWTEGEGQEGSK
>RCO7_05045 | related to fructose-bisphosphate aldolase
MGSISQDWESQRSQNRTLQILEAAETGKYGVLATIAYNIEHILGFVKAAEQARSPIIIQFFPWAITFSNGLLIRAAADAAKRASVPVAIHLDHAQDE
ALIRHAADTLPFDSIMVDMSHFEKEENLRKTKELVRYCQDRGIATEAEPGRIEGGEDGVMDTEGLEGMKTTTEEASDFVATGVDSLAPAIGNVHGEY
GPAGPNLDFERLELVRAHVNGKVRIVLHGTNGFKPELLQRCIAAGVSKINVNKLVLDDYFDHLKAKVSKLTTTALMEEGVEKVVRQTVEWMENIGSA
GKAPKKA
>RCO7_05044 | related to allantoate permease
MDSKFTDEYAQQIEDKREDEMDATIDYVPGSDEEKKLVRKIDTFLLPTIFLMYLFSYMDRTNIGNARIAGMAKDLDLDSQQYSFILVVFFIGYVLCE
VPSNGMPPQDPNHKISLKPLFRYKKDEQSKRFSVYISAAILAGAFGGLLAGAIASGMDGALGIRGWRWLFIIEGALTAGWSVCAYFLLLDFPANTKR
LSPRERELAIQRIIADSNTVATEDSPPISHLQALKLGVQNWRTWGFTVGYMVIIGAGTLSYFYPTLVQGLGYTSTKAQYMTIPIYMVAFVCNIVTGY
FADKAPGQRGLIIGGGLIIATICSVIFCVVYNFTARYVLLVFMAGAIWTCNALSLSYASSTFGAMPNETRAICLAIVNALGNLASIYGAYLYPSTDA
PKYIMGFSVVSAMSAFGAVVYILLHVFVRRYPVSRKV
>RCO7_05043 | probable dehydrogenases with different specificities (related to short-chain alcohol dehydrogenases)
MSPSAVDSTVPATNTPTSAPIVQTQITLSKKIIAITGANRGIGLGIAECCLANDAEKIYSIDLAEPGEEFQKLAKQYPGRLFAIQANVTKEASVQEA
VDKILAEAGGLHGMVCNAGRTNHKSALDFTTEEIESLFNINLFGAFYCARVAAKAFIKQGVKGAVVFTASMASYRPNKVVPSAPYGASKAGVRNMTH
TLAMEWAKYGIRVNSVSPGLVSTAMTYWVPQQKDWEQQLQYYGGIPRLAEVQEVGGAYVYLLSDAASYTTSIDIPVNGVIGSKSTHICALYITC
>RCO7_05042 | related to cell-cycle protein PELOTA
MRLIKQNIERDGSGTITLFPEEPEDMWHAYNLIASTDLLRASAIRRVTTESATGSTSSTRVHITLLIRVTSIDFDPQAGQLHVSGQVAEENKWVKVG
AFHTLDLELQRNFTLEKSQGWDSVALDVVREAIKQDKEGTVPAVVMQEGMANICLITEHQTILKQRVETGIPRKRSGRAGDHDKGLIKFYETTLETL
KRHVDITQPRPLLLASPGFTAAGFQKYILDEATRKAEKAVLANKSNFIVIHSSSGHLHSLNEVLKSPEVLVKLKDTKYSRETRFMDDFMTMLRKDDG
RAWYGPSEVEQAVEKGAVGRGGGILLISNALFRSQEIGVRKRWVTLVDKVKEEGGEARVLSSDHESGRRLEGLGGIAAILTFPLDDLDEDDEDDQDG
DVTGNQETI
>RCO7_05041 | uncharacterized protein
MEHSDPNVLNTEIELEKTASRAPAAEIKSDEISMEHSNSTIPAPVNMERTNSTTPTAEINSDEIDIRHSSPTTPAPAPVDMTNTNSNILAVEIKMEK
TASTALALDMKMKDINMEHEVSNPPAFDISTYQAGSKVLAVEIKTENRYPTAPVSHINDIVIQRTGLKGFLELTSGDKIGVTTTEHTDSTAPATINM
EYTEPFTPTPVNMPNTKSNIPAVEIKLEKTAPTVLAQEINIEDLENMHSVPSAIKRRRIVDKDPITPPADFDVKNDADSTEAAGAGSKDEINVNPIE
STAPAAETKMNDTNSLTLAAELKVENSSLIPPNGDIKKEETNPSVPDSSLGYERSPEDIQDEASFRSNAIFKSWEKLQSLLDLHQDTINARWIKKSG
ASRKEFLMEVWPGIPRKHRPDFAIFEKEPPEKPLRHVITDPEELSAAKWPNFNLEDLSKGRHLLILMEARARCFPKLFARPDLEASLVNSAVGSFST
ATCSGHSMSLSGDNNDSYGKLLRLEGNQSAQDRLKYGIDFDIFKGLLILEIQQKLLQFLESCCEKILHDKKLPETIQSRTSLNELNKSAPYYAPGSF
DFRSLMLLLATQLTEAIAFPSDHLWDLRTDPGYFLDVVTECVESSIESVCDEHGQSDTKYGTRNHWELCAVNVSEEAYSRVIMAEICLHLTTDMHRT
FGDWPEVGQLPSESPDHQRLLDQMLVLRHIIDVQYDRELLLKHVAHILTDRSVSLVDKDMLARRVSAEVSFCYFFYKEHRNSREVKWIVPSPERPDK
LMSLLQAFGFFDREIESQMGRRKLLAEIESVLESNPDEKIRLSPITQMMLGKVGFGLRAIQIIDLVSPSVPVSWARILDENGEELSKLDELVRPELA
THTQFKDDFRGMSYDGFGSPESGRFNYPCWKTRTPETIRQMCRAERCLDEYWEKIDRSFHRSCGKSIHDLEPPIFKDRQKLRTREPMCAYKESGTEL
DEIDTALALLDMAADKNISAVQDETQASNTKMLAVLGTKSSDFVFTERALKVFRKMFSTPSSAPPGHIKWNDFLNAMSDSGFNITKQYGSLWLFTPV
SLDGCVFRSIFLHEPPLDPTSKSGLMLMEYKIAQRLARRLYYMYGWEQSWFVRK
>RCO7_05040 | related to acyl-coenzyme A:6-aminopenicillanic-acid-acyltransferase precursor
MASQNQISGKPDIVELSGSPQEVDNSTNWTQTWPSPARQIRRQIIVYEAMFKQTSNLSWDDVRSIARDYSATIHRLTPDLHLEMASIAEGAQLDLLD
IVALKCRSEIALGLFSDGCTSLGWKRESGQVFLAQNWDWTANVKENLVMMAVEQAAKPKIWMVTEAGIVGKIGFNSSSVGTNLNAICARPTDSTKLP
IHIALRLCLESESAAAAIAKLKSLGGIASSAHILLADPRGPISLELSPKGNIHILSNSKGVVCHTNHFIQNRFVDEHPWLSGSPIRLARVQELTDEL
ANSGENVDANALRERIFSDGYNAPQAICCQEDPARPIETRNTTVFNIVMKFVEGGPPSAEIVWGRPGSGEEGDVLKIPW
>RCO7_05039 | uncharacterized protein
MQLVKVSILALLSGYVAAQDIDDNDVPQQCRSVCASVVTLTETCDRQNNDNDSGFINCVCTGTNAASIIPACEACVANFDRNDGADNDVNDFVRSCS
FARTAYTSMSGSPTDSASVRPGTAAGVPLATLTGSQSSSTPVVTGSASSVTPGNTNAANSASSSTASLSSAAAGPSNTNAASANGVKAVGVVGALFL
GFIGLA
>RCO7_05038 | uncharacterized protein
MPSKTTTSSTTRQQAAEKQKYYLTSADSQKTSSTKSAQQGQEFWIEPYTIDDTDLMFDGKPLNLLYEENRWQAEHHVVYYEQPTRGRSRQSKK
>RCO7_05037 | related to integral membrane protein PTH11
MKKAFIAILFLAAVPPFTLAVKTGTEAVALLKQLPPCALTCLATSVAKSTCSPTDTACVCSNAPLNAVIRTCVQSSCKIKAALKTLNVTHHLCEDPI
RDARNYYNTVSDVFGILSGIAVLLRLYSRWISAQHFWYDDYIIAFAIAIGIPGTVMNVKGCKRAPSQYPMAANNKLKVTYNGLGLDIWQVGYKQITD
FIHVFFAMELLYFTELGMVKMSILFFYLRLFPSPTFRRWVGGTAILNGIFTFVFVTIGLFSCAPLSFYWKRWDGEHKGKCLNINALGWSHAAVSIAF
DIWMLALPMFQLRGLKLHWKKKIGVASMFGVGAFVTLVSILRLRTLVKFAVSQNPTWDYTAVGAWSTVEINTAIICACMPNLRLLLVHYFPRFMESS
RSPSYAISKNRNEGNRAVPGDISTDRSIEGSNNGSFRTADFSSEASDDSNEKKTSLGELPRVESRKYDDNLEYSVEPDHERKHETGNWI

>RCO7_05036 | related to 3-oxoacyl-[acyl-carrier-protein] reductase
MSSIDAATLFSVQGLVAAITGGGSGIGLMMALALEANGATVYIIGRRLESLEKAASQGKHGNIIPMQGDVTKKEDLSSIADKIAKRSGYLNVLIANS
GISGPVAKSLPKDASLSEWRDNLWSTEPQEFDQTFSVNTSAVWFSVLAFLPLLKEGNKKGNVEQKSQVIATSSIGGFNRVPLAGFAYSASKAATTFM
MKQFATALVPYDIRSNVIAPGLYPSEMADELIAKMEKSTGLLKSFLPAERTGTIEDMAGAILYLTSRAGGYLNGNVIVTDGGRLSVLPSSY
>RCO7_05035 | uncharacterized protein
MRFATASITLAFATTLSLAAPTPSNNINSFFNIDANNINQGFNLQAFNQNDIANLLSGFDVSGFNNQFQQFNAQFDQQAIQLLLLQLGGNQFGNSNL
NGIQDLSQFNVNSFANQFNGQFQASWNANEILGLLVQLGLVDNQQIQNQLILSQQFQLGSQSCLGF
>RCO7_05034 | uncharacterized protein
MCKLYQTEYTCTHIAKIETAPCRVSRPSTTYSEVSCPRGITILTQNAPHKCHACRTYDRDRWRRGWPRIPILQPMSLDLYMPRTSRGRPAGTLFEDD
GDGDGGDFDEEELERSILGMGLDFERFGKRASRFGKEGIGEKGKEKGGSKGSDLSDRADDDEESWTEHSEGSNGVALGIKRADSFATDHGGSEESDI
GNGEPGSRFGGFGGRRLRGRRASTLDVVPFPELDSAGGDVAMERNGWGATMQRVDTDVAMERRGTGVAMERTVSHRYSRSDTITQSTRPRPLSGSSY
RGTEMLGGGSGLGFGMGMDSSTGGPRRDNFTRPQRDSASGDLGLSSASDMATGAAPRRGGVAMERGGEARTIRSDDTTRSYSLTSRSLPTRRRRSTV
VARPRLELGSNTTTATGTAREGSGTRTGDDDDDGVKKESITAQFLDF
>RCO7_05033 | related to endo-1,4-beta-xylanase
MQFSILLSLAALPAAFGQLNTLAKARGLKYFGTATDTPTLTDATYMSILSQKSEFGEITMTNAQKWSYTERSQNVFTYHGADTLMAIIKKNGQISRC
HALVWYQELPDWVKYGSWTSATLIAVMKNHIANVVTHFKGSCISWDVVNEAFNEDGTWRKSVFYNIIGSEYVPIAFAEAAKYDPNAKLYYNDYGIER
AGVKANAVLNLVKSLKARGIQINVGLQSHFAVGLTPSFAAQKSNLQSFTALGCEVALTELDIAFRTLPPSADGLAQQAKDYGTTVSACVATPGCVGI
TLWDFSDKYSWITHEHPGAGDALVWDLNYRKKPAYYAIATALGGGGSSGGGSSGGGSSGGSGGGSSGGGSSGGGSSGGGSSGGGSSGGGSTKPPTGG
SVAKFGQCGGLGYHGSTTCVAGTICVRQNAYFSQCL
>RCO7_05032 | uncharacterized protein
MAFADSLSSNTPSLTGPTSTLAPITPVISDQASEKWKSAPSSSQLASEMGKPVSASVGGIDPRLSSAYVVSTMPASTPSFTPSPTLSSFPSSTSITQ
PASSLWQNMSTSAQACLIVALCILTISLSIITLFLLDRCKHRHMSPFTTLENYHPNTTIGARGILWPEKVVLRGDAKEFHALTRQYERDHSLRTSLR
EGGKYLSLDQTETPRGFWVV
>RCO7_05031 | probable maltose permease
MSSTKATVEPQVVPGATDEKSCVNDVSQKEVGEEARRATEIEHEMTFLQGVKLYPSAIGWSAFFSLGVIMTAFDPQLLGSLYATPAFQRDFGYLYKG
SYIIGAPWQTALGMGNPIGQVLGALAASYPMEKYGRKWTFAGCVVGTAAFIFMQFFARSIEVLLVGELIGGLILGMYTTIAPTYASEVCPIALRGHL
TAYINLCFVTGQLLANGVIAGSSQLNNHWAYSTPFAIQWLWPIIILCGIPFAPESPWWLIRQNRLEEAEKSLNRLSSATVNNKLVLAMMVETDRLEY
EMQTGITYWDVFNEVNIRRTEIAVAVFATQVFSGIYMVGYAALFFQLAGLDGQKSFNMSVGYLALGWVCTCISWIFISKWGRRRIYNIGLATLAIIM
FLVGILDCVPNYENRPDIIWAQCTLMIIWNGVFDLSIGPVCYTIFCEVSATKVRTKTIAVATAAQALVGIVMTVAIPYMINPDQANMRGKMGFFFGG
LSVICLIWCWFRVPETKDRTFEELDLMFARGVKTREFKNYKIE
>RCO7_05030 | probable alpha-galactosidase 5 precursor
MRFQRIYVALLATLLHQASCKTTIPYSTASTTSAASSQTTSYTDQSNEPELSNGLALTPPMGWSSWNQFGDQIDEALIKNTMDTMASNGLRDAGYVF
INLDDGWQRYKGNRSDNPLEPDPVKFPSGMKSLSDYAHASGFKLGIYSGPGQMTCAGYTGSEGHEAEDAAMFASWGIDHLKYDSCCSSGDSAPRSEM
EEIALKMSKPLLAQSHPIVYHFCHCGWADVWEWAAGEGANQWRIGQDISDDFNYPGNREKYYFDVLDMLDRGNDLVEYSGPGHWNDYDMLIVGLNGN
STQLVGTGASNIEYRTHFSMWAMVASPLLIGSDVRILDAYSLQTLSNKEVIEINQDPLGISAQTVGINENEDLQVYAKEMSDGSYAIALLNRGSETA
EISVSPRRDLALAWNTYRVRDLWKHKEGLYDVPYTVEVIPHEAKILRISKVQANSSMCFFH
>RCO7_05029 | related to glucosamine-phosphate N-acetyltransferase
MTSLFSNDLISAKTLDSLPNGYICRPLERGDFQIGHLDVLRGLTHVGDITEDEWTERFDALKASNGTYFVVVLVEKDGDVEKRIVGSGTLVVEKKFL
YKLGVQGHIEDIAISKDQQGKGLGLSLLKFLAYIAEKTGCYKTILDCSPANEAFYVKCGYEKAGLEMHCYYDTEAQKHRV
>RCO7_05028 | uncharacterized protein
MQILNIFLLSLVGTSIAAPLNRRATSAARAVASNAPKFQHWINFQHWINFQHWRGTTSNTGTGSSRASSNNGASANSGNSAYVSGNPNAAAVMYAAG
AFANDAMTVSRSLNTLGTETDPEKIRQLATVAFQAESDEDQRRNVLATAGGSAAAKSNALIVKNTPAVLDGLMTIQNNPTPQTAAQALPAIEQARNP
NILPSITQLSQSALDNAGVTSMTATTFQQTSGSGGSGGSGGSGNNGNGNGNTGNGNTGTGNTGNGNTGNGNSGTSNTSTN
>RCO7_05027 | related to stress response protein rds1p
MSTKYILIVALLSLGSLVAALPTTGVPSQFSRRQNTTAQPGNASGLTDVDILQFALTLENLEGAFYAQGFSKFPDSDFMALGLQAADVTNLKSIATT
EQVHVTTLTSAIAGAGFKPVQPCTYNFGFTTAAAMVATAGNLENIGVSAYLGAAPLVQMPAILTVAAEILTVESRHQTLIRTLSKTAAIPSAFDTPL
GVRSVFSLAAPLISSCPEGSNLKITAFPTLALAPMPAMANSTSMPVGTRLTVQNSPQGATNCAFSNGGAPGGTIYVTFENNGCSVPSGVAGITYMHL
TSSVPQGNILTDSVIVAGVQVLNVS
>RCO7_05026 | uncharacterized protein
MRAFSLSVVLGAFSAAHAQNPIINESPLWTSPIIGPGGGNSPPPPAAPGPMPGMPNMPPPPPPPAAGMPPGMPGMPGVPPPPPPPGMVNDSPAKAPV
SSAPTQPAGNPIIDEMTLKPAGIISGPMNLNGDMGIPQPDNSPAKAYDPGALKAAGIVGGGQAAAVQATPAPTIPSTSSPASPTLPPGVNPATLMTA
GIVASSLPTSDATKGIPQPASATPNPIESSTLAPAGIVQGNSTAPKATGGIQPAQGAQPGDGVGGAGNTTVPGPGKSIAISSMGDFKLSLWGGSLVA
ALFILV
>RCO7_05025 | uncharacterized protein
MLSCNTRVPLLLVSSILLGSVKCQDQQVQWNQVVNLNGNMALTRVILPDRSVVETYSQTQRQLIINQNQSPLSVNHVVGSTGQPFVQLQQNSMTIST
NGASDLVGAQIELQMNPNMLSAGKISPENAFVAKLSPDKQTWMVMEGIKSVNTTDSSVRIVKMTNIDGEYMAIGRQTTETSNVLSPFGQQVRVTGSG
IQEIEFSDGFRMSLKTSQKMTLNTNVVNGISTTMTSGMSGTPLNNYRYLVTTNLGGIQPNLNSMQAVIQLPLNMDRVMSMATAMGVGADGAVALGVA
QRSILMNPGGATNIASNKRQNSNTNSNAKSSTDSNTDGNENSNTNSNANGNINSNTNSNSNNNINNNPVAAQLLLSPTFAPITARAVIDQANGRVAI
PVNNINGEFILTMAVAKSGGASLEAVGSGSQAAGLNRTSTAGESRGNTAAGISSTENSGSVTMTMKEMRSMMERQANGGVFLAERMFTATPGFSASA
GQGPSKGVSIADSSTQVVSAPQGPKITTRRNKVTGPTKALPFVG
>RCO7_05024 | related to glucan 1,3-beta-glucosidase
MPPPPRESPRRPRESRESRERSLQHDRKRTARRSRYEETSSGVSSQTLSVNALAKLDQLNRKEATRSAEVTPTKPRRKRQHKEREAVEEKIVVEKRR
QHKRKKRRVVSGALLEEGNGSRLRGIRGGDRNYEKQDYDSEGRGGKKKKLWLWIGIAAVVVLIIIIVAVVVSQKRSAKSGSPSSNIASSGGNKPSNS
NLGGISESDIPAEAKGTDLDPFSWYDTSDFNVTYTAVTVAGLPIMGLNSEFDDSKSANSNTPPISKSWGSYADKPARGVNVGGWLSLEPFITPSLFN

YPGVVDEWTLTEHLGTGAKAALEKHYATFVTEQTFKDIAAAGLDHVRIPFSYWALGTYEGDPYVARVSWRYLLRGIEWARKHGLRINLDLHGIPGSQ
NGWNHSGRLGEIGWLYGPNGALNANRSLTVHDQLSQFFAQPRYQNIVTFYGLANEPKMTALKTSDVLAWTISAYELVRKNGIKANVVIGDGFMGLGN
WKGQLSGYEGLVLDVHQYVIFNKNQIDFTHTKKINYACSDWTTQTQQSMDVATGFGPTLFAEWSQADTDCAPNLNNVGWGTRWEGTYKSGDPASEVL
SPGCPAKSSACSCANANSDPGTYSAAYKQFLQMFAEAQMHSFEKGWGWFYWTWKTEGATQWSYERGLAAGILPKKAYAPEFTCSVTTPDFKDLPEYY
R

>RCO7_05023 | probable 3-methyl-2-oxobutanoate dehydrogenase (lipoamide)E1 beta chain precursor
MSVLQNLISRGGGARLSQCLSSPTTKLAPFQRLYSSTPTSARLNISTDFSTTPILHHSSQSALSNPELPPEIRNGTTKRMNLFQSVNDALSLALAAD
ESVILFGEDVAFGGVFRCSMGLAERFGSERVFNTPLSEQGLVGFGIGAAAEGMKAVAEIQFADYVYPAFDQLVNEAAKWRYRDGAEGRHVGGLTVRM
PCGGVGHGALYHSQSPESLFTHIPGLRVIMPRSPIQAKGLLLSAIASNDPCIFMEPKALYRASVEQVPVGHYTLPLSKAEILKPGTDLTIISYGHPL
YTCSAAIAKAEQDLGISIELIDLRTVYPWDKETVLESVRKTGRCVVVHESMVNAGIGAEVAASIQEDKETFLRLEAPVMRVAGWSVHMALMFERFNI
PDVARVYDAIKKAVEY

>RCO7_05022 | related to CAP20 - virulence factor
MATKQVNGEAPSSAFLSHLFSYPLIHDTFTTIQRNPYGARSISLTSSLTHSITQKVSPFIQTPLTYASPYLSRADTLGDSTLSTIDEKFPVVKKPTN
ELLDDGKAIVWFPYKKGNEGKEYVFGVWGGECKKVGGEEGVVKWGKAALATGIVVAGDSYNLLSGFLAAKKQEGKEGVNGVKEVVNEKANN

>RCO7_05021 | uncharacterized protein
MPRDDLFSCQAESSDETQKIIEANSKVGEMNLSEIDAESNDNERDPVCTQASFKDTFCSTCYLFENHITTLECFLAQEMELPVEYATAKNVPLGSRS
EIEERAHGKGCIGCKSVLKAFDHYLQHGDPPEKVPYLPAEVEDYEIRMVMDARNKDKAWSGVFSITTLNLRGLQLQPTIRYPPGENIGRICNPIKLD
YSILKHWLKCCEETHGHHCSSSPVFGCSVPSTAVKYIDLEKSCLVAFSEAPRYAALSYVWGGVQTLMTTRANLEELSQPGAFVTKADQIPRTIQDAM
SLTIALGTRYLWVDAVCIVQDDNEVKQDHLRAMPSIYALACFTIVVTDAENANSGIPGVGPNSRARSVPSSIALPTRIVGISSSDHYKRLKFLTRMG
FSERPIWSRRAWTMQEQVYSKRLILLGDLAAWLCPFTQHREEIRLANEDLDWAATAEPNQRYDLIPPTYVTMSRVGKLANEYNQRSLSFEEDVADAF
LGISSLHTPIIGPLLYGLPESFFDIAMCWQISSKLRPRKVTNPARTVPSWSWMGWHGELNVDLWDVFSDHILETFGDMTRIPFIGFNMHIKPLVTYY
KTCLTCSQKYRISNAYHHSRSAVESDPDLPLPEGWTRTVAPSHWTADLPKTYFTRDSEESKLLYRYLLFLPPEHTCSSPIYSDMLSFRAPHLKLTIS
VTSTCKVLPDYNQDNHHVTEAYIVSPATGLRVGSIHVLDGIVGSETPSCSFIALSTGWCPARQIGTVNSKWEKTWCMGREHPFRLDVDEDYTIEDCV
EGYMGEGRFGFVKGVGLVYAWVNVLWVERRGEIACRRGLGRVERGAWERELMGVEEEKREIDVLLG

>RCO7_05020 | uncharacterized protein
MKVTSLFLRASVVAYTSACPGTDGTMKDLSNKLRAREAPGPNDSFEMIGDLATVGAVTPVGKTVKDILLGEVSPQSDEQWAGSLPPKGSTLCAKDTC
CIWKWIALDMEAKFRGPSGRCNRFARAAVRAGFHDAGAWSKTTGYGGADGSLVLAGEISRAENNGLQEIVQVHQAWYDTYKEYNIGMGDLIQMGANV
ATVVCPLGPRVRTFIGRTDSSKPNVDNLLPNVFASADSLIELFENKTIMPHGLAALVGAHTTSQQHFVDPKRALDPQDSTPGVWDVKFYGETTGSAP
KRVFKFPSDVVLSAHPRIKDEWAEFARAGGQEHWDEDYAQEYVRLSLLGVNNINQMTECTRVLPPAKKEFTIQDSFFLQQWLEGKYDKLGQAIEDGQ
TLTDALLKLLGLFVGNMFRRS

>RCO7_05019 | probable CTT1 - catalase T, cytosolic
MGSISTSGDNFRSYQEDREAKSQDTIYTNAAGNPVPHPYETQRAGENGPLLLQDHHLIDLISHFDRERIPERVVHAKGSGAHGVYRTTATLDDLCLA
DIFQPGKECPITVRFSTVGGESGSHDCARDPRGFSVKFKTEEGNWDVVANNTPVFFLRDPAKFPYFIHTQKRHPSTHLTHADDSTVFWDYLSQNPES
VHQVMILMGDRGIPDGYRHMHGYLGHSVKLINKNGEWVYCQLRFTSQQGTKFITQEDSHSKGPDYSQKDLYEAIAKGDFPKWDVEVQTMTPKQAEDL
WETEKINVFDLTHIWPHSKFPLRKVGEFELNENATNYFAEVESVAFNPAHMPPGIEPSADPVLQSRLFSYPDAHRHRVGVNYQQLPVNQAKVPYRMA
NFQRDGQMAFFNQGARPNYLSSLEPIGFKNRKFNVDTTHAHFTSEKVSFLSEIRPEDFNAPRALWEKVFDADAKERFISNISGHMANCTQDEIIKRQ
IGIFREVSEDLASRLEKATGIKGYPGIKDLTFNGTHNGMATKEANRVANGMGDQGVQLSIGKSNGAPVKGTHDTKVVASGRGHTTNGSNGVH

>RCO7_05018 | related to arachidonate 5-lipoxygenase
MRFFTSIIVAAIATANATVLRREITDLVEASLPQFSNITARLEAISTKRQGWLYGPSLLGNASFFPAGTLGSARMQADMALFSLDSAWVAPRAQADL
LAVQQAVANNGGLHSLDDYAHVLYDRQWTASVPGGIGKGILANYTQDLLFSMERLSLNCYPLRRLQPGETLPFTVDLNTTVELTTLSLPALLESGRL
FIVDHSYQLPYPKGAGKYGASSTAYFFIHPISGDFLPLAIKTNVGADLIYTPLDSANDWLLAKIMFNENDIFHAQMFHLVASHDVAEIVHQAAMRTM
SDEHPVMILLERLMFQAYAVRPAGNAVLFSDGGYLDRAFFINHLGAAQFVPDFYPTVGRFQANYLSTDLASRGLLNSTTGPELKHFPFYDDAKVIHD
GIFNFMTTFVNAYYPSEDLLTTDPELSAWFTEASTSAAVLDFPCAPKDGQPTACDRSTLIEILTHMAYLTGVQHHALNTGDPVYSSGTLPFHPTALY
SPLPTTKNISDTTLLAMLPPPSDAIFQIYLLAIFNRPQFEAQNKTLVHAFSEPSFLARFKGREEVERAAVVFRGRMEEVSGEVRGRGFDEAGLWKGM
PFVYRSLDPGTVPFFLAV

>RCO7_05017 | related to aerobactin biosynthesis protein iucB (epsilon-hydroxylysine:acetyl coenzyme A N epsilon-transacetylase)
MAPTPTVVHLPNGQSLTVMPVFGGYFFKSNELNIHTNVFPAGWTVIIQSEDYSDGQVEEDLANVELSGMPKQKKRHIHPFKQPSLQTDNLFISSISN
PSSNDFKTPTSPTRQIAMMLWATMYWYFHLKPPSPYIVTEASKDTPEGGKPRGEWRINIKREGVFRGRNLIQKLERMGLITSEDSSVGVNPEENTAE
GWSEMFLSQRTFWQLSAKLFLFTLTPTTGSNFISSPYNSRPSSPVRGGDSNPSPGPKDFGDLGSNAATWSPSASGPFASGSHLPTYFPPPPLQYTMT
SGIRHPMRPKPPRQGEVFYTRYIPSIGQYLAFRTASLSSRPVAYNGPTTSLAVPRNQAGASISCLPAHLSIASVADLATPPLELNDTTVMSDVQLLN
KWMNVPRVSKFWGCSGPQETQEAFLRGNLKSSNSFPVIGLWDGKPFGYFEIYWVKEDILGKHLGDRADDYDRGVHVLIGEEQFRGKHRVKTWITSLA
HWAFVQDYRTNSVVLEPRIDNERFISHLNESGFLKEGEVSFPHKQSAFVKLRRENFEAPAI

>RCO7_05016 | uncharacterized protein
MHFPTLKVLALVAIASAAPIDEVLAKDGLTVHDIVEKAGHLEKSPALKDRQAPGLGCQHQEVFQWIAADDPNPHQNFVFKQITPSVQCTGSPGNSVA
VSKGLTVGWSFSLTGAVTGNPASGGVGSWLSAGFSVSESVTTTTTQTFGCSSDTGSQQGSVCGFQRVQVTAYTIKEQKCSIASPTCADASQRFCSDT
GKTGVLFSPNADQGGSSTASGNCYYNNFQLGLPCIVSGNEIRSNPSSIPGGPQYVGCDDPRCNGTGPVNVFDDSHQRIGDMWGGVSSASDQENEVHT
MCLQG

>RCO7_05015 | uncharacterized protein
MKVNALLWIAFMAIGSTAAAVQAEERTPNNLKPCPSEGCDRWCAANQGVPLGDCNPVTGKCNCAGGA

>RCO7_05014 | uncharacterized protein
MAGIAAIAMSQTKEDLLKHLNLPPATYALMAKETDVVYHWLISHKSHLKENGKRKAPFDWSDIQERAKDDAMAIIARGGNQYTEYYWNLGAGSGNNP
NWVAKWFLYHKFRYRDGRNRSQKSGEKHHDKHSGSKPKRSSREQPLEKNYDYQERTIAGSRSHGYSVSYSSTSANQYDAMHYDSSQYDYDAQGSSGH
NGGQSGTFHDPVRDVTI

>RCO7_05013 | related to COQ2 - para-hydroxybenzoate--polyprenyltransferase
MRPHISPTAVSTSASRYLQIRFQPQITHTFRSRPRQFLRASHSGFCFRAFSTSIPTREDEATSKAKALNQKGLDKEVDGFHKQIDNAIGQAKELQAK
TPWHREGSDKPPVVRNRSAGAMTKGKLLTTPSRLLKLILPLTTEDHNSDRKDIEPLALLVHPQQPLSYLERLIQSELPMIKGKDGKEKVAQVHFRAE
DSAKGEIKVDKRDEDDIDEEGEEREQGSDEQMIDGKLVKVGKISPDKEQEKDNAENLSKSHKIEHELRGGPGEGGVESYSGQGREGKNDGERKFVRW
SSSTEIGDFIRDAARGKEFAVEIEGASSEIRVGVPSFNDRTHYLRVRLRKTSRKLADMASIKKECDRLAHKSAQRLAMGGFGILVGWWGAIYHFTFR
TDYGWDTMEPVTYLAGLSTIILGYLWFLYHNREVSYRAALNLTVSRRQNTLYTARGFDVGKWEAMIEEANALRKEIKNVADEYDVEWDEKADEGSEE
VHDALKEERRKNRDDDDDDGDDGDAKTKKAKEKSKKKNSSDD
>RCO7_05012 | probable oxoglutarate dehydrogenase precursor
MLRSSLRQKSCQLLKAGSSPARSLCTTSQNPLRMTSQVSSALKAASKRNTPITQKRFAAAVANAPDSNDSFLSGNTANYIDAMYMEWKADPKNVHVS
WQVYFKNMESGDMPMSQAFTPPPNLVPTPTGGVATFSPGVGMSAGEGSDVTNHLKVQLLVRAYQARGHHKANIDPLGIRREAEEFGYSNPKELRLEH
YQFTEKDLDTEYSLGPGILPRFKKEGREEMSLREIIDACERIYCGSYGVEYIHIPDREQCDWLRERVEVPQPFKYSVDEKRRILDRLIWSSSFESFL
ATKYPNDKRFGLEGCETLVPGMKALIDRSVDYGVKDIVIGMPHRGRLNVLSNVVRKPNESIFSEFGGSAAAEDEGSGDVKYHLGMNFERPTPSGKRV
QLSLVANPSHLEAEDPVVLGKTRAIQHYNNDEKAHNTAMGVLLHGDAAFAAQGVVYECLGFHSLPAYSTGGTIHLVVNNQIGFTTDPRFARSTAYCT
DIAKSIDAPVFHVNADDVEAVNYVCQLAADWRAEFRKDVVIDLVCYRKHGHNETDQPSFTQPLMYKRIQSHESQIDIYVNQLLKDGSFTKEDIDEHK
KWVWGMLEESFAKSKDYQPTSKEWTTSAWNGFKSPKELASEVLPHNPTGIPTSTLEHIGTTIGTAPEDFNVHRNLKRILANRVKTVTEGTNIDWSTA
EALAFGSLVQEGHHVRVSGQDVERGTFSQRHAVFHDQENEKTYTPLQHISKDQGKFVISNSSLSEFGCLGFEYGYSLSSPNALVMWEAQFGDFANNA
QCIIDQFVASGEVKWMQRSGLVMSLPHGYDGQGPEHSSGRMERYLQLCNEDPRIYPSADKLDRQHQDCNMQIAYMTTPANLFHILRRQMNRQFRKPL
IIFFSKSLLRHPIARSPIEEFTGDSQFKWIIPDPEHGKAIAEPEEIDRVILCTGQVYAALHKYRADNGHKNTAITRIEQLNPFPWQQLKENLDGYKN
AKTIVWCQEEPLNAGAWSFTQPRIETLLNQTEFHDRKHVMYAGRDPSASVATGLKASHTKEEGRLLETAFSVTQDKLKGE
>RCO7_05011 | related to RNA polymerase II transcription factor
MAPITGVAAYKKKDGTLTISNDQKSIVWLPHGSDKGVTILVANITNLQQTPETAAKVMLKIFDKPPDSAEAITHTFLFNSPSNPRAEANAIKESLTT
LIAALKANDVSLPKANGTSGSSSMAMASAVTSKPSGPAAWYDDAQLKVDYQLQESLLKKDMVLNRTYMESRRTKPDSITDSQFNRQFWSTRVNLLRA
FAVDSSQKKGPYNVLSAVKPRQIDGELKLNISAEQVQLIFSQHPLVRRVYDENVPKLKEADFWSRFFVSQLFKKLKGERVTEADATDPTFDRYLDIS
TDDGLDRRLLSMHIPNIIDLEGNEENQGGSRSGNRKDFTMRPGAMSKVPIIRTLNSLSEKIMAQVAPSDVDPSAPIGMDEATYNSLALRDLRGDPEE
NRIMLNIKEQSRFFSSEKSELSAEAKLYAKQDPRILLLDLRKDLDPKQLDHDNAGGLDLRSAIGVNEDSDSDDEMKIGHVGSKDSIADAQRHVFEGI
AARRVELEGTSAQSLSGLSQHIFDRLVLTHATTTEFLHHFWLVFLSGDADKANELAQLVASLERAMDRINAVAADAESEREVAIQARRDHIRQVYER
SKKKLNLKSELIGGGKKVVLEMMDPTLKTLDKTSREYRKALAAEGINTS
>RCO7_05010 | uncharacterized protein
MAITTSILPADLGSSPSRIPLKQRSITPTPKNTIRRKGSFIRLADSSEESPSSHESIFEAFCFSSSEASSNKGDNIDIPSRIPRPVKKNDENSREVS
PSTLIDTIQFRYGHGTALATITEQKSVTTLRSKARTKSADNSPRIPFLGHRDSFTISKTPRRQISFSLDDIVEIKRSYHNACAVIEQEICKSLLAQE
VYAEPKIPIQAPPDRPPTPPGMPSWTESQILTIPRRRQSLARTQAPRQNMIQRFFNLSNTGSKTGNEDRDRAVSAPLPGHTAPRFRPPKSVYGPIDQ
HPFTKAPIARLQSEMSPVLSTTRRKRLQKDQRVRFTPSATARDSEANMLQAAIESTRTTAAHPFQPFSGIIASPSRKGCSHRHSRRSKLIAMKPNVT
TVAEDIDTRCLPPYHRSDELAPWSPIGPSTRPYSPISPTQAELDSLCVTDSIRDHTASVSSTAHLMTGAITATAPPLPTITKQRDFPDLTKEKWCWK
CAAQTAFRKLDDWWMKSAGFVCFVCCGFDLDEEGNVSGRRGSGN
>RCO7_05009 | related to Extracellular metalloprotease SMAC_06893
MEQDIIDRAIEYEEAQRSSIGRRSNPKIGVYLHNVASGPTWEEGYVSEPLLQHQFSILHDVFRPHGFELSLRKISHTINPDWANSTIDSQAEADMKN
ALHQGTYTDVNIYILDRLFDHAPINDTIDHIDLGNDLGFAVYELGGLAHFPLAEVAQSSDYTSDGISLNHKVAWGAFNFTNNLGLVAVHEMGHWLGL
PHPFSQGCEGLGDGIADTPNEDISVPLPGNATFMDCLPRDTCPHKQGLDPIHNYMGYTWDSCRTEFTPGQVDRMHTLFNLLRLPKVPA
>RCO7_05008 | uncharacterized protein
MAPVVKFKKQSKKFYTDLVSFNYSFEYGYTTLHVTDSMEALVGSDSEEFVPASTAGKSDSVRIFQLRCCVWLQH
>RCO7_05007 | uncharacterized protein
MRNSQAAKNTPVQSDTSVRSADGTSNRFSEADLGIMAAMARGKGISVTEFADTLKMHESFRAVPQIPQVPAGPNRTGQERQWGEVDTLDGGQLDINP
QSSEVSTLSYNQGLFPQRQGGHQEFEVLPNCPSGNLIDSSFGPFSSVVPDLGLDYSVDPQLNGTSVEPRNYNMTRDKLHPHGLHSIEWFAPPYPPFD
FDQDQLFVTAQSNMYQNDDKHRMPQYHSSSTASKVFLGSNQQLSPANVPDADLEHTSGDGRNVDMLIAASLDSLSPDVVRNNYALESAQANQFAPPF
SKQDSTTTQKSSTTTSSTSSDSWIITTRPSEKYAAHQCGDSSDTNRDVFIENHDSSSLTPCRYEWIVPPRRGRRKKTEPTKATRHRRPNSHSVDSSN
QITKKRAAYGDQGMREKRAYTRNLGSCHRCRKQRIRVGIQVWFDTANPTMSKLPCFRYKVSSNISLYREQKTPNMIWTKQWKVLTIENITNWTSKEV
RTINITQGMGGSSYALEVREFVPIQGDLLEKFWTIDGVTKTVKMTAYAIVDIGVDTADLLIRTTYERASRHAKEAPREEEKGLLKDALYLWVAVRMS
STTEWIIGDEQLGMSPVTDLSSPYYNHTPIPPVMSAQGQIIAYSKILEPLKRSVVKQLASMSSATDTRKNWFTIYLTYFILLHSCGLVTRRDADYAR
QINAKTIFANPEAISDYHQGALFLLADFHYSNKGQLPFSLAENLESLQELADVAGLNLDQVLFMKNTAVLVRQKRESI
>RCO7_05006 | uncharacterized protein
MSCEEASRKVEDDLAVSVVEEGPVIEWRASPITIQGYHDDATKARPSLAEQLRVAIAKVSQITSAWKGLTYYKLSPSDLYQARVPMISYQQSGTSEP
EGDSLIIEPR
>RCO7_05005 | related to calcium-binding protein caleosin
MPIPSSQVLAVLILGSTISYFWGYFKTSTPDTCHQPPSKSADNSKSSNPSSPTPDPNLTALQQHVLFWDRDRDNIIYPHDVYTGFRSIGFSIPFSLT
ALLIPVFFSYPTRLGHSYIPDPLFRIYLKDIHKAKHGSDTGIYDLSGNLRGEQFEGMFREFDTEEKGGVSARELWRMVGRNRVAADVAGWTFAAMEW
STTWLLLQREGRVWREDLRECYDGSLFWRLQREREEGVKKMGGYGFKEGWEDLLRLVGGKKGKPIILT
>RCO7_05004 | uncharacterized protein
MSSEDTKSSTDTPSSQSQSGSGAVQRGGAGMENTPASSDTPANDSALKTSAPDVPDFATKKPGGSTGLLENIRSELSHGLGKGTE
>RCO7_05003 | probable cytochrome P450 52A12
MGFYMKAIPILLVIAFCVNKLYNYIRIARFKKQHGCKPEARIPQSERIIGYGLYKTQVRAQKTRNLLTVGRQRFLDHGNTWSAVLMGKSFYNTVEPE
NVKAILATQFKDFSLGERLQSFGPLLGQGIFTTDGKQWEHSRALVRPNFTRAQVADLDTFETHIQHFISRIPRDGTTVDLQTLFFKLTLDSATEFLF
GDSVNSLTSSKDSEQDQFGRLFDLAQSRLGNRSRLGRLVALYPDAEFDEACKFVHQFVDKIIFRALEKVSPHDQGKQIESTSERYVFLTEMLKSTRD
PKQIRDELLNILLAGRDTTASLLSNTFHVLARRPDIWKKLKAEVDELQGVKPDYETLRNMKYLKNLLNESLRLYPVVPGNARFATRDTTLPRGGGPD
GLSPIFMPKGAIAAYSVYTMHRRTDIFGPDADAFDPDRWDDGLRPGWAYLPFNGGPRICVGQIFALTEASYTTVRLLQEFGGIEDRDGSAWEELIGL

TCASAKGVCVALTPR
>RCO7_05002 | uncharacterized protein
MSLLNLIVSAALSISPNELSDLQKAAGTKHTEHRDKRSSSVAAEPSASTFQHPIASSKADTRSSAEEQERKMRKICQANDYVALTKIERKSAYPQQL
ETGYDGANPVRVAKETGNHMSL
>RCO7_05001 | uncharacterized protein
MSSSMSLNLVDGYKLKGGENYTEWRDKVLNITKTNRISKFLNVKSRDYVPKETNRMTRSMIKPLRSNTTEKAKSGVTLVSLIEDITNEVKLYIVISL
YLRKEAAEELLSRLIKIKLGRLLKKKEGESKTDKKKTSSRKKKDNDSDDSSIFGVALLPRFPTITASIAMFSHYNKSRWLFDTGATEYISNDLSKFT
LYTLKDDLPYILIVNGLLRPTGIRSCTIKAIKTDSISLVCLYSGSKLNKLGGYLRSSILYISKEKEICIIDENLFIIEEETTSGAGRMCYASFNVVR
RTQSMVTGMKFIELKTGRTRLCVPYEIYVDVVYLKPKGLNGHSYASIFLCAYSTGKWAFTYAKKSDIYLAN
>RCO7_05000 | uncharacterized protein
MLVPAVLILALTSMIDCRSVFDTKHLKSSHLDTRHMHGVLERLSIRDPSRRTHAQFHRRQNKVNRKKGNNNKNNNNNEDEDDDDDDGDDDEDDEDDD
ASGLTLLANAIQTGSSKDGSVNGKQNPGQSASKTSNSNFINICSGKTLTNGLQVLAGSCNGIPMGDLPSKKNMVSAIIVFPESGDNSIVEKTTFKIE
VQMSNLVPGTFTNAASTYYSSPQFLQNGKIVGHVHVTVQDTGNSLNPKKPLDPTQFVFFKGINDAGNGKGLLSATVTGGLKAGNYRLCTITAAANHQ
PVLMPVAQRGGQDDCTKFTVRAAGSVGGANGGNNAGNNEANNGGNNGGSAAPSSRIASSSKAETKSSKANAVKTSSGAVSPSKAESTSATKKTRKGQ
GGNAGKASKKSFATVAPFQNSTIAQTTTIAGNGGNGGKGNGKGNDNGGNGGQQNGGKGKGNNNIKDATKPIAVQATTTAKATLAPSIVAVETTKKAN
NVKPAFTGKANINSGKQTPVVIVHKVVVIKTFFKFVFSLGGLPPAVDKKGNSFIVIGDVFDDFPSACAAACGHQWKKCISFSGPGFSYRDCTSQRQK
CGNVAISALAPPAPETITATVTAPPTASVTGSVLSELTVTITLQASQTSPTLGEAEAIVTKAVESECAIVTAKVYVDAPSATATPNIAAPTIASKLF
PNATMTIASSKTSSSITLSTGTTTALGGISAPEITNSGDAARPFAVKGNTFTAKSAAVQRSCDVQFNACANSSNKGAQGFDLAACKKQQYACVAAGA
>RCO7_04999 | probable TIM17 - mitochondrial inner membrane import translocase subunit
MDHTRDPCPWVALNDFGGAFCMGGIGGAVWHGVKGFRNSPYGERRIGALTAIKARAPVLGGNFGVWGGLFSTFDCAVKGIRKKEDPYNAIIAGFFTG
GALAVRGGYKAARNSAIGCACLLAVIEGVGIGFQRMMAENTRLEVPQPPPPAETGATGFPAVA
>RCO7_04998 | uncharacterized protein
MVKNIIFYNEDARLALIKDMNQAVPLEGLRLQIEIFEQRCCKSPSIPPGSPFKLDDLSATPSLKRFMLRDHLIALGILKHDLTAGLAVPDEILAQER
SKEDGSRTGVVRGLSSYSVISRSRDREL
>RCO7_04997 | related to reductase RED1
MVQSKSLILTKHPVGLPIPGQDLIVQSSEFDLSAPPPPGGVVLKLNYISYDPYQRGRMRPAGSGYMSGFQLNEPLDNNAISTIVTSDNPRFKKGDVV
IGYAKFSEYQTVDKIRSDKEEPVGGLSHLDNPLGLDEKIFLGGLGMSGLTAYSSFYEIGKPKKGEVIFISAASGAVGQIVGQLAKREGLLVIGSVGS
EKKLDFIKGKLGFDEGFNYKSEDAEGALRRILKRLGKEGIDIYYDNVGGEQLDAAIATASTWARIVSCGSVSQSSKKPEDIHGIKNMPMVTGKRLNI
RGFIVFDPDFGPKYREEHQKNVQKWIKDNEITIQMEVTDGIDKSAEGLVGMLKGDNFGKAVLKVADL
>RCO7_04996 | related to oxidoreductase, FAD-binding
MAYYEADTAWHTGEQEMQKLLRVPPLDNPTQPYLTPQASNTLIRAPLIALGTLDEEGRPWTTLWGGEAGFSRAIAQGIIGVRTTIDREHDPVVKVLL
GDKSDGEVMQMQGKGKMVSGLTINLETRNRVKLYGRMVAGAFAAMDERIGEVQLVVKIEQSLGNCPKYLNKKHIVPHIPKPKLISSNLLLTPAAVAL
LAKADLFFISSSNHESDMDCNHRGGPQGFVRVLSNEEGEVTLIYPEYSGNRLYQTLGNLRTTPRAGLVIPDFETGNVLYLTGTTEILVGKDAADAIS
HSNLAVKIRVEAMRFVEDGLAFRGHDGEFSPYNPPVRYLSTEISNGVAGTDKQIQAKLIDKKIITPTIATFRFKITDLAKTSMWEPGQYVALSFAEE
LGLGYSHMRDDDPKSLNDDFLRTFTVSSRQDAKDGNDQFEITIRNVGVVTDYLFKFNVRAELEVPIQGFGGDFKVEQGEGENIAFVAGGVGITPLLA
QDQDLDLARLHLFWTNRADDIPLVMDTFDRIPGLAATTTVFITGNINAESEEWMKLLSSGAKIEKRRMAVEDLRSYSAEKWYLCTGTTFRASLLKWL
EGKTVIFEEFNY
>RCO7_04995 | related to gluconate 5-dehydrogenase
MSNLDINNLFGVKGLVAVITGGGSGLGLHIAKALDANGAKAVYIIGRREETLKNAAAQGLNGSIIPIQGDVTSKDSLQAAAERIQKEQGFINVLFAN
SGIIGPTHASAGLPKDRQPTIKEFKDAMWKTSIEDFSQTAHVNVSGVFYTALAFLELLDEGNKRNNVEQKSNIIVTSSIAGFTRKISAGISYSASKA
GTNHLIKVLATTFTPYKIRVNGITPGIFPSEMTDGNVYFDNGDPTQEGGLPKEICPMERSGSEEDIAGVALFMTSRAGGYLSGNITVVDGGRLGQFP
AAY
>RCO7_04994 | uncharacterized protein
MASGGDPDVSKRFGNIEQKLEELAASMQNVVPASNYHREATNAPRPFSSYSGTAIPQSNGVTGPQSIHVLDTSNRSLQSFSGGSEALPSDVVEDGPN
RSLGPLVLNPMLALSIRCSTHQYWADERNLHEWNRALTEKAWQDLLHRYGEGDTSLEYLQGLCLLAQVDFADGRVQRAHTQIALGIRIVQSLGYLSN
PSHVEKDDRREEVTRCTWTLFMLDRTFSITRLVSPSQPYQAFQLPKPTWEGALLIDDSQQNPAPTSEMDSFSIEQDLSALLVGVFSIWDDTIRFVFQ
TTNKSDMPPWHPTSDLATIEYRFADFEPEFSTHRYREVDFPRRAIQKPHLRPYFASWLCFQLTYMSIQCCIHHPFIMFIKLEHVIRKVPPSFLQKSY
KSSLIHSRWIIRFLDEMDEAGMMLHDPFIGYLTAIAATIQLEHTLSKHSDVAAAATLSFRSAIRYLKKLSNYWNSIAELLAIVEELAARLRHRHTLY
YSQDDYDGILPAVESERVGLAGDDMSLMWKVFDYASMSATSGKMPRSTTSTKNIGPGNMVLAPEPRGERVPLNKFSDLDPSGSHVGDMPAPFNEMSS
TNQDFHNHQDPQIGFEHPNLSLFDQIPEDWAFTIDDWTLFGAPGSTYFYNEAT
>RCO7_04993 | related to L-serine dehydratase
MTEHLWKRTPLIESPSLSSAAGCRIFLKLDNYQPSGSFKYRGISHLMQSAILDRCPESLTKLHYYCSSGGNAGVACATAARWMGYPATVVIPTATSP
LMVKKIRDLGAIVHQVGASWADADRYLKENLLAHDPHGFYVPPFDNPIIWEGASSMFEEVYEQIVDEQGFDGVVCSVGGGSLLTGIITAIERNFTPS
LRRPQPPKVLAVETRGAESLNASLTAGKHITLPKITSIATSLGVVRVASRAYELAQKSSVTSLVLSDAEAAMGSVRFAEDDNVLVEVSCGVALAAVY
NGELRRAMGSEMSDTEWKEMKIVVAICGGSDVTPDLLEKYKERYSEEVPGVMSQSIDEAISFDFVGRRCSQSLGILGFDLSLSEKDGVAHSIRPYEI
TC
>RCO7_04992 | related to cytomegalovirus gH-receptor family protein
MVLTTGSSSRGENEVPSHSTQLELTPREQDSSHDMEEGITLAVQEVSQLPSPSPSRSPSLSPRSLSPSLVVRIPHVEYTGTLPSIAHGRRYSGSFEK
VYNNNSTYADVDEVAIPSPLPISKMLPPHELHDIPEEVGKPRKLSLNHSHGSDVRSTILEVEGTAEEQIGRPRKLSANKWKGEVLKLTAAEVEELTT
APESLPVITPTRYTVSAQPSLAPSPIGDTRGSLSDGPLSDAEGGSGRRRRKISAPEPMGMLIDAHSDRRVRAETFLNTMTRRPVYSSRAASTPPIIS
RNTPSMPKSQNQLSPKKKAHQSELRPEPLDLDVVSAKLQNGIDPPSPIPQSIPLPPMSIPTYLQLELSSTRPSPLYIYRSASSEFPYESSKVKFERL
LNFLLTPIPLEQVLYFGSMACLDAWLYTFTILPLRFLKAALVLIQWWCLVIARETRFIIDFIYHGSGRFWHRQHGRRGSTGSVDRSRSVSRASRPIS
TAASYPVQSGRKPEIGTQNLTSENLRASVERKSRQGWGRRHQRTKSQPSSLSSYHKADLLQGAVIIVSCFILMRLDASRMYHSIRGQSAIKLYVIFN
ALEVCDKLLAALGQDILECLFSNETLERNSYGRSKVLRPLGMFILALIYNVTHATALFYQVIALNVAVNSYSNALLTLLISNQFVEVKSTVFKKIEK

DNLFQLTCADIVERFQLWLMLVIIALRNFVEVGGYADIAGADAVSRNTSIFPSSFNILPSWSGEVLTPFLVVLGSEMMVDWIKHAYISKFNNVKPAV
YKRYMDILAKDYYTNAFVNQNLIKRLGLPVIPLSCLFIRSSVQTYHMFLATHVPSPVASTATALSVESASPATTAALEHFDNIIRRALGRSTFGIPD
PLAKNPWYLPSADDAIAALTMLVFFLGAFFVLLACKLVLGMLLLKYARNRYATMKKRENQSYTAEGKRLGIWGMSEVDEDKNRWIYDDDPETLKKMK
EKEKIGKEKAEKSQDFGKISRYEMIKRIW

>RCO7_04991 | uncharacterized protein

MSYSVLQPHPLDGVQREGQPRGIYSAEGSYARYCVIPGSHVPDLGKFKEKNVGLIMFADETGFTHDNKMLADGFASAGYLTIMMSSALATPTNPLKT
FDQNIDKAFNQFRSYRPQPVGSPKFRIVLAGYGRGIKMVLRLLARPDVPAYRFVAGYVASPLAVPAVTLSDYSAVTKPLTLAIAGFTDRGSTAGAME
REAIREALEQAYCAYQINLYSHVSDGFAWRRDLDSEPGKYAKKTTFVQALQWFKFHLFESS

>RCO7_04990 | uncharacterized protein

MSAQRKLSSNAYMKKLTGEAIVRQFPEAFFEHPDLTPEIFYNILLSVNFDVRKAQLEVIELVRKPGEFILPADLLDANLPQSTGSPPNLQLEFQDKN
HGSDSLKVTKQSRNIPWRSATPSNPVEGVASTTPQLKRRATLLKSPDGILEASRRVKRRKSDLKRNPLPFTSVVETISLNSVSASAKTTLFSPFSSV
VGTTNSTSLTTSQRNPICGFIPDSESDGDEESLGSVERSTTRVRSISSNASFHTAESPRIAGLYESTIRAAEAKALIELTSGEHNDNEYEEDSKAIE
STKSTPRSIKQEPIPDFGDDSDYDFPAADEELRDVDPAEWLETRIAKAGQRGKRVGANPNELVLKHRSKSLATPWLHTLARPFYPNKVDVLENYPYE
RGPEEVPDLEKHLEEVRTLVLEQSLQGDIDSVRCNPWGTNKPDGAHQDSYASVTIDGITYSPGDCVLIYSGSEDQYQVKRGRKKIKADPTEDDDIFL
VEKDPWYGRINFFQQEEATSIQYGGKKTAHIQWFHHASATIQGELACPNELFLASECSDEEVFCFASKIAVTYVSNIANEPGGIAEHSFGQGKGYFY
RFHYDRVTRAFTDASIHDKHHHHMGLGPCEVCHMRITSANESGFVKILGTPKPKGPRVNIKGFHRGENDYFLYDFVYIFIDEKKIYEIGQITRIYAN
LQSYNKKTALIKEEKLLIEVDIYDRVDRFHKPWFEEFTNGAVPKVRDERRLYYTEINCPRDRARIMLNQLDGKCYVRHRDDITDMDRYRDKNDHFWV
DQQVSELVDAGGDTKESDLVRLGREYMRYSDQSTIDAENEEIQNQDFSSNGKKLVAMDLFSGAGGLTVGMKLSNVVETRHAVEFSEAACRTHKKNFP
DCIMHNADINLMLERAISRDSGEKLEPLYDYHEDPVEDLPARGMIDFIYGGCPCPGYSKANRFPQKEDIKNSLLIVLLSYVDYYRPKYFLLENVRDL
LLHRLGAMQCKGKLRGGIESGTMKFILRALTSLGYQCHYALLQAAEHGVSSSRKRVFFWASLRKLVPKNKICPSSTSHRRHAITDLPKFDWSHPKRE
NDGAITEDRMRRWKNGINQFEVVQNEDAIGLERQNYPTQPLSEYQRKMRIGVGMDNLMNHVTHQWQDHITILICEIPMVPGADHRDVANDLKPRFLW
HPDSAAAKIKFYPGRCGRLDMKEGFGTCLTDMYPISMNGKVVHPTQHRVISIVEYARLMSFPDSFVFELDGSRVADVIRQIGNAVPPFLAKAVGSGL
AESVILKFEEDKTKNPIPNPRPKQAIKVEQSTTTKISTRKQKSLNGGRSADIAIYLD

>RCO7_04989 | related to cytosolic nonspecific dipeptidase

MASIFGARGSIAERFTNIPPSVTDLSPAGASDDEPPYEVLNRAEDDSQSAARLNEKPELAHHLQNDSAILTLAVGSRYIYAGTQDGEIVVWSLASFE
LVVRIQAHTRAVLCLYLSPDGTLLFSSAGDAIVNAWCPDSLKRLYHVYSTYDVGDVFSVAFSSQFQTIYLGAQNTSIQWCSLNESSTRLSPDPEAHP
DRRNHKFFDSIAKGGTLTPRPQNNCTGPNDGVVLEIAKAHMRHYAHFGYVYCMLLVRGVTRLIEADEDVLVSGGGDGTIKIWKLSQDQSQGIKEVAC
LGEDDAESVLSMAVDGSFLYSSKLEGVIELWDLDTKQKLRVIRAHKGDVMTLQMGWGHLFSAGSTGYARKYSTVQYGKYQSSTSFSQKYHCVNRWKA
HDGRILASAITTFNGQQFYITGANDNSVSIWNITGCDSGSHGKSEVPENQLVKSLQEFVSFKTISSRADHAEDCRRGATFLRTLFKKYGAQTEMLNT
DNRHNPVVYARFKGNPSTASKRKKILFYGHYDVVPADNKQGKWIVDPFEMKGINGYLYGRGVTDNKGPIMAALYGVVDLVHEKTLESDIIFLIEGEE
ESGSRGFKEAVRRHKDLIGDIDYIILANSYWLDDEVPCLTYGLRGVLHATVKVDSNHPDVHSGVDGSFMMDEPLFDLTSILAKLKGLHNRVQIPGFY
DDILPLTAVEESRYDDITETLIRRNPENGPPETLKASLMARWREPNLTVHRYKVSGPDGSLVSSHASAAISLRLVPNQEVEDVIKSLTSFLADAFAK
LDTHNHLTITIDNQADAWLGDPDNEIFQTLEEAIMDVWGPIGESRRSSVPGPRPNIQAKKPNTPSMSPSLKPTPATTTTLTNGSNHTSLAASTSIDS
ESLLSTNSSDGNGTGTKTKIRGRKPLYIREGGSIPSIRFLEKEFDAPAAHLPCGQASDSAHMDNERLRVSNLYKSREIFRQVFRELPRK

>RCO7_04988 | related to triacylglycerol lipase V precursor

MVSASTCRQLSSAAVISLALTTNASAACYNSSSPTSVAPRVTLDNRLTLLGLVNPSTPNVAEFLGIPYAKAPIDELRWAPPQAYEPRNGTIINATAT
SPSCFQYSTSNPTLLTKELPGFVVGSAGNAGFREDCLTVSVYTPAQAIASNSSLPVIIWVYGGGFATGGQDVAYQIPSNWIERSQEHIVVSFNYRIN
IFGYPNAAGLREQNLGILDQRLAIEWAQANIAKFGGNPYQMTLWGHSAGSVAVDYYNFAYPSDPIVKGLIMNSGTAHLDQLLSPDSDYSNFTWVASN
VGCANQTNAAAELACMRKVPAAVIEDFVQKYEDSGVSPPMTFAPIVDERIVFGNYTERAAMGILSTLPAIIGMDANEGMFLAPYDPAGSNQTIATQI
SYAYFWCPATKSTYERLAASRTTYRYFYAGNFTNVSPNPWIGAYHSSELPLIFGTDGLNGESTTFEKEVSDVMQDAYLAFARDPVKGLEEVGWPVYE
SKGGLVREFAEGGIAAKMVPLTEIEDGCASIGLA

>RCO7_04987 | related to asparaginase

MMEYKKPSGITPRIIIHGGAGNITPANLSPSEHAQFHDSLLSILAQTHHFLTSPSSFPLCSGSSTSALDAATFAVSLLENNPLFNSGHGAVFTRDGI
NELEASIMVSKGKKKRGTGVMGLTRVKNPIKLAREMLLHGEEDLYGEDPNYTSRGAQGHSQLHRYSAEKLAEEWGIEMVDPGYYFTQKRWDQHIQGL
KKEKVGGVSTWDAESFFPQGTCGAVALDAEGVVCTATSTGGMTNKLTGRIGDTPTLGAGFWAEEWEENEVSKAEGFLSRPGPALVLSETLKGLMADC
FPSLTAYSPIPHCESNMGMFVNRDRIFRATGMSGTGNGDSFLRINAVRTISAIARYSSPSGKVTLKDALAKVTGRDGDLQKSAGDRWQKTGEGEGGV
IGIEVTAVIDANGAYKSATSECLDDFNCGGMFRAAVNKHGKAVMRVWRPGQHGGLEKYEGEGKEYDLGDLLDEKMLL

>RCO7_04986 | uncharacterized protein

MSTQLPTTMSAITIRTPESSDPTKTLSSLSLTSLPVPRPSQTQALIRIHAASITPWELTWPFPDGVPRPRIPAHDVAGTIVLLGMPSSRAGRFGMGD
KVVALLPFNGQGGMAEYAVCDLRYLAKIPRDFTGGFVEAASIPRAALTGIQACHWLREGQNVLIAGASGAVGRMAVQLAKMRVHHRGKVVAIGGAGR
EELRELGADFVFNYRDADLWDKLWDTFRYYIAGGECNLLIDCVGGKTLARGTELLRNLSTGRIVTVAFPPPAWAEKGKGARSEFWEEVEHEGMRKKF
FTVKEERLHSIMEMVVMGELKYSVGFVVDGLTEEGVRAGYERGLKGGLSGSVVVKIV

>RCO7_04985 | related to phospholipid-translocating ATPase

MEHVYDLLVREVAKPRPQDCTFETCSVKQSVYGYLPNKPVTIILIVLFGMSMLMHIFQGVKSRSWTFVVALGIGCFGESVGYVGRVLLRDDPWSRAY
LGIQLVCLTVSPAFIAGGIYLTLKHVIIIYGSRFSRIAPRLYTWIFVSCDILSILIQTSGAVIASRGTGKVSTGNNVMMLGLVLQVVTLFIFGGMCI
DVYLRIRARTSEHHVSNHALIHSKRFKWLLISILISYTAILLRCIYRIAEMAGGWSNPIMQDEVSFVILDGVLCWIAVLVLNVFHPGFLFKESYATL
KSETDARSETQTPTEGQMEGATKA

>RCO7_04984 | uncharacterized protein

MASSMAGSGEEMVPIKTEKSEYPTSFYSPESPDLKRRRSEHYQDLGEKRQRLDYDGPYSNGSTRSLSIAELAEQAAKAVEEQYYGTDSNVSTKTKTL
TIAELADQAAKAVVEQYKAPDPNVFTQTKIPSIAELAEQASKAVMKQYETAAQNQNQIQNQTQIYHQSSPPNSTSYAAPRPIGNERGVPAGEDFISD
PYLYMRVYSLPILESLSTQILATLAQGPYSETIRIVQDPDSELGQAYATLKSLFDQTKRIYSKDGFFLSADELNIKEPEHRATIRTTNLASFSAAVF
SSSVGFYELSSSFIDIVTPDGACLEKEPGDLLVNLKTQMYLSMVTSEEQTDTKEDVLEEMFPYDYEEVLQKRHPDIPLSQHELEFISLINGRREYLM
NEPTDVDAIQVLSEKFGWEGFLTGVSCYLRKKYEPLLAPFMKRHALTAPASPRRASAVELHQKATNSIENANDGSNIADQDISMHVQLAADEVRRAL
GYSVGPSQNTTNPQQTQPLMHNGFLPPDAVPYPTQSAPTQVLYEKARRAASTKASSASARRPGTPSQRRPWTNEEENTLMAGLDQVKGPHWSQILAL

YGPNGSLNDILRDRNQVQLKDKARNLKLFFLKSGIEVPYYLQCVTGELKTRAPTQAAKREAEQRALLASEDELMRQEGISALNGMAIHAHGHIPSNS
GDFSASMSEGPTDDGMEDGMEEHLVVEEENREVVPGGFPEMREAGALQDLFGRVKEAAAQEQAKEAVQQQQQQQQQQPQPRAIAQEQTREAVQQQV
HQNPPPPPGPPILSDEDHLRQTLLAVNAGNTNLG
>RCO7_04983 | uncharacterized protein
MACEKVPWKGLPGIQLEARSQSMQPTFQQWTIRTLCLASFALVLLVSQHTGFRKDVEAPRHIPHKSPEFRWMEIAPKKHIVWHPCYEEYDCARLDVP
LDWQDPSDDLRASIAMIRLNATDRSDYKGSLFINPGGPGGSGVWYVKNLGELYQTIAGRNYDIIGFDPRGVGMTRPLIDCWNGNQQNAELWALSRPA
VIDAHPGMLYDAYAQASAWSRQCTSNLGGGPRVGMEDAAERRVQEAGPARFVGTASVARDMLEMMEKVGEDKLKFWGFSYGTVLASMFSTLFPDRVG
RIVSDGNVDIRGWMMGSAVHFLDDAHKIMSAFYSLCHHAGPSGCKFYDKTPEAIEARLQNLLSAIKKNPVIIPAQNSSSNRPEVVSFSSVRRLISKS
FYRPIWIFPQLAEALAALEDGDGVPFIKAQGVSKDPISCGPGSDSKDELSEGTSDAFPAIMCSEANPLLDTADEFQEYVDTLTGISPSIGAVMAQDF
RLQCAGWTVRSKWNFTGPFTGSPAYPILFVTNSADNVTPLSSARLNAAGFNGSRILIQDSYGHTSLAAPSKCKAAVVNSYFQNGTLPENEFVCKADI
QPFDRVEVGKEGADEVDLALYSLMDRYGSW
>RCO7_04982 | related to phospholipid-translocating ATPase
MTSTTSFSSSTTTFIPSSTASCIRVPPGKNGYVPAWACDANYSYNPSFAGAIVFAIIFGICLFLHIFQAIHYSKNKLCWTLIMGVLWEFASFSIRTA
GTRNQQSTPLAFASQILVLLAPMWINAFVYMVLGRMVYFFVPAQEIFRIKGIKIAKIFVWLDVLSFFTQVGGGVLIEPTNSAKVQMMGIHIYMGGIG
FQELCILIFTAIAVRFAVTMSRLERSNQIMDGKPKWRTLLSVLFAALILITIRIIFRMVEFASGLDPAKNPIPYHEAYFMVLDALPMLVAGVLFNIV
HPGRVLRGEGSEFPRGPSRKEKKEIKTMKKEEKIAKKAGKKGSLARGQDSGGVEMV
>RCO7_04981 | related to growth hormone-regulated TBC protein 1
MAFSNLLCKAAPQHPQPQSQPQYQLQHPHHQPDLLHHQVYSLYNPAYTEASFVSCHIDAFHTTARRLSTENYDYDHHYHQHHDPQKEAYVDGWLLKT
MDMDGGPVSLQRSSSHQSHTSGRSARSQTVRAKPRKYASYMSSSASSISDKSLTSFPSFSPESPTDRPLIPRSVDGAANGARKASDTSPSIVESLTT
SSVRQNRPALFDDAPLTVSSVPGSIHLANDDHIERLIARNGAVSFVRQIAEDLAQRDAQIASLRRKAENRERALRKIILECGLSNLDLEHRLKAIES
ERKSPADSVNGDIIEEDGLEDLMNDAMGGTVARGELGTTDHDATIRAAAKLKALEDKPAAAQKGWKDYIWGGTSRNTGQASSINGDTVGVSGGTERR
GSTVTSRKSVLQNGLFQPPENSKSPVRSPMRSPSRASSALSSNVAASHRDRKPSSGLATLALKLVAGTTMTNRDADTLGRGRANSTGTTSKGRAASS
ASVKTTMSARPAPKQGPKAIPGNRRATNAGNKGPMRPQERWDTMASSPQNVTTSSGADNYGPVEMDTILDPDDQPPTITQTYNHPYNPEFLTDRFGF
IYDQRRKKRQREAAENMQKVKQGSRVEMLSSARSGLSVDISSSDLSIEEERPDTPTSTEERLEDGKPVKRWQDYLKIATFPTELLSHTPSGGIPAFE
VMEGGEVPRSPGILTEERGFLPSSKTIAPLPSISTVSQNATMSKAAATEPTPSADLSHEDVEPVKILLKRLGELHDSLQAAKTPRWNDFLRKVRAER
KRDGEAAAAALAATAMDKNSQRPIAIMPEATLTDGEMIGVAGLGNKGKVGRAKWNEFKALVLGGIPVAYRAKVWAECSGAAALRVPGYYENLVAQND
DDDDPAIVAQIQMDINRTLTDNIFFRKGPGVIKLNEVLLAYSRRNKEVGYCQGMNLITACLLLIMPKAEEAFWVLASIIENILPGGYYDHSLLASRA
DQIVLRQYVGSILPKLSAHLDDLGIELEALTFQWFLSVFTDCLSAEALFRVWDVVLCTNDGSTFLFQVALALLKLNEQQLLQCETPAGVYTYINHQM
TNHAISIDGLIHASEGLRRVVKREDVELKRTKAIEAEKEIGREREERNEKRRRERAEKAAKAIDEVAGVADVVESEATAEVEAESSPITTAKETQLE
LGADDGVDLTVRTPMPVDEEGEVALGSG
>RCO7_04980 | related to levodione reductase
MSAATSKRRLQALSEQLVAPVPDQGKFEDIPILKKIAPSSTGPRVEGKVIVVTGTNSPLGIGRASAHQFAQNGALAIYICDFSDSHLETHKREILSL
YPKVDIHVRKFDASDEDSVKSVVDEAVLTYGRLDIFFANAGIVGQPKMFTEISSDEFMFTMKTNVVSVHLAAKYAAPAMMLTNNEKKYPSGSIIATA
SVAGIRSNAGSSDYSASKSSVISLAQTISYQLAGTGIRMNAICPGVIETGMTAIMYEAARARGSEKKIGQLNPLRRGAQADEVARVALFLGSEESSY
VNGQAWAVDGGLSSGQ
>RCO7_04979 | uncharacterized protein
MPAGKQPKRDLVLTRRIEEGKIHVPCSHKPDGHTVPQDAQFRGSVSVLAVHVGVGGAVEVVLVNEVILVVDVELEYELEGGLVVEIEDEADFDVEID
ESLDLEEVGLEEVEL
>RCO7_04978 | uncharacterized protein
MNFLILLLYLPALALATINSNPITSPCTSTVSSLPTPKCKADNCLRALNCTQSGPSHLSTVLADCSSVLITTDHPVATITSYSTLAEATNNVFVTAG
IEKRQIIASSQPLPTYAKPCTDFYAFSSACSCLGVTASVVTGDAYVSPRQIS
>RCO7_04977 | uncharacterized protein
MADVKTPEVPHEERQEEAPMPTDILSGDETPGITSEIEIETENEKETEKETEKEAAPKEAANGIKKENVPPKRGLVKRPATSATSSTATKVSAASST
RTTGGLSKPPTRAPVAAVRKSASSATAPTSSSASHRTQASIGGSSDEKKKILASAARRTSTAPPHSSPGKTETLPEKRASGSIPSTTVRKSATSVSS
SSPKTVAKPATSSSTSTRTAGVAGSTTSRSSTLAKTSTSSTVADAKKRLSAITGSPVAKQPIRSSGQGAISTSSKETEELKAKLADSETRVEELKKE
ITASQEKLLELGKQVEEEAKNVANAEENIKTQHNEIVEKLHSKHKADVEELQAKLEEAEKTRSAAEEASVKAIEGAQKEAEAKGASETSESLERLKA
EHASALTALNVEFANAKSAHQSATSATSEKETEIVALKAQLSEANTALESLKAEHQQTLTHLKQSLNNEHESALAALKTSHSAEIAKGSTEATSSYA
KQIEDITQKHEATISELQKKLEAADTAQRDLEASHQEKFKNHQTEHSAAVSKLEAELASLKTKSNSESEALVKSTKEAKELSTKLETTQKQLSVANE
ELAAATKAIEALKAKTSGDEKALATVQADLAEAKKQIASLQKNLETFDLDGKSKAETYEKFKAELASTVEALHEKVKEITSLKERHSKELQTISSDY
QAEIDALQGNSGIREEYDLLKGQHSDLTKSLEEASSAHTSELEQIKSKHAELTKAHTDATGNHAKQLEKLKQDHAAVIVALDNKEKDHQKIIEDLKS
THAKNLDDAHDRIMTAQHATHSAEIKQLQAGHAGALTALKNQVTAGHSAELEKLEASHAKDIAALTQQHSTSQDTASNTAKAFKDTEAALKTELAKS
NEALSKLHAELDSIKQEFALEKMARVEAQAELDSAISKKTDTSEADALRKELQALKDQHQASLMTAQQESAQATQEHLAIKSALEKAKDELDRQKAE
STADYKDMHDSLTGVAEEANKRSLQAEVQAKELEKKSADLEARAKELEALVKVKDAELKEAKTKSAPLPSPKTPTIAKSPGLAASRFADPNENAAPS
RPVKKASDIEAKAKLSLQQLDEMNEDLARENQRSLKSLSDATPNVTV
>RCO7_04976 | uncharacterized protein
MPGIPPNALADLKAKFKSFIKGKTSKKEEKSAEATKPVEQTPTNGAVATETTPAVPAPAPAAAPEVKPTTTETPAKIEEPTPADAPVAPAVVAPEVA
KTEVQATAPVEPAKTEAAPTPVIEPEVKKEEIPITAPATIPAAPAPTT
>RCO7_04975 | related to phosphotyrosyl phosphatase activator PTPA
MQSNGPAKDIGTSRSLSILEASSQHAFSKPTKRIHEGHDVPSFLTSQAYRDIGIFVMQLNIAMCPRKSPTSGQTQSWRLGLDYTLYGPVRKLQELLK
SIDAIIEEAPPDTGPRRFGNVSFRKWYEILESRISNLLEKHLPTTIFHPETQPENGVSVLDELTPYIMGGFGSSQRLDYGTGHELSFLAFLGCIWKL
GGFTTAPTQDRELERSIVLGIIEPYLRVVRRLILTYTLEPAGSHGVWGLDDHSFLPYIFGSSQYCPPISDGDPMPIEGALAEAPNPGDVAKKNVVNR
ERKHNMYFSAVGFINDVKTGPFWEHSPILFDISGVKSGWGKINKGMIKMYNAEVLSKFPVIQHFPFGSLFSWEQDPNAQQVAASVHTANQPHGSSSS
SSGPATARQPQESTRAPWVNPPGGPIPTTAAPWAGIQSQGVSSGAPLTRAPWAQGPSGNLPERTKPDGPTRAPWADPRGQGGR
>RCO7_04974 | uncharacterized protein

MPVIRYPTQNLCVRSLRSSHHVLQNQSKAAARGLSQYSPLRNRDQDGGRELKAVEEQASLESTILSKSFKSSSNSPRDNVAPQPGAMSRRLAEAAEE
AVLEGGRVGKKAIEESGFSEELKSKLLEKIETSRFRSENATAFAEAGLNSNVGQGSRQIATGQAWTGHESPQDSMLRMLDDARKSLAPNLRGKAKIP
SPVIDLRLKPKPKQKPGERLANARDKTSIYSISKDSQMSDKEREQMRRDLKDRFGPGVGTMPNSFRGLAALANERIEDAIARGQFKNIPRGKAIVRD
ARADNPFIDTTEYIMNKMIQRQDIVPPWIEKQQEVVKTANIFRARLRNDWKRIAARTIASRGGSLDQQIRRADLYAQAERFYNPKKKAVEQVSVPAT
ATNDPVLINIVQEVPSTMTERPPVQVLAETKECIIGSTEVPNITSPDLNSSSMPIETKTNVTSSHSTSYQDVHPQTPALPALFRIPSWEQAERSYLT
LAIENLNSLTRSYNLMAPELAKKPYYSLERELRSCYADVAPQLSQAIRERAARPAKELVEKIGHRPGGVLDRFASDKAVIYDSKKPLYGFKEFWSDL
WGQKGV

>RCO7_04973 | related to oxidase

MKIISTVTALAALNISGVSAFPSITLEAAQVAARDAEVASAAKSAYEKRVSGILPGFNAAAQLIDVSGKHAFTPPNFSKGDLRGPCPGLNALANHNY
LPHNGFATIDQFVTQTNKVFGMSLDLGLFLAVYGTVMDGNPLSLTPGWSIGGPPSNPSQQNLLGNVLGLLGTPQGISGSHNKYETDASPTRGDLYQY
GNAYKLQVSQFQTLFDLQPDAATANYNMEVMAKERKITFERSIAENPYFFYGPFTGLAVSQAAHTFIYRFMSNKTAENPEGVLNQEVLKSFFAISGE
SGNFTYNPGHERIPENWYKRAIGDEYSILFLNTDTLYFASQYPNTLTIGGNTGTVNTFTPLNFENLTGGVFNATTLLEDNNLACFAYQAASLTAPDL
LKGLYRDINKPLAMLNNATKNALVNLRCPELANIDANQFGKYPGYASQL

>RCO7_04972 | uncharacterized protein

MLANINLLALSLLAGTALAAPPKPPHAGTGVNDPAYRWSVTDWSAGCGRAGCYYYFNISAPAYKHIPAFSAYCSGAPEDKFSKPCGVNDKLPGNRGV
SAHLLEAEQGTGAHIEVSFQWSKLDMPSTYYNYTGNATTIYNQFVAPLQKFTITPSSAFGVA

>RCO7_04971 | uncharacterized protein

MIASFFLFLASATLSFASPFEKRVVTSLNQAAFEEAQQRDDTATRAFSGTQIKTSDGKCLFIDQLSGDFRANLNPIQIAACDGSAGQRWDIITAGKH
NDEAGTMMVVNTLTQVCTNFDPRRKAGNTVIMFSCGGRADGGGAVTNSQLFSFAGGAGPLALEPKNAAGTCLAVTGDILDQAPCKAGDAAQSFTFVN
ASGGAQNATVSSKPVAVSTTASALPISTSVAAPPSTSVGSAAPPQATATSAGNIPSVNPTTPVSISRAGGTLKPTAAAESNQRDETATRAFTSVSLR
SANGQCLFIDPTAGDFRQNLIPIAVQPCTGSANEKFDIITQGKHIKVTGFALVVSSLTQGCLSFDARRAAGDTAHIFSCGGRADGEGEQTNSQLFRF
EGGNTITLAPQNGDGTVCLNPKGAKLDQATCSGAADVYTIIQ

>RCO7_04970 | uncharacterized protein

MESLSYRGSTSNFSRFESGIVVKSPMKIWAGNPNHKKLEIEREEAIAFERQILEKLGDHPRIVPYLGAHASSKGILLTEASHGNLQTYIDVNKESID
DSLRWKWSLQAVEAVAYVHRQGVIHSDLRPENYLLHTTGSSLDLWLCDFGGSRCDELGSNVHHLPDDPFFDPRLPWESTPAIDIFSLGSIVYTILTG
YWPYREGPPPVTVEDQNVYETYVNKMFAAGIFPDVSLLEGGKVIKGCWDHQYKTSEEVLWAIKSEMEALDKQRTQEQRASTDINKV

>RCO7_04969 | uncharacterized protein

MKFMPKLKRPKLSSVLYNSFYYILHAVLAALIILTPADLVVQTINNRNGPTPNKNANRVVIPGAYGVTAVIAILMLSLRITTNNNIIKAIPKTWIPV
EKEDVKKKVRKMIVTSLNRSAVTAWESRPRVPEQPPIVVSRPMNPVDVVEPVGDSVERDDKKKRKFGILRKHASDSVSDDHTVTIPPPIPVWGEISH
NGWSSPTSPDLPDLQYTTVIRELPHLIEAKAVSIAPADTDSPSNPHLPDIRAVELLQRPAAMGLREYIGQLLSFGVIGSPATATSFLTEYEYARFSG
RCLSETQFRDLMGHFAELLRSMNALSPEILTSLDIDGPESDIDDDKSSFTNSLTPRSRSLVSSGSTSSRSVSGATVRTGNARSIGTNNGTPSKRQEF
GTAPVTPRSKQQTVSRSPSIDAFTQARRPHQGSSTSSSSSLRSTSQGSVIRLSDMHESAYTLTVSKTR

>RCO7_04968 | related to synaptic vesicle transporter SV2 (major facilitator superfamily)

MSESPKHDYSKGDEKVALDEQPVTPDTASYGSAQDILGSQGVDPALDAKMHIVNNAIDEIGWTPYQWKLFGLNGYGYAVDSQLLLLQSIIATQAGYE
FTPSYPRALTIAVYVGMLLGALYWGLSADIIGRRFAFNVSLFICSFIALLGFGGGGILIMDTTVFIEYLPSNKQWVLTWLASWWGLGQAIAGLIAWG
FLPPAKWSCSNPFDEGGLRIYTCHKADNMGWRYVMYTSRAIVFVMSVARITIIRLKETPKYLLGEGKDEQLVADLQAMAARYNRPCSITVEILAACG
MINSVHGKSKFSISEITVHFRGLFVTKTLEALISAFLPITKLGEIMPWLMSTGPMLAGWMCNWRFLGRKYTMVIGALITMAFFFAYTQVRTQSQNVG
FSCAIGFVLNIYYGTLYAYTPEVLPSAHRATGNGVAVACNRIMGILSAVIATCADTSTSVPIYLCAALFIAMAAVAVAFPFEPYGKRSS

>RCO7_04967 | uncharacterized protein

MFAKLLPHHRRISSNPTSPADQPLEPPPSHADHAHPARHHDANFQESTNRSPPLSLQPLAHMKSPEGTFVSPRRSVFGGDPRAQKVDAAMDTRGRDT
YGFSVQGRLPYAGSQQPDSAGNSSAGSYTSPQYLRSQSGMNLETSRSRPQETSPSFVTSPELLGQNGQHTKKLSSSFSSSTPNLVEPTQPRPGRARL
NLLNPMSLLARRRTSQAVEKLAPQSLVSNRTGKIFNETFDPRIRGTVVHDFSAPRAPPKSNLSGSDVRTEGISAKNLKYQRSPNRDSADESVISPWS
GGNHTPVFTEDFEEEQYPNAGPHVRKASDVTDLPLPQPPYAKGMQKSAEPNSTSKGNDGAQKQDQDSGRISSRKPIPDIPRMPDHPPPVPPKSDVPV
HVATQRISIDASATPPKAASFKKGRSRNVSDVSAKDAAIPKHMKSTSSRFSFDMIGAAKQERLLEDRHRQKALEKEAEQNEEGSEDNRFEDEFDNDY
DYNDMDDDDGLEERIPGVNTDLDGDDYLDEDLEERIPGFDEEEEPYQLEDPDETLGAFKFQQASLAIPLSPTSPGMVSTPRDAAGEVIGFAMTKDSP
WGPQGLDANILPTSPIAPDVPHAAEMQGLGIQLADKSQHVSSGSMASNLSENTASQHLVSMTSNLPLNTVEEFPRPAALDDDDLYFDDGMIGSPDEA
DVVEFDESIFDHIDTDQYGRPLKSLSSLPTLCSPPMLTADPSPSFNKASDGSRMSTDLTDVTVSSNLPNGGLAPQPSMSGQRQTSMGPPPIPQQGLT
IDKLAAYQQALAAAAFTAAANGKFRRDSINPSDQGEDIQPGLVADSSHTSHYEPFSPAYDAPEDDFDYDDVLQDDDIIACANAEALANDDDGFYGQE
FGFYSAHANNETEFGGYFGPRGSSGIARGPSNRVVSREPNLTPITERSEYSNRNSFMSLALHGSNNVVSPGLAQLTNMLRSPMDYGSPMDYDGDMSY
DSLLKLRRGAWGGSQASLHSSNGGSPKSAANMDDGSPVGGVPPWANGGAINVPLGNQNQNHGYAQQASGPSHRRRNSAFSLQSEGASAASSPPASPT
LTMSFPPLDGIQERPRDEDGCDHEHNHERQQAERKEDLVKEGGKKHRYKNSAESISYTKDEDSSGSPRWILERRRTGEDGEVECEREL VRGGI

>RCO7_04966 | uncharacterized protein

MHQHRTFQEEGKTAIVPKNHAKVSNVSNSSSSGSPAYPQMLQFVSIGPGGSVTNPNMVRSHAIKGYHQRRKEAKKAYLNTLNQQRNVQLRPIGIAPR
PNALGLTEKSKTSAGSSVASRESSSGWKEDEDVVATMGKQKEYESLEAAVEAEIIRQEDMQLCLLATIDSQANNLVPYAWFEKDGPVLSINRTKWPF
PSPFEVTGSDRTDQVMRSLTPRQSAWMPYTRSPDFTVVKGAVLDPVVLSWIGQSPECFKFRVETIKWIQEQVRDPKKAFSYATIGAIMTFTMWTAGS
GDSNEMSTHMDAVQRIIDARGGFISFHRDGPMVAKLTLFDSMIAVLTGQASRFPQVDYYLSFPPPPPTTTQITLIHDSPLSGDGVFDNIIIRDIEDA
ESIISLLKKMWLLTLDHRLMTLAEESTTSRPQIHFSVEPQHKYNTHLLTLPLLSSCHDLSHHHVLETLIHTSTIYREALTYPATDFMSPYNQTTFQS
LTTAFAKSSHDDFWIRYPGIQLWVLLVGTAASRGRKEAPFWMFYLSRTGSFSNAQNWLTGNAAIRLFLDIQRRMRDGRVRM

>RCO7_04965 | uncharacterized protein

MIPGCLEEKEVLTKDPYRTPKKAKRSSATLVIS

>RCO7_04964 | related to alcohol oxidase

MFILLLWFSVWLNLADARRNFPGKVLKSSSDALQTYDYVVVGGGLTGLVVAGRLSEHSEITVLVIEAGGFTEDEDWITNPLITSSNIPGFKSPKGSK
YDWNMISISQSYLSNRVLPLSAGKVVGGGSTINGMVFNRGSKEEYDRWESLGNPGWNFEEMVSYFKKAEIATPPHPILEVEGWEVGYNPAYHGDSGN
VHTSFASFVWPSTKYLINAMRELAVTIIPDAMGGTTSGAYWFMQSVDPTSETRSTSEEFIHHKRQNLHLLIDNTVTRINIKSGRAQSVEYAVNKDAK

IHSVQASKEVILAAGALRTPQVLQLSGIGEKSHLSKLGIKTVVNLAGVGENYHDHTSVFTTGTGKLPPYHGVNIVPNVGSFSNASWAAEQLELYKSK
KQGPYTTLGGNFFAFLPVESFTNATALFSDAMAQPISHYLPPSTPREVRAGYEAQFDLLANDILASSVTYMEFIFSDALVLPALQQPFSRGTIKINT
TSAFNYPVIDPRHLSNPLDLALFVASFEYARKIRNTDAMKAINTTETYPGPSVTTKEQIEKFVRGGVNSEHHHAGTASMLPRKLGGVVDPELKVYGV
RGLRVVDASIVPMLPGAHLQATLYGIAEKASCLFDSKRLPR
>RCO7_04963 | uncharacterized protein
MPIYGIPTWGSPRVSPWKPLGEPLQESAQESPRDSSPNHFCETQSFPEYWSKLPAEIRLVILDMVVENYRFQPSVPYLRAGYATVCREWQPVFEQQN
FRRLVLDYDKIHGLNTLTAKFHRRGYLAQIFLRVRLDAYDCSVCQTKESNDQKDRNNHFFNRSLYGLLSVLSQWTVLEPSPGRYGRKMKGLELELGA
YSPSDYRHTFRDFQIEPNRELRNTAEAETYLGETYHQEHEQLGSLDDHFHGWVDGRRDDKSLICTEAKQRLMGTLEINWARTRPDKYDFRLKRGDLA
KFNLGRGPIFDAEPSRAQDNEMAELRWEKTHLAELEFWPEVEVVTSLLIRRQFPRKISGSSIGRLLKESFTNLREFRREGWFDVDAQQQLEFDEGFN
KYLAEENLPSTLRNVYIFEESNDTLHLPADAADRSYKRSLGMRFSYRSHLLENISVAFLIDARDFFFQFWQTQIGSPMEFKLVPWENLRSLTLTSNA
LRARHNSVLLKNLLLSAGRAVAFMPELEMLEIWNAKLKDGDPTGLGLPGAASVFRYEYKKEQSMITFASDSVTLHAMVSEELQGDVGSCWKILPRHS
SGNQLNFKCELIREGEWSSWGSTYPRVMESLKLQGRVLHELSRCQMACENPMSRKSDTEANVTTADG
>RCO7_04962 | uncharacterized protein
MVFHHFPNHFIDPDDHFDTVSPVYSHSPASPLPHLAIIPTRSTTSTSSPLISPTSPLPILRGPFPSPLLPPEGLQIRLRDQDAVHAVLDSALLSKAQ
NASQYESHSQPQDTDGYSSDEENGERVRGPLGPAPMLDEARMVAKGRFEAMENEDELRREAVMVLDWFVRERTPYVKLASERLQAVFGEKNSMGFE
LPEVPLNMTPSFGRRLSTSSGPSNNSLSPSSSNNNDRRKDSGISMHQQSQQRSPLSPISPFGLHQVDEKTGNGLREWLLRRGKETGTQRKRGCRSIS
FHDFTPDMRTGLHANILVAHYNGGGLHERTDVYEVDLPTTYTDPTTNLPAQGIQTWLWFLISRPMISICPTETNTDPAISYSWKPNSYRSSPPSTIR
PPPDFPMPIPTSYVVFACPASNVTEYPDCKDDSAPCEPRFTAQTRSHIQGMAPSYLTSHAHPYPRHRRTASSSPMVKKIYKRKDYDFSFQGIPLFEF
SSSTFSTSTFSLLNVPTRATFEILSIDNLGSWYPSDRSGLCSMNEYQTRERAWIEEMDSIGKEERKLEERAGREREKEDPHAKLGMWWEKFYQGVYR
EEGRWRRVKEAMSRGCCRVVVRWVESEVVTPTKSSSGFGGVLKKQRGKTSPLMDFSEDGEGDSDMSDADFDDGLGLGIDLPGRERSASGSSRKIRER
IAGRRLSNGGQARLTRSEARRKSGLGVFATSQETVAGSGVLIGIGHGAGVVGDSRRKSGDARDELNENFGGEEGTKDNIRKK
>RCO7_04961 | related to beta (1-3) glucanosyltransferase
MFAKSLTQAVLLACLAVSSVHAAVPQISIKGTKFFYSNGTQYYMKGIAYQLTPADPLIDTEQCQRDASLMGQLGANAIRVYHVDPEGDHTGCMTAFA
NAGIYLLVDLDTFETDIDPGNASWNKTQFDAFAAVMDAFHTYDNTLGFFIGNEVIALNNQSLAAPYIKASARDMKSYRDSKGYRKIPVGYSAADIAE
LRPMLQDYLACGTNASEAIDFFGLNAYEWCGPNDMKTSGYNNLNAFAENLNIPIFFSETGCNTVRPRDFQDQGAILGPDMNEIWSGAIIYEWIEEAN
NYGLVSYGAPVPPTVVATDVEGGFTRRGKPTPVVPDFMNLQKTWATLHPKGVASSDYTPTITPPACPSSTPGGWLVNGNVPLPSLGQALQTGTPTTG
TQTGSATGSSASASRTTKGGANGGKEIAGCSVGLVAVMLGFMFYA
>RCO7_04960 | probable maltose permease (MalP)
MEDGNQIAKSHAEVEKVESVTHQEVPEKTRHDGNHHQMRSEIDDLSGWQSVKKQKLITIVAMAAAFSASLDGYQITLNGGIVSNKGFIKQMASPGTK
IIDGKYISAWGGIQSAGQTIGQIFLQFATEAYGRKAAMYILWAFLTASIFAETFATSWEHWLIAKLLSGCGVGMLQATLPVYLSEIAPTNLKGLFIN
AYSFWFVVGQLCGAVALNSLHNIKPLDFRTPIYTQWAMVGGMLLIFLCVPESPWWLVSKGKVDKAAKVLQKYNGHLEGYNVDEMISIMSATIEEERQ
LAEQNAELGPMAVFQGRNLIRFIIASWPKITQQLVGLSVFNTYATYFFQYAGNKNPFLVTVILTCVQLLSLIITASSTDQFGRRPLTVYPYAITVLS
VLSLGITGCFNYKTKETSSLLIFFACLATFSTTGASAIGYAYAAEIPQQRLRARTAGWALALSNMVAIIFSFCTPLMINGTVKWGVKTGFFFAATGF
VAVVIAWFILPEVARRTPAEIDELFEKKVPLRHFKKHVTDVELYANVSNEKEEKIHAHDEV
>RCO7_04959 | uncharacterized protein
MGYHFLQLWQLSLLGIANAVTFSVSATPPSNASPRLNLAPIGVSLEFFAFPAYMNDVPSTKQCLRNMQQHTGVWPPMRIGGTTGDRATYDASSSAPV
TYTVSKPGDAPASLTFGPSFMSLANTYGGKVTLGLNRRLNDQKNTLAAAAKATSSMSNLEAIELGNEPNFFTASDPIAGGSAWTATREYASLVSWQS
AIGSALSTTNIFSAGVYFGVSPMNNKALAAVEGSALGYVKDFSSHNYPQSQSTANLAALMSHSGIASQVAPYRSEYSAAKSAGKDYVMGETNSATQG
GGGISPTFGSALWLMDYSMQLLLLGTKAIYFHQGTVGNCQYCWWGRYSMGAPYYGAYFATLALAGADQIAPLDSATTAYAGYGIYKGGKLVRILLYN
SDYYASGTRTSQSFTLTGLSATSATAKRLTAPSATSRQDQGQSPTVGGQTFEDGTCEIKGTAVNEAITVAGGSATVVLKASEALLIEV
>RCO7_04958 | related to rhamnosidase B
MTSKVPASEQETINRLNANWVWHPDWVDSSTDNTAGRIVRFSRHFVLSSQPNEALLHFSADTRYKLYVNGTHVAIGPSRSSLLIWYYDSLDIAPFLK
PGENEIVFLVLRYYVATRTASPFERTAFPGLTVYGSINERISPISRSKVVTPRAYGMGTLNGDLLPWRLRKRSIPVYEESICVINTIRACKSDIELE
RWNDLFGSNIPLNLPSGSYHKLDLQADVHSTAFVRWKFKSSEKSSIKIKVTYSEGYELEPRSYPFFRNKKDRLNAGGMIIGPFDEVELDLVESQSIT
YEPFWFRTFRVLRLEISVGSGAIEFESFEATQINYPLALKSSWIEPGDDHSEKIWEVSIRTMRNCMFDGYSDCPFYEQLQYSGDSRQVGLFHYLISG
DDRLMRQAISNFAASVTYEGLTQSRFPSHVPQIIAGFSLYWVLQVCDHHLFFGDTAYSRSFLPRIDGVLEFFNSQIDDLGLVSDLPYDAWQFVDWVT
TWGATDSHPDKGVPTSGRKSNRHTHFSMLYAYTLKQAANLLREVGRPGHADEYESRISPLLRAIRKHCYDGKYFTDSTADIADDLAYSEHSQVWAVL
SGAADPEDAARLLATSFQNVRFSKCSYMMRFYALRAFAIAGDGVYESVWTQMWDPWRDMLADNLTTWAEDDVRQRSDCHAWGSVPIYEYCTELAGIF
PLKAGSAKISFKPRLTLSREIEAKVALGKDNVATVSWKTDNDGHKRVRLQLEKPAEVVSKLPGAAEVEHGVVDSVDLEFHLVPAVNPI
>RCO7_04957 | uncharacterized protein
MCYLVIERYSDTKFVNYKHYADLCAAHETQGQCLQERTMLVENACERHVEHNDEETPLWTDSAVPIANCANVLSLNSWVTGDIPITSSTAVAAMQEA
YLVEDNYTSTEEAPDESAMDTASTQTTVEDETCYEAKFQSVTSQTANLDDLRSRLLHPSRYVSSFQVLKESDILQSGLSGDPFAMDPTNASDDEITT
ICRAAKDRSMSSHLDAIRMCRNVIVKTFLNLKSLLQFNFCAGFFSATSADNNRPNVAMLLCVEAQTSLYYERSDANLEHWELLPKILGSSRFLTVRA
FR
>RCO7_04956 | uncharacterized protein
MSSNITTPPRDGQRFSFKQQSEQINNTAFSMVVIPAATSLPPSKPSTSTATSPTTTSPPSTTSTSCSGSGGLSAGAKAGIGAGVAVVALIALLILNF
CLVERRKRASQLPSTSDPKYEIYETEASQTKVPLGELDVPPAELNAGDKDHAAELLAWNSR
>RCO7_04955 | related to PSF3 - part of GINS, replication multiprotein complex
MSYYDIDAILTDAQVYSQTTLHDPANIPQKVPCTFELDVPNLGYLDNNAGHALKSGTRVELPLWLAEMLAVSSPNSNKSLVTLDLPPSLAPRVMNAL
KADPKSVDLRALAQNFYGLGSRILELFEEEEVCDVLMDTFRSRAAEIADHASNAGASQRSGGGRVGNDGVEFLRGLDEMERGLFRAAHDSSKAMRTW
MGDVKKC
>RCO7_04954 | probable SOD2 - superoxide dismutase (Mn) precursor, mitochondrial
MSATLLRTSTAARSAIRAGASKRATAMASTSFIRGKATLPDLQYDYGALEPSISGKIMELHHKNHHQTYVNGFNTATEQLQTAVQKSDIAAQIALQP
LINFHGGGHLNHSLFWENLAPSKNGGGGEPTGALKTAIESSYGDFSSFKTKFNAALAGIQGSGWAWLVKDNETGQVQIRTYANQDPVVGKYTPLLGV

DAWEHAYYLQYQNRKAEYFNAIWDVINWKAVQGRL
>RCO7_04953 | uncharacterized protein
MFSGGRKVYAERNSRGHDRFVIGRPSSRPHDRESSHAIQELLDEAESRVQSLMTEVSSLQNSLSVAQRDQWHLQNLRAEHQRVINEHYHCRNLGAQL
DAQAREVRRFEDLYVEEEQRNVRLEDKNEELKEKIRLLKRGSATREEYQRRYEEKSAEVELLRRGILERDELLRQAETRVAQRDSRIAYLKNYLRDR
GFWVD
>RCO7_04952 | uncharacterized protein
MSASTSKGKKVRYESGTKGSSSSSHHHRSSRDERDSGIGSSNASVRASLGTGIAHNSSSLNASEIAAQRHNLRAVQEALDSAHERIRECEVEKANLS
AMLSESNKENRLLKKEKSDLCNRVEELLDDLEDEKKRVERLRRGSSERKSPPRSSPRNSRELEAAAISSYQRGSSRRSPIYQSQQQQAQMYPAVPPA
PANSAPNSFLPSPRHSSSGVPSVIFSPERVPLSSSSYAVPSVSSYSSAPSSGYTHAPAPLQSRSRHGSSGASAGDGRYHLSPL
>RCO7_04951 | probable serine/threonine-protein phosphatase 6
MASEDSRKALDRNLSIKVIQVEGDSENNDSETVISPTFHLQDIIDYEYESPDDPLADINDDNDDDDEDEDEDGDQAEYVSIIHASRQLPEIPQTLSR
PLPALPKLPYRGRPQGESLLPERRALVPPRVFIMPGPKVPQPGAAKLKPNSQLPEWLEEAKLCHHLPESIMKQLCEKVKECLMEESNIQPVETPVTI
CGDIHGQFYDLLELFRIAGGMPGENDVQKPTTVITSDDIEPPTVITDPKLRKKIRSADSGIESASGEDDDEGERGRPRTAGQSSRGGSAGGDSAIGV
NEVSGNGNQRFIFLGDFVDRGYFSLETFTLLMCLKAMYPDKITLVRGNHESRQITQVYGFYEECQQKYGNASVWKSCCQVFDFLVLAAIVDGEVLCV
HGGLSPEIRTVDQIRVVARAQEIPHEGAFCDLVWSDPEDIETWSVSPRGAGWLFGNKVASEFNHVNKLKLIARAHQLVNEGYKYHFAEKSVVTVWSA
PNYCYRCGNVASIMNIGKDLVPKFSIFSAVPEDQRAVPPGRRGAGEYFL
>RCO7_04950 | related to nucleolar phosphoprotein
MATRAQPNGVLSIRSNQTTSNGNGNRPAQAAAKPAAAKLKTIVRRLAPGLTQEEFTTILGDEWKLGHGKVDWFRYKPGKDSKDASKPSKPSRAYLHL
TNESHLLTLSEAVRIAVFEDATNTYNSPCLVGPPTVEFAPYGRIPAGRRRVDARAGTIDQDPEFMAFLEDLANPTTGKDLNADTLLDSGPSKRDKVT
MTPLVQALKDKKAIKNKDAAAKAAKKQEANITKGKGAKESAADVKKGKDAKTDRLVDKATKEAVKILNREAASKLAAGSSTAAEVSSLESSTAPKLD
IGKVPGRQRQAVLAAHIRMLQRDLGLSPAQAHRQVRRDTADAQKAERAAAGEQSKENGEAKSTRPIQPTSVPTAPKSTLSQNANRKARGKGSSTDSE
AGKPVVASNPITPKVLLKKPEIQSAAASNSYPAAVTKPAASPAPAATRKPQPSAPLDGATQAFVKHANPSQGVTETLLKEAMEKFGAVKTVEIDRRK
GFAYVDFADAEGLRKAMAANPISVAQGTVQVMQRKGTSLPPEKKTASQVPTAPSRGGRGGRGGSGTVGRRGGRGGARGGAGTSEPGKLPGSTPTGPS
K
>RCO7_04949 | related to phytochrome
MASNSFGIRRVFPILIKAPDSTAESALDALGLSVYQPTPATDNEGSDQEKPPVPKSLVRIPPPKEPDLELSNDATPTGERLGQTSNDQILTDSASQV
VTSEEPGERTSTSERFVSKTYSFVTAGHKTAPSARAANKVQKTVKVYRCEDEPIHMPGAIQRFGALIAIREDEAGYFVVRIVSENTEDITGLEPEQL
FDLRCFTDLFFTNDKKDFLSRVRNMQTQRFGLTVVPDVFSLSLTSLRGAPMACYIAMHYNPESDVIICEFEPKGDLFDPQHPSDTGLPDKPIQVTDN
QPSEEEVRLSTTCLSQPLRAVQVARETGRYMGPMELFNVLCEIQGQLSSASTLPELLDIIVGLVYQLTSFHRALVYRFDETTAGTVVSEIVDSRAST
DSLKFPSSDIPKQARDLYMINKIRVLYDRDEPSARLICRSMEDAATPLDLRHSYLRAMSPIHIKYLENLGVRATMSISLTVDNKLWGLVSCHGYGSG
KRVPLPVRELCRALGDLASTNIEKIIYATRIKARKPLTTYPQQRAPSAYIAASSGELLNMFGADFGFLAIKGEARTIGRLFAYNEAIVLLQYIRSRS
FTNTYASECITRDLPEIDFSPGFKMISGILVIPLALSGSDFLIFFRKGQTEEVKWAGNPHEKKKIVGNYLEPRSSFRRWSERVVGRSRKWTEDEVLS
TLYGRFIEVWRQKEAIVQRNRLTRVLIRNTGHEVRTPLNSIINYLEVALEEDLDEGARQHLQRSLQASKSLVFQVNDLLSLTEAEDSEFNNHEENID
LRSMLQEVMDSYRDRSLRPGLQIELRDDFNVPTMVRCDPSMLRSVISNLLANAIQHSGAGHVSIELDQIVSSDTNNLVEISFRDNGCGLSEQGLDCL
FQDFEQVLDDDDDQSDTQGNTGVYETVGKDHTGPITLGLGLAMTARFVRLNAGQIAIDSELGKGTRVSIKIPFRLARPEKPRDTRSQSVYSLPTPPM
LTHDVMLSSVISNISAGTPRPSSGQGPGPGTFERSFSESTLSNRLGMTREELQMTPGPESLASIAHALSMSRRPSFDPPTGRFPFPSSNTNCTKVNI
LVAEDNPLNSRLLETRLSKRGHTVKVTVDGQACADAYMKTPAAFDVILMDIQMPLVDGNGSTRLIRTFEKKESPTLSKMAKSHGRIPIIAVSASLSE
SCCMEYMNNGFDGWILKPIDFSRLLAIIAAIEDEEKRNLMMYGSVKWTDGGWFQFKHDTPTQAEHSFERLDKIPEVCQNESKAPEELENKRRNFIEE
PKETTEESQDNNEAPR
>RCO7_04948 | uncharacterized protein
MTAELEAALMSLGLEEYLERFQESGFKDWESLSKIAESQLSSLDVRLGHRRRLQRAIASGRLWPENTPLPRGPDLNQRIRDWLVEEIHTPEGSDFPE
SESQTSAPAQADLMYHRHGSQTSSENSSLQSIPSEGKVLSEQKPRSLVTTGNTSGSKSATLRRTGPKDTGQGVT
>RCO7_04947 | uncharacterized protein
MSYPQSVADPNAQHYGVQQPMTTNQPTTDPNAHQYAVQQPMTMHSPDIENAPPSYPIAGGPNGEKNEFYGVDQPQPQPQEQTFKAGAAPANNTKYQM
ATPLASLQQGPAPVDCPVCGVRELTRTEFVSGGTTHLSALLCCCCLCLGCIPYMASWFKDCEHKCGSCGAFLACWHRSGRTEVIAHAKVPAPTAPAG
SAPPAV
>RCO7_04946 | related to transcription factor Ask10p
MSAHQAGLPGSHPVTMPLRQTSTSSALSDDAVPVTNPKDTSELLAERLQAWKHAVGHLEAYVEATEKIQKAHAKEYEKVLKTISDPLKEGHHFDQSL
GGIAGLFENMRQNTQGMVNTHIETEKNIKGSVMPILDRLHKEIKNKSKELSGGAGKSAKEVEKARNTTQKHIELLGQHTAGFGSSGGKVTANDDPYV
LQRGVYHRLGKQVLEENNNKHDLIAVQQNFAQFETHIVEVVQQALMAFNQFVSGQAQKIEQLYGDMLGTAQAVPLNFEWTGFVERNKAMLIDPNSAD
RTIDGIAFPNQNHASTQAVIEGSLERKSRNKLSMSGYSTAYYVVTPSKFLHEFKDSDNLRKDPVPEISIYLPDAVIGSTSGEKFNIKGKDVSKGIGS
KLSGSSEFQFKAHSASDASKWYEAIRSVVGSGPATEAVSPISPASPIDNTAAHPPAYADEKQATPAPLQTSGMTGQQTVTSPTVVSPTSAITPAAHD
KI
>RCO7_04945 | related to SNF5 - component of SWI/SNF transcription activator complex
MKTTSRPRDIGESFASRRGHAPQISISDSSHHVTEAIGDMYGDDDYSKRDSRPLSFVASPLHDSIESSGFVTSPLHESVEVGNTYFEGNDGPRTRLS
AHINGNIGGKAYTIPAMLKSPKSTSFNKGDLSPSLSLRDHSGSDANSQFPLSNIDYESDPAAVAQEMSNLQALRRMSMDVGNTSDPDLPSFQSSLMP
SIAPTGDDDEDDPSRLFWVPARVHPELAPMEFKTFLENRVHSIKHRSGEQTSLSPSGMVRAGSVGGLRRKKSMLSKQIDTDGGRGALGYKDGADQLE
RMKSLSEHQIPELKIADLQELDALVRDPSKAMRKLSLETNLRRDSNGEVVEVEDMPILPQAPGIGLRRSTRTTYRRGSLRKEGLGPRRAGTMRADAD
AEESPIASSPIGVPLTKVQSEPTTAENFSRPNRGARRLQNIAQPSSHHDSPEINTADSGKFDFISMDTAEPGQNETQIASYSGDEALSRNDTPVPRI
IETPPPAEEGSQTPVKPIVQFPERSSSQGSPPLQQKNSSSPEPPARSSRRPMVDRQTPSSNVLQKRTSSQTLNDMAQNPSPLPGSNARTDTLTFIPA
ADDRKSEKKSKKDKDEPETSGTRKTSWGWFKGGDEKDKKEKKKEEDHKDSKRGKGKAVVDKAHDTARLDVLQATLDTGAPRGRESLLMDRDNADYKS
YDEKKKDSSRKSGTENKKEKDSLFSSFFGGGRKKSDRDSGGKKGSSLRTLSPEPPPRQLKPDIDYNWTRFSILEERAIYRMAHIKLANPRRALYSQV
LLSNFMYSYLAKVQQMHPQMQIPQSALQKKQEADRKQKEQEQQRQQQEGGEQYRYDYHQGITQYAESTEEPANAKTDGVEYVDDSQIYDYDHQDSSS
SQGQQSSRPESRASQHDQEHGYGNQGQYERNGKDYYSFDRTEKRQKQKPGDDDDDMW

>RCO7_04944 | related to protein HSE1
MFRAQQNAFDDVIAKATDENLTSENWEYIMDVCDKVTTEDSGAKDAVAAMIKRLAHRNANVQLYTLELANALSQNCGSKMHRELASRAFTDAMLRLA
NDRNTHQQVKAKILERMQEWAEMFKDPDLGIMKDQYHKLKSQNPNLHPPSAPQKSRLTDVDRQKEEEELQMALKLSIQDKSPQPQSNKPAQQSGSAG
GPSQSQPASQPQTVPSGTTAATVSRVRALFDFHATDPDELTFRKGDVIAVLESVYKDWWKGLLRGQTGIFPLNYVEKLADPTSDELQREAQMEAEVF
AEIKNVEKLLTLLSTSSSDLNVKDNEEITKLYHSTLAIRPKLIELIGKYSQRKDDFTQLNERFIKSCRDYENLLDASMTQAQPAYQYGRHQQGYGGG
YPPQAAPPQQDTQRYYTPNQPTEQPYPPQTTSPQGYPPQPLRSGPAPFYVVAQQQQQQLPQEPQPGQVQHQYPQRDPPARIPSNPMPAPLQTSSPPP
NQYPQPHAQSGHRPQSTYSNPQELATSVYDSPVGQQPNSAYSASLYSQEDPYSAGAPSNAQPLPAQQQYNAYAPPQQQYPPQSQPSYDAPPPPNASA
PPPLTGDMNSGYPNIGQPLDARQTLPSQGTPSQSQYKPYQRPGSAEGHMAAPSASPGGPADFYRQSAAH
>RCO7_04943 | related to ADH4 - alcohol dehydrogenase IV
MASAVRIAPTRAARAMNLLRTVQYTHPPSCPCHGNPSHHHHHQPSSGLLSHAKRNLQRNYATPVDLSRQKEYAFEMAASSIRFGPGVTKEVGMDFKN
MGAKRVCVVTDSVVRNLDAMKQVVEGLSREGVEFTVYDKCRVEPKDSSIREAIDFAKPYQPDAFLAVGGGSVIDTAKLMNLYICYPDADFLDFVNAP
LGKGLPIDKPLKPLIAVPTTAGTGSETTGTAIFDLVSKRAKTGIAHRNLKPTLGICDPLNTRTMPSAVHASSGLDVLCHSLESWTAIPYFERIPRPT
NPINRPAYQGANPISDIFSLQALRSTVKYLPRAVKDPEDHEAQSQMLLAATLAGVGFGNAGVHLCHGMSYPISGQNPGYKHAGYQIDTPIIPHGVSV
AVSAPAVFRFTGPSNPERHLAAAEAFGVDISNVKKESAGEVLGEALEKFLAELGDQPRGLKDLGFKREHLDDLVEGTLPQKRVLMLAPGLAEEVGEE
REQLRKLFEDAMEH
>RCO7_04942 | probable Autophagy-related protein 13
MHQHPRPPPITTSPASSPRTNPTRTNNAREEGSSSSSRLATDTPAYSNADETSGDSGVIATSGPSRDVVKKLDQIIQNFHTKAAYLVLQSRMPLPVV
FTKDGTKKLNKWFQIETDDTSAFKNDLGLWKTCGGYQNRPLPLIIETFIDTSSLTSSQSLVIVDDQGKRWDVIEALNRSSGSRENSEVILERWRIEL
KDSPGERTHDFGSTLPTVYKKCIVFFRSLYATTKFVPAWRFVKTLAKSGTANGSLRVSCRILSGDVQQCRFDALTHPLYEFGGPVTTDYLLGTTETP
VGQFSAEVSYRNDCSFRVDDSEALLSSRFMGADEHYFQPSLGAKDIRRGTSRTVEVGSLPAHRHQRNEASEPIQAYGSMSTFHGNAPPGASSPISAL
RAAKTMGSETSSPPVGSGSAQETRPLQTSRASILSSGGVSLARRPSLSFQPFKAGSLSSSPGLNNPFQNPGEIPPQSPQSLPRNSGISALTQARNRS
SLTAGMPASLRGGPIAPDTVPIPSTSSSPKPTPMSRYSSSFTHRRGRSSFGGTSRTVDEDQGSSGKQSLSSSAQPGSGLLADLGVGASSDSLQTDDD
NISDFLKLLDSKKTLQSFEPSGEASRKRTSVQLSKFQSMRESNNALTESMSSSTMLHRSSSSSSRQLSSIPPMVAATSMSVSSSPGKPVSPHTPHTP
AIPSRLSANSVAEYSAEPRRTSRHTRAAPEAHLEGVADGDLTNERGTNAINIPTSPRTYYPHARRSSSVAQQQRSMAVDEDLGDLPFGVHRSISLGA
DEREPPSFRALRGPSQAIDPVASASSPSPSRLLQPAPRLKESSAMSRQPSSSLDANDSEPPQMPRGQAAGSMNSPYRPRLGQSGGRGVTPPTGSSSS
LIDRASGSGTSERGGGRLSFTRTVGAYDHDDEPLLFDMSEIGREISRKSLEETRGSSMTGTHERHGYDSRGGGDSSSSSRRGSRRGWHGE
>RCO7_04941 | uncharacterized protein
MSSIYSSFASSSSSFHSDATADLPKPCNDIDCLYPYGSICDNCALDAEEHANRRAITDEWVEESQINRDIVLNAGEEFTGGADETDESESGIEDDEA
NEVSYEENSDSYLSNIRSEYIISSPYHLSPEQTSPTPSSISSIANCSSISIISAPEPELLASWLDTLFDHTHHGHATNVPFAGGADVEQDPNVDNCE
LCGRAIGEATDQHYLKCKYAHEERERVRKWGSAWTDAF
>RCO7_04940 | uncharacterized protein
MTTAIYLSNSQAMKKISQPMKEMSKAKKISQATKRREKRDTWMLCRDCGHLVHIESKPEELLPVDRTLEVLLSTGDEQCIYCKDPSFEPLTLRTQLT
EGRLKRAHHYHLYIDEKRSDKARILSAIDVVQYSLDNSYIEGILEGAMAPPVHSIVYQNHNHNAFMNWSAQQRAIISNRKMAVAEELLPKRMEDLEY
LFRTEQTESDCVFAFAQGKLLGQLWADLQRKAIPSPHLGPQLPESRTWQVDPHRSCSVRKPLRGWGKGAGINSKRTIQNRRVLIKMALKGQRQRAEK
EEVDRLAQFEPLKRTDQKSLPPYSPRVCITSPPELGEWM
>RCO7_04939 | related to myosin-like protein
MSNLLWKFYHNEDVEKFRHLLSSGSQATQYTPKNGALGNTQSWGSITGSQGGFATSPRNVTKHRKVSGQQVAAGSKGLNTSLNRADVNGRDHAGLTI
LHRAASSNSKVTTSFALALLEHPAIDIYVQDTENGWTALHRALYFGNITVARAIVEKDNQDLGSHVGIAVQRAASSVIKVKDYEGNSPFDVYNATIA
RRSLLVDNHGDGSDDETDDAALVEAGSVEFNPFTYSIDGDEVFAWGSSRNHGLGFKDQDDRQHPEKIVLKRPDHLLFRFYREYVESSEAKDSAFIKP
SSLPKSVLELPTLITNRPITIQDMELSKLHSAILTTDPESNLYMCGFGPGGRLGTGDEITRFSYVPIEEGALAGRKVSKIALGQNHSLAVTSDGSLM
SWGTNTYGQLGYTLPRPAMKDEEPVCSTPRQIFGPLKREAIVGITASAIHSVAHTSTSLFTWGKNEGQLGLMDSDSRSLETQPVPRKVAASLFKAAI
TMVSAINSATVVLLANHTVCVFTNYGYNIVKFPLSESFANYHLKSNALTTRYESTTNHISHITAGGDTIGAVSSRGDLFTVSVRSTPTNATTSTTNP
AKIKDSLSAPERVWSLRKGHWDGVKSVGITENGSVIVCTQAGAVWRRVKRANIKDAFLETKTFRRKDFKFQRVPGLTKVASVRSTTFGVYAAIRKDC
DVTRTQIAVNEQGLWSDLARLLSIRDIQASEVPHDEEDTDTPRFWAPALPKDLFEPLKRAVLISPDLEGDVCRLFAGQPPDDSYDVNIATSSSEVRI
PMHGFILSRSPVIRKLMKDFRLTSSASVPDVLVIRNSLGTTGDPMNAADIAKPEILFQGIDFITLINLAVYLYTDTVIDVWHFTRHSPKMAYRYRQV
RVEVMKIAGHLKISKLEAAVRLMSEPDRQMNIDMAGALQDATFFNDGDTIIELAGSEVRVHSAILCQRCPFFEGLFNGRAGGQWLAERRNFNSDAVR
IDLKHVQPEAFHLVLRYIYADAGDELFDDIIASDIDEFSELLMDVLAISDELMLDRLSQICQRVMGRFVNTRNVCNLLNAVAPCAVTAFKDSALEYL
CLQLESMLESHLLNDLDSDLLLELDEVVRANQLNCLPFAKSGRAELLLHERHPDLAEDIHEERQRRVKEMAYRVTPKDDDHRLSTSYRGRIGSLDDH
APGSPSQEKLRRKLKVARNAPFSPSIRPKDSTADLMFDMDDDEVLAAESPLTLKPSTDSKESNAGGSEIRKLSWAEPRYAPDGENLLATSAGLGVQY
PVEGQPIGTKTWLSPALPSSKLDMKEIMAQASSSRTSALSQSLSAQKAEDEAANKQARLKLSQKERKRQQLMMQQSNEKPQISLNKEDGKPASPWQV
AGLGSKTSLKDVLSEPKPSADLAAKSLASPSPSHSSAPRRTASPDTRFAGQSRSGNNSSNAKKGQSSSAGSLRPSIDTRFAKSSPIVPHSKSYTTLV
GKAEPSLQLSMSDIIGQQRREQEVIKEAVAKRSLQEIQEEQAFQEWWDQESKRAQEQEVARSKNNQFAKNSKSGSSRGKGGSIGRGGRGRGGAGAGG
DDTPSRGRGRGGSGKAAGPS
>RCO7_04938 | related to RGT1 Regulator of glucose-induced genes
MSYPSPNAVAADQGGPFYSATSSQHQQQQQQQQQQHADLPNTDELEIAAHLSSHALASAMSSGPGGNMADGQDMRSQGQPIANHHYEQDQAHDPQIQ
GDHGSMEQMGGQYGALDGSMASRKRSKVSRACDECRRKKIKCDATGESGEEQCSSCKRVGTTCQFSRVPMKRGPSKGYIKELADRLNTLEGAIHGQG
GEMVPQYNPHQESSAQHRPSVEFSPPPPGDTPRKRTYSTASGGEFGSPFLAQRQLGSWGQSQDPLRNMAHGYPMTSNQNAPTGQMFRDPNYSPNGLQ
TQPSWKQPPPDVTRPQTSAYENVPQDHNYSERKLEPNDAIFDGYYGIIHPSYPILETTRGKVLARLMGCPVSLREAFHEALLAAVRSHPSPTPYDSE
APNPRKAAQLLALTDLESLATQSFTINIVYLQTMLLLATEAENRPPYTPGHDGRSRSRSSWLGGAVGIAYSMRLHFHKPSHLMGEDDPDTDDRLARR
LWWSLVIMDRWHASSTASPSLIPDSSVVVYPEDQALLGDNLYQLARLSIILGHTAAVTLAPTDLPNLSIPRDAVYGTLLRGELERFRESLPASALQP
SNAPLLHMCYWHLRILVGLTLATLEPIELKGIALNNLSQIISNSGLVSPLTYQCTTLVALALLDLTEYEVTRDEAEEALRTLILEARNAPSTWDAAV
RVLIAQRYQPASKSAPPFNLSTAETKHASVASQSLQRLADLATATEEGRNVTVSEEVKEGETAQNIPNPNPKPSPAGSSFDTFHKLRELVKSGYLSV
FNCR
>RCO7_04937 | related to transcription activator CUP2

MLIKGEKWACEACVRGHRVSNCQHADRPLQHINKKGRPVSQCTHCRTLRKSRSAHVRCECGEKAHSKGACSHDTDPQADSCCCSHTGRCTCALKKEY
LDPVPESDSDEPSLSSAPKEENRRPRALTAQSDGGLTIFTNGHHKPVHRHNNMASKCGLPYVVPRNNSIHGPSPAGLANRSVDNLPHTNTIDALHSD
SHIRDSMVSAQQEQRMVKSEHGSPDMMPQSVLDQRNAQLPPLDLSTVPGDFNFLQSLDGFASAPDHEAPMFSAGLSSASIDWSHYDGLDFNNDNFAT
SSYSQAPSFTGFDFSSTDHPALTTTSTSGEISEVEDFIPLNEHSSTRPPLLSNQYGSDFDTSDLGEIDTYRLSTASSYIGMPQAQMLASNNFESIDM
DAFLKGVQAQTTGAYVSNHGLSTASYLDDGKSGQNMSPFDDTANFQLLPTEDDNDWMQSFVPTGGPYNNGHCEVPENSNWAQ

>RCO7_04936 | uncharacterized protein

MPSLLDNLGSLISSIVSGITAIIGSIFAVIQSIINTILGVIGTAFSAVGTMISGLAHTFEGLLKFFLSNILVIGALVGALFLYGVYQQRNGRAVTQR
PAGAKKIN

>RCO7_04935 | uncharacterized protein

MLPKNWPANLPYLINPVYTPTLTPTHLTALRTRPNNVPEIPPQTPKGPSNLVKITPITTPSHPAYGQSGLFAAKDLKPGTFILQYLGEIHASPLPAP
GHPDPDPPAKAQLHPRVETEVRAKMLDPHASSNYDLSLDRETGLGIDADKRGNEARFINDYRGVGAKPNAEFKDVWDLGRKERGMGVWVLPEGKSGK
GKGIRKGEEILVSYGRGFWDARKEE

>RCO7_04934 | related to NIT3 Nitrilase

MAPVYKVAVIQLHPKPLDIERNHASAISYIRQAAAKSCHLAVLPEYHLTSWVPDSPDFIPLCARYQKYLDAYCALASELEICIVPGTIVEKHGPDLL
NIAYFISSNGTILGRYQKKNLWHPERPHLTSSTHEPHMAFDTPLGKIGMLICWDLAFPEAFRELIAQGAKIIIVPTFWTLADCSEEGLKHNPLSEQL
FLESVLVARTFENTCAVVFANAGGPKDEDGRERGSWAGGSQVALPFRGAVGKLGWEEGMSVVDVDMEILEQAEDNYKVRQDLASEGWHYEYFLTRNQ
AQEEGS

>RCO7_04933 | related to phytochrome

MKLSGEGLSDSAALSKEIPSSLATNIPTPGIDESPSGVQSGSSQTPPATEHTTEHGQGKPRLAASDVRRSYFPVPATDGTSSWSTSSERQLASPGSA
TGDRVYPIRSVVSVDSSQTPYILPGRKSSEHQSYFPPGATGVDIATRVGSQHQHRQSISEKEQSKQSRRSSREAGYRKDSTSNTHSDADRLDRARMQ
IFSDATSDKSNEKSNVGSLPGTYKRTKSSLKIIFYLQLLRRAIANSSLIRFKHVITAEGHAVITGRDGETLQRCEDEPIHIPGAIQSFGLLIALEEL
EEGELLVRVVSENSLRIIGYTPQELFKLKSFTDILSEEQTDNVLDHVDFIRDDEADPATNGPEVFTVSIRSPLGTRKNQKLWCAMHINPANSDLIIC
EFELDDDQMHPLVPPNDKTPEPPEDTLDSHPTKEEYDESTHISSKPLRILRSARKRKGEAAAMEVFNIMSQVQEQLATASNLDTFLKVLVGVVKELT
GFHRVMIYQFDNTFNGRVVTELVDPRATKDLYKGLNFPASDIPRQARDMYKVNKVRLLYDRDLETARLVCREVQDLETPLDLTFSYLRAMSPIHIKY
LTNMAVRSSMSISINAFGELWGLIACHTYGSKGMRVSFPIRKMCRLVGDTASRNIEKLSYASRLQARKLINTVPTETNPSGFIIASSEDLLNLFDAD
FGLLSIRGETKIMGQVDQTQEALAMLEYLRLRKFTSVITSQDIRTDFPDLLYAPGFDVIAGLLLVPLSVGGSDFIVFFRRGQAKEVKWAGNPYEKFL
AEGTEGYLEPRKSFKVWSETVVGKCREWTEEHVETAAVLCLVYGKFIEVWRQKEVAMQNSQLTKLLLANSAHEVRTPLNAIINYLEIALEGSLDQET
RDNLSKSHSASKSLIYVINDLLDLTNTEEGQALIKDEVFDLPATIREATDSFTGDAKRKGLVYEVIEYPGVPKLVLGDQRRVRMLVANIIANAVQQT
TEGSIRVEIWLHHITEDCATIEIVVQDTGVGMSNATLDSLFRDLEQVSTEGEDGQPFNDQSESSRAILQGRETKTLGLGLAMVARTIRNMDGQLRLK
SEEGKGSRFVMQVPFSLPDNANSEMGTSDIEKTSTPTSGSLQPVAPDTKGEVTLVKKLSSLNLDQSVTRRRSLEEPSLRSFRSGSSAKSNKSDGSKK
SDVDRLIDAISGPLDIGEAESEEQTLQRSASKGSGHSRRSSASVGSVQNRLTDSHQRPGQLSRSTSYGAPEHLRSIHEGPAGSEFVTDSKTLLRAIR
MPEESDSPATPQRSSKVLFEIPDKGNPEELGEQNTAPGKQDAEHLQVLVAEDDPVNSRIIRKRLEKSGHQVHHTINGEDCASVYGDHPAFFDVLLMD
MQMPIVDGLTSTKMIRSYEKSHPESKFSSRAMRNGRVPIFAVSASLLERDRQTYINAGFDGWILKPINFSRLNILLSGIVDDLARDSCLYKPGGWEQ
GGWFQRRGSTSPLQISTAPTSQKSASEYDGNRDKASSHNSSESGSITPTEMRRPLIHDERLDIPEVVKEETPNEHDTPRSPVQSDGKSDAES

>RCO7_04932 | related to polysaccharide deacetylase family protein

MSFLGLEGLHVFITGAAGGIGSQAVREFLDMPFLDSVPTKSILFCFKDEVRGGHCGHFPNPVLLGTFLTRIFKFFLAGGVIVKKKVAISHDSITAVL
SPKPINNQEPSKNLFTVTGDISVEESIERSIAQAKAHFGPINILIANAGITDESRSYPIWDLPLELWEKTYNTNIRGTFLTVKHFLRSAEETQKSAG
GNEIENLSIVVTGSECGKFGQAGHTDYASGKAALQYGLVRGVKNEIVRLNSKARINAVAPGWVDTPLIDGRLVDPTEMWTEAQATVPLRKIAQPEDV
ARAMAFLASHRAAGHISGECLSVDGGMEGRVVWKAEEVLQTSLVTMSLKEKVESILPVSSIPQALAAPTKRKIQVLLSVDFDAVSGFLGTGASPTNN
MADFSSGFFAGQVGVPRLLKLFKKHGISSDVTWFIPGHSMETFPEQTKKILESGAEIGCHGYAHEGSSQLSEEQEREVIEKCVHLATSLTGRRPRGW
RAPLYQLREHTVKVLQEQGFLYDTSLTHHDSQPYFLPQAPPIQPIDFSPHLSASTWMKPLQAPSPPNSETLVELPCNWYMEDMTPMQFLPSAPNSHG
YVPASSIMEMWKSRFDYLYSEYDEEERKAGEGGDFVFPLVLHPDTSGMAHVIGMIDSMIAWLKSRGKEVHFCRFEDVAREWRDSQDI

>RCO7_04931 | uncharacterized protein

MTSTEHSTDTQLILPTGTQNGRQPPGTSTRHSQREADSSEALDVTTNVGSPIKNSIARVAGYIFGLARAAPAQELRTHEEDGTSGNKAVEEPAHEEG
EVVRSPYIPRKRPPPRDIYQHPSTPDGSGEEKELRANSPRKRARKTVKAKEPITEPHRTLRSRTILANGSPRAVPEQMIEPNAMSFPVPSSPHKAAE
DVAAQPAKRGRGRPRKNPPPPPRTMPTRSVSTGKDTVTSPCAARKVSQMSTVSSPRPVREEATVPSEVEGEPEEQVEQHQHGEQEADDEEDDGGVSS
ILLNPSPIKVSRDTTGQSTGNPHMKTKNTEDNEQREVEGSPMISEDEGRLVDESEEEGSEVGAGVGLEKSPGEHLVDMRVIDDMIITAGRVGYSYNK
ENQEWTLKTSHKVCSSNGKRMIRRLRKTLGAYHILQKAIDTGDSHAAKKTRKSIDEQMENIQTESHSILTTRLGNPLRGIDFFDADKTRIMLMDLYF
LIIPDLLEILKLAAQVYPLQRSTDRWALQQSLAITTILKDLASTAALQPKASKPRASSKSGTYQMSKPSSLILPAIRKIRNSLSSELAKRAADQKAS
ELKASQAERSTQIEEEERLQKEEHRRLRKENRRQQTEAYNSLCSEPLWGRLLRYKMEATGPFVSSRDLNSADLIGCDDDAQDQNQHQDVEDDDDPFT
ERQDEDDDGPRLSVFGKNNKNDSTRSRPLSETEKGIFIECMMNERGEDRYEKAAKRLERSIEEIFTFAQDLQEAIDQKRETGHFMSQKDAWTYVIWV
EKEVK

>RCO7_04930 | related to extragenic suppressor of kinetochore protein 1

MFWRFGGYANISAIDTILDRQEFTLEELLDESDLIQELKQHNTKLIEFLREDKILERLLEYVVTPKLEPVVVEVNEATAEKEEDAELKGKDRSFSQT
RGPAEDDEDEKEKKRNRYAYVSAEVLSSDNWSICESLIENEPLLRKFWDFLKLPPPLDPLQASYFTKVNEALLDKKTEEMLDLFKSLDGAVKNMLQH
VDSPMVMDLLLKIISLEKAEGGQGIVDWLHSQDLMPILLSFLSSEHSWATQTSAGDFLKAIITISANASQNEQSCIGPNELTRQLVSQPCIEKLISD
MLKGGNPLTVGVGIVIEVIRKNNSDYDPDVGAEANAVPSSRDPIYLGTLLRMFAQRVPDFMELILSPNHTIGGGDGPVTIRRKELSAAFGGKIEPLG
FDRFKTCELMAELLHCSNMGLLNEVGSEEFIKHRDTEREKLKAEGKLSVSSDQAGNSNDDLTMKSSTQTRLGSPDGSRKLEVQNASDDEGFEEVTHA
SDLGDDAKDDFDEKPESEEDLLNHPILPAISFMPKDDEEFVDEPLTSPHLKFTEDHHLEQPELAVMPLSPTREISQQVEILDIKEDIHMPSPPPSID
TATEGSDGSASDSKHSPESSEESADSPKEDEDPSARVVQAGGVPAPASLETVAHPEDKPAPLFAKKVEPVQELVLPPVPEVAQSTGCLDTTMGEAGD
SSNSIMMTNTDEHNQQALEESQSSPVVGDFLKMQFVEHKVVPTILDFFFRFPWNNFLHNVVYDVVQQVFNGPMDRGFNRSLAIDLFETGNITMRIVD
GQKKSDETQEKSKMRLGYMGHLTLIAEEVVKFTERHPPELLSDSVLDKVMNGEWVTYVEVTLAETRERDNAILGGVRPDTSVGPRQAVMNAVNAATN
FSGTSSALADAGLNGAIGLDSIDLANGNGTSAFTLSGGTLSGFGSSSDEEDDEMDEDNDEDGTRNNSGAAEVGHSVPPAPNLDKFDDEEVDYEYLEQ
LDCENPLFSEGTFSRYISTPSTTTATSSDLEPPSLPPPPPPLALPSRARRQLAARLALHSKQNEQSAISPTGDERAEEAEHQKNLNPFAAEEDDDED

SDNDADFSIGDLDGEDESLGIVGTGRAGFSSEERQLRKLAREGRGKNVGIPSFDDFNCTSISNNTDGGHGLSNENGNSNSSLPVLLQHPIILPPAPR
SPLNLGIGRASFPSLWPFHNSSTSNSKGSGSSSGSGSPSSPPISSESHFRGHVHRYRSKNSANEDDVQSDDDDDDDDIDIDSDDSDGGYGHALASRS
SFGDEEGEGEGIQVGVERGNRRRSPRRRMSVTTEAKRRTSLEDDDDDEGEDEVVHVKMAETEVEDAHRGAKTDIQLPNAAAVGGSDDGELVEIQHSE
TLDVDIEGGK

>RCO7_04929 | probable charged multivesicular body protein 5

MNRLFGAKSSAPKPTLNSAISNVDERVSSIDVKLAAINAELQGYQTKLSKMRDGPGKTAIKQKALKVLQRRKMYEAQRDQLQQQSWNMEQAGMMQDN
LKNVMTTVDAMKQTNKSLKQQYGKIDIDKIERMQDEMADLMDIGNDIQESISRSYDIPEDVDEAELDAELEALGEEAEFENFGAESTPSFMVDEVPQ
FIDEPPQTTGQVKEAAG

>RCO7_04928 | uncharacterized protein

MVHARSSRRSRPSFRPSQPRTRASSLSSSSSRNSSSSSSSTNTNTTHSTNYIDTTYIDTIGGVTIHLSKLGFSNSKNAHYPRSSAWQADMKVYLDAK
GMGDCIRPSHETDNFTYIEDEVHAKMDRERKAMIWFSVAEGLRREHLLDLCERNKTSEDVWRRIHERLGAGKVYVPLPELCVDEEF

>RCO7_04927 | uncharacterized protein

MLSPDKNTGNNQQDDPDAWYNPIRNGRPLLAIRRPLHPPKATEQRVVDNILLALKDFNFQKITDTSIKDLVGQLMPERLAVSSDILIPIGCCGIIDY
DIRLQRLRPGSLNIEDTDESSTDASPYSPVVNLRFTNTNGVKGTGASVRRAVLLGRIVAPHQHKERLVQSRWIVVLDQTRLLWVLYANGIDEKDVAT
SKNGGRVPYSVAWDTAFGARKQFGQKVVLLGSLNNILFKVHKELPDPEVYATDWSTTSVPIDRSLLSKSKLLVSPTTVKRLFDIDTSFFNFPQYRNK
NMAWLKNFLRYDQFCIDLDEANKAEHLVIGRTLTEAAWCKVVIQGYKAMDEILEQRDGATFQTDLECLSECLAQRRSPSMSKYWLDKSTKHPGLDLI
NTPDEHTMGDHFTGLAEWALAMLRDNKSPGNESLAHRRAVSSKVEDMVTPKSEPNTMSPVNGEEISSNTPAGDIIFLRTKAKAQGLIRIIKESHGSN
VA

>RCO7_04926 | uncharacterized protein

MAENGHQLPDWEEAASPKRKSIFSKFSSHSKATVIKEEEASEEPTTSNTRLMPNRFVPRWVKSSRKHMLISIGVVILILVLILGLGLGLGLSHNPGP
GYGACGFENRPSEAICAVAYALWDSQSTSTNPNENPLCGKMIRITRYNEAVGGNRSVDVKIVDKCMGCKPTDLDLSIAMFTALADEGLGRVVGSWAW
LS

>RCO7_04925 | probable methyltransferase

MKPATLRPFLPRPAIRRRMIHSRSYAVQAPGSPTLQVFNRHTKYLQKERAAANTERSRQVDYLKDEVAMRLSERLLDINRHFDHVLDLGANSCNLAR
ALTFPDPYPDSTKESEPISSRLSKLTAVDSSRSTLYRDSDLPFNQEINLTREVLDDEERLPFEANTFDAVLSSLSMHWINDLPSLLAQINHILKPDA
PFVAAMFGGDTLYELRTSLQLADQERRGGVSPHVSPLADVRDMGGLLQKAGFKMLTVDVDDIVVDYPDSFALMQDLQAMGESNAVLQREAGPIKRDV
LLANEGIYRELHGNKDGSLPATFRMIYMIGWKEGPNQSKPLARGSGDINITNILGGGDIK

>RCO7_04924 | related to alpha-adaptin C

MASSAAAGFLSRGSSGNNANMRGLVQFIADLRNARARELEEKRINKELANIRTKFRDGNLNGYHKKKYVCKLLYIYILGWNVDFGHLEAVNLISANK
YSEKQIGYLAMTLFLHEQHELLHLVVNSIRKDLTDHNELYNCLALHAIANVGSREMGEALSGEVHRLLISPNSKSFVKKKAALTLLRLYRKHPDIVQ
PQWAERIISLMDDADMGVALSVTSLVMALAQDQPDQYKGSYVKAASKMKRILVDGEYAADYLYYKVPCPWIQVKLLRLLQHYPPSDDTHVRSLIRES
LQKILNLALEMPKNVQQNNAQNAVLFEAINLIIHLDTEQALMQQISHRLGKFIQSRETNVRYLGLEAMTHLAARAEALDPIKQHQGIIIGSLKDRDI
SVRRKGLDLLYSMCDQTNAQPIVGELLQYLQNADFAIREEMVLKIAILTEKYATDIQWYVDISLRLIAMAGDHVSDEVWHRVIQIVTNNEELQVYAA
QNILQYLKADHCHETLVKIGGYILGEFGHLIAEDKGCSPIEQFIALQGKLQGCSSPTRAIILSCFIKFVNLFPEIKPRLMYVFEAYSHTLDSELQQR
ACEYFALASLPSDDLLRTVCDEMPPFPERQSALLSRLHQKHANSSDKRTWVVGGKDANANEKDFNLTKNPGLKRAFSANNLAGRANGASTGMGSNGA
NGHGRGQNDLAGLNMMDSGPSEPKTLKAPNLASAAHLSPDWELGYNKLLLKAEGVLYEDGQIQIGVRSEYRGQMACVILYFSNKAPIAVSSFTTTLD
LDPTEKENLTWEVKGLPESTIIEGAQSQQMVMFEAKKVFEKSPTIRISYLAGALQALTLKLPVTIHKFMDPAELSADDFFKRWKQIGGAPREAQRIF
GVRGGKGGEYEINDNFIRRIINGFRWGVLDGVDPNKKNFVGASVLHTSDGGKFGCLLRLEPNYTTGMVRLTIRATDESVPPIMIQTMQERLEVGVSI
HGPTIEPPSRRDISDAFGSVLVS

>RCO7_04923 | related to enoyl-CoA hydratase precursor, mitochondrial

MWSPKAIEHRSSFPTGSSVTATDFSSETSLVQVTVDEHGVAILQINRPEKKNALSQKVINSLVSAIALVERDSKIRVAILTGSRTAGPFSAGADLGE
LQHISTSEAYRIGYLKDLSDAVASMRKPIIASVAGFALGGGFELAMMCDIIYAAEDSKFGLPELTVGTIPGAGGTQRLTRVVGKQKAMHMILTSSTI
TGKQLEQLGLVAQAFPPNELYGATVAAARKIASRSMPVIQLAKQAVLNADEMGLEGGLKMERSLYYGSFALKDRTEGMVAFVEKRQPVFMDQ

>RCO7_04922 | related to non-ribosomal peptide synthetase

MIDSFQGLEGLNSAEQVLFNQFGHGQNVETPFGTIHGAIESKVDQLPNSIAVEQDGGSLTYQELERAANGLANRLITMGLEPQQRVCLVVQRSLPMA
IAILAVLKAGCQYVPLDGQVTAESALRHIMKDTQAPFVLCLEKFYEKVQQLSEPCARIVVLDSSTLEKPRSTLRPNLPVSHSDGAYCIYTSGSTGPP
KGVDVTHGNVTNLLCSYPGNLNIQQGTNVAQLLSISFDMAQWEILGTLINGATLLIRTSKWEPVLSRAHTIISTPSILATFPRKAYPNIKVVAVAGE
PCPKVLADEWVSQAEFFNCCGPTEVTIVNTMHRHRTGSELSIGKPVPNTSVYILDEDENPVPIGQTGLMWVGGASVSRGYLNLPEFTSTRYKNDKFN
NSESEMFNTGDLCRWNTDGTISYEGRADDQVKIKGFRVELDSVAASMEAAPFVTKACAIFSEKVLWGFYSGPQGAEEATVRSAVEQRQPYYAVPSKL
VFIGTLPMTSNGKIDKRALLASIVGGTPTITRKRTELSKPQPALVASEKQYMQMIVGPPSIYSSSDSENDNPEEFSLPQKKGRHGIRALRHRVLSLY
RRLFTIVFVVNIVAVCLMVFFGRTGKGLQNISTAIATNLTLAVLMRQEYVINALFTIACAVPTSWPIWIRRNCAKIYHIGGLHSGCAVFSLIWLIIF
TVGTTINSPDPAALVVSYLIIALMLAMVGTAHPTMRQKYHDRFELVHRFVGWTALALFWAQTVVVTNSGRGIKSLSAALVASPGFWLLTTATTSVIL
PWLHLRKVTVRADILSQHAVRLYFTYANPVSGTAIRLSERPLIEWHAFATIAKPGDKEFSVIVSNAGDWTKRQIQKGPTKMWVRGIPACGVLRIVPL
FRSIVLVASGSGIGPCLPVIYAKKVSCRIFWSTPHPEQNFGKEIMDAIKDADPNAVIHNTKTQGRPDMVAITYRLLRESGAEAIAIISNKKLTQMVV
YAMEARGVPAFGAIFDS

>RCO7_04921 | uncharacterized protein

MDDASTVSGSTSPSPEQLQEDRDLQEAIRLSNIHDSSTASASLSSSPEQHQEDRDLQGAIIISKIGGSSTASGTPSALGSPAISLSPSPATERVEKS
ERGSKRKAQDEIAPKSKLAPSLSTSLAVFTSSLESMDESSSEQVPSSLSSSSIAVATVKYPNGALRITRTPGRKNAKNCVNLKDVIQGKSLVSACAF
SFFIGENEFYDHFPLSHSSNAVPVSLSSPVFVDNVLTFAQIYIGRDVNMDPMTQEACRQAGVPLLMQDGKPGKVAKKTMKIIEPKLREIYTKRLGKN
YNAFYAWSSGSSHSKILVLVYPEFLRLVITSCNMMNIDTVLGDNHWYIHDFPKRTLRTKADLTPFETDLLSHLTALGTPECFVDSIQGLYDYSTVKV
HLTTSVPGVCSGDKAENHGLLRFRRIILGLDLKLSEKVSKNIRLEICAASIGNISAKWLNGFNDCVMGRAALVAGDDLRPVPDLKLFYPTVGDVKTA
DSSSQDAASNIGCHLRPWINAPNAVKRIFHHYRSKDTGKLFHQKLILAYNPQDTNAAPYFVYIGSANFSQSAWGALEADKKKNEATGDTKLMKLTNF
ECGVVVPCHLVESLLEKGTKSWQDGIVPYDQAAASYTLPKDRPWNDPRWVVDFDKNYQGAS

>RCO7_04920 | uncharacterized protein

MTVWLKIPLRTHLRNTARFDLAKDESYMRGSANEPLFVRIRSNQHHGNSEKKKREVRSSRAEYHIESPHSETVNSYKEIRDVLPGLKELAIQYWKEV
SEKKLRRIIRSPLRLANGMSTLLSRSSRKQDYPIHFIPSHAFFCIST
>RCO7_04919 | related to subunit of the Arp2/3 complex ARC15
MSIIQQVTTASLSDNWRTINIDALDPESSSNFDTSTLHPAFAPVSENEARGVGQQVRQLLRGGDAEGALRGALESAPYGGDALVKDIHLQTVTEVLQ
SIKASEMTPMLQRIFGSEGGGEALDVLMKYLYKGMAASSTTSSKTPTRGSTVTPQSTGAGFSQMGGRPGAQSESSGAAMSVLLSWHEKVVDVAGLGC
VGRCMTDWRKV
>RCO7_04918 | related to alpha-N-arabinofuranosidase / alpha-L-arabinofuranosidase
MAGQLITKLLFLADPSARVFNNTLWLYTSHDINDTTRDYGYPMVDYHPFSTTSLDPYVQATDHGVALTLKDVPWAKQQMWAPDAAYHNGKYLFYFPA
KALDNRFQIGVASSKNPGGPFIPNKQPIKGSFSIDPCVLTDDDGSGYMVFGGIWGGQLQAYQNHDTYDPRWEGAFQPNGTGVKALGPRIAKLDNTFE
EFGGAIREITILDPDTKEPLMADDHKRRFFEGAFLHKNNGIYYLSYSTGDTHLMVYAMSKNVWGPYTYAGKLLDPLEGWTTHGSITKFKGEWYLFFA
DSSQTGVDALRSTKFRKIYYDSKGFLTFNKQ
>RCO7_04917 | uncharacterized protein
MHVKSLTLATVISTAVAQNVSFCDKYTTALFMNNTAENQLKLLTAVVNTAVIGNYSESKTGMAVPGILAKGTYNGVEVNLAPYFSGALKSSNRGGSM
GVAVNFLDGGGAAPLMAGKASNNTDSNQERLLTHLYEYFGSLLQCSEQGKSAYPAYDGFGSQYEVHKFMDLDANEVGYFIAQVAGAAASFGVSSEDL
APVGMALNSLFGYKCSPPTAVIPAQGPQLQSICSAQDCPIAAMNASCPASNITEPASATGGASGASPSSPSSSSKPSGTSKPSGTSKPSGTSSASPM
PTSGAAVVGMSLMAVFGGALALCL
>RCO7_04916 | uncharacterized protein
MTTPQLRNMNAKCPSGNTRASRLHILGASGSGVTTLGSNLSKALSVPVFDVDDYYWILTDPPFTTKRPIPDRISILKPLLARAQEEHGGWILAGSMC
SWGEVFDGDVEHVIFVDTSTEVRMKRLGEREYRRHGERIREGGDMYEESTAFLKWAERYEDPTLDEGRSRRMHEEWLKKVKVPVTRLDGDVEESVLI
NGALEGLEREAKV
>RCO7_04915 | uncharacterized protein
MQFTNTVILLVSFTITAIAKPVSAPAPETFEVARTDLSKQPIASRDLGAVCGYLYHPSFPYIGIYMPNNLISSAQGTGEWGGGFIDNLRGKETAPLN
WCNPIGWQAVLDDAGTGLAMVFNVELGCTGRDVARALHAASGQWIICADDLGADVGKLASVGASVAGGILAGFIKV
>RCO7_04914 | uncharacterized protein
MAYLLAIRLLTLVPAYATVVLHEADTVLAALFANKLEQANKSIKVLFTTSTSIKGSRKNWIYIHLRAPQRTLDALLPRDTNLFIYLSTGSDTGPKAK
KIACSIPNSCAYLDATSLLSSTASASLLEKEISIIDLLKALQATCLASLMYGDKSDDECEDEFKAGIFAADVSSNSIATVSVEVEPADRSHGGPRAL
FKSDAVYWLVGLAGDMGRSSATG
>RCO7_04913 | uncharacterized protein
MASSASTSTLPLGFEFMYEQFTDMGPEFRLLQIHALSEVSFGSTNVQCTLSHWEVDPDYPHHPEYTALSYTWSAAEETTTGEVDPPLCEIIVNGNRL
RVGSNLYDCLCELRRRIDVSEPKSMYIWIDAICIDQVNVHERSLQVGLMGTSIGMLAESWSGLPIVVGVTQMVEDFKEEEGSTEFAGTNYVASWQAE
NDHTHRYRRYSLPDPEDNRWSFFWLFLARRWFKRTWVIQEVVLARYVTYYCGPAKFSYNQMVQCADLLWWEIRTAERFSFNSSTIESSTCIRNTFLV
QDLYTEEGRYRFDDRVLLIAPVDPKQPGPSWPTFSIAVGGTKRQIQETRFNYAATTAEVYTLAVRGIILDTSWLGFLLLVEDNAKRSVPSMPSYVPD
FSVNGDQFGIGWQVLDSVLATMSDLTKTAPDGGVPSFVSDLLQITAIPLGTIIHTTGPILALLNSPHALALLHNLVSVLPVTRGAALFALARCLLQG
DKRSIAIDLRQDQDLTASFLSHVLLQALDTYNYDGAETSQAQARAQLKSHLSTQLDRLFGTESLPYVTLLKRDLDAYLHSLVSTSPSTSIVTTTSLT
HLSRLRRLAEPFSQIFAAHGLDRSVFVTREGALGTGPSSLQEGDGLWLVAKAPCCLILREVAETKVDVVGQERGESVVREVKSIWEGKDERRGDGIG
DRAKREVQEQETREVDDEDKAKAAADEFLRAQPSHPVDGKRRRFLYVGWAYVNDLQSVVGGRSRAGMWERVDVE
>RCO7_04912 | uncharacterized protein
MDIDRLISHLNAGTKSWKPKIASNGYTSRAPTGHHGNILVTTRNPILTPTLLYIKDKVQLCGLGVEDGANILKICARDDGSNITADEDAKVIVDWIE
GLPMAIIQLGRTIYTKRTTISDFLRFYPTKADLYQHISLEDTSVHNLVTSWASIDLEEQRKEMFDLLCIIAMLDPEKIEQRTFKHQAGSISETSLTA
SRKYINVRAQLADSSLIDVDRRNGEVSVHRVVQEVAKIMMVRGGHASSVFNRAVDRMEAQWPFLNRNYVTGSGRWDEFSVAYLHIHHLMGVHAEFVK
RRVENLASFWQSCYSRPCNRGPLYIGLAISSKNGDDLLHYVKLSWNLEIERHRKMGHATSWLAVAHNDMAVAWAWQGELEKSIIELKESRRVREKLP
GFIPEKLFSPLYHFGIVYACQGKYDEVEKVLNETIGIWEEAFGPNDAGINEERSIVLRSWKSEDARIYAKLGEPRVASRILDEVLSNTLDKEPYQRD
VARTAFLYTQCLKAMNKTVEADQWLAKSLKIHNKLRPGFT
>RCO7_04911 | uncharacterized protein
MKYGGLPGGLPQRQKSSPVKLVASHILSQMRRPGRIRFRMFLVIALFGIIFVTYGRRHPTELHFTASVLTSYIPTSITEAIATYGENEDTRWNDGES
RNASNRIVIKKPKFHLLISAHQPTAKLCKTLLSAAILNYPTPVLINYGKSLDGERPGADVIKGTYGFLHGKEVRDEDMVLILEEDTLLQLPAEIAIS
RFIYKLEESAIQLLKKYGRVVNSNLTQVPKLHRVQKYRQTVLFSSTKECSGDPSDPACYSIPESPLPKDVYGPKTDHHVEAKSNIPRYMASGMVTGR
VADLRPIYKHASEILEFEDDGKKGSQYVFSQIFGEQEYARTLSLLAAGANVPTWRNWFSSLISRPIDPSITPPNITLAPNQNHEFGIGLDYLSSVFQ
VMENSVEDIQVVRFDDQSAMTVPSRIGTASYKIKHVHLPKDLSMIPPPFAQSIILSTELNISNTALDEAFARDATWSSVPLLRNSIVPSSVPAILNF
HGTDNNANDIWRTMWYHNSSRALLSQHVKSPVQTLATVGGEHWFDVRGGNGGAWTERGEWVPWNDICGSFDDEVFGDGLGTFKINGGDTPAGHDSQE
KDGMVKGLWGKIVGVTEDEAKEKSIGDGGTVGGFTQVESAVSVQAQEDKPGDNGDGTSKNIEGGKYQLETVDEVKDVSSKSKGYEHHDDGKASGDDD
KKENDKGDDSKKDDDEKDTVQRIEVENTGNKKFEFPGSADRQN
>RCO7_04910 | probable SOF1 protein
MFAAPFIAQLGKGHVDGVYTLAKDPNSLERFASGSGDGIIKVWDLTSRDEIWHTSAHENLVKGMCWTQDMRLLTCASDRSIKLWSPYTTQPDCAPTA
TWLGTNAFTSISHHRSKACFAVSSDVISIYDLEKHNATPEVLRWPTTTDTITNVSFNPVETSILASTATDRSIVLYDLRTSMPLARTILKFPGNAIS
WNPMEAMNFAVASEDHNIYIFDMRKMDRALNVLKDHVAAVMDVEFSPTGEELVSASYDRTVRLWSRMKGHSRDIYHTKRMQRVFSCKWTPDSKYILS
GSDDGNIRLWRANASERSGIKSAKQRQALEYNEALTERYAHMPEIRRIKRHRHIPKVVKKAGEIKTEELKAIKKREENERKHTKKQHLKRRNEREKM
ILATEN
>RCO7_04909 | 26S proteasome non-ATPase regulatory subunit 11
MAPADSARIVEAKKLTKSNPREAEAQYKTIISTVPSATSDAAVREYETALVSLGELYRDQKKTNELVDLITTSRSALSSFAKAKTAKLVRQLLDLFH
GIPDTTDTQITVTKSCIEWATSERRGFLRQNLETRLVTLYMTKASYYDALTLINSLLKELKRLDDKLVLVEVQLLESRVYHALGNVAKGRAALTSAR
TSAASVYTPPLLQAGLDMQSGKLLAEDKDFNTAFSYFIEALDGYHTQDEPLKATAALQYMLLCKIMLNLADDVNQLMTSKQAVKYAGKNLEAMKAVA
RAHSNRSLEEYEKALGDYRHELGSDPFIRNHLRRLYDAMLEQNLIKVIEPFSRVEIDHIAKMVGLDTVQVERKLSQMILDKVIIGVLDQGAGCLIIF
DETERDEGYDSALATIEKLSSVVDVLYTNQASMLE

>RCO7_04908 | uncharacterized protein
MAWDSKNSRRRQNSNAASRAPQPQSKAILNPTPSITAKSIHVSDPALQPFLHPSFSPADYLNSSLPSLQSPNTSQSQSAKGSVPLAELSTQTQTLLS
HLSAHTTRLTSTLTQLTDEILRSGSRLAYEVEVLRGETLGLSEALTEGLQDDVVKFVPGGLVQELVRRPSHSGETNGNGRSRSSTVSAIPKTPVRDE
ATVPAAAIADPPYIQKLRTLTLVRSRLETVIQTFGDAMAWTFPPSEVSVTSSFLSVSAPEPGSEQHSTEERGQLVSQKLRDEIADLLIGGGDPVEGI
EKAAKRVEELKELAVVWKGTAEEKARGKFVDQLAKMVEDRHRDLLREAEVDTRLRKRVEILHEEVGEADGGSKQQGGYGFLSQLQKLRGSS
>RCO7_04907 | related to ubiquitin conjugating enzyme
MPRKAFIADVQAANAKSIPGIASVLRGPDDDVIVTFVQASGQPLEINFMAQPDVASYPTESHFMAFTNTEGAPTAAAAAIVEIATYSFGMKLPDLIA
MVSRKLQRTLATGSQEDPVSLDDEDTEMNDVDQEDDEGNDNDDEEDEEEDYYPDEDDGFGLGSGRNSSSSHAGVVRNLNPESAAEINGRIRNDLRSA
KLAGFSIGVLGGMKAESENSILSLSIRVAKLRLSDEAVQAWDLEPQQYLVLLIRYSSGYKCFEDIIDEPAKGLDVAFRVGVSNKYKCTLMEALAAFR
ESPGMDGRNESTADNVEDEPEKVAAGFSNIFISSSLNDFINCQLISLLKIRNSVGLGWDGAKLYYNDKQGRFNEPNADLASKYFDQTDTQKDSNILN
CIATDHLTDYQVKMISFPLIAAQFTLRYLIRCTEFCLVCHDKIDEEFEALKPYVCSKPLCLYQYMSLGFGPSVEHEILTQPYVVDLLISFCYASAYA
CRIRDYPTGMSLAVPPVQNSVTHLSYGGRIQQAAPTAPRSIPGNKSLLHEVKLDSQHQEVTFELSLTSCPVRNGDWVVIAASGHFRVEDISYFPLVK
LSSTAISRLGNGMDVSSFNQPAVPATPATTPPPPSMLQTTLAIYNQNFDEMDDLQKGESIVMLLETLPSVRELRTFLIQQSRDSEPSLKNWKERVSP
AALGMLRWIIASNRSCIVQVDRCPGQSDTELAMSKTRLDQRLSGVSEGWVQFRFAQGSPDKEQRFLNSLRAQQGNLDAKYPTIFAWHGSALCNWHSI
IRTGLDFKETLNGRAYGHGVYHAIDQTTSIGYSGQNWTKWHGSELKIQAAMSLNEIVNCPDQFTSKTPFLVVQHIDWIQCRYLLVQVQGGNSSYASG
GNLDSVSSPLGTTVEVEQDPRRPAISTLNKPIGVPLCAASISRTFHVSAAKTPVSKRQKVASSRGISQVTELHSDTENVSDIEFLFTDDENRTANSK
GKSKGSLDTSNTNGKPLTDFVAGSLIQSSLPLLQPPLYATSSATKTLSRNLKEVLKIQEKTPLHELGWYINPELVTNVYQWIVELHSFDPTLPLAKD
MKAAEVTSIVLEIRFGKDYPFSPPFVRVIRPRFLPFAAGGGGHVTAGGAMCMELLTNTGWTSVSTIESVLLQVRVEMMSLDRPARLESTVKTQQRDY
GTAEAIDAYERSCKMHGWAIPPGFRDFANPLPGVAGPSAL
>RCO7_04906 | related to nif-specific regulatory protein
MAMSPSPQLSPTMGPSHRNERHQSNTPPLQPQQLSKRDKKRTVLADRLQDITMGFSANRDQHYRAQLQSIQVDSNLIGEADVHSRQPLPDSAEEVEK
LVNINIQKTMMKNILPEPPLKAGKIYADFAKEVNDAMEERDSAMVVLKRDYDVKMNEINSYHAYKKLLSKNEYKSLSDTLRDRLINSVMSKKARLSK
DKDAIEIGEGSTHALLLHPSQFGITNPASPGGILGKRATRHRRDVEELSNVTENHKGKRKAHDSDDSPAPRRQRLDNGASTPSWSAEKQQLMAHQVE
SSLYSVDKLFNEKELTMAYNTAALAAHSYMLRHPPFSDDPHNQTNGKSDSSSDHDKAPTSGEADAEDADSPPAGAAMMERQFSHATRSTRGAAVVSG
YGIDMFNDNDMNYPPNLLSLTRQIPRLPQMIFQQNSRQFASNPSKDAIATLQGLSAEDANADIEVMRRARTHNDEKGYGSNLDLEQGARSLLEEAAF
PKKYQHWVKSDNKDKLTGHAIATSSLREDYGGQPMMKQISQGASSMGGTPMSRQATDDSITRSGKRAVRRG
>RCO7_04905 | uncharacterized protein
MDNLHTSQVEEGHTYILHSEHTSKDSLTIPNVTTLPELFSWQAHQRQDATLFSFRSPQDNTLTAISYIDAYNKSSRLANNLHALYGNSNGKAPVVGI
WLEKSIDLHLAILTTTISGATWLPFDADAPPARVATCLEDSHASVLLCDIAHYEAATKATDGLPGCRVVTIEELSNQISSSMQELKGPHPDDTAYMI
YTSGSTGTPKGIEIPHSAALAFAMSERSCLETSNTDIVWQGFSAAFDMFIEEVWVSIAGGAHLAIGNRSECQDVPSLGGASGVWAQRRITLVNAVPT
LINIMTSLDSECPLPPSVRLLNLGGEACPLSLVSRLWSPSLRILNTYGPSETTVTATFQELFPDEPAGLRLQFCCERAQKENSQSAVLVSGKGYVQR
PELTNEKFIPHPLPTMDAEKLYRTGDLVRLDKNLNIVFLGRIDTQVKHRGFRIELGEIEHAIAEHARVQTAAVILSTCTDHLEAYIVSQGSEDIDPR
ELRDSLRHLPAYMQPEEFFYICADDMPRLPSGKINAKALQQTSEDNFALSQTEHNSASDSIRTSDAASGSTLTDNSDLAVILRAMVENFPKSARIAC
DSDFFDDLGGHSLIAAQLVTKLRKESPEGSPLKSIGLLVIYQHRTAEAIIASFGNCSDPEEINTDNVAMGDHWDISNWNYVCCGMAQIPALLFFFVI
ESISILVPYLVFYFLLRDFGPGYAILITYVVFVTIPPMRALVGIAGKWIALGQAKEGEYPLYGVYYYRWWLAERFVNLIDMISVAKTPLLPALMRLM
GARVGAHCHLGVNYSGPAFDLVTIGDDVVFGTGILLATSWVERGRLILAPVNIGSDVHIGSSSVLEGYTMIEDGGELGPMSMLPQNAFIPAAEKWTG
SPAQFHSLPKDVGNMRTSRPSQGRVFAMILAMAFSSTFILPIIYYLPQIPSLLLFDYVKIPGVGQYVQTAIVCVPAAIIYMLLVFIELIVLKWLVLG
KVEECSYRTISVYFYRKWFVDRLMDISLVVLQPVYATLYVVPFLRCLGVKIGHGAEVSTARGINFELTEIGEQSFIADRVLLGDEETRNNVVTQRRT
RLHKRAFLGNAAMVPQGIELASNTLVGVLSIAPEIPLEEGQSCFGSPAVIMPARQRSEINHSDQVLFSPTKRLRALRLFVEGLRIFLPRSLVVFGLG
FGLQVFETGYKHFGVWPMLLLLPIFYLCFFALPSLIIPILFKWILIGRYHSAEWPLWSLNVWKSEFVTSVYETLSPFCADLITGTPFMAIIFRLLGV
QVGYRTILLSNGITEYDMVSIGDEAVLNRYTGPQTHLFEDRIMKVGRVDLESRSCMKPLGIALPGSRIGTCGQLGSMSLLMKGETVPSKQAWEGAPI
APRRAQKASKTVTLEK
>RCO7_04904 | uncharacterized protein
MLSSPDPLNDSPTYHSPSKPRHSSRPRRSLPLQGSSPKKQTFELDVGNSLSPQKIRVTVEAGESDVENVYSFSDGTSVSPTRAPKNRRRERTTTTRI
LVKGLSDSENEGPLVAITKRGRGRPRKSIVTPVPAKKPGRSSTPIHKSKRKSIGSLVDGDDDEDVNFQIGKGVELGRGKGRSKSRSRSTKGKRTSVS
AAKDVPPESEYGLTSRKGKGRAKVLEPEQVDVLENGSCEGNVQDHRQDLEGFEDTGVLEPIHSNSQARASPYSTIRSTTTAGGTQSDVVIARFNLGD
ETPQRTGWSSPQTFEAPQPSSSRQRADGYLSPSVSPAKSAFTDESVTINYIPNSSRRGSVFSDNDEQADERRNEEYEEEIDQYQDFDTILESEGFSM
ISVDSVPSLREHFSSPANQPEKQLSSKFKDKSLLPTKETAAYDDSFSAAPVVVLEAATPRRKPQNPRLLSVQKTRADHSFSSIPPDVLQAATPAQIS
QVSKLISQNNPGNDSFSSVAPEVLEAATPQRILPKKRLSAAKLGVNDQYEDSFSAIPADVLDAATPAAARQTCPTSERLSIPVHRLSLSPSQTQTTD
LSATRLLTPDETPSPPTDGSNDQVPASNENPPSQPAGHVQKQVSGQESSMIQSHMPSSPPSIAPRRYTYTAHLRQNRGLNKSIAQTPSIVFSSPSLP
PPIQIGRAMPSLALPSEQVQRPLLSPTVRAGRMLQDIVVPSSSTRSRSQSLGSPFKSPAADRRSSTILAQESLPSPVHERLAAPLPRLDLSGHFGES
SSQRYSGSSQQVDPFRNSTTTQQRSPSPEEKQQYTLELPQQRRCSDPRRLISRSEPQTSHSDDAMSWQAEEEIPILGSGSSPGNHCDIFGKIRSSTT
AEQRWAAERASVAQDAANANISQVIVIDSEDKQSMVDQDEDEDFGLLLETLNSSSPVVERQETPKETVERPRRSKLPSPWRKNSKRLVYSDELSQMP
SSPPEATIPAAKLIEKQMTMEPTTVRRIVPEELNDETDTDMSQYQVPQKANFNPRPRKTGNLDLSALLGTSPPHPLSGPLGPQNSIFHRQSRPSQAF
ASEIPEDKPTLKMNELKVDKSADLNPMPQKMPFNPRPKAASTLKPTSDVPALFGSSAKPNEIIKYPAVLSSSPVSMPLTTLSPSRINSNQALRTPSS
EVSPSDCVADSRSSNVDKENQVLASSRTLKWTETLRLDTTATANVVLPIPLPSAASPTKSCLRSPLKTPSAGSGYVLGTSNLSPSKGVTWVSSSPTP
ESPMCAELSATTWSKDHWRLLDTIAQTWKPEYNNLPMTGDEKESSARRRRNSTRVISRLLGKTVFSGHEKMKLEQWHLEAVDEFRGCVPGWQEKVVA
MRLFALMVGEEKRAKGLAGGGKAGNYDHLN
>RCO7_04903 | related to 7alpha-cephem-methoxylase P8 chain
MTTAAPQHVTAAHNLSRSARTEAAYTDDSDVNTFIPRGDTTVSLNYFKPPEDGSVPWNFVEPQPDGVQRNFGDWDVELPIRDIRGRESEYTLDKDAF
LVVTDLPESAERDFVDDASIKEKYYPEVEKLILDNVEGSNRVVIFDHTIRRSNPNATRAPVTRVHIDQTLKSATQRVHQHVPEEAEKLLQGRYRIIN
IWRPLNGPVQASPLGFASSSSLKDEDLIPVEHRYPDRTGETAGIRYNESQKWHYLSGMRNDERLFLECFDSEARKSGTKVQGGRVPHTAFQDPRTPK
NAVGRESIEVRALVFGP
>RCO7_04902 | uncharacterized protein

MPLKSSTQIESELAAPSHTQQTLYTLRHKRSSILHRIRSRSTPDYLKHSSPTPTIPEKVPEVPSVREGPLLRSSTSAMFIAKMKSELFLSQFKRAQE
AYLLGDLSLCQHRCDELLNIPALHLDTRIETLQLLSMVVPLHIAQDHLSDALCLLDLAAERGGIGPAQTQALLGLRITTIDLLARVETEMGRARKED
EAPEWRMQKSSARKRISYQPLIMQVAQSMPLHQI

>RCO7_04901 | related to ubiquitin-like protein (HubA)

MADSRSRLRSPDGPSKRRSRSPPRRSENDTDRPRERRDKPRGGGGGFKWKEKRSTNDEGEGNGKRLERGYRNRSRSPRRDREKADNRESKESKPKLG
NGNSVEDKFGVADKFGPAKTTKPDEGNTDTPPERAPAAASSVPQATSHNEPMIVVHVNDRLGTKAAIPCLASDPIKLFKAQVAARIGRQPHEILLKR
QGERPFKDQLTLEDYGVSNGVQIDLEIDTGE

>RCO7_04900 | uncharacterized protein

MLTTTPHLRTRRPSPTTVEYTVSTSPDLTLPLRLLILFTHILRLGVALIILQLLYSKYLLSPYASTEGPFIVVPDFLSPDYIFYQLHALTLTRIGLL
ITLSAARTPLIILLPTSLSLLYLLSLRLHTTESLLVLRGLGIQTSSSSNTYLSSSTTRFIPTEKIQDILVNEAFRGFEVRYYLVVIVEGEEEVVVVF
PRLLPRRAIVERVWRGCRACLFEGRKERGGTAASAAANVKANDAGIIPEL

>RCO7_04899 | related to pseudouridine synthase 3

MEDVKGSEIGEVGRGKSDYSSWSQEKLIERVTLLENKLKVKNSSLTRQTSDDDALSKPPRAERLFNPSKYSTRLVAFKLAYLGKRYNGFECQKSATR
LPTIEEELWKAFNKGRLIFPNISNPLKPGEVNWEGCEYSKCGRTDKGVSAFGQVIGIRVRSNRPLGKRKEKNIHDDFGQGGLAVDEIPAPAEPSSDG
GFNTYARNNSVEMASPALAPSRLSEEDLPTSELDLSDPDFEEAFNFDPIADEIGYCSLLNRLLPPDIRILAWCPAPPQDFSARFSCRERQYRYFFTQ
PAFMPTPTQLELPNLKSYIPPEGKMRDGWLDIEKMREAAKLFEGEHDFRNFCKVDPGKQISNFDRRIFHADIKEVDDATSGLSFLNGAALAPSSLQN
GNPKIYTFTLHGSAFLWHQVRHMVAVLFLVGQGLEKPSIVSDLLDVKKYPGRPAYEMASDTPLVLWNCVFPHEDDPERKDAIQWHYVGDDTGTGDHK
YGTAGIMDELWNVWRERKIDEMLASTLLNVVAKQGMDAAELTVMRRKGTRSQKVFDGSDQPRMAGNYIPVMNKIKMDSVEVINERYAVRKGFESSAE
MKLLGFRRLNNPVAAGNESIVEEANE

>RCO7_04898 | probable PRS5 - ribose-phosphate pyrophosphokinases

MVRNIVVLGGNSHPHLVNTISNILGVPPCNRILKKFSVGESRLEIEDSVRGKDVYIIQSGGGNVNDHFIELCIMISACKTGSAKQVTAILPLFPYSR
QPDIPYNKIGAPLSKAPTGLRQGDFTFESRPPTPGAGPQSQGLTNGNGMEGLQKKLGKASIEQQNGLSYTNGITPPRRSDTNESLISMNGRGRGNSG
STAPAFTTHDYENQAMVKDAKHIFQPKPGYKQWVAQAGTLVADLLTCAGADHIITMDLHDPQYQGFFDIPVDNLYGKSLLKRYIQTKIPNFKDAVIV
SPDAGGAKRATAIADDLNIEFALIHKERRPTRITDRQNATMMLVGNVADRICILVDDLADTSNTITRAAKLLKKEGATKIYALLTHGVFSGDAIDRI
NASPLDKVVVTNSVPQDEHLRVCSKLEVLDVGHVFAEAIRRVHHGESISALFWE

>RCO7_04897 | uncharacterized protein

MKIIEAQSATLTNYEVYTHLTEQRKRYAKKDTKGRRPGNLETVVKELLEYFHEAPSPLASKPFPYSERTISVLLERLRPFNFTKAEVLMIMNLRPTK
LESLNTIVEEMDDRYTEDQQSEIVEIIRGVLGTADGNVERQAMVDQAEVLKGQQPEMKMEVDG

>RCO7_04896 | related to Nucleolar protein 58

MGLFVLSETSAGFALFKARDKHILKKDDFSTVVETAAGLNELLKLKKFEKFDSAATALEEVAAITEGKVSPLLAQLLDSLKDEKKASLAVADPKLGQ
AINKLPGLTLTPISDSTTNDIYRAIRDHLPSLIPGLAQEAISTMALGLSHSLSRHKLKFSPDKVDTMIVQAIALLDDLDKELNTYAMRVKEWYGWHF
PEMGKIVNDNLAYARIIIKVGMRTNTSATDLSDILPEEIETAIKAAAEVSMGTEITKEDLDNIQLLAEQVVGFTEYRQQLSLYLTARMAAIAPNLTE
MVGELVGARLIAHSGSLMNLAKSPASTIQILGAEKALFRALKTKHDTPKYGLIYHASLVGQATGKNKGKIARMLAAKAAIGLRVDALSDWSAQGEGK
GDDVDDEERSALGVLSRMKIERHLRTLEGKPLLPRGVAVNPNGTAVTPGKWEVKEAQKYNADADGLAGDEPAAAAPVEKKSKKEKKEKRDKKDKKEK
KPMIEVVAEPDSDAEMADVDAGLALPAPDLNGTKAKPVAQTTKDDSDEGSDDSDAPADNWQSSIVGNTIEAKKARKKERHARKLALAEEKLKKKAEK
KSKKEAKEIITPAATQEVEDPDIKLAEAAGLSLKKYKKKVAKGKIAVTVVETTTSVKENGKESSPVSSKKRKAEDVEVEKSEKKKKKKSKN

>RCO7_04895 | vacuolar ATP synthase subunit d 1

MEGLFFNVNNGYIEGIVRGYRNGLLTGQNYNNLIQCETIDDLKLQLGPAYGDFLASLPPNPSTSTLAAKTTDKLISEFRYVRANAVGSLAKFMDYLT
YGYMIDNVALLITGTLHERDTRELLERCHPLGWFETMPVLCVATNIEELYNSVLIETPLAPYFKGSLSHQDLDELNIEIVRNTLYKNYLEDFHNFVN
TDSEMAGTPTAEVMTEILDFEADRRAINITLNSFGTELSKAERKKLYPSFGRLYPEGSFMLSRADDIEGVRLAVDGVGDYKGYFEATGLGQASTGAG
NMSGGVGGDGKSLEDMFYQKEMEISKSAFTRQFTFAIVYAWVKLREQEIRNITWIAECIAQNQKERIGNYISVF

>RCO7_04894 | related to ribosomal protein S15 precursor (mitochondrial)

MPPRIPAPSRLGVASLCFRPAPSNATLPIRSTASFVTMAQRRKHKDPYALAQAKQRRDSNLSRQAELQEQRKAALGDPVRGITTPFLESFDHVGGSS
NSTMPVKGVSIKSADDVLLNHFLRPSEVDASIKHSLALTEPVVAKIRDFADPVIEAEQKKEHLEGHAKAVAAMARILSLANSSQKEKTRANIVRCVE
YFGRHNTEKTLKPRATPNPAILGDKPLPEKTPRAGPDTGSSEVQIAILTAKIRVLANQLEMKGGQKDKVNKRNLRLLVHKRQKLLRYLRTKERGGER
WQHLVNTLGLSDGTWQGEISL

>RCO7_04893 | probable 40S ribosomal protein S0

MAPSQLPPIFNPTSQDIEQLISSNAHIGAKNIQVHMEPYLWKKRVDGVSVINVGKTWEKIVLAARIIAAVDNPADICVISARPYGQRAVLKFAAHTG
AVAIAGRFTPGNFTNYITRSFKEPRLIIVTDPRTDAQAIKEASYVNIPVIALCDTDSPTEFVDVAIPCNNKGRHSIGLVWWMLAREVLRLRGSIASR
EAEWDVMVDLYFYRDPEAEENKEAIEDVKPEEATPAADTGFASGAGGDWEVSGAQATAFAGAAATPAAAGAGWEAGAGEDWAAQSTPAADSWGAADA
KPAEQW

>RCO7_04892 | uncharacterized protein

MAPDSDSEGAAMAATMGFSSFGGRPATKKRKFNPTTDAFVEGQELEKIDRGGKKGTGSGGNMIPLGKTRVIGGGGGQKREEMRRSVQNEEEIAVDHW
DEMEMGDKMGNGGYIDTSRTPPADEDDGPRYIDTSEPPPMVAACEPATVVAEDPVSQAEALEMQRRIYAILQSIGSAPPPPSDESNILPPGNHTQRT
TNMLAPLLPPPENLPNRAAAAFGTYSTSSPFAYGISRGGSMGGSSRGARSGAGSDWGGSCRGGSSRGGGDSGRGGRNDRWWVDYYDPGFNTNPWEVF
EREKGLSSIGTWLEYPKGQARGGQRA

>RCO7_04891 | probable ATP-dependent rRNA helicase spb4

MAPEPEKKKDPRAWDALTPPLAEWILDAITAMGFARMTPVQASTIPLFMGNKDVVVEAVTGSGKTLAYLIPVVQKLLRVEEPIKKHHVGAIIVSPTR
ELATQIHSVLLTLLGFHQPSAEELQPLGEGEKRKLSTTLSVVPQLLLGGTTTPAQDLSRFLKNSPNLLISTPGRLLELLSSPHVHCPQSSFEVLVLD
EADRLLDLGFKDDLQRILGRLPKQRRTGLFSASVSEAVGEIVRVGLRNPVKIAVKVKSASGDDKRTPASLQMSYLLTPPSHKFPALLSLLSQLDPTP
QKSIIYLSTCAAVDYFQHILNALLPNQFTLIPLHGKHPPNVRQRNFSKYTTTVTPCILLTTDVAARGLDIPQVDLVVQIDPPSDPKVFLHRCGRAGR
AGRKGLSVIFIQPGREEDYIPFLDVRKTPITPLQKPVIKITDDDAALVTSKMRKEVLADRALYDKGQRGFVSWVKAYSKHQASSIFRVADLEWTDLG
NAWGLVRLPKMPELKKWEGDKSLGIKLNMSAYEYKDKVREKARRVAMEEEKNKAPYVPSEEVVKKRKEREAWSHKHDEQDVREMRREKKKRKKDAER
LEGMTEEERAKEFELQALIAQVREKNLEEQKKAEADFEGFD

>RCO7_04890 | probable HSD1 ER membrane protein
MSRSNNIPGTPRVISPSPTPSERHEATQEGYFGPVTRSARKKQAVLEAPIDEGIDEDEEDVSADLRRARSKSRSPMRACKISGLTSAKPTADPIAKP
PPLVANGNGRTSANNGHLSPTSASSGWSWRDLSRSPSPLGLIPIHRQWRSFVHRHEVPRKLLHVSIGFFTIWLYASGVQTNAITPYLMSALVPIAAT
DYLRHTYPSLNRFYVRILGALMRETEYAGWNGVIWYLLGAWIVLAFFPKDVGVMGILLLSWCDTAASTIGRAYGRYTPRIRRGKSLAGSLAAFAVGV
TTAAVFWGWLAPRTGPFIDDYDWPFMFTGTLSLPAIVRNAVGLSFGQASVSGGLALGIMSLWTGFAASASEVVDIFGWDDNLTIPVLSGTGMWVFLK
IFG
>RCO7_04889 | uncharacterized protein
MAYQSSYYQTTSLPMAVPHKSQQYYAPQHHAYSVSPPELAESITTGSGMGNSAYSATSSSYAGSASGDYESSSSANVDMQEYMQDRFSSTFDPLPLD
RTLAVQTQTSGLLNAKHRELLDLQALAQQRIAKSRARLAEGYADAKEVKRDLEWTQKRVSTMKTKASRKHPKEYKQARARYPSPEY
>RCO7_04888 | uncharacterized protein
MASQQIPVGEILGATDIEVVSAVKMMKLLLNIAYEDLKNGAISEWSKNILSKLPGHRYTLPLGIFEGVEHWIAIECLGPRSLNCADERVGYTHRDTL
VDAVFMSPDGQKDERRAIPVGRIIAARDGFSAVFQSHWVVLYDSTGSLWACHAKEVAPYEEEPLRPGVQTRRYYQDPALDNIFNANWSAGENIIFLG
HLNIMFFQMTTIRSIEVSSATWNTYTAKVLNNGDFGHPIHAIGFQRLRAVNILNIKKPQYRGNRNFVYLADIVGYSGFRADLNNTNRPLVLDRQTTE
AAWLSVLIGKYVKYDAAQLSARYPGKEMIQKKRMLFMALVQRSGVNHFRRNLDKPELVTSSDNVEAYWKKREKLSPGLDIAWIEDDKMTTGLEAPEE
DVVMDEDMREHLVSEDEQILLVERPLLVQEEEL
>RCO7_04887 | uncharacterized protein
MINPAAKPNAALARHGLELTADGKTPLVSSQASVSAFPYDATAGTVGNKKAGFPTTSTLRIPTSNLDALLAQRGSSDNIDSPTTGIDSGRSQTGIFN
IASILATPVDYYDAGDVLGWGLRAA
>RCO7_04886 | related to LTE1 protein
MEAQAVPTSRPARTHTPESLRQRQRDRLSPRGRFPRPNPTETTIRDNERLPKNGIALASASRSKPPGTNSPDLILKKQLQEGLRKQNSMNRRAQREA
EDMKSGITPDGGSAGREGRQFTVAKVGNNGKIYLRPTIRPSNQRYPQPSFVFPTTPPSTAGIDALVARNDGAGEDDSLWTPSRSPTTSVNGEKAYFL
SDLPESKPRHRRAQSNTRAEEQQVPVLDSDVGAFKVVIERPGTAPKQLEGIVGLPTLEVPIPSYKLGTPRFSTRGTAFLRSSSHTNTDDMRSSVYSS
RATSSHRPARIISRRHSDVSPQLHGPEMPSTPPTGTISPSGAIRKPTALVPEMFDALTFKPACDHPSLVRYSASGGIRAATPARLVAEITSPTFVDY
DLLSDFFLTFRSFLETTDLLCMLIARLRWALARDDETGIVVRVRTFVAIRHWILNYFLDDYVVDYDLRRSFCDLLNGFVRELSQDPVRTKVPLKILG
ELKKCWRRVCALYWDGPEFEVELGIEIPISPGGVAGSRNPKLEPSFWQMRPDGPPRLDGIIEPDFIELSNTATEGRNFFADVSKAGHLDSVVALRHA
SAAPIEGIHGHQRTNSHSSIVSEDFVSCSFPSRQRPGNHRPLGAHPVPASSIYDPAPPIATTPKALTGKRVRPVHAHKRSSSFSDSFRDRRARQHSQ
SQQPVQKVIFKSTELFLALPYAGSIVRGKLFPPGHAFVDVIAPSTPAEMNRATTLFPGHPSDQKDPSAMSGPGMKRLLGSVRRALSTRTAGSPNASP
TQGSFPNIPPIGVRGATINRLPGTAIVPQARSRNMGCRTPVRIDLLGAEIAEDFKKAVREDAEAEAEARQRDAEEDKSHGSEHDQGLQYSSMAPDTT
FEETQSVNGSVPMSQMTAGSKSIVIVDDTPPIGLHMMTGALHPRPSMDTFPDAYMHPSGGPTPPSTPPEATLSTPRQSSHLLGQHPRDRSHTFEGTP
SLVVDSHPSGEEERSPSHSPLSRLGMSNPRGLSYRAKKPGSLRRYASFHGGSIRHRSERSFDATTFSESEDLQRLSQVPSVPLPLRALRRRPAGDLR
AVSNVGDLGVHQLRRPMSTGSLTTYSESVRSSYLLVHRSSEYVDVVTSDYNQTDVNDHTFSLGAMAEQTQKHPASLFSTHSSQPVMRPSFEKEAQML
AQIPDDIDDDGGVESALAKLEGKFERRHSDVSARSHGHDVPIQHNSFGQPTYNVSTLTLEVDEEEMKRLGQRQITETANALPGLAACRLQPHEGLED
LQPAVYHSRGMLQPPTIRSSRSVESYNSIPLLERGLVDEFERKHRDWSEQPILRGPSNERNIYKAQTPESSHVNSFDFVNETSSMRRIPTGHTMPST
HESFLDSDSDARSDLSSEMSMQIISQTEDAEHHTSALPSPLVRSGTVVKETELSQPLRRPRSPPLTLVQALNLGPQSTCSPMIHEKQLEHSHSTLPP
TPEITPTGAFERSFGGERAASPILNPLRANRLPEPSRKTSIHLPFILAFDSQVLAQQFTLIEKDALNEIDWKDLIEMRWKHVSTEARSWVEFLRLSE
PRGVEVVIARFNIMVKWAVSECVLTQDLGERVRCIIKCIHIAAHCRRYRNFATMTQLTVALTSKDISRLSKTWAYVPAADKETLRQLENLITPTHNF
YNLRAEMEGAGADQGCIPFVGIYTHDLLINSERPSQIASTPTTEPLINFERCRTDATVVKNLLRLLEASSLYRFLPIEGITERCLWMAALSDGEISI
YGKIIQE
>RCO7_04885 | uncharacterized protein
MASLDNNVNTNTPASQPVGSNTGVQTPTTVTLRTPSTYRKDVQAGSTEETNTWQPPSLNWLARTWTVTHSTLPMWRKAKNVRITYKLFPCPSSTSSS
PDVDKDTLIDDEVTSEPTAKTLLPQPKSICGIDTPDHSVPGGGAWNWRGKGWLKIASSHWEILGWGEFEGEKWVLTWFEKSIFTPAGVDLYSERKGG
VSERLLGEVRRVLREGKAGEGVRELCKGEELFAVVIDDA
>RCO7_04884 | uncharacterized protein
MPLHLLGKKSWNVYNNVNIEKVKRDEAAAAALEAQEEERMQEADALRRMQILRGETPTPLVIEDTPRPSNSTQDGSGSAARESGYGREKKRRKKFGE
NDTDFEMRIAAEERDKGLKVNQQLVLRKPVEAPIVDQRGHISLFPENVPSISKTVEKNPEAEREAARKKKEYEDQYTMRFSNAAGFKQGLEKPWYSL
SIEESTALREDEEKAFVTRKDDGRERRYGKDRYRSTRTVDTKGKEDYGGEIPHKDVWGNEDPRRKERVLSRMVDNDPLAAMKAGASQVRRVEKERKA
LREEREREMKELDDIERRRRRDRKRERDEFEDFRLDEPVRDPESERKRKRRQRDIGSLDDENLEYKLERRSSSRRHEDPKKRKRERQGGKA
>RCO7_04883 | uncharacterized protein
MASHPSLNAEELRHLTWRRSLSRMTIDPRSLQDHCPLDNGRLHHPPASESLAARSSIGTLDALPLEILQMAFGILDLQALTDIRALSWRVRALVDGL
PPYKSILEHCPDVLRALLSTNMAIHHTAQDKFDALCKQTCAECDQCGPFLDMFTARRYCITCAGNSDDTLCITRSSARKILGLNAKMARSLPTLISI
PGKYSDGEKMFRKRILLVRVKAARNARGKQSTLGSAIINGSSENDSTSSPPLPSPSSKADTTLPGYDGHEENPYRYMSMLRFPFFDRGTKSLDWGAF
CQACRLGPREGNRGYCDWNILYSTSGYLKHFEQCQMSHIARELIPGCISFHNGAGESSESRLLSLISNFGL
>RCO7_04882 | probable NsfA protein
MNIRQNLFGQGSKPGREQAGYGRPPQPPGRDDTQMAGGYDDRGGYGDPRGGYGAPAPPSRQPQPMPSRPPVGRDMASPVRKVQLRIAKVEDKTLANQ
YIFGNLCAVSTQDFPPSRDGSDIYILLNGRYVVTARPTTSFPPGCISLSDPQRTWCDVGMMDPIVAEAYDPFSEGPSTYLGSLDVEVGFASVKKITE
QPFDQDVLADAFIKNFENQIFSPGQRLLMDWKNIPMIFLVKTVQLVDLSMEKSSAAAPTVSSPSARGILTRHTPITFYKDAKSSIKLKGSAKRPAAN
SIIAPDFKFEDMGIGGLDKEFSSIFRRAFASRIFPPGLIEKLGIQHVKGILLFGPPGTGKTLIARQIGKMLNSREPKVINGPEVLNKYVGQSEENIR
KLFEDAEKEYKEKGDESGLHIIIFDELDAVCKQRGSGAGGGTGVGDSVVNQLLSKLDGVDQLNNILLIGMTNRMDMIDDALLRPGRLEVHMEISLPD
EDGRAQILKIHTSKMLANNVMDHDVDVAELAHLTKNFSGAEIGGLVKSASSFAFNRHVKVGTVAGVSDDIENMKVNRGDFLHALEEVKAAFGVSEEE
LETAMAAGILHYSPYIANILKDGRLFVDLVKNSATTSLLSVLLHGPPGSGKTALSAKIAKDSNFPFIKLVSAENMVGFSEMAKIQYLNKVFTDAYKS
PQNIVVVDNIERIIEWVPIGPRFSNPVLQALMVLLTKQPPAGRRLLIIGTTSQRSVMRQLDLQQIFNRELAVPNINTHSELAAVLREVNAFDNDSDL
TESLNELRDITGTDQVGVGIKKVLLAVGEAKQEEGNMAGRFAEVVAQQMAAGRD
>RCO7_04881 | uncharacterized protein
MTRPIPYATLQSLKSSTLSNPDPFILYIPKVELYLHIEGTLIPSLRFTLATRNSLHLNSTRLNETFHTLSELETAYNLLEPISVKGSGVSAFFDAYY

GGVDVLRTADDFYDLAMGYFERCGGHEG
>RCO7_04880 | uncharacterized protein
MYALAYGILLNLNLTMSALPKHIYNVMEQKNVENKAPSLKENRSSAEEADPNNRNGDQNPSLMVRKFLKGGAFIPPPDRDNYTGFRPTYFFFYGSLM
DNSQLRKILQLEDKPVLQPASIVGWETKLWGQYPALTFKANAIAHGMACEVQKEEQVEYLKSYETDVYKVKGCKIKFVDGRELYGKTFVWNAENKLL
KEGKFDLKDWQLAQLEKQQ
>RCO7_04879 | related to 3-hydroxyisobutyrate dehydrogenase, mitochondrial precursor
MSGKVAFLGLGAMGFGMATTLVKKGFHVNGFDLYGPTLERFTAAGGHASSTPKDSVQDAQYVVFMVATAAQILSALFDGENAAVHNLSQGAVVVLSS
TGPPEHVPIVRKLLDDKYSRRDILLVDAPVSGGTIRAANGTLTILASGPEKDIAAARPVLDAMAGDNLHIIPGGLGAGTNVKMVHQVLAGIHIATAS
EAMGFAAALGLNTKQAFEALKKSRGTSWMFENRVPHMLVEDKMVYSALNIIVKDIGIVTAGGRSAEFPLFLSSATEQVLATGVSAGLGPIDDAALVG
VYLPQSPTEVLKLASSPSNLSADEPKLLLVEKIMAGVHLAAAAEAMSLGRKVRLEPKKLFEIISGAAGSSAMFVEGTMQLLSGVWKEGRSVDDVIAE
LTEALEEAHKIRYPLHLTGTALQLFELAKLKGFGKEPAIAVSRVWDSVEGPYFPRAQIGLHAEP
>RCO7_04878 | probable autoinducer 2 sensor kinase/phosphatase luxQ
MPPPSKPRSPLDNPSSSHSRRPSNSRRTSSEKSATKSSKHGIIKPSSSSASPKPGDLMADLPLSAKSPPHPDGGGRETKPTGTSNTPVEEYVEGVQS
VRGIILPPGSEVRSKREANAEGRHAGFQIPENTSHEEVERLRTAMNAQLQLAQHRDRLARQLGTREEKGASGSFTPSGKSRVSPIHEETISPSLDAA
FETPPSAGLETASTESVRTVRGGMTPGLVAARTPSYPFPSMRTPGHLSFSGHRPFTSLSPTVNPSNYAGGSFDPGVQDRVLSRSVTPASTMRFQPPG
SSESQEDPVFESPNLYELSLMLSAEPGLEPWWNSVVQMMRTLYQAHRVTLSVPADTTDIENVPWGQKATFNAAEEDGLSLGYLPRGSSLVPSSVDTN
DTSNSEDTGPPEGSVGALAPGQHAALRPGILSRHSFTAYEDTKRDPVSNAEINRVAAPRPSSLARAKSYLSTRPDMPPRTATLQNAELNLQSLRDHV
AFEEAKEPSNEWETRAHADREVNGRIFTVLQALDYEAEPLIDNKGVLRVLERGKVIALTRDYPYVESSKGDEKSGGSKSSSSLSQKSKDSPSDNNKS
GKPSEISTRISSFFGGRTRRSSRGARSSTERGGVPDQRTANDREFHAMPRYEEYEQAPQSPWAQSPAPSPAVRVETSENPFFSGGPVDEETFNPQTS
APDYTDMPPTETIGLDRSWTVLHIPLVHPLLSKPVQAFRLDAAAMESRTAKGKGVDSTLKGVGIEHFRTKEESKGKQSPIAILSILSPVIPYPSTLR
HSLEHLAPHLATSFSLCRHFSNLETEIAGLSRKRPQTTGFGAVAGGHDDRLRSALPAYSPIEETLARHSTGGSITSPSDYSGVSRSTLGSPPGTPGW
DPGSVGLTMEKRSSGESPSYMSGESYFSSRARPGVTRIETGSASSITGARRASKESSPADTRSQRYPRTSGERRRDTEAPGADTSDDDGPEKSATQE
ETSTTITPKQEHHPRPSDSPENRDVSPSRQGFESQLSPRRLAMRTASNQGPGKADRQHTQLHSYGADFSATFQSLPTPSSKGPAAAKPKSRSDSLSV
QPDYMPPPSDRVKGIMLDSLPLHIFIALPPTGEMVWVNSRYLTYRGQSVKDLHEDPWASIHPEEREEYLKAWAHAIRTGEQFSMQVQLKRFDGTYRW
FYTRAVGLRDSRGVIVQWYGTHMDIHDQHIAEVKAARQEEIEASEAKHRQLANLIPQIIFSATEEDGVTFANQQWLSYTGQDFESSLGLGFMDYVHP
EDLAKCHIPINSHPAPTLFRSEKPPEPSRNPSHSSSGGQASVKSNVSSAPTERTIKAGYQPLSRTNSSSSGSLHEFPNADFSELMKAGVIKVEMDGN
GRTSYSTEVRLRSKSGEYRWHLVRCVEVDNINLGSKDGSWFGACADINDHKLLEMKLKEAMESKGKFLSNMSHEIRTPLIGISGMISFLQDTPLNDE
QIDYCNTIASSADGLLNIINDILDLAKADAGMMKLSYDWFHTRSLVEEVNEMISTIAITKHLEVNYVVDVDVPEMVKGDRFRIRQVLLNVIGNAIKF
TTVGEVFSRCRVVRSETAEAEDNEVMLEFSIIDTGRGFTQEEAELIFKPFSQIDASSTRTHGGTGLGLVISRQLVELHGGQMEGTAEPGKGSTFTFT
AVFQLPTDDDHPEPPSTPALSTVSSTPSTRLSLKSQISYETTVRAIRQAGGNPILANRLIQSPMVESPRTESSGTDPVPSSGSSNPSTHSARSPTTT
QRSSSSSTSQSLAHFSEAAKVIAPDPSSMKLELPGRTSSGAGSTSDSQDTTPTPTNANLASMAKHVRPPMYSILIICPQKHSREATTQHIEMTLPKD
VPHQITGLASVDEARAMIGGEDPVIFTHIVLNLGSAEDIVALIDQIVQTLALPRASIVVLTDPVQRQEVIRSTGSDYTKLTNDSRLTFVYKPVKPSR
FAVIFDPEKERDLSTDRNRFSAQQQVANARQNYLDIGKRLGNKGHRVLLVEDNATNQKVLMKYLSKVGIAVDLALDGVECTEQVFGKPHSFYSLILC
DLHMPNKDGYQACREIREWEQKGSYPRMPIIALSANVMADVLEKCIDAGFSNYITKPVDFKALSALMGDLLDPTTPATVSKTIPARETTATKTTT
>RCO7_04877 | uncharacterized protein
MSGRVVIDILSSPDQPPPPPCPVVSRHAPASKKIAEDYVTVLSSDDELPPPVKLASNNLVSAISTSKSATFMTVAKPATTDLPSAVARPQNEFLFHS
DDFDSTVNFDSSAVKYDDDPFASDPPLPPARKRRVSVSPKPASRSFGKFKRTKTTGSAPVDHITFTSSPDHVAEAVRRRKEKHDKSRKDGLVEDVEL
GAEKGVAKTRTGQEPTWDFNGLDDLAESGEDDEDEDLPDLASLPKVYKSTSKPMLKPTSKSTSSQKALDKYNADKAKDKVAKEKLEKVREKTEKSKE
KAAAKEAEKEEKLREKEKKLYEKKLVTELAKVNTLKTDKKISTPEMIIDLPSCLDSILLEQAIKMLGQHEVEHQNWESELPVIKWRRKVTATYNEEA
GHWEPTPLKIKKEKHIMCLLNAQVLVDLITGAEGSDLDAYTLRLKAQFEPCEVIYLVEGFMAWMRKNKVLLNRQYTAAVRSHNQEFPTASQRKRKKK
DADYVNEDLIEDALLRLQVNHNAFIHHTNAPVETAEWILNFTQHISSIPYKSQKASLDTNFCMDSGQVKTGTDAADTYVRMLQEIFRVTAPIAYGIV
AEFPTLPELVKVLEDQGPLALEDCRKSTNKDGAFSDKRIGPAISRKIHKVFLERDPGVWIV
>RCO7_04876 | related to transcription factor KCS1
MASSSSEPANAAPTGSVRPESLPHEESKDDDPNKNVRRPWTQPPRANSTSLLTQALTAVDEHAPSALRDPPSTIESAPDFSSQNDSWRNGVNSTGAG
AEHTPENNPEASESTPAGDMQTSVARQAVAPYNLHDMSNVNSLLMNHRDFLGSAKGRGTSLERTPKEKMVESLPKGAYSTNAGDTAMIQLPTSTAPI
SGGSIMTNPPTEGLRAQYRSWRDARPSTAAEKAWSIGEHGSHGDDGGQVEKSIAEALAGVEPNNRSRKASHSLRVFREGLPEGRPMKRETKNRGRSK
ETLNRGKSHFESDQAKLKGGPNSPHVDSHSRATTPSINRPITSPETQYEADLAPGSARDLPADNGYFNVSPIIETVSEEQLKEMPAQLLADIRNKHN
LTPGATKGSSFSRSIPVTASERPQSISRKSEIAGGGSFIIEAVEDPEAYVGAAELSHIKCADDEDDSGEEQISSALFVPHKTPHESPERQRGEDLRD
VEHGQERERKGSDPQWLEEHAVPSHVVEEKYLDQEAEIRPQASPSVTNLPKPPSELDVTSIGTAEPADADRDSQDDGGYTTLGEESFITDDDLDVTP
TGSLKPNVHIPPASSHGLHDHQQKPKQPLETIELIPYRHQVGGHTTMWRFSKRAVCKQLNNSENKFYETVEQHHPELLKFLPRYIGVLNVTFEKQSR
RKTVKKNDEDPSKGRQDPTQTAVAGDDIGKIATATHSKDHTPANGQEEKRVISQSISSSSEPIPTVTVADNRHILPSSFLKPRSLYSDYHFRSSSDT
TSTASVPSHIQQQSQTAEGDDAIRPKLYEKPAHSWGATTVNKDLRNEVFTDAFWGLPLVVQSHQKPASRNRSLSNRKGSTLRNANSESSLKTAQQTQ
SASAQPAEESIRKKAMRAAAERQVALESLTEIVSAVAQSAGLEEADAEFDEKSGSSAPEYETPYSERSRGGKRPRRYSSGGLRRKPSEVADDRGNLK
YFEEADDAGYKGDVEEDVFLMDTEPIKFKNLPTRPKVDNQSLPAGKSRKASALQSPDISESTTGNSLPAAPEEPPKSLNMIRPVNPKEARAQPGSRI
EYFLLLEDLTAGMKRPCIMDLKMGTRQYGVEANAKKQLSQRRKCEATTSRELGVRVCGLQVWDVKSQSYIFQDKYFGRDLKVGPEFQNALKRFLYDG
IDYSSVLRHIPPILVKLSKLEVIIRSLAGYRFYAASLLMFYDGNTEEIDERDNAATEVVVRKKIKDIDFKIADFANCVTREDTRFQDRPCPPMHPDS
PDNGFLRGLRSLRKYFLAIQEEIRAEMGISSSSQDGENGVESPAGVEIDEGNVSY
>RCO7_04875 | uncharacterized protein
MGPFNSSYDIDNYEDEPYHCRPPTCDEDDIVCLGSDSEQTTEEVAQKHQRYEAEAQRIVKGKLPILQSASLKGPFEKGWVNPWVYRPIKKQDQEWWQ
PGSEDMLFTRAKVMERAAAHGLGYLKPADALEWCKATARAEAQIINETQIQSGQIMRSVERDGQSDSEDMDGGSGSEDSHGAPSENSLHRSGSALPQ
ERPELSMLNHDSRTPNGGGLDNDTENAKRSADLQWLKGSYVSKRARWEGPAVATPTPFFDVLQRDRRRRQLSARPSDQPIAKTRKPSRLSKSFNGFK
EVPRHTLDPSIEPRTPREIEQPRTGPISSFGPREMTSLLEHEDFGHQPDDLDELQDTSHSYSFQRASQSSIKSQKIGLSFNERPPADLELDDLVVIT
PRAKPKAGILRIATSLDSHMLNTGPDDSYELPKLTGRSASNDDCENKVHHQEDSSITEVAPSSRNVETFKFRKRKPKFSQALKKLPIPVPDHDRRRL
KFDAESKHSDRRHIVSDAVQIKEEGRENIHMNTYAPVSSHKSPPTGTRQSISSQTTPPKSDEDEACVSWDMVGDMTAASSFRRATEGPQTTSPPKSR

SSVSISPHITPKTTTSRLPHSSDPNSLLKEPQSHERVPFETSTMKVPPYSENMSTQSFNTTPSRSMLSPVRHSLPLLRGLLTQQPKAEATLGRFPES
EMDKIQVALSQACPTSSAEDGPHKSPGRDPSELHLADGTAVTPLIRSDRSSGGLAPGLPNIEFTDFANESFLYLGGYLSEPPSNGPTALFDNSEPTP
PPASLGHQVRERFEDLPHIENASLMHAELAHKCSQVGDELVTSTAVVAEERDDRSERDYLNLSYTPSVDPNDHSSAYILCQPASVPAELVASAETTS
METHDEAEFGKSGSQTQRAGQGGLQKNSCKVTKRTAGLEEDHAEMQQEEEAGLEEGPRKELEDLAGNDIESTSMAVVEYQIQTPFDTEPKGVQNVAS
GDNIMRSPTNSPNLGKRAEIEGLSENHDRISEPDKDQCNDPATGSEASWQGCGPQSPWAAEKIEPLTTFSTIKKVHGALPLDRQEAASSIKSVEQDK
AMLNEEISWIPKGRPSTPDSQLIRPFKDFSTPTPSPGRHYDDPEDSLVDTQTILEAATRNPWTGRSKSRSTGKIRKRVSFGVIPLDEARDSQQDNAR
NLDNTPHSPPPAQADPSDEDEDIFHDGTTVTTTSRKHFVAATRKRHFRRILPDKRSSQLDSSPTLLEAQAEAFIAADHDIPAQQCPTSAKDSPTRHL
RSWSNPNTNVWNEVEEDDTMVGNSFLPRPIANMPVPNDAFAGFDMASALGEAGDFLEDWSVDSVLKNSRDNESATRVESNDKRGRRLFGPE

>RCO7_04874 | related to CYR1 Adenylate cyclase EC:4.6.1.1

MEQAWLDSLSEDWVSQPGVSQPGSSNSPAPSLPSLSNSTSDPSKSRPASSRIPKYNPQKQTWTPARDENSPLSERSTNEHNIPLSQRRPSKLREITN
GIRGRCVSRALSASTTQSVQYHTIEHKSVSLSPKRGVVETPEWKRRLLHGDVAYGEQCDLFGPAGLENMFRPPPAQTASPSKSHVVQDLGESSIMPS
SPPPYNRNHEQEDTIPHEGDRNGGGQNRQQPRAMKYKLADQGESEFSVDDLSRSSSFRTVPAAVSRIPQVVMHSDSASQPESSIFYEQDPGRAVSGQ
SDIRNEELSPIYVARHNTIDGKIDYAALNLSPAELKRRLDQIREGSPGQSSQNQVDVTTETDDFAHNGRFVNMRRGGQSQEGSFQKRLLSPSSLPAI
DESTMLPEESMQASTPKELPNIRKTRTSIDNQAPIVTQDSVPETYTPHQSPKKATGQVSKSNSGSPLKIFGTYDTFTNQKLLRRLSQFEEDLDPQSD
NDVSGIFPTSSNTEKDVNQNRLQRDRGRKMSSFGAGELDSFQFSEGSYDSKESNADDEDKENLALPVLNRNTQNSFKFQLEASPDLSDGVVVHHRAK
YTTTTSTLRQTTSIRKSIRSGTSSSSISGRTLSPQPEDLRTPRKRNGDSEGKRLPKSPLKDPTPKRRRTLRESEIGAAEGREIIGETDTLRDTHTEM
QSVVGRKRKDARHGDNQQAANPTILAMRQILRPRTPTPSQRSSQQHEVAPLLEEPLTSSERAKRIQEQKIAKIQAELDFTGPFKLSAALGADQHMQD
DSRKGSVTTQDFLDEAKKIMAGIRGKTRPRSGLTSLEESESEYDRGISPEVCPDDIDVEDSYQESTQEPFSRPPSRDGKPLLRLPVKQEDPALLDHL
RKYQEQGEMGDILASSMRSIAMAKEAVDAAKEVDRRTEETIARTLGRSIDLEGTIESEPGNIRISQNPDAQRKRKHSTSTARTGGDDQHEDDFPSQG
SNGSSGQSTARSIPTGSSRGSDSRRVIAPHTVSHLIPEQLAGMVFDQENKKWVKTKTAGPVNGTRNFVPSDETDEDPFGDIPDLSVNVTQELQRIKA
VAAKRQEDERMNEAEKNCENPSSTLPASGLLDDGIESYPIEHPSQEETAFPQLANQHHSAGLDVQSPSCKDQPTPKVLPNQISYLEKQTKVTEDVER
EISIHEDRVDPESPRRRRNVTISFSSPLASIIQSAAYDVHSSIEVDADGLSQVGTDADETSANNSLIISKRESTTTQRSTTTKSRPKFRSNSRRMSL
GGRNFTARPVSRIDEQDEDSVNEDLKHERRRSVSIVVSTPVPSRHTSGIILATPRPGREIGTLTLTPLSDFTVHQADVSLGLDVSYIANGLRYGAGN
NSKRTLSLSIKELVEKLTEVEPYEPFWEHIKELSLRDKRLTNLHKLNEFCEELVQLDVSHNSIRQLDGVPATTRNLRISHNCLTDLAAWNHLHNLQY
LDVSNNDLESLSAFKSLVHLRGIRADNNKITSLEGVKQLDGLLSLRLRGNDVAYVDFESTGLQRLSELDLKGNKVNIFRNIQQLQSLSALDLEGNLL
TTFSTSDGKSMSTLKYLKLSDNKLATIDVGMYPNLRLLYVDRNCLRTVSGLLNTQYLDSLSMRGQQAGVSIDQTFLSEACEVRKLFLSGNLLKTFEP
QVEFLNLQYLELANCGIESLPEEFGHMVPNTRILNMNFNALRDIRPLLGIVRLKKLYLAGNRLARLRSTTCVLAQFPTMSIADLRHNPLTLGFYPTV
TESQIISRRDGEGDEEEVQEKDSFTLGTADRGKDEKYAACLDMETRMLRRVYEVMILSNCRRVKTLDGLEVRRSLLKSKDNVWDALVKAGIFEMLPE
DEQVREFGETVPETEKVVEEERWPGEDSFA

>RCO7_04873 | related to enoyl-CoA hydratase/isomerase

MTAQPLFTVPILVSNKNSGAVVCTTPAPGVYVLTFTSPPDNRLVTAFCQAIILALDILEFSHPHGVVITTSGIQKFYSNGLDLEHASNTTGFFPNSM
FALFKRLLLYPMPTVALVNGHAFAGGVMLAMYHDYRIFNPTRGFLCLNELDLGVPLKPAMSSIFRQKLTPGVYKIMVLEAKRFSGKEAFENGIVDGL
GGMEETMKFIEERLLTQRAKTGVYGLLKGEMFRETVGYLEGHELEEKRDKDNLRRDDERRGVGSKRVAEWEKNANKAKL

>RCO7_04872 | related to mannosyltransferase alg2

MASSTPKKKTIIFFHPDLGIGGAERLVIDAAVGLQNRGHEVVIFTSHCDPKHCFDEARDGTLDVRVRGNWLIPASIFSRFTIICAILRQLHIIFATY
CRSEIKALKPDAFFVDQLSAGLPWLAYLYPNPRILFYCHFPDLLLAQGRTAWWKRVYRIPFDFIEQWSMSFADSIAVNSGFTKGVVGSVWPNLVAEK
DLQVVYPCVDIKEKTSEFIDAPVTAWQEKSILLSINRFERKKDIGLAIKAYAGLEKKARVKVMLVLAGGYDNRVQENVVYHKELVKLAEGLGFKTAT
TKTIVTALNVPEDVDILFLLSVPNALKDILLKSARLLIYTPSNEHFGIVPLEAMLVGVPVLAANTGGPLETVVDGETGWLCPPGDTKSWTAVINDVL
HKMSDKDMKRIGAAGIIRVKREFSDVKMAERLDEIITAMVNVPRKSCIQISMFCMTVLLLIYDTGYFVYRSKHEEGYAKGLPKKLMPPFTYSALAII
GWMGYLTISLIGKPKVRQLVGVPKKTQ

>RCO7_04871 | uncharacterized protein

MVLIMRAAPIRALPPRRILLCATNATVESKFSGLKRFSQMKSDTKYEAVVVGAGPAGIAVVGNLLEQKRGPILWVDHELKAGRLNKYYREVPSNTKV
KRFVTYAEGVTPFLDIAKETRTPNAYTHLKSLDQEDTCHIAQAADLCLMLTEGLNESKGVHKQLGNVSDASWSDSTNWNVTVTSPDEKFPGPTSVSA
DLLVLCTGSAPTKRPLPVDGFKDIGLDPALNPPLLAKLISNTSNQTVGVIGASHSAILVLRNLYNLAQSTHPNLKVLWFTRHSLRYAEERDGWIFRD
NTGLKGAVATWAKENLEEDVSASSDVSKYITKINTHTDEEEAYKRHLPTCTHVVQAVGFRQNKLPMLTRNGEEFKAVYNNRTAEFTDEKGEEVKNLY
AAGIAWPEQVTDPEGNVEHAVGLAKFMNYLKRVVPQWS

>RCO7_04870 | uncharacterized protein

MVPDTISTPLDPSRYSWQQSSQDPSLWQRLALSGECMWTSSSKDVRELFITSTLTLTLPISRTTLDSAAAHAWQTLRLQLPQLALRISVAPEGAEAG
IVYLQYRTPQSQAEVDAWIDRTSHYGAGRDVLSLEDLRVKVLLEKQGHDSDQAFMLLHSQALDYSHDLVENFQIMLNVDHQVTDGNGTKIILGKYLS
LLASALDTSNETLQEEISWEESHKNLIEPWIQHMNKDQVTDGTEYQCMVAQNQTYFLVKSVHATVLI

>RCO7_04869 | related to kinesin-like protein

MASSPPESPLAGPQRPVSAMMRPPPRTTSRMSMTSKAGGSGSRASDEDGKTAVRVAVRIRPSLKSTDPGFDLIPQRFQRSMVQVTSPTSLAIDSPQG
RKLFVFDRVFSEDVSQEGVWDYLVESTNAFVQGYNVSMMAYGQSGAGKSYTMGTSGPEQQADMEYMGVIPRAAIALFDKLEGLRNSSRNSMSGLRTP
TRYSTTAAAILAKNMEKTWTLKATYVEIYNESLRDLLVPEGVPYSERGNVTIREDTKGHILLTGLHQVDINSVEDLLAALNFGSMIRQTDSTAINAK
SSRSHAVFSLNMVQRKSKLQTQGAEKRFSVPLEAMTGADTMVTIESKFHFVDLAGSERLKNTGAQGERAKEGISINAGLASLGKVISQLSSRQAGSH
VSYRDSKLTRLLQDSLGGNAITYMIACVTPAEFHLSETLNTVQYAQRARAIQSKPRIQQVSDETDKQALIERLKAEVAFLREQIRSTERSGDRRPHA
TTERPERQNEREVELQNQLLDVQEGYTTLSQRHAKLISEMAKARDSELADNQAFENTLGDSATERLKRSNSFAEAVEQVVLEYEKTIQTLEQSLSST
RGSLSNTETILLEKENKCAYVETVNSQLQARLQKLIDRESSTENYLHDLEAKLDGHTSGEEKNSAIVLELRKEIARVRENEAACEDYISTLEERLAE
ADQDAELMQREIDRLEHVVERQRSLGKLDNLLYELDHIQQDGNSVVAESPLTNGKRQSYEHSRQQSFTSRRSHKDVILETEEGEEDDLSPTSTTEKA
HRTESEGPDDSGEPIDRDPVPVLLEPATNEYPPQSPAQSKFVEDKLENVSQELFDLRVEHESTVNEFDNLSRKYEEALRTLAELQDAVDEARHPSNN
RDSTFSISSPTDTANASFLTDARVNELKDGGQYSSSRSLSSELSSAGELPSTMESSDAEAAIKKSESGEVARGSANGETIAVEVDNLRKLAAEKEQA
QQLLAEKYAQLEEKHMETLDFVEELKAEVSKAKMVEASSTPRSVTPVIRRKSSQNVMIIDKAHRAFASLRNIGTESFEHSPDIMANFELNLNTAMHE
LHSRSERVQELEHDITAVKKEMETKMAIISGLTRERSSMKASPMDMSVVSTMRDQLLQSENQMRLLQDTHASREQELKAELENLRVSMEAHATSFKD
DKALGERVLGESNAHKEIQEKKIATLEMKLAEWEGRHETALKSMQSSEKGLLDTIAGLEQQLTSLKTGQQTKDLDSENEAVKNLQREVDEHKATVAA

NAARVAELEQSHATTRQQLDEITRGRDTSNAELEGHKVLISRLEQQIAEHEIIVKTHQDGMNLLQANHAKDLEVLKSSTHEDYEARYSEIRSEYQAK
MEEIQSELAEARDNLTKIATQVAFALGVDVSTDKLEERIADLLADQKALAEETKKGSEREKIVLELSGINDTVMKELQSVKVELAELLIQTAEGAKF
KNDHATVAEQLAALRKEMTDLETKNKKNSRLVEELEDQLASNFDQHQIANNRFSTLQTERNAQVDEANAAHLRTQAELDAIKEEYASLQAKLEDVQL
AQVGPAPTRPDSAASQLHKTASVASLPSPPPAIPLPPLPGSNNASNSANGHAASIPVPQTPTLGNRPSSKDLATSQIHEDQEARIRTIEKHLHAEKQ
LTQTLEEALTDLERQSNKMKAEVDAWKRRAADLELELKEAKEREKNGGLDKENRWSMQQVEEERKKRRDAEIARAHLEERMNAISKKKKKGSLNCF
>RCO7_04868 | uncharacterized protein
MSRPIQQAIANLIPRHSGALPSELVELAGSLLAQSRNKCSNLKSEEEVARIYACANLACERLKTSLNLPPIEPRPPIPPRVYSKLYSYFDRTLTSSA
ARQRAKNDNAKVRNNPSTTSSSGKALPQRLTPSKAKSFENFRSQRTAKRGLVFKGRQEKDDRVPRWLGPVVRLLCREMETRGAVPHVLAGVESVLCL
PCPGGESEMKGRVPALVAAVWFLVVVRMRGPERQGMETMKRKNMVREVLAAARTDEGVMEKMGDEEGAWMGWEDTVAEKDVNSWRKEIVGKGWRELD
WFTNIGEGVGVETDGDGDAGEDGDEGKDVQMGENQEGVEISGRRARPGTMIQEQYCVTIERREAYIEWRDNILEHIEKLMARGYMKRDDAEISAR
>RCO7_04867 | uncharacterized protein
MKLSIISLLVVLSATALGWSPFTHSSKSDVVLQYGKGHEASKQIESKFNPKELLKVRKPEFYNEALIRLERLEDQPLCHRVAAQLLMKNCRGLDGID
KQTYQLNSDHVQKHHIEAFTASLTVCEMEEVSFSVPEACSPFSSASIFYHAREIGHLNVSREQTVDCKTAIHQNPSNQHIWSNFVTSATVFCRAARS
ELENDQHILLHKQLMQNMAKFSEAVHEDMETIRQKMADNARAADSYLEKAMYNVNDWTTTLKQQFQSASKNVEEVDSAMNSITKSSKTAAHMVEHLV
KNIFEGTAEVSAGQEKAMVVGTLQVQRRMDSISTKLFATEDGLATVAALINTLVPMVVSLSERVEASGTQSQAAFMAMANATDALLIHVDQLSQLTG
QTSNLNEQLVQATENAQAWGAAIGSSAWFPDWTIGAGSPALFLVAGNFRQAASLTSNIHLGLTGLIIGQVVIFARHPFVSATCRYISNFANILGSIQ
APSAQQPSFRDDLIRRHTGSQSALKNQRHLQEQAYHNKLTLGEQEFLTETQSIAI
>RCO7_04866 | probable MRPL6 - mitochondrial ribosomal protein, large subunit
MLSTALSKGLERVISAVPSASIPAFLLPAFPAISTRAFSSSTARPSQIGRAPLSIPPEVTFTILPPPERKNGATVNIEGPLGKMSLTTPRFVNIEHD
AATRKAFVTVEDREVKKQREMWGTTRAYLQNHILGVSEGHTAILRLVGVGYRATIEYTATTVQPEFEGQQFVSLKVGYSHPIEMPIPKGVKASTPQP
TRILLEGCEKEVVLLFAAKIRMWRKPEPYKGKGIFVNGETIKLKAKKIK
>RCO7_04865 | probable MET22 - protein ser/thr phosphatase
MSSYSKELEVAQLAVQRATILTKKVFNEKAKGTISKDDASPVTIGDFGAQALIIQAIKKNFPNDQVVGEEEASTLRDNQKLRDQIWGLVNGAKLDDS
EAEKVLGGPIESLDAMLDAIDAGNSAGGNEGRIWALDPIDGTKGFLRGGQYAVCLALMVDGDVKVGVLGCPNLPVDDSASLTAESGANQTDSEGKGV
LFAAVSGRGAISRPLGTAGLGKSQPIHMKLVKDLTQATFCESVEAGHSSHGDQFAIATKLGVTKPSVRMDSQAKYGSIARGAGDIYLRLPVSATYQE
KIWDHAAGDLIVREAGGQVTDTLGRRLDFGQGRTLTENKGVVAAPSAVHGQVLEAVKEVLSKN
>RCO7_04864 | uncharacterized protein
MNATKRKFNALLNGIGNKSTTTLASKEVNNDQVDLTTADAPNSQAKKRRISSSSILPARISSSLTRPRTMTTIVHKKSASVAYPVALTETPKYAPWD
RTEFLKRLKSFSNLTDWTPKPVRVNEVEWAKRGWVCKKSERVRCCHCNVEILVKLNKKEVDGKEEAVYVAQNIEDALVDKYVELIVTSHDESCLWRQ
RGCDDSIFRLPLNHAPTTIEKLRDRYNELLVRSQTLPYPFNMRTPEGFDLDLVLSYLPPDFFVPPASATQTSHAPAEVNKVAFMMALFGWQGHTHER
LGTQLGSVSCQACFRVLGLWIFKSKEVNEAGEEIAGAVVDRLDVIKQHRDYCPWQNSASQNGKKPTKSSTSSMAGWEIVLRVLKNDHHLRTAKDVQG
GKKSSAAKAADIVPTDLDDDDARSIRDEKDKERWARLRRVKSLFETKNKRRSVASKAAGS
>RCO7_04863 | related to RIS1 - similarity to RAD5 protein
MVNERSPAKAPLQPIILNEQPQKEAESSRSVKPSTVPQFGQPTFPSSPLHRAPVKDSGLFIQPKSRPEHHRNGEKPAHPHVQAAKDLVRKVVHNPLM
PRAPSEYHPELKYAPPPNSSAQRAPAPQYNSYTTTKAAPQQMFSSMGGSSSGFSSANSGSNYIDLTQASPSNNCIDLTKINCRDSHVAPITESFEPY
TFVDPAKAQEDLKALLEGAMEDEEDLPRTRSRKKIKDADVDGLPDKLNGLKVGDEKTAAASDDEEEEEDDGSVEGVKVKLLPHQVEGLEWMKGRELG
TGKKGARVPKGGILADDMGLGKTLQSISLILTNPKPTDDATITKRKIPTGLEKTTLVVAPLALIRQWEAEIKDKVMSSHMLKVCVHHGPQRTKRFGD
LKKFDVVVTTYQILVSEFGNSSDDPDGVKVGCFGLHWYRVILDEAHTIKNRNAKATQACYALRSEYRWCLTGTPMQNNLDELQSLIKFLRIKPYDDL
REWKDQIDRPMKNGRGDVAIKRLRHYLKIFMKRRTKEILKKEGALNPGGKPSAPGEANSTGFKVTERKIEKVFAEFSPEERQFYDRLEARTDESIER
MMSGEKINYANALVLLLRLRQACNHPKLVAGKLGKDSEALGAESNNAKKIKASSTDIDEMADMFGSLGVGSKKCEVCQLDLGKTAISEGAIRCLDCE
ADLKAVSTKKVSRNVKEKKKKRKELKEKKSASTAPSRKPRNRNIIEDSDDEDEDGEGTWVVPKDQQGSLTLGKAGGQADEDAEGGGDWLNSDDDDSF
PDLKDVKSQQNKKEHADSDSEADSATDSDDDTDSDSDSDSAVEEEFDSSEDEEGKLATIVSSTKITYLLKILSKEIDQHKFIVFSQFTSMLDLIEPF
LRQRGFKFTRYDGSMKNDEREASLSRLRNDKNCRILLCSLKCGSLGLNLTAATRVVILEPFWNPFVEEQAIDRVHRLTQKIDVIVYKITIQDSVEQR
ILELQEKKRELANQTIEGGKGGAGKLGMKEILQLFRRDAESAGPRSSIGGNYDLGTKPRILKESTLPTSSTDSSRGVSIARERKITPPGATVGREDS
VYGRRW
>RCO7_04862 | probable sulfite reductase flavoprotein component
MKSHSGSKSDTQFQTPAGGDVLPSIWNSRTDDTTSFRKFTQKSSSLPFGQPIDYTSISGPTYLTTQTLVQQVAYALSDKIFSYSPETFDLDVAAKAW
SATNTANVNGYTTEVARLQTRSGAGAFALGYMFSKDFDLAKRHIPQSLLASSSSLHNLRSALDQLSLLYSVANPFVAHVAAVDYAPGATRGLVTDYA
TALTLAEDLGLGLVSSSSPYEAQHMSLFSTILATVLPTIHIYDGVSVGRDTLRVIDVLNPSGLDSAYNNVLKEVSKISKRADAENKAAHVLDAFNNE
LGTAYGLFEYRGSNVAETVLVVFGSVESSLAGQVAEKLASEGNKVGVVTVRVYRPFAEEAFLKVLPATVSTIAVLGQVVDQNSVTDESAHSNLYEDV
LAATVFSEKWTSPPTVLDLKYSRAESLTPGSMLGYFQKFAVKSSNEPAVIELLNIAQTEQYTFWDVQDSAASTAPVAISKLLSGDSASNVVLSQTHD
NLVQGGTVRTDIRTSKKSVDSFYPIEEADVAVVGEEKLLKELAIVKNIKTGGSLIVSLTGVKDEDLEQKLSASVRNDIKFRSISLYVLDVTQSPAVE
KDAAVAILLAELAFLKVAHLEISREKLAAINGTSDLLNEVAADLEKALRKVDIPEAWAEVEVDVEVPDLPRNITSSSFTGFEKEEKEAPAFLKNWQS
VAKSLAFKEAYGTKIALRPDLTTKTYEITVQENRRLTPMTYDRNIFHIEFDLGTSGLKYNIGEALGIHAENDVEEVLEFMRFYGLNAEDVVEVPSRE
DPTVLETRTVFQSLVQNVDIFGKPPKKFYEALAEFASDDAERKTLLSISGLEGNNEFKRRSEVDTITYADVLLEFTSAHPSFHDIAQIVAPMKRREY
SIASSQMVNPKTVALMIVVVNWVDPKGRDRFGQATRYLSKLPIGAKVTASVKPSVMKLPVKDTAPLIMAGLGTGLAPFRAFVQYRAMQKAQGKEIGA
ILLYMGSRHQREEYLYGEEWEAYQDAGVITLLGRAFSRDQPEKIYIQDRMRQTISDIIKAYIKEEGAFYLCGPTWPVPDVTEVLEEAIARDAKSAGK
KVDPKKEIERLKEELRYVLEVY
>RCO7_04861 | related to Protein fmp52-1, mitochondrial
MASTGVIGSTGLVGSHILTILLSTPSVSSVYAIARRQPTSTDAKLKPLVNKETSQWATSLTSVTPPPSLFFSALGTTKAAAGGIDAQRKIDVDLNLE
VARAAKAAGVKVYVLISTMTASSKSLIPYSKLKGDLEDGIKEIGFEKTVIIRPGLLVGTREESRPAEAVLRGIANALGSVAHVLKDTWAQDAEVVAR
VAVGAGLQALEGDKPKVWEINQSDIVKLGRTE
>RCO7_04860 | uncharacterized protein
MSPTSILRIAARSCARPQVLQAFKPRPIRVQPFSQSTIRAYPRKNSQDKDSIDTEATEYSKSGTDDGAARQNEAAFDPSTTDPAEEKKIAGEGNEGN

PLEVSPANPEVSKQRGETEGGAEKGVGKKQSGGGSPNKAGDP
>RCO7_04859 | uncharacterized protein
MCSLNSFLFFPLLSPELRIQIWHEALLMPRLVHLWKHDDKTSSLPRRSVVSPLLCASRESRNEALRVYSPPVSYSQLLKVPAYIGPGTDIVYISGTD
GDRRVTRNVTRTCDLLSCDLDSMCPSFASIRRLAIDEDFLQQTPCVQFKKMPYSVWKLIVFDLRDLDELIIVRRQVKLPWTVREVQERLAKAQEKFL
DFWTDTCEDEIECQTLMKWRMPVVTILTVRELIGMCWF
>RCO7_04858 | related to TRM12 tRNA methyltransferase, required for the formation of the hypermodified nucleoside wybutosine in the phenylalanine-accepting tRNA
MWSTKEHILYQHTKPDRPPKPKPINPIEEAVKIWLNRLHNDSDGVIEVAVNRMISLVTPKRWVVYPPMVLLPPGSFGRDWWEFVGYDNTSEAMDELW
ELVLNGIARREGKGSLTHLAINSGIPLNKSTGPSSDEVPQIVLHAPEAENILRTPSGLVMLYGDFGPALPPEQTPSDEDLKKAFWVSTRQNGITQIW
APRYTMFSRGNVKEKARILDFHNSGGTLETRNITKGKLATLSAVDLYAGIGYFIFSYVKMGLKQVVGWELNPWSVEGLRRGAVANGWSIKVVEDDDV
SMGYEEQIVVFLRDNAEASETFRSMSPAAKESIMHVNCGLLPTSEMTWEMAIRVMRGDGWLHLHENVGAADIEARKSKIQEIFQELLKAETEKRTVS
VEHVEMVKTFAPGVWHCVFDVLIRRAEASSY
>RCO7_04857 | probable actin-capping protein alpha-2 chain
MSSALATVSAFVDGAPPGELADIIADIKALTIDTPTLVSQLGPAFEKYNEEQFATVKLPGSSQHVIISSHNSLGSGRYYDVESSSSFAFDHSTQKAS
AVQSYVLESSHSDLVKSLSKSLATHVKEHYQNASYGVYPIEDDSKVAILVVANKYSPNNFWNGRWRSLYIFDISSSSLSGAIKIDVHYYEDGNVRLL
TTKPISTSISSASASTIVREITVAEKKYQEEVNKGFNNLSEGAFKGLRRQLPITRQKIEWDKIAGYRLGQDIGGGSSNKR
>RCO7_04856 | probable cytochrome b5
MSKELTYSDVSGHSGKKDLYMVIHDKVYDTTAFVDEHPGGEEVLLDVGGQDATEAFEDVGHSDEAREILEGLLVGDLKRMPGDPAPKVSAPSGATAS
SGDNTGMGIGLYAIILIGVGLAYGAYQYMQNQEGKVSL
>RCO7_04855 | uncharacterized protein
MANPYEVEHNIKTTSKARTRRPSMSSFFNQLSQIETTTLSSTHNNVNSTPTPVDVAAAERLLQEQYRALLSTTADSEDARNTALLESLITDLETLID
QPPTEVNGVPQSYLDELERVPKKILKKNDTCPICNEAFLDDEYPLVVELPCHRTHRFDLECVGPWLRLQGTCPLDRKRMIKEKVEPVKDEEDEDDYD
EMFA
>RCO7_04854 | related to zeta-crystallin / quinone reductase (NADPH)
MLEVIVHPLPELTTEIVDSSIPTPGPDELLVKVEVAASNVKDWLHPTTRNISLNSGDDMAGTVCALGGNVESNGEFQVGHRVAAFHPMFTSGGTYAE
YAVAPRHTVFKIPDRMSFEEAATIPLVVTTAALSLFKIQGLPTPWSFPSSPTTNTTPLIIYGASSSLGTFALKLALASNIHPILAIAGSSSSHILPL
LDLTKGDCLIDYRSGISAMQHAIRTFLAERDLEARHAIDAISANGSWITISQLLAPGGQLSVVSGVNAYDEPEMPEGVEVKYTFVGAVHEGLYKKGM
PKQPARELVEGMPAFAGELFEWLGGDEGALAREVVKGHPFEVVSGGLDGVETGLRMLKSGNAGGKKFIYRVSETVRLAK
>RCO7_04853 | probable MCH1 Monocarboxylate Permease Homologue, not transporting monocarboxylate
MVNTRTPLLSSERVSLRSSASFSSSVTRRDEIRRQDVIRYISFASAITSCLCAGSITAYSLYGHLFQERLRYTQLQVNLVVIAAEIALYLPVSLFGY
ICDRVGPAPLSFASAILFAVGYLLAAFTYRSGAKDIYGYTAERGWPLAVMVTAFVIIGCGTTLMYLSAVTTCAKNFGKGKHKGLALASPIAAFGLSG
LWQSQVGSRILYERRPDGTKGDVDVFKFFIFLAVVLFVVGMTGTFFLKIVDEEELIDEAVEELERSGLLEDSDFFRGNVRGYGSFESGSDEDLVESR
RAEEAKAKMDEEARKKTWLLNEETRRFLNDRTMWFLAAGFFFVSGPGEAFITNLGTIIGTLYLPYPERNHIPTTPATHVSIVAVTSTAARIIFGSLT
DLLAPPSTSHHYASASNSLVSLPPRPSRFSISRVTFLLLSAIFLSLGQVILASGLIQNHGERFWIVSSLIGSGYGSLFSLTPLMISVIWGVENFGTN
WGIVAMVPAAGATFWGVVYSQVYQMAAKARSFGTGNEEEDVLCYGKDCYAPTFWAMAVSVWIGCGLWIWAWKGPGGWSKRGISV
>RCO7_04852 | probable ROD1 - O-dinitrobenzene,calcium and zinc resistance protein
MPSFFGAVTGKSSATLFEIRLDSEVIVIRGSENEASSQLLKGVVVLCLPAALKIEDVHLRMTGQLKVAWTDQRSTPAGVSNNRLDKTTEIFNHKWPP
FVGGGAPGSNSKGCILPSGNYEWPFEIVIPGSFAESVEGLQESHIKYRLKATVARGKLAYDLHSFKPVRIIRTLDPSALELAHAMTVENIWPNKIEY
QIIIPTKAIVFGSAIDIEMKFTSLLKGLKIGKINCQLLEVQELSLPATSQHMERNHKSTRDVKQWKVDLEEDNYQDMINEDGQDGYVMSKRLPLPKT
LKECVQDVDVHGIKIRHKVKFNIALHNPDGHISELRATLPVTIFISPNMPLNEDGQLVDQTPMSTQSRDMGQHAPPLYADRHLDQLYADFDNTGIMT
PAPQSGMNTPFNGLSRAGSHENLASLNGVANLNGAVAPAALQSRLQDLDLNAMSRNSSFRRLNGSGHNTPGHSLVEGEPGYFDNNNTDSSSNPLSRQ
TSEEEHSRRSGLTSGQQTPAEHLDFAELGDLTKVPSYRTAVKAPTRGMSYSDALPDYNTAISAPPSPERGFSIPGTPQERRNPFLGMGFTPINSPAP
SVVHGGDRMPLHVRQNRGRS
>RCO7_04851 | uncharacterized protein
MGEELKKIQPPLVDSILQCGKQAFDPEVPERTRRADVSKFNVLVENSSTLALIPVLNLLVQPGRAQPWLRTQLISVLARLPLRPRGVQHTIEFILSV
HPSTSGSNVPTSTRRGAGISHEALNAVSRLLSSPPVGVSAGEWFNGIAPQLLLLLDGDGEPDMDKVAAFVIGFGILGRKQYGAPGSPGWTSFVKPII
CTLDLTSTSSDAKKMHKNSIETVGTRRISVSASEVAKGLHRLSTLLISHPHPALSKRLLRPLILPLWALSSWRHGDERTKATYCEPARKLLKILLQL
SPSSEDTSRRPGTPSALNLLSLILKNIASTDRLYPGQIGHIYTSDGNGGICIEEPKSGIRGGLMDSFNVVSIDFASDSFISLLKNMPDMKSEISKFF
MSLCKRWLTNTAKADKPRIVTRVSTAAETDGDSIATRFVEATVMRKLMSEFPENLVDNSHQVLGLVNQVLSDFLANSDYGDETAAVALSLLNIVLTS
PSFRVTKDEESCLLCIEMSLSSIGRMEVEASSTANNLLMLLKFRDAIDKPDNINMSGPTDRQVEDKKTYSLAMSYLTATDSPPPVRAQGLELLSNLI
RSSSTMLDIPALLVLFSSLLQDNEEYIYLRVIKSLIQLSQKHPRSVMKDLIERYVDPHEESDLDQRLRFGEALLQVIQNNTFMFSGETSKTVCEGLL
FLAGRRGYRPKTQQQQEKENKLKQKQNIEAHEAWGGEVPQLDEVLGKDSSEDSEMLAQIVAGWESKRGKEDVRIRASALSILGSGIEANTEGIGSRL
ISTAVDLSIHILTLEPEPETGILRRAAILLIMNFVKALDSARAEGKKLSFGFVGQSLDDVRRVLEYVESTDGDGLVKLHAKDVIENLGTWEMNSLIR
PWNEQTELKELAGLKITPQEDMNGRVRPRIEEID
>RCO7_04850 | probable MEU1 - multiple enhancer of UAS2
MAELPTTYHGKQLASSRSGRPVNIAVIGGTGLQKLEGFTAVATLNPETPWGYPSAPIQILQHNNVPVAFLSRHGASHEFAPHEVPNRANIAALRSIG
IRTVIAFSAVGSLQEEIKPRDFVVPDQVIDRTKGVRPFTFFEKGVVGHVGFADPFDAKIANVVQKCAHALAGDGIKLHDKGTIICMEGPQFSTRAES
NMYRSWGGSVINMSALPEAKLAREAEMVYQMICMATDYDCWHSTEDVDVAMVMGHMAANSGNAKLLVGAVLDELIKDEHKDLVIGKHWEGSTTGMIQ
FMTKADGRGAEGVKNVEYLFPGVFGRS
>RCO7_04849 | 60S ribosomal protein L26
MTKINSSLHSSRRKSRKAHYDAPSSVRRTIMSAPLSKELREKYNVRSIPIRKDDEVTIVRGSNKGREGKITSVYRLKYIVHIERVVREKSSGQSVPL
GIHPSKVVITKLKLDKDRESILERIKTGREIKEKLKAKASSA
>RCO7_04848 | probable short chain dehydrogenase
MAAANSFYSIVAGVGAGTGRSVAIKFAQTYPVALLARNPANYESIVKEINAAGGKAIGISTDVSSQSSVTNAFAEIQKEFKGKKLAAAVYNVGGKFV

RKPFLELSLEEYEAGYEANGKGFFLFAQAILPSLLSSVPDSPHPPSLIITGATASLRGGSNMSSFASGKFALRATGQSLSREFGPQGVHIAHAIIDG
VINIPRTKGWNANNGAPDGKISADAIADAYWYLHTQPRSHFTQELDVRPYVEKF
>RCO7_04847 | alcohol dehydrogenase 1
MAPNIPTEQWAQVVEQTGKPVVYKKIPVQKPGPDEVLINIKFSGVCHTDLHAVNGDWPLATKLPLVGGHEGAGVVVAKGDLVNDIEIGDYAGVKWIN
GTCLACDFCQRSDEPLCAKALLSGYTVDGTFQEYCIAKAAHVARIPKECDLEAIAPVLCAGITVYKGLKESGARPGETVAIVGAGGGLGSLACQYAK
AMGLRIIAIDGGEEKRKMTAELGAEHFVDFMTSKNVVSDVKAATPDGLGPHAVILVAVNEKPFQQAAEYVRPRGTVIAIGLPAGAYLRAPVFESVIK
MITIKGSYVGNRADSAEAIEFFRRGLIKSPFKSIGLSELQKVYDLMHEGKIAGRYVVDTSK
>RCO7_04846 | uncharacterized protein
MSPNILIKIVAAVILLLLPGFYLYSPTSKSAKLLTTILIAGYAISTRMDTYSILWSGLSAFFSNVYVSIGSILFTLAIWQIQQNRRYARINKLKSKF
SFNDDPNSWKHMTVEQAQEIESNMAEWEFPRLFQFAWISDFLRTSTNPGVSRALVRSGHMVNPDPMIEHERLQTTVHLMSAMVAMEFRSATQSLVVS
RINEHHHRYGSWINSDDVLYLIIHFSQSPVQWINAFGYRNLEAFEVQAMWILWREIACSMGVKYIPENLEQANKWRENFESTFRWREDANEEAGMAM
MNEIIYVVPSIFKPFAVKLIVSILDEDIVHFCQMEKLSPSAVLRSLTYGVFRICSFFIREFCFPRLSPYKRTPDAPNNRGTWNFGHTPYDTLPFFQE
RSLWNLFGYGALARRLYGIPMASSKYFSDGIAIERMGALRNTAETQTAAEKKVRENAAVLEKAPYGYRPGIGFQVGRLLPLVEGPSYGLEMNSFPKS
APLIPASTERFEKKYERRSVGSKLTVIEKAEDVVVFDNAEVKLSGIREAVLCP
>RCO7_04845 | aldehyde dehydrogenase
MTSIQLETPSTGKYTQPTGLFINNEWVKGVDGKTFETINPATEEVICSVHEATEKDVDIAVAAARKAFEGPWKKETPENRGKLLVKLADLIEKNLDL
LAAVEALDNGKALGMAKGDVGMVAGCLRYYGGWADKIEGKVIDTNSDTFTYTRQEPIGVCGQIIPWNFPLLMWAWKIGPAVATGNTVVLKTAEQTPL
SGLVAATLIKEAGFPPGVINIISGFGKVAGAAISAHMDVDKVAFTGSTVVGRQVMKAAAGSNLKKVTLELGGKSPNIVFNDADIENAISWVNFGIFF
NHGQCCCAGSRVYVQSGIYDTFVQRFKERATQNKVGDPFAADTFQGPQVSQLQYDRIMGYIDEGKKSGATVVTGGERHGDKGYFIQPTIFSDVTEDM
KIMQEEIFGPVCSIAKFETEEEILKTANNTTYGLAAAVHTTNLNTAIRVANELRAGTVWVNSYNMLHHQVPFGGYKESGIGRELGEAALANYTQTKS
VSIRLGDALFG
>RCO7_04844 | uncharacterized protein
MTPTMTAVSLLILFAQPILSQSTIKQITWAAVTYTYHGEKTPDFSSSTPRIMDLTPLGAQQLYDAGTGLRNRYITSMNISQDTIPIMGISVHDLDNG
QLDVVSMKTPYVAASALAFMQGLYPPYKDVERDGEMARGEGGRFEYPLNGYQYPSISTLSELDFNHIWIAGQIDCNLYSKSVIETIISPAYANRIED
TQTYYSSFTDLVFPDHDSSTINYAYAWEVYEGALYQYKHNTTIQNSTSFTADDLAILRSLASEQQWTFNTPHTDDLINAVSGRTFAAKVLQRLNANI
ASRGVFSKLSLFFGTHEPFLAFFALSNLATGASGPQFNTLPDHGSTMTFELFSTQESSTPDRDASSENTTATITMPSPDQLSVRFLFRNGSAPQEDM
RSYSLFGRGNSETVIPWLEFRRLMGRMAMTDALDWCRTCEAKTIFCEAFEAVAVGDQSGNGDGNSDGNGDGDGGSEPPLTHESQNGISATVGGVIGA
AVAVALFLLLVAGLLCAGFRVEHRKRGGAGRDLGGISVIKRASSGSGSGNAGGFKGADRLESDTDLAIKSGMGAAVVRHERVGSWELGQSPNADFKH
RSLDKEIESGISPERVVSGTDYGRRSRELERENPFVDPVRAVERV
>RCO7_04843 | uncharacterized protein
MVLFSRFVSLCILGLLGISVASLQPPKPLLRNIFMFPPNHFIENIAVRSNSKLLLTSLSVNTLFSVDPTVATPNATVVHTFPTGHGLMGITEVSPDI
FVIVSGIWDLSLTRAALGTLTIWTINLCNPDPIVKNITTIATSIQLNGLAPIPGSKHLILAADSDAGSIYLINISTGAYSTTITSPLFTPVNRTLPG
QHLGINGIRTAGSFLYFTNSARQHYGRVPISALGQQTGPVQIISNNTIIGGAFGSQYDDFALDEKGNAWVATHPNHVVRVTSGGQQTVVEDTELLLN
PTSAQFGRGSERERRMLYVTNGGRFMEDFTLVDEGVVALDTARV
>RCO7_04842 | uncharacterized protein
MPSRIEPEPIALKASTPPAKPLSAFKRLSQVVSLYTPSDPPNFASPTHPTTILFCSWMNASPKHIDYYTRTYMSLYPSARIILITINTKQFMLETEV
RRRKDIAEAITALLAEDQSAQRLHVHSLSNGGAKRVYGVMGAYKTRTGKTLQVKTHIIDSSPGIPRFRRDLHALTMPFRNISLFLRLAFTSIVYVAV
CVVYVVVNWLPKSVWHQLVWGPTFGFYNKEVSDEKCLKAYIYSKEDMAIDWKDVEAHAKITKEKGYHVVTKLVEGAEHVQQFRGKGGEQDYWMWIQR
IWEIGMGIGEE
>RCO7_04841 | uncharacterized protein
MADNANWICKVRSNVETYMNKLDGYHDFNHIKRVVGLAHLIRSSIASPPTSETPTSTQKLDPTLITLRSSKLAVIQDADRLDAIDTVGIGRLFTYGG
AKTTKDMHAGIERMDLKLFEPEETMETVDGKKMAREATARMKICREWWAEEVDVEEIGAVVLEEAVKIEDSA
>RCO7_04840 | related to amidases related to nicotinamidase
MDLQNLRTAFLLIDVQEGLTHPTYWGPSRSNLLFETNAKSLLTSYRKLIASTSSSPEPHHKIIHVQHSSTFPDSPLHPTSPDIAFQDFTKSVDSELV
ITKCVNSGFIGTNLEEVLREHFAGQPGKLYLAGLTTDHCVSTTTRMAGNLKVADGKGREAGEVVFVEDATAAWRKGVGEEYFDAEIVHRVHTESLRE
FSTIGKTKSVVEEWESWVV
>RCO7_04839 | related to recombinational repair protein mus-23
MPSSSADTIRILIATDSHVGYEERDPIRKDDSWKSFDEVMRMAKDQDVDMVLLAGDLFHDNKPSRKSIYQVMRSLRQNCLGDKPCELQFLSDANEVF
DGAFNIVNYEDPDINVAIPVFSIHGNHDDPTGDGHLCSLDLLQVSGLLNYFGRTPESDRIDIKPVLLQKGSTKLALYGMSNVRDERLHRTFRDGGVK
FFSPSEQKKEWFNLMAVHQNHYAHTESGYLPEHFLPDLLDLVVWGHEHECLIDPRENPTMGFHVMQPGSSVATSLVPGEAVSKHVAILSVTGRDFTV
KKHRIKSVRPFVHRELVLAEDDRFKRLAKMKDNRSSLTVQLVKVVNELIEEAKEEWLAIQDPDDPPEEVPLPLVRLRVEYSAPDGGKFDCENPQRFS
NRFIETVANRKDVVQFYKKKTSSRKTNLDEKEMPDAEILAAISNDNVKVSMLVHEFLAAQSLKILPQEPFGDAVTQFVEKDDKHAVDTFIIDSLATG
VRDLMGLDDEEDDLDTAMERLREKQNSEFKAGVKRPKRKGTMKPTPSNWDSDTNGAWADQPGSMLFIEDADDDEDETPKPKRGAKKAAALSEDDNES
VMSTTTKKAPAKKASIKKAPVKPKAAPKAKAPAKTPAKGRKKVLEPSEDEDDDVIMLDDDEPALTKSQPKRAAAITSRGRQTQINFSHSQAKNKAVR
ELSDDEISDDDDAFEPVVSSSRRK
>RCO7_04838 | probable mitochondrial ribosome small subunit component S19
MNPTRVLLARSVWKGPNIVPLPIQRAAPGQRTPPIKTQARSATILPNFVGLVFQVHNGKRYNDVEITEDMVGHKLGEFSATRKPFSYKQSKNK
>RCO7_04837 | related to transcription initiation factor TFIID
MASTDSPDPTKDLVSVANKEDEVDPVAPAADPKLPTRKDASLKDFLSKMDDYAPIIPDAVTNYYLTKAGLPPPPQTDPRLARLLALATQKFIADIAA
DAYQYSRIRSSNSSNANNPMGNLGAAAGFPVPGQPTAAPGSKEQAGRGGPLGIQRPGYGGGGQGGSQNRTVLTMEDLGMAVGEYGVNVKRGEFYR
>RCO7_04836 | pre-mRNA-splicing factor ATP-dependent RNA helicase prp16
MTDRRPDQQEMSKPKRARTDNLDPKTNPYLAHHYEVETDDTYSRGNGHSNGGAQSGLSDFKRHATTAIQAHKAEDGPANPFNNSPLSNQYFKILKTR
RDLPVHKQRQEFLDLFHSTQILVFVGETGSGKTTQIPQFVLFDDLPHFNGKLVACTQPRRVAAMSVAQRVANEMDVKLGDEVGYSIRFEDVTSSKTI
LKYMTDGMLLREAMHDHNLTRYSCIILDEAHERTLATDILMGLLKEVALRRPDLKIVIMSATLDAQKFQRYFNDAPLLAVPGRTHPVEIFYTPEPER

DYVEAALRTVLQIHATEPEGDILLFLTGEEEIEDACRKIALEADEMIREADAGPLKVYPLYGTLPPAQQQRIFDPAPPPSRPGGSPGRKVIVSTNIA
ETSLTIDGIVYVVDPGFSKQKVYNPRIRVESLLVSPISKASAQQRAGRAGRTRPGKCFRLYTEAAFKKELIEQTYPEILKSNLANTVLELKKLGIDD
LVHFDLMDPPAPETLMRALEELNYLACLDDDGDLTALGKLASEFPLDPALAVMLISSPEFYCSNEILSLTALLSVPQIFVRPASAKKRADEMKALFA
HPDGDHLTMLNVYHAFKGPAAQQDQKRWCHEHFLSLRALQSADNVRQQLKRIMEKSELDLVSTDFNDKDYYTNIRRALVAGFFMQVAKKDPSGKTYK
TVKDDQSVLLHPSTVLGVDSEWVLYNEFVLTTKNYVRSISAVRPEWLLDIAPTYYDLAAFPKGEIKSALEKVADKVRRRQAMKGGGRKGA

>RCO7_04835 | uncharacterized protein

MSGSGGYYKYRCKYWMTYNCPNWVWVNNSPCAHCLADGRDSEIIKISAPFRVLREVFVPQFEDGMLLYTMMEIIAGSDLDSGWAVKQPQADAFPSVT
EPTAMTITATDGIDSQKTRKLGVHG

>RCO7_04834 | uncharacterized protein

MALVTETRRYSVDELLSLRTSLSRVSCLVKNINKHPEIASIFRIPEEAFRRPEHFSCTSAHLADITNRPAARQLSRKNLTESSEQSEIRSLDNFGRV
QDPRQVHWSLRRRDNSDRSSQPHSAPTGFAAQQSENFQKFYRAVVSPSHVRVTAGGRIVPNTRSPVAPSPEGNGDKIVLDSKPLGLFTWAQDASPAH
PQVPGGFLPLYNFPQPPQPMPVDFPIMSGPPAGFYGTCPPEHYPKSGLGPQLHSVKAEPIKISPPTQFDQTKPFTYNGQIVYPIPYGLQPPPNAVPV
PMGMLGNPNVFPQVAQQPTGGLMPTALPLQFANLLNPMAFAAAHQSSLLAMPSGVQGSETYMPYMPMHGLIASDYTKSQIQFLQNHCDYIGTLLVND
KHRIDKAQLEHQRAGLLGQINHLKSILQVHLRGDGSVTGTSNQGDTSGGSYEEFKPMRSSSGSFRAEAAPDDVSKGSDLRPKSKLTIAAAMAPPFQP
RSHTTAVPVTETTEPRHAMPLSRSTSAVEDPEHEETHAEIAARLMASSTTDWLRPGFKFGAEKGYTPMPSPHEFSRRDPQSQPPRSSQRSSISHGQV
PHVSQPNYPEPSTETIPYLVGTLPAGISSQIASPNDLVYSRPLTDDEVRARYLYWGKAPRSVQSGLPKFDGKDFYPPSPIKKAASLASDKSLETQVS
KEPSEKLYPYRLPSNDIAYLKPMPQPIFTDAMSRETLQQPSSSSGQGLQNWGPHDVSYSRGQGFSVKENVAPSELDFSKLFMEKGCPGYRSPSPKPS
TVRFNAEQDDAPVTPQNATFFDEAEDDVDDAKSDDSWQPAGNNGQRHKSEESVNSVNSATSSSEETNSTVEIKLSAGANGDRFSSVPNKSFDERVEN
FKSSDEQTMFLQKMLRNEGRASTPSSGTISSATAQGYLPQYRGSAAASLAPAEYVPYKSASSTATSSQSDNRPLGQGKNDRHGNPAPDSMSATEYLR
YVSAKAYETEKSTIDRGWNPNTTAFGPVLAGEEW

>RCO7_04833 | serine/threonine-protein kinase ppk14

MSSNKHTNGHSPFPQKLKNFFRINSLGNSDEKKDGSGKSESKSSFRQSKFFPGSGRNRSQTVASEGNALDDGVSPTAHANPYFAHQGPPALRHHNEG
SVPPSPPDTPTFKVDAVSGANDQATAAGKEELARKLRRVASAPNAQGLFSKGNGNASGDRPATAELGKEPLAHNASTSMLSLVEPKTDGSNLGAQEQ
DSLGALQPPNMRNALAFRRTYSSNSIKVRNVEVGPGSFDKIKLIGKGDVGKVYLVREKKSSRLYAMKVLSKKEMIKRNKIKRALAEQEILATSNHPF
IVTLYHSFQSEDHLYLCMEYCSGGEFFRALQTRPGKCIPEDDARFYAAEVIAALEYLHLMGFIYRDLKPENILLHQSGHIMLSDFDLSKQSDPGGKP
TMILGRNGANVNSLPAIDTKSCINNFRTNSFVGTEEYIAPEVIKGCGHTSAVDWWTLGILIYEMLYGTTPFKGKNRNATFANILRDDVPFPEHSGIA
PTSNLCKSLIRKLLIKDENRRLGARAGASDVKTHPFFRTTQWALIRHMKPPMIPNQGRGIDTINFRNVKESESVDISGGRAMIPVPKGVPLDSGLAT
PGGEVLDPFEEFNSVTLHHDGDDHQTEDLNNGRYDGVR

>RCO7_04832 | uncharacterized protein

MPSRSLSFHQAENDSIIITPRGLINSNTNVLDKAFNVGLELDEFDDWMKWENSTTDLQPFSTGNAGNMDSNVSSPDTWAMGLESSGIDMMSASYTAA
SEFPLVGAPFEFEDTPRTSVSSMTQQLVSPLYLASCTTQNQQLDNRRLYRGFSSLSEAEERNLQEIAMPYHALPRVKIDSVPVSPTESHESVSPSPE
PEPEVRTRKNNKRKSIDLGEQPSNAVGQSKKRGHNAIEKRYRTNLNAKIESLREGVPSLCGPSSNGGEEESDGEGDGRCGQKYGKAAILMRALEYIQ
HLEKTTQRLGSEVDTLKTRVGAFEKLAMSGSLNGNSMEMISRPISTRRETLESIQSDFQQIPPKPKIVSGSAGRRRSSKQTKS

>RCO7_04831 | probable cro1 protein

MSPSQVIIDADPSVPPTPEAIEQANDSLEDRTLLLLARLMEGGQEDEETCRELNRLTKLLTDDSSDETRNPEPHKPLYELLDTDCLETILSYLDMRQ
TSSVRGHATLTTSAYLKAAGNKGVKALSGFFNTTVGKGTYDDFITAFSVAASLFPIVPDVIAELFLSEGFVGNLGPLMRRKWKSRKVEQAALEMLNA
ACMNTPCREAVKKYCTEWLDEIVTDVPASTVDVSSPDRQHVVEDGSIQQRIHSEEVRNLAAVVLAKLQAVTSAPKAGEEERIQPVMTSIEELSDMFR
NMISSSTSQNSSIEGLAYASLQPKVKQSLASDTSFLKNLIKALIESPAKSPATYGALTIFVNLTNYQPSLTEEQKRMTQLKAYANASKSSRPDPLND
DEYVSKRCQAVFNAGVVPTLVTHSQHGSPASLMLVVSVVNSLSRTTKIRGQIAQQGAVKLLLHAYSVFPTENFPARRTTAHALARILISTNPQHVFG
GSNPLSVTSAVRPLLLILGDDPSVEHRDLLPVFESLLALTNLASTDDTARNPIIRIAFPQIEELLLSNNKLVTRATVELICNLMQAPEGVAKFADGS
RQASQRMHILLALTDSEDFETRRAAGGAMASLTEWDTAVNAILERERGVPLLLGLCKEDQEELRHRGIVCILNVVTAPDKVGEWGIKKVREAGGVDA
LKECLKKSRSQEVLEITVEALKKLLADEKPGPALLTP

>RCO7_04830 | related to basic transcription factor 2 (35 kd SU)

MNAVDGSEHYEVTSTAATPSLLVIVLDTNPHAWALLKSTLPLPKAIANILVFINAHLAFNNANQVAVIASHSHRAAWLYPTSPSMAESVSEDVEMSD
GPGTASNIDDANKYRPFALIEDSLLTSLRSLISTTTEDDVGSTSTTQMAGALTLALSYINKASTAYSGIATEEKPLASTAENKDVVGLQSRILVVSV
SGDLAHQYIPIMNTTFAAQRLRIPIDILKLAGDTVFLQQASDATKGVYMQLRNPEGLLQYLMMAFLPDQMARKHLIAPTQEVVDFRAACFCHRRVVD
IGFVCSICLSIFCSPPEGAICLTCSTHLALGDYGSKPAVVPRKKKKKKKINGAETGSARGTPAPGE

>RCO7_04829 | related to asparaginase

MPQLHQTGRDSTSVRFGSARTQLRKIHRGLKNSFSKFQEQYLEIIPPPFINNTQVWDPLTTPRANIFPQALSHMPEVSPNMDGATDRLFRRSHQLNQ
QGNVAAIFVHAGAGYHSTTNEHIHLGACDSAARMAMRVLQGGGTAVDAVEAAIKVLEDKEITNAGYGSNLAIDGVVECDATVVDYLGRSGACGATAQ
IKNPIHLARAILEASSKPLSLRRVPPNLLVGQGATDFAWEHGIPVVPHEMLVSRNARDRYVRWREDLRRVESGGRMTPTSSASNSQADEVAVEYEER
VRAKQRRDHTNAILNGTWNEGQPDSPALSPSITPGRELCNQDPCPSLRSPSPSALPSAIGPRSRGNSPTGVPAKRPKYGTQPSEDRRTHSLLGPNAD
MHKASPDVSMSKTEFRLRDASRPGSSDGQWSPPEMDISDIQPSRAFFEEGTVESPTKFSRREDEDAITDTVGAIAIDMYGHIAAGSSSGGIGMKHRG
RVGPAALVGIGSAVIPADEADEEGITVAAVTSGTGEHMATTMASQRCAERLYHNTRRAEGGADIEATEEEAMISFVQADFMGHPGVVGSNSAGAIGV
MAVKKTPYGFFLHFAHNTDSFALASMHSREREAKCVMSRIGDHGGVVQGGRKIRVD

>RCO7_04828 | actin-1

MASHTPAVVMDNGTGFSKLGFAGNDSPSFVFPTAIATKGPAGSAGAGSGSGRPAVANKPSYLTGGAGQGGHLNMKRGTEDLDFFIGDEALAAANGPG
YNINYPIRHGQIENWDHMERFWSNSIFKYLRVEPEDHYFLLTEPPLNPPENRENTAEIMFESFNCAGLYIAVQAVLALAASWTSSKVSDRSLTGTVI
DSGDGVTHVIPVAEGYVIGSSIKSIPIAGRDITYFVQSLLRDRGEPDSSLKTAGEIKEEYCYVCPDIVKEFSRFDKDPTRFAKHQVTQPGGRKVTVD
VGYERFLAPEIFFNPEIYSSDFLTPLPTVVDTVIQSSPIDVRRGLYKNIVLSGGSTLYKDFGRRLQRDIKHLVDDRIRASEARSGGARSGGLEVQVI
SHKRQRHGPWFGGSLLGQTPEFRSYCHTKAEYEEIGPSIVRRFALLGGPGGS

>RCO7_04827 | related to delta3-cis-delta2-trans-enoyl-CoA isomerase

MASKYKEIIVDITGRIGTIKFNRPKSLNSFTNKVSQETISAIRELNEHPDTVFTVLTGEGRFFSSGADVRGSGLESIEKYANDGEKKIAFMHRFTPA
LEMLRSIIDHKKVFVLALNGPAVGGGAAWFTGISDITFASTSCYLQAPFSALGLVPEHGSAINFAQSMGVHRANDFFMFGRKLTAEELEQWGIVNRV

FPAEGFQQSSMMEMKRLQNAPLRDGRLIAVVNAIDALAERFVENAPMERFAVKKREMETKSKNRSSKI
>RCO7_04826 | uncharacterized protein
MLRVRREIPTTRGEFISLGAVGWVHKINDHIALKSPREEDYLPQSFLRASRGNFLAFYGGGTLDERLRKHQIRDEGPHGGSLIKVKEREPLALVERW
IMELSHAAAWLESLGYAHTDIRPPNLLLDSQEHLKLTDFDSVRKLGTPAEGSAAPWARVLGTEAGDECGSFGDNGARYEQFAIGSVLYMLTRGYEPY
DDGSIAPEDAPVVVVLFQQMKFPPLGEDKLDGVIQQCWKGEYETLKDLADETKLLSGASAFPRATAFDDDYCNKVRRECEDLVELGIFDEN
>RCO7_04825 | related to UDP-glucoronosyl and UDP-glucosyl transferase family protein
MVLTEKLPSARVRSLGSMSEPKRILFFTSSEYGQANVVLAVASELLNMQKYEIHIASFSPLRRRVDELNKLTPRDGLRSVFHSIACPAALDALVAKN
EFIGPYSPGVRGAIKTYKVTLPAMASTWSEAEYMSSYQRCLDIINSVDPNIIVVDPLMSQGLEACNTLSRKRVVLSPNTFLELLRKEQPIYSQLFKI
PTVASGFSFPVPLHLIPANIYLKLALLWSIITSPKIKALMRYRKSNQLPSLPPVFNLWQKENHYLVPSVPETDYPCHVPPNVTSCGPILLPVEPVFS
QDPELLTWLKRSPTVLINLGSHIRMDETMARDFTSGLKIFLDKKPNVQVLWKRKTSGGVAVTSNPKSSKGNAKTHVRKEKEYLDSLSSEIATGRVRI
VEWLSVDPSAILGTGLVACSVHHGGSNSFHEALHAGVPQIVLPCWLDTLDFANKVEWLGIGVYGSKLSAPSVEAWELSRAFLKVLGDGEEASQMALR
AKELAEISGSYGGRKRACGKIVELLENSW
>RCO7_04824 | related to cellulose binding protein CEL1
MKNFASLLALTSVAQAHYVLPSLISGSTKTSQWQYVRQWSGYQSNGPVLDVTSKDIRCNVKGDTNFAKGTLSVAAGSTVGFTSEPPIYHPGPSQAYM
AKVPAGSTAANWDGSGSVWFKVFAAGPNLEGQALTWPSDNAATLTWKIPAATPSGDYLLRIEHIGLHSASAAGGAQFYISCGQITVTGGGAGTPSPL
VAFPGAYKATDPGLMINIYYPVPKTYTLPGPAVWTG
>RCO7_04823 | uncharacterized protein
MISTTFVTALVALVATVSQAHMEMKWPPALSGRYNQFTVTKDSNNHAPLSPDGSTFPCRSHLSDLGTPAGASVVTWNAGAEYNFTITGIIDEPLHPA
FHNGGSCQAALSYDSGKTWKVIHSYQGACPTSTGGDFKFNIPSDAATGAAVFAWLWWNHTGNREMYMNCASITIGPGFGPAPAVAFAQRPDIFKANI
GNGCTTTQETDVFFPNPGPDVTTVGAKQEKTFSGECGPASPPASGQNPAPPTVPAQAPAAGIKDPSVTTSVMVIGVLPSSPPVYTPPAAPASSAMTI
STTGDGDIAVKHLITVLLILDACQALADAMESVVDRLRFGVVNGWSEEFWEVRSITTKK
>RCO7_04822 | uncharacterized protein
MKLFGINGCVGPVLRLTLYSETSLKLTMVNFSRKLDPDTSEQHQMCSDANHADKVICCGVKIDFYEDCGHTLTLADHHRSCVHHNKEENFPYERYGR
LLTSSSPPQYHISMAPKPGSHLPFPQPRCKDFHRYITLIPGKCGCTYPERHDSCPATSSIPERSERTQLCASAILKRRIYWLQQQSLDTQNLASIRL
SEWSARLRKHQQQEEAMAKPVIDRTFMYDPDTGANLFLAAVEIAFLTRTQGTCIICKKAASNQHSRKLPCGCVFDIGCLKSWFLGRKDCPLCRKMFH
LVKKITPYEAGHGSPVWEDDDYSGFV
>RCO7_04821 | uncharacterized protein
MPQLTTPVLTVDAALIHKVDTRNVENLFSMWTVFSRCAGSLEEGRRLENLSWRLWNRETFCCDPVSEANSTTPAISIAARSSEGRYSSSEVPSLSGS
LDSLDEEALEFFTDISSSPIGAHDISHPHIQRTDSVSSRSRGHERHITPGDLEKMITTIKEKKDLEPLAASIHTYVAPSIQNIQDPQQSTPQIVEPP
VETSLTSEAASEQLAQGSQASSAESATSERSTTSVVKGFSPSHVSSSYRSIPLLTAPSSIPTADLTHAPASKGPQPKKQNMFALGGSSGEDSLSEQT
NSMENNLQPAQQKKKPVFSFGASSNEDESSLPQKMKMTQSALPLSNKKVTSFREEVATRTIAEEPVFDDDVFESDDEIDESAIDDDDDSSDWEDSVE
DSGNASIDDKTFFQRVDSRPNLTSRRSLITTMLHQNDRANALASAAAAVSRSQPVLHRSRTASPNGPSLAASPDSDDAPLVMKKGLKSIAENPQLTS
QSTARPIIQTTTNTTAHQLALSPRTTRRNMLASELTVSLRQHLLWERKQKSRTANAVLVRRHTAHDLANLKQHPEAPPFIDHEDNQKSNWNEYYGQG
LGEYHSRGW
>RCO7_04820 | uncharacterized protein
MASNPNTAPLPLSYRGYCRAGEECQFIHDETRFPGGSTAKPTHETSESSGESTVTHPVREDGLIQDRRQAVTKPVPTSRVVAKPVPQAQTQDPREFQ
LGQIRRRFFPKETRQSGSGAALLKFSLAPSDPDFPFEMTALECLISVPANYPEEAPSLKVGNKDIPRGFSLNVEYGFGNLVKEKPESTLLELMKSLD
KNLETFLSAPKAETIKILPNKDTRHLSSIPSRSLEPAISPAAAKFVPSISAGKAASDYVEPLITYTAQEKAEALKRRGVETRQLEARMKRLPLYKMS
PDGIAYTLPIEPKRRNDLPLPLQSVKAITLFVPLLYPLQPCRIKLDGLDVPEAKPVEFGFLQRSTEQKVATLTGHINYLSQNMHVLARTKLEVEQVP
APQVQSPAVEEPEVVKPSFAGHQDPERSHIQYITRPPEWTFIEGDEASDSDDFDSYDTGDETTDDEDEVDVKDESQESSDQPTQNPERGTAISFPFL
DMHGIELLEIVTLNITVKCERCKEITEVKGLKDGVAKTPSCRKCTSLFSVTFRRDLLHAHAVRAGFLDLEGCIVGDMLLSTFIPTCSQCSTAYPSPG
INTVQGESTSNICRECHQKFTFKIPSVKFLRISSTNRLPPSSGPRRKRETLGLTIGTELPKRGRCRHYTKSYRWFRFSCCSKVYTCDKCHDEAEDHL
NEWANRMICGWCSREQNYRPEDCGVCHGSLVGKKSVGGFWEGGKGTRDKVRMSKKDKRKFRRVPGTKPKNHLHQA
>RCO7_04819 | uncharacterized protein
MAQEAKPSWWPELDASNNQCKHYKHLYTGCGCIHEGFQSLTVHSKECVHTKQGKLTEEEYQDIHRALPCKKSDNIHVILDGPCELCKSGVPLFFVRR
RNSAQRLGFKIKSILNTEERSPPRQKVSAAAKKPEVHRTEEEIERRIQLWQDAVATYNELLDRRVDNRRQRRKEAYKAAIELERIEEIKNGVVEADR
FHLFNFTGGAGGDLLQASDDATVNICTYCDKETRAFNPPPEKLPCGCHVHRDCAADLFCLQANGLSRQRARCTCGKPKGSFELRRLHMEFEDDSYPR
A
>RCO7_04818 | related to LSB5 - possible role in the regulation of actin cytoskeletal organization
MFSNKKPYSAVTVAVENLTSESYEEDDLSGIPDLVEAIKLQATGPSEAARSIRKKLKYGNVHRQLRALTLLDGLIQNAGATFQRTFADEMLLERLRF
CGNTDLSDPLVRDKCKVLFKQWAVAYKNVRGLEQIAGLYKQLPRHKQVVTQDKSKVLRETEQNPFDGDEDETPPLPASQSRQGLAAQSSSKTFSPSY
PAMAVTLPESKKSKKDKDKKKNKKGKPFSLEAEKDIMKSCIADSSVASTNLLNALKLVNREQERISENQNANQHFESCKLLRRKILRYIQLVESEQW
LGALLHANDELVTSLMTFEQLDRSIDADSDSDDELANQQHMYRLMSEKGKENETAQSLAGPNLAGSTSPRAPPPAPRQPPRPVQPSPPSDEEDEVEE
EDENDPFADRNAVSTPQVERREPVWKAI
>RCO7_04817 | uncharacterized protein
MLQREVVGNEGSLHKISSGTSLPSFTPINPPREPAQFVLPRTTLYARGLDDDALYNEIPEIPYRTPAEMRKKRTVSQANKGRAISIAQVWEYRDEGD
VACQNQGADFEASFPKRNKSAISKRSKSALGQQHPTQSQYTQDGKIFGLMHGTVDQEEEQGSQLTPPPKSSKRHSKKTVQQPRNTNSTPGPFRNPVI
TKPSVSREADLDKDRTLTKPVTIHQGWTSTQDAVKTHPGYLSKSTLDKLAAFRYKSSAHIQADRPSAIGGTLQPREVVEPIEAVEEVDPASSSDYGF
LQGVDSSFGDLDCADHSPTHPDVSAEHQHDQSQRAEWGPDHLQEGDVFFSDVNWDAPAGGPGANEGHSSQDHIPAPKITSMSGSKFRNDADLNSVGG
APPPLPIMPGQNRPPCRPDPVKTQILYDSDHLSSLAVRAVAEGMHVEVPASQPHEDYSAGCLHQPDFFPLTEYGPVAGESVELQKSTTNFTHHQGNL
PNHLPDILACGTIDYTPRGQLEGGKLSARKPPSRHVFDVQVERSNFGETETAPRDIPNGFELLEFDDEGIDDADLLAIASDEAIPETQPLASGTLTV
RPGLESAEEACPSSICATQPTLPVATDSQLLQDRESGSPERLSHDEYPLEDGLEEGDMLSLPAHPQGVTETFQAPPSLQYSFGNGPMSGEVYARSLQ
FSSPPKSWLSSVLPAKAVEAPLADGHSPSRAQPIGNLGSHLAEEEDWYFISSNDCVKTSENVALSDPALDREKTRLNEITKCVINLGPQKQRKRISY

PKIYTATQASTSEEIVVDDSHEYEPLQPFARPDFPFLVLDRCPIPGVTAQTFLRVCFRVGEMFREGAKCNALKQDAIIELFARVTFSSREPGTTQQH
FQFADLWHDRPPFPNGILTNYKTSGLAESESRAFIGAEQHVMARCIGRLRKDTRNATGKFIDIINIRQTDWEEVKWTKRIISAGLVKSENVDH
>RCO7_04816 | uncharacterized protein
MSRSRYEVVPQRDESIILDSIHGSPAYNHRSYNSGIANSVASSRYEPSIGGPPPSIPNSPPPSFHTHSTPGTPRPTPSTITHASQPSNNDLSIPSYA
ELWGVAPSTFGGGTNTNTITTSNDALATITGLKQRIDWLEESIGRLLMEKDQNNTNAGSRVPQKKERDNCCVTFNDASPDLERALTEGKGTNCCVSY
RSKNDVRRSKGPILILLAIAFMVCITVILVEQAQAKKYRPNSQ
>RCO7_04815 | uncharacterized protein
MVPKGPFKLCTVNTVPERAKRLVGRVVEEVKEEYTILHVENAESTVLFHMPTFLSNNLPFGIEDVKAMCERNKPDVLFCASMWTKDESDEILRIAKE
TVPGIKTMAIPQGLQVEKGPDAVVEYLKEKWPGLVEG
>RCO7_04814 | uncharacterized protein
MATRRPHRKSRLGCKRCKVRRMKCDETHPICMNCSKHDLECDFNPSKDKPSPLSLPPIKLPPVKIPLLRRSRESSSAMPESPDTLQSTSLTEMESSE
NPHTSIVLRKKEFTTSASTNTETTMDFSILQHHNNIPMRMGTPSDRLLDLKLMHHFMSMSPRTYFKLLGPQSAGQVLDELTPTRTIYVNWIMQLAFT
NQDLMDALLGFSAFNLRRLDSSDRTLARASHVYLTRAISAHTAQLSQSINDSNGEVLFATACLIAFTSISSQQYISSSPNGIPLHWFQPWNGPRAVA
AAAWNFFQDPELKALLEHERINQLPPQRDDDYPPIFDFLLDDLDREATDPETVKAYDLSVLWLTRMYHNPHSEYVFKFTTKVQPKFVKMLEQKDPRT
LTIVGYFFMLLRVMDKVWWLPVMTKEQFWALVELLPDEWRPKMEWAAKEFKTGEEDETKGVPIFEIKRLQNTATQ
>RCO7_04813 | related to DNA repair protein MMS21
MNDAASPAPPRRQQPRASETPVRQTQTLTELPPYEPPVCALSEDAQHALESLGNTYDYRKYSKHLDNAKVVIRNAAAESNDRLLQRKENFPKQVERR
RREGVADEDRSEGEAKDETVLKGFERANDKFTLEAEEAMRELIDYSDELSVQDAIMKEVAQEIASAPAPRRAPPRRRRNAGSDDEGQEEEDNEPPAA
DPDNMSAVELLRQAKEDRAAQYASQSKRARYADNNDYKIFKQILHHAQNPDSGQNPPHPSTWFPEENKDGPGPRRRRNNTTDNTNNGGDSDSEDEVI
IASASESLTCPLTLQYFKDPVTNTQCKHTIDRAALADYHRTEARLFQGTNDNKKVAKCPTTGCDTMLAMEDYVKDELMARKVERAIRREKEQDNEDD
EADDDLPRGTQRSRPEQIDDDGDDDVVDDVNQAR
>RCO7_04812 | uncharacterized protein
MSSEKELLELSKPEFWDNRYAEHLSKDASCDSADQQPIPSFEWFRDYSKLRLFFRKWLPSPGGGEVVLHLGCGNSTLTSDLYSEGYKHQINVDFSQV
VINAMSTKYAALNQQWSFMDVRKLEFKDGSIDVAIDKGTLDAFLHGSLWDPPEDVRENVGAYVDQVARVLKPGGKWLYITYRQPHFMKPLLLREDKW
ILEVETLVDPDGGGGFEYFGFVMTRHGTPP
>RCO7_04811 | uncharacterized protein
MVFLCPRVHFYEINDQVWFPQFLREKVQTCLTLCWTFRVPVLQKSSPAQLVASTLYRTLAEDVTKYTYVDFCAGAGGPTPFIEKDLNAKLSSQDSTW
SDASKAELKPRSGQMNGAAKSRSSENGAVQFILTDIHPHIPDWTVASKRSENLTFVSDSVDAANAPSSLNGTDERKIFRLYNLAFHHFDDPLALDIL
RNTIETADGFGILELQERTFSSFLTVFAMGVMIFFVTPFYFWRSPGHLFFTNVIPIIPFVLVFDGYVSALRTRSAEEVQALMKDCGASCDGWTVKSG
KEQHTWPTGYMTWIIGTKK
>RCO7_04810 | related to cytochrome P450 (CYP94A1)
MLSWFAKCEQQFGFETFQISVPTLPPGVVINDPKNLEYVFKHEGIFTKGDFFKRRSWDLFGNGIINADGELWKVQRKAGLHFLNNANLRVLTDVALP
AYLEETVKGLSEVGHGSAVDLEEVLHELTTQLIGRMAYGMSIHNSDPFSKAFDYASAATGDRFQNPLWQICEIFVGGKFRESIAQIKAFGSMIVANA
VQARKSKIVETNSTLDSISGSLINSLLDTIDDHVMVTDAALNYLSAGRDTTAQALTWTFYLLMQNPTKAEAVRREVIQVAELTSSSKSGATPQERLH
NFDTTVFKPITLPYVTAVFYEAIRLYPPVPFELKQCEQATSLPDGTFLPKDSIVAWCPWAMNRSTLIWGEESEEFKPERWLEEGALISKTASEFPVF
NGGPRTCLGKNMAVSVAVQTIATLQAKFNFELTDGKERISKNSLTLPMQGGLPCRVKIREDNI
>RCO7_04809 | probable soluble epoxide hydrolase
MSTTTTQHIEADGLKIFYRSAGLKDAPVLLLLHGFPSSSHQFRNLIPLLSHKYRVIAPDLPGYGFTEVPASRNYVYTFENIATSIGALLDVLKITKF
SPYVFDYGGPTGFRLALQRPEAIQAIFTQNGNAYLAGLGEFWAPLQALWENDTPEQRLVIKNALLGYETTKWQYTNGSHGQPVAPEAPFLDSALMER
PGNHQIQLDLFYDYRTNLPLYPLFQEYFRKSQVPLIAFWGKNDEIFVPAGAEAFKRDLPDAEIHLLDTGHFASETMTNVVGQLMLDFLARIGI
>RCO7_04808 | uncharacterized protein
MRVELCVLVIAAQWLPVSAQVVFSRPAQGDVISGNVPFVLTVSESTSAPFFNQMTNFSLYLMAGSFSSPITLFIWDISTTNPSTVDNSVNIPSSAGT
NAKDSYFLGLRGSIISVPTLTTTYFSPIFTLENMTGAASLIAPGITRTLTAATGTQTQTGIATSSSLARAFGCLDPGTGKSITVAIEDPSANSLCVR
SASSMMAVLATATRSNSAASIARTSTVTVPTPRTSVSSPTSAVDMSSPGIAVTSFGAQATAAASNNFNQSATPSKVNGRLVYIVIIVIFTFLAPIIC
LWLFLRYRRRAHAQSLSKTSFQEPSSPFKRFRPIISSLKGVIVLFKRKDQPPRHRRKRSDAEKGHGLEVDVTQPLRHFSTRNSEIPKTPRTPKTPGF
GRRIMQQRAFEEASDTRRASQRTILAELEGDSIIPPMPAMPGAEQRPKYGRESVASEIGRWRTESDQAFESFDAQRKSEALAALKTLNDTEETESNR
YSLATTARRTVILSEGQEIRVVRGKDVANIVTCSKKAHQHSQSTSDLPPPMPILTTTLNQYKEGGLPTRPHDAHLSLMHNNMPKIPVSRFSMRSASV
SDLPHLPLSDFLSRSRSRISRLDHENGNGFSEGQASVVIAGSEEERRERLLRKERRERKREELLRGGVGGSAAIDLEIVKWVKNEGPIGTPTFGGAG
AGLERLRQGF
>RCO7_04807 | related to Oxidoreductase
MIHFLRRNWAFAYPEKPAKSQGALRIGLLGASNIAPLAVIAPAKSHPDVIIAAVAARDEKRANANISCPQEEQLLCLFLGRNGEQETLTNTKRRIIE
LIDDSSIDAIYIPLPNGLHYEWAIKALRANKHVLLEKPSTSNASEAASLFRHPLLKQPNAPILLEAFHSRFHPVCAAFLEHVDKEKVVSAHATLTCP
KGVFPETDIRFDYDIGGGVTMDMGAYTTLFLRLIFGTEPEECLEATPRLMPTGFDKRCDQAMNAKWRFPNGGIGTMHVDLSLRSLGPIPGVRLPMCE
VVHDEMILDDQSLDSSGKEHAVVKKVIIWNMIMPVIWHRIDIEKKHTIRKSATKETLKQWTTTEYEKAYTWKDEARGGQGHDSWSTYRHQLEQFVHK
IKGSGSPSGIWMDNEDSIKQMTMIDSAYKKAGLPLRPTRSYQEAL
>RCO7_04806 | related to GIT1 - Glycerophosphoinositol transporter also able to mediate
low-affinity phosphate transport
MFGPKKESEPAIQPDSGADAQYIQNVDDNNHMENTGMNRWEKLWPVMACGAGLFSDGYVNNVIGSVSTMLGKIYGGRYKGSDSQKNISAITFAGTVL
GQLIFGYTSDKWSRKNSLMVSTIILIVFTALATGSYGAGGSVEGMFAALTAYRFLAGIGIGGEYPAGSVACSEATGDLKSGTRNRWFILFTNVMIDW
GFVIGAFVPYLLVVMCTEQHLRAAWRISLGLGCIPPIILLLLRIKLQEPEEFKKESMKNVRIPYLLVLRYYGFRLFIVSLVWFLYDFSTYSFGIFSS
TILANIYGDTAPLSKVFGWNTVINLFYIPGAMLGSIYSDKVGPKYALASGVMAQAVVGFIMSALYPTLAKVENVAGFAVVYGIFLSLGELGPGDNIG
LLASKTCATGVRGQYYAVAAAIGKIGAFVGTYIFPYIEKAGGSDKNASAQYPFYVSSSFCVLSAFLVFFFIPNIGQDTIAQEDVKFREYLTSHGWDV
NQLGLLKGQSVESRAAAVTAAKEVEEKEKDAKSE
>RCO7_04805 | related to xeroderma pigmentosum group C complementing factor (homolog to

excision repair protein RAD4)
MAGKKGARVKGNATATKSAVPDVYQDMLSEALPTQSEIPERPLKRRKTGRRDSPVARSSPAAKREEEDEDLEFEDVLDTSLQDFGSEQDIPVKRQQT
AYRDSDDESDDSDGEWQGLNLDAEPEDDEPSGDLDLTLIKKTIPQVKPAVSRRRLVGKVEKAERLEKHKMHKSLRPLLDKKMLTFLRPKESLSQFGR
TDSLKRGLDSVAVMWRTRFSITARGLRRALWADDEKDLQNYRFDDGEILDKSDFRAAAKTLKGSRDVGAQLFCALLRSANVETRLVCSLQPLSFNSG
GPAMAKFKPKPRETTPETTHRETCNPRTDFQFGTPGDAAAHLTSRRRLGHPSAAAYHMPEVSAPSRPPAKPKPKPIHESDYPTFWIEVFDEAHQKWF
AVDPLVTESIAKPRSFEPPASDRENNMSYVIAFEEERCARDVTKRYVKAYNAKTRRNRVESTSGGERWWRRAMRPYGRGYKSDADQIEDTELTANVA
KEPMPKNIADFKDHPIYALERHLKRNEILTSTRDCGRVAAGRDPNVPGGKKLEKIFRREHVKVGKSADAWYRLGREVKIGEQPVKTVAAKRRPDDMD
FDDGRGDLEERAGTNLYTEEQTEIYEAPPIVNGRVPKNSYGNLDVYVPSMVPPGGVHLRDDETARAARLLSIDYSDALTGFSFRGRHGTAILQGAVI
ASEYREAVEAVIEGFRDERAQAEETRRTNVALRTWKLMLLKLKIKERVDAYKDPDEEEEEEDAGDLPDGMELEDSDDGGGTEDDGDDDYGGGGFIPE
>RCO7_04804 | probable ABC1 transport protein
MASATPFGVIHQSGAVAQTVEEKINPCEDSYTKEAGEQPSEKVHPTENSYQKETGEPISEKTGHESLSDSADEEQLKPQIHELARNLTYHSVKDGSG
NYVNPFSETSNPVLDPRSDSFNYKSWMRTILAIHSRDPERYPKRVAGIAYRNLSAHGFGEATDYQKTFGNYPLEIPSLFKRIIGRRQQTKIQILRDF
DGLVRSGEMLVVLGRPGSGCSTLLKTISGETDGYYIDEKSYINYQGISVQQMHNDFRGECIYQAETDVHFPQLTVGQTLEFAAKARGKYSSQGPSDF
CIDLSKLLGKESQVALGGSPLQCWDNSTRGLDSATALEFVKTLRLSTDMAGSAAVVAIYQASQSIYDIFDKVAVLYEGRQIYFGEIHAAKKYFLDMG
FECPKRQTTGDFLTSITSPAERVTRPGFEGRTPYTPDEFAAAWYKSDDRAQLLREIEEFDAMYPLGGPSLDLFKEGRRAAQSKSQRIKSPYTLSVVQ
QIKLCVQRGFQRLQGDMSLMLTSFIGNAVMALIIGSVFYNLSNETSALYSKGALLFFAILMAAFQSSLEILTLYAQRPIVEKQAKYAFYHPFAEAIA
SMLCDLPNKIGTAITFNLALYFMTNLRRTPENFFIFFLFAFMCTLCISMFFRSIAAMSRTLSQAMAPAALFILTLVIYTGFAIPTKNMVPWFRWLNW
LNPVAYAFEALMINEFHNLKIPCSPEMFVPAGPGYENITPEQRICSTTGAQAGANFVDGDRYLMVNYRYEYSHLWRNLGIMFALMFAGCAVYLVCTE
YISAKKSKGEVLLFRRGRVPDHGSKKLDEEANIDDRVNPETVLAREKTVPDAPPSIQKQTAVFHWDSVNYDIKIKKEDRRLLDDVDGWVIPGTLTAL
MGVSGAGKTTLLDVLASRVTMGVVSGQMLVDGRERDTGFQRKTGYVQQQDLHLATSTVREALIFSAILRQSKTVPHAEKLAYVDEVIKVLEMEAYAD
AVVGVPGEGLNVEQRKRLTIGVELAAKPALLLFLDEPTSGLDSQTAWSILALLRKLADNGQAILCTIHQPSAILFQEFDRLLFLARGGRTVYFGGVG
KDSHILTEYFERNGSVKFGLDDNPAEKMLEVIGAAPGSSTEIDWVDVWRNSPERQAVKAELARMKETLSQNPVSEDPTALDQFAAPPIVQLKAVVLR
VFQQYWRTPSYLYSKTALCTSIGLFIGFSFWDAPNSLQGLQNQLFAIFMLLTVFGNLSQQIMPHFVTQRSLYESRERPSKTYSWIIFMLSNIIVEMP
WNTLMGVILFFTWYYPIGLYRNAEPTVAVTERGGLMFLFLWSFMIFAGTFTHFVVAGIETAETAGNIGNLMFSLCLIFNGVLASPDALPRFWIFMYR
VSPFTYLVSGMLSTGLANTDVTCSSIEYLHINPPSSLTCGQYLDPYKSFAGGYILNPNDSTDCSFCSVADTNVFLKRVNADYADAWRNFGILWAFIV
FNCFGAVGLYWLARVPKGRKKAKKAKSE
>RCO7_04803 | related to formamidopyrimidine-DNA glycosylase
MPEIAEVARIVSYIKKSLVGKTLSVVKAQEDANVFGKVGTSAAEFQKSLTGKKVLGAGQQGKYFWMIMSSPPHPVFHFGMTGWFHIRGKHTAYYRPK
ETEKAEEEVWPPKFWKFSVETDSDPKVEAAFTDPRRFARIRLVDCDGKDIRKTSPLKENGPDPVIDKEVLTEDWLLEKMGKRHVPVKAFMLDQANIS
GIGNWVGDEIMYQAKLHPEQYTDTFSANQVKQLHVSMRYVCQTAVDALADSSKFPEDWLFKHRWGKGKKDAATTLPNGAKITFLTVGGRTSCVVPSV
QKKTGPVKADVNENGNVVDGDAGKVKKGKGKGVSAKRKAVSKEESEEDEEEEIDEEKVSPPKKKRAAASKKKVVKDEAEADEVAPPKKSRAKKPKIE
DEEKTDVPAVTKKTSKKVKVEDVEQSGRRRSGRVSSGKQ
>RCO7_04802 | peroxisomal membrane protein PMP27
MVADSLIYHPSVSHYLKFVATTVGRDKLLRTIQYFSRFYAWYLFRTNGTPGEIAPFDAIKKQFGLARKLMRVGKNVEHFKAAAIAADSKSLDPIIKY
CAVGRQLGYAGYLSLDAVTYIDAAGIRKSPMTQRLAKEAYRCWMFGLLFSAVSGTYSLYNLRQQQQRINKEDGEGVVAAKRIEKERAAINLQLLSDL
CDLTIPTSAIGLTNFDDGFVGLAGTVSSLIGVYATWKKTA
>RCO7_04801 | related to monocarboxylate transporter 2
MSSSLEQLFEPPAPAYFRHIRDKTTFEEILLKDLAVPTGPGELENGDKATSSCDGYTREPRVDGGRDAWLFLVACFVLEALIWGFSFSFGVFQAYYA
KHPVFGKNPSGIAAIGTSSLGVMYLMAPVTLTVLEAFPGFHRWCSVVGLVISALALILSSFATQIWHLIITQGVMYAVGGSLLYAPTMFYLDQWFEK
RKGLAFGVMWSGVGASGLVFPFALKALLDTWGFEYTLRIWSIILVFLCAPLVYFIKPRVPVPSPPPPYKRSSYTFLFKPTFILLQLSNILESFGFFM
PAIFLPTYASYLNLSAHKGVIVLALLNLFSVVGAIGFGFLCDKMHISHVIAISTFGSTLSVFVFWGPASEIRRLVIFAMVYGSFAGGYSALWAGMMK
EVQKVRGCETASMGVLMGMFAAGRGLGAVASGPISEILLKKSLGGIAKGFASDYGAIMVFTGASAAAGGVGFFVTRRMRDQPEREDGTDGNDGDSVV
NFSTSATRR
>RCO7_04800 | probable tRNA 2`-O-ribose methyltransferase
MGKSSKDKRDAYYRLAKEQGWRARKFDLFADVTRVVDLCAAPGSWSQVLSRVLIKGEKFGRTAWEDRQEKIRQLLLEATGEEPTIAEIQEREILAER
TRSDAAELNPRKDVKIVAIDLQPMSPLEGIICLRADITHPATVPLLLRALDPTYDPSSQSQHAAHPVDLVISDGAPDVTGLHDLDMYVQSQLLFAAL
NLALCVLRPGGKFVAKIFRGRNVDLLFAQLKLFFEDVVVAKPRSSRASSVEAFIVCLNFSPPAGFKASLEEPMGVGDRLPRMVAAKIAQEPLVAPAL
HQNPTHGTWSSSMPARTTSADGNVELSLPEVDSEAKRNGRWIAPFLACGDLSGFDADASYHLSKDHVSLDPIQPPTAPPYKRALEMRKSTGGAYGKT
SV
>RCO7_04799 | probable ATP-dependent RNA helicase mak5
MAPEQKKRARPVPKASQRSKKRQKIEVTKIETESAVKRPVALDALPWNEVQMPDMFNDAEGFFGLEEIEGVEVVKDGNKVRFMTAAKPTFDEDEEFE
GFGEEEEKKEASSQVELTKSTPAVEEKVEKAEKAASKEKQKDRKEKKAKQDQAKKDKLKEPETKKDDEEKIIESSANVFKLLEEDAEEEETDVSAWE
ELDLSPGTLSALSKMGFANPTLIQSAAIPEILAGHDVVGKASTGSGKTLAFGIPILESWIERYGELDEAALKEARPPTALILSPTRELAHQLTEHIT
TLCKGLTNAPYVAAVTGGLSVQKQQRQLAKADIVIGTPGRLWEVMSSSIELTASFKQIKFLVIDEADRLLTEGHFKEAEEIINSLDRHVDADEGDES
VPERQTLVFSATFHKGLQQKLAGKGKNGLMDDGESMEYLLKKLNFREDKPKFVDVNPVSQMADRLKEGMVECAGTEKDLYLYSLLLYHPNQRTLIFT
NSIHSVRRLTPLLQNLNLHAHALHSQMAQKARMRSIERFSSPKATSSILVATDVAARGLDIGGVQLVIHYHLPRAADMYVHRSGRTARAEASGTSIL
MCAPEEVVGMRRLVAKVHAQNAVAGGGNKSKYYMRSLDIDRKVVSRLKPRVTLAKKIADSALAKERKGHDDEWVRTAAEELGVDYDSEDFEAAGGGR
KGRGTGRKLRDKEMRALTKGDLGALRGELKGLLAQRVNVGVSERYLTAGMVDINELLKGTQGNFLGQVDGIGMDDV
>RCO7_04798 | related to vivid PAS protein VVD
MIVDLQLRTCAGQGSRIGSPNGSPGSAPNPGDNQSWDNEPPNQQWEESQSVNDPLIFQGVYAPSGFDMLDILLAVYNRPNPQIAIGNVDSAVALVLC
DAEAPNHPIVYCSEPFEKLTGYSGSEIIGKNCRFLQHPPGGICSDQNILNMNSAARREVKHSIGIGRESRVRVANYKKDGTPFANILTVIPILWEGK
HYMVGFQADERSIHR
>RCO7_04797 | 26S proteasome regulatory subunit RPN7
MGSDPQYVKYPLLPIAQHIFTLTNPSAPKPIQQTSLKSLQDAISEHKMAPLYRYLAHPTEGILNESGVSSSKSTKPLGRKPSVAGVVASKHSIPKVD

LPWDESLYEKLKKDNEEELAGFKKEEEEAEEKAGETEVQAARGKRAEFWARVGDKDRTIAAYEEVFEKTGVLGTKIDLVLAIIRMGLFYGDKLLIKK
HVDRAKTLVESGGDWDRRNRLKAYQGLYLLTVRSYALAAPLLLDSLSTFTSYELCSYSSLVVYSVLAGSVSLKRVDFKSKVVDAPEIKAILGDGEDK
LLALSGALSAGPGADEEMKDVSSATPAKTAVNLTTLGSDAPEAELAVDFSPLAQLVGSLYTGSYRSFFGALAAVEVSFLTQDRYLYEHRGWFVREMR
LRAYQQLLQSYRVVGLESMANDFGVSVDFLDRDLAKFIAAERIPCTIDRVTGKGIIETNRPDDKNKQYTDVVKQGDQLITKLQKYGQAVRLRGSERA
>RCO7_04796 | related to RNA (guanine-N7-) methyltransferase
MEGDETSPIEAQPQPFNATKLETAKKRRRSRSPSNPTPKRSDKRVDSRRRSPAASSSSRPQRSPSPPARKQRRPGQRARITDAEREHIRQRQVEREK
ELDAIAAQAGIHDAVKQHYNAVPERGRDWRKTDSRIKGLRSFNNWVKSTIIQKFSPAEDYTPPAQERGGMVFAEGPSTDKGLLVLDIGCGKGGDLGK
WQLAPQPVELYVGLDPADISIDQAKERYRQMSSRGGGGRGGRGGRGGFNNRPQPRLFQGEFYVQDCFGQSIEQVPLVRDVGFDGSGGPSRFGGGGFD
VVSMMFCMHYAFESEDKARQMLKNVAGALKKGGRFIGTIPNSDVLSGRVEQFNARIAAKADAEKTKENGTKPETEEAKEEDEGEVEEGEAEESAEWG
NEVYRVRFPGKTPADGVFRPPFGWKYSFFLHEAVEEVPEYVVPWEAFRAIAEDYNLEMQYHKTFDEIWRTEKDDEVLGPLSERMGVRERGRGADGAL
LVSDQEMEAASFYVGFCFYKV
>RCO7_04795 | ALT1 Putative alanine transaminase (glutamyc pyruvic transaminase) EC:2.6.1.2
MSSTTALRSLNINNINQHVVEAKYAVRGELAVRSEEYRAKLAKGDTSLPFDQVISANIGNPQQLDQKPITFFRQVLSLLEYPPLLEHEDVLLKQLGY
KKDVVERARWLLKTVGSVGAYSASAGAPGIKESVAKFIERRDGFPAEPKDIYLSAGASSGVNTLLHIICASPNTGVLVPIPQYPLYTASLAVLNAKC
VPYYLDESKGWGTDLEAIKGAYDKAIAEGIDVRSIVIINPGNPTGASLPAEDVKTIIDFAAEKKLVVMADEVYQTNVFKGKFHSFKGVLREMQKADP
EKYKYVELASLHSISKGMVGECGHRGGYFELCGFDPEVEEQIYKFVSISLCAPVIGQCLVEMMVNPPKQGEPSYELYKQEYDGIFAGLQKRATALYE
AFKEMEGVECDDPQGSMYLFPTIKLPQKAIEAAEKENRSPDEFYAFRLLDATGVCVVAGSGFGQKENTLHFRTTFLAPGTEWVGRITKFHNEFMKEF
K
>RCO7_04794 | related to potassium channel
MNDPGLNEPISDGAKDVENRTGDDGEREGDVSEEEDEQDFLEPSRWWLASTAFPLIAGTFGPMASAFSICALVVTWRVGIPEGKTEAEGIRLPDPSW
LIGINAAQLAIALISNLFLLLNMARRVRFSVAQPVTIIGWYISSFALTGLCASVSGPLRILPKSSYALSQAFYYAIFSAGLYFLVASLMLITVWGAS
KGHYDKEFQLTMSQRTLMLQTISFLVYLLSGAAVFSHVEGWSFLDAVYWADFTLLTVGIGDLAPSTNMGRGLLFPFAIGGIIILGLVIGSIRSLVLE
RGKVKMGARMVEKERRRLIVKIEKKVKAAVLKPIHSDSKSPSPNTNRKINDTSSSKQTQPLAHAYAHTHTSVKSITSPTTFPTEFDRRSHEFALIRH
IQSSAHKRRLWTSLLISGLVWLLLWFLGALIFQFSESHAQNQTEPWTYFTSVYFAYTSLLTIGYGDISPVSNAGKAFFVFWSLLAVPSLTILISNMG
DTILKGVRDLTLWIGGFTVLPGEKGVKLSVREGLLRVTGERWRVFEEEGGEDTQKVTNDDHQEREKAGELEPSPSHQRSVDDESRVADHDIGKSNKL
RKDLALQESKGAYHVLLVQEIAKVMNDLKSDPPKEYTFEEWAWFLKLVGEDEGSEETHRKPLKRPDKDGVGKAIVGDGDETKRKDRKEDGKNKQDME
GGRQKVKWSWMGHRSPLMGSKDEAEWVLERLIRRLEKELQGVRKEEMERKEIP
>RCO7_04793 | uncharacterized protein
MPPRRKGSYGPRLGTASDPGPESSAPPLTQTKLPVPKKRITVPADRVYKSSTPLTQTKMAVPKKHIRSYGKKTTLRIPKQETLTQMDYLRMSDPIPL
DDDADEDPDEIEEADGDYEKQAKKRRNKRRKTAGDESDSASSFHTQRLTQMEWSFTSVPDDEEDLSILDVPGSSQTDLPTFSTLSSRRKMGESSNPN
ASKARQSPVKEMPPPQTPRRTLATEIPSSQSPATPLSFHTRGSLRRSPLKETSINAPIPFNTGRRPDVSPDKLPKLEIKDTYDTGDTSQFSRVTSSP
QKRPSPAKSVRFAPLPDQDEGVEEPDSPSVKRKSTPARKSAMKRTEILDSEAESDEDGDYLLGVYVEEDPVEEAGSPGLENVENNDEVLGVSGSVEL
GLDFDTENQTPRTEASPELGSDENLRRNSEQESQEAQEPETCYGDIGIETQMEADRIASSSELSSLTSPMTATQPEKDVEDDLEEDQEEGKELEADE
EEDREVLHETAIEKTQIMESQRLSTQHVHSMEPRTAESDVFVSIHPSHLTNIITGTKNHEFRNWSLPIHVRRIWIYETQPVSMLKYMAEIGPPKQPG
ALKDFNGLGNAEFNSKTEKWRAYEILQIYELADPKPLAELKALGWFKVPPTRFARVAPAVIDELIANLLPPLFPERLDHDLAIPASSSTDTQEVDEQ
IVSTMKQYSQVVGSLRKPLKQAEAKEKEDEEVAVEEDADENVSEEDAEVFPEEGESIPSSPTPQTTPRPRARFTGAAPSQATTVDLSQTQTPMRHSS
QAEIIWESPARPVATSTPDTLPSPRHGSIPETQELESHHQFSIPSSQILSKTQLLSDSLLQDSVPGPPPFVMDSDDEDD
>RCO7_04792 | related to 6-hydroxy-D-nicotine oxidase
MWFNANLNLKCTDRSVEYDTGVGGLTLGGGYGYLTPAHGLAIDNLISVDYVLADGKIVTASDVENQDLFWAARGAGASFGIATSFVYRAHDQKGPVW
AAMLRLDIHHLPAMVVYGNQFLEICEEKSMMFTGFVKIPGFGNGPSLMSILFYNGPEDAAKSFYADVLKLDSTVLKMGEVPFSAMNTYLNDSMAHDL
RRSVKGSVYMPPMELSSIETIYRELNEFALEYQDASMSGVLIEYIPFKNVIKVPQTATAFANRGAYANVAFVMTWTKEELDDICRGKARLWASRLQE
EFQKARSAVVDASGLDSVTQDGIGEYMNYDGLGSHGDKMFGINYPRLKELKLRYDPQNRFNKGPQLI
>RCO7_04791 | uncharacterized protein
MLPSHGQQFDAFSQFRSPLNPGPGSTSSSGSGGARRFLGYSSNAPGESSATPGYQGSTGRSHPEPIRAPSYLKTSATTNGTGQNGLSHPPSFSGPQI
QSSYSQSRSSPAPRTIVSPSPESPSRNSVNKPDNFKTHGQALSLDGYGSERRSKPQSINPSYPQNYSSTSSHSQGKDPNAGQRKAQSELPTPVKPPF
RASANLAHPSHYQKNYRQSNLQFSSKPKPAPSPASSFQIVIPTSPAKFYDLEAQSINTLPKKRGRPFSKQAAEVKTPKKRGRPFATVESESKAKAKA
SGTSTPTTQKKAGRPQKIPRHIFVPQPEPTFYPFKCEWVGCQAELNNLDTLRRHIHLLHKKRLDGKIPCLWAKCGMKKSVKGEDGQEKVVDDHPEFK
SRDEWKKHLEVKHLIPFSWHMGDGPKGTDLSGKPKGIINRAWLIDGNGNQVTPSVEGQATEEGKAKDLNKIRFRKMRGVDFLKEKADLKSDLKSMSG
GTGMLPPQASSDEDEDAEEAGAALGTDTMVEYGSEREAVDELDNDGFGRRGGGGQIKRLANEEVIDSDEERYAQQEDMDDEGDV
>RCO7_04790 | related to stilbene synthase 2
MSPSRDTHDGANDQFGELNLSVTGLGVEYPPYQLHPEDLDTLCKRHYPETPAMAKVRAINHYTGIDSRSAIGTVDHPMANMDRAPTIAELCEVFLKH
GVALAVAAARKALHEAKLAPADITHVVSTSCTNSANPGFDHYVCKGLGITQPVEKVLLHGIGCSGGLASLRTAANLALGSSFRGRKARVLVIALEIS
SLLVRSELDSVNELQETRIGITLFSDCASSLVLSNGIGGEDAEPVYELLGWDHRMIPDTEQDLGFDVDPLGWKVVLSPRVPKLAAAVVSPTFTDLLS
TLPNLPPNYKKASDFDWALHPGGATILSGVERAMSISPEHMRASYDTYINHGNSSSATVISVLDRLRQKDMDELAPGGKVKDFVVGCAFGPGIAIEM
CILKRNLNHVRRTLVNTGEATPPETESEASRSDGEAEEINANIREAKDKGSLINEKLNNVHPEVPEQNDSLSEALNGVELD
>RCO7_04789 | uncharacterized protein
MKTSSYAGALLALMGAAQAVDMSPYKAGPNVEAGFATFVKEWYRTSEDKASTTSYTDFWVPVTGELILAGNKFVGYHDMLAVKQKLLPPGGNKAWWH
LIKDSKITGETATNKTYVADIIIQTTYTPGNCSQVYGAAAFTILKNHAGVPILTPHSQAVSLYNLTVSDVRSPTDVPCTRS
>RCO7_04788 | uncharacterized protein
MVTLPKLAAALVLASTVSAINFVDYDPQPGLPAQFTPFYKNLVNAAEDPAVTTGYTDYFPTDGMQTTLSIHCVGAAGIQACKSGFLRDGRRLVHFPN
ITFVADNNATATVYEAHGRIETTLKQGNCSQIYYKTQYTVLKTDKRVEALPNLSLKPERQVYWYHDYYVNPTNVPSDIPCDSLKGHDW
>RCO7_04787 | uncharacterized protein
MPILNLAFLIHALLEVPAALNFFFRPNEQLSLPAPQAHAIIRQYAVLLMSSNIIALIFAFRPVDETSRRIAGALAAYHAAPLVRAIARIASSGGGYG
KGLGGPWVHAVLHCGALGALGWLFFRP

>RCO7_04786 | uncharacterized protein
MPKRKRPTVEGSGNRIEDARREDAQERLAQSKKILHRALKTAKGFQRQKLGNRLKIAKTEKNSEEIVRTNREIEALKAINLDQATEAHLNKTLLKVK
RFAESDVLPEEVRKTVPRPEMSEEMIAASNNVFSGMLNTKAVKEAMPHIITGMYIAMGIPPPAVTSKAKSAAKKEEVKGIMKQNPIGLSQRQDSDDE
DFEPENEDPQLKRGATKELAWEGFESPGDDEGSGDDDIDSEAELARYDALLGGSSDEESFDEEKYAIERKLAQRGRLSLSISPSPSSDSTAQVLKSQ
SPEPKPGREKSLKPKVPLSAPRGSTFLPSLNSGYWSGSESAASDFDDAPPPVKKNRPGQMARRAIAEKKHGTGANHIKRGLPPAAEMGKKKGDGWDA
KRGATDSERGRGARGRAGNDRGGRQREFSQVTGENAIAVEPRIREKRRDDVGVLHPSWQAAKKAKEEKKTATFQGKKVIFD
>RCO7_04785 | probable 3-oxoacyl-[acyl-carrier-protein] reductase
MATTSIQAPNLFNVNGLVAVITGGGSGIGLMMARALALNGAYRIYIIGRRKDVLEKAAQSVGTKNIIPLVGDVTSKETLACLVATIKSEVGYVNVLI
ANSGILGPQKSIPITAESSIADFQKAFGEASFEEYAATFELNTVAVWFTVVAFLGLLDEGNKKGNVEQKSQVIATSSIGGFNRAVPGGFAYGQSKSA
TILMMKQLATGLAPHGIRSNALAPGLFPSELAAGIIGDGIFPRSVIPLERVGTEEDMAGVILFLTSRAGAYLSGTVLLVDGGRLSLMPATY
>RCO7_04784 | probable exoglucanase 1 precursor
MVSSAIALASLFVAASAQQAGTLTPETHPPLQVSVCTASGCTTSAASIVIDANWRWLHTTSGYTNCYTGNAWNATACPDGAKCATNCALDGAEYGST
YGITTTGNALKLQFVTKKGESTNVGSRTYLMAPGSTTKYQMLKLLNKEFTFDVDVSQLPCGLNGALYFSEMDEDGGMSKFSTNKAGAKYGTGYCDAQ
CPRDVKFINGQANSVGWTPADNDVNAGGGQYGSCCNEMDIWEANSISTAYTPHPCSVVGQVRCQGKDCGIGARYESMCDADGCDFNSYRMGDTEFYG
PGKKIDTTKKMTVVTQFITSDKSDTGTLVEIKRFYVQGGVTFANSESAVPNVPGNSLTDTFCDAQKVAFGDNNMHKSKGGLAVMGASLKKGVVLVMS
IWDDHTAGMLWLDAPYPPEKDASLPGVSRGSCSRDSGDPKVVEADSPNASVTYSNIKWGPIGSTFKAL
>RCO7_04783 | probable phosphate-repressible phosphate permease
MPILHQFDYIFAIAMMFAFLDAWNIGANDVANSFATSVSSRSLTMRQAMIIASVMEFGGAVGVGARVADTIRTKILSTKAFEQEPTILMLGMTCALV
GSSAFMTVATRYGLPVSTTHSIMGGVLGAGIASLGPEGVNWGWRGVPQVFAAWAIAPGIAGIFASIIFLITKYGVLKSKNPVRNAFISVPFYFAFTT
GILTMLIVWKGAASASAAVKTWGAGQYIGVIFGVGIGCGTLSAIFILPYLHRKLNLSDWQLVWYDAFKGPALLYRGEVPPNPNGEHALVKDYYKGHK
TREQLDRDGREIVAAPIDVETNTPLSKEAEAGARSSGDVSESTTNSVAPVEVRIGPWYQPGNLFQILKKAFMHGVDVDVIAEQKKKSILVGNLEEMH
AKAAHYDNKAEHTYSMLQILTAATAAFAHGANDVSNAVGPLAAVYFIWSTGKIASKSPVPVWILCYGGAAIVIGLWTYGYNIMRNLGNRLTLHSPSR
GFSMELGAACTVVMATRLALPVSTTQCIVGATVGVGLCNGELKSINWRMVLWIYGGWIITLPCTGIISGCLMGIILNAPQWGNAL
>RCO7_04782 | related to phosphate-repressible acid phosphatase precursor
MHLSSTITLALAFAKAGNAQTQYKSTAAADIEAARAIAKTLSPVSSIRGKTFDRFVQIWLENTDFDMAAGDPSLQWVAQQGITLTNFKAITHPSQPN
YVASVGGQTHWVLLDSDVRIDKKVKTIVDLLEPAGVSWSVYGEDMPYSGFQGSYVNQKTGANDYVRKHNPLMSYDSVTSVEDRLAKSKNFTMFQREL
ATGMLPQWMFLTPNMTNDGHDSSITVAGKWAKSFLEPLLANENFMEKTLILLTFDETENYFSSNKVFSVLLGDAVPVKLHGTKNDTAFNHYSAMSTV
ENNWNLGNLGEGDKKAAPFF
>RCO7_04781 | related to cyclin-dependent ser/thr protein kinase KIN28
MADIDEDGWHHVLAQPANETREEKQIEEWESSKGHWSGLGKHPDRWTDHKSIKTYGRELGIGSYGIVERITYRTVTMARKCVKPRRGMTVEQLREEA
NAMERLVHKHILKLVGTYTFKLNSLYLLLYPAAVCDLSKLLEDVDDIRSGSASDEEDAFTRLRALGLREVGTIKDLALLRNSSQTTNGYSRTTTALG
FLQQILGCITEALAYCHEKKIRHRDLKPKNILLSPGRVYLADFGIARDLKDREDSITSGRCGTPSWIAPEVHDEELHSMSHADIWSLGCIFLNVATM
LYGGTLEQFDDIMKEKDWKLKYGKLPSFLQDLQTKAVAASLENPELPNFNCKHVLSLIDQMLRYDAGDRPDAKGVKERLVELGGLDQIYHLPCCHMK
NYQISQVINKKFKCVYAEKINSAALLSQMKAEVEANRKRIEELESINGTWQQRLDKERKHAGEQYKALQENYNREMEARKQLEIQLQALQKPLRRPG
SQTRGRGRGLANGIDFYASTGGNITNNKNNFHTIKPPPGRNVNTLQRRYNSRVPVPTRPATPIISIPLPNPSTPIQPMMNRDPISTSSTLRSSFYST
ISKTSLRTDDSMSSLSSEPNRSMSPDSPTTGRDASASIAIVAPVPALVLVKAKPDMETLKLVEIEKTSWAKMVARSTSKV
>RCO7_04780 | probable cholesterol homeostasis protein
MGLRHLVAAVGLLSLTSGELYTQKHEAGRCALRGTCGGGGFFSPALPCVDNDLARQPEEDVRQQLLELCPEEKWKTGPLCCEKDQLEVLSDNLKKAQ
SFIADCPACKNNFYNTFCTFTCSPDQSLFINVTQAEKGSEGLRVRELDQLVSDKYGSGFYDSCKDVKFGPTNTNAMAFIGGGAKNYTDFLKFLGKKS
PPFGSPFQINFPRPSNYLEKGMQALHMAPKACNDTNPNFRCPCIDCPAVCPNLPDIAEAGTCHIGLLPCLSFGAILTYSVLILFLVTAVSGHFVWAK
HSRRRSDRLRLLQDISPSDDEDEGDMVHNGAMYDRPLRTYRINSFLDSAFSHLGFTAARFPGITIGVSILIVALLSIGWTRFEIERDPARLWVSPTS
AAAEEKSFFDTNFGPFYRAEQVFLVNETASNGSSPVLSYDTLKWWMDVEKRVSGLKGSKTNSTFDDVCFKPTGDACVVQSVAAYFGNDISTVSPSTW
KQKLQSCAKSPVECLPEFQQPIEPSMILGGLQGIGDVADSPAMIITWVVQNHAEGSIKIQKAMDWEQTLKETLLEVQVEASKRNLRLSFSTEISLEE
ELNKSTNTDARIVVISYIFMFFYASLALGSTTLSLRSILRNPATSLVESKFTLGVVGILIVLMSISASIGLFSAAGVKVTLIIAEVIPFIVLAVGVD
NIFLIVHEFERVNVSHPDEMVEFRIAKALGRMGPSILLSAITETIAFSLGAFVGMPAVRNFAIYAAGAVFINAILQVTMFVSVLTLNQRRAEDRRAD
CFPCIQVKGARVQLGSNGNGYMRPYEGQEEGALQKFIRKFYAPALLGKKMKVAVVTIFLGIFTAGVSLMPEVALGLDQRVAIPDDSYLIPYFNDLYA
YFESGPPVYFVTRELNVTQRLHQQQLCSRFSTCEQDSITNMIEGERKRSNISYIASTPASWIDDYFRWLDPNLAECCVENGKTCFADRDPAWNITLS
GMPEGKEFMHYLEKWIEAPSDADCPLGGKAAYSSALVIDDKKGTIPASHFRTSHVPLRSQEAFIEAYASARRIADGLSKSSGVDVFPYSVFYIFFDQ
YASIVRLTATLLGSALALILAISSILLGSVRTGAVVTVTVIMIVVDIIGFMAVFDVSLNAVSLVNLIICVGIGVEFCAHIARAFMFPSRAVMERASK
KFRGRDARAWTALVNVGGSVFSGITITKLLGVSVLAFTRSKIFEIYYFRIWLALVLFAATHALIFLPVALSLLGGEGYLDPESEGGLEEDLASRRYR
ALLPEDEDSEDEY
>RCO7_04779 | related to MOT2 - transcriptional repressor
MAPHDVIIDDDEDCCPLCVEEFDLSDKNFRPCPCGYQVCQFCFNNIKTNMNGLCPACRRPYDEKTIEWKVVTPEEVALFKANVQKNAKKKQEQRQKE
AQKREVESLNRKHLSGLRVVQKNLVYVVGLSPNIAEKEILETLRGEKYFGQYGKIIKIVVSNKKDSGISGQPQSLGVYVTFARKEDAARCIAAVNGS
QNGDRVLRAQLGTTKYCSAYLRNETCTNKNCMFLHEPGDNDDSYSRQDLSSINSVNTQRPLPVAGPSSSTVRQVSQAQAHAPLQQAQPIAAAAQPMI
RDNSKDGSESGDGSALPSSASWAHRGVQENSRRGSQCTSGAASSPAISQAVPARTETMDEPQQDLSPQLSNALLSSDTVSSMEPAGPERDPLLVDIL
RAINASEVSFSRPISTEVEATLFSAFPPLFDDFGGEKRRAMRNQQEEARLHLEQDSQVVLQSVPEPVEEEAPESGSLQLGGEPEDIDNGREGSIPQN
YHSQRRPSSQVPIHRGSNGGPFGPSLSQNFPHQNIGSLSSINGRTFTAHQQNQFAMLKSSQAQAGFMDPYPPGMGNLAQGGGLFQQQGHNRQSSRYN
FANDGSSTSSSVKPSANPKLMAQQSSMMPSVNHGSQFYGSSMPGPPPGLKSTATPPIGGMFGQGHGFGGSMAGSSLFGGMTKGNNTEFLRDMLDRGG
RVNTGGQSHDTGKREYNFSPSFPQQYPSASSTPAPASGFLASLYGQQTGAFQDFAQKQKKKGKKHRHANTSSSGGGGIVDLPDPSILQARMLHQQQS
NAGVGQGLFGGQAQDDYGLPSLDEATSSVDALVADDDSIPPSLNNSDQVSRSSTPTVPPGFSVPHAHPAPSLREEPGVKAPSRFVPTSAPFTPSRVS
ANPRVATPLSIVSVPPTPQSAAKPKVAAPISQAKQDVKALATDTGLSKVIAIQSQPTLQSEDFPALDSGKIKVPLTPSKPTIQPKAAPAAKTSKKQS
TPQVSSASAVTETPAKLTDKRPAQTLNITVPTKPSSKIIAAEKSTPVKPESTTAFPPLPVSTPGAAQSPLARPAPKTLRVTSTPKTENSPAGNSAPL
SSTSIFPPSRLPASRQPSLASISRLDCPGTPSSEIISDNASITSASISRANSPPPSKVGSAPVRSTTKSMAKKQRQQRGKGEDEKEALVTKVEPQPD

IGPIIGRKKKQKKEPKERTVHSAAGGSTPIASRPVSPSPVESKVNEEAVRSAAKEQVAQVSHKSSPIEIESSKFSRQDSRGKGKAKMQSNMLSPDLL
SPAPEVEDEIVEKSIPTPAMIFQELLAEGVIGDTNSLSLLKNPATAHRFETPIDPQSIHQKLTISPEDRAALLAGKAVQKVAEGPNRIMLTPNGDCI
RNLTPEEEQKYLDLQARIASEYGPTSFISAKHHASNGFALIGGRAVPNGPPSFFPVTNNGTPAMDPVSKIQRDEALSYINQYVLPSLSTNSQLEKAL
NANALDSEIGRSEDHAAWSTWGTDANAPRPENGHEAAYNASNRDGMIATGIEHMTAHFAIGNGGELNRGQPLGNVSLLSYSESESAMQIARKETEGL
EKKLNALIKKNRRLLLPGGH

>RCO7_04778 | probable NADH2 dehydrogenase (ubiquinone) 31K chain precursor
MAMRASNSKALASALRTGRNALARRHESHATLRAFSSTPRAQVVVAPTPDTPNMRYAQRAPDPPGGLHSPIVNPADKYASKADDMHRYGSWLMGCLP
KYIQQFSVWKDELVIYISPAGVTPVFSFLKYNTAAEFTQVSDITAVDFPTRDQRFEVVWNLLSVRHNSRIRVKTYADEASPIASITDLYDGANWYER
EVYDMFGVFFVGHPDLRRIMTDYGFDGHPLRKDFPLTGYTEIRYDEEKKRIVVEPLELTQAFRNFEGGTAAWEQVGPGVDRKPETFQLPIAKPEEKK
EEPKK

>RCO7_04777 | uncharacterized protein
MSAVAMNLTRWSISSNSDNSFSALQRVAAEAKLWYMRDVTDPEDFQILVDQELTRQKHEPTVSTIESAIQTLGSLPSAALYNSLGSHDQTRNLWTSS
KLPSQERHTHPGGYDLTRTILQQHKCIWFTSLDIIKVPKSTQTAMEPGLNTVKSPSRISQQDDSSPQLGATSICTRNFYPI

>RCO7_04776 | uncharacterized protein
MRFKNAFPTVVGFIGINAVNSTLVQIAELAEYCRTVSPNTYVAVYYQNIATPITYDFGQCYPYQLASGALAEVAVFCKTTTCYGNPNPDCTGGAVPP
VPVPLVAGTPLPNLLDFVQLLGQGATCQRNGLS

>RCO7_04775 | uncharacterized protein
MSGSHSTPRLPALPQSKSPLRTISEPPASPASSGLSPTDTRASQSTVDTQSSAGWSGKTLQFDSQSSSLTRHGSEGLQSSRRHTHDPAKINGYTTCG
RHGDDWLFGGFSVAGTVKKLWEKDGKE

>RCO7_04774 | related to PMR1 - Ca++-transporting P-type ATPase located in Golgi
MTEDGDLDNGLYDEKSASEETTPEAKFRAFASQLDICGALRSRTEGLTHAEAAQRLLQYGENKQVDVEYVTWKRIAYDSVFNHYNLMLMILAIITVV
MPDREWSLFATKSLSRVDPDLMIVVPVSAGISFCQDLRSNNRRTSASESLPHYHVRRQTLDGNSTQEEVEVKNIVCGDVLSLSAGDVVPADCIVLDS
SNLSVSQSSLTGEGEPQVKAFGLGDEKEGKTTVFDLQNFVFSTSSVISGSGLVIVVATGNGAFISSIMKKLNGRRPKTSFQKGIDRTCQFLVAFMVI
SFAIILVVKGTKSGRWKQAVVFSLSTAATLVPEMLPAVVTANLSRGAFLLRKIGVIVNHMDAIHSLGSMSILCSDKTGTLTKDEIEICHSLNPIGGN
SGEVFLLASTNAYSQRGTKNAIDSAIIMHTGGEEKLVELGRRVGEIPFNFEARRSSCVIRTPTGGLKLICKGAFEEVVARCSHIRVGTEIHNLSGSQ
YLGLTSRIEHFNAEAYRVVLVATRDISHVDFDGVGSDFNGLDIEMTVEGFLTFLDPLQPDAKESVTRLQELGIDVRILTGDNLGVAMSVARNLGLAQ
DLDEGTPLAISGPKLASLQDPEEWKQSVRKCKIFAKLTPAQKGRVVETLQAHGKVVGMIGDGINDSVALRAADVGISVDSGSSVAKNSADLILTEKQ
LAKIVDAVKIGRKTHGNVMKYMKMILAANFGNILSVVIAAVWFPFDPISPVQMVLQNLLYDLSQLAIPFDNVDDEYLAFPHKFSILNLMVFILLMGP
VISTIDIGTFLLNVFYYGFAPSSDILQVENFQSHWFISGMLSQTLVIYIFRTAKVPFIQSCPSIAILLSTLIASVLGLAVPYIPPFAKALKLVPSGG
TFIGIILACLVLFAVVLQLAKMLYIKIWKRWL

>RCO7_04773 | related to ribosomal protein S5 (mitochondrial)
MPIFRPRIRCRYFHASPNLSERHRAKKSSQTNRMPLSKVFRQYTENEKALLAKKYTPEQIQAIEAGEKAVSPEDLDSHGVIRTDLGALPYLDDFSQT
VPVLDRAARWKGPVDPNARPMTYEEMEDNWREVEEQYKRERDEEWAQNPPTELEAAHKQKMQDIGAKPGEELPLRESLSRLDIMKIEDRLSSFTGSD
GRAIPREQEIDYTAPGLPKKFMTETGNKAGASKSEAGMEKEADPRDPDGLYNRLIKQSGLTLDQILDYKIKILVRHRVVNMTRLGRVQSVYILAVAG
NGHGVLGVGEAKGQESEETAQNARIAAIRNMQPIPRYEDRTIFGDVEGKVSATEVKLMARPPGFGLRCQHLIFEMARAAGIQDLAAKVPRSRNKMNT
VKAAYQAMLKQRIPDEIARGRGKKLIDVRKVYYGGRV

>RCO7_04772 | uncharacterized protein
MDSEFTSTVSTAEDLTPLEQDVLDEYERLAENMKKLASLLDSMAGRPTAEILDGLRQLERKTSLVFTLLKASVYSIVLQQEIYSGDQGGQED

>RCO7_04771 | related to Zn(II)2Cys6 transcriptional activator
MSRLSAAHCSNLISHNLSGLMSWSASNSSLPLARAMDPEPAALNNVPHPRSLPHVNTSAAFTGIVLANGLSPSSDDAFGPDNQGSNSSGSQGGRQSS
ITSPATSTSPSSGSVSGSRPEQAQDQAQAQAQAQAQQTQQAKEKERATVPSACVQCRSKHLKCDGLQPCSRCSSNSFECEYVRSRRGFKGPRRNGTH
NKASAISAHSAGPVDMSCPLVHPNGLRGLSNAANGLVMPADDRLMTLPRSVNLPLFDIGQEVVAFDPKTLPSGLDMKERCIEAFFFHFYPAHPFTLP
RSNHFALRKERPIECLEAAMCYVGSFYVPQAPTKALGLDAERSVYHTDCPRDGFRVQAMLILTIGLDGYTFQEKALQILLDAQDLALEIGMNKRDFA
SVRGFFSDILQESWRRTWWELYITDGMIAGVHQKSNFRMKEIPADVLLPCEEIEYVSGQIPHPHSIQDFDDESFDGRDFFYSSYTYRIAAIRNLGRV
LQSRQILPSDEQTMSRADAYLVNWRLHLPDAKKTLISHDGRLDEMLFQAHMITEATTILLHREASELDSSAARDVTSCAPHMAVVPGPTHNIHAAKT
IQAAQEISKLIQLPVPLIKHTHFFTCVVTLASIVHLSCWSILVPLMRDDDLKQQLRLSTGALKTLCQVWPAAGKAFGQVKGVAQEIYTAKKQAAEVG
YWSNLTQDEVMRSIIEDQSIMEDLHLLN

>RCO7_04770 | uncharacterized protein
MDPVSAVGIALSVAGLAGQVFKGCIQGIQFIITAKDLPEDCKYLNLRLRMEQQRLFAWSETSGLLDLQNSDDTKFQQSNIFVIHRTTILDLLVQIQC
LFKEFEQAQKKNHRLATVPESSESDDEVSKDPAKDASNAHVPLPEGRRKFIIKAMKAITTSTKDSLSEGRRRLRWAAFDKEAFEGLLQRFSTLNDNM
TDILDVRLQNEIHRTTQDNNRGVLQLHKDLASLHRLVQALDIKMQARNYPVPVIFQNAPASDAAGLRLLAQLAKFKAFNEALDTEGHAPWNEATAMA
LQLGRPETEKANTRIDRSCITFDAQQAGEDLTAIRCEATYTRTNHSQKVWIEWKEYDYQKPGSLSPPPFIIDRVSKLASLLHHSPKPEAFRVPHCLG
YFDNAKRPSEGEIDSEDEEDSVDTRIGFVFEKPHDEGVSPNTAPVSLFELLTSSPKPRVTERVKVAYAIANCLLYLHSVNWLHKGLRSHNIVFFPTT
TTMNGQGKTAIDYSKPYLSGFDFARPARADEMTEIPGDNGAYNMYRHPLTQGQGFGARKGFRKSFDIYSLGVVLVELAHWKTIERVLGVEKSGLRVM
GRIREMLLEDERVAGVGAEMGELYECAMWKCVAGGKELGVGEGVDETGDAGAARLGMAFYEDVVKRLESIRI

>RCO7_04769 | related to ATP-binding cassette protein
MRNETRKGSFGPGLEMESLYTGSVLRERYDVDIEGKASDEAHLLNNTVRNFIWQDVTVTVKDKKTGKPKAILDNVEGIVKAGEICALMGPSGCGKTT
LLNVLAHREAASGARVEGVTLINGSSPSAGAFRRMTCYVEQDDALIGSLTVRETLHFAARLAHKKLKALTLSRADRIKRIDALIESFGLEDQQDTLI
GTPIRKGISGGQKRRLSVAAQLITAPKVMFLDEPTSGLDSAASYEVIHYIKEVAKRNNLIVIASIHQPSTSTFQMFDSLLLLSGGKPFYFGPVEGVE
AHFISLGFPMPIHTNPAEFILDLMNVDFANDGPVATQQLYEMQMAWTRSHRARDIATQIYATSSLIEPPTISKPPNRGFFTVVMTLVHRSLIKSYRD
VVAYGIRIAMYIGLAIMMGTVWLRLESKQSDIQPFINAIFFGSAFMSFMAVAYVPSFLEDRLTFVKERANGLYGPTAFMLSNFIIGLPYLFLIAVLF
SVIAYWLSNFQPSATAFFTWVMWLFLDLLAAESLVVLVSSVAPVFVISLAVCAFANGLWMSVGGFLVPMNTLNVFWRYAFHYIDYQAYVFQGMMVNE
FADRSYSCGDGCHCIYQTDLVKQCRISGSGVLKEYGFNTGMTGRWVGILLGIVVGYRLLGLLAMFIRK

>RCO7_04768 | probable 3-methyl-2-oxobutanoate dehydrogenase (lipoamide)

MKLPLRLARTTMRWAILRTTHHRFSSSLSQKPGAAGIRFPGAVNSQFTNSLTFEHPSTYPALPTYRCVDQDGSIVDKSFSPPADSLALEMYDNMLCV
SIMDVIMFEAQRQGRLSFYMTGQGEEGTCVGSASALEKEDVIFCQYREAGVFTQRGFTFDDFMSQLFANKKDSGRGRNMPVHYGSKALNIHTISSPL
ATQIPQASGAAYALKMQRLTDPNIPPRVVACYFGEGAASEGDFHAALNIAATRSCPVIFICRNNGYAISTPTLEQYRGDGIASRGTGYGIDTIRVDG
NDIFAVREVTKRARELARKDGGRPVLIEAMSYRISHHSTSDDSFAYRARIEVEDWKRRDNPITRLRKYLEKKGVWNEEKESAARSRIRKEVLKAFAE
AEKEKKPAMRSMFEDIYEDLTPELKSQMSELKGIIERYPNEYDSIRLSKKRLLAAQLVIGCDRKRLKLSPDHSFVYN

>RCO7_04767 | uncharacterized protein

MEELQTQLIDDYSQSIETSTLLAILSDFDITNSTQLSAAREILDILKSSASAEESSGFDPCGASGLEHPQDDQGSARAQGDNESQSTSQRGSKTHTD
DTSFSQDSYGLDLESLDLGSEENLETTGKASSSELDSLDEAGKEEALISIFPALKPFDVKWTLKKCKGDAGLAIDELMTQAFLEESGTRHRGIEAFS
ENDATPLRKRKGRGKKKNGKNAGSVSHASTSPTNDSPVESKWDTGRQDIEFISERTGIPVPQLTTMYHKNGGTVRGTIAAMVKAHAEINIDEDDPVI
QLNAYDLHQEFPSISTTDLEILLHITHPSYSDARDLAKALTAPVHKKHEGGIQLDIRHPPIQLDQVPKPIRKSPNTLYSEDYDFASASSSAAAYTTS
RNSAFAQASSAYRKGRSNPLMGGAAAYYSSVGRDFDVKAKQASREAADAFVASQANIGRSLDLHGMNVKDAVRVSRECVTRWWVGGGSERDGDARRT
GSAAYEIVTGKGLHSSGGGKLGPAVAKMLISEGWKVQVGNGGNAGVVVVLGVAKKRW

>RCO7_04766 | related to rat ubiquitin ligase Nedd4

MSSNSRITRAAARQAASPSESSAASVGASSAASTRLAPQPPPPSSKKRKPTARETSPEPEVESTKPSSVRRTKRQKVVETNTSLPAPPAAPQVAAPP
RRKKGKTPAVMSSPGDSAGPSNDPPAPTASSKRKSARSKKGGQADTGATPSGRRSKKTINSAKDADNAVDNGPDDKPPHHPEDDMSDDDEDEEMARR
YEGRDDDDDDDDPFGGFGGPGGPPSGLSSTLRALSGMMSGVSSRLRDILNNLKQKDDPSIQLIALQELSEILLVSTEDNLSGHFSPDAFVKELVLLM
QPSDFGEENPEMMLLACRCLANLMEALPASTANVVYGGAVPVLCAKLLEIHFIDLAEQALSTLEKISVEYPASIVREGGLTACLTYLDFFATSTQRT
AVTTAANCCRNIPEDSFPIIKDVMPILLNVLSSNDQKVVEQGSLCVSRVVESFRYHPNKLEELVSTDLLKAILRLLLPGTTNLIGPNIHTQFLRVLA
FTAKASARLSAELFKMNVVETLYQILTGVSPPDTTEDMASKLDSVVVMQALIHRPREQVIETLNFICELLPGLPREAGIISEEFLHTDAASAAATAS
SSSSRKKTSNEKRIELLEGCKDEVKRFAIILFPTLTDAFSSTVNLSVRQKVLTAQIKMLSKLDKDILMEALRSVPYASFLAGILSQQDHPSLVNYAL
QAAELLLDRLDDIYRYQFYREGVIAEIAKLATASEPPKPVVETQAIKVAEPVQVIEAPKISEKPSRGARGDDDDSSDENHDDDNGNDEDNENDDIRE
DISPSPSSRGSTMSIDAPQHRLPTDASGMQQVIVQRAKRFLDVHENEKNSKSMKKKATKILTSLQGLASEIEAHYLHGEPGDGVKLFTTLASSFDGD
VLESVTSAELLNSEVVRVLLAVFSNPDENLSLAARSAFLEVFMGRTVIKKPKTASAESPATPFSILIHKLQDLLSRSEHFEVVTVHQNTFDGNRSSA
ASMLAKQIRLKLVADDDSEIPRPYRNIMVSIHAIATFKALDDYLRPRISLSERPRGSKKEGGLSSALAALAAAGMSNPYAHTGQSRLVERGLASANA
ATPSAPPPATARNSRKSKSKTALAGLSAPGGPSTPAAPQDKTARRSSRRHQALAETPVPPPMQEEDSLAGALECADERMLTEDEDMDDSSALDAIVG
DLEDDMEDDPPTDPTAVNLEVAAGGKVTARKEDGTRVATPSQIPGSNPRTASALRAAATQAALSTPSTSARPMSYAAAIQAVPQDWHIEFSLDDKVI
GNETTIYRAVHSTSTTVDDLNSRSVWSAIHPIKFKRVPGPPPPEPSSLTQAPEVPIETTASGIPASLDKHPATSSILRLLNILHALNANLDDVLAEN
KDTLKLNAEPLSQFVNTKLTAKLNRQLEEPLIVASNCLPSWSEDLARLYPFLFPFETRHLFLQSTSFGYARSMTRWQNAQSADESRRDRHRDERPFL
GRLQRQKVRIARSKILESALKVMELYGASQSILEVEYFEEVGTGLGPTLEFYSTVSKEFSKKILKLWRETESNDADEFAFGAHGLFPAPMSEEQASK
ENGKRILHLFKMLGKFVARSMIDSRIIDVSFNPTFFRIGEQSTAVSPSLGAVKTVDPQLAKSLKLIKKYALAKKAIDENPNLTPAQKVLHAEELTID
GMKIDDLGLDFTLPGYPTIEMVPSRRNETVTIDTVQLYLDKVIDFTLGSGVQRQVDAFRAGFTQVFPYSSLSAFTPDELVMLFGRIEEDWTLETLMD
SIKADHGFNMDSKSVKNLLQTMSELTLPERRDFLQFTTGSPKLPIGGFKSLTPMFTVVCKPSEPPYSSDDYLPSVMTCVNYLKLPDYTDLEVMRRRM
GTAIKEGQGAFHLS

>RCO7_04765 | related to flavin oxidoreductase

MSTHHAVPTKHGETKPGKPGIPNRAAPGISYFTPLQDPPAGTATDPQSNGKPIPKVFQPLTIRGTTFQNRIFLSPLCQYSSENGHFTAWQFAHLGGI
FTRGPGLTIVEATAVVPEGRITPEDAGIWSDDHIEGEFGLKKVTEFAHSQGQKIAIQLAHAGRKASTVAPWLNMGATATEDVNGWPNNVRAPSDVPY
NDVFPQPIALTLEDIEELKKNWVKAVERSVKAGFDVIEIHNAHGYLFHEFLSPVANKRTDKYGGSFENRTRLTLEIVELTRKTMPKDMPLFLRISAT
DCLDTNPEFKGESWTNEDTIKLAPLLAERGVDFLDVSTGGQSPMQKIKSAPGYQAPFAKAIKKVVGDKLLVGTVGAITNGEQAEALLTGEGSEEQAR
GDQELDAVLVGRMFQKEPGLVWRFAEELGIEINVANQIRWGFGGRPGAKK

>RCO7_04764 | uncharacterized protein

MAPKASIMTPLKAGPTSLHPAISTSPKVKTEPSTSSNLVAASLAMSVKTEPTFFKPIDPAIFAPAISSSVKVKTEPSSSSNLIAFSLAISIKIEDES
TSSLDNSLFVSKSAEAPEVAGSVAGLVQSVAEVQVKKKFVLSTSDIDKIILSLPSLAAVVNLQALVIGFEQPDSVIRAAIQAAVVEPRRDISEYVSD
NNRVFKGKPMSKEQVIQLFTWAGIAMRTLGRELSSKESIRDYHALTDTFNRYYEPIHVAKHGSDSYLAKGYNDINSAFIKRAIWPEFVKKVLGN

>RCO7_04763 | related to mannose-1-phosphate guanylyltransferase

MSLQLPNREKANGSSAATKAVILVGGPSRGTRFRPLSLDLPKPLFEVAGHPIVWHCLTAIAKVSAIQEVCMIGYYDESVFRDFIKDASKEFPQIKIV
YLREYQALGTAGGLYHFRDAILKGRPERFFVLNADVCCSFPLNDMLKLFEDRDAEAVILGTRVSEDAASNFGCIVSDPHSRRVLHYVEKPESHISNL
INCGVYLFATECIFPSIRSAIKKRTDRPRLVSYPSSENLESSFFQDDDEETKNEVLRLEQDILSDLADSKQFFVYETKDFWRQIKTAGSAVPANALY
LQKAWQTGSSELAKASANILPPVFIHPTAHVDPTAKLGPNVSIGPRVTVGAGVRIKESIVLEDAEIKHDACILYSIIGWNSRVGAWARVEGTPTPVN
SHTTSIIKNGVKVQSITILGKECGVGDEVRVQNCICLPFKELKRDVSNEVIM

>RCO7_04762 | uncharacterized protein

MASANSKRFIKRESTVARGLPTPAPSIKSFRTESPSIKFENSEIDRIDLTGDDEIEELPPSNHDLPVAIDEQEQSRSPGIPSRSSRLPSTPTPRAPK
HPRQTHPPRMESGLEVVGRNVKKLVETIEKLKRIGLKSIDAQLPELVLVGDQSAGKSSLMGAIAEINLPKGQSMCTRCPTNIRTSSSETWTCIITLE
ISYCFQAHKGRAQEKFPHWAENDESVIVSFMEITDKTELEQALRCAQKAILNPSSDPQRFISRNGFDPSQATESDEARFSPNVIAVAIAGPGLPDLS
FYDLPGLFQAAEAEEQKYLIKVFDNLTAKYIKHENAIIICAMTMQNDPGISKTKGFVGNLKADNRCIGVLTMPDRIQQNETVAHQDYTKILANTAFV
LQPHGYFVTKQPGPDSLAKGPRYHEIARQEENDFFESSGVWGPGGEWHQFRHRCGTATIQEYLSKVFARQILLSLPDITENINVQIRDVDRGLANLP
DARQDKVQHVVRQALNAFSNQVRQSIDPTLLSPFHSEWNKLCGQFLKTLDTMRPGCICKGGEPEVIELDSDDEGSQYSTVKRPNDGAEVSPNKRARN
TFVEPSQVPQTPRTVKPEPGTKLFRTPLPGVLRKYKQSEFGPFHRAYLGAGFGAMSLMELRATIADNACAGRPTETNFKVKQEIALGAIAKWRDPIE
TLMKTVFARVRHELLSTLETCLAKYTQTALFADSKVIIKKWLHDKDQEQRNQTLRYFEVESSRLFTICLKEFERHKAEALELLMENRKKQRIDSYIA
SHSMKYKEESKARAEAEAQLGPDTFAEELRTAAYIRGYYHTARIRFTDSICADINAHYYFKISEEIQYLLENKLKLDEGDSELKCQALVEENAEISH
QRTSLLKRKQQLSEFSAILTQLNTDLNTSGEDDPMQTPQNGFENSNANDHDHDEMDLDNPSGATSTTVSPTKSYGYGK

>RCO7_04761 | related to transmembrane transporter Liz1p

MAVIKRVRQYVSQPYEHPGEAKLVRKLDFFILTFCCLMYFANYLDRSNLANAYVSGMKEELGFKGNEYNLINTVFTVGYIIGQVPSNLALYHLPPRI
FFPSMMVIWGALTMITAAAKSPQHIMAIRFFQGIAESSTFVGTHYILGSWYTGRELGKRSGIFTSSGLAGTMFGGFLQTAINSSMNGRHGMAGWRWL
FIIDGIITIPIAVYGFFFFPDTPSMTSAFYLTSEERTLAISRIPEVPERRPWNLAFVKRVFTSWYWYGFVMLWIIAGETESFSSNSLLAIYMKSTRR

YTIPQLNNYPTGVPAVGIVSTLFWATLTDFLGGKRYLVGYWIGITGIVTAAMILNPSASVAAHFGAYYWAGSVYACQATFFAWANDAMRFEEDSLRA
VVIASMNAGSNAVNAWWSLLFYSANFAPKFTKGMWAMIATSIALAIWTTGLLYMTQRTEKKRLSEAEVQTVDDKHFEAEVVGDTKV

>RCO7_02557 | related to cell wall protein PhiA

MQFSTITALTALAGLAASAPTPQVDDPKYFSLLAIRSGSPIQLALFSAAKSHLYANLPLQNATCNGEGPNTNYATFTINNGTLGLYTASSYPQEFYV
DRSWMGQGQLGYTNGAQPAPRNAERQGWNIKDGYLYFDQSGLIACPNAPDGGWSVYVATGIQNPAGNSNCTAFAPKVNEIKEPVGCQYSF

>RCO7_02558 | uncharacterized protein

MVDAPNDRWLTTRSLESENAHMATCHYNIQTGEFLINGRPLSRLSLDYEMHPTYKRLFGNKVLGVFSSSKGLYFETRDSIYGFQVHVALHEEQLIVR
AIRGLEMYDIVPLSALGDDVPRTFLEDYVHWVHRGTLEVEWRPLESKWTPSSDNWRISKAEDASASFLECSNKRVIEPESNTAKVIHRWLKPLESST
NINIFHNVDNDETEIRLPRMNLEFILRKIGLESKQFRMIVDTNQYIGTFHGLLHKLVLRDIQGKSQGVIVPHGSSRLFKLYLHALTSHCLPDSLTGR
TGSEEALHGLALQSTRSYPLDAEHVEQLKLFAKLTPARDFHPKASKFTQTVSWENLSPLSQHEGFIEEARLMLSRAETVRKFNPEEGVKYNLELRGA
SELHARALIRNAVFRVDAFGAEKFTTSHDTHHSTARDSINNSLVESVACHVATVVGNWSCRLEPMKDLFLKIQSWEPIISGPLPDLKFEFDNRWLDN
PARFMAQYWCSIQVFLTSADVTTDKFGIIFFLANLATSKLGNISLVHTLLALATAPGLRNLQPPPYESYDLSKGFEPHKASITIILDSCKVPYEESP
EYQMPRDLNEQDINLYQRRGAAYNSATKRTVTKCLNYLLRRWPTRDITCLQTADVQTYLPGLKDRLGEIQALYPNCTRLVLPPSNQLPDKYAIPHQE
YKYIRLRAYFKIRDLLKNPAPQLPLPQQALGDLFTVANEDEVAGGREGRSKLKSLLGKLSRSATGNYQKNYVADLRKSYAALLTSSSVRHSFTAASS
YTILKDHLKQATENVDALYKMICSGFVISGSAVYESASKASLLPRLSPSILLKLLARFNEVVLSAEWKVALVRYALAIAAMQKAERLVACGERDSDI
LIALTNGGHTNWDPEEYPEWLLLELENNILIRPEQAQIAREMIDPQSGANSIMQLNMGLGKSSVIVPLVAATLADRTKLVRVIVLKSLSEQMFQLLV
EKLGGLIGRRVYRLPISRGLKPNLETANLIQSILKECMACDGVRLVQPESILSFELLGIDYVLARELGTPLPEAGITPDSNAHDDLQISYKTGKVMV
KTQQWLYENTRDILDESGEILSVKYELIYTLGVQNNVQFGPDREPYAWETNLSHSHRVLAVLSQTAREILGGHPEGLEIMEGVNGGFARIRILKEPV
GIMLLEKVAKSICRSGMGSLPTWTFSEDEKVVVLEFITNLKITKARAAILDEKVFKSEFIKMSLLLLRGLFAAGVLDFVFSKKRWRVNYGLDLSRSK
LAVPYHAKDNPSPRSEFSHPDTAITLTCLSCYYGGLTDQQIFDSFEELLLSDQSQEEYMRWIQNTEDFPPSFKQLAGVNLRDKRQCSQDLFPWLRFS
KNLIDYYLEHLVFPKEMKEFSNKLSSSGWEIAREKRHATTGFSGTNDSKYMLPTPIKQVELLEQLSTNAEVLACLLQRIRFDYTFRGVQISTDGFIS
PETRAQQDDEMHALCIFTQSPNDFLRLVTGFRRLGQPYTNSHMGKILSGELVLSMEFEKENDVQVRAKVEEVDDPMDIYDDEPVATIIKQERS

>RCO7_02559 | uncharacterized protein

MSSDNEPPDSPAELPLEFIINHVFLPQSFLSRTTQPQKDEQDAWTHLPPMLEFIKQAGDLGSQIEKLDEKITEMVVGDAVALHLTHQNAGLILRKQR
DTYSVETFELYASYTATNSTIGRLIRRFPGPVIAVSNEQVKDDNFRQHFIRCLGSLDSDNLDEALSIGQGSITDSVHPQFATEWLPGLLRGIGSPLN
VSRVYKRTRDEVIWAEGSSEPWHRSPRWLLLRVATQTSIKSPDAGHMRYKIFMIYFMARVLELAVGHQIDVNYGTAKKRKNAKKRGNDEKKGVSSDL
LHIMLAKLHRRIQKFGVVMKNIPWAEHAEEVITETMEIARSYIAKRWKTIQQSPNSAGKFRLSELKNLRPKSNTSLRLSKLRPYLQNIHNVRIDQRA
DTIFDGKCTARIDTKGSALPDLTLLMDRSPSETKLGFMDLELWVSQCLDSWLLKHTGFTKDMDSLSRLTNYYISESVAQYIDSPEGISVMILTLMLL
WVALDKSAVIHYPLLRKFDPGFPSNLFEPLLLPKRHQMAQLRDVEDYILRRKQNSSETNSSIFGDITSPSAFGAQYFDQSESHRVLKSRIEQEAKDD
KDGKKRELKESKAEFARLMSLSNQLTCTFYMKTVGHHRNQHQRNTHEARRCQKCKYAKATRALCITCYEWPLPTEPSAIKCAVFELDIPSLIRSWRS
TTFRILADVLSVLPPQVAKAKGSPLTTYTGLAKYLKTNADRLQLISPTRPQAETSRGSQLVSEATEDSICLLSGLSYVMQDGKSQRLALEHLGKYSI
HERCTLKLPQQSSYTTLQYALSGTSHTPNGVMSLQGISFDGLTTHEVHAFTALRSGHRLQWLNIARELVSQTLNFGAEDVYLLLLQASWQAGPAALR
QILGTVISSSKRKALVEISFLPWKQGCPRSRATGKAL

>RCO7_02560 | related to cytochrome P450 oxidoreductase

MSVSVLLGILATVAFVLSTTFVRRRYFSTLSNIPGPFVASFSASLWHLWHIFTGHVEEAVIEQHQKHGTFVRIGHNEISICDPAAIRQVLMSHMDKG
PTYAIFSMPDKRYVNQMAEVRCSEHMRKAKNLAAGYSLTNVVKTEPFIDGALQTLRTQLETSGSSKLPVKFEQWFNYLAFDVLGEATFSQSFGFLAT
GQDIGDTVANNIFLRLYISILGHFPWAHDYLLANPLIEYFNLTPSMHVFDTCMAAIKSRSQNPEVRKDMLEQWKDQLAKYPNRMDEIEILTNAVGNL
GAGSDTVSSVLQGFVYYMISDPEMLSMLRKELDEANLADIPTFAETQNLPILQACIKESLRVHPPVGFGLTRIAPTEGVTICSRHFAAGTILSVNIW
AMHQLKSLFGEDAAVFNPRRWLDPSQASKMNSVMIAFGAGYNQCPGQNLAKLELYKTCAMLMRDFDIRMVDPEKGWKYETYFTVAPHDWPCYVRRRK
V

>RCO7_02561 | related to TAM domain methyltransferase

MSEPSHTASPPVEVSLEHEGEEELIEADIFSDSGYDENSLRSSLDSLTPSTFDFHYEHGHRYHRDGQTLLPNDETEQDRLDLQHHIFKLVLDGDLTR
TKLPPTVGKVLDIGTGTGIWAIELGDSLPAAQIVGVDQSPIQPQWLPPNVSFEIDDVNKPWLQGENSFDFVYIRTMAGSITSWPNLLREAYKVLKPG
GTVEFAEFGLRWECMDGTFDPEGACAKWTRSFHQIASDVLGMDFDPIPKMSHWLQEAGFHNVTMDDAIVPVGPWPRDRKLKDVGRYFLSNMLEGGVE
NYTLMLFTKAGWNETSVHAMLGGVRRELLDPRIHAFTRAWFITGQKPPHSSKQW

>RCO7_02562 | uncharacterized protein

MKFHGQDEDYQPRNWQEVVRFYSALSLTYENDRLPALSGIASSLISNSNYLAGLRRQSLVFDLNWMHLGTLGSVAKESGVPSWSWAAIKSSVEFFPY
EKLNPRLEIIEAECVLKTSNPFGEVSGGFVTLKGATFETCLLPFALKTANAWNGCVYNKHIYLPGIQPVEEISLSFQLDTSELEGLDFASDTVLLLY
TTDDVYAYREKENSTLVLRKYSDEEATYQRIGSAICNVKRESVDAPWDDLPCETRVTKIV

>RCO7_02563 | uncharacterized protein

MSIVRKDPETRYQPMGDNRGSFIKSQTTLTAELDMLAATAREAGDGEGGYSKEMDVRGMSASPVSRVSRVSRIDTDRGSNLRDSSLSPSSYGGHEDQ
GGWRPPVPTHQTALTPRASMGSERLSVRSRQR

>RCO7_02564 | related to Calcium_related spray protein

MRLSRSFGAALTVILPLAALSSAERIFQSTSLESCQDNSTITASLFNVAFTPQNQSLSLKFQGQSTHAGNVTFNVTASAYGYTFLKTNLDPCTYAGL
TTLCPLDHIEIAFDEKFENISTSVIGDIPGIAFTIPDLDAVVEINMFARGDSRDQSHRLGCVRLRLSNGKTVNQTGVKWATAAIAIIGLLASAIVSG
LGHTNTAAHVSLYATALFSYFQNIAIIGLCAIPLPPIVQSWTQDFVWSVGIIRVGFLQNFAMWYQRATGGKPTSILQTLVSKSVQVAKRGLDTHREN
FFVEKSLAIVKRAQEVTTTAGGAYIVTGLQRAAFLAPMEPTNLYVTCITFYFIFCLFTLFVISLFKVLCDLAIKLNWMQSQNNRFRDFQDNWRIMLK
GTIFRLILIGYAPMMILSLWEFTVVDSPAEVFLAVIFFIGMNGALFLAAFHVMTIARRSGHKHQTPAYLLYTNPTTLKKWGFLFIQFRASAYWYIAP
TLFYILLKSFFVGLAQGSGLTQAIVLVIIEAAALIGVSVIRPYMDKTSNSMHIAICVVQFLNAVFLLIFTDVFDGPGLLIGVASLIFFFVNIIFVFV
ILIIVLVASTMSIVRKDPETRYQPMGDNRGSFIKSQTTLTAELDMLAATAREAGDGEGGYSKEMDVRGMSASPVSRVSRVSRIDTDRGSNLRDSSLS
PSSYGGHEDQGGWRPPVPTHQTALTPRASMGSERLSVRSRQR

>RCO7_02565 | related to DFG5 protein

MGRSTLSKLVLALSVWSNGVAGIDLDLTSDDNIKSVAKTIVADMVQYYSSTPGVIISNIPGQLPGPPANPTITNAGYFWWEGGAMFGALIDYWYYTG
DTTYNDMTSQALQHQSGPNHDYLPQNQTLGMGNDDQGFWAMSAMTAAELGFPNPPEGSPQWLALVQAVYNIQVPKIDQVCGGGLRWQAYTFLNGYKY

KNSISNGCLFNMAARLALYTGNSSYADQAEKTWEWMEGVGFIDAKHNVYDGAGVDNNCTEIYKAQFSYNAGIFLHGAAAMYKFTGSDVWKTRLQTLL
TQTVAIFFPDGIAYEVACEKALIHCSIDMLSYKAYLTRWMAASTKWAPFITDTVMPLLATSAAAAAKQCSGSPADRPNGRMCGLSWSKGEAWDGTSG
IGQEMAALQVIQGNLIKGAKDPLTNATGGTSKGDPAAGTGDPTSLDPTLLKPLTTGDKAGAGILTAIVVAVILSGLIWVSLPDGNMNWRGK

>RCO7_02566 | related to N-glycosyltransferase
MANFHTLFPPPDRAPGAAYSLAHAMKWIFGSTIPYQHESVQEILRSIQQRQAPGRKVIIIQDYTFWGNLPILLGAKGIKPAGVINLGLTPLPLKGPG
VPPFGMGLPYDPSPKGVVKNEAMYAGRDERFAELTDGLNAIFANFGVGPMKEHIFDLQVTIPDRFLQMCIPSLEYPRPNPPPGLRFTGALPGGHRGV
TKEKPSWWEDVAVNAEKKRIVFVTQGTATAQYEKLILPTLKGLAGCEDMLVVAALGREGAVLRSDFKVPKNSRVSDFIPYDELLPYVDVFVTNGGYG
GFQHAVSHGTPLIVAGVAADKPEVAARVEWAGLGVNMRTESPTPKAVKEAVEKVLSEGRYKQRARELEEEMGK

>RCO7_02567 | uncharacterized protein
MVSLMIWTISRMPLRQSEFPKTKIKYEIFLALKVCQSLAAIMRSIPIIWETIRVDKLLAFRDIIAPKMSSPAPIHRLKKEANLEILIGNAFRMVRLI
ADVFSQRSVNSILLVLDKQCPVMKSSWRFVGDSGGLLSGGLFLVRATDEEGDNLPEKHRSIATVVAVAGGFITTASILSWMVYCTVTYPGYQERLLQ
ELVDHGVTNDTTWDPDLAHDLEFLSIPIQEVQYLHNPSCQPGRIALRDFIFPGGHRVPKDSVMTIAINYIHKTPNFRHDYARSALIARIRTR

>RCO7_02568 | probable endonuclease/exonuclease/phosphatase family protein
MARLTFGLAAAAASLVSTISAAATSGDFNVITMNVAGLPAVLNGNEIPGDKTTNSKLIGSLFAKYGYDVIHAQEDFNFHAAVYETDNHPFRTATSGG
VPFGSGLNTLSNFDWINFIRKKWNTCSNASGADCLTPKGFTMMRVRIEDGVYIDMYNLHSDAGTEPADLVARAANLKELSDYIKLWSTGNAVVVFGD
TNSRYSRAPNDIPNIFADQNGMEDVFVEIPRKGVTPTVETLCNNPSLINTCETVDKIFYRGSRQLTLQATYFNYESSKFLQPDGSILSDHNPVSANF
TWKVSPSFRQSNYYGGPHGNWFNDLDALPAKPKTSVITFRGSNRVDSVGLTLTNGQTLVHGGSGGSAVTLSLASNEFWVSAKLCQAQQNGSTRIFYI
LATTSTGRTVTTGKTTADCVTYSAPAGWQIVGYNGQDGDEVDQLAFLYAPQ

>RCO7_02569 | related to D-amino-acid oxidase
MSDPTYIILGAGVVGLTTALELHSRHPTSSILILATHLPGDRDINYTSPWAGANWLSGATDNGRMESWDEITYRKFEKLAENVKEAGVQRMDIRAFY
DSEIEKAGILSVGTGKVWYEKLTGLRWLEQEELRGGAVFGYECQTFVVNVQVYLPWLQNECLKSGILIHRKTIPSLISLITAYPHAKALFNCTGLGS
FTLGDVSDKTMYPTRGQIMLVETPPIPLTRMYFRSPQRVNKDTTYVFPRNPGGGIVLGGCRFDGEWSGEVDFEFAEDIKRRCCDLAPELGRPEDLRV
LQHCVGLRPGRRGGPRLEKEIIRGRLVVHNYGAAGAGFQASWGMAKEAVDLMQDPKL

>RCO7_02570 | uncharacterized protein
MTLEVMLQNQSNDYIDSDMEIEEEGSRVGSINDSIMAADGSPRRRALSKSPSKARSLSDGGPPALSPSPKFREPEKRTSKDDSALDGSPTTPRRPAF
PRGLSLQMPARDLMSPGASTYRVPLSPKLDHSQTYGSPTSVLPRRSRGLEFSRAATHLHNSTLAESSPDSSPTITGRAMNIPNRKNGLHFAGGLDSS
NINSSSLWSTMANADRMTVSSSLGSVNMMMSESSSSSSDEDVLMDADDIDDSILTTPQVNKTNGPFGGPSNPSPGWVGPSPAMNSLMSFARLRSKKG
KSRKSSSGSGTSIVSPTSKSPPIMRNAEMSNGYFGKEMTSDALKPRRESISWAANQLQISGSESEDGALKSTLESTDGLPVTPGREAQRGVIRRAVT
RRGNMLPKTKGFARIRAALAEESTPVETEFRREAEVVRQTRESDMEVEPRHPSVSNNTTTHSSPTIGPTTQDSLEGIPEDDTMMDITQGLSRSFKQH
AMRNSKGKDFWDTFKDDSNRTPPPPQFLPRGSSSNISDISLDSPSFFNAPLFTTMSNTSDHVPSSPSRSSTPQPQTGPTREEISRKVNNKRRRDDDF
DPTSFKRRAVSPGMSVHNSPIMQSPMQRDSQPWGSRPPSNGDGKAGTNGGPKRVGFQGMVDTNDGLMKMSIE

>RCO7_02571 | uncharacterized protein
MSKPFTFGVELEMMVALVRDEVEGQRKPNPSETRIVVFPSTNEPEDLSNNTRKSKQQFPALFYANRVHAEFRRIIDEAGFPVASSGSDISAWAVVSD
TSLRHPAVRDPDIDLEGYDWIGIEVKTPALPFTPESLQAVRDVCSLIKTHFKALTNATTGFMFTSGMAISGSTSMTLLRSWRSSISSRLSSLHFTHT
IVGVIPMAGAFAVLVTSVLNSSKCMLRYKLADIVHTTFNGKNGNYNFNGIKDVGLKAERPTIEFRQHDGTMDSERIVQWVQLLVGTLKYIENEDYSA
YVRFLSTIADQEKWEKTGDGKDGEREAEKGPTLADDEFPIIDLLHYIGLSEQAAYFNDKVYKHDIPPQKRCVQTRYTSGVDWKYERGPAGANRESDE
YKRADKLRHIYEDMRVARLASRIGDGKWNFDEDAPLWPAHLKNLEFVEESEGEM

>RCO7_02572 | probable xylosidase/glycosyl hydrolase
MKITILFAAALAAFANAATFTNPVLWEDLADLDIIRVNKTYYYSASNMHYSPGAPMLSSTDLVNWKYIGHSVPTLAFGPQYDSNSAYVKGTYASTMR
YRASTDTWYWYGCITYTATYVYTAPTAKGPWTQKAKIATCYYDAGLVIDDKDTMYIAYGNTKLSVAQLSADGLSQVKTQVVYETPASIGVLEGSRMY
KKDGYYYIFSTRPANGQYVLKSSSPFGPYTVKQLLLNLKGPIPNCGVPHQGGLVETDAGSWFYMAFVDCYPGGRVPVLAAITWGSDGFPALQLTNNA
WPSTLNAPLPLSPVSHTGTDSFSGTSLGPEWEWNHNPDTSKFTVNNGLTLRTATVTNDLYKARNSLTHRILGPTSSGTIILNFGSMADGDRAGLAML
RDTSAWIGVRKDGSTIKLSFQSGLTMGAKWVTTSTGSEIASASIIGTRVWLRIFADIHGGSGKTATFFYSTNGISFTQLGSLVLNSNWPFYPGYRYA
MFNFATKALGGSVQISGFTVDSPGKTTGA

>RCO7_02573 | uncharacterized protein
MKFTILSALFISNALSLAINGAGLEARDPDIAFCSCQAQMQNLNYVVAIVPNGQGNVRKGNAQVFNRDRYPIQNNLQARRLFELRGGIPEENDGLEI
GMGELGIDGGVGGMYAGSFTCTFELDSKAINEIACPVPGSGGSIRRAIYVQNVVTERELEVDASEYLYDVFEEGKVRGQGCRTSKIAGELQWTSEAE
AVRRGMKAK

>RCO7_02574 | related to SER3 - 3-phosphoglycerate dehydrogenase
MAPSANSPYSTSSPPTPRSKILIPETVSPDGLALLSPHFEIHHPKSLSAADLLAQISGYDALIIRSETKVTAEVLATATLLKVVARAGVGVDNVDVD
IATIYGIIVVNSPSGNIVAAAEHTIALLMAVARNVPGGDRSLRNGEWERSKLVGTEVGVGLGMKVVAMDPYASPEIAASASAKLVGSLGELLPIVDF
LTIHTPLIASTLNLVGTEELKLMKKTAKVLNVARGGVYNEQALFEALEAGTIAGAGLDVFTSEPPAPGSAAEALCRHEKVVATPHLGASTVEAQENV
SMDVCAQVLSILQGGLPTSAVNAPLILPEEYRKLQPFVRLVEKMGELYTQHFSRKGSGQGSVGGKTFELVYEGELASISNTRPLFAALVKGLTSSFS
ESGGRDVNIVNATLIAKEKGIGINETHNRESKDLVYASLVRLRTGGAEGQVIEGSVSANGIFISRLDRFNTSFVPEGTLIVLHNYDEPGKIGEVGSI
LGRAGINIRFMSVAALDNAVCESEEVVEKGRNEALMILGIEGPAVGKEVENELRAQGGILDVSVVKL

>RCO7_02575 | uncharacterized protein
MAHPSTPSTAEITKNAPPFEQVYQFDLPTPPFTPQVDKNALVSLPAPVSPTSGTGRGRNAVFKVTDAANVNGASSRSYYKPPTFISAIGPEITARRQ
RLEAEDHGLCIENMSFKAAGPTSTPPVTNNSEISEHSSSSLRNNKAKAKTYAEKARKNVLAPISPVTISKAFVTTLSNTKVSTRFPKITGDFQLIES
RYRVDNRKWNRDRAVNVLKDHVPRKINLVGTVKLHGQHADIVVNQDNTIRLQSRNMLCLDREKDIFGFAATMFSLEKNVLELKRRIESRWIEINPRS
SLYKNYPLVISGEWVGPGVQKDVALDQLPRRLFVITSISLDNKWLDDQPYADIEDEDAGIVHVARGGFFEEELDVTDLESCQERTMALTLGIADTCP
FAQSFGITGRGEGVVWKAAHPLGKDSRFWIKTKGPDFAVTKTSDLPSSKVTSMDENKVERTRQFAFATTTQPRLAQGWDVLFIEQMLPINARARKQF
IDWVARDILDEEMIKIKECKVDEQYLIKCIHWMAEIWYETRLAEIEKPQTASSPVETQKVGSTALCIIDETVYLQPGKRDMEVPASESGSSWW

>RCO7_02576 | related to Los1p
MAPRAAREPSIPSTPEYTQFIEKLAAYHDKRGTNFDPEPKVANRRIDLQQLFKIVVERGGYDKVSDEKLAWRKVASEFNLGSVNLPAYAFTVKSVYN

RNLAAYEISTVHGKEPPPKEILEDVSAKGSGLLTRTLENYRPTVPRETTALGNDSDGSGDEGTPTRDTAATEETPGSGGRVARGLRQAPPQRQMWQP
EPQSSRQTRNAATPSHTSTTQQHHNQHLQQHQQIRGASTSYNPSSNTDSMSLAVANYEPRPQMPLTLRQVITPGNSAVEFARLQRVLKDAAAVAHGR
APSSTKGIMLPGTGFDGPNIYVRCLCALRSGIPAEQDYALHHLVKISMERGDKYRFEGFPGLAEALVEKVLEVSSLFYKVDWEISYTDDGEMVSGDI
INGVDGTPDILQRIAALAKLDVDDNIHTAEFSDKMLQINEAALTLRNMVMLEENAIYVYELSPLRDFLSIALNLPNLESVVELKHYALDIAEQMTKY
LHLGEHDPLYISLLKQLDSNDRGAILTALRAIGRISMNLEENNLLQGVPATAIENIVDWTMLNDEDLVHACLDFLYQYTAVVMNVDFLISQSQVEPL
INQLIRLLLHGVRVVEREFYYSRDTKTPAPTTLTTLPKEIFSQLVKIEEPERSSQWLKCLFEEDPDESITQITLWQAYQACFSLPLGTSNVGMLAAA
DFIKNVSTTFEKAAAQVQSGIAPKFIIKGIRMRSVPVDPKGEEASKCLWQGPFGGAEPCGQFFMSPETMFQHILKEHLGARQLEDGKFENSSTQAYK
CLWDQCHRFKSAPAAKLLDIANHIKVHLPPRHVPRKEPESSGPPPAKKLKPSYIIPAPKRSLVFQVTAQDERQEAAGIPLSAVLVLRNLARNIPKTD
AEATAKLENGVSWLDRLFKPVEPRLFEVLAHNKSLASYISDLVGAIKS

>RCO7_02577 | uncharacterized protein
MLSNEFQTREPKARRRYSDSRFALPPIIAIPKRVYGDLREEREEVLKPKKPRTATVQLIEEEKLSRQAEKGTFKELLTSIQVLWACKVSSCGSTTRF
CWVNDNKHYYLSGADLTRWGHDIEEGVTTINEPSILHRGDLSRELARRREAEEVKERRGRKQKKRESYYDLSSSPERRTGAQYPLQTPYWPPNGFPY
QYPTIQPPQPPPVWSPYTPSPQGYFQPPIYPQLNIPPPDYKYRLPEPQLPPNRPQKRARSEFPSMADLRESSPLRSSSNSEEVLFALKTFLHKLSPP
PKASIASQFDFAIKIFIEQEYDIAMISETTIGEGIELGIKAGVLKVIKMNLKAFKKWYNQQEVQQTIEEEEEEEEEEEE

>RCO7_02578 | uncharacterized protein
MDQSQFFSQSQSQAEDPLWASIPLIKFSHTTQLSSRPSPWTHLDKDLKLEIQTFRVIDEQGVLGRKVVMKVFSKDIILELQDLGQLVRISQTDASLV
VVVENRPRLAMRYPKDPDTVRKCEMKFSSDTDFFIITNAIKDLGLPVKPHVPRVSVLPSPVPTSLNSSSPAIPVSFLQESNSRPSSASSGFVKPPPV
TTFNPSGRFEDIKRPATAESLQQKTEYSQPIAGILDPRIRSVPLATQSRSQAFSFFEPTKPSYSLQLERESQNRQLSQPISQPVSQPTSQSMLQEPS
YAMIASQAKSSTFLHQLQSQQANNAERPASRPPLPSKSPLFPSIQSATSKSVGTIPDPFVTSEPSGNSVRANLDIMLAPPRRKLPFDRPASTPVESQ
DPDIPARQNLPFRRPESKPRSSSLLDLPPLPKPTPIAKTHLRETTDITTTPGSIKAAPVKRVAERKAPVSEIEQVPTSKISSQLKSLTHDTTIIPPP
VHGDEPSPLAAKSAAASRPASATSGLVSKASAPSRKRVATPVFPPSNTKRAKMVDQGTQTQTMVDHSTQTQNTSGPDQTKGNAPAVSMVPGVVPTTS
AVVAPPQSYLDDLDAFVTAHRPRPAPVELWEIPGYADADEDARHAMLNDFIIQNLEDPNFLKLCDDMGNAWRRIGLGR

>RCO7_02579 | uncharacterized protein
MSTSGVQYFTKKARLLVNKGFVPSAEEDAELQYRLTVPFRTCIETKSAKKELKYIKKAYASDVKKIISIALYHKSKALRSSTTRTDKDLGLDESSEY
HSSIEHADSHESPESEYASPERGSQKRKRLSKENTSAPAVKCQKKVVLRYYVKSAGIEHKMKLIALMQGMNALCVRYNGPDSTVFPPAEFKRNRQDL
QTRKAAAADTSRNFEIMPLSEREGLYKTRMTRKIMSMVATWNFGAKNSNPHLRSEREEESPLFFGQQKQSSLQYLESCVEQWPFLVYVQLVHRRWPN
IESLDAIARTTFAWTTSITNEILNPSFTLEELRLHRPHINHPSLTTAANQLRDQDSEWKAWTNAKGASQLAGEVVETQRKISRMARAVQDRLPGRPL
PEQLPCLTAVPIRMRAVGVRSNAGSHPSSAFMGGLQRSDSLSLKMHSLQIGRTPLRHVEVVA

>RCO7_02580 | uncharacterized protein
MSSSTGVKPGFAAQGFSWENYIRYRPAYPASFWSRIYKYHESHNGNFDVAHDVGAGAGIASQDLAKRFEKVIVSDPNDNYVNIASERLVSQFGHSAA
KFNFLQEGGEKSSVGSASVDLIVVCEAIHWMNFEAVMVEFARQIKPGGSLAISHYGRPIMIDNPAAQSAWDKLFDIWTDRNLNRDMLHNQCLRKSIS
GLDTVPFSPEHWEEGVQRIWINSRGDSDSFQMSVRHAKPFASKVGDGDVKSLIEDDEDWIEQRNVQWLKGMFASFIPSIPEEELQDLWDEMDIAVGK
GKDFKVAWPVVQLLATKRR

>RCO7_02581 | related to arylamine N-acetyltransferase
MSSSAEPTSVTQIPFREDARPRYSDAKLRDYFKTIKLPQKYLDSIVLQDPAQIRTKAHGLPFLQALTRHHVCNVSFDNLVLHFDAHKVVTLDLDVLY
TKFVHRGLGGRCMENNSFFATVLRSLGYEVRNCGGRVSRAMSPYPEVRRDQSSTYDGWNHMLNLVRLDDEWYAVDVGMGAMGPNLPFPLQDGFETIS
IAPRLIRLQLRPLSETYAASHANSPGPPKLWCLDVCYDPGEGDEKDWTPVYCFTETEFLPQDYEMMSWFTSTNPRSFFTKYIICTKLLMDEEKEVIV
GNITLFKDTVRETIGAEKKVIKECKTEEERVNALAEIFNVHLTEEQKDGIPDERRLG

>RCO7_02582 | related to salicylate 1-monooxygenase
MATNNHQCFEVAIVGAGIAGLALAMALHKKGISFTLYEGAKEYSAAGAGIGFAPNGMRAMDLINPGFRPFYDQICVGNRGEDAQHIFFEGMLLEEGL
GCDQLWYGNSSWGHPNYMRKSAHRKALLDIMTRFIPIENVKFNKQLTDIEEHQDGVTLRFVDGSSADAGVLAGCDGIKSMVREYVLGGLHPSQVAPV
YAGAYCYRSVVPISEAYEIFGDLTDIAKFYFGHKRGAVTYRISSGKEFNFLLCVADSLDAWRLKDAVTEKVPYENMMADFEDPTIDDKFRQLLRKAE
PVKWGLFHHPHTATYFRGRVVLIGDSAHASLPFQAAGASQGVEDALVLSNVLEKLVQFPDRGESHLPQIREGFAAYDSVRRPRAQKQLDNAAEVSNM
LFFQHAETGDNMEKILPRLQEGWFDWLWFHYVGVDVQEVLRRMK

>RCO7_02583 | uncharacterized protein
MQHYDYEVSILEPFDTIIVDFPPSTPFTPLTPPTTPILRRSSTRKSSKTTPRVRKTITEGWMSNDNSETEEEDLRSVAARRDINSKKERKRGADELE
DKSLRTASQRSNPYKNAKSAKEKEAEKPISTSNGLQTGDKLLVQGHSKLDRSWMTPPKSPPSRKRGRRQAVTSKAYVAKTNAAETSTAETDTAKPNS
AEISAANNRNASDQASKEAQYAIREMQLSMITEKPPLDTWYAGVPEQNGQWTLCITPPQPTWYHPDWDTPRRKEADEKTKAFVKIGEQQILRDKQNL
WQGHRDDGTVVSLVTKKSVFWWQCHSYRRTQSWALNVSLHGYDEH

>RCO7_02584 | related to M.capricolum transcription repressor
MRFPTFPTLLRTLFTFSSYSARVSAQNKTLQPFARGSATKFWPTLPFISTFFGTSSSNRSSMSHPVQKTDDEWRAVLNKDQFRVLRQGGTEAPFAGK
YDKHMPSEGVYNCAGCDAPLYKANHKFKSGCGWPAYFDNIPGAVTRHEDRSLGMARTEIVCSNCGGHLGHVFKGEGYDTPTNERHCVNSVSMKFSAE
DKVVDKTADSKV

>RCO7_02585 | related to zinc finger protein Gcs1p
MSRRPPPNPAAERAAQNTQTIKSLLKLEGNKTCADCKRNKHPRWASWNLGVFVCIRCSGIHRGMGTHISRVKSVDLDSWTDEQLQSVLKWGNSRANK
YWEAKLAPGHVPSESKIENFIRTKYESKRWVMEGPIPDPSTLDAEGDDDVPLSLVKEKHAIERSNSQRASGGQAGPSQVRRAPQQDLFADDAPIQRA
SSAAAVPSRPPPKSEPAPPKQTKPADSLLGLDFFGTEAPPPNRPSSAAPTPGTQSRPDLKQSILSLYASAPRSKPQQQPSHASQGSFGGMQSPQQSP
PPTQSSFGGMNDAFSSLSFSSQASTMQAPPKQSAFSGLGNLSSYQKAPTQVSSPPTNLGGGSFFDTKPTPAPAQPTRGFGSSSGFGAYDSAPGMSPA
PISKSSSAADDLFDFSTPSQPAAKPMVASPTTNHPSVFNLSQPAPAAPPKPQSPQAATSGWGSNDAWGSNDAWGSTAKTSPIMSKPAPQPAAAQDFG
WGSGGTSLANQSIMPGGSGGFSTGSSAPPKVSADDDFGGWSSAAPVTPAAGNTKAKPAYGASEDLFSNVWE

>RCO7_02586 | related to SFT1 - SNARE-like protein
MSDAYERERQNNSRLSELSAKVTALRGVTVDIYDNARSQDVIDDTSSKFSSMSTSLKGSAGRLGRMAASGNKVAIFKLSGMIIGTVILLWFIWGLFV

>RCO7_02587 | probable YSC84 Protein involved in the organization of actin cytoskeleton
MSCFNRVSLFGRFAEAPEQEMDGLFFGRARQMADRVKDDIPPTLSSYRGIARILAHPDSLSLEPQTTPPAPTIISLPQRIKAVTIGAIAEIPSPPLP

SLFRSLEPSMGIHNPLPSSMASECKKCGKILASFVDPRQAFGPDKIIPPQVLANAKGLAILTVIKAGFLGSARYGNGIVVARLSDGTWSAPSAIGTG
GAGFGGQIGFELTDFVFILNDAAAVRTFSQAGSLTLGGNVSIAAGPVGRNAEAAGAASMKGVAGIFSYSKTKGLFAGVSLEGSAIIERRDANEKLYG
QRYTATQLLQGSVRPPPAAQPLMNILNSRVFAGISGSDDATYNDVPIYDDRHDDVVWEGRKGSAFGEGVRRDRTGSVNAQDNDYVYRDGPKRASTWA
DDIYDRPTGGASRINSFNTGASNTSGRGRGGFQDDYVYSDNPRSPTGTMGCGKIGPGRPSAPKPLFQSKTGSLRDNEAVALFTFDGEQPGDLGFKKG
DVIQVTKKTESTNDWWTGIIGTKTGIFPANYVEMKK

>RCO7_02588 | uncharacterized protein

MATTAQVCPVVGTTNTILPPSHPDFDADQPGLVCPVTNASTDHHHQLHKHPGLPTNISDKDAKSCPALKDQINNEENKTLDEGICPVVGPVSTVLPP
DHPTPKDGSDVCPITKASLKHHQGKVVSHPTVEGAAGVCPVVGKQGAKA

>RCO7_02589 | uncharacterized protein

MANQGPNIRGQDTLHQETETFMEDFISKCVFEDVLAVIEDVKQYEVEAGSKSKLLRGPMRHEISQEITCSERLKTVFKSVEKTAAGFPVDHPIKAKL
DSLFGLWTTINSLMQIDRFLSLDQPSLLETPLSNGGNFSFTPMNPDRHTAFQTETDMRKLVIRLLHTPGLIKFEYDPLNDNGSFGMKYEGVAVVKAL
YVIGRLLLIDELDRVAPYGNDQFPRVNSNSASWWIRNTRKNIAATLEAVATFACFRPIPTEEELSRCVSDMRKLREEMGLRPLDDEEEEEVRDLEIT
RARESTDQEGLDANFAKKGFNFLDELQREITERLMVESDLDPLVLDLLRREDEFEAALSVEHFEDKLVNKQITLLSEQEIAERRPWAPKINTGNLNY
SFVQDDGMLNSIETAVLNIIRDMGLETNISLNCIRFPAVIEAEIFYRLYDSENDREPPWVFRGVTIFNSKVIKPFEDVEEQNIDGYPPPPTSIRKVL
PRLFGFLPVNTCLRGTKEKYGIDFRRQSCTLCKKKYYQGRDTSLPIRGFSSTVVELHCSSHHKFHLQCIFNFWDSRGKYLHSCPRCGEMAKLNYETV
GVDPAQGNFVHNNQNYHVADLVVKSLNSEHPRLAQKARELYDVPFVPFSPKMGDDVMDMDEPVPPITEAGKQFFQSEISKRAALEAMPVVWEGATFS
SAVFASTLFRQPIMESEISNTSLELNLDTHELSLRSAATRFNQPRELAETMAKDMGDRYLKRQFESGRGDVYDVDKERVLPCARLAPSMEAAFLRGA
RRRREYKLREKIRKEGRGLGGLG

>RCO7_02590 | probable 3-alpha-(or 20-beta)-hydroxysteroid dehydrogenase

MFSRSAFRATRTLRVAPPAFRAVRPITVSARQSEPVPEVVAATEVKHSSYVDGSVEHSTIVVDQSAVDKTGPLSKAVYNNLPKTMQNMSLMDKIVVV
TGAARGLGYSMAQACAEAGAKAIIILDANQQLGEEAVASLHSLTGDTVPVAFYNVDVRDENAINESINALVKAYGVPHVLINSAGIADSNMPAETYD
TKKWTRLIDINLTGSFLMAQAVGKHMIDAKQAGSIIFIASMSGGIVNYPQEQSCYNASKAGVIQLGKSLAAEWAKYNIRVNCISPGYMDTALNNVPA
LDAQKKIWKSLTPQNRLGAVHDLNGLAVLLASDASAFMTGSNVIIDGGYTLY

>RCO7_02591 | related to SCP160 protein

MSSENGTNGSGAPLSAAQRLQQMHTAHKVSVDEVPDESDLKHPPAPLAENHILEDLDEPTASSNWPAATSAKAAGKRRVDDSSDKENAPILDPQSTT
AFPGLGGAPKPTQAPVLAGSWGGKPINGANSGATNGSATPTSAPRSSVQAPAVQIQAPRLVLQKNEVLPRNQLKKPLPDLLKDINKKLRTNLTMRTG
ENGILEFRESSNQKEALKQQAVRDLGAQICAKSTAKVSIPKSARAHIIGKQGSTIKGLQEATGARIQMPKTEDMPQGGDDDDDMIDIVIEGNPVAIQ
MARREIAKIANERTPAVNTRLRSIPAEFYPFLAGPASSLEDSHGVQVRVPPHHTWTSQAPPRKAAAGQAEFLPAFGDNHITLGGDRAAVQAARAEIE
RLTQELRQRLAVEQYAGIDRGQHQYVIGDRGVSPEDFFGTTQCAIILPTDDGEDIITFIGPADKLQAAKEHATSLASNINSSTLDISRQFRNAPGGA
RVHARNVTHYLRARKEIERLEAAHKASINTPILDDGAAAWELYFREAANGMRAKDEINQILGAHPPSRMATVPVDPFFHRHIQRDITPRVQKDYGVH
VVIPDSSEKGAPVLLVFEGDSGLDSDYQIPRDTPSANEIKAFKQGLEDARTHILDIISKQDAIISTSIDVPKIFHDKLRRFIQKEQQARAGDQIPVR
VANAGTIVTLKGPAPAVEALAEKVNAFVATAIEDEKERGFTTTFDFPQKHANQLIGKGGANIRDLRDKFDVEINVNDGVVELKGPQAKAAAAKAHIS
NLGRQWADEATYTLKIDPKFHRELIGAGGAQINKLQTRYKVQIHFPRSAKPSRDDQSNADAASDAGKKQHRRDQEPDEVTVKGPKKGADEARDEILS
LYQYLKDNSHSAAVSVQAGQIPSLIGQRGSGMDEIRQTSGARIEIPNARDIKDPSTRVEIVIKGTVSQVAQARKLIDAKRDVFDTTVTKTLEVEKKH
HRALIGTGGSALRDIVVGAGGSDDRRELARTVQFPKAESDGNTIKVEGKADIVDKIIAAMEKIVLERENQATETFDVPTEKHRSLIGRGGETKKDIE
AKFKVAIDIPRQGSEQTGIKVTGLPVDVEAAKTHILDLVKDQEGETVQVPRKVHHTIADNGQFFRRLRNDNKVTVDHAGHKVPPKPTAPTNVRGNGS
NLPLQTDEPSELDAHIWNIIDNSESSIEGEIPWILRGPPDNVTKAVATLTAAIDAAMKNTTAGYLILPDPSTYRYVIGQGGNKVNQIRKATGCKITV
PRDQAGGEAIEILGTAEGVEKAKDLVLKAVQDGISGNVGGGRNSGANGDSYPQTSNGNGNWD

>RCO7_02592 | probable STE20 - ser/thr protein kinase of the pheromone pathway

MDEIKPTARRLTKKPPPATLAALEARNNETQSLRSQRSSTSLSRAPSAPYPRSQPAHGHSRKTTSPNPAAFTSSNSSLDRNTSGYSPVLANSEFSAT
PGQGGGQGHSGIYPLSEKSSAELIGAPFDGSGILTHIDSTKASGYQNSLRRPPPPPLTHAVSTPMLMSPSLRQSASFSAGDRMMSEKTPPRISENQL
ISPKRYSDETKEPKTGMIRKKSGFSGFMSSIGVGSPRGVKISAPENPVHVTHVGYDNQTGQFTGLPKEWQRMINDSGITKKEQEQNPEVVMEIVGFY
KENTDKGGDEVWDKFENVRVPELRVGTSAPSPLSPALLNTPNYGSMSGSMVSPPASPRFPSNHETSFENPRSPPPVPRPGQTPTLQQKDGMVPSRPA
PRPPVSLPTRAAPQPPGLGKDSGIGMPRQSEDLPALAYVPPDSSPMLPEEHRSRSNSRANGTSQHAAAVQVTSPQANYAQQLFHQQEAAMNQAQQQQ
ASLARAPSKRQQAQLPTPPTSQTQFQQAPNLNGVPHPSQQVRAVPGPRPRQRARQSTGFDIVARLKQICTEGDPREIYKDLTKIGQGASGGVFTGYE
RGSDRLVAIKQMNLEQQPKKDLIINEIIVMKESSHPNIVNFIDSFLITGELWVIMEFMEGGSLTDVVTFNIMSEGQIAAVCRETLKGLQHLHSKGVI
HRDIKSDNILLSMDGNIKLTDFGFCAQINEAHNKRTTMVGTPYWMAPEVVTRKEYGRKVDIWSLGIMAIEMIEGEPPYLTESPLRALFLIATNGTPT
IKDEHALSPVFKDFLYFALKVDPEKRASAHDLLRHDFMKQCADLIQLSPLVRSARIARAAEKAQKAAS

>RCO7_02593 | uncharacterized protein

MAKITIHCVRHAQGFHNLNLDNHKIRDPLLTPFGKSQCESLRQSFPSPGKITHLVASPLRRTIYTTLLSFPAAVQRGLKITALPELQETSNLPCDTG
LDLKDLEAEFSEGEYAGTVDLSRVGEDWNSKVGKWSPEAHHIENRARHARLFLRELAEQSLKTNPEQDVEIVVVTHGGYLHYFTEDWTGAGKFVGTG
WTNTEVRSYGFVEGDREGAGLKETRESRIGRIGSEKELGREEQRTLRDAMEREWSASGYQVKRDETEGESAKL

>RCO7_02594 | uncharacterized protein

MSIWTGARGYSNCPMGPRNRATGKKSRDGCKTCKIRRVKCDEAKPFCIRCKEMHIACDGYEIKVPKSRDHTGHFFPILPKGQVAALTLAAPKFITII
LEPQPVSNLSDLEAQYFDFFRHNTTSALAEYLDNKFWNRIVLQATEQTLPIKHSVIAIGALHKTLQQDPCTYGQDGNLQQNPHYRFALQQYGKALKL
TRAACVETKFDIRTLLISCFLSTAFEGIHGSTDAAVAHIQSGLSILNEYCSKQAPSISTAENALLPNLLEDEVVSVFARMETDVIGLFDADRVLTMH
PNVQAAVREVFTYMPTDTFESLTSARKYLDLLLREVGIFVTSCNEQQWNVFEKRESMPISETCVFGPDLSLYPTVIQETHLAGYQDCLVKWQHTFSS
LEARVCSEATDARLATTALSLRVTCASISLACCFGAETSYDAFIPEFETALQLAQTLHASGPSSKSTRPTFIMSSILIRSLYFIAVKCRSLRVRVGA
LRILEGMRRREGIWDAGFVEAVVKCIVAVEEGQEKEMDKASNEFGGNGYWYEDKLEEGSDRDLPPENRRVLSLKISFDVLKRKGHIRFLHIGDAEYG
MRFVAEERNIEW

>RCO7_02595 | uncharacterized protein

MANHQSQCNFKAIIIGGSVAGLTFAHMFERANINYILLEARYRISPSEAASIVIMPNGARILDQLGYINGICERRIFLRSIFDQLKDKSRVKTGKRV
MSIEDGESSVTVLARMSTDSWAILSLEQMEYIVELDSRCRSLQRRSPRLLNKDKNMSRARYYPDPMRQTHNMRHRPFRTPVRRQGPPPPMVLLLQDA
RRQGPPPPMVLLLQDARRHIGASNIPRFANGDMEAQGAQYSDFHLTENFMLNQLMVTSDTFPYFPLEEASHEVLKFGSLVCVGDAVHKMTPNMGQGG

NQAIENAGATQGGRRWVENADRGDRGNVDKFSGVETAACEDGAKVRDQYLSTELFRSSPSLNVLPQPSRTAGNRFWAEDDADVTTQSSNLPPMRPSK
ARLHNLRDVRGYPYFALPGKGKLCAPAAIPSFPRALLIMHELLQRSDCITKAPPPPRSSIYIFRVYFGSLSLQIPISLLFSFLSVALSRPYFVLKVL
EM

>RCO7_02596 | related to chromatin-associated swi6 protein
MRAEITDDEASDVSSNFDAPAAAAPVAKWKQEKKAKSKTPVQEPEAMEVESAKEEEEEDDDDEELAGDEYVVERIVNHIVDEDTGEIKYEVKWEGFE
KKSDRTWEPEENLETAEKILGEYLSSVGGKELIMSTWQEKKAEAAAGKKGKKRGRVSTGVENGGTKRGRKSHPAAGSPPASSAAAEFKPPTGSWEDA
VVAIDACEGSEGSVVVYLTWKDGYKTQHPLAQVYKRCPQKMLHFYESHLVFKKNEDLP

>RCO7_02597 | related to lactose permease
MADKFDDDGASNYMVEYAGMHSMDMKHSEVEVKVIRGNEAFNEAMMKEPPRPFTWATTQLYAACFIGFFCATMNGYDGSLINNLLANKAFRTYYNGD
NAGIWAGMVTAMYQIGGVVSLPFIGPSADTFGRRFGMWIGCLLVVIGTVVQGTAGPNHGVNQFMGGRFLLGFGVNIASAAGPMYVVEVSHPAYRGIV
TAIFNCFWFTGSIIASGVARGGADLPGNVGWRLIIWFQLMFAVVICGAAFFLPESPRWLYVNNKQHQSKAMLAKYHGEGNPDSEWVKLQLNEYEELL
EMDGADKRWWDYSALFKNRSTRYRLMCNVSISIFGQWAGNAVLSYFMSKVLDTIGITGEKKQLNIILINNCQQFCWALLGANLVDRVGRRPLLLFSN
IGCAFVWLAMTTSAAIYQESIPAASEAFPDPVGTNTTAATASLAFIFIFGAVYSVGFTPLQALYPVEVLSFEMRAKGMGFSGFATAAAQMLNQFAWP
VSMQKIGWHTYIIFTAWCGVQSMVVFFFIPETKNRTLEELDEIFESSNPVKMSIARKRLGFDAYGEVVNIEDM

>RCO7_02598 | uncharacterized protein
MPEKAVFHSRYYWTNPPLFYTITITSTNFSVSPPSIGAGSYSISSIDLTSYNPHTNTGATITHVVSIPEASFLNGSTRISASRGLLLAFASPDGKTW
LTDVRAKTIRSWLKERLLKLAGSCGMEKEAVYAAGRDDEVVEIPLRGGEAVVLHGGLNETGLAGPTSLFLGRGGEEEKVPMISYLPLRLRAAPNPSH
YLGASRLNFSRLS

>RCO7_02599 | probable t-complex-type molecular chaperone, epsilon subunit
MAMNIDMSQASVVKDEQGRPFIVVRDQGKKKRVHGTDAVKSHIIAARTVANIVKTSLGPRGLDKILISSDGDITVTNDGATILSQMEISNHVAKLLV
ELSRSQDDEIGDGTTGVVVLAGALLEQAAELIDKGIHPIRIADGYDQACDIAVAELDRIADVIEFTKTRKENLFKVARTSLGSKIVSKAHDQFAQIA
VDAILSVADLERKDVDFDLIKVDGKVGGSLEDSLLIQGVIVDKDFSHPQMPSEVRDAKIAILTCAFEPPKPKTKHKLDITSVEEFKKLQTYEKDKFA
EMIQQIKDTGANLVICQWGFDDEANHLLLQNELPAVRWVGGPEIELIAIATNGRIVPRFEDLSAAKLGQAGIVREMTFGTTREKMLVIEECANTRAV
TVFVRGSNKMIIDEAKRSLHDALCVVRNLVRDNRVVYGGGAAEIACSLAVEDAAVKSPGLEQYAMRAFADALDAIPMALAENSGLSPIETLASIKSR
QVTEKNTRLGVDCMQTGSNDMRDAFVIDPLIGKRQQLMLATQLCRMVLKVNNVIIAGSDENEF

>RCO7_02600 | uncharacterized protein
MYAAFSNRKMASPPFLSSNRKMLTIFPLTPPQTPRKGLPTVAEIWGQFSASEDSLSHFATPCSICKTPKCRYAFQYRSRKQYMKVVHVADQKGVAKL
QPVEKVIPAVSVACQHNPKIITAPAVTKVETTPSSSDRSSVGISPNATLAKVLPSSAEIWSKEGALAVWAKDNLQDETQFKLFAPYRGHHSIPTHIV
DAVMKASNSDTRVFPHFPILPGELRNKIFNYVIEDELKKGRQVRVQYQAKSYNGRNHGVVACVSPPPALLSVCQESRSLVIPHYESLFSNPSQINQT
GALQKHTVFNFNSDELFLHSTGVTMLLHNLVSLMSPHECAKVKHLVIPLKEFISDRSGERTYWGPLMAKFCNLESLKLMIGEGYLDKQFIRNKYLRD
AKFVMEWYLEKQFPDKSKKAPKVTFQFVNTILAHALKIDELVFAGEGGFGPLKDGR

>RCO7_02601 | uncharacterized protein
MSSRIVRRIHSKRFISASTPPRERSEWRIEKFNVKCGSSGSITVDLHNSSALKNPSNTLIIHFPPSGTHLKHSHPSIPSYLINPKTALASINYRWNI
PSASTSQISSELYSSPSYSYHAFPKPLHDTLAGYSFLLSILPRYSSAQSPSLQATPSPALSPSQTRTANPRARNSIYASSPTTSSPLPVQRPILLYG
SFLGGTLATSLSLTETTSSRSNPTKIIGLIVKNGVYDWTDVATSPTPPLPPSTSPLPTPTQHNLNHKTQSPNLNGSWDLSTLHKARQSLFSSPASAF
DPFASPTLFFRTSGLAIPRSWPTDEDPTGNSSRSTSSDPSPLEAEDIWPSEEDDLFQVTAEELHPNADIPRRASPSSEASSLSTSSLSRSSIAEVAE
ESEKDNLSRRMSQMFIEPPSRPSHLKYPPANSNLKIPFSLFLYTPSTATPLTRARPPIKPKSKLKANIKPITKPSSTTEDKWRSELEAQIDTPPTPQ
IQAENLASLLQRSVFYHEFAERKMWDNDLDVEGESERRAVARCLGSERSDDEEEGIANGEGEGEVVRRWIREVAG

>RCO7_02602 | uncharacterized protein
MAKKSRTRNACGVVQSVLAAASLYGFLYLLVAAYQRAILPSPKDFDENPLSHHSGALSDQTDSRKSSSNAVAGKINPSANWFNRPESLVIPTDNYLG
KRPHIDTLANLTKLVEECRGSYEKIEKMPYVYDCLKYLDEGSKEYYYKPTNGQAASQQSPQKAEYLNADGADNTLSEYPAYKAASKASIGRCNGPIV
PYHVYWTGPATWRVELFIKSYFHTQNIPCVRLFMWLDGDRDSNAVDKMLTQDPLFKRFLPFVARGDIVLKTWKFPSRIPLPPGDNTDGVGYYKNPGK
PNSKNETLVADGLIRDANGQEWLVLTEKQMTFLPVAVSDAVRFIVLHLYGGAYFDMDVVMLRDMRPLLIGDQHSFAERWGGHPLPGEYNTAIMSLSA
NSTLSSYLLRGGVRMGLNFHPRIIGVMAVKDLRNHEFHMLETAAVDPIWTDFDKQLLGKCTVPCLHDYGQAFKGKSGFPLKDEWKTFDGPPLKLANA
KSKGHFWDVRDVGERTVTPVTNELAYDRDFLMKSEYKIEEDNYPPTNRTMENFFRGAWTYHIHNQWLKHPEPSSWLNVIQRAHDGFLSHDRMNPYGE
KWDGPNIPEYEINWEFR

>RCO7_02603 | uncharacterized protein
MSRLAVQTAANASTVTKTYTPRSVPGFTPECRDAIDEVKRTKRVWERDFSSEHDLAEYIRAKRERKKAIARAQRDLYRDKASKVKDEIGLWLLAKWT

>RCO7_02604 | uncharacterized protein
MTPGFPPKSIAFKWRSTTVAFIVA

>RCO7_02605 | related to ubiquitin-protein ligase
MTRDTLRVRDDRGTLSDADIYAALWATAPFPRLPDGASESFRRLTVEVDDPKRIYGIHKARRRHNFQVLVERYVLQIRYGCPSTTCTTTTCFSSRRR
VANGAPVRRYNSVSARTLAIYMASQDNPEMGLCHHNSAELFPADIPEPSMSKPKLASNSRTSSVHIAGVKSHRQETPKTVPKNGAFVEDLPDVDGHC
EETRPSEKNSRRNLELGITLPDDPVTTDPRSFVQNMFGTVAFRMIEWLNPRNFALIAQAQNPDGVAAPPSTISATPAQENGEDAISNAKYDPQVHGM
VEPGSSNDPDNDFGVTNSSSSTSGPGELSLSTLPVAPKPQSTISQSTGSQDPHHGVVPESRSRVNSIARTALGSNRRKKSDTTEPPTQKGILTKSHK
SLETANESCHTSATVSSITKHKIPKQTILTNSKMHTIPDLTQVHEFKQTSTTSSVESSETSELENKYGSSKSPEKKYALTSPTTKSSETPEERSQPP
ADVLLPQSMANLSTPSILIMCDIMQNHGMSEKHLFAPPSIESSWKTTHEHQVFSFPNESWKQNMSSESTSQWKKFIEQSFFDVLGKPDSLLDSFSNE
QSKLLDSQSIWYLMLRMTRVTPSLVLDSLWKVTEILFRPPRQLKEAYEWAKDEKTHSRKSLSNNEAAQVISICLHALIAVAPLVSDPHQIASMSRIR
SYGLTMLGRQSSAMEPVELYLAYEDAFANEYAFRLARRLFASIPTRRQFMELLSHQKSHQRSNQIGETTERDVLDMVLEVLKPVDLRATSIIRFSDE
ERDLHEKRVPTLLLDWARTVMLQEWEGSAEVPRDGPFGGALAMMAAIYKHRKSLILGDIHFRTEYFADRLDPIATPLEWLLYDQKKKTIHLLDHPYL
FNPSTLVSYFRAINYSRMNQSYEEAHTTGQLVSHFMSEGSLVTDNLKRDKLHERLRTATSEFMVLNIRRSNVLVDTFNAIWRREERELMRPLKVRLG
EEGGVQGLDSGGVQQEFFRLAIAEALNPDYGTFTIDSRTKMTWFQPGSPEPLWKFELIGMIVSLAVYNGLNLPVTFPKALYRKLLDEEVAELHHIAD
GWPDLTNGLTTLLEWDEKDGTVEDIFARTYEFSVDIFGTPISREMNSSSPRWPQFSDLVHNTNPLDAPLVTNSNRNAYVSDYIRYLTSVSIAPQYSA
FKKGFFSCISRKSISLFSPETLQSVIEGIQEIDISDMRRATRYIGWDASHRSIKDFWSIVKKFDLGQKRRLLEFVTASDRVPVGGMRNLQFTLQRNG

VDDGHLPTSYTCYGILLLPEYSSKDVLREKLSMALENSKGFGFA
>RCO7_02606 | related to YBR267w
MASIAASRMPAPTASGQADTSSSHPYTCNTCQVAFRNSDLQRGHMRSDWHRYNLKRRVTSLPPISSETFTEKVLQAQASSTAEANKASYEKTCTVCA
RTYFSKNAYQNHVGSQKHRAKMAAAEGTTIDDASSVMSSTFSLGEPATVGGDIDSDAEDEFNEVVESIKKSNLKDAPPATRRPSRPHHSAEGDKEGS
VKTASSVSAEAAESEEITLETALKRCLFCNYDSPSMDLNAAHMERIHGMFIPERTYLVQLDGLLGNLYEKIHEFHECLYCGKLKPTVFGLQTHMRDK
GHCKIPFDTEEQQLEIGEYYDFTSTYSDLEDESDDEDELPGKKQSGGVKLKAKRPATADIDGDEEMEEGDGWETDSSESSLDSDDLTAVPAGRSHQY
EKLDQHPHHSHDDPRPHRNKDGWHSHAHKHAHAVFYSEYELHLPSGRTAGHRSLNKYYRQNLHSHPSPAERQEQLAIQEAASSEEETDERVIRRTER
ERGRAMMSRANGGLGMNGVTAEKRKEVAAIEKRARKVQERDTRKYQWHVNKQNNMQKHFRDPLLQ
>RCO7_02607 | uncharacterized protein
MAEQMGTPGSNADLSVNGSKLGAPKDKACPFCHQQFTSSSLGRHLDLYIKEKNPKPADGVHDVIEIRKLRGGITRRQPRTSTSRREDSTPAGTPAAH
DRRSPAPESEGQGRGNRSPSSRRDDVGGVGDTVNFKGKPSFFINKGTWESTGVMNNIPPPRTNSDSRSWDGGEERETNRRLEPRSRSVSKQMLAKTT
FEQKQKMMDALDNAKASELALRELMGSIRAAKQRIDGPSIFDYDPLTLDFPSLTLHCLPPPPTLYQSTPIPSSTSWSILPPDETQYHALIEHFSSIF
HNWHVSVAVANTAPEDLSYPPPETYGAPSSPTEIAQRAEAAASSLQAKISQHLHNVYTHWTSLPTQKRSEIWILELARGVGRKASEIDKLKSERDFH
KQETAHLRQQVDELSRLQHPREFKLQPPSTVPVDGQVVKNLFDMGVNGKISQGFNILDRHVHIDVLVENVIGRWKGIVKEARGNTSTNRVGSAGSTS
GGGMKAQRSFSGESSYSSTNLRPRSQAQMHSQGLSQNQSQNHPQSQLPIQIQTQQAQRASAISTPQTTPVIAMDSSNLISPAEMEMDGEGSDIDADA
DADMDDDEGSYGNMNDSAPLSSTGFRLSSNGGMNGGGPGSGMEGLDNQLVQGYVRIGA
>RCO7_02608 | uncharacterized protein
MQRARKNIEPPSSPRKKHKPAASTPGPQPTLAGQKKIYSQDQTLAWMGAAPALHPNVAFSFHGDASMMAPETPGLSQSQSGSFNTQASEGDDQDMEI
LPLLTDEEFAALLQIRFPGVPLPKVFSEGESDLEQLTLANTAGRPGEERTPNSLMVPNTQPPGCCPNWPRCVHWGDSQWSTTSSSVFRRPES
>RCO7_02609 | uncharacterized protein
MRMAYARSNSISTLPTYIYHQDTFMAAHSGSEFDNDSDGEFFGCGKVFSDHADSWQGWDKSCSTTGNSLDSSIMPWGAIHQHVGRYAREKDSDIDRF
LILLSFEIVDYAKSMHNIPPAFAGTCSWIFSHPTFLAFNKAARGLLWIVGPIGHGKNGNTFLAVLKIIVKQLLARKPELTVHANASYHKLGAAFSED
LMELMTIFENCVKDARLGDTAILIDGLFECSDFQDEDFLCWITSTLGKAASVLRFIVTSRRFPTSRRNPSPILFRLHLDEDETAHDEICSDVQYYIK
TILNDSPITVQWTRSELTEFVTELTQHSNTFLWVNLFLEELWASKELSFVSACSLLKDTPDSLRAMYQRIFSKVTEGDQKSAKFLLQIIIAADYPLK
IEDLNWLHAAYSSDGAAERLDINKRLNSDFQVYLRGLCGSAVPVVDGKASLQHRSVKDFVMEESGSAWYHFTEQEARVLLLQCCFWRLRSIKNNVRQ
VTPDQKFPPEGALTPPFSSSGKQPDEFFDYAIRHWAILFNQIQKYADEGLVGQIKSLYEDQEVFQRLRESESESCKKVSHIQLHEAVSKALTNQPVS
GFGSTTVEIPRLHTDNSASRMYMASYLGHTRIFLAILDTNPLLIDITFDDGWTALCTAISSNQLDIVEAILTRKVDVERPSRGFRPLYHAATNLTSH
ISRVLLREGANVDALSYHQTTALHHAARNGRVEIVKALLDARANPNLIDGSGRTALHDAAGFFFCDIVDILLENLANPELLDNDSQTPLIVAVEKGR
KNVVKSLLRTIPENIFMDCHKLILHAAMRCGNIEILHILVDAKSFELYFKVKDKYSLSAFAYITSTCDIAALKWSSERGADLDELDLQGTTLLQRMS
MQDNVVGAKFLIDHGASTQMADSKGRTPLHYAAAGTGHEEMFLLLLKSGGDLEAKDHSGRTAFHDAVVHWRSQTTLRGLKSCGADIESGNLDGDTPL
QTAVRMQNSGLVKWLVTDVKVNQDVVSNNGYTLHQLHRESFCQNMDATATGIYDQAEIYRFWCLSQTPCQDDNLLQQFNGTLGEAFLRKSRMITEIL
NLSGAFEMGRDLLLRVSFQQIARLDTTLYIAPLPHSSSALLENHQTIHAPQISSAAPGAASSNDPLKNFSKALTGTAEEIDPISGTVAALIPTANMP
QGHDNEGAFIVEQADYFTAGQAAELGAMEKGGRIVPLFEPATRTVPHAMEISQQKVYVHHPCNSREGLDPNQLGSHTTLRGLLAEGAGGQDISDSDR
KDIPQSSCSDGDSSKVQATPSYMRTSSNFVRENSDTDRDISDSSRRLLPSLNEAPPPSFTWSIYSGLLTPPQHDFSPQTQIPIGDSFGLDEYDSDLE
SLNYTESSEESKNTGPSLVQLGRGGAPEVALALEATRRTIVDLLQVLAVPVGVSAQNIVSCTQDSGPSRKPGPGGEASDQTSSKGKALVKNSGFGKR
KKSWIDDDDGGDHGDGNGDGDACMGDGRDSTCPNQAHCTGCHSSDSSIPGKIRSKHMITADSGKPLLKQCLYFAYNSDTYQDESCDNPISEVHRLYQ
HIDRHHSIFLCNRCQEPFKTEPLLKEHGKGGQDCMWKERDDYSTGCTDGQRLALFKKIPKIRNQTIDEGDKWRMKYRILFPNTPESEIPSPYMEVPN
VTMSEM
>RCO7_02610 | uncharacterized protein
MATSQSSMEPMGGASQKAPMVASPCLAMDQYARRSQPTVTERIAHGSTAKERDERIAMTKKNVDKWGRVLGVKNIVAPVKDKMTDELKKM
>RCO7_02611 | uncharacterized protein
MFLLSWSQNVSYLPSQFDSLPPQGLLAAQSGSSGFSWDPLSFAFTAVIGVLAVIVPGITVFQGLLSAGPSRLKASKAAIGVPAGKTNTQFHRDEFQY
RTTPMVPFIRELWRFLATENIGSKIRMYPARWVTLPEIACLSPSLDGIETVGDS
>RCO7_02612 | related to DNA alkylation damage repair protein
MADETTSIIEPGELAAHEPVPQIFKHAFKLWKGRIDRSNRGTIEGLIDLDSAGVKHCNITADIFSEAIQAFQADAGLNRKYSSTISEIPGKYIIKSY
SLTSIPGLIVIPSLLPPATQKKMLSRLFHRDLSNSAHQTNLHLHYDVQYPGHHASEYAGGNAGSFFGDSPDHVAFLPKNAQEHKPLTIEAALKKKLR
WMTLGGQYDWTTKAYPKEPPPPFPEDIASFIRTIFPTMEPQAAIVNVYSPNDTLSMHRDVSEKVDKGLVSISIGCDAIFIIGLADKDAPPVFEVLRL
RSGDAVYMTGQSRLAWHGVPSIIPDTCPNYLEDWPGEGFAEWKGWMKEKRINLNVRQMFHDEVGKEQNRL
>RCO7_02613 | probable CDC28 - cyclin-dependent protein kinase
MENYQKLEKVGEGTYGVVYKAKDLLHNSRIVALKKIRLEAEDEGVPSTAIREISLLKEMNDPNIVRLFNIVHADGHKLYLVFEFLDLDLKKYMESLP
VSDGGRGKALPEGSGPDLGRLGLGDAMVKKFMSQLCEGVRYCHSHRILHRDLKPQNLLIDRDGNLKLADFGLARAFGVPLRTYTHEVVTLWYRSPEI
LLGGRQYSTGVDMWSVGCIFAEMCTRKPLFPGDSEIDEIFKIFKLLGTPTEAEWPGVMDKTCFPDFKPSFPKWIRDESIPLCSNLDEKGLDLLEHML
VYDPAGRISAKQACMHPYFEEGSAAYSGRGLGPTYTKNGNGYHNH
>RCO7_02614 | related to FMN1 - Riboflavin kinase
MADKAEEAPSAEVRATRPQIIGPDSGPEPPFPLRMSGKVVSGFGRGSKELGIPTANIPVDTTPWIETAESGVYFGWASLDLPSGHPSLDTPPSSSQA
STTFTTASTTSIPTPSPPSPHQNNWRVYPMVMSIGFNPFYKNTVRSAEVHVMQKFDKDFYGAEMRVLLLGFIRKELDYVSLEALVDDIRTDIEVAGR
SLGREGWRKLGDGDAEGGKGEGKWLWGGGEGKGGGKGEREGEKL
>RCO7_02615 | probable Transcription activator of gluconeogenesis BC1G_14637
MSGDTDEIDDPEVSDGASENDYSDHEHDPNVVDKEEDDNTDMAEQKFRPDVDENGKVGGSTVTTKPKLDPKDPLRPRRKKARRACFACQRAHLTCGD
ERPCQRCIKRGLADACQDGVRKKAKYLHDAPAEALRPVLGPNFNQVNSSASHSHNQQITTSSASDTSPGIEGFYSHPDTSPSYPIFPPQQNQMAPPL
QQGLSYGSQHPSPLSPNFQNQRQPTMQSLGIPQVSSQDAQANFGGAMFDPSNPALFNFDLEGLNFGNHYGALEFGMLGHMSSGAQETSPKDATSISS
QSMADVNFNNSSVYGSNLGSFSQLYGQDMLQDYSGMDRQNSMFSMHHGLPHAYAIGTGGTSHHSPSTDASPGASGMGFESSPTASGYPPNLPPHQSS
AAQRPVKRQDTKSAAGKFGPSSVLGKRNRDASSIYDTVHEPYSYTTGFHSLTALLQRRFSPNKTLRIAKSLASIRPSFISCTKTLNRQDLIFMEKCF
QRTLFEYEDFMLNCCTPTLVCRRTGEIAAVNKEFTLLTGWKKDVLLGKEPNLNTNTGRSSAETSGPASLTNTGRAGLATPRMKPLSLADQQGKDGRP

QPVFLAELLDDDSVVEFYEDFARLAFGDSRGSVTTRCKMLKYQTKDDIESPEQKEESAIARANKREIAGGIGGLGNRVREIDGEHGIERLHRDGKLD
CTYCWTVKRDVFDIPMLIVMNFLPCI
>RCO7_02616 | probable benomyl/methotrexate resistance protein
MAEASEKPVIEKSVSGERSPTDGSCYDLPPTKEFEPIGGSGEATSSRPNTLGRNRTGGSVRSNISRTRTHNGYGCDENGNEEGSGQDAERGVEEKDP
FEVVWDGGDMDPLNPRSMSKGRKWLVVIIVSLSSLCVTCTSSIYTLTYGQITEEFHCSRIVATLGLSFFIMGLGLGPMLLGPLSEFYGRRPIYWVSF
TMFLIWIIPSAVAKNIQTMLVARFCDGLSGSAFLSVAGGTVGDMFNREQLQLPMLIYTASPFVGPSLGPLIGGFINQYTDWRWTFYVLLIWSGANLG
MIMLFVPETYHPILLRNKARKLRQETGDEKWKSSMDRNTKSIPKTIALSLQRPFQLLFLEPMVLNLCLFSAILLGILYLFFGAFPLVFTGNHGFSLS
QVGLSFLGIFVGMVLAAATDPIWHKNYARLIRQREERTGEVGGSEPEYRLPPSICGAVLVPSGLFMFAWTTYSSVHWIVPIIGSTIFGMGTLLVFSG
IFTFLVDAYPLYAASSLAANSFARSSFAAAFPLFGIQMYHTLGDQWATSLLAFLTLAMAPFPYIFFVYGKRIRGTSRFATA
>RCO7_02617 | uncharacterized protein
MKLPSLIHLVVSAASAHAALLKAYEQFGGDAFPNYQCLPSFGSVVPHLFPYAQCGGQEFRGSTICAYGWDCVIINQFFSQCQMNTNYVPPALSPTPN
LAGPGNFCAGSAIARGQPAFGACCYAEDEHYFYEVDFKIDFEVIDIAAY
>RCO7_02618 | uncharacterized protein
MTYTHRAIRMATDYRTSVET
>RCO7_02619 | probable glutamyl-tRNA(Gln) amidotransferase subunit A
MVDWKSSGIAKRESVNALIPKAWQLTSPVPTSTEQRDVTGKYIEQYLTTREIEITQTDAVGIVSNTTSGTWKAREVAEAFCHRAALAHQFVNCLHEI
FFDAAIADAQKLDDFFSKHGKPFGPLHGLPVSLKDQFHVRDVETTMGYIGWIDTFEGKKGTGKEKVFESVMVRELRDLGAILYCKTSVPHTLMAGET
VNNIIGYTWNPKNRNLSCGGSSGGEGALIGLKGSPVGFGTDIGGSIRIPAGFNGLYGIRPSTGRLPYEGMANSMDGQNSILSVVGPLGTSVGGLKLV
IKAILSQQPWLHDPLVVEIPWRDEQEQAVLDVIKSSGGSQLAFGIFRNDGTVIPQPPVRRAIEIMAKTIEKLGHKIVEWKPPSHALAAEIALKSWQF
DGGRDIHAALDLSGEPMANQVAGAYGKVKDEFTATMIGEVNVQKRQFQKEYMEYWNSTVSVAGTGRPVDAVIAPLAPFAAARPDMHKFGKGEAKLNR
VMPGYSIWVNLLDYSAAVLPVTLVDKNVDVVGEGYKPLNDTDHKVWEAYDPEMYDGAHVAVQIIGRRFQEEKVLALTEYLGDAIGKHVV
>RCO7_02620 | related to binuclear zinc cluster transcription factor that regulates the ratio
between aurofusarin and rubrofusarin biosynthesis
MSVPGPAMDDILGRSTQRTKPQRVLACLLCQQRKVKCDRKHPCANCIKSRAQCLPATQVPRQRKPRFPERELLDRLRRYEDIMRRNNIEFDPLHKES
SDRNYLKGEGVEGSDSDDELPKTKCVDRPSPATTTGSEKVQHSKNILHAMSQEFRDPDNQSHSSDDDVREIHIQKAMETIKINDDHLLFGSGKSCVD
ISTFHPEPIYIFKLWQLYLDNVNPLLKVTHMPSVQGRIIEAASNVSNIEPPLEALMFSFYCVAVLSLEDSDCVTMFGSTKEALLVGYHFGCQQALLN
CQFLRTTDRECLTALFLYLVSIRPVSKPHSISSVLGIAIRIAQRMGIDKESILAKQTPLEAELCRRLWWALILFDGRVGEMAGAKMSSLTPIWDCKV
VLNVAEADLRTQMKEPPQAQSTFSDALFVVVRSEVANFVRYTKWQLVSPLLGRHSEFPCRTLINSMGSIDFSSPSLLPVILENHRHPISEGSEMGSL
ESMIEDKYLKLCDPEIPLHFMTIWSARALLAKCRLLEHYSRSSSVPRAQADAAREAAFGHAITMLECDTKVSTSPLTVGFRWMINFYYPFPAYVQIV
QNLKRQPLSPLSERAWEAMNNNYEAHHTIRSQHDGMFYKILAPVTLQAWAVREELSEQMGEPSATPRLISHIRHIMQQNAPAPDALQQQVVLDMNIN
AFPMSIPMAYDQNMFFGVGSQPAFSAAPAPWGSPDMLGMPPLSVDPNQLDWSSVDWNLGDAPHVPGQWSQ
>RCO7_02621 | uncharacterized protein
MSPEVRQTLYEILLEIEGACGAYLLRQETVNGCENEPWGADRGLMRTVLAFGLESYKEFGPEFGREFTSYIIIGSGVSVVFTNRAQVKGRLVVDDDG
AQSRIRRQLALEFSLLDTETRLIYGKTQLTTIFEMSSPKIYLRGPTLIQDCSEESRLSLMLETMQFKSNKCKDCGDLPEDNLFWLYASEQLEASSPV
RGP
>RCO7_02622 | uncharacterized protein
MLSGFLESNYKKYKQDTSVFVRWLYKSGQKCGYSASPSGNVQSSDVPAKAPRLKGKARKLAKKGLSDRFSPTDFHKMASGDDAAFETFENLANQFVA
LEVEEPGKFESEPEHATQPSAAPIFEVEMPNNEDDLSAEKLLAIYCLFDGLQQLRKFVHQCWIEFALEKTTLIAASIMTNAAFQLAMRMQEETFEAL
PGTGDYQDVLSTLAVYNHKGGNEAPVGDGLIDFTFGRTHAILDKFCSVIVPGQFLLMKRGHFGIYWPRAQRSTRTANQQQIEDHIVLLELLPEFAFI
AIGRVPMIAMDELTIGLGRMDIDQLLLEDNIFNTKDEYFGEIRGHPIGEDERFYLLKRHPQKTTLVKLWPLMDQAFGIHTEEQLFLGEPPKTIQKSF
KQVSLMLGYSATIFAKNRRMAKISQLDVSKAGPRPLRDPSRDFDLGLNPKSKWRCTEWAKSKRLTALKLLEALHEFIPIELKKLAFDCFEMYK
>RCO7_02623 | uncharacterized protein
MIAAGSNKTAKVLGLDEEKVGL
>RCO7_02624 | uncharacterized protein
MSSPPFTSTSALVLIDVQNEFLSPQGNFPISDMIRPFLLNNLKTLIPRFRAGNGRIIWVQAIYANRESEPPIMAAQEKGTGIVGSNNWLISATHVFE
VPCCEANTWGSNIHPELLKLAEKGDEVVFKQGYSAYWNGNHSLSDVLKEKGITDAYFCGVASGTCVLATVIDSVARGEVQVHVLPDCMGWRRENTHH
EAVKRFEELGVDVVPSHQI
>RCO7_02625 | uncharacterized protein
MSSATILNLISLDCDIPVPNVYAERGFYSDIFENLLNSAVKTENKSHGGSIPADLDVRVTRYDCMGGDLPSTRQLEGVQGIILTGSAFSAYDDVPWI
HNLIAFVLEIYYDFPYIKIFGSCFGHQLVAHAIFSTPYSPVVYHDPAGWELGVQPITLTPPFLSHYGPVTSNPSSPSHSRLQLIHADHVLIPSSLMR
KKGFKSIGRSERCAVQGIWKDGRVLTFQGHAEFDRFVIGETARFVGMDELSVESVMRDDDALWAAGVMLRFFLEVKKTSSRVEMDARVKKDSLYRSK
EKIRIDLIQV
>RCO7_02626 | related to RTA1 domain protein
MAGRLNRDICVAEIPGLGSPYGYVPSFAAGIAFCVVFAFSMFGHIFMAVKNRTWWQFIFVVGALGELIGWAGRTWSNKCPYQTTPFLIQICSLILAP
AFFTAGIYVILGRLIVTLGRHTSPISPNMYLYIFCTVDVISLVIQAVGGGMASVAFQQDPIGNTDTGTRIMVAGVLFQLSAIVVFSFLFVWVVLKGL
KSRGEVLRETKVRLVLGATVVSVAALVARAVYRTIELLQGWEGYLITTEKYFFALDGAMMVLAVVVFNFAQPGWADPWKGKIENHSNVSQGDMVQGS
PYIVEGDVDRYRK
>RCO7_02627 | uncharacterized protein
MASKSLNEVNDLQTQRIKQKTVQPNNGVKVEPAPHKANPIRLYSWNSFITDTREFIQQNCHQEYEKIKNDHIIQSSFTSLSEQSPALSARNGLVSGA
IYAYNHHHYLVIRPEDVWFSILTQLNFYINANAEKLRSMFVAHEGKRKLVLVAGENGMKAKYDSVFGVDWASFSFLMGKKLSENILDPTLRDWFMPA
FSTTTEADQATASIILMSSMQE
>RCO7_02628 | uncharacterized protein
MRLKISGNTVRILWAAAPGPDIFPAGCQPSVSGTSKESAYTTPKTGILLRRTSSILNMNESLLSMACATIGSILGKSPSGYTSVPVELDNDGRITHA
EMIAGSVGMLVSYSGLELTPIEEEGTPDVNPGVTYDTIQPASGWCMYEVEGKNAKAGKIE

>RCO7_02629 | uncharacterized protein
MPNQPDAMSLDLPPEVLKTYEFLLSNNTPGITFLFSSALSTALQIPAELLALVYVTSIASVFGEFRRFVAIKVFTSDGLGTKIEPTSLMSQLWSASI
LDTMFYVELQDALELTLHRQPAHETGLFLSTVQDGMHTIEDAGKLAKRKAAMKGIYVAYFSMAPIEHRVLNPRTAPPPLRTDLPPLYTGLTPLRTSR
PPLFPTPPSQRLRRPPPPRRISVPDQVTPVVKSIEQFTFIALKVKLPDGKTIEIFTNSDKTVAVLKVAVTAVMGCRPKNIKLVFQDVVLNAGQRVLS
SFGISGNDTIHAVRISSYEPTRSMQIFIKSWNGKTLTITTGCASAVKSLKKSIYEKEGIPAEYQLRDWSGIDSLPDRHGLAATLHHRTSGASLDARE
AQNRERRLNAMRGIYKAFFSMDPLAPLFKDGLGVSPPASTGTPIHVARGQGIQIFIGSSNTHLTINVYSNSVVDDLKATIHERTGFVPGQMRLIFAG
KQLEEGCTLSDYNIRNASTIHIAMKLKGC
>RCO7_02630 | related to MAM3 Protein required for normal mitochondrial morphology
MASYTAITGRQSAYHVPSTRRPAAAGIAKVILLVLAQVSHVVAAPLKEFLGLRKEDHDHPDAGDGSLWLYLTVAGVLVLLGGAFAGLTIALMGQDGV
YLQVIATSGEEGKERRHAQKVLNLLQKGKHWVLVTLLLSNVIVNETLPIVLDRSLGGGWPAVLGSTILIVIFGEVIPQSICVRYGLSIGSFMAPPVL
WLMWIMAPIAWPTAKLLDYMLGEDHGQVYKKSGLKTLVTLHKTLGTSPTERLNQDEVTIISAVLDLKEKAVGDIMTPMEDVFTMSADTVLDEKTMDN
ILSAGYSRIPIYEPGNKLNFVGMLLVKILITYDPEDCKKVSEFALATLPETRPETSCLDIVNFFQEGKSHMVMVSEFPGENFGAIGVVTLEDVIEEL
IGEEIIDESDVYIDVHKAIRRMAPAPKAKAHRNSVSNEIPIVHMPEDQLIDFAEEQEPTVKNIKAGDTLSEHIAPTNYGTSPKTTFLRRSSSGMDGN
TIAVRGNMNDMREHLKHLGPSNLASRPKSTRYNTVKIKSALGVRSDSRTGSSIVHEPVHEEHYLDHPSPAPQGGEGEGLLNNAGKEASDGVHALQQG
YGSFKSNSPSRPFGKQYDGKNDENEPLIRPQSRPDSPDKPVTRLDSHDSQKSSDTLTSLRSTGSLQKIKGTTRSGSITENIIEAGGIRKVILETTSS
SSGDEPPKFGERAGNESSEPNQNESNSKKTIPKPKSKSKPKLSPGTSKVQSEHSDAQAGEDEDDASGAGGGVTGEQVKKKRRRTRKKKAKGGEEGSN
GGAAAA
>RCO7_02631 | uncharacterized protein
MYCIECGSTLPTNRTPQTICSTCKTPLSTWWDESSQTYRTNRESILGGPYQRALSGPVGKRHLNLNESGPNAVINPNGGSGSARFTHARNGNGSGTG
TGIGDLVPGLRNGGAGMTGSEIGGMEALAMEYGISIQEVEKMRSRRNQQTEEERNFNGALVTLELHFERPGSYLMKAMVEVKKMVGKTLDLSLNKAE
VRETLAKNVDVWMHLQKIFNTAIPSLEKWSVKTIDSPTDLARSGHDVSESAELILKNYDALREDLHYLNNLLVISRNMLAIKDTAQELCATVQFDRA
VHRLVALCVNVTSKGYDGETVDDAKRLRLNEITELYKKLLVTCLQHTHNWTMGNDRFKMSFWFEMLFDEDLKNDPIHDLPPDNLDVQMTYQEVGNWI
RRHNRRDPLAAKLLEAYSADVASGYTPGPLPLPESEDVPGETEESTSPIWKPDLKDKPEQDRLYARVSHEIDLWWKKVRDRNFDGWVVQMESVESAK
IRAASCIENAMHRYLPRHHDADHYEEQYEHQHENGIVHADEHDDRSLHGEDGEEDEDEEDDDDSYSDGPLRGLLTEIPNILDTKQIEALHMTVKACV
VDSMGSGLTPAGENLQKTRCKMFLALDCGKNLLREMLVFIAVWEQTDQQFIFQITAQIIESFHHNALLPYAWNSLRILKDIVSPAQTVLLRLINYMF
RARKDSPIYDDVKDYQRDAKLIHFLYGYFRTRVVPDCLALIYAQAQIRQNKKHVSDFPVDLWDMERAKDGLSQYLDFLSVIAELPEMRNLLIEWDTV
YELIALLKALEAGVARKALDERAHPSSTTTPQTQHQPLPPQPPLHDTPHRFPWSGIKIQILIILTALIAPTNTRRNGPGNPTVQKQLLSHDGVMPLL
NCCVYDGWNEYLKERATLAIKFLMEGCREAQDFVKELVPVKQAQVKAQMESREQAQIRAREQAGNTTGVGPAASQNQEQVQGGAVGSAGGSGGDNAS
GDMMPEPSGIAVAREMDSKLVELRNNMRSVQIGSKGNEGMASNSASDKPTKR
>RCO7_02632 | related to choline dehydrogenase
MFLPLGGFALVIASLAQLISAVKNEYDYIVIGSGPGGGPLAANLARANYTVLLLEGGDQSTGAAGNNQYPPQITWDFFVKHYDDEERKLKHNLLTWR
LKDGGYWVGNKNVPAGAKMLGIYYPRGATVGGSSMINAQVTFLPSESDWNFIAEVTGDKSWSHANMIEIFRRIEHNNYLPRGTPGHGFDGYFHVGLP
KPTSIQEPGLSVMQAVASSFSLDPSKVLQMVSNDSNFLDPTRDKQEGIWGLPSHIKPDGQRFSSREYINDTIAAGFPLTLSMNSLATKILFGKPTAR
GSNPRATGVAYLEGKSIYSADSRFTTSNKGVPKIAIAKREVIISGGTFNSPQILMLSGIGPAKQLKKFNIPVLVDSPGVGNNMQDNQEVPVVGITQQ
IGSGGPGGCVLIKTKHAVYDERDMIMFQGPFVFRGFWPSNQSNTELPTNKPGTYGIATVKIHPQNRLGTVKLLSNDPQDMPEIHFNLFKEGRKTDIG
AMKDTIAWARRVHASVKAPVGPITSTEPPCKGKPDTNGSCGEDDEDWIIGQTFGHHPTSTCAIGGDDDRNAVLDSKFRVRGVEGLRVVDASVFPRIP
GAFPVVATYMYVSSSYSTNPNQEN
>RCO7_02633 | related to SWF1 Spore Wall Formation
MGALRNVAISILVISFFTFVAFFGRLPALRNTPIGALHRLLWIHIPATLRSWDQRLTQGRLSAWVTRQAHILWNDRHPVVMIFFILLLSVSEVLFLP
PAWNLLNTFRKFTAVTLLSLPYIFLYASAARDPGYISPENHSQAMSLYPYDFTIFHPGQNYFLLLLWTTGILTSYAAYIGFSLLSDEVRKQVPSWTF
RGIGFTWSQFANVWGWVLQEYTRIGAVTLLCFLTTPLIFGLLGYHIYLIWVGTTTNESMKWSDWQAEMTDGFAFKRALATHRHKDETVEAAWTRWPV
ESQQVVLRTEDGEPPRGPGAIGIGEWERVWRLADVENLYDLGFWDNLADVFLPVNVFREREGAGTDSEATRSRSISPLEAHALAQQ
>RCO7_02634 | uncharacterized protein
MAARIVYEGAAGKGGDLFQGMKIWLSLRVPSRDRWKEQVESNGGVIAKLEKGADVIIVDHARKDYPPGSISWKWIEQSVKKGVLEDIEDHRAGPVHG
QVREVGATQPTKKTRTKFTPADDQLLEQMVARAERKGLPILGNVIYKEFAARYPHHTWQSWMDRWKKYLSSSSRPSLPEDDDEEEEAEEEVPEPEPR
PVPAKRRQPRFGSTVSSAPSISGHRPSKPRQISQPKLPKKPRAVSPVVSERSHNSARSLQRNPFVLKSTGGDVFTADETKLLFDAFNDIMDLSDDQI
IDAWIAWSSEYPNHTPQEWRNHFKEYVVPTKLSRLEPKKAAKRAKDMLPPEQAKKREPAPNTRIVVPARPRGNEIKDSQESSGQTVLSPAKQPEPVE
PYEADEADEAIETVPSHISSAEEFEVNLLALADALELEIEPNPVICDRTVPLFDLWQVVRQDEFRGYDNVTGRKLWRRVAKKLGFVENTNNAGRDLQ
ACFSEILCDLEEIEQRQQEGEDMTSSQEQELILDQLQQTEGHTEDFAESEDEGKIVLSEDQEEDESLRHQKEQRELLREQEENDNDLNVIPISSPPL
ASSITSKGKRRSGNYFMSPDLPRNKRQRINKGKGKERLEIPSTPEDVINNTQMSRPTQQLSPLKHLQAESSSSVASSPIQEIRPMKLERKKAVARQH
IEPEKQRLFYAASEYPQRPNDDDDDEDDEVDSLGSILGPPDKEIDDPSDKEENGLFIGQELPSPPDHSCLRNVSNTTTRGTLHSSNNNDSSTQSQND
SQSDLATWINKQVSDGFTQDIVVEAVQAASGCTDEALIAMNALADGTGLPENVAGVWTAEDDEALDKRKGTEEFKHILFKHGISRILKRRQYKALLR
TVAEQEGVSDI
>RCO7_02635 | uncharacterized protein
MKLEDSPDLPESPQPAPSSPPDVPMTRINQPSGGFFIPSTVLFMKDFLDTACRTSSSPLNSIPISQILYNILTAYLLRQTVHNNPHNDFNHHTIPCR
RHYPLWRQTRYCGAQKENWAVTKKFLHDFRPCIDVAGDLFYFCEPEEYKKAQEQHEISVKRKHKAGENIGVRRPIWDDGYRTPFAGMRITVTGNNGV
APMLVRDMMQGWDGNFDVLWSVVIFLGGWMGGAALFAPTNGEIIEKVEVEAGNAWVLRGGIGSGKGCVFGLSQGPIIGERIMVELYVPVSGWTGL
>RCO7_14024 | uncharacterized protein
MEPQRRLSTRVTCLGRAADSLESQTRQSDPGIWETHDIIETHGTADTEDARERRDSQGTHKTKAKSESQDWGSQISDQKDVKLVIVNARFSAVLSA
>RCO7_02636 | related to SIS2 protein (cycle-specific gene control)
MADQSHAQSLRSQFINNLPKTASSSSIADMRVNESQKLRVLIAANGSKDVAQALALVVRLSKNTKIETRAIVDEASWPAHRLSQETLALQNRCFRAC
RETDEAQKTIERAQIEFHKQQACELADWADMMVLAPIDADTFAKMLHGITDCLLLEILRSWDVSKKILLVPGMTTAMWDNPMTKKQLHKVQKKWSWV
RVMQPILWNYDNGPTKKCLLAWDGFNDLVDAVKNQAELMTIGHDVEVAASGAASLARYNIKTDCLLPPEIWTLIFERVGDWEVARALNVYASIPTPT
EWQPKPGDHKDELHSYMRSLEWTILTCNTEKIIDKLKQAPENMKFLSSLCVKLVIKFCLTDLLTYLETNFKDVFWSSFGQKLLPTKASAVYGRTEIL

EWWRTSPSFLSKDYTAEAVDGASKSGFVHVLEWWRRSGLPLKYTVSALEQASSKGHIIVLEWWKQASTLQGSHQAENDSRQRHVFPSTASDGNITPI
EAQPALRLKPGKALLAAAQNNQFLVLRWWDNSGIPISHSESVAKIASAHGHVAVLDTWRELKGEKLAFDNKVLVEPTKNGHVDVLEWWKNISRGGDG
RPPVRVEYKTCDIEEALEDSVGSEGTAFMVKKWWAQNGLNLGVQVSEWTKVKNL
>RCO7_14025 | uncharacterized protein
MHYNRQELQIHSFYHCLRLLHSRLLHSRSNLKVDTHKYLLMSRPSQYPRESASENGEYPAEILGVPSVIAWEGITVSGTFSTTNLFTAKINSDAKNK
KLYEFSGTGSTLRLTLKRDGYSWNCFHDQNRVLYKEGGDTCYPQYYCQ
>RCO7_02637 | uncharacterized protein
MAEFSWNSDSDIYGTSDATPPSQPSRESSHVLRQRERREKANHTKHYRRLNTPGRTAKAAKAAKAGRAGKEGYSESNIRPQTLVSPRRKVHEEFLFK
TGSTLRFYKLLEHREDYQWQDHRTYVEPRSSSHPLAYELMHSVPNMPGLEFSRDFVDWLLPTANNTHLIVKTIHNDPQKVSQKDPQKDTQDLQAIMV
PCPNFQNWRWKNMLRFLDQFQQTKTSCSWKHHYEQEGTLDLIKNCADFQAEFLRYDDPRHPKLKDIELVVFDALRALALSHQIADIMTLLNDSDFDT
HGYTKPTILQAPNGKMIEVTKYDQKSHGEYSMGHNQLEGNKLSSILKHVVLTCEENVSDIREGPVIAVVICLLNLVAANLASAVECVNTFDVDKLET
VLQHLCAFLESSSDGFHHPFRKRNDDVHYVGKTDRAYEIQGMLFQDLYRVWNDGGFWQEHENDPLLTKLRAVAFGKVGFD
>RCO7_02638 | uncharacterized protein
MEEINTNLNNADTPSASLSLPDISPPSTIDALFEAWLGSIDPEILILPALSPSESLCHLIVPAKIGGARSKGQRRLSDNHIMSHKILLWRASRIEVY
DPELEKKIKLKTILEMFTIPSNNFGGHILEIATVLKERFEKQNWGVVVPAPVTNAASGTGQSKSPRSESDNDLEFDTDDFESANKGSASNPKPKSTS
VHRYKITDADLSSIPRSANRIKTTCIWALAPSYHPLFGLNGCMHHIAMCDSSNYYISGGRVNAAVFGHNGLEMGQCWARRIDAMRDGVHGVTQAGIF
GTAMKGVYSLVLSAPYSGLDEDTGEKIYYSVSGAVKATSSEPKLDAPTTRALLKSIDTGTGIRVLRHGKHKGSWKGCPVEGLRYDGLYQAVGWATKM
NQLGGKFAQVGLVRMSGQADIREDKPNREDLLQLEKMKDGY
>RCO7_02639 | uncharacterized protein
MLSISRLLTACVVFYALWMLLELIRVKDDELQVDEHISWKDDSRKKTWSEGDFISEAMISAVKDDFKYEYIAEICDQGLWDDSVVFECQNLIGGIGN
LRQEILHCIRYAIDAGAGLILPVIKLRKEGDLSNLEGGTASMDYLFDKERFLSRMQLACPQMKVYQDLKELESMGIVKKTELVDPKKLSHPMTSRIA
YSCRDHIKEIRAPPGQISLVPLGNLWRHFPICHDSVGFADAFGNLLPLRRDIHRLAATALYRLHTIYGVQIDPSVATTSVFADSFIGIHLRTAKDIL
SYWLGYEDQASYYIQRINASPYLTSLPIVFVASGNATSISDFSALQEDSLVQPKHVLTKHDLLSGDDAVELAGLTWDQQALIDYLILSRSGFFMGMA
DSSFAWTIAVTRRKETSAGTCAFPKGWWKSKLLGTAIRDDYSDLLGKHGYGWEDKMWP
>RCO7_14026 | uncharacterized protein
MPWGWFSGQLQITIPRAIITYRKQGCARMSAEQLPGRLAVPCRNWRAAGELEK
>RCO7_14027 | uncharacterized protein
MYATGSHQLETPSERFSTSFHSNALQRDRPSTSGAGLDGVRQSSRFS
>RCO7_12012 | related to fusarin C cluster - polyketide synthase/NRPS
MVSTKPVNNNTMKGGEPIAIVGTGCRFPGGASSPSKLWDMLLDKRDALRAIPMDRWNSDGFHHSNGERAGALNVKHAYLLRESVREWDASFFGVNPR
EAEAVDPQHRILLETVYEAMESGGFSMEHMQGSDTAVYVGVMTADYYEMLLRSPESLPTYFATGTNSSILSNRLSYFFDLKGPSETINTACSSSLVA
VHRGVQSLRSGEARIAIAGGANLILNPEFMATESNLHMLSAEGRSRMWDAGANGYARGEGFAAVIMKRLSDAIADGDDISCIIRETGVNSDGRTPGI
TLPSGEAQTNLIQQVYRRAGLNPYSAFDRPQYFEAHGTGTPAGDPIEANGIRDAFFSEDVKREGENLIVGSVKTAMGHTEGTAGLAGLIKASNAIRL
GVIPGNLLFQSYNPKILPLLDHLVLATETQAWPAPPAGQPRRASVNCFGFGGTNAHAIIESYHPAPVLARKQLMPASSQAPLAIPLVLSANNEVSLA
VMVSNFHDFIQDNDQINLNDMAWTLQNRRSELALKVTFSGPTREGLLDNMAKVIEKTRQTPPAAIGKRRDNRSKKARILGVFTGQGAQWANMGRELM
LSSSMAKQSVVQLDAALAELPDGPSWTLEDVICDKQAGKRIDEAEFSQPVCTAVQVMLVDILRSVGHTFTTVVGHSSGEIGAAYAAGVINASEAIKI
AYYRGLHTKLAQGPSGKEGTMLAAGLSHEDADEFCCHPTLVGRIQVAASNAPESVTLSGDIDAVKEAKAMLDERGIFARALKVNKAYHSQHMNPVSV
PYMTSLRACRIQPKLPIDGCTWVSSVTGDPIVDEMDLRALTSVYWKDNMLKPVLFSTAIEQAVLGEEAFDFAIEVGPHTALKGPFLQTYKAATGSNL
PYGGTLARYTNDVGAMANCLGGLMNYNAPSEITSDDYIRSFQSGVSPILATGLPRYAWDHSQIYWGETRYSRKYRQRSKPRHDLLGAQLPDDLEYDM
RYRNTIRVSETPWLAGHKVQGQIVYPAAAYIVMALEASKDLAKDHPTKLVELLDIELSRAIALEEGSSGVDTLLTLKKTHEGPLNGENYIEAEFAIF
SAVGVEAENWDLNMKGRMRVVLADSNTLDIILPARDDTPVLLSSLNVASFYESLAEIGFNYTGLFNRLTSIDRRMNRATASAIEYPEDPEMSAMMHP
ALMDATFQTVFAALHFPGDGGMASPYLPTGFKCLRISTDRDEAAEATPITIDTFITSNKDMKIVADIEMCNSTTGVPRMQIEGLACTSLERANADND
FELYSQTIWRPEVTKMVHDIVETSESTSSEPSLVDLCERLAYMYLRRLDASVPRQEVESFSWNHQRIFQFIDHLFPVVQNGQHPTLRAEWAEDDFEW
LEAKAIKHLDQVDIQLITTVGQNLLSVVRGETNLLECMMKDDMLNRYYALGQQIKESNVSLSRAVGQVVHRYAGMHILEVGAGNGAITKGVFEEIGH
LFKSYAFTDSTAKSFDRARENLQNWTGKMKFQQLEIEGDIVEQGFEEHSYDMIIASNVVQTSQNLQRTMENIRLLLKPGGYVVLQEISVPDVLRVKF
MTLGLPAWWAGDEDSRRLGPAASMSQWTSLLKETGFSGVDQVTNDLADRPMYMTSVVLSQALSKEVQFMREPLCPPELQINLKDICIIGGNQVRNAE
ITTYITESCRLLGKGLPTFSFINTIQKAHLHTTPLSSVIFLQDLDEPIWKDLKQETITGLQSVVDQARQVLWVTSGCRLQNAYANMSVGVGRGLQSE
YAHVQFQLLDIEPSEAESSNDLIAAASLRLFAEEHIRVICPNILWTAEPELVVKNGKFLIPRITTDQVLNDRLNARRRSIQKKVSPAEIQVLISEKE
GSYVLSEPHLSMIATKDTSAIKIRVTHSLLSAIKVGENMHMFLIIGKVIEGGDIEPGKDVLAFSNLNASIVDLPVSQVVPIYVKVDSPPKFIESVAS
TFVSTALFSKLRHGSTVLFLSPDKSLAASFQATADALGLKTFCASTTPVPEDSKAVYINPNTPDRVLRNILPAKIDMVLDFSGVDQPSSIAALQGNE
ECVGLPSRRASQGSLCRCKLCGPIRNAXDAEVSVQIAPINTKELFRADKTYLLVGCTGGLGQALCRWMVQNGAKHLALTTRNPKSVNQTWLDEIAQT
GGSVQIFACDVTDGTSLRKTHAEICRNMPPIAGVANAAMVLADRLFNDITLEDFQVSLNPKVDGTNQLDELFGDGSDLDFFILFSSLANTVGNRGQS
NYLAANGYMQTIAAQRRSRGLTASVMHIGMVIGIGVVSQDAALESSLKRQKWMAISEPAFLDMFAECVICGRPDSGHSNDIITGIPRHSALPGADNP
WYASNLRFSHMVLKEEGDDNFSAGGSTLPIKQRLVLTTTAEARAEIIQGDFLQKMSRILQAAPENIDCSQPLLALGIDSLMSTEIRSWFLSQIDVDM
PVLKVLGGGSIQSLCAEAGALVKIVAAEVGLEDITKGSSPPSEFSASSGATTPSFMATPPSTPGLSEDFTWISRAGSETGEHDDVELLPGIERVGRM
SFSQERLWFLQSFLTNPSTYNITLAYRIKGPFRVADFNQAFYDLIDRHETLRTAFFTDNTNYLAYLGAAEKTPFVMIQKPYTGESQIKEEFDRTNDH
SYDLENAESMKATLLIESPESYILIMGFHHIAVDATSSQILVRDIAAIYSGQKLAPLKFQYIDYANKQRANVDQALSKDVAYWRSEFPDVPETLPLF
DFGTVKSRKPLTEYNIRIMETRLDASLTATLKAASQKLRVTPFHLHLATLQTMLHKLLNIDDICIGITDANKNDPDHVDTLGFFVNLLPLRFKVKGN
SSFAKITQQARDKTLAALEHSQIPYNVLLDKLEVPRSTTSNPLFQVLMNYKMGSLRSVPIGECEAEVVDFQGTYTFFGVISKPRANIATLDASNPYD
LQFDVELAVDGTTLITVTTQKYLYSEEDLSTVFSSYTHLLKTLSSKPSLPVKDQSVFSNKDAQSALALGTGPRINIDQSITINRMFDWAVKARSSNV
AVVDNVGGQLTWIEMASWVSNISAHLLRLGVKPQAFVGVNCEPSAMSVCYWLAVLRIGAIYVPLDPSNPVSRLELIVNDCNPAAIICDEATWATAQR
SFPIPNRHIFKLSDMGERRTHYTEDMSMPDDTACVIYTSGTTGTPKGTLLKNSNFVNHIYGVNKQYQIANGKEVVLQPTNLGFDLSLAQMMQFIASQ
GKMVVASIQTRTDPMELVKLMVEHQVTYTIVTPSVYSLILRQDPTLLQQLTEWRSAFSCGEPLTSAIVHQFQKINLQKLRLLNSCGPTEITIINSAW
EIPLQDPTASEQNMIVGSSLPNYSTYILDDNLNPVPVGFPGEMVCGGASISQGYLGQKDLTAAKWVLDPFASDADIAKGWDRMYRTGDRAKMLPDGR

FVFLGRIAGDNQVKLRGVRIELDDVRSTIVRESKGAITEAAVCLRGEGDNAFLVAFAVLSQDIPDTRKFLAGLPLPLTMIPTKFFEVDSLPRTPNGK
IDMRALVSIELPTVQEVDDSTPIDLTMTEASLKEIWGRCLPVGVSVTGVRGSSDFFVLGGNSMLLVNVQAMIRETFSANIALYTLFQSSTLESMAAQ
IEAVSNIETTTAINWDQETSLEPSLFESSPHSLGLRPVSRSYVEVVLTGATGFLGAQILRELVADERVGKIHCVAIRLSDGKTSRALPIVSSKVIKY
YGNLASPRLGLTEQQFVDLSKKADRIIHNGCDVSFLKSYTSLQASNLGSTKELTRLAMIRKTPFHFVSTAGVASFISELDLGERFIQDFTPPTDGSM
GYAASKWAGEKYLLAASEQCGLPVCVHRPSNILGDGAASVNMTANILEYSMRIGAVPDTPGIDGHMQFVEVEEVSYMVVNSLFARSQEAIVKNHCGD
DRIRIRELGTYLENKFGQKLATLELDDWVIEVQKAGLSVGLGSLIREVLRNEGGTASLKTLSRRRF

>RCO7_02641 | uncharacterized protein

MAAPQTSGYLRTNDPTKPRSDAAVPFRDIMPSPDHPRIAGIHNHDASSWCESRRQIEAPAWLINRLDKKNLEPYKGFTTDESVRVGVYDYAEDEGAP
TEEIIEKVDELMVELSEVDKKAVHCGEVTDDDFRIWSNPELYMNPGGLRLDESSADVQRAIHSILKASTSSQGYEKILGCCRTNGFLGHLVNGRKVL
NEHSYNFRLFSTPSLTSPWGYTFFGHHLCLNVVFLGKKMVIGPMFMGAEPDRIDEGPHAGLRLFRAEELESLKLMQSLPKELQDKATLSKGMDGKSL
PVDRWNPFDERHLGGARQDNRIVPYEGCPVSAFPADKQESIIKLFKTFNEHYLQSVLAHRLSLFKKYLNETYFAWIGEFGDEDPYYYRIHSPVAFME
LDFHCGIFLTNTTPARCHIHTVNRLPNRGDYGRALIGA

>RCO7_02642 | related to bifunctional 4-hydroxyphenylacetate degradation enzyme

MSIPSFGRLVRFVPKSGSVVLIGEPTDKTLDIGAATLAGKDVEVSVFSGSSVLSPGSSTGKTEVIGRVLSPLAESEVGTIRCIGLNYVQHAREAKMA
LPDVPVLFTKPSTALADPYPAPTIIPKHTLKDDSCDYESELVIVIGKKCKNVIEAEVLEYVLGYTASNDVSSRTSQFAQSQWSFSKGFDGACPIGPV
IVSKELIPDVGKLHLRGLKNGRVMQDCGLDDLIFSVPKIVSFLSQGTTLNSGTIILTGTPAGVGLGSTPKEYLHEGDEFSVEILPYIGTLVTKFEAE
K

>RCO7_02643 | uncharacterized protein

MWLSPTQPPPEEPAPLKRFACDRCHDQKLRCTRPQDGEPCVRCQRAGVFCNVSAAQRTGRPRKSSNNRPHAERKTTSNATTSVTGGSSEDGDKSPGI
IRTNSTESIGRTSLKSMPLPETSIPQNGESWDNFVASSSLSISPVSLTLQPYSQPISTEEYADLLDCITDQAYFDNMDLSDFSDSAYMPTTQMSEPN
PKKRKSNTQHGIETYGNSISMSPPTLGEQLSARISSFPDMDMPTIAPAITAFSSENSTPNLNQMLSLQNDTTHSQTLSKLQSEIDVCSENIMHQARR
MSTASNSYTSESQKLSEALGVLLSTAERFIELISCICLSFDAIVPSRSPSPSPWYQQPSAMEQNSYFNSKLFATSSHSRNSSTASLDSSMLGPSDNR
VLTTSTFYTMLKCHVRLLSAYDTTLDTVSSRLLELEHLDVTANTLTSALSIGSFIVPFGAVIETLLHLQVISHQLDRLKTALHGNVLKLQLPRQQAA
SRSIPARLGLCRQGRSPSVSMVEFKLEEVQERERALQTKLLRIENLAESSKQGQQGQMHGDGFMNWV

>RCO7_02644 | uncharacterized protein

MVKSAFSTTRACLISALLTSTAFAAPTEDRRPKDDDCKKILLPMTDSIHGPRMNITVGNPPQEMSLLSDWTWHTSWVHTPDCVGKHDVKTCIPPGQQ
YFDQAKSSTYKNTTLNRATFNGTDYTPGLPFTMRYGKDTMCFNSAANGDRKCLKDVYMGNTDFGFPLPEAFDIGGVFGFAPVPKGGNETFYPAPSQF
FEGKVLNPIMGWHTCDQLRSKDSCFGYEHLTVLGGTDESVYKPRDMIYHDTIHDECINTGEHLSLSPLRSNYWSSAWTGLSIDGKSFSLKASNSPNY
NATTKNAKCDDIDPIAVWDEDKFGHGAPMPWDAFKYMVKATNAKRLDVFNLPGTSPVNPGAGGLHEVPCDKINSFPTIVYEISHKQKLKIVPAQYID
TTLHVGKCLLNARVWDRPIDGAQTFFGFNVLSRTYLEFDYKNNKVGLAPLDKKLFK

>RCO7_14020 | uncharacterized protein

MLTVASVTSAYATPNTKHSGLKHRIAIILPTTSPCRCRILPLEGPLSWQFSPTKRQAVYFSWSRRRKMRTTSALWNNYELRRAQTYIVGISVRFGSC
ERIPPTPKAIFRTQATTSYAVGFGAQPPKAP

>RCO7_02645 | glucose-regulated protein 78 of hsp70 family

MARSTSSSFWLGLTTLFYLGLLFAPLALVGRVNAEGEQDPLQESYGTVIGIDLGTTYSCVGVMQKGKVEILVNDQGHRITPSYVAFTDDERLVGDAA
KNQAAANPKRTVYDVKRMIGRKFSDKDVQGDMKHFPFDVVQKDGKPHVKVDVNGAAKTFTPEEISAMILGKMKDVAESYLGHKVTHAVVTVPAYFND
NQRQATKDAGVIAGLNVLRIVNEPTAAAIAYGLDKTEGERQIIVYDLGGGTFDVSLLSIDRGVFEVLSTAGDTHLGGEDFDQRVINYFAKKYNKENN
VDITKDLKTMGKLKREAEKAKRTLSSQKTTRIEIEAFHNGNDFSETLTRAKFEELNMDLFRKTLKPVEQVLKDAKVKKAEVDDIVLVGGSTRIPKVV
ELIEEYFGGKKASKGINPDEAVAFGAAVQGGVLSGEEGTSEIVLMDVNPLTLGIETTGGVMTKLIPRNTVIPTRKSQIFSTAADNQPVVLIQVFEGE
RTMTKDNNNLGKFELTGIPAAPRGVPQIEVSFELDANGILKVSASDKGTGKVESITITNDKGRLTQEEIDRMVQEAEQYADEDKATKERIEARNGLE
NYAFSLKNQVNDEEGLGGKIEEDDKETLLEAVKETTDWLEENGATANAEDFEEQKEKLSGIAYPITSKLYAGAGGPEGGDDEPGSHDEL

>RCO7_02646 | related to translation elongation factor HBS1 protein

MSRHKLVKNMDLDDEMDDYDGGEAYAEDGPEGMPICFFDGSKDKSGRGLESFADILSCPELSEEDQENMRVGTIAIRLELPETATHITDKQIHEALW
HYYYDIEKSVGYLISTFVAKREKKEKKIKGYEKPFDYTDFFKDMPWLHTPSGQHTMFIAPLYPRGGLLGGSSDGAPKMSKLQALAAARKKKATEQKS
SGSLGVEKPMENLTLNSSSNAGKDKGPSSPTKASSRGFPIRKRKDSNPHEKAAKPIQVEREFNAEGEVPVEETTLDQAEPSAFANTMFSSDSTSPTN
APRPSSANLFSLPYSNTQTDAPTTADPFAGPSPDDVVIAAQSKAKSGGGSKGPPKTNNEKKADQIANGVEAIKLDDTPRARSKNLDVLSEFEKAKSK
NAANFVVIGHVDAGKSTLMGRLLYDLKVVDQRTIDRYKREAESMGKSSFALAWVLDQGTEERSRGVTIDIATNKFETGKTSFTILDAPGHRDFIPNM
IAGAAQADFAILVVDANTGSFESGLKGQTKEHALLVRSMGVQRLIIAVNKLDTVSWSQDRFLEIKNQVEAFLTAAGFQAKNISFIPCSGLLGDNIAR
ISTEKDLMSWYTGTTLVEELENSEPIIHALSKPLRLTIGDIFRGGVQNPLSISGRIEAGSLQTGDALLAQPAGQKCFIKALEIDNEGVDWAVAGSNV
VVHLSGIEEQYLKIGDVLCSPSNPVVCVKEFTAKVLAFEFLTPGSVDVHRGRMHVSGRVERILGVLDKEGKGEGNGGKKKKVRIVKPGQVARVRIVF
EGDTLVPLEAGARVVLRSGGETVGAGLLE

>RCO7_02647 | related to vacuolar protein sorting-associated protein

MAGWFASTSELDLQIDKATQSSLEDIALNLEISDIIRSKTVGSKEAMRSLKRRIGNKNPNFQLSALNLTDTCVKNGGSHFLAEIASREFMDNLVSLL
KAYGGAAVNEEVKAKILELIQIWATATEGQHELSYIGETYKELQRDGFHFPPKVDVAKSMLLSNAPPEWSDSDVCMRCRTAFSFTNRKHHCRNCGNV
FDQQCSAKVLPLPHLGIIQPVRVDDGCYIKLTDKSSKGGSFASPRSPLRQHRQNNTMQPRSARIESTFDEDIQKALAMSLEEVNGHVGAGYVPQAKI
QPTSAPAITSRASKSATSKPAEDEDDELKAAIAASLADMEEQKKKHSATMKEQASSGPAPSKAVPIINKDYELTPVEAENINLFSTLVDRLQTQPPG
TILREPQIQELYDGINKLRPKLARTYGETMSKHDTLLDLHAKLSTVVRYYDRMLEERLSSTYNQHSIGGYNLPSQRPASNMYPSIPSNVPSAAGGAE
NYYTGNAPQEPYARPQSTYSYGQPQQQYQQYDNRAPMAGYPGPEQRKENYNQYPQQHPGQLQRTGSWQPSDPSATYVSQQPSYPPESTSVQQQIPIN
APPQTPMNVPSHPPTGYTPETAASPSVDPSASFYYNTPDQAPPQQAPEQQQPQYPQTQQSAQQYQSTAQQPVSPLQTAKQPQQLQSTQQQAPPPQQY
APPQQAQRAPYYQAQQQAPAQQPWQQPGITHGGYTQDAFPAAPHHAPQQPKVEEALIEL

>RCO7_02648 | related to ubiquitin carboxyl-terminal hydrolase

MSPAATGGPPYTRSTSVHGGPVGMAQGSGRDDMEGLKGGNRILPHLDDLVAVAPSRDIMHWSMRRLLQEGELLAKQADTHLDFRKPDMALQEYIKAT
IIAVEYVPRHKDYPSLQSDRGELHRMYAGLNKRITAQHSRFAEVKEIIKQNNARSGVKPAVSRSNFQVEDAEVITNGHTRTQSVPNGPTNGMSANPN
RKKPPPVLPKPDALHGNAIQGDLAARFARLRSPESNAPPVQQDPRIKTQPIIVPTNYTKSQPTSPTHNATAIRPIGPRAFPSVPKSIPRHIQMPLDV

QLPSMPRAPDAIYSPASGVENPSAVNIPSRTRTSSYSHGRKNSAPPVSTVGPTPDVNEGRRDYFSPAHTMSNGDSEPKPPKREAPDLPDGASITAEG
LFERLRQPLSILIVDLRTRGEFESGHIMAQSVICIEPMSLRTGVSGDQLGDTLVIHSDYEQSLYERRADFDLIVFYDQSSKSVNSSASFARDKNSTL
RDFSAAVYDYGYDKRVKRRPMLLIGGLDAWVDLLGPNSLKSSSKDTAASMTLKSNRAIGRFSRAAGEHRNGLHRTNTRTSRPLTQEEESKWELAMSQ
EPAPASPMAETPSEEFVYARTLEGFMNKYPEMPVIPESMVSQTSVEPAEARLGELEGTIPRLPTRPAPALPRQRSSGISDRGPDTVTSYASSIAGTS
SITQLRVSPGLTGLQNPGYLCYMNSAIQALSATPFLRNYLMNFNYPETLKVPRREGETTDPPQLMTRFTGNLIAHMWGGQYDFLAPTSLSEYMMSIR
FKELNSENVRHFCYGGTRKQHDTSEFLLWFTDILDDELNPGRNISNQAGQGVIPLDKQPRLYTIPLIQSSMEAMSILRNGRRSIINQRMDLQECQQT
ICTVCGAATRVWNHYRQLSLALPTRENRSLQSLLDPNWGRGSSITLNADCDSATCKNASREKRLQRYFSRLPDYLVITLGRFNNDSLKNEAMIDFPE
TGLDLTHLFCPPDTTPSNVLDREHKGPFLYDVYAVQQHQGSLNSGHYWTVARSPDLPRSNRDGAGSWHKFNDTHVTPSSYAETQKLFTYMIYFVRQG
TAMPRN

>RCO7_02649 | related to ketoreductase

MQVLPIVTQQVLDNFIVWTQTIEVHNSSLFQSTATKTQDQLESLLALIPLNVWPNTTIVAAVRDTSAATKSLSSIPVGKGSKVIIVKLDATIDSDPA
AAVQELKTKHNITKIDILLSNAGLLDTIAPVLATTPETVRRHYEVNTIGPLTLIQAFMPILLASPSPRFLVITSSIGSIADMEKLPVPFFAYGISKA
ATNYLVRKIAFESPKIVSAAFNSGWVQTEMGTTAALGVGMTEAPMTLETSVEGMVNLIDGASIEKTGTFTAVSGEPTPW

>RCO7_02650 | uncharacterized protein

MKSSAPSNLKPEYKPISELHILSCGNLGMSWVMNKGRNLAFHNYKNEEAIYYLDIANNRSGENSVVLREGGCKKGAIISHALETNTSGEFVIKGLCG
EEIMTKSGNHTYIWNIPCSLCPPKLPPYEPEDPNKRRTFQWIKTPGVKSKTASFAAPDWKLRDKESGEVHAVFVENWDGTTDRGKIQLRRSFGEGWE
MSVLVSVGIVAERERARRDRRRGFTKGFLVW

>RCO7_02651 | uncharacterized protein

MLHQLAVLTLALLPTTFAQVSEGFESGWDQTAWPIFANDCMTGGNVSLDATVAHTGTNSMRVDGAGGYCGHVFFGTSKVPVGDVYVRTWLKAAKELT
DSHITFIAMPDPAEGVKKNLRVGAMSKILLFNRESDDVTLPNLSPQGVASSVGLPVDKWQCLEYHLGADGSVETWLNDKAIDGLTVKPGVANANTDQ
WQRSTIKPAVTAVNFGWESYGNDANTFWYDDIVINSTRIGCT

>RCO7_02652 | uncharacterized protein

MSPSPTLNDVHDLSSFNGSLWAALIASASDYPIPSEPIPSECNVYIRNIYAIRESRLSRLFMSLIVLVMLMYIFALSAMVAVERIRREILRTLSDMD
PEDRDDEIVRLCKIHLPLRGAREWEKLVVRRLGRGNEKMGHSDEKADGNLV

>RCO7_02653 | uncharacterized protein

MQLCSHRREGFGPSSTISSPIPTSCFVDVVLIPIPIWLALALLPILIALSLHHRKQNYDPSTAYLRAVPRRNWGFITTSAVYYILIVANALMMTLEI
VRLELIHFGIGLLPFMYAGLLIALLLHWSEGVKGKVRGWQAVNAVIWIGGIVMSVVKVVGLNNEGIDSRKGSKYPLSDQVTDVSVMAGLYAVATILE
VILGFWRALRARRDSEGSPPSGTSPVMKDSEFGGKFRPPYA

>RCO7_02654 | uncharacterized protein

MASTSPSPSISNPSTSNKSPNRLIVSCDGTWQSADNSSALSNTNAINFCRALQQNRGGLFEKEQIMFYQAGVGSGALTAAQKLLSGGFGFGLEENSR
EAYSYLAYNYISGDEIFLLGFSRGAYTARSVAGLIGAIGILSRDGMQYFKAVYELYKGASTTSDFLTKLDVFIEKEGLKGTDWRIPPGEVEIKALAC
WETVGALGIPENGLTTILGTDDKWKFLDTQLPERVEFAFQALGLDEHRKSFSPTLWWRDPIAQFTRSTDGTVIKPTLIQTWFPGHHSDVGGGQPDHK
ISNITLCWMIDQFTSRGLLDFDMDYVKKICSPTRNTIDPSWVKNSDPFYGGFLPTILWSFLGSKTRTPGRYKRPVGPNGVSIGSKTNENMHYSVRAK
MEESGISPPSSALKGYVYDVEKKAWVWKNSGRPELSEVDLPSLGVNATGLQRESLEAWMFSEWLAKQDGKRN

>RCO7_02655 | probable taurine catabolism dioxygenase

MPSAIQESDISTATLADDPKVAVRESIKPLVYSGSLDSFQHNDFTPSIGREIPDLQIEKILVAPDSDTLIRDLAITVSERGVVFLRNQDVSVDSLIQ
LGKRLSTLSGSPSSSGLHIHPITEAGSELGDQISVISSVRMKKAYSAPVDPLTKPSKFASNGRHADITFEPVPSDYAILKIHTLPPTGGDTLWASGY
EIYDRLSPATAAYLENLTAIHDGNFFNGIAERLGNPLRTDARGSILNQGSNLQARHPVIRTNPVTGWKSVFVNKGFTKRIVELTKDESDVILNYLFD
LVSLKHDNQVRFRWSQNDVAIWDNRSNWHAATNDHNDVRIGDRVVSLGEKPYFDPRSVGRREGLERREARGKVEEEGKESLVVRAKEKEVRG

>RCO7_02656 | probable neutral amino acid permease

MSTTSNTFTPGSETHSEKSIPKKHALHAPSPDHDGFIGDVETLEAQGTAHFHRLGWKRLTVVLLVEAIALGALSIPGAFATLGMVAGIITTVGLGLV
AIYTSHIVGQVKLKFPEVAHYADAGRLIWGRFGYELIGAMFALELTFLVGSHCLTGAIAFGNLTDNGTCSLVFGVVSAVILFALAVPPSFADVAILG
YIDFASIMAAIGITVIATGITMGKAPEQVDWSAWPKDGITFVEAFIAITNIVFAYSFAVCQFSFMDEMHTPADYIKSIWALGLIEIFIYVLTGSLIY
AFVGTSVDSPALLSAGPLISKVAFGVALPVIFISGSINGTVVARYIHGRVYKNSIIRFINTKKGWATWLGLLAAITLIAWVIAEAIPFFGDLLGIMS
ALFISGFTFYFPAIFWFMLIKEGKWYERKNLLLSAVNACVFLIGMVVLVAGTYSTVVDIKNQYTEGTVRGAFTCAPL

>RCO7_02657 | uncharacterized protein

MSNQRELPTENTLQGQINYASFIREFKAEYLSEGIWEIFTGEEPVLERPPRPQAPDLEAAIYRIRAGDNEPIQRGKRQALQDRIVEYQLAVQTYKLL
NDDYRSQAKMTQHTESGHITKLVVTKPSEPKGDASDNYSKTIDRHDPDNFGCTLCKTKKRKNCNAIPGISPCLYCVTRNFQKNQSCVLWSEPLTNEA
FRLSFWETTKDQDGELTVSLKSKADAPVKPTRGPRVRKENNPTIYDTSTDSSASDSQGEDSSDDNDSGPETMALSAIATTIDLATAPDPQSYKEALS
GPEAPLWKEAIEAEYNSLLQNRTWKVVRMPKDRKPLTTKWTFRKKLGGEGEITRYKARMVARGFQQIEGFDFTETYSNVVKAASYRILFAMTALYGW
HCYQIDITTAFLNGDIDEEIYIRAPEGYPESHGIKASEYDECVFIKQNPLLIITVYVDDINIFGPALSTIRDFMQQISSKFPITGGDPVSYYLGMKV
TQTRSGLHIGQSVYTRQILNRFGMTPTKPSPIPLDPSAKLTQEKSALASTSFRHQFLSKIGSINYNQTKTRPDIAFPVSYASRFGKNPNQSHMDAPN
QILAYLSGTSTLGLNYSKEGSSKIEGWKTVSTSSTHAEYVAASDATKEAVWLLGFFNELNKAMGKEIQPGIVLHIDNASALKITKNPEFHRRTKHID
IRYHYIRECVESGQIIPQWISGKENIADILTKPLARPQFSKLVKEMGLTEAPSAEEVTRARGSSRHVTFT

>RCO7_02658 | uncharacterized protein

MPVVAYTTGGQTPVIPNPPVTGPPENKPFLAWVNYVLSQETIQQRVCNGFAQLGARGITLLFATGDTGVGSVAGNEASFCITNDGKNTSRFLSKFPA
SCPYVTAVGATQGFEPETSAMTPDGVYGPDGKRRGLFVSASGFSEYFPRPSYQDSVVPAYVNSMRGEHTGLFNPNGRAFPDLAAQGQFVKSLWNSTE
RVVSGTSASAPLIAGVLALVNDALISSGRPTLGFLNPWLYKRGYQAFNDITQGLNGGCNTTGFPTIEGWDAVTGFVSFWYRISQTVSGPPFT

>RCO7_02659 | related to acetylcholinesterase precursor

MTLSTKVLGIALSAASIAQAAGSWTVGQVVSTSSGSVKGHAAPVAVEVSEYLGIPFAQPPVGELRWMAPKAYEGTGDINGTNFGFSCPAGLQMPISA
ANLKNANTTASGFQILAALGQVGDKFSEDCLTVNVWTQPQSGSPKKAVLVWIYGGGFTTGNSDNPAYNGQYIASSEDVVVVSFNYRLNIFGFPGTPN
GTQNLGLLDQRLAMEWVRDNIEKFGGDKEKITLFGQSAGSASVDYHMFAWKDNPIAHGFIQLSGSALGPAGGLGPIAANKAAEYWNAAATALGCGNS
SSTSDQATVLSCMKGKSYTDVLKAVAAGTSGVTGVSYSFSPTVDDVVVYSNYTSLSLAGKFAKQPLLLGVADYEAGLFRVLDAFRNQTKSDEYYDAF
NSIAFVCPCAQRAAYSIANNVPTWRYRWFGAFPNTQLTTVPYSAAWHASELPVLFNTTPATPANTEAEIAIGAYLRGAWAAFAKDPKAGLSSYEGGW

PMYKPGEETLVRLAYNNMTGTNLARGTMYDGACKTFYGAGNGTSSSGNATMSGGSGSSTSTGSGSDSSTPKTVTTSGAGSMKTWISDLFVLVGAVVM
AAFL
>RCO7_02660 | related to peptide transporter PTR2
MFNRPVLTSRASSRVKASLTPFRRFSRGNLLNTQWITADAKTADAQFIIGADSHLAIDQPGAMIHADTKAEAVDAALNDDYDGKPTPEELGTLRRVP
GKVPYTTYMMCFAEFCERGSYYSSVGVISNFVNRPLPAHGNGYGAPAKGSQSTAGALGLGTVKATAVSQSFKMLVYCLPVVFGYIADTYTGRFKLVC
YGVLVFGVAHALMIASGAPSLLEKNQSAAPYMISLYILAIGAAMFKPCISPILLDQVEDTKPAIKTLKSGERVIVDPESTTERIVLWFYLLINVGGF
LGVPGSYLAKNVGWMATFALPMGIYLPLPLVLWYLHKRLILHPPGGSDLFNSFKVLGICLKTNIGKFGRHGFWDAAKPSTLAAKGSSITVPWNDQFV
EDVRRTFQVTGMFCFFPIQYINDNGLGISADALSTMLKTDGVPNDLLGNFNSLSIIIAAPILNYLLYPFLRSKHIHFGPVARITFGLFLSAVGAVAY
TVLNYYAYKIGPCGKHGSSKECVDADGNSLVANITIWWMAIPYALGGISELFVNVPAYGLAYSRAPANMRALVTALNLFSTGVAYALGLAFAGLVKD
PFLTWDLGAPAIIGFVAAALFYYLFRHVDEEEYRLSTNDDHHSEHQSDSSINGAEVDEKRVNTDTTKVV
>RCO7_02661 | uncharacterized protein
MRVAASLLAVASCVLANTGDNCNIVKTVTVVSGDTLGAISTANGVTLAQVAFVNPQIANVNAIFPDQKIAIPNSACDAGTISPGKTVACNDANRPTK
YIVQQGETLYIIATERFGVTLAAIEAANPQIKNKDLIYPGDVVNIPACPQKSPPNCANGSQSVYIVVQGDYLSSIATKFGITLAVIEAANTQIANFD
KIYPGDHINIPLCNPPSGSCPAPVQPSRKIKKNRIVSE
>RCO7_02662 | uncharacterized protein
MLTRTCLFVLLTAASAVSGAVVCTPERRIAGGKGVISAYAQTLPGATYAAFSNLPLGIGGLGGKCITTILADGLPGAPVGFTGRDVVNFGTATRQVF
SKVTGFLTDFPQNNSMVINNANITLGLRSIVKLPVTFNADVYLDYSPAPDCRIQAVRAYARLPSEVLGMITAKPGVPPLIAGLIGTDNPINDWFGTP
PTTKSP
>RCO7_02663 | uncharacterized protein
MYNLEVDVLGDVNFPGCLIIATFTIFKQTCGPLILHRRAERPLEISGLHYIALSLGEVFGSQICGFFVDFFYRRQRALHPHLVESPEVRLPLMVLGL
VMGYIFLLFYGWTAENRVFWVAVDIGIFLSPMGIQTVSMISTAGHVSDGVKTTLGIVGIEIAEECELCATMAEELGLAEVKAASLKADVNGNET
>RCO7_02664 | related to multidrug resistant protein
MTLSPHDPIEMADVTELAPSPHTVPVTKQDDPYLVAFALPYDTDNPLDWSTGHKWTVTDVLSAIGFNRIMVSTIMAPALSTIAKDLDMTVTESALAL
SIYLIAIAFGPLLIGPLSEFYGRSIVLHASGILFLVWNLACGFANTKELLIGARFLAGFGASPIYALAGGVLSNVWTPE
>RCO7_02665 | uncharacterized protein
MSLKTLLILLISLSLASSSSAQQPTPFIPATHTGYSLSSSSSPTSKPPGTAPTTPPLPHFYPLIAATFRYPNQNIKTATNTNNAGAGAGDASSVWQA
LSSIQATWTAGTAYAKITAAVYQAAPESARSSLSVSGYNWDDVVAQPWYDDVDTTTQDQVKAQEEVLQETFDSMVSETKAVSGGGTIRNTNRLGIGM
GLLGALVIAALIL
>RCO7_02666 | related to CCC2 - P-type ATPase involved in export of Cu++ from the cytosol into
intracellular, secretory compartments
MVTTSFILSNLHCPSCVSHIQNTLYALDPAPITVSPSLVSSAVTIEHDTSLPASYLQVALESAGFEIFDVAPNDVPSARGTGLGLDGSDGCLDRVAD
KLSSDQYSWRRAKAGTSSQHMRHCEACQRATARTVLDTKLSWSAKNGSSTSKMQSSRGLQLVTVDSAGTQPSLEIWRASIAIGGMTCAACVTSITKE
LEKKDWIRKVVVNLIANSATVDFVGEEHKDDIVKFIQDIGFEATIDNVVDINKVNSGALSAHRTVEVNLDGMFCDHCPPRLHAALSAAFGSKVKIDR
HASLQKPILQITYTPQIPNFTIRDIIATIKAVDEAIIPSIYHPPTLEERSRQLHSREQLRILIRVFLALIIAVPTLIIGIIYMSLVSRQNLGKQFLM
HPLYAGVSRTQWSLFIMATPVYFLCADVFHIRALKEIRSMWRPGSSTPIFQRFYRFGSMNMLMSLGTSVAYVSSVVQLIVAGINKPKHVDESGFYFD
SVVFLTLFLLVGRLIESYSKSKTGDAIAMLGKLRPTEALLVEDPSVSRRSSGDTLIEDLPTGEQLAMGSQPESIKHVNVDLLEHGDVVRILHGGSPP
CDGIIVQGGSKFDESSLTGESRRVKKNIGDEVFSGTFNKDSPVSIRITGVAGKSMLDQIVQAVREGQTKRAPVERVADSLTAYFVPVITFIAIMTWL
VWLGLGDSGTLPQSYLGHDQGGWVAWSLQFAIAVFVVACPCGLALAAPTALFVGGGLAAKYGILVKGGGEAFEKASELDCIVFDKTGTLTVGGEPIV
TDFEISPIIFAKGYKMSEEESEILRQAKAFEEVKESTREESQSRILGMVMALEADSSHTVAKALVSFCKTMRLTEPSVDKVEEIAGRGMKGTFNFDG
PVSGSRIEMIIGNEAFLTNNKIVLRGSTQSTLEKWKLEGKSVALVAVMSHYGAVKTSNGTWQLAAMFAISDPIRPEAPGIIEALQKGGKDVWMLSGD
NQMTANAIGTKVGIPLSNIIAGVLPGEKADRIRYLQTSLKKRTVSGKDHHEKRALVAMVGDGINDSPALTTADVGIAIGSGSDIAISSAEFVLVSSN
LNSLITLLDLSSFVFRRIKFNFGWALIYNLVALPVAAGVFYPICSGGKHIRLDPVWASLAMALSSISVVCSSLLLRSRLPWVGFKVRKAVGGEE
>RCO7_02667 | related to endoglucanase c
MLDLKWSGVLELPAVNYSLFDYARTQAVAVTINDNSIFNAQTGFRRAEPSKVLPLSNSGTDTSITGLKTLHFSILKDPTRPLNTFHEYQLFFLESND
YSTNQVVLRYGSLIGGNPLGANPDTLFLQGNVNTNPSSTIFSTRFTEEMWHNFGLVLDFVKGKTTQVYYSIDNAELAPVSQAVTNNLVGQGQYHFGI
LKKPIGATGDISKSGKQPSNINEGVIFGGIFAEDGSMNGCISTCP
>RCO7_02668 | uncharacterized protein
MNIKSRFDVLASFRRKIFIIKELYTSLQLRMQALMEESKDTSAVESAAEVMPKTNSPELSVSTTKITRDSGVQSEVLNEADGGPEECLQEIFLSQVH
HQDPEPLSETAARINTVLSHRPLIANTSEAYQTTDQGGHEDACGLEERLFKEENGEDSIANGSVRHTAQGALVGEAMGYGALNTSDYRPWIYLNMTR
AEFLNEFGSLENYEDRREEANKSKEDSIPDGCSPQSDQASPFDQGTPTRGDGTMSGSDEDLKEAIRRSKMDAAQARYNHEYSGTSSATDGGPVCELE
DPVVALPSMDAEDLDEKSDKSDTSSNHYDDNNDDENDNTAEISDTDDVDEEEVPENGDHMAEFLENESNEHNMSFTSDDIANDVRIGRQPPPSLPGL
IARPLTPVLDFRGLRYTDAEVAEGYQAQQEADQAKEDQGRVEIVGGQTGGTDENRGVNEPQNSVGSETPLNLEGTELLAPVVQEVEDTVAGTEPLKT
TISEAGTSDTESLGIYDEEVEGPETEHWPLLDQEVGCAGTDRPEHAVEEAGQFVDASQANNSSQAQQPASAPTAPKPPPTNGTAPQTPNHKKKKPPH
RVSPWEKKKAKIIRKGREDAEKRAMEKKAKEREAAESMTAEKKSSKKEAEEKIARDDTMKEKKGKKKFDKRRATEKTQKEEALSPRSSITSKQGPGF
PGGNVGGRMSETDYLESARQDSPHAVTEQVVDVLDPVNGLENDDLGTVMEDQSCAVDAPSGDIISEDVQDAIDELGALNNNEEQQTGDVSAGEGVEG
PGTGA
>RCO7_02669 | uncharacterized protein
MTTTMINSVASGSIFGAALVAAGVYSPEVIIGQMQLKEFHMLKTFLAASASSALPIILAKTLNIASCKPKTPVTLNLFSAYDGNILGGLLLGIGMSL
TGACPGTLVPQLATGVPSGPLVLVGGLAGGILYSRYGKPLIGRVQNRGLVEKATIFEVLEFKQGSAMAVYEAMCLAMIGSLTHYFPDSDDLLAPSIV
GGLFIGMSQAVSLLLTGGSLGISAAYEQLGDLFWWAEESVLEGNTARRPSIKSTAFAVGTFIGSGILFRILGLPAPTSGLHIGPARAVIGGVFLTFG
SRIAGGCTSGHGISGMSQLSISSIITVIAMFGGGIAMMAFIQ
>RCO7_02670 | related to 5`-nucleotidase precursor
MDARETFSAEERVTYTTGDVSSPPDLRLLHFNDVYHIDASSAEPVGGIARFKTLCNEYRDGERFKGQSELLTFFSGDAFNPSLESSVTKGSHMVPVL
NSIGTDVACVGNHDLDFGVRQFRHLAGQCKFPWLLANVTDPALGDNVSLGNAKKTHILTSSNGIKIGVIGLVEREWLDTINSLPPDLIYKSVSAVAK

ELVPNLRAQGCELVIAVTHQRQPNDNKLAEKVPDGLIDIVLGGHDHFYHHSLINGTHVLRSGSDFKQLSYMEARRQGGESKKWNFRIVRRDAMSSIA
EDQATLQLCEKLTTSLKNKLGKPLGYTMAPLDARFTTVRLKESNMGNFICDLMRTHYGGDCCIIASGTIRGDQIYPPGVLKARDIMNCFPFEDPCVV
IKVHGQALLDALENSVSLYPALEGRFPQVSNIEFEFNPSKPANSRVTYVNVAGKPLDKERLYVLVTRGYMARGKDGFDSLLVRSEGGEAEEVVSEEN
GILISMIIRQYFMSLKTLGKWKNWGKGMDRHWKGVQESMQKVHPVIDPARSDEKESGKEQQHHGTMDDSSDDSDDENPGQGKRDAAVETAVQERHVQ
LVRKVTRKWRRLAGLKGPSVCCDAVQEFSADWTKAIAPRLEGRIKIVSTGASAEGK

>RCO7_02671 | uncharacterized protein
MRGEEVKKKKKKKKKKKKKKKKKRWYLSIIVIRTKISLKQARREGYISCEVIQYGNMAGLDSSEEVYELGGPGMAVLFECQQLSPLEAIDPRRFRSR
EVLVDARYYVYTNGGIDNTILEVKEAMDDG

>RCO7_02672 | uncharacterized protein
MFQVWSSEGPEIIVPPEFLDELKGLSDTYLSSIAGLAEMFQSRYTTIPIEDNHFGIHFAKTILTKNLGKVLPGMIEELNYVLPQHFDSYPTRVFVGP
NLCRNPSWLQTTESYSKDVFISSSILKVFPTFSRHMIKWFIPQIWSISRHNRRAAQIVEEALKDRFETKPKIPDEVEFKESLDATHGIWELLPDELK
RDYDFQGRGQLGLAAAGIHTTSTLVTNCIYSLAQFPEYAPILKEEIEDVRRDTGGGEWTLEALGQLKKLESFMKENLRLFASGVTSFRRKVLLPITL
TNGTILPVGSYVSAPLLAISIAPSIYGPSSETFSGFRFYNHQPHSDSKQPPSQLTSTTSTSPFFGLGKHACPGRFFAALEAKLLLVEMLRRYEFRLK
EGEGRPRDVVFNSLRIVKPGGEVLVRDLKGRKV

>RCO7_02673 | uncharacterized protein
MSIDIARAGSNMRTSNLEFARLSSATSLYTPPSKSISPIPSTDPTIILICQWMGASPRSRSLNAAYHKYHTLYPSARLLTLRSLPEYFMTTSTASRL
AGFEPVISAIDSEPNPRVLVHLFSNGGALTFTDVCTVYRRQTRKMFPMRALILDSAPGQPTAQQGWAAMSIGLPKGLLWYPSAALIWAVLGASVIGK
SVFGISGLVYKTAGLLNDGTLVDRRAKRLYVYSEGDQLVGWTDVERHVEEFREGGGGVKVLKEAESPHVQHMILDAERYWMNVQDLWRSTISSE

>RCO7_02674 | uncharacterized protein
MIMKLSILSLITAASAATIDVKVGSGGLNFQPDSFAANEGDSVVFHFYSGSGSHSVALSAFDTPCQPASGGFYSGIIMGDQAGDHTYTINITTTTPQ
YIYCSVGSHCQNGMVAILNPPSSSSSQDITAYKNTAKNAMRASPPSDVQGGVVATGGSSASASASSSSISMSMSMSSSMTMTSSSSSSSATAKTTSS
SSRAGTATTSSPSAATTTSTSAGQTNTQKWSTILGMTVLIAGPSLLVLENEPLAK

>RCO7_02675 | probable lysine-tRNA ligase
MADAAETSAPPTEAIANLHLDEVTGERVSKSELKKRQKNRQKEEERVKRAAAAPPKPVVAKKSNAEADEKELNPNQYFEIRSRAIEKLRKTKEPNPY
PHKFNVTYNLPDFVKDYGNLKSGEHKKDIEIRIGGRIFNKRASGNKLVFYDVVDSGVKVQVMCQVQEAKSDGVPFEQQHEHLRRGDIIGIVGYPGRT
APKSKIEKGEEGELSIFATEIILLTPCLHQLPDEYYGFKDQEQRHRKRYLDLIMNQPTRNVFITRSKMITYIRRYFDEQDFIEVETPMMNPIAGGAT
AKPFKTHHNDLNMDMFMRVAPELYLKMLVVGGLNRVYEMGRQFRNEGIDLTHNPEFTTCEFYMAYADVYDIMDMTEVLVSGLVKHITGGTTTKYHSQ
SGEEFEVNWAAPWKRVEMIPALEEACGEKFPPGDQLHTQETNDFFRRILKKMKVDCSPPLTNARMLDKLVGEFIEETCINPTFITGHPQMMSPLAKY
HRSNPGLCERFEAFVCKKEIVNAYTELNDPFDQRLRFEEQARQKDQGDDEAQMIDENFCQSLEYGLPPTGGWGMGIDRLVMFLTDNYSIKEVLAFPF
MKEDTSMKKEKLVGEVVGVEPVEVEGIGKSCDSLSPSVSVSTSAHAPIPAPEPDFVPLMNVPAVLAVITGLAIGITLTIRSFTAHK

>RCO7_02676 | related to 4-aminobutyrate aminotransferase
MSVSKLAAFGTRHIAKGIGRLSTEVIESGSGSYVTMTGGRKMLDFTSGIGVTNLGHCHPKVTAAAQKQVGTLVHGQVNIAFQKPQLELIENLLPVVQ
NVDKSLDTFFFWNSGSEAVEAAVKLARHATKKQNVIVMQGSYHGRTFGTMAMTRSKTVYGENYAPLMPGVFSVPFPYCKQCSISTHSDGKYGFGNCC
MDPVLQLELLLKRETAPSDTAAIFIEPVLGEGGYVPPPAAYLAKVREICDKHNILLVIDEVQSGFGRTGKMFAIEHWGVRPDILIMAKGIANGFPLS
GIVSRKELMDMQKPGSMGGTYAGNAVACAAGIAVAKAFKEEKILENVNARGAELRGALEEIRDDKKLGKVVFDVRGLGLMLALECTPGKGFAGKIQK
KCMDRDMLVLTTSIYDTLRFIPPLNITKEDMEAGIKIIKEAVEEVVKEDV

>RCO7_02677 | probable COX15 - cytochrome oxidase assembly factor
MASIMASLRRAGPKLSSDFFICQRCLRQSPALLSKVKSPGKANLSRSIRFNSSITFADPAANKTLPLKNFGQTVIQNVEKKAGSSKKGFFPETSSNA
VGYWLLASAGSVFGLVVFGGLTRLTESGLSITEWRPVTGSLPPLSAADWDSEFSLYRASPEFKLLNPHMTLEEFKKIYFMEWGHRLWGRFVGLSFIL
PAIYFVSRGKVSANMSLRLLGISSLIGAQGALGWYMVKSGLKDDLFAPGSHPRVSQYRLTAHLGTAFICYTAMLWNGLSILRTNKHLANPAAAYAHF
QDVLSPSLSPFRKSVAGLAVLVFTTAMSGGLVAGLDAGMIYNEFPTMGNGLAPPKSELVDPFYSRKSDHSDIVWRNMLENPSTVQLDHRILATSTTT
AVMSLWAYTYFNKTVKSQLPKVARKGVLGVVHLLGLQVALGISTLIYLVPIPLASAHQAGSLALLTGVLVLGGRVWIPRNLMKMVKMRAGMGTVKSG
ERMMGVGKGIKADAGAISSGGALAGSS

>RCO7_02678 | uncharacterized protein
MFSPRNTDAPNPFKPALQYLLLSGDRLQSQSQSRSRPDHQQTSSAGGPDTDSDPDTQSPPAKMPSFKSPNQTSIPLVNISRSPSPFRRRHSDSNPSG
SETDDDDWGVAPMSSREPFLTQEERSSKYTGWRWLFYGGGIGQFFFNTVLGWQIYIGILVLWLGGCQIGLTILNRIILWTGVYKFPYPLTTTLFEML
MTHWLILLSAYITRWVSPWLIAAGLSGGIAPSRPLQSQSPPGIRGLGKNASFFSSITRSHTSGIAGGGILEFDLQVVKTVIPCAIIFVLKVSLSNLS
FAYAQLPIYILARIAIVPLSLIFTYFLSQTPHSVSTISAALTATLTLLIATIRPNVRVTWDAIVCGILSSVFVALYPVQLQRTYKTLVAQLIPQGDL
LGTFPASSSSTDYSGSKEESRAYWLLLHHLSLLSILIFLPIVILSGEPVLIWRNCYFLDVFFHWLMIICGGIGSWAVFWSTIALTRATSPLTSTFLF
LPRAAFLLPIMASFRMPAYSWIGIGMCWVSCGWFLLGRGRRGVGRLR

>RCO7_02679 | uncharacterized protein
MLTKFLTVSLFAVAVAASAVPPALTISKPNHCKKPFCISFCPDATPFNCCVQYIRDPCSDHQKPPVNPPTKPCTGPNDFDCKCRCEKSPEITYFCNA
QYFRDPCEPLDDEVNVSAV

>RCO7_02680 | uncharacterized protein
MPWIYNLVNEDAASNSSVILGVGVSLTILSLTIVSLRFYVRGRIVRTVTIDDWIIGVTWIFAFIFVAITLAQSRWGLGLQDIGDFPLENLPESDFLQ
FVGATFYILSIFGFKISAIFTFLRMAVDLTYRRTITALAIACSMFHFCFFVAQLNRCSPVAKQLDPRVVKGTCLPLVSFSAAMGAFVILLNIVTMLS
PIPILLHSCFSIRKNLIIGFIFILGVIVTLAQLMRILSISSQARKNDHYYALIWSIVEINLGMITVSIVPLAPLFPSFFFERGSIRSLSISSFDTRR
SYDKLKNYLQKMRRQNKTWNRLVMFLGYGMMRKDVETGERGDATRTMSRVGSRMSSRMGHGGVGTSTDELTGPVIIMKTTEVIVSRDGDEQLSGKG

>RCO7_02681 | uncharacterized protein
MSPISSTLYFGAKSFSLSSRDLVNQKRTGPIIFSPNIMDSTQKINMISDTAREHMIIAIFTGIIGFSFLSFLGYLLYRFFENRTRRMKELDIEEGRK
EVTEAREIRPQDGSLKEGYFKAVAAPDGSIYVSTPLLQEAPQTTSSPLSTPAVILTRPSVESGNGVDTPPLFRPGIKRSRTISTQATQYSNGPSKGP
ISSPKSADEQPASLRSNASTVSLDSYHRAESKTTTTFSTIQTQRPETPPNIPQESARISHTPPPLNPRREIHSFWSISDTASDAPTSPSIYSPTYQS
DLAPRPASSVYSSEPVFHDPFKNSNTPIDAPAQPIYSISIAGTPPSLSYPLPLLLRNSPTSPGQPVLPFSPSLSPRMIAPIGPGSPEGENELPVARI
QRWLSSSGSVGTTSIIESVLGRKRKSNNTDMYRSERLSRSARNLSISSLSSSEMGEEILIGAAF

>RCO7_02682 | uncharacterized protein
MSPGSNSVSRTQEEISSPLISMNQGKHTSGAIPEPGLSQVVVRACISCARAKAKCVPGSVSAGSCERCSRLRRPCEPAAPRVPSKPRKRKAVEFDRI
SKSHVEKLEERLDGIVTLLKASKDPATQATEIESRSAPSTPNVTQSCWNSSEQTSLSNPVGNTSESAEGWDERLLRGGTIRQRFALIGSYNPSIDPP
TKASQPKFNITGVNFGAEDSNDLLHIFKHEMNPNFPFISIPDSVSADELRVDQPSLFTAVMAVTSRDSSHQMVLGKVLMQQFADRIVVNGERNMDVL
LAILTYAGWCHHHFFNLPQLTSLISLATTLVNDLRLMRTPSKKCRGVFDAAVRESENAKDQCSGESLRPTDPLPGLIENCRAALGFWYLTSIVGSFF
QRGDTARWTPYMEECCAKLYELGYHRDDKNAVALIKMQLVFEKIYQNPWHGDSDGQSHTAPPILYLKALDSEVKSLEANLSVELGNSHFLRLHCLNI
RSSLYKIGLVKSEHLSAFTNRDFNRLEHLFACAEAVRAFTDVYLGVSASDYHTMPIKAYMDLTSNLGILQMLSTFDHQDWNVDWLRETISMPEVLGL
LSARLLEVKSALNLDPGTLDRLDMFSQSSKKMTWIKMFVERSLGIPPSSTEASESRVNVPFTE
>RCO7_02683 | related to MFS multidrug transporter
MNTTSPLGAFGHAADRTETSERSTFQPGLAEGCKPANEKSESRVQQLDEIIVENDEYITGIKLIFIVGVVSLSMFTMLLDTSIIVTAIPKITSDFHS
LEDVGWYGSAYLLTSASLQPLTGKIFQKLNSKFTYIFFLGLFEIGSLFCAAAQSSNMLIIGRAIAGIGGAGLSTGGLTILSACLPIERRATYMGFMM
SVGLLGTVVGPVLGGVLTQYTTWRWCFWINLPMGVIVALCILLIHIPDIRGDLATRPTLSFKSLFQDLDLIGFSLFAPTVVMFLLALQWGGVSYPWK
RATIIGLFCGAGGLLTVFLFWEQNKGTDAMIPLEMVRKRIVLCAALSTFFLFGSLLTQSYYLSIYSQSVRAFSPSLSGVYALPGILSQVIFAGVSGI
GVSKIGYYLPFTVFGSALNTICIGLMSTFTPTSATAAWVCYQIISGVGRGCSFQMPMIAVQNTLPKHEHPVSMSIMMFGQSIGGSLALAIAQAVFNR
GLKNALKYYAPGVSYGQVTAAGTRDFRHIIPIPSVPLVIDS
>RCO7_02684 | uncharacterized protein
MTVKPIIGVAGLACETSTFSPSRTQAPAFRPKRGDEVFDENPFLRPGTALGDAAEWHSALTGHALPGGMVARAAFEELAGEIIDHLTRIVHEMQLDG
LWFDIHGAMCVEGIDDAEAELLRRIRKVIGPDTLVSASMDLHGNVSRELAHQTDFITCYRTAPHIDVMETRERACKNLVDLLNRKDGPGRPYKAWVP
IPILLPGEQTSTRLEPAKHIYEAVYDVEAMEGVIDAAIWVGYAWADEPRNRAVVMATGWDKKAVSEGAEKLAQLFWAAHKDFKFVAPTGSFKECLDT
ALLPGTKRPFFVSDSGDNPTAGGSGDVSWGLTKLLERPEFQNETGPVVIYASVPGPEAVNIAVAAGVGETVTVTAGAEIDNLHAGPVTFTGRVHSIK
HGDKHAVIEVVVQVGSVFAIITKLRKPYHHESDFTELDLKPRSADIVIVKIGYLEPELYDMAGDWMLGLTPGGVDQDIERLGHHRVRRPMWPFDKTF
DLAPDLAARLISPSNEPLVGPDE
>RCO7_02685 | uncharacterized protein
MASTAPSSPSSSYSLSHLPSPTSTSRTSPPPIRQSEYAQCPTAKDRLTTLPPELLLAIICSLPSSKSLLPLSQTNIYLQTFLLDTHASTICNRFITT
RYSRAASILSATHRDGWYLPNHEAVIGTERRITREQMRKTGCSCVDCEELLHSASSSDLSLASKSSTRTCLKLFCLPASPRRPFHPETMCKAKNFHD
CPWKLSLPGPMFLVFLERYDWEIQTRHIMLELECQDADEATREEEKRNFNFLVGNYSVRRFLEDVKRGFECEAASEQDAGGHEGLKSGVRRRLSRIM
KKGWAKSQKVFLLKTTEKSVDHVTQYGNSAPPLFGEVQPQSGIFAVSSKHDRPSVTGLLWYYGLQNPTPQSETRMIPNGAANSDAQQAQLSPTGVRF
HEKAEVSQGSGSDCMAGIKSGGLGHVRSRIKQVFRRCKQVDAFHSLDD
>RCO7_02686 | uncharacterized protein
MELIQTPGPPRQTPGNPTTGFPHFSKLPAEIRCMIYKEVNSVERIVRLDVGIDNPPALIHAFYESRKETQKQFTMNQGTIRDDESDPGTVATPKARY
RIWINKNGRDILHLTPLYRPSFLLTNFIPAAWASFAETNCFALDLMTCIETQGDRPFQNIRRVMFESGKQQHQTYDELVEDWEEHMHWSDVYRSLWI
SYPKPNPTTRLGIQLNEMLIVWKDKQFDPPRVDLEDLEERARCVMPRKLQPHCEDPGCPQRPYHCYAYNEGAVTSSEGILLSTEEISTMANIARSFV
ITMDIYHEPLGGRAFAALKDEKVNMAGDKKLESIEPKWPDVVLLRQK
>RCO7_02687 | uncharacterized protein
MDPTPIANESSPQVLQPYPPAIRTGVIAAADPLTLFTPKKPATTFSFFPNLPAELRTMIYEWAVAEAQPVELERGICPIPLLSACYEARALLYSRYT
TWQGSISRPFKVTFRTEKDPLYITAIENAFWIPSTISRRTISLRQGNRVILVRQPRIRCSNRKSLAGINRRASSMICLLCQTDQGAHFLASFQKLRL
DIRLLQSSTFKLPSAKEDEMVEWSCLWEDVIDDFKGAKEVEMRFSKGSMAYPLPSHQREKERSKKVSEIATFTWNIQRAVFVAAVGDWNTGFSAAVK
ETVEVILDGARFAEKVVRGGGDGYDHAHDGLPVLTLPKVVFTMAEG
>RCO7_02688 | uncharacterized protein
MDSKITGSREVGNAKHRELREQSRLLQILLGSGATPLKPLCPREDLSTINPVTTIQRLIWTSISKWHDLKRLSKHNFGLQVAFSKNNAALLCNFVIK
TRYPDEAAWLELDVANPLMTEWLTLSGAQVRNFELIETGLFKEISRMLKLGSTAKLYQPALSFSEPGPVLLFGLESGIVYTDRITGSLRGALRQDVA
KSCLYTLTAPWYIKPQGYGSWVLPRSNHPAITWFYDQDGGRGGAVEELEKILARAEPRERLNF
>RCO7_02689 | uncharacterized protein
MATIAKPTNVTNNQVTIVSAKLITFHYEIMPNIVKFLPQISISILVHTCRYFRLLIPAFAMSLCKEQLEVVYPGFCHLLKVEKNSPVFHLARQNVEG
FLNSTPRILGSPFTKYSAHANITDVISSSMSIRQTSLTLPGPQLLAFLDHHGQVMNTKYKQMVTLGGKGEKVWFDWLVTYAIEPFLTSRLRVQATL
>RCO7_02690 | uncharacterized protein
MGSLHISAPARPRLLHHTSPNTPLINFFSYPKSSKMCFYDQYQMSCGCGKWGNFRQHCAKEYRTGETCGMKLVMHTYPMAEKCKLCEKIATKQRTIR
KEEDRIDRWRRDTGRSASIEKSQSIIEQQKHEINKLWNEVLAKKRSL
>RCO7_02691 | uncharacterized protein
MGACSSCLGRDADLELSDEDEQSRLLFDDPHANHYGSFGEVNTGVAQADPQEVQRENEALQKIVTLTSNHLVDIFAMVPQSPMPPAGSPTATSTTFP
GQDSRLVRYQDVLGKISAMGPLMTTYQYPIDQTPTASDGWLSDDDEVEEMKGHTPVKSDSIGALLGGFADADSATT
>RCO7_02692 | uncharacterized protein
MVALLGGDSEAIELQGRSLEVLESVNGKFHVNTAKALVDLGVMFYEAAASQEKRRSIVLVPSIPRFIALNIWSQEVCGYGQPETLSTMRSLSYDYVA
LGQYDKASKLNIEILTKYQALYGEEHKDILKATFDLGST
>RCO7_02693 | uncharacterized protein
MKGMLFDGLPADVGENFVGLLRALYEALQAYLVIPMTNFLEEKALWVLNDKKSAEKPETGFKSWTERVKSLLELAWWPLLFFSTASQMEKSEEDKDA
GPIGMLEGIGMRKLLAPRSCQMATENANLFKVSSLEFRQKSSFQDLDDRTGSMSDIVARRILQLVALLHNGKDNRFRVLKCINFFDDVPWRRLESCS
SCQISYQQYHQAP
>RCO7_02694 | related to acetylcholinesterase precursor
MTIESVNYLQKSLPWMLPQSECQARKNEMRFEASIRSRSGGFIPSVPQHIGYPHLGDPAPSTLDDPSTYLYQISHSNTRSPSPETRGAVTGQEHDPK
VRRYATPGSPTHFLPAVTIAGRSPRHLPSDHRYEAEHGNGGAFAAREFRAICPRAKFESIAKIGEKPGVECDEDCLGVNIWTPVENVDRAAGEKDTG
TKQGWPVFLWLHGGWFQIGDPSQEAGMDPTELIATGGLQGIVVAIGYRLNIFGYLARRELRDEDPDEGGVGNYGLWDVRCAMQWVRENIGAFGGDPG
NVTLAGRSAGAYSVHAHVLHECRKRKTFVDETVDGEPRPLEECQPRFQEVYSHCKIEDSLSGKDKLSALRKISAEDLVAAIKQWKDHTFRPITDEDF
ITSGMTEEFKSRGLRLLIGEMAHEESLDAVYNPPEANAESLYSQIANYYGATMADRVVHLYEMPDSSDEKEWRALYGRIVSEGVRVQDVWRYQIAYR

MSFIDENVAAWDWGVTHAMDRPVWNFSIMHGPMDEERVLMDEWIKDLVAFVNDDKGYVYGTTRVDEMKVMRPEKKIKVQKDGRWEELLQLADHFSGK
>RCO7_02695 | uncharacterized protein
MLPLFLLSAVLTASANAQIFTLKTYAPGSPLDNQVIQASGQAFYLGLAAPTTYCPEIVEPFCPDTDETIIAGVMGGMYVNVPGGQQIFVRVDGSIGY
TQAHSASVPAGAYRGGFVNVTITSECGPTVNVFAWKTPGGTSEGVLACPDIPEYMVNTPATHQIRVRTPELDVTDCVELEGLLPVILTEPIQFGAWQ
YT
>RCO7_02696 | related to MED7 - member of RNA Polymerase II transcriptional regulation mediator complex
MEEQPPLPSLATAFPSPPPFYKSFTPENLSKIAALRSAELSFLRQPQDPAKEVPVRILDLPAELRNLQPPNPPEEGVYRLFGDVFRLNEPLPTLQEL
GLEQLYTPPGTPNGGSKHADRAFILKRIAKSLLLNFLELVGIMSIDPEQYAEKVDHIKTLFVNFHHLLNEYRPHQARESLILMMQDQLDRSRAETKA
IGEMKGKVEALLEGLSEMSGNEPGLEEIRGEEKAVVEEGRDVWEELEREFGDV
>RCO7_02697 | related to diacylglycerol pyrophosphate phosphatase
MARNARSPSKGLGLAAQTGWIGSIARFWEKTYAADYLGFALLLTAYVLLVTFAEPFHRLFFVNNINLQYPHALVERVPVTWGIIYGFAVPLICLIIW
LGISLASVHKFHVTILGLLISIVLTLFVTDSIKNAVGRPRPDLISRCKPAPGTPENVLVSFDICTETDHHTLHDGWRSFPSGHSSFAFSGLGYLALF
FAGQMHVFRPRTDLAKSLLAIAPLLGAAMIAISRCEDYRHDVYDVTCGSILGMGIAYFSYRRYYPRLHSAKCNEPFQSRASSFNEGFAKLKNDEETA
RPNGERGREFDASDDTDRN
>RCO7_02698 | uncharacterized protein
MQATVEDKREALNQATQDARADIRRGKSTERKNLQTIRERDDQRTKDEEFRSNEKEYFRQSSGVYHDGSTTKKDEERTAREDERRRIEKKYFPNPMQ
DPVPKIWQPVDIVPIWKLEAQAQKDLRLKHDKTTAGLVASYERQVKENEERSTAGFTYRWLGGRGRRFWRTSSPAARTLASLIAITAFWIVVLYTYR
LVVGWVNYTYSYFLVSSGYDVVVQGCYRAKNERRALWRWGQSSEEWFFLQRCLGLDAADGREEGLSTIARVYANLITDPFGASPGMYIVSLGTFVYF
ALPTLSRKALSFVSFLLPPIGRLVRALFIPAWYLIKSSWGKILWILLTIYLFSLFMNKSTHTASAVGLGFTCTSVYYCWIHISVILSVLQLMLWRLG
DMYHAPLGITNPHPWDARFQAAHDDACFHSYPCDCFVEKDSIISKLRDQNVALERQYQLTQNCRSSDTRRKDRASYTFGGATDEEDSDLKSPAYQRR
DSTQEYLAKLWENRYTELQSSFDRLKTEKDSREASYRREVESLRHSVNYTASVSLDTVNATNELRDARATVRNLERERHELSMAGMSLRQELAKEKE
SHSEKCQNNSSCQRRIQELEENYDRVISHMREDQFLVTDACIKLGMDAKEAQHVQLRAYLAEVTIKLAQLYTLGVPGADTSDLQVAIMGKELAREAT
YKHRLERELERIGGNVLDVRMGLDTTRPQDWKIEIMTFEQNHLRVYPIYIRLWQAIIDMTEVYAREGYVLPSWFPQATKDDMNTTFSDLPPNEADMQ
LVKWSEIANPHVQSFDALIEKLVISEFQRLYNRSLQLLSFLDSNTTVHATIPGTQHVNQILNEVLHEVLDSPPAILPTHPSERALSPRKAEKYKIYS
AMQTSITSLNNVLLSNKRVPPPWLSTAGLDDRFNKPYNSPENLAANLSNHEIVILAKRISQLVAHTEEYGLLGTKAGPPYMQHQHDPTYISRWQGML
IARTYAELAVSHWNIHKAQKEVIITDSAGRQLITLEPNNRHLHPLDLEMFKLTLDLEQRKKDDEKWVAKMINDPHSGPALMLAPASSIKKQPPTGPS
NNTNTNTNSNNNTVKEDARARLVNEWNEAQERCQQLYNHVIGYGIKGNMPRFKHEPLRSNADPERVRREIDAFKEQQNQYVGAMTGGHRNFIVPKTI
RKGGNMNP
>RCO7_02699 | uncharacterized protein
MEVIQILISLPKRLLTSLLSTSRQTRINFLAINTLITILVCTSHVYITGWYYYTNERIYVTRGFRHFDSEQCDSALRSTQQQASLWKGTWPIQWYWR
MQCEGGRDKWRGNGGLRSWLNRDWFWLLFDAFWIAVAGPCFNFASSISKTVTQIYSSGLAALLISAIERPFHITGNSLLRGVQWTVESIAILPTYLD
GVPYFLPLAISNAPHDIGSFLHEGMQWATGKGVFLPTYLDHVSGSIPSTIKTPLNSTGDVLSEAIQYFFGLVASYASYFDYVPFIKTTFAMFLGWVK
PYASSFAATKSFEFWLRLFVYPRNPLSEAINHVISLWKWLLVILQVVVSSFVYISTFDIWTALVPATGVPYFSLLTMFTIWINVYVHRTYTINEHNG
VHWTKNLWHTPFALLDVLCFGSEDKFTPDDAPRVHRSWHSSNDLILPHMEWHWNEIPMLIARSIISPIYNDGFLRGLRYWRYILLQFWSACEWVWRI
PTMKSIFGVNLGIVCFRLHSYPYFRYEVGKFLIDILAGIFFLSVLLIIICIWHAIYRLGRTAWTTVFSRLPFSQFGPSNPVFYLTIIRTTISQFKVL
LILFGFNKLMSTMGIPLTFTYTSCLIYGMASRIAEYLSPPIVGEKSNLRKYRLITFTTLFRVITIIIYFSDVFPLLYRFYTPESIITNPLLYLHSGI
TLDLVYHGLSIFETRNLFQDFCIGLFLLLDYLRIPGRLWLLRQIPWESELNQLEASEDVPAISSLEAAISGIAVLIEMLLSSTMPRLAIFFAAFLGA
CLFEDAASINSDDDERIQIVPEPPRASLYSSLEDIIGTPCVIFLTLLVTVQLTNKTYFSGDTYNAVFRVGFGLIVAQFMVPFPMKFVPRAHPVVGVI
EDTPAFKRKYTIPWEGLICAAQITALLLTAYALTYLTFNLAFYSLAVPLLLLVLYYLSPATQTTLRGQVAAHRPHGLQAVLSKRLVFGWARHLWWII
PGWSIIQSLIIIRNCSAIIDHFQNFTLEYFITAWRFSSYLSIAFAVISFAIYCLAHIREQHKFLSILYHIGSTFTSYLPFSTLRLRNAFFFRDYPGG
TYQARAIWIFISLCLFINLQIYNPGCWSLGIPFLIWDIIKVEDTGAEAPFDSSLPPAERRALKRAAKDARRVNSQRLAERDALARADVARSDAREVI
RDTRREQAFDDFRTHNSATPIVPAHQSTLQTVTRDLLTIGDQVSADVAVQSSDDAVRAKEDAEIVIKQAAREQGDDDYNPTITAQTISGPGM
>RCO7_02700 | uncharacterized protein
MFATLTDGIFDMVYAVSWVIWTVIAWILLWLPYIILCICLPAALIIWFLSIDSIVSKLHQLFWIDVVDTTRQVWRGLVAFFIHVIWQRCVHAGYCMC
FDSESPPARNVSAIATAGRAVEAELTTARVELETALAEERVNHCRNHDRDTEEYQRSNADPRTRVEELNRENTELKQKLNKETKNKSRHPLFAAYPN
LELEQQILALQDELKIARENFVSSLEISTGEKARTVRQEKWIGRLMGEINTLKGEVRNIKIANTSSDGDEKLGLKRRIRELENDLSIAALELENARR
GDGRRETAAGNKDCARCVDLQDKIRQLEAERGQASNTGTGAVEDLDAVVAKLKEADQELDRLGEFRGSGHNIFDIRPRSPPIAHSGNSPNPEAAPPT
QNPGEDSSLEDKATEKLKLIYSRFETAMMSISQLEPGQTIGLQDLILAIDAIPELIKTIELWQRRNARDAAAQEPTSFNDEASKDLKSIFDTFKTTM
ISTNRFQPPGRDVVVGDVIELINTVTSFYSMETKISAKLTACRSQNSILEYTIQRYNTAAREARDRLEPGTVSDSDYTAADFIIQAVAAVEMLSTKI
EQQMLFNRSTPNDQHAQLDSLQAEIAGMKVQMLIAGLTKQKTAEETDRLTLVIETDMIQTRTTEHKRRHALFNNLEAVFNGAKEFLEYFAVEFPLFV
IPNHIVDIYKPVYRDGNALPSVKELQGLAEKMRLVVMYIRGCKLPGSWSGWEESDRDIDGEKYRKEDAAGNRLIPLMKRIRLALEEVVLHSREVQTT
SQQEQQKPTVSGPRPEGCTCVSQQPGTFTVPGSPCPVCSSSSPLSPDSGIPPDGAFDGSFRDSTANSKLDETTDQSPFYNIDEERTSTQLPPRGDFL
NPPISPRPLWEVKPTTENFPPFNNGFDPATNTDLPAEAACYLRSQGRDVPPGWAHYSATPDPPPLKPFSPRSFHTEDWNSASKLDNSPRIGASTAST
FPPFMTGAAAPGDGPFNPTGDDALVTDGPYYWKSGNDPASNILWAKILGLQQGLRAHDIHITKSKFWTTTRYFDTGDIDAVIVVPWRKQNSSKRR
>RCO7_02701 | probable PRE9 - 20S proteasome subunit Y13 (alpha3)
MSRRYDSRTTIFSPEGRLYQVEYALEAISHAGTAIGILASDGIVLAAERKVTSKLLEQDTSAEKLYILNDNMICAVAGMTADANILINYARQAAQKY
LLTYNEDIPCEQLVRRLCDLKQGYTQHGGLRPFGVSFIYAGYDPQRQFQLYQSNPSGNYGGWKATSVGANNASAQSLLKQDYKEECNLKEACGLAVK
VLSKTMDSTKLSSEKIEFATVGKTADGRIYHHLWGADEIMTLLKEHDLAKDEGGIDGGDKVVS
>RCO7_02702 | related to U1 snRNP protein
MLKSTHKSTALPLAEGWTEHKAPTGHLYYYNAETKQSTYTRPVAAPTPVAPANPSESFLQHQNIRGQQSAEPPFKNGPQGPFQGSRGDLQGQSGGRG
GHQSRPRPQPTDKPKARYPIPGHDPWILVHTKLGRRFVYNTTKDQSFWRIPEKLKDGILALDQQRIKEKAEAWAKAKEPVDSGEAPGAARPEPAKET
IAEAEKADDSSEYEEVEVTDDEDENAENSSKRQRTEKPGPEEPVEFDEDDIAFQLAAMGQEYGLDPGEYGDEHVDGWEEGAEGMAITEEDSAALFKD
LLNDSGINPYSPWEKLVEDGKLVDDLRYTALTSMKARKEVWEDWTRERIKTLRDLRAKEEKKDPRMPYLAFLQKHANPKLYWPEFKRKYKKEPEMRD

TSMADKDREKFYRDHINRLKLPQSTLKADLLALMKAQPPSMLNNSTLLSHLPAAILADIRYISLDPAIRDPLVEGYISTLPPPPDSNADEETEEMIK
EKKDRNRRQKALEDREQRVAEEKRRQKRNLEFGKGRLREEEEEIARAMNVTKKGLQGHLMDVDESAKV

>RCO7_02703 | probable lactose permease

MSAPKYTEDAEHHEKNDAHHISDNIDAKYAQGNVTQVSAASVALAAAVAGQKPSLLSKSMLQLYFIMGIGYLVSTMNGFDSSLMGAINAMDPYLKTF
KMDAAGSSTGLVFIIYNLGQIAAFPFCGFLADGYGRRVCIFVGCAVVVIGTAVQASAHERSQFMGGRFVLGFGAALASAAGPAYTVELAHPAYRGTM
AGMYNNFWWLGNIIAGWTTYGSNKNITSSWAWRIPTLVQAGLPAVVMCLIMFFPESPRWLIANDRREEALAILTKYHGDGNESSPVVQLQYHEIIDN
LHATKNDNPWWDFRELFNTRGARYRLYMVIGMSFFGQWSGNNVVSYFMPDMIKNAGITDKNKQLLINAINPIFSMMGAVYGATLLDKLGRRFMMLAG
LTGALFSYVLLTAFTAQSEKNPDLAYGVIVSIFLFGIIFAWGFTPLQTLYAVECLENRTRAKGNGLNFLFLNIAMVVNTYGISVGIASIGWKLYLVY
IAWICVEIATIYFFFVETAGKTLEEMTAIFNAPNPRKESTRKTLVDIDESGRVVGVEA

>RCO7_02704 | related to beta-galactosidase

MSPIPQTLPLQHANSSSDSLGFVHVDSQTLESQTTERQEADVANMAETHTFPKELPDWSNLKILHKNTLPPRASFFLYDTPEDALTRDTTKTKSLSL
AGTWKFDVAKSPFDTPENFQDPKFDTAKWGDIQVPGMWQMQGYGKGPHYLNIRYPFPVDPPHVPYDDNETGSYIRTFTVPKSFKDHQLRLRFEGVDS
AYHVWVNGKEVGYSQGSRNPSEFDITSLVDVEAENTLAVQVYQFCDGSYIEDQDQWWLSGIFRDVNLLAFPKVHIQDYQIETKLDSEYKDAILKIRL
DMSEGSQVDVKLLDASGATIANVSQESAASSNFSISVKDPYKWTAETPYLYQLIISTPSCAIQQRVGFRVAELKDGVFTVNGKPVKFRGVNRHEHHP
DHGRTIPYEFMVQDLMLMKTHNINAIRTSHQPNDIRMYDVADELGLWVMDECDLECHGFGEIDESAIPEEYKHLPDIDKVAFRTRDPARWTSDNPDW
EEAYVDRARQAVVRDKNHACVIMWSLGNEAFYGRNHQKMYDFIKAYDPTRLIHYEADYEAKTVDIYSRMYASVEEIIGFAKEKTWEKPMVLCEYVHA
MGNGPGNIKEYIDAFYKYPRLMGGFVWEWANHGLRTKNAEGVEYYAYGGDFGDEPNDGHFVMDGVLHSDHTPNPGLIEYQKAIEPVQVLSGTREKVK
IINRYDHITLEHLRCEWALVGDGIRKLGQEVKIPKDVKPGETVELSIEGLTDLPSQEVFLELNFTLASSTNWAKAGHLIAFGQVQLSKPSTFTELKA
LSSPSAPTYKRLTPQLLQIIGSKGVSWTFNIVHGTLTEWKTSSGKNLITSAPVMDFYRAQTDNDEPVGRDWTGARLHQTKAHVRSVSWTSNKDSVVI
KVDTRIAPPVFEWSVNVQLTYTFTDSHLSIKVIGEPRGENFPSTFARIGLTLGLAGIESAEWFGRGPGESYRDKKEAQKFGNFTSSIDDLFTDYEFP
QETSNRTDTRWVAFKGTQGALKASFADLSDASFMACRYSTQALDEARHPFELRKSRREDTLVRLDWAHHGLGTGSCGPSTLEQYALKAGKFEYEILL
E

>RCO7_02705 | probable U1 snRNP protein

MAAEQRKLLEQLMGASASSRAAQLSITDPKVCRSFLVGTCPHDLFTNTKQDLGPCPKVHAEALKTEYESADASQKTKWGFEYDYMRDLQKYIDECNR
RIDVAQRRLEKTPDEIRQTNALLKNISDLSKSIESGLLEIQVLGEQSEVSRAYEEFYRIRSAMSQKAEKERELKALSDTSGPSGHQKLQVCDVCGAY
LSRLDNDRRLADHFYGKMHLGYAQMRKTFDAFPKELRMRRPMHQSDEGEHSPAGRGFDGGYGDGAYGRGGYGGRGGGGRGGGFRGGRGGGFRGRW

>RCO7_02706 | related to GPI-anchor transamidase complex subunit Gpi16

MRHFEFYSLLLLLISLLCTPSLASDYHEQLVLRPLHPSLLLASFNFQSNTTLASFDQQNFRYFPRSLGQILQHSNTRELHLRFSLGRWDAESWGARP
WGGAREGVTGVELWAWVEAETDEEADGRWLTLTNALSGLFCASLNFIDSTRTIRPVMSFLPTGNHANSTAENLHLLHGTLPREVVCTENLTPFLKLL
PCKGKAGISSLLDGHKLFDANWQSMSIDVKPICPSDGSECQLQITQTVDMVLDIQRSKRPRDNPIPRPVAFEELKCNTSKPYHSHDTCFQLDTSAQE
EDWSLSEIFGHSLKGPCPLATDSLDPVCIDVPHSRHVFTSQGAHEHKDESGFKRCFSLKPEGEFELVLPQQEISEKSPLEQPLLYAERSFIGYGQER
GGVQAILTNPSLTASNTNERKKQDKELVKEMYYRPSLDRKRGTQLEVRILIPANSTVILTYDFEKAILRYTEYPPDANRGFDIAPAVITINSPPSDS
NSIPDSNRNEIRTTTLLLPLPTPDFSMPYNVIILTSTVMALSFGFVYNLLVRRFVGLDEAEKWDIRAVRLAVLAGVNRLFARIRKKEKVEKKE

>RCO7_02707 | uncharacterized protein

MDEFAQSREDDDLFADDFEPVSTPTAEIEPSPIPTQPRAAVGKPATTGGGNQQQQQQRNGIGRQEGGRERRGRGGGRGGGNNGLGGSRYAPQTQAD
SSTTISKVEIPPTAPNTTTFTSQNTTVPQSTDVRNESTPPAPNTTMNTNTNTNIPAITEPRIHAVRGDRSATGGPPKKGKLTEEELSQKMAQMAILN
AQKAEKHRLTEADQAAFQHREKELAKERREKAVAEKKNERVMEMERAKNRERKMKAQGVREWDSEKVEDDIVDRTKGRSGEYVRGGHGGTISRGLAG
SKYSVAEYDADDGQEYQNSRGRGEFEIRGRGGRGGRGGRGGKAANSNVIPTAEDFPSLPTSAKPSATPSSGATKKELFPEKIKSPTIEKPAGNWAEE
MATPIEEKKMDT

>RCO7_02708 | uncharacterized protein

MVNLQIACYGIVSAFFAASTISILLRIYSRKYLVKSFGWDDWCMTAILFFNSGQQFILYYFIRHGGGLNIAEVMTTHPEWLPKLITALFVEELYYVL
MHWVIKMAFLLFYLRFATKAFRTLVIVTIGLNCVFTVGQWLLYCLQCMPLDAFFHPELHPGVKCIDNKILAFVPAALNIFTDVCIVVLPIQPLWSIQ
ISLRKRLMLLSIISLGGIVVIISILRLTVLLEFQKMADFTYSLGKIIIISCIELEVAILAANAPSLRIFFNKSGDKSHVSGDIKLTNLSGKPASKHK
FALTSSSCHVTSKGGNLERLHEREQKSGQSNSSEESLTKHAGEQGITVTRVVGIESHEAKRDFKSSSVMYDRSDMV

>RCO7_02709 | uncharacterized protein

MALEYAEEGKLPPQTEDRTFFFHVKTAFLITKSDVKTTILPATTFAFTAAYSGVFSAEPTPDCHILLLRLLKSILWTWMNLWIFNLSNQRLPNSVLE
DSINKPWRAIPSGRLTSEEARRILLLSIPLVFLITLYIGGSRESLFLMVLTWIYNDLGAAEENFLIRHLNNALGFTTFGAGAAQVACAGNLNTTTYC
WLAVIAAAITCTIQFQDMEDQEGDRMRFRRTLPIVLGDFQTRRINALTIIIFSILAPAFWQLSLLGYLVPVVMGLTIAMRTLIRKDLAADKQTFKMW
CLWLILLYVLPLAKNQASLEFWFEY

>RCO7_02710 | uncharacterized protein

MSANSSSLARWTDEEHQILVQLTNDQIELESNDHSQEISWAAHWRKVSAQLQASGYNRSNTACQSYWKRVAETQKANEEAAGPRWDDQEHQILLGMT
EDQLALEKEDPSAVIPWPKHWKKVSLRLQESGYHRTPNACAAYWLKVGYDFSVDTYEPETSTFQKRFDVEHMAEDEDSDADEDSDSYSLKRRERVRS
RSHPELTERRRLAALVSTASQAEKSQDEKPQPEELPEPKNVLLSNAAPNFTPSITPAPSEKDPSDDESYNPRQREPTKSKMSQMPTKAESTSPKSRS
PKVPLRRGFRFTGEQRIILEAEAAKFGTYPSVDRIKELARELKVKEKTIRNWFVHRRSHKGQTILSNMTTPGPSGHDDSFVDEGSPAISNSGAKRMP
SFDRKESYASASDDIQSRPTKRVRVDGYDHEYHEAPQAQPYIDPAAPVTSSDIRYQRSFEGYSNMGIPISNGHPQNPPNPFVASPSEAQNATATSMS
PFPPPNNPVEVRTTNSQGVRERLRDFPAQQEGPRPGFNESPSIPAPVAGTEWLSMNSTRPSDFQAVNPAIPISTSAPHALPSNGTPLNHHPYTNVVS
ANPPPPHPMFQQPVSVSPLPRPSTNLNEQPVSASPLPRPSTNLNEKDEKEWMSSKASRIQTEIENLQYEKAARIHKLGSIDQRINEISNEENAIEEM
KEKEIRQAIREIEERHKGRNEYVKAQQQDLARVKDVELTGLHKNVADLKRKTTALKLVQDLVDLYDEE

>RCO7_02711 | related to GDSL-like lipase/acylhydrolase domain protein

MRCSLSLGQILALTSSFSQVVLASIVENGHIRDVHFPNTLMSTSLADWKTYAPNASELSYKGRWDSRYISWWSAPGLKFGVTGNQVAISFGNWTSPG
VLVGFRFDGLDWTFTNITAWATHLFSSPEIGARDASVFEIRVSNYAYGIQIRNVHTAPNSTLFKVPDFKRRLEVIGDSLASGYTATYEGLAGFGYGL
AAGLGETEWDITSYSGICLHDRNCWGNPRGQTYQWYQTSDTSPRSREIYGTEPEPWDFAKHPAADLVVICLGTNDNNSLIDVASEDYMKSYIELVDG
VHEKYPKANIVLMSLWSGFSKIGTTYRESGAFISEIYDVYKYFNTNAYVTGTQQPFVHYFNSTGILQHNDINPQFHPTDVGHVKLASHLLQYVKMKF
DWGFAATGPEVQHETLYWNDLATY

>RCO7_02712 | probable bifunctional P-450:NADPH-P450 reductase
MTTEGIPGPPGLPFLGNINDVDPATATASLCRLAETYGPIFKLSIGGIEKVFISTHELLNEVCDEKRYIKMVSGALDQLRNGISDGLFTAYPGEHNW
EVAHRVLMPAFGPLSIRSMFDEMHDIASQMVVKWARFGPKDKINVPDDFTRLTLDSIALCAMDTRFNSFYHEEMHPFVDAMTGLLAESGARARRPGF
ANYLYRSAQQKYDADIALLKKVAGEVVTERRTHPNDKKDLLNAMVKGRDPKTGEGLTEESIMNNMITFLIAGHETTSGLLSFLFYFLLKNPAAYQTA
QRQVDEVVGRGPITVDHMSKLPYIEACLRETLRLCPTAPVFTVQPHPDSVEDFATLGGKYKIPKGLPINAVLEACHRDPAVFGPDSESFKPERMLDE
PFSKLPPNCWKPFGNGMRGCIGRAFAWQEAILTTAMLLQTFNFRLDNPSYTLQIKQTLTIKPKDFFMHASLREHIDPVYLEKMLHVDTSRGHIGHDQ
QRKDSVVGGKPKKPMTILYGSNAGTCESLAQSLARVASGRGYHAQVEPLDSAVDKIPKDQPIILISSSYEGQPPDNAAHFLEWLQKLEGSSKLKGVR
YAVFGCGNHDWVSTFHRVPKVLNSAFHDHGATEIAEIGLGDVAAGDIFNDFDKWQDETLWPALGGSQETEEETGMDVEIDTGSRRSKLRQNLKEAVV
LSNQLLTQEGVPEKRHIVLNLPTGMSYKTGDYLAVLPINNSKNVRRVLKWASLPWDTMLTIKSGANTTLPTGHPISMMDILGMYVELSQPATRKDIA
RIAASCPDETVRAKISALADADFEQEVLNKRRSPLDILEEYPAAALPLSDFLAMLPPMRIRQYSISSSPLADPATATITWSVLDTPSKAAGERRFLG
VASNYLSSVEEGDRIHVSVKPSHGHFHPPSDIEKTPVIMFCAGTGLAPFRAFVQERAMQMQAERKLAPAYLFIGCADPVKDALFHDELSQWEKDGIV
NLYYAYSRSSEKSKGCKYVQDRLWEERKEMVEVFNEGASLYVCGSAAVGEGVAAMTKKIYQEAAEVLGKPKSEEEVDLWWEGIKGERYASDVFV
>RCO7_02713 | related to CTI6 Cyc8-Tup1 Interacting protein
MSHDLPPITTTARPTPDLPMFGSGSILAHVYAAYPNRLNILPIATSALKIAYKLNMADEPRRSVRATKGVHTGKMDLDSTPEPKKKGGKKKKVEKEE
DPEVIRCVCGAIDSPEGDEEPWIACDQCTVWQHNVCVGITTFEDEIPEHYLCELCDPGAHKELLDGMKKGIRVWEIRQKKYNAELAKAEKAEKAEKE
AQSAKGKKKGKRVSDSVTNGKGSTPSTPLKKETPRAGSAKRKIRDESQDEPKPKVRKVSAAPAPAPAQTPRQESPPSDLAVRLSEIHDILQEAGAKL
IMKNLKPAISHAINHRVYTLAPNDTLDAKTERLAIQIQAAVKVQHDEKQTYLAQCRTITANLKLNQELTDRLLKHTLQPLTLASMSSDDMASKELKK
EVAGLKARAEKQSIMITDDGPRMRRTHKGEEVVEDDNFAMPVDSMPTSRRRSMLDPNGQMATRSRENSPGTLEGEDINSYRGTDDIRGNAAPKLAVQ
TRKPSQPDFDYNKVVSQVAASPITSQHVRRESSNNAPPVSGPGVDPEIDKMLQDDEGDSDAYSPAEYPTDPDIVWQGTLTMESVARFPATAKHVAGF
GDKAHSASWKDNLQSDLRIAGRIDQDKANEYLCSLRYSPPTDVAVVSITPSGEASDADFYALYHYFDSKKRYGVLTNKGLGNIRDTYLVPVPPSPGS
IPDFVTNLEGHKVPEIRSDPMILVTLVIRNNIPVDTLRFGGDSPTVVNHAQRQMSISGIGPAMSPVQPQGAYSAPPLPHQGFPQDEPQPQPHHQQVQ
GDDQRTADQRAGETTAAEILGPYRDAPTVAFLMPQAYQMRPVEWQIIRGILEEDEKARNDLQHMSQVLEVRMQTHEMEARR
>RCO7_02714 | uncharacterized protein
MADVRSLLKSERAARRIQHQYASYHTGGLSCTACHVQMKDALWDGHLRSAGHMVRVEKEVASKKRKASSESDGDGEGSGTIRKRSKANGTVNGGGIP
EGFFDARIGGETIEIPSRPATPSKPILKPDVPRVDEDEWAAFEADIEKAEEEVKQANDAVISAPAMMASDIVKREESSALDLEGEKEDAARKIEEEL
EEMESLEQRVKKLREKREELRKRAVVNVVASPPVEEEEDEDDDDDDDDDDDGF
>RCO7_02715 | uncharacterized protein
MNTPLPPKHTSSYYPQSSQLLQPSPRNSFKRNYNGGCGPAYVDLRTRDANGASRPPREPTNARLFSRGNTQVDTIRSPRIRESASKPKDLSAFIIQD
LTNLGTRKDKAGNDVPETQFSTGTAELKGCTTLYITSHKGVFAAHYWENVSFDPDDIWLARGDDIWTPEAKAKIFKTTVLDPLKHGSKYHPRLRAKT
LEGEYIRAYLIVPDTKWR
>RCO7_02716 | uncharacterized protein
MAPTCLPADKEYGEAFIDACESGDLSQIHDAIASGRLIPYFRNEGLILSVAKGIQPGYVEVVAALLTSGASITPWVRNAVHGEDMQQDLAVIRLLLD
HGLDPNATQSADFERPDCTTQTGGEPLLIYINDPECAREFLSRGADPNAIGPRGKTALLSALESANVDVAEVLLEYGARPEPNFLFSTMLLRWRGQY
TGIRETIPTLSEIWGTPLHLAVFQANADIVKMLLDAGADRTAISVGDRSPGLTPEEFVLDWNKGRDLSDKWFPIITLLRS
>RCO7_02717 | uncharacterized protein
MTSALNMAIYASFRAIQAPERLGTSMSDLLGAPNENDSETLRFVEKWFQNAVKAASAPGGLLIHCSDNHLMPIDTVNRKYRDIEKKYTMTAPQTPGI
MTDNACGNQIAAFAYAIGLQQVMVLCSDSPKGALMTNTGVILDIWRQAGNLKEQTVVVNKGIDALGMFLSTKILHELMHVAADWDRGISLVPSQFPG
ILPDKVNGEPVGELYEYTPISGKKRGSKVATSAPNPNNLRHNADSMALLAASWDLPAYGWANGECATIGKARQAPLEYPDMPKPPGPS
>RCO7_02718 | uncharacterized protein
MEQALPDSNPEMQSTECIAIGDYWPGHCDITAEEIEEFLHGAQGPLPTEDDFADEPPPTPFNPENGIYEWARADAWVEEKDSKGRTVWRNRILGTTE
NSRPAVLDPKIQMTDKQDKEGLSCPLEQPKEK
>RCO7_02719 | uncharacterized protein
MSLVAQLPWLSHNLLHLLLFSLGSARGTVIKPFQIKAIAPACTTLANGLTTCNVGVNTVPPLKTLDGGYQWLTVEPAVVTLAGSAVTSTEYVSFVTS
TTGSAAAPTAAIVAAVIAPAAVGYLQPIVDTAGGKTVAGLGAEILSVLAKEKIFITAYEADQLAAVIIIVGTNVVIAGTVKYVYSSFRLSSYIRNIN
IKPIPSPTETITSTTSSATPEVTAIIDLPYPDYLDFQAPMIALGPTPTVDDFRPTDVPAGGQQIAIASYINPLGDPVTWQRLLAYDSNKVSVLVANV
LNGPDYIVEENWKAVIDQATAQGKTILGYVRTGYLGVSKQNFTTRLGSHNLADWASQIEQDVDKWFELYSTLGGIFFDEGWPECGENNIYADLYAYI
NDYTKRKHPGAYTVLNPGSPMAQCFENTMDTLLTFESSYENYQSLYVPNDWTPKDPRKIWHIVYRVPQDQVANAAALALSRGAGLLELTDDDNPNPY
DTLPNDAYMQAAIGAVVGGKPPINEPAEASGSQVAGVPNDAHVLSSDYTSVTLVWSPVSGALGYAVYRDGKQVLELPASMIRATVGMLDPGSVGLTL
EVRTVLSSGDGGASRLIPASTNSLPLDGSITNTSFIKNGNSVTYTADVLVPYAFVRLFIGIKQDAGPHGWPIDIPGVDNTGTSYIQVVNYLVEGNDF
YSAMYKYTGSWEMKGKAGNAAWSWAPLGIAPQVQSGYTHTWTVPFEGTDALASNYVVQGQGYAPIENVFRGDKYFWNAGFK
>RCO7_02720 | uncharacterized protein
MSGNVIKKAIPVGKIVKLGVEIACEVAIETTEWTRPSDVAAAHGSALKEAAEKSTKPLPLNTKKLISREGDHNSARDPKDHITAVAYDADGIRIETI
HLATPKKK
>RCO7_02737 | related to serine/threonine protein kinase
MAACISIGQRLEGKVGSYFVSAQVARDIWTATKSNSQAGKFIIKAAPLERLENERDVLKHFRTCPYIRQVLDETRNPPTLILQHLDDNLLHASGIQT
LQSSDVKFVAKRVLQAIQALHEDGYTHTDIKPDNILVNYGTGSSRFADVQLADFGDVTRIDTKDYLKVGMDGPHVGAAIFRSPEAMMQLRWGQSTDI
WSFGATLISLIWGLNWHMFKPDPKDATADDEEYLIHIIIRQLAHFGPVPKSYIDLIPREDGDRWSILGSATQYIKDNQKQRPFRLIEDDCLTEEDRE
FLLKVMKWDPRDRPTAKQLLQDKWFSEVP
>RCO7_02735 | uncharacterized protein
MALEQLVEKISRGTTEKPRAWEDAVWLDPDYCESFALGGSNAAVTSEDKHGEGKDKGKGKDKVSEMAEDSLSSDGGSSGWQWDNEMQMNKRWANDLE
AYVYWDESARAETYWDGTDWKWVK
>RCO7_02734 | related to dis1-suppressing protein kinase dsk1
MSAASSGPPRMIYNAIDEETIPNYRPADYHSTHPGQVLNERYRTITKLGWGYGSTVWLAEDLQRYTPAVIASFLALLIVGRCKERLVSPQYVAVKIG
TCRYRSIAAAEHEMKVSKRISTANPSHPGASYIRAPIDNFQIDGSEGSHICLVYHPMRETLYDFRSRFKNKRFPPQILKLYIALVLQGLNYLHSECH

IIHTGKSPISDLKEDNVLVNLESQSVLEDFVQKQTPMVRHVTDHDHITYLSNCDFGPLRDYFILPEIADLDLAQFGDGPIRIHPAQPHRYRAPEVIL
GTGWSYSADIWNVGVLIWNMMEGKDLFTNLKDEQGHYNVHAHLAQMIALLGPPPKALLDRERSFRKLTFTPEIQNPKGESCRNAFQYFGGPFFDDNG
VFVRKDLIPQRLGITETITLFQGEEKQQFLDFVSKMLQWQPEKRSTAKDLLEDPFLQLDDEAY

>RCO7_02733 | uncharacterized protein

MTSSASGPRRRRHLTRATRRRSLCRGFPRRDACHAGDLPKTQVAINGGRLTVDDLNEGLALATSGAIEQVYAAIVSILVDAGASSFANILTTALIQI
HDYQTEPLIGCFPDPACAREPLTAGADPDVSGPFRKNPLERTMGDRPAAPVLAELLLAHGARLEPELLFLPLVGRKSSGTVMTKFLLDRGLDPNTIS
ETWGTPLHLAVYRTMLSSCC

>RCO7_02732 | uncharacterized protein

MKSSFYPILAIVLAMTLYGQGTYAPTCSDASQFHPCDDVINADRRLSVLEDACMPSLSQIVNLAATGTILTITNTLTKLD

>RCO7_02731 | related to permease of the major facilitator superfamily

MGHFKSPRALDDQPASWRTLPQKQQLLILTLCRLFDYMQVVSFQTVCYYQLKSFDSTISEQTLSWQAGVASGVFSGAQILTSMIWGRIADASWCGRK
KVLLIGLMGTGFSCLGLAFSRSFNSVVGFRFMAGAFHVTIGTVRTIMSENTQEKKHQARAFLLLPAAVMVASTLGSVCASRLADPFAIYPGIMDAAS
KYGSGSWVAWMKIFPYAPPALMGAISMVFIGLVASLTIEETLESRQYRPNLAAAWRRDERSQAANIFPVYDAPTSGLSTQDVEASLDEQRKSLDNEE
PRSTRIVWKFNILVILFAQAIFDFHMGGFDSLLPLFLSTPRSSAAQRFPFVFSGGLGMEPRKVATALTMVGCIGLALQFVFYPTINSRLGNVKTFRI
FCIAFPVAYCLAPYLAIVPASQPFVVWTLITLVLTIHTAGRIFVLPVTIALLNNCAADASVLGTIHGLGQTTTAIFRTAGPVSAGSLFGASLELGSI
RIVWWVMAIIAMFGWVASLFVWESKSSTRGVAVEAVKMS

>RCO7_02730 | uncharacterized protein

MDFGTSKYKALHRRLWGPALVIFVFVLGYLRLYVWNDRTTNILAPGRVASFDNIVLEPEWEWARNTSIVYTWVNGSEPEFRKRRTSDGGQITGGDSL
DTDDDELLYSLRSIWKHIPWHTGKIYIVTQNQIPTWLKTSNPRIKIVDHNNIIPGEYLPTYNSNVIDSYLHLIPGLTDIFLYFNDDVFVSSPLHPSD
LFTAECGLKLFVERLTIPISETQQRLFIDGVKDKAYWRAFFSTVQLMEDTFGARDMKPLRLLQHTSHAFHRGAIERVHHLWIDEFRTAHKNKFREDD
DIIFIYAYYGYLAHRGWDCCNLTQEAFETEGGGNRISFLDDTTLNARAIEKLRGQRRAKFLNTNDMMGYGADAHDAREQLRDFLWSSEKSLGLRKAR
LSCNFMKRGYE

>RCO7_02729 | uncharacterized protein

MSRQKTDDDVYVLTRCDGQVVKSSFDCLDAPIHITRIYEGDREPTIKGTPCVPTYARKFNIPLQDLRGHEDRLNLQKHGFQYLKLSSDTYIHPNEDS
NIGSYLEKVTEVVKAELNATEVICYDYRFRKNQPKLTKDTVYGVDGRKNWDPVSNKPHIDQTADGAPRRMRRHLSAEEIAKYIDGSDTWRLQIVNAW
KPLVHPVQDNPITLCDYFSTEEKDLVTIEYHPTPQYAGEYYSLRYNEAQRWYWLSNQTAEELLLFLSYDSHPTQGVKYCPHTAFVNPLAPEDAVPRE
SIEARMIVISRISDWDW

>RCO7_02728 | related to alpha-N-acetylglucosaminidase

MYHRFTVVRWIKLSTIVVFAAACLLVLRLQISKGGSEIMREIFPSQHFSISTEGIHDLIQRRMPHYTGCFELLLIDSFANSSGHDQYIISFTSTGKV
LIEGTTPIAIACGLRRYLKEVAHVDIYSHVGSRLHTAPLPLPVVREPIHGASTVKWRYYLNTVTFSYTTAFWSWNDWELQLDWMALHGINLPLALVG
SEKLLLEVFHEVGLTHEESSAFLSGPAFQSWNRLGNIHGSWHGQISQLWIDEQFSLNKRIVARMFQLGMTPVLPAFAGFVPKALSRAQPEARLSHGT
QWSDFPDEYTRTSFLEPVDPLFQKMQKSFIEKQRDAYSDISHMYLLDQFNEINPSSNDPDFLRNLSHSSLQSLRAADKSATWVMPSWLFMNSDFWTG
SLIETWFDGVEGDSNLIVLDLAAESSPQWQWTDSFHGASWIWCQLHNYGGNMGLGGQIMNLTINAADAVSSSKSLVGLGLSMEGQEQENQIVYDLLL
DQAWSDLPIDTEKYFHDWVTARYSGVAAVPETMYSAWELMRTTIYNNTEWTSSAMSKSMLGLEPRLEGLVNRIGRHPTTIQYDPMVLVQAWRLVFNA
AADHSSLWEHPAYLHDLVDITRQVIANEFASSYATLVNVYTSNAVDLSAVVFHGERLLALLDTLDLVLDTNENFRLATWILRARTSAGANGATADFY
AREALNQVTLWGPNGEISDYASKDWSGLVSTFYKSRWKIFTRYLLDIPFASYNATRLHEDMLAFAIEWQNDEKVLRPYSSNTSDLQTVLLRAQGDWP
SLFSPSR

>RCO7_02727 | related to C6 transcription factor

MARLHITSLSLVILRRLWSKQVVKTNKVYIAARSNSGCWTCRVRKKKCDENRPHCSTCTSLAIQCYGYHERPAWMDNGPLQKKQALKIKRIVGQNNH
RRRQSRSLQSSHLPFPGMDVLDKESLETRAPVSADSATIPTAEISAFSSSFEEVVSGDWDQYDSWTTSDADFSIITPVDISSNKQLNFDQLGWGEEF
LPPNTSNGVKDFITAEFTGSYNYSDSYNDPLTSTSAKANNGHLSTFSETLATGLPFSQAPSNMEIILGDASPSTATIDDPVPPAEFDDGLVMHYLDE
VFHLQFPFYNVSNRRSRGWLFSTMRRTQAVYHAALALSQYHFEHASYHGLTLLSPRKGRYHELAQRSLKIIQGETGKSSTLPRITCVLQSLFYELFT
GGTKEWQHQLRLAGILLPPFVKTLSGSSNVQPREDTGLQVTVGALIFFDIIASTSTRSEPSINFDHRQIMNELGINMQSLFGCSNRIIELILDIAYL
DSWKKECEKNRRLSVVELVKRGAKIEEDLRQYIDNVETENPLGNILTKATNSYASSAHTEITHIFALAAHTYLHVVISGAHCELREIADSVSQTVNA
FKVMSDPQLLRNLVWPFCVTGCLASREKQPFFRELISAAGITSSTLGTCWQAFEIIEECWEARKTTSYNCDWAFVMNRRSCHILLV

>RCO7_02726 | uncharacterized protein

MLSPISSLVLFLQLANALQFDVKGSDLQISIGLVQNSSSNAVDFHISMVSRFGTKGGWAALGTGHGMAGSLMFMMYTIDAKSPHLTIGTSHGHAQPK
SNPDLPTVSVVKSLSTAGNSMQLDFVCYGCDQWPGMDVSSDAQQFIWAKRLTHVRSEKVLGIHSELAVASFGLTQGSIGFLQVNLKQAFTDRDMHPS
MGATTDKVSKSMPRYAGIIHGAVLGASFMMFYPIGVVIIHGSSLRNAFTYHWILQVSLTTTCILTIGSGVYLSPSGVKFRDYLGMHQMLGGLVCCGL
ILQILSGYRHHVTFLRTIRKSWWSHGHIWLGRVVLTLGVVNTKMGLDCSGSQGRVVILWWTSLGAYVACLVYILVRKCGRKNAKGDESAHTLLNV

>RCO7_02725 | uncharacterized protein

MRFYVLIIALTAFVSAIPTPNADVGCIPKVVDGPDGLEKRCVGFIAAVGKRDE

>RCO7_02724 | uncharacterized protein

MEPLMSSSSSREKDDYNPRQSSDSTEFNVIIHAKARNTRAKILILVASIAWLSVFALLLGIYHRLANNQKCNCEINDVGSNLLVGEDVPIINKVARK
YHYLEDKLDDDDFSVTDPVWADLFPVGGGIVYLSQEYIESRRLPISSISPNRPGNKSVYEIAGYHSLHCVSALRANLWRAKGALEGGLPYDMEEYWY
HTVHCLADLRQYIMCNFDETLMRVEDLIHHPGQEQLKLCKDTGPIDRWLETNYQ

>RCO7_02723 | uncharacterized protein

MPSNKDRLYIGLYARGGSAKMPGREDTYHWALIVGPKVEMDTDGNMREGSRYHAKERFQNWVFAEEKITLQPTNALLVRIMIGKIEKRDRAVDIIRT
TPIKPNEPDWNCVVWALGTSRVDGNAARDAAMWYVDKKKAEHRFDGKGNYDSSKAPTWDLLEGREAIE

>RCO7_02722 | uncharacterized protein

MPEKRLANLAASARTDPTSRPNLSVNDTPLRRFLILATLRLCRRILPRHGPVLMLSKKLCIKVGTLKQPAEAATMLFIAEHTSIPVPKVYCAFERNG
CKFILMKRVQGDTLRNGWLKRSEASKEKILAQLKGIVDEMRRIPCPEGQGISNVAGGQLFDGRLSGGSFHGPFETTRDFHKYLREGYEGGREDAPDA
NKLVEFHNQYSRPLVFSHGDLSTMNIMARGDDIVGIVDWETAGWWPDYWEYTSAWHVNPYNEFWREEVDKFLEPKPEELQMEKIRRRYFDVF

>RCO7_00335 | uncharacterized protein

MSQPIIWPKSIIAGLNHEASRPRSMRTHPIIDNLLLVTTLFWSSEFESSLM
>RCO7_00334 | uncharacterized protein
MSINSSFSKIARNGSAVSTSSTSGSVDSSSHHHFFSHLPPFSTWFQNTMSTQNHRHERIALGTMRTGMAIMTREMLEMHINQAPDVRGMLDYSPVAD
GSKMEFIGWRQKLGTWPSTKSQASVALRRAST
>RCO7_00333 | probable transitional endoplasmic reticulum ATPase
MAAGEPDVKVENKKKVNLNDASGAEHKNADDTATAILKKKKKPNSLMVTDAVNDDNSVIALSNNTMETLQLFRGDTVLVKGKKRKDTVLIVLADDEL
DDGSARMNRVVRHNLRVKHGDIVTVHPCPDIKYAKRIAVLPIADTVEGLTGSLFDVFLAPYFREAYRPVRQGDLFTVRGGMRQVEFKVVEVDPPEYG
IVAQDTVIHCEGEPIQREDEEGNLNEVGYDDIGGCRKQMAQIREMVELPLRHPQLFKSIGIKPPRGVLMFGPPGTGKTLMARAVANETGAFFFLING
PEIMSKMAGESESNLRKAFEEAEKNSPAIIFIDEIDSIAPKRDKTNGEVERRVVSQLLTLMDGMKARSNVVVMAATNRPNSIDPALRRFGRFDREVD
IGIPDPTGRLEILQIHTKNMKLGDDVDLEQIASETHGYVGSDIASLCSEAAMQQIREKMDLIDLDEDTIDAEVLDSLGVTMDNFSFALGVSNPSALR
EVAVVEVPNVRWDDIGGLEEVKRELIESVQYPVDHPEKFLKFGLSPSRGVLFYGPPGTGKTLLAKAVANECSANFISIKGPELLSMWFGESESNIRD
IFDKARAAAPCVVFLDELDSIAKSRGGSNGDAGGASDRVVNQLLTEMDGMTSKKNVFVIGATNRPEQLDNALCRPGRLDTLVYVPLPNESSRAGILK
AQLRKTPVAPDVDLAYIASRTHGFSGADLGFITQRAVKLAIKEAISLDIERRKALEAAGGDVDMEEDDAEDPVPQLTKAHFEEAMSSARRSVSDVEI
RRYEAFAQSMKSSGPGAFFKFPEAGEAAANAEGGASGFGDAGNDDSLYD
>RCO7_00332 | uncharacterized protein
MVSEPTTPVRVPKAASSYTPTTQDADLRSQINSVLLRDGHITKIHDTLLHSLHSHPQNWPTLLQNHALTLLRSGTCTTFPDLMSRVIQDIKDDTASL
ALHQSQNPSNSTSSQKSSNASNSTSSSSTLSNSTNSKGKVNGSVGGGGSNGKFGTKKEDGSVFVGKGEGGQSLALPKVVVDEGVRITRECLEAVCEV
PE
>RCO7_00331 | uncharacterized protein
MLRNLFKLLLALPSALAFSLSNFQEITSSSIPLGCLLSYDRQMRDCKKTDFSKGCSNDCVQNLLYIQRDVQEVCSTIQVNPTTLLGIVKNGGIVNAL
CPDLKFTTSSIRSIPPATTATSRTISTATALPVASTTAKTSQTVISLSIVSSIVTSTSTSASASASESDSDSSTADAPQTSATSISSATTPVAVPVT
TTSTNKIAAAATSSTKSKATTKADQGSGGGSPFDISSSGSIDGHNSVLGLVLVLGWAGLILGR
>RCO7_00330 | uncharacterized protein
MQAEIARLGDCRRPCTESALFQQYYKCFSEHSARRGEGHFHSPVAGSQEQQLLPPRRATAPRRVRHSEGYMSRSTQTDPKKFAGLSTDEALSVHANS
VGLTDHDIAGGLSQSRMDKRETGISKLQIGGYRGDGQEYLGNQKREYQDHERDDEEVMTEYESFHKEGGSHTSDTDSELEAMEQEDSQLEAEDRLRR
KQRKAHHREFEKRGISIDGRLDAFSNDPASLYPKTDKYTGSHKFLAAENPTVKKRAGKIIDGVYYPMHHRFSFTPTLRHDQANPSADFEQEAREIQF
SSPTLLARKGAFVSPEKRAKTKKTAQSPKRLYYLFSFEKICHDFRSNDLDLRNQATSKHPIKYNTRLVPLFDAMKLPRMSKRPGSAKLSSRKDSIIQ
DQYDNGRNQRSHSYAKDAAGCAAQEGPKKLSVAEDKS
>RCO7_00329 | probable subunit IV of cytochrome c oxidase
MFLSRPAFAAVRRAAVSPMIKRSFTSSIVRREAPKAASTAASGSSAGQIKRFEEIRSEDDLMGPGAAPGTIPTDLEQATGLDRLEILGKMQGVDIFD
MKPLDASRLGTLDNPIVVKSFGDEQYAGCTGFPADSHNVIWLTMSRERPVERCPECGNVLKMEYVGPQEDPHAHDAHGHGDHGHAYEEPKTFADFVR
PEYR
>RCO7_00328 | related to lincomycin-condensing protein lmbA
MASYPDFSPFPSRRSVVHSTNGMIACTQPLAASCGLKILAAGGNAADAAVAVAAGLNMAEPCSTGIGGDMFCLFYDARTKQVSALNGSGRSGGKCTL
EKIRADLNLHESQSGEIPMTSVHSVTIPGAAAGWADTVEIFGSGKLTLEEILAPAAEMGERGFPVSELTAYFWALSEDRLREASPNFAEMLKEDHSQ
CDGYRAPKAGELFKNVNLARTFRTLGKEGKKGFYSGRIAHEFVKVVKDLGGHLELEDLTHHLNLGTERVDPISLTFKDEVEVWEHPPNGQGIVALMA
LGILEELEQSGKISKITSMKHNSAEYLHAIVEALHIAFADATWWVADPNEVDVPTQQLISREYLAQRAKLFDPKKASHVQHHGSPAHNRSDTVYFAV
TDSDGNAISFINSNYGGFGMAAIPHGCGFTLQNRASNFSLDKENPNVLAPRKRPYHTIIPALVTNKNDGSLHSVYGVMGGFMQPQGHVQVLLNELIF
KHNPQAALDAPRLCIGAGMPDAGAVTGQMIYFEDGIDQSVLDELRSMGHNVELVKGIKRSLFGRGQLIRSQVEDGQVVYSGGSDLRGDGGVFPSW
>RCO7_00327 | probable translation elongation factor eEF4
MPVVNPEKLVTLQRNPDGIRNDHGKTSLSDALIATNGIISPKLAGKIRYLDSRPDEQTRGITMESSAISLFFSMLRKSAPDATPEHKEYLINLIDSP
GHIDFSSEVSTASRLCDGAVVLVDAVEGVCSQTVTVLRQTWVEHMKPLLVINKMDRLITELKMSPGEAYIHLNKLLEQVNAVLGSFFQGERMEEDLN
WRERVDERIAAAAAKEKEKADREAISGITSIDTDSIATTSNTFEEKDDDDIYFAPEKNNVIFSSAMDGWAFTVRQFASLYEKKLGIKRTAMEKVLWG
DFYLDPRTKKILGQKHLKGRNLKPMFVQLVLDQIWAVYQATAGGDNGKGDPAMTEKITKSLNIILPPHIARSRDPRAILTTLFSAWLPLSTALLVSV
IESLPSPPVAQAERLPALIDDSPGSTFVDPEVRTAMIKSKSSADEPVVAYISKMVSIPESELPENRRRGALSPEEAREMGRRKRAEIARAQALEAGD
ATDSVSSLTDAIGEASLQESSPEEEKQPDREHLIGFARIYSGTLSVGDSVYVLPPKFTPADPHHAPEPQKVTVTALYLLMGRGLEPLTSVPAGVVFG
IAGLEGHVLKSGTICSQLEGSVNLAGVSMASKPIVRVALEPVSPADLDNMINGLKLLVQSDPCAEYEQFESGEHVLLTAGELHLERCLTDLRERFAK
CEIQAGEAIVPYRETIIRAEEMKPPANKDLGRGTVVTVTTSKQVTIRLNVRPLPAEVSEFLAKNASAIKRLYSDRQAAEKGVEVNGDKEDHEDIDDV
IDSKKVLSLPEFERQLQATFEGVKGQREIWANAVEQITAFGPRRTGPNLLIDSTKDGICGRFLRDDRDEKDRTVGDTLQAQDFSDKISYAFQLATAQ
GPMCNEPVQGIAVFLEEVTLTPSTDDESSARDRLGRLTGEVIKTVQQAIRQGFLDWSPRLLLAMYSCEIQASTEVLGRVYDVLTRRRGRVQSEAMNE
GTPFFTIQSLLPVAESFGFSDEIRKRTSGAASPQLIFQGYEILDEDPYWVPFTEDDLEDLGELADKENVAKRYMDSVRKRKGLMVSGKKLVKDAEKQ
KTLKR
>RCO7_00326 | uncharacterized protein
MATHDPTQIFPTSYSLETLVIEDYSLDTGSLSAHSSLVVPNLIQSSPVYPQLRQNDQNDMWVKEHHDRAQAVKNHMKWLQEQVISDHQKRNIWLPST
NIRDGYLNRDIQWGVSTPPEGPVDLFATHNSTTPWDEENSQTFDYARDLQDKYWNAHAFNMNSDPTSPEGYVNNLTHVELDVEGIDANGCRVRAQRI
LEVNLKVYQNRNVIPATEETTMEFKRTLVLKSPAPCSLLLPKPRDREPYYAILAQLAQHEVDKALDERNHYLREVFGLEVDHVRTRREGQFGEFEKG
EHSWNYQRPEIGIKGQDGTMMHLVERRSDADVAGEVILTHIVSVMQVRCGGRSHLFDLPTEGSDEERRIRKARWSVSSAIDRCVAAESPDRVVLDKR
VDGTFLPRQ
>RCO7_00325 | uncharacterized protein
MQHITPSSLLSLPSRITYLSAFLSLTPDDGLALLAAKPLIAPLIPTIIDAVYSKLLSFDITARAFVPKNTDYEGDLVKILQELTLEHPEIALGKEFL
KVSLTTSSNSSQTTDLTPTSPFWVYLNNVGIMHTGLPGSKHRVKRPELRVEYIHMGLLHGYIVDIVIGAVINIDAIDNEMNCKVMRALNKVIWIQND
LMARHYLVESDDGNTEVEMVTPPLSDAEGEHVKGGCPFSG
>RCO7_00324 | related to WD repeat-containing protein 44
MSDALPKIKVTDSQHPDGTALDSPSTATDGGQTARPKSATSSEALKTGNNASNSKKQPINNNLLRNTPSRESNTSNPSLQQLRPTTAIDPLSHHILK

RMNTENTIPLKLRNAGGPESPNTELTSPISPEPPTGGMQLTPEMNRSESNLGKEKKKGVSFLSRFSIIGGKKKDQSVDIDDDESEQEDQRTEGMNAH
VFSSDIGANGYIPQHKEPPRYIKVRAHNKKVREFDRMFLAQELSGTRHALSDEKVPGLAATASELPNPHKILKSTKTGAVWATEFSKCGKYLAAAGQ
DQVVRIWAVITTPDERRSHEYEEELKSSTSGAARLSAPVFRSTPIREFEGHTGDVLDLSWSKNNFLLSSSMDKTVRLWHISRQECLCTFKHKDFVTS
IAFHPRDDRFFLAGSLDSILRLWSIPDKSVSFWKQLPDLITAVAFTPDGKTAIAGVLSGLCMFYETAGLNPQGQIHVRSSRGKNAKGSKITGIRTTT
YPPNGLAGEVKVLVTSNDSRVRLYNLKDKSLEMKFRGHENTCSQINASFSDDASYVICGSEDRKSYIWNTGKIDMENNKDKRPLEFFEAHSAMVTAT
AIAPTTSRQLLSESGDPIYDLCNPPPVTLLSREESNVSSIPPLGSEKSHSDFISEPAKTPAYLARSSHNDGLIFVTADYLGSIKVFRCDCAYQKRRN
DHWETSSTFSKKVIRSGSIMTRNSGGSRRNSQSQISLASPPGLHSDHILSWRNGITDDSSIQSVAKTIRSDRSVSPGKLTRTSQSTLSSQNNLASTA
RQQQYASIPLTHASPSMSTTSPPQSISDMTSRQKGTQSSPPNKPPTPSFVINRESDENPLRLDAAGKSYQFWNVSSWKAQAPRDSTKPDRDNLRPPM
MGRGESTISKLSSDEGSSGDIEDGEESEGDSLSCRKCNGRDFRARKVTGKGLVMLCTRCGSGIE
>RCO7_00323 | related to RIB2 - DRAP deaminase
MSLPSKSGSPPNHIEYMRRALDLARNSPPKPTNYRVGALLVDSKSNAILATGYTLECDGNTHAEQSCLIKLAEAYGLAEDALGDILPEGTVLYTTVE
PCFKRLSGNLACVERIMRLGNAIKTVYVGVKEPEKFVGENTGRKQLEDAGIEVVLVEGMEKEILEVATAGHIKES
>RCO7_00322 | uncharacterized protein
MTVLSTLLNATNFRNPFLKTLIPSIATAFALQGAVALPSILAQSERFYDLSGSLTYLSVTALSLYLPTLRARVAASLAGTVKPAFPSLLAAFTGNGG
PHGLNWRQVVLSAAVSVWATRLGTYLFQRVVADGHDSRFDEIKKSPPRFFGAFVAQATWVSICLLPIVALNSIPHTILSTLPLLTVTDIAGLSLFLG
GFTFEVLADREKNAWVQAKKRKEHDEDFLTSGLWSKSRHPNYFGESTLWTGIAVTAAGVLASNVGLRGMGLSGLGSVGRLAGLGMCAASPAFVTFLL
LKVSGVPLSEKKYDKRYGDRKDYQEWKKNTPMFVPKL
>RCO7_00321 | probable LCB2 - serine C-palmitoyltransferase subunit
MPQRLPRNPFASNNSTVVVPSTDRPAVRRTSTSKANRLTQFFSSSPKSKEQLTAQAALLQAVAAQQQHLLNNPSPSISPPSLSLPTISLSTAKAGEA
NMDEPPTTLFQPPSVAEAKRQSRIDAQFGPLNNQNHRYVSQYVQGETMEHILDEPPYYYLLTTYISYLVLIVFGHVRDFFGKRFRPENYKHLKAANG
YAALNSDFDNFYVRRLKLRIDDCFARPITGVPGRYITLMDRKTDDFNKNYQFTGTYTETLNMSSYNYLGFAQSEGPCADAVEESIKKYGISSASPRA
DSGTSDLAMEVEDRIAKFVGKPAAMVFSMGFSTNASSFPALVGKGCLIISDELNHASIRIGARLSGAMIGSFKHNDMHDLEQKLREHISQGQPRTHR
PWKKIMVVVEGLYSMEGTMCDLPGLLKLKKRYKYSLFVDEAHSIGALGPRGRGVCDYFNIDPAEVDILMGTLTKSFGANGGYVCAEKHIIDKLRSTN
AATIYGESPTPPVLMQILSSLKIISGEIAPGQGEERLQRIAFNSRYLRLGLKRLGFIVYGHDDSPIIPIMLYNPAKMPAFSHEMLRRKISVVIVGYP
ATPLVSSRARFCVSAAHNKDDMDRLLAACDEIGNVLQLKFSTGIAGGADHLPDGVSPEMEKEWRKANGLQGVVTPPRWSLREVIANGVQDVKQPLR
>RCO7_00320 | uncharacterized protein
MPARMTKASSVLRKWQHLYLISFCAMQDIVHQKDDEMQRGSRCIALYVALETVSINLLGSQHHCNGIVLKKRTTQSYVAVADYLANQHRT
>RCO7_00319 | uncharacterized protein
MFNTGPNIPPPPPGFRPGGPQQQQQRHQGPPAENFMPMPMRHPLQQSTHIQDITPHKILDEAACLKKLTSYAAYTIRKEAPRDAKDKPTWARAEIIE
ERFPKEEVIKQIKKLDKESKRTVTEKKIALATYQQGQITRLLDDLGSKEHDMNFGWSLVQIDSKTKPISSTRGTSKKSLYETVTMTVYVKRAPIGDL
NAIQLYQGLERLKAERLRPPPPQHQQPQAPPQQQQFRPPPQQQGGAGQGGQQHGPIRIPPPPNIIQLNRNGPAQGGNQKPQGNQQQQHPQQERGNSR
GAKKFHRKDDSSSESDSRSGSSGSDTESDDSSRSSVSSRRLRKHSKGPARKSSFRRESKHFIEASPHRHQPIDDFGGIPTQNRPYAPVVPRGVPGID
PIASAYRAGRQDAVAENFGENRFTQQPRQIIQPVIERIIDPRTIGTFRRVESQYAPLPRRIEPHYHEERYADDLRYSDDFRSAQDDMIVRQREAEDH
MDRLRLDHGRGPIELNRRSGPRDFFERRNTEFDTRPLERPEYFERRYSDAHPLYPREIRQENFGRGPSAVRSFPRDFFPQRRSFPRDSDPFAPISLP
RRYQESSTTSGDGW
>RCO7_00318 | probable TPI1 - triose-phosphate isomerase
MPRQFFVGGNFKMNGSVEGIKKIVGHLNDAKLDDKVEVVIAPPSLYLLLTREHLKPGLEVAAQNVFDKPNGAFTGEISVDQLKDSNITWTLLGHSER
RVVLQEDDAFVANKTKAALDGGIGVIFCCGETLEQRESGKTIEVVTSQLKAVKDKLQDWSKIVIAYEPIWAIGTGKVATTEQAQEVHAAIRSWLKEE
VSEETAEATRIIYGGSVSEKNCKDLAKQPDIDGFLVGGASLKPAFVDIINSHL
>RCO7_00317 | probable mitochondrial ribosomal protein, large subunit
MVVTGIRKATASQNGVSSFILQCRRMDFHYCDYWGSSKGMNSFLRNTLSRFAAANPAIEICVSPRPSKHPVIIGHYLGNGTNRQKAICVRNLEKEQI
LQKAELLRDASGEKLKRVKKPVTSIKDSVRGIWSPYHGGGTHV
>RCO7_00316 | related to U1 small nuclear ribonucleoprotein
MTDKLPPNLLALFAPRPPLRWVPPSDHPAEDRKTANISGLASFLPQLAEYKETDHYEPTESWLQKKDRIKAEKREAQEAILKNPAAYKPDEDPNIRG
DAFKTLIVARLSYEANDQDIEREFSRFGPIERIRIIVDTHQDEKPSKKKKKHRGYAFVVFEREKDMRAALENCDGIRIKDRRIKVDVQRAKTVRGWL
PRRLGGGLGGRGYTKAVAPRPAGPSFGGPPGPGGFRGGGFRGGFDRGRGGGGFRGGGNFQDRGGYAGGGGGRGGIGYQGSGFSKGGGFNSNFPANAP
AGPQGGGRGGFSRGGYGGPPPPDRNSFPERNGGSGGGYPPREQNGYSRGGDSRSSYGGGGPRPSGSNNEPVRPRDGPRDGPPRDGYRDAGYDRPRED
DSRKRQYESNGYEESRDPRKIRRY
>RCO7_00315 | probable mRNA turnover protein 4
MPKSKRAKVIHLTKVDKKGKELSLKLFSNVRECLDEYQYCFVFSVENMRNTYLKAVRNDFNDSRLFFGKTKVMAKALGSTPEDEYQPSTHLLAKYLV
GNVGLLFTNREPSAIQEYFGNMAKTDFARAGTVATRSFTIPAGIVSSMGGEIEADQDVPMAHSLEPELRKLNVPTSLTKGKITLDNPYTVCKEGQTL
DSRQTRLLKLFGVATAEFAVELVAYWSAATNEITKIEESMQE
>RCO7_00314 | probable mitochondrial inheritance component MDM10
MDYVQNAFYNKSQWNFENSYSQLTATARALLEFETPHGLRLNLSSLSSQNFATSYAIGSVGLVDGSVSYLYTSLPLHTTSQSGQIELHDVIRGYRQI
QELRKPKESWMWERWQGGKRIDKRDTLLYARLYLPQSTLEALYLRRISPTQQLKLSAVSNSHLRNGGTILALYQYDVGKYSADTLYSTDGGLIGIRG
LYNFGPDPRKEVTEPPKTDDRFYGRFSAGAEMYYGSLNKSGGMSFGGRFATLPAHKGVPLTATLTLNPLMGSLSTTYAVKAGKSLAFCSKFDFNVYS
YESDVMLGCELWKMKTKIPKVKERSTLAKLEWRLDPVEEKLVPEPEEVAGVLKARVDQNWKIGLIWEGRIKDLLFTLGSSIDMKRRDQPFRAIGLEL
QYSS
>RCO7_00313 | uncharacterized protein
MRMFWAADVICVIINSNGIRVGPASCERNKIDAHDQAEEPYPQNLQTLIKDSSNLYLEAASRFVDSSSSWELLDDEHVAKSA
>RCO7_00312 | related to cytochrome p450
MLSFTLIGVISIVLAIVYAVFREQKRKRVPTGTRPLPGPRGLPFIGRVHDVPAVATWLKFWEWSKVYGPIYQMEIFGSVHVWISSEEVANDLLSKRG
TIYSDRPTIPNLPDNRTSGNYLALLGRTETWKRQRKVSHQVMSRPSAESLYNYPSMECKRLLYQMSKEPSNYIAHIEQYTSRTISRISWGAPHFADE
LRLGTFGLLTTISPSGAVPNIVSWLSHLPAWLSPWQQVENARHAREHKFFRHCYDTVKSKIANGIAAPSYMKVFLDEKEKGKHEMRNEEGQYIVGMV

AIAGALTIGSPLQSYILAMCHYPEWQSKLREEMREVCGERCPEWEDRENLPMLRAVMKEVIRWRPPVPTGIPHCLEKDDVYNGYHIPAGATIHALEW
GITRDPLIYPDPESFLPNRWLSPSFPTTYREPLSQFPTLKAHSQFGFGRRACTGVDIVEQELFLAMGGLAWAFDVQKRTDKEGKEIEVPLAKYTSLL
IAKPEKFEFECRIMGRNGMDGDTTKGMLERMWKDVNEGRTEDWGPGE
>RCO7_00311 | probable ZRT2 - Zinc transporter II
MSTVPPFAEVSCDSGNEYDGRLGIRVSSIFVIGFGSMLGALLPIALARSKRMHVPPVAFFIAKYFGSGVIIATAFIHLFAPATEALQSPCLTGPITE
YSWAEGIALMTIFTMFFIELLASRYDVFGSHEHESADPAVNLLRDTEKYGSSQGTLKTPNSAGHDHSGNGESASSTVNNVNLGDGVSRVVTNGGVPG
REDDFSYPPGGEDHLGHTRSHSEKDENFAAQMTGLFILEFGVIFHSIFIGLTLAVAGSEFNILYIVLSFHQTFEGLGLGSRLATASWPKGKNWLPWA
MGAAFGLTTPIAIAIGLGVRSRFEPGSASTLIVQGVFDSISAGILIYTGLVELMAHEFMFNPEMRKSSIKMMLFAYGCMVLGAGLMAVLGRWA
>RCO7_00310 | uncharacterized protein
MATLTSRDISPEPAHDSILLHEASCRYREMLTLPEELHTPETPPSSEPSDIYKTANEQFEQEMEAINMRRLREDNERENMRCRDDRKLWEEIVERER
FRRKNRVPKCEIASVLNTNEIQKVNPEIRLARREDGLEGSTASAESTEDIVKGIRHGDELERARMPADEVQAQTLGNSAGRPIISWARQPSHKVRNL
STSSEKLSISSTASSNSMVDPQGDYDFSGSPVISPTSLSSVDQEAESRAELRQEQKQDTGIAKVLDGGLQNGPDSTDNVDEESVFVPGICSKIPQDN
DVADLQYDEVNIGQTTKTRSVPFKSSKHLMSASFKGEPKLKPMSTTNPSETTSAVADPHHSGFTTSSKFHIVRKRRRDSPVLSDRTPKRQRSYKGPR
LSDETESSDDAYGPIEIIQHAALTSMQKWELDQKAKKRMKEEARRRKGGVLDYVVANSDY
>RCO7_00309 | uncharacterized protein
MDNRAKNEKFITVMAVPCLGIARIRRPVATVLGHKNRRKTTTQTKRLSNSNKDSAKSRAESKSSQRGQLQTEVKSKANARASEQFQDSSLVKGAHRS
SSVKDPKDNETGPELLKGKGLKAQSTPEKRRDKFVAIREGSRTEARTPKQPMTMSKNNPASSSRRQIADITFTNVPIGLDPEFCALRCNESCPKHAE
LDDSKLGGAHTWCMTHSDFHCSGRFNETCRNSVLCGLTVDIFEGMKTTWHEAMDQQNNMDDKPKGAGRAKKNIWPTMRTESGFGGDSMT
>RCO7_00308 | related to BRR5 - component of pre-mRNA polyadenylation factor PF I
MASKRKAAAMAPPVVEEPVDPADELMFLCLGGGNEVGRSCHIIQYKGKTVMLDAGQHAGYEGLASLPFYDDFDLSTVDVLLISHFHVDHAASLPYVL
AKTNFKGRVFMTHPTKAIYKWLIQDSIRVGGASSDTKGQPVYTEADHLSTFPMIEAIDYHTTHTISSIRITPYPAGHVLGAAMFLIEIAGLKIFFTG
DYSREDDRHLVSAEVPRGVKIDVLITESTYGIASHVPRVEREQQLMGSITSILNRGGRVLMPVFALGRAQELLLILDEYWSLHPEFQKIPIYYASNL
ARKCMLVYQTYVGAMNDNIKRLFRERMAEAEANSDTASKGGPWDFKYIRSLKNLDRFDDVGGCVMLASPGMLQNGVSRELLERWAPSDKNGVVITGY
SVEGTMAKEIMKEPEQIQAIMSRNTGGARRGPGGGPDAEKVMIPRRCSVQEYSFAAHVDGVENRDFIEEVAAPVVILVHGEVHNMMRLKSKLLSLNA
DKTNKVKVFSPRNCEELRIPFKADKTAKVVGKLAANPPSTADGSQSQLMTGVLVQNDFKMSLMAPEDLREYAGLTTTTITCKQRMTLSAAGIDLIRW
ALEGTFGGIDVLPESRSKEKVNGDTHMNGSSEDADEEISSQTTAYLVMGCVTVRHRNNGEVELEWEGNILNDGIADAVMAVLFSVESSPAAVKQSSS
KHSHSHELPTRNLHANLSPTERLERLFMFLEAQFGAENVTPIAVPKLSLKGVNGSTGTIKEDEDGASEGSEEEDRELEALQRKEIERLHKIGIPVPG
VEIKVNNAVAKVWLEDLEVEGASRVLVERVRTVVERAVEITAPLWV
>RCO7_00307 | related to tpa inducible protein
MAQPQQQYSMPPRSYSPPGNAASPGAQQQFGMPPNKRQRLSPNPTSQPGSPYIQSPYAMSPGVSAPAAASPHFATVGIPQGVYNTPYSTTNGHTTPG
LNLPQSQTNLQTNHQSNHQNHFQSSVNFANPLHTSARPDFGNYGQGMPPSQPYQGQMPHQNQGAMGPPSKPVEKPKEDGVDVMDVLGGTGIDLREEE
GLQYTFQLSNNSFNSQLSGSQSGNISSSHSFSQFPPGDPTSLYGAGPANAAAEKVDGKSQDEYTKKLADQVWNAAAANLAASRQRELRNPFLIVQVI
QAKMGKVARENGLSLNVDKGGQMGTMKLPENFTQRGVQIQAQAGPENTFLATNGTFLPIDTMLVDQVALMSIATKHRLRGLVEDALKLAKGRQTGSH
GIVPEEWIEAAAPITVDSNVTDGGPRSGWESAVSPHSNPLNRSTSIATKLPTPVSDGGKTPTAPTKITNEVVGALRTSALKERDLEEARLRKRLARA
AGEVPSRQGSIISGTPGSVAPDSMEKAPTKKEQKKNAAAKVNEAANHAAANTTTAQFLFGKKQKKYSWLTGGGASGGGGSGASTPGRINTQGLGTPG
SGPVNAPPEKLTAEGARRLGQWREDKERGVGIQIRDWITVLESDGREKKALQKVYVNLDHSDPK
>RCO7_00306 | probable manganese transport protein
MNCPSRTDEPDEGDGYNQNPSSLSADLTTRADLNGIANARELKRMASNELETEVDGIPDEDGKGGKRDKGEEEVVAAREVGQQSKFTRNGPGMVALE
AADGGAAGGGGIGNGADASFPIRIFMKIRKGVVTYGKFVGPGFMISVAYIDPGNYSTDVAAGATYRFRLLFVVLMSNIFAIFLQSLCIKLGSVSGLN
LAEACRAFLPRWMNYFLYFMAEGAIIATDIAEVIGTAIAINLLIPQIPLVAGCALSIVDVLLILLFYKPSGSMRGLRAFEMFVVILVLGVVICFCIQ
LSLIEDTPIGEVFRGYLPNSAIVESKGLYQACGILGATVMPHSLYLGSGIVQARLQEYDIDNEIVPASIRSDSVNKVQYFPSLPAINFCLKYSIIEL
AVSLFTFALFVNSAILITAGASLYGTNAEDADLFGIHRLLSDSIAPVAGTIFALALLLSGISAGIVCTIAGQMVSEGALNWTIAPWMRRLITRSISI
TPSIIIAGAVGKEGLSAALNGSQVALSVVLPFVSAPLIYFTCRNKFMTVRTETTAEDVDDDEGDNTVPRPSPQPNGVKMRNNWITSTIAVTIWIIIT
VMNVANLVLLGKGGGA
>RCO7_00305 | uncharacterized protein
MAAATGQQTDPSVHSGHGLNDNPVPFSTLTASLPDGQVSRAIEIDSIIDANVEPNQSPASSRTISEGVEINSIIDASMEPNQSPTSSRTVSNGGDTP
DNRCESPASSRTMSNDSDAPDNSRGPYTSTIQSLGVDQRIVPTVLCRVYGQRRRRELMDEDVSRQGIHDRHRWDRRRMMDKATRPNIVAFYEDGDSD
CEWEEFEELREQRKGGIWILDLIRT
>RCO7_00304 | probable glycerol kinase (ATP:glycerol 3-phosphotransferase)
MDSMPIRTLSTHEHDFLKIIEPISNTQHVENITEHKTEDAVRPHLPKGVSETDEERLEQWFIGSIDCGTTSSRFLIFNGEGNPIASHQIEFENIYPD
SGWHEHDPQELVDSVVECIEKASEKFFKDGYTKDQIKAIGITNQRETTLCWDTNTGEPLYNAIVWPDTRTTPIVRELKKRKGADELQQLCGLPISTY
PSSVKLLWLYRNVDAVKKAYDEGRLSFGTVDTWLIYKLNGGKEGGVHVTDSTNASRTMFMNLHTLQYDDKLLDFFQLDRKNITLPKIVPSSDKDAFG
ALALTALKGIKITGCLGDQSAALVGQCGFSPGEAKNTYGTGCFLLYNVGDKPVISKYGLLATVAYDFGGGRKPIYALEGSIAVAGSGVKFLMNNLGF
IKHSHKITELAETVDDNGGVVFVTAFSGLFAPYWIDDAKGTLFGITAHTQRGHIARATLEATCYQTKAILNAMEKDSGHKLGKLAVDGGMSNSDLCM
QTQADITGIPVDRPVMRETTALGAAIAAGFAVGIWKEFAELKEINKEDRTIFTSKIEPKKSDAMFKKWEQAVEMSRGWVLDNPTEE
>RCO7_00303 | probable Acetyl-CoA acyltransferase
MSAAKRRLTQVSDHLAGSQSKISPTEGDSGRAKILQKNPDDIVVTACLRTAFTKGGKGGFKDTAAADMLVGAFKSLIERSKIDPALVEDIAVGSVLP
PGGGATEFRAAALAAGFPVSAAVKSLNRQCSSGLQACVDIANAISAGMIEVGVGAGVESMSLQYGPGAVTEFSELLESHPESANCKVPMGLLSEQMA
KDRGVTRKVQDAFAASSYQKATKAQEAGLFDEEIAPLKVHWEDPKTGEMKEITVAKDDGVRPNTTAESLGKMKPAFAKDGSIHAGNASQISDGAAAV
LMMKRSTAERLGQTILGKYVAASVAGVAPLLMGIGPWAAIPKVFEKTGISKDDVDIFEINEAFASQCVWCATELGIDEKKINPKGGAIAFGHPLGCT
GARQVSTLLYELRRTGQKVGVTSMCVGTGMGMAAVWVAE
>RCO7_00302 | uncharacterized protein
MSNPLSALQSSQDIPTTSNESSTLLRFPVPAADERVTSWVESITSAKMSARSENPSDEGILGESAYEFIDTDEEGRDDNTTESVASTDYGRPEDVAS
LADTDGDDSGDEDNQGTSSVPALPELDHAVEQAFNTPTIGRSSTVLLDDFNKPLTQSIEFEEPYSLGTETVSVKHTITDLTEEQTANALRGTALQDQ

PERAVVTIRQTMTKQGLSTRDPLRILYIGSHSAKQDIIHKIASSVTAPVEGVNNTQRLRQSSSQLYNVVPVSAFGSEQTPEIELMHSSGYQIKVEDC
IIAQNLKFEDVPEKADVIKLTLDDNFAYHSVPEGQGFIVEPHWDLPHVAIFYCSDSDDIVARRTRSIARKFMNRHIIPSIVISHKQVFERGQCMALD
QHSIHMCLESRDLSGRGNIIHKRLPIDLASFLNLDARQMNRNLAYLTGLHGPVDTASQNVLKKTSSGLTSAQDVKKTSFGIADSVNFIRNRNGAALW
RAIMPVAMLLLSVFVAVFTGIPNYRFSRAILEPAISVNSKIVPAISISSTASLTSSAPSSSITSAPTSLSAKASVKTITVTQSIALAPGPNSLSVVP
SMELGNLPIPAISSKSFKKSYVCTAEVLGDREILIRIPSATKLSWLAKEAMSVNITRNNVVVDTERASSSDEGIILLLPKEDAYGVLNISIVTSKKP
RVNETFQVDFGCIASWQSILSKLSSMLPQDAVFDSKSLIQLLGPVEHVAEDTIHQIKSAIRLIEDARKSAVEQAAEVGEGVAIAARSLSLEAAKRTA
ILAKEVGIQLAEIQEKMSKKVGSARKVGEPLGEWLVKSQIQSKLLWLKLQGRDAEYQEYQRRASKVARIKTEKFQKSRKVRPAEKKKTDRMANKAAK
KAARQAGKKVRT

>RCO7_00301 | probable ran-specific GTPase-activating protein 1

MADTTTEPKLTPAETEKPLQTESKDEAAKDVPATLTEQATSAVTTAATTATTAASNVADNMFSMFGGGAKKEKVEDEDRGDNSGSAKAQKAAAAEEN
PEDEAPESEDVHFEPVIRLTEKVDTKTNEELEEQTFKMRAKLFKFVREGNEWRERGTGDVRLLKHKENGKTRLVMRRDKTLKVCANHYVVPEMKLSP
NVGSDRSWVWNAAADVSEGEPEAQTLAIRFANSENANLFKEAFIKAQQENEALFSAAA

>RCO7_00300 | related to transcription initiation factor IIF 30K chain

MVADVSTLISEAFMKRTVKLITEQRNIDKPSDVEGFPMKSWNIEVYLVDEAGNEKPANCFTKVVYNLHPSFVNPQQTYHSPPFRCENEGWGEFDMTI
DLYTSEKGGKNTVSHDLNFAKPRYEAKHVISFKNPSSALVNLLKETGPVPGDENGRKKEKKPSSKKSGAVDMEKLAEALVKLNEDDLLNVVQLIHDN
KSEDTYTKNDIEQGEFHVDLYTLPETLVKMLWDFVSAAGRN

>RCO7_00299 | uncharacterized protein

MSKITSKNLQYDDSLPPFLARLRANNNAGDGRHEYTVARPKKARTAEDEAEDEPVYFDEGSGETLTKSEWEARDKEENGGEKVGEGEGKDGEARDVK
GDGGKDGGKEKVAAIGGSRKRKAGKFVGGEEEEEIKEEVSAVAKATVVKKASSQPGKKAEKGKPAKQGKKVKLSFGDDE

>RCO7_00298 | probable KTR5 - putative mannosyltransferase

MPAGAPPAIRKISEEHDKVFVTGCLEPDTSKPRANAAFVVLARNKELDGVIQSVKSIERHFNRWYHYPYVFLNDAEFNSTFKDTIQNYTSGTVEFGT
IDPKMWGFPDWIDPKVAKEGIAKQGDAAIMYGGMESYHAMCRFYSGFFYKHELLQKYEWYWRLEPEIKYFCDITYDPFLKMIETNKTYGFTIAVKEL
KETVPNIFRYASAYKRMNNLTSKGLWEMFVEPQPEEKKEPEEPKHSLPEEILRGDPSRASLPDIDPESMEGEKYNMCHFWSNFEIAKLSWFRSKEYE
DFFQMMDRSGGFWMERWGDAPIHSLAAGALLATKDIHYFRDFGYRHTTIQHCPANAPARQLPRNPFLEKTTLDEKKRREEDEYWDSWDAVKENGVGC
RCRCDTDIVDVEGKSGSCLAEWVDVAGGWASP

>RCO7_00297 | uncharacterized protein

MLIKNLLRLLALVAGAIMVVIAADTGPDPITSTRVFSIVPDDTLSSAPGGEFVTTVFNDHAPTAALTVASLVLPTSTVTRTNTIRSTMTVLGAVNTV
TVQLSSVIEKPTLVAGRCYWGVAGNSFPCTWTAGNLPTNIFPTGAAAANITQIHGIGINPSSSTSFAFSVRSNPFESIVHGIKRLVARQGFRGGDSI
AASHKMISNPRGNGTGIVATSHHSAGIPTITNPFKSVIQGVKRLVARQGFGGGDSIVAWNKMISNPMGNGSGIVATTHHSAAISDRHNPFKYFIDSV
KSVAKREALDPVRVDWSKVDNSTLTNTSTLEFHSYRGMDGVKWAKCDHVPVVYSPLIISILYIAHAGFLKYQWNTPSRNQSNNGRQVIVFIAIWGAI
FPLFVYIEIYISIASAWRHCVPDPSRVYPY

>RCO7_00296 | uncharacterized protein

MTAPKPTLAPEPGKTVATIKIDGNEYPVLDIRSNGDVLLDVQFLNDSDCTKSIPKDALRSLRTKKLPITSPRVLYRVKLDTIKKYSEYFKILLKAQF
AEGLEVAQVLAGLQASNQDVTKVEADKLPRIKIVDEDGATKTLGRELIFKDMLNIVHGSEPVTAPFNTQCITTLIILSDRYGFIAPVSRYMQKTLNA
HKYPNTLDKNGEEALRQRILIQFHTDQGMRFTNATKDLILRGSMRWSDTVEVSVDYQTIWWDLPYGLEAELAFRRACVLRTIASIQDQWLQIYSSKD
RQCKLGYDSSSSCDSFQLGEMIKFLTKKGLLSLVSFQAASPYDQDYSWPEAYQGDIELLIGILRQCPAYQIDSNHGHCGLRNKLLPALDFIRTCIDT
GLGIRLLRSQNGGPIFESWIPGQTPNWSSVKKAVWVGNGEDDVNVAAEKLKQFEFGQGRPKMMRSSSTETVERTPRGLFTAEKWNWVTEPETNTVRL
GSSFMTSVSR

>RCO7_00295 | related to heterokaryon incompatibility Het-C protein

MAGGSLGFGSLIFASCLVLLLLPSPAAAFGAGNIPSIAQIEGNNFRHGGMILHVLGDVDFEADFDVNIDIEDMLKTIAFIKGHKWTSMMVKRVYFGN
WLRDYSQAVDVGSLKGVSAPTIRILVWVLSFLSFGYATEEFEVTEERLGVYRPEEHIDNPKDYADNKDAREYDQRLRGPVQPRELEIDSNTGMKNYI
ANESGGWATSSGYVRFSLQRSIHFGRLYTNGSGNSKGKEADLCEALRCLGQALHCLEDFGAHTNYCELALRELGYRDVFPHCGTATEINIRGHHVYP
LVTGTFGAVDFLHSVLGEATDHFTQTEVEEMDLVLKGAEQTQAGGGTGQRGLFGSGGGTDFASLLSQVPGMGGGLASTARGLQEQSAEQEYQNTLKR
SSANTSFAGPPGAHLGYSGNNIPGMSETFDPIKTAKQIYPILEFRDKVVKAISATIAKIPGLEALVEKISETLTVFILSLLSPFIRPIIDAVSKSLK
DGSSTVVEASANSQFEPWNDARCDNPTHSMLSKDHFSNKLNGVAGRVATTILQYVAPRVLYAWENPGISVDGVMKDILRTFHHPAVRDEQCELHRNM
FNTVRKWVDEQPDRGQLNQILNSASVKAGRNHKEAGGSSNSRDLHDHGALGGHGKTSGSIWTEIRSRDLGAMEGSDATAASNYMGSSSPQSSTPGMA
YQSPNFGYQNLPGPGSSSRPTSSQGGYLAPNPTQGSYQGGPPPGSYQQVYNNPPYQQGGYQQNAPYSANPPFPSGGGPPYPPSNAPYPPDYQQPSYG
GPGGYGQGPPQGPAGGGYWPQGGPGGPGGFQGGPPQQPPYGNQYPPQQPPYGNQFPPQPPQEPPYPGGGGYPGAGYGGGRY

>RCO7_00294 | related to fatty acid hydroxylase

MSPSRTLPTFLRTELAAHNTEQSCYVTMGIRVFDITDFLDSHPGGGELITQYGGKDITDIMKDEISHTHSEAAYEVLEDSLVGFVATEKVINAAVKS
LHLDQIVPLPPTDAGKQELKQNASSDRVPVFQATGMSSAADLSKETDPTNDYKTHKFLDLNKPLLMQVWLGGFSKDFYLEQVHRPRHYKGGESAPLF
GNFLEPLSKTAWWVIPTVWLPPVVYGTYIASRGFSSIGGNAAYWFFGLFLWSLVEYGLHRFLFHLDKLLPDNRVAITLHFLLHGIHHYLPMDKLRLV
MPPTLFAVLATPFWKLAHAVFYWDWCVATTVFCGGIFGYICYDLTHYFLHHRTLPAYWRELKKKHLQHHFMDYENGFGVSSSFWDGVFGTQLAPPPI
KTL

>RCO7_00293 | probable RNA splicing factor Pad-1

MSSALDVEALLDSTANAVPADSSKLKDSDDRHKNERSDRRDRDRTRDGSRDRDRDRKRRDRSRTRREANGERELIGTPTSEHGSAQGSVKSRRRSRS
REEDRRNSRRHRDSPDEAGRRDGDFYRGNGRTRSRSRSPNRYYRPRGDRRDRDEQDGGKPREDRRSRNEGRRASRSPKRENTPPLTEDERDRRTVFV
QQLAARLRTKELIAFFEKVGPVKEAQIVKDRVSGRSKGVGYVEFRNEESVPAAIQLTGQKLLGIPIIAQLTEAEKNRQVRNPEAASNNPNSIPFHRL
YVGNIHFSITESDLQNVFEPFGELEFVQLQKEEQGRSRGYGFVQFRDPGQAREALEKMNGFDLAGRPIRVGLGNDKFTPESTASLLQRFQGQSHQQQ
FQGSAFSGAGGRGPQATSGGNFDRAGGRDNDKGSGGASALDDTDVGGVNFNNYSRDALMRKLARTDEPAPAAKGRDERREISKPKVETKALPVNVNM
ASRCVVLKNMFDPAEEEGDTWEKELEDDVRAEAEEKYGHVVHIALDPNSQGDIYLKFDRVQGGENAIKGLNGRYFGGRMISATPVVDAVYSSSYRVI
TSILRSCSKLMLVQKLSIPAFRSPVPTNSSLGRVVLRAWSTLRIVGPVGNFNDGILTRHTSNSQYPRTPLINLTLGAFTKRFPASAPRILGSDIDFR

>RCO7_00292 | uncharacterized protein

MSDHFNTNSSYFSLSVLRHSGLVDAVIGTGHTGESSVTAPAPSLEVLSPSPQRLVQPFIINMEYPTSKFSAGVASQNLGEDSSPNWPRPPVQRADQS

TSQVRSGQQQDYLQMSPRSSVFSAVQAQIGQGQSQLSSSPRSSVRIANHNVDKNQSGPLQGQLHSPRPSHNSARSSSQTLGHPNEGQNFRENQLSPF
CNSSILSQGQFRDLTLPRPSLRNSDQNSRQADYQAQNHPPQSQNQSQPPSHNKNSAQSQGRSHGHSFGQSQPPSQSNNFPLPQAQFSQGQVFDPQQS
SWEGNNSGRSHHQFPQAQDDNQTQVPLQLRGISAWQVDHPARSQMQSQIQSQLHFQPQDQSQIHSRDPVGAIHRRRSSSSRMNPAVPAFQPIYQTSF
QSFQPTQGAIFDSQMPQPLQPSQSPQSAQLPQPPQLLHSPQRQQVNPMPIHQMMSSSREQHEKVNELVRRIKSIDNMNPNKQESLVQSAEELRRLYE
RSMHLTKNEYEKLWHEKETSKQFLNNTAVNLRQAYMERDKLGAERDAARDAIENLELQNAELSKRMNELEKQWKNFNKEMDQKLAEKNAEIERNRVR
LERQRIQVERQRGQIEKQSSELAYNDARDVKFVDAAHVKWMAENPASGMHNRRNNQSIGQDPFASPSAGSSSTLPVSGMGGSGSSSSTNRVGLIGRG
FGQSSALGHVQPNSGPPNATAEKMFTDLRKPSSSRRQSILPTGAPTERVTRNILELLNSSYNGMSTRHITTEPGDTPLAPSKSTALILSSISAEDPS
LFYQEEFAALYQLIEGWAMAYCTTPKISNDQLIARSNQVLWTFMMKCTYPGKRQDAHTHLTTLLNNASTRPWFIVRMGVEYIVEDMLSIKSYKNFSS
QVGTELATVEAQLHERGLPNDARQALIDRRAKAIQLAVSSPRWESYRNEQLSIHSRQLRDILGPMLDDKADRSKAGKDLGYIALKAWDISEHMNTSQ
LTFQVSFPETAGKFVAATMISKDDGHIHPMALQLSQARLKLIITPVITMRDDRGTTIKAKNLHFATVLTMK

>RCO7_00291 | related to oxidoreductase
MAPKTLAFKCALVTGGGGGIGLAMSKHLISLDIKVIIVGRTEKTLAEAAKELGNDTVYYVLDTGNIPAIQDFCQKVIQEHPEVDCLINNAAVQKPLD
INKFDLESADQEIDINIRGPMHLTIGFLEHFKSKPAATIMNISSLLGYIPTSIINPVYNATKAWMHFWTMNLRTQLANDERGKNIKVVEIAPPTVAT
NLHRDREDPDDNKKENNKKSLSLPEFMEFVAKGWKKDQDTIGAGMAQGVVAQWYETFGQDYEEAEKSTAPPKKSE

>RCO7_00290 | uncharacterized protein
MAPSASATQSQVVNPKVKRPIPPGIQTNGINSSTSSPSPSISNGKLPTTAKLPPNSATSNGAGSSSSGPRSASRVRRDAPAQLLGRGQRISSVGLRS
ASLVGNSSIAHTVEPQPYIKTDEYILRKYRGCPPSLIVHMHPTHFRFDQQEGSFKYNSPMRVLIQHIRERTIPHDLVEFFNDVPYYEGCMIVQVHDH
KSIAASQDTDRPKSAAGKTTPFSIHNYNVYLTPSPYVPYPTEVAVPGKGKGADDDSKKKDKENMPAPDLPKDPSNKQQSSPKQPKIATVVLRPTALS
NYADFAVKAGEAQPVADGRRDSRQDGNGAPLSATVPPTPTTAVPPTPQTSMAPPAKRLKKTHPELTSSNIYAAESQITFATTAPLMLEPVNSVGEAV
ALLDSLAHPMHSEAPPAPKTRKRTVAEMAADEAQAAEQERHMLTFDERLGPNTARAQGGGNAGDGVGQAGGISFEPRFERFKTIEIIKAQHEETKRA
EKLRREEAERKTRQEQERNKLRDEAEKREQEKARVLAQQQMANRQQLQAENQRRQMASQAQAGLQGPNHLPQGNQPQTQHAHPQTNGLVGNGLAAQP
QRFHQQVSQAQASSPIVRNGTPHSHSSPAGNQMGNVPMQQTTSSMGGSPPRPGSVVHQNHPQMGAPTGHPMSAQRSQQSHAGTPRMPNSTPNIQSTP
LNRQVNQAPRMSQGSPMQASMAGMQGMQGMQGMPMMNGQQMPVMNSQQAMQLQQQQQNRIMQAQAMRTGGLQQQQAMGGMVPQQMTTQQQHHYLAAQ
QMMRAQAQQGGNPNTIAQAYASQMNAMAQRSGGLPPNMNQNMMNNGMPQMTMQQMQQQLQIRQMQQQGQGRGQQTQQMQQQQIFQQQVIATATSMYN
NERLKTAANYPNGILPEEVERNLRVQCQRQATENVQRRIQMSRNHQAQQQNMMAQAQAAQAQGMQQNMNGMQGGMGM

>RCO7_00289 | related to mitochondrial rRNA processing protein PRP12
MQSSRRIVFNPTSIPGLRSRGSTRRDFYNAGYAPTSGLRKAKDVGFWRGIRKESTETGENQTGHISARPNEGILWFDSKYSLGLMTCSSADYSSLDL
FPLKLNWMLRLPWHAEKSPQLLTRFNNSTLGTFEPVALVKRAIPSSVPMTVTEILPRLKDGGAFVKFSHPNGISAKEVEGLLREYLRENPIKPWFNP
FRRIRTNLVVGKPWLEDLYRFPSARIRVEFAPTSPGKEAAELSQEALYSLFRKYGKIAEITPQPSDSKILPKYAHLDFARLRQAIMARNCMHGLKVT
EAEGGGAAGTQLRLSFQQREKTHWVWEWLSSHPRVVIPAVAALLATATVAVFDPIRTFFIKAHIEHSFHLQDNRLYQWFKSQATDIFTFRHRRSEET
SMIWEDRKQVIDTIQTALMETSSTFIVVQGPRGSGKKDLLNEALKGRRNTLLIDCKPIQDARGDSATIGAAASAVGYRPVFSWANSLSSLVDLAAQG
TIGVKSGFSETLDAQLGKIWGNTASALKSAALGNRPKAKEDKDAALSDDDWLEAHPEHRPVVLLDNFLHKNEESSIVYDKLSEWAAGLTTANIAHVV
FLTNDISYSKSLSKALPDRVFRQISLGDIKPQVAKKFVISHLDVEKSDPNTVGGRLTDLEFLARRLKTGQTPTRAIAEMIEQSANEIMKMYLLTIDK
GDRKYSREQAWYLIKSLSEHGSLRYNEILLTNTFASSLSPSAASGEGALEALTAAELVTISSYKGRPQTVKAGKPIYEAAFKILAEDKVLKSRLDLA
VLTELTKIETKSIDKYETELTMLGTLPRQPAELAPRIQFLLAKIAASQQKVEAWEKDMSAMKKLLLDEY

>RCO7_00288 | related to EMI1 Protein required for transcriptional induction of the early meiotic-specific transcription factor IME1, also required for sporulation
MGWLWSTPSSDSSSAKESSNPTQSQPSKPQQSNSSPAQTTKAVSQEDPAEQELTSFLRELSADTQTSSTKYNRVAKNPPTSTPNLPSKPQSQSFTPQ
NTDATLHPLAEELLPTTMSCRTAFDEAFYCNSFGGRWNDLYRYGTLKSCSDNWSDFWFCMRTRTYGDAQKEKAIKEHYRQRESAKYSKELGRESSED
VWRSREGKVAVGEAFRAPFEKFAGTDEEWRERELEMRRGRVEENVGW

>RCO7_00287 | probable orotidine-5`-phosphate decarboxylase Pyr-4
MAPDSIHQIIKTSYSERAETNIHPLSSYLLRLMTLKQSNLCLSADVSTTNQLLNLADAIGPQIVVLKTHYDLISNWDYNPTTGTGARLARIARRRGF
LIFEDRKFGDIGNTVQLQYTEGTAKIIEWSHITNVNMIPGKAAVDALADAATSWKESKRYEVKTDITVGTPRPESVNSDDEEEGDKIKTPVPEDRDR
NLAAANAGRKASIVSITTVSQHFEPVNSPRSYEGFGEEYENFPGIEEAPADRGLLILAQMSSKGNFMTREYTEACVESAREHKDYVMGFISQESLNT
LPDDQFINMTPGCQLPPEHEDEDAEVNGDGKGQQYNTPQKIVGLMGNDIVIVGRGIIKAGDPVREAVRYRKRAWEAYQERIGA

>RCO7_00286 | Heat shock 70 kDa protein
MGPAIGIDLGTTYSCVGIFRDDRIEIIANDQGNRTTPSFVAFTDTERLIGDAAKNQVAMNPINTVFDAKRLIGRKYADAEVQADMKHFPFTVLDRGG
KPVVEVEFKGEKKQFTPEEISSMILVKMRETAEAYLGGTVNNAVVTVPAYFTDSQRQATKDAGLIAGLNVLRIINEPTAAAIAYGLDKKVEGERNVL
IFDLGGGTFDVSLLTIEEGIFEVKSTAGDTHLGGEDFDNRLVNHFVNLSTNARALRRLRTACERAKRTLSSSAQTSIEIDSLFEGIDFYTSITRARF
EELCQDLFRSTTTPVDRVLADAKIDKSKVHEIVLVGGSTRIPRIQKLITDYFNGKEPNKSINPDEAVAYGAAVQAAILSGDTSSKSTNEILLLDVAP
LSLGIETAGGQMTKLIPRNTTIPTKKSEVFSTFSDNQPGVLIQVFEGERQRTKDNNLLGKFELTGIPPAPRGVPQIEVTFDLDANGIMNVSALEKGT
GKTNKIVITNDKGRLSKEDIERMLSEAEKYKAEDEAEAGRISAKNGLESYAYSLRNTLGDAKVDEKLDASEKEQLKAEIDKTVAWLDESQAATKEEY
EEHQKELEAVANPIMMKFYQGADGGAGGMPGGMPGGPGGFPGAGGPGGATHDDGPTVEEVD

>RCO7_00285 | related to dienelactone hydrolase family protein
MSISSSCLKVFEWDGTPAVNIGKIANNDAYSTGDNPDVMFLFIHDLLSWNFPNLRLLANHYARETGATLFLQDFCGDESLPFAPILRNNWHLLNVPA
FIAKNTREIREPEIFEVARAEDEVQERRLGGKEQSPLVDCISAGHPTWLTKKDIEEVAVPVQILAPEIDTAFNAELKLHSFQTIPKLGIPFDYQHFP
GVEHACFSRGDLNHAGEREAMIRGKNAVVSWFKQFLFETGRSEDRTSSAVWSMKFVSCLLCTSCETKFNY

>RCO7_00284 | probable ribosomal protein S19.e, cytosolic
MAGGISVRDVDAQKFIEAYSAFLKRQGKLQIAGWVDTVKTGPAKELPPQSIDWFYVRAAAIARHVYLRKTVGVGRLRKVHGSTRNRGSRPSHHTDAS
GSVDRKVMQALEKIGVLEQDEEKGGRRITQSGQRDLDRIAQTTVEADESEEEDE

>RCO7_00283 | uncharacterized protein
MTRHGKQKVTIDLESSDEEPAPSVLPEAPSVKKMQKMQGKKINKRFKIAKRVMPDAPEDSDQDELGVDQQVVLKSGRMNFQPVDAGREKEVLRAVGK
AAKILLALGDQVDLKTTMQSVASRNDLASNKIREDCAIISKLLPFPISASAQQPHGEVPSTINLYDQYFVHQGAGRQMFVLRPVEAFQGNVNLTRRK
VMGFVQHKGSNFPLKYALPGWTPAAEDHPNLLNSGFWTKEVQRWAEFHNHHFPTHPFDEYHGKVKGHACASHVEPRLMLWFACDRLRELRGVDKPIR

TLLGELFRLRDYDIKMEAEIHLTRDPCRKCLEIRDLIEEYTRIKFHFKSARTLGELQLEKNKHGWITFGRYAQVDSDEEDEDFEVVERQEVVKETKS
TFAVVIRGQPSTPAKQKSKSHAQELTPPSSSSTVTKISTKTQKNHIRSFSYQPCRSLGTTDLHQPEIESDSDTSDYRPRTKVSRKSKSTPSPLESPD
QDEDDDLHGSAESSVGPFGLEAQRQAKLLKRGRKRRAEQNASPSQSKKARRTKV

>RCO7_00282 | uncharacterized protein

MASTRALYRPTIRELSAFLLSPPTQQHPIRCISQLARSSTSLIRNASQPLSARQISRSISLSAPRFASPKPQTHDRGPASSEDTQTDFAALNVLGNT
PAPSTSIDACLWDGFHLNSGVKISGGTGVILVAGEAFEWRPWESPVSGGKPLSLINAKGQWDVSDEAWGLLGLVWPKPDLLILGLGKDMRPISPRTR
QFINSLGIRVDISDTRNAAAQFNLLATERGVSTVAAALIPMGFREGVGVETGEK

>RCO7_00281 | probable dihydroxy-acid dehydratase

MEHGNVHAPEKPQYIDFPQLEPGTIIDGQQALNRWSHTITREHDFPGAQAMLYAAGVPNRDMMKSAPHVGIATVWWEGNPCNTHLHDLGKIVKEAVQ
QQGMLGWQFNTIGVVRMSYPLLWSSREIIADSIETVTCAQHHDANISIPGCDKNMPGVIMAAARYNRPFIMIYGGTIKKGFSKLLNKAINISTCYEA
AGAYSYGRLHAAEGAGQPGRTPSDVMQDLEEHACPGAGACGGMYTANTMSTAIEAMGLCLPGSSSNPAESPAKMRECAKAAEAIKVCMEKNIRARDL
MTKETFENALVITMALGGSTNGVLHFLAMAGTAEVSLTIDDVQRISDKVPFIADLAPSGKYMMEDLYNIGGTPSVMKLLVAAGLMNGDILTVTGKTL
RENIEPFPSLPQDQVIIRPLSNPIKATGHLQILRGNLAPGGAVAKITGKEGLTFTGKARVFNKEHELNDALTNAQIPHGENLVLIVRYEGPKGGPGM
PEQLKASAAIMGAGLTNIALVTDGASHGFVIGHVVPEAAVGGPIALVRDGDVVTISAETHTISMDVSDEEIANRMKAWKPPKSVVNRGALAKYARLV
GNASEDWHHGQKVLGVNQVGCLLWSQYTIAQVNIGEAKRNRTSRSPCHKWPDPDLFQLFKSQAIEHPTVKITLLSCEMKSPKLTLFSRSQTCFGSNT
YLRLITSRPILAKAPRLTAYHPKVIIRSFEEQFEYKNLERKISERIILIHLPNNEQASPMIAKMTFSKIDAVVLPQECPRSEINVSAGTAGKPGIGW
ASVGVMLKKGQFLISPQKDASRLPRHQRFHLMVIGSDGCYQIDVQTSKV

>RCO7_00280 | related to peroxisomal serine-active lipase

MIGRRNLTVADADYADPGLLKKHSEFKSYTTSRYTYPKLRIFFRQHPQADKLPKDPSPLPLLVFIHGLGGSIHQFHPLLTSLVNLAPCLAIDLPGCG
LSGFQPKSWDAYTTQSLAELIEVIVENYRDSDSGQGLVFIGHSMGCSLSAMIATRTSSQLTSLSEHTIGLIAICPKADPPTADQVSVFRKLLWIPGA
VFNLWRQWDRRGGAESASVHRFVGADADEETKKLQYLFNNQSKTAVWRRMARGSLPTYDKGVATGGLPGELVWAGLQIPVFLVAGEVDHVTKPAEIE
KIAQYMGKSEPVQIKVEKDSKPVTDAAAPVDTSMDRESASFRQIESLGEDDFLQVKSEPLDDAHEDPSTPTDGLSVIPPQFSNSKKKVLKTIILPAP
ASHALLYQPATVRVLAGLISDFLCNQVSPRLSLAWQLQFLTKSGKWDVKNLEKWKKVAPVSEPIAGLFRAMKTLREVDETHCPEVFVKDWGSQIKDV
VDISHESPVYDPRGLEKGGIHYTKFPTVSKIPPTDDEVTGFIALIDRLVEEQKVRAEKDGWTEDWFIGVHCHYGFNRTGYFLVCYLVERLGYDVQVA
IDEFARKRPKGIKHVHFRDRLFLKFCKGLKRAPTL

>RCO7_00279 | uncharacterized protein

MDERDAELAGERSPRQESQNVEAEQTRDGNSVPRQQDAKAPDVHSPPGSNLEQNATSDKAEEKKKPSKVKALWGKLGLDMGTVMMMFKGSVAPTIGI
AFYQADSVARTFSTLGYLVPIITVLAVAIMPRAKFIQTMILNTFGICIGSAVSLLGIWSAIKAREHTTPVGSTATYNSSQSAVCAIWLFANIWFVNV
LRAKMPALQFPVIMYSIFTNVAFTYGPLFPTIEAGESLIVQLLEGFLTAFGISLGVNLFIIPVTSRTVIFKEQSGYIQLIRSTLKAQTRYLQSLETS
DMFSAEVQAPECSNGTQDGSKKQKGKNNKSHPAQNSEAKALKDSLATLTGLHGKMLGDMPFAKREFAWGKLDAKNIDEIFVLFRNILIPCIGMSTIT
DIFERIAERRGWINVPESKFNDIEGWEKGKERDKEEEKKTWNEIMKTMHEPFALVTAAMDEGLQHAALALELIPKPKATKGEDVEAKGGDPVPGHPK
FAECLDRKMMDFYSGRGKTLKAWARQKGLNGAYSDSAQPARDDDRRAEDESKHGRDQQQLYLILYLEHLLYSTGLAICELIKFADRKVEDGTMKKNR
LISPGQKRLRKWIMSIGREDHSLDSDTPDSMEAGNNTIYMGSGFNPKKDPEHLPPQTAWQKFGNGLRTIPHFLGSTESAFGFRVACATLTIGIVAFL
KDTQSFFNEQRLVWAMIIIAIGMTMTSGQSIFGFLARVGGTALAMVLSIIMWYIVDEKTPGIIVFLWLFIFLEMYFFIKFPRFIAVFLVCIVTQVLI
IGYELQVRKIGIQASTTSGQPYYPIYQLAPYRLACVAGGSFVAFIWTIFPYPLSDRSWLRKDLGSTLYLLANYYSVVHSTIGARMHNTEGDMTLKAA
PGKQLEKARHKIFGKLMMLIPSLKQHADWQKWELSIGGKFPRKTYDAITLRCTNIMNYLSLMAYATQSWSKDNSSLYPNTRPENRRQWLSDLTLLID
SIGPTSHSITSILSLLSASVSQGSALPPYIQLPEPCNLSRRLEKLDRGILDARHVEEPGYSAYAVLQVCSSLVLDDLRRLVEDVKDLVGETDFSFTV
QGSDNSFEIGGSKGKKE

>RCO7_00278 | uncharacterized protein

MPSLTNLSAGLVAALLVGQTSAHFLMLKPKTAGFDDDLEGTAPCGSFTVDFSSSPITKFHVDGDAIALQSTHPETKWLFRATIGTPTTGNLTTLSPV
IEQNNIGSFCRSDIKVPESFAGKNGTITVTADGPDGLLYQCAAVTFVAGASSSVPHECKNTTGVVATYTDDPELNALPKSYPVPPQSQADTAGPTSA
STTSSPTHSAAATKSSAANANGLVAFSYTGLGSLAWVGVVGTATFLACLL

>RCO7_00277 | related to ferric reductase (metalloreductase)

MNYIQGRMAGMSMGNTLFRHLDSRLARAYWYIIAGILGFIVLVRILDYYQTWSRLRTCRTRKSTKYPTRVNNLPMQIYATATAICRETSYPQVRFSN
KWVSWLSPPPLGRSIILLCYWALIVYMMCYKSMIDGASYYERLGFRNAWVSVTQVPLVYLLATKSSIIGHIIGSSHERLNWLHRWVSRTLLLTTTVH
GGVFMFQWVQADFVAIELEMMPMVKYGIGAWFVLVWTFLSSLSPLRRMAYEFFVVQHIAAAGVFLWLLHVHVPPYAQYNVWLSVAAISSDWIARGLL
MIWKNLRLQTTKACNGTQRIGHKVEVEAISHDLTIVTIKDVHLTWRPGQHIYLWLPYLGPIETHPFTIASPYTTKAECHCNDIQLAIRAHSGFSRRI
HNYAKKSQGFANSSLTGIIMGPYGAPLRWEAFETMILISASTGASYTLPVLESLLVSPKTICTQRVSFLLVVRDRHHSQYYENRLSKALAQAEARGI
DLDVHIAMTGSPYAVESESDKSAIIHETTLDQKRQSIDDELEEISEKTNGAYRLVKTDSFTESSFSNPSSSQPATKESKSCCSCSEDSGPCCCAGPS
NTVPVKKIVYSFTRPSLADFIRRPVEITGGETSVAVCGGKELVAATRNSVARLSDERAVHKGTGAQGIHLHVEEYSF

>RCO7_00276 | uncharacterized protein

MKKTLVLCFIHGFKGGDDTFGGFPEHLRALVSHALPKVDVRAIVYPKFETRGDLAECVGRFKDWLLEKVIDIEVSSSTPSPTIEPSVHTILIGHSMG
GIVAADTLLAITSDLTISSRPSSSSKTPSNSDPQINSLMFPYISGVLAFDTPYLGISPGVVAHGAEGHYNTASSAITQLSGLTGAIWGGSKAAGEVD
GKGKVKKEPVAALPSPSPGTEVPAWQRWGKLAALAGAGAAVAGGAAAAYMKREQITAGWSWVGSHLEFVGCLVKGEELRKRVSSLVTLNKELGVGWA
NLYTRLGKKALDKGDGVTIVGSVIGNQRTFCNLPGGRDKSTGGREYWSEAINDAASDETGAHMTMFFPKDNPGYYALSEDAKKLVVQWTTNDWYESS
TGDADPSGIEHQEL

>RCO7_00275 | uncharacterized protein

MSVRLVQKEPHPTGLTGRTVFGALNFLTGRSRPLPDAPKVPSSRRWQSMGLPANRQARSNYQPPPITTSLPKRTRAISPSRHGKENLPHPLYDQEES
PLFDLPPEVLDMIIEYTIGNQHLHILRRPGGKLGYKECAQAGSSDRGTCWERCRGSKLDTGRYNRSGEEREDLMVLLQTCRKFYVSAVRFLYESTTF
DFDSMESFITFSTSVLPHRFDSIRHLSFDFRFATSRFHFEGTPQIDWPRWERMWRVVGSIKSLQTLRARIAWHKEDPGVVTERRWLDELIQVTGLKV
FELELPGLLEAEKKVDEGFRRAHGEWEFVVTRRQSMI

>RCO7_00274 | uncharacterized protein

MLPYNSPYGSLAAAAAAVTSTRGSVPTTRKPSAISYQASAQARPIGPARISLVQGETAIPGGGILGPIQHSQDDLESSESSPPIQMHTGSEAEETRA
VESFSYPEPSAGGYDLPADYGFINQPHNKPPPHLRHPPPRPIPLRMEDLQPSAGLVEFPPGSKAYYILECLPCHKAFLSAAGALDHIQQTPLHAEVR

DLVYLDEAVDICGCKVVDATEADYAMTERKWRGV
>RCO7_00273 | uncharacterized protein
MAVSHSQLFLPRQVCIFVFAFVVPLRSKERADATALENVASPRASTSIPFNHHNTAAEVEELMANVEGSVRRRPSQSPNPTTWRELYRHLTTTLRKT
LVDNIDIAEYIGMPTSQESFTRFARLPAEVHGRIWRFALPGPRIVELEGRWLENLKGDLSWQYIPKNPPPMPQTFRESYTVSRRVYRNNKPRDKHNN
VASTPWIRYDFDIVHIRDVEFSAVEHGYAEYVEARARYTNGDEYSFDGRPDCFNHIEALAISREVLRRSIHRNAYLIRHFFPKLRVLEAYEGSIDES
VDDYESESENGLGYEGTGTGIKNDKVRRDAFVANCMGPFCQVSDFNGDYASEIQSQLVNALEDESMMREVINLDHAPEAEDYVSDAESVTSFVSSLP
SSNQQVEKASEDFYDIVNHVNMNRRKRMEAIVNTSAQAPVHTPAHEYVEVAHSVQNSDASDSDADDTEYLFAEDGTTQDDALSHFCRPSIEAHSEAP
AFKRQKKHDQRRANAKEKKGLEPGIKHVSEQRPLSKV
>RCO7_11607 | uncharacterized protein
MNTRDNNDDRLSFTELMTLISLPPLENDAGEERFMSTRPAYNPGQNAAYGGHVFAQSVWAASLSVGEGMVVHNVHGFFPLPGLVDRPYVYSISHLSE
GRSYCTRQVQVRQPTSPAKFKSWSKSSFRNHSQDFVIKDVTGELGSVCFSSMISFKRDEGYVTGHQTESGVRERYKSVIEGRKPDRWPFVPRVDAAW
ADRATFRYPFPNDFPGLAVHRVDMADFNANRPPANYRQLNYYTPLGHIPLSNPNLHACAHLYASDRNSLYLIPKALNTSEDISQMGSLSHSVIFHVS
SKDLLVEEGEWWIQEAWTPTSGHGRGVHESRIWKLGDGDEEGKDIQIASSWQDGVVRYSKTRSKQKMRLLWFEGMRKMGLVGEDVCLREGLPAIEES
GKIIGNEKL
>RCO7_11608 | related to ribosomal protein YmL35 of the large subunit, mitochondrial
MSTCQKAARPLARCLKRSQASSHTTRFIRTFTSSSRTNEAVTEEAVPLKPSFDPATVTNPSHEKKLMKSGVLPIGSRRRRAALKNSDDIPFEQLPYQ
CFQEARKVLAADRAEKMKMIATERLRISKLVATDAANIKGGEETKERRLDSMRRHLEYLKIQADINDPLIKKRFEDGEGDMNKPIYRYLADKQWRKF
PRLIIAQRIEQFGIVPDVLPHFEPTTEVKMAFRDRNVQPGEFIDSRVSEVPARLKVQVFDKGERLVTVAVIDSDVPLVDKDSFMSRCHYLATNIRIS
PTDTSLPLSHATESQLVLPWLPPFAQKGSPYHRYSVFVIQQKPGQTFNIADLKKTVHRDKFNLKSFVDKYQVTPIGMSIFRSIWDEGTAGVMSRAGI
EGADIEFKRKKVIALKPKQKARGWEARHSGGKYLSLQR
>RCO7_11609 | related to ribosomal protein YML6, mitochondrial
MASKGLQSLSRSFRALRVFPSGAKDPLRQCLAPRLGRSMATETAMPSNADSTQEFNPTFLETAADPLYSLPAPTVLTTIYDFPTMEPLRFESFDSKH
LHLPLRRDILHRAIVFEGDATRQGTGSTKTRYEVHGSHRKIRPQKGTGKARLGTRQSPMLKGGGKSFGPHPRDFSTELPRKMYDLAWRTALSWRYRR
GELIICENGMDTMPREPGFIKRIFSHNHWGKADGRTLIVVNSKARALGMALRGAGEDGRLLRVRQVDVKDLLETGRVVIEKRALEIILQEHQSDLVP
KIKSV
>RCO7_11610 | uncharacterized protein
MDYQAGCNYAGSNMSNMYSNEVLLTPGMYDNALCDFSDLLNNTPSGDDSQYPNMPGDFQQSGNVMGGEYISANEYPFPAIPASVQPFSYEPTNAMLA
TAPPASRRDFAVDMNPRSVPVYQSQPHSDVAQAQQKSPKRSNATSNSEVEKIPNVNPGAGDEPKPKRRRGARKKQLTEEQIALRRKLHLERNRTAAQ
KCRQKKKGAEAETKDNLIKERQENEIAWIRVAAVEDELQSLRNLALSLENSCECEEQKNLTRTGLDTISQVAAKLQAQIDNCNQARSEISPGLIMER
SHEGYITRENIPDPEKPGSDGTASRQNSQQPMSPHNTNNEAMFQQPSETVSAPSLLAANLIDHNMRINTDIYETHKSREGSNGSNSRHDSAVDFDSP
MGAKKDSPGQEDEGFDDSVYTGTSMAVNPLATVDGSLFSEIFVAG
>RCO7_11611 | uncharacterized protein
MGATNSTSPGSRCNDSATTRARIHCTEESFCTHTELPQNRGISIASSAISVLMILRQNIKAGERERAAPRE
>RCO7_00272 | 40S ribosomal protein S5
MSSEHSDEIEVEAVSSYSSLPSDVTKSIGTIKLFNKWSYEDIEVRDISLNDYIQIRSPVYISHSAGKFAAKRFRKAQCPIIERLTNSLMMNGRNNGK
KLMAVRIVDHAFEIIHIMTDQNPIQVTVDAIVNCGPREDSTRIGSAGTVRRQAVDVSPLRRVNQAIALLTIGAREAAFRNVKSVAECLAEELINAAK
GSSNSYAIKKKDELERVAKSNR
>RCO7_00271 | probable 40S ribosomal protein S25
MAPANTGAKKQKKKWSKGKVKDKAQHAVILDKATSDKLYKDVQSYRLITVATLVDRLKINGSLARRCLTDLEEKGQIKKIVGHSKLQIYTRAVAAAE
>RCO7_00270 | related to DAP1 Damage response protein,
MSTPDVRQRRKDADDTMPEAKDKVEKVSAAARAKAEDSAFSLTDVARTIVLLLLASSALSYFVTRESFTWGVRRPSWATVGGIKSLITGPQALTDAD
LKAFDGSDPTKPIYLAINGTIYDVTAGGRHYGPGGSYHFFAGKDASRAFITNCFEEDGNPDIRGAEEMFIPLDDREIDALYTSGELKALKEQERRQA
KVEAYNALKHWVDFFGNNPKYPKIGRVKREAGWENKGPVKKLCKRAQEGRKLRKRPVGK
>RCO7_00269 | uncharacterized protein
MQFLSTLLSFTALLLPLVSADACVAGGPAGQVTFAKSCCLYQQGTWYQYYDNQAICVLAEGRSASYKRCINRIPRSELDTTCIPGNGGPTLGNPTTT
LSTVTGRITLTAAAASAAV
>RCO7_00268 | uncharacterized protein
MQFTTLAISALSIGSALAQAAGGVTVHVVRVGSMNGSIKFYPDNMKAAVGDMVQFQFAPNNHTVTQSTFDAPCQPIAANSNVTGIYSGFMPVSASST
TTPTYTVMVKAATPMWLYCSQGKHCQGGMVMVINENTAANASRSLTAYREASAKATVNLPGSAVAGGASNTTTTTPESGSGSGSGTGTGSNSGNGGT
GTSGSPTGTGAPRASITGSAAPHVRAGDAMGLGGLFAVALALFL
>RCO7_00267 | uncharacterized protein
MPPKPFNPPRPSTAAAGAKTRGRPKGSSNNPTKRQSTGPIDKPSASKSKSKPGSKGKEKANDADVSRGSGLNRSRVSNASTVLNISSEDEDEQDDAE
SDVEMGFGGEGEGVRDGDSDDPFSSQPLPAARRKSATIANHKARAPGADNDADGDGDVEETNQAGGRQMSIPPDLINVLLHGFFNQDNTRMTKDANA
AVGMYIETFIREALNRAAWAKRHGWEDGGVDGNRDLQGGDGEYLEVEDLERLAPQLLLDF
>RCO7_00266 | uncharacterized protein
MDPTFKFPGSPGTPLFQVSPERVNKQRASTIFDDSSSESPHFHSRESSVHEKVAAFNSLAFQGKVLERKANDAALKRAMLGREEAESEMRRYKEETR
ALRRQVDEGKERERRVGERLESVMENYGRAKETHAHTQTLWEKEIRRARKESFKSQSAVVKLQEELKSARNGMKMIQADLEQEKERSLKREQEAFAA
RYQLVGVQEEVSQAQERLKLVEQERDALRTIAQEEEIARIAAEGRMPLPTLQEDDEFASPKKARKSLEMITIASSAASEEELDNLRMLMEWQQQRAN
RAHDRVEFLELECRMNCCISKAAQKELAVTAAMQESIQTDRTSTIVIPAEGIFRTASPAPEQSPWILPAKKTFNHQIHEEPRSFARTPSCEPPAAAL
IADTRASLLSIFDAPHSPTRTDDGENDTTITQLEQGPPVPEEESPIKHFMVPTFHTISTTTRIPLANAPDLTPHTTLPAALNPALSPTMSREEALAQ
IRERRGRARSLAQGTITPRKQMVEGAGSRRDISAPAIRSGAVRGRSQARS
>RCO7_00265 | ADP/ATP carrier protein
MSDAPKKESVMGVPPFVIDFLMGGVSAAVSKTAAAPIERVKLLIQNQDEMLKTGRLDKKYDGIAECFKRTTANEGVASLWRGNTANVIRYFPTQALN
FAFRDTYKSMFAFKKERDGYAKWMMGNLASGGAAGATSLLFVYSLDYARTRLANDNKNAKTGGDRQFNGLVDVYKKTLASDGIAGLYRGFGPSVAGI

VVYRGLYFGMYDSIKPVLLVGPLEGNFLASFLLGWTVTTGAGIASYPLDTIRRRMMMTSGEAVKYKSSMDAGRQIIAKEGFKSLFKGAGANILRGVA
GAGVLSIYDQMQVLMFGKAFK

>RCO7_00264 | uncharacterized protein

MAPHKRSHETSEPEIGTLLTLPGAQIEDLAVKLNGWALRDGMQEREINQTITARPPSRTLCTTVIANYHGKDNILFRNSMNLMEGEIAPPTNISRRY
LIVGYAILARSQGEYSQKNRAYQEGDNKSIGGSVPLNSRGEDIFFRYEYRSPATNAKKRKAAWVKSIIEAANEVKLGNTSVSNVPVSVPIRNMTTSL
SEHNFGKSKTDIAAAHHAFNKLASGEHYERQTPSASDFHKDFSRGNSGGESTVYDINQPQVKVSSSPATPRSYFSESLASAGTTGMREESLAPETLQ
TAKELHKIPQQSVKVERDKLIADTKKTLDKEEILQGWQVALNQEKAVFQRESELKANKLAERECLAQIHERRLYEREQQLQVREQAMKEEVEREERI
HETEQKLRRWEEILIKKGQDFIERENRYWDERAILVADERLLQDREAAMDEAQKAFDAKISDAIESLSVVQQARKRKERSDIGDLEWESKKQRTENG
C

>RCO7_00263 | uncharacterized protein

MRFQLSLGLAWASCLSGVVSEEASSLKAREEQVKNGRIAERQQAGVVASNIFVRRGYHSSVVAGNFVYIDGGAFSYSPGGQLQIVYSTTTLSIDMSK
SWTNSSVVINSVNKPSGVPYFDDGDLWYNEKENRLQEGFVGAAPRFDSPEKAGYPLGMWTFKLDGQGGGTWSHDTAATDAIVSAKLTRPYQALSAFG
GGVALTLGGYANSRTVPENVNVTEQIPIPGLVTYDMATGKFTNSSATGYNRNGTAERGVLHYVPFFGPYSASKTIQSFSTLTLYDPATGTFFNQSTT
GNIPNGRIEFCATGANSTNGTYEIFVYAGWGGNLGSSALQFDEMYILTLPAFQWIKVPYAPAKPRHGLTCETVGRRQMLVIGGVDTLQDDPTPAANS
LDAVTFSTKDQFSQGLGIFDMTALSWSSGYNADARAYEQSAPVKNYYASNSREPANWGSPALKTLFSVTHFANSTKPGSSSDPGTSSAPASSSGSST
GAIAGGVVGGVIGLALIAGLAFFCMRRRKRAAASELPSQNQDPNYAMSGTEIGSSYQGEYRGDHKPYAAVMSEAPGPDVARGDGSAHELNSQPQVFE
MDSRHRHELA

>RCO7_00262 | uncharacterized protein

MSFHDHQKPMQEPIPLQTMPSGEFRESLEVPADHRPISPQTTYTDRTSGRDSLETNPPHLAPGKDAQMMTVKRLGIRPQAPTPPPSPSLLEKPSGLN
KWVTWLFLVSAITVVSLLLVFFSSRRHHAFVYVNFTPLATKGTNISSLTISSSIASSSRDFPSPSSQTVKMAMNDLQTLQSTSEANLGSVSFNQIPS
SAVGRILSVAEQGTVDVVTLACIIIETSHTTTITSFAPTSTTTVISQAHLLGEPRQQALTTQRATISGDIRFASAKSGEISIRISSVSLYTLWTVLL
MGWKIVIC

>RCO7_00261 | related to 3-ketoacyl-acyl carrier protein reductase

MPFNYHDGTNILPQRTIDVIGFGKVAIITGCASGVGLATIQLFLSHQYEVLGVDIVDMEYAKIDQRDQERFHFHRGDLTEDGECDEVVRICVAKFGR
LSGSIVLAMRDCSDIKSPKIDVLANVAGVMDAFEAIDVFSDAEWSRIMSVNLTVPTRMIRAVIPFMKAKQNGSIINVASKAAISGATAGLAYTTSKH
GLLGVTKHTAWRFRDEGIRCNAVLPGTMETNVKAFEKNDHFDEAGFAALRPIWELHNPVGETPSITSNEVANVILFLASDGARAINGVALPIDKAWG
VI

>RCO7_00260 | uncharacterized protein

MEARPQEEMMLKVKSSLINSAYACICLTKLSGGTANFVYRGTLATPLSDGTKTVVVKHTEGYVAQSPGFKLTTTRCDYEQTILTALSTLPPATHSSI
TVQTPIMHLFSPSTNTQIYSDLPSSLDLKSYILQHALSLSRPQCARLGHALGLWTRNFHVWAQADEQKDLVEKMKGNIAMRDLKFSINYETLVATVE
RFPKILGGSKEIFEKIRDERRGELGGEDAVLIHGDFWSGNVLLPDGPSPDVKDAITVFIIDWELSQVASPAYDLGQMFAELFELKHFKDIDAGFWLI
EAFMQGYGVIDEKLAFKTAIHAGTHLMCWGSRVQGWGTVEQVEGVVKVGRDWVIRAWESDRTFFQNGPLGCLFH

>RCO7_00259 | related to EDC3 Enhancer of mRNA DeCapping

MSNSFIGLTMLVTLKDPPGAQLRGVVKHIEPGVGLTLLNVVCPANGKYVPEFTIKVPDIVTLVEATSENAKPNHAPPRAIPVAPVVKSKPFEDPAIL
SMGKRPTPANKFRSPIPQQWSTTSMERTDSAQTATGRETRSVRDMTPAAVLVEPMETMRMEANKEKRGPNGTPTIEEEDGEAEVPADQPASRQRKQR
RRKGGRKILEDVTADASVTPAKETTNSKGWRQTPLLEPTTSFQPFATLKKSRRRNGKTEENGWQTEDATDVQEMGDFDFQGSLAKFDKNTIFTQMQA
EDSVADEDRLVSHNRLPKAKPGTAGGKNLHYTENVLDGPPSATAKTTTWKSETSDSEDAEGMGSQRGSGSGRRSRRTDRAESKLSMNHRSVSRKGSA
GIHPARTLSVRFQDHANTPHANGPKIPIPASKPSFFLVPSDRRCEPISALQMLNLENIADNELGLSEDMMTENAGRGIAEVALSALNTGGGRGLIQG
KNSTVPTVVVLAGNNKSGLRAVAAGRHIRNHGLNVVVCVLGLERESELLVGLRRQIKVFRGFGGRIVTKIELLEYVKALGSPLELIIDGLLGLTISF
EELRTGDQATAYELIAWANRNKARVLAIDVPTGIDPTTGKVSIIDGRQLYIHAEYVVAMGTPKKGLLEAMALGEGVADEDSKAQDWQLFVADIGLGA
AVWRKAGTRVRRGVEFDGSWVLPMRFGGGE

>RCO7_00258 | related to PIF1 protein precursor

MLSKAVKSHEASKPKTSLEKQLFPSSSPAQNGNIEDQFKKIRPSTQSIGGYTGYKNSFAKPTIPSKSSKPSHPLRPRSPNIKQPFSRTPSISFVPSL
LSTASSLSTVLSRRDSFRDSPDTIDLTKDVPVFSKPAKINVGEVEYSFDDFEDDADIDLDMEYELPMSMAAPPIPSQTNPHPAPSPYALPKLPRQST
PQNPASSAQTWSSSSPSHKMTPPVSLKRREREETTGQDSTTGTENAPNPRPVKRRTLPWHQNRAEADEVAELREEQEDEMASIASSGSQPQIFCFRC
KGIGHYSKDCEALKKGQGTKWDFTPKEKRMPWNSTGSTIAEEKKKFKDKQKARRTAEDTTAEGRRRKAAVMTPITLSQEQQKVLDLVVNQSKSVFFT
GSAGTGKSVLMRAIIAELRKKYSREPDRVAVTASTGLAACNIGGVTLHSFGGIGLGKEDAPTLVKKIKRNQKAKNRWIRTKILIVDEISMVDGDLFD
KLESIARLMRNNGRPFGGIQLVITGDFFQLPPVPDFESRGRAVKFAFDAGTWPTAIHHTIGLTEVFRQKDPVFANMLNEMRLGKITPETIAAFKKLS
RPVAHENGLAATELFPTRNEVENSNAFRMRSLVGKSYKYEARDTGTITDVGMRDKLLSNMMAPKMLELKKGAQVMLIKNMDDGLVNGSLGKVTAFMS
EKTFELYDRNPDLFDDEIGDEDLTEEGKDERSKIRASFSSSKDSTADAGRLYPLVQFSAADGTTRAILVQPEEWKVELPSGEVQAQRSQLPLILAWA
LSIHKAQGQTLECVKIDLKKIFEKGQAYVALSRATSQAGLEVQNFDKSKVMAHARVGQFYDSLYSVNKALKHPTVAKSEHPIASKPTQMKKAKTHEE
EYMMAEFEQKRGHNFDDEEAAMAAYG

>RCO7_00257 | related to PUB1 - major polyadenylated RNA-binding protein of nucleus and cytoplasm

MADNGPPPSGAQLPPPPQTTAGAPGYENGHNGQVNNHMPPPPLAPVIIPQNTNPIPTAISSPMGENGGMMSPDSAGGFVRRAAPEPNKRALYVGGLD
PRVTEDVLRQIFETTGHVQNVKIIPDKNVGADPLQSKGFNYGFVEYDDPGAAERAMQTLNGRRVHQAEIRVNWAYQSNTSNKEDTSNHFHIFVGDLS
NEVNDEVLLQAFSAFGSVSEARVMWDMKTGRSRGYGFVAFRERQDAEKALSSMDGEWLGSRAIRCNWANQKGQPSISQQQAMSAMGMTPTTPFGHHH
FPTHGVQSYDMIVQQTPAWQTTVYVGNLTPYTTQNDLIPLFQNFGYVVETRFQADRGFAFVKMDSHENAAMAICQLSGYNVNGRPLKCSWGKDKAPG
QPGLDGAQAAWSPQAPTPGGYPGTPSQYFPQYGGMPQPPGPQSAGPMPTQTPGQFTPQGGYGGPAQSPSPYANPQMYGGSTSAGGYGRGQPTANPQW
SAPAAQNFGNGFGGYQG

>RCO7_00256 | uncharacterized protein

MAHGGRHKPPLDVLQSMINAILIETGKALRPSSKDGKRAVANVNTRLRTIIPSAVDNFHMALDDLECDIIRAKSVLLRDLDELRAKRIALENPVPIL
EEVVEETPTATNTTNGNTMLGSELHTSPQEAIKEERSTRSPENRRENETQSPPPDLLAEAKSKPIEDVNPPLQDLAPPAPSNETSLESKPIGLGITN
EEAPAIHAGNPQNSSVDSPFEIAENETNDSALNFDDMDFSLDTSTNIQDPSQSQSNDLDLSNFGNTNPNPNNTITNANANSETKSKPVDDLFDFPQD
IGTGDAMDLDMGMAGAEDSVFDDMFFGGGEDEGASGGGEIQHGEFDNAFFGLE

>RCO7_00255 | uncharacterized protein
MAPGPFCCYNAVPSTLRYATSLLPNTILHQPLAKSKGSAPLLTCFLAHLLKTNLPIPSSAPEKSNHIFFVIIQVKKMHPLEQKNESKAKNTAKTAPS
PASSSMSVISAPAAAPSTQVSGSRRINNIAIGAILGAIVSPFSNFEQASYFVAIEKSSSATVLDQNSPLFGRGFREIKTQEAMESLRFHGTGITIGD
GEVWVERDGAEKFWCEAHGVWFEMKVWVREGGGV
>RCO7_00254 | uncharacterized protein
MCTGNIHEDWYCCRPYLLTVHAYQNALFGLAQPIKHLLSEGANRRVMCQFDGYPPDHITPPLVIEVQRDHRAKDGLLKTTRYYYFALDRESGVWYDI
GTERWMQIRGWMAVDSGVKIPCADHRISHYFTMYRTHEEISRLYLGRDKALKFGASPLSHRDARKEKARA
>RCO7_00253 | uncharacterized protein
MEFLSQDIFYECSTPTEPPSSYTNWFSLRLSLPLPLISFFRRKIGSGPGTAKTSLHHDQDSHSHVTNHSNVDNAAPPQLPEVPSVMEVACTGHMINY
NLPFVPQTPPSTPPQGSRPVFDCSYEEDEYDSTLSTPPLSPSSSRSTSTATTWLSEPSTPTRNSGIEPHCFPISPLSEFSSPSIKPNDICHLLANQK
SEWNDTGITSSQITTIPSQESTRKQSSSNKTTKKQKQKQKNRPKYPFHVLETGPFIPEGLHLVQFPASSMIIAPDTLEAGHIIGYGSRAVQSSAFKI
ARERRQIMRNKARHYGMGDTLKTVGLHGSTS
>RCO7_00252 | uncharacterized protein
MQFSIATIVLALSALTSASVILERQTRATGACCLPSKSIKQEVCTTAGGAQGRCVPGGGGANCNGALDCVAQTALTCDASVIERGNPLCRAKVAGGL
QDGTKVIQNLSQAKVN
>RCO7_00251 | uncharacterized protein
MSTPSEFSPIFCCGSAHPVHDSSHTKLHNDPNRGLHEAIFQSFVAFAMRRQHATDLYHFIMGFSPDPSRPPTSGLIPQPQPAPIFSLEALENNPLTP
QIPYVIHLTSRHDFGPVYSHRYFVCPPALDEDWVEVSLIQWFARGEPFKMKAEKWDIKCRGDCKFFRMTLRPNLAMRGCYPVSAGGAQEVESSVSGS
GDDVSFGSDSQTPLA
>RCO7_00250 | uncharacterized protein
MSEISGIPPPDTTPSKALPIEIPLPHPRPPRLPSFMRNFRAWLPLYLSKTDENLTRLSKILSTPAGTDKLLLTTCYTSLLTSSVLSSISLSRIRRQA
RLVIEKAIALPPDTTLYISTTDIRPSRLLVISARLKALSSLISDFRIFARLWGLLGMYSWGKQVWSQDGGDQVVRSIAGVQVLSNIAFQYLENMAYL
SSKGVWDWSPEKQGKAWVWSSRFWAAHVLLDLVRLGRERSVQRKVVRFKGREEEAEKDEEEFWARWRRQLVINLAYAPLTVHWSLEKGLVGEFWVGV
FGSVAGLAGLRDLWRKSGLS
>RCO7_00249 | related to membrane protein, peroxisomal
MSVKFEKDTIKQTGGVASALPAMKSAKHELADEIGTALTGGASMVGQKGYLAAYLKQLQTNPLRTKMLTSGTLSALQELLASWIAKDITKSGGYFTA
RVPKMAAYGAFISAPLGHVLISILQKVFAGRTSLKAKVLQILFSNLFIAPIQNSVYLVSMAIIAGAKTFHQVHATWKAGFMPVMKVSWVSSPLALAF
AQKFLPEHTWVPFFNIVAFFIGTYVNSVTKKKRLAALRKRHFEENRRPDEGYGGPKY
>RCO7_00248 | uncharacterized protein
MANQAIKKYMPAMVTVTDQGPPSPRRSTISAYPSPSSQRKNGDNGQCTHLTTTRLYTTDFRCAFCFRLGSFGWVYRCTQDRELLLDEDIQHGLVEKL
DKFCESLPKSTFPHKRSAAARIDKLSFLDEISDEAMRSYTPEQLKIILAQRADVLDQAAQPEYPSFPESFYQDRPLPTPHPHPPPSLPGLFLSPTND
NGLKSWFPLQGGECQFKCCHVCRPSLRERSYLSLNGIADGDIPSTSIMGFGFHLTGQRPVGLVKHVQNLGLRPNPPPPAPYTQQENTQEHHSKPSSP
NTSASKKRTMRPALSIGLGILEQETVHPSVSPDYTKSSTPLTPPTPTFSALPSTTTISGTGMPGTTLHPTTPILGSFEQQALASLPDSGKTNRRHSY
SPTPSPSIGLGSVFTSLANVTPRQQSAASGQFPNGDTLTTIPLTPNIAASTRPKTETEEATTAEHTSGSTPETVEQKDVKTSTNYHTAMETNELIQG
EFGSAPLEVKNGIAVTEESVSLHVADFITQF
>RCO7_00247 | related to PH domain protein
MPEMQNPPMHEHHNTAESARPRPISTPSALQITLPSSVTQPSSMSASRIRNSHLGLDTFSPVNQNGSFEFDRVLKSGVVSKRTRKTKAWKSIYLVLR
PNSLSIYKDSKEDKLRHKILLQDLTAVAFLKDPKQKRQNVFGLFSPSRNYHLEATSRKDAEEWVELIRTEARIEQEEEEMLLASPGGNATGTYAGFE
RTMQQKHEQQLLHDERLGSSSPEPSDPIIPIPRTRRSEALGSTAPRRISQTMEYSGNEVSDMSDTDVARQRGESTVSITDDTMAVKPPPSRPMLAAR
NVSQLSGFNMETSSDPERVVWQGYLMYLKSVRGVRQWKDYWAVVRPRNIALYKNDSEYSPILIIQLSNIINAVEVDPLSKTKRHCLQVITEEKSYKF
CAHGEESLDTSLGALKSLLARRKEGEGKGRGVGGVVGRS
>RCO7_00246 | related to acetylcholinesterase precursor
MKFSALLVALTLGSYANASSTEDNKSSNWTIGQIVETASGPVAGHAAENNKAVSEYLGIPYGQAPIGNLRFAAPVKFTGKEKLSGAAFGPNCPVRAS
NDSFPTPEQLDAANATFAALLTLATFESVGEESEDCLSLNVWTRPQNGQAKKAVLMWIYGGGYSTGSASIPAYNGARLAAREDVVVVTFNYRLSILG
FPGNPDSTANLALLDQRLAVEWVRDNIEKFGGDPSRITLFGQSVGAASVDLYSYAWTKDPIVAGLIPESGNVIGWGLQRSKDVSAKAWYNVSATLGC
GDAASNSTAVLECMRGKNYTDVLNAIPQTAGSASLVGPFGPTVDGEVVFSNHEYTSRTPAKVPMLIGSNNYEAGLFRAQFALGGFFYSEDFWNVFNL
QGFTCPTGIRANLSVAAGIPTWRYRYMGVFPNLAITDDAQAYHFAEVPMIFNTAPDYPDPTREQVSIGKYMRGAWAAFAKDPQKGLTKYGWPQYNIG
QDTLVRLAYNNITGPNLINPRRYDADCAFVNASSSDATIKLPILPDGGANVTPTAPPGSKPTGKGSILSSLEVGSSGNADGKIKAEDVHMGIFDLGM
HM
>RCO7_00245 | uncharacterized protein
MAGNMYVVRAVAIPPCVLGSLYSRRVIFGAAANVCNISAGVEANCEEARGGFFNSARSSTWKQGDQYMLQLENMLGYDGVGQYGFDTVGLGFRSDTG
TTLTNQIVSEIVSNEWWFGMLGLGFQPTNFTGYEDPQQSFAATLYTDGNISSMSWSYTAGAFYRLKGIFGSLMFGGYDASRFTPNGVRFSMASDNLR
DLVVTVRSITSTTSDETTTLMSTPIFAFIDSAVPDFYLPGSVCRQFERAFSLILDQASGRYLIDEITHNSLKAMNPSVTFKLANQKEGGETVDIVLP
YAAFDLNITTPLLTNSSSLYFPLKQTNDENLYILGRAFLQEAYVTAHYNSRTFNVSQASFSDNAPPSLVALPAILPTSTSSPGSNTGSTKLPNRPSK
KIGGGVIAGIVIGALAGLALLLLLSFFLLQRRKHHSATVKNKAEKGPIHEIDSGKRVDPNTTSAYSAQASALTSEVSGKDSRVEKWGVPIMHPQELE
AEVPATRSRRSNEAEMAGGNERIISIKEWKRNTPMAELGVQERGFGEGVVSERGPDHEDEDQIVSPHTDRSASIMGRSRGDVSASSPSGPSEGSWSP
SSPVQRRNSRFSETWT
>RCO7_00244 | uncharacterized protein
MLCHTEKSCQICAVSFSISRVRTLHEPLEAGWDPSGSPYHLRDATSSLCSRYSSESGCQNIVVASPPNVHAESRYQHLAGPGCTFQGGYNGNRIAKM
EMSGFDSARYIHRKLKDGEVEDDAKFFVSLDTPVKRGNGKSSDELYGVKNFEGQKYPMSGYRGEEDIAIPVHDSCWKIFERVSMKKLGRVDLDGFVA
LWCREAHGEGGFEDLNQDPVISTLKKKWWVHRPGTEYLVANPVEIPGLKLAMRGIYAETPKGDNEFVSKECSGPNSKRSAELQRHQHDTNPSDILPT
EIKNKFYSKLSPEELANLRRSPRSLHQLLKQVFRQVIEEEYPWFWEIDEVRNEVESQYHDDFMEQYGDDLDLLEGIIPPAWFSFVKARTEKKPMDIN
WDQVYQQLKVMEKGFLGLRNRARIWNVAEEVVAKIEGIGKGSEAVFGGLVVYPKDMAGKEGDEKHYSCCPGGSNIQIEIEEDEDIFEKSSVEGNSRG
SSEGYVSEVDSEY

>RCO7_00243 | probable repressible alkaline phosphatase
MAPAEPLFTNNRRDSSIRSEEQATDEDTALLGGQRKEFGSRLSRASFWRELGLFIWALVATAAVIFLAVLIQHQNLSHGSNGKTPPKYKGKRNLIFM
VSDGMGPASLSMTRSFRQFRDGLPIDDILVLDQHFIGSSRTRSSSSLVTDSAAGATAFSCGMKSYNGAISMLPDHTPCGTVLEAAKEAGYMTGLVVT
TDITDATPACFASHVNIRLEEDLIAQQEIGEHPLGRVVDLMLGGGRCHFLPNTSEGGCRADDRDLTKVAQEKFGWKYIDNREDFDKLKLGKSVQLPL
MGLFAERDIPFEIDRRHQNDVYPSLNEMAKTALKALEDATADSEKGFFLMIEGSRIDHAGHGNDPAAQVNEVLAYDSAFASVIEFLERSNDDGVLVA
TSDHETGGLSVARQLNPIYPEYKWFPEVLANVSSSAEHSAGRLNSHLAQNGNGDSLRKFISKELVLKGLGITDLTEVELQLLVDNPLLSVYTFADMI
SRRAQIGWSTHGHSATDVNIYGTSGSESLGGNHENIEIGKFLRDYLEVDVKAVTDELVGTLDTFAVSGNARHSWTGRKPSEEELELALNHYQPHYG
>RCO7_00242 | 60S ribosomal protein L34
MASNRLTYRRRNPYNTKSNKVRVVKTPGGSLRYLHIKKAGTAPKCGDCGVKLPGIPALRPREYSQISRPKKTVQRAYGGSRCANCVRDRIVRAFLIE
EQKIVKKVLKESNQKKR
>RCO7_00241 | probable splicing factor PRP8 (U5 snRNP)
MLRVHGTSTNKRSDIFDARPNTDRGYWTDISTSISMSSSIPPPPPPGWGSGPPSTLGAPPGPPGQTAPPGYRPSASAHNAKFAQKKKEWLRSQRNRF
GEKRKGGFVETQKADMPPEHLRKIVKDIGDVSQKKFSSDKRSYLGALKYMPHAVMKLLENMPMPWESAREVKVLYHVNGCLTLVNETPRVIEPVFHA
QWATMWVCMRREKSDRRHFKRMRFPPFDDEEPPLSWSENIEDVEPLEPIQMELDETEDGAVVEWFYENRPLLDTPHVNGPSYKEWNLSLPQMATLYR
LSHQLLSDLVDKNYFHMFELNSFLTAKALNVAIPGGPRFEPLYKDVDPNDEDFGEFNAIDRIIFRQPIRTEYRVVYPFLYNSLPRSVKLSWFSHPQI
VYVRAEDPSLPAFYFDPVINPISSRSVAPKNLTISHEDEIFGHGSNEEPEDDAFEFPDDVEPFLSDEELYTSETASAIALWWAPFPFDRRSGRMVRA
QDVPLVKQWYLEHCPQGQPVKVRVSYQKLLKTFVLNELHKRKPKAQNKQSLMKSLKQTKFFQQTTIDWVEAGLQVCRQGFNMLNLLIHRKNLTYLHL
DYNFNLKPVKTLTTKERKKSRFGNAFHLMREILKLTKLIVDAQVQYRLGNIDAFQLADGILYAFNHVGQLTGMYRYKYKLMHQIRSCKDLKHLIYYR
FNSGPVGKGPGCGFWAPAWRVWLFFMRGVIPLLERWLGNLLSRQFEGRHSKGVAKTVTKQRVESHFDLELRASVMADLMDMMPEGIKQNKVNTVLQH
LSEAWRCWKSNIPWKVPGLPAPVENIILRYVKAKADWWISVAHYNRERIRRGATVDKTVAKKNLGRLTRLWLKAEQERQHNYMKDGPYVSSEEAVAI
YTTTVHWLESRKFSPIPFPSVSYKHDTKILILALERLREAYSVKGRLNQSQREELALIEQAYDSPGTTLERIKRFLLTQRAFKEVGIDMNDNYSTIN
PVYDIEPVEKISDAYLDQYLWYQADQRHLFPAWIKPSDSEVPPLLTYKWAQGINNLDKVWESADGECNVMIETQLSKVYEKIDLTLLNRLLRLIMDH
NLADYISSKNNVQLTYKDMNHVNSYGMIRGLQFSAFVFQYYGLVLDLLLLGLQRASEIAGPPQSPNDFLQFRDRETETRHPIRLYTRYIDRIWVFFR
FTADESRDLIQRFLTEQPDPNFENVIGYRNKKCWPRDSRMRLMRHDVNLGRAVFWDMKNRLPRSITTIDWDDTFASVYSRDNPNLLFSMCGFEVRIL
PKIRNQNDEFPVKDSVWSLVDNTSKERTAHAFLQVTEEDIAKFNNRIRQILMSSGSTTFTKIANKWNTSLIALFTYYREAAVSTVHLLDTIVKCETK
IQTRVKIGLNSKMPSRFPPAVFYTPKELGGLGMISGSHILIPTSDKRWSKQTDVGVTHYRAGMTHDEETLIPNIFRYIIPWEAEFIDSQRVWTEYSQ
KRLEANQQNRRLTLEDLEDSWDRGLPRINTLFQKDRSTLSFDKGFRARTEFKTYQLMKSNPFWWTSQRHDGKLWNLNAYRTDVIQALGGVVSTNVAR
IQSASSGFPTLPLLAMVNKAETILEHTLFKATAFPSWEGLFWEKASGFEESMKFKKLTNAQRSGLNQIPNRRFTLWWSPTINRANVYVGFQVQLDLT
GIFLHGKIPTLKISLIQIFRAHLWQKIHESVVMDLCQVFDQELEQLGIETVQKETIHPRKSYKMNSSCADILLFASHKWNVTRPSILFDTKDVIEPT
TTNKFWIDVQLRYGDYDSHDIERYVRAKYLDYTTDSMSIYPSATGLMIGIDLAYNLYSAYGQYFPGLKTLVQQAMAKIMKANPALYVLRERIRKGLQ
LYASESNQEFLNSQNYSELFSNQIQLFIDDTNVYRVTIHKTFEGNLTTKPINGAIFIFNPRTGQLFLKIIHTSVWAGQKRLGQLAKWKTAEEVAALI
RSLPVEEQPKQLIVTRKGLLDPLEVHLLDFPNISIRASELQLPFQAAMKVEKLGDMILRATEPQMVLFNLYDEWLKSISSYTAFSRLVLILRALHVN
QDKTKLLLRPDKTVITQEHHIWPSLSDEDWIKIETQLRDLILNDYGKKNNVNTSSLTMSEVRDIILGMEISAPSMQRQQAAEIEKQQQEQQQLTAVT
TKTQNVHGEDIIVTTTSQFEQQTFASKTEWRTRAIATSNLRTRANNIYISSDDITEDDHFTYIMPKNVLKRFITIADLRVQVAGYLYGSSPPDNDQV
KEIRCIVMVPQIGSTRDIQLPQQLPQHEYLENLEPLGIIHTVSGNEPPYMTAMDVTQHARLMHAHSSWDKKTISMTVSFTPGSVSLSSWALTPQGYK
WGVENKDMGSDQPQGFSTSMGDKCQLLLSDKIRGYFLVPENNSWNYSFMGSAFGGIEKKPVHVKMDTPLPFYSGQHRPLHFQSFAEMEDLWADHDDN
FA
>RCO7_00240 | uncharacterized protein
MSGYRPGHEQGHDPYIDYAAHPEAHPEERVYVPHVPGIQQGGAQSLASLHEQHLAAQQQQHHHQQHQQHQHHQQQQQHHQQHQVYADHPMAHHQSPQ
FGSGQGMMYGPPRLQQPTGTKRSRPDDLDSDLEGLPGQQMQIGEMGRMSSQMPPQSIVGVGDYSAQQPIQYHTHPLPNQGHRSKMPRMNDSDPLLEP
SGGAPSVVGLEGMPMPAQRPRGPKLKFTPEDDGLLVDLKENKSLTWKQIAEFFPGRSSGTLQVRYCTKLKAKTTQWSDETIQKLRTALHDYEQEKWR
IVAQKVGTGFTSAACKEKAAEL
>RCO7_00239 | probable ribosomal protein MRP17, mitochondrial
MYLQRAGKGLGICSGSRFGATRAYATTPYSAPAPNPSRITDADVHAARSYCANLLQKFDSPSYTLQTFIPPSARDAYLSIRALNIELARIPDLISNP
TVGAFRMQFWRDNVTRTFANTPPKEPVAILLHQALRSLQTQHPGISTSAMKGWFMKVINAREQYMDNRPYTDMEDLETYAENTYSTLMYLTLANLPL
HSLAADHVASHIGKATGIAAVLRGLPLLAFPPPPNHHSNSSAFGGGGSGTRQGSVVLPLDVMAQAGVKEEDVFRQGAEAPGLKDAIFSVATRANDHL
ITAREMLKNLQQGKDAGHDFEHEGEEGHQYSEASFKGSSQADEIEHGFGVLMPALPTRLWLEKLEKCDFDVFRPELRSRDWRLPWKGYWAYSRRSI
>RCO7_00238 | related to DNA repair protein rad8
MSFADSGEPPTKKRRFFTEGNDASDSSLAENASLSDEVDAFLPDLPQDSKSRATDHIKPEPLNERSSSNESVRSDCPMGFDQETFESFVGDKVSQSM
LKQLRLASGDDMEKAVNMYFDGSWKSATPEVGKVQNSRPTSFNGFKRTTSEGSKAKKTPLPKSDVALSNFELRNAMPAFRYVGAFGVEGWATRSGTT
LIKHGEVVRIERQKILPPKAPVGKGRGRPAQIQTLPKPGSAAAKRVDVIVRFTNSKGEEIGRLSRDVANWVSTLLDQQVCKFEGTCVYAPERIRTND
TIFLQLRCSLLRSAFDNGGFKPPENRQTGLFEQKESAEEKELRLRQVSLVKLFEEVSLLPSRTSEATAKHKREGLLQAAEVAEQYEGQKYKKDESGG
SGGLSPPSEEAEDGKELEQDQLDTLYKKAQSFDFDAPAAEPAESFAMDLRQYQKQALHWMMSKEKDEKDESREESMHPLWEEYAWPAKDMDDQELPR
VLNQEKFYVNPYSGELSLKFPIQEQHCLGGVLADEMGLGKTIEMMSLIHSHKSEIALRLQGARSGPSTVNALPRLPGNSSAVEFAPCTTLVVAPMSL
LAQWQSEAENASKDGTMKSMVYYGAEKSANLQTLCCEANAATAPNVIITSYGTILSEFNQVAARNGDRGSHGGLFSLRYFRVILDEAHLIKNRQSKT
AKACYEIDAEHRWVLTGTPIVNRLEDLFSLVRFLRVEPWSNFSFWKTFITVPFESKDFMRALDVVQTVLEPLVLRRTKDMKTPTGEALVPLPLKTIE
ILNIELSAPEREVYDHIFTRAKRTFAANVEAGTVMKAYTSIFAQILRLRQTCCHPILTRNQTLVADEEEAAELADAASGLADDMDLQSLIERFTAAT
DDSADANVFGAHVLEQIRDEADNECPICSEEPMIEQTVTGCWHSACKKCLLDYIAHQTDKGEIPRCFNCREVLNTRDIFEVVKDDEFPESYEGSPKI
SLQRLGSNSSAKIDALMTSLKALRRDLPGTKSVVFSQFTSFLSLIEPTLTRASIPFVRFDGSMAQKTRKAIIEQFTASKKGMVLLLSLRAGGVGLNL
TMAKRVYMMDPWWSFAVEAQAIDRVHRMGQTDEVKVCRFIVKESIEQKMLKIQDRKKFIASSLGMMSDEEKKLQRIEDIKELLS
>RCO7_00237 | related to monooxygenase
MSDLPVLIFGARVFGLVLVRRSRKKALHFLIFDRDEHIDARKQGWGLTIHSALPVLENCLPSELFDRLKTVQVDPEQGRNDTGQFIFLNLANAEAMF
QIPPAQRLRILKREVQEVPPIWDRCPMKDVVDVKSEDGSKSQGRLVVGCDGATSNLRKMLCPETGGLNQLPIRYLGVTGCHPDTGNYLWFTTLDTPG
FNGSQGADEYYTAQINISWLVRDSEAKVPANADRLNKMKLLANGFERKLETTMHNIPENTEVTEEKLADYRGEAANHGITDVQLLCERLFKVTIGES

SQKEPINHCEAGMRERGSWAIIKSRQACLHAHDFKSVNKDSAILARSCQVLIYQLGMRVMPVAVNAENNY
>RCO7_00236 | related to transporter (major facilitator superfamily)
MTPIEPDIEKTSAAVTANDNPEARSDNDEEEEEVYPPWKRVAVIMIAVYCTMFIVALDRTILGTAIPQITDEFNSINDVGWYASSYLITSSAFQLIY
GRIYTFYSPKWVLLGAIGLFEVGSVTCGTAPNSIAFIIGRAIAGLGSAGIFSGVINIMVITIPLHKRPIFQGIFGAVFGVASVAGPLIGGAFTTRLT
WRWCFYINLPIGGLVAVIILFVLQTTPTKSKDNIRQQIKKMDPKGTAVFLPGIVCLLLALQWGGTEYHWQNARIIVLFILAGILLGTFILIQFKSGD
NATVPVRIVHQRSILSGMYFSFVTPGSMMVVIYFLPIWFQAIKGVSAVTSGINTLPLVLSLVVASIIAGGITAKTGYYTGQLIVCSVVISIGTGLLT
TLKVDTPLPKWLGYQFLYGFGLGLGMQQAGMAAQTCLAKKDVMIGVSLMVGALQVIFFPLFFMQGIGGAIFVSIGQTVFTQRLIANLSKVGGISIPP
AMIVRTGATELRNIVPPQYLHLVLIAYNAALSDVFKVGVACAVASIISGLTMEWKSVKALKEASARKEAEKKKKAEGSQLGNDVGTDAETERTVVVT
PPQTASAKETIPPKAEN
>RCO7_00235 | uncharacterized protein
MSPNPAFRSRNEKDPANTISDADLRSGSLALNSGSLRPTGSSSSRERTYTSETFASSERPTASLEAETEADTEQAVEGGDGIRYSTFTATQSSGPYV
TLIVSSDANLPTARYPAPHKTLYGRNSSVPNPRLPTGTVVGIVIGFVVGAMLLAGVAYVYLLRLRHLKRMRRRRRRAKRANTGSSAPAPSPAPAHPA
DGAIPPANP
>RCO7_00234 | probable alcohol oxidase
MTVPDEVDIIVCGGGSCGCVVAGRLANLDHNLQVLLIEGGESNLNNPWVFRPGIYPRNMKLDSKTASFYYSRPSEWLGGRKAVVPCAHILGGGSSIN
FMMYTRASASDYDDFQAKGWSTKELIPLMRKHETYQRASNNRDIHGFEGPIKVSFGNYTYPVMQDFLRAAESQGIPTTDDLQDLVTGHGAEHWLKWI
NRDTGRRSDSAHAYIHSTRSVHQNLHLQCNTKVDKIIMENGVAVGVRTVPTKPLHPSQGPRTFRARKQIIVSGGTLSSPLILQRSGIGNAKKLQAVG
VKPIVDLPGVGLNFQDHYLTFSVYRAKPGTESFDDFVRGVPEVQKKVFDEWNIKGTGPLATNGIDAGVKVRPTEEELTEMETWPTKGFRAGWDSYFK
DKPDKPVMHYSVIAGWFGDHMLMPPGNFFTMFHFLEYPFSRGETFINSPDPYEAPDFDAGFMNDKRDMAPMVWGYIKSRETARRMEAYAGEVQMMHP
FYNFDSPARAKDMDLLTTNAYALPGNLTAGIQHGSWSMPVESGKPSQPNLLNSNSQSVYEDLKYSKEDIAHVEEWVKRHVETTWHSLGTCSMAPKEG
NSIVKHGVLDERLNVHGVKNLKVADLSICPDNVGCNTYSTALLIGEKCAMLTAEDLGYSGAALDMKVPNYHAPGELSGIASSRL
>RCO7_00233 | uncharacterized protein
MNFGASPSDIVIVVTFCKALYRKCRDAGGEYDEVSGEVRGLHTVLRHLKHEVDAPASPLNRDPSIWGCQLAPIIGDCDLTLRQLDGLLRTYGRISSA
ASSPSISRIPWDKVGFTSNEMDTLGVIRVKLISHKKSLTLFLDTLQLNQSIKIIQVLDNQEGQLDTILDKVDGIAKRMAPPRRDGSVLTNYDDDDRE
VWKQFRRELILEGFSSDILQQHEDVLRAYIREIDQKGLLDDISPNSHTPPDAPGLNPEHWLDAVRTGSFIDPPPSFSSFGPATDDSTTKEMVVREEN
MKFPQTIKMERPKPETRRGDWNRGFQSKLDPRTSRDRRASDNGPRRPSPVPRIVTSSDEQDQEIKYYNDSGPESDTDSETPSRHAETGLVIRTTDLL
ASSQVLTLRPESPSSFRSNRGSLGDDDTVRFMAQRQRESIECGSSPSGIGALVPASQSGGPRASLDSLVTFPKANIPIKLAPDAHGNEIGPDAKWTK
INRRLVSLEVLSQDGRRFEARPDFVAILGVLSRVEIESLASRSHVLRQARYQQHQRTQSMPRPSSYDQAPPRPPRPRTLPIPVPILLPTLSLSTSPR
VSFSHSNRSGRDTPSSSSHSDTDESGDHVRDRDAGEKRRSKAPRSYASSNACVPISGYPNQYGSPLPPSPRSQGSRDGWNGPSSYNEKAYSGDRSRD
RDRERDRERDHDRERREKEHERRERGGDRERERKRHSSTPRSVNSYTRSSERGHQRDRPPPPVQKGSHSRWKEHMTAAGIGGAAASLINVLTEAAEG
L
>RCO7_00232 | uncharacterized protein
MSSRFVLQKPYVVATLPRPIDHSKGQYVVAEVYGGAPGAKKRKRSELAVGIDGEGVNLYDISSSRLVTSYALPPQSSFTCPPSSLRSRVSKKKVERR
TYVSTRGSQSELTMFYESIDGSESAILSSKTSKLEHSLNPILYLGTITAPRSSGISENTTDVLAVKENGEVQCYDGDTLEEKWTSPPVALTRDAAVP
ASDLKVEFAQVTNAFSASQGILRGRQDVFALFPQEVVEDGFNPDLLVLITWSGETESRTLHVVNLPRRSSAYVQGMKYSVESLLQVDIPSGKPDKNT
KPVFHIQVSVGILQQLHGDALTTFDLTGTLPKQQSVMISAEAQSFLRLSNTAVMVSSKQSATVYNPKYQSKLSTIGLDMSSEETLKRKRNGLERIEG
GSNHTCRFVSYFPKLGVAIAIIDKDLVGIQIEGQQDRHGKTRTAGLLIDSLGCAAKEQLRPGRDGAGSTKKAKLSGMLTLDSFLPGTIGLGQPWAEK
IVELEGLFAKGECDELKFDEKIETHLGADWGGQVKRSKVVGPDPDAMDLTTTGESAGRAAIKRRFPASDVDRRWILYALSKIFTWTSSGEGQEPMLS
ISFYPMNTFMWLTTNGYMTIANIEAALRSNGTPIVSIPAGQLVRTLVEVDPDMDLLYAVVAKNYLSAPEILHAIRKLMESLGLLGDSPSSKQGLLTN
GDDAEPSTADVGYQVAKAEYDLETAEYQLGPGSGTRGAALSAALSRLYSCPSGDITLALQTILTSQEIVCLIYLFRFELARGGWTTRYTDSPEQLEM
VDEDADIQDNAIVVIASLLNNCIDAVGTVGWLSGEARLVDNDLFEAEELISSLKLEVSAALEGIEEAVCLRSVISELVKYAESFNRSLTQQPKDSKK
ANDVPSTLPSDDQDIRALPISLRAEKQISLLKVGAGGAVHKRTARDIGFLKSQKVGKYSRERITL
>RCO7_00231 | related to ELG1 Protein required for S phase progression and telomere homeostasis, forms an alternative replication factor C complex important for DNA replication and genome integrity
MFPLFQKGSKPKPVPPKEPAQEPPVRQPESTATKEASARAGKRTKATKTLDSEESGSTRPISNIEIHADLLEVDPNNARKKRRKTASPKGRTISTNA
DAGNVDTVDGHPSLNIGDRSPKLQIDRTVMGVTLPNELDHGNSGAAVQERILLSSLHEDALGLGDTVTAGREYTSIYSTSNGVAAREKDSLDVNGRT
QPDLSANMNAVQPDGNQAPPKPTKVLRFNPRTGTIGSPPTMKTAAVIEDVKLKSKKGRGRPPKTLIVTIRYGERQNIVSSMGERIDLILNSPPSAPN
ELTAAPAKSRLAKSIQPKPLKPVHPLFLSKAAELKVQGPQISTGKDTGIADLTGNEEMVTQPRARSAYQLKGPSPKKPSAAFSGSGGSTKIVRFPGA
IEPAWPWKGMVHIRGVVSLVRDEHPGTRSPPLISSIKKSKYKALQVSGTENIIESLATDLSIKTVVQSIQDINPDEYPSKPQCLRTPTKTYESGFGI
QKKIRKLLRTRLPLPKGVIEESSEDDIQLDDIHPALLGVYTSIASSMSAFDRGQCETQSWSHKYSPKSTAQVLQKGQEAKILKKWLEALTVQSVEIG
SGGKSATATKSNNAGKRKRKSKKLDGFVISTDEEDNDMDEITDPENEAPNSDPRQPKRTVIRGKDVAASECNVANTVVLSGPHGCGKTAAVYAAAKE
LGFEVFEINAGSRRNGKDIMERVGDMTRNHQVQRSVVPVQNDGTDEDKERIDNALADDLKSGRQGKMDSFFKSQPIKSQPQPRLKETTKKPDIAKEV
NATKIQNSTASVPIDNAFSKMSKKKQQQSLILIEEADILYKEDNQFWITIMHLIATSKRPIIITCNDESILPMADLKLHATIRMVPPAVDLAVDYLL
LVAACEGHIIKRKAVKQLYEGRNMDLRASLTELNFWCQFAVGDIKGGLEWYYPRWPAGNDVDEHGNVIRVVSEGTYEAGMGWLSQDFLESHVHHLDI
EEETLHEACDGWGFDLGDWVENIGVKKWAGKARGSVKGMQDDFAVLSMYADFAESMSATDLCSGGTFAPEHKIALDVSLPELTMKSRDDYTIASELK
EAPALVNYNTTGNDISLYMKSRSRKILHLDQHIQHNLEVPTELDRPSESTILRLISDKIVSPKEGIDRFDLSLAFDPISSIEKYVWSTSLEASSFDR
TMTLIVEDLAPYVRSIVAYDARLQQDRLKLSNLLSEGGRKGKRMRTTRAAMSALEGGVRTSTRRDKYFTAALNTSWVLRTGMKSWLDAARVEEEIKP
AILSRRSSKASLDGDTGGENERDELESSP
>RCO7_00230 | probable phosphate transport protein MIR1
MSSAPTSTGSTKVDAVVQKVAANTPEKLSGIQLYSRFALAGAVCCSVTHGGLTPVDVVKTRIQLDPVTYNKGLIGGFRQVIAKEGAGALLTGFGPTA
AGYFLQGAFKFGGYELFKQQSINFLGYETASNNRTAVYLASAGAAEFFADIALCPLEATRIRLVSEPTYANGLIGGFSKMLKNEGVGAFYAGFGPIL
LKQVPYTMTKFVVYEKVAEAVYGSLVDKSTASDRMQTTVNLGSGLVAGMAAAVVSQPADTMLSKINKTKGLPGQGIASRLITIAKELGLKGSFTGLP
ARLFMVGTLTAGQFAIYGDVKKALGATGGVEIAK

>RCO7_00229 | probable glutamate decarboxylase
MVHLAAIPHDEKISKPLVEGLEKLEIAEGRTEDSFTTTVYGSRFAAQDLPKHEMPEGEMPKEVAYRMIKDDLSLDGNPMLNLASFVTTYMEKEVEDL
MSESFSKNFIDYEEYPQSADIQNRCVSMIGRLFNAPTATADDAPIGTSTVGSSEAIMLGVLAMKKRWQNARKAAGKPWDKPNIVMSSAVQVCWEKAA
RYFEVEEKYVFCTQDRYVIDPQETVDLVDENTIGICIILGTTYTGEYEDAKAVNDLLIERNLDTVIHIDAASGGFVAPFVCPELEWDFRLERVVSIN
VSGHKYGLVYPGVGWVIWRAAEYLPKELVFNINYLGADQASFTLNFSKGASQVIGQYYMLIRLGKHGYRSIMSNLTRTADYLSDSLSQLGFIIMSQK
SGKGLPLVAFRLNPKKGHHYDEFALAHQLRGRSWVVPAYTMAPNTKDLKMLRVVVREDFSKSRCDQLLDDIKLCMGVLNDMDKEEIKRSQKYILEHQ
SHSGKSNHNHEKYKKEKHSLQGQTGKTHAIC
>RCO7_00228 | related to TIM barrel metal-dependent hydrolase
MSIQRLSSSSSINQPPEGSWDSHIHVIEPKKYPFPKNIPRIPHEGTMEGALSNASRLSLPNMVFVQVSTYGNDNTWIEDALKEVGPSRGRGVVAFDP
ETIDVQTLQKWHDLGVRGVRLNLRSVGKTLPKEEIQAVLRKYAEKLRPMKTWSIGLYADMPMLDHVQPLVSELGVKIVLEHFGSPQSLPLDPANAPG
WDSLRKMMEDPSVYTKISAPYIFSKDSTFKNLEVLVRSLMSMRNGNGVVFASDWPHTQSKGYDAKLFVEKCLEWCDADEELQRKLFRDNAKGLWDAN
>RCO7_00227 | probable Ni-binding urease accessory protein (UreG)
MSHEHSHDHGHSHDHASSAPDHGHTHEILDGPGSYMGREMPIIEGRDWSERAFTVGIGGPVGSGKTALMLALCLALRENYSIAAVTNDIFTREDAEF
LTKNKALPAERIRAIETGGCPHAAVREDISVNLAALEDLHQQFTSDILLIESGGDNLAANYSRELADYIIYVIDVSGGDKIPRKGGPGITQSDLLIV
NKTDLAEAVGADLGVMDRDARKMREGGPTIFAQVKKNVGVDHIVGLITSAWRGSGAEAVSKERGGPVATAGLEGLK
>RCO7_00226 | related to DUF6 domain protein
MSHGNHPTPLSFNPPTSTSNAQRPEVELIPNTWETFPDRPVSRTSSRATSREPAIAPSKATGNGNGAAKYLSGNPTSPLEEADSDSDLDLEEMADRI
SPIHLPADRRSQQPLLHKDDEERGRTGYDNPPDPPDRPALFTRQSTMRSRSPDTQAKLATRKKYTYAAFFLGVSLVSFVVQTETAVYIQHELGWNKA
YCMLYFTHGSWSLLWPFQLLILRLQKWKMPWETFWRRHVYLVRTTAQMVETQELVVPRNQHSPVPYMLRKTALVTCALTVAGGSWYVAVNLTSPSDL
TAIYNCSAFFAYAFSVPLLHEKLRLDKSFAVAVAIVGVLIVAYGDSAPTKHGGKSGGSTGGGDKQDSDASNRVAGNLVIGVGSVLYGFYEVLYKKLA
CPPEGTSPGRGMIFANTFGSLIGTFTLLVLWIPLPILHMTGLEKFELPRGEAAYMLCISVLSNAVFSGSFLVLISLTSPVLSSVAALLTIFLVAIVD
WLWTGIPLSPAAVVGGLLIITAFLLLSWSTFREMSEESKKKQIDLSDEDSSNED
>RCO7_00225 | uncharacterized protein
MPKHVPVYKASSSSHPHHLLNLNLNLDLSLDLGASVVVTVADPFFTFLRSNLVLPPSTLNSTTSTPLLDASSSQTLPPLLFTSPLATMSSHDTHTIS
PSPSSEALIHPSPLDGIPPLTTSTISTEPAKIAALKLVADSIAQQRQFAARAIIFHPLTLFVYILLLGIISQFLYKTRGDLGILFTTAAGVTMACLV
AVRGATGGYLALAEKLNWGFLGGEGGEEQDLIIGSRYGEELIGALVLRLEKGSGGGNGGGANGKKRSPSKAGKSGGNGVVRAWTVRNRYRGKGVGTE
LLEEAVNITREKLGNTAGVGFAAEHANSTMLLPTIFNAGFRNKERKASRMLAGIVDGASVSKKKR
>RCO7_00224 | probable mitochondrial dicarboxylate transporter
MSTTNSFKQAAEATRKQGSEAMEATKRLADSAKADPIAAKNDLLHSPFMRGALPFINGGLAGMVATTVIQPIDMVKVRLQLAGEGARTGPKPSPLSI
TKDIIAAGKVMDLYTGLSAGLLRQAVYTTARLGFFDTFMKKLTVRAKEKGNSIGFAERASAGLTAGGLAAMIGNPADLALIRMQSDGLKPVAERKNY
TSVIHALKSIAKAEGVGALYAGAAPTVARAMALNFGQLAFFSEAKQRLKDSNMSPRAQTLTASAVAGFFASFFSLPFDFVKTRLQKQSRAPDGTLPY
KSMVDCFRKVAKEEGIMRFYRGFSTYYVRIAPHAMVTLIVADYLGFITK
>RCO7_00223 | related to structure-specific recognition proteins
MASQNLDLKNLTRAFEGRVDIQDAIRNASAAGPHYVELFNQISLHVCSLISSPEPAAKKRRIDDQGLVARPASSGTNGRGSSGAAPAIASSSGPILL
GIKDTSVVVPQRKKYTLCFTSTHLYARLPDSKEPAPGISFAWSDIEYVFCLPVPEKTQKQHNYILFPRNSTVTPSRQVPGAPPIPEPLVFTIPDAAP
KSGTISGLDAAAAAAVSDDSKTLLSWAITTRLKAAGNGNVKLVQADERLFASELKQPHRPGEKAVHVKAFRGSKDGYLFFLPIGILWAFKKPLLFLP
NERITAVSYTSVLQRTFNLAVEVDTSIPGTEESKEEYEFAMLDQEDFGGIDTFIKRHGLQDKSMAEQRKAKRLNINAVKDEDGNIIGSAESTELAKA
ATEAEQAAIDEEDEDEEDYDPGSEGDSEGSGSDSDEEDSSDAEGQDEEGDEDDEDDEKVKDEDDV
>RCO7_00222 | related to oxidoreductase
MATTTAKRAHGLIGPDEIYISQSIEQSLTPPKTPPHDKQSVQPLHPWPEPESAPEEIVRKRRKTIAQDASTKEFDLTHQNVLLLHAPKQRYEHTTQQ
PIPELETDREMLVEVEVVGLNPIDWKAPDFGWGLPALPCISGRDLAGKVVRTPKQRSRFSKGDTIMAISTDYRDNRKAAYQQYAIASDFNACRLPDH
VKPIDAAPLGVAFVAAALALGICMGMDFGQQPTGPRGPNLLRNVQSVARDALPKDIHKECYDSIKESEGARAGDWIAIWGGSSASGCCAVQLAKLAG
LKVIAIIDVARNGERMLKHGADLLVDRLDSDRAVEIVKSITKGKLRFGLDTRGKDSAKLLASVMQAACKDDTTRAHLVGLTGIPKEPTDGVVYHSVP
IKAFHEAPAVGEGLMIWLEKLLDLNLLRTPDIEIAGGGLEGINAALDRLRDGSVNGPRIVVPLKI
>RCO7_00221 | related to human PL6 protein
MPPRLNIPPITRILLIALLAQSLLCFALRYRQWSEESDIVVPYLSLVPQLSLTYPWTFLTTTLVENNVFTLGIGAVAIFYGGRYLERAWTSAEFAKF
LLVAALIPNFLCFGTLVTLFAVTGDMRWTLTSINGTIPLQIAFLVAFSQLVPAHTVTLFRGIISLRVPRFPLLHILGVFLLSLTPLLSAAAFLLATI
GFVASWTYLRFYKPAFPDLDANQSSSLRGDPSETFAFAEFFPDPVKPLVSTISEQIFNILVSVRICTPFSAADVSASRGDTFVQRGTPGSARQEAER
RRALALKELDQRLNAATSSKPKLQAPPVQAGPSVQIQPQPNVQTSAAMLGETTYVPEDGKDEQ
>RCO7_00220 | probable complex I intermediate-associated protein CIA30 precursor, mitochondrial
MRPTPNLFAKGFFGRSLDEFKRLSGFALRAEGTRRQMKPYNMAIFHDPSSLEEVKTMSDMDIGGYSKVHLDYIPPPVTTSSSPSAENSSTSPTSTNP
NGHVKFHGNISIELPKNRPEVQRTGYAAWRTKDKGYTIFGKTLWDIDAYAFLALRIKSDGRKYFVNIQTESIVYTDIHQHRLYARRPGEWETVLIKW
NEFVRTNHGMVVEPQTELMRQKVRTVGIGLIDRVPGPFELCVERIWASNGLGERELGEDDRFEEGTLKSKHGEKIRWGNEEKKP
>RCO7_00219 | related to integral membrane protein
MATTDNIASASSSVTAGEPYDDNEKMSEGRLKTPDEMDIGDDIERAELLPDHEDSDKPAPAPKADTSTRTAIIWMVVNTLATIGIVFTNKAIFSDPS
LKLAQLTFAAFHFFITWLTLFTISRPRFAFFTPRKVAIKEIIPLAVAMSLNVILPNLSLAFSTVTFYQVARILLTPTVALMNFVLYKSTLPRNAILA
LIPACLGVGMVSYYDSLPSADANVKTTSSLGVIFAFSGIFASSLYTIWIASYHKKLQMNSMQLLFNQAPLAAFMLLYVIPFVDTFPTWTEVPINRWV
MIMMSGLFACVINISQFFIIAQTGPVSSTVVGHVKTCSIVALGWMMSGRAVGDKSIIGVFIAIGGIIAYSVVMLKHKAQGGK
>RCO7_00218 | uncharacterized protein
MAAYNCMSLLSRLLGFVVIVGICLLAFLTMNYDNLPVHVVTHGDPQIEAPRIEGNPAKISSIALKYLRPTSPPDRFDIALPSVLPPKPLVRPDVPLV
TYVYVESDYARINLKFFIDHGLHAAADFVFILNGETDVGSLIPQDQANIKIIRRQNTCYDLGSHWEVLNARNRGGKALRDTYKRFILMNASVRGPFI
PHWSRECWTSAYLGKMNVKVKLVGSAINCREGTSNQYVMSMIWATDSIGLNLILTPAGIGQCFSTLEETILGEIRTTPLLKSSGYHVDAMMTIFQSK
PDYGFENYTVEGDMLAEKGYAGFNVHPFELMFIKTNRGINPLMIETMRKWVDQSGYRSYDVCGEK
>RCO7_00217 | probable nitrilase (NIT3)

MANLLRKPVKLALVQLASGADKNHNLAHAREKVLSAASKGANIIVLPECFNSPYGCDYFPSYAEMLLPTPPTKEQSPSFHALSTMASEAKAYLVGGS
IPELDTETKKYYNTSLTFSPEGKLLATHRKVHLFDIDIPGKITFKESEVLSPGNQITVVDLPEYGKIAVAICYDIRFPELAMIAARKGCFALVYPGA
FNTTTGPLHWKLQGQARAMDNQVYVALCSPARDMNASYHAWGHSLVCDPMAEVMVEAGEDEDTVFADLENAKIVDTRKGIPITGQRRFDVYPDVSK
>RCO7_00216 | uncharacterized protein
MASSNSDMTIDDAWESIRSVVLAAWSKTTRRMRAGVAILVVFLLAILLLRPTISEPSLPRLPTVSLDFGTDGPISPYNVSKVALLIENRVNPILAPL
MLHFMSVVPPDWRFRFMGSLESVEYINSSRAIRNHVQNGKLDLTYIPANMTTGSQEEISRFLTTLWLYETVLQPAEWLLVFQTDSMLCANSRQSLNN
WLDYDWVGAPWNPNGRFGGNGGLSLRRVSKIIDVLRNQQRIQNTEPEDVWLTDRLGHRPGAKLANGTMSLTFSGEMFGGVGEKVGADKKKGKGAKPG
DGTKAGDLIKGIDDWRDGFYEPMGYHTGGSGETLHGGIWGTPEMRKHIWSYCPEVKMMLKMDAAKYVPGDCNANWKRTEDGWDGMYGAGTGDDMEWI
DGEAYPMLPAGLMPW
>RCO7_00215 | related to transcription factor spt3
MTDKTAKYRTEIQQMMYVSGETAEASAETTGIIEEIVRQQVIEMLRQCTEQASRRGSRSISTDDLIFLIRHDQAKVSRLRTFLSWKDVRKNVKDSDD
KGGDADLGTADEPVGGQAGPVVDTAKKNKKAKVGLPWEVPSFYNQEVPEREDEDDEDEEELNYATLQRLKKADERTKAMTKEEYVTWSEYRQASFTF
RKGKRFKEWAGFSVVTDSKPNDDIVDILGFLTFEIVQTLTEEALKIKEQEDLVKDKTGGEQAGKKRKIQGLFDPPSEGRSPVESRHIQEAFRRLQIR
PTKQRAMCNFSRGLNRTPLKLV
>RCO7_00214 | related to pisatin demethylase cytochrome P450 CYP57
MGQESLVVVLLHNWPFALSVCFLAYLISNRFNRGLQKYPGPFLASLTDWWRFWIVYKRRPEVEHIRLHEELGDVVRLGPNNLSFSDPKALKSIYGLN
KGFVKSDFYPVQQSVAGGHRLPSLFSTTSEPFHAQLRRSVNSAFSMSTLIQYEPFVDSTTELFLNQTEKLFASTREGCDFAKWLQFYAFDVIGEMTY
SKRHGFLEENKDVDGIIDYIANLFNYVAPVGQIPFLDLLFLKNPIYLQAAKYGLVDATFPVAKFAQQRVAERYPSAKDGSEAVLPSSEPKANSQPDL
LSKFMQAKTDRPEFMTDSLVMTMAVSMAFAGSETTAISLSAVFYYLLKNPRCMEKLYQELDEKAREGHFGDNEQGVVTFSESQELVYMDACIKEAFR
MHPAPGLPLERIVPASGADIAGHFVKGGTIVGVSAWVIHRNREIFGEDVDVFRPERWLVDESAKGGRESEEKRIKEMSGVMLQFGMGARTCIGKNIS
LLEIYKVVPSLLRRFEIKLEDPSKPWIVHNAWFVRQYGFRTTFSKRDLVQPTAAS
>RCO7_00213 | probable HAD superfamily hydrolase
MPEITTLLFDCDNTLVLSEELAFAACADLANEILAARNIPDRYTGPQLLAEFVGQNFRGMMVALKAKYKYEMDDAELERYVSSEEDKVIAKLKADLR
PCLGVDVELEKLAKEGKFKMAVVSSSALRRVVASIEKVGQDKYFGDNVFSAATSLPKPTSKPDPAIYLHAMKVLGKDASECVAVEDSKSGATAAFRA
KIKTIGYVGAYEPEEEEKMRKVLTDAGCVVVMKDWSEFDSCLDGIIKGKL
>RCO7_00212 | uncharacterized protein
MRFPTTILAGLATIASFALVDAHTVITYPGWRGDNLITNDTFPYGMQWMYPCGGMRTTQNRTNWPLKGGAIAIQPGWFQGHATAFFYINLGFGTDGP
DHGPHNMSFPMVPVFQIVGPTRNPYPGTFCLPQVPLPANATVKVGDNATIQVVETAIHGASLFSCVDITFTEPDQVADVNETNCFNSSDITFNNVYS
IGAGGTSSSAAKGVAQASFLPLAGLLMFALL
>RCO7_00211 | related to folC
MASLLLLPSSIRNVTIFAWRTPSLLKLRSLSTAINVSEQRSYPEAIKLLNSLQSNRAIVSSISTTPADMNRNAIPEMLEWTRKAGYQPNDLIAPGLK
YIHVAGTKGKGSVSVMIENILLQYWRKSSPRALGRIGLYTSPHLIDVRERIRIDGSPISEALFAQYFYELWDRLSLAADRSDMELMPNYFRFLTILA
FHTFIREDVGTAIVECGIGGEYDSTNILPPEAVTTCAITSLGIDHEAMLGETIEEIAWHKGGIMKPGVPAFSVKQLPSALAVLEKRASEKEVDLTVV
ERLAILEDVKLVLEGDFQKDNASLAVEVVASHLKTLGVADVSTSTVLPEEFKSGLETVTWPGRCQYIIDGNTEWMIDGAHTLESISATAIWFREKCV
AASTSPHPPTATMLIFNQQSERDAESLLAQLLTEILTLQQGANQEKLLGDRAKDNFSSRSPRRAFTYAAFCTNRPFTVEQDSTEEVDLTLQNHMARK
YMRLDRGNPCHMVYGSAEEAVDLAYKVSEGEERVLVLVTGSLHLAGAVLQVLEEKRGKDVDVSGGET
>RCO7_00210 | related to vanadate resistance protein Gog5p, member of the triose phosphate translocater family of membrane transporters
MTVRNKQPAFPASPDSPSTSSPPLRPSSPSIPLPRLRSTPELSVHSIDTYSSDEVVALAGPPQDFDTDMEPEQSGHRRRRSSIMNSLKADTNSKRKS
RRRGSPNSGAATGADDSLTEDPKLERSTDESLSDGELDDLSDDGLQDDEETGLTGKDKGKRKNKRRRNTLLDQRIAGEVKVVISDEEKKEADQNVVR
KSLINGLLICMWYVLSLSISIYNKWMFDPKHLDFHFPLFTTCFHMIVQFTLSSLVLFFLPQFRPRYDSLSNPDNTTHVSDADAQKHEEDSKKPLMTR
MFYFTRIGPCGMATGLDIGLGNMSLKFITLTFYTMCKSSSLAFVLLFAFLFRLEVPSWRLVGIIFTMTLGVIMMVAGEVDFSVLGFILVISAAFFSG
FRWGLTQILLLRNPATSNPFSSIFYLAPIMFFSLLIIAIPVEGFPALAEGFKILIDKKGSILGPGLLLFPGAIAFCMTASEFALLQRTSVVTLSIAG
IFKEVVTISAAGLVFHDPLTPINISGLFVTIGAIAAYNWIKIKKMREDAQHEAHLARVAQRGDGSDGDDEGTESESETGDWNTAGGTYVTSDGDILP
SPGFYKPKKGEGSKKTVESGMERKKLGVGKEVSE
>RCO7_00209 | probable mannitol-1-phosphate dehydrogenase
MKAVHFGAGNIGRGFVAEFLHNSGYEVVFCDVMDSIIEQLQNSKSYKVIQVGAEGNSTTTISNYRAINSKTHEADVIDEITTADIVTCSVGPNILKF
IAPVIAKGIDARPNDATPLAVIACENAIGATDTLAEHIKHPKNTSEDRLEDHHERARYANSAIDRIVPAQDPNAGLDVKLEKFYEWVVDRSPFHDHE
PPAIKGVKWVDNLIPYIERKLFTVNTGHAAAAYHGYYLQKTTVYDALQDKQILSEVRKALSETSTLIVNKHGIDASEQAEYVEKIITRIGNPHLEDA
VERVGRAPLRKLSRKERFIGPAAELAEDGKPFDALLDAAEMAFRFQNVEGDQESEDLAKIMAENEAEAVVEKVCGLTKSDKLFEHVVKVVQRVQAEA
>RCO7_00208 | probable N-acetyltransferase
MAESLSSTALEHRAKAAEGEIPAELRYIQYSHALEKKYLPSIRAIISKDLSEPYSIYVYRYFLCQWGDLCFMTLNPLTSRLIGVIICKLEPHQSHSP
PTLRGYIAMLAVSSSYRNHGIATTLVRKAIDAMIERGADEVVLETEETNVPAMKLYERLGFIRSKKLHRYYLNGSSAYRLVLHLKRVSDMVGDSAEG
YEEGEGGVI
>RCO7_00207 | probable formate dehydrogenase
MVLLTRSICRLARPALKSSFHTAARPSASSHVLSRGALALRRNNLGSIRTLTDKREKVKVLLVLYDGGKHADDVPELLGTTENELGIRKWLEDQGHT
LVTTSDKEGENSKFDQELVDAEIIITTPFHPGYLTAERLAKAKNLKIAITAGIGSDHVDLNAANKTNGGITVAEVTGSNVVSVAEHVIMTILVLVRN
FVPAHEQIQAGEWDVAGAAKNEFDLEGKVVGTVAVGRIGERVLRRLKPFDCKELLYFDYQPLKPEIEKEIGCRRVENLEEMLAQCDVVTINCPLHEK
TRGLFNKELISKMKPGSWLVNTARGAIVVKEDVADALKSGHLRGYGGDVWFPQPAPKDHPLRYARNPFGGGNAMVPHMSGTSLDAQRRYADGTKAIL
ESYLSGKHDYRPQDLIVIDGDYATKAYGERAAPEKANKK
>RCO7_00206 | related to ochre suppressor tyr-tRNA
MGSGNSKPDTAPRTQVWTSETPVRFSQGLVDSLQSSSETDSTRAKTLELHIQSRVSEELKKLQDKASKDFEELSAKICAAEKEDSDRKKDSSKSKSE
GDYLRQLGREAVQNDVEGLKKKLESRKKLADLDEGVEKAKSEVVKCLRANDRRPLDCWKEVETFREEVRRLESVWVEKIVR
>RCO7_00205 | uncharacterized protein

MTSQPPSSFTLKKSRILQALAVPTSEYDDLSPKGSIDVGIRELIDEINALEGFVTTSSCAGRISVFLEGKRKLKGAGGVERGIEAGEEGGDRGEEEG
VEGERESGENERTATAAGVGGKGGGGRWLFVSHDPVAIRKGLERSGSESGSGEGRKSCGGKDSWTELMGMQRLEGRDEEVQALMESSRSEKRLVHFK
FEPMILHILTASLQQAQLVLSAALQAGFRESGALNLTPSSGNNEPPIPMVGIRSMGLALESVIGFEDQGREICMVPEWQLRHLIEVSNQRFVENTKR
IERFRTLLLEMSESGMGKERKGDGREWEDAEARRERKKAEGMRRAEELRVSREMDGLIGDTEEVLDLDSLDQNS

>RCO7_00204 | related to RNA-binding protein
MSYPPPPGLQAKSTPDPHPSLPARPPPSTTPAFKPAFNAGAPRQVSSFAGFAPRSLAAPAPQPAYNPYPQPAYPQQAYNGYSATAQPEAAYGAAPQI
RNPFAPPSQTSSAAGRAYEEDPEMAAQIAQWQSAYAGKDALTSSSGGYTGIVRRYPVGETSGAATSANAAPLGGRSDGPSMSNAAMTSAAHKDTGVA
SVINDSKTNTKTVVRSGGGTTWTDSSLLEWDPAHYRLFVGNLAGEVTDEALQKAFAKWPSVQKARVIREKRTTKSKGYGFVSFSDGDDFFQAARDMQ
GKYIGSHPVLLRRSTTEIKAVTPKDQRKGKNKGKNNGKGDKDKTGAGVQKVGSKTKGGLKILG

>RCO7_00203 | probable aspartate-semialdehyde dehydrogenase
MASHFPIKKCGVLGCTGSVGQRFILLLAQHPHFTLHAVGASSRSAGKKYKDAVKWKQAFPMGKHVEELVVKECKASEFADCDVVFSGLDADVAGDIE
MEFLKAELAVFSNAKNYRRDPLVPLVVPTVNLPHFDVIPHQRKHYNLKKGFLVCNSNCAVIGIVIPFAAIQKAFGPVDQVSVVTMQAVSGAGYPGVS
SMDILDNVVPFISGEEDKLETEAQKILGSVNAEVTGFSDQSDLKISAACNRVAVLDGHMACVSLRFKNRDGPKPTAEQVKKAMREYVSEANTLGCPS
APEPAIVVMEEADRPQPRLDRNTNNGYTVSVGRVREDESGIFDIKFVALSHNTVIGAAGSSILNAEAAVLKGYI

>RCO7_00202 | uncharacterized protein
MEVIGGVASFVGILGFTGQAVSGLLKLKALLSDAAAAKETINHVIEIIDLLNSTLKEVERVVRIIETLPQHQIDSQAILQTGALKYQTKACARDVVE
WISAAKKLDPRSRKGIKAFLRMIKVAAGKESLQALGEGISSHQQRIGIGLSLLGRYVALSLSKDRSQLKLLSSLDILGIHHLDNIDKGLSGSTEAHL
KLNDLIDVNHQKNNTANLNEESIVALLISQLDQIGSGGASESSLQSIHESMSSLASSFSQLVAKLPTGQQNNNLLKCEASPIPQMFDTPQWGCDAVS
GIEEAFEGDMCIYCCKRFPEQGLDADWKARGQHIAREHYFGACNLGMTLSSWMSMKQHLSEFHDLSAEACERDTECLFSCPSRSLPIFQRNLEDKIQ
VMKLFDEKTASSNILSVAFASAMNKFDMKSELQLLKTCFRGSNLKNNGGVREKISSLVNSGWIDSMVLNLWQIRQYLAYLIEELVVEERDEMPGKIP
DLPSDSAVFNYTSVLGSMLLILTEEIEAKRWKDKIEPLFASSTASNVAESLARNDRINPWLFNVLRHSNNTRIIVSEQFGPDIKACSDMYPWISSAI
QFWFTDGTAITAGEGHLVSDGAVDSRDNLLESPVSSQNVLEEQIEERSPRLGGSRRRQSTSFMRGGSSNGSAASLTSELASKRSP

>RCO7_00201 | probable ADE2 Phosphoribosylaminoimidazole carboxylase EC:4.1.1.21
MDRRVGLLGGGQLGQMLCEAANPLGISVTILDAENSPAKQVNAKNSHINGSFIDPEKIRELARKVDIITVEIEHVDTYILEEIAEKGVEIVGDDGKK
TMKRVEVQPSWKTLRTIQDKYLQKDHLTKNNVHTAVSRPVGSNEKELQDFGNNYEYPFMLKARKDAYDGRGNFPVKSASDIREALSVLKDRDLYAEK
WANFKMELAVMVVKTEDDVSAEGNGTAVYPAVETIHEDSICKLVYAPARGVSDSIQNQAQQLARKAVGTLWGKGVFGVELFLMENGRLIVNEIAPRP
HNSGHYTIEACPTMSQYKAQLLSILGTFPPISRIPTICPATIMLNILGGSSKGAHNELVKNAVAIPSVSLHMYGKESKPARKIGHVTIVGSSMEQTE
TLLNPLINLADSIRAERKGIPAPPNSSTTGPSQSSPSGQKPLVAITMGSDSDLPVLKQGLALLSTFNIPYHVTITSAHRTPHRMTAFAESAVSKGFK
VIIAAAGGAAHLPGMIAASTPLPVIGVPVKGSTLDGMDSLLSIVQMPRGVPVATVAINNSINAALLAARILATNDDILREKLEKYARDMGEEVEGKA
AKLEDVGFEKY

>RCO7_11661 | uncharacterized protein
MQSSEGVCTFYIYKEDKGSPSSLKESK

>RCO7_11662 | uncharacterized protein
MRSTGKRGLVETLQDPDELPMEHPLTLAYADLPAPYLQNIAQF

>RCO7_11663 | uncharacterized protein
MNLGPVIYLSSHMIFRLESYVIVYLLNYAIRIEEREKAKEKFKAKNSSKFKKYESIEDEYIATAFTLCEAESGIDYDSDDEKPEALFMTSIGPVLVE
AI

>RCO7_11664 | uncharacterized protein
MTIFVNIRVISASYSLVVLLNRALLDYLIILI

>RCO7_00200 | uncharacterized protein
MVNITNLLLLAATLGSAVAAQDPCRHITCHAEADSKKCDKFEKCDNHRNFKTVNGSPLKCTNKEYCKDGGSYINQSGKQFWYRCCPNP

>RCO7_00199 | uncharacterized protein
MSDSPQIKFENSPVESLADSFVSTPNNPYPSLFANDTMDPSEVMTPQSFDDDSMFGDMQEGSMAGTPAPDKKPVKKRKSWGQQLPEPKTNLPPRKRA
KTEDEKEQRRVERVLRNRRAAQSSRERKRQEVEALEAQKQAVEQTNQDLLRRLHDAEAKNVILERQLQQMSGGMNVFPSSSVASSPGGSEQLRQTPR
PSITFSQNLFGPIDADPQSIDTQSLIDSSVTQTVNPASLSPEIGPVVDSNTNVSSSDLTQHPAAMLCDLPCQSEEHRPWMDSTSTASISHILAINLM
INMSTKAIWTFLQPLHQILNSLTTGSYLQPTSSIISLIIWLTTTTASLKTATSTNSSTKMTSLQPRFNLRIRLLRRLLACNHHLARPLTDATMVVMR
LASEQQLRDCLSTADASRLEASDSASVETLMTLLWAIRVIAREVKLEAPKPDAAAVARQCPEPDNLFRSGEQKGASLVSRIGNIHVGGHKKKSLDHW
RTAFQHDRS

>RCO7_00198 | cyclin-dependent kinase E-1
MFPARRPPFHPADRGISPNVGYQSKVRVIDRYKVIGFISSGTYGRVYKAVGRHGQPGEFAIKKFKPDKEGEQIQYTGISQSAVREMALCSELSHMNV
IRLIEIILEDKCIFMVFEYAEHDLLQIIHHHTQPTRHPIPPSTVKSIMFQLLNGCQYLHANWVLHRDLKPANIMVTSSGEVRIGDLGLARLFHKPLH
SLFSGDKVVVTIWYRAPELLLGSRHYTPAIDMWAIGCIFAELLSLRPIFKGEEAKMDSKKTVPFQRNQMQKIVEIMGIPTKEKWPRLVNMPEYNQLS
TLSSQNKSGSQLERWYYQTINALGGPNVPSSNVSLGAEGYKLLAALLEYDPERRLTAQQALLHPFFSTGDKVSSNCFEGIKAEYPHRRVSQDDNDIR
TSSLPGTKRSGLPDDSRPMKRLKE

>RCO7_00197 | related to alpha-1,6-mannosyltransferase HOC1
MRPMLSPTKSNFGNRVPKQVQRCLPLYIALVIFLVLITNLDLITPGTSHAKRGIRKTKPGPGVSEAEPMEFPKKIWQTWKVDALAFEERDLSRARTW
TAKNPGFRYEVLTDNNDMYYVEHHFGPQGINRPDIVEMYRSLSARIIKADLLRYLVMYVEGGVYADIDVENLKPIERWIPKRFEESDLDIVIGIEVD
QPEFADHPILGQKSKSFCQWTFMCKPGNPLMLRLVDGILDWLNGIAEKEGKPISEITLDFDEVLTGTGPSAFTLATLAEMSQREGKTIGWDTFHNLD
EAVLVSGILVLNVEAFAAGQGHSDSGNHNSRFALVKHRYHASGWPSSHPRHTHPAYGEVEKCNWNAECVAMWDVNTAAYEKLSEEDKAKMIEIKKAN
DILEKEKSDQESRFLEMLEKQEAEKPKFDAGPQLPGHEEEQSPLQAVDPKPLNAAPIAAPPLPEAAFAALLPAEVVGGKPEDAGLVAPMQEPMGPMG
LGLVGPAVLEG

>RCO7_00196 | probable riboflavin biosynthesis protein Rib7
MAAIPKDTLQFPAESRKFLDSYLPPAGQSLSNQSLYPFTTITFATSLDSQLSLSPGTQTVLSGHQSKAMTHYLRSRHDAILIGVGTAIADNPGLNCR
IEGVGGYGSAGLEGQPRPIIIDPHARWEFTEENKIFELARDGKGRTPYIITTLVNPPAERAALLNRAGGKYITLVPTDSSSKKLDWKDILKALMAER

LNSIMIEGGAGVINALLAPEYFSVISSVIITIAPVWLGEGGVAVLPPRQNHGTAVPVARLRHVKWHPFGEDVVLCGNFKE
>RCO7_00195 | probable homoserine dehydrogenase
MSTSKEVFIAVIGAGGVGKCFLSQLEGLSKRSSSKLSLIFVSRSKTALYSPKYTALPYENISSTLADSKQETLSIPKLIEYLSAAPSKVVLVENTSS
QDVADAYPAFLAKGISIVTPNKKAFSGSYKLWQDIFSAASTSGAKVYHESSVGAGLPVISTLKELVDTGDEVTRIEGVFSGTMSFLFNSFAPTEGSG
GKWSAEVTKAKELGYTEPDPRDDLNGLDVARKLTILARLAGLPIESPTSFPVQSLIPNELESVASGDEFLQKLPEFDSQMEETKNAAEKEGKVVRFV
GSIDVAKKEVKVGLEKFDRSHPIAALKGSDNIISFYTKRYGANPLIIQGAGAGGEVTAMGVTGDLIKVLERLS
>RCO7_00194 | uncharacterized protein
MDPRIPVKSTTVPTQPRYIPQDPSEVQLLASTIKVVRTSDQRKFLATKIPKVVVEEVDGRVGKTLLADVILPVAAVPISLILNHANIISLVDIVRNS
DVSGTGPEAGPYGDITVWEDMDAGSLSYLLPSASTYPPFHDDVTWHALASQNYNRPALPEGLCWHVLRSISRALLWLHYGIKETIGIPGDFEKHDDD
WHAILIRDISPGQIWFKRPVGEETYGACKLGGFQWAKVTGAVAGGHAIEQRVEHAPLAKQYFFPPEVYKNTHSHSRSSEIWQLGATIYAMMTGIPPP
RLYEHSWQISRLNDGAYSQELREIIANMIKIHPNDRPDAISLVNDVDDQWKKWRATTKEGAYVVDILDREIELQALGISQGGLVL
>RCO7_00193 | related to OPY2 protein
MDSYGSSSFASLFRRCVVCDDTTPSCPETCPSGQICSLIPPTCNECQKTACVASSAAPPTISTPPKSSSSGPNLGGIAGGIIGGVAVIAIVTYLVWR
FCIKTKRQQYEQENWVEDSDEAIEAEKNFTMRRDARASTHTVASLASTVLTRASNVIQIAYIPGVTNRSTPSTPGLLVPPVPPIPIALSDASTPRYE
QEHFFMPGDLRDSTYSAFSDRTSYARNSMASTIYGKNAVVSPVPAQTMIRGKAAVVSVKSIGQSTGELTPPVPSVDHSIAGLGEPPSPAFSVGSTFL
NSANTATATQIRPQVVRVISAQKKGTPTPTVIVTDGETTPHVSAQTRDSNAITIIDDTPALDQGPFSDPPSTPHSSNRNLSAVVEEASTKKVDGSFK
SDSGLFGDHNELKE
>RCO7_00192 | related to protoporphyrinogen oxidase
MTLWIVTGANRGLGLEFIAQLSTDTSNTVIACVRSLSASHDALQALQQKNSSITILECDTGSESSIKDFGSKFSSQFGSGTKIDFLLNNAGINTTAA
QTSLTMTGESLMNHMNVNVMGPARIVQVLDVHLKEGSVVMNMTSGLGSLSYNATKNPPQATVYAMSKAALNMLTVHQAGQFKERGVKFLCIDPGWVK
TDMGGSNALLEKEESIAGMLKVLKDESTKSGEYLEYNGNKREW
>RCO7_00191 | uncharacterized protein
MKQTYVPLDQIFINIAALQNSQILDFKGDLRKIITFTCVAITSFTRAEYNAMYFAEGNNAMSFAHQFEQRLAPNT
>RCO7_00190 | uncharacterized protein
MSLESYSQQLVSTLSKVGLSPGSTPLLPDSFKLSKVVSGLQPSKGAPGTIATEQTLASKPALTEYLGPGPKDDSTSHRYLFLLFRKPGNLSWSKSDV
GGEEFFDRRSFKAAEWVAEHGLELVSVNWMLGAGDGWKGIAPGHAKEL
>RCO7_00189 | related to ATP dependent RNA helicase
MASQIYSRYIPPSKKSVPTPRENDITDIPQSEPSPPTPPVTQHDASSTYSRYIPPSNSKSQPAPVVKIAAKFTSPLPVKRKRDEYVDLSGTSTTVKK
SKKNRGTAKLDGTHNAPHIEDGQALDEVQSSESSSSFAFDFIEDGEVIEETLPGGTKASKNEKVPQTSTKDIEPGELQRPEKISNGVFTSKTTKQKK
DKQQEKEVSVKSLGDGEDSRHRRLMEKRQKSLQKAEKLAKSNQQLIPIEEDVAMPDAPSEVHDLGPLPQPEPVPELPTLPISASLPKWLASPIRVSP
NASFQFEDIGIPEDVTKILHKKGYKQAFAVQAAVLPLLLPQSNASAGDVLVSAATGSGKTLSYVLPMVEDLSRYPTRGLRGLIVMPTRELVTQAQQV
AEACASAFSRGDGYTHRVKIGTAVGNETVEVERRNLMGDHLVYDIEQYDSDLQKADAPWQSVEEETKLFGQEKRHATIRGDVIKSWSKVDILICTPG
RLVDHIKSTPGFTVSFLQWLVVDEADKLLDQSFQQWLPVVMAGLGQKQVVRKVILSATMTRDVGKLNQFKLFRPKLVVLDGAAHEDNETSGTGHVLP
SLLIESSVKVDDETIKPLYLMELMKRESIVPSTEDTPDSDSSTSDSDGSESESEEELSKSGPVTPADQMSAKETEDVPHGVLIFTKSNESAVRLGRL
LALLSPSLSSSIRTLTATTPRASRERTITSFSSGKISIIVASDLASRGLDLPSLAHVINYDVPSSIESYVHRIGRTARAGKKGHAWTLFTATEGRWF
WNEIGRSDIIERANGLKMGRLTIREDVFADQRPRYEEALKELGKETATSKVAKT
>RCO7_00188 | probable undecaprenyl pyrophosphate synthetase
MPSPHLTQLRKWMLESPPIEWGINQLRELLIGALRQGSIPQHIAFVMDGNRRFARSHKIETVEGHNLGFEALAKILEVCYKSGVKVVTVYAFSIENF
KRSKYEVDALMDMAKIKLSQLSQHGELLDRYGASVRVLGDRELLRPDVLQVIDKAVDMTKNNGTCALNICFPYTSRHEITSAIKSTVEDYSKPLAAH
ARPFSQTRITQKIRSRNLGTSPLRSSSPSSDIDDSVSSTTTLNQESPPIDGREHLYPDPEAITSETIGDHMFTAKDPPLDLLIRTSGVKRLSDFMLW
QCHEDTKIEFLDCLWPEFDLWQFLPVLVEYQWHQKHVEDGKIKMR
>RCO7_00187 | related to N-acetylglucosaminyltransferase SPT14
MHIAMVSDYFFPQPGGVESHIYQLSTKLIDRGHKVIVITHAYEGRTGVRYLTNGLKVYHVPFFVIYRASTFPTVFSFFPTFRNIVIREQIEIVHGHG
SLSSLCHEAILHGRTMGLRTVFTDHSLFGFADAASILTNKLLKFILSDVDHCICVSHTCKENTVLRASLDPLMVSVIPNAVVAENFRPLHHPSYPSD
FNNQLVPVPQHLGPHDTITIVVISRLFYNKGTDLLVAAIPRILANHPNVRFVIAGSGPKAIDLEQMIERNVLQDRVEMLGPVRHEEVRDVMVRGHIY
LHPSLTEAFGTVIVEAASCGLYVVCTQVGGIPEVLPAHMTVFAKPEEDDLVAATGKAIASLRANKVRTEKFHDQVKMMYSWTDVAERTERVYDGISG
NLSEADFYGYDAADAASWSATRGRAGVQSFALIDRLKRYYGCGIWAGKLFCLCVVIDYLIFLMLEILAPRDAIDITRNWPKKVPDENVSRERPEFSQ
RL
>RCO7_00186 | uncharacterized protein
MSSIAANKSVHDKHVLCQHVLSNSKPGTEAPKPRFALRPMKLADARILGVHATDAYWDGPVIRFIAPHAPKYRADLERTLQQSIRKRLFDPRSVSLV
AYEASNPAFPVGFGSFTRLGDDDGARAVLSQHSLLDRIYLFVFAWLFWIHDKVQNWMWPDRSTDANAAKAFGASVEGDEKKYWDQHPERKNRWHVQS
IVISPTYQGKGIGRLLVQQAIDRAQQERVIMGLSSSVAGSHLYRNMGFELLGDFAMRIGVETGNGIMIRYPEGAGGETL
>RCO7_00185 | uncharacterized protein
MGRTVSSLLTPSHRPHSRKKQAKETARKLREAQQKSLSFHSERLCHHADWEYLRTHEALFPIQREAEPAKESILALKNNASYSQSGVIQTYGKANLG
NESCTCCAKVFAKGGTRTWKGCVSFPVGLKYPDRVEGAVPFLGQCANCHWGSQGYKCSLRVSGVKVPPRRMEADLYQSRSFTHTHLGSMHNLNTTDG
CTIARQELQGIMNQLSRRAKKVQERRNLDHVREEKVRQIIKQKLKDGRSNGGSANSQLSSLPVLNPSTLKIERLPSPASAPQKVVTKLDDGGDDQDI
YDGPESPPPPRASSTSRTRQITKSNPSTPAPTSRRAFKQYLDDQNNEDNNDEEDHSIDPVSPKSTTQALPAHRIRQIPQSSRSPSPFQSAVLSYDSD
DDDEYIGPANILAIAQATPKRQTRLTSKQSPVTPQSRMEVVLPAFQPSRGRLRSPSFHTQDGWY
>RCO7_00184 | related to salicylate hydroxylase
MCDGDDTPLRRLAKHGGLNHKTSWYILLVRSYIVHHIGNIEKEKKPKMPEQNINIGLCGAGIGGLAAAIALRRAGARVTILEAATELGEIGAGIQMT
PNVSRLLIKWGVADIIGSNLVEFKELNMRRKDGTKVGYTRMMPNMRRDLGYPWWVVHRAHLHAGLVKVAQDHGAEILINSRVTKIDYTSSSDVTVTT
EAGKSHTFDLLIGSDGINSVVRKTLFPSVKPKPPTTNCAYRAIIPYSRIQKDPIARELIEKPTMEVWMAENSYIITYPICGGEDLNLVLSHHVDRLV
DKVEEVDIRELRQQYEDYDPRIKRVVDMIPEASRWPLLVTGPLESWSSPEKNVVLMGDAAHSMVNHMAQGAATSMEDGAFLGRCIAQVVQGRMNIQQ
AIRVYEKARMPKAYLKQQVSFLNGAIWQLPDGPAQQARDEAMSLEVDEKPFLRSPNLYGNPATFMSVYGYDVEKHADSELHLFMNGKDMMDDNKKMI

TKSVADECLNWFLPEYYEGNQIRIEAKL
>RCO7_00183 | probable sphingomyelin phosphodiesterase precursor
MAVMRHIFLPLITSVVFFSEVSVSIDKEFPGAASYVVPTAFPTSVFSSYYVQPTPNVEPQPAIYDPVLNITFPLNLTDPSTVQTVNNDPVFYPPGIA
DITNATAEALVGLALADIKSIIYDDGGLSGNCSKCIAALSVGKFLAQSAPTLVPDAMISLCQATQFQSNLTCKNTYAPGAFGAIWTQVLALADVTGL
DGRYICNSLSSNFCPTPMTSPLNTTNLFPKSKPANATAPKASGKRVNVLHLSDFHLDPRYQVASEANCSSGLCCRYSTAPTSQAVFPAPLYGAYKCD
TPYYLGLAALQSIASMTGTGTKYASPAWTLYTGDLVSHDTQNQLSREYVEYTETSIYDMFKSYIKGPVFAVLGNHDSNPENVEGPHSLPGPLGKQFS
WNYNHVSALWKHNGWIDEKTAEQAAIHYAAYSVKNHFGLRVITFNTDFWYRTNFLNFINTTDPDVSGTFSFMIKELQAAEDAGERVWIIGHVLSGWD
GSNPLPNPTNLFYQIIDRYSPHVVANIFWGHTHEDQAIIYYANNGTVRDAANALTTGWIGPSVTPLTNVNSGYRMYEVDTASFDIYDAYTFYSDVSS
YSALDSTGPTYKFEYSTREAYAGAVGWSKSAPLNATFWHGLTVAMESNRSLVEKFNTYQGKSSIRSPNCTSDACASAKVCYMRSGSSALGRACPQGF
ASVQSPYTGKNF
>RCO7_00182 | uncharacterized protein
MAVALTVGTAQLLQLGVSLSDVALVLSQGRKIGNWLRTTTNDEELLSSIGEKQEAILKRRDLIQNKSAVGAGLSAFSWLMVVVVAALDLCLPSTGIK
SLIRKVFKRVLNGDDEQEDSLRVLLITNIESWRETGCVRNISGVVAHAVRDCRLKHIEGYAISQLNPAEIQEMEEFLVWLLKGDSYDFQAVSVIVFA
VAVGIGKAKVKIRTEGSRMYETEPVVQYIESGRLNIAIHSVSGSHGIGSAAQQISYPRGSPHEMIESIRTSRTTHNRMSHLWDLGSKAASKIYLVAE
AEFPYTQDSEIYYVSENRDESRKRFGTEVLMLAGRSFPEQSESVLLAIEVLAEGVEGEKLTWLHQRTELDFLKRAKVSIDDHTEENVALWLQYQALV
FGFYYELLSQLISFDLVQEQAYFKGLWGHGSTTFLAMCVEFGDIMRRQRKISRSHVLYMLSTMYAGRQKSFAALSTGKGLLGIIGPISILAKPLLRT
TDIPNEIASFMLVDLPILDLAPDVDGELFASAGGGVEFDVKPSSQDCLKSHGQFQKWSIHAKMGVLFGDGMPGVVMAARCGGRLVGWFNPIAADVAF
LSTAYVKKRHEEETDYTDTFTFEGFEVDDHDWQDGHLPRWTGDKGTRVGIVHSTGCPALRYAAAGMYVEVGDEIAIATDDLETAHGRVDGQDGGMII
G
>RCO7_00181 | uncharacterized protein
MAGGSIDIGQAGQYPIVLSDALMGRATSTKETYTGIRYNHKPDSALSSSHNSVHLQPSDSDPESYDLSLKDDKERYSYQGVRTSGSDQYILIFDPEK
KHFVLHQVDSTFDMNLTSAPWDHNASKLRKEYPQIPISKSQSSAPQRKVSKGSKKADPTKAAPPRRKVEKPKKAKPPTPIIREPTPEEEEQESDDGL
TIEYPSAPSNYEYKPAPIFNRTNSSDEDEDAEGEEIDEEEERNHDVDHLKLPSPAVNNAGGMSDDDMELELEAELEQALNASENASESDESEEE
>RCO7_00180 | related to CLOCK-CONTROLLED PROTEIN 8 (ccg-8)
MEQDHMQQEQPPSYTQSHDPQSLSFPSVPTADPPHVHHERILPPLPPPPAESRLRAGERQFVWPSSNPLTAYYQPGPSPLSPKAQSSLGMDSPKTMD
LDGIDGRARRGGSVLSIDDPDVRLAAEALGDLRADFIGSPPQQSRSLAISSPGGHPVGGAQPEPLLSLLTTSHPIIGTAIGGSLSAYSASKNYSPRF
KSSAEYVERRFTPVVNTVGSVGRITGVEGGVRWFLGGRKPSHHQPEGESGCQGSNKRRKVAAGDEEMDPAGQLDSYPAHRQELQHRQRRPSQGSTVE
SLPAYDEFRSPSYEANALITTQSQDEARSPGSSWQSRLVLSTSGLSVAMSEESLRSLKYCLGWLRWANEHIGKVILALKSALEQYDSGNSVNSSGVL
EGSEQTGQLVIRGDAERSALNAQIAELKKDVLKTLKEVVDIVSKYAGGALPENARILVRRHLTSLPQRFRLANSRPLEGGRSGDNVDIDVREGANRV
LVLAKEGLDMMAQVSGVLDGTIVSAEDWCERLRRSTKEDREREMNHLPPVEKPPSDSLPMETGTNGYDGVSDVKMS
>RCO7_00179 | uncharacterized protein
MAPSLIDSQPTAPHHFSNPLQKSVDRKIFPDGIKTSGQHPPSYDHLKPYSSFPKEISGETVWKAEDYKDNPERWVHVFDEEEIAELGAAADKFLADK
TPLTGISKENFIIPKLAALLTSIRAELLNGKGFILFKGFPVEQWGNHKSAVAYMGLGTVLGYFVSQNGRGHVLGHVKDVGDDPTQTHKVRIYRTNAR
QFFHADDSDIVGLLCVARALEGGESDIVSSHHVWNVLQKERPDVAETLTKPIWYFDRKGETSEGEEPYIKTSVFYLERGENGRVYSKWDPYYVKSLS
RFMDAGVIPPLSSEQVEAAQVLEDTCHRLRLHMILEVGDIQFLSNEHVLHARTEYKDHAPPTPRRHLMRLWLATPESEGGWKLPFHDSAEKKRGGIQ
VNDQPPVCPFDAE
>RCO7_00178 | probable PEX29 Peroxisomal integral membrane protein, involved in regulation of peroxisome size and number
MDECTADAFVNRDDPIPVISFGTLEELSDEGDDMSDADRKRDRFKKRGKDVKKNIKKVQQKASERGSSIQDRLLEKLLQQVIPIEDLSSSRAESHPF
QDPAARPSFSLPTMSANFRRFNARIGVVFVFQAKLIRLLSWNTPTHTLSFLAIYTFICLDPYLITVLPFVVILLALLIPAFISRHPAPPPTITTFSS
HTASFGYNAAGPPLAPAPTVKPVKELSKDFFRNMRDLQNCMEDFSRVHDQIIHLLTPPTNFSNEPVSSTIFLFAFFTALLLFIASHLLPWRIIFLAI
GWAITASSHPNIQRQLIATHKAHVVPRKEEAKSYIDSWISKDIILDSTPETREVEIFELQKLSSAGEWETWLFSSSPYDPLSEGRIRSERPRGTRFF
EDVQPPPGWEWSEKKWTLDLWSREWVEERIITGVEVETEGERWVYDIRYEYDDVDQGSIFGSIDSECLATPTKGKKKMLPSWEEGSDAENEGRGRRG
EWRRRRWVRMVKRKWQARRSLQMKGAESDLTECCDV
>RCO7_00177 | probable carnitine/acyl carnitine carrier
MAPSVSSTGTQINQKIDSLPPAVADKLPHVPESTAEVKEVVREAEKKSYAGLRSLAAGGFGGVCAVVVGHPFDLVKVRLQTAERGVYSSALDVVRKS
IARDGMRRGLYAGVSAPLVGVTPMFAVSFWGYDVGKSLVRKYSTVTDNQFSVGQVAAAGFFSAIPMTLITAPFERVKVLLQIQGQKTLAPGEKPKYS
GGVDVVRQLYKEGGVRSVFRGSFATLARDGPGSAAYFATYEIIKRKLTPVDPATSKSTGQLSLMAITCAGAAAGVAMWIPVFPVDTVKSRLQTMDGK
PTVGGVISGLYKNGGLKSFFPGFGPALARAVPANAATFLGVELAHQFMNKTFG
>RCO7_00176 | probable pantothenate kinase
MSAVAPQTIDPDPVPSGAAVDGNPTIPLRMRTNTAEIDSTIIHPGAVKINVKGAFIVDHDTEGSLNDSNGGTHETKDIRLPNHTAVVSHIAVDIGGS
LAKIVYFSREPHSRDPGGRLNFITFETDRIDDCIEFMKQHKIKQQKLNGSRPGELCVMATGGGAYKFYDKVRKALGVDVSREEEMECLIVGLDFFIT
EIPREVFTYSETDPIHFEEPRADIYPYLLVNIGSGVSMIKVSGPKTFQRVGGTSLGGGTLWGLLSLLTGARTFDDMLGMAEKGDNSKVDMLVGDIYG
GDYGKIGLKSSTIASSFGKVFRMKREAEREAEDSGGLTNGDSESPEPLSRPDQSTTPEEDPSAPFSAPDISRSLLYAISNNIGQIAYLQSEKHSLST
IYFGGSFIRGHRQTMNTLSYAIKFWSGGEKKAYFLRHEGYLGAVGAFLKRQPRNWGRRGSFEDGVPPLLHKGMDYPGS
>RCO7_00175 | related to glycinamide ribonucleotide transformylase
MAQTMHDLPATRATVLISGEGSNLQALIDSTTTIMPYLKIVRVISNKAKANGLNRASKASIPTRYHNLVSGKYHAAGEKDASVKQAAREKYDADLAE
IVLADSPDIVICAGWMHIVSPAFLEPLAERKVPIINLHPALPGMYDGIDAIKRAYDDYHKGRLENDETGIMIHYVIHEVDQGQPIVTRKIQCRKPET
LEELNERVHAQEHELILEGTAMAIHNLWEDRKKGDSSR
>RCO7_00174 | related to C.carbonum toxD gene
MSTRFAIVQRSNALAAEDLPLPELTKSQVLVKIANSSLNPTDVQSFDGDAFGDGAVLGCDFAGVVEKVGSEVTRYKVGDKIAALIWGGEIEGLGAYS
TYCVAEEAVSFKVPSGLDFTSASTVPLAANTAWLALFSKDSLNIPKTNSSETSLLVWGGSSTVGAYTIQIAKKHGFNVVTTCSPHNFDVVKKHGATY
VFDYNDPKVAENIAKAVPDLAYGFDCIGNSTSSTLSGQAMGSKEGSVICTVRPGKANTENVPSNVKVTDVLVFTAFLKPHVYETVYKWDTHPEDHAL
SKEMYEKIPEWTQDGSLVPQKPRDMGKLSVDSLKEAMELNRQGKVSNEKLCFQVASF

>RCO7_00173 | uncharacterized protein
MSERYRYPPRARSPALLNPGRISLPNNISTYPQIHEHHHVVPSSRREIIPAPRSSTSSVSNGGTITTTYKVKSDGPARGSSVRDTSRTRRSTLDNHN
RPTVVTSSQKYRPVIHSSALIRPASPLKNNPFRTSEEEYVTVPASSRHGHHHSKRYSATMDNADMNRLTREREANRLHIAQVREPAYTSSRSRPVYT
GVVTRHSDAISDDYGEDGYGYTNPRDLVQYDLAHNQQTQHRSRRDSFDSGRTSRPTSIGGYGDTPRSYETRERGPPPTTRGLNKIRAPVYDQALVRP
PRPVSPPNSMVPMEPVQRPAPFEPVAPVRRTSTSRSRPTSLYHENREPRRALRDEYHEVRDDDRRDSRPHRHDNAVESRGSGVRNERSDRPERPDRP
EKSDWHDRTDRNDRIDLSERAERVERVERSDRNDRNDRNERNDRSNKHERPDTDRSDYKESKDSKEHKGRDALATGLSLAGAALGVTALKNAARGDN
DERDDRDEREEKKKREYEEEPRRRREKNDRSPVNLGAREPKERRHRDEDIIPQVRDVPPSRDGQPRDGPSRNGSPREVTPPQAAFVDLNDRDAKDRK
APRDDRDKEPERRERWERYRDNSEAALNGKAIDSRSDSSASEEFRTRPRREPPARSDSGTAPAAFNPKDTMDLFALKEALNSKEPKDSSKLATKEPI
SKPRTPRGSSTRNSREAAEIRENLVSDRRSRETFATNDNRQLRVVSPPREKVDDKPVKGILRQPKEKFPEDPAPIREGVAPLKDAKKDGIPPDARWT
KISRKLVNPAALEAGKERFEAREDFVIVLRVLSKEEVQGYADVTQHLRSAREEQEEVEAADRRRARRERHERHKRERNGEIPRSERGERRHRRRTEQ
GRERHRESNSESDSTEDDEVYEKPRMLEAPQKRANFQDALMSGGLGELAQNQGSLRENPEMPGTYTGYTRNPPLPGSIAGSRS
>RCO7_00172 | uncharacterized protein
MGSSGSKAASKVPSAAAAATKTARKYPTRTPPTSTSTSTSTSTSRAIPQEKSAHVHSSQPRGNEQIDGANTSSQTFESDPDLALSARLKSLGPVQPN
PTQSNSSTFHSHSTSTSSFADPSLSASQFQPSKSNPLQTIFPSSAGPSQNASSDSGSGAATGNGGGDGYGLGSGSNPAVSLLTARYRLASEAEQEFA
QTGKSTAAAGRQFLDVLTLRQILVLRDEKGVKDAEIEKQLGLKKGVVGRLGRRGVVGVGS
>RCO7_00171 | probable Phosphotransferase enzyme family domain protein
MAGVVRQPIDVTSLEDYISKNVPIIKLPIDVKQFGFGQSNPTYQLTASDGTKYVMRKKPPGKLVSKTAHQVEREYRVIHALEKTDVPVPTAYCLCED
VNVVGTAFYIMEFLDGRIIEDPTMLDVSPEDRKEMWHDAIRTLAKFHRVDPSSVGLEDFGKPSGFYDRQIRTFGAISKAQAEARDIETGEAVGQIPH
VDEMLGFFGNKRSQPKDRGTPVHGDYKIDNLVFHKTEPRVIGILDWEMSTIGHPLSDLLNLLMPYYLVSAPNLRQLPAFADGATPGLPTRDEVVKWY
AEVAGWDPSPDLSWGAAFGFFRASCIYQGIAARWAVRQASSAKAKENALARHPMSELAWEHVQRARAQVEEKASL
>RCO7_00170 | related to BTB/POZ domain-containing protein
MTGVNGVNGLRGGKQTAQGGGYSRDDSSTATMSSEPGILRHEPAITAARKLNTDIPHILPHEKVFPIQIGTELFRLSGASISSDERSEAEKPRAPSY
FSRFFECQLKQAEERGGDTSQIRTLYIDRDPATFRDISLHLQGYHVTPRDGSHFVKLFADAQFYNLPRLISQLYEENIFISIGGRDFQIPRELFSEP
GNSPNYFSLGFAVFFSSPTEVFPGLNREGLLRPPSIIPPSVPNRSADTFAQLLHLLRGYPLHIRDEEHRAELLRDCRYFHLKGLEQKLLRHSISYNL
CRKREEITLRLEDVRQSGISIVGDASATLPPESVHAPAFNPPQGLVGHVNYARPFVDDRAYELVLEIGDECTRLHLSSMRCEFFKDGKARISRLFEV
IATKLKLPTSQPLGLLMKKGGASSQPASPGNTPLSEDRVRCVIDENSFIRLDGKEWHGQIPEQDNSSVSSTASSVVGGDDGYGEPMRKRRRTDGSVA
GLSEEKDVWIVRRGQWRLRVQNSRSQKGGVECVLVAVNLDAFAFERGRNAQRGFLAG
>RCO7_00169 | uncharacterized protein
MRLSFPTILLAAVAATTISAQSTYRTSSKRGLVFVPPKSSQNQHDNQIWVEQGSDLTWYYNYGVQPSLAYANRTQGDFEFVPMLWGTDPNFYSSVKA
LIDGGRKISHVLAYNEPDGDQSTGGSKIDPATAATYWISQIEPLRKMGVKVGAPAVTGSPRGFTWLEDFFNSCASQGTNCTIDFIPIHWYGDFGGLA
SHMGQVNATYPNVTQWITEYALNHQPLEATQSFFNMSAEYFDRMAGVGRYSYFGSFRSDVSNVGPNAAMLTQKGELTDIGSWYLGGAATNKIPKGSG
ASNLGASIWGLATFLSFAVAFMAL
>RCO7_00168 | probable 2-methylcitrate dehydratase
MSTINRGVRTASRTLRTPAFQARALRTPLLTARASFTASPKTPSFRQFSAMAARQSGAPPPPQVREYDPEIKDIASYVHNTPIDSDLAFDTARFVFL
DTLGCGLEGLRFKECTKLLGPIVEGTVVPNGSKVPGTPFQLDPVNGAFNIGAMIRWLDYNDCWLAAEWGHPSDNLGAILAVADWISRTNRAGGNLGH
GKVITVKEVLEAMIKAHEIQGCLALLNSYNKVGLDHVVLVKVASAAVVSKMLGLSEKQTADAVSQAWVDGQSLRTYRHSPNTMSRKSWAAGDACQRA
VNLVLKVMKGEPGVPTVLSAPVWGFYDVLFKGNKFEFQRSYGSYVMENVLFKVSYPAEFHSQTAIEAAKRIHKQLADQGKSAADIKDIVCRTHEACI
RIIDKQFKPMDNFADRDHCIQYMASVMLVFGRLEATDYTDGGEAATSPLVESLRQKIKCVEDPQFTKDYHNENMRTIPNALTVTLNDGTVFEEIVVD
APLGHKQRREEAKPEILAKYKRHLGPHFSEAKVKELVDLGNDAKKLEAMDIDKYVDLYVVKDSKFV
>RCO7_00167 | probable vacuolar protein sorting protein Vps66
MEKYSQFRDRGSGIAPFFPVSSMPAGIYFPVYLFLFLFRLPFFITVATTYFLFLQWFPLGSLFKKAILWMMLGIPGIWWIDLQIDGVKKGSLAQKHQ
GRVPQPADIIASSFTSPIDSLYLAAIFDPIFTVSYPHTRQVQYISLFDAIFRALSPPQEYPPNGARMTDLKTLVAEHPKRVIVVFPECTTTNGKGIL
PFSPSLLLAPATTKIFPISLRYTTPDITTPMPRQYWAFIWNLLSQPTHCIRVRIAEVVYNTSKPTDQATEKKERYLTNFLDTLGEDSAMTSSTDTLH
SLGDQAAEVNSDERKVIDKVGEALARLGRVKRVGLTLKDKVSFVDLWSK
>RCO7_00166 | uncharacterized protein
MLGRGGISPYLGAPILILFLIIWRAHHEPSKWNTFKGAHSDQTNGSAQQSNNGPQVVSPGDPTNISPELQPHKELKSVSTANGNYFPIVFGDKGAIN
PSILAHPQLEDTYIIIAQQQRSKINNTVWFAQLVCNANFTNDVLACTESPTILPVSATYGNKCPKNLSFFNFNIGPHDGRAFYGPNGSYLIFGSNSR
YTCFGQWMQDLRVLTDWGLEWRGKDFRVATELQRHKPWGPVEKNWFVFWDKEGEMYVHWDIAPKRSFARLHADGSVGKDLAKYARSDKECMAKYMPR
TGPKMEDNHQATNSLSITTCKRSDPNCVADDSNTFVISIFHFKSYHLYHGVYEPYVMLFQQHTPLAIHAIGAKPLWINGRGEAGKGKLPEGYTVEQF
GPWNQTEMVYVTSISWKAHGSRYHGYADDIMFLGFGIEDETTGGIDVVAGDLLENLNLCNTPTKKPDSIGYVKYP
>RCO7_00165 | translation machinery-associated protein 20
MFKKDLSPGSKSKVKSSVQRAIRTQLVQTYPLLAPHIDEIIPKKEQLDAMKIPDRVTLYLIGSTPLFFQHMTDALLPHLKLVHRFPTCFPSIRIDRG
AIRFVLSGATLMAPGLTSTGGRLPNGDDEETGAYGETKGPTRGWYGGRELEKGEPVVICAEGKEEACAVGLLSMGTKQVKEKGKGPVVEEGHYLGDG
LWRLGTD
>RCO7_00164 | probable riboflavin synthase alpha chain
MFTGIVEIIGVVSELNAQSEDGGTTLTIANASEILDDCHLGDSISVNGTCLTVTAFDKSTFKVGVAPETLRRTNLGSLRQNSNVNLERAVSASTRMG
GHFVQGHVDTVGTILNVEPDGNALTFRFQPRDKSVLRYVVEKGYVTLDGASLTVTKVDDEKGWWEVMLIAYTQEKVVTASKKPGDEVNVEVDQIGKY
VEKAVEGYLSNGSNGEPAILQKMVERIVDAKLRAAK
>RCO7_00163 | related to DUF788 domain protein
MAQKAKKDRAKANTASLNNLHIGTAAANGIFLLFNLFIKRRSLLAWTILSIPSVIAEFILETSGRPKYDAATKTLKSAGEDLAAPGLTEYMFDIVWV
TWLSLISVITFGNWGWIVWGIVPAYGMYKGYGLFGMAKGMMGGAQAGKIPEEPVAAQGNRKQRRAA
>RCO7_00162 | probable PHOSPHOADENOSINE PHOSPHOSULFATE REDUCTASE
MGVHRESTSSNQSNQSNLESGYASGASSAASLSPVILSKQHLKFLNNTLNNLEPIDILRWSKITFPNLYQTTAFGVSGLVTLDMLSKLQTETPSAPS
IDAIFLDTLYHFQETLDLVERTKARYPNVHLHVYKPEGVSTTAEFEARHGKELWKTNEQLYDWVAKVEPAQRAYSDLSVAAVLTGRRRSQGAKRESL

DIIEIDDAGLIKINPLAGWSFKQVDDYIKSNNVPYNKLLNKGYKSVGDWHSTEPVKEGEDERAGRWKGQAKTECGIHNKRSKYAQFLYEAEQKRQQE
ELVAKLGEVGLKQEHVEDITA
>RCO7_00161 | related to KTI12 (TOT4) protein
MPLIILTGYPTSGKTHRATQLQNYLTTQISSLPSSSPNSSLRVHLISDHTLAISRDVYNLSSKTQHERSNNASEKDARATIYAAVKRVLSDKDIVIL
DGANYIKGWRYQLYCEAKAVRTTHCVVHVGTAVEKAKSVNAERLSKVDGEGDVKEEDLPYAEDCWENLVFRYEEPNGFTRWDSPLFTVVWDDEQPPN
EAIWESIFGSENGKKVVQANRATILKAASSEDYLYELDKSTQSILNRILEWAKDHPGEGGGEVNVGDGEEELIVELPANQVGLPALQRMRRQFISLN
RRDSVPVKRIRESFVGYLNAAFETA
>RCO7_00160 | related to probable transcription factor PLM2
MNAQPSLLSTAGVKRPAPSLLPAFEPFSSSPGFPRPSKRQARSPPSGREHAYSKYPTPIPTSTTGILSSSPPRVHTRPNPQRTQSSASERAPLSAVP
SVILPENGEVLRMGRSSNSSHYQLSANRLISRVHVEARYISASVPLEPNKVEIKCKGWNGVKLHCQGRTWELARDDTFTSETEFAEIMLDVQDARVL
IAWPGRDRNHSVGAQTDSSWDEESSPRGRASAVSAHGQMIASSPLRRGQRIASPVSPTPAGPSISSTNLADLFSDSPEPSEVKVYEDAPSPKERPEI
VEGESFVSTQPATSFAVESQSSDLSEPENDPDEENDPVVHSFGPHGADISARMASFTAAGSPEQPRGRDFSSSPQVRSSSESTNEADSVPVVNHVVN
QLAFSRLSSTPLSVILNHLPAELKGASSTYTENRGLSKDDLRKMLNAAACIGKIHREGKDAAGKALESEYYYIPDEDTDENRRAAVVDGLRKPSLRN
CRKQHKQYYWKKPRTP
>RCO7_00159 | probable 4-nitrophenylphosphatase
MSSTAKYLSGDTAAINEFIDQFDIFLLDCDGVLWSGEHLFPGTVETLEMLRSRGKKVVFVTNNSTKSRAEYQKKLTSMGIPSNVEEIFGSAYSSAIY
ISRILKLPGPKNKVYVLGESGIETELKSEGIDFIGGTDPAYRRDFTPEDYTGIADGSLLDDNVGIVLAGLDFHVNYLKLSHGYHYLRRGAVFLATNL
DSTLPNSHTFFPGAGSITIPLINMTGQQPTALGKPSQAMMDSIEGKFQFDRKRACMVGDRLNTDIQFGIEGKLGGTLAVLTGVSKKEEWEAEGAPTV
PAYYVDKLSDLRG
>RCO7_00158 | related to SPT10 - transcription regulatory protein
MPAMLDDPSSSTIYRASGAAPFPTAHDPLILPPDVHPRQVTLRDRITTATIVPFSSQHQVPRTLLGYLCVQLNSEIENGDTYPMIETMSTDKFASYW
FQNFAAVMLLGRIESADDLLESKDWSSQCLGSYYIKPNYPGRSSHICNAGFLVTNAARNKGVGRLLGESYLDWAPKLGYTYSVFNLVFETNVASCRI
WDALGFKRIGKVKGAGNLKSYPGQLIDAIIYGRDLGPEGEDFVSEERFDKIKFYLKFGKYPAGADRAEKSRLRSAATHYKLIPESDKLMLKDKEVVS
DPQKQYEIAREVHASQHGGINKTTATIAEKYHWVRIKETVSLVIRNCPECKELGKSAVVRPDGVIRPAPRLTSSSPQTGVSAAGRALSVTQQDHHMS
DPGAGFEHAGQGSVSPQVLSRTLPGRDQHPNTLQSLRHQTAPIARMQNDYMPLDPQIMDDALVHHHLGGYNSVSHSQSISQPDPHSPYLKVEHNHHN
HYIEHEHEHDQHDPDSFQAMLTGNAHREQGGDGNGDLDMLIDQEEDGDAEDDIDEDGREESIIQIQAELHRGPLRGR
>RCO7_00157 | related to GTS1 - transcription factor of the Gcs1p/Glo3p/Sps18p family
MSAALSKRQQARNERALQDLIKSVPGNNVCADCQARNPGWASWSLGIFLCMRCAALHRKLGTHITKVKSLSMDSWSNEQVENMKRVGNTASNKTYNP
QNTRPPIPFDADEADSAMERFIRGKYVDKATPPPIRHDTGSTNSDDHPPPLPPKTGSRFGFRSASSIFPMSSKARKEAARQQEFTTERQRSPSPPRN
KQSRIFGTSVGAEGANDLEIKLDKLRGMGFRDEKRNTAVLKGLGGNLEKSIETLVRLGEGGVGLKSPEIAPPPRNNRSRTPVGASTGLTIDRTRNFP
SRSSSNPFDMLDQPPAIAPIQSSQSTGGLPSPQMVDNNQQNQNSNPFGLAPSQSQYNLNQAFQTMSVQSSQPLFPNHTGGVSSPQSLTHQQTYQQSM
TPPVPSVPQQYYSSVIYENPGQQLQNTQQAQQSQPLQQQQNSYNPFMQQQQQQQQKQQLPSANTNLEGNPYNQQLANASSMYQSPMEQSPAQQFGAA
SFSQSQLPQQLYQQQVQQQMNPFLNHSVSQQMNPYMNQQAPQQQQFDQQQQYQQQRQQTYPQMPQQTFRADKRSIMDLYNYPQMAPIAPQSIQPQQQ
DQSQMQPNAQNPISEPQRNFSGPSPTQVAGNNNPFAASVGAHAQNFGVDTMGQMGQFAPQSNGNRFVSQESVDAGGWTNGRHSPNAWGSISARSAR
>RCO7_00156 | related to peroxisome assembly protein PAS10
MEFMTALHSTFDDHKPSLFELLSEAQLASLLPPSLRYLLAVATHRNPRYLLRILNSFDEIYALLMLLMERHYLLTHAGSFTENFYGLKREKALSVGE
IPRANIAAPSHVREALILSKADIWKNLAVLVGLPYLKRKLDESYDINAPRALLGASYTRMPANPTLRQRFLHYYRWFLRHVYPSVNAAYYFSMLAFN
IAYLFDNSKYHSPFMWLIGTRMRRLGEADYRAIAALSEPKSSARQGPAGGNLGVTSLFSPRVVGERALDSLKFLLPTSIFALKFLEWWHASDFARQL
SKKAAEGIEVPPPIVSGLSSLSARFGPKGEKQGTSTPAKDGDEKEGEAEDTKEEVEAEKPPVAATSLLPIYTVPAPQDSENCPICQQEITTATACQT
GFVFCYTWERGEVGGWEGKVCCYWEEGVGWYRRAEEGDDMKRYLHAKKINNHKSPSLDKGYLVSDELKGAWNSELFIIIVDMALFRDLNKG
>RCO7_00155 | related to triacylglycerol lipase
MAVGMKFHHFADPKPPAPNFKILIPSRLSAAGGQFKLVFYVPESYYTDTNEDYRYPVVVNFHGGGFTLGTGTDDARWAAAVLKKVAAIFVSVEYRLA
PEYPFSIGVEDGTDAMIYLASHAEELRIDAHRMALSGFSAGGNFAFTVPLMLRDLQKGIGRRSLHETNNTHSLHNYKSTSNLSLPRPDLARTHSAAT
STHSILKLSDLEPTALEVDQKIPDLTIRAIVSFYPPTDFRTPRSEKRSTNPAPEKNLPPLLTNLFDQSYMPDCDIDLTDPYLSPAAATDADLLAAYP
EDIVLYTCEYDMLNVEGTAFGTRLASAPIGKTLHGGLIKAVPHAFDKKPNPLHFPEAADKCYNEACAQLKRVFGGRVSIEERTQLDTVEVVERFDEE
EAAAGARLAKGKERQREEDRDGLLKGPDIYDPLPGMKKFLDVPKK
>RCO7_00154 | uncharacterized protein
MADNPPAASSESSTPPSSAAEQARIRKERREAKIRAGGSARLDRITGLGGGIKRDAPPQPAASTPDDDPEEVDISNHYYEPKSRSSRLNNPQQSPFG
QPGQQGMNDDQLRQMMLGFDPSGAPPPGGAANPFAGFPGMDGMGAMPGMEGMGGAAGEDPMMKMLQQMMSGGGGGAGGMPTFPGMPPMPGQTTAPSD
PYAYLWRIVHAVFALGLGVYIAFTQPFTGTKIAREKSGLGYAGGDELVLSPSSVHFFWIFATVEVLLQTSRFFFEKGRVQQGGIMGMVMGLLPQPWK
GYLELVARYSRIWTTVSGDAMVCVFVLGVVAWLKGN
>RCO7_00153 | uncharacterized protein
MATFSTLEALQTLCISIPDWNTRLDELNSQIALRQIHLARLTENDRPPTRSMKNKGSTESLRPKDSNENPFSFGNSEDLGGTEPNPIDTPKPAHNVF
GGSHSVAARVAITSSPKTSPNTEPSQDPLARDTAQSPARGRISPAALRKRKTESMASGESVAPKFRTRSMIIVYYDDRVQIAFEELVKFVSGSRNSM
RKGKMAAKMAEMKRAAELEIGSDEEDEDGNENEQVDDFKNGDPSPAHLLVAAKTSARTARQTSNLPAGAGLEPDTTPEPQLPKLKFTSTRQMGPSRG
LPAKTDNYGGSLNVNMLRGYRRGAGETPDIFDELDTGLEWCQGHCEHAAHQFLRDGDCGTEIQNIKKRFLEVKEAAEKEIEKLKKEEADSPKFEPKS
EVTKKSLQMKAPINRKELPLSNSLEVDDNIEVDDEGVDDMLPRPILAFKRSRDV
>RCO7_00152 | probable cysteine synthase
MFRLGVRTFATSARRAVESAAQMEAANPYGIGVSKAQGIVKGLTGAIGNTPLIRLNHISDATGCEVLGKAEFMNPGGSIKDRAALYVVKDAEEKGLL
KPGGTVVEGTAGNTGIGLAHVCRDKGYKLVIYMPNTQSQGKIDLLRLLGAEVYPVPAVAFENPENYNHQAKRHADRLNNAVWTNQFDNIANRKAHIE
TTGPEIWAQTKGKIDAFTCATGTGGTLAGTTRYLKTVSNGKVKCYLADPPGSVLHSYITFGGELKERSGSSITEGIGQGRVTDNLQPDIDLLDGSMN
ISDEKSIEMVYRCLDEEGLYLGASSCLNVAAANEVAEKLGKGHTVVTVLCDGAYRYADRLFSKKWLTEKKLLGAIPKHLEKYIVLP
>RCO7_00151 | probable glucosamine-phosphate N-acetyltransferase
MSTIQDIANYVREDAQIKSEVNNNTPSITMTPPTCSSPEGLFGPELVSPEIAASLPPTYILRALRKSDYAIGFLDVLRVLTTVGDISEEAWNERYDW

MNGQGKGGYYLLVIEDQGRIVGTGALLVERKFIHNLGLVGHIEDIAVAKDQQGKKLGLKLIQALDFVAEKVGCYKCILDCSEANEGFYVKCGYKRAG
LEMAHYYDGSTSKDMAGKPKTS
>RCO7_00150 | uncharacterized protein
MGSPPDFQLFSSLRYDPLLRPLTINTTAWDGEIKFFSPFYMLPYHRDRMLQAAEHFGWNKAADTIRGTEGFNFLLKILNENVDIKSEAPMRVKTLLS
HDGVITVETNPVPIVDRWTLFPERIPPPLSAETKMRVSPLTGGSLTLGENEIVYGDAPKGEPFDIIPDSARTPPSPFTSYKTTSRDMYVSARERVGI
KDYAEKKEVLLVSDKDGEIMEGSLTSCFFWRNGKWTTPPASSGGQIGTTRRWAIKEGYAVEGIVKVDSLVDGEECWISNGVRGFQYGKVKLA
>RCO7_00149 | related to CYC8 General repressor of transcription
MTRMCSAAVGDTCTRSGRHHLRALAITGIRRRICVEDRSGSQTEHHCQYRHLIIPPPIDLTPTLAVTVTASLQIAIAKMVYDWENKEDICYRMYIEE
KKSLEDIMDFMKEEHKFAPSKRAFQTQFKRWDFPSKQNPAHKNAALVERVKQLWDCNTSQRDMLRTLNEEGYDIKERELMRVRAKNRWLLRVPNGMK
TKKSSDQDVISQLQQALYPGEQMADAEANDEPLDDIAMPESRLPRGDSPPLSPEVMRKRQERLSKLQAESAERWASRKRRRRTRGWAGLPADPPGPP
RFPSETTIDESKAFLSLDNRLYRDIRSRFQRICEETDIIKKTIAGPERWEAAKDRLVQESPHLQSVFWANEENQEAKKLALDVVCSDVTKRMRTLER
RMTIAEAKNSLGVNPEESRQLRNAFYQVLKGDHFTSKLEAGEDHWKELKATWINGSPLLQNILAPGDADPQHQDKVKAMEVLCRDVMKRLRDDQTKR
DPTRKKKFDSNFTVPTPDLNPFETNDFQSGPDEILIRAAAQAQSQIPIPNQALPQPRTKSRAQPGLNHAQAQQQPRQQVMIDHNEMQIDPSLLLAAA
NDPSLMNRGMQNQFTDPYADQQYAAQASQASFQPQPASFSFYFRLHPNSEVATQTRMWISTMSSTSLEELRQLATAKFPGTIVFTIEGVIKPPNGPE
MLLPIDQDDELEAYLAAIGGVKPMFAVQLVSAWKNTGQM
>RCO7_00148 | probable D-lactate dehydrogenase (cytochrome)
MLCRAPSRALQATIRKSSASSPCLQTTARYTQVRWESTEKKPAAPGESLGRTFKGQLYESAAGRLERERAEQARFSKQRNEGAGGRNSALTFVIISV
ALGGYYFGSSSVPTLSTASTVPLSATIPPKHNVSGSNMEAAWTDFVEIVGKENVSTLGTDLEHHAGSDYSSHIGPDTERHFLIVYPSSTEEVSAIMK
VCHRRRIPVTGYSGGTSLEGHFAPTRGGICVDFGRMDKILKLHKEDMDVVVQPAVGWERLNEELAEDNLFFPPDPGPGAMIGGMVGTGCSGTNAYRY
GTMREWVLSLTVVLADGTIIKTRQRPRKSSAGYDLTKMFIGSEGTLGLVTEAVLKVTTKPNTTSVAVCSFGSIRQAADCVSKVVSEGVPIAAIEILD
DVQMKCVNASKMTGRTWTEAPTLFFKFAGTPSAVKEQVGMVQRLAKSTGSKTFEFAKTEAEQIDLWGARKAALWSVMAMREKDSDHVWTGDVAVPIS
RLPDIIEETKADISKSGLFSAIVGHVGDGNFHTIMLYNDSQRQKTEEVVHRMVKRAVEMEGTVTGEHGVGLVKRDYLNHELGETTVDAMRKLKLAFD
PLCLLNCDKVVRVQKPKPGEVSEW
>RCO7_00147 | uncharacterized protein
MDLKAEWALFRRALPMAKTIVLSSGRATGIEVSGELGENLNGQPGWFGGISASKTSITVYTARSQILSELRPSIATNAEALLLILGTTVIRNTRL
>RCO7_00146 | related to Phospholipase/Carboxylesterase superfamily
MPLSSLPTKADFPSNLILDIIPPPSGSPVNILILLHGLGDTQTSFSTLGKNLNLPETVCISIRGLNPIPPIFTGSETPAFHWGDDVLVDEGKGEIDP
DGGFKMVESVLGAILLKALIEKCGFQARNIHFLGFGQGGMVALHLASCRKEEFGGVISIGGRLPASSSQSEEKCKTPILLCGGSRSSQVTRSAVDAI
KARFTHVEYVKWEKGDDSMPKNRDEMLPLMKFLARRLRSRAGVPEGAIEV
>RCO7_00145 | related to J protein type 1
MGAQQSTGAGKENDEPTKRCYYEVLGIERHATEDEIKKAYRKKALELHPDRNFGDVENATAKFAEVQSANEVLCDPQERAWYDAHRDSILRGGNNDP
AEDNFQHNVKLTSAGHIIRLMGRFNKSIPFTDSPNGFYGVLQETFVKLAKEEDAACDWEGLEPVDYPEFGSMEDEYEDVVKPFYRTWINFSTKKTFS
WRDAYRTSDAPDRRTRRLIEKENARLREEGIREFNDAVRSLVAFVRKRDPRFIPNSQTEEDRQKILRNAAAAQAARSRAANKAKLDKHVVPDWAKSQ
QPEPEASLDSEEEEVEEVEHIECVVCQKIFKSENQYKAHEKSKKHIKAVQQLQREIRRDNKLFNLEDPVEKTPTAPVSELDALDLSEENESDAGTDA
PTSELDQKAEVQFG
>RCO7_00144 | probable palmitoyltransferase PFA3
MTTLAPPSPPRSPTSMSRRWARKCERYCCIGATYFPLLFVYSLTGWAVWVEATIGFLQAKRTGTSLLGITLFILLNWSYTTAVFTSPGTTTGNTGYS
SLPTNAPPAATSFTVKSNGELRFCKKCQARKPDRAHHCSTCKTCVLKMDHHCPWLANCVGLRNYKAFLLFLVYTTLFCFVDFAVSGYWVYREILTEG
EYTDALMPVNYVMLAVISGIIGLVLAGFTGWHLILASRGQTTIECLETTRYLSPLRKQHQPLSQSNYEQQQREMNGVPDQHQGDQGQRHESYDALER
FRARERYEEYLDEQDSEKLPSAFDLGWKRNLQHLFGPSKLLWFFPICNTTGDGWSWEASPKWLQARETIAQEREEQQQREYAAGWGADPSLQAPPVR
EGPGAGRNYVSYPSRTQSKADRLLGRNPDDYTDNSSVQMETLRSRDPEDQYDISSDEDEADRRALDRKATHGWPQRVSVVTNTLLGNTIARQKDGER
GWDGIDDGVD
>RCO7_00143 | related to pigp_human
MPSQSSDEDDAMFQSHYRGDSSSSSSPSPPALQHNFFAPPFYGRPPTPLPPSPSLTSLLRPSRPTTPDSSADELEPVPRASPKVPTYEYYGFVLYLF
SSLTFLMYLLWSYLPSPFLRALGITWYPSRWWSLAIPSFLVMLIVYIYVALASYNTGYLTLPLSSIETIIDDAANVATIDGKGRQAASNVSKEKDKG
REKDRRERTERGERTLKDWRALWSQGTDAVMDVPLGGVCEVLYGELREDIDDDDDLL
>RCO7_00142 | probable protein urg3
MGLFSRKHKPKSGSTTSGNSLENNSISSQSSVKSPNTPVFTKMGPRIPSIPMPKAPDPHVDAAGYLRSIGAVRERCAIVMEKAKRDKLNHFDVDMEK
FKDTTSFVVSIIKRDFSPDYAKIPPHGRWQHFNVGGRDRIAEMQKSWGGESEIDRSEQCRRLLDLFLISVLLDAGAGNSWSYKSRENGRKYRRSEGL
AIASLEMFKDGKFSSNLSQPHQVDADGLRTLTVKAMAEGLQVSEQNPIAGLEGRTGLLMRLADALNNQDLFGADARPGNMLDYLISHPTTQASSIPI
VPLPTLWSVLIDGLAPIWPPSRTTLDNTSLGDAWPLSTLPVTPTTAAWETIVPFHKLTQWLCYSLMQPMTKLMGVHFAGAELMTGLPEYRNGGLFID
LGLLSLKPEDEKRGLATFKEEGVKSGKPSIEVVPMFTPDDDVVVEWRAVTVGFLDLLLEEVNKKLDLEGPDRLTLPQMLEAGSWKGGREMAEISRPN
TQCPPIAILSDGTVF
>RCO7_00141 | probable Formyltetrahydrofolate deformylase
MVAAEEYILTLSCPDRPGIVHAVTGFLVQHNLNIVDSQQFGDPTSKTFFMRVHFAQVDASSKDNGKINVEQLRTSFDETAKSMSMDFELSSTAQKPR
VMIMVSKIGHCLNDILFRQSISQLGIEIPLIISNHPDFAPLAATYKIPFHHLPITAETKADQESKILDLVKENNIDLIVLARYMQVLSPALCTAMSG
KIINIHHSFLPSFKGAKPYHQAYDRGVKIIGATAHFVTSDLDEGPIIEQDVVRVDHGLSPKALTTEGSNVESKVLATAVKWVTEKRVLLNGSKTIVF
N
>RCO7_00140 | related to ROG1 Protein with putative serine active lipase domain
MLLLHQTGSVKIGEVVRYTVTYTPAHDRILPSPHVLHLKIKNTSAIALRAAFVHGPYTLYAAAYPANFHPNSKFESPRIYGVPEFEPNLKAGGNFTV
KLNVPESVRESAGKGRSPVREGHAEGTIHAEEDTKSVRWIIEVSSQVIFSNSAAVHYEILLGRDEKSLALGFASSLTSTGNGPQSQPGHVSDHQHGA
GGPRDGHGHIHAHHSALAKGVFSKSIKVKVDDTASLWNTPRMPEWDDVEDDVAGDARNEGKEGMEKPVVQANARDGEGHRTKRQKRIHLVVLTHGLH
SNLGADMLFLKESIDEAAKQAKADARIRKAKKKEGNESAQTVNAGGDPAADTVENHEAESDDEEEVVVRGFSGNAVRTERGIKYLGKRLAKYVLQMT
FPDQPYKPVTKKSTVEALSHAIKPDRPSVKTTSKEPGQPTHEHSSIIKAPATENKLAYKITSISFIAHSLGGLVQTYAVAYIQKHSPEFFDKIEPIN

FISLASPFLGLSNENPMYVKFALDFGLVGRTGQDLGLTWRAPTIARSGWGAIVGGIGESAQKKIDRESAPESKPLLRILPTGPAHVVLKKFRNRTIY
SNVVNDGVVPLRTSCLLFLDWQGLGRVEKARRDNGLVGTMASWGWAELTGANSSAPAGRKLSENYSSDAEETGRNTPTKQGHGGDVPQPSPYAMDDD
ARSMKSLERSVSAGTRPPSSTLAPSESKGNDGPLASIMKFFQPTAQSAPKPHNDHPKHTKIYKRSQTLQMGSDSSFTPPISKQESSPKKASGKATTG
EENGDADRLSAPPKTTFFESAGDIIKPPLPPTDFLIDPSSRPRTIFHDRVYHPEDIPPPPLKKRPTGSMMLRRRSSLQTSDSISPPSPNVPHTDSSL
STHDYDDTRHTNPGKDPRDVIDGSAMKVEEKIARAYHRDISWRKVLVRLEPDAHNNIIVRRMFANAYGWPVVKHLCDTHFADSEAAQTRDEDESNAE
RAKGEHEKVGKDGGEVNYSPRDHNGDGKTPRQLTEADRTESERREATDALPSLPASSKSGSLAKALAGPGGGSLNVPISSRSGPVSSSGYESDTAWS
ERDWADSEFDSDDPETASSPGGGGDKEKEKGKRSSSGAKHGTEGWNWTEAIAGRGVGPSSPKGTDMAEIDRFLAKG

>RCO7_00139 | uncharacterized protein
MGDGDGAATTWTTSTSGPPSSKALQTFVIKQATIYLSIYLFPDQVQNPAFHPSELHTNKPPRSNLPCLPSQVPDMQASKQAGKQAKQDRARQ

>RCO7_00138 | uncharacterized protein
MTSRPRMHARDSSGRKVSLLNDEPARPDSAFQSTYPAFDPMNMVRTGSGMSTQSSSPHIPGLVRADSFDSSNANDPTSPVTPTSFREFGGPTSFMGY
KAQPQYEYHSALPRVEDYSGHQFPRMSLPNQYSNPGNPYAESRMFEEDSYQSSRMPQERGAKRYPCRHRDSHGCDKTFTTSGHASRHSKIHTAEKGV
VCTWKGCQKKFTRGDNMKQHLETHTKERTRASAIQKNTTTRTLTMPSGVRKASSALDSRSSRPSSRNANDSSEYPPVDPALYQQRPIFTSHGSPSAP
SAYYGPPMTPRGETLPSGLDALASLAAGSHYRS

>RCO7_00137 | related to membrane protein
MAANNYYNPTSRQETPQQYHSNTYQSYNPQTAIPPYPPAAPSLAPSYHTQVPTRPHNNTSPVSPFEAPFDDHVYPAPQAPNRFDSQSTLGQDSRYYG
QGGAGRLEASNSYQDNIPLKDHPGLPNKDSNVPTDHVYDAPVAPAHLEEGRKKNRVSGMLKNRKSRIPWVTYILTVIQVGVFIGEIAKNGILTGSPI
EIKPNFNPMIGPSPYVLINMGARFVPCMHSVDGVQNRAVGGPISWPCPDTTSNANQNCTLAQLCGFNMPEKQNPVFPGDRTVPLNEVENAPNQWFRF
IVPIFLHAGIIHIGFNMLLQMTLGKEMEIAIGPIRYFLVYFSSGIFGFVLGGNLAATGIASTGASGALFGIIALMLLDLLYTWGDRKSPWKDLAFIL
LDIVISFGLGLLPGLDNFSHIGGFLMGLVLGICILHSPNALRKRTGEDDPPYTSVRTMASDSGKPNAGITGFVKNPVGFFKGRKGLWWAWWLVRAGS
LVFVLVVFIVLMRNFYQDRKTCSWCKFLSCINYKNWCEIGNLNLTTVDTTTPNKRDLFNSFSGMANLEQIM

>RCO7_00136 | probable homoaconitase, mitochondrial precursor
MIPQRIGLQGLRARPSCSLLSLRTRNPGILRSLTSTAQRFQDVFHAQASDPSSSAVLNSLKFPSRIPQTLTEKIVQRYSLGLAEGKVVKSGDYVTLS
PHHCMTHDNSWPVALKFMSIGASKIHDPKQIVMTLDHDVQNKSETNLKKYKQIEEFAKKQGVDFYPAGRGIGHQIMVEEGYAWPGTMTVASDSHSNM
YGGVGCLGTAMVRTDAASIWATGKTWWQIPPIAKVTLTGVLPKGVTGKDVIVALCGLFNNDEVLNHAIEFTGSEQTMRTLPVDDRLAIANMTTEWGA
LTGLFPIDSMLQAWMRAKATTSALFDGKDAADSRFTHARINDLIQNQLVADKGATYAKSLYLNLSTLSPYVSGPNSVKVATPLRDLESQNIKLNKAY
LVSCTNSRASDLAAAAKVFIDASTCGSPAKIAPGVEFYIAAASIPEQEAAEDAGDWQALLDAGARPLPAGCGPCIGLGTGLLEPGEVGISASNRNFK
GRMGSPDAKAYLASPEVVAASALSGKISGPGWYEQPVGVTKVVLGEGNGIAEEDKAFSIESALDRLISQADSIISSAEQDILGASTPKEETSDDAQT
AILPGFPERVEGEIVFCDADNINTDGIYPGKYTYQDNVTVEKMAEVCMENYDPAFGSIAREGDILVSGFNFGCGSSREQAATAILAKKIPLVVSGSF
GNIFARNSINNALMGVEVPRLVERLREHFSSQKVQAKSDVKEPAGNKESLDNPPPAQQASPAEGIVLTRRTGWTFLWDVKRSKVVITEGKGGPTWSQ
KVGELPPNVQEIIARGGLEKWVKGEIGGS

>RCO7_00135 | related to GTPase MSS1, mitochondrial
MHATARHCSRYAFLRLWHLQRLPFASRYALTLGQYEWHSARNADTVSSHQRSFGIDTRQHNKVRELYEGQTIYALSTGAGRAAIAIIRISGPACNRI
YTALCPDQKLPRRRYAALRTLYHPADEKNVLDSDAVVLRFDGPNTATGEDMLELHVHGGPATVKAVMSAISEVDPEAIHAAGPGEFTRRAFDNNKLD
LGQIESLGDTLSAETELQRRAALRGRSGELSRIYEEWRHSLIEELSYAAADSDHSEDHSLDMEGIWPRIISKVEKMQRDMILHQQGAQRGSLLRKGI
QVSLIGRPNAGKSSLFNLIVGSNASIINEEAGTTRDIVEATVDYNGYRCTFADTAGVRAADNAGNSDIGSIEQEGIHRAMVKAAGADVLIYVASVEP
DPEISSGSSSESSPGCSIPFMEDILPLIIGNNGALKPLLVVVNKIDRLSKAQYKGVGAAFIENVRQSITTFLSERSNQFAVTPVFGATYETATALVS
ATKAQKNLMKESQMNSITEGLLTLFRNMTEMPVESEHLIGVTERQSRLLKSCSTHLGEFLTEAQRNTGPQPDNSIATYHLEQAAKCLAEMTGRHEGA
GDVEEILGRVFAKFCIGK

>RCO7_00134 | uncharacterized protein
MGCSGRVKADDIRPEQKWDFISLNDFHSGSCIEFFAYGYLWISLLVSLAVYGVDTFTAVNLLAFDKWSGTFDPPVAFDIQKWIFAGCIIASWVNLGY
EHLRAMRVMKRGAVAESYLDSLAIRLQSIRQGKGRGWRRFLVFSELTKSKKGAEYVALFTYFSFQSWIRIILCQGPRQVLNALTLWSVVKANIPGNS
KDAGGAILTFFENLGKLAEENNQQAVVLSGMAFTLVIWVFGALSLLLSALFYLFFLWHYIPNADGGLSGYCERKINLRLASIVSVKVNKALEEEERK
RNKMDAKLAKKGEKPLGRQATLPTMFDSKTSDNLPPMPMLNRNDTMTTLPTYSSRPGTPSGHPGLELDHLDQKRPGATRNVTGSSFGSNAPLVGNAS
GMGYARSGSPAPSLAPLNTNGYPAPPQRTMTANSTTSSNWNRGPEPPRMPSAMGDRAYTASPMSYEGGPSMTGSPMDAYGRPIPRAVGNLRSNTPSG
PAPSMGRRTPFDQGHGSNFSQGSIDGRNSPAPTSAGYQAYNPSIRSGSPGPGTPNFPNNNTPQHRNMTDPTQRGPGSRTDYFGSPAPPLGPRGAGGS
NGIAGGIARLASPAPYNQSPNFMGPGAPSYRR

>RCO7_00133 | related to probable gtp-binding protein engb
MSVSTKLLPCLRCQRLQTLPIRNFSTTTVPPRNPNPNLQTALSYHWDTLPPTPQQLTHSAQFFERRPPEFLWSAEKFKRMDFSTNPEICVLGRSNVG
KSSLLNALLNKKVAHTSAQPGRTRLMNAFGVGGLDRGNPLVVLDMPGYGYGAAAEWGLQIMKYLEKRKELKRVFLLVDAEHGVKETDIQILNLFKSQ
GIPYQVILSKVDKVLYGKGKPGKVIRPENIVELRRKMEEVKDAIQPDTEDDGAVVGEVLACSSQVSVGGKRMGVNAVRYAMLQAVGLEMKPAVKLAE
VQEIVSFEEIYGREHEHVSEPKVVSK

>RCO7_00132 | probable GTP-binding protein GTR1
MDQQLNNLSVQDEPAASPASEPRKQKKKKVLLMGKSGSGKSSMRSIIFSNYVAKDTRRLGATIDVDLSHVKFLGNLTLNLWDCGGQDAFMENYLSQQ
RQHVFSSVGVLIYVFDIESRDFDRDLLTYRSIITALSQFSPTASVYTLIHKMDLVVPTQREEMYNHHVSLIQSKSDTFVPMPFATSIWDQSLYKAWA
EIIHDLVPNLDKIEHHLGSLGKLIQAEEVLLFERSSFLVVSSWCSEVGTENPTTDRFERLSNIIKNFKQTTSRYTGTPKSAEQFSLMELKLSNFSLF
ILKFTTNTYLAVILPPGEERFNSAIENCYIARAEFEDLDSPAKRNPDRGATTSEM

>RCO7_00131 | related to GTPase-activating protein GYP3
MNSAIGYNGTAAVWEGIDHENSHVKMQRSMKFSLYPARPRTPSKSSTPSMPPSPVDHTALQLPQLHHIMPREEYHQRPYTSHNTHSNERSFTAPPVA
LHSLHRNPSDASRLRALNNGHRSNSTDAISERQVLAADNFSRPRQPSIRRRNDSPKPLHPASKFPLGTYDEQQTPTDLDSSRDRGFSTSSSQSPTNL
PAYAVRPSPSIPDYQVADSIYSRQRNLTNPQHRPWQASSRPDSNHSAQRRDPIPRPNGFDSEEVRTSFRSAATTNSSFMGTIGTERSSVMTKSSSST
SIYGPDEGMSVDDAIGMYESGFMDSGVEDNDITRPNTPDSQRKRISGLHEAMDEPLVTTESPEALDSNDSLMPPSTTRIVRDSHQIFHTVGRPSEDV
PRNGDGTLDIQDGSLESPSRPVTRAAVAPFDETRDRYGFRKKTQYVSLETYEAWNTPYTEYLARRRKKWIALLKDEKLVTDRPIRFPVKSAKVKRFI
RKGIPPDWRGDAWFWYAGGPAMVSKNYGVYTSLLKRAAAGDVNQTDEEIIERDLNRTFPDNIRFKPDPPPLAPGEIRNSQQVEPETPILKSLRHVLQ

AFSIHNPRIGYCQSLNFLAGLLLLFMEEEKAFWMLNIITTTYLPGTHELNLEGANVDLGVLMTSIKDMMPQIWAKIGGELDGSSLPHSTLRLPPITL
CTTAWFMSCFIGTLPIESTLRVWDSFFCEGSKTLFRIALTIFKLGETEIKAVSDPMEIFQLVQNFPRKLVDCNALMEACYKRRNGFGHLSQESIEKG
RVERRKGYADEREREKERSAMGNEADGGGVKRSGTRKGTMFGRKKKAIEV

>RCO7_00130 | related to nucleotide exsicion repair protein RAD7
MPLPILLLRQLILPQSTEQLLELRQSADPLTSYLASAGISAAQISQDANARRAAALAAQQTTDAADEDDDDKENEPAKPKVTNKRKETKSQEAKRKK
EEEKAIAKIKASKSFQRIRHRHAPDGESTDEDEAARAIFNTRMAPLPGQMDNCEVCEKRFSVTGYSVAGPNGGLLCGKCAKDLNKDQGPPKKKRKVA
TGRARRQIESNLLDGIYPGAKSLMTLCIETAAKNVTEVTDLGDLADSQVDRVAAILSKKWLLDSTTLGLFLRPGNDTVTVYDGSKLSSDDYISIFQI
VPTVKYLRLRNAVQFKNKVMDHLLGTTVELESLSLHGANLIDDERWNRFMNEKSKHLKALKVYYTDGHFGDEQLELLPKACPQLECLKVVHNQKVGD
DGLVHIAKLSKLKKLTLEIYNKTSTAPYVDIINSVGPGLWTLAIASAQEVDDSVLNTIHDNCQNLSKLRITDNEVLTDAGFASLFKDWLNPSLTYID
FHKCRHVDASEPSKNPDMVGLASAGFEAMMAHSGLTLRYLNVHSCRHISSKAFENVFALDKVYPALIELDVSFCHGVNDFVCGLIFRACPNLQKLVV
FGNFGVRDVRVPKGKILTGAPNALGMQVQGMDDEDEGRVI

>RCO7_00129 | probable 3-ketoacyl-CoA reductase
MDYISLDSLNLVPAPLLAIFAGVGALFLGSKVFNYVRLLLSLFVLSGKSLRSYGKKGTWAVVTGASDGIGKEYAIQLAQKGFNLLLISRTASKLETL
STEITQKYAGSQITIKTLAMDFSLNKDEDYAKLRALVDSLDIAVLVNNVGQSHSIPVPFVLTPKDEIKAIIEINCVATLRVTQIVVPGMIQRKRGLV
LTMGSFGGLLPTPLLATYSGSKAFLQQWSTALGAELAGSGVDVELVLSYLVTTAMSKIRKTSAFIPSPRMFVKSVLGKVGRRGGAQNMAYTSTPFWG
HALMQWWLENTVGLGGQRVVVQNRKMHESIRRRALKKAERDAKRA

>RCO7_00128 | related to SRP40 Suppressor of mutant AC40 of RNA polymerase I and III
MAAVQLSFSLRTSSSVKTVHLLGSWDNYAGQLPLSKDKTSSKSGAWKGTFRFQGTTLQPGQRYWYYYIIDGYHVSHDPGQASTTEPTTGRVLNILDV
PREKSSSSSSSHRSSKTSSSSKHSSSDKERRSSKHHSSSSKEKHSSSSSRRESRRDSLSLTVDIPKGRPLSMSQIQSPKPVTPHATKYILEADYSAP
TVEELTSRFSTTTIDEEYGYDLSASPPSSVGSSLSSRSDSDSPSSASSLSDYSTSRSGSVNCTCERYGITRRGDRVKLDCGGSRCGYSDDSSSCCSS
DDEYIPSSSRRHGLVVRR

>RCO7_00127 | probable protein involved in intramitochondrial protein sorting
MKVFSSDCTFDYSWEEVSTANWNKYCPWNEKSTHVIAVDTISRNVDAATGILRTERLITCKQSAPKWLMSLMGGNDTSHVFETSYVDPASKKVTMIS
HNLTFSNIINVRETVIYQPLSATRTQFVQDAKITALCGGWQKVKNAVEEATVTRFSENARKGKEGFESVLEMSRRVFREEKQKEQRQKAMLA

>RCO7_00126 | probable WD repeat-containing protein jip5
MFENLCTLPLSSELFTQVTHPSEPILAVGLSGGHVESFRLPAVGGSSSDEDDADTSVISTGTSTIDIEWRTRRHKGSCRTLAYSGDGEVLYSAGTDG
LLKAANSSTGQVMSKINIPFDFSGKLDPPTLIHALTPQTLLLATDSAALHLFDLRLTSTLSPKPSQTHRPHDDYISSLTPLPPTETSTSGFSKQWVT
TGGTTLAVTDLRRGVLVKSEDQEEELLSSVYVGGLPSRPGRSKGQKVLVGSSNGVLTLWERGVWDDQDERIIVDGGRGGGESLDALVLMPEGVGDGG
KNVVVGVGDGTIRIVKLGPNKVTVSLRHDEVEGVVGLGFDVEGRLISGGGSIIKVWQEKMNLEEESEEDDSDDESCAKKRSAAGSNSDDSDVESSEE
EDRGRKSRKKRRKANRNKYVGSGIIGLKGLE

>RCO7_00125 | related to salicylate hydroxylase
MASSETKKSLKICVIGAGMGGLACALTLAKQGFQDIHVFETSSNLGFVGAGIQLAPNMARILDRLGVWKNVEKEAVRCHETSIRDGASDNELAHVEL
DYILKTYGYPHMVGHRTSLAKGLYDGCKAEGGVKFHFSTALSSIKAWSPKTTFTATPRDGEPYTVEADVVLAADGIKSNARRDMLKTLEIDADIINT
GQAAYRIMINRADILNDPELLELMDSETVTRWIGEKRHIIAYPISNNTIYNMSTCQPDVNFAAAPSETYTTKGSKPAMLSVFSDFCPKIQRLLNLVP
DGEVCEWKLRVHAPLPTWVHGSVALVGDACHPTLPHLAQGATQAIEDAAVLGILLGKLPDSSPKSINKTLQVYEKIRKERAETLVEMAAASGRELHL
GKGAAKEERDKMFEVLKKKSGRVPDKWADADVQKMIYGVDVMSNADEKFEEMFRSIS

>RCO7_00124 | related to growth hormone inducible transmembrane protein
MTSASSTSTVLDTISSSNHLLPPPDNHNYTIEMAFTLRQPFRLTSALAGASKTAFRSTAAPVRSFHSSKPANPFFTSRSSTPATTLTKARYAFRQSR
TYMQQPVAQAPGGGNLTQKLLVGGSMFAATLVGINLIFNRETREDGGMPPFERAYLNDTFMHTGLGIGIIGLSARAMFQSGFTYRLMATNPWVVMIG
GLALSIGTMMGTRATSPDNYLQKYGLWAGFNVTQGALLAPLLFMAPPAIIARAGLYTIAMMGSISFVGATAKQEKYLYLGGPLLAGVALVAVSGFAP
MVLPATAVRTLAFTENIWLYGGLAVFGGFTLYDVQKILMHARMAERGLMVKDPVNESISLELDFLNIFIRMVQILMMQQRKK

>RCO7_00123 | related to SAM binding motif containing protein
MAEMHSALFLSAPILCESDIAAEERAKADQSIIQESQQPNHFSKRSRQDSKSSKHTTRTQLSPLAATARTYPSFQTSRYTSSDAQHRHDSMLSTPLP
DYKHTANQTNKSRAAARTAKTNRTSSSTSDNSAERRYALQNADPRTARGESLGRSDSHSSTTNSSGITKVTTSDPTSNNEALTRPFAMRNGRRYLRD
TSLPYPLPCDLSEIHRQTLRTMLLCQVFQGPTCSRTFQTKPPKRVLEVGCGTGFWSVMCHRHFSQRGFSSISFTGIDIAPLAQRMESDDDMNWRFVQ
HDLRRQPLPFRDEEFNLIMIKDLSMVTPTTGMQQVLMDEYLRILKPGGTLEIWDGDHSLRMLLPHAPPSTKEDEDDTDNEEQVHTNAMGTYTLTRQT
PLAAPHNTYLNDFNTWISKALEARKLTSMPCTSILPMLLQESEDLTEIEFRRLAIPLDEVRWEREGVGQAVTQGSNGNEISTKGKSREEDRRTLTAG
QLALRRTALMTVVQMIESLEPLLREASGKDQLEWDSWQGRMMNDLLNQNGTSWGECLEVGAWWARKKNPSP

>RCO7_00122 | uncharacterized protein
MGKLIKNHWARLIVITAAIYQIAAGIHGFFWPKIFWDFMTKNLDVAVKPLPILQTINVVLGIILLAWEWPLGFLAGSAMHRSIEARLVILPLAALSA
LLIYQGTNAGIYYMIGMGVYFWAYSEGETVVAKPWSLPQRARPGKV

>RCO7_00121 | uncharacterized protein
MAEEESPHYPIIDSHIHLFPSSELETLAWCSPSNPLASQHSVSEYKTATGSPASLEGYILLETDRKYDLELGAKDGSGWEMPLMEVEFFKRIALGTP
KEGEGHAKEDAKSCLAIIPWAPVPSGEEVLEGYVKEVERCAGESFGKVKGFRYLMQEKPRGTMLTEEFVSGLKWLGSKGFVFDVGVDQHSGGKWQLE
EAVEMIEKAHEGVPEDEKLTFIINHLCKPDLSVYNQTDPAFVAWRTAMFRLSKCDKTFMKLSGCFSEMSDSLKNAPIDEILLALQPYLVVILASFGS
FRIMFGSDWPVCTIGVDDAWVKWRNVVQRFCDLASLSQEEQIMIWSGTAIKAYKLTELL

>RCO7_00120 | uncharacterized protein
MTRIKGHLPQLSYADIRLGILGTPLSLATHRPSRASSPRGPLSPPPDYAPSHPPNLHPAQPDHKNSVLHPRVAVLLGVEKHWHFPLLFCRALSTAPA
VWWGLRCALTFMGELLLVESKEEIEAAWSVEKRFRVTEVFLAVLWCCSSAWLSFYFTDCLMSRWLLNYTPQATLVRLLTINSLNAYITSWVLFLSGG
SEDPRLLLPAWISIASTLTFLYHLTHPRLAILKETSLSISVFSIASFISMVSLLLQLHLTRENDPPVPLFGIGRLCWDYFKIGVGKLGMVGSTR

>RCO7_00119 | uncharacterized protein
MLALVSLFFAGQVAAGVLGDGALLGRRVDSEEEMKRYVDTIVEPIERRQMAIAGMNVTRWNADTVALCTAQLEALKGVASNPSGMAVCYNLPALDNS
TGVFMADLRLYMIAAPTGAFASISSTNVQVGLSYDGATVSAVNSSTMAKRADGTSLISWPRSIENGDLVEKRGIMIPMLVQSYAFVGQVNKELSTAN
MGTAALQKVLVPRVTLTGQTSTGAAVNTLLSSDEATFVNGVFAKQVDPSKAKVIAPIQTLVVQKGEQFHVPGLKIMIFPIGLVITSIWSVLLIGTVA

YGTVGRMQFRDQFRRRTARQEKGDVARI
>RCO7_00118 | uncharacterized protein
MSPPSVSLIEDLTPNEIEKLTQVLVLPPKTEPHPIWLKDQANFIPTLPPKLRRSQSILPRLAMSIPFGTQKAHLCAAHKQLNPYLVRRIFLQVSAEC
TTRISRFVSNPYLPANIAIHVKALQTANSLWMSSDLYRVTFQCQPEEERFDRIASDCEACILAAVGGNLQILQDLRTSMLGRKKKSGKGLRLLPLVE
GWIEWTGAGDRICEESDALARELRNCRRQMQEARRQKRRNKEEGIVNSTPLPHPPPDDSDMNSSLLNHDAAAAAFDFAFQEHDGANDDNDLNHDPEG
SIIDYYANRLSCARETLNRPQEQTSIHPAFRSSLSLVFQYQTHSSSNSSTTRDRPLPPRPSNPTAYTDSEPSLRNTYTHRGAAVQVPAPRVHQPPPA
AYHNRMHQKQKSTRRNTGYTESVYSSGSSTVRGNGNGNTNGYAPSVSQESSYAAFQDRQMGRRARSKEEQAGEYRGLLDVDDYRDPEPREREDRSGG
AGEGSRRRDTKVTSFGDFI
>RCO7_00117 | probable fumarylacetoacetate hydrolase
MAPLQSWLAIPPTSDFSLSNIPFGIITSRNSRDQKRPAVAIGDHVLDLLAFSQAEGFSGLASIEKHIDVFAQPTLNAFAALGRPVHKEVREYLQQVF
LEDGNFASILKDNEELRTNALLKKEDTKTHLPMQIGDYTDFFAGINHAFNVGTMFRGPANALQPNYTHLPVGYHGRASSVVVSGTPIRRPNGQILLD
PTVDPKIPIFGPCRRLDIELELGCFLCKSNTIGEPVKIAEADQHIFGYVLMNDWSARDIQTWEYVPLGPFNAKNFGTSISAWVVLVDALEPFRAAKL
PNETKVLPHLQEKTEDTVYDISLEIDLTTPDGATTTISRTSGKNLLWSFPQMIAHHGSGGCPMSVGDLLGSGTISGKSEKGGDLGSMLEMSWGGKKD
IMLAGMDTRKFLKDGDVVTIRGVSGGDGERVGFGVCEGQITSAVKFDL
>RCO7_00116 | related to O-methylsterigmatocystin oxidoreductase
MTFQTTGIALIAFVYFLIRYLNRSDTPKIKNLPEVPGLPLFGSLFQFSDKHARVAGQLAKKYGPVFQRIVFANTFDSVRHLWITNQSALISRPTLHT
FHTVVSSSQGFTIGTSPWDESCKQRRKAAATALNRSATQTYMPIIDLESCVSIKELLKDSGNDQKDVDPIAYFQRFALNTSLTLNYGTRIDGNVNDE
LLVEICEVERSISNFRSTSNNWQDYVPLLRLLPSQSTDAKQWRDRRDKYLTFLLNKLKKNIADGTDKPCIAGNILKDPEAKLNEFEIKSICLTMVSA
GLDTVPGNIIMGIAYLSSQHGQEIQKRAYDEIMKVYPNGDAWEKCILEEKVPYVTAFVREVLRFFTVIPICLPRTSIKEIKYEDAVIPPGTTFYMNA
WAADFDPTHFKQPEEFSVDRYLDNLEGTSGTPHYAYGAGSRMCIGSHLANRELYTAFIRLITAFHIDPPKEKSDLPILDALDCNAIPTSLTTDPKPF
KVGFRCRDEAKLRQWIGESEEKTKD
>RCO7_00115 | uncharacterized protein
MAVDIPTKLRKADLSRFILRAAQLETAKPVIAYWCEYWIVNQILEKGLHNGDDETLQYTTSLMDKLEQIKADNATNDAIIDDVAGQAYVEHFALETF
FRADRTIKANAVTKQTADTFQAAATFLELVNIWGAPDAGTAAKIKYAKYNAIRIMKAVKEGKDPNESNPKIEPAEEKLPKLDPNDPEVLQLGGSSKQ
PFVEDVPDEQFQVDSRLARQSSIDHSLHPSAQPSAQVSAQGSPQPTPSFEPYPKDGFPYSAVKDDNVSPMEPSPNERDGSVGGGYFPEVPTFTSEVQ
DPTLQTAPSADAFDLGLPDHPSAPPGSGLNLPKHPTSSPGVSRSPDFESFPPPSLQDDPSTPKDFYRQAPAQPPPPQFQQPLPTYYAPPVQPQQPIY
QAPSSQSYNPPPPDPPAPKKTQLITDDVSITKAQKHCRWAISALNFEDAGTAVKELREALKTLGAS
>RCO7_00114 | probable novel protein of ras superfamily KREV-1
MSARTSQRRDYHIVVLGAGGVGKSCLTAQFVQNVWIESYDPTIEDSYRKQVEVDGRQCMLEILDTAGTEQFTAMRELYMKTGQGFLLVFSITSQSSL
AELSELRDQIIRIKDDENVPIVIVGNKSDLEEDRVVTRSRAFAVSQSWGNAPYYETSARRRGQSVRTISRKDTNVH
>RCO7_00113 | acetyl-CoA acetyltransferase, mitochondrial precursor
MSFRAARTAMASLRSPTSFTQRLSQVQRHFNASASAKQEIQEAYILSAARTPTAKFNGSYTTVSAPHLGAVAIKSALEKSKVPVSKITDVYMGNVLQ
ASVGQSPARQAAIFAGLPNTIEAITINKVCASGLKAVVFAAQNIQLGLAEAQIAGGMENMTRVPLYTPRASGLPAFGNVTMEDGLLKDGLWDVYNQF
HMGVCAETTAKKYEITREMQDDYSKQSYSRAQEAWKNNAFKDEIAPVTVKGRKGDTIIDTDEGYLDIKLDKVSSLKPAFVRDGTGTVTAANSSTLND
GASALVLGNAAIAREYGAGSRVLARICGSADAAIDPVDFPVAPAKAVPLALERAGIKKEDVAIWEFNEAFAAVIKANEKILGLEGAKVNPLGGAISL
GHALGSSGSRILTTLLHQLKVGEYGVAAICNGGGAATAMVVQRIESVE
>RCO7_00112 | uncharacterized protein
MPPRLPPPPSALSPFIFEPCPPSLKTHFDDIPWTKQYVSDPALQPYTTAARIPETETTANTFCAVTLQTKDTIPAWQSWWRPASESLSSVGSETAKE
DVPMKYGESIALLTFSGELNGHPDTLHGGLLSVVLDELIGNVAEYERPHDKSTMTAYLKVDYKRPIRTPGTVVVRTWVEKMQGRKIWGRGEVLDKDG
YVCSIGEALFLVVERVTGFEEGKSKL
>RCO7_00111 | related to DNA damage response protein
MDYVEQRMAQEAAKPMPSPEVQSLFTPINLILLSLLAVTMYYRFKPTPPISLPSAPSPVVFRTFTPPTLLPYNGLKNMPVYLAVRGKVFDVTPGRNF
YGPGGPYANFAGRDASRGLACGSFDEDMLTEDLEGELDDLKGLGEDEMEALRGWEERFEEKYLVVGRLVKVGDESKVVEEEGKVAKG
>RCO7_00110 | probable electron transfer flavoprotein beta chain
MSGLRILVPVKRVIDYAVKPRVNKAQTAVETAGVKHSMNPFDELSIEESVRIREKKTYPSGVDDILAFSCGPPKSADILRTAMAMGADRSIHVEVKE
GEEPEPLGIAKMLKAVVEREKINLVFLGKQSIDDDAGQTGQMLAGLLGWGQATQASKVSFDGDGKGVTVEKEVDGGTETVRGILPMIITADLRLNEP
RYASLPNIMKAKKKKIEKMAVGDLGVDVARRLKTLKVIEPPARVGGGKVEDVDGMIAKLKELGAI
>RCO7_00109 | uncharacterized protein
MGKPRMIILIRHAQSEGNKNRDIHQTIPDHRVKLTTDGWTQAQEAGRRLRTLLRADDTLHFFTSPYRRTRETTEGILSTLTSDGPSPTPFPRQSIKV
YEEPRLREQDFGNFQPCSAEMERMWQERADYGHFFYRIPNGESAADAYDRVSGFNESLWRQFGEDDFASVCVLVTHGLMSRVFLMKWYHFSVEYFED
LRNVNHCEFLIMRKKEDSGKYILENNLRTWSELKRERLAAAAAKGKTSPLITATPSSPISEKDKEKEKKILAASIDGASTTSLTSIPVRKKWGGCPN
GCDHGKHYYKKENSMHAMQLNGRPSPSASPIVPSNDAFQLRRPAARRWQSSSEEDEDDPRGGVGPPHLDVKKSLDEVISSPDGTPSFISMEDRMRGN
NFSPQNNRLLAAAVGELGSSASGNTSQAGSDTEFSAEEDTRKRLAKGKNIGFKATGAGHGAPLGNENKGLVTVSQLRKLREESNPGRGALADALGDQ
SDVGSDAGSEAEPEILQELTKEEKVDKSIQGSVY
>RCO7_00108 | related to capsular associated protein (CAP10)
MGIGMVVQPRLLRLVPIVVCVLSLFIVSSYLYTREVVRIPHIPKPDWWTAAPRIKLPTPDEDAHPIIVLLNRAEETFDALLAKQTFNLSAAAQAYRT
RRDRPPPPGFGRWWKYAQKNKVVMVEDFWDQIYHDLNPLWALDPKEMLQDVRGQERQMKIRKGNVTTEGDHFWMDIWREMVQTVGKNLPDMDIAMNT
MDEPRIWVPWEKMSKYMEIEGSGRRYRTEGDLVDKYTDFLPLSENETVPEYNWNGSRPYWERLASPCPPDSEARTSPVQTDFSQPPNISLAYTKPHL
YKGYVSNYTLSTSFCHQPDLQGLHGFFIESISMSSTDKLFPMFGSSKLSTNSEILIPPTMYYKGDERFTSKEPPTPWKKKTDTLVWRGLASGGRNKD
DNWKGFHRHRFVSMLNGTQAILMPDNSSFIDVAKLPLEIYNLTAWSTPEPAGIIPRAHAMGAWLNSFTNASFNDLACFPRQEAVDERWLGGCSYTDY
LFTPTPSINLSGQHRHKYLPDVDGNSFSGRYRDFLNSLSVPLKATLFKEWHDSRLVAWKHFVPIDNRFLDIYGVMEFFLGSPSQDPDVGIGKATEGE
TRGISEGGKSKKREGGRDHIAQKIGADGHEWSQKVLRVEDMRVYTYRVLLEYARVMDPKRDMLGWIEQTEDELEKMLDSEEGWFEWLVR
>RCO7_00107 | uncharacterized protein
MPTGSAWGLQPEPSRSLFGSIRKLGRKSSNVSQRSTSSARSANSDLNTPTTPTSRGPGDMGNSLVQDRRSPSPNPLSNPSPATRRPDRPGMNAFTVP

SNEPPPAYTPSPTAQSGPTLNNLNPNLNLGPELPPQATTPAPTTSSGEDPYSFLSTFDTTLLIDDSGSMAGRSWREVGQALATIAPIVTKHDEDGID
VYFMNHKSPDQGSPSEGVAPGGYRGIKRAATVHEIFERVRPQGGTPTGIRVHNILKPYLAKLESEIAAGRELKPLNLIVLTDGVPSDDVESVLLSAA
KKLDKLDAPPFQIGVQFFQVGNEEGAKEALEELDDGLSELVEGGVRDIVDTVTWTGGISASDGGICLTGDGILKAVLGSVVKRLDRRRASGDVRRR
>RCO7_00106 | related to endo alpha-1,4 polygalactosaminidase precusor
MPSLPWFKKHQELKTEQPEQEEMAIPQRTRFGKRFWIILASIILILAISLGVGLGVGLTRGGGSGGGDDSPQPPPVNNTNATEGTFWRPEASTSWQI
VLQYALTDFTPDVAVYDIDLFTNPKSTMDKLHSQGRKVICYFSAGSYEDFRPDAKDFKKEDYGKGLDGWPGEWWLNVSSPNVRKIMTSRIQMAKDKG
CDGVDPDNVDGYDNDTGFDLTKQQSVDFMTFMAIEAHSRNMSIGLKNAGGIVNSTLPIMQWQVNEQCLQYQECDSFTPFIEANKPVFHIEYPKSAPS
ISSNDNRTFCDKSTDTGFSTLLKNMNLDNWYQTC
>RCO7_00105 | related to calcium-independent phospholipase A2
MENNRAMRRKDTTKGAPLRILSLDGGGVRGYSMLIIIQELMHRTYVETEGKAPRRDQIPKPADHFDLIIGTGTGGLIAIMLGRLRLDLETCKEVYVQ
MTRKVFETDKTIAGIPYRSTLFKASKLEEAIKQCVREHTILEREGNNGEEPEGLGNLSGPMSPLSTKNNPRRHASNASVASFSARSPSSYTSRPMMG
LRYGNANASLYDTRENRTKTAVTAIYQGTPKGGLPAILRSYDSRKEPSPEFDCSIWQAGRATCATGLAFKPIQVGQSVFIDEGAGQYNPCPFALDEA
CVNEWPGRDIGLVVSIGTGKRPSGSDNNSHLWYEGFMGEFAEARRRLISKIEGCEETHQYMVREGLAKRQVNIENYYRFNVEMGVGEFGMNEWNRLA
DISTGTRRYLGRSDVQKMSVEAAAKLAKILRAKARFDNEKTGGGPSLMSYQDMPLADVPEAYPNAVELPGDIPVLPARSPPPRPSYESGHHDNLEVP
GYNETPSPRSSAEKQAKFSQPQPNSSASIPPIQDPNQDRLVFHAPTPSEYRTAGGADKIAITSMDEQPHPPPVAKKQPMRAEPPPLPPKTPIQVPNG
NGLGRGRPRVPLPYPEDDRPPPVVNMARKPEYKGR
>RCO7_00104 | probable oxidation resistance protein 1
MERNYKENTSSRPPSLSASGSWAMPSMPSMPSMPSTVSHAVTGLLRRFSTEPSKQNASQIHSPTYGTTYSHSINSMDSVYTTPYRTASPFQPPPLYP
VNLQGYDSSTPESAKMLSRALAEEIRLLVPPRLQLCEEWNLVYSLEEDGVSLGTLYKKCDELRGLRNGFVLVVKDREGGLFGAYLTEAPHPAPHYFG
TGECFLWRASILSANSMPTNLPPPPSADTTHAVRSTTVGSAQSPPPNLLSPTFPSQNQNRNPSSPAHSTYSLLSPSNPHFPSGVSTPERIRFKAFPY
SGINDYMMLCETGFLSVGGGDGHYGLWLDDTFEKGISSHSLTFGNEPLSEEGEKFGILGVELWSIGNS
>RCO7_00103 | probable ornithine aminotransferase
MAPHADGIIDTNGSTLKPTASTFQPVSALADSQYHSTSSAGAIEAEHKYAAHNYHPLPIVFARAEGCNVWDPEGKQYIDFLSAYSAVNQGHCHPELV
KALCEQAGRLTLSSRAFHNDVFPKWAEKVKDVFGYDMVLPMNTGAEAVETAIKIARKWAYKVKGVPQGKALVFGAAENFHGRTMTAITLSTDPESRD
NYGPYVPGIGATCPVTNKAIRYDNVEDIRAVLEAHGKETAAFIVEPIQGEAGVVVPADDYLTKVHELCKKHNVLLICDEIQTGIGRTGRMLCSQWSN
IKPDMVTLGKAISGGMYPVSCVLGSKEIMLVVEPGTHGSTYGGNPLGCAVSIRALEIMEEENLTARAEALGKILRQGLEDFKSPMIQTVRGKGLLNA
IVIDESKTGGHSAWDLCMLMKSKGLLAKPTHENIIRFAPPLVISEEQIKQSLLIIGDSIRELPNLGGEKEDEVIPASEKGVHIGLDD
>RCO7_00102 | related to low affininty zinc transporter
MINDDGTVAVPSWSSISSEFLRAELARRDEDPPKPQCGSGVKGTYNTSAHVFALMLILTLSTLACGFPLVSRRASKESTGPNRFIFISQHFGTGVLI
ATAFVHLLPTAFISLTDPCLPAFFNEGYNALAGLVAMFSALIVVGLEMFLTIRGAGHSHSHGGSWDAVSVGEDGHSHSKISGSKGAPKAKANGRLGK
LGLNHRPRDIALEDLDASEGLVAGVSPLPVSTPLPANQPTKYHDGDDDDNDSDLDLDELDPTAEAFSRSQTEIEAPHPGGQSTLTAEDQKKRQILQC
LMLEAGILFHSIFIGMAVSVATGPPFVVFLVAIAFHQSFEGVALGSRIAAIDFPKHSPRPWLMVLAYGTTTPIGQAIGLVVHNLYDPHSAAGLLMVG
FMNAISSGLLLFAGLVQLLAEDFLSDKSYGILKGRRRWEAFSAVIAGATLMALVGAWA
>RCO7_00101 | related to 3-phosphoserine aminotransferase
MPSREDITYFGAGPALLPTNVLAKAAEALVNFNNTGLGLAEISHRSETATTILNEAKADLASFLDIPDDYEILFMQGGGSGQFSATVYNLVGIWIER
RKQKILNDLGIKEGKNIPEDVILKELEKAVQEELKIDYLVTGSWSLKASQEAARLIGEEYVNVAADARKVNDGKFGKIPEESTWKLSKNPAMVYYCD
NETVDGVEFPGFPKVLEQNSNEEGPIVVADMSSNILSRRIPIKNFSVIFFGAQKNLGSTGITVVIIKKNLLPPAIATPPPTLLRKLGLPIGPIILDY
ATIAKNNSLYNTLSIFDVYIAGQVLKNSLANFPNKVDDQEKLANAKAEAIYTALEKFGESYQIVPSQSARSRMNICFRVTHLTSGVEDSEKTFLKAA
TEQGLTGLKGHRSVGGIRASNYNSISAEGAEKLAKFIENFASGPR
>RCO7_00100 | uncharacterized protein
MASNPLSTESILKNMADAIPTHAKGDSGSDVSSSLDAISLFVHACMTAVEFRLLGFGEGQKNESELQKITPRLTDKWNASISSHSFLYAHSQSSMEY
VIKVDRLGGKAEIRGIGLGDERISRFEITAKDYISNSALPLRITLTENGDEDRSDLEAKLKDVFISPHRIQDLAAEFKTTIIQKLIPNLHKEGYEES
AAAIDARDEREEGHARRQYRQDLLRDPGLPEPARPYPFHDPLAAPRRPPIPAGDFPPPGFDDELDLNRPLRGMAPQFPGAGSPFGGIGHNDLNPPGL
GPHDPLRGSFVGDGPGGFGSGMHPTFDDPLFGGQGQGRGGNGRAPPGARYDPMGPGDGPQRGGGGRPPNPFGGFGNNDFL
>RCO7_00099 | related to septum formation maf
MSEGKIQLPLSEKPSTYDTAAAEHGALPSRPANGKPLPRGPFPLDIPVLNELRQPGKRLILASASPRRKQILATIGLTNLEILPSTKPENLSKDLPP
FEYVLQTAVQKCLDVYSTAVTNTIASIPDPSLVIAADTIIVTSTGRILEKPRSEKEHMSMLKLLRDQKIHKVYTAVAVLAPREDCKHPGYNLETSVE
ETKVFFAEEVSDGLIEAYVKTREGVDKAGGYGIQGMGALLVDRIEGSWDNVVGLPSRVTLGLIERAVMRQDAESGDEEEEEE
>RCO7_00098 | related to methionine adenosyltransferase regulatory beta subunit
MSKSALITGATGLLGRQVLKGFERSGWEAKGTGFTRASPPTILKLDLGSEADVATTLEQVKPQVVVHCAANRFPDKCDNDPEGTRALNVEASGSLAR
LCAASSILLIYISTDYVFPGTEGDAPYESTSTVKPPNLYGQTKYEGEKAVLAEFEKAGKEGWGVVLRVPVLYGEAGKPAESAVNVLMDVVWKAQEKG
ANVKMDHWAIRYPTNTEDVGRVLQDVATKYLSTNDKTTLPRILQFSSKDKMTKYEICEVFAEIMGLPLDGMVANTEGNDPNASVQRPYDCHLSTKAL
KDIGIPVATQDFKGWWRREARAFRK
>RCO7_00097 | related to cytochrome-c mitochondrial import factor CYC2
MNCSPLRNICLRPVFKSASTPRSWLASRHVIVLQCQRQFSTTRFQYEQQKALVATEQPKTRFKGKKRIVPALAIFSGLATALYFIASSDSGPSTKIF
DPPRFTPFTIVKREEVSPTSIILTLRPQTFVNQPRKILSDPYQSSWEKGTWSVEIKQPQLQIARSYTPLPSNKGDPKGDLRLLIRKEHKGEVSGYLH
TLTAGSQIHLRGPHEEFDLPETVTDVIFLAGGTGIAPALQVAYTLFERRQTEGEKPKMHIVWASRKRAECEGGADVRNPNAWEARKTGRIVQELETL
QQKYPGQLEVDYLVDEEKTFLDQKRISSLTKASTEVKFGARHTRIDSKLLFISGPDGFINYIAGPKKWEVGKEGQGQLGGLLGQMSIRTWKVWKL
>RCO7_00096 | probable SER33 - 3-phosphoglycerate dehydrogenase
MATPAQDIAGSSHRLARTVSHSLMVSTSPTATFHTSPIASFNSPPSSFGGAGLTRTQTAPKQLKPFNSQDIKILLLENVNQSGKDILTKQGYQVESI
KTSLPEDELIKKIQDVHVIGIRSKTKLSEKVLREAKNLIVVGCFCIGTNQVDLEYAARHGIAVFNSPFANSRSVAELVIAEIIVLARQLGDRSNELH
RGTWKKVSAKCWEIRGKTLGIIGYGHIGSQLSVLAEAMGMSVVYYDVVNLMALGTARQVPTLEALLNESDFVTCHVPEIPETKNMIGETQFDQMKEG
SYLINASRGTVVDIPALINASRSGNIAGAALDVYPAEPGGNGDYFTTALNTWAEDLRSLKNIILTPHIGGSTEEAQRAIGAEVGDALVRYVNSGVTL
GAVNLPEVNLRSLTLDESNHARVIYIHHNVPGVLRKVNEILGDHNVDKQITDNKGDVAYLMADISNVQVHQIKEISDGLEALPSRILTRILY

>RCO7_00095 | related to choline-phosphate cytidylyltransferase
MSSPSSGGSGKRKRTNTIPKKLSMDPIQQASSRDASGEDAGESTAPETTVKNPAKRLRSSTHEKVAVSNGDSGEPSESTEASEDIEKRVRKRKDDED
EEDEGLPQAMAPPPLGQLTHPVGYKTNEAPAGRAVRVYADGVFDLFHLGHMRQLEQAKKAFPDVYLIVGVTGDKETHKRKGLTVLSGQERAETVRHC
KWVDEVIEDCPWIVTPAFLEEHKLDYVAHDDLPYGADEGDDIYKPIKEAGKFLVTQRTEGVSTTGIITKIVRDYEKYIARQFKRGTSRQELNVSWLK
KNELDLKRHVSEMREAIRSNWTTTGQELGKELRQFWQASRPGSPARMASYDDSVKGGSLTSPSALSHLSRRLEIPRPDSPGPGSDFATGYSLGLIGG
VRSWMTRSRQTNRDSLHGSDSSEEDSDERSPPRGRSGKEQTQGDEEKQVDAQIKALMGENSKHSGA
>RCO7_00094 | probable carnitinyl-CoA dehydratase
MSPSPSLRSQPLIYTHFYISFPHPHVVQVTLNRPQKLNCIDLPTSRQIARVWELFDEDETLWVGFITGVGRAFCTGADLGEWNSLNTTSTTNSMSAP
GLAGLPRRSGKKPIIAAVNGICMGGGFEMIANCDMIVASSTAIFSLPEIKRGIVPVAGSLPRLVSTIGLQRTSDLVLTGRSVDARTLQAWGLVGRVV
DVDVEKEKERGNLGEGREVVDAAVELAKEMCSNSPDALIVGRTGIRLAWEKGSVEDQVGELERDWYPKLVEGDNFKEGIRAFVEKRKPVWVESKL
>RCO7_00093 | uncharacterized protein
MSNEAFVGPLPAPFESVLHFKDSKGYYQMAYIDRVTCVVHPDDPRLRDTQLPEPWEKLHHANENELTHFGNGDTGKATVLDPRLTANALRARGVELE
IFELI
>RCO7_00092 | related to serine protease
MKTFHLISAALALVPSASVVSGSGTKLRNMGRPVPPVRKGGMLANQIAAAPMNTTGSAFFTQLLDHNDPAKGTFQQKYWWSSEWWAGPGSPVVLFTP
GEAAANMYGDYLTDWNMPGLLAREIKGAVIIIEHRYWGESSPYMILDAETLQHLTLKQAIGDFTHFAKTVALPFDTAHSSNSDKAPWVWSGGSYSGA
LGAWIESTASGTFWAYHASSATVQSVYDNWQWFTPIIEGMPKNCSSDVSKVIEYMDGVLEKGTAGEQLALKKMFGMESVEHNADFMFVVSLMVVMWQ
TNDFTTGYSFFYQFCDAVENVEAGAAITPNANGVGLTKALAGYANFTYEAISGYCSSYGFTDERDFRCMNTYDPTAPLYSNHSTNNPVDLQWTWMLC
NEPFANWQSGAPLHKTTVMSRLVTADYRQKICALMFPTVNGFTYGSNKSPKNSVNRVNEYTKGWRLENTTRLIWTNGQFDAWKSISMSSEYREGGPF
PGSATAPLYIIPGGFHASDLSMDEAEANAGLKEVVNLVVDQIVKWVAEYYKK
>RCO7_00091 | uncharacterized protein
MKSSTTFSLLAFASSVVSSPLAAPELEGRNFYPACAPQDQVLIYAGLNRDFCSAYLQQTSTAQVVKTALSTVYAASTTTQTVFTTSTATPAAPTAPT
APPASTTPPASTAPAVVCGVAGFAQASAVTTFFNNDGSFTSAQCQTKCQSLAAGTFASGGTLCACYTGSVNNVVAPAPASQYIFSDVNCPGASAPVA
VTAPAKRAAGICAPASAKQVPYIIQKLNPGPAKISSACSCLLNKETPAACVVTAYATVTSTTTVVQVQTTTTTNVVVATAA
>RCO7_00090 | uncharacterized protein
MPPLYIRQEFPTLKAFKEALHAWAIESHFEPRILKSDTGRVRVGCKRDPECPFVVRCNWERKGGREPLARVTVLREKHTCLNGLEWQPGSGNGNGMI
PSTVPGNMIGSTNNLGGPSGQHQTPGLEIRQDSDGNIMGGARVLGPISPRQNTNNDPSTLTLAPVLPKVQRNSASRLPFLMEILPRLMRIDKDTTPV
EIRECLLREYGAEVHLQQCRRAKTEILKKRAEQGEVEGQGAEGNGSLDGIGSQDGEANTNMFGGELHSTPNQNASVIGAPNMNGIPGGLVAGAGPDQ
DFQLHTASGVVIPQVPRRSETALNAASEQAVRCPFCINHRWMRTVKDAVEHMTSGWNTVLLYMSSAIVWTFTGSSVEGSYGFGEYWSYRKAP
>RCO7_00089 | related to CUE5 Protein containing a CUE domain that binds ubiquitin, which may facilitate intramolecular monoubiquitination
MSAPTKATDNSQVKSPSGAESPTTVRPLEMDDDDVQDLGTLGNDASTASKQATVEDEAPAKPPRPLSPQQQAENTLKEAFPSIDAAVLKAVLMASGG
RVEPAFNALLGMSDPDAVREPTPPPQPPRPTAPRAVGSTPQSQLESDEQYARQLAEHYGGGWSGERSSSRGDAPRRQQAGSNQSGYEPARERNFIDD
DLPIIGENLKKGFLETQTKVNGWINTLKKRIDGEDDDAPRQNYNQGQSSNPQYHSRRSNDGRRSGDYNRYDADPQVLSDDFAGMQMNSDGTPARRST
RPLANPDLFKPTPPAPKSSDGRKVAFQGGPPEEFDIYSSSPRSGVKENNPPVSKQSKWQPLSTVDPSPIGEPENDPFSLGDSEDEKESKDRVGGKEI
RTDDADRLKKAAAEAMNDSISEPARKPEPAEIAGTKDKTAEEKLVGRP
>RCO7_00088 | related to protein conferring sensitivity to killer toxin
MAPSPLQQRRTHNTLLFQKLLNLRDSASPFTLILDTLEQSGGPAVREFARRAKISKNQIIFISFSTLRKKVPFEVSSFITARGKSLGSLRNEILSHL
PAPPTAAPNTSSSLSKYLLIIDTLNPLSSSHPQHLSNFLSSLLLSPQISLIATYHTDVPLTNSPSSSSYAPSPLTTLIYLATAILTVSSLSQTLARK
RARDKSHQEPSFGIQEGREGVIIGMKRRAKDEQGSVINMEIRRRSGRGVTENFVLLPPVLPSTNLQIAKPGKLSSLSEFILLDDHPLYSSPSTGGGD
SAAAGKEEEMNTTFNLGLTEKQKRDRENVVLPYFDAQRDGGAAGPGDGGRILYDMGAEDREDFDDEEDEI
>RCO7_00087 | probable dephospho-CoA kinase
MLLLGLTGSIATGKSTVSSILSSPPYSLPIIDADILARRVVEPGSAGYAKIVAHFQPTTPDLLLPFPDDASYDRSKGAPLNRPALGRRVFGDSEERR
RDRGVLNGIVHPAVRMAMYKELLWCYVRGCWAVVLDVPLLFESGLDVLCGTVMVVAVTDPEIQMKRLMERDTHLTREDAENRVMSQGDVREKARRCK
ARGDGRGVVVWNDRGKEDLRGEIERVMTEVSRSSPRWWAWLLVLCPPMAGFAGLWNYWRGLVINKKWKEGELQTKSKL
>RCO7_00086 | probable homoserine kinase
MITIKVPCSSANIGPGFDVIGLALSIWLEIQISIDTSIKSEAPLNCKITYEGEGAEEVPLSADSNLITRTALYVLRCNGQRAFPSETKVHIINPIPL
GRGLGSSGAAVVAGVILGNEVGKLGMSKARMLDYCLMIERHPDNVAAALYGGFVGTYLNDLSPEDTSRKEIPLSEVLPEPAGGVDTGFTPPAPPIGI
GHYMKFPWAKEIKAIAIIPQFEVATAKARSVLPESYSRADVVFNLQRIALLPSALGRSPPDAEQIYLAMQDKVHQPYRKELIPGLPEILQSVTPKSH
PGLCGICLSGAGPTILALATENFDGIAKVILDMFAKKDMKCEWKLLEPAEAGTTVTYS
>RCO7_00085 | uncharacterized protein
MSLPPATVKIKRKATDDPVEYLRIHEATGSGKRPRQGEYIFSRQAVTNDTSASQFSSPFPRKIKGLPQPSSAPISHDATQSLLPTNTIPFNAPVTTQ
PRRFHISKSAITSNDTNAEAGGGRKRKAQPTVFVERRIRPKSADGTPGGTPAPEETGGRDVNSTDTSQVPDTSKEPQQKKPGISSRSATPVRPMTPP
KASPAPLRNVVLPNGTMMPWDVSSERLAAEMQAYTLQEIGKTLAAHDTPRPSPASRRIKTPSKFKPKPALRYLERHPEHKVHASTEGDEEEYVVEEV
DDESEYIIDTYIRVPAYALEAEDAHKNIGLLVLESQPDIDEFYREDDESSEEEDDGDEDENAENHYTADYPDEEVDFDDEFDLNAYHYRNRNASDLE
EFDEDDATFSDDESEATKYPWMTKPWVKKTTIDRAVDGSD
>RCO7_00084 | saccharopine reductase
MAGPKKVLMLGSGFVTRPTLDVLSDAGIEVSVACRTLESAKKLAAGVKNSNPISLDVTDDKALDAEVAKHDLVISLIPYTFHAKIIKSAIRNKKNVV
TTSYVSPAMLELDAEAKEAGITVMNEIGLDPGIDHLYAIKTIEEVHKAGGKITSFLSYCGGLPAPEASDNPLGYKFSWSSRGVLLALRNAAKYYKDG
KVVDIEGKDLMGTAKPYFIYPGYAFVAYPNRDSTPYKERYNIPEAQTIIRGTLRYQGFPEFVHTLVQLGFLSDEAVAALKEPIPWKEATQKILAATS
SKEEDLKWAIASKASFKDTEEKNRIIAGLSWVGIFSDEKINPRENPLDTLCATLEKKMQFEEGERDLVMLQHKFEIENKDGSKETRTSTLVEYGDPK
GYSAMAKLVGIPCGVAVKQVLDGTISEKGILAPMSSKINDPLMKELKKYGIELVEKVIS
>RCO7_00083 | related to F-LANa protein
MSAMDMFWAAPPISRTLAASAFFLSVCCHTGMLSFGYVLFTFAQLMKFPPYIWTPITSFLITGAQIGIVIDTYFLYTYSSQLEMGNPRLSGTGDYFM

YLVFVCSVILGLNAFVTGGVVFISALILAMCYTSTQDARGQKATFIVVQIPAQFIPYAMLLMTLVMNGAGAAKIQATGLVAAHLYDFLTRLYPTFRG
GRNMLSTPAFVKRMWETTVSGVGNRAYGTAFTPAQRPGAASGSTSGAVLPESWRSRGSGHRLGGD
>RCO7_00082 | related to urease accessory protein UreD
MGSPFPPSSSFPGEGHLVVQLLPQEISGLSTISFQYPLKLISPSPSASQKSVLVFLLTYGGGLVGGDQVNLTIEVKPHARLSIVTQGHTKIFKSPSR
DVVTRQRMDVTIREGAGVCLLPDPVQPFEGSVYEQTQKFFVHEGGSLCLLDWVSEGRTARGEDWDLRAWRGRNEVWLRRKGTGKDRMLLRDNVILEG
DPPEASEKALRMKMHKLGIFGTLVLRGPMMDPLGAFFMAEFAVLPRIGARDFRSQEKVERDSGVVMTRGEAWRIARLKQEKVDQVLWSAATVRGCTV
VKFGARTVEGGRVWIGGMLQHEGSISQCFGDDALMCVK
>RCO7_00081 | related to D-arabinono-1,4-lactone oxidase
MDPAITSALQECEDDIPFRATRNHTQSTWARTFHSSPELYIQPHSIAEVEKVVSLARKCRRRITTVGCGHSPSDITCTSSWLVNLDKLNKILSVDQE
KRVVVMQSGIRLFTLGEELDKVGLAMPNLGSINAQSIAGAISTGTHGSTLRHGMLSESILSLKITLANGKTESCSADQNPDLFRAALISLGALGIIV
EVTFQAVPAFNLAWKQIIDTDVKVFNSWEKDLWTQAEFVRVWWFPHTRRAVVWTAEHTDEAPKPPPQSYYDAWLGYHVYHNLLWLAQYVPRVLPWVE
WFVFGMQYGFSNGSTTSAIEASQPSLLINCLYSQTVNEWAIPLHKGPEVLRRLSSWVNRLTPSDPDYVPHGIPYSNSGLYIHAPLEVRVSETSKSTT
PRPHLDPTCNDGPTLYLNATLYRPRNSDPPCHFRYYQAFEYLMREMGGKPHWAKNFECTGQDIEKMYGPALQEWRKIRDDADPEGMFVGEWHRRLIL
GDGPRLALEEREVARRRVRSGGVMVTGEVSDDVVGEKETSSGNSSEESFDHLRASDVTITR
>RCO7_00080 | uncharacterized protein
MSAPAKDGPGVPQEKKGGLSKMVSRMKTVLKRSDGSKRLSFSSKSTPLTTTAGPSVTKSSEPTPVIASASAPAPTLAPEPVVKTTTPEGPQQTKFMR
SQIDAARAKKLSDHFAMTVNPMYSGPDREISRMEKPIRMRIHRSCHRCNATFRGSRVCAECEHVRCKACPRYPLKKPEKKEKSPAVAPVIAIEPDTY
WGLREQILLTRPSARPGGQPLVRKEPKQRVRRTCHECKSLFIRGNKTCTGCGHVRCTECPRDPHKKKKYPDGYPGDAFSSNTTIPVKFSCHKCLKVF
PAVPHPDSEEGKARREGNVEPLACVRCNHPMCSDCPRAKPVRVEPAPDPDVLRAVQARLAALNISTPIAAAS
>RCO7_00079 | probable DRAP deaminase
MALVKVPEKSNYDPLIENNPFVEPPDVVITPCNSWPQPYFLENGLRRVAPYHFTYNTYCKERWRGRELLDIFSSEFRDRPLEYYKDAIERGFVTVNG
KPVPTTQNIKNGDVISHTLHRHEPPVTALPIGVLHEDDDMIVINKPAGVPVHPAGRYNFNSVVEIMRAERGNAWNPLPCNRLDRLTSGVMFIAKHAQ
AAVDLSLQITERTVRKEYIARVKGEFPDGEVLCDMPILQISPKLGLNRVRANGKSARTVFKKLAYYPPTAPAETLTGDEVEEGYSIVRCLPVTGRTH
QLRVHLQYLGHPIANDPIYCNRRVWGSNLGFNDADASQDTDEDIITRLSKMGKSEVADAVAYHDEMVDEYNKKKAEKMSGELCEVCKTPLYTDPGSQ
ELELWLHSLRYEDAGGNWSYRSPLPAWALPPKGFEGPTEVGGMEDLVEKVKDENPEIA
>RCO7_00078 | uncharacterized protein
MPPIGDLLAQISGQPSPTQPSYSSSSTPKRKADDQPRKPLEKVQRTQVPATALSRPVTQSNRPTTVDAPMSRMKLGQSAQKQPLSRPSTSTTSFKNG
QPTPPPNNDGPKAPPKKGSYAEIMARGKAQQATLGQVGKIQHKRIEKQPSKREREDMKLQKSSKLQKNLAPDSKFSKMGQNPILNGQKNVKSSGKVR
PEPVPEKKVKKAALATTGYTGTSRPKPGGSASKSSSSSASLRYNRGSDRDRSRGDRYGARYAYPSEEEEEEEEEEEDEPEYESDLSDMEAAAFEVDD
EEEQAARIARREDAQALAEENRLKREKEEKRKRLAAMAKSRR
>RCO7_00077 | probable phosphoribosylaminoimidazole-succinocarboxamide synthase
MSTVPVLTSTTLTALPKIAEGKVRDLFEVDSKTLLFVASDRVSAYDVIMQNGIPSKGPLLNLLSKYWFDLLSDKIPGLQTHFLTLDLPASISSEADR
TLLKNRSMQVRRLKIFPIEVIVRGYITGSAWKEYQRSGTVHTIPIAAGLKNAQAFPQGAIYTPSTKAEAGENDENISPAQAAEIVGEKYAKRIEDLA
LKLYTTARDYAMSRGIIIADTKFEFGLDEETDEIVLSDEVLTPDSSRFWPADKYEIGREQDSYDKQYLRDYLTSNGLKGKQGVSMPEDVVAKTAEKY
REAYEILTGKKWEDAIN
>RCO7_00076 | related to aminoacyl-tRNA hydrolase
MASQPNSLHQNCNRSRKQRRRLRLQLEFSSTPPSSDTEIDSDSIALPLHIPRFTMASSVRLLVCSIGNPGPYLNTLHSAGHTVLSALASSLSYPSFQ
KSRAYANGLLSTGSDFTLWQSASQMNISGPGVASAWRQFQKESRGEETKLVVVHDELEIALGQVKVRPGTTSAKGHNGLKSIGETIGGINYMRIGVG
IGRPESREKRDVADYVLRKMSMVERGRIEGAAGKVEVELRRLLKG
>RCO7_00075 | probable 60S ribosomal subunit assembly/export protein loc1
MAPSRTSTVKSKHATNKSGIKNSKSAGKPQGDGVSKNKKPKSKGPPPKPQKSAGNLATLKKKRRVYTEKELGIPALNMITPVGVEKPKGKKKGKVFV
DDRESMMTILAMVNADKDGQIESKMMKARQMEEIREARKAESEKKFEERKARLDETKEGLRKKRKRPAGDESDTKISREAATGTKPLKLKKKTVSFA
>RCO7_00074 | probable imidazoleglycerol-phosphate dehydratase
MASKSEIRVRSAALARDTNETSIVLAINIDGGEFPSDTDARLVKSLNGENGHATQASKSQTIAINSGIGFLDHMLHALAKHAGWSLALNCKGDLHID
DHHTAEDVCLALGSAFKDALGAPTGLARFGSAYAPLDEALSRAVVDLSNRPYSVIELGLKREKIGDLSCEMIPHCMQSFAQNARVTLHVDCIRGEND
HHRAESAFKALALAVRAATTRVAGREGEVPSTKGTLTT
>RCO7_00073 | uncharacterized protein
MTNGYEGYRPLRVIIRALVDDIPGPLSKRVNYLAQTFSLQMLHRPFSHRTPKLHSWEQGKRIRDAMHFLTNWDSVQYGAKAWFIYDYNVVEPLTEEE
VMKSVPHYVCYATREENTWVFSPRRLWLEDAKRVCSKYKWGAEMPEVETEVQSKEGEEDSESSPEPLSEQIGLPMNIVSAVAP
>RCO7_00072 | uncharacterized protein
MTAPCGGWLYLTVVHDYAVMVEAALVGEASVAASKDTPKATDSSVYRVDMPGQVGGVAEGLGAASPGTREGAREAMVRLLVLSQRGGLQVGDPTGNA
IMSHAA
>RCO7_00071 | probable 3,4-dihydroxy-2-butanone 4-phosphate synthase
MPSSAIASQFHSIEDTIEAYKNGEFIVVLDDLSRENEGDLIIAAEDLTPSKMAFMIRYTSGLICAPMTPALTISLALPQMISQEDSEDPNRTAYTVS
VDAKSEKTTTGISAHDRALTCRTLADPESTKESFRRPGHVFPLRAREGGVRERGGHTEAAVEFCRLAGKRPVGAICELVEDGEEVEGRAERKEPEMM
RRDGCLAFGKRWGLRVCTIEDLVEYVERKEGKLVKKSVNGVS
>RCO7_00070 | probable PRX1 - mitochondrial isoform of thioredoxin peroxidase
MSSDSRPAPLRLGSIAPNFQAETTAGPIDFHEFIGDKWVVLFSHPEDYTPVCTTELGAFAKLEPEFTKRGVKLIGLSANTVESHGGWIKDINEISGS
NLTFPIIGDKQRQVAYAYDMLDHQDTTNVDAKGIAFTIRSVFIIDPKKTIRLILSYPASTGRNTAEVLRVVDSLQTGDKHRITTPINWIPGDDVIVH
PSVKNEEARTLFPDFKIVKPYLRFTPLPKEKTSAA
>RCO7_00069 | related to glucan 1,4-alpha-glucosidase
MSLSTSQPASSPPKRPRLSLQIKAPATSQTLGKSATALKADIDPTSPTAFNTLTNAYAVAIENASPRTARPLSSTLETKFNKRTTLRLETSNFSDDN
QYVHPSQRTQTPGPFSTTYPDTPSSAIPSSLTPTTTQPQPLSEPKTTASPFTFTPPQSAGSDHQTLLPRIFTFAANNPSSVSSPTTPRTPRRRMTIG
SQTAPYTHPRSLHSILRNSPLPPRSTITPATPTRVSMRLMNRASKKVGYNDPLTQTITTNKYVKSHIDLLSEESPYSATSEKGEKPEPLDLTMAYTG

DETRDGGQTPGPFEEMRRRMAESDLETPGTRKRKRREKKRKWEWTISTSTEKDDSEDGEDTPVGRTPLTALMLTRTPITAIRRGQSVSTDSTSEVSE
AEERFVPPEDMRTTLKVPISEDSEMSECDGSVQSEPVVSFDDNEARPMTSQSL
>RCO7_00068 | TVP18 Tlg2-Vesicle Protein of 18 kDa
MTIAEEFATRNFSIYGQWTGVICIFLCFALGISHLFHVSIMILFGATCLASSFLIIFIEIPLLLRICPTSPKFDTFMRRFTTNYMRAGIYLAMGLVQ
WLSIIKEASSLIAAAIMLTLAGAFYALAGVKGQGFVGSKTLGGQGVAQMII
>RCO7_00067 | probable hydroxymethylglutaryl-CoA lyase, mitochondrial precursor
MFALRPLPRRACVNLPPLEFLRCMSTTINPTTQHHAKSNNFVKVVEVGPRDGLQNERKTIPLTTKIELIERLGKTGLTDIEAGSFVAPKWVPQMADS
NVILEYLLKTPPSSPTPISYSFLAPNARGLQNALSILHKHPSSYQSLTPPTTSNEADKSSSPSPSPSTRSPFIEFSVFAAATETFTQKNLNTDIETS
LSRFKEVITGAKATGLRVRAYISVVLGCPFEGYDVKPQRVAEIACDLMEMGADEIDLGDTTGMGTAPRTAELLRAMTAAGIRNEDLTMHFHDTYGQA
LVNTAVSLEHGIRRFDSSIGGLGGCPYSPGATGNVSTEDLVYFLESLGMETGTDLDKLAEIGEWITGEIGKANSSSVGKAILGKRRAK
>RCO7_00066 | imidazole glycerol phosphate synthase hisHF
MSKVYLLDYVAGNVRSLANAIEKVGYTIDWVRSPEDVEKADKLILPGVGHFGHCMTQFASSGYLPAIRKHIDSGKPFMAICVGLQVLFEGSSESPEI
PGIGLIKGYLDRFDDTSKAVPHIGWNSANTADKSVYGLRPGSKYYYVHSFKIPYRKGELESQGWDVATARYCNEEFVGAVAKGNILATQFHPEKSGV
AGLRVLKAFLNGEKNGGVAKGMEAVKEGLTRRIIACLDVRTNDQGDLVVTKGDQYDVREKTDGGNVRNLGKPVEMARKYYEQGADEVTFLNITSFRD
CPLADLPMLEILRKTSETVFVPLTIGGGIRDTTDTDGTKVSALEIATMYFKSGADKVSIGSDAVTAAEEFYAAGKKLSGKTAIEQISSAYGNQAVVV
SVDPKRVYVSKPEDTKHNTIQTKTPGPNGETYCWYACTIKGGRETRDMDVIELTTAVEAMGTGEILLNCIDKDGTNSGFDLELIDQVKGVISIPVIA
SSGAGNPGHFEEVFEKTSTDAALGAGMFHRGEYTVKLVKDQLAERGLMVRRFESEI
>RCO7_00065 | uncharacterized protein
MFKRSFRTNDRVEKTVKLKKSYRDPTKLAKLQKSFDQSPPAGSTLTSPIVTFTVGKEGRLFACHEDVLTLSPFFAAACRGQFLGAGSKRIDLPDEEP
EIFSCVLEYLYKGDYYPRLLHSKRRNSWELEDAVLSPNPENTGGRGSVEATTFISSVREHLLKDTVIYCAAEKYGLEELKRLALKKQGLQSGIEVAT
ILRSARYAYDNTPDTDSRLRAHYLALIIRCRKTFKRSGTMQTEMESGGKLFFDLFVALCNHVDDIVDMGNSKSPRTI
>RCO7_00064 | uncharacterized protein
MNPNAPEHQPDVVHHTAIIRLAREKMFSPPDEETTRNINKRSTLTETYLDVRAFDELADLRRKIRTRNKDKAQAQPLPQFPFFSATPTPDESNGTLS
PPGLRVLDPDAGTPALCTESYLQFICEYANRWHSRLSGIDHHSAGKDPKFFFFPSNQSFYKNLMINSAEEMAEETSEHLTRAQFWKLRYLFILINFV
PAEQTDAHVALCAISPEAKTVDYVCSGGDTGLPNSPRFAGSNCVQYLFAWLSDYLGGTFLPYDWRLRTDAGHVQERSRGDCAIYTVTHAQCLAFGYG
ISDAFPCDHQKKILNRRQRYVQDLMYQGFADFELGSENTQYYPLLDTKPTALRNEGFHILPASVLNRLPAEIANKRKCYRGCPTKLSLIRHCRRNAR
FYPGWSDCKISGRGRSLKEFVMWVEDMDAMRHWKKCTPAAKPLPYPEHKPFRWIDPRNSGRNTIPPHALWPRKD
>RCO7_00063 | related to histidinol-phosphatase
MAFSMHSHSGQFCPGHAKDKLEEIIQTAIARGMQTFALTEHMPRTSDEDLYPEEISEGDSISLLLPRHKAFLVEAQRLRAKYASQINLLIGFEGEWI
RPSYGAFIKELASDPVIDYFIGSVHHVHTIPIDYDKDFYAKARHVADGSDEQLFEDYFDSQYEMLNELHPLVVGHFDLIRLMSPKPNASLKEMKGVW
DRVVRNLKVVVEQGGLLEINTSALRKGLEEPYPMRCICEEFLKMGGRLTLSDDSHGIEQVGTNFERAIPYLESLDVQELYTLQGKGVSGTAEVGVKR
VPLKSVKQSFKPQTK
>RCO7_00062 | uncharacterized protein
MSQHHSPAVHSQASQYDNRPTTQHQKKSPVQDITPPTPRDVFIAVMGVTGSRITTFIQQFCQKNLGIGYDLESYVRVGGQGMKDLRVFRKVCGEKKL
GSVYLSTRSWEESGEEILDYLLTQSWKVTLDIQHEMVDEGKKLVVETNVGRELQAEIEKIKEAHKKEMLEIREDMEEAIKTQDTERQEELRR
>RCO7_00061 | related to transforming protein rho
MADVETPEVSILLVGDAECGKSTFLSRISKGSTAHDTKEPITLLRDGDQPFVFDITFFNRPYRFEFYDTASPENWTLLHPDVIVLCYDISSRLSLIH
AQRFWIQEIKRIFTFQKELPILFLGLKRDLRSENDANGIIYPQEAYRIAQEMRCDRYLECSAVTGELVHEVFEDICRTAAMSGKKEGTGGLSEGGCV
IM
>RCO7_00060 | uncharacterized protein
MSRNMRNRSAPTPARKPPQSSSQKSQDSDSDDDYGGVDDISAGEDDEPNVEVAEERAIISSEGEETPAASRSYKEYGPWEGIASEGDAASLDEKFFE
QAVQKSSSVEESYDEDAAIEKHVHWESPVESDSETAGDSGADEFFPDLFVDKNEIDPHLLRQIETDDANQFSDDGFFYGDIYGEAESDQDLGPFEPL
IPLGDYDMQHTEHIEDTEESSDADSDSSGYDSDISDTGMSTDEEDIPGRIIAPEKSILRATSEGSTSSSSGEVTRRRSGGPRLANWIHEGDSPYATA
DLATTKVKVYNMRRFRQEYTMQSRARAPQIFSPQQNVLQDSPMISNSGNIMMSAMMPDPFSDNVSGQAVGGPEAFYPWTYINANGTFENQDSSSVAG
SDCDDEDLWNIDDLLNFGDDSDEEEGADRSDESPTGTEDTPGAPSSTPARPTTARSEDQVHPLLDHFRGGNVGAFRINQNRHQLLHRTSVTHDSLAF
GNSYMEGTIRGVKVGRLHHANTPITPVRKKRPLPVESSPASPTPYNANKKRKCGGDERPVDTKRSRGLTM
>RCO7_00059 | probable 3-hydroxyanthranilic acid dioxygenase
MLSTPLNIPKWLEENSHLLKPPINNYCVYNDDMTVMIVGGPNARTDYHINTTPEWFYQYRGTMLLKVVDGTEFKDIFITEGSMFLLPPNTPHNPVRF
ANTVGVVLEQPRPEGSVDVLRWYCANESCRKVVHEASFHCTDLGSQIKEAVNGFKGDESKRRCKACGTVAESAPREGEIRDPNS
>RCO7_00058 | probable unsaturated glucuronyl hydrolase involved in regulation of bacterial surface properties, and related proteins
MPTTVSDITATSVHDAIALLTHNLVNITDTTGEFLMTLPDGRIIDTKGWNDWEWTHGIGLYGLYKYHTLTSSPLTLKIIQDWFSNRFSAGGTTKNIN
TMAAFLTLAYVYEETGEKTYLPWLDAWAEWAMYDLERTEYGGMQHITYLTPNTEQLWDDTLMMTVLPLAKIGKVLNRPHYVEEAKRQFLIHIKYLFD
PTSGLWFHGWQFDPSAEGGVGHNFARARWARGNSWITIVIPEFIELLDLAPTDPLRIHLIDTLEAQCRALKRYQDESGLWRTLIDHADEGSYLESSA
TAGFAYGILKAVRKKYISAEYEEVALRAVKAVLGQIDERGELLNTSFGTGMGDSLQFYKDIKRTSMPYGQAMAIMCLGEFLRKFI
>RCO7_00057 | probable ATPase get3
MSVASQSSASAIAADEEGQAIFEDSRPIGFCHLHNLDIIFAVPFGYCGRLFLVSYLSRTSKAFSPEFSSCAMSTAIINTDDDQLEPTLQSILDQKTL
RWIFVGGKGGVGKTTTSCSLAIQLAKVRRSVLLISTDPAHNLSDAFSQKFGKEARLINGFTNLSAMEIDPNGSIQELMGQAEEGEGPAAGMGGMMQD
LAFAIPGIDEAMSFAEVLKQVKSLSYETIIFDTAPTGHTLRFLQFPTVLEKALAKISQLSSQFGPMLNGLLGANGALPNGANLSEMMEKLEGLRETI
SEVNTQFKDENMTTFVCVCIPEFLSLYETERMIQELASYGIDTHCIVVNQLLFPKSSSECEQCNARRKMQKKYLEQIEELYDEFNVVKMPLLVEEVR
GKDKLESFSEMLIHPYVPPAGGL
>RCO7_00056 | related to high-affinity nickel transport protein
MDSNSGMAFFPHPSRRKVWADKVSAVHGRVPGINKLPLKVLGTIGTLVLVNLLVWAGVGLVLAYHPALASTAALAYTLGLRHALDADHIAAIDLMTR
RLIADGQRPTTVGTFFSLGHSTIVVITSIVVAATAAAVSDRFGSFSQVGGIIGTSVSAAFLIILSMLNMWILWKLCVQLKTIVEQGEEMTPDPWDSA

GGGPLFRICKRLFKFIDRPWKMYPLGILFGLGFDTSSEVALLGIASLQGASGTSFWLILIFPILFTAGMCLLDTTDGALMMTLYTSTALARDQTAIL
YYSIVLTVITIAAAMAIGVIQLLSLILNVAEPKGGFWDGVEKAGDHYDVIGGAICGSFVLAGVGSVLCYGTFRRAVDRRIRAREESDEGVVVFEGDG
ERHLGQDRVDQRDGVRTEAGPLSAKKGIFDIKTTAGPSG

>RCO7_00055 | probable cyclin-dependent ser/thr protein kinase KIN28
MANSPLNVPGVAEKGTSSKSKLSTSKTASNGASPSNGGHDLAEQMNEDEKQKYVKGRKLGEGTYANVYLGHLRTDPSKFVAIKKIKVQKEYTEGMAP
DAIRELKHLQELSHPNIISLLSVFSSKDQNLNLVLEFLPLGDLEMLIKDTEGVRYGAADIKAWMGMMTRAVWFCHENFVLHRDIKPNNLLIAADGEV
KLGDFGLARSFSDPYRSMTSNVITRWYRPPELLFGARHYSGAVDVWSVGLVFAELVIRMPYIAGDTEMHQINLICQAIGTPTEENWPGVTKLPEYTV
PEPLNPIRGRDHYLATFGTAGYEGVDLLMKMLILDPRKRITAREALEHKWWAAEPKPTRKEDLPKKRGSSSEEKIGEDLKRRPGVLDDEKGAKVARK
LDFGAMN

>RCO7_00054 | related to Protein involved in sporulation and meiosis
MDDKTTSNGVHPSTSFDDSFSSTSPSLSRPLTAPTTHISTTPQPFLPTINRIVNMDSKASFDAKNAMLSPPEQTPQDSFPRLSSGPSLDFSMKGVDA
SSNGRVNAPLSPPISPESKTVNPDDRPSNTSRDPILFPQQDSSPIQPPLFLDQERSRMVNEYVQARESSVFREVSPPRHSEYELVLEFKSQVAQAYN
ANRKLWAQREMAQLREDNMLKMGGRRYTTIAPAQAGGVRQVKPTPRPIKAGSNVRVAKVPRAPKAPQGYRGSTPDMAKRVAREDKDFNALSDYCPPL
STLPNKPNSLKVDWKGAPIDLRSDPHVHLLHPDEVHLAANLRLDCATYLTSKRRIFIQRVEAFKIKKEFRKTDAQQACKIDVNKASKLWSAFDKVGW
LDKKYIINHV

>RCO7_00053 | related to aerobactin siderophore biosynthesis protein iucB
MASTPSYPLIKLPHPFLTSYRITTSSSPSPTLSLKFDSQPAAGQAPPEPLQNDNLTFLPLTSRPSSSVPSASDNSLWARAYRSPSTTFTWPSSSTPS
LAQIWNLVHALYLSSPEHEYFRLSLSGAGSEVLRTELLTTGLGIAHPQPWSGKVIDAAFTKDIDENELLILRAAFWQGAASPFGPRALWVIGSGTSS
SLRNPISSYPPMPEIYTQTMKFPQEPIYARHPIRRPKPSPGSVCYSRYIPELDEHFSLEVVDWRDETHLGLFSAWQNDPRVAAGWNETGTLDEHRSY
LKRLDEDPHVLCLFGRFDEKRFAYFELYWATEDHYGAHYASSPYDRGRHSLVGDSSFRGSKRVNAWYSSCIHYIFLDDPRTVNVVGEPKATGGTILS
YENSQGLTIGKYVDLGHKRSVHSICSREKWFQLCPLWWDGMERRLESADRAAWNAKL

>RCO7_00052 | probable multicopy suppressor of los1-1
MTRQPNLFAFPTVDALAKTLRTYVIQCQNAGIQRHDSFKVAVSGGSLPKTLAQALLSAPSSSEDAVKFSKWEIFFADERAVPLDHEDSNYRLLKDEL
LDKIPAEMGKPVVHTIDVAHLDDVQELADQYEQILVKSFASRDSVKLPIFDLLLLGCGPDGHTCSLFPGHALLRETDAWVAPIEDSPKPPPKRITLS
LPVVTHGVKVAFVATGGGKKEIMKQIFEGGNGLPCALVNEGAGERASWFVDNAAVEGVSFPRRGSL

>RCO7_00051 | uncharacterized protein
MSTDAAPAPLSKVDSAVQGLSSSPPKEKRRASSSVPGVYNILDLEEQGTELEIAPETQKLNWRINKSPMALDDPEKGWLKKPLTTPPVKRIDLHFPL
GLEVTARNLRGVTIKDALDAIYKQFRKKEDDELETPVLAGFEWDKEESWTRLVVHCKKEGAPQPKKKAKKGQEATGGDEL

>RCO7_00050 | uncharacterized protein
MQFTIVALLSLVAVAFAGPIAMPQRLDDVVITARQVDAEAAAMSNAAGEVIAFDSSAVYKAATDAGI

>RCO7_00049 | related to ammecr1 protein
MAAVEHCLFCFDVLSTNLEGREPISLDNIKKTLPSYFKDQNGDASNPTSAFTPSSTSSSSASIIESPLFVTWNTVSPGSSHRSLRGCIGTFESQELS
SGLESYTLISALQDTRFSPISKSELPSLEVSVTLLTDFEDTEDQMDWDLGTHGLKITFYFKGRRYNSCYLPDVPVEQGWTKEETLVSLMRKAGWNGR
KDKWMEVDKFTGTRFQGKALSLDYEEYRKWKKWAAKQEEA

>RCO7_00048 | uncharacterized protein
MSSSQTHIHRPKPRRPFAPFDQNAAPKQPPSPQLAPSESPSRTRSYANLTSSTLLGIYSPTSSSYQADDLLSTTWGSGAQTQRTPTLSTPVTRPRTK
LQAHLPHSQSAASRAFALGMRSVLLFGMGMGYGVLVKHLHDDRQLAPFQVAGIVKLRNDWRYLAFWGVAGVLLGSTMPWIDTLFADSRGDVGSISGE
GEDQKEAAESGIFGADWTPVVRSVGAFMGIAFAIRKLPWASTLQASLTLFLVNPVLWYLIDRSTPGFILSSFVGVTGTALLLATSNPGIMPYPASSG
IPKSTRNATSSKYLGSLGDELGIAGVRRETIEGGIWILSVLFCSCVCFGNIGRRLALSGRGKGFVRQ

>RCO7_00047 | probable folylpolyglutamate synthase
MATRTYNDAINLLNTLQTPYEVLKKRWDANIRIDEGSNQEIRRCLARIGYSQRDLDKLNIVHVAGTKGKGSTCAYVDSMLSQYRKSHDFPRNVGLFT
SPHLIAVRERIRINSAPLSAELFAKYFFEVWDRLEAAAAESSVPFEKPVYFRYLNLMSYHVFMQEKVDAAIYEVGVGGEFDSTNIVDCPAVTGISTL
GIDHTFTLGETIDKIAWHKAGIQKKNVPSFTVSQLPAALDVIQKRAKERGVKSLDIVGLDPRLEGVRVRPDATFQKSNASLAIALTEALLKKLDGYQ
PYENALSKEFVDGLEQVVWRGRCEKKLDGDITWYLDGAHTADSIIVAAKWFGDECAEQPGPRVLIFNQQGHRESVELLEGLHNAIKSQGSIKFDHVI
FCPTVPSSEASKKDHVNLSTESSALAGLTMQKVFAEKWRALDPPSHTTVHVLPSVEDAFDVVRGLSKQNRDSMGKEKVHALITGSVHLIGRALGILE
GVDAL

>RCO7_00046 | probable protein tag-253
MTTRSASHAGSWYSSRSSTLSNELEQWLAQVPDTIDGTQLPVPGARIIIAPHAGYSYSGPAAAWAYKSLDLTNAKRIFLLGPSHALYLPGCATSGHT
KYATPLGDLNIDTVTTKELQDTGNFDKMSKSADETEHSLEMHLPYIFKMLSQSFKSASDYPPLVPILVGNTDAEAEKSYGKILAPYLADPTSVFVVS
SDFCHWGLRFQYTYYLPASPSSAAASSSGGYSLKKRDKDPTRPMIHESIGRLDKLAMDAIETGKHDDFLGNLRQTGNTVCGRHPIGVVMAAIEALEK
EGKVSGEGKGKFKFVRYERSSEVEEITDSSVSYASAYAVL

>RCO7_00045 | probable galactose-1-phosphate uridylyltransferase
MPDQILDDISHRRYNPLRGSWLLVSPHRTKRPWQGQKEEPSKVTLPDYDLECYLCPGNKRAQGDTNPQYKKPFYFVNDYSAVKESQAAYKVEGDPKA
DLSNLLLRADPVTGKCYVLTFSPTHNKTLADLTPAEILPVIQTWTQLYAAHISPSSPLAKVQQYGPKGDISPPDAQYRWMQIFENKGAAMGCSNPHP
HGQIWTTTGTPEEPAAELEQQQKYFRANNGQSLLGDYVKVELEKKERTVFQNASFLVVCPWWAVWPFEVMIISKEHKRSLVDLSESEQLDFAEALAE
VTRRYDNLFETNFPYSSGIHQAPLEGTDEEINSSHLHMHFYPPLLRNATVRKFLVGYELMAEPQRDITPEQAAKRLRDDCGGELYRKNLK

>RCO7_00044 | probable ERG28 Protein involved in synthesis of ergosterol
MSSLLETITSYLPQHEGILPKWMLFLSVVALGNTIQSYLTLSYTARLYAGPKLQTPILSSNSKSSPKTKAPSNSPATPLQSRTFGTWTLIQSLVRIY
AAYNISNPQFYQLAYLTYVVAWWHFMSEWWIFGTARLGEGLVFPVVIASSTLVWMWMQWGFYVQ

>RCO7_00043 | probable RO-10 protein, required for nuclear distribution
MQNTFDQTATETIDLLEARLRRIEFAISGQVEQIPSSNNAPSATQRLASLEHSLHQLASKSRAIQELLKLHSKHPDLFQSPSPRDPPTTLDSSTILS
IILSSASSYPSTSSRLTSIMDVPIPAAEVSTQLIELQPRIAKIEAVQAAQNEDIKELREKSAKLVQKWYLGDILGAGEEWAGYEGRVGRVEQRLRRV
VKARRTDDAMI

>RCO7_00042 | uncharacterized protein

MPTLEDVEMGNSSSSEVREVEMEDAGLASEQGAVESLLPGVASNGHVASDEVNGKSGHGMSKASNDYQETKGTSSNGHVVVDPSAKHDGSQSPGTAH
EEMTSPAAGVGRSAENNAEPSKGEKNAGPIHEPPPAVQSIKMEKEIARLHEVLAEVSPQAAQKVLKEKWRMFLFEDYNEAHIAFILRAGLKNSNQEI
LDRVLKDEGGFKDALLKTVIKKPEFVEKVLKKTPPEIIAASISESALDHMMAERFKTVPGKTLIKWLATAGRLGYKADDILDEEDESVSPALPSRET
SVEIIGAMPVTRAQGQYHPQYQPPPHLQFHSHPRPYPLPPTQPYRPPPQSYPQPPPPRPQFLPHLANLYKDPLLMEQERQALLNNQQAQEVQVARAR
YAQASQKQHRNSNQGPPHPGPPNPVPSAAAVRAPHEQTVRSPTDVPTGPLMCTLCQRSFPPGSFDGYTYHITKKVCEKEPPASGYKWSCPNCLSGFT
TKQGLDYHSARKVCNDDDIAPATPLVPPNEKTSSTSTPTLPHPPMHMSGPPSQLQAPSQLPSSQALTRLPGAVAQPAVQSSRPDMFTPRRGPGRPKK
ENIRHSPSELTPEKRAAMEKAIADAEADTAEKIAALASSEYSEEARQRRTTSLTNAIATRKSQIRKSFGVSLRMRETDKQARLAAGIGSLSGPSRIR
EFDASSSVSPGVSPPASSFSPINGNSNTSRPSASLPSDGYTGPSSQGPYRIPAYDSAIRSNGHESPLRAVQTSDGASPSGYGVLKASGPSPYPGYYP
PTVNNKRKYGSQEPHLRAGGATPQMSMMMEVSTEDAASKFEKGYKKKMADREERDREHHERARDVNMTDAPASAPKEKISIEISSSDSEEVESDVVK
SVEDDHGVEENVEPRKISVGPGMARREGKH

>RCO7_00041 | probable lactoylglutathione lyase
MAATNVQTYKFNHSMIRVKDPKASVKFYEFLGMKMVQKIEQPEAKFDLYFMGYDSPKAVSHGNHFSDREGLIELTHNYGTEDDASYSVSTGNKDPHK
GFGHTCISVDNIQAACKRIEDEGYKFQKKLSDGRMRSIAFALDPDGYWVEIVGQNPVEKTEEVKETDVQTYRMNHTMIRVKDQEKSLKFYQGIFGMT
LLRTSENKDAKFNLYFLGYPGDKGVPNASVNGVNPTADREGLLELTWNYGTESDESFKYHNGNDEPQGFGHICVSVDDLDAACKRFEDHGVNWKKRL
TDGRMKNVAFVLDPDNYWIEVIQNEKLKNRANW

>RCO7_00040 | uncharacterized protein
MSQTMLLTKRLTIFLSQNTTPQLPSLLLLSPTGKLLSSSSPLPASTLRTQATLACSLWTLYQPTTSILPNALPLHHPSHNQNGGRNGNGSQSHSRGS
DTTFSSTSTITDHDLSTITIQLTHGVMVIRALSCGLLFVAIGPSNTSTANSTSNPQNSGPNPGQQTLQAQAHASSSRPTSPPSSPPPPPAHRDTHDG
DSQSQVQSQVQSPAQSQREFGNHLAVGSAAPSDAGSIRSTGTRGGSIVTLKRQAVEVGRWLDGQLEEFRLCPPEAR

>RCO7_00039 | probable homoserine O-acetyltransferase
MKSTRSITAAARTASRPPRTSIRSWHSSGPQQACQTASLQSASRHLHTQGARKNTAAGLAAASNPAMAFPCLDALETKSATLEARSLSSGPEPSYTS
GATLSYHCHDPLALDWGGILCEFDIAYECWGEINADKSNVILLHTGLSASSHAHSTEQNPKPGWWEKFIGPNGCLDTNKYHIICTNVIGGCYGSTGP
SSIDPADGLRYATRFPILTMEDMVRAQFRLLDGLGIKMLYASVGSSMGGMQSLAAGVLFPERVGRIASISGCARSHPYSIAMRHTQRQVLMMDPKWN
RGFYYDSIPPHAGMKLAREIATVTYRSGPEWEQRFGRRRADPSKQPALCPDFLIETYLDHAGEKFCLEYDPNSLLYVSKAMDLFDLGAANQSTTAIR
RAAQATRFEDGKTEEMEASSCSLTLPDEPYEEQPETGAPRDLNAPVQQSSGPPEDLVRGLKGLRDHPALVMGVASDILFPAWQQREIAETLRRTGNT
RVTHVELGDDVSLFGHDSFLLDLDHIGANLKQFLG

>RCO7_00038 | related to GCN4 translational repressor GCD14 protein
MANKVSPFLYPGAVATVDSLAIVHLKRDLQMPTVLKEHDDDDEGYSEGKVVNTRFGSFPHTTLIGLPWGSQVRASKVDTGSRGRRPKAEDRKRKREE
AAQVTNKAPKLEEDASTPATPKEETEAIAAQSGFIHLLPPTPENWTSSLPHRTQVVYTPDYSYILHRIRARPGTSLIEAGAGSGSFTHASSRAVYKG
NANAKLGKVWSFEFHAQRHEKLQEEIQAHGLENIVQITHRDVCEGGFLVDGQSPQAESVFLDLPAPWLALPHLSRSKPTSSSTDTPFISPLSSTAPV
HICTFSPCIEQVQRTVSVMRQLGWVDIEMVEMSQRRFEIRRERIGMDSGAQRGLVCTPASVDEAVARLREVEGTFKTFHETGEKFESAKKAHINPNS
RERLMQSLIEKKIYKEGNLIHRTEPDVKTHTSYLVFAILPIEWSEEDEKLAREKWPVLLRKEEDGGKVIGMSRKQVKRAEKQAAKDAAEAGKKAKLP
ETNGDDGKDIEINDAEVQDEAKDIPE

>RCO7_00037 | related to Pls1 tetraspanin
MGRDSILWTYMALDGAFVTSGGLLIAFALITKAEIASGPTAEKAARDLLFDMCPLNGAIANAVMVFITFFMTIPAIVMPMTRGWLKISGYMMTVSAL
FTMIIGLTIWFETLKTKKNLFVAWNKQPSTTQSLLQQEFLCCGYMNSTAPPFVIDSTCPDALVAAAQGGCVGPLTAYANNFLDVIFTGAFGIVGVDV
ALIIMTAILLKDRKEKERYRHIDEKSGAGAF

>RCO7_00036 | related to signal sequence receptor alpha chain
MAFSKLTVLALLALRTVSVFAVDPVVKEAEAPGTTPNLAVSVSASFPNAEVFGVKLINGHATKAVLDFTNSEPEAVTISLIGGSLSTLKKLPADAPP
NAHVVRNLTATRYDLLVPAGEKATLPYSFVNDLNPTSLRLNLIAVIASKAGNVYQVQAYNETVTVVEAATSIFDPQIIFLYLVLLGGFLGTLYFVYK
TWIEALFPQTKRGGKGGERAKRSSGGSKKAVPVEEQVSVIGADGPAVTTATEAQKMYDESWIPEHHLNRPTAKRVKSGASSKQKKFIE

>RCO7_00035 | uncharacterized protein
MPPRRKKAKKEPEFIYDHDTLVSCIQKHYQLLIDMAYLDAQSVRWPPAPTGWSDLELNVEALRKLNRSDTVIKLLRHIPYTCDRNTEVYYATMATSY
LRERWDPEKTSGSDWYTKEFCALGLAPFDGPMPPHLITLTNEESEIGITWVIDTERGCIYPHGEDYYLYDDEPPEVEDEGKWWLKVKPMEFEKFFHK
IHRDISSLLLVPLPPADDQGFKIQGSGAREYKVVKDLYRKYGWSSTFRKDEFLPAAVAARETVIRTARAQLEAEDED

>RCO7_00034 | uncharacterized protein
MPFFQYGLAGLAVFPVAFGAIGFQLYPLIQPAPMAEMLGISVNCLKALNTTLPCDEDLFKWTVKVDDTYWSQQDVAALCVPECTASARVWTQNVALA
CSADWLVVGDRAVPADTLSLRFTEGIEIACLRDTKNQWCLPQSYNWTGSDVVQVDCAANPADPWCVDAGNVSSKNNRISTLYDDDLLCSECFLHMMY
QRVTSEFLPDTDHSDYLVSEFQDVQSVCKTSVGPLATRVVPLYPYAWELNETAPEPTYSPKDILWTVEDEPEHVAIEIEVPEGEETDEGDEWLPVPE
PNIPTNCSARAVDVRASSGEGLEACNVLATRYGVASGQLMFATNADDCYSVDFVCVPEACELLRVNTGDTCKSVALALSNSTNPVGVAQLMAWNPNV
LGACDHLSEGQYICMSRPGGSWVKPPDSQVPDDSNGPVRGGPGSSNTLPIINDPSTVPADRIQEGIPKDCSRYVLANATSASCFKIAADAQITQVKL
FELNPVLGTNGEHCTTAIWLGYYYCVATPTPTTTTRRSSTTSSAVATGSPKPTPQHESTVSNCNKWVKAASGNGCWQLATDAGIDISLLYLWNPVLG
AGGENCGTKIWPDYYYCVGISSTTTTPPATTTKPSSPPKPTATQAGIPNNCVKFVEALSGASCWQLATDNGLELSRFYSLNPVLGTGGENCGTSIWP
NYFYCVATG

>RCO7_00033 | uncharacterized protein
MNFSFGSWTALALCVLLHQVVAENFLALNSVYGLLGNTISAAAVDLPVGTCNADTPPAVSADTLQQSVAKAAVQIVMQKQSAASTANPGNRSVRLVS
VVPSSVECQAGFGGCGPVKRPSCSKDGGSISKRNIGYYESWANTRACNAVTPEDLNLDGLTHINFAFVFFDPVNFQIIPMDKNAGTLLSRFTKLKEK
KAGLQTWVSVGGWSFNDPGPYQKAFSTMASTAGNRKMFIDGLIKFMETYSFTGMDMDWEYPAAEDRGGMPEDTANFVLLCKDIKQAFGTKFGYSITL
PASYWYLQHFDLAGMQPYVDWFNMMTYDMHGVWDAASKFVGAYVAPHTNITEIDLGLDLLWRSGLKPEKVVIGQGYYGRSFTLSDPTCNKPNGICKF
SGGANEGPCSKASGILTLQEIFDIIKQKNLTPIKDEKAGVKWIHWDNDQWVSYDDSETLVMKKAFANSRCLGGSMIWALDQVDQKANSLQYPEDWSE
EQISISEDLIADEEVKGVCYTTKCGDTCRKGDHEASQMNGQPGSMSTMDRCSKGEYRRLCCSKGTTMGICRWRGYRGLGLACTGGCGDFETEVTQNT
NHHSDKEDQTCSGGSQSYCCAGFTPPISKEQIEDRIKDEAADAAIALAEALALEVAARVFCRIAITAALTPLTFIPIVGWIIRLAVQAAVPALANLC
AKGIAKAGKSVFKFKGKDYDVKLDKPLQPKNDRGNRDKKDDAPEKDGHCDIKDVGLVKRAVLRDSKQTTTHTRIARKTITKVCDGGKNPQACLHYQS
VVTNQNLERMTCTSKQVVGADPRPLVDAYNDQHNTDWINGWMQKPGLNCQRDEFPPAVVWRGRDNRQWIRLIPGDQNGSAGQLFRGVCPPNYKLGPL

QGFRELKSLKGCRRVVRRFAVTRTATTNVLRMKFINMPNVVDDGIPENPCYPKTLVPDPGFALLANDPWYQRNAGNKQYTAGYRKAPLPRIIAGKVN
RPGYSKRSSDDNDFDPDGIKVDEGNSTRKATDQELFEGLGFLRCENGDCRGELEELGIESAPFDGPDPTAPPAALAYATAVDALPTSLSKVLDTATF
VHEEIRALITPAPMLEPAFEECGFDE

>RCO7_00032 | uncharacterized protein

MSLEEDLSSFQPWPAKIPSSLKGKFVISHDHEEILSAPPAPSDEYKDLILPLSRSSKGWFELCIMENDSAQTPRKKDGIEIVWFSHNNRLKKMKYGW
KTGKEFREDHDMFRLIEDSNVIAVRLNGHLVIELGDEVKKPPLSYGLIASNITGIASVFQDINDTILDGSLQISGFKKEGEQALTFVDGGGVRGIAA
LKLLKKIKDEGPSGK

>RCO7_00031 | uncharacterized protein

MEVGVDLELEVDRDYEYIVSESIRTGHSITDVCSYTDHNGRTYNGWMAGDSRLGLAPIVYPRYVLDIATGTGIWAIEFAKEHPDTLVYGTDLRFTAL
PICLFKDPFLASAFFRGELSLKPPQSLASRVYIQMTAEHPYL

>RCO7_00030 | related to cutinase precursor

MHAPALFTIFALPLVLAVPAPAPAAAAAGGTSGSTQNGLTAGGCKAMTVIFSRGTTEQGNVGTLTGPPFFDALSKMVGPNNLAIQGVDYAADIPGFL
AGGDAKGSAKSAQLVQQAMTACPDTQVVMAGYSQGAQTTRKGAGMLPPGIAAKVSSVVLFGDPLGGKPVTGIPAAKTKVFCHQGDNICAGGSQILMP
HLTYSQDAGAAAQFAASAAGMSKAAKPAGTPAGTPAGTPAGTPAGTPAGTPASNGTSDGTSGGTSDGMSDGTSDGTSDGTSGGTSNGTSPGTSDGTTDGTG
TPTGGSAPSKSSGKPRASGAGRAPKASGAAKIRALTAAKVKKA

>RCO7_00029 | uncharacterized protein

MRLSQTPSSLVSLVVAVLSQTDLVNAGPYPKDEIHDLGFAFLKPRQCVMYCGSENQFCCTQGQGCFTTANIAGCTATAGLAGGDGGYGVYTTTWTET
NLVTKTSTISYGVPTTPVAVAPMPTANNVPAICTTSLGQSSCDTICCAADQRCAAPNSCTAHSEFYQGPSTYAAPIRPTSGGISTATSIVSATTTVP
FQAPATASGSLFPIAEASGGGGLSAGAIAGIVIGVIAAIIILLLLCFCCIAKAGFDGLLAIFGLGKKKRRSTERIEVTEERYSRHGSHAGGASRRDT
HSGWFGGSKPARVSEKRKKESGFGGLGMVGAGLLGLAAVLGLKRTHDKKEKSHSGRSDISSSYYTDSMTGTSATQVQTAEREKAGEPAPQGGRPALF
G

>RCO7_00028 | uncharacterized protein

MPLMETVTIINKSGKVVSTGKHLVNIFKDAKDAYQDRKAELKADHHARIKYKNEQKLLQGREEPGSTTSSRRSHRSSRSHRQRDPGAASRPPLTERN
LSQISEGSVTSSQRSRSQYGSRTGPLCPRNYLPPQVVTEMSQPVLQRRHTDFPDASPSIVSRGTLPPPYTSQLTRSRPRSQSNPDFHADDIDMHLAY
GKLPPDLQVAQIDDLQQEQELKATMNKLDELLLEAQCLQHSATAIIANLQANPEAMAAVALTLAEISNLLTKMSPGILTALRSSSPAAFALLASPQF
LIAGGLALGVTVVMFGGYKIIKKIQADNAANKEANRMEEAMVYEGTEMGSIDTWRRGIADAEVQSVATSVDGEFITPEAHRQRKEHIKDRQREERRG
KRFRAESVVSESVRSERTIRRAGSESTIRQRDIPVRSSSSTITPSESRRSRKSRKESKGKEIVISEKKEKKKSPLSVIFKRGKDKSKDIRESTVSHR
PPVV

>RCO7_00027 | related to ATP-dependent protease (CrgA)

MSSIPHDNPAVSSLRSSLSKRQKTSKTDFIQQDDALDACRDARQIVRLVQCPKCSFPLQEPVTLPCGNSICKKCIPRLHPRPNISYPATPNRLLGFT
CPFPSCGVDHAEGDYSVDVVLNKVTSMVRKEIEEYATSAEASEVVHQLQEKDKWSIAGLPSMRSEQVRSRVLAGGRLIATFLMAQMGELSYGSEVVY
TPVSPNCAKSDLLDIAVLEHLKESTRAELDCQVCYGLFLQPFTTTCGHTFCRTCLHRVLDHSTLCPICRRQQALSPGLSPEKAPTNSIISKLLTGLC
PEALTARAEAASIESCPGTQELDMPLFVCALSFPEVPTFLHIFEPRYRLMIRRAIESGNRKFGMLLHKSNREPQGSLGPVSFYEYGTLLHIEGMHLM
PDGRSLIETRGVSRFRVLKYGTLDGYTIGKIETVGDIDLAAEEALEARETNPSSRNISAQDNSDAPPHHATRTSPQLPQASKIDTMSTRALFELGVA
FVKKMREKSAPWLHARVFQAYGECPEDPAIFPWWFASVLPTAETEKYKLLMTDSVRQRLKICAGWIQEIEGSNWNQSSSCNVL

>RCO7_00026 | probable tetrahydroxynaphthalene reductase

MATVAESNVQLNGSAPMESPISQGNGNAVTEEEPLISRIRGPLGIGSASLEGKVALVTGSGRGIGREMALEMGRRGAKIVVNYAHSSEAADEVVAQI
IASGSEAIAIKANVSVVKDIVSLFAQAVAHFGELNIVCSNSGVVSFGHVKDVTEEEYDRVMNINTRGQFFVAREAYKNLSIGGRLIMMGSITGQAKG
VPKHTLYSGSKGAIETFVRCMAIDMGDKQITVNCIAPGGIKTDMYHKVCREYIPGGESLNDAQVDEYACTWSPLHRVGLPIDIARVVCFLASQDGEW
INGKVLGIDGAACM

>RCO7_00025 | uncharacterized protein

MSHRNGRHPPAPFAHRGREHDIGQVGQAFAEFCIRGFGDPRDRSFGSPPRYIGGSFAPPGWYYEPRDSYPPADYEQGGCGAEQKAMKHFRQERPNEE
MAEQGKVAVSFSKAMKKLHKELMDAETAYQTYQDTFDGEMNQIRGYATRKVMVNLWDRKWTGKKEKEDSDAEESSETTEIFMQTHEKLKEKLESALR
DATGSVVEGKGSIQLGNADRLQQKVHVARKQILDLLKKVPDDRDYCASLLSELTLLRNLVDPETSKMLFAPGGGSGDGANNAEEQEQEQDGGGAGGG
GTW

>RCO7_00024 | uncharacterized protein

MGRGETNAKKRKRQSEAKAAPPKSPSIPIPTELDTTKPTAIFQPTKGRDWTVSVAIPGSIVANAQSHEARTSLAGHVARALSVFCVDEITIFSDGHT
HNTNKRHHSRTHSFGHQQDPAQDEYTGTSDPDHFLTHLLSYLETPPHLRKHLFPLHANLRTAGTLPSLDLPHHLRSEEWCPYREGVTLPGADEHGTF
VEAGLRIPVTIKEQIPEKTRVTLKFKDGAEKSHKDSTAATIEAEAVNPNDPREEAGYYWGFNVRKAGTLSEVFTECPYEGGYDVTIGTSERGIDVQD
LYSGTEDQQVGKFKHLLVVLGGVAGLEVAVKNDPELQKLEVVKAEDVFDRWVNVCPNQGSRTIRTEEAVWIGLMGLRRLVVGNERE

>RCO7_00023 | related to translocation protein

MDDTETFTLLPITIDPTSKAIITSSNSRPLKQQLTSLNDLHRTLLTLESPVPPPPVPVNPKRSAQITKLRESGNGSFRAGKHGDAIKMYTLGLQMAL
GRPLWEPSGLVRDEVAGLYANRAQAHMALSNWVEGSVDAEASVEAKKTGNAKAWWRKGKCLMEMGRLDEAKEWIGRGLEMEGSEADLVGLLKEIEQK
LNAKRT

>RCO7_00022 | related to tRNA 2`-phosphotransferase

MSSFTDKAEELDASLGRGGRPEGRGGRGGKRGGGGGKGEGREVMVSKALSKLLRHAAVEAGLKLDAEGFASVEQVMKWPRLKSLQIIFDDIRTAVSD
NAKQRFSMKPSPSLEGTPDLNSENPSDWVIRANQGHSIAVDSASLLVPITVAAGNVPDIVVHGTYFAFYQTIVESGGLKKMTRNHIHFSTGLPEDKQ
GVISGMRKDAEILIYVDVKQSLEDGVEWWLSENGVVLTEGDHMGVLGTKYWKKVEGRKEDTGVLWEEGKMVKELPEGFRGRRAPVGKGPRGQGPIGG
GKGGRGRGRGRGSGGVSEEFGSSPTNEP

>RCO7_00021 | related to endoplasmic reticulum retention receptor

MVGMNIFRILGDVSHTLSKCILIFAIHRNQSTEGVSLITQALYCCVFISRYLDIFQFNTAWNTILKIFYILSSLYILFLMLRVYARTREREKAWKLG
AACLAGSAIGAPLMMMMFKKSGYWGFQEFMWTFSIILESTCVLPQLLLLRQTTVPTVIDSYYLLTLGSYRAFYILNWIWRELDTNDRKPDPVSIIFG
VVQTAFYVDFAWVYYSRQRVKLRHGGLVDADDLRNGWLLRTVFGHKPLVGHVDDEESTPALGRDDVPAPRTASKWGSRGISVSADDGVLASERERQK
AFQGQEHSVISTGDEDPDAKMRDPDELARILDDDEEDGFEDDDGVLPSGSSAAVGNGSEWREGDAK

>RCO7_00020 | related to Found in Mitochondrial Proteome
MASMPVIEAAQGYLQPPTDEETLSLFTPEDAEAQEIEDFIRNHPLAVSLRQQPQYSESRPHLKVPPAQRSHSLTAGTLMGAGRVVVPPLVFSERGGK
SLVSIQYLGSNLCGHPGLIHGGMLATMLDEGLARCCFAALPNKVGMTANLNINYKAPAVAGKYVVLRAKTTKVEGRKAWVEGWIETLPEDGGEPVRL
VEATALFIEPRQAAQMARVYPVQ
>RCO7_00019 | probable adenylosuccinate lyase
MSANDTYQSPLASRYASSEMKTLFSARTRSSTWRQLWVWLAEAERELGLPISEEAISQMQSKITFTDEDFVVAAEEEKKRRHDVMAHVHAFGLVAPA
AAGIIHWGATSCYVTDNADLIFLRNGLDIILPKLAVVVNRLAKFAVEWKDEATLGYTHGQPAQLITVGRRACQWIQDLLMDLEDIERVRKDLRFRGA
QGTTGTQASFMEIFHGDGAKIDKLNEILCQKAGFPSCYAISTQTYSRKVDLRVINALSALGATAIRITTDIRHLAAEKTLEEPFEKDQIGSSAMAYK
RNPMRSERIASLGRYLSHVNSPVSDTYSSQWYERSLDDSAIRRITLPEAFLAADAVLITLDNVANGLVVYPAVIRSRVMAELPFMATENIIMKLVER
GGNRQEAHEEIRVLSHQASAVVKIEGKPNDLIERIKANPFFDSIKDEIDEMLDPKNFIGRSAEQCVNYCQKVDGEVQVALKPYASYILSSKAAELSL
>RCO7_00018 | uncharacterized protein
MFIPFSKSQRRWPLVLSFAALIVTIIYFHQQLVALPVPYLPNPLKKTSKIGHPKNVDTPVINGSKTHTEVYSVSTKDRKYFHVHFGGHKTAANTNII
PHPYWNDTYIIVAQKPPSKIPNTVWFAELVCNAQFNSYTGVMECIEPAAILPIAATAGDKCKGGKIDYYNNLVGPHDARVFYGPQNPYVIYGSNGVQ
TACLGQWMQDFRLLVDWGIEEYDEMKFRVGTELHRPEGTYMDMEKNFFAFWDTNGNMYTHYDISPKRVFAKVEHDGTVGPDLAPLAQPADRKCLAAR
LPRIGPKHDSIHQATNSLSITMCKRADPHCKVEEANTFVFVLFQYKSYFQFHGQYEPYVMIFSQQPPFQIHGISNKPIWIYGRGGPGTGKIPSEMSV
KGRAEWQQTEMLYVTSMSWKERGRKYHGYLDDVLFLGFGIEDEVAGAIDIMAGDLFADMGSCFGT
>RCO7_00017 | uncharacterized protein
MDLILKPVRVATSKPARQTYLNTALFMITSSVLFGFAVFAYILLYYNYVPQISIERVIHLQYGDGHHPYGITSLDTSLISQQAYDITLTLHVPRSPL
NLDQGNFMLSLSLLSPNYKPITATTTTPDTTLTPSSSSTLALSEGDIILSSRRPAILTYTSRLISLSERLLSLPLYVLGLKHESEILHIPMAESASF
SRGRKNIPGFAMLELQSGKFGQAGQEIQVYAAKIAFKARFGGLRWWMYNYRVLSFLLFTSAFWISELLFTAFGWLVVRSVFSTDTEVKKELKGEDSE
TRVKKEEDDSGEEVDLSDTPRTFPTYGRQAPLKYESSGREGPQVKDEDSEEYAALRKGVLAEADDEDEDDEEIGGYRGITDSGIGTSFSEGGEAGGV
KRRKSRGGRN
>RCO7_00016 | related to Leucine Rich Repeat domain protein
MAVTPNSVGRKVVPPLPYMPEKKTAPISDSVDRASFSSTKESHMGGIAQTFTETKTSSYLRNEYIQDEDAILDDSSSGSATPPDLLRPDSDSGRGML
TNPHSNLHGFVCPCDGFKGWKDISVRGRIASRSSGDLKGLARWDWDLKADENVKMTGTTLKDNGKNPAGKSPFESLPVELLGAIIDQLATDIPPGGF
TARNIDLMSLLLTSRGIHSATLSTLYAQVTIPHSRIFRKFLSHISAHPALGTIVRRLDFSHFNPTGAGMSARERAQTQNLIPETLLQALLLTTNLQE
FLAQEHIDDELSPAVLKTLLCDLPKLKALDFCACSSTSFRESFNAIINSQMLPSTLPIARLSLHECTILPSSVFDSILPRLTRLTHLDVAHTRITDS
ALHSIPHTARLTHLNLSKCSHLSGASVVNFLTTHPAAKELIYLNLAMDAKSSEMLTSADLTALIPCLPATLRSLNLKGSKMGKEHIELLLPFTKHVE
ELGLGRHLDLCELTRLFVPDCDLSIAEQIAWIPHSLRYIDVSDLSVAQLDLSTLFGSSCPVLKSMTEPLEVLELSAEVLKRLEKAPAVKRAGWCIKE
AGRRGWLVRLPREGGVKDEGARSWKWGATYWGMRKVPVARAEVGGIYGHYMFKKN
>RCO7_00015 | uncharacterized protein
MPPTTIREAPREDTFTTLTEHQTQTPSTFYNAKPVLHYQKNRIRVVASMDQIENLALLGRAEGENGNLRDTVQTLDVWISSENLTLYNPSLSSGLSI
PYPSISLHAISRLSDPSNPETQIQGLYMQLDLSDPNALSNEEDEEMNNVVELTLLTSPSSSDETPEQAIQKMFDAVSNCSNLHPDPMDEDDEDLAGG
GVGADSRIRFEGSVGYEGISGLPGVHVGNGDGGLPPPFPGSGGWITAENVNEFFDGDGNWIGGGGEGAEGEVEVLGEGAGRTRTREEMVGNENGNEN
GEGKGVNGDTKGDDESKRPRTE
>RCO7_00014 | uncharacterized protein
MPTQRPFFSNFLAAFRAHSTIQQTSKTTPQTSPQNTHPHSSQTTSPSQPRTISASTKQSGATSTALTSLHSPRTSTSPLGSSSPAAESASAARCIPP
RGRRGSDSSSEGFRDVLGAEKWYIGGRTATGEERYFKLGVIKRHTSRDRLSLDRLSL
>RCO7_00013 | uncharacterized protein
MAVMGDHHPSTGVTPWKQSPGYATYKSPYGPKYKIQRNFGGWTVKHFAKLGMTLGAFGGVAGVFAVFFFAEIPKVRNDIMVNVPFIGKHFIKEIPPS
DNPF
>RCO7_00012 | related to cell growth regulating nucleolar protein LYAR
MVSFSCENCGDVLTKKKLDPHRNQCYGASFTCIDCMVHFYGTEYRAHTSCVSEAQKYQGALYRPEKEKKGRNNNQQNHSQALVQQQQQQQQHAAYVE
DADDEYNHNSHIEIVEPSMPEAPSPPSAAPGFTHEPQSVNVFDFLVAGSTPNQSRLDLTAPEPMHMIEDTRDEDMESNHERDLVRVRFEDSAHSVSD
LIEYGNGPIETSNSEYQTPAPKSERERERKKDRKQRELTREEKKDKKRKRLHVETQDLAARDDESMTDAPPVLHSGLTGGLNRLMSRPSVFPPSPDY
SGGDVGEASPGSPLKKTKHTKNLKRGRVNTISNNLMSLISTKRVSSREHSEDRPKRKHRRHREDSDRPARKMIEYEPMNGEEVALEDNGSQLVVYQP
RADLLLSFVNKGPDSERGLSMNKALKRYHRERAASNTGLGKHVEEKELWRSLRMKKNDRGEIVLFL
>RCO7_00011 | uncharacterized protein
MAFFAGSAIASPVEQAISVKRHGELAFASGADSTTTLIIRAITQTSTTPIALRVFRAFVGPRIVAVRTLAMVATALLTLLLRGAKSYPLSRPSPNPN
PNPKPVELIDAKPVM
>RCO7_00010 | related to ketoreductases
MDLFEDLSPTAAMGLDLNFDLDPHMPQKTKVAVAPDVEITMSSESTKSKLQLPVSCDPPGPDNPAKQLVWIIFGSTGHMGRSLVRHCLNQGDQVCAV
GRTFENTLLSMQNWHPSCLGTLCDVRSRESVKEVIETAISHFGHVDTIVNCSGYGVIGACEDQDDHEVRNQFETNFMGTLNIIQLSLPYFREQGGGR
YLIFSSTSGALGVPGLGPYCATKYAVEAMVEAMLYEIDSFNIKATLVEPGLVRRDEPDWEESPLPVWGHFLIKPASEAYSRATSPALHAKRMVQWLG
DKQPTSAVKCAALVWQLGHCSYPPLRLLLGSYAIESIRDRLRSIIEELEDWKHLHFPVAADAPNEDKEEEAENENAGPMDTES
>RCO7_00009 | related to F-LANa protein
MDQMMGGEGGIGGAGGFPLEQWFWEMPLCTRWWTTAVVITSALVQCQIITPFQLFYSFRAVFTKSQYWRLVTTFLYFGPLSLDLVFHVFFLTRYSRL
LEESSGRSPAYFSWLLLYSTTCLICLSPLVSMPFLGHPLSSTLVYIWSRRNPDTRLSFLGLLVFTAPYLPWVLMLFSLVVHGTVPKDEIMGVVIGHV
WYFFNDVYPPLHGGSRPFDPPMFWRRLFEGRPREETADAINNEIAVAAAPAPEVR
>RCO7_00008 | related to sialidase
MSFDYNFSFGAGPATPPDFSFEEALNSASFDFGHSRSSSHASMYSQGSSPESVNTQLTTPARSPIRQHGPLLLPKIRPQDQEIHSPPKRVKKMPMTK
AQSLQTTTSFRPTHTRSYTNPESISFAVQDNFPSQNRSMSVLCSPITFATEVNERRASSADLLDTQTIGKYGFPTYRQMPTYIQSATNSQTETFNQQ
NFYVPQRSPSPLHNSIGLNEMTMSPIDDGNNSSLMAYLASPNPAPALVRQINMHIRDTNTKHFWWDIRQIRPWTSFNTKTISAIPGLKALLNINLPS
STFPTPPKTSLQPETEIDLQNIYSSFYGRKLNAALTLSLGQRHLVMRPSAKSATDPSFISNYTDDTSQLIYGRGLGRVVGLVKSFDRWNTGMRVEGN

HRKVEYLRGLAHLHRHMREHGCRYGFIMTEIELVVVRNGGDSVPHFGYLEIQTIQLAAHDNPYTSTFEEVEGSFVDAGEENVVPKKMKMTALLALWY
LHMLARDDTLPGQVGWKSEIGAPAEGTRRKCLPKDEWIPEPQLAEKRESKRIRGWVWPEEAVGRKELGKRGVRYNC
>RCO7_00007 | uncharacterized protein
MFQLQYAIKNPAMVFATALNVAHLLFQIFNELRVYANIVTARGIVTVPTIRHIIKIFARIPRPGSADTAGIKVTIHFPGSASMLYIRIHAPDIFAAI
SCVGGIKRLGLDVSDEFLPQHRWPSSKRVDDNLPKLLGFQGLSSARRVLLQLQPAVSLELAIQIAGDASAVQQQLVADIALSSTKSMLQSVLVAAGE
RLPLSQTKQRIKDFNILGADKFLIIQGHFHLGNASLSFCPASHDWCLSSAPRSHSEFPGKILSVTSRVFLGEHAKGDEVAERHSFRFNDMTASEVRS
TISSPRLMFMDMSSFAEAYPLFALEVPTVSDPMKPIAAMLQVAATH
>RCO7_00006 | related to monooxygenase
MGSIQRDVSVDMDVIVVGAGISGINAGYRLQTELPGYKYTILEARNAIGGTWDFFRYPGIRSDSDLHTFGFAWRPWSGSNSIADGESIRKYICESAE
AHGIDKKIRFHHKLLAADWSSKTQRWTLSVDADGEKTQMSARFVIFSTGYYDYDEPLKANIPGIDNFQGKTIHPQFWPEDFDHTGKKIVIIGSGATA
ITLLPNLADKAAHVTLLQRSPTYIVAIPAVDPMWTFIRKWLPTWLAHTIVRWKFLILPFLFYKFCRAFPNVARKVIRGGTEKELGPNSKIPFDPNFK
PAYNPWEQRLCVCPDGDFFKAIHKGNADMVTDTIKNVTAHGIETDGGKMIDADVIITATGLKIKLAGGSKITVDGEIINVADKYVWRGVMVQDVPNA
VVVIGYTNASWTLGSDATARLVCRILKKMDQSEDGVVTAAIEPGLKMNSSPMLNFSSTYIEKAKGTLPKSGDVAPWKPRSNYLTDNWIAGHGDLSKG
LRYSPSLKKVN
>RCO7_00005 | related to P.aeruginosa anthranilate synthase component II
MPSPPLRIAILECDTPVPAVHTKYGPYGQIFTHLLKASADTLTAQYPDLCSTTGLELSAYDVVTAQSYPPSLDSLDAILLSGSKHNSFDDEPWILKL
VEYVKTVLAQDRVRIIGVCFGHQILGRALGCEVKRSEEGWELSVVAMDLTKKGQEVFGRTSLALHQMHRDIVVSYPPGAEELAYTDKCAVQAMYVPK
RYISVQGHPEFTEDMMREIVKLRHATGLFTDEMEKDAIERVDRYQDGLVVAATFLRFLLEE
>RCO7_00004 | related to regulatory protein cys-3
MAYNGPSRVNMVEYISTLNHVPDQEMQPNPEYMEDDLAMFTNANFFDFDLGQDADLQPTDYTVDGGRDPAVAPDAVELKSLDFMNVHTPSDLCTLTG
YHSHTSSSVMSRCNKLCSFKIRPIGRRRSTPSVFSFSRMVPYHVNNGHGSSTILIPTNPQTLMKAIPSRSRSYPTFQIPRVSAVAAEKDGLFIDRRS
RSNYANDATMVGDYSFPDFNSFPPTTFTDTTIPPVPINTNTALYGSPNDGLPSQSADASLAGTKRKAESISLAGSPSGNDEDSARNAAEEDKRRRNT
AASARFRVKKKQREQALERSAKDMSDKVSALEGRINQLETENKWLKNLITERNESKEDIAGLWKKYSAENAERKASERKDGVGTKA
>RCO7_00003 | uncharacterized protein
MHTSTCPSKLPPAPDPHQQRDNFQSQSEKSSICAVCRHISERVGLTEVQCDHIPKPTPRRRFHPTLIPRRPTDLITRPIPQWLCHISSVNGANAETF
DPVTREIFPGEVANRHPVTAAAVKKGGDKRSTAVATTGHLSQKPDCLEVAKSARDDTRSKDAAIEDDAIGKTGSQTPQTFAYARDDKQPNIGPSAGD
ALGKIDSQTSPAFSHAKDDKKPIDGASTGDGFGKTRSQTPAVSKIVVEESSALSVLRKNIRQIITDLEDVIADEGLRSQLDIFKRKPCPQVRVAESA
SRYRGPLPATNTPETPQSTFSEEADAAHPVALSDESASTKAQEGRVMPAATEKDATHLATPSTSPTATKVKERCDPLEPEIMEMLEGCPHLLTAYLT
KKQISEQVPIEVQLPAYKKRDDKKKDQDDYEEEEDVDDENHQAREPGLVNSVQSKTPLRSIEGIDYFFGYPKPPSDTSDGGFDEMSSAELHDEDDSC
ESLFELDCDADLSDGEEVSDSEDIPKRKSARRLRSVVDKASKSDIKSLSDMDLELELAAKIERAYSQTLPALDDGVLASNSEGEDLAGGEGSKGSTS
ASDVPQVSEAFESEMAAPPSADPCILRKSGPSMPARDSSEEWESVFESDPEDDPESDSEESTSGAASVVSDADETLHSNSHSPSGVGLGLAAKQKRT
MSDTAQDPKYKKQRTLSDTVRFPRYITVAPALPEVDAIESTGSVGEPELVPKDFQIGKGLEDEEELDFKPGTQENPICLEEMDITDEEPSNGNRDDA
EREVARRLPDTLANNYDIDSVLKRKHKLEQVLLSFVSHERQDLLRAGPSQAPGSRDLASRSRYG
>RCO7_00002 | probable GTP cyclohydrolase II
MPDITNSSSSPTNPSWNVNSHDREDDEVPQLPPFYSPRPLPVSRAISELDLNSLSLTHPSLVAQTHSHSHDHDQSSTPPRDSNTDIGPEADGLLPDL
VSPAFTPPSTPGTGSQTPSSIRPPHVHLPKSVPVDSSTADGGCGQKKPKLLDKLPDVNCVVRARIPTTIGGTGTEMFLHLYQNSEDNKEHLAIVFGN
TIRSQSLDRVRDGETEMDRLIRGAYTGRLYPGRTTSGMVAEGNGAKVADAKNDAPLVRIHSECYTGETVWSARCDCGEQLDEAARLMSLPGSGGGVI
IYLRQEGRGIGLGEKLKAYNLQDLGSDTVEANLLLRHPADARSYGLATAMLVDLGVKDVRLLTNNPDKVRAVEGPGREVVVKERVAMVPLAWRVTQG
GIRSQEVGGYLKTKIEKMGHMLQMAESS
>RCO7_00001 | uncharacterized protein
MRTPSLFLAFLLANAATTFAGRVPSDAMSDGLDITKRVMIYGDHYINCTKTSQCSDLNTNGFTKGWNQPTCVSKYCRPKCSIDTDCLNFGAQLHRKL
CPPRYPPTQDEIDATGPRCAWCNQDNPVPGFCVTGMTLAEGDRPRVVKKPPPGHHD
>RCO7_11523 | related to extracelular cellulose binding protein (Cip2)
MGMSRLIDGLELSPTANIDTTRLGVTGCSRNGKGAFVVGAFEPRIALTLPQESGSGGAACWRISDSEKKAGKNIQTASQIITENAWFSPNFNSWTSK
VTQLPFDHHMLAALIVPRGLFVIENDVDWLGPVSTTACQQIGQTIYKAWGVPERFGFSLVGGHNHCSFPSGQQSDLTAFAQKFLLGSTTDLPVVSKS
SSTVSLASYYSWAVPALS
>RCO7_11524 | uncharacterized protein
MRYLSTLLLAVHVVASLYPHLNERHAAASCGLPSSYAPSTTDAKLPDPFTFLNGTKITSKSQWPCRQQEISALMQKYELGDLPPKPQRVAASFSGGA
LKVTITDGGKSITVSAKITVPSSGKAPYPAIIVIGGSSLPIPAGVATISFENDKMAAQSNSASHGTGLFFDLYGKTVTGHYHETR
>RCO7_06951 | probable High osmolarity signaling protein sho1
MNGGMDLKGRRAGGMRTMSMDNILGDPFALATISIAMLAWFIAFVGSIIATAQKLDNAFPNFSWFAIAYMLCCIAGVFVVIASDTTQTYHVAIVGYL
ACGLVLTTSSVNALIYSSNGPREATAAGHILLSMVNIVWIFYFGSTPSAVPRAYLDSFALHKDHRTSQGGRGMSYGNGIGIGNGNAGRPDTSVSSNV
PPQMYTSAQLGGFETSSPIAGFPGGPAGGDRNSSQPRFGNGPPPTSNLGGPISTEQQQQQPQQQQQPPGEVVAPTEYPYRAKAIYSYEANPDDANEI
SFSKHEILEVSDVSGRWWQAKKENGDTGIAPSNYLILL
>RCO7_06950 | related to protein LAC1
MNNNSPTIEIQKEKLEVVHKLLHQNGNSKGGIEYSPAVRDAERGYPAHTMTVKRKTKRKEDGPLEIICGWISQHQIGLSVNLLMLLSLTHLCFPRAR
SHARKFFELSYYNADTGAYRAGWNDAWMVFFWIVVFTGLRAAVMEYVLSPLAKKVGVKSQRDQTRFVEQAWLWIYATSAWTLGLYILKNSDYMWDFK
ELWTNWPDRELDGLRKWYILVQYAFWLQQLLVIHLEERRKDHWQMLAHHIVTTVLIFTSYGYHLTKVANLILWTMDSVDLVFPLAKCLKYMGFTTAC
DVLFGVFMTVWFATRHVIFCMICYSLYADAPATMDYGCYSGKTGSIKGPFPVPDRFGHLFDPFRNPEGIVCFNGKIKWGYLSALLFLQLLTVIWFSM
IVKVAIRVLKGGDADDVRSDDEGEHEEKLLGEKIIATNDEMDLPPYEEDVGVESINFKGRTFNTSKYKKTTSSASGVSLPGHSDRKELLGRIGCDKS
V
>RCO7_06949 | related to C-term. of A.nidulans regulatory protein (qutR)
MSSSTKYTAAPQRDSFDDTANYSQAPPSYVDQPSTSSTDQAALLGGALRSSEDNVPDDFKFGGSVSEASIDIRMAFVRKVYAILSVQLIATAVLSSV
SFFSDSYRTWIQSNQWMMWLSLFGAIGFMVLTYWKRKSYPTNLLFLSGFTAFEAYSVSVIVSFYQSRIVLQAVLLTAGIFVALTLFACQTKYDFTSW

MPYLFGGLWALILFGFMAAFFPHSSTVELAYSGIGALIFSAYILVDTQLIMRHYHVEEEIAAAISLYLDIINLFLNILRIFNSQQNN
>RCO7_06948 | septin-9
MSSPLSAIKIRRKKNVKKGIQFCLMVCGASGTGRTTFVNTLCGKKVLVGKDADDATNAHLEEGVRITPITVELELDEEGTRISLTVVDTPGFGDQID
NEASFGEIVGFLERQYDDILSEESRIKRNPRFRDNRVHALLYFITPTGHGLRELDIELMKRLSPRVNVIPVIGKADSLTPAELAESKKLVMEDIEHY
RIPVYNFPYDIEEDDEDTVEENAELRGLMPFAIVGSEEVVEIGGRKVRARQYPWGVVEVDNPRHSDFLAIRSALLHSHLADLKEITHDFLYENYRTE
KLSKSVDGGGAADSSMNPEDLASQSVRLKEEQLRREEEKLREIEVKVQREINEKRQELLARESQLKEIEARMNREQSAHPDTTNGAHPDSEA
>RCO7_06947 | probable HSV2 Phosphatidylinositol 3,5-bisphosphate-binding protein
MNTRPAIESDSSSIALSASFNHDASCFSVGLNSGFCIFNSEPCQLRVSRDFNAGIGSAQMLGKANFIALIGGGRQPKFPQNKAIIWDDAKQQVAIQI
PVTTAVRGVRLSRTHIVVALQNSVRVYKFKSPAELWSVFETADNPLGLCCLTATSLAFPGRTSGQVQLVELSTGNVSIIPAHSSALRAIDISHDGEI
LATASETGTLIRVFATSNCARIAELRRGVDHATIFSLSIAPAGQLLAVTSDKSTLHVFDIPHPSKPARTETPTPNQRLTTMGSGGASPGPSEIDTTQ
KWGILGRIPLLPRVFSDTYSFASAHFEIGDEPLYGSSTPLNSEAAFRPSKGILGWTSDHSIIVIGAGRDARWEKFVIAEGEDGRRYCVRDGWKRYLG
AN
>RCO7_06946 | related to RNA-binding proteins
MQSIRQIQDLNRRELEAGVSPEASWHTDYRDTAYIYIGGLPFELSEGDVVTIFSQYGEPTYINLIRDKETGKSKGFAFLKYEDQRSTDLAVDNLGGT
VIMNRTLKVDHMRYKKKDDEAEEGHDLTQRPPAEEEDGEGRRKRRRTDESESEEDRPMLKEERELAKLIQDHDDEDPMKAYLVEEKKEEVTMALARL
KDGKKSEKSKSKHHHHRSRRPRDEDGKESSSRRAHHRSEHRDRKRSHSRERSTGGLDECRTERSRKPGTTDERKSTHRRENSRKEGRDEGGRARSRD
RPSRRERSVEDRRHPSRR
>RCO7_06945 | related to dynein light intermediate chain 2
MASNNRTSTYMQSSDPERPKSSDEKKNLWASLLDSVASGKQLPEKNILVLGGSTESQREFLEALSTDSSKRAQDRQGNKQRPIANNFALGYTYHDVL
DADHEDILARLSIYLLSDPSPSFTPLLQPLLTPQTIPNTLIVVLLDWSQPWFWLRQLRDWIRLLRTLLVSLDGDSKEKMEEVMINWRERGRGGNSLD
GGGVNTSTEADVSLPLGPGEWEEALGIPLCVVCQNADHIENLEKERSWKEEEFDFVLQSLRTVLLKHGASLIYTAPSATSPLQTLVHSSLGIHSLLK
RQPLKHNVIDRDKVLVPPNWDSWGKIRVLREGFDVEAINKGWSVDIEESQDTMVVQIGESVVNEHISPEESAPPVPGAAVELYEETIRNPSLDALQA
TATEGNGLKLEVSSQDAQTFLATQVEILDKIRQGTEPGAMDSSRVVRGRQTSQSRVDEGEEDPYDEGRVNEHIGPVQFNMGGIQVDADDMLQRLRDR
QTYQTPEPTSPGNVATPDGKNQNEALASFFAGLMKRGGGSAANSPKPGAS
>RCO7_06944 | uncharacterized protein
MALILPKGIVVNSDQVNESIERIASDPLDQAHIAEFWKVYTTTKRRLLDPTAERLENHWWRIWYSDRKYLNGATIARLFDHISNGPTFVPLRGPPNR
IESEPTLSNRGVHRGPAAASTSALRQNVTSTNSGTTTTTSSSISKAPAPMPHPILKKTRGPSTSGPRPTARFISPHESEHEDYQDSSVSPNSHVVVQ
PPSPDARDGKSDRKATSTARRKTGFSASTKATKKKRPVIVRRQSSQNSQSSADTATREAEPAHVASAGPTSLDVPPARVVSRFQENFTPSPEKFTSS
HMPKKKRTTDSKRSSSRKSPNGKGRATSSKAEASVSNGDPGPSSQLRRVENLQEEEEMEELTPEELGELELQRIMLAEANARFHRKKALEGSSEAGE
RQNSSEMPRSKSLGTLETSGVDAMRLVQHDPKGTPSLASTLTDATGQLAFGEVGTGVPRSPSNYVPLTREQKGKGRAVKEETIPVDVFAKRQILPSQ
PALMEDNLNRSKSQLTLLLKKDKEKSTRNEKEGKRKS
>RCO7_06943 | sorbose reductase SOU1
MFRSQLLRQTARAVRASTTLPQPIASRTLPAISCSRSIHSTSAFWENEKKPEHEGSFARTDPKVEVEYPEERDLPSSAPVQGRGGMHFRRTLPSFSL
EGRVGVVTGGARGLGLVMSQAMVISGADVAIVDLNKDEAQKQAGELVAVFKKENPGAEKVPKVTAHYADVSSQESVEASIAEIIAQHGKIDNLVTSA
GFTENFEAINYPIERVRKLWGVNVDGTWLFANAVARHLMERKAPGSMVFIGSMSGAIVNVPQPQAPYNAAKAAVRHMASSLAVEWAHANIRVNCISP
GYMLTALTKKILDDNPELKKQWTSLIPQGKMGQPEDLMGAVTFLSSDASAYVTGADLRVDGGYTLT
>RCO7_06942 | uncharacterized protein
MYLSQLGAVAALAGLSSAFLVPPKVSSADIGQEQTEGRVIEIACTGCPVSTNVNGKVHSVEAESTLQLNFTLSHGNGAEHLLLNGQQIYPIDPAQTV
LQGPLTAAQMMKSSDQTWKYAANPRVGYSIAVGQSQNSPDDKQRLVAVHLEIIEVAEKFVTGLPALDLQLVETPSGKLMIGKTGVAMPVSPSSDREC
KTLLCKWRAIVADRVKAMKKGCGHMHQKPKARPADEHKHHSNPTHGSPRPWRHHHKQGTLTRLLRSIVFHVLVPVLIGVMVGITASLVGMVVGHIVI
FTWRMLFRRGQTSYNAVSQGEEAEDSTDVDSKTFLVGQGPPPQYEIVLEEKKEVL
>RCO7_06941 | propionyl-CoA carboxylase beta chain, mitochondrial precursor
MSKFRASREALKLSQRISKPSARTLPLAIRLSSRSIATYCPPNQANAISVLPTIVDPSSEEYKENARQMGEVMAKLEDLTKKIHQGGSQKARDKHIA
RKKMLPRDRVTTLIDPGTSFLELSALAGHELYPEAEIAAGGIITGVGVIEGVTCMIVANDSTVKGGTYYPITIKKHLRAQAIAQENNLPCVYLVDSG
GANLPHQADVFPDREHFGRIFFNQARMSSMGIPQIAVVMGPCTAGGAYMPAMSDESIIVDGQAHIFLAGPPLVKAATGEVVSAEDLGGGKMHTTVSG
VTDYLAVNDAHALVLARRSISNLNWPQKAFPAPATYSEPLHDPEELIGIASTNLRKPLPIHEIIARIVDGSVFSEFKRDYGSSLVTGFAHIYGHKVG
IIANNGILFSTSSLKGAHFIELCCQRQIPIIFLQNISGFMVGTDAEREGIAKNGAKLVTAVACANVPKFTVVVGASNGAGNYGMCGRAYSPRFLWMW
PNAKIGVMGSEQLTAVMETVGKAVDPELKARIERESEAVFSSARLWDDGIIPPSHTRRVLGLGLMAALGGKNEPEPTKFGVFRM
>RCO7_06940 | isovaleryl-CoA dehydrogenase, mitochondrial precursor
MATVRSIRSLASRPAIQLRIKPQIPLSAIRHRNASSKHPKGFEVPSSSDLDDLRERVQEFTRREIPEELAAKTDKTNAFPDEMWQKLGDAGFLGITA
DEDVGGLSMGYQAHCVVMEELSRASGSIGLSYAAHSQLCVNQLQLNGNAEQKKKFLPGLIAGTSVGALAMSESGAGSDVVSMRTTAKAVDGGHVLDG
TKMWITNGPDADVIVVYAKTEPEKASKGITAFLVQKDFEGFSCARKLDKMGMRGSNTGELVFENVFVPKENVLGEINRGVKVLMEGLDLERLVLSAG
PLGIMQKAMDVTLPFAHQRKQFGTPIAHNQLVQGKLADMYTKLQASRAYTYDTARKVDELGLIRTQDCAGAIMYAAERATECTLDCIQLLGGMGYVE
EMPASRLLRDAKLYEIGAGTTEVRKIVIGRAFNKEYSSFTQ
>RCO7_06939 | related to CTI6 Cyc8-Tup1 Interacting protein
MDTARRSSRAARASQPLQSTSQHSSASSNSSGRADRATRSHIKPGSPRKSTPGSLSSEPAEDSNKVAVEESTLTRPKRGRAEEQPKSTKSQPIQAEI
NNGEEEVGEDDEAVRCICGFEEYPGPPQIGDEDSKAGIKEGTEEPVITPADITEDLAGFFLQCDMCKVWQHGGCVGIMNEDTSPDEYFCEGCRKDLH
KILVASNGQRYSHYLPLYPTLSRTTSRAGSFSKDGTRSPRSSKIGRPSSSLQSNAKRRSTMNSRDAAYDEAAEIQRAIEASKGEKSGESTDGGTTRR
GKRGRSDSEEKQEGPKRQRTASASPSPSPIPDARTFQAQAESDDEANGKPSGGKKIRGAAARNHKEKELREERERLRQEAANKRKGRAERRRVEDSE
PTEELPLVRRDSVAKSTEVAPQPLDPPPSSQPAAPDTPPPNPPPVSHKKGGRPPNARKGKLGKNQYTKEREGLGNDGQSPNRSQSRDVSKTEESEAA
SIKPTSHEGKIGRTKGINSKVAMLDMKKRATAMLAFISQTEYELGGSISPTTEEATAEIMKGLADGLPMIRINGENGHGSKGGEAGEHSSREFKDLS
CKEMIVDLTKQLLRWQDEFA
>RCO7_06938 | uncharacterized protein
MSPDPTSPYPDRPIRPLPKRRLRERLSPDVAETILYPPAPKTITPLFYHPYSPREETGVTGLVESQHPSERERADEVERNYMPRRNVEELDSDDDEA

AYRSRIYARHSADKAGRSFRYVQKPESKHPKSRPPGSAASSADGYDSFENTNNKKKRKIPTPGDSSLNGVHLASDLAAAGPEDLGEDVGAGAYPTSN
SYTNGQGISGPGRGRYGRVRSGRSPLRTLSDTSSNWGNGRLAKQRQPQWSPSTESPGIISRSIANANAEKNPITPARGQENVSLLEQQASKKATPAS
AQFTFTCDSQVPGTVAWPGPSNSTTMHPAPQAARMSTHGTQTSPSMPASQASNSALQSRQGLAASQHAPNSQKQAPAQEPKKNRRRRTGKEYLIAAR
QRRQQQEYRNFHHPPSPQDIWICEFCEYERIFGTPPEALIKQYEIKDRRVRKQEAERRRLLEKAKMKGRKGKKGNKAATKAAVAPQDRAQHQQPAAM
AQSHSQGTQSEEYYEDEYDEEYAQDDPPPSSPIAPPSVRRNEVQPDPGKPPLLGGFDNRIAA
>RCO7_06937 | related to importin beta homolog Kap119p
MDVATLRGRIVATLSPEADLRRRAELDLKAAEEHAGFTDALLEILQAEQEASVRMSTVVYLKNRVTRGWSPSEESVQNKAITDDEKQRFRERLLPVL
ASSPPQIRQQLVPVLQKILHYDFPEKWPSFVDITHQLLNTNDATSIFAGLQCLLAICRVYRFKSGENRADFDKVIALTFPRLLEIGKGLVNETSEDA
GEMLHVVLKAYKHATFFELAASLREQPVVIGWLEVFLGTVAKTVPASALPEDLTDREANHWWKAKKWAYFNLNRLFVRYGNPASLQKGNGDDYTEFA
KNFTANFAPEILKGYLAQIEQWVAKTTWLSRPCLSYTLVFLDECIRPKAMWTHLKPHLDTLVTHFLFPVMCLTEEDIEKFETDPEEYLHHKLNFYEE
VSAPDIAATNFLVTLTKVRRKHTFTILAFVNTIVSAYEEAPDATKNHIAKEGALRMIGTLSSVILGKKSPIAEQVEYFLVRFVFPDFRSSQGFLRAR
ACDTVEKFEQLDFKDTNNLLIIYRNILDCMADPDLPVRVEAALALQPLIRHDIIRTSMQQNIPQIMQQLLRLANEVDVDALSNVMEDFVEVFATELT
PFAVALSEQLRDTYLRIVRELLEKNEKRDDDEGYGDYLDDKSITALGVLQTIGTLILTLESTPDVLLHMESILMPVIKVTLENKLYDLYNEVFEIID
SCTFAAKSISPTMWQAFELIHATFKAGAELYLEDMLPALDNFVQYGAAHLIQTPAYLDAMFGMVQDMFADEKVGGVDRICACKLAEGIMLSVRGHAD
QYVQHFIGIAMRTLTNSEVKVKSYKIHLMEMVINAIYYNPVLAIHILESNGWTNKFFSLWFSHIDSFSRVHDKKLSIAAIVSLLTLNADQVPTSVQQ
GWPRLLQGIVRLFQTLPAATKNREEALKDDYPVDGDAYDDDEDDEWAGDDTAWNDDNEPEEEGEGKDESTAYLEFLNEEAQKFQNLEDNESDDELGE
ESLLETPLDKVEPYQLFRDALLKLQHEQPQLYESLTASLNPSEQTIVQGVVNQAEVNAAAAAQAAIQAAQVPVVNGAP
>RCO7_06936 | probable copper amine oxidase 1
MLVRESSIGQPRSDGSRPVPHPLDQLSIEESNFAREVILSSRGSEVTINFRSIYADEPPKQELFKFLELENAGNVTSQTARPARVAKVQYDVFREDR
KHEYMESCVDVVTGKEVHQRIVEKVHQAALTLVEFQEFSEACIESPTFKKAVAEFDLPEGFVVAVDPWPYGGPNPDEVAPRYTQGLCFAKDARNGNE
DSNHYGYPLPIIPVMDTYSKEIVRVERLATGGKADGLKYGTHSRDILSHCSPSEYVPELLSQPLRTDVKPLNVTQPEGPSFKVDGNLVEWQKWKFRV
GFNPREGATLHDVRYKGRSILYRLSISEMTVPYGDPRPPFQRKQAFDFGDAGAGRAANNLALGCDCLGTIKYFDAIMTEPDGKASISKNVVCLHEQD
NGIGWKHTNFRTDRAVVTRLRELVVQFIITLANYEYIFAYKLDQAGGITVETRATGIVSVVNIDPGKTSPWGNIVSAGALAQNHQHLFCIRIDPAVD
GINNTVVTEESLPMPMSKEHNPYGSGYEVRQTAIKTSQHLDASPWTNLTVKMTNPSKLNPISGKPVAYKFIPSASQLLLAHPDSIMAKRAQFATHHV
WVTKYKDGELWAGGEFTNQSQKEVDGVSDAVARKDNTENDDVVVWNTFGLTHNPRVEDWPVMPVEIHQLHIRPADFFSANPAIDVPGSKDSASVLAT
SSESCCESGSVQKDPVSHLQGTGPDLDPESMLEVTINR
>RCO7_06935 | uncharacterized protein
MVGRGRDVRVGGVTITGPDMLEVDLEVDLEVGLDVVLAQVDVGCFTVHCVEHAPSHPFGQGVYTFTVATEVGQPHGLSMEERTMQSGTGQGDGVGWG
QEAESVVLMMVGHVVPEGEGVGCGWGWGG
>RCO7_06934 | related to N.crassa uvs2 protein
MESTNPTPATPVALFKKRASKSNFRKRAATPPPASDSDSGDYASSEDESGRKIKRRKKNTGAVTVSSQNNAASKADHTSTKYTADRNSTIKSSNDAT
KQTNWFDENATDALSSRNLLGSTRTAAEGTYKGLANATTFIQKNLDAPNRVVGPVKAPTNIRTITVTDFAPDVCKDYKQTGFCGFGDNCKYLHARED
YKAGWQLDKEWENVTKGKKVLGGTKIASANRNAEEEESGDEDAMLEGIPFACVICKDKYKDPIITRCGHYFCESCALKRYRKDPACAICGAGTGGVF
NVAKNLKKLLDKKRERAARRREKAIEAGEEVSDEEQEE
>RCO7_06933 | related to AMI1 protein
MASLAGDQPSLASQPELVSPDQQDPFSASSNSSHHRFSHFDNQLFALGPTASPDQAKRALEAHLAETERRIQEASRLGTTLVEQRKELAERLKDVEK
QQSEGDITPELRQKLVEVEKEYNEVGRESARAFLPKSRVSSAEIAGGSPYRSVSPSKFESQATNSPSKLSVPNRKQRNQPSNRVHDIEFATEISTSL
LSQVRHLQALLAEKEESLKTATLEKSRLEIEAEGFNQRLRSLDESEHRYKDENWNLETQIHEYLAAAKDSADREKRLNQNLSILQAEKSAAQKELDE
IKLSHAQLSEDHAAALKHHDVELGGVKRSMNMADNERNALQKRVEDLIGQNQELARAVAHQRGRLEDQQQSRGLSDDDFETAPDNATPEHSPPPSPT
KGTPRHSMLESETLKSSLHHAHRMIQNLKSNIHREKTEKLELKRMLQDARDDLDSRRTEFGSGNGKRTRKVDSREFKKPLKPGQLGGLRNSRSEVFI
EDANWEEDDGQRSPSQTAILAARAAVGANNVSRSANDSSDMFETANEQDSTDAFETANERGTETEDFQTGAEEMSDSDELTETEGPAGTARQRPPPP
LALTKAGNRDSFQSTASTSGDEYSYEDVKTPTSQQPQRLRLRVSRGGGSHRRSSRAVSEEPSLQSSPASFANSSQNGTPQAASQSLFAELGDMSDEE
DSTQGTPSRINFMSGSATPTSRPGTAKPILGETPVLLPSVAPDPKLAMVDSATMTEPWQPEPATHQAAIALVGAGLAGVALTEAAHLIAGKDSSTDA
RSSMSDSHTVLEPEPRRSMSDSHTSTEPEVVRTASESHTLTELEPIPVISHNHTSTEAGPARVMSDSHTSTEPEPIRIMSDRHTSTEPESIRVMSDK
HTATDTPVKAKMSDAAVQWHQEQLDDQSNNFLGVGADYRMRPVSDSTYSDMSSQYDPEIMEEKLAKFPSPPTSRAHTPMASLSSLEAMSATAPLTMS
QIVSEHIEPTEAESPIVPSTPKGAPLSAPLAFSSLQFLDTEPISPRSPRPDGMIIPRDDLEEESVERARPQTPKNNFLSTVLGWNKGKVPATPIIAE
DDTRQSPSDSPLVATPDSQRPFKEVSGNSHDRAVKKAPVETIDESSQTALTATQIDEMLHAKRQDTILAEDGNKSPSSPRVPLISVSPRAKKSQDSI
GSVPRARSKMTDPDFVHDTEILKRPGSAGSTRNNSTSSAHPPLPMDHKLVIAAAAQRSGSSSGGPGSMGPPPLPASAQRSNSSSGGTGSMGPPPLPA
SAQRSNPSSGGTGSMGPPSLPASAYKNPSFRPRTPSSQPPMNPISLRAGTTPRPIHSSAGTAEIHSPSRTARSRASSVSSFVSEIDTRFNMKAAGLP
NGLDPGTDPRMINAITQTMIGEYLWKYTRKAGRGAMSENRHRRYFWVHPYTRTLYWSDRDPSAAGRAELKAKSVPIEAVRVVTDDNPMPPGLHRKSL
IIMTPGRSVKFTASTGQRHETWFNALSYLLLRTGEDAIGDTESLANGALTQDDVDEFNPGNDTRSTRRVPASLSSYNSRTTPNDSLSRSTRIDEQPR
LVSNTSTRPTLGSLSSRLSSYWKPGEPSKSFSSRRSRHSMSENGQIYEASEVHDSAEDLREQYEKQDRESDRLENVRACCDGKHDVGHLHNPSVKSR
HASTISAASGSRPTSAQQQTKSRNSIMRRTD
>RCO7_06932 | related to WHI3 protein, involved in regulation of cell size
MSPSSFSQPGQAFRPSNGAQPLYQSLSMATMNAFAGDGTNGAQANGTFTSGPVSVQIRRLPLNTTEDTLRLMVVWSKEFTDAEVLSPERSEDPGFRS
AILRFKSHAGALEAKSMLDGKPNVANDAQMIVEIFYGSPTASRRYTVDNTSNPGPSSSTSSTASSTGPPRQSSRFNGSFQPTQRVSPTSNGGYPSNE
LPTPENSAHYQSLFSPQSPIGNHLNERTRITGKSLINNDSVEDDETGELLKDPVAYAEHGPAQGRRQTHPQLPIARMAGLSLNTNAAGPASISSTFA
TPTPHAMNHNAMSPTRTNGGPPMNYQLGSQHYQRHNFPPVNPADQNPPCNTLYVGNLPIDTSEDELKAMFSKQRGYKRLCFRTKQNGPMCFVEFEDV
SFATKALHELYGHPLHNSIKGGIRLSFSKNPLGVRSGQGISSPGPSNVPMQGMNGAMMGGPGSFSTASGPPPGLAAPPGLAPHRMGYAAMHPMNGAP
YAAFPGNHNGWNGPAYTGMTAGGPTAMLNGANNGFPPAYMMGR
>RCO7_06931 | uncharacterized protein
MSDPCVVGKNNVLNSSKSDLQGPAKLSPKSLNDMQPLSSHSVIRDDVDSLIEDFKGALASLLLEEGTQLHHPKYTKHKPQGGFKDEERDFKNMCTHI
DIANVFTGATDFGKKFISAEFSASASREALENVREELYDIESEHRAEIIRQINIIQEKQADSKETTRQVTKTLQGLLVERGGCAFLEAEIKQKKMDI
FKLTRDYDASIKDLKDTKDELQAQVDANADLKVAQVKVKRGLEERHMMEMLKKKEQEQELLEQIRGLTDLLKSAWSADLVEQLEAAKDDAHNIGQCN

KILIEMRNDAEADSGAQIKALQEALDLANREVRELKHKAVADEWRGYTG
>RCO7_06930 | uncharacterized protein
MANLSPPPGMITSQRKRGRPRQMPANLPISQRILEQRHTKRLNGEENTSDDEDESFSPSQEELRPPKRGPGRPPCSRYKHRTQSPELGRHHEPGSDQ
ETASSLRKKKRGRPPGSRNFKSKHQPVTIAKEPAGPSKTSLGKRKRDSPDADEVELRTRPGNMDSDSDGSQFIRDDNDSRSEEEDENGDIQTRLPQP
SLGGQFRVSQAT
>RCO7_06929 | uncharacterized protein
MTNRQKKTIRSGLNAGKKTDELCLQAMQSGELALWRRSIQLYVIWDNERYGIENQKWGQQFSNLMIKVMTCVAFASNLKFLRHTLQYALHLRVGQSS
CPRPSKNDLDEDIDWLGDSLEFARELALVTQPGEEATIQDAVSRFHKRQLRGLRILHRKLLDELKRQVVPDENVKNGYHKKITPQGLSNRDLQNIID
AWDKRYIIRRDQRGAWKTIKEYVDGYQATNNSDKGKLREGEPERAAVVWSKRRDWILYTRALDISNRRRYGDPSDKTTAKNRQAGTPADNDLGETSD
RAQGHDEEPNLSVNEYAEFGPGYNDKHLDYVVASPVLGIEVTSTPPGTAASIERDDLIQGEVPVTAPSDLDDINANIVPSWADLQKQIQDLLRGSL
>RCO7_11734 | uncharacterized protein
MLVLVRYYTGSDTSSAGIPMNLGSIIYPSSYVIFNTILVIASKSGDYDITPRYIRAFLKIKYNNTPILELLYLFNKLNSKLYKYYSALKSSYEPIDY
LNLNLPNYINIEYTILSGLLLSSEAKDTELNRSGIIATYKAINQIYYLTKSTTLIITLEITTI
>RCO7_11495 | related to human corticosteroid 11-beta-dehydrogenase
MTNLGLELHFYSHLAGFVLSPLIDTLLSKSPTITSTIITMSASAKNVLVTGASRGIGLAIARFLLKDSHKVFLVARTEEPMAQLKKEFPGQVEYLAA
DLGDFEVGPKAIFQALSSFRTIDALILNHGTLSPVKSVAESTPSEWRKAHDVNFFSLIGFIQPAIPALRASRGTIIMTSSGAAASTYKTWGAYGSSK
AAMNHLGGTLANEEPLITTVSVRPGVVDTEMQIEVRSHDTVMDSKDAAKFKSLHEEGKLLKPEQPGNVMARLAIGAEKHLSGKFLSWNDSELEVYQD
>RCO7_11494 | uncharacterized protein
MAKHEKNDVVLIETEESESHVHEEKCERDFEGIPWALREGPEEDFLKVFKTSVLDRFRRIDDMRVIHLRCRRTETIMTAQQEKNWYVAHGYLDIDED
IPNTSKQPAKRSGREDDVLAMEETQNRKHKKRCEKDTKRVPWALENVPDLLKSVVQPVKKRWTRIDEVFV
>RCO7_11654 | uncharacterized protein
MRSSTVLALIGATLAIASPVNHEALHKKAYVTDMVTTIVYVTVTAGNLPPPATTASASTTEPHHKPQETPAAPKPVEVHPPPPPPAPKPNPIAPPPP
PPFPTYPAVQPPKVQAAPVPVVQTPEVKAAPVPVVKTPEVKAAAAPVAAPAPEAANKPTDYKSTCLKYHNILRGNHGAVALGWDETLANYAKTIANK
CVFAHDMSQGSGGYGQNLAAFGRSSDLSSINLANVAADAIANQWYYGEAANMPYGEDSPAINNVPEFLHFSQVVWKSTSKVGCYTATCQAGTIFSYN
SLFTVCNYKTAGNVLGSFASEVSRPVGKAVVVAKID
>RCO7_11653 | related to DUF255 domain protein
MAAQLRESERTGGTSIQNQGIGTALKDGLAGEDASASGEAGSEKAELVLTNRAGESRSPYVRAHKDNPVKWQLWGDEAIEMARRENRLLFLSVGYAA
CHWCHVMERESFENEEVASILNSAFIPIKIDREERPDIDRIYMNFVQATSGSGGWPLNVFITPDLEPVFGGTYWPGPTSQTPYEDQVDFLGILNKLS
TVWREQEQRCRSDSKQILEQLKSFAAEGTFGDRLGEGGDGLDIELLEEANQYFASTFDSQNGGFGSAPKFPTPSKLSFLLRLGQYPPVVIDVVGAAD
CRNAQSMAITSLKKMARGGIHDHVGNGFARYSVTADWSLPHFEKMLYDNAQLLHVYLDAFLLSRDAELLGVVYDISTYLTTDLAHPAGGFYSSEDAD
SLYRKGDTEKREGAFYVWTKREFENVLGSQTEPILSAFFNVSGHGNVKPENDAHDEFLDQNVLAIVSTPSALASQFGMKEEEVVRIIKEGKQALLSH
RERERVRPTLDDKIVVSWNGIAIGALARTGAVVKGFDPIKAEEYLRFAIEAATFIKENLYDESSKILYRIWREGRGETEGFADDYAFLIEGLLDLYE
ATFNETWLQWADELQQTQISLFYDTQTTSGFFSTPDSAPHIILRLKDGMDTSEPSTNGTSASNLYRLSSLLNDNEYADKAKSTIAGFESEALQYPWL
FASFMPSVVAGQFGVRGVVVAGGVDGVDGERVEEFEKSSRGGLSTFAWLKEDGGWLRSRNRLLRDFAGRDGEARVMVCEGGVCIEEGVLGGEREVVV
AGTAADASRAAVGKIEEKKVDKEIDVSEYKAALPSLGDVELLQDYEKENELLHDDGEQKAKRGPPSAPPTTSS
>RCO7_10183 | probable 2-polyprenyl-6-methoxyphenol hydroxylase and related FAD-dependent oxidoreductases
MTQKFEVIICGSGSAGLCAGVWLARHGITCKILEKRPGPMKMGQADGVQCRTVEMFESLGLSEDLLRESYHVLEVAFWDSDENGNIVRTSRAADTMP
GLSHQPHVILNQAIINGFLMKDMERSNDQGVNYGYTVKSVEVDSALAEERNSYPVRVVASRDGKDEVMLAKYVLGCDGAHSEVRRSLGFKMIGDSTD
TIWGVMDIYPRTNFPDIRRKATVRSRSGNIVIIPREGGSLVRFYIQLPAGTNVKEVTLDDLHKTARQIFHPYTMEFAETAWWSAYAIGQRLADHFSK
DNRVFLTGDACHTHSPKAGQGMNVSLQDGFNIGWKLAAVLQGRAPSSLLKTYNIEREKVAADLIAFDRSWSKLFSSQADETNGYTAQYFSEQFIKSG
KYTAGLTAKYDDSMITCSEQSKPELASSLTVGMRFPSAQVVRFCDARAMQLVRALPADGRWRIVIFAGNLELARSKEKLEKLAAFLSSHDGPARRFT
QSGADIDSFIESIVVFQGRRIEMEQEQIPDCFWPATGKWAMRDLHKTFFDDESYNSGHGKVYERYGIDINEGAVVVIRPDQYISLITSMDDNEGISR
FFERFAISI
>RCO7_10182 | related to YSA1 sugar-nucleotide hydrolase
MSAKDSKIVKTEPLDPSKAKWTRLISTTYTDPTGKTRTWEHAERPTRPKGSDIDAVGIVAVLEMDSGPELLLQKQFRPPIANVCIEVPAGLVDASES
AEQAAVRELKEETGYVGVVSESSPVMFNDPGFCNTNLKMVHVTVDMANPENKNPLPELEGGEFIECFTVPLKELYAECEKLEKEGYAIDARVATLAG
GIEIARQWKL
>RCO7_11700 | uncharacterized protein
MSRPVREEPQASRHEGKRLTISLGSSNIYLEALKLALPSYTREPSILDRLGFPEQKISRSALAEDTIRDTIKSDTIKEETGSGSINNDFEEADKELI
PQPESLKPLKLTLTIDATTALLPILLLISPVSETKSTTLTPITRESTLSVIIAETLTFNAT
>RCO7_11770 | uncharacterized protein
MPLVSTALVLIWAILVPEAGSETKGTVIHVTGTPFTGYGLEFKRGYESALTRRVYHRIPLALVKEEHIQDVLQTRPDEVDINPRDALEVEAKKIDPP
TASPEPLNPKVGKRCQDWTLEYIEWLISRGYLTSEVLAVLDTAKALETRS
>RCO7_11374 | uncharacterized protein
MYLIIPGTYTLYLIYSLYPAYSIRVTIKVLDRVLLLPISSLQVSNESDSWPLTLRRSYREIITYNLLKPLEVETTYYYILLLILTKRKTRYISYIDG
TKTKPSRALYFKSEERINTQGKKRIDYTSYSPELAIKYYKRLADFERANKKALGAINYTSLEEISRNINRIIDNTYSSYKNINEYTSVIQASSVYLK
QLKYEILKLILTSLIFKGLPSSFNSFTSRKYEEISNNLSSIDIESLIRDLISEEARINTSTDLQANKAFKGKNSKGSKKYSHYNKTNYIEANCYIKH
PELIPNKSTNNKKKSKVLDSGASEYYTPNKSYDILPIIGRRDIPIITREGDRVLIKDVNYYYNTYYLEVDVNHELLELISFKVDPNKNLSDYSAYNS
SKIYAISSTKLISDTPPLTVFDIDIAGPFKIKGLKGERYFLTITCRGSRAILVYALKHKAKAKTIFYKDKAHIKNRSYNSVIKKSPFKVLFSKKLTL
NYIRVLGSLTYILINKRINKFKNKSDRDSDSPKDPDTERLIAEKLLE
>RCO7_11375 | uncharacterized protein
MEKVLARFDLSDYKPKNTPIDSKVKLELNPNKATKEDILYFTTRPDISYAIIKLARFSSNLSDTYILAAKNVLRYLKGSIKLSLVYINSSSKYVSRY
YDSDYTGDISIAKSTGSYSFYIGSYLFSWKSKL

>RCO7_08843 | related to long-chain fatty-acid-CoA ligase
MPKAACLTHTGILNNGFFIGTRMGLTPTDIVCCPPPMFHCFGSILGYMATATTGAALLLPSEAFNPSAVLLSIQEERATALYGVATMFVAELELLAN
KSIEYKGFEHLRTGIAAGSSVPSSLMEKLHSTLNLTGLTICYGMTETSPVSCMTFPDDPLQKRLDSVGRLLPHVEAKVVDVADGRRILPIGERGELV
VSGYHVMKGYWADETRTAEVRFVQTDEEGNGKAWMYTGDEAEMDSDGYVKITGRIKDLIIRGGENIHPLEVENCIFRMGEVNEVSVVGVPDERYGEV
VAAFVVVQKGLRVGMDDRGKGEAEVDILANNTEDKGEEGERKGGILTRSMIREWVRERLSNHLMPRYVFWVDEYPKTASGKIRKFKLSKIATDWVAE
YDGLHPG
>RCO7_08844 | related to mannosyltransferase
MLTFKRALVGAACFLTMLFIITRTHSTPPPPPPDDKLPHQGSDSRHASEYTTKTGYVQKTPLSSSSDSLSKNTKGGQQLLMDMSRAPLIDKLVYQFP
YDVEGKFPAYIWQTWKYTPASGDFGEKFRPAEASWSEKHPGFIHEVITDQVAVHLLRHLYASVPEVLEAYRLLPLPVLKADFFRYLILLARGGIYSD
IDTHALKSASDWLPESVPRSAVGLVIGIEADPDREDWADWYSRRIQFCQWTIQSKPGHPVLRSIVANITEETMKKHKMGTLKGFMDNKVIEYTGPAV
WTDVIFDFLNDPKYYDTSKSEKNITWRDFTGMRAAKVVGDVVVLPITCFSPGVQQMGAEEYDHPMAFVKHEFEGTWKPDHLRHIGVTNDPNDPANQK
RLLETRPM
>RCO7_08845 | related to 5`-nucleotidase precursor
MKFTQSVIVASALLVGAFAQLQEDSLHTFYHINDVHAHLDEFRSSGTDCSNKTLGCFGGYSRVKTVIENERPGHKDSLFLNVGDEFQGTLFYSYYGG
EKIAETLNQMGFDGMTLGNHEFDGGPEKLAAFLSNLTFPIISANIHSNNSILNATIKPFHIYPRYQLAVIGVTTEDTPSISSPGAGTTFSNVTEAVQ
NTINFIKSTTNITRIAAITHIGYEEDQKLAEATTGLQLIMGGHSHTLLGNMTGSAGTYPTIKTNQAGDEVFIVTAPPSPPLSVKTKADSRIGWGEYL
GYIDVTYGPSGKILAYHGAPIHLTNATAQDPELQAEITAWRGPFEAFAAEVVGESNVELDQTKCRAGECLLGQFMADAMLAYRLNQSDTADFALINS
GGVRATIDEGPITRGEVLTSFPFGNAIVEIEVDGDELWKTLEGVYTGVNQYNQKAITSIIQVSKGIEITWDSTKSNGTRLVSVSIGDEPLDSEAIYN
VVTLDFLAGGGDNIFQKKTTFDILDTQDEVLTGYIESQSPVNITLVTRVKDAKGTATTRSAGTGSPTAPAASASGTGKSSAGQLSRGEVSGLLALGA
LVSVYLHLDYEMMCCDLGAV
>RCO7_08846 | uncharacterized protein
MSSRDIRERERRAVAAAPSNSVRTNEYFVPKDGIDREVITADICRYLGNDALVRPGNYEDPATRQVRAGYFITAYRNLTTAMIADLKADSDRWDAER
RATASRGQPVNVGYRDSTTHQSRQYYGPTEQVPGGASSYVSTPTSAPQGVYDSGSQSQYQQAQQPYANQPVNTGYTQPGYPVQDNNYYTAGADLVAD
PRSRAPAQPGVGVPRSQQYASSQSAYQQPDPRYYGQAGPPGGQVQQHQQPVYPTQPNDPYYGRGQVLPVSGASYDTQDAYDNSRQYQDTYSSQPPLA
SSSSTPATSNTSSRRERERDPEPRDRHHRRR
>RCO7_08847 | probable DNA polymerase kappa
MSSSQPFQASSPLSAGEPRRRRSKFTYRQLSQLAVSATTCPLRVIAHVDLDAFYAQCEMVRLGIKEDQPLAVQQWQGLIAINYPARAFKLARHVSPA
EAMKLCPNIVLQHVATWREGDEKWAYHDDAASNIATHKVSLDPYRLESRRILKCIKDALPEGLQKVEKASVDEVFLDLSAQIHAELLERYEELRGPA
PYDDLTEFLPLPPTTVLDWQADALVDLDAEETEDDDPDWDDVAILIGSEIVRNVRAAVRKDLKYTCSAGIAQNKMLAKLGSAHKKPNAQTIIRNRAI
QQFLSDFKFTKIRNLGGKLGDSITEIFNTDSVSGLLPVSMDHLKQRLGDDTGTWVHGIIRGKDSSEVNSRTQIKSMLSAKSFRPSINTAEQANRWLR
IFSADIHSRLVEEGVLENKRRPKTINLHFRQGGQTRSRQGPISSGKKIDEVGIFELAKNLLGQIILEGRVWPCANLSLSVGGFEDGVSGNMAISAFL
VKGYEAKALHTGVREGAVSERGSERPEKRRRIDKSLGIGRFFAKTESTGEHDDEFGAHEKIGNSPSINGNEANRRILTSLPAVHEATKTHAERPFSD
GSTGFHRENIANLLLCDRCEEAFGSADDLQSHQDWHFAKDLHEEERSGSSPNTNPLAPTTSKKQAGTVNKKKTGRGKPEKGQSKLAFS
>RCO7_08848 | uncharacterized protein
MAFQMKDPAKAQRMNIAVSIWTARIIPVILAGIVGYATYVLTVVLCVHYLLIKHNDRRAAIPILVIHFILFLLMAASFFRLLYITILDPPLVPLGPS
AIRSRSGKEAGSGIGGGEYNSGQSSRGISSNVGAQEDPDSPGLELFYTKDVFVCELDGKPKWCSHCANDENVNAQFAVILGLSAFFFMFTAGMAGSS
IHDAMWNLTQVEHLIANTKVYTLAVIKPSNDTLLQVNPALVSQPPFAEITYPLGADIPSQARSQQRGIPVVRSISHAGQWRPSPAVPSPNQASQLPD
NSLPANPSTDIRSSDAPAAFPIEPSARLRNPLNPDIPFDRSSPPPAAIHGQEQISNRDLQATRTFAILSLPDVNQNPWDLGSVTLNIKSLMGNNIID
WFLPIRRSPCCDHEGTESHFAIGPYVQQARRIAGFIEDPGAQSECSGSRNHIARSSRSAVEGNTGYVDSTRDKEDVEMRRLKDSRHASTEMGESVNR
VERRY
>RCO7_08850 | probable pre-mRNA-splicing factor 38A
MANHRADEKRFLDERGSSGPLAPNGLNPATIMEKPVRERIIDCYFWKDQCFAVNEADIVTRVVDHVNFIGGTYGDAQKPTPFLCLAFKLLQLGPSDD
ILKEYLEYGGEKFKYLRALAVFYIRMTRQAKDVYKLLEPYLSDYRKLRRNGRTGMSSTTVDDFVDDLLVKDRVCGTTLWKMPKREILEDLDVLEPRV
SALGDIEDLLESDVEEVEGGDSERSRRCSPGSEFGEVTPDAMDVDRGEKEAANGMQE
>RCO7_08851 | uncharacterized protein
MVLLTSAQVSVAISSAIVFMFTTALFLSGYVLQQQTVRDLRAAIKPQLHRPKSAPDSNLDENGYLIDMVRIETQPTKDDSREQLVEVSHSSSASTDG
GAQDIAEPEANDMVGATRWQKAARKKKLDIEAKQDQKPMIDASSPISRKKGKPSTSQPKPELKPMSRAERRKKIKEQIVAEGQGETFKGYRRRMWGG
HWRSG
>RCO7_08852 | related to GDP/GTP exchange factor Rom2p
MADYPHGRGGPRPNQYGHASNNEREAAFSNIFGAAPPAGRSHTMTSSVSPLSSAPPMNQVRTHTMSSQASGPYGGMQRQPLQRQQDSGYPAPSGYMP
DGGSMQNGYYQGPRQPPPGQVQSQPQPQYLPQQVRPDRRPYPSPSRVDPRGAPPQQAQYAQRNPAPRYHPGNAPGPAMNSDPYRSQSMASITRPQMY
SPSPNNFQQAPANAFRQAPYQAQASRTTAQGRIVPERHDERAMSMTSYPQDRDQHQTMSGRIIPNRRTSQKGQEIQQGNGYVIPGPRSPATQTRTTS
MASTTVGDMSRTMSMASTIAPSEMTDTLQHRPSVAKSVSSATERRQKSPLVYPALLSRVGECFRDKITVGDRTKNDLTYKNAFSGAEAVDVISYIIK
TTDRNLALLLGRALDAQKFFHDVTYDHRLRDSATEMYQFRETMMDEPHEAPDVNGVFVLLTECYSPTCTRDQLCYSIACPRRLEQQSRLNLKPQPGL
RREKSEASLHDDNDAPDEQKLWINTVSQEVADSVSEREKKRQEVISEIMYTERDFVKDLEYLRDFWIIPLRSANPAAPSPIPESRKDRIVRTIFTNI
VDSPSIHAVSSKFAESLTERQRKQPVVQCVGDIFLQYVPQFEPFITYGSNQLAAKFEFENERSLNPYFSKFVDETERRKESRKLELNGYLTKPTTRL
ARYPLLLDNVLKYTEPESQDLQDIPKAMKMIRDLLTRVNAESGKAENRFNLKRLHEQLRFRPNERVDLKLTDPGRELVYKGALKKTPTDPTADIQAY
LFDHAMLLVRIKMVGKKEEVKVYRRPIPLELLSIREMEEINPRFGVVKRPSSSLIPGAKTSTNDASKKEGFPITFRHLGKGGYELTLFAGTQGSRNK
WMEHIGEQQAILRKRGDFYNRAVLSSGFFAAVNRVNCVAPFDGGRKLIYGTDSGIYVSDRRAKDAAAKPIRVIEATNVTQIDVLEEYQLLLVLSQKS
LLSYSLSALNPTESPLNKRPKKIQSHCNFFRTGICLGRHLVCCVKSSALSTTIKVFEPNDAMSKGKKQKGFKMFNSGQDELKAFKEFYIPTESSSIH
FLKSKLCVACARGFEVVSLETLETQSLLDQADTSLDFVARKDTVRPIHIERLNGEFLLNYSEFSFFVNRNGWRARPDWRIDWEGQPQSFALSYPWIL
AFEPNFIEIRNIDTNAVHIVPHKNIRMLHTSTREIIYAYEDERGEDIVAAIDFWPAGRKPETQALPAPVEHRESTGTTSSRH
>RCO7_08853 | V-type ATPase subunit C` (VMA-11)
MDELDYSPKFAHFFGMAGICFAMTFGCIGAAYGTAKSGIGIAGVGTFRPDLIMKSLIPVVMSGIIAVYSLVIAVLIAGDMGPPTPDTAGYSLFNGFM

HLACGLSVGLTGLAAGYAIGIVGDMGVRSYMQQSRIFVGMVLILIFGEVLGLYGLIVALILNTKSRG
>RCO7_08854 | related to tRNA-specific adenosine deaminase subunit TAD2
MSEEKTQTHFSFMREALAMAELALQNSETSVGCVFVHNGVVIGRGMNATNRTYNGTRHAEFIGINEILTTPDPYEKGKPIFKPEILKECDLYVTVEP
CIMCASLLRQFGIRRVFYGASNEKFGGTGGVLNVQKENGREALEGENGEDMELSKEGRRKTKWRKEDDYEVFGGWLREEAIVMLRRFYVQENDRAPE
PRAKKDRVLKLDVEPVGIGKMGG
>RCO7_08855 | probable nadh-ubiquinone oxidoreductase 21 kda subunit
MSNIEQRPYVPAKTIDSDYPLIDSDPHIKRVIKYARKSDYAVGAATATFAPGMMLLWEQIAPSLVGKGGFAPIMRLSGTIGLSAGFLMFYQRSIYRF
YGFNENAREVKMDMEEMVAKVKKGEPLYGVSTLTPYMQGVASRNSRYSGVFLHAVPWFNFVNHNQHGVDTAKYYRQAERELAAEGK
>RCO7_08856 | related to CSM3 Protein required for accurate chromosome segregation during meiosis
MSHANDRPLPTDGPTAGGDEFDDLFNYDADINDPFSDNYVVPGAKERQREKDAETKAKGGANLGIDEEVEVTRKPRAPRVKLDENRLLSANGIPKLR
NRAKSRLKLKGKGHEYSDASKLLSFYQIWLDDLFPKARFLDALAMVEKMGHKKRVQMMRMDWINEGKPQIVNEEDTVDDPAPANENDGQEKTAPRIA
PIFEDASAERPKTPSADDNTGADVDMEDEDLYGATPRAVRQKPVEETVSQTDSLFGGTGASIFGPAKRAVDDFGPDEDELDALLAEEETVAVSRPVS
KAPPQDEIDDDEMEAMNDMDMDGMW
>RCO7_08857 | probable SKI2 - antiviral protein and putative helicase
MTDSLVSALEKVQLLSNNADDAADNWIDNILEEQRPRKRIKQSTEDLKRELENKHLTPSTSFSIDWLNKLQQRWEAPTDFTTLFRIAPTQTRTITRF
TREGLSGKVTGYKEVTVPANSATAKNSTSFLRKPANRADFVRGAAGFFPFAPGGLEGVEAAAALEEQALKSGNDVLASGGAKAKLERVINLGDGGLL
EIAPGLSRGLDFGIKKNAEGYEKEAEEVLGVLDEEPDDKLDQEKENGVDAGDSGETSEEDGEDDIDSLLPNEFPALEPHGVLAASSSKRGGREWAHM
VDIKRDITNFRELVPDMAREWPFELDTFQKEAVYHLENGDSVFVAAHTSAGKTVVAEYAIALAAKHMTTAIYTSPIKALSNQKFRDFRQIFDEVGIL
TGDVQIAPEASCLIMTTEILRSMLYRGADLIRDVEFVIFDEVHYVNDLERGVVWEEVIIMLPEHVTLILLSATVPNTYEFASWVGRTKRKDIYVIST
PKRPVPLEHYIWAEKGIHKIVDAEKRFIEKGWKDANDVLSGRDKVKALPPPEANPRGGGNARGARGQPPRGGNQRGGQRGGAPQRGRGGPPRASHAP
GHMGRGGRPAGRTSAAQDKTLWVHLVQFLKKESLLPACIFVFSKKRCEENADALSNQDFCTATEKSAIHMIIEKSIARLKPEDRLLPQIVRLRDMLG
RGIAVHHGGMLPIVKEVVEMLFAQTLVKVLFATETFAMGLNLPTRTVVFSGYRKHDGHSFRNLLPGEYTQMAGRAGRRGLDPVGSVIIVAPGGGEAP
PVTELRQMILGDPSKLRSQFRLTYNMILNLLRVEALKIEEMIKRSFSEHATQQLLPEHEKAVKVSEADLAKIKREPCSICDGDLEACHQASQNVKQL
TLDLHLGLLATPIGRRMFSAKRLIVYNKDGIRTPGILLKEGTTGGPAPTVHVLEVKTRRDQRDSTDLLPYLPKYRKLFTKLPATPKEINVKTYQIPV
ADIECVTDMVVKGVIPEIFGAKEAHTVAKEKLARICQSWESDEWNELDWTKLKDMQLRDILLKRTEESTIAQKAACLKCPQFVKHWLIQENISQLRQ
LMSDQNLQLLPDYEQRIQVLKDLDFIDESSRVQLKGKVACEIHSADELVLTELILDNVLAPYEPAEIVALLSAFVFQEKTDTVPILTGNLERGMKTI
IEISEKVNERQTYHQVILSADDSNDFVSRPRFGLMEVVYEWARGMSFKNITDLTDVLEGTIVRVITRLDETCREVKNAARIIGDPELFTKMQTCQEM
IKRDITAVASLYM
>RCO7_08858 | related to vesicular transport protein
MFQRLKGAIDSRIAEEQARAKAAPPVARSASTARRPSSRTESPASKPRRSRPKDNEVSTARGPDPSEFENAFVIEDESEGPSRVGTPSIGNEKTPQS
TDNMTPPTSVSGEGGEKTVEAPVMESSADAPVPPVQIELPPDVRTKLRKLEKMETRYAGKLHRLDLLRSYRIAHARAVSIEPFEKALKEHTPLTTIS
DPGALVEYLNQLNLKGDMIMDEFKRVSADRDEYKKKFEESVKGASAAKDELATLKSASGAGGDAQAEKADTASIETPTASVKSPASSVMRIFSPKQK
PEVTDNKDVSEEFFSYDDEVPKLQTDVKEKTREIEELKQKLLSIENNLTKAQESSSGLARDLEKATKELNEAKETTTKEESRKEKIEAQTQEIQALK
EKLQTTETQLAALEAELVSQKKTAGDKVATLETELASQKESTTKDLKLAGDARKEAESIRQRVETQIKELEVAKDKDNKRIAELSEEVKNLNKQIEE
AGNHTPEEPAKLAQGSTAEASIPGAATGAAKKKNKKKKKGANAVAAASKDEASEKAQDSVPPTPIATNLQVEIDRLKAEVADRDSQIAKLQIRRKTE
DDLREELENMQDNFLNIGQEHVEAKELIKTLRREKKDLEDKISSLESEIETYKSQSKESEKAEADLKSLTAEYEDLKSKSAALQTDLGAAQQLATSR
YRDLTDLRDVLQKAQPELKSLRTENAALKATKEELATKTSDLRRLEAREKDLKSDINSFKKQVTDSQNEIRTLNEKVTQETNARLKAEDQNRIAQRD
MRRAEAEKIQLTASGEKVSTELAKVQEEAGKLRNKVRDLEEQVTKFTTETKGLKEEVELRSSQYNNAQGLLGSMRDQAGEMAMQLKEAKEQTESLDE
ELAEVQRLLSERTREGETMRRLLADVDDRADAKVRDMRERMEAAIEERDRAEEEASTNSRRRAREVDELKNRIRDFERDLKRAIDEKGELEHAEKEW
KRKRDELEAVAENSAKDASEIRSAMTELREALDGSEKQAREVEKQRADLRRVLDEANQRYEKLQKEFKVLQMKQMKMNETSSRSSIESGRSNTAVDG
SKSAAAMDYVYLKTILLQFLEQKDKKRQGDLVKTVLGQLLHFDKKDQEKWMAAISK
>RCO7_08859 | uncharacterized protein
MVSLWPWKGNANSSASFEKELISLANKITKSQGQLDSLRQHQRRFKALWTLYTSFAYLLCFVVLFLVVGWQNWGMVEYSALSGAPVLIYLVRSSLTT
YYGYRIDTVTQRLDDQQAERTKTIEKLKAATKYNSTQELLEKYGGATPKPKKAAAPKGPKIQHQPNRTSTGPPATANIQRPDQVQIPSQPSTPQSLP
QRNVPQHLFPSPYSSPKPQPQAQPVPARPAPQAEFAPNAYSAPPQYAQSAESVAVGNWYDRVLDLLMGEDETSPKNRVALICQNCRLVNGQAPPGTK
SLSDLGRWRCFGCGAMNGEEDEAVKVVKEMKERIEIHDPASPTSGEDNKGAEDSGSGEIIDAEEDDDDDGEKDASADEKVVVKPRRGRSSRKNA
>RCO7_08860 | uncharacterized protein
MESKKKEGSKNEMASKNMMEVMFVPFLKFSSHVREIEENINKGHEHERERVNKNKDMLEMGDSQLFMPPQPQTHYQDNQPHRESQRRRTDYHEDQYQ
RQNLPHHDFQQQEQSQKDNQYREKSKENRTSASISEGYLLLGDGKIGRHTSSDIRDHYVLAGSAYRDETKLYLTSRERERVMKDLKEAQETDAFKMW
PVHVDGLVPDRRAGEGKKTTVSMEESTILLPNCKGKPMAQADLKDNIEESAILKPTYQGPERQRRDDMKKEWNAKGERDIAGRSRTPGGYEDVLEND
MLKSLGSFKSSLPGVNLKKYRRGHDTDEEDGGKKWRSIRQREKGELVAGWGGGFKQSMKDGLRKQESAGKAGSSKDGRAKYNSRSADNSDSSNGSST
RSKSHAEQKHRSNGKPAPLKSDAEIFPSATDDTCTKYRHRSSSHGSQVNVVAEQREERSEKSTSKDSTGSFCGAKNVDSERHKNSRKGAAAPSDSKQ
KQGSSNNKLRFGDASGSDNSANNNARPRHDPRTRSTPQEEGATRSNSQAEQEQKQESSDKPKTARRPTYTSSFAHRNRKSKGGPSDVAKP
>RCO7_08861 | uncharacterized protein
MSPSRGSIASEDISSTSQSSTEARATIRSSSALHSAKANIKFLFAPDSPTSPRPAHLRTRALLRSLRYIGIFIFWRVVRYAKFALVGSIVAAVGATA
FGGMVSGVGFVLAPPTILGSLGIGTAWALGKWGFRKMGVGDRVVKGVEREGRVSREGVKEDGQWRDVQGPRAVPW
>RCO7_08862 | related to PUTATIVE TARTRATE TRANSPORTER
MASSIENQAQFLTPHEKGHSPSSQSPQSHDQDKKATDVSPSISSEEAFTNPTGIDEKALLRKLDWKLLPPLTLLYLLSFLDRSNVGNAKLEGLIVDL
NFTGNEYLFTLTIYFIGYVLFEIPCNIILKRTTPRFWLPTLMLAWGIVATLLGVTQNFAGFVVARFFLGVTESGLFPGVVFYLSMWYKRTETHYRVA
LFFSAASLAGAFGGILAFGIAKMDGAGGYQGWRWIFILEGLLTVVVSLSAYFFIHNYPSTAPFLSSEERQFIHHRLSTSSDATNTEEFSWANVRAAL
SDYKCWLYGFGFHTMSLPLYTLSLFLPTIIKQLGYTSAQAQLLTVPPYAVATVLTLIVAILSEKTQKRAPFMIASTSFAIIGYIILLTAPISKPGVS
YTGTIFAAAGIYPSTAIVLSWPAANVSGQSKRATATAMTITIGNLGAVLGTQLYRPKTSPRWYLGHGFAIGYLVANLCVVTVLWWSLSRENARKIER
REAGETGGDEPVRSDEDVRWLFQT
>RCO7_08863 | uncharacterized protein

MSEYPSTPSYSAGYDAREQQNHSYLPPSYPNPYLQTNNGSQQMASHYDASLSAYGYNRSVPSFSASAVAAGVPPLPIFQGWNQDPASLPPYTGPNGA
TRYSSFASSAQHGAPYYQTPGQPAYQHQLSGVQPSEEQGDVDEGEFEEPTSAAYNLSDEYGASQYRENGGTVYSDTAQRAVYSRPTEHSSQQPAYPA
NNYNYQSRDPSQTRRQNSGSFSPHNAPTAAERDIPRLKNYNSHTPAQTAASPIGTSQKQFSWSQKGAGHTSLKPKPQTNGDVLSLKLDDASRELKNS
HQLSPTINGRSVSESRKKAQAAILNLWPYDVRYQTYIDEGFSKEVVGSLFDELKMTRNSPKTAKDGGSNSSTFVANDLMGKENLPSGASNSIPAGEI
ASKKIESSGHGVERILSALGNNTLRNGDQQLPSANAVIAPTKPVVMTEKQKTLQSKMEALRKSREERAQKAAAKGINKPVSASIEVSKPLAEQSESS
SAKTSHSPISAPSVPIKKPQIDTKPSTSSTSTTSVSAQQQTSIIPGLFLASGSGTATSDTTAAVSSSTSSTIRKRPVAADFDETPISIPYKRPFGQS
RTDSRLVITVSEDEADSSDEDVAMELESQATQDSPLQLARNMSDHRSTTIQNLPPLSSVPSQKLYTPPPNASVANTPPKQAVPNTAGRLTHVQTEME
KLKKEIALREARQKAKQASSGSRTPQVSDENGSRATPSAASIASKVESSIRMQEMIETATSNVSLDQQRLADARAAAATKAAELKKGEDEQKSLRRA
KLAADIPRVDAEVQQNQTRLEQLRDEMAQIEASVQRSLEDKRRLAEEMARLGQEAEEQLQAQKEKLDDIMVNDSTVSEGSSHPTSSNLETDKNEPAE
SGLCSELSTSIATPASPAKAGQPLLANDDTSNVEIVEPFNIDGTNSNLDDNTVLSSVNFSSETFTEGKAQEGLKETTSPDHALEAALQEAVRAEVDS
HGPQEDDTDMEDFYAPDPNQLAPQTPTQVPEQAGSPEYSPTLDRTMPDLPQTESDDYEPPEATPPLDDHSVSDSPPFSPAPPETVSEVVDDVNLDVY
MPELEPALACDNVSQSRTEEILSCTNDSPRKVVEDHPKAVAETHLFTPYESPLKQFRAYRFHPNFNDEVPGGLKSKTYSHKIDVMNEFCRFELAGGI
CNDSTCDFQHFKDTDLPDDAVLTALGSPEDFKGEQRDQFCIGLRAVLSDLRKQKVRDFEVIASEIIAHRQKFLSDKSKILAVLEGTTI

>RCO7_08864 | related to myosin II

MASTSPQKRGNPFARTGSSSPGPGNPNGRPKSTASSPPLSGQQTSGHSRSYSSLAGVASSNYAPVARQRSNSKTTLPSSNTFAPSFIKSEEMRRGPD
AVKGIEGENDFSGKRYVWLKDPNTAFVKGWIVEELEDNYILVQGDDGSQREVHADSVDKVNPAKFDKADDMAELTHLNEASVVHNLHMRYQADLIYT
YSGLFLVAINPYCPLTIYTNEYINMYKGQGREDTKPHIYAMADEAFRNLVDEGENQSILVTGESGAGKTENTKKVIQYLAAVAHSDSPVKNKVQHSN
LSQQILRANPILEAFGNAQTVRNNNSSRFGKFIRIEFTRAGTIAGAFIDWYLLEKSRVVRLNAHERNYHVFYQLLKGADHKMKQDFMIDGMDVDDFA
YTRDGHDIIAGVSDQEEWSSLIEAFAIMGFADKEQTSILRTIAAVLHLGNITVVKESRAADQARLASDARAHADKMCKLLGIPVEPFLQALLHPRVK
AGREWVEKVQTPEQVRFAIDALAKGIYERSFGDLVSRINRQLDRTGMGLDDSRFIGVLDIAGFEIFEENSFEQLCINYTNEKLQQFFNHHMFVLEQE
EYAREQIEWKFIDFGHDLQPTIDLIELPNPIGIFSCLDEDCVMPKATDKSFTEKLHSLWDKKTTKYRPSRLGQGFMLTHYAAEVEYATEGWLEKNKD
PLNDNITRLLAASTDKHVATLFIDCADTDGDPGATRSRVKKGLFRTVAQRHKEQLSSLMAQLHSTHPHFVRCIIPNHKKRPKQLSAPLVLDQLRCNG
VLEGIRIARTGFPNRLPFSEFRQRYEVLCRNMPRGYLDGQTVATIMLEKLNLDKSLFRVGITKVFFRAGVLAELEEQRDALIREIIARFQSVARGFT
QRRIANKRLYRAEATRIIQRNFQVYLDLCENPWWRLLVKMKPLLGATRTSGEVKKRDEMIQKLTERMEQEASSKQRLEDERRKAHLDLQGLQQVLEG
ERATALDKEEISRRLQEQKSHLEDALQAAEEEINDLENQQDALLQAKQKAENENDTCRSQLDQAGQMLASMEAEKRDIMQQRDDLQAKIEDLSREQS
NRSAEESRLQKDNNMLQSQLSLKDRKLQDLKGQLLEVDHESDIKLAKATRDLQTARSREQNLTSDNQKLNQQLSELAAASTGYEDIVRRKDSELAVL
RSDNGKYETERKTFEEEKRSLMAEKEQIVNRLREVQAEIFAMKSQKAHLEKEAAETKKLLDARLTEDAQAGETRKRLEQDIEYYKGELEKTQKELSR
TAQSRDDVQMLAEHKYKELNDKYEEVNEAKIIIEKELYVQQDTLRRAMEARVTAEKDRNEARNEIRRLREAKTAAEEARIQAELSNDRNALRVARER
ETSLRKDLDEEQGRAKYLEEQCTFLTTRVKELEKTILDSGKFGLQVDQEKDRLQRELSAAKSRLIASERDNKALLTKIQQKGLEISRSNSVVNQRSQ
SELIASQRDKAKAEEQSRKVAKQLETAQNEIASLRKKNEKLLLDLEDRAHEVAREHKTTRNAEKSSSTTTSQLAEAVRNLEAERQQHNRSRDSNRQL
QSIVETRERELLQLLRKVDPETNHPMPQLDGESDRNATKTPNLVPTLVQKVEELYQNLRVQAAGRANAESQAVELRKRFEVEFGESPERQSPSRPKL
EEINPNQGSFNQSPSHLRSKLNARPRSNVTTPTRRFPSNGAEDSGRSDRTADILSFNNRMDLKADFEELQNQLQMSQMQNRHLQSQLERTTPARELW
PEDSPSVRRVQKLEQANSRLHEMLDDSAKKVSSLEKSIQTGELSLRDIQTKSHEELFDLINSQEDSRRSLLHIHNDTVAELNDTKKHHDSLKHTRAT
LEVELRDAKSDLKDVSQQREQDAANRSQLLQEFADLQIRLDAESSELLDVSSSLSLYKSRADEYFSKLEQAEIAVMKATRAEQFAKSQAREAEETCA
EILSERKQTDAAIEDLQRQNQSYEERLEDMSVDLEAALQARKRLQHELEDYRSQRAMDIEDKETSMEQTRKKYQAEFATLTNELDIAREEKLFKQSE
NTRLREELEELRSKWDDEVLNSSTWSKEKARLESTLSDLSASRDEAIKAHTDAQDKVVNMMSQLRSLRTTVDDVSAERDMLQREKRGLEARLLEAKT
GLDDLARGDSPSLRNAASLDRELLELKSNLAQQEDIVAAAVGKMRRTEALTAEMQKDIVAERETTAQLHTEKAGLEKSLKELQVRLIDLETKGYSSS
SQDVRFLHGRVQELESQLEAQETERNKSQRSVRNVDRTVKDLQLQIERKEKANTSLQEDISRSRDKIEKLLRTIDELQSSESDGQLAARRAERALNE
EREKALRLERELEGWKGLKGGNSGTARRGSGAVWAMNGTSADDNGIDVPKRKSSVSRQVSLSKGFL

>RCO7_08865 | uncharacterized protein

MDTFYLFPTLPSELRIKIWRHTFPSPRIIPIRFNRFSQQYVSDNAPPSSLHVCSQSRSIFLETYTNLILSPRYTSTVFIDFTQDTIFFDSLDCSPDG
DLSFDLAMSPHADRVFHVAIDAQLWEVLRVFKYDSLSEVRLMRNLKSVALVMRKDYDRGLLRRDDGGGEAYGDGERGVGVGSLFVDVEEENTVGSEI
RHVHWYVESLRWEMNHKQEDYWAGGNPLIQMWLL

>RCO7_08866 | uncharacterized protein

MKFTTLTILATLIASALGVAIPAPVGKRAEIPGTSGRGEYNKVSEVADTDGRGAHNERAQFPGTSGRGGYNRVAGLAGIRRGLGIRGMILGWVDD

>RCO7_08867 | uncharacterized protein

MSSPATSKSQALPAGPSTIKPRSKSTLTPGTCQLKKSDSSSSESKEISNLRLKIERRFYKPPILLSVLGRKRGDRVDEEALDDDLETSNLDFTGSDG
GRDRMLEFLSVILNSLVGMKPAMMESKVEDLFAQAVKFSEKRIAYYVIVLGREIQRALESLTASNDGSKESLGLWLAHLE

>RCO7_08868 | uncharacterized protein

MSATIRLAVLAQINDARGPAKWKADSFTEISSVQADPTYQHEHTLRKNRLSPVSKSVGNLGHEDDQDYDDDCSNRAGDERSSELDDEENLSAEAGNQ
SGFSEADILVDKETTDGSNDSESDDEIDGGVSFTNFLET

>RCO7_08869 | uncharacterized protein

MTYNMAFNEMAQIRDSTAPTTVPGSRQSSQTPVPGRISLDQSNTTPILRMDRMASLKQPCTPSENENCGNGLGVGQPSSFDQNQKYGHGRAVLSDYP
FGPDTPRSPMIRGNQLERDVYSGFQNYSSPLGRLANGMNNIGPKDGNNPEHLHNGRDHLPPLSSASTFFPPEKTDKKPDIYPQFADGDVRITSPSGK
IWKVHKVVLSKASPVLAILLASTPQLSSHKRHKDDKFVKWDIKLVADCRAEDMDPQGLQFMSFHKINVKEKQISTLPNYNGLGEQTGFDKLYDNLFR
CMYSMEPIFTSAAYRLGSGTIYDANLLLQAATWLEAVPCVRLVIEANLLRLHQMLWKHNGEKPEGWIHVAATLQSPLIFREALIHLVGKFHLKNGID
ERFLRKKAHGPMTEKIWALIVQKAQELKDKKLRVERVLLEFYPLRMVHNEDPETVPGRSIYTADIYLWQALTIFRQYISSSYLSNFHHKAKDGGLSF
YRTLGAAHATYLRPDTLEKFHQSFDMSIKAKGLLVAALDLVKAEARNVVAELLHDRSQLVRGPNDQPRDHLTCIEILDQEMPWIVVREHAGERDIVM
GGLNH

>RCO7_08870 | related to pre-mRNA splicing factor

MARNSEKAQSMLFRFRESQQADLGIIDAGRTRRPKMITEVTSIPACEKWRGQVLKEISRKVSKIQEASLSDFMIRDLNDEINKLMREKHMWEVQVRN
LGGPNYMRGGGAVYDDDGVEIKGAGKGYRYFGRAKTLPGIAELFASSKPTKPTKVNPGSDLRKLVDASYYGYNLDEEDGTLLAYETQKEQEAFENLL
QNGEGEKRNDWIPLPGDEGNGEWWKVPSPEEVQEELVERRRRRLLDKLGS

>RCO7_08871 | probable transaldolase

MSNSLEQLKASGTTVVSDSGDFETIGKYKPQDATTNPSLILAASKKPEYAKLIDVAVAYGKENGKDIDQKTDATLDRLLVEFGKEILKIVPGKVSTE
VDARFSFDTKGSVDKALHIIELYKSVGVDKSRVLIKIASTWEGIQAARILQKEHGINCNLTLLFSKVQAVAAAEAGAYLISPFVGRILDWYKASTGK
TYSKEEDPGVASVKSIFDYYKKFGYKTIVMGASFRNVGEITELAGCDYLTISPNLLEEMMGSTEAVPKKLDSAGAKSLDIQKQTFIDNESDFRFYFN
EDQMGVEKLREGISKFAADAVTLKDILKAKIEA

>RCO7_08872 | related to human band 3 anion transport protein

MPAGCTTSSRPSKPTPEPMQYVTTFSAGILSLLNSIIYFHKAVQELQRNHAQVSFASFLYSVIGAIGTFLLAVFLSTANSWKPLFHRYIRMGLAEYA
VAISIILFIGMPNIGELASMDKQTLVVQTSFRPSTPDRTTFFVEFWKLPIEWIFLSIIPGAIITVLFFFDHEKSSIICTLDRYGIKKHGGFARDIVF
LGTTSALCGILGIPPANGLLPQAPLHSESLMHTVRTEVVTADPEAGERETVIKEREEVYEQRRSPFLRSALILAFICPPLQRVLGLTPTSVLVGLFL
FMGEQTLASNPILHRFAYMLTFSEEDLPKLPRDVTW

>RCO7_08873 | uncharacterized protein

MAQRNPIGQTESLSATGRGNEPIGTGTAYESSTAGTTTHSSTTGGGAAGGVKGVLAGIHGVGEKIRGEFNKGVDGAMGDKEGVLKNEQVANAGDRER
LTGTFAGETKNREGALPGADGDKRY

>RCO7_08874 | related to GDP/GTP exchange factor Rom2p

MSFRSNGQRRYGHVPPAQYGNAAGQDSNPSGLHRQSSFDNGDDAAFLDHNGNRYQGGTLPAHVRTQEELYLASTTTQIPHSPGRSSFGNTTPALSGY
QHQYQPFPQAQSPPQASYNPQHFARTQSQAQQTQYRPQSSYSVAPTPTTAHQPYNPALYPASQASQPTRQGTVSGYNNYAPSYNSAAMSPETPTYWP
SPQTQQQFPPPVPSRPDRQPIYEQPLASPTYAPSNSVPLPPRQSVYNPPPSAPYPINGGDYTPNDYRPSSSNQATAQFPEYGNYAGAQTSSSQGSFE
DQSFAIRTHRSSSHSTGTQLPVLSHSGQFAAGLGLQRHPTLKPLPSAPVEDETGDDDDWGGDATPDDGVSQEQLFADIGDALGTPGSRHGRPHGLDA
RNGDLLDSELQDLQRYNSSATTAVASTIARQASMASTQQKDYEQNYEDFGEDDYESDLEGAAGVQAMQLADEMDRLGGGAGTFGLYDSQPHQHLSQD
ESSDSDYKHMDLGLVGGGYDARMSYGDDLNTGHSSEMDDQSRPLPSDQDLGRANSYTNARVPAAGLGGMTDYSIPGVGDIHPFPAFEAARVDTSGTG
GLQRPTSQSHRLSFDEGDEQVSLHSRLSDSRLSGRSGSESPTRDEMPELFYHPGMGTSSYNRPLPAVPPMSENTTPQLLPAGSYRQAHQYSHSYSSS
TENARSFYTPAGPDAYPPTNMLTPGGQYVPRSTSLSSHSSTPHTQPPVRSKTDAEERQARQKAARLGTRQPSGLDGYDVGSAPQSSMTLDLPALPAG
GRKKKFMPSRLSTSEYAKCSEPWALSGIATWIREMAGGETGEGESDLRQKSIEDGLVALFTHKVPTMNTADAETLSQRVVKSMFDAGILLPEEEWVK
FGQGTMSGVLWQLTGSGCYSPKVHEQEIHGRCYSHHCTRTLKKINLQSHILEPSRKSEDWVTFFKLTKEMIEGSSRKEIERQNNLHEIVMSEDTYMD
QINVLRVLYRDDLAAWQPPIIAKNKVSKFVLSVFGKIEAIKEVNENYLLAQLKYRQKEQGPWIIGFSDIFREWIRKARAAYVEYAAGFPYAVYLVRR
EADKNLLFRQFLDQARDNKLSGRLDWNTYLKAPITRLQRYTLLLGTVLKNMTQETEEKATLATAIEEIKAVTLECDAKVDEQSKKVEMIELQSKLYL
RPGMERVELNLDHLGRELIFQGDLQRAGANRFAWLDTHAILFDHYLVLAKTVAKADSAAGRKKEVYDVSKLPIPMQLLVLESTNDDPVVKSSVKGLG
AVTTVTKNAGSDSRLNLNRAGTSSTERNNVLEHTNSNQSITTVNSVTRLAPSTTNDSESRSMFPFRVKHLGKTEVYTLYAPTASNRQDWCDKILEAK
TRYAASLFEQNAEPFRMRVMADSAFAYDIASTVSQRSVVSVKGTPLERAIREMEKAYTAPRPGPVCRAQVNCATAFNCFGKSMVAIGTDYGVYTSEA
SNPRGWSRSIQMNRVTQIAILEEFSLCLIIADKALIAYHLDVIVPVSNFPAPHGDTARRAPQKLSGTRDVSFFATARMKERTLVFYKKREGLHSTFK
VLEPVFQKSSEKKSRLFGKKFGGNTEFFREFDEFYIPTECFTINLFHTYIAISTLKGFELMTLDKKVPMSIPDTKNPAIGNIANRLNGQKPLGMFRL
SDAEFLLCYEECGVYVDKHGEVSRSVIMEFVGKAQKAAMYGAYLVLFDSDFVEVRNAENGRLRQVVAGRDVRCLDYGINPLGAGAATSHMSPQGFPG
GAERRTLKLAMAHPEIMGHQIVMEMVLNEGHSE

>RCO7_08875 | uncharacterized protein

MKLTLSLLLGSLTLSFSASAANDKYEHKVTVEYEDWAQQDNANLVSAIKRALTDTDAIHEAIVTTRHDFSSPVFRGLSASISGVGNDVTERHIIDTL
QALDVVKRVSPVQMLKVPSRKLALRSVLDESGLMVDSRAVEDIEKRDGGAFIPSAMSSHVMTGVDKVHAEGVKGEGIRIAILDSGFDYKQAVFGNAI
GPGNKIIYGHDWAGDESPPADNPNAAPPNVEDDDPYTDCETHGTEVLGIAAANPTKFGMVGTAPEASYELHRVSSCGQTSASDDLVIKALIAAHERG
VDIITTSIGGYLDYPDDPMSVVAARIIQNGTYVQFTAGNKGQGLYTSVTPGSGIEATAIGSVANTETPVHTWGGSFTTKGKVTTFRMVASDSMNYPP
KAKVWAPASQETDPLNSACTPYPADLPLPDFNNTVVIINVPFDGCNNTDVQLDNLAAAGVRFFVMYALFPTDALQGEPNLIGTAGFDGISNLPADVG
KALFAAHKQDKDLTISFENLSNFKDATTFMTNNITGGRMNGYSGWGPTADGRSFPTFAAPGGNVLTIGPRNVGGFIVDSGTSFAAPFVAGVAALLKS
RHPDWHGLTIRNVLSTTANPMPYSDAKTGRAFNFLAPVFQQGGGLIDAYRALHTTTIVDAPGLSFNDSTHDPFQPKTLSFKVRNIGTKAQVFKAYHL
PAISGHGINSTDVNDLDHYQPAGTDALITGFVSSYASLSITPSSFTLGPGGSASISVTINSLPASLNPKLVPFYGGYISLNSTTDATQTVTVPYTGI
ATNIKKNMSVYVSVKMLSHNSTSDSYDPVYADGAAEASPAIQSPVVYNITYQGPGKKYAAGIYPAVSWVAAAVDIIDTFELWLIKPNGDPFLLVNRY
DYFDYQDYTSQWDIDGTSVPDFIPAGEYRWRIRAKKIYGDEKVADDWVVADSHVFVFKYTKESVGLPAQNQAHTKSQTQTKSKTETKTKKQSKTKGK
KSKVTHA

>RCO7_08876 | uncharacterized protein

MGGFIPPLPIDPTFQPTTAITKLPSTAPIDEIISILDRDGGIIITDLLDPSQISQIETDIRPYSDPLKNPHSGIAIIPSETHLIGGLVGKSPTMLNL
CAHPILTALRARILTDDGSIPMEDIPKTWHIDPLLSISVSFRIGYGAPRQRLHRDDGIHVVDHDLEYRLDKVSQFACLVAGCETTRANGATMFVPGS
HRWDAKRQPRLDEITFAEMSPGSALMFLAGCYHGGGHNSVPNSTRIVHGLFFCRGTLRTEENQFLAIPRSMIPKMSPTMHSLLGYKQPGIPLGIWEN
GDPMRDLEECLSAAGV

>RCO7_08877 | Superoxide dismutase [Cu-Zn]

MVKAVATVRGDSKVSGTVTFEQASESSPTTITWDITGNDPNAERGMHIHQFGDNTNGCTSAGPHFNPHGKTHGAPSDEVRHVGDLGNFTTDAQGNGK
GSTTDKLIKLIGPESVIGRTVVVHSGTDDLGKGESEESKKTGNAGTRPACGVIGIAA

>RCO7_08878 | probable 100 kda protein P100

MSDRPIKIGWDLNGALRKAASGSKSSKSSRGSKGHKNEVKSQKVANVIETALHPLIQAFPAPKIPPLGKHLIPNVPPARYVNMVLNQAKVKSVLSGD
SVILCSIAHPDRERTLSLAYCTSPHLKKEGDELWAYESRDALRELLVGKIVQFSVLYTIPNTKREYGVIYLNDGRKLPEEMVKNGWLKLREDAGRKE
DSEEALQQLDQLRLLEAKARADDLGLWSPNPNRIDVQHDMGDAPAWLEKYKGQTLDGLVERVLSGDRMLVRVILSPTKHVQIMTLVAGIRAPTTERV
NPSNKQTQPAEEYGNEARQFIEERLLQRNVKLDILGLSPQNQLIAAVKHPRNGTIAKFLLEAGLARCTDFHSTLLGSEMSVLREAEKVAQQGKRGVY
KDHVAKAATAGGNLEAQVTRVFSADVIYVRNRAGVEKRISLSSVRGPRPTDAAEAPFRDEAKEFLRKKIIGKHVRLSIDGTRPATEDYDAKEVASIT
YNDQNIGLQLVSAGWCSVIRHRRDDTDRAPNYDELLAAQEKAKEELKGMWSGKPAKAKQYTDASESLQKAKMHLPGLQRQKKVPAIVDFVKGGSRFV
VLIPRDSIKLNFVLGGIRAPKSARGPNDKSEPFGQEAHDLATKRLTQRDVEVDVHSIDKVGGFIGELYINKESFAKILVEEGFATVHAYSAEQAGNA
TELLGAEQRAKDAHRGLWVDWDPSLDAAEEDHTPTNGSNGDAIIPRQADYRDVMVTHIDESCKLKLQIVGTGTSALETMMTQFKAFHMNPANNTGLP
GPPKTGEFVAAKFTEDGSWYRARIRANDRTAKEAEIVYIDYGNSEKMPWSKLRPLSQPQFSTQKLRPQAVDAVLSLMQFPTNVDYLQDAVSYITDAT
AGAHLVANVDYTAPEGTLYVTLYDEKTSTDLKQSINSDIVAEGHAMVPRKLKPWERGFGDVLKNLREKEEQAIQDRRGLWEYGDLRED

>RCO7_08879 | uncharacterized protein

MWISNSLSQSLFFLLLAFTTTTNGQGGSFGYTDAALKDTFCAPLSPKRTNYYGCTNLGPSNQSTAMVIRQYETTITYGTGNNFVPFILKSSGTGAQS
FKGYLVRPASQWDSSECPLNCTIACRSHGMKYAIMNQGVCGCSPYFYAPAAPLFYTNRPGNPADTNYPDVNTPCGGTFGSGMDPGRPNCFGDPGNSV
CGGLTGTKVSNTWNYRYGSGLIAASVWFDNSFERDTSLAATPDETHPYKYLGCFKIFTKGATLFQPSGFENIFNDPAECYTFCRNLNMPYVGMGIDD
STGVLNCKCGTSFSTATFLDDSTTACHTPCLAVPGNPVCTTGSTADCCGHGLFYFTVYRHPRLLGCYEPPIPGSSIAGNYPVQCGPTPPIATLRPTF
VVVGVSTSANPLSVIPKPTPGLVFNGGDYNYLGCYAANTLPSLIGNVYNMPSNSGLQACMNYCKTANNGTATIWAAVWSEFNSPFLTNRCYCSNTAP
AAVSAGTRLAYSNCIAPCNGIVTDVCGGYEGQQAIYGPASYLAPAGPVTRSYVVQSTYMCIPASTSASSVVTSSTMTSSSSITSTSSTSSVITTSST
QLTPQRLPVLQHLHVRNSEPGYLILLTRHSYLNLKHNFLELDNIFKYKYINPDLVKFEPIIFIDNNHFIKDFYQQHSFPSANNHLAYNYIDCYSDHA
SSSTITSSSSSSKTATSSLQPTTSSSSIQSSSSSSIPSTTSSTTPSLIPTTSSSSSRIIPTTSSSRSSSTSKVEPTTNSSTSSLKPTSSPSSSVTPT
TSSPSSSLTPTTSSLSSSVTPTTSSPSSSVTPTTSSPSSSLTPTTSSPSSSVTPTTSSPSWSLQATPSSSTSSIDSTTSSTSSIVLPTTSSSLFSST
VTTSTSSSADPTTSSIVTIITSSRTFADPPTSSPSSSSISSSLSTSSEVSSSSTSSLVVISPSLSSSAETSSSVASFSSVAPSSSAFPTPSSSTDSL
TSTFQSSLTLASPSSSIESSASSDFTSSIIPSSSSQASSSTPGLTSSVYSSSTLIQPTSSSSEIPESSTDVTSSQTTLLSSSTASSTESSSDTIPVT
SSALSSSIDVQSTSVISSSSSELVSSSVVPSSSIDQGTSMQVVLSSSTATPSSTGFPESSTASTQSPESSTILLPSSSHVQSSTETLFSTSSSERPE
SSTGSSSTELPSSMESLSSTVSSQSPESSTVLVSSSTIISSSTGLPDSSKVSTGSPESSTALLSSSSFVFLSTELQDSSTASSQSPESSTAIQSSIA
SSDSSTRTVSSQSPESSTVLPSSTNVFTSTEILDSTTTSSENAQSSTVIASSSAEESTTLRQTSSSTYVSDGLTTSSFDITSITGSNTVLSTAVESS
SVETYSTQNSVLSDEQSSTIQRPKGSSIPESSTSSELSSVILSTSTILSSTSAQSSSVQALTTSSLASSLISSGSSSLYFSSDAMSSSKLLSTLDGT
SSVLDSSSFISPLPSSTSLMNELSSSETSSQSSDAASSSFVGSSSVPESSTALLSSTVSALDSSSVFTATSSGQSSDLPFSSVGQSSSLPESSTALI
SSTVTALDSSSILAAFSSVQSSAVPSSSMVEISTGSESSAALPTSTVSPSDSSTTSSFSSSQNGQSSSTVLILESSTDYFSSTETPLGSSISTSFSA
TLSAMSSETSMSSSEMFSSIPESSTIIPSSTLPTQDLSSSIPLSTSVSGIGSDSATYSLDTSTTLSETIAGSSISTASLSKTSSAGSILDSTSPSST
QIATSSAEASSTGLESTELLFSSTSPQESSTIYPTSVASPSFAQSDTSTPGLLSSSGISPTIPESSTLLSSSMELPSPTSSVRGLAMSSSDLSTLVS
SSSSETVSSSSESVTLSPSSSEPSSTIVTSLVPSSSVYSSEISFRVSTDSSSTVIPDTTSLSFLSSSSILVPTSSQELSSSISTQESASTGEQTVPL
SIVPSSSSELESTPSDSSSLDQSRTQGLSSSLPYTSSTPSSPELSSSTQASSSSLPLSSSMPDSSTIMSSSTGGWWSSLFSRSRSSSVSFETSSSQL
ATTSDVISSSVAGSSGQIMTSNVPSSTRVSAEQLASSSLTASLPSSDVSTQSVLLSETQISSDSSAVFSSVPSSSVPGSSSGVSSSQISQSSSQIDS
SQTLSSALILELETQSSSNIIVSTVDSSSQTESTSNLESLSASQTTSEEASSSSAVIDSSSISLKAYSTSEVNTDLSSSLVPLATSFSDFSSLTLAD
SSSESLTSISTSSQLTNDVSTSIHSSNIGTSSDISASSSGQSTIPGSSSSIIELPSSSSETSSSFQETLRTNSFSTSSFPSVTASAQFGTSEISINT
ASSAEPRSTSIEKVSPGESSTTAFVIATPAGTNIPESTSQPLLPATITSASPGPSETPVFFQIVIDVEIGPGLKKRAANDTQYIGPGSSFGFDNCNG
GTPYTYDNDGQLTSNGEYVSTDASTAWMYLQPQTLVQDITKTFAVDNDGILSWNNSTYFEDEAALFCQEPSGKVAILFRGVTDASPDYPAYGGACVP
IQLKAVTQRTCDNTTISSSEAFGGPTNLPSDGSPSSLGNQSTTTLGTSVSSTSHDTISALESSTMLRFTSSSGLPSSTSAFLTDSASISESLTSSTE
SSSLPLSSTQIGFASSSEQSSTLRPSTIISVPSSILSSVLNPTSVAHSTSIDESLASSISSSSSSLAAFMSSSSRQALSSLDPTSSVAITSSTPAEI
STSEYVVRSTSQLGTTVSGPQSTPGETTPADQSTTADDMPGQSTSPSTPQGQTTPNYTPPAQSTPENTSPGQTSPPYTSLKAPSTPQNPPATTPRDP
SGGGPPGPTVGPPATQPTGSNMCPYVPSNWLSTSPSGIYAEAQTLTFEYGCTPQYSTV

>RCO7_08880 | uncharacterized protein
METYEEYTGMGRFMIRWLQLGRKEGWTGTELIVLHENQLWLEFFQDTEGDFPGPTIEQLDGTERPTRDHVTKVLARDPKHLPRLVRSTPGRLELVYR
PIPKHKCFNQWVRERNARLRHEQSESAASGSSEKISRNMEGFSSAREYSSTSMRFSPGSDGKSQERKSQRLSVPVEVDNDCTSPNARGLSQQEVDDI
YLALDKRRHESSVEKLDWMFQRSLAMKAKKKKKAKKKKKKKRLGNAPEPMDIAPRNIKWLFSTQVEQSGSRKRVHSPAESTQEQERRKLDNDCPSP
CARALSQGDVDAIRALMLEGCAYEYPMEVVNTILEEALSTAMKEKVAMGFAEFPSTESAVDYTIYDTNPEVVPQPPNSAYDDSLVDILAGEYNKKGK
ENIDLDFEEYLIALEEQDRIL

>RCO7_08881 | uncharacterized protein
MQEVSRDRTLLVFLKTFINNYGIILIPTLGHGSDLLGGLSSFPTDTKAGLVAFDAEAKMPLTLDPYASFTSHLSFHSSLPCFLAYRILPIIYRRWIP
MWIYLGSSRNTQSKSQGLKRRLRIWSRLKSRSLVGGVLDEELVMCLCALRKTVDEGKKVIGDLHKTHARVKSVEESLTKDRAIFEQQRSKLEMEAQQ
LREISVLQSSINSLSMIHSNCFPLPERQVLMDKERATVVSVTRLKMEVEGLEKTISALEHDKQELVEKERATVVNVTRLEKDVEGLERTISALENEK
KYWGNQLSAANDKLKRLEGVAQAGGRAMDTIGEEKEHLNQQLIIAETQLKMSRTAINPHEQELVEQTVRLALNAAAEREAKNLDQVQEKVEGIRNGL
KMIQAAHTLDLEVLELRTANHNLTNQMGSLQSRIDEQSNLLKECCGLADEERAELETTLRRTIAQLPFEVAHAKEADVLKGKLETMNIKNEELRIQK
GLLLRHPNAYQQSSGRPLNGLRVPLNLILTAKRGIDEVEQSPEKASPSEELRKTWKKLLRSYEGPILKIVPPEGMDLYRARRILTNHFRDQISYLNF
RDFCELPLDQRTGAKAVEDNDQCHLCREDKAPCCVQIQPEESGRYYSSRFLGPRSTAGRKV

>RCO7_08882 | uncharacterized protein
MPPRGFTNPAPKTESAREAVRSFYCESFLLIPALKLTLLGELCSKGYARMNEYEAHLSSYDHSHKQRLKDMRQLTRDPLASLKARKAEAKANSQSGL
ISIKLGEGGSSSGGGGGFKKAGFKKAGFKSAFAPAEGEGVKEERPEVMIEKKEVGGSLRIVDQGESDTEDEGYEMYDPRFPTD

>RCO7_08883 | uncharacterized protein
MDRRESTASQDTFISLQQLDPSPIDTPPELEKQLEDYPSPRPSAPRRSSTLGLSGHSSVYYLTRLQKYSSYAFTIFASFHITNTSIIPLLTQSVPAS
ETYLLLTRPYYQSFPLEPLLITLPIATHILSGLALRINRRNANIMRYGAANLSISDRLSQRVKLWPSISWSSISGYILTPLVLGHSFVNRLLPWIYE
GGSSSVGLGYVAHGFAKHPFVAGTGYAALVTVGAGHFVWGIARWNGWVPVGGDRKAKRRWWTINGIAVALGALWMAGGLGVVGRGGLETGWVGKGYD
NLYSKVPLVNL

>RCO7_08884 | uncharacterized protein
MEDTNSATVETPPQRPIKVPKRRRPVPPPGPAGQSSSSSSSLAMPNTTFGFTAPSSIQLAPIVPIPPPTSRLVCQPADDDESCPEFAQTAEEQTLED
CQFALRKAIAASDLLSAEKSTALDDKEAAEASLVTLTNDFNEANKRLAIMDTMIERLEDVLEANGIVLPEPDNIVEPETAESVESDEDEEENAALKE
SLSDAGSDEVDSSDEEEQVPYESRDGITQTDSETEEVVQIRSMADKIAELEQDLKIARRSIKKLEDADEINTGYIQSTEEKAAEFQKQLEDEQLLTA
KLKNEIVSLKEQMKQDDVHIKDIEAQLVGAQEQIGLDAKDIERFKIIDKNNKTDLEAANSRIKYWEDENFKSALEKKGVMAEGAKAMNDVKTQEERI
ANLDSQIEESAHFAPDLFKHQEILENTLKQFHNTIDDAPTLQLHPEAYEAPAGIASASQRLEDELAGLSSVDSSTFGSNTGSSGTNAFSFDNMGFMD
EEEDPFAIHSPMLDPFDDPYFFPLVEDEDYGDETDTTIKVDPASIELVLEQATVNEVEVQVPVADEVEVDSIDFSTHSPLTRKLKALFDERDDFPGP
HRKRISGPDSSPYQQPDFPGLPPAPIMITVHGEAPDPIIVTVPGPVITVEVPGPAPPPEIIIQEKRVHSWFHIERDIAVLLAVLYITINQWFLRKLQ
GYAPITSDPADVEQDPEAVPQDPEDDVVLPQAQMMTTVSLPTPASSAPTDGVAPGSDPEDTPLRPLTPPTTEETLLQMLPPLPPSPEDTREEIPAGP
LAALPMPNFDDQRTTPAAPPASPQNPDTDSQSSASQAPPASHSDNDAPPPPPAPIVKPAPGFWNILADRPRPSIFWTLSGLLFHLVVYYFIYISYST
YQERNIWLAANDATRAYLHSIMSYNNSFLRKIFSDNWARGIDRSILVIITETGLFKVKAFKMPG

>RCO7_08885 | uncharacterized protein

MSFAYTCPNDPTVIREIVPGVTTISVPFLRFGRIKFGGRTTIVQLQSGTLAVFSPTPLTPLIKTHISSLSNSPTPISYLIAPDLEHHMNLSSWHASF
PTSHIIGPEGLPEKRATANASDKAVTILPFSTIFTANNKRSTKVSEEFDREFEYEYVDAHPNREIVFFHKPSRTLIEADLLFNLPAAEQYSKSGEDP
TTGWATKLFAGLQNTRGEAVWQKRMLWYVFSKADREGFASSMQRINSWNFVNLVPCHGDSFVGDGKGIFEKVMQWHLQGKK

>RCO7_08886 | related to cAMP-dependent protein kinase catalytic subunit

MAFKLSRSATHSIHEIASGLIHHHKSRQEPCSQEDHDKEKAFVAQFAERRNTLPPEEVQQDPRNKDLGRQSRGLNVKDFELVRTLGTGTFARVWLVR
LAKPAEEDREKVFALKVLRKVDVIKLKQVDHVNHERSVLADVAGHPFITTLITTFSDHESLYMLLDYCPGGEVFSYLRKAKRFDENTSRFYAAEIVL
ILEFLHEREGVAYRDLKPENLLLDAEGHIKLVDFGFAKRLGNRETYTLCGTPEYLAPEVIQSKGHTTAVDWWALGILIFEFLTGYPPFWDQNPMEIY
KKIVTKEVRFPSDPVISPNAQSIIRAFCVVDRSKRLGNISGGAQRVKDHPFFEGINWEDVYYRKEKGPIIPPVRYPGDAQCFDLYPDEESSRERYND
EMAKKWDGHFRDF

>RCO7_08887 | related to phosphatidylinositol phosphate phosphatase

MTSADHLQLAYKAPIQGPDINNYISHLPTTSTNDTSMVPAIAQAISLYILTYNCGKALIDVDAVASQLFSGLSKPKLPDLLVLSLQEIAPIPQCLIG
GSFLVQYFNRFHEAVEKASRGACITTGGNEGLIYHLIAARNLGMTGIMIFARDPSAISDVETGGVGVGMAEMGNKGAIGVRFTYHGNGTSAELTFVA
AHLAAMESDLTRRNEDWRNIVRGLIFSSKSVDRKSIESSRSAEERPLLSISPRDASIFKPTSHLFLAGDLNYRTSILSPSPTDHKDTFPQPYHDRSS
PQHFSKLFKDDQLNQERLAGRTCHGLTEAPVTFPPTYKYDPKEAYLTPDEDLSRWHWAKHRWPSWCDRILYLEVPSWVKRSHPEAQIITHKYSALPL
WPTSDHRAVALDVSVPILPIPPPKEDEEGDDPRIHPPFEINIDWKAKRKRARALELVVGFAMYFTTTLEGGGVSVAMVLGAVGAFFAIKAMVEM

>RCO7_08888 | related to proline iminopeptidase

MAATSLKGSYDGYAPFIYPSIPKPLLTYYRVYGSLTSPITPLVIIHGGPGFPHNYLLNHSHLTPTLSIPVILYDQIGSGLSTHLPETASTPSLWDES
IFFSQIHQLLTHLGISQNYDILGSSWGGMLGSAFAATKPPGSRRLVLSNSAASKALSIENRLKSRKLLPREMQDVLDEADRTGNWRTGVVGAVMKEF
NARFACTVVPEPEDMQVSERLYGEDTTVATAMGDDNDGNPFDCTGFFNTWTMVGRAKDIVVPTLVINGIHEFASGDAVKPFLDEIEDVRLVTLEGTT
HCPHFERKGEYMRVVGEFLTG

>RCO7_08889 | uncharacterized protein

MVSSRILGVIITSVICLICIVARTTYRLIYRCKIHVSCHRRWHIDDVWMAVSVLPLLGRGICVAWSDTASRDPATPNLEIKLLLPSRIFYALFLWCM
KMCLLELYLRICRNLPMYRKVGLYIRASLYITFVVIVLVTLLECRPINLMWNKDPAGAQCRRARGNLVTMGVANIITDCALIVFPISFLRQAGLDYS
RFLRLGLLFALGSLIIVTTLVRLPLILRDDAQAQRSMWASIEIACASVVANAPFFQAVIIDMQLGGSHNQSIAERRRSQLTKITSRRKSNSSKVNGD
GKVSLWHLEGRFDGQSPARDEYGRVGTSGSGQEFVTVPRGYFEYQERPAEEIESVSPFTEVETKKSNS

>RCO7_08890 | probable IMP-specific 5'-nucleotidase 1

MAELAHRRYAEIMLDVEHMIDDHIAHQQVGLQGQSKLKLLVPSIGTFFTRLPLAEAFRYQDRKRFISSRRFVPPSFNDIRLILNTAQLMGVMATGPL
DLATFDGDLTLYDDGKSLEPSNPVIEKIIYLMSHDTKIGIVTAAGYTEAERYYGRLHGLLEAVKASTILTSAQKQNLIVMGGESNFLFTYDPTSPFL
LTHLPRRQWILPSMSTWIQSTITQLLDLAESSLRECVTNLSLSATILRKERAVGIIPSIAGAKFPRESLEETVLVVQKKLEMSEVGRQLPFCAFNGG
NDVFVDIGDKSWGVLVCQEFFGRQNSKGSDVEGEEGNGAIKGERTLHVGDQFLSAGSNDFKARVVGTTAWIASPAETCELLDELALMIGRDGKGRER
GDDGGLEEDLLRRVDGLFEKHPFPAA

>RCO7_08891 | probable 6-phosphofructokinase

MAPNQPLPSLEGKKRRIAMMTSGGDSPGMNGAIRAVVRMAIEKGCEAYCIYEGYEGLVKNLIKRFEWSEVRGWLSEGGTLIGTARCMAFYERPGRLT
AAKNLVLNGIDALIICGGDGSLTGADKFRAEWPGLLEELVATKELTQEQIEPFKHLNIVGLVGSIDNDMSGTDATIGCYSALSRICEMVDYIEATAT
SHSRAFVIEVMGRHCGWLALMAGVATGADFVFIPEKPRAENWKEEMCRIVSRHREIGKRKTIVIVAEGAHDQDGNKIDCETIKDLLADKDGLALDTR
ITTLGHVQRGGVACAYDRYLSTLQGVEAVNAVLEATPDTPTPFIAVTENKITRKPLVQAVLDTKEVAKAIEARDFDKAMSLRDTEFIDVYNSYMTTT
STGLDASMKLAKDKHMRIAIIHCGAPAGGMNAATRAAVAYCITRGHTPIAIHNGFAGLARHHDDQPLGAVRGFDWLEVDGWASKGGSEIGTNRELPA
ESGMELIASLFKKYDIDGLFIIGGFEGFHALSQLRQAQKDYSPLCIPMVLLPATISNNVPGTEYSLGSDTCLNELVRYCDTIKQSASASRRRVFVIE
SQGGRSGYVATLAGLAVGAVAVYTPEEGITIDMLAADINHLKKVFREDSGQSRAGRLIIVNEKASKVYTAKLIADMIREEANNRFESRDSIPGHVQQ
GGTPSPMDRTRAVRLAIKCIEHLENYEDRRDEKIVDDPGAVAVIGIKGAQVVLSPMKDVEANETDWTNRRPKDEYWLDLKHVVDVLSGRPEIPRPPE
PKLEGWKAKDAKRGIIS

>RCO7_08892 | related to SRB4 DNA-directed RNA polymerase II holoenzyme and Kornberg`s mediator (SRB) subcomplex subunit

MDTIPNEFPISLRSWPSANSNDALPSIIQRINLERGGFQNITEESLREEIAREEEELNNGDNAESSSEDEEEPDKAKELNAARDEFIGQIEQAHQAS
MLALDFISLLLSKDAPVQASLSLSPDLQAMIGVKTLGADKLAAPRTTDAQKQDNRNVAKGLKTQHLNKAVESILASATRLEKEIEHETKYWEQVLAV
SEKGWAVCRLPNQRHILGVRFGFSESSPAFKGRSLAALKRNADGTISLDQGLADAQPKSLRVRIEVNGTYTGSSTVPKAIPEESSVEALILQARNTI
FSEELWQEMNRESRVLEPIRSKDSTLIYHLTDTRTLVLDLVILEEEPIQSKGPDDRIAEGIFLALNILLSSAHRLAHRRRTQPPAPIVLEKRATPPL
NLLRPFITRVKHQEMMSKLRDILQPLYRVLQSIQLDTPPEYTQVSTVWAAQPNLTNAERTVSTLTDRLEVIATLTVTPTTTFSIKAQTHSQPTIFPQ
FFVSVSPPSSPLHMTCPPPARFETLSALQDYLYYATSCALASIFVPSPHAKSSFIHGLPSPPEPNRQSRPSSPFPSTDQHPTTQWTQTACPSTLTKS
LPNTSRTKQLTFTIRSSRHYPVSAHGSPTILRVQWEYARGDSSGTDLPLLFPVEGKRSELWGDGKVAGPEGITEEEKERGVWPLTEDGGSGRGGKGE
GMKRKRGLQAEGYYEWFAWVGEDDDDKGFFEVVRSLESVVESAGSVKEGEKGDE

>RCO7_08893 | uncharacterized protein

MSYRVEIALSGRSGCHSTECKDAKIKIDKGELRLGVWVEFPTGGGWVYRHWGCVTGKILENIRKSIEVPGEPGQYQWDMLDGYDSGDKNSLDKDPKL
QEKVRRCITQGFIDPEDWNGDPEMNVLGASGMRTKESMKKAREDQKARTKEIVDLKAQIAALQAEKANGAGSKLDAKVAAAQADLEQRIAADLPVES
LAAAKKRIKDEAAAEEGAPPKKKRATKKKVKAEVDDDEDEDVKPAKKASKSRAKKVKREETDDEEIEEETKAPAKRSRGKQAIKKEEDDNDDDAEDQ
KPVPAKKSRAKKAVKKEEDTEMTGKADKPTGIKEETEESAPKQAPKKRAPAKKKAAKAKEEVDEDAESAIKIEEREDDEEKAKTTSKKRAPRGKKTV
KAGEAVNGVGVEEDSPKAGPAAKKGRKKANKGENVEDGVKEEPTNESSSPGITEGSSVLSDPQDLTEGVKDEPIESVGVAPETEEASDAAPADEVKN
LVVPTHGRRTRSRTASKKA

>RCO7_08894 | uncharacterized protein

MLCIVLLLGALPAFAKQPPAQKHSNIDTRNITSLLESRQLITPEVAPSLLYNDPFRKPVHHYTPLDNDEETSVYERGPGRELEFQNEFLDGKERFEI
IQVTLPSLAKRQVGGDFEARKKMFESGNGGRNEGTGSSSGGSGKPAADLPSQGKVGNLKGQFEGDSGSISTPGKPAAEAPSPGKVGNLKGQFEGESS
SIPGKPAAPDPGQGTVSNLKGQFENGVGSNSNPTSSGKTAEMPKPGIVQDLTNKFENPAVSEINPTPIDPVREGIVEDGKNVLENPPTNDAGPNSVD
LNKPKTVQELKDQFENPATGSSIPNSVDKSNPGTVQELKDKFENSGTGHTAPKPVDVNNQGTVQGLKDQFENPTTGHVSSKPVDLNNQGTVQGLKGQ
FDAPADGSPFAAPAPKPGQPSNPVPKEPSIADQLKEFSAVDANGKPVDRPVSPSSGIPAPKKGLHDKANSWEKLDGKDARKRPDATYELDDPALNPR

PPIDPIFKDAGLNIGDYSKDIEAVRKSNPEIKKMDKELNNLLQDMLKNRNLVKDIDAQLAKIKETQAKRDAQENEMLQRKNVLDAMRKRLVDERAKL
EKDYSRRQEDLTVEAKNGLQDAYRTFGESLERIQSTLANLKAWKKTKESDLAEAKLLEKSMKEDQSSRQEASKALQKENANVRGWKKPPQVPPIVRA
AKVDGGRVSSIDTQVPPPNMPLPAPLPGSVFPVDHPMRVALDDIRIKGKLTQETADNLVASGWGISPAAEQFLKDNNIPYDNMVIAKGAISGFASMA
HLAPAGVLAATPEVLELAALAGSPEIMAAIGTGMAAPEIATVASAALPAIGGVAGAAGTVGTVGTAGVLTEEGVKQAVTAAQVVSIGGKDVFKLSKT
PLALIAAGTTTGASLGFAGGLLAGIFAKKRTKDDVKNDVKNAVSTALSTVTKVDSKTTMDHITEILGEKTITVEKTSASQPTTTAVSKSKTEKSGQS
MTKSSTTLKTTSSSSIISSQSMTKSSSALKTTSWNSAKSSQSMAKSSFSSSSLKTSSSSIKSTGVPSTSSVPSSTVTANPKPSGKGPIVLPPVILPL
PPSTVSTNFTNSTSSGDNSQTVILPFDSILNITEPVGQAGNSTRPVVLSPGLELNATETVGHGDSTQPFVLPPNPKLDIAGYVEQEDTPVFSSPDLT
LNGTSLESIPPNAKIDVTISAGQDSTTGPVVLPPDLEHNTTEPVGKHEIDTLPVVQSPCPATNATTWMESCRDSPVLVPSVELGSKTEEPPKKKTHT
VTIPRTRPTKTMSKVTNSNYPVLLDIITKSHDKAASATTSKTMPAPTAVVVMTTFVTSVRPITTLLPI

>RCO7_08895 | uncharacterized protein

MSVKPTLVLVHGAFHGPECFHLIQPKLEALGYPVVAVALFSVGRTHPTATYLDDAAAINEVMLPILDEGNQIVMVAHSWGGIPGVASIVSQSIQERS
TRGEKGGVKSIMMIAAATILKKGKSLADTTGSNSVDWLEMDGTLGICIEAAKDVFYHDLPPAEQDHYFSLLRPHAMTTFFTPVDTIAADLAIPKAYV
ICEKDHAVPKERQEKMVKEIGGFKVIRFAGGHSPFLTEPDCTVKTIDEYAREN

>RCO7_08896 | uncharacterized protein

MPPKREFAEADLVAESPQTKKQKLAEASSDNDAIPDIMPTGPKLASKPPKKVRVVPTNDEILAMTVKQRRQFRQENWLRRSFSWDEFTTPGGVYWKG
VKVLGQGTYGVAGLFKYIGPNESTPKSIVVKQCGPTQRHALIRESRILAELATAGSKHIVKLFKSIFYTAGTGAHPSWDPIPYTRTLGANGTAVQQY
DPDLQVSKIYLEHCEEGDLWAHQKKVNPTHEHPSEEYIWRLLECHVRGLYVLATGKEKPTPEAPKKEASTTEAADQPTQSTETKVTERKKLDVPEIS
SRKKGEGTLTIGHPNVASPETPALKSSVTEPGFLPKVAEWKPIIHFDVKPDNLLVGKTDDNHQNPSRSIHKFADFGQARHTPPIVTPHFIAYGRFCG
AKGIKPPEQMYEGAQNVDIGKAGDLWSIATTIYALILKKYIPTSVCRITFINSASGLSESYETQGSDLLTLDDALYSNTLLNVLMRCLAFKVVDRPS
LDSLKRTIDEAIAALERQRSLDQKDPFFDFTEGNLEDGEDVALLSPDPLERYGRVDSLVLDNARMPLWSPPARVDVLGFTPDGAPSLNIDGNTAVYS
VQAPKFLPFLSTPMLLAQQQRQQQQQQQQQQQQQNEQRLHENADVSEYELDG

>RCO7_08897 | related to dihydroxyacetone kinase

MSSKHYFPETAVNTLVPRFLTSLTRANPSLTLIPSYRVVLNSTASRSHVTLISGGGSGHEPAWSGYVGDGLLTAVACGDIFASPSMKQVLAAIAACP
SDKGCILLITNYTGDKLHFGLAAEKAMERGWVERGKCVVLPATDDVSIGRSKSQKVGRRGLAGNVITMKILGAAAAKEYSFEQLVKIGKAVNEQLVS
IGSALDHCHVPGRQNHEEIGDDVCVVGAGIHNEPAVEKVSPIPSVEGLISRLLDLICDQNDTERAFVKFDKGDDNVLLINNYGGLSPLELGALTEEV
LTQLEKNWDIKPTKIYTGPFETSLNGPGFSVTLCNLTTAAKESNTSVDELMDLLGAETKAPAWPNVLANSSTKTAKKDSPEVDIEKQAPVSADEDIQ
IDPEVLESAVRTACKRAIDAEPNLTKWDMIMGDGDCGEAVRDVSKAIIKIVDDGGAKSGSVQTLLQTMTNAVDDMGGTLGAIFGILLAAFSTSLRAQ
KSKAASDSKLIDLFAPALAEAVESLKQHTGARVGDRTVMDVLLPFADSLDNSRDLETAVRKAESAAEGTKELKAGFGRASYVGGVEEKEKVPDPGAW
ALFEIVKGLLEGGKQR

>RCO7_08898 | cytochrome c oxidase-assembly factor cox-16, mitochondrial precursor

MGVFPNKKFRGSADANTIAARYRTLLARHPFALFGLPFIATMVAGSFFLTPATAIRYEKHDRKVRRMSKEEELGIGKGGRKVDMKEEYYRLAAKDLD
DWEQKRVKRLPGEHDGKL

>RCO7_08899 | related to UVSB PI-3 kinase

MAPIARNAASGRQPHGQNNGEMGTSIPPPSTMAAQLISNLSTKATNPSNKDPDGLKQIMLEVSLDDAEFDAKVKANPAYIEEMDVKLERNHKLIYAF
ARALLEKLASDDPFQDLKESAQQGKEALDVYVGTFREFPQLLAYIPPPDRPLIGRGTEPLCSWLIPRVLVLLGRKGCETLTENIKSLFKVFFQIVPQ
YPSLWIWESIMFDHLKRCVQATLNHLEHPGIISHNQQMSIVVRYGQEESETEASSVALFDSSYSMRSPAEGLANASHILCILAGASEEIATSFDATT
AFQGYLVWLLDSFLQVHGIRGRWAGNLALHESCMRVDELFLCSIGSLLSSLRQVLWPFLLRKGYTVLSIICAAILEEPSQLAEDSQPILCSALLNMT
AICKKYKAMRQVMVLNLVPAIKATEIQASNLGKDFKVAGSALLNACSGSSVLQKDTLATSPVFEHPSLLIEFGHLGLDQVESKSLDSIPDDLTEVED
GPPSKRRKINDSKNPFEEITADLYELLGAQRATDLAGLHHLAETCFTALSPQDQYKAIEFLGRIPCGLSGKLSLTRENGKTVDSKCLVCDGAELHEI
VDSQYDQNAISTITKESIQVFTSLVKCQTFSQSPRSRVLAMFVLKRFATHFTDPEFLDLQISPLGQWCMKSLNSSVRELRLAAGRTIPKFLKGVPTP
DSLTWRNRHDLIIAMRTSAEQDCNLLLQETTILAWGQIAGVVKDDELNVLLLELVKYLGHSNQIVSGTAFSEILRLAKQAGGTVERLFSAFWSSIAT
FAVGELLTKPQTTQLMADLLGMSVAEFLLLTQSYTLPFLILNGRVDVINRISEARNDPDNWAICVDPSNIAPILALLLVQDAPNLDTFVMGLLRRVS
SEFKTQELADLLQIEPMYQALYLLKAAGEADESKKSRIRVALKFLATRGGESNSSKKPNSMVTFLNQHMLGLVTRIVEAVNGTREEHVITERERSIK
AMEELVKLAKTDARAARPQLCACLQTAFSQVELQSAAFSAWETILRNLGDEDVEAMLESTFSIIIQHWASFDKATQERAEGALQYLLKSRARLIRNM
IANLPSLAAFPELVEVERQISKLRVPTDVGNAFQIFRRRLGHENPGVVTQALVELKHFLQDHQSFLQASAISEQPDIIVGQLIRSVLDTCVKNTELQ
NEIALLSAECIGLIGCIDSNRVESIRERREMVVVSNFHEHGETTDFVLSILQEVIVPSFLSAEDTSLQGYFSYVMQELLDRCNFRTVIGDILRNGQK
NSTDNLYLKWLSLSPGVQDVLTPFLSSSFSIAEMPMPKLNYPIFRPERMPSKLYNSWLRSFTLDLLQKPFQFSTNLIFPPLCRAIRIKDVSVASFIL
PYLVLHVVVDGRESHREEIGRELLAILTYEAPAESESRRQDLKLCIEGVFRILDYFARWMQEKQIKTAPAKGQVAADGARDILLVKSVLDVIPPELI
SRRAVECKSYSRALFYWEQHIRDVRQKEKGQATNAAATTAQLQHLQDIYTQIDEPDGIEGFSAHLHVLDIDQQILGHRKAGRWTAAQSWYEIQLAEK
PEDVDVQLNLLTCLKESGQHDVLLNYVEGMHTAAQTVSKLLPFAAEASWTTGRWATLAKYTSLAPPGIGKDFNVNIGRALLALQKGDEDFFKSSVKS
LRDRIARSLSTATTSSLGSCHDTMLKLHVLTELEMIAGSEQPKVGDLPGILDSLNRRLEVIGAFLNDKQYLLGIRRAAMQLSRLDFGERDIASAWLT
SARLARKGNAIHQSFNAVLHASQLGDESATIEHARLLWKEGHHRKAIQSLQGAIENNAFISHNKTFNATSFTGADKPDQQNLLTARAHLLYAKWLDS
AGQTHSSALRIQYQLAAKTHVAWEKGHYYLGRHYNKLLESEKALPPERQNETLLTGETAKLTLPRILTLWLDLGTQVQRPVDPKYGSSKEFANRITS
VRKQHLDQIHARFKKYTSKLPAYMFYTALPQIVARIAHPNHEVYKFLQTMIITVVSTYPQQALWSLLAVCTSNQSDRRARGAAILNNLQQTSKRDTG
GFDIKALIKNGERVTEQLLWACTAGEFQGNRTVWASLTKDLNFNPKVCMPSLLAVPAESVLTATLPTLTDNLRAHKAFSQDIVTISSFADEVMILSS
LQKPRKLVARGSDGRSYGLMCKPKDDLRKDQRLMEFNSMINRSLKRDAESSRRQLYIKTYAVTPLNEECGIIEWVDGLKTLRDILLGLYKTIGVAPN
YNEIALYCEEAAKSPDKLPFFTEKVLGNFPPMFHRWFVAQFPEPSTWFAARLRYNRSCAVMSMVGTILGLGDRHGENILFEEGNGGTFHVDFNCLFD
KGLTFVKPERVPFRLTHNMIDAMGMYGYEGPFRKSSELTLKLLRQHEETLMTILEAFVYDPTLDLLARDPKKKKKEGSAVPQTAQGVLDTIQRKVRG
LLAGESVPLGVEGQVDELIKQATNQTYLASMYIGWCSFF

>RCO7_08900 | related to tetracycline resistance protein

MAAPVDPATRKKVLKVVFFSLLLDLISFTFILPLFPSLLQFYRDLEAPTQFSSTNKSPSLLAHILTYLNAYKASFAKPIDSRYDIVLLGGALGSLFS
LLQAFSSPIIGTLSDRYGRRTALLCSMAGNILSVLLWVCATDFSTFLLSRVVGGLSEGNVQLAIAIATDISDEKQRGATMALVGICFSISFTFGPAL
GAWLSTISSVKANPFATAAGFSLFLIVTETIYLYLCLPETLPSKVASAKLNGIPAATNGSTKPTGDTITTQATMFSSTATKVVGKHVRTNSHFLLNL
THLGFILFFSGMEFSLPFMTYDLFGYTSARNGRLLGYMGLVASILQGGVTRRLPPLLSVRIGVVSCLLALFLLARIDTIGGLYLATTLLAVTTATVV

TGLNALSSFEAGEDERGGKLGNLRSWGQLGRGIGPLLFTSVYWWAGREVAYTIGGMGVLGVSMIVFFGLKTPAGTEGKKIKDLKGAEGVEL
>RCO7_08901 | uncharacterized protein
MGFECSVGPERYDGQFADLFVSCVGETEGYLAKLKREIVGLRGSFEDLKSINYLQYTMNEVMRLHPIVPANGRICISDTTLPDGGGPDHKSPMYVIH
SVYVMYRRKDLYGEDAEEFKPGRWETLRPSWRYLPFNGGLKLCIGQQFALTEAVFTIVRLLQAFKGV
>RCO7_08903 | uncharacterized protein
MAFKFSGEAVWITRSPRKRVKVYDFLE
>RCO7_08904 | uncharacterized protein
MIEPRIKAGVLIVAPGCDPGGLTQSPMAVKLAPFFADMASGTVYFESGAEKSADGLRGRTYFWRISGWDARECDDESVERCAVVQRMTWAYLRIQLD
GEDRTWEVARKALVDLKDIGMVEIVLKGTPCEKSREFKAPCSARSDVHRRVSSRFPRNVKWGACLSPRDLASFDRETAAIGFSPAK
>RCO7_08905 | uncharacterized protein
MTTDYMSPEQAQALLDILSHHEAYQELRDLRLPGALSRSGTPFQTDGEPNEMPLLNALFTSFFVPLPGLRDVSTEFYQAKCQEIMEAFAKADLSESY
EAGYIGIRKTLATATAALIEAPARGYYGGFSKKDLSRTEPHYDTSNPEDVVAAFQDFLQKLVYGTLLDEMFVKAAETDNLKEHDVLVQAAHEYILVI
LASFLHYILIITPEGQTMLTMMKQANALVPYTAIRQTLKIGNVATMINAMMRLILTKMTLNSVTSFFGLTNSSDAGWNLLQTIIYTVVNWDTNTLKT
RITEIERNTLGPSQSQRDLLLAYMDKDRQEHEKCRTMSEAKSEPIVVTIMEEYGGEELNEKQIPLALDYLSAKISLQDRKKIIAILCSGQPDLLSQA
VRECVAAYDPIIRALHKAVDLSGTVSDLQAFLDDLLAFTPAGKNSSNASVGDFVRLLRKHQKSCHSFIHQVCKNGPEISTWYKEYARSSAAQFRVND
QKENISISNFGGAGKLTSQLEAAISELPEKQRGQILAECDAYAAYHSHLTTISKSDMIFEVRHEPAPGKLKRAFTSSKPATREPSPTRPGPGPGIFL
RRWQAYVNDTAITPARLDGPVRHGGDIDVVTAGRIPKSGAGKDAQVQAADDKEVNDAPKCTRTIGLLGARFREILRETSRTAPTRVELGQEDID
>RCO7_11748 | uncharacterized protein
MNLGPIIYSSSYIIFSTILVIASKSGNCDIASGLLNYVNIEYTILSSLLLSGEAKDAELNRGGIIATYKAINQIYYLMKSATLITIIIREFAKKAIF
KAIISNTKGKRNLPSSLEIALDLDTLRPSLKKKAYRISYYTRSTTRAILVDLDKELDIVVLVPDIPDLLEALENLREKASKVEVIKEVEF
>RCO7_08906 | uncharacterized protein
MAFVGANGQLIPGIITMNYKYFLDLKVEAPKNGDMPFVMRMILYRKVEGRFPKLTFTVINGVNCAIIPFNDRMYPELIKDAVTRSCKFLARLAGSDY
NPVAIIYHQDERLLEFQPSDIPFAITHHAPLVADLSKNFPLASDILDAFGTDSKSWTKVTELKCLQEQGLRVILNRSDCYVLAMSAIQGDFFRTALR
EKGMLTYRVLDFPPPLQAMLSGQSPRLCKVPLHGVNRSKFLFTAVARLTFFKHAEILVDGAILLLERGITDLSIFIAGGDESNPHRQIRSDLLNRVP
LHLRHYFHFIQRIPQEDLYSYFNSQRVQKTGVFVCCSRYETLGITPLEAALSGVSTVITDSTQVEASRYFPPEYRFKENPTALADCLEGLFRADLSS
GGKELMQYVEQSTEARGDFRTEFLQAWNQISEASVNRSKTKYRIVK
>RCO7_08907 | related to berberine bridge enzyme
MFTSYSYLGVKHIVISSLLVTLSQASVQSASLESCITAAGIPSSFSTNTTWAGDISPWQLRITPVPAGVIFPTTVEQIAAGLACAEAAHVKVACRNG
GHSYGSYGVGGNYGALVIRMDAFQSTSYDVATGLFTYGGGSIVGDIATWLWENHGAHVPHVRANRVGAAGSSIGGGFGTTSRFLGTPMDYLSSVQVM
LYNGTVVTASRTEYADLFWAVQGAGSSFGVLLSLTTKTWKPVHQQVTNYTINLGNVDIETGVKALLAVQHYALSDACPDELSLRWSLTAPPFTGIGF
YYGDPTTFQAAIDPLLKALPAGTNLTTSVADFWTMENIATPQLSSKIEVYPPRNFYLQSLVLRRDGPFTYESAFALYNATTYSFNRTDMTKFGFIDL
WGGVSRNIKDEDTSFAHANSLFLIRWEGRLATGLTKFPADGISYLQGQMKPFENQLAKEGVPLRGFVNYRDTELTVAEWSKRLYAGNWKRLLSTKRK
VDPMGMFSTNAQSIPLLLQ
>RCO7_08908 | related to oleate delta-12 desaturase
MTGLWVLGHECGHGAFSTSDALNDVVGYVLHSALLVPYFSWKISHRKHHKATNNLSKDMGFVPNTKDHFLRNRHLSTIAELSDETPLYTMFSLLQLQ
STGWLVYLLTNATSHNQHERQKEGRGIGKSDGFLHGVNHFNSNSPIFDDKDKDKVHASNIGLLATLAILMAVAYGYGWKLVAIHYFAPYILLNNWII
LITSMQHSDPSVPHYSPQSWNWSRGSAATIDRDFGFIGRFFFHSIIETHVLHHHVSTIPFYNAAEASEAMKRVLGRHYRSDTRGGIVGYFKAMWMRI
RLYHWVEPTSMKYQGVLFYKKRNSL
>RCO7_08909 | uncharacterized protein
MALAQYHLPSRRDFDLSPYVTSQSPLTTSTSSELPDMTPFSNPQLPSISSSMDDLSPGMYSLPGAYSGPDMNVSNLSDNSSENFNTDFFNGHSSRVS
SNTSPTTRSTPECTTKKGPQSPITTSGSKPTSKVQKRTLNTLAARRYRQKRVDQVSSLETSLKDTQDERDALKLKVARLEAEVDILRGLVKK
>RCO7_08910 | uncharacterized protein
MESTNRTSFTITQPFLGAPLHFTPALGSKELEDMVDMYVIGNGPKNEKLSVVTVEFFNLATVDLNTGALTRTYEIFPFIDFEQSPMASQSPGFSPPI
FTPSPASSVTFADSGYGSFSIPSMTPPTRTLGSARVTKKVAKKDAKKAKVEEARLPGFSIMTKDGVDVTTTAGRGTKTKEQREHAHLMRIMKACDAC
KKKKIRCDPSHRRSNDASRSSTTTHSSTGSAHISPQSESSPGYTVPAMSRHSTQVSQSPAAFTPTNPMEDFVLFPEDASWNPEMSQGDLGNFNFDIN
ELDFNAEFSAPLEFPFYQQPFNNGALTFDQQFSQPYHQEQQQQQPFYQIGSQENYADFSISDSYDTPGGSFDMNQDLSESHTRPHPSRQSQDSDQKE
SSLQSLSDPSRKTRDSDQIESSRRNLSVYSMSQHANETLLSSTSDWSVLESSLLGDLSRAQSSTGPASLQRERVSSSRSPLSSDCSRNTNASAKFNV
GVDSGTVSSRISRGGIAASAALAANSATAPGLQHSITMNVGNMSAGQALLSDSGPMISVDPSDPLVVPLQTQRSSTVSRSTVIHELKKSCLQVSESL
QTIKSTRSEYTGLNTDLQRLRSVLQILQTRQETIVSEGVFQEVSAFHSHLSDLSSRLGPSSDTRTLMLNPLLMTLDPEYQPEFFRQCQISARRLVRS
LCATINTVQAHTTGTHLGVTQRSTMGRSIREVSPFSSLPGTSMRACGSQYNLADASLFSYSNAILKVCQTQLSIVLASVVLAVLALIIFGVAFDCVK
GVTLIMQSVQYITALKESCSLWISNSIARLVFCAIMATQLPIPTKSETFSRGLTPLFLLPNFFSRISTRMSSTSDDLVNSRACSGNNDGILARLTDF
CPVVTVL
>RCO7_08911 | probable Found in Mitochondrial Proteome
MDQRKEEVTRRPLYVYDLPQDILSTLTRKNDTGEDPHHNTSSSATDSAAETRTETAAGAKSCSLCGVIFHTVEDQRSHNRSDLHNYNLKQKIRGAKA
VTEGDFEKLIGDLEESLSGSDSDSEDEEDGDTRKETTLSALLKKQAHISSNSNDGQETLTTKRKRGSGKPPIIWFESATLPRNTYLGVYRAIFTNSE
QENEPTILDIVRKKQLAPKPATKIPMNPSTGVPLPEAYKEPHIFLCMIGGGHFAAMIVSLTPKQTRSTPTGPISKEATVLAHKTFHRYTTRRKQGGA
QSANDNAKGAAHSAGADLRRYNEQALVEEVRALLQDWKGMIETSELLFFRATGSTNRRTLFGPYDGQVLRQNDPRIRGFPFSTRRATQNELMRAFVE
LTRVKVLEVDEAAIAAARAEEAAKLESAKSAAAKKSATPSAPKLSEEEETALLHTSQLQALLRRSKVPALISYLKTNSLSPNFLFSPPDHHAPTPLH
LSASQNSVPLITGLMLKAGADPSVLNGDGKTPFELCGDRSSRDAFRVARSELGEEKWNWEASQVPAAMTRAEADERDIVAKKEEAKQEEARREAETK
RLEEEGPKVVDNGPLGKAAGRGRMKALGQVAKTAQEKREEEARGMTPEMRMRLDRERRARAAEERMRKMAGGSA
>RCO7_08912 | uncharacterized protein
MSCVGNRKKSNRNGDRQPLLPQYEDDTSLQRAAHQKMHTYQMLRALGKGFMPSNEQTIVNLRTLLASDVLNPETAGLSDSGRRLTKFSKQWLKEFID
LLGNKNGEDQIQDFIWFLLHSRVHVDVDDLVRTATSTRAKADASAAFESFKTVGSLLLTNSDFRIFLNDLNTIGRQVFADTANTVSTVAEEAAKQIE
PSTEQTEVLKKPGADEGPAPTAQDLGAEALEVTDVVANGVKKAGQEVVASTKENFTGDQRETLIYRLKAAVTKLRKRNDYTDSVSTIGLLIKRYAKV

YSRALDKTIETVEEDVETNEALDRAVKNGWSLVSSFGDKEAWKELEKRVNKVMEHSQKDPDFEGLMEELAASIQKMLTDPDFFETAGNKMEELKEKS
KDVGTDSPLRKDIDAVLQQSRKTLDSVIHDQDVSKLLQTSLRLWNVISPSNSIANPDLFTDAHTIFIPLLIQAIQFIPIPRLEISVPEIDLLLENLI
LEPGRTINNTSFLPFRLKVETYNDLSIRKARFRTISSVKSLVTIKAQGLSIRADEVGFWLRAHKGLLRLADQGIASFELDERGIDIELDVEIGKERL
EKILTLKDVRVKIHHLSYTLRKSKLACFAWLFKPLIRPIIRKVIERQVATAIGDFFHAANRELIFARERLRATRISDPQDLRTFVKAIITRLTPEED
PDLYANVGVRGGAERRGNIFAGVYAPGSVVKLWDEEAGRAGEVVDDNAAKGWRNEIFDVQARSLF
>RCO7_08913 | uncharacterized protein
MPPKPRLNVQNFPRPPLLEKTSRHLQIKWHGQVIADTKDAYWVLETYHAPTYYLPPSCLTIPPTTTQKSTFCEWKGWATYHSISLPSPSSAQKEETI
TNRIWSYESPTSRFKDLKGYLSFYAGPWDCYVDGELVKPQPGDFYGGWTTSELDGIIKGDAATRWM
>RCO7_08914 | probable vacuolar protein-sorting-associated protein 46
MSGLEKALFNLKFTAKQLNRQAAKASKDEKTEKDKLKKAIQQGHNDIAKIYAQNAIRKQNERLNLLRLGSRIDAVASRVQTAVTMRAVTGSMMNVVK
GMDQAMKAMDLEKISAVMDRFETQFEDLDVATGYYENATTSATAVGTPQEDVDRLMNQVADEAGVELNQEMEGAKAVAAAPVKSGPSEVEEDGLGER
LRALRS
>RCO7_08915 | uncharacterized protein
MESHPQHREQRQDTSRLSSDNDVEQRLSNLPRRPIINGEQIQREGQIRSAGVYSTAEPVYEPISTQQRQHTTIPLQRINCMFTRFPWRDMSFMTGFL
FAIGSAFFIANGFSLVLSLTRPDTVYEGQLYWTGAAAVIGGMIFILGGFAAVLEALNIHRGDNSNCNVIDSVNIDDNVWDPMTDDIESLRQNNKLVV
PWRDIAMDLPLCQTIPSSNSSNSSPSAPNTHSYTITSATPLSALYGSSAFMYWPNTPHLRTIFLHDICFISSLIQSVGTFIFMFAIITAFPSVIDLT
NTTHLYVLNLFPATLGGVLFITASVLQLLTTQEKWYIPNPKSVAWHACFWNVVGSVGFMLAGALAFLGTGEGTLQSGLASLWGSCAFMVGGILQWYL
AMGNVR
>RCO7_08916 | uncharacterized protein
MANSAAAKLLRKATATIRTTTPGSIFTIHLDFRPSSTQTFNAINQLYVNHFRSKAGKPEGDVSAWNGNPLIRGIPAEHLELCREQIALLASQTPVMQ
MHSGPPVSFVVHDLTKGERFRVGFELSPSSLWVFRARLRDAIRGALPDKQSLGLEERTPWLESSAIRLPGLAILATPPNDKEADAMLRELLLAYPKG
FGAIDVVGISIGALSDPSIDKIPPSRDIKLHTYSFQDSSKEVNSSLVDV
>RCO7_08917 | uncharacterized protein
MSYYENQQQWPATTSQQSWEQQTPPARSGASSAIPREESGAFSTQIEEVDRAIDNLAKSGKMGFPNIPGSGGRRESMPMSSGPPRAFAEQYDPRMGG
GPPRHHSVSGDFGDQRSHSVSNLQNFYASQRHGPPRAANEAEQVMQAKRRMAAQRERELRNYHQEQQYNRSVSAEISTMGSKQQLDRTMSPNSGMNE
EERRELIARQRSALYGEGVTYNENGSFDENGTPRPGTRGSGSHSANGIRGHSPLAFDRYNAQTQGENQGQAQAEAQTTAGQAPGQQRSRANSTSSPS
SNPTSSFSLFESAAQQSSRTSTSSPGGSPPHQGKGTTSSGVAPIGTRPSGQAPNPALNKRSTTPLPSPLSYGFAASSEDNQGEKNDGRNASAASNSN
AQNQQDAGLGWGSKSAVWGKNSLGVQASVWG
>RCO7_08918 | uncharacterized protein
MSLKMVPYSGTRTVTLIVALATLTSNILSAVFFYQLPEDPYHLAGNFGWYLHVANLLSVFGFIGALRQHAPSVAIFANYLLLDTLLSSIPRFFILLT
ITSFSSSICAPFSALNPSSLPSSSNSILYALTPHHAPHSEYLTQSEFTPESCTQTVFLGQLMLGAGVVAATVLQLAGALCVRGYARVLWVREVRDEE
CAAEAERMAEEMRREERRAEEEDDEMGKV
>RCO7_08919 | related to polynucleotide adenylyltransferase
MEGQSVPGSSQYHYQATQWSRLIRRNTVAAVPTSTPPPSIAVTSQLPPHQDLIPIFLPQQSSYHQAQLAQYNRLITAGRISRLQSSPLPPLLSTYHI
QAEPGQRTSSSGGITARTTTACVRGGHGNWEPRKPSQGERALVTEKDQAAKMPGKNAELEFQLPIRPHAHHQNTNFSQQSSSVPSTPHQYARKFSYE
SREPSPNATNNHSPRSAYSESNIPLPPKPHPAKRGGCKYETAMANTRRRIAYSVGDKKLERLDPEKIKSKLSEDEARKLSTDMRTLYDTLLPTPQSD
KNRETLVQKLEDMFNGQWPGHDIRVHVFGSSGNMLATDHSDVDICITTEWKEMEAVCMVAELLAKNGMEKVICIPNAKVPIVKMWDPVLSLACDMNV
NNPLALENTRMIRTYVQIDPRVRQLAMIVKHWTKQRILNDAAFGCTLSSYTWICMIIFFLQNRNPPILPALHQRPHNKLPSQDGTESPFADDLEALV
GFGSENTETLGELLFNFFRYYGHEFDLDNAVVSVRHGKQLTKTEKKWNHGFNNRLCVEEPFNVGRNLGNTADDISFRGLHMELRRAFDLIAEGKLDE
CCEQYVFPSEERNHTFQRPPQKPKPILRSSTSSNRGGAKNGNHRGGGRHNQQNRNGNSNRRASSGAFDQNSGFIPGLSPNMSQQDAWLQRQAQAQLH
NDLFATYSVLQAQENSLRLQLYAQGLQSQAYAQAQGQGQTNGTSSKQHATERNRTASFEQPPLTAPIRPDMYYYPLHYPANPNLYAYQNSTTNPSSP
SSSSAAPDLRRGIHRSSMTSGGGMNQGGTSNSASRSQSQPASRSGPIPLPANGSNVMHPGLGIYQNLRPVNGNAFPSFIADENSESAMESSYGSLPP
EDPTPKEYVGYYVNDPTQFWKRQQATGPMPIPKFGDLSHARAGPRRLSTEQLPQFLLDRLKRPSRSPSPLGHDRSFSTGAPLVPYSLPNGVSNTNLR
ALDSQTPIIADGSSPVPLSIPNWQASISEGSISDDRSSDLYVGSFDSLSQASRAGSDEFSDQDLSGQLTPRDVRLETPLEAPVVVNGSTPPRTIDTT
RTSTGKALSNGHNLQAINPPTGLLPIEANGQLRLSPGSRNKSARQNGGVSPIDIGLSLDYGRDDLAHLSPVYETRTPSPTANRKFEPVEKTPKIVSV
KTTQKHELSNGFLPLQAPADSKINGHSRGSKSEGAPGSWQKIQKGKKKPAASDSKGTGAVQPRGEKLPFHVNERKGG
>RCO7_08920 | uncharacterized protein
MFSKLTTKIALRKVGIPSNAFSIPDYSNNTSKNSKDGTANTNAALPFANPFKDVQVPVWTKSWQTPIPPPVEVAPTPILGTRAPISMKLMLPAEDGR
IAEKNFLELRRIANKHPSLHCVAISHASKAATDKWISAIGGAWSVKVIIDEEREVYAGWGLGVSTTYHLLNPWTQVAIRKLGTNENIWGREVDPSAN
RWVVGGCWATDKMGSVRWGSASRTADDVPDLVEACSVLGFN
>RCO7_08921 | uncharacterized protein
MIPQTPTTSESPAIAMLSAFTPFQNLPQELRDQIWEAALPGSRIVHLEWKLLDVDHNERDKRKTKMFRALRDLDRIEEVEKYPLAKDERQIEEESED
LDEDSEDDSDYEYIDPANFPPRLFGFSSPSNRALLPFLHCTIDSRNAVYRRYSKTFSSRFHPGETFFDFKRDTLYLDWGLIPNSFNSDKCFTPEDFR
PCEAAKVRHLALNDGIEMQTPARMNSLDGMERHFYRRWLDRNILPVFRNLTSLDIVDKQHGDSDPDCSDLVSMNGIVDIANAMQCYLHEDVTRRHAF
LNHIVEDYNDNLRNWAFNSAPVPLSREGTMRNEMESHAEYLRDCVDNAALAGLSGPGEQAVQRSDIKLLAPSIPFRRPRCFYTTYTTRQHYTDFERA
RRYFIRSKEGWRIEAQFRFLEGNCLLFRTMADAYIPLHMLVEGCRLFWQIPKPLKLVDDSRWAHYRHPTCYDTGVDRDCVMVFNVVIDRDQPG
>RCO7_08922 | uncharacterized protein
MSSQLALELLALSASLHQLNNFQILNLGQGNNVIALSPELVQFASMCSGSGCDNTLAQAFSSGLNIKALDLNLGGCNGCLAQSKTNEDNAHEQNAED
QAKANEEALKAKEEESAKSAPDVDNANGNDNENADEKQDGKTPAGGTEGRKLKLKGKRSPEIVQRSDAMSMGNGRLKEKVVGSVVFGVVAFGLVWGL
>RCO7_08923 | related to epoxide hydrolase
MAAASASLPPLALPPGVTSSYLPSHDLNYHYLGCGQSSKPLILLLHGFPELAFSWRKIMPSLASEGYHVVAYDQRGYGRTTGWDTRDFHSVDLGAFT
FTHLVRDALIFVNALGYKEVACVIGHDFGAVAASMCALMRGDVFKSVITMSHPFKGSPTLPFNTLSSHPVQTSEKEDIHKALAELPEPRKHYKWYYS
TQLAASEMNNPKSSLHSFLRGYFHLKSADWSGNHPAPLQSWTAAELAKLPYYYVMPLSSGMRESVALLMADASPSEVNRKCKKWLPDEDLAVYVQEW
SRNGFQGGLNWYRTATDPGNMKDVELFAGRTIDVPALFIGGKQDWGTYQEPGAIEKMDEVCTMSKGVELVDGAGHWIQQEQPERVVELVAKFLRDVK

VDATSH
>RCO7_08924 | related to MUC1 Extracellular alpha-1,4-glucan glucosidase EC:3.2.1.3
MFGKKNRRRAASNPPLSGPTNPSAATAAAQAFLKNQASNASLSNAAAAAALRSRPTTPTSVADVQTKRTIRRTGSVSSVGSSVAGSTRGQPRPQLER
RGSSASMTERTFREPSPSRPVPSAPDAPPVPALPTSLQQSPMIPPKSHRRASSVEAPATRVASPPPNKANGRGSSLGGATQPPRRTNQRMSNLSSVS
ESERPGSRGSVNFSLPTGSRPTSPVAQRRHRLTSPSPQRANMARIVSPTNQSLIYDPNTRSFLPEAQIMAIEERIHSASEQPVKKKKRASPIAGTHL
ADGTAGGRPKGTFIDAAEAAERQKAIETPAPSGQSAPAPVAAPVQAPAVELVSEAPKKKKKKVAISDSESDQASYIPNPSDNDSDFTTKQSNTRAVA
PLAKKPSIVREDEERENEGNDTLKGTQNLAVLNGTPDSRQASPSPLPRSSVAGRGHGRGQASASTAFAQGRQKARSASQPAPKQDSPANGVGSASRD
SVRGGRVASVSPMRTTHFAPSPDSLIVKHDPPARSISPRKSAMKHSNSPHATSPNEGFHEHSFSETSNGSAVQSEGLTPRKKANRVSFDETNVVVGQ
AATPAASDSPIILSPQTKSKWFSIGRGKKKESAVSEDDEIMKPRPALPSFGSVREKKPVRDLEERPLVKPTEHSEARLPPASPPLFTSPTGETIENP
FGQSNDHGAGAVILQDFASKNTANISKSREPLPPQVTSVDGNGEISGSDSSLYSVEDRKPDIGLARGNSIKRGPEDGNADTYRALASPVSHEFEAPT
AKGESEAMNGINVPEINILSATPIIASAEPGQAWPDIPGSWAKENSDSSNQEQEEISLVEHHPTEPTVAEVGIAEPDPTTPRAGSPVLGEIAAYNSI
AEEPEESDSSIYSDAAEDFSDIEGSGFMSLDAVVTTPVKINTEMTGLAISTPPESPTTQTTKQKAYQRSQLSRQSSEPDINQGWDKVQAYWSTLSAE
KKRQLEEEARDEAEGSDTEVEAKPAPKPKKKNKVAVRAGTAQPEPDIQQPVSNDRSYMIQPGAKAGPNGHAPMKSSMRSEPANNAPEPHIRKSMRGS
GSMRGTLREGAEPTGSLQKKNRPASQPPVSRPDPIEVQKHIRTLSAASAATAQSADTKRHTAPAPALRRKNSGDSDTSFKRSNKHGNEIPSFRNSMR
GSVDSPQSAAPRPQSSRFSLRSLSPTGSAFRRPFNSGAAPQANLSETHMRNSMRSSNSITPSLRNNPPAKKSSGFGRSAPVKQNKQQKPTRRLISRF
ADSSDEDEDTPRFQSRFNDSSDDDDGPPLPLPSAVRTMRNSTNAPVRGIPKRTGVNDGDSSDLPDSDDEKTPRLPKIVKNQNGISLNTTKASALASG
SLRRSGSGRGTISAPPVALPGTDAPIRPNNPSRGSFMSILRRKKDTGSGGRVRKSDAESAARRDTPLERNKFDLQALRLESTQSPRLQKRNTMSREN
SASWPLPGPGNGVSAHTGASQSQRVLVGKESEDARPFTADGPGGVVESPNGDLGANADGRPDIGSRRFTATGLANVDVANLSFAGANGGERKKKKFG
KLRKMFRLDD
>RCO7_08925 | uncharacterized protein
MAWYLNETGWDRRREDMRCKFLLQRELVDGEIVRLLEAHADLGECKLENAGTIS
>RCO7_08926 | uncharacterized protein
MRRGTLFASRPSEDGLLASTSSLGFSVQQQVQVLDIEVQNESSKTLWNSLIGDLSNHEQRVIVTD
>RCO7_08927 | uncharacterized protein
MDSQEEILMNILADNPIVAIYNAEPTWQAGFLTVGIYLLKVMLGTVWIFIRILLLAIVWLINTLVAPYFPSMSLPEPENWPSAFMRGLSKLQNVPVI
TDSRFLIPLLVGLAILYIVLSLNITRCRQVLSRFQAEFAIKAFPGRRTVHFLPDQQPFVPGADSILVPSPWYHRIVSRFAFIVDLVSEINRRVIDFF
TSQGLKKAIVAAVGLLLSYWAWHWLGDPVTILVEKNYVEWKDFSSAIRLNLYRAASWQFLTSAAYTIYVVYAYGFKTFFSVLGSMATLFVAYLAKAY
AFMDTKSLEYQRAINVEPRTALSGNESTWMYFLGLCVVLPFVLILSLMASQAYEKTLLDPRGPIKKAFLALIMCIPNWIAGIMSVAKWYLSSQLTLI
GSPRVASRRASDVASELSESSQSSAPAVKHRPQRASTPGLPPGPVSSISVSSNSSTDTSTGTDFSIPLAHTTTTGKTRHGIPAPITVPQGPVSPTLT
SSRSSASSASSAQAVFQGALASFQEEVDTIKRSFNLRESKPAEFLKENWVMLIPLFFFLGSWLFPTIIQEFYHSAGQVFGLASYVTTFLGNTLESIS
TSIESALPALEPAVRIQPNGTFSSPIAPQVPISPSSPLLSSTPFTPGVLIPSTPSTIGCIWAALTGFLSTVTAFSEKYLGKATTNWALLAIVSNNLW
FQGATKRWSSSNALSRLTVWFPLSFLIYQIWSYLREFEIFRKLVEDNYGYLLAFIGLALIRTYKTIVHGRASVPREIRHSTRPGKVEYKPSDVTVII
PTRGNYRSRTTTYDPTELEDNERDRFTDAVISILVNEPAEVILATTGLEAHKEMNILATRWGTHRVKVTSILESEANLRRQFLKATSAVQTDIVCYA
HSKVHWSPTFLLDALSPFNNPDIGLVGVPVDLRRYSDYDRQYFNPKKYRRNVLKPPMDNKPQHPLANILRYSPFRIMDSIDYYFHDFGLMYGFLHYL
EKNHYSRFNHSNHSTSSLDSGALSFVSAKTALIRTSILQSTSFRFTFPHEKIVWGLSPLRGGMRSDAAEFILRKVREMGYQTAFMNTPSTLVAYEFP
SSSLSSYCRLISERYSSLYRSNLASLQTTIWFTNLWTAWAMFSALLNIPLVIDGGLAALLWHNGQQGFFWASILFLLSHRVYALYPHVKEHPNDWKY
LPLGVAFYYLEGVFQVVGLFNAHNPQAEEEEKFVNVGYKGQYDENTRTVR
>RCO7_08928 | uncharacterized protein
MLLLNRYFQQGQTARDVAQIYLCLLLILYRIYKELSELADPLIISGYSCILESFAAEILKEDSIAGISKLDAFSRILFAAIQAQGHLGTSPTQFEGQ
ILPEITALDTSGGVTFFDEGTSATEIYDAETTDARTSDADDYASEKPDARTATAGTSRDPSILQVNQQSRHEALRLFKERRQLQNEAKYICPSFDIL
YFDLFCDARCEKCLTEENLARLKSVREIEAIEHIVLRMKKIPHVELHFFIKALLYIRFFPKLLIVTVVVDGSDPMCKPLSMKMIIRYGAGKAIALVT
SWKVAQGIDWKQPEVEVITEWEFNERYIELARDTCWSKTIPLKTEEVSLAGDTTKFPDVDESETYPDSGYCSYASSDSYDDV
>RCO7_08929 | related to GPI anchored cell wall protein
MRYYTSLAFGLGASASILPRDTCTFTLTASGGQSGIVGQLSDGQNRIGGGNSTGIYTINNGKITDAKGRGCILRPPTRQLQCDVGATPTGGFSIGSN
GEVRHDGSSTFYACPASDSMYNIYTSPVSGQDKCVEIHLAASDCYKKPTKPVEQQTTDNTTPQTQTVIQTVKPSCPAPDTKTITDVKTVEGPTVTQV
KTVQGPTVTEVKKAEQSCPAPKTVVKTVPGPAVTVTQPVSPPAASVTQPAQDTPAPSPKPSTIAAAPSPKPSTGNTCPADLSGNYQYPHLIVPVSKS
NKDKSYGTSYNGKIDSDVSTIFNFDIPSSYTGTCSLVFLFPKQDQLETSSFTFSGNGEFKFSQLSNVASQSTTYGNQGSHKTDYGVKTATPGSSVVV
STFACPAGQAVSYEISSASGSSLEFFQDYNPSPIGLYITSC
>RCO7_08930 | uncharacterized protein
MTSQEMPAELQGSPVSWWSDPITLGIPFSINTIRLDILDHRGWTLRVRLCLSQGGRIYPAIICVMTVVSLQVLLTDLGHVNFHADFAPCVSFQFEFE
EGFGEETGLPWVVIYPQQPVFTIPPIVPIRLPPWAPTVHDPRYFVHPDGNQIETRVSGFRI
>RCO7_08931 | related to Lipase
MRIPILSVSSALLGAVAAVPMVAQRATSTTTVGISEAILQNFKLFANVTAAAYCPSNEKAKAGSLITCPVGVCPQVEADAVTAIVGFGGSNDKSVAN
IKGFVGLNAAKSLIVVSFAGSGATIRNWLANFSLIQIAYVGCKSCTVHSGFAKGWAERRTVILDAVETALVAHPDFKVVITGHSIGGAVGTLAAAEL
RGMGINADIYSYGSPRVGNAAFANFVTAQPGGDFRMTHENDPVAQIPPSWLGYAHTSPEFWLSGCNATTDVYTKEQVTVCEGVGTDGCNTKTGLIPI
EGDAHNHYLGVITACQGPVDW
>RCO7_08932 | uncharacterized protein
MPATTITSPTTPIFDVNTLRRLSNAGSGSGSGSASASNTETYSTDDGPELKDDPAHRQDWSKTTAADESWAIRERRRLSMWSKAEMPISPKKTTGGP
RMGSVLSVWVPGKDKDGNDILVHDSGDEAQEELDRIANGEIGADGKKVVVVEEDPSEEVKKLRRELAEMKAKLARLQPEEVKDDGEFLLTKPKDVTG
ETARRKSRGSRGSAGQGAERRGSILSLWAQGTDKQGNAVIMHRDDEWKKEDEDVIVEEKEPVNVKY
>RCO7_08933 | uncharacterized protein
MRLSSMLSAAALLGGALAEFDFAVVTKFPLCALECATTVILPTCKNLTDIPNCLCRSDELQFDISTCVIGACNVTQQYASLTILQEEICKGIPQSSR
QVEVRRAVIILAAFTYPIIILRFVSRIIVARKIWWDDWLILASVVFMMAFTVLPLYPAIGLGLGKHFYAIFYVVQLFYVILQVLSKVSILLLYVRIF
PTQKFRLVLKFAIAFMLVHGAAFFFIVAFQCLPVRSLWDREIPGKCVDLQALIYAGAGLSIFEDFAIMLLPIFELKGLNLSRRKRVALGCMFALGSF

ACVTSIIRIKFVSSYGTTIDYTWYYVDVVIWSSIETFTAVICACLMCIRPLISRYFPSAFPSTGNNSSKSWGQKATSGGQHSRQLGRDFESSAEDKS
AKTEQPIQLDSNITVTTESRLSFESEYAQANPDMDDHENLVSQVQPKKL
>RCO7_08934 | related to ThiJ/PfpI family protein
MSRDGVTVNLSDSISRLSIDDWKRKVQEHRPQHRKAQTKQIMKSKIGKMHFLDYLFVVLLLPGVTNSQIYNAPVPRLFGIILFPGFTSLDIFGPLDA
LNRLSTQYTINLTLISTTLDPVATEKLSWRKPLMNSTFGESILPTHTFDTAPELDVLIIPGGIGTNAPSPLLDPHVAFIKDRYPSLQYLITTCTGSW
LAARAGVLDGKRATSNKAAWANTTMYEGPEARWVAEARWVVDGNIWTSSGVSAGIDVTIAWIGNVFSEKLAVTIANSMEYTRHLDSTDDPFARLYGL
TNEHNSTY
>RCO7_08935 | related to alkylated dna repair protein alkb homolog
MLTSSMERKIHKGCPTPIRSLTRVQSTSTKTFQVRLRIYTSLLPPECQVMMMDSIMHRDLANPLHKTNLHADYNIPFPSSTSPTGSFFGYPPHSKHE
VYTPLDSGSHHKQLNTTQFLSKKLRWLTLGSQYDWPTRSYPTTSPTPFPPDIASLVENLFQSSFTPESGVCLLYSTKDFMPVHRDVSEQCDRGLASF
SLGCDGLFILSKEMNEEGEEANESNEDREMKICVLRVRSGDCVWMSGQTRWCWHAMPKVMNDTCPSWLENWPAKEGGRKEFEKWKGYMKGKRLNVSC
RQVWG
>RCO7_08936 | uncharacterized protein
MQFNISNTSLLILLSAITSVHSLPVASGDVALKARINSDSPLLNREVDLELSRRQQAVPGAATGATPGAATGATPGIGQVATPGTGQGAEKAAIPGA
AAGAIPGAAAAAGKGARKGRKGAKKVARPGAAGAARPGAVAPAGAGAAAAAKKKVVDDDNAIPAGDGSAGKPGKGAGGPPPTATDPAQAGADAALAE
SKANSDELQPDA
>RCO7_08937 | uncharacterized protein
MTTRAPVVAVCHGGGPMPVLGDPGHAELIKSMSTKVPKILNLGTPQAPRAIVLVTAHWSETQPTISNGKTHKLYYDYGGFPAEAYRLKYPAPGSPEV
AEEVFNVLKGAGFQPKLDGERGWDHGVFIPLLLINPKADIPVIQLSVMNSASPKQHFEMGKALAQLRDSNIAILGSGMPTMHNLRAMFSAQGNESNY
RKRIQKWSDMLTKTTKIVDVEERSKTFEGYREWEGSREAHPIGGEEHFLPLVVCAGAGGEGEAGAFGDEMVGFKQFTYYWN
>RCO7_08938 | probable bleomycin hydrolase
MGAHQSRATLPNEKLVFERLRTMEIKEQSDDYIQIDEKALAGSSRGKIEAPWTAVSISEVQQWEHEILQDSKNRLALSALSAADPKTVLTSRATTIK
DQQIFNIKIPFEGAPITNQRQSGRCWIFASTNVFRVALMKRHNLDKFELSQAYLFFYDKLEKANFFLEQILDTAGEEFDSRTVQTLLQSPVSDGGQW
DMVYNLVHKYGLVPQVLYPDSFNASASGAINQLITTKLREDALQLRALATSGTKSTKDITAIKEKMVREIHLILTLTLGPPPAPNAEFTWNYLDKNG
AAHELRTTPVAFYKELSSPKSIRITNSAVHDMFSLVNDPRNEYNSLLSVDRLGNIVGGRGITYVNVTMDVMKTACIKMLQAGLPIFFGSDVGKYSNT
RSGIMDLSLIDYELGFNVRLGMSKAQRLMVGESAMTHAMVLTAVHVEDGKSVRWRVQNSWGAAAGTEGWFVMSDAWMDQFVYQAVVEPKFVSKEITD
ILNTKPTVLPLWDPMGALA
>RCO7_08939 | uncharacterized protein
MFSASWRVYSEVPELFDGFLRPFFLIPQEPSQSLPGLYNKRACWAMAEMFISYLLTSRHTGEFDTKFLQYCLRIYHNLRRAGQFADFAEGNLVSGRE
NSFGIGADQPWCNPFLDPAIVKQYGRDDEISSEMDTCEAPDRQTEEILQDMRTQLHREAERKWHKKAAEIFDGKPSLRGPSLSRTPSSAPPPQSGRR
VTFPYEPTMTESSVSGSRNRRYNRNTDTPYGEARGRSISRSASTSQPTTSTSHAHGKWRFPNDPSKDLAISPLRITSPGGTITTTSTSGASTVARPV
YNRPGNWLRRDPDHYRTKDLRSMYGEPVKRDDHSYQPRERSYERTSYGQAQRQRSSSMASKDPTSTFYHREITAAEVPRSSSRRWNGTERAREPVRT
PSRSPSMSGRGEPGTRDSHSRRPRISRNDRDPRPPLAYTRHRTSRELHRGIPDPRGL
>RCO7_08940 | uncharacterized protein
MSGCEPAQSLQKMMSPRAPRLLYAESDELSTTMPNTSGLWAKLPNEIAIIIWELAFHANPPRLVHVALPEIETERGEKGVAHHRSAGVSQPSLSRQK
RTWTQASSSVPPSPVTAVCKQSRYVALRATGQDTEKSITTKPIIWFSPEIDTLFLDENAVRGLWAKTKPDSLVGVTLRQVRKLAIFKPRHLGVSDFS
QFDPTPRKSSKHWIEFLLRMWFRNLESITLVRQFFNPVDVKNLVLSDYYDIEFFLDIFRRWSATTENKEQVRAMIVSARARDYREMDELLDFMENQG
VKETSTVPEIMYHYNIMTTPEKRDKFNETRSAWFASHPRRNVGGLRPAIKE
>RCO7_08941 | related to RNA-binding protein homologous to eukaryotic snRNP
MKQRFSSIDVKVIAHELSAALVSLRVSNIYDLSSKIFLVKFSKPSSKEQIIIDSGFRCHLTSFSRATAATPSMFVTRLRKYLKTRRVTKVAPVGTDR
VLEFQFSEGQYRLYLEFYAGGNVILTDKELNILALLRVVAAGEGQEEIRIGMKYSLENRQNFGGIPLLTKARLQEALQKSVDRGDEDLVAGKKKKKA
SDALRRALAVSITEFPPMLVDHAMRVTDFDSSHKPADVLQSQDLLDHLMRSLEEAQRLVQEITSSEVAKGYIFAKKKDGYEGGSEPDVARKFLVYED
FHPFRPLQFENNPETVSLEFHGFNKTVDEFFSSIEGQMLESRLQEREQNAKRKIEAARQDQAKRLGGLQEVQELNIRKAGALQANPERVQEAMDAVN
GLIAQGMDWVEIGKLVEIEQKRHNPVASIIKLPLKLQENTITLLLDEEEVVEDDESADETGSDVSDSEDDAPKKESKQKVTEKRLIIDINLALSPWA
NAREYYDQKRTAAEKEQKTLQSSSKALKSQEAKINRDLKTGLKKETAVLRPVRRQMWFEKFHWFISSDGYLVLAGKDALQNEHLYRKHLKKGDIYVH
AEVQGAASVVIRNNPKTPDAPIPPSTLSQAGTLSISCSSAWDAKAGMSAWWVTADQVAKAAPNGEFLPVGNFMIKGKKNFLPPAALLLGFGVLFQIS
EESTARHTKHRLQDDTPAASDHAESTVTAEVPELDDDQNSIPDDYQESETDEEDRDRDTSNPLQTQPRAGSVISDGGEEELIAEISHLEVRDTKSDA
QGSPSEAEDSDHPDSDDGEPLPVTGKQTSGPNKATPKGPAPPKRGKRGKAKKIATKYKDQDEEDRIFAQKLLGASAGVDKAAAEAEAKQKREEELAF
QKERRKAQHERTQKDMAGYEAIRKAKLEAGSTADDDAEEEKTTNLDTLIGKPLRGDEILEAIPFCAPWAAMGNYKYKVKLQPGTQKKGKAIKDIMAR
WVGDMTTKGKVDDTSQDAERMWPREVELLRAWKVEEVTNTVFVSKVRVMMTGGTGGVKGPKAKGKSRGQKK
>RCO7_08942 | uncharacterized protein
MLNTVFVFISQGVKASPPFSGLSVGCGSNKRGCLDFPGKQPPAHRCSFLRNQQSPNSRPRSGFQFLSANSSLPPSLLPLALPLHTIQHLSRTGKSSM
VAITGGAKQYPVASTTLLGKWLFFSSPQTLIEPIANFLLRARQQLTLKSSTTNELFNIAMFLMLSAGACYGNGSVSPRSREEESSFARHSTFVEVQD
IRPEENFDAHHPMSSDSRSRNARGILVDHVKKTYENNAFPQAWRNLPEIPSSDEINPVAKEHQPTTTIQEPEEWNMYQRETFLYDPKLPHNIVDKPW
PSKEAYLGAHYQIIREDSIASLRTAVAEFKQTPSMDESSETRIYTSVTFIGLQLSRIGVASRIEFSCERAGKRIRWDQSKRLVQGTLVALTPEKDMF
KTICKVATVAARVIKGGLDQDPPTIDLFWGDIKDMVIDPVEKYVMVESRSGYFEASRHTMVAMQKLMTEQFSFSKELVDLDPSVEAPLYIQHDPIKN
LSYLERSAQENDGLILLPSTDTSLSAVDVLTNFPKDFKCGMDQSQISACQNMITKRLAIVQGPPGTGKTFVSITALEVMIRNIAPGDPPIIVAAQTN
HALDQLLNHVLTFEPEIVRLGGQSDKENIAIKKRTFYELGMNPDLSFFKKGLGASSRENRALCEELTGVLSPFLNDALLTANTLHEHGLITEGQRRS
LEPGDWVVEKNEDNVSTEDLAAWLTESQLMKIPGAPPVNFGFPLEESDIEAEQLRALESEATDTKPEDKDSDFGLIGQWVPFGRKWTGKHKAHFADG
AARRRLTRITDLYKIPISERGQFYRYFEGQMNKIVMLKVQEVLVKYERHVEDNYIVKSMFNIKLIDHLGIKVVGCTTTGLSKYRKYTMEKPIFFSFH
SRDLAILSEILLSALEPRTLLIEEAAETLESKIIAGMMDSLQQLILVGDHKQLQASCTVQALQDEPYNLSISMFERLVNNGMPFVMLNHQRRMIPEV
RKLLCIEPDPFYTDLHDHESVLDRINNRPPVPGMSLMQQPSNSHRGAQYFQSMGGRNAYFFSHNWMEQKTSEGSCFNFAEAQMIAGFYNYLVLNGIS
SKQITVLTFYNGQRKTIIKQLKDHHGLGGIAYFNVFTVDSYQGEENDIILLSMVRSNQTLGVGFLDNRNRLVVALSRARRGLYLFGNSITLTAAETT
ELALGARDPLFDPLLEAARDPAKVESSPAAMLAYFYVILSTTLESFAENLALEDFHVVMAALVIAEILVFATSARFPGKLSQSPTKSTIKSTESRGS

GRRQVRFSEDPNPYTISDIRRNLPLTIDRVQTNCRQMTTKFNARNSNRRAISDQASSQSCRRGDSVKSTPSKNDFGSSMDRSQPPPLFRPYGHEPVV
DKNHPGLKNWANYDARKADQEIDEQQRVEAARIPKSDPSIIMIKETYTPVVFNKDGSRIVDTSGRVRTRVNRAQADVSTDHKTAGVETAKISSVSTT
GATRTQVKPPQKTVVDSREKARDTNPNREKSDNKKQKTPSRSEVSIQNSDLKRTGTPALDSKPLVKNSSDSILVPVMVEQPGPWKSVIPDSGGELST
TGVTVKSTHYGEAVLVTAEQPGSWRSVVPGTGAEYHYGDAAVEFTRDISGEGVRSSEGLDLLIDFENDVPQILKPSYNNIIDNSQDVTSVSVVSAAQ
NSVLAESDDLISF

>RCO7_08943 | uncharacterized protein
MKPITLCSILSLSWLAAAGGDQWCTTGVAGTYSSCEVDAGMHTYCCRDAQGGPFLYARTCDGTVDGPKGSPPCPKDGTRQCCRYTIG

>RCO7_08944 | uncharacterized protein
MAAKMALVSVTLKNTLVLEILAERTLRKISTLRPVETS

>RCO7_08945 | uncharacterized protein
MQTAFALAALASVAFAIPQGGASNKAPSAPSPAGCSQNYNGDFQITVVNGSTTATPKRQAASCGKEGVLTTKLANGVLTDSKGRIGSIVANYQFQFD
GPPPQAGALYTAGFSVCGNGSLAIGGSAVFYSCASGDFANLYDRAWAPQCLPVFINVLPCGSGSGVGQQPDGQPSVPGTAPPVSQTGDGQPQVTSVA
PRPVSQIGDGQVQGPTTAPMPVGTPVVQIGDGQLQIPTTAPKPVGTPVVQIGDGQIQAPTSAPKPAGTPVVQIGDGQIQTNVTAPKPNNPVTVGANA
GNSLNVAGSMVAIMVGAAAVFLL

>RCO7_08946 | uncharacterized protein
MASECNFDDDDLDPPEQIFVGSEDGGVFAFDGQVLRFQDHAYATDVAQYMPLLQLEPLRTKIGTVAARPPRHDSKPLTWWQSQCVFRGLKSSGSIED
LQKALKGHEDDPMSDGMLELLDRARDLLEAKIKEREENWLHDMSNDEKAMKDPRRFLKEEFPPGSSNSEKTVLLSTPFVANIQYTAEELGLGCEYTF
APTDGDAVVRMVKYWVVIGRDRQTVTQEIRMIERETQRLKREQEEGRQDLRRKNKYMRTNQLETEEAVAKSKDWDVIGLWNITCPQIEAGWGVRNLT
MKIHVEKTELFAEFDFGALTGVLRFEKKEDDATLPLKRSQPHNDNVVKEEEENNDDGKQQEPVYNDDEASEKSSDTYDEYEADDEEKQDQNDQRNPS
PEDFHFTCNPQPSTHPECNYHYRGEVISEEVVDEAPDMTLYGITICGFPGKTLKGDIESAAFGVSTFTGVRAGEIETAQCDVKEDRGKCDVKTAYEV
LSPEL

>RCO7_08947 | related to monooxygenase
MPLKHSQVIIVGAGPSGLVLSLLLAKVPSIRVTLIDAASQVDDRPRAAHYAPSAIRVLASAGVLPDIRDRGLIPGNMTWRNIKGEAITSIKNVSQHP
YNPEALTVLPLGMLGKLLLEHVARQSNIEVRWNAKVVDVIDGDKKVQAVIDRGAKHGGNEQVEGDYLVGCDGATSRVRRTLFGSSFPGKTWDAQIVA
TNVYYPFEKFGYDDVNFVIDPVDYYLAAKLTTDGLWRVSYGEDTSLTPEQVIAHQPAKYERMLPGNPKPGSYKLMNVGPYRIHQRCAPSFRVGRVLL
AADAAHLCNPFGGLGLTGGLVDVGGLAQCLEGIARGFAGDGVLDLYSSVRRNIWATIIDPISSENFLRVSATDPEKALTDDSFLVMVDEAGKDAEKR
RILDEGAYDICHDFRQYWKEGYLEVGQKEAKL

>RCO7_08948 | uncharacterized protein
MEPKIDIHQPRHLVHSHAHEEDIPGTVNLNAAEGDDTGYGQALFPVPAEDPNDPLQWPTYKKNMILVVCSLYSFLGNSALVGPSVYIGIYSAEFNIT
PGVASGLISYPNLAFGFGSLVLVPAYLTFGRRPVMLASLILFIAGLIGASRCTTFNGLMTCRVLHAFGSGVCEALPVQLVNDIFFLHERGKRIGYYT
VCLCLGATGPLYAGYMLAGGYSWRLYFYVEAAFAGALFILAFIFVEETMYKRILPTSLIPSLNNANEKEFKEGNLTRTETATFHVPLRKSFLSTLKP
WSGIDHEAEFFMTMIRPFTLFFVPAVFWVITSYGIYIGLGALAFNYTFPLKIVAPPYNWAQTNSGLIAIANALGFFLAVPFTFTSDRLAAHLTRKNG
GIREAEMRLGVMWPAMIIAPAGLLLYGLTAERDLHWMGYFAGVAMCNWGAYFYFSFTLAYAIDSYTANTSEMLIAMNIGKQAISFGMGLHLLDWILD
RGYAVVIGGIFVAVLLANNLALFIFVFAGKKIRIFTARSFVGRMHRKTAGTTLTH

>RCO7_08949 | uncharacterized protein
MTSPVLDLVLPRCRIVMAPNAYTKERPTIFLSGSIDRPTATWQSLLIAALSHLPVTILNPHRTDWDSTWREDVDFAPFREQVNWELDAMEAADIVAV
YFNPESPAPITLMELGLFAKEKKMVVACPKGYYKRGNVQIVCQRYGVEVVANVAQLADRVVEILGEIGAIKDF

>RCO7_08950 | uncharacterized protein
MDTFETSGTILSRADVVLTNLFLNPPKTGANGPDNTEFSIGTQQQLRWKTNITSYDLMLYQQLGCGDKSCINGPFLIADNLTNETKSWDWQVTTGSL
TLKPTNTFFLRVRDAKDESNLFDSSTLDFTSSGPAGGDSPSAPSVTTSSTPSPKLSSTPIPKPTSPVSTKPTTTIAVTTSSTPSASVSRASSTSVPP
ASPTIFISSTTIADPTSISTALPTSTAIPAPPKGGSSPATKVGIAIGVTLLVVIAIFLGWYVNRRRKARSRKSSLQTSETPSPADPAQLSGPHELHV
PGWGEQRPIVPFTPRELHGNGKFDAVKGVRELEAWEKPGELGNRNLDDFEGMRELEAWDKPGELGDVKLDDFEYVRELETWERPGELGNRNLDDFEG
VRELEARERPAELGDWRRSGIKSGIYELES

>RCO7_08951 | uncharacterized protein
MSASQQASVNKDPAAAPPNPLAYPRKNKWLQDDGHLVGLVRRKGKKDRTNYNVKLDAQFGKFAPEDWDPLLPPLTEKKKKEKEKKSTSGSGSSSSSS
GSGKDDKEGLLGKLMFWKKKGKVEGKRKGKATGGISVT

>RCO7_08952 | related to cutinase 1 precursor
MKTSFIVVPLLVGAISATPIAVKIRQSTRVSITENEYTQGGCKPVILFFARGSTEIGNMGSTVGPPTGEGLKKAFGANNVAVEGIDYQAGIGTNLLP
GGAELAGIQEMKALFQDAAAKCPTSALVGVGYSQGAALCHRAIEDLPATVKSQIAGVVTYGDTQNTQDRGQIPNFAKDKTLVICNPGDAVCTGVLTI
LPAHLDYVKRVPEAVAFLTTKIKAAQ

>RCO7_08953 | uncharacterized protein
MSGLAASTISSVHRQHLPPMEMLLRRGLIETCPPHLRVEDYAGSTYDQLTRDSMSRIVDGHWSSEPGANSYRSANLVGHFPSHSPITADVYRESRDI
FFDRFSQVFSSLVTPPKTFIDFHVDTSSPTKMMRHAALWKLALAHEMIGDSSAIFTRSSLSSRSRLPGDDFQSTASFIEPVDVDRSMEEMSGCSERG
EMARPSMPMDISVAVVHLAKLESHRVEDDASGRAWKLPKILYQVAITDEYARNLKKRRTL

>RCO7_08954 | uncharacterized protein
MAGLALRKRFTCFGRLPLEIRLMIWERALPGPRLVNIRQRPTRKTLLDYMEEKDYDLPSQNDHDETDGFEEGIRAWNNLSLELSVAQDLPVPFYEAR
LFGLSSDSPTPPMTFVCRESYRVVSRYYTKAFACMGSSPGTYFDFDVDTLYIHDARFAFYINYIRNLENILDGLTGVFKITDVENAARVQKLAIAIT
GCPRDRELKDFIDGLLEVFEGVKEISLIVGDHNNGHTLMNTHHLDDIEFECIIDPISFDAAIRQYHQCRNSTLRRKVQQMRIPIHYKAKQVAHVVEA
WEAKRESSGSKERRRLPKIEAKILVTPRAVRDLGRAVALYNTALRDHEQKMRRDREAAGFCTDDALSDDEF

>RCO7_04220 | acetyl-CoA hydrolase
MSGLLTASAALKSRVKRPSMLNKLAHPEDLIKYFPDGAYIGWSGFTGVGYPKKIPTMLADHVEKNSLQGKLKYSLFVGASSGAETENRWAALNMIER
RAPHQVGKAIAKGINNGDIKFFDKHLSMFPSDLVYGFYTKDKPNKKLDVVVVEASAILEDGGIVPGASVGASPELIQMADKIIIEVNTAIPSMEGLH
DITMSQVPPYRKPYLIMAPEDRIGTTSIPIDTEKVVAIIESDYQDQTLPNTPADASSAAIARHLIEFLEHEVSHGRLPVNLLPLQSGIGNIANAVIG
GLAESKFENLKVWTEVLQDTFLDLFDSGKLTFATATSIRFSPDGFKRFYDNWDQYHNKLLLRSQQVSNSPEIIRRLGVIGMNTPVEVDIYAHANSTC

VMGSRMLNGLGGSADFLRSAKYSIMHTPSTRPSKTDPHGLSCIVPMCTHVDQTEHDLDVIVTEQGLADVRGLSPKERAKVIIEKCAHPDYKPILEDY
FKKAEFECMRRGWGHEPHLLWNSFDMHKALDQEGSMKKIKTWG
>RCO7_04219 | related to adenylate cyclases
MDRPSGPLGAATQSTGRPMVDNGAPRPAIPITLSNTVRRIQNNGIRHEASNSGPSIQIPISAGQVVALAQEAMKNAIEENRTKAEEASGVSTELKPG
VTIDLSHKQIQKFPEEVVDIIKNELERLALSHNMISSFPSRFAECTSLRYLNVRNNVIREFPPSICQLTSLEILDLGRNKLKILPPELAKLTSLKVL
SVQKNRIEALPFCLAEMASLQVLKLDGNPVRFPPREILQPQATTPPNGGLQESEIDDSTITSQIKKFLRQKAISDRSETESGGEESSEGTETPRPMK
RVVSGRFPIRVNGADVPDLRSPALPRPPPIPSRSHYRGLSQQNPALRRPGVMPLTIGNTNERLRSNSESLLQANRDRSTDRSRRMGIVSKKMAELDT
VDETKINRYSHYRGLSHGSAMQGSNGTNGTSNSRSPASPADSSIQRATYVRRLSSLPERKRETLSPDPIVEAAKGILYALFQVHPLIQSLLGVTRDG
TNKRTSLERVFYNATTHVEELDRHIQDYITYSEEDEDAPARSNENVQRACVTCVSAYMHVCSLLQRNVETLLENGDPRYIRTLLLLVYGSTAEIRNA
GVEFVKSQSRLPRVTEVDKDSETTRFQPRDKSVTPTRERPAPSLRIRSATVVQHSNLRVATSGPPPPFLNGAGRSATMTSATPRSGESFASTTSSGR
TGGDFTEEDRIFERIFLRLQDSSEMTIRALPQVNNHFHVAMDASGADQPIKFWLALIHKCSVALQTAESLKSRLSLIRLKDPGIRTQNTFWELCNSF
IQTYTDLVMKVKEAKSLSAALPTDVIILLRPLQKAIKETSQLIQTSPWAFLATPQTNGMSNGNYSVQSPASQVPLPMTPQIAALGPAVQATVPSTPQ
SAAYNGIFNGNVFDRADTLLSMNGSSVSSSRTGTMTSAYGSNDGTATPASIISPMNSLGSRFNGVNKVSF
>RCO7_04218 | related to SOK1 protein
MDSDASKRVRTNSVAAANDHTTSPPSNDGSMPAQQSQDSRSQATREIQINEKGYDAVQGNTSGGSPLPRNQPNYGSSTARRTSRQTHSNYAPSKTAT
SPRASHTKFTSKQAERPTTVTVQPQPISIEPPVTKGTLNELDVIKIVNNPKLRHDVNFDPELHFRPNLDGEKGRRKTEKANYFWYTMTGQLQAFLTN
RDQFERELGDSEWCLPATLNAIRGILGSLVPAQDQDSVGEMFNVELLMQQFRMGVADLGKLALWLSNLLKSHCAPMRDNWIDDMVRKLSEGGRTGEA
GMLVAGMKNLLGILEAMKLDIANHQIRCLRPLLLNDAVHFEQRFFMKKIALGRVDITGAHAWYREATALPGTASGSTTTHSQTWDFIKAMLQLIRPS
GSEIFPHTFLFDEERLIKLRADILDLVNLEICMQLYRTLEARTRSYRDDTPATPFASSPFNRPASPADETLYSSPTIPSLRHFLGHPSGKHSWVPKV
NDSHIGSSAPSPRSSPSSTASTPNTIPLTPLYLTPVSPDSSCQLRTSLLAILSSSTSPAKKWDFLSPDLALQILRQTSASLVLLPQFEVDLALHLSN
PKSTVYKDAEEFVLGQFNVELTKLVENYTPMSNLQIFEAATAPKAASSSAAVQGNAFKAEVTEMATRMAHIGILHWRVWAPLAYLVDPDAVDLDMEE
EIAPQSERPTSMP
>RCO7_04217 | uncharacterized protein
MSPQHTPTEWTSSHKFEHHNDYLQPPQDIPSNGDTALNGSTNRTFLSPDAAKGDASLLEPDSMRRLSISTTSSMGRARSISPYPNHSTLPRTWRGSL
WNFWAQNEGLFLVSISQLFGALMNVTTRLLELEGEGMHPFQILFARQGITAIFCSLWMWKAKVPDFPLGARGIRKLLVARSLTGFFGIFGISLQYLP
VADAVVITFLAPSVASYGCYVFLREPFSKAAQYASLVSLLGVVLIARPTSFFTSSSLVDGTVNASSNTTSSAPDPTDPATLPIPTSSQRLSAVIIAM
IGVLGSAGAFTSIRWIGDRAHPLLSVNYFSIFCTIISTLALSLARPLHLSSTLHFALPAGLRQWSMLIFLGVCGLIMQYLLTKGLASGGRGNGARAT
NMIYTNMLFALALDKLVFNQSPGWWSLAGSGLILGSAVFVAMKEGAGQSEADVRNAGERGGGDVETGGRSGNVRIEEQRAMLGGDVDDEEGESEITS
PRLGRLHGT
>RCO7_04216 | related to TFIID subunit TAF19
MFKLRLPDESGLHGTSIGVTKLLEGARAILRPKHKHQHLHLDQLDNPSEAETKTETVTPADFLSDGTLPHEDPFQARIHALLDALGSPQSVPAPLFP
QDPYSQFTTAAPKADMEPRARVGKNRGQQNFADQELQHFLFAHGDTPNSLESTKRVLDELLTDFITELCFEAHRSAQLSGRQKIKPDDIKFACRKNP
EYLGKINETFNKKTQIEEARKLLDQNDDKITKSNVKALEEEPLGDGDDDDFDARNVGGRNNITGR
>RCO7_04215 | uncharacterized protein
MSQSPKLKTKQSREPPPTLFLGPPSQNASHVSLPGVTAVQPPNPSSLKPSRAPLISQRSQRMPGRSNPDGNSDAASVPALPRSALPRQQQISEGKKQ
ADRTDALWAEMQTTLEEVELNAVSGTHVFGAEHSKALEGLRAAQIELAQAWARSEADEAMESTDKGSKSVGAKGIALGSEGRSGLDTAGSTVPSASG
RPGSSGIATGTVHSMGSKIEEETEADILLARRRREANDRYFQRVNEGVLDVVAKLEEVANAMKAVEQESRDIWGESDSARTSLHE
>RCO7_04214 | probable ribosomal protein S28
MGKGKPRGLNAARKLHNHRREQRWADISYKKRALGTAFKSSPFGGSSHAKGIVLEKVGVEAKQPNSAIRKCVRVQLIKNGKKVTAFVPNDGCLNFVD
ENDEVLLAGFGCKGKAKGDIPGVRFKVVKVSGVGLSALWKEKKEKPRS
>RCO7_04213 | related to peptide-n4-(n-acetyl-beta-d-glucosaminyl) asparaginase amidase N
MSNPSHATNHRGPKSFRITGTVAFTTPPTEKKSLLAQKESSISHGILYPVRSFKAFVLALLASCAVLLWLLTKCVPAIHWQTLASTPTFHLVKDTVP
ATLASPSANVLEVFQVHQPIHTPSGVLNETVLDDGPSSALPPSSGPLATGSCETLLMEHSFGFSYGKPFVGAYTPPKCKFNRVTMNFTVTSRGRQFD
RLALMYFGDTEIWRTSTAEPTANGIRWEYIKDMSEYLYFWVSPQTLIFDLGNLIDDTHTGVFNATLTAKFFSSKDTVEPASLIIPISARKGAAKSAS
VFTLPADNATNTIDFPQNANRAVFSVSACGQAAEEFWWSNVLQSDTETFVPSVGTLYGYSPFREVQVLIDGQIAGVHWPFPVIFTGGVVPGLWKPIV
GIDAFDLREHEIDITPFLPVLSDGAEHTFEIRVVGIDDDGKSNGSITKSVGSSWLVTGKIFVWLDADSNSITTGNQPTINIPEPLISLSKTLTQNST
GANETLVYTTDVTRSISISSVVTTNKKTFTSTWTQSLSVTNYGKVVAYGGIQQNNHSTIGRDQSTGGVPYESSYMYPLYANSSYIVQPGGNFTIQGD
LMLGLDLTTHGQPVIPTGLQQFAQLPHTSQLASGLSGTTLSTRQNGTAYYSGSPSLGPSTSFGSTSQEFSFRGIGSSGGAPFTELYYRNVDAVNATV
VRDFESLFGDEIRSHDVLVKDDGKATWVAVAFSPKAAIGRGFGEPKQLLVQGSGAL
>RCO7_04212 | uncharacterized protein
MQLQSISNLPISSSPFFSAINTISIPYQTAAFSSMSYTDSDYVASADQAVSIVAQALEAARDTPEGSQDPAVVRILETALAEIWRKIEARPTSYVMT
RDEFAVFNYFQSRYTGQRLATAARKRYWDHLEIVN
>RCO7_04211 | uncharacterized protein
MRFTSLLSAVICLLLNAIFVSAGPGGYVQLANLTPYDWKLKSIHSYHMRWDLPDTIPAGTTKEQYFEWKKDHGPNGDCGAEATYELVGSPEPASFTV
QAGQNNGKHIDIQYGDALSSLGNPVGSLFTLGYTKDGTVLFVLAGNETGSYVSSNPPVAWMQATFPTIGQKSLREIAMPASHDAGMSQITRIYYGTA
HNTQTQSVHVYRQLIYGARWFDIRPAHRQGTWYTNHLFGKLGSFGRTIHDIIEDVNRFTAEHPGELIVLDLTHEMERLRWRPRLTAEKWQELYDLLY
NGLDDIWMADQDSMPEDLSAVPISTFVQPGSRSAVLVRIPDHAPEDILRSSAVQKRDMAMGDALIEDGSSRTAIDERLDVNVPIEDGYSNTAIDEPL
DINAPNIVPGDYPLEESEDENAETPDNSTLSPLLDFPFLPPPKPPTVLKPAFIHARRLATAGEYSDTDSPSFLELDQLLKLAHLRPEPKSRIHKSTW
TITQRTKDVIDIGNSATSIISKAVPAHRRLFSMIWKGLKGTTYPNLIEVDDIHDSQVTALCVAINHYFGRGLDMAGVKILGKRRMVMIKGRSAEECK
SEKLGWLGKGVVLSANGLTSAIKNMNPRSCLTERWCGMVTTDT
>RCO7_04210 | related to BSC1 Transcript encoded by this ORF shows a high level of stop codon bypass EC:3.2.1.3
MIFSRLLPYGSLIAIAASQDVLTLTGASEGPSSASLPTGSYISISTTITQSSTSTSVSPSAITTSALVATISSGSTTRTTTLGSTILFGIGTSIITA
NNDTAKSTSPSEDSQLILSGRPQTTMSGNGTMNGTATSTTSSAPQPTNTTPCNNYVEFCGRRYGNITEVAAHNSPFVRPGNAGANQQLRVTTQLNDG

VRLLQGQMHFVGDIPHFCHGSCDVLDAGPITDYLSDVYDWVSGHPFDVVTILLGNGQYNSVTTYQPFLEQTRLQNYAYIPPKNPMALGDWPTLATMI
LQGKRVVFFMDYEANQTAVPWILDEFSHMWETPFDPVDRSFPCIVQRPPDLPEDQAKNRLYLMNHNLNYDIKLLGNSILVPNIPLLNVTNNVTGFGS
LGNGTAACNSRWGFPPKFLNVDYYNVGNGSVFEVAAKYNNVTYTKECCGKVASDAMALYERISWLAMIFLTAASLLML

>RCO7_04209 | uncharacterized protein

MALPTFRSLAARRQEEKVQGNGVADGPEDTSERTLTPTYTPRVDIKKATLTRKTWIMISCFCFFVSVIFLILTIIGNINDKPVIRNTYFYSLDLTNI
IPSSANDIQLINSLARSLGLHDFYQVGLWNFCEGYKDEGITYCSKPKPRFWFNPVEVLLNELLSGATIALPAEIKDILTLVRIASRVMFGFYITGIC
MNFVSIFIAPLALRSRWWSFPLTFWTFAAALLTTAATIIASVMAIIFRNVATSQPDLNISADIGKQMFAFMWTASAFTIFGFVIHLSMSCCCASRRD
VRTGRRKGRMSAYGDVVGTEKKKPLSVRQWKKMPKFMRKRTSGQVV

>RCO7_04208 | uncharacterized protein

MASSQNLIYPLYEKDAYTRGPREGEDFSNLAGQVEGGEVSPDGIDSDEWDKDYCDLSELEFEGFFGLNSPVSATTPTSDTSSTSLSATSSSSPTPNS
SFSTPENSSDHTSHIPKSKSISFTHRYQPPEKHPHLPNSDTTTSAPAPAPAPTPQEVFPKLNVRDAPPDPATGHTLVEFQYFPFLPPDLRSKILRVA
CPPPSNLRIRYSIHGLRKDHDRSRDGDREEDGEWRFEDGDAAKVGENRMVRSLAQGWREARFLMMSDGWGVVHLKARGDRRWFNFKGGIMVWEIDMG
SERGRERADMRVAIPCDIPISKDTTARVECLGVSQELWLKWPFAPPTSASQDPDSYQRHATDPWKAQLITLMSNLQIFQLLIPKHASMYRQKRLVKI
VSATFKEVLADADEAGAGAVPRPRPRVEVVGTKNV

>RCO7_04207 | uncharacterized protein

MGVDRKAPPLPAPTETDSTTGGTELGSTITGKSQYTLPEDGSPITISTRRKTGDKDGHGLITNKSQTSLLIEYFEGGKGSQPGSRRPSVRVKVRPSA
KSKSRSSNDHIQITERGSDRKTSYTKRIQLSPNVKSDKSLLLDGEGDDHSLHSYRSATEESNVTSRGGGPIEVEIMPRRHGSPLIPTGDSSSRYVQT
NASDISSMPADSFLDGKVREPERKRSRSLSRDEALAAGGAAGLIAGAVADKLRTPSRRRSRSLSRERIVAQKAVEKVRGDKSERRRKHSSRSRSVSG
EQSIENVRSPRRRSSRTHNEESMVSGVDSSLLNSHLSGKSGDAYSFRSGTSKSSINNPKLLETVEDAIRRLILPELTALKREQSKHQTRDRERDRKG
SITSGSGISRDSREDGYSTRRLSDRGSNTDLSARPKVILNDTEILSGNTIKGRKDRSINRVMTDSPRSSERETSEETVVKDGEKFHRKRSSDGHKGL
RLAATGAGLGALTTAALHNHQSEESLEEDRKERRRRRTKSRSKSDSLAETYEERTYETVPPMPLMSETNASELTRSSILSAETERPHSASQERITQV
REVSRGVASPPTSTPTRTPIQLQKGLGNQHSNYSRGNLSLHDLSSQQQIHEEYELDEHGRKVPMQYSDREDSLVEEEHNGGISRDAAALDGGAFGAG
IGAGAIHRHTDSDDHHDPELLEDDHHDYYQNNQEVPPPLRYIPYAQERRGLSPIQSVSGYTEGDPDVQQRDSRLTHSTGSYSTLNKSPHHARSGRSM
KSLDSLSNVHGNRHDFAEVRQGGLTESELTQDGEYWEEQHRENDRNRDIASPGSHRSSGVDVKHNSNYTDESAERPPLDRVATGQNVRGLGAIPDYV
HTPNGVESAVASLVNESELTRDSAISGTDGQHNRRSSYASFDEGAESHFTSRGNSPTKHSVSRDLEYDESDRGTSSQRNSPSGYAEEYDVDEQGRKI
AMPKYKSQKADQIIAAGVAAAVLASRSKKNDTDQIKYEDRLEHTGAPLHMSFKDRAMEGQGQIPSPRHSIDAPLSEVASHEQLKMGASGLPDRHDPM
PEIGYGDGDSEVDTNPSIIQGPIGGAQQTNRDHWPGKQTIPRPLLGSVSSHSRRSDSNLKAAEAAFIGAAVGAGGAAAIAHHNRDLSGDHDEDWQRT
STDRKRDTLVTNPYEGTSPIAAIGGDLDRDLLGEAGFQGLSTNFAPTELDYQSARVTSPKDEGYISSAPNARSPGAATPEQRVKGVGFLDQDIEGGA
GAMAGEDPFYTPKHARHLSGMSHGMESPIYDSATGNGIDRIQSRDIVALMDHLTVRDAQRSARDTEILVTLVRAAAEMRNSFEDMKRLLADTEDVII
TEVQSNTDKSIQKAINGPRPQPQSGPRSIRQGSQDEMFDDIPNKKRNVFRRALKGLSMKSSNDLGKIEEMLVQLLGEVEGLKVAQGLKIDSHPGESF
DDLGQEGNYDERGYEPEGNAGTSTASHASQSGHLSIPHSRGTSAARGFDNRKFSDHRISTVHEGDEEELDHHEQVILDNQFENNERLLTPTQEVARG
GSAPLGTPPQQYVAPASLSNENTPRIDKSKKHKSSSSSGWIPKVSRWSETTASTVLRGFRNSKQGGGRKGEEQYHEQSPPSRSGSALDNYAENDSYG
EDNLHSRLSQDQVDYNETEAPRSLLPPEDPKYKAHRNSLNLQHPQPRVGPTHRYQTALESQAHNFDSPMSPRSLDWGSQTSLNRLPPQQTNRYSNST
NNNGHLSPVSDGGYSNGSASNQAPQRPPKEPLDPERPPKIRTGKLQKPSPLSTEHLPMDYVPSSSPRSAPRSMPAGVPARKPTGPRSMSSASKSGGD
LIRDETIIRRNQNRDTFGTIASNQSGESETF

>RCO7_04206 | related to IFRD domain protein

MHDLRRQALESHKTVSKKAQSRVSSRASSAANSRTNSRTVSRNVSDDEDGNLSDSTNWSVNSIDDMLSATLPEDTTDIWMQDLGDRTEEIINRKRSS
VQGREAALAQYVHILMGHYAYDQIHTKTSELFPALLKSVKSESEKEASHALRAIALSIITAPSETVYDSIFQTLKRTYSDSESLAVKAVAIHTLSTA
AIFGGASDSEIEEIMDDLLEIVESDGNSIEAADSGEVVAAACEAWGFLATFIDDMEEKTEPAMDAFVEQLESSNVSVQVAAGENIALLFEKSYTSRE
ADDGPASDAEDEEGFPIDASMVKRYDVYRQTAQLKHTLSQLASESSRRIAKKDRKVLHTNFSDILNTVEFPSRGPRYQNAINEETGRRYGSRMVVRI
HKTGTMKIDAWWKLHRLQALRRVLGGGFVVHYEHNEVVFDSLPIMISAS

>RCO7_04205 | uncharacterized protein

MGSKVNVVLTLTALDGNLSIAERRITLNSKNNAIPVGRASKSVTKGLLEAPNNTWFDSPVMSRNHATIELNSENMTVTIKDIGSMHGTYLNDIELPK
HTPTVINDNDVLVFGAEVRRGAEVFPACSFKTTSHSIFNKPHTKSANTYTFPESDIEEDGYETHDYFSEDDLGVDDSENRYTSEDDVSIELAAMKTS
KASDTIDLTGDDFPHLSMSNHVDLTRQTSVAQGLDMLSPRAADVGESADQNSIAVYAGNHSIVLDSEDESLNEDADYSSKSDDQEEGIASRDSDRAR
IHAILEDDSETGDSQIEDSVDNTDVDSDAEMESEDPSAPKPVTISGLARYALANDVNPVIHLPDVRTRQELPDSDEEDDDSEFSLDEAGAEGLKALY
SAGSSLPDPEWEDENETGVAQSYDLAIQNSLNIAPFLDSSSSSISKNVPEARSEVQEGFWRPFSMARQPSPSDAAMAKSAVVPRKISICDLGQADDY
SPQALGEKSGKPDFFAAREVNKARFGSGELDRNTFEATNRTAHVFSVPSVSRKDPAIALSGAAAAKVTRGMTDSAEASIGTSATESWEPVSMYSGVA
NMVFAGNTSESSHIPTRDYCLFLDKPDESLGADRAPSPLPDMTSSHTYNTSKNAMKTVSDQLPSSRSAIKINDIVESSLSNNTNKLKRKLDSISEDL
RDWASSNVSSDASGASSSILVQRVAARSSGIEAPAAKRLKKLLSNVGYVALGGAALFATLVATAPDLM

>RCO7_04204 | uncharacterized protein

MSCLCDMIMTTCPTCCGSEKYSKDCGTCNGSKLLITQGPHTCGVVAPGIVDPPNGTRRAAVSGTGGS

>RCO7_04203 | uncharacterized protein

MPANFQLVEPHPNVNCYAHAGRGGAGNYFKAPKTSKGSTAVGPASLFEHGLPKSTSKFSSGRGGAGNIRKPTERAIFSFDEELQLQKTRDEKSKEGA
VYHFGRGGVGNWTSIRSKSSRKDSSSSSDSTGSVRSGIFGRLSDASDRR

>RCO7_04202 | uncharacterized protein

MLRDRRRYLALTFLVLVTLFTFHRLGTWEDKFQVQNGFIYQLKDGNRSHPVEYLHAAAKKQFADLLSRQSTTVEEATKKYERKYARKPPPGFEKWFA
FAKKHGSLIVDEYDEMMKSLEPFRKIAPKDVVRLIERADSPEQTRKYMKKCSLVQGELRDCGAWAGVMSHSWGLKEALKGIPDMTFIANYRDEPAVL
ASQPTTDFNSTEQFKWSNDPVWPQVKEACEKLGKYGLPKFSMASPHLDFIANTTQQTDLCSHPDFGSLHGYLDSGTKSLHINHTITILSRAAPYPYG
DIIFPAPSYSWAEFSYSAWRDRSWKRKANALYWVGSNTGSYTHDESWRNHHRQRLVLLGNGASTTGVNGRERNFTYLKKAEGDDRWIPYTSTNFNRS
LYHVAISRVGSCDEPSCEQQLKAFPSLSKAAPASEPYHYKYVFDIDGNSLSGRFYRLLASNSAVLKTTMFKEWHDERLVPWLHYIPVSLGFEELPEL
VRFLATTDEGLEIGRRVAKEGKEWHDRVLREVDRGVYFYRLLVEMAWLQDLKRMPDA

>RCO7_04201 | related to RGP1 Reduced growth phenotype protein

MSAPVSNIRVFVNWAQQTVFAGEDIECQITFKNISNTPTPPRTSLHPSSANGSTSIDRLRKTALAHSKDSTSFVSPAPPINDGHRTSLSLNVSPLLS

GTQHPAGPFNGPSSKISKDASSHKRSVSIISIGASEGGGGDLTSQGSLSERPGGSSRGHGRSASLQTVPRRYAVNGPSTAAITQRSATQPSPLSSLF
SPIKTDSDTPMRRPGITTAPSTPSLPGRPFPRRKGSGSPPQTFKFPATLPPTSDHRNTDHLASPLHQDNPRLLSPRSRETVPAIAERVVSATRVLSP
ASVAGTARSSGEFYSLSNNSTETLASEYLPQQQGRVPLHGAHARQPSNLSPASQSRPPETLMMGYAQIHGSFTLDASLISQAPFEEVKRKGAVGGQG
GGVIGLETNKRDSGLLRGFGWGNIGESLGGLLGGGELSSIKDMRGIASSRSIPLLSTPQSILFIDLRLAPGESRSYSYAFKLPRGLPPSHRGKVIKI
SYKLVIGTQRPGGAKEQQVKSVEVPFRILGSVNNHGELLGHDLMSPYIILRDQAQVHAIEVAAEAILENSKGVEVKESTKTPESTLDGFLTYVDELL
AAPRHNSSAGLLSPTELPKSRRQSFLPEPATAKEAIDMAILRSNVATDPRQSANRFEIARSGKRVAVVMLARPAYRLGETISAAIDFTDAEIPCYAI
HASLETSEKVDNSISLRSEASILRVTRKTHASHSESTLYSRRVFFSPTIPASATPEFITSGVSLEWRVRIEFVTPRLLRERNADIGYVDILEEVSRD
DRCVVLAAAEALDCESFEIVVPLRIYGALATSTERNESSNTGLVV

>RCO7_04200 | probable MOB1 protein
MATISVAAAALRYLTPASLLLSPALSHSASSSTVSVDAQYIDTDAGQHEPLHWTSCLQGDKCSNQRTRNQFRPRNATKGSTSYQLRQYAEATLGGGS
LRKIVKLPEGEDENEWLAVNMVDFYNHINLLYGSITEFCSPQSCPEMKATDEFEYLWQDSENYKRPTKMPAPTYIEHLMGWVQSNIDNEAVFPSRIG
VPFPKSFPSMIRQVFKRMYRVYAHIYCHHYPVIRELGLEAHLNTSFKHYVLFIDEHTLASGKDFWGPLGDLVESMLRSD

>RCO7_04199 | probable oligomycin sensitivity conferring protein (ATP5)
MISSRAILRVARASAPQRVAAPRVLAASQIRSYAAPAAGSPDSQPPKALYGLDGTYATALYTAAVKNSTLDSTARAIAALNEVYHKDAKLATIMQAP
TLSAEDKSSIVTELQKHTGAAGDKGDTVKNFLNTLAFYNRLGLLKGICEKFGELMSAAKGEVELTVTSAAQLESKILSRIETAVSKSQYVGSGKKLR
VTNKVNPDILGGLVVEIGDRTIDLSVSARIAKMNKLLTDTL

>RCO7_04198 | probable glucosidase I
MVQINHHEYLTEEEKRLKEDRERTKYWKKWGPYVAERQWATVREDYSADGDAWSHFPHEHARSRTFRWGEDGIAGVSDTHGLQNIAFAFWNQEDDFL
KERLFGLSNPQGNHGESIKEAHFHVDNTPTHSYMKLLYKYPQKKFPYEDLIKENARRGKEDREYQIVDTGIFDENKYWDINIETAKETDDPDELMFR
VTAWNRGPEPAPLHIVPHVWFRNTWAWGYEDADKKPSIHQVSETVAHSKHHKLGERYFSLSPSPGVGPSGKDVLPKLMFTENDTNYEKLYDGKNEQP
YVKDAFHRYIVDKEKKAINPKQTGTKSAAWFSFTEGGGVAPGECAVVRFRISKKYEDYVDEELFDDIMEKRKEEADEFYHRISPLPMSEDLRNIQRQ
AFAGMMWTKQFYHFIWDQWANGDPSQPPPPPERKAVRNTNWKHMHLDDILSMPDSWEYPFFAAWDSAFHCIPLAMIDPDFAKKQLDLFTREWYMHPN
GQLPAYEWNFGDVNPPVHAWATFRTFKIERKLYGRQDLDFLERVFQKLLLNFTWWVNRKDFDGKNVFEGGFLGLDNIGLFNRSEPLPTGGVLEQADS
TGWMAFYCLCMLNIALELAKHRRIYEDIASKFFEHFMLISDAMTYKAGEGEKSLWNEEDGFYYDAISYGGPWTQQLPVRSLVGLIPLYATLTLEPEL
INKLPQFKKRVDWFIANRHDVAERNMASIRKRGKDNRILLSLVSKDRLEKILKRMLDEDEFLSDHGIRSLSKFHKDNPVAMDVNGQEFKVSYVPGDS
DSGLFGGNSNWRGPIWICVNFLLVESLQRFYMFYGPSFEVECPTGSGDMMHLGRVSEEIQHRLQHLMARNDDGRRAINDGNDMLDFDPNWKDNLWFY
EFFDGDSGRGLGATHQCGWTGLLARMIHDTGLSCRLPQTPRTPSTGMAHYFDDVFTRHVKHKSEKTSRPNMRRSSTARSIAARSDFDVDDQRSIGNS
VETEDAEREKERKEADFHTANYVSEQLERVKSHHSADFEENGDEYEAQLDGQ

>RCO7_04197 | probable cat eye syndrome critical region protein 5 precursor
MAPSASSSRLLPPKPRPGLRRLSSMTVTEREIKDGQGPVVVVPDRMMLQRSISYSGGFAASLSSARNELSSINLEEEALLSPTASSPETPGSPVTPA
DIPTADSFAFAFDIDGVLIRGGRPIPEAIEAMKMLNGENEYGIRVPYIFLTNGGGKTEAERCIDLSRQLDIEVSPAQFICGHTPMREMVAKYETVLV
IGGEGEKCRQVAEGYGFRDVVTPGDIIKDNEATTPFRRLTAEEHKNSRPRNHAETKIEAIFVFADSREWAGDIQIMLDLAMSKGGYIGTLSETFDEG
PPIYFSHNDIVWSAAHDNVRLGMGALRKMVEMLFKDLTKGKELETIAFGKPQIGTFEFATRLLQQWRKDEHRCNRPPETVYFVGDTPESDIRGTNMF
NEKSKNDWYSILVKTGVYQDGTEPAYKPRVTVENVLDAVKHGIEREMSKKKIVGGGLPLSAMAFKNLSLNGERNGGGNKTPIMEVTEPNTPEAGTPD
AVTPAAA

>RCO7_04196 | related to homoserine acetyltransferase family protein
MPPKPPYDPTGIQTYAIPSFKFTSGTTKDIKVSYRSFNSSSRRTVLIPTCYGGHINTTLNFTSGALKKYHVIVVAMLGNGESSSPSNDDEFPKDYSL
RYPDCINAQYKLVTEHLGIKSLDAVVGFSMGGQQAYHWAAMYGTGENPFVKNAVVICGSAKTSGHNYAFLEGPISALTTSFDYDNGNYKSNGTRPIK
GLRAFGRAYAAWLTSAEWYRQELWKQGYPSLQGYLHPPPGEAPFERWDAEDLLVLARMWQAGDIGMVRGDGDYEKALESISARVLVMPSQTDQYFPP
EDGENEVRYLKKGVYAPIPTIWGHIAGGGANPTDVKWMDERIERFLTGET

>RCO7_04195 | related to dihydrodipicolinate synthase
MASPPPAGVYVPVPTFFVSKKAANYKTTAAPLDLETQAAHSLHLAKSGITGLVVLGSTGEAVHLTNKERFEVLSSIRKTYDDAGFKDYPIIAGTAAH
NIEEVVEQLTSAQEAGSQWGLCLVPGYFAGASTQDGIIQWFTAVADQSPIPIMVYHYPGVSNNVRVIPSTYATLSKHPNIVGCKLSHGDVSYHAQIG
ASPKIDHTKFHTFTGLGQQLLPVVALGCAGTIDGTAGFFPKSVVHLYKLSVKNQPTDEEVKERRLLQYKVSCVEELVVKFGTVGIKEAVSRILGMGD
RDGTRLPLAGGIPGGDTEWENWKEVIGDLEAVEKSL

>RCO7_04194 | related to putative tartrate transporter
MDGDAKIVGCRDQPEESRVGEAVQDEIDIARIEKVYRKIDRRIIPAFWSLYFLCSAIRSNIGLAQTMNTKQGHNLMQRLNLTAKQTSTALALFYVAY
VVFNLPSSLVMTRLSPRVWMARIVFAVGLIGACFAAVEAAWSLLFLRFLLGVVIAGLWPGMSYYLTLFYPPSRTGQRIGYYFTASQVSAAVVGLVSA
GFQKMDGLGGLVGFQWMFLLWGLCAIVLGVSLLWWLPDRPLPPGETRVRSGLLKWLPAVPPILKGEDTEIHYRDLTRVYHPRPWNVKDLLNVLIDWR
LWPLIIMYFGVVGVGFGVQLYGTVIISGIDPTFSGVTLSLLFAPIWIMDLIAILLVTPISDRFHHHRALFFSAAVCIQIAGLLTTTFAPRSQPWARY
GGLLMVGFGLGPTVPICMTWGNEIFQRRHGEVGVAAAAALISGLGNLGTVVTTYALYTGWPEDAKPGPHRYRKSNLTMIGILCLSILSSVVMTVGLN
IAGNKPSKNIAGTEDTDDEFQDGAARREYHQRGFGKMWWNRGN

>RCO7_04193 | probable MAF1 Protein required for sorting of Mod5p
MKFLPLSDFDDVTSALNFNTPDCHVIGGCDLYTTKAAGSDKKLYRNIEQSLESQYESLLRLSASVSPPGSGPSPLNLSRSSPFGPLSQVSSRRTFAY
LIATLNASHPDYDFSHNLRPADFRKERNLKSVINTIDSTLYNLRPSSGMMSLQVPSQTSYTTASSASPTSQAWGPQMWSMVDKEMNLKECTVYCWAP
PDEPFDGEEASIWSLNYFFFNKEKKRVAYLYVRGVPVMTHSPRQRSMMPKRTASGYDTGANKRAKYWLGDQAANVTNEEDVEDDGDTTMWSNEDEVD
PDDNAALFNGDDFCDDYEDEADADDESDEQDLKDPVRGMSEDIAASMDIEY

>RCO7_04192 | probable clathrin-associated adaptor complex ap-1 small chain sigma1
MPINYLILLSRQGKVRLAKWFTTLSPREKAKIIKDVSQLVLARRTRMCNFLEYKDSKIVYRRYASLFFIAGCNSTDNELITLEIVHRYVEQMDKYYG
NVCELDIIFNFQKAYFILDELLLAGEMQESSKKNVLRVISAQDSIEDTEVDEEVTRIM

>RCO7_04191 | related to gamma-glutamylcysteine synthetase light chain
MTGGPSIIRKPGSDRSNLELTNSLRSNFLAAQQDYSPPLSATNGSTSSSDEDSPSSRPQSSIWTTRAGSDYYIPTIDWSLSGLCEERSQYDITVKLF
YLHGAHVKDRAQHTKDAIDLVLKELGVDSIDLLIVSFPGLTFDGDCEWEADKKNSEQGNDEEEVASWSILEELYNQGVVKRLGLAEFGSEKLSRLLA
QVKVRPQVDQVNIKDCCNVPPPLLKLAKLEHIELLTHNDCTDILPIGTLRELLGQGVRGAGVLSESKRGMNGMRGDLSPEWVVKYTAVVRDRGVIEN

KGYFAVAELNE
>RCO7_04190 | related to MNORI-2 protein
MEVPSIPSIEPHPIYDRPSLPATFLYPSSTPPQLITQGAEALLFRSTYLLPFFPCALKYRPLKPYRHPILDARLTKHRILLEARVLVKCRREGVPCP
AVYAMDEFKGWMMIEWIEGEVVRIRLNEWLKRRKDEGIEEGVDDEELVGLMRRVGEAVGKMHMVGIVHGDLTTSNLMLRPRSKERMTGNTVGDKILD
GEVVIIDFGLAIQNAQDEDRAVDLYVLERAFGSTHPRAESLFKEALSAYGRSFKGGNIVLKKLEEVRMRGRKRSMIG
>RCO7_04189 | uncharacterized protein
MAGTADLPLVTILLLLTACLVSIFVVVQVATTYTTAYLAAPNEITTFIDAVDFSIQENESYDRDVAKVQRLEDKLRLLKLLRGIQKCGDDMREDVNR
LLIEEGGTKMRSSTRILWAVKRKGLEEQVRRLDLLRMRFLVVYMGLVAAKGTLEQTQTRDPEKQTTPKMTVRPGLIHGSTEGIARNPPLRRLTTQAM
GHNDHVGTPKKQGWMGVVAELQNSPLMHKRHASIERNMASPG
>RCO7_04188 | uncharacterized protein
MRFSFLAVFALTSLSFATPTLGRRADAVSVLTDLLAEIKVHTGAINGTLAGLSPLDVIGKAAAVNTVGQSITAVTASLNSAAASIKALAPSCSTKRS
NFVSTTSLEISAPIEKRQLGIEVAVLLTAILLELFATLAVAIGVLGVTVLLIFLTPMTGGLSALILSVQLLLDTLLIGVVVLLNTLLTGLAIIVAPI
>RCO7_04187 | uncharacterized protein
MNSFHLNESEAAVDIDKDCEFDVDDEIFSDKFHTTTKAEISSPVSSVSSEAPRFSSSPTLPIRQLPVYIHAQCGHQFQSTNFPGDLLEVFDPTNMSQ
LTSRRNLTATVVTSDITSRIRIVNPRSCLLCIWHEEQRIIASTNYSCDLIENSSITEEHKDRAIAYQNGLESGRLLALKRSLEWCQEKGSSEGGEVA
WAMRGLLEGLRSEESLKVLWIGYENGIIRGEHARAKGTRGLNRLSRPEMNIEELVALIEESSLTYCEGEYELRFGDELEEIEYLGKKAGIGLQARMD
GKAIKNRLF
>RCO7_04186 | related to monocarboxylate transporter
MSEPNLPCRHRAQSPTAPPDGGTVAWLFVFAAFPLLFTTWGPSMSAGVFQDFYQRKLLAGYSPSVISWIGTVNSAFLISTGVLAGPLFDRGFVRHLM
VLGSIMVVFGQMMLSLSTSYYQIMLSQGFCVGIGAGLIYVPAITMVNTQFATKRALAMGIVTSGASLALPFLFLGKPVPKPKNVRSIIHWHALKEFT
FCAYRVGNFLIFMGYFIPLFYVPSFALGYLGTSQELGFGLLAALNGASLFGRIGSALLSPRFGVSRSLLGAVVVSSIACFVWMGINSLAGFVAFCLL
FGFFSGVLISANPIFVAHPVISPTFSVIGTRLGMQWFATSLGVLVGAPIAGALGDAGTGDSFMKLQGLSGAMMLGGAILLMVPLMAFWKHDRKGRA
>RCO7_04185 | related to carbon-nitrogen family hydrolase
MAPVYRIAVIQLHVKPLQPARNFATAARFIRNAAAQGCHLAVLPEFHLTNWLPTDPHFEAACASWETYLESYKILARELSISCFISSDGTVLGSYVK
KNLWGPTEREFLSSGHPTLNQAFDTPLGKVGLLICWDLAFPEAWRELIAGGAKIIIVPTLWTRSGASAQGLKWNPSAPALFLDSVLTARTYENTCAV
VFSNAGGRPGGDYIGLSQVTVPYVGPLCRLGSAAEGMAVAELDMQILEDAEQNYAIRADLERGGPLEGYRSNTSRDKIDVMWMSLSSYTFHLTVIAL
EVFRRLSQPSPHSSHFLSYKTRINLLTNTSADLQAFVYLLLVAVLLSLLWPFG
>RCO7_04184 | uncharacterized protein
MKHEDILLSNTWTLDRQQILAKSGKRENEKGAAKASNEKRRETSDAARPFQFVNITRPDRPSDPELRELVLSHVKTGVKRGPNVSKTPKFKSTTDHS
TPITDTIPERGPCHLNIEARISPTLRAPMSGASSPFYGNFTFSFPTGPRIQFLLSYYLYELAATWYPLEDHLSYNPVRESWFRLAMTDEVLFRTILL
SSATHLGRKHGTRIIKRSPH
>RCO7_04183 | uncharacterized protein
MAPAELSIHTDPSTRSRRSQSISSDRPSLGGFGGLLSPPSNISPDPAFIAASAASQIVTNDHDSHADTWLDQHGIEPSGETALVAPPALKLVNKFLD
QLLFNFLSISRSTSLASLRPAVAEVLKPKLAKEAIAGADQELHEYLGGGEEEELLAFSSGLEPSGDTDLELIWKRTRLRCMVYSSLGDMEEEDEDFY
TESQQLDGPLGPNNRFSNSSEVVSPAVAIFLTSILEFMGEQVLVVAGQAAYYRLKLKIEKEDRDGTQTPADIAERVVVEDSDMERVALDRTLGRLWR
GWKKRIRSTTTSSVSSSYSFSRDSSRSQTRTRAASVGPEEVIHEDRRPSLAAVLAEHEYAASIPLPINTNDIEEIEIPGLAYQSDDEDEDTSDTDEE
IRVIARPKSMMIFTGSSPRNSLYSSQIEHPKSLGPRKRSNSVPSSAPLPFKPSKRQKSSVEKSEQPVVQSENEVLGGDELTEAKDEAAAQKEDAEQE
KSSMTEPKGSNATIFTLGAAAVAGLVAAAKGEAPQTAIDDAEEPETEKYFTEEPQIMTSSRVSVGGRISPDEYKAGSSRGSSPRSPSVHSLRLVDIT
APKSPARSREGSFSAADFGRPVVVSIPNSTYSPCQTSRMTSPISRGSTASPIERHGSSHSVRRTRNSAGDSISEIDEQNIDLATSMSVPVEAANLHD
ERPQPAAFVLNTATFTRHPQGLSISTRVEKPVSTKSAVDPTTAAGKRGAPPLSPLREMMDGAQGTSDEYSSNPPSIDTRSVTDNTSSLPSVEPQYQT
RVDSRSSPPRLTAPEHNSKSQHLNHTSGSGSSSSSHKMKPIRTSEDSGSRNVDRKGQSFEQLIRSDQTIQYTLTPQNIRDIEAPDSPRYPTPPIIPD
ARPMTGRSNSSSVSRINGLNSNPPIEVARSIKSAKSFKAASKPQASNPGTRLRPNAPEARDARIDRDSIGDFAEFIRSTGPANAYETAPTIPASTNR
GPTGAPQHLNPAGPPHTGTTTSMPKRSTSSAGRNRLQARDAVVPRGNSVSDLIDFVRSGPQLEKQDHRIPRTVAPFRSTMDSDQMNGAVGGRAVDAT
IPDVRFSNTASVTSSITSQSALLNGSRNKALPAQGLNGFEEEEMMPKRKTRRVRDPYAIDFSDEEDDDLLPSRPPPIKEESLAEFLKNTAPPPSPPE
SVRAHPSPEIVTSKKMKKKASSGSLMSRFGRSGSISSSAPPVPSMPQSMENSGSPQEARKTPHYAPIKAKYNTSTSKNEQTRNDNYVSQLDSARNND
AGRRKVVQKSYQPREAVYASSPTNDLADFLRSSEPPSSMQTQPQTFAPVLQKDEANAFQRMFGRKKAR
>RCO7_04182 | uncharacterized protein
MGDWDCYCAVCGAPFYCFDPFSTENGDHIAGFDPELITTEKLAWVEDIRAIGFNPDAPGVSKCFITGLVKSQDYGSFSCELGDDPNVPPATEQGPPA
KIRLTAYSSYDPDEPLAMVFHADCLKVLAQALKYKINGKCSPEPNLYILDKDVLYAAMCKKTDEGLRALTLDYGELSESVTEQYWGPQAGQEAWVSN
PFTSPQITSFLETIKDQIFQPISDEPALDLASRKTPQITNPFSKLAKEITSEILLYLPYSTLQAISLSGLIPFSLRSLSSFWKRKLGLDMPFLWDLP
DLSFPGNGFDVYHAMRRHCFATTPALQTGESHVPRIVGQRDRDLVLGLANRRRVWDVCMQLLEVYEEGIDELSGDNENGDIEEGILRGSLSLGVPLV
AAPVGKDTKRLSMFLIERWADLGIEWEVKFYFEKIGGRLCGVERYGGRVFGEKTGDSLSVVVHEEVRISGLVLNVGGAEELWADAKVGVTGVKVLFH
DGSNFEVGSDDGDKRLLTAGEGVVVTGLIGELSNGVIQRFGLLQCIRGTTLPTSQTTPPTLQRHLWKSSIPSPSLQASNYRTGYWTPVRSFDTIPMS
ALLLGTSPAELSRITGFSSDAKLRSFGVHFVDGSEVSIGPRDGNEEDRKVFKIDGSGGEVVSKIEVGMNHLPMAIKITTSHDRIAFFGTNQKNGHTT
YEPPPSTHFIAGIYASWGYGTTRRNCTTISILTATKPESCSQQDMEIEGVDNGNPWSPPGFENVGPLEPRHEDIAVANVEDHEFFAGKWW
>RCO7_04181 | uncharacterized protein
MCWLTESWYKSCSHWGPRQLSTACARGEASASLSGCWENTVLGVKNHAGLCPSCRFRADLTGRSSGSSLLLARENVSEAQTEVSSLNRDESEICVQI
PVQIQIMVTPPTPTTANFSKPLTSLKRKSFDLEIFPTADQQPTKELLCIQSLEERGILESVTVTGAYKLGPRFGRWYAWRGYK
>RCO7_04180 | uncharacterized protein
MQLTTALLVVAAIAPVFGHIAAGTTGMVNATVTASVTRTVTAYETFCPDPTTFTEGTKTYTATAEEWITVKECPHKCTITYDPAYPTVLPVGEVPKY
GNKTVIPIVTVCPCPEDEEECPCVEEPEPIIPCPEEEDEDLECICEDVPDIPEEPVVLACTCPKEESEDLECICEDVPDVPEEPVVSACTCPEEENE
DEECICEDKPVVSACPCPKDEENCSCDNVLILGPLIPIGTGAPGSAGAPSASGSAGTPGAPGIPSAPGVATPGSPSTPSTPGAAGKPSGNSPAVVGD
NSGSSSPASPKANGPEVVSANSASTFIPGAMLSFAGFAALLL
>RCO7_11573 | protein ORM2

MSEQKQGRRRRSSSLLYQEPTETIEHMSDQAALPNLNANWVNAKGAWTIHLVLIACLKILFDIIPGVSQETSWTLTNISYMFGSFLMFHWVRGVPFE
FNAGAYDNLNMWEQIDNGAQYTPAKKFLLSVPIVLFLLSTHYTHYDLTYFTINFMAVLGVVIPKLPYSHRTRVGLFSGAPEDR
>RCO7_11572 | uncharacterized protein
MSDVIEPADVAEVRNTQDHVISTEQKMATAQSVDQAMAGVQDALELDSRTSLAGRKRNLQDTYHENEIYGAEGSGERARKRVKDRQDSPLVQEELMT
NFTSPSVGGSLPAMAEEDLSYQLPPAREPSRGLSSPHRTEFGASQCPPENEPAYGTSPPLRARIDASDQPSTSEHSEFRLRDTEPELNQATEDHSSL
EGAGSRAYETVSLPVQSIQPIFLPRTWNGGVVSSVRTSFGSKPRVSFELKGAPVSASNGQGATARLTEDAVGNSILPPKNVHPSPAAFQELSKEEQD
QLTEEEKSHYLKSLFAQLSVPAPSASAIHRSSLLPKSTMLVNEADKETEIIDDTDDTDNADGVSTSFHKISQLPMKSKPFVKLSKTAKKKLSPGARA
ANIKSHNAYQNEKAEWTRKKDDMKKQQNLLKNAATVVPTDKLRSSTNSEKTFERATSIVAEFKDWVVDDDGKQADLLKRSFTKYRKNNNLNIISLDG
DDVESGENAVSGIGEGDIDMDTNLHSTTRQISSSGLPAFSMPTKSERRLNSREERGAYDRAKEERAGEKTLVEAQKLREAKSGQKLLEIELASQKAE
SVIAKCYPSSGNGIDSEILASMAKGKTLYPRGVARPAHYVNKSGSWDMPELLTIDGRPLQIHEFSWNRFAPYFLSLHPNSWSIFTLKMLVAAFSLYL
THYYSHLQGLDAFFKCRETPTNRRAVKLSKAMDLAKQLLEERPGQNGAPQAVEVTDHSQDLSGPADAFGQNLSVHVDGEFGTAVVDEVKVPSISDEA
MKILAAPIDSAEPINPELRQAEIYLQQRYYPSSDLNIVRCLACSQSGHTALHCPLITCKICGSTGVHSEAMCPHKQRCQKCRDRGHQAQDCKEKLSL
PISDMSCDICRSSDHLEMACHYVWRSFAPKPEEILTVPEMKVFCYTCGSSGHFGPECGLHSGLVRSGGITWCKANLMRFIGTSSQMPVLPASAKLIP
SRVANNGNATDPICIDDSDDEPIFINHQKGLPTQLMTETTRVQPPKQNQQGPSPPKKQKKKGKKKRGAPQVQRPVQVDPNYRRDPNPPRASRPDFSF
PRGPIPNNTPPNNRSGPHAASTNNSGGMNSDAHATRGGGNAGPGRGRDRCGGDGLSKADIRRMADQAGGRATRDGF
>RCO7_11571 | uncharacterized protein
MVLNHNMSDLIQLGEKLVSEGPHKLESTPRRVRGLLRGNYIFDTLEARYVWEHPYYPYFYVPLHAFAKDAMLDKVVQKDHFYIGRLSTGSKTTERVI
VFDSENGELSNLVRIEVSALDAWFVEDEKLLGPHPKDPYKRIETIPSSREIRIESNGQVLAKSTQNVFLFETMLRTRFYLDPTAVEWCCLRESETVS
FCPYKGMANYYHIDSGGKTIEDAVWYYKYPTAESALVAGRLCFYNEKFDVFIDGVKEDREGPKGR
>RCO7_11570 | Replication factor C subunit 5
MALLVDKHRPRSLDQLTYHPELSDRLRSLAQSGDFPHLLVYGPSGAGKKTRIVATLKELYGPGVEKIKIDARVFQTTSNRKLEFNIVSSVYHLEITP
SDVGNYDRVVVQDLLKEVAQTQQVDTSAKQRFKVVVINEADHLTRDAQAALRRTMEKYSPNLRLILLANSTANIIAPIRSRTLLVRVAAPTEGEICE
VLERSGKREGWAASKGLNERIAKESGRNLRRALLMYEAVHAQNEKVTDSTPIPPPDWEALISQVAREIMEEHSPARILQVRAKLYDLLTHCIPPTTI
LKTLTFKLVTQVDDGLKADVIKWSAFYEHRIRMGTKVIFHLEAFVAKFMRILEEFTMEMDF
>RCO7_11569 | related to REX3 - RNA exonuclease, member of the family of 3` -5` exonucleases
MFTAKGLFSEVICPYQETCTLPRCIFKHIDPKLRAFKPAITSQNQLSVKDDRGGQRKRQKLDIENELPSSTAKANGTDKESSQLSIPSSKAIEKPSK
KSFAATREISPPPIKRKTENETSSYISSRQYQPQKALAMPKPSVKAPLKKEGLNPRVLKHPSPASHDMRFKLLKALHTEFARLNTELAKDASDEEEK
LVLSDQELITRALDLEEIATASQAVYSNLVKNKIMTYKRMSIKQWVDERRKEVAQEEAKEAAVQTSTPISKPSGPPKVIETGLSTKEELTLLHRLYT
PISDLSSHGYVSTIPTETEIQTAKQGIEAAKGWEVCDRCKARFQVFPGRREEDGALASGGKCTYHFGKPYWQDRSPSAPKAKREKKYRCCDESMGDS
SGCTTSENHVFKITEVKRLAAILNFEKTPENPGLVDERPVCIDGEMGYTVYGLELIRLTATSWPSGAPIFDVLVRPLGPLLDLNSRYSGVWPGDMAS
ALPWSESTSDEPSPSPSAPISKPALHIVSSPSAARSLLFSHLSPSTPLIGHGLENDLNAVRMIHPTIIDTALLYPHKAGLPYRNGLKALMATHLNHH
IQVVVGGKMEGHDSKEDANAAGALVRLRLAEDWARLKREGWVVKEGTCCPPGGLSVEMLEKEVPVKKSNGDSVGRKRDRSEMEDGEVDG
>RCO7_04179 | related to lipase/serine esterase
MDYTGGSREAQHLCVLVHGLWGNPNHLKVMAQSLRAKYPEESLHILVAKRNSGSFTYDGIERGGERVCFEIEEEIEKSARAGQEITRISLVGYSLGG
LVARFCVGLLDSKGFFEKIKPVNFTTFATPHLGVRTPLRGWHNHVWNVLGARTLSASGRQLFTIDKFRETGMPLLEVLADPESIFIKGLAKFERRTL
YTNIVNDRSAVHYTTGITKSDPFTNLDKIKINYVKDYEEVIIDPENPVAPADPEETDTTFYGNLLRSSQTTIGRMPFLLAMIFFIPLGVVAFLINSG
VQSFRSNRRIRLHERGLAGIQPGNYRVPLLITGMREAVEDVYENLNSAQSHEYLVAGTEEEAAQEEPGSPILERTQSHLRSQSNASASGKEKLNHDP
PTLALAPYQFRMISALDSVGWRKYPVYIHKVRHSHAAIIVRMEKPDFDEGRVVLKHWLDEEFIL
>RCO7_04178 | uncharacterized protein
MDSFAITSYRRPHIYSPSCSSKLSPCSSYPHSFYSGSSYSPRPSKRNLTTLLHTAISLSENRTILTLLSAGADINGLSSQGLTPLETAIRSPESKER
TALLLIERGVDIRPRSGSLLCWAARKDWGLVVEALIRRGVDVDGNSGSEMAMDWDMASCMSMNSVINYTSARNRERKTLCQRSGRGSGIMPLHVAAY
YSSLNAARVLIYHGASLSLSSQSAELALAEAISNTCVPMVSLLLSSGISLSSAVDSTGGTPLMAAVCMNHVRLVNCLMSFGAAGTMGRRDGRGEGVW
CVGARWAGREVLEVLREWGGRASERQVNLRNAGGESPLELAIRLRRPMEVVEVLMRAGARRDGDYEESVMNGETEFQRSANMSAVHERGVGRYEHRS
EHSFSARDSSPSRSFNSSLPSGSNRSPSLDRSMFKQSSRYVPQWEHDGTDSIFSEDWGEEDDGGPGKEWFGSRTEASKSRSSSGGERERRRGRFTSS
ISFTVYGRKKLSEINNYNKQAFALNLNPKIGGSPTESSLLRYFISGSGLPQRRCQRNVTDWNSCNGSLRRRSIVAKSWRLKVKKVEVVEIEISDDSQ
ILWKLKGVVEKFPWSGEE
>RCO7_04177 | probable transcriptional repressor rco-1
MTSTPSNPRTFAANTGLGLKLTPSNSNFPRTPRSPFKSRSLYESGLSLRRIIGTTVSSPTAFDSLSSTRIFAYTAGAAAVVVNVEHASKYSQRFFRA
RPTAVASTTPVTTSFSPSTPTNTANDGRNRAVLALRDVAVPYSPSTPHTSLDWGDSPTSKTWTSRERIKAATCLSISQDGKFLAVGETGYSPRVLIF
SLQDTSSDRPLAILNEHTYGVRAVAFSPGHKYLASLGSPNDGFLYVWSINQKTGAARLHSSNKCTSVIKQMVWLGSSIVTIGTRHIKIWRVEDSRPV
SPSKQRFALDGTPIPMPGIPPLKTLIGRNVLLGPLVEITFTTLAAISEHKAIVCSEKGDICLLDDTDGSKLIKLATTGFSVTCIAIDNRARRVRIGG
RNGNVKSMSLDDLLTPSTPPESPTPSIVDSNQSNEAGHLCAMGYAAGSLITVDSKHSIEISMPGSDDADPELQNTPFPAHGDSVLGVRLLSPENVMK
AAFLTWSSNGTVVFWDLHGSSKASLTVEVEQITSSEEELPNQCQIVRASQGVAFLVTGDRYGVLRVVIPQSQACAFETRAHISTIQDIAIFESDKCT
MIASCSRDRTVQLFRLLSDRWVLMQTLDDHSASVCGLFFAENGEKLISCSTDRTIHIRQLVKKHVGGQEVMGAVPVRIITLKATPVSMTSCLADQMG
NFVVSLLDRTIATYEISSGRLISSFKVSDNEGQESVVLDSLVMGTPSASPGRPTILAGVSSTDKSVRIYDGSTGSFLDREWGHTASVTDVALLEVPD
SDQKTLISTGADGTIMIWDLSPKAPELQEPIDTSINRDPSPPKDTASSRPPLRRVLSKAELAEFQRASPLSTPTGNRSPPRAIRKKTSRYGLSTQSP
TLAPPVPSVSSKHFISASDDSGIRRPLRNRSRSPPSPKVKENRQPSLATLDSRGRTKSTGNFSEFGTLNMATEQACRTLRAYRKKLLSSETVREEAL
KELDQELRLTAMALGEKNVKSKALSETVLSGLLDTYSDRLVSLFDEKLRLSRQDSNELPIPELEERPKTAGTAAIRSPTPTLT
>RCO7_04176 | uncharacterized protein
MTCRCTVNTLTVFIRNVAQVDVPSSSRHATHPVQKYAPQHASSRGFAGSFLSRRSYSSAISNEVNEKQLRLEMPIESPIAEISLDAIDAILAESPWT
SSAKQDTGAESNSFGYETPLQSLLEDMPQRKARGAWTGRRGEDAKPFTLGDTPKPLIRRTTRNAAFPDDPQALGQASRVEKAMKSSRSKQRPGDDWV
PPPREPWMNERNVAKEKYPEGYKPLKKLSPDAIAGIRALHAQMPERYTTWALSQEFKVSPEAIRRILKSKWRPDAEEETDRQKRWFKRGESIWGRYA
ELGLKPPKKWRELGIGNGKPEWMLRKQVEQYQPLPALVTTARRKEFKSGNQNEAKLADRIL
>RCO7_04175 | uncharacterized protein

MSWPNPFRRNDENTRHAWGYTFQWTPQHVSPEEMHHMKFTYDELGEECLNRLDKISPPTTGEIPRNKSRLPTKETSEPAPKRDLYVLLRDNATSDEK
LGQLWKEVNTIPEWVDWDQIARGQDVFYRYGGVALTALAYQSLLGGMGAARVSEVLARTGGFSTKVAKARLYETTQHILQVTRSLDSIKPGGEGHAS
TIRVRLLHAAVRRRILALAKEKPSYYSVEDYGIPINDLDSIGTISTFSSTLIWVGFPRQGIYLRHQEILDYLALWRLVAYYIGTPDMYFSTPETSKA
IMESLLISEIQPSETSRVLANNVILSLQGQPPAYASRDFLNASARWLNGDELADELGLGRPSLYYKALVAGQCLFFICLCYTNRMIPAWDRKKIQAL
RRIFYHVIVENKTHGLGEETNFDFKHIPNLDTTTSMGDYVAGAKEDGIERRNLKAFVIGSAIMGFVSYVGLRTTWGIFGGLRALWVSRS
>RCO7_04174 | related to inhibitor of calcineurin
MSIDLSSIPPLQMPTPPSNTLLITNLQDPSVFRPENLQTIRELINTSAPIHSWAPLKSFRRIIVSFFDEASAIRIRQILDGEAIMGERVKVYFGQTT
SIEVKDEHLNLPDAGKLFFISPPPSPPHGWEMKLEDAPNKLVHADDLAEALAKLHAKPNTDLPASPISDGEEGRVVRTRSGSSTTIYHPSQHGHSPN
LPAISVEDTTGGEEDFSPIEQEKPILAHTSRPPVELMEQ
>RCO7_04173 | probable DNA-directed RNA polymerase II chain RPB3
MDFDPMVMDTEASGPSVKITEVGGDHVNFELENVDLAFANSLRRVIMAEVPTMAIDLVEIEANTSVLADEFLAHRLGLIPLVSKNIEDVNYTRDCEC
EQYCELCSVTLNLQARCTGTDIMKIYARDLVVDSRRANQWVGNPVITDPEGQGTVICKLRQNQELRIKCIAKKGIAKEHAKWAPTSAVAFEYDPNNK
LRHTDLWYEADAASEWPKSKYAEWEEPEQEGEPFNYDAVPGKFYFEVESVGNLDPDAIIQQGIKVMQQKLASVIQELTEDDEGANGANGHGYEDGPR
SPDVNMNGGQNWGEDAAGYSTPYGNGAGAGQWGGAGAATPYGATPYGQYGSN
>RCO7_04172 | probable dicarboxylate carrier protein
MSTETALKQPKKILKRTPAKRDALRYPFWFGGSVRLQTRRGDAPKTMIGTFGNVLKTDGMLGLYRGLSASLLRQITYSTTRFGIYEELKAGQKSKPT
FPTLIAMASASGFIGGVAGNPADVLNVRMQHDAALPVTERRNYKNAVDGLMRMTRDEGWRSLFRGVWPNSMRAVLMTASQLASYDGFKNVLIEFTPM
EDNLKTHFSASFLAGFVATTVCSPVDVIKTRVMSSQESKGLATLMKDVYRLEGVGWMFRGWVPSFIRLGPHTIATFLFLEQHKKMYRKVKGIEEAEQ
PI
>RCO7_04171 | probable phenylalanyl-tRNA synthetase, mitochondrial precursor
MRTLTRRPRVSPGYEALSLFIDLKNVTSRRIGRCTQCRYNSTSTPQTIQLEGKYYTKDSWHNLAPNITSSISRRLHIQPDHPISLARSIIESRFPSP
TYKYHNTFSPIVTTFQNFDSLGFPPDHPGRSKTDTYYINNKTVLRTHTSAHQADVFRANESAGYLISADVYRRDAIDRSHYPVFHQMEGARMWDRRK
VLNGDIAAAVWKDIAALPTHEMKVEDPNPPTHPERNPLQKGHSLEEAEAIAAHLKKSLELMVVEIFSRAKKAAVAADPVFVDEPLKMRWIEAYFPFT
SPSWELEIFWQGDWLEVLGCGVVKQDILTNADVPDQLGWAFGIGLERIAMLLFEIPDIRLFWSQDERFLGQFRGVSQNLDKMKRFVPFSKYPACYKD
VAFWLSTSPSADEGYTTKTFHENDVMEIVRGVGGDVVEDVKLTDEFVHPKTGRKSMCYRINYRSLERTLTNAETNAFHEDVRKELVEKLGVELR
>RCO7_04170 | uncharacterized protein
MSKATNTKLMDTEPGGENTQYESQDTFVRDPKKSTGQLGTTNQHEDTEDDVHRASAKAERGEKTAENIRYGEAISEHGFGGETVGNSGSADNASGGQ
GVGGQSGKEGNKGMRRESMGSQSAEERNRLERMRMGYGAGSGVGG
>RCO7_04169 | probable ubiquinol-cytochrome c reductase complex ubiquinone-binding protein
MRPSQILRSGGGGELGKHGKFLGEWGNLGSQTQKGINSYALSANRQRPLAGVLNAAIFNTWRRFSHQVLYFAPPMIIAYLTMGWAIERNEYLNSKPG
RAEFGEEE
>RCO7_04168 | prohibitin
MAQMLQSLYKFAIPLAVGASFAQASIYDVKGGTRAVIFDRLSGVQDKVVNEGTHFLIPWLQKSIIYDVRTKPRNISTTTGSKDMQMVSLTLRVLHRP
EVQNLPKIYQNLGQDYDERVLPSIGNEVLKSIVAQFDAAELITQREAVSNRIRTDLLKRAQEFNIALEDVSITHMTFGKEFTRAVEQKQIAQQDAER
ARFIVEKAEQERQANVIRAEGEAESADTISKAVAKAGDGLIMIRRIEASREIAQTLAGNPNVTYLPGGGEGGKDGGGKFLLGLR
>RCO7_04167 | related to sodium- and chloride-dependent GABA transporter 1
MNTIKKVAKWLAPPPQTSEDGRDQWPSRTSFVLASMGGCAGMGNLLRFPSQVYNNNGLQWFIPYLMAIFIIAIPVLVLEIAIGQAYRGGSVIAYNNV
NRCLRGVGLSLLFTAFIVGPYFAANLSWIMIYFRNSFKSPLPWTGRGKDFYMDDVVANVAPILAAPGSDSWVQYPGTNLIGETVGWAAFTWFLVWLC
IFRGVGLTGRVVYFTMGLPIIITIVLIGRSVSLPNAGRGIKLYVGEFNGDQLGRGQIWQTACGQVFFSTGVGFGYFISYASYNQKFSNAVMDSILIV
CSNALFECIAAFAVFGVIGFLGMIPTPDERVGSFTIGFITLPLAVTEMPGANFWAVALFFTLMVLGFSSAFAMLDAPVTLTMDAQKKVPRWAVVSIL
VIVSFLFTLIYCTRFGFYLLDGVVDGSTMWHVVGQVDRPAFAIYNIGFLGAMVFGVAVAHAVSPGAGAGLGFGLFIAGTVLALWLAKTPDTEVPKFW
KRNVALTRFYYLAFYSGDMLRHDLNLIVGTGKNWKIPMIWAPTLRYIGAPILAIVYSFSYPAFFKVRNDPMHIFGFAVGHIALVIVGMGVMVPRWFD
VFVPVERRDEGRIPYAPGLIGGTTDTNATGRARLEANSPVTDSESVEHAAATDQLKQLV
>RCO7_04166 | uncharacterized protein
MAELNKEHASPTSSIICERQAEIRKKPRYSIRDSWRIFNRTEKRNIKIYVFGIMLYKFGIEAFNGSIIALATSRYDREASIARSTARTFEQVGLLTG
LNQACQCLGSMLVAPLIRKNPTKTVISGAVLLFGLLTAILLIVDAATGGKLKPRGWDKSHGVDNFDYYGTYNTDVMIPIFCLTGLAYGMVETIRRVI
PKDIVGGDVQKLIRMDAIVHIFYEVSGTAGALLTSLLLIPKLGNNMSFIFTPILLSTAAAVWKFIIAPPRDESIDGSERGRFQSVQENSSHFKSIVD
GLTEGVVVFFKSVALGLKILFSSRRYVWLIPGYSIALYSHRFLENNISTVVAQRYLGNAAWSQIIVAGSNFGELLGALFVFLFTNLVHTPLPWIRVD
SIMLPVVWFLVSWYPSYRNMSQAWVIAGAFAPLSFGWAAGDVSLVAYIQSQLQAKEERSGASYDDISPLSAVMSCLYSIYIVLYAILSPLLGTYIDD
VYTRKNDVHEAIKYIGGIQFSVIAGVILAATLVPRGSFSLNPKKLNGDIKVTDAEARSITQLTESKAMEDDAASTPVPGSPISQNQETRVRNQ
>RCO7_04165 | related to H/ACA ribonucleoprotein complex subunit 2
MFLGSTNFHQIRDPAPADPNSTSNSYNSTDKMGKDKSEKRDKKEKKEKRSDTDGVKKSKKDKKSKLNGDNIAAAIEEVTKADAKSPEPEESALMVVD
TVGELAVKPVGALVPFANPLADEKVTKKVLKGVKKAAKNKTLKRGVKEVVKALRKSPQGAGNVVVPGIVILAADISPMDVISHIPVLCEDHNVPYIF
VSSRADLGAAGNTKRPTSVVMVSESRVGAKKAEKIEGDEEFAEVYKELVKVVEKESRSVRV
>RCO7_04164 | uncharacterized protein
MSTPQDPEELVNNKAVLADAQEQNVADKIDQVATVLKGSSARFVLQWDEQVIGTVNAAKIDKDFDSFPKPPILSEFPTHYCSICEVTWLVGEMGEEA
ARDHPYHRTSPPDHAGTPRSLLVFIDGALRFGVESDEIALGVFFGKDSTGRGSKFNVAERLAKNPTTPKAEIEAAFHAIQQVRDKVLSDRWDIFQNL
EGGQDLLKDFSRDKHLRLIIVSDSKYLVDAACEDDNYWTKDDEGKPYNTISGNRYETPDWRERLWVEVESLAKHGVEVFYYHVSPDYVNDAYGLARS
CM
>RCO7_04163 | uncharacterized protein
MFTKTLASFGLIVQVVSTQPYSTNPASSFVGITTANKFPPSRTHVNATLFPPESVVGFPGPKHIGEEPAAIQTDPTYPYNNGPAATFPLIAPQPHGK
SEYSDKFDIAKYWGNLSPWYSVSSADYGLQNASPLVPEGCSIVQMHLLYRHGARYPTTGAAPSTFARKLSNATRDGGFNVTGELRFLTDWTYKLGAE
LLTPFGRSQVFNLGVAYRQLYGVLLNNFTETGTLPVFRTQSQDRMVKSAENFAAGFFGVPEYQDQVNIEILVETPGVNNSGAPYEVCTNSNVANKGS
IGSTVATRFAATAFNSTISRLQTQIFGVHLTSTDAIAMLQLCSYETVALGYSTFCTLFSEEDFLAYEYYYDLIFYYNNGPGSPVSAAQGKGYLQEWV

GRLTHSFPSATSALNETFDNTTTYFPLNNSIYADATHEVVVLDTLTAFNLTALFEGPPLDLKGNQHSNTFVASKQVPFATHFTGQVLECPAKSPTRQ
IRFIVNDAVVPIADSYPGCSIDPDGLCSLDTVISVLQKRIVEIDYDHDCLGNYTAAAGNNYNGRAPRS

>RCO7_04162 | related to cell wall mannoprotein

MGSFVFKWDHPADEVYVTGTFDNWEKSEKLVKNGNSFSKDVKLNSAADKIYYKFVVDGNWVTDHTAPQENDASGNLNNVLTTDRIIKHTPETAGIML
GVTPTSTTAALAKNVPLENEKAPLQNTGSADLPGAFPETPAAVEKGDFSVSPLPAADGAVNPMKLAPGEPVPPPSTFTNNTITSGVHDDPELVAADQ
AKTESESKFSVNPLPGFAGAVNPAPGTVNRNTIESGVTLDKESYEKSGGIGNVPVLPPVVTPDATRALNGTGILDMPSAKNLIPESSLPMGTSGLGG
YDATPTIQSAGPTSTTSALAAGVPLESAKVPEIVKESQEKAHFDPEASANPEEVKEKSAVEKELLKEVPVAPSTSEGTAGKGTDKSEKTVSAGEAAA
AIGGAAVAVGGVAAAYASGAASNAASKLPESVTSKLPASIQNSITSMNAQADSTPKEAARDTPAIVKESIAQSGQAPEAAANEEAVMEKKAVEKELL
SEIKPETSTVAKDTPLIVKESIALSGRAPEAAANEEAVLEKKAVEKELLSEVKPETSTGESAPKSTSAVVKPTETKAAALTASKSASPRTESRDVSP
GTVPGSHGTESQTAPVITTGVASTETDKNSYATPSTPAKNTVSPPAAVSTPAKETVSTPAKTTTPAGPSTPAQTTPGSSNASPASAAADKKKKRTSI
FGKIKAKLSHKD

>RCO7_04161 | probable cAMP-dependent protein kinase regulatory subunit

MSLPSSYLQEINSLNQEILQTQPTDIVQFCANYFARRLELDRTQFLLADSPKAHEMSGSTFPGRLGTSVNPFGGDGGAGNDQLSSGAISKVMEEDEN
DTITSPTTGTFGFSQSTAFGSPFGGDASGEGPPSSFKPTSAEGFPPHYGMGRRVSVSAESLNPTAASNDNWTPPFHQKTEDQLLRLKKSIQQNFLFS
HLDDEQSSQVLGALVEKPIPAKGIKVITQGDQGDFFYVVEKGSFDVYVNPSGSLQTGLDGLGKQVATIQSGGSFGELALMYGSPRAATVISNEAGCT
LWALDRITFRRILMDSTFQRRRLYESFLEEVPILSTLTKYERSKIADALETQKFPAGTTIIKEGDAGEAFYLLESGEADAFKSGVQNPVKSYKKGDY
FGELALLNDAPRAASVISKTEVKVATLGKDGFQRLLGPVESIMRRTTYDEGVEAVDPLHHV

>RCO7_04160 | related to BCAS2 family protein

MPLTNAIHESLPYIDAEPSASERASALSLILAEASAHASEETHESLPPFLPQNFTPLLQSEFARIEAKEAITGISTARYESQDAPDTDSKSPEALAQ
WRAALQNAYTSQSYLSGRLSNLNLLEKYGKNAWLEGNRQLEDVLRGLERELEERKGDIDRVIIERKNKQEAVAGEIKGLEEGWKRGVGRVLETEVAA
EGVRREILERRREGAL

>RCO7_04159 | related to ceramidase

MESPLESKAGPSKADSQWQEQREPSSWQRQRRAWARIAIVVLAMSLAWTIFIHLCGHWRDTGRSWRFDWGEQEHVASEKGSQYLLGVGKADITGPVV
EINMMGYADTKQVGSGLRQRLYSRAFIVGDVNHPEDRFIYLVLDTQSGDTAVRYGILEGLTELGPDYAVYGQHNIAVTGTHSHSGPGAWLNYLLPQI
TSKGFDKQSYQAIVDGAVLSIQRAQASLQPGYLTVGSTKVFGANINRSLYAYLANPEEERAKYNESAVDDGSVEKTLTLLKFQRASDGKSTGVLTWF
PTHGTSMLGNNTLISGDNKGVAATLFEKSFSADDNVAEGYVAGFSQANVGDTSPNVLGAWCEDGSDQKCSFRNSTCSDGKSQYCHARGPFFRVKDNG
ASSCYEVGKRQFEPARNLYDHLDTEGTSIIGSSVKSFHTFQDMTNFSFPLANGSYAHTCPAALGYSFAAGTSDGPGAFDFTQNDPKDPNASPVWRVV
SGLIKEPNEDQKRCHYPKPILLDVGELQNPYLWTPNIVDVQVLRVGQLVIIVSPGEATTMAGRRWKEAIHDSASSLALSASPSVDPFVVLGGPANSY
THYIATTEEYGIQRYEGASTLYGPYTLNAYINLTLSYLPYLSSSSTARLSPGPLPPDNRNRSLSFITGVVYDGTPIFKHFGDVKTDVRPAYKIGDLV
SATFVGANPRNNLRLEQTYAAIERLDTDTAQWARVRDDSDWSLVFNWKRTSSVLGTSEVEIVWETEDWAEVGQYRVRYYGDSKAAGGTITGFEGVSA
EFVLV

>RCO7_04158 | uncharacterized protein

MPYRPKQLDHESKFSTFLKWSKSPAAAVSETSSEPETSLLDTAAYVVQVLRQKNFGALEYKNFKCRANVPRPASTIDLPASLDHDMGSTTALKSTAP
QSPVVKSEAERVEDWELISGAVTAHKSEEKLSCNKDPDSGVKQSGDFIDKDVEDVDDGDDYLHRREEHWSPSSSGDADYFTACSAHDCGYCVQGLCL
LLPEYQYVALSK

>RCO7_04157 | probable DNA-directed RNA polymerase III subunit RPC1

MQLTSTGGGSIKAQVVDNVPKKFASLKFGIQSNTQIVNQGVLEVSDRILYNMEAGRKPMENGPLDTRLGTSSKTGICNTCGEGLQNCNGHFGHVRLA
LPAFHIGYLKLTQMFLQNICKDCARVLLTESERRSFLKQLRVPGIDNLKRTQICKKINEQCRKVRTCPYCDAVNGQIRKLAPLRLAHDRYQAYNKST
AAKKIPPPSMVVYHKSFDEAKKNNTELDKHLKKAMDDLNPLRVLNLFKMITPSDCELLGLNPAEGRPEMFIWQFVPAPPICIRPSVAQENASNEDDL
TTKLAEIVHVSSMIRAALQRGQPIQTIVEQWDFLQTQIALYVNSDVPGLQDKGNGKAIRGFCQRLKGKQGRFRGNLSGKRVDFSARTVISPDPNLSI
EQVAVPILVAKNMTYPERVQAHNMAKLKKVVSNGPMIHPGANQIVKKDSDHKISLKFARRDIEAKNLKIGDVVERHLEDGDIVLFNRQPSLHKLSIM
SHYVKVRPWRTFRLNECVCNPYNADFDGDEMNLHVPQTEEARTEAINLMGVKNNLSTPKNGEPIISATQDFITAAYLLSSKENFFDRKTFTTLCMYM
VDANTQLDLPPPAIIKPEALWTGKQVFSILMKPNKESIVKVNLDAKCRDYKPVPGQCPDMDINDGWLVVRNSEVMCGRMDKTTVGSGKKDSIFYVIL
RDFGPDEAVIAMDRLAKISARYLTNMGFSIGISDVYPSQKLTEKKASLIADAYRESDKLIDQFKKGTLEKAAGCDMEESLETKISGVLSKVRQDAGE
YCINTLSKWNAPLVMAKSGSKGSNINVAQMVAVVGQQIIGGQRVADGFQDRTLPHFPKNARQPPSKGFVRNSFFTGLRPTEFLFHAISGREGLVDTA
VKTAETGYMSRRLMKSLEDLSTQYDDTVRNSSGIVVQFQFGADKLDPVDMEGTAVPVHFVRTWTHSEALTWDNNEPGLLPYQITAECKKLLAPQRDR
YKRRGVLGEAMDYDDHTDYGVDEFESARGFLVTITDFVAGLAHRLAKARQMAGLDECEDPPQATSGRRKKIHEPQARIDQMDRVHKVSLKTLQMFVS
LCLDKYAKAHVEPGHAVGAVGAQSIGEPGTQMTLKTFHFAGVAGMSITQGVPRIKEIINASKSISTPVITCPLENKYEIEAARVVKGRIEKTYISEV
LHFVEDMWSAKNSAICLRINLEALSDMQLGLGLEDISNSIVMNKKLKIRNHDISISGDCLFINVTPDSGGNMGARGGPKKGALDEGYSDILLRVNYL
KRALPAIAISGYPDATRAIIQISEPKGGEKATHMVLVEGYGLRACMTTEGVIGSKTTCNGVMEVKDVLGIEAARTTIATEIGAVMGDMGIDPRHMQL
LADVMTYKGEVLGITRFGLSKMRDSVLQLASFEKTPDHLFDAAAGMKTDLIEGVSECIIMGQTMSVGTGAFQVVRKLGLKPEDTRMKPTLFEDAWQV
DQVERQKIRAVEVAERKRIAAERRANDMPDAMEV

>RCO7_04156 | related to nuclear envelope protein NEM1

MNSLNILSARVSPQQTPSPTRSNSLGNILSSATGTESRRNSGEYFLDEKSDYPSDSHDADQEDDRSVHEETPLLDKEESDVKGTEGTGWRVIPQRIS
YALIESARWFLSTIAAPGVYLFAYLCDEQGNFAPFSQMRKLGTRRASAAQALGINSREDDQVGDQSRVKGLPGKRASVKGKKGFSSYSSSSGLSSES
DSDFDRSGNREEQSLSAAARHSRSKSLQASDEIAPARRSIRIKLHNEDSLRQRRHRKAQSTSTQSNGSGAIAAGEISPATLKSPTSPASSLSMTKYP
RAPAPPRPLIPRRQPSYTTDAPSGKLAQKTLILDLDETLIHSMAKGGRMSTGHMVEVKLNTTVGAGGTAVPGPQHPILYYVHKRPHCDDFLRRICKW
YNLVIFTASVQEYADPVIDFLETERKFFSGRYYRQHCTYRHGAFIKDLSSVEPDLSKVMILDNSPLSYMFHQDNAIPIEGWISDPTDNDLMHLVPLL
EGLQYVTDVRAFLALRGGEDGKHIA

>RCO7_04155 | related to translation initiation factor GCD7

MPSPQTGYAPNLSVFLKSLKTAPLESSIENLISLLKRRQIHNSRPCAIATAHLLRRVVAKFKWTDIGKLLERIQEVGRRLVAAQPREMVVGNIVRRV
LGMIRDEAKEDRTEDGSDSASNVSSPARKDSYPGPPRTADGAPPTFSPLRFESSSEGGEGVNGDDVFGGKSMTMSRPPMLTSHTSYAVVTGVPVQQS
MFNLLSATPSPSATPPGANSPHGKTSFNASSLAQRIATTTKDLKAEVMSGIDEIIDELDQVDDQIAAYAQEHIHSNEVILTHSSSLSVQKFLLKAAE
KRKFTVIVAESYPNDHEATHATVTGKTNQSGETGDEMSTDTFLKPLSAAGITVILITDAAIFAIMSRVNKVILATHAVIANGGLIAAAGARIIAKAA

RVHRTPVIVVSGVYKLSPEYPFEFESLIEYGDPGSIVSYDDGPLVDKLDVDNPVYDYVSPDLVDLYITNLGAHAPSYLYRIVADHYKTEDINFHKPE
LQF
>RCO7_04154 | uncharacterized protein
MDPPPPYSVSDSTAGTSPHPILTPASSQAANASVAARPLPSTASSIDETVYTPLYSPATSIQKNSVFSEEHEHVTSSAAEAFFDSRPARRTNPTAAL
KPIKISVTHRSEPKDIPFPPGLGHKDVSELDWLTFVNYLLPDHAAGVNNDVADRKLKAELVDERMYRLTLGKDSRSMTDLREVEAQLDPLRQPLAHP
DADISHRLEATISEWNEGFFIPRGLQISNICLQTEAARDGETTPLPGSWIPWEHEMNGEAGPTSNSYSRKGFFGGIMQAGSQGFKMGPIVADTEGFR
IGRNGLRADTKGFRLGNMLVADSNGFRIGGSRGLNAGGNGVSLGGRSWGRRESHDPESGRGERHKGHRERSRSHGRRRRRRRSASASSDSSSSSSS
SSASDSSVGSLPEYEDLRDGQLPVAKQSLMEWLNHPDQPITKASVRDMREDISYAKDKVPQHKGLELSALRKEVRDLTKLFKDAKNAQRRDCREVRR
GKKIARKAQRKERRAMKREQRQSKREDTKCGHGGARTGPPWLARASMMPTPFLPTTVNVPPNASSTFACSPFGAPPMPFRPSASNVLAYPSHSEHPG
FPFGRSASAPFIKSLPFGLGKEGSAPGLAAMHNGWPFTHNASYDQGLASSSTPVPHGAERIHDQALQMEKSAELKESKAIDLRTAATGSKISEREKV
MMRHQAGKLEEEAEKYRREVDRLRAEAMHLDGEMARGLQEAGGG
>RCO7_04153 | related to tropinone reductase
MVKTEELRADTLFSVKGHVCLVTGGGTGIGLMATQALAANGAKVYITGRRMEALENAAKTHSPSSGGGQIIPIGPCDVTKKEDLENLVKELEKKEKF
INVLVCNAGISGPKAEPKSEDAKELKETLLQGESFQEWSETFNTNVSGVYFTTVAFLPLLQAGLPTHGDLSSSVIVISSMSGIMRHAQGHFSYNAAK
GATVHLSKLMSYEFQKAGIRVNSIAPGYFPSEMTTDESDENQKSGIPDEEIEEKGHVPARRAGSDEEMAQGIIFLAKNKYVNGEIVAIDGGVLLEIP
GR
>RCO7_04152 | uncharacterized protein
MSAPTRATPAQLGFLAIYNPSLGTTDETIEDQIVYYSTPGLQERRTKDAKAKRGVLSDAEREENNEQLRQIGLAQGMVEFGRSFSDGQAVDTVETEK
SRIILHELESGWWILASINLTVLPNTMAGKGKDAEQQPTTEYSSREVKPAILILGDLLRAHSTFLLHHAASLSALFVRTKRSKFMGILGRYWDTFLT
TWNVLMHGNPANNLYSGIKVAACGELGMGVGEEERGSGEREVLEGLIGRVDGLVDVIVSKFGEKDPPESEDRGRWKSPEKQTPVEPWLGSGNEPSSD
DGAVFLGTGALSRKSLRDVSHWMEDLYRWGPYTYGVIDNPSSNRRTKRFQRKPAKERSPSLDVKKSRQVYQLSLRDKVTRDYKSRQISMTSVPPMPV
TEREESSRSPDSSRRRPTIKRNEASVTGSESDVNAKGNRFVQYLKLGYGTHWSLGSTPSTGEYPQSESAGPKLDDPSKLGTQANSTSAKTDGTFESS
PYAPKNSSTGHYLIGLLGNIENENSDPAGGGGVEEDLSKTKETSNSRLLLRTITVELEREEDARKEDEISIDLGGSSKGSSTKFAGSERSAGGSMAS
MASYDSQDRNKTKKVRTVVYVNKPFVFVFLFELRTDALAMSGLYRSLHYQISPLLKSLSLSTAYRASKPELNPSDELAAPIYDLVWDPKLLTMNSTI
PNIPDPLVVPPAGPTTWSRIEALNTHMQIINTYIASSTNRAALERTCKTSRGWWVVWTKIPDPEPPGILPETNDLRIPTPIPEESTGSRTPGLRPQE
ASMQTSTVGASVKSGAAHPFLETAKSDYAIKDKEIFLIRRASDHVGAMTSGRFVSGSSVAASESSWTSGPGKLAQGIGVDTKRYIEGLLNMNR
>RCO7_04151 | uncharacterized protein
MISLFLSRPLARKVNISRFGVYQNRFRSANKKTCKPLRILFCGSDEFSIASLDKLYLKHTREPEFIKSIDVLCRPGKPTGRSLKTIRDVPIKAFAQK
RGLTVHEIDTFTGWELPRPDNESINLIVAVSFGRFVPPRILNAVEYGGLNVHPSLLPDYRGSAPLQRMLIKDEGMCGVTLQTLDSKTFDHGLILGQK
ELPYEPGTMTFQTLLDKVTPEATKLLIHGIKRRCFMPPLIELRTPRSKEYDLDPDRLNHASKITPADKRIYWQIKSADEDLPKRHRALGRLWTRALV
SPTKSKRLIFHDIEGIRRPDALIESSEKAQSRGEDRLLENHREKTVHFFVEDQELHDPILYCEDGQAVIFRTPRRAIRVKRITVEGGKEMDASKAMK
SLKSDESWTLIRRVDRMRRRTRLFDAVPNASDADSAHLEPGNADSKGDSVEELPESEAETKPDVAKLVDQATGVEDAQLAQDAEIQVSPALVPFRPK
LSAISRDKY
>RCO7_04150 | probable branched-chain-amino-acid aminotransferase, mitochondrial precursor
MAPSAITPPVQSGDKLNSAAVARKLAETAPELTKNGKIDDTSRPLDASKLKFTRTTTPMNVPAAGDPIIATASQCTDHMITAVWKFGEGWADPELKP
YGNFSMAPTASVLHYATECFEGMKMYRGYDGKLRLFRPDCNCRRMVMSSVRCSLPAFDPKELEKLIIAMIAVDGPKWLPEPGTFLYLRPTMIGSAGA
LGVATPREATLFVISTFMPHLSVKTGLKLLASTNGVRAWPGGFGYAKLGANYGPSLLANGEARERGYDQVLWLLDGKVTEAGASNFFVVWKSSEGKI
QLVTAPLDDKIILDGVTRRSILQLARERLTDGKSDLDTVEVVERHFTMDEVATAVKEGRVIEAFAAGTAFFVSSVSVINYKEQDLQIPMVLGEMGEY
ASLIKSWLVNIMYGKEQHEWGVVVEEEKL
>RCO7_04149 | uncharacterized protein
MSRVTPPVTKFVHTVRSISSSATASRTSGILDAQSRASRYLPRNLKDLRAESSKRQLNANGNKIELVDRLAASDIIHSHSFHTTSQHRPTATSTRTI
PLMQGFKSSAPKQAVRDNSTMDFFFFPEVPAAEPLNPFQRLRVPLLPDNYNPDRSPESGNALESLDQAVPRPEISIMAAHPENVAPAAMSEVVGNDA
VDIDIGQLTESFSTYLPEVQAKEPGVVKELLNSFMDDILGPQTPKTAL
>RCO7_04148 | probable ICE2 Protein with role in forming and/or maintaining the cortical ER
network
MWLFRVFSSAIFLLSIILSIPIAFDVGGRECGLAFSLSLFYFYFFFSTLKLATPENSRIRWALVKTIGLGQWLLIPGLLIWSMNRFAVDANNSGDWV
ARTFDVKRSHDSSVREWIFGAGGLLEMLTVGTWDKLLRYSTPFFQLAEGFCSLLVIQAAGQITRWLVNRGRSDLWMIGLLVLSGSIISSSVYFLWRI
MNFPEIGNVDATLIGVTITCAVFLCAWGIGSGRGNPVESSLLFAYVVLCIYQIFTDYLPTSEPPPPPAQPEFPPFPPIIMASYSTILYMLSTLPSAV
TSGFTFLYAAFQTITPSVIISLAYRIFVFYAATRIIPAVRESGSRALSQEPSLEDSDGAGKILGLLSWFSPSILVAVYTSLLMQHFSTTSAEGNIAE
WWTMQGGDAGGNIWRWINVGATMALYSLELYLGKEDWVEDSLTSHWKTD
>RCO7_04147 | related to MYG1 protein
MAEASAKRLKTSPVTIGTHNGHFHADEALAVYMLRLLPTYSYSQLVRTRDPALLQTCHTVVDVGGEYDASTNRYDHHQRTFSTTFPNRLTKLSSAGL
VYMHFGKAIIAQKLGFSEDAEEVGVIWNKIYESFIEALDAHDNGISAYDPKAISAAGLEKRFSDGGFSLGAMVSRLNPNWNDPTPSDPVEAQAAEDE
KFLVASRRMGEEFSRDLDYYAKSWLPARDIVHKAYAKRLEYDAKGRILVFDGQSVPWKDHLYTLEGQDGGESKVLYVLYPEKPTPDAKWRIQCVPVT
KDSFESRKPLPEAWRGFRDEKLDEISGVNGGVFVHAAGFIGGNKSFEGAKAMAIKALDL
>RCO7_04146 | related to regulator of ATP-sensitive K+ channels Alpha-endosulfine/ARPP-19 and
related cAMP-regulated phosphoproteins
MNPHQKNKVDINSLSPDEQRLFRLYGKLPSKSDHLAKHLKERKYFDSGDYALSKAGKASEVDTGSVGSQHPLPENIPHLSSPGVGNANQGGSGNGNV
MHVGGSGGLPSGSPVKESSFLNRETSVDEQDDKEKKGESATDSTSPSPAKEGIPIRR
>RCO7_04145 | probable DUF431 domain protein
MTSKTYIVEHLDDELGPWSQLEYITIAKESHQAGAKFCLSSVPPTLALPEDLKAVPGFTADSNSVETIYANDKSRVCLLDPSASKELSPEDGKAFDV
FLFGGILGDDPPRDRTSELRKKGFEGRRLGPKQMTTDTAVRVTRLVAQEKIPLDKIEYVDYPELRINKNESTEMPFRYVKGANGESIMPEGMMDLIK
KDSEKGFGDLF
>RCO7_04144 | probable Pheromone-processing carboxypeptidase kex1

MLPATTIAEKSAADYFVHSLPGAPEPLLKMHAGHIEITPEHNGNLFFWLYQNRHIANKQRLVIWINGGPGCSSEDGALMEIGPYRIKDAKGPKLEYN
PGSWGEFANVMFVDNPVGTGFSFVDTDSYVQELPEMANQFVKFLEKWFALFPEFEHDDIYIAGESYAGQHIPYITKAILDRNKAGAKHQWNMKGMII
GNGWIAPKEQYKAYLAFAYERGLVVRGSDIGKKLDTQEAVCMKALDEAGASDRVDIPVCEQILQEILRQTMVTKGDGTTECYNMYDVRLKDTYPSCG
MNWPPDLERVTPYLRRKDVTEALHIDPGKRTGWTECNGGVGSAFRAKDSKPSIQLMPELLKEVPTVLFSGAEDLICNHIGTEELISNMAWNGGKGFE
LSPGTWAPRREWTFEGENAGFWQEARNLTYVLFQNSSHMVPFDYARRTRDMLDRFMGVDISNIGGVPSDSRIDGEKGLETSVGGHANSTTAVAAEEE
RLQAAKWHAYYKSGQVVLVIVIIAAGAWGYYVWRDRRKRVGYQGIFGSDPMALGGTRQSADARHSGMGLESFRHKRGMRDVEAADFDESELDELHVR
TPTDDVGQDRYSVGSASDDEEVKHGNGRANGKDKMADKSG

>RCO7_04143 | probable mRNA export protein (contains WD40 repeats)
MAGIFGSAATSTTAANTLGDLSHDVALGSPPEDSVSDLSFSPQSMHLAVASWDKKVRIYEINSTGGSSGKAFFDCEGPVLSCDWSPDGTKVVGAGAD
KAARIIDLAAGTNTSTQVAAHDQPIRCAKYFTSPGAAAPMIVTGSWDKTIKYWDLRQSTAVATVQCQERVYTLDVKKNLLVVGTADRYINVINLSDP
TKFYKTLQSPLKWQTRVVSCFTDATGFAVGSIEGRCAIQYVEEKDASSNFSFKCHRDPPQSNMTNVYSVNAISYHPVHGTFSTAGSDGTFHFWDGVA
KHRLKGYPATGGTISATAFDAKGDIFAYAVSYDWSKGYASNTPQYPNKIMMHPVGAEECKPRPSVKKR

>RCO7_04142 | uncharacterized protein
MEPKIKDGELLASRISPIELPPSLLAQRERQSHNYRSRRKDLDDQNIPITPRTVQMPSTNPLASGPRNVAEELGLISSSMLQLRVKVPNSARVQCKR
VEVVKENRKKRSRCAASMAARFRNPS

>RCO7_04141 | uncharacterized protein
MHRSTASTSGGGLFKTGNIWGTSSNSKTTASTSARPSTSGGVSPTKDSEFTFPSFASKTPTFSRRPSISAITGKSHRGRKDSTTSTTASPERRARSS
AAHHRLKLHTPDEPLPDLKALQGPKSAGTDKFQRAAIASRTEPTTNQSTNASMLARPSTGYSSSTVAIQPPSPTLETITFQHIQETSSKRISTLDYL
RKAHEGRVYWFNTLLFNKPDLQRMPYFESRKLARRATNYLLLGLSLPTVLDLNSSNPTEFLKTLNALLSEFDSFQQVHPPDGSTSLSRGRFPQMFKR
ATGTSGKGRRTSSAADIGLPLGNDSFTSSSNGTSSSGGTANSSFPITENDLLPGEEYTHLLTPSLPFDPDFYETFATLCDVLIDCYTKLMSLVGTPR
ECSPIVAEMFTKADSKVRKIIVQGVVKEFEDSSRAGVKSEVAGVGKVVLGGLM

>RCO7_04140 | related to phosphoethanolamine cytidylyltransferase
MGSARLEEGGPPGEAAPDILDDRIWVDGCWDFFHHGHAGAMLQARQLGTELYVGVHSDESILENKGPTVMTLEERIAAVDACRWVTQSVPYAPYVTS
LPWISHYGCKYVVHGDDITSDSSGEDCYRFVKSAGRFKVVKRTPSISTTDLVGRMLLCTRTHFIKSLMRLLAGEEGYGTIEERKAKGEDMTERMRMY
ATDESGLKPGSSVWSWAASIMARETDTEEEKGIFSCLGQGSRPKPGQRVVYVDGGFDLFSSGHIEFLRQVIKAEEKLGREEGWYSKEAIEERTGRGA
DYGPAFVVAGVHDDEVINHWKGVNYPIMNIYERGLCVLQCKYISSVIFSAPFSPTLSYLTSLPFGVPDAVYHGPTSFMPLTYDPYTAPKEMGIYREI
GEHDFQAVNAGQIVQRILRSRDLYEERQRLKGAKVAGEEAARAREILEEQTRKEADAEV

>RCO7_04139 | probable Fe-S cluster assembly protein dre2
MSPSFMIDNDSDFNPTPPSTKTSSINKRTLLLAPPSIASHEESLRNVLASYDRSVTDVQMLDRLSAGLVTLPDSTYDLILILTDADDTRKESTQLLG
RDVFVRIVQALKTGGKLQAQNGTFGQDSTSAELREGIMAGLVTEGEGMVKPDYSASEAVPLRLRRKEKTAVSDAGPAVATAAVQLKGKTKSDNIAVD
KPSGVGFVDFSDDFGEPMITGEDEEEDDDDELIDEDTLLEGIDMNAVHVPKECIPKVGKRRRACKDCTCGLAQKIAAEDAAKRATADAQLQTLKLGA
DDLAEVDFTVQGKVGSCGNCSLGDAFRCDGCPYIGMPAFQPGEEVRLLNNDVQL

>RCO7_04138 | uncharacterized protein
MWTSGIRYIPMGKTNKYNDRDHAGLADGTAAATEHLPRYFAKAGHIDADPKKTKKNGAGKGGWGVDGEEVQDEGFNLAKARRRSNSSSYNAGLKDFK
TKFEHVEKDPVFEEDIHGAGEEEELPAARRVNTESSDGSIDEDDKVKSV

>RCO7_04137 | related to cis-1,2-dihydro-1,2-dihydroxynaphthalene dehydrogenase
MVYSLEGKKVLVTGGSRGLGELICLKFAAEGCDIALNYVAAADRAKAVADKIEGDYGRSAILIQGDMGVEEDCIKTVETAIDKLGGLDIIIANAGYT
RFSAFNDIHAPTIEDWDRCYAVNVKQQIHLMKAASATLKSNAQGGVFIMTSSIAGKNPSGSSMPYSVTKAAQLHLMRCLASTQGPGIRVNAVLPGWL
ATEWGVKYSEEKVKEMNERAYLKKETDLGDCAQAYVDIARNTSMTGQKIQVDSGLGQNE

>RCO7_04136 | uncharacterized protein
MSSPDVILPVILANYHLVPKSGFRWSDEYDEDEEVVEEEEGFAESAAINVPKASCDIEITLARVKEPVAIGVLKSLDEIEVSNAIPKIRNPDPRHIG
VPGSISGHIEGSNVTKDFRDINTQINIPQNDDAEDYSEMYDSDDSIAIVGRGPRLQCSKAMLDIESTTLESRPSKPIQSPRIILGDEPSPFPLSTPS
AIPAISYANIAAASLLSPTKPGFTSLRGDIGHLSRTPTKTPIQHVSVDTPIVQEDPRTLITPELHADDLRWEAVPSEATETPVECTTRECQNTVPDN
EEVIEEVSIPITYTRAKPRRRRPKSKTAEAALAAGAVLPRTKTPTLAAADSSNEHAHVQGLKTCGTLEIKAIILDDSPADTSASSSAKRLFWLMLTL
WFGYSCIYYMPDLMQWMKESLASEVVHEWGLELELREVLAGRLAAKSVWIE

>RCO7_04135 | uncharacterized protein
MARPATRPRKSGRVASPLVIRKPPRQPKRPTKVTVARELSPPAVQNPRKPKTRETLSIGDGIEEARVAIGGKAKATFDDVHEGFTRRLAAIRIDDEA
FFQRVEISAKTLTVPLEDEKVQTSFIKNGKTTTEFHRVGDRVADFKKIIEKEEKNLKDLWKQWDDVQNEYLELGIEIWGERAFGVEGEGQVRERGFQ
KEMTLLGLEHDARIEELEEEIEEIGPDLLKKMKASEKESYVAAKKDQARLLQTLL

>RCO7_04134 | probable glutaredoxin
MATKMFSRPLASAFRQPSRPYSKIFASKPRISPITPRFLSTEVRAAIDKAVSSAPVVLFMKGTPEMPQCGFSRASIQILGLQGVDPAKFTAFNVLED
EALRAGIKEYSEWPTIPQLYVEKEFVGGCDILVSMHQNGELAKLLEEKKVLAPPEAEAEAEK

>RCO7_04133 | probable protein SIS2
MLPTTRPEHDTLQTQTHRSSTPFTASSRAHDQKTHLLLAASGSVATIKIPLILSSLSHHPTLSIILILTHSASSFLSGQSAEQPHYKSLSQIPNVDG
IFLDDEEWVLPWKRGDSILHIELRRWADCMVVAPLSANTLAKVVGGLADNLLSCVVRAWDTTGLVEPSTAVAVSGDGVGNEGEKRRKKKRIIVAPAM
NTAMWRHPITTRQIRVLEEEWGVEGDGERDGWFEVLRPMEKELACGDVGDGAMKDWKEIVKVIEQRLEL

>RCO7_04132 | related to allergen Asp f 7
MKSTTFALSALMASVAIAQPHRQHMAKHHKRNEEVVWVTDYEYVTETTKVTTTIWVSEGFVAPTEAAATPTPESSAAPSPTYVANQFFENANKESKA
ASTSTSTSVYVAPTPESTYVAPPPSSTYVAPTPSPEPEPTSTYVAPPPIETPTYVAPPVVEAPKAVYVAPAPAATTPAAPAVVAPIHSAPVSNSGGP
CSTGSPCSGDITFYEAGMGACGETNNGETDKVIALPVGMMGAQSNGNPYCGKTVTIKKGSKNTTAIVMDKCMGCVGNSIDLSNAAFAELAEFGVGRT
TAEWWFN

>RCO7_04131 | related to acetyltransferase (nodulation protein nodL)
MSANEQNAVVQNESPTSRFTAVNGKEQPSPPVAAPTVAVVANGASRRGSDERSNGQPRISPPGQEKLTITTTTTNQREDWIPPPSSDRHQYHPPSGY
SEAEMSHKRKRSGSIDRNSSSANSYHSHAIPSSTKQTPTTAISQSDNPRDESLRAPMQSGLRDSYETGPPYRHFLGNEDSRDPGTPHDHWHSRNYSA

QSNMTSDEQIGEALQRASQNMDAQQRGGYQSPGDDTGSANLYDGYDHERRELSASSDPKKRKRNFSNRTKTGCMTCRRRKKKCDENRPECNNCLRGG
FVCSGYQQRGHWPKTEQKHPPIPLQSKTDYENSPYGQSPYAPQHIGQPRREPLPGYRGQTLRVDPQHGRHNNMDDDQPSASTIPSASINSPESNRLS
AISYSHQIPTPITAGSSAYPDRAPKNVYERLGPLHDNSRQELRQDSDTGTPQSASSTLPQILHPQMHAESPHTNPQVAAQLALSNLASTSRPRTQKE
EMLAGRHYFPFDKELVLERERCNGACWRFNSSTNPNNGVSPEERARLFRDILQPREHVISPTQASPITLVGRVGDNVVVEAPFNCDYGYNISIGQDV
AIGKNCTILDTCEVKIGDRCNIGPNVSIYTATLPVDPKRRLGSRGPNLGRKITIDNDCWIGGGVTILPGRTIGKGSTVGAGSIVTRDVPPYTVVCGN
PARVIRGLYPPNDN

>RCO7_04130 | related to SWC4 SWr Complex member

MTSHDVREMLDLPGEAGPRPVKKQKLSAPRPVLKGLAREIQNLSGDNPIAIVPEIPVFRKKKFGSRKPAAKWENRGFTNSARNGDGLVLHHWRRKAE
VIAGSGAEEGGAEQATKPEPPLEDSTFAKYNVHVNTPQYTDEQYKLVLQSNDWTKHETDYLLQLVQDYDLRWPVIWDRYEYQAPIPEGDGEPADNAM
IVSPKGRTMEEMKARYYAVAAAMMKVNTKPEVMTSAEFNLLGLMEGYDPVQEENRKKFAESAFSRTIEEAKEEESLLVELKRILARSEKLNAERHDL
YQLLDSPASTGAVGIYNSSAGLSGLFQQLMNADKTKKRKSLMGVEGVSPAPGPSGPSQQANSDRRDSNIRESISGPSGGGAPNNKKGPAQPQSDRRV
LTPQEEEIYGVKRFDRITTSGPSFRHEKIKKPIMSKSQTQQAKINNVLAELGVTTHIFMPTFAVGEAFDNLLTGVNLLLDQKKHLDKLQGELNLARS
LKSQRERDERIARGEPEPEPEAQAEAESAADHQIASAEKTDEASGERNVKVEEESEKSAGPAMGGVSGTHKRSASVLSAVSDKDAKRQKK

>RCO7_04129 | related to p24 protein, involved in membrane trafficking

MRSIIPLLSLSALLVPVQSLYFYIQGTTPKCFYEELPKGTLVVGHFSAEEYDEDRKSWDKHDRLNILITVDEVFDNDHRVVNQKGAASGRFTFSAAD
SGDHKICFTPSSDAVNSGWLSSRTPLGGVRLTLDLAIGETSQIESTDKGKIQEIVKRVKDLNGRLQDIRREQVFQREREAEFRDQSETTNARVVRWT
LLQLVVLGITCAWQLTHLRSFFIKQKLT

>RCO7_04128 | probable casein kinase I cki2

MASSSSNVVGVHYRVGKKIGEGSFGVIFEGTNLLNNQQVAIKFEPRKSDAPQLRDEYRTYKILVGCPGIPNVYYFGQEGLHNILVIDLLGPSLEDLF
DHCNRRFSTKTVVMVAKQMLSRVQTIHEKNLIYRDIKPDNFLIGRPGSKSANVIHVVDFGMAKQYRDPKTKQHIAYRERKSLSGTARYMSINTHLGR
EQSRRDDLEALGHVFMYFLRGGLPWQGLKAATNKQKYEKIGEKKQTTAIKDLCDGFPEEFNKYLSYVRNLGFEDTPDYDYLRDLFTQALKNTGEVED
GEYDWMTLNNGKGWEAMKQHPSQHMLHQPNAQPGASARDLHGTTRGGNSTPGHLTAARLNAAQPPPPSPMKPGMGKTRDRPNAQGGLAPKRSSGAAG
GLQDVATPAGSTQAQFQNSSNNLPQRMTPQPNMNPQPQNGRSAEPQQSGFQKLMKALCCAAQLLKMQDTSLICLLAKALMTKILFRTLLPNQIM

>RCO7_04127 | related to NUP133 Nuclear pore protein

MFSPAANGAATPTVRTSRRRPRPLSNEGSLSIPKGKRQRLNEQTFMPPGAAPEMEETKNSMVATLAGPGIVREPAGLRQDIVVRCKKSRTGERSTKG
NGSTVLTSNNTYTVSRLAALPDILRADSTIHQHGAIDFDRGYALTLTHTHAIVWEYNDNKQFPGNFTFALPHASKRTSDPLPLGSLVSNSASNDHPG
LVVVIPTSGKITYWESVSSAATLDLKLRRTGVEHLIPGMLSGETVIQVLNAETAGFVLAFSTGRIAYMAVRDGHGRPTISVQFLRGVGGAASGSIFG
SIRNALSSSASRGDIAAIRAGAPGKVGERNVVLATAKGKLQCWNIHRSGHATIDGDAEGRDAIVMAIKANQPELNDSLIESFECHDFTYVPKSTTES
SSQDPESDTRLLLLTSLKHRNNSHYFLVNVILKDTELSVTDIHPIISYTTPVNRAATSRPRLYQPHPTIAYLVFDRAIVVVSMIKQPDSPDTQLRLE
GHLLPQPFEDVIDFRQEMDIEVVGSGMEVPPEHSTIMEDLKPHGRHRAKHPAVVLIVRGGGIIRVAATNTTKLTSRNAPQVDALSKLKQAVFYGGIK
DNPLNFKVRPELQFPAEQIATASKELSQEILKSCPPFDSNLAVGQSLQKRTTALRDLAIYLKASGVILDRKTKWELLVDAEKLAAAALMWKRYDGTV
RNLPDGQKHGLMADVVEFIHENDKQAPTQEKGELDRVRHWFIKDVDKIQIAVPWAYQVIKYTYQDGQKDHAAVMDILSEADDMVLGAIQGAYDFRIA
NLKLYGLGEEQLEHGILKSGYEGLDEFWTSTFFVSENLRKQVELAGMLLGEYWGRGGTKGEPGPEVIDKIRLEFPNLIDTAIRSNQERIRWNSAQES
QQSHEEAQQLASAIAKVQDEHISTLSTDLELTDEAIALAEKHEILPVLARLLQYELNGNRLRARQPGVSDEDVEFLLDRSEAIKGIIEGLFVKFGAK
WANAFFEHEMDDGAMEQLLSEWTEEQTYLTEFLRSKPEYAKVSWINDVSREKNVEDASTALIDLGLNHEQDLWSKKIELSLGKIALLASQSKSSNPE
ASETKLNSVLNQLGLIKIQDQIFNFVLPSIAAAIDENAEIQLALEAHGNARLRKQHVLTRLLQDSMTRLVKHEAMNASELIDVLTLMGNQAELLSQE
SFLGTRFFLALEAMRYGMFDRNQQLLLQRIIWRRCMLSDDWAQVNDSFDKDEQQLSDQLKKTAVYQTVYMCFKNRTFENNSNMRPMDPIDVTDAGVS
DVEERFSQLDASIKENLADEMQVEVDSLALEEKHRLSKWFNTVTEKAKGDYEAALAEATDEGKSMHQVEAQLALVEGDIKEKERIKADGLLHSKQRY
KPKPKTNGHLRQSVRV

>RCO7_04126 | related to ATPase family protein

MPPTLPRAASTSLTISNPLVLYRSLLATRIIDPDPAQHRLALELQKIYLRLKDYSPKAEYGNRLKAISKAIEDTPAPKDDNSVAAPGHPLRRNPLFA
HLFPKQETDSLALTRILTSHDAAMNIDSPKGMLLHGEVGTGKSMLFDLLADSLPNKKKRRWHFNTFMLETLARLEQLRQSRSRNGNSGASSEHSLIW
LAKDMVEQTPILFLDEFQLPDRAASKILSNLFTAFFQLGGVLIATSNRMPDELAKASGMDFSGQPRGGLVRGLLGFGSRGKTSMFPANDEYAGFVEV
LKARCEIWNMEGGQDYRRREMEEIDGEAAEVLETMRQEMIGGFAKHDELVPGLETLAAKTKGNSETADDESKLSKGTTPKKYHLVTLDSDLQWRDAV
RAALPADTPEFIPWQSTTLQVYGRKVPILQYLDGVTSWSFTDLCGGMFGPADYITMASTFHTFILDEVPILTLMQKNEARRLITLLDALYEARCKLL
IRAEAGPDDLFFPETNILSGSTGNGAERAENEGGDAVYPETLSEIYQDQTSPFRPNISAYKDDTKTGYDPDEDSDFGPIPGKAGEIGQKVDFGMTSS
FTGEDERFAYKRARSRLWEMCGARWHARSDPGWWRPLPVEVRRWELSSSTSPSSSEPVEIKGDVKMGESILLDKPAGLQGKELEERERAKIPLGQQR
DAPPELGVWHAWGITKWGKKAGGVWGQDADGIEARKGKK

>RCO7_04125 | uncharacterized protein

MTTIPSIACLGVIGKNNNPLHITIFPSAPNNTPLRTPLQYSLLLSSTLDIFEARSKINTNSGGGLSGDFGLLHAVDERLAAYGFETNTGVRFVAVVD
MRGRIVSGGNQGAGGGLGLREGEMKLVFRAMQAAYVQLLQNPFFDPDEHSPPTGRGGKKITSKKFGDDMRRIGENWMPGPGST

>RCO7_04124 | related to [acyl-carrier-protein] S-malonyltransferase (EC 2.3.1.39)

MLTPWLEAFPSTARPILEEIDHLLGFKLSQIIDEGPSSTLTATENAQPAIMSSSILILRILEQEFGFKPPERVDVTLGHSLGEFAALVAGGFVSFED
SLYLVRKRAEVMAECSRKASVEHGGEYGMVALVTEPDHLLPLIEAIHEFLGHHSTGSKSESAEDVPPIQQVLIANINSKNQIVLSGNIERIKTLLTH
VRQFGGHDPRAVRLKSDSPFHSPMMKPAATAMKKLLQGKSRVKGKENEDIVTFPGLMECVSNVTARPFTSKEELKDLWGIQCVETVRWWDSIKYLDQ
EQNVRRWIGIGPGKVGRNLVGKEVGMRGRDIVKGGGVWGISDPKEVEEVLRALEETEASSGDE

>RCO7_04123 | delta-aminolevulinic acid dehydratase

MSFSSLVNDLSFRDKPSAASEQRRQMARGTSSTSTFDDSRSHVSRARSYASTSATSVSISGDIASQLHGGYSHPLARSWQAERQLTKSMLIYPLFIT
DDDDEDTPIPSLPGQHRRGLNKIVAHLEPLVRKGLRSVIIFGVPLAPNVKDALGTAADDPKGPVMASIRLIRQRFPQMFIVADVCLCEYTSHGHCGI
LRDDGSLNNELSVDRISDVAIAYAKAGAHSVAPSDMNDGRIRAIKLKLIEEGIAHRVVLMSYAAKFSGCLYGPFRDAAGSVPSFGDRKCYQLPPGGR
GLARRAIERDISEGADIIMVKPASQYLDIISDAKEIGKNMPIAAYQVSGEYAMIHAGAKAGVFDLKTMAFESTEGILRAGATIVISYFTPDFLDWLE
S

>RCO7_04122 | uncharacterized protein

MATYGKKKRSILSSFSVLRDPDSEFESKSKSKKDKSNQRGSMAFSTAAFQDSNYNKESPSNQHDDSIEELASILLDDTNIDQLRPESGKRMSQTAAT

NAIPGYPRTDSQDGKNLPQLPRLVFNDDDAWAMRMAPVVTAAGSSNQVDFTEESTLPTSFLNRMSVHTGKSSAPKIPRKSSKRRSGRPQSTQPHTMS
GDRRSIANPSGQTITTTVSFSCQSGLSQSKSSGNVATDINSKVEAMIAATKALKPGSDGIVLPGPLVPDKKNRLVGNKVLTKMKTAINDRFGGRYAR
KRDSIINGRLLDPTLNEVQDFEDDVSASGETATAMELRMNEGDNFKNPKIFNLTGHGNIRRKPLADDGKSLRSHKSNDHPDDPFSERPQSSSITRTP
TRFENRLRDDSSNSQSSEVIPDLPNNCHTPKRTSERKIRTSIYDNDFDAMLSSSPFAQSTPRIRLEPTFEEDGTKVLKNVSADSRSLFDSDQMDLDF
IGKSPSSLEPAKRKSSTAKDYGIRYHSYKKVKKHPSPSKAELEGLERALQAFLPLSPSESFPPLDDLYPVKEAMVPAPALATTDPNKKMQNTKRHGM
KLDSLKGSESMPALSHPNLHLPFPRQNTVGMDGTHRFMSHKNLAHKMDIEIDELQWDDSTYNIGMRRA

>RCO7_04121 | uncharacterized protein
MPRRSNATVTRTTKPTLLTRLRGRNAKSKTVKTTTTVEPGATRPVRASRWGGNRRTAATHTTGHSHATHTTHAPVVRQRRHATIGDKISGAMMKIKG
SLTRRPGVKAAGTRRMNGTDGKGSHRVY

>RCO7_04120 | probable 3-oxoacyl-[acyl-carrier-protein] reductase
MAGSESQFEKGHTIPVSHQEAPGKQHDMAGQDPVNDQLPTSSGGYQTYLAAGKLKGKKALITGGDSGIGRAVAILYAMEGAQSTIVYLPEEEKDAQH
TKKLVEEKGGKLALIQADLREAKRCKKVVDEAVKGMGGIDILVLNHGYQMMKETIAELSEDQWVNTFNTNIHPFFYLSKYTLPHMSRGSTIITCASV
NPYIGRPDLLDYTSTKGAIVAFTRALSNQQIENGIRVNAVCPGPIWTPLIPATMNEKAQKEFTSPMGRPGQPSEVATCFVFLASADSSFISGQSLHP
NGGVIVGS

>RCO7_04119 | uncharacterized protein
MGRIFTDNVDYDDLKNLIKVNTIKDQATAIVIPGQADPGLEKFENAFYNELSNQHDRVDLFVKSKSDEVGRRLQHLQKVVLRLLARTSRTLDRDIPQ
KQRDKFAKYNVQIERCGDDIANLQRFVKAQRVAFHKITKKYKKWTGSGTLGERFNEQVLGNPKSFVRRDFSPLLSQYQDLSVNLRSSTPPDSEPPSS
TSSRRPSRVPSTPTTPHVQQPYWNEYDDGSEGGEDEPYTIYVNSEEESFPGSKTIEYMFAKVKAPLHSVKSWFSPNSSPSERRSLLNNQQQEGYFSE
HQSAIDTDVEDEAYASSNGEFPSGYMAHYATFPSINDQKFSRHRETLLFRGMAGAFVGSIMLIVITGILVSTGRHKLRAEVDAGAIAGCIASLFFAF
VGVTLAMCRKQTVGWLHSSCVGVTFAALLALNMMLLFLVLDNIRG

>RCO7_04118 | related to U3 snoRNP protein
MANSSSTSSSMTSTSHTMTAIPAVSTSSFSATKYSAMASPMANLLQALAPENRHAFIAPTPSLPDASLGFAKQTLDSFAGKLGDEQAERLKEQRKKR
KRGDSGKDDGEVLKIRKIYTEGFEVEQVWEQARRVIDALRGDAERALEELGGLEEESEGQVNEGVDLLKFDEDGFEVGSNNESMEEGDESVDGEPEE
DDSLQENGDGGDDDEEPFEGLDGEDDFDEQDEENEEDAKAGVYMEDPHKLNDGFFSIDEFNKQTEFLEQQDAAADLYTGEASDEEDIDWDADPAGLA
PRPVSSSKRAAAMHIEDGDEDEEEEEDEEEDGPTFGNVDLNAPEGESEDDEDDNDMDQDPVGDNTNKILYKDFFEPPPRKVGKAEMQANYLERQAKK
AALASEPVDDEAGMERAIADVRRDLFDDESDQDDSEDALSDVEAGDLKSRKSAHERRQGKIAEEIRRLEAASVAKREWTLAGEARAADRPLNSLLDE
DLDFERTGKPVLEVTAEISESIEEIIKRRILAQEFDEVIRRRPDTDTVSSSRRGLFELDDTKPQQSLAEMYEEEHVKAHNPDTYVSKTDEKLRKEEA
EIEGLWKDVSAKLDALSSWHYKPKPAAPSLTVVSDVATISMEDAQPTTASGISAGQSMLAPQEIYKAGKEKATIERGEIVPRTGAPVARQEMTREEK
LRRRRREKERIKKRGGEEINQRVDSRKTKQKKETIGALKKGGVKVIGKKGEVRDVDGNKVQAGAEVNGAGGYKL

>RCO7_04117 | uncharacterized protein
MSGASSWLQKMRKGELIELSDNVGFTEYDGLKKIELESALDDYLSKNASQFSSDTQLAPFYKGRGGSSPVKKEAASVISDIESKVKSVKRRVAKAAE
ELLAPGGPEAEPATTRARSALTRTPRASALSNLSFASNVPLPPSPSVVADAIDRRTQVLRSKVATIYEDSGLVEYAESTRESLSTVQAVQALVILFE
LYNLRTEVLADRYAFTIPAIKFLTSAPHDIKIPDLFLLLTASFWNPVSLWVITTLVIPFAASYFFNLTARPSKNRGQSPQFVYKFDPLTFSIAKALM
TFVVFGQDVTFGGLVDLESVARINSAIYGGWKGVLTGTGITGLITLYDAVLKK

>RCO7_04116 | related to cytochrome P450 3A7
MGSTIATAIAALLSYWVYSNISCLLKNIAAAKRSGLPYIVVPVYIHNPAWRLTHKLWVNVFSYLPKALSERWMPYVKPDWVWDLQFDPFQKFGDVFL
QVSPGSIQIWVANAEAVRQVTARRDAFLKPLESYKVLDIFGRNIITAEGAEWKRHRKITSPGFNEKNNALVFEEACRQTQGMLRKWTGSEGLGSITL
EEVPRDTMRLTLHVISRIGFGVGLLWPGEKPNEKTSATDAIYSNNEAPQGHTMSFEHALSTLLENLIWIILTPKWILKNLPLKRARVAYNSYNNWSQ
YMDELFAQKIEEARKGTQTEGIDIMGMLVRSSYGGTADIPGRKASPGQAEMERAAKPILADSDILGNAFVMIVAGHETTANSTHFCLMELAINPRAQ
RLLQKEVQTIFGDKSPETWDYDSSINTLLGGFAGAVLQEQLRIMPPVVTIPRQVSKSQDQVIVLDGKEFTLPAGAQIALTTVGLHRNPKYWPSQPSK
VSGRSNDLYDFKPERWLVKTMSDDKQHIDMGVDSSEEDEDYGGFTGEDTSAQLSRPVRGAYIPFSDGARSCLGRRLAQVKVMGVLSVLFQKYSVELA
VDEWASDDEVAKMTIEERNEVYQKAKDQARRRIRKASTILTLKLQEAPGFIPVRVVRKGEERFIDIFDHIDL

>RCO7_04115 | probable 60S ribosomal protein L44
MVKSTCPNAGTRNFQSYERQLISFAKQLDPTLKLLSTDNNIPRFNRKLASEKDDDNFQHQIDHRDKSVKMVNVPKTRRTYCKGKDCRKHTQHKVTQY
KAGKASLFAQGKRRYDRKQSGYGGQTKPVFHKKAKTTKKVVLRLECTSCKTKAQLALKRCKHFELGGDKKTKGAALVF

>RCO7_04114 | uncharacterized protein
MPPQILETADSRNNFEDLSGVDISAYANPYDALLEACDNDAATLPALNRKPTQIQARYATHRSTRNGQQKKKLLSPDFSGLLLDPILQRLEEPSIEP
GFVDPRNSLVVWARPPAHIRSLVDQVQQKLLSLAPKLWLMPVPNIHLTALELASSLTEAQITTIIQDLGPEAAEKITDYTYTHRPRLIKPVLSYDGA
ALALSFLPAAGETLPASVSSDDSSRTKKDDNYSYHHLRRDLFNIASATGVIVDSRYVLPSSHITIGRFLTQGDHASSERMVKFIELIEEINAWLEEK
FWPTGDERNHEGEWIVGEERGLDLRMGTLWYGGGKTVRLGKGF

>RCO7_04113 | uncharacterized protein
MAFGGVAATRTSDRRVTEAASQPVTKNSTSNEEVPDVLMSGIDDLTYSDSRSKPATADPYRSDDDDNDEEKIESEKVKHKQIRKLTHIYFPPRNLLN
DHIIGSRYDFPAFNEGALSEAANNGVRPPGKVPSYQGPLSASDTSNSRAVSATGGTKSLLAQIRAFHRDKTAEVRNTERLSAEAEWARKDAQRDDKK
RLKQIAINDKKAATDAKKVSRDAKKATADAKKDAKKDARETKEAATQAKKADAARAKAAKATISNGEEPAVHNRPAVLTTTPIDDVEEEEEDKEGDK
ENDEDHRDEDEDHGEQEEYQDEGNEDEDNKDEGGDEIVEDTFATIQKKFNHEPGYDDTLPPLISNEEIFKDLGKALIRAGMGELTKLMGGCALKVGT
FCSGTEAPILAMRILRDVFGEQGLIFNFEQVISAEIHPAKSAFIERNFSPALSARDITEISQQSAKDNTSGKDEWVFTTAYGGKAKIPGNLDILIAG
FCCDDFSHLNNRRKNLNANGESGDTFFAILEYADKYRPKMIILENVIKTPWLDAKVPHNDKKGPNPTIGLDKHFENLDYVVCFMMLDTKQHYLPQTR
QRGYMVCVLNDDPQHSTHLKFLAKEFPELVNKLKRPASVPMEALLFNFDEPLLNSTGREEGDVKKKRGAWAWEKCKLGHQEYVLKHGLGSLRPVTHW
EANGSKLLPDFYKQTTVFTNRTMDCIDIAHLRNILLKGIDDRYLNRFLELSQNVYRYEDSERSGIISCLFPNNFLFLTLRGSRVTGLENLITQGYNP
NLVDTMNMDDVLLKDMSGNAMTATVVGTFMFAALIHFRDSFKFSGRPVQIEKPEPQPGGYGKDVLESHKSHPTFYEPVSVQDITALAARTVRLCICE
GQFDVSAHQIRQCKVCRATSCVKCGKNPKHKYENFDIERKQPIEFINAIKNSLPFQIDLTALLKSEVTTSLLQDARHYPLPAGFSQTEWTNLLGKVK
MALSSKISLRTTRRAHCFQVSFDSPCAVLKLEVSPSGVEWLLYANVPEEPLASTMGKYLRRNPIARMRPTGDDLMKGLWEIWNPKTTTLQIMVTSSG
LLEKSFENERGLIAFQTTFVYPRISITSRGDYNSKHLDQDIQGDYFLSSDCGQAFNSVHARESTEGQKPLLLFFNQHVPSRNPDNFFFSFTNDVARK
RYGEELSVKCNMPSFWRKPTVTAIKTATGFKVDGVPIESFVGHHSEEIDICLDGHWTPLPGIQLGLTSEEMISYRRLPSNIQHIPISCGHKRAVFEM

AATLPYKLSVSKYRWTLINKANGISFYKEFQFLFEKELVLRGHGEFDDIWTPSRDNVTVCSSCAPPLPSMQWTIEKKPGRGCGKQIPVENPEQAASH
ERAMKTRPSAIDVMYRISSFNQLELSIAIDPATLMHRATGSLLLNDTVNRTGTMVGSGIQTSYRLITDQGKKAAPSSEEFTLKSTADVVPFQSLSVS
PFQDLTRNPISLFESQTKALTWMLSQERNPQPFMEQAVAEASVKEIGYRLEAKATREVSVAGGILAHEVGFGKTILILSLIVLQLEDISKQVKELPN
VEGAIRTKATLILVPNHLVKQWYKEAKRIIGSLSTHILVIGNVAQLRKLKVSDIREALIVIASWDVCSSLAYQEAYAQFSGNVPYADNRSMRAQREW
HRHSAATFAANVETLKNNPNQPHFENILKSQYDASVIETNKHDEYNPSKHVTGSNYKSAASKGPNTGEKRKAVFVASDDWKSLFDFKSMADDDSVDG
LSHPLLEMFHWARVVIDEHTYAKPMSGLLLEFVQCSKVWLLSGTPRLGGFHDIKAMASLFGINIGCDDYSIMNVDALKKTMSEFTASEKFAMYQESP
TVAWQQTRMRQAQAFLDHFVRQDKVDLSHITVQKQIIGVGQTAAEKALYMELAQRVIAKSFILDAVKSTAGQTAKHNQEASSEGEDRKLALFLQASS
PNFKNGDTAIAKGDVLETIQKARFLDYSAMANKLSNELHDAYRMSLRLAHTGENCTQYDNWVPSARNNHYGDHDVTDFIRLKLKSLLTVNEACEEIN
VADALRTLASKLNTTCEKLVVRKRSLRVWDVVRLIQQDELNCSKCKCKAHASDATLLASCGHVVCSNCKCSIVDTCGAIQGRDKCSAGSVAHQQVSC
ASLLAEGDLLQITMGSKIDCAVKLIEKKTKLGEKVLVFVQFSQVQKKLEQALQAAHIKSANLDEKITSSRTLEQFKDVCSKIRVLIMHTAAETAAGS
NLTIAPNLVFFEPLYTHGSNARQEYDSAMTQAIGRSRRLGQTKTVEVYELLATGTIEVDYKEHRDDCLLVPSNFPDRLSFPSRLKQVARSSPHDHGD
LASSLVGNTEFDG

>RCO7_04112 | probable DNA excision repair protein ERCC-8

MNQLLFDRSTGILGPQAFARHQTSHRIHSVQPAPRLRFNGGEKEAVLVDEDEEDTFGPIARPVAVTEGTESKIWAHQSGVNSLAIDVDNRLLLSGGA
ESAIKVWDLDENDPGAKHTFKPSSVVPKTSLTHKFGITQLNFFPFDSGAFLSSSYDHHLKIYSADTLAVSGDFDLNSIVYTHALSPIASHLLVACAT
QHPAVRLVDLRSGSSTHSLAGHHGALLCLAWSPTIDYILASGSIDGTVRLWDIRKSSGALGVLDMEDSTGTVGTDGLGKGARSRDSGKSHSAAVNGL
AWTGDGSYIISAGHDDRIRVWDTATGANTLASFGPTLKNCHLSSLPLVVSPPGTTPPKKDLLFFPNEREIVVFELHEGRLLKRLKVPGPTNASVRSR
TGERNIKGRVTALTWRGLAGGLYSSHTDGNIRAWLPRTAEDDELDEDEESLFTRDEDNENEGAKRKRKVLDDVFRDLTRQKISFG

>RCO7_04111 | uncharacterized protein

MTSRQFAEGAFLYPESSPDPLAGDEKIQNHRHPTVYDAVAGRISLAGFIPKQVIVASTRDTVSSSTSAIAPEAVLFRGKNAPTRYAESDIYFTNERK
STKDLPESDILKALHCYTSEFYSRATADGGSGDWKSLDETALIALGILLEEASLASLGNTGDLAFTEGERSFDDPKKNNNRELRRLSKRPAKKQRLA
PR

>RCO7_06354 | uncharacterized protein

MESKVKGRRINSVVEAALKREKERKDEEERAEKAKLAKEKEDEDVDISAEPEKGIKDDRSQVLEKEETPETEDLEPSPKLIIKTAFCILTTFPVLVP
RFLL

>RCO7_06355 | uncharacterized protein

MDLLCTISQKSNTRQQDPPEYLFPNIWLRHLQGKRMLDCLAIIVSPIRQAPELKQTQELDNTVAFQAIRNWYEPGLNGPQAIDEEFAGGIGQIWVHT
GVNQCF

>RCO7_06356 | probable glucokinase GLK1

MALQSATKKVVEEFTLPDEQLQAIVKEFIVELEDGLANNGSTMSQIPTYVTAVPDGTEQGLYMAVDLGGTNFRVCSIKLNGDTTFNLVQSKVAVPPE
LMVAKTAHELFAFLAKQIELFLKTHHNDHFQRHIRRRPTVSTPEGWRPQEVFRLGFTFSFPVNQVGINSGHLMRWTKGFDIPDAVGKDVCDLLQKEI
DALNLPVKVAALVNDTVGTLMARSYASPGKTGTLLGAIFGTGTNGAYVEKLSAITKPMEGDFDKSTGDMVVNTEWGSFDNGLKTLPNTQYDVQLDKE
SINPGIQMFEKRISGMFLGELLRLALVSMGKDPAIPLFRDDNSSQNDYHSTASVEQNSPLYSKNAVDSSILSFSEADNSDGLRAVRQAIYKNLGVSA
ASIEDAQAVKDISHAIGLRAARLAGAAIGAIVIHTGRLNAGASAPAGPKSAAAIVQDVKNLKLSEAAAATANKLADTAGLAVNEDEIVDIGVDGSLV
EFYPGFMDSMRDALRSMPEIGAAGERRIRIGIAHDGSGVGAALIALVAAKMEAANDPFIPNRNPDI

>RCO7_06357 | related to hsp70 protein

MSSMNSRFKGLGFGSKRKSNANVPTSAQNPTTSSAPQLRPLSTSTTSSTTSLPMNHNGAGGRPPSYTNNYAPAPAAAGRTQSPMTGNPRTPPSQVMG
GPPPINTAATGGYPPGHPAGNMGAPPPAGGPPGYGPPQYGAPMPVGGNSVAAAQYANRNNAVEVEGAGRSKAQLIVGIDFGTTFSGVAFAFATNSEA
KEDIITEWPGAGSYTKQKIPTVLYYDQYQKVVGWGPDIADALAPTGYPKPGVQKVEWFKLQLMLSGNTYIDPINLPPLPPGKSEIDVAADYLFKLRQ
AMRSQLQKTLGEVFNREERNIRYYLTVPAIWNDAGKAATRAAAIQAGFLRDENDNRLTLITEPEAAALFCSKAGLLNLKVHDAVLIVDCGGGTVDLI
AYEVEEESPFTVSECTAGSGDSCGSTALNRNFSNILRTKIRKMKLPDGSKTAGRVYAKCIMDFENRIKADFRNNNQKWAVDVGIEAEFPEAGIEEGY
MTFTNEEILQCFEPVVNRILELVRNQIIAIQAQNRTLQNVLVVGGFGASEYLFQQIKLHVPPQFQAKVVRPMDSVAAIVKGAVTAGITERVVTSRVA
RRHYLMATLQPFKEGHHPEAYRVPSLDGKDRCKFTRQIFVQKGQRVKIGEPVKVSFFRQVAPGATLMYEDILYACDDDVCPEYTKDPRVKEVVTLTS
DLSRKNLEKDFERMDTPQGTFYRVYFDIYLTLDGSEFNAELVCQGEVMGRCTSRFK

>RCO7_06358 | related to pathogenesis-related protein PR5K (thaumatin family)

MRPTPLNRRERTPSTLLTTYLLLNLIQAALSYSTNPYFARNANPKPRPARSGPPTKRDGNAPLRISNNCEQTIWPGIGTQAGTGAGTGGFELAAGEV
KELTVSSDWQGRVWGRTNCSFNELGTGASNLNGNNGAGAACTTGDCAGVLSCVLTGETPVTLAEFDLAGGSAGDQVFYDISLVDGYNIPMGIKYIPG
DNPKLKDIPPNLTNCACIATSGWLAEPSDSSTSGNASTTQFPLPYEAKYTNEKVSDWCPWDLQKSQPTKPGDGVYPYPDDKIQRPIFDPCLSACSKS
NSPEDCCTGKYNDPKVCKPNLYSKNAKAVCPDAYSFAFDDQTSTFIIPAGGGWEIDFCPAGRSTNILATFKAQMQSLSQEKQMSKAILADCMNITII
EQHANAAEEKRVDRSLSLGALVVVVAWLVLW

>RCO7_06359 | related to Drosophila ANK protein

MAKDLRAHPEQDQEHEGASVGEILIEAARRNNTDLLKETIDSIGDEDKVAKILNETKTVLGNYIYHEAALKGNYEIIDMLLDQPGFECDPISRLEHD
TPLHSAIRYLNSLTESSPLTPAISSFGTELISMMIEAGSDPRLRNKANLTPYQLVDPRNEKLRSQLQDAIDVVQNQGDYIEVEEGGYGDDEGEGDVG
SASDSDFDPEEYRREVERRKEESKTGKGKGIEKAI

>RCO7_06360 | related to DNA-directed RNA polymerase III subunit C11

MLLFCPSCSNVLTVSTTTHGPENDPINRLECQTCPYEYLLEGRYFERKMFVRKEREDVFGGEGAWDNADKTKIQCPKDGCDGDEAAFYQVQIRSADE
PMTGFYKVGFFLALVYDLRSSVERELKGN

>RCO7_06361 | related to SOH1 protein

MEGIKTDHPQTPPSIPSDEPKYGGFTRFEIELEFVQALASPFYLNHLASQKYLEDPAFIAYISYLQYWQHPPYAKFLNYPGPTLKNLELLQQERFRA
DILSPEIVAKLFEEGVKKGLEGPGS

>RCO7_06362 | uncharacterized protein

MAFATDSQPRPALTGNAADLFDNLTLDDKPASNNSMRPPPPRSNTGDKVASQYTARGENVPPRGPPRGPAGHRPSRSQEEAMRARRLAGGSSSSKPA
PSQQNLDIFADPVDSSTARRLDSTRRVRRNSESSVAERKSLSPEEEKRRQERKRRERRDRRERDSKDPKRKPDRKLDIIDKLDVTSIYGTGSFHHDG
PFDACNPHRNRQGSRRAPMQAFPKDSLNNVLGGGGPLNKRPDHATFLGQADEEAFKDYSKGGAGNNGYEPYDVPVQKLTGGAELVVQSATTRVEPIH

GEETLGLGTSTFLEGAPASRAALQRRESEQTSPTEMGGLGRKKSLAQKIRGINGPRRDYGPSGRITSPEGMYSPELRTPGGSKGNEANPFFNEYTKG
DDKKESITYVASERTGRPRAPSSPPRRGLGDRLERRVTGDGTDSSMPPSSAPKTGGGFLSRVKSLKGGPRKARSEKPTPEES
>RCO7_06363 | uncharacterized protein
MISRFAIASAVLAVLAGLVQAGQVIQVSPQTKYQKYDGTGISQAFKRSALIHNLSPEYSKLALDFLFSNTTGAGLTILRNGIGSSPTDDKDFMYSIA
VNVPASNSSEIDYVPFLREDNYQVWLSTEAIARGVHTIYADAWSADGYMKTTGIDNKGGNLCGVTGTNCATGDWRQSYANKLVRYINNYKSHGITID
YVGFLNEPDLNKPSTSYASMQSTGQQAADFLKIFYPTLKKSGLKTEIACCDGSGWEEQRSRLTGIQKAGQEDTLGLVTSHGYATAPGAPFKTDKKVW
MTEWMANNNMTYDWYRSGDKGEGLHWAINIQNTFTVSNASAFLYWWGASGSKVNTPLIFINNTDTVRVTPRLWAHAHFGSRFIRKGATRIGATSNIS
TLKVSAFANTDGTTAIQVINNGLTNETVTLQGITSNKVLTYLTNQAHNLTEGSAALEGLNAGGASAVVPGKSLLTFYIT
>RCO7_06364 | uncharacterized protein
MRTPSLFLAFLLANAATAFAGREYHASGDGDLSIGAHGISKRANSVPCKKASDCTNSKVAQGWGKQSKTCDPKQRICHLSCSRDSDCTTWAGWKGLQ
ASSTCPYPDATPAQKKAIGPKCYMCSEGPEYVGSCVTSLTW
>RCO7_06365 | uncharacterized protein
MIHIDHSLLTNAPPSPPKPALPIIASYLLDLEEKQRKRFSGKGRPERLSAGCREVDEVLGGGVERGVVLGISAGVEGKEARLLSLHLLASVLLPSRP
SLSSNHQSTSQSPRTKAIIIDTSGSFPLPLLASVLKSRLLEIQSQKAQNAVKTGNHAVKVSEPSKDARGAGSGGVDDQVQKCLEMVAVSRVFDVEGL
WEVIGEVDHADSVSMVRDSGGEYDNKREMKGGGAGEGAAFREQDVGDDEVEILDSEEDLTPPTLPVLLKDQELQLSENEGTEIIIVDNMTHIINELF
ARKEKSDAHTLLTLLSSTLHTLSKTKNILTILHNATNPSTNPQYSHPLSHNSNQNQNQNHNHSALQATTTRSIFASAATKPALGQIFAQFPDIHVFM
HRLPRGRRDAEVLYSGGIDADVIPTTTDREAFTNRNAFTHETKPAAVITYTTILEILKDEAPLLDVPDSSLPPRRDSSLRFAYREQKWTAIDVSPDG
LGIVGAFAERGGMKGMGMSREKGRTRIDEGLSGGVGSVAKVWGFGGPRV
>RCO7_06366 | probable ZSP1 Zinc Sensitive Phenotype 1
MGLFTNPTSYRLNAAAGNYGPSIATPNYSFLSSRKNHDAHPPLGHLVLLVFEAVMEVVCVSLPGYIVARQGMFDADNQKFVANLNVALFTPCLIFSK
LAKQLTAEKLVDLAVIPVIFVVQTMVSYGVSLAVSKGFGFKKRQANFVTAMGVFGNSNSLPISLVISLAQTLRGLHWDKIPGDNDDDVAARGILYLL
VFQQLGQLVRWSWGYHVLLAPPESYEETSDIEEGRYRDDPDLIPGLDGSNTEEYQAMSGFGSSSTVSFESGGRTPVTHANYANSMESDDEDSANDTT
KKVNPTPANGNALPKDATNGNITSFPSIRTPTPGDDWEIPDGVRGVIPTIHLKSRRGIFHVTHRIKKTSQALFGSLPAPVQNGLAKVYSGLSKFFAG
LWEFMNPPLWAMLLAIIVASIPKLQRLFFEDGSFIANSVTRAIGQSGGVAVPLILVVLGANLARNTLPKESLDPDSEENQIGTKLMIASLISRMLLP
TMIMAPMLALAAKYVPISILDDPIFVIVCFLLTGAPSALQLAQICQINGVYEGVMSKLLFQSYVIWILPSTLILVMCALEVVEWAA
>RCO7_06367 | related to tyrosine protein kinase of the MAP kinase kinase family
MASPPPPVAPSLPRDDSIEAIDFAVGPQSPGSSSDEDEVESPLASPSPEPSNNPPPRLPSLKSDSQTHSMNPSSTPLGLLQNARRPVPPPSSMSSMR
AAQSSQQLPQSMEAKMKAFHLSRQGTPPMRPGVGPSLSTGAGPLPDQPRFGGQAMGGLAGGLRLPPNMRPQAHNFNSAPAVPKMPAKGGGLMARRNA
PKLGGLPGAPTDSPGGMSLNGNSTAAKPEKQESMFDKFSEFLDAKNGTLKFKNKAVIHGNGIDFSSGSTFSISLDEVDTLEELGKGNYGTVYKVRHS
RPRMRRPGLGLAGNKMPSTASLPDTLAADLSPRPTGSTSGVVMAMKEIRLELDEAKFANIIMELDILHRCLSPYIIDFYGAFFQEGAVYICIEFMDG
GSIDKIYGDGIPENVLRKITYATTQGLRTLKDDHNIIHRDVKPTNILVNTRGQVKICDFGVSGNLVASIAKTNIGCQSYMAPERISGGGMSQAGSAG
GTYSVQSDIWSLGLSIIECSIGRYPYPPETYNNIFSQLSAIVDGEPPDLPEEGYSETARDFVHGCLNKIPKLRPTYSMLLAHPWLAGLSKPLTISEE
DEDEGIDQPEGFADGVPTKREMGAGRGTEDEEVAEWVKNALERKRTGLMAESTKPALHAAPLDR
>RCO7_06368 | related to choline kinase
MSSTPSEKGSALPLRPALKEEQPMSPNGGPVKFVSIAAEPESIPLLSGSDDSSRPKQFRAGVSERRMTGRPNTPTSSSKASLQSQGSIEDPQPASDA
SSAAPGKHHKFHSPLHRGHHEHRHDKLLSQVAEWLQAEKAKRAAKQAHGRGDDLEDIGSNNISRPRTSSQSSDGSTISLEKLQQILEDNMSSFGLDS
LPVASTPAESRRPSQAPRRRSSARKMYVGSSDTEYQDGDAVVPSCDAVLDNSKTMSYSGGKSESAVETVTLSTSKRAEKERKAWATFKGEILRLAHT
LRLKGWRRVPLERGGDIEVKRLSGALTNAVYVVSPPDDLPTQNSNGKPYTPKPPPKLLLRIYGPQVEHLIDRENELSILRRLARKKIGPRLLGTFTN
GRFEEYFNAEALTFADLRDQGTSKQIAKRMRELHDGIELLNIEIEEGPFVWLNWDKWVNKCEKVISYLDQEILGGQGSKDELWQTRGLICGVEWPQF
KAAVDKYRKWLDSYYGKGGVNRHLVFAHNDTQYGNILRVVPEKPSEGSAPSPLLLPENRHKQLIVIDFEYSSANTPGLEFANHFTEWCYNYHDAIES
WCCNTQHYPTLEQQTTFIRSYINHRPQFNPRASATPKMHPLEHSSRNSISDFYLDSRTPGGSTLDLTSMDYNEEEARREQETERQVQALLKEVRIWR
VANSAQWVAWGIVQAVVPGLEQKTEADAPSKDAPEVKEDGDKASEGDDDEEFDYLRYAQDRALFFWGDVISLGIVDKADLPEELLKKIKIVEY
>RCO7_06369 | uncharacterized protein
MRCIWFKVCQLLGCGDTQARPAAIPLESHPSVMLPPAGPGEEEREERRDAFGDGNVKRAYTWFYIHIKELSSGRGPVDGFAGSGYQTQPVQTQRPTG
NGSGKQEPQQALQHSQLREIFNDRLTRDIAHREAREAARTGDMDFGVALADDDLKRRDEGKIHTPSDCLHAMAEKMRARRKAEAAERAAQKASQQAA
EQAAIRKPTAKVYQSVTLNDTVGESSQLPLHLEDGHHERIDSAIAGVQPLEQVTDFNKYMSMNKEIGESNLLPSRPTDGTCETPDSVDAGMYPHKQA
AEFFENLSATGQVRESVRVSLESILGSLSEETLLITRLASVGTQFPSESMFESPQSENVLIPRPISHQVLSDTLRISRAEDVSMVELVAAKNQLLDL
LNFESLGKDTVPRPICGPIDESTQPPSELTFGNPSRIDTPPDSKDSRWPESFFGPKEDVTSDNSSLTISESSQVPSEPMNPGDMLKPIDQLPSDSIL
GSKKRGYFGPPDSVDLERKTKMREPADKSNENIPAIRLRGGSSQLPITSLFEGLRNGEGSSTNSADAQESQTSQNNGIYQLNVLAYDIRHYKVTAES
QRRINGDFQYFIEPRRRVFNRLLNMRQNIPSHVNLPSSQETLKLDAIVLNYIGQFDRIREGEIAKVEGRVRSPYVLKERWLSYLAPVLEEAIGIFDG
GIQLEKRVWFLEMLDEHRFQPPREELEDWAREMAGCHGTATKGDLSKLERREAGKDREMGPLSYWIRKYRSSADPSSPCKEEQ
>RCO7_06370 | related to Calcium_related spray protein
MARLPSLRLASWPTVIVSSLAILSILVSPIRAQGDSSLETIQGTNGEGVTSSLLVDRYPALYSGDFGDCMGGQSLINLTSFDGAYYADNMTVLFNLA
GMTNLRNESLMLYISVYAYGEDRFNLVFNPCNANFGSLCPLNASAPITGGAVIPVSTSDVAAIPPIALGIPDFEGTLMLRFFSNSSRTEIACFSAVM
RNGASFSHPAAVGSTLGFFTFLALVASFVTAIYGVSMPHIRTHYAHSLSVLVIFEVFQSIFFSGALSLDWPSVLPAFWSNFAWSAGMIYTPSIISSV
NSFTGISGNASQVGGAGSTVLNNNGGLQQQIYGRSIFQRTLEIAQNSEKLASHLYKRAVNGTESAKLYSWAGVPLSPGLPTPGDYSGFAGTLSLIDV
PAADAFMVGFLWLIILIVILIGATVLFKWSLEGLSAINMMKEDRFAIFREHWIGFTGLIFLRTLFIAFFMMTTLALFQFSYGGKAGPIAIAAIIFLV
FFLGGLGVCFYACFYRIRFGKYESTPDRVHFKRKKIMKIIPWYSPARESSLDEEEKAKTAGSMSFFQIKFIDSEQEQQSVHQNNNFTKRFGWLSARY
RRTRWWFFSFWVVYQFIRACFVGGARNNPMAQVIGLFIWEIIAFVAIICINPFEGQRNTALAVWMLGLSKVATAGLSIAFLPNLKLARIPTTIVGVI
IIVIQGFLVIGVLILIVLGVISSYMSITRNREVFRPHGMTDIRLKYFDHLELTEKDIPPPPPPVPEEPKEPYFSVSSVRRAPKIEDEDVDFVPEMPE
MNPSFNPAASQHSLPGPRRSRANSMANSVAGSMRSHHSAYGNVPFGARVHRASWSSRDFQNWQEDNGRASPRNTPSRHVSGHNAVNNSISGMPLVRP
QPSQSSMRPSTPSKDQQRQYQTQRVATAE
>RCO7_06371 | related to meiotic cohesin rec8
MFYSHEILTSRKYGVATVWLVATLGAKSNTKKVTKKAILDVNVKKACETIIQPEAPMALRLQSNLLYGVTKVYNQQWEYLLTDTQIAQNTMRTLIKV

TRITELDANVVNAHPNQLMMMDDPAFAIDMPPPPLDFDFTNINFNPKGDSQRSSQSMLSIRGRSGSVASRASSVLGFNIPSSNGGSYQLPMLDPFGD
SSAQKPFGAGPGIFNDEEDMILQDDDLFDFDADGQLRDIPTSERNARKVGSINHQRQLGSDSAANGRVRKEHEDAIGIHIRGVDVNGDFDVPLYDND
GPLMLPDAEPFPLMTGGLGGSDRPLHLSDEDRVISVSEDSSVTAEAPLRRKKKKVKGPTTDPVSEIPNTIHAQWPKAYPENMAASSRLKSKQRAATR
AKKNAFHYVYGSGISGVGNAIGSANFVNPLAMFSGDVLMAKIRGKPAIEQEAKKSSKRALVAGEEAEEESPSKRAREDEIGRGSNGDDFMFNLDDDH
YPHSHEQSIEVGRDAVSALDEHPPSAMPWNISSSLHQRGHSTSFQGRTGIMGSQKGSLAGRRLTSPLVGRGSTVPGDLEHFSQMMDDDMVMYGRNDD
GFGSASQASGFHPGGIRSSSQAIGGDDFEIFGAAAGVDTQTAGSSQWMRDVMDRESNNFFEYVKNTIDEKSSDEIGDGDDTQLKDKTVTFEELFVPE
KNTCIVAAQAFYHILSLATKRRVWVAQDVDNDLLAPFGEIRIGVV

>RCO7_06372 | uncharacterized protein
MRFFLLLIAASSAIARNTQKRTRIPSSLSKWSREANAKPPIPAVLPDYKAELFMCGLGQEMDGYCCQNLSKDGVGLECIIATPLVINLLEGTTTFTC
PLIINDVKQNHTTGACCYPKPTVVTPTMGLHKCQGSTLVSVNIESKKPNVIGSFSEELSG

>RCO7_06373 | probable ARP2/3 complex 20 kDa subunit
MSQSLRPYLQCVRSSLTSALCLSNFASQTSERHNVPEIEAQTSPEVLLNPLTVARNENERVLIEPSINSVRISIKIKQADEIEHILVHKFTRFLTQR
AEAFFILRRKPVKGYDISFLITNFHTEEMLKHKLVDFIIQFMEEVDKEISEMKLFLNARARFVAESFLTPFD

>RCO7_06374 | related to ubiquitin-specific protease 7
MATIPVIVKHQGKKYDVELDPTSLGEVFKFQLYSLTGVEPERQKILVKGGQLKDDTDLSKLGAKPGQTFMMMGTASGTGDLQRPKEAVKFVEDMTEA
EAAQQVGATPAGLQNLGNTCYMNSALQTLRAVPELQQQLVQYTAAPTPGGGAGPSALGDLSMFGLGGLGASSDLTAALRDLYTQMGQTQEGFPPLAF
LNALRTAYPQFAQKSKTGHGFAQQDAEEAWSQIIQQLRQKLTIKGKGDGSEDSTFVDRYMAGGFSSITECDEQAAKDLGEEPVKGQDVFLKLDCHID
GTTNHLRDGILAGLEEKIEKKSAVLDRDAIYTKKSKISRLPKYLTVHFVRFFWKREAQKKAKIMRKVTFPDELDVVEFCTDELKAMLVPVRDKVREV
RKDEEDIERARKRQKKMHDKAVADEAAGIVDSVSESSKADGKKKDEKKDDKKDAKAASGDVEMKDVVYKTDAEIDAEKAAALLEAKKELHALINPDL
LNDEGANMSGLYELRGIVTHQGASADSGHYTSYVKKQGALDPKTGKRGEEDGNWWWFNDDKVSEVEADKIMTLSGGGESHSALILLYRAIPLPSAEG
KIE

>RCO7_06375 | uncharacterized protein
MSDQIHKSHSHSHNTEQNHSHWKSVLILSCVAPILLCVASLVISQQSPDNVDAQYRYFNEAASTYNSKFGKTIQQIIDEIQKHHEWLGVDWAEESDS
ENGESAAAEKKTVRLLDYACGTGLVSRALAPYITQSVGIDLTEGMVKEYNTAARNQGIPESEMVAVQGNLIDANDPSPPKLAGEEFYNFDIAAVGLG
FHHFDDPALATRRLAERLKKGGVLFIVDFLPHQHFPADGEHGHKAAKTVTHMGFSQEEVKKMFEDAGVGSSFDYKTIGKGVVFEADGKQLSRTVFFA
KGAKL

>RCO7_06376 | uncharacterized protein
MSAQQQKIRRIVWTAAFASVTATGAWYGAGLKMRSEVKRKAEKQREATPGEKIAQLEEQRGALVAKRMGLERKIKELEMRANGATREQSMEGQERRL
FDGHKESTAGRGPKPRIEGYQARIWVRNIHVLWTPIS

>RCO7_06377 | uncharacterized protein
MLDVDSVRLAQNTPKEKPVPASATQDPGFLDVVSHDPAESDSEAKSLLNRPSANFEWAREDQLSTILESFDDTGSRKSRDELERQKEQEHWPLAPLQ
EEALRKRAAVVKPRVKRARFAEHISSPGHISKQYREKMSMSGARTAESPRPIAPPPKDLETIEYIDKSLVFEHFTTDDAWQLGSALRNRLLHIPTPV
VINISLANQNQILFHTCTHSGVMPDNDTWVSRKRKTVLRWGCSTWYMHCKFEGDEIAFRDKYGLGNSAGEYAIHGGGVPIRVTGVEGVVAVVVVSGL
KQHEDHGVIVEVIRELYY

>RCO7_06378 | uncharacterized protein
MDQKQTFEGILPSTGNDLTGSTTLYHIYHTGPYTNYYSIHTESDSNTPLNQYPGPIPGTENQKKSAKKVRKARALDNPRCDPRTETSPYFLHLPTVY
GKSPPYTLRQGGKKTAPTACLLHCSGWFKTWKIEFSDALALPGIIDGRGVVNMKYGTKKGIDGTFQGYEVRSKRYLGESGKAWHKLQADQDEKVEGL
TEKLVPEEVVTLQWTAPFSSRTREYGFRWRGFEFVWKGTQTFKSSKKFFRPFLRYNNLKLVVFVPEQNGEKAKEVILARYASIAADRKSGRLEVYQH
VIDRFLSEAAPTLQQYEPTASVVPSRIGHQEISVDGKDLISESSVRASQRLADVVMGTAMSMIIAEFTKRQILVGVILAIVGNFDG

>RCO7_06379 | catechol 1,2-dioxygenase
MASEDIKVPPMKDLNIDNITENTVIINSQSSDQRLTYVMERLVTHLHDFARETRLSTNEWMAALNFLVRVGQISTDVRHEFILLSDILGLSLLVDAI
DHPKPPASTEGSVLGPFHTHEAETMKNGDLMSQDTEGEPCLVICTVKDVKGNPIEGVKVDIWETDSTGHYDVQHADRNGPDGRCVMKSDKDGVFWFK
AIVPVPYPIPHDGPVGQLLKLLKRHPWRPAHMHFMFEKPGWDHLITALYIRGDPYETSDAVFGVKQSLIVEFSPVDAKEAKEYGVKEGSKVLRHDFV
LVDEKETERLRDENALKALKALGRKVKLLNHLPVPDLD

>RCO7_06380 | related to potassium channel beta subunit protein
MTSSQKSNVNVIFGAMTFGRQGTEQARVHSLQDCSAILDIFQSHGHNEIDTARFYGEGSSEEFLGDLDWKKRGLVMDTKFYPTAGRNMSKSNAPEEG
WRHTPKHLRQNLMDSLRALNDLYQEGLFARFAISNYMAWEVAQICEICKREGYVMPSVYQGVYNALHRSVEPELFPCLRKYGMGFYNYNPLAGGYLT
VRYHRGTQDTSLEEGSRFDPSKWQGKRYRARYWNDAYFDALEILRPVAKRHGLTEAECTLRWLNHHSLLKRENGDGIIIGASSTKHMRENMKMLDNQ
EPLPEEVVKALDEGWEKVKGISGKYWH

>RCO7_06381 | Elongation factor 1-alpha
MHINVVVIGHVDSGKSTTTGHLIYKCGGIDKRTIEKFEKEAAELGKGSFKYAWVLDKLKAERERGITIDIALWKFETPKYYVTVIDAPGHRDFIKNM
ITGTSQADCAVLIIAAGTGEFEAGISKDGQTREHALLAYTLGVKQLIVAINKMDTTKWSEARFQEIIKETSNFIKKVGYNPKTVAFVPISGFNGDNM
IDNSPNCPWYKGWEKETKAGKSSGKTLLEAIDAIDPPSRPTDKPLRLPLQDVYKIGGIGTVPVGRVETGVIKAGMVVTFAPAGVTTEVKSVEMHHEQ
LVEGLPGDNVGFNVKNVSVKEIRRGNVAGDSKNDPPKAAESFNAQVIVLNHPGQVGAGYAPVLDCHTAHIACKFGEILEKIDRRTGKSIEDAPKFIK
SGDAAIVKMIPSKPMCVEAFTDYPPLGRFAVRDMRQTVAVGVIKSVVKSDKAGKVTKAAVKATKK

>RCO7_06382 | uncharacterized protein
MALTIAQNCSLSRAATDHSTVPLKFRNLNQIPIVPLNLKTYISTSENFEKITIGIQTGGNDMAEMLKLWDIHWKKVARS

>RCO7_06383 | uncharacterized protein
MASVAKKIFSKLGAKQHRSDHASTSPSLQDSEKLPKDFENLKSPPPSYSHYPDQQDQSMSWSHPDAHELANSTMIPEMAGDWTAASYELPETHIAEM
AGSDCPTELGGSMGMWEDNYYAENYEDWDLPSLPLPKERGFSPKLEIDTSFTHTSRPKNWIDTPLSATFISPLSALGNLQPHNGFSPLEISPTDSDA
SGTSFLTDSGYSSATQSATFSAGSFSRFPSINEVKGKQRDFGAASEAWINDTAAPVSYSMSSIVANPVLTSSNPDGAKPEVNRPFGRFTESSLLKTT
TSHWHDASSLVLAFSESLDAHLQHTKSKLQSLSQTSITLELISMSRTSIISIGLDVLTGILEGRTPTAMTQIFAFTHIACAMAIATDDDETKVLTQK
WFQHTLQWSAGLRGRRQQKGYKYVAKAIWQPIGDLSVIESFRSYLKSSTYLEQNESPLLNIPTSSKLRLSKMICVLGELVKRPQLAVFLRDIHNVEG
RLQKGQATSVWELELELVFAGKLASQSDTLYDLFLQQVTTLCAKMYLEEPFMMSRTRCHVLDIGRIRQLMPDDNYDEGGVQNETNHLQEQRSPLLDM

NDEYKNLFQLDLDFGGAHEHTTRFDKDHDVAMFSRDCLELMQYSHDTHVEEYPNYPHKISTLHLSTRQKSNPPSIKLHPSTLTPTPTPTPARLPRIS
STPPSPSQICPTSPFSESVYRCHYGYPDRRREVESFQSPQAQPNPACHRIKSVYVSLERV
>RCO7_06384 | related to myosins, conserved, ubiquitous membrane protein required for cell viability
MVESSMPTFEAFCEHHDGASLSADQEYLHQYEEIVGMYASFASTRPPPTKIPISAPVSMRWRSVGLQAIKSVASSEALASLAGRQLDVIVPILLENL
WTDNDDFLDVLEHRAGLEEKVDTEKLSRRRTSIATVQTADTAVDSSALAVSATTADADKVAEEDIGVTALQCLKQIFVVNNRSQIHGATLATLTFIS
DRIAQGESLIGRNHLRKDEHRGWATRMLGLLARWTPVQDRYIILVTVMDSLVRSQMADANLQHQLVLATMVDSLLRSDINLIGLSVMDVLLGLVQHV
LRILQLDGANPHYQQNKGVGVARNENGDPIPSSGTGLVSTESATVPTNLRKDLLDRLQQCIGNLATHVYYADQISDMVSAILLRLKPSPLGRGINAV
SAIENPAAASAAITSVGDLTEDSATDGFFSFDTAKIKALEAIKSILIVASTRNNISGVGSLGRNRVPVRVWEGTQWLLRDVDGRVRKAYADALLTWL
EREVAKADLQAFEEKPKGLMKTSRDESATNLSKRAVSNTSHREKSVKPVRMTFLQLLHLAIYENALQYVDSEPDIVLLHLLLANLVENLGVNAVRHG
LPMIFRLQEDIIEVVTPLAKIRVGSLCHGYFWTLSEKFDFHTSQTGRFIQSEISRRRSKMFWVERVRLPPINIDQIGTPGETTSEQALPMEEVETES
LRPFDDRFQMVKLISLSYAESMAASATSPPTSPGRSFSHPILSAAKPVAEDDREMPDSMKEQMMLVWSKEAVVAMVLEGSKAVSVNGSKTGTNVTGH
RNFLAVNGQGNTGATSSGSQSPQHHNQQSHRSRPNSTYGLVGGLGALQKLRKGSGHSPAPASESSRNSVTRVDQLKRVLSGQQNSAPDTSGVDHSDA
SSESIASYDFTPSEISFNPSQQHVGSMERSVSLRESNDRRRSRSRDRAASNGVHQRPLTSNKVLQNVNHDIREGTDEDFEAVPPVPHLPSSRTAEGT
AVHDHALPEIRKGQSVRRSLKSRGGQSLQSSLCGEDANAVVDLENLLKSIEAGGEQKGNVAKPPY
>RCO7_06385 | uncharacterized protein
MENRVQTKTSLSHYVEGTVGITDTALDHQIRERRRVKELLRYFQPFDVPARSEGKPAIGSDNTLTALAQLAALRLNCQRCFISLVDNTKQYILAEAT
QTVSLTSEDVYEKDNDELSFGQTVVDFDAAICPATLACFTSLDGSMDISSENITANRSYYVINDMSMLEEYAGRSYVRGWPHLKFYAEVPIKSPSGT
CIGSLCVLDTKARIGLDVVGVRILGEISRTVMDHLELCVSRIQQNQAERMIRGLGHFVEGRASVLESSTQTHAQPAAPGSSNLTVKDHAEIELMSEP
EDVPIARAGNLWSSKNSRFSEQADGPGNSQEDESSARPRLFHNQSTFSSNNAYTTSLSTPLTEDLAESVCVLTKDQTRKDPTDVAPSLSLPVEITLG
TVNNNDSAVSSLSFNSVEAILFRAANLIREAVELNGVAFFDPRSSDGRLLTDFATDRKGMSRPVSHSHNEKALEKEEFFAGTHQTLSRMMSCSPPIH
SNEISMPEETLQILLKRFPHGGLVTFDGQGIVGTESFTSLVGRIQSPPPVDGFPIFSIESSSDELMRIFPGITSLMIYSFWDNMRDRCVGHCVAWTS
DPARVLRRQDFTYIASFSNSVIAELSRIEAIAADRAKSTFISSISHELRSPLHGIMASMEILRDLTSDDPFQELFGTIESCGSTLLDTIDNVLAFSQ
SSKQSTEEDGRLQSNQIQSADGPDSAVDLESLVEDVTSICLSGVQFRMIVDSSARPEQLRHGSKDSSRWDGVIVICDISPGDWVFKTNAAVWKRILL
NLVGNALKYTSRGSIVVELRQEVVQEDYPGTSPKNPDALSSPSAKDTLRSPSTLTRESSKTDSTMNKDRPKRMISLRVKDSGKGMSQDYLTNYLFKP
FYQENPLAPGTGLGLSIVERLVHSIDGKVSVTSEEGVGTEITAEVPMSPPEDHLVKSSAELSSRPCVSLGIVGLNPTTDLAETPTGILGSDSEAFTA
LASAVTRYAAASNMITSSVDSISGAVDVMFLQDSQYRLVDISRILALRKPVIVLCTEPLRTHEHASKKPMNVVLLSNPFGPRKFQQAINTCLDIRRR
LLDTDLVVQNPNIDDLLLPHRPVPRSATPSPRSSGIENSLAGQVEPVGPSLLLVEDNPINLKLLTTSIKRLGLPFTTATNGVEAVEAYKASSTQILL
VFMDIQMPEMDGIEASREIRIYEKENGLPRCVIVALTALDSPDAKQAAIDSGVDMFFTKPVSVKKLKELVTQHYN
>RCO7_06386 | related to acyl-CoA thiolesterase
MSTRQTLITPPPLNPKKSAIENVLELTELAAIAPDIFSNTRPLWHPPGARGIYGGAVIAQSLAAAQRTVPPNFVVHSMHCYFVLAGDSEIPVMYYVE
HVREGKSFATRTVQARQRGKAIFTTTLSFMRENSGGKKQVRHAVPLPKEVQMPDDDVNESGDNGTSPFISRQIEILNRDSAHPHEKRTRQWMKARGK
ISEEGGHQAHLSALAYMSDSYFIGTVSRIHPLYRPGDPSNLREDLDGPGGEKNPKGLPEIGMMVSLDHSIYFHEPKAFRADEWMFTEMASPWSGDGR
GVVQQHMFAADGTLVATCFQEGVVRLKEPRPASKL
>RCO7_06387 | uncharacterized protein
MKLLGVVTLLADYFACLLIAASIVERPQSQFPRLLGTHETKMRQGENQVLLRGGSEAGSTLSALLSTLARSTFSSLQRNATPAQLARYISSTTPPSQ
KPIFSMEILPLRPSPFYWDDKMDSVLGLSRFPLSLPGSDLSGSTSPWHNLIKQKRLKKNIFSIKLSKSPFRDGEIMFGDVNSELFVGELMIIATTHK
THEKMPLRQMLGSGWQVDAHSLSFGSGTDAIHADLSGYKAVFMTAYP
>RCO7_06388 | uncharacterized protein
MSLHEDPFPNYTNLFGDFHFGNNARSQAYESIPESPLTENAVLRTQLHLAFNPIPASSPPTNELAAVSLRSPKCPQCKGTRFDFTSYFHNARIFRSP
PHELLNLVERSYVLKNRLQSLLVTYIINDLREEIRIQDIRHDIIAWVQEVANLADQVREIMDQAEGVSAGLYSVQMWTGKMASQLESHLERSNGLKM
DVQKGWKKGVLFEFRKKWEIVWVVCANACSYQ
>RCO7_06389 | uncharacterized protein
MHFGQWIFHTQDRTARKCQKGSSNVFEVIGSCNWLDNLIRVCYIIPNVPQNTSPAAAKDPNKEEISRESSNSVAIGLGVALGLVILLWAVSAFWQFR
TNRKQKATIAQLTGSMIVEVKDDPYCRGGYQQAHAEVERDVVGSELDSSARKAQPAELGH
>RCO7_06390 | related to ribonuclease P chain POP1
MPSKSSNAEPKCAKSTGNAKRKEPPGSSSSNQNQLSKGRSFKRVKYNARSILTKPPDDALKNGELNLQSFLKSREFEIKALQDGMQSAKKSGTKRAF
QQVPHDLRRRTASHNVKRVPKRLQKRAAKEMKDDNTPTVNSKTKKPKHARGRLRAETAKRLGILAAKKRATKEEKFGEAAIKARVPRPKIRRNALNE
PPKPKSKFRKRQAHKTWLPTHLWHAKRATMTEPKNPLWRFAIPLTSTQKSYRPIHRASGERGAVCWDMSYMSTIGLRGPEASLQRLLKAVGVIDPGL
WEAKGTRWREGKRTWTGWMTREEKEKSIVVCPSTVLWSPPHYTTPSVKRPQKKLVQPQIFVRVHPAAFLEVWNEFVRLAKLQRPLVWVDDLRFEIGS
IQIIGPSSTEALLSVLHPYDESEEHGKTFRSLAGITNPGSLPSNSILNFTVLDPRLRYPPRPAELPNLYDEETNFRLLELLSSWPIDHSIGSAALFD
RDARFKATRLPSQKALNRRKALAKPGEHPSLLMTDPRIPVTLIASRSASPGSAQGTWMLLAPWKCILPFWYGLMHCPLSSGSNPRLGGLQDLHQIQF
EQGVPYFPTDYPGTNAGFQWELDERLKKKASWDKRPKGKRVEWDSLDLGAGRKGEVGRGWASDFEKLLGISALPASVASTDTPEVAAKSQDSTPKVD
SPIYHILSKSFGTLLSSPESKAPSPNAVATLRIELVTKGIASPSARIYRFPRAYEQSSSDTTKSSISSGPTNTTREQWLSLLPPPSNTKLPLNPKAK
AKAAKQSTRIPLNTPLPQRVRLLAESLLQDPPRQYSQYPCGKPEEEFPLVPNEEDIIGFVTTGEFNLAEGKGVAVGSVLVERVLEGFKRDGGKDGRL
CIVRNAGEKMGRLARWEAV
>RCO7_06391 | uncharacterized protein
MAKPKTGGVPNKAIYSRVSYLYQAAAYMAAQQQKPPMTESLATAETKDNMESSRTSLRSSTELPSPLSQPASRRLVSDLRAVSHKVLMRMSPAMKHS
ICKNCDTMMIDGSSCSSEVENRSKGGKKPWADMLVRRCNTCGYAKRFLLAAKRQQRRPQRGAQEAGEIERPS
>RCO7_06392 | ATP-dependent RNA helicase SUB2
MATEEDLIDYSDEELGTNDAAPAVGANGGAKKGELTVTGGTADKKGSYVGIHSTGFRDFLLKPELLRAITDCGFEHPSEVQQVCIPQAILGTDVLCQ
AKSGLGKTAIFVLTSLQQIEPVNGETSVLIMCHTRELAYQIKNEYARFSKYMPDVKTSVFYGGTPIQKDAEILKNKDTHPHIIVATPGRLNALVRDK
FLRLGSCKIFVLDECDKMLDQIDMRRDVQEIFRATPTQKQVMMFSATLSQEVRPICKKFMQNPLEIYVDDEKTLTLHGLNQFFIKLDEKEKNRKLNE
LLDDLQFNQAIIFVKSTVRATELDKLLKECNFPSVAVHSGVSQEERIKRYKAFKDFQERICVATDVFGRGIDIERINLAINYDLPADADSYLHRVGR

AGRFGTKGLSISFVSSEADEEVLKSVEKRFEADIPAFPDTGIDSSIYMAN
>RCO7_06393 | probable meiotically up-regulated gene 72 protein
MAPSPPRLRILSVGGNAVSAFLSWRLQATNACDVTLVWKSGFDAVHQYGISFKSTSFGNERFKPRNVVRAPEDAANPRDGAFDYVLLCVKALPDIYD
LASVIESVVTPQHTCILVNTTHTLGVEAQLESRFPSNVVLSLVSGAEIIQLGASEFEHKGSTEVWVGPANKNPSMPSTIQGDMADALAMTLSSGQVD
CHVSTNIRQQQYERMIGPIAFHPLSVIFETPAHSALLEKVGVKALISEVFDELLSIAQAQECTFPTDFKSTIMAEMVKPTESNSIMYQDFVSKRPME
VETYLGSPIKLAQAARVKVPRIETLYTILHNLNIINQQRKDVVPAASPAIMNPPIRLSSAPPPRAMMNGTVNGNGPSRGGRGRGPSMIGPPPGMMRR
GAPPMNGGPPNGYGRGGYPPRTQSRRGSMEGNDLGEEFSHLVLYDDIPESGESNYGGDGGDIALRERELMLRQRELALREQEMRMRNGGGPRGPPRR
GPPTPSIRNGGFDDDDDDDYVDPADGPSVPMIDPDNFDMMSVTSRRNRKAAPNQSQIRKNPEFGDAPPGRRGGGFMRPSFPRNRSSARISSVPGLHD
SLMDDPMMAYSSNRYGNVDRAQLGMDSRTNSLTAARLDELQHGGSPGLNGQSGAYPRRASQSPANPYSPQMGRGGRPSPPNGHMGPPINGRPSPPGG
MRQPVPRHPPGQGNSVAPQQVEQYAGVSALHPPKGPIQVRSLTGSASASAGSGDSANIDSEPSAHSSQSSLGPRPPIGVR
>RCO7_06394 | uncharacterized protein
MPKEKSVNPAQAQRKAEKAKAIKKGKAENQNRRNEKLAKRNPAHLEKELAELKSLETAGTLTSHEKSVLEGLERDLKAVKKAREALGDAAPKFGSGE
WRDKGVRGDRGDMRGGRGGRGAAGVLGKRRRDDGDSSEESDVPEDVKSIPMPRDTPPPVPKEILDKWYQKRRERIAAQYPGSNVARGGGDRSGGGGR
GATGTNSTPLGANERRVGNADGVAEAGKERSRVVEEARTVYEAKPALRDLRKEATSFVPAAVRAKLDKAKGVGGLVEPEEADILERAGYMGKKAITE
EPSNGTSGPYLSQNGARNVVMEEVDDEDG
>RCO7_06395 | uncharacterized protein
MDSDSSVVSFHLFPALPTELRLKIWTYSLPQTPALLPRTNTAAHLRRTCRESRFVHTETFIPFFLPSAREQFTYPISLYGNPKTDDTLYLDDINSLT
RDFQDWIARERRGVGGDVGGGMEGAGGRGRGLIKRLAIKDEIWKQRTARGSEPRLEGGMGDLRLMIFNPETGLASLEVLTLVLTGGALSSGCRRGSV
GSGSHCDGVGGKREHEEEQGKDERRLVECEELFLEDKKVGNDARMILKTLRRMNEIGQGWRLPELRFARIVVV
>RCO7_06396 | probable protein kinase DBF20
MSNFITNLFPSSQGGKHEGILPVPPPPLLTRSSQNDAFERPNTPNRNNFTTPVSTPQGSPSKKQNPPGANDLPTAFENAMKIAPPVFGNTRSQAGTP
LSPGKGNNLAVDDSYFGNSTGGVDDSILHKAAVVPGSPLRKQGKENTPPGSRSGLESAQNQAAISRQELYQPQQTTRKYNTHRGLTPEELEILHKPN
VKRLANVTQLYFLDYYFDLLSYVGARQNRLNHFRSEFPEPPETPEETYNPVWQKYAGRERANLRKRRVRLRQGDFQILTQVGQGGYGQVFLAQKKDT
REVCALKVMSKKLLFKLDEIRHVLTERDILTNAKSEWLVRLLYSFQDEKSIYLAMEYVPGGDFRTLLNNTGVLANRHARFYIAEMFCSVDALHQLGY
IHRDLKPENFLIDSTGHVKLTDFGLAAGFLAPGKIESMRVKLEKVGETYVPFGKPMEQRTVAERREGYRSMRDKDINYAKSIVGSPDYMAPEVLKGD
EYEFSVDYWSLGCMHFEALTGFPPFAGATVEETWKNLKHWKEVLKRPVWEDPNYFISNRTWNFITSCIASKSRRFSSIKDVYEHQYFAEVDWTTLRS
QRAPFVPELDSETDAGYFDDFSNEADMAKYKEVHEKQEALENMADREDPMNKNLFVGFTFRHRKLATEEGGKSSPRKPIATDGTFGTML
>RCO7_06397 | uncharacterized protein
MKFGRNYHKRQVAEWAGAYMNYGVFKALCKGPPRNVNFQELAARCMAAIDSVERFSRNNYMILLLKLPPEARDRFQHYDAHLSYAAYFGLHESYHVE
LQHLKVTLSNLVADFDKLRWYGCVNTDAFRKIARKLSTLGNDGSHIASLIEHSLCKSEFASQARCLRILDDLNKSVTFITRLQQEMGDTSTTVQHTF
CSRIALVYPSISALPLYRAIESNNSPELRKMIDNAEKRIRDFSRKEFLSILLDCSIRHFSKSCVKVLVSSAISLDLVVVIEEGLRTLILEIGRSTSN
ELRATPSDHEKSISVLGYILEQLLSRKVDLVSKRDHLGRIPLHYACEHGLTDVCEILLKSVQAWEQFGGDSRSAIFLMDVQSLSSLKLSILGNHPEI
MRMLIEFYGHDHDIRRNFTKCVVILLDSDVDVNCCDALGRTPLYLAAQFGHEPIVNLLLKHKSLIDIPETVKNWTPLIIACLEGFSTVVEVLLKHDA
NINHIDNSGWTAIDHASYRGHIPLAKALSKTSSNLSHRQATEIRRQFQTASKGRLPARGQPRRSTNTTESCIVVNLGSLDSSKTTPPVYLIPALIEN
PLLINPESMFSLGVLVVGTTSPQYFTTLPLLEDGTNIPWVFTHTDPASAKLVFEIFSNRLSTNGSRELVGRGMAFLESYKRSLHTKRESLSRDFTIP
ILSTASLDYIGSVIFSFVVSTPLVLPNTPAIDTEALWFENGPSKVVGHRRLGQNLLPKKRLQVRENTVQFMHLDYDQSDQRRTALPWSGETSCFKTP
LSRKVRTLSLTTSDRDQTKVFMARVKHTLDYNSRGCKGNTKDDFIHESFVTFGGLLNSLPLNIGMDIEIKYPMLSEATDDWKMDPFLIEANFFTDTI
LLCLAEHISTRSILLSSFSPEICNWQPTEIRATNLQEGLNFAKKWHLDGLVLASEPLVLAPQLVGFVKEKGMVCATYGELNDEIDGVMAAAGVDILI
VNDDRLVSEVLSGLESK
>RCO7_06398 | uncharacterized protein
MDIRVDLQCLTSIRSSISGGQDRLRDDVMGTISSIPIFTSEMVAERLERMLQKHTEQLEAKTAELLTDQDSRLDPLVRRPPPNRRRPNRPRAMPNSV
PGKNSGSGSGTQGVAIQVA
>RCO7_06399 | related to ankyrin
MPAKAPAPAFLSRILGQLFVGAAGMPVLGRKCDSQTCKSSQLPRVMVEYWFPLGVFWSQIVQLHIGYHASMGPQFSLKSLRRVPDSSQSVHYAMNGN
IEGLKDLFNRGLASPWDVSSTRGYTLSRWALYSKQYKTVKFLTMAGSDADYRPIAHTDNSTRNKAYDKFLQGGLDKAAEEDIRCLIASSDWINDQNF
SKLHKIIVGILLLDLEEAIANDPGQVDITDAMGLSYAADRGHTLCVKLLLEAGAVAEPILPPGVKLGSPLNCAARNTKDPILLKYLLTYGAAVDGTG
VDGVTTLIHASRTDNVRFAILLLDYNANINAASITEPTPLTTAITYNSHAVLGLLLDRWEEFSSCSRLQGPHLLEITALYADLETVRLLAKTDHFKL
KYDEGFTLREFAKRLTERADVTDELIEAFDMLLLVLNENLKGPESKESLMEKGYDGYANTLSVIYEIEKLASDASPSKERPPGKYSDGSDDGETEFQ
DAVEVSEQLGLEA
>RCO7_06400 | related to HSP12 Heat shock protein
MSDLGRKDLSSQVGEKVKPDSSKTTTEKVGENLSGAGDKVAAAVQPNSEKSTTQKAGDSVRGNTDSAQKEGGGIIDNISKTVSDTVDSVTGKTDDAA
KKNDLK
>RCO7_06401 | related to MFS multidrug transporter
MATLLGQSSPVNTLEREVVSRNDDAISRYAKSNATGTRLTFPLSNGISEPQVGSSTPDDKALEYITGARLYLVLFGVTAVMFLVMLDMTIVVTVIPS
ISNDFDSIKDIGWYGISYLLSSATLQPLSGKLSQYYTSKTLFLLGVLLFEIGSLICALSRSSDLFIIGRTISGIGASGLVVGMLTILASSAPVEKRP
LYLGFMMGVASLGLVLGPVIGGLLSQHASWRWCFWINLPIGATTATLLAFIHIPNAAILLKQTSSNAPVLTLLQTLSRLDVPGFLLFAPACVTLLLA
IQWGGVSYAWNSGIVMGLLCGSAMLLGVFLTWELKRGDEAMIPFYLLMNRVVVCAAVTMMLSQGSLMVVTYYLPLWFQVVKDASPTMGGVYYLPSVE
SQIIGSIVTGVLTTRTGYYTPFAILGTALTSLSSGLLSTLSPTSSPAPWIIYQLLSGFSRGLTIQQPLTALSVALPASNLPIGTSFLMFIQILGGAL
SISFAQTIFSNGLKPTLGKYAPDVSPEVVFSVGASAFVSVVEKEQVHGVVKAYNEALNQVFYLAAGTAGVAFFAAWGLGWTNLKTVEVGRKVDVESM
KVDNANPELEVGDKKTESLEEGKK
>RCO7_06402 | uncharacterized protein
MVTASRFGDPQVHAAPAVSHSDMAEVKIATLIEPIAFTSDTPPSPTNVSIPGSAIAETPSRPISISQADPTKGLSHDLLTPIKYKTSTSIRLTSFTL
YSKLPLELRNKIIHHCIPHFPRIIQVGSNDTSPYEYIYDVIASSTNPLLQVNGDFRNEVGRYYTAPFIFFSGSGRDVDVKKLRVNWEIDTLFIRRVA
VPISLMHEDLSVLDTLFVILFGTNFEQVKNHLCKLAGSVFSHRGFWNRVVGPIHLMQTMQDPFRKFEIFDGFLKLEEVVLVGPNTPEYNKLLRFEDM

IAPPPLYWAQVEWHGKGFNRAKNENGDKVKRVKTVVIRMCHYYGTMDKEAEEMMGVES
>RCO7_06403 | related to multidrug resistance protein
MTDETAPLLGQARTESIRNGDQELVDFSPDGDSENPLDWSNAYKLEVVSLLSFMAFVVSFTCIGVVPVADRIVFDLGGGESKTARILLVTVWELGEA
AGPFLMAPLSEIYGRYPVFNVANIIFIFGVVLGALSHTANIFIFSRLLTGFAVASNVLNPAIIGDIYNSESRGSGMSLVMLAPLVGGTIGPTISGLL
AETVGWRNILWLCAGLATLCEILFCTFLRETYKVTILQRRAARLRKETNDKSLKCLWETEDGDSVQSWAKLRTAITRPFLVMYSSLVLQIMSFYSGF
AFTFYYILATTLPGILKDIYGFSPAKTGSVFISFSTGAFLGIIVCNLSVDRIYVKLTRNNGGAARPEFRLPFMIGGASLLPFVVGFYGWIPYSRWPI
YLLLLVVASLGFVAMCVMIPMSSYIVDSFGIYSASAMTVVLLTRCSMGTLLPLCIPLLTDALGLGYGFLVLAAVCLIVIPLPVLILRYGARWRQKSV
YTRTE
>RCO7_06404 | uncharacterized protein
MAMNTFHPFRRLPTELRFIIFGYALTIFQRIVHVKVVYSLNLFSNEEDICDLALSSAFSTSNPTLLHVNRETRTELFKSYATPFNSQALPKVKDLVF
SWEHDTLLVELDKTEIFPRRSHPAWTRQVTTRLLALDDPFASLFSAEDSEESRKRLRHLAGDGEPHQFWIHGPIALPAKRPLLSGFKGLEDYTLVCR
DVRELSGSMKLLRWRYTGWEERDTSADELGLKTVFPALLVRCVKLVRE
>RCO7_06405 | related to G1/S-specific cyclin pas1
MILALYKSSPVASLASSSGIIFGFVKTATGVISIPPQPSTPSKMNCGEDDSPPYITSFRNGPYSSSLASSASSSSASVWSDASSQSSDDSSVTGASS
DNEIPEKYCYTSRPAPSFTTASTVCEQAPAIAYWSKHKSGEVATEQRHPRRTSVGASTRTGFPPSLVRQCDRKVNFVDGLVDSSAQIVEAIWPLSSV
VCRSETGSKGVLPLRTFIQETLRRSRTSYSTLQVALYYLILIKPHVPKHDFTMEQPDDAHSIRALQCGRRMFLSALILASKYLQDRNFSARAWSKIS
GLNTLEINQNEMAFLLAVNWELHITEAVFQRWTDIVLGNRPTQPPSPGSASSRLAEQGWKSIILGLTPDLDNVEGLSSATSTKANVKSVRTTSPRSF
TPMVVDRNTFGYGSNDATPTPKYYTPSTLEPSLSSFNPTSKLAPAFGLLPTPRMTPQSIGFNTPAVSAASYMLGKSSMGFAMAQASSVNDSQVNDKW
QPHLTSSPLSYVSHRRSSLGNSVSSMSSPESMVSDSSSRSSRSSSISSASSWMSAPISAKLDVQARCRYAKLCSEKQNRTVIATVPEGYCDNGPTSS
PESYTGPVGKGFLDLSLDTPLARRVDLDLCSKDEEAARALQELHNHPRSSESLTRAGAKRARPQSIDNSLQENVREILNGSYQPFESDWARNVVRTR
SSQVMNVSPQNAVRSTSSSSLGRKRVCCATEAARGLPQATHPAFGGLGGPGMWNSILN
>RCO7_06406 | uncharacterized protein
MESSTAIMTPMMAEESDDPNDTATAVSEIDENSQIRNLSKDTEASPMPMASPQTILSFPLCPQASFRDPPSHMEVPSARRYPQKIISTLDQLEPQHS
SSIWRIHIYIGCHGTAYSNGPDDSRAKSWKSELFTVWIYLCPKARINTASEEAKHKNLSQATCESSTPAYPDTVTDMMESTAPLKILKINPPMSSKQ
SLLLTNVKLNSNQPSCILPSQLSPLPRQQFRNSKSHPGTTLEKSTLFPELAAELRFRIWKPAYPEPSMISIIVIPFTLEWEAECATKSSSLLAVSHE
SRKEMLRTHLIIRGTAVRTPVLFDGAKDTLVFQRSPMRGLEKIPPLVLSSIRAVIWLGDYIIIGIPMDARSLAHLISSADNRRGIGRMSGLESTFIS
SMCSGGMNKDLDAEARKTRMTAFDN
>RCO7_06407 | uncharacterized protein
MPLHSFNRHEIKDAILLLYLAFPFLSSARGTGVCDEPTFGSDILRIELDPNAWISNPALSSQRGSYIWVGTQYEGGSQKPPGQPYPIVAALSTAHNQ
TYISTTSKGLKDAPCANSYQLNDDRDLKTSFEWHQYTFNKSHDCHGYYKLETSAPVYFQTSTNFTGSPENAVTAAAVKAADVNYGTAFTNLVLPQHY
YSTGPGGGLFGSNAFYDSFGSNATAGSGPILGFVDTSEQQVLGLGLNSTFMKHFYESGRIASRSVGLYYGVPASAGPSLERNGTMILGGYSKSRTLG
ELFKGTYHLGAFMLMRQCPWEVEVASISISGQEIGQSVFTACIEPQEAALVLLKSLYQNLKDSSSGTLTITLSNGLMATIPSELISLREETDSPILG
APFLSQVYIFADYQARTLSVGNAKNTMAYTTGPDELQCVQHDITEGDLGWAIGSPEAYAKVHTPKTASSKASATATVEGKKNGGMRGGVGMGIWMTA
LAIGVGLLF
>RCO7_06408 | related to structural maintenance of chromosome protein (SMC)
MSTSISRRRPRADIESDHEGDRIRRSQSSTPSESSKRARINGNHNDQQSDSPEPEPPGVGIVRKGKGRAQNGGDGDEGEADPTGFQPGAIIRVKLRN
FVTYESAEFFPGPSMNMVIGPNGTGKSSLVCAICIGLGWGTINLGRAKDFGEYVKHNTKAAEIEIELQKRPKETENHVIRVRITKDGNTRDWWLNDR
KASLKVVQKLVRDFYIQIDNLCQFLPQEKVAEFAALSPIDLLRETQRAAAPPQMLEWHESLKDLRKTQKTLNMQLVADREQLASWETRQQNLHSEVL
KLKERDAILKKINHLEKTIPWVEYRVARDAYKVRSQIKKEAQRRLRELQAEEKPTMDMIHAKEQYSKQISRVIAARKVAATNAEREADQKAQALETL
VEDIKQYVVAHDAQKGHHQDLKTEIGKKQQIITKLKSRLHDEQIDFDGPAWNERIRAKENELRNISTVIQELQATNQEKTLIGKELRGKIDRDRMTL
KAFDTQQGQQLNKLERVAKDTAIAWKWIQDNRDQFQEEVYGPPLVTCSLKDPRYANAVEVLLGKADFLAFTTQNLNDMTKLMDQLVGAMGLSDVTVR
SASGKNYDRRELSAQDLQRLGLDGWAIDFIDGPGPVLNMLCDVRRLEKSPVGLQESNEESYNEIVAVETVTHWVSGPSFHQVSRRKEYGPEAFSTTA
KHVPEATNWTDQPVDTAAKREVQERIDAMEGEFEELKRVIKPIRSDIEQKRGELPELKEEIKRLTKEKGEMQKLHNEQLSLPTKIEREEGLLKQKHA
GFAEIREETHKINVQHDHAVMRKSSLALQYRDLVKKIRACHEAVVEAMVMSIEAESDVAGLKERNVHVVRQLEEEQQKLTDAQRELNDFKKIAEKAL
ATVTAIQADDENAEHLDGWRDLPREITVEQLEGEILTETTKLEFVVASNPNAANEYNKRQADVERLSRKVAEVDEKLETMDGEIAEIRQQWEPELDE
LISEISDAFSHNFSQIGCAGEVSVHKDEDFDLWAIQIKVKFRENEDLQILDSHRQSGGERSVSTIFFLMSLQSLAQAPFRVVDEINQGMDPRNERMV
HERMVEIACKEHTSQYFLITPKLLTGLRYDRRMKVLCIASGAWMPENYKKLDVSKVIGIKRSLMAAA
>RCO7_06409 | related to protein kinase Gin4p
MNNYSRPTTRRPPLGEATRRVNNAQRPSLETSSKPCTIPHHEGHRTNGLLQSQAQSQPYGHLRDPHGIPSVGANMENPRLSAIKDDPASSNRNSQYS
TNSNDSSSKVIKKCIGPWKLGKTLGQGATARVRFARHVYSGQEAAIKIVQKKSAQMTQAGSLADLEKVEANQVDSDYGIRRMPLGIEREVAIMKLIQ
HPHIMKLYDIWENRTEIYLVLEFCDDGELFEHIAASGRLEEEEAVKYFRQMLSAIGYCHSFKICHRDLKCENILMTRRGEIKVADFGMAALKQAPDH
KLRTSCGSPHYAAPELISGAAYRGDSVDLWSLGIVFFAMLAGRLPFDIEGSSQDALRPLLRLIRKGQYSMPAEFSEEAKSLVHRILQVNPKNRIQLQ
QVWKHPLLKKYDYLDNLSRDSYPQSPNLKDCDLTVIRKSDIHEDLLRNLRSMWHMYTEQQLTDALLSNKPNEQKLFYSLLLKYREAQLENYSPELAY
SNSDYHHVKPLGLTQAYSTCHFPAMKGHGRQTSKFTVISNGAETEQSYDPFKASRTQHLNADRHAAAIITIHKPSDGNTWQEETSRIRQRQGSRASS
GNRGKELVLPPQKYASRSSMSSTLSRTSNGQVRVKVGHKRGVSFSHPRRQSNITQRNPSAPPFSNALHGRHSNHTEVTDDGGSVLRAANGAPTSTQY
IRSRKAQSLTSQSLMSPPKNGLVSQKWNEDVRQLSSSLAKDCDEAFNRISIVSEQAVSEKPPHVEQNTGRGPPNSKANNASLDTRPLPAAPARSDSV
RYELLEARKQAELRKQFGSDESPGYLDRMVSHIDRLMQPSSPIQHMNDRRASSAPSDTRYQVLNQVLPSIHESRGEESSPRKARESAPFLDHRRKVE
AKGGGRIASAPEAWKYTHHQVEDYAPSRGVNNTIRFVQPSSPISPVRPPAPLMIRKKSSQDAPSTLIIGGLGIDRVAPLNPRRPTGADARLQNQVGP
SNDHMLDLAPISEARNDGDQFESSMGTVVRKKSGWFKRHSKTEDDGSRLSIVSSHSATSKSAGNSTIEPPYERPQNPILQSCSRPEPPKKKQYGFGR
LFKKRSSKPDMIVSTQDVHDDYDSIQESIADVHRQAAYGQDQSVDTRARQITPQQSWLAKLFHVKPASGFLCFALSQQRARREVVLLLKDWRRYGIQ
AIQVNKERNIVFANVGAENFLDMKEVSFAVEIMTVIEHGTKNRLSIARLTQEKGAASTFHRLLETLESVMKVRNVLVADERKKRMMIKTFIAAV
>RCO7_06410 | related to finger protein
MLQECLLSGEVVRKPTSDLLLHLLSNPILRDHHTSVAAILPSVPYKQSSWASQSSSTMETQSFTARRSAANSLPTFSLPPPDHLSQMHRLPAYAPSS
STQPTPAIISSVLTPPAGLASDLSPSVNSGSSQSSAGGVPPYQPMGFWPTPNQPSYGFSSAPSMPTAFAQTQQPYMGRQLYSPSMNYPSRNANSPSV

NEGLPPPPYEISAPSFPAPMSGGGHLQHQTLPALTTSHHQQNQHQNHQQHMNHLPAASQAPPQGPLHAPDTYGGRPPPTPSYYTPASTPQQSSFPAY
PQQSPTQQSPNISSAPSHRISPVSAHSHSSMAAPQGYPRPYSGYNLPAMAGPIMSNMHNPGNQMALVGGMNMQGYPQHPHQMHGYPPHGQAPVNDRP
FKCDQCPQSFNRNHDLKRHKRIHLAVKPFPCGNCEKSFSRKDALKRHILVKGCGKGPGPASNTNGGSLSPIDKDGIMSDSTDDSPEMPKKELL

>RCO7_06411 | probable FUM1 - fumarate hydratase

MAATRAETDAFGEVHVPADRYWGAQTERSLENFKINQPQDRMPPPIVKAFGILKGAAATVNMQFGLDPKVGKAIQEAAAEVASLKLIDHFPLVVWQT
GSGTQSNMNANEVISNRAIEILGGKMGSKKPVHPNDHVNMSASSNDTFPTVMHIAAVLEIEQELVPAIKSLRDALQAKVDEFEAKKIIKIGRTHLQD
ATPLTLAQEFSGYVAQLDFGIKRVESSLPDLRLLAQGGTAVGTGINTYKGFAEAIASEVSKMTGTEFKTAPNKFESLAAHDACVQASGSLNTLASSL
FKIAQDIRYLGSGPRCGLGELALPENEPGSSIMPGKVNPTQCEALTMVCAQVIGNHAATTIGGMNGQFELNVFKPLIIRNLLHSVRILTDGMKSFEK
NLVVGLQANEDKIKSIMTESLMLVTCLNPLIGYDMASKVAKNAHKKGLTLKESAMELKALSEEDFDRLVKPELMIGPEEYTKK

>RCO7_06412 | related to SEN1 protein

MREEELWDQLQELDGELKSFPAEAHWFCPKRFDGDFIDYDQPNEPEEGMSQETKKELIKDYKKRFKVAYRYSQILGINEDVTGQVREVYSASLDRLL
MNCDKCALNWHQGRKDHLKWLSEQYDDDVVAELSKRINTLDFQRIDKGLSAGQVLLQGVEPQKRNQSLLAKQDTAALMAIYESLCCVDYHKDNARLS
KHFDYVFEQVQQRKVLRLGDTLPAMARFLFSQNHYRQRFATNSWEKMTQKITGKTFDWVVQDVLGEAMVHVADLRVAPEDIVRFWQSFLLMLERMDQ
DIITHRLRGMEVQPDIYHLALQHLAASSGTIVQLVISALQALLVKAPKVFWSSMEAISASAVVDCIFQSPGFERLLLNPVHFEKAGDSPPIAWIPTF
LYSIGTDHRYDACRALLRHLLERFQAKRYSDEVRLACCHAGIAALNITLETFVSSDYKINPSTSLIVISELMGLVEKHRVMIAGCADLEDINMTDQQ
KQLKSLGMLVIKNTLTLDCKSVRAEFDNLQHEKPVQRGMRSHSQPIWQGVLDIFRPGSIELAKSIIPATSVLAGLDQFHPKDRKKIQAMPEDRVQFN
KDLDALMDNISRIIDRLSDFSGSDLGQFSQDPLMIQPLVATLLSCDQSVCEATVGAIKAMTGEDVRQDAIQNLLETSFSPVLASLNATVKEITRVRT
FGPVPYMIRINGEVLTALAGNTGVLRARSSFTKAERYLIKDWWGSQWRALHSSFGATEVWSPSVNKSTAEMQDFCRAVMEYAEALFDEYTVFASALK
TATPSPNDIEDVERHVSSRDSIRETLAVVGNNINGMVTWLRLRDGYLVSIITKLLSKLLRALGDYNVDVHTYADKYIRSACMPDKDATSVRTNLTMQ
QKAELQRALDDLNGFSEIVEVSKPSSAPKNQGSLDSWSRSAGGMQHEPRLPARTENKSVKSSAVSTFQPLSKHRVEIAMSVEAQEDFREKRRKVEEE
RARAKAEAIAKARAIRAPATIRGEGSGLKGIGGVAGKDHAPIRSEIMVGSSDEDSDDDDEDETNALVTRRKETSKVVSEYEESKRRALKLLNQGPVK
KTKVQRSAKDLRARVEPNMNPLYLEILNWEIFHDSDTPPSGEDCRKIDNKYLDLDLYKTTFAPLLISEVWRSLVTARDENNFKPIEIKVLNRMSVDM
FMEVSTNMPISKNRDLMVSERDIVLISPSPDPMNNPSAPHCLARAQRTTRKKDVLEVTYSISRGTKATLLNSFVPNSKVFAVKIADMTTTQREYAAL
SALEFYDLCSEVLEAKPSPIQKYSDEKISSYSSTYKLNRGQAQAILSANENDGFTLIQGPPGSGKTKTIVAMVGCLLTQSLKEQAAQSAHHKLPAPG
QPTANPTMKKKLLICAPSNAAIDELVVRLMEGIQPLNGPRQKINVIRIGRSDAINAAVKEVMLDELVKKKLEGDDGAKSKLLIERDKLHKDAGQIKE
RLNVIRPLMDEAHKENDSQKELQLRREFDDLKRKQASIGAKMDEDKQSGNTFTRQNEINRRRFQQEIIDGAHVLCSTLSGSGHDMFRNINVEFDTVI
IDEAAQCIELSALIPLKYGATKCILVGDPEQLPPTVLSRSAKNFGYEQSLFVRMQKNHPKDVHLLDTQYRMHPEISSFPSEQFYNSKLIDGPNMDKL
REQPWHASTILGPYRFFDVEGIQTKQTQGHSFINIPELNAALALYSRLKADYRNVDFRGKIGIITSYKAQLNEMKIRFAREYGDAIFEEIEFNTTDA
FQGREREIIIFSCVRAKATGGIGFLGDIRRMNVGLTRAKSSLWVLGDSRSLQQGHFWNRLIEDAKARKRYTTGNVMELFSRPTARGGQPAWQPRNPP
PTETRPTSSNGIGPSPTDGNFPTRPKVEDESKDVDMMDAPDPSNSQKSSVAENVNTVVNSSNRPQGLLGIKPGIRKPAPPGNSTEGNHAKRPRESDI
KDEQGPSKKAYTTPPPAESSIEAALREQQAKKSTNGTRPRPTGLVPPPRRPKPAADPFIQRKPPKRN

>RCO7_06413 | related to FK506 suppressor Sfk1

MTGVKAPWWATIYVLVPIFSGFVWLGMLLGMLLWWIVKEDSVHLFNMSAGQDIAYISDIGALDLQPLFIAMGTVTVVSFTSVFVTERWLRHRGTIAR
NTSRWQKTLSSLAIIFAVIGMIGLIILTCKNNVDYSTTHNVCLVIFIAGYIISAIFVCWEYQRLGIHYRQYRILAISFWIKLAFIFVEFSLAIAFGV
LGHQKKYNSAAVVEWVISLIYTFYVWSYVIDFIPAIRTHHYASKETEIDMVEGMEREARMRGYPGGVAEEQSAYGSTRPIRGLESRNF

>RCO7_06414 | related to ATPase II

MAVENHEDEGPDDAPNPTKRLRWATQRLSAKKGNKKRGSILGRLAHKGSTSSEKKRQSTGGESLGTELGGIQEEPEPNEDAEEEAADDQEGQGPRKL
YFNLPLPSSALDEEGRPSQHFRRNKIRTAKYTPISFIPKNLMFQFQNVANVYFLFLIILAFFSIFGASNPGLNAIPLIVIVFITAVKDAVEDYRRTV
LDNELNNSPVHRLIEWDNVNVSDDDISLWRRFKKATTRSLLSSWRKVKKPKKTPGKDFATATLDQPRGSFETRVSRDSRRQSALTGGTRESFASARE
EIQMTPVPSPLPRDDTLHVPNPYDRPGTAFSYEEGHRSPAVKSFGSLINPARTASGKARFHLDYWKNVKVGDFVRLYNDDQIPADVVILATSDPDGA
CYVETKNLDGETNLKVRHALRSGRAIKHARDCERTEFTIDSEPPQANLYQYSAVARWTQRNSKSLDAEGEEMAEPVSINNMLLRGCNLRNTEWVLGV
VVFTGFDTKIMINSGITPSKRSRISRELNWNVVYNFVILVLMCLASGLYQGIYWSLGSTSIKSFEYGSIGGKPSLDGFITFWAAIILFQNLVPISLY
ISLEIIKTCQAFFIYSDTEMYYDKIDYPCTPKSWNISDDLGQIEYIFSDKTGTLTQNVMEFKKATINGVPYGEAYTEAQAGMQKRQGIDVEKEGARA
REEIARGRVKMIEDIRKLHDNPYLHDDDLTFVAPDFITDLAGQSGQEQQHANEQFMLALALCHTVIAETTPGDPPKIEFKAQSPDEAALVATARDMG
FTVLGNSTDGIRLNIQGEDRAYKVLNTLEFNSTRKRMSAIIRMPDNRIILYCKGADSMIYSRLKRGEQSELRRTTAEHLEMFAREGLRTLCIAQREL
GEEEYQTWNKEHEIASSAIQDREDKLEAVSDVIERDLTLLGGTAIEDRLQEGVPDTIALLAEAGIKLWVLTGDKVETAINIGFSCNLLNNDMELIVF
KIEDETAASAEIELDKHLATFNMTGSDAELKAARKNHEPPAPTHAIVIDGDSLKLVLDPEIRQKFLLLCKQCKSVLCCRVSPAQKAAVVAMVKTGLD
VMTLSIGDGANDVAMIQEADVGVGIAGEEGRQAVMSADYAIGQFRFLQRLVLVHGRWSYRRLAETIANFFYKNIVWTFTIFWYQIHCSFDQTYLYDY
TYILLFNLAFTSLPVIFMGVLDQDVSDKVSLAVPQLYRRGIERLEWTQRKFWLYMIDGMYQSVILFYMAYLAFRPGNFVTHNGLNIDDRERFGVYIA
PAAIMVINTYILLNSYRWDWLMLLLVIISSLLVWFWTGVYSAFSSSEFFYKAASEVFAQPTFWAVTCLSIVLSLAPRFCVKAIQKIYFPYDVDIIRE
QVRQGKFDHLDRPGQFVAEDTVSNGSSSTSYEIAKPSKHTHYPSVDEDQRPIYPPSVAPTATTHNPRSQNGSDGTDFTRHRQSTEQSPYGRPSIDRA
RPSYDRIRASMDRIRPSFEQSNDFTSAALLTRLESSHSFGPVSSRRTNLRDAQ

>RCO7_06415 | uncharacterized protein

MASNKSIRDFFKPEPPVMATASPAPATAFKVPSVPAMRSLNTPAANRQTAPATSSAPNPSNYTSSLSPPPSSEVLEQPQSQQLKENTPFRTLPANSS
SDREIQNSDDEDDSDDSLEDLTTILAARFPNSVSRSKSSGDKPTPSTPAPRYKTRKPTFHVSSMPVLSKKKFDLKSLVSHEQEDEAAEIRSKRYKAM
MDEADIEDEDEHSPDPAKRGKFNHSALLESVVADGEEGNAYRVARAIQRTEATVSEQRWYFFETGASQTKPERKPFPVAAVPPIWKDILVEPRMRQQ
TFVFGFAEDMVTMGQELPDELFLWMLDEVSVEKRDPLRTSYLNVMRQSHDQIKRLITIDAIWSMFLRLGASPKSNLVEIMRPVNKLRDPYPQRNWAN
LLSMIKFFAQIAKLLGEKSRRYLIFMFLKMSMDRIVPENVDIQDSLQDSITQKVYPRLREPLQKHLLGPIPPPNHRKHVLHLPTNPRPPAPSRPLLL
PQLDYVRASKRILHQKDSSPGTDYQELRALIYLLDVAIDDGLSSERDLSVKEEEERHNEDVEELGRQLDWIGSKIQTGGAAFFTRLDTKEALTLVQQ
RAVGMLRTRAKPKNAWYDVGEEKKVEEFEREKMGMASFLKKEPDGQS

>RCO7_06416 | probable vacuolar ATP synthase subunit E

MSQSHALSDDQVGQELKKMTAFIKQEAMEKGREIEIKADEEFAIEKSKLVRQETASIDTTYEKKFKSAQMSQQITRSTVANKTRLKVLSARQELLDA
IFEAAQKKLGDHTKDKGKYQTVLKGLLLEGFYALNEDKLAVRARKADKDVVGKAIKDAEKEYKEKTKKDISASIDESNPLPEGCTGGVSIVGGNGKI
EITNTFDERLKLLEDVALPSIRTKLFGANENRKFYE

>RCO7_06417 | uncharacterized protein
MLSHSRVEMALQLIKQIQWKHILIFTIGLMALHFILFEESPSDISVTGALGKATQALAHTASQYPKTKTKPKGPPVVDVKGSDKPKVETEPPLFDEQ
AAADGSTTKPYDSIPITEPIAVCMSVKDQSADMVEFFVHHYHHMGIRRFYVMDDGSDPPLSTFQFPGIPRAALTFTYHKREDRVAYMQLMFYNWCIE
RYREKHTWMAFLDGDEFLETPGNETLGEVLKTFEDNDTVGALGVNWRMHSSSGLKTRPASARKSFTTCIYDDLEHNGEDSANSHIKSIVKMSKAGPA
PNPHKFETAPGSWTVGENGDVIESAAWRRPITRNRIGLHHYAVKSRAEYEAKMNRGNGMTDPKGEAFWEDMEYGVPHVECTEMTAYEP
>RCO7_06418 | malate synthase
MATTESILQGVNVSGTITDFNRKILSKEALAFLALLHRSFNGTRKELLQRRVIRQAELDKGSLPDFLPETKHVRENDAWRGAKPAPGLTDRRVEITG
PTDRKMVVNALNSNVWTYMADLEDSSAPTWDNMVNGQVNLYDAIRRQVDFKQGEKEYKLRTDRVLPTLIVRPRGWHLEEKHMTVDGEAISGSLFDFG
LYFFHNAKELIERGFGPYFYLPKMESHLEARLWNDVFNLAQDSLAIPRGTIRGTVLIETILAAFEMDEIIYELRDHSSGLNCGRWDYIFSVIKKFRQ
NSNFVLPDRSAVTMTVPFMDAYVKLLIQTCHRRQVHAMGGMAAQIPIKDDKAANDKAMEGVYADKLREVKAGHDGTWVAHPALAAIASEVFNKHMPT
PNQMFVRREDVKIGQNDLLNMNVPGKITEEGIRKNLNIGLGYMEGWLRGVGCVPINYLMEDAATAEVSRSQLWQWVRHGVNTAEGKKVDKAYALKLL
KEQAEELSSKGAKGNKYYLAAQYFSGQVTGEDYADFLTSLLYNEITSVGSSSPASKL
>RCO7_06419 | uncharacterized protein
MITFLPNDFKPLVVTQSDLVIASIAWGFTLGFGFLTTWTAFKQTTEVAKRYGFSRVHSPYIIMIWLEILVCLIFSVICWLHLNGNIPPSFAFFFVIL
TTWALQVQFLLQIIINRVALLLPDQVKALTIKIGIAVLITAINVSVYCIWIPARLQISERYIRINEVWDRCEKGMYLIADGALNFYFIHIVKTRLVR
EGLVKYDRLVKFNQGIVVISLAMDCMILSMMSLNNSFVYMQFHPVAYMVKLNIEMSMADMIARIASDTNNNIDSMGNHQNLIATQLTKTFGTSQDVN
WKRADSARSGSSAHGTGDITFNTKREVHVVVEQRKSSEALSVDASALTKSWDERIPAEAQDDHVPLKQDTKKSFKHEASDSITSIERAEGMGMTTKI
WGPPDVSKTKEYYS
>RCO7_06420 | uncharacterized protein
MALAIHSLSVVSNTQTKKWLYPTLWFILVVLFLKSTVHKTGHYKAAPARLLANSSISNFVHDLTHTESSDLPSGGNQPGVTANVTTSRKSAVIIETR
RSASIIPLVLHFSAVLGPEWPVIIYTTQENFGSFMTSQALLRHIKSGRVVIRALAEGLYFPNWDSVSAFLTTPWLWNDLAPADNVLIFQSDSVLCSN
SVRSVEDFFIYDLVGAPIIPQLGIGYNGGLSLRNRNTTLRVLDTYDWNGGPEDQWFFARMTDLRGEDEENGITDGILLPTMETARTFAVETIDYPTP
LGLHQPTRFLQDKDHAIPLDDWCPEYRLARTDRIQ
>RCO7_06421 | probable ZRT1 Zinc transporter I
MSADFDPTSVNLDEIDPAQIICYLQKGENDYDGRLGARVSALFVILIVSSAATFFPVLAARVKWLKVNIYVYLFARYFGAGVIIATAFIHLLDPAYE
EIGPASCVGQTGHWADYAWCPAIVLVSITSIFLMDFGAEQYVNRKYGFGHGPNIEAIITTDPGVEGSNAHGRNQSITHNQMHSGDQDSAFHSQIAAA
QNLKDKPSSKDFGSDSEKAITPSVIDHVERSFRQQITAFLILEFGVIFHSVIIGLNLGTTGAEFSTLYPVLVFHQSFEGLGIGARMSAIPFPKRLNW
LPWLLCAAYGLTTPIAIAVGLGFRNTYNAGSMTSNIVSGVLDAISAGILIYTGLVELLARDFLFNPELTRDQRRLTFMVVCVLVGITVMALLGKWA
>RCO7_06422 | probable transcription factor of the MADS box family MCM1
MADITDQHDQGSPSALDEHAVGNGNSIAGENRGVKRQRPSTADDDDDDDDKPGRERRKIEIKFITDKSRRHITFSKRKAGIMKKAYELSVLTGTQVL
LLVVSETGLVYTFTTPKLQPLVTKAEGKNLIQACLNAPEPAGNGENGVDDQNTVDSPEEQPAQHIPAANRGSAGMPQTQQNMHPSYMPQSLEHQQAL
AYQNYVAQQQRGGGYQMPPQGGIPQQHSHQT
>RCO7_06423 | related to DUF803 domain protein
MGNLGDLSPGGSVAIGILVGLISTSVQSLGLTLQRKSHLLEDEKDPYDARRPPYRRRRWQLGMGMFIISNLVGSTIQITTLPLPVLSTLQASGLVFN
SICATLILGEPFTRWSLGGTMLVSSGAVLIAVFGAIPEPAHSLDQLLRLLERKTFVIWMVLQFILVLAIIVLAGFLARIPSSSTPRIRLFRGLAYGA
TSGILSAHSLLVAKSAVELLVRTIVDRINQFNRWQSWAILLGLVTLALTQLYFLHRGLKLVSTSVLYPLVFCIYNIVAILDGLIYFKQTDRLTVLQA
CLIALGTVILLSGVLALSWRLSDEQTPSTIPPNALAPGLGFVEDTDNDESCDSFNADEEAAIGAEHQALLRNEPMTPTTKLDTVLGATRHVRKTVRV
TETDEIWGELEDDTTKLPSSPAARLPRRVSTGLQEARLRGAIEEPDENTSLLPRTNTFLRRKRRRSTGFPGFTARPEPRGSGRRQKSQDATGGFWKL
RWWKKDEGGGEPPSPLLPSSASGPGSSGTTS
>RCO7_06424 | uncharacterized protein
MRTTSTTFALAALTSLATAHFNLDYPSARGLDEDKLTNFPCGGQDTVSAQRTMWPVTGGQIALTMGHIESNVEVLLAMGNSPGSAFNTVLRPTFSEQ
GLGSFCMTGFTVPDGLKIMEGMNATIQVITNGDPDGGLYNCADITFSKMAMMASKDVCKNATKVTTKASSVKGSPNMTTSAMASMSSGASGHEGHHD
GHEGHEGHNMNKTSSAVSIGSVGNAWIGGLVVAGTAAWAMVL
>RCO7_06425 | related to Ctr copper transporter
MSPNPHGADEAMAGMDMGGTTAAADTSMMSMSMSMMSMTFFSSTKTPLYSDAWAPQSAGAYSGTCIFLIILAIIFRSLLAVRAWKERAWLDAEFNRR
YVTVAGKMPKSERISQDSDSKRMVLSENGVEEDVMVVKKRTTDVRPWRISTDPVRAVMDTVIAGVGYLLMLAIMTMNVGYFLSVLGGTFIGSLALGR
YVSSEH
>RCO7_06426 | related to ferric reductase, NADH/NADPH oxidase and related proteins
MDSIVARQHNHGSMAEMDMSMGAGVPDPFYMQQIFWAFVGIAIGMAVIANGLNKALYHQRISAAPDHVTAAKPKSLFFRIHATVAAISREYGYYSIP
VSIRSTHIYLAPLGPSTILIGYLVLIIVCSLYGFNTEDFLQWENVGYRAGDIAICQLPLIILLAAKRNFIGYFTGLGYERLAWLHRWVARALLFTVV
IHAAFFLREWGKYDYIMTKIKDDSITQKGLVAAGVLLWIIVSSAAPIRGLSYEIFVVQHILSWLGLVAATYFHVSPQNQKWLWIPLALWAFDRMVRA
GYLVYINLGIFHTKSSGFLSCKATFEPLDESHTRVTISDPPVKWEAGQHLFLACHVVAPLSSHPFTISSIPSDGKIVFVVRSKKGGTKKFFKYAETS
HPTGPQNSTRTLGRSVFIDGPYSRIRPLRQFDSLLFIAGSTGATFTVPLMRDIVQQWKGQGQSRKSHFDPPPGAVTRSIRFIWVVKQSSAVNWFSSE
LDRAIRDVDNLRQDGHLVSLDISIYVTCDNSMTSSQGSIRHSPSSSVSMDEKRLITNEIYRTPSACVYCKKLIADENAIVPVCDCDSFRAATSTASD
YSNSFEQSRSSIVDDRISILGGRPDVTELIQQTAEYAMGEMAVVVCGPQGLVQNTRNAAAKVSDERGVHKGTGAQGIYVHAETFGYA
>RCO7_06427 | uncharacterized protein
MQTSVRSEAPRAADMRNLSDESVHISREISIVSSPGPTTPSFPSIIQENVPTDFNPGIRPATGSGRQLKRWNSKVSDASWRYSRRNSLQVPRISQDA
ALLNSNRESMKALSDFLKTREPPPSNFMSIPSDDEKPPSSLKKRASRLFGKTKNKSNPPRLLQLPDSAVAAKTRSGARHIAISIPMDSTDSRTAPGH
QPPKPLGSNPHMNLDRGADTVLKTVAETHPEKQSRKRTANSGIGRQIPGIQPEIGMRGHGAELVLKAYETDVGLASRRSKDEQRTTKHDPQRSQRTY
IAVSPVDADKPNIQRRVLHMSDGTIDSQLSIASTGMGHSRNISSVSTAPSATLNKSLQPDLPPRTSSIVKIPTANLAKEKAPERIQSSLSGYSEITE
TPPSPPAVLGIAVRGYNAYPVGRPQVVKNIPRSHASHDLLSPPEDRSKSISRPATAPDSRTNNPLAAKSKSPVRRTASNQNGIVESVPITRQTRQER
VRARKMRDIESVRSLSGSHPPLPESQATNHIVAPPKNPKRQTYSADARRRAAVNTLSPIMLVANVPPSAGSVTSTDLPLQRVSRQARSVRPNSVEHT
IRSTHTPPRSIITSLDSETEDAHTTSSATKKSRSTTTQSLRSSILSTRRQERRLKRNMSLRECEMDARISKIESDNIMLLQTLGGIARSFGEISRIG
KEARTERRTARLLDEEWSPSPEEKRRRGELEKIEPVMRVMREMAPRVSMEGQREGKVGRNSEDSYDGMSVLG

>RCO7_06428 | related to alcohol/sorbitol dehydrogenase
MGSITMPSYNFKQTFDTKVEGAQSTMRALRFHGQKDIRLDQIPIPNCGKGQVKVKPAFVGICGTDLHEYLGGANLIPSVHPHPITGEKVPLTIGHEF
SGTVVEVGEGVTTHRVGDRVCVQPIIFDGTCGACVEGYINCCYSNGFIGLSGCGGGLSDFMVCPATSAIPLPESVPMEIGALIEPLSVAWHAVKVSP
FKAGDSVLVVGGGPIGLAVIQALRAKGAGKIIVSEVSPRRKQFAAEFGADHVLDPTEVDIVAEIRKLCDGQGVHVGFDAAGVQSALTAAINALRAHG
TLVNIAVWEKPVPIFPNDLVFKEKHYMGVATFVAGDFAEVLEAIVSGAIKPSRMITKKVKLEDTLTEGFHTLINDKDNHVKVLVEVQ
>RCO7_06429 | related to inner membrane magnesium transporter MRS2, mitochondrial precursor
MRSLHAPAPSATLLKFLKSQSESICFFSPNPRTASTSQARTSHLRTSSNVKYPSNTRRLYTYSPRRATVEAGILSLECLWPRAAPALNASSAKSHVI
AWRRNLGYGGSLVTQRNAHSGSKKWHQKLWGAASLRVGRPLRPDDLPSTSHGSEEDSENSMFSLGRHISAKAAAQPKLRCTEFDESGNVVLASGEFK
KSELIAKYGLLPRDLRKIDSSLLPHILVRPSAILINLLHLRVLIKANRVLVFDAYGTTDSYNQSAFIYDLEDKLRQKQASPLAGGLPYEFRALEAVL
ISAITSLEKEFEGVRKPVVRVLRQLEEDIDRDKLRVLLVYSKKLGTFEQKAKLVRDAIDEVLEADDDLAAMYLTEKSHDLVRGEDDHTEVEMLLESY
HKLCDEIVQESGNLVSNIRNTEEIVKAILDANRNSLMLLDLKFSIGTLGIGSGAFIAALYGMNLKNFIEDSDIGFWGVTGWSMVFAGVVCAYGLTKL
RKVQRVSMWGEGGRRGRSWRDEDLDRALINRELEAGRRERRVREGGTAARANEVAVMPVVGNLKL
>RCO7_06430 | uncharacterized protein
MGAVVSCIKSLFQTIGACIMAVVNGIAGILKAIINGIASFFGIIVSCLTCGRGGKRRRGGTHTTSHV
>RCO7_06431 | uncharacterized protein
MPLDATLPSEASSPGFETTSLQTLPPELRQQIYNEIFKIYHCDYTYPFPYRIYTDTAHRGCRCGQGLSLTSHFFYKETRHLYYKHATFVFETPLSCV
RFFNGIGSQSENVGALSISFSYREIYLLRTLFNRPSLVSNLHTLHLNYTSEPIRPFFEPIYLPSAQKNDGKIACEIQLKPAKHSLARLGSLRNLGIE
GVIEDDEVQEALVKLSLNIENATRNEGAKFNKKELVWSTMHGPRKMLFFISLITAQMHSQEISPFRISHQALPEKMLLYRILRCTSSLTALEESHLK
PHVEAEQPRGNMWILRLAVISDSHFRFSAYQSRHAEFGIDGSEPFNLSLLPGAESLPLEELIFMSPENNKYGIAITYAISTKVIVKPEPCFGSSANT
IEGFSKQFF
>RCO7_06432 | uncharacterized protein
MSLLEKLPMELLELVFQFCLNLDLPKASPVLAGKLASITVYNWTIMRAFGPSWERGFARHQVIGEKDHEDDGVREEVEEEDAELQSAVLRCRWASLE
VMLRAKEVWIQKYADDRQFEPLYFLKEKNTTASPPLPDSNSDSDSAPQDVGNTSPTDTESLLLAPATTPRLTPSQYLETDYADFLSFTSSSPDGPWP
WHTICWSSYTDLSPTLEIPHSLLSPPFTPSSLKYLFHLLRHGARISWLSSTSGEVALSGLRAAVKECNIQAVHLLVWSGLLETLDGEMLIWVLRNAG
VGGGRGEEEGKNLKVDERFRTVNQILRLGYTVLGVKERGMIEIELSDMRDEALMAGDDEGVEFVRRIVESETLRGRIDVRL
>RCO7_06433 | probable MUS-38 protein, involved in nucleotide excision repair
MSSGNGNQQPVKLSLPLKYQQELFQELRQKDELVIIARGLGLLRLITNLLHSYDAAGNNLILLVGADERENGWIGEALAEHAAISMSPKARGLSVVN
TDVMSVGTREKMYSQGGIFSVTSRILVVDLLMSLLNPETITGLVVLHADKIVATSLEAFILRIYRQRNKVGFLKAFSDSPEPFTTGFAPLTTMMRNL
FLRNVSLWPRFQVVVGQALEGKKKAEVIELEVPMSESMRDIQNAIMECVEVSISDLKKSNSGLEMEDWNLDSALHKQFDMVVRRQLDPVWHRVSWKT
KQIVNDLGVLRGMLHSLLTYDSVSFNRHLDTILAAHSPPPGSTRQNQSPWLFLDAAHTIFDTAKRRVYTGKAAQGATENLESLRPVLEEQPKWAVLA
EVLEEIDRDLYFNPTIRDDSNGSILIMCSDTAQCRQLREYLQNMHVQPEKTGTDSDEETEHEASAAFMMRRKLRDYLKWKKEFAKVSAELFKENQNT
LSGTTDNKSSNGGYRGKVGPPKKGRRVRGGGNTGAGPTRAANGSILASEDKPLEVATLMSEIQPTETEAAQKEDVVADPLDDMEDFYQLYDTQDLVV
IHAYDGDMDEHVLEEVKPRYIIMYEPDSSFVRRVEVYRSSHNDRNVRVYFLYYGGSVEEQRYLSSVRREKDAFTKLIKEKSKMSLVMTMDAHGVEDP
ENAFLRTINTRIAGGGRLAATAQPPRVVVDVREFRSSLPSLLHGRSMVIVPCMLTVGDYILSPNICIERKSIKDLISSFKDGRLYNQAETMQMHYKS
PMLLIEFDQNKSFTLEPFADLSGTLNSVSAANATSDLQSKLVLLTLAFPRLRIIWSSSPYQTAEIFESLKTQEPEPDPIAAVRIGLEGGQRAEDQSF
NREPQDMLRIVPGVTGKNIKNLVVEMGSLREVANASIDELEPAVGREAGRAIHRFFNKSVLGDG
>RCO7_06434 | uncharacterized protein
MPAGPDETDNHPTGAGTEVTAKHASSKTESNASTHPLHQTDEPKGEQVQFIHDANPGPAVPKDFNAQEEGTKEERAAKAKGLNK
>RCO7_06435 | related to component of actin cortical patches LAS17
MPSILTEDDKETVKRQVPKATNKIQAVAVARLYIAYPNRNKWTYTGLQGAAVLANDLVGNTYWLKLVDVSPLNRGVIWDQEIYDTWSYNQDRTFFHT
FETEDCLAGLSFVDEKEAKQFLKKMNDREKNASKMTKSNPFGGGGQQQQRHGLLGGLFGGHRHSSAPSIQPTPPDSPSYALPPAQPNRMSAGSFSGG
KAPSQFAALDAIDPNWRETWGDDLKQMGITDDLIRDNQDFIADYIRQQQAAQSAPANGIENQRNKAPPPPPPPTGPSRTRSESPQSVPSGRGRGAPP
APPPARRSAVKLEAPREPTPPREPSPPRGPPPPRFAAPPPLADAGKFANANAKPQQRGHSASLSNPGPPPPPRPPKSPIDEPYEPGETGSKFGVPPP
FMGQRKQGPPPTPSRGAVPPPPPQREIPQRDSRDSTGYAHAIPPAGLPPPPLPPKTPAGPPLPPASSRPVPPPPSRDSGLSNIPSLPHSNAPPPPPL
PQSNAPPPPPLPQSNAPPPPPLPSSNGPPPPPLPSSSAPPPPPLPSSNAPPPPPMPSMGGPLPPPPPPPNRDSGYQSGMPAGAAASLPQPTGDRADL
MANIQKAGGIGALKKVDRSQIRDRSQAQVPGGDTGPAGSGLPPAGASGDGGLAGALAEALNKRKQKVSASDDEADDDDW
>RCO7_06436 | probable eukaryotic translation initiation factor eIF-1A
MPKNKGKGGKNRRRGKNENDNEKRELTFKEEGQEYAQVLKMLGNGRLEALCFDGSKRLAHIRGKLRKKVWINQGDIILLSLRDYQDEKGDVILKYSA
DEARSLKAYGELPESAKINETDTYGQEGDGDCNFEFDEDRSESEDEDGKGKDIDVDDI
>RCO7_06437 | uncharacterized protein
MNRTVALHSGIKDFKSLFALGPSKHRSWDAFYLKYKDDRVYTICANRWMEMTSTNFPLKDYMAQRWENRKDPFWWSAIAYKSLEAKRVVRSHVARKL
RLAFTESLKKKGYKPDGTTLDGQGGMPLTGTAQLTPLEAILKTKQSDLVLQTDAALDALLETRDRGPYGKKKGGAFVKGQKQKPQQKQPGGFTVSRK
RF
>RCO7_06438 | related to chitin biosynthesis protein CHS5
MLISLTVGKVDAGVAVLLTQDKRLIEFPSILLPPNISSGSIVDITVSRNLDSETKSQSAFLALQDSIYSSFGESEPVAPKLSCRNATQTSVVLEWDL
IEVATADVISLSLFRNGQKAGNIPRPTTILSTKISGLAVDTEYTFHLVLRTSAGTFSSEKVVVKTHKMTDLSGITVTPGILPSQLKDSLTKAVERIG
AKMADTVRIDTTHFVTTEGRGMLWEKAVEMNIPVVRPEWVEGCERGGRIVGVRQYYLDADPRQRQIAQTEVPVQSRPEPARESPLPSPPATNGSSQA
IPPTPPAKDISKEEQQSGEEAENDEEEKTAVQDEQKFRIEDQDQQKIALRPAAPESASGAEDGDEKLKEPVDENGGSGSQTPGHSSFQDVAL
>RCO7_06439 | related to short chain dehydrogenase
MAWSLVSPASRGIGFQLTRHLLQTTKIPVIATARKDVTGVKKSMLQDLSDVDPDRLTVLEVDVTNESTIIRAAEDAKTMFPPSKHHLHLAFSIPGIL
YPEKSPSQLNHEHLTHTFAINTVGPLLLAKHFLPFLPTKSTTLPSPSECEELGIPPQAVWLNMSARVGSTTDNGLGGWYSYRASKAGVNSMTKSLDL
WLRGKSKDKAMAMAYHPGTVKTGLSKEFWAGVEKEKLFSPEFAVEKMVGVVRSVGLKGRGRCWDWKGEEILP
>RCO7_06440 | probable betaine aldehyde dehydrogenase
MEEVPVEREGFHLDGMTDDEVWWYIWYCVGGALSFVALWMYFGIKFFTWLTGEEIIQYEIAIPNPPGDGRVMENPSIKAPGSTAIQCYAPATGEFLG

LVNPTTPEGLDRAIEKSQTAQEKWQNTTFSQRRQVLRCLLQHILNNQEEICRVACLDSGKTMIDATLGEILVTVEKLRWTLRHGEKALRPSSRPTNL
LMMYKKNKVTYEPLGVVAALVSWNYPFHNLLGPIISAIFAGNGIVVKASENTAWSSNYFGLIVKGALSVCGHNTNLVQVVTTWPQTANYLTSHPSIS
HVTFIGSRPVAKLVAASAAKSLTPVVAELGGKDAAIVLDSASKDLPRIVDILLRGTFQAAGQNCIGIERIIATPQVYDHLVTFLEPRIKALRVGSSL
DAPRDAQADVGAMISDSSFSRLEKLISAAVADGAQLLVGGERFNHPVHHSGHYFQPTLLVNVTPEMAIANEECFGPICVVMKAKDAEQACDFANVPD
FGLGASVFGKPGFEVDQVVKHLKTGMVAVNDFAVYYAVQLPFGGQRGSGYGRFAGEEGLRGLCNLKAVCEDRFFWAGVKTAIPAQVKYPVPDTVKGY
QFTRAVVEVGYGVGPWQKIKGLKRMMKNS

>RCO7_06441 | uncharacterized protein
MPPVTRKRKAQVEAVEDVGTVENTLPHSLGWKPDLSKDESVKPALKRVKRETRDADLTSQAVHLASLKAITPKKVATPKKAIAAPKVTPEKETILKE
TITPLKKEDSPEKISSEKLRNPKRIATPKKETSIEEEGSAKKTPKKPIRYHITPGITPFPSHIMPTHEACEEVNRILSEAHGKVEAPKVVATPSMKA
AGCGNVPDLLDALIRTRLSANTSSGNANRALEGLQNAYGLQKNGPGKGSINWDAVRHSDIPAIAETIKRGGHQNVKALDIKTILDTVYAQNAARLEF
LHSGAKSDDPEYINVHEEPVSKEAKSVEISRLSENMLSLDRIAKMKPFEAMEEMMKFKGIGVKTSSCVLLFCMKIPSFAVDTHVWRLSKWLGWVPEK
ASRDQCYSHCEVRVPDHLKYSLHQLLIVHGKRCYRCKSNTSFGTTKWNETVCPIEGLVDRMDGKKQAGHVSPEKEHTKVCLNGKKCPSKNASKGRKV
KKEYYSDTDSELSDEMLDSDESEG

>RCO7_06442 | probable amidophosphoribosyltransferase
MCGILALILGDIESISATTAAADLHDALYYLQHRGQDACGIATCASGGRIYQCKGNGMAAKVFHDGSRVQDLPGFMGIGHLRYPTAGSSASAEAQPF
YVNSPYGITFAHNGNLINAEHLRIILDRDAHRHINTDSDSELMLNIFANELNETGKFRVNEEDIFQSLTRMYGKCVGGWACTAMVAGFGILGFRDPH
GIRPLVLGSRPSATLHGTTDYMMASESIALRQLGFSDIVDILPGQAVIIRKGSVPVFRQVVPQLAYSPDIFEYVYFARPDTIIDGISVHRSRQNMGR
KLAQTILDTLGPEAVKEIDVVIPIPETSNTSAASLSEFLKIPYCQGFVKNRYVFRTFIMPGQGARQKSVRRKLSAIPSEFKDKVVLLVDDSIVRGTT
SREIVTMAREAGAKKVICASCAPPITHAHIYGIDLASPQELVAHNRDRKAIARHIGAEEVIYQTLKDLKAACAEESPRENQEFEVGVFCGKYVTPVT
DGYFEHLERVRGESKKMKVLESAKEAVINGVASDKELDLIKKGVEVDAHGNVIPATEGPINDSKVNGADVNGHERRKREREDDSSTPPVRDRHDISM
HNFATDPVRGYE

>RCO7_06443 | uncharacterized protein
MAPLREVIEIGDHHNKNVITIDDSDEDTMMPDDMLPPPYLARNRTSFNDNDGDDLAPTTYVGSRPRIRPEPQAIGPRQPRPAVPGAPGRPVLNDDNL
RPNTHVGPRARARARAENRPNREPEPHVNNPRINAGHQAPHHGPNAPIPLVRNQRDSVASNAFQSIQVDDEEDDHEDLGQPNKRRRPIKATQTKDED
VDMSKSRGSNRNEFIDLESPEETAGEGQDILLIEDVYEQEVEARRRNSKKSNIEYERRNPPIVTPWQLFLNFTTPEGVVLRANKTVELKDGTFLRIK
DVIHNTLTQEIHLRGHRLQRARDLNGLLERKLNELVLFFEVDQDDTRIPTEQSTVEVPLSEFLKIRSVRFTNHKWPEAQNCNFAEFRNKEHAAAEGG
LTVRWKYTCTFADAKDRHHNVYKERVLERLNSGECTPGFELEDNARRNEWREETVLGGAYRPSLEDKNVEGDVVILDNEDSESRVGGSGKRRYSISD
TMPEIEQPSKRIRQNGSDGVESTRKSVSEIDLQSSSSNDSVMIENPFESSQHRSQMKKFTLDLPQITRPISKGFSAKISSKQSSPSRIAGQTYTYGD
AFCGGGGSSRGATMAGLKLLWGFDFNANACLSWRANFPSSICHQMAADEFVALAKDSSGKNSKKVDILHLSPPCQFFSPAHTVNGKDDEKNVASLFA
VQELIDVARPRVVTLEQTFGIACVRFRHYFNALIHMFTAHDFSVRWAIVPLAQWGLPQRRMRLIVIASCPGEPLPKMPLPTHTTSECLPSSSSSLLP
YVSVNSTLKAISPIADDHDIESVTWTSDRYMPAWDGSKILPRAMTTSGGQNYHPSGTREFTLREYACLQGFPTGHVFQGKYVKKQIGNAVPPVVGKV
LFASIREDLEKLDGVGGPELIE

>RCO7_06444 | probable 60S ribosomal protein L14
MGDAEIQASSWRLVEVGRVVLIAEGPAEGKLAAIVEIIDHKRALIDGPSTDTKTAVPRQSIALAKVILTPLVLEKLPRAARTGVVKAQWEKAGIEAK
WQESAWAKKRSQKERRTALTDFERFKVMRLRKQQRFEVRKSLAKIKASA

>RCO7_06445 | probable Nascent polypeptide-associated complex subunit alpha
MSNPRIEELEDDEVVNKNVTAEDEGSDSSDSEGEAAEAEIPVEGQIVHSRNEKKARKSILKLGLVKVPGITRVTLRRPKNILFVINQPEVYKSPSSN
TYIVFGEAKIEDLNSQAQASAAQQLAAADSHDHAGHDHSGHDHAGHDNGKGKAIETSEDKKDDDEDDAEEVDATGLEDKDIELVMTQASVSRNKAVK
ALKENDNDIVNSIMALSI

>RCO7_06446 | probable F1Fo-ATP synthase subunit 7, mitochondrial
MAAGRSAALKLDWAKVTQSLGLRGQTAASLQAFKKRNEDARRRVQILSEQPQKVDFAHYKSVLKNQAVIDEIEKHFSTFKPATYDVGRQIKAIEAFE
AQAVKNAEETKGRVDLELKDLEATLKNIETARPFEDLTVDEVAAARPDIDEKTNQLVSKGRWGVPGYKEKFGDLSVL

>RCO7_06447 | uncharacterized protein
MSDRPEMGLYNRNKTIHGVLLRGPVTCDAKEGCVNLPERFKEYHASMSEAFHTSLLSGVAVASQNRTKEALPLKAKDLKGMPRHWIQISTNDVCYSD
GMCYAEALRCAGVNVKLDVVVGWPHTFWLEAPLLERAVQAESDMIEDLRWLIESDEEGEAEEQRSGLLDSRSGKDGFVPFSNKHFERNLSKCSRRRR
ILMKCKS

>RCO7_06448 | uncharacterized protein
MFNQMFISETSMLLWILLPSLSNCAVPFRPEITPPPVFRRQTPEAKVDPANACVKSWSSYRSNSFVTQMLSQFPGTTTVLPQWLETYTNFELVDYST
MQWTKLCDGHSREVSRAPTTTLARSYSTYFNYTTWYPETYHTTNIVPTCTYSRNSNQCSKLWSAWSASTSAAATATDYPTTWDDLVQYRVPPCDQPQ
WDCPVKPDLAECTVGADYTGTMYYWPVTTVSGDFCAQNGSTLTPLPTRAGHANTVVRNGQTFTSPSVYLVLPSVTAFYRSAGQGFNVRTAPCGPTAT
DVTLTLAPQSVSSVQYKLPAEPSAVSWDDFNTVRKEAWADSCPYPRACTGFVLGEYKNYNPAIQVPHELIKKRQSAWKNCTGWTYVRPKLVPLGQ

>RCO7_06449 | probable signal recognition particle receptor subunit alpha
MLDSFEILTTSGVVLWSKSYAPTSPSIINSLITNVFIEERTLPGAGVANDISAANNPPYKYEQHTLKWTTVKELNIIFVAVYRSLLHLSWIDKLVDN
IKTIFVDLYGDQLRKPHTTLVECHFDEYFDQQIQKLEKTAINQDTKFDDEPPPLPGLLSRGASKNNYQDLTSNDSTPVATPDTSRPSTPASHILTGK
SGPGGKGSRRSRKAAITPNAYASSGDESFLKKGKATPKKGRKWDADGLADEDSDTPLDYSAPLNGATSGEDEGKDRPGTMEEVDHATWGSKTGKGQF
VLKDLDDQVNSILASADAKKVDATGPATGIVGSSLSAIGGLFRNVVGGKTLTKEDLDKAIKGMEDHLLRKNVAREAAMRLCEGVERELIGVKTGNFE
SVQAKIQIAMESSLRKILTPTSSLDLLREIDAVTAPSALSLQKRRPYVMSIVGVNGVGKSTNLSKICFFLLQNKYKVLVVACDTFRSGAVEQLAVHV
RNLKELTSREGGEVELYQKGYGKDAANVAKDAVSFAGQEGFDVVLIDTAGRRHNDERLMSSLEKFAKFAQPDKILMVGEALVGTDSVAQARNFNKAF
GSGRSLDGFIISKCDTVGDMVGTLVSMVHATNVPVLFVGVGQHYSDLRNLSVKWAVEKLLSSN

>RCO7_06450 | related to Slh1p interacting factor
MQRNNYGHPPPPTSPPLHHPVPQHVSTVPQLRSPPPPMSQQQQQSGYGNPYQPQAPPGGNAFGAYGNFMSDPTAQMGFQVGQTALKHGTDYVEQNIN
RYVNFSALKHYFNVSNGYVVNKLFLVLFPWRHKPWSRKQTLGPNGQEGWFMPPRDDLNSPDMYIPVMALVTYILLYSMIAGLRGAFEPELLGYTATW
SFFIVGVEIILLKLGAYLLSIASDSQLLDLVAYSGYKFVGAIVTIVISEIFSRGKGTGGWVGWTVFAYTFLANALFLLRSLKYVLLPENVTDERGTM
LTVARSQKNRRTQFLFIYSYPVQFFFMWLLTRA

>RCO7_06451 | uncharacterized protein
MANVGTEPSANGITDAKMALTNESNLSARLDSLSLQQISDTKKFVVPARRNRPRHSRDDRMLWGTSNLISKIHVEPQPAERRAEIGREASAPVKIQN
HKYVASYNWKDIEHPTIYVPGLSRPFPRYNNNVHTNPTAGIPPKFTPPSLPIQLQKDNSTRSSARSPAAPVDPLFQAILQERPDFDMSSIDIVTTRR
SLRDLLDFASCSTGKWRIDIDMVHNTMFINQWEEFRLMLINGRQNTEYGHTFEDSVVNKEAPLEDSLNHERIVEYELGGLKFLVRFEADAYLEDDDS
ETREPMKIPLSDPPAPKPSPVILKPPYKLVHVISRGRNVDPELIIELKSCSRGSINMGRTVPQLWFSQTKHLVVGYHKDGLVTRDLDMREMTEELDK
WEADNQKQLKSMIHVIKSIRDIARTGDRKLTVVCSMVDGLKCLSVYRRTGRGMTIRPEVVAQCWKNSSTS
>RCO7_06452 | related to fluconazole resistance protein
MTSNTQKPDGSNFHDAESRHSTRSTPVNDEEIVLHPRIGEYSKDSDPNLVTWDGDDDQENPLNWSDGYKWWLTFVLSMLAMAASLGSSIIAPAEDEV
AEYIGVSKEVTVLVISLYIIGFAFGPLCWAPISEIWGRRMSLLPAMVCLGLFSIGTAVGKNAQTIFVTRFFAGLFGSAPVSNVTAALGDIWEPKFRG
TAVTFYAVAVVGGPTLGPMIGAALLVNPHLSWRWTEYIEAIWVFAITALAFFALPEVYAPVLLERKAQRLRKETGNQSLYHTHENIKLSPKTIIKKH
FARPLKMLVTEPMVTCIAFYASFVFGLLYMTLEVFPIVFNEGRGWSPVIGSLPFLALFIGVLSASVVIIGSQPQYARALEASNGKPVPEARLAPMAI
GSFLFAIGLWWFGWTAAPHISWILPVFAAVFIGAGFSIIFQQCINFLIDTYGIYAASATSANTFLRSVLAAGLPLAAKPMFHNLGIGPAISILATIA
TIAIPVPFIFMKYGLTLRKNSKLAPVDED
>RCO7_06453 | related to transaldolase
MATEQTMLQLLQSRSIVDCDTMDCEVPQTLGPFVDCTSNQAIAYFELQKPVHRSLIESAQVSAQGLAQNYPEVSVKELAVEIAMVRLQLDLSRFITG
FVHVQINPYYSYDTERTVKNARRIIDLVKHCIPDSNDKFDHTRVCIKIPSTWEGLQACRILEASKITTLATTLFTVEQASLAGEVKCHYIAPYVNEL
KVHFEAGFVDHNKAQKLCVHVQRLYAANGIKTEVLPASLTSTAEVMGLAGVHHITISPGLLQQLADKPASSNATVSLFDGTESAEEVNDFVKYADDE
AKYRIAFTRSNGGDGEGERKLVQAINIFCGMQDKLEEMMK
>RCO7_06454 | related to DUF453 domain protein
MSPIKVLRSIVRRSKNIFRYHPTRRSSTHTKQNRLPASYYRGGTSRAIIFKESDLPSSRSLWPPIFLGAIGSPDPNGRQLDGLGGGISSLSKVCVVG
PSTHKDADVNYTFAAIGVRDREVDFSSNCGNMTSAIGPFAVDSGMVEGLAQGEGVGEMGMKMVKIHNTNTGKIIHSTFPVVDGEAAAMGEFAIDGVA
GTGAKIELAFINPAGSKTGKLLPTGNVVDNFDGIAATCIDAGNPCVFVQAQDLNVAGTILPDDIDVHPTLLARLDSIRRQASVAMGISKDLASTPGS
IPKIAMVSPRTSHKLLSGEVLDGEAVDLVVRALSVGQPHRAVPITVAMAMAAAANLEGSTVWQNVTERKVDQDGITIGHSSGKILVGATFGAEGGLT
NATVFRTARRIMEGVVYF
>RCO7_06455 | probable mannan endo-1,6-alpha-mannosidase DCW1 precursor
MALTVDLSSPDSIKSVASSIAFDMMSYYTGNKTGDIPGNLPAPYYWWETGAMFGALVDYWYYTGDTSYNEVTTQALLWQVGPNRDYMTPNQTKTEGN
DDQGFWGLAAMSAAEVNFPNPPHDQPQWLALAQAVFNTQAPRWDTQTCGGGLKWQIFTFNNGYNYKNSISNGCFFNLGARLAKYTGNDTYSDWAEKT
YAWMERIGLIDGRYYVFDGSDDLINCTRVNRLQWTYNAGAMLLGAANMYNHTNGDPVWKTRLDGLIKGLDVFFPNGQNVMQEVACENNGLCNVDQHS
FKAYLSRWMAATTKMAPYTYDTIMAKLAPSAKAAAAQCSGGNNGRMCGMKWSMGATWDGSVGVGQEMAALEVIQSNLISQVAGPVTNSTGGTSVGDP
NAGSEAVTYLPNFPSTKADRGGAGFLTFLVLISFIGMCWWMIID
>RCO7_06456 | uncharacterized protein
MATAGDRPYDPYIPAEPAAGSQGGNAAPGNQRTAALQARRRMSDAMITYNDGWPVFRAITSHSSSDRNFLQTSDNASRGDAHAWTDIRSDRNNRRHI
RLSNTTARSGRPQIDDTVGVMRENINKVSQRGERLDSLQDKTDNLAVSAQGFRRGANRVRKQMWWKDMKMRMCLIGGIIILLIVIILLLQRRIKAAA
AQAYACYLLSELFTEGKVYECVLHKILWGLGFSDPVCMRHYLHSLATSKQDQRRVSDLELSFEFYDCFFLIDKGAAYHEGSRFLMSRTHRQKGTGII
LYHVGFPAELIEIS
>RCO7_06457 | protein ARG5,6, mitochondrial precursor
MLSIRSTAGAVARRARTAAGRLPLSAARTLPKATAAVTLQNRREYSAPSNSISTRSTVVQLLSNIGSKREVQQYLSHFSSVSSQQFAVIKVGGAIIT
EHLESLTSALAFLNHVGLFPVVVHGAGPQLNKLLEDAGVEPQFEEGIRVTDGKTLAVARKLFLEENLKLVEKLEELGVRARPITSGVFGAEYLDKDK
YNLVGKINKVNKGPIEAAINAGCLPILTSMAETPEGQVLNVNADVAAGELARELQPLKIVYLSEKGGLFNADTNEKISAINLDEEYEYLMSQWWCRY
GTRLKIKEVKQLLDGLPRTSSVAIIHPADLQKELFTDSGAGTLIRRGNKLATTTNISQFEDIEKLKDVLVRDREGLDAKATVDRYVDGLKNRDFKAY
FDEPMDALAIVLPPSAETTLANLATFTITKAGWLTNVADNVFAAIKKDHLKLVWTVKEDDENLTWFFDKADGSLSKDGEVMFWYGIESGDEVKELMT
EFSRYGRAMLGDANLEERLHRAARAAGGMSASMQQPQREQARAFSTNARPISKTTRNNIPRTFATSSRGYATTTNPNPPFGSKNSSNTRPAKVALIG
ARGYTGQALISLLNAHPNMDLRHVSSRELAGQKLKGYEKRDITYENLSAEDVRRMEEAGDIDCWVMALPNGVCKPFVDAVNEGKGPQNSVIVDLSAD
YRFDNKWTYGLPELVKRSDISKATRISNPGCYATAAQLGIAPLVPFLGGQPTVFGVSGYSGAGTKPSPKNDVENLTGNIIPYSLTDHIHEREISSQL
GVEVAFIPHVAVWFQGIHHTISIPLKQSMTSRDIRNLYQERYAGERLVKVIGEAPSVKNISGKHGVEIGGFGVHSSGKRVVVCATIDNLLKGAATQC
LQNMNLALGFAEYEGIPLD
>RCO7_06458 | 2,5-dichloro-2,5-cyclohexadiene-1,4-diol dehydrogenase
MGDSASRSSSNDKVQTINSIGMGRLTGKNAIVTGAAGGIGLETCILFAKEGANILMADISSAALDKASAKLKQLVPSAHKVEIKVCDVSKEADIEAL
VAHVDAWGGVDVMFNNAGIMHADDADAIDTPEKIWDLTQAINVKGVWFGCKHAVLSMRKHKKTKGSIINTASVVALVGSATPQLAYTASKGAVLALT
RELAIVHAREGLRFNALCPAPLNTPLLQDWLGDDKPKRLRREIHFPSGRFGEAIEQANAVLFLASDESSFINGQDFVVDGGMTKAYVTPEGPPLVGP
KNNALLSEQVDAIRGTGI
>RCO7_06459 | probable glutamine synthetase
MSSEEVTLESLPKLLENDSKVKLAGVDVDGILRGKLISKKKFLGIAKEGFGFCSVIFGWDMHDQTYFRELKISNAENGYHDLIAIPDLSSFRRIPWE
DNVPFFLIYFKDPDSGEPVSACPRGLLKTTVDKLHEKGYGAMAGAEYEFFQFKVPSNGSIGPVSERNSSSTSTFLRDNPVDALPSLTEGMFGYSLTR
PVQNKDYYYGIFDACDKFNCGIEGWHTESGPGVFEAALSFGEIQQMADKAGLFKYVVKSIASGYGITPCFMAKPRQGLPGNSGHMHISIVDKKGNNL
FFREEKDTKAEWSDIENLSDMGRHFLAGLLEGLPDIMPLVAPTVNSYKRLVENFWAPVTVSWGLEHRAASIRLIAPPTSKPGATRFEVRVPGADANP
FYVLAAILALGWRGVEKKLEIQQPPLGKGQDVGGKADPGVRLAKSLKEATERFMRPESVAREVFGDEFVEHYGGTREHEIRLWDEAVTDWEVRRYIE
TV
>RCO7_11491 | probable gram-negative bacteria-binding protein 1 precursor
MDNHPQYRGGSVTANSLATTPRASTPENRSNPNTEDISPAPPENPFASPFSSRPASSFGSSSAVRALPQSRYFHSRRVHKGEVEKPWLSKKDPKEKW
VTIIPIIGLLLGFGVAGFLVYDGLSSVVHHKYCPVMSDDFSNGLNSEIWTKEAEVGGFGNGQFEQTTLDDTNVFVSDGKLIIKPTLQNAELIEANNV
INLTKEGVCSSDIIKNCVAQTNLTTGSIVPPVLSGRINTKKGATIRYGRVEVTAKLPEGDWLWPAIWMLPVNATYGPWPLSGEIDIAESRGNNHTYA
QGGNNIVSSALHWGPDPANDAWWRTNVKRGALHTTYSKTEHTFGLEWSQKYLFTYVNTRLLQVTYTNFNKPLWERGGFPLADSNNTRFHDVWSDTGR
HQTPFDQEFYLIINVAVGGTNGWFEDGKSGKPWLDGSQTARLDFWRQRNQWLPTWQKPGAGQMEISKVEMWRQCDGNEDSS

>RCO7_11490 | uncharacterized protein
MGLGSYFKAEKPEPPVSAVMTEKPPSSSSPQNSINMALQPPQSRFGSARNSISNRSTQSSTFLDDIKHEVMVNYLYQQQCSHLWVSDGSGEIEGVLL
RKSKNTYMACPPQLGNSAFASACAALNVQCAMTVNSRVIKTFLQWSPDAVDVPLLNGLRIQILPTIEDLPRARKHQFAAFVASEALLIVWDDDALHL
VDRAKLIESELMELVWKNGPSDDDGEKRGPNLAVHEIDEESGEIIPEKRALHLQNTVLVALTLILVITFLGAGARQLAIEVEVDGGYTRLTLLALTP
VQVFFTLFFSQVIMGCLAQLFGPVRQMTQNSKFYSARAPPRIQSPALPHITIQCPVYKEGLSSVIAPTVKSIKQAISTYELQGGSANMFINDDGLQI
IDEEERRARIEFYADHSIGWTARPMHGDNFIRKGKFKKASNMNFGLHISCMVEEKLTRIQRPQDWNQADEAQAYERCLKEALEDNGRAWADGNIRVG
DYILLIDSDTRVPSDCLLDACSEMEQSPEVGIMQFSSGVMQVVNTYFENGITFFTNLIYTAIRYTVANGDVAPFVGHNAILRWSAIQQVSYEDEDGY
EKFWSESHVSEDFDMSLRLQCSGYTIRLAAWAGDGFKEGVSLTVYDELARWEKYAYGCNELLFHPIRKWLWKGPFTPLFRRFLFSNIRFTSKITIIS
YIGTYYAIGAAWIMTTANYFAIGWFNGYLDKYYVDSWKVWFSIIIVFNGLGNIALAVMRYRIGERSLGYALFENFKWTLMLAIFLGGLSLHVSQALL
AHMFEIDMTWGATSKEAEFSNFFIEVPKVLKKFKFSMAFSIIGIAGMIILAVGKSFIPYDWMITDFVAILPMATITASHLLLPLALNPALMTFSW
>RCO7_09141 | uncharacterized protein
MRARSWRTLVVVAVGLFAGVEAQTVTLKDLGSLLADQKNLTTFQSLIKKYPDILLKLPSQSGVTVCAHLSSAVRILAPNNDAFDKIPYTRLNSAFAN
NDQNTIISILSYHILQGRLTASQLIPGTPVFLPTLLNDPSWSNVTGGQNLENVKQAGDVVVFVSGQGSRSTLVQADLPFSGGIVQVIESLLIPPTNL
TETTTAFNLTSYQGSLYASELISNLTDTPNYTIFAPNNEAFQALGPAISSLTVEALSSVLNFHVLPNQVTFSTALRNGTTWKTKQGNKITVRHSGNN
VYIDSAQLLTTDILLANGVLHVIDNVLNPSGAGVPNPDLPTQLPGFPSASKASDLPFTTAIPCTVSCPVTETSASSGMTSTAGVVPTSTKTSAFATS
SSKAVGVPMAKETGSGKLGLMVALGGAVMLI
>RCO7_09140 | related to stress response protein rds1p
MKYAFSIAALAAAASAGPVITQRQAAQGVTDVGILNYALTLEHLEDKFYREGLANYTQADFAAAGFDETFYNNLKEISFDEKTHVSFLSGALKDAAV
AECTYDFPSTDPKSFVALASVLEGVGVSAYLGAAASIMNKDYLTAAGSILTVEARHSAYIRSSLKESPFPQPFDAPLTFDEVYTLAAGFIVSCPDSN
AAKPQLPLKAFPTVTVGTTGPIKSGDTIELLTPEYTLAPKDGQAPIYAAFVSVTGPIYTDVTPMKGGFKVVVPKGINGQNYVVLTGCKDRVTDDTVA
AGPAIVEITNPYPSS
>RCO7_09139 | uncharacterized protein
MSSRHSKRSHGASSSSRGSRRTTHQSTAQLIESLNTHRVNTLTELCRIERVAASASEEDQLAFQEPMTSSWTYHVTSNNLLNELRGLTRNYTFSSEC
LDDAKWKVSNDPESNRSWNYAWLVLIKIRDEQLIETYAASEAAKPEMWGGRIPDTEEASQLAACFAWEWNGAIDQMLRHWDVPPTTTGY
>RCO7_09138 | uncharacterized protein
MNPPGEIEKRRTFWNPTIFALPYWADNQYIIVSMVAATGVAYRRNVVCEASICHPRTKHSTTSRERLCTEEDLQVLGPNGGLRCVTTPIEVDVPPTP
AERCSGPEQTLADIPGFHDPRLFYSGRGEPILMVVSQSRYSCIGLWAIDLRVIYPAIDATFSSSPRRLGPGPLMSYPTLTELTRNPASTRQSYEKNW
VLFFPSPSTSYLQYELDSTTRTFAQLIGGGLTTQNLTDRLEEPCLSNQHNETETDVFTMNSTWHQATPALKLVLCVRSNTSCNADNFSTVFFAGIQR
KHNNGFGLPLWYERYFVIWSATFPFSMLAVSQHPMLMANETNRGWKTDEIWDDVPGANDEKREAWGEFTYTTTIAYAYGRAESDIREKGTGYLDDEV
ILSVGIDDRDGLYGKVLVTDLLQCLRICPGRL
>RCO7_09137 | uncharacterized protein
MVYHSSYSTPDSTPLAPEVVEVTTPWSDISVEDLRPKIKFNQNTLKIRRFGCGSYKTRFRGWGRAMWLSWFVIAAIWWAFSQRSDGHYLIEKQTFFD
LSTLDGLKYIDATHPYIRYVGRWLATADQTHKDGSFPGVYFDFTLNGSSTVLISLHNSDHQDQSPAKVFRSSSSALPFLPLTNSSRAAPISLLVRID
DEEYIVLPNATSLVSICPGNLNPLLRHEIRIIAPMVGNDAVETLQIEGIWINEGGQLLPHPGSPNPGDRFKQQTKTSAPRRMVEIVTDLPGSTASKE
KSKNTGTARSIMNGVLGWEYLLGEMFGSDHVTIGNEGMCLIPDCIGDRGSPAGLADVFFQWFGPLPRVKDHN
>RCO7_09136 | related to tetracycline resistance protein (probable transport protein)
MAAKRAVMDRRKSSTPQYQTFPTPPPKSRGRPPLSPSTSSAGFDGNNDYRTNGGGADTEHHNSPLPKKQLAILAIIALAEQTALNSISPYLPEMTST
FPEVDVGQIGLYVGTIASSFALAQFATGYFWGWLSDRIGRKPVVMLGTTLTAGCFVVFGFCRTLWQAVVVQMLMGLVNGNQGVISTCLGEITDRSNQ
SKAFVYLPVIYGLGGITGPAVGGLLVRKGEGIPYPYLWPNLFSAAILLVDLVLTGFFLEESLEEAKDMPPLKERMGNLFSWLWQFTGASHRPTYLRA
HVGHRHRTRLDGAEDEDSQTDNESETQSLLSMRGFFANNDTHLTIKEVLNRDTVLLLGTYLVFQLSNISYNSLYPIFASSPQPTGRNLSPEEIGLSL
SFAGIVTIVFQVGIFGKLKEKMGNRATYRAGLFLFFVSMLLMPWVGYKDSNPLFGFGSGKVWLWVELGLVLLVKTVASVGGLTSALLLITNSAPNHA
VLGTLNGLAQTLSAAGRAAGPFLSGGLFSIATRVHPKGEALAWGVFGGIAFLGFVASFGIRGKDLESAEWSESEESESEDVEEEGEGENGRGSPASG
MDAGIGR
>RCO7_09135 | uncharacterized protein
MLDKSVWDQEVPVPLSAISFVDDGILKKLPPGTTITGISPSGASYWARTAKIEAKNSRGEEDSYFLKVHQGASGKTMVPSEFQSMGVLYNVIPEMVA
RPVGWGSYESVPDTHFFVCEFHELSEDVPDVADFPALEAEMHKRGVSPDGKFGFSLETFGGNNPQMFPAMVEKVIPRLLRPLETEGRTVVPRLVHGD
LWDGNASVDVSTGSPLIFDATPLYAHNEYELGPWRGARHKMTRAYVEEHMKHFQVSEPAVEFNDRGELYCLRFDMHASSLYPGNLRFRGIVKDTMHK
LLDKYGEGYEGYAERHGLVAA
>RCO7_09134 | uncharacterized protein
MSFDKRPEDPATAEKLVLPLARTSIPYTTLSVRYRWYLTYLLGYLCLASSLTANIYFPLITLLAAHYLTSVQSINLTITLYILIQGIAPSIFSPLSN
SFCRRPVYIFSFAIYTAASIGLAFSGDSYIALLLLRALQSMGGSAPLSLAYAVVADYARHSERVRFLGPMMTATNVGPSIGPVIRGGAILATGDPRW
AFWSLVIFGGSALTLITFTMRETNRSIVGNGAVHPLGIWRTRSDILMAKHVSQNKDVTQDEPHPRDDAQTQQRGNPTEKDVEKVARPALAETGEDAN
HGHDINHGKTGRGVLTVPNPFKCLRILLYKDAFTVLYLAASPYASWYTITTSIPMIYGVEYGYNDLIIGCCYLAGGTGILAGGFIAGHLMDWNYKHA
AKEAGLLIDQVAGDDIRSFPIERARSRGSYTIISVSALGFIGYGWAIQRHVHPAVPLVLQVYLGCKSTVIHQVYSALLVDIFPDSPGTAGASNNICR
CVVSAVAVAVLKPVVDAIGRSWFFTLIGLLDGFGSVVAIYVLRRWGPIWREERLSRELSR
>RCO7_09133 | probable alpha-1,2-mannosidase family protein
MTGKRQLFLIFAIIGLVHSQVKNSTSSSYDVLDYVDQLIGSSNGGNIFPGATIPYGMAKAVADTDSQSNQGGFTTDNSNVTGFSSMHDSGTGGQPSL
GNFALFPYASCEGDDVNGCNYPKKSRKTKFVNSTLKASPGYFGLQLVSGVQVDMTAAHHTSLFRFKFPASNQTGNSSSPLILMDLTDLSDSRQDNGT
VAVDGTTGRMTGNARFLPSFGSGNYVAYFCADFSGATIRDSGIFVNSRASADVKNLTISRTINNYPLPGGSFVRFRSPGNNGILARVGVSLISSEQA
CSSAEKEIPSFDFAATQKAAEDMWREKINPIQVSTVGVNSSTLTNFYSGIYRTFVNPQDYTGENPLWESDEPYFDSFYCIWDLFRSQMPFLTIVDPS
TVARQIRSLIDTYRHEGWLPDCRMSLCKGYTQGGSNADNVLADAYLKGISDDVDWETGYEAVVKDAEVEPFDWCCEGRGGLDSWKSLGYIPVQDFDY
KGFGTMTRSLSRTLEYSYNDFVITKIAAGIGGKEDDIEKYTKRSGNWKNLFKADQTSFINGTNTGFEGFFQPRYLNKTFGLQDPLTCSNIDPNPGSI
CSLQNTAGETFESSIWEYSFFVPHDQATLITTFGGPAAFVERLDYLHDKGITYIGNEPAFLTVFQYHYAGRPGLSAKRSHFYVPTFFQPTNDGLPGN
DDSGAMGSFVAFTMIGLFPNPGQDVYLIIPPYFESVSITSPATNNTATIRNINFDASYKNIYIQSATLDGEPYTKNWIEHSFFTEGKELVLTLGPTE

SAWGTRVEDLPPSLGTYEGFGNFSANSTAGKGGKRAVGYAAADLIPEPGVNNGVSY
>RCO7_09132 | uncharacterized protein
MPTITQPSPVHFGPRNPCRIPSCPLNEAAIIHGKGIYKHNGETVNRSLQPLVFGDSNPPDFIWKANLAHEEAMAKIKRGLDVKVNWAVAIEMASLVE
RFCELHAA
>RCO7_09131 | uncharacterized protein
MAVKLSPRISLGPTPFGHRNWISFTGGTWSGSWGSGIALPGGQDSQLIIGDGSAHLQTNYILQTYDEPPAHIVVKTHGWRTGPPEVLAQLANPDTAD
AVDPNSYKFRLFIDMETGDERYRDKVNCGMWVGSGMRKGAEVIYDAYRVS
>RCO7_09130 | related to monooxigenase
MAPDISQLGTNGFMGSVADSDIYKIPDITFRAPENRKMRVLTIGAGVSGIMMAYKIQKHCQNVEHVIYEKNEDIGGTWFENRYPGAACDIPSHAYTF
NFALNPDWPRFNSRSPDIWKYLDKVCEVFGLRKYMTFNTTVIGCYWQEEEGKWIVKLRQTRPGSAPREFEEKCDLLLHATGILNNFKWPGIDGLENF
KGKVVHTAAWPKDYQEEQWKNESVAIIGSGASSIQTLPNMQPFVKHIDVYVRTAVWFVSVAGNNGVGPPYTDEERNEFRANTKELVKHAKYLEGEIN
GMWELFFSKSEGQKEAKKVFAARMAEHIKDERLLKGFTPTFDVGCRRFTPGDPYMKAIQEPNVDVHFAEVTKITGDSVIDSDGNAKKVDTIVCATGF
DVSYRPRFPVVGQNGVDLADKWKICPEAYLGLTVPDMPNFITFIGPTWPVENGSVMGPLNYVGDYAVKFIKKMQAEAIKSITPKQDITDAFNAHTQE
FIKSTVWSSNCRAWYRNNETGRVNAVFPGSSLHYCQVIEEPRYEDYHITYQNKHNPWAYLGLGFTYEDRNKDKEGVDLTPYLSEEAIDPKWMEEVIK
KGALVVDRKVDISA
>RCO7_09129 | uncharacterized protein
MPPTSSTRHKRARRYRHNDDQISSQLPVDLPFPYLKPFDLFSPKLQKLKDSLRTARKNMRDLEIQDANTRHQLAEDLDSLFPGSESSLHQHNELAMS
HHQWYRDLRNMYQQRIRKLEIDIAKESNYANWRKWSSAEFLLRWQSGNMNYSIFKNPEATSLVRTAFELEVGLELPEEKVIALVSAQVAAGWYSTPL
ESVDWLPRKTTRDYVDRDWPGDDESTRSVYVSGHSLRNTFIPENKQIQCVDKATTLREKSPSAWKRRLTRAARDEQAVRTFYKTEHPAWQRFDPTPS
YDQIPRSNRAWVEKYPLKEYSDGEIEDIIQKANCPEKPMKWVNMIAGRTSTRMVIADEYVE
>RCO7_09128 | related to stress responsive A/B barrel domain protein
MASNTVRVTMFKLPSKEDQQKLLGLYKTLSGTARKDNKPYIVSLQAGPAHDDVRSQGYTLIAKSEFKTLEDMKFYDESCEAHGVLKAGAKRLGVEGV
MTVYFNPEVEAGV
>RCO7_09127 | uncharacterized protein
MQNSIPPSTIKTRTISMLGALLEDHTVVTNIHPNEEETVIAKSYSSQMGSKGANTSIAVLRLSRTKPEPSLIKTSDRTDPLQYRSQPLEGGMTPHFL
IAQLEIQREAVVQAIYPIMNETEANIFSEAQDEAMRNDNDSKDTTAYFHDLGVPNVVITLGEKGAYYSRNSAESGSAAAETDCEVIDTSGAGDTFVG
ADFVSYLAQTREGR
>RCO7_09126 | probable hydrolase related to dienelactone hydrolase
MAQHGHSAACCSIPPIVSKGYQDKGKYETIGGLKTYVTGPKDASKALLFIYDIFGYFPQAIQGADILATSDKDNQYQVFMPDWFQGKPADISWYPPN
TEEKGKALGNFFQTTGAPPATAKRVPEILKAIEAANPSIKTWGVVGFCWGGKIVSITTSSSSTPFKAGAECHPAMVDPSEAEGIKIPLCMLASKDEP
KEDVEKFEKNLKGEKHVELFGDQIHGWMAARADLEDSRVRAEYERGYKTLLEFFAKHLKEGDSKL
>RCO7_09125 | uncharacterized protein
MNRSRSDYLREAAEATPLPLSRSKFKREEKAASLIESDADPEGMTTNTHNSLVTGLGINFYDNKGDSRRSVLDLSPPTQSEHRERTREGEDAEAEAD
IDAEKETRIGSEARTRTITRSPTHGRGTPRAQYLQADLPYLSPFFSKSPLSLPNTTRSISQQLPSPEFELRTPKLLTPLHDPDWDHDSPLDLIEKYL
EHNYREQAESFVRIASRETPARTLSASTPGSPGSRSRLSSSPSAHEVSPSSEPGELLFGLGIASKVDTPSPPSPVEIASPNSDNETFSQLTIFNKED
EYESPILRSISTNLRLPGTQASTAILRRRASTSSSSSSSNPARQPPSRVQQVCEIYNQRNASNTSSSGFSPLISVSSKPTIVRTPTNTASRLHTSGT
IRVPFHSKPTIIKRNSRPSATPRSASTPSPRQPAPRGPEYFTREERHQIARLVHATARNCERHTNCKDCIDLEYAYYENKFLPRNMDPEQRQKIINN
NRSLRNIKNELESLAEHGAISDDAYETIMSALPAESSLGGSARSNPTPVQAQAVAPAPAPTSAFNNMSLNEAPPPAYTNPSGPPSLPTRAPSAPLIK
PEIARATALYRYTEPDDCTFEPGDQIAVHEYMNNDWWLGRNLRTGKEGVFPVNYVQVLQPQGPPNSHGAYSNEKASYSAYQVQQQNQGPPPPGPSNP
YNSSVPPMAVAEEPSKPGKGGEMGKKFGKKLGNAAIFGAGATIGGNIVNSIF
>RCO7_09124 | uncharacterized protein
MKYSLAAIAFAAEAVIAFPFVSQQAGVDSSLFARQQSGGSNPGGPVTCPFNPNHVPAPGIKAPYLYNNAKNGQKGNEKGGYKVPADGDDAHKFIAPT
KNDIRGPCPGLNAAANHGFLARDGITTFNELVDAQQNLYNVGHDLSVLLALLGLTTTDGDIVTERLSIGCDATSRTSFNPLLTGSQPGLDGHNKFEA
DSSLTRNDFFPTGDNYKFNGTLFKMMTETTGGLYNRDNLAKYRYERYQQSLKDNKNFYFGPFSLLLYGASSFLYELMPSGPDYIPDKATISSFFGAQ
DNGDGTYSFNNQEKIPDNWYNRVKPYSNADVVNEILAQYLEYPVLFGGATGNGGFDTLDFSGGIKNGKLIAVPDVSTTLCLLYQLATERVPSSLNSI
LTPTVQTLSFVLSKLGPQLKNLGCPIPLT
>RCO7_09123 | uncharacterized protein
MRAPRSSSGRGRFRWRCGFLVVDDLGGWLGFPWLSCDLTNDARGESISAAKALYHGVIVQQSLYKSHFVYRCTNWKPPT
>RCO7_00336 | probable alternative NADH-dehydrogenase NDH2
MKLPASSIGFGAASRRSFATSPRAITRAQPTSQILLERSKLNQNSRRAYADIAPVVKRRKRFPLFKTVWRLTYLSAIAGTAYLAYGVYDLRHPDDQF
EPDPNKKNLVILGTGWGAVSLLKKLDTENYNVIVISPRNYFLFTPLLPSCTTGTVEHRSIMEPIRSITRHKKAAVKFYEAEATKIDSENKVIYIDDN
SDIKGSSSKTEVSYDMLVVSVGAENATFGIPGVREHSCFLKEIGDAQAIRKKIMDCVETATFKGQSPEEVERLLHMVVVGGGPTGVEFAGELQDFFD
QDIKKWIPEISDKFKVTLIEALPNVLPMFSKQLIEYTESTFKEEKITIMTKTAVKKVTETTVEAEATGPDGKKTTQVLPYGLLVWATGNAVRPVVRD
LMSSIPAQKDSRRGLAVNEYLVVQGTKDIWATGDCAVAGYAPTAQVASQEGAFLARLFNTMAKSEAIETQIHDLSSALNIQPGNTAEIAKQIELHEK
QLRRIKDIKPFHYTHQGSLAYIGSERAVADVSWLNGNFATGGGLTYLFWRSAYLSMCFSTRNRVLVVLDWLKSKAFGRDVSRE
>RCO7_00337 | uncharacterized protein
MAPPFFQEIDHADLRRAVSERPIDQSKIVVSDDMDHGNDEREGWENQKNGDGRPLLQETHTPLLQPQIVSTMTIPGGESDPTTMMVVATVTAAPLVS
TRWMTTQVTVTPSIPASSLVTSTVPSNPVLSTMSPATPLPPAPTLPPWASRPDEMPRKGVEEVWQSTGANLMMTATGTTTVWTSVVVPQTVKASPSP
SVPALPESGQRTAEQQKGSQGGLSESAEHLLIAIGAIGAFVMVVSIIYFVHALRRGAFSSTRRGKFSREGFRGWYGWRKEDAAYRRNESPNYDGQDY
SSAEKAMFNQQYIERQNVANYSPRVMPKYGNIASVEAVSNANSQRLEAKPQILVDTSISFVSRSNHTSPVAQTGAGTATQAFYKIKPQNDLLSQATT
NAYSNNGSQIVPGSFIADYNNTAKNTQLTPNNSLSQDNLGNFDTNPKAANHMSYMSSLSSGFGDGLIMPEPTVNGGVARQTYRQSRNPGVSRFSWST
TTASTPGRRGDRDTVYTTTSEDSTPRFRTVNSWVAHQADRAEGSEQSRVPSMPPLPTSLLQTSGSSSSHYRKPSEDPAFQHHPGDEIEIGKGARVPS
VILDTKTYVN
>RCO7_00338 | uncharacterized protein

MLDENLPTFYIKPSSDNPSSSTIFLSENGSELQPEYTLRRPEPNLPASKNCYAVGLYDSYNPEVLFAEVLVRPEWQQPTLSAAEVRAQNGVPPPPVP
IVPNAFTVQLYNPDQQVAVKQIASTWNSSAYWEFEMPQSTFRVPSASSLDRSRNDPAVSDITPKIAFKWKRDGKLTKDISCFLAGKSTDGRKNKEPD
IVVAMFKGGNLTIYQPNMHRVDVEDVKGLEVILLLGATVIKDIFFNANREMFNISSPNVGPPATNTRRKNSAVIPGKPNSTPPLMSGAVMNSQPQRH
NNIPASQIPPQPPRQQQQNSRPPPADPRTQWEIDAETERLKRIVQEEEKARERADREEQKRIKRMLEQEEREARRRDAEVTKETERLRKQYGVTAVD
PGPRVQFAPSMPIRPQQSLPQYQSAPHSRPVPVPRPQSTPSGPPPALVNNGNGSGCVLLGAAASALRPHINSPYLQAHGKSTASSSGFFGLGGKKMQ
KKRSVFF

>RCO7_00339 | related to cell division control protein CDC4
MTTQQNFISEGSPSPLPSNSQYPQRPADGQQPRRRNQTVSVGWVEGDDINHRSSRLQIELAECVETKTVTTTTTTKRSYPPLLVQQQPLEQLNAKEY
PLAMKPPPAELMKFSYEIEGGLAVDEHDEIQEDPEMPSCSHINSMNELQEYPHGRPFTKSPVHQEEHQCATQCAKTLGQELSSALAKRNTSRLRENS
PSSPSHIGRRKPYKHTTQKPESQEPRPSIAGRRRYHGLGVQLSQGVAFPATPDMSEHDVSIDRSQSSFFESAFTPQSGLSQIDSFDDVHQNPAEALE
DGPFESTVATPPVAESDLELSVEASSTNAHGSAQRPTLNTAAAQNASLPSPGLSPTFASAELHQTQFPGSHTSEAGELAASSDTQSGDCVEADETEI
SDLSNAQALSLFRSEAGELSQLEDIRTTSIMDAQSMLHTFDAMPSDMQTLMMYQLLRRCSRKTLHVIANVVNPALKCDFLDQLPMELSLHILGFLNH
RDLCRAAQVSKRWRDLIDTNETGWKELFDLDGFVIPVGELDKAIHQGWGWQDPVGPDGFEQDLSVDSSPAGELSIATFSKTEAPCLPRKGRSATKRK
RTAGGSALDRSKRRAIAHEFADKAEGMLSKYPFSVKFHKSEGPISAASAAALAVPDPELSLPGIRKLHLFKSLYRRHYMLHNSWMDGKVAPHHFAFP
AHPAHVITCLQFDDDKILTGSDDTLIHVYDTKTGVLRKKLAGHEGGVWALQYEGNVLVSGSTDRSVRVWDIEKGLCTQVFHGHTSTVRCLQILMPEM
IGKASNGKLLMVPEKPLIITGSRDSQLRVWRLPEQGAKRFIQNGPPANDADCPYFVRTLTGHLHSVRAIAARQDTLVSGSYDHTVRVWKISTGETVH
RLQGHTTKVYSVVLDHKRNRCISGSMDTFVKIWSLDTGACLFTLEGHSSLVGLLDLRDELLVSAAADSTLRIWDPETGNCKSSLSAHTGAITCFQHD
GQKVISGSDRTLKLWNIKSGEVVKDLLTDLSGVWQVKFDERRCVAAVQRDNLTYVEVLDFGASRDGIPASQRGARRLLPNSEDLSSVGEDDARF

>RCO7_00340 | uncharacterized protein
MAIIWGLDLREIQWRKFKGSHMFSPIYHLQKTKMIVYQIAMILCVCSESVGTASLSDYVDQQDGISRRSGGRARIHNNDIVGIFSYNIFVGIAVATI
FGSGFFFDLFWPERRESLSVKWAWKISSVVVSIMALADALALTVIVATHSAHISGVSPEEAAVWFQSNPKPDRVYRHYSYNVGSVVLLWPGVVASFA
STYIMWKSIQHNDIHGPKAAAYRMENAKEDSNDAADEAPIPMTAPARASTPSQPYPGT

>RCO7_00341 | related to protein tyrosine phosphatase-like protein (putative anti-phosphatase); pepino protein; pasticcino protein pas2
MASKDQISAGRKPGPKPLQSSSPKTQYLILYNFVNTVLWLTVLGRVIMLVPLVGFGRVYPGVGNFLKWTQSLALLEVVHAATGLVRAPVGTTAMQVA
SRLLLVWGVVDTFPYLAKSAGYSSMLIAWSVTEVVRYSYFVFTLSGYSPGFISWLRYNLFFVLYPLGISSECWLIYKATEPAKKIRMELGWLLQLIL
FVYVPGSYVLFTHMMAQRRKVMKGKRVQKAE

>RCO7_00342 | uncharacterized protein
MVGTKTVLHIVEILGVFFCAHHLWPKGVTPVEQKVVLVTTTLSTEDEARDLISGRPSIRNDRGNTMKSTKNDHGPGITASTRNGRGITTKNMRRGLD
KQGRRARGIEALKGIGSRYYE

>RCO7_00343 | uncharacterized protein
MEISHPRRILAVSRTDSGLLDLVQGLTGSAPALTTDTVAGTTHNWPLKTDYYTATIPIWLDEISDASVWSADFLAPEAKEVLTVLGAFIVCFRKPID
EKALKEVKHLLENVAEVVKEGCGLMWDGVCLAVGMPQSTTPYLEKSFDEWEELCQEYGFEFVDFESKGRNQYSEPMGLERLKEALEANDWEGNDELG
DAIDLEALEKDSDEEGSVGFGLDAADKAEIEKEMRGMKQDIYGSGNTEGEEEPADDKDVEDLQALMLKMQAVRDLGADMPEAERKRFAAKAVSDIMK
KL

>RCO7_00344 | probable small nuclear ribonucleoprotein SM D3
MTSTIGIPIKLLNEAQGHVVTLEITSGQVYRGKLLEAEDNMNVQLKDITVTARDGRVSHLDQVYIRGSHVRFFIVPDMLRNAPMFRSRGVKGRGVGL
ARGRATVSRARASGRGAPRAG

>RCO7_00345 | related to Phosphatidylglycerophosphatase GEP4, mitochondrial
MDMNAFNVSATLNIFRLIGKPTLCLPHATISTFNQLPIPLNSAFGKYKNVDIRAVVLDKDNCFAIPHSNTIHGPYEDKFKRLREAYPGRRLLIVSNT
SGASSIDPNGTLADSVTQATGVTVLPHSTKKPGCGPEIMEYFRQHPETGVTRPEHIAVVGDRLTTDVMMANMMGSYAVWVKNGVVPMEETSVFARLE
QRFGNFLLNRGYEAPDPSSPFEK

>RCO7_00346 | uncharacterized protein
MAPVFKDLLAGISNSHFSTAYELTRPFFDTSNLFDIDSYRGGVNEISPAHSHTHTQTTTCIEAARFIPSASISGYWRLFCFLLACSVGYRIWIILSA
RKIGGDGRGGNDHRQKRVGGEEASGALLLGACSGGDGEGGGGGGAQTVGERCCAWYKASASDI

>RCO7_00347 | probable homeoprotein
MDLTPEDHKNMWVMSEISDMSQEDSAIKMSSTPSPSASNSASSTSASRRPPRKSTLTQQQKNQKRQRATQDQLVTLEVEFNKNPTPTATVRERIAED
INMTERSVQIWFQNRRAKIKLLAKKSIETGEDCDAIPEAMRQYLAIQAMESGKSLGGNFLGRSGLMPYGGGSLIMGGDQGPQGKVVIHHLSCRSLSI
GSWRRVGQSAMDLIIFYSPEKGCMTYYINNDQAGYKIEYPFAFIKNVYLENGDMDSGKPGGLVVELNRPPNFFMDSSGSGGFFQCGDFTEDQQASQQ
MIHHLGGHPKVLSGQLAKLVSLESFMTRHNPFEQQQMSVSAPVSPIGMRPSSQPNYNGQAHVGMFQEGWGVNVNPGPRGGPGHKRQRSRSVPMAVDF
SMFNNPMPSFLIQHPGESQQHNPNIFAPIPQQPNNLGPVGPNLRIDTSSGYGMDFRQYPMSAATTTSPSDFASPGFFSQGPDTGTLPASSYNNTPFS
VPYLSPNPMADHSGHMIQPSVSPLSFMSPGDPAIVDQSPPMSMMHRSASADVYNMSHDHSNISEDGTGLNEMYSKHTLNLPMHSHSPAFIEQSQADM
DMNQLVSFDEPHASLSPEHISH

>RCO7_00348 | related to P-type ATPase
MEDNLGGGGSRPPNGTRRLATDPANTSTGPMESRSSQDAHRVRFSHDVERGTTGASTSATEQRPATPNLTIDTQSQPQRPAEAPRPAGTNFMNRAPN
SASPISPKTRDRGYSLRRSLFARAISSRPEDSPIELVEGSPSQGADGDARRLEEGKGSQRPSSAVAPIMEEEGTVTSSVSTAGIYTDSLPSNGKERT
FGNLNLPNYDVWARKRVRENKILQRAKAWKDKVTMIILRQTPIPPSKDGRHIDLDASRTRPPIDERTGTDHIDNSIRSSRYTVWNFLPRQLFFQFSK
LANAYFLLVSILQMIPGFSTTGTYTTIAPLLVFVAISMGKEGYDDYRRYKLDKVENNRETLVLHSFRPAQEVGSRDFGEKLKSIVPTKGRMKLSSNE
IPRDEDLQDSRHWVTVKWRDIKVGDIIKLYRDDPIPADVVLLHADGPNGIAYIETMALDGETNLKSKQAPPPLAKRCGSEEAIAACRAHIVVEDPNI
DLYNFDGRVTVDGETLPLTTNEVIFRGSTLRNTATATAMVINTGEDCKIRMNANKNPRTKAPAIQYFTNKIVILLVVFVVLLALFCTIAYQIWSNQT
ESDAWYLDGLKVPFAHIIVGFIILYNTLIPLSLYVSLEIIKVGQLVLMGDVEMYDPISDTPMTCNTTTILENLGQVNYIFSDKTGTLTDNIMKFRKL
SVAGYAWLHDFDLQEEAAKLEESRESDKNREADKSEKGKGKEIMMSAFKKKKPIRPDNVRRESVMSSSIVRPSGSIRRSGSISLWKSSARPSKAQPE
MRTEDLLNFMQHRPHSVFTKKAKFFLLSLALCHTCLPEVQENGDIEFQAASPDELALVKAAQELGYLVIDRPAKSITLSYPGPGGPNSGEQVTETYD
VLDIIEFSSKRKRMSIVVRFPNGRICLFCKGADSAIMPRLKLAPMALQKKTEVSKRTSRRKSLEAEEALRRMSESSPRNSLSFNRPSMSGNRKSIGG

RPSMASGRLQPIRDELGSWLTRQETEVESVSDDWGAYSPRASMARPSFASGDRRFSTMSGYSAMGRNLDDMIDEGIVLDDSAVFERCFQHIDDFASE
GLRTLLYGCRFLDDQEYDGWRKVYVDATTSLVDRQILIEKAGEMIEQNFDLVGATAIEDKLQKGVPETIDKLRRANIKIWMLTGDKRETAINIGHSA
RICKNYSTIVILDHTSGDIEQLMASTILEVSKGAIAHSVIVVDGQTLSEIDNNETMALLFFDLVVLVDSVICCRASPSQKASLVKRVRTKVTKSLTL
AIGDGANDIAMILDAHVGIGISGKEGLQAARIADYSIAQFRFLQRLLLVHGRWNYVRTAKYILATFWKELLFYMLQAFYQKWAGYTGTSLFESTSLT
VFNTLFTSLPVIFLGIFEQDLNASTLLAVPELYVSGQRNASFNFKIYLAWMFMAASESVIIYFLMFGLFGEAIFTRDDNLLAMGTLAFSASVIFIST
KLLYVTISLSLSILSQTPMAKSVSKLPSLTSPSSLIEMHNKTIISFLGWIISVGGWFFWTLLLSLVFAPGKTYPLYSIKDGFLKGYGRNLLWWLVLL
ITLATLTLLELGISSVRKAFWPTDVDLFQELQRDPLVRERFEQVLNQGEDGAGGAHPGPGIDAGSGPAGHQQRLNSEEEAKNREVEIQELLQKRGME
DEQNDVLKSGVDVHDVGTAGLQQQFLTRMKISLDPTVGLGNGNGNGAGNGAASASGSGK

>RCO7_00349 | related to stress-regulated co-chaperone

MLHNPNNWHWVNKDASGWTKQYLEKSIKGIKADENGVTAQLDKLISMDGDVDVNQRKGKVITIFDVKLVLEYSGKTKDDEDVSGTITIPEIAHDTEE
NEYVFELDIYSDANSKAPVKDLVRSKILPQLRKEFAKLGPALIAEHGKDIQHAPGSHPSSGVSTPKLHVPSAPASSTTSKTTKANTAVNTTTVTDTE
EFRAPASELYQTFTDSQRIAAFTRAAPKLFEGAKKGGKFELFGGNVAGEYLELVEPTKIVQSWRLDQWPKEHFSRLEINFDQNDVDNVTVMRVSWSG
VPVGQEEVTKRNWREYYVRSIKQTFGFGTIL

>RCO7_00350 | related to pH-response regulator protein palH/RIM21

MEMEVRQIINIARPSRTSTATSTPHCTPFTLPSNGVLKLAVDNIITLTSDAVFQPECTGNSGTVLVGEGSPNWTDFRDPFYASTIPECYALAAATVI
AYMLVIMLFITPRTFLREGAVVLGRRGFTNGPSASDAGIGIGGRPWLQKVAALTVAISLTIATADTFRVAEAQYHVGYMDAAALQSEVEDGLELKII
RVISDTFLWLAQAQTLIRLFPRQREKVIIKWTAFALISLDVLFSILNNFVYNGNSRPRSFVDAIPALAYLFQLALSLLYAAWVLYYAITKKQFAFYH
AQMKNMCLVSLLSLVSVLIPVVFFVLDISQPSLAGWGDYVRWVGAAAASVVVWEWVERIEALERDDKKDGILGREVFDGDEMLDANSSSHDHRKRNN
GNDDDGDRDGGGGAITSSNGRSWPSVAGLAHRYRPRAKQDVETGRSRANGTTRNRKGPRPRPPLWPTRPPPTATPISRTDSASAESTVYAIRYHPIS
DSTPSARENTRESVPPTELSRHNSAELVRAPSIRRDSGDDLEKKSIIERMEDGYGTEPPPPPKTTAWDAFAKVNPFRKRGKEPPPQVSAHTAKTQET
ANAHSLNGVWDVRARIEDFAVTQAERLREKNRGNAATGPMPVTVIPAPPRRRDLAVTLEEIEEAERREQQPRTQQQQLAERTIPERSISVATRTTAP
TDEGESSRQSQQQRSSDPYRPDNLNGHAIHQRGAISFVTAIPQDRDATEHPHSSSSHNETQRVTPLSLIASTRSSPNLPRSPSSLRRSDGMPVTSIP
APPRRPRSPDEDD

>RCO7_00351 | related to vacuolar membrane protein HMT1 (heavy metal tolerance protein)

MANEEVILRANSVIINNGTSSSTTKLLDVLHFNYAWILFAVFLIAFVANTILTAEPPAVAIGPVQLGPGGKPLPSSSARKIKEELERKRKGREFSHA
KKWLFFYLSAALLATFLANGINIVAHALTKSENGWWCGEPMAIYVCASAFFYSVFLISLVDTTPSPNLSHQIIWCLSTILEIILLGATLALYTAPHK
EINSVHKGVGGKVYRTPTNWELAELVINVARVIVLLALSGFYIVFSIERLRKIRGTFQGNSEERAPLLVNGQANSNNNVSGNGSITNGLIAEPENGS
VDGNPTAAQKKLDENPAFYKPTTAPNRTWWEYIYGYSLFFPYLWPSRSTKLQIVVVVCFLLVVLQRVVNILVPTQLGHLTDQLADQENNPGMPWLTI
SILIGLKFLQGTSGILGAIRSVLWIPISQYSYQALTTASFEHVHSLSLDFHLGKRTGEVLSALSKGNAINNFLEQITFQVLPMIFDLGIAIVYFAIY
VDAYHALVVGIITFAYLYLTVRMARWRSVQRRQMTNLSREEDAVKNDSLTSYETVKYFNAEDYEFNRYRKAVIAFQKMEYQVTISLNVLNISQNMVF
MTGLLVTSFLSAYQVTTGVRKAGDFVILLTYMAQLQQPLNFFGSFYRSVQNAMISGERLLELFKEQPTVVDEEGSKPMPSCSGQIRFEDVKFSYDQR
KPALEGLSFTCQPGTTTAFVGESGGGKSTVFRLLFRFYNAQNGSIQVDGNDVRDVTIDSLRRHIGVVPQDTVLFNETLMYNLKYANQDATDEDVFSA
CRAASIHDKIMAFPDQYNTKVGERGLRLSGGEKQRVAIARTIIKNPRIIMLDEATAALDTETEQNIQEELTTLSKGRTMLVIAHRLSTITSADQIIV
LHDGKVAESGNHDELIALKGRYLKMWKKQSRADRAAEQAAHAVAKAKALQDAVTTRPSSSGNEGGSPSEDVSENEGGNRSSTTLIDIASKGLAEGTK
KYGDDSSSSGDSTFGDGSTHGKHDDDDKPAGDRLGEEALAEDTQDDPRQAELEPFKEGDPAYKPTHPQHSL

>RCO7_00352 | probable longevity-assurance protein LAG1

MTSTESFPLLSSDDKLAPLGGRNVAEKPRIRRRSSGLGGEIRAGDTGSPALATLDVRPPSPGTIRAQKESDRKKPFSKRRKAKTLFQQWKRYALKHT
WVSPLVLLVIFAALYAINPTESNPVHHFIFLSYPLPPNPNDPPGTPTQYAKGRWDFAFVFFYVIVLSFTREFIMQKFLRPMAKNSGLKSRAKQSRFM
EQMYTAIYFGILGPCGLFVMSRSPLWYFNTKAMYELFPHKHHEAYFKFYYLFEAAYWAQQAIVLMLGMEKPRKDYNELVGHHVVSLSLIFLSYRFHF
TYMGLGVFITHDISDFFLATSKTLNYLDHPLVGPYFGFFVCAWIYLRHYLNLRILWSEFNEFKTVGPYGLNWAAEQYKCDLSFYISTALLASLQGLN
LFWLYYILRIAYRFVFLNTAEDDRSDNDENELLEEQRMDALAEQGKEVPASPKVLVNGQPMSSVSNGTTSGTEVLTNGAKTRKSSRKA

>RCO7_00353 | related to DSBA-like thioredoxin domain protein

MTNFNIEIVSDSVCPWCYVGKRKLDAAITAYKQSHPDSQDTFSITWMPFYLNPLAPKYGVDKTAYYQTKFGEERTSMIFEKLAQAGRENGINFKFGG
KTGNTRDSHRLIQLGKTKSPDMQTKVVEQLFAAYFENERDITSHDVLLNAAVSAGLDEKEAKDWLETDKGGKEVDEEVEHAKLAQISGVPNFMIQGK
YEVGGAQESGVFLSLFEKINAGEEGPIA

>RCO7_00354 | related to transcription initiation factor IIE, beta subunit

MSSYLEKQQALFRSDAMSAAPKISTKRSLAPPAPESAPSPAPSNTSTASKSDNKDAKRKREAEAKKNIVYSQPAATGYGNEAFTQVTYVIEFLKKKD
EPKTFQEILQYLSQVHTDEGTKRMIAKILKKHDRVQWFPDPNQKSPTWDSGSYVHRPIINVRSKRDLIAYLQKKANAQGVSVKDLKDGWPDCEDFID
ELEKENKVLVTRTKKDNHARMVWSNDPTLVHSTDPEFQVMWHKIDLPSVDDLVRKLQEAGQKPASEDPSKRIKAAPKAKEKKKRAARKGGKVTNTHM
AHLLKDFSHTKR

>RCO7_00355 | related to nucleoprotein TPR

MAAAMLDVDYLSAYLDIPHQTLTTTIDSPTAELVRSVLEAVTVKAREHDELQADKLRVDIELENSVRTSETRIEGLRANVEKAQKTVEEVRTKLKEE
ENARSVLESELQTVKSSSTTSTSEVATLHARITSLEAGNRDTLAVLESKTTANDELAKDLQKQHQKGLELSQQITALQQTVQSANSAASSAKFREQS
LKQEIELAKRNNEWFENELKTKSAEALKYRKEKGARIAELQRLNEDANSNLEALKKTEQALRTRVDEIQKKAEESLGKVQQLQESAAKSEEGFRQEL
ESARRLAQLQSQQSETHKNRLREVEAALERVKDDAAVQVSRIEQALAEETQERDRVEQRNGELEAEIDRLESLLSAPRAGSVPGTPRQGLNGRSGSP
AQFGTPGSVRKSVLTITQLTEDYHKLKMQYSAEKRRGDRLTAEMEEMMQGLEAKQPEIEEIQAENGRLHQEVIEMSKFVDQTGKERDRAKKDARKAE
SEASTAHAEASILGQQLRDLSAQIKMLLCDMEARERGFDALSPVDRAQLERLARGEVEEGALEGLTDTDQFISQRLTVFRSVSELQEKNQELLKIIR
QLGAQMESEEALAAKHQAAQDHEEVQNLQAKIENYKDELQSMITRSESYIKERDMFRRMLQHRGQLPPTSDLASVFGQSIDGAGLIQSTEQGPSSRD
NSILLRELQSHFDQYREEQSIDRRTMKEQQERLSQEKGALQAEVAKITSQITFVNERYSLLESNYEMLKTENGELQKRSNLLSEASAKQDLRTQQVA
EDLIEAKGLVESMRNENANLKAEKKLWKDIQDRLSQDNEGLMNERSRLNTLIANQQTLQNERELSDSENRRRLNSQVENLEAELNTTKRKLNDEVEE
NRKAQLRKEYDAQQTQKRIDDLASSLSQVREELVAAKTTRDHLQSRVDELTIELKSAEERVVLLQPRLTPRPGTSGETTDTNGDATDGELSREQELA
IEVSELKRDLDLARSELENTKSQMEQYKVISQSSEEELASFNATQDQYREEMDSIIEEKDTKIRELEQRVDDISSELTKTNNELTALRNGQSEVARH
AEEEQAGLHAEIARLKDEDEKHATAAQFHQQDLRAQAAIATKAQQDYENELVKHAEAAKLLQVLRGEHNQLKTECATFKVEAESARVTLNQSQSSWE
ERRDQFENELKELRTRRDDLNAQNKLLHEQLENLGAQITGLQHSRSTLPESTPLESGSPTAEMSTDRNADGLRELNNYLRREKEIVEVQYELKTQEA

KRLQQQLDYAQSQLDESRLKLDQERRQHTDGGRSSIAHKDLMEKLNELNLFRESSITLRSEARQAQAQLTEKSKRVEDLLEQIQPLESKIRELEQGK
ETLDGEMRLLQEDRDRWQKRTQDIISKYDRIDPAEMEQLKETIESLRAERDSLTEEQQPLKEKIQGLEGEKAAWQQSRTKLIEQAKERNRINLKDNK
DRTAERDAAIQEKEELQQQLTGLQQQLETAVQEKETAEQQLTSLNQELEMTKSERDHALANASTTSQPPAPKPDAPQSDPALDQQLEDLRKELEQVK
QEKQALETQLKDLREQLQKSNTEREVAVAEAVEAISKQNAQVSDDAMQNGAEEGQIDETPNTGLSNEERKALEERIAAAEVKMTEAINKAAKMEEDM
DSTVRVRSDRMKSALNKKLVESRDAQKAELEAEFNLKLEQEKQIWLAENKAAQPPSTPLKAIAEQLKPANAVTPAMPATPATPSQKPAEQTLANLPE
AEVREFISKNPTAQSIIKHNIKNIVTKEVQKSKEEHAKESQKLIDDNAKALAEAVQKAEAAKTNAVFMESRKSALKINMAENKTRTATGKLEVVEQA
VKETPQKPVVEVWEDVKAWKPPTPTPASSAPPAPAASEPVAQSNGSITTPAEVKSEATGIQPSTQPLLPIQPPQQRRESQALIASVNQNGTAVLPLS
NIPNAPVNNGQRVSSIPTMRGNASIRGRGNGIYQARGGGVGAAGGGGQAGRGRGGPPQQRGGLNASASPHSPSGPTGMKRARDEGSMGGQQQGHAGK
RPRGGGQN

>RCO7_00356 | uncharacterized protein

MGTSATAKKQFAIFLRFNAKAYEPIVALRDRYPPTQPEKLRKSDPINIKATSPTFPIIRRLPRMELAALEARVSNFASMRKPFDLKLGLPQVLGPPR
SLKEGQAPLYGVGFQYDKQTLDQLRIDIFEDFNRHIEEFGTQGNEPFRIVPLKPESTGSLWICTSSQGYDTEEKAAGIVEELRKEYPNGFGPIPAEG
LTIREAQNSPARTKTYIITDLATYDFGSE

>RCO7_00357 | uncharacterized protein

MASFNNPTPYTMPHRASEDTERDSSPHAKLLPTTESSSLRRMATACSITMSPVLVLRTLSFILALAAFIPAAKPSLRAVFKVTVELRQSSWKHDLGG
SFGKPKAITFADLGLSGALILCLIIGDAATNRYHGGPYKAGVIVGYFVVLCQILTAVPVLDEKSLTLTARLTDLTPKFASRDNKIPAQADVSCGGVD
MGSARRRGGESEEPRQGEDFV

>RCO7_00358 | NADH-ubiquinone oxidoreductase subunit

MLSRHAPSPKAVASISTRVLPSATVASRFPSSASPAQQNRGLATVADVPPPPKRTQFGGLKDQDRIFQNLYGHHGADLASAKKYGDWHKTKEILLKG
HEWIISEIKASGLRGRGGAGFPSGMKWSFMNFKDWDKDNKPRYLVVNADEGEPGTCKDREIMRKDPHKLIEGCLVAGRAMNCTAAYIYIRGEFYHEA
TVLQRAIQEAYKEGLIGKNACGSGYDFDVYLHRGMGAYVCGEETSLIESLEGKPGKPRLKPPFPAAVGLFGCPSTVANVETIAVAPTICRRGGGWFA
QFGRDRNAGTKLFCISGHVNNPCTVEEEMSIPLRELIDKHCGGVRGGWDNLKAIIPGGSSTPILPKNVCDEQLMDFDALKDSQSGLGTAAVIVMDKS
TDVVRAISRLSHFYRHESCGQCTPCREGSKWTEQIMKRFEKGQGREREIDMLQELTKQVEGHTICALGEAFAWPIQGLIRHFRPELEARMQDYAKAH
GGQQALAGGWAPDARQQGLLISPGQ

>RCO7_00359 | uncharacterized protein

MSNKRASMMPLAPKPPTKLSSSLVIAEQAALTGTHLITLGSNTVIHPRTKLNSGYAPITVGSTCIISERSQIGLQSDPPEDEEYGVVIENGVVVEVG
ATVEARRIGEGSVVEVNARIGKGAVLGKHCKIGPLCEVGEGEVLPDFTVIYGNGMRKLDTSGAEDLKLKMGVKQVEVLRRLIPSNLAKFQ

>RCO7_00360 | uncharacterized protein

MGRTSKFSFPIPGRKHKEAAPATVESGSGNNFSKAQRILGTTSNLNIERSPVREDAYQQWRHPGSRSSGMSISISDSTYSAESIHESQSELWAYESN
ALPKGMSKSDKASSTLLGRRYVDDMGTSASERSARLGNKDSSSTLKSFYDRQKAPLSISQQTSASSARDQALRKGYSPVIQKSLVLQVEPALDRFDS
LYASTYVHHSPEKKKKPGRLDLSKLFPKPRRHGDKSDSDCLTPSPSSSSTNVSHAGSSMLGSARRKLKKSLSKDSMRSQKLGIRSDMAYEQSQTNGT
LLQLYDHYENMPARSPRMDQIPESRVPDSIHIPRNNTGASGTPVSDPADHSTEPSGRSSEKESLSWQNVRSSLVAANPTSSGLNPSSLTPPNSNRES
TSAASISSRNTKASKTTASSSFTHSDLQERSVLSLSDDSEDDSETDPRLSCRLSSRSKGNNESIDVPLPENSKKQSDRLTSRKYGQRSIPRNQQAPY
LTVPKSVAASSRPSDPWNPPTQLTTPHFSRQHHHSQFLSHRAKDTTDMSESVGSSISSQQMTPPSIASIQSLQIPFTPPLSPSSMRFRQTSEPSSRF
MAVTQQEEALLEALRQKRARMREEIIEEHETTMKTPPRESASEHLGVSSVGRRSSASTLRSAKEDRKQTVLLYLDTSSTTTHAIDTAESSPDLDGFL
GLGSDDDSSTPRTSWISSHSGKLKPDRLVTPLQRHDTVSSLTPPSAARLSAVGAARGFRSARSSGGSSKKRNTGVRFVDDSTAVAQSDETLVHEEPM
LWNV

>RCO7_00361 | related to UDP N-acetylglucosamine transporter (Golgi UDP-GlcNAc transporter)

MAVHNEPSKAPSFMGLPMKHVSLVTLTAQNSALILIMHYSRTMPSVGGHRYFTSTAVFLNEVMKLALSLTIALYDISQTLPPSTPATVLFEQLYMSV
FSGDGWKLAIPAMLYTLQNSLQYIAVSNLDAVHFQILYQLKILTTALFSVTMLGRNISSKKWIALVLLTCGIAIVQLPSSDSSAYAPITDSNSRFHF
PRSFHELGQLTNGAGEIARELTKRGMNGLTKRSATYEGIEEDMGLVKPAMNYSMGLTAVLVAALISGLTGVYFEKVLKQSTQHVTVWTRNIQLSFYS
LFPALIVGVMFKDGSEIAKNGFFDGYNAVVWTAIVFQALGGVLVAMCINYADNISKNFATSISIILSFVFSVFFFDFQVTLNFLIGTAVVIFATYLY
SSADRTRGRPPPINIASYEKTTIDDGYTPRFEESKMLSVEPLENLKQAALSTSRPSSPMRHHSRIGSSRGGKIKRDD

>RCO7_00362 | related to ATP-dependent DNA helicase

MERQPDRHIQRLLQTAASYDNPHRHSIEYQQDERDPSEWRFAPGPGQRQLAHGSVNIRETYGLDVADRSQLPPASSTGRTRLSLAPPSMYNQPEREP
RMITNADNHFRFTQNLRNGVSLSQALPRQFSMQSTDPISLLATAILTQQPMSLRQAQPAQSINWDLQLSQRPARREIVRPTEPLGLSPTDILAQNCT
LQRQPHPDNADIFQGLPDSRLKQLQPQKQQVTPPFNLNGFIRSPQARQAPYSSSPLAGQGSSPTARVSLRRTSNRTVPTLECFNVDIGADREQNIDV
PQTPQRQATYPIPRSAPRTLALSHAPPMAHGINLISPHDLPDRLRQVFPYQLFNAVQSKCFAPIYNTNDNVVVSAPTGSGKTVLLELAICRAVTVFG
TGEFKIVYQAPTKSLCSERVRDWGAKFSHLNLSCAELTGDTSQAEMARVRNASIIVTTPEKWDSITRRWSDHQKLVQMVKLFLIDEVHILRDARGAT
LEAVVSRMKTMGANVRFVALSATVPNSEDIAVWLGRDHTNHQIPAHRETFGEDFRPIKLQKFVHGYDGNFNQFAFEKSLDGKLPALLRQYSQKKPIM
VFCFTRKSCETTASMLAEWWSGQGPTDRAWPAPLKNVVVHDKCLQSLVSSGVSYHHAGLDPQDRTAIETGFLKGNINVICCTSTLAVGVNLPCHTVV
LKGTLGYQGGHLLELSDLEVMQMLGRAGRPQFDNSAVAVIMTRNDKVDHYKKMVSGQDILESTLHLNLIEHLNSEISLGTIRNIYDAKRWLCGTFLS
VRMRQNPTYYKVEGISPGGDADGRLEQVCDRDITLLQQHRLISDEERICCTEYGAAMSRYMVRFETMKLLLTIPDRASTEQILRTICQASEFKDLRM
KPNERPVLREFNKSPFLKYPIREAVTTTPHKVLLLIQIQLGGIEDPAEKDFAILRRQFGLEKNLIFERIQRLMHCVIDCKAYDCDSISTRHALDLAR
SISAGFWEYSNLQLRQIPQVGPVATRKLVSNNVQTIDELGKMDTATIERHMSKNPPFGRNTRESISGFPRLKIASELVSRVTAKSKGLPKVQVKAHL
SFENEKIPVWKSRKPSVTFMAETTDGFDAKFTAEISAHDVDIKCWIACEDIVGTVKSYLLKHNIPASDFPLTSPFATPKTDGNTHMRQNSINDSDEF
GSDEIEDRDLIDAAEGVEIAKVEYDSDDFVDIDNATLGFTRHAKKFEEIDETRAKKAKEVEILESFQMANGRWTCNHSCRDGQLLKNGKPCKHVCCR
DGIDKPRRLKRKQTLGTNVQSGEGTSTDDGKPGGKVSAASRAIQKSQPKFKLSKYRDENVEDAELVDLPNELSPVPYANLAPRDYRKLHKLHTSVQT
DRPSQRLIQKPLFSYASGMEPDISFLTEKNTGEISESDEYGDEPDFPSPTDLLAIDDDLFEDDPHDFGLHAPVASITWDATGTGPAATSSYQDGSIE
SLEAGMMELEDPVMARLATPTLKSSFGNEMFDFDAFEDDNEEMSPDFKGSSKEERSTPVVSTLSSARKRPFANSPHEAESKQRRVADEESDIKLSSC
PKWVSEFDNDLISGLMDIVEFID

>RCO7_00363 | uncharacterized protein

MTNGKVVRKARNKAGPPLQTVVKEPVLRHDQSLELIRTAIAATVSVFHAFLTMDNWLMIALPALRNNISPVCGVPSYHKRSLKLECPYRKVFPLSDK
WNTTFYDPQDPDVNYESFISGSNELKQGQGRNWHVPVRNQRVVLDQLMFHLEHGIKDALSKKYLDKISLTFHTPGDAVLDQSNCLESYYLSVTYGQD

DEPSLSTEIRDSQGVQVTTMSLREGKSKLQAMLNGVVDHFRLVPEVIKDLRMRTLPSGYPLGNIKVAIQLLYTDTAPADYQAMYFSRSAGIMVLEES
DVVASEDGKYTFETDFHGLAFNYSLAPREGFTKKEQRPSAVVQSPSALAIAPSRKITRSVSKLRRNPSQFSVSDGDRTQSNILHEIQGVAHHVSRRD
DSSQLDTQQYSTSPAAPFMPAKPNPVKPSGYDIPDYIEALRKNAESKLHFRAPRHDGWLHSLQDHEINCECMSRKHDGLMIECLECYRFHHAECYGY
GYLSQAPRTEFCYSCIKKIFGYENIWMTSRRIDCQSRRVIRFFQNHLDRKTLAEVATHLGSDARTEHLETLTVETLGELVRYGYILHYREEQSQKVT
ENSEFELAVGKEEPIRHNLFDPRKGFGHLFADISTQLASNVTPVSSIERSESKDRRLSPEVPRMPRDVSRNAPILLRVGSPILASKSSTRELSATSE
IPAAKDDLLKAGESNPGLELRKERSGTKRSADSSQQIRGSRRKIQ

>RCO7_00364 | related to MAP kinase pathway-interacting Ubc2

MAFSSGTAMYPESDADDEYERSVHDSSPILATDSEATDSNPSSNEHTPTTYGAPGSADRLPETIITEWTADECADFVGSLGLQQYVDQFLENEIVGE
ALVALQHDDLKQMGVTSVGHRLTILKSVFDIKTKQDIPLESDHYVPLSADAEAQYATATLKDIRHLVEQLRLRDERMSIAEMELRRITADYARLRED
LLPVFRMAKEGQPLPYLASESNNQASYPYDTQNILSPPAPTPSSIQSGGGLSRKFSTKKLFFDNQKTSSPTYMPTTQERILMEQALDPANAAERAVL
SSSHLAALNGGSQPSTSPGYPSPNQPSPTSPPTLGSTLASRSYRSDQPTPARSTFQQDNDQYQGSTYSRDSQKLAPSRRAPTPALDTSSSNGSVEIF
KSFRVSMEDPCYKVLPAALKKYNINAPWEQYALYIVYGDKERCLGMEEKPLILFKQLDKEGKKPMFMLRKISSNADVSQPDGPGSAGLNLGRGMQAG
YDPPGGII

>RCO7_00365 | related to ATP dependent RNA helicase

MTRPQIIRADSIDLQDQHSPSAQDHTRQPTNPAPLGAGPPAPHQAETLRELAIEAAEENHRSPRVSKEWSQGEVQQYDDDLVTGVASKLSGSNLERQ
DDLAIAQNGGLTGSRAEDADMADGEGDELDDDMMDKISSSPSIDDGGYPLPHLWPQRGISLSQTPTCSPACTQACYESSSPFVETPDHFPLRPPNEP
TDKDGVHSIRARRRRHRHHLGEYLDGTGSESNYEEHTAENSPLRADLGPGRIDNYDRDFDLQYFSDQLLADHLALLSDDLESNSEDLRATNPKEQPA
DDWRPQSDDQGLTIPYEDSEDEDDDYDIPYSADSRFVDSGWGGECLQELEDIDFEFVYALHTFVATVEGQANATKGDTMVLLDDSNSYWWLVRVVKD
SSIGYLPAEHIETPTERLARLNKHRNIDLTSTMLGDQEAKSKNPLKKAIRRRNAKTVTFAAPTYVEASDIDYSTDEEDHEGDYYGQSVQQEQNGDQQ
DQVVDEDEIRAIEPLKPRADIREVRSESAEPEASRDPAGKVSSDAIPTSDEISDGKVESKSRNGTLRNTDSFFKDDSVETRKITLTPNLLRDDSSTS
TRTSNDSKELKQRPSLDKLEKDSPDKSKDKKDKKEKKDKEKKPGMLSGLFKRKEKKAKSVEDEVEESMGGKRSADNQRASPSPSKDSEETAPVEESV
GTRAPERQASKLQKHPRNETSPSRKPTTTKEPKAAEPQQAAAPERPPTAVSAQAPSMRLVKPEPSIEDIGNQRDVAPDPTRSQQPQNISPEVTRGYD
APPELMKGPTPVLAAPKEQKTGGTISKILRSASSNTSEPRPIKAKKAKSRVELDDFDSSSEGSPVEEPMRGPSKQSQRPIPGAFPDSYIGSPAAERT
NPAMERLSESPVQVSPMTASQTYPPALMVDTSSQEEQPSPISSPSPELIDADDAREKKGAGSSTTSTTHSTWSDAHLRTFFDDDADIKDLLVVVYDK
SGVVPAGPDHPITGNLFREENAKLADITNRLDGMLGDWLARKMRTQASR

>RCO7_00366 | uncharacterized protein

MSYSAEKSTSKSNLPKANKENQNIWPTPTLAILTHSQISLLHQYANIPLDSTIPHVLSTRDQAWKVHPRPYIGQFRFLDLALSTFSSYPPILAILIS
DPDAKLLDLACCVGQETQKLIHDSAVASSLYGAELRSEFVELGYGRVFDRGKIGATARYRLKTMIESASEANFLQDTSYGGDNTQVSKAAP

>RCO7_00367 | probable protein glass

MDIKQIVNAKGGPKAVAAAAAANGNAQDLHLLQSISQANSMPMSDTGSERGNSPHDSEHSRYSAPRYSQLNGMNGAPKTMRYPSPTAMQNPLPMLQQ
PYRPDNGFDNGVMQQENVQSRQVGDVTVQKAFPCSSCGKGFARRSDLARHERIHSGVRPHVCEHPNCGKQFIQRSALTVHMRVHTGEKPHMCEKCTK
PFSDSSSLARHRRIHSGKRPYKCPYADCQKTFTRRTTLTRHQNHHTGTVEEAAVATAAALATRVESSRGGRQRSDGEQYSNNGSPMSTPSPGQRHMT
ASPHSELAPLNSMPRHPGEYQYINNSHLPGHVRGDYHMQAQQPQTTAPYSTGMRPTSHPVAYGPPSILEPPTNSDRQSGSIGGSPHMGNVGWQSPSQ
SSMPSPSQSNGYVYPDPDYGQQLYYQNSNMRRPQSTEPDAYDVKPRVEMWTAAQ

>RCO7_00368 | related to pectinesterase precursor

MRSFLSLALLCSLVTANPVVKQNAAVKARTDQSKPPAGAIVVDATGAVPGSFKTVQAGANALTNHTTATQTLFIMAGTYNEQVYLRPLKSALVVQGQ
TAHPESYESNTVTIIMNLNRNTRATNDETATVRNWVANSKFYNINMENNAGHPATLSQNIVISAQAPNQGYYGCQFIGYQDNILAQNGTQLYAKSKI
VGVVDFIFGTGGKVWFEQVDIRTFAIKGYITASGRLSADSDAWFVINNSTIAARDNDVNPGSTYLGRPWKEYSRTVFQKTEMSNVVNPAGWSQWNAT
LPNTAHSYLAEYGNTGPGAARTGRAAFAKQLSAPITIEAVLGPKWKTASYVDTTYM

>RCO7_00369 | probable carboxypeptidase S1

MLRLLLFPFLVAITLAQYPPSALNLTTIKSPVDGNITISYKSPPAGTCETAFPTQQQYTGWVHIPGRYPTNTFFWFIGARSPTDQLTVWLNGGPGSS
SMIGLFNENGPCEVVEKGLGKLGTKVRDWGWDRGSNMLFVDQPNQVGFSYDTPTNGSIDLLTADLYTPPQALPGSQSATTFLNGTFSSLNVSKTANT
TEIAGMVIWHMLQGFLGAFPEYGPNSSTTMGVHLFAESYGGKYGPAFASIWEEQNLRRSNGTLSKSGTIEIKLKSLGIVNGCVDDLIQAPYYPTMAV
NNSYGLSAINPIRARLASASFSSPGGCSDLIKQCRAAVAAQDPDNEGDVAAVNGICSNAYSTCSANVIEPYFDAGRSIYDIAHYLPDPFPPSTYLEY
LNTASVLAAIGSPVNFTQTNRQVVAAFTATGDYERMALVPEIAKLLNAGIRVGFMYGDRDYICNWLGGEAISLAVAAATSPAYASIFPQSGYAPIIV
NTTYIGGVVRQYGNLSFSRIYDAGHSVPAYQPETAFQVFARIMSGTSVSTGEIINPSVYNTTGPLNATHTNSLPTSPSATCWQRNIPETCNVDQKQQ
IVKGEGVIINGVLYDEVSDWSSAVSTSTSSSKPQTSPTGSVSVTTTTQVLTGFFTATATPSPSKSLGVTSLQLRLELLILPALGMALFSSTF

>RCO7_00370 | probable Fructose-1,6-bisphosphatase

MASNGTGQEEKINTDIITLTRFLTEEQSKHPEATGDFTLLCHALQFSFKSIAYYIRRATLINLTGLAGSSNTTGDDQKKLDVIGNDLFIAAMRSSGK
CAVLVSEEEEEAIYFPEHKGARYAVSCDPIDGSSNLDAGVSVGTIFAIHKLPEGSKGTKEDLLKPGTELVAAGFTMYGASTQLVITMKGSTVNGFTM
DTALGEFILTHPNMRIPKSRAIYSVNEGNSLYWEDPTKAYFNSLKYPTEEGGKPYSARYIGSMVADAYRTLLYGGIFAYPADKKSPKGKLRILYECA
PMAMVFENAGGQAVDSKMNRLMEVIPDGIHDRSGIFMGSWDEMEKVKSFHK

>RCO7_00371 | uncharacterized protein

MQRSSFNKTEKIALHATLKVTLGSIWLLFSPLAMESLAELLGKQLVEVKGTLHDLHTILNIPEETLRPIRLHHPTCRDFLLDMNRCADPVDWVDENK
VYRIMADCCLTSMEKELKTDFCDLPAFAE

>RCO7_00372 | uncharacterized protein

MKVFEVHKKVVTCMEFSPAVNSSHPVRKTAQSNSGPKAARDWVLAYQTSIHVWDVVHQTLVARFEAYEDTTMICSSHQTQKIIASCSSDSTIALWDL
TAKAEIARLKDHFTPVKFILFIFRHLEGAHLSLRGRVSPVLAPRQRNSIGHADFQLS

>RCO7_00373 | uncharacterized protein

MASQYPQPDSYHHTRTKSSVLAGLPFLHKRTPSAGAGLSGNASTEFINTPIYESMHFLPSDHPHPRALGEIQQNQQTQPPPLPPKKSREVKRPNTMY
EEGFRSLHKKTLSSISLKSLASRETDKVTKPKEPKPSKPKKTKSSTNLAALLSRPKSSRSLHKEAEAEARAQKDKENRNPVSSSPIETTRPPPIYAQ
FSSEHFAKQPLGGKFLEDEIDRYTPENYSPGKQRNFYKGPGYQPTLTNTRNEGLERPKMPYLPSSFSVQDISRKVSNGSRKSAELMRRVSGGNRPSF
DRQITGSSAKSDVSDKAVPSKGSRVLAAVSAFGGRSQKQDVQSDSVLQDKDVDREFEAMLDRRNIPEHQRGKMRSLAMSMKKDFVKQDWAEIAAAKN
GRPGTNGSDSSADATTGTQAVPEVKAKRPRSRTFTLSRNSSKESMSLTKKKSDGTFGKHSRTKSTESGNGGAKSLTATGVAAAQSIIAKAKGQLPDD

FVSYLRKVQKPELVEVGRLHKLRLLLRNETVAWTDGFVGQGGMEEIVEEHEDALLHEVLLCLKALSTTALALHHLDKIQHTLFPALLHMIFDEEKKG
PSEFTTRNIVASLLFTYLKSAPLSERSHRAKILLSYLRDPEPTESLRPVEFVLDMRRPRPYRVWNKEVVNVTKEVFWIFLHNLNVVALPGARHHDSE
TMIGSSNSTIASLMTNTSFDAQNPHHVFMARHFPQELPPVPAAPYVGGVEWDATNYLATHLDLLNGILSCLPTITERNTLREQMRVSGWEKCLGGTL
RLCKEKFYGGVHAGLRCWVAAAVEDGWETRDVRNGPAPESKSPVRQSPKKAAAAALEPPPKIDMKLDFSGGRKVPVNDDMWL

>RCO7_00374 | related to sucrose cleavage protein
MAATFKSFLNTARQTISGTATPTGIATPRGTVTCTELFPKVDPEVDGEDCDHDCISCHVKYPKGFKIEEEDELYGKVNGWDTHILVATGKTDWVRDV
ADEEGSLMEAIEKKAEVKSNGKLMLSASNIPTPSHSSDYAEPTTVLLLPAFIIIENVTPKSVNTLVSEYINKAPTNTTPLRPVSMPPSLADPLPTVE
QLTSRPSPHRALILLCSQKTRDARCGQSAPLLRKEMERHLRVCGLYRDLDDERPGGVGIYFISHVGGHKYSANVMIYRKANAFGLDDVERGKLAGEV
CPPPSKGVQDEVQEGAAQCMWIARVKPEDCEGIIKFTVLQGKLIKPESQLRAGFDRQKGLFSW

>RCO7_00375 | uncharacterized protein
MAPGLIFFTGAPSAKSLDWDQDELLNTFIDPVADFIGLKADLTSAPSSRPQWRSLPLDRVHLTTGLTQPESFGQHQLFSGYSQSYKAGETSFFTTSQ
ISSEFSQSQQLPAASFPATQASISQVLSQFYEESYARHEDVPSSQIAPASEGPSTFTSDEFSFNSASFDSLYQQSEPKKEVPIVGHLTNLKDLPKAP
YLASIQPQTMTVNLIVGIISMPQPRAIKTRRGADVSLVEVLVGDETRSGFSVNFWLSASQPGEGGMKSVLEGLRPQDVVLIRNVALNSFRGKVYGQS
LRKEMTKVYLLYRNRVDKTDVGGLYRAAELVPLQGMHPQVEKTRRVREWVLKFVGIGAVKKKQKGKLFAAVEEILPPDTQ

>RCO7_00376 | related to permease of the major facilitator superfamily
MGQPPENHVSTTEKPKVQETSSTAAPKTIKTGVAVNELATPGQETLPGWTIMRPLRMRGLNNRDSNGATNSNGNANAAGVDDRKGDFNTTQTNVLTG
SDDGPKGADELGALHEIRSDDELLGSDGEAASPRRGRVDDGTGDDNTIASSETVFKVYKRRWFGLVQLVLLNIIVSWDWLTFSANSTTAAEYYNVKS
SSINWISTAFLFSFVVASPVVVYTLHRGGPKTAIIIASVLLLVGNWIRYGATKAGKHGNFGGLMFGQILIGLSQPFVLSAPTRYSDLWFTNQGRVGA
TALMSLANPLGGALAQLIGPAWVSKASDIPSLVLYVSIIATAATIPSFFITAKPPTPSSHSGTQLKHQLRPSLQFLLTCPEFYMIMIPYAVYVGLFN
SISSLINQMLQPYSFTEDEAGIGGALLIVVGLVTSAITSPIIDRTKSYLLAIKICVPIIAIMYLAFIWAPQTRAIVGPYVILSILGAASFGLVPIVL
EFLIEVTHPVAPEVTSTICWTGGQLLGGIFILVSDALREEGANDGTADDKSDRPPGNMYKTLIFQAVLALVVVPLPLALGLFGRQQRVRMRRVDADR
EAAERRYTASGGEVAV

>RCO7_00377 | related to ubiquinol-cytochrome c reductase complex subunit
MGFFDSFSDLLEAALPWSTAEAEAPKEEEEKEDVKDASEESEESKDKPEEEAEEEEEEEEEEEDMVDPKEKLEEECKSSKACSPAKHHFDECVERVT
GAHEHSTDKKHPDEDCVEEFFHLAHCATACAAPKLWAVLK

>RCO7_00378 | uncharacterized protein
MYQFHQEQHSCALQLAQDNLLKHSRLSWVMTSPNEAGFVKLPNERILFTSPSRTSLQISTPNTFPGAQPFNVKSDAGVVYITNQRIVYLPSIPTPEL
QSFSSPILNLQDTFVRAPFFGANYWIALCKPVDGGNIPPTHAGVELRFTFRDGGAFDFHTLFEQIKERLCQAYTVAQENSERDASGNIDLANVHLEQ
LPAYEANREVEDEGPRILSPIPTRPARDSGVDGVRSPIASAMPKPAPSTAPDEPPPDYEEAQAQAVSEDLDQRLRREAERHDRPE

>RCO7_00379 | related to dlpA protein
MATSRPTSEQLKTLRNYTACDIADALVKLNVPNAGFLADLKLITPSPSRLSSEVTIAPASTVLFRPKIGTPDGFPAANIPSDQHYVDRTQPETIVVI
QQPEGQICAVLGGIMALRMKVLNAKGVVVSGRVRDVVELESTGLPIWAKATSIVGTALEAKPHAVQVPLVIGGTKVTPGDLVFSDTTNGVVVIPQDR
IAEVISLLPGLVEADDQVKGDVSIGMTVQEAFKTHRR

>RCO7_00380 | related to proline utilization protein PrnX-like
MPLTILSDENVKEVLNNLTRDDVATLQDAMTRAIHEYATGTTNSGACADNQPKRTVIESASNGTTTLFMPSISSSALGIKVVTLASPSSKLGATDTQ
KGDATPYGAISLMGDNGKPFGFLNAEELTAFRTALASSLLMLRRTKVKTITVFGTGKQAFWHVRLALLLRGNTIKNVHFINRDFNERAAKIMKSFVT
YDLDAKRTEGWADTQFDLASLKYTEIDRILKQRLRASDMIICTTPATEPLFDHTILTNTEGRMRPRLIIAIGSYKPHMIEIPTEVVSQAIKVHGAGH
HYHKRAEEGGVIVVDTLECLREAGELVQAGVRSDRTVELGELVMLDQKQPLDDDSATDDSPVTSLSDLSIAPDGVRSMSKIFGGDSTLENPGSSSRS
PSRKSSFNFNRRPSFSRKSSRSTSVSSQSTRRKKEQTERENQMSRWLSDGNVIYKSVGMGLMDLVVGGEVIKLSRAKNIGTTVRNF

>RCO7_00381 | uncharacterized protein
MGPNRKAILAPPTSYISSSSAFLTYSCSACFKERPKEPHDEIAEQDDTDELLRKLRKKYLRIRFEIKRGMGELQRTSEPSVLREIGLGTESFYTLAR
LFRFPRTRDHAPGSSTRRRLRASQHRQYDLAYRHQLHGRNRIRRRASQSKTHRPLRTHLLRWSQCLLGDARVGGIIDAWITPLRTLRKTNAEELKAL
GDDGKRAVRLAELNVETGVGNLMGNWIVEEAVRERGLTVHGVLYDVACGKIRDLQVGTAGSSAATQETGGCQG

>RCO7_00382 | probable ribosomal protein L7a.e.B, cytosolic
MPPKPGSKKAAPAPFPQSKAGAGAKKAAKNPLIEKRTRNYGIGQDIQPRRNLSRMVKWPEYVRLQRQKKILNLRLKVPPAIAQFQNVLDRNTAAQAF
KLLNKYRPESKTEKKERLVKEATAIKEGKKKEDVSKKPYAAKYGLNHVVGLIENKKASLVLIPNDVDPIELVIFLPALCRKMGVPYAIIKGKARLGT
VVHKKTAAVLALTEVRSEDKTELSKLVQAIKEGYAEKYEDAKRHWGGGVMGAKANARTEKKRKALESAIKI

>RCO7_00383 | probable protein VEG136
MAPSLCAICKIAKALIIRPKNAQKLCKPCFIAIFEEEIHHTITTTKLFSPGDRIAIGASGGKDSTVLASVLKTLNERHNYGLDLVLLSIDEGIKGYR
DDSLETVKRNANQYDMELLIVGYDELYGWTMDQVVETIGKKGNCTYCGVFRRQALDRGAKMLGIKHVVTGHNADDVAETILMNLLRGDLPRLARSTS
IVTGDEKSEVRRSKPLKYAYEKEIVLYAHHKKLDYFSTECIYSPEAFRGSARTLIKSLERVRPSAILDVVRSGEDMARLVPEEVTGISQCKSQKVSL
SSADGEDEGAGSCGSANGRTSGGEMADMEKKLQEDEQASAREVDVTSTIPKGVNGQRHDRINGQKGSGIRKEQGKKLTRQVLGTCKTCGYMSSQEFC
KACMLLEGLNKNRPKMAIEIDVEEEESSTLRRKMEGIALAAG

>RCO7_00384 | related to aryl-alcohol dehydrogenases
MSAVTKMQYARLGNSGLKISKIIFGCMSFGSSKWQEWVIEEAEALPLLKHAYDVGLNTWDTADIYSNGLSEQIIGKALKQYDIPRNKVVILSKCYFG
VAEDGSQPPISAASTNDGEFVNRQGLSRKHILDAVDKSVERLGTYIDVLQIHRLDRETPREEIMKALNDVVESGKVRYIGASSMAAWEFQTLQNIAE
KKGYHKFISMQNYYNLIYREEEREMIPYCRDTGVGLIPWSPIARGALARPFTDRTTKREKTDAYLNNFIRSKESEIDKQVIGRVEEISKKHGVSMTT
IATAWCLSKNSVNPIIGLSSKERIDQAVQAVEFASSGKLTKEDIAYLEEGYAPKEKQGY

>RCO7_00385 | related to pisatin demethylase cytochrome P450
MSILSIPTLGLAFILFLAIHKLIIHPAFLSPLSKIPNAHWSVPFSPLWILWTRFKSRENRETHTAHQKHGSVVRLAPNELSVSDLDGLRTIYGGGFE
KGKWYPIFDNYGSPALAAQAQAIIYERLLPILTVASTPTEFPNGIGILEIWNSTAMDFIAAYQFGLKNGSNFLTDETFRRHWLHMFHSRKIFLNIYL
VPRWVDYHNKELEAWTQERCNNTSTYLRDGSAATDENPANEPVVFKAILAGMEKERKSKGDASILGEDFLKYPELSIASEMLDHLAAGHETSGIMLT
YLSWHLSQDISLQDRLRAELLTLSPNMSLSSATPVIPNAKSLDSLPLLHAIIMETLRTDAAIPGREPRVTPKSGCTLGDSPIPGGVRVGAQAYSVHR
NDQVYPDPTKWDYTRWLDDENGYTEEQRKDRDRWFWAFSSGGRMCVGSNFAMHEIKLVTAAVYSNFRTSIVDDEGIEQEDGYTCGPKSNRLFLSFEK

VERG
>RCO7_00386 | uncharacterized protein
MARHPTSISFSDQEVVNDVIMRMDPAEDLDEREAATFEPGTDFQINEITIEHSKYKMPDWRHPKGFLYLAWDVKYGKFVADVQAMNAELINRDTMEM
LWAELLYRYYELDDTGIKAVMDLALDDALGSVTGYEGFDAEGYWRLQSVTSDLGQLLSGWQSKERQEYQSRISEVVAPIDHQEDHETTMVMTNGGSE
GQPTLSGPLSERCGAPSQYQAVYTTAPAYVSYVHPGILRRKIDESYEFDEEEDDQEMA
>RCO7_00387 | uncharacterized protein
MRRTALAKANLQVEGYQGFDAKAYWGLQALTRVMDGMSIGQEAEVKVKAKNGHFKAMEQARRKKKEQRRVKVDAEKNNQVEGKRESLRNTQDVDF
>RCO7_00388 | uncharacterized protein
MSSTSPLVDGEEDYTTVVTSGPVVGLFSFSISFEYSEVQTPAVTTKMDVDAPTVCFSLTKAPTAHALYDMSLSNLDDAMDSVIKHDDNHFLPQVRDK
QHAPKPQKLRAPDYKQQEDAFLHLANVVRFEKFANDTQAHCPGPITRGQMENLWHKTLRIHYDNWKDSNLLRGYGSWHGSGDCSHVHGPCGYS
>RCO7_00389 | related to Mms19p
MEDGYSNSRSHAQFLLQNGQSNDVISRATTPGLGFGFNGADMENEKRYRPRIFPYFQLLPYDVEEEGERDAALNEILKQLYIALKAEDISPGAVHWT
RELRNWMNLKFEITRELRVKLVKLFYMLAVAPGLDHLAADRFESMFRFLLKKKHYLKPGEDLILDWRPLWKEIKTLALPSEVPTHQNLVRRKFHKNL
GNMCMFASQYFDAREREAMLEEILPFFTTSEISGAFIVLGSLNFIMPSQPAPNEPGQLQPQDYLPTYFHLWSLVNRSKAVDIIFFDTFSRLARDSLA
SEHIPFSEFGIFTKDQSDLIFTALLRLTEIPVGQASSPYSGLVDIGAGLGAYLTRDKKKVPVEYSIARWIVMSLTPACIDKPGSILTNLEGLMVSID
TFFHPSNQGSWTDVLANIVFHLADFFLMRYNREQSGEMNTPSERRITPELKKRFVLSLKEVTFVGLFSKKPRSLNCFFSALQNLAYLEPHLIIPGAL
QRFYPSLQGLVEVHRTQSSLCGLQMTANIIAKHKGLRCHLTALLALALPGIDANDLSKTLHTLNFITSVAYSIPFVDLTKGNGDIHDSSLAIQWVQG
EMERMEREGPNVEIDYLAELSDEVEADIVRSSSAGLSEFVLALLGKIFTLLENLPELSRARSGSPEESVINTLPSTLTPLFAALSPEIFDKALEKIA
TFVGGHVIHQSRDAMAFICNALCKANPEKTLKIFVPMLIVGIRNEIDYNDAASDRSSGSDVLPRDRALVWHISMLSMIIVHVGDSLMPYKKDLFDIA
LYMQEKCRGIPTIHISNYVHHLLLNLTLIYPVDSALYEPAVFSRGLDISDWGKTTKPTDLTIKWHLPSDDELSFAVELFESQVATAMERLKNLVGES
PAVSRKGKNKEWSDEVSRNLSQLRLIVSGIATLFDPKKASGQLDKDKGGDVQMGESDDIDEDEKESPLAEAAEDVETRPQFHYRAGYLLETNSPTYV
HIHKLREDIGHLLSKIHVFLTEHQEDDVACFTALYQTYRTWITDVGNERSAHMLERVSKLYDVDIRSFKISGLRKVYPRPLLVKRASIYHFQRAKHN
SSARHKSTIDKQLLLDLAASAVSLYAEVRINAQSALESALKSLLGGRPLVIPVLLKTFRTALETNDFDRIKGSLYTLLFGSLTKTISKDWRFAPEMI
DLYIKTSSVDKPSIQKVSSSAVYGGLMEFGKALEPFIFINQDLVDVFDPNDDNIAKITSRHSFIVDRRQKVEAKKLEVAMKLIEISKNSHWKIAARC
TLFILNSGLRIQTLAPPSLVDLAVDGCINDHPGLRAGYSESFSRIFNHIDARSIYSHSYENFVLGKENPKLTNQFTVVVPKDNPNWTKEFLDNFTSK
DVPKYFVESDFPGWLVWGKSFRAARAEARECSDYDELETSIRKQIGNKLTRAWYNKFFGYMKQEPRDAAADRFRMHNAALLVQTFDLTLNGLTAATF
EDIKEEITETMGDGTDKHQHRAGAELIAALLITVMEESPQLRSEVFGFGVPIMLKIFSDGLTPENLAYWMTALHMIIGGRDPRMAREIIDALTSFRL
DMSSNAAFKESSQVQLLEFAIADAGWHFRAEKPILEDFLAHIDHPYKAVRDAMGRSIATIYRTRYYEAFPDVNTLLRKNKESSSIGIKPYTPTEEFS
TSIKEVFNRLDVWRSERTPGQQTPSSYTNGSKTVMLWLHTTLESYECTQLLDFFPDVFMEALLHMMDVKEDPELQQLSYLVYRHLPNIPFRAGEDGA
FISALIRIGKVSTSWHQRLRTLINMQVIYFRRIFLIKPEQQQQLFEAVADMLEDTQHEVRAGAAATLSGMIRCSPVALRNNILSSLQKKFTEALRKN
PMPKKTPGTNTPISSNQQIIRRHAAVSGLGALITAFPYVTPPPVWMPEILALLASRAANDPGAIGKTVKTILADFKKTRQDTWVTDQRYFTPEQLED
LEGVLWKSYFA
>RCO7_00390 | uncharacterized protein
MLIHSGSGYHVHEYSRDASAARTRLRSKSAPKRSTLARSAFSAPLLALQTSANNESHSPILRQPLRTLSENITPVRALVVRFQDFDEDEEGTMSEDA
KSMVNSEGSITTAGGRRSRKHSRSVRTSTTFCLAHPAPSLAKKQRLLQIRPRLLLQLQQLSTDARPKPYLDVLPSTVVVPRLYKKFPRMFRGKDKLG
CHDVMLVKSEDYETDIEGDAEESDSDEDGLAKRDLVAVICQVPKDAGGPPGQAEIVLSNGSIWIATPLPGNVFEFILTDKDGTQTTTRWVRKSNTRR
SVDTQDASFNGEEFRFSIINPSARQHPILATMTQATLNIPDSYTTTAPSAKSHLPTSSTASSLSEAHSVAQEGVAAEKCTVPIDQALRTLIQVTGVW
LALRKEWSPYFNYNDTKTVTKNLSSSGRARSMSHTPESGRLSPTPTFGSTESGNALVGVLESTMRRVSAIGSPSSGNSPQLERILTSPKRSVSTGTA
FMQRNVARRVVNQPSTVISGGMGERVIEEAKQNSTNGGNFPNLPSPVTTTPASFGLPASTMTPPDTPTRLPNRPQSYVPTGSLLMNNFIDSQPQKRH
SMANFNRRHQSSDQAGELKTGRWKSFANLFRRKRNSARSE
>RCO7_00391 | related to GPI mannosyltransferase 2
MEPWARPLDSPIQSLLALFVGWKALLLLIAACSPGPGYDTSGQLFYGEPDHDNQLPLTLRYIVGKLTRWDAIYFLKASRCGYLFEQEWAFGWGFTRV
IAACVAVLKGLGAPNHLELEGLVAICIAHSSHLLSVLAVFSLTRALFLDRSVAFAFRAALFHIISPAGLFLSSPYAESSCALLSFIGCLLFTKSIVH
HGPNTAKHDLLLVISGICFGIATSFRSNGILNGLLLLEEAIRTLLALKDGIPFSRIRRLLAAGFGGMSVGAGFLIPQYIAYNEYCGDSQVLRRPWCQ
TTLPSIYAFVQDHYWNCGFLRYWTVANIPLFLLSAPMFLVLTRSGLWALTFNPIFRQGQAGKSQESNESRGARQVLRNMAVSQLALVSLTLVTAHVQ
IITRISSAFPVWLWYASVASEDGKTMLVDSFVKFMVTYALVQGSLYASFLPPA
>RCO7_00392 | uncharacterized protein
MWQNKGAFGSNGQFQNNFSPDAFSKSSFTGQAMPGQQYFPQLPNTVQYGDANGDAFEPEVGLFNNGSFSQNQLMSGGSQYSPAAHDNRPPVAPASRP
PPAHISARAAALKAQLLASRANSGTPPVHSNLASAAKQTTRAEDSTSLRASPKTPTTINKQEQELDLTELISQYSEPKAAATGVKKEIINPDTSGFQ
RIPTHMGGKPRAFSLESPTKVLKPVNNGSNTGGDLGEKVNNTASGRTLGKRHASNGSVSEGDILEEQQPNPKATTKALRPKLKEAQYGGKISKPDEP
ISRRSGDEHVDKPYRRLSRDESPPRRPPPTNPIIQVSRNRDGYLDEVDMRAEKRSYQPEYKERDMWPDTQRPAYQRRDSRREEDTRKPETIEKKREV
VNRSVREQKPSVLSDLLPLDEDLREWLEITGYHNITYRSKILNRRRAIAALDAQRDQLLAEMEQDERGGVPPATGSQPLPSTMLPPPIPNTVGGRAE
AASIPAVPSDTSRDRVITHKRPHSDVDEQRSEVNGGGKLARTNDRGYQSRMKEEDEPEYRRPRSGVYDTPRRSPDIERRERELSSPRYGPRGRSRER
DSSPGSGRRAFENRPAARGRGYDSDSFWDREDFPEPRGRGGFEVRGNYRGRAYDPNYRARGRGRGRGDSREGRDFSLWDVKMDTGYGSKIANGKPFK
DTKGFNRGGRGETRYFIVKSFNEENVLRCIQDGIWTTQVQNGDIFSEAFQTCKNVILVFSINRSRAFQGYARMESLPSSIPTPTWQRSIHWESTGAF
RVRWLVVCATRFQRIGHLKNALNDGLAVLIGKDGQEIDEACGESLCEAIDEEADMALSLSWGRVGV
>RCO7_00393 | uncharacterized protein
MKIHFALWSLLGLCVGSLSIPVDTTSTSNVQDAEDVPVEVKLRLPSLSNSISFSPEDGAPSTDLAPRDVQTDVAIYEHGLNKRADPNIQYHRRWVKL
ILKRAINGIPAQTFKFVIDLAYKDDQTMWQKFVRRLSTTGTWVGREVSEIDHYWKKPHGYDILLQYTFNVIIDAKESLRLRLQWQDWLTADPQLAGA
QHPSHSWCALVQPGVEYGLSALTDFGFSFTDQKPESW
>RCO7_00394 | related to benzoate 4-monooxygenase cytochrome P450
MLGNLLATCAIIAGLIWLGRALQRAFFAPLAKLPGPGHSLVTDIWLMRKEFTSKRREYIHQLHEQYGPVVRLGPNEVSFTSLEALKEIYTSGGSGYD
KTEFYTLFMQFGVRTMFSTLVKGDHSQKRRYIAGQYANTNIMRPQVMEGIQDRAEAFAKKCAESQGTSLDAYIWLHCFALDCASHHLFHPYGTHSID
DDEDFEMMEEQSYHDSLKENFAKYRWPNLSNLVDKLLQPRPSPIANNHVLRSNEKNDLGEQTLLYKLQHSKDKFEKIEMAAECMDHLAAGIDTTGDG

LTFLLYQLSRPESSTVQDRLIEEIRTNEGEKSDDLAYMDAVIKEGLRCFPPIPMSQPRYVPPGGRTIDGYFIPAGTIVSCQAHSVHRLNENVFENGN
DFIPERWLDSEKVVDMNRLFFAFGVGGRGCIGRHLAMAEMKCLLREVYSRFRTRVAPDMHGSMEMSDQIISSRPLDQTCKLIFEPLA
>RCO7_00395 | related to pathway-specific nitrogen regulator
MSTNLPTSGATTASRAASPIQKLPPPKQIRFVNSEGQPPTKRRRINAACRTCRKRKTRCDGKRPQCSTCKDNGHDCMGYAAGPDANIKRERKGSDNG
SRNDHDDDNEEDENNRIVDGPVERKGNGHAQPSSSHGSLPGASPHLRRADPKQQSPPKRQDTSDSSRRSGVFTGESSIFSDEAQSPQAERSAPKHEN
HRVPYFRYFGPTAIVPGFKQMVVSVREHRRSTGGSSAASSNSIVAAGSIYGQRNSGPEPRSAIDMPMYDQNDPLPVNRLIIHLVETFFAHLGSNYPF
LRQESFIQRVEEKSVEPILVDAVCGLAARFSDHPLLIGHPDSSMPKSDYGHGFAQRAKAAVVDTFPCPTVAAVQACLLLAYEGFGANQDSALWMYLG
CSIRMLVDLGLQKLDGVKYQGQKDPGYHRSSNDSTHSDMPAPISAKQMEEVEQERIDTLWAVFMLDRVISSGTGRPVTLRDEDFELSFPEITSSADS
GWPNPFPALIQIIHLYGRVSDLLNNIRNVKDVTPKRIEELQGMEKDLTQLYQRLDQKLTFNAANFQHYVKSGEGTNFILVHFWFHTLIMLLHQPTLM
HSFEGQILSLLPHSRELSMSSAKTVADILAFAELIDPRSFIGNPFTSQPMYIAATAFLMESAAHTASQPTSRDASPPRNGDRQLDGKISRLKGISNE
QKQKHTLLASAANQNYQRCYKALQQLETYWAGTRYILVALDQKAKGIWDPETYTEKEYESTKVRHDSVPNWQRKLTSPNRFSDLQSPQKEILPGSPA
TIDPSQAIGWSLTGTTNSPSSNLTFMYQNMPGESLQPPQLPPPPPAAPPAGNMVYDPIRSSVPETTASSTSTSFNQRYPTFTTQHQHNSHPMLPPPA
PKYSFMTSGSASTSDAEMLLELQNSPFSTSNSHHSYDQTMKPPNNNNGQEHSTVSYDFSQSAGSMVNGFSGSGFMGNVSDMMMESQEIDMSSISGDL
MPWLEYLPQDVLNFFDSGTANQGGSVEMAP
>RCO7_00396 | uncharacterized protein
MVRVAVFPSLLLRHRLAENQDILLVGIPEEGGCFPGEYQCTTNGCIPMAGLSGIGTCSTGYHLCPASLNSGCCKSGSSCALSGCCWATSMSTFTYTN
ILTTTDANLKPHTLTTTIIRTTILKAPDPTQNSTCCRVLIIATSITIQLLKRAIRTSEQASSNTHDSSSGHQARHSLPRHLDSFAPSTNTNTNTIST
SNPLPTQIQAQNNHRLAQVSQLSPSTSQRTPHATPATGATQVPSLKYPVPRSPLPNSTPGLTKSNSILASPASTGPGLGSPRSPHGMSSPREGLLNI
PEAGEYRIGLEGGGGGVGVGRVGSKFGESRQGGRIRMGKLWGMERSG
>RCO7_00397 | related to DnaJ homolog subfamily A member 2
MASLPDFDPYKALEIRSTASADEITASYRRLAREHHPDKNPENAAATEKMQEINAAHELLSNTELRAKYDSEISAPSGYFDSDDDRYQYQPTNDWPH
DLFRAARDARASFERYRDFERGSRRQGDEDHNAFFERISREYLAYAEELRLKADRQQRAAREAQKKNKQDAKQHAKNKVAQDEKERQAQTWKEEKKV
QEQVWKEKDATTAQEQRDTCLHSHFWPRHQSKAKFTCMGCWQKRGPTSFECPHCHLLQCQSCLNGFKAKRSASAKFSA
>RCO7_00398 | uncharacterized protein
MLIYTKRVAPKAPKRRSRAGCIHCKEKVQARFRNFLEHASNTFPRRRNATKTGPDAIDARKEVSSVNMKRLSLERGGGHLWLDPRFPTTTTATKDGD
AISKWENVSAYQYQGSDGSVESDAPCGEHVEEIVRTDPVPNIPASAAVVRSKSQYPDLAMIAPSPVASPLLEFCAPVFEEFTDRTNRRVLVDHFCNV
LSHLIVFKEDNGNPFRQLVLPLSHASPPVMNAIFALSSAHLEYRGIQNEEKSLDFHSRALQGLASLIEKNDISNREEVLGAIMLLVYYEVLVQRGNS
NIVNGHLKGAMTVMKSGPQLTTPTTLFLERAFRFYDVIAALSLGTAPNASHEPVSPPSPTPPISAASRPNSPLNAVDTLLGLSTDLWPIIHRLSHLL
SFKTSLEAAVAAGQTSKANVLRTELESTSQAIEHALATWKPTFTSSSEDLDRETIETHGTRIQSIFHNAEAYRHSAFVYLYRTIRSQPRNHPTVQRH
AHLALQACSDVVQLAEECNDGPMSALLWPLFVSACEAITEEDRELAMTGFRGTERRQGMTNIMRAWEVVQEMWRRVDIGEQVDWRGVCEERQFSIVF
G
>RCO7_00399 | uncharacterized protein
MKAKPAIERVLKSPLLFASLTFLLSALYGWPRRWVKSGAPLLQFFILLGDSNGYRVLPSIALWPILSTFNLGYSICSTSWLLYGIFAATCYPTILLI
CLFQFESVGNFARKGLRALLKHLHFIDDKIAFFNIPALEIDTDVDGLMVLRGATFSLSNLSLVVHGVEVGIKLSDDMELAIQTEKVTVSLFRGIEIG
DCYANLKGGEYEMTFGGMEGKSKDSDGNSVFVEGTPLLKRASRDGDRRSLDELSLKYVPLKEVKMVDIMTDGNTPDDVSTKTGLKSMKRISPDNEAA
NGRYLQMLGFIKATGSIDEAREHIKDLAAHTIDEERPWDLNDKNNIRAAICSHLHSRPSVPHPPHKSVRVTTLQNSSPAYIKRFLHRLPMLLRLLLN
PLSYFHPVHIKSITATASGRWINSMLVQKVFQDYASENSEIRHLQQSISAWLSNANFALELGGITGIAHVPFIPTYDINCHLMFSDVMAYRALPTQV
ELKQVVRLGGADARFILPSFLLPHHEHILPPAPSENTARTHELESSVEFASGKPAQVNAARSLAQALKDEANVSMSVHARLPACFDQELLDFTAALV
KATKVVEMEKGNSVMDEEVSGIKEFGKALKGGFKEGVKRAVVDGVVNERWIAKMVGKITKKLEVARGEVGYTGEIPVKLGLYRTDWRESEGEKLLP
>RCO7_00400 | uncharacterized protein
MEIHEAYPLNPPGGPMIEIADGYAQPSCLPDGTTSSGVLTTPTNTSQLALRPATSPDLTSFTISPNLSPEIRRVIWQESSPSLNLRRPMTNLGYRKL
NPNSNLEELIAIGEQFHNELRFPVAFRVSQESRIEALQYYTLAQSSNTSADIDQHFFFISASAAVPFKVQHL
>RCO7_00401 | uncharacterized protein
MSSSPSDESNEGNSMLSPDASPIMASSGPPSDSNIMTPHEPEATNPRSADAAVSDLDHVESDLPGTSLASTSQFILDPSNVKQLEAFMVFLELPADS
DASFGNGPSRLNTDLTCSTTRDIAKCSLVIGH
>RCO7_00402 | uncharacterized protein
MLHDKEPSSTTPRQEAYRTQAFSDNVFSPGHQITHIHLGNVIHQAGKLSSREADCYIMQIVSGLAYLHSIDITHRDISPRNLLLTSNGALEIANFNS
SEQVKYASKCMSSKRCGTMAYIAPEVFAEKTFDGKAVDMWAAGIVYMEMRGGKTLWEMAAEGADEDYDG
>RCO7_00403 | uncharacterized protein
MPSIAFGGTSNVASSEMKLLVRDAVKELVKRPEVRDATSKFIYHFLNGALSVLLLILGGTFAGLTLAFMGQDQICLQVIAGSGTAKERRNARKVLNV
LQRGRHWVLVSLLLGNVITNETLPIILDQDVKGGLFAIATSTVLIVIFGEIIPQSVCAKHGLSIGAFSSRYVIWLMYVLFPIAYPISKVLDRLLGQS
YGTIFNREGLKTLVALHERLSFSPTDRLNREEVTVIATIIDMNAKPISSIMTPISKAFVLGFDTILNDMTRYNILTSGFGCIPIHLQDHPTSFVGVL
STRSLVALNFQEDVTVGQLPLELLHVVHPDISCQQLFQVFRDRSVHMALVTERGTIHGEPLGIITARDVMDELIRDPVAFKEEEE
>RCO7_00404 | uncharacterized protein
MSITSAGINYDRLGLLYLTDVEIWRTTTGMPVRTGIFYNVLKDMTAFNALLRTEQKVIMQLDNIYDEVFTGNFNITVTALYYDDHDTFTPADTILPI
SAELSSSNKSSVISLPDGNASVAINFPRNVERAVVSIIASGNGAEEFWFTNVPTEYEDTFNNTAIYGYSSFREVQLLIDGVLAGAIWPFPTVFTGGI
SPGLWVPIVGVDAYDLPNFEIDISPWLGLLCDGETHTFELKVMGYDSNAVLGTVGSNWWVSGSIFLWLDDSGNQTSGSIIESRTPIPVFEFSHIIST
AMELNSTLWVELLAKRDLSHTSTITTSSGSRNYTWSQSLHYINIQNFTAKGRNETFYQLTNGTSTFSSLADDEALIVNSFSYPLSFSQDYIVPVDPT
SVNSTLIAELDRAKILSGTSILSYLTSPATFGTPTLLTTRQNGSCDYFWNNTYYQFAGGIDPAEGSLGATEQWFSFLGPLTSGGKEAFARHFKAIDG
YEPDLVVDETFDTVIVVPGTVSLVDTKEDL
>RCO7_00405 | uncharacterized protein
MSTLAQGLPGTITVTMSLDAHGNPILQLGTKTFTEFPKLSAELRVKVWKFTYPERQQITLEHLCYMSGSCNEEKNTAWKQENMQHFPVALHVNHESR
NEVLRTCLIIHPAAMAIAVNPTIGLPICAHRSDMYAVQFTTLLYNAGEFHDCLSALRISQPRLFNKITKLEVRDTLTQFFLLKLFTDNRRSNIGSAG
NTRKIYCGSFLLFPALKEITFTGKSTDGNWENLMVKKSLDNLKDWVVRFLESAKLHFNDGIAPKVIFRPFKTVQEVLEE

>RCO7_00406 | uncharacterized protein
MSLVMQAVYMFTLAQLVVAGPLAFCVIPAPVIKSSTPIQNMTSNFPWAIRRDGGGGGTISGKHIVNFADTTTSNPDALRKLGFLPFASNSIAIAGED
GMHVTDTGVGKNVGVKQMWPFATSKSPINGETREENKPNHRYAIWPNTNIVSACGGACGYTVSNVLDITILPYAENFLYSTLAKITIGNEGPTVKRE
AVALWYKYEMNYGDFGLARARDGSNDIFLFAAPEKSFGMKVARVCETEIADKTKYLFWNGKTWSKNPPGALDSTANIFQYNEGGFGPGTGDIFWNKH
LNTWISVFNDEMSAYSMFRLMYSTTGNILGPWSEKPIDAYKPFSCGDNKSNLLCSVPYNYGTHAYPDIDTTGKTLLLSWTYDGQQTMFSTIEFE
>RCO7_00407 | uncharacterized protein
MATSCAKISSNESHDWDSIKEIFATLYVTEDRPLREVRAILDEKYGFKATERMYKRRINQWHFDKNNKEEEMQFLAQKSAVRAAVGKRSAFRVRNRE
ITQAALDHYFKRKKISRIGSKMGSSADVSTPPHIVCYTPPDTPTPETSESSSPDFAASDTPSTGSAELLENSPHSNALQVARYRPPDNRYWLPGTPC
HLQAPGQFKPMEALLSATQTFFYSTLTTNGGVDAYHVVNQTISWNMRKFFILANSVASHMSEGSWNEAQTAYGQALEHVGPILKDRNPILFVCLLQI
CCKFLSYGQLPALRPLLQLVRGMAAHVHSVSHSMYILCGALLESMDMLADILAMGLYQAIDILKLRLGMEHPQAGAVARGLHTILTISENHARALKV
IQPVADYESKLSASPMAVESMYRIIGSLIAMGSFHQAGVLLEETQAIVDILEDQEQKTQLILGALSTRGELLRLQRDSRAVAVLYEALEFAKTHTWL
HNGSWTLNARKALKLAKNSRFSDATLEPFIYWF
>RCO7_00408 | related to cytochrome p450 7a1
MFDELFVQGLATIQRDLRVTVVVGFLLKIVLTRVITSIKSNVALRRSGDGKTPPIMPSQFGPNVPVRIRVLNMKVHFITGSESILAIFRGSRDLKTA
PASILALENAFGSPVSTRHAYGRDNTGIFTQPLQGTNPLEPHNRVFNLTHKTLHSHLSGTGLNELATRFLSCLEIELLSLDIGHEEWTAIPDFYTLI
KKTVFKASTTAMCGPNLFSLNPDFTDDFWEFDTHIGKLFKNLPRWMIPKSFQVRDKLITSITKWHAYAEENFDKNDEALQNGEWEELYGARLMRQRH
EDFTGIDDFNDEAYAASDLGMIWGANANIVPIIGWSIIDTLVRPELLIQARKEIASLSSSSGKGAEDLNMPKLLASPLLQSIYSEELRLRNGVMIQR
VPLVDNFKVGDWKLPKGDMIIASSWHEQRDKAVWNEGPVNGEFHSVEDFWAERFLVYPNDPNSGPAKPGRDTKPKPKLAVKDSDNVPKYTTDFVTGS
YIPYGGGQKICPGRFYAKQEAIGAMSLILSMFDIELKNNDLPQPDMDYFPYGVVPPLGPFPARMRRRKM
>RCO7_00409 | uncharacterized protein
MPDSADFDEDTARTNYRAPYSKNQPIPTIQKYREHRHELDEQQNSAEEAQHTQEDDSKAKRVLNSIKSIVKDEDKKHPGGDPYPTGNRHTTDTEVSD
HGQDDEIALVPRTNNDGAAETYQENENGSGKGDSKDGKDGKDGKKKAKELSATEKASGTMDAKQKRKEMKHNKRDDGGREVTDPVTHLPLIIRDQTD
KDLRRAPENVPTPGNNHKSATGLSGASKSRSQLNLEEDELQDDFEGMQKVFPPPSFDDANAELIRTYQFAFSIGIGVVVLLASSVVLTVLFLTTTSV
QGSSSKPSMLSWTERQEASPRRVFVPLAISIFIALGAGFAAILGIRGWLANKVQEIWQDELWDAAREDEFKLNNSTGKLPESVAWMNSLLSSVWPLI
NPDLFAGVVDMLEDVMQASLPKVVRMVSIDDIGQGSEAIRILGIRWLPTGAAGQTVDNEGNLKKASNDEQNDRTTPGEGQEEDANDDKPQTEQERQW
AEDKKQEEEDQQAIREGMEAEQGDFVNMELAFAYRARSSGKSLKSKMKNAHLYLKFYLPGGIFVPVWVELRGIIGTVRLRLQLTPDPPFFSLCTLTF
LGQPRADLSCVPLSKHLPNLMNVPLISSFVQSSIDAALAEYVAPRSLTLDLKDMLVGDDFKKDTVSRGVICVLIKKARGFKEGDGGIGPLAGSSDSY
ITCSWGKFGKTMSSTRIIKEDQEPNWHEWAYILVSPQEIDAEEKLRIQLWDSDRLTADDDLGRVEVDLKQLMHSPSTKNKISEREDRFKGQDTGENM
PGTLTWSVGYFSKTPITDQQLAKQTVDKQITSKDELKQNVSEVAERKLREATAHDECKEINQQKAQDYKEKEDAMICSAPPDSGHLSGILSVQIHNI
TGLEIEQMQKQTKGNDDEQESENEEGMDMPSSYCTIILNHKKIYMTRTKPKNAKPFFNAGTERFIRDWRTAEVMISVRDSRERENDALLGIVYLPLE
KLFKDRSQVMDVFPLVGGVGYGRARISMMFRSVELQLSRELLGWDIGTLEIQSPIRPINLPQDISSHRIKLRSNIAKVKMVSEDGEWRYKGSKKSDF
LACTKRYATPLVVEFRKSQIGTDSTAAFAVFWLRDIPDEEERTLKFTVWKGGKENFKKATTCSDYQGLDGEKPLGEIELTIKFWRGLSGYHKNHAHS
GKNGDMHNVMEVLDTVNDECQSDSEGDSNSDSDSDSDSTTQDTSKHLKPHTNQDSDGEGSDGGRGIINKIKARASSLLGENDSEDGERGARGQMSDY
KAHHKQLHRKHRGIMQWKGARTADWALEKVRHGKSKVKGVFEHEEKGNGIETEV
>RCO7_00410 | uncharacterized protein
MFFQNPLQYILALSCAASLTAVVSAQEMLTPGIITSTFPTSPMPSSSSMASQFSTALSSPSPTPTTTGATATATTTGTKTTSRSSTRTHTAAKATGS
KSAARKLEYGSWAGPVVLGAVGWLGVVI
>RCO7_00411 | probable Putative unspecific racemase EC:5.1.1.1
MSDQASTETNMKIDPTRAKGLIEALQSVQSRVTKASTGRNVRLVAVSKLKPASDILALYQEGHRNFGENYAQELMEKAQVLPKDIKWHFIGGLQSNK
CKPLASTVSNLYLVSSIDSAKKATQLNLGRETLDPQPPTPLNIHIQVNTSNEASKSGVSPGSETSALAKHILATCPHLHLLGLMTIGAIARSKATVE
GKENEDFTTLREERDRLEKELVEQGLLSVGKGEGGEGGLECSMGMSEDFEEAIRAGSGEVRVGSTIFGTRPKREDFNIKGDVEEAKS
>RCO7_00412 | related to mechanosensitive ion channel
MSSREPRTPTDFSRRGFQPLLQKASDSNMGSGYDAEGGIPLTTVQTGASSTGARKQGDGVINDGDLSNQATFKDDEKKGFFHKGGRRKVKKVDSQPR
RRGTDEEETSVTGLGWLYNKIVTFSVVTRYLLYVAPLAMMIAAPIVIYAVTNREAKFLGTGVKVWLFWLWIEIIWLSIWVSKLISKAIPAIFMFISG
VVSSGTRKYATILRAVEIPLSLVGWSVTSLVTFTALTSQQLNGGEHKHWISVMQKILAPCLIASIMFLVEKMLIQLISINYHKRSFDGRIKDSKRNI
HLLGMLYDASRTLFPVYCPEFVDEDYIINDSIEALLAKATGQKPGKHGHKRSGSATPMRIIGNIGRVGDKVTSVFGNIASEITGKQVFNPHSSHTII
IEALEKTRSSEALAKRLWMSFVVEGKESLFADDIEEVLGPGRKEEADEIFSALDNDSNGDISLEEMIMKVVEMGRERKAINASMRDVGQAIGVLDSV
LVIILSIMIIFIFVAFQNTNFVTMLATAGTTLLSLSFVFAATTQEFLGSCIFLFIKHPYDVGDRVDIDKIYLVVEQISLLYTVFKRIDNMKMVQVPN
IVLNTLWIENVTRSKAMKEQLEMFISFDTTLEDIELLRAEMEAFVRSADNSRDFQPDIILEATGIGNMDKLQLKVEIRHKSNWANETVRASRRSKFM
CALVLALRKIPIYGPGGGTEVLGGPTNPGYSVTVPDTWAVEAREKAKDAKEEKRFIPTPKKDDTASASGIDHLGPLTEIGAADSLNRRRPTEDPSAG
WDAARGDEVEDLHDDALERKRSNDINALKSGLLKRQSTRGRRRPGEHVPPSPGLYNAPSFNITAPSPRNNAGFSSRDVVDEEAELDTAYVGAGYGSG
AGQNPFVNQGQQGQGSTGYSMFPSRNPSQQQQQILRPEQQVAPPPSSSAASGSQQPQTRGRRLSLGFKGPGQEKDGAS
>RCO7_00413 | uncharacterized protein
MEFLPDKLVCYRTVNCTLTDGLIDADPDIAGLGVIIAFIAASFITFSAIVLGYITHSIDAVQLNHVDRIMIPHLRWLLHMGTGNKISEKTRMLREQT
MTHFILALSDQQLVTGLAVLITGYAQLCSISGHHFEIVASLAWFSSTTHLSTLTVLQKYLISHPMIKHMRVVGVMAVLGPLFHAQLYMQWGDFDSLL
SMHLWIHVFRILGERVLTPLCRGLSFLDFHSHVTSIRTLLEDGVRRGLNLPPSKTPEQLYTTTLKRLESMGDTGNQQRHSCWSSINISLARKQYVLS
MFMNSFWWQIIWMLFGNLFGFLQLWRARFGASYDPVDQGSYRFEIRGSENDWGFGQIVAILLMILPLLAAVEAYSDLKTSMGYGDRLSIDHRPSQII
HDSNINPTHSLTYPSNITPLEFQETIFITAIWVLFSAVWGILGLVLYAAGWQANSNVSAQVAVVCVTAGVITLTLLHLGTYSGDFIRDVIAKRRERC
QTIPVATPEDLQLDTRGEEPERTATFSA
>RCO7_00414 | related to maltose permease (MalP)
MDEKELVTSVSPTVAAVPKVEPSTVKRDDDLTDWIATGADARLAIEHEHQMTIFDALRKYPKSCFWSMAISLTIIMDGYDGALLGSLAAFPSFKQNF
GHYKNAKSGYQIDAQWQLALGCSSAIGNIVGIFCGAITTDRFGYKKSILLWLGLLSAFISISFFASSIAIIFAGEVLSGTSWGVFAVTAPIYASEVC
PVVLRPILEVFVVMCWGFGQLLSYSVLLTLNKNTSNWGWRIPFAIQWVFPAIIIPLVLFAPESPWWLVRKGRHADAEKVIKRLTNRLSEEQVRNAVS
LMIETNQIEKDCHEGVGYLDCFRGDNLWRTEITCVAWAAQLGCGFVIASYSTYFFQQAGLSSKDSYKMSVGQGGLHLLFNLISIPVVSRFGRRRLYL

VGLAAMGTCMSIIGFIALAPQNKAVGFASSTIFLLWNCCYQLSVGPCAYILVSEVSSTRLRAKSVALGRISYLLCILVNYFVGPYILNPNEGNWKGK
TGFLTAGVIVVLWMWSWFRLPETKGRTFAELDVLFSKGLKAREFEKYEVEIIGHGEDGKTTYSHIETK

>RCO7_00415 | probable alpha-glucuronidase precursor
MANIESGLDAWLRYAPLPSDERNSFKHPENLICLSDSKTSPIHTAGKELQDGLNRILGSQVNVLPVSALKETASAFIIGTVESYTSAGGDIQNIPEL
KEDGFWLSNQGDTVEILGFNERGALYGTFEYLSKLAQGTLSTVAYATNPSAPIRWVNEWDNLDGSIERGYAGLSFFFRDGKVVQDLTRATQYARLLS
SIRINGIVVNNVNSHCSLLNDENMSGLGRIADAMRPYGLRIGVALFFDSPKELGGLPTSDPLDPAVRQWWNDITTKLYKHVPDLLGYTIKANSEGQP
GPLTYGRSLADGANMFARALKPHGDGLVMYRAFVYNHHLDESNMKNDRANAAVEFFKHLDAEFDDNVIVQIKFGPIDFQVREPVSPLLANLRKTKAV
IEFQVCQEYMGQQSHVVYMAPLWKTILDFDLRIDGKPSVVRNILTGERLGWDRTGYTAVVNVGSDNTWLGNHMAMSNLYAYGRMCWNPQDDPEDIVR
DWTRLTFGLDKTVVDTISNILMATWPAYEGYSGNLGIQTLCDIIHIHYGPGPGSHDGNGWGQWTRADSKALGMDRTVATGTGFAGQYPPEVAAMYEH
IETTPDELLLWFHHLPYSHRLKSGKTVIQHFYDEHYDGSATAQTFPTQWESLRGLVDDHRHKQLELNFKYQAGHSLVWRDAINGFYFEKCGIPDELG
RVGNYKYRIEAESMELDGYKIVDVTPAEMASAGKAVITATDNAPGTVKTKLEYPSGTYDVAVNYFDVIGGRSQFRIFINERQIGEWVGDLEDKLMHC
FSKLLDGHSATRITFPGVKIEKGDLLKIVGVPDGIEHAPLDYISILPEGIVD

>RCO7_00416 | uncharacterized protein
MTSTSLMAPSPPIPSNILNFVQRYRSLRDHQDSSDELIKDLMLYAEQVESTYREENTRLNQELTNAQLDLDDARRSRRDLQQQLSHATLRMGQVSFD
CDNLRNRNPYIMVLIDGDGMIFNEDLIRQGIEGGKQAATLLRNTILDNCHDLTDQIEVVAKVCANISGLSKAMRRDGSLNNPDDLREFTLGFTQGKA
SFDFIDVGHGKERADSKIKECMRWHLRNHNCKQILLGISHDAGYAPFLDEVVTKDDRSRITIIEGPPIVRELSATGLHILTLNDIFRSEKLIDRLPT
NEVPSTWAGVTSIAPPIPIASPVSVKNGSTTTTPIKKVTPISPKAKVAWDPVPRGLDPPITVNAAVLDKIKRRTTNNKLCNNHYLRGPCAKGDECCF
EHQYKATDEDLKAIAYLTRLNPCLNGQDCELEYCIYGHHCPSVSFPSGSKESVCTAFGCRFTKEDHPPNTVIKHPRKERWEKEYQY

>RCO7_00417 | uncharacterized protein
MTEASRTDTEEQRAVHEQTEQSPLLGDHRPDQQIDEEDAVEKSGRTTSWWIWRAVWFIVAVLVLTLFIKGWVDAGGDVQFDLKGALKRALGGGLSGA
AAMVLQVLLLMPLRTIMNYQYRFGTSFTAATRTLYADGGFLRYYQGMGAALIQGPVSRFGDTAANAGILALLQSNSYLKGLPTPIQTIFASLCAASF
RMILTPIDTLKTTLQVQGSKGTILLRQRIKTNGIGSLWWGAFATAAATFVGHYPWFATYNFLSETIPAPPKHSIVVWLLRLAFIGFMASVVSDSVSN
SLRVVKTYRQVNDTQVSYTEAARLVIIQDGVLGLFGRGLRTRILCNGLQGLLFSILWKLFLDLWEKKTSS

>RCO7_00418 | uncharacterized protein
MKRRLDALAIIAWSINARACPLDTSLHRMGLWNQDEKVIPSLELAEVMHNSQCSIGAPLMKGHHVYDPNFTATMLLGACLEPFAAFMAHNCDPSTKT
IHEADELIIRATRDIAAGGGITRSWGLG

>RCO7_00419 | uncharacterized protein
MPSDRPNSLFLIVSHFDLRKSDANVFIKAFKTLPDGFKNLGPLLLLHLKTEVVLGTRRWFGADSQVAGLEEVIFSTIPGRAREFAAVQGILFADYVP
LTESDIERPRHE

>RCO7_00420 | uncharacterized protein
MTNQISMSGHPDINRIQTAPSRLYPGRIGIYTKNLYEVKNISNRDYIFQSQGDGLAIIGEDQDGIERACDCCFRTFYKTSEGVQIDTSFEPKAEVHT
TSQISTSQQSTGDSDPKEAAAPQEKLQACQKCRMVYYCNQTCKQKAWLHHHERECKILASGRAKYEIRQAEGGGSVDDDDIDSQATCDAEDYNDTNH
FENEYNIFDNIVRMAIRFLLVFKAHDSAALDLNTKNGRSLDHLLTNLSQEPGFPVLESCYLAITVVVRDLTGTSLSLTDVGLFVRMLYESRRALVLP
ILKDPCQPPYIGHLISPGYFVDPLLSLTQHSCDPNSHAVIQHGTIYVQALRDIPAGAEVTVSYVSGHESFDFVTRTRALHDFWNIRCACNVCKFGAL
VPANEHPEFHNMVQHSSVHTIDMPIKDHDLDRKVEEWLERLSRLGCGAGKIQLPVFRRLWYLRMGKFYDQKDYQQTLAGCLALYIWLERKDTHGERI
DSLYIICDMLELRSCIRRTALEGWSQIPADVRREFPSLYFCMRTHYNVLLFRYFGRSASITQREAASWEEYQDANPKMALIRRELFTDSAKFANEMR
KAINVLLNWVGHPDLDQEMLNELFGWQHRMPDKLGADA

>RCO7_00421 | uncharacterized protein
MSNATDENNAATAHKEMGHEFEVPSRVRCEHPVQLGESKIPGAGRGLFVLHDVKEGGLVFEIPNVRLSIIRGESLDTTCDYCFAHTSVYGQTDPRSD
LSYKACNNCNIPSYCSPACTKTAWTTYHQYECPNFSKIASSDPEGKIRCRNEDLRTIIRILSLQFAGMIPDEEWEEIISLKPQPAGPGEESGLPVIV
TNIKALIAQHGLTNLSMEVVENIIRAYFNNRCFVQLWVPYLSPPSSVHRYRHLEVPIGECLEPFYSMLNHCCIPNCTWLSEGRTLQVRAERDIAAGE
ELTICYTWSNTLKDRQEKLSGWIGKCTCVLCLNPPREPTGKLRESVEKLLKARGGDATPSHARSTSILCAISKMELVGLGVEAWPMRNLYAQLFRCR
CGQYDGPTMLKTWLKLYFFIEPAMRPQESLGNRNRSLTVLAYLLDLNDPTYSHLEPYPKEVLKLAPWLHYQLRAKLLYSIRQCNGPDSYCVKYEEET
YEKDFGQLERDAEAMVVREVRDYVPFYKSAESKWAFLKDMNELLAWAELPARAESQLVTIHSV

>RCO7_00422 | uncharacterized protein
MKRIANTVFAIREDGGFDIDPQVEAGASRTPQQKPLKRPRALSIASTCTLKSEPPSPSDSEVQVVESPATRGSSSNPTPNHLNASTNTPICQSECEV
QIIESPMTRNNSASLTRKRPRLINPKPTASHSKPKPGTSRPSDTQGVHLNQSKKPLPSLTAFDIDGFEEVKDENGIINVEDLEEKFEAQFYGAASQE
QARAEPTPARNLPICLPQVVIETHTIHGMNLKKGKLVEFLNGGFLKIGKVIKNYQTGEIFLRGWRLERCARIGGQLPKKLNELCFVLEVELDDHRPV
LEQSMVQVGLEGLVKIRYLVSTNYPFPELAFSRDNLPYEDSAENLEYIRDYERLVVRWKYVTFYDNAVEHSRNPIYPTNVRKKLLTGLAEEECTSGY
FMDPEILRHNWRGDTKIGGAGRPQPSTTQQTQPVNVQPFECPTCGHTFKRSLELFEHYQNRHEQKSRQPHAQSAACQGQVRRRSIIEILDDDDDDKA
TRKHRQVDIEDVRVRLKSVLSIDGEEPPNNDIGRISGRYKRKADVDLTSPQISSSIQGFRRVSGSASQRKLNPAASAYTYGDAFCGAGGTTRGSVAA
GLEVTWGLDFDKNAGKTWKANFSTATHYEMWAHDLVAQINASVDLFVDVLHLSPPCQVFSPVHTRAGKNDQQNFDSLFACDAIVDKARPRIITLEQT
FGILHPKFSMAFNALIQTFTSYGYSIAYQIVEFHRYGLAQTRRRLIIVAACPGETLPEIPEYTHSASSSNGLKPFTSVRSVLRKIPNQAPNHNVEAV
DGRGKGEWDASGVIPTITCDGGGRGHPDGLRGFTDRELASLQSFPHHHVFHGSCIKKQIGNAVPPLISEILFKAIIKHLRKADKAEQERHAKITK

>RCO7_00423 | related to signal recognition particle protein Sec65
MSHARIEEVSDSDPSEGDISDVSDDFDEREILRARPSAVPAPQVAPSLINPSNIPSGGSRAQTAPDGTQFVQAEDQSKYASFECLYPVYFDVNRSRR
QGRMVAKELAVENPLAREIVNACGRLGLETLFEPTKIHPKDWSNPGRVKIKLKGGRNTNIKNKHHLYTLVSAHLKANPSTRATASLVRVPGVPPPDA
SKPYPQPAVPRGWKMNTLLPHYSPALTGGGVSDNFFKDMMAEMGGAGAAGGMPGMPDLSAMQAMMGGGGGSAPSPQGAIEGKKKDKKKK

>RCO7_00424 | uncharacterized protein
MSYPYDRSGRRSQPSSQRGAVTYWLPLAFTVTVATIGLAAWVWSERKDDDDEFSRPPGPSRDNDSVYNRPGYRPDGSVITGPPSYADVRPGEVAYGT
VPGPRPEETQSYMARMSGALRRTPSPQQVFDSASRSVVGGIEAVGAVVGSALGSIREEDKNAYKDHNAWSEEAEARGIPAQAPIDLRSSENIPDVAP
SQRVPVSKGKRKTVAIVLSADTHSDDFDEDDDSFHENPSILSHLPRNTDFSKIRLFVLIYAPGLKEHPLDAGATRPPGSLSSSFSNIGHDQVHTPGE
ESEKHLSTNSASPAFYAVYSQALTLVEKETMVLPFTTPTGHVHILRHLGPEIVYLQESLAGDNGEVITHLQTWLSKDVVLVVGADGGHGGLADSESE
ADHIEKNEHWWEREDRVGRGRGIAVVEGLRVGDDWARRIENRD

>RCO7_00425 | related to eukaryotic translation initiation factor EIF-2B subunit 3
MPHALSMPAPGFQAIILCGPGSSFPTFTANPDENPKALIPIANRPMVWYPIDFCYRMGITNITLIAPPSSASAIIAALNTNPHLTSLPLPKPDLLAP
KDLNQNTGTAEIFRLPEVRAIIKGDFIVLPCDLICEIGGESLLESWMVKEAGLGGATGGGHEFTGPKMALGGEKGGRRGGLGVWYETKGETIIKGEE
TDFIATTPIEASPVPPSKTSLLEHVSKLVYSVPTDTLKDITEDKKSLPIRHSLIRAHSRIRMLSSHRDAHIYIFPAWVMDMINGNEHMDSIGEDVIG
WWAKAGWQDGLGQKLGLTEIFSTSHPAASDENLLENNPEHDNIDFASLSTTCTTRLESTGISTSNHKLIVPPILAYIHPKNTSLIRRVDTAPLLLSV
SLQLAKLESVEAVGREESSPFAHQAKVAHPEGIASRTTVTRPDCLLAENVMVEEKCSIKESVIGANCLIQQGAKLTRCLLMDGVVVGKGCKLTGCIL
GKRAEIGEDSILTDCEVQENLLVEPGTEEKNNKLMSSEGMEATEEEIQESFENEDNALLE
>RCO7_00426 | uncharacterized protein
MFMNANMQYAHPMGGESFSSSNAASSFSDGSSEAWETSTVYTPISTPRRGSPNEAKFGSSVFSVPTPTSSPDRYVTASGFCAMNNFTQNTMTTYHEP
QENYSAVLNTVSTPNQHIPRFDSYGPYLGHSMAPSFITNDGLPMNTPSLINDDMYSPVSDMSCSIPILGNCVAPSQTTFDGFGLQSPMNPVKTLNLM
IDYDCQPSDYDTGLLINTVSPGRVDYPMPEYQHHKSEQLTPSRRPSNRQMFGQSQECESPTSYHAKSEVCVDKVKKNLLAKKRAARVGVYKVSSAGF
GITSNPKARFMCDWKGCTKKFARNEHQKRHYKTHLGERTLCEFCEKDFPKDRQDNILTHVRLHDDDSPTGRTKFNPGAKAFIKQRESESRNGTKSKA
MRQGKTVSRIAKTRS
>RCO7_00427 | related to pectate lyase 1
MKSQSLATALGFISTAAAAKLHSPAPVVVDSPVGYGAGVTGGAGGNITTVTTCADLIAATNKELTTARIVYIDGLLDNCGYVSVGSNISIFGKGAKS
GITNSGFHVRKATNVILQNLALGPAPPKFDIVTLEESTKIWIDHNTFISHGLSVDKDDYDGLLDITHASDAITVSWNTFTGHWKGSLVGHSDNNGAQ
DTGKLHITYHHNLFDKVNSRLPSVRFGSVHVFNQHVTGTNTSAVHARMGAQIYVENSVFHDTKLAMVTDIDSDAPGSICDVGNLLTGNSTIEITQTC
NLTIPYPYTAEPVTAVVESLAAGAGAGKVSP
>RCO7_00428 | related to autophagy protein Atg27
MRLPRSSAEAALLSAFLFPLLAATTGGITCGKTIVDKKEFDFSKLGGPRSAIDPQDRGASYRNITYTIDICKPLKRDSAQTCPGGTRVCAIERDQNK
ETGDEIIGEIIPYAGELKEKGGGNMDAKWALLATDGSNTDSKKEGLRLTMNGGFKMVDKKKRPQKTIVEFICDKNLEGTENLPIPEDKYVEKLKRAE
GDDKKEGEPEKDVSKEPSLKFIRVDHADSDDTLRMEWRTKHACEDAINNPDPPAEKKPGWGFFTWFIIIAFLSTATYLIFGSWLNYNRYGARGWDLL
PHGDTIRDVPYLFKDWIRRVLSTVQGGGSRGGYAAV
>RCO7_00429 | uncharacterized protein
MEPPTDVKQRPRPTSPSKPPRKRKRIVISCTECHRRKQKCDRQSPCSNCIARNKHALCQYENEFARKQQLLEESANGTGSSEDGRAYKVIKQESETA
AQVSAFGYAKSNGNNNTTLGIFNKLENLETEIPSSMSLMISSQAGQGGLREKYKSMIRQLPAKPYIEKLIACYFREVNWQYSPLDEGTFRDQLKSWH
SLSFSTLNKGPQELPPDLQFFPALLFQTLAMALQFQPVDYDQSLDSLKYAAGMSFDDLASDYSESGCQILCLLGKRHTTLVTVQAGFLRTAYLKNCG
MVPESWHYLSQTIRDAQEVGLHKANISQYHRKVEEKPEDVLENLWQEQLRRRMWLILSLWDIHMAIILGRPTTVDPRDGKPRFPIDAPTPRNRREVA
PAPRTDSDPPTSLTMLLWLAEVAAPLWDIFNLEKEDPNQNNYPKLELMHKMINQITLHTPPFFRTQNPDTTFDRHPDCFWLSSARSILQNAAAFTVM
ALHRPYIFTNSNSRTAALKAGLDILRAQRTYFNLLSIRHYKMFALVLNTFDAIVLVAAIYILHPTENPEYLDDTLQHFQWGMDRFETMGDRNAMANS
ALSVLKVICVRLKKALNRAAKTEGPSTVSASTTPAAITPGYTTPQYSASSYPSVSSGSTNSSTNQSAGTYTNTNASSSTTATQYTLPTISNMTESTP
APISTTIPTTASSWEAFSLPPTFDFSSMAPLQPMHDLLFNDLGGTIDGGLGLDASGMQTPGIWGPGSGNANVTGIENGVPDATWQFEGDFANDSFWG
FMNTYNA
>RCO7_00430 | related to nik-1 protein (Os-1p protein)
MAPVASTIASHVEGVSDSARAREVYKYFQPTSTDPESLAEAVALGSPTDERSEGGRDINVKVRSNVTSSKISSPDTALTAFCQLITWRLGVQRAMIS
LIDAETQYFIAEGTKTVDLVDNRKHAPGDDLWLGCASVEKTGRLCEKTIAVPSATNGKYPSFIVNDLSKDDRFQNLPFVTESPCLRFYAGVPLITHR
GIPIGSLFVVDDRVRNGLSEEEVHFMGTMAATIMKHMEMVREAEEHRRGMKMSRGLASFVEGRAELIEAEVEAEDGEGTRIVGQFETDHVITKIRSR
GSVRSSISHALADKEKEYSSALFKSEEEFLAKNHPDGQARPDLDGMPQSQQSSYGGTSATMSSPNDANCSSASPYMEDSSEATSMKFLFSRAANLIR
EAFEVNGGVVFYDAQAGFSSDMSYSQRLNDDPSSHIESATESQAEFVAHTSADGDDHFSAEEEGGGKIPSLPILSPLGDGSPDFERISFSRTTTNPT
KSCEILGFSTPDAASVNGDPVPGSQSFCSLDEDTLMALLKRYPRGKLWNFDSDGAVSSSSDDERRRPLSKDPIERSKEARRRLLRSAKNKSDARLIS
RHFPGVRQLLFVPLWDAGPSRWLSGCFAWSTEPTRVLSKQSELAFLSAFGNSVMAEWSRLDTEIADQKKGDFIGSISHELRSPLHGILASAEFLEET
TTGWEKGLVETIDSCGRTLLDTINHILDFSKINHFEKNWKKSKRAGGSRTTPGKSGGSLNLEQSDLPMLNLFQDIDISVLCEEVVESVFAGHVFQHT
TAKTFDMVPDTHGKMSDARKSIPSTDNMLGPQKLQSSGVVVILDVAAHDYHFITQPGALRRLIMNLLGNALKYTSHGYVKITLSTTNMDDYQAGSSS
AGTDGVPRSMVSLTVQDTGRGISPEFLRSKLFMPFAQENSVSSGTGLGLSIVRKIVSLLEGEITIDSEVGRGTRVRVTLPLLREMPRNIDSGASSNT
QKSVVSVGREADEIVSSLRARANGYRASLLGFDIETKDPVIHDMGRQLKNSITSFLVNWYGMRIVPLGQKCDILISNEGVSTLITKIVHQIGKLQKR
LPSVVVLCSHDTRFMDRTMSVSEADFNVGFIAKPVGPLKLAKALSQCLQGVPSIGTPLVDGPTTNNSESTDLSNVFEGLSLSPRGGEVLDNSRMSAD
SANARKAIESPTPNGSDKHAEFPFPQPEGEKLTPKRRALANKENSQLGSENSDSSRLSLPDTPPAFSSTEATPTIETTLSSKPLTDPKAKPTSPTLL
LVDDNQINIRLLSTYLHRRDYNVVHQAMDGLQAVQKVEARKEGYNIIFMDITMPILDGFGATRQIRAIEEKRRRDFMSKTDNSANEGLDMNMEDAPH
AALIIAFTGRSSIEDQNEAVRVGIDLFMTKPVAFKEVGKIIDNWVANRERERRGIIG
>RCO7_00431 | probable Gim complex component GIM3
MQRRMLTKEDEAAAGGDEVEVRREDQDKINKFSRLHQREIALEEELKSKHKEKEDLDDISNELELADEDDKIPYKIGDSFISLPLPEVQEMLEASTS
KIDENVSDLEEKLSTTREEMDQLKVELYGRFGKSINLET
>RCO7_00432 | uncharacterized protein
MQYYEERTKVQKSQLSFTAEGATTAHRAGLISTSGTCKMSTCNCHPYVKPDNILINYSSGPYRFRDVELGDYGDVYLVNPKDHLKLGESGHISGAHI
FRGPEAMLSLRWGTYIFKPDPKDAELDDELYPNHVLAKQIAFFGPIPLSYFAFLPEDDERWEFIGDTTQYIIDYKKWKPFAQAEDKELAEEDRTFIC
KIMKLDPRDRPTAKELLNDPWLRDRVSCEWVFTVVYQVSVACTFIYTFKEMNKRRTWSGLGRFYIHSPKRQHTRTEERDEKDNKEEVGEKAIKLWPM
VDKVALTSAEKQGVNKIAPQILHA
>RCO7_00433 | uncharacterized protein
MVCQKQMSGPRIFSHHNLQGALGSSANGTGEGRSTGLPRGTISGLRTSNTRAETGSPVIPHNVSTLPPQTPSSTPFRLPSRSANSTEVHRWIETMKT
PSNQAQGSDVSKKSGYGLQIADFKELRQWLERKFKKRTAATIAKKIIQARLEASPSRSHTCE
>RCO7_00434 | uncharacterized protein
MALVPYPGSSSLERIEPEPIPFPVRSASSTEVFAWIGLQIKYHLKPKRPHHNLIQDEHLTGEFLYTESVEALIQSFRKMGFASKEDYWDASNSTMMR
KIIGTVLSFRRELESRRMTAMSHSTVVTSSNPTAMASDDISHSTVAEPDIMSHSAAVTSAVLPLQSTKVSQFELDNPAEEWSKDAFGVKPEEAEDKD
VKKDNAQSAENPSPSANASIRQLPDLLDVTSGAEYTISIHDGAKDEQYEVKAETSEAKSKSKGEIRSSLAGLQAALSNFLNRGVNGGTKHKQENKEI

NGEGDRKNTTLIVRKSHNGSGPNGGSNWKKENGKEDNDDDWKHTEDGKEDKDTEKHVEDSEVFPELTRLK
>RCO7_00435 | related to anaphase promoting complex subunit 10
MAPRSPTPRSGSFIPSFRLRPQWSSRTGTPSAPTPVVNPRLDLTRAEEDDDTELQLHGQQLEGGNEESEVEEEGLEGEENEDDGEEEEGEEEDEEGA
VEEVPMEIDSLFEPAALGLKEIGNLASWTVSSCKPGCGVDALRDDDTGLFWQSDGPQPHHLNIHFSRLVSILSIRIFLDFEADESYTPTRITLLAGT
GYHDLIPFAALNFEQPKGWLDVPLDHVGGGPDGKTLRAFLVQVRIVENHQNGKDTHVRGLKIYARDDRARAGLGGLLGDEKMEMKAFGKAQGPGMER
SWLVEPDWMGEPELR
>RCO7_00436 | related to 3-hydroxyisobutyrate dehydrogenase
MRSNLLRAAPLLRSAIPLQRRSFSVSTGRQAQYGFIGLGQMGYNMARNLQAKLSSTDTIRVYDINAESVDRFANDTKGLSSGAKVQVAANAREAAED
SETTITVLPEPTHVNNVFGQIVSPALSEAVVSNPNRLFIDCSTIDPSSSREVANAVHSTQQGKFVDAPMSGGVVGASAGTLTFMLGAPESQLARVEP
ILLMMGKKVIHCGPQGAGLSGKLANNYLLAINNIATAEAMNLGIKWGLDPKVLANLINVSTGRCWPSEINNPVPGVKDSAPSSRDYKGGFGISLMRK
DLNLAIIAANEAGAKLELGEKAKQVYETAEQQEDCKGRDFSVVYRYLGGAE
>RCO7_00437 | uncharacterized protein
MPQVIRGVRSNSEPNNAGTPTSPHAHEDRRVTFEHGRDEREESDAYYDSRAATQSEFQRRASTLQTYYCEHPELLPQLPFTFRHGFKRWRLGGYIVL
MVFDACVVPIMLYYVMTFAGNIKGFITFAVITAIWGGPTYVEFAVRSLRLIKQQRFYKPLGVDKRWAFDITNWILVLTIAVVTAILIVGAAPHDVFL
RVLSMPGPAILYCISGPIFLLSLFNHFGWKAPFRIGSTPKGEPVMPGIFYIVEDIVAVNSGGGRPFREGMFARYKASPFFRKMMRDLSWFWSISGLI
MAAAVTVVVVINPVPEPVSYGLGWGVPFLWAGIWAAITVPWVQSVMRKEKHGWEAETKMMASTMSKPPSAHNSKPPSVNGTECTKETTQV
>RCO7_00438 | uncharacterized protein
MSSPWKKKQPEVVVDAVLKRAEIGKIGRKLKTRLALAQFKAARGWEDLTLDTIEPKVEEELRKRRPTSSGDIFSDSSSSVALDFRSSPIKNPAIFSD
QVGPRSGSGSEYRKRHYNSFEPSSSSAATSRKRFRSSPIKPINSRGYQLTQSSPIKPRKQPHFTTSSGPSLSFYARSSYHNELHSNFAAISDDEENN
LPEHSFDIRSSPPHTPSPIRKASLGRRKNGRSGEEGADLLLYLATSPSPANPPRSRMQPPSTPPPKALALPSSMMTTPGGGGASYLSNFPNTPSQHF
DFADFVNITPSPAQKAWPKTPRGAKTPLTVARRRLDFDNSSVSPNLREGGAKHTGLGMQLGGNLLS
>RCO7_00439 | uncharacterized protein
MASQDSKPPVTDNKPATATGTLGRLTSKVKEYTKFWADHVKKGEAPWTQWYCCGVVTGQECEQENHRIHKACKKCNHHVCENCVKGSI
>RCO7_00440 | uncharacterized protein
MDTKNHFEILSASSGGNEPPLTRGLTGKKRRTLGPKVRSGCITCKIRRVKCDEGKPGCMRCLKFGQMCDGYEDKRSAKLAELLKKPRPLAPIQNTYI
TYQQPVNQNFHQNVPHAPTQNYQGVPAQQLQVMQSIQPRPSAAESSTQDAPMPIQYLYRAPPRDPFHNDQERLYFQRFCEVSASQLTGCLESDLWSR
VVLQASESAPCIRHAVTAIGTLNLKGWRDGNSQRHLQYEKKRLQFAYHEYHSAIVCMRQSTSEGGTDIRTKLLACLLFACFETYHGNRDVATAQVFA
GLQAIDEYNTLRSQSPFPHPAIDDEIERIFVVLEIQAITYQDRRGRELHLERLNRGRAAVEDMPAEFTSLKQARLPMTRIVLRGLHLTMSQREVDLT
AHPSIVDLWWISERPTPSPIGPNEDVLTVDPVYALQCNILSEYKRWESAFEPLLRRARGLKGRATFHAASLLRIHYLSGVLCLAATTPHPLYYHRCY
TRELTEVVDIAHQLLEDSNQSLLGDSYSLDIGIVMPLIVVGYKYRQRAFRRRIIDTFLKVQRREGIWDVDVTGRVMRWVRSVEEVGLPSEEDEMYVP
EERVATICRMDTDLVKRESIVGVMHREGGVGEMVYKEEVINW
>RCO7_00441 | probable short-chain dehydrogenase/reductase 3
MSFQSPPSRELSWARPLSIDLLLKVLNVTFLHPFVAWMIPLCMRAQVTAWDAPAMQVSILYASLLTALFFLGILNRQIAYSKARKVDFSEEVIVVTG
GASGLGLLIAEVYGMRGATVAVLDVKDLEAGEARGVSVYKCDVGDKEQVAKVAKEVEMDLGTPTILINNAAIVNGKSILDLTTDEIDRSFRVNVLSH
FYTTKAFLPGMIRAKAGTIVSISSVLGQLGASSLSDYTASKAGVTAFHKSLAAELKDTPEIKTVLVTPGQLSTPLFSGVRTPNSFLGPLLEPVDVAK
EVIAAIDSGSSAVLAMPLYARWIDWMNVLPVGVQAIVRRLSGLDVAMKNFVGRGVGEKESLI
>RCO7_00442 | uncharacterized protein
MTIHTQGTIAIAVAFSFALLANIAIGARVYTQVVITKKFNLNDVGILIAYAAYLSLGGLLVNGVINGIGGHIFQASIPKITEVLKMIWFLEIIYVIL
TSVMKGSIAVTMMQWTKNRILIWMFWGSIAMDVIISSIFTFYVIFQCTPISYAWQMLDPKVKGKCLPFKGQLYMGLALCFVTLSLDILLMVSPFIMM
KGRGINKHLKNYIYGIFSLGIFATIANLIRLAALFKLEKSTDQLFDAAPVFTWSAVEVSIGLVIAGLLELGPLMAKYNFKGFDDYSHFGHLGDDDTV
KLQNIQSIDKPGLTISGPVRGF
>RCO7_00443 | uncharacterized protein
MRDMKIHEAFTKWAVERGVKINGIAAHRFEGRGLGIIAEENHEANAVLLSVPLLALRTVNTVRKEISQALPETTVHNLLATDLALDETIDYAPWRAV
LPTQDSFKDSMPLLWPSSLQALLPPQAAKLLANQRTKLKQDWGLTSPAYPTIAYEVYIHSWLLINTRTFYFITPKQRGKKPSPAPKNRYDCLALNPF
ADYFNHMASSAACNVSFSPDGCSITASGPIKKGEEVYISYGNHSNDFLLAEYGFILAGDTNRWDEVVLDSHVLDLLSADKKAILQEEGFLGNYVLDR
ETVCHRTQVALRLSFLSVGRWRRFVAGMDDGEKDQVTVDEVLRKLLEKYQADATENIRLASCLEEGTADQRQTLSNRWLQINVLLQVAIDRIKS
>RCO7_00444 | probable Ubiquinone biosynthesis protein COQ4, mitochondrial
MALVLRQKALKFGLPKELLAACTVSINSRQFSILNRPPPSYPGHIPLTRIEKAGLAIGSAFGSLYNPYRGDLIASLGEATATPYFIYRLRDAMLSSP
TGRRILKDRPRITSKTLKMKYLRSLPENTVGKAYADWLDLEGVSPDTRSEVQYIDDEECAYVMQRYRECHDFYHALTGLPIIIEGEIAVKAFEFANT
LLPMTGLSLFAYVRLKPQEKERFWKIYLPWAVKNGVGSKEIINIYWEEQLEKDVSALRAELGIEKPIDLRSIRKAERLKKKAEKEARERSKDTLGAN
>RCO7_00445 | related to programed cell death protein
MEDDDLAQIRKARLEQLKSQGGGGGGSSSGGQEQKQQQESEARQSILSQILEPEAADRLGRIRLVKASRAQDVEDRLIMLARSGQLRSKVTETQLKE
LLGAVAETKEEEKIVVTRRKGAWDDDDDDLLADL
>RCO7_00446 | probable COQ3 - enzyme of ubiquinone (coenzyme Q) biosynthesis
MPPLRRTSLRNLSLLLRTAPRFVQKQFRYHSTGNGTASSVNPEEVSHFNALASTWWDPHGSSRLLHLMNPLRHDFIRGCHAIQPDPPPATGLRYLDI
GCGGGIFAESAARLGSTGSVTAIDPSPKVLAIAKGHAKKDPMLQEKLTYLNTSIEELPKPKSKEEQFDVMSVFEVIEHITQPDEFLDLCTPFVKPGG
WIVMSTIARTWTSWVTTKVVAEDLIGIVPRGTHDWGKYINEDELREYFLKAGGWNSPRVMGVVYVPGLGWKEISGSEKLGNYFFAIRRDL
>RCO7_00447 | related to phosphoserine phosphatase
MAEVNPTTRPARPSLGGGMRTGSFITEQKEYRAPQQDGHQGIDSIVEGVQHTTVEPRKPYQPYNGVPSEKTPPKIVNSGLNHTLSHTNCQPAVGTQS
DRMIATIIYKTKSPRVNITDYPPDRSPSPSAANSRAIPPNLAPVRSLSSFPLEPPPPDPEPLDHLYGSYISPLCLTSFLHLIANLPTRQGSAVLSSS
HRCLDNPDHPSIVELTLSPTPNPDYITLDDLRKHEFIYRFEREWNVDVILQQDTVLRRYPRLVVFDMDSTLIEQEVIDLLAASIGVEAEVSAITARA
MNGELDFSSSFKERVRLLKGVDANIFTKLRTVITPTKGARELIKALKRIGVKTAVVSGGFIPLTQWLADDLGIDYAFANTITLDPSTNLLTGEVVGT
IVNAEKKRDLLLELAAKEKVPLQQVIAIGDGANDLLMMKEAGLGVAWNAKPVVQMEAEARLNGESLLDLLHVFGFTAEEVQDLLQ
>RCO7_00448 | related to PalC protein

MPYPFILPTTSSFSFSTYFESSSHPSLPLSASTYRGVLRDTLKKHKRLSPSEQTPHLSSVLLALNNYIPYLLAIDNGLGSHIVAGEEVDVVLKTTPS
LEWRPTLSENLVPGQETARIKIKSLEYEIYFVLQTLGYAYTLLSRSSLRLLYSSAIASPSAEQRTLAITTATKHLLAAASVHDYIPHRSDQISSTPP
CVDISQSTASALKSLALAEATLLAVLKDDPYPAIVAQNRNQNDRDWMIMAPEIPKLRVHLFARLCLAASEHAANASSLLQSSLTRGRSKIDTNLVKY
VEDLRCTGRGKACRFFGIDAEMVGKTGDAIAWLTAGMNELGLASKDEGKKGLSFGRMKKGWDEKREDKRVEKEALWGSDAGRAEEGRVVESLQKKWN
KMNDTINTQVIPPPGPLVASMPSGREIYTLTPWNPPTLDSSILENMRAPPDRADDYGSDASSDDENQQQNTVGAFPGTKSDYAGSSNYY

>RCO7_00449 | probable RNA polymerase II holoenzyme cyclin-like subunit

MAANYWESTQRRHWQFTRPQLEDMRKKLEEEDQNLVKMYPLPEVRHQSIYFNQQINRLGKRLGVRQQAMVTAQLYIRRFYLKVEIRRTNPYLVIATA
VYLACKMEECPHHIRLVVSEGRTLWPEFFSSDTSKLGECEFFLISEMSSQMIIHHPYRSLTSLQGIFSLTQEESALAWSIINDHYMTDLPLLFAPHI
IAVTSILLALVLRPNTTGVQSASGSASSMASAANSALNSVGNEKQGGGPRSKIQKLANWLAESNINIENIVDCTQEIISFYEVQDLFNEKLTREQIN
RFVKARGLDK

>RCO7_00450 | probable ATP-dependent RNA helicase dbp8

MPATTIQKQSMPMERPEDAASDVSSDSESGNDSDEYSGSDSDSLDNHDSRKRRKVAPVEDDAPQILAAAAPSRFKAKGEGKFKIQSVALEEKPVESG
ISVPLDHQTTFAALNVKPWLVGSLEAMAIKRPTGIQKGCIPEILKGRDCIGGSRTGSGKTMAFAVPILQTWSEDPFGIFAVILTPTRELALQIFEQI
KAISSPQQLKAILITGGSDMRPQATALAQRPHIVIATPGRLADHIRTSGEDTICGLRRVRMVVLDEADRLLASGSTGSMLPDVEECLSVLPPPPKRQ
TLLFTATITPEVRALKELPRSPGKPPVFVCEVDTQKLAIPAALRQMHLQIPVTHREHYLHMFLLTDINLPKSVIIFCNRTATADYLTHLLRLLEHRV
TALHSKLPQRQRIDNLGRFRASAARILVATDVAARGLDIPEVGLVVNFDIPRDPDDYIHRVGRTARAGRKGDAVTFVGQRDVHLVQAIEARVGRQMG
AWEEEGVNLETRVIREALKLVGEKKREALLEIEEGREVGGKRKRGMQNLAKK

>RCO7_00451 | related to cold sensitive U2 snRNA supressor

MEQRPPQDLEAIPFPTDPEDFDSDDRISFSKLDNKFVLVQPDGTEFEFDNAIKRWIPIVDEALLEEQQKAYVVAGVDEAEPVDALKRKRKKEYVNGE
DEGGRAVKAPKKAKAPLPPRPNTAVYVTGLPHDATVEEVHEVFSRKCGVIAEEIDSGKPRIKLYMDDKGDFKGDALVVFFKAPSVEMAITLLDDTEF
RFGDRSGGTMRVQAAESSYKKVQHTDGGDQAVEKKKTSMKDKQKIIKKTQKLDAKLADWGDEEPSSIVETSSRWDKVVILKHMFTLAELAEDSAAIL
DIKEDIREECSKLGEVTNVVLFDLEEEGIASVRYANAEAAKACVDLMDGRSFAGQKVVAYISDGKEQFKKSKKKIDEDDVPIPVT

>RCO7_00452 | probable 4-aminobutyrate transaminase

MASLRAASARLRSIVPRLTPSLRTQRPYSAAAAALKTSSEPSGEQPFFPYEPSGPIIKTAIPGPKSKAAITELDKVFDTRSLNMLANYQESLGNYIA
DPDGNVLLDVYAQIASIPVGYSNPALREAATSEQMISAIINRPALGNFPQHDWADILKTGALTVAPKGLDQVFTAMAGSDANETAYKAAFMWRRQQE
RGGPNVEFSEEDIASSMLNQAPGAPQLSILSFKTGFHGRLFGSLSTTRSKPIHKLDIPAFDWPQATFPLLKYPLEDHIQENERAEAEALADVERLIT
THHLPPCAVVVEPIQSEGGDNHASAAFFRGLRTLTKKHNVLLIVDEVQTGVGATGKFWAHDHWNLDTPPDMVTFSKKAQTAGYYFGNPELRPNKPYR
QFNTWMGDPARAIQFRAIIKEIERLDLVNHTAKVGDYLYAGIESLAKQYPGEFQNLRGKGQGTFIAFDSPRRDEFLKKAKSVGINIGGSGERAVRLR
PMLVFQQHHADILLDAMEKIVKS

>RCO7_00453 | probable Scytalone dehydratase

MGVQKSDLTFEEVMGCMSACFEWADSYDSKDWERLSKCIAPTLRIDYRSFLDKMWEAMPASEFMIMASNPAVLGNPLLKTQHFIGGTKWEKVSNDEI
IGWHQLRVPHQRYKDATMKEVAVKGHAHSTNQHWYKKIEGVWKFAGLSPDIRWGEYDFDKVFEKGRETFGTEGEGVENVEVPVVDAKAVDVSCVPVE
SVSPVLATLLPQTIV

>RCO7_00454 | related to DNA repair protein RAD14

MERQVTPPQRATARPNARSPQTPEEESRLKAKAIRERSIAEETSSQPASRISAGYLASESPAAGQKRNHASISNSEKATRTEDLKTNRDARDTTNEG
ILPARKFKKYVDHDFSKMTDTKGGFLNTDDDPFNKAMQNPNKDDKPSHMTLKEWERHQLLKNLRRRKEGPFEPGLGLGAKERGKKCTDCGSLEIDWT
WDEVFNVQVCQSCKGKDEKYTLLTKTACKEDYMLTDPELKDIDLLPHMSKPNPHKSHWHDMNLFLKFQVEEYAIKTKWGSEEAMDAEFEKRKADQAK
QKMKKFKKGVMELKKKTMGESLRRKYQAGGKTAQFGDRIDDGKHVHTYGVGLEGDDGATVRTCTECGMEIVEYLM

>RCO7_00455 | probable 2-dehydro-3-deoxyphosphoheptonate aldolase

MSTYHITNPNVGNKDDTEDWRIRGYNPLTPPDLLQSEIPQTAQSKRTVVQGRNEAVEVVTGTDANNRLLVIIGPCSIHDPAAALEYCDKLVELKQKY
KDDLLIVMRSYLEKPRTTVGWKGLINDPDIDNSFKINKGLKVSRQLFVDLTSKGMPLASEMLDTISPQFLADLLSVGAIGARTTESQLHRELASGLS
FPVGFKNGTDGTLGVAIDAIGAVRHPHHFLSVTKPGVVAIVGTVGNEDCFVILRGGTKGTNYDAQSIKEAKEALNKAGVRERLMVDCSHGNSLKNHK
NQPKIAAVLAEQIANGEQAIMGVMIESNINEGAQKVPKEGKSGLAYGVSITDACIGWEDTLSVLEILATAVAQRREKALGTTA

>RCO7_00456 | probable L-arabinitol 4-dehydrogenase

MAPSAADFFPVPMDKVAKPNIGVYTNPEHDLWVAPAEPSLESVQNGESLKVGEVTIGIKSTGICGSDVHFWHAGCIGPMIVTDTHILGHESAGVVLA
VHPSVTSLKIGDRVAVEPNIICGECEPCLTGRYNGCEKVLFLSTPPVDGLLRRYVNHPAAWCHKIGDMSYEDGACLEPLSVSLAAMQRSGVQLGDPV
LICGAGPIGLITLLCCQAAGACPLVITDIDEGRLAFAKNLVPSVTTFKVTRQTPEESAKAIVEAFGGIEPAVALECTGVESSIAASIWSVKFGGKVF
VIGVGRNEMTIPFMRLSVREVDLQFQYRYCNTWPRAIRLVQSGIIDMQKLVTHRYQLTDAVDAFKTAADPKTGAIKVMIKSDD

>RCO7_00457 | related to transcription factor SPT8

MPDFGLDDDDRVSNGSSDNEQDELNEDGDDNEVDGNMDVDGDDDGDGDADGDGDGDGDGDGDGDGDDDDEDNEDDNRDDDQDMGDEDDDAVAAHPRR
PSMGSNPTNSSSDDTPTINQVNGGPTSHPRPVVTRTSASPTQNSPPLPSPKMRFEVRAEALTASSYDIVPTMAAPQSTSINAITATPDMRFWFSGGS
DCYIRKYDGAATVNGKTLLTVAQRHPFVDSVVKAGVLMSYWDNEEVFASKPNDDPPFSPVYSLAVESQALWMLSGLESGAINLYSVRHDEGKRIAYM
LKHKSAVSVLTLARDERSVLSGSWDKNIFDWDLNTGQSKRGFEGSGGQISAIEIRPASSLPVPEESGEPIPKSETLSSNNDKPFTNGNGINGTHGAE
PETEDAPGSPSGSLFGGGSDNDSLFGETAGEGAPSGGVFGDDDDEFSRAIGSSIEKQETLDAQGDISMGDAPRESEKEPEPELEPETKSEPEVKGCH
AEEESSKPMIVAETQDAVATSDSTFLAASTDGTMRIWDRRQPDPVARMSTRIGVPPWCMAACWSPDGNFVYAGRRNGTVEEFSLHKGLKTPSRTFKF
PQGSGAVSAIRAMPNGRHLICASHDILRLYDLKEPQSTKHSTVPFLIVPGPPRGGVISALHIDPTCRYMLSAAGNRGWEGSSTEVLIGYEIGIPP

>RCO7_00458 | related to pyridoxamine phosphate oxidase

MAAEVPLHYESSAGSTHLQVANCLPSEVVQCLNNARFLHLATCTNLFPHVSLMNYTYLPSSQYSTSPTIIMTTNPSSKKTLNLISNPNVSLLVHDWV
SHRPPTTSNRRGSSVTRNGSPPLEAARSSLASLLLNLNTSAMSSISATINGTAKVVERGTEEERFYKEMHLENNTFSDGADGEGAPNFWGETQDGGR
EVYVEGEEVRVVVVRITDGRVSDWKGAVRDWSLSGLDEESNHVDAPRMVNGAV

>RCO7_00459 | probable Snz-type pyridoxine vitamin B6 biosynthetic protein SNZ1

MTTELPTSSTNGDASASKRGESNFTVKTGLARMLKGGVIMDVVNAEQARIAEEAGAVAVMALERVPADIRVEGGVARMSDPKMIKEIMATVTIPVMA
KARIGHFVECQILEAIGVDYIDESEVLTPADHAHHVEKHPYSVPFVCGCRNLGEALRRISEGAAMIRTKGEAGTGDVIEAVRHMRTVTAEIQRAGNM
SDAELRILAKDIQAPFELLKETAKLGRLPVVNFAAGGIATPADAALMMQLGCDGVFVGSGIFKSGDAAKRARAIVQAVTHYNDAKVLAEVSEDLGEA

MVGLNCGTMDPKDKMQGRGW
>RCO7_00460 | uncharacterized protein
MARGLQKIEAQQKAAEKAKKGGNSTLKKDKGMKFQCSTCKAEIDNINNMKIHWSSKHPKLPTPTDEFASMGKAPVEAKK
>RCO7_00461 | uncharacterized protein
MISLRSLVTVFAIALPVLAADTLVRSACTCIGPNTTAYRYAIDYYNGRLEKSWKAVSLCSGPPDYCSLDPTSIGRFCSSDKRFCYRFRNSGGDIYSL
DGKDVRTPSHKHAVAVSSGCEEFCGGLKEEARQHQVLAQGFFIRPAYF
>RCO7_00462 | uncharacterized protein
MRNTTPPKDFQIHVDPSCLSDESTTHENTIEQSAKEEPTKTQGDMSPERVSSNQTVVHHDSWAELEIKGDSHASVVDSEVGTEQEHEEDIPSPHVES
LRATVEDVSDEEEDLHPQSAKEKRDERERVARERQIDRIEAQIQAAARAVVASIEEDDYRGGQDSELSMQTDKSYDREGTEMTHDGTDLTYEMGTEL
TYGDETEATYESDHESNMKHEDEADPTYGSQNHSDREGGDTSSHHDGDIDDDVFSHSDCSKRSSMNSDVHNSDDNQKLLTSPVVGEEAGSANKMETI
SRTPSSSSYMQAPADMSSRTPSKVLDRPPFRTPSSVRAMQMSSPTQSVFASPRSVKRHPTVSRIGTPNSQYSPSKRTPTRFKAKKEPLVLLHVTVLP
LQWPYSHLMPSSDIPESLQMVKESWRLLQDKVGDTVLERGVLLPHPQDSYEVLEERLLEALELPVRPRAKILRCGHYMGPSDSEVPSSDEEEDDNWD
EATGEQRKWCDICRRDVRLETVGDVGKGERRFRVKIYASNGLMRAGAWAAAWREMERVDVEIEPFVEMHLTAELEDLALTHPQEEMLDQHRELDDGF
EDEELIIEHVHDREAEKRHEEEMRLHEEEQMQKQLALEEELRQRMVEEEEMMQRKALEEQRMQEIYGTPEPIDPRRSSSRTSVHDDSSFSELLLAAF
KVAVRDSKNVVIGVLSVLVLLLALRPKSVSDAGRAEVIVEKSPVQVTTTVFQEPMARISEPVSTIEQVVQMISESAKKESIVPVTTTVYRELTVTER
VPAPTLANVADGSSGGRGSRDPCETPVKSQEVDAAPKVDEVGSAPETKHSETIINVAEPAIRKETQKEEILPVLEEESVQMEEVQIPFALPSERRSA
LSSDSTGSNASDDSASESLDLESTMEPEFTA
>RCO7_00463 | probable glucan 1,4-alpha-maltohexaosidase precursor
MADSDQKPTPENMTMMQGFEWYVPDDHKHWVRLHDNMSQLKAVGIDNIWVPPGCKASSPSGNGYDIYDLYDLGEFDQKGSRATKWGTKEELVKMVKK
ANEVGVGIYWDAVLNHKAAADRKEKCEAQEVDSNDRNKTISDPYQIDAWLGFDFPGREGKYSKQRYHWYHFSGTDYNANNEKTAIYKILGDKSKGWA
DGDDVDGEKGNYDYLMFADLDYDHPEVIADVTNWGTWLAKEVTIKGIRFDAVKHFSEDFLRDFINNLDKTYGPGWFFVGEFWKDSLDDMSAYLQRMD
RKFSLFDAPLVYNFSTLSKTEGGDLRNVFENTLVQKEPINAVTLVMNHDTQPYQALEASIEPFFKPLAYALILLRNQGYPCVFYGDLYGIQGEHPFP
PSCGGALSALTLARKLYAYGQQADYFDFATCIGWVRYGTWDKRFGCATVMSNAGPGQKRMHVGEMHAGEKWTDVLGWSQGEVEIDGEGFGVFTCPSV
SLSVWVNKDAEGRDQFGKFDDDIYKKK
>RCO7_00464 | uncharacterized protein
MAQQSDPEPGSVTSIISLEKQFGKSNLDNREEEQSSQSRQPSGESFHTNDTESCRRAPEDVSLRKESWTNLTLPQYSGDFIYVVSQVGFVGFVRDLE
ELNGNFVLPPYIIRARWNRLLEQKHAEWYPCDASLSEEEKAKALRSAKRLESRKNYTKYRISTFGMDKWTQIKAEMKIKATMLRRRSRRAKTALKRE
RKVGEEMVLGNSLDKPVGIKKMSNRKKRPTRREREAMKDAIAKRLQSTTEAPHLLPLEEEDAAVSVPGLGRDVDLEMELC
>RCO7_00465 | uncharacterized protein
MPVLSPQSEIKTRSRKGVSGTRAGSEILVPSSQITSVVPRVILATLSHMDYEPFLIIQDSEEDVPLMRGDAGGPQSKLNHSLNPVGDGMVELELGAL
LGPPKWLVIAARALDPSIAPLFSSTDVWQMDSRRLWRLSGCSGSIREEPRLL
>RCO7_00466 | uncharacterized protein
MPGGPSNHQFEGATSTQVHGLSSQHCKLIIRQAPEKGKVSVGKEKGNRRPIDPPPMIQLKVSRQIDKHQNFLQSPYFFMTASLLSESDKDKLPAAAG
PGGASLAGTLVSSLHRLKDAEMVDGAFFIFGDLSIKHEGRFRLQFTLYEMRQDECAFVSLVVSKSFPVLSGKNFAGMTESTSLTRHFSEQGVRLRIR
KEPRSLLRKRGPSHDDYQPRHYKYNRQSASGGDRQSMVASYAQEHQQRDQEEQIGYHSQQSSWEQRPIPSRHFSQSSTTSFHASTDGSYDDQQPAKR
PRTGSDQHQTSTAFDQVHQSPLDMSSFPSRPFPGSQQIYTGYGSSQPTPYSSYSYAQSPQTANSSRPYHFANRTGGAGVAPLFDASVARSPQEAQFP
PHPQTLRYGPMDSLSYNAPQPLSSTLRHGNSHHSPHTIAIGSDPPVYPAQGTYGIPPLFSRDSGAPAPILARRQDYQAYSGARTNPNTSADNFSTGL
YPQP
>RCO7_00467 | uncharacterized protein
MVGSAFNVQYTIFIMGVPFEALLPYAIMIGMFGVTGAGLSKIRHMQNGGKRARHSVDQWDKQSNLPSYPGPFVWY
>RCO7_00468 | related to histone acetyltransferase
MAAAALIEQELQHSMANSDEDAEFEEDDELAVDVMADADAFAANNQLHIGMLEQIGSTGAEEDNATGTDELSDEDAEGEEDDDVAESAVPDNEDSDE
EEDEDAEGVGAVKIQPRRLADDDDEDVVTGSENEDDVSVASGASDADEDESKDSSEAGIEERWEPAAEGEEEEEIANPNRCIFCQLDEESDPSEEFE
LYLACGVCGDNAHRQCARGAGALKMEDETWYCPDCVTNNLVPGSALEEELEEILDPAARRISRDRIAGDLLPPQRAAKPDSHSVFNQLIAPDDPMDG
SRLLRKRKTSSDVDPVEETPRRRTRDRDASSIQSQALSANATAGVTAEVMDLDVVADKAIILTNGTNGKTETAIKPRPSRSLRPKSSNAPAAILEKL
PKSIKVMFRVDPVELAHMLSLPPKPKKKRSGGSRSAVTVSQFVPSSYSQPFYSLHDKEIDELKSKPYGGILKEQEADTSVTLPKPEHRRQFDEARQK
AEEEWKARVQTAAEAAARSGIKKSRKVSGPASQIEYIEFGQYQIDIWYAAPYPEEYSRNKALFICEFCLKYMESDIVAWRHKTKCPWKHPPGDEIYR
DGKVMIFEVDGRKNPLYCQNLCLLAKLFLGSKTLYYDVEPFLFYVMTEYDELGCHFVGYFSKEKRPSSQNNVSCILVLPIHQRKGYGHLLMDFSYLL
TRVEKKTGSPEKPLSDMGLVSYRNYWRLVLCYYFKDYKPRDKIPSIRTISHELGLTPDDMISALDAMGALIRDPVTGTYALKLKTDYYREVIRQHEA
KGYAKLNYKGLVWTPYIMGRGNATALDHGPPLNTMAPRDDEDEDEVDDGISAAKLSNTSKWNCESFTHGDADAVTESLGKLTTESGELIRLGDLDTN
GEGAQSRPKLNGNPKQVSYYEASAAIPPTRFEVFPPVPGVRIRNTPRPSGSRSTPARNRSGLSSSSRPKARSRPSGGSSRRSTAARPRSSTSRRKSG
GTGRGPGRYPKGTSKADFDGADSGPGLPPKLLKQRSRLGNEVLLGDEDLEEDGNEEGVESGDNEGLEEEVEDSIALETPAMKKRRDASRVKGLGKPI
EGLGKPTGILDPRGRGRGLGKPILPGKGKGKGKLPLEDRDEIMEDAPAISSEMDVDAEGEDE
>RCO7_00469 | related to gEgh 16 protein
MISSIFYATALLSLANAHGVILGAQGEAGSPASVGFQVNDAIARNCTSISPCQQDTTIIRDAEIKANVVNECGRTELTGNIDIGENTENALAANQVT
SVKAGTQMTVTIHQVNADGAGPYVCDLEETGNTGVFTQNLTVTDNVPGANGFSQAKTQDFNITVTMPDNMNCIGGSNGKICTVRCRNNAQAGPFGGC
FAVQQTDGKANANTPENIATAATLPAVLDQVKQDQQDLDAAVKANQVSGQGAAAFKASGAEPAIVSKPVEPQTLSRENINGPSATGAAGSATTSSTA
AKATKATGGNGNGNANAGNGNRQGNGRGNANGNGNGNGRNNNNNNNNNKRA
>RCO7_00470 | related to 3-keto sterol reductase
MGLPPWETSDGQLFAMITGANTGLGYAIACRLIDEFFTSPLTTPKKHLILILCTRSPMKTRFTISRLRAHLRVHVESSPFAKTQRKRAKEQGVEYRW
EDMVQRVHFLGVEVDLCDLRSVYALADRLVNGTVGSPDAVTIDGTKLPHGSPGTASYSEEVQQDRWALSQKPGSIGSQRSWGWGLSGLRIPKLDAII
LSAGIGGWVGLDWPLAVKTVLFDTIQAVTWPEYKKSDIGLLVKTPPPSTEESQPLLENQEKPNEPPLGQHFCSNVFGHHILAHELMPLLSRPTSPGA
KTCGKVIWVSSIEADDTKFSLDDFQGLESEHPYESSKRVIDLLALTSRLPSAQRASASFFDYPKNSSADKESTEAKGEETSLRPEIYLTHPGIFASD
ILPLPGFLVVIYTWVFYFVRWLGSPWHPITPYKASVSAVWVALTDADELNAEEGNGLKKAKWGSATNSSGEERVMKTEVPGWGWNGEVEDTVEIQKR

IGRKKDAVALTKEKREEFEAICAQTWAKIEGMREEWEDILGVKTRQS
>RCO7_00471 | related to synaptic vesicle transporter SVOP and related transporters (major facilitator superfamily)
MLITLPSPVHHKSSVSSCSNSSTVAESPSSSNSVNQTQSSKSEYARTRRRENSTSKELQDSEDRSITLQNDGNNLDQQDSDLESFRSSSTDKSPCSS
EKAVIEPPYHVFTLAQKKQMTYIVSLAALFSPLSSNIYFPALGRIAKDLNVSLTLMSLTVTVYMVVQGLVPSFWGPVSDTKGRRITFIGTFAVYLIA
NIGLAFSRSFTCLMVFRGIQAAGSAATISIGAGVIGDITTSRERGGLIGIFGGIRMLAQSIGPVFGGIISEYLGHYAIFWSLFGVGAFALFIIVLLL
PETLRSIAGDGTVLLRFIHRPLIYRKPSHPSPREEVCEPARKLTIWSMVAPLTFLFEKDIFVTLFFGSIVYAVWSMMTSSTTPLFQGRFGLNDLEVG
LVFLPNGAGCVAGSYLTGRLMDHDYRIIETRYREQKGLPSETPLNRKELLDFPIEQCRLRNIWWIVAVFIFCTALYGFSLNLNIIALPLILQFCIAY
TATAVFSLNSALIIDLYPGASASATAVNNLMRCTVGALGVAIVQIVIDMIGEGVAFVVFAGFTALCSPLLVLEWVYGQRWRGERREKLVMKEDGRKE
TGVVNISS
>RCO7_00472 | probable mannose-1-phosphate guanylyltransferase
MKALILVGGFGTRLRPLTLTLPKPLVEFGNKPMILHQVEALAAAGVTDIVLAVNYRPEVMEKHLSEYESRFNVKITFSIESEPLGTAGPLKLAEEIL
GKDNTPFFVLNSDVICEYPFADLAAFHKAHGDEGTIVVTKVEEPSKYGVVVHKPNHPSRIDRFVEKPVEFVGNRINAGIYILNPSVLKRIELRPTSI
EQETFPAICGDGQLHSFDLEGFWMDVGQPKDFLSGTCLYLSSLTKKSSKLLASSSLPYVHSGNVLIDPSAKIGKNCRIGPNVTIGPDVIIGDGVRLQ
RCVILAGSKIKDHAWVKSTIVGWNSTVGKWARLENVSVLGDDVTIGDEIYVNGGSILPHKSIKVNVDVPAIIM
>RCO7_00473 | uncharacterized protein
MGGFYMAYLESLCRRRGWRDPLYETYRSSSGFTCLVLVNGREYQTDLAYESDGLAQENAAMRAFMVCRNFSVNGGMLARNGVVQGLPANESSSRHRK
SRGARSHSVNLSSSSSTTSSE
>RCO7_00474 | uncharacterized protein
MSLLPAVAWRSDGLAANALASTNNGQGGDPGRQIEARRTIVGSSKLARSSTASRAASFAPHYNGAALHGMLAKTAALDAGGRRRQEGARQLKPAECK
VLDHLKKFAIADEAFLAEFHDNPDMDFPWIGCDLRSGTYWTTIETLQVPRASKQNLGSARQRIARRGGWLQGHERVSAAVIYGLRHETDADADADAD
ADADAYIDGLTTGRQFDTRERDHVKETIDRTKWFE
>RCO7_00475 | related to RAM1 - protein farnesyltransferase, beta subunit
MDEAYGESKGSWPDVVFKKRVNASPSLPTSSESFQQLPYGEKKTRQPGIDTGDHILAVSRFENLASGTTDSDNMSTMTAHANRIPDIFTQLPLCRDL
LMTESSQLQDETIQECLPFMSGLNPDAEYNTHGVPRLGRERHIAFLHKSLGRLPAGYVAADASRPWMFYWALNGLATMGEDISGYRDRLINTVRPIQ
NNAGGFGGGNGQMSHLAPTYAILLSLALVGGTEAFDLIDRKSMWKWLCALKQPDGGFQMSVGGEEDVRGAYIATVIITLLDIPFELHPDSPAWSREG
ATLLTGLPEWISRCQSFEGGMSARPDVEAHGAYAFCALACLSILGSPHEIIPNYLDVPLLISWLSARQYAPDSGFSGRTNKLVDGCYSHWVGGCWPL
LEASLNGTKSSTESLSSITGDGKLYSREGLISSSDSYHTCYVLAGFSSTQNNWTFNHQGSPQLASGSSLLSAFQWTSEPIIEDSQIFDESDRIGTLH
PIFVIPEGAAEKMRAHFTNRGGF
>RCO7_00476 | related to C6 finger domain protein
MTSNLDFTPEGLLDLTFDHRDPRYPFTTNLAARSSWPMPLDMASGAADERRETSPGQIPHQQYHQAVHNNSPTLMTDWPMQQPQQQISQYIPDHSLM
GGQYNAYGGAFQTSPLDYHLATTTTQGTYDAGLQMEAPFNGLPPTMEAQAAMWANWQEIENAMNFASAHDGLPSLGRRSLGSTSPTGTYLEVLSLPS
SSSDNGWATVDHFPTFEAYQQAQNAAIFNPGQTLHLRTHSDSSQSDGTGHTMETFGSFEDISYPYSPYSPASDTYLSNNNDHRNCYHDGVHQHNHET
VSPAAAVAPVPIKMSTPSNRNTPSSTSSPPARRNSAPRKSPTAKATKPVIRRTSNGKKDGEKRVGRRRGPLLPEQRKQASEIRKLRACLRCKFLKKT
CDKGEPCAGCQPSHARLWQVPCTRIDIKDIGYFMKDWRADYERHAGRGVSVYNIKGFAQKEELIWITHGYGFAIPIMAREVYVSDDSCFTVDWTESE
HEEPLDFDTRTERMSAGSEGVSTDALSEYLDKHLDGPFEEFIDDYFEGTPFITEILKTAHRYYMKEKVPVIRKALKLVLAYNLTLHVTMVEQRGDEH
PMEGLIDDEDSKYHGKIIAPVMINFQIKCALADMWRELQKEILEELSSLYSSVYSGDRLKNWPTIFMLASILLAVWEEMQFDCHYRVPDPAAVNKFC
SDMETTPVGVIVGLFHAISQKLPSFTEWDTRRHGQLLNNNVAVCEAMTEMKDHVTKHESYLKTRPDAKFDRRDFDSLSNKFLSKLVIRAN
>RCO7_00477 | polyubiquitin
MQIFVKTLTGKTITLEVESSDTIDNVKSKIQDKEGIPPDQQRLIFAGKQLEDGRTLSDYNIQKESTLHLVLRLRGGMQIFVKTLTGKTITLEVESSD
TIDNQRLIFAGKQLEDGRTLSDYNIQKESTLHLVLRLRGGMQIFVKTLTGKTITLEVESSDTIDNVKSKIQDKEGIPPDQQRLIFAGKQLEDGRTLS
DYNIQKESTLHLVLRLRGGMQIFVKTLTGKTITLEVESSDTIDNVKSKIQDKEGIPPDQQRLIFAGKQLEDGRTLSDYNIQKESTLHLVLRLRGGQ
>RCO7_00478 | related to cytoplasmic Zn-finger protein BRAP2 (BRCA1 associated protein)
MPSYFYHLKFELYPSAQQKPEATTTFSNTSNAYSREEQQAQDELTRDIWLPPSGSDIFQTADWPSHEPVKKELRFITGLGGLGFRSLDISTGVCKTK
DVVAGGSVIDCGARAARDLSSSQSGSEDHTTISPNQTLEFPAPNPSRIPADIRTASKDWRFGPVRVESLDLESISMERPKHKRGESSAGTGGNGINA
GLAPEAAGSLGRVTKALYRPVEKGRFKHTELGWGVVHLYRDGDPTSAREGLYEAGEGVGEEDCTTLCIPAVPSYLTTNDFLGFVGERTRDEVSHFRM
VMTGRMNRYLVLMKFRDATVARKWREEWDGKVFNSMEPETCHVTFIKSITFQTPNSSHPNTSFPELSHDPFTPSSTPTSSLRPFPPPTPNLVELPTC
PVCLERMDDTTGLLTILCQHVFHCDCLQKWRGSGCPVCRHTNPSLSLPSPNSPSYPQDPHNPPFGSGEASLCTICDSTDDLWICLICGSVGCGRYKG
GHAKDHWKESAHNFALEIETQHVWDYAGDMWVHRLIRGKGDSKVIELPSRGHMRSSGESGNGNGYGGEDEDMVPREKLDRIGMEYTHLLTSQLESQR
VYFEELVGKAVAKASAASASAASASSRADEALSQLSLLRMENRKLKEDTIANLEKDLAREKRKAEKSSEVARAFGISLSEEKKVSEGLMERIGFVDR
RMREVEAEMERVRMENQELVESNRDLLFSISAECKIREMEDAAQGTAEDGSGGVLERGELEGASISLPPEKVGRKGKGKGRGK
>RCO7_00479 | probable CTR1 suppressor protein
MAKEQEIHDHMPHEVKHKEKSPMTNWVYDVFLWTFSILVDLFFREVHPRGSWKVPRRGPVIFVAAPHANQFVDPLILMRTLRTECHRRAAFLIAAKS
MNRWLIGWFARKVGAVPVGRALDMVKPGSGTIYLPDPINDPLLVRGVGTRFDGEEVQIGGLLVLPSINGTAANAEVEEVISATEIKLKKPFKGQAAM
QQLTGREDVDSNGRFADQTVKGGPDGFSGSKYKTAPKVDQTQVYDAVFDRLSAGGAVGIFPEGGSHDRTELLPLKAGVAIMALGALAASPDSGLKIV
PCGMNYFHAHKFRSRAVIEFGNPVDVPKELVELYKNGERREAVSQLLDIIYQALVAVTVTSPDYDTLMLIQAARRLYNPTGKKLPLPMVVELNRRLV
KGYTHYKDDPRIISLKKSVTDYNKQLRYLNIRDHQVDYASFSIPKGIFLLFYRLGKISVLSIGVIPGLVLFGPVFVASKIISIKKSKEALAASTVKL
QGRDVMATWKLLVALALAPILYNFYTILLTYWTYRNRVQGYVPEGVPLWAVVISGYIIFPAITFAALRFGEVGMDIVKSLRPLVLSLSPHSSNTIHK
LRVRRAQLSAEVTDVINTLGPEMFPDFDAARIVADPFSGSPTSPKQRRDSSHSNLSDSEGLPSFVRTNTDASIAAGSGSDGYLPRNESFGNLGNIAL
FATRPPSRSRSRSSSSGGAVGSGSFPLKSFSTLDSKSGFDEVSLKIRGAMKERGQIRRRQSDYAREEEAANDSEDNEAKDD
>RCO7_00480 | uncharacterized protein
MDVFTPHIPMTRKPVKPVHQTMDLCAKDPLLFFFKSLFTDVQLAPTFNKRDHLIGTGLAYDGSLIIRIYAPATASSSNTAQPAIFCRADCTEINGAR
LLQQYQASASVMIDSAGVFKAAYHDNKWLECGGFIDMACSDAGALDVIFRAFHEILTSLEASVYRLRYFFFSWLADQDLRRLVKDDVSFALESCRRF
GHYPGVCMINMICTFQKMHPAVASYMPIMVRSLRQWSEILFLEREVSKSDYATFGFSPRFYDKYGKPFEYWTDFCTLIQVSIRSLVMPKNKDMSKAW

EKLRGKQFLEFAYEVDDTSKSKGFPKVWRKEMEGAWVQNAFDLYDKEASRLGDEFQSNKFVAEGLQASLKKIIGKRFHPLTKVKKYWANKGDVWPED
LWMKKIGAWELATEMQFAQPRMGEGGVDMDDLYKQMGALQLTAASSDSQSPGMTAEEAMFQLYG
>RCO7_00481 | related to protein MCH2 (monocarboxylate permease homolog)
MSSAQSSIALTRLFYPSNNTQYVQSLTFGPSESAALSPVSKNRQIFVLISSFLTIVVTIGLNQAYGVFQAYYISSTQTLLTSKDNSPALVAFVGTFA
YGLTWSGSILINPLLTRMSLPQLRKLCILGVLLMSLGIGLASIATTVWQLLLTQGLLYGAGSSLLYFPILSSAPEYFDERRGSAMGFILSGAGIGGL
IFSPLVRALLSHIGPRWTLRVLSLIVLVVSLPIAVSASPSRFLGRRTTHVNLKMATKPTFLLSVCAGFLQAGGNGLPLTFLAEYSVALGFTAAFGAN
LLAVNNAVNAFGRILTGWIGDRVGRQNTLCSMCLFCVAAVAGLWLGSVGEGGRKSLWLAFVVTYGMAGGGYNALFPTTIAEVFGLQAYASVNGFIYF
IRGLGTMFGSPVGGKILGESKLGNYREVIIFDALLLAGATVCVVAVRGFDAAEKRAWAWRA
>RCO7_00482 | related to SEC3 - component of exocyst complex
MEGPGQNGPGGVHDSTGSGLSRAERFEDEKRRIIDSCFGKKDEDGSLMESYITHIRIIEDAAYPSIPPPPNSNPATKKPRLIIVAVRKSGRVRMHKA
RENANGTFSIGKTWMLDDLSSVQSYTGVNPASAEEEQLKQWAGGIGFTVTIGKPYYWQANTQKEKQFFIASLVKIYTKYTGGKSPELLGFEPRERDQ
LLGVLAPVRAPPGSQPPPQQPTPPAYGRDRRREPSREPPVLRNKQSRDALQRPPPPMPSPQMPPPGSAYAQPARPQMRSQRGNSPSGSMESNSTNSQ
AAPPSLRRLGNNQSQESSARSDDGSSLPPRSRGGMNGVPGVPGVPGRFQDRSVTPNSQRTVTPEPNFPGTKDAVNEVPPVPAPLAMPPERRRPPMPV
LGDSRQRNQNLNDNIVPAPLSSPAMRREDLRLPTRSSERNIPREQDFDGAPASPHGFQKPISNRNTAESIDRRNNSPSVPSPASAAAEEMLVPETDE
PIPIQITEEPEEDIRPGLGPMIKKKSKNEVAGTLFKAAKAASAFGAFKPRAGGAAERLREAQAKLAEGPDGVTGVVPAPSLVRGMSTDSATGSIVSP
SVVPPERPGSKTKNHILPEVKITLPEQGRPSSIQGSISASQETTPPEKTKARENKRARPPAETMSKELVAIGVDPTILGDRGGELVAAWEEFGWVGE
GIRTKNIDQMKDEIERELNKVQAGGWLSRLEEEDDRIEAIKLGLDKCIEECDELDGLFTLYLVELSTLNEDVAYIEAQSQGLQVQTANQRLLQTELK
SLLDTISISGEQLSGLREASLESPRGLEQIENSLVMLFKAMLTIDPSLSTTVSRNSEDGNFHSGKPEGYGNSEIGSMRVLQEKKDVYKTEIAMFLRR
LKPFLQVKFGAAVDETRKALEREKGSNLSRSAGKAKLDSRNHDLARDLLWRYSPLMLFSREVDRLEWEELMRMYEMVCRPLYQDEFRDAVFAWKRIA
RKPIGDEGDILFTSQIEKQTEGIATTARKLTVKRSQTLAKSLRSPTGDNVGKTSVDKSDGRLQPYEVFAGVLEETIPIMSMEQNFVVEFFHVTSLEQ
SDFPDAVAASPPDSRRGGDLRRPRVMDPDRDLAKLVVQSMEEVFAFYANDMQALVDWTLQSDPLQGVGIIASIERKLVSFEESSQEYLSRTLQKLHV
KLLGMFNKFLDEQIRAIEDTKVKIKKRKGVIAFIRIFPSFSLVLETMLSTSHDLDIRQTVNHAYGRINKTMFESLKVIARENPGAQVAGADPEDKEA
LNYQVLLIENMNHYLEEVDARANPVLEDWKQNAGREMNEHMGLYLGAVIRRPLGKLLDFLESTESLMLSRQPGEPASKISSMPSHSKSTFRKVLAGY
DSKEIRKGIDALKKRVEKHFGDADEPGLSRGLVVKVIQNCEKFYERVEDRILTVSRDVYEGDVIAEWTRADVSGAFRK
>RCO7_00483 | uncharacterized protein
MSNPNMQKIGKRKNSEKQPDWLFPAAGKPIIAAPVPTSRPQSQVQDKSNNKKDKKDLKLAEALLNRRAAGEPAKSSPPPQLLELVGAFLTEYDFNGA
SKALKAETITRGTKSTKVEGVPSLSTIFSEWFTLKGEIKGAVEKVVVKKQKVDKNKAKKQESSSSESSSSSSDADSDVEMVDAPVAKKVSKRSKSAS
SSSSSSSSDSDADDEKELPVAKVASPKSKANNLKRKAESSSESSSSGSDSSSEDEAPRTKKAKTAAVGSSDSSGSSSESSSNSSSESSSDEGTTKKT
KVVKKAKLVKKTSDGGSSSSDSESSSSSDFDSDSDSSSNSLAQKMPLPDSDSDSSSSDSDSSDSDTPAKVTKKTKKASSDTSATLSDGPKKLSPPSS
DSSSSDSDDEAAIVTTKTVTTNTNVAEGEPKVVKVTETVTTTKARELDPPLPPDPMLKKRKTNEPFSRIPKDTKVDDRLASNAYVPYDYAQKAHEDL
IVTRGKGFTKEKNKKKRGSYKGGYIDVDGKKGIKFDD
>RCO7_00484 | related to CECR1 protein
MDAYNKALEELILEGKAKSFDAQLTATSSDVEKTAAEIVRKIRAYDWDTSYGKPLNAFGKRVQGGHFLGNVDIINKTELFKIAKKMPKGAHLHIHFN
SCLPANFLIRQARNIDAMYIRSTLPLTTSQNWADSRISFMVMTSHEATHIKTSDGNEEPVELGNLFDEQYVSNRWMPYKQFQRQFVYRDNANRVWQR
TTGAEAWLEMKMQISEEEAHGTRQTSRGIWEKFNHRTQMMKGLFAYESAFRNYTRECIKDFVQDNIQYAEIRPNFMATNSLKTDDGYNSIGNEGIMR
IIDEELRNTMAEISESGQHFGGMKVIYCTPRSFKKEQVEASLNECIELKLKFRSLLCGFDLVGHEEMGNELRHFVPEFLAFRKKCDTQNLDLPFLFH
CGETLEVGGKVDGNLFDAVLLNSKRIGHGYAIARHPVIMEKFKEKGIAIESCPISNEILGLTPNIAGHHLPILLANNVPCTINSDNGTFYKSSLSHD
FYQVMIGAESMTLQGWKQLAKWSLEHSCMDPEQLQAVALEWTNRWNEFCKWIVDEYGPMMREWEPEPGRH
>RCO7_00485 | uncharacterized protein
MSIPVRSLFRTVIFARSSPLIGQQRGDLIIKVIEYDLEASNQDGDHLVLKTASFTVSHQKLLDNCDSAPFKAMQNGAFLEGRSSVIALHDDSVASIE
LWLRRFYDAFNNKSYEVPILEVWNAIGVGRKYLFHGEKLNEWFAAYYNRQNVRGLELDDLKEWLYPCKALDHPKGFAFVTKTLVYQGTGHIQEKNPS
RYRELHVEGRVIQQLNAARGSMRKEIIKGLFNPLERFCGRKCAAQAKSVMAYLNALIRTGVWPIYDLQSKSNKAIIESPGFVNWTCTKPDDACMSCF
FNLSGQNVTRTSGIVLGYWNGLCLDCMDISDPHSGDLDDDYWRHNDLMDWGDGCRLNHERNTWYFSFMGRSEIMSAFNTAQQDRKKAREASQRGIKR
KQPGPNDEDES
>RCO7_00486 | uncharacterized protein
MYIEAFQYNGSVLERTVLFKVTFQVLAQNSTAFAAHLNTHGTANNLELHHVGTHVLEVWLRIFHCFNNMPEPTWSSLSINDVQQIITLATKYKFKLS
RFNKWFAFWLSVQNLSNVSPATIVQLGQLCQIFEHEIGAECVAVLAGTANNRQLPHALTLYPPVPDTTLLQYSGELYLFSSVPPEDYATWAFSPRFK
AVWGSPTAAYSDFKRLVTTAFNPVTLPKYKTFDALLSQQSTFLNFCKTVDSIAAQKNLGALSRRAMEGAWACVALDLYDNSSTLDAEGLHKVFEMRF
HPRGEIEQYWEHKCAKFGWDIKGKDNECLDDNCEEPDHRMAEPDEDEEMVDTPGTLPREIEADLRIGFGDLGL
>RCO7_00487 | uncharacterized protein
MKTANPAIYDFFRSELRDQSYAIGDVYSKDEVKKAQDEWNILPNQDKKAYPYLTHVKLLSNTWPHLRLLADFMEVTTTPLRWKDLSTVHPTKGADLD
PEKKEKRLRDRRERASRTNVCVLNYMASGEIPVPTHCKSIAALKSVLEDRGAIGIVDKYNLRLYVVEDLSRDVIEALGSHLDIEPAFFREHIVDYAW
CNIRDRWQDPPSLRVAEGHRRWVQLRYVTARYYQTSEEFRAGIQEAEAFNVLRRPDDDTNNQAVWDDKDAKVGIMRTRASFWLKKGENGEGDIGVLL
LDPTVRRGTPLWYGYRNWEPTPSINDEIPAAPRRESLFDDYIHWAIKSSYSQTQIQSQPAQLSTNKVNTHIPMQTLLYLTCAEWLTMTDYIRTRIGI
IEWEVSNPTHFLGKDLHIDDALDKLHFWRRVVPLYREMLTDTLQRVFHTPSLDTSSTVTVNNAPPVALSSVAQCTSQAPTSSHHIRADFLRALSYME
EYQHRIDRLTSVVTAKISIEDSRRSQDDNRNVARLTWLATFFIPLSYVASLFSMQEDLGTLGRTMKVYFATAVPVAAFAMGLAWVLTLPVVLNMLSV
LKGKKGDRRT
>RCO7_00488 | uncharacterized protein
MPSLLKTTYRKIKSLQAISKAFSPEEIEELLIEARVPKMAERQTPIKPAEIGFEEDFPRAPSNAVIRVVPKALRVSTQDSSSIHSQRASIEDVDSDS
TKSQGSSGSEGSRSRVFFRRLKKAVTKPSREFQAADKPLPELPSQPITAWAKVGPWKQDFDADKVAQISWADETQAVLEETAEEISISHFPALQSHP
PHRNMQAVTPRKETAEEVTASGFRSFDPETGFLRSRRPAIPSNASAADVTASLQFPTLKSDPPPRIPARNPARNLPGSRPQP
>RCO7_00489 | uncharacterized protein
MSQNALQTAYQALLKRQRLTPNPGQLALVNRLATLQTSLHNLKNNNTHPPLKGVYIYGDVGTGKSRIADLFASTLPPEITHRRLHFYEFMMDIHTRL
HHARSSPTYSGDPLIQIGYDVRAESQVLCFDEFQVTDIADALILKRLFGAIWESGGIMVSTSNRPPENLYENGLNRDLFVPFIKELRDKCEVWKMEG

KNDYRISKGAGEGRVDVFFTDEVQFERSLIARIGDGEMERKVIPVLMSRQLVVTAKEAQDSKSLIVSSTFEDLCQNYLGSADYYALCKTAGVIYLTG
LRKFASDELDFVRRFITLVDLAYETKTRIVCLSSTPLFEVFVNIIPRELHVQGQLKEALGRQMSVKGEGGSSSSMMSTFIGEIEWSATGLAEASLAT
GGAGETDVGFAVGRAVSRLYEMGSQNYGVSD

>RCO7_00490 | probable CSL4 - core component of the 3`-5` exosome
MAQTTSIAVPGQILGPTSEYLPGPGIHVHNSNLYASILGPVSKSASPKPTGPQKRLTKITPAAPAPLPTLSIERNITTGSAETGIKGKAEILPEVNS
TVLCRVTRIAPRQATVAILVVGETVLDGEWQGVIRVQDVRATEKDKVKIFESFRPGDIVRAVVISLGDQSNYYLSTATNNLGVILATSEAGNAMYPV
SWKEYKDPETGASESRKVAKPF

>RCO7_00491 | probable dihydroxyacetone kinase
MSAKHFINDPTHLVNTALHALTLTNPSVALDVENKIIYRRPGHASQVSIISGGGSGHEPSFGAFVGDGLLSAGVAGTIFASPSAEQIRKAIMSRVDG
EKGILVTVMNYTGDVLNFGMGVEKAKAAGMNVKMLVVGDDVGVGRAAAGKVGRRGIAGTVLVHKISGALAASGASLDNVYKVAKLTSDNIVSVGASL
DHVHVPGRAVADPKSGDNLAAGEVEIGMGIHNEAGSERAKVKLPELVKRMLAQLLDSKDKDRAFLNVNSNEIVLMINNLGSISVLELGGITAEVVGQ
LEKSYNIKPLRILAGTYMTSLNGLGFSISILNVVNTNIGGPSMIQLLDAPCEAAGWTAPIRKETWEAKSTQTREEDDAEAEAMKPSGLKLNPETTKA
ALNGGLQRMVAAEPDVTRYDTVVGDGDCGIGLKRGAEAVLKLLSNTKLSGDPVIDLSKIVKVVENSMDGTSGALYAIFLNSLVYALQQQGSGDANEK
VWAAALQSASKSLGTYTPAQPGDRTLVDALHPFIETLASSGNLQKAAEASRKGAEGTKGMKASLGRTVYIGGSGFEQVPDPGAWGLSEFFLGLAVIK
SGEDGYEMV

>RCO7_00492 | probable small nuclear ribonucleoprotein chain D2
MADANKIQELLAKPRQELTEFEIAQLEEHEFTSGPLSILQTAVRSHTQVLISCRNNRKLLARVKAFDRHCNMVLENVKEMWTEIPRNSSGKKGRPVN
KDRFISKMFLRGDSVILVLLS

>RCO7_00493 | probable 3-hydroxyisobutyryl-CoA hydrolase, mitochondrial precursor
MPLRAKITNPAIAGRVQMSSSPSRQDLSRTEAAEVIKELPGDEPEDVLFNTLFGVRTIELNRPKTLHSLNGSMIRKIVPRLQEWAKSDMANVIIIKG
SGAKAFCAGGDVKHLAEENLKGWEGQRNSTDYFALEYKLDHLIATYKKPYVAFMDGITMGGGVGLSIHAPFRIATERTVFAMPETSIGFFPDVGASF
FLPRMSGGVGTYLALTSEKLKGVNAFYAGIATHYIHSTSLPALEHRLAELRFKDYDSKHTRLTLIDSTIEEFCTGLPHDEPMLIQGKLRDAIDRCFT
KTNVPDLIAALKAEEDEEVKAWAEKTIATLYQKSPTSIYVTLRQMQLGRTWSIKDTFHREHQMADKFMRHPDFTEGVSALLIRKDNRPVWQRASLDD
VKPEDNISEPFFQVEGANRLQLLNETDYTQYPHSEFGLPRESDVQELVMRTPKSRKAIVTQFIKERKGKQGVKEVVAEILRRRTTVTPDNKAVWAFA
EGVQESGAQATVGQTSGDGAATEELSTGEVAIGEEASGGSEAAATGEESTGEEGNGEDASLKKPSSE

>RCO7_00494 | uncharacterized protein
MSSPTGQPPGISPWQASQAQAPPTAPSNDENEDGVSVRPMRLKVLYTFDDQNKTNCLARWPHVLHIQTIAMDETTSIGVIELKTCIDAIIQCSPELV
ARLGQDYTVYAYDYSEYDNPLVGQGMLSRALTAASPAPDAPASESRQLITGRVCKNILGIFTSGVKETLEVKLRLVPVPTMLQGEYTNTMGKYREMS
KGMNSGMDGQEWNSFLQSNPNLGQTAKGLSPAPGMNNMSNSLRDGMSMEVMNQLLSPYLQQQHSQDPFNQVSLIPPTNQTPMNAENSGNESRGTTIA
GEKAKKPPRPSSRASVKRPRGRKPKATGASAIGGNTSGYEEGTDGDDGPSNKKRVKVTKTDWNGNTTLGMTPDSLRVVAGTSGSLRLFRPIAAHPNA
GPGTNHLQDIPRAPTPVPHLPNQHIQRDQAHPQSSLRRDSFAQLPQMPQNMSSYPTIQQSEDQVRTSIESAHPSPERNFSPIDTPPDISSSPPVMRT
RPPSTMRSSPPCPSSPVLPQMPRTDSGFMSGSLEELFGEDDPMEPANDYNNGFAAREQVKEPPPARQGNPPHGGSDFDLVIQEETPGNMELLPTRMP
VIDLPTQGRARAKLNRACSIASEDGLSLPPLKKSKQPAIRRTMSQSDIRPTQYNPQKSSLGPQAPKIVAQAEQELQQHSQCQPPPEIRQPNQVRQPS
QTRMSQPLLTASNQAPSSAPGIAAALPVSTPAFLPPTAQTPFQEVKPPLPVPIPGPAPAPSSRPSSRSGMMARTASMGSLTLPHIPASDPVLPPSNL
QRSQTWSEAPPHLVSEAHMPGMQVQPQLQMTHQMPPAIDYRRPAPVPYSRTLNAKKASIKQKLELAIANGEMPPFCANCGAIDTPTWRKAWSQDLQG
VPGYYEYSDDPGCVTTIIILTRDAEGKPTSHKLIKKFLGPEEDQKDFDEFLLCNPCGIWMSKYRTQRPADKWGNSGPQERARGEQKKRSTQRLSRPR
KPPTSTAMMPTSEATFMQSDAHFPASDANFPVSEALGPPADGISPGDTSCIQQTAGSTEHLQRQRSTSARPKRHLNAMTSDAASAALRRAIQSSPAR
WVGTQHSPIELEEEVTPDPTRRLLFPSPRKDASPKVLGEVVANVVQIATEFPSLKESMVAIEGQNKENMPPAIEGDDEDAAFLHLFEEEMSKADEIQ
RPSTPIQKPPTQNPFKTPTRPTPSHRPITRSVTRSVRSARSNRSAKSPSELLTFTRTPVRTPGSAVRRMLSPRIVDGVFESPFTATLNQMMSDANNQ
TSPTRDNGMAMELDFGNLPELPQLGQDNRDMNFNMEDFFSTDVPMPSSPPRMGNYQIYEDPATTMSKMNNLDWSEFGKFATEHIAAEKEIVIKEEPA
NSPVKLAGKENDVAQKSAGVVRS

>RCO7_00495 | related to single-stranded DNA binding protein 12k chain
MSEPISTPRITSSYLESFTNRTIRITGKVTQLRGDQATVDSDGTLTAHLNRDAHLTVGHAVEIVGKVNQDLSVKVLMAVDMGKDFDYGVYKEVVEAT
HRYKEIFYQE

>RCO7_00496 | uncharacterized protein
MKSQEAAFRDARKPQPKPKVQQPVVKATGNKIAKNASRNERRKAARKVRSILKESGGVPSRKKNVEVEATKGDESEEGACEDAVRDLKQFESGLRSG
LVEQAPM

>RCO7_00497 | uncharacterized protein
MNGLPNHKFSIARNREIAGFESTLDSVTRRLKFSKGLPKAEEYHRLEMPHPNSRNEDPSSQFSSGRKKNKNGDNLASPYTASEGTDNIELHHGLGEL
IRAGDLASQAMASVLELYQRYARDIREAAENRENVARLELLCRTKDGEIEKRKHAFEVMLERNEKDVAEVEHGKESLAEDRKEFEHMKSNFQRSKQS
EEMNAKVAEAERSRTYDIKLKKEMAVLDKSFKERKENLEKTTKKREEDDKKTITALETRVTTLSVKLDDCKVQARKQVVDMTVLQQKLQKMEKLREL
SDNEVLRVSNELNRVKNEFKLTANTPESYVKGFSEISSMIASISNSYFAHLKVDDLREAQDTILELDPSFGSVPFSDSAESKKLRQVHVQCVITERL
NSVIWQPFSSETTLQNPRLSTFLTEIATSLADQEQDKANGVRRARVWSTLTCRGLSLLEVDQKSSQVAKFVQAVLHVFRVLVIPAQRSKLELDLSSL
AEAAISLWDEAQQDELDIRICDVLDVTHHDQWRSTTFEPMPIEPPAITDCNTEHTIQILFPRIIAKKQVVTAERHLLVPGSFDPMQTTRQVEIIPIH
PGIGLGEWSALVKQGKVEAEKIRADKELEQKQLAEFIERSKNEFYARKSVGCSISVPSSPLGNLKPLDTMPRE

>RCO7_00498 | uncharacterized protein
MSSYKRRKSRDGTISPPPLRRKLNPAPPTTSSDSSKSRLVPPNAKLHLMSWNVNGISHLLPPTQRSIKSFLSPPSPQAHADSASNPKTDISSSTSPL
RSFLKRHAYPALLCLQEVKISPKDEMTRRAVEKAANMGGGPKYKAFFELPRDKYNARGWGGKVYGVCTLVRDDLQEKSGGDMKTKGVQWDQEGRVLS
TEFEGWKLVVINGYWPNGTLNAWKDSETGAMKGTRHDMKRRFHSIMLEEVKGYESNEWDVVLIGDMNVARSAIDGYPGIRLGTEHVQNRKHFNEKFF
ESQVGMKGVDSWRWVHGEKKGYTYHGERAEDWGRSCDRVDLGIVSKGLADREGLVGAEIWESVLDRGGSDHVPIGVILDIHTLETPRRSNG

>RCO7_00499 | uncharacterized protein
MFGLLTPRASDKGQFIIKSPLRAKDSEQTKALRQLYTEVKILKGPLRNAEGIRQLVDQIDLTVGLDGQIRAGVFEHLDFDLHRYHLTQERQFSRLQI
KSIARQILKALSNSHKQDIVHTDLKPENIVFSQFASSNLQELLVKIIDFGVASQRGEDRCRMITNPYWRSPESWVGVPWGPPADVWSLGAIIGSLLM
EPGAKLFQPMGGLAGVPTEEQDREFLRSLWTIIPFPRTFLERISRKWQDDISKFSPRLAPTGVPITLSFIGDLFDVPKADWAFVRDILQVDPDSRPT

ADELLQHTWLKS
>RCO7_00500 | uncharacterized protein
METIIGLNLDHHDTCLFTKSMGGEGLPEFNQFIHKTLNDAVHLVALRLEDQEYQYATISAYSPTLSDPPLQFEQLELTEWPSNETTEGTSQSGFEVV
YSTRQNTEIRKTLHLPCFLHNTHSANEDFCGREDILERIAAELLPSKNTVTASGTALQQIALCGFGGIGKTEIAREFSRRHKASYDAVFWVAADNIS
KLAHHYQQISLALGLEDPSECKNQVVSREIVKGWLSNPRKYLSGADDSVQPGQARSGPTWLLIFDNADEPMILADYWPQGSGLDLGPLTQQDSLSLY
NNLTSIFNEPEGDIAQRFSDALGGVPLAISQMAGIIR
>RCO7_00501 | uncharacterized protein
MDKTKQQYMFDQVVRILWAKWPSAMPKPSREPELPQSKSTGGRLHVGRWPICAAIYPHFLRIHQLWTSILHPLEGTSLHFAKLLNEAVWYQKERGRT
KDFDGFFETARSICESSTHTDRDSLLADIYVYLGAIAMDASDYNKSRFYKELSFVLVSDICKELGTADERFYLAYAERWISRIQDRRYDEGEADLKE
ALLMRKALGNYLPRSGEAILSWALLAQDKLEECNRLLLESLAGREKALGKDDRESVRTGLILYALGNLRFAQS
>RCO7_00502 | uncharacterized protein
MCIPLFAHAAFSEVQFLDLMESRIKIQIEIVAEGVPAGALGTFQYFSTILNRHAQQLKDSTRALCRLAERSNQVLNGLKAKTPTPKGIVPPGIGIGP
RQRSSENATVRNFVYGGREGSFTAEGLLEDYEQLHLRCIDLSNMCTQGITLAMNKATIEESRKAVEQSERLKRLTLLATLFIPISFSSSLFGMNVDL
LGQSTVNFGCFFVVCLPITLFAYILYLWDFQVLKRCWARFWKGCHGARRDMTPGKSEKDPSHIV
>RCO7_00503 | uncharacterized protein
MNIRGAPSLPKLTKTAASFPPVRACIFDMDGLLINSEDIITLAINHLLEKRGRPAFTRSIRAQLMGVPDSTNGEVFHEWAKLPIPREQFAHESPEQI
TKSHSYKLQISKPGTKRLLDFFRLTDGFWVMTRDRVAFVKLNGRLWHKGHNAQRMFSLRG
>RCO7_00504 | related to mannan endo-1,6-alpha-mannosidase DCW1 precursor
MVHLLSSLALVWLCSMQIISAITVDWENTDSIKAAAKVTATDMIRYFVGKQSDGTIGVLLLPRPYYWWEAGALMGGLIDYWKYTGDSSYNDFVIEIL
QSQVGPHNDFMPPEQRSSLGNDDQAFWALAAMSAAESKFPDPPNPKHPGWLSLVQAVFNEQVGRWDTSLCNGGLRWQIYEVTGYDLKNTISNGCLFN
IAARLARYTGDQKYADWAVKIWDWMERIGLISSTFNIFDNAEAQKLNCTELDRNQWTYNAGTMLMGAATMYNYTDGSELWKNRTTSLLSELASDFFP
GGIMREICEQREVCNPDQKSFKAYLARWMAASTKMAPFTYSTSYPLLLSSATAAAEQCNGGANGTLCGIKWWLNGTWDGSNGPGQQMCALEVIQSTL
IRHVGAPVTAGGGGTSVGNPDAGFNQSAVPFDLRHVPAKKKDVIGAWIVTAAMLIAVVVMWVFMSTALGEWDGSSLAGKKDFSAVSSLKTGGVLWRK
KSKGKGKEREEKPEPFPEFPNLDESRRCNVTRTPVRRPAMLEYSLPNASLMSVPEGTPASISRKVSAAILSPVIEQEGLADTIASLPVYKGGVEKT
>RCO7_00505 | uncharacterized protein
MGTPFITFLGPSNLDGYDSKNRSSTQPENIPKTFIDAMEVREQVFVEEQRVPLDNEFDSDDHRACHWVIYASINTVTDPEVTSSSGEIITRKRSTTR
STPIGTIRLVPFPHPPHPEPGSSYTADALETSPINADSTSPPPFITDRATTHHDGKEPYMKLGRLAVLRDFRGSGIAKMLVSAALTWAQANPTFFNP
SIAELGMEKITVAGSDEEGMPEVPVWKGLVCVHAQEQVAKVWEKWGFLHDEGMGQWVEEGIGHVGMFMRIQLEPSGP
>RCO7_00506 | related to stress protein ORP150
MVLLRISSIEMRSQFFSIFCLFYLFSSTALAASAVLGVDLGTEYIKAALVKPGIPLDIVLTKDSRRKETSAVAFKPAKTSKSGQFPERVYGSDAVAL
AARFPGDVYPNLKRLLGLPSDNSVVQEYALRHPALKLKSDKTRGTAVFRSGAFAPDEEVWTVEEILAMELQSIQKNAETLAGKGSSVKDLVITVPAF
FSAEEKRAVILAADLAGLRVLELISDGLAVGINYATSRTFKSIQEGGKAEHHMVFDMGAGSTKASILKFQGRTVKDIGKFNKTIQEVQVVGSGWDRT
LGGDALNAVIVDDMIAQFVASPAAKSIAPTAEDVQRHGRAAAKLWKEAERLRQILSANQNTQSGFEGLYEDVDFRYKITREDFEKLTEAHAARVGAT
MQKALDMAGLEIEDIDSVILHGGAIRTPFVQRELEKFIGNPEKIRTNVNSDEAAVFGAGFRGAGLSPSFRVKEIRASEGAAYAAGVKWINIHEKPQH
QRLFHPTSFLGAVKQYSFKNQDDPFALEFYQHVGSVENVSPGSAEKVLLTLITQNLTESVTQLKEKFACTDSGINVKLSTRLSVVNGELEIVKLVVD
CEVDDAEGKESMVDSVKGLFGFGKKDQVPLSPDDEASDSSSSTETNTATSSKSTTSSASSASASSSVKDGKTVITKRMEVIPVKYTTTIGGVPQLPA
TEITRMKERLSAFAASDRSRALREESLNQLEGFTYKARDLLEDEAFIAASTSDERTNLEAKAKAASDWIYSGGADASREELKAKLKEMKDIANPIEL
RKTEAMERPEALKGLQDALNHTISMINGITEQIANDTKNHAAFTSAKSASAAAKSTPVPVPDLEDLEDDESSPTTSAPVEAETLAPPTYQESDLTSL
KEMHESVAKWLAEKLAEQEDLKLNDDPILLSKDLKAKTKTLTDIHVELIMKSMKQPYKSTRPPKTPKKPKKPKAKKSKKTAASKAGTAEKAGKVLDF
AEDGTPSFKVGENGEMPSEEDIMAFLKKSQAETAAKEAAGEVPKEGAAEEKHDEL
>RCO7_00507 | uncharacterized protein
MKKDAQNCKPGSMLVGLHSLRQMTAHPLLAERHIQKTFDILELRLLYQQLLDLSRPQHLLTARIGILLKQKEDGTTEYTDDEDDGRACLLCSNIATD
DCFIPVCKHNFCRTCIEDYAESQGEGEGAEEVGSQCPECDLPFEVKSLKSAKSPKKLPQKLSKQSKPPKSKSKNLSDRKTARQPGEDSIGNLPPLVR
LAWLDGRGDLPPGTKLEALKRIIKARIATNPSDKQIIFTQWRAFATVLGRELQKEKIRFIYLTGDMTLHSRAEAVSKFIKDGTINLMVATLRTAGEG
LNLECANVVYSVYIKTAFCFKEFIADNDSRDAWWNAAVERQAFCRVYRIGQKKETYFYKLIMRSSVDERMIEMQDRKIAMVEHTLKPSRGDLAQLLG
ISTKDCVRAEVGGRNMGKKLDSNDSNDSNSEGSEDEHFEQMTGLDSDEREEGDISD
>RCO7_00508 | uncharacterized protein
MESPPEDPSTAMVLYQGPPTVDRTSIESTDNENMAADDRIIKHSWCSEIIPFARYPSQNIPRLQQWSPGSAYTDQNELPISRPIKQEDHSRHIAAIK
NESDDSISLSCSNFKQEGNFDQLYCSGNTTQYYDNPLFKPGNNLSILQASKTAISSELPLARDMSAHKSLLNWRIPLHSSRNKRKDLSDEEDVYDEQ
KFMGRICKTVPCPSLRISSFKPIELANVPDRCSKQAPGYCSSEPAHWNMFRSLGNWSRLLQSTTESFIDRQTSENTGQGIKFSQICDGFKYKPQLAD
ARSHREGGQINSKLEKADVCQNALRITQNKRSEAKFVRYRGFENGSGRKKDPLLHHQAIGLAWMNRQEHSDNASKGGMLCDSMGLGKTVETIALKQW
KAEIEKHASKDVFGGVTIYRAAKGEDIKVITAWEVVLTSYAEIENSCPFPSRSEMLILKKEYDFSGTAGAHNDDSNVVERWIEESMEFCEILHQVDW
YRIVVDEANLISCQHRMKNHHLRFSHAVNALKGKHRWVLTGTPIMNRLEELYGYFRFLKEPDAKSFKMFKAKFTNIAKARLHFKPENLERLDSVIAR
LMINRTMQDQFLGRPLVDLPTPHHKDLLLDFGQEEGIIYRAMEAKYVKSIVEDSDIEKGHHTETRDPWL
>RCO7_00509 | uncharacterized protein
MPSPVAMSRRTLLSSEFTTAVSLCAYSACQIPDLLQLKKYSAVTCAVKNDKTRLNEVLNTDYIVPALTALFVGGRIAARFRLHVGLGADDWTMLAAS
AAYFIDVGTSLGLVLNDFGLHTYWLSVEQVITGKKFFYAAELFYMVSITLIKLALLLFFLRIFTDHKLRQAIWITGLFIFLSNLSIFLALMFQCVPF
EAYWTNWMYKVQPVKCLNGFAVLEAAAVFSILHHSMILILPIPTVWRLNLVWKKKANLLIMFSVGSIALICSFMRLPSLIRLHHSSDLSYDQAPVVL
YSHLEQSVGIICACLPACRSLLEHYFPAMKMDFGESNKNGPGSSPQPNQQQSSKPPRSRLEKTESTMSLVELRVRPGGKDNGNDDTITRHLSVNHTS
GRRGNEDKIMGMNSIVETGSNVGAADGSDNHGIYTTNSVEMTRNKT
>RCO7_00510 | related to alpha-galactosidase precursor
MVRSSSLISTALSLLPTAQAVSNGLATTPPMGWNNWNSLACDVSEDLLLSTSKILIETGLQDLGYDHVVLDDCWQAPRGDDGYVTANKEKFPNGMKH
VSDELHSVGFKFGMYSSAGEMTCARFAGSLDYETQDAENFAAWGVDFLKYDNCYHMGRMGTPKLSFDRFKVMADALKATGRNIALSLCSWGEDYVHT
QVSLFRLVRNGMLWVWLGSSGVWGMSIANAWRMSGDIYDSFTRPDVLCGCDTKNPADPFCIAPGTHCSVLFILNKVAPFADRSIPGGWSDLDMLEVG

QGGMTDEEYKAHFALWAALKSPLMLGNDLRTMTSSTLSIVNNPAIIALSQDPHGRSATRVAQNTSVPKDEYGVGETHIWSGQLENGDQVVILLNAAG
ENLEMSASLVEIFTASGPHGSAPQVKLAWEVWDLWADRMSEKDAQSILDAETATKRNQILANMKWYNSTEISYKEGLEKGDERLFGKKVGVVQPKGK
WDVVVEKHSAKVYRFRSVKGKTGSHEEL

>RCO7_00511 | related to integral membrane protein, Mpv17/PMP22 family
MFGPINTATAQAVVLGSLSSILAQGFSAYSSQSPFNLDVADILRFATLGAVTTPPNFIWQDSLEKKFQSRREIVQEKSKKIDVVEAPEGRMSKTNTF
MKLLLDQTLGCWLNTLIFLLLFGFLNGKGPSEIENEVKTGFWSMVLSTYKFWPLVTLTNLVLVPPGQRILVGNLAGLVWGIFVNLVISG

>RCO7_00512 | uncharacterized protein
MEVLLTSDSATVAANVKFLKKPPVGGYYHQSVLASKSRQIENEHVNQQSTQEADHAYPPLALRLELVQLYFDYIHNQFHTLFHPPTFLAAVAEHRVE
NVLLYPMFALSARFSTDVFFEGTTPSERGAAFIPRAERLLQVHRASLTTIQACVLLGAAYIANGDDVTENIYYGIACRMAQLLDLPNHVVSDPLENE
INIRVCWSLCMVDVWSSTAVKLPKLMPNLDIPLPTDELHYLALRSDMSLASPVSDRSSPILAEMIKLNRILLDINDFNEICVQEHLEGAQLEDAVQR
LSKRLDDWYEALPEIMRDTPENFAWFASHGLGRYFAAVYLGFYHFGQLLFYQFLHVEPYSSIPSAGIYAEKCKNHSAKLCEMIYRAFETPKSDVLYT
MVAHVLVIASTVQIHALLFSSDEVRISVSRSRLERNFGILLHLKQYWSTLSRAMNRLRAFHDTCRKSMDTSFVLDRWMLRFMVEFAKDVEEKEPDVQ
SPLWTLAGLTHGFDT

>RCO7_00513 | related to maltose permease (MalP)
MTSLGSPPAESQPKAPTLTAVHINQRGTQADEATHAIQLERDLSLKDTFKLYPRAIMFSFIISLAVIMEGYDTNLIGNLYTFPSFKERFGDEVDPEG
GMLVSARWQTIIGNSTQVGSILGLFLNGIVSEMFGYRMTMIYAMVALCGAIFIPFFANSLGMFVAAGIIQGIPWGIFQTLAVTYAADICPTSLRAYM
TSWINMCWVIGQLISSGMLRGLLNRPDEWGYRIPFAIQWVWPIPIMIGTFLAPESPWWLVRKGRLEEAKKALLSLTSRNSGVEYDVDSQLSMMEITN
QFEIESSSGVHYWDCFRGTDLRRTEIASMVWLTQAFCGIPFMSFSTQFYLRAGLNDESAYTMNIGQTGLGFVGCIIAWWLMTKCGRRTLYVWGLSAM
GVLLMAIGFCGLKQNDASAWAAGSLLIVFLFVFQLSVGPNCYSLVAEIPSTRLRIKTVALARAFYNAGGFINNALMPQMMGLNAWNWGAKAGFFWAG
IDALFLIWVFFRLPEPKGLTYSELDLLFEHNVGARDFSQSAADLLKPALQDVRTVNEKVTAVHVE

>RCO7_00514 | uncharacterized protein
MHEVKRTHHNPIEFIWQ

>RCO7_00515 | uncharacterized protein
MSTYQARSKRVRVVIVGGSIAGLTLAHCLHHSDIDFVLLEAHKEIAPEVGASIVLLPNGARVMDQLGMFQDIFAAAEPLSHGRLWTADGELVIQDDG
PLLIKRRTGYPVSLVLRSHLLKVLSDHIPDKSKIHLSKRVTKIDHTEDEVVVHCKDGSLFSGEIVVGADGVHSTVKSLMQDHIDRLSPGKANKDRNS
LSAEYNCIFGLGRSIPGTLQAVSHRTYAKGISALTFVGEGGKMSWFLFSKLDKKFFGKDIPKYTQEDMGEAIKPFLKLHMTDSITFDQLWETRTYAT
MTCIEESKNANWTADRFVCLGDAIHKMTPNLGAGGNAAIESAAALANSLATLPKHTLSVPQIQHVLRAFYDQRHDRANKTLESANKLTRVEALSNFG
HKIMAFYVFPYLGDLIIDMTCDAMVGAEILEALPPPTQSLEATMPWNPNFGAGKHESKWKRAVWALPILLALYAASQTMGLTIDNILSVEPVGETIN
FGNGMLAPVGLKYFGNPGFDAFLVQFVAFFTPVVGDWSPITRLQAYGFFADLVSIQTIWYIEGLRRGNVFTAAHLLPTLFGIMYQIRGIGYIAPIYC
FLHYIQSPLENYAAADNRMAQISGAKTIIPTVVLSYVIPTLTMFFIPGLANRQWVNGIFWQPFPVYGAILQRILPTFVKDTTQRDRISNPTADMPHL
RAAYRFSTAVGALTYFSLHLASPIPLSKVFFGNLGSPSAALPLIEAAVKALRYDQICAFSATAIWTLLSFKDLKRAGKLQAGWARIVGSFVAMNLVI
GPGAALSIMWAWREEILAARQDLVKKDVW

>RCO7_00516 | uncharacterized protein
MQFSAILIFAISAMTATAATIPARQAGGADFGTCNPAIDFQLGRAGRKATEGTFLPSDPVVAKGQQDALNPNIITNRVCDQLTNVCGANAAAKALCK
TAQATVAGLGTKDASTAAAFNAALGV

>RCO7_00518 | uncharacterized protein
MEKIKNLLNLNKTEDDQTLHGSDHSTAAHSGTHSGGVSGEGSHLGGASITSSQSSNPVSSSHPHTSGTGNPGLGATTGQSTQHGTHAGQGSHFPSAT
SGQTSTLPIHNSGTTTTTTTSTHTGQSHVGRDAGLAGAGATGAGLAEHGHQGHQSGLGSATTGSGLGHNQSSGISSGTTSGSHTSDLANRADSRVDS
DNSRNAGLGSATTGSGYGHNQGTTSGPHTSNLANRADPRVDSDNSRNAGLGSVTTGSGFGHNQSSGISSGTTSGPHTSDLANRADPRVDSDNSRNAG
LGNTHTGATSGHSALPGSAVSNTHSGNTHNAGVLSSSQQMPGEWIDDTDTSRSIGTHLPGASHLPQTSQTGANPNYAQGASDHHLGRDAGIVGAGAL
GAGTHGHNHQGRDAGIVGAGALGASAHGHEHGLEHVPATSGPHNTYAANMLDPSVNTRATTGLEDAHHHTASGGGAEEADAQHGGRPTESALALGRN
PLHNKQQTGTGVGLGSSTGPAPHTAGPHQKDIANIVDPRVNPNNAAGLGAQATSQTGSHTTTDASGHHYGRDAAIGAGGVGAAGLVGSQHHNNQTGS
GIGHQNTSNTHQSATGASGLPGIAPHTAGPHNSDLLNKADPRVEANPTAGQGHSQSQSGLGHHEKSHHADHTSLSHEKEHNYGRDAALAGGATSAFV
GSGHHDHSTTSGPTHLGQHGASTTSQDAYSTSSTQRSTVDPTTSRSNDHRLGRDAAVAGGAAGVGGVAAHEHDKHKHENELEKAQREAEKEHKHDLK
QAEKDHKIEEKRAEKHSEKDHKHVEKEKKHGFLSFLHRDKSKKYSAEEEADFERQEREHHALQSHTGRNAAVGTTVVGGVALDVHHDVDTNKALPTA
PGNHGVGTGAGTQNALAGHNSSGHDSATQGTPLPLKPAGRDIGDILHGVERNRGVTGASGFSNEPGFGDGTHPHAHSEATTDQSGNPVGHATTGAGY
GSQQAGREFPLGHSQHGATHTDNDSPLHSTSQHHNTGRDTAALGGAGLVGDHEHRKHDTTTGQHSGLTGSHGTSGLSSNQHHSGLTGSHEPSALSGN
QQHSGLTGSHGSSGLSGNQTTSGYQTGHETSGLGSSTGQYDHESSGLTGSNTSDLSGRNKLHKDPPAGHPAAQGYGNDSTGAHVPAGGAERERFVEQ
GKDHLGHDTGVANAQNPNSSTNY

>RCO7_00519 | uncharacterized protein
MKLVQIPFKEVDLHPDFYNSNFHTSVEAPNLPIPTEKPQSFIRWLPLTASSQSIPWSSIQIITLTPAQSELILSASLASLHTREPNRLYTEELASLA
LSAHFNSLDFPPEGLFLRLDECSAKDGVGGTTALRSVEEVILRLSTSHRATNAMVRWRDQYRESNAQEDAGEADGSAVSVGMELVFLPCDERMDTRR
EFRVFCAPRQGRITGVSQYRWHQPSFLSGENTEVVQKVTSEIMGEVVRIHEEILTEAWKEEAEAMDRLLLEQGFSFDVLFVEEPVGSERVRANKKGK
CVMMELNSFGARSGCGSCLFHWLRDLDVLYGGKTEHGSEGIEKVEFRIST

>RCO7_00520 | related to cyclin-like protein CLG1
MYRTAERPAPLNFPLPCPLPTYNIDKRKEFRQPQFLAQLPPTYLEAPVREGLRTPPTDDMATAYQNNSYSHGFPSRGRSFEYHPVEGTQNHYGGAYN
NEGHGHSRQHMAIPQPPPASTSTLRNEIQGPIATSQPQSPEPAQRTSCLSHQNPSQRKSTTDTIRVGTQIPKTISSKGGSLAEFAAQITCLFWFEST
GTLEKSEKELPPSATVKRLEKEASPSTGFRKWVVTILSTTQVTENVIILALLFIYRLKTSNPAVKGRSGSEYRLLTVALMLGNKFLDDNTYTNKTWA
EVSGIAVGEIHVMEVEFLSNMRYSLLASKEQWADWHKKLRNIRNYCDRAAEVPIQISPQAYSTLHPNLPSPPASQTSPPTHPYLPPSSSFMDGHQWP
ANNSLPPISSPLSSLPEAEFKGYSRKRSYDGDAEEPVTKRITRPSTGPLQYTPAIPPLRQEARRLPVPDLTISTSQSMSHGYNTPTGMSQNPPVLPP
LCQRTMPAVYAPSTPSSWTQIPVLTPNGHPTSGYSTPSRRHSPRSVQDLLSYGSSPTNANFPNHASPSVFLQQRSSPYKPIRHVNTLLYPPPSASMH
DYSINTDHMHYQPLGKRHDYRSGVVPDYSHTPPNQWPVLRQPNFNP

>RCO7_00521 | related to CHS7 protein
MGFGDFDALCQQAAIPLCAVVGKITHIAGSHGIEAECYARNIELANTIIFQGAASFMHIVALIMTVIMILHVRSKFTAVGRKEITFFFYIYMMLTFA

SLILDSGVVSPGNDTYPYFAAVQNGLTSALCVCLLINGFVGFQLYEDGTTLSVWLLRSVSFAFFIITVLVSLATFKSWAGLGPTRTVGLFVVLYLVS
GISLVIYGVMQVILVVNTLQDRWPLGDLIFGAFFLIIGQVILYVFSSQICNAVQHYLDGLFFATICNLLAVMMVYKYWDSITREDLEFSVGTKQNNW
EVKELLPEEDRRATVYQDDYSSTYNHQAHTRNSNYGGFNY
>RCO7_00522 | alcohol dehydrogenase
MTTDFLSAQQAKDFDYVIVGGGTAGCVIASRLSEYLPTKKVLLIEAGPSDFNNEKVLQLKEWLTLLGGDLDYDYGTTEQPNGNSHIRHSRAKVLGGC
SSHNTLISFRPFEYDLKIWESLGCKGWDFKTMTRLLDNLRNQIQPVHPRHRNQVCKDWIESCSTALDIPVIRDFNKEIRETGSLQQGVGFFSIAYNP
DDGRRSSASVAYLHPILRGEEKRPNLTILTNAWVSKVNVSGKTVTGINITLKSGTKYRISPRTETIICAGAVDTCRLLLLSGIGPAKQLQDLSIPVI
HELPGVGENLIDHPESIIMWELNAPVPPQTTMDSDAGIFLRREIKDAATSNTDPALNPKRIPDGTIADIMMHCYQIPFCLNTARLGYEAPLNAFCMT
PNIPRARSRGRIYLTSSDPTVKPALDFRYFTDPEGYDAATIVAGLKAAREVAKQEPFSKWLTKEVAPGPKVQTDEELSEYGRRVAHTVYHPAGTTKM
GAETDKMAVVNPDLRIKGLKGVRIADAGVFPTMPSINPMLTVLAIGERAAEMIAHEAGWRGDGKARL
>RCO7_00523 | aldehyde dehydrogenase A
MASYPLQQIYYDGKAQTTKSGRTFKTIDPSTAKPLADVLTASPSDIDLAISSAQKAFPSWSQTPPIIRSRILLKAVSLLRSRNDEIAKVETHDTGKA
FSETSTVDVVTGADALEYFANLVASGGLNGETTQLRPDAWIYTKKEALGVCAGIGAWNYPIQIALWKSAPCLAAGNCMVYKPSEVTPLHGQILAQIY
TEAGVPPGVFNIVHGDGAVGGYLTGHPGIAKVSFTGQVSTGQKVAASAAGGMKYITMELGGKSPCIVLPDADISNAVDGAMMANFYSTGQVCTNGTR
VFVPRSLKAQFEKTLLEKMQYIRSLEPMDPNSNFGPLVSEIHYKKVLSYIQHGIDTDKARLLCGGASKPKQIPAGYENGFWVQPTVFTDCTDDMKIA
REEIFGPVLCILPYDTIPEVISRANDTPMGLAAGVFGKDLNQCHEVISQMEAGITWINTWGESPAEMSVGGWKKSGVGVENGRRGLGNWIREKSTLV
EGSGIVGTVFSKL
>RCO7_00524 | uncharacterized protein
MSLKVLRTLAESLERDREIRLQSDLKSVSEKEDEYRKLLVEQTDQEVQIKIEHIIRKGDATVDIWKNTSVPFGLTQNGARSFRDAKLAELTIVEDRE
LKALKDEFERAKNEANARNNVASAKVEKTRGIEDAKVARYISRLSDGVYHASQMLGQIIEVEKMIHNLLNPHVPTLAPEFEEVDGEGSGGSIGVEAP
TVERYGLKTHTSFGLPTPENTPPSSSESRFDAFEQPATPTPAPKKSQSYRRALPITGQFRVGGASTVVTTNQTSLLAARVTVSGFSGSALGQKVVID
LTSDTEDETPPSKRRQITSPSSTTALSQVGPSPSTPLSERQVQTPKRQAKKPINLATINRQVSPKFISPILQTPVKKFSTVDKKLEPIPEHDSVPAR
TPNVFDSDSDYSETEKNNGKKRHRTSSLEQPRIRSGKLLKGELLDAPGSELSSTKGTAWNTWAHRVYNPQKLLVFHVKTIWSYKVNGPVSKFNDDAD
PLGFFYRRRAHMFVPVIGHADKEDEKPEFVLEEHEIVHVQYNSEFALVCVTKNIGGQSDVVVQFGSRAELWDFLVVSKMEMDIRIIETLSLRPIPSS
WFN
>RCO7_00525 | uncharacterized protein
MDRAERNRLWSSYNNKKLEIERNYGALKKTLLGEREQEDQKWINDFCNLADEQSELTIHVAPPTAISTPTSTARYPPLDEQIPNTQPSVSAASAQFE
SQTKAGEQIFRGLRTGASQTPQTRVRESSVTLNKRPMLDSNGQDNTPPGLRRVFSGSGPVQERDTFRLSSSPAPFMSLSGPVTLSIGSPTSLVQSTK
RTTQPSTPKPNRHQPISASNTPDGTIKLHSIPVESQSGSFLQSTAFTTPDRSRINTSSKTASQSHTFSPSTPKSSSRTSPSLNSSSSSPSAGLTKSL
SNNFEIVSVGFENIGGGTFSWMHQPNDPTRYYRLRARSFVPVLKQGKSTGNQDWNILLDRIWSLKYDADSCLVYMKRIKADKNKTGNAGASMWITFN
DRRNLDGFLESYLNQRAGGTVGKIGPDDDVPMSLLRSVSDN
>RCO7_00526 | uncharacterized protein
MINPTSYQELEERMKHLRTLQLDKTRIADEEAQEKRRKLQAHKSDKLSTAGSEATAQEKCLEEEQEVKNQALMLKQTDELNALRQRHVEEFEERLEE
LRLAMGNLASKHSAEREKLEHAFGEEKSDIDTELEKVKRQIQAADEAEIKQIKDDLVVYFFSRARPEEPTRLDTGLAKEEADNPVYLTTTVKNPEHN
NAVRTADRASTVAMQPVLQTTLVPSPQQQPHSETSSPHTLIGRGDESHRRADIQVAGAIAPSETGGLKRQKSASPSITLDPKKYFEVLRLRHTKHSV
RGYQHNISNKLWKHTNEKLYLDLGVEIYRPVSMRDYNKMPEKAAHWFIDRTDVVKVQYDVQRSLGQIRLKAGLVWIKFKDKDILTTFLEVMMEKWPS
FARPIGFPQNFTGFPPEFENE
>RCO7_00527 | uncharacterized protein
MSLKKLMEQFQVMLDRRAAEDLERGVARFMEDADFEATKRMKLKSLEAEVSKRIPSYESRSNQVLKNLKREQEHDTLELHLKHKAQVRALQKKHEEE
MVALPEKYKRKAADIEKNLRMDMQWELDLMLKVEQSSLEQKLMGERRRALETREREDKIREQARALVDQDTNSQVLTTFREEAARQAHPHLEVAAQI
PSQRTPLKSILKKSKARSVTVNSEGAITFLTEEDETLDDRKTKRVKVEGASKRDRVVDVLDEEATLFPYRENIGPSNQNLRSPRTPRTPRTPWVSSW
TPRNFSTSEEPCSSSSTSPT
>RCO7_00528 | uncharacterized protein
MSHSATLSPSPAGFMGPVPARFFSPARRYPTAPDNLERRRTSHPHNSYLQQRQSEDMPDDRSQPQQRPRLEHRASQTIIDLTDEPEEDAPPRNVQPR
NRPARPPHLDRSDAVNLGDFIDLTEDSPEQDVIFTGERYVPALYARPGPGPQSRNARSVPAVVLRGQERSQSPSLFLPPVHQQPPPENRGLIGGLAG
LGPMGLHNLLRPDMGFRHIPLEIINQLNAARNQAMPQGMNYQNAAFVEQKPEHVAPPPARSGFTRSPKEDLVLICPSCEEELIQNNEIEEQVVKKSG
KAPTKKEREEHPFWVVKDCGHVYCNTCFQGRTSGKTGFMEIAKPKSKKTFTCAVEDCETDVRAKDKWVGVFL
>RCO7_00529 | related to non-snRNP spliceosome component (pre-mRNA splicing protein PRP19)
MLCSISGEAPQHPVASTKSGNVYEKRLIEAYISENHKDPVTGDDIELEDLIDLKSNKIITPRPPTLTSIPSLLSTFQNEWDALALETFTLRQQLQQT
RQELTTALYQHDAAVRVIARLSRERDEARDALSKVTIGAGNASNGDAMQIDSQGLPEDLVVKVDAAHDKLTKSRRKRPVPDNWVDSETIEKFGVASA
SKELYPGATSLALDEAGELVIFGGSDGLAGVYSIAEEKIQRSLNTGSAVTDAVWYGSQPVVSTASGAVKILGQTETTFTSHAGSANGLALHPSGEIL
ASVGVDKSFVFYDLIAGKAVTQIYTDSELTVATFHPDGHLFAAGGADGQVKLFHVKTGESAANFELGGPVQDLIFSENGIWFAAVAKGSNSVVVFDI
RKNGDAARAKVLEIGGQVDTIRWDYTGQFLAAAGPGGLTISQYTKSAKSWSDVISTAVPATALEWGPEGRTLITVNGDGIVTVLG
>RCO7_00530 | uncharacterized protein
MDYNIRPHVSMTMVQIFRDKLSFIDAFAFKSSASTSLRFAFDRPVLVPASSNRLLKRRRALSDVDGEGNKGWKKRRLRLFLITSRLSRPFSQPASNI
VNHGMNKFPIWGAKNKALNKPSLRKVAITNRVRRRIDAARDFMRMEQEKIRERLSLREIFVPKAHCHDLPLPPSPLGVSNYDALDLEDEDVEREDSE
EWNNGGGLDRISTIYSDFNIMMPMTDDHGDDALDDHLDALHGISRQDRPATPATAPQEECIIGILREDCQGEGLFVHIRE
>RCO7_00531 | probable RRB1 - involved in the regulation of ribosome biosynthesis
MSKRPAEEYANGGVSLKGGDRPEKSELEDEVGEFEDEFEDEYESEDEILEAGVDGRPDEEREAEEKAEAMDVDQQTFIVGRNKLEPGQTLSPDLSTY
EMLHALSTPWPCLSFDIVKDSLGDNRKTYPATMYAVAGTQAEGRRSKENQLMVMKFSGLSRMERNQDDEDSSDDEDEDADPILESASIPFTSATNRI
RAHQIPASNSSKPPITLTASMTEAGQVLIHDVTPHLASFDNPGTIITPQQNKPLSTLKMHKSEGYGLDWSPLVSTGKLVTGDNNGNIYVTTRTDGER
WETDSRPFTGHTGSVEELQWSPSERNVFASASSDGTIKVWDVRSKSKTAALSVQVSDTDVNVMSWSHQTSHLLASGADDGVWAVWDLRQWKPNTSSA
SPRPTPVASFDFHKEQITSVEWHPTDDSIVAVAAGDDTLSLWDLAVELDDEESKDTAGVTEVPPQLLFVHYMEKVKELHFHPQIPGCLIGTGEAFNV
FKTISV

>RCO7_00532 | probable ribosomal protein MRP17, mitochondrial
MLYELIAIVRPHNIMEVKEIARTTGSIILKNGGAIRGIKNWGTWMLPKKTRKHQAQYNTGHYFIMRYDASSKIQDDVRNTLGLDPRMIKFSSVKLGN
GTLEKLSRIGGKIPWETREEF
>RCO7_00533 | related to SCRO protein
MTTRTGQKALISQFMSFTGANEKVATRALKGSGWKLDQACDSYFLSIGSAPSKGDDTLSTLFEKYRAPTDDTGVVTVEGTMRYLGDLGVNSENAEIL
VALEIVQSPALGEMSKNAFVEAWKRIGADTISKQKTYVASQISLLSTDMALFKRVYKHAFICSKETSQKALPLENAIIYWQLLFAPPGMKWITPSTN
WLQLWIDFISKKWTRSVNKDMWNQTAVFFEKTLQDETLGFWSEDGAWPGVIDQFVEYAKKERGDVPDAMETD
>RCO7_00534 | related to MVP1 protein
MSLFGSSPDQPSPAQASKARNSLFDDEPSPAPGSKSSLFADDDSAPGSSPWAMPTPKKPGREDVVKSLLPAGAVPDSYIDRFDDLINGEEGSGGKLT
VAGITKVLSASKLGADEQNRIVSIITSGEQLSDISRNEFNVLLALIGLAQEHEDITLDSVDERRRNLPEPNLPNFSSPIPGIEDLAAKPPQRPVSPP
SAPVSVSPQKPRTMRKNSIDFSEADPWGSPALHKGHNHETAPQANGVSRTGNNGTHAPVRNTSNFTTIPSAGTNGSSNQPAQNSSQAPIGGVWGSYD
GNTAEPYIASNDAIIGVDGFAQPGGRDDRPEPSAPIRSFGGGRTSAAGVEENVVVTLLPEKEGIFMFQHHNYQVVSTRRNSKVVRRYSDFVWLLDCL
QKRFPFRQLPLLPPKRVGVNGSHLAADNTFIEKRRRGLVRFTNALVRHPVLSQEQLVIMFLTVPTELAVWRKQATISVQEEFTGRPLPPGLEDSLPP
TLNELFERTRTGVRRSAEVYINLCNLMDRLSKRNEGLAADQLRLSLSLQSLIDSSADTYATDTNDVPLLNEGLNASAKHLSNSQTLLEDEARAWDQG
VLEDLKRQRDALVSMREMFDRRDRYDKDNIPSLERRIQNNETKLVTIRQKPDGLVKPGEIEKVTEAIIKDKESIVAQHARGVFIKECIRDELVFFQQ
SQYHVGRWNQDWAQERVKYSELQADNWRQLHEELESMPLGD
>RCO7_00535 | related to 40S ribosomal protein S29
MDRTLSERDEHLQNARNLLDDNFEPSTQRHLTRRAVYLPKVANMSHDSVYNSRPHSHGKGSRACRVCTHKAGLIRKYGLNICRQCFREKAADIGFVK
HR
>RCO7_00536 | related to UTR1 (associated with ferric reductase activity)
MKPSPSPPQINLPERQQFDGSGPFSPYEDVVSSASDTEYQHALEVIFDPQNSHRRKSSIVMTENPASISQRRQNTECFVHTLLESQRKHGNSQSGAL
DGIAETLENRRIDSGSGTANEDTLVEHKGGKEAENGVDVGQEDEEAWKKGSEASQQRSDKMEVVSGEDPNALHSRLLTKKQLSDMAWGVRELSKRLG
SIRLKLKVRTVFLLTKAHDETLIGNTRDVVKWLLSPEREVRYTVWVEDNLRDNKKFNSQGLMKEMKEQYDSKNENDVKLERRLRYWTNEICRTRPHT
FDFVVTLGGDGTVLYASWLFQRIVPPVLSFALGSLGFLTKFDYDDYPEHLTKAFRDGVTISLRLRFEGTVMRSQKRKRSRIENGEKQEGSSENTPSD
EREQEPEEDEGESSESRDLVEELVGEEKEDERTHRPDGTYEILNDIVVDRGPNPTMSSTEIFGDDEHFTSVQADGVCVATPTGSTAYNLAAGGSLCH
PENPVILVTAICAHTLSFRPIILPDTIVLRVGVPYDARTSSWASFDGRERVELRPGDYVTISASRYPFANVMPQGRRSEDWVNSISGKLGWNTRQRQ
KSYKEWSK
>RCO7_00537 | uncharacterized protein
MMSTGSRGANPLGYTTVDMLLDDVSKRMASSDITRSRGSIGQKASGNMRIVKPNSASNSPRGSTGLYRRKTMMSEEAYRRRLAMLEQQHLLSSGGFT
SNDGLQVHSRTTRPVSWHPSSQNPPQPQYQSTYQIPQQNATELQMYDLSSNHAAYSGYASPSSNFSPMSMPFNGYEQPQYLYQDQTPSLHLKPTYSV
NHQQQYQYQEQPSQSFVPQLSGNSDPTMYSHFDWNNFATNGFENCSTAPPTPDNFLPTQHPEPSFPAEDSIPYHPLSEPESEGEELIGMGLYDAPDV
KSTSSNPELDNYRALMMTGFLGTGYGKVEASGKGLKLEETWNPPPSDDEDDEDEDDDEQDGEGEDDDEAPAIVVPAMPQQHVVQSQNNSAAAAQSYD
GSGWL
>RCO7_00538 | related to hydroxyacylglutathione hydrolase
MVQYVITPWRNAQELLSVRENLYPALTNPARQIRDAERGYAVAKISVWMQRGNCPHLVESTAILTAAILNDVRGNAPYCVRAAYAAAFCRFVTGLLD
SHQTKTRKLSMYSVAKTIGLPATYVELRHQATHEELPSLSKLRTATQKALHWIWDYYWAKLTPASSSTQEQCDTFMLGLFQKKGTKSHTELMKEMRG
WEDEVLLSALWKIDEANLDRGARMWVIRMQRLIIGRDSVGSKSNIEGLEPAGGIEDVRVELDAMDAVLEEKDEEMAGKATWTDGSPDRKGWAIWEGP
WFPKPMGVV
>RCO7_00539 | uncharacterized protein
MSFLNTNTEVKTRTVLSTHITKAQVIALLHSDETILDLNPSKITYTLLPPSTSTEFYKTVPDAYKPPAIDSGSISDFPVYKIVEPQGTSSDGEADVE
GAQSGHWKGGWIKRFIPNDLVYETSVQHTVDGLVSITHAPMGVQSVTTWIAHEPATAGEGCVLEMTGKVWSNRALMPFIRGNLQASYEKLSADFVLA
LEKLIAEEQKPGGVESSKIVD
>RCO7_00540 | related to DNA-binding protein
MRSEATILEQLPPVMPAAPPSVSAGANSGLNNGEIGSNSNPKTTNNFPPPKTDKPRPHICGTCQRSFARLEHLKRHERSHTKEKPFECPECARCFAR
RDLLLRHQQKLHMTTTPSSRPRNRRESAASSTAGPGRVRKNSVVNGHGAATMRPRANTISHVDGAHMQLMAAANVNVARSGIAPSHSRHPSLAGLPM
QNEYHFGGMSAAMGQRGISNHGLPKLETHSFNNLDFGGGLRTAPAAGGFNPEFDFEGLLFGPGSTINPNALHYNDSPQSMAIDGASPYHQAFPDMSA
SQTLEENFDWMNGFQHQMSFHESNENAIDGSSPSAISTASQSGISEVMLDGSNNPATSSASMWQQSMMGPPLMNSNPFAMDLSNQGFHDLMNGGPIP
SVMPGITTHGFHPPMNLGPETPLSMNGSMYSILPLATITDGTRQALVAALAQCAPFGGRKYSFSATTSSPLSPHFPGRSSNVSDTTRNLPSTHDLQR
YVGSYIRYFHPHLPFLHIPTLSFEVPAYSNNGRGNPGLVGGRGCLILSMAAIGALYEMEQVQSKDLFDSAKKMIQLYLEERRKADVKKADHRKAGVD
HGPRLPENSVHTPVWLVQAMLLNVVYGHNCGDKTAGDIASTHCAALVSLARAAELLKPQSGHVPNQQDVHMSDEGMSDEWNNAGIKSEMLDEQQDWF
NWKSMEERKRTLYAVFILSSLLVSAYNHTPALTNSEIMLNLPCDEEFWTAETAQSFYAKGGALMADHNQIKFHEALGELLRSSEKQQQQAYGEFVGD
LRPSTFGCLVLINALHNYIWETRQRHHNKVWTNEETEKMHRHIEPALKAWQAAWASNPHHSLERPNPYGFGPISADSIPLLDLAYVRLFVNLSRSKE
KFWQRDWDGMAEELSRGSEIIQHAQHSPGSNSESTEPSDNSATSSVFVDSPSTSNSSPDFKATGPLINGARGPSRPVSSSKRERHLRKAAFYAADSL
SMSDKLGVTFADYTSRELPLQSAMCAFDCAQVLAEWVATVQERVGRYLGILGKDEIDFGQVPGIMLLEEEDCKLLSKIEEVLSGAELKMKFDLASVG
ALAQRIPGADDCGYGGKILKLTAYMLDRAAIWPVTHLMARSLETQANHMRVRAEESVSPRE
>RCO7_00541 | uncharacterized protein
MASNWTLSVAVGMLPHLSPITSTSYILDNVCVTGLVTDLLKSHYPALRMIGTDATPGTIEACDSKIATTKWFDTITSSICDSRTLTGIENEFFTHVI
TNFDFPPDLTDRCSPMKAAREIWRLLKPGGMADVSIWKAAARRISPNERPYAWTLPSDWSDAGWLQETKAEIGFGDNVTVKHIGGSASAESLERLVA
NMMCDKGMFCRGHSEEEFDGMAEVLGEELKKWEAWYEDEEGFGIIIDSWVAFATK
>RCO7_00542 | uncharacterized protein
MPIVREACPPGSGARSTNTSLGQGHPLYKDEHGFKKNFNGSSDLYVVGPHIQNKHGLLFAPSSMMVSKKLLPIFGECKVNVNSDILFPAKMYYRDDE
TYIYDFKSEYEWDEKKDMLMWRGVDIGRSKHSRELAELASPTTCTLHQQHTHGQ
>RCO7_00543 | related to MVP1 protein
MPPRLPALSAHCRVAPTSASPLSAFLLQFMQARNASILGSLSDTPGAYNKRIRRGRGPSSGKGKTSGRGHKGQKAHGKVPARFQGGQTPQEVVQGIR

GFENRFSVEMSPINLNKIQEWIDQGRLDPTQPITLKELVDTRCMHGIKDGVKLLARGKDELRTPINILVSRASDEAIKAVEAVGGKVTTRYYTKPSI
KRILRGESESSFTPLGMTTPPAEGESPIVSAVASSRFLYRLPDPTSRKDLEYYRDANKRGYLSHLVEEGQGPSLFFKTPGTGTKRRSMKTGKAAASG
ENKLW
>RCO7_00544 | uncharacterized protein
MCQDKAGQRSNHDVLDSGIRASAPRVSPARIHLKPARLRDSNLPLQPVHFCQSTIMSKDSSYTYVHFNRPRDADLFEDFCKDKLPDDEIYVPPHHQP
INPEDEDDVVPDQHAAFGIQRATQKTKEAAWKDLGLAELMRKGPGPKGAGGSAIGDVGPRDTGIFKPGSKSLPR
>RCO7_00545 | related to SPP30 protein
MAASQPVKPPLASQNSHTRGPPPGLRYPSNGKTIYHRPLNRSRTQELSQASFAYLFGEMVSYAQKRVTGIQDLEKRLNVQGHPIGLKLLDMLLYREP
PRTQTRPLNIIALLQFITTVLWRHLFSRPADALEKSSNPETPEEYMISDNEPVVNQYISVPKEMNQLNCAAFVAGIVEGACDGAGFPARVTAHSVGK
GEEGELWPGKTVFLVKFQPEVVEREAYLGGGK
>RCO7_00546 | related to PDR16 protein
MATAAPVSGEAPELEKRLEEVKLESNTTEAPPPTQNTREASREKSFAATLREKQDGVLKTPIVDPVETAIPSALTELTPEQQEKYEALLVTVKSWKD
IPSTKGKEGPVTEDEIMWLTKECLLRYLRATKWVTAEAAKRLLGTLTWRREYGVGELTGDYISPENETGKQIILGFDIQARPCLYLNPGRQNTEPSP
KQVQHLVFMIERVINLMVPGQETMALLIHHKSSKTKSHAGPGLSQGKEVLSILQTHYPERLGRALIINIPWVVTVFYKLITPFIDPLTRQKLVFNED
MRKHVPPQQLWNEFYGDLDFEYDHEAYWPALMKLCEEKHKEQHERWVKGGKHYGESENYIKGGNTPSIGSMVAEVTEEKTAPATLPEPVAGTPEAST
TVA
>RCO7_00547 | uncharacterized protein
MTQRHQNCHCPQCLRQQRYSYACPSGSSPSCHNDPYLYKHIGSPHHHLCTHHDQISRHCLNAPHLSHDNHYPIKLPHPRETYRQQHDDRAQYEEDQC
PVPCPFYHDQHYQAQHENNANASPISPPAAASPVRVVAAGRDGGVLSPQHPSRTRFPHHLKRDDQRPSKPASPGALSQNQNQNQTAHRETEREAPAW
RPRPREGSSVRETKGVSSTAMNSVNMDVNMVMGVEVGAGTRES
>RCO7_00548 | probable mitochondrial-processing peptidase subunit alpha
MLKCSSSRALNRAFPKRPLILPSVSPSFCSRGLATVVEGIQKDPAELDQISTLPNGIRVATEALPGHFSGVGVFIDAGSRYENGYLRGVSHIMDRLA
FKSTKNRTSDEMLESLESLGGNIHCASSRESLMYQSATFNSAVPTTLALLAETIRDPLITEEEVKQQLETAAYEIGEIWSKPELILPELVHMAAFKD
NTLGNPLLCPQERLAEIDKSVVDAYRSTFFRPERMVVAFAGVQHDEALRLTKQYFGDMPTSEAPAVSPTGSETSFESSASGSDSAVSSGSSSPPSPT
QQPSKLLSRIPFFKNLSTTATNNASVQLIGTLAPTPSDLLRPSQYTGGFLSLPSLPPPINASLPPLSHIHLAFEALPISSDDIYALATLQTLLGGGG
SFSAGGPGKGMYSRLYTNVLNQHGWVESCVAFNHSYTDSGLFGISSSCSPAHVVNMLDVMCRELQSLTLESGYASLQTAEVNRAKNQLRSSLLMNLE
SRMIELEDLGRQVQVHGRKVGVREMCRKIEELTVEDLRRVARIVVGGLVDNPGRGSGSPTVVLQEGEEEGITRRPFQWAQIQDRIDRWKLGRR
>RCO7_00549 | related to dma1, component of spindle assembly checkpoint
MYTVPSAPQQWNAASSPTPASPTSPVRTGRLRGLSYLRTYTQNHILSRDSHNHSQNSSSIPPQRPSTLGRATSYPSPTSRGSAGPSSPTSPAPGTAP
QQASTLQSPTAQRNTSDDPSARSNNLDSVGGTSGWLPTVGGQSAVSRIASEPQSVNTGSSSAVLSGNQPSDVTSDLTASMARTRSATTGTAPDMLPV
NGGEAHSRTEIATINANGGNQGMAHQLPSIRFSAHQDPRVQRPSLVFPAMSRILPTGKEIIKVGRYSERDSNPVQSANMPSSAPVGFKSKVVSRRHC
EFWCSGGRWFIKDVKSSSGTFLNHIRLSSPGTESKPFPVNDGDVVQLGIDFKGGEEMIFRCVKIRVELNKGWQNGPSSFNVQSHKRLRELNSQGKSP
AAGSSQDCSICLGPIAPCQSLFVAPCSHTWHYKCIRVIINGPHWPHFICPNCRTVADLEAELDDPYADGEWEELEAVDESDSPDAPQAAESEPTAEP
LDLPNRNTVLPDDVDVLIGVQEHVEAEQNSHSDIELVEASDDSGPDRDVRATASSLGYLNINQTPSPSESVADSSPQEEDSHSHPISNATSAPVNIV
RKAVGSHLGQPIPHPERRSTRTPSPNGTDTSPAGVEGPMTPRNDIGPFVFDGSAGRAAGLATQNLNAAANTPPTQAPPALTSPPSE
>RCO7_00550 | related to vacuolar protein sorting VACUOLELESS1
MANPTAEWERVGGKFYRKIQLYTAIFDQDLELENYHVIGSSYGGAIALFRDETKLQSFRGSQASKSSIDLYSCAGKLIRRINWDKGSIKGLGWSDEE
RLIVVTADGTVRSYDLQGDFSQFSLGHGSEEYGVTACRFYSTGFVALLSNNHLIAVSRYDEPRPKELATPPEGEVHSWTLIAPAYTLSRSVEVLLSI
GQTIHVVDATESEDRMLDIGPFTHISVSPNGRFVALYTETGKAYVITSDFQNRLSEHDSKSKIHPKDVQWCGNDAVVIAWEDEVHIIGPNNAAAKYF
YDGRVHLITDHDGVRLITNDVCDFLQKVPEVTDEVFRFGTESPASILLDAVEQLENQSPKADDNIQLIRPNLVEAVDACVKAAGHEFSIYWQKQLLK
AASFGKSVLDIYNSDEFVDMCETLRVLNAVRYYEIGLPLSYEQFLRLTPEKLVQRLINRREYLLALRISSYLRLPTDRIYVNWASQKVRVGSEDEDT
ICRLIVEKLAGKRGISFEEIARAAYDEGRGRLATELLNHEPRAGKQVPLLLSMEEDEIALDKAIESGDSDLVFFVLLQLKKKLPLASFFRVINTRPV
ATSLIESSAQEDDAELLKDLYYQDDRRIDGANVFVREALKQPDSRTAIDKLALAAKLLSDSKENSLELKALQEASTLLKMQEAFDRDLTESFTGLSV
NETILKLIRLGYSSRAKKVQSEFKVPEKTATWLRYEIPSSNFELWSQSATGTNSKNGPKQDDPLSDGRQPFFTLILTAGNPKLASIFIPKAAPSLES
GETISMYEKCGMRIKAAEEAVKVKDVEALERLRNAAGAGTVEGREIERLGAGLKR
>RCO7_00551 | uncharacterized protein
MAVETLLEKVHELSDLELAALICLVAQEHCIIDTEPDVIDDLTQELQLAASKVFGLSNAVIDCHQHTTLDEFAQAILSVEHSPTGSDSPVNTRQESY
FLNTPAFGSANRSPVTEISNDNKTIANVIIAKNLDEAPKQVQIQALELMRTKRIYTRTSVQNAPKRFLFIALLGGGEGPRLTKHLNDYMFISHFHYP
EDGFPNLEDMYGDGNSISSVVKKNPVHDIESSSLPRISAIDIELLSDLADDAVVSIELKRYQQDIVSFLRLHRAVAGGISATASQHLDKLAKCLAPL
HGLAYATPSLIGLAARKTYLHRIQIVQPEKERSMQWGSDVDAIAALLEGIGAEDIIEEVLGATGAEVPL
>RCO7_00552 | probable guanosine-diphosphatase
MRRTSVSLPTRNVAHDPHEKAGRYSTKGASDSAAAKLENIKTAWMTQSQRSRYVKTGGLLLFIVFLFYYLSPSGSDAYSGVSNISTGGQKVSDPKAA
TTKCLKSSDKSKPLIQYALMIDAGSTGSRIHVYKFNNCGSTPELENEVFKMTEKKAGGSGLSSYKTDAEGAAQSLDVLMDTAMDSVPDSYKSCTPVA
VKATAGLRLLGPEMSQKILDAVRTRLETKYPFPVVSKEQNGVVIMEGKDEGVFAWITTNYLLGNIGGPDPGDTAAVFDLGGGSTQIVFQPTFKGAIP
EKLAEGDHKYKLDFGGRKFELYQHSHLGYGLMSARESIHRTLIEDIHSTSPVDPAWVSKPVINPCIAPGMVRTVDVKLSAGHPLGGSINVNMTGPSS
PAPAQCRKLAEKILFKEKDCGLAPCSFNGVHQPSLEKTFSQEDVYAFSYFYDRTDPLGMPESFTLKELHRLAEQVCGGESHWDVFRSVPDAIKELKG
RPEHCLDLNFMLALLHTGYEMPIDREIKIAKKIKGNELGWCLGASLPLLSAGSGWTCRIKEVS
>RCO7_00553 | related to thioredoxin
MSAAFMGVQIDAIYHTSIVMDGIEYVYDGGIKTVKPGETHLGPPKEMLELGITNLPVDVIMDYLESLRGIYTGEAYDLFSHNCNNFSNDFSTFLIGQ
GIPEHITNLPQTVLNSPIGRVMQPQITEMVRRSRRRQNKDGGFLGVENDADVPQTQQHRASSVREVYSVAALDKVLKEAERSCAVIFFTSASCGPCK
PLNPVYDQIAEEAAHKAVLIKVEISKAYDVGAKYNIRSTPSFMTFIHGKEEHRWSGSNPSELKGNVNLLIQKAWPSHPHESLTLPALRSASMKPVLF
SKLPPLEKLKAKMGPSAQDAGIAGVLHFVAARAEAGAAEVTLPDLDAFSHSLRTASSTLPPEIMFTIVDLVRVSMVDPRFSGYYAEEKRHVTIAPLI
SYVNALENCPYSLRLVTLQMACNLFTSALYPTHILNCPTMTGPVVQLITTSLLDVKHHNVRVAAASLSFNIAAANSKFRNEEHLEALPEGDQIELGA
SLLEAIGAEEESAEAIKGFLLAFGYLVYCAPKDGEFVDLLKSMDAQGTVLGKQKLFPNEVLIKDIGSVLLGKGLA

>RCO7_00554 | uncharacterized protein
MSCGHESHRYVLTWQRLEWDNGDGVEDRTENLGEKIDL
>RCO7_00555 | uncharacterized protein
MTSPYRSPLDAELYIPDKLAYLDLASGLEDKTANSPELMSKNIPSAAGYLDLALFRSTILVTNGQIKEFSRLMLKRQGSCGKFVLFPNLPKELQSQV
FKHCSDAEPRRIRFMEMDDNGFRSMKIIGARRPVIFAASKDALLDAFATKRYLPLFATVENNTKLYFRRAHDWAQLGVLGLPCAPEVDLAAALVNKL
DLSSVQTLQMSHDDILITHAWSRKNLPYLPNIKLLLITAQFADPGRAELGFCSLYFQEVSGTREAFMPYCVAPDGDQAEYRGAFDAMDRYICHVPEK
LRIRDFNACLHAFLKDVPNFPLLVRFLINYVPVPGHPLATIQPLVQPR
>RCO7_00556 | related to KINESIN-LIKE PROTEIN KIF1C
MALDPRLMPGVAAEMRSVRSSASTPSLRSRGSDMTVGRDAPGGNVRVVVRVRAFLPREVERGAECLIEMNPNTQATSLLVPNDTDPANTRSKSRKVV
EEKSFTFDNSFWSHDTKDEHYAHQEDVYNSLGEEFLDHNFEGYHTCIFAYGQTGSGKSYTMMGTPDQPGLIPRTCEDLFQRIEAAHNETPNISYNVR
VSYFEVYNEHVRDLLVPVHPNQPPYYLKIRESPTEGPYIKDLTDAPVRNISEIMKFMKTGDASRTTASTKMNDTSSRSHSVFTIMLKQIHHDMDTDE
TTERTARIRLVDLAGSERAKATEATGTRLREGSNINKSLTTLGRVIAALADPKQHRPGKRNKDIVPYRDSILTWLLKDSLGGNSKTAMIACIAPSDY
DETLSTLRYADQAKRIHTRAVVNQDHISAAERDAQIAAMAEEIRILQMSVSDNRRREKEDKAQEEKLEEYQNRVVAMQRMMEEKSMVAEGKIRNLQT
ENDALRLHLKLALDSLKNPIDVPSAMNSMRRSSRKGSMFEAGERGQENKENDHEPDVLDEEYEEEDEGIDVTAHEERASEVQAYMKELLNDLGMFKR
KIGDDKARFITPLGERVNQACGT
>RCO7_00557 | related to DUF1264 domain protein
MTSQTTHGAKGPPVTTKDSILETGASATQSFEPIKAICAHLNAFHVYASDPSRSVEANHYCTHLSADVRQCLIYDAPKNPARLIGVEYMITPKLYEN
LDLEERKLWHSHDYEVRSGMLIMPNPNVPNTVWEVAETAEMKEVVGLYGKTYHFWQVDRGDTLPLGKPELMMSFTKDEQVPWEKVKDRDERYGIETT
KKREVRKGIEGTEVHEDADGCWEGT
>RCO7_00558 | probable hydroxyacylglutathione hydrolase
MSLSRFTRPLLPRPLGSFTASLALTRAMHIQSIPMWTGSSDNYAYLVVDDKSKDAVIIDPANPDEVAPVLKEQISSGKINLTAIVNTHHHWDHAGGN
KKLLAHSEFKGKPIIGGKDCEGVTQTPKNGEGFRIGDILVKALYTPCHTQDSICWFMEDTTGKVIFTGDTLFHGGCGRFFEGTPKEMNTALNKTLYA
VPDDTKVYPGHEYTKANVKFAISVSQSEPVKKLHAFAENNKETQGKFTIGDEKKHNVFMRMDDPEIQKATGKTDPVEVMAKLREMKNNFKPPLDSKI
>RCO7_00559 | uncharacterized protein
MRLFVRLETATSSVAFRAKTVPVTPIRPKLDRKSPSSSSSSISSRIFGKAFNDTPQIRDFDLSPISSPDEPASKYGVTRQLPFSSKLAGSLKGISGP
KSDYGPTKSRGIVGASSPTPKPRTHRRSAMEQAAVDEESVEDDRESPSIAGLPDPCQSFSTKSSRGSPIVTTEIRTNSESSYSPKVFQIPPRETRQR
SESENESDEYSEEESRASPIEARPKFRLLRSKGVYRPSKERRSINFEILDCPVTASKKKKKEKPDARLGSIYVFESPEHASYHLKVGKSNRDPVKRE
TELEKCGIALVEVGDVDRNCFDHYDIMEAFLHVELQNFRRAYKCTACGRQHSEWFESDKWTVLEVVNRWPTWIKAEEPFDESWEVTAYWQWRVGRAK
VFVNDLKWADWSRSSMVIYFTMTS
>RCO7_00560 | related to E.coli dioxygenase
MAPSRTDPQDDYDVPEPRTVYDINIPYKSQTEEYERRIQERTEFPSYLPHWEQGQWFEDFPAFDYEDPALRADPKKPHLFTAGVTAQPVTPRMGTIL
SGVKLETLSTEAKDELALLICERKFVVMREQLDFLYSGPQFQKDFMSHFGKLSRQPVSGSIKDHPEFHIIHRDGNEADIAKFFKHKMSTTIWHHDVS
YERQPPGYVMLGILACPDIGGDTVIADMTVAYKRLSPLFQGMINQLEAVHTSRHLIAHAKASKLLVRSNAVDSTHPVVRVHPVTGEKAIFYNMEFPD
EVIGLKEQEAEVITKFLMDFVKNGHDFQARVHWEKHSVVMFDNRTTLHTGTVDYDTTVQARHLFRLAAMTEVPISVAESDRIRG
>RCO7_00561 | probable alcohol dehydrogenase
MAQIPTLKLNNGVEMPALGFGTYAKEEISGETHAAVLAALNAGYRHLDCAWYYLNEDEVGTALREWLGQNPEFQRQDIFITTKVWPHLVEPEDVEWS
LNNSLAMLGTDYVDAFLIHWPFAAEKTEDRKVKLGADGKYILKRELTENPKPIWRAMEKAYKAGKARAIGVSNWKISGLEELLSYAEIKPTINQVEI
HPFLPSNDLIAYCTSHDILPVAYSPLGSQHQVHSTGEKVTTNKELMELADAKSVTLAQILIAWGLKRGYAVLPKSSDAKRIKSNFQLIELSEEDMAV
VNKVAEGRHTRFVNLKDVFGYDLWPEERS
>RCO7_00562 | related to HUL5 - ubiquitin-protein ligase (E3)
MFQTFSGNSRRPRQVNLSGQNTNPFAPQGSRTPAASGAQKTVAQAQQERLLRQQERERLNASKKIQRIWRGHKVRTELAESRRQTWDELATQEAASS
ATLRLIQQLQLLVAFFSPRRPDDLGRLSTLSSWVSLLGYQAFLPRPEIQPYLGRLAKVTLEGLQASGAEHGTILLNLLVSILDHRPDVIPKISRAYY
TYLSQYISTGDVPKSNMTLVSTAMKISLREHIELEDNDQILRNAYSAFSLYLLTTPRLANSLGSLEGLAAIVDVGLLSSALVKEFSTGSVDHIQDER
KLWLLAHFISIHRLQRRSSQEPEYLRALSLQLSQSSAEIIGRMNAQDPEVLEDTVDDAELDRNLTLPLPTFVKHELLSLVKEESITGLIAKFNIDYV
KESTAGEEDASLLASYALTLLRIFPHRGDDIRLWLYLGSMKTTNGIEVPALKFFWQAMSLTNTFSVIRADSKGALTLLRPQVQRNHLLSGDVGRDRE
WRTILLFLELYTFVLRFTDDEEFLGGNVPTFEQTKEPVSRIRQSALPIEDVKRLTIFLKNLAFTMYYNAGELSDDGNPVAGGSIGTYFGASVTTSRF
QSAEAGIETQSLAEIPFARVAGMTFDYVRTLVASVMRMLYERDSRRNFLSKDHWLMTSRFEMEGFIPAVVMEEERQHQVREEGEDGDADNDDSQYAD
DREYTGLVGISRPRRAQQLETLRRQQQKTVRQRILAAVGPRLEVLQNMPFVIPFETRVQIFRQFVLLDQTRRRGGNVDPDIWRMSVIHQSQMDPRNA
RTAGHELLGRHHAKIRRAQIFEDAYDQFYELGEGLKEPIQITFVDQFDTVEAGIDGGGVTKEFLTSITNRAFLSDDTSPSYFIANDQNLLYPNPASF
DERRELLKAAGMKETSIEWKESMADLSKRYEFLGRVIGKCLYEGILVDIGFAGFFLLKWATSGTESGYRTNINDLRDLDEGLYQGLLKLKNYPGDVE
DFSLDFTITDKISIPGENDRTISRDLLPNGSNITVTNKNRPLYINYVARHRLSVQPFRQTQAFLKGLSEIIKPSWLSMFNQSELQTLIGGDSSEVNV
EDLRRNTQYGGVYQIGDDGQEHDTIKLFWKVLKELDDSDRRKVLKYVTSTPRAPLLGFSQLNPRFSIRDAGGDEERLPSTSTCVNLLKLPRYSTETT
LRQKLLYAVNSGAGFDLS
>RCO7_00563 | probable PAB1 - mRNA polyadenylate-binding protein
MSATTANAAVDQLASDLNNATLNGGDANGAPSINTDVNNAGSEDPDTAGPTPSSAAPHPQASASLYVGELESTVTEAMLFELFSQIGSVASIRVCRD
AVTRRSLGYAYVNYNTTIDGEKALEELNYTLIKGRPCRIMWSQRDPALRKTGQGNVFIKNLDTAIDNKALHDTFAAFGNILSCKVAQDETGASKGYG
FVHYETDEAASQAIKHVNGMLLNEKKVFVGHHIPKKDRQSKFEEMKANFTNIYVKNIPVEVTDEEFRDLFEKFGNVTSASLARDQENNKSRGFGFVN
FINHEHAAKAVDELNGKDFKGQDLYVGRAQKKHEREEELRKSYEAARIEKASKYQGVNLYVKNLDDEVDDEKLRELFAPFGSITSAKVMRDTPAETA
EAEEKEKKEAEKNKENVKEGETEAETAEEKLVVKSEKRTLGKSKGFGFVCFNNPEEATKAVTDMNQRMVNNKPLYVALAQRKDVRKSQLEASIQARN
QIRMQQAAAAAGMPQQYMQAPMFYPPGQQPGFIPQAGRGMAYPPQAGMPIPAQGGRPGQFPGGFPPQQGGRGGPGPQQMPPNMYGIPGQFPQGGPYG
GQQGNPQFIAAMQQAQQAAALAGGRGGPGRGPAQGIPGMPPNMAGMPGQPQMIGGFPARQGGPAGRGAQGARPGQYPGGFPPQAGRGMPPQMPGMAL
TGNELVGGALAQQLSAVPPVQQKQLLGEALFPKIQVLQPELAGKITGMLLEMENQELVNLIEDDAALRAKVDEALTVYDEYVKNNKGDGEAAESGEA
KEEKTDEKA
>RCO7_00564 | uncharacterized protein

MSKQAISLEAVLDEERKDVLALLEGLPSKARHRGSTGSMGALMTSGPFTRQSQSPVRSMLDVDDGTEPGRTSLPGDSSTDAPKPERRGSQTIRSMLD
MSPSPNNATGTARSMLDIGAATGKRRASSSASTQSAVSSPTDNVSNDKAQQTNGRSHRSLSDAGRKPASFAPRPTITSGTPESSYQFGGYTPSNGGP
VAPKRNTLGGRKTSAMAEVVRGGTISFFGDKDRGRNKFIPTTRNTTKSSSPVPRSILRPSSPSVKSDTSKFVLNDGRVLDMNNAYRRLSDANLARSG
GGLLSLDEKGQRSRANSDGVPSEIGARLEKDYANVNIEDVIVDSSEDDDSISDVNELRGRKHEKRSGRANPNGSIARTRKPKGARPAQSLMAAAEEE
RDQIAAEQHEKYKISSLLDPEITVTSPGGDRHLRAGSATVHPNTSFDEGNSGLNTPVDSDEEQDVTDIKHAQKLPFSMTAITSTPGNSRCVRTIYRG
DFSKMQQEAKDHQRRVRKYLVATDLSDEAAHALEWTVGTVLRDGDTLLAIYCVDEDVGIANNDSEDDSKTREQIAAIQASTRGSGSTPLMSPTAIPS
PLGPGFRLDPHSTSASPVGREKSKAEHERYRAVSDITDRVSRLLRKTKLQVKVVVEVIHCKSPKHLITEVIDYISPTMVILGSRGQSQLKGVILGSF
SNYLVTKSSVPVMVARKRLRKHTKYRRPAIRLANNLANPAVRGLAAAKID

>RCO7_00565 | related to 30S ribosomal protein S7

MSPRLNMYSASRSFAFRARPSITSIQPRISAGVSRRAFADDKAPPGPNEGQLEHVSEEAAGISKIKGETAPDISQGTPVQEILERDPKSIEHMPEIV
KEEMEKPKAKSDAADTTSFANLLALGQLQNISEGGRGSDPVDMGNKFGLPDLPLPSNANLKYRYDPVVTQVTSLLMKDGKKSAAQRNMSFILNQLRT
APPPNTNPSFPLLPGTPPSSHLPLNPIGYLTAAIDSVAPLLRIKSIRGGAGGGAALQIPVPLGLRQRRRTAVQWIIDAASKKSSRGSGRGQFAQRVA
DEIISVVEGKSSAWEKRAMIHKTGTSARANLMKKTYRKKS

>RCO7_00566 | uncharacterized protein

MSYTSYSSVPATWQERLEEKCREANYHPPVFQIMSDRRGGRTAWSSTVTVQGQAIPARFWYDGDHVNNAKEDAAEVALKHISVSSPGSPTQGRAGW

>RCO7_00567 | related to FMN-dependent 2-nitropropane dioxygenase

MPLKTKLTERLGIAVPIVQGGMQWVGYAELASAVSNAGGLGILTALTQPTPEDLRKEIRKCRTMTKKPFGVNITLLPSMNAPDYGAYAQVAIDEGIK
VVETAGNSPGPVIKMLKAVGVIILHKCTTIRHAQSAIKLGVDFLSIDGFECAGHVGETDITNFILLSRARQALGGVPFIASGGFADGQGLAAALSLG
AEGINMGTRFMCTVEAPIHIKIKEEIVKAQETDTELVLRRWKNTSRLYKNKVTEAATKIERESTTGKFEEVAPYVSGKRGREVFINGDPDYGVWTAG
QVIGLIHDIPTCDALIKRIEREAEDTLNQASALIIPSSKL

>RCO7_00568 | related to aflatoxin efflux pump AFLT

MTHTQVEQQPQFSVSKSTTVTNSTMEGTKRGEETPKPVPQDVNGAQREIEAEKKMKVAWTEKEEKAKKDEEEDLRYPHGVKLWAILSALCLAVFLVA
LDQTIISTAIPKITDRFQSIRDIGWYGSSYLLTATALQPTFGRIYTIFDIKFTFMIAIAIFEVGSLVCATAPTSNALIVGRAVAGMGTGGIFSGAIV
ILAYCLPLRKRPAAFGLIGGMWGIASVAGPLLGGVFTDEISWRWCFYINLPIGAVALVVIYFFLRIKRENNPDNLTFMQRILKLDLIGACILVPAVI
CLLLALQWGGSTYPWTNSRIIGLFIGFGLLTILFIYTQIRLGDRGTLPPRLFKNRNVAFALGFALFFGSGFFAIIFYLAIYFQSVKGSSATKAGIQL
LPLLISTVISSIVTGGLITVIGYYVPIMLFCMALFSVGAGLITTFSIHTPFAQWFGYQVLCGAGIGVGFQGGIVVVQTVLPLSDVPVATACVSFFQT
LGGALFIAVAQTLFQNGLLSGIQKYEPQLPAQRFLRSGATQIREILKELNQEQALDGVLRAYVDGLRGTFWITAACAIAAFFCCLGLQWKSVKDGHG
QGKIADVEAGKVIKDGSGKADSLRTREKFEETEKVDILTAKGQTKV

>RCO7_00569 | related to argonaute like post-transcriptional gene silencing protein QDE-2

MSGQGQRGGRGGGDRGGGQRGGGGFRGERGGGERGGGGSRGDRGGGGGSRGDRGGGGGGGAGGGFRGDRGGASRGGGAPRGGARGGREPPRVFKDPN
NVAPVVDTEVRTIEDDYIKNSKGINALSKLSTNSNFPARPGHGTLGQQITVYANYFKIIVPPALALTRYSVDIAPDSAGKKPTGKKLGRVFQLLLDL
PEFAGVATEWKSMIISTKKLAIPDNFSVQIKYKKEGEDEPLERAPVYTIRVSTPLTFLVSDLVKFLASPNPGIQFTQKADIIQVLNALFGHHPQSLD
RITSMGGNRHYLKDHSQANAHNIYVLGGGLEALRGYFQSVRPATGGLLLNVNVTHGVFFQPERLDVLYPRLGGTGNKVKLGKMLKSLRIQQLHLPVK
KNKKNQEIPHAKSIFSLARPGDGIPGPNQNRPQVAAFGAGPCDVSFWLSPIPQGAKKAGPQLPANVYITVFDYFKRRYPQFTLDPRNPVVNVGNKEN
PNYLPAEVCLVLPGQPVKRRLGPDQTAEMIKFACRKPYANAESIIGDGRNVLGLNAQSGAKAGAFGIQVGSSLVTVSARVLPPPQIKYKDSQNKQTQ
LRPNFGSWNMANVKFQVGKPIGRWTFVVFRSNRRGLHSQYSELDVFRTAQQFQAFLNKSGIVAAAPIKYEHPQANLVDGQEAQNDATIRKVFRPLVA
DTNNQPNFVLCILPYGDTAIYNSIKTCGDTVVGVQTVCCVGTKFLRNDLQYFGNVSLKFNLKAGGTNHTVDPAKLGIVSAGKTMVVGLDVTHPSPGS
QKTAPSVAGIVASVDSTLGQWPCDFSIQEGRKETVTALEGMVISRLNLWQRRNGGKLPDNILVYRDGVSEGQYQIILDEELPLIRNACRQQYPANAT
SQGFPKISIIICGKRHHTRFFPTNVVNADRSSNCQPGTVVDRGVTEVGAWDFFLQAHCCLQGTARSAHYYVILDEIFRDPKNKGTYKNAADALEDLT
HNMSHLFGRATKAVSLCPPAYYADLLCTRLRCYLSDQFDPTDSSASVASGGTEQNVKTPVIPPHMKDTMFYI

>RCO7_00570 | uncharacterized protein

MKPPPLLLPLFLPLLINACMEFSGTFPFSHSAPFSASITDNGITTCWISTSLDEHNAYQDALSEAEEHHREHDDQTRKKPNQKRAVGSVIRLSSQSA
YDPNHTPDISLPNSKPLDPANEKSVDLAVKSAPRFTTNTPSDQLPLPQTAKMQTPSMDDMPLWQPWEFSCLPGYKARGEIGLRGFTYVAHGQEFFFV
PEMREDLEGERWVYELWLWCKGKDGRGKGKVGKESGTGKESVMNGGSGDRDEGKKDGGDGKKSTDGGNGMRNRL

>RCO7_00571 | uncharacterized protein

MASNSSQTNTNTNRQSVSSLAGDATAPAELSAVVDELLNSLSNKFAGVSSEIFAKMDEMSRRLDNLEATLQSNSEGGQSSPTKS

>RCO7_00572 | probable protein disulfide-isomerase precursor

MVFIKSLVFAGLATLSIASSGSSAVLDLVPGNFDSVALGGKPALVEFFAPWCGHCKTLAPVYEQLAQDFASAKDKISIAKVDADAEKSLGKRFGVQG
FPTIKYFNGKDETPEDYTGGRDLESLTEFINKKTGAKPKKARATASSVEMLNDKTFKQKIGGEQDVIVAFTAPWCGHCKTLAPIWEKVASDFASEEG
VLIAKVDAEADNAKATAKDQGVSSYPTIKFFPKGSTTPEAYNGGRTEADLVEFMNSKAGTHRAPGGGLNAVAGTIEALDTLVAKFTGGSSIAEIAGE
ATKAAADLGTQAQYKYAEYYVKVFDKLSKNDNYASKELARLDGILKKGGLAPAKLDEFTSKTNILRKFIEKVQGKSEL

>RCO7_00573 | related to GPI anchored dioxygenase

MSVFSRLLAITVLCLASLVPIVTAHPGEHHDNLEVVKEIASRSVEFENQNRELQVACQDNEEAQARKERAFVRRAATVGRLRRERGLQDEPILHRRT
LAQFKNWQSKGHDRTETLKYNISTPSSELFGSNTSCILTPDNANGPYYVLGEHIRTDLREGQPGIPLHLEIQFTEVSNCKPAVPLVVDIWSCNASGI
YSGVSAAGQGGLKSTFLRGVQETDADGVVSFDSIFPGHYSGRATHEHILTHSGASILANKTFSGGHVSHLSQLFFDPALIDAVEATDPYNKNKIART
SNDADGFTGYSATAAYDPFAEYIMLGSKLSDGLFMWADLGIKAANNQDKYGTHTAVLGPDGGKDNPKFDMSIVGTPPSTHGKRDA

>RCO7_00574 | related to tyrosinase

MAQGLGFLRSLLCRSGLILLPFLTHISADSVGDLQSKGRTQINAQLAKSTTCHSPTIRKEWGDISVPERKAYIKAVLCLMERPSKLPAGEFPGATNR
YEDFVVVHMQQTLEIHRTGKFLPLHRYYTWVYEQTLKTECNYRRTQPYWDWGKWADNPEASPIFDGSESSMGGNGQMISHKGVGIGPAQNGGGCVQK
GPFANMTVHLGPVSPVADPAPPRNPRADGYGINKRCLRRDIGPYPCKNFATTAIITALINDQKTIGAFQDTMQSTTGVHSAGHLTIGGDPGGDLYTS
PNDPAFFLLHAMVDRVWTIWQSQDIPHRMQVMAGGTSMYGPSAPQKLTDIVDLTPLTSKVYQLKDLMSVVDGPFCYVYE

>RCO7_00575 | uncharacterized protein

MHLRILTVFFLSPFALAIPYSNLNSQKPLQELTWDVYLSPALPVVTIPGQNYSFSQTAITLISGQNTAVLIDCPPTYTSTGLLINWLDQKLGSKTLT
QIYITHGHGDHFFGLPILTAYYPGVQVIATPEVIAHALDQLLPGTAQPAEFWTAMFPSQLPAQTQTWTSLPENNTISLEGHSLHAIPVGFTDTYNST

ILHVPDLDLVVAGDVVYGSYFQYLVESHTAERRAEWMKALRIVEDLRPKFVVPSHMQEWDGFGFEHMERTRAYLQAWGTEVGNGKGVSKDGLKGMIE
SAFPERKGDLILDLAAAAAAPENAKRNL
>RCO7_00576 | related to serine protease
MRTSIVAAVSALACLVSGNQFKNLGRLLPPLDPSDVLATDFAAAAVNTTGSGFFTQLLDHDNPSKGTFQQKFWWNSEYWAGPGSPVVFFTPGEVAAA
AYGAYLTNITITGLYAQEIKGAVVMVEHRYWGESSPYETLDAETLQLLTLHQAILDFTHFANTVALPFDTNHSSNADKAPWVFSGGSYSGALAAWTE
KLAGGTFWAYHASSAPVEAIYDYWQYFTPVQEGMPKNCSKDITAVVEHMDNVFMHGKESEKLALKAQFGLESLDHYDDVMGVLENGPWLWQSNSFST
GYSGFFKFCDAIENVKAGAAVTPDANGVGLAKALPAYAKWVNETFIPGYCQNYGYEDERETKCMDTYDPTNIFFTNRAVDNNIDLQWQWMLCNEPFG
YWQDGAPRHEVTIVSRLINGAYWQRQCNLFFPTVNGFTYGSNLSPDNNVHQVNKHTEGWRLEDTTRLIWTNGQYDPWKTSGMSSEFRPGGPFLGSAT
APLQIIPGGFHCSDLRLKNGQVNAGVQKVIDNQVAQIVKWVEEYPNA
>RCO7_00577 | uncharacterized protein
MATVVVPQLLTLTLRVPLPPKADTGIFSFGMATNISRMNDSLPGISHWMLHSEAQLHILAPVEEYASVLEARLRKASVNVTIHTDETPFARRYVSLI
QKLYDERSPETRWLVLTDDDTFFPSIASLASHFTDNYDSSKSIIVGAISDDLRVIELYGLLAAGGGGIFISVPLARQLLQQPTWSKCMAFSNNEGDE
LLDKCLNTFTQVRPVFDQALHQMDIYNGEGSSPEAGYLESGRKLLSIHHWKTWYDFNVAQGAAVAVATGHEGIFQRWLFDGDTVLSNGYSVVEYPRA
GSYGGITEKELEGVEYTWNEGDPEELWRYVHMMGPLRPRKTSEKKRSAKLVDAVEVITPEGRAIRQIYVERSQSNTAFRPRDRVVELIWLI
>RCO7_00578 | related to chromosome condensation protein (CrcB)
MRSHNTADGNLRYHGPQDNSTRLSSPDSNSTERTAGERISERNAWNDVRKYCNAQSATNASSIAAQKSQAANPQVSHHDGDNPDVFANLDELVDPAP
VQSQGEGQTYRHRSLEAERGEEQAYRRSEEIQRKASREHREGSRGSKQEETHSKFATQIYVVSYLILFSFLGTLARLGLQAITFYPGAPIVFSELWA
NFGGSLVMGFLSEDRMLFRNEWGTPTYHQQIQQAKKQGQDEKSGSEHSVDLKAAKKAHTATKKTIPLYVGLATGFCGCFTSFSSFIRDVFLALSNDL
PTPLNHPTDYRPISATTDSTVPRNGGHSFMALLAIIIITVALCISGLHIGAHLAIDLERFIPSIPFKLCRKVFDPTAVFLAWGCWLGAIILALFPPD
RDSTAPEIWRGRAVFALVFAPLGCLGRFYASMYLNGKIVSFPLGTFVVNILGTAILGMSYDLQHVPLGGVIGCQVLQGIQDGFCGCLTTVSTWVSEL
GSLRRRHSYLYGAASVIIALCFMIVIMGTMRWTIGFSELRCVK
>RCO7_00579 | probable uracil phosphoribosyltransferase
MSYDLPPTVHISTHPCLQAKLSQLRQSTTNARETKALVHEIALIVACEATAAGLTSKKGDSAKTHLGYEYTTTTVSPGTISVVPILRSGLGMLDAIQ
TLLPNPAPVHHLGLFREPTTLEPVEYYNNLPYHRPAANTPSDSPNSGASELAILLDPVIATGGTCAAAIQTLKEWGVKKVIVIAILGALPGLQKAAN
EWPEGVEIWVAGVDGEITESGMIKPGLGDVGDRLFLTIGK
>RCO7_00580 | related to TFIID and SAGA subunit TAF61
MTSTADPMSTTMTITMAQGHGASVSACPNCGIGLPDHSAIATDAQKQIEDLQAQVRLLTQKATNAVDRWADYEDEIQELKTQHARSSEEAARAESGS
PNRSSYLPVQNRLSSFLNRKSAPNLKTPASPSTPSATDLAAALTREQALRQAAEKKLDEGSGELEELSAQLFMQANEMVATERKARAKLEERVAVLE
SRDGEKRKRLERLEGAVARIERVRGLLAPGK
>RCO7_00581 | uncharacterized protein
MAPNLFLCAKTAVTPWTWCSPPHTTKSHFYSGKEPVEGVYAISPNGKRYLVAVKSNHNKDIDGIFQIPNSTSNNKRRTSANVKVTQIESPTLSLQTS
RKNDHSAKVNIIESTNRRVLKAFLTTTAGATNHRKSSFDQAAPHYARQTATQSITTQINEIKLDADYRFLFKPLRIEYNNIFSRWMFSSEIRGRSIV
APMCKSLTCMENDVRVCGKIVKRELFCLDDGVSWVVGNAERKMRYRDGEFLYVVDEKTGVIRRQSVQEVRDSRMVLWKRAGRILKFEGDQDYSPLLK
YLDLVY
>RCO7_00582 | probable 60S ribosomal protein L32
MHVIGSLRETTGTQVELQKRKDRDYFILQRQPPTETNDKMVSAARHVPIVKKHTYKCLDASWRKPKGIDNRVRRRFKGQMVMPSIGFGSNRKTRHMM
PSGHKAFLVNNVRDVDLLLMHNKTFAAEISHAVSSRKRIEIVARAKELGVKVTNPKARVTVEV
>RCO7_00583 | probable chaperone protein dnaJ
MASNGTAEAGEVDLYELLGISKSASKTEVKKAYHKAALQHHPDKVAVELREESELKFKAISQAYEILYDEEKRHMYDTHGMAAFDPSRGGPGGPGGV
DLDDILAQMFGMGGGMGGGMPPGFGGEGGPKRQRRGKDEDQKYEVTLEELYKGKTVKFASTKNIVCSHCKGSGGKEKAKPATCERCKGNGVTIGLRS
VGPGLVTQERMVCDTCTGTGKIFKEKDRCKKCKGKRTTSEKKVLEIYIPRGAREGEKIVLEGEADQVPDQIPGDIVFHLAEEEHEIFQRAGDDLSAE
LNITLAEALTGFSRVVLKHLDGRGIHLNHPQGKVLRPGQILKVEGEGMPLKKSDTKGDLFLVVKVEFPEDGWTEDPSAFVDLKKVLPKPAPAIEATE
IDEVEFDSDAEIEDFGANSGDPRAGGGWEDDDEDQGGQAQCPQQ
>RCO7_00584 | related to glutamyl-tRNA synthetase
MQLLLSKASRIPRFQWLCQSCRGFAEATKEAKSSHTRPTASQRLREGKPARTRFAPSPTGYLHLGSLRTALFNYLVAKATGGQFLLRIEDTDQKRTL
PDAEARLYQDLEWAGIQWDEGPKIGGPFGPYKQSERTHLYREHAGKLLESGNAYRCFCTQERLHTLAQHRATLGLPPDYDGTCRHISREESDDRAYK
GEAHVVRLKAPDKYPVHNDLVYGVIRQRGSAAAHSTLRPLAAGKGPGAFGNLDDPVLLKTDGFPTYHLANVVDDHLMEITHVIRGTEWISSTPKHLA
MYQAFGWEPPAFAHVGLLLDKNRQKLSKRTGSKDISTYRQEGVFPETLTNFVALLGWSHKNSSDIMSMQELIEHASMKYTCGDSVVTFEKLEFLQKT
HAARYASIGESSNPLHSLRHLAVKPIVTLLDRAARGLPVYAAYPEGEARERYISTILTLDARNYFNASQFIQRNMHFFAAPSVSDITASIPKFELDK
VSFVPTPRTMSLFNCLVDVETEDWTTDVIRERIVWIAQQGAQLIMAAMDQKQCARHEESAKEELRVKRGWNKMVHQYLRWAIAAGRPGLSDVDTMNI
LGRQESRRRLRQAERVVMNEWAKKKAVLGDAIKGGGQNSS
>RCO7_00585 | probable COP9 signalosome subunit 5 CSN5
MDTARKTWELDNNVNLVDPTKDALYAYDSAEQKAIGDAKPWKTDPHHFKHVRISAVALLKMVMHARSGGSIEIMGLMQGKIAGDTIIVTDAFRLPVE
GTETRVNAQDEANEYMVGYLQACRDQGKLENAVGWYHSHPGYGCWLSGIDVSTQATQQTFSDPFLAVVIDPDRTISAGKVEIGAFRTYPENYKPIDS
GAADGYQTIPLAKAEDFGAHASRYYSLEVSHFKSSLDTHLLELLWNKYWVQTLSQSPLFTNREYSSKQMLDLSSKINMAEIAIVRSVRPVGATPKTT
SDQALEKVVKDSNKIAGEELSGLMAGDVKARLFNGLGSVAQAVTAPEVEVADAPAEL
>RCO7_00586 | related to microtubule-associated protein
MDSSYLTSQVSTIIAQLHGLFDEIGVPSHERESRESELFSALSETLHNQVRLVAAEKNDLTEEAQRIITTIKQMAASLDDNKSRHEYEAEDENLKIT
YPLLRCVQGLKEKHLMVSKLHRERFEQVKKLVQALESYSSHLEPSFIKITLPPTAPNSTIPPTFDLSSIYVTALDDEFTRVYEEYTRRVATVKALSE
HIIQLWAELGTPQAQTDGTIVKYYRDSPEQLGLHEDDIARLRSKRDKLADEKKSREKRLRDLKAAVEGLWVRLGVEEHERKKFCNTNRGCGVRQINE
FEDELSRLNELKRQNLHLFVEDARYKLQELWDGLFFSEEEMLEFTPAFSDVYSDALLEAHEQEIGRLEALKEQRAPTLALIEKHRSLVKDRDDLQAS
SQDASRLLGRGQKGEKRDPTRLLREEKMRKRIAKDLPKIAVDLRKVLDKWEDEYGRPFLVCGERYLDILEASESRPAPGPRSKTPAGPPPPAPKAQK
SAPPSRTNSVVKVPPPRSGAKTPTAGGTLRRNPLTCTGAKSPSKIPSRAPLSSLNHGGNSPERRTQEPSTLRGKMGPPPSRAPPPKMRDLFVPPPAP
TPTPHSLYRSESVNSSTGSVRHVTPEDAFYDDAYSKSQRSTRPQSYHELKSSMRQNERETQQYPQAPSSRQISNTSNNTTVSGSENWQTIEDDSEPE

QDATDAYYAKLKAAHGKRFPPEDYNHGGQSKKQKGFTPYDSRAGVTEARIVSGSEANWTDEDAF
>RCO7_00587 | uncharacterized protein
MPLKSPDTSLDQLISLDVAGGEYSITTYRETDIDAMVEAFQLEAILDELISVPKPYTRDTGRVWLDAQLLAARTLLPLSTAQERNRVFFDERSDQPL
RQIPLQVIRHGAQMIGVCSISPASCSPQVGELGYWLLPTYHKKGIMQAATRAILKYAAKEFGVRRIIGRAEGENIPSQKIIARLAEETGGKGIVEPS
RGREKWPETKKGGMERDVLSWEWSVSADGDLQGEL
>RCO7_00588 | uncharacterized protein
MSEPVTLSYYSHRGTIFYTPAGLYAQKIRPATLPAPPCRPRQRRPHLIHITRLPAGFVPFDLRPVPPSKPPKKPSRLSLELRKLASRENAKRVLGSV
FSPFTSNFPTASSSAASSTRSESPGLRVPSPRATPRASLSLSPSDPNTIFARRAAAAGSVPADSPTMPRSSMTDSTSGSSARDSTFGASTPASSMSA
GTSPRSSLAPAYKAGNSSEMEKPVCSGNGVACYINLAEPVIFLTGLDHDGTTRDSGSNTTSILRGKLILNVTKNIKLKAVTMKFTGRARTEWPEGIP
PEKTITFEEDSLRTQVLPFFNALYQDSDTGYGTLCNYALRGDKSANSSVTNLALDTVETSSGFSLPGLTNRSNRSSAILTAKEQKRLSLQSNQSRSF
TKSESPFGPSPQQKGFKTFYPGIYEYNFELPIDNNSPETLKLVLASVKWQLEVVLERAGTFKQNLQGFKEIPVIRSPSEDSLELVEPISISRRWEDQ
LYYEIMISGKSFPLGSKIPIAFKMMPLAKVQVHKIKVILSENIDYYAKNRKVTRRETARKILLFEKSAGKPLAKEYQSCVMRTNRGGEQAPEERSHN
REYEQNRRRLEAQRNQAEPEPLPDAVDNLLGDIDLGLPSLLGATELEVEVQLPTCEMMAKDRSKKLTHDCTWKNVDVHHWIKIVLRISRLDAEDPLG
KKRRHFEISIDSPISLLNCRATQANLALPSYSDGHSNLMNQQHVCGCPNSELATASPISGLDIQNGSNSIPGYPGNENALPDLARPPQAHLSTNAAS
GVQRPIHLMRAPSFNPPPFDAEEAPPPMVTPPPLYDHVVGTPSHDGLADYFDRLSYFENQDSDDEEGLNRVTSRGRVNVPNPRTLGGRIARSMDIDR
NFMNAIAARNNGSTTPTQSSGPTLTLPAFQATN
>RCO7_00589 | related to S-M checkpoint control protein Rad4p
MAEHDGSVSHQTVPLNDSSDVQAPLHGYVICCTSVPDEKRTQLAEYAKQMGAAHTYDLTLDVTHLIVGEYDTPKFRYVAQKRLDVLPMTIGWIEAVR
ELWINDQEIDLPLLEQLHRMPTFKSLRFSMTGCDDPTERLEIAAQVKANGATYEGDLTKSITHLISFRTEGAKYKAAKCWKLRIVSIEWVRDSLERG
MILDERLYDPALPPLERGKDAWDKTAPKRRISLGKRSREETNTSFDGGKRKLRRTASTKLSTQNEQIWGDIVGGGAGGNVAQVNRSGQWGTNDEESV
KPHSHTANTAVQISNPSILSTIENQRSVDGIFSGCRFYTHGFPPKRSQILHEHLTSNGAEVVETVEALVAESVGFQPNRLFRMLPHDLPISEFPILP
DSQLPIETITFWWLERCLHQKKFLDPNNHVIGRPFPVFPIEGFSGVTISSSAFAGIDLLHFQRAVELLGATYSEDFMPNASVLVTKYMAGLRKDKYD
HAQEWKVPILNADWIWDSISAGTKLPTSKYRCRSQKRSDSLPNTAGSKPATRHRAGSEITKVTPKISNHTSKSIMKPPPVNSRLDSTAFSTEGDSSV
KVSTKPPHNIIMDDTAFSTEDVNEEPTERPMKPSRKSIPDNTAFSIDDPTEAPIPNAPEEESIPSEIAPKEECHTQGSPSMPERCLAGSEDVSQDLG
YKAKPLTEIDGTSPTRTVSTAPEPSDHFSAGQEEGLTSAISTLLAKAKTAPIHSAPEPRKRSRIIGRVPSNLSTGSTRSRDTSVDSTATHGNPVEYP
PYNTNSTPNDRIQMLLNGDKPTEAVDSQPPATQLQYEDTESNEAREILMAKMRGQKVERKGIKEKTVTLGDYTEQPRTTRRTAGTRNLR
>RCO7_00590 | uncharacterized protein
MRTLKSASSNEDDRESAINDLEVIYASAPKTRAVYHYTCICRLIAIHSPQGVKERKAFAKKCLVEAKRKLYMVKLDAEGRIYKDEYSFTERPFKDLQ
KKAIATLKKGEARHVMKKQKKQKKKKKKKKKKKVAQDEKLRSLRIKRKRVTISTIPKRAEILSLQALDCGFALCDMERLEFWERCIAHCDEVYYVD
PKAEAVEEICQVAEKLVEKLEGEGGMREGVAEVDGDKGDEGGKAIDIQ
>RCO7_00591 | related to CAR2 - ornithine aminotransferase
MPSHVEETPVVEEQALKIGNLYPSIDNAAMMETADSTLVRFGGKFEPSLITGARGIYIYTAEGRKILDFTSGQMSCLIGHGHPEIVETITQHAAHLD
HLFSGMLSPPVVQLAEKLTSLLPHGLDRAMFLSTGGESNEAAIKMAKIYTGKFEIVGLGASWHGMTGAASATTYHSGRTGYGPMVPGNLVLPSPNAY
RSYFRHPDGSYDWETELNYGWNLIDTQSVGSLAAVIIEPILSSGGMHVLPKGYLKAMKAHCEKREMLLIVDEAQTGVGRCGSMFAIEHEEVTPDILT
LSKTLGNGLPLAAVITSNKIEQTCYERGYLFYTTHVNDPLPAAVGLKVLEVVIRENLVERSWVAGLRLNAGLKDLQSKYGCIGDVRGRGLMAGVEII
TNLETKEQGIELAAALGDRMMELGLSANLLGTKSFGGIFRIAPPITITDEELEAGLAIFEEAFKSTPGTMAR
>RCO7_00592 | related to DAL81 - transcriptional activator for allantoin and GABA catabolic genes
MSQAAEHSPQLPVSRPYRSHKIRACDTCRRRKVRCDVASIGEKCQFCREQGKSCRYSTEEKHTRSKRPANPELSSGERQNSISEPRRSHTESEGTRI
NHKLHPSSQSFATDGVSRNERSKNDARYLGQNRQSLHIIGPAVSSDAHILEQYMSPSSTEGRESDNPYGVYSSDPSKPILYKKVARGRIGLSINDIA
GVKQREILEQILSPNASQVRQLYLVNVHPAFPVIDETLLIEDSPSEKKVSAALICEIYASSLVYWHKAPVSSGRTRPDQRYAWNLAVQALADDFLGP
DLSTLQAAIVELNGRPVYSIIGNVVNIGRAVALSYSLGVNRNPSQWNISQREKDLRVRLWWGVLIHDRWGSFAHGTPSNINSSHYDVPFPTSQMLGP
HGSILPESQRSMESFIALCKLTQILGQALPLVYDLIGSSQKETSKTIRRIEADLDIWEDDLPDYLSSVDHSDSVSGGSSLRLCYLSLKMLVCRISLH
SVSQQGSTEATEAYRFRQVESRHAARTIVNFVTSLNTSQLAEFWLPYTAYYLTSAITLLLRFAVETTEDSIAENCVASVKEFIAWLRRAKDIHDWDL
ADDCLNNCEGIMARMTDNGRRPQHEAVMQAPPANFFDTEQPDWLDATLPVFYGPMDGSGQIRDIWDMFGFNEQFSA
>RCO7_00593 | uncharacterized protein
MDKQSGPDAKNHEYQLIGKEINDLQLKTLSTVLNLYRRQCDNLLNYAESQVCFFQHQKYNLLWETVLSTFCTALIACQLVLIWMFLSEPWGRDGERP
STDLDNRYFLAKSFSMTASTLGTMINVSFGFQSIRLILGKAENLAPTAIEIRWRLHRCLASVAALILIFGGNLIEILFR
>RCO7_00594 | probable adenosine deaminase
MDFVALPKIELHAHLSGSISRECLHEIWLQKKARGETMLDNPLVEMPVGKFDYDLETFFPLFSRYIYELCNDQDSLIQTTNSVLSSFSSDGVVYLEL
RTTPRAIPSANITKDDYIRTILTCINTHSLTPGTTMKTNLIISIDRRNTLATALAVVSLALKYRSSGVVGIDLCGDPSIGDISIFAPAFKLAREANL
PITIHFAELPASSTPEELRILLEYMPQRVGHVINVPDDIKEEIVKRKLGLELCLSCNVNAKMIAGSFGDHHFGWWSEKGCPIALSTDDVGVFGSPLS
NEYKLVAEHFKLSRADICALARSPIDTIFGSEEDKKRLRELMWK
>RCO7_00595 | probable guanine nucleotide-binding protein beta subunit
MSNEVSPDQMQARIQQARREAENLKDRIKRKKDELADGTLSGIARSQQEALPKNTMMKTRKTLKGHLAKIYAMHWSTDRRHLVSASQDGKLIIWDAY
TTNKVHAIPLRSSWVMTCAYAPSGNYVACGGLDNICSIYNLNSNRDGPTRVARELSGHSGYLSCCRFINDRSILTSSGDMTCMKWDVETGSKVTEFA
DHLGDVMSISINPTNQNTFVSGACDAFAKLWDIRAGKAVQTFAGHESDINAIQFFPDGHSFVTGSDDATCRLFDIRADRELNQYGSEAILCGITSVA
TSVSGRLLFAGYDDFECKVWDITRGEKVGSLVGHDNRVSCLGVSNDGMSLCTGSWDSLLKIWAM
>RCO7_00596 | probable phosducin
MASKTAAQEEFDKLILKASSSEPVTSHPADTEDYKNDKENLEDQDEETTFLQKQIDENMRMPSLDPRGGPMFLPHHDFDLGRTTGVKGVIADARSFE
EARRSKTKDGWRSKVARASSASRLGNGNEENKRASTFLMEDGEGSASEEEEFVERWREQRREELQREGNDIRNRRTSPSVRRYGRFDEVDALGYLDA
IEKVTRETVVVVFVYDPECPVSQVVSDALSPLVSKNPSIHFVRVHYEDIEFDNAGVPAILAYKNQGDLFANLTYVIDQIPDDTLFDTRAIESILRKH
KVL
>RCO7_00597 | related to ARO80 - positive transcription regulator of ARO9 and ARO10
MVGSAAGDTKYANAASPHQNGQAVEEEGRDVKIRWKLGDASCNIASPDLLCVRQKILSVALPRSSYEAHCDHIGPLISLSLPQRSSIPRARRRADSK

RSLPDQTSIQMMASIYPEESLGSRSPQQTQQQQPQHKRVYQACIPCRRRKVKCDLGSVDSPGDPPCVRCRRESKECFFSATRRKRKHEDGGPDSLDG
YEYQDEYIVRNGRKMIQGSPPAPVRQSSIGAPASSRTAVTYADNSPVIVGPPLTPGGSIGRTQPLRRPTEPSRDNSHREERTSPESNTQLENLEAQE
VMRREVYGPHDALDLLYKAATDSPDHHRRTNSQVSSMLNNSTVGHGHKPLASPLQSVNRPYQADMRPPEVRRDIIIDPALSSKAIHMPERTQDQGYK
DAVKAWSRFRFVRAGWFTPSEAIDYIEYYYEYLSPLTPISPPTFRDPGTHLTLLMEEPILTVALLTIATRYKQISGPGGHCRSHAIHEQLWTYLRGM
IERCLWGQEAFGGGFCGSGAESEAQTSSTAPWRGLRKGSLRTLGTIESLMILTEWHPRALHFPPAEATDELMLPSYDAPDNYSTDEDGHARLPRGVG
GKRIESWLEPAWRSDRMCWMLLSTAMGLSYELGVFDEIEQLLAAGGEMTRPEYEDEAYRLRAARIKRLLLIYVTQLAGRLGWTNMVPENLRVTDPAF
APRKRRGSVDGKTPDTITSVNTFNYIPNLELDDQIIHCWAGISNAMRIGNEKLFRSRQYTTRIIKDGSYVELLKDLQPMLRAWKTEFERFKLPQYIS
HILSIEYQYVRIYVNSLSLQAVVERCSEEAGHRFNATGHPGGGSVLGAMSTENQQTYYGKLPLATFGSYTATDQDYIKEVVDGSRELLRIVVDRLLP
NDYLKHAPVRTYFRIISGAMFLLKTFALGATRVDVEISIGLMDRAVDALRTCVVDDVHLGIRFADLLETLTSRLRSRFISAPGPNLNGDSISRIRSP
AVHQEHDHNKRQRIDPREQIREWNAATPNCGMGSADLNVSATPFDLQQGSFIPAAPGTPYVPGPGSSYGGGDMQDTFGGFDANGQSDFWYLPPGTAF
YQHLGDQGVTQTAEGVNVGGIDLLDFMAWDTPTFVDENESGGGY

>RCO7_00598 | related to peptidylprolyl isomerase (cyclophilin)-like
MGKNTDKLYITHSEWSSSDAYSANAGSNVNLKAPNGANFKRLPFNFCAASLQPFKHPVCTAEGTIFDVEVISQWLEKHGTNPVTGKPLKDKDLIKLN
FARNGDTNAHDGGMGSGDSKGEMVDPVTFKVFTDNTHIVAIRHGSEANVFAWETVERLNIKAKMWNDLVDDREFGRSDIITLQDPQNLESRDLSKFI
FVKKGETVLTKEQDEERKRGRVNIDALGRVGDKVLRAKEAVEKARREREAGGDINRSKALTKTGPLNNTPRQSMVQEKKMAYNAAQYTTGKAAASFT
STGLTPETSGERALLTDEEYMLRPKRVKIKGYARIETSKGSLNIELQTETAPRAVWNFVQLAKKGYYNGVKFHRNIRNFMIQGGDPTGTGKGGTSIW
GKNFMDEFDGPLTHDARGVMSMANKGKNTNSSQFFITYKPAKHLDRKHTIFGRVVGGLDVLQKLENVPGDDGNRPLEDIVMDNVVVFVDPFEEFQKQ
KRERDNLEKEKEEIKKQGGTEDDKTTWTGKRIRNDGTVVQSEQSGGVGKYLHVAKDTSSSKMDVKDDQAEPEPAKKKMRTGGFGNFDRLLPPREPEY
VFEAYNAMSNGSGLGVDIIHRDLLETGYPVQKYGDSSATC

>RCO7_00599 | uncharacterized protein
MSSAHEVLQPISNPRNTPAISAHPQVTSREVPSMIAPGYQTRSFSAGASDRTQPTSAQLDYNKHLGEAVNAAAAAHYYPLENSGMVGQWRNNASPTA
GATAHVSPSPAKRAFNLSYVNSNPMTISDADSTQSPKRRGDPVRSARRKTMAETINEAAFTSPIRQRVEKIATTERGGQSNTSSGIEGQNAGDSLAK
VIQQGQLQDYNKYYQYLAQKNGMHLKRIPSEDDTLSAAYVKPYTPIYTSVVKEGDQENPLAAGAVSSFRASGKAYTPQPIDAPIRQPYGYQGSSRQL
TDPQSQIDYGLTHGWLRQMPQGEHKNQLQPNDLQNKGQRSVYTPNLMDAGSIVPRSSISTFISNQQTAQFQPVQGSMQPNQQLKTLLEKNSNFRHPN
LEMSRRMADYRAQISGLPPAPSFSTAPLGSPTGHNHSDPTNSMQGPPDTRMYQQFPVNSLADISTRLRPAQSYHPEHGGANTGASFSNQFSSLLSAQ
YPKDGRLSTNFDVNPSKISVVRGVVIEANSKAHDMFEADVENGNFARTNLPEWMALNTQAQVRIFSGDTSPEEDTLHSAYPEPPTSTTESALATCPL
PNINQAYTGTPAIYRPFDASQHPDGPIYLPPLPLHIPLKKNKKARASRKAPVFFIGKAPTPRKSRAKKTTQSISNSNFPSQDFAPENATTQSDLQTF
IFQPTAPRNAVRKPHEQTAVSYPSTAREATPESSGQVSTPQPITPHKAIPESKDNPFSPQPVTPRTATPKPPMFDFSSPSRHPASTGSSTVSRMMAG
NYAELFRRPEDETRWKQDAYAQTMAELGTPSKYQLKKEEAERKRLQKELEKAKK

>RCO7_00600 | uncharacterized protein
MTLSYRNGVSIGEIIVYTWAIAVAIFLVMRHGFRKNSGWIYLVIFCLARIIGSAMQLAIISKPTSTSLYTGYAILNNVGLSPLMFAAMGLLDRLLDT
IHETHNTRIHPGITKIVHLIILIGLILGIVGGINASNAYTKALNAGAVGAYRPGSLSKAGSALFILSYAAVASLTIVISFYTPHAQSGEKRLLYAVA
VALPFLLIRLIYSCISTFSHDKRFNLLTGDETVLLFMAYLMEICVVIAFEITGLTLRKVVVKYPVATRQTNSSNSSHPLQSKGKGNVGLNIAKKTII
GRIVMAFIPSEKA

>RCO7_00601 | related to PTM1 - member of the major facilitator superfamily
MRSWLHGLLLLGLFVVAARSNEMMMDQKDENRQICAGMYSRAAWGGDVEPHILVKFVKDTKEDDSDPITSLVIFEWKDYDLIGVLPTADSISKEFIC
DTESIDNKFCNANQTGEFIMSENATEISKNLLFTKAVHLKDPGLPINYAIKKTGYFCVGTTAFSPSDVQYTATVEFRNAYGELPAAQIAKLPFYGGI
TVVYAVIGAFWAFLYAQHRHDILPVQNYITAIIMFLIVEMLMTWLFYDYMNRNGSSIGSKVLMILVAILNAGRNSFSFFLLLIVCMGYGVVKHSLGK
TMIYVRYLAGAHFVFGLIYSVASLTVTPETAGPLVLFVILPLAGTLTAFYVWTLNSLNLTMKDLLERKQTQKFSMYRKLWWAILGSIMVIFGFFFN
SFTFASASDRDFVPFHWKTRWFILDGWLNLVYLGDVVFIAYLWRPTANNRRFAMSDELAQDDEGFEIADFGVEDDDEEDPENAGAHRGDRTQPGQEG
PRYDPAAAAHAPKPSIPRESLDGETIFAVGEDGDRWSDDESDDEARGKLVNKTKDA

>RCO7_00602 | related to Cytoplasmic tRNA 2-thiolation protein 2
MNKQRSKFDQKKKCFTQYITTKAIKRMETYKIRSSTITPKKLLFPLSFGPCSAALLHILDDHLRGQFERMNRNAYELHVVHIHLYLEAADRLESARL
LERYKARFPRHTYSSKGLEDALLLDNIDWKSLGMPPPTEQESQKLGTEKLHALVASMPSATSRKDIATTLLTRLLVDVAKRNGCESILFGDSTTKLA
EKTLTETAKGRGFSLPWQVSDGLSSYGIGFNYPLRDILKKELVQFSSLTTPPLTDLVVHRDASSNISASSKMTTIDDLMVQYFESVEENYPSIVANV
VRTSNKLQPLSGESTTACGLCGLPVSEGTDGIFGWGGDQNSDSRPIKSDSENSVLCYGCSRSING

>RCO7_00603 | probable oxaloacetate/sulfate carrier
MATTLGAFVAGGIAACGAVTATHPFETVKIRMQLQGELQEKGIQPRMYKGPFHGVSVIVKNEGFRGIYRGIGAAYIYQTILNGCRLGFYEPIRNTIT
SAVCTDPKTQNLGINVFSGASTGILGAAAGSPFFLVKTRLQSFSPFAPVGTQHQYKNAVDGLRQIYKGEGLRGLYRGVGAAMVRTGFGSSVQLPTYF
FAKRRLVKHLDMKEGPALHFASSTASGFVVCCVMHPPDTIMSRMYNQSGNLYQGIFDCLAKTVKTEGVLAIYKGFLPHLARILPHTILTLSLAEQTN
KLMRKFENRILPAVDEKKQV

>RCO7_00604 | related to histone methyltransferase
MSTTPMALDSDMGNGLIGKTNGVQPTALLSEVVSLYQPTKHFRREKGSSQPTTVIGLDFDNEGALLLTSESDHTMQMYNVKEGKHHKPLLSHKYGVS
HAMFGHATGCIIHASTKINNIIRYLSTHDNSYIRYFEGHEDTVTCLSLHPGQDNFLSCSEDNTLRIWDAATKNACGKLNLNGAYLSAWDPSGNVFAV
ASPTASSILLYDFRNYDKAPFSTFDMLPYTLEIQKSTSKGWNKLEFSNDGKHLLLGTTGQGHFLLDAFDGHLKASLRRERGGVKRLCGGDHNADGIS
SQSSDFLYPSSGDACFTPDGRYVLSGSRGQNVLVWDTLAVAPERFLAPIHELEYKGDSAVIAFNPRYNFFATADKEVVFWVPDQGLQ

>RCO7_00605 | uncharacterized protein
MSSADTPIQNGSYQSQSNEADEPQLENGIDEKMARLELEKTDHNDTTQLAVNMQRRCQMLLEELAKFQAHLRELKKETRVEVRVFKGGLQSEMKSID
KLAKANPESPRTKHGLRSSNFQFYASVWSTAKTCTSIIGLLKKFYWPPSQKHLSVTGDSQVPLAIRKENHALVDIVSQDGLEWIKVSSVTEKRIIWD
LAKAGWVGSDSESDDGLDPIDDDDEPEGLLKQVEALIKASRATLVRNRHPKIKLILPRIRSTPDSKDVSNIISKIRDLGVAVYTSDEISEPPPLDEA
ILRMAAERFNTFSETLNIDCTILLAFASDLSHGRVEPEHWHNKAISRQIDTEAKDQLLPNNLWPACGSKKMVCTRHAAVRMQEIVETIGTETERKRT
KLLMSEDPSRSPEDILVEFQSLTDYPVPKDWALPIQIVDVDIPSIMTSLPPVAEKVAETLTLINQYVFLYGWSNDLTTVSSNGSVAKGMENIIEMHR
EDETTLGPDVWLSQSSRSLVGKEKHRRGFSEKGLSEGYGNGDTDAS

>RCO7_00606 | uncharacterized protein

MPYLETAQQWLTQSSLLLKARPSTTRITSKYTISPPSSTPKSATHSTSQPAARATLTLKTYDPQSGTTLKYSTNKGAEVSRLIQILGRLARGMAGLE
EKEEVVEEGGKEARKEEEDAPTVVAKGGAVQGGQQGQGGKGKGKKKGKK
>RCO7_00607 | small subunit of ribonucleotide reductase
MTSQVTPSKTAATGIESLKMGDSPMKKLNFGTANKENEPLSVDAPASEDIEVKKPIVEEIKKAEISAMVAKGFKPEEADEPLLRENAQRFVLFPIKY
HEIWQMYKKAEASFWTAEEIDLSKDLHDWNNRLNDDERYFVSHVLAFFAASDGIVNENLLERFSGEVQVPEARCFYGFQIMMENIHSETYSLLIDTY
IKEQAQRTYLFNAIETIPCIKKKADWAVRWIQDKDSTFAQRLVAFAAVEGIFFSGSFASIFWLKKRGLMPGLTFSNELISRDEGLHTDFACLLFSHL
NHRPSKQAVQDVITEAVEIEQEFLTDALPCALLGMNAALMKQYIEFVADRLLLALGNEKYYKSANPFDFMENISLAGKTNFFEKRVADYQKAGVMAG
TQKKHEDTAAQTEAKAENGGDFNFDEDF
>RCO7_00608 | uncharacterized protein
MASFLAKFISKKILGETLENNFGHDDPYFETVPATRLDGRPTTKTTKRKKALPPGISAHDAKVLTKVKRRAYRLDMSLFNCMGIRFGWSSVIGIIPG
IGDVIDAFMAMMVYKSCLKVEGGLPSDVKSKMMFNIVIDFAVGLVPFLGDIADALFRANTKNAVVLENHLREKGLKAMKASGQTVPVVDPTDPKVFD
SHTNSDESPPHYATQPSTRQGTQSTAKTSRVPEQQSRGGWFGGKKQRVEDPERAHQDLRRNQEVDPRRNPSTLQKNRA
>RCO7_00609 | related to decapping enzyme
MTERRMQLDDWLDDLCARFILNLPLADLGSIERICFQVEEAQWFYEDFIRPLDPALPSMNLRNFSELIFAHCPILSDFSRGKHMAAFEQFMMYKKRV
PVRGAIMLNEAMDAAVLVKGWKKGANWSFPRGKINKDEDDLDCAVREVYEETGFHLSDAGHVPHDRSVKKIEVNMRDQQVHLFVFRDVPMDTPFAPR
TRKEISKIDWWLLSDLPAFRKKGQEQKEPTQNASKFYMVAPFLVPLRKWVVEEKKKDAKRVSNNQYLPAGISNDEMFTEDDRGAESTGPTQFGGETN
DSMPDRHSLEDASAAMNRLLNVQQPPPQELQAGPTSTAHPGNNVGEALLAMLHSQPPTSNNSMPQNAPPHTPLDHFIGQPQMPPTPQHFPSRFYMPN
THQPPPPPLSAYEPTAFTYQLPQQQALHQPQYAPQMYQGNRQTQQPAPRRNQNPHIHQSQHLIHPQPLPPHVQKAVFTGDPIHAPMAPPPQQVQQPL
QKTPSSLAVASPQYSGSRSTMISPQPMPIPNPQALTSHAIALLNAFKTQDQVADKGADKAPATANLQLRSFEQVSTSIHKHLPQELPADASQQVRQP
FQPQAGQHQNGSIPAPPPTLAARQPISATQRSALLGLFKSPLTPAAAPAKQFLSTTPPSGGSPSAVELSAVEPLSTHAASTSALLNDKRSPDYAANV
GTKLHQAPGEQLPFRPVGILVRPADASENVGFERDTSGHKVRSKAKQPATHSKVFEPVTKRTEKPFQPQILKRPQPGISRSPEGIAPVQTSFPSPAT
SSSKPVDHTQTLLSMFLKGQKAAGSFTRSPTSEPLISLPPVDPALGISARSRVGSLASSEGGIHRGSQTPISPADKGFLLNYLDAVANGAQR
>RCO7_00610 | related to Putative transferase CAF17, mitochondrial
MKPAIRIPRLSSPYICNSCLLCAVPSHKSATHRTFSSARTPNPPPPPPAGYANLSSRRLIALTGPDSTHYLQGVITSNVVSSPSPNARTTGFYAAFL
NAQGRLLNDVFIYPYTDPGKEAGRGEGWLIEVDAKEVMVLAKHIKRYKLRAKFEVRVLEVGERGVWSVWEDGRGREGWTTHSLGGGAGDEGKDGGSR
GVIGCPDKRAPGMGRRLLLPGTQKPDVETEETSEDVYRVRRYLKGVAEGQDELVREQALPQESNVDFMGGIDYKKGCYVGQELTIRTHHRGVVRKRI
LPVVLYGMEDAEPTALEYDNGKLLGVEGIPRETGIGRFEKRGRSAGKFLCGVGNLGLGLCRLETMTDVLVQGEAGGYKEGDEFKVEWEQDGEGKALK
IKAFVPPWHLKQ
>RCO7_00611 | related to pre-mRNA-splicing factor cwc23
MSKNDLQKWVTSDVDFYALLGLTLTAPSSSELRRAYRKTALQYHPDKAGKDYDPEKYELFQAANGVLSDPELKAKYDGHRNAKLQRQRANELFEGKR
RAMKEDLEERERGGAGSKRGREESEMDREMKKLAEEGRKRRAKRQSMMAENVASSPAPAPAPAPVQRKPEPAQTRGTTTPTPEMAPAGTHRDPVLVD
GEEDAVESLERRIREAEAAKAKRKADKRARKSGVFVSLDSPAEEKPEGRAGMGLGRDETATATPIKPPDMFRGLKADEQSSASPKFSFSPTIPTPKR
NDFAATMARLKAAEKQRMEDEIRKQESEAA
>RCO7_00612 | uncharacterized protein
MSPSTVPKLPPPETLLQTWPDSGQLKTTTESSASASMAAQPTPATNRSATFSQSQLALSYHMQISKRDGESSTDYCQQLLKHVKMGLPKTPEELRYI
DTREFWKDECNKIYNEKVALEHKVLRLEEERRSFMEKHPFIEAAKEKEHPGPGNSDVRRQGESSQRMEAGTSKKRPAPFQTFLEDQDEVSDIDNDIC
SQMSTMAIRLTRQQTSLIEAIHQASTLDQINHLTKSVLQMISMLDKAIPDCCLPLKSLKANSADLKTLRMLRYLLDCIRRSFHTCFDGMNQLFSTIP
GRMKQRVVINRMIMFFQKSLDFLSTISALQSEGNQHTQQIQSTRNKRAKLDKVEYAVNRYLAQTLAFIAKQIDWEEGKIGHSEVLEGMLVVAIQRTG
RCIKDAVFGEHILAPRSVVIRPETRYIVQVLYATLGGANKKELISLVLSKEQPSRNSSSGSNVPSGSVISGQLLNKVRKQLQEILLESTLGGVDLEI
MQLPTIPSDLGDIEDTSDKEELYGKEWLLERVWGLIGWDMVTPDLA
>RCO7_00613 | related to gibberellin 20-oxidase
MAPQASAVDVDNLFIPIIDFSLFLNGTPEQRAETARSILSGFQSAGFIYLTNHPIPLDTVSHTFATSAEFFKRPQPEKEALGWTTPEANRGYVSHGR
EKVSTLLTKEAVSAAKAAAIDLKESIEIGREGAAGLPNNWPSGDPEAVHFKSTMLKFHDLAKELHINVMRAIAVGMGLPESYFDSYTDVGDNTLRLL
HYPEVKKSMFTSNKLQVRAGEHTDYGSITLLFQDMRGGLQVKSPKGTFVDATPVPGSVVVNAGDLLARWSNDTIKSTLHRVVEPPAPEEGDVHPARY
SIAYFCNPNFDRQIEAIEGTYGGEKGPKKYEGINSGEYLVQRLAATY
>RCO7_00614 | related to 2-amino-3-carboxylmuconate-6-semialdehyde decarboxylase
MATSKSPIVDIHTHVYPPSYISLLKSRTSIPYIRSFPPSSSLRLVILPAEDTESTSRGRPVGAEYYDINEKVKFMDTHSIDISVISLANPWLDWVPQ
SEAAQAARDLNDEVDAECAKFPGRLFAFGTLPLSGGLEVIVQEIERLKGLKYMRGVILGTTGLGKGLDDPELLPIFKALQDAKLPIFLHPHYGLPGS
VWGERTSDYGHVLPLALGFPLETTIAVTRMILSGVFEKVPDLEMILAHSGGTLPFLAGRIESCIEHDAHLKAEGKLGKGRKTVWDVLKKNIYLDAVV
YSEVGLKAAVHASGEDRVMFGTDHPFFPPLEGEGEKWASVETNYVAIKGALGDATEEAKGALGGNAVRVLNLAL
>RCO7_00615 | uncharacterized protein
MASLSNVTAPPPPLAAAVTGAPAWQLISFQNYDLLHRSLTEIDHCNDFSLEDFLADIPLSSSSPLLSQAQNLARQPLTEFKLF
>RCO7_00616 | uncharacterized protein
MDQNQESSKTSGSAIVESLVEYSKGSVGEMDIDGSEAGTTACTSRLSSPHISATIDDTAPVTPLSPANPADTIINTFIPLTEFKYFPKLPYELRHMV
FTIAIKDSAPRILGIQPQYREHPALMQVCTQSRTICTKFYHYCASRQRTKIFRFYIDYQKDVLYMNHPFTLLGGKAQLSVIQATHSIYPEFLELIET
ISMNLKEVRNLTGFHRGTNTLWRMLANWCPAVKELKIVINNFPVNGLFLDFLPITTPDQYKAMVPPTKVRHMEAISQSWRRAKTEHKQCLDLKMRLV
SIDEKARKVLTKKDKEKMAEEWRKANIKIDGYSEVDRLGGIKGRHSDVVSANVDRLNALRKSKKGFMLAREVMREMKEMKVAGKNLPEKHVAKAKGK
FKANRKGKGKM
>RCO7_00617 | uncharacterized protein
MREPVGIDDGSLVQGGHYQAIRITNEAAIEVEEILLKVDGDGKPRRATDLTAMQNNILFQEHPTGFSADENHWRLISGVRLEDNSTGIDILDSEVPN
LFADFISNVIRESGEEPKLCELELIGK
>RCO7_00618 | uncharacterized protein
MPPKSQQPAKAKFPAKAKAPTKAKIPAKAKSPAQDRTRPNTRASTTTLVKNGPIILKEFPIFSKLPAELQLLVWKHSHTSRIVTLKPSKSSFPPLLH
ACTNSRDECILANYKTWIRDMKTGFVYSPWRDILLLDKTSFSESIDYHNNALHTMKCKQVNLKMLEPVEKLAFSLQEVSGIWRQECFHCFLSQSLED

LFPNLKELIIILRPGPSGATYDDLYEVKDSTITFLQTSIADIKIAFKHVQEDGYCKDVVLRMMRVENWAR
>RCO7_00619 | probable protein LDB19
MPSAVATFFRSHTNSFDLSAESKKEKPLKAPKRSSSRPKIADRTPSASSSLNSEDNSVKMPGKRLSLSGLHSPKSSLTKLPHHHNASLDIVIESPPL
VFYGAASSSSGALLSGQLILRINEDFVSFDNFRMKLAMEVTRKKPFHAHCEECAHQNTELQNWKFMEGPATLRRGEHTFPFSFLLPGHLPASMKGTL
SIIDYALRATVTPKNGEPIKLIKSLDIMRAICPADTPRKSIRIFPPTNLTANCELPSVIHPIGETTVSMRIDGSVKRNPDTKSQTQWRLKRLNWRLD
ETHKSISPACPKHALKAGNDEAKKGIEHKDVRTIGMEEMKSGWKSDSTTPDGSIELEFPMVIRGDAKPTCDLKSEDGTEVSHVLVVEMIVAEDFCPM
NKPNQVTPTGAARVLRMHFNITLTQRAGMGISWDEEQPPLYENVPASPPGYGKIVEDYMGSPVPEYEDLEPLDSTAGPSIDAAAASLHI
>RCO7_00620 | uncharacterized protein
MFTVFPKLPTELRDSIWYFSGTRISCCSLLSLQNAFSFFKDIFTQANAYPQCVQERAIVPRLVHWRPGGGKALGILHASNECHNSTRGRYMCCHITL
GRQDQYAIFINFNIDTVYRQQGGLPNMNRMYNFPGQPIDLLDRFSSSVIIKADM
>RCO7_00621 | uncharacterized protein
MASTLGKQTVYESGPNVLEISDLYVKAGILHPVAVGSIAVIFLFTYLRLGSNRCIAPINIFDWLINVALGSTLAGIVNGNSLVRGLLALITMLGFQY
ITSSISTRWHEQFAWIFQSEPLVIAFRGKMLRRVIKKHRISPTDVRAALRQSRILNICQVECAIIEPNGTISIFTTKDLKTAEVEPDVLMMVRTYRE
LCEQEGREGRRRYVLEWDRDEERGGSLTPSDDASK
>RCO7_00622 | uncharacterized protein
MGKMGFHGDVAGHEITYKGTIEEVLAYAETIYPGVTNALVARDDVPLVDTSELTSSNITARSAQDWYYSSAQDGKGDRACGEKKDCPLCLNWGWAFV
QRIQQGISFLNKVTATCNTDGKTCVRISCSWHSAIYLCNDMEEHIELPCNWISTFAQDIIDDRKCRDDTPEIDAYRRAVGQQWAKTKPYNSYIGQAS
C
>RCO7_00623 | uncharacterized protein
MKASLSSSILECTPPLKDTHESTKQALQTIASINPQHPCVVVSLSDTASLFSHRISTSTEAVSQNSSGPTPLLSLAADFKPAPIARNNVSRLKTLTE
FTNFPKLPKELRFKIYNLTLATQAVWISRSRKSHGRQVISMVCKEAKEEYQRQYKTLKKRASDIRPRFGPVFVNYRDDLVHFFHTSHDTESPSIDWA
LIMICKVERGFDIMNWLKPAQRVAIRLRSGNGDRGLCAPQTKHEVVWELFSRVCPAMEELVFIIADRDSSADDLVELKDFGGKVGVGEAELCRSFRS
AQDKGFNVSAKLVIMGMPQAWAVCKGLLVEVVDLSV
>RCO7_00624 | related to SDA1 protein, required for normal organization of the actin cytoskeleton
MSQSLKVLKGMRNSAKLRGPITKIIFGKAPRHLDIQASNTARHRYFHPSALTMVKKRVGALDKVDADLSSLQYKVRRDPQSYRDDFQNQFTQYVSQR
DIFLVSPTTAASNGIVSFHDLIDLIAHVADCFPEDTQKFPDDLKTMLTLHHAELDSELREKIVGSLVLLRKKDIIDSSSLLNTLFPILVTTPSKTLR
SVLFSRIISDLRTSNSKSINHKLNKTIQTALHNLLTSDRTSQKGIWAVKITRELWKRQIWTDSKAVEIMKEAALADNEKVIGGGVRFFLGGDKEREE
ALEDDSSDDDNAIDMGKLKHQAGINKKSRKTKKNLEEAAKKVKKVEMKKGQPHILNFSALHLLHDPQGFAETLFSKHLQNSRSKLNLEQKLLVMQLV
TRLVGLHKLTVIALYSYFTKYLTPRQPSVTSFLACLAQATHEFVPPDALEPLVQKIANEFVSEASASEVASAGLNAIREICVRQPLAMSDTLLQDLV
MYRKSKDKGTMMAAKGLLSLYREVGADLLKKRDRGKKATMGIKSGSITERRFGEQEIGGIEGIELLEEWKRTERKRKREEAGLPELGTDEDDSDEDE
EEEGKGWENWDAESDASDDSGGWINVESDAEIEISDSEDDKPNPKRAKLDAKVAKAEEKKDADKAVEKKISKLATTRILTPADLAKLQELRIEASLD
KALGKNSKTHTQRLKEIADRHADDALTADQIEGFSKLRKSTKEEMVALAREGKGERGEHKSTQALRRQKKDSEGKSTTNKEKSRKKNFLMTLGKAKY
KQKRSLVQTRRVLQGHIERAKRGGKRGNIGM
>RCO7_00625 | uncharacterized protein
MEVYYSRQTIDAHQAKGQPNIKANIAIKAYICQNLFTMTIIFDPPELSKAHRKFVQRKQFSKLPKEEADTFLLWQHECNVIFNPDDLPDDQDLSQEG
FTMSADDEIFVPDTDITRKDFCTLVNHAIPDYEMVTDNDSIVNEYIDMICRHVNRETKAAKDEELEFQSKKDLDTVFPWAQAPPVQREGDGSRRRSR
STGTESHISPRVRKPNDEEPIQPKTIVDGPSCKMITAESFNRIRTSTSMNDYLIPHTEVELKRMLHEVDCTPENFKSLDYLFIPIHHRDKHMLLIGI
APKQKFAFVIDSYMRSNDGTSGRPEDKQENKWYRRGLQAILMLLDPVAQFTKNNVPVPQVEKDRQWYIFGQYVLRSKNTDKSPYAPQQRDFYNCGAF
TMTNAFCLAFGYDLTCYKEKDLNKLKKPRIAFELIEGDFTGEYQYDMIKISEKDVTVEQEQETCEAEPPRKGMDGDLEMQFGIKQSQYDATAVTTNV
EYDSDAISEGSDNEVDEEVESVRGRTFYTAIQARLRDSRRMQPNPDKLPWPPQFGSKTSFQRAQLLYPAPPVNFQPGLKYSKRELKKACRDFPLIGW
KHWSKQSQPLFLEWMLNEMAATLAIMNNDPIEPANHLVTADEDFEKGGKRKRCQLVTGSGESGSTKRRSTGRRRR
>RCO7_00626 | uncharacterized protein
MRFSSIILIGVQVSSILALPAHSVRRNQANAVAQQQKAEPAKVEVGKAQEQNAAMPAKAAPANIEGGKANETAVAKPAEEAASGEEEKLAGEKELEA
AFGVAVALEGGDIKQDAVLTPSAIGKFEFEFQGPVADELTVTENKIPAAPPAGFVAIEPSSFQVALGVSKGAGLTLSKIDYIFDPANAALAAMDLTK
ARVGKLCADTGSFVIEETLGEIEFEAEENEVTLSLNKAVTAEGEWGIFLPGAAAGGAAAGGAADNAAKPKEGEAEKEEAAKQAESGQNEEAAKAKEA
AAKVKEEAAKKAGEGAAKAGDAAPAQTVDLNALIDALRQGKATVPVFVAPARL
>RCO7_00627 | related to general amidase
MAQEAPYKAIAQRKRAELHSRIPSAWLLESPTSPEVLDVRSVPQTCGILTSHELFITSSHDATSLAEAIGSRKLTAEEVTIAFCKRAAIAQQVCNCL
TEIFFEDAIARAKFLDEEFERTGKPVGPLHGVPISLKDSFKLKGYDASIGIASLVGKPATENSLLVDILLELGAVLYCKTNVPQALQALDSDNNVFG
RVLNPRNRKVTAGGSSGGEGALIAMRGSVLGVGTDIGGSIRIPAMCNGLYGIKPSQSRVPFVGQENGGRAGSSQIGLSASAGPISVSMRDCELFMRA
VSNARPWERDPSLAYGLWDEQGSIQKKPLLGVIRADGVVAPLPPISKILDETVSALRASGIEVVEISAPAFRKTQSLANKFFGIEGGNTMFDLLEST
GEPLIPWLSTKLRRGKVMPTDRLMDIQAQRTELETQMLEIWKDAKTGRHIDAVICPVAPHPVPPIDRWNAVGYTSSFVLMDYPAGTVPVRDFKESDL
KGGLAGENALGPWDKVNRELWDEETINRKIYLETKLSIQVLAPKQQERRLYQAMEYIDNILRKKYSESRAKL
>RCO7_00628 | related to bZIP transcription factor
MSTQSKQSSSMSQSTSQASCHDPLDSMVDFSEYDKLSYQSPSNSPSAIKTQFTSRAVSNTPATLPSSSHSDLSGPSHNYGMYKQQTGIPQGAVASTL
AVTQMSQFHGLPDSYLSGYNRRDEFVDFGTAPSQTAFADMDMEFDSPKPEPAFFYPEASPEFINPQSIATPAVLPAQTSNVGRLWPGMHQQQAVAKA
QAQQKQQQQIIQHQRQSSVVGQQKQRPRRSQVPDPIVEEKISQLLNSMRHSSVGSDETSNNGNMSHAQRARKDEEEMDEDERLLASEEGKKLSSKER
RQLRNKVSARAFRSRRKEYIGQLEGEIAVKVNENTDLRTQNRALMEENTRLSDLTRMLLSSPSFSGFLDTLASNPAAAHTAQAAIQPPQTPQVEQPQ
QRVRKDLSPYAAPPQQMQQQHIGMTMIPEQTMDYSMLDLAGTYSYQPQVFSVPSLPETFIDTETLSGKNSSFCSPTSDSEKIELPKIERMPAPEPEK
IEASVVVDTEFDSDPAFALYSAPVPASLSAPEQELDLSFPANLSTKQPQYELVTEAGDAASDAALRRVDKLVRDMDACGERLMSLTMHL
>RCO7_00629 | uncharacterized protein
MKFLLLAFLTATTNAFTVVVCAPQGAATIADVEWAISNKRADLGLGGKGFWKKAGAWEHSLHTSFSRLGNY
>RCO7_00630 | related to ZFR1 regulator of fumonisin biosynthesis
MAGPAHNTYVRSPIPSTASYDSSSVSSAASPRMSGAYEGGLMGASPRPMSGQTPQQNLNMPSGALMGHSSFQTPYHSATTSPGPPGMDSMASTGSSS

GTPGASGGQLSAASMQAQKRAYRQRRKDPSCDACRERKVKCDATETTSCSECSSRNVKCQFTKETNRRMSSIKQVQDLEKQITQVKRENTQLRSMLN
TREGQMEIDNEAPQQMSLQLPEIGSNPKRKGRPPSPQDLARVRSNIRNFGRGIFKPPAPYRQIGSQAHFNPPRPDLPPKTLSDHLLGSYYAAVHMLI
PILHWPTFEQEYEAVYKAGSLHGVPHVWSSLFFSVLAVGVLFSSDTSIHRPHKGKEYIEISRMLIDTWNDEFVIDHARSAILVSIFLTEINLKSAAW
TWLASAVRISQDIGLHNETGPWPMIEGEMRRRVWWGIYVWDRHMSLELGRPLLIEDADCDVSLPAAIDDHYIHDAGMMVPSGAAPLTNFILPIIHVV
RAVSQLIKTLKSPIISPSTLVTFDTHFTACMAAFPPSCQLTAQEPLDPRMLAPVCHLMNARLILHRHNLTTSCPPDVRGNAIEQCIRAALDSANLFA
RAMASSTQTNTSVPPFGPTANAMTSSANIGTLRDVNVACGRNLAFFTGVLIEKRRQGCLIGSAGYRGQRELDEELIAYVSGDLQGGTENSWVWTGSE
TGMNIAGSAAGGKAGVSPTLLGGPEGTTVLTDLESRDWGGWERVEYLVGVLSREQGGYGQPSYQPGSGNRGGGAGAGAGSQERSRGNERMAITNII

>RCO7_00631 | uncharacterized protein

MQNYRNFMPTLNNHQLQVLRESQNAAQDIEKNLLVATSSTPTRTRELAQAQSFRRIMVSTTETVASFIEAKQRQLEADYAFKQAERNFLKEALDQKV
ISKAQFEDTIKEIPSQKAVDEVQDQLVVLRGDRKFVEDDMRDRELQKEEFEQGYMSLMIQKVESAQAQKSKQGAISKQLIFRKAVLDSGGEAIASSP
TNALLLHETIEKALDACEIVFFPEIKGKDTIWRTYVIDTSPKNMTEMITQTFKWADLHLKPLQFLKDNRPAKRFFILPFCGHLPGPATKKCGHVMGQ
RDLIERVSMGHARTIS

>RCO7_00632 | probable AAH1 - adenosine deaminase

MSSPSVRKCLHDLPKCEHHLHIEGSLSPTLLFRLAVTNKISLPAIETDASFASPEKLEDRYTRFTSLNDFLHYYYIGMSVLITTGDFESLAYEYFTR
AHNDGVHHAEIFFDPQAHTSRGIAYETVVTGLSTGQKRAELDFGLTSKLILCFLRHLPASDAKETYQAAEALGHFSSGAVAGIGLDSSEVGFPPEIF
REVYELASQSGVRRTAHAGEEGDSTYISRALDLCNTERIDHGIRLIDDEELLQTVARNKILVTICPLSNVRLKCVKEVAELPIRKFMAEGVRFSINS
DDPAYFGGYILDNYIAVQNAFGLSLEEWKFIADSAIEGSWCDNGRKKILLERVEQWAETYKGTL

>RCO7_00633 | uncharacterized protein

MPDSTVPPSSIIGNTSNFWLFNENSGFDLTHPSTPQSPFIYPRLKLHTTNTPITICPHKTALVIIDMQNFFLSTALGRPRGPGHNAEDALLAYGIPA
ARRAGIQIVWVTWGLTDEDLSTMPPATFRAFSFRGEETGFEDADRDIGPKRPEVRTENGLGFLLGEVKLEDGSTIEAGRMLFRDQWNSALHGRLAAA
FEDGLKAPVPDVRFHKNRISALWEPRSDLHDFLKERGFRTLMFTGVNTDQCVLATVQDAALKGYDTVLLRDGCGSPRDFARDMVEFNCGKVWGFVSS
CVELTRSVHERHDKGPK

>RCO7_11735 | uncharacterized protein

MVRDNNTPEVSAFDTPANSGKDPPDPETIRKQGEGLIRQIKSSDYVDRPLHSLFKEIYEGWTVDSFKSVKKSSNDDLIFTLRTKGVFIEEGDEPAQE
LYKLLYTPWDTIRSSWTLKELESMAGEKILSARLQYMVLNPPVLEKQISAQQQRDEREKEMINDIAAQQDELEYERSKKEFHRLRQRRRTTLGLPPV
SEFDFDEEHYEPPQQDRDSTEEVQQYKETSSDQNREEQRHHRKRTPKNAGSGGGGARGGGSYQGGEGSQGGGGGGGGDGYQGARGGEGEYHDTVRKE
KEKSYGKEIASFSRMFPEEMKFKGDGDSFSSKVRIFYDACLRAEIPPEEYSKAFPLMLKGAALQHYYYGLNSIPGTSLIIKFDTILKNMMDQFESEE
FSRSSLTTWNLLTLESIKEKNPGKTTSECFDILSTQIRELRHSIPFELRHEKFVINKVITACQSSEACQIALAQPTTSTEKTITSIRTSIVNYEHAH
PATSTTFYTNRKFRSDSDKGQAYGEKGDSKGRFRIQGEKKMNTLDKEGNAKKCWVCNATDHMSFDHTVEEREKAKEKFKAKNSSKFKGNFGRVFEKA
YRQYVAEYEGTEDEYIATAFTSCEAGSDTDYDSDAQPEALFMTSMGPVSVAAAQLMTETLANTAFKHLLDTAEEATEENLTAETMISSPRYNSSVFH
GIMIDTGAAKVSTVGKGQYEAYKALYKAELLPSRGINVKFGIGKATSIGMVIVPSPIGKIQFEVMATDTPFLLCLDDMDKLRVILDNLRNVLVTPQG
DIPVVRRFGHLFLLWKESLETYITECFQSNTRVLTETDLRRLHHRFGHPSVRKLEDLLQQAGHEHNSGVLKELTKLCKHCQLHGRSPGRFKFKLHDT
DNIHFNYEVVIDIMQLDGRQVLHIVDQGTTFQNGGFLTNISAEHVWNRFKQVWIDTYLGPPDFIVTDAGTQFKSKEFVQSAKTEGSTVKVVPVEAHH
SIGKVERYHGPLKRAYTIIRKELPHLSQDMALQMAFHAINCISGPSGIVPVLLVFGAYPRMVEMDAPSPSVSQRAAALHKAIEEIRKLRSRRQVNDA
LNTRNGPSSTVVRDLPLNSLVLVWREKGFWDGPWPLISTDGENCVVEIDSGPTTFRSTSIKPWYEEDIDSDEPESIIPEIILSPPPVLLPGVPSLST
TKSNRPILVPKKQPHRDRRKPIRFRDDNVEVYLNYTDELFIGFPVVEPQYAASRRKEIDGLIAAGIFELVHKDELPAGARVFNAKFIDQTKFEGTQK
AYEKSRLVVQAYNDSGKNQVLTTSPTIQRVSQRLLLVYAVMHPEFKVYSRDITQAYTQSTSHLIRDFFVRPPKEILAWLHWFLRCVGPMYGVPESAN
HWFGTYHGHKVKKLHMVPSTFDTCLLSVSGEAGTGALGLQIDDTFFVGNKTFIDAEERELQKAGFKSNEREQLTTLHPIDFNGGHITLETDGSIRLS
QQSYDKTLRIIEKEPVNLTNSRGGIRQGLTQIEQFAAQRARGSYLATVSQPEASFDVSFAAQTMNPTEKDFELLNKRILWQKLNCSKGLRYVKLDKK
SLKLVVFTDGSFANLKDFHSQIGYVCVLTDKYNKANVIHWSSVCCKRVTRSVLASELYAMSEGFDMAGAIKTTIEQIMEITVLPLIMVTDSKSLYDC
VVRLNTTREKRLMIDLMCLRQAYERKEISEVIWVAGPDNPADAMTKTNCNGALKELLHTNQLVIKPMEWVDRGNLDDLKPEESL

>RCO7_11544 | uncharacterized protein

MSSFSSTSSSSSSTADQAYATIYNYRIVLDSSASEHYTPNKNVNHELLEPVSFKVDSNKSSKLDLYYKRLLHTNKEFIYKTIEGSKGLKIQKGLDLS
DCSTYNSGKIHAISSTKLISDTPPLTIFDIDIAGPFNIKGLKGERFFLTITCRGSRAIWVYALKHKAEAYDTLIEWYNIITTQFKQDKGIICEYTSP
YSPEQNAYIKNRSYNSVIKKSPFEVLFGKKHTLNYIRVLSSLTYVLINKRTNKFEDKSDRGILVGYKSANNLLVYIPEKRAIISSKNVLIKEDLTFK
DEVISKEELESFDKILNDCETSDCSNRMISSPINTPKSDLYRAKKSEKIDSKTADNSLNEEKVIEDTELDLFNDIAEETPIVPNVTTRSHAKDPDIA
LAIQNNKRLIQDSKSDEEIRLSPDPERILIKKDPEVVIYEPKSYKEAINSPYKDY

>RCO7_07859 | uncharacterized protein

MITETPIQASAVQEDKCHQAVSSYFIGPQAENLGDFRENIDLILNELQKARHNYFPEDGLFVTNATRNSQTFQACKKRVSNAVTKAAQLLGKHSLPF
WSPRYQAHMCMDMSMPALLGYFMTMIYNPNNVAIEVSPLTTVVEIEVGEQLCKMFGYNIDSEKKHKPVGWGHITCGGTVANLESIWICTGEQKLFTD
LSTWELLNLRPKDVLDIPDRLCREYGVSSKFMEKVLLEHSIQQTGKDVLEREFDIKPPQYFLSTTRHYSWPKGAAIAGIGAQNVIGVPVDHGARLRI
GKLEELLNNCLENKRAVYAVVAIIGSTEEGCVDRLSEILALRKKFQARGLSFLVHADAAWGGYFASMLPTEYQPGDSAKLTLGDPDAQVGEGMVPDS
ALRTETQEDMFALRFADSITVDPHKAGYMPYPAGGLCYRDERMRYLVTWTSPYLSRGAVTSMGIYGVEGSKPGAAAMSTWLSNKCIGMGPNGYGALL
GEVTFTCSRFAAEWAAMTALDKDDFMVVPLNMLPSELKPGSTIAKVEEEKQRIRDTILSMTNSQIVASDIGKPEDEKALTLLRALGSDLNINAFALN
FRLTPGNDGAWNTDVEEANYLMRRVVERLSVDSPEDDPSTIPFVLTSTQFSKDLYDECATNFKHRLGLRKDNLDLMVLRNVVMNPFPTEKNFIGKLA
GIFRDVVEEEVKVCQQRNSTSATNHEFLLQGKDKLYVVHVPSFHISNHRQQLIVEIDLDAKSKREYLSLKNASPEEKLMLVTQNKIHLPNLLTPDSH
FKACIRSKDAGLVLKNLTVTIKKVVKSRLLNSAYLDPAYASEFMPFYLYGNVAEQHIDHMLLRSPNTQFTAESIKLELDNALTDEQLARGPILCLSD
IHEESMQPFPSTSELETSTAFIFKTGSKFAVQIFADEHDATAHGPGLVKSCGKSELLLATGSLTLGKGVVIDSETINRDPFKRVDKVVKWREELDNI
GKSMNN

>RCO7_07860 | probable glutamate--tRNA ligase

MKLQEVSQLAANLAPLDFKTVEPHLAALDKHLTLRTYVEGYSLSQVDTDIWIAVRTNRVAAAALKRGTLVNVIRWFNYIEETHPEIQQEIKAKDEAE
KAKKAVQSRAGASYNMALQDTERGVVTRFPPEPSGYLHIGHIKAALLNDYFAHELYKGTLLLRFDDTNPSKEKQEYQDSIVEDLKMVGIKPDKTSYT
SDYLEDLYQYGIRMIKEGHAYADDTDQETMRAERMDGIASKNREKSVEDNLAIFETMKDGTDAGRKYCIRAKMSVDNPNKAMRDPVIYRCNVDTPHH
RTGTAWKMYPTYDFACPIVDSLEGVTHALRTTEYTDRNPQYQWFLDTLKLRQVHMWDFARMNFIRTVLSKRKLTKLVDSGDVWGWDDPRMPTIRGVI

RHGMTVSALRDFILKQGPSRNIVVMDWTNFWASNKKEIDPVAPRHTGVFDKDAVKATLSNGPEKAYTEDKPKHVKNSSVGTKQVAYSKNLILDQNDV
KLFKEGEEITLMGWGNAFVRKITGSSPITDVELELHLEGDFKKTEKKVTWLSTDGQTLVKAETWEFDHLFTKDKLEEEDNWEDFVNKDSASMVYQLC
DENMKDLKEGDIIQLERKGFYRVDKPAGDGKPVVLFGIPTGKTK

>RCO7_07861 | probable 50S ribosomal protein L1

MATARPSLAQLSRLCLVSSRPTSAKISARYLSTTTPLELRGPKANSKVVVVKGKATSNPQKNKKKGEEGKKKKKARTTYIQYDPRDADQFSLCDAMR
YIRAFEVGQKPTSVKYEMHVKFKSLKNGPVIRNRLRLPHPVKTDVRICVICPPDSKYAKDALAAGATLVGEDEIFEAVKDGKIEFDRCICQLESLEK
MNRAGLGRFLGPRGLMPSTKLGTVVKDPANMLKDLIGGAEYRERLGVVRMAIGQLGFTPEEMQRNIKAFIDAMKKDMANLNDKISKELAEVVLSSTN
SPGFPLNGEFRSLESDITPRDLSTS

>RCO7_07862 | uncharacterized protein

MSKFYFGGQSGSVSSDDEDNLPYPEALPRSDFLAPTFSAPAYLSTLSERHQTLEDLRSDLRERSQALSKELLDLVNENYEQFLSLGSDLKGGEEKVE
DVRVGLLGFKRGVEDVRRTVGERRGEVEGLLKQKGEVGTGIALGRKLLEVEQRLEELEDRLMVSSLGRTVSGSGIVEQNEEWSESEDEEDEDEDEEL
TVKGGVGTSSTQKLQRLVLDCRRVESLVQSVGKEHPFITAQQSRLIRVRNTILLDLSTALKQTTASGETGKTRLIKILSIYREFGADTEALTVLKYL
KSR

>RCO7_07863 | related to ribonucleases

MPFSRISILTSVVAVAQAQLYPGQSNLNHTCQLQTPFVSCSAKAYPNVTDSCCTETFGGLVLSTQFWDTHTGLESEGQVLPANTWTLHGLWPDFCNG
SYTQYCDLSRQYDPLPSPNTTTGTPAGKPVLSYKGPNIGTFLAPFGKLDLLAYMNKFWIAQNQPNADLWGHEFSKHATCFSSFELPCYGPQYQEHSE
VVDYFETAVSYYQNLPTYGWLSAASIRPSNSTKYTLGDMQGALTKGFGALPYIGCSGKRFNETAAGNGTLDNGRTVLSEVWYYYHVYGKVQRNQALP
VNASINGGSVSSCAKAKGAVSYPQRTKGSEVDL

>RCO7_07864 | related to Long chronological lifespan protein 2

MPPDRFTDTVFNHSQVLLRDTFQSSVHQETVSNFKNRTSAAKPTQAQTIMTQILLSLLSATLLFLSVANAQFQFFEQMFNGQGQEQQQRQQAPQNGP
SDSEWYQQNYEAAHCSNYLCPDTLACVHFPHHCPCAHPAFEEKFELGEGKAICISKGGFKAGEAARKVELARKGLL

>RCO7_07865 | related to 60s ribosomal protein L2 (mitochondrial)

MLLPRLQPPLRAILTSVARSATGGTQTTCLNEAFAQLAIRSRPGNAASGVRWAHHKAQGAVNKAKDGPGKRLGAKKSGEQYVIPGNIIFRQRGTHWF
PGENCAMGRDHTIYATHHGYVKYYKDPEKHPKRQYIGVVFERDQVLPLPRNSMRRRRLNMTATKMEIAPENLDEVTVNVLEGESALPVIVSKKKLRE
RPGEEGRELKLRPGYMYREANWEIGRAAERAKIKVREFTPRDRWTAWRKAGVRKAKIAEKRSLGRKIR

>RCO7_07866 | uncharacterized protein

MSDKFIAAAALPAVNEKETPAATVINASPVEYHHFGRPLGFASGTLLISLANVLYASCNKVEIFLSGGIFEALGDSWWNITQQIFNADITSFLNRGI
FFTLPESPSAIPTLYAGSYLGEHMLLNSSWRWGYGMWAVILHFCALPTTPLMAWMDPRAKKRGIIEERVSLLHDAPSGASWSRKDGKGEKYYSGMCG
AYTIATSDAVYRTFLSIFLQVTGLYAPGNATRIDNTQRVAYNVGALLAGVILKYGKKTKPLIALGFVMIVLANGLPFYLTNMNVSVEQFGTASFQGN

>RCO7_07867 | related to allantoate permease

MEKTSHSDTSMEYDSIKGAHHNIEVSSKPPTPLDDGHHFDAQRTKKLLRKLDWHLVPFLSLLYLLSFLDRTNIGNAKLFKLLPSLGISPHSLQYNNA
LAIFFPFYVAAEIPSNMMMKRLRPSVWLTIIMVAWAICTIGMGFVKNYHGLMAARVFLGIAEGGLFPGVTYYITMWYARHECGLRMALFFSAATAAG
AFGGLLAFGINKMDGVGGRPSWSWIFILEGIATLVVAFVAYWAINDYPRTATFLTPEERTEVERRLKADRSSLADEFDLKYAFNALKDWKIYVHMFI
TIGIYTPLYSISLFLPTIVKNMGYSNEKSQLMTIPPYVCACVFTICTGFFADRAKQRGVFMLAHEASAILGFAMLASSGKPAIQYTGTFFAACGIYP
LVPMGVAWNGNNIGGSLKRGVGIAMHVGFGNLGGAISAYCFLPKYSPRFIPGHVTLASTVAMSFVLTAFMTVYLRRENARRNQWAIENNRQPEDYTE
EEKTAEREMGDNATFYRYTV

>RCO7_07868 | uncharacterized protein

MPMFRYMEISRSEFRAQRSTRASVREMWSDDDDDDDDDDDDDDDDDDDDSMAELKEMRGGLSNASIHADAEITTSEAPRLPGDT

>RCO7_07869 | uncharacterized protein

MSVTARSPTEASHLLPEVPQSRRHTTWPHQVTTPRNIVLLLALILLILASAGGLTVVPQTRLLEDILCHRYYDDTRGLSDIDESLCKNDAIQSELAY
INGLTTAVEAVIGLIFAFPFGILADKIGRKPVFMMSVFGTTLYLVSFVAVLRFWRIVPVHLVIFSSVFQIIGGGTHVILAVLYSIAADVETSANRAS
AFFLLALASYSGNLVGPLIASAMMELFSPWVPLMVSIALVPVGVSIFIFIPETLEKKDSADGNDSVKDSPSVMTSIKSQSKHTISQLLESFAMLKSP
SLAIILLSFVSEMSLFFGKTVFFIQYFSKRFQWTLAKTGYLLSYRGIISVCVLLIILPGISKILLSPSYRFQYSAAKKDLVLAKWSALLMIFGYFMI
GASTVPVVFVGLIIATLGDGLAPLSRSLLTAYIDPEHTSRMYTLVGIVEALGSIYAGPALAAFFTLGMKCKGLWVGLPYLWLAFQCALVAFGLCFVN
LKTAIMGKLAENEAEQEGLVPREAGEDV

>RCO7_07870 | related to multidrug resistance-associated protein

MNGCGDDSFGPGVQSSTCRGGFDFTVSFEESILTILPAACFIAFTPLRAARLFKGRIKVKSTAIHAVKLGAIGCYAILQLALIILWSSSNVYFKTRL
STASTVLNLLAALGLSLLSHLEHTKAIRPSFAITVYLFASLIFDVARVRTQFLLPTNESIASVLSATVALKVLILLLETLGKRRILLAAYRGLSPEN
TSGLFSRGLFWWLNSLLTNGFKNVLSAKDIFPINESLSSRKLTHDLQSRWDRCDQTNKNALMRQVLIGFRGNILSIVLPRLCLVGLSVAQPFLINKA
INFVQATDGDENIDNGYGLIGAYTFVYVGSAVMTGWYQHLAYRLMAMIRGGVIGMIYRKITTLKSANTNDSAAMTLMGTDVEQIAENMHLILTDLWA
NLLQIGIAIWLLERQLGAVCIAPVIVAVVSTLITSNLSNLVSSRQKVWLEAIQSRVNFTSEVLGSMKSVKMLGLSEKLGSTLQAMRYVELELSKKFH
RLSSSLVLIYNFPHVFTQFFTLSAYAIVAKLSGGLPLNVATAITSLSIISLLDSPLTMFLLALPNVYVSSGCFQRIQVFLLEEPRADGRILGSDPNH
SRAQSSYFAHVSSEGDIELMQPAASKESANTQIVSEGDDVVIEVGQFGWSATSQAIINDASLRLAAEHRLTMIVGSVGCGKSTLLKGILGETSTTRG
TVYARFDEISFCEQTPWLINGTIRENVVAESSYDEHWYDKVIRACNLDVDIDHMPYRDATLSIARAVYSRKRLAIFDDVFSGLDSVTEQHVFANVFG
KDGLLVEMGTSIILATHAVHRLSEADHIVVLGQNGQILEQGRYDNLGISGEYVQSLAKSPESKQKEGARIQTPDCKVGPLPQVAVVDSSRQNGDWKI
YVYYAKSMGLIGLAGFTILVGVECALFVVQYLWVTWWAQSSQRQPNADLGYWIGLYAMWSFLAATFMGVAVFYMFSQDLRLVDMVLPGALINVFYQI
GGTIGTMAVVIAAVGYFAASVPFIFGVLYIVQRFYLRTSRQLRLLEIETKAPIFSHFIETLNGLVTIRAFGWTEAYLTKNLRLLDASQKPYYLLLCI
QRWLTLVLDLIVAGIAILLITLAVFLRDKISPSLLGIALVQITSLGLTLSALIMYWTTLETSLGAVARIKSFSEDTASELLPGENITPDTNWPARGH
LTFEGVSASYGGKSSFISSILRMVELTSGTITLDNHDLATIPRALIRQRLICLTQDPFLFTGSIRLNVDPLGEATDHNIVSALMKIRLWEVMAAKVE
GGKQSETAVLDAVMDENFLSHGQRQLFCLARAMLRKSAVLILDEPTSSVDVKTDAQMQAIIRSEFRTHTIIMIAHRLDSLLDFDRVAVLDKGSLVEF
GEPSVLLNIEGSAFGKLYRASA

>RCO7_07871 | related to enoyl-CoA hydratase/isomerase

MWNPFSVFKLPRDFLVSFLRSQWMTLPYPTTDFTGETIIVTGSNTGLGQEAAQHFVALGAAKVILACRSMEKGESAKSKIEKVTKRSGVLEVWQVDL
GSCESVKQFCGKGRESTVTVNVVSTFLMSLLLLPKLRADAVKYKITPRLAIVASEAHEQAAFVEQSAPSIFAALNDPMNQQDKYNLYKLLEVLVVRE

LAPAMTASGKPRVTLNCLTPGFCHSELMRNAPFSLKTLATLAKFFLARTTEVGSRTLVSAAAAKEDTHGKYLANLQIKEPSKWVGSEKGAETQVRAY
KELLEILEGIEPGITGNI
>RCO7_07872 | uncharacterized protein
MAPSTTEKATAQSHTGCADHELEGEHNEWKFRAPYKVHENVSNSSSSPKDIVMTSADDKKGSGENGEKEGGDGGFRAIYEGGCHCGKVKYQLSREAP
VKSKLCHCSTCQRLHGAPLQHAAIFHKEDINFLKGHHDLQWYDSQEKTTRHKLPCKVSCAHCGSWIMDEGRSMILLFPGLLELSEEAKEKFKPTLHM
FYANRVVDINDGLPKWAGMQDDSELIADTPAEDIKKRKREVDEKEREERAKKRHGDDDDEAGKDGNPGKKDEKKD
>RCO7_07873 | related to phosphatidylinositol phosphate phosphatase
MEEQAAESLDGSSIKPVSSLRSHFEQMASLKPRPPPPPGPKPITPQPTGNGISKGPRNIARPISVQPEAEEVGFGDALRAARGREQDIVEPGLRPPR
TIPANMSPSPTRSPRPRPLSKIPPAVTIQPPQSPPKTNTLNLVLPGTPSYLQTESPMTASPGVSSPRSIRIPTQPNTPLLESGRSPKMYPSQPPSPP
PPRRSGEFRREAAHEVREAPSKPKPPPVNRAEKPKISSRPLSMSFRREATTLQQPGPLSAVDKTSPFSTPPSSGSSPEHEFPEPVPLRSRNVFEQRV
ETFPTAHKSFDPPPLHPSVVNRRKDQEINGLNRGLISPQTTGDQRPTLPSRPQAVPDPMKARGLRDMMPPPARPSLDRTRPPTIKTNSIPEGGHATP
PKRVFSQPIDKPSPQFQTQRSHGRSMTVSSPRTPIEFRNPAVHIEPRHSMDTSSLAPSTKEPTYSGPGEYPDISRINRRLPEQAKLAHQIPTKYDTR
ILDICGEYVCTTGHFTRVWSLVDGAPLASIVHAEGIKMMSIAFKPMPSVEDEGKRLWLGSNTGEISEVDVDSQSIVITKANVHTRRDIIKIYRHVNE
MWTLDDGGSLNLWAPNSEGTPTLEGNPRQSFRVPKGHTFSTVIGDELWYATGKELRVYVASRDTQQWLALQCTQKQENSGDITSGAILEPQSDKVYI
GHTDGKVSIYSRRDYSCLGVVNVSVYKITSLAGAGGYLWTGFSTGQVYIYDTTNPNWVVQKEWQAHHDPVVKMIADPGSCWTLERSNVVSLGQDNMI
RVWDGLLQDDWIENQMQSQEPEYATFTPIKALVMTWNAGATKPTTLRNKPDDDAFFGNLLGSSGVPDLLIFGFQELVDLEDKKTMTKTFFKSKKKDP
TSEHEHMSRAYREWRAFITASMDNFIPGEIYQLLHTASLVGLFTCIFVRAPLHGRIKCLSAVEVKRGMGGLHGNKGALIVRFNLDDTSMCFINCHLA
AGQTQTKDRNADIAAILESSLLPPVASPPAAEKDNKVLHNYIGGGDGSMVMDHEICILNGDLNYRIDTMGRETVVRDVKSHNLGKLLDRDQLIASKR
KHPWFKLRAFSESPITFAPTYKYDVGTDNYDSSEKKRAPAWCDRVLFRGGQKIQELDYRRHEVRVSDHRPVTAKFEILTKKVHINKRAMKLAECLKQ
QADRKQRLTREARLYYLTTYLGFTAAYAKPIIAARERLEAENLIGMEKDREQGRKRNEYQQQMAR
>RCO7_07874 | uncharacterized protein
MNTVKSFWVGWGALCVAGGGAYYFAKQSINADRQTRYEAEQRRQRLQQSYEYSATSAGKAGANGGPPRSDQSGSPSQEANLDPAPTRHAPDTEGQRV
REKSKYEPAEPFRAKKGDRFSSMLSREP
>RCO7_07875 | uncharacterized protein
MSSHQLAIAKASFSAGLLRPDPTSVSRDSIADFHSLLNTVIVQCSPKNVQKCKHWILENIAQSAARFTALGKYLNALTASFSEAGGTTDLNSKKREP
SIKRKRLHVLYLVSDILYHSKHRSNDASICGKIQPILVHLFGSAASFTECPKHQRKVADLLSIWEEKGYYSKEYIEKLREAVKNASDAGEHIGTSNG
DKEQGLHTKSSKLTPYVMPAMHGESSTPWFDLPAGNLMPHIIPNSTRPINPDLIKPLQFVAGPAEESLTLAVKALLDGVQDIFGDEDVEEKPSLDID
ELGQPIIVDEISGDILEGEGYYGWSRTFCEKMKRRKLGLDVPGRGQRGQRSQSRSSSPGVRKRRYSQSDSDSGREYKSTRRRRSRSYSSSRSATPDA
KRNKNGNFRRSRSRSLSRTPPPPSSSEPRALSEPPAFQRPPPPPPQQPAHIPTKPTPGFPQPPFHPAGFHQNLPIPPPPNMPAHFNNNQPQFGAWPP
PPPQIPMQMQMPDQMQNMNFPPQYQNLHQQQQTSFWPPPPPPPGPPPGNLPGNYQHQQQGGYQQQQGGFQQQGGFAPSGPGGWQQPQQQQGRGYNNN
NNNGWNNNQRGGRGGYRGRGW
>RCO7_07876 | related to general amidase
MDTASLIAQARKVRDDSINEVTPPLAALPDPLPKNVMSLFKENLTEEEIKITSYDVPGLLEIIGGKTNCVTTLLPAKAIARAKYLDTLDCPLGPLHG
LPMSVKEHHGMADEDTNGGYVAWIAEPRKGHCSVNDVFYEAGCVFYARTTQPQAIMHLETSTNIYGVTVNPWNTTLTSGGSSGGESALVACRGSVLG
IGGDIGGSIRCPAANTGVYGFKPTPGRMGRQGSHAVVNGQEGIMPTEGPLSTSRAGLELFMTTYLSYSPWIKDDYLVPIPWRSVTLPPKLKIAILWD
DGIVRPHPPITRALREVKDKLEAACMEIVDWVPQDHDECWDLTQALYYEDGGRQLEALIEKGGESMLPLTEWLVKGNENVKYRTVEDIQDLKTKRGA
YRALYNRLWLSTGVDAILCPVGPGAAPPLGQSKYWSYTSQWNLLEYPAAVFPVTTVSQDEDLEETDYVPRNEKDKFNWELYRRERYVDAPVGLQIVC
RRWEDEKCLAVLAEVERAMGRL
>RCO7_07877 | uncharacterized protein
MSFHICVKPILVPTTDLNTSQEGQFSLIHIPLHLYPLLVQAILQTLLPHSIAASPSGSTKTQSPPPTHHFLNISITPLECSIVCHVSFAQSIFPSLL
SLLPPSQSSQCVISKDTYNVFSVNSSGMEAGQRVLDLTAPLAMAAIPIFFITTYYTDFILVPCKDRQTVGAALLDRGFEFSEDVSAYVVQTPSLGQN
RNHNGNQTHSRGSSSIGSGLGNAREAGTPPGTPPPSNVAELQTRTFKQLRKRNVVPFIEPGLHLVQCSGKEILRDDDPYPSPTAYQDSSLDDYSTSP
ATSFSNSYTTPNGNGHSNHNGTGNENGHSSDLNGGNPPRTVPTLDTKFYLSLVSALLTSPPPRFLSLTLAQDDAPSLLIDKTQLWLFGTSIAGDIDS
ILIPIFLDLGGLPAESTGIVCGVAGAICEVGRNGGGGGGGGGGEAREGEEAELSYLSTARAGAVILSQEGSVRALEALGPLLEMVDS
>RCO7_07878 | probable opsin-1
MMDPAPVMEAFAKKTPLFPTSTHSLGPTPLPTVVPNLPIYEKVGETGTKTLWVVFFIMFISTLAFYYMAWRTPVQKRLFHIITATITTFATLSYFAM
ATGDGNSFAHFVVKEAHKHTPDTVENIYRQVFWARYVDWALTTPLLLLDLAFLAGMNGANITVTIIADVIMVLTGLFAAFGRTEGQKWGWYAMGCVA
YLVVVYQLVVPGRRAVAAKSSGTAKLFTSIAGFTLILWTLYPIVWGIGDGARKWSVDAEIISYAILDVLAKPVFGFWLLFAHAKNASSIEGFWTHGL
SNEGSLRVGDDDE
>RCO7_07879 | probable H+-transporting ATPase, vacuolar, 67K chain
MNIGLRPRLKARPSLHDLIHNRNIDTLSVAVHGPGLSRASSSTELPALPPSPSPPPPTPPPLETVNMAPKKAAIKDDDDEQYGTIFSVSGPVVVAEN
MIGVAMYELVQVGHDQLVGEVIRIEADRAYIQVYEETAGVTVGDPVLRTGKPLSVELGPGLMETIYDGIQRPLAEIAKASNSIYIPRGIAVPALNRE
KGWDFKPLMKVGDHITGGDIWGTVYENSLLDDHKIILQPRARGTITKIAAKGTYKVDEKILEIEFDGKKTEHSMMHTWPVRVPRPTTEKLASDKPFI
VGQRVLDALFPSVQGGTVAIPGAFGCGKTVISQSVSKFSNSDVIIYVGCGERGNEMAEVLMDFPELSIDINGRKEPIMKRTTLIANTSNMPVAAREA
SIYTGITISEYFRDQGKDVAMMADSTSRWAEALRELSGRLGEMPADQGFPAYLGAKLASFYERAGKVQALGSPNREGSVSIVGAVSPPGGDFSDPVT
SSTLGIVQVFWGLDKKLAQRKHFPSINTALSYSKYTTVLDKFYEKDFPEFPRLRDRIKQLLTDSEELDQVVQLVGKSALSDPDKITLDVAGLIKEDF
LQQNGYSDYDQFCPIWKTEWMMKAMMGFHDEAQKAIAQGGNWNKVREATGDIQSQLRSMKFEVPGDGEDVIVKKYEDLIQAMTDKFASVTDE
>RCO7_07880 | related to GID7 Protein involved in proteasome-dependent catabolite inactivation of fructose-1,6-bisphosphatase
MYNAGAEYVPQRHRRSQPQRWILRRHYLFSRTTSGNPAAVVLADDRRPSISLITTDDPSIPTNLLQSSSTIISAPTPPINPQTRETLQQQSSSSASS
LAAGPPEPPFSLAQILGRRQRVISANLEEEEGGYGGLGILTPSVSTYQLPPPKRRRQGSRMRLEGESNSSNGTSRPFSNGSGPSALHKAALSNSANG
TRRSSIAINGSITNGHSSVKQPPTYFGHDREEVTRILIQSLTDLGYNSAAASLSQESGFYVESPTVAKFRNAVLTGEWSQAESLLFGGSLEDGGVSI
DGDGLVLQDGVDRNVMRFWLRQQKFLELLEQRDTGRALMVLRTELTPLYQDTGKLHFLSRMHIALSNVTRTSISSASQPSKKVPDRQLSLPQHFGIT
IIVPRPLGSFEVLQNLAMAESGIASVSWSPNDEFVVTCGRDHLAILWDSHTGDILHQLPRFGEPVSSCVWAPDGRTFIIGCLDKEKNLSQWNRNGDL

VFDWGRTHRIQDVEISPNGQYLVAMDNETHIHIYNFVTRELEYEMDMKVRMSSVSISQDSRFLLVNKTDGEAQMVDLDVQAPIRTFKSGAKGGNFVI
RATYGGANESFVIFGSEDGHIFIWHKETGQLIEKLEGHGKASCNSVSWNPSNPCMFATAGDDAKVRIWADVDQLEQCSTGSNFQRHSNGR
>RCO7_07881 | uncharacterized protein
MFLSEELPEPLFLALSRQSQAFFVICVAIQAYYDDSESLASMEHFDNALQTFQSELRLRIETFDVSTFSAGLLLCNLCLIQGRAWTMFLERLYILYQ
LETNLSHLLPEADHDPGVHNVIEVIAIMDMESMVIGRVNPSMELWRRLRKVQEGWMSGKIGGVEMVSGMPRTLLDIIADVGLYDAQDVEARLWAWPG
EVGLSVQCLLWDCWRYTAVLDARRIDRIRKKKQAILNTMQRQPEPGPTASFPSREVILCRLRAAIYALYNLLGLPGSTNLPVRHGLLYPLVIGSLEV
PLLNANSDWKLAFKEIRAEFLEKDPVRVTRMVDELLDEAWKEGTDTFIIDEAARTRGVEIAVY
>RCO7_07882 | probable alpha-methylacyl-coa racemase
MTGPPALTGIRVLEFGGLAPGPFAGLLLADNGASVLRIDRAIPNLTHSTSSSKLPPPTNDLLARHKSSIAVDLKSPSGIDFIKGLIPHTDIVIDPFR
PGILEKLGLGPDVLQSINPRIIIGRMTGFRRDGKYKDMAGHDINYIAVSGALALLGRKGEKPIAPGNILGDFAGGGAILFQGILLALMAREKNGDGQ
VVEANMVDGASYLATFPRMMLKTPMWDQPRGENLLDTGCPWYDTYETQDGKYMSVGALEPQFFAELLKGLGLTGKGIEKSRFDKKTWPKLKATFEIL
FKGKTRSEWEKVFDKTDACCTPVLEYGELETDSSREGDQRPAVTLRGTPSLAVSEGSASRDASTGQGLGIEGGSYSGTALYAGEGGEDILSNWLGWK
RGRDFEVENGGLENAARRAQIYVQCSKMTPKRVTENILANFLRA
>RCO7_07883 | uncharacterized protein
MAVATSGIGFDATRSSSTVSQLRGSQNYARFTPVHSESTNNMSRGDSPSPPPNPPPSPSRNLGFADGWSNQVHCIASSDGQQDIEQSSRFINTRIST
QKLRG
>RCO7_07884 | probable VpsA protein
MAVAAQGGISDPGLITLVNKLQDVFTTVGVQNPIDLPQIVVVGSQSSGKSSVLENIVGRDFLPRGTGIVTRRPLVLQLINRQPAEQANGVKSEDLLA
GGDKEANVDEWGEFLHIPGQKFFDFNKIRDEIVKETEAKTGRNGGISPAPINLRIYSPNVLTLTLVDLPGLTKVPVGDQPRDIERQIKEMVLKQISK
PNAIILAVTGANTDLANSDGLMLAREVDPEGQRTIGVLTKVDLMDVGTDVVDILAGRIIPLRLGYVPVVNRGQRDIDNKKAIAAALENEKNFFENHK
AYRNKSSYCGTPYLARKLNLILMMHIKQTLPDIKARISASLLKYSTELQGLGDSMLGNSANIVLNIITEFSNEWRTVLEGNNTELSSVELSGGARIS
FVFHELYANGVKAVDPFDQVKDIDIRTILYNSSGSSPALFVGTTAFELIVKQQIKRLEEPSLKCVSLVYDELVRILTQLLSKQLFRRYPGLKEKFHQ
VVISFFKKVMDPTNKLVRDLVAMESCYINTGHPDFLNGHRAMAIVNEKHSSAKPIQVDPKTGKPMLQSATPVRTTSPTLGMGGDDANGGFFGSFFAS
KNKKKMAAMEAPPPTLKASGTLSEREGIEVEVIKLLINSYYNIVRRTMIDMVPKAIMLNLVQFTKDEMQRELLENMYRTDTLDELLKESDYTVRRRK
ECQQMVESLSRASEIVSQVQ
>RCO7_07885 | related to ribokinase
MSSKVITVIGSLNTDLVSVTARVPSGGETLTGTSFHTGPGGKGANQAVAAARLCRANPKVSSGLASKSQDENIVVKMVGAVGDDEFGPKIIEGMRED
GIDVDGIEVVKNQPTGVAVIIVESTTGENRILLNPGANSTLAPQSFTNLTSLSQAGLLILQLEIPIPTILQIITTASQTTPPTPILLNPAPAVPLPD
SIYPSITHLILNESEAALFTGRPAESVEAEGFDWSVVTAEFIAKGVNNIVVTLGAKGAFWASLGSGNRSTKSGSVPAVKVEKVVDTTAAGDTFVGAY
AVAVVRARDRGEGVDLEEVVKWACRASARTVQKEGAQASIPWADEV
>RCO7_07886 | uncharacterized protein
MSDDSFELYDLKVEVVCPPGERILCGAKEGDYFTLQGEMLYLPPGQGISFYSLSAVLPLLAAKQRKTHEHDWISSDGLVACPDPNCMSVLKITRTAL
RTFSHADTTVVGLDGNV
>RCO7_07887 | uncharacterized protein
MAVLNPVADHVSNGKAKAAHVNMMTDTVIANLPPDALRSIVRGLLGFEQNLTLHFHDLAAKYLSETKPLLSAPSKLFSKSSTSLVPTESFFETQSRV
RCLMGCGFGFESIRTLTDVLQEFTSNFSKKIVPDDQLLNFLASIDGDIVQAVTAVQKELLTVSGVRAMAASEQDIIKSLKETLRSWSSLQAKEQLRF
AFARGMNRLAEFDGGEIALPQKKQVISQPLVPRNHISETVHLGSLEVPRIFAGLWQFSSPAWGTASRAQINTDFRKHVDAGFTAYDMADHYGDAEVT
FGQFRSAQPDGNEIACATKICVFGSVVVTPEFIDSNVNQRAANVEADRIELVQFHWQDYNDLQYIQAAKLIADHPRVQNLGLCNFDTQRMDELVEAG
VKVVSNQVQFSLIDLRPIFKMAASCRKHNVKLLTYGSLCGGFLAEKWLNVPAPNLFDKNMTPSHRKYFEMIEIWGGWELFQELLTTLSVIGKKHNTS
ISTTAIRWVLDHEYVGAVIIGARMGISQHVDENLEVFKFKLDGEYQETIQKVLDKCKATDVFSDMGDCGAEYRQ
>RCO7_07888 | uncharacterized protein
MNCSGERSFVQDPGLVPRDSSSRDLEEGTHEKEQLERNMGARHINMIAIDGMIGTGFFLSSGKTIAKAGPVGALLAHFFMGFITAGVSYATGETTAF
MLADSFVMLLLLSSQHWVRLLDGTSVLEYFCHSGCLDHYSSKCDRMFEFLWSSIIWRGKIKLSYIVSQFAYKTYKSSEVVFAPMQIALILGLILAEL
AVDLGGGPPGDRIEFRYWRNQGASNSYLVDGSTGKFPGILAFWSSLISAAFSYGNVQVVALSGTEFQNPRGNIPQATKNKLQTSSGTAQQSPFVIAF
QEAGIRALPSIISAVVTTSDINSGSACIFVASRTLYGLSADGHAPKIFLQYHRWGNPF
>RCO7_07889 | uncharacterized protein
MKYALVFTVLFGAVTAAPLEYVSEKPGDVKVRSEVVPGADVASIEGKGKNVDGEAHPDSILAAYEWKEKKARSEVVPGDLDAEEGWKKNAGGEAQPD
FYLEAHEWKEKKARSEVVPSDLDAEEGWKKNAGGEAHPDSLLVAHAWK
>RCO7_07890 | uncharacterized protein
MASANSSFSPLEEEDRSSSSTLLGDDEEKDETEYEYNPKLPHKFSKTFNKTYQFLIAFLVLLPWALLPFIYKIGEYQGAKVLPKLPTHGITDSAVKY
QLKILDDEFYTTEPENLKYKGVPRKELDDAWNALIENLNIRVHPAEAKAAGWESVELADGSGDMFALPAVFHNLHCLYAIRRAMFPNVYIDDKDAIP
PGPNQINIHTDHCIDTIRQALMCHGDMSLYYFYWPTSEGRSTHAYPRHVGHKEHMCVDWDNLQSEAHKRHFSISGKKKLLVNPIYPDASLKHVDPSW
RMNYSVYDGMNIKGPQLYEGLEDLEELKRLKNLPASGGVQK
>RCO7_07891 | uncharacterized protein
MQDAGWRPQSQEGKEEVEILLNDRRSFESVSGRASARGDNEDQPEKGIEDEYENESESESENGESDQGPQRGLSRSTKGTIWVVLMTMSTLLGRRLL
RGSFPYPFFLVLSIQLVAWSMVAFFVVVRHLKNFNLRAAKATNLKDVAAGYSMFATTFFIARTLLASSVAGLAALCGAFALQNCPNLPILVMLPITT
YVFDSFLFRLAYLFCLLPRDQSASLKRAHKVIFVFAFSIPPIAFDYRLNQRSTVFAFVGFALFSLSKVILKIGPQFESKGTGTSFRLDTPLHYYLLQ
GIAPIIISWVAATKHENYVAAHYAFTSWGLEYKLLNLAPGVLMHLLFIASMNSAHPFISDVHVGGALEEPTEKATDAIASTLQAGFWIIIVGVFGQE
KNFVDWTQVIPFTLIYIVCVGPKHIAYYPPRLMNFCTRLFRRRQMPLRPEPWQLIVFIITTTVVFGIIISCNMIFWVDTLAYSRDTKTWLGPTTPTL
DTVYGSPRFRSIDVVIAHSEGDSIASLSYLIAMFTSHNFIKFYNPRIIVYSKDSSIEMTEEAAKKIKGEFQGDFSIQILDNTGGVTATFLHHILSSW
STMTVQTVFLSTATPTISNSTVQLYRNRLADYFVIMGFPLPDAVPKTGFLNLGESESCYCGQCTDSHGWEDSFHLVPSMFSAARPGTTACESVLLTY
GNNFAASAARIRATKQDVWQMLYDGLVDKNLENAWAHKREKMPVMLTGEGGKGRWKKGAVYGSPDSLAKPYLGLTIERLWGVLLQCSSAEIAWGCPA
LEVGWRINGRKEDCGCIE
>RCO7_07892 | related to SH3-domain protein Cyk3

MPEPQRLPTHFPCWVRAVFSYTAETKRDLGFIEGDLIECLNAGDGSWWMGRLFRDKRMLGQFPSNFVEVLPDNFRPTVRASSPMPERSPSTNPFNNP
TAAKPKPKSARKPFQSYAQPDTAALKRAEAQKRELERKAEMEAQARSRGPSPNPGVHDNISNVPSPRARGGYESRAPSPAPPMPNGYQYRATSPAPP
MHHGYGSRVPSPAPPMHDGYGTSRGPSPAPPMSYGYSSRAPSPAPSFQYRPYSRAASPKPQFEVGSSPPPPPPPHRVTYTPHGSSNSFNQQPNEYHT
PRGGSPCPPSPRETGLTPSPLRSAMDDVMSSLADMGMSRETKSPELPLDPWSPEAFDQTYVKARRTAPVRADTAMGISGPAGYDDGAELFMGSSNSR
QGVDKPPPQLSNYVQRMETRLNKMHSSSPHPREEHDIRPDVPPKVNVHARPKSSMSGSVASSQPQKLRHRKSAYDVGRSMLERTFTTKTNSTSASSG
NRSTTTNGSSSTNATDRSLMSGTSAGGFSSTSAGSFARKKEALQAGGRARAHSAFGSRKDKFTGGSEVDFSSRPETPVTGISYHSSHASGPPRAQSQ
AGWHSSTTDSESMLGGLVAPRPKKSGFFKKIIESAKTGAASARSSIAVGESPRPAVPSKMSNGVTSIAGSYNNQHGRSDSNAANEMGLGGGNAGIDW
IQVRRDINRSNSLSRIERVERKERCQMMDHPAISPVEELYEQCDGDEGADGNPVLEPTNFQTVNLSLVDKNARFINGLPPMTNPVSLATGFICRPYR
SDVQRLRAIFTWASEKIIWEEDFESEPDSRRVIQSKRGCAKEVAILVMEMCAAVGIHAEVVRGYLKTPGEVPELAIMPRANHWWNTVIVDGEWRIMD
CSLAAPSHPRRALFSSGSGQMAESWWFLTRPSEICWTHIPEQHHQQHLCPPIAYEILLALPCACPPYFKNDLEMTEYDTSLVRIEDLEQVHVNFIVP
ADVECVAEVEARAFERDADGDFFESGDVVRKRALAQAEWIGGQKRYTVKALLPGDEGQGVLKIYAGKRGLMHSIKDIPHPIAFALPIVHTGDNPPYE
FVTRHPTPHAQRHDLYVAQPQCQRLALNNTFVFAIRQHPSSLSAASPNPGGTSPIPFIRPSSAMSLNSSSASGSNPSTYGSKKPAKLAIQSPGGKVL
RLMRKEEKCQSTSLNPEKGDGGTWETIIKVGERGVWRGLVLADRSARWCVFAEWTCI

>RCO7_07893 | uncharacterized protein
MSRYGKSIAISKIYDSQGALVAVLVMSLEPVGLQVKKDTMSTEHRCVDQSKRVGTVAHSDAYPCKWPKLQALSAFVVVPAESKQPKGPAARPCDFLT
WRCTAEEI

>RCO7_07894 | related to Ste20-like kinase Don3
MSAEGAMSNQYSVLEELGSGSFGTVYKAIDRTTGEVVAIKHIDLESSEDDILEIQQEISVLSTCASPFVTQYKASFLRGHKLWIVMEYLGGGSCLDL
LKPGSFNEAHIAIICRELLLGLEYLHQEGKIHRDIKAANVLLSTKGKVKLADFGVAAQLTNIKSQRNTFVGTPFWMAPEVIQQAGYDFKADIWSLGI
TAMELVNGEPPNASIHPMKVLFHIPKAPAPRLEGSNYSRDFKDFVAQCLVKDCDRRPSAKDLLKHKFIRNAGKVEALQELVERKQEWDGGRTRPSHP
RFYEETLNTMAPKNEPDEWVFDTVKAATIAPRKNTTKRRKLSVIHANGQGVQNGAEEAMKRLDLKDSPLEYSSPPPVTMKKGTVRKQPSVIQLISPT
KQRQASSQKRPLQPDMNFGNTGSTVRLFRRVSDNSTLAQVDSDVSAPTSTRDENRPPMTETVTKESVLGRRIFNKVVDPSFQELHAQTGNQAKREAL
SRLADAWSALDAVDPEGEYQLLKAMIERVQNDPKLSSLLPSPTKAASRDGTPQGTPQKSPTKLVLAQNNPHLKSHRRRQTSSMHPEPDKLNNLPGQA
VPGMEHTKQLADVLYGRWTDGLRNRWPAV

>RCO7_07895 | uncharacterized protein
MGIVKFLRQLCCLFPAYEDQEKPSHLAPLPTTATTQPSLPAGSSRRIRTEAAFRRHFAEVTKVTNLNPKEGSETFARHFAREYERGGKFWRDYERLD
PLPPHCRWS

>RCO7_07896 | uncharacterized protein
MDCSSKATLRAYVVLCLTQANNAIHTFIEEVESSASLSSLKNALCSSDDLSSAMQFLIATIIFFSLIFGHIEVESPGPFRGRSNPNTKSVDYDGTNP
LTGAGQFPCKGYHIAAMADPTGEGKPTALWRQGAPAAIKLTKGGLHSGGSCQASLSYDGKIFTVIYSMQGNCPTSDMAFTVPADAPVGPVIGSWSWF
NKSGNREMYQNCFSAIIEAATGTVPPAIPFSQRPPMLVANLGGTCKTADMVDVRFPNPGPDVTGTGDDNSLIGDCGAAAPVTPVAPSPRPADHEAPE
GLEPFETPAKSELVPFTSKPTRSVPPLASQLSVSFSFSSIPIPVDDQVPGNLPAPTRSPTSAVIVPVVPTPSPTSTSAVAVPVVPGKSTPVPSSAAP
KPTGGAPSGGISTDGSCGGTKGKTCASPNCCSQRGWCGTSAGHCGTGCQAQFGVCLGGRAKFRRHTSEVSR

>RCO7_07897 | uncharacterized protein
MSLPELVQAFNALPRAVKTPSGLVDNHWHFAVRHVTLEPPGDILHIVNPGSRYSISSEGAAQILSCESVAERADIVLPILLKLFTSMKESARDDRFA
PWSWGTDDVNFATALEDRLKLAAVRKELCHIRVGDEASSKIALDVWETVVKQLKKMTGPKCGKCENNPAENAKLLRCGGCENIEYCSKACQKADWKE
HKIICRISAIDYWTIVAPNAPEAKELAVEIGLKLGSGGLRYPIRRLVVTGKDTPENFRKLLGWNDKDAIKSTHQSSRNEILLKPPHGSPNWAMAKSL
KLDENCPPWTPLPASMEEEKQVQDIRDMQELIRHQMGSRSMSTITSQDMQDVLVKNFASAWSAKLQTYQDAVNAMDQGVRI

>RCO7_07898 | related to isotrichodermin C-15 hydroxylase (cytochrome P-450 monooxygenase
CYP65A1)
MVSSFTKKTVAVSSVATALIVFQAPHLLPERLSRAVVRFLIYDGVLAIFYTLFIYPFLVDPLRHLPGPKSYNFLYGNGLASFSKPPGQEILNWVNDP
KIKTPEGIIRFRGFFNRSTLVPTSVEALKSVLSDHTYDFIKPKEVSSFLTLIIGDGLILTEGDIHKFQRKNTLPAFQLKSLKELYPVFWSKTRGLVE
GIEADIDHLTNKETNKEPVIEFGEWATRVTLDIIGLAGMGRDFSAVKNADDELVQAYTILLDPTIEKAIYFATNILGPQSLVQKLPWKQNADLKRVT
GQLKSYCLKNVREKREEFKKTGKLGKDILSLLIESNNFNDQELVDQMLTFLAAGHETTSSAMTWAVWLLATHPDWQHQLREEVRGALPSVHSDEMPT
VAQIEDLPILNAVVNETLRLYPTVPMTVRKSIRDTHIGNVPIPDGTRVLLVPWAINRSTHLWGEDSEVFKPERWLAEGCANTGGAKSNYAQITFLHG
PRSCIGMGFSKAEFKCLLAGMVGAFDLKMADPNEKVWPAGVITTKPAHGMHLHIKKLQGW

>RCO7_07899 | uncharacterized protein
MKFQLAILALLPLSYALPSPDEAVKTVDGKVLGRDEIAGRAASPAEIFKRACDYSSDCTSLKGASPGKYCGFCKQVRAPALVNNIYQVNGGTGDRSC
CDYGPNSGCKNHYATTTGGANRNCGNNDRGW

>RCO7_07900 | related to membrane proteins, contain hemolysin III domain
MRERNSLAVRSERAERSSTAAEDDAPLLQKAKSKALLLFDELPEWAKDNENIWTGWRPETNSYWECIKSMGYIHNEAGNIYTHLMAAVWMIVLGTWW
SRYAKEHYPSMSADDSIVFFLFFLGGIICYLLSTTYHVLSNHSQSTHLFCLKLDFLGILIVTAGCFAPGLWYTYPCASASTKFTWIGVDLVAQFVAA
LLALFSKTFRAPKMQALRGLVFSVMASSAFFPIIIKIFQVGWNRANVEYGASLYSWTIFVYLCSVTIYALRVTESWKPGQFDIWGHSHQLFHVGMAI
GLTVHFSAFFKAVDQFYTVKQGQCPD

>RCO7_07901 | probable propionyl-CoA carboxylase beta chain, mitochondrial precursor
MTKDDDIGSSISAPAERLSQVVNHVAPRKQRRATKAKNELPADYSDILGQVESLKTIARTPDTNNKGYVRQKQAGKLWVRERVLELLDQGSFHEVGS
VSGTVQWKKLEGTKEEPVGYVPSNNVQGFGTLRGRKVVFTADDFSIRAGHADGALTEKTIYLEKLAVALKLPIIKLVDGSSGGGSVTTIKTAGYSYI
PPMPSFKHVAEQLNLGIPNLGAVLGPAIGLGAARVVACHFSVMAADVGALFNAGPKVVAGATFEEGLSFTDLGGPSMHCTNGTIDNLAANEQECFEQ
LRTILSYLPNSGSSLPPIIPSSDSLDRSCDNLRTTIPRRKARMYDPRKIITTVVDTSSWFEIGALWGTTAIVGLARIGGRTIGIISLNCEVNAGALD
AAGSQKITRHLKFCDSFNIPILQFVDVPGYAIGTNAERTATMRHGIALATTYFSTTTPVFSVITRRVYGVAGGVMLDCRDPRMRIAWPSGEWGSLPL
DGGIEVGHAAELKGIKDEGERQKRYNELEEEYTRLMNPVRTANAFGVEEIVDPALTRKIVGEWLKHVYEELLPSRLLDRANGKINPVFY

>RCO7_07902 | related to PYC1 Pyruvate carboxylase 1 EC:6.4.1.1
MASARQIKRLLVANRGEIATRVISTARELEIETYSIYTPNDTSHTFGPTHSIQLSSPASYLDIAELVTIAIKHRIDTIHPGYGFLSESPEFARRMWD
EAGVLVIGPGPEILARTGDKLQARLLAEECKVPVLPATNHSTNDVDVFKRFAKDVGYPIILKAVDGGGGRGIRIVRDEKVVASLVKRALQESPSGKA

FAEKAAIDGYRHVEVQIIGDGQGNVRHLWERECSMQRRFQKVVEFAPSSIKDRKLVGEVINAALRMARKINYMSLGTFEFLVKEEMKEFYFLEINPR
LQVEHTITESIAMGIDLVKMQLQLAQGYALSSLSLSNLAEDPETPPPLYSTQLRITAEDVSNDWSLSVGKISSFRLPTGNGIRVDTHLIPGQPVVIG
TEFDSLVAKIIITAPSWEDVVAKAKRALADTHIEGVKTSLDVLRGIVASEAFNRQKCDTQWLEASLPSILESGKAISAALDENSILRATNPQMSYVA
AAASNVLFRKGDAWSISLAPEYSSKGDSNTNEEPAPSHLQLIRVLRNEFPSSLTVSILYTTPSTPQPVPYTLTLASTTASFGSLASASTHRRGDPGN
LNHIIIPFPGQLMEILVDEGDVVKEGETVAVVRQMKMELEIRAKKGGRVGWVYEGEEGDEVGEGILVVEIDGGAKL

>RCO7_07903 | probable RIC1 protein

MGAVSALLLVLITIILPPVGVYLVAGCGADLLINICLTLLGYIPGHIHAFYLEYIYFDRRDQAREGRFTANRAPGVYSERVQSGGRGYGTIVQPVQ

>RCO7_07904 | related to SPC3 - signal peptidase subunit

MHSTVVRAQNVFGFFTTVAFAVAALVAFSDIFAPRTPSASLLIVKDVQVVKGRPHYYSPKKEEYAVIRFSLTADLSSLFNWNTKQVFVYVSASWPNA
TSTELVNEAVIWDTIITNPSADHLQNLGPAAMKKLVRSAKGKSVDPSRGKIDLKNQKAKYQITAPTGKVAQTKDVVLNLHYNVQPWVGVLTWTPTMD
LWRWKKVKGGVSKTFKFPALKVKKVEEKKAKA

>RCO7_07905 | uncharacterized protein

MFVFISTLQVVSRLGASWWAYVPVLEILNPLSELSSSTSYIYIIFLLARLVFNNLLIPIIGITVEGKRQVLLCPGPALSLSVIRRLSAWNEKGVWFM
NLMSVARARNYTRDMIAVCIFVLVIFPIVYLPRVLISGALAVLRGMLTSDIVYCLVQLLMFCIQLPLAMISGLIMMVLFVPLKIISLILGPTPVYE

>RCO7_07906 | related to hexose transporter protein

MASPGMMDAALSGRKTGYFANSGMINLNLVLVLSLISSYATGYDGSMMNGLQSLDTWTAYFNNPGASSLALLNAIQNVGQLVALPFCAIACDKFGRR
STLVFGAVVMLVGTILQGAARNTGMFIAARGTIGFGLAFNITAAPLLILELAFPTQRAPLVSVYNSLWSLGAIAAAWVTYGTFRLKNDWGWRIPSFL
QALSSIVQIGFCYFIEESPRWLVDNDREDKAKDLITKYHTNGDPNDYMVSIELEEIREALRLEKEALETTSYLSFFKTKGNRHRFFIILAVGFFSQW
SGNGLISYYLTLILDSIGYKDQETQTLVNGLLAIWGLITTFFFSLLVNRFGRRTMFLTSTVGMLITYIIWTALMSSYEQSADPKSVKAKGLAKGVLA
MIFLYNTAFSIGWGPLQVTYVVEILPYHLRARGLVLYNLFVAMALIFNQYANPIGVTNIKWKYYIVYDVWLFVELLVVYFLFVETSGSSLEETAAIL
DGTEIQERFLEGVARATERDGKSQVVTEVRSAEADEKTGRINMQ

>RCO7_07907 | related to permease

MSTPILSPPSDEKNVLKETGASNPPNSDSDSELQDVTPEYGSSHNHVFSRPSVAEYWREVYEKAEYEGRHRYDPLFTWTAAEEKRVRRKIDLRIITW
AWMMFMALDLNRRNINRAITDKMLPELGMNTNHFNYGQTIFLVSFLSAELPSGLISKKVGPDRWIPFLIVSWSITSASQFALSSKAGFYAVRCILGL
LMGGFIPDVVLYLTYWYRSNELPTRLAWFWTVLSSCNILGSLIAAGILQMRGIHAKSGWRWLFLIEGIITGSIGVASWVAMPASPCQTAGRGRGKGW
FSEHEEKIMVNRLLRDDPSKGDMNNRQAVGLKGLLASVWDFDLWPTYLIGFCAYIPPNPPNTYLGLILRELGFNSFQANLLTIPGQFLFLINLLIIT
KLSSYFKERAIISSTSNIWILPFLIGLVTLKKDANLWVRYGLLSGLVSYPYCHAILVGWNAKNSNAVRTRAVSAALYNMFVQSGNIVAVNIYRDDDK
PLYIRGNKILLGICSFNIVLFYLVKYYYIRRNNKRDAIWNAMTVDEQEDYIASTKDEGAKRLDFRFSH

>RCO7_07908 | related to VPS54 - subunit of VP51-54 complex, required for protein sorting at the yeast late Golgi

MASSAPRFSIDSLSPTSPSNSRGEYPFPRPSSNGRFQLRRGSTASSIHSIGGVLDTSSHWHDLKESSQNAISTLLQPPIVRTGLLPHTSAPASSAHK
PPTARDIPPVTLTNIPHVDPSEFKPYLTQVGGLYDALQRAKENEDDGGTQLFRKGKSDDFSDLLESDRKSASRPNLSRKASLASLASSIEAPGIKRR
TSGGPGRRAAHATTPLSTIPNVYFEEDFHLENPRTFDVVSERSEVVKPVPGSPDERRASNGVAVGQRKALATNAILQEKLSWYMDTIEVHLISSIST
ASTSFFEALGSLRELHHEAAESVDRIKTLRKELATLDKEMAVGGLNIVKKKRRKENLKQLSDAVQQLKEIVEGLANCESLVDEGDVDKALDAIDGLE
RLISGVASKDTKIQLRDLRRTAALNSVDDDLDLLRLRIGKLYETKFLNALIGDLRHHVESVSTCDTLQRWSSSSKRSRGGHTRESSVPAYLTIDDQF
RTELSGNLSGLHRARHTSPATTAYREAVLRELRNIIRRPLPASNDDDADSMMSASTMGGGRQKTQQEKSSILARNLRALEPEDAEDLLRKTYIGVGE
TLRRLGTQVKVLLDVTSTLGDPASGLRSPPRSPNVAAIDGRLSSPSSRGNSGREIQEEMHQALDMSNLLGQAVDIAHDKIVKVLRVRSEQSTHLSVT
NFLRYFTLNLLFANECEAVSGKSGTALKNVVNGHIKDFVQQMSESERQALATGMEADPWNAKDFTDTDSEELTRILSASTEDAEAWTSGNKIWQPNS
PPPPLETTATLLAAQVNGNSGTSTPSTAPTKAVIRSAHIDSESFILPTSAHLCLHGLSSFLHLTTGIPSMTSEIATSITSYLSLFNSRCTQLILGAG
ATRSAGLKNITTKHLALAAQALSFISTLIPHIREFVRRHSTSGPSTQTLMGEFDKVRRAYQEHQQSIYDKLVDIMAGRATAHIKAMKLINWELKDNE
EVNKYMETLTKETSTLHRVLSKHLPEMTVMMIMEPVFKSYREQWGKAFEGVVLGSEGAQARMLRDAEHFGTKIGGLDGAGDTGEYLVNLIKAKNVPK
AKVATPSPPPTPAKAADKEESNEEDNEKDAIADKKQALANGNGNGNSGTDEEINKATVSELEKAQTSAV

>RCO7_07909 | probable cell division control protein nda4

MDYRSVYSLSVLPPDNAPDDSRQQIQIQLMQFILQFRLDSVFIYRDQIRENVLSKQYYCDVDLEHLIAFNEDLAQRLTREPAEYIPLFEAALKKCTH
RIVYPSTKDIVLPEHQLLIHSSGGDISIRDLDALTISKLVCVPGIVIGASVLSSKATALHIQCRNCHQTKILPVSGGFAGVSLPRYCDRAKASGEDA
CPMDPYIVVHESSQFVDQQIIKLQEAPDQVPVGELPRHVLIATDRYLTNRVVPGSRCSVTGIFSIYQNKQSKGSSTTSAVAIRTPYLRAVGIESDVD
HTAKGNAIFSEEEEQEFLEMSRRPDLYTVFANCIAPSIYGNDDIKKAIACLLLGGSKKILPDGMKLRGDINVLLLGDPGTAKSQLLKFVEKAAPIAI
YTSGKGSSAAGLTASVQRDHTTREFYLEGGAMVLADGGVVCIDEFDKMRDEDRVAIHEAMEQQTISIAKAGITTILNARTSVLAAANPIFGRYDDLK
SPGENIDFQTTILSRFDMIFIVKDEHDRSRDIKIAKHVMGINMGGRGVEEQAEAEISVDKMKRYVSYCKSRCAPRLSPEAAEKLSSHFVSIRKQIHA
SELEANVRSSIPITVRQLEAIIRITESLAKLSLSAIASEAHVDEAIRLFLASTMDAVKMGSGQGTKELNEEVHKLEEELKKRLPIGWSTSLSTLKRE
LVDVKGYGENALQRALLVLQRRDTITIRGQGSQVYRSGA

>RCO7_07910 | related to cell division protein kinase 2

MASRRPSTTERLLLQQHQPNSSTSKSTVSLTTDRLGPARDVAMLDSWSHGNDRRDRGRFDRGGRRSASPPSRDRRPSPRRASRESRDRISIKSRSAA
QSERPRDRSPERRRRASRSPPRDSRSDVRERNRGRELLDTRGPERSNRSATHTSPSSVKRRKSRSPSPRGHKKSRREFSRSPSRSHQKSAPFSKADK
QRRPLSPVPPRRHSPDRRPPDIRSEGKQRNRERDASDRRDRSLSPRRDRREPLPKSENPRRDRSPPRSSQKPRERSPFDKHKEDRAKDQKRDRSPFE
RPRIKEQQRERSPLTGRRSPSFDRSGPRNRSRQPSPRGSKFKKDQRGGRSPRGDRGGRRGSRDDFPRDDFRPGKGKQKSGKPLTASGANSIEVKGLR
ASASGANSIEVKSDKMYSRGNFYGHGYNANPMQAAFPLKPQYNQGPPVDPRQYSQSPQHQMTPNSYHSPSPAAQSPYSAGRGNYGQQQFSPQPQYPQ
NYQQHQQPPQPQPQPIYPTGPQNQNHYYNQAQSPPYQTPSGPMNAQYPPGPQGNFRGNQRAFRGNNQFSQRGGRGDHRGGRGGHFQNQQWNAQPGVG
RGQQNTSGNVTPQHTTQQGSPPQQFPQNSGSRAASVVGSQAGSQAGTPQHKPSMAAEEEEDEDLFRPSKELQVEDKEATKKKDEEKMPPPPSRPIPT
GPQSQQNVSKFSFTLSSKSKVLPTAPKLEISQKLNAGPVRNVQFSSPDRPRGPNSRSIPTEPASARQNFREPPAPTSRKVKKIMKREKERPQLTEDF
KNSDSVYYRKPGNESVVGSGTYGKVFKAVHVFTKSLVALKKIRMEGERDGFPVTAVREIKLLQSLKHANIVNMQEVMVEKNDCFMVFEYLSHDLTGL
LNHPTFKLEAAHKKHLAKQLFEGLDYLHRRGVLHRDIKAANILVSNEGQLKIADFGLARFYAKRRQLDYTNRVITIWYRSPELLLGETQYGPAVDIW
SAACVLGEIFTRHAIFPGDGTEMSQLEKIYAILGTPTKTIWPGLTDMAWFALLRPNARRPSVFADKYKERVTPAAYDLLEAMLQYDPDKRPSASDVL
EHPYFTTEEPKARQATELALLEGDWHEFESKALRKENERKDKEARRQVQKEKDAAAKAEKKRLSDESATGEPDAKRVQIAQPGDAVSTIQSAVEGGK

>RCO7_07911 | uncharacterized protein
MHRAFQPPRRKIKITTKDEPAPAPDPRPEDAPIDYDAVISPDIGPFPWTPAINEEELYDIHRTFVTGEGSERAEEALKAADEARFRISHNAIEATGI
EPTIEVLAESISLQTKKGGTDGEEERITGDEYPQNKVDDFFARISTSPELVMEVVKYMDPKSLLKLYCIHKHVNGILNGHLSHCLRICSLHQAPSSA
FIYPFTLYANLCIPDPVGRAHPSRPGEVRMVPSLKWLQMVVHREKTVRDILACMARQGHRMPAGMRMSLMKMWLVMDIATSARRVQVMHSEYFDAMD
LYHIQMFVVKLDMRFNDPIDGPGEDHLRKLMLGQKGLTPLCRMLKRIEFTDMCEVVRAAVRYDWVVKPEHRLLPMFGIPPKEIGVGHLEGWGKGRIH
LLRPDELVVREAVRRKLDLKNHIMGMMLWGYVDSVTGMDTPPTEEEKWMEDDGASERPEHPWKQDLEWLEQEEKVFEESEELKESNDWGYRMMKEAM
RAEERKQARMAMKREEERIAEGGV
>RCO7_07912 | probable HAT2 - subunit of the major yeast histone acetyltransferase
MAQDQGDDTDLDNDGPRVDVEDGDTEQKIINEEYKTWKKNSPFLYDMILSTALEWPTLTTQWFPDKKEPKDKNYTIHRLLIGTHTSNDAQNFLQIAN
VEIPKMITPNPHDYDEHKGEIGGYGNSSNGEQAAIKMTIEQKIDHPGEVNKARYQPQNPNIIATMAPGGRVLIFDRTKHSSAPNGVVSPQAELVGHK
SEGFGLCWSPHEAGRLATGSEDKTVRLWDLKTISSNNTNIKASRIYTHHKAVVNDVQYHPLHKSLIGTVSDDCTLQILDVRQGNLKDAAVMCDAHSD
AVNALAFNHASEFVLATASADKTIGIWDLRNLKDKLHSLEGHGDAVTSLAWHPHEEAILGSGGYDRRVIFWDLSRVGEEQSQDDQEDGPPELLFMHG
GHTNHLSDFSWNVNEPWVVCSAAEDNLIQIWKVAEAIVGRDIGDDVPVNEMQG
>RCO7_07913 | probable KEM1 - multifunctional nuclease
MGVPKFFRWMSERYPAISQLIAENRIPEFDCLYLDMNGIIHNCTHKDSDDAMFRMTEEQMFIAIFNYIEHLFGKIKPKQLFFMAIDGVAPRAKMNQQ
RARRFRTALDAETARDKAIKEGKDMPKEEAFDSNAITPGTAFMHKLTQQLKYFINKKVSEDKDWQGVEVVLSGHEVPGEGEHKIMEYIRLAKAQPDY
DANIRHCLYGLDADLIMLGLLSHDPHFCLLREEVTFGRQSKAKSKELEHQNFYLMHLCIVREYLELEFQELKEPGVLSFPFDLERVIDDFILMAFFV
GNDFLPNLPNLHINEGALAAMFLTYKRVLPKAGGFINEGGVINMARMAMLLEELSRVEYRFFENENSDKSWFRGKQMAKEDVMAATKTKGKVTMTTP
QREVWKEVKKFVTRRSDEPLDLPSTLPAGHRKFVQDLAESLHLEWKTVTSESGDRHMQLSFPPKLEADEDSEDEDEESQLAILRVVKQYDSAKVVDV
SKAEAQAEMDKQYEAKFQEWKDKYYQGKFEWDRKNVAEMTKLCENYVQGLQWVLHYYYRGVVSWPWYYQYHYSPMISDVIMGLKADVNFKLGQPFHP
YEQLMGVLPDRSKSIVPSVYHDLMTNPNSPIIDFYPRDFELDMNGKKMEWEAVVKIPFIDEKRLLAAMAPKNALLSDDEKFRNEFGVTLKFSHDPDI
DFIYPSSLVGVFPDIPHCRCVENIFDLPTIEGLEYHVGLMDGVKLGNSALAGFPSLATLPYNATLGFHGVNVFQQDSRNESMVVTIENTEERTNVKS
AAMKLGQRVFVGYPFLNEAKVVKVSDELFDYLPSEDGTPQPIQKPHGPREIDDFRKKAERLEGNYSKRLGIITGPVESIIHIEMLKGLTKTDEGASI
KEYAVIPGMDTEFASQMVVDEVISEDPRFLEKAALPIEEEFPPGSDAFFLGDFNYGRPLKVLDHKDNKAEVWLSALKGREPDFGRKIVQSQSTQNTY
TPSYTVAKLLNLHPLVLSKITSSFSVSALGLPRLNLGLNLKFESKKLKVLGYSRRSDKGWEFSNRAIELLSTYMTKFPEFIAGIQRKPQGNDYEETD
FYPKEIAGQKIKEIAAWLKSIESKNFEKVPLDAEQLDSDVVMAIEQAADNHTATIPPAEVKKMKGVPRNALMKPSDAEHRLGNQKFALGDRVVYIQD
SGRVPMGNCGTVVGISRTPRTILLDVLFDHSFMSGTSLGERCSPFRGSTVPLASVLNLSNKQLITASKAADEKRPVQSSTPLTVNGGYGHNGYGVPS
GPGGRGQYREAGAPPPLRGSFRGAVAGQQSGFQRGNGFVPRGGRGRGGHSKGNGDDILAAVMGTMNLRGDPQQVNGRGGRGASANGFRGGRGGAAPQ
PQQGFNSVPPPASLDARGRGGRGGRGRGRGEGGRGRGTSRGRGGVARIPEQQT
>RCO7_07914 | related to centractin (ARP1)
MSTSAQSQQGNLDRYVVIHVATTCDEHGVYVTKDSAEVIELGWILLDAKSCEELHRESVLVKPINTPITPLCTSLTTLTWEHVRNAGTFRDAINRFD
AFASEHLVSQNLDFSFVTLDSWDLRVQLPREARDKAVVLPPYLQHSRTFDLRTEYQRWQQHHPESLPFGPSMLSNICAALEVEPVQASAQIKHNLPF
HLHALAPASPRRAMEEAVTLARVLRGLIRKSQPPHEHPDVLTRPMDARADVRAFLSERSKVLHMAGLPHDTTQSELESWFTQFGGRPIAFWTLRTPD
QHKPTGSGFAVFSSHEEAAESLCMNGRALNEKAIEVSPSSSRVLDRAAEILTPFPPSKNRPRPGDWTCPSCGFSNFQRRTACFRCSFPAMSAGPSGD
SMGGYGGGGYGYGPPAMMPPPQHMGHHGGMGGGGHGGGRMGGGGGVVPFRAGDWKCGSEGCGYHNFAKNVSCLRCGASRAGAAVVADSGYPSPMDPP
SNYGGMGQGSMAGTPGPGPFASAAGGFGSNSGYGGGNHHFGGPQSTYALPSGLGASTGPYPGSLNNHFSQGGGSHSAGGFDSRAAEQAFQSANNGPA
SAGPSNFYSNQGESDPFAFLSTGINNMSMSSGDARQNGGSAQLAPSKSPA
>RCO7_07915 | related to long-chain-fatty-acid CoA ligase FAA2
MAQNLLQLLQKAAQSVNFNGLLIHPSNTSDDSVLKISYAQLYEQAVLRSKRLQAIEHFSLNTVTLLHVEDRLDCIYWFWAIVAAGGVPCLSAPLPRD
PDRCERHVRSLQQLLQSPLIITTEALKSEFPDVDGLRITTTSAIDEISLPKIFPAPEPDLTKADPEGLRKKFEELAVLLLTSGSTGDSKAVSLSHHN
LLSSVDGKIKIHGTTAKDTFLAWTGFDHVANLVEIHLHALKLNANQVHIATSSAVGTPLELLRRLSDHHVSYTFAPNFLLANICASLKKSRDDDVLS
IDLSHLRTLISGGEANTVETVTELTRLLQEYNAPQSFIRPGLGLTESCAGAVYSVDCPSYDIFPASTHCSVGHPTQAIRTRIMREEGIEAAPNEIGS
LQLSGPCVFKEYYNNPEKTADSFTRDGWFKTGDLALLDKNGKLLLTGREKETIIINGNSHYLQAIENSIELAKIPGVTPSYTVAFSYRKDSDDTETL
GIVYLPNHDMSDCSARGRAERAISRCIVMNYGAEPARIPLPESCLQKSSLGKLSRKHIKDEFEKGNYDVYMIPEATMEKFDDDLRQQVANVTETIIT
SICIQVFPESKVAINRNTDLFALGLSSVDILRLQSALQKTLKIPHIPHTTLFGHPVIHELGAALHKLQNDYTFSPVVVLQPHGDKTPLWLIHSGLGE
VLIFMNLARYFTDRPIYAIRARGFDGEPHFTSLDELITTYHSAIKKAQPEGPYAIAGYAYGAVPAFEITKRMALQDDDIKFLGVFDQQPFSKDRVKK
YDWYRVVLLLASFVGLFEEAYAISYLPEARDSSHEETLAHIAGLADQSRLRELGMTMESLDNWAKIALFMKKSISDYDPEGMVKNMDVFYTAPMPGY
GPATNVEDWFGGYISKWDAFVEGGAKYHLVEGDHKTIPNPPHVESFQKLLKEILQERGL
>RCO7_07916 | probable Probable beta-glucosidase C
MTIEEKAGQLFHFIIFAGENGTLAKATPELNSTEFVVGTQLVTHFNLASAISNVTEAAQFSNRLQERALQTRLGIPITLSTDPRHSFTEDVRTGIAA
IGFSQWPETPGLAALRSAELVQKFAEIAREEYLAVGIRAALHPQVDLATEPRWPRNRNGFGEDAYLTAELLSAYIKGFQGETFGRRSVSTVTKHFPG
AGPAENGWDAHFEFGMNTTYPTQNLNYHLIPFKAAIKAGARQMMPYYSRPVGLEYESVGFSFNKPVVTGLLREKLGFDGVVLTDWGLITNTKVAGKP
WMAKAWGVQQLSELQRVERILDAGCDQLGGEARPELVVELVKTGILSESRVDVSVRKLLREKFLLGLFDAPYVDVEEAAKVAGNPYFRNMGLDVQRR
AHTLLTNKKATLPLMKVPSSTKFYVEGLDGAFIQNCGYAVVTSPEEADFAILRLKAPVSPSHPEEEGGDLQSGSLEYSVEEKARQAKIYSAVPTIVD
INFNRPAAVPEVAEQAAALFATYGSSTQALLDVIFSTDGASPEGKLPFDLPRSDRAVEHSYGDQPFDTENPVFRFGHGLSYGSKCVHVDEACE
>RCO7_07917 | uncharacterized protein
MTDSTTGLFGSFDSDLSANSWRNVFTTIFLVLNFLVAWIGHRLVKRQCHRTLLKSKPVPVTRFTPWLSLGSTFSYIWTLRRIPGGWLGIIMIFSGIF
GTGNRYIINSCIFEEKIMSRCPFKNGLVTMQYDVASKPVNTWAITFLAINAVEVARARGAEVGVYSKVNNNVTSFFPRKEDVIGNWDCAVAGPDTVI
QPKDWADATLDDFIQNQTFFTGMKYWSGSSTPSRQVSRAFMAWGPHADTASNKTNIRAMISNPPVNATKGGVIIAPASITNLECNLAIVEPKWKPAP
WPIDTFEDWAELMTGFILEVGASRFPAQLTKVLNAMSMISGSGNIHNFERDDAEKSGAGTDFGCMVPNTRIEGSVYVVAFALTGLVALMFIIDLYDV
IQNKIDKRHKAIEKMPFEMLDWQVALIEKITGHEIDEPRKLAGYEYFWDEQTGRSHCRRSDQRGSVYEALENPENTASDPSFGKDGIVVKIMEK
>RCO7_07918 | related to major facilitator MirA
MSTITPAVKQATESGTDIEKIPASNNGNEFFYDEKLEEVEGSTHKQDGVKRVEAITSVWTKKTLVLMFILLYLVSFVELLMSSINSNLTAYVTSDFA
SHGLLGATGIVATIAGGVSAFTIAKIIDIWGRVEGFLLMLLIVSIGLIMKAVCKNVTTYAAAHTFYWVGHLGLLYVISIMLADMTTLKNRMLAFTIN

GTPTIATTFAGPAIAELFYEQSTWRWAFGAFCIILICVSLPAAVVMLAQQRKAAKFGVLPERTHKRNKFESIKFYVIEFDVLGLLLCTAAFSLILLP
FSLANGQSKGWASGTIISMLVIGVVSLIAFVLWERFFAPVQFFPFKYLMNRTIIGSSLLYGFMFASIFCWDTYYYSYLQVVHDQTIRDSGYILNTFS
LTSSFISPFVGLLISRTGDYKYTSYGGIPFAVLGTVLLVHLRTPSTHVGLLVMCQVFNGIGSGIWATCAQLAVMASVSHQEVAVAIALWGMFGSIGS
ATGQAIAGALWTNILPTKLFEALPEESKNLTATIYSSFVIQQDYPMGTEIRKAIIVAYADVQRKMVIAGSAFMPVCILAIVLWKRMDVRKMEEHRTQ
SKGTLW

>RCO7_07919 | related to Copper homeostasis protein CutC

MPFLEIACFSENSAINAQVSGADRIELCADGSLGGVTPPLSDIKAVRPRYFFSINVMIRPRGGDFVYSPKEMVRMKTDIHAFAAAGADGFVFGMLTE
EGKIDIEACRELVTLVKVTAYTLNKRLTCTFHRAFDKIPAKEMKTALEELIALGFDAVLTSGGAEDALQGKKKLKWLVELAAGKIEIIVGGRVRSNN
VAELMRDTGAQWFHSSALVRGHDVANATEIESLKRIVEYGS

>RCO7_07920 | uncharacterized protein

MVIKVGGVTETEKHEDEIRKAQTGRDFRELEPGPKRLASKRSYRDNNICKVISARQHFRRRLGDFERRYKFLSESAEDEVEAQEEQMHEGVEAPCHT
ATDADSDFSNSDLAMVGGDERTVDGNAEFYEQEMVRLDYAGREQADQENSESSLLLASASSIAKTKESKSSVTSPVPQVPSAAREPSKAASMLSVKS
LADSPSDVSDQSSSVNSGYGTLEDSQSSFGVRPSLSSEINNLLRDDEILGPFYPVALQRLGRRDFQKLFRELMKEYCISLNHNSINQTHLDIPRTSD
QKKVRQEHVEAYLQELSGQGSLVLDTTAADPNPTDISDDEVDDQIEQDFPITNRLIEFLKDGPAWSDLQQAFIKMIEEENLTERDISSVLKDVERTD
DAPPKEQEALPYRSWIARVLPDAFLEGIQGRMMPAGISRIEWIYQCGHSGYDDHSEVTPGAVEKLAIELFRSAGITRSNFTNRSPGIFSKFVDGAKN
LVINIAKRNKVPSKLSALPTSQVTPMFEVRPKCFLDCIRHPELPPATKKAVEYEWEIARTKPPIGSNYVLHIFDHPADAGEGDFCVKWFP

>RCO7_07921 | related to cell division control protein CDC23

MGGLPPRAAIEMRANLQEAVVKCSERCLYQSAKWAAELLTSLPDDDSEPEDSQMTEVPTTGLPPIVLTGNLDIEEAQLEAKEINKYLLAKSFFDCRE
FDRCAAVFIPDTVLSGILTTITTKVPNLTPQRRGSERTSMGKRSAAPVAIPRLSQKSLFLALYAKYMSGEKKKDEDSEMVMGPHDGGTAINKQLVVI
SRFLDTWFLEHTDENGIVEGSQGWLEYLYGMVLAKDKNESQAMHWLLKSVHLYQMNWGCWLEITSLITRIEHLQQLSQSIPAHIFGFIFNIHTSLEL
YQSDQSLFERLKQLLSIFPTSPFILTCVAMLAYHNKDFAEADAGFSNLLALHPHRLDSLDHYSNILYVMNLRPKLSFLAHLCSAVDKFRPESCVVIG
NYYSLLSSHEKAVQYFRRALTLDRNCLSAWTLMGHEYVELKNTHAAIESYRRAVDVNRKDYRAWYGLGQTYEVLEMHAYALWYYKRAAGLRPWDSKM
WFAVGSCLQKMGRDLEGIKALKRSLQADAYHDGGAESSFGSGSTGGGKAAIMDPEILLQIANMYEKLEEEGEAMSYMEMCIAQEEGPEGSLDSSIIN
IHADSQSSDDERLQGGGDGGSGGGGGRGGNGGGTGVTAATSKARMWLAKYAMRTGDYSRAMQLATELCQDGVEVEEAKALVREVRVRLEAGGN

>RCO7_07922 | farnesyl pyrophosphate synthetase

MAKTTTLKEFESVFPKLVEDLLDHAKSYKLPEAFVEWYKASLNANTIGGKCNRGMSVPDSVSLLLEAPLSEEQYFQAATLGWMTELLQAFFLVSDDI
MDSSITRRGAPCWYRQEKVGMIAINDAFLLESAIYTLLKKYFKTHPAYVDLLELFHEVTFQTELGQLCDLLTAPEDKIDLDNFSLEKYQFIVIYKTA
YYSFYLPVALALHHQNIATPKNLKQAEDILIPLGEYFQIQDDYLDNFGLPEHIGKIGTDIMDNKCSWLVNKALAIVTPEQRKVLEENYGRKNEENEK
KVKELFDELKLEEIYQDYEEKRVGEIRKMIEEVDESEGLKKTVFEGFLSKIYKRSK

>RCO7_07923 | uncharacterized protein

MSSTKSWSLRLKPKDCSSRPSHHTSTGGFRNPWPSASSPSIVSLLQSSFPLSVYPKLSQSHPSIHDVKVVTPDWGVSDLQRRNLERENCIVATTLGH
AGVITELPLEGTRGKDGKRESFYVVFDPIFSSRAGPTSYTGPGRLRGKPCEVRDLPGCHAICISHNHYDHLDLPTIQALFTRFPKAKYFVPLGNKTW
FLALGIAEEDVVELDWWEEKDCSVRDLGFSLVSEPESGSEDPDLDQDQESEGQRKREREGERETRIRFTCVPAQHNSGRSGLDQGQTLWCGWMVEQL
LIPASPSSSSSSSAPQPSNTPKIQVKGTIYHAGDTGYRPSSSSTITCPIFPQINQLHGPLDIAYLPIWRGGSLGFISTMGLRLSHKDIPSTFHGSPA
DAIEIHREVGSRFSVGIHFGTFVGSENESLEAVLEFEDARSKAGVGRLSDVVKEDEKIGGEEERLKGRAGVLDIGGSIAVEIKARDANVDIGAEKES

>RCO7_07924 | uncharacterized protein

MNEKTECYNANPVATASRANGQVEFLFPDTGTSKGFELDRHAQLHIIAWSKCESSVDNDIAAHPQPNVNTRPNVMNSNNDINKIESFVDSDIVHNLR
QISWSQPHTLSNSKGLPVQDRKLCQNIITTLPISCSVHHLESIVYPAHSQTPSDDEARLFTTHGAHCDESKKGRRIDIRMRNNRSVRQSQTILTFSS
AMSLQPRVRAASRQCRRSWKIHEDGEEGTLRTFPPSFKRPSALRSVGNGAMYLSPRNNIYHIWRDFLLMKHSIWDWLLARSSNSGVAGCSSGCTMVE
SLRITVLNVE

>RCO7_07925 | related to signal peptide protein

MSTEQPTIFFVPGAWHGPEGFSAVRELLKPLGYPTESIAHPSIGAEPPNKTLGDDVAHTRAAIEKLVDAGKKVVVVLHSYGGVVGSCAVEDLGFKEK
KAAGKEGGVVNLVYMCAFALPKGVSLLDALGGNPLPWMKFKGDYVTPDSPEEVFYHDMSPSEQQKWIARLKHTSAAVFAGKSTYQPWDHMPCTYIFC
EDDKAIPLTVQQGMAGSMGAGVSTFSIKASHSPFLSTPQKMVEGIELAAKAGLEK

>RCO7_07926 | related to integral membrane protein

MADVDLTGNRQGELRATSIAITILAVFVVGLRFLSRWMKGIGFGVDDFMILVALFFLFAAFATCVIGIHFGLGMHAAALEVPQIVSYAKSLIAFECL
YVTCICFTKISLLLMYLRIFPVRSIRIGAYILGGLSIAWCISIIMVSIFQCTPIEKTWNSSIPGFCINLKGSFIGNAIPNILTDVAILALPMQQVWS
LHTSTMQKVQISIVFLLGSFVIFTSIYRFTTLFQFQPADITWTLATAEVWCVVESASGIISACLPTLGHLVQVCTRKMGVSSPTWGSRARATGPSAN
IVTIGGGGGKGKSGNSKNSKGTMDTYDDDLKSASTDTRPFRRLSGVSYRSGATQENHDWEPHSNMKSNVRAHDVESMGSDEIPLQKIMIKTELEWKE
SHQGNDGGRV

>RCO7_07927 | uncharacterized protein

MVSNPSAEIDLSKERVPPSPILNSTDAEECVPLYLRQNDPMCTPILSHNTPTNNVLLKITVPKRTGRKRKRGSDGPYEESHNSMSAKSQAPDGSYAP
PELVNSVGRQDEPAQILRKLKDNVGQYTVEAVGEIRQTHRYRVMSDFHQSSSNAEFMPKFTETLLTGKIENIRKFKLDERKGWKPMEDIVPPPILSS
HALPFNWGWHQAVHLRQEKDTEGNRILVNHSKPEKGGVQYLSHENVKEVPQGPNRDLPTDEATLELIDTLKKAMEERPIWTRRSLLNRVGNVSGIYT
FKQAIPFVGYQFKGGPWRDALIKFGVDPRKDKKHRQYQTFFFQFIEETKEFEGEPWRDSRPNFNISKSHGITHTNDDTHVFDGKKLTLDGKIWQACD
ITVPILVTMMENAPYRDTCENISDGWFCNGTIAKFKGIMKTKLIAIKAKRQVSDSEFENALAIPDIVPDRLSKNIPVPLPDLGLSKEKLDEMERNGE
LNKSETMTIQRWVRTKKSYKARTERIRSRVSDTPKKTIPRGPHWLKKDQEKQAKKKKGSGDVIADFIEATSSTQPVTIAPRPNSGELPPIPENGQEC
DAATTHESDLAALDTQYQIDPSLMEIMDSALDSFNRGTPQRNDPNDDAEVPGSSPGMPIDDDEDDDEDGMDSEEERDALASDIDDDDDDGEGDEGEE
DYFSDAREHQGGGNGSRAASTVAGNGDEDV

>RCO7_07928 | probable serine/threonine protein phosphatase 2A

MKGFRQRVHEQLSRAKDPNKSSKSKNKESKDGTSSPSQAGSSREAAQSPITTPSSSTTALNDPRNKPLPPNDGGAANATSPAPPTGPANSLNLGHTT
PDRFNAMGGGSPSAGGPGTPNRHGLPPSVIISPSAPHIPPPGAAETMPHDLAPPKAGQNKSLMYDRLSTTPKDVPEGIRTPKRQHSSRFDISPQREL
EKLPGFHEVPPNRRQDLFMQKIDQCNVIFDFNDASGDMKSKEIKRLALHELLDYVANNRQVITEAMYPRVVDMFSKNLFRPIPPPMNPQGEAFDPEE
DEPVLEVAWPHIQVVYEFFLRFIESQDFNTNIAKAYIDHSFVLQLLELFDSEDPRERDFLKTTLHRIYGKFLNLRSYIRRSINNVFFQFVYETERFN

GIAELLEILGSIINGFALPLKEEHKLFLTRVLLPLHKVKSLSMYHPQLAYCIVQFLEKDAALTEEVVLGLLRYWPKVNSTKEVMFLNEVEDIFEVMD
PAEFAKVQEPLFHQLAKSVASPHFQVAERALYFWNNEYFCNLVSDNVEIILPIMFAPLYENSKGHWNRTIHGMVYNAMKLFMEINPQLFDDCSHDYT
EHQNNAEAREQARENKWKALGEQAKRGKTNGATRPSAVSVSSSRKGKPDELDPITEDNQKRLDSLKLQDGERRERRPTHDRQNSVGSSRSQR
>RCO7_07929 | related to syntaxin family member TLG1
MSSTQEEDPFLQVQADVLSALPPVRQLFTSYLRIRSLPSSSSKRPSPELLSATSDLKTALSSLAEDLADLVESVKAVQSDPYKYGLEIEEVTRRKRV
VDEVGGEVEDMREELAKTSSSSSYSNGNSDGGGAGRENDGRFGDEREPDYNAEFEQEQQLQMIAEQDRDLDSVFHTVGNLRQQADHMGRELEEQREM
LEVVDGLADRVGGRLQTGIKRLGEVARKNEDGLSSCCIGLLIFVLILLLVLVLIL
>RCO7_07930 | related to human BCS1 protein
MNPKSSLQSLIESAFPQNDGNSTSDSAVGFSPTTILETFVPGYGPIHKFLLVSFGLDVTVLVSLGVALYIGAKIFHSVRSAFYSIVATYYMSDVTVS
NEDDIHTHVLQFLAHKYETVSSRHLKAETSRRSAWQFDNEEAEKEENAIDANGQRKWLNFSNQAAKTKPLFTPAMGFHEFWHNGTYFLLRRKEVPVF
SEGGGGNGTAIKDKESLTLTCYGRSTEPIKNLLHDAKVHYHVGHNAKTIIKRPSPKDMRRYGGPRWREVAERPCRPMETVVLDEQRKLDVMDDINEY
LKPSTARWHANRGIPYRRGYLFYGPPGTGKTSLTFALAGKFGLNIHVVSLLDSTLTEEELGMLFTNLPPRCIVLLEDIDTAGLIRAPTEDETKSSGE
NADENELNVANLAKALAKNNRLSDEEKKKGISLSGLLNIIDGVASHEGRVLVMTTNAPEKLDDALIRPGRVDYQVAFGSATQTQIKELFERMYTDDH
PRAKAVISPLPTITTTPTARVHEPDHITTKQSVPTPPPTPITSQPHLEGNAATASQLLDSRSQNENEKLKEEKEPISSSELSSIATAFARKIPNQQF
SPAEIQGYLLKRKSDPRRALREISAWVEDLVEQKKKGRSWKVETEEGDI
>RCO7_07931 | probable beta-D-glucoside glucohydrolase
MKLNHFSFLALALSVTAAPGDGDWAAAYAKAKVALAKLSTANKVSMVTGKGWQKGPCVGNVAAVAAIGFPELCLQDGPLGVRYAQQVTAFPAGITTG
STWDTGLFYAFGNALGAEAKALGIHVQLGPVAGPLGKIPTGGRGWEGFSVDQYLSGVAVANSINGMQAAGVQACAKHFLGNEQEHNRESASSNIDDR
TVHELYMWPFAEAVRANVSSIMCSYNKLDTVWACESKHLLTDLLKDELDFQGYVVSDWNAQHTTVGSALAGMDMSMPGDNFGDNKFLWGAALTSAIA
NNQVPLSRLDDMITRILASWYLVGQDTNYPSVTGWTSWNGGKGGPNVQGDHKTLARKIARDGIVLLKNVGNALPLKKPASLAVVGLDSIVNPRGANA
CVDRGCNEGTLAMGWGSGTADFPYLVSPLDAIKAQAAKDGTTVTSSPNDTPSSGASAASAAATALVFINSDAGEGYITVEGNAGDRINLDPWHGGNA
LVAAVAAVNKKTIVVIHSVGPLILESILASPNVVAVVWAGIPGQESGNALVDILYGVTSPSGKLPYTIASQASDYGTSVIGGSGDDNYPEGLYIDYR
RFDKMGITPRYPFGYGLSYTTFAYSSLSISSLATTPLTTTPAPGGPKGLYDILATVTTVITNNGTVAGAEVAQLYIGLPASAPASPLRQLRGFTKNF
LEVGGSVKVSFPLRRKDLSYWDSAAKKWVLPTGAFTVSVGASSRDLRLVGTLNGLTQRDCDGEVVGEE
>RCO7_07932 | uncharacterized protein
MTKSKSKRKQANTAEGPSKKLKTSTITPPPEKGLFEPKTIQSVGLTEDDLELAVDTLTTLAKNPSVIKSKACKDLRTAVYDFRNACTTGFNSAVDTN
LTARISGALADGGYREARIMLAEMRIRGQTPKLGALCRWVRDLDVVSGLAEQMAGEERAEKETELLVVLDAILRLTGPTDYSSDGNIGGGPIVPREA
WDLREGRERRQVYESVLDKSILNSLPANLKSQFRIIETIPGLQRKPANLHPAILHASQDNAILLSSNSPKSTHHKHPIVPNLHLLKDILSPSECEQI
IGAAELIGFTPDAPIRAEGEESSVLAHNFYWIVDNAFIDKLWARVLPFVPQNVGGKRVRGLNRRFRVYRYIPGAEYRAHIDGAWPPSGINPTTDAYI
YDSSPPEAKQSSLFTFLIYLSDEFEAGETSFFLPSAREGSMNAYPVKPIQGSIALFPHGETDGSLLHEGTGVQKGAKPSAKYVIRTDVLYDVDT
>RCO7_07933 | uncharacterized protein
MYTLPITEISGPLAARVGIRVTSDAEEVVFASSLYDTDMTTFYIQGFKTIEFSAQNLTSLQVIDIPKIRYLRLYGIERIGNGRQLESGGLVVRNNEI
RADKVSGLKCQNWHQRRHRCPLYSRSLPRDVSQPAASLVPVERTGDRMAGNLWSKEVSPMSAVSDAAPAQVHHDSCARSPAPPDYTP
>RCO7_07934 | related to PTR2 - Di- and tripeptide permease
MTGATDDLAVGQNHEPSITASPDFEKHEESTSADKIAHSLVVEGKATTSAHTTRFYDSDSGDDQQGEYPTEEELHTLRRVADRIPWRVYTLAFVELV
ERFSFYGSTVVFTNFVQQPLPKGSKTGAGLKDGQSGALGKGQQASTGIGTFNQFWVYLMPLFGAYVADKYLGRYKTICYALGIAIVGHIIMVISATP
SVIVHPSSSLGCFLIGIIIMGIGTGAFKPNISPLIVEQLDVTKLIVRETEGGERVIIDPTVTQSRVYHYFYLFINIGALVGQVGMVYAEKYVGFWLS
YLLPTILLCVCPIVVWYCRDKYVMAPPQGSVLGKSISLFLFANKGRWSINPVVTYKRLYDGTFWEDVKPSRIEPSRRPAWMTFDDQWVDEVARGFAA
CSVFCWVPLYWLTYNQLNNNLTSQAAVMKLNGLPNDVLSNLDPFALIILIPLCDLVFWPFLRKMNIRFTPIKKITMGFYTGAAAMVWAAVVQAYIYK
SSICGTGAAGLLPASLGGDGETMCPPVDINVWAQSGAYILIAISEILASITTLEYAFSKAPKNMRSLVMSFNLFMSAIAAAIGEGFVTLSADPLLVW
NYGTMAVLAAVGGTCFWFQYRELDREEDHLNMLPAGHLYREKDEEAVTEQPVAHEIKE
>RCO7_07935 | related to the component Tra1 of the SAGA complex
MATNTIDLVFQRLSDPSTDVKLKVEAACQLRDSLEHYISGNIYGPFLKKLVPIFITILKGPPVFISTSNEQKLRNCILEILHRLPTIPPEPFEPYAE
EVVDLLMTLIRVDNEENATLCVKTIMDIMRHQTKVLTEKVQPFLSLIQELFDQMESVVRDQLDNPSPNVPSTPGSSQTFQNSPRPGSPVASVSDLGA
DPQQQTRPLLKGMQSFKVLAECPIIVVSIFQAYRTTVAHNVKIFVPLIKSVLLLQAKPQEQAHADAAAKGTIFTGVKTMSFLAYLLRVYSQQLQDFL
PTLPNIVVRLLKDCPREKSGARKELLVAIRHIINFNFRKIFLTKIDELLDERTLIGDGLTVYENMRPLAYSMLADLIHHVRDALEPQQIRRTVEVYT
KNLQDSYPGTSFQTMSAKLLLNMAECIAKMPNKTDARHYLIMILNAIGDKFAAMNRQYPNAVKMSKLYAQQSLDASPDDYLADKDHPPDWDETDIFT
AMPIKTANPRDRGADPVADNKFLFKNLMNGLKNTFYQLKACNVGAPIDPANAPAHWQDVSYGFTAEEVRVVIKLFREGAYVFRYYEIEKPSTDAQYS
SPVEFMANHYMISSSKEEKDLLETFATVFHCIDPATFHEVFHEEIPKLYEMIFEHTALLHVPQFFLASEATSPSFAGMLLRFLMDRIDQVGTADVKK
SSILLRLFKLAFMAVTLFSNQNEQVLLPHVLDIVTKSIELSTTAEEPMNYFLLLRSLFRSIGGGKFEHLYKQILPLLEMLLEVLNNLLLAARKPADR
DLYVELCLTVPARLSNLLPHLSYLMRPLVVALRAGSDLVGQGLRTLELCVDNLTADYLDPIMAPVIDELMTALFDHLRPTPYSHFHAHTTMRILGKL
GGRNRKFMTGAPALTFMEFSDDRTSFDLKLIGSKKDRAFPAELGIDLAIGKLMEVAKGPAAKKTDAYYKKQALHLVKTQLKLRLGVDNLPEDFGRLV
RLQAQDLLARKCDADLSVFEASDKVRSVSKKEGQDLMLKKLIKATIFAVSLPEFAAEATSLLTNICKHLTILELGRSLAEMKQKTLPFDVKAGEGPL
CIDSRVLGDAIVECLSSDMTEVRDAAQIAIRQVFDTTATIFGSNNEIYRLSFFGYLSSLFCHNCYEEEWFSKAGGSLGIDFLITKINMGDVWIHDRQ
IEFVKALMYVIKDMPPDLPAKTRRGAQKTLELLLHRCSKNVSKDDLQLPAPAQSGQQVRPSKLYQLCAFLNVELCHMNRHVREATKQALEIISKAIG
AEVHELLEPTKDRCTQPIYAKPLRALPFGVQIGFIDAITYYLGLKTDFLVFDDHLNRLLMESLALADAPDESLAGKPAEHRTHESIINLRVACIKLL
TIAMGFDEFQKGPVNPTRTKIVSVFFKCLYSDSKQTIEAANDALKKVLIQTTKLPKDLLQNGLRPVLANLQDPRRLSTHGLDGLARLLQLLTTYFKV
EIGSRLLDHIKVLADPNILQRISFTLIEQNEQMRIIAAVFNIFHLLPPAAEQFKERLIETVLDLEEKLRRTRYSPFRTPLYKYLNRYPREVWMMLLG
KIEDQKYGRFLAQVLEHPESGPLREVVVGSVESLIKNCGDMGAENKETRYAAVINSISIMHSISNFEKDKTKEWMDKKENMAWFKMVGQNLELHLRT
NTLPPNLRLAAEQAGEQLMSILTKFLEYHPGDLDELFKLVDLVTGEKLRLSQTLIKYIYDRIINSESTDYWKTVVMRSLEVYAGKSASQKTKTFLLH
NLVNPILAMDVMRTGKQASPSKGTRLMDKAVIESIHTKIWKVSSGDSNDDLTQPGIDHTRMEVLQLTAMLVKYHHAILQDARKDIIKFGWTYIRLED
VINKHAAYVVIGYFIAHYETPAKIVQQVYFSLLKTNQNEGRALVTQALELIAPVLPKRCSPGPGDRNPVWAAAPRRILSEEGQNVQQMTSIFHFLVK
HADLFYDSRDKFVNLIVGSLRKIAQPPNPSNESKKLVLNLMTLIWQWEQKRVEGKGASPIRAFSESPNTKKRKLDLLNDTSMSSPTPAKPGSSGSGG
GIDYRIPAPVQQKMIKYLVEFIASLTERFPLPSAKSREPGSSHTPVQPTPSVEMCKKAISLLHGLLQPQYWGESLVDLFPNVTDIVLASEKTVVALA

SERSDKDKPEEKFITNMVNTLQILRIIVNIKSDAWILSNMTNLQRLLEKSLKSDNPELQDCLHAANERLDEGRILKPLMKRILDAVPDDVPMEDADA
EGEAEASTSEIITFLSAIATETLSNNNYISGINILWTLAQRKPSEMDQHVPQVMKALQSKLAREHVAHYNALLGQAGLVAPIRPGEAEQAGVMTSYD
LDIQTGLMLKAIDVISMRMDVLGDNRRPFLSVLATLVEKSLSNPLCLKILDMVETWVFKSEGSWPTLKEKTAVLHKMLTFENRTDQTLLMKFLELVI
RIYEDPKITRTELTVRMEHAFLIGTRAQDVDMRNRFMTIFDRSQSKTASARLAYVITAQNWDTLADSYWLAQASQLLLGAVDMNSSIHLHREDFRAM
PASTLFSTYSGDSRSPVLLTDAVYDNLLHSHKRFVAELGDVRVRDVIEPLTQLQHLDPNVAHEIWVALFPMYWAAMPKDERSDVERSMVALLTKDYH
SRQVDKRPNVIQSLLEGAARSWPDCKIPPHVLKFEARTYDAWYTVLVQLEKAAIKPESDSALVRESNLDALVELYAGLNEDDLFYGTWRRRCLYVET
NAALSYEQNGMWDKAQSNYETAQIKARTGALPFSQGEYMLWEDHWVLCATKLQQWEILSDFAKHENFQDLLLECAWKQIDMWGTQENRDSLDGLIKG
VMDAPTPRRTFFQAFMSLLKFHHKTETPADFSKVCDEAIQLSIRKWHQLPKRITNAHIPLLQNFQQLVELHDASVICSSLAQTNQGNLDVKSGELKL
LLGTWRDRLPNVWDDITAWQDLVTWRQHIFNLINTTYLALLPQQGQNANGASFAYRGYHETAWIINRFAHVARKHQLPEVCINQLSRIYTLPNIEIQ
EAFLKLREQAKCHYQNPNELSNGLDVINNTNLNYFGPGQKAEFYTLKGMFLEKLEQREEAAEAYGMALFFDIKLPKAWAEWGYYNDRLFKENPTNYT
YAKNALSCYLEAAGLFKNAKSRKLLTRILWLLSLDDNEGTLSAQFDDYKGETPVWYWITFIPQLLTGLGHKEAPKAHIILAKIAKAYPQALYFQLRT
SREDMVAIKKSQEIKEEKERRMKAARQTANGTPNATGSPSLQRQETPTGGRPDSAAGSRPATANTDVKKDTSEPSGGNPNNPVTNGVQVVQQQSAKK
PWEHTEEILAVLKTAFPLLALSMENMVDQIQKHFKCPPDEDAYRLITALLNDALSYVSRAPNSYAQDVKLPAATEANITRFAETILPAHIRTSFEAD
FVRTKPTMHEYIHKLRKWRNKFESKLDRRRAYAYLETYSPHLSEFRFSKFDEVEVPGQYLQHKDKNQDFIRIERFLPIVDLVRGIGVCHRRLKIRGH
DGSVHPFAIQHPAARHCRREERILQLFRHFNGSLSKRKESRRRNLNFHLPLMIPLAPHIRMVQDDPTYISLQGVFEDYCRKSGISKDDPTLFTMDKM
RALSSDTKQNPQKFAEKTLPARMEIFHAIQEKYVSHSLTLEYFTDVYPGYSEFWLFRRQFSYQFAALTFMTYILHMHNRYPNKFNIARNTGNIWGSE
LMSCMAQGKAFFHNPEPVPFRLTPNLQTLMGPLATEGIYSCAIMAIARCLTEPEYELEQQLSLFVRDEMIYWFQTQHRSGMMMGDGQLRETVQANSE
IIVNRTLSLAQSPGGNLPANQTVIDLIARAVNPVNLSQCDNLFMPYL

>RCO7_07936 | related to nicotianamine synthase

MAFIISNFLAACKFKPESEFKSQLVPASLPATTFMTTKRSPSDEEAEIMISRLLEIHGRLEAIGSDHLKPCDEVNLLFGGLVDLCIKTVTETVTNKV
LNDTRIVAILPSLHQLCAIAECHMESYWAKKVSNPTFSSDPSPPAHSSTMIAQANDRLSSFPYCQNYTDLTRMELSALSSLITPNSPPLQKFAFIGS
GPLPLTSLCIYQTAASFILPSQTHSFKLSGSKEETAPIEVLNIDINPKAIAESKRLCESLGPGADGMSFLCSPADSPSLDLSNFDVVYLAALVGSTQ
TDKEALLESVVGRMREGAFLVVRSAERLRRLLYPEFNPTTEKISSCLEICLAVHPYNNVVNSVIIGRVRGRTEK

>RCO7_07937 | related to spore coat protein SP96 precursor

MLSSITLAVFGLATLGNSHMIMSSPTPFGKSSLNNSPLDASGSDFPCKQRPGVYSAEGASNTWPLGSTQSLSFTGSATHGGGSCQVSISYDKAPTKD
STWKVIHSIEGGCPIKGVAGNNGDNANAVNPDTYSFKVPSNLPTGTAVMAWTWFNKIGNREMYMNCAPITLTGGSSKRSEEFEFEDRNATLLMERDE
SSFNALPNMFVANIPSASCLSVDSSDLAFPNPGDSLVQLGLSTAKPSPPTGPLCGATGSTPQPTDSTSGVTSTPKPTQKPTSKGAGIPGGVFATVPA
PEVSQATQAPVTSAAPVVSTAPVVVPSLAPVAPVASPVAVPDSPRLSPGIPIGSTSPDTAQVAGSACTTEGMFNCIGGKSFQQCGSGTWSVVQQLAA
GTTCAGGQSSAMAITAIGSKSKRAIRFSSAHVRRHLHKS

>RCO7_07938 | related to flavin-binding monooxygenase

MSDPNPSPTVDYGRNTNRSDVLIVGAGLSGMITAIDMIRQGNGRNFIIVEKGNQVGGTWNDQRYPGCCCDVWSHLYSLSFEPNPNWTREYPGQEEIL
EYLVDLAHKYKLYKHIRFNSAVEEARWDESSYTWKTKIARFGSKDSEFGQDYIITSDFFVSGVGQLNVPKYPDITGIDSFSGKLMHSARWDWDYDLR
DKKIGIIGNGATAAQIIPEIAKACKNLVVFQRTPNWVIPRDDKPITPMQQAIYKYVPFVRRRYRAGLMDFRESFFEVVFDTESPVHELMMNMSRDHK
EAQLPGEKNSKLRDQLQPHYAVGCKRVIISDDYFTTFAKPNVTLETTAIQEITPKGVTVEGGREHEFDLLVLATGFKTTQFMYPIKIYGSGGKSIED
LWKSGASAYLGITVPSLPNFGMLYGPNTNLGHNSIILMIEAQSLYINNMISKVKTARSRGEQLKMELQASVVEKYNSEIQSRLGDSAFADPNCNSWY
KNEAGLITNNWAEAVIPYQKITSSITWDDYEVSGSAASEVKAEGTTKWSRVVEETQVSDTALLAGLLTTAGAIVAGALCRKSVRSMLGN

>RCO7_07939 | related to YIH1 Piecemeal microautophagy of the nucleus (PMN)

MNEDLQDEVAAINSIYGDGSLVATSEYEVFVLQLPQHDTSLRLSFPPGYPAAPPAVLGVESSGGNTRRGDAAHIVDTFRDVLARLYQPGEVCLFDVV
EEVNNILPKSATLQNPEDEAQSRPLEAREHPSPPEGQNSPDEDAPWTTSEVVVEMKSVFVARCAPVSSPEQAKAYLQQLLDGDKKVRSATHNITAWR
IKGDQNVTYQDCDDDGETAAGGRVLHLMQLMDLWDVMVVVTRWYGGHQLGPKRFSIINAVARDAFVLADLVQEDTSANKKKGKR

>RCO7_07940 | uncharacterized protein

MSKPAGATADDSLLLQYPFDFLPFIPITAFRRRHWAVFLAGTTMILIFWVITPLQSAIFNTGTVTRLIASDMGTSAGLVPLASQTTLLNVNFLNTAY
GISWLQQQVPQFTTPNFAMFPFQPVVTSSSTPSDESWSTDADIYSTSLICTPAEVLIEPKGYKFSNGRGCSVSQVVLATTTFDTQYMVSYIGYHGNA
VLDWSLNNPNCSKEHSNNFLAVWASRDSLVQPGIYNNLTALFCQPSYLVENLYVKVNASNGMVATANSLLAKVSDRKVQDVFNTTNFEYLLGVGIQP
EQERGNFQDTAILEQFPQLQEYSLTWPVTNMVGFAIAQNTTSIAGLADPQELHAAFERAHRLLFAVAFNALTSARNSTNLNNIREGLRQDTVGAIII
VRTISVIVEIALGVIILLAISLWYYSNKRPCRLIRDPASIADVMSAVQHESILGLFRNDGTMTAPILSQELTSQMFSVDIVRVHGKLSVRLLAKSLA
NIQPPSRSSNSSTDVSSGNFKPVRPVELKYSVGSILALVLLSSMGGITFLYSWSRNRNGITLPSRNQVVLSILQNYFPTIFATLLEPVWVILNRILC
LLQPFDELRKGNATSAKTIQAKYTSLPPQLVVWRAIKSGHFLLAAVCIIAVSINILAVALSGLIIQGSAIETLPMKSSQQLSPKFSGLPIRNDTFNI
NYYSHFYTVMSNSSGGTPHPPWIDQDRYYLPFKIGAVPITTGAGNPLVLQDIQGVTTGFGAALKCFELSPAQAEDNSVSFMILTKVDTVDFSTSHLL
ENGTKIQCMGNQLHHGTNGTKVLIGEPPNGATAFEAFNPMIAVDDLEDDGFCKTLLVAGWVRLSADKSPQVPGVIRNNTNSDRNLTSIFIGCRPQLQ
VASFNVSVDTSGHILSARQISNFSSDMTEFFPASSNVTALLSEANNLLGAANSDGFSWHNDSFTSDWFNSLLGQTIHSDVLVDPQAPLPLVGNATTI
TGALYTQLFALLLGLNTAVFTKLEGAGITSLTLEVVVLEERLFISRVMFIMALILLGLQLIVAVLYYTHRPKRFLPRMPTSIASIIAFVAASRAVED
FDDNSRIDKSSGEQRYAYGRFIGTDGKTHVGIERHRLVVPLKSQNPAVKRKRWGLGKDKGESLTWI

>RCO7_07941 | related to acetoacetyl-CoA synthetase

MSSCVVPRKLWEHPNPRGTEMYRLMQEINQKHKLNLQTFWELYQFSINNRSKFWDQAFHFLDIIHDGSYKQVVDESARIDSIPVWFKGVNLNFAENL
LYARVLGAPSSQRGKIGKEDDKIAVTEIREGYTEVRDVTWGQLRKEVEVLADAMKAHGVVKGDRVVVVASNSVDTLKVFLAITTLGGLFSSSSTDMG
VQGVLQRALQVTPKYIFMDDFTIYNGKKVDLRDKMLHIVEGMKDITEFEGMVSIPRFSDPVDVSTIPKTESLAKYVSKATGKAPDFEPTAFHDPFFI
AYSSGTTGPPKCIVHSVGGCILSSAKEMKLHGEVTSNSVVLQYTTTGWIMYFSSIMNLLAGARVVLYDGSPFQPDLTTFVKMLGEQKVTMLGTSPRW
MHEMQKNKISPREVADLSALKLVTSTGMVLSDQLFEWFYNVGFPAQVQLGNISGGTDLAGCFGGENPLTPVYVGGTQGPSLGTPVSVYNSLIEGGKG
ISGEPVPHGTPGELVAPSAFPNMPVYLWNDPSGSRYFSAYFEKYDNVWTHGDFVMFHPITKNLLFLGRADGVLNPSGVRFGSAEIYSIIEEKFPMVA
DSVCVGQRRPQDSDESVMLFLMMKSGEKFTKRLVEDIKGAIRKGLSARHVPKYVFETPDIPTTVNLKKVELPVKQIVSGKIIKPSGTLLNPGSLEYY
YQFAKVEKLVDPKSRL

>RCO7_07942 | related to anaphase control protein cut9

MEKFLREWRQDALNKHQHDSAIFIGDKLLALTQSDKDAFWLAQVHFSTGNYTRAQSFLSKQDLITRSPSCRYLASHCFIKQSRFEEALNILGEKNPT

HLIISNSHSRRKIQHTNGHHRAGSKTSIRGERPDKNDEVTKEEAANIRFEAAMCFLRGLCYAKQNAFDRAKECYKDAVRIDVQCFEAFEQLMKNCLM
SPDEEWQFLNSLDFDAISIPHDPSSSQEAAEFTKMLYTTRLSKYKNPAAFSTATETLSTHYNLSNNPDLLLSKADLLFTQCKFKDALAITNSILEDD
KYNFSIYPLHLACLYELQLKNALFLISHDLADNHPEEPCTWLAVGVYYLATNKVAEARRYFSKASMMDPHFGPAWIGFAHTFAAEGEHDQAISAYST
AARLFMGTHLPQLFLGMQNHMLNNMTLADEFLKTAYGLCKTDPLLLNEMGVVFYHQERLPEAVQKFEEALKIADEIDSDPAAWISTRSNLGHAYRRL
REWDAAFVQFDEVLRLGGKDPAIFCAKGLVLMEMRRPEEAVGVFHEALGIAPQDAIATELLNKALDETAGNGTGELEGEFGMGDDEWDRDLALKQVG
AARLLARRRGGGGGNGRGNGKGKFRARYSSGMGMGGEGSLMDLSDDE

>RCO7_07943 | probable cell cycle control protein cwf16
MSERKVLTKYYPPDFDPSKITRSRAPKGAGPKVQTVRLMAPFPMKCIACGEYIYKGRKFNARKETTEEKYYSIPIYRFYIRCTRCSAEITFKTDPKN
MDYECERGAKRNTEPWRMNGMGTQESDEERLDRLEREEEEKNAMQELETKTLDAKREMAVADALDEIRTRNARNERMGKDGVEVTVTRETIDDERER
QDKEDEEAARQAFMRRHEAMEEVIDDEEWDVGVGMAPPITKEEALEMPPPSFKRVVKKKKDHSAALGIKKKPSLV

>RCO7_07944 | uncharacterized protein
MSVDAATIQQAYIGTAELLAMTTVTATVKHIVTALSVPNSSSDSPTTGTIVGAAVGGSAILVVGAVIIAALLLKRRREKQHPVFTGPISPLSSSSPG
MTTHAGGMGFHHPTGSCFAKTPEHFQTLAHSPGHSTLEQSYPQQVYQNYPPPPPQHSSGYGSGDAIYQAYRPPQSPGLNPISPTPREMDARSMRSAG
GISRKPVAGHGHETPPMPFVERMH

>RCO7_07945 | probable Probable alpha-glucuronidase A
MVRVLFTLIAFLSLGAAENGLDGWLRYAPLPDATNHLHAVPASIIALNSTKISPIYTAGVELQNGIKGILGKELNVSSTGSQAGSAIVVGTLDAYIK
AYGQPQGVPELEEDGFWLNARGNTVEILGQNERGALYGAFEYLSSIAQGKFEPVTYATAPNAPIRWVNQWDNLIQFGNMQSIEHGYGGPSIFFKDGA
VVQDTTRAAQYARLLASIRVNAVIVTNVNSDPRIFKPHYMEGLGRIADAFRPYGVQLGISVNFGAPKFYNITTSDPFDPTVISWWTNITNQMYERIP
DFAGYCVKASSEGQPGPLEYGRTLADGANLFAKALQPHGGVVLFRAFVYNQLNESNWKADRAKASVDHFKDLDGKFDENVVIQIKYGPIDFQVREPV
HPLFAHLKKTGTAIEYQVAQEYLGQQLHLVYLAPLWKTILDFDLRVDGQKSLVRDIISGKRFNRPLTGSAAVVNVGSNTTWVGSHLAMSNLYAYGRL
AWDPTLDAQAILEDWTRLTFGADPQVLSAITNMSMASWPAYENYTGNLGIQTLADITYTHYGPKPASLDNNGWGQWTRADRTSIGMDRTVSNGTGFS
GQYPPEVAAIYESLETTPDNFLLWAHHVKYDYRLRSGETVIQHFYNAHYNGAATAQTFVPLWESLKDKIDSERYEEVLFRLKYQAGHSLVWRDAINN
FYYNLSGIPDEAKRVGNHPYRIEAEDMTLTGYKIVAVNPFESASKSKAVVIAANTESSNTPGSNSVKYVPTSATATAIINFPSGVYDVAFNYFDLAT
GRAQYELYVGKTLVGKWIANNEDIFWHEPFERIDGHSATRKTFPGIRVQQGDELKVVGVSDRAEFAPFDYVSFLPQGVVD

>RCO7_07946 | related to permease of the major facilitator superfamily
MNIRMEDSVDSDEKREAKTVVAKAPASVSMSDCDDLAMLTLEKRVLRKTDMVVLPMMCCVFFFQYLDKQSLSYASVYGLIQDLELKGNQFAWTSSIF
YVGQLASEFPFIYLMSRFKLSKFVGITIVIWGAVCMCLAAPKTYHGFLAVRFFLGAAEGAVSPAFITITSIWYRKSEHALRVGCWITCNAIAQVVGS
LLMYGIGEHNTSSFASWRLMFLVCGIFTILCGVAFYFIMPDGPETAWFFSEEEKIAARHRLSEDHDGGDKTSFSMEQLKEAALDFKTYAAFSFGVLV
TAPAPVLTASTFSHVLGYTSGETLLHGCPSGAVQICAIWIGIIATFIWPQRRSLIIMCLVAIPLAGCIMLLVLPLKGWPIIIGAWLGSCISSIFSLT
MSLNASNIRGNTKRSVVNTAYFIGYCSGCIAFPQLWTTETAPRYTAGLVVSVVDWAILILLMGCYWLHGWSENKRRDQLESESTVALFEAGADSTDK
QDLTFRYSL

>RCO7_07947 | related to imidazolonepropionase and related amidohydrolases
MGSASCYRQYPLRPWRPPAQRIFVFTNVKLVDVEVGVVHEHATVILSCGRIENIKFQASTFGGIEPYSNSSEIVTKIDFRGKYLCPGLFDCHVHIIA
VPGEREWQETKNLNPTVSAYRHAYVCQQMLDRGFTSVRDCGGASLALKQSIEDGLIQGPRLFIAGSFLSQTGGHGDTRGPHDHTNIECCGGGSSNFP
SFICDGVPECLRAARENIRTGSDFLKIMGGGGVCSPTDRIDNVQFTSEEIKAITTVARNSQTYVTSHAYTPQSIRQAMENGVMGIEHGNMIDKETAE
LMVEKGAYLTPTLVTYTSMNDEAFAGYMPPEAMEKNAEVYEKGLEGLKIAYDAGVNMCYGSDLLGHLGVTQLDEFIIRSKVLPPLAILRSATVTPAK
MMGQDNFLGQIKQGFAADLLVLNTNPLDDITVLAQPEKHLLAVIKDGRVCMSRWKLLDQDVPKTRPCIE

>RCO7_07948 | uncharacterized protein
MTVATDSGQQQMLSVNASYPNREDIGTTTPQETAQVRVLSHYSNSNASPEGFNAVETVVQNESAESKLDPSENQSPVLSKESEEAILIVEDLGRTQY
TGLRSNSSFLLCVQDVLHTTSRKKDSGIADRYTSESVPSVQPPPARSEEAVEALKAFPPQEIAAFLVSTFFYHVEATFFYCDREWFYTTLNEVFAGD
VPGRAVDDAFICFSLLVFAFGSQFAHLRSRAKSQDSLPPDLDPGRRFYDCAQTLVPKIIATCTLKGIQVCLLAGLYNLPYNLPDTAYLYLGMAMRMS
IASGLHRKTLATTLDPRMLEVRNRLWWSVYSIDKRTSIALGRPSSIPEDAIDAPFPKYHASLDDLEYQSNVQHQVEYLKLTRIISQIVQNIPLESNP
SCVQDLSQELKQWRSQLFSNLHPNDLLPSERNFRTTVHLHIHYHWAWILIGRASLLQISRERIQALSNPAPPIANQPRTRTDLANLCVDAAKATIEL
ILVLKKHNLLCRFSFTDHHATTAALIILILHSILQHGDETSKIIEDGVDMLRYMGRGGCRGASSDLQTIEQLKKLASDLRHKIYQGESSASNGAGMQ
PTSINNSYEAWVTWMSEQEASNAHLSRVDSSSSQQSPQIINDDSRINLNETSLVTESGSNDNISNALDYRSLDQGNMGWNFDTFGGSIPQQDVLQGF
EWDDGRVDILDMTQLLGNFNGQTTYE

>RCO7_07949 | uncharacterized protein
MLTSTPIISLLTSSLLLSTAVFGSPTPNTSPSATSDAHPGRGLTARQQCQPAVPLRCDGSAITYRDGNIFIADCRWSNLRCVENGFSGLGAKCQNDS
TTDASGRMWLTANSLDQLDLFIGAAASIRIEYFDIELQIVAGVNSDESLTGLRRVMLCSSDCGVQWSLHYTSTEVGLSNDEVSQAESDLKWLHAQQS
KQKLQTVSQGIDTLATIFRLYGTLDTIDLDAYVVQDCHAKVSTVKAGNWRLVFIRALEIYKITTSAIAASGILLKTLFVFRDTLRCSVASFDITSCF
TELEAIPGFTSAFSSLEKFAISFSTRAKTRVSRSKRAQLEGGTAAITSSESDDEDSESEYDSEEDEVRLWPRLMQESGNSSKRQFPWHTSMLRQLPK
LDALDLHMFRTLSHSVKEHERIFEHVANDVKLPLLAQVSLRGVQSSHESLLKFLENHPLISYLSIEEMKLSVRSWEPVIKRICQLPGLKKLRLSNLF
DEQNLFNLLFEGDDWRAKYVSRETAFSSGRGKKVHTCTFGPVEIELILNGMVFEGALGGRDLGSPELMRWSQIHHLKYSL

>RCO7_07950 | uncharacterized protein
MKWISPKQELRLTSSGQPEMSEHETASGSWHDAPMRPQTLAHRNSSSALPNLIGATIQHEMIVEYLYQQQRSRCWISNLGSTEEGAFMRESWSSYVT
APVLLSDSILAQALVDLNAEIVITMKSKIVEAVFKLNRNVDRMSLRSGLQIQLLPSLRDVKLAQKHQCAAFIQEEAYLLVWDDNPTKLLQRAADLER
QLVDIAWFSATGSEEKTLFPQDLDTSLLLGIGVLEERRPTYINSVICGCTLTLSLLVVGLGMKVLAHESALDHTYSRLTAIMFTPIQFLLALFFMQV
VVVCVFQLIGPVGQVHTNSRYYSAKAPPRVKTLETLPHVTIQCPIFTESLETVVEPTILSLKAAISTYEMQGGSANIFVNDDGMLAGLSKSEINDRK
KFYKKNNIGWVARPAHNPVAMTGQPKFLRRGRFKKASNMNFALMLSIRLEEKLAEIVRSNTWSQQDEDKEYERCLAQVIYETGSKPKACGNIRVGDY
ILLVDSDTRIPEDCLLDAVNEMESSPEVGILQYTSGVLHVSKDFFESGISYFTDLIYTAIGYMVSNGDVGPFVGHNAILRWQSMQDVAYYDEDEVIK
FWSECSVSEDFDMSLRLQHENWTIRFATYTGEGFKEGVSLTIYDEITRWEKYAYGCSELVFHPLKTWPRKGPFTPVIRRFITSKTPIAAKISTIGYI
GSYYAIGSAWIFSLANYFLIGWAETMIDHCIREFQMGILIYHPIRRFISFRQPRLTMPSAFGRYLMVDDKKGGRELEFLSRSPKDS

>RCO7_07951 | related to gram-negative bacteria-binding protein 1 precursor
MAQRTAPASQVPIVNIEALDTIDDGTFRITDQLTNDTKASGSEARGRGPDSNEDQTRSSGSIISESCYSIRSTRSYIRPYYRSRRVAKSEIEKPWIG

ERQNGEFEMTTNDRENVFLDNGKLVIKPTLQDPTLINTDYALLNLTADGTCTSDMWYSCWAATNATNHTIINPIKSGRINTKSSASIRYGRVEVVAK
MPVGDWLWPAIWLLPVDNVYGPWPASGEIDMAESRGNNYTYKYGGNDEVSSSLHWGPTKSLDQTWRDTNTQKSMHSTYSAKFHTYGLEWSKKYLYTY
VDSRIRHVIYTKYTKHQWVRGQFPQLSEGKLITDPWDTNRFNTPFDTPFYLIVNLAVGGTNGYFSDPDSNKPWVNNAVNASAYFWAAKDSWYPTWVE
GKAQLEVESVKMWQECD

>RCO7_07952 | uncharacterized protein
MQLILTVILLQSLGVWAEFVKVYVRDVTYAATCTYYNTITVAGPNLLGTSLYTSTCTSPLVSGPYVTQACFTGVGPLGAVISSCSLPVTATACTPST
TTRVSTTAPVLNLLGITLFPGGTGTTTVTTSACSTAVFAPNPLQPAAGTVCYADSVGARSLSGPSTSSNTMTNAACRTFCTNLGYPYSGTEYSSECY
CGNALPTVTSSSCNMACSVAGSTEICGGSNALSVSTNSALATTNSAGSALLASWFSKGCYSDNYPSRILSSSTASSSALTLEACVTFCNNGGFSLAG
VEYGQECYCANALQSDGATYGVPVQSGCTYPCSGRSSQTCGGPNVLNLYSKTAATPPVAAGPAPVPSPSAGTYSYVACYADQNGGRTLAINKSPINS
VEACVTACSNSGYRYAGVEYRNECWCDNAIRTGTAQIAASNCLLPCAGSPSQTCGGSNAIQIYMGAATGGPIVPPTSAGYNYVDSYIDSSSARVLPF
QQTLSNYTVGNCVRACSNLGYAFAGLEFGQQCFCGTTRLNNPPGGQTPNIPCTGNAAQFCGGSSILQVYTGTPSPQPLTSSFGNGQCVADNTNNVRT
LSVSMGTSSTMTPAACRSLCVGYTYFGVEYGSECWCDNTFATGSVMSTVCTMTCSGDNMQLCGGSYALNMYRS

>RCO7_07953 | uncharacterized protein
MKDCLSKDCAIAEASNAQLLLEQICRLIKGITTPPVLSPSTPIIATPSTLAASPTSNIEPSPRQTGNYTARNSQTTKVPLTTLIATPSEKTKKIDNS
RITQSTPVPAFTLRHTESTIISDRASSTSVSVILSSAPMTALQTSHISPLLSSSVSPTPTTLTFGTSSAQADLSTSTPQNSGTSGNAIDGTFSAVPT
ATSAMISYQAEADQSQSNASPMSEVATSHDWPLVVVVVITISVLVLVALFTFNFTLIRRRKLLLEMKHATSPVGAMTEMSGQDITLFLAPPEQETNE
HMQKNEGLSNKKIEAVRGKRVWKGPKSTISVGEKEHELKFSFDFRSGLNMHPPKL

>RCO7_07954 | related to endoglucanase I precursor
MQLITSLLAFAAVLGLSSAQQKNKDPCALYDYYSGSGYEFLNNLWGKDAGNGSQCTYVDSDSPSGVSWHSTWTWKNGPNNVKSYPYSGLLLPKKPLL
SQVKSMKSSASWSYNTSDIRANVAYDLFTSTDSNHTNSFGDYELMIWLGKYGDISPIGSSVGIVKVDGQDWDLWRGFNGAMKVFSFVAVKPPMTKFS
GDLKAFFDYMATKGFEASSQYLITYQIGSEAFTGGPATFTFHNWSAGLELKSKRRR

>RCO7_07955 | uncharacterized protein
MFIQACVSFLPFLAGMAAAVPMVQERDGCEVYVGGGGSGGSGPTRTIINKIITTEIVYFPIVINTFINQNTILNFIGGVTINININNAPTQIMTIATGS
STATNTAVTTVLPGNINIFQTVNIINFPVVISTFVQQNTIIQATGGINIVINNAPTFVLTTATATSTVTSTVTSTVTTSATSAPTSFLLAPAAAANP
GRRLRRQAAQQFVGPNGGLVYQCSDAVVYTIDNGQLTSNGQFVSTNTGTTSELFLTSLAIGDISTTFSISDRLAWSNPAFEGGAARFCSTSLSTFAL
FTANATVDGCVPQSLNVVPASSCNNGVISSSSSTSSTQSSTSAPVSFRGLLLGKY

>RCO7_07956 | uncharacterized protein
MVSLSPFATRLGTLCGPIGLALLTTGWILAGFFPPFSPSATPEEVAAHYHKYESGIKACVPLWLAFGVLNIIFRATVSVSLSKIENCSKFLVRAQLA
GSIYTGILSILAAMFFATAVLRPSRSPELIQLLNDAGQYTAVLDAQSMVIQDLAAACVILQDSSPSPIFPRWAGYALLSSVIALIPSYFARVELEGA
YAWSGIIGFYVPSMIFGNDLCLLAWYVWKDAGNQGRAAHARQE

>RCO7_07957 | related to CTA1 - catalase A, peroxisomal
MANVHPLQAIQSAIGSAGGDPRPIQRASLFNNANDGPAKIIAKVSGVQSGGNREDDGPYFTNNEGIPFPDPAHSKTVGGLPLVSDTFLLQKQQHFNR
SKNLERMVHPCGSGAFGYFETTADVSDLTKANFLNGKGVKTPVFMRFSTVTLGREFPDLARNPRGFAVKFYTGEGNYDIVGLNFPVFFCRDPIQGPD
VIRSQSRNPKNFLLDYNALFDLLALTPEANHAGMMFFSDHGTPDGWKHNHGYGCHTFKWVNKDGKFVYIKYHFLAKHGQKQFTADEATRISGVDPDY
SKRELWDTMERGEEVEWTAFVQIMQPQEADANLLGFDPFDVTKVWPRKQFPMHEFGRLVLNKNPENFHRDVEQAAFSPGSMVPGIEDSPDPLLQFRM
FFYRDAQYHRIGVNLHQVPVNCPFMAGSFSSLNFDGTQRNDANHAGNPQYAPNSFKHKFRPDTAETPYAVSDNIVSRKSHYHHEGKLSDYDQARELY
KRVMTDSQRHNLHTNTAELLRRVDAKVIKVGYLAQLWNIDPDYARAIYDLLPEGAKSGAEGFQFVEVQNKAKGAELAGKEEKFRPSMSQERLVGSAP
EMNVYNF

>RCO7_07958 | uncharacterized protein
MLVIAGPFSQIIIAFAKFIHDDESLRRGLEIAIADSWKFKFAYDKLHARNFQHFLQLMNEVLRQPPVWTSSQDGNVGCPLSSLFQPIMNTTAGWAVF
SRTDFNKHLRFILQSWAYYLQTVDSRWCLGGGNGWCDAQNLKFLEDEAQPDGGGKGFVEIFLCPDPSDKSTLGFRSWDDFFTRQFAPGIRPRAGGMA
VDLHQAVLHPCEASTYRLTSGVRLSDEFWLKGQPYSIVDMLDQHWSSSLFRNGTVYQAYLSALSYHRWHAPVSGTVVSVKHIPGSYFAQVPAYTRPG
IPGESSQHLLPVDDTPPNQSQAYLASVATRLLILFAADCHEIGMVAFLAIGMVEVSSCQSLVTEGQHVVAGDEIGMFHYGGSSYCLLFQPSFDAGHL
KFGKTGGNNPVRSLLALPNHKG

>RCO7_07959 | uncharacterized protein
MLGGVTTDNWRKVVEQYGSCKLAKSSDRLVAIAGLAKDLHAKTKDQYVVDMWRSSLVYDLLWKVFKPKGRVIKPSTGPSWSWASLDTYATVLSCNSY
DAEEEAQRSTEEVKLIEVDGISMQLTTDDPFGSVLSATLRLRCQRFSMALLLANDFTLSTQGMLISEMWTVMETDFDTQGTYDSSPEVVYVVFILDL
SHTVGGLLLLPVDDHVGQ

>RCO7_07960 | related to UTP13 - U3 snoRNP protein
MANKAPHQTTFEPEHTIQPIYTGGSVALDRDGRILATTLGEDALLTDLKTGRQLAKIEGDGEVISTLTLTPSASHLVICSRSLSMRIYSLTPSDDGT
IQYEVLRTLKPHTTPVVVLAVDQSGLYLATGAADGVVKVWDILGGYVTHTFRGPNVLISALHFFQLVANKQEEETGISGRNRKRKKSEEPEIDAAKG
YRLASGSQDGKIRIWDLYTRTTSSVLDSHVSDVTSLDYSPEQNALLSASRDKTIMWWDAKTWKVRKVVPVLEEVEAAGFLEAGKMAYTGGVNGNIRV
WESSTGREVTAAQSPQGEADAIVAATIFKDRIVSVQTDHTLILHSTTSLQEAAHTIPPLERVKRISGTHDEIIDLGYLLPDRSLLALATNSEEIRIV
SLGTGADADYFGADVAQLHGHEDIIICLDIDWSGHWIATGAKDNTARLWRIDPETSSFTCHTTFTGHAESLGAIALPKHAPSSSSPALTSPLDHPPP
FLLTGSQDRTIKRWDIQPATRKGPRAAYTRLAHDKDINALDINHNSQLFASASQDKNVKIWSVEEGEVQGILRGHKRGVWSVKFAPKDTPSIIGESG
PAAGKGLILTGSGDKTIKIWSLADYSCVRTFEGHTNSVLKVAWLNLPNSEDRGRKHIQIVSAGGDGLVMVWDASTGETSATLDNHEDRVWALTVHPK
TNMIVSGSGDSTVTFWKDTTHSTQLATNAAATQFVEQEQELQNYTNAKEYRKAITLALALNHPARLLSLFTAVVTGVHEEGSLTGVKGVDEVLSTLS
DEQIYTLLLRIRDWNTNARTVAVAQRLLFTLVRSYPVSRLANLKVKGSKGQSSLKEVFNAVSVYTIKSRKRSEDMWNEAYLMEYTQREMDGMMAQLG
IEGSNINGNGLGGGESDQDMIMV

>RCO7_07961 | uncharacterized protein
MGRQGYLTAMALGRGHFEDDMIETLAEGQRNGCTQQYNDRGHPSNPETRRREREHVRAANEVMQVTGVVEDSLAARVKLSRDLQEKHQELLVGLRLM
EVGRGVLVGGIWGVMGLRRRILLYKPYVAMRLADILRQERTAFGVPHMLLSGVPTVVAYHISDWVAFFVETMIEGYFDDDHQPVTDREDQVRNALHT
LRDASFCYLTLHLRLFAILQQLNLIPASPWLPSLKYIVPFSSSSPLAMPALPSLTKSSILSFTSAIAATLAPMLVILAHGKIKSTIARVLYSQVYRS
LPRPSGESIFSGLAIPAPTMEYDSPDLTQSTRTQSQNEGQNPNSNTDQPTRRALEGLTPTPGPEGDRQTQVRDEESDEDEIAHATLISFDVEATEPV

ESGTGTATNTWSAELRSANEPKPSSSTPLYRVTGLTMLPTFMAAEGLREIAAAIFVMPLEAAMVQVIGRTWRVNKGLDVGDMYPIGPAIHGWGNLVS
VTIMQVLATGVAWGVFTVASQLWVKRKRAMMAETVYVVGDISDD
>RCO7_07962 | uncharacterized protein
MSNTLPLLGRRITLEQAQNADDNILHQLEYPRQRQDFFDHLSTHKAEIETIVCYHLGVKECRVRDAQTWLSGSFNVCIPVSIDPPSKVRSIFVRIPL
PYKVGEENSPENVDEKLRCEVASYLWMQENCPDVTIPDLFGFGFPDGLNFTTPEQASFLLRSMWSIKRTLLSWFGYPIPSRYIKRRRQDTLRTGYLI
IARVTKGRMLSDTFEEFRHDQTRRTNLFHSLSRISLSLNKTPLPSIGSLTFKNQGIITLTNRPLTLQLQSMENEGIPTMISRSATYSAVEPYFLDLL
SCHDNRITFQPNAIHDADDGQQQLAALTMMHAVMHHFCPCDSRHGPFVFTLTDLHQSNIFVDDNWNITSLIDLEWACSLPLQFQCPPYWLSGRGIDQ
IEPGSDSFEEFQQLVGEFIDVFEREERALLGAGQKLQQAPMMRRCWESGAFWYFQALNSPKGLLSVFTEHIQRRFCPPHCEMAIFDQVVSPYWRVGA
VDVIERKIEEESRYKERIKEYFESVAVLSEA
>RCO7_07963 | uncharacterized protein
MHIDDNEFQFILIYKYFRHDLLALIEEHPDFPAAGIKKILDSVAKAINEFRDKDWIHIDIKPNNIFVDWTRDNQGIQTVQDVALGDFDIAFKSENRL
ALRTRIAIGDMFWRSPEGQTATGVTKASDIFSFGLVCLSALGASELPPPKNIQPFLTKNPKPEPEVLCRHFIYFDPLSKGLLQQFDDNWRDALRNIA
AEAESIGVTEPEMRFQSWRETTYFSSEAKSMIPGMINLDPGARPTIDEVLRHQWWISNETQTERTG
>RCO7_07964 | related to GEL1 protein
MKITAVVASLVAVVCATPQVEIAPRQASGSLPVVSVKGNAFFAGDKRFYVRGVAYQPGGAADAADPLVNIPNLKRDVANFKKLGINTIRVYTVDNSV
NHDEGMKMLADAGIYLALDANTPAFSLNRQSNQTLFQSYNENYLQSLFATIDSFAKYSNLLLIINGNEVINERNNTIAAPYIKALQRDMKAYISARK
YRNIPIGYAAADVAENVDHQLKYFDCGPDGVRGDFFALNDYSWCDPNTFIGAGWDKKVERYKGYGVPLFMAEHGCNTNRRDWNEVASLYSTNMTSVY
SGGLAYEYTTEANGYGLVSTTNGNVAPNADFTRLEAAYKKTPNPPGDGGYSATTTASQCPPASADWEVKNDLIPAMPALAKKFMTDGAGKGPGLGDN
VTPSQYGGKSYSAGLVEMDGSAASPSKQGGGTGTSSGATKSSSAGSARNVVIAPFMAVFTIPVFITVGGVLAGMGLIM
>RCO7_07965 | related to SAD1 - SnRNP assembly defective
MAKRQAAEAFEDTAGTDSPSFKRSRVENFHDLHNGSELPLQQRMEQHSLAEAQTSKIEDDADEEDEDRSRAPLRQDAPLEGFDDLYLDTIKRGVLDF
DFEKLCSVSLSNINVYACLVCGKYYQGRGPKSHAYFHALEESHHVYINMQTQKVYVLPEGYEVKNKSLDDIKFVSDPRYTKEEVMALDWEAKTAWAL
GGKEYTPGFVGMNNIKENDYFNVVVQALSHVPPLRNYFMMEDFSSSPELVKRLSILVRKIWNPRAFKSHVSPHELLQEISLKSSKRFNLTTQSDPVD
FLSWILNNLHLALGGSKTKPGSSMIQRVFQGKLKCESQAITAKADAGDRLRFEEAASVQTDVNRFMFLTLDLPTAPLFQDELERNIIPQIPLTNILS
KYDGLNAQEHLNQRKRYRLLHPLPPFLLFHIKRFSKNKFVEERNPTIVTFDARNLDMSPYVEPNPSLHPPGEPIWYDLVANIVHEAVRGRDDAVAGE
QEKRAWKCQIRDRGREEWVVVQDLFVEKTQKELLYLGESYLQVWERRREGVGKGKGKVGGKRR
>RCO7_07966 | uncharacterized protein
MSANEKDGDYDDDLSGLEVSQARGFKNLTLVWESMQVRAGILRFMASYAEIIPRLASRDEASEERNTEMITLLVESICEEFMFQKQDMEFFRGKTWS
AWFFEYE
>RCO7_07967 | uncharacterized protein
MAEIAGKYDEPHRQKYLDAAKTFRLPYLDYFRPRDGKVEFPGLKPNASRTTFPYNFRLPDILNEEKIALRLPPNNELVYDIDNPLYTYKFSEANGQF
SKSDQDYVAQTGYSTSQTVRHPANIHSTTHGFSELSDVLNSGREGRNSFALALIYSQPYGQFQTVASDSLAEGDITAFSSPTAGSGSLEGSIHGNYH
VLIGGQTGHMGVPTLAAFDPVFWFHHCQVDRLWAFWQAFHPDEWFPKPQGDQLAEEQKDLLPFYKSRSGPGNGIFYNSDDSRETEPFGYIYDDFVGV
SKGDTTILRKRIDDKYIWASRTPSHPKITDPPSTMIPLKVRATQFFSKETNGSANVSGRAADQIDSSTTDGNAIADQKTGESAGFAGAFISNAQSIM
QSVPMKLQSVLTATAPNPPKIDSKFDREWYVDSVVNRAAANGPFTIFFFLSLSEELTTDPQNYGQSPYLAGINHIFAAPREVCSNCGDLEAAGQLAT
DTSPITPLLLDYLDVPNNGLESMRPEHVKPFLVKHLRWRVVYRGTDQQDPRDVPDLKVSVSAKIYHQDETKTFEVYPDVVAEILRNASPTADA
>RCO7_07968 | probable ATP-dependent RNA helicase ded1
MADQLNMNGLNMGGPGEPRSYIPPHMRGKMGGPAPQGPPNGGPPPMNGGMNESAWAGPNPHRGFQGEAPRPGGNWASAPNFTPGAGGPGGPPPGGRG
AGGWDSYPEPKQFNRNAYGNPGTGGGGGGGGSVNSARGGGDGQWKDGKHIAGPANQRMERELFGVPDDPSKQQTGINFEKYDDIPVEASGTNVPEPV
LRFTNPPLDDHLIRNIELAHYKVPTPVQKYSIPIVMGGRDLMACAQTGSGKTGGFLFPILSQAFINGPSAAPGGGGANFGRQRKAYPTSLILAPTRE
LVSQIYEESRKFAYRSWVRPCVVYGGADIGSQLRQIERGCDLLVATPGRLVDLIERGRISLCNIKYLVLDEADRMLDMGFEPQIRRIVEGEDMPGVQ
DRQTLMFSATFPRDIQMLARDFLKDYVFLSVGRVGSTSENITQKVEYVEDMDKRSVLLDILHTHGAGLTLIFVETKRMADSLSDFLINQNFPATSIH
GDRTQRERERALEMFRNGRCPILVATAVAARGLDIPNVTHVVNYDLPTDIDDYVHRIGRTGRAGNTGISTAFFNRGNRGVVRDLIELLKEANQEVPA
FLENIAREGSFGGGGGRGGGRSGGGRGRGGGANRDFRKFGGGGGGPSYGGGFAGGAPSYGGGAGGGFGGGPPPAAAYGGGAPAYGGGPPAGGYGGGS
YGNPSGGGGGQSWW
>RCO7_07969 | probable multicatalytic endopeptidase complex chain PRE1
MTCPATSLPLYLRLQLNNHNNAIKMEVLLGITGKDFTLIACSKAAMRGATVLKASDDKTRPLNKHTLMAFSGEAGDTIQFAEYIQANAQLYSMRNGI
DLSPSAVANFVRGELASSLRSRKPYNVNLLLGGVDPITSRPSLYWLDYLASLAPLPYAAHGYAQYYCSSILDKHHHPDIEYEAGLKLLRLCTDELKR
RLPIDFKGMMVKVITKDGIKEVDYDDSARINCP
>RCO7_07970 | related to a component of the yeast U3 snoRNP Rrp9p
MSSFFTLPSAKKRKRTDGSEPNPKKRIASTAPTSKSKPPRKPQRDESISGSDNESDGGNPRDSPMDFDPENASSSEDEGAGGSDEEETAAERRLRLA
ERYLSNIRSEVETSGSNLDPSFFDAEEIDRDLIAERLIEDVAESKGRMYRDKLSSELDFAGGRSSWFRWNSESVTSVATCAPWAYTVDRGVGLCKWR
VQDLPEDQWLPKKDSKGKKKRKSKSKKETPPPKRKPEQVAFVRGDRRESKNNGYQGHVATILTVAASQDGKFVVTGGKDRRIVVWDAATLKCLRVFS
QHRDSVCGLAFRRGTNQLYSASKDRTIKIWSLDELAYVETLFGHQDEVIDVSALAQERCVSVGARDRTARLWKVVEETQLVFRGGGAEKKSRKSSSI
DKSRPSVQEGSIDRVAMIDEDMFITGSDNGSLSLWEVHKKKPIFVLPLCHGVDPVMKKEDVSAEKNPQEEVVPMATPRWITALATIPYSDVILSGSW
DGEVRAWKVSEDKKKIERVGTLGSSGVIPHTTPSLSTGTSKVNGDELANVEDVSSDLVTNNGTDLPPTTGPIRGVINDISLFERGDRGKDGVCVVVA
VGKEHRMGRWIKVPGGKNGGVVFEIPRVPAKSNGDIAQEESVDA
>RCO7_07971 | uncharacterized protein
MGLARSVEQIVMLPKPHSYISSSTFCRHFFSQGVTISWQHSVAFQQRKLIKLIKAINGFIYNSLVFSSLSGNEYYYSVVTEDFLTGAPFNLTGDWQP
RFMQDPKTGMIPKISKTQGPPNGAHVDPFDVAIAVERLQTMVELYSNMKNEVSTWERLENK
>RCO7_07972 | uncharacterized protein
MEFTPLHQPTTSRPLADSTLGWMHPWHPLMGTQGRVRIRAHFTISDWLLMGGLLQSIIILLLPVRPLYSLLPTFGLAIYKVTRLFMKLGGVIENPLM
DGVKIGRSSAVFPPSLVGEKGMIRPVGESVGGDGMCILLLSNRCNHPLGLFYSKFREMGQYAREMYAELEKNPLESGFLGYSDYSSNNTNTQPYAMS
IMYFKSIEHVHNWAHNSPAHRAAWEWWDVEQKAGRVDHLTIAHEIYGVEKGKWENIYLNAKPYDFASTSHAIEDAGGKKLWICPAMDASKSLRTSGQ

RLGDVRGYLKNDCLGNAWETNIEAAS
>RCO7_07973 | probable NAD-dependent aldehyde dehydrogenases
MAPSRDTPAATDGSQIDFTTFSNIINGKPSTSSTTTHSINPATKEPNWEVPLSTFQDVDKAVAAARRAFKPWSKTAVAERKAALEGWSAEIAKHTAE
FANLLVIEQGKPHQWATAEAGYASKAVSMTASLELPEEVVDSGEGRQTVTRYTPLGVAVGIVAWNYPLYMAVGKIAPAVLTGNTIILKPSPFTPYTA
IKVVEIAQKFFPPGVIQVLTGDESLGPMLTIHPGVDNISFTGSSATGKKVMESASKTLKRVTLELGGNDPAIVCKSVDIATVAPTVATMAFMNSGQT
CLLIKRIYIHSSIYEAFRNAMVAYTKTMKVGEGFEEGVFLGPVQNKMQYDKVQGLFDDVEKNGMNIAIGGKTPDSKGYFINPTIIDNPDESSRIVVE
EPFGPILPIMSWTEEDGVIDRANNTKMGLGASVWSSDLEEASRIAKQLEAGSVWVNEHMALGPTNAFSGHKHSGIGAEGGVEGLKGFCNIQVLYLKK
>RCO7_07974 | probable Extracellular metalloproteinase MEP
MRFLSRAGAVALLASNVLGHPASQHSQSSTRGLLPRTIDLSRFRITTESTYSNATATAESDISSLTKRVDYVDTASAVVSKIAPGAEFRVVSDHYVS
ENGIAHVYFKQTAHGLDIDNADFNVNVAADGSIFSFGNSFFTGAIPAKSPLVKRDTINPVAALTSVTSTLSLPIEADAAVAVPEEATEHYVIQGSTG
TLSEPKAKLIYFQNEDSTLTLAWRVETDIKENWLLSYVDAVSGNNVLGVVDYVSDASYTVYPWQTIDPSKGTRAVETNPQDAVASEFGFQNVGTTAY
TTTRGNNAIAQANYEGDTAYLNDYRPDAGTGANFNYDYSLTATDPKIYSNASVTQLFYTANMYHDLLYVLGFNERAGNFEANNNGQGGLGNDAVILN
AQDLSRTDNANFGTPPDGQPGRMAMYMFTSSTPKRDCSFDAGVVIHEYTHGLSNRLTGGPANSACLSTTEAGGMGEGWSDFMAVAIHIKSTDTRTRN
FPMGDWVSNRPNGIRNYLYSTSLTTNPYTYKSVNGMTVVHTIGTVWATMLYEVFWNLVEKYGITTARKPTFSGLVPTDGRFLAMKLVLDGMKLQPCS
PTFLTARNAIIDADLALTKGANKCLLWKGFAKRGLGSGATQSGSTRTESYTLPSGC
>RCO7_07975 | uncharacterized protein
MEAILSALRGSNTTNPSNLNKVKDNVSALGDLEKSNDPPTHGERQSVYSEIERLGFAANFRLRILPSIKPKDPAGLKLRVDATTDKKTAPNDPTVLM
TKVDTTVNKQITPKDFCIPLCRVTKADFLVIRPHGEFTVNLFLNMKAEDTLVVYLTEKEAKHGQFMYGTEYKRVQAATAESNQAIENNMEKFRKAVR
RTIRRGLWTARAEDPDWDDATSEDEELAGVPASYDSTDDEGDENEWVMVDGVLKHSEDL
>RCO7_07976 | uncharacterized protein
MSFKPTPESATTSVATASQLLDLVAQEGYNLCIKHFKEAEEKIVIEVDDSSEKKDTEDEGSDDESSLEVSPYW
>RCO7_07978 | related to dihydroorotase
MSSPLAKFDGLELPPAADFHVHLRDGPMMETVVPLIRAGGVNTVYVMPNLIPPLTSASDAIAYKNRIQQLEPDINIILTLYLHESITPAIVCGAKAQ
GIIGIKSNGAMRHGSQPTRRVPIRPREEHHYPERGVQVLGNLGGSPLYVPKLKIILEHCITKDAIEAVNRCGPNVIGTITAHHLYLIIDDWADDAFN
YCKSVAKCPTDREALIKAAVGGTGKFFLGSDSAPHDISAKKSGSGKIAAGVFTQPYLLPLIIDAFELAILQGIITTEEVTVDILKGFIGGHGRKFYS
ISDLSNEVVILSKGTETIQQSFKGQGVEVVPFRRGQSTWSIRWK
>RCO7_07979 | uncharacterized protein
MSWTPREFPVLWCCPVTLTHREAIRFSNSSPKFNFIKVQGDTPAQNDTINKNLLTFEKVARRKIRLALIARDERHAKGDVKVDYSSGSDNDEEYGLN
ADVLDDGGMIVGDDHEEDQEEGRRRKRKMCP
>RCO7_11706 | uncharacterized protein
MRGVEEEGLEEKKATKEEKATKKEKSTKKEEEEEKAPKELEEERESTIIQYRRRRRSHIERRSLASPIYFHKK
>RCO7_01613 | probable sepB protein
MATTTQVRMRGRPAHTRGPTYLSYTPDGTKLITVGSNNTTRVYKTGFDGEPTNIDDCPEQNTGVASTNEFFVLGSEDGNISKFSLETMAFEKYLTRC
SLPIRDVTLSPDGQWCAVSSDELVVKVIKITETGSVMALREQPKPIKHLSFDPSGKYIALSCTDGIVYVYSLIDDTPDLVRKIDGLIRLAETEDEVC
TKVVWHPDGRAFATPTATRDIQVMSRGDWENQRSFANGHIGDITALAWSPNGAMLVSAGKDRKIVLWETKTQKILTTYDYSNVMDIAWHPTKNLLSF
TNTDGEVYIYNDFVPEEYANLVRLPLQPAPFIHDPLSEISANARRPVANGLKEIPDRGVRRGTPDSLDDILGSDIMGDEDDFVVDDDGAGYALGLNG
NGKRPNGVEASGPISKRRTQNWEPRYHESFQPGSTPWRGNRKYLCLNLIGFVWTVDQDTHHTVTVEFYDHEFHRDYHFTDTFLYDKACLNESGTLFS
CPAQDDTPATIFYRPHEAWTSRADWRTPLPKGEEVMAISLSDSFVTVTTTANYIRIYTLFGVPYRVFRQKSSPAVTCASWRDYVLTLGNGPVGADGN
ATLLYTIQNIKRDETCQCEDVVALPDRATLKSVFFSDNGDPCIYDSTGTLLTLLHWREPSQAVWVPLLDTKLLSRLASGRKTETYFPVAVADNKFHC
IILKGGDQYPYFPRPLLSEFDFEIPLSSKSKPDNDENEMDDLNEADELQKLEGDFVLKSLLTAQHKDLVDNTKSTHSQRSTLSRMELEIDKTLLKMM
AVECREGEERGMRALEMVSLLKDRTGRMIEAAGKVAERYERHVLGEKIREVGEARLLGDMEED
>RCO7_01614 | related to TRANSCRIPTIONAL REPRESSOR RCO-1
MSVSDDPGHFFQTDASESIRARRAAKSGNKYGDPIVLQSKILSCVPDPFSSTSIYIAESAGCVRKINLETRKTAIAYKGPKSPVTSVAIGGKGGAIL
FGGCWDKDIWSWDRESGTPARRFKGHSDFVKAIICVRLGGKDILISGGADKKIFVWDTATGERLHTLRDKSDTMMALQDLAIDPEESTESEIVLVSS
SSDPHIRRWRISLASAEQILDSAPETEALKNPAKSTILEHETSVYRVRFFGDDEDSDLWTASADGTAKCLSRAKNWTTEETYEHGDYIRDVVVTGDW
VVTTGRDEDVKVWDRATGKLCHIYDGHYQEVTGLLLLGEKKVASVSIDGTIRTWGLSKPDLEKAKIEVEARQKVVVEEKAQPKNGLLTAEEEAELAE
LMDFDDE
>RCO7_01615 | uncharacterized protein
MSARGIDIVSENLSGKIIALEGDTHIISTQLRLLPPSQKILILPNVEEKYTPEHKNDAFNARVFIRDLQTAVTQRTETARSFLQLSTPTQPRLVFTV
HGNVSARTTCITKISQNLTSGNVEEAESIFNNLVKNGIAGLSEPEEERTRDGGQTEIQDYAGDCKENEEAVDISEEPRDIVESQDRDTVVSDQGVTT
LTQPPSRDTYLTYHTTSVAQDVNQSMKVRGLHKPVPASQFGPPASQPGDQITTTVLTVPNRKSRISEKRAELSSKDAEHLDRRIGGLLHQAENETDI
DDDFYEPKTTSSSNYSVVSAPQTPSGFSYGEACLVDMQSSSPTNSLRKAKSFDKLQLSDFQSQDLLLSAHQLKRTKSHSHLKDSPTNTVGRGEQNTS
RFLTHPRTTFMKGLETTIKKSPATSTRSSRPSDSSIEPVGVTDHATYVERGTDVHDLSSEKMKELPFVPVFKLVEDLVIHFTGSQPNEIFESVVRSY
KSGNYPAMNLPPTTPTSSVMPSFSTSPSDQNGDETLFSPRSISDMQLEVDPDARPSSNLTSKTEDFRYHRRSFDPYSDESYSPDINRQWPPRGRSKI
AKSSGSNSGLPTPPVDTESSLLDETKGTPLEDRFVDFSPINVEDQIGVQNSFRELLSILFPLSENYRQYLYPIDAEVDRLWKPVFKNGEIGPAGIEN
MNVDQIIAFGCEDGVKKDYFHKISGQIENMGIKKDGLSRSGKLDVRYLISNVTQSYTTSSITPGAQSPISDPHVLAALLVPQIEAYLASNFSTRLLI
LHFSSANLPTILALQNLLGKNLFRIAGILDTLASDPPPIIRPGTALLFPSRPSTSMSSRSRLTSSTSQTRKSKSSFAKADYLLPSTATDAEISTFLS
GMWKILMEKSPFYTPEPEPKPIVMEMPIPPTPSSAIPRDCDSGRSLTPRVPRVSFLAGENSTLASGSARRASYASSVTSLLNKSPGTGSGAGAGPSN
TLTRSGSTSTPPRQKYPESVTSTKTSASDRERKKGDKEWENFYIEDDDSDDDAYDKMILGRGMQKITPEVKKPGQKANTKKALKWLGLA
>RCO7_01616 | uncharacterized protein
MSTPRYLLRSASSTARKHSPLTRSCRSLRSGYPVIATSRCLATVEQGHKVLPDVWFTGLIPFQTPNRDGHFEPRKPDERTLKLGKTLRILQERLPTL
LQSPLPQEILSPQITLHLFPSTHPHLPTVSGRVAYAAALWTSPIAWGRVPLVGDVRLTILSERMIKSSSNSLSPSLRRQEQLIVRWRTVGKTKGKGT
GAFYKGIGARESVDKITEWLGGGKGEDDSKEFTGLFIFEFDEQGRIASHTIEHVQEGGNWERGVGARVVGLTDWLLGGMKKGRGDEGAPCPACFVDD
GKNEERR

>RCO7_01617 | probable GTP-binding protein ypt1
MAFDIGNKSAGAFMFLLKNYGLIAYELCRYDYLFKLLLIGDSGVGKSCLLLRFADDTYTESYISTIGVDFKIRTIELDGKTVKLQIWDTAGQERFRT
ITSSYYRGAHGICVVYDVTDMDSFNNVKQWLQEIDRYATEGVNKLLVGNKSDMSDKKVVEYTVAKEFADSLGIPFLETSAKNASNVEQAFLTMARQI
KERMGTTTANNKPTVQVGAGQGVQSGSAGGCC
>RCO7_01618 | probable DNA-directed RNA polymerase III second-largest chain
MPPKKTKAAAGPVVATAAKPGPSKKTDADAPPPSGESATAPVKRKRAPKAKVEEEPRIEGPDDGFAAMLEPFYANKKMTDPINTAKDKWNLLPAFLK
VKGLVKQHIDSFNFFIENEIKDIVKANKRITSDVDQHFWLEYTDVYIGQPDRMEFDDRQASSDITPNECRLRDLTYAAPIRVNVKYVRGKQVITRSD
IAIGRLPIMLRSSKCRLSGKNDGEMARMNECALDPGGYFIVNGTEKVILVQEQLSKNRVIVETDLKKNIVSASVTSSTHERKSKSYVLLKKERIYLQ
HNILTEAIPIVIALKALGIQSDHEMLLLVAGTDSIYQDDFSVNFEDCSKLGVFSQHQALEWIGGRVKMGARGKTAGAPQRRNPVGDALEALANIIIT
HVPVHALDFRPKALYICFMVRRVLMAMHDPKLVDDRDYVGNKRLELAGQLLSLLFEDLFKKFNSDLKMNIDKVLKKPNRTMQFDAFNYLQSHGNSIT
QGMNRAISTGNWSVKRFKMERAGVTHVLSRLSYISALGMMTRISSQFEKTRKVSGPRALQPSQFGMLCPSDTPEGEACGLVKNLALMTHITTNDLEE
PVKKLVFVLGTEDIVSMSGKDIYDVGAYVVFVNGTPIALTKQPKAFLNSFRKFRRTGRVSAFVSIYINHHTNAVHIATDEGRICRPLIIVEKQKSKV
TRRSLEALRSGKMDFDDFLYRGLIEYVDVNEENDSEIALYEKEINETTTHLEIEPFTILGAVAGLIPYPHHNQSPRNTYQCAMGKQAIGAIAYNQFS
RIDTLLYLMVYPQQPMVKTRTIELIHYDKLPAGQNATVAVMSYSGYDIEDALVLNKSSCDRGFGRCQVFRKNMVQLKKYPNRSADRLGDPQRDEKDP
TKLIAKHRILGTDGIGSVGEKVVSGEIFINKETPLNTMSTGIGSDYGTNDYKPAPSTYRAYDYAYIDKVMLSQNDRDDMVVKVQTRQTRRPELGDKF
SSRHGQKGVVGIIVNQEDMPFADSGVTPDIIMNPHGFPSRMTVGKMLELLSGKAGVLNGTLEYGTAFGGSNVDDMGAILIKNGFSYSGKDFVTSGIT
GESLPAYIFFGPIYYQKLKHMVQDKMHSRSRGPRAILTRQPTEGRSRDGGLRLGEMERDCLIAYGASQLLLERLMLSSDAHEVDICETCGLMGYQGW
CQTCHSTRGVTKMTMPYAAKLLVQEMLSMNVLVRLKLDDEFPHGK
>RCO7_01619 | uncharacterized protein
MAYSNSTSDRMDELRYRNQQTTRNDSSLLGLVSPPRNSNGNGNGNSNGNRLPQPLSQDGRGGLMRRFTTDSGRVPTIASITTQRGAQDSQDYGPSTY
HKVQLLEKKKLEYERLREQKRRFEAEMQLLDLQQRREEQELAQMQEDLGRGNNVNGGRQSEPTTPPEYREHNSGFPTVFSRPNRYSTSSLQSPPGIY
NRPGRSGSQLTSPQAGIMQQSSYMMEDKLPSKSVPGSRRNSDEDEKEEAVRQDPTSHRSTNVMAELRQAVEETFNDLLAFFHLEQFASDRVVQLFNI
VVPSYC
>RCO7_01620 | related to Drosophila pumilio protein and Mpt5p protein
MPVTKSRNGMHEMLALDQTNTARFLFGEDESAPPADVNQYLDMNGPGDKFPMLVRRDEYPGTFSASSAALDLALSQSPGPDSNGWGAISRHRPSQSQ
QSLLSNSSQGQGLSQANGPTSTTNGPDSPLSARPSYRHSLDLKSYYDATVQESTQVSSPPKQQATPPKLQSSYSANDVPTMRSTTNGVSSANTTPNS
HAQQHLHNHNASLGRIPPNAMNNRLSREMTASESTTLREAQNGGYHTISSALHASAPPFGPSLSQAAAQQPLQPAMTSPGPQQAYPVGGYYQNYGMQ
QMMMGMQNMSVAQQPLYSANNPYAPPQYVPPQMYPQAAPRDSQARVIQQRRQNDGEAMNRFANMSLEQLGGEIYALCKDQHGCRYLQKKLEDRNPEQ
VHMIWLETNQHVVELMTDPFGNYLCQKLLEYCNDEERTVLIHNSARDLARIALNQHGTRALQKMIEFISTQEQTQIIIEALRYRVVELIQDLNGNHV
IQKCLNKLSSADAQFIFDAVGTHCVDVGTHRHGCCVLQRCIDHASGDQKAWLIRQISDNAYVLVQDPFGNYVVQYILDLNETLFTEPLVAMFAGRVP
QLSKQKFSSNVIEKCLRCAQEESKDNLIQEMLQPTELDRLLRDSFANYVIQTALDYANPPMKARLIEAIRPYLPAIRTTPYGRRIQAKIQGNEGRSG
PSSGQATPVETEPVHTPLRHQRATSNVSATSYVSPNGGYSNGYVPAAIAANGVGSSRPAPLPGSSFPSSEQLVSGQAQQQPFPYSYGRGAGQSGNGG
NWL
>RCO7_01621 | related to TAD3 Subunit of tRNA-specific adenosine-34 deaminase
MEVGIETEMHILGEGGHDCDSKSCESAGVHIPVPEDVPVPRNGGRFVPLKTTLETRAVEKIGKVYVTGVPAKLASAVLTLVRKLVPDDGGVDFQHLR
RFAKLKDLPPHISSLLSSSPTTTELFLIAGPVSVIPLTDLLPPLASILGDVSVVEVDVPLLAPTSQDQATAWTGKYWPTVYKKSNPFGPHPSIVERA
EEEMRGEVVEWMEVAERVASEAEKGRGGERVGVVVVERREGRGSVVAVAGDGRWSGWERGCGGGGNVVAHAVMRVIGMVAGGLKAREETSLDPSKQN
HADLEASTKISEAESERNALNSIFTDTPSSLLETQHYDPSGNQNGYLCHDLEIYCTHEPCVMCSMAIVHSRFGRVVFKRRMNETGGLCADGELGHGL
WWRKELNWTMLGWQWAGDDCEQEKWNLHA
>RCO7_01622 | uncharacterized protein
MLSTEPLIYAELLPNIRQLSVLVALDAPCGPGTKAELSADGQRFILQHEGDITTLNLPGQAVSNFPLQKPVLGDKELSWRIPVAGQANKDSIENAQS
NEAPWSAKELSEDAEFACRDCGTIIVEKETIKEWRDLPSENWAEMMEFWHCHKPDLPPEEASGSSRRAGHVHPEEIAASKGYGATSKFTARTGIGFI
DLTTFLLYSTDCANLKISETTVNHQSLASCASCHHDIGHHDHDSRGIRIYKWSLALISSQPRSIKFPSLASILSSKCLEILNANCVSRLIFEPEIFS
SGQQSSASHSTSATWPCSTTSTVCSLTVSELSRQQPKMLSKMLSVESSRLLLWFLSPALIYSTSICPSTESGKFITTLPKLAMKVFWKVISADEAKT
LLDGETAEGLMLPGDIVAAIGRNLAESALCLPPSARKFNKEWDVALMNRYQPSR
>RCO7_01623 | uncharacterized protein
MSSPMIAWVPVLNRLTKYFTTSNYAAQSIDLPSVEINDVETAPEKRPRTLKHLLRANHVNHSILYHDLQYHNHMAHLLGSAYLFGADAVQMNKIYDE
ESKELEEWKDSPAEVTDKDWREFLGDKRYQRAFVDFFEDELALKHDYDWKEVANEYLYSGKEPLINGLISGLGHPLIHLGYAYELSSKELGSEALAM
AASSYNYLHKYLDNPSYTQPSTYSTTSPLEILHKIAADTRFDGLFSEPGAGNMDILFKDHEVLILEHWNAWKIVDPNKQFEDSQEAAMALLVKTVKP
ATHAYDFFMVHILTTSHAVRILLPLIPKKFHISLVRQWWLLAIAVYVAQLRPKIDEDLEVKPAKGWKYVEEMAISGPYCTEAHYVKALRAMRAAAFT
WGDVHERYLTAAVHFADDFKGWTF
>RCO7_01624 | related to cell cycle checkpoint protein RAD17
MAPPTKRRKRNVLPSSSEEDDDDEPVTKVKAKAPLSNLISSSPPSSTERQPSTSSKSPAKTGTGPKKMQPRAKTVNHSPNAAPIHLPDKVRRAKVGT
KSASSSPEKSKRKGKSEDKVKSGDIYSFFTKQAQRQQAERGSGSTAKPKLTVSSKSSKIEDEDLISDDDVFESKAPTSSVVGTAARKRSRTMGLPNG
DGDLSSASQKFIVPKAPPEIKHENDMRPWAERFAPTNLDELAVHKKKVSDVRGWLEDVMCGHLRQRLLILKGAAGTAKTTTLQLLAKAMDCDVLEWR
NPVGSVASSDGFLSMSAQFEEFMGRGGKFGQLDIFSTEGKLDSKAYTQTLDCRKNLILIEEFPNTFTRSSTVLQSFRSTVISYLASNTPPLSMNNPR
SSREPITPVVMIISETLLTTTSASADSFTAHRLLGPEILRHPGVAVIEFNAIAPTFLAKALELVVQKESRKSGRRKTPGPQVLKTLGEIGDIRSAIG
SLEFLCLRGDVDGDWGAKIAFGKAKKASKDTALTKMEKESLELVTRREASLGIFHAVGKVVYNRRDETVPEFPADEDTEKLPSFMSNQSRPHRSQIK
VDELIDETGTDTQTFVAALHENYLLSCNAPPTSFEFSTLDHVSGCIDCLSDSDLLCSSWDGSFNASGFGGGYGGKGTGGDIMRQDEISFQIAVRGII
FSLPFPVKRTAPPAGGLRSGKGGDAFKMFYPTSLKLWRMKEEVESTIDLWVSKLMKGEDHQLSAVTAGAAAFARPKAGTVESWKSPGLQANHSGKAS
SKDAEIAPLLSTGTSARKEMLLDRLPYMVTIARAKKSASSTFAIREMEKVTTFHGIGGPTDDVPDEADEAVTVGEEWATDKPGESKSPRTKALVIRG
RDSSNRLSLQQELNLVLSDDDIEDD
>RCO7_01625 | uncharacterized protein
MFFKAFEVTMLASMAYASVLPRAASSPQAVDVILEIAPTSNTCSGSPVPAECATNVQASPFLIAAMSKYQIYVQSEIAALLSVIAYETADFKYNTNR

FPAPGRPGQGTRNMQMANYNLLYAQSIPELATKLSAITTSSSVVGLSDEKLNAIRALVLPDEYSWASGAWFLTTQCKNVRTALQTGSQAGFEAYMVC
LGVTATEDRLAYWKRATAAFS
>RCO7_01626 | uncharacterized protein
MSSHMVVDPTFEWTIPEGGLLDPFEHNSMKPSPGLDPEDYPAGSIPVFSGRGTEWVDQLLGDRCFSTMVEGLQRPVVTRNLGAPSKPADILPSYRIA
ESSVRGFLFTVNRETPLFEEDVIALDLNIHKSGSHELKAGYIAAINIMMYTISSGIVLSYLTVCYRAFQRFRCFPIRYTVDVDTESYLANALALLPR
LIVEDPSTLNISAVLCIVSASIPDFSRGLTGSMKVLYFVFSNHKTGANILGIAIQMMVTAGYNTQEKEPSARKLFQKRLFWNACMMSSDISIYLGKA
PAILDPIVAGFPERFPTDSNTDVRFQDGSTLNVIYERFELSRIQGKVWLMLYSPNALELPHQQIYENVAELDHELEVWKSRVPDYHGDDLYDGNQGR
LIYLTFIHLRYHQLVIYIHSVLFTRASDQDPQVRKLKASPSVARILAPNLAWCCDILCIHVLQNKNTSGAHEDIARLERVAKIFEKFARESNSKFQS
QVTNMLYFIAAYGVRVSNTVLEQPVDAVYVHSLTTFPSDTFHQNNIEPMSLEVMAQTENYPAQLGVPLAQLGVPLASKPHDGLPLRNVSSVGTNLED
GGRKIFFHSHTIE
>RCO7_01627 | uncharacterized protein
MGNTTSIPKHLQRSEKTNSLIVTFKDYTHDAQDDGKITREVGALQMAISEHVRDYYHDRPIQHPPEDIANCAIGCINEFGFGDPQVILTEGEHHEVR
PSYMVLTHALEEEIAFMQWRAVTAHLCPKIQKGPGGSQVTRIDRLAKTIDETTVNFYDSAKDSIERLQSLRNIVEKAAIVGEMIFASSSRWNKEGSR
PEQQAFDKNGKNVVIVLFPALVQMGTKDLLDKMDRGEFDVVIMMGQR
>RCO7_01628 | uncharacterized protein
MSSSKPTIVIVPGAWQLASGWSEFAILLRNARYGVEVVSYPSVGGTVSPLPGLADDVAATQEILRKVLGKGKEVILLCHSYGGVVGSCAVEGYSSVE
RKREGRRGGVSLLVYMSAFMIPRGRSLLDMLNGEPLPWMNVQGEKTVAVESMMKDVIYNDMSDEQAAKHKAHTSYSSTSVFASTSTFEPWSNGIDCA
YIFCTEDNALILPIQQAMVQQLGPEPVTWSLKSGHCPFQSVPDQLLEVMKKAADRVENA
>RCO7_01629 | uncharacterized protein
MSSPGAPVPHQRHPSSTPFLSQPSKLELRSSSSSPSRYSTSPNSRPDLKFSTIELKRDRQTRTRYGNRWFPSLRPRYNPDGKKVRQGSSYPYPSGGN
RLAFVRRDEDDEDMDGDKEVSMSVFGDWKEDGRMDRAIHEWRRANLLTQTETRNGDKKDEPQGNEIKTEAELGTLEGTGMTGMVSRRNNIDFDFDFI
MADRQEHLDHRNPNKKLQRFLPQHYQNSSFEKPFDGKGFDDHYCEIMYIRPIFLTGSYGSMDLRAFHSQIHSSPDCNAVPDEPGALMPNNEDHSLVG
PTYRGIRANDFNASLKPRVKMIYACWRDIWSSGLAIPLVDRILSVVWGRYSS
>RCO7_01630 | related to heat shock transcription factor HSF21
MASIYERAQRSPLMNDSDPGQKISRTVPILRTPTLLTSAPSPAVSMDVTPNSSVMMAPPARTSPDDMETNGLHDHIMNDQPHTGSLAGGPNAASAAA
AGAAGAQQPKIIQTAFIHKLYNMLEDQSIQHLISWSNSAESFVMSPSNDFSKVLSQYFKHTNISSFVRQLNMYGFHKVSDVFHTGSPDSPLWEFKHG
LREIKRRASRHALVHRDSYPIPKAQISQPPTPAEPMHPMDSSDRLTSLEHAMYEMNGRLQRSEDNLHFMHARNQVVMEALSRALQINHDMSRAILYI
SPNQESPLHRDVANMQGEIQRQIELVRSLDEPPEPPFSGSRPYFSTLSLDNPPVSPRQLPQDDSRRAPVMSNVPPRQNNFYRPPVPSHLSITPRRYG
SIGANTSQSSPSSLRSQVPPPPPPPHPLATVETSPPSNLARRHTSADIRNVQGWQANPSPFASGQSSAHWPSSPKRGPTQISEEQHIRDSFSSYSLT
TASSQGRTEGSRPATPPFSNGVAASDHLNSWSWGNPRDKGPTSLFSNNSGPSTRRGSMAHILNPAETAEQEEEHEEEMREEDRKRKRLQ
>RCO7_01631 | uncharacterized protein
MASDGFDSQILADDLASLSHRPWANIPGQNNPMAFFDKRKLALGALLSEMTESEITDFRLRLNALPRPNFMMKLPFDLHCKLLELLNLEESMNLRLV
CPAWSAMFSRGEFCQKIVHRHLRGNYECYTQGQGAESMGSWLQVVMRCRLQRMRGQFESTSSYGYTRGVTESFSHAPQYCNGKIAYMASKTVLRVRD
LRNFDSPENLVQLPQRQLFGNLWLLSDEFIVVISTSESIIYARSCGGSGPYFIGEPQIRKLESAVLKLSVRGKRVGLVLSNGEIRIWKIGSAQNSVE
LVIQPPFEPKLSNRRDIVLIFHPVKQDTFYICTETIIPGEKPKSCVRIYEFEGLSVKSRYTAYLNSNRWSMNPTPTIVALHDDVIGITNLTGFRKHL
RTRDDKTFDNQRSQEGFYELDTIDVFDVRDQLRKDTDTERSFLEFDMHTKLFSCHNYHQPVIIDSLEDTTNGKTLIWRNQTLIPDVFSEPSTGSKTH
KPPFPQMNKSQCFDASSESMRLIAVNHAPRRVDDKIYWHYKVMGSNVAAPQPPTDIERKLLVAFYWLGDANMDLFQQHSEIGTLLGDDDFVVMFLQS
QFVVWCFDPSVHLGRR
>RCO7_01632 | related to D-ribulokinase
MAQMPFRQNFRKPSRQASMDPHNDLHPHIDHYIGIDVGTGSARACIIDASGDIKALATENIGLWQPETGYYEQSTTDIWRCICTCVQRALSQHNIDP
TTIRGIGFDATCSLAVFAHDTDEPMPVTGPNFANDGNDRNVILWLDHRPVEEAAKINATGHNLLRYVGGKMSIEMEIPKVLWLKNHMPPEMFDRCKF
YDLADALTHLATGNEIRSFCSTVCKQGYVPVGVDGSVKGWQEDFYETIGLGDLAKDNFKRMGGVDGVNGKYMSAGELVGVLSEKAGHELGLPAGIAV
GSGVIDAYAGWVGTVGAKVNLGADHLDTDVPKNDISQAFSRLAAVAGTSTCHLAMSKDPVFVEGVWGPYRDVLLPNFWMAEGGQSATGELLRHVLET
HPAYNETMSMAESFNTSIYDYLNNHLEEMQEKISAPSVSYLGRHFFFYGDLWGNRSPIADPNMTGSVIGLTNDRSMDGLAIHYYATMEFIAMQTRQI
VETMNESGHTLTSIFMSGSQCQNKILMELMATTCSMPVLIPRYVHAAVVHGAAMLGAKAASADKEGNTEALWSIMDRMSKPGKVVKPGKNANEKKLL
DAKYKVFLEQCKTQQDYRKTVDEAVEGWTA
>RCO7_01633 | 26S protease regulatory subunit 8
MALDNYFHNKIEGMKLEIIQGQAVLRRLEAQRNDYNSRVRLLREELGLLQQPGSYVGEVVKVMGTKKVLVKVHPEGKYVVDISDSVDITKLTVGKRV
TLLSDSYKLEKMLPSSVDPLVSLMMVEKVPDSTYDMIGGLDQQIKEIKEVIELGLKHPELFESLGIAQPKGVLLYGPPGTGKTLLARAVAHHTDCKF
IRVSGSELVQKYIGEGSRMVRELFVMAREHAPSIIFMDEIDSIGSSRVEGSSGGDSEVQRTMLELLNQLDGFEPTKNIKVIMATNRLDILDPALLRP
GRIDRKIEFPPPTVEARADILRIHSRSMNLTRGINLTKIAEKMNGCSGAELKGVCTEAGMFALRERRVHVTQEDFDLATAKVLNKHDDTTTSLSKLW
K
>RCO7_01634 | probable calcium permease
MSGRDNNNNTPGALREIQDPFDVSAPTSPTEIRHPLARVQSISNQRSGGNDGLSESFQSTDTVRRRPEPQSYGSILQPATSHTSGYRASESSQTSDR
PQPLSTESSRTLPPMRSPMLGPERGRGGQRPKKPGMPRRASSNVQAPHRGQEFSVDDDVTEIQGDLATSRQSTTGFGSIRHQPSTIRRRTNVQPTLQ
RVDSSRGGEEEAEAEADAEAASAEGDALPENNASESAGEGTIRDVEDVTPDEEEDEDDDLSDAESFTLKDRQEAINETHPFGIRIWKPALYKKNRSV
QKTAEGDIHSSPGGRVSNWLLFFNILWTVWFGWWLALIAFLGAVVCFIFGAAPSAVEYGRVLWGLSGYLFYPFGKFVRLEQDEAYAEEDEGEGRSIT
EYEQWQSGDIEDGRLFFGPQGSRSIVGRSRRSIDSLASENDSLLGRSRRRSARDSSERPLKRRLFGRGEWNIGRVIYFLFFYGLITPTLFLVSGMCW
FLVFWIPMGKVTMLLFYHLRRHPLALSFQADSDYSRGAIANSSILLCTYRAVGIKYWKYTVDGTNIFLINLMGVVLFVIFDYWVLVETLHWEHLTIT
GPPFLFTAALFSIIPLAYFIGQAVASISAQSSMGLGAAINAFFSTLVEVFLYCVALKQGKGQLVEGSIIGSIFAGILFLPGLSMCFGAIKRKTQRFN
AKSAGVTSTMLLFAVIAAFGPTLFYQIYGTHELNCLSCVDSSDRKSPSRDCRRCYFSQVPALDDRFYLEAVRPYCWFAAMLLFLSYIIGLWFTLRTH
AAVIWNNEVDEKKIIEVQNMGGQQQPLSVTPHGRLQRHGTTQNSSGEAHIADIRDSQLYKRILGQSLKQVGLGPREESRKNSGNESTMASGANGSLT
PHIPPPKSSGAETSRSEVHIPGFTEAQNTNLVREVAEMAATAATIAAKNASKAPRRTSTLANMPTTASMNKASGLRAGAVHATEQPIPVLNVELVQE
GGGHDAPNWSRTKSSIILCGATVLYALIAEILVNTVDVVLTNVAIDEKFLGITLFALVPNTTEFLNAISFAMNGNIALSMEIGSAYALQVCLLQIPA

LVLFSAVNAKTLIGPEHTFSLIFPQWDMVTVILCVFLLSYMYGEGKSNYFKGSILLLSYLVVIVGFYFSGMTDLEAMGASRFDIMEAGGSFKTIGRG
GAGNAFQQ
>RCO7_01635 | related to armadillo repeat protein
MARQPWVAQIQNARTPPEQITTLRALKNEIVGNPLRKELAITQSVIEPVVRLAFNKSGSKQDGKAYDCSFASRPLFEEEEVRLQGLQVLASVALGGP
PFLTTLQAASSLPAILSNLCPSSNPSQLVLTSLRALSNLADSAALTSKTHPLSTIAIAESLFTRQNLSSLCQILSQTSISSSVQTQITLSACLIAQT
CREERHQVALANSGVLDALATKLAAFVVADGLVLPGAEIQIQKDGLQDFFPEAAPDNAKLSVILEAIAAIIADSKCRASQLLLSPSILAVFPMSLST
ECPGSQNARAAWNAFNQAGLSVRQSQLNAIDYLLPSVPLRQLKTPGAQSSAFPPLGTSNSNPNLARSGRSGPKHNVSTSNWTDSQKCEDLQDSSAPD
IEDAESPLIAYLLLLLKLRNGMERLTAASVLTVLYRAGLTNKTRETALGLLLVPLLVSMLGDDIPLLTSDDSLQEQESMARYQTVKERAPLILAMLI
TDSEFLQKAAFDGGVVSKLSKMLKLSYDPAPKPFGSGPWSPHGDENGGSAEGPQLGENGQSPALSHKIKVREGVLKALAALLPFKDEYRKAAVEQGI
MPYIVSSMIENPRKPSVKSKKKSDKSPDGSSDEESKGEYGTNPVEVLIAACGAVRALSRSVSILRTTLIDNGVADPVFQLLQHPDVEVQIAATAAIC
NLVTDVSPMREPISEAGAIKVLCGHARSMNAKLRLNAVWSLKHLVHGAGNNMKRLCLEEMGPGWLVQLICDDTEDEALFNAQARFDKDNIRNAEMNE
DVIMDQFEEQVDAAFSRINSRPSSRSKSIQQAEARLAALRDAETNPARRARKDDIAVQEQGLDFIRNLIGGAGTGGVADTTEMIDFLFNALGQDRVF
EILTSKLKPKMINPYYNRGLPKNERKILPPQAEIIIAVGYILVHMAASVPRHRQLVISQTELLKLLVPQFNHANVEVRLVLCWLVINLTWMEDTSDG
QACAQRANELKKLGFLSKIDMLEQHDPELNVRERAKSATWQIRQAF
>RCO7_01636 | related to negative regulatory factor PREG
MLKSLPKHRASPVTSPIFHYAPNSQSIPSSPLSRRNSDTRQKGSVPYRTPPQRAQVQYADAATQWSPIMNTKAAPPVEPTASLKNEKTAEESNVPVS
AIAPSLPPSPHKPALQPESPGLKRRQSQRTVSSIPSSTTQTIRTKRPKADLEPKVLPTEYEFCAVEDMVILIADMVQELVETNDRLPLRSGVLTRFH
SRTPPGISVLDYLQRLAKHATLTPPLLLSMVYYIDRLCLLYPAFTITTLTVHRFLITAATVAAKGLSDSFWNNSTYARVGGIKIAELGLLELDFLYR
VDWKIVPNPEALVDYYNGLVERSDRYVLESDSSSIDEDGDDEDDSNDLNGSGSENKVETSPHSTTDTKWKAWMYDVSTNKDGDRTDAGHKDRDQESK
S
>RCO7_01637 | uncharacterized protein
MRLPSVLLALCASVLAIETDLTDSTTVYIQPITSKSAPLALASINFNPSTLSSKILSYEAPFFDSDENSSRLLRVGIFDPTTSTWKSSTSVTSVETF
AKGYAPTIVLNLDAQGGVVGVSCKSSAIDAGQTRDFGPKVMVRRMSEGAKPVFGKAVVLNPEGKVEEPPMEKTLLQKYWWVLAGGVVIMLTTGGGE
>RCO7_01638 | uncharacterized protein
MADQSESANTGIADKGKGKGVAEPQQDSTMDVEDSSSDEEVEVEDDIAEDQEDEEIDRGNILPSGRRTRGVQIDYAKAAEQMKAAGEMEEDSEDDGD
FEEPVQDSDSEMKDK
>RCO7_01639 | related to ER-Golgi SNARE complex subunit BET1 protein
MASSRFGPSSLHQRDPRSALFEGYHPGGAGAGAGGGANARSNGNGSVSPNRYAGGGYGYSGGGGGGGAGVDAQAYRPATPNKRGQYSDAVLNELESQ
NDGQVEGILGKVRQLKDMTMAIGDEIRESSALAEKMNDSFDGTRLRLKGTMNRMLVMAERTGVGWKVWLLFFAAVGFLFFWVWI
>RCO7_01640 | uncharacterized protein
MFSLPSLAPQDSYSLWYTSSTTPTPSTSSLQTSQSAPHDHTTTHQPSRRHLPAHRTPLSRLRHDEEYMERRKLNIQNYGSGWIKPPGIQKSLHQQRE
ERREMEEHQEALRREQLAQELAEAEAADGIDEMLQGEGTEGEMEEVRNLDDDVPDADADATRLLDSDSEGSEEGDENDVEEVPRNVLASRLPDDMYR
EALIRGDEARQSGFRDEDSGDDEDEEGEDLLQEEDLIHEHVQEEQHDLDMNMDGDLDDEIPEASADGYEHTDTEEELTSSEEESADEGHLPQRAAAS
SMVRSDGTQNSMDLSLSNLMSGSSQVGSSPRRSSRFLRGTGRSS
>RCO7_01641 | probable glutamate synthase (NADPH)
MARADDFNDRQIQIDAENEPYHQYQYETEDNGSWAGALPVKQGLYDPGLEKDACGVGFACHIKGKPSHKIVSDARNLLCNMTHRGAVGSDARDGDGA
GVMTSIPHKFFIKNFERETDIKLPPLGQYAVGNLFFKPDEETLHESKRQLEEISESLGLRVLGWREPPKDSTLLGPAAASREPIILQPFVVLASAYG
YGNSPETTDPDHFDEKYFERQLYVLRKRATHTIGLHNWFYMCSLSNKNIVYKGQLAPVQVYQYFYDLVNADYEAHFALVHSRFSTNTFPSWDRAQPL
RWAAHNGEINTLRGNKNWMRAREGVMQSDIFGDELESLYPIVEDGGSDSAAFDNVLELLTVNGVLSLPEAVMLMVPEAWEDNAAMDPAKAAFYEWAA
CQMEPWDGPALFTFADGRYCGANLDRNGLRPCRYYVMDDDRIICASEVGTIQVDPERVILKGRLQPGKMLLVDTLSGRIIDDSELKSKVSTRHDFRA
WLQKELVSLPKLHDDLLKNGSVDLAPKPNASAIQEDPMLKAFGYTFEQVSLLLGPMASDEKEALGSMGNDAPLACLAQAPRLLYEYFRQLFAQVTNP
PIDPIREAIVMSLQCYVGPQGNLLEMDSTQCGRLLLPTPVLSIPEFNALKNINKLNKAWTVKLIDLTFPKSEGVEGYIKHLDYICDEATAAINNKDR
IIILTDRATSADRVPVSALLASGMVHHHLVNNKWRSLAALVVETAEAREVHHMCVLVGYGVDAINPYLAMECIIKLNREGLIRKKLTDDELIRNYKY
SADGGILKVMSKMGISTLASYKGAQIFEALGVDDTVVDRCFKGTATRIKGITFELIAEDAFKFHEKGFPSRYTVSVPGLVESGEYHWRDGGEPHIND
PTSIANLQDAVRTKNDKSYEAYSLSEYEQIKSCTLRGLLDFKFDECSPVPIDQVEPWTEIVRRFCTGAMSYGSISMESHSTLAVAMNRLGGKSNTGE
GGEDPERSERMSNGDTMRSSIKQVASGRFGVTSNYLADSDEIQIKMAQGAKPGEGGELPGHKVSKSIARTRHSTPGVGLISPPPHHDIYSIEDLKQL
IYDLKCSNPRARVSVKLVSETGVGIVASGVAKAKADHILISGHDGGTGASRWTGIKYAGLPWELGLAETHQTLVLNDLRGRVVVQTDGQLRTGRDVA
IACLLGAEEWGFATTPLIAMGCIFMRKCHLNTCPVGIATQDPELRKKFKGTPEHVINFFYYIANELRAIMAKLGFRTINEMVGHAEKLRVREDLRTP
KTQNIDLSLILTPAHKLRPGVATFNVRKQDHRLYVRLDNKLISEAELTLDKGLPSRIECDVVNTDRAMGTSLSYQVSKRYGEDGLPMDTVHVNIKGS
AGQSFGAFLASGITLELEGDSNDYVGKGLSGGRLIIYPPRAAVFKAEENVIIGNVCLYGATSGTCFFRGVAAERFAVRNSGATAVVEGVGDHGCEYM
TGGRVLILGSTGRNFAAGMSGGIAYILDIHQDFMSKLNPEMVEASGIDDPTEIAYVRGLIEDHHHYTGSELAARILLDFNRALPRFVKVLPVDYKRV
LAEEAAKAAEAKRAEYQMPNIPGLPIREHEKSLKDKAKHEKSSLQDIEETVGDAAVEKKRSLVLDKTKGFMKYQRRSEKYRSAKTRTRDWAELSKRL
DEDELKYQAARCMDCGVPFCQSDSGCPISNIIPKWNELVFQNQWKDALNRLIMTNNFPEFTGRVCPAPCEGACVLGINEDPVGIKSIECAIIDRGFD
MGWMVPQPPKVRTGKTVAIVGSGPAGLACADQLNKAGHSVTVYERADRLGGLLMYGIPNMKLDKKIVKRRTDFMTAEGVVFKTGVAIGDQITLTDLK
AENDAVVIATGATVARDLPIKNRNLEGIHFAMQFLHKNTKSLLDSELADGEFISAKGKNVVVIGGGDTGNDCIGTSVRHGAKSVTNFELLPQPPNER
ARDNPWPQWPRIYRVDYGHTEVKQHMGHDPREFCVMSEDFVDDGEGKVRGINTIRVEWTKSATGGWDMKKIDGSQQFFPAELVLLSMGFLGPEDRVL
GDGIEKDARKNVKTPPGKYHTNVEGVFAAGDCRRGQSLIVWGINEGRQSAREVDLYLEGSTNLPVTGGIVKRTTAEIFGKDQAKDIKGRAERAPLQV
AAAAS
>RCO7_01642 | related to VTC2 - putative polyphosphate synthetase
MRFGKKLRNSVYPKWKGEYMDYAKLKGMLREDEEDDSRWTEDDESKFCDEILNVQLEKVDSFQQRTIKSLEERANACAKRLNDLGPEDGKSKGDITT
GRFKEIEAELDEILNETKELKKYSNINYTAFLKIVKKHDRKRGNNYKIRPMMMISLSRKPFNTEAGYSPLLNKLSIMFDAVRQHLDETESGPDASGP
PAQSQIQNGERYTAYKFWVHPDNLLEVKTYILRRLPVLVYSQQAANDAENQGDPTLNSLYFDNPKFPLYGQKVDRQVDASSLRIRWYGKFASNTEFV
IEKKMIHENGTNEERSFKIKEKYIQDFIKGDYKMEKAVAKMERKGLPGAEIQEFEDKVKDIKNFIIDKELQPILRANYTRTAFQKPLDDKVRISIDT
CLAFIREDAIDPDRPCRNPDSWHRLDIDDANTGMSYPFSNINKGEISRFPYALLEVKVREEVAKKHPQWVDDLMASHLVHKAPRFSKFVHGVATLFE

DNVNNLPFWLSELESDIRRDPQAAFEEEEERKAKRRENEQVVGSLLGATPKASSSFKAAVSSPLGKSYMAERMAAEERAGKRRSDFSSSGRSKSRTE
DTINEEGGSNEEEAEEGTYGTMSSIFPSFSLSRYARFTRAKRDGKVVLPPGVTEPLELIKDSGSLKIEPKIWLANERTFLKWQHICVLLGALAVSLY
NTAGQNKIATVFGFIYLSIAIFAGIWGTVMHRVRRNMIVERSGKDFDNMIGPMIVSFALMASLILNFYFQYHAAVKRFNDPGHGNVTVPIGGLEETE
IKIKFL

>RCO7_01643 | uncharacterized protein

MSEAKRKILGLFRSRSTVDKPTESKGVERERENDSNKDKVRREYRHRRERDPDRHHHHERSHSSHSPHSKSEHGSSHRRISGVARTLTPVPIRASPI
PASQPLTQWPPPEYTRQATLSQGKAMELIASGVPVFKGIRHSIPHAADTYYNLYAKCVGNGGVGSDVGDIYTDAFAADSMKTQGLEKAMKPWETLEQ
PSMSFCHGVRPGTISLNHWVSLSGKLNPPIELRDPGVVPREVDLSVILERLIYLEGGFEEEYQDLMYKNLYRNLLRDPDRILAPHKAMEKQISDLIL
VLSRREWIDFSKPENQVVAKFFANVTYTEQGRYKLFFHQLLLSMELYLRIHSKQHADFAKEKLLSQLPPCIRWDLALVRKWRECMSIRKFSKGEDPQ
QIGFELLTKKAQVKALRKFARAMKWPNLAAVDEVLKERSVDDVALEDRSSDAMSYFTGVVLPGVTMPWLIMNSLIDCDNDAGGNALAALTHIFPHSG
FQYRSQTYWSSTSIVGKVLAPTCREIGGWIGPARPAPDLARIQIARIRQRRPKQRLTVSDVKSMAERSDCLGPPSDKYPVSEYQLILPDRDAYVVNT
IRIEKLALKPINTTPISSSPSRSPTSSRATSKDNGKYAGKPLTYDAAVQFAIDGKSWPLRLSYDVCFVYAYPCSCGPHPLFFDYVYQAVKIDELLTI
RDWGGLNMNINPGSATGSSPSRLGDGNGDGGEEDEEKVLVVEAFGVKDNEVLARAWCSHWGLSAVVADMDRTCMACAIREAYAACLNVVILVDGENY
DGDSQ

>RCO7_01644 | related to aldehyde reductase II

MTKVLLTGGSGFIAAHVLDILLQHGHTVITTVRSQAKADKIASAHPSAGSNLSFKIVEDIAVEGAFDEAVKIDGLEAVIHTASPFHFNVTDTKKDLL
DPAIIGTKGLLSAIKKNAPSVKRVVITSSFASIVDAGKGLAAGYTYSEKDWNPVTEEQATKDPSTGYRASKTFAEKAAWDFVEKEKPNFTIATMCPP
LVLGPIVHYLNDLDALNTSNQRVRNLITGQCKEEIPDTGTYLWTDVRDLALGHVKAMELPEAGGKRFFFTAGYFSNKEICEIIRKNFPEYKVQLPAE
SVKGGDYPEGGIYKYDNKRSTEVLGIKWTGLESSIVDLVKSLKDVGA

>RCO7_01645 | uncharacterized protein

MAPAKRYGIKTLSEIEIILTDVGTDDISDQYDEHQRNDVVAAVKGTRQAYGQSQRQQHDNQQEFNGQDSAGIENSDWEPFEGFRVGVPKPPDMKELD
GVNPLPKIGATEEGDTDAASLRQKQKENERFTTESEDGEAYRHPQRYWYLGFGSYALEAQLLSQQQGNQQSQAGQQSAVNSDSEWENFDTKPITKHN
LTKEGTSTPKEPEVLRNASKNRTPDSSKAHAPKLSLKAIVFTADDETLLARQTPGVSIQQLEALSAHLNNTLIPETNALFNADFSDLAARDEAHELL
SQRVWREVTHESRLAATKDPEARTLKKGLVGETQYAAHRLYDALEMARK

>RCO7_01646 | related to protein-tyrosine-phosphatase

MVTKTTTRPPRRSAHSHSHSSSNRTSSKSSTTPTNPLPRVAASVGQAHPPNAAPFLRSPAVQNDNARTPSPNYFGLIVDPASDPRDSGVGPKDNWSP
PSSSIRSFGAATPQHLPLDANPDFAAFRKQAEGPNAFSLGHGNLSHFSSTPSAQARPKPERRSTRSETQDNTSPKSKPRPRQDTPDRMDLDGGSLNA
PSFFDIPRQQSPAPMNESDPSIQRNILSNLDDRHPRLSLPQNKADPPSPQLKLQQKTSQHRADTLPSSLEDGPALISTAQLKDMMERLPSSQFLLLD
LRVFPQFSQSRINGALNLCIPTTLLKRPSFNLQKLQDTFTNDAEKARFAEWKSAKYLVVYDASSYEKKDAVSAVNTLKKFSNEGWEGASYIVRGGFA
DFSKNFPHLIDNRSSHEMQSSKISLSLGTSGPEVAPVAGGCLMPATKNAANPFFSNIRQNQDLIGGVGQMDLKIPDELAPEFKTLLPRWLIKTCAAD
DHGKIVSDKFLRLELAEQSRMTKALSSGVSWGTPAPGSKEVQIAGIEKGSKNRYNNIWPFEHTRVRVQGRAEGACDYVNASHIKSSRSHKQYIASQG
PLPATFEDFWSVIWDQDVRVIVMLTAESEGGQLKCHQYWTGKAFGPLKLRALSEKKVALSSSRSHSPKESRDSGRRRANTTAETTPPAPTDKPYAII
RKFTLSHSGHPFSPMREITQVHYSSWPDFGAPASPGQLLGLVELSNVIQRASMAPTQSTRSDEPESAEISRPMLVHCSAGCGRTGTFCTIDTVIDML
KRQRKEAKSGTTPMETTAFSGDYMSSEGVSGDWIFDQDVDLIEKTVEDFRGQRLSMVQSLRQYALCYETILEWISHQLTGSGRSSRERRGSDSGLER
TNS

>RCO7_01647 | related to putative tartrate transporter

MSVRKKGSNSLDGKDIKAAYEINEPVEPQSESEITTNTTADIVDHHAERALCRKFDYRLLPVLAVMYLFNSLDKGNLGNAKTDGMEKDLHFKNYQYN
LILSVFYVPYVIFAPPIAMLGKKFSPSAVLPILMACFGTLTILGVAVKNFAGMMTLRWFLGMSESAFFPLVIYYLTTFYRRGELARRLAIFYSASSI
ANAFSGLLAFGVFQIKNTTLQGWRYLFLIEGCLTTLFAIFAFWYLPPNAAGARFLNEDERKLAHHRIQVDSSSIVNEPFNLRESLMIFRQPTTYAFL
AIEVCLGVPLQSVSLFLPQIVARLGYSKVKTNLFTVAPNVSGAVMLLILAFTSDLTRRRGPFITLGFLFTFCGMIIYATIDVLQHTNIAYFATFMMC
WGTSAPSVLLSTWYNNNTPHEGRRVVLTSVGVPLSNLMGLVSSNIFTPQSAPKYIPALATTAAFGATGALLAGLLSVYMVFDNKRRDRKLGRKLDVK
DVPTELLRDGSSVPEFRWFL

>RCO7_01648 | related to nucleoporin-interacting protein NIC96

MSLFGNLNNTTNSNNGGGLFSSKPAATGGALFAGITSSNANANPSSTGATGGGLFASTLGGGLGGLGLGSSTQPQQQSSTGGMFGGLGAATTTQPAG
GSVFGGIGTSTQQTNAMNMFGGMNSGSITQPQQPQQSTGFGNTSTGPLQQSQSQSQSASQNTAYFDAILERSRKRAHAEAISEDLPQLQLGLGDLRQ
RIKRLGPSKNERADGRAHYLLAASGVDPGAAVRDLSNFAPAAARLDRPQAQEVQDTDVESYLANLQTQTTLSMIADGLSRSVRDFDAFLEDNVTMEW
DAQRKRIYQHFGIRPKESTLPGGGSFTATTNDSQGGFGRSRRTKAAALAGSRASGLGGDNVAVSGGGSAGGFGGFGESGFGKSSMQKSIIGAAGPIG
NTHQPLFADVEKQLEADGNNAAAPHDRFQRDKQNKYAEKVQLLNSARLQRVPFAVSKQFADVVKSAGDQHGPDLAKAYRALSSIVGEDPESKSFSEN
TTARERQYSKAHNDAGNTSFVSQALRKQILRGGARCLEKLAFERMEEMITKNPRDANLGGVPNVINKIKAYVRVLAVKKSLTGDNADLQMLGDDYVW
ALLYFLVRTGHVAEASSYVSDNAVVFRALDRNFSAYIDAYARSDDRRLSDELQVRINAEYNQRLRIAPENSIDPYRMACYKLIGRCDLRSRTLEGIS
QDVEDFAWNQLVLARETNKVDSMASEVYDLTQAQQTIREIGNRFFSPAAAGGAKIGSSFGAFVFLQIAIGMFEEAVSFLYKYSYVDGVHLAIALDFY
GILRVSDPTSGNQDLLSRTTTNLPQISFARMVGLYTRDFRAANVSAAVDYLVLICLNKDLPGQAGANYTMTCHESLRELALESREFALLLGDMRSDG
QRINGLIEDRVRLIGLEDAGEFMRTITLQAASVADDNGRTTDAVLLYHLATEYDSVITTINRALSEAVATPLGQEPTKLQPLKARSATDQQSIEGTK
SSLTSIEDPFLLSEKMSRIYTGQMYRAKIKVQNQDACVALQTMYQAKNMVENSRWTDALDLMKSLDILPLAAKGDPSIIRSCATKFPSLPQPVAQNV
PNLLMWSIMCCKNQRLILQNSQFGGNEGTRQAMIAEFKQTNMDLTTYTSQLRYRFPAHIHEALARAQSE

>RCO7_01649 | related to bZIP transcription factor

MPASEGVTQPQQQQKRDFSEDADAPSPADPSSDSNKKRRTTGASARGVANLTPDQLAKKRANDREAQRAIRERTKNQIENLEQKIRELTSQQPYQEL
QHVIRQKEQAEAENMEMKKRLNSVMSLIQPMVGQHAQDGQAMYNSPAQNYIPNRPGSSSNFNSTTPSGGASPRAGVGPAWQAPNASMGYGLGNYSLM
LNAQAQLSKQKHEMAHNLEMGPERLGLEFLLDGNQKVNKILNGMNEYHDPSLQTPRGQETYSPRPYRSNSMSSHSGYPVPTQEMAGHAAPIRNGPPT
CPLDNILLDFLHERQQQAADGMSTPKLVGPAYPSVSSLLNPSKAATSHPLSKVFTDILGIFPDLSTLPEKVAVLYIMFLVMRWQISPTQENYDRLPE
WATPRPSQIFTPHPAWIDHLPFPKMRDRLVSDYNPRDYLFDNFFIPYTTTMSVNWPYEPTDTLLSSMESDDVIINPVFERHLRRLDNWSLGPAFAKA
FPGLADTYRLKVDGDRK

>RCO7_01650 | related to ars binding protein 2

MSKGITSGGFQSGMRMIPENEKLRLEQQYSPSMSIDSCRQSQEIGPGNGQIHQLPTRIVCLPPAPDTPQEVRSLPCLDVSDEGFDDAYVEFIMFCNP

DVPLDADTTELRRIFRAPPKSDGKNFDTFVLFELIRKLESKDIKTWAQLALELGVERPALEKGQSAQKVQQYAVRLKRWMHAMHVDAFFEYLLNKSH
LYFTRVPAPNDTPSEVGRDGVAAEEDLALRALLPETRPKRGRRKAEDKDENVHGKSPSQRPRLDSPSLSEDFMMARSGLIADNTTPATAHPDFQQSF
TDRMAPWSATPSMPSTFRWPPPDSATPMTAYPQSAITPTNRQLWNDANEPQSAITPKSKARRHHGPAVSSAWPSNGSVSSRKLRGRPPSNRSVQDGP
FSTFPANPGARDVPTIHVRDNTPSATPIVANSETPSFFPPAAALRVNNQNQPTQTGRPSGLQLQVPQRQGGTVRLATPPSMPRPILFVNGQDEPNMH
RGPVPLMEIFSNPVDHDPALQNFVNITFRHNEDTDRTNVDALESHFISAILAAECYDASGASIERCSIDEADKICKQVVKNLQAESSSTEAFLFNLS
ALAGGPLMTRLRMTRLEQGTVAHYECHWKMRFGSLEGDFTIRAMLQRDDESADAGLEHKKAGLVDLGESEGDWKKRYLDLQQQLRDRDKMVGNLKRN
ILDALVLSR

>RCO7_01651 | peroxisomal membrane protein PMP47B

MSSSTAAQQSDNVAHALSGAGGGILSMALTYPLVTLSTRAQVESKRADSDFLNAVKRIVQREGITGLYAGLDSALFGISVTNFVYYYWYEWTRSGFE
KAAIKAGRASKRLTTIESMIAGAIAGSATVLLTNPIWVVNTRMTTRKQNRETDEGLLPGSKARRQPTTIGTLLALVKEEGPLALFSGVAPALVLVIN
PILQYTIFEQLRNAIEKKRRITPTIAFLLGALGKLFATSITYPYITVKSRMHVAGRDGGKESMAQVLRRIIKDEGCSGLYKGIGPKVSQSVLTAAFL
FAFKDVLYEQTVKLRRKLPAKV

>RCO7_01652 | probable ATP-binding domain 1 family member B

MPFAQLVLGSPGSGKSTYCNGMHQLMSAIGRKCSVVNLDPANDHTGYPCAIDVRDLVKLEDVMEDDELGPNGGVLYALEELEHNMDWLEKGLSELGE
DYVLFDCPGQVELYTHHSSLRNIFFRLQKLGYRLVVLHLSDSYCLTMPSLYISNLILSLRAMLQMDLPHLNVLTKIDKISSYGPLPYNLDFYTEVQD
LSYLLPHLQEESSVMAGSKFEGLNTAIVELVESFGLVGFETLAVEDKKSMMHLLQVIDRAGGYAFGGAEGANDTIWQVAMREGVTTMDVKDVQERWI
DAKNEYDEAERIQWQKQAEAEAQKQAEEAENRAGAGDDDDMEGMSLPTGGSSVKVLRKTPTQ

>RCO7_01653 | related to POP5 Protein required for processing of tRNAs and rRNAs EC:3.1.26.5

MVRLKHRYLLVNILYPAVEKNQSQSTSKVPDVVVFNQPTSSSLTNQNLLRGLRAEISSTFGDFGMGAVSESLTVKYLSPATSTFILRVSRAHYRIVW
AALSLMKSVPIQDGKKCVFRVVRVSGTIRKAEEEAIRRARDLILKAQREAQDKGEVALQDILGAQSDEDDSTKAITMVDRSDSEGANDTDDG

>RCO7_01654 | related to putative lipid binding protein TFS1

MRITAALVFATAATSALASLKTHHQTPLIPSTSNTEAEVVRKALIKSSIIPEVLDDFTPKCFIPASYSKGAKTYQGIVDLGNDFKPEETKQRPHLSI
SCPEGLETKGLVVALTDPDAKSRDDPKWSEMCHWIYVVPTGFQTAAGAAMDITIPTSVFEGRDLVDYKPPGPPPKTGYHRYVFVVLVGDTTNITAPE
ERRHWGTGKVRRGVRNWAGKQGLQVIGANWFVEEDEEQ

>RCO7_01655 | uncharacterized protein

MSGRGTPGQEGPSYAPPNLPEGWIPQWDASSKKYYFVQISTGVSQWDTPTQAAPTGPTPQATPQGMDHPYGQPGQQGQAGQPQDLDIVTNPDGTQSI
RHRDGTTEPYQGDRSLTGNIGNFALNQLMGGKKQSSGGSSGLAGMASSFLGGGSSHGGKQSSGGAGGIVGALAGSLLGGGKKTDSSSHSTSNTNYSG
SSSSGQQHGQGGGLMGQIGGMFGGGGHQSSQQGNNYGYSNSSSSQGGYTGQAPPTSYQPGGASSAAPSYGQSQSQHQQPSHDTYGQGQTQHASQPPQ
SYNSQQSSYGGQAPPLAQQLYGAPPQNSQQPQYGAPQHQNSYGQGHPPPQQQQQQYPPAPPGAYPGPSYGGPPPQQHTGNLPQPGGHHFDSSHSGGL
YGNSGSSAPPPAQGGYGGGYPQNPRY

>RCO7_01656 | probable glutathione transferase omega-1

MGNDHPDSKLFPHATGAAAQMVKEHEGEEPLKLFSGWFCPFVQRALLVLLEKNIPFQYIEVNPYHKPESLLKLNPRGLVPTLEYDQKPLYESTVICE
FLEEAYPSATPHLMPSDPYTRARTRIWTDFVTSRIIPAFHRFLQCQPSSSANIDDVRGEFLDKLREFTQAMDPDGPYFLGKEVSMIDLILAPWAIRL
WVFDHFKGGLNIPEGKIWDRWGKWLGAVEKRESVVKTTSEKEHYLPIYQRYADDTAQSELAKATRAGKGVP

>RCO7_01657 | uncharacterized protein

MFLFSSLLLLQALHVFANTEKAIFLGPSNIQVPVAHPNLEDLQLGSLSPKHWSLRTYIQAEFPNNVSEYGQISWYLLDKLQEGQRYEVRICWAATQP
TSFRLDAFELSTVFESPDLINSLAQFSKNRRKDVTEELQPKESPMEKQSTRLDGLSSILLLRIYAAADYYTMNKTLMEQVPPVYVDIILDPFIFNLF
PRSLVPTAAYIILVALGSWYLAKQISLWVSTLSANEIGKKNV

>RCO7_01658 | alpha-tubulin B

MREVISINVGQAGCQIANSCWELYCLEHGIQPDGYLTEERKAAEPDQGFSTFFSETGQGKYVPRTIYCDLEPNVVDEVRTGTYRSLFHPEQMITGKE
DASNNYARGHYTVGKELIDQVLDKVRHVADNCSGLQGFLVFHSFGGGTGSGFGALLMERLSVDFGKKVKLEFCVYPAPQTATSVVEPYNSILTTHTT
LEHSDCSFMVDNEAIYDICRRNLGLERPNYENLNRLIAQVVSSITASLRFDGSLNVDLNEFQTNLVPYPRIHFPLVAYAPVVSAAKASHEANSVQEI
SMSCFEPNNQMVKCDPRNGKYMATCLLYRGDVVTKDVHGAVATLKTKRTIQFVDWCPTGFKIGICYQPPEMVPNGDLAKVNRAVCMLSNTTAIAEAW
SALSHKFDLMYSKRAFVHWYVGEGMEEGEFSEAREDLAALERDYEEVATDSLEGDDGAEAEY

>RCO7_01659 | related to EDE1 protein

MAEDPTAPSLNLTAEEKRVFGQLFREADSENIGVVTGEVAVKFFEKTRLEPRILGEIWQIADKENRGLLTPAGFGIVLRLIGHYQAGRDPTPDLALR
PGPLPKFDGGSAPGMSPSIQPPPGPPPSVIQPQGSGSGPIRVPPLTPEKAAQYAGLFERSGAQNGVLPGELAKSIFERAGLPNDVLGRIWNLADTEQ
KGSLQVTEFVIAMHLLASFKAGALRALPNLLPAGLYEAAARRPSSRPSSTVVGGAMSAIPRQFSGAGAARTGSPLSRPAYVAPPQQYPQISGPIGEW
AITPSDKQKFDGIYNNLDRANKGYITGDEAVPFFSESKLPEEALAQIWDLADINSAGHLTRDEFAVAMYLIRQQRGKRDGRDSLPNALPQNLIPPSM
RNQAHPAPLPTAPVFDAAPPPSMQKSAADDLFGLDALSSPGPAPASAQVPLSTGGSGSFGVNRQLDNDPFGSRGPMTPTSPIANSPQQQNVFKPFAP
SSSFGQSLNYQGTGGSNNSGPSQQRSFQSQQSGAEDLLGDNDPEISKRLTNETSELANLSNQVGMLSKQMQDVQGQRVASQNELNQATSQKREFETR
LTQLRNLYEKEVKDVRSLQERLTASRNETKKLQTEIAMIEGTQSDLRTQHQQISTALQADQQENASLKERMKDINAEIAQLKPVLEKLRSDARQQKG
LVAINRKQLATNEGEREKLKTEADELNKSIEEDTKSHASAPRAHSQVQSPAPVASPALSTMSANNPFFRRQGSSVDMTNSQYAASPGANQQGDRSFE
NVFGPSFGGAAAAGGTEAPPTSFRQDSTRSPSISSASAFPPIRSQTTGGSGFGSQTSSPPQTANRELPSTNIPPPPPESRQISSSFLPFPSHVDSIT
SSKQVSAPNSRSGDGFTGADTPTNYMVTTPAGSSAAGPSENARAVSPSVEGNNNPALPVTDHKDPIPGAFPGDANSTIAATPTGGSTLSDATTDPFT
MIKAPERTGTAKDDFDSAFAGFGGAAKKQERSNTGNSSASGSVAAAPAGFNKEFPPIAELADDDDSDSNSEGGGFDDDFAPASPGHARKISGSQAPA
PNGGNDMLAARPIATQQSSALSIGTGPPTPGAQASPPAYDKTVSSIDQAHVEAQQYMGLLPSREVLTPTSASPDQTSGPLSTGQSPFGIASTSAQPV
APPKIPFDDDFDEFDGLEDAKEGDADDEFANISAHDRSGLDDFNPMFDNPPQSKDQELNQHVAQSSNGPEGSNNAFGDFTQSASTTQPTVTDPPVND
NQDWDAIFAGLDDAPPVPTDAPKVTEISKPLGNGTSTSSPTTSRPALGRALTEAGVHDDPILKNLTGMGYPRNDALAALEKYDYNLERAANYLASQS

>RCO7_01660 | probable GABA permease

MASIAHNDGNIANADTALENMGYKSELPRSLSMMSILGLSFAIMAVPFGLSTTMAISLTDGQSVTVLYGWIFVSIISLSIAASLAEICAVYPTSGGV
YYWSAMLSTKKYAPLVSWTTGWFTLVGNWTVTLSINFSGAQLILSAITIFKPDFVATQWQTVLMFWGVMSIAVLVNVFLAKHLDLINKICIYWTGAS
VLIIIVTVLVMSDDRRSAGFVFAHFDASASGWPSGWAWFVGLLQAAYTLTGYGMVASMCEEVQNPQREVPKAMVLSVAAAGLTGLIYLIPILFILPD
VPLLLSVANGQPIGLVFKIATGSAGGGFALLFLILGILFFAGVGALTAASRCTYAFARDGAIPGSTLWRKVSPKYDIPLNGLFLSTIVDCILGCIYF

GSTSAFNAFTGVATICLSVSYGIPILVSLLRGRRAVRHSSFSLGKFGFFINAATIAWIVLAIVLFCMPTAIPVTAISMNYASVVFMGFAMISVIWYI
IRGRKEFTGPPVPVDVGAENDGEIVGGMGRVMTEKIDGSDGSVGGKKSEML
>RCO7_01661 | probable Protein sey1
MASNTNGQQRRPSAASRFPTAPSVMTMNGHFAGVGDAPTKEQYDHGIQVIDDEKEFNPHLNKYLQLTKIAQSGFNYHLISVFGSQSTGKSTLLNHLF
GTDFGVMSETERRQTTKGIWMSQNKRELAEGDSKKMADNILVMDVEGTDGRERGEDQDFERKSALFALATSEVLIVNIWEHQVGLYQGANMGLLKTV
FEVNLQLFLKDKQSNPRSLLFFVIRDHLGTTPLANLRNTLIADLTNIWTSLSKPKGLEKSRIEDYFDFGFAALPHKILQPDKFLTEVGNLGTRFRAG
HRTSKELGFDANHELEGGIFLPEYHRRIPADGFSVYAQGVWDQIVSNKDLDLPTQQELLAQFRCDEISREVLEAFDIAIQPLEEKQAEGVRLGKPAV
LKALGASGAGARLKSIKAFEVEASRYHKGVYARKRVELEGKIDIRLKALYNGQLTAAHKAGVASFSDAVSAAVKLGQKKGATYEFAEIVEREKKVAL
AQFETEAKSLAIEGVPWTNFKQQYGLYEKDLSEVSSRLRKEEMRRLATRVERWVRSRLGDSVGLEFNKLGSGRGGSGAPETGEKPATEKDLWDRIWN
LFVATVREADTRFVERAKSFDADQDEIDVGLWRLRRKSWGVLRARIDEEVMEGNILLKLRENFEDKFRYDEAGVPRIWRPTDDIEGMYTKAKESTLT
LIPLLSGFRLAETYGPPDLPEWIGNVPASVDPKDEEDLTPIGGVDEEEGKSLEEEMTILGEAKRQDLVVRFKKTADGVYVEAKRSAIGGVAQVPLYF
YGLLLALGWNEIVAVLRNPVYFIFLILLGIAAYVTYTLNLWGPMLRMANAASTQAVEIGKEKLRDFLENSETGRQALAMKGRNDDDSISLNTLDSRG
KKKASVEDEDDDDDI
>RCO7_01662 | probable 35 kDa ribonuclease H
MADSQIEDDITIEAPAAEVFIAPSINPSLLFAGASYTHFSPVPPSLLPTPSTPSPETTNKPKQEPGPPCALGVDEAGRGPVLGPMVYGLFYLPLPLS
DPLLRTTHHFDDSKVLTPTVRSNLMEKLCTPSTDLHTQCGWAVEVMSARDIGANMMKPSATYNLNAQAMDATIVLIKGVYERGVNVKEIFIDTIGHP
ATYQKRLERVFPTAKVVVAKKADSLYPCVSAASVCAKVTRDAALEVLYESYVNKPQEEEQDEVMSGTGSTKKAKVAEEASWGSGYPSDARCTSWLKR
NMDPVFGWGAECRFSWGTAKDMLDIKGTAAKVEWPVEEDEETSRMTDYFNAEKEKEASDELGNWFGRPVGAEVF
>RCO7_01663 | uncharacterized protein
MAPEAARRKGTGNQYLFDLGTRGRKTGLTIPDTGVRDENGLEPMDGLFSSPEKPKEQPARNLNGGNRKNADKTISSEAEMDLDDSTIPEPADVLTER
QRTAARLPPPRSKSPIKTFLQSPARRNPSLGPLSSPIRGSIVEPRVATTSASVRRRLDFSNNSFESNGEHRVTNASPQKRAISELPARSTTKLTNGK
LLAPFNHVSSDNVVDEQEDTGLEDIGFVDEGNSHQMVNGDDGEAPEQEREDSQEPEVEPEPEPPKKSNGKEKAIEVSAPVAKRGRPKKLTVEAAEEE
AMKEPKAVLPKKRGRPSFDAPKSPKRKTGRPRKGIEPDVSEIADVPEESEQEVEVEPEERPKKRTRSSLDARDVGAVKKIGRPKKAAKEASVKESKG
KERAATEEPEISLKAKVKAAGRKQRLAANEEGKSPQVQRGPPMPRNNRGLFILRRETPMEGPGFQQTRSGRNSFKPLAYWKNERVEYSEDENEDGVG
KFVMPRIKEVVRAEEVYQPKRKVARSKSKAPKSKKQSADSDSEEEDINMEPWEMEPGRIFGEVKNWDPEDPSGSQQDEIQEEIALSSAAIITRDIPH
ASFRFAKTLTLPFFGSGMVDLPAQSVKKSKNSRKMQMVFFVFYGRVQVTVNDNVFSIGKGGMWQVPRGKKKSSGAIIENEYDKPARIFFSQGCEVLE
EATETQ
>RCO7_01664 | related to fructosamine-3-kinase
MAPKIDPAILKVLSLDAASTTLASHGGSGFSSTYKLSSRASDGQEKSYFVKTGGMGSAVMFAGEHASLSTIHNIFPTLCPQSFAHGPLSSSAGSFLV
TDFLNLSPPSSSKSGSGLPLAQKLAKLHSTPAPMPDGCDRSMFGFPVPTCCGDTVQNNSYRESWADFYADCRLRHILRCAEKKQGSDASLSQLVSKT
ASQVVPRLLRDGHLTSPDGSPIVPVLVHGDLWSGNHGKGTIGTGEVEEVIFDPSACYAHSEFEFGIMGMFGGFEEKFNRDYWRVKGKDEPVDEWDDR
RSLYELYHHLNHYAMFGGSYKTSAESIMRKLIKKYRDVS
>RCO7_01665 | uncharacterized protein
MVRIPYALVLAFAAVGLCQLKVNLAGAKNVGTGEGAQFITGGCIDNSDCGSNCCADLSGVGICSGEVAAFQAGKNGCDFVDPQAAATIQAAADQVEK
QGF
>RCO7_01666 | probable threonine aldolase
MLLRRANLVVRESLRCSDVSLRTSTSVSRTKLQYTPLSSSPLYRQSLRSLSQFESEMSQKNSTNGTKPTAWSGPAQAAFDFRSDVVTSPTQSMLQAI
QNTTLHDDVFCEDTTTNSLESHMADLTSHESALFVLSGTMGNQLALRTHLTQPPHSVLCDYRAHILEWEAGGVASLCGALVKGVVPKNRVYLTLEDV
KKNVVIGDEIHGCPTRVISLENTLGGTIMPLEEVKRISAFARENNIKMHLDGARIWEAVVAGAGSLPDYTREFDSASLCFSKGLGAPIGSILVGKEK
FIKHARWVRKSIGGGLRQSGVVTAAARVAVDETFGKGPNGEGGLLKQSHVTAKKIANIWTKMGGKLTQPTETNMVWFDLDDVGIADDEFVELGKKHG
LRFLGPRLVVHYQISSEAVQRLEKVLDEVHERKKAGGVRKEGNVGEKAYGTHEKANP
>RCO7_01667 | related to gamma-butyrobetaine dioxygenase
MSNSRLATSQEDWQAARSPDGNPDLNLEYVKIGTDEGAFHPVFLRDACPCPKCIDSSTTQKLFQTTDIPAHITAESVNVQENGDVTIKWKNDLPASG
PDHISTYSASLIKMCSNRTLRLKGHFSAGKARIWDNSRISEELEFVNFDDYMKDDKYLFRAVAQLKRLGLLLVRNVPESEEAVAQIAERIGTIRDTF
YGRTWNVKSVPEAKNVAYTHQSLGLHMDLQYMHNPPGFQLLHCLKNTCEGGDSLFSDAFYAASRLSERDVMTLTRTNLAYQYRNAGEHYYMERPVLE
VGDMKLQTPGGLHSRIEAVNYSPPFQAPLPISKAHQGYLVPRMLEALRQFARNVESPYLVHRYRLKAGECVMFNNRRVLHGRDAFEPGNGERLLKGT
YLDTDVLNSKWRTLNKQFNGVQPAFDDGQHVYQENWEKRVGGRFAQ
>RCO7_01668 | uncharacterized protein
MQAPILPPRTEQVLAPLLASLPAATISPSPPLALLPILSPILRQRVQILSSTASEPWLPLLCYDGANATKLESVVRNEAFEPHPVSGEVELDWDSVH
SRYKRIDEETLQCLISIPDIELGVKLIWCLNDEMGGGDGWRVGEVNVLDSASKYSWGEGSIQDAERAFEAERTQSQSHTNNGTHVGAHNRMNGTNSL
LTPEVEEEEDDDDYWAQYDNTPARTPAPQHPSAPQPMADALDRAGSMETRQSAEEEASYYAQYASVQPALDNHDPDEAEQNGAIESSLGKDEITTEL
QQHLSNSHSHLDLRDTSAALSESHSDDPAYYDHMQTSQSILHHKNDGLAQPRPGSSTGSSGSDTVAKLEKSAAAHAVREQNETAIKQHIGTSVKSLY
RLARVAGIDRAEFERIVKTELECLGLMDQDDN
>RCO7_01669 | related to starvation sensing protein rspA
MARVKSVEYFRVPPRWLVVKLTDESGGVGWGEAPLEGHTQIDIALWDLKARNLGGPIYQLLGGKLRSKLKVYAWIGGDRPDDVEIQAQRRQDRDFKA
VKMNATEDIGWLDSPSSLDSCVSRLQAVKNLGMDADIDFHGRIHKAMAKQLTKLLEPHRPLFIEEPLLSEKIDGIKDLSRNTTTLIALGERLHSRWD
VKPYLESGAVDILQPDVCHDLTSYTKNPDAWDVRDGYIELTGTGLGIEIDAE
>RCO7_01670 | related to BRT1 protein, down-regulated by mating factor B
MLTLRRAIPRLPKSKIFAISQSVAVRSRSFRSSSRFATDITPILSKNAMLPVGPYQSQAIKTPHAIYCSGQLPADSQGNVVEGTMGDRTAACLKALS
TVLIEAGSSIDRIVKVQIFLTDMKDFAEMSDEYEKWIKHKPARSCVAVKQLPKDVDIEIECVALP
>RCO7_01671 | protein O-mannosyl-transferase 1
MSGQQGSVRKRKDVAVTQKAKETVANGVATPQDTDLDVLVKAKLETIAPRAEWDFRIAVTIITILAFITRFWGISHPNEVVFDEVHFGKFASHYLER
TYFFDVHPPLGKLLFALMGWFVGYDGHFHFESIGDSYVDNKVPYVAYRAMPAFLGSLTVPVVFDIMWESGYTLPACILSAGLVLFDNAHIGQTRLIL
LDAGLIFAMACSLLCYIKFYKLRHEPFGRKWWKWLLLTGFALSCIMSIKYIGTFSFVTIGTAVAIDLWDLLDSKRRQGALTLPEFGKHFAARAFALI

VVPFFFYLFWFQVHFAILIRSGPGDDFMSPEFQETLSDNAMLANAVTINYYDTIQIKHKETLGFLHSHPDKYPLRYDDGRVSSQGQQVTGYPFADAN
NHWQILPLTSDDALVKPVKNNEVVRLRHIVTNSMLLSHDVASPYYPTNQEFTTVPMEDALADRFNDTLFEIRIENGKADQEFKSLSGQFKLIHKPSK
VAMWTHTSPLPDWAYKQQEINGNKNLAQSSNVWFVDSIPSIPEGSERLVKTERKVKSLPFLKKWFELQRAMFYHNNALTSSHPYASEPFVWPFLLRG
VSFWTHNDTRQQIYFLGNPLGWWLASSLLAVYVGIIAADQLSLRRNVDALDTRTRSRLYNSTGFFFIAWATHYLPFYVMGRQLFLHHYLPAHLASAL
VTGALLEFIFNVEPLIDDVPADKKTHAPARKHLPAREKIPGQNLLASWAAVGVILTIVIGGWYYFLPLTYGYPGLDVAQVNARKWLGYDLHFAK
>RCO7_01672 | probable ATP-dependent (S)-NAD(P)H-hydrate dehydratase
MTQQTKELLLKVRKMVPPMLEKFHKGQMGRIAVIGGSEDYTGAPYFSAMASARLGADMSHVICEPQAAQVIKTYSPNLMVHPLMRQSTHASSSDSAD
SVAKGIIDMLPRLHVLVIGPGLGRDQLMQDTCAKVLIAARKENMPFVLDADGLNLAQTRPELVQGYRECILTPNVVEFGRLCKSKGIDVSGLEAGKG
AEKLSKAFGGVTIIQKGAQDHISNGEHTFVSDIEGGLKRSGGQGDTLTGSLATFLGWRKAYLEKLWNHDGDLDATELLALAAFGGSSITRESSRLAF
EKKGRSLQASDLTEEVYVAFTNLFEGSGPKL
>RCO7_01673 | probable gephyrin
MATLKAVILVVSTTASQDPLTDSSGPTLKDVFEQEGGGKWEVVETKIVSDVVLDIQRAISGWADREGSPNLIITTGGTGFAVHDITPEAVTPLLHKQ
AHGLVHGMLAASLAVTPFALMSRPVAGVRKKTIIITLPGSPKGAKENLQSVLKLLPHACYQAAGADSRTLHAGGVQKLEKDAGVPASGSSGHSHRHG
PLHGHSHGGHGHGHDMPVRHTAPQQDPRSNDPALGPSRRNRSSPYPMLAVDDAIELVKQHTPVPQVIRAKVDGSLVGSVLAEDVTATEAVPAYRASI
VDGYAVIAPEDGKSSKGVFPVASISHASPGDIPPLEVGQIARITTGAPLPPGATSVVMVEDTVIKTMTDNGQEEQEIEILADGIKTGENVREVGSDV
KKGEVILRTGEEISATGGELGLLASVGRADVMVYKRPVVGVLSTGDEIIEHGRPGELRQGEVRDCNRPTIMAAVRGWGFEVFDLGIAKDTPGNLEQT
LRDALRQVDVIITSGGVSMGELDLLKPTIERSLGGTIHFGRVSMKPGKPTTFATIPVKNNAGERVFKVIFSLPGNPVSAIVSLHLFVLPSLHHASGV
APAGLPKVQVTLDHEFRLDPQRSEYHRAIVILGKDGSMHASSTGGQRSSRVGSLKSANALLRLPCGKESLPKGSKVEASLMGRLQSEFDVL
>RCO7_01674 | uncharacterized protein
MATSAEGVGATYELARLLNRLVNCNSGISTSINVPLANGENTPATDPNTWAHGGVLPGQSVQIPNMAQLNVHGPNLTHVARLPVYSNASPLINGHGQ
MHGRPILIPHSATAGQKDLYVNDSVRQAPHGFLNSDKDVNPTTTGTRLPQTNNPFTVLPKSPHGDRPRGMGQGRGDKNAACRSRYAATREASRQLQV
YTYQAHSLHSNTGSNGNEAVSDIQKPRPPHQPYPESPPSLVGPSNSSDQDKSGSEEQDLSPAMEGIHVLGQPEAPMSDYYGLNKSPTEQINAIQACG
NTAGIQHSVLGKEFEDHDQYSFP
>RCO7_01675 | probable vacuolar ATP synthase 22 kDa proteolipid subunit
MSLKYGVGGATTALAVVGAYMLFTGDGEAFNFGQFLEDVSPYAWADLGIGLCIGLSVVGAAWGIMITGSSILGGGVRAPRIRTKNLISIIFCEVVAI
YGVIMAIIFSSKIKGMDQDAIYSGSNYYTGYAVFWAGLTVGMCNLICGVSVGINGSSAALADAADPSLFVKILVVEIFSSVLGLFGLIIGLLVASKA
AELGGESQ
>RCO7_01676 | probable TFIIA subunit [transcription initiation factor]
MATTGQSFYELYRRSSIGMALTDTLDDLISERRIEPQLAMKILANFDRSITEVLADKVKARLTFKGHLDTYRFCDEVWTFLIKDVTFKMENSSQTVQ
ADKVKIVSCNSKRPGDPQ
>RCO7_01677 | uncharacterized protein
MSSSSSEANTLTPLLHAKIVPKALTEQYANPSVAKLQELVQKEVADMENLNRKSQWIVLALTSGGCAAFNGVFAKLTTTELTTTFSKSIANTISLGS
VEGGVEVVVRATFFALNLIFNGIMWTLFTKALARGTSTTQVSILNTSANFMFTAVMGWLIFSESLPPLWFLGAALLVAGNVIIGRRDEGERNDADVQ
GRERRSEEDAAEGEDLLGGEVELDVNYVEGESLEERKKRNDEEDDV
>RCO7_01678 | uncharacterized protein
MSECPCAPACTPMDEHMEQSQGLLSNTARPSSCRMLTTPARAPTPVRPGLPRRIRRSISTGGALPCLIPTESPSRACSPATLRRSSAPPETYPDIPE
SDLPELPVIGAGQSGNILLLTPVTVLKMPMPDHNVDLENEYEIYSRISVFKHPNMLHFLGILHTGIVLHYHPLGSLRIFIHGTDDAGLGVTDEHIDN
LAQHKMKWAQQIADGVQFLHQNGIVHCDTSSANTLITSTYDVVLCDFSSSIMDGVTGKSKTRCTRWFKFIENDDDDGYGIGFQFTIQDDMWAIGNVY
YEMWARKQLWGTFSDAEQVWLYKQKKWPCLEGLGHIENVIAKCWADQYGCAGELLTDLSEVADSGYSQENGSTPCVGEKKCIAWDAVD
>RCO7_01679 | related to helicase-like transcription factor
MSRKRPSSFVDLTGSASEDENQVLQRKQARTSLNSTPSSQPRARQSLSRDAWVGEVDEDEEIMDFSQEAEEGHGWVCIGAIDGKIVGVRYYNGYATV
GEQVMVKREPGNPYDSNAVRINNVHGNQIGHLPRNLAEKLAGYMDARKVVLEGILSGEKGQWDCPIRLRVYGPADPAARKLLEDDMRAKRVPIKKQG
IAVPKTPGGAVLPPKRKEMGFQSSQGSSSQAEPEPEIDIQHFVANSERFKPRDVEKLVEAWGQGEDALSKMPMAKQPDGLISTLLPYQLQGLAWMLE
KENPSLPAAKSEDVVQLWKRHSQRPNAFQNIATQYVTSEAPKLARGGILADDMGLGKTLQVISTILEGGPGSTLIIAPVSVMSNWAQQIERHVKKDR
NMKVLTYHGSGRKAMTSKDFSEYDVVITTYGTLSTEYLPRSGKTPETLPRKSGIFSTTWARIVLDEGHTIRNPSTKSAIAATACQAKCRWVLTGTPI
VNTIKDLYSMLKFLGITGGLERLELFNAILTRPLGLGDRNADLILHSIMRTMCLRRKKDMTFIDLKLPDLSEYVHRIPFRKDEREKYDALQTEAKGM
AQKLEAGKPGQNAYRHVLEVLLRMRQVCCHWKLCGTRVTDLLALLENDEVVALTKENCAALQALLQITIDSHEECSICLDDLHNPVITACKHVFGQE
CIERTIELQHKCPMCRAELKDKDCLVHPAVEETKIEDADIDIYTKSSKTEALMSILTASRRDPKSKVVIFSQWTSFLDIIQGQLAEADMKFARIDGS
MSATVRDKGMDALENDPECRILLASLAVCSVGLNMVSADTVVLADSWWAPAIEDQAVDRVHRLGQTRPCTVWRLVMEDSIEERVLDIQAEKRLLVGK
AFQEKTKGGKQKTTRMGDIMKLLG
>RCO7_01680 | uncharacterized protein
MAILERILVFTINIFCPPLSVLLVAGPGTDCLINVLLFIAGVIPGHIHAFYVTCTYFHRKHRVKRGRYPGGRKAGIYSERVWNGGVGRGRVDELWRE
ERGLEEKQRAKRSGGRAQMVVEEDVFGREKKWLRR
>RCO7_01681 | related to histone H4
MAPHPSSLAAGPSGSRGVGRPAGRPTVAGKGIMGGGTKFAPGRGKGGKGLGGAKGSKRYRKVVKDTILGVTKGDIRRLARRGGVKRISAGIYDEVRT
QLKARLTLILRDAVTILDYSNRKTITVMDVVFALKRLGRPIYGFDTDSYDAGHKVKKTVHR
>RCO7_01682 | probable SVF1 Protein with a potential role in cell survival pathways, required for the diauxic growth shift
MMSWAKQKLADVAGTREPIYGPEAIQSVAKQTANTSYTELTRADFKWKQLNTTSVETEVFYLMADGGQVAFVQVIHSNVAGIRKTSQFNCKIYYPKS
ANRPNLWSSDQLANVDFSDDENSYYADNLAVELSEDGNTYTIKSLTNQASVVNISVTRTAPAFHVGKDGNSTFGTDPAAPWGTMRHAFWPRATSSGT
ITTKDGAIDFKGKAVFIHCLQGMKPHHAAAKWKFCNFQSENYAAIAMEFITPPSYGSTAVTVGGVTKGNEILWAGSTCSAIWSKVKDDAEVGWQPPE
AIKAEWNGKTKDGKTVHALIEGPIDQHYDRVDIMAEVPGFVKQIVAGAAGTKPYIYQYPKTVASLKIKVGDEEIVEEGNLYAEATFISE
>RCO7_01683 | probable 60S ribosomal protein L19, mitochondrial precursor
MSKARAATDQIVKLIVGAGQATPSPPVGPALGSKGVKSIDFCKEFNARTAHMTPGIPIPARVTVRPDRSFHFDLRTPTTSYLLLKAANVELKKGKLK

GASGNEIVGTISLKHVFEIAKIKQSELRLSGLSLEGLCKSVISTAKSVGVAVRP
>RCO7_01684 | related to protein kinase NPR1
MAGQDPVSQKGSIGSSLDSSRPGGSPTVRFASANEEIEPVPLDDGQPIQETRTSQEEQSIKELSQSLQSTQLQGRRMSHFAFEPVSLPASRVPSHED
SSGEASRHNTRNSSSRPSPHDSPRQSAMHSPPITPAATRSRDVPDSTAKGAALQKVEPNDPSVITPQISLPGTSPSTTNVDSSRPTSSGQVTRPNSH
ASDSRGPSKHHGRFSIGPQSHDSVPVSREQSPSRAIGAGIGSGSTYSRPFTPAGDANDPYAAHKRVPQPKGPEHIDQRFKFQSLTSKNRVSSSSSMS
IPRSSRSAVDVNPSEKRHSLFGGHNGHDESSSTLHGSKHGSMSELKRFLKLGGHKAKRPASPTPSSKSGTKTPPSYKTPSQLPFGDDHGLQSRYGKF
GKVLGAGAGGSVRLMKRSSDNTTFAVKEFRARHSYETEKEYAKKVTAEFCVGSTLHHGNIIETLDIVHEKGRWYEVMEYAPYDLFAIVMTGKMSREE
VTCSFLQILSGVTYLHSMGLAHRDLKLDNVVVNEHGIMKIIDFGSASVFKYPFEGGITLASGIVGSDPYLAPEVYDERKYDPQPADIWSLAIIFCCM
SLRRFPWKMPRLTDNSYKLFASPPTPGTDMRRNSDTPAPSKSTNDLETPSRDVEPAPAPVVRVKSNLKVAPGSEDKKPEVIKGPWRLLRLLPRESRH
IMARMLEIDPKKRATMEEILADPWVADTTICRQQEQGEVFRAPGHTHTLEPPAAQPPSTK
>RCO7_01685 | heat shock protein, mitochondrial
MVCSHSSTTLKSIRSLAPLLDRVLVQRIKAETKTASGIFLPESAVKELNEAKVLAVGPGGLDKDGKRVACGVKAGDRVLIPQYGGSPVKVGDEEYSL
FRDHDILAKINE
>RCO7_01686 | uncharacterized protein
MHFSRLILGLGFVVLRPVAGHSVFTTLFVNDIDQGDGTCVRMPMDPHNATNPINDLHSYGGTQGVARVCTVPRSSKLSFQFRQFPDKSQPGTIDSSH
LGPCSIYMKHVSSAITSPAIGDGWFKVSRSGYDSVTKKWCTEKLNANDGLMSFSIPEDLAGGYYLVRPELLSLQDADKTPPNLQFYAGCAQVFLSSN
ATMVPSETVSIPGYVGIGDASVLFDVYNPVWPYKEPGPGIYRPGESALREVEPVEKQTEGLLPGDAYLTNANWWGMEVSSYGDEGGCWNASRNCYSQ
VDTCYKTAPPTGSKNCKVWEGRCSSIQTACDQGVFTGPPGYILPLDNSSISNTPGVATTQLKKVDPTPVMIPHVSKSTSISTTSNRLHSSRTHTKQT
AASDVESKVSGGMDFGSATTLTNAISTSSNGLVSLHRQSSTTSRESAPNSFVQTSFMDTETLPRHPVSTFSTPVSTFTTPTLHLRPDSSPILSVPRS
TGSKSARTSSSESASIIGSGLTATQSAVPSFGMRQSTAYFSMVAAVITSTDSTVISDIVVTITVTPGLSTSGPKQIESGSSSSFLPNSISGLKIASA
EPSAILYSAGFFARPVGESITASLSTSSGLVITATAVMTSTSVSILDSSADAILSIEIIPSRRTTTSFSPSATMVPVSSSASAHVGIGAEPKSQRMT
TESKSGTRRLERLRRLQQSRGASSRIVRDN
>RCO7_01687 | related to ThiJ/PfpI family protein
MKNALILFLVTLAACNDGQSQNTPNLTQLSLAAALPVNFAMLLFPGFQPVDVIGPMDVFNALGNQTKIHCFFIAEAAEAVSFGAHHLKWFTRANPVS
FSEGAYVPTYNFRNAPPIDVLLIPGGIGTRAPAPLLNSTIDYVRELYPSLKYLFTVCTGSGIAARAGVLDGKHATTNKLAWAQTIAHGPRVKWVAEA
RWVQDGNVWTSSGVMAGIDAALGFVTEVFSEAATVKVANGLEYIRHTNSTDDPFAALYGLTNEKNSTHPVLE
>RCO7_01688 | related to TPR domain protein
MSSIVDASDPSYQQLQQALESQKRGARIAQRRKGERPKDFQTRAQCISDFNMASIPQRMSNLQFSPMIMTSVTGNPYPPSNANVQDLKKIMIKDLML
EFHHRGSYLLLRFVCQAMRMNAVMNLAEDECGTVIPFAIYMQEPEAIRSAGSILREKSVIILKEPYFKLGTTGKYAVRVDQPTDIIWLADDDSRVPA
KWRVLSDTVSVSAVDWKKKGNDFVGKAKYYDAIEMYAKALRSAPSPEDCDIIHRNRALAYLRIEAFDAALNDISCLSDPQEKGLYRKGLALYGLGRF
EDALDVFQSMVEMYPESTSGKQELNRCRTRIAEQKTGAYDFKALYKATKLRPPRLDIATYKGPVEVRASAGRGRGLHTTAPVKAGDILLCEKAFAYC
FAASPEEIAKMPSTHLAPISFMIDVARDKITMGTHADLIRVISNKLTFNPSLKPTFEDLYSGDYQGVKDASADGSPVIDTFLVARAVHFNCFGCPLT
SKKAIETPNIHSTAFQTTGLWMTASYINHSCVATCERSFIGDIQIVRAARDMPAGTELMFSYITLAEPAAMNKTLLDGWGFECDCVRCADDRSTSST
VKTQRQKYLKNFKAPDANRKRKQDLISQLNKTYQHPSTQVPRFQMWALHMNIVEELAQRGETDKMIDGVLAAFESVGFIIEGAKLSPVPSSKIIVRQ
WGAPNHGATSAWLTLRNIYKDLGLTDLAEQTKEFARITWMLLVGDDTQFVYDNPPKK
>RCO7_01689 | probable TVP15 Tlg2-Vesicle Protein
MDFSDIFRIVNLAVGALMVVGGGFHFKLAISAIIITIYTIIFGLTTALLEFQIPPQVARYASFLFSFIGRGVFYIFVGSLLLSDDGWIRPLFGIIIA
LVGIGYVVLEFVPSIEPPQNMREADGGWGAEQV
>RCO7_01690 | related to bifunctional purine biosynthetic protein
MAAQMNILLGRKDICGTRQWRYCSRNSKSIIDADEEDFQGLVALAKKLDMGLVVPGPDAPIVNGIEGYFREAGIPCFAPTKEAAQLEGSKAFSKDFM
AAHNIPTAEYRNFTDFEKAGDYVNSVNHKVVIKASGLAAGKGVIIPESKEETLKAIHSIMVDRDFGDAGSEIVIEEFLEGDEMSILTFSDGLTFKSM
PPAQDHKRIFDGDQGPNTGGMGFYAPTKIASPEILKQIDDLILRPTLEGMCKNGTPFIGMLFTGIMLTKSGPKTLEYNARFGDPETQTLLPLLESDL
ATIMKACIERRLSEVEITMSDRSSAVVVVSSGGYPGKYQQGDEIQMDDRHSLSDDAGSITFFHAGTSLLPDGSLHTSGGRVIAVKLAYRGVSTIRYK
DMHYRKDIAYRLGRLRDNLEPPLMVRI
>RCO7_01691 | related to aquaporin
MLTKAVGHHNNSKAAHAAARLVKQALHALPPNIRGHVVAVIGEFVGTLLFLFFAFAGTQVANVSSNPNTGTTVITTTAQKTPQQLLYISLAFGFSLA
VNAWTFFRISGGLFNPAVTVGMYLIGAITIIRAILLFVTQIVAAIAAAAIVSALFTGGLNVSTELSATTTIAQGVIIEMLFTMSLVFTIFMLAAEKH
TGNFIAPVGIGLALFIAEMTGVFWTGGSLNPARSFAPAVVTKSFASTQWIYWVGPMAGSVLAVLEFKLIKALEYTTVNGEETAEEKQANKDLEAQTY
KEAQDMGAPLGNETTSSQATTDTRTNGTAGPGLASVQNTKAALPNDHEKKVEERRAGY
>RCO7_01692 | related to GATA factor SREP
MSDHLSSSHPFGEMVDRNPSSQERMEESFPLRTSLPARERSREEIELAQQLLGHSQGQRDVSGDTPSPRYDSQRPSSMSPSTDKMRQITPGSASEEQ
SQREQSYAPVSSTQYDAAPSGQVCSNCGTSRTPLWRRSPQGATICNACGLYLKARNASRPTNLKRPPSMVHSGQHTPEPRRLSPSRSGPSANVSAGA
TYVTADHASEGSCPGGGRCNGTGGAEGCSGCPAFNNRVSKTAQVSASQGSPAPSQPRNDQQTDAPSPIDVTTLTIQQPNTTVVVACQNCGTTITPLW
RRDESGHTICNACGLYYKLHGVHRPVTMKKSVIKRRKRVVPASQGTQASDVASTTLGSPEPEHPSSSQETARGTINPDGSVNLGLRLRDDQARSFLP
DPVSSSRNQSGPSSDLTAYASSSHTHSHDHPNSLNNENRLPPMTSYPPPIHQKPSVSPHSFLSPSRKRSFSTTEMDQLPPISTDNVNANSTQPKRLS
SIKSILNPGYTESESDARAGRRSPGYRGSQSPNMRNANSSGTADRSREREQQIEGDRSKSERREMLRLEAENMREALRAKERELEELGTGE
>RCO7_01693 | uncharacterized protein
MDKTTYHAVNETASRNRHVSPAQPRMGGQKGDIIFAFSLMAIPMSLFSALLLGLIFYFKVSSPLSGSPELQLPGAPTHDNVIYVNISATTLTTVASW
SSTLAPILVGCAISLISYPVANRILRAGQSGKTGELPTPFQLGLMLKMSTSGSPQSLWNWVLTLVFAADTWFHFTTKSINLTQVYPTTSVLNTSVGL
IPTCYNVNRTYQGGCTLNQGGSATFLMHGQQAQNVVANLSTTMRVNTIASGKDIFTYVGNPPKAALSNIDYQSHTWGLKTQCTPVTSQCVNASRSSV
GKYLDYKCPFAMEGRVSTDADAAFQNQFQMAYFTNSRASINYTGTTSLANPYYFASLALVNQNIGRSPLLINDPEIANSGHGASVIAVFCNTTVYDI
LYTSLNNTISLFDIKPANSTLTNIIAGTQQYTRVGDPNLIQGSSIAALIGSSAQDVADGFALTYSQVALGVASAAFEERESVRAQRRETILVAKVGV
VSLAALLGANMALVVLGCVLLGFAVKAGKGETREVQARMSVGGVVASLFEGERGERPVVEVDDLFEERKGGRAVSDGAGLRVGVVKTESGGWRFGGF
RTG

>RCO7_01694 | probable dolichyl-phosphate-mannose--protein mannosyltransferase
MASEKGALVSGLDADNRATRRRNVPSTSVNGGLVDRVEIDDKKIQKKKPEQSWLQFLDEWEFIIAPVIFTLFAFFTRLYKIGLSPIVTWDEAHFGKF
GSHYIKREFYFDVHPPLGKMLVGLSGYMAGYNGTFEFKSGEKYPDEINYTFMRAFNAFFGAVCVPVAYFTAREMNFKRPAVWFVTLMVLCENSYTTI
SRFILLDSMLLCFTFTTVLCWARFHRLQTQSFSVEWFTWLILTGVSLGLVESVKWIGFFVTAMVGLYTIEDLWNKFGDTKMPKVDLGAHLAARIIGL
IVIPLAVYMLSFVVHFAILENSGPGDAQMSSLFQANLRGTEVGKSSPLDIAYGSRATIKNMGYGGGLLHSHVQTYPEGSGQQQITCYHHKDANNEWW
FYPNRAQPDYDAEADPKFVADGDVLRLIHSQTGRNLHSHEVAAPITKAAREVSCYGNTTVGDDKDHWTMEVVRDVGPGDRSKIRTLTTSFRLKHTVL
GCYLRAGNVNLPQWGFKQIEVTCEKVNNPKDVYTHWNVEAHWNDKLPAADAGAYKSPFFQDFIHLNVAMMTSNNALVPDPDKQDDLASSFWQWPILN
VGLRMCGWDDSIVKYFLLGNPLVYWGSTASLGAIFLLVLWYLVRWQRGYTELKQWDIDQIRYAGLYPVLGWFLHYIPFVSMGRVTYVHHYYPALYFA
ILVFGFMVDWMTRSQRRSIQYAVYGVLYVVTIGLYIFFMPISWGMVGPNKNYSYMKWFESWRVTD
>RCO7_01695 | probable ran GTPase activating protein 1
MAMNTKLFSLEGKGLKLDSAADVEAHIKALRANDIEEIRLQGNTLGVEACKVLGEVLQTKKNLQIANLADIFTGRLLNEIPQALSSLLEALLTLPKL
HTINLNDNAFGLNTQAPLVAFLSSHVPLQHLILNNNGLGPHAGILIADALSALHAKKEEARKAGKEVPFLETVICGRNRLENGSMTAWAKAYSLHTG
VKEVKMVQNGIRQEGISHLITDGLRHAKGIKVLDLQDNTFTILGARALASVAPGWTEVQELGIGDSLLGARGGVLFANALGKGQNKKLELLRLQYND
ITAKGLEAFALAAKDGLPALKKVELNGNKFSEEDISLMKLRELLDERKEKLAGVVVVEDDWGLDSLSDLDDDDEEDEEEDEEEEDAEEDDARREKLV
EEAQEAQEEPVAQKQDKDVDALAAELKKTEI
>RCO7_01696 | related to COX17 protein
MASNAISMPSTATSGNLGADLKSSSDAAKPKPCCVCKDEKATRDECMLFSNAKDPQKDCATTIDKYKSCMAGFGFNLP
>RCO7_01697 | related to exocyst complex 100 kDa component
MSSSLNGTGGGSARSIFPKGPSFTLENFSNKDFIVRDFIEDLSESAVPVNRRSGPAQQAFDSKPLIRTFENALSQLAGLSDELGEKETDLLTSVRRA
EIQHDQTLETLGRKLDQSIDSFETLDSSLNGSNGANGNDRNGRPDGGGNVAVQIGERLEDLDKQRRKALDATFLIQCWLEVSEMGQLTSLEEMIRRQ
GSGENKVRSAIIARQLMRMSQRLDPSSWSQTNGAKKTNGVSNGVVGSRGHNTREIIEKFSETLEKDLLKQFDDSYRRQNFDDMLECAKVLHDFNGGS
SVVALFVNQHQFFIDRSQLITDEVTTDNETWEKLADPDSDPPGIEPSLQSLIDEIRVVMQDESFIIKRAFPYYEVVLTKFIQRIFQQSIQQRLEMVL
EKADTISSLAFLRSLHASRSYINNLIEDLKAHGLTEHPDVCSAQTALSLDQQLDELFVPYLVGNSYIDRERKSLEELYSSLLFKYTIYHSRRKKVPT
GFMASLAQQGTQLLSSAKDSYINRLDSSELTPTQKAMMLRVAGLRDTDKNKNEIEVTDEDGVLSIPNAKRMLKWLAEGVRRALELGSGSDTPKDVSA
LLNLLLTSMGQVYIETTLDAAADQATAQESAKTEPDLAYLPSLQPAITITNIMSRFINTVLIRLAESNTTVRRSMENQTKAGVEGIESKTNNIMRST
ITVVLNWVTKLLASQKKVDFRPKDSDLDGGRYLEMLQSATCQSICTFLSRVATLAAQAIDGVNLEVFSCELALSVRDLLFEHFKKFQVNATGALMVT
KDISKYVSTLKDWPLTKDSEGSVEVLSEIGNLFIIGPEALRERSRTFASGGASKKLQKADFRAFILKRDDSGTVGVQSVLAGQ
>RCO7_01698 | related to transcriptional activator HAP2
MEYAQYQQPAQSQHGHGQGHMQSGYPNSGQHPGPGASITSPSQHPIHSGHAVHNQTSPILSSQPQQAGQNASHAIAQQLQYQPTYSVPPPGMHYGMG
GITPQTAAMAATAAAAGQAAYPYPISDSNLQTSPRMGVNASVKQEVSRRSPKQMNNQIGHGQQPRRMSNQVGESPAISNSQTMVNHGMPRASVPPMP
AQHPQSPELVSGAVEESPLYVNAKQFHRILKRRVARQRLEEALRLTSKGRKPYLHESRHNHAMRRPRGPGGRFLTADEVAEIERTKGDGEDEKPLDT
PAQGAQNSGGSSGPKRKSDSDIATPSKKPKLSAARSSAEEEDEEEDDADEDG
>RCO7_01699 | probable YHM1 (mitochondrial carrier)
MSSIAAGPGSASKDYKRESTLARLMGSGSAGIAELAVFHPVDTIAKRLMSNHGKIVGSKQLSQVIFKDKASATAGKKFFSLFPGLGYAAGYKVLQRI
YKYGGQPFVRDYLAKNHGGTFDRTFGDKTGKAMMSSFAGSIIGIGEIVLLPLDVLKIKRQTNPEAFRGRGVVRIVRDEGFGLYRGWGWTAARNAPGS
FALFGGSAFTKGYLYGLDDYNKASWLQNFVASIAGASASLLVSAPLDVIKTRIQNRNFENPESGFRIISSMMKNEGPSSFFKGLVPKLLMTGPKLVF
SFWLAQTLIPAFDIALSKK
>RCO7_01700 | uncharacterized protein
MPPPHAIPTNLISRIGDPIFAVLIGLGAAATRINREEKEKGRSTEETVQSGLRRIGMGGSRSVAREGEGGGR
>RCO7_01701 | probable protein MET-10
MFRPPIVRTASAALDRALFSKTIPTAAARVASVKNLSKFRQVLDKSKELMQLERIHNVRADPDSFLAGKGGKCLLLRPEVKPEDPSTWSDALREAVK
AEDVGVIPYDLKLDYNYWTYHDVMTSLLPEDAQGEIPVGFAIVGHVAHLNLRDEYLPYKKVIAEVLVDKNPTIRTVINKVDDVGTHSEFRTFEYEVL
AGPDDMEVEMSEGDCIFKFNYSKVYWNSRLQTEHKRLVDYFQPGEVVCDVMAGIGPFAVPAGKKGVFVWANDLNPESYEALKAAIKRNKVQNFVRPF
CADGHKFIYTAADDLIDLTITSKNTISIPSKARRSRSAPIIPPPCPTILTIPQTINHFVMNLPATAIDFVGSFNGLYKGHEDLFEPKTDKKLPMVHV
HCFSTKSEDNVKEGKEICERISGVLGFEVRPRSTAGEGEEEEGEVQICEVRDVAPKKRMFCASFRIPRSVAFGERRNA
>RCO7_01702 | related to DNA repair family protein
MAESSKKRTLDAFFKPPPKKVKLSDANEPPSENQEPQVEEQVLYSKHSTYPFSISNFPSSITKNLSSFPSTIGKVINDQPDLDLVYYQPYIPKYLER
QTFEFLRSQLPFYRVRYTIKRGGVETEINTPRYTTVFGLDETSKFCSSSTQIVDVKTSLPILKDKNYLKHPPRPLPQCLNALRLSTEAATGCTFNFC
LVNYYSSGADSISYHSDDEKFLGKEPAIASFSLGAKRDFLMKHKPVALDDNKSPPIETKLIKLPLGSGDMILMKGRTQANWLHSIPKRTGKHADDGG
RINITFRKALVRAGTENYYNYNVGTGIVYKWDERAREMKPWKSSFGRDV
>RCO7_01703 | probable autophagy protein AUT7
MRSKFKDEHPYEKRKAEAERIRQKYSDRIPVICEKVEKSDIATIDKKKYLVPADLTVGQFVYVIRKRIKLSPEKAIFIFVDEVLPPTAALMSSIYEE
HKDEDGSQGPTDRAFIINSYRVLQLTAPL
>RCO7_01704 | probable coproporphyrinogen III oxidase
MSSMRPCIRLSKVPKFRPQFSQHVRSRRAFADSPKPCEPANQTPNRLPKRPIKEPRRGVLFPKTRIAVGIVFIGALIYSMATEEPNKLDAPSIADRD
ALTKRESGVSENSPMRLRMEEFIKEQQKEIVAELEKVDGQKFRVDTWTRENGGGGISSVLQGGNVFEKAGVNISIVYGTLPRPAIEKMRVNHKAIDP
DVQSLDFFAAGLSMVLHPINPMAPTVHLNYRYFETANPDGTSNAWWFGGGTDLTPSYLFDDDAIHFHKTIKEACDKHDKDYYPRFKKWCDKYFSNKH
RNETRGIGGIFFDDLDEKEKDQENTFAFAQSCLKAFLPSYLPIINKRKDLPYTEKEKEWQQIRRGRYVEFNLVHDRGTAFGLNTPSARVESILMSLP
LTASWRYMYEPEKGSREQRLVDVLREPREWV
>RCO7_01705 | uncharacterized protein
MTTLPNTRTLLTSLFNTLTTPASRPFQKQADQKPVNEPYDPPSNPLKTLPPSQRALLSTMHVLFTPPMLLQALDLLDRGLVLRIVERGTDQEGVFVS
VRGNERVEVDEAGEEDEDRTVFPPQANVPLPSRSSPPPTTPILAPNSHSESNPQPQSHPNSSASRAPKSNPRQPPIIHQVRSSQPPKSRFRDASTSS
TYNSSTSFAGTNIYTVRLHAWNCSCAAFAFASFPVNNIYPARSAWDIDPQASQDLEMDLGLDLDGQSARGRGKESGGVDWGEDDEWQFGGLSVDGKD
GKGVPCCKHLLACVLGERWDILKGYVQERMVSREEMAGLGCEV

>RCO7_01706 | probable 26S proteasome regulatory subunit RPN8
MPATTAETLSLVSRTVSIAPLVLLSAADHYSRSAKSTRKRVVGVLLGQNDGQNARVSNSFAVPFEEDERDESVWFLDHNYVESMTDMFKKINAKEKL
VGWYHSGPKLRASDLEINELFKRYTPNPLLVIIDVQPKESGVPTDAYFAVEEIKDDGTTTTKTFVHTPSIIEAEEAEEIGVEHLLRDIRDVAVGTLS
TRITNQLQSLQGLHLRLRDIGKYLQRVLDGSLPVNHAILGNLQDVFNLLPNLSTPKASSYIPNGVDAPAQSNSELAHAMSIKTNDQLMAIYLSSLIR
AITAFHDLIENKIQNRQQQEDNDAKKDEGKEDKKANGVNGVNGEAKEGKEADKEKEDKDKKK
>RCO7_01707 | Adenylate kinase 1
MAPIGEDVVQSLHDLVNKLESRVKQLEDKLGHAQSGTKPTVAEGVRMILMGPPGAGKGTQAPKIKEKFSCCHLATGDMLRSQVAKKTPLGKEAKKIM
DQGGLVSDEIVIGMIKAELETNQECKGGFILDGFPRTVVQAQRLDQMLESKNQKLQHAVELQIDDSLLVARITGRLVHPASGRSYHKIFNPPKDEMK
DDITGEPLVQRSDDNADALKKRLVTYHQQTSPVVGYYQKTNIWKGIDASQEPGQVWKSLLGVFEAERKAKSGGGLLSKITGN
>RCO7_01708 | uncharacterized protein
MPLSRATELALLEWTNTFPLDSAVDSVPNLTDGVVFAKMLEDIDPSYAVRHLEKDVGTSKWLGKKKNLEAIHRSLLRYINNTCEGLDSFILDNPVDL
NAIAQHEDVGETLKLLTLFLMAAIKGADLQKYVSKITTTLNASSQGEIAGIIKKADAEESTRIATGKTGASVIATNDAELELEEKYAHIAIEHDTLK
KKHADFISRFERLQQSHDELLDYSNKQDTKLKGYENSDDGDQADHIRNLNSRIQEQEDLIASQESQVESDRIARERLSKELSVLRPSSQRLVEVEDE
LKELKTANIALSRKANTVDHYQKKVEHMALVEKENTALREMIDTLQGNQKDFDRVYDENTKIKATLKEYQQRFHSYELTYVELSTQKKHIEEQLRLR
DDQLQVLTARQQHDEKFIDQLQEQIKTGNLAETPDSPIRKQGGLNLEEELEQSQDPTPNLLLEVSRLKAENQALKSYSTGTTNATLHIDLEEAERVK
KRLQENLRDLTEKHTLAQQQLSAIISESADEKEATILRTRKLYLEANQELSNTKCKLAELSTDLSGRDRDLISTKTDLAAVNQEEIDAVNNLKAAHE
LISSSLENDLLALQRKHRDLSSDFDEQKTQLVDALLSKDRLMQDLGAAKEGFGAADDGEAQARAIIEAEDKLREQLHTQDALIEDLQMKLKVAEANS
PEAQKAANDAMIKNLIRENTLMATAWYDLTSRLQSNHVVLQRRQDAPKSWLNKQRQMMVNAPSRRQ
>RCO7_01709 | related to serine proteinase inhibitor IA-2
MKFTIFSVLALATAALAVTTPQKSIIVSWPDNTPSHIITEAMDKIKAAGGMITHEYKLIQGFAAQCPVKFLQEFRITGTEWNMAVEEDQMVSINSGS
>RCO7_01710 | related to PCF11 component of pre-mRNA 3`-end processing factor CF I
MSDEVADDFAHALNDLSLNSRYEISNLTVIARENTASSLAIAEVLKNHIKQVGPTKKLPAFYVLDSIVKNVGTPYTLFFGRDLFSVFMDSYARVDNN
TRSKMVEMLRTWKEPVPGSMDTRPVFSAEVTRPIENALIKARTSFLQAHQEHTRGQSLGRGRPQQSSSTPYRETPTPPNLQAYQAPGYPGPSQQAPG
YQAPGYQAPSYPSTQQMASQQPTGYPTNYNQQQYSQPVNTQQYSQSNGQQYAQSTQPYNQPTAQQPYGLPQHPPSQQYSPSPPSNTGYWQQQQPPPQ
GQGSAEDGIAKLNNDIEKLIASSRAEWPQNQHDTSIGTKLKALLDLQTILQSQKLPPDQISLIKDQVAQLSRAPQPAPKIQSPPIQTPTPVAAAPVP
AQQPTLSSLLGPGALAALLARSAASTPPMQGPVVRSPPKNVAQPSYQLPSSSGLSVEPMSLLDKLRAAGVLPSTPTPILPASFTPKPAGFPSGFPPP
FLSTPPLSSRTSLAIIPNDVVLKATSLKIPRPHLISSLYEGLGAPCTQCGRRFQSDPESKKKKAAHMDWHFHVRQRMDEAEARGQHRSWYVDELDWI
KSREVEGESGAISSEPSQHTAAVAASTKLQYLPVPDDPALANSICPICQEKFEMKWLDEAQEFVWMDATNVGGRIYHASCYAEAAKDVTTEIKRGTP
EPAGVLGKRKAEDDQMASRAKIKSEPGI
>RCO7_01711 | uncharacterized protein
MSVILHLGEMTRNSNFLVFACLLSCIHPIAGLASARATQCCNDLVLAVRATTQSWPVSQLNPEYSYAKSHYWSSANADGTPACIVFPANAQDVSAII
RTLLRYPGVPFATKSGGHNPNLGFGSTDGGVLISLSRMSSTTLSTDRKQAYLSPGARWQDAVGTLEPYNLTVVGGRVGDVGVGGLLVGCGLSFLSAQ
YGLPCDNIKNYEIVLSNSTIVNANAHENPNLFWAMKGGGNQFGIVTKFTVNTYPIGMIWGGARTYTRSVASQMISATQDFTEHFSDPAAAIIMSYQS
LIASLDQFFVVFFFYNGPNPPPGVFDKFNSIPSTSDTVRKQRSLPMPNAQFGSIYGFRYVLRGSTIPNLPGHSGTDLITANFNNFVSYTSSRGLAGL
LQPAFIFNFIYQPIPVAIAAASARINPLGNLLSLSADNGDHMWMAISVSWLTKLGDADGNRLATEIMNNVVTYTKQRYAGVQGSNFIKGVPGDGYRP
SVFMNDAMADQKVLQGYGDETFERLKSVQRAYDPMGFFPSRTGGFKLI
>RCO7_01712 | related to DUF726 domain protein
MAPSASDLKLVLNPARRHALSVLMGSIIDHMRNKIEDTNRSQTEATPLFSTGSHSRDEYKLPTPSPLATPSFDPGADARQSCLEASLEGSFSTHRLQ
NLQKHALCYFDTWAAEVRGQFKKTCDGPEDPQSEQRRREWLTARNPAPPPYSSVCSDMKDVAAEVEAKAREMQEAKDVLLLQSLFHPIPTRLTTISK
EDRTGVISCMVLLLLSLGHYSAHSRVLLCYLTSALTLPMSVLSKYEKEIAQTLLLASKVLTADAETKKRQAENETSRRWKVELASVAGAAVIGITGG
LAAPIVAGAIGGIMGGFGLEGIASFLGIFAMNGALVGSLFGAFGGKMTGEMVDKYAKEVSDFKFLPLASEWGEHGTKLDSETVSRRLRVTIGVNGWL
NDKDDVVQPWRVLGRETEVFALRYEMDALITLGTSLQDMVSSYAWSFVKVEILKRTVLASLWSALWPVYLLKMATSIDNPFAVARNRSEKAGEVLAD
ALINKAQGERPVTLIGYSVGARVIYSCLKSLAERKAFGLIESVIFIGSPVPSNSSNWRVMRSVVSGKIINVFSENDYILAFLYRASSIQLGVAGLQE
IGDVEGIDNLNLSKEVSGHLRYPDLIGKILKRAGFEGILAEDMEIERDDLAEIQLIDAHNEREKSVHESSGVHEGNLISLMDSQPPIAEREDRSMSV
GQAFDPRSRKGLGTARAQKGKENEAKELEELEELLRGTRINTETPGTNIASNSSAQLNPQSIVVDPERGVMDITQGVSSFKLSTQSQDAGYESESDG
GKQIYNNDSDLEVMMVIPGVQMDNDEVYPREEPRDSGKAVKVWDEPKSLGTFPRL
>RCO7_01713 | probable Alp11 homologue of tubulin-folding cofactor B
MSLQTAGDLPLQITSENSSSERRITPSWTIGQLKAKLEAVTGIPPLSQRLTLRLGGRQPILIEAVDEESTQLGNFPLAPYAEIHVTDIRPPGMRPNF
TDASKVTKYEMPPDEYEQKTDSVLAWKKANKLGRFDPSAPSLEEAKLQAIDAEIKNRGIEVGKRCRVGEDDSKRGEVMYIGNVKEIPGTSGKWVGVK
LDEPVGKNDGSLNGKRYWGKEGDPRFGVFVRPERVEAGDFPAIDDLDDMDEI
>RCO7_01714 | related to DRPLA protein
MPPHPAESPAKKQSKWSPEEDALIIDLRGGGMKWEDISKRLPGRSAISCRLHYQNYLERRSEWDEERKNKLARLYERYPEAYQNSTSLVPPIFHKKL
IPHRFKPEMWSKVAEEMAVPWRAAEAMHWQLGEADMARRAGVVPFSLSSVSTDAPPPGHRSSPSRGHSHSQSQSSIMSGPPGPGVGPGRYSRPPTAL
SNSSSKTSGGGSARTIAARRESTPRTVPPASPIDGLALASFGGGSMGMGVSPYSTPAYATSMPMGGGYPSPGPMLPSIGMMGGNRPDGKRRGSPDMG
PRETTRRRQ
>RCO7_01715 | related to tRNA (uracil-5-)-methyltransferase TRM9
MPREVVHGDHEARHNLMNSSSLPKEETSKVTRQVHEGRPAHDISEPLNDSVEKTKLEMTEAQEVLRKLPSYESSKDTTGKNQLIVSDRLTEDDKISP
NPNPVPPESYEEQHVHQVYEQIASHFSSTRYKPWPIVESFLQSVAPGSIGLDIGCGNGKYLAVNKDVFIIGSDRSSNLVKIATQHEPHSAVVADSLS
LPHQDGRFDFAICIAVVHHLSTRARRAEAIAAILRCLEARGKALVYVWALEQKGSRRGWDEGGEQDVMVPWVLKTGKKKVEGKVEPEKTFQRYYHLY
KKGELDEDVVNVGGEVVESGYEKDNWWAICRKKSGL
>RCO7_01716 | uncharacterized protein
MAREYLKSWRSPPKTYKIARISKSSVHHQAPKYRIRPASQKNVSNTQFRYSASGYRPLHSKLPHRSRHNFEMVSKTRSNASSGPKSFSPPLPRSGPL
SMTAPPQTSDSPSKSESLTKSAPLSTTASLSQSTHLPKSAPSSTSASVSRSALPKLEPPPRHVQSDRTGSISPKRARTETADHNDTKSTKRVKVTTD
IQTAEVSKTSTESLKKDTRKKKPRRASLTADVRRDWDRMPVASQQGFENITGAICYRNSAVQALFHIPGFVNWVMDHLQPEKCSAANKNLCVSCCLY

SLATKYWEGSKVAETWRRFNTILRRRGWGVDAGNGQADAGEQLIWIFDAMSKELPTETYAQLEHMFRIKSASIVSCGTCSHTSISNPGNQYILNIPV
QRNITTLSENIQNHLAAEVLQDYKCESCGKTANNRKTLEITRLPELICIQLNRIGWNRKTGKPVMNRTAVNIPTTLDLSSHQKKKGGKGGKNLKKME
GEQKKIEYELLSVVKHSGSAAFGHYICAAVGPDGAWKLFDDRSVTKSSAAQATRGGHFDPFIMYYQRKRA

>RCO7_01717 | related to dimeric dihydrodiol dehydrogenase

MSSAPFEVKWGILATGGIATTFTKDLLVNPATRSVSDIKHIVAGAASSSSQSRASTFLKDVGAPSSAKAYGSYAELVADPNIDIIYVATPHSHHFQN
AMLALNAGKHVLCEKAFTVNAVQARKLVETAKEKGLFLMEAVWTRYFPLSIKIREMVQAGVIGKVHRVTADLSFGSSGEDGNLTFADTHRMVNPDLA
GGALLDLGIYALTWVFQILYHCQPVSQRQKPSVLAAVQKYKTGADESTNMILKFGEQSMGVATTSMRVATTPDGEGSPAAGPAARIQGSKGEIQVIG
PLYRPTHYRVILVGGKQGVVEDVSCPIPSDPESGWGHGMFWEADEAGRCLRDGKKQSESLNWEESLVIMETMDEVRRQGDLKYPELIETDVYDEKSS
LNTGR

>RCO7_01718 | uncharacterized protein

MSSSSSTNISAFSTPLSPSTNSDIKTQKFVYCTAYIGKKERTAELVYSANKAGFRGFDTGAQPMLYDENGVGERVRKSIEEGLVKREELFMNNILTL
EACCVLSFYVPTKIRSLGLSNTALDDLKQLTASARVHQPPHPIPSIRQNVFHETEGYGVYHREFCPKNGIISQHLRMLDMNLDLLHNGAIVDVLALA
LEGKVQTGEEKAIALYGLVIDIGGISIFYGTTSAGANESLFGRTRGVERAG

>RCO7_01719 | related to RAD57 protein

MTDLIAVLPGFPTQQYVRLLPSLEKHLVTTADLLTQDYTEIAKRASLPILDVKRLCNAVLDALQTSLGVQENGNVVQSDALLRKSGEDVVNSWNTVS
TLDEDLDKALGGGIPTGHITEVTGESGAGKTQFLLTLLLAAQLPAPHGLSSNVLYISTESALPTSRLSQLLRTHPVLHAADPKPTLDSVHSVITPDL
ESQDHILRFQVPVAVRRYGIRLVILDSVAANYRAEFERPGGATTGQVQTSGANMAQRSSELVKLGHLLRELAREHNIAIVVANQVADRFSGSGGASS
PILRRSTQSSPLARRSAPGGAMPDSSLGPMSSLPIPMGTDAGNTPFRSTMDPMSLDHQQRWFTGWGDDPHPSHLALKNLKTPSLGLIWTTQISCRTA
LIKRPIYGPGLVADEENDKGEPVLKRWRRWMKVVFAPHAAESGPSVRDAVEFEIRGEGLVAVKKKGKSGDNGDDDDS

>RCO7_01720 | uncharacterized protein

MATSTVARAVAALLSISLLAASGMLASAQSVQPSNDTLPSSETKAATNLRLTAGPVFDEKSFLIAPLTEEMGKGQNQVGVSAIVISGPMKIADYMTV
ASISKSEVALITCDPNGSNIDASQVLRTACDQKPRAIVIYSLEASSCNVTGSFGYTSLFTMLSAAKSRELMEIAGIDYKDSNSLVANIGSSNGTDSL
GNSPPPKSSEAPSPGGPAPTTAVAMSILYSITGIITLLFLVIIATGAIRAHRHPERYGPRSGLAGRSRQSRAKGLARAMLETLPIVKFGDPEPVKNP
NGDVELGDGNARNQTSSTIASVEGTVLTAESKKDETKARSTTDTTGGSVESGLEAAQAESTESGEADVVKEGELGCSICTEDFKTGEDVRVLPCDHK
YHPACIDPWLLNVSGTCPLCRHDLRPMTTATSTAEGELPPPLSANDDADRASSEGSAHQRRRVSRFLDLNRLRHAPPDERIAALRQLREETQRTGAE
TVNSEDAAEEPSRRVRLTNRLRDTLRIRTRAQHDAPA

>RCO7_01721 | uncharacterized protein

MSLVLIDPPASDPSYREKDWKCSDALVIPSCNASKETRDLWWLHGNPHSTRYSDPRLVSLAALVRHDGAVYKSQKAFLYPATADPSTKYNVMTWDEF
DSATETLALTYAYQLENELRQANVTKKQPTIALLGAGKTLEYFCTQLALQKLGVRVLLLAESNPQDALHYLLECCHALAIITDTKNARTNTQGIRKI
GMIESLAQGSATEFVQVEKVKFQDFGDVWERHSFIIHSSGSTGMPKPIIHTNRSMMLIARMYRLFQDFQIENWFLLFPLYHIAGISTALSNLPNGQI
LSFPPLSWPPSSSSIFSAWRTLSEMGHPVQCVHCAPTFIENMYEYILTETHDFSPLSSLKLLQPGGAALLDSIVKALVTAGVNVKTTYGSTEIGPPL
RTIGPRDSPDCYRLRNLYPDNPFLKMEEVGEGIYECVVFKGFELAAELWQESEAPYRTNDIFIQDPPGSGYFILQGRKDDILVHSNGENTSAGPLQL
DIQAGTQVIHKALALGHSRPCVSLLVELNEVHDPQDLSVEEEVWETVHNVTARYPKHSQILRSMIYILPRGAHLPVTPKGNVKRKEAERTFAAEIDS
LYSGGFLPTSTPFQGAESLAAYLRSLFSTLSNTPTSDINDYTTLYDLGINSLTALSLKTSLSGYLSRPITMSTLFENPSISKLVSVLTTLPLNSGSS
LEPASDRSSSAEAIHRIITSLTSEISSWPPRPKIPAYPPVLQHTVLLTGCSGSLGTSLLNTLSSSSQITKIYALIRGPSAVEKLKSSLTRRGLDSSI
LGLTTSDGSKKIEVLSFSMRDSLLGLDIETYAMLARNVTIVLAGAWKMDFNLPVGEFEGDCIKSKKELLTILPNHDLATNLSVDTMALLRLCHAGRP
KTFAFTSSISTCMGGVSFSTTIPLNTVTELPIGSDPSIALSTGYAQIERITQTASSLLSLPVKLLRVGQLSGQTQTGYWSTDEMWPIMFATSFHRSM
NALPLFEGKSVDWIPVDIAADTIRDIILSDVSASASTSPSSTREVIKDTEIELYSVHNIVNPHTIPWKTLIAMLQAIRIRNGQDPLEQISMREWTSQ
LVALSTTTTNTTPIPGLRLLQFFEDMASSESEIDADPRKAKQPTPPDDKAAGENNNSKVFETAKTTDISPALRECGVFDETWVENYLRVWRESGFLV

>RCO7_01722 | uncharacterized protein

MAPRIVERFRLRTEPGSFASVSGGLSSNKDLDPVPFESNERTWTWPSLLGFWVAEAFSISMYQVASSSITKGLSPGLAITAVLVGHLLVCIPAMLNG
YIGCIYGINFPVLMRSTFGVYGAYFEVFVRGVVACIWFGTQSFQGGQCIQTMLQAIWPSFKRFPNHTPVSAHVTSAQMLCFFLFIIVQLPLLWLHVS
KLRYLFMAKTIIMPVFGTTLFIWALVAAKGFGPTFSKGTDIVDVIGTNISANSVSFFNDLALWFPKWINTRRGAYVCCILSIAATPWNIQHSAASFS
AFLGGYGMFVGPIAGIMMADFRVLRNRHLNLASLYLHPDIYSFFHGFNLRAFLAFACGIAPNLAGLARATGNLSVPKTATYVYSLSWVVGTFVSFVI
YIAAGKIWPIEGKHEEVEVMEGVDGSSMAVSDEEGRATGDSKVKACQGSKPTI

>RCO7_01723 | related to DAL1 - Allantoinase

MGFDLVVTNGIIVTASDTLSLGVEIGIVGGKISCLGTSLPRDANTQIIDAIGAYVTPGGVDSHVHLAQDNSLTGDDFVTGSRSAIAGGNTTVLAFAT
QEKSENTVLPTVEEYHTRAKDQSYCDYGFHLILTNPTPEIMSKELPVLMSQGITSVKLYMTYEPLKLGDSEILDVLMAARSLGFTTMVHAENSDIIS
LITSRLEAAGHGDPYFHAIARPQIAENEATYRIISLAELTDTPILIVHMSSEIAMKHVRKAQTRMLPIHAETCPQYLFLLSERLKGSQQDAFEGAKC
VCSPPLRHDPKDLEAMWRGIANGTFTTFSSDHAPSTYDHSGGKRLGLRDGVMVFKDIPNGVPGVETRLPLLFSHAGEAATCRLTLRRFVQLTSSDPA
KLYGLEGVKGNIAPGCDADLVIWYPESELEGGVVIEQKSLHHCVDYTPYEGMTVKNWPRYTILRGKVAWDLDNGGVIGGVGDGKFLVRGKGRIVVGK
IGQEATGMLNGERDYWR

>RCO7_01724 | related to N-carbamoyl-D-amino acid hydrolase

MARTLTIAAAQMGPVHLTSTRPETLTRLLTLLKSASSLGAQIVLFPETALTTFFPRNLITSPSELESYFDSGSTLLTSPNTAPLFSLAKDLNIDVSI
GFAERDDDGKGYNTSVYFSASKGEIVAKYRKVHLPGTKEPFENPDAVNQLEKRYFEPGNLGFQAFRAPGLVEGVVKKDSPGADADVKGRGDPILGMM
ICNDRRWVEGWRCYGLQGVELVLCGYNTAGYAPDLWGTRKPMTPEEAEMDAVFHHKLCMQGNSYMNSCFSVSAAKAGLEDGGYDLIGGSCITSPEGH
VLAEAKTKEDEIVFAEIDLEDCRQGKEKTFDFGRHRRIDQYGPITVQSGVVEPELLE

>RCO7_01725 | related to DAL81 - transcriptional activator for allantoin and GABA catabolic genes

MESHSHHYVHAQQSVSPTDYYNGHGLALTSTAALPAQAVQPGPRSYKSRKYRPCDFCRARQVACKIDESPPCNLCSAHGRECTFLERPKKKRRPNAS
SIGSREAASASNQHFDVSATPLSPGFIAQFNQEQSYNGLSGHDPALSSPDQLQLNHSDASPIFNMDPYLLSGGIRIAPLDSRTSRSARFIGETGEST
PYLLKYCKYDTNDECTISKLTYRRIQRSMNHDSLSSERSEPPVVFMLADDSLAQKAEPRAEEHVLQKARKDIEGMFTEQEALRLIGLFLRYVYPYFP
ILSKSELCPNGPVLPSVLQTLPFSLLSAIYASSLPFMLYDDLLSTTLIHSPPPAHQLFRITWLYIMQELHTPRLATLQACLLLLQRAPTNRYTTDTP
WKMSLVGWTVSLAHSLGLQRECCGWSSIPTWEMTLRKRLFYAVFIMDKWASLGAGMPSHIKTDDFDVLPLLDSDLEPPSLDPNSTAVPGFLEPDADS
NHFRLLVELTVILSDIMGSYYTIRATQRTSKNFNLSLDLARSLRKSLTDWKDSLPPALAMRQSGRFDSRVDTRVSGNPSLSLAYIVATMTLFRALLR

PLENLSSAEEQDRSIVDGRLAVRAGAKECAKEVVEFVENLGRGSLDAFWHSWSRANFAIASSFLMQLLVTSQNDVETTEIDGLVARWRWAMRIGSGS
TGNGLMSLGLIRLDGLLLENGTTHPAAG

>RCO7_01726 | uncharacterized protein

MTDTISLPSVIGSSTRSINILLINPNGTSSMTEACLRSLQDTLPPYCTVTGFTSPHPTPSAVEGHLDGVLSSAAAIRAVVPIALKYDAFLVACFSAH
PLINALREELSAPVIGIMEAALYSARMLGGRLGVVATGGRSKVMHEDAIRNYGLAGFSVGCETTNLGVLELENLPKDKVLGLVAEAAKRLVEEKGAD
CIALGCAGMTEMKIKCEEAVGTKEATAQVIDGVGVGIQILIGLVREGHVTAKGGIFRSSRQGRKARGQDWL

>RCO7_01727 | related to GLE2 - required for nuclear pore complex structure and function

MAPQVQFKLSQPPSDAVSSLKFAPNSPTRLLVSSWDKNVYLYDTQDQDEGGMLIEKFEHRAPVLDVCFGADDNEAFSAGMDWQVKRINLETGEQTVM
SAHGAPVRSVVYSREHSILISASWDSTLHFHDLKNPDKEPTTITLPAKPHSLSVTASKLVVAMAARLVYIYQLETTAALSSEANGSTTDLQPWQQRE
SSLKFMTRAVACMPNDDGYATSSIEGRVAVEWFDPSTDSQARKYAFKCHRQPDPEVEGADIVYPVNALAFHPVHGTFASGGGDGVVALWDAVAKRRI
RQYQKYQASVAAVAFSSDGKYLAVGVCPGFENGQEDYTGEGETHVYIRELSETEAKGKGAK

>RCO7_01728 | uncharacterized protein

MATEHQRRATSETPFNGRVILVRTKHLPGCVSQEKFPAVNSPMFKVSEGIKSRRDEVGTAIGSKTTSPDHTAAEAIDNNAIRETQTHTSHTPVPSRS
EKLPYAESELETQAVIPVRGAAATVRTSDIVPERCAAMPVSAMPRLVLRHVASGRVQKSGVGTVHSAPRVRNVAASAIVWRATPGSAVSAQESRDVM
PNTVRRKVTLQKAYAAPRARNVAESAIKWRATPTVESAYKIPRLRSPILSASKPPPAKTYVTDHRYMLAKLFRHAGETHRGPGQGVTAENKPLLNGY
NLAPTARNFEYLEDCSPSPASQDSLTLEQHACRGREAPLEKDDDEAAESIRELDAQRHVREDQMEELGEEEESESEVDEQEEEQHPVQDQEEEDRQE
EEEAQGRLEEPDEEQPEEQDHIVEKSEHSESLDQIERELLVIDDGCVKGQLDTSTSTSPKRSRTAEICKSSKADKQNDEEGNESCTSPTKKRRTERR
VPSVEIRKTALRELNDRRASKTARKAKVAQLKAAEKPAKPSKSKKTKHKKSVKKPRRLPDNGELLLVQERLDESDIEGADTPPLELSQDPISQIEDK
EENGVNSRHRGRKNSAKIQKLKGFGTIDISLFRMPQRSHFENYTKTIKSYSDGFSAQERTPIGLLMPIKLPIRRKQSCHTINVKYRELSLVSEKPLG
HMVEEIHRHKKSRKSKKRITRSAAPELNDDRMHMDEEERPRSVPVVQNLDLEKLSVNPPTPNIPHQSLLSSTPAGNSSPLKGKSQKVRHTLRDIRQS
EQKAHSQPIPVVQEQIADLLEPPDSITIQKKTMLQRRDEQIASQEISRVTMKRPMRHNDERDEGQIVYRNTGDAVDHGADNEGEGETEEDEPYLTPS
ENEEEDDREEHIPDDDGEAEYPFILNEGGVQKGIEKGEENDGPENIKDVIPAEAHDEKPLKQSQHIVQARSSKLAPILPRREEYASLLLELHKKTEF
EKARLAEKRQTPRSSQPERAKYISKVQDQETASSQRLSEPKITVDTSKLENRVSQRSLPPTYNLDSSWRPRIPDTRGPDMQVDEEITDVTTPPRERA
RAALSRLASLRRRPSIRSQSLYVVDELPESGSLRNPLATTCNSQEGSIILGDTQKFHHSYPADVPETQVELVEEENVVVMVPEQGYFSQASQHLSQP
FHVSRSRVNRTLSVPARARLEPDQEEDESGHRLMAGGISMSAAFQHTVSPATSSSAQQLSWVQPLNQPRTPSQRQNKSMRELTRSASMGMGTLHASA
KRRPTSAIYQPPFKKPLQT

>RCO7_01729 | related to APSES transcription factor

MPLSRQLPERVNPLMTEAVPEYDVLVSRRRLGQTDLTVKAGQVGTSNSTKPKNLGTFDYAHLRAPLPKGIQSGIFKPSPASYFLMRRSQDGYISATG
MFKATFPYAEVAEEELERKYIKSLESTSTDETAGNVWIPPHHALELAEEYHILPWIKALLDNTPIETNPTKDATPKTISPPPTFLMPQESLVAPTPS
RGRPRRAASPSKIASPKKTAAPTRTRKARGTSESVRSESAEPSVQTASENFNKSLKAAAAETKGDNEVADAKSKKEPKDEGLEKEEPVVRVHVDTDV
EVKADSEITHTHVEVEMPVGYAELPLPEDTEAMIAKAKEMVEAAVKGQVEETAALPRRSKRKVEEVEDEENEDGTDEFIPAPAKKVKTEVVELKKER
IKTRALLGISATLVLGAAVQYAFSAF

>RCO7_01730 | probable rho GDP dissociation inhibitor

MASASQDQDLLPDQTEGFKVGEKKTMDEYSKLDADDEAMQRYKQSLGLGGGGKDLSDPNDPRHCIILSLSMESQGQAPVTIDLSTKGAEATLKDKPF
KIKEGAKFHMTAKFKVQHEILSGLHYVQIVKRKGIRVSKDQEMIGSYAPNTDKTPIHSKTFAEEEAPSGMLARGHYTAISTFVDDDKKKHLEFEWAF
DIAKDW

>RCO7_01731 | serine/threonine-protein phosphatase PP2A catalytic subunit

MPGLPSSVDLDQCIESLYKKNLLAESVIEAICAKTKELLMQESNVVHVQAPVTVVGDIHGQFYDLIEIFKIGGYCPDTNYLFLGDYVDRGMFSVETI
SLLVCLKLRYPHRVHLIRGNHESRGVTQSYGFYTECSRKYGNANVWHYFTDMFDFLTLSVVINDQIFCVHGGLSPSIHSIDQIKIIDRFREIPHEGP
MADLVWSDPDPERDEFSLSPRGAGYTFGAQVVKKFLEVNNMSHILRAHQLCQEGYQVLYDDRLSTVWSAPNYCYRCGNMASVLEVSDTGERFFNVFA
AAPENDLHKDQLNQDKIADGSQLPDYFL

>RCO7_01732 | uncharacterized protein

MSLHKGRSVNRRRHRGFTPNPSPYQQVPGPNQHNQNHASQAGPTQQPPYQLTPQYGNSGQQYPYNPPQPHQAQQPQYPYGQPPQYGQPAFQPAFQPA
FQQPSYNQRPPDGPPHFSTPAYHGPPQQFAPSAPVPYQQPSNPYPPVNASYGGAYQVPPVSYQPPQPVTNQWSNAAPAVQPTYQQQQPHGSGQRGYS
GPPIQQAQRSRSTSRQVSQTFAPAQPGHPQTPKSNSGSAHQASRRGSMASPKSKPEDMQAASSRASTPYGRSGSGDRMQLGGQLLTPSASQNQGLEQ
NSHGQSEQFNEEDLFNWNFKHIFTEPARDETVELAQPLSANFNSTPVPLVQAWSTDVSSISRYARKDNLKEFIRPIRELPQWSYSQEDPAFSDFKRG
GPSIPLEHLPYWITAHHEEMDRQVIEEPPQEPLETAVEPTEQSRKRGRSEEAEESSQDYHNEDNGSVKDELSTDEGTGTSRAKRLKQVAEKDADEMM
SVPTARTPVIGYRSGTPCFETEGDAWAPEPGETASTPQDPTEALLASLGVTGSPKPIRKESIPAYMYNLEEAPRPSQLTQPIVATQENPKLSPDSQP
VRESSTTQQSAPAVTNGRPVNNDISPPVNDQNAPTRHHQYGPEMNTSFPLGQTINAQYGPQTVNRHQAPSINHQYGAPVSGPYVNGQGANPPYGNPP
VGNFSQGQQYRGTAHIPYQNGPPQNYGQPPNGPHVNGPSPPNNYGPPQQDQSQWAPPSHQPYTHGRTAYAPLGHTPYPQPNAPYVNQPHVPANGPYQ
TPPGPYYPPGPPQYAQQSGSYYGNGAPIASNHGLPTQESPTQHVPPQHAQYNPNMQFGSASQPQFGQNQAGPYHSGNGPPGDAMLTSDRPQQSVCGP
YGNAPPRQDSGYMSAREPYSNETSPHDCNRNHSHPVPPLHSTMDGTSSPKPEHPSKEEENESSLEMTRKDSDTGSPVMTPTGTPLSPTSKEILGMLE
GEPNSADVRRAKAAARKMRRPQPVVAEAYRFAILYRSDFKANLHSRRW

>RCO7_01733 | related to beta-NAP protein

MRSPASFVARELTLDAAQSARSSRSSTVKTLPAAQIKKLLDSRNEREVLDGLRKVISMMYRSLPTLPFFSSVVKNVASPNIEIKKLVYIYLLAHAES
EPDLALLSINTIQKSLSDQSPAIRALALKTMSGIRVPVISQIVSLAIKKGLGDMSPHVRKAAALAVPKCYRLDPGTRGQLIEYLGVLLGDKQYFVAG
AAVTSFLEVCPERLDLVHVHYRGLVRKVVDMDEWSQLATLRLMSVYARKCFPRRTRVVGRSNGKGASTKGFYEDDEEKDREEEQMEAGEVEQVLDPD
LEMLLKTIKPLLQSRNSAVVVAVTRCYVNLGTQEYVNLSIGPLVALLRGPQDIQHMALFNIVSVCLTRPEAFVQYASHFLVHSTDPPQVWELKLELL
TLIFPYCDPYLKSLILNELEHFSQGSEKGLVREAVRAIGRCAQSDVRTSARCLRLLLKQITSLDGNLVAESLTVIRHLIQQDPASHTNTVIRLAKNL
DTATNPQARASIIWLVGEFAGNDGEDNIAADVLRILAKGFADEAEPAKLQIVLLAAKVYLHHLNRSEPEPQKPTVVIPLASPDYSHGGGNEGFAELD
GPSQTSFSPPLPEPEHPIALLWNYILLLARYDTSYDLRDRTRLYKSLLSVPSSAQLASLMLLAPKPVPHTPSPSESRKGFMLGSASLVIGEDGGLHG
LRGYEAMPDWVKAGEEPDPSLREGDVTKIEYESNRVVPAGERLDSAVKDLRPGTSPSASNGIGAAPGSGKEKTLDDWLAEGEAEEESEEEETDDENE
DQDEDESEEDSSEEASDAEEESSDEKEHDRLVK

>RCO7_01734 | uncharacterized protein

MPQPLALTPALPSELLSYILSHQIYPTTLIICDSRANFLSSLQRCMPNTVQRQPPLYVEGSSSISGDDTAVDTDRDIRAAHDAETTRQQALHHPLLV
ATLHQILTSRFINLVFVPTLSHLRAYLSVFSGEVEQGDRPPQAQKQFEKKGNRTSLLVVYGLVGMHRDTSEWSAQGLGNSVAALVDAGWRGGRGVVA
VEERECDSDSDVRDGEEGVEGKRTGWDERLPMLNGSVKRIGLESEDGGWSGRTVEVGRVLGRWFRFERGEWDQAIE

>RCO7_01735 | related to NUF2 - outer kinetochore protein - part of Ndc80p complex
MSYNPRMSIVPNMQQHNRSKKKEDDSDAFMKLPDKEIVGCISDIGVPFTVADLQKPNPQQIQMIFEWFAELLMNATRETVDPAMRAAAEDVCGEYMD
MIPGETRNLMGFYISLRKLLIECGVTDFSFQDLYKPTHERLVKIFSYIINFVRFRESQTVVIDEHFNKAETTKVRIETLYMENQDMEARLEEMRRNK
KAMEAHVAEKVKRNEELKQRLLDLRQSQEKVTRRFENVKLKKSEMTAILEDKTANTLLLRQESAKLRPYVLQSPAALQASLTELSNALNAEKSQIDA
MDRRARALQTSTDTFTVVSSDVASCIKLLDEISAELSKEEEENVRIARQRDALGERGNNVREVERTEGLLRRQLSKWMERTDKLREGSKEKAMSAKE
RMEELRAVHRKLTEERSEKGREMERRRVRIEQTEKKMADLKENIENEIHSSHDEFLKMDSHIKLYIKEMEQSI

>RCO7_01736 | related to TAD2 - tRNA-specific adenosine deaminase 2
MAFKTDPSLYAGSTVPTMEDWKGLWSVWDLVTRGMIPEAELNEKPIKLRNACIFYLGHIPTFVDIQLTKATKQPMCEPSYFPKIFERGIDPDVDNPE
RCHDHSEVPEEWPPVDEILSYQKQVRAKIEKLTAAKNIPRDIGRSLWIGFEHEIMHLETLLYMLLQSDKTLPPSNFKPDFDGMAAHAAAARVENEWF
DIPEQRITIGLNDPEDNSGGDNSFGWDNEKPPRSVVVPAFKAQARAITNEDVRPRKSSIPASWVEARTAIAYTKGQSNGFSNGLSNDRTASNSVPLT
KAYLEGKSIRTVYGLVPLKLALDWPVFASFDELAGCAKWMNGRIPTFEEARSIYSHVDGLRLKEAEQHLGKTVPAVNGHLVNDGVEESPPSHASQPS
GGSQELFTHLENANVGFKHWHPIAITANGNKLGGQADMGGVWEWTSSPLERHEGFEPMKLYPAYTEDFFDGKHNIVLGGSWATHPRIAGRKTFVNWY
QRNYPYAWAGARLVRDL

>RCO7_01737 | uncharacterized protein
MNWATIAPETRLYKGKILFKWEVSPGLEHHCGTCATPLHNSRARSSCIGKHVEPCYRFHQQLHFVGKSHECFGCNSSDEMHHNRHKDILKLARQINA
LDEPNAIFPPTRSANSRARRGSSTTNSNSNAFTDNSSECISVDESRLTRRERKKAKKSGNGTKDRKSIEAFPLDDTDFISEAIHLSVHESKGAWEGT
YVYDHKKMVDDDDAEYNEDDLAANFETFAVKSPGTSLKDMTPRQRKVMKKTSTPAKYVSQGFGSRKYASQFGSTTSDPYDGVDPDIFFRLGIKIVDP
AKNSKARKDLVIKLVAAIKEDINIITREDKETEMRAEGFWRWAGKTAYENILATRESLDWATGQKIGLPRFDESDNEDIRLDDVQEAGAEVFEEETE
TPVDKAASKLAFSANIVDEDGFMVASDKKGFAKKSQGKAKRYTKAPLNYRTNETALIIDEEEDGEDVIEMLRRYEQRKAGDRNLGGNYNGSTPDRRT
GTGKARTLILK

>RCO7_01738 | probable Fe-S oxidoreductase
MAYNSLVLRPLLPFEITDIVALWHSYRIPIILIAVITLLIFRTYLHLRFPRHKLTGTPPISPSLLALKEKPLPAEKKPPAEKVPRRIVGGLKKRKSS
QEEIKPTAQKIQVLVFFSSLTGTTEKTAKVFTESLAQNTKKLGATTSATFLEPEILDLSYIDYDEYFINPPKSDSGAQYFYLLLLPTYNIDTVLDNF
LEHLQETHNDFRIDTAPLSPLLGYSVFGFGDREGWPTEEEGFCSQAREVDKWMAKLTGRKRAFPLGMGDSKKDAADRLAEWKEGVEDMLAHIAATGN
LGEGVVGSGDAVESDVEDLDDDEDVLFDEQNVAIRKTKTKKKEALNDLEDIGSTLNKTEAAEDDDDDEELELDFTTYSKKPVTKTAVAVIKEMVPK
NSPTYTALTKQGYSIVGSHSGVKICRWTKSALRGRGSCYKYSFYGIASHQCMETTPSLSCSNKCVFCWRHGTNPVGTTWRWKVDPPEMIFNGVKAGH
YQKIKMMRGVPGVRAERFAEAMRIRHCALSLVGEPIFYPHINEFTAMLHKEHISSFLVCNAQHPDQLATLKPVTQLYVSIDASNRESLRKIDRPLHR
DFWERFNRCLDILKERRFEQRTVFRLTLVKGFNIEDEAEGYAALVAKGLPCFVEVKGVTYCGTSSSAGAGLTMQNVPFYEEVCAFVEALNAALARRG
LGYGIAAEHAHSCCILLASERFRVEGKWHTRIDYEKFFKCLESGEEFRPEDYMGSETPEWATWGNGGFDPRDERVFRKGKNKVALTERQGEVMEI

>RCO7_01739 | related to tpa inducible protein
MSLTPQDNSRAQFPSTNPSASRQNVFQVQPNLPVPSPSQQALQQQQQQQQQQQQRSFNLNRPPHGSIRPGLQQSPQILQHKSPYTTPYPHNNAQVG
VPRQNGSVGVGASAEQQIAQGILSASAASGTNTPQRRPPPLGTTIHMPPHGTSQTQPMSVNHAMNPMNPSTIQQIQRQSQNASPALQNISPQRPVLA
ASPTASNLGVRPQENSPDVPQDMSMIDPQLAPDQQLTEQAMMTASPTNPQVVQGDMLSAPPGGSFPTFEALFAYAQAHALAHGYAFVIGRSKRDNRG
LKKVFLICDRGGSNKEKVPGEQRQRKTKSRKCGCDFGVYGLENKSTWVLRARMDGEHLAHNHPPSESRTEHPGARKLDPKAIAAVKALEENGVSVKE
TLEILHRDNPSVRYLPRDIYNARAAIKRDPSRVEATAMEQLPTFYKKPPLTFEEKLRAELRTEVANAQAETEKTKEDWRKEVEELKEQIRQKDKQIQ
KFEMFIDICNERVMVQRERLTAEGAEGSATG

>RCO7_01740 | uncharacterized protein
MSPQSGPPGPQHAPYPPPVANLGGVPIKDLDDPITAVFLFLFVLGAVAHMTILQVNMRRGHKFIISALLFGFCMARITTCTMRLVFSSYPHNVSIAI
AAGIFVAAGVLLLFIINLIFTQRVTRARHPNWAWSKGFSLAFKIYYITIVLLLIALIFCTVQAFYTLDTNIRRIDRDIQLLGGTYFAVAAFLPIPLL
GLNFLIPRSESSSSCSPHRVDKFGSGKFRSKIYILLLSSILLTFGAAFRAGIAYLPRPRNDPAWYHSKACFYVVNFTIEIVVVALYVVVRVDKRFHV
PDGSRGPGDYSGRQRESKDGGILARINTEEQVFAEVEERYQNGDAEMGIANLHETERPRSKSLEKQTHAPVAGNESRISRELNFKTSCEAGRKTSSE
LQTPALEQTALQIQDIKS

>RCO7_01741 | serine/threonine protein phosphatase PP2A-2 catalytic subunit
MDTNMEDVGRAPEPSQLSPVEEPTTIPTLDGWIESLMKCKQLAEVDVQRLCNKAREVLQDESNVQPVKCPVTVCGDIHGQFHDLMELFRIGGPNPDT
NYLFMGDYVDRGYYSVETVTLLVALKIRYPQRITILRGNHESRQITQVYGFYDECLRKYGNANVWKYFTDLFDYLPLTALIDQQIFCLHGGLSPSID
TLDNIRALDRIQEVPHEGPMCDLLWSDPDDRCGWGISPRGAGYTFGQDISEAFNHNNGLTLVARAHQLVMEGYNWSQDRNVVTIFSAPNYCYRCGNQ
AAIMEIDEHLKYTFLQFDPCPRAGEPMVSRRTPDYFL

>RCO7_01742 | probable EXO84 protein, component of non-clathrin vesicle coat
MSEEKEKSKGISLRTKRNKRPAISAPKQISGPIQQSGAAPRSNGAQAAFEPPPQRPQVGGKTSDLVKRRYSTRFNNIPTDYGAGTPPVPSMPLLPNE
FAPPNDRRRGPSPARGPGLLVDVKALRDPNLRPEHYISGLLSDASEQDIDDYQQALQKLRNRASTDLQQNVYQNRTQFIKISKEAEKLKGEMRALKN
LMSDLKTNTTALRAASSQGPAISNDFDSGASFTLSKRDKRSSVADRTAMWNSQLQALWKTVEGSQKFLPAAPGRHVVQNAGLWIELDNATWKSRRAM
QIILLNDHLLVASRKKRKVEGTGTDQRQAPSKLVADRCWPLLDIEMVDLARTSETTSGRNKVADAIMIRGVGQESFTYRTEKPDDNEKQSLMMNFRK
AVEALRKGLRTEMESSNKAKETINYFASRDPGLLKKTELLGTLSDIKDMLIEVEGKQQNLRWVESQVDELDIDIALQRFDTAVQHVEKLNALAKGLK
SNPVAQDFISFKADERATKLAGLITRELVDTHNEPKKTRRNVLWLARLGFEDRAREAYLEARSNIIQKRSRQCIFEGNLHQYIWELSFVYFTIIRNT
VSAFQACFQASVMSACVKWAKEQVDAFNIILARQLSSTERGGQLWMECMNQAKEHAKMLSEVGLDFKSLIGRDVLDSSQNLTVGLGLA

>RCO7_01743 | probable mitochondrial import receptor subunit tom-20
MVQTSTIVATTVGTLATGFVAYAVYFDYKRRNDPQFRKQLKKESKRQAKVAKEEAEAHTTRQRQAIRSAVEEAKEDGFPSDVEEREAYFMQEVARGE
GLAGEGTDNVEAALCFYKALKVYPTPADLITIYDKTVPKAVLDILAEMIAADSELNVGPFAGGPGSDMD

>RCO7_01744 | dynein heavy chain
MESLVASPGPASPKPNGTDGFAVDPSIIIEYLSSVLEITLGATRKELEATGSLLSPENRIHTLQRCSRFASENQVALYVTKDLAAAGVLDGIIDDSN
TVTYNYTVTTDISFSPTTTASIALLKRPYPIDPTIPITSQVQIINLPGAASLSGSSNGQGGAAVSPYEILHSVVHLALAPYFDAYTKNQHGANGVRG

RSDVEAKTGIPVTKKRIAELELSLLHLQQNIEIPELILPLHPMVQNAVDDAEARNTTPTQEMIPANLLQDSAFLNTLQSNVNGWIKSIQAVTKMSRE
ASSGTATQEINFWLSMESALEGIEQQLRSSGVALTIDILRTAKRFQATVSFRADTGLKEASEKVQKYNQLMRDFPLDELLSATSLPKVEDAISLIFG
HLNKKLRICPYPIRRALPLVELISADLDAQLHSLLHGRRLMSLDYREFKGLMATAETIWKSWDENVKEFTNVAREVTRRRNEKFIPIKIVPKHADLQ
ARLKYVSTFRDNHEQLQRTIVNVLGAKLGEGEGATNGVVLVEEMGDVDAVEEVQQAYAALNNVDLLDVTPEGTRNWVQAEITYNERTSRVENSIIAR
LRDRLATAKTANEMFRVFSKFNALFVRPKIRGAITEYQTQLIDNVKHDISSLHERFKQQYGHSEAHAMAQLRDLPPVSGAIIWARQIEKQLDGYMKR
VEDVLGNDWALHSEGQKLQSESNLFRKKLDTRPIFEAWLHDVQRKQISIAGRLFSINKIRASNNALELAVNFDPQVIALFKETRNLQWLSYAVPHQI
NTVSKQAKRIYPYAVSLMESTRTFAQTSRQISQMPDVAILLSGYQNDVQALIVKGVPLKWESFVLSFDFHVKQPSPFHLTNGNSDHAIGGGSDSKHG
QFVREFAASVSLLQSKTASLALSNVDIQKALAELETCSYDASEFRKRLEAVQMAVDKLNLENYVNLSYWFESARSEGVNDDSRRKHLSTTTSSGEDQ
GPPLKRLVHEVSMRNQVIYLDPPLEFARASWFSQLHEWLGIVCNLRRVKSSRYEMSLSDGNDTEPRFTDLPGSCTDSLSRVYTSIESKLEEISLYVD
KWLQYQSLWDLQAEQVYELLGEQLSRWLQMLQDIRKARSTFDTAEVSHSFGHLSIDYDQVQTKVNAKYDQWQHEILTKFAVRLGNRVREVYSEIERA
RKDLEVQSLEASSTAQAVQFITIVQTCKRKVKAWGPEVETFRQGQTTLTRQRYQFPGDWLYVEQVDSEWTALNEILSRKAKIVEDQTDGLRAKITAE
DKVVGDKILEITGQWNEEKPVSGTIAPDIASATLMSFESRITKLHEDSEMVSRAKEALDLPSSPATALTAILEEVQDFKSVWAALSTIWKSLNELRE
GLWTSVQPRKLRSAIDSLIKMTKEMPSRMRQYAAFEHIQNILRQFLKINPIIADLKSEAVRERHWNKIYKALKPGKRYSPIAMTLGDVWDLQLAASE
VVIRDIIAQAQGEMALEEFLKQVREIWTNYSLDLVNYQNKCRLIRGWDDLFAKCSENLNSLQAMRHSPYYKEFEEEASSWEDKLNRVHVLFDVWIDV
QRQWVYLEGVFTGNADIKHLLPIESSRFQNINSEFFAVMKKVYKQPFVLDVLNISGVQKSLERLAELLNKIQKALGEYLERERVSFPRFYFVGDEDL
LEIIGNSNDTLRIAKHFKKMFAGLSGLIMDEDHLISGFTSKEGEEVRLKKEISLIKTPKINDWLALLENSMKLTLAELLAEAVEQFEPILNSDEIDQ
ESLSAYISVFPSQIVVLATQAVWTSTVEQSLEAGGSTLQHLFDQEVKLLRLLASTVLGDLDPIIRKRCEHLITECVHQRDVIEKLKNLNASTPNHYL
WLLQMRYVYKPEGDWLHRLQIKMANANLNYGFEYLGVAERLVRTPLTDRCFLTLTQALCQRLGGSPYGPAGTGKTESVKALGVQLGRFTLVFCCDDT
FDFQAMGRIFLGICQVGAWGCFDEFNRLEERILSAVSQQVQNIQLGLKQGMEDEKSQIELVGRQLRVNANTGIFITMNPGYAGRSNLPDNLKKLFRS
VAMSKPDKELIAEVMLYSQGFNQAKQLSKQTVPFFDSCAAKLSKQAHYDFGLRALKSVLVSSGGLKRARLTDTGGNLGPEEEVEPQIIVQSIRETIA
PKLIKSDVEIMRSIEADSFPGVQYVPATLKELKAAIHAIANERHLVINETWMTKILQLYQIQNIHHGVMMVGNSGSGKSVAWKLLLQAMQQVEGVEG
VCHIIDSKVMSKEALYGNLDSTTREWTDGLFTSILRKIVDNLRGEEAKRHWIVFDGDVDPEWVENLNSVLDDNKLLTLPNGERLNLPSNVRIMFEVE
TLKYATLATVSRCGMVWFSEDTVTSAMMVSNYLDTLRSVAFEDLDEDSVATGQTAAKALAIQAQVAGLLDSFLTTDDFILDALDRAQGFNHIMKFTV
ARVLNTLFSLLNKAVRDVIEYNNQHVDFPIDPEQVESFIAKKLLLALVWSLTGDCPLGDRKSFGDCLAGLATFGSPIMGDNSSLIDYDVTLPKAEWT
PWQNSVPTIEVNTHSITQTDVVIPTLDTVRHEDVLYSWLAEHKPLLLCGPPGSGKTMTLFSALRKLPNMEVVGLNFSSATTPDLLIKTFEQYCEYKK
TVNGVILSPTQIGRWLVLFCDEINLPAPDKYGTQRAISFLRQLVEQNGFWRTSDKTWVTLDRIQFVGACNPPTDAGRTPMGARFLRHAPLVMVDYPG
ELSLQQIYGTFNSAVLKIIPSLRGYSESLTKAMVQFYLESQKRFTPKIQPHYVYSPRELTRWVRGIYEAIRPLETLSVEGLVRIWAHEALRLFQDRL
VAEEERSWTNDAVNRIALDFFPTIEQDKALGGPILFSNWLSKNYVPVDREQLRDFVKARLRTFCEEEVDVPLILFNDVLEHVLRIDRVFRQPQGHLI
LIGVSGSGKTTLSRFVAWMNGLKVFQIKVHGRYSAEDFDDDLRDVLRRSGCKGEKICFIMDESNVLDSGFLERMNTLLANAEVPGLFEGDELASLMT
ACKEGAQRQGLLLDSQEELYKWFTGQIVKNLHVVFTMNPPEDGLSSKAATSPALFNRCVLNWFGDWSDQALFQVGTELTQRVDLDRPNFTAPDSIPV
AYRDLVLPASHRAAVVNSMVYIHYSLHRFNIKLLKQQNRVTFLTPRHFLDFVAQYVKLYNEKREDLEEQQRHLNVGLEKLRDTVDKVRDLRVSLAEK
KGQLERKDAEANEKLQRMVADQREAEQRKTTSLEIQVALEKQEAEVATRRDVVLNDLASAEPAVLEAKKSVSNIKRQHLTEVRSMGNPPAGVKLALD
SVCTLLGHKVDSWKTIQGIIRRDDFIASIVTYDNEKNMTKSLRIKMRNEYISNEDFTYEKVNRASKACGPLVQWVQAQVNYSEILDRVGPLREEVGM
LEEQALQTKAEAQAVENTINTLEQSIATYKTEYAALISETQAIKTEMARVQFKVDRSVRLLDSLSSERVRWEEGSKSFETQIGTLVGDVLVAAAFLA
YSGLYDQQFRKNMMEDWLHQLQLSGINYKQHNPITEYLSTADERLGWQENSLPVDDLCTENAIILKRFNRYPLIIDPSGRVTEFLQKESNDRRLTVT
SFLDDSFTKQLESSLRFGNPILIQDAEYLDPVLNHVLNKEYQKTGGRVLIQLGKQEIDFSPAFKIYLSTRDPSATFAPDICSRTTFVNFTVTQSSLQ
TQSLNEVLKSERPDVDERRSNLIKLQGEFKVHLRQLEKRLLQALNESRGNILDDDNVIETLETLKKEAAEISVKMSNTEGVMAEVDEITLQYNIIAR
SCSAVFAVLEQLHYLNHFYQFSLQYFLDIFHSVLHGNKRLATETNHNVRRDIIIEDLFITTYQRTSLGLLQKDRITLAMLLAQAAPYKMDKTLIDVI
LDESIQGTDVSTESHKKDEILDVASKLPVLRGKLEAVSSDAWDRFLFEEIGENYVPQIWDADAEKRDQELLSLLLVKLCRLDRFVPAAERFVTAVFG
PGIFDTTEDLKEIVEQVSASRPVALCSSPGFDASYKVDNLVERSRASCTNIAMGSNEGLATADKAIANAAANGSWVLIKNVHLAPTWLQSLEKRMDS
LKPHANFRLFLSMESSPKIPVNLLRASRVLMYEQPAGVRANMKDSMASLSTRATKNPVERTRLYLLLSFLHAVVQERLRYAPNLGWKGFWEFNDSDY
ECSAFIIDTWVETVALGRTNVAPQNLPWEMIRILITETYGGKIDDEGDFARLTQLVNTFLTPAAYDIGHKLVEGVAGNSANGLDGSLVVPSGTTLRE
FTEWIKKLPEREPPTYLGLPANAEKLLLVGQGLSMIQNLGKITELLDEGEQLMTEAS

>RCO7_01745 | related to beta-adaptin

MFLPHYIPPTYGAGASSYFRSQQGKVAELRLELNSGGKKDKNHAAKKIALKKIVANMTMSNNDMVALFPDIVGCMQIPSLEIKKMCFLFLVNYARMK
PEVALKALPTLQEDMTDTNPLVRALALRTMSYIHVREFVEATVPPTKLLLRDADPYVRKTAAFCVAKLYDHDRQLVEASDLIDRLNSMLRDDNPTVV
ASALASLMDIWERSDAIKLTIDYGNASKMVQILPDCSEWGQTYILEALMSYVPQETSEALLLAERISPRLSHSNSAVVLTCIRVILYLMNYIADEKQ
ISLLCRKLSPPLVTLLAKGPEVQYLALRNALLILQRRPEVLRNDIRVFFCKYNDPIYVKVTKLELIFMLATEKNIEEVLTELREYATEIDVHFVRKS
VRAIGKLAIKIEPAARRCINTLLELVATKVTYIVQEATVVIRNIFRKYPNQYESIISTLCENLDSLDEPEAKAAMIWVIGQYASRIENSDVLLEDFL
YSFADEPVEVQLALLTATVKLFIQRPTKGQELVPKVLKWATEDTDNPDLRDRGYMYWRLLSSDMATAKAIVMGEKPPITAESEKLDPATLEEMCLNV
GTLATVYLKPVQQVFRSARPRRLQDSPALQKHMLPTTNSLDGQKSLSAFGMGGQSTVRPPQNGDLAAAVDAADEFFAGLGSHGMAAMDINGGNDDGF
GGSPIVGRGEMQYVVNQSAPEQIYQPATGRGSNGDLLML

>RCO7_01746 | related to ER membrane DUF1077 domain protein

MAAPPPPQWVLDLNSSPSAKSKSASIPDPPGFTALASGNKKQQLSSSKASTVRAAPTTEEMDILKLKKAWEVALAPVKQLPMTAIMMYMSGNTLQIF
TIMTVIMAFKNPFMGLLATNQAFERFESPGTKAQLLMVKAVYVAMQILALALGVWKVNGMGLLPTTRSDWLAWETRRVPMETALPAF

>RCO7_01747 | uncharacterized protein

MAPSRGELNASKTQEPTRVHGNATVASLRMDEPRRAKVQK

>RCO7_01748 | uncharacterized protein

MHAPTLLVASVAVLSTFAIAEPQRPKFYFPRQIKRQVYYNSTITVATQQTTQERLTTSSSSSSSSTKRDLGDVLDKITGQQDSTSDSGPSTPGPAAG
TGGLYDGIFDPIKPTSSKPNPGDVPIETPKPDPGTGFVGFLTSSSLPVPPAPTGSTPEFVIKPPPPPPSTDKPPPKSSSDKPKSDSSSSTEGITFGP
GGIVTSDETSTSSETKSPKGESKSDSGDDIITLTEISASATPIPTASGIVPSLGSVISSVFIPALTSSAAGTTETAPPTSTHAASTSSVEPTTALPT
VADVTSRTGSGTSTSVPEGTGSTFLPIETSSAKPTVSTTQTTSLGSILSSILSTASSNSGPATTSVSVLDPSPTLTTDPALNTTNPDVPTVTSTGLT
TPTGISTTSGSIATSGPHPTETTSSEPITSGTVTTNPPATISTDTPKATSIPNTDLPITTSIPVTGTDVTNSLPTATGSATNTISGTSVIPVTTYPA
VPQTSSASTSGSIDTTLPMTTYAPQPPSREPQTIAPASTNTDTSMWLPGNIIAAPTLTTSSGQPRPPKPTGIAPTLPKVITNPNITQPPEDTTLIQI

GFLFQLNYKFIVDNPKSSAQIFMYLPQGIADGLGLKRSQVIMQNLIPLDTTQTLQYITTLALAYIPTNMVSTLALDLHTPTSAIYNNDDASINELMN
YINPAIPLTPGSNMETGGGPPGGLGGSEPPNKPASGNGNSVFGGDTNEQSQTPGKTGATAGIAMAAIGGTVAYGAAMFLIARRYKKKKQSHRRSSSM
TPGDMRQSGSPALMGGGAFMSGGRTTPGNDRNSRGSGRTGNSARTQQISAPMMAENSLGWN

>RCO7_01749 | probable chitin synthase A

MDGPNTPGGHPPIYSEPPSYGEENGSTPTGQPSNSSHIRLLTSVDEPEIRPYVPLLQYQSQSGSKTESQVQFNNLLPKPLSVKLQRKKQQRPVPLST
PEHLSSLKEEEEAISSRTCKLQRKNLSPTSVSTGTDMDVAHLPCIPEGPSRRLSLRHPVKSPLSKLETSLKNQSSLHTFPNSQYSPRRSYQPSVNSE
AAPSIISSAPFIPPPETTYIPYSPSGRVSPTRSWSPSRGSADYARPPPSNISYEPSEINGGSRPGTPSSRYGGSPRRPLPPAPLFAGPGPSARNSIF
ADDATISIPLENDIGEGDDVFGPPSPTKSGVRHGLKTRESYMTTDTLQNEDEDQDEDDYEHYGPAPDGKQERRGARQAQMAKKEVKLINGELILECK
IPTILYSFLPRRDEIEFTHMRYTAVTCDPDDFVSKGYKLRQNIGSTARETELFICVTMYNEDEIGFTRTMHAIMKNVAHFCGRSKSRTWGEHGWQKI
VVCIIADGRQKVNARTLDALAAMGVYQAGIAKNLVNQKEVQAHVYEYTTQVSLDSDLKFKGAEKGIVPVQMIFCMKEKNAKKLNSHRWFFNAFGRAL
TPNICILLDVGTKPGGNSLYHLWKAFDTDSNVAGACGEIKAMKGKYGVALLNPLVASQNFEYKLSNILDKPLESVFGYITVLPGALSAYRYHALQND
PTGHGPLSQYFKGETLHGQNADVFTANMYLAEDRILCWELVAKRDEKWVLKYVKSCTGETDVPDTVPEFISQRRRWLNGAFFAAVYSLVHFRQIWHT
DHTIGRKILLHVEFIYQFIQLLFTYFSLANFYLTFYFVAGSLSDPLIDPFGHGIGKVIFVIFRYTCILLIATQFILSMGNRPQGAKRLYLASMIIYA
VLMAYTIFASFWIIFKQLTAKDSQLVIGNNAFTNLFVSTASTIGLYFLMSILYLDPWHMFTSSAQYFILLPSYICTLQVYAFCNTHDISWGTKGDNV
IHTDLGAATGHGSKSSTTVELEMPSEQLDIDSGYDEALRNLRDRLEVPQPATSEAQQQEDYYKSVRTYMVVLWLVANAILAMAVSETYGPKPVGDNT
YLKVILWSVASLALFRAIGSGTFGILNAIEAVVEGRVKFSMKAPKWMGGFGEKCSEKWQGSKLGSKMGSVVSGSRFGGSRKG

>RCO7_01750 | uncharacterized protein

MSGLDPQDSPLLIPDELPSADNITFLDTSFFTKHRERLPTPAEIREAAGFEGKIWRPPPVSFPSLNLIVKFGRKVYGWCRDGEKTLIYMQLIEGATL
EHEWPAMIVEEKYEICTQLHGMLHELRQLRQDPSDRFIGTINRQCAQDVIFQEKKFEVFSDVTSFHDWYSGVVSHI

>RCO7_01751 | related to NmrA-like family protein

MSPSIINIAQIDSSLARLAILAEASNQHLRSSSKSPSTLQTPISSPNPDLPQAPAPKNLASIPNVSILEKPWVDITSDWYRGNEVTKVFIASHNEPP
AFAEESHFHVTALNGGVKHVVRISTTAANVHPNSKAYYPRTHRAIEKMLESEEFKDMMWTSLQPNVFTSMVLGNALALFKEYRKTGKQVPLSLISSK
DAGVGIIDSNDVGAFAAHVLADENPEKHNGKRYVLNGPQDITGQQIVDMVEKELGVPVEDVKYQDISFLEQLYEGQQRTIVMSIKHAVVTAWEGKCG
IDTTSKEVPGIYAPKMTPAQTFKELLEE

>RCO7_01752 | uncharacterized protein

MSTRTIDVHPTNYHPSSLTKTTFDIIILGGGPVANFVEERLAKAGLSILVVQHELYGGECHFFGCVPSKALLRPIEAFEAAKAVDGAREAIGINKVN
VAAVFARRDKIVDLWDDSNWISVSNGPSGATLIRGFGRITGTKTVSIQPHRETQLYHATANIAVVVATGSRHNIPPIPGIESLDEGTQLWSNRNAVS
SNTVPEHLIILGAGAVGSEMATFYSAVGSKVTLISSTSEILPKSEPEAARIVRLALEASGVSVRLSSQATRIEKRSVSSLSVTISNGEVISGSVLLN
VTGRRPRTFDLGVESIGLAGEGKPLETDASFAVPVPQGAEPWLYAVGDVNGLGPTTHMGRYQARIASNAILSRIAEHQPLIKITTPIGVSITTAKDT
RITFPQVIFTEPNISAVGYTHASALAAGLKVRVVDSNFSIPGAWLYGDNQPGWARWIIEEGTEKLVGATFVAVEGSEFANSTQVAILQGMTLGEMVH
VVPPFPSRGEIWTYLLDAAGY

>RCO7_01753 | uncharacterized protein

MSFLDKLSFLASTSKEKLRPVLSVARKALNTFIHHQLTPLLASIVRQIENFGAKTLLPTIQKMGDSVRNNAELAMQTFGFYGKMYARMAGQIIVRHA
KANPGKTALLTPLGWTILCPYIMIRAFGIDGLGPRSRFYASSYQRSSGRIARGSVYATAQSAGTKGKRGKEAVTISQIAIFGVMVVIILW

>RCO7_01754 | uncharacterized protein

MSFLNNLSSSLSTISKETLGPGLSAASKAVNEFSQSRLGPAIVGAAIGLDLFGKEKLSPAMEYVKVNAGPAMKKTGELAGEGVKIEGEYVKEKAGPA
MNKTGNYVKKNPGKSALYAASAVTVLAPGIVAAPVLWAFGWGSAGVRGGSAAAAIHASIGNVASGSIFAGLQSAGVVGSAAVNGVVQAAGVVVGFVG
HRNITMT

>RCO7_01755 | probable peptidylprolyl isomerase (FK506-binding protein homolog)

MGVTKTITKEGDGAIPQKGDRVTIEYTGYLKDTSKPDNKGAKFDSSIGRGAFVTEIGIGRVIKGWDEGVTTMKVGEKATLDITSDFAYGDRGFPGSI
PAKADLLFDVELQKIN

>RCO7_01756 | probable ubiquitin-protein ligase (E1-like (ubiquitin-activating) enzym)

MSSAPDTSFDSKRRCEAPVPKYFPSSANLLTALYHHAPSVPNDSTSVPKLDLPPSGSKYPLYLKSNNNWDRRSIATISSQVVPKGEGKLGKRKLSNP
EFSQPSKKAMADSKDVDMETKMQVDESVVGNNDIDESLYSRQLYVLGHEAMKRMSASNVLIVGLKGLGVEIAKNIALAGVKSLTLYDPAPAAIADLS
SQFFLHVDDVGKPRAAVTAPRVAELNAYTPVSVLDSTSLTTNLSQFDRFQVVVLTNTPIKDQIIIGDYLHQKGIYLVVADTFGLFGGIFCDFGEKFT
VIDPTGETPVAGIVAGIDDEGLVSALDETRHGLEDGDYVTFTELQGLEALNSAEPRKVTVKGPYTFSIGDVSGLGQYQRGGIYTQVKMPKFVDFEPL
SVAIKKPEHLISDYAKFERPQQLHVGFQALHAFVETHGRLPRPHNEIDAAVVIGSAEAFAKRENLNTEIDKKLIGELSFQAQGDLSPMAAFFGGLAA
QEVLKAVSGKFMPINQWLYFDSLESLPENSARSEELCKPLSSRYDGQIAVFGREFQEKLSNIQEFLVGAGAIGCEMLKNWAMIGLATGPKGKISVTD
MDSIEKSNLNRQFLFRPKDVGQLKSDCAAAAVQAMNPDLKGHIITMRDRVGQDTEHIFHEKFWSALDGVTNALDNVDARTYVDRRCVFFRKPLLESG
TLGTKGNTQVVIPNLTESYSSSQDPPEQSFPMCTLRSFPNKIEHTIAWARELFESSFVKPAETVNLYLSQPNYLETTLKQGGNEKATLEQIRDFLVD
DKPLSVEDCIKWARLLFEKQYNNAIQQLLYNFPKDSTSSNGQPFWSGPKRAPDPLKFDPKNEFHFTFVVAGANLHAFNYGINTKDLDESMILKVLDN
MIIPDFSPNASVKIQADDSEPDPNANSSAFDDNAELQKITEKLPSPKQLAGFKLDPVEFEKDDDTNHHIDFITAASNLRAENYKIELADRHKTKFIA
GKIIPAIATTTALVTGLVILELYKVIDGKNKLEAYKNGFVNLALPFFGFSEPVESPKAKYNGHDGDVAIDKIWDRFEVENITLSEFLDYFKAKGLNV
SMVSSGVSLLYASFFPPSKLNDRYPMKLSDLVAHISKKPVPEHQKAVIFEVCVEDQSGEDVEVPFVSVNMGK

>RCO7_01757 | related to ECM4 protein (involved in cell wall biogenesis and architecture)

MLNTSRVFSTRFRYIGLNFTTRILHQTREFGTSVKMADKITNWVAPNDKSGEFKRGQSQFRNFIQKGGEFPPEKGRYHLYVSYACPWAHRALIVRQL
KGLQEIIPFTSVHWHMQEKGWHFASSPNADNSPGENVRPDPVPGHENYTHIRDVYFQVDPEYKGRFTVPTLYDVKQGKIVSNESSEIIRMFYTEFDD
LLAPEYKNVSLFPSALQSQIEATNEWTYNDINNGVYKSGFATTQEAYEKAVTTLFSSLDKVEKHLSEVKDGPFYYGKDVTEADIRLFTTVVRFDVVY
VQHFKTNIRTIRADYPYIHKWLRNLYWTIPAFKDTTEFTHIKNHYTKSHTQINPFSITPLGPQPPILGLDEEVAAVKWALAQVQGKK

>RCO7_01758 | related to feruloyl esterase B precursor

MAPRTNLPAIAAIALLLSISSAFVAQAQTFGAKCLAFRPENYVTNSSRTAVEYITSGTTLKLTDNVVSCGRAFQTVATNLCRVGLSIPTSTKSSISF
ELWLPETWTGRFLGTGNGGIDGCLKYEDVTYAALNGFAAFGTNNGHNGTTAIDFLNNKEVGIDFAWRALHIGTISGKKLTKIFYGKQHTKSYYLGCS
LGGRMGLKAAEKFPHDFDGIVAGAPAVDFNNLISWRASFFPITGRIGSSNFITADMWGGLIHNSILAQCDDLDGVTDGIIEDASQCHFDPLVIKCQG
DAVPPTCLNTAQISQVRQIFAPYVDASNSVIYSGMQPGSEALAATKLYAGVPFSYSDEWFKFVVHSDPSWNVSSLSLSDVAAAERLNPGDIKTYPES

FEAFAATGGKILSYHGQQDNQITSFQSNRFYDRLLRKTPQFELEKYYRTFRISGMNHCSGGPGAWVLGQGGGSPSTGIPFEREKNILAAIVAWVEEG
IAPKTIEGTKFSGDAVVNDVNFTRRHCRYPEEQLYIGGDHTLATSWRCEQTDDKGL
>RCO7_01759 | related to carboxylic acid transporter protein
MADQNKDDRFARPSHSLDAIHESRAPKEMSIAEYARTRFSTLKPPMNKAPNPFTLLAMLSTKQWLFFLVAFVAWTWDAFDFFTVSLTVRELGETFDK
TNTDITWGITLVLMFRSVGSIVFGLAADRYGRKWPFVINNMLFIVLELGTGFCQTYKQFLACRALFGVAMGGLYGNAAATALEDCPEAARGLISGML
QQGYAFGYLLATVFARGLVNTTRHGWRPLFWFGACPPVLFIIFRLCLPETDAYNERVMVRNERGNIGKTFIAEGRVALKKHWLLLIYLVLLMAGFNF
MSHGSQDLYPTMLRNQFNFSANAVTITQVVANLGAITGGTLIGYCSQIFGRRFSIIFISIIGGALLYPYTFTSSKAVVAAAFFEQFCVQGAWGVIPI
HLMELSPGAFRTFVVGTAYQLGNLVSSASSTIESTIGSQYPLQPKPDGTKRYQYGKVICIFMGCVYAYVILLTFLGPEYLKRSFEVREDYDIAEAAG
HDTIDDAFRRRQETMGVDSSDTEKGVVGTKENI
>RCO7_01760 | probable thioredoxin
MGVHNVANKAEFTAALKDHEIVIVDCFATWCGPCKVIAPQVVKYSDEYTGAHFIKLDVDEVPDVAQELGVRAMPTFLFFKNGEKTHEVVGANPKALM
TAIQKALTD
>RCO7_01761 | uncharacterized protein
MHDVGLLRDPGRHNTSELTSTSAGPERRKSRRDTKRKSSRDFKKLQRDPERRRTCSFSPGRKDSIRVPRTLDRPPVPPLPANIQGDVRSDTDLPDPV
TAGDTPLRARKQPAEDTQHWQRMPTLHKRSGQELAHRKSSKKRKEEHQREAEIKAMVAYMPRRPAADPTSSGRPMKRENKKMSGGLDRHGDTSDVSL
PLADSLRSSVSANSDHQPSYILNAFGMLAPRPTIRYAENPRYVPGASGFGGSDGSGSRKKRASDRISVPKEALKANKRIDDLADDLDAAELRELMER
DQKRREKKQIADRIKVERRLARRQQKQTEDEATAAREGTSIPTNMERGVLGREIVGLGIGTSAVMTSSKRKGSVGSDNGREKRPADAFRQDSGPSIQ
PPTFHRSESLLTENLTPTSEFQDPVLGTAVVGTVGRANISRTSSTKLGGHARGESSISQRVDLARPELAASQPIPIPAPAIARRNSQRTRTPPAKQP
QSWTSFFRIRGGKKQQQESAPSSFSNTSRDSMHSGHGPQIGYAPMRSTSNIPKRTLSKFREDLPELPMSPPDSRVQSPEADIVPPVPDRKFEDSRTR
YDTPTSGYRSIEAIRLRDETPTSGHRTFEDPSPEPPNILSQSLASIDSEGSWLSGRKAGSKRGSIQTPQPFRESSIRNEFSESAEELGIVEDEYFSR
LSPGPEEQHKIHRQIIGNPMPSSDDEEGGSLISPASVQSKWGAVGRQPTVVHREPRAKSREGLLNEFDEDSASETDSPVSPNPNSGLRRATSVDLGK
KHGRHISAGSARLLDLKARPSADIKRDSLAE
>RCO7_01762 | probable D-amino-acid oxidase
MPNIVVVGAGVSGLTTALLLSRNPEHKIMIIAKHMPGDYDIEYTSPWAGANYLPVSAASDNRWEKNTWPELARLAQDVPEAGIHFQDAIVYNRKKDA
EATTGQWFNELLSTKPWFATVVPRFRGLSPSELPPSVDSGTVFTSVCINTAIYLPWLVSQCLANGVTVSRAVLSHINEASSLHVSGKADIVINCTGL
LASKLGGVMDKNVIACRGQIVVVRNNPGAMFTVSGTDDGDDEVSYIMQRAAGGGTVLGGTYQKGSWESQPDPNQAIRIMKRAVEMCPQLTGGKGIES
LDVIRHGVGLRPLRNGGVRIEKERIGGGQWVVHNYGHGGWGYQGSYGCSEGVVEIVDEILSSKSKL
>RCO7_01763 | uncharacterized protein
MNYNHARRNRPELSQNWRRPENSTSTPATNMNRLLTRHPHRSNIGERGTPGLKQEDLSSNSATTRIPIMEWDDFSRDLCSKPTMTTDMTKSNKTATI
PPRSFNTIDRNPNEYVRRGANDKRLSWVCDMGDSRSGNPVKNGIKTTVTTGHSSYITCEGQLTEENLLRNNTEDKSFRPSRFYQWLQEGDTDNETTG
ATAFDFEGFDSITKRDKLLFTKWVISPSYEFEGRTRTAEPLVLSDEETETPVVNLPISKAIRETPESQRAAFRRWVMRGYLRREREKADGMRTAKSI
DEGKEHTAMLFSFDSDGVKAPVINLPTSTTESTALRNTSRAENQIEIEGEEIDSKKELCAVALTRCIGESRIPRPQR
>RCO7_01764 | uncharacterized protein
MSRRVQKKFPGLAGQGLKALSVEGDGNCLFRSLSDQMFGHPDEHLAIREKVVKFMRKNPGDFEVWITEEDMRVRNAPKRKLSPKRYTKGPTSGEKST
WERYLDKMATPKAYGGQQEIKAFARAFDMDVRVHTQSQHQHDPYRADDNTGARPRRMAHLAYADQHYWSVRNVAGPHKGPAQTLPKGEESFEQRMEK
YCAASHSTASSPLSSLELSDEESSETSVQQPPMLEACGQTTKRKREKEPTPAPRPAPGRNQDPNLAFIDRFDDDFDSEEESKPYHRPAPAPKLASTY
EHNSALADLFSDTD
>RCO7_01765 | uncharacterized protein
MPRKRMLIHKDQHDDFHSRSSKRYKSHVDSTKGKQTNLLPAVILSGFKWDAVVDVWITKALESYDALFMEVSLDLPTQETLAIKNIYGIQTDFIKVV
CGSWSSQETLVLDLDQAILTWTMPCLVARKLDIMDGGRGDENREKPQVSLHHGMYSEPPQSIIEQSGREEQARVWVKLSDAVANARAHLLGDDLDTF
EALIAKPLPGVDAMESVTRWICGGGPDPQPQTLEISGKEVKTKKSLDAGENKENIALNLRNAKDITMDDELAERGLQFGQTGLVLSGRNGILRYVAM
KRRILADYCMYVLENSVRVC
>RCO7_01766 | uncharacterized protein
MASRGTSPGGALLRASRVFSIPPPLPRPIGDLSAKAVFVSNTATLPHPIHQSITTPQASLATGDWGFKRPLPLRSTTKTSTPVIRVEAIDTFEHITE
FNSSADHSISLRKWQEMGMPLSTPLPDKGSFRAGEMKSVFDSELDSISGLENDATGLEDTRWKFKGPWLAGQTEGDFNTFLTYEVRKRKMEFQKYLK
TACAKRLTIEARQNAEGEMPAMVEESEITEAQFTEFVRGLRNTRAELYRHIRDFLDLPPAPVKQYSLAVDDLMQNYNQDKTKSDLALPVSNSPYADT
GPPKTHPSAGLAYGLTSAHTYNHPVWGPQKHQPPILSRIIKPKNTATGTFGVALGVAGFVTNLPTSDSFTFGSSRYNKSKSRELSGQMYVDPTKVGG
SKMWVHPTSARIDPKGRVILSVMTGDSQAVAVHEGTTDEIPLATTPRLGSRTFGSPPPTFDSLGANRDSGRGYGLYPSGSGSSRDTPRRDSPGRQNH
PLARLSGL
>RCO7_01767 | uncharacterized protein
MTISKSHLTQHSRFHPSDHWVNSRKHEFDVLDSELEMSSRPPSFIHPACSHASRCRRCGWIQAHANSIVIAVDGACRGNGEANPRSAIGIYFGPDSV
LNRSDAVPSEEVVENLVRATGVGGGYAMYSERDQQFLDVEHVIIKSDSDYLVKGMTEWAGDESGNGDGGFGIEVLFWHLRRERNREADRLANAALNG
>RCO7_01768 | related to myosin tail region-interacting protein MTI1
MASLPFKVKAVFEYTSPHEDDLHFPNGQIITVTAVEDDDWYAGEYTDASGTTREGIFPKNFVEKYEPTAPPRPTRAPRPKKEPEQLPEPKPEVAHEP
SPAPQLAHEPQLESEQDEVYEAPVTREPPPSIPKPQSVITPTPKQTEFSPLPATAKPIPVPKSSAPPPVSDKPSGGSFRDRIAAFNKAAPPPAPFKP
GGLGSGGSNNFIKKPFVAPPPSKNAYVPVIRDAPPQKVYRREEDPEVAAVQAEAQEQAERAGLAPTSNEGDEEEPPKPTSLKERIALLQKQQMEQAS
RHADAAQKKEKPKRPVKKRTESHDQIEGEEEAMLERQTTEEPVGKLSMDSVREEPKKRKASIQPRQTFGDGNEADMSGAGDTTEEPEELSTGKDDGD
ERPVGQAPQPLARAPTAPLRAPDVGEEDGAIEEGEAEEEEEEEEEDDIDPEVRRKEELRARMAKMSGGMGMHGMFGGGMPMPAPLPPKKKKSTGTSE
KRAGEYGVDDASSPTSRAAPPVPLPGLSRVRSPEETNTQLGHDEELTPISASRPADEVPDVEDIVPSSHDRSAPPLVPQHDGSAPSIPGGRPAPPPV
PQDTRPITAPMSPSAGSESDDEMSSKEQPPFVPQPIETSRAPPRPVDGPGSPKSPIARRESYFGSEASPASPTTPGANKRNSRLPPPIPGAGLISQA
SRAPPPPPPGISRAPTGDQNLSSRNVPQEESEGEVTEYDGDYDTDIASTAPHKDALKAAEQDQSLPIRSPPVTSPISAPPPLPPLAAPRAIHPSLPA
QPTLPPRQSVDAPRAVPPPPPQAKVPAPRDQDDDEFDPYKFAAQKNVASPGPALPGPPPRADTEEDLYSASPPRSFASPIQDRPVPPPPSGNRPPPR
QSLDVSRSQTTTRRSVELGRMSMDSGFVANDVDLAPNSLWWTQPKGIPPVFQGRRDIQLYFEESTAAGRRGRAVVTKHLSVLFQDYSQTIITAEFDA
QDPKDVSLEQRHDQPPSRQRQDQLEQAHEQYGRRIFEAVYSKKETVVGDGTPQGLIQELLKPFSDALLPIGSRAYGAIIYSNLANASTQQNDEIRAG

DIITLRNTKFQGKHGPMHAKYSMEVGKPDHVGVVAEWDGTKKKVRAWEQGRESKKVKLESFKLDDLRSGEVKIWRVMPRSWVGWHGPN
>RCO7_01769 | uncharacterized protein
MATTMASPAQIKSILKKYPSQPTSTELTNLPSTPSAPSYSRPDPKTFEDRNREIALYHANLLQQRKDIELTILLATETLIDFPLSPPPQYTSSSPSP
SDASQFKTLLQHFTTSDYDALIEERNINEKCGYALCPKRRVKEGGGGEWRLLGMGGKARDFRVVRKQELEMWCQQGNQCKRRALYVRVQLGDTPAWE
RGAGGLLGSRIDLLDEPKTDQDTVMEGIQSLKLDGERKEMDGRNLAFERGESGMSARSGIVDVKILERDVVRKVEPPSLGEEELRAKLEHLELEGYT
SKFGEQRKKLLEMERNGDEMDEDGDEEDTDWKL
>RCO7_01770 | 40S ribosomal protein S17
MGRVRTKTVKKSAKVIIERYYPKLTLDFETNKRICDEIAIIASKRLRNKIAGYTTHLMKRIQRGPVRGISFKLQEEERERKDQYVPEVSALDFSQNE
NGGQLEVDSETKDLLKSLGFDSIPVSVVAVSQQQAIEPRRRFGNDRPARA
>RCO7_01771 | related to trans-aconitate 3-methyltransferase
MTSFANTAFNAQTYANVRPTYPPELYQSVLAYHASSPSSKRKSSTLLDLGCGHGLVCRELSPYFTHTIGTDPSERMIAQARSSTPSSQYPTITYRPA
SVEDLSSFSDGEIDMAVAAAAAHWFDFSRAWGELSRVVRSGGTVAFWGYIDNVFIGHAAATNVFEKYFFGEEEDSLMPYFELPGLAVIRGMLRSVVP
PLEDWEDVKRVEYIPDVRGKKSGKGELLIFGKLKLREIGEYARTTSAYTTWKAKHPEQPSLSQGGTGDIIDRMLEEMKCSEPEWAEVGERWKDIEVD
TEWATMILMARRK
>RCO7_01772 | uncharacterized protein
MKLITLSYTLSLIWLAAADPQQGGWCTAGVAGTGECEGFPLYGHTYCCSDKKSSVYFAPRTCTGGTANPKGAPLCPGGGQRACCP
>RCO7_01773 | related to gamma-tubulin complex component GCP4
MLHEILLSLSGHHSPLLTADHSSSSSILSPPEKDLLSSIAHLSNLHCKLLAHTATIVTSHPSSICQAVATAIKSNHLARFQRKILEVEASILKNDAG
IVGAYNIVPLTAIVGEFSAWTRRMEWFLDVVELMMRGNGGKSCSGSMIIDRLCAAMQTGYFDIEEVALSLVKVSETAWLKQVSAWVLYGRLPSFGRE
DFFVQMVPGDVQEYHSKPELLPAFVSDSTAKSLLFIGRSLNHIRMKGVSNAKSSELDLLSSHLRQLSTLNFPINSANFSRVITSIRISLSQTTLQKL
LPLSKVVEILSLLREFFLLGRGEFAIAIITEADDKIRSRWRRSDNLGFDKRDGLGNIVVKDGEVQAVLSRTWAAMGSLKGQYEDEQDDDELLELARD
LIQLSITKSSSLTPSKRPKVASDIDSTPFRNLLLSVPVALSLHIPSPLDLFLTPADVQIYSSVNGYLLSIHRAHLRLTDLWKITPLRRDHPAPSGPH
GSSTAGRIKVQTMRSRGKERSQAMRRVWATSSAAVFFLGETEAYLQGEVVKGTWDGFKSWLASEPSRPNTAKSSTEEDDDIWLQAAREPNPQSTSNY
KHDPQTLADTHRRYLTALTAGLLLTNASFTDPLYHLLQQIDHLVALVYRVHSIWQSLDLEADEGVVDAFSDFHKEEGDIKAQLVTIANRVKNGIEKL
VKNLRDIDHDKEGWDSGFSEITLGEDGAYIPAKVGRVDRLLMKLDFGGWFDVGKKDAEDLGFGNDSDYEI
>RCO7_01774 | uncharacterized protein
MSSLPVSTLSKTLLYLAAFASSTTALGHTKMGYDLVFPALKELGAGADGKGNGEDKNAAISARIGWLEVNQGFVIFSIFCVKWAQFGIVDIYDKAFA
SFYCVAQVYFGWCYLRAGIMEPVAPLCGIPALVGLSQLV
>RCO7_01775 | related to general repressor of transcription
MRGGQEDKKPQKMVRSSIACARCRRSKVKCVNNGVNSTCKACASSNRDCTYPIAGAAPAPRRVELPTSIKQEGEVGESKKRVRKVEDTGRRNSNRSV
EDVLDSTILTKKVWDELYEIFKLHFSTEMPFLHPPTFRNRMRQAAYPRDPSITTADLEDGRVLLLGVLALTARFHPGLVAHFSPNGEDPLAVSEHYA
SLLAAAFGPTIRNLTNPSLENIQALLMLGLYEWGQTRGLSAWLYVGLAIRLAFPMGLAYEDDPDQQAANGSEPETGNPSKREDAIEKEVRRRTVWSC
FIMDRMLAAGKYRPTMMSVDKLRVQLPCSDDQFLFVRNVKTGFLNSEWLEDSSSEYESSINDDGVLSRYVRLVDIFGRLSEYSYAGGRRAEKRPPWD
ERTKFYQLRQQLKDFRGALPSNLTYTEANLSAHIEKRNATTYASLHTLYSLCLIMLHREYIPFIPIRCEKPIGPLDEPSFPEDKYRIPHGFWEESAE
GIMKAARDIIDIVKTCQEDNALPESPLIGFAIYQAAFVYLYAAHFPQMDMAYHLVPEAGLDAADDEAGLAGLTKKMLSDMTPRLKMVRGYLKTLLRM
KNYFHQVLANFYGRFKQKPPFDGGGLEEYKRYERILKEFGELKDADQTMGSDASDALDQSRSRASTNEIVGPGSNGEPMQGIEGAPPQRQNGATSWA
PINATSPPVEVDERPKYNYGPASYGPSPYGMPSYQQSPNQSSTAPSLMSPSNGETTPSTNSPYANVQQFQHPGQSQPQHVGGYPSVAQHVMAPPNLQ
QPYTDAQYEKWIGDQESIRMNTGFDNFAQETSAETWGSQDPRTNPNYIQAAWSIPLANSNSTWSS
>RCO7_01776 | uncharacterized protein
MNFNEEKGLDPQIKSNEPAERGVLVLGLPSRESTIAAFTEVPQATNRVTNHDLGHPLQANPTHAS
>RCO7_01777 | uncharacterized protein
MTTERDHGMIEFTRKSRAPPLVFQICQESRAKALHVYTLFQTTGLSCYISQSSDIIYVGGKDACIRTLASSASMNFHVTRMAIDLELPQSRRCLHDD
MRDSSSFHRVDNGILPLQLLHGVRAIAHEWSGFPGLLEVTFLVGTNNFQRATLYIEPVDATVGLIETTSADFTAKQLWTKTRFDIELERIKEGGTIT
GLKNPTQLNANTVEGGGLEASKSRNRWTVGNMPTCKYMKLHRRAAWINPDFFSTYYA
>RCO7_11615 | related to OrfH - unknown, trichothecene gene cluster
MLSLKKNIQLASYFIIPAFCHSNHSNYVDTLPKHARGLFTESMDWLDGYYDPSAGYLFDIGGASALRHETRSSAWYAIGLLARNKGKDVEYALEIVT
NIIDGQFKDPEDHWYGDYQKEPEEPTVGTSFYPAKIYNSWDPNWRGFVGTAFIVRIEEFGHLITPNVTSYLLESLYNATKSDEYRVGGVDDDNLYPS
YTNPSNMTISGEKYANEVLDLFNRADTLSEFNSGTYTGVSLWALSLWARYLPEDSVMKQNGARVMSKTWDAIGELWHPDLKNIAGPWDRSYGFDMTR
YLSLMALHFWSIIGKDKSSLIEKVPATSHVGDFAWGPMFAILAEFQNSIIPKDVIEKLSNFSGEHTFVSSTFSPPFDIYPRNITAWLAANITIGAET
FNEIVIGGPAINPNTFNPAVIQWETGDGIGFINLRSTESYITAVATPYTLNLTYPLGTADSVFSFVVSPFKGKQDVSSWQDIQGLSVHVSGNVNTSY
AVGWAGRYGGTYTPINDFEFWNFTYTMPEGFVGAPSLLLELELKR
>RCO7_11616 | uncharacterized protein
MLSTPENDPCSVRNTLAEINIAIDRDGNLGDETSSLQPKNLLLAQPQTLGLSFAALKYNTSDLDAYVSCDVQPAEAKNPGSAGLFIPASSAISVLQA
LDEATVSFSSTSSLTSVESLPDCDGGVSHQPFSNFGMGTEDCRGLLISPQLSDALPSFSQDQSWNSAEGLVYTGAMPSPPFKSLTAGFSSVCSGSAF
YASPFERPGNFPPLSFDEQFMPCSGTTWTGQDLFVADHAIPDCTSYGSSQDSFIPLADEGLWFWQAPIPQPKSLVTADSFQAERPPKSAFTSCASQR
PKGSSARILSAQRLPILQGQPGS
>RCO7_11617 | uncharacterized protein
MAAKETVVSEVMSNAQQRVATEIAAVKETTTETAGTRTLQQPEPAYATPGDRDSESSHHQPTFNERRSTTNNHRSGPIVDEIPASDSNFLGSEILWA
ATCISLCLVSTTVIAFFYTENFAWVLASSTVLRVVSLFAGMAPVLLYQSIFRIQGRLAFVLFCLSSLASVFIAWSIWLAHVPKWPKVYLTISDVFMV
LATVQMSLSGAGSHPTREEDTAMTTNVH
>RCO7_01778 | uncharacterized protein
MKYGFNKNFEFASPGPRTFDRRIEYWGWPTEKVAKQDFIEFLLGLVPPGELDIISDENNTDESTNGRTIPFTKQAEQVLELSDGQYTRHFAKIPRSG
SLASAMKSVSSHATTYEEDHHRKREFLTRHENKLYAAASDQGSYRSPYGNKGSGPATVLSSFYQSVSSLPHPSMSTEQPAFISRNCTHSPSAWSPDA
QAAYQVVDSLRSHSGASSCKHHKRSLQQSPLALKRQKLAASSPGSVSSTEENSPPPLSPASHTSPVANKLPGTPSTVCHVPPVVIAGSSPAAIFDAN

VLERDWPIQMQVSHGEMNLALPSDLTLIRGQNFSGSLGPNFEICMPFSVRPSSQSFSSRSLPGHGTGDDGNDDNVFMSCSFDPAQKIYDQHAITTRD
PSQSPRFEAGQTIGYGEGRTTDVELNDASAPEEYERLVPVNGENTFDGAVMHISDCRTNSRIEETFDGGEPRDDFPSERMMFDGDRVSLSVSAPGSI
DYSISGSRDRSGFGFDDGNGIVDGESVDGQDVDRESVGGQSIDGESIDAETFHRESVDGESVESGGYKDKSTDLSTRGILAWGDWDYDANNGDGQDD
DDDNDDDDDDSVVDANYGYSFKWIEFSTIGGLISTWW

>RCO7_01779 | related to L-2.3-butanediol dehydrogenase
MASRGKSTAVTRDYGKRVAIVTGSARGIGKAISLRLAEDGFDVCINDIAANQSGIDEVVKEIQALGRSSYGHVADVSKLSEVEALINAAVENLGPLD
VMIANAGIAQVKALLDLTEDDVRRMFEVNVFGVFNCYSAAAKQMIKQGSGGKIVGAASIVAFKPFAMLSHYSASKFAVRGFTQAFAMEMAEHKITVN
GYAPGIVGTAMWDLIDEELGKKTGAKKGDTIAKYSSDLISLGRVSVPEDVSKTVSFLASPDSDYMTGQTIVIDGGIVFN

>RCO7_01780 | uncharacterized protein
MVKLGQKLTQIFLRLSPKHLRSRPAVKTSPLSRRDLDDKILFARIETNRVASTTYVTVITTDNFFCINNPSDVECTNSTQGVLTKTLKTTIRVTSTV
PNSKQAVVTKSGVVTSTTIKTITAAQATQAPGEISVASASISQAPGSSGGDTTRTAPVNSPRLRVQLRFVNQPFQLKAQM

>RCO7_01781 | probable malate dehydrogenase
MFAARRVLSGAAQRRAFSATARDLSKVTVLGAAGGIGQPLSLLLKLNPRVTDLALYDIRLAPGVAADISHINTKSKVTGYDAGPSGLAAALKGAEIV
LIPAGVPRKPGMTRDDLFNTNASIVRDLAKAVAESAPEANILVISNPVNSTVPIVAEIFKARGVYNPKRLFGVTTLDVVRASRFVSEIKSTDPADEN
ITVVGGHSGVTIVPLFSQSKHTDLVGDAALLNRVQFGGDEVVKAKDGAGSATLSMAMAGARFAESLLKAAQGEKNVVEPTFVDSPLYKDQGVDFFAS
KVTLGPSGVQEIHEVGKLTGEEQKLLDACLADLKKNIQKGVAFVEANPGK

>RCO7_01782 | uncharacterized protein
MYPTALWQWRIVTCVTRQCGRRSQGWPSLMAMNSSYHDSTCQPSPIVHGQNVKCSYNFPTWARGFTSTATYGIAEYKRMKSKEEKAREKSTREPGAS
IPTKDPRLIGPDSTFQEIVVAESLLTNDYWDSVRAENSRVYFSTRELEGANVTEFNNLETRKRSLSRKHGSPLNWAARAKFAATRQKLVEWEENCCA
HLAKDFEAIIRIRAKIARLSGVKNYMELKQRAKMLNANSADAFLTSIQHEIAPFVKSQREEMLKMKLRDDGCFNLGDAIHCSTRVLAERDLSSGNRP
NFYQYFPTWTTSRRLLATMGKVFGIEFIEISPEQPAYENVLRGYKETPWASPTQDQDKAKRPLLFAARNTRDVPKPGADLGYLVLDLIHSAGKGRSS
LCIQFNTYSKDMDDNGMRMVLPEINVALVSNIKPASPTEPSLLSHPDVRTLAHELGHGIHRLVRKNLIGCPWDSIEIPSYLLEYWVLVPEILQRLSS
HYIYEDPKYMLHWRRSNRDAPLPPERAPLETFDSIKFISNPRNTLYQLQILLWQGKFDVQAHSYTLEQTETMNLGLDCQEILSDLGICGANEAWMAK
GINNAYLAWKFLESYSTSYYSYLIAEVYARDIYNHAFAKDPLNEKQGRRFRQIVLEHRDAVWSPNEEWQMRNDPYRYLIHVLKLWVTGRSETTMGAL
EKFMGRPLSDKAFVKALREGSEQEDERSLSNKFREIWARFRARI

>RCO7_01783 | related to TOB3 (member of AAA-ATPase family)
MDIPSTSKSEQAVEREGGAPATGEGISSTQVEVKSPIAPEKSTTKSKKCKKHKEPDKDGQSKSKKSKEKEVESDSDDSSSDSDSDESISESGDSEDD
SETETEKEKRKRRAKKKAKKAKDKRKSKSKSKKKSRREISSDSDSDSESESEPETEDADDEDDEEVNNAALQAQMLQMQQQQVLQGLGGLGSRRGPP
RHVLGSAAAQKVAAARNARKLAALGLDPTGRKLKKAKGKKGKRGSKLEFKRVDQLWDSTIHNYKLTDTAEDEESSEYDQYLFNVRRTFDWEGKYKTT
VVDIKSKLIKEALNEVMDGVKGVSLVEETPCVDPNLLFLYLEDLRTLSKELKNKKVTVKKGKKKAIKRNATKRKHLRVLLKYLDKDYAETMKTLYPM
LESGLISFQYLWALYKPNTLAYTTTYGSVDEPRAFKIELAEKEASFMKGEWYSIEGKYLEYDGKTWGMGSMESEVPAFKGARKITSLNCYPLKYHKN
EEKLRAELIARGKKFVSLQGVNYKSHEGMAYVKKKRQVIKVNINGRIMIDPAIHRRILPNYNVSTVKPKDPDLLDSDSDDSDSEGCCGGHSEDEQIH
QFESRREKEDDDEPKMKLKVVLDDKNEPRLVEVPVDADGQEIAVEKLEEVPSKMITKTTATAAIEEDKKALPVFTDEEYLIASPVVLGFAFAEKLWL
EFTVSGVKEIVWNEGAYDSLVLEDNTKAIVKALVESHKYHPAESIDDVIQGKGKGLVAVLHGPPGTGKTLTAEGISELLKCPLYMVSAGELGTDPRT
LEGELQKILDIAHAWGAVLLLDEADVFLEKRTIQDIHRNALVSIFLRLLEYFQGILFLTTNRVETFDDAFQSRIHIALRYGELSTKAKKSVFKMFIE
RVRVLEGVDTMPFDEEDYNSLARNNLNGRQIKNTIRTAQALAVNKGEPLSMEHIKRVLDVSNAFDRDLKGGTGFEDAMRSYH

>RCO7_01784 | uncharacterized protein
MNGNYGPLPNGEDNAGGTRLDGQSPFPLSASSPAFVTDLSLSKGRRARSRSTPIYRRQQGPGHRAVRIPRRGTRNSTPGHPQSRQATTNDGGGTVTA
LIRPPPPGVMPWDDVVQSYAENLTGWESDDPSCPRTGLVKLVGKIPGDEYNLEELLET

>RCO7_01785 | uncharacterized protein
MPRRQSREIAEPTLISYFWDTRPKFVGPTKAQLTARQFNPLSEFPLSPDSQFRNWKADQERKERRHNARIKDLLAEREESEEHEEGEAIGEEGGFGE
GSRFEDPRRRHPTSNAERRGGSVRSEHHGESIGNIHDASPRRYNPRESHRQKRSGVEGDDEDGHSLQRSPRRDTKRRKRNEDREEKL

>RCO7_01786 | uncharacterized protein
MDASITDMEILCKTSPPSRTLPQKIEAATKDVLGANSLKDLALVRKKSFVDLKKHYRQLLDEAEGYEEESESKRSGD

>RCO7_01787 | uncharacterized protein
MSAPEVATPASASMSLGDLVSPAAFVEEKVPLPFLNVSFPRLHEDGILSVASADRDRKVRAFDLSNKTNLAPQLRPQDGFIPMTLSLHAFLPQLNIR
HFAFVHQSFICLFALLKSSVIIPPPASIINLCHHFSIILHSHATWMTEEVAQPVVATPEETTVKKPKKTPAKKGKTVTVEENGENDEVASGDAKVET
PVKAKKTPGPKKAAVKKGKTVTENGENDETTSGDAEVETPVKGAKKTRAKKTPVKKENETPKEDAASKEGEDNAEVDQPTTPKAIPKKRGPNKKKAD
TTPAGAKNEDDDVDMTTPATKGTAKTLASKSSTKKRASASEADGETPTKKSKAAANGTPAKRAVTKFPECWAEFSEEDKIIVTMKQAKSSWKAIEDA
WTAITGTKPGDSVLRKRFAKLELVAQDFEDKDTARLVAAKKLVEADFIAIKQKMEKEQAAAIKKLETEKWAMIAEKIKDAGGANYTAVLILEKKYNA
LEKDGDINTDGDYTGSVAQDEDTVDEKAIDEEVVYEEAVDEDAVDEAMENSSVNDEEAPATNGNGHIEEEEVKAEVMEE

>RCO7_01788 | related to esterase D
MFAQNSLTVVMALAVLLLASLDTVFAAKSAGCGKAPTITSKTYSATVNGKQRQYIIKLPTGYDQNRAYRLIYLWHQRGASATKIVNGENPDQGGVTP
YYGLPPLSNNSAIFVVPEGLNAGWANSGGEDVTFYDTIAKTVEADLCIDTSLRFHTGFSYGAAMSYSIACSRPRDTRAVAVISGSLLSGCSGGKDPV
AYYGQHGTSDSVLNVSGGRSIRDTFVKNNGCTALSPEPAPNGATSVKTVYKNCKVGYPVTWVIHNGDHNPSQRDGGKIFAPGNTWEFFSQFASVA

>RCO7_08411 | uncharacterized protein
MHEKYVLRASMYLTAQPGKVFHAPASSMSTLLSLRMRND

>RCO7_08410 | uncharacterized protein
MSNESRYDRAHRGFYEDTDRSIGIIPGLLRSAYRYGLKAFKVIGRSIAPEEGAKEHRYVTLERGERKNRKLKMAKTSVYQLGKSSGVPGAWKESVES
LTVGT

>RCO7_08409 | uncharacterized protein
MEMLLQVPKVEQVFMKVNYSAMASWVSLDVTSFVVGAYTPQSGGNPKDVQRKGQEIHREQRDARSTPLIAPSRRCDKGAPDDASECALEGSKEALKR
HSRHRTLKENSKEWHLDNPDYDTSALRRELGSHAFPIVSSYCCAAIAFFVPTMEGNQAVTSLALE

>RCO7_08408 | uncharacterized protein

MTGKFSEINAAQCKHYARFLRNLTLSEANGIFWILFAFEAGVTDDVYKFITTPQYQQYNRSIALTERDKSLPPRLVNSTRHKLKNRRARVRMLSIAS
LCLILSATAAVVECFALFNIEFCDGEDLMQLYWGFWSVLQVGSIIAILGVMVQFWIVLGDVETPSWAVALGTPVLVFAALGFVLRAIWKDTIGKVRG
KKSVEKKEVLDVESGVGVDEELEENGQEEKNRIDRSMSTAPTIVNDETRHGSTAGPLPGAYNGNTPVRPQPVPRGGSNLWTRDLHYLLSSVVHGEEG
DNDNNNNDNNNSPREIHVHHHHHTRRDGRGRDVHILGDLGP

>RCO7_08407 | uncharacterized protein
MGVLRSAFKITALSSVVAGGAFGAWTIRSKFVPFNANDPILSSTAYKTNNPNRNPATQDLCVRKVPLSKIKPQLLEKEGKLVEAFCAGVWSGYGYAY
QRHYLEKKYRNSTTTAHQLWDHSDLASSSYEPGTEITDHFVVVAKDPSAIVVRCGDSPLKTGVRDSDGLFEMGVEVNKDEGVAEFRLKSVFYKGLGK
ADGKPMPAHIEFLHRIYTKIWMETAIRNVVL

>RCO7_08406 | uncharacterized protein
MGFISNSVDPQLKKIPASKLPPADIIWPWPDREVSRSSKSVHISFVPPNKSIRDFYLRAVKSGDTSIAPPPIISASEFVPPALIEHLMRNKRSSALG
AKFEPGAEITNMEGAMHTFVVPVVPRCESAGDYCFSAGHKATPPVIKKSGGKSVMMTRSVVMSATIHLDFELPTVMVELCMLRNQEILGKDLNVESE
WRILGKGHKQDAALRGAYDEDLRKHMVFHLTSQHRLPALAETTNKIMNLGPSLQFLQHLIQGDDAAPEQLLHRFTKIGSRTLSLEFLFFAAFQLVRN
EFSVLEAVYPQGYIYTYDPPSIFARYVEPELLNRLFILAIKYMSSHNQLGKMRIFAFNDYADPSALELLKIALETQTHVLVLSKGDLFRGEDGRFEA
GSWKEGSGMAKGDGGRLDLSKWPAAKGAMLVVHNNSDAFGQNVETEYMSGSLDGAIGSTTSAAASLERVRADLMDYVV

>RCO7_08405 | uncharacterized protein
MAPAGSENQWNFMHELRADGACEEPKSGNDSTSYAGNSSTIAASSNISEYITANKLLLNHDSVTSRSNIYSNPGRSDFSSQSSPRSYKSVDQKRHLD
AVNPRARASTGQKSVSRSVNSSNSNSTGGSSPSSFDRLRQVPRSFQNFQEADVVALFPEQLDGISPSKVEKWVERCESSGAGIPNLTNPITAMPTIE
LRRFGAFL

>RCO7_08404 | uncharacterized protein
MNYPDREGLQHVWHDTPEGLQHISHDVPEGLHHDSRSAYEKPQHKLSQNAIPDDPEHYMPATDVIQTKKARRICGLRKKWFWILVAVLIVVIAAGAV
GGGVGGTIAGKNKMHSRESGKAKSSSPQTSTPTSTSSTVLSSSRTISQISTPTLSSTVLSLTRAGSQTSTPTLISSTLLSSIKAASSLPSTTTSSSS
TTATTASATDLALSVLGCPASNGTSYTVSISGSSTSYVFQKFCQQDLTSSSASSPSQDIQNMKMTNLNACIDACIQYNVDSGLGQTGARSCVAVTFL
GLISPWESIWNECYLKKRPEGGNFISSVRSEQDIFACAVLEGVKFEIIAPR

>RCO7_08403 | uncharacterized protein
MRSTLLLLISSAASAVSGSFLLKRDAPNLPASALVAMEPLAMEDAKLGKDLYGKNFTTDHESMADLLSNNAEIAQSASAASCSANPGMRFEWRDFST
SDKLAFVAAIKCLQGKPPSGNFPPATSRYEDFVRLHQMMTPDIHRNDKFAIWHRYQVWAFEQVLRAECGYNRAFPWWDAARDAGNFVKGTDLFTQPY
FGNLLPAQSNGQGWCINSGAFGGLTLHIGPGGGATNHCMTRAVNEQLTGQCSQTYIDICKSRGTYAEFGSCLEKGPHGFAHNGIGGTMSDVAASPSD
SVFYMVHAWVDHTYRVWQNADPARILSINGNDAQGNAMTLDTVISMGGIRPDVRVRDIINTLGGTVIGGVPFCYKYNY

>RCO7_08402 | uncharacterized protein
MASTRSTPEGSSPAPTNGTKRAAESTSSPPAAKRGRGRPKKQQKTLEETGGVGTPVKEQDVEDDTEVAKQIDQDTTPSEPAKRGRGRPKKVQNETKG
TDGGTENVNENTVVSNESKDTNRSAENGVDKMSVDDDEATTKQNGNGGEVNGEKNAFDEVKSDEQDVKKAADEEQEVKSKEVENNKDSVVKDDKREA
AIPSSILEKGIIYFFFRGRVGVEDPQGIEDVARSYIVLRPLPLGAKLGEGPLEDSGNARLLALPKKMLPKSRQDRFLVFVENPSATIKDLREQFSSN
DYATKTSGHTPSATPFAEGIYAITSTGRESHLAYLLTVPSSIGEVQKELGLNEKGSFVVSAKNPNAPGPANATLDNPADYPEEIQKKFRDLRWMPLE
PALLAYQNTQFLLIGEGMGDVDNAVQEMKKDAKDDEKVKPVEELEKLEEEDHDRVEHLEGDDPIFADLGLSSKEYDTLQTTW

>RCO7_08401 | uncharacterized protein
MWRKRLITTVSRRQYSSKAFTRVHETKPIGMDSQESPKAKLEKTDIDANAKATEEKDEAPKRQKTVLEQDEELRLKLEGISGEGGGAGVEYEGGKAV
GLKRGVKENMFRVI

>RCO7_08400 | uncharacterized protein
MVEAAATAFASIVVLGTGFALGGYMYHKFYKWLVIHKMEGAFQPGDPVLDLAAIGKQIPNSITSPPLSKETDEHWILRDEQAKIDAIVQGEDRGHYH
LLIGEKGTGKSSMLLDAMQKVDGEGCSMFEAHADMEIFRVRLGKALDFEFHEDYIGSYFSERGPRESTPLLDIERAFNKLEKVALKRRQKVGKPLIV
IINAVHLLRDDEDGRDLLELLQQRAEQWAASNLVTMVFNSDDYWVYERLKQLATRMEVTSITDLPKHQAMSALSKYRLKYFSEKPDQTILEQVYDRV
GGRLTFLNRVAKSKDMLETCDAIMETEKRWFLNQCWILGMEMDDDVMDQQKYASAAMVLAQALVAAEKSQSSPYSPSDGSHLIPQIPLHKARQIMTR
ADFIKDYDHVNLFTITSSAFVRADSVPMQRAFRVICEEEGFDEHLEATLQRISDIESLGRTRELVAKDLVMGGKYRLLLKEGMRKGERVGEIVLEEK
VEDEGEEKK

>RCO7_08399 | uncharacterized protein
MPSSSVSPSSTRSGATSTSPTSRTSINSPATSTSTSTSTDKNLEPLPWILHHILESHATCELPTSIMFAINSGLGQNIPRLKEIYSWWQLDDQGKLV
LAFLSSQDRITPSIADATVADIRAPALAAAEPDFDPLHCPDDRFMDRGNEELLKIGFAHLLGNAAKQEIDFDPQNRKALPAHFVRKYCLDRVFVSDF
KDVNFDHALTALDYLRDLEYTRRTALRQAALGLGINEHTWRRVLWGNVPALKWVEETQGNELRIELMYSDLFLDLRIWTMTSVLLANDFNKAAALAM
LNTLFPPAVQDLPNPRINPRVLLEQRAIFYRYTLSVEQNDIGIVIDFKEKLSQPDNRHQWPMVRGTLERYTNLAEKMIQQASEATDMLRFRVSEPLD
SPKPARGFTATSFEAFDNPRTAPKTPKAKTSLNDMRAKFGLNKKPSQVFGGQKETVYSKSMVNVSRLQKDALTHLPVEVRGRNPEPRKPEPRSSPVE
VRGRNPETGGPEARNLGLSRTTPTTSQPTFDNLLSIRPRGLSKPMGFVPPPLDEVDRMVGCDLMHSPWNDPDEEDDVETPGSTPKVSFDFDSALGLR
SGPDSPTFSSPPFSTDAHAHVRSKQSKPNLLIDTESATSKQPALSPSLQSARAFLKYREPTTPTDTRPQTADNPNMGRRGLRPRGSSKKLYSGFDTR
QTERFPSLATLPIQRREITEPAMIPEPLNINRPPRKPSTPVTSNLSSFPPRNNFNRDQDSPAQTVATKSITFADSPNILNSPSQEYDESLAVKKAPS
NVFANASRPSTSSEASLRPIQTTSTVSSSASRRLPSDNLDFLSRPYTSSSSDMEFLSPVIRKNTSLSSFFNGRKASTPALADEFSRGDGLGIFTESS
RAADENGATNKQVKKKSSLSALIHGKSKQKEKSGDHDQLMATIAQGPGETASVRNPVVKKKSSVGAFIYGLSNKKKETEGSDQRADSMSQKPDESPR
VPGILKNEACTSAFKDDNPANIAGTQEKNEVPTQTPTSAKSARFDDILTTSPSHNSAGSEKNDNTQEGAKLKSKKSYNFINRLRSSDSKATLRQKRD
VDPNAIEWFSRKPNFSFSPPGLHYSSVTTPPQASEDLATSSTRSEPRLRSRFASSTVYRAPEPADPLLEEDVVEGAGGSQALKKKKSMWGFGKRGGG

>RCO7_08398 | uncharacterized protein
MIKLIKGMFSSSAPAPTSSDHQEGEKEDAANETLDFEAQDDTWAHENNKEASRVIPPNTDTMEPPSLPNGTPRAGNRAAVTSSAVKGSSGKKNKGKM
STDARYIKNQKKKERKQKKRDAADSSVLESSVMDSSVMGDDTEPLGMGRRNSNLEESFVSPNLSRRMGALFGELPVSQAVMAPPKPKMSKKAKKAAK
KQLKDQANTTTGLASQLPQESKPMEEETQDLQTVIRQAQLVKNKEKTAQEAVKSVPVAESEESRSRRQSQSDEVGLVEETEMTNQEAQVTHQRPLQE
SITAPQDVNGSLPLRPPPTPALSSPSQYQQSSQPAAEDIAEAEAQIRSNAWSTGDIKSDPEEDDDDEPIQPSRKARGKRKASTPIVKPSAKRRKSKE
TEESSPTLASYGFVASNMPSQTEEDQAAGDGSPSASLEPSILGQEAANMFRSQMEESRTPVPEIPASPFIAVNSSQQRRPTPAFTPINPQKRLAGVV
IQVPARSPYELPPSSQPHSESEPELPQEQSQPQTQTQPESDPEPEQSQKPPSPTERRKRRLPTGGPDSSQVKPKIPRRPRNKSELAMEPAKAMTPKQ

SASKAKTPKSRTPKASGSSKATPASKGTRLSSDDVKSIEDAVEAYREQNDLKQVDLNARIQDETKNNPEFWTYMYEETPHLPRVKIQNHCRRNFHNF
ESRRSWNEEADQDLKDAYERNPRKWKQIGAELNRFSEDCKDRWRNYVVCGDKLKKENWTREEEEKLRDIIDDLLRLILKDEGRDLEDLTENDQTKLD
WLKVSEKMDHARSRLQCQTKWKAMLEREDSTTKDPVAKKPISETAWRLEVAVKIARTMKAKEKLALLYLVRDSKAGKEGTIPWTAIQKELGVRGRRM
AFRVCYRNMKLHVPGNKKMKLQEIVSALIDLYEAASPREPKGFDTFISAGIYNDARELKRSSRSVSKDNDDDEDEDEDDDEADEEEEEEEEEEEEE
EEDELGQSVTAEKQISTQKKQRASSVKKSNGEGPSKPTPRLHINKGRKAAMLSEMDQENDHTPVKTRSPKKLRSRMKVLGQKESQESQAGSGSGNAD
DIGEAFQAVKSSQATGRSPRVAKKPIVGARTSRGGQKKSEKWAYESEDEGEAIEPVVMDDVEAGRSKIDLGEVVGDGGVDGSEDAQVQQEDEDMDQD
ENSVQRPDIAMDQDEESVQPDIDKDQDEDSVQPDIDTDQDEDSVQPDIDTDQDEDSVQPDINTDHDEDSVQPDIDIDASNHELEVAESDYNIDDAAP
LNGHVKSSNEDEIEDEDKQDDFPSTNHNTESVDLDEASHITPFREIENSFPDETGINDIDEQRGVDSEESNQESEDWMRLIGDEADGNGEAKGDIEM
NGDGNGIEDADSGSEYGSPKRRVSSRNGLSSKENPRETSYFGRSSRNGNSQPNGGLDIEDSSDDGESDVGIPAKITPKPFLRNGFRQDTGSQVSRLG
IKDEDSSSDDSDENIPHTPKEKKFFPSTQGRGIGMSSGMGAGLGTEKTRGMLRSGRLARGQGRSVEL

>RCO7_08397 | uncharacterized protein

MRPTTPKYKFAQQTEPSSPPQTPTTASPAFTFKSRRNGMHFNHAHLTEQSGTITPTGNGTHHFSYTPFNMLNSDFSPRSTSSDSSVQHTEHSEDSDD
SAPRSLSSSPIPPFADESPPRKQTKAVVAGNFILEEICEEEYEDWDSDDEDVIRPHQYEDAESDRAASVRSMPRSEIDPRVLTDFQNLQCENEDLEG
VREVWLEKRREEKRRKRRSSGSVQKRTISQSIGSDTDEEDLKPITFEDSNEIGSSARRLRRKTKGERMSLVFDDPPPRIDEEDEGPESVEEIIEVHE
GHTDREGGNLRELPYWYVQDMDVDSDDSDDPDDSDDSDDE

>RCO7_08396 | related to general RNA polymerase II transcription factor TAF12

MRLNAAARRSPASNIATPNPTYSNHIQHHQLEDLILYTLSSALLLNSTSIPVYLSLHNQHLRIDTMNNGQQAGPPAQGQPAGAQPQPQPQQQQQRKI
PLFKPEQMRNLPEPFTAEERTKWEQGLRSLWNLIESNGSETQQHLEAKRKLMDFSRTLAGKLQAAGKAKAQQQAQPGQSGQPGQPGKSGQPGQSGQS
GVQGQQQQPQSAAAPQPTTQGQPQQNVGQGSENVGGSTSPAQQRQQPKISQKLMEHVNSFPYSLPPNLTLGTAEATKWLGESKNKYVKALMNMESLA
GRISQLDAFISKRKEDGKPLSPEEEKDFKEKREAANKSHTDAKNFVESFRQQQQQFRSANAHSQAQGQAAGSSNVPRPGPNASNGGQPPARPQMNPQ
QVPNPTQTVNAAIEAARNQQAGGPRPMPQVQQPNSQMVQPQMPGQSAPSSTGQMPNIKQEAGLPPQINTAITQMQGNQRPMQTNSPQSAVPRSAGIP
QSATSQGQQQQQIPQPLSQSDAFQSAARSYSNTATANVMGHSHPTAPRSEANVITNKMPIPKHLPERATQLPTQVQMQQARPTYTGGPSNGGSVISQ
PVIPKVPAYSMEGEGDHVLSKKKLDELVRQVTGGGQGLDSGEGLTPDVEESVLNVADNFVDQVLQAACRNAKERGSKTLEIRDIQLTLERGYNIRIP
GYSSDEIRTVRKIQPSPAWISKMSAVQAAKVTGGKNND

>RCO7_08395 | probable 26S proteasome non-ATPase regulatory subunit 3

MPSQTPHTNGDEPKTNGINGKKGVEMKDDAPASLKGGKGKKANQGDEEMTVVVPPPKGSKLSAPPPKDTDIDVAMEGVEGAEGEDTGAVKIDPVTKA
VADIKSNFPLLERAVTLFDARFSLRALRSISSLRKRLTPDVLAQVITETYPSTSPAAKSLLVAIERENATFAKPASTEMEIDSDSKKGAKKEQKDII
PEVDIFLGILTQIYYHDNRINQKGAEFSAYLVERIHTLNRRTLDSLTARVYFYYSLFCEQMLPLPPSPQSPVVALRPTLLSALRTAVLRKDIDTQST
VIVLLLRSYLSTFHIAQADLLLSHNKFPDTASNNQVARYLFYQGRIRAIQLQYSDAHEYLIAATRKAPSSPSAAGFAQSAQKLLLVVQLLMGDIPER
ATFRVASTERALQPYLMLVQAVRVGLLGEFENAINLHAETFRRDGTFTLILRLRQNVIKTGIRMMSLSYSRISLRDICIRLKLDSEESAEYIVAKAI
RDGVIEASLDRERGFMKSKEVGDIYATREPGDAFHDRIRACLTLHDESVKAMRFPMNQHRLELKNAQEAREREREMAKEIQDGDLDEDDLGGEFEGM

>RCO7_08394 | uncharacterized protein

MPKRESKNNPFVLITRAHYTYDNIEAIKEDKRSNFNVMGTERQPSVTRGGRASQKRRGRVGDLDVGEARNGDALGMGAAPPDLTTTTSTSTTSATKH
TDLGTYLTSEFTTRISTANQSIETTESRQAPLRDQAEEGSDAILDTKKPSIIKQVDNIHSAPSRLFDTPTPNPTPPRIRIRLTNTPGGTSQSPIPRL
SPEPHPQPKRYRLKFTKHVLDKAQAKQSKQREHIEKLLQRQLGDAVCVSTLVRKRDLEIMPSLEGPLSLRSGRLRGSVEPSAGRVEKEKTVNGSRHG
SIGLEREKDRVVRNAGRRVSDKESKMNGDTIHLESSLAPPQQVNPVITITEAPKPPRPKKMELELRIDDNFNGKVKDKETLERNIDEVIFGEIKFKA
WYPSWYPKEIIGEKALTVGAGDKGGVVVNELYCEREVPGKKVYVHGGWREDDAPRPAVGEWSIWEVDGGVETLFCQNLSLFAKLFLDNKSVFFDVSG
FNYFLLVYTPPQNSPHNLTSPSPSSQSPQKQIIGFFSKEKLSWDNNNLACILIFPPWQRKGLGALLMGISYAVARREQILGGPEKPISALGRKGYKR
FWGAEIARWILERPERRGRKGKGGWKVVREEVGIRLLSEETWIAPEDCLGVLREMGVVERVEARKRGSDGLDSGRGWEGGVEGEEKERVKVRIDKEA
VRRWCEREKIKLERVVTEEGFSPGYAEKFEEIDMDIQEEGVEVEGQEGDEEMVD

>RCO7_08393 | uncharacterized protein

MVSLLESHLEQISLSAESIATLPFPTPKIFTNALLATPDITSLIRDTEPHERALFSVPPPPPHNTASTPYPDPAPSSRRQTVFNVAAGEITAGTTTG
SRAPRRNTAVAAVLGAELHSEVRKTEGKGEIDIEVLLRGAEKLNAVYSVDGVPERITGLRRRYERIVGSVEFYEGKVGRLGRELERINRGATPGGEE
HEDDCMEEDSEGARGFGGGEEEDEVTEEDLRAEEEEIRELERKKKELEDRVWLGASGEVKIGEQSSQVCVEQASTNAIASDLLRRYLESTKLPDVEL
LSITELFLAEVQEAARFKRGTTLYRGAVTAYQVAVRSDRSKKQPLNVFPKMKWPEDRPGSPEETSSPEDSAASNIPAVAVKKPLKKDTGHRYSKEAS
KVDNPIKVRGFYEVPGSSSTIQPSKYPAIMSLGEPFKPGNKWKLYSSILSSHEFDESPPQSRPRKAQKMDQENRPRGKERDVDSFNGT

>RCO7_08392 | uncharacterized protein

MIPPNHNSDRDDYSDETDPDPPETSGMLSMSATHAASLPSSSERSPYASKPLSTRTPVSPYGSSSAADVARASNSATSTNTKDLNKEASTSKVPQAV
VATLKRVNTS

>RCO7_08391 | uncharacterized protein

MGYTLTNSAVDSRLGELELLRGEETSVTRTLLTMIRGQQLQDNDLLLRATLRFVEARNSTDEDVLAAARSLEVLADFDVLIMRVVYEDEYDDAESCF
EESADIDTYLRGHQNLFHRSWCIRDLGDSARTGAHLQTFSQNINPTWYTSVSTRPIMADDNVASSLAVPNLAASTNTGPAKQPLAEIGTKDSPESAP
KRRKLRIVFKKSKDKEVSVIKPVEDSDQTESELESDSAHEPMVTPETQSKRQPKMRAEQDRLPEAEDIPIPEGIDLARFSRGYRSTPPNRPVRFPGQ
MIIDDGSYDREPPAAGELDPSKMIISFNVEKKDKLTGLLVPAGNATYKYRGDVVWDDKTSVSALQHWRTQNFARALGPSQPPREMWVESERDLLLSI
VQQHLADVGGRWLKISWETVAAAYNYQIHGTTQTAGELGAERMYTFSNTPKGKMLTNVSKGQRLAQNRTAPTRTALSCQNQLQVFTHKDVLQVINAA
KGTEKKPDMKKNKEGDYEQEDEQKYDIDYHHHNGAGVMEYFAMDTLLDQDGNLAQRASYPDADAPDPQLGNNFGVGPPHASATDSHESSAKRRAAFE
AAEERRITGPRAIAKDKAGKKWLRGG

>RCO7_08390 | uncharacterized protein

MPLVRYNPLSVLRNINLADIEEVKDAMNSIARCLDTTAGAEGRRIAEQALAIVNKTPILRIVQAIENFPEWPLLRMAVERLLETRGRSRLEILGAVS
ELEHLAEEKVLISPTVWPKEYSEALEDFLDFPPLSFSQPSQSSKNGEVVSGLDASSFSKKRVTRSISNQSHRTKSSTKSSLGTSASSYGVEKESAGE
KKSDLVTTLDTIKPTRTPLPDLPDSKVILLKSKPTTPHRKKRPAPTSDEYAVSSAKKSSAVTPKRGKTAKACDECRRRKTKCLRDEGEEKCNSCAKM
GRECILSSPSPPKSNSRIVAIDSAIEESAKVTTKTVTVVGPKTEMKNILHDFGNLKEGKALGIVSDADEEDSGDGVEYSQDAVEASKVVATISDSGD
HEYHPNKRVCRPGKKIGAKSVRKVSSVAVE

>RCO7_08389 | uncharacterized protein

MGDESTQGLSFQSTSIGDTSGNTSAEVNSLTAENREDQDIITAAATLQRLSAQAASINLSRETTNMEVGSTSEGVTTHQCRAPVAPTFTGLGRRGYR
HRSSHHARTNTQQCHGDPKSSAPKPSARPSNREGQTSNPAPEVSRSGSNDPTSTKKTGKIQTEQSDSSSKSKKTRPRWVEDPNSERGKRLLGVPPFM
LNNNIDAANMVESDARTGRPRRNIRGGPSGPTASEQLTVPPVQQPPENDNVNGEAGDDDVGKESGDIDQNKRIDGDDAAGFVIVGYKPLFTYFEFER
RNNGIVE

>RCO7_08388 | uncharacterized protein

MFTPGHKDLQNIVSNHNAESEGKEIKVGDKPASGGVYLNGIVREEIDAWRSESDEVAEKKDSSPDDDDGSDAEEKEDKAEHGQHFDPVYSTSEDGGR
PFDKKTGGVLLVTVSSSL

>RCO7_08387 | uncharacterized protein

MTGNMTKQKISPISAYRSPYGSNHNSASDHQHTDTENSADVISAIENPLCSLAEKHRMGEYCGKCRTIMMPWFGKLPQPLDENSEHYVKAPRGSIVR
GVPLQDPEAVAVMTLVASIDIIDGIYDDYEGLVEIMVYYSKAVTAGLLVAELYRIIARMSTPKHDMPTIADIVEAALQDPALTPEQYIRNTKVELGH
YHHLRPVYGKAKFLSASGFSDVDPSPSPGFSSSWNEQNEFDDFTRPNLHGNSTHARPTDRGPWEFVPGSILSRVRLGVPEPHKFFMVRQAIHDPTKK
DVRQFSSWQTMDWNEPADIAKLNKWQMQVKDRMQDRFATLPKQWSQAEKDVLKRAVEAALASGKDRSTINWDCIAKTLFNHFKGRTEYAGEPLAQST
ELLPDNTVTAPSKKKIQLLKADRVGAVKRSGKAVSNQAKRFGDIALLLRMSRPYKARGVREDDENEAVDDLNDDDNTGQKGKKAAPKKGKKRRRDES
PEAGSMSPAKISPTNAELFRAQVDKNINPWYKSKMKSQAPLDKNFGGDLMSWE

>RCO7_08386 | probable UDP-glucose:glycoprotein glucosyltransferase precursor

MMGLFNVPWGLTSALLATAYLHSLCVSASPSINVEMKASFSSAPYLLELLETAGNENATSYFPLLDRIADGYFSKASSDKELFEKFVQVVKEDGHML
NPETLSSWQFALSMRASAPRIEAHYQYYHTAAEPSLKAEQDTSCQVWVLFNGKQYCSPTLETAHGDISGDSQIQELQFDRVLGSPSSPASILYADIT
SPTFAQFHKTLVKTAREGKTSYRIRHRKAVDSKNKPLIIPGYGVELQLKRTDYIVIDDREESESKPDIALDKEEVKFEDEGEEFADLKPLAASDLYS
LGLKASSFILHSENPLDSLVKLSQDFPKYSSAIASHNISNDFVTEHEYNRDHIVPAGSNLIWMNGVQLIERQIEALDLLDIFRQERKLINGVRELGL
TGSQAIQLLSHEAIATVKAEDEPQRYDWRDEIEGGNVIIWMNDIEKDKRYQQWPRNLQAFLQRVYPGQLPTCRRDSFNVILPVDFTDPKDTLIVADT
LLSFVKRKLALRIGLVPLTSDPHSLEHAKVMYHLQETYGISAAMYYLEVAYTREKLTTPTADSFNTAIGDRKVRTDKTALTLEEVLEPDSYKGQIEG
SQKWIRRLAVDSKIPPMFVDGVALARDENWLQTLSQRVTTDLQIIQQAIFTGVFDDDSWLPSYFLAKALARRNALVVPEDEKTLKIFDVNKLVGDNQ
DILNILPRIEADTSTAKADWAHMVLIADLESKAGEKLLATAAVFREANPSVELVIVHNAASQAAEPGLSSDLFSHMKSNENKAFPHVNDLTAVLNAD
LAGPGQKVQDHAIEYWRAADPLIKTLELNPGQNAILLNGRLVGPIPADLEFDEADFAQLLAYERAQRITPVLTALEALGLSDNVGSPLAAAKVSSIV
AISTISDTPDGIFEQASTLRMSQFNVWNSTHTSIETGDVLTASIHLTVLLDPASQVGQKWVPILRILSELDGVYMKLFLNPKERLEELPVKRFYRYV
LDSKPTFDDAGALLPLGASFKGVPQEALLNLGLDIPPAWLVAPKVSIYDLDNIKLSSIKTDVEALYELENILIEGHSREIPAGAAPRGVQLTLGTER
DPHTADTIIMSNLGYFQFKANPGYYKIDLLEGRSAEIFKIDSVGGKGWSPTPGDENTEVVLMSFKGTVLYPRISRKSGMETEDVLEAKSESKLDFVS
RGFNFAQNILGKGSRSGEKEVQADINIFSVASGHLYERMLNIMMVSVMKHTKHTVKFWFVEQFLSPSFKDFIPYLAAEYGFKYEMVTYKWPHWLRAQ
TEKQREIWGYKILFLDVLFPLSLDKVIFVDADQIVRTDMIELVNHDLKGAPYGFTPMCDSRTEMEGFRFWKQGYWEKFLRGLPYHISALYVVDLHRF
RQIAAGDRLRQQYHQLSADPNSLSNLDQDLPNHMQTILPIHSLPQEWLWCETWCSDESLKDAKTIDLCNNPQTKEPKLDRARRQVPEWTVYDDEIAN
VDRKRKGLPVNAASGVLGKKTKSKMPEVEKTNTVGKKDEL

>RCO7_08385 | probable COP1 - coatomer complex alpha chain of secretory pathway vesicles

MASSSSSPNMLTKFESKSSRAKGIAFHPKRPWILVSLHSSTIQLWDYRMGTLIDRFEEHDGPVRGVDFHKTQPLFVSGGDDYKIKVWSYQTRRCLFT
LNGHLDYVRTVFFHHELPWIISSSDDQTIRIWNWQNRSLICTMTGHNHYTMCAQFHPKDDLVVSASLDQSVRVWDISGLRKKHSAPTSMTFEDQMSR
GNQNQADMFGNTDAVVKFVLEGHDRGVNWVAFHPTLPLIVSAGDDRLVKLWRMSETKAWEVDTCRGHFQNASGCLFHPHQDLILSVGEDKTIRVWDL
NKRTSVQSFKRENDRFWVIAAHPEINLFAAGHDNGVMVFKLERERPASAFYQNNLFFITKDKQVRSYDFQKNLESPTLLTLKKLGNPWVPPRSLSFN
PAERAILVTTPADGGSYELINLPRDGSGDATDSKRGQGNSAVFVARNRFAVFTSANQQIDIKDLTNSTTKTIKPPAGTTDIYFGGTGNLLLITPTAV
HLYDIQQKKTTAELAVPGVKYVVWSNDGLYAALLSKHNVTIVTKTLEQVSTLHETIRIKSATWDDAGVLLYSTLNHIKYTLLNGDNGIVRTLDQTVY
LVRVKARTVYCLDRSAKPKILNIDPTEYRFKLALVKRNYQEMLEIIKNSSLVGQSIISYLQKKGYPEIALQFVQDPQTRFELAIECGNLHVAVEMAK
QLDRPKLWSRLTTEALAHGNHEIVEMSYQKLRQFDKLSFLYLATGDEAKLTRMAKIAEHRGDFTARFQNALYLGDVTDRIAMFKEIDLYPLAYMTAK
AHGLDDECESILEATGLTEDQIKLPAIGSPLSPPTAIVPTYKANWPTKATSQSTFEKALLGQETFDEGPAVVSNGYGDDAAGDDEGATRNGTLLEVD
DDEDAGGWDMGDDIVPEVESDFVNVDAAETGGAGSSEADLWARNSPIAADHVAAGSFETAMQLLNRQLGAVNFGPLKPRFLEVYSATKTYLPASSGL
PPLINYVRRTVDETDPRKVLPVIPKDLETLATVDLQDGYKAMRSNKLQDGATIFQGILHALLVNAVSTASEVEEAKKLITTASEYTIAMGIELTRRN
LGADDEVSKSPEKLKRSLELAAYFTIPKLEVPHRQIALTSAMKQAFTNKNYNSALSFANRMLANGGAAKMLDQAKKIKANCERNPNDAVEIEFDQFA
EFDICAASYTPIYSGSAFEVCAFDGSKYQTKFKGTVCAVCGVCEVGKNGSGLKLVA

>RCO7_08384 | related to RPN12 - 26S proteasome regulatory subunit

MAERELQDIQRKLKSSRSYSEQLPLLSSAKLALLKLKSLTPLPSTSSSTLSLARDIFEAGALLSIRAKDPAAFTRYVHQLTPFYEIPSDRLAPSSEK
NKITGLYLLLLLTQGDYAGFHTELEGLELRGGLKGGNEVEKDRYLGYPIKLERWLQEGSFDLVWKAMASREVPSEEYSVFSEILTTHIRTEIATCSE
TAYPSLPISSTKNLLFLDSEGAVIEFAQARGWLIRDGRIFFPQQNLKGGVDELGNEKELSQMAIENTLGYARELETIV

>RCO7_08383 | uncharacterized protein

MSIHAKKQSHWNPNLLMGPGLRKRVSKPQTMVTFRVGAESIKETFLIHKIFACAHSPLFNAAFESELIEGSTQNMQLEDIDPQVFGLLVDWLHNKEI
NGHDPTETATTADLQLHMISNIYPLCYVLRNRAPAAEMTCVLAEALMSRIDEEAHVFGLPRTSMFDLTETALY

>RCO7_08382 | uncharacterized protein

MTHEEPAISFDLHSNFRCYLDPSWGDEVDDQFEHARYRKIRERGVVLWTTFEFDVKKKVASTWMPEELVVNLKSRDWECGMYRTDIWQPAFKIPEDM
VEVVEKGERWVDWKDGDHDGIESELMGLALD

>RCO7_08381 | uncharacterized protein

MQQTITKVLKVLREGKPSPDRIDWLYLHEKDLPLYIQVLTEWQIGVKALKQSPMRSIFGVLSDGNERTKICVSTKLRKTSQQFQHEKTLYTRSGLLC
PPQKILELEEPGLRDLIKKYPKQPKKNAAVFRDNTTKNWKINVTLISIFKVVRRW

>RCO7_08380 | uncharacterized protein

MIAEIRSTWFRKNYYKFAIEAEFSAEAEAEDDYFDEHMLAEVLLEKEVNIAFLSRLEKADLELSKKLR

>RCO7_08379 | related to ATP-dependent RNA helicase CHL1

MAFHEEYQKDAGKLQHTRDFHHPFTPYAIQETFMETVYQVLENGKVGILESPTGTGKSLSLICGALTWLRDHKAKAFEDGLNWDNSKFSKSDEPEWI
IEQAKARRRRELLRNREDMEARLAKIRAKEKAQREKYLKGDQSFKRRKVEIANHGDDEEQFVLDDYDSDREQSGSSTSGLSAKTLEMMSRIGMGPVA
LADEEEEVEDEIKIFYCSRTHSQLTQFINELRRVQFPPSIRDENTNPNGTEDLKHLTLGSRRNLCINPKVNKLTSLTAINERCSELQQTSTPKEDKC

VFLPNKENETLVNTFRDHSLATIRDIEDMGELGKQIGICPYYASRAAIKPAEIVTLPYPLLLQKSARDALGISLKGHVVIIDEAHNLMDAISSIYGV
EVTLRQLKRARAQLGVYLQKFRNRLKGKNRVYVAQVVRVIDSLAGYVESRLALPKSDGIVSDKDLLSGKGVDQINLFKLIKYLQDSKLARKVESYAL
HTETQTPQTSHSLQKSSEQISSTPVLHHIASLLSVLTNPSKEGRLFYTLSPVPTAPDLATLKYHLLDPSPHFQDLVSSARAVVLAGGTMSPMSDYTS
HLFPYLLPSNITTLSCGHVIPKENLLAWNLSKGPTGQTFDFTFKNRQNWEMIDDFGRALLNICSVVPDGVVVFFPSYTSLASIVERWEVVPPSTAST
QQQKSLLARLATKKQLFQETKTASVDTILSSYAQAVSEGKGALLFSVVGGKMSEGINFSDGLGRCVVIVGLPFPNINSAEWKAKMAYIESATIERLS
KEVSSSADSESTPKFQITVSDKSAKTLSREEIASKGKEEAREFYENACMRAVNQSIGRAIRHQNDYAAIVMVDRRFEGESVRGKLPGWIKNGLVDGS
GGLAFGNLMGRLGGFFRGRK
>RCO7_08378 | related to SKT5 protein
MSYAYGDQGRTRGANDYPRGTNDWNQGHYHQQQLQQQQQQDYGYNYNQAQVQEQQYHSQHLLYDEQNYYQQVQAQRPRYANMGDQDYLQKPMQATFY
PSQNDDFFMPELISPTPTRIMPEVPSNMQEGLAHLELEARNPQSRMSASSTVSSMQSPAYQDMQSYNRTSHNSRGSGGPGFTASYDHTNASAYQNIN
RDCQEFGPLDSPKFSPFPKLQNPGQNVPLSDEDKEEVLERARNLVLKSTDPEMQLAWAQDALSWVEVASQAATRQQPEGQNARSITPKVEHQLREDA
LNIVRFLADQHHPKAEFMKSMWLEFGKFGYRVDKKEAFLGYKRSADKGYPRAEYRIGMQYENSNNSVKAVEHYQKGVAMRDSASNYRLGMMTLLGQH
GMPQDYQRGVDLIQFAADTADENAPQGAYVYGMLLARELPNIVIPEQFLEYNNNDAKMFVEKAAYLGFAKAQLKMAQAYELCQLSCEFEPALSMHYN
ALAARQGEPEAEMAISKWFLCGYEGIFDKNEELAFMYAKRAAQAKLPTAEFAMGYFYEIGMHVECDLRESEMWYTKASEHGNKDALGRIDSIRKNGA
FTKDHEQIAISRIKSQYGSQRGARLDRFKQKTAPLPSFQEEQVEMPEARDSYGNVAPLRVLQTVAPDRPASAAPYPEDDMPQIGRYSQQSQGLRHIL
GGGPQADRPASAFGIRPVPHANTGNFDQGGLRPNGQSRPATSMGNMPQHPPPGGRGGPPGGRVASGGWDPQIPNRGPNQAPTLPQVNMGRPFDPVQR
KPQPSHSQTSPGYPPYGGPSPQQGVPPRRPQAANYQETSGRAGSLQPNGGMMSPPMKVSQHYQQPQQQQQQRPDSQAERQSQRPPQHDMSSQQQQPH
QQQQANSRPQSAAPSVASSSAPSSSQGSQPPKKQGPSTFEEMGIPAGKNESDCIIM
>RCO7_08377 | uncharacterized protein
MAPRKPKIDDDAQSTTSNDVPAILKPKTEKAKVEKVKVEKVKSDKPKVTKPKAPKKEKVEVEGAVSVKEKKVTAKAKGEDGEGKAVGKESKDGKDGK
DGKEKIKPVNGDEAVAIIAEYLRVQNRPYSATEVTKTVADKILKEMEQNGQIKGKASKSGTGGQWVFWSIQDPADSASPEELASMEVLITSLRDSLP
ILKSTLKTHTNKLSTLKSAPTTFALASNIERLRVENQAKGEQLRDLREGNVKMVTTEEVETVERELKFWTAKRWVRKKAFENLEGVLLDGMSREDIW
EKAGIEGDCY
>RCO7_08376 | uncharacterized protein
MVTFLVGHDHLPTPFFVHEHLVSAHSPFFKAALEDQIMDGTTQTIRVRSVDKESFGTLVHWVYAEQIEPELGIYVNHDRDGFKFVDVVKVWKIAERA
LMPALQAAALGLMINKRFLANDHDVIYLANFIYETLAEQLTSKLRRFIHIYLTFDCAGDRYQDLVHRLPHHTVVDVSKSLSNVYKALDEHATRTSNM
AMDRLKITDCLLRPTAGILSIMENPSL
>RCO7_08375 | uncharacterized protein
MAIRLFDRSSGRSGGGDYTRFRNTADCWTSKGGVIKKGKSNGRFVRFVRRMKLRLGLKEPVKRTEVDEVDNEHNALYGRLVWEEVTGL
>RCO7_08374 | related to uroporphyrinogen III synthase
MRSSKAGADSSIPILLLKTKSNPNDGYEERFRAVNNSLQFDPSFVPVLEHQFLDAGLNIVKDLLQNRQIGKDVEKKYGGMIFTSQRAVEAFTRLVEE
GTGDAQWPHLQDIPIYTVGPATSRALRAIPQSPPLNVFGADMGNGEALAHYMLDHYGKWYQDREVKPPLLFLVGEQRRDIIPKTLMDPSLAADRQIQ
VDELVVYGTGVMESFEQDFTRILAETKKYSTRWVVVFSPTGCEAMLRVLGRLDPETGKARVNKSEEPGSIYVATIGPTTRDFLRNTFGYEPDVCAEK
PSPEGVEAGIKMFLQNQS
>RCO7_08373 | related to erv1 protein, mitochondrial precursor
MADDTRDNNQTTSTAATATAPGAVKKSPKGLILGKDGKPCKTCNSLKDMTSQSRKFASFAPPPRKDCPPDVEELGRSSWTLLHSIAATYPTNPTPVE
QSQVSQFLGLFSKLYPCWVCAEDFQVWMEQNKVRTESREEFGQWMCEAHNDVNRKLGKKEFDCRKWEERWRTGWKDGRCD
>RCO7_08372 | probable proline-specific permease (proline transport protein)
MSLPEKSGETEVKFDNEFKAEEQENPEFNLATGQNQLERGLKSRHIQFLALGGAIGTGLFVGSGSILSETGPAPLFMGYLAMILVVWCIMNILAEMV
TYLPMKGISVPYFVERFVDPSLAFAAGWNYWYAYAMLVAAEASAASIVLDYWNAPVSVAVWITIVLFIILLLNVIAVSFFGEAEFWFASIKLVTIIG
LIILGVVLFFGGGPNHDRLGFRYWQKPGAFVPYMAPGNTGKFLAFWHAFVKAGFAFITSPELIAIAAGETVDPRRNIPKAARRFVWRLAIFYGCASF
IIGVIVPSDDDRLLGAGNASASPWVIGIQRAGIGGLNHAINGAVLTSAWSAGNSFLYSGSRVLYSMSLNKQAPKVFSMTNKRGVPYIAVLFTWAFSL
LAYLNVSNTGATVFNWFVNISTISGFIAWIVVMITYLRFRKAFEYNNMLHVLPYKTPFQPYATYIVLFVITLLTLTNGFQVFWPDEFNVADFLAAYI
TLPIFLVLYFGHKIYFRTPFLTKVEDIDVITGKKEMDELAEMEVVRVPKNWLQKAWFWLA
>RCO7_08371 | uncharacterized protein
MYSLSPSLRLIALFPLFSSLALATTGQIPLTASPTPTTTSTITTSSTSPSLPKISYTTTIALPDLNLHISAEQLDDPELENIISSLLPKEMFTLLIN
ATARSASAAPSPSSPSENDEEEGEGVEEETVMSIVHEEEVLETKTEGSVSATTSLSMKGKAWNGVVAAETKVEVKKRRVGL
>RCO7_08370 | uncharacterized protein
MANDYRQMSSSSLNIPLPTALNGSGGGPPPSAGGMGRNEGPRSPPGRQNTSHVPCKFFRQGTCQAGSACPFSHDLASTNDNICKYFAKGNCKFGPKC
ANVHILPDGRRVNYKHGGPMGGGHLNIGGRLNNDGYHTRPTTSTLTNSFMGTNGAPPPYAQQYTYQDGDNNAYPPMIGRHQSIDINVPTIDTSHASR
PVSNYGSPRDEDHNRFGLGLSPVPMKGLSLLDAQLPASFDSNGISSIARYGPMASSVPAKFGLDSPPSSLGAAKDGRTSEALKSLHSSAFGDDTRDR
FNGMPSSPPANPPEEYFGKRTMHSQRYARPRVMSSSLPKFDLDWDPGFGLEEDLLPETLQELMTPQEKARRGSRNATDEGRPIYSGAGTPNHDMGTK
FGSPSNASPSRWNGLFQRKEEEDRARASAFGHVGSPLRNSSLHLGASPSSRPIARPSVSGDSSPYLASPPRQGSLISRELQRTRLARNEASSSELPI
RGPNNAISGSRAVAERQVSSSSMSNGGSGRFTTPIDEEQSDFMFNLEGMEESDEKKGEKRNSGGWTFPTNNRVSGGRHGLSSTTNGIEGMFGAR
>RCO7_08369 | probable RPL28 - 60S large subunit ribosomal protein L27a.e
MPTHLSKTRKHRGHVSAGHGRVGKHRKHPGGRGLAGGQHHHRTNMDKYHPGYFGKVGMRYFHKQNNHFWKPVINLDKLWSLIPAEKRDEYLTKKSGD
TIPVLDLLPLGYSKVLGKGRLPEVPLVVRARWFSKEAERKITEAGGVVELVA
>RCO7_08368 | probable mitogen-activated protein kinase HOG1
MATVRVRSAKPFEIHHDQMVEESMEEEDHRMEESRAETEEEEHEEPEDAYSEMSEESDGVIDATVQEDMDRFQDNFRGLKERYRLINRIGEGTFSTV
YKAEDLLYDQYENKWDIEEKENSQSQWTSPPLKKQRRDIDSLAERSDYIQQRRRPKYVAIKKIYVTSSPSRILNELELLHDLKGFDSVCPLITAFRS
TDQVAAVLPYFRHTDFREYFRKMNVGDMQIYFRSLFQSLAAVHSKGIIHRDIKPTNFLYEPEKQRGVLVDFGLAEREGTDAKPCLCQDSPMDRRRRI
TNSVTATQGPSNGYPKNDSRPSRRANRAGTRGFRAPEVLFKCTEQSTKIDIWSAGVILLTILSRRFPFFNSADDVEAMIEIATIFGTKRMKQCAFLH
GTAFESNIPTIGNLGFTLEKIILWSTCRNDGGKSGKEHPLNEQEMLAVGFLERCFELDPNKRISAEDALQHPFLKEESADAYTEDEDEINLI
>RCO7_08367 | probable YCS4 - subunit of condensin protein complex

MDTINFDINNALKHYMSDPATVATPEADSNLVDCENDPESLTNSLINTVLNPIVDSVAENPDSITRSSSFDSLQFLLKCAPILLLSSQNYLSEPESE
LFKLSRSSSVLPTHVLSKILDLIVSGLSTEADIIHNDLETDEQELISHHKQLLEVFGFLLQWTIAAVETKAAEKSSSAPAARGRGKAAKSKAAAGKD
KDGNWDSSAQLQTALDIMCKVLKLKLSKIFLTTSERDTFVSLFTRPVYMVLESEQRVKNTAIRMHAFKVLCIAVKHHGHGYAAQISIVQNLTYFEHL
AEPMAEFLHILSEQYDYPQLADEILRELSNKEFNSNDTKGPKSVSQFIVKLSELAPRLVIKQMTLLAKQLDSESYALRCALIEVCGNLVADLSKQEE
RGDNHKSQLNAFFDVLEERFLDINPYCRCRTIQVYIKLCDLEQKFPKRRQKAAELAARSLEDKSSNVRRNAIKLLGTLIKTHPFSIMHGSQLSLKEW
NTRLEAVDAELAGLKPPAEAPGLMDTTKTEVDTVLLDDATVIQSDSPQKPLSDDQKMALMKKAQEDAATSEAINKLTLTRRYYVEALKFIEVLHGAT
TTVCQLLGSKNKSEVIEAMEYFEIGDAYNIEQNKLGIRRMLRLIWTKGNSDEGKGVQNHLIECYKRLFFEAPDSYTANDAANYIARNMISLTFGATP
AELTSLEQLLSTMMKANHISELVVQKLWQVYGVQKREISKSQRRGAIIVLGMLATAKPEIVVGDMETMLRIGLGSLGRSDLQLAKYTCIALRRINPT
GRQAKEMAVQPSKLPNDHAVLLKLGAIIEIVSDNKEWYGVAEQAINAIYTLSKHPDTLCSEILRRKTKFVFQKRTAKTPEREEPEEPAGADTQMLSP
PPDEPTESQSKVKGSIALSQLLFIVGHVAIKQIVHLELCELDFKRRKAEAEKNKPTTEAPANKAAKEAADDLDMIGGTTEDDFTEAMSHIRERELLY
GENSLLANFGPLVSEICSNNTTYRDRNLQAAATLCLAKLMCVSSEYCETNLPLLITILERSKDPITRSNVVIALGDMAVCFNHLIDENTDFLYRRLN
DKDASVKRTCLMTLTFLILAGQVKVKGQLGEMAKCLEDDDKRIADLSRMFFTELSTKDNAVYNHFVDMFSLLSAEKDLEEDALKRIIKFLAGFIEKD
KHAKQLADKLAARLARCETERQWNDVAYALSLLQHKNEDITKLITGGFRVIQAGA

>RCO7_08366 | uncharacterized protein

MCFGSINPRIDHGADQDPPSRIIEIHSFSDPNTASTLSYEGTMSSSSKEKKKPFHNEESNLPSYPSCTGTLGTVSRQKTKVVQKKNSFHREQEDLPV
GWGWNNALSHGALDLSQTTANQRGRAIQKDLEEERKMKAEKKPKMRP

>RCO7_08365 | related to budding protein

MESSPAPPTPLRISKGSPLKMEGSSLPRPLSELAPHERRRNSPSYTSATKKMMLNGDSSPFQPSPEANNSSPRLFWQGRDPTTPNRFNSENFFAGRE
TSPSPTRRTSIERLQRASRVKNSNMFAREQKQEYDPATVPVVERPLAKQLQGNAYGGAGLDGLRSADRGRTFGHQRNDSKSSIPLYSPFTSPNKRPT
SANANGLRSPSKDQISPTKSALSSRLFNGKSSYDSESATWQDDGSGDERELPPGKILHRHAKSVTFDAAPPQINEYEMTTPDLSSIGTGSRENSYDS
GEEEEEEDSYNRGESMEQDDSFDASLEDTDKTPVVGPEDWRHTSPGDHNTGILSGRFEDPFSGPEGSPMPDARPSSAGRPAATRNDSLNSNGEHRPL
PPLPGMSLHKRSNSTSSTGVSAAAERASSSQRSLPSPPAAASFSKSDIQGMGGGKLTLEERLQLMMIQDDEKPKTEAEKQRERRMRRGGPRPDRSSQ
TPEREQSIQIHEDEDTLDDLPGLGTYHLPERISRESILRKVNGQDPFSRDSDYNFSSPMPSSSPERTAALDPDTPLPSTEDDSVLENEDSVIIKREP
EDEEELDIYSITDMYQRPDFQVETSEAEQEVLAEDDAESQYSDPTPSNQSPQANVNSGPEDEGPLTPRATSPSQPQVLSADPVKKDHRGSLPEFTGF
LGNNDFGLSLSSYMTPSPPMPKEQVIPEPEAPKMASAHEYLQRPETPEGRSVPVSRPEYDGTGWGPEDDEEQYDVGTPDSVIHHPVPPSPSRESPSI
PEAVATIKSSGSRLKTRPSNTPSDLVAMQELRRHVSGETHNIPPIPQRHRNRPSLSLDRELGPPSAESESGIERNPSFLKSSLTLDIGNDNGGLSLD
QDFDRVIEDQKVASYHSSTNPIPFGYQGQASDASIMSSFEHYANISPRKQRGYLMRQNTKLIVATSNDDMGDSFHGTRSAGNSPVKKDRPQSWTVEP
WNGNQRKNSMRDRSNARKKVPSGPMPPMPGQESNVADLGMVSEEAVADPAPEEGGERGRLFVKVIGVKDLEMPLPKNEQTWFSLTLDNGVHCVTTAW
LELGRNAPIGQEFELVVPNELEFQLTLNAKLVKPPPTRVVESPTKTHKAQKPSTFSRVFASPKKRKELDMRQKEEEQRVAQQNQLEAQAKRKSVVPT
AWDLLSPLAAEDGSFGRSYVCLKDHETRCYGRPYVVDVACFNEWATEEATHRSSVMSKRGGTIVQRRAPYKVAKLELQLLFVPKPQGATDDEMPKSM
NSCIREMKEAEIALARNYEGHLSQQGGDCPYWRRRFFKLAGSKLTAYHESTRQPRATINLANASKLIDDRRALTQKETTGKGGKRRKSGFAEEEEGY
MFVEEGFRIRFNNGEVIDFYADTAADKEGWMQVLDACIGKEHKTKGGWADMVLKREESMKKKAEQGTTLRKTSRNHQRTKSTVF

>RCO7_08364 | uncharacterized protein

MAMNITTSDVLDFLIKSTRDKASPTLVNLLVLLVDLFLVLGVLVLFLMLICLIILGALKLMYLFLMFCSAEPFPRGVTKKSGRGRAIDARQRNLEPG
RNAEEKKFGLGHGEERGEGGGHNEQ

>RCO7_08363 | uncharacterized protein

MDTSSQFFLDPDFSFDPSMVEFPDMDIAQTQVGIWGEPIETGSGQQSQLKSRVRASRACIACRSRHMKCDSVEPVCTRCQVYDKTCVYTKSRRGGSH
KAPAIAEPKTSSQAQSQSPGSDGRTPNTDNDCVSKISWETTSNHRISVPVSLAISPVELKIKMNDVDLIATYYEFFNNAHPVVLPRNQLQARLRSNP
ASLEHLMPVMKYIGSVYLPDVPSEPYLASLKKHFHRPPFLSMASPFKHSYSSPSLDTVVMTLGMNQPEYALTTGEGDVVLQESWRRTWWFLFTLDGL
FATISHYCTHRLQYTSMNVDLPCEDVEYESGFISMPHTFAQYDAREFLEKEITFSSLTYLLDSIRILSHSMTTIRSPHEPGDKAVTAADAKLVNWQM
YLSPCKKEMVRPDGSVDETMFLAHLIVKTEFLLLHRPTSHLPYSALEKRSICTPTTSLSTSRQSKSIAQSLTMHTARAIEALEASITSFALPGSNMK
YSPLATCALALAVMAQVSACGWYKGYRRWGDVGLSMMVDIGRNSEKAYVEGRDREDWA

>RCO7_08362 | related to zinc-binding oxidoreductase

MANVKLPRTMRALFQPDPLSTKLILATVPLPTPKADEHLIRVHTAAITNGELLWPKNYALSIPGKETTPLYDMAGTVVTAPNGSPFKPGDEVYARTD
YKRTGSGREYTCVTAVELALRPKSLSWAETATVGMSAETAYQALFVQAGLKREARTGAKGTRIYITAASGSVGSWVVQLAKWAGAEVVASCSADSVE
RVKSLDADEVLDYRSVDVRAWASDPAKKVDLVIDCIGRQSLTDAWHAAKSNGTIISIYQPPEQQKPAELDVTGIKNFFFIQEALGENLKFVTNLWEE
AGFVASLDSVWPLEEFEKAVERLESGKTKGKIVLDMGVQ

>RCO7_08361 | uncharacterized protein

MHTPAPRCPHSPPCPIVAPQLAKSYRRTVHTIPAEPASQLAGYVKLGEADGNVHTHGRTTSFETQSINRVPSCFGSDSSGQNFAKNALELDETIVHL
DCSPYWNQQTFPAQDAFRDSVGPRVEIDLNSLSPHDTDFMTKSDGFTAEKFECNIGEMGMPMGLLNSLGVVTMYPAGGVLMQPFVLNYGDPALERGL
PRAFDPQRSGPMVPMPLSLAPTPAPVQRAPTSLRLLPRKLHPSQRFSAPLRVFPTRNPAPLLLELW

>RCO7_08360 | uncharacterized protein

MSANNGHPKVPAWYDKDQLQQQLEEAKLMSASNKKSAPAQLSGRSTPSTRGRGPAMTSTRPMASPSNSYSSYTSTTASRTTHAPGATRSGGVNSQFS
TTNYSVGPSTSAPTFKSPPRQKPSSHIRGTNRLNAPPAFKPKSPPKLRSSILVPGQAQQLVSHGAGANVGGQGHLSSTEVESARTLDPRFMAVKSFH
AISQQPGPSYGVHDGGHPANQMGALPSGYAASTLGGDQSSGRFIAQNLPPHRGEPIINNWTDDDPKKPVIAGHLRQVVSIAMAECAASGGWTVPEIS
SDGYSIGGGTLSFAGMNDSIHAPGNAGSSQYSSNFSSRVPKLPSNIAQRSTSGITHGDGDVEMIDGPANTKSSASQSPIDFNILPKLSSSKYAPSVP
DVSTKIVAPKSAPRNENKENMKPTPPVQAKDFHTIAKNIVAEIGQSSGSFNLGSNQAAQAPGGFGAAAQNAKSNPFHTNSTRASHNPANSGFGAPSA
PGFAPWGSIDHSIPIAHNVLGVAQHATPDAQVGNSWGPFDQSTSNDQPHYGGAQSFFAPNSAWGSTNESSNNGQAQFGGDPPTVPTGPAWGSVDHSA
SNDQTHFAGAPPTVTADNGSGSGNQVSNNGQAQYYGAPTVDSSWEYTGHTVSNGHNQFSSAQNAPPPVNAWGPAGQSGHGGQTGFGGTQPNPSAGNS
RGSAGRSVPNDQAKFGTTQPAAPAALDSNIWGSVAHPATNGNGVYPGQIANGTTAPAQPTTQATGGWGTVDQSGTNSQHTQGVPGNIQAGHGSATVQ
PGHSGQGPQYPNVSNAGPQAANRSTMNDTTATTIKSQPRKASGELDMFSIIGNIANDIRNLPSGNAPPKQSAHQLNQFDQRATGSTAAAWGAFNGQT
TTSTRPSTHNSENVAGSTATSSNAQDQAHVTAKKPSQQSSQPGQQDTGSTAASWGTFNGQQTAPTRPLPHQVVAGVKKSAGLKESRWAS

>RCO7_08359 | uncharacterized protein

MSSTAKRTPIVERKPKTIYQLDSPFTTVSWPETSPQIQETILELLCSVLSPVGQHRSNHITPSQGKRSKKRRREEVRQEDRTQETPEIALSPEISSF

IMIGLNSITRSLEALSQKSKPIAITTGQEGPQPEPNQIADSVIAESNVSSQGQKISKAPEKNTELDISATQHFAAIFVPRSSQPPILHAHLPQLIAT
ASLAHPSLPPTRLVQLPKGCDARLCDALGLPRVSFIGILEGAPHSKALVELVRENVSEIDVPWLREVREKKYLGVKINAMQTFAPVVEKERRF

>RCO7_08358 | related to DFFRY protein

MEESPRECAITSEPGSGRPNPFNDVAEQTSRKRQRVSRGSLSRSRSVDTAQDQYQDIDSALSDSSMSLHGNSNKAEPECQTDLPSTPPNNLSDPPPA
EPTSSRVTINLRTNRTLVSIPSSPVSAASPSKMPYGGGDDTRISVESESDALSTIPPIETPSSTPSAVSSPQIELVDVGDDDSDFGCQDPPLAIIDD
EYLDPMQNFPYLGPEDDGVLTAFRRITNFLQYEDITNPECFFKMRDWVDAYLFATQKPDIFQDLYSRHRELWKHFPDIIWSLSHRSKFFGGFLKTST
ESRQALTDFFVFFARLAGRFVAMDVRTLFRESNSRNSEPDLASQPFVHALAHLILDEESSGHIGKNLHTYYSWSWGDDSQAMGEAFQEEGGDVFNMT
KLTRGKLALMSGNPKMIKSFSDHSRIVSKIVSEVERVLNGRSMHTKLDTEEAYQKLRNAYEFFVVMSDGLDCIIEKHLTYLTGDSATMHMNTLRGIL
RIAIEYDIEQVRAFVNAQRNEHRDMCQKNLPDAISLGWKFGILKRLITSSQMQLRVVGVTTMCNELLGLHSRYKDSDPSRQPILLLFSAFILENQLV
DYLVGIGSHPEIISESGNIIGFLVVTKTYTHQQTDMIWQTVSTSQDPRVVEAILAMLKRCLNLYDYSSLLYLCEKAMGIPIDLFNVPMREFCSHLFK
ELGSKFQDHSRSLDQQPYDLCVRLIRESSVSSAACPLGYPGIQSFASNKFHDLLRFGPTSEARTDIHQSCITDIAARTSTVPGSICVISILLQEHLG
SDLKKLTVEHGLTNLLIEELESVVQAERDTGDILASSSAASSARLELIQMIIVNEPEAITPELGTRLWDVLVGSRSNASSQRNISWQVLNNTAKNHP
LNAFIKSCFRDHLQTLPPHCYTTGSLDFVREAITAWFNDVYDFFVDRNRTFDSPALDQLWRMILTAPPDTIDALAINILVETYVSSALIMKIPRQMA
RSVHSTLVNRCLEQLKGAAAKLKTFNGEPSTDSDDSMIIVASEDQFQEQEMIFARSLAVLREFLRAYQTKPQFAPPKTRSSIITAPLQMDGEPLAIK
YQAFDGNDQTEVTKLNLGTLNTVASLFARLENATGFKNYRVYCGGAILDPEEMDISQKLQDLQCLKALLLVHRKEDSPGLPGRLSSDKTTLEFEITK
HCKDLWGYLGMHEKVAQEIYYFLIKFPVYDRMLEDFASDVTYTEIFPAGKPFKSLYAGTNRDAALTRAISLIVAAISDPTIVDQCDSDDLKEGLALH
MIDCLLQYLKEPVLPISAAPYLDTALFKRLLSFLYAATPVRVSQSSQYLTARSFESMLEASIHNISFWEHFLAHMQGSTLLEDLVLKHPQQFIRKNA
TKQILTKSAGVPSLGQVSATMFVATFWPMVAHLIPLAVHLPYQCEETFSLGLALFKRFADVAISQLNLEALAQQWGNLLLNHKSLESVGHTDNVDAV
AQGLTFMIFYATSFTKASQKTLSCSILGAQLFREHLFPELSIDEEDEELVAKVPLLNPTTRRTLAETVYFLVKDDEVQYRALLLELSRLVPHVDTDD
GPYIYDLTWQFDRSKSIRSSAGFVGLKNLSNTCYLNSLFSQLFMNIPFRKFMLDAHVADGGSSQRLLSETQNLFSYMQNSFRRFVDPVNLASSIRTY
EETPIDVSIQMDVDEFYNLLFDRWESQILAPDAKREFRSFYGGQLVQQVKSKECPHISERLEPFSAIQCDIKGKSTLEESLQAYVNGEVMEGDNKYK
CSTCDRHVDAVKRACLKDIPDNLIFHLKRFDFNLRTLMRSKINDHFQFPKKIDMRPYKVEHLNNEPDTQEDVFELVGVLVHSGTAESGHYYSFIRER
PSTGDNESWVEFNDECVSSWDPNRMEGACYGGPDFHGPTDHNNNPYDKSWSAYMLFYQRSTVVIDQKQILDLSGLISPVRLPVPPRLSNYIAMENEL
LMRKYCLYDPSHAAFVLKMLSNMKNINGGTCSSSHTLEKLALTASLHHLDQVFARTKDTPDFPNIMISIKQICQSCAECSRDYLEWFCDFPETLKQL
LIKNPDGLIRHEIATSILAALVKVKADASYAYGFSDEDDSIDDVEAGDPQLIQRVVKGLSRLWDIFHSSFRAWPEYFGLLVSISQMGKLEAAVLLDA
GYLQRTMEMISADPVLPLGHQYSRMLTLLSKRLANRPVSFDAVITLLYNLMITCDPSANPAEEGESRLEHALVNDPVPYNDSERNLLMQHWTKNDVN
ILLEKLLLLRQNPDTTQEILIRLLEFPESLDRHIFQTITIGIKRGNSTMTCSPFLRAAAVYCERSKNPKAWSQMITFVSKMTPKFDNGEGGAVLNFF
RDVFEVTLVDQDYSAEDFLNFYFGHLAFWAPHLLTDYEASVRNETEEFIRTNLLQDGLEYSTFGTEEEDLEKAKIYIAAARKLGFACLEHCQEYYLR
DRQQAVRAVLVQIQDVTLACEKFFDFGEKDDETRKFYDMSIHTWTDLKKCIVEEPDEEVSDWDGSEGEYDDSSEPVGTVNDDDMPL

>RCO7_08357 | uncharacterized protein

MPSLTTTFTKARISSPLEAGPSLLDVKQLPPQLTTALDYVSSRLTRKRLHLSLIVVRKEIQIPQSPATSPQASTKGAEYPGHSITTSPVKSFFGASA
FTRTPSNKSSMSSMSDSGSSTSRSTSTASSSLSRTNWPSLPNSPADRVTSPAPSISARPTTPNSPNPYGITLMHASTLTAKAEKILRHAIAKAEKKF
SIGSGWLSPAPLTKSTSCPLTSHLIHRSLTQNEVIFSSEGLTLLSLDHVYTFKCHLHTYSRSLTPSDLTIAVDELRRLVLAQNGKRITKGYLMRAYE
WLGVSLAALVDVNEGYKTAYGGQERFGGIDVQSEERRSPPLLKTNFVAGEIGGLRKMKLSLSMNFASASEVSSPSQSVCESTCSDDGAKTLVSVNVG
ESAKGTDKGVEELREDRGPFRRGPMTPNGFEDVTPITKGEWCFLMVGDGWKEAKTAPVETC

>RCO7_08356 | uncharacterized protein

MALVDYSDSDDSDTEQKPAVKAAPIPAKGAFQKVVDRSNPGKIRVSLPQPALKDDSKADEPTAKRAKTGGGAFSGFNSFLPAPKRAAQTTATLGGGN
AAKCGLGAGVNLKTGAGPGFSREPASEREDPEEHHDPPITANDGSETGLPAPKTSQNKEQKPVDEVKLVGKPLMFRPLSVSRKPTKKKKQLPVPSPL
NPTVTTPVTPQPKGAKPAQRPKVSLFSMETPEEKSITPTSTGEYTPMILEVEEADEDELDSQDLEPSYEDYTPISSQYMAPPAVPTPPVSQSLDDIA
SDLHLSAAERRQLFGRQKGGRGVQSATKVINFNTDQEYLHNEELRASGEQIKHNPVRAIAAGKHSLKQLVNAAQSQKEALEESFAKGRNNRAEASSR
YGW

>RCO7_08355 | related to stress activated MAP kinase interacting protein

MSVLQVEDLVSYHLRTNYLDTISDGVGERLITINDAFLNNAGFKAAGWRPNPANIKRTHSPPIPTAIASEYFQAPPRVASLAHNGLEDDVEEGGLVT
GGGVDTVGPGPAIKRRRRREQMEEEDSSDLSDESEDDGDQRAAQQIKFSKMPIRNRSGSSPLRGSNLRQISTVTSPTRTPGGQTRRGSQSALESVKE
RARRDTVTSSEMSSENEFDASAFQRTRDASRNAAKASRALARHTTDPNVGVKRQQSDLLEEEEEDSEGSGSDMDSDFVGSIDSASLIDGVDGAVNAS
PNSHVVGTLPRGLQRTATKKSKPAPPVLQALPPPRPISMVQPKSLLSAAIKARRTKASLPFESFASLSGQGEPNPLNLRIWAPFSKSSSKPFEVIIR
KSVHENEANDRPVAVADLIGLSLWRYTEEKLQPPIPEDKLNVNRWTLRMVEDEEVDYDFPALERVTPLVAFTTANNRAARSRSNSKPYDEFALVEAT
DEQFQENQSITPQFKQEAVVSANDDDFMPKNTPSLAATNPLGKSVKKLLRIHIHSADAAPGQMITLDVTTDTYLADVLDSICKRRHLDKANHVLKLT
GSGTVVLLDRTVESIGNRTELDLYRRRFATDGPLTMSGSPSSSSPKAPMLTDRPDMRKMRKGPMMGNHPLAQESIKQDELGSANYRKYTVWRKQPMR
FVGLNERILAIDGEYLHIMPTATGKTMFEGQGKTTTVHFSKVVGCKVTRRHPTNFKIVIYKISETKRYDFEAKSADEAAEIVFEIKKGISPYHNI

>RCO7_08354 | uncharacterized protein

MQFKNIVVLALASAVSGQGVIDSITSAVGGAASTASSAVGGAASTATSGASSLASSIASGQSSVQSSLSSEASSLASSISSVASSATASITPTNAAG
SSSLSSIQSSLSSKASAGASSLSSRASSASSAATSSSSAGGAHQTAAVGMGALFGGAALFAANL

>RCO7_08353 | related to vacuolar zinc efflux protein

MKLDNDTRGWIMSAVSGIACIIGASIICVDILIRLIPSKRNFRIQESDAFMASSLSLSFGVMTFSALYSILPNSKKYLIESGYIPSQAAWILLAGFA
GGFFGIQIISRFLHQFIPSHVVDCDHTHEEPAHDHQSHNGRSRASSRAGRHQHRHPSHPAENGRAGEDTPLLPSILSSGAMSPHQTAQVDGPGMDLI
RQATFPESRRQSMVQVQNRVMSFMKDTKTNCDSGGPCFGYTDPCGQECFKHITSRTPSTSRHSTILRSHTGPFHSYSEGPETSHGTTRSRSSTRVTR
ARSCESLAEAHTEMEEVYQGDDESEDEDLEAQHHHHVPENAFMSIGLQTSIAIAVHKLPEGFITYATNHANPSLGFSVFMALFVHNITEGFALALPL
YLALKSRFQAMLWAALLGGASQPLGAGIAAAWFRIAGHEGHQPGAAVYGVMFALTGGVMTSVGLSLFVESLSMNHNRNLCISFGFCGMAIMAASNAL
TS

>RCO7_08352 | related to vesicular integral-membrane protein VIP36

MWFSTSLLAWALATCALASVHDDTTTDEHGIRSIPLRTHSLAQPYLDSDMQSRWFDFGGNTIVRADRYIRLTSDRPSQEGWLFSRVPLTATNWEIEV
EFQINGNGNLHGDGMALWLTKQRATPGPVFGSIDAFDGLGIFFDTYKNNRPGTVFPYVMAMVGDGKKTYDKSNDGKDNEFMGCSARGIRGAATSTKA
RLTYFQDKSLKLELQYKTDGVWELCFETKEPPMIPSVAYLGFSAETGELSDNHDIISVSTKNLYDTKDRGTTSSKTTDKVEGSKSDTNNFKGGKATK

EGGSWTWFLFKILLFLGVCMGAYVGFTMYRTQKGRSHRF
>RCO7_08351 | probable mitochondrial import inner membrane translocase subunit tim-13
MNNNSFGQDPKEAVMAQVRQEAAMTNARQLIEKVNEHCFEKCVPKPGSSLSSSETTCFTQCMEKYMSTWNTVSRQYITRIQQESSKNGAGGGMF
>RCO7_08350 | uncharacterized protein
MSNKGLSYGLNIQKKTPLGSRPQPGKRKPIFDEPSDSDGDDNNKGGAQAVEEIGEFGGLSNDSSAPKLSKNGPPKGSKPIMKLGFKKAPSSMYGDLS
SSFTSKKHADKAEEVDANIYDYDAVYDSLKPQKKITEEDKERKPKYMTNLMAAAEVRQRDQRIAEEKKLAREREAEGDEFADKEKFVTSAYKKQQEE
NRRLEAEEKIREEEEARKSKGKGMTSFYKNMLEKGEQKHAEVVKAVEERIKTGPVVEEFEEEKVKTEADLAREINESGGEKIAINDEGQVVDKRQLL
KGGLNVAPKPKSAASIDAAKNAKAMSERTKPAFVGAGGGKQAMRDRQTRMMEAQLEQATKRALEQEDEDKETLERASKSRKTESDIMSAKERYLARK
KEAEEAKKRGE
>RCO7_08349 | probable cAMP-dependent protein kinase
MPTLGFLKKIRTRESPGQKDLASPTSTSSQPTSPITPTTSRTFDTSIASVSSQSTAPQPQSVSQAAVPKPTSPTVVGEKQSMTQGVSYQQQQQQQAY
GTYPQQQNLPSINHLINPPQNDGASQSKPNMVQSESENGSARQPEATQQSPQAQVVPQATIIRQTKGKYSLTDFDILRTLGTGSFGRVHLVQSKHNQ
RFYAVKVLKKQQVVKMKQVEHTNDERRMLQEVKHPFLITLWGTFQDSKNLYMVMDFVEGGELFSLLRKSQRFPNPVAKFYAAEVTLALEYLHGKDII
YRDLKPENLLLDRHGHLKITDFGFAKKVPDITWTLCGTPDYLAPEVVSSKGYNKSVDWWSLGILIFEMLCGFTPFWDGGSPMKIYENILKGRVKYPP
YIHPDAQDLLQRLITSDLTKRLGNTHGGAEGVKNHQWFAEVTWDRLAKKDIDAPYVPPVKAGVGDASQFDKYPEETESYGQQGHDDHGKLFRDF
>RCO7_08348 | uncharacterized protein
MNAWEVTPGFIKKWAWSLKNCHELIDSTNRWRSKRDEKPLAYPLFPVKF
>RCO7_08347 | uncharacterized protein
MPRSSIRVSASTISDSWQSDFWKLGDDWKKVDSKEEKKRRQNRINQRAYRRRNPTSEKSSKQRPFRVERFRIPELRIPKDHPHRAIIPKAPQSDPTD
GDQIRNCADSMEAYETEALEVLTSPDEILDFSPICGTSDVNLSVEVAGSKKAGKEFNGSIWDITGVSSAQTASEPWIKDPYTNRVSRAPFQSDAGQF
HSRDPDGQALFRMSIEQLLSPSSPENTIINSYKTSINPNSFPLSSDHLLRLIHFNVFRGLITIKSILSGRTLQTRIHLDIALPDSRNLCDGLALIRS
KPGEALPNALTPTYEYFKVALNYLLLRVKATLFAF
>RCO7_08346 | related to dehydrogenases with different specificities (related to short-chain alcohol dehydrogenases)
MSPAKFKLSLLLTLQGKTFLVTGGNTGIGYATTLILAAKGARVYISARSLTTANLAISKILALHPEGDLHTLILDHTSLSSVVSAAQKFSSNGKKLH
GLIVNAGILAVPYEIEKDDFESQMQVKYLAHRLLTFHLLPTLLATARGEGLGRVRVVCVSSEGHQKSSFGTTRILYDEDEVKAFRDFGRYGLSKLAN
VMHAKSLHSQFGPGSESARAGRGLIWTGSLHPGFIDTGMNKSIRDLLGSHGI
>RCO7_08345 | uncharacterized protein
MIQRRAGKEAQGNSYSAFYEREKWRIAAPAWIPLISSGSQGVIKPRHITNRVDVLLASGHMPHCVRCKLGRLVFFVRDRRVRPRREPPNATKQDYWE
DCSNIPTEAKSCMRYEKCSQATAELCKGLKAEETFSYKGLRALGIKDRIGDTVFEKGMVADADGEDRDQDVDGRPTKYLNDDLSQWEPKFRDETIHG
VIIVTGSSHPKLQKTLEKVKKVFKVGTKVASITEVTQVEGHVRPGDIAGHEHFGFADGIAQPAVDSVPTVVHRGADTVHQGIILVGRSGDSIKEQRP
SWALDGSFLAFRKLKQNVPEFQKFLDLEAQNTGLSAELLGAKLVGRYKSGAPVENFPKEEQFSTSKVASKDPSANDNFRYQQDVKQSHCPYAAHTRK
TNPRDDIAFNTDAHQVHRIIRRGIQYGPEVTDEEEATSTSSTDPKLERGLLFACYQSNLSNGFQFIQKFWANNSGFPFNKVDAPKPGFDPIIGANHF
NKPEPNRDFVGFDESQQEKRLDLTDDWVISKGGEYFFSPSISALQETFAQAA
>RCO7_08344 | uncharacterized protein
MGDHDTSPTCLSSYEHGDFVRDTFLHYFGCLRSAEREEYLITLQPHEKERIEAEKTRIHEQRAYFEVDGGTRKLVERFVRSINKRIPRLKHRETPDV
IPAKPTRENAFGLNAYMVFFKNSEPFTDPDYSGHFPDQRIAVKDILQDDKENNPLMKGCGENEIRYFHLPGNNMDWIEEAMARYYNEPRPGYDGSRR
PQTPRKPYMLLRPEFWRGQQHGGRHDAIHARHMRPRCDIISTDPENLEDSPKNLVLFMPYLHWETDRQRTKFDETMRNISESHARDEREGNINRARK
LRAHSDGKANPVNLNGVLPEVRLPPVTHLDRSIKVIKTTTEVFQAVMQQQVEANPQSKFSNTKLAEVLTNKGLVAPKNTLGKILYRAALLSEAMDNH
QEQELLKAYLYHSPPFHPRRTLDQSYYWTLKTTKKRDRDQVVYRGTAPKRDFMHDYQHKGCKGSGCLQCRQDIRKVPRLIMVDQLWLWILDGNTVIT
SFPKRYGRNKPDPSAVHKSIRMRLAVCRKGEIGSAYDLALIILDQCSRVFFDRTKTADRQPRMMDLFASAIGDVTNRQTIAYDHFWDTAQQVSNIYK
SKDPVDDAEDKAKSLLDINPEGKLLRETKDILDELHIMINIKNKQHRVYKQFRKHIEHIFAPHLSSAKELGTARPKEVTENDESAEESGSIRSGVHR
VNSIARDTQEKSARWTLGFANELAADLDDRLTDLNNLRESAEHTEQALNGLLGLKQQQASVVQARKSVQQTEETLRQGRSIMLFTIITIIFVRCQTT
DESSPILTSF
>RCO7_08343 | uncharacterized protein
MAQSTPTLQSFTFSPTLASFDIPKKTYLSSPSMGKYEAIATGALIFTPTSNKILVLQRAPTDSSPNKWENPGGGVDDTDATILHGVAREVLEETGLM
VTHINRLVTVDGEEGFAFESSKGLRIIKFAFDVEVDSVDEVKLDKNEHQGFLWASEKECRERRMEDGYQIEFTGKWQYECILEGFRLRKEEK
>RCO7_08342 | uncharacterized protein
MNIEDMSAGSGFVGSIDTCMFSAASEPSTYGNANSSDMGWSLHQDVIPNEQGGQHHDQPQFQTWDGGPYIWNDKHDEFCYVCGSTMELFQCQTCSTS
YHASCMSPTISPSEVPDFWFCPHCVDRELHIPQPVSTIEFDPAPVLTPSGSFSDATQTRNSSLAQSAPPRPENYECTSIVNFDALAPDSVPVKSSQS
YPSTEILAPPAIPSIRGKESEQKLSIATTAKVNTRRARRSYSPPRKKSKYSSFSSDVDKALTVIYKELESSAKVGKAEAELRDKIRILEQEVKLKDG
QITLGARELEISKRSGGDLAALRIENEELKLKVRKLDELVESKDTELRDWRDRLKLMIGD
>RCO7_08341 | uncharacterized protein
MRFTSTASALVLGAAAVLSKELPKDELKAVAYDSGDVMENMMMKKFAHWDAELEAGAMNSAQWPRLNWTTKCVDGIAAAIPGDPHHTFRCKNTDLYD
FINHATLGSPISDSAGRTGSSAWGWTDPKSGREFAVSGMYQGAAFIEILKTGRMKELAFLPPAAPLNRNALWKEIRPYKNYMLIGSELEKSGVQIFD
MSKLLTIDASAGPVLLSQSDLTGHFTDLPTGRSHNVVVNEELNYAVAVGAAPRNDSCGAGLIFFDLTDPANPTRMGCDGSDGYVHDAQCLVYRGPDV
KYQGRDICYGYNEDTLTIYDVTDKKASKIISRTSYEGATYTHQGWVNDKNWQEYLFLDDEIDEEEFAGPAKDQYPVTYIFDIRNLEAPKQTGLYKAA
NVGIDHNQYVIDGLIYQASYGSGLRVYDVSSIKDDPTGNSVCEVAFFDIFPEDDFHPGGGEAVYSGTWATYAYFPSGFIFINTIERGAFVVKINKKE
TCKPKTCLADNCLRALRATSVPGRLEESKEFCGNFTKTFVADVTLVKDYALAACPGNVISRVSSACSCVQTTSAA
>RCO7_08340 | uncharacterized protein
MASNGTMGLSNGQSEPLTIITSTDQSGVILIVTALGLAFAMVSIFIRIYIQFGLRTAADGAAVISMIFYMFHGTAIFIAATKGFGKTFEHIPENQLT
IYSSDILYIMTFWFTKCSVALLLVRLSPDRRHNFASFATLGTSTIFMIASVLIISLRCEYTQPWIFIGAQCPSLLVRWQTVASMDIITELALFSTSI
YLVKDLQLSLQKKLLVVFAFGLRLPMIAPIILRLFSILAALNSQDPTLAGTMVIVYTQIELCYAIIAATLPCLRPFMNALSTHYGTPASLKITPNDS
NTYSLNSNSKRSKVPRTEVLKLGPVRNDQYDIPVLRWDKTTHHASVVGGDQQSKQSHESEQMIISKNTQWAVDFEDGKEIES

>RCO7_08339 | probable amino acid transporters
MDIEGQKGDATASSHFDPIEDAFEMRSYFQQPKLGGTEVDQREMRMLGRTQQLNRNFRFISTLGFACTLMSTWEIALMTSFFGLVNGGTAGLVWGYL
VVWMGYMLVFATIAEMASMSPTSGGQYHWVSEFAPGNCQKFISYLVGWTSVLGWQTGLASLAFLVGTMIQGLLVLDEEKYVFKRWHGTLLVIAITAF
CIFFNTFLARRLPMVEGMVLIIHILGFFAVLIPLWVLAPRNSPKVVFAEFLNLGEWDTTGLSFMVGLLAPIYTLIGADSAVHMSEEIKDASITLPKA
IMWAATINGSLGFVMIITFCFTLGSVSDILHTTTGFPFIQVFYNVTQSKVGTSIMTAVIIVNITSACISTVATVSRQTWSFARDRGLPFSSFIAHVK
PGWNIPLNAVLLTFAITTLLSLINIGSTVAFNAIGSLAVSAILGTYIISFICLILRRLQRELLPPRRWSLGQAGIFINVGAVVFLLVVWVFVFFPID
KNVTSETMNWNVVMFCGTMLFAVFYYFVLGRKQYTAPVHLIKRHL
>RCO7_08338 | uncharacterized protein
MNEPDFKAPIVEAMDASLPTFHLFKHFPLFRKIVLSLPPWLAAKASPDTAGLTHLKAILGKQVQDVITNTASLQDASHPMIYHRLLDPQFQKGQPIP
DATSLYEEAQTMVFAGGITVADTLMTGHFHILSQPILYQKLREEVFSVWPDINCPPSFETFEILPLLTATIKETLRVAPGATSPLLRVVPPRGAIIS
GLSIPGGTIVGMASLFVHQSEDIFESPATFKPDRWLSADSKSLDQYLVAFSRGPRSCLGINLAWCELYIAFAMMLRKFDMSLDGTTKEDLKWRDCFT
PYYPGRHLRVWCEAIAS
>RCO7_08337 | related to TGF beta induced protein ig-h3 precursor
MQIKSLLPAAFIAGASAQSLVEVLAANNGTLSALTTLISSQPDLVQSLSQAKNITILAPSNAAIAAFLNSTAGVAAASNPGAVAALLSYHVLSGSYP
ASAFTNTSQFIPTLLTDPAYSNVTGGQVVDAKVEGETVSIFTGLISDSNVTAADVKFDGGVVHVINKLLTVPPSASNSAVALGLTSLAGALTKANLV
STVDGLKDVTIFAPSNEAFAALGSANISIEALTSTLTYHVVQGTVGYSTLLSNTTLPTVNGANVTITVVDGNVYVNAAKVTIPDVLVAGGVVHVIDS
VLNPANSTAKPPGTVSPPVSGAAQIQTGLMGLGAFLAGAAILLGNL
>RCO7_08336 | uncharacterized protein
MANRQPLPPRHHPRTPENERAEIITHEPASWNSYRQTSSRGQLVRDFMESGLPEARAKVRVEEEFTARKPRIAPPRRRPSLTPMVRTSRTTKTEQSD
ESERSSRRRDPSPSRTRRSRNSSPAPTASSSRTMRSSRTRNPSPAPTASTYRTTRTEKTRQPSPSPALNASRMPRSSRRRDPSPASTTRTSRTRNTS
PASTATSYQSRDPSPRANIRKWQTGMSSSTSTSGSSRSRDISPRSTVRKSRSRAPSQTPSDSTVRPSRSQQKKPAARNLSPASEKERRRLRQKLLDE
GTPVDMVNEMKNGLSVSDSSRSRESSPAPTSRSHAMSSSRQSGPQRRGRSRSPYIDPSPPIEEMSLNMLRQEVAEEGRDQGFIDFLLLRGANLGSLN
TGTSNSSARARMRSRDRDAIPLGLVWSDDPVKEREMRRASLIEHGFPARGVKLFLDEQWGPAAPASLALAARNPVYAEHGCDIKVEGNAVVEREKQR
QAVLESDFLHQSEKGIRLMLDEIYGPETREARAHRKPGPDWMRDFAIMKLRYGSHPDDNSKPNSNPSSAVASFSQRQASSPSSSSYVPLPPWDPYSS
SSSSIFQIPFPPWPHRSPSTQPTFYGPQPPITWDDHLGWMMNGMPIDWNPPMGWNP
>RCO7_08335 | probable dis1-suppressing protein kinase dsk1
MALLLKWARAITRRAPSPPLRFPTSGFDILPASPLIDEEQFEGFSQGIYYPVKIGQVYASKYQVVGKLGCGGASTVWLARDLHAHGHVALKVYTRNA
HSEEEFENYSRIRQGNQSHRGRHFVRTALETFKIPRPGGDHACLVQKPMWESLRELRLRAANGVFSEQLLKGTLEQLFLALDYLHTECKLIHTDIKA
DNILNQIEDASILDAFEEAELEHPSPRKIVDGVTIYASRQFDVPKVFGDSVLSDFGSAVPGDIKRNHNAVPNVYRPPEIMTKAEWSYPVDIWNVGAM
IWDVFEGRHLFNGQDSNGKGWSTRAQLAEVVALLAPPPLDMLQKGLRSKEFFDVDGKWIAEMPIPEGRTLESLETRLEGENKELFLQMMRGMLTWRP
EERKTAKQMLDEPWLKM
>RCO7_08334 | uncharacterized protein
MPMRSVQGVGVGCVDEGIASKVLGGQEGGVGQEEGERSSKQPPFETTFPLIQPTTTREPENIPVPSPPPPPPPPPPASNPTPSPLPAEILTTTTIK
QASTITIIVTLPTPTPSPPSPPPNTGGGGGEITIIPVISPVPTPGPAKETVYITVGSVTVTETETVSFTVTVTATGR
>RCO7_08333 | uncharacterized protein
MGEEMTGVRVLRGFFGGSSVDEEGSKAVSEEISIMIVVEIEPGCGGGMVGVGTTTEFVFVSENLGIDDGVIEEGKIVEGNIEDDSELPAVAPKEDAA
DGVQVKLISLLFGPVLVGEDGRDVVSPSHVADPVTGGGTLRVGVSVTGSRSDAGPVNVLVRAGATRRCDVLGVSTGVKVDDNAGILKLLEDGVDVSR
GTLVEMVADETYKLDISPSVLDNEGERVDKGIAEGISGFDIVETELEVVPLAVEEILDRPEAAIG
>RCO7_08332 | probable trehalose-6-phosphate phosphatase
MSQNIFEGSDQVGALRPLLPDRQESVHPGLHPSLTSVPVTPGIHLGEYDHSEPRGPDEPSYFVHDRYRLRETMAQSPSAAASGAKSNDEILRRMSSN
AGEERRESLADVDPRAANEALNLSGGIISATFCIPQSLKYRKGQDWAMDTRRGTSALFDSFPYLSSDKTPWNHTLVGWTGEIEPMDEEITPPDTPPA
GTTAAPKIAPLNKNSAPIPLDGVAKPVEQPAAEGLWISKEDRSRLEWQLSHDKQCRTVPVWLNDDGPGNTDGDINLVDQSRWRRFAEHELYTLFHYK
QHEPTNGRSERQSWADYYRMNQKFATRIMEIYKPGDIVMIHDYHLLLLPSMLRQRIPHMYIAFFLHIPFPSSEFLRCLPRRKEVLEGVLGANLIGFQ
SHSYSRHFVSCCTRILGFPSDITGVDAYGAKVTVGVFPIGIDAAAVEELAFDANVIDHQVAELRKIYQDKKIIVGRDRLDSVRGVAQKLMAFERFLE
MYPEWVDKVVLIQVTSPTSVEEEKEDSGNKIANKVAELVAKINGLYGSLSFSPVQHYPQYLSQEEYLALLRAADIGLITSVRDGMNTTSLEYVVCQR
DDHGPLIISEFSGTAGSLKDAIHINPWDLSGVAQSINYALTMSDDKKSAMHSSLYHHVTTRNVQTWSNAFIKRLLSVLSSHSSVIATPLLDKAALLT
QYRAANKRLFMFDYDGTLTPIVKDPQSAIPGDRLIRTLKALASDHRNAVWIISGRDQEFLSQHLGDIKELGFSAEHGSFMRYPGSDVWENLAEKFDM
GWQKEVFDCFQKYTELTPGSFIERKRCALTWHYRPSDPVLGAHNARECQKELEKTVGKAWDVEVMTGKANLEVRPTFINKGEIAKRLVAAYGNEVGQ
APEFSLCLGDDFTDEDMFRALNGSALDPEHMFTVTVGASSKMTLAHWHLLEPADVISSIALLNGGDSNVADLGPLAVVEGRIPDQMPGTIQVPDELP
GGKL
>RCO7_08331 | uncharacterized protein
MIISPILPKDWANHAKPATLQFDIDIIRRKNLEIMTTVVERILLSLSEEDNIEKATSLISENEITLEGEDEYGNRKRQVVYWLKECTWMMLQRRIFE
EVKLEIYLFMSRQLFGRDFPVRGKFLKNIFEESGVRVEIVLWNGTTSDLAADDKVRFYYKQIEESGGSLSSMLVFLVPKDPRLSEVPARFLMLPGVG
WGHEILDSRNGRVVSPNEPWENLRHELTAESFPEIQSRAHEEVFKNGRVRLSLHEIWKIVDTVRLKFKERFDEIKNEKPKPPAWIEKGDGGIAQAVG
NTKGEEGNQGGEVFDTRRGKRELEDEDWEGGVFDTRKGKRQAVEKNKESVRVEESVGVEESIGVADTPGLTDITEDYEDSVDSGDNEDDEGYDDFLH
SLTPHRPLKRHSIQEY
>RCO7_08330 | uncharacterized protein
MRSRILNALMGVVGLAAIVASAPAPALSSDNSDVCAPISTIFVTVHEPTTVTVHDAATNTVHLSYGAAPLPTTTITRTATFRSTSTIDPVATIYLTD
SKGPDRIKAATSTSIPYDTTIYETVTVTRHQTGYISPASISTVLTSVVEDGITFWLSEQTPGPTRSDVITTSVVTFQPVNTPMGTTSRTKTLTIHST
VFSTQRQTLTRSLSAFKASTAMTSGAHAASSSGTAPAPVPTTTSWIGWNTTSTAGGIFFPGATNPVKSSKSEISLITEESVDIYKTTYNSYSISAYT
AKEGFDVLTTSNSFDHRSSTSTAEGAWTTVLIGGETVSWNAHGVTQSYANSSMSAPYANPTSVSHTFASADPSSTSSAEGVWTTSVVNGQTVSWNGN
SVTSTCIESSTRAPYTNTSSMAPQSTAMSAGSTSSANPASMSSSVPISFSSSIESATSAEPATTTTGSVLGEVTSLLSRLVSSALLSISVSTATVIP
LPVSSSTLTSATQVVNSTVASATSVEPAPTNTDSVLANVTSLSSSSVSAVPSISVSTATVIPLPAFSSTLLSATQVATSSLVTSVNPGLPSSSTSAP
LSSAMAVTGSIVSEDTTLISISSTAIASSRMRSTSGSRSFLTFVSTSTDPNAVSTTSNAATAASTGPSNCGEVGDFVLNFDDIPPLSISNDSTFAQA

QPLFSPYHHFDFSRGFTVGPPPVDPFVPESKPLLAEFTPYIGLSNDDRDSASGYMGNVDHGATSCFSFNFYGASFGCDSLGPDCHFNFTGYSYNAAD
QSTKPVVSEQKVISACPTLKSLDCVLTPVTLSPSFEKLDSIRIDVTVNDVPKIWWMDNVRLGWSDNTCEKGMCRAMAPALGFALPLKKV
>RCO7_08329 | uncharacterized protein
MSTTHGSSARVFQPIRNVVSASALYPFKGIYYFCKHREFWPLFGRRLIPLTVTSIVVLALLFAFTYLPQVAFLAIFHGPVAWFNAVFLVLGEGQVVI
ALLFEALLVDETLVNVFDATLIREGQNSLVAPSRLLFPDAPNSVKMLGKPTSSAIYSPFSFRQIAEFVLFLPLNLIPIIGTPFFLVLTGARAGPFHH
YRYFKLRGLTKKEKKDEISKRKWKYTWFGTVALVLQLVPVLSMFFLLTSAAGSALWAVQLEKQKVLVQEGPVATPRTTAEEEDGPPPAYTDNPI
>RCO7_08328 | probable arginine transporter
MDHSEISAAAMKEGGKTTTGSSIKSFSQSGSDGAPHDAEKQVQHDQPEGLKRKLKSRHLQMIAIGGTIGTGLFIGSGGAIAKSGPAGALIAYIFVGT
IIYSVMTSLGEMATYMPVTGAFTAYATRFVDPSLGFAMGWIYWFSWAMTYALELTVTGLIIQYWAPNLSIAIFIAVFWVLISILNMLPVSFYGEFEF
GLSMVKVITVLGFIIFAICIAAGAGQQGVIGFDNWRDPGAFAPYLSEQVGDGAMAKFVGFWAVLIQAGFSYQGTELVGIAAGETENPRKNVPAAIKK
TFYRILFFFVVTIFCIGLLVPYTNEGLISDKSDATASPFVIAAKLAGVKVLPGVINAVLLFVVISAANSNVYSGSRILLGLANDGSAPAFLKRTTKS
GVPYFAVIVTSLFGFLAFLNLSNSAAVVFNWFLNITAVAGFITWACINGCHIAFMRALAARNISRDTLPYKAFWQPWFAYYGLFFNILIILTQGFTA
FLPWDVSSFFTAYVSVILFVVLFVGHKLIMRTTYVRVGDVDLDTDASKDDDATWSIEDPTTIWGKFWAWMC
>RCO7_08327 | uncharacterized protein
MASTLSVLLLLLLTIPAESKVGELCHDNSGNYGTCQAALWCRSHSGKTSTTGSLSGLCPNDTAQKTECCFKPECAPQHGGWFCDYQGGRENCRDGAW
GGKLDCPGPARYRCCR
>RCO7_08326 | uncharacterized protein
MSLVSVNRAIVEVLGPIRDDFQLLSVEQQDLLSPVTVIALVSKLLSKSKIHMNQVDNILLFGDPSRATEAQSILDSFFNKKARAPVGFTSDQAVTYG
AALQGNVIKGEGGYYGDGCQGLTMEVNRLDLGFENSTGYFIHVIPRNTLIPTRKSVKVSTAEDYQEAVTIRVLEGAREKTFGNKELGTLRLVDLPRL
PKGVLEIVISFELDTNDKLEVSTRYEGGPEAENLSLGRESIQKRRLKAC
>RCO7_08325 | probable APE3 - vacuolar aminopeptidase Y
MLHLATLLLLAAAGARAFQIQQPLHESSSSSSETTIKLNHEHNPLVSSEAIQGDIKSKNLLKRAEKLFEIAQLGKKEYNHPTRVIGSEGHIGTLEYI
YSTLSSLGDYYTLSNQTFNAVVGNVFEYRLVLGDHSPPSTQAMSLTPPTPKKDAVFGQLLSVENDGCHVSDYPTKTPKNWIAFIRRGTCAFGDKSSA
AGKAGAVAAVIYNNENGTLSGTLGQPDKTHIATFGISNEDAQVYLKDLKAGKKIESSAYIDAIVRNTGTTNIIAQTKAGDQENCVMLGGHSDSVAEG
PGINDDGTGSLTLLEIASQLTKYSVNNCVRFAWWAGEEEGLLGSDYYVSQLSEKENLKIRLFMDYDMLASPNYAYQVYNATNAVNPTGSEELRDLYT
DWYKSHGLNFTYIPFDGRSDYDAFIKNGIPGGGIATGAEGVKTKEEEAMFGGTAGKWFDPCYHQLCDTVDNLAVGAWELNTKLVAHSVATYAVSFKG
FPERTSVKYNRVEDGPPRFHGPKLVM
>RCO7_08324 | related to NADPH oxidase 1
MDEKSYARNSVSSMIRVSERARWPPLTRMLMSGEMSGEKPKDFTMREKFDRWMVNEGYRRFFVFVFAAIHLMVFSFGFMNYQIKDTFTKARGTFGIT
YSIARAAALVLHFDVAMILFPVCRTLISLARQTPLNGIVQFDKNITFHMTTAWSIVFFSWVHVIAHWNNFAQLAAKNNLGFAGFLLANFVTGPGWTG
YVMLTALMCMVVTSVEKMRRANFERFWYTHHLFVVFFFFWSIHGAYCMIQPDIAPFCTGLGSTAIGVFWQYWMYGAFIYLMERVAREVRGKHKTYIS
KVVQHPSMVCEIQIKKEHTKTRAGQYIFFCCPEVSVWQYHPFTLTSAPEEDYISIHMRMQGDFTKAVGRALGCEVDKPRGEKTDASQVVSVNKNGPG
AEAVDPAIRRVLPRVYIDGPFGSASEDVFKYEIAMLVGAGIGVTPFASILKSIWYRMNYPQQKTRLRKVYFIWICRDFGSFEWFRSLLLAIEAQDMD
NHIEIHTYLTAKIKVDDATNIMINDANADRDAITGLRAPTNFGRPNWDMIFKSIRKIHSPAEAGVFFCGPKVLGSQLHIKCNMYTEPGFAFSWGKEN
F
>RCO7_08323 | probable ubiquitin conjugating enzyme ubc1
MALKRINKELTDLGRDPPSSCSAGPIGDDLFHWQATIMGPSDSPYSGGVFFLAIHFPTDYPFKPPKVNFTTRIYHPNINSNGSICLDILRDQWSPAL
TISKVLLSICSMLTDPNPDDPLVPEIAHVYKTDRSRYEATAREWTRKYAI
>RCO7_08322 | glutaryl-CoA dehydrogenase, mitochondrial precursor
MYRSLTKSTAARQLTTATIARPVAARSYAAHATPQPFNWQDPLNAASLFTEEELAIAETAEAYCQERMLPRVLEAYRIENFDKKILQEMGELGLLGA
TIKGYDCAGVSNVASGLITKAVERVDSGYRSGMSVQSSLVMGGIDEFGTQEHKDKFLPSLAKGKLLGCFGLTEPNHGSDPGSMETTAKPHPTKKGYL
SISGSKTWITNSPIADVLMVWAKLQETGKIRGFLIERSECPPGTLETPPIKDKNGLRASLTGMIQLDECPVPEANMFPDIEGLRGPFTCLNSARYGI
AWGTIGALEDCISRARTYALERKQFKGNPIAKYQLVQKKLADATTDAAFGTLACVQVGRLKDEGLAAPEMISMIKRQNCDRALNNARTLQEIFGGNA
VSDEYGIGRHVANLFVTQTYEGQSDIHALILGRAITGLQAFV
>RCO7_08321 | probable DNA repair endonuclease rad2
MGIKQLFSIIREECPNAYKESEIKAQFGRKVAIVRCVCATPPPRINGLTTDALSNSSMSIYSFLIAVRSGGEMLTNEDGETTSHLMGMFYRTLRIVD
NGIKPVYVFDGAPPKLKSGELAKRFQRKAEATEGLEEAKETGTAEEVEKFSRRTVRVTREHNAECQRLLKLMGVPYIIAPTEAEAQCAVLARAGKVY
AAASEDMDTLCFDSPVLLRHLTFAEQRKEPIQEIFLDKVLEGLNMDRTQFVDLCILLGCDYLDPIPKVGPNTALKLIREYGTLEAFVAAVEAGKTKF
TLPTDWPYADARELFFNPDVRPADHAECDFKWEAPDVDGLVQFLVTEKGFSEDRVRSAAQKLTKNLKSGQQARLEGFFKVIPKTEEEVKTLKRKNDE
KNEEKKKKVKEEKKEKAKAKAKPRGTA
>RCO7_08320 | uncharacterized protein
MENYPPCQRSTVPVVPGQPSPFTSYLSLHLCLNLEIITITDKVKDAERTFNSPLRRIMNASEEVSVKLNRLSSGSGKLGSFWGTSSANFSPSSAVEN
GHRRGEGSGGGGNGEGSTSRGMKKTKGSPYNNTPLKFKSSNTNEPGSESTRDLLGSNDDFLGGSNASSFQDLDGSRSSDSLYPYATLPSGLSSSQNY
QTYQYRSPSTSNSMPPFPASASCSKSSYFESMPAVSSATSTRASSPTLPAAERNPKAESSTDAKAGTDVKASTETAGSTVKRDFELTPLSDLIQQSI
KDLEMLKIVYGRGGVYPSSVYTSVPGSGSGSGSAGDQGYVNFNVGSGPPTNGVSSAVVSGASEIHNGKKKGRFSSNFEDRVNGVTPVGRGVEEDEEV
AAEAEATASDFDQVGEDLRMFEEMYRAYLQTTTPSGRPRTEVHLLAIICKKREILQGS
>RCO7_08319 | uncharacterized protein
MPIPTPSPRRILSASSKMNRGPDLAVDASASKEKVKKPVSMSSPMVTMSQDMPAPNLATLNEDMPAPLRTRRVQSTRQPGLTTSDTAYPGRSGTGEA
ESWPAPVFASATASLNAAIQSGAWKVIGFSKAKPTLGVSKSAIVFQGTELLMSQPQVTTPTIKPKQEKRHATSRDEISTVGREIPHPALSTSKKHGC
LNPTCEDVFDDTEPMHPNVYHSPTLPPKPPVKKRTRKKKPAGVQSGAESETLFREIPVEEIDLNPKSPKSPKTRQDALAQTFPVAVNTPTNPAPALP
SVVVELQAEAKVRQNQEITQLDSYTPTVLRPPMASAEDEVLRQDKKKKPKKKKKGSTKGKEKEEKLIPPAIVRSPTLEERQEKMMQTFMLYDNAFQK
QYERIKEEVLAAGGEENDADLAMGIGLAVPTPSEQDEATVKDLRRYGKLSYNPYYGPASSASEYGAVRNHAMTPAWTMVDKSEGEKKPITEFLQKES
NVNIDVDNAAVERAHNFWDKPVEVLGEKGKDLKDLNSTFKAALDKVAGAKLNTMISGGRGTVNIQAGTLFAAVGGEEEKGNEDGDVMRLAMEKESQF
DEMLNNSDATSEFKNAERILASDTVKENATAKTVANPTPLIARTEEIKKQAVTISHTPEELHYHLHVLFPKIAVDATWFTSSIISRIAGHPKLMCRP

QAYNTDITTCVEHFMTILYPMFSMHDDSDASKFHIWVLWLNGCETLWRLIHEGLCARHYQGRYGLRRLDQTICGFMKAILSDNRDPNVWNDTVDVLC
ILTMWFIEEFHWAAGDFDVVIKSAEEIFSCEGDLKYALNHKVGTTHIIFPSREPVVDETIEAAAETNYDDALLTDEEFRAKMAGYGITIPQVLQILN
QVIDGVHEIFTDVDPDTRQDDEKLAIQCFNKCAFALWKIIDEHSRYMAVKRMCKAAYYAAVTDLHSRTGQKIWLLRTLTLWFREQWLNTGGDLQAID
ALVLKEVPAGDRDYHAFVMRQGGVAEWKDVFGMEEVNRTIPKVEATVPQVEVQPIAHLHSVQQAPGDMQKAATVAATPTSLSMACQKKSQGGGADSD
KSMTIADFGDDIPQVIQNIDRIIENISSTTSGTRSRRDAEMEFVNCSYALWNEVRLALEAMPVTDPSKSKSKSQIESSKRKAESKVTNGLRLMCWKA
LTCIVDKSIPDVERVKLMMRLAVWFVLRWRMAGEDLGKVEVEALKEFPTGKEGWDTFPRVSLTELNPVSIATGAWKESLGLNGGRAVTVGASKNKKM
AKEKEMKDAVKEAVANLQKVTKSDAVAVSEAKSEAPINAEKTIIGVEDALKEAVISLQKVVRSNGNAGTDLKCELPAAKSTAVPEAKCKVATATQDK
KVGERENFDENHESMEYIEPSAVLAKSVSSESIPAEVNRRKVNAVYSEQRKLAALTTSGSSILKVLADREITSTSSINNNSFTAPKQDNTQDTDIDQ
DEDNMSKNTVPPTPPMTSEEFSAQQAQGIDLHAIQNTMQSLSHTLEQITIALYGTTTSINTSTEAINTNSQTDGLLLIANHLTTALKDAQTQIASVD
SKLSTISTAITDLHSDNALLKTSLQQIIKKMDSRQEKERQTGITTEDILRQLLSEFQLLKKDVEILNRKDVFGDKEKGIWMEKAEELNAVVERAREV
GGLSEVLWPQGDGDEFTGGSARGEVKSECAKVGDDEGEGEKGRKRDLYGKVGHRAGRGQGGGGFCGVM

>RCO7_08318 | related to phosphatidylinositol-4-phosphate 5-kinase

MPSFLADDSGPVLSSNSLNHDAPTHIRQSHEKVNGNSRSYSHTSTNGSSVGPEGFMDGGRVQMNGDTHHDGGLNSLPNGRTSNSTWDQRSSRNGSTR
SANGGTNGMNGVTENGRKSPAPTNGLGRTSYGDRSSIVSTNGNVSNNLDTKHSVNSDSEASKRINVTSPISTNLSTNPQSTGLLTYSSSILPATPQL
PECPTRAAPSPHRFSSPPTYPPPLVPSLSTTSLPQHPGPSQLQHRHTLQVPKPGPSRSSRDDESVFSSGRFSPTSVAASARRGSLSLNRRHTQSIHS
NMPHEEIAPDEDAVLWAEAVRQKRASKRRRKDEEDDDRVVVGTKVDQNHVNWVTAYNMLTGIRFTVSRTNAKLDRPLTDIDFDARHKFSFDITGNEL
TPSAKYDFKFKDYAPWVFRHLRAKFKLDPADYLMSLTSKYILSELGSPGKSGSFFYFSRDYKYIIKTIHHAEHKFLRKILREYYAHVEENPNTLLSQ
FYGLHRVKMPYGRKIHFVVMNNLFPPHRDIHKTFDLKGSTIGRDFKEEDLEKNPRATLKDLNWLRRNLHLEFGPEKRRLFFEQMEKDVRLLQKLNIM
DYSMLVGIHDLQRGNQDNLRDKTLQVFQPGGDSPADEAQTQDGSRAILTRTPSKLENIRKARELRQIIKQEKPIPMGQISSRMPDHLEENTAKREFT
FYSDDGGFRATHEDNSPGEEIFFLSIIDCLTHYGTVKKLEHFFKGLSQDKKLISPISPEPYGNRFIEFIEGVTKSPEEAAREAQEEALRPAPKTHSF
SRRNTASIESGRRSDGQHLHRSSNANPTVQRNENEAIRGEKHGEDESHRPDSRMITTARSPSAERLGGMQGQTLPVVEEMGEASSTGGRSGRSWRSR
LDEYTRPVTPAKDLKDERPLTPAKDYSPSLNGNGVLRAPLNRDSLDKDLPPLPRAS

>RCO7_08317 | related to A.gambiae ATP-binding-cassette protein

MGEEDIEKGRRVSEDASRMKGQSSHTVQRTSATHASETKDENNNEVVHSPTTHSNHISLRDVEPVDIQVRELLVTVDLSPSALSIGRYLSRKQRQDG
NEAPKHKQIMHSVSASMPAGSLTAIIGGSGSGKTTMLNTMAERLTSARLSVGGKTTFNGLGGVNSVRSAYVMQQDVLLPTLTVRETLRYSANLRLPP
PTTEEGRKKVVEEVILELGLKDCANTRIGNHQHKGCSGGEKRRTSIGVQLLSNPSVLFLDEPTTGLDATSAFQLVRTLKHLAKKGRTIITTIHQPRS
EIWGMFDGLVILTRGSPVFTGKADDCIPWFERMGMELPPFVNPAEFLIDIAAIDNRTPELEAASSERVERFKAAWLEESQHRYASNIEKGAPVPEQT
SKKSIHLARSPFIRQTRVLTSRTFLTTYRDPMGMAGSLSEAILMGVLTGWVFFGLSRDQSGIRSRQGALYNAAALQGYLILMFETYRLTVDVQLFDR
EHNENVVDVVPFLLSRRIARFLTEDLPVPLAYSVTFYWMAGFRAEADTFLVFFSIILIGQYIAVTYAAACVAAARDFATASLIANLGYTVQSMACGY
FIQSNSIPVYVRWMKWTAYVFYAFGSLCANEFVGQFYDCPLPGGDANPACAQYTGAFIMDSLGFPQNWVVKPIIVMVAFVIMFYLAAFIGFKFLRVE
MNIAQARTSDTDLSAGKEKMVVRSSEEVRTVDIVLDHFALDLDKRSILGKKLPTKKILHPVTATFQAGLLNVIMGPSGSGKTSLLNAMALRLHNSVG
TRYKQYGEMTFNGSVPSDSVIRSVCSYVCQDDDALLPSLTVRETLRFSAGLRLPSFMTTAQKHQRAEEILMKLGLKDCADNLIGSDTVKGISGGEKR
RVSIAVQILTDPRVLLLDEPTSGLDAFTASSIMEVLQGLAQEGRTLILTIHQSRSDLFKKFGNVLLLARGGSPVYAGNGAGLLPHFDSLGYPCPTTT
NPADFALDLITIDLQHSEREAATRQKVRALISSWTSGDFAAAIQPSIISTPAELGSLIRKSTSFISAYPILVHRAFLNFRRQPPLLIARTSQVTGLA
VILTLFFAPLKNDYASVQTRLGFIQEFCAFNFVGMLQNVAVYPDEKDAFYRENDDGTYGVEAFLAQYVTLEVPFEVITSLIFAVLVDLAAGLPRTPQ
LFFVCFFNCFCIVNCGESIGIMFNTLFPHTGFAISLTSVFLSISQFMSGVMSINMPSFLQGVNYLSPLRYAIRNLAPYSLSGIHFTCDDYQRLPNGP
CPIENGEQVLDLYKLNTNPWKNILALGICTLIYRLAAYGLLKVVRTHWGSVSGMGRMRKVLGGETGSGSGR

>RCO7_08316 | uncharacterized protein

MPTISEDIQFNEGFVESSMYFLARDKLFEVEKPYSLRYPPDEGLPQSNIKRETVKVAIRNMRKGEPHSLERNGFQVIHIQSAMDYVDFADDELIKTV
YLPELQTALLQELGGKHVHVMDFAVRRRHSQFPISTGKEFETLQPAALAHIDFTVREGERLIQVMYGERAIELLRGHWQIINIWKPLRGPLNDWPLA
LCDAQCVDFRNDIMAGDLVYEDFATENLQIMHNPHQEWFYLPDQTTSEVLIFKSADSKHSDAPASPHAAFYNSKVASDELPRESIDCRAFVFYTSLP
DYPPVVEDIFQALPTHS

>RCO7_08315 | uncharacterized protein

MFVGLELALALAPLVIIATEYHLKAYDQAKTILSSRARDEKLEDFLTELHDEVAILAFTLRYLISDLTTLNEPQREQLLNLDRVQWKQDDISDALRM
RLGSVAEITFRDILGRLLKSLDEVVSERSLNFISSERVCSSAFFKKLEVFREEMKNGRTVQDLGTRFQFTTKEARRSKHLKRIRRCNKKLEFFVFGR
ISSPSDGKKATTIRKTPLPTNLTRRLSQDVHKRISRCWNCPCPSPHEAKLSLFKCLMNHDSTDTVINLDLIVSMMTEEQPTEIWLGSRIRILSDKNR
KEGNAKAVVRFMDESYPAESIPAPKDPHRFIGTESVCTLIKEAHKKGSGLELVFDGENLWRARSTGKHVMLRPEIGIPLNTLLLGNSQARLRLKDSR
VLAVVLAHAVLHYCESPWVSNSWNKQHVSFYTTVDGINLRKPYLATQFDEDTVQLGVTEDDLYSHPSPTLLALGILLLELYLKKPIESFWDPDDTED
GLEGVNTNWVTAEKQLEKQEDDVYEGYRNAIKACLQVEYVNRGGPLSLDDEDFRNFVYEQVVVPLENELKNGFNLTPEELGVL

>RCO7_08314 | uncharacterized protein

MDSVELHNRAQECLFDFETLVLVEPATENCRNSDDLNCEEQKARFSIWSANIGIFADGHASLDYRLRNSLEAKELMLDLLGSLKNYLRRAAETIRHM
KDNELSFSHTHIEDGLSSVGSRQTTSASSVFPSSYQGSETDDSLSIPVDQDRTPFEQRVHGIEQTIDRLYRLSVAIRRPSIISQNAKAVNIVIRDED
GTDVSQQFTDFALNWITHHFREAPLTLRERLAKSVTLRRKRFLYRQSHQLKLGAKATLTPSPQLKRPDSLGLDAESTIVARTVVDGHVHKNQNRRNN
LPKAVLPSQTSASRVSDKFRTDDVFETTPCKTPTVFSGAFIQQGAVSIPDPPKAVVGSKEFECPYCCMMLPMKEALRSNWTRHVLNDLEPYVCVFQD
CSDPNRLFRGRATWLSHMQETHTKQWTCRAASHRLVVFDTEIGFENHMRFDHAKGFKESQLPWYKKRSQGSAANLFTECPLCGYGPPVERINTLINS
DESGNKQKQDQSRIVSEDFVEHLAGHLHMISIKALPWRENVEEELSEKAASKKASEGHESNDDRASQLATDLNILLVFDDDPQAVQDVEWQHIDPAA
ADHGVIWKSCNTYEMYTNEWGFIQNSQYYGHDRDPILQKLLKRLYLSSSSVTGKHTDLVLPIYMMPPIPLNKHFYGREYVLKAIATELVPEAHAKPA
NGKAVTYPLTFTVSAPGGMGKTQVAIQFALAHQKSFEVILWVNADSVNEMAQGFQRIAGLLGLIPKDSMDGNDLIHTREVVKRWLVNPPSLTEGGKF
RRHISWLIIYDGVQDPDILNDFWPYDGPGSVLITSRNPFSWTKSLPLKQFTSDEAVAFLLKLTNRELSEVDRESVTKVGSRLGGLPLALTQMASIIV
TKQLSFRQFLDSYNKRDSQRELLQFQTHRIYSKSPSHEHTVASVWAFENLKYGRKLLNVLSMLDPDSIPERLLTSSFGSIDLPGYPATITDYENARG
ELLACSLVTANKQENKLFIHRLVQDVARAEMTLTELRKTFVACVKLVASVWPFEDFTWRHGIARWPVCEEVFPHISRLKDIFSAIRPSAPTSDDYHF
ARILTDTGWYLHERGRLIDTNLYNNMAQSICESLKCQLYEPSDLSSSLGVTHSELDFMLAELYHNRGIIACGASDATEGLRNLKIFHDMMEKEFEKD
TPRTDMRLGLAFNQLGFAYMLKEDWPQGEIHFLRSIELLEMLDDYEPTLISLPIVNLGYSYWLQGRLDEAATVLRKGVGDREQKFGIHDRISFIWSR
FSVWRFYHALGNVTYDQGLTEESFGYHHKALLHFKATLGNNHHLTASVFVKVAEHNIRASQYDTAIALLDHALKSYSISNNYLSERARVSFKVSNAL

TRLRKFDEADIELRKCFQVYSDQVAKRTFLTGKPRIVKTRKEDLTDKDFDDLVAFWFK
>RCO7_08313 | related to C6 zink-finger protein PRO1A
MEQSNVLKAQYRCPPFGILTPGSEEDIEEVRREPLRNRSSHSPHPRYPRPPIRRRLHPTEPYAKTYPMFDISTSLDSRRSMDGSDISSVSALTMPTS
AGSGTTDPWSSSGGFVEEPVEEAADFNWSEEEGLLLVPKLEPTEDDVVDINMSDFPRITTIKDSVIPETPNDITPTLAKRPRGRPRKHPRPTAESLS
KAAKGRSKTGCITCRKRKKKCDEAKPGCLNCEKNSVTCEGYPEKTIWKSGKEKAEEARIRRAGSLTLSNVQLPFLINGLETEGDRVFLSHYISRLSI
IFTLEGEHDSAFRNILLPMAQQDSGLMHSILALSSKHIDYTSDYGQKVLADHPSLDVKTLEARSQFHQEEAIKELIGQSTDVERKAPSPALYAQMIC
LVLQTLSDPNPNGQHRVHLEHYQRLIEENPPEQGESMKFIHEFFQYHIHADQLIFYPENGLRTQYVPSADEWNLPSTVLQPSAVRLLGVFDGLFLYM
SKITNIRNKIRYNLEHRIDPVLDYSNLHAAAEIDAGIREWTPAWEEGDTRDNAGLLYRQMMWIYLWRSVFPPQSTNWKVDPKITSAVNDGIAILSRF
GPRDPSQTLALAPAFVIGCAAFEPEQREPIRKAIRAVKAYMEYKNSDTALEVLEEVWRLMDAKDERSWDWQAIASRMEMDFLAT
>RCO7_08312 | uncharacterized protein
MSAPPQSSNPFRRKAATNLPSAMSTRPSTSTHASSQNGNTQENAGIDQISTPKKVTKKVRVKSPPPLSPSTPSMPDSSTFGEDTFPAHDRLPSPPVP
RAEDPFDSVNSEISEDDGSAIPSKAPANPFSRTLDTMEHPKREATISNPTPNIAQAGRASMDVAAFSRLLMTGDAGLNTPPAQPAAPPHAHTVGDRG
CSTDTSSISRQSIFEAVQGPGPLLESPRTSHEILELEDEGGKGLKSEPATGPAPRVKPLPPSSRHGKLIKVVLRDERVSNALQSPPTPGITSQHYFS
SEPRSQTDLNKPLPPAPTRASHDWDRESVFDKESAGKTPEPPSPSTSMRRPPSPSLSLRRKNPPAPPLARRHSQMISDSMLTRDPMRLLDKSEEESY
RAQLQENRRPSADSIRAPPPPPSRRPGSVHRGLSQTVLKSPSTVSLPTPPPARGSSRSISGGKPPSVSNLDLSSTNVGKRTPNLGPPPPPPRHGRRS
MDAPKSPTDSQRRSGEYFRQSIESARRGSSQYETTSEIKEIEEGNRHDILADLSKLQQDIDALRQAETGKIT
>RCO7_08311 | uncharacterized protein
MAITSGSNRAASLKTYSKRVNITTTEKPAKRKASVDEETVVELPPEKKFKKSSIQSYFKPVVTSSSPAPNRSNALVSSDSIRQPSSPSSSPPLESSS
PPIVSERPIQKPKRRLSTKPKSFQIARMSDTSELCKCLGDILCLEHSGASKYIDDLPKMQDLAQLAGRPRNATAPSMSMVSNPKGAHPREQTQLLLN
PGGTVFICKICSVRYNKASKEDVQVHQRKHTEFVTLGSNGVNFDAVTIGVGAYWSSISPDAPVRTIKVNIHSPAAVQSFAGRVLVRVNEELGYGDGS
HVAIDHKNDVIIALIQRQPVACIVVEGPTFAIPFWRRDIHMPGRKIGNDQVSSINDIHEVPMCVDRLWVHKDFRRGRLALSILNAARNQFGCARYQV
CFSRPTQLGYEFACSYFKGVFNHRFPNQDIKMLMHLDDYIDGIEKTRLLRRLRLI
>RCO7_08310 | probable prenyl transferase
MSIRSARALSLLDSSLTTTTPISSICYRYQLTPRQPVRLFSNSTYRHPSRRRQSTWAQAVSSATKLLNHASARSAGPNDVSIDPLRIVAKEMKFLTG
NIRQLLGSGHPSLDTVAKYYTQAEGKHVRPLIVLLMSRATTLTPKSPRFNGQQSTADVDSAISPLSILTDLNPTAPSTNPLTHTQMSYSAAESDILP
SQRRLAEITELIHTASLLHDDVIDHSVSRRGSPSANLEFGNKMAVLAGDFLLGRASVALARLRDPEVTELLATVIANLVEGEFMQLKNTARDEKNPV
WTEDTVTYYLQKTYLKSASLISKSCRAAALLGGSDLATVDAAYAYGKNLGLAFQLVDDMLDYTVSEKELGKPAGADLELGLATAPLLFAWKDNKELG
SLVGRKFAQEGDVARARELVLASDGLKQTRALAEQYANLAISSLDAFPESEAKDGLIEMAIKTLKRRK
>RCO7_08309 | uncharacterized protein
MVLLTMTALMVEALRKIQGLVRVVETREEKSFLQDGSSTGNISDRQDAEQTKENSENGVGINAKPSPANMALPDQAQLKTEVAEPILWSPRIGNPIS
HGQVVELSQQMKAQKMQPFRLEDLLRGARIYVPPPAPKPEPTSEYKALMARLRREEEARSYHRMTNPPPPMETFSQRFPSNSGVRAFASSHQNINIS
DPNDDGITFADINRQTTLIFNVLVSIVACAVAIWIAAKWWSTPARLAMSMSGSALVGVAEVVVYSGYLRRVGEATEKETEVKEVKEIVNTWVVGAGN
ETGEVVEEDSVIIKQKKDDSGVRERTWMKDVS
>RCO7_08308 | uncharacterized protein
MSEALVTTLSGEELGQLTTILEEEEGAMEVDRPISSAHRTTARRSHALITTISGEELGQLSTIVEEEEEEVNMEPVKEEKQATEEQDLVGEPTITSR
AVSSSSSSTDPEDEINKFPFTESFPRPGRSDYLEVSWDENCGEEDRPRDPRSRAMARRLVAEAAIARAYDVAWITKVHIRNTWTESNHYHPQCEDHR
FLMYAQHIEANFGYKNDKYGAPCKADEPAQESAVIYFGPDDESDEEKLRLWRNGGQDPVVWSRLGDGV
>RCO7_08307 | uncharacterized protein
MAITTLGPGYANKSGVVTFDGHQVITTWECTIPTNPDMKACTEAVCAEAAKMRDYTKCAIRSVPHGTSRIGGQYSTQYVQDDLHTTANFTKVRFGKE
SKPVTAHIYVGPRTYPTQDYSQTRIYREGGKPTVKWFDPEPQQSRQARQTNQAQRANQYNQGNNQPRNEYF
>RCO7_08306 | uncharacterized protein
MGIQDNAQMEVAHDSEMREGWLLSEGNVLGQEAEHNEMGDFEVKFMPPQIYRIEDIEKYRAGGYHPILLNDELKDGQYKIMHKLGSGGFATVWLAQD
IKKERYVAIKIIVAEASEDAMSIDIKAGEHLRECASPHSGSRYIDIPIEHFWIKGPNGRHLCIVSELAGPSIAQLSHARLMGERVTMLGPRDAQMIA
LQITQCLEFLHSPEVGIAHGDLTSANVLLELENLDTMSPEELIRILGEPAQERMQSYGDHQMDASAPDLIYECIDPMRLLPYCKGNIKIIDFGASYF
LNNPPTGLATPLIACAPEYLRDGKFGKEADVWAFANTLFEIRAGFPLMTQLMGGNDEVLYQIQSMLGSLPPRAEDGEARDAELDPPLLKTLIADIQN
MSSFQQYDERCSKNSWIKSALCGVQKGAQNCRKWLKRLMPSKGVKVPPKISPEEAEQFHDLLCKLFQYDVEKRLTVDQIWKHTWFTMRL
>RCO7_08305 | uncharacterized protein
MLYQPSSFHLFAVAAAAILSQISAIPLGNRATVTHWGTGCPQSATDFWVKVDANKVTTHFPAFDVTKGGNVPQSSSEEFCGVGIEFGCPEGRQFAVV
SSSYLDSVDVPAGTTASHLMRYGFQGGRNIPPPCFSSELCIFVRY
>RCO7_08304 | related to acetylxylan esterase
MLSLIPTFGSLSILLTLLLPHQVSSAINPLIQIADTFGPNPTNVSFYIYLPPTLQSSPPILVNPHWCQGTASAAFGGTNLASLADTHGYIMIFPSSP
HSGGCWDLSSKETLHHDAGGDSLGIVSMVRWTIQKYGADASRVFAMGTSSGAMMTNVLLGAYPDVFAAGSAWAGVPFGCYADPAGGTAVWNDDCAKG
RVVKTGAEWKAIVQAAYPGYEGWRPKMQVFHGTVDNVVYPQNFQEEIKQWTAVLGLSSEPMSVRKNDVKSGWTTYSYGGGFEATSAEGVGHDIQTNS
TEVLRWFDLACRGQGCFSRPREGGGVTTSKVQETTTMRTSSRSSSNVLTTVTTSKSLISTLISTTAVATASPTSTLQVKYGQCGGLWWTGPTACVSG
SICTITNTWYSQCV
>RCO7_08303 | uncharacterized protein
MPLFSKSPPPATTTTTKTSSSSFLHRNRTPSPPPQRKSSLFSSRRRSPSPIGRHTTTTSRTSTSSISGPSGGGLRNVLHRSGEDASIVAARERVLLA
ERREKEADQALAIARTAVRDARESVKLLEKEAKEEARLAKINQSQASSLSKREHGLGRHGHA
>RCO7_08302 | uncharacterized protein
MASTAFSPTTTTFMSDNHGRNGEESSLTPRPSTAPSSQQFQPIMVRDDAKTPTRVTFGVDNHGAPSSAFAPPLPSNPNEGATSLSRGDSQHSTKSKD
SKGGDGDSDDSGDDKSEDEASGTSGGKMKKKKDGGFVCYKYPPCKLAFTRSEHLARHVRKHTGERPFVCHCNRRFSRLDNLRQHATTVHCNEEIPPD
SLAATGTRFQRQVRTDRVRPAGGRSRPSTAGGQAAHGRGHQRNSLSMSSMTSNGSVGSIFANRNERRRPPTLNIADSGHRFSQEMYRADSPSSGYYR
QDSYRTQSPGFGTPTSATFSTGPNSPHWSGMQSPGSTHSRPTSIYGGHRTPGRRLSVPSAGNGNPFQSPLGGTFGPPALPMNTSNMAPFSPSGSMIS
SPTTSTSGWSRRDSISAVEHEARRRTWHYDSRPPPAMEQYTSRLQNVMTPTHYATGPLPQPPIVPSQPLRLPGIESFDPLPRPTTPVYRQPSPMMID

TPTRPPMGYDRERPVSQHWEQSINGMNGLNITQGTPPADTASQWANEANRAVLTAREQVRQQPAVRFEESSYSVRPQTSAGYAHYPQHVSAPAAPIT
PRENKRQAWYHGPISHPDKAQRTSPAESSGSEGGIPVTPISSSMGEYNPGIVHSNGWVESRNGNVVQHQQHDQRYGPPNGYVSTYGPPQHGMEGAYT
YGPRSVQQNPTQQHEQTPKSGDMGRLEALVAVATAEDAKQVSAAY

>RCO7_08301 | related to glutathione S-transferase GstA
MSDAKGVSPVARGEVAGSNLPKTDIVLYTSGTPNGQKISMTLEELGLKYETKNIEISKNQQKEEWYLKINPNGRIPAILDRTESAEGRSHKKRVFEG
MAIMLYLCQKYDREYVISYPFDTDKYWEVVEWMTWMQSGIGPMQGQANHFYRYAPEKIEYAINRYQTETKRLYSVLNDRLIQQKSANHTVAGTEAST
AGGDKSKVEGGGPWIVGDKLTIADIACFSWVNWAEWAGVGLDEFPEVKAWCEKINERPAIKRGLDVPEPFTMKEKMKSKEGEKEFADHHSKWVMDGQ
KKDQEKHK

>RCO7_08300 | related to phenazine biosynthesis protein phzC
MQLSYTTLDVFTSTRYTGNPVAIIRIPADQSLRQEQKQAIASEFNLSEIVFLHLPASGTISSSRRIDIFTHQAEVPFAGHPTIGTSHYLLQATSQDV
RTVITKAGEIAIEKDTQTGEVKAEIPFEFHIHERTFTSSLNGIENPVASIVNGMSFIYVLLPDLDSLAKAKENLNGDTYNPSLLDEGWRNGLVGTMY
LVSQGADEFGRKMYRTRMFGSREDPGTGSASSGLACWLAGQEEKEKGSGPFKYLFTQGVEMGRRNVIGVEVTRAADGEGIKKVVLSGTAVTVMEGTL
EV

>RCO7_08299 | related to acetylxylan esterase
MFSLKTLSLLALLLSVTFAQTSKPKIRYMPLGDSITQIICWRGLLWTQLQAAGYSNIDFVGSGSDQNPSGCSTSNYDKNHEGHSGFKAIDIAKNNQL
VGWLKNNPADIVTMHLGTNDVGNQQKLADIIKAFTKLVGDMRASNPKMKIIVAKIIPATASYYQTGIKALNDAIPAWAASLSTSQSPITVVDQNSGY
SSSSDNRDGLHPNAGGDAKMAAKWFPAVVAAAKAFEKGTKREVAFAS

>RCO7_08298 | uncharacterized protein
MVLVRHEIPVRAKALQDQSSSNAGSGAETASAQVSLSVGAHASGAEAYASALQLEPKPTISSYDRWDQSSRWSSRADYRTQLALLEKQNKERLLATR
KEQQQRMEHNKRVEVKGSKDIDASSREDYQVQHMALELESAKRLMGTRPKLPATLGSGSRNQGHDAQSAIGGYRTQAQLSQLAQLRILEEEEERRLA
VARDRSLRPNRHDDPVMEFYDRGNRNDYRSPPQDIPTKNSEFRGRDGISAGQDVTSRDETHWVALEGRRSKDSTTRSQTEVEFGNQRSRYLTEEAEM
SRFSGQNLPGAPGSSCSPPEFITGHSLRAVPRPDVESDDMYDC

>RCO7_08297 | uncharacterized protein
MHVRSFLITLLLATTGTAEDSKSHSVQSQCQQIRKLEWIVSLASNMTELQELTRNNTAKITEIQADASAASSKLTTLRSNATIVSECAVINAASEQE
DQCFETFELQSFIAFAGNATAVAEKTGNNATRIAAIQGRVSDASSQLKTLMSNSTLQAACPAILQKEECKSVMRIENFISKAGNQTVLDQVTKGNST
LVNEIKEEVKKAEKQLEDVRGNKTFVDACMKMGIDLGKGKGMISAAATNQTATSGKSVAVDVNVGRVQVVMLSTILVVAAGMFML

>RCO7_08296 | uncharacterized protein
MSVQVVAILTPAPGKEARLKELLTDLAENVHKNEKDVSKYQIFEQYNSEGVNTLVVEETYDNQAAFDAHFKTEYFQKLGASVKDEGLVSQALDIKTI
MPFAGFASR

>RCO7_08295 | related to formaldehyde dehydrogenase
MSQTQTQTMKAVVYQEPFKVTIEELPVPKLEHPDDALVQVTTAAICGSDLHMYQGRTAAQGGLCFGHENMGIIVETGSGVSLLKKGDRVVMPFNVAD
GRCRNCEEGRTAFCTGVNPGFAGGAYGYVAMGPYQGGQAQYVRVPFADFNCLPLPAGKQHEADFILLADIFPTGWHGVVLSGFKPGESIAVFGAGPV
GLMAAYSAVLRGASQVYVVDSVKERLAAAEKIGCIAVDFSKSDAVDEIIKLNGGMVDRSVDAVGYQASSAKDVKKEVPSIVLENCIKVTRPTGGIGV
PGLYVPNDPGAPDANSGQGMLLISFGKLFEKGLTIGTGQCNVKAYNRYLRDMIISGRAKPSFVVSHEIGIDEAPGAYTKFDRREDGYTKVLIHPNGG
F

>RCO7_08294 | uncharacterized protein
MPPKSNTASKPKVAAEHASYQDMITDAIVNLKDRNGSRYDLTSRLRSRARVALKKYVRANNKIGAADTMFDSLFNRALKAGVDKGVFAQPKGSSGGT
KLAKKEPKPAAAKKEAKPKTEKKPVVKKATTTTVKKPAAAKAAAKPKAAAKPKAAAKEKAPAKEKAVKAPATKPKKAAATKAAPAVVEKAAVLGKTK
SGRVTKTTSKTPAAKKVTPKKKVVTPKKA

>RCO7_08293 | related to COPII coated vesicle component SEC24
MSEYQYGQGTPYQDPNDPNRSGQLGSPFQPPIAPSPYQQTQQPDVGFSNPTLTPYKNAPPGHTPYAIPQAQGQGQGYFPDKGAQAQDGGLAAQMGGL
GLGEVSTHGRKKKKDRHAHHIVEPSGSSAAFNGTPQGEFAPTQYLNAYPSVMPGQQARQFSNTPVTPQMSQFPAPANGPFNPANLATSTEFASRNGG
VDPGFAANMQASAQGRVDPDQIPSVPRSRDAIAQYYLNNVYPTFEHHIPPPASVSFVAFDQGNASPKFTRLTMNSIPSAADALQSTGLPLGLLLQPL
APLQPGELEIPVLDFGNIGPPRCHRCRAYINPFMVFRDGGNKFVCNMCNYANDVPPEYFSAITPQGARLDREQRPELMRGTVEFLVPKEYWSKQPVG
LRLLFLIDVGQEAFNKGFLEAFCEGVMAALYGDESQNADGVPARRTPEGAKVGFVTFDKDIHFYNMNPALDQAQMLIMPDIEDPFLPLEEGLFVDPY
EAKSNITSLLTQLPALFSQIKNPEPALLPTLTAALAALEKTGGKIICSLAALPTYGPGRLFLRDDGKQHGGDAEKKLLNTEHPGWRKAAEKMVATGV
GADFFMAAPGGGYLDIATIGHVSASTGGETFYYPNFVSPRDTEKLSQEIIHTVTRETGYQALMKVRCSNGLQVSGYHGNFLQHTFNSDVEFGVVDSD
KAIGVMFSYDGKLDSKLDAHFQSALLYTTANGERRVRCSNVIASVSDNAKDCMKFVDQDAVYTLIAKEAASKMITASLKDIRGALTEKNVDILAGYR
KNFSGSHPPGQLVLPENLKEFSMYILGLVKSRAFKGGSEPTDRRVHDMRMIKSMGALELSLYLYPRMIPIHNLAPEDGFPNPEGHLVMPPSIRCSFS
RVEEGGVYLVDNGQNCYLWLHAQTSPNLLVDLFGPEKDSLRTLDPYSSSLPILETHLSAQVRNILEYLKTMRGSKALTIQLARQGLDGAEYEFARLL
VEDRNNEAQSYVDWLVHIHRHVQLELTGQRKKDDSGSDNSIASQFAGLRPPYW

>RCO7_08292 | related to CFT2 - cleavage and polyadenylation specificity factor, part of CF II
MFTFCSLLGAQSESSASQSLLELDGGVKVLIDVGWDETFDVAKLKELEKQVPTLSIILLTHATVAHLAAFAHCCKHFPLFPRIPVYATLPVIQLGRT
LIQDLYASTPLSATIIAPSALSEASYSYSQKISANEDANILLQPPTSEEIASYFALIHPLKYSQPHQPLPSPSSPPLNGLTITAYNAGHTLGGTIWH
IQHGLESIVYAVDWNQGRENVLAGAAWLGGAGAGGAEVIEQLRKPTALICSSRGGERNALTGGRAKRDEHLLEMIKSSVSQGGIVLIPIDSSARVLE
LAYLLEHAWRTEAKDDDSPLRSSRLYLASKNIGATMRYTRSMLEWMDDAIVREFEANAGLQQKENQNSKAGGNAGPFDFKHLRLLERRGQIDRILGQ
TDSLGRSVGKVILASDTSLEWGFSREVLKSIADDSRNLIILTERLGKPEGEAKTGLARTLWSWWDEKRNGVVSETTKSGVTIERVNSGGRQVELRNA
KRVALEGNELSVYQQWLATQRQLQTTLQSGGATSLESSADVVDDASSDSSSDSDDSETEQQGKSLNISATMGQASRKKIGLSDEDLGVNVLIRRKDV
FDYDVRGKKGREKMFPLSIRRKRNDDFGELIRPEDFLRAEERDEVDGQDMRHKPNKNDTRDTFGKKRKWDEPQHDRQMTNGDSKRQHTNRNQRDSID
IPDIPPGPEDEPSEDEGPSAIDEAIAESSPSRVVFSTEFLILNLRIGFVDFAGLHDKRSLQMLIPLIAPRKLILVGGMKDETLALATDCRRLLGKGE
SESAVDVYTPQVGDWVDASVDTNAWAVRLTSALVKGLTWQNVKDLRIATVTARLESGVVVTEPDAEESHKKQKLLKSDDNDSIQPKELVRTSPTAQV
EIPTLDILPSNMASATRSVAQPLQVGDLRLADLRKIMLASSHTAEFKGEGTLLIDSSVIVRKTGTGRIEVESIGLATSMGPGTGYGSTFYAVKSMIY
QGLAVVK

>RCO7_08291 | uncharacterized protein

MAYRGHNTAHGFDAGPPPPNSGFNIPQYPGMPGYIQPPAAVYQPTMPYMSMPGIYPMTNPFTTHPSMAPLTDHGFPGVHLKNHLGGVGVPPGYAYIF
PSEHTIIHILKTPHKPWQTGLTIHPINPSTHTKFYVPVSMNVKEFLKQVGCTDGDDKKNVVHEVVEKGNGHWAQGLRVNMDDKDKMKKSLGDFGWNK
VRNGNIRNGGRPVVWLWREKGE

>RCO7_06657 | uncharacterized protein

MRRRIGKGWKHNPYLDQGASNASEAGDQLKASGSIDRAFYN

>RCO7_06658 | uncharacterized protein

MSNATSFPREGGCLAPFIPADLFPVTGGFVDGRFCSSLLGPSCCLPCPQTEWLYPDTFKATAHAASWINVGGVICSAFLLLSFAFLPVEKTHRHYLS
VCLAVAIVIMQFGFIIPLAAKPKACFNAITPHDMDSSLTCAFSGAALLAGGWCAVMWIFLRALALHLQICWQVIIGTSFMWGALATGWGIPAIALTL
ALVLSGVSFRFGDTCHINHKNSLAAFWIPLLIFAAITVIIQFGTFGYCIKVYLASLRDDSTTTNSSGVRSFNNSLRPTISPRQALRRIRKVLELQWR
GIAIVIVIIADVVFFAVVFVFMDDLEASTLKNPVIAGEWLACLAETQGNKNACLNFASDLVINETTVMAVLVLLSLNGFWSLLFLGRYSMFTGWYDI
VMGRVKPDHEFLSADVRAFKDPSSYEMLSRDREVVKTPEPLVVYAVTPLSPGVAKTGRETPDYFGREAKFQPKNRSFSSPKPPQANDGWEKSPTTTP
RPYVYPGMDPLSMNKT

>RCO7_06659 | probable DIP2 - Dom34p-interacting protein

MVKSYLKYEHSKTFGLINSSTSNVVWSESLRSTGIAVAAANEEVLCWDIRKGELLSRWADKDCRSQVTAIAQSKVDQDIFAVGHENGSIRIWDSKIA
TLIVSFNGHRSAITQLVFDTSGTRLASGSKDTDVILWDLVAEVGLFKLRGHKDQITGLRFLQPEAQEIVDENGEVVVASFQDSNTSEGFLLTTGKDA
LIKIWDLASRHCIETHTAQTNGECWALGVSPDEAGCITAGNDGELTVWSIDIVGLSDFSRSTSEISERHFLKSRGVLRGQGKDKALEVSFHPRNDYF
AVHGSEKAVEVWRIRSEDEVKKVLTRKRKRRREKLATMGEKIDVDDATDEAGDTSTAEINDIFVSYVVVRTGGKVRSMDWIKTKGSKPMQFLAATNN
NQLEVYAIPTKEKSKKTKSDEMPDYSRSLAVELPGHRADIRSLALSSDDKMLASASNGGLKIWNVRTRTCIRTFECGYALCCAFLPGDKIVVIGTKT
GDLELFDIASASKLDQVEAHEGAVWSLQVHPDGRSIVSGSADKTAKFWNFEVVQEEIPGTKRTTPRLKLSHTRTLKVSDDILSIRFSPDARLLAVAL
LDSTVKVFFVDSLKLFLNLYGHKLPVLSMDISFDSKLIVTCSADKNVRLWGLEFGDCHKAFFAHQDSILQVAFVPHNQDGHGHHFFSSSKDKMIRYW
DGDKFEQIQRLDGHHGEIWALAVSKTGNFLVSASHDKSIRIWEQTDEQIFLEEEKEKELEELYEKTLLTSLEPEKDNDDNAEFGDVGKQTSETLTAG
EKIAEALELGMADLAVMSQWEEAKISTPNIAPPSRNILYMALGGISAEQHVLQVLQSIKAAALHDALLVLPFSKLPSLFTFIHIFSTRGMNIHLTCR
IHLFMLRTHHRQIVASKTMRPVLEDIRINLRRALKRQKDEMGFNSAALRVIGSQLQERGVKDYVDEDTWEKETNGKKKRGFVQIA

>RCO7_06660 | related to actin-related protein 2-3 complex subunit 2

MLLLDYQNVLIQSVLTERFSGAAPVNIDQTVSDFDGVIFHISTPESKTKIVVSIQVKCYNELLKYGAQQVLEREYGPYVIAPESGYNFSVQVDLESL
PEEKEARDDLIRRVSLMKRNAMAAPFEHAFDEHHRLAEEASKFTSEDAPQGIQEGGQVMAIHYRDEEAIFIKASHDRVTVIFSTIFREETDRVFGKV
FIQEFVDARRRAIQNAPQVLFRTDPPLELQGVPGVKDSGNGEIGYVTFVLFPRHLTRQRRDDVISHIQTFRDYFHYHIKASKAYIHSRMRRRTADFL
QVLRRARPENEEKERKTASGRTFKQGS

>RCO7_06661 | probable 146D nuclear protein

MSDADFDTIRKLQAERNAASAGKKGSKTFDPSNQRTDVSTKASLTDSFDTTLYERDGGDKFAGYNTSIAVADGDDDVDMEEDTSRRLIGQYTASKDQ
MNEFAHGNGVEEEDILLGREKSARIADRETDYQKKRFNRVLTPTRADPFAANRQAGAADEGDSYRDVMARRDLEREEERVQRAIEEKAANGEVIHHQ
AMLTKDGSGSPSDKENKDAGSTEVVSAGRKRKQRWDVASESTADTTEVQDTKVKRSRWDQTPSIGGPAVDETPRKRSRWDQAPAATPIGNQGLATPM
HSSQMGGPVLPNAFGTDISMRNAWLSDEELDLMLPSEGYKVLEPPPGYAPIRTAAQKIMATPVAGGSSGFGGFMMQDPDSARTGGKQLPNEIPGVGD
LQFFKAEDMAYFGKLTDGSDENTMSVEELKERKIMRLLLKVKNGTPPMRKTALRQLTDNARQFGAGPLFNQILPLLMEKTLEDQERHLLVKVIDRVL
YKLDELVRPYVHKILVVIEPLLIDQDYYARVEGREIISNLSKAAGLAHMISTMRPDIDHVDEYVRNTTARAFAVVASALGIPALLPFLRAVCRSKKS
WQARHTGVKIVQQIPILMGCAVLPHLKGLVDCIGGCLNDDQTKVRTVTSLAIAALAEAASPYGIESFEDILHPLWTGAKRQRGRGLAGFLKAVGYII
PLMDEEFANYYTGQILEILLREFSSPDEEMKKVVLKVVSQCASTDGVTAGYLKENLLDEFFKCFWVRRMAMDKRNYRQVVETTVDLGQKVGVSEIVE
RIVNNLKDESEAYRKMTVETIEKVVASLGAADIGERLEERLIDGILHSFQEQSVEDIVMLNGFGTVVNALGTRCKPYLPQIVSTILWRLNNKSATVR
QQAADLISRVAMVMKQCGEDALMAKLGVVLYEYLGEEYPEVLGSILGALRSIVSVVGINQMQPPIKDLLPRLTPILRNRHEKCQENCVDLVGRIADR
GPESVNAREWMRICFELLDMLKAHKKGIRRAANNTFGFIAKAIGPQDVLATLLNNLRVQERQSRVCTAVAIGIVAETCAPFTVLPALMNEYRVPELN
VQNGVLKSLSFLFEYIGEMAKDYVYAVTPLLEDALIDRDQVHRQTAAAVVKSCALGVVGLGCEDAMVHLLNLLWPNLFETSPHVIDRIIEAIEAIRM
AVGPGIVMNYIYAGLMHPARKVREPYWKIYRSTYVQVADAMVPYYPNLDDEKMHRPELAIFI

>RCO7_06662 | related to krueppel protein

MTMTIEHQQRFGGMNFDHMSYPNSPHFTNPWSATTAPSQSHSLYAPSHGNLHPSMGLDLKHEQQVPRMNSTASMGSYSSVPISAASADLLSPSRSVS
TGYGDNHHAYSNAPSPAHNSYAPAPTPYETMGYAPAPVRSTYAIPQDSRRLSHPSVPSHTFLDVSEDAQRHRQNSLIDFNDRGLQNESTRSFGDAID
ASRGMIAMSQNTQTPRNIYEAQGRARGSGDAYGFPTTHSSTSSISSASNYQAYFGGSVDSSSMSDYSNAGSDIESVSSRTLPRPSGLINGGMPPAPA
SMMGQFSSKVSSSTQKKHKCKVCDKRFTRPSSLQTHMYSHTGEKPFCCEVEGCGRHFSVVSNLRRHRKVHKGEARSEAGSEDHHSDE

>RCO7_11593 | uncharacterized protein

MVAAGVKHAERKLTSSKRFLRLLDGLQNAIGLIVGLAYHQLIVARPSGRPSPVPRYLGSGMRDEHFGAADLIAWQSNKPSMAVLTRVEMSADREVDK
LSQIPRGRQIPIIPDGHTQLSGLDLARERFIHKKAIEKHVLLTISVQYTIAVRLPAYVCPNHAPQMGIGISRDAILKHFRCGKCLQTAGQRFLGACL
CVLV

>RCO7_11594 | related to Pst1p

MRLPSWLRQSASDRASSVHCALYLISLAQVSQAITFKPVPAANLDLPALGRVGLVGDFDGISLYQFEGQNENGFNANGSQSVLSRFPNGGFANLAAA
DAGIQAMCVFTMQNGEMAGVIVGGNFTSLGGMESQGAALFNPNTSTITPLTGLSGQVSALLCDRERNTVYVGGSFKGANSTNAIAWVGTAGWTNLPF
AGFNGPVTSITKASNGNIVFGGSFTALGNANSTGPRLPDQQIINIAGATLTSGSSASAAGLSDPANIVCKTGGVDGPGNTWLLADNSPGFWRANFGF
GFQPTKLRLYNTHLDGRGTKTWRYTAFPINGIMNFTYIDPATGQNASCSSECPLSSNRSVQFQDFHFVNVIGMNSFQIDVSAFYGSGGGLNGIQLFQ
DDIFAYAINDFNEPTCANIPSASSATQTGAWVVTSSQQSASEYLAASVTDSNSASVVFRPDIQQSGNYSVNIYTPGCIQDNSCASRGRVNVTGVMSS
GASFTTEIFQTNNFDKYDQIYFGAIDASSSSFRPSVSLSAVPGQGINNLTIVAQRVGFTLISSSGGINSLFEYDPTQAVIDTTKFANSTFDVAGMNL
PTGAGINSLQTSGSTTFVGGNFTTNDLSNIFSVTNSGATPLANGGVNGEVMSMFMSGSVLFVGGMFTNTKSGGTTGLNNIAAYDTSKNSWVALGAGV
SGQVSTVVPLVMNVTSNTPETVITITGDFQQILAFGSNQSVPVTGFAIWVPSRGNWLQNLDLATPSVNGQLTASIDLPGGGSLFAGSLSSSQLSANG
AVALAGSLSNFPVKIRATQPQSSSGLAKRAIIGQNVSGVVTGLFYENDGRNVTILGGHFTATASNGSLVNNLVFIDNKNSNTVTGVGASISNDSTIL
AMAIREDTLYAGGSISGTVNGNEVTGLVSFNLATSSFDTQPPSLSGGNVNAITIRPNSGDIFAAGGFSAAGSLDCPAVCVFVSTASQWDRPGSNLAG
TANVMTWQTPTSLIVGGALTVDGRNISLATYDSKAQSWSAAAGASSIPGPVTALTAANSDASQLWVSGTATNGSTFLMKFDGTNWNSVVDAFGSGTK
IYGLQVLPLEKPHDNSGLVSSRQVLMLTGSLNLPGFGNASAVLFNGTSFQPFALTSSATNNGGGSLSQIFSQRKNFFKAPGGKLAKGFVVLIALAIA

LGLIFFLVIAGVIAERIRRKREGYVPAPTASFDRSQGFSRVPPEQLFGSLGQGRSGVEKQSTRI
>RCO7_11595 | probable Probable endonuclease lcl3
MPWPLGSSSSDKSIDGKKRSVSWKDNLNSTDWSHYTDPRTVIPTILLTTTILVSVRIYRSYLSRIPEATYIRPRFFRKRSLFGKVTRVGDADNFHLF
HTPGGRMAGWEWAPGRKIPENKMELKNNTIHVRIAGIDAPEGAHFGKPAQPYSAEALEWLRNYIMDRRVRAYIYKRDQYERVVATVWVRRWLFRKDV
GKEMLKAGFATVYEAKSGAEFGDFEEKYRAIEEKAKRKKLGMWAGRAKDYESPRDFKTRTAALSDTKLK
>RCO7_11596 | probable N-glycosylase/DNA lyase
MASMRVSEWRKLPVSLAELCIETTLRCGQSFRWKKLRGDEWICALSGRILSLKQDSTHLQYRTTWPSLSHNLTPALSATASPGLSLPVEDEQTENLL
KHYLNLSPDLTALYEQWSSVDSNFKKRAPKFTGVRILKQDAWEALVGFICSSNNNIIRISQMVNNLCLHYGPLIAHIDDQPIHDFPSPAALAVPGVE
SRLRELGFGYRAGYIARTAMIVAKEKPEGWLESLCNVEPYDDSPDQKPLPEGGREGYRKAHKELLQLLGVGPKVADCVCLMGLGWGEAVPVDTHVWQ
IAQRDYKFGKGKHKSLTKATYDAVGDHFRQLWGKEAGWAHSVLFAADLKAFSERLSTNVEVDANEVKIKIEDGSVVESKVVVKRELVLDEIKSEALH
KMDDIKIETSRSKRAKRRKL
>RCO7_11597 | probable splicing factor U2AF subunit
MAPSSSSSKIKQEGAPTDKQASTDSARHGSSRDFPSRDDRRGDRGGNRDRHRSRSPHGHRDRDSRPARREGEVDSYSTDRNYRERERERDRYSGRDRR
GGGERVPERGGERGGERGGDREWDRDRGSSRRDARRDGDDRPPRRDRDLFEERRGGGGRRGGRGDREGFGGGLDRNERPKSASPPPKKKEPTPDLTD
VVSILERKRRLTQWDIKPPGYENVTAEQAKLSGMFPLPGAPRTQPMDPSKLQAFMSQPSGQVTNAALKPSNSRQAKRLLVHNLPPTATEEVVVNFFN
LQLNGLNVIEGSDPCISAQISKDQSFALLEFKQTLDATVALALDGITMEDEHMNGSASNGDTKGLSIRRPKDYIVPAVTDEVPYEEGAISNVVVDTQ
NKISIASIPLYLTDEQVTELLVSFGELKAFVLVKDNGTEESRGIAFCEYVDPSATDIAVEGLNGMELGDKHLKVQRASIGHTQVSGLEMSVNAMSML
AGTTTQGMDEGRVLQLLNMVTPEELIDNEDYEEICEDVKEECEKYGKVLDMKIPRPTGGSRQSNGIGKIFVKFDTPESAGKALRTLAGRKFADRTVV
TTYFSEENFEVSAW
>RCO7_11598 | 40S ribosomal protein S13
MGRLHSNGKGISASAIPYSRTPPSWLKTTPEQVVDQICKLAKKGATPSQIGVVLRDSHGIAQVKVVTGNKILRILKSNGLAPEIPEDLYMLIKKAVA
VRKHLERNRKDKDSKFRLILIESRIHRLSRYYKTVGVLPPTWRYESATASTMVS
>RCO7_11599 | related to histone-lysine N-methyltransferase
MSVPNSAEAGAQEQASTPAAQDLPVAMQQQTATPQTTTTSPAQAIDPSRDVIMTDIMSERPASPAILPGATLANHIPTRTATPSRNTNGSDNTSRAA
SLHPDPTPAMPKEAPPHGAPTRQYLNSKVTGPLMDGMKLLAKDQPKDPLRVLGEYLLQRSREVEGS
>RCO7_11600 | uncharacterized protein
MVLESRGATVHNAMVGKKVPHPRSANFHDDILPPAKRLKTFESTDGDDLREGSENEAAPPSPKGFRDEIPDSDDDDESGLDEPHITKRPTELESALP
PVKTDKDAIDEYEAMRAAEEVPEDLKGRLTQRTWIRGRSSIYVDAFNLALETVLEDESHLFDEKEMEVFNQWRQLEYEAQYLYVRLFLRKTATWHRI
SRLGYYSDISDLPEAARMLQSDRSLPESSAPTQVNPAENAPPDGTVLEFTFSFADCSDGIITTLEEASSLLNLEEVRGLAKEAKVQGKNKTGLLKAL
LSMSQRQSGLGWVGLKRSDSQGSIASEKGDEEEDTKDSISDSNRDNHFLRKILATTGSCIRLSLPTLKLFERVHLVFYRSTEWTDKSLTTIILARIS
RRNFPEYIVSRSQNIFPSRADLLEFEASLRTQFRVDNILELNGNPSKTGLDTVLAIFDEVYPRWKILLGEEQRKEDRVYESGEGAYLRRFSPAWVYT
RIVHKSTYVLGRYKMHEREHTITSELLGQHLFHAARRGAWYQRKALLEEHYMHAIQPPPGISNVEQQKKHWKWISLKTCEAGLQDKDCHTIYHYDLQ
KRIRKLEKGLKIPKREQHDFGHVLLSKPIEVSVEGIQIKKEYPPSRRSSTHGEEKQRSTKTIWVDEAEGGGECSVEAMCLSNYRSRGFKGYHAEGGI
VRTLFAYLFYDVLFVYIPNVFQTAYQTCPLDLHTDAFFPSRASEINHRLVEIENGSAADIIRTVDTREREKRTCAIGLNWDFELDDLLEIVSCFDGQ
ALAIVCKVMAEEYRVRGGGMPDLFLWDVEKKQVVFSEVKSENDRLSDTQRLWIHVLTGAGIRVELCNAVAKEVRITAVG
>RCO7_11601 | uncharacterized protein
MDYTMDDAGNHANNNPAAIHQCLQASPSSAQHGYSSQGHFDPVHDASNYYYGINPSTSSRPSYQIPQNQHTQNWGVSPYMPGANWQGFGDMSRPNST
HGGPDSFLNHRGPGRNYEDTSWSGYRQIGRPDDTYGPFANQLSGHNLSADHSMRPGGGVQAGSVTQTSTLGPSPLTQNFDRPPTDPLGQSGGPSHTR
APSLGAGRINRHQTPSHSFPTPPSLNSLRFQRAPRPFLSRPGLHGSTAADRVSWGDSDEESVSDIENEAIRREEASYREDEEEQALLMDRASAAGRR
IMAKEAFNSLEKIKVEDLPKESKDCTICYNDFGLENPDGVIEQPVRWPKCKHLFGDKCIQRWFKEGKDTCPYCREKIPSESATKNLGMETQLRTLQR
RRLLQAAAGGQQQLRHDGLTTGIPPEDPVSERTPLSPQFSSSHEEYDVMVNHNAGSWTYSSQHRYSPGDSPERRRQGRGRPTGGRSGHHMGRLVPIG
PARSVNQSFGLYHNPLPRGFGPPLPTLHTPATARRTTPPGSTNNQGNLRQGHTHPHTPQARPSAGLPSSASASPEEASPPVAVGSGLPARHRFGVDN
PAFRDPQNSESTGPRQHQRFWDEARALEQQINALSQNTRSVGQNLALVRRLSESGSRVSLEASQTFANP
>RCO7_06663 | related to component of the anaphase promoting complex
MPEQTLAQRKRRVFDSVFGAAAISQPTPVTTPATGFTAPGQAFGVLTSTHQTNPSFHLSDHRGAGPSTEASLDSSRHIQDQIRWDRSWHLVTRTLSV
PDFPENRGILEPLKPERDSIGANFCNALEDVLYPQSYVPFARQTEDIIKWHTSQVRHHFLHQVLPVLLRLQDHNVPAAILLKSIKILETAYRQYHHG
LSFIKEQLDASSPGTSEMIISKFRRDLHAIISNSVMESLSDALSKELKRHVSAILGLLKSENVSPSATILPETSESEKSRRELLSLVESFRKVGLAG
EKFQVCFAEIMNNAITEYIYRGCKGIWSMEEANTGLVNQGIVSSANGTSILPRTAHNASPSRCVTDLCSWIEDRYAKLAVQVLNMLGTRSVSWTDKE
KYKEMSIGRLAEFRTKELFDIVGSWPRSNGALDDLRTAITTPQRRLRLTEVFSERLSGKLLHPGTSTLQILQTYIPMIWSFHSLDHSKVLLDRVAYP
LQLYLCSREDTVRIVIAGLLSDTEDAQGIPIYSVNDKLVELAQLLKNGSDQVGKRANDEELDWHDLDWIPDPVDAGPGYKRSKNADIIGTLIGVLGS
QDVFIKEFQNIIGENLLKHDANFAKEIKVLELLKVRFGEAPLQACEVMLKDIQDSSRVNSVIRRNQNLEPSEEEVHAATSKAGMTDEDLNPEGLHKP
SLHAKILSRLFWPQLDEESYLIPESILQLQERYEEGFETLKAARKLTWLHSLGQATVELELQDRTITEEVHTWQATVIWDFQSDEAVYPEPQRSVQE
LVERLEMDEALVRSALRFWVNKLVLHELSPNTFSVLETLNKEDRARSNAQAAASAAAGGGEDSVDDTGLAVNDGINEGKMGIYWQYIQGMLKNRSSQ
MPLQKIAMTLKMLISDGFPYSNEELQEFLGRKVEDGGLELVGGKYKLKK
>RCO7_06664 | uncharacterized protein
METLVLEDSPLADYLEGDGGEYSDSILSQDANSHSLASSPSFAPRGRPTIRPRFRQKLPPPLRLAIPQNNTVAAIHNTCSRAVNSRLGRADNARFLE
RFRYMIVASQLLSPHSYLGQTIQGQSRDAVVPTPDAPQIGAITLAGAAVTASVAFALVWLINWTRGNERSSAGKGRFALALLAIIMLAMVSYAYMRR
QWLQYLRQQALSEISDFAAKAQGLDVMVAGALTLVQEVELVSRGYRISVPLPPISRLEDRSQNRRCSRLRKQLRICFVEVIPRCNQACTILKPMAEE
MDLEKYLDIYDISESDCTEAMQGYSGTEIEDAESVRVLKILASRFYTTRKMFLCCLMALDAHGGKPDFARWSTAVDEIHGVGVVIGEAEQRLHQILR
QEENFPVPPTPKLPTTPGRERWRAQLRKLNSLSTGIRGLQAKLHVLREESDKNLDESEDVSDLGTHLLIQYESVGVDLKALMQEWEDGKAALASNID
RNERRVSSMSGMLSPTTSLGGLTAVEEGNPSDALKVLSGEARSRNSMDFSSSDAEEVFEAIAMPRQRSTLTRDQRIVKMKQDRVKRESTRTKAEANT
KMLRELESVINMRPRGRTGTGGGRITSI
>RCO7_06665 | related to ER membrane protein complex subunit 6
MLTERELQISPIVQESVAHNTKTLTTLHNLTASLFGIGAGILGLESYPGFLFYLVFTLLTSALVYALRVRPGIIKDTESQGSSGIERYFRGSLELWS

GGLIEGLSGFVLTWTLFYGLVRA
>RCO7_06666 | related to GTP-binding protein
MASIFTYETEPSQVSSPWLTPTDTPKPSTPQPTDQTPRYTISPSSARLEDHAVTRLGAEPQDGPTEYKLHLLLRPRRNYSRSSTESLKSGTYRKRPS
SHDLGSTTPPSKQSRQNRFEQLTTQLLWRLQQSSPYHDVSTSELVLPKLPDASNHLEARSEPAKLLAGLEQSRGALYEIGVSDDGTFVGLTEDEMDE
SLTNLRAMAASLGCNVEIVRMVVVGECEWLEASSTLASHEVHRQDESRAGRPPNSDASADFSRRTAQLWVAEALVSPNLGPRDRSSYFRSDDSTVPQ
NHIPPFVQFNGVKETSTEIDNTEQLRITLTGPTTSGKSSLLGTLSTATLDNGRGKSRLSLLKHRHEIASGVTSSVAQELIGYQGRSVINYASGNVTS
WTDIHFSSKAGRLVFVSDSAGHWRYRRTIVRGLIGWAPHWTILCISANDGEVSGSGGKDSREIMPAGFGVDLGKAHLELCLKLDQPLAVVITKLDLA
SKASLKQTLSKILSIIKATGRIPSMVPPDQIINIDELDLSTTPHPDDKDPIRLLVEKMTRAGDLTSIIPILMTSSVKGTGVRSMHSLLQHLPIPPTP
SAQDLFGPALNPEQPACLFHIEDVFGFAASPEPLAFNKKGARDKGVVVAGYLRFGSFSIGDIIVIGPFPADSDDYESLSKPGSQPSSSKLDSSLYPL
SAAEFSRMASHYAMPASVNKGEWFNARIVSLRNLRLPVHTLKAGQVATVGVVFDIPTEVVSNGTFERPPPTPPRLRKGLVMAIPSQHMLETGHSLQA
ATGFTASFEDSDINSVTPGSLVVIYVASIRAAARVLKVVPHANNDSGVTAEEDESDDLFGLHDSLTMDEQEAETFIFGIDGMIDVTLELVKSREWIE
LGSQVLVMPGGGHGLYYGSERGEKGVAGLEGFAGRVVEVWF
>RCO7_06667 | probable protein transport protein SEC9
MKKFGLGKKKGGEGDDDSSRSALFGSRSSKNSAPAPAASNPYAQAPQAADPYAQDSNKYANMGPVGASGSSPYQQARQNYGLPSGPGAARGGPPPPA
VTRGPAPSTGGYGAEKYGSGGGYGSNRYEGAPSSGAGGDAGSRYGPGGYGGLGRINSNDTTTTEDNRDALFGGAKDRYVQKTGPPPSNGRPGGGYAA
DSSISSQGGGYGAYGEDRQLTAEEEEEEDVAATKQQIRFMKQEDVSSTRNALRIAAQAEETGRATLARLGVQGERIHNTEKNLDLAANHNRVAEEKA
KELKTLNKSMFAVHVSNPFTASSRRATRDQEIIEKHRQEREERDATRAAAFGTQQRMERAFKELQPGDVGYRAPQTKASLAERSKYQFEADSEDDEM
ENEIDSNLDALGHAAGRLNALARATGKEVDEQNKHIDTIIQKSDRVDDQIAMNTARLGRIH
>RCO7_06668 | related to pre-mRNA splicing factor ATP-dependent RNA helicase PRP16
MAPSHVLRQARSGFCRKTAAAALDIGMNVEGPPEKAERYTYKIYLPAKLEMPEKVHVTFENEDGTGSRSPRLKEKGPGPAALDNQKSKDSFLIAGVK
RTRDGSPKAGCSPSSELITSRMKTSAVNKAGIAHANGVGERSDNGAVRVGRALEDSSRSALVKDNRDTTSNSRFRSRISSGNEQSGSEKLQHIARQH
EKVRELLPIWPKKRDIRRAIRHNDVLLVNGETGSGKSTQVPQFLYTEPWCKRQIVQVKTDGGKTEDVAVGGMIAITQPRRIAATTLARRVASEMGSP
FTGPVGEVGYAVRFDSFVPTGTKIKFMTEGMLLQEMLLDSNLRKYSAVIVDEIHERSIDVDLIAGFLRKLVHGDRSGRGGIPLKVIVMSATLDLKGI
EAFFAKPMPTHRDKSDHDPSTSSAVPVSNGDADWNLRNGNTTLWDGPSDSKLTASKSNGVQRVKSKANGVAVEYVRGRQHEVEIIHETKPSQDYMHT
ILHTVLQLHGTEPLPGDILVFLTGQDEIESLRSALVEYAEKLVKTLPRMKIMPLYGALPAAAQQEAFEKVKESFTRKIVLATNVAETSVTVSGVRFV
VDCGKSKVKQYRPRLGMESLLAKPISKVSAIQRAGRAGREGKGKCFRVYTKDDYAKLDQDELPEILRSDVVEAVLKMKSRGIRDVFEFPLMDMPDVR
AVQNALKQLHMMGAVDDEGDITAVGRKMAIFPLPATYGRVLLAAAGPRSDVLLEVIDVISCLTTDSEIFNQPKSEDDQENMTEVRKDLLSPDGDIIT
LLAVIRRYATVANADRLEWCKQRSIAPRALKTAMQIRQQLRQICYQQKLISELPPANTDSYEGLSPERIVILLKTFMTAFAAKTALLAPDGSYMMTL
GRNQITIHPSSVLFGQKKSEAIMFLEHVFTAKNYAKKVSPVQANWVEEAFQV
>RCO7_06669 | probable acetate non-utilizing protein 9, mitochondrial precursor
MASPTTLGATKGFKPAPLALLPPIPLYRRLLRTHRKHLPRDMRLLGDEYVKSEFRAHRDVENPVHIIGFLTEWQMYAQSLEGDSWIGERMEQGKIDK
MSDQQLGQMYELMQAIRKKELEDSEESNS
>RCO7_06670 | related to methyltransferase S. pombe
MLPTPSTSHVAFQRVYEPAEDSYLLLDTLSCEAEKIFLHNRFLSNHSESTKNSSPSTSSSPLVVEIGTGSGVVVSFVNAHANTILGRTDVMTMGVDV
NRFACQATEQTVGMAQEDQGSKGLPNGFFLGSVLGDLTLALRPGQVDLLIFNPPYVPTLELPHIPRVLGPQATSYDADSYLLSLSYAGGLDGMETTN
RLLNSLDTVLSRTRGCAYILLCARNQPEIVKEEIRKWGKGWAVETVGSSGKKAGWERLQIIRISRTAIDS
>RCO7_06671 | related to small nuclear ribonucleoprotein Sm D1
MKLVRFLMKCANESVTIELKNGTIIHGTITSVSPQMNTALRTVKMTQRGRDPISLDTINLRGSTIRYYILPDSLPLDTLLVDDAPKPKNKARKEVAD
RGAVRGGRGRGGPRGGRGGGGGFRGGRGRGGGGRGF
>RCO7_06672 | related to PKR1 protein
MSTFFTELAQSIFTPGPTPTLLIATNVTFACLQVVLLFLLIATFSVHFLLLSLLSAGLWWSINWFVSELKTVQASEDKKKSLEEAQHADDIDTDAET
VIDTSNAGSGSKAAEVIKKTGELKDRGSTKGNKSETSTEDEWERVSETDKDK
>RCO7_02964 | related to `extra sex combs` protein (WD-40 repeat family protein)
MGAPPLERSSSDAVSADFWSVKFYPYTEPGVDPVFAVVGGKRILVCRPPSGKDNTSIEVIQEILDEEDDIEHYACAWSRDVETGLPLLCVAGLSAQI
KVFNVITGDLLKTLSGHGAEINDLAVSPVNPCLVASASEDCTVRIWSLDPRHESQPCAAILEGDSHVSAVLSLAFHSNGRYLLSAGQDHRMNLWALP
EFPDINTGTNKVTRIYYPHFSVSEIHSDIVDCIAWYGDLILSKSDKEEVIVLWSITNFNSSLPPLPQSSAPTTHDTSRDARSAFVTPPPSLIDNAIS
LYTRHLQFSIPESNIMFTRFSLYPGNKNSELSHNPVLAFCNTNSKVFFFDLARLENYWEVAQTFEDTPKLGGNEPPTSSDGKPLLIPTEQNPRAHPF
LHPFQRRNRGGGSVSVSALGRLARETSLTESTNSDQTNQDETSQVQPKSARKIDWGRTREGWKKKYSMEDPSKSLDAHHAEMVRPLKFTGRQVAWSG
DGMWCVVVGSEGSIGILGRWK
>RCO7_02965 | related to thioredoxin domain containing protein 5 precursor
MRVLLIICALFASSILGQAAQERLEEGDQAADKEDDKADVIPPTTFNGVEVPPITILEGETFNASTKEGIWFVKCHSPYCPHCLSIAPTWQTLYEYY
FTSKPVPAGPSADSSSSSLNSFTAYYNFHFGNLDCIAFGTACVEKKVTSFPTFILYQDGVEIKRVEGAKDMKALSQFVEASLESIRPGSRPVGGPQL
PAPGDKVSKEFQGPKPADVKATAPAATVPAATKPANTPAATALVPATSAKATASTVSQDSRAEETKASSTAVKASSTKSSSKPALPPKSTAMSNTLG
KSIAFTAESFQKQVTMTQEPWFIKFYAPWCHHCQAMAPNWIQLAKEMKGKLNIGEVNCEAESRLCKEVRLRGYPTILFFRGGERVEYEGLRGFGDFV
SYANKAIDVGDGVKDIDALEFAQLEEKEEVIFLYFYDHATTTEDFEALERLTLSLIGHAKLVKTNSAKLAERYKITTWPRLIVSRDGRPTYYTALAP
KDMRDFRQVLSWMQSVWLPIVPELTASNSREIMDGKLVVLGILTRERPDEFLIAKKEIKSAALEWMDKQTLAFQRERQELRDAKQLRLEEAEDRNDQ
RALRAAKSIRIDMNRSEQKEVGFAWVDGVFWERWIRTTYGIEVAKDGEKVIINDEDQRRYWDTTITGNSIMASRTSILETIPKVVASPPKIKPKSTI
SNLDKFFFDIRGAISGHPYLSVVAFVGILVGAAMWNKRRMRRSRGGFFKLDEKDGLLGGPANGKVD
>RCO7_02966 | related to TDP1 Tyr-DNA phosphodiesterase
MPEDQAPKVIKSPFQLTWIRDLPEACNKDAISLKDILGDPMISECWEFNYLHNLDFLMDAFDPDIRELVKVHVIHGFWKREDQSRLNLNEKATKYPN
ITLHTAYMPEMYGTHHTKMIVLLRHDDFAQIIIHTANMIPFDWTNMTQAVWISPFLPRLSPVSLSQDKTAGSFGSGTRFKLDFLNYLKAYDNNPKRV
ICKSLVAILEKHDFSAIRGALIGSVPGRHHIERDSQTGWGWAGLKSVLSSIPVQNRDGEIVIQISSIATLSEKWIENTLFDVMRTSKNILNSKSKFR
IIFPTADEIRRSLNGYDSGSAIHTKIQSPAQAKQIRFLNPMLCHWAVDGEERLGAEPILDAGRKRAAPHIKTFIRFTDEKKSSIDWMLLTSANLSKQ
AWGEATNAGGDVRICSYELGVVVWPELFGEKSIMVPTFKTDTPASHAGKEGEVVIGARMPYDLPLVPYGKADLPWCATSPYKELDWKGESYGLE

>RCO7_02967 | probable acyl-coenzyme A-binding protein (diazepam binding inhibitor)
MSAFDTAVVDSKKLTSKPSNDDLLQLYGLFKVASGEDISKAEQPGTFDLKGKAKKKAWQKIVDEGLTSDQAKEKYVALVESLKEKYGYDANKSPEAV
GS
>RCO7_02968 | related to protein-tyrosine phosphatase
MASFLRQLVAGPRSRHPEAGLDLCYVTDQIIATSGPSGTYPQRAYRNPLDQLVKFLDYKHGKDWAIWEFRAEGTGYPDEEVYGRVWHYPWPDHHPPP
FQLVPLIMAGMRNWLNEAEGNAEEIGKYGKKVERKRVVVVHCKAGKGRSGTMACSYLISECGWTPAEALARFTERRMRPGFGQGVSIPSQLRWVGYV
DRWTKSGKIYVERQIEIMEVHVWGLRDGVKVQVEGFVDEGKTIKLFHVFTKKERVVIEGNTPGGGGFKDMVSDMAGFENESKVPRAKSADQLRSMPE
PRTKTMPQDNSSSTSTSGEDTGAESGGSAVIFRPSKRVILPSSDVNIDFERRNKASMGWTMVTAVAHIWFNCFFEGNGPEQGGRPDENGVFDIEWDK
MDGIKGSSRKGARAFDRMSVIWKAYDPAPGQQGAKEAVITEPGINSPVQQAAPADWKGGNKTDPGLGKNLGLRTESPASADVSKASSVKSSGPNDDN
DSEEGVRPSGPAGEEYIEADDINVKDLPQPEENSSQPTLAAVNAGMDTASSTTPMPHRGVDRSNDYPPPHSPGLVAEAGTTGSTSPPTDQLRDVHTH
GLGHLQSSKKTIDS
>RCO7_02969 | uncharacterized protein
MAPILPPGGIMPVDQYNGNGLSARRTDDKKSLMIYPDLYKLQSDPKYEDPKDSAHDWQNPGDPMDQLSWLRIIREIIGRAYGLKIKPRQSFRSLISS
RKTIYTASCGRILTLKFRLAEDLKINLLSLKYIGSFHRYYEASVYIHNLQTQMALNVTTALAFLHKEDIILWGLSPNTVHLRSDLSASLVNLDVAAY
KARTCSDSIEDSYRSPEWLEEPFPNQPETWIISSQDMYASGSLLYYLPNEEDHGLWEEEEDMPDLDDKNPNELVKNCWTREFRIMQEGLKLSGEDDI
MVDASVEQF
>RCO7_02970 | uncharacterized protein
MARFLDKIFKHSSKESTVPERNPERNTERNTEPSSKLPAPAPAPAKSRPRQSYQEINDREEREACIRYLYCRVIVRQPELEKRNRQFMEREDRGEIP
TRREQQTDFEDNRISGFTPVPVSEQDRDLDSHRVQMEMQNRGEKFALSRKQERDLNNNRISGFTISTSDSGGGDMDSHRPILRFEDVTVPNPSNKTH
ISPYHSLDPGSAPPPGPVSETVGLPCTTLGRSACWAIGAANSTEVPSGLGLVLLPSESSGNNLQHPDEIEDGDKELNDATPADPNFQRETVDGLQDT
AIDDRGAHDVSEGAASNGYFGMYKDHVPDQEVLLPETYSSTPPVAATRSPPRSEVPAYSSVDRSRNPIDGDSQSNKSGESIICIKVHKPIADLKVTY
KMVMKDIIDSTYLQDMKNALALELVDIIQEQKVQIVQGEVDSPRRRREVTSPRQSRDHNPELDHNQELINKFESLPESPVTKHVIAQLKRDKKTTRE
RWQLYENLDIERNASPAPMLAGNENERPIANSGGVSGSERDVKRRKGSTQRWTARNWIIFGGSKRENVRVRPTVTNEVFAPPLYVPATAEQAEETKN
LGKLYQICSETTKAVQSGQLAALADQ
>RCO7_02971 | uncharacterized protein
MFTTSHLKRKTKGRQEVITPPMTFRSRSSSVSSSSDDESYFFKTYVPLSSLPTPPPSSQSNLSSRQHSPHPFSSPGEILDPELLGPAIHLTNLIPSS
TSLTTPSVPLVHQILTRANVPLETIALAVCILDSLNSRFALQWRKGCPLSIPDSLPGSFSPILGSATSPQHIDSIHPELISLSALILAVKFLDDEQQ
HTIQYAIEWAKEIWTCPQINYTQRCLLENLGYRLLPLWEESIILEALEDMERAGQQSTPEIHSDGEDWDDADTCFGSFDQGLARSVPGRGKAVLGEG
KLSTPIETPGVKIVRGMRDVEGETRSAFPLSKTDPYSYLPDRTAGRIGPIEQLSFWLDREFRV
>RCO7_02972 | related to phospholipase A2, cytosolic
MATISRTALVGVTSVVIAGSLTYILYRTDQLQPLPATRLRREIREDRLRRQAIQEKKEEVAAENVHNLEVLPFTDSVKAVVTSTDDTAWGSFSTKFA
LFSSVTDLQWSSVPQTIVDFVMPEWAKLLPEYITKLQKELSMAPGSLADGIWQEAHDPDINPEIEYAASVRVSSELCEEEKDFLAKRKRVTTTALAK
YLGLPEEDVHPDDVPTIAMVGSGGGLRALVAGTGSMLATSEDGLFDCVTYTAGVSGSCWLQTLYNSSLGGRRMDKMVDHLKARLGVHIAYPPVALAA
LNSAPTNKFLLSGFVEKLKGDPNADFGLVDIYGLLLAARLLVPKGEVGVDNRDLKISNQRDYIKHGENPMPIYTAVRHEIPIIEEESAEEKATDSPS
EETKAKAKKEAWFQWFEISPFELFCEEFGAGIPTWSIGRKFEDGKDLPHDGDGLRLPELRLPLLLGVFGSAFCATLSHYYKEVRPLVKGLTGFGGVD
EMIEGRDDDLSKVHPIVPASIPNFAYKMEGKLPETVPEGIFKTPHLQLMDAGMSNNLPIYPLLRPGRDVDVLIAFDASADIKTENWLSVADGYARQR
GIKGWPLGTGWPQQSDTAEKTAGQLEEAQAITAEEADAKVADAKAEQKEHLEEIERQGSKASQSQDDEDTGDLGYCTIWVGTTEERTSTTEDVRSKA
VKEDWQLMQPDAGIAVIYFPFLSNPKIPGVDPVTSDYMSTWNFVYTPEDVDNVVALARANFEEGRERIRRCIRAVYERKKKKREEREGAEREQRWRR
KVRLGIVGKKGEGDHFHLT
>RCO7_02973 | probable exocyst complex protein EXO70
MAMAASTYPLGRAVWSLKHQQSMMAVGLGTRQAADEEARAEVEVLNSRLEKTRILNTKLSASLARLELSGKSVQEAIGPIYGNTQKLQVLGTNIDGV
ITAIERIRQPPDIKSNEEEIIRKGPEKAGLAPFLSSVKRVNKALSDLKQTNLRSNQQAVADLSKLLKYGSEQLEQHFQRLLQEDSNPIEPLHYITKD
KPFPMLSQDKSTRLGLINSYVVSVARQSGSSRDSPMLQVYANIRGPYLVATLQNLAAASVNTAKKKSPDAVYRQGTNGLGTYAMGMEGAFLAEYGSI
SSLFARDEWGKVFNLCCQGAISELARTLRDLDLHIKANFTTDCFLAYEIIEIMSNLSSNMEERTGELKPSFAAALKPIRETGKSSLSELLDDTRRRI
ASLPTVPQDSAAMPITQETMTRLQTMVDFLRPISSIMVSIGDGGWKTNASSNQSLDQIPTLNSFDVGADGKEIFANYSMDTIDILLSSLEQKARPLL
KGKPPLGVFIANNATIVDRMIRTSELQPLLQSRMADVDKWRKNGASLYGSAWREPSTHLLDVQYTNRGGQRPPSGSAAAIDSAAIIKGLSSKDKDTI
KEKFRLFNASFDDLVQKHKSMSMEREVREMLGRQVQQMIEPLYGRFWDRYHEVDKGKGKYVKYDKGAISAIFLGLS
>RCO7_02974 | uncharacterized protein
MLFRSSTFARLAIFGLAAVAAAHTDEDDSCEADHPTTSSSVAPVHTTVSTKSSYTTYVATTLVTHVPHPTLPPKHAHEPKHDHDNKHPDAPKSTHEQ
KPPHAPVSTYEAKPPHASKPTTAPTSVSSTAAAATPTHPATGSHGAPTSPVNIGLGTWYGKSCGEMPCWQGGACAFVDYVLPASIMGSTCISEQIWN
NGYHCGGCVEISYKGGAKKIAMITNKTGGDGLHLDMSPDMFSLVADKSLGGINIEWAHVPCPISSPIIIRIHNGGSRYWFAATVLNATLRTSSLDVS
TDSGATWKPTKRNINNFFELGAGGTGTATAWVRVTSETGSQVIVKDVQLKSGASTSGTSNYA
>RCO7_02975 | related to MFS hexose transporter
MENHIPFDLASLQSWYERPERVLLYCGLLPAALLTPTANGFDTSMTNALQTIPAFQEHFDSPTGSSLGFFGAAQSIGGIVSIFLGTFLSDKFGRRCP
LAVGSVVIIGSTFGQVWAVNFGMFCAFKVIIGIGIGLIQLGAAPLVAELVHPKERVAITNLFNTSIYIGVIVGAWVSYGTYTIDSDWAWKIPCILQI
VCSVYQLCFIYLCPESPRWLIAHGKSDKAKALLTKYHGAGEPNNALVDWEFAEMVEAITLEQSAQLSWKELLQNKGMLWRALICVCCGVFSQTSGNG
LISAYLTTILHGAGIRDAKSVTLINGGISIWSWIIGVACAVLTSKFRRRPLFLYGTSAMLAIFIGWTIAQARYDISGVPAAGYAVIALIFLYNAAYA
FCWLYLVVGYPIEIAPYLWRARLWALTLLSIFISAFFNQYVNPIGLENIGWKYYVYYDVWIAIEIVIIYFFFPETSGRTLEEIAVIFDGESAALSAG
MDEKVSAGVETTHAEKQ
>RCO7_02976 | uncharacterized protein
MDLSLLTNESLSPLSQPKDGQRDLEAGRLSYPNEEARRKRRAIDMNPDQDLPAIHHRGKAQSISRGTQIESILGRLSKVEEELAMLKQPPTDSSAYT
SDTASRRSILAPAMQGSSDPRAQMSLSAHQETTPIYGEPEQLYGSNFMDSLSLRRDLLSPENPPFGIWWTYTVEETLVWPILEFDGEINSGLDAVLD
LSDEDDGERSSKAAYGPGPGRLPAGPNHVGRVRKGLDDGDTVQELIESFLENVHIHNPVLDTAKLQSYVSNFIENGLGWDGETCQVLLACALGAVSC
PWNAIDLQNFSHAILSPQRSAIGREYFCAAQKRLGALWSRSSLVSTQCLFMTGIYFMYTQQPVSGWRAFNSATIACRSHISKRIAGQNKAVIRPDTR

NLEQRLGWSCIKSEREVACEFGMETSGLNLLAYSTTLPTPPNGVASESREISQNSPLNRPRPLEDESWYYYLTEIMLRKLQMRIDIFFQNKRREAYQ
RAGDSAEKFFHGMVEALKEFDFQLKSYYETLPPFMFFSLEDLTPCSDGLRHFLRWRLLCVNHDITLPAFYILLHNDVSRWSRDLVAEIVRLANACLL
LDIKILRSSIITYRHQNISRKAGDTEVARA

>RCO7_02977 | uncharacterized protein

MDAYQGQEWNANNSPTIHQEAQAQSQAQSHGVSASTTGGSGRLPRHRQSQLRRSEGEHLGVLRTAKACGTCRDRKTRCSGHQPTCDYCKRVGIECSY
SQTGAVQLPSPASVSGGLDGAGGFNRLGTRLLNGIERLAEKLDLFSHEPASKRRNGSISSSFMCPASISESGKDTHDDEECFSIAVEMPSNITSISS
ILAWDVFDFAPDAHSFLAEKTTHRLQTRGHESGDTSVSCLMELSRSFFLVYSLELPFVEETELEYYISEIGENGPQWSAESCLVFLVAALGCYCQKS
TDLSSEGFRYWNMAKKRLGWALEEPNPLSAQCLILAGSVDVEYGTCKGLIQLLLRDSFTAHRYPFKVVKFLSSWVRIIKYTNDNYNR

>RCO7_02978 | related to alfa-L-rhamnosidase

MAISIGNVHFEHHREFIGIGESRPRISWRFEGDTKNWTQRSYDVEIRQSETLKIYSIESPDSVLVPWPGKPLASGELATVRVRVFGGEQKTASPWSE
SVTVETGLLNRDDWSCSLIAAGQLTDVSAPKRPVLFRRIFDLKADVLKARIYITAQGVYEAHLNGKRIGDHMLAPGWTSYTHHLAYQTFDVTNLLQS
GENVLSAQVGEGWFCGRLGFLGGKKNIWGDTIGLIAQLKIQTTDGQVIVINSDSEWKSSTGSLITSELYDGEVCDLKLEQKGWQTQGQGFDDRSWGK
ARTFHLPSAMLVAPDGPPVRQTQEIEAISAFKSPIGKTIVDFGQNLVGWVRIRLSGPRGRVVKLLFTEVLEDGEVATRPLRDCKATDTITLSGEDYI
WEPKFTFHGFRYMQVDGLLSEADSFDLKTATAVVIHTDMEQTGWFDCSNPRLNQLHENIRWGMRGNFLSIPTDCPQRDERLGWTGDIHVFAPTANYL
YDTCGMLQGWAKDLSAEQLAGGSSVPPFFCPNVFLEDTKYPTAIWGDVMVGLPWDLYKSFGDSKILKQQFESMRAWVDKGIDRDETGLWKADSYQFG
DWLDPKAPSDEPGNSVTDPHLVANAYLVHVTSLIHKISVVLGFDELAERYGTSAIDLKSKFQDRYITNEGRVLSDSQTAIALSIHFRLFKSESQEMV
AARRLKDLILRNSRFKIATGFAGTPIIGHALSRVGEAQLFYRMLYHRKAPSWLYQVTMGATTMWERWDSMLPDGRVNPGEMTSFNHYALGAVAEWMH
RNIGGLSLILPGWKKFRIAPVPGGDLTYGSARFLSPYGWIEAKWSIQVDEFLLKATVPPNTTAEVLLPGDKQDHISVGSGIHEFRAHYKHPKWPPIP
IYPQYYLHDDDEP

>RCO7_02979 | related to cytochrome P450

MLLTPIQLLFSLATCGATYGMGLVIYRLFFHPLRNFPGPKSAAATRWYEFYFDLIKGIGGQFAWEIDRMHEVYGPIVRINPDELHVRDPEWVDVLYA
GNPTHRDKYPPFAAMTGNPEAAFGTVEHSIHRKRKLATSPFFSKRSVADAEPLLRREAEKLCQTFKESYLNKEVIKLHTRYLGYTRDSVSEFAFGKS
EGLQGNVEGLEDLAETLRMVGAAFPVLRQFPWMIKLALNLPLWVFQMIVPVLSRFLELHKEMKNQAGAFLENEKKHPTPLAVKRMERAPTIFHGIYQ
SNIPIEEKSLNRLSQEGVVMIAAGSETTSRTLMLATYYLLANPSAMAKLKQELYEAIPDSSVLPPVKVLESLPWLHAVTKEALRTSAVFTTRFPLTT
PDTLKYEDWVIPPHTPVSMTTRSTMHDPTFFPSPESFQPSRWLNDGTSNNKDLNRFYVPFSRGTRICPGIEQVFSLISINLYSAYSSPTL

>RCO7_02980 | related to N-glycosyltransferase

MANATKPLLVIGATPVYGHIMPLRSISKALIARGYEITFVSASHFRPVLEELGCDYVSIKGYGDFYEEDFEKLFSERGKLVQGPSQLAYDIENIFIK
AMPSQYAAMQNAMKKVTEANPGRPVVQITEGMFLGGIPIIRGAPGIKPKATIAIGILPVSLKSIDLPPSESIIPPHSSSEGRIENAAMAREITEGLK
SNVQKSWEKCMIEVGADHKDMTVTDTVYLAPDVFLQMCIPSAEYPRSDAPAHLRFAGGIPKGSREPMKDRPSWWNEVVENKEKNDIIFVCQGTLALR
YNELIIPTIEALKNRSKTLVIAALGKKGASLPASTPIPGNARVVDFIPFDDLLPYCAAFVTNGGYGGFQHAISSGTPIITAGEGEDKPQVSARAEWS
GMGINLRTAKPTLEAILNAVDEITSNPKYKIRAKEMEAEFASFDPMDIIVKTIEELVPDETARL

>RCO7_02981 | related to nucleoporin

MSPTSAAHESPRKSSEHNVSIISNPESMESNHDLPARTMVMAEDERHEHKHSDAHKDDPATMAASEELKHTTISDNTVVTNFRVQEPAGVSMGEDKV
MWETSKAETPELESAEVQDEEMRERLSSPKKKRGRDQEDDTKDNGEENVDEPGSSVDGSVGNGSRTTRSEPEKKRPRDTSEELPKSAESLKDVKQPE
SADSKTPDEEAGPPLQEVSANKLIDKSNTSSSVFPGSGFASLAASSNSPFGSLGATKPSIFSGAAQPATSGFGALAAEKPPISTAPAASGFGGLTSS
DKSSTAGFGFGSGATSGFGGLASSSVFGSKIGNGFAGGVGPKLSSFAAPGKENVPGQDKPAKAFGAPDSDEDADSNEAESDGEGAFEDEEAGFSPVE
EKKKSKSTKVTIDDGEAGEATLLQLRAKIFAIESKETGWKERGVGTLKINVPSPCVSFDDNGAAIPGSFDASGLEDGDADGPRVPRLIMRQENTHRV
ILNTIIVRAMEFTDKAGTSTAQIMFTAFEGEKESKPINMILKMSEANARLFHAEIASIQREL

>RCO7_02982 | related to helicases

MAGLKAATVSNQIVRKRKRPQNDELECQPPAPSDVGSEASSTTSTISTKTHDGGAKPRRTPQGKQPPKLSRNASSMTNTVTSAIPWPPSFQLLEKTH
RALNLVFTFCSTRKHLATTFENIKATVEGHIKQELNIEDVARIVSLRPGGMNFSYVDEAMLQVDVRGSERDDTFKGGRAKTWHAAGPAPDASVGGIT
GDEGLGYGEGATGEGKEVLFFEFLDGDLKRQVQDKKTGEATKATRKLREEDLKMPVFSQKQMTNLIEKRNSKFASAVNAFLNRCEAERLDPVETLKA
ESQSYIPEPSTSRGTTPKPDVSTVPKTIPKERKMIAEIIMELKESEWYTQQIVPDGHRIFDPQEAIYGDLNFLLSQDLVNALYNTKNITQLYAHQAE
AINNLHEGHHVIVCTSTSSGKSLIYQLPVLHELEQDHQTRAMYIFPTKALAQDQRRSLKEMMRFMTGLEQTIVETFDGDTPMADRNMIRDEGRIIFT
NPDMLHITILPQEEKWRTFLQNLKYVVVDEIHVYNGLFGSHVALIMRRLRRICAAVGNRHIKFISCSATVANPMDHFKTIFGIQDVRMTDFDGSPSG
RKEFLCWNTPYKDPGDPASGRGDTMAEAAKLFCQLILRGVRVIAFCRVRKGCEALVGAVKHELSNLDRSECMARVMGYRGGYTPQDRRQIESEMFEG
KLMGIVATTALELGVDIGSLDAVITVGFPYSISNLRQQSGRAGRRNKDSLSVLLGDCFPTDQYYMQNPDEIFTKPNCELQVDLQNPLVLEGHVQCAA
FEMPIRPDEDSIYFGKMLPELVEERMVKDDLGFYHCHDRFRPFPSKFVSIRDTEEDHFAIIDITHGKNVVLEELEASRAFFTLYDGGIFLHQGNTYL
VKEFNPERKIAKVELVRVDWTTQQRDYTDIDPVETEAIRRIPKSLSRAFYGTIKIQQTVFGFFKIDKRRRILDAVQVDNPPVIIFSKGMWLDVPKQA
LEILVERRLNVAGAIHAAEHAILSLMPNFVVSMPGDVRTECKVPQKEFAQKETSRKRPARLTFYDAKGGAGGSGISTKAFEFIDLLLTQAVRRVEGC
HCYEGCQECVTSEQCKHANEVMSKAGSEVILKSLLNMEIDVDALPMGPENLSPAGIETVILAHPVLPKGRTVDIMEARSGGRKRGDVVVGRVDEDGV
EREVVIKDEPVDD

>RCO7_02983 | uncharacterized protein

MSSATVNTIEFGNWAEERFDAQGISRFSNDSRRLEVAIRSPIKDEIQHLIRRVQLANLRASSLQLRLVDRHRSWFGTKFHFPNLVVESAAMQDGDIA
TTSLLPFIWLDMEAASRDAKTPLPANEQISVIVPALVLAIPDHIDSSSNTQATNGLGSGEDDDTSIATAAGPIVLYELNAFQPSWALSGIRPPTNPA
VATFANNHGIGIEPNSIVKVCPPYENTAVYIKYVDPTWSEEDIFDCVREGGIFKYSRQEPTTWYPACAVTLTFKHCVAAERFLACQVHVIASLNPSW
GIETGREYQSRVLEVTGPEDILDANDLETMFHENIGFNLVKREEWVDDEYRVIHFHFQTQSGAAALWLRGQSSIPGLNYRFIEDPCAIEGQ

>RCO7_02984 | uncharacterized protein

MPPAPTSFSQVYHDDNWKLIRDYGVPKIQEDLGAMQSRSQIPGPASKISSASWQDSHQTPNAVASQASLIDTFEEQAPLFYQQLPMQEAPPSKALPS
PASSMEAPQLLQVPHDSSGQSHLQGSIHPGSPYRRPHVHSGAGTLELHQKIPLWNGPTQPFIAYPVPQYSPVNNGALPQEPSRAHTPPASPSAIQYR
FNLVPMLFNGVVYQYCYPLPEIFSPSIAQIESQTQPAAGHVPQPPAPRNFQPTNMVLEQNGVETTTQKADHHLETGPYQGDLGSEANRRQVHQLPDT
HNCTLWLWNIPAALHISDIFDQIDTGAVQCCHIVPPNESHITCAAKLAFMTPDAAANFKQKVDSADGIWLNGTKLMARFNRDGNLRNDTHQSRVLTI
EGPNEIMTSQYWEAYFRKICVFQWDRVLELPCKDAYKKTLQFSFSRLDGQAQACMGAIRNQAEFDGIIRASFAPDRCGNPAVREVEQHYRRLF

>RCO7_02985 | uncharacterized protein

MQEYNHRQGDWRRTISVGEDHRVGSTNHSTMEHSTPVLDRWTQIGLMRGIKPPPRKSQSYGSQTDSGAPTTRTVAFHRLEDSLNCALWLKNLPMGTT
ASFLTSRIRTGRISAIHINKPLEDGQLYAAKVVFMTHIGAQRLLEYLQTAQGIEDFGGLVKSAYNWNGFLESQNQERSRVIRILGRAPYMKASFWMS
YLEGMVTICQPKFYYQTTHCHESTLPDGRLQVEIGFARVSSQAFFVRQTILDDPTFSDLLDVVWGEDPCGC

>RCO7_02986 | uncharacterized protein

MDSNHSNWKRLPSEGGSARRDRPAVNAGATPTPSKMTLAHVKIIHAQVQSRIVKESMATRASRSPVTVGELCDALFEDDTSDRAQVAWNFIQQVPIP
GVNETSSGFVPWKKSDDSISVTSTPGSTTDSRPMECSRSTREDYQQSSYDNNGMATISDVETHPKVPHPVSLCDMSYSDSAIPALPSAVAYGESLLS
YRDINAYEDNRYLMNPDAQSFVPHGMVTIGHPMHHGPHPSVPHGMVPMGSLINPDAYPFVPHGTASYPTVPVGVVSDAIDFGPTMAPAPYFSHSQPL
PQRSQTTHSRPAAPGLHL

>RCO7_02987 | uncharacterized protein

MANVDRLSSYKGDVTEETVRNTQCPDELNSSLQNEGFPIGTSTIDVLSLMKFAAVRNIGIHPAIEGVFPSVAADITFFTREAAEYYFERVLVIEGPR
HLVCLEDSEHVLQQKLVYELVHKQTWMANDRDVVIWLEFCKLRGQARCAKKLIEDIIVSSGLPIVFSFGEDPCGPR

>RCO7_02988 | related to vacuolar Ca2+/H+ antiporter

MGPSRSASGHLGVDDAPSQGRSRRATLSHIYRVTTGIQPAGESGRGGIHLKSFLRICWRSTNRASRACNIFWPIVPAAIWVKYFHTHHHLVIFVLNY
IAMIPCANLIGFAGQELARKLHKVLGILLETTLGSVVEIVMFIVLLQNDQFAVIQAAILGSVLATQLLCLGMCFVVGGVRHNELNFSEAVGEVGSDL
LLTAGFGLIVPAAFYTAVSASGHTTHEVVADNVLHISRITSVLLIIAYAVYTYFQMRTNESIYDGIFEEDEHHSSHEGGPKEKLTFTECIIALVIAI
TLVTFISISLAEEIEFIVVTRHVTDSFVGLILVPLVEKFAEHLTTIDEAWDNQMNMALAHVLGATIQTSLFNGPLVVLVGWGLQKRMDLNFDLFNII
VLILAILVVGNFLRDQKSNYLEGSLCVIVYVNIAVAAFYYPNPVNDGGRDVFSVAELPQKFLDMGSSI

>RCO7_02989 | uncharacterized protein

MDSPILFDPSKHAHLIPSLAFVQAECITSPPYTVATFIPPLSTPRMEAWWIARAAEVTAGTRHIIMQMAKDSMTGIEEVAGYVMLDMPQSETVPFRG
GVEKLLVSPRWRQKGIARRVMEMLEEVALSENRGLLSLDTTKGSPAEFIYPKLGYTKVNYFSVSVRLVNR

>RCO7_02990 | uncharacterized protein

MPLFALPLAPSSITQSAQPRTSRVKFSNLPVRKRKRQRTSEETSDDERSSLDGDVALPAATNPLSLTPLEIAQYQLAGLELNEALPEVNGFPHRALP
QEFGAQDKKARERGRRNDGDMSLEREETGAKEEDGYEDEGISKRGPWLRNQHLSVLTTILHRCLGEGDIKRASRAWAMLLRMQIAGRGIDIRSTGYW
EIGAGLLVRSLDKKKKFSYDNDESDVEEESVIEEDTGIERRWGSKEGLDLAKSYYERLILEFPYNRQYQMSVSALDFWPAMVGCEIYGVQIEQKEGL
RKVAQQEKKDNEDDGSGDESMDSDESEEEDTEGDIFEMNQRRKEKVRQKRAEKRWLERDEVRQTALVASEAIAAKLDEVMTIPPYSDSHNLIRLRGM
LALYIGDLSVPTMPLEQDEQDDIADSSRKSRGLSGLDKNTELRFLYRQRVAEYERGQLVRGQQRERAAKLFERIIRDGDGDEDIRQFALGLTELEEQ
ELDEEDLS

>RCO7_02991 | related to pectate lyase

MRLSIIQIFALILALGVSAAPPQDNKPSTDTSMRNSKTGNGGSGKGKGSSSGSTSPSKDHKPKDNSKGNGNTANGGSGGGSGGGKGSSSGSTAPPKN
HNPGHGVSKGNGTTTSGGSAPNAPMTTPGRSMGNGTATTGGKVPKSAGTSILKAAQTIAAGASFDGKLIMYDRGTPCTGQQERGDEAAVFQIEHGGS
ISNVIIGPNQSEGIHCQGACTLTNVWWPEVCEDAFTIKNQAAGETTRIIGGGAFNAQDKVLQHNGGGTLDVSNFTVIGFGKLYRACGNCAQSTNRHV
KMSNIMATNGEILAGVNGNFGDTAIIKNSRVHNVSSICTNFKGVTKGTEPSIVSSGADGKVCIYGSDVISQ

>RCO7_02992 | related to toxD protein

MTAPNQLHTISLYQRGTQSEKKIQVMSTETNYAAIVEAPYARLTTVTRPIPVPGDKELVVRNHAIAVNPADWKMQDFDFLIKSYPVVLGSDVCGIVA
ATGSSVTKFKIGDRATSASVTGFAGVIYIQDNDHGAFQTFTTLKSIATTRIPDSMNFEDGAVFPMALATSGMALFVDLGIPLPTSPIIVPNSGLLIW
GAGSSVGTTAIQIAKKLGFKVFATASPSHHQYLKSLGAFEVFDYRDPAVVDNIVASATAAGTPISLGFDTITEEDTAQKSSNVVLYSSTNGSGKLVL
VNEWPKSIAKPDGLQISQTMAFRHGSDKADIGEWLFNDFLREALEDGTIVPAPRVELVPGGIDVAQTLFDRLKAGVSGKKLVIKVE

>RCO7_02993 | uncharacterized protein

MDASSLFPVSQFGHPKRYEEPVESSDNVVLMDTIFQYLREDSPKSLLPTPVDAKIQTWASSLADYEVSPIVNELLEYTEHSDTSVHSSSSRRGSVFS
DFSSSNDSCGPKTPPLTSSMIDTNPRATPPDELMFSTVPNLPKPAARVNLNRNCSLRRSSEIIRSPSRATSVSRRMSFRLSSNPSSPAIERAPAAKI
PATHQRTQSTVTNLVSLPEVVTSPSKTLENSKPSIPLQLRVSTGSSEAPRLPSLIHPEFELSFPTTEPTFAKGKVQTYVNQARHSAPVSDNAKELLR
SLEARKISPNRLSMATPSVFLPSSRFESINRLKSGRQAMQIVIPAQIQQHPLYEVPVYTQTQRLAGMEQEFCRSLETTKLPSNRQYFQLSVHPPIKP
SIPEVSVQNLDSMSAAAEQSIARMRRRMEIERIPSTKSVAPRAPTSSLLWFLKGFFSGPEGMHMKMTRRVTSFAKLEWIIESDDGSKIIKGFGHSNS
LSCKTGNSTPLLNIIAICSLFTDFSDIDDTPIFTIQKRTGSTRVAEAPNGISLFTIKNPLYASPYWAVNIGNESATNSAAQWTARGDASLETVTVSC
GGFQVGRISLESKAKKHTYILNILPGANYCIMAALATVFDDLRTDEGC

>RCO7_02994 | probable NADH-ubiquinone oxidoreductase 29.9 kDa subunit

MRRTLRQLAAIKPSRFLEAGSPTGLTGLFTHAAPRSTLLYLYSSTLEKLQALPESSLYRQSTEALTKHRMAIVSAVVPEGHAEWSEKAKQTIAEHPE
VFNTPEGGVAHDGERHVKEEIQGKTFVTSKPEDEHDEITTEWDGERDDGPQLEGSRTQVERQSQKEWGLKRPGSDTKTVQWEPEPPLTADQVSEIES
KIGAGLIEEVIQVAEGELKLVDVMAKAKVWENLEEKPVEGQWEYFKRSGVLQNP

>RCO7_02995 | uncharacterized protein

MNDHRGDEGDVFAIPDLWAPSRFLREGPENSLLFSQTRLVDLDETLPEIIEQILHQEENGFFGIPDLPFAHSNPLPLPHASPDVLKNDVSVSCDADE
REEPSIWVLPDEIPIKTANYQTWEGFEKQRDEICFPSYLAEAGPSILDTVIASREDYLHIKNTEHIVVDSKIYASSLLSLGLGRSSVFFTWDEMKQK
FMATISSMRISGYTGDSLDGLSALFLDCGNITRSLQRFVEKAYAREKSPGRIALGDAVSTLLATIQSRLSASAAGYSSILQLQALFRPAHSILTCFQ
RIVMNSSATRSDASMLSTIFEEIQLLEYGTDSLREILLEILARVSQPWLEFAGEWLGLQREAGLPLTKDGPGKSFVRIDNKGWVDDQGMEMNEPDYV
LDYDKVPAFIAPEDARALFEVGKSLRILRSHHPEHPLARSDVVVSADPPPLEWKFSWQDVVLVESKALQYEKDLIKALQQFSHPPSSPKSILIAHGA
LTLDFFGQPEHDMQAHLLTSIDAINQPFQQDDPKNCFSSALSSYLTFDQSAISDADSVCAPPISLAPVLSFNPMIAAQARIVNGVCMQMFFNSHKLR
EHLFIQRSFQLLGNGVFSSRLSHALFDPELESAERQSGVARSGGMMGLRLGGRDTWPPASSELRLALMGVLTDSYTSNQACSISRTGTYLDKSTLPG
DLSFSVRDMTPEEIEKCMDPDSVEALDFLRLSYKPPQPLEAVITPMILYKYDQLFKLLLRVLRMLYVVSTLFRNSTIRSLNWQGVDHIAQRFRIEAH
HFITSISSYFFDTGIDSTWRIFDRKLDQIEERLKNDGDCVILGQNEGLDKLRDYHERVLDRIMFALLLRKRQQPVMNLLEEIFTLILQYSKHSRERA
LHPLQDNANDALKALYLRFRKKVGVFIAVCKGLSEKKGYRERKMADSRSTKQEGLFDGDDLAEENTILQLLTKLEMSNYYSRSIDK

>RCO7_02996 | related to EAF7 Esa1 associated protein, subunit of the NuA4 histone acetyltransferase complex

MPPRKKAKGSVRAPSTPAADEDSMVVDTPQPDTTEASKPAYDILKDPWTDEQETSLFKGIIRWKPAGIHKHFRMIAISEHLRNHGNDPTIEQHTRIP
GIWIKLRTMYDLDIIDDRENYFDEEQFIDFKLPEDEFDELMFKKGRRRTEADEASEAPSSPPQLGRASSPPRARKRKRGDIVAAKSRADTVEETDEA

RTSPANSPPKLTRTGRSTNRSIGRLKGGSTSRQQSKDTSMTADTADEDDVGEETEEVAEEDEDVEEEEGTASPKLLKTSKVKADPPIRKSRRKK
>RCO7_02997 | carnitine O-acetyltransferase
MLKAISKGRTSPLLRSSFTATRPSLSRTLGMAPANARSNSSLPSGYKEDASKGPMLRFEESLPKLPVPTLEETSARYLKSVHPLLSPSEFESTTKAV
QDFIKPGGIGSKLQEKLLARRADPKHKNWIYEWWNAAAYLTYRDPVVPYVSYFYSHRDDRRRRDPAKRAAAISTAVLEFKKHVDAGTLEPEYMKKLP
ISMESYQWMFNCSRIPAKPADYPQKYPAKENNYIIAVRKNQFFKVYHEVDGKQLNTSELEQQFKSIYQRAEKVPAIGILTTENRDVWTDAREVLLKA
HSSNAAALKTIEASSFVVCLDDASPVTLEERAHAYWHGDGANRWFDKPLQFIINDNGTSGFTGEHSMMDGTPTHRLNDYVNEMTFNNKLDFSNPSIR
SNLPEPSVVKFHINKEVQAEIEHATKDFTEVIGSHELRVQAYQGYGKGLIKKFKCSPDAYVQMVIQLAYFKMYGKNRPTYESAATRRFQQGRTETCR
SVSDDSVAFCKAISDHSVENETAISAFRKAITSHVEYISAASDGKGVDRHLFGLKKLLGPNEELPAIYKDPAYAYSSKWFISSSQLSSEYFNGYGWS
QVVDDGWGIAYMINENSIQFNVVSKGLGSERMSFYLNEAAGDIRDLLIPTLEAPKAKL
>RCO7_02998 | related to NAM9 - mitochondrial ribosomal protein, small subunit
MGRKRFYSLKQVKFRASWNKYNLYNLTRLRSINTSFFTFYQQKWKAKSMSRAYHGEQIREKQWQRMFTPKLNAVVPMDPKYLAEFDGSEQAAGRGSG
LDKPLAFAAEIMSKRKRAIPYMHMTFAPIEKRLDMAIFRALFASSAKQARQFVTHGKVKVNGKKMPYPGYLLNPGDLFQVEPDSVLFATGAPKEPEQ
LRAGRKFRAKSTRVNVTMDKFRTARREKVAAQRAEQAAKDAAAEAAGETVKSKTRVVKPTLEDNMVLRRQRQADAVDLLKQAELLQNNRKRPLSAKQ
KQDLRALVKKVKVFQGQCMRLPLEKLEETRAEIAREWETAKSHPRQAAKWEAIKAKKASQPPKPIDPDAKPRITYGEKVSKQLEEERKTRMEKLKME
MHDPTKPYATPWRPRPFMSAFAFVPRYLEVNHKICSAVYLRDPVARPGLTEVPTPFPAEIQQLAFTWYLRRR
>RCO7_02999 | related to RNA-binding protein La1
MSDIKVATTEPDPSATSIPNDQTVMKEAGDSSEPTVKDIDMAESKPANGEAEVKEEASVKEDTDAKKDVKEEADEKKDVKQDKRRYDENGVLKTSAQ
VDWKDHRKNSKYDPSILPTTDDPAKIRAQVEFYFSDTNMPTDDYMLDLTQGPENLPVSISKICAFGRMKRFQPQSAVVTALRESKFLVVEGPEGMEQ
IKRKVAWDPTTPKNKSESRSIYAKGFGDEEPGSQFDIEAFFAPYGPTNSVRLRRTDQKLFKGSVFVEFQDDETAEKFLKLDPKPLWKGNALLIKSKR
DYMNEKEEEIKSGKIEPKEQRNFKGGRGGRGRGRGGDRRGNDRRENRGDRDQDDWKKRREEDRASGFRDNRKDNRGRGRDRDNKRGGRGDRRDNRGG
NDRNREREDKEKAESKDVKSEDAPVKSEDSPNQKRPREDENGTGESAAKKVDTKSDEPSSNGNKRAREDDTSEGNAAKKVDTKSES
>RCO7_03000 | related to ribosomal protein YmL3
MARTLVDGSADSNTHFNNVSLAQIGGSLISLHVSEYLLCTYPRLPISVLYAAAYAYNGPKTLQMIGREWGVEAAAVPGSEVDPGYLQFHKMQAGAQI
KAGAQAQSVRKDMPFYRRGLSSRVVYDDEFGDTIQKGEEAGPLPAETAYSNFVKAVVGALYLHAGREAAKTFIKSHILSRHLEISTLFQFKEPLREL
SRLCAREGFEHPIARILSETGRRSRSPVFVVGIYSGEDQLGEGAGASLQEARLRASVAALKAWYLYSPGHNVPVPSDTEAANAKPWEAVHIDIGEVI
H
>RCO7_03001 | uncharacterized protein
MVCLGALGGGGKIPYPKHVWSPAGGWYSQPSNWKANTAVFGVVIVGLTAMMWKLSAEREVRTKFPEEGRFFPSRYWSKQIKEHEAEKKANGGA
>RCO7_03002 | related to adenylate cyclase-associated protein, 70K
MAANNMHNLTTLIKRLEAATSRLEDMASSSVELPTINGAPTPAPTGPLPAPPVAKALESKPVIEALPESVEDFDAFIAMTVKKFVNLSDELGGPVAE
QASSVLRAFAGQRKFILITTKAKKPDMSSPVFMQLLKPLQDSITSVSELRDANRGSPVFNQLSAVSESIGVLAWVTMDTKPHKHVEESLGSAQYWGN
RVLKEYKESDPKQVEWMQSYYQVFKDLSEYIKQTFPQGIPWNPKGLSAEEAIKAVEQSSPVPAAPQTTAGAPPPPPPPGPPPPPINFDAPPPPPPAA
GGSGGGLDAVFSDLNKGSDVTKGLRKVNADQMTHKNPALRAGATVPQRKDSASSISSNRGKSPAPGKKPKPESMRTKKPPVKRLDGNKWIIENYDNE
STPVKIDASMSQSILISRCNKTTIIVKGKANAISIDNSPRLSLVIESLVSSIDAIKSPNFALQVLGTLPTVIMDSVDGAQIYLGKESMQTEVFTSKC
SGINLNIISGGGDEEEEDYKEVPLPEQLRTYITEDGKIQTEIVEHAG
>RCO7_03003 | related to MAK32 protein
MDHNDQISPVQEIDFCTLGMFIIDEIHYLPPKPSVFDVLGGAGSYSALGARLFSPPPLSKTTSWIVDKGSDFPPSITAQIESWQTSCLIREDAGRLT
TRGWNGYDTSQNRAFRYTTPKLRLTTDALPPALLLSKSFHLICSPTRCIELVTTILRARKALSRDVEKPLFVWEPVPDLCLPTELLNCTNCLPYIDI
MSPNAHELAGFMGDTGSEVLPHPDPTNSSSTISKPWVERACSQLLESMPLKSYTLVIRCGADGCYVAKNGGGRRTVLKPNTKSKPNPKPDSLPTTSK
KRRTNHARGGLTLDMDMTALFAGLLDQDGDLIREDDEGEVIFQEGIDRWLPAYFSAEEAERVIDPTGGGNGFLGGMAVALARGREVVEACYWGSVSA
SFMIEQVGVPVLTTVGAGGEEKELWNGVCVQERLEEYMKRVEL
>RCO7_03004 | probable DNA replication licensing factor MCM3
MDPAQLKDEAVADRVRAAAEFLDPSDPTTRSYRSDIILMLQKYQRRLIVSIDEVRSRNVELADGLLQQPFDFAQAFDRALKEVIQTLPTTNSKQTSD
DTMYYCAFSGSFGQYACNPRTLSSSYLNHMVSLEGIVTRCSLVRPKVVKSVHYNEKKKIFHFREYKDQTMTSGATTSSVYPQEDEDGNPLVTEYGYC
TYRDHQTISIQEMPERAPAGQLPRGVDVILDDDLVDKCKPGDRVQLVGIYRSLGNRNAGHNTALFKTIILANNVVMLSSKSGGGIASATITDTDIRN
INKISKKKNVFELLSQSLAPSIFGHEHIKKAILLMLLSGQEKNLENGTHLRGDINILMVGDPSTAKSQLLRFVLNTAPLAIATTGRGSSGVGLTAAV
TSDKETGERRLEAGAMVLADRGVVCIDEFDKMSDIDRVAIHEVMEQQTVTIAKAGIHTSLNARCSVIAAANPIFGQYDTHKDPHKNIALPDSLLSRF
DLLFVVTDDIDDARDRQISEHVLRMHRYRQPGTEEGAPVREQSQQTLGVGAEQEADANRPTEVFEKYNQMLHAGVTLTTGRGANKKVEVLSIPFVKK
YIQYAKSRIKPVLTQEASERIGDIYVALRNDDMKGNERKTSPMTVRTLETIIRLSTAHAKSRLSSRVEERDAIAAEAILRFALFKEVVEDEKSRKRR
KTRPLEDLSSDNESSDDSDSPPPTSRAGTSRTRTPGTTARTRALGGRRGGQNGSSSRPNGDNGGDTISDDEEDDLYTASPRTTQRSRPNGTNGATDS
QTSFASSLPASQLQSQSQTQEEDTELASGAAGLSIAPAITPARLTVFRRSLGQLLNTPIFEDDAADVDKLIAAINTSIGGSAGGAFEKAEAVAALKK
MEEANNIMYPDGDLVYKV
>RCO7_03005 | uncharacterized protein
MAGCRALLSDGSPDEGPARDIHPVRHGDDEVCVFNPADSGFEDHQGMPFHPACLKYSKEPRSIDLQPLISTDFGLWRYLEGSCDESLTFPRSNAVEN
GQQQYWADELGKRVLRRQSSQSSQLLKFSESSERDDIHGKPQPNSAFDGASTFDYNSAKERWKGMHETLPPTKTKDLFPASQANFDI
>RCO7_03006 | uncharacterized protein
MVRISSINALTLLCSAVAGKEINMMGVAHSEEYISGAKHAEIMKIKMAYWDFELASGAMNSELYPELGYTKCIDGFAAAIPGDFNNTFACRNMDMYH
FRSHTSLGSAVQGQASSSWGWTSSEGREFVAIGHFDGTAFVEISSEGNMIYLGRLPTWDAIGARWREIRVVKDLLVVGSEAWGHGIQLFDMTKLLTL
DPANPTIFTQNDLASHWGVVSQGNDSEPWDKLPVGRTHNVVVNQELGYAVAVGSVGGNVSTRVRENMPCNGGMIFLDISDPSNMRSTGCAAADFYVH
DAQCVVYRGPDKRYEGRDICYAYNEDTVTIFDVTGDKKIGNQSTIISRTSYEGAEYIHQGVVLDLQNQEYLILDDEYDEQRAVVGPATNKLPTTHIF
DIRDLESPKYTGFYQGKARAIDHNQYIYDGFVYQSNYGAGFHIYDISSIPSDPTGKSVYEAAFFDIFPEDDEAPGGGKAVFAGTWSSYAGFKSGFIY
VNTIERGSFILKATAKSPPRAPVCNADNCLRAFRANSIPGRLEESQEFCGGFLARQRAVQDVTKAYAKDACTGTVGLKAQVSSACACLPKATAAL
>RCO7_03007 | related to U6 snRNA-associated Sm-like protein LSm4
MLQDSLASFTCENSSESFLIVIKSDQQLAIESVATSTTIPSASRDTIPSWTLPLGLLTAAQGHPMLVELKNGETLNGHLVTCDTWMNLTLKEVVQTS

PDGDKFFRLAEVYVKGNNIKYLRVPDEIIDIVKDQQSREQGGGYRGRGGQRGDYGGRGGDRGRGGRGGGRGRGRGGRGV
>RCO7_03008 | uncharacterized protein
MAVSLSRDRRHPRSKADSKLAIQPQYSNSRPAQDGDSCMRIKYGDTRRPMLDLNASTQPASFSQVRRPLIHRSREEREHEERQLHQWDLMSIPQLHD
KLRRLRMERKAYTKVADLVEYLIKVRGEKPALIHYDSLIRVNASALLGSAVAIRNLLNEMKEHTIAPDSGLFHGALQALAIHPDYVLRAEIMQEMKE
RWLGLSPEGWHSLVVGLVRDRQFEAAMDKLDEMHSDGITVQPWLYDIIVFQFCEIGELDQAFHLLKYRYENSMNEILPTIWYYLMDAFSSAFHYEGV
KYIWKRRVETENMVLSDGMSVAILNLAARYFDPELATSAIRVLSGRRSALAAFHYEPLLAAYAGAGDLKTALRVLVIMTKAGIEIDSSTTRPLFQII
SASKELAKAAWTELEGLVEDGHAIPVAAINVVLEAHSVLGEVEEAIELYKSLHELCESGPDTETFNILLQGSAKQERKSLSLFLASEMRALKIKPDM
LTYDRLILACLQQEDDYEDAFKYLEELVEVGKDQPGGGWWMRRGTANLLIKRCVNQSDRRAWDLLDEMVKRGFDTFNLMDWVHQNWKGSHLEDGNGQ
VDPARRLAAWSYS
>RCO7_03009 | uncharacterized protein
MSSAAPGVKRSRGRPKGSKDRVARKSTLANNNDDVRVASPTNSASSTPAPPSKRRASSPAAAPQPNGFTAINVGDRNTSRSGRSLSKTPKVASQAVE
PDSHGPALKKRVSARSTSRVSSAETSTPTSTPASTPAPTEVPARKRLPDHGSQSTSMTTPAPAHVVAPSSAPPTVPNGYRSLYGQSPYGAPPMNNGA
IVRPAPNGQLSNGQFPNAQYSPGPYSPGPYSPGPYSPGPYPAGPYRTGPAGPILYTQSQLQFPVFPDSEPPINTIQPAPGSMSAPRMNPPKRTALPEQRRYF
APPIPIRARPITEILTVYQDLYNTVHKQYKSFETYTWNVKVRVIDRNVFVKLAAMRSRRSRLSYMLREIKSLQRTGTTAMLIDQNFAQWPPVMGTFP
TWYYSLDTSGLKYELAQRIKSMRMQISGQLGEFERAMFMGQNLRVVKSTAIADEMKWLEIQSQIKEYDSMISRLGDVDITNHLTIKK
>RCO7_03010 | related to multidrug resistance protein
MAEIHQDTPAVSGIQKTEDTSNPTSTKNSSTTDLMPDTNQEENTAKESKHGRIAGGSFLNDLEGDDSASLGGPLTGVDIDMPLTLTEIISKDGQEHI
LLKFTDDDKQDPFNWSNGRKAWITLLLCMMTLFIGLATTAYSSGIDSMVDDLGVSVEMGQLGLFCFNMTCALAPLFLAPFCELVGRRIVYVGAYALF
VVCFIGLALGKNIATILVMRTLSGLFGCVGTILVGGTFSDIYRPDERATPMACFTYVAILGTVAAPIYAGFINQTIGWRWIEGIQGLANIPLLLLII
VSLRETRGGVTLHKRAKALRAATGDERYRAKMELEAKNIKEMLHNSSVKAVHMLATEPVVFSFGLWIAFAWFVTFLFLSVIPITFQEKRGWAEGVAG
LPYISLCIGVTIAFGLNFLQIRKYKSILKSRDRKILPESRLYGAMCGAGFLPIGLFIYSFTQYGYLPWIAPTIALAPISFGIFFIFESTYSFTSDCY
GENSSSAIAGQGLMRNTLGAVAPLFASQFFHNVGSQYAGLILAIAGTVLTFIPFVMFKYGHRLRERSKLSNTQKGGDEQKEKTGLYTAPMV
>RCO7_03011 | uncharacterized protein
MSGLNGSMPSRMSQSPPSTPYTVSSVTENPRTPQDQDQSSSALTPITPFVTPIGHTIALKPALLVGVSNKHNSSLNVSTSTPAKVASRTKDYDDIVK
SVLKLPEDKWESASLKFLLKEDLVSRKNAKILREKFIKAVEAVKETRSACGWMWRSGPSVDPESYAFRIFNTFTLAMILKDQPEMAAKFKLEAENSG
VKKWEIKKADSGKDKNVIVEGTKTEIKTTVVENYHDGVCQWIDMVAEDPEAVLKGVLSQCAMDAESSPEDKLNLWDTLMAMACLFEFDYEKLCRMYP
EYETVPRVIVDEKVATSTHGRPIRARRARELGQ
>RCO7_03012 | uncharacterized protein
MSSPDLPVSFAFLDRWTSDTSASSFTTPLASISTAAKSMPAGRTPDKIVAQNASFKEQFGSEIVKISVDRKSKKQEFHIHKNLLCQKAPVFDRMFSS
NFAEGQKGEAELPEDDPQAFDAFAAWLYCDAVATLVNENEGVDRRYIQLFIFAEKYGIIRLADNTMDAFLKNQTIIKTRPGPESSAMAYEGTYVGSK
LRLYVARCWAYAVLQQETEVWTSASLVPIGDKAQELLLHGLKLLRNLNKVKNSAGKKLIKNPKLAAPCDYHQHGKDEVCPYTKDKKRELDESN
>RCO7_03013 | uncharacterized protein
MSSVLSQVIKVIFPSQVSESPPELSQSQDYEPGAMASASVSCQFCQQLGKDTVNITVGSGPREKAFTVRKSILCKKVPFFAAMFNGGFLEAKTQSAK
LPEDDARAFEHFLGWLYQDAIGKLDSIAEHMALLGFAEKYNLLPLMDLTMDSMMSLMNRNKQILGMSWIERAYGSTHEKSKLREFAVSCYVWVLLVG
NVAKSSAEDWLPKGPDKDQILIDCFRVQRNFQISLTMPRSGGNLFPDPRKAPPCHFHSHEDPTLCPNRSTVERKVAEKTNVGKTVAKTPVARKQVWR
P
>RCO7_03014 | uncharacterized protein
MPPRLTSFPQFPKLPTEIRFMIWNLSLEARTVEIQWTENRGFFTRVLTPVALRVCHDSRDAVKSQYPHCFGNVIYKPVTAFNFSLDTLYVDHDLQDQ
ALHFLGSLSAKEVAKVKYLAVDDILNEDFELGGDMEWDLLTAYRKLAANMPALEEYHLVSNVAYCVEDGVNDGDGPMELYEDWPEGVRRQHYCGPEM
WIGDEEPSFSCDHDELPAHTKELAGLKVPKTGAIWGWRPLKK
>RCO7_03015 | probable septin-7
MASAFASLLHQTRMSQSESSSKPTTIISTKYDELDNLLHRPGVFHRQQRSITNPVPYRSMLDIDMPVLENLKLPVEESMEDWVAEKLTQTERKHRTE
NWADILCYYTATNGAAPAAPTRASPAPAPNGKPTSPMEVPQSVSSSDPKIAAQQASDMRNIVRRKLTGYVGFANLPNQWHRKSVRKGFNFNVMVVGE
SGLGKSTLVNTLFNTSLYPPRERKGPSLDIIPKTVSIQSISADIEENGVRLRLTVVDTPGFGDFVNNDESWRPIVDNIEQRFDAYLDAENKVNRMNI
VDNRVHACVYFIQPTGHALKPLDIEVMRRLHTKVNLIPVIAKADTMTDEEIMAFKSRILADIKHHDIQIFEGPRYELDDEETIAENNEIMSKVPFAV
VGANSEITSSDGRKVRGRKYPWGIIEVDNEEHCDFVKLRQMLIRTHMEELKEHTNNALYENYRSEKLTGMGVAQDPSVFKEVNPAVKQEEERTLHEQ
KLAKMEAEMKMVFQQKVAEKESKLKQSEEELYARHREMKEQLERQRMELEEKKSRVESGRPIEEKGKRKGFSLR
>RCO7_03016 | uncharacterized protein
MAIYNPQPSIPRYTPLQGQSTTYPMTSNSNNPSKQSLTMENASLHSQLITLQRTLTRQSKQLQAQADKQDQIQVLYGQTWAQSRNLSPGSNGFLNDP
ESVLREAMQDIHAAIRGFANTYAVRDWDADRKEIGNRKTGVAWAWSEVPSVLKGGVREVSRDGDRDRERIPSLPIVMKQSSDRRRDSNSRSSSNSNS
RGGSRDRDRHRENESNSGGTLLAALLTREVYLAMWENAFFLTDEPNAVRERYRARKDGEKRGDRRRSTGSSEEVITRSTILADTFRDLWNYSPPQAE
SWRTQYFSILHQELISTSSDLNTNTPTSFQPKSSSIQRKISSYASVFVSSFFSGELSPLLMKFSPRDEVLMQKSLHGIICSAARLFLRLRAQRCGLV
VGEERELLRERFRVGNALMVVVGAESGRVDERRCDGGRVDVVVSPVIHVVEEGVGGGRSKRVLVKAVVVVGDDI
>RCO7_03017 | related to FLR1 - Putative H+ antiporter regulated by yAP-1 and involved in multidrug resistance
MSDLLREAPLGQIIRWVSKGKYLQYPEEKAGFELPATYNALLNASEQTPTTHTRTKSRGTEDHVKRQQLKSTDSTDSETADTSELEKARTEKEDSSP
YSPPDKDVEALSLSRTKSRLETIPYTEARLELEAQLSLARTETRPIVPLKTSDGHILVDWYTTDDPANPQNWSNGKRAFVSIVICLYTFVVYTGSAI
YTSSEEGVITKWGLRPVDAALPLSLYVLAYGIGPLLWAPLSEIPIIGRSPVYASTMALFTILSLPTAMVDNFAGLLVLRFLQGFFGSPCLANGAATM
QDMYSLLYLPYALVAWVSAAYCGPALGPLLSGFAVTAKNWRWSLWEILMAAGPIFLVMFMLLPETSTPNILLRRAKRLRKLTGDNRLLSQSEIDQKE
MTASKILVDAIVKPIEITIKDPAIAFVNVYTAIIYGIYYSFFEVFPLVYPVYYGFSLGMIGVVFTCILVACIIGIAIYCAYLYFYLIPDIQAHGLRA
QESRLVPALFACFGPTIGLFVFGWTARESIHWIAPTIGITIYGASVFVVMQCIFVYVPLSYPQYAASLFAGNDFLRSAFACGSILFGRPLFINLGVG
KGVSVLGGLSVIGIVGMFALWIFGAKLRARSKFAMS
>RCO7_03018 | uncharacterized protein
MTVHKMNALTMSAPSQGPRDKNGESNGVHELAPIILPRVSDSLIHKSSMGQLADSNINSRSKGRTDEEGSWTPMTARRRNTMMTKKIQSQVSQKTWP

RILVKAERKSNTLWASGMIEIHNSAEEGDDYSDDGSWPILEWEILVRGYPFNTWTDFDAILRFVYRGELDCGHPGSAFDTTEGDIINWCLGRTLQCP
KLQNETMKAIMRRDAATDKGLFSQSDQTFIFLGCPVAEWTWMMEKIGVVHKGDGEFEPHKLMSYMIDRLIWDATNGGYAYLNVVRRGGCVANMVARA
QVDAATKPKLRFAPWHVFNRHKYL

>RCO7_03019 | related to Endo-beta-1,6-galactanase
MYFNFFLSSLVGILIYVAPTLADQTYTVQSSTNWGIWEGWGTALAWWGKVYGDRDDLSKIFFTTTSTTLNGTSIPGLGLNIVRYNAGAGSSSTHQGK
KMVKSTTIKPWRQLDGFWVNGNSTSPTSSSWDWSVDANQRMALTKARDNGANIFELFSNSPMWWQCKNQNPSGASDGSENILASSLQQHAYYLATIA
KHAIANWGITFSTVEPFNEPSMIWWRANGKQEGSYMKPDTQSTIINYLRAELDKQGLSSMKIAASDETSVDQAAATWRALTTDARNNVYRINHHGYE
GIGGNRAALYTLASSAGKALWNSEYGEKDSTGVQLVANVMLDLHRLHPTAWSYWQALDSGGWGLIDSDRDAATVGAVSSKYYALAHFTRHIRQGMKI
LDGGSDTVVAALDSKKNKLIIVAVNFGVAQYLNFDLSKFSGVTNGATVTRWSTQLGETGSRYILHPNDTILSGAKFRSFFSTNVIQTFEVSLGAGN

>RCO7_03020 | uncharacterized protein
MAAAQFLSTVGGDEFFSRLQRSHLIEVIYFKNYSQDRNHRDVIRLLEVLLRAVSHRFNDVCENNPGKTIFTAEQVLGCSEVQLWCEDGQFSAFMACI
AKWLYTSKLDDDVFLAMGALAFGTVDRSTVIHGPMSSRTLKVLWRPVH

>RCO7_03021 | uncharacterized protein
MALHAQITSEPLGLFFDIWNFGSILKSPNLENAVIRALSAVVSKCNAKEDVSNQRELEFASSGMIEDKLDAAWERADFSPNHDMDLDRTKGEVFWGS
KKILLSIFDATAWLGMDSTGVANIIRAGGEQAVILPTREMLVASGEVHGPPWAAENIEKYFSDEMTMDTEDESNRS

>RCO7_03022 | uncharacterized protein
MGQRPGRRIVQENSFSIDSSPAVASEGFRKLKMTCKLALAKRQLYYGISRHLLCPSSAICFYDAAWKYPGEKQTLKIEISANSQISLDILAGAKSLE
EIPTAVRMQEA

>RCO7_03023 | related to palmitoyl-(protein) hydrolase
MAKLATLLTLLTTTPLIHASILPSQSSLSPHPPTTNSDDTPLPLVIWHGLGDNYAADGLADVAALAEKVHPGTFVYIIRLDEDASSDRTATFFGNLT
LQIQKVCSDLASHPILGTAPAIDALGFSQGGQFLRGYIERCNNPPVRSLVTFGSQHNGISEFQTCDSGDWLCKGAQGLLRSNTWSSFVQNQLVPAQY
FRDPLQLDDYLSYSNFLADINNERVLKNETYKENLEKLERFTMVLFEEDETVIPKESSWWAEVDENGNVTALRDREI

>RCO7_03024 | related to CIC1 Adaptor protein specifically linking the 26S proteasome to its substrate, the SCF component Cdc4
MPTASPALTTKVESGSPYQLDSAQTLKASKALLAHIKTTEKATTASGKQSLMKDEDDQDEDDESTPIWLNLTTKTHIITQKKFKPLRLTVPHALNTS
ATTTICLITADPQRTYKDLLLDPNFPPALAQRITKVVGVSKLKKKYNQYEAQRKLYAEHDIFLADDRIITQLTKLLGKTFYKGTTKRPIPVDIAEPA
PKVDGKRVARPKPIGEGRGEKEAGGRGAGSPKSVAAEIERAIACATASLTPSTQTSVRIGYSSWDAEKVAANIEAVASELIEKHVPKKWRGVRSLHI
KGPETAALPIWLADELWTEEKDVVGEEERTKIQAANVGKKRKSGVMEGEDVAAIEGKKNKNKKQKVEVLKESNDDNLDREIKARQEKLKKQKAEAAA
DAGADEMPRVSKRVKKTASYTA

>RCO7_03025 | related to uncharacterized integral membrane protein
MAPPPSASLPLQQRLMQLAQTLQFAWFVGHLTLLFCIIRYGLSYITFNYYSRWALFSYRTAFVSAAVTYGIVVYKAFRARSRGGAKAQGSPLALASD
ENVQYLAMALVWLFAPQYPLAMLPFGIYSVFHVATYTRTNLIPTIQPAQFVAPAAGASPSAKATTKPNATAETIGKFVKEYYDASMGLVAILEILLW
GRLLLAAILFTKGSWILITIYTAFLRARFAQSSFVQGQFKQLGARIDSLVGAQSTPPVARQVWDGVKGAGRTFHDATDVGKYVGGAPIQKKAS

>RCO7_03026 | related to CTK2 Carboxy-terminal domain (CTD) kinase, beta subunit EC:2.7.1.-
MSSTVGLTQAQLRALRGRKPTSPATIKYEFVPQSFPPSTSYTSSTSSSIRTPIADIEGAPVYQAHRFGPYSQPYQMAPAVMVLNPTGPPLSQINVSQ
VFLFQQQLQNKMMVIGSNPTREDTYRLQGVQWINDVRTALQLPVRTFCTAAHYYHKFRLVHRDNEYQFQDAAAAALLTACKIEDTLKKSREILCAAH
NIKVAPADHLSPDDIAFETPSKIIIGLERLMLEASDFDFRVRYPHVHLFKLANEAGIEKDVARVAYNMMIDLYRTFAPLKQTCSTMAFACMELATLL
LEKQQTAIRGERSPKYRKWHTSRNEILETILDLLDLYTNWPKQSIVGVGYNVEQFNQLRIPINKEMEDSSLKRYTEQHEIRRVNGLRTNVKTPKTPA
TPASPIDARTNGRDVNSPATLSPRSSGSGRRGTGHKGQDGTVRFMLDTDQAKRENEITATFSKVEYEEYEIEVEEPIEPKREERPSGPRHDQHQRNG
FGRGNGFDRGGGGFDRGGYYHNKRARR

>RCO7_03027 | uncharacterized protein
MASSTEQPPFSDPFTASNKNSSAPSQDLPIHSSSNTQTETKTCTPISPGSDIQHVSIPDGRRNSQGEALHSPTENWKPNFKRVQSFKFDDLKRDVYV
KNEIMEEEPNQGAGFTEGGEGTRQV

>RCO7_03028 | uncharacterized protein
MAADLLIEMKDDKGFIERLRSSSMIEIKCRNHTTEQDIIVRIPEAIACSLSGRISELVGNRSDATTNLDMEGLMGRAGDLDVFEDFFRDNLLSYLTC
FVQWIYTSKLNYDKELPLFNMWIFAVILECPRLQNETVRMLSRDALWRSNVSLGEKKQQYYFANHRFPFTIFFCERLAENFKDKDTNGFREDGGIDV
KFWENKKYLLFLLDCAAYFGLSDRRVLDTIDDDCSEGLGNLSIMIMKRMVQLAKIGGEMCPWDPKNIGRYLVTEQRAKNMAMEVPAVQTPLRKRPVM
ASGSAHAAAADNGNKRVKAVSGNVQIKQSPSAEKRLSDVSKTLVGEDDEGSVQNRRS

>RCO7_03029 | uncharacterized protein
MGHVSRKSRPQQQIRNFRISLWSSYLDPTFQKEIRRRYRRVEKYKHNEALNRKLSWDRHFPANQQVGLKGFMCSAWRSHDSRPGGRWVNVEDLRTGR
EEPEPNAESGSAHDGIDKLYEFIRARSRIFGNGWTSTDAEAIGAATTATSNPNSKCPPQKSPDSVKDGKEGYPRRFQQQQMATESKFDIDPITNRRI
PQKSNSGKADEFSVKTSKNHRSQIHEFEPVASKVELTSPEIIHSLRDRLESYQSLGVEQSQVSDPIQDGLKSYDEKVDYESRRFYDCEGMAVDYSDP
VQNGLKDYDNKISNGKACPVSNNSSSNSTPPFRDGLVDYDLKAGSRQGRHSEEIEERPKHLDPVSQAFKDYKLRIENPMIVRSSDSKPDPLDPVEQA
VRDYESSDLFREAQKKKEADNLLQAIRHYEENFKHMPKKMTGETLDPENSDPILQAIRKYRSDTDTLRNGLESHESLDPILKAFREYKPATEAYEAS
SNAEEPAPIQIQSNEEHRPAFLEASNTSSPPQNQCRIQEGLAGYDAKVKDYKKPSSSNAKSLAFTSTPPVRSALRDFSEDKTEDLDLLRTSDVRAAS
GIIKNPSKETELQKHHKRKQLEESFESVQNARSAVDEAAAANKVHASRELAEELLIEHSELLNHVAHARGPLNSMIAEVEAGWKPEVSDEQMMTGNF
VRDFPEEFEARWTNSETGAEGLTSKSKAGQETSTDPLISLAPDAFSRAPGRTRMESSLDRTNSRRMDSSALPREANSTASIAPAASKQGRPRPKEDQ
IARNEQRMRERDLVREVRGIYEDSYGTIDSKHRQVPVPERANAEPKSTTQSTSTGQTIDLFVNTPQPTLYKILAYDPTMQSISIAETTSIVPDLSDT
LTPAEVLLRLCNPSKFFPHFQSLQSQGYEIVAGSGDVLVFRKVRSGSPFLPKSETPAGYHETNVTKERKRVTNPIDGMQSTPITGDFASPTGFVNYD
RHQGPEVPFKSNIDVRREEPVFSGRRNWEDDSGEEERSRGKEGRAKRLLVGAAWVAGCSYAVGVVSEFFRTGGADGKGTRNLGGNGRS

>RCO7_03030 | uncharacterized protein
MSKRQFKSQASSSRVASGAGFGGFGSASSGSTLSYLTEPPNLSAISDANVVVAFKNLSKKDGTTKSKALEDLRAYVQAHPFEQDGGVEDAVLEAWVK
FYPRISIDNSRRVRELSHILQTELLKSARKRMEKFIPRIVGTWLGGTYDRDRAVARAANDGTKSFLDTPAKMALFFKRCETPILEYAQEALKETAQT
LSDERTMSPDDMQAKYFRVVGSSISLLSNLLGTLEKDIILKHSEKYEDILSGNKSIWAFASCEDAFVRRATVQLMMVCLAKASSIFESDLELISHAF

IAEGLKSSQTSSAYQLLGLLVALTSKYPEVWTTSYKAKKNPLSRLRTFIERGSQGGPPDYWNKVGRLMLDLPDGVIPSDPEPLIEFLRAFRRGITNR
EEPRTNSGVAWATYFRITERLVTVLSPESVQEKLLPEAVFPLFEQYLHPTPANDTWATGTNIPTLAKGLYICLSVKGAGESSFEAEWVRLEKEFNSK
ILTSLPEQSKDYNASQNAVIAVSHRWFKLVAEVLKQAQPVSSDLLGPSSQRIITSCLATIVSRNGKPYSATATLESALQLAPTLVSGSPETMAALES
FLKNDLPKLILSPSGPYLISTLSLFRTLPGKEKDFERIWQSTVDGLLALPESTSQSRTIAKLIANDAASKSCQQNPGLQDFLLRNNLRAIQGGAEAR
TLFETAITFSSFSSATSATSLEQVITALDTKDTVDEAMKLLESISKHQPTLLNSQSSVHVALITKLLGLTEIDDSTVASRANTLRAIVEKLSSTKGS
ESPNQSSLVHVIRDNLETAGPQSLNIDTLVQEAKNVICKSSDTTPAAIFPDIKVWADALAPLLIHAPTPALGVIRPFAGSVFLVANTSTTSNVRPSR
DINGYSVPLRMAMYTTSLLAHEGMSDVLPAELQVELYYLLALSSELANNQIDLLEDNKLFGSNQDLDAVADVRQFVTDFHQLIKNAADSASHWRDQA
NTNDSPKNTSLVVKHLMKKLLEVSSTNTPAAYYASKSLGVLMQALVAAHGWQNDGSEEWLTQLDILKTSTSNVLGASAILIGLQDSLRSSKIVNNLC
NRLVSDIAGAKAQCDKTLGQLVLLNSVLSVYDEDLPVANNRLVFAVKQILSWTEDLAGNDARLASESCRALQRLLPAIKDVYGSYWETSFDFCVSIW
EVSDRGVMSNERLPMIGMSLKLYSILQNMADDENEDLKEAFELSREQCCDGLVKLLKLDRSKETQPLEFVDTILSRQMTKIPVDRVKDLTEFYPLVA
SEFQLVQSAAFDVLHRGLPKVQQELSVNVLLDGTTAQLPLELLSLLLNTPSVHDISDAAEFPSSVRGYLLSWLIVFESYTTASLKVRNDYSELLKTE
NYIGPLLNFMFIILGHSSANPLNLERARIDNSMIRHYSMWKANDTESASRSMHWLLVNLYYLCLNYTPGLVRNWFFSCDSRQTSLAVESWTRKYFSP
IVVEDTLDEVEKWAANQEPPPDDEKDLVVKVSKRSKEIFAGYEVDELMMQVGIRFPENYPLEGVRVDGINRVAVSEKKWLSWLRNTQGVITFSNGSI
IDGLSALHKNITGALKGHTECAICYSIIGPDKKTPDKRCQTCNNLFHSNCLYKWFSSSNQSTCPLCRNPFNYGVEAGRRKRVDE
>RCO7_03031 | uncharacterized protein
MDPSRDLELPNPKRIKVVADNKDEVMGGASASESTGTISELLAGMSMNKHLAIHGCKFCGPHANCTLAHEKGYVYDPAVYGTEKNFDKMVLEDQKEQ
FKDHNPELVIAEMEKERLEEKAARQWASEKVGPFCCGNLKHVPRSDSAHLDEDKHEAIMTFAKHVVDGKGLGWINGSGVDKAEPYTDEQLKAIENVI
RISRVGDDDNKATWIFHPTADPDDGADCYIMIHKVEGGMAFESTGPNGYLGFWCPEHKKKFRIGYSYKNMLGKKKTIASFMDDRLDKILKVGKMKPL
VLGYGGPGW
>RCO7_03032 | related to FAD dependent oxidoreductase
MVHKKQRVAVIGAGVSGVASARHLLAAGVDVVGFERYRAAGGNWTYDERKPVEPQYPSIKPSVADFVTELEGETEGPKVSEDNATLDLDLEELKFAP
PGPAYSGLMNNIPTGLQKMIDHPWPAGTESYVNVRVKQQYIQSYSKIFGIEPLIRYNTRVEKLHKIGSKWEVRSTTLIREGPDRGRKIRSVEEFDGV
VVASGHYHAAKVPDIPGLKDWKAAWPDRVYHSKGYRNPSELKDQTVLIIGAGVSSTDIARESHHGAKKIYQSSRGGTFDTPKEWVPPNTERVVGVSS
FEIPKNGQATPGNITLTDGTVLTGVDKVIIATGYLFSLPFLLDLHDDSLTPEEANETILVTDGTQIHNLHKDIFYIPDPSLAFVGIPFYTTTFTLFE
YQAILVAAVFAGFAQTPSESEMRAEYDEKVKTLGCGRTFHSLKGTQVEYADSLVEWVNSQAEITGGAKVQGYSQEWIDEMKLMMVKFSKFVETRTNR
LPMDNSNVLVEVK
>RCO7_03033 | related to PEX11 domain protein
MSYTALHNYLTITHSGNKSTLSYILAGLEKTLRLLQSISQVVGANLLPAAAAPWLRARAQFALGRRYLRFLKFIDAFSLAFETLSSRSGVVAFLEFG
KWSCLGMFLLLESCTILYAMGVYRTSWASWLFVEAVKFWFYSLCFGILRAIYELWNLSWAGTSHSTEAEGGSGKVAGRVALDEDSGRRQRTLQRQIA
MKKLVIEGCDLFTPGAVTGWLVVSSGNVGMLCLVSTVFAGADVWDEILGT
>RCO7_03034 | related to extracellular lipase
MPSPAQMIFLAALPIIGMYVYFSTWFRDYFPPTWNPPLLPQVKIAQGLIVGTVLDHRFPAPIDAFMGLPYAEAPIGQRRFRRAVPLPRSNRTIKAQA
YGPICPGKQLLSGKSAPNSEDCMTVNIFRQKPTTDERLLSILRRAGQKVLLSELASTTGQFRHISIPNHAYRFRIGALGFLPSKLTYEEDIVNIGLH
DQVFMLQWVQNNIEAFGGDKNDVTIFGLSAGAHSIGHHILNYKEGVTPLFHKAVIESGAPTSRAVHPYDAQVHEDQFALFVSEAGCIDVPRDSITSC
LRSQPEKVVVAASTAVFDQYNPSLRWAFQPVIDNEIIHQCPIDAWASGKWHQVPIMTGHVTNEGTYYVPASTTNGEDFISFWNVLLPHYTTEDSDTI
DALYADPAVDETYKDTRDLQAIGVGPQFKRVEASYAQYAYVCPVRQTADISSSFQEPPVYVFHWALNKTVKGGANHGDNIYYKDFQDEVTSISEAQR
EVSGKYHAYVTSFITQGDPNAIQGRFADRPKWEKYNRKSEGVMTFGKGNDERAGGTGVGIAAQMLGSEWVKKECDFWWKKSHDTEE
>RCO7_03035 | related to integral membrane protein
MAADNRGPEVAGVAGLFLALTTITIALRCYCRAFVVKSFGWDDNAAIVAYFFFVFFCGFVFTGVRYGTGQHADALPPQMIPVGLKWWWACEPVYVLS
NMALKVSIGIMLYRIAVSKIHRVIIWTVMIVHTVYGTFFFLLFVLQCRPSAYFWTKYTGGKGSCINPIITVDATYGYSAVSCWTDWTMAILPVFLIW
NLQMNIRTKISVAMILSMGAVASTATIFRIPYVKGLANEADFLYATTDVAIWSIVETGIGIFASACATLRPLFRDFFQRNRLMGGSSTQGVGAWPAS
GAHKYMRSKSNGAGEEFGLRSDIGMHNGVTTTIESHNEIDAEKNMNGVRRQESARALNKQSKWGNETVLRLGDSGSEDGFDWESGIRKTTVSTQVAD
NGAHRAGSNKTAWRDWLATPSLDLGRRRFGIFTFVALSLVPVV
>RCO7_03036 | related to beta-1,4-mannosyltransferase
MLEVLLTLAVLASTTLTIVLIMLPSQYVKHSPPRETITGNVNEPKISVQVLVLGDIGRSPRMQYHAMSIAKHGGRVDVIGYLESTLHPGLIDNPLIT
IIPLPPPPPLLRSNKLPFIIAGPLKVLWQIWSLFHILAYRTKASRWLLVQNPPSIPTLFVAYIICFLRNTHLIIDWHNYGWTILAGTRGEKHPFVTV
SKYYEALLGSWAPTASFTVTDAMQKQLRHKPYSVKSQILTLHDRPASIFQPISNQDNRRSFLQRIPESQKHAEDIMAGRTKLLVSSTSWTPDEDFSL
LLEALCAYAASSTKLPPILAIITGKGPQKQTYLDKIATLTQASKLDSVTISTAWLRAEDYATLLACADLGVCLHMSSSGVDLPMKVVDMFGAGLPVV
GYGDYESWGELVKDGINGRSFVTSIELAEVLEELLSEIEGKQLAKLRKGAIKEGSRRWDEEWDSVAGRVLGFCE
>RCO7_03037 | related to zinc transporter
MTHNHSHSHGHTHLHSHSHSHSPSPSRPHAVSPQKTLRSERSNSSPHSLSHSEPHLDHAHTQSNHGHNHSQSSSRGYNYMRDQQSSQYLPTPPNSSG
MSPISEFPPHAYHPEPSPALSHMGSFEPALNSVNVIAHSHEHLHNPAPHVEQPRSKFTSMILPFALRWPIIHTILADKDSRRIFYFMSLNFVFMIVQ
ACYGYLTDSLGLLSDSIHMFFDCLALGVGLFAAVASKWPPSERFPYGFGKIESLSGFGNGVFLMLISVEIMIEAIERLSDGRETKRLVELFVVSAMG
LAVNLVGMACFGHHGHHGHDHGGHSHGHGRDRGHSHSHSHEKSHSHEKERSHAHHDHEHLHDHGHGCKDSHSHTPLLSDSPPPKVHAHVGHAHSHDN
ENMHGIFLHVLADTMGSAAVMVSTALIYFSGWNGWDPLASCVIAILIFLSSIPLIKSSAKKLLLTVPDEIEYGLRDTLAGVSDLRGVGTYTVPRFWM
GDKNTDSESEQVLGVIHIVATRGSDLDDVRERTRDFLLNHGIDVVVQVEKVEDSSCWCGGASNQSPNPSSY
>RCO7_03038 | related to aldose 1-epimerase
MIKPLLASLLLPLFGLANSASVTGPGHDGTYTLSAPGITAKFIPYSAAITSLVVSDRNGVKRDVILGYDNATFYPVDPHHPEYGAVPGRYTNRIANH
SYMIDGTRYYTQKNDGNGTLHSGLNGWSRRTFNVSSVTASSITFTIRDEGNSSPGFPGLVLGEVTHTLTANTWTTKLSAKAVEHKTPIMLTTHPYWN
LDAFANPHTDLVLNHTLHLPFGKRMIGIDAGTQSSGLLPNVKRGGVNDFVTKPKQIGASSGDKEWVGNCGTGSGCSGYNNQWIVDRTDAEAEKPIAT
LSSDWSGIKWDLYSDQEAVLIYSCYWIGNSNPLKKSQGGPASNGFVQRNGCVAVEPHDWIDGINHPEWNRMDKQIFGPNTKPFESRISYVFSTI
>RCO7_03039 | probable thiamin pyrophosphokinase
MIEVNASMARERMTNLQVIEDCDNFPYPKIGVTAAYEEQVNSLWKFFLPNDHRPHGFLLDPVVEAMPWNEDFRLDHAKKEVHLVQKVGPFWETICSS
SIDTLLTTARSSKSFPKLGKKRNEKYSIVGANFPIGIERSASSLFGIIGQGVHMTIFARTKEGLEFWIPQRNINKSTYPGMLDNAVAGGIAAGENAF

ECLVREASEEAGIDEKFIRDHAKPGGTVTWFNISDVRAGGEIGLMNPGVLFVFDLEVAADMVVKPVDDDINAFHLMSVQEVQEAMGEGKFKPSSASV
MIDFFVRHGILTADTDKDYVDIVSRLHRRLPFPTSPHC
>RCO7_03040 | probable mitochondrial GTPase 2
MPPRCFLNGTLTPFLYPSLLSQCPQSLLRPLFKCSHQRHESTTPHHQLPEEGSHLNPPPSDYSRTIFTDRATVTLHAGAGGHGCISFLREKYIEAGP
ANGGDGGTGGNIYIQAMRGETSLHKLARRNILKAGRGKNGQGKTRGGERGDDIIVQVPVGTVVREVERVDPVALEEERLKLEAGKEDGVDGAGPWKW
DREKWLLYPAITPEDVATAEFPALPKGRRSHLMMAQVKAPVSLDLSKPMERPLLLVAGALGGLGNPHFCTKAVSRPKFATKGEQGTKIVLELELKLL
ADVGLVGLPNAGKSTLLRAMSKSRARVGDWAFTTLQPNIGTVVLDNHKGRPVAQSKYDDGEPRTHFTIADIPGLVEDAHLDKGLGISFLRHVERARV
LAFVVDLNKGDAITALKGLWKEVGEYERMKIVEEKEKGEELVQWTPFATTEDALANRQETIVISHGPTFDNPLGPELPSIAGKPWFVVATKADLPGT
KENFESLRAYLEKVNAGEEEHPSGQKDGWTGKVEGIPISAIHGHGVDKITEWTVGLLDD
>RCO7_03041 | uncharacterized protein
MKLTSTVILFILAPMLERLGLQLPSRNGEVNTRWAYTPQVYAVHKGEHIYMLYVLVAAPLDNFNLSTAHVCGPAFA
>RCO7_11500 | uncharacterized protein
MKKYHYSPLTLTRQVRLLKVYAGAEADELSSELVHTSLDTTPSFIALSYAWGHSKHRKSIRCSGLTVEIGPSLHSALQHLRQPAREVLLWADALCIN
QEDILERSQQLSGLARSRTRPDEAKMAFDLLHKFSVAWDSLNCDPPASNDSDFISRNRAEKTLQAAFGENRAAAFGHIWALLNRPWFTRKWVIQELP
LEPNAKVLGMSMLRATLLTRIAVPEKQLLLHLIVKTLEFRCADFRDHVFAMVGIASDADTFDLIDYGSPIEKVCQKLAYACVSDSMNLKLLWSLVYL
APLKRRSTTGFPVVRPVLSTGPPLIAEGGLDVEGGRHAEQRP
>RCO7_11499 | uncharacterized protein
MRLYNTEGLRVPTPRKFRAPSVAQSPFIRQDMQNRGASSRPPHLGERVDTLQRSNSDISPDLTIFEDNEFEADWGTAYVDETEFEKERARGEAALDA
LKRKSLDRLAEALARFKTAKDPRACRNGNRDTQHVASVVMVEDFDNGGVTIFCSKNEGLDDVDETFLRSLKDLLEMTSKNEEKQPDCLDLAFELIFD
HQRPRVGFYSSIIQDAFARVARSPAPNTLTKDVLEH
>RCO7_11510 | uncharacterized protein
MATKTRYRGLVLFRILGIRTTSNVNSRTLSASRFIPNNNTTPTSATARSKARAYSRWAYQQQ
>RCO7_11509 | uncharacterized protein
MNNSFSRGKLHRYYYIGLPTCLFLLIYRLESYVVTASYLNINLLQVRLHFKINNYFSYRTKTTTSSTELKLITRVLAKRAKASKKYNDLVTGYLDIK
NKQLELVLKEEKAIRKKVLGVKTRRKRKAKELKEEDNNNKLASSIRGSFKKNLEPLIKRLEVKIIKKSSKKHRVSYNKIEAFIRGITNPKAIKEFYT
RDKEIKVKEDNYNNNIIIIEVSTNKEEDNKEEFSK
>RCO7_11508 | related to serine/threonine protein kinase
MASSFKVGQYIEGKVSTYVLSKQLHKDIWTAMYQTLPNDRFSSPLTLERSSKLGQVIIKSAPKYRLDNERDILKHFHARPGIRQLLDKTQDPRSLVL
KHFDDNLLSASNSKSLKKSEIKFIAKRILEALQAFHEDGYVHTDIKPDNILVNYSSRPRRFRDVELGDCGDACLVNPEDHLKLGENGHMIGAHMFRS
PEAMLNLRWGTATDIWSFGTTLISLIWGSGWHIFKPDPKDAGPNDEAYPSHILVKQIAFFGPFPLSYFDFLPNEDERWEFIGDATQYIIDNQKWKPF
AKAEDKELAEEDRTFICKIMKLDPRDRPTAKELLQDPWLEDV
>RCO7_11507 | uncharacterized protein
MREFTKKAIFKATISNTKGKRNLLSSLEIALNLDTSGLSLKKKAYRINYYTRSITRAILVDLSKELDIVVLVLDILDLLEAPENLGEKTSEIRVVKE
IEF
>RCO7_11707 | uncharacterized protein
MNLGPIIYPSSYMIFSTILVIASKSGDYDIAPRYIRAFLKIKYNNTPALELLYLFNKLNSKLYKYYSVLKKKVFKELEFIKKAIFKATISNTKGKRN
LPSSSEIALDLDTPGLSLKKKPHRISYYTRSTTKAILADLSKELDIIVLVLDILDLLEVPENLKEKAKEIEIIKEVEF
>RCO7_03042 | uncharacterized protein
MSSPLRPEALRPEVMLIKNSKTKKPFKIMDPDCAICSQPALAQCECEAKGLDIAVRMAEQRMMSSIFNDIRAWVRGHAQDYILQYFSMLTTRRKEQH
AASIHRITEAAAYYYRARPHPSEIAAADALLKRGIDEDWKASVQRYPEVLEYFYGLVDLNLPGDSDPGVRDPPLSALGGVGVGRERERKVRLRESSE
VEERRRRRRSRGEREGIEEREREREREVRVMRVPAPPTAAGGRGRDRERARPGAMYAPPMAGYEYVQPGY
>RCO7_03043 | related to brefeldin A resistance protein BFR1 (maintenance of normal ploidy)
MADVATPSGAAMFDAGNAGNSGNASNVHKKPEKPDEEVYKASLKKAEKEHADSMAKLNTIKAKLDVAKPTSKDSPAAKHRADLLAQLKEIREKQGAG
KAGRNKIFDEIKKEDDKLKELIAQQKTARSRVSYKSVDELDREIDRLEKQVNGGMMKLVDEKKALAEVSSLRKQRKGFAGFDDAQKQIDEKKANIKK
LRDTLDDPESKALSEKYNKIQTELDSIKAEQDEAYKGINSLRDERKKLQDDQQAKFTAIKKIKDDYYQTNRAIQKYEYEARQKMRERKKVENENYQK
EKRKDRAQQMLAEASDKAYLDEIRRAESLLRFLDPSYSSEKAPLQAPSKFSASASRTVDDAGFKGVKVVRKEEEDYFAGTGGKKGKKNKKAAATTGD
APPTPTGKYSCPPSVMEDCAAMGLEPPMSAADIPETREKVKAKLDFWKSDQEAQTKKNIAKAQKEVERLEAEEAGSAPETSTTAATNGETKATASVE
EGGAISSETALVKDAVADIVADLKGASIDEKAE
>RCO7_03044 | probable DNA-directed RNA polymerases I
MDDRDEDRQRKQREAGEREAARLWRAWRTVHEMVQDRGYELSDAEVKISFDDFKSQYTTQDGSVNRKAMNFSARPSELMMERYLTEKGDGSDIGTIW
VEFLQDTSVGIKQMRTFAQHCSQNSFATGILITSVNITPAALKIIPAVAAETRIECFVETDLLVNITHHELVPKHVLLSRKEKAALLSRYRLKDTQL
PRIQLGDPVARYYGLRRSQVVKIIRKSETAGRYASYRLCV
>RCO7_03045 | related to sna41 protein
MYLPRSLLSTLYLHLQKTHHPLSPPVLILVALEPDALCACRILTHLLKRDYIPHKIQPIAGYGDLEKAGKNVIQPMMESNGGSGGIVVCLGVGGLVD
LGGLLGIDGEEAESSYGGVEVWVIDARRPWNLGNVFGGHPPPAQVEQGGELISLPQLGIDGGKILRNYKPSKGGIVVFDDGDIEEDLTAERDAYLAL
VEMPEVEDEEDLEGSDTEAEDDIDDPPADSRPGQKRKSWTDRIEEDDSSDDDDRPRQRRRSNSSSPVPDSPTRPRQRGLLSLSGPAALTSSAGSRSV
SPTPGQPPQAPSARTLRRRLMKIRRKHESVLQKYYSLGASYSEPISSMMYSLASELGREDNDLLWMTIVGVTSMDLYGRSTVGVAITTQKLSTSQKG
WLGTRGSRIRQLLRDEVRRLNPPELSDSSMGLNRNMLPENSGIIPTTARSPTDTSIRLSPEPRFLLIRHWSLYDSMLHSPYLSARLHIWSENGRKRL
HKLLAKMGVSLVQCKQSYTHMDMDLKRGLRSKLLKYSDMYGLDDLVPSADTDGRDRGGTKEGWGFVRSWGWRATLSAQDVGVVVGALLEVGKKAVAT
LENGSNDRGRDIKETTDEDGTKEGEEWVGRFWDAYDALEKIEELKAALPTAQLLHRAILRTGTSIIEKKQIKHLRAFRMCVVKEGPDVQLFTHPAAL
TKLALWIGEAIAEQERENKGKLSHGGRGTPLVVAGYNEKRGCYCVVGTGGGGGGGMGFGNKQAAKERKEKRDAKLKARELKRKNKEKVKEQKKEARR
LALGDDEDEEDETESEGSDSSSDDESDEEDEKSQVLGYGRNKFGNAFQEVVEETSARVRIDSFEHCVVEVKKEDLAGFLESLSQRSVIG
>RCO7_03046 | related to serum paraoxonase/arylesterase
MVLDEEGRTLFAACSFVRSRRGWSPGGDKLDISARDFNDHVSVLNIDHPGSDGLYGLQKLEIIGNYVSASGGKEMDVHGIAMEVISPTRLRFWLNNH

RPSTDPHGTLLDGKKVGANSTIEVFEHTRGSTTMEHVRTISHEAVSTPNGLLATGDGGVYITNDHDSKTGKLRMLEMLFGGGSVTYCILSGSCNLAA
THGFKFANGITGLFSTSSKNKTQNQVIYVVNSAKGFISTHIIQPNGTLFRGKDIHLGMPVDNLIANMDGPVVEPRREIGSTVFRIRRISDGMGEGEE
EGTIRHVVEKVLEDLEGKVLPGATTAVHDVKTGSIWLGGVISPLLLFVKG

>RCO7_03047 | probable Vanillyl-alcohol oxidase
MTFNDTTEKNGTSLPSLRPESAALKMPTRVDKSSQQKGDPMILPPGISSSQFQNFIRRASSIVGPENIEVILPDNTLDDGSYQKPCHGHDMHAILDR
DYFVTSAVVCPRSVPEVQSMMRLFTETGIPVWPYSIGRNTGYGGAAPRVPGSVGLSLGKNMNKILNVDTEDAWALVEPGVTFMDLHDHLEKNGLREK
VWLDVPDLGGGSIIGNAVERGVGYTPYGDHWMMHCGLEVVLPNGELVRTGMGALPDPTVSTDPTVPPHDQPGNRAWHLFNYGFGPYNDGIFTQSSLG
IVVKMGIWLMPNPGGYQAYMITLPRDEDLAAAMEIIRPLRIQMVLQNVPTLRHILLDAAVHNPKSHYTNKVNEPLNDEELDAIAKQLDLGRWNFYGA
LYGPEPVRNVLWTVIKDAFSSIPGAKFHFPEDRKEENSVLRTRAKTLQGIPTMEELRWVDWLPNGAHLFFSPIAKISGRDATAQYEVTRKRCKEAGL
DFIGTFVVGMREMHHIVCIVFDRESPSSKQKAHWLLKSLIKDAAAHGWGEYRTHLAVMDQIAETYNFNDGALMKLNETIKNAMDPSGVLAPGKNGIW
PQTYDRESWRLDNKE

>RCO7_03048 | related to Staphylococcus multidrug resistance protein
MAILFHLRWLYRELGLHSLYDTGRDAWFIIAARCGRMAAFGTVSLILALFFSELNFSDTYIGLFMTLTLLGDVLLSVGLTAIADRVGRRRVLVGGSV
MMVFSGAMFALFENYWVLLLAAVVGVVSATGGDFGPFRAIEESILSSLTSPNTRADVLSWYVTVATLGQSVGTESGGRLIQYLEHLENWTLVEAYHR
LFWVYSGVGVLNLIFMSLLSDKCEIQKAEETTMEEEAEILLEDDESLEVEDTGRRSLEHLKPTTQKQNLFSHISSETRSSMYKLWFLIILDSLADGM
VPYTWTTYYMDQKFKLKKSTLGDVISISYFLSFVSTIFASPLCRRLGLVNTMVFTHLPSSAAVLLFPLPSSLALTVLLLMIRTGLNNMDQAPRSAFI
AAVVKPEERTAIMGITSMVRTLAAAAGPIVTGVLAGQKRFWIAFVVAGALRIAYDLGLFAMFVNMKLYQHEENDSADLRNAESRHSSDEEDLRELPK
P

>RCO7_03049 | related to cell wall protein cwl1
MSDFTNHRDDIVPSIETQSKPTTTTTTNSGLQNAMNSVGNNASAAADAVKHHPITQNIANGPVAENIKDQTAKTSSEFSNLAATRTTPATPAATGQQ
LTHYHSFFSSLLSWEHPRASGIAYLAIVSFIFAARYLDIIRYSFKLTYMVLGVTVLAEAVGQAAFSTGFTSQVRPKKYYTVSKDTLHSLIGDVHELV
NFFVIEAQQIVFAENLLASGAAFVAAFISYYLIKIVPFWGMSLIATSVLFLTPLIYKTNKQLIDENLARASSVINQQSQQVKHLASQQAARATETTK
SFVGDYSAKAQEIIGSARGRSVSPTASAKPAKTEPFSSTASSKTTKVEPFNAKENVPSAYKSEDFPAAPINSAYKVEDFPAAPVQDFKSSAPVVADR
DFKSASSNVDEPLIV

>RCO7_03050 | uncharacterized protein
MRPKPQITKPEIINRSIAFGLKLSDLILRDSIQLYSVGSTRGKNEEGKKEGEEEEEEEEEEEEEEEEEERLPAHKRITQHANLVLSQQARLPDRES
QTIDTTTTSPTTVVAETNDTSKSKKTTRTTSPFPFSNLPPELRLTISTLILTSSSFRGQKPRFLWAVQRSAALYAEVKEAWCRVNEFHFTFQESGLN
RVREGMRGAMRGLVRRAVVRVHCTLAIHHIIPSLAHLTSITVHIHGPKRVIQGRVALNDAEFFRPFAEARSMLDKMLSKVGKCVYVERRSQEWCWEA
EKGQVFKPRSRKVHIKFDEEAREIGTDPVQDGGDAS

>RCO7_03051 | related to O-methyltransferase B
MASANADLVKKAEAILASAKSFKGQRTERHDLMKQIDLLYLELEDPMDAMLRQWSFMNMATSLNMMVKLGAFEKMPREGSITANELGALIKLEPSVI
VRLMRMLTSTGIIELTDEDTYAHTHKSRAYLDGAAMDFFNLCINMFGCYLTWPDYFKTRTSEELIDLRKTPYTFAYGQEGQTFYEVLHADKDRFNMF
NKAMMQQEASLPTLGMFPFRSLKKEVESEPERAFIVDIGGGRGQSLLSIQKEISESGGKVGKMVLQDRPFVLDSIPEELLPGIEKMPYDFYTEQPVK
NAQIYFLRRIIHNYQDNVCITILKNIAAAMTSKSRLLIGEVIVPARTQIGEDLSTYWMDMVMISIGGKERSEKEFVALLESAGLVLFKIWPYAVGNQ
AIIEARLKEV

>RCO7_03052 | related to methyltransferase
MMEHEHEDETIEAEVDGFDNDSAYAGSSSGSLTETLSSTISRGVEEYGRTCKLIHSIPAVAFSRHTELILPPPDAAYGNEEYGLPIDEEELDRIDMS
HAKYGMLLEKKLFLAPITTKPQKILDIGTGTGIWAIDMAELYPSAEVLGLDIAPTQPQWVPPNCIFQLDDVELPWTLDANSYDFIHGRDLLLSIRDW
PNLVKQCYKTLKPGGYLELQCIYPRLKCDDDSTPPDSGLMMFSNYALDASTKMGAPLDACIHYADYMSSAGFEDLVERRYKLPSSPWAREKRMKLIG
AFELHNLLRGVSAMSLRMFSKAYGWSQSQIELFLVQARKDMQDRRFHSYYDFVIVYGRKPGGSEPVPTPESEPGSAVQVA

>RCO7_03053 | probable MET13 - putative methylene tetrahydrofolate reductase
MHIKDMLAGAERSGQPTFSFEFFPPKTAQGVQNLYDRMDRMHGLGPSFIDITWGAGGRLAQLTCEMVSVAQSHHGLETCMHLTCTDMGQDMVDAALR
DAYKAGCTNILALRGDPPREKEKWVATEGGFQYAKDLVKHIRETYGSHFDIGVAGYPEGCDDQDDPELLLEHLKQKVDAGATFIVTQMFYDAENFID
WIHKVRAKGITIPIVPGIMPINTYASFLRRCNHMGCRIPPEWSEALEKVKNDDSAVRNIGTGLVAEMCRKLLAAGIHHLHFYTMNLAQATRMLLEEL
NLTPSDQRPRKQALPWRQSLGLGRREEDVRPIFWKNRNKSYVTRTQNWDEFPNGRWGDSRSPAFGELDAYGIGLKGTNEQNRKLWGEPKSIKDIAEI
FVKYLENGVESLPWSEEPISSEADSIKSDLIALNRRGMLTINSQPAVDGAKSSDPVYGWGPNNGYVYQKAYLELLVSPTLMAQLITRIELEPDLTYY
AVNRVGELKTNASGDGPNAVTWGVFPGKEIVQPTIVETISFLAWKDEAFRLGTDWAKCYSALSPSRQLIENLMDTWYLVNIVHNDFHQTHGLFPLFD
GLELKDIDVPFSSSVNGGDTNGADTNGVHTNGVHINGVNGIKPEGKENIHLTNGASVKVSAAN

>RCO7_03054 | uncharacterized protein
MTSLTTHSYPTLLSLPTLPLSTEDDLDTQRGRKRRRSSASNHVTSHRSTIGTLRGRARFRTPSASGFSLSLSSPAGTPDSAKRGVMGGGVREEVKGK
GHGKGIRLDGRVAKSDPVLGPDSNLNRKLGLGSKSIQRGKKEEEEEEDRSKPSQSQDQDQDPGSEDDEGVKQMDDEDEDAPTAKDPRRKQRRPQSTR
TRMRVRSLGLRGQNTDAVVKESAVKG

>RCO7_03055 | uncharacterized protein
MGPTPRLADDLLTRAWDNLSIIAELQHNSIEHHHNAALNSHQLSIGHITETMFARPIFRASRLCCRFYATETQKVSPLLLKIRDDLKTAMRNKDTVR
LRVVRSLLAQAKRASETKPIETDAQMLKVLTQNINANRDAAEEFTKSGRADLAEKEDQERAIMDEYKDSVPKVGEADLAAVRERIELVLKQLQEQLG
GEFKRENVKVGDVLKRVLEGKEGEEILGKFERGEVVKVLMPMLKGTK

>RCO7_03056 | related to UPC2 - regulatory protein involved in control of sterol uptake
MECQEDFDEVESPELMDETQDGTDPPPKKSGSKAKGRKRTKTGCLTCRKRRIKCGEERPTCSNCTKSKRQCEGYNQRVVFKDPLNGYRPPNPHFTQS
SFSNSGYSQSVSRRESHTQSGSSQTPLPIAPKPSVSTNIRAHVDQAAFSPTNERRSGSTTKGLPGQATQRTKIQPKVKTQLQEQSLDTRVHSHILEK
QSPNDHVTHYDFNALGKQESSSGISYSPSQSTQSSWSAGLSSATSSRPPFSTAKWEPGPYIGSGEEKFDYSGSISTVHLQNEPSSEQYVQKKATIGQ
PIYPRNWQGHQQDEVYPPPAPNWSLGQPLPQYRPNLEDMDDPFDVSEAEDEIDTADEHFDVLHDDPHDTHLKRNDLGIIVAVQAGQDKQGFNLRSFV
SFIDRPDMLATYMPSSQSTPLRDQMTARIFCHFVNVTGPCMSLFERHPSNPALMFQGTPVPRSQQHIWAYTFPTLALNNSALLHAMLAIASLHISKL
QGGPITASYKHYALSLRRIAKSVSLPTRRGHPATLAAALLLAFYECWAADHQKWSNHLLGAKQLVKEIDFAGMTRQIKRKKAQKQREVLERNHYVHE
HGLDYDFDDQDQLQAPDEIDEGIIGTLMGRKISYDEYGHIIDDGRNFGSWGKEYTVRDLEIYETQRDLFWWYCKQDTYQSILGGGKLFLDYPFWSHC

PPRAPLGRLNAVYGTFDHMILLLGRLANFQAKDLKRKRLAMKANGGRWQPPESMRAQQPAATQDQNNSAPQTPPQMPNFSGMVPDVQEAKLPMGFEP
SKDSPSSTQGEELDLHAQTHAANEEWQEIRDGFDLIESHFGEDFQALGPEFSAPIQTPFGPALQYRTYGIAGIWMNLYMGLITCYRCHPSMPPAAIM
AAGITARQTGVFAIQLGRIAAGIAPDLSMAAEVNPGVGAALIESSTCMFVSSIQLQDASHRSWTICRLRDVARLTGWQTALAVAHGCETTWMKMGAL
GKGPVYVRTQEQRIVPDIWASSRRIDRALEGKTTEERRVIIEKSDRVQYALGVMGLEEDFEALGLDDGGRR

>RCO7_03057 | 20S proteasome alpha subunit E

MFIARSEYDRGINTFSPEGRLFQVEYSLEAIKLGSTAIGVATGGGVVLGVEKRVTSTLLETSSVEKIVEIDRHIGCAMSGLQADARSMVEHARVESQ
NHAFHYNEPLRVESCTQAICDLALRFGEGADGEESIMSRPFGVALLIAGYDEDGPQLYHAEPSGTFYRYDAKAIGSGSEGAQAELQNEFHKSLTIEE
AETLVLKTLKQVMEEKLDSKNVQLASVTKDKGFRIYTDEEMAAVVERLPAN

>RCO7_03058 | probable spindle pole body component 97

MSSSSHARIPSRTDRRTTTDSGSTQPRAPSGQQGGSRSERPDPRRQPSPQPSTTTSGHKRTASGVTRTSKGVEERRTERVQVTTRETISSRTRSPER
RPGSTQPQERQRSEPSRNHSGDHRPKPVKTEAPSAPWAPEASLVPHTSAPLASRISIPPLSSQAPLALQPRPLHELSLEVQEAAILEDLLFVFMGYE
GQYIRFSKTYNPAIEKDRLAGPGFKIQPGLDPSLQDLTITMLKMATHYGAVDAFVEVQSREEFGAVNHALCAGIRKLLQDYLILVAQLETQFLTNPS
FTLHVLNLHTLPTSHMMFQIYSLAHEILKRNSMLEEDEESDDGYDDIENILESLREGGDLGPGSIPGKKICKGGSVLGLITKRLESMSGDPAARALL
TSLLRDASRPYMMMLNEWLHHGSIKDPHAEFLVREQKSIRRERLEEDYTDEYWERRYTIRDHDVPPQLEGVKDKVLLAGKYLNVVRECGGVDVSKAV
TDVPRSFDDNRFLDNVNSAYAHANESLLKLLLTTHALPARLRSLKHYFFLDRSDFFSYFLELGTSELRKPVKNVNTSKLQSLLDIVLRQPGSVAAQD
PFKEDIKVEMNEISLTNSLTRVVNISGIEQGESLQTPATQPSNENDKAAVGFTSLQLDYSVPFPVSLVISRKTVWRYQALFRYLLSLRHLEQQLVSS
WQSHNRSASWAHKSSSSSLEMWKRRVFTLRARMLVFVQQLLYFCTAEVIEPNWQALMARLVAKEDSKGGATPVRTVDELMQDHVDFLDTCLKECMLT
NSRLLRIHSKLMQTCTFFASYTGWLARELEKTDADMTGDDRPSTMNKQHWARYQAEKANRHGDSAGSSAALVSLTDAARAEKLEKMFETIKKFEDNF
SKHLQILLDALNHYAATETVVLLGLCARLSTANQGTQYSGLKTDEDIGSQV

>RCO7_03059 | related to epoxide hydrolase

MEYPCSTFKTSRSFTYNYVHIKPSTDKPYVLFLHGFPSSSYDWRHQIPYFQKKGYGIIAPDLLGYGATSKPLDVNSYTGKAMANDMYELLKAEGIVE
GVFGVAHDWGSFILSRLANYYPQLLRKLAFLDVGYVSPGHGLTEEMVTFVDKSIKEAMGFEVFGYFRFFNEDGATELLNKNIESVQSLFHSTDAELG
KKYMGATGGFRTWLSEGKVAEKEAWLSFKDIEHDLKLFAPENGGYSAAINWYKAQLQNINAADEKGTFSKIPEVHHILQQPTLLINTTNFISATADF
ANQMKPYALKLEIEQIESGHWVMLERKDEVNQILGNFVDK

>RCO7_03060 | elongation factor 2

MVNFTIEEVRALMDKACNVRNMSVIAHVDHGKSTLTDSLLSKAGIISAAKAGDQRATDTRADEQERGITIKSTAISLYGNLENDDDLKDIVGQKTDG
RDFLINLIDSPGHVDFSSEVTAALRVTDGALVVVDTIEGVCVQTETVLRQALGERIKPVVIINKVDRALLELQVSKEDLYQSFSRTIESVNVVISTY
FDKVLGDVQVYPYKGTVAFGSGLHGWAFTVRQFAVRYAKKFGVDRNKMMERLWGDNYFNPHTKKWTTKGTHEGKQLERAFNQFILDPIFRIFAAVMN
FKKDEVATLLEKLSIKLTADDKDKEGKQLLKVIMRTFLPAADALMEMMILHLPSPVTAQKYRAETLYEGPPDDEACIAIRDCDPKGPLMLYVSKMVP
TSDKGRFYAFGRVFAGTVRSGLKVRIQGPNYTPGKKDDLFIKAVQRTVLMMGGKVDPIDDVPAGNILGLVGIDQFLLKSGTLTTSETAHNLKVMKFS
VSPVVRRSVEVKNAQDLPKLVEGLKRLSKSDPCVLTMITESGEHVVAGAGELHLEICLKDLEEDHAGVPLRISDPVVAYRETVTEKSSITALSKSPN
KHNRLYMIAEPMDEELAQEIEKGKISPRDDLKARARILADDFGWDVTDARKIWCFGPDTNGANLLVDQTKAVQYLNEIKDSVVSGFQWASREGPVAE
EPMRGCRFNIMDVTLHADAIHRGGGQLIPTARRVLYASALLAVPALQEPVFLVEIQVPESAMGGVYGVLTRRRGHVFNEEQRPGTPLFTIKAYLPVM
ESFGFNADLRSHTSGQAFPTLVFDHWQILPGGSALDGASKVGGIVQEMRKRKGLKIEVPGVENYYDKL

>RCO7_03061 | related to CSF1 protein

MSSIGSLQSSPLRTSPDFNWVFLVELGVSGILTLFFLFYFNRVFATFVSYGLRAWSWHVHRVYIDIQALQFSLLGGRFFFKGLRYHGNNETILIQSG
FVTWRYWLRNVKELDVGRDLNSGTKRASSDGDEVGGRQGGNNDAKEKDGEKDLPCRLSVNLRGVEWFVYNRSAAYDAIIAGLTKDEREDPETVPNNV
SFEGDYDGKPRRRTRDRAPENSDPSSDVPLDCEKQRSLFSERSISSVNGTKIREPSTTSQADESGPNESLGTGSESAFILRFLPVQVNCEKAAVVLG
NENTKSVLITKFDSATGEINATRSTTTLDQYKQLIDFQFEHPVIQMKPNDDYKEDQTDAASRIKRGESDQPDPIHSHSHSFFHRQRRKVWHGLQDLI
PAFRSSVESLSSSNGPPGSSWQAVPGSNNWQGLSRYLDENLQDDKAKWSSIEYATVSTIADCPAASMCFYWDVVGTVPNQTDAERGKQHANINGDIA
PEWGINLCLTKATINYGPWADRQRADIQRVFFPSLCKDATPSKNLVQGQSRAPVEFKMYIEFYEETILRVPIREDSKNWKWTKQADTMGAAPSDQKR
TSRNNRWKKTDKGNPGPEVRPFGWLDVKVGANATAEYAMDMVAGHSGYSNKLSLDLPDLEITTSVNHGLLWKSVDNRVACNLSNPLQWNAHRTWKFD
INSSALELFILREHVFLLTDLVDDWANGPLPEYLTFTPFKYMVNLELADFRIYLNVNDANIINNPSDLDDNTFIIIFGSSLSADIAIPLENFRPHLN
NIPFKVSARNGGLNLNVPSWSTQATFMETTEIATLKELEIDGTYQYNATTATSNTDTLLLKVYGLGATPQFYGFVIRYYLKVKDNYFGDDIRFRTLE
EYQDSLRAIQSGEDNIASQPPHKIANDLDVILSVSADNSSVILPSNLYTSKNHVRIDIASLAADLRFTNYYMDLEVVLSPLAFSQGSADDGTTTPMS
ATSSTQLFIDGVNVYGHRLFGLPPTEPTYICNWDFAVGAVTGECTAEFITQLANGGKNFGFSFDDEENALPLLSELVLHDVTFLRASIESVRVWLHA
EEAAFLVATETISVNFNDWAGSHYSKKLKLEVPGLQLSCVDAESASRHRSRAQTPVETHALVQTTISLSMIHKNLQFAKDRQLQQEHIKRHDQRTHR
SDFLLHHHLLDDSMLLPVDPPAMCVPPMPLPITQDFEPSVMNSSAESSKQSTFARRKPRLGRKSSFLSFSSSSQKSTASILRSRSIPKADETLSTQS
RSRSLHVSADPGRLMPLRDISVSTGRQSSFYSAIGEHRGLPPSTATFSSSYSAPYFPLEGVEPDLKDLPSAPAYMDDKKPQRGLDDIHTDRADDHSA
HASFMLDFPAGIQGVFNPKAAIAIVGLLAALAPVEPLDLLDHIQIESVAAVLGLQKQKVPESSLVDFHLCAPAINLRFINSSGSQSSYEEISDQYDC
ALFRLAVSSRSQTVIPEQGSLENVRKSSAIHISLASAGLAAKERLNYLDDPQAAVNALIEDVTMWTASNKEVRVNVAFKAFKLATASSKIEYLASII
HRTKLLGVDLAESFSSQSKLQRNRVRLFTYLIATTGQEAADALFMTKPSYVLRSSEDHLRTNDSWKIVTRLRHMYNNLNPATQQELMMRCLSNTELV
PEDAQQRVHACFDQWRSWDLNNIRGSLTMITVYGSPEGGLTQSKASPLTVSLQTENFRLLVDPGPKQNEVTLSDLTAVVKIRPSVSSAEIGPQEDTQ
LIETTVVQVFCSDASINLHWELCELAEDIIKLYSQSEQKPAEPQSPVNSLGTRSDTINIKPKQDLQVLVATDNGSITIDTINVRAACVSKGLKASFL
MIESIEDDGKTISSLTLAAEAVTSKMKSHFQELSIHQLRYPTLYASYDSEVDKEQSVNVVKVAANCQDLSLLIRQDVLALIEVLDLVVGDELAQLHQ
LSKKFPHAEPSSPKLQAPAVKGKSITRINVALFLDKYYISIPLLQSLTYIVSGVVARASLAAQMDSEILFDFDIKEHSHDFQTTSSNQAKSISLLRM
PPTNGRITSRLSDHETTVSVMASVEPVELDAAAVHSLLTALNRPEISSVVADIQDDLKIVQSHIEEIFGPKEKQSKQQKQPKQSTVTKGKPLIYEAH
LTLAGFDLFANAPGADKDQKTARLDLNLGCIQLVVANRLEPSGLVLELPELRMNLREIMFELSRWNGSSMEPCGNLAFAASLIATSKTNHAGDEVRS
FHLNSDRLQINLFADTASSVVDVIGHLQHKIRDIDLSREKKYLRKLRKSKPRIAINDEQEAFDESAPGSMIMFASMYSLELLNIQVSWLVGTYDSNQ
PSSSERENLVLSLKRIDLSTRKENSARLTIEDLQLQLVPTLQDKTHRSLNSALLPEVKFNVGYVSSPDARRLAFQAAGKSLDLRLTSQFMIPAAEIG
RSIGYAADKVRAATASWTTSNPTPSETTRRQPFFGKKRMESLLIDADFAGAVVYLSGKKVAEPANLVPGLKGARINQPGKYGQFSHSDAGSNTTLRA
PGLAWKVEYKDNGLDDPSLNAEVKVAESTNTLEPSVVPLIMEISSTVKEVVSDDDAKKALQTKSSPQKLMNPEEDNILTTDPTAVLGRTSLNLGLRI
CRQEFSLSCQPIARVEAVARFDEIYLTINTVRSTEQGHFFAASAAFTRLQASVQHAYSRESTGSFDVDSIVLSMMNSKHVSGTSGVSAILKISPMKV
LINAKQLQDFLLFREIWVPPEIRQATSDPPLASSNLPSQTLFVQRYQQVAATGAFPWNAAVSIAELDVQLDLGQAIGKSAFIISNFWISSKKNSDWE

QNLCLGFDKVGVDCTGRMSGYVALQDFKLRTSIQWPAREMALNQTPLVQGSLAFSQLRVKAAFDYQAFLVADITSFTFFMYNVRNSRHAKGDRLVAV
LDGEAVQVFCTTTTASQFLALYQAFERLVQEKRSNYETSLAEIDKKMKRKSIAHATTHVPKSHLETAREDKVAGSPISLHTDVIVTLKAVNMGVFPN
TFSDHQVFKLEALDAQARFAVTMDNGKIHSNLGLTLGQLRIGLAGVRKVDLPKSVGEISVEDVVSNATGSRGGTILKVPKVEATMRTWQVPGSNHID
YIFKSFFEGKVEVGWNYSRISYIRSMYASHSKALAQRLGKPLPPSAVKITGVPDDEIPERKDGEQQKITAEVNVPQSKYNYTALEPPVIETPQLRDM
GEATPPLEWIGLHRDRLPNLTHQIVIVTLLELASEVEDAYSKILGSS

>RCO7_03062 | probable transmembrane protein 34
MGALSGGTGQKLTQATIIVAGVSSLLASLLSIVSVWLQTKNYRKPLLQRYVVRILLMVPIYSLSSWSSIISLKAAMFVDPIRDIYEAFTIYTFFQLL
INFIGGERALIIMMHGREPVHHLWPLNHCLPKVDISDPHTFLAIKRGILQYAWLKPILGLASIVMKATGTYKEGYLGLTSGYLWSGIAYNISVTVSL
YSLGMFWVCMSKDLQPFRPVPKFLCVKLIIFASYWQGFFLSILVWLGAIPDDVEGYTPDNLAAAIQDALICIEMPMFAIAHWYAFSWHDYADVTISA
ARMPVKFALRDAFGCRDLIEDTKETFSGNKYEYRLFDSGDNVLAHEGSSSRVARMMEGMRYERGGKGKYWIPKPGEATSRTPLLPNSTTPSGSMSPS
KSHDNDREYMGYGNGAVDELSLDADDESMYERARALEFGDWNYPVVTAHVASRERWLNSSPGLVTTSANRNLLQPTRDNEIRRASNVRETVEEVTKK
SKRKHSSSSKKKAKGKESDLKGKQKDGSNGEEGRAPALLGMLRHHSSSSSSAKSDRSQLVDLVIEDKTAEEIERVRARKEGGAAWNTVEAKRFVKTY
GKHMGEDIREGYEPGDEAAVDDSNVAGQDEFTVGEDEGQTPQEESEESNHWKEAQEPAFKLKPKYGLDGEDLENVWAGGEPSQTPHENP

>RCO7_03063 | related to methyltransferase
MAAHPEEGTSAVDDKFFETEEFHNRTFQSYAINNLPYLVPSDEDEIDRLNNFHSVLNRVFDGRLIFPPVHRPRRILDCGCGTGAWASEVAEQNPQCE
VLGIDINPMMQPDDVPDNLYLQVDDFNQRFTFPAHNFDLVNSRMVSAGLRVNGWPQYLQDLLRVIRPGGWAQMVDLYCNAQSDNGSLTDGHALSQWS
ARYRESMQGRVDLRAPLRLAEMMREAGFVDVEHRMIQLPMCAWATDQRETEIGNANRENIRSLLSSLAIYPFTEILGMPLQDVHLLVAQARLEASDP
ALKVKSYRRFLTIVCLWNG

>RCO7_03064 | uncharacterized protein
MASDELHRKTVSAFLGLPSMDVIYDLSPQCSADPLHWELNSTQTSSLSANQNRRSSHLYRHISQPGLVATSSASSPASKDDSRREATTAPANGLSEN
FEPMMVFTKTGSP

>RCO7_03065 | probable GTP-binding protein
MKTTWKDIAPVPTSAEFLDIVLSRTQRRLPTQIRAGFQISRIRAFYTRKVKFTQETFCEKLSLILDGFPRLQDIHPFHKDLLNTLYDADHFRIALGQ
LSTAKHLIEIVSRDYVRLLKYAQSLFQCKQLKRAALGRMATICRRLKDPLLYLDQVRQHLGRLPSIDPNTRTLLICGYPNVGKSSFLKSVTRADVDV
QPYAFTTKSLFVGHFDYKYLRFQAIDTPGILDHPLEEMNTIEMQSITAIAHLRSAILYFMDLSEQCGYTVQAQMQLFQSIKPLFANKLVFIVINKID
VTRPEDLDEETQAALQALLKPGDVEMLQLSCTTEEGVQDVKNAACERLIADRVAQKLKAGTNSSGVGGRLQDVLGRIHVAKPMDGIVREAFIPEAVK
NKKKYNKEDPERVKLARDIEEENGGAGVYNVDLKDKYLLENDEWKHDKIPEVFDGKNVYDFIDPDIEAKLAALEEEEEKLEAEGYYDSDEELEDAED
AEIRMKADLIREKRMLIRNEAKMKKSLKNRAIIPRTAIRKKLTDMEDHLDSLGLDTDAIGERARSRSRGRSVLRSRTGTEDVMDVDSPDYEAKMRAK
SRARSQSNRRDDGVKDEVSRTKAERAQKLGQRKMNRMARQGEADRHVAAAMPKHLFSGKRGMGKTNSR

>RCO7_03066 | probable orotate phosphoribosyltransferase
MSASDLPQYKKDFLQAAIKGKILKFGSFELKSKRISPYFFNAGLFYTANLLRSISLAYAQTIIEASSASPPLEFDILFGPAYKGIPLAAATVDKLAE
LQPEKYGETCYSFDRKEAKDHGEGGSIVGAPLKGKRVLIVDDVVTAGTAKREAIAKIRAEGGIVVGILVALDRMEKLPSPDGDDGKPMPSAIGEIRK
EYGIPVLAILTLDDIIGSLKGVVGDEDVRNMEEYRAKYKASD

>RCO7_03067 | probable polyamine acetyltransferase
MPRDLKTERSTPPIQLTESPNSVTTERSESPSPQEDAASPSTDRQRQKFVIVPEDQQVKAPANLHPYTRPLTISDLESCLALENAAFTNPEERASRE
KFKYRLSKCGELCYGIFCTVVPNSGFQIETIATGKPVESSRKNGAISVLLGHVVSTKTNDAVATDDSMGIPEDWDSTSPKPSRLGHQEDGRNIVMHS
VAVLPGFQGRGIGRVLMMSYMQHMNGAGIADRLSLIAHDHKTSWYEKLGFTNVGKSEATFGGGNWIDMGFHLKSLEARTSYG

>RCO7_03068 | related to SNARE binding protein
MIRSPGGLGGLRITLNITAPTHDGDLLSLEILPETTVSTLKESVQAESHIPKTSQHLYHNGQLLNDDTKTMEQLSIGDGEMLALHVRDMVGSRERVR
QQPSQQQQPRQQQRGSQAQPDPETLRLQFLGQPAMRQQLETQRPELAAVLDNPEMFAQTYQRMQTEEQQAQYQRSREIADLNEDPFDIDAQTRIAEM
IRQERVQENLQNAIEHNPEVFGRVHMLYIDVEVNGHKVKAFVDSGAQATIMSPSCAEKCGIMRLVDTRFAGIARGVGTAAILGRVHSAQIRIGTLFL
PCSFTVMEGKDVDLLLGLDMLKRHQACIDLSKDKLVIQGVEVSFLGEADIPKNMEEERADEPKVAGPGGTTIGGRSGVVSGPSTTTQPGPQASAPPP
QSQTQPAAAPGPASQPVAAAEPSFPQESIDQLVALGFSHAEAVNALSACEGNVEYAAGLLFQG

>RCO7_03069 | related to methyltransferase involved in pre-rRNA cleavage
MFAVPGWSVSSSLLKAEKPEGAKAVAKTTDADPNVIVEGESKKSSKKRKRNAEIAKKGSKGDVNAGNIEQLWETVFEGKPKEKKLKKGSKSQKVAGE
DSVDLKEKETESQDAKKSRDSVLVEGDEVKGAGSEVVQAPKERVKKGKTMKEKKREKKAKLKAIADGTAPDTTDPVSDEISIPATQTISQPPKPTLT
PLQASMRQKLISARFRHLNQTLYTTPSAHSLSLFAENPEMFTEYHEGFRRQVEVWPENPVDIYLAQILSRGTIKGPSRGNPLDKTKEQALPRTEGTC
VLADLGCGDAALSTSLQPHLKRLKLKIHSFDLQSPSPLITRADIANLPLKDGSVDIAIFCLALMGTNWVDFIEEAWRILRWKGELWIAEIKSRFGRV
ANAGKKIVDHSVGNKKRPLDKKAKKAADEAADDEFAAVEVDGQDDRGGETDVSAFVEVLRKRGFVLRGEGQGGEKSSVDLSNRMFVRMCFVKGTAPI
KGKCVPAPDGADKFVTSAAKKGQTTWKMKAPKSAAVEEEDDHVSSEAKVLKPCVYKLR

>RCO7_03070 | uncharacterized protein
MASATPNTSGATTSSQNEENPWARMPPLHTIKPEEIIRYQIVDWDRNNPHHPRYLAGCVLLRSLFRRDYYYWVGCSSPLPKEDGKKDPPAIYFNSPT
TSSSAASSSTRSLPSSQNQAENDASVNTEANKENQNPNLYSRAETNNNHDHPTVPSQSRGAFAPTHPQSSSSSIDSPSTAPSVSLSPPSSKLKRVLH
SEQQEGRNIRRYDRASMKSCGRQAGTGPSVEAYHN

>RCO7_03071 | related to helicase-like transcription factor protein
MRPGNNRNGASPVLSPSGSTSNGAAGRPRNLEPRLGQHAAAHSMMSPQPRYRHSNGYSPVSNIPTTANGAPAFAAQQKKGWDPASLLNPRGYNSTSS
RPVLETSFANNASRQQSQIFQFDNPGGGSQQVYQAPQVQQYNANDAQNGTEDRSFLTNANGNGNEIKDGSMGMGGMGNMLERMHQVTDRSMVPQKRR
KINDEQDNHRKAEFNGGGKGGPLGEYMREKRKEGQQESMANGTGPVNLADDDEEVTLVGDCGDKEVCYGRIEGAQITAHKVPTPRPGTRAVSDGFWP
QVKIVLRRRYGDKNTIINCTDSTREVIGNIDVNTAIGLAPLLDSQYSLRTAARILTRSRRPGDLAPGTPSVSFRYDLDLTLYGPKKWALAVGKHLSQ
KQLWLRTPIFVEAGMELHNPHTIQRPAQPPPRQVSYGARASVMRTTEEMKTDIVDMFNSLERSENLPEMNADPRITTGLLRHQKQGLYFMTNKEKER
VFDADEKSNSSLWRLNISARGERSYYNVITGQEEVQSPPQVLGGILADMMGLGKTLQIISLVVQTLDNEALAWSKLAPCASQDIRDLCPSRKGKNKV
PLPKLEHVPPVINCKTTLLVSPLSTIANWEEQMKQHVNPGTLKYYVYHGANRIKDMQKLAQFDIVITTYGSVATEFNNRSKKKPGVYPLEEMNWFRI
VLDEAHMIRETSTQQSKSICRLAASRRWAVTGTPVQNRLEDLGALMTFLRIKPFDEKGGFAQYIMSPFKMCDPEIIPKLRLLVDSITLRRLKDRIDL
PPRHDHLVKLDFSSEERTIYEIFAKNAHDRIKVITGQNEKSLSGKSYVHILQSILRLRLICAHGRDLLNEEDLKVMDGLSKDSAIDLDSDDDDDRPA

LSAKVAYDMYNLMRETNSDLCIWCSRKIGPNEDAESDIKDEIIGHMTPCLHIVCNGCIGRYKADAEEFAQGQPQVNCQICHQVIRLSYFQLRQGGLD
DQEASRVQTRHTKHGKDLDGYSGPHTKTKALIQDLLMSHEESLLLSDEPPIKSVIFSGWTAHLDLIQHALDENGITFTRLDGKMSRTARGAALDAFR
DDPSIHVILVSIMAGGLGLNLTTASKVYVMEPQYNPAAEAQAVDRVHRLGQKREVTTTRYIMNDSFEEKMMELQEKKKKLASLSMDSEGRGRVDKAE
AARKRLEDLRSLFK

>RCO7_03072 | probable LSB6 LAs17 Binding protein EC:2.7.1.67

MPRDRPATTGYAQIAQAEDSDSENDDLANSYASLQPAGAPRYASVTQPRAHGGMYTDGQISPTISRRPRNRRRMRSNSSGVDIKAINARLERWADEI
ASKFKINKIKGKTEEEEKLEIHHSVFQAPDGVRPATAETLAPDVDNDRMSKSEFEEVVESVRIAIEQGMHPKMITQGSSGSYFARNTSGKVVGVFKP
KDEEPYAAGNPKWNKWIHRNLFPCFFGRACLIPNLSYVSEAAAYTLDCRLRTNLVPYTDIVHLSSKSFHYDFWARRNFYRKKKSFPPKVGSFQVFLK
GFKDANIFLRENPWPDHSSGGYRPSDAPRKKTKPWRETCRPNGARSDDEEEGENYPTPPMEGRNRRFVWTDTLQQSFREELEKLVILDYIMRNTDRG
LDNWMIKVDMESQDVSIVSEPVQMNPREEDRSPRLVSTDNLEAHPYRVQQPMEATSRSTTPSRVGVPMMSLGAIDNSLSWPWKHPDAWRSFPFGWLF
LPVSLIGQPFSQKTRDHFLPLLTSKQWWSETQLELRKVFSQDADFQERMFARQIAVMKGQAWNVVETLKLADHGPLELTRRARVCVWDDLVDIPVAT
PMRVPSTEMRRRHDIDVGKDLQEAEEMDISAANSSAPQPADPFGLGLASPSTELPNPHRFSLSSPRASQDVDSPGAAAPSTQVDSRKNGQVKFSERP
AYNQSRARMSYDGPPRSPPASRERRFSFSQRSRRGGPMLYDDDLEGDLGYAAAEGMEGNQRKVIVERLETVKSKNPVFTWC

>RCO7_03073 | uncharacterized protein

MLLTPSAVDKPMRIEHHQPRLVPTPIPEPQEGPLTRGREWTTRTKSFASRASSRGSFSVRRKLNAYNGPRRLRIGHPSNFQHLENAAARRAPGQESF
RPLELSIYMPENQLSPMLPHFGNIDDLSFPSRYSKELPFPPPVLVHSRSDSAMSFCIPRKPVRSGSGTPSEWSAQFRGRTGSLGAQELLAALERPLP
QAPAPARLRAKTEPPTYERVKSALHERYELEQRLRDIEEIIEERKSIYFNSRPNSRLASRPASIYSDSQEPMPAPRLLAPFNPTPQMDPSFAERVSS
PLGQRPETSPSKTVHIPSRLVPFTEASATFTSSSPSSTSPRPARHLPPPPLPLVLQATHPPLRKKRSFSRVSNWLFPASGEHSRNISLDSVTNTPKP
LTSREGFYQCVDLRPAVPIARSNTLSTVSTLESELDEPTIPTSCSPNSSPGTNHRKQQDVTIRELSMDSDRNENSIELTRVRTFGEKTMGDNESWRM
EPMPGHVPGRNSVGVAF

>RCO7_03074 | uncharacterized protein

MRRPSKIGLSKDWRTRKSDADADVLADYVLALLRHDGDTDTVRQLCEAEIPDFLKEDSAIFVRDVFDAIQYKAYLPGAPPIRRQSLPFAPPSGPSAP
SAPAYGMIGMGAPTGPQNGLRKRSYNDRGDGDAQDRGQISGGPNDRAFKQPRRGGAVRGGFDPSYQGGGRGGGGGGFAGGRPPPMNTQGVPSRGFST
MPGMPSPPLGMPPIDPNNPLAAFLAMQAMGFPVPGFPSAASPPLPTQKQRCRDYDDKGFCARGNTCQYEHGEHSIWVPPTSRGDEYDPMNSNIMAGI
ETPSSGSRPFNHFRAGDRGRGRGGLRGDRQQPANRGARNGRSEFSSDRPNYDKSNSTIVVENIPEERFTEEEVRGFFSEFGNILNISMQPYKRLAIV
KYDDWNSANTAYKSPAVIFDNRFVKVYWFTSNDSLPKPPPASRPNGIKKDDFDPNAPVPARATSEPQIDIEEFTRKQQEAQKLHEEKMKKKQGMEAA
RKELERRQEELMKNQAKEKRKLLERIAAKSGKSASTNGSTNGTPAAESKPPSQTDALKAQLAALEAEAQSLGIDTSLSDSNAWAGRGRGRGRGGYRG
RGDYAPRGYRGGYRGRGAPNNFAASGRSFNLDNRPKTVSLTGVDFTDNAKDETLREYLMHIGEFTSIETTPTRAQIAFKDRKSAENFVASISRNGGE
IPAAGKVEFSWVKTPLPPVAPSTKPAQKDSNEEDTNMDEGDAMATGSPSRGAVAADRGHEHQENLDYDVADDDWGIQ

>RCO7_03075 | related to nuclease S1 precursor

MKTQIFASILLLVSSASFGSAWGTLGHNTVAYIATNLVSKATQAYFQTLLNDTSSDYLLHVATWADSYRYTVEGKFSSPFHYIDAIDSPPSSCSVDL
ARDCGPQGCIVSALSNYTTRIQDETLSQAERAIAAKFIVHFTGDIHQPLHVENLEVGGNGISVLFDNKTTNLHSAWDTAILEQLIGGYTPALALSWA
MTLRKSILHGKYHQAASHEWLTTTSLREPTNTALSWAQDTNKFVCSTVMPMGEAAVKGMELNGTYYDSAIPVVEMQIAKAGYRLAAWLNLIATGNDG
HL

>RCO7_03076 | uncharacterized protein

MARSRGERPQVTDRIATWSPGSLVVVGLFFSVNPGVIGIGIGIGIALILQHFERGAKLNDSSNRYEHTCKACGEKFPKGRIDSLSNHLTKKCPALSM
KDRQKAALELHNLPHLPESARGELPMNGQTMELPIGHQSQDNWSALSVLAEVSRQIDSKEKHDDRSIHNQSAAGVRSPEPPRGIRLEIQEHYTPENP
PVSYEQRVQRDKKSFNQKFQQESENSANNTNVNFASQMTDSRSSSPNLAMATTATNMAAAAARFVPSMVDPQLLADDASVQASNPARTMEQALNEAN
ASFAENIFNGGQDQPLQWPMLDGSGINHFQEGSQLEQVMEQPETQRTIIFTPIAASVAMNPSSQPPMTTQFSAEFGNGQKTPKQKGRVKFSGSRRKE
VSKVRSIGACLRCRMLKKPCSDGTPCTTCKSVESARLWKQPCVRTRLADEIEMYSAGLHVVLAHQQIISIKTHITFQPSPHQIEASHYPETTVFATF
NALEGHPTPSQGNIDPVLNGEFGLNTLHVLDHENDDLPLKLEAYMKRIANVFIEREVSHFMNVTLNTAQRLAVEDSLLSQALELWSVVQMLVDHNPR
WSISERVNIDAQPGQGPSANPPTYDLLVSQLNAAAEKKASTLCREVLSVLERRLLARSSSSKFYTFLVALIVLNCVEKSTWLFKSWEQDHFKARWPL
DKIPSIYATQGEKLTNLLQMLLHMRQIIPKTQVNSDGIIATDVDQATKEYFEELNLNYVDVLNKQANHTFHTSNTHCYELRFCSQLLLPTK

>RCO7_03077 | related to importin MTR10

MVLNGNSPAGAFAPVLTAMSTMRDGQREQKKAAHAYLENFQKSVEAWQVTIGILQSTADPEAKLFAATTLRGKITYDVSQIPTDALPSLRDQVLELL
KIFATGPRPIRIQLCVCLAILAIQMTGWKDVVQVVVSTLGNSPESHACILDFLKVLPEEVTEGRKINLTEAELQDRTQELLGDNATIVVRLLINYAQ
SSDTAATNPQLLEVITSWLREVPVADVVNSPLLNIILSALENERSFEAATDCLCAIFRETRDVDDNLPTIQVLLPRVIALQPRIGQAQQQEDTELFT
GITRIFAEAGEAWVVLIARDPGVFRPLVEAVLECAARDIDRDAIALTFNFWYELKLYLILERYIEARMQYMDVYSKLVDVMLKELEYPSAEGSNPLD
LFDGDREAEEKFREFRHHMGDVLKDCCEIMGVTECLSKVLDRIKAWMGSYAGMATHASVPHWQQLEAPLFSMRALGRMVDKDEDIILPQIMPLIVQI
PHHEKLRFATIMVLGRYTEWTANHPELLESQFTYIVSSFETDSKEIVRAAAMAMKFFCTDCKHQLGAQVVQLQQFYNQTLDKLPTVSQEELTEGVAS
VVAVQPPGQIFDLLKLYCDPLMARLMALANQASDDEGKLAVADHLQLITTFIQIVKPYVEHDQENPAVKYCQEIFPILSTILDTFMTFTPICERICR
NWRHMVISYRTAISPLLPAMATKLATGFATSRQGCFLWATSAILREFSEDREHVDDQTTEAIYTFFEAQSTNMLHIMNDLLPQETPDVIEDFYRLLV
DALLYYPHKLVNSPLFTPIFQAGVSALALEQRDPLIAVLHYIRDVIGYGGDNPPSSTNAANPPAIQSVVQQLILSNGEHLVKQILAGMMITFPDDCF
SDGSGALLGLFELMPEATATWVDKTVRMLPAGTVSEAEIDRLMVGIKSRLVEGRDGIRKVRSLLQDFTNNYRRRYVAPRDGLGRLEPERFRFST

>RCO7_03078 | probable small nuclear ribonucleoprotein E

MNRGGGGGRKVLLPPINFIFKLLQQRSTVQIWLYEQLAIRIEGKIRGFDEFMNLVIDDAVEVKQATKTTEESRRSLGQILLKGDNVSLIQSLNG

>RCO7_03079 | related to methenyltetrahydrofolate synthetase

MCIGELIKGEIGKIKETRTRAMASSTALKAAKTELRTLMKQRLKKIQPESIESQSAAIFKTVTSFTPYQEAKRIGVYLSMPTGEIQTDAIVRHALQS
GKQVFVPFLHKAQQAPPDTPRSVMEMVSLLSLSDYESLKQDSWGIPTISPETLEKREHILNQPGGMTGPLDLILMPGVAFDIDPEIGCIRRLGHGKG
FYDYFLHRYMQNRGSQARETTSEDTDVILCGLALQEQFLGIASVVPVGDHDTPLHSLVVGDGELLKGPSGK

>RCO7_03080 | probable Protein rot1

MAPVSFHSLFIAGACLASTATALNAKLVGTWSTKSAKVLTGPGFYNPVNDSFIEPKHTGISYSFTADGFYESAYYRAIANPAKPQCPGAIMQFQHGS
VVENLDGSLTLTPISVDGRQLQSNPCDGKFSLYTRYNQTEMMKKYAVSIDPYSKLTRLDLYQFDGAPIQPMYLAFTPPQMLPTITMNPISTVTKKAK
RTAGAEAEAKHQYDVPLNKDAAHMKHDFDRPLLHQMDVNMLWWTGVGMTVFGGVAYLL

>RCO7_03081 | probable 3-phytase B precursor
MKQAGFIAASNPKRTSTIREDEGKDVYRYDALTSDEDTPFRDEIRFSTDSDLEHHILLAQHLKRFRKNNSSRAWMVAMGVIGVFLFLYLAIVDHTVL
HVTPSCEGLNGFTCSPEISHFWGQYSPYFSVPSDISAEVPYQCQITFAQVLSRHGARDPTSGKSIRYQELVDRIHANATSYSKDLAFIKNYKYSLGA
DQLTIFGEQQMVNSGIEFYERYKSLAQSITPFIRASGQQRVEESARNWTRGFHNARIQDSSSTANDSLPYSMVIISEEPGQNNTLDYGLCTNFQQDP
IHAIGSNAQILWQAEFTPPITRRLNEALPGANLTNDDTIMLMDLCPFNTVANTHGTLHPFCTMFTTSEWHQYDYFQTLGKYYGFSLGNPLAPTQGVG
FTNELIARMTSKVVIDHTSTNSTLDSSPTTFPLGASLYADFSHDNDMMTIFSALGLFNSTAPLLNTTLQNVGETHGFAASWLVPFGARAYFEKMTCV
GAPEDMVRVVINDRVLPLQTCGGDGLGRCTLSAFVDSLSFARRGGFWDSCFSPEGHDRTSRMR
>RCO7_03082 | probable isocitrate dehydrogenase (NAD)
MLAVRSFAAPARRQCLRASARAWAPTSVHACRQYATDKSPVAKFTGQKGSDGLYTVSLIEGDGIGPEIAQSVKDIFAAAKTPIKWEPVDVTPQLIDG
KTSILPETIESIERNKVALKGPLATPIGKGHVSLNLTLRRTFNLFANVRPCRSIAGYKTPYDGVDTVLIRENTEGEYSGIEHIVVDGVVQSIKLITR
EASERVLRYAFQYAEHIGRLKVRAVHKATIMKMSDGLFLSTAVNVSKDFPKVEFDSELLDNTCLKIVTDPTPYNDKVLVMPNLYGDILSDMCAGLIG
GLGLTPSGNIGDECSIFEAVHGSAPDIAGKALANPTALLLSSIMMLRHMGLNDHAVRIETAIFDTLAEGKYLTGDLGGKAKTHEYAGAIIKRL
>RCO7_03083 | related to SEC5 protein
MADYERTVLEHYQLATAYPVEWPAEKDVSDGSDEEEESKPARTREMRRSKSRYSALERATGDRKSLLPGSQRGDNGVENLVQRDEPDPLGTTDSVVR
ILRQLGLPVQDDPRLRNRFLLSSTTFSPALFLSQVHSTASTQSLLDGLDVLSRSIDQKSASLKVLVESNFERFVRAKATIDNVYTEMKYRGLEPPQT
PQPRRAHSRHASRNSFRTSSGNQAGMAIATPDVRKKNALTKESEYGVLGIKTPLLDVSAKAEEVWGPALGGREKEDSLKVMGGTVERYKELYEVGAA
VTDSIKRKDYESIVEEYTKAKRFADNARRLSDALGSTPPTDSQIFQLLLAARVWKDVEDQIEGFKRETWRRLIAMQSVPTRTGGQGALQDQHMELIG
VLLELGSKIQTTSERSKIEIEILRRRLANNDRPTTQMIASHLRSLGRHNGEDKPTSVDSTEIIDLWEKLHTFLSIMLGRDGILGEVVEFWQTVQSFI
DGKAQKALPVGIDGASREHHRLSDQGTIDLQKGTVELIDMIRETLRDTRFHLDPNNLPPPSPKRGETWEKHAFWPPWSNSLSGVHYLGKLLVLVGTG
ASEMAAVSPVGNGDGSALERLRGLVGEARERCVIAICAAWNKDAENIKVLEDWRRSPEKRDLTRMPAYFGAFESAVLTGMQKILYISEAMAKSDSTN
VVLPPPAKLLQMVRSQFVTTLYRSLSGMVENAEKSFKKADDDWTTDNDGLASPVAMVVATSIGAGTVNASDRNVRMLLTLSNLQALRTDVVPHLTTQ
FENAFSVKLTEETKTIRDVLGQIDARLFQSYTRPAVNALSVTIREGILSPDWSPKSTEKPREVRAYVYEALLSLVLVHSQVSTTASTLTAQVLSYLL
EQTSRELLEAFKARQRYNLAELMQATLDLEFVAQTLSQYTTERASEIQSSIYQELDKGTDNDARSKLQAELPEMRAVLKRLRDGSKSEFACFKKSRR
QERPAAPPTPSQQQSHEG
>RCO7_03084 | uncharacterized protein
MLNELDKIVTAYAIGKYLNQPGGVKSLGNNRKGSEWKTTKSTGEELDVMWFKSLNHAELFSTKRERKMVIDTALSNSSGKIRVVLERSDEFADFFEK
SLLFRATPARLASSFGWDHTLDWASSEVKTLEDSMETTHIPSLMHPKRGLRSVTSALEISSIGQPHFPLANFLSIERLNGEYGSETPIGIPEE
>RCO7_03085 | related to extracellular lipase
MKFLILSLWSLLISSAVADPRFATIITRAQRLLIIKSPKVTILLRQGTVIGLSDAYAPQDVHSFRGIPYAEPAVRFKPSVRVAESFGHINATSYGPI
CPQVLSNPNQTYSENCLSINVFKPSNATSHSALPVVAYIHGGAFNVGYSYSRDIGNMIATRSEPYIGVSFNYRIGVFGFLSNNLGARIGAQNLGLRD
QILALQWVQENIAAFGGDPSQVTIMGNSAGAHSIGHHIQSPLSTGLFHRAIMESGSPTARFCQSAGSALSEIQFSDLTSALSINTQNESDNAIIDAL
TAVPLADFTTAESDIYLLYNPSIQWPWQPTIDGPGGVIPQAPLDLWGSGDWNKVPILTGSCDNEGASFVPNLNTSAQFNSFFQVLNPELTSYDMDAL
NSLYPDPLTTNSTMYKQLQTSRGPQFTRVTAAYGEFAYIQPVRHSAYFASSRALFPPLYLYEGAMNISVPLGTGHDCINPYVHYKSDITDISETQRQ
LSAAVNEYWTSFIVSGNPNSVRGKSSTRATWPRYTPDGAMANTLVIGKENDERAGGDTLGVLTDAVVEDRFVKTGHFWWSRTILTEH
>RCO7_03086 | uncharacterized protein
MSSSNSDISLTASQQFEVVNAPNIQEPIVVEPVPEGLPTESHELAVADHEEKGAAQITHGHPEVRDLGWNDHPANVPAPLVGGLPNEELWTLIRRFN
KQMYHVKALIEPPLGGLDLNIADEEEFSPDKLRANIERLYMTVGIGMVAFWQHIARLRSWRERNRTLAFTAIYFGAWALDFLMPTIIGFVMVLVVHP
PARPYCFPPAPVALIDTKTGGVRKPAAGVLGSDNSLTGAPEKYHGEAVEQEARNFVNGFTSIAVSSATGRHPDTDAEAEVGSSSLESRTPDPTKFTM
GVADAKDKAAGGKPNEVHDKTKEPMSAAMWSKTRPVMHVIGDISDGWERFSNALSATPPFPKEKPRMKLAAVLAPILLLSVFTSSYMFIKMNGLFIG
FGFFADPIIWRAASYLNRKFPHWQKLLEIRNTLLKGVPTNAQLTVTLLRIGEANKAPLPPPPYSGPPPPNVAHDTAGQNLEHLEDVSDGEMANAVHP
DAAVTTDTDVAPKKKQHGRRFIAALKGVAKGGVETALGTDRLKAAVGGEHAKNRLGVLKSGGDANAGPVDFPCRFKGKKGHAYITSTGITPALSWTT
DPEDVNPLFSIAIADIQEIKKVGGLGWKTRLLVGWATSRDIADGILITDKQGNQKQLTAMELREELFNRLITMGTQMWEAW
>RCO7_03087 | related to origin recognition complex subunit 4
MPPKEIARKRSRAQMQEQDELASPRNTPLSSSKKRRLNVDSPSATDGGRIGSKSTTRGLFARSTNGKENLSQKDEQDELANDDSDDIATNDEKVKDL
WEVEDSEPEKTMEEGRSSGRNKVDATPKSAKSVRKGSAKSGKGKELSYGKGEDIWEVPDSPPRVRRSASTAERAKALLAPPTKDASLEPKKRTPGRP
RKSDILKSAKLLSKKAIREKMMASSGVGSEDEAKEEGGATPIRRQRKKKTQYGDEEVDDVESGQPSATVSTKKIRARPSQVETAEIAELNQVPKSIL
TPVKKRVGRPRKSVVFDASDDIDLGFKDLPSSVGTAKSDKFKKSLKSPSASLFLKSKSKVVDPESVSEDEVEHQLEVEGEEDVVYGAEPEIESDDID
DEMCAMCSGLESTNKNPIMFCDGEDCEFAVHRECYQVEKVPKGDWFCRDCQLKALDEPLTAQSEHSAAAIENSTLPDIEGFDFHLRHMQRILLDRLT
GQAPIRLRGQDEEMQKVYQVVEQTVLAGEGNSMLVIGARGCGKSTLVESVIADLGKDHRDNFHVVRLNGFIHTDDKLALKETWRQLGREMEIEENIA
GKTSNYSDTLASLLALLSHPSEMSDSESEQTAKSVIFILDEFDLFTTHPRQTLLYNLFDIAQARKAPIIVLGLTTRVDVVESLEKRVKSRFSHRYVH
LSLPRSIPAFWDVCKGGLIVEPGELDDNSLVLGGAGQEDFVSFWQSMIEDLYNKDANFKHYVQSEFYRSKSVPAFFTSCLMPVANLSVANMPLTGKP
FLNTLSAPDSKLHILQGLSELELALLIAAARLDIILDTDTCNFAMAYDEYSNLTSRYKIQTSSTGVTALGASAKVWSRDVALGAWERLSEYGLLVPA
GIGGGSGRDFGAGGRMWKIDVGLEEISGSVDSLSGVMAKWCREI
>RCO7_03088 | uncharacterized protein
MDGPINENVTKILSKVATYGSAITSVVTNHMITAKRIPEGLEGAVNIINATVATLQQVSSHLVAETVILDFQQERKPLSRESVQYVRLLAIECAVAL
VKIGPIAGDRCLNREELRAKRKLKRKSPAKRDLDVGSDIDIDSLSLDTAAFAEAVEKAVVSANWLCVSPSNQVDIRSVIAFHERVIRTAGVIGIEAP
GQQDIGSVRRRYGRSDSDSGTDSHSSSSYSTSDSNRDSSDHKRKKSKKSPGKLAPPTRKRKPVEHVLKPTHSFGQGSIPFQRIPIDPPPVVLQNGGG
RAYVSHASETNYAGTSYT
>RCO7_03089 | uncharacterized protein
MPSPHFSVPLTWQRASIAEESDDTSILGQRVTTFCQAGGNIIDSKLRMGELQNKQIACLMDELKAFKRDAQFEWCWAEISLHKDVGEKQFLSQVHSA
KATTIHLIAKRRFKVSYNPIQVYRELMNERPRLPSQGYASTRDKTTAAAATQARTADATPASDACHLRPQTLL
>RCO7_03090 | uncharacterized protein
MHPSSSDDTDSGASSSDSDDADSLTTVLRKERMQKINRKRAMKNRKGCDSDSSSSESEEDVIQVKLDLKRGDDVVKALLDLGLLRLKELAKQMESSG
PEAPSIFLDILRSGRLMFGLEEDVVCGMVLKHNIGWQFGLICSLFKTSKSLSRKQ

>RCO7_03091 | multifunctional beta-oxidation protein
MAELRYDGQVVVVTGAGGGLGKAYALFFGSRGASVVVNDLGGSFKGEGNSTKAADVVVDDIKAAGGKAVANYDSVENGDKIIETAIQNYGRIDILLN
NAGILRDVSFKNITDKDWDLIVAVHVRGSYKCARAAWPYFRKQKYGRVINTASAAGLFGSFGQTNYSAAKLAMVGFTETLAKEGAKYNIHANVIAPI
AASRMTQTVMPPDVLENLKPDWVVPLVAVLVHKDAEENGAIFEVGGGHVAKLRWERSSGLLLKADDSYTPGAILKKWDQIGDFSKGAEYPTGVADFM
GLLEKSMKMGPNDEGETLNLKGKVALVTGGGAGIGRCYCLAFAKYGASVVVNDLMNPDDVVQEIQKLGGQAVGSKASAEDGEAVVKTAIDAYGRIDI
IVNNAGILRDKAFTNMDDKMWDQVISVHLRGTYKVTKAAWPYMLKQKYGRIVNTTSTSGIYGNFGQANYAAAKCGILGFSRALAREGVKYNILVNTI
APNAGTAMTRTIMPEEMVQAFKPDYIAPLVVALCSDNVPKPGTGNLYEVGSGWVGQTRWQRTGGHGFPVDVKLTPEALLQQWKRIIDFEDGRADNPE
SAQDGLKSIMANMQNKKGGASKKSESTEVNEEILANIEKAKKAEGSGTEFKYEERDVMLYNLGIGAKKTDLSYVFEGDDNFQALPTFGVIPFFSAET
PYQISDIVPNFSPMMLLHGEQYLEILSYPIPTSATLVSSPRLLEVVDKGNAAIVKSGVTTINKETGKPLFYNESTVFIRGSGGFGGIKKPADRGAST
AANKPPARSPDFIAEEKTTEEQAVLYRLSGDYNPLHVDPAFAKMGGFEVPILHGLCFFGIAAKAVYQKYGAYKNVKVRFAGTVLPGQTIVTEMWKEG
NRVVFQSKVKETGKLAISGGAVELLGDGQTKL
>RCO7_03092 | related to ATP-binding protein, putative pantothenate kinase
MATIIDDKSPHCIPFILSLLSSQSTSSTSSPFIIGLNGVQGAGKTTLVETLSSTLNTHGHKTLVLSIDDLYLTHSDQVSLAETHKENPLVQHRGEPG
THDIELAATVFDALKEGREVRVPSYDKSLFNGAGDRVPVSEWRTVNRPGEEKIRVVIFEGWCVGFRALGSSGVRAKIEAEGTRTLHSHRVQDLLFVD
EKLEGYEFMNRTFDALIHIDAEETEFVYEWRQQQEEVMRRERGMGMSREQVVRFVDGYCPAYELYTEALREGVFKGIEGMDGRQLRLIVGKDRRVKE
VVKI
>RCO7_03093 | uncharacterized protein
MNRFVNIRAVQSGQQVPSERNGTPPLGQTGTMALNERALAQNLKMKTSGNTTSANIERAAPYTSNRFNGPNGYSNTQYQQAGYGQEIDETQRDTQYH
KDVLEDTTVASDFDRTKSDIVIDPGYKHHGEDERGYTQQVFSHPDEQANVYPNHRTFDDYAGAKEPHIIQHKQSRSPLVNTKPEPVSQRQQSLAPAT
RFEGKKLHQDLQLRSGYDQVSKKRSRSRDMARAPAPRVPVAESDSPEEDDDADDLDFPNDPLDATVRLDRNQINNHVSSDNEGASPTRRLKSRTFPQ
SQSSQNQPLVEDEVQGGDVVDVRLIPDYTIEELKRMKYSDLESEGWDMVPYAKPFELPNELQGRKVTLEKKVTYYATKVTEEDDQIPFYESLTTEEW
DQAGDLFIEKFGELMKRLKAKKQEKRKAAEGFEDEIRDREKAVRNEAGKIDKCLEDMEITGKSLLPPPMRRSHR
>RCO7_03094 | uncharacterized protein
MSLSILESLGEEIDDPETESFLLFSQSIPSQNLGFVDSKATVLDLTIGDRDLTISQSPTILSSNRGGGTTGAVIWKITPLFAKWITSTNFLFKLGIL
DSQSAVLELGCGISGIIGLCLGPLVNSYVLTDQDYVMKLLNQNLAQNRQESSSIGKGRKSNAKSKKSFALVNSTQSPRKISAQPLDWETDEVTTSLT
GNGSKNSFNAVIACDCIYNDALIKPLVQTCIDACRLRVVDEQEINPAVCIVAQQLRSPEVFEGWLRDFHQAFRVWRLPDRELIDGLKTDSGFVVHIG
VLR
>RCO7_03095 | probable long-chain-fatty-acid-CoA ligase
MDLKNIHPQPRIYHSPPFSVEVPGYEAVPGETIPRRHPSSVDKLIEVPAEGINTLFDIVKLSSEKYGNAKAVGTRKLIKTHQETKKVKKIIDGQEQE
IDKKWTYFELSGYEYLSFHDYEKLVLQVGAGYRKLGLNKDDRVHIFAATSAHWLATAHAAASQSMPIVTAYDTLGEEGLKHSLVATKAQAIFLDPHL
LPTLIKPLKEATDIKYVIWNSQNEVKQENIDALKKAHDRLKILSFEELRKLGESNPIEPVPPTAEDLCCIMYTSGSTGPPKGVPLKHKAVIGAIAGV
SVIVNPYLGPGDGLLTYLPLAHILEFVFENACLYWGGTMGYGNPKTLSDTSVKNCKGDIREFKPTVLVGVPAVWESVKKGIVAKVNSGSPIVKNLFW
GALWAKQNLLHYGLPGVGVLDNLVFKKVKDATGGKLRICLNGGGPVAKDTQRFISMAITPMISGYGLTETTAMGALMDPMEWTDETLGNIPGSIEIK
LVDFPDAGYHATNKPNPQGEIWIRGITVMEGYYQNEEQTKEALTPDGWFKTGDIGEWDKNGHLKIIDRKKNLVKTQNGEYIALEKLESVYRAATVVA
NICVYADQQRTKPVAIIVPAEPALKKLAEKIGVTGNGIEDLVHNQKIQDAVLKELQQAGRAGGLSGIEIIEGAVLADEEWTPQNNLVTSAQKLNRKL
ILKTYQKEVDAAYNRNG
>RCO7_03096 | related to DNA repair protein rhp55
MDYNSMHGPGHSNFSSPIAHRMPTVSAAQALQDLKTSPTRCISTGLSHLDCALQNREVVSLEEEAVYGGVSRGKVTEIYGPPGVGKTALGMQLATSA
LHAGEGVIWVDSSSNPATLSTLLSNLTHFFTPSLAHLLALLTHPTTSNPAPNTSLIVIDSFSTLISNAFPRSTDATPRKPSAPKFSSRKFPILQHLI
SSLSKLATTRNLAIVVTSQCVTKMRPGAGAVLVPAVNATAWEQGLGCRVELLRDWGWEEENGDLVEGVRLARVVKAEGVATGGSRLVGLGVGERGLY
FISLPSTLTHSPAPPNPHTLSSPLKPQPPSQPDHRVNPTASQHLPSNLPPQKRKTPPTDLEIPDSDAEDDEDYGWAEEDEEELPPPPPQWQGSEDAL
APPVEEGEGDEEILELGMELGEEKDLGDEGKDGRRGTKRVRDVVDDSEDELA
>RCO7_03097 | related to DCW1 - glycosylphosphatidylinositol (GPI)-anchored membrane protein, required for cell wall biogenesis
MKDILAAFAVLLSVLAPQSIAIVLNVTNDASIRSAASTIAYGMVKYYDGNVTNTPWTIAILPKPSYWWQAGAMWGLLLDYYHYTGDDSYNNITTQAL
VSQVGPEFDYMVPLYNLSEGNDDQAFWGFAILSAAEKGYPEPGVGYTWLQLTENLWNTQVRRWNTETCGGGLKWQIFDFNKGYDYKNSISNGAFFQL
SARLARFTGNQTYFDWANKVYDWTRDIGLISDEYYVYDGTGEKKNCSEANKIIWTYNTAVFMYGSAALYNYTNGSAIWAERTQGYLTASANFFGPYS
NSTNIMYEPACETVNTCNTDQFSFKGYLSRFMWATALLAPFTAEAIRTFLTASAQAAAKSCTGGDDGVTCGTRWYTSGYDGKRGVGQQMSALETVQG
LLSSKSVPPLHSKNVHLGRSPYVATHLGPLATKTDTERGNQRDEWKFMDNGGCLVDYFTGNVVDRLMLLR
>RCO7_03098 | uncharacterized protein
MRRTDVSQGSEMEQLGTSESEYTGGSSLVDEGFWRPDDPPRDIEIQQLQQSIVTKALLESDGASGTTLPTENATLIQPAVPPTGNDRNDSLPNTVTR
QSIAPETSLGDRHHDEEDVQEPLLALPAQTQCILEPIERRPDSSGNASIWYSTVLESEVAELPESETIIRTSSTSSRAVHPANSKQPLWIPYALEWP
WMLGIIAFGIMLLVIVIVFHSISSETEGSMDDTESSSAYFAWHFLPTLLAVTYSIMLMIIQDAVKRTEGLARLANVGGASASASILRTPGPWWSAFV
DSFPRQGNGSRFSPAMFSVVVAYILGFLIISPFSGALLSSKELMMSMKTAMVRVQPASGQVMRPRLDTSEFYAAIGHTFQNVGISPWITDTYTVLPF
WPANIKRPTGSSFDTAAGDWTAKTSVYQTNLLCEDMRLVGGPNHINYTYDPKPKRQGLGFDNITSLKFASDSGCRYGVSHYEFSRFSTYDEGMFYWS
NVTGVNINTFLSAKPWPFNELFLNHTTQCDNSDIFLTVLNRPFNSSGTGNAASYEVAGKVCQQSYFEAKLPVTVSTGAGSTTFQFDQDDFQRSRIPI
DSNNINITAFHEAFFSSSWDDYLRYDITPSRINFSRPILGGPANILGAGYNFKIPGMLQDPEFAAKAAKIKQHTFGLALHAAIQNITAMTGIEGEIR
TRQRRIVVAPGVAITLEIVLGLATILLLVTFWTTRLHRRLLRLSQDIGIPNTVASLIAAQCKSSHDLQEISGMSVTDARYMLAGYSYTIGNGNLQMS
PSTPRRSITPFVRLTRTTNMARTRWEPSILSTWAIVGFIFVLTALLAAISFLYWYSRNHGLYQSGFVYEASWSIGELGAIAPYSIIPTLIAVVVGLW
WDAIDISFRTAQPFVSMTKGPTIGRNGSALSYQSSYLAWAGLRAIKRRHWLLAFVSTGAFLSQIFAISMSALWQREPIQLERAVEVLQPFQIRDVPF
VYDRAYSGRNAEYARKILGTAFQSLQTNWLYSASLQLSVNASQPTWSSEGWSFVPVYVPTSSWKVKQKSNSSSDEPQAKRAVVNVNVPAMRGRLECS
TIAKDLEDRFWLTEMNLTMKGYYNETLRPRPWKTGYELGCLNNPGGRASGGINFSPNMTANFTDAYGSDGNCSSTNAIAHVLTQGRLTCCAQEVEHQ
PDNASIGQWSPVEIDAYPPGWKYKTSTDNFTVKWIHGPAPVNFPVNWTDGAPVLVWPEPPKLSMLNCAPFVEVANASVTVDLETGNVQHYSILGKPI
RHAEAFSDNFVQRTYGNSSTFNVSVSFGTIFVASLLGAAQLLYIGGCSSVGSPDDCNEDSSDRTFSYRAPGLNLDYMSYSMLKMAGDDQASLLNHTK

LQELAEITFTTYFQHYASQNVLMNGSGGRAFQRANETLAADMGPPAWAYDATKVGPARVKVAVSPTTMASVSQPVEMLHMSPTAVWLCLIILIWLII
TMVAVLALKKRYFSPLLGGVETIADVAMMVAGSDRYLELARREGATGMRADKSFRTKLGWFRIGGGEVRWGIELADDDTVHFLSDEEVSLLYAGHGA
EEEHERATVSGGSGGLATTGRPR

>RCO7_03099 | related to cytochrome P450 7B1

MNTFALKDVALTFNEMKDAFEPDSLYLWIRDVLTMATCNSLLGSHNPMKSDKSLVEALWDFDAGVFLLVLNIMPSIVAPKTYKARETLQAALRRYYG
TNHDLEPDVAELIKVRAAYYKKYDLGTDDTGNFELALLNVSTANAIPTVLWLVAFIVSEPAPIASIREELQAVIIISEPKNGKLSSYREVIRLINSQ
LGTRRVMADTIISDEKSTYLLRKGWDIQIPAGVPHRSTEVWGPNAASFDARRFMKLDTKGAMSEKAKEEKQAYIPLGGGKNLCPGRNFAFAEMLGFI
ATLIEGFDVKAKDGGLITVPYVPRTPHAVTVSKPVGKGLEMGAKITRRAGWEDVVWQYIT

>RCO7_03100 | uncharacterized protein

MFSVKANLINLLPTVLTLIVSVTSAPTGTPYCTSPQTGKTKDCDFLSVGKTPVPWARSVENVPVPWARSIIEARAEAVELNTGKTPVPWARSVENVP
GPWARSVIKARAEAVDLSTDKVLVPWARSIKNAIGAALNKVPVPWARDVENTAVPWARSDTVPWARSIDTTVEASKNILVPWARSDTVPRARRRSVE
NIAVPWARSIDAAASVSASKNIPVPWARSDTVPWA

>RCO7_11673 | uncharacterized protein

MTQTEKPHTRTPSTDHRTSWSWRKLFGKEDTSATAPPSTPPPEDVQKPGIARRLSRKVVPGLPRPGTFKRQQSELRDRLEPSKPNADERRTVSVDRR
RNLLARNSSATVASLPRQSAPELPDNEIKTDAVIETSNIPQVNELDVKEEYVEVSKDPSCVDALSISTEAFDEMILEELEKRWILNLSMHFRDKSKR
EKFFVTYAETPTHWRRVTISLDYRDAPEGSLEEELQRTRFQRDKSARIYEAIRDSLPDIQFYDTVTNLKLQTEKERLHVHVVEDLSEIISYPPIKAI
SHLNCRRVREDALVFDSHLSGFVYKVRLDGQVFIKKEIPGPDTVDEFLYEINALHQLYGSKSVIRFGGVVLDNQGEKVKGLLIDFAEQGALIDVIYD
GEGRIPWRRRERWAKQIVQGLSEIHEAGFVQGDFTLSNIVIDGNDNAKIIDINRRGCPVGWEPPEVAALIESSQRISMYIGVKSDLYQLGMVLFALA
TQQDEPEKHRPFDLSTFSHDIPEYYRKLCCRCLSGDPRTRSQASTLLTFFPDVGESHHDNGRSIPIVVDACYNGQRALTNGHHFTDPLTLHPSYAHA
GEFGKPIDVYGYAITDTSEEPEFPSRGRSPPAQFRWDRIPSTIPLPDSRPTSDYDSNDNTSTPNGVADFPTPNLHSTSLRNGDVHLGDLSLLHSTVG
SDYLNTDTHKTPTNDTIEPSLLTSKDADTTLNYTYDMEKQPITEITESRSTVAAIPTPPTAYPDLIGIGTAYAKFPQEIPSANLDDDLTMTTTTETH
NDRHVIDSLAPVQV

>RCO7_03101 | related to heterokaryon incompatibility protein

MSESSYAYKPLAEPTKNIRLVTLLPGDGDDQIKLRFSQTSLERAAIPHRSGQELKNARSSLPKDWEAYETLEARIIYIHRDAAGTTTTSWQHPDVNY
TPKVEETDEAESPSQDLPYEAISYIWGIEDNPLEVLIDLASKDSTEEPVEILVVVSTEPLRYAKLFLGQNLASSLRFLRNKDKKRVLWIDAICINQA
DTVERSAQVSRMRDIFSMASRVIVWVGPATQDSNVAMETLDYLGNQAVSTTERRRLPAPNAVEKTWFESSVQLPYDDSTWEAIRNLLKRPWFERLWV
VQEAHLARKGLFLCGDEQLDWITFRYAILTLWYNKAASWSLPSVMRLIGNLVEFLPNKHPISDILYQVYGRSCTDSRDRVYGIHGLFPPNFQELILP
DYTLSVDEVYRNTTVAHIGYSKRLEILRLCHTESSENSDTPSWVPNLSSKLKIARRMDWQFAAGHSRSEVSFEGPRTLIATGIICATVVKVHQPLHT
GASLKECLQLVRGWEPENMESAKYVAGGSIREAHARTLTGNALKDRFPERDYAGSWDEWIAQDSPTALFGAKAKTPLSADSQPTPLEKLALSLVPGR
AYVTTSEGYFGLAPIVARAGDIIAVFLGCESPILLRPQPNNKFRILGECLIFGLHDGNAFLGSLPSPWKAHVFNDSTGLFTILRFHNTETKITQDED
PRLDPLPEAWEAVDRGERTSEDPRIYRCFKHKQTGEIVNSDPRMEPDTLRARGVNLKSFALV

>RCO7_03102 | uncharacterized protein

MAYKSYAIPPLSAHTHTVIFLHGYNTNASLSASDFSMKRASDGRFLCQIFPMIKWVFPESKFRYSTIFRKPVQQWFDIWSSQHPHQQQRLQREGLLE
SVQETLAVVRAEASIVPLRHIFLGGLDQGCATAIFSLLCSRVRLGGFIGYTGWLPFQSKVEGVKYKVDCQYMDIDADGIPAIIGGNHRLSLEDMCGS
EYSKASMLLQRIFLAHSENDVNVPVENGRNVYRAMRSLEFPVTFKTYVNGHHHWIHEPQVVDDVVKYLNLEMIPDPC

>RCO7_03103 | uncharacterized protein

MFYLPKVYEEPDPTSLPVIAPNLENVDENHIISLEETIGQQQHASTTAVPRSRNIKFTPYNDDETNCLGKSNRSQPVIPIENILADDYDFPEQLGFI
SVKEKEILEAGSGDGSWGVFRCEHPSCWDVKDKFRFNVFADLANHYKKSHPARIEEETIPCGYESCKRSEDPFTRKDSYRDHLREWHLEDMLKRHKR
KHREEEWWNSRIVSPVWWRCVRCLGPSIVVQIDGWTCKTCNQECEAERIYIRKSIVEYPTLRAGSLSEELVINSSRLYADTSTQKSATASVFSEDAA
SASAMMKSKVPKGEAESQDLATSQTNRSDLGQNSGYASTRAEPQDFTHFEYASHKVVPFTTVEQLGHGSLGSVDAVRHNGEPDGVILARKVIRLPNM
ARKRLLPLIQQEVSVLRELRHKHIIQIISTYETTSAPRQFGILFFPAGDEDLSHYLERVCEDDFPETDLHLLEKWQYCLASAVEYIHSCNVRHKDIK
PSNVICKGGAVFLTDFGSAHQFSAGLTSSTEGYAVGITKMYSAPEVISLDRRGRPADIYSLGCVFAEMATVVGRRSIEDFHEFRSEPIPDEPDRMTL
CYYATAHRLGEWFEADAEPWSCYPLILEMLSEDQHLRPSAEKVLSVLVERSRFSECSCRFVSDQDSKSLVYSNLKINSI

>RCO7_03104 | related to pathogenesis-related protein NtPRp27

MVESSPIPHLVFMPPQSSQASAPMPTSTPLPPNSQKPTTSNPKAAAGEHSSKPSPKFDLPKIRLEIRDLNHEGSLTFLKAVIASKALEESVQSVLSL
LYHSPDSPTTTVPTTRSVTLILRSMPGVAYTTGSELDDDHKEIHFSLDYIHGISKSRKKDEIMGVLTHEMVHCYQYNAFNTCPGGLVEGVADWVRLN
ADLSPPHWKRDATGKWDAGYQHTGYFLQYLEVRFGKGTVARLNEKLRIGKYHGKRFWTELVGRPVEQLWGDYSDALEKEKRDSEEDKCVVIEKVDAS
SPKTTGAASTPTTT

>RCO7_03105 | related to STU1 - mitotic spindle protein

MGEKISEEQVANLLVILRADSSIDAKVNQINNVKSGIKQNNVPEPCIVPLFEATRISMTSSHAAIVNAGFSTLNHLLTRLSRQEPKYVVKEAGRTLP
LVIEKMGDVKEKYRQLAAQCLTTFWKIAPLDVERIVKNAGLVGKNPRMKEASMTWVVLMHEENGMPFKSFVTTLMDLLEDADGMVRDTARNSVIALF
QNAPNAAKSDLKKQLKNFNVRPAIVAAIVPHLGPGGPPEATESEVVDVPSRPILSNSVSSMSSVRPSTPVIEVKIEHVEPSYVNTNRELEDTFRDMH
PHFEGKESETNWLKREQSCIKLRRLNAGNAPSDFHDSFLAGIKSLLDGILKAVNSLRTSLSKEGCSVIQEIARTAGPGLDPMVEILLQNLIKLCGGT
KKISSQNGNLTVDIIIGKVTYNIRIMQHIWLACQDKNVQPRTYATGWLKTLLKKEAHHKSHIEHTGGLDLIEKCLKKGLADANPSVRENMRSTYWTF
AQIWPAKAESILGTLDATQQRLLENAPDNPNSPKKAEPVAARPGLGFSKSTTGPPKPSLRETMLAQKKAAMANRNLPARPGSAMSSFSPMRTVSTSS
NVSAKSSTGSNKERPESTTLAHGGLSVAPMRPTKFRPAPRPELGPRPATAGPYSVRRPGHGPTNSDSHTSPSTRPAKTRTPSASSTSPPKKQPIARP
NTSHSSHASSSHTSPAKSTISRVAPSPRSSPARPKPSTKYLNSSSPSKADEDLTMVVPTLSGLPEPHPQSVPLASESSDEDDIVTPLKSMKVYEDPF
SSTNDNTTPRPVMTAPVLEEVPVNEDAANLARNGIELTDTPKTLAMTAERSKQSFRLLDSGIAKIKAMSLDVHGFRKLQGLIRDNKVSWSDDKFDAL
LVGLFEYLETRLTSLSPEKDQDVKTQILATIKLMYKKDRESFQPHVTKGLEAILATRSCYDARTHIVSGLELLADELVTLSNPQQTSETITSHLQNK
EMTLEGCRTLSMGLHVLKELLEVKKSFEPSDEEVGEVCRLAARCLASAESGVRMDAVQLCVSLHSRVGESRFWSSLGGVKDDPKSLITYYIVKRQRE
LAAASS

>RCO7_03106 | related to RGA1 - RHO-type GTPase-activating protein for Cdc42p

MESPADYLDSPMDGEDVAYPCKGCGDILEEGKAFELAGNRWHLNCFRCNTCGTLLDSDANLLLLGDGSLICNNCTYSCSACGNKIEDLAILTGDQAF
CATCFRCRNCKRKIENLRYARTSQGIFCMSCHESLMARRRKKSRAAAKQKREDQSPMLVDKSLPALPPNAIPQSAFSPDREATDPLDTDIPTELSPR

PRQGYTQNDSSSRSSSRRPREQSPERYSSDTPGLTLPTTTYRNNRNSAISQASDLNSGDAESFFIPLALDPTPAPSMTPRSTSESWTDSGKRTKENK
PPEKDYFGAKSVARQQIDNQKQRDSSVPHIAFQEKGRQASADELAQIKDSLRKAAAGGKSSSAKASPAAGSDDTRVQHAAHSPTPSNANGKSQNGSE
KFRLGDVPKGKKSGTSRTDSQSEISENSISRTGSGGLSAPSRGESQSGPPRTDSPKQILGTDKLSTPRSSQDSRIREELEARHSLETATSPSRINRM
DSGGTARSIPRKEIPSGAVKNTMSSISSSSGADTSPSSASSSETPGVTPNMAGKSTSAPSGLQSPMRDDLAPPGRAPNRPSAPQQKLSDSYMTPRAP
PAPPTAAAQNPQESNASATGPPVSPKLPRWSAGGDFTMDEDMARILGNTDESSQSILRRVSNAVRHGRTASEQSNGRQPGHGRSVSETTRTTASPRW
PKTPIFEDVAAKDISSPISIASPRSGDDPALLRRQLRNSEQRVAELERQFMSETDLKDLNKKLVEKRKTVSVLDSQTEIMIRQLEVLAGYVERAKGT
KQPINIAELEESAIKEFVQKLERLKQTMSGAVETLYEERNDLLEEKNQIIADRDRALVEFEQLSSKNAQLADMNNDLTHQIQERFKAQSGPGLESPR
PPLNGLGIYTHHSKAKSNVSVLLDDSSIRASTSTTMFGSVGSYPQAMDQDPSMEPATVLSAPHVINIRKGQAKKFNWKKGGQTVAKGVSKGFKGAFA
SVQQERGQQWQGQTGDSIGLPYNMTVQAVEAPAVTTQPGSLTRNGSNDPKQGGFGLFKKNTTMPKSMSSGGLAAAEPPSTLFGSELAERAEYERRQI
PSVVTRCIEEVELRGMDTEGIYRKTGGSGQQKIVQEGFERIEDFDISDPELDITAVTSVLKQYFRKLPTPLLTFDVYDRILESITIEIDSERCAHLK
RTFSMLPDKHRDCLEFLMFHLSRVATRESENLMTTKNLAVVFAPTIMRDHSLEREMTDMHSKNTAMQFIIEHSHEIFAQ

>RCO7_03107 | uncharacterized protein
MPPKTNLRGFLRKDIRRNKITTAPLKGRTLAFPKPVTEEANELDYPFDEDITESKENNPGSKPDSMSVKPIVKEMTMEQKRQEILQQFISKSNETRM
FTRKDTNTESLFLKGLKKDLEELVTREEQASREEKSKLRLEKSTLIRKITSVETEEKGNRARQLKSNLDEFSRCLPACTSEEKNTTKAKAKQIAKAF
AGFEKTPSKRNRENTDNDLDGEERLRMGKSYKRPAMEVTGHWGMTVHDYFPDFEGNGLDRDALTAEEKLLNRRELAELGEALAKAERKKRLLEK

>RCO7_03108 | uncharacterized protein
MFVAINANTPATVPRLETSRSRSPIAANMDSNPSSPHPMDSLRVKPLSWTDDHKEKFQEIITSLGSTVGTTGAPTSHAQLFDLASKKLADLGIIKST
TQCKDKWYRMSNRAENEALFNFTRGGSKHGTFGDDKLEVVEPVAEEPLDSNFAQDEDSLIAGNRDEINADSNDVSGHRSTMRWDDRERDFLIELVRG
RRELELQDTTQPVFNAGQLFKYASTELQKQYGIERTVSSCTIFWRRNVAGTFGFGSGNEATKLLPGSNSASKTMKIEEAPSMTLRETPTKSKRLQNS
LQEPQSPKEAKQPKPPKPAARASSPKLGRKFTTAQKEALAAEAEKGLNPSQEVRARLVQELNLTGQQVSGYFGNARFKARKLELMETPKEADGDEGA
DEDVSPMSITAQDSGAPDSEVKKRKYRKRKHPTSIDSDDEPLLAPLIKHAPQSVDSDASFGVEEKVYGSRPGMLRRKAPVRDPSLPFLPPPSYEDSM
LKASPNPYGSPRNPPHLSRSPLPTEPTRSSSSRLSLEPLAAASSSLRDSNASAQGSITSNTAPASATSAATPNVLLNLPPPADDQQMESILASKVSR
IDEEMSVLLKRIDDQTVSIQADQEAINDLDRQNQVIQARRAAALAARQQKEVTRAEYSNRIQVLGNRKSQIANALRDLKAAFEDDN

>RCO7_03109 | uncharacterized protein
MASKRPAEDRASDPKAKKHRPGFKVGPDNLPDGVHRRKVIKIKKDLIQKAKIKKSYAKIKAQADLPAQTVSYEAVEPASQELHPDRQAMLDAPVKAS
ILPSQDELFSKTNPGSNSQRPQQQLRRGKKPAYFEKEQAFAEQQKAEAEARRREFERRDKEKKEKIEERERWRRMMGKARTGGKNGQRKLGKESQVL
LERVKRMVGS

>RCO7_03110 | uncharacterized protein
MPIFQDDFGSSQGTPPAKSAIPRRSMSPEGGNTMERKSSEDSIRTDLCEGHIPDTPEEGRSLAAPGLTSNFIYAKTGTSDRSERIERLKRGESTAWL
PNRNLESLIQDYDQIPGKPFASASNPSPLLPSPEMQHTQRPSTSERERNQAGLQIERPRSALHSGDFTEGLRQANDRGLLQPHSSLSRSEQASWIAT
SPPRDFSPFQLDSRFPAPESSYHSRSRAPSLSSSFSSSFILKPPTSPLVQSESNEDLDMSSGMNPMNITPSNQRHHRRYTLQSAHSMHSTPSTPGTT
SFNRPVPSLKRDSTCPYQAHQPRRSLTSNLIPQSSTPQTPQLSKSRRPSYTSESSPLHHASMVGSYEESILRGRMSTNPSRPLDFVAQIGVLGLGEC
KPNLRCPAHVTIPFPAVFYSYESTSHGRTPKSEDGPSPYVGQIDLENSLPNPDEAREMRRKRIGNLPRDRTADIDMADGPSTAMPSEREMRRAKKQK
RRSTSPRAPPGGSYRLPEKGQLQIIIKNPNKTAVKLFLVPYDLTGMEPGTKTFLRQRSYSAGPIIDMPISVAQLGPLDRPILRYLIHLHICSPFRGR
FYLYKSIRVVFANRVPDGKEKLRNEISLPEPRFSTYKPVRDSSLGLALNSGAGATLAADKAFRRRSSGFPLGQLNRAFDSMDGITSALETGFRSGSA
LEIGWGTSTAPVQPIPFSLLSKAARGETNPSPDRRIDVQSPSSGKNSQPPMSRVSGTAMSWNSDSTSAGISGYDKLSRGDAGYGGNFLTGSPDSKVV
SEGLLAKRLRDLGVGLKSPQDELDDL

>RCO7_03111 | uncharacterized protein
MPSPRLRQRSLLVFTILTLLSENTQASVPIAIPIPIPLPVPLPVPLPAPLPAPLPVPAALAPDPAAALNLASNVTGSILDTIENMLKPASNSTANSN
LPAELVAFISQHGMAILQNGLAALGMGVNMNGSNVMSGTGKKVVCPKMSVVFARGTGEPGNVGILTGPPFFAALGEYINGTNQLAIQGVDYEAQPAG
FFAGGSMNGAIKMAGLVKSSLTNCPSTPLLLSGYSQGAQLVYLALPLLPPSITSKISSVVLFGDPKNGTAIPGVDEKRTKTFCHDGDDICRGGSKVS
RDHLTYVNDATGAAEWAMRRVGELGIAS

>RCO7_03112 | related to coxI translation protein CYA5
MAAAIEQQGEQDVQQQRSAVRGSNGTLLNFLYPAGTWNFLRQCSGYGGGRFAINGLEKLSYRQYTSYAPQDTVSNTAVDAPGAAAEIDNTVAESQRM
ALLQEKLRLSTSFDYEEAWRRYTLLEDRDQQSVLRVPLMQYLSTSERFSDAERTTELFEALEQEQMTPVTLRFAIRAYLEMRNLADAMTLYTTALET
FKYPAGAEELLAYLINNSSWSRAFSIWKDYEEFRAQSTESKGPSILQNLGRDPAIGTQAIELAGYVNRRLENTSPDALSDESADFVEFASRFVRKAL
LNEQAFDSTRFFSLLSILQNWKLLTPNLFGVVTDMLIRLNETKLAIKCYRRARWSKEVLFSRRTLHTLLKICCDHHSVLGMQQILDDFFRIYSKPTR
LAYRMCMSEFANLGDAQTVHALFDQLVARDSTGGHSSLQNPGEIAPVLHVHAKRGELQEVVSYFDQIQDVYNLEPDLRCWNILINAYGKVGDVDRAY
DCFEQLLDNEQLRPDDYTMGTLMGICTARGDVDRVIGLYKFAEEQQISTSAAMVDCLVLTHVQADDLMKAETICEDALKMVLKGTRTRMWNYLIVGH
AMNRDLLNVNRLLTRMSEAGIHHDKYTYAALMQSLVMVKQPDRAFAIMTDVMRPSGIQVTSFHYAILMGGYIVTNQFHKVFQLQRRMEKRNQRPTAS
TKLLALEATVAQDSRLLEDGTSQEILNRALQIFQETISSMDAQDISDPARKGVGQVPLDIAYSTMIYRFMISVLGNYAEFSSVDDLFQAYTKTLPAS
PRDKPPLDMLFTIMSAKFAERDHETIQKCWEASVMQAKELGQAIVADVGNFPEDHLVQREWQGIMPARQLELSRHLGVYMKSLHVQRKTNEMIATVD
GLISDGFALDNHNWNAYITFLAIRHKYELGFRLCEAYLMDQWNGWARIRWTLPERNRLSVDLRAKRQKPTFFRPKYLTILHLARGYLELQSMAAESP
NSEVLLDDLERDCPRVVRAIVTMQRVDDHLERTILRGY

>RCO7_03113 | related to signal recognition particle 68 kDa protein
MEVTKFIASGREKAKLEGDYATYRKGLSNRIHNQRKKLGIATKPRAKYDSNKTQVTAENIAQNHEFVRLLLLTSERAWAHAMSMREIHSTEKKGITG
STRTHIISRLHKATSYANNLFQLLTDQATTRAKNEDVLEARAYAASLSGATAFEKQNWEPCVKSYSEARIIYSALATFTKSDIFKDLLSDPVDPSIR
YGAYQMRLPRTVAIEAISRKYFPTSDAKLVSQVENLDPDVLNERPTKTKETTAEAGTIPKTISWRSRTVNLEDAAIATALASVNSAAQKLKETLASV
TVAQVKERASAYDDILIASQDTVDATKHAIDELVGEGVGQSDKRMQSLQITRTAVSYEMVSWRIGRNRVLVGQQDGAVIDDLFAQRGKSSKKPVRIE
GTGRKLARFREKAVLYDSILQSLDSIKELPGVAADTDFLEEIDATYGYFAALKCLTIARSHSLVSNAKNALALLARASEKCNTAHSSLQSSMDISDS
SPPNISISPSEVQFLKNLLDGELQHYRALVELNNLNDSTAKPEQQISRQPLVEKLSDYPLNGVDLENIVTYPPKLEPIPVKPLFFDAAWNYIEYPGR
ELQDTVESSGAQEAAAKGQTTEQTAQQKKGWFGFGR

>RCO7_03114 | probable nitrate reductase [NADPH]
MIPADLASPLSTAPPSPSLKNKKPARNLSSISFQVPPTPPKSHHSGSDTSDDSSPNSRRTSEAILSRYALPPPSKEPTAILKEDLKTPDNHVPRDPR

LIRLTGIHPFNVEAPLSALYDEGFLTSTELFYVRNHGAVPEVDDASIPDWEFSIEGLVKHPITMTLKQLIADYEQITVPITLVCAGNRRKEQNQVRK
SKGFSWGAAGVSTALWTGVALGELLKRAAPLRGAKFVCMEGADKLPNGYYGTSVKLNWAMDPNRGIMVAHKMNGEMLRPDHGKPLRVVVPGQIGGRS
VKWLKRLIVTAAPSDNWYHIYDNRVLPTMISPEQSANEPKWWMDERYAIYDLSTNSATAYPAHDEKLSLVNAPETYKVRGYAYGGGGRRVTRVEVTL
DKGKSWALANIRYHEDDYREQADEDEMLFGGKLDMGWRETCFTWCFWDIELKIDDLALSGDIMVRGMDESMNVQPRDMYWSVLGMMNNPWYRITITK
EGEFLHFEHPTQPALMPGGWMEKVKARGGNLANGFWGESMGGEEETAVVEEKKEIKMTKDGLGQSINIEELRKHDEDANPWFVLNGEVYDGTAFLEG
HPGGATSIISAAGQDATDEFMAIHSETAKEMMKDYHIGTLNAAAIAALQDSDEEESISSTLRPIFLQPKTWSKALLSSKKSVSDDTRIFTFALEHGE
QSTGLPIGQHLMMRLRDPVTREAIIRSYTPISEGTQKGTLDVLVKVYLDTPERAGGKMTKALDAIPVGHFVDFKGPIGKFEYLRNGRCTIGGKARFV
KRFVMICAGSGITPIFQVLRAVLSDPTDETRCLVLDGNRLESDILCKEEMDGLYHGKEERCKLLYVLTKPEKSWKGLTGRIGKDLLEKEVGQCTSND
GEDLVLICGPGALEESVHGILNDLGWKDEDLLFF

>RCO7_03115 | related to regulator of nonsense transcripts

MDRKRKRELRELNSRAWNGEKDIYEVNKSLDSSLKKNTAFIKRLRTAVSAATLSTFLQEIRTLSLHKYLSEIISACYEGLCKLKSPGEIEAGVEIVS
ALHQRFGPAEFTEFLGWLVGKGLATPEKSILKTLAAEAREKEEKERITRQRVLLRVVTELWLVGVLRTLDDVSRPDDASRGKESLSGSTGKVVDFKA
KTGSGGKGGGAEPFPLEVLKDLLGHDREHANLPLLVIFVKAFGWDILGVKEAGSEGRKIVAADGGTKEANSDGDVDDESGEDRPVEVAIDDPPLAST
ELQERFRNILKRYFEDVKTHLLRDQKALSKQARKDAEAYVKSGQVFEDRQANYEKFVKAQERLIANTHVLAEAIGGEMPDLKDSEDSSGAANGGISL
IKTGEYLRGEGDGAGIWEDEEERRFYENLVDLKGKVPGMLLEDGKKKKADTDEQVGKKIDPAEAAGADVTPQSTKEEDMSTAIANKTIGAQVDALLA
RLPDLTGKDLIDQAAIDFCFLNSKASRNRLVKAVQEIPKGRSDLLPSYSRLVATLGKYMPDLTKALVDHLDQEFRSLQRRKEKEFLGQARLGNIRYL
AELTKFGVVPEHVIFHCLKVSLDDFSRMNIEIICNLLENCGRYLLKNPETSPRMASFLETLKRKKSVQHIGQQERMLIENAVYYVDPPVRAAILQKE
RTPIDLFIRKLVYLDMNTRNYTKILKQIKKLHWEETEVVAILEKVFSKPGKVKYGNIHLLAILASALYRYYQDFVITVIDNVMESIVLGLEQNDFKF
NQRRIAEVKYLGELYNYRMVDHPVIFDTLYRVLTFGHGGPPIPGRLNPFDMPDDFFRIRLVATILESCGVYFNRGASGKKLDYFLSFLQYYIYTKDP
LPMDIEFIIQDVFALTRPQWKLASNIEEASKAFQLAMAQDQKTSGMDKVLEAEAEADDSDSSDDEMADIGLPPAEVDGDSESDDEIDAAVNGDSGDN
GPSAPGTDSEEESIVVTREEEEIDPEDEADFDRELAKLMAESLDSRKHERKQTFDVPLPMRRKENASNLGPTGHEPYADEQIGVKATTGTMAFSLLT
KRGNRQQTRTAADREEQKRIKDLVLNYEIREGEEQDGLDKAAGMNFARPDRSGTTRSAQRTRKLQLSDVDWYDKPNISHVENRFPTKTNGRMLRSGT
KPEGSAVPPGSQPRVVPAHAVRLTRKVMLAEHASRLGSNGKPDSKK

>RCO7_03116 | probable chitin synthase D

MQYDTSPWPAQDIAYTTIVGSLMVAAFLEWFLWLAAFMYCLVKVYQKAEHWSVKILAVLIAIAFTLLRLIFLPIMVVTLPLPDGITQYFPRTMVSFL
QWFGFWSFAVLLTVPWLFCVYQLVTHSLGRTKRIKQVLDEDSAPKVVIVMPCYKEDPEVLVTAVDSVVDCDYPPSCIHVFLSFDGDQEDELYLRTIE
KLGVPLCLDSYPKSIDVTYRTARVTVSRFPHGGKRHCQKATFKLIDRVYTEYLKRNDNLFILFIDSDCILDRVCLQNFVYDMELSPGNKRDMLAMTG
VITATTKKHSLITLLQDMEYIHGQLFERTVESGCGAVTCLPGALTMLRFSAFRRMAKYYFADKAEQCEDLFDYGKCHLGEDRWLTHLFMIGAKKRYQ
IQMCTSAFCKTEAVQTYTSLVKQRRRWFLGFITNEVCMLTDMRIWKRYPVLALVRFMQNTIRTTALLFFIMLISIISTSKKIQNLPVEFIAISLGLN
WLMMIYFGIKLNRYKIWLYPLMFIVNPFFNWYYMVYGIFTAGQRTWGGPRADAGAADSSTSAQEVIEKAAAKGDDLNIVPETFKPAAEAHNNQLSGT
VLPLQPPERVEGRFTAPERLPGGWYEQANDSLTSMGPGVGGFGGRPQIHPRDSYDSSVSAGTYTNSIYMPRRVESIMGEEDKKKYAMAQASQKLAGG
AYMTGGPLGQFTELAEAKSKKREWKSSAESLGPYHDVATSPGDLSSFPEAGSPTVPSTLPQPIPSGQNRRSEQSPLARFNHIRTRSNSGSAIELQDQ
QPPTTSELADRSPPREPRESRVSCG

>RCO7_03117 | related to RING-like zinc finger protein ZIN

MAFSGLLKTTSPRLPRRNSRASTYPMPTASSDQSSPEPSSPKESPAARYIREHVHISAGKPEDPDLRELNNSLVALAAIFPDVQVEVFREMLANFDE
ESRLAVVTETLLKHKMKWVRGRYRVAGKERAPQSTAGVHAQADAESLVPLEEKFRSADYKRAVKAVAYHEFKGLSKSTINAVLAEFNHSYSLARPTL
TALSAKSWRFSISSLFMRRKTTPSSEAEHHPLVIWQSSGQGSIVPTLKTTGSSELDNELFESLIRPINERILLEREEKDRKLALELNNTEAEANEAL
SECECCFTSTTFEELSACDGGHFICFQCVRHAVNEAVFGQGWQRNIDLKIGTLRCVAAMADDCQGCIPQTLVRRAFLEEKSGKEVLRKLDERLAEDN
LLKTQLPLIRCPFCPYAEIDELFLPESQRSWRFKKYGPSLLYTLIVLTLGVGMISFLLPFFLFFSFLFLLLSSRQTFGDFASNHFNASVIRMRRKRL
GLKFICQSKDCARPSCISCSKAWSDIHICHESSLQALRTQVELAMSLAIKRTCPRCNTSFVKSSGCNKLTCICGYQMCYVCRKDIGNGEGYRHFCEH
FRPNGGRGCTECSKCDLYRCEDDEVVVKKAKEEAERRWMEKEGGNLGGDEKIRRVLEEKWISGGEKGWWDGRGWHWRMPDFDEVFDGLVEGLVE

>RCO7_03118 | probable nucleoporin seh1

MPTPSEIDSAPADTTQDGFSLLQHGHKDMVQATAFNAYGDRFASSSVDGKIKVYNRHKDGSWHLCDTWGAHTAEILEIQWLPPTIHPHLIASIGTDG
RFKLWAEDPTLLPSKGRRFNSHSNKPIYELRSPSRSPFLSFSITHNPSTRHTYLALIDRSANLTVYENEDPETLDSWADLDRVNVCAKPARGEEVSF
KISFDPNPEPCYMGIRQGVARDALGIIVASMNRASIWRTKEISHAVSLGGATITKEFYLAAELRGHKGLVRDVAWAGGNIRGFDVVATACKDGFIRV
FQVSTPGKGGGRNATGSGSGSTLRSKDFAHPPQPLVVQQRPSNSSSGEAPTSRPSGIGAGLQYTRPGPRSSDSRTQQVGEGEVYHVAREMSRLEANR
NPVWKVDFDADGQLLGSTGDDGKLMLWRRQPNGEWIKSSELAMTRSGVP

>RCO7_03119 | uncharacterized protein

MSFAGFPKRPATSSSFAAAAISIPNLVLERQLYHHFVAPSVLHKRVDMKELSAAGITHPPMVLSRFNPCPAGVPDTPPVLSSAFRGRNQPGPSVRSQ
RQVSCVPDADFAKAQYISGLKRASGDIVHVGKNKKLVTVLAQAFDRRSVWLSSLLEIKLVSCDSERNTRATLHRLCSEDHGTCVSTKPSDGTISSFH
FCIQAAEGRAPHIKRRDYCAARTSATSNLTGRGSVLTMSLCLIPSRRPGHSELLNPFARIVTLKQVYHVIMRRRTEGGDGISDAALQVRTIFLFCCR
IVSHLKVTLAPTLDSSSLSSFSKKYSTKGKCESAELIHKPSPEPQLYDAPDSVPAESIKARAGFTDSHSRDMSVELAVTREPNLAQIIAGAKVVD

>RCO7_03120 | probable carbon repressor protein 1

MQRVQTSVDLLLNPQTPLEKEQEAARRKLAEIAAERQRQHDLEMAAVMMQPNMMGGQHGDDRQDLPRPYKCPLCDKAFHRLEHQTRHIRTHTGEKPH
ACQFPGCTKRFSRSDELTRHSRIHNNPNSRRSNKMNNGGMEHQGAMATMMPPPKGNMSRSAPASAIGSPNVSPPHSYNSHSTPLSVLNPTFRSLGGS
PQNGSLDINILASAATQVERESTFAAHPHHGTTRHHPYYSHSSQGSRNHLPSLSAYAMSRSHSHEDDDHYAHRHAKRSRPNSPNSTAPSSPTFSHDS
LSPTPDHTPLATPAHSPRLRPYGGGYDLPTIRNLTLSNHHTPALAPMEPQNLDGQYHANNTATSAPRTGLSISDIMSKTDGTQRKLPVPQVPKVAVQ
DLLGSGENGFSTSGHSSTTGSVAGDMMDR

>RCO7_03121 | probable Lon proteinase, mitochondrial precursor

MLYGQNLPWRVALRSTTRGAFRPHPNVSSRLYNTTHRCRVPAATSPSLRPLFPAQHISGSSRFSTSPARRKDASNTAEDAVEEVADEHTKDKAEKPK
EVNGDDVAETKSKSPESTSGGNASSGNVADGKGSAAASGGAGDSGSGDGGKKGRKPSAEKALQKTTVPDVYPQVMALPISKRPLFPGFYKAITVRDP
NVVAAIQDMIKRGQPYIGAFLFKDENADGDIIESVDQVHDVGVFAQITSAFPVHGDEGALTAVFYPHRRIKMSALISNVDGTTSVEVKRGDGSTPDA
PVVPEAIPAKFSKEEGSQDKKGDVVASFEEGAVAPKSAEAAAPYDPTSFLRKYPVSLAKVENLKEEPYDPKSQMIRALTNEIINVFKEVAAMNTLFR
DQISTFSMSHSAGNVMQEPAKLADFAAAVSAGEVAELQEVLETLNVEDRLQKALTVLKKELMNAQLQSKITKDVEKSIQKRQREYWLMEQMKGIRRE

LGIESDGKDKLVEKFREKGLKLAMPEPVKKVFDEELNKLAHLEPAASEFNVTRNYLDWLTQIPWGQRSAENFGITNAMTVLDEDHHGLKDVKDRILE
FIAVGKLRGTVEGKILCFVGPPGVGKTSIGKSIARALNRQYYRFSVGGLTDVAEIKGHRRTYVGALPGRIIQALKKCQTENPLILIDEIDKIGRGHQ
GDPASALLELLDPEQNNSFLDHYLDVPVDLSKVLFVCTANMTDTIPRPLLDRMEMIQLSGYVSDEKMAIAERYLGPAAKELAGLKDVDVNLSKDAIE
ELINKYCRESGVRNLKKQIEKVYRKSALKIVQDVGESVLSEEDALTDEGKAAQEESKKDDSDVKETSENIEKETTEIPRVSLKVPESVHVDITKENL
KDYVGPPVFTSDRLYDVTPPGVAMGLAWTQMGGAALYVESILESALSRDSRPGLATTGNLKAVMKESTTIAYSFAKSVMAKQFPDNHFFDKAKVHLH
CPEGAVQKDGPSAGITMASSLLSLALDSPLDPTIAMTGELTVTGKVLRIGGLREKTVAARRAGSKTIIFPADNISDWLELPENIKEGIEGHPAKWYS
DVFDLVFPNIDNKKVNKLWKSQLTKKKEKDHDEDD

>RCO7_03122 | related to protein BRO1, required for normal response to nutrient limitation
MQAPMISAPLKATNEIDWIQPLKQYIRQTYGDDPERYAEECATLNRLRQDMRGAGKDSAAGRDLLYRYYGQLELLDLRFPVDESHIKISFTWFDAFT
HKPTSQYSLAYEKASIIFNISAVLSCHAAHQTRSEDSGLKTAYHSFQASAGMFTYINENFLHAPSTDLSRETVKTLIQIMLAQGQEVFLEKQIADGK
KVGLLAKLASQAAYLYAQAVEGTQENVNKAIFEKVWLLVVQIKSNHMASVAQYYQAMADDDANSHGTAIARLQAAEIGAKEAQKLSNGFPGNVPANS
NLTSETGATLIEITKRQLANVQEKMSELIKDNDYIYHQTVPAEAALPVIPKLPAAKAIPVSELYAGQDIQRITGPDIFQKIVPMSVTESASLYDEEK
AKLVRAETERVETANSEMAASLDYLRLPNALQVLKGGFNQELTADDEFRGWCDEVANRDGPAPTFEFLKSSKDGILTVLDRSTRQLDMEESVCEKMR
SKYEGDWTQQPSSRLTSTLKSDIRNYRDALEEAARSDNQLYAKMRQHEVDFDEMRSAGEIGEADVLFQKALIQVGGRSKNIGSPTGGEGNLLDDDFE
ERGMSVMDQITKVEEILKKLNLIKRERSQVLKDLKEKVHNDDISQVLILNKKSISNYESQLFQAELEKFRPHQSRLLSANHKQSSLMKELTSTFNTL
LQDKRVRSEQSKYESITRQRSSVMSKYKRVYQEFLDLEAGLLAAKQWYSEMKDTVDSLDKNVETFVNNRRSEGAQLLTQIEQDRNRNANGDAERERE
RLRSLMERMSMDPATSPSTGKPPRAQSVSYNSSSPSTRYPQTNFAGQYQVPTSPPPLSAHPQSVHPQSAHPSFGGPQNGSFYPTQQARPDPYAQKPT
AQPQDGYNPRMYPPVSPPPTQTTFSQSQTSFQPIHQPQGQQQYLPQGYIPPPPPRGPPPLGPQQTFQQPGAPQGEYGYGNQQRPGQQQQQSSGDPWA
GLNAWK

>RCO7_03123 | related to heat shock protein MDJ1
MNAGTTNVFSRAATTSRVLCPAHASRQNRFQHGVSKRQQPRSICSVTPSQSRRPSVAATRLHAPNGVSHRRAFHPTSILKATKNPYTVLGVDKNASA
GDIKKAYYGLAKKYHPDTNKDPTAKDRFAEAQSAYELLTDAQKKAAWDQFGAAAFDQGGNPGGPSPGGDPFGGGGFGGGAGAGGFPGGFGGGFGADF
NFEDLFRGFTGGKRGRPGQNPFQEEILVGENIETQVNISFVEAAKGTSKAINLTPLSTCKTCSGDGLKAGAKRSQCKSCGGTGTRVHFVQGGFQMAS
TCGTCGGQGVTIPRGSECKSCSGNGVVRERKTVTVDIPGGIEDGMRLRLDREGDAAATGNAANPNQKSMRGDLYVLVRVATDPKYHRSGSDILYTAS
IPLTTGLLGGEVKIPTLDGDVSVKVATGTGTGDKITLGGKGMKKLDGRRGGFGDLKVEFKVIMPKYLSANQRTIIEMLADELGDKTAKRIMNVGRAN
SSDSGSSYKNEGFLKSVWNKLTDHPSGSKDGSQGTSKDDTGKEVPKDAKDYKKR

>RCO7_03124 | uncharacterized protein
MDQRKLSEAEILWAISLETFRVNVGEALAASTSVQDFISFIAKPCLLALPLIISIGISSSQIDNTKTEAGIYWTNCFWEDVSGKNEMPVEHAGRKDL
PKAFTDDIKSFVPHTKLRFTSFCRNTRLFPPRELENYLEASSSSSKDEIEGPSSSTAAKQAGADLRKVRVRNLQQEFSVEL

>RCO7_03125 | uncharacterized protein
MKDGVGDASQYMKYPEETEAYGLEGHDEYGHFIKDA

>RCO7_03126 | related to SAP30 Subunit of the histone deacetylase B complex
MAPSRSKPQPDDSRSEASSTKEKPTSTTNGTNGKGRRVAANTNGGSSLKDVVTAGTSGTAAGASITAIAETTPGIQWSTFDADVLHRYRHAYQLNTP
AAFNKPYNQLVLQRSPIGHMSPTMARRKDQQRQSKDQLANVVRKHFNSMGIAENEVVVDFMYKVRWQDKNFRMRFYPQKPR

>RCO7_03127 | related to C2H2 zinc finger protein
MTQMDTLGRAQVIDASLQQRPRTSEDKNYRRGRSRQDKDKDKEGSADGSLGEGADGHSSGTDEPSRKRRRSRKGLDKKFECPQDGCGKSYSRAEHLY
RHQLNHTPKQIYKCDFPDCMRTFVRQDLCNRHRDRHTAKGSQLHRKDTMLGHAHASSPGAELRRPMSNHGSNSPEIMRPTLAGIKSRASQLQYQSPQ
ENSSSYSPITNVSSGTYSGAASSSGADNFQPGNFKRSNSDSMPRNDAPNIPSGVKPQRHASFGMADAKPVDFSRPPLQTPVGPYGLVSSAAGNGHYL
NNHQSLQPPYVSQQNFIPFTLPPPGFSTGPTAMSSTRELEPSYPTSMSTEYSSETIHHAQSGPDMMLLDQMAVPNAMPIFGGEGYNRSPFAIPEDFV
AYLFSGQQMENSSSMGQTGPQAFANHPDASNQHFTQFYANDSNLGGFFPANQQSHHPMAVTSLLDTSLPETLLSEEKSQQIVDLIKERFNEGDHAPV
ARQKECILEGDRSDDHHLLSRKMMQTYIGSYWYHFSEQIPILHKPTFSPDKTPNLLLIAMMTIGASCLDKVHGHELTQAGAELSNFLAWHLRWEIFS
DYHFRPPAKLWVFQALLLLELYEKIYSTRALHERAHIHHATTITLMRRGSSLIGRSALDSPPSMRDDKHGQNGSRQSSMSGSNTPDEWWNHWITNEA
TRRAAFAAFVIDSTHATMFGHSTVMVAHEMRLPLPCDEALWSATSSAEVGRIEASLQANGVKPISFLEGLKRTLNAQEVRTNSFGRTILMAGLLSVS
WHMNQRDLQVNSLGVSQALGGRDKWRGSLTRAFDLWMQDFDRSLARSSDTIPGPYAYTDKKDENVVIQGRTVLHHLAHMAMHVDIVDCQIFARAKRL
LGRTIGSQDINSAQRRMKDTWAPTAKARDATWYALRFLCTVLLPEESASSTHRGGYNDPPFDYSARDDLLLNRSWVVYFAALVVWSYGFALEGPTKE
PIPPAYDMNAQVNDMRAYLRRLGSVRSPEELKGMEGFNGCTGMLMVLRTVFEKTRWELLHEAALLLNNCISLVGGQI

>RCO7_03128 | uncharacterized protein
MIPSIHNTRALALMALGFASPVQSSPLQKRGPVCQEMVIPVVIDAQNAVVHPTIELGSLFGLLSSVITLGLSVPVRGTYNIAGRYCEPEVDVPSRKK
TLQLLAHPATYDRNYWSGGGYPGFGFDGDRYSWVSYASRQGYPTFAFDRLGNGNSSKPDGVAVVQMSAQAATVHEIIKLARAGPAGKSPFPRIFNNI
IHVGCSMGSLMANVLNVQYPTDVNATILTGFSKQWVTVIPGFTITAGLLPTQLVQPGLSLPLGYLQASSESGAEYLLFYGPPGVNYDPAFVHQDYLK
RGTLTVGEAASSALIPTASQYTGSVFVMTGQQDVVFCGSFGFQGGGPGNCGTGAFSILAQTQTLYPRASNYSYYAVPNSGYCWEHQYSAQGGFEVAH
DYLASRGF

>RCO7_03129 | uncharacterized protein
MAAYTITAAAPKAHGACILIGAPPTEFTFVLFEVTEFLKLVQTKVLDAGVLEACAQCAQCAGDLDLVVSAAILEELPIAPAVIIVTAVFVRKIITSA
GSGKLVIPTLVRDTEKTITQL

>RCO7_03130 | uncharacterized protein
MSKRTVFTTLTPLPPGVSREVVMETLKSHTEMIDLNPLVIERHPVKPPSNATSEEYHCIWYQLTDRVQYLPGGLASGQVTYTCCFHDLKDGLQTHCY
APMGLDIKGKWTLGGSLPGEPIAPVELGLGAPLHGLWLREDVDMRCNIMMGGFVKKTLKKAHSALVGRLLVKSQIQEAARKNAALNDRISTGPHTGS
QTSTEYSPSDYDAQSMVEGSISGGSPRPSQSPPMFAVQNTSSHRSDPSQNFPNYRSEQSDPRTSFDSRLHPAALNIRNSDASQKGSYPYPHPYQDPA
AGGQHPSERVSWQNLHQRQSPSMGSQEVPVYLAPNTYRPPVPPKQSYTPPAQQQQRYTKLPSQQRQDGRQKSRMDSQIRSQSQDQAQGQAQAQVHRY
QSNNVAELE

>RCO7_03131 | related to cell cycle regulation Mob3
MALPPSSPRLPSPPPPTEIQIGPQSPSLGGSMSEITIEQSVIDGNSKRRIHPGTKSADMAAGPPLIPLNELDSAFQLQEHLKALHYYYSKPPDSDDT
IAITRETAILIATQPEGVDRALWLYELCRFLINRCNDLIVGFLFDDPPCSATTCPEMRASEWQFLCAVHESPKSCCAIDYCCHTLDWATNIVTSQKI

FPSRLSLGAGDAVDERGAGVKHLTNIFRRLHRIFAHAWFQHRGVFWQVEGQTGLYVLFKTVCDTYDLLPAENYKLPPEAEGLEPVEELRAPVPSIMK
AASTPSNIFMSDDDSSRKNTRRHIRQSPSVGSAVTTVLESDEDEEVDFTHKLKDLQIAEEEEDEDEGATEIPVIVESFDEDEPRQTQETEAEHASLH
EIEQISEPSALAAPPISILSNLSYEAEEKSEHRPQTAEKQEIQEDSHAEFPDEARGEALLSAVAEEADKPAVEKHTTEEIVEMKESKEDADEVIEKT
AEIDEQEKKVEIGKDDLVEDAEKDNKEKEANES

>RCO7_03132 | probable dopamine-responsive protein
MNFDDDEPPMLVDVGVTEIANPPEEPKPIKVPITIVTGYLGAGKTTLMNYILNEQHGKKIAVILNEFGDSIDIEKSLTVNKGGEKVEEWLEVGNGCI
CCSVKDSGVNAIESLMEKKGAFDYILLETTGLADPGNIAPLFWVDEGLGSTIYLDGIVTLIDAKNILKSLDDPVQETIQHEEHEGYHGPALTTAHLQ
ISHADVIVLNKSDLVSEDELNAVKARVQAINGLATIHVTSHGKVPRLEGFLLDLHAYDNVGALDVVDKGHSHLDPTIATITISVPLLEAEQLPRLDE
WLRSILWDSKLPSTGTGNELFEVHRLKARLPFSNGEVKIVQGVRDVFEIVDAPIASDSTLETAPNQPGKVVLIGRHLVNQPFRESLINMIDSS

>RCO7_03133 | probable heat shock protein Hsp88
MSVVGVDFGTVNTVIAVARNRGVDVITNEVSNRATPSLVGFGPKSRYLGEPAKTQEISNLKNTVGSLKRLVGRSFSDPDVQIEQDFVSAPLVDINGQ
VGAEVTYLGKKERFTATQLVSMFLSKIKQTASAELKLPVSDMVMSVPSWFTDAQRRALMDAAEISGLKLLRLMNDTTAAALGYGITKTDLPTGEEKS
RRVAFVDIGHSNYTVSIVEFRKGELTVKSTAYDRHFGGRDFDKAVVDHLAAEFKEKYKIDIKSHPKALVRVHAAAEKMKKILSANQQAPINIESLMN
DVDVSSMMTREDLEKLVEPLLKRVHVPLEQALAEAKLKVEDIDIVELVGGCTRVPALKERIQKFFNKTLSFTLNQDEAIARGCAFSCAILSPVFRVR
DFAIHDIVNYPIEFTWEKSPDIPDEDTSLTVFNKGNVMPSTKILTFYRKETFNLEAKYAKPELLPGKVDPWIGRFTVKGVKADSKDDFMICKLKARL
NLHGILNVESGYYVEDVEVEEPIVEEKDAEKKDPDAMDTEEKPKTRKVKKQVRKGDLPIVSGTSSLDESIKVSSAEAESSMIMEDKLVADTEDKKNE
LETYIYDMRNKIDDTYADFANEDEKTKLKAKLESSEDWLYDEGEDATKAIYQAKYDEIRTIAGPIAQRYFDKVEEERQAAQAIADAEAAKKREMAEA
AKKAAMAQEAATKDEEMTDADTIKPDEVAEPEEKK

>RCO7_03134 | uncharacterized protein
MDQQYICFQRQIASSSLLNRGSRTIFRYHISPRESENIDSRPWQQNARYCNICLQRYCHYTEFCESLTEEEVIDPSLSGDELVLVMDQRLSEMGGLD
GRSAVSGVGGESYNMTQRHETGYGRVSGKEAVQNGQLQQYPNDIMGHDLTQATTWSSYDKLRTAPRTFNTSTAWSNSTAIQNDYRTTDVQNDYAGDH
DDENDDDYKVHGSDEPVTGATLSGLEAHYRPSRCLLLGCKGEHLFKTFHKHRSHIKNVHSKGIWCSHPSCLYPRPFANKSDVDRHYRSKHGDKSDKP
FKCLHDDCPSVVASSVLGLGDLSLGRNALSIQT

>RCO7_03135 | related to AMFR protein
MADQTIGIPQLVFILLVGGFAIRFFFFSTGSGSQSRNSNSANNVRAREADVERIQQMFPQVSRRSIMWDLQRNGGNVVATTERVLSGRGLEVPPQSF
QPPLPVPASSATSTATPAQAKPLQPDLITRYNLKAKLAEEASKVDGSVEGEVATSTGKQKHGQAWSANKGERQALLQRRREEMIMAARRKMEANMAA
EASKGIQAE

>RCO7_03136 | related to cell division control protein CDC36
MLTLVKAVGPQSLRGMPNGFQAQQQIVSNRSVSSRLPPSGKMAGNGGTTWGFGGLPMGSAGLANTRPSNVPMTSFAQTIGGSSQPATPLDLSEFPSL
SNNQPQPSQSAWAAGGARPLGPSTNMRLQQQSGLSSQQQLNNQQQTQQQQEDLFSSSSQLPSSQGGFRFGSQNAVGQSSQSNPVDDFPPLNRNANGE
IGQDRGSIPNVGFGPQSNSLGFGLANPPQSNRSNGLLNALSGSNRVIPGNRVASPGSISGLSVSRSPTDGNRHASGGLPESDTNSFSNAQFPQSTQH
LQREETTVHSIMSRTDGPPQQEVARSQTVDSTMGSVQSNAGESNLEVQDPLPGMSEMDRWGLKGFSVMMNNFPDYAALVTGTDMANFGFDLNSNENI
SSQIYSLWENEPPQPVVPRFTLPECYTVGNVAALETKMSNFNDEALIFMFYSNPGDVQQLMAASELHNRNWRYHKKLQLWLTKDEMMVPQSMGNGTE
RGYYIFFDIKQWHRERREFTLIYDDLENPSLPSALPRALVSSHVG

>RCO7_03137 | related to C6 finger domain protein
MTHYSHDYPAERVSSQQQQVASFTNPLQRGFTSSTHLSSASSYADLQYLFGVQDTMMNPPKPHRNRRKSNPNPDQTKHRRTRSGCYTCRSRRVKCDE
TRPLCERCKKGGRECVYPETSTSAKALRSTSSSTLNLSSHESPGSSSDESEEDLSQERLEAIPDEVEASEDSALNNDLSKYGMHQSSSTQFGVGQKS
TVRHDSETPSLIQDKGASPTPSTEGSVGYGQYDTIAVLKTKKTRVPFSTNSDTLRSDWSHLPLDLQFYLTYFYENVTHLHYSLKFDAANFLQTTFLD
AALRNEPLLYAVVGFSAFQRTLHTTEGRIQDFLQYYNKAVSLLLTSLKRGERHTNGTLLAILQLATVEEFLGDWMNLLGHQKAAFEILTELYTPETV
MEDPLTRVILGWYMRFDVFAGLMGGFETVLSREWFSVSQEFFQDQVAKEPDVLDWKIESAIAQHRLVATDMSLLFVKRGKKELSDQQFMTENNAIAR
RIEEWKTMMDPALQDPRYLINDFPGARPLDPEDIVDPYMPGIIYHGPLWAMNVAMIDWYAIDMMHKYQTALTMQTQPSADLGAKAYATCQLFEAVEF
WPGSPPGTVLACQASLGIACLFLPRDETHSMWARRKLATIESKGYIYPYTFRTKMADLFQDRSCMHWWLPNDENYPQIVRSIRKFVEERTSPAKTEP
AEDLRDMKAIFASLKLDDGKPTLPSTEEGMNAAIHSGLAGRQEMYAEHKNLKGVDRHAGQEDSYQLGLDDGHEYWDRG

>RCO7_03138 | uncharacterized protein
MIPTVFESLGKTERRALMTVVSFRYHEETER

>RCO7_03139 | uncharacterized protein
MDTNKYHSRTCNDGGEWLSEHIWAHEQQSDFEQSAERTVPRIAPQPSGQSNLEASAAVGHIPFMYVWARPWVAMGMMAKLGPTTEIRPFRCSMWFYR
CGTGAIGQQQSKTINAADTKYCVVTGVKLAELGMIIGGVDDTSQHSQRMLETQKKCQDKRHMMLETGKWSAACRFLHEG

>RCO7_03140 | uncharacterized protein
METGFALTAFIALDLNLTLPDENSDEETESLAGDEPRSEDGEVKSAETEMCIGKQAEGSAGPHRAGDSIGKEVKQYVRTHNSIFGHTERTSSKVFIN
VKDKVDLKS

>RCO7_03141 | delta-9 fatty acid desaturase
MASQTQQPSGMAKPATRKLDPKKPHITDEPITRANWYKHVDWLNITLIVGVPIYGLFAAYWTPLQLKTAIWAISYYFMTGLGITAGYHRLWAHTSYS
ARLPLKIFLAAVGGGAVEGSIRWWSRDHRAHHRYTDTDKDPYSVRKGLMYSHIGWMIMKQNPKRIGRTDISDLNDDPVVVWQHRNYIKTVIFMGMVF
PCLVSGLGWGDWKGGFIYAGILRIFFVQQATFCVNSLAHWLGDQPFDDRNSPRDHVITALVTLGEGYHNFHHEFPSDYRNAIEWHQYDPTKWSIWLW
KQMGLAFDLKQFKQNEIEKGRLQQLQKKLDQKRQTLDWGIPLEQLPIIDWDTYQEEAKNGRALVAVAGVVHDITDFIKDHPGGKALITSGIGKDATA
IFNGGVYNHSNAAHNLLSTMRVGVIRGGCEVEIWKRAQRENKDISFVSDSAGKKIIRAGSQVTRIAEPVASADAA

>RCO7_03142 | related to thioesterase family protein
MAPSKTKVSIAGVAEGKELIGVPTGDDLSPKDRVTAFFGGSMASEVYQGWAASLIRENLVLVSASTNPGRTVFSYTVQPSHCNRLGNLHGGCTSTIF
DMCTTSALAPIAKPGFWAFAGVSRTLNVTYLRPVPVGEKVLVESEVVHAGKRLCSLMGVIRRESDGAVLATCEHGKVSIDPPASSNL

>RCO7_03143 | probable chromosome segregation protein cut14
MRIVEVIIDGFKSYAVRTVISGWDESFNSITGLNGSGKSNILDSICFVLGITNMTTVRAQNLQDLIYKRGQAGVTKASVTIVFDNRDKKKSPIGFEE
YAQISVTRQIVLGGTSKYLINGHRAQQQTVQNLFQSVQLNINNPNFLIMQGRITKVLNMKAVEILAMIEEAAGTRMFEDRRDKAFKTMAKKEMKVTE
ITELLKDEIEPKLEKLRTEKRAFLDFQQTQNDLERLTRVVVAHDYVKHQEKLKQSAGDLELKKQRQKDLGENAVKLKNEIEYLAEDVKKVKAQREKE

LKKGGKAQALEAEVKQHSNEMVRLATVADLKKSSLAEEKERKFTIQKTVKELEALLKQKTKVYEKLQAQYDGAKEDLEKQSQEAETKEELLQTLQTG
VASKEGQESGYQGQLQDARNRASAASTEQEQAKLKTNHLEKRIKEEEPRAKKAKDQNAGLLNDLEGLRSQAQKLEKDLGKLGFEPGQEDDMYKQEST
LHQTIRQLREQSDGLKRKVANIDFNYADPTPNFDRSKVKGLVASLFTLDKERIDAGTALEICAAGRLYNVVVDTEITGTQLLQKGKLRKRVTIIPLN
KIAAFRASAEKIGAAQKIAPGKVDLALSLIGYDDEVSTAMDYVFGNTLVCADAATAKRVTFDPAVRMKSITLEGDSYDPSGTLSGGSSPNSSGVLVT
LQKLNELNKELGIQERTLAELQATMAREKKKLDQAKKIKQELDLKSHEIKLTEEQIGGNSSSSIIQEVENMKASIVQLKADLVEAKKRQDEANKDIK
QIEKDMKDFDNNKDGKLVELQNSLDSLRKALTKNSASVKVLQKELQGARLDSEQVGGDLAAAQEQLQEVEVTMNGYAEEITALVAEQAHAKDTHDIA
QAHLDDERAKLTGFDDELRSLEEASRSKSSRITEEGLEMQKLGHQVEKFHKEQQAAVQTVAHMEKEHEWIADEKDNFGRTGTPYDFKGQNIAECKAT
LRNLTERFQGMKKKINPKVMNMIDSVEKKEVALKNMMKTVIRDKKKIEETIVTLDEYKKKALFETWSKVNGDFGQIFAELLPGSFAKLDPPEGKTIN
EGLEVKVSLGKVWKQSLTELSGGQRSLIAISLIMALLQFKPAPMYILDEVDAALDLSHTQNIGRLIKNRFKGSQFIVVSLKDGMFQNANRIFRTRFS
EGTSVVQALTAADFDK

>RCO7_03144 | related to MOSC domain protein
MSAFIEQYREMLEGYYETYSEQLRDQIPVLSTQTYVISVLAVCIPPIIALIFYEREQARLRAEEPKGCRKLGLKIESNLLNEFDKKFSEGRPPSTEE
TSAEWWRLKSLWIYPVKSCRGVELNRGSVVATGMEYDRQFTFAQLKSPVPANAAAPEKEKAAHKWEFITQRQYPLLAKLRTEMWVPDQSVQTYTPHA
EDVESGGVIILSFPYQEAGWRGTMAKWGASVKGTYPEKQFRIPFDPSPVQIEKAGYSYEDMTIWKDTVTALNMEIEIPDELRYYLGISNKLGLFRID
NSKLREVHRNAPKIGELGYQPVTGFQDAYPLHMINLASVRDVERQMPKVKGAPRLSAGRFRANLIITGPEAYNEDTWRRIKIGYYEYDVSCRTARCK
MPNVDQVTGERHPSEPDQTLRSFRAVDAGTGPNIGCLGMQMVPVAKESSLRVGDEITVLEFGEHEYIKQ

>RCO7_03145 | probable alpha-amylase
MSALTPKRAWWKESSVYQIYPSSFCDSNGDGLGDVPGITSKLDYIQKLGIDIVWVCPIYKSPQVDMGYDISDYKDIHAPYGTLKDVDELIEGCHKRG
MKLLMDLVVNHTSDQHEWFKAAKSSKDNPYRDFYMWKKPKYDSEGKRHPPNNWGAVWGGSAWEYDETSDEYYLHIFAPEQPDLNWENPKVRAAVHDI
MRFWLDKGVDGFRMDVINFISKVPGLPDAEITRPDTEFQPGIKLYACGPRLHEYLLELGKILKEYNAFSVGEMPGVEDPNEILDAVGFDRGELNMIF
HFEIVDMDIGDRGKFSPRKWEMSTLKSIVDKWQHFMIDNDGWNALYLENHDQSRTVSRWGSDLPEYRVVAAKMFATFMALQSGTVFVYQGQELGMIN
IPPERDISEYKDLETLNAWNDIMAEFPDDKELHRITMKEINLKSRDNARTPMQWSDAKYAGFSSAEPWQRVNESYTSINAAAQVGLSNSVFEYWASI
LRLRKTHKDIFIYGSFQMLDMENDNVFACTRTYGKETVLVIANFRAESVEWTLPEGMKLNKEGVLVSTYGGVMEMNGVLSLKPFEAFATFIV

>RCO7_03146 | uncharacterized protein
MDVPLAFYVITVLLNVPLMFMAIAGANSKRRRRIYGAAAFLTGSPSVYKAGNTDIWRINVTDVSLGTMVLGLTWAGVGALMIEFGVWMWSFAQAKTK
TLPAYEVKQEQDGYLQG

>RCO7_03147 | uncharacterized protein
MKYSSAVLALATGALANAFVYPQNNGTNATVVYETITTSAYTTYCPYATTVVQGSKTYTVTEATTLTITDCPCTIVKPTSYPTGPASQPQAQGQAPP
PAEGASTVLYTSCPPTASAPAVTYPAGPPAPTGPAYTNPLTAVYPSAPAGGNGGNGGKGNGGTPAGNGGTPAGNGGNGNAPAGTGSYAPKPTSPTIF
AGAASANKVGGFMIGAAALVVLAL

>RCO7_03148 | related to developmental regulator flbA
MATVPLSLPRASSDHLTSLKRPSSSSYSSSSSTSSKDTPVIVQPAHSIAGGPGTLPPSPPLPLLNSSNRQSNLNKHRQSTQSIAPSKQSRGGLFSLA
ALARDRTSSAIANFSEPSIRHRLSSSSLYRTAQSSPTTESSSSSPYSQSDTRDNRNRDNSNLSKGDHNISNSFPSNNRSDTLKNSTLQNSLLETNPP
SQAYSNTASNTPAPIALPPTNFNKMHQTSSRLLRMTDGERPFTRDFKDLFATLVVSLPLAPHRVRLTRIEHSFLAEEAINNLGSLKFSQSNRMPDPK
DTSRIVTTTTTTTFSMAREMARSVCQRFLDGRFIESADGKHAKEFTMKNSVWQLTPKGIHILERFCSKNGIQQKHITELVNSSRNTMQLVILERDST
TDSLSADRSTIEVIFRRFIGQNGPNVKNSTSSADSDSLSEYKDGLAGVKMANERKIGTPVRTMYQTFTGKAATDWLMDCCTTVDRQETSQIATLFLE
QELIWCVQQDRAFLASFSPQERERALIFQPTKHAIYQMTQKGKDVVNMTSRERTSESGEGSSSAARAGVSRDSNTQKLDKILNDASLRLLFRENLRD
THCEENLSFYLDVDEFLKSCKIAIKSNSPSRGSSGNNLDSVKETIASAYGIYNAFLAPGSPCELNIDHLLRNQLATRMTKAVGQDSAMIESLKEVTK
LFEEAQLSVFKLMASDSVPKFMKSSKYEQTLKTYDFDSIAPRTNASGMPERAMSRSGRSNI

>RCO7_03149 | related to DNA-directed RNA polymerase II accessory protein
MATSDDAQYDPLLLLKQSIAADCPIIPTTTSDASSASAVDLSLAKATFLHFSTPVQVSIPLTTPTRFFSSDKSVDLRSIFFAWQKRETAIPEYNGAA
QELNVELAAEGGASGQVQNLAFVERLDLITWLEGASEESEYIKSLASDTSNAAASAQVASGARGGIVPVTSGGQGRYGKTLDPRLAEIYNGERRMGD
RNSVLRGIKPTDFSHVRKLTAPFNARKAAQAAQSAAANNTTLAHNPKAPVKRPDPIILLSPSASSLLRLSNIRDFLENGIYVPPESVGASSSSSSTL
LHIQRLIPAVDTSHPIRFILVDTPEQFKPEYWNRVVAVFTTGQAWQFKTYKWQQPTELFKHTLGIYVGWRGDIPPETVRGWGRGVFSTQVDKYSAAA
PAASRWRDREVVEGIWKGIEDNMRQKGWRRDTGPMNI

>RCO7_03150 | uncharacterized protein
MKDSDLAPSSKESPTEALGRRLDPDPSAYFLVRRPSDRSDAASPKFGSLKFPYSYPKSPKATSQKSGGSSRGLRTRATSISSAQSTTGRGQAICDWN
ANNLVSNEPPSTGSDSNQQWVDPPRPPREGYEWVWFPEGYWAERELPCPKNSSPKQKWWNKSPDRKIRASISPESPEKFSTPIDIPRIRIGSLRSRN
ASSIKPSAASPSTTKLSSTVTPDCDNSTSTSRKNSLKAQDMKNQSNTKPILPVPAYYAIHPDEQLGLYCRTKKNIRSRFLNKSASADDSSIMDMDKL
ASQTTQLLQGTSQYLDRVQRQRCQTSAPYILPDDAHTPGSQSSRSTRKFGLAPWHRRSSHESILSVSSSVFRLLLGKAPAATPIQEFPPQGIDGRSR
HKVDTTSPDPVETNFLPSEAKRVNTPPMFPGTPAVQPRGFFFDLNPRRDGSASPTSTISNKAAKSRSSGHTPSREWWEADVKHAKTGNKSAHPMNMD
AAVKQSPAIPFELSIPEHLPSSPLCPKNPMHQSGGTGTCPYHGRKSSNQFTSMERLKSEGSSESQTRGTSTRNFIS

>RCO7_03151 | probable eukaryotic translation initiation factor 5B
MPSKKKSNKKADDWESELGEPVIPAPAQDAMDTPDAPAEANAEVEFAAGGLMAMMRKRNKKKKGGQQGDAVEAEDSPAEEVDLAEKAPEEASLEDEF
ALPDKKGKGKAAPVQVAKEDDEDDERGADGKVLTKAQKEKLKKEREKQRKKENAAKKKTPAAAKATESTRPTPETKIDEAVPSKVPTGSKGKKLPAA
LAKLQAQQEELKRREEEKAKALAEEKARIEEEERREAEEEQRKEEAKAQKKQKEKEKIEQQKKDGTYLTKAQREDKLRNDMKLAQMIAAGVKVGGLE
GGEKKKAVYDKKKKGGRKNPEEAKLEEEKALAEAAERASREVEKKLADAAAKAEKEAAEAAAIAAKKGEESDLDEDWEVAAAESEEDIKDSWDADSD
DEREKAAAKKAAAVGAESKDIPVRGKKVEESDSESGSDSEDSSEDEEASARQLAAAQKKKEAAERREKAHEAAMAARSSDNLRSPICCILGHVDTGK
TKLLDKIRQTNVQEGEAGGITQQIGATYFPVESIRQKTQVVNRDNTFDFKVPGLLVIDTPGHESFSNLRSRGSSLCNIAILVVDIMHGLEPQTLESM
KLLRDRKTPFIVALNKIDRLYGWKKVDNNGFQESLALQNKGVQNEFAKRLGDTKVAFAEQGFNSELFYENKSMAKFVSLVPTSAHTGEGIPDMLKLI
LQLTQERMVGSLMYLSEVQATVLEVKAIEGFGMTIDVILSNGILREGDRIVLCGVEGAIITNIRALLTPAPLKELRLKSQYVHNKEVKAALGVKISA
PGLEGAIAGSRLMVVGPDDDESDIEEEVLSDLGALFKRVEKSGRGVTVQASTLGSLEALLDFLKVSKIPVANVGIGPVFKRDVMNCGTMLEKNKEFA
VMLCFDVKIDKEAQQYADDQGIKIFTADIIYHLFDAFTAHMALIAEKKKEESKNDAVFPCVLNTVAVFNKTGPIIVGVDVVEGNLKLLTPIAAVKQN
AITGVKEIVGIGRVTGIERDHKQITVCKKGQPSVAVKIEMSGHQPTYGRHLEEKDTLYSLISRKSIDVLKEFYRTDVSNEEWLLIKKLKPLFDIP

>RCO7_03153 | uncharacterized protein
MALATNILVNGEWTTRTFDVNSILRHHDQQDKDAASTIEELEVAPKLGLLTQTVIRSPLVHWILPARLRDNRKHDVAFIGDGFVQIKELRADGILWD
VLRKDDFGARIRNARVIGSIKDYETDPDVLNTSTHVKAESINEDVQMSDGSVSEDFTPRVALPLPPQWLLLQLDTGDSVFLTINRLKNGKTEFIHSK
HRVSKPMLKLQPGMHLAVDPSSRFMVVGCSEGVFAIYSLCSRDNLKQQHMSTSSPKHIMSETQIFHNGVILKMEFLYPAPNDDQHVILLVLAIIKGK
IRMLLYEWDTKHDLKEVTARSSKGYMLEKTRQVPLLLIPLTIKSSFILVYDTSMTVCQGIIEGSPKMAYFHDRVDEPTPLHHGLGRPLWTAWARPSR
LESHKVTRDDLFIAREDGLVKFLEIDSEDDDFLTADNNVGQLGTNCGTALASLDYPNKKDNRSGDLFIVGGDASSGGTYLLQARKIPVLTEPIPNWS
PAHDFVTTYKFQPTPVGLGVNGVAPRQDVDLIVPKPDRIFACVGKGSQGGVTELRNGYEANIGLEVDYESVIMDAWALSPSVDMSDDIEPHVFLLSV
GDRTAMLQLAGDASEIIELEEDATKLDLTNRTVTAITCGQYIIQVTEQSIVVAHISTEGHLYRLEDILRVDQESGIERSGSKIENAAIQDGFVFFMT
RLPNSNQSAFLHILDLQLVTNDMEVDTEPTVRTLYHIEHDISAITTGSIMGCLFVVMAGWSRDGFVVLTFQSLDGPRRDVVTSTASRDKSSRLDTIT
SIAFLSHAAGVFSLVCGTRRGMVTVFGISETTFDVVSTNSKRIGDTPARISKDGFLSSGYSVFVSCDSKAYVLTFEARRPCALTQSLSFRIDQIWLS
DALKPGLQQPKINSIVRMRPPQTGSLSGSLLVISGSQLLITSLSANAKLVPRHMALGGTPTRILYSHHLNALVVATSLAGKSTLLFIDPTTGQDISQ
PLDEKTKEDVPFASGLGNTNERIFRLFEWFLTKGSRIWYFIIAATSTGRLLIISIEERAPPGQNGSHLAEGRQICYYTRHKFKSNDPVYSATGLSEG
LLWGAGAKLSYDVLDLDEKKFKRVATYDLPSPATDIICENGTIYALTSCHSLEILKLEPSLFGGFRIIRTHGDQLARASLHQLRLDNFFQRPIHLVS
DKLCSVVGLWPTHNAKADTLEPVFEAALHSSIIRFRSGQCRPIWDPTWSENFKTSASYPVTQCDALGLSVTGSLIHFAILDFKTWRLLRFLMDLATR
SKDVCEFTYRNDPMPLDTMTEPNTMMHIDGDVLKTILRERGLEALLGCDIEQATEDSRRTFKRFTTLLEDVHEGALQKDGAAEYFIDQAYADLEFYL
RPVI
>RCO7_03154 | related to GTPase-activating protein gyp10
MDSSGSDHFEKRESHSPYPPSLSPTQTRYNAKSAHILEACEGKDLDALRLLAVSEGGLVSDEVRRRAWPILLGCEHLDAVKQELKTGAGDWKSFPQH
RDEDQVRLDVDRSFIYYPRDQTPRDLELRKADLSDLITEVLRRQPYLSYFQGYHDICQVFLLVLEPHTRAQAVARLSALRIRDFMLPTFAQALKQLH
LIPAIINTVNPQLRDHLSLTQPFFALSGTLTMYAHDIQEYGDISRLFDVLLAREAVFSVYMFAQIVLQRSDELFETPADEPEMLHSILSKLPKPLDI
EALVVSTIQLFEDHPPENLRVWRSISSSSVLKTARWHNQLSSQSLEEGERYFMQQSKEIVRAERRKQVLKIMWKYRDPAGTVGLAIFIGVVSFWLRK
SPAPSGMLGSLWRRFTGQ
>RCO7_03155 | related to SAC2 protein
MSYAPASRRPSHLGPASAVQRPGFSPRSSSLSINSNDSTTSLLTSRRPNGSGLKRTATATDAPDPLAVLEKLLGPEGSESVSGSHATDRADGDASMD
DIESEMDFEGLNLRDVISPESYHTQDGLYNTQTVEQFEQEKSKFEDLHQSILACDDVLNSVELNLTSFQNDLAAVSAEIETLQARSSALSVRLENRK
VVENGLGPIVEEISVSPAVVRKIVDGPIDEAWVRALAEVEKRSKAMEIKSKENRNIKGINDLKPLLGHLTDKALERIRDFMVSQIKALRSPNINAQI
IQQQHFIRYKDLYAFLHKHHPQLAEQIGQAYMNTMRWYFLNQFTRYHKALEKIKLHIIDKHDVLGHDDGTRKSNILSGAKSAVPHDAFNLGRRIDML
KTSNQRALASFLAEEEKVTHYLEVPFRNFNLALVDNASAEYSFLTTFFAPSLSYSAISQHFNYIFEPTFALGQILTKTLIHETYDCLGLLLCVRLNQ
HLAFELQRRKIPAVDGYINGTSMSLWPRFQVVMDYHCDSVRTVTNGVSIRKPSASEQARQSAAPHFMTQRFGQFMAGILALSTEAGDDEPVSASLMR
LRSEFEAFLTKASKAIGDSRKRERFLYNNYSLILTIIGYVEGKLALEQQEHFEGLKLAFG
>RCO7_03156 | probable HYP2 - translation initiation factor eIF5A.1
MADVKDNNDAQHEHTFDSADAGASATYPMQCSALRKNGFVVIKNRPCKIVDMSTSKTGKHGHAKVHMVAIDIFTGKKLEELCPSTHNMDVPNVIRKE
YQLLDVSDDGFLSLMADDGETKDDVKVPDGEVGDKIEKLFTTDEKDTNVIVLTAMGEQLAIEAKEAPRG
>RCO7_03157 | related to polymerase I core factor (CF) subunit
MSSHIEYQRFPREESCAEEGCRARKFYIEDGKKFCLRGHEQAGFTQTQQDEDDWNAQGKKSRKKKEEKERIETTLSGGAARDLYLQCYQLILWKQAH
YLVTNLGLPKEVQITVRDLWGIRLGLLPPSKDVKSPSGSGTGTMLFSSTGEGDNTDTDGTTQRSTGSRRSRKSAVAEDKLPKLVETLATCYLVTLLL
KIPVTVEDFRKWAIEDRIIYNRAIQEIPKEMRSKLPAHFHAALEIRAPLQGAKLHRGIASLAAFYNKEYNMEFKVNIPLLTYRFMKDLCLPVEVHPT
TCRLQALINIDISYHAHLTGTSGATPYPEVQLMGLVVIATKLLHPFDDIKRAPGSYSDPSAVKVDWSRWVELTAPERMTGLARGEAINVKETDVWEM
NPEKIDNYLDWYQRMWIDDKKPKLSEELLQHFPLDDVPPPAAEHDPRMDQDLKRLKDIQGSLILQKPISIEEAKGSDMVRSGEQYERYRTVESLPKE
ALAFFSMAASKVGISLDTLVRTVFQLETQFEKCRLANLKGSG
>RCO7_03158 | probable ubiquitin fusion protein (ubiquitin / ribosomal protein)
MEPGRETAVQIFVKTLTGKTITLEVESSDTIDNVKSKIQDKEGIPPDQQRLIFAGKQLEDGRTLSDYNIQKESTLHLVLRLRGGIIEPSLKALASKF
NCDKMICRKCYARLPPRATNCRKKKCGHTNQLRPKKKLK
>RCO7_03159 | probable YIP5 Protein that interacts with Rab GTPases involved in
vesicle-mediated transport
MSGAGAGTGYDVVVDVDEEGDLGHTDLQEDLEFHSSNFNTDASTASRKPLSSSPGLPAPATAGSGSSKRYLWTLSFYAQFFDVDTSSVLARCWAALY
PRANFLDVLEGNPDLYGPIWIATTVVFILFLGGTISKYLAETGSEHFVYDFRLLSGAAGLIYGYTLVIPIILFLALKYFGSESANLLECWALYGYSN
LIWIPVALISWSPITILNWVFVGVGFGLSVAFLLRNLYPVLSATDKQTSKALLILVVCLHAGLAIAIKILFFAHGSPVAKTPKDNVPDAGKGVAKLF
MF
>RCO7_03160 | related to D.melanogaster heat shock protein 67B2
MSALRSLIPVFTRAAKRSIPQANHYVRLQPMASVRTISAIGHAFHARLYSQEAQAGKIYSFDEVKAFVEKPDPNRVLIDSREPGEVQTTGTIPGSLN
IPVTSKPDSFFISGEEFEDRFGFERPSKDQELVFYCKSGVRSRAAASLARQAGWGDVAEYQGSWLDWDKNGGVKEGSRK
>RCO7_03161 | uncharacterized protein
MLRSSSAARPLSLTEELEKLEQSITLTLQEIDHNFSRAHRIVTSSILPIVEQYAEHSSAFWKQFFEASANVSLSGVEEREEEQDTSYSQSHQDASTY
AASQNGDNSFRYQAHEHDVYDQTDDSLLDNADISGSTPRAPRPKSSSSDKLKFAEYPSPYEELKQELKGETRVQDNETEILPSTPGTKSRIPDMSMT
PMSSPFDPTFYLQSTYKQQAADPLLHRVLDKNYRIQATPHTARKEQKTPANKPSWRDTTSPLSSPPEAAPQLHTEIFSSPIRKQFNRPTAPRTPGVS
VQTPAKPKANLPFPQKQTKKDEISWETDSDEDAEGVYRELGMSPPKTIQFNLPQSRLLQTPAREASKQIVEDLLNTAGAGFDDTDGLEDSPSIVAVN
KGLDDSF
>RCO7_03162 | uncharacterized protein
MSTGVPAFTRSTFSYDKSPTLFHPASSKMEPAKPPVVDSDNSSIATTSTFSSKVELLKESVKSKIPATYRDFRSRKESAAGSVVASKGEKRLPPDTK
TPIQRTAEAYMIWASLR
>RCO7_03163 | probable cytochrome P450 (involved in C-22 denaturation of the ergosterol
side-chain)
MALEGNISFGSPLADANHVSFASSRIDGLLSALFELSGWTIALTLLTLMIAYDQCSYLWQKGSITGPAWKIPFIGPFLESVNPKFDEYKGKWASGEL

SCVSVFHKFVVIASTRDMARKVFNSPSFVRPCVVDVAPKLLGKTNWVFLDGKAHVDFRKGLNGLFTRKALETYLPGQDEVYNAYFERFLQVTEDAGG
KPVPFMAEFREVMCAVSCRTFVGYYISDAAIKKIADDYYNITAALELVNFPIMLPYTKSWYGKKAADMVLEEFAKCAAKSKVRMAAGGEITCIMDGW
VKAQLDSAKYRERQEKGLSMEGIEKPSPLLRDFTDYEIAQTVFTFLFASQDATSSAATWLFQIMAQRPDVLDKIREENLRVRGGDRNKIATMDTLDD
MAYTRSAVKELLRYRPPVLMVPYLAKKAFPITDTYTVPKGAMIIPTTYPALRDPEVYTNPDFYDPERYFSGDAEIRGAKNFLVFGTGPHYCLGQVYA
QNNLALMVGKAAMHLDWIHHPTPLSEEIKVFATIFPMDDCPLTFSKRP

>RCO7_03164 | related to chloroperoxidase
MKLATLVWFITTAFCYSENPWIAPSSTDRRSPCPMVNSLANHGFLARDGRNISVADLVAGFEKGVNLAAAVTITVSQGVLNVSTTGSDTTFNLNDLS
VHDFIEHDGSFSRQDFFFGDNHSFNATIWESVAAAFTNDTINLKTAISARAKRLAAAAAVNPEFHLTARQTLGSSLETALYMIVFSDPEVPSEAKTK
WVKSFFTRERLPYEDGWTRSKERLTLAQGLAIANKILNPPAELSD

>RCO7_03165 | uncharacterized protein
MGYLLHVFQAVSLTFASLAIGTGAQATFDPINFSKSFGLALNTTSGSPQYPKEEDVVLSRSNYQQSSTKPYISLMGVRQLATGVLIFTFAYQGKWTE
IATILSIIGILVAGTNDVYLSRAGLQGKGVFHALPGAFISTLAWLIVRMDKKDE

>RCO7_11537 | uncharacterized protein
MTGGGDGSLLYILDDTIKLHARLFVLHIPTSEESSNYEVDLSLGEDYPEQ

>RCO7_11697 | uncharacterized protein
MNLGPIIYPSSYIIFSLFSLDYDIAPRYIRAFLKIKYNNTPILELLYLFNKLNSKLYKYYLALKSSYNGDLSFKAFYREVLKQIKELNSIIREFIKK
AIFKAIISNTKRKRNLPSSSEIALDLDTPGPSLKKKPRRISYYTRSTTRAILVDLSKKLDIIVPVLDIPDLLEVPENLGKKAKEVEVIEKIEF

>RCO7_02878 | probable beta-glucosidase-related glycosidases
MYVLSLLVVTASLLLPATLAQQLITEDSYFYGQSEPVYPTPETSGTGAWGEAISKAQAFVAQLSLEEKTSITGGVRNPSNGCGGNIPAIERLGFPGL
CLSDAGAGVRGTDLVNAYTSGISDGASWNKNLTYQRAYHMGGEFRRKGVNIALGPPMIGPLGRIALGGRNWEGFGIDPYHSGILAGIAVRGIQDQGV
ISCTKHFIANEQETARSIIVDKNNVTILSSSSNIDDATLHESYLWPFYDAIYAGSAAVMCSYNRLNNSYACENSKALNGILKTELGFPGLVVSDWGA
QHSGVASALSGMDMYVLRQGSCQVPSLLYWGGNLTLAVTNSSVPESRLDDMATRIMSAWYLTGQDAADHPAPGVGMPGNLLVPHKLVDARVPQARPV
IFQSALEGHVLVKNTNNALPLKSPKILSLYGYDAKAPDATTPNPLNRDYAFGLQTSSSRFWTCGFGNRIPQNCPAPPAIAANGTLFTGGGSGASTPP
YISSPFNAIQDRAAKDETALYWDFYNVNATGYVNAESDAAVVFINAVASEGYDRPSLRDDFSDALVTNIAAQHNNTIVVIHNAGIRLVDQWIENPNV
TAVIFAHLPGQDSGTALTQLLYGDVNPSGKLPYTVAKNETDYGRILNPIADIGANGEFYRFPQDTFDEGVFIDYRAFDAANIEPRYEFGFGLSYTTF
SMSELTAEAVGNSPSEYPSGEVIPGGQADLWDIVATATVRVANTGDVAGQEVAQLYLHIPVEGQPTRQLRGFEKVMLQPGESCTVDFELNRKDLSVW
DVAAQQWRLTLDSEYTVFVGNSSRALGLNQTLSL

>RCO7_02877 | uncharacterized protein
MAATPKSSSTIRVEPITNPDDFTRCFAVAASAFGTQSADGIWTAVCPNWNTPEGAILGAERMRKRWETRTFDAAGNPNCVFLKATIPDSSSGDGKEV
IAGMAIWVQVSMDKAYGDVPNPDWAKALHVEELYPDDEPSQRFLCQVFASLTKQRLEAIKQAATRDPPSVLGLDLCGVDPAYQRRGIAAELVKWGLE
EARNGGGLEAVLEASKKGRGVYAKLGFRQEGEEIEYLLDDEFKERSMPSNVFMRTGILSKN

>RCO7_02876 | uncharacterized protein
MVALDIVHASNARLRELGPGLVALFVGGTSGVGEFTLKAFVKHSDSPRVYLVGRSETAAGRIIKECEGLNRDGKVEFIKADVSELAEVDRACKVIQQ
KEKTINLLFQTPGNSNMRGRDESPEGLDRKQSLSFWARMRFISNLLPQLRSASNDSPNFARSVSLLGAGNSYGTIDLRDIELKNSFSAYKNAAHTII
MNDFMAEQYGAREPGITFIHTEPSIVDTGFARELPLWARVGSKVLTPLLYPFFVGADETGERQLFHATSGMYPPAKPAFSAPFASGVPVPNGLSVLA
GANGQVGSGGYLVSWKGERAKKARLSGMDQEEVSKTIWEKTAEMFRNVEKINEDRRKTAS

>RCO7_02875 | probable Probable rhamnogalacturonate lyase A
MKLSVFLSAAVLRSFAEAITLTTHNNSYTVDAGSANSFEVVVSRSTCDITSLKFRGVEAQYSVQGSHIGSGLSCHTTVTAQEITKGSTKYVKITCDT
ATLTHYYVVRDAQSAVHMATHITAEPSIGELRFIARLKGDVLHTDDVGQASDIGGYSSIVEGADVFVVNGQTRSKFYSSQRFIDDQVHCMSGTDIKA
CMVIPGNGYESSSGGPFHRDINTNPTGPYSGLYYYMNSGHLQLESYRMGLHGAYSLVFLQSGLPDGKMDLSFMGSLGLKGWVAASGRGTVKGKASGI
DGSKYQIVLHWFNDDAQYWSYADSSGNYASPAMKAGTYTQVLYQSELKVASNSVTVTAGGSTKGHIASTWTKPGLTLFQIGDWDGLPKGFRNADKQA
RMHPSDARMSAWGPLTYTVGTSAVSDFPMAVFQSVNDPITVHFNLTAAQASGAATLRIGTTLSFSGARPQVETNGKNGTVFPQPISMNSRGVTRGGY
RGRGDIYDFPIASGDLVTGLNTITIGVKSGSSGIASLSPNYIFDAVHLFR

>RCO7_02874 | uncharacterized protein
MAIKEHFNPYPRLDPTLLSAEFSGKTILITGGGYGIGAGIAKSFAQANVSNIILVGRTEAKLRSTAASLSNFKNTRVIYRKVDIASKFDVEALFNSL
DVSPDVLVNNAGLLAEPVNFVDANLDDFWDVFKTNVYGTALVTQTYLRHRKALKYGEAAAPAVVLTINSLVAYSIRVPTLASYAASKAALARLSEIL
GSDIPETVAHFISIHPGVVATDMNVKSGFGASVLKTDMKLTGDFVAWTASEEASLLAGRFVSVNWDVDEIVQRKPEILEKDLFRADLTM

>RCO7_02873 | uncharacterized protein
MTPHISFSMTYKAHSVIPSVGLGTFRLKHDTMKPVIRKAIQLGYRHIDTAAIYHNEAEIGEVLEELYASPNIILSRSELWITSKLSPYDMKTPREAL
LKTLSELQTSYLDLYLIHWPAMARLPVTSPQNKRLRLEAWKALNEAKEEGLVRHIGVSNFTVEHLKELSETPWGIRNAFVQMEIHPWYWGDAAEIRK
VFLKQNLTMVGYALLAEGKLMQADCPVVFDLISERSGLTKVQVVLAWALRKGWYVLAKSEDEEHLRQNLEASTLAEKLTANDIVAIDEVSLQGEDKR
CWDPRLVE

>RCO7_02872 | related to CSN12 - signalosome component
MAVLDQFLASILGFLKTKDAVKLQSFFQVEPPLPAEYQQLSQELRSSWSHGKKLEQHIERLLPFNDDDNSEEGGAWAGFLAFTQEYLEFWKDVNFED
LVSTHVKLSALIVSCNTAMSNATYGSVMLPTSIQLCSSLARLAIMLDKRPDLTRRMVEVKDVDQGEKKTLVESTAETIQRAFTLCLNERTTSRNGIG
RDGKPEGKKIGIYSFANMVLKLLFKSRKTSLAKQLFTNIVAASPPLGLYPAAQRVTYLYYLGRYHFATGHFYYAQQCLQSAYDQCHNQCIKQRRAIL
IYLVSSNLILGRLPSQAFAGRPESDILEKFIPIANAIRKGNMPEFKRALGPESGNERWFFEHGILLQLQSRCEVLVWRSLARRVFLLTYNFPWDPAS
KKAPTLSLDDVVVAVQFCQKLLEGWQKPADPHAFMQSGRTHVNAMFMQVPDLVPPRTGPKDLLIGRGMIFGNKKPELVDVEPIIASLIQQGLLYGFI
SHTQGKFAIIGAKQKGGPLQAGFPPVWEVLHERAVSENREAECPGWVQREKTLGMGGVVNLSGARPAGENS

>RCO7_02871 | uncharacterized protein
MSLDSKAPGAPGGEWIEEGRGKPWRVWAITGTKLKNVLSVIRNKHIGAEAVHASKRGHYDSIWTKRIEGIKEIEIEMRKELGAMAEVGEQEEKKRIS
TDEKSTNDEEGRELFPKEKDIGEEHPQHTEWCKRTE

>RCO7_02870 | uncharacterized protein
MDDFSSLSQTHIKATDASPTRAKQLPVSRYIKVEDTDASNLPTKSAGDRSSGGDVTEAKEHVEATAEIPGLKYEAIEQLSEDEGGNEPQSQSEMHIE

ALPSRAYPARTESISVPVHVPSCEVRQEPLPQKENQEFPANGPFMPGRQEAESTSQGSTGVPTAVPRPAARRPLPSARQTAFSTIAGLNVGGPPPRY
NSPYGPAPAQVSRPVTKTQYGPQPAAQPPRQHASTPRSPSAAQRPAQGAMTQDVLRRVVNEANSMQRTFRYTLAPGNGGQSLTPARNSQTSPPSSNS
FPGPFTSARVPAIGPANLRPASSNQASTGGSVGRELYAPRTRRVTGPGRDDRHTQQVRVEADEMFEHPPANPWPLHPDFEDEGIEEQIFRKRWSELR
VKRLREGKDALDRLEDEKQKKKRKRTEVCMRELARPRRITNLGQPILIDHDEDEDVNDGFRRVQYQPRLTSAADVHPPPVENNARGSSHAPGLALPA
LSSGSIWHPSPHPYGHPKHPLFGLTDDHQPSGGRTRPWVTNPQPYSSSRIVGYGSSIPHDYDPLAGSSMAPALISSFDGLPSLRPELFNPEPHTTE
>RCO7_02869 | uncharacterized protein
MTVFPVSSSLHLCLLLLISRVQGIVRETYTLDTSYSGTTFFDDFDFFTDPDPTNGFVAYQSHASSLSKSLISTSNIVAHIGVDYTTALHPDGRDGGR
ESVRISSKKRFTQGLFLADIKHMPGNVCGAESVINNGNTCTISGANSLGTLQSNDCNQNHGFGCSISSSSSVSYGSSFNAALGGVYATQWTSDYIRI
WFFPRASIPADIASGEPDPGTWGTPDANFQGSCDIDREFRDHQIIFDTTFCGDWAGSAWNGDEVCSKKAGSCQEFVASNPEAFADAYWEINYVKVFT
LTNAPPPPATTKALSSTKGFSVPVSVSTPKVSTAKVESTQLLATPSSPSTLLPSSLISAKALPSSKVLSEPVSTSKPISLSTLTVKFESTQLTATSS
SLSISPLSSPTSIKALSSSKLLAVPLETTTTTTQYPTTSKYPSTLPPSSPTSSFPPFPSSPHNITIFPPPKLPNWNYIGCLFSKPASFPTFNLTIQN
ANMTIPLCASACANSAYLGTLDISCFCGSELAERSTNTSSQCTIPCPGSLAQPCGGYESPAIKKKRFDHRYHEDPSFESEKRDSPNYFLTIYQNKAF
ADPVESTTSRGIVVYPTPDSSQVHFAPKMSEVPTSTLIHSRSVVSSASLRPKGTLIGMGMGGGLNTSTSSSSSSSNSARAKAAMNTYTTVVTTTYTD
ICHCAASTMKIYTITSTLTSTHCGWTATHSPYPSPFPSHSLEIPMTTITRICADCGRNGIVVMTIPYTPNLTTSPLSAPPPTTNPIPPPPPSSSKTQ
TQNSLVPEPEPQLKIATIAVFPTPIPSPIPLPIPIASNVNGPGNTSVSGASLGAGGVGGGVAGNTTVPVSSRAENMVVVAAGLRWRRGVCVLFGLAG
LVFWGL
>RCO7_02868 | related to leucine carboxyl methyltransferase
MSAPQIPNLLASRGGSRSRGSRGRGSSRGSLPTEYGGPGAAWRKDLAIQSTDADAAVSRLSAVSLGYLEDPFASLFVNGEATRRMPIINRGTYTRTT
ALDILINAFLSNPDADGKTQKKQIISLGAGTDTRYFRLRSKDKHRNLNYHEFDFPSVSTTKSRTVRNHRLLSKTDDEILFPEFESPAFGLPQQDTDW
GINAMKGGKSEITYCCHPMDLRQLPLLKDVGDIWGLQSDIPTLIISECCLCYLEMDTARDVVKWFTDRIPSAGIVLYEPIGVDDAFGQVMVSNLASR
SIAMPTLEHYTTLSDQKARLRELGFPYQEAETIENIWQNWVPSPEKERVDRLEGLDEVEEWQMLARHYAVIWGWRGSTGWDGWKGLRET
>RCO7_02867 | related to Uth1p, Nca3p, YIL123w and Sun4p
MRLLEIQSAIGAAIVLLGSPCDARSGHRFSHLDILEKRHSHNRRHASQRADGHEHALQKRTTCPFPSDAGLVPVTPDSPNGGWAQSPDQPCTAGKYC
PYACPSGEVMAQWNPKATSYSYPLSMDGGLYCDSNGKASKPFPNKPYCVGGAGSVGVKNTCGKVVSFCQTVLPGGESMLIPTQVDSWAGLAVPDPSY
WASTAAHYYVNAPGIGTSDACIWSDGSKPLGNWSPYVAGANQDASGNTFLKLGWNPKFTDSDAMFPKSKPTFGVKIVCKGTGCNGTPCAIDPSKSDI
GGVTSADQASGAGGANFCVVTVPKGETADIVVFNTDGSSDSGSSDLLGNNAAKAIPPSPETPTPTPTPTPTPTPTPTPTPTPTLTPTPTLSSSSTTS
ISSTMSSSSSSSSLSSSSSSSSDGSITTYEPVPIITTTSTSSSSSSSSSVNTTTPYPTQDSPHVLFEEKNRTLTSGNSSSPMGSGSATIMSPTTPVE
SPIAASTKKSGAPETIVTSSSLFSLVVMFAVASYML
>RCO7_02866 | uncharacterized protein
MAQSSSGAPDSSSISNIAPSPAASQPAAISNAQNQFLTSSALTRTSSCVEYDRLVGKIMRENFWNLEPFTVGLNPRLFDFHKEYIRSKAPHIKAKSR
LLRRVLARMAEDEHLYLASSNPVLYITHPNRSTVDYLVMGDDPPWIAHFFNGSQAYPHIEEAMSRITHFLDSGRRFQPPTRLPTVGVSRASGFAISR
LKTEELPSVEEYIDFVHFIVQSGSSPGSSGIIREDHFFPSLAVLPDAEVRKRANLIRRLTSRMVEDGVLSRVSAEDGTYVLHRDCRPSDYTEDRGLT
DSSHWVWTFKKWAALDSVAEKAVENLDKFLMEISPAESAIVKIEPENEDESPSSKLKPVSRIKQDDEVYIVKQELTAPSSIRSRAPKTARPKHKPND
HNVSSSSRSESSGSDQSSIVPILTRRKSPSIIEISSSPDPELEPEDSLMTSIEDIDERSPIAIQRREEKSYVDYFGDTAEDRRYIFPSKAHMEFDAL
HAKYKNDSFEVIIKKTLRGYMFQIVCHDCNGRLVAAKYDGSLSKLKLHLDAKQHVSNVQSKVKKTKGTRVGKQHTQQRFKALKQASEQRDVDNNMHG
PRSPFLPPQPDTDPPIDRNPQVSPSAQDMESLRSLWGLPKKAFNYKSPHEKVATPHPSNHDSSPPTMAGPSRSRPTPQLNAQDSLEELRKETTERLE
NLISANKRRKINLDQKLSHYDTLLGETGTRCGGLEEKLATLGSRHDQHEAEFENLAGILATGLETLLQTTSQRQEIPDEATEQLEALTEQLEALLTR
DEQHEVRWSEQEQTRIKFSAAIEDLGQGQKALESRIGSVEARQYPSRATKEVAINARIKDLESSKTQLLESQKQLEQDNTVMNARFVLLEQTDESLD
EAASLLTGIATRVENLEMVRNEALEIDHSFKESQKTLTDRINALEQQISTPSSSTSMVPAGPISEMIALLRERCTAQDEHINRLNKASKKVTKWIDY
YEKLSTAQKSHLLLLESKQADEAAARVEFEERMEESLDASRVREENMADRLEQLLKDSKDREDMMIARIKKLEQREEHVSGQLALLKTYAPRSVAGS
VVGSDNENAAPITPRSRTGAILPPIAQPFLGSSQARASSNTPRQSSQSSGRVTKEIHTGPILPWSVAPSQIGAGASTPTPSKRVIGSTSKTSFITPI
LPPPRHPFRSTSMGSFQSSADVTSPRSASPQPSRNATKSPQKEDTPKSSPLKNRKPRKF
>RCO7_02865 | related to C2H2 finger domain protein
MSAPRKGAYETAASDTDFRKKYDRTEYAQKATDREAKEREEGKARYEAKLAGKKYYAPLTGEETLTQARASRLDVSANVGKVTLMPAGAATGKRGRG
AGFYCKECDLTFKDNLQWVEHENSMQHLRAIGQTGEVKRATREEVKERIELIWGRMEEERKGDGKTLGERLEVRKEEEERRREERREKRKALGERER
VKKEEGIKVKTEYGEDVRVEGEHDDEDMMASMGITGFGTSKK
>RCO7_02864 | probable methyltransferase DPH5
MLYLIGLGLSDETDITVKGLETVKKCSRVYLEAYTSILLVDTPVLESYYGREVIIADREMVESASDEILRDAQNVDVAFLVVGDPFGATTHTDLVLR
ARELSIPIQSIPNASIMSAIGATGLQLYNFGQTVSMVFFTDNWKPASFYDRIRENRSIGLHTLVLLDIKVKEQSLENMARGRKVYEPPRYMTVAQCT
AQMLEIEEEKRSAGEGGVYDEESLAVGAARVGGKSEKFVSGTLKQLCESDEVLGAPLHSMVLLGRRTHELESDYVREFAVDKEIWDRIWKRDYEGKQ
>RCO7_02863 | uncharacterized protein
MPTYLVHGFRWQRLNIRIHIILNNLEDAAPEWIIAPATSVTLLNSFYTQFDFLPLSNPPPVSHPPAIAANKVDVAEHEVGTTRTLKNAKKGSISNLR
NFVRRPKSVGSGLNRAGKEVNGEGNGMQRPTTTPIPSARTRVRANEYPKPAKPPSFNDWSAVKLLEQHDPEDLAVVSQPYAYVADYMIEVPLGVSIS
EEMTKYETRKQEEEASLSMPGTPVTPGTPGTSSDPSNGSSGASSSTEKGGLHTPPLSARDFRRRSKRLGWFEKLRDELQKGEDIGWFVVHCGDEERS
PPSVFEEDEDESDESEEGNKPLRSAGLMSAGLMNFFGRRNIPEEK
>RCO7_02862 | uncharacterized protein
MVNNRKKTVASSKLPVAPPAKVATPSKVASTYTSKDSAVATTKKSISAEMPAKTPVIVPPKLIKTWAIFEITDYSTLKASDFARKKSPPRPVKKILR
EDHRKPPTTKWIMVKRKKANRVITRSSTRKHIGVKKVGFATDIEYEGDDPADESENEYIYKEVGLDEEEYHSETEAGASDPRGRNKHVDQAIPSGIK
LEAILKRYQDLNRDVAPSRLSEYQKRHPFTDPSVIVPEATCVTLLNDFNLLPPKIRQKIWEFALQEEQPRVVAITQHAGTYANTPGPDVYVSQSFGG
IPALLEVNQETRAVAKKDYKLILDVVDCRPQYFNYRIDALHLWAVDPGFVEKIPLIKQDLLKVRQLAIHGTGLLGDADLYERLRHFPNLVALLMEEP
SKTIGKDAKMIFNTKIDSGISRLISYVREKLVQKALGRKIKAAKAAKLKAARIAKARAEARKGIPMDAASTVSKQVKTHSSVGKSIAKTMTKDLHHR
INKKSHTRAIVVNGKKLLKTVNCSTKSVIPRSIDDSTIIPETQATGDTTKPTADNSDNAFGNHDPMEVDTQVQNQESPASLSAPTLPKNNTAEPEVI
PSITDKETGVIPEIKSLIDNAIAEMPDVDIMINEAMADISFTQMPHVQIQPADVDAVPMRNGHTAAVGTGATKDCVEIESTQDADVTMVDGDVAVQG
SAASVPSGLSGISAVELNEKTVTDRTCDAAEVNKSVSTMRSHIDVDGKEPDVIAKPAGTNITVEGCIDQIAIIKSAPANLSLVRVHNVARFRSLKVV

LSTAEDILEVVLDASNWPLRVDMSKTSWKYNYAKPKARNLRYSGPSGREDPSKSEPPHKLEPVDPNDSDEAPTYDFAQSTNVEESDGQALATRAQAA
QQSTVEGRIAGPATTQLVSDPQIDSLSGRSISAQTVPVQAPPAQSIANPSLPLQSLSAKKRAALPSSRPESNLSTSPKIASGSRSSGRSSSRRDLRG
PPVSTEPAPLRRTSRRHAPSKPSPLNPESFNPESSSSASSKVKGQPQNGVFFTQAQKTGKIGISRKGSMYLAAGRGESVMAQATPASKYVSPYLRIF
ETPPDYVSPYAQVAPQTASYVSPYPQLNSNGSVGGKAIGSVDGTGSEFTGGAMPRDVGPVTGMSSVDYSGDLLNFYSGQQPGGQSGVTYADGSGENA
GGYSGVSSAIATEEPHASSGPPPTPTRLDGESGIDPEGDTTVLDV

>RCO7_02861 | uncharacterized protein

MSQRESSQIPELLQLSPASPLNVLGSPLFAPGPATTTKAPRESTFSPRAEKRSTGEPQEELGGGACKYEETEDYLRGYQAALDEMRNFTSASNNRSS
SPKRRSQASATHHSVPFHSEFRRRNNYFQNENTEQCDADHETSSTSSAIFSHDNESEDHEPPSYTSRSDSRCSDHIKWDNRPHSIRRRRYSQSPHPS
HKPSARGNHARDHTPSTKSFLSWQSFLKQIYREGRMERIADELEVPDGQDLDTDINIPEKSCWTGPGICYNQPTGRTELLDRTTYSSSPTQISDVLQ
EDKDNYTRSLLRLLEHGEEGWKEIEEWYTTVLGVHPRRRPLLFQAIYPVEHAFSSRNDSPVLYGCDHEARDRFNDARAKSAWADTKRNGSKKERLRW

>RCO7_02860 | probable histidinol-phosphate transaminase

MAGTKSLFNLQTCARPNILALQPYRCARDDYKDDGTNILLDANENAFGPSIPLAKNSSFNGATEGDVQVDLAGLNRYPDPHQHSLKQLLCNLRNTHA
HTPKNITPENLFVGVGSDEAIDALLRCFCVPGKDKILVCPPTYGMYSVSAQVNDIGLVKVPLLPAPDFAIDVPRIASALSSPEGTNIKLIYICSPGN
PTGSLISKGDLQKVLEHPTWNGVVVLDEAYIDFAPEGSSLAEWVAEWPNLVVMQTLSKAFGLAGIRLGAAFASPEIASLLNNLKAPYNINNMTSQVA
ISSLSPRGLEVMREQAARIVEQRDRLLKELPRVEGVGRFRGGEAGNFLLVEIQDKKGNPDNLTALRVYETLAENRGVVVRFRGKEHGCLGCVRITVG
TENEVTRFLKEISDVLKQVHSEADIPNGKAEEKKEEEANAVVS

>RCO7_02859 | uncharacterized protein

MPVVAKLFHNRKLSLPEYMITEPGNVPDDELFTLSQRDLSKRLPLNTSSRATFSIYFRWLEIHRRRPSPRTEHWSNTLMHWVQSLEKRGFGVEEVLG
SVHMWKDMEGPFEGTRGRMPPSESEVRKAFLGVNSGKKEEIMKKKAEGQGEKFGMEYVKDRRVEKIDRSRGLDERRSWLDDLEEGEYDSEERDQDWH
RELKKKQRIKKHVDKTKFDGPPPPSYTCNRCGKTGHHLQVCPTNLDPSYDSPPGENYQCEICHKKGEHWKSLCPQNSDPFSIIQKRKARGIIPPENG
SNSKHDDCEKGTKTQRERESDTQRRRSRLRCSSNSSARNTASSGKKLELLDSLQDLEGRKQRLFRQLSEEMDGMIREGNGQRSSDRKRGPEEAISTS
SPTLTFKKTRKKARIEDGKFDGIAKPRIQDGSEQQEHDEACSISNDRRRQSTPSVPFGPRSIGESPGSMISDDGESDIMDLDEPPPPGKEYTPFVDK
LMRQRPEMKEAVNMVRRRKTASATWEEMERRGRRHATIASKTLEEIDLRTEKSKSPVAGRAWGKMERRVEKSSRSRTPPDSRSEYGRLTPVEDDVPM
VMQYDGACDDFHFERDDPNHKLTLAEAEDYTFLTNPSQVTHTNLKLQISTIQNPTNLQISSQEHIMATPTKNTEPDSSSTTPVSLPSRTVHFRTRAG
TEMTTDKSYFPDTEKEKNIRDVAGAFQGFAAQQQRNIVEASRLTRDRTNERVVNLQALKDFSTNFKLQATVPTDMIPLMSNDTRKQKEIFKRGREKS
GGSQGGEGEAEGIVNGNANGSEVPISLAAMRAGEEA

>RCO7_02858 | clathrin coat assembly protein

MVLSFILIQNRQGKTRLAKWYAPYNDEEKIKLKGEVHRLVAPRDQKYQSNFVEFRNNKIVYRRYAGLFFCVCVDANDNELAYLEAIHFFVEVLDSFF
GNVCELDLVFNFYKVYAILDEVFLAGEIEETSKQVVLTRLEHLDKLE

>RCO7_02857 | uncharacterized protein

MSLPESNGKTILITGTNGYITNILGLQLLPEDYNSLRPAAAVADANKAAPYTTTEADFARFALDKAEADRAN

>RCO7_02856 | related to Autophagy-related protein 22-1

MEPDIIRKRAPRCEGEDVSPTTSQELKGFYAAGLAAEVFAVCGVGSFLPVALEQLARENGVLWSDNTIPCVAKSERKGPATIVAGLLSRAAGSDTDS
DTNHQCVIPALGNMTTSSFALYTFSIAVFVQALALVSFSAVADHGRYRKKFLIGFGVTGGISSALFIFVVPRMFLVGPVLAVVGVTCLGSSFVILNS
FLPLLVTNHPQAQDGSEPRTNDSLATARSPNFDEGELSVNDVAPCNITRGGGDVPDSLALALSTKISSKGVGLGYMAAVFVQILSILVLFGMSKLSV
SSTLPLHLVLFMVGCWWLAFTIPASVWLNDRPGPPLKTISSARRWRTCVAYIIIAWESVWKTVKVAARLRQMVLFLVAWFLLSDGIATVSGTAILFA
RTELEMGTVAIALLSITATSSGIAGAFIWPVISRHFKLRTNRTIVACIAFMEIIPLYGLLGYVPFVQSMGVGGLQKAWEIYHLGIIHGFVMGGLSSY
CRSYFGLLIPPGSEAAFYALYAITDKGSSATCIFLLAILIALPAPLIMMVDAEKGREDAARYIRIQQVSEDSPVQQADTELRETEGLMVDHD

>RCO7_02855 | uncharacterized protein

MAFGSGGIDGNYVSRQGLLRAGPSQAPGSRDLTSRSRYGR

>RCO7_02854 | related to ribonucleases

MPSLTTLLVPLSLFLNIGAVNAAGCSADNCLRALRAPAKLAEAQSFCQTFTKDAIPDVAGIPSIARSACAGDVVSKVVSACGCIAMSTSSATATATS
NSVSVSTSAWSSVVETSTSSSVLSTSTSLVSSASTSTSVSVSVSSTSSAPTAPATGTPKVCMNPQLSCQNTTAVEDLCCFNAPGGQLLLTQFWDTAP
STGKFPLLKILLLEPPKMIMANPITGPNNSWTLHGLWPDKCDGTYEANCDPSREYTNITAILASYGKKDLLSYMAIYWKDYQGNDEQFWEHEWGKHG
TCISTLDTKCYEGHTGQEEVVDYFEIAVRLMKGLDSFQFLAAAGILPSSSATYTLNQIQSVLTAAHGFPVTLGCSGARFEEIWYHYNVLGSVPTGEF
VPTSPDGTKSDCPATGIRYLPKYETATPTPTSSVPGSTPVPTGAPYVGKGFLNAVTGGAKKGCLISAGTWYTSGTCATYTATAASSGAGFTLTSSKG
PCDFLAGTFSCAAGNTAGVFTNLDGSLAYLDSALFYAAAVPAGAVPQKVLTAANAVPVGFVWQGV

>RCO7_02853 | uncharacterized protein

MNLPPPPGLHQAYRHVCMMEGPDPELRLSTLGYDTLLQESKRQADELQRLKFLLRKHNIEPDTSLPVTIKYVSKNAIHKEFDGLTPFLPTEILLRIL
GYALTSPVPVIDPFYRMRIQNVTRPEQFSRQHINVECLSVSRVFNTEGTRLLLENNRFIFTQAAALENFAKISPELRATVKDVRLRVVGRYYGDVAR
TADFSGNAGAYHHTIPALQATVLARPDGMVNDQGIQAYCWLQVADFLKALQFPRELMSKNRPKLLPGLGTMRLDLVNFCDHLPVGISSFAAVVRWHL
GLILDELVVTGLPGPEDGSDELMVLRNLLRDDGLFSSACPAFVSIPDGVKTLPVYGYNHHVLNSKKIGERASKKAPIRRHPEGGEPPKSAHADGTTI
WKWTKDYDYEPKKWIEFDRASGRPMTEIEDEDAENDGDADGDQFDLGPLVLPALLNGIFPPQMFAPPDESADEEEEDGDADSEGMPDLIDLD

>RCO7_02852 | related to BLI-3 blue-light-inducible Bli-3 protein

MSFSNADTGSKTADPYKAVNKDETSIKEKVEDLAEFAKSCKFGMMTTRDASSGALVSRCMALAAQETGGIDLLFHTNTESGKTDEIDSDSHINISFL
NPSGEWASVSGKASIVTDRETVKKYYSPSLKAWLGDLGDGKHDGSADDPRIGVIRVKAITATYALVRKSAVSRAAELAQGVITGKAPSVNKLRELSE
QEIKTWRSSNEMVN

>RCO7_02851 | uncharacterized protein

MHLSTLPALLSLLSLLLFHPTLTLTLSTGVDIEIKSGEKSSEPPREARYHSLPSLRECAKIQDGWTKERIEDVPRILRRWGVDAWLMTQREYAEDTA
FWSLKSAVQFSARRRTVNLFIANPTAGTPSAYTWIDNTPGVYKSISKVLAAQDPKKIAVNINSTVAFSSGLHVGEFLSLKDNLDHKWIDRFVDEPMV
AVEFIGTQPKAKLAWYRKMQETSWAMITEAFSERVIEAGVTSTEDVEWWMRSKIQEQNYTTWFQPDVTIITAESLSSPAATLHETFGERKQEIIHRG
DMLHVDFGITALGLNTDTQHLAYVLSPSQNASSIPPSYIAGLHKANRLQDIVISHMIPGRTGNQILASSLAQMRSEGFEGKIYCHPIGDWGHSAGTV
IGMTNLQEGVPVLGDLELLGTGYYSVELSVEHWVEGRGLMMFYQEEDVYWDEESKRWEWVWGRQERFHLIRSRKEEGVDGVDGQGQMEL

>RCO7_02850 | related to Protease prtS

MDQTNISHTPRKHICSIIPPSLLLDILEGNNTSQETRAAVQKTYDHCGKLLAKRKSHSHQGHQGGSNHNLTASGGQSHRPHGHSIIPSYVFSDIASS
SSASPSEQEQAESNIQSTQRIHSLRTATDTNTNTGTAANTSNGAKEKAPDAEDGLIRKIYSSQKTAKLRKKLLYTEGGDVKDLETDTGAQEVLDYFG
KTFEFYKEVLGRNGIDDKDLQMIGSLHYDDVPGPPGMDNAFWDGDEMAFGDGDGEIFGNFTKNIDVIGHELTHGVVQFTANLEYEIQSGALNESMAD
VFGTMIKQYFHPSGKQLASDADWLIGEGIFLPAITNAKALRSMKAPGTAYNNPKVGKDRQPATMDGYVKSANTDAGDWGGVHINSGIPNHAFYLASV
AIGGYSWEKAGKVWYAALRDESLKGIDTGTAFKVFADLTVAYAKKLFDAEVEAAVKKAWVDVKVLTATKIPAAPKKPKEDL

>RCO7_02849 | uncharacterized protein
MSTFDAHQIDGQAQASTESTTPDTHSPAKNIDATTPPSSAYWLTCLKNEWLKIQEKEKDSPHKFELHTSLKDPIKIFSKPWTLASYWNSFACSDTRV
FWWIEHIRSYNTG

>RCO7_02848 | uncharacterized protein
MDLQFVLAHLGITVYWPLLFETGFETWEILKDITERDMEAIGMKLGHRRRLQREIATSRGHPTNAALEQSAICCCSTTGGQRNCEAGYGAKSAMVAG
FGFGSELCNEFEEGLGYGRKRDGGGFSVGS

>RCO7_02847 | probable FAD monooxygenase
MAPGDSDVDVLIIGAGPAGYGFRGSNHDKAADQREVSWQQHGWQDVESKLGLLTREEPRSIADKQMDFSIFDSFGFADRVWKESNHMLEICLWNPDA
EGRIRRSDRIPDTIPNISRFQQVVLHQGRIERFFLDSLGEYSDIEVERGVLPESLTFDESKAEDPDAYPIEVILRHLTDEEAKPDQHAATDGTATSD
GLFRSNMAADDTKELLSKAATNNKAGTRETVKARYMIGCDGAHSWTRNQLGYKLEGEQTDYIWGVLDIIPITDFPDIRMRCAIHSASSGSVMVIPRE
NKLVRLYIQMTTTEKGGNKLDRKSITPQLILESAQRTLAPYKLTYQYCDWWTAYQIGQRVGSEFSKNERIFLAGDAVHTHSPKAGQGMNVSMQDTFN
LGWKVAAVVKGTADRSILKTYQSERRRIAQDLVAFDHKFSRLFSGRPAKDVMDEAGISMDEFKDAFVKGNLFASGVAVDYGASVLVAKEGNAQEQGH
GTDMCLDKSKRIMGNQALAANINIGMRMPSFQVLNQADARPWQFQEMLKSDGRWRIVLFAGDVSSAKQMERVTNLGSTLSCPKSFIRRFTPAEKKID
SLFDILTIHSAKRAETELHSFPDIFHPFDERDGWNYWKVFVDDVSYHEGYGNAYENYGVDRKEGCLVVLRPDQYVAWVGALEDTEAIEQYFSGFMIA
KS

>RCO7_02846 | probable catechol 1,2-dioxygenase
MASTNGNTNGANVVHDSRFDPNFTQNVIDATGPKATPRTRKVMGSLIKHVHDFARENELTIDEWMAGVAMMNWAGQMSNDKRNEGQLMCDVIGLESL
VDEIAFKLAAETNDAATASAILGPFFRHDAPILENEATIVKNVPSDGQIVYMHGFVTDLVTKKPVPGVWIDTWQASTNGLYEQQDKDQQDCNLRGKF
KTDEKGYYAFYCLRPTPYPIPSDGPAGKLLKLLDRHPFRPAHIHLIAQCEGYKPVTTQIFDKEDPYLENDSVFAVKQSLIVDFKPLKGNPKAELELA
YDIVIAPQGESH

>RCO7_02845 | related to alpha/beta hydrolase
MPFQTINSTPVFYTTTPSTSSTTPPLTTLLIHGLGSSSCFYASIIPSLSPLTNCIALDTPGSGLSPLVNPDQTIDTIAEVALDLLSELKVTENVVLI
GHSMGGIVASVLASKMGWRCKGVILLGPVDPGEGLKSVFEKRIEVVKTDGLEALANTVPTAATGTKSTPLHHAFIRSLILGTSSEGYISLCNAIANA
KGPRYSHIRVPLLILAGEDDKTASVESAEKILKEYGTRGGEKEVKVLSGVGHWHCVESPEEVGSLIAEFVRTL

>RCO7_02844 | uncharacterized protein
MQNPEPSTSKAKRASPRGNAASNPRRAPKSRNGCLRCKAKRLKCDEAKPGCQQCGKKNVACPGYKSKLLVWSTKHEKMLVPAQDDFLSSAFSMAAPT
SYERPSSVSDNLLETTETVSQEEPETDALPPMAESPSPTIATSVRRDSNTATDSLSAIRQQLHRSTVPEFLLHLPTMLVEYYFSYVCQIFSSFDGTL
NPFRSTVGKLWDGSAPIYYAIQSMAAAYLANHFPRMSPVGVQMQRETYRCLYQVPQGGKDPAENLDKTLLTVLLVGQTTAWHDPKDLGLVHLKTAKR
LNRRRLEQQGNAVDSKARRQNEFFEQCILYWDMLAGFVEEDIDEFGFEEFGIRATSPSTSPASDVSEPGEKVFPHPWTGIAPRVQRLFAQVGRLIRA
YRKSTAQEAGSLDFLSLDLDFNMEFPQDSTATIEATTKAQVLEEELLAFEPPSECNLVDAGDENTPVHQYILLAESYKCAALLEIYRIFPSILFKRV
PFTSHTFASSSLDPAIQNLLPIPATQPPSDFLISLAIHTISLLEKLPSTSGTRCLQPIVLLAAGSELHFSAATSSSDPLSGFMPATSSSIFNSLTNR
EVDIASARRFVTTRLQEFQLSLPAKPIVRALDLVRETWARADLGQEVFWMDVMDEMGWKTIFG

>RCO7_02843 | related to theta class glutathione S-transferase
MSKPITLYGHATGPNPWKVAILLEELKIPYDQKLMDMGDMKKPPFEKINVNGRVPAIEDPNTNITLWESGAIIEYLQETYDKSNTLNYTSSPEKYLV
KQWLHFQMSGQGPYFGQAAWFWKFHSEQVESAKTRYKDQIARVFEVIDKHLKATGQEWLVGNKCTIADLSFVTWDMMVPFILGDEAKSLDIENKYPN
YYAWNQKLMQRPSVQKIIKDKQAAMAG

>RCO7_02842 | related to protein CTF18
MPSASSPVAYPHSSSPPPAKRSREDQPIIATKPKTVGGFLPEDDSDDEDDFSRAEPAAKRRMLDIGRSPSSGLQNNTLQRAFADEPESVIQHGGPVG
GTLLEENDFAIPTTTTTTNMLITEAPETIEHIALPSFLSKVKTKTAEIVTCTGKSASVPQRKRGAAVPFEQMVAARSTVKAGRAKKSFYGIDIHALI
DEASKETTKSKAKLPEDVLPSVETSALKGKSKRTLMWSEKYRARTFMELVGDDRTHRQVLKWLKSWDPLVFPKAGKAKSSGPKRPGMEEDEKLHKKI
LLLTGPPGLGKTTLAHVCARQAGYEVMEINASDERSKDVVKNRIRTSVGTESVKTGSTITSKSGHVQKAAHPLCVVVDEVDGVVGGSGGSGEGGFIK
ALIDLIQLDQKNSSGIQQNPGYTKKKKKGDDFRLMRPVILICNDVYHPSLRPLRQSSFAEIIHVRKPPLDAVVARMRSVFDKEGVPCDGDGVRRLCE
ATWGVSPTESRKGKESAGEGDLRGIMVVGEWAARKLKASKKDGTARLTRKWVEQNMTSDLAHGGGGARGVGRGGAKDLVNRVFLEGAGFPKQASTDA
APISISGEQPQAQLGVAEIAKRAGMERLREMVDTSGEIDRIVTDIWSQYPSQPFNDDSILSKPTSAYEWLHFHDSCSTRVFTAQEFELAPYLSQPVL
ACHHLFSSPARHYFANESKKWAKDDDEVEEEPLPFSGPRADYEAFEAERANRATILELQSSLDATLLRSFRSPEEIATDLLPYLVRMLTPDVKPIVV
GGSGEQKGIASVRKEGEKAMVKRSVDVMGTVGVVFERGKLEGDFGNRAPTWVPLDTLVLFETASASAGAGAPVRYAVRQVLDQEYQKNIIVRENAAR
QARYKAGNPNDDIEFAIASKEHKGHRAIELIVAAKKDFFGREIKEDVFEAGKVLGEVDVNVNGGDGEGDGRKKGKAGKGKKDENKVWVTFHEGFSNA
VRKPLTVEELLRGL

>RCO7_02841 | related to transcription activator protein acu-15
MEHGQHLSSILPAFVPEVIGSSPPTGSGSGSESIFLDTSTNHEDEASNPKPPRKRQKRNKPTLSCEECVERKTKCDRERPVCTACTKRQRECSYITI
SSLKVSEEDRSTSNSATRVTKPPQIITSNLFQAPKQAPNPQDRSGSHGSISSSIGLLSNIPYSHPSASNVFGIGSEHPFANYWTCQGGLAEAISVLP
EKLQADILLERYFDCVDPVYPMIDRQSFFADYEHFWSLTPDEKSKVDGTLVAMIFAMLAMGTQFVTTRNPTERQQTAEFCVSAAHQSLRISSYMNKA
SIRSIQAMVLITYFLINDNHASDGWAFAGILIRQAYAMGLHRDPNIVCPNSSIFEKQQRLKLWQAVLLQETFLAVLLSLPPSATHTDVSVSALTEDT
SSNTTDMDYIRGCWTLANHVQESICSPRSLDLPLSPTPSAKRKLLSQFTSIHDSFHPIFTTWTPISLLTTPKRTVLQILFLTSNYHHNVMLVHSSAS
ATVEIDVRGALEAAHKAIDAFFMLFKMFEGEARVWWVFNHRAFLEACCIGDILRGAGKRGDAQPEEGEKGKAKNENGSIDITDPVVVQGRKDILQMI
HIMRLMSEGEDGSQGSASKTPPSAHTTLHYLDSE

>RCO7_02840 | related to zinc finger protein 364
MADRPAVDGNQPERLDATGPRAVVFCHQCENEWFQDDAGLITPESDPRPQRTRTPPPVPGNHPGRWGGPDNDSDPEEADIEEHITHGPGGSVLFQRT
VRTSAPRDIPGAGTNRYDEQNPDFIMRDFEHMIGNLMGPQFQPGRPGRSGAHTLFPQGGAFGGQTVRVTHGVTPIVGHHITFGGLGARLAADIPGHQ

PARDGGPPPVPDLVTAYEMRIFHRLDPQTMNEIRIRMSPDQYDRIIGSLFGAPTAQAGQPHPPAQGLPAGLQGLFAAMANPANARSGDAVYTQEALD
QIISTLMEQNVSSNAPGPASPDAISALPKKKLDEKELGPEGKAECSVCMDDVITGVEVVVLPCSHWFHESCATAWLSEHNTCPICRKGIDSEQTRPA
NSRRSSQGSQSTRNEHRARRISSLRPRMERFTSASGGGATARNEARLESIRNNAGLPPPSQSEERHQNGGVNEFSRWRNASGSGTGSDEYNPPVPGS
FFRRQSEMGEHQHEGRRTNTGGSDRSRESRWSSQSGSGNAGGGPIGWLRDRFGSGSGQGSGSGAPNRRSE
>RCO7_02839 | probable , mitochondrial
MDHHHHLLETPLHTRFAIFLYTFQLETAILTKRVMLDAADAESPLKPAELQVLRSQYEKEGEHVGVQTKFNFAWGLIKSSARPEQQEGVRLLSDIFR
TSPERRRECLYYLALGNYKLGNYAEARRYNNLLIEKEPSNMQAISLRGLIDDKVAKEGLMGVAILSGVAIAAGVVGGMIFKGMGRRTR
>RCO7_02838 | probable SPC24 Outer kinetochore protein - part of Ndc80p complex
MLLDEDPTTLIRHTVENFNIQPDKHAVTRVNESLATLRQARDLRVREAESAMKKLSRTLATLNNHHNETLSQHSTTAHASQIATLDTQKFRIAKSAS
DIEIESERLSSQLADLQARLQELEVQGVEGGDVARKAAGGMSVNDEMALTLKVYRGLGIDIEREKEGGEYTKAIIRNGRVGDVNVVNVDGKFSRFFW
ANYFWGHL
>RCO7_02837 | uncharacterized protein
MAILSPLYTLILPFLFLTTLPIFLFASLTTILAFSLLFLRVLVVYIELALTIIPYWILGPQSLTLPPSFSQASSHSPSTTSPTSPSLYRNSGHTWSA
VNAGGMGARRRKRRGSGSSTLSATGSITPISGENGTIINSGMGLNQSLGPNRDYEGVGGWRIEKDTGDGDGSDNEGAEGLWTRINSRLELPAEQHVR
KHHRSLTAGSVMAGGSGGGMGGKKRVERSYSPEALFMMNTSRTRTSPGGMTTTAGAGTVSGGLGEGAGYFRQVSPSRKRTSSVNTGSSGSSKAESVL
SMMQR
>RCO7_02836 | related to Cut9 interacting protein scn1
MASGSPEQAFPWHIGVYDAHCHPTDIMGLVPSIPKIKARVVTVMATRADDQELVAQVADKYGLTSPPDLSKAKGQECLVPCFGWHPWFSYQMYDDTK
EGLPNSDSEEFKSQHYKSVLTPKPEDTVFLQSLPHPRSLKQYLEQTRTYLEKYPFALIGEVGLDKQVRIPGPWTEELSASRDKSLTPGTREGRPLSP
YRVNMTHQKAILTAQLKLAWEMQRAVSVHGVQAHGVLFETLQESWKGYGKEKISNRARRRFQKEKASSASSAMEDAQQTEERLPLRICLHSYSGSPD
QLKQYFQKSSPADVYVSFSEAINLSDTEKADQVIMVVPDNRILVESDLHTAGEVMDDRLEAVCRYICQLKGWGLEDGVKRLGDNWLRFVFP
>RCO7_02835 | uncharacterized protein
MSSTDDPKLKSPPLRSVEKESSAFSTIDNGAPKKKVVEVTKAKANTIPHNTRSSLKVEIKQNLNTESEASTIVPRSSNELSNPASRGSPPAEENYKG
FRPPINDAKGYYANARRQVYGSSSPPQPSRSPAYGSSSPSYVPRSRTVRRDLFHGYSRGREDNTPEPRRAVGGYTGLEDDDEMDIDDELPPPRNFPV
PRNKTLNVGSSSPAPAAPRGRTTQRTSVRGRGKFPSSDPHVGFDHDMDSYYTEDNRSDYGGSEELNYRQKSTTLRNLRESRNEEVATNHDRYINRVD
DERSSQRPRIEDDPDFRHPSITDYGNGKRRRQIQAPFRRATEDTETDNESSIFVPERTRLPDSPSFQTTPASSDFGTPRPLFSHDTFISAPPTRSTP
SSNKRRKVTDESPRSRFNNPGAGLDPSRYSGDPNLNWGLNQDPPSVPQSSVSEAALLKRGLTRGAKEKVCKRGYGANDPENVNIVNMKEDGMAFSEI
VDQLNEVRVANGRNPSLSVCGVTSRYNRTAPLLFAAEGRQFIPLSKRGKNDLLSDGPVGEKPVWDDDLDLVLAQVAKDIDKEKWGRVAKEFNRRTGK
TISAAAAALRHTIL
>RCO7_02834 | related to proliferation associated SNF2-like protein
MVRRSKASITSSSPATRDLSTPPSSPPENSPIMDVDSELDQDFLNDEEKAIHAENEKARLANEQAELRAFNKRGRKKAPIKDREAKAQELAELLNKC
EQFTGILKKSSKSLGQVGRDFEGNMLGGQNIEMSEQPGNIVNGTLRPYQLEGLTWMYDIAFQSMSGILADEMGLGKTIQTISLVAKLRESDYKGPFL
IVAPMSTLSNWDEEFEKWLPSVPVVKYHGAPAHRQEIFKKRIQKNYSEEVLSFDVDGKTVKRREGRVTDNFPVVLTTPEIIMRDAKDLIKIRWGIIF
IDEGHRLKNSESKLFRILQPFHSYSRFLITGTPLQNDLKELWSLLHFLLPTVFTEWELFEAYFDFSDLRDEKTTEGFLQEKKTHEMISKIQQILQPL
LLRRIKADVEHLLPKKREYILYAPMTQEQTELCDVISDETRDTREFLEEKVAERLRANTSLSCAKTTETTKAKPSKLLEVPKKEKSESEEEEEVLLA
SLAVRKKPRGRPPKSAPKNAFEQLMRGGIEGKRKRGSDDGTSSLASKSSKSSRHSTPASTRSRKGRMPKTYSEALSDEEDALSDDEFEEKLAHEMAK
KDDTPEDDLTPEETETARIREAAKKEMSTKKLGNPLMQLRLACNSPHNFYNAWPDTLAVDETLVTASGKMLLLDRLLKSLFSRGHKVLIFSQFKTQL
DLIQDYAQELREWIVCRIDGSVSQEERQRQIKEFNESPECKLFLLSTRAGGQGINLASADSVILFDSDWNPQQDLQAQDRAHRIGQKSPVIIYRLAT
KNTVEEALLLNADAKRRLEKLVIKKADLKSKSRKLGEEVMTKEALRKLLSKDGEVFVYKDGDELLSEADLDVLTDRSPEAYTKAEKGLGDKEAFKIV
ETKAGGLTLLG
>RCO7_02833 | uncharacterized protein
MSSPEKHHISARSDHGRHSAELEKPSNVAKDPDLLQSAMPNHGPFLDLPNELLIMICAQILGLRPHIETSLYFPEYTQGMAEIRKVRGICRKLRDIS
YRLLVPIFTLDFADPVSIERFEKISQNEEIRKGVMGVIIIHRPYSRERSADFRVFARYHVNRLSYLIKAMGHDVRSAREKDAFGSASSSRGRMRLPN
YFEKRVRGIPKRESSQWEWRDNKSFCERIAVAMARMPSATSLKVANTDSCYTIGDIVRPMDPLETFARDCGYPPIDLLFKLLVAFHKAGIALAKLDI
RSVMPKKYSEQDLEDLRNVLQKLKTFVFSPFSWKYSTYSALTESFPFIQRLASTILDSPNLQTISLDPEDITWGHFCRTFVSPLYTALSLEELAKVM
DACTGSPVKFLSCDLLLLDAKWADGLELLRGKFGPGSTLFSFASRCSDPVTGKVTDIEIFNKEGRFFKGFTFLDWRDSTSAMVIENTNVRDKVDNYI
TGMIEENPLRKTNKSFEIQTFARDTLQA
>RCO7_02832 | related to nonphototropic hypocotyl protein 1
MVNSTVPDDSESIDQVIKSSYSLSQSPRDSISRTAPHSPLSVLREHEVSDIRSELPEDHRAGTRGEDHGNPRAPRESVSGNSSSGSGTANVLDFFSP
EVFNFVLHNPTTGHRFLRFCQSRACGENIEFLQKVDRYNRLLDEVTQVLGSIHSTYTSADAPRQINISQSHMKHVSADIKQATNLTLPALEAIFDGA
QLHVEKLLANDIYPTFVKHQITAQASLALADQRDKFQGLGDCFCLTDPSIADNPILFASDGFVAVTGYSRKDIIPRNCRFLQGEMTDKNAIRRLKTS
IGESEETVELLLNYRKNGDPFWNLLYVAPLLNERGELDRLDEAKPGKPRTPSVRSRDGNNRGSRPQSSFFKSWKKHNASGLPIASKMKVRDEAGMES
EFITRAGKLSFKNQVEAFYTAYSKYLVMSWNMTTQILTVQYYSPGVIDMLCLNLPNGGIAHIYNKDIFKVFSEFSTSSSQSVSKAFKQTIRDSLKMG
QAVSVETGLLTGLEERKGGGWFGGEKEGIRRVEERYVTHWTPLKDQEGIVKWVVLTIAPKV
>RCO7_02831 | related to enoyl-CoA hydratase/carnithine racemase
MTLPMTIRLAWTDAKIGFVFSQRGVVMEAASSFFLPRLIGHSKVLYLATTGSVLATSSPHFGHLFHELLPKPSSVLPRALTLASQIARQTSTVSTYL
MRMMMYRGPNSAEGAHLLDSELMWELYAKEDKKEGIEAWMEKREPEMKSDMRSGMPGNVPWREELRVIPHRGVRHEKSKL
>RCO7_02830 | uncharacterized protein
MSNHLNILISGSGIAGSVFAFWLLRAYPNASITIVERDPSLRLTGASVDIRSSAVDIIKWMGVEEEIRRKTTKEEGMQFVDINGKEIATFRATGRTD
IQSFTSEFEIFRGELAQILIAPVLDRVKVIFGETVEDFEEVDDGINVTFAKNKEVTKYDLLVAADGLGSRIRGKILNTKPSEQIHDEGVHIAYFTVN
SDLLKGELLAKGVSVKGGRAVIIRPDPHPEGKTRAMFMNVTWKSNVEMKKRLNIALREGNEAYMKLMEELYADVGWLTPEILRGMRQSDDFYWFVNS
SLQCLSDLGSESGFLSILISNYTKLKVITKHLTSSLFAQIRSPKLHQGRVVLLGDAGYATPGFGTSLAIIGSYVLAGELLSKGGDVQKALEGYSGLM
KPFVKASQGDDIAMQLCNPQTEWGIWTRNSILKTATLLRLDRIAISAAAWLGFTEKKAPLPNYPWPSK
>RCO7_02829 | related to E.coli tetracycline resistance protein TCR1

MAHAQHMGSRKGSPPFPVRQMTILALCRICEPIAFMSIFPYVYFMVKDFGITHSDAEISVYAGMVTSAFAFAEFSSGVIWGKLSDRIGRKPVLLTGL
AGTALSMLIFGFSPNLPTALLARALGGLLNGNIGVLQTTVAEMVTVKEHQPRAYTIMPFVWCLGSILGPTLGGALARPVDSYPSLFANGTIWSDFPY
LLPNLICTGIVVCGVIVGILFLEETHAEKKYRRDPGLEAGKWILSKITRCAEAKSSRCEKADLDEVVSLLGSDDQPPGYRTTDGSPKLPSTPAPEPQ
EVLDLNAPKSMLRERPASTKAFTKQVKLNILGYGVLAYHTMTFDAMLPTMLSTTAPANTSGFSLPFKFVSGYGLSTKQIGVILSIQGLYSMLATIFL
FPIVVRRFGALGLFRMLAISYPILYFTTPYLVLLPDNLRMMGIYVVVIWKCTFSTMAYPANAILLTNSAPSLLMLGTINGVAASTASLSRAFGPTVS
GYLFGVGLRIGYSGLAWWCSAVIAALGAFISMRMTEKGGRMDVSAQEKPETERIDELELDSDMELGFEDHVLALGEALAAAELRSDYPEARGGVEGE
STRQQ

>RCO7_02828 | related to DUF1014 domain protein

MAGKKAAGENTKKASGNAKKQEAAAAKAAQENEKKAAEEDQDWGKGAKNTAKKEAEASKKAEQARKKAEKDALLAEEEKDARAAPKNAKVAVKKTAK
GLDLSQLDDPSSSSSTPGSALNATGIDNALDALDLTADSSAKIDKHPERRFKAAFAAFEERRLKEMESDGSGQGLRQNQKKERIRKEFEKSEDNPFN
QVSARYDATKDEVKELRAQEKAKVEARLGQK

>RCO7_02827 | uncharacterized protein

MTPRRLSNLPAVRRQHLLVELYVAARVSRPYAPSILRFQISFPPTYPLLPPLVTFSTDIFHPLITPLTTYMYTTDIQDGGTVSATDEERLPPGGFSL
RHGFPGWFGRASRRSVERSRSAASGQLQTPGKAGIFVGVSSPGSVVSGTSGSPTPGTSSSGDGLGGTKEGVSTYEVLRYIRSTFDDDAVLDQVSLEA
AGNPGAWHAWKSYRVKAGKIMSTTAGTLRSIPNIAGEGKEKGACANGSSDDRSNLGGHDGYQRLAGGTGTPLAARKPGEWNWEGVWEVRVRKGVDNS
VAEAVLFGRDAGDDLIRFLNLDEAEVEGVMERIRSGIEGGDDAQRRGFA

>RCO7_02826 | uncharacterized protein

MSCNFLHFLTLMFWSLLPSKQSNPTWNISPSSRLYFTLIIHHPSTKFTLLRLLDMNSNNHAVGALVLVPIVIAASAAFIAIYASEFCKRAGRYIKNS
WNKNYPWSEINQSTRRRKLRKSNIRSSQLYADSWADLESIDSREGYSNFIDQKPSSHRRSFAEKDKDDAFGDTAKRIWHPSRSARLAWSFANPSSPS
RNLFESSSVARPSPTARRPERLSAEDAALLAGHARKRQGRGSVIAMNMEEQEFGIGSGSSPPDLIRRNSDTGVTDDDLDLTPKARPNSARTASAGAF
LKSELYQRSVDIAATSFSVRDNRHPMFTPSPSGRRPRSPNKGTPPKIPERRPSKSKNFFLRAIGGRSSVESKSIRRKDSQASKGTLIRRLSRSKHSS
STESYTDSIASTDSTHSFKPGSLDITDMGLNPGIFSYEGNPPTASIPNVLAPDVFVLCPQIVITPEIPSVDTGLCFLWVAIEITGTLRKADGFEANY
DAASLTGSHVPDLEAHGRLHSMRIDLHPGQGCLVSEIIGDLHNSKTIRAGETQLILAKVRFSKFVPHTHLRESSSDGLIAQLENDLGDTLTTYLTVR
LTYKHSAFASIKRPAAVSDGMSMHITRIQTEATGSIKRHNPLSAWSPRSSQTLCSPAQISPLINLVETFLPSELALEVIRKLAGERTPISLAKRFDT
IHGSSEETVKPASSDHVAPLGPVVPSPLVQTASARGVMAPPHRTGSPSPFARFNTSRSIKASSIEEMDPARRIWTEMRRHSRGNSISRSRHPRGSIS
ADHYYSVDESPNRTSSINTTVSAFSMDKCGDLSDIKEERGRIMDIALKNKRSVGQETLKSIVPSVGRQKGGGALSSLGLGVGRTWGWNGNWW

>RCO7_02825 | related to positive transcriptional regulator for purine utilization

MNPQSPLPSGYPSKRARHSSPKRSTSTNTSKGLSPTNLEIVGSGPDIETLPTATVATGTTGSGGKVGGQSSSFRNVSACNRCRLRKNRCDQHLPGCA
SCEKAGVKCVGYDPITKREIPRSYVFYLESRIEYLERVLQDNNISFAPAEVLDHGSRPGIEPTLIQTPISEDPPPYNGSTEFTNKHSPKEAEWNKKE
DESQRLDKLVSNIGSVSVQGASDSRYLGSTSGISFARVVFAAVKSSVSGTNSDKSGVRPCRPPVTSKAVGTSTTSMRDSFFGLHTKPTIKQAPFPSK
DIGRKLVELYFEHANPQIPILHRGEFMKMFDLSFADGDARIRTPRELYMLNIVFAIGSGVFLGDGDGEKEEVGEEKRNSGFDRQCQPEEYHASAIVH
LESCLSSPSSAERTDGFGGGLEELQVVLLLAGFALLRPVAPGLWYITGVAVRLAVDLGLHYEDGKDIDIGLQEVAEEKPEDSEVARMQRERSARERG
RREWVRDFRRRLWWCTYSFDRLVSTCVGRPFGITDQVVTTEFPSLLNDEYITPSGFLEPPTGIIEPSYKHVAYHYFRLRLLQSEILQVLQYQHAQQV
RAGVANQRNPYMLTALPSPFLSKFESFRSWRIDIDKRLWHWKSSAPTKRETGVAFSVEFLELNYWQCVIMLYRQSLSVPPIFEGEFSTNEEVNGPNV
HNVELREDEERVFLKVAEAGQRVLRLYRQLHRVHLVNYTFLSTHHLFMAGISFLYAIWHSAIVRSRLTMDEVDFTILAATSVLGDLIEKCPPAEACR
DAFDRMSKATVQMCMCTTGFGSSAQGLTTQQKSRSHNYSHNHETSPDYFNTSNISFATSIWRQSSRSHIQRPKPLFDMGLHDLLGSPTQSDSGGKNG
MIDIKNEFFPPCRQKTSTSTSISTIQHQPQNHNHTTSPSEFTISPPASVDTSSIDPSILPSPRKTRNSLTPGMNPASVQGQAYSRAVQSTYPTSPYQ
EIQFSFTNAPVMDFMTTGWDGSGQAVDTGGENGEGGNGNDLAWTGDLGMGMGWEGVGDGHDFSEASGGLDLFEGFFFGGTGNV

>RCO7_02824 | uncharacterized protein

MDHPLRKKTKVAVIGAGVSGLCAAKYLLAERLEDDPENGHFEVTIFESKKVAGGIWNQTPADDLYATPMYPSCNTNVPRTMMQYEGVEYPDDTPLFP
RNSVVKKYLHEYAEDLEDEAIFCYGTEVTGVKQVQRMAQQKWKIDVKDTVTGKPTEHYFDCVVVALGTFAKPFVPALFETSVSHEIRIMHSKEYRTA
HEFDKKKVLVVGSGPSYWDMSQEISKVCKGDLLVSVKQDEVIVLSSKKQRQVSEVSWISKASKLVLFKGGKNSIAPQDIDIILLCTGYLYDFSMIPC
IKTTGDKKRILSLYDHMICIKEHEDPTQEDENLEAKKTRLKSASTLAFVGLLTMDNVFLVAEAQSALIARYFSGRWTKPQTHMVRDRNAEYEELKTK
DRHGSRRFHNMAYPSDAHYVDRLFEQSLASESPATMGTGKTPPFHSLYLHWVRTQIGVIRAAFNTKARNNEDGRFSTLESLGFDFGQYNGSKEQKKK
TIMMDKFRTLMEEKSDCWKEGYIHWIVKAGEWSKRWDVLETEWVLVKTEARLSELNL

>RCO7_02823 | related to aminopeptidase

MVRMTIRDVGYTPGQLPTGTKNSILDVKGVHVGQATVGEDGSSVRSGVTVILPRAPDDISIPCYAGMHTLNGNGEVSGSYQIKDWGFTNMPIALTNS
TSFGTVFQQIWEWTLKNAREKNTSLETMSHNYGTPIVAETADWWLNDVHAAGLKPETVQEAFTNALTQKEVMESQYGGGAGMTCHHFPGGTGTSSRI
VKGGEGSEGAEFTVGVLCQTNYGHVPDLQIGGVPIGKLILKEKGHPVHMPDSTDEKVTTGGKAEDGSIVIILITDAPMLPHQLARLARHCAVGLAQV
GGHGVGSNFSGDIVLALSTGNAPNERVLNAPKNGISVIESNDIKIIKNESMDTMYRAASEATEESILNSLVAGRAGRTGYKGIKLDGFPVDLVGKLL
QKYRVVV

>RCO7_02822 | related to monophenol monooxygenase (tyrosinase)

MVQVGTILLALLPLIQALPASTSQQLTARDEFKDQLDAYQTQASDNMKAILANRTSGCTLDKVVVRKEWNALSLAERVEYTDAVLCLRTKAPITPPS
VGNGIKSRYDDFVAVHVNQSSFVHWTIYFLPWHRYLIHSYEVSLREECGYTGYQPYWDWSLNGGNITAQAMFSGEVGSLGGNGQYIPHGPSNVTIPS
TPPQFVNIPAGTGGGCIQDGPFAGINVTMGPLGPPFSNNAFDDANAGCVTRDFRDGQLMGTSTYDKVAATVASTDIDAFSGGMDGLHGSGHTAIGGL
QGDLFVSPSDPPFYHHHAQVDRLWAIWQGLDFENRRDAVTGTLTLMNTPPSAKGTINTPMDLGYIGGAKTAGELGSTIDGDFCYIYG

>RCO7_02821 | related to negative acting factor

MSARQIQSIFPTLEERSAAVFGTMAPTWFQAFDFVGVLCRSENLEAHLQASINAVGLASLANASLAPEMMAKARWDYVKALRLTNEALRSPTSVKKD
STLFSVMVLSIYEMISGTNEVSLDSWAEHVKGAAALVRLRGPEQFKHPVGQRMFLQVTSNLLLNCIQRTIPMPQHFIELRKEAEKVIDTDSPAWRLS
GVLIDFTIFRAKVKDREIVGPRIVINQALELDQRLVDEFEDLPEEWMYEIVYTSENPHLVWNGNYHVYQEYLMSHIWNAMRTSRIMLHEVIRDQLLS
DSTALIPHFTTGENANRLGTSTDVMLEMQADILASVPHHTPSLLNRNTSAVFDNSRSYFVLWPLFLAGSMDLATEPIRMWAAARLRDIGESMGIRQA
VVISEVLMRRVTLKWDTKPVPQLMTCRKQVQARWAEEKPEDIHQARLPENSSLTYESERA

>RCO7_02820 | uncharacterized protein

MKYDESASSELELVELCLQSFCDPSKFRKIDSGAPDQISVNSREDSLQDCGAPILNLLLHLSHLIQEHDGSHIFVLQRLDDLITLATEKFYAFPFKD

VPPCWQQLFREASLLKFSALALGGFWKDLYTLPNRGSQFQRFESGQVDQMVEVLDMALIMAGPPASDSAQADIANALDLLQKFHLSSTEQNLPEPAS
KRIKLDLLSEDGYDKFPSSPSFMPHVARPILRQHHPNMDTFQKHMSQPSNPDLGPEPIIMTAAIDQWPARNESAWKSPQYLISKTIGGRRLVPIEMG
RSYVDEGWGQKIIPFKEFINQYILLDSQSSASGIGYLAQHNLFSQIPSLRNDITIPDYCYTSPPPPHHSSPLAKKHAEIPELDEPLLNAWFGPTGTI
SPLHTDPYHNILAQVVGKKYVRLYAPRESGKLYARGIEDGGVDMENTSEVDIGVLSGWEGTEEENSEAHAKFPLFKDARFVDCILEEGDCLYIPVGW
WHYVRSLSVSFSVSFWFN

>RCO7_02819 | uncharacterized protein

MSAVNTKSAFLIFKASGLNFTDGGKIITIVTSLARKALSSISRVGWRRSWLVHKRISADCIAPGPMDTPFFDPQETDDSIAYLKSGAMEGRLTTLED
IAPIVKILVTEEQ

>RCO7_02818 | uncharacterized protein

MASRRQSLMSRPSSGSSTSSASSGVRTPDTRYTAMVLSDTPAGGADDVLVDSSAESASRDEGTSIPKRRAQGMELSENKSGIGWKFANQGLSLLSLA
VDEASTLSHNPDFGNASFARQLYLHALTYLIRALPTDLTTEEQLNIRSSLPAGIVAPLHLESSGFSQSTTSDSEPSLLHRALASTIIQLFIFIQFIL
PYIKYLLSTAYQYDREHKISEKVLCQGLETVDVLGKAGVSWTGAICEMADGKLGQVVTETAAWVIEGVTGGFHEGLGEGMVIMGAPRGVVAMERR

>RCO7_02817 | related to dead-box protein precursor CYT-19

MFSVCRRGPASICRVLRTAPSTIRIPSARPSTLSLTLQSSSRLPLEARLLHVSAQLRNWSAAAEQDEDAGPDYGALETPREQDPKKIEKVHNVTKFQ
ELIDHQMVHPNVVQEITRGMGHHTMTEVQSMTINEGLGGTDIVAQARTGTGKTLGFLIPTIQNILRKDPGLAIRKRYSRARASDIRAIIISPTRELA
EQIAVEAEKLCYNTDLRVQVAVGGNSKRMMLQKTLREGCHILVGTPGRLQDLLGDEYSGVRAPNLTTLVLDEADRLLDDGFSKDIDAIQRLLPDTNE
VDRQTLLFSATMPREVMRLVRQTLKPDFHFVQAVKEGDLATHEKIPQHIVITPGMENQLPVLLELAKREIAAAQEARKNGEPIKPFKAIVYYQATAN
VVLASDIFQNLKGSGTGMFGKHPLYPASVLEMHGQLTQQQRTYVADKFRRASSAILFSTDITARGMDFPNVSHVIQIGSPPNREQYVHRLGRTGRGD
KTGDGYIIVDESLVGDTRRMLRELPIIPDETLETSKVDMTKDAQLPQSVAETLSQVAEATKYVSRRVKEAAYMGSLGQIRGRGGDAVVEAMNRMTRY
GWGFESPPGIPAGLASRLGIKSQRGGDRPGQGREEGGFGGGRSGGGFGGRGGDRDGGRSGGFGRGGGGGFGDRNGGGRSGGFGGDRGGRGGGFGDRN
GGGRGGGFGGDRRSGGGDRGDRFGGRSSF

>RCO7_02816 | related to CUE domain protein

MDAFVSRKKRKLSPQLATQTSLPGSDEKSKFSNIAASTPDDSETESTDFKLALLSSLHPDTDQQLLLDILIEHEGSVLDASEALTDDASPPREIASL
RPTAISSVNVAATGYQSSLSTFISPPILSENFPRGLPPKLLSKRGKTLHLYSPADVEAHTPCSIIHNFLAADEANALLQELLVEAETFERQTFKLFD
NVVQSPHTACFFVESVEQMRVQKTEYIYNGGKLDDVRQLTPQMLAIAPKVTSAVNASIATRPRLQYQSPSAWSPNAAFVNCYNGPAESVGYHSDQLT
YLGPRAIIGSISLGVAREFRVRRITPTDEQDPTNNTSSQAKSPGSTSHKHTAADDLNGQISIHLPHNSLLIMHASMQETWKHCISPTPSVIPHPLSG
NRRINITYRDYKAYLHPRHTPRCKCGLPTVLRVVQRKKRNRGRYFWMCYAGNVPGKEGCAFFEWAEWREDGRPVWKGNGGQMGGQMGGHEGVSADR

>RCO7_02815 | related to TOB3 (member of AAA-ATPase family)

MASSTRDPMDDDSDNGSTASSKHDTMAKDNNIASAATVPAVIDDEEPEGARCEIKNLQLRYKKGEIQTIEKNAKISNEDPYMKYALVSKQSFDEHHR
HTGTSLEINSPQLLSMLKYVVQYYPGETLDFSSKFTIEDPYMMLVHHRKEIEDYREESDDATTKMHIALLLEYLDAEAGLKGAAINDMIKGGSITFP
LLWMIFKPGDLIYQESNGHPRLFLLRRHGYGESVSGGKYFDISCSFVSFDGFKTGIATERLRIWDRQEFFGLFSANIKSLTAFPLKFLADEDRAKLE
INMIERGQRYLEIKDMCVKQYNGLFLYLKRPPWDYYNERADYDGTFLPETMSGRVVIDPRTFNEEARQRKESIAADESDGEGESDNKDKKSSTISKE
ATGEGGHLQSNNLDPRFCPPYVYGYSLEKKEWCKFFVDALGEVGWQKDAMESLILPTPQKKLLKGLISGHEYPERARDETKLKGKGLVILLHGSPGS
GKTLTAEMTAEHTQRPLLNISTGELGSYQHRIEIELKRLLTYASTFQAIVLIDEADVFLEARKSGPSDQLEQNAMVAVFLRQLEYFQGIIFLTSNRV
SVFDQAIKSRIHLALQYTSPGREVRRMLWEKHLAHVPAKELDLNLEEALVAVEGVEMNGREISNAITTAKTLAKSEGSKLKLEYLQTIVQVWSEFES
SLLKLQREKIDAIKITDA

>RCO7_02814 | related to GDSL lipase/acylhydrolase family protein

MQLLAFSLLAASVVVSAAPGHSKRGGVPNSRSWIPHFDNLVTFGDSYTDENRLSYFFKNNGTAPPPGLLLPPSSSTAGGGITWARWVSNNTGAKLYN
YASAGAVCDNKIVYRFLAPINGPPPDVVYEVDAFVTDSKFIDGTTKVPFFPAPHDDNTVYNMWIGTNDLGVDALFRDSGLNGATILDYVNCIFKRFD
EIYANGGRYFVLMNVAPLELSPLYGLPEKGGMKMSPLAWPDKPTNTTEISYKMKEYTSLVNSIFRFRTPFEVQVAKRYPGASFAVFDVHSLLTEIYH
NPTEYLSSPANVEGMYATCVPVSGPAIVDCIKSSLSLDHFFWYDELHPSERVDQFIAKEFEKVVAGSSDYATYW

>RCO7_02813 | uncharacterized protein

MDSPWKFNQYTPSSACEISPPVVLDPEQFASESDEVIRLTQLIATLPYDPELWLTRGNCLRLLGYPELGLGDVYKARLLVEAGLEETSSILGDDVRK
AFRKKTYDLHTTDPAWMRWADTVSTFELLAEKVKEMLKRLELQIWTELMEGLMAANCCSDYARMSREAVEKFPEDDIFPSEVLNSDAWNAQREEILS
SRVEHGDMTESQKATTLLNGGVYPVPYPFMEENFLIRDEDVFKSLEEDFKRVSTNSMVVRSTIRNDEASTEDDCIGVVATRDIVSGETILIDTMSAG
SVGVDADPGGCPTCCASPVGNFWNTCCPVLYCSQVCADVAITTFHNPICGKDFEYLYTAARKATTTTDFSLDALLLMRVVALSLTEDVDHPLKSQVM
VRLTPAYGFKEPNLIIFNFIDHIQTPIFILQTFDINIFTDPLYDTWVLHTIKCRLQNNKHGQTLGDWPGTSISGLYSMLNHSCGPNVDWRHDSASSE
VTMFATRDCKKGEDLCISYIGSVGNELPVVERRKKLMGWFGMPCRCEKCTKEAAALSVDVLVAKTEALAVAA

>RCO7_02812 | uncharacterized protein

MVKADLTRDYYGDLEITPGADISEIKKQFKKLALAYHPDRNPGRESEVTAKFQKIQSAHEVLIDSAERSKYDANRIRGSSRYGGGSSNVRGNPWSAA
ASQYPPPPKPPTARQRPPPPSTGASRYAKFATPNPSAYQSSQEGPQARKDTYEAWEKVRHQKPTPGDGSTGPGKSWKAPQPPPRGTPQSGREESNSK
KHAPPHRAGPGFEEFRDPNLSGRRSQSSNTPNRRGFMPNTPGGGDEPPAPMGAYFTGRNKSTAPPEVPPRSPRQPFPREPFMSEETFNRERPQSSNP
IPNPLKQFQDKPMGNEPRISTPYATHGGEKFNPFESTNINRSKSTRDSRHDLYHDGYIPRTGSDSNLNSPQRARSFAQKSSPSTARQAFTDPVNLDT
SSEDSSSDGFVQMNARSSVPRTNGATANGQSAQDTGNPVKPDTNGQASRATRPSSQPQPHPTFQTGESMYECSSPANYLNFDRLRPRNFSLPTVSES
PDSDEKPASRRVPSNYFREARPMTPPSGVTTTPQSLNHVEKLNGWNIEKLLNGVSSSSGKKSNSNSASADALRSGSGSQVRKTDPHYPHQRSPSWTE
YRDPTSPSKISRPVKHLHTVHTFDPERSQQYREYLKNLKANHPLQSSSFTFNVNNETFDRTRHPSNGFSNSAENISTKFTPEDWDGKFAAGADYFKP
EMKSRTQSTSRPRGRSPVKVRSVDTTKIGQPRVESPTPVESPGGAKFSAEEWNETFKPQTFMPTTINSPSRTATTPGRKRTGPSVRPTMGTAAVVDD
GETSDDKPLFTGRKNMRTVTSSPEPMDVDTPPAHNTVPQYAATPNGHLKVSAEAPDRAASTAVSQSPTDTEGLKVNFDDLKIKDLMSTLALPTPPQP
PYLPSSPTGAEYERPTRTAYDDYIARYEKYMAEWDVFSSKYLLHMVARRRQNEGLKERRWTDPQATEIYRLGLKEDQAVLKSWGDMHELHEGVVKAF
VVCRERMMAREEAGNGERVKVRPRKKTH

>RCO7_02811 | related to vesicular transport-associated repeat protein Tb-291

MAAVRPNARLQVGSISWVAEERSSALQIADAETEEFTFSARNEVDWLNEHMAEIFSKNQVNVAQIFKTPGKLRGKTPRTVRKGNPLEARAPLSDVFS
ATPQAKASPFRQIHFERPVSSFRVAEDDPMDEDIQVLPITSKTQHKSPSRPIHSALDSGYYGSQADDVTQANQSNDPFGTHHTPRISPPKLAPIESP
QSPGSESDSENVVILGRDSDEPEERRTTEGSFQSAREEQMRTGDAPEREAGEDEHIQQEHDQPSYPVLESPLEVRNLGPASPEKRSPIKPSPIRPSP

AKLSPNRNVQLVPEEAEEDVPEEDQQMEEVQSPDVHSPSDSSSPLRPIVRKSSLNFASLPAREPLTTKKSIGNRVSRISQLEQSRTSHYGRQTGGKS
LGNAIHDGEDEDDEMEVDETIKDDTDTKMSRLHNKTSTQRLQDQISMLGQSQANVRPSKSFASSSVAQSQPSQPLQPLASQDLRQKSPDRQKSPGRK
SRLPGAFPDDEEDSWIGPPPAAPEPAVFSPRPPMTKSHTTDVMEQIHGKESVGGEQFNIPKRGDQLRNPSPTREPIIPERTTSTLGHMKSVSTSVLR
SPKKAGDSPGQKKGISVSNPTPSIHTIEEGTTASPPKSPSRSYKGSPLKAAKDKFSSILKTSRGLFASSAAVSAEAKSSALASASSRMGMMDNPSLE
DVLSQSNNINPVYPNLTKNYMSSQQSLHSMISPFKSSPRKTRASTEREVKEAREVKETKEAQKMNDQLEKARMKVKEDARVFHMEQERVAAMQKEIS
SRKEQENLAKASQVEPARPTRTSPRKTKAQLEAEGIAAAAASTDELADRDVEMSEPQASQAMPPPSIPRPKSQIGRPGAKRPTKPAAKEMASKGKPT
VIRVDTGSQRGHHNHPSTSTLAASLQDSLASSQQSAPSQGLKHKASTSSIQSKSSTNSFKSAAAKALESAARKKEQDELAAQKKREAKQEVERQRAA
IKEEERRKEEQQRRDEVERQREMQKERERANALADAKKSASRQAIEKRRLEMEKAKETRAPPPAIRPQASADLARAMDKALPPVPQQRSDLGQSKPP
RMVNGHQRPQEDMGRSVNTSMQNSTKAPPKRPLQQDTDDFHSRPTLQRSGPSYQEQQAKRARLTPEFEDEDDLTEDHPKMTAPPIRQSSVRQKDAPT
KSLFPSGYANAPPPTTLQRSTLISQHQMNQTKPAHPMDMAQLSKAPIPFASSSNHGNAQPHKTPARPGAPYGAGKSAAKSGARSSPRYQNPEEIELD
EIHTDSEDEDSENDGDKMKTSAWVESPALRKAIIEQEGTNPADIFGLPGALNMEEVFSKSKDRFHKFRARTSSANWSGQDRLTEDEIKRDIEARDKL
RRQGGWTYDSMV

>RCO7_02810 | probable acyl-CoA dehydrogenase family protein
MSVAVLVFQAVFISQALGDLLDSANDEYWAAHDESGEYPHELHRDLSKDGWIGIALPEDLGGSGLGISEATIMLHTISESGAGMAGAQSIHANVYAT
QPVAKFATAEQRQRMIPNLINGTWRCCFGVTEPNTGLETLKLTTSATRSGDTFKISGQKIWISSAQVATKMILLARTTPLEEVKKPSEGLSLFFIDF
DATKPGLELKRIKKMGGRAVDANEVFFDNYTIPAHSLIGKEGQGFKIVLHGMNAERCLLAGEALGLGYAALYRASNYAKERIVFGRPIGMNQGIQHP
LADAYMHLEAAKLATYHAARLYDQSTTDETVTQAAVGVACNTAKYLAAEAAFTACERSVLTLGGMGYAQEYHVERYLRECFVPRIAPVSREMIMNYV
GEKVLGLPRSY

>RCO7_02809 | probable IST1 Putative translation initiation factor, has a role in resistance to high concentrations of sodium
MAPASSIIAKLKVQLKLSIARLRMVQQKDEAVSKQQRRAMAALLEAGKVESAKIRVENIIRSDITTELHEILELYCELLLARTGLMEAQTCDPGLEE
AVKSLIYAAPRTDVKELQNVRNLLVEKYGKEFAMEAIENSDSKVSEKVLKKLTVTPPAQELVNGYLEEIARTYGVDWPKKPKEELGDPPDYLDDDDE
DEHPSGGQAQKNLEAPLASDSGKAREEREALSRATPPRNFGPQSPLRVNPPSPSTDNLHPRVKGTLDLKPTKKMQDIGTGKGTQSKGPVGGTIPDVD
ELSKRFAALKK

>RCO7_02808 | related to Lactobacillus putative histidine protein kinase SppK
MGASSPDKRGTIPKTLEQWLKKRSEAIWTNLLTNHLWQRMFKNTLATTITVVLALIPAVIRVFGPAAYLGPITTVFGHPGRRFGMMAEALVMALSGT
LLGLGWSLLGVYLSSLVYDSNAPAAYTIKGIFLVVALIFHGFLRSHTPRLFIFVLLLIIVSVVTLTGTATEVTAIRATVILYPILTAAGILLLVNLL
VFPEFSSSFLGITTIETLGETVGVLRDAGNYFVAMASDAGQESKVDGPSEPATAAEEPSEGSRPDPPSFIQKLMPFIGNNKQASLISKVAGGPKIVK
LKSLTDAKPKLRAKLAGCKAAQQECNFELAWAVLPPRDLKAISDTSMNKLVANTIALIGACESKYALMGDENDRETTFTEEDALKELEKAPALESGE
SSRPGTGVDSSHDESEDQTQDTKGQKQKKKQKSRSKSKTRLQRKMDDLELIKPHKEISSGDIELLKHLVGRITKPLADLQITIDRSVDAVTACLAYC
YDVPKLPSGARAPTGIQLEEIDIRVDILTEAMSSFDNDSASALGTGASTRDVDKPQIDIMPRMETFLVSSFLLNTRQAALHTLSMLRHARFLVEKRQ
ARHDRRRFYAPRINWRKWLRSGGEEEPLTLPETARKDFRTGKREDGDDDDDDGSITSKETLLNIRDVESAPDTKGPKPPNSHLPVKQAKERKVVQGT
LFHRLRNRLADCLEYLAGSDDVMYAVKLTVAVFLVSWPAFVSKWNVWYSTNRGLWASLQLVMVTEVAIGTSVMTFMLRAVGTTIGCIWGYAAYEARH
GNRIVCVIILIIGIIPSTYIQLGSKYVKAGMVCIISMAVVALATVDATVPGSATENFLKRLIAFLIGGIVALGVEMIIFPVRARDRLVESLAASVRQ
ISEMEACLAYGIETETNIDVHSAEVSARFDRARGKAQGALTAAETFLPFCANEPRLKGSFKGVALVFAEILYVLHAVVDRMDNMLHLRHEYGSGVLE
ELNEKVYPYRRNVAGSITIVLFAVHEALTTKLPLPQFLPSARLAHLRMVNRVREVVLTGDDHLKSTERSEVEMRMVKRIVQQKFLSWNAASAGQIEV
IEYLEELIDLVKLLVGANEFRSGMLTRPNYRDYVGRTHTNQFDGADGEELAVQGDDVAGHGDEEEERDIMPEPVEEVGAGVTRRRTTFSRNAEDKRQ
TELKKVRSEEELPMSLQRVRSRRIEELHLQRTRSRDEEAKRKKEKGVEVPK

>RCO7_02807 | uncharacterized protein
MESTTTPMATLATSSSSDLFDVELANLLTKENDTTQDLDLAILFPAITPTPWSEILKSWVKDLPADPFFPYPNVPIFDETALKGTFSKAYHPQNFIY
AETPGNFTFEDASGIFTADIRIFTNKVAVGRAGGGSNGAGWKYGVGIYAKLTMRHGMEAEIYGAEDTTTVIHPVMIMGKGKGRQKDPSWKDVVSTLQ
SAVFKELEIQPPVSQDIQAEVQVEQHVEQPIQPSALQPETGVMAVPKPCMPQLQAPKASSVTATPPTYLPRFTPATPQRIQPSQSRPLYTPASSSPY
ANTPSTPAHTSTPNSTQQRQVPTTPSAASIAYYNSMRDRASIGKTVPATPNNMNAINKSQIYTPPPTAKAPVRTLQTPVNTAPRTYQTPQQQCFQSA
TLTPAQTPTPIPIQQRVPTTPSEATVAYYNAMREKVNNRFPAPATPTNNVPKSQLYTPPPTAKASAPSCINQVPQLVNTTRTFQTPQQQFHRIAGPL
PAQTPTSTSSKPVKLPALLNVTRAFQTPQQQLHRTAGPSPARNLTPNSSKQHQVPTTPSAATLAFYNTWRGNVNTAPPTPATLADNVTRPQFYTYPA
PYAQGSISDVAERSGIAYFESLVRESEKRKRERDGVDGQGGKKARMG

>RCO7_02806 | related to novobiocin biosynthesis protein novR
MAPPSATNGNSHDSPSNEAGTATLEPGLSKPQAAKKEITMPIPPGPKINFADKYEERDYQKGRLALAFRIFAKFGFDEGVAGHITLRDPVHPDHFWV
NPFGVAWPLLKASDLILVNPEGEVVEGGPVRLLNAAAYMIHHAVHKARPEINCVAHSHSIYGRAFCTLGRNLDTITQDSCAFHNDIALYSSFKGVVL
AEDEGIAIAKALGQGKAALLQNHGLLTCARSIEAAVFWFMSLEKCCHAQLLADAAAGGRAGETVKIDDKDAEYTYKTVGTEMAGWFSAKPTFDVMES
EAGIDYRW

>RCO7_02805 | related to tRNA (cytosine-5-)-methyltransferase
MGRGGNRGGRGRGRGGGGGKGRGGSRGGEDNRVSFDKVPKHNERLERYYNVVLRISSEEREEFWDALKRELPNSFRFAGSKGHALAVQKLLKERYIP
EISKITHYDGSLVEAPQPVPWYPDELAWWMTTPKNVIRRFPPFAAFQKYLVSETSVGNISRQEVVSMIPPLVMDLQPGMTVLDMCAAPGSKAAQLLE
MVHRGEEVRMRKSLANHAQEDGREVSPGIESMKVEDAGELEADSSDNGRATGLLIANDSDYKRSHMLIHQLKRLSSPNLIVTNHDATMFPSIKLPPT
PENPATNRYLKFDRILADVPCSGDGTMRKNVNLWKDWGPGNALGLYVTQVRILVRALQMLKPGGRVVYSTCSMNPVENEAVISSAIERCGGLEKVQL
LPSEHQLPQLKRREGLKSWSIMDKSGKVWYSWKDVEAHIEEHGSTPATEKLVEGMFSPANKTDIPFDRCMRVYAHLQDTGGFFIAILQKMSEFKAKP
ESESKKTDVKPPITSIVEEIMAQPPAPEGGSVAPKIQAADALTRPVVDTESEVTPVARQNQSNDEPDATGNPLKRPADDEPIIDAVQETKKLKTKED
IDEPAEAGAENRQVHFPPPPGAELDLTTRPGDMRSDANVAKPVRNRSGQQFEEPFKYISGEHAEVQSIESFYKLSPRFPRDRFMVRNAEGEPAKTIY
YTSALIRDILTENEGKGIKFIHGGVKMFMKQDVQAEGVCKWRIQSEGMPILEGYVGEERVIRLYKKETFRKLLIEMFPKLSDGAWKNLGEIGEHVNK
IGMGCCVLRIEPSDDEDGFTERMVLPLWRSLHSLNLMLAKEDRTAMLLRIFNDTTPLVNNHFPAKRTQEEGTTDEGKKVAPGFTIENGETKVETSGA
IEASKPLESELMEGLVKPGPYGDIVADPNGSGIPDAKAEKIIKGDDTGGPEQQLNGTGGIEDQYGGVS

>RCO7_02804 | uncharacterized protein
MNATSLALNEPFDRDSPFKQIGIAFLLPSSIGAALKQDKLNVAINILEVLAGIYVSSTVLDVANVEPSDHPSMVRRKVKAATTYKTRRKSLLYRTLI

IISSGQRGIGWMNV
>RCO7_02803 | probable long-chain-fatty-acid-CoA ligase
MSLKTAIVQPGMFKSPPFSLQIPNHPIIEGETIPRRNAKYLDKLLSTPEEGISTLYDVLRRSAAKFGDLNAMGTRKLIKMHTETKTVKQAVEGKEVE
VVKKWEYLEMGKYDYETFGQYVARTMQIGSGFRNLGMETGDLRIGSQSLMASAVTQSMPIVTSYATLGEEGLEISILQSHAKAIFVDPDLLGQLIKL
LAKTKDLKWIIYNDKHEVKHADIQALNNANPNVKIMSLEELRVLGERNPFETVPPYPEDLCCLIYTSGTTGAPKGVPLKHRNIVASIAGLDSIFSEY
VSPSDSVLAYLPLAHIFEFAFENACLFWGVRMGYGSSRTLSNLSMRDCQGDIQEFRPAILVGVPAVWETIRKGIERKVAAMGWLGSNMFWTALKVKS
WFCEKGLIVPANLLDWLVFNTIKQQTGGRLRACFNGAGPLGKETRRFLSYALVPLVSGYGLTETCAMGALQDPLEWTDDTLGDIPGSIEIKLVDFPD
AGYFSTNEPPQGEILIRGDAVMEGYYENEEETAAAMAPGGWFRTGDIGEWAPNGHLKIIDRKKNLVKTLNGEYIALEKLESIYRSSNIVSNLCVYAA
ADRKKPIAIVIPTLATLQKLAEDNGIKDQSYEKVVQNYKISKLVLRELQDTGRKAGLAPFEILDGVVLTVAEWTPQNGFLTAAQKLSRRKIVAGYET
EIDVAYETKTIH
>RCO7_02802 | related to Rab6 GTPase activating protein, GAPCenA
MEMPPPQKPTLEQAEEQVHISPVTITSPVTNNHTSHVAHDSMVTVRLSEPPSLHVDTTTPSKQISDGRINKTAEDTADTPNILADDVEDVLEQEEES
PRITTMDPNGNEVLSPSGSESAGSQNGESRRGSDSSEEFVEGGGVNWEELQQTEENEPRSESSEDSTALLLARLEQENNLLVSNPKSGIAKVQIVEN
MRPRGQSRPPSIQHLKRLVNGPTPPSLRYSMIPTPPMTDLEFYAALVQDYTRTAQCLPTLLSKKIRSGIPPPLRGVVWQSMSGARDTLLEEQFDRLC
GESSPYEGIIGKDLGRSFPGVEMFRDPEGDGQKMLGRVLKCFSLYDHKIGYCQGLGFLVGPLLMHMGDKQAFCVLVRLMEHYDLRSCFLPDLSGLHV
RIYQFKKLMQLHLPELSAYLDHHQIEPAYVSQWFLSFFAVTCPLPMLFRIYDVIFAEGASETIMRVALSLMRKNQEKIMACTEFEDVMQLLLSRGLW
DVYHYNADEFVNEFVSMTGAVTRESLQALELSYKEAQAADTVPPTDIGSIASRFLGRLWTSANSSTKSMSLSPGLTAPSRPSSFLRRSPSKQSIAST
LNSMEGGVSDSMMSSSTDATSISRDSSNTDGFSLRGQSVNFNNPVSKPNKDKNLHGQIEDLLMALSELQRDHAILATQLQKEREEREEDRNAVRSLL
DGLRKKTSSETVGSGYSDESLDTLKPSTCEEDEDEDETIVAENTASDSDSEDIAPAVTDLSSLLDIVEDRFTAPADNRRSSMLQTKSQLREDIVRAK
EQLIHEISKTQDLNRQVSEQSQEIQNLKDQVKEGHLAIRNAHTDKQRLERQIHELKSRKPPVTTPDGSREQESEWPNRSSSSTGHSGLRELKLGRSA
SNKSQKTPFAYNKRSSSLATSNKENDAPFFPGATPPSEFPMLNPVTESAPSPAISKNQDDTDALVLELVQAKTAEAIAKQEAEEAKSKLESLRKLLG
VAGDSSSGHSSGTAAVLGHRASPSLVSVTSGLGGYIGRPQPQHQASANVVPTASTNAGVGGFWGGWGKRAVSTEKVPGSGGL
>RCO7_02801 | probable DNA topoisomerase 2
MSDSAMEDSVFAAIQSDSDDFAPVAVKPKAKPATKKTTAPKVPKVPKATAPKKMVQTTLKAPKAAAKPASKKRPKPDSDDEDVPSEVDSLLHDDASL
LSNTPPSSKKQKKAPVKKGGGSKPLADMANESIALDSPAAAKPKPKGKKDATEQYQKLTQLEHIIKRPDTYIGSVESTEQTMWVYNSEISQMELRKI
TFVPGLYKIFDEILVNAADNKQRDPSMKNIKVAVDREKGEISIENDGAGIPIEIHKKEEIYIPEMIFGHLLTGSNYDDDEEKTTGGRNGYGAKLCNI
FSTEFTLETQDSNTGKRYKQTWTDNMGKMGKAKISSSKSSDFTRITFTPDYRRFKMNNIDDDFEALVKRRVYDMAGTLKGVKVTLNGVLIKMDFKKY
IEMYAKAINKERGLEDGAEAPATTVIIEDPKSHDKWEVGFAVSDGSFQQVSFVNSIATTSGGTHVNYIADQICDKLLDVVKKKNAKGTALKTNQIRN
HIFLFVNCLIVNPAFTSQTKEQLTTKAKQFGSKCILTEGFLKKIGQTDAVQNILNFQQAKADQVLAKSDGNKRSRMNNPKLVDANLAGTKRGHECTL
ILTEGDSAKSLAVAGRAVLDPDRIGVFPLRGKLLNVRDASIDQIGKNAEIQNIKQFLGLKHKQNYKDTTGLRYGHLMIMADQDHDGSHIKGLLINFL
QVQFPSLLKLPDFFREFITPIVKVWKGNNPKKPISQRSFFTMPQYETWKEAHSNDRGWKHKYYKGLGTSLPEDAQVYFSNLDDHLREFEVIKPEEEE
LIDLAFSKKKADARKQWLGNFLPGTFLDHSTKTITYDNFVNKELILFSMADNLRSIPSVIDGLKPGQRKVMFACFKRNLTKDMKVVELAGYVSEHAA
YHHGETSMHMTIVGLAQNFIGSNNVNCLEPSGSFGSRLSGGSDAASPRYIFTRLSPFARRVFSALDEPLYEHNVDDGKIIEPQLYCPVVPMVLINGA
DGIGTGWSTTIPNYHPVDIVNNLKRRMGRLEEGSNEEQPFQTMMPWFRGWKGTPEEAGPNRYNFNGVIRDIGNNEVEITELPIRVWTDDYKGKLEEI
IKAEKVPSFIKDYKEYNDHKNVHFVIQLDEKHMQSALADGLPERFKLNKTIATSNLVAFDHRGQIKKYEKVEDILEEYYVYRLALYTKRKAYWLSQI
NTAYRKLQNQARFVMEIIDNKLVVSKKKKPVLVAELRKRGYEAFSKVKDAQKAGETDDVVENDEEPSVDEDAGARDFDYLLGLPIWSLTHERVEKLK
AQMIAKKEEHDTMEKLSEKDLWCKDLDEFVEEWETQLKEEEDYQKSIRSTNRRVSKKIGAGGKGRGRPAKAADAEYNPKPLKASIAKGVIKVENKQH
QRFLDMFKGKPKKPSLGSDGADDDDSAGVSDGMSDDDFDALRAVKPAVKKESSKESSRGPSRAPSEQPANGRAKRAAAAAPKRFVISDDEESESDDG
KFLGDIGAMVKGIGGGEPSTTTANARDFSLHTSARPTSSHGTEFQKLKSKPSRTFDLSDDADETNYEMLARSSPHKAPPAKDNLDSFLSDDDDELIP
VTKKIPVKAPALKAASKPAAKPAPKPKKAPAPKKAVEPAKPTQLSPAAKAYAAKQSKMQLTSKKAFSEDEDEDIEMDDDDDSPPKPAARGRPARAAA
VVAKTKKVVYIDSEDDDEMDVDDNDESALVEEQSEDDFDESE
>RCO7_02800 | uncharacterized protein
MTKDGAVFAKGKLKGEVNFPPFECLDEEVLREIRKFQVFPLGNIQEYARHIPYNSEKKTFLEKTGRESFEVFQYVFKVPGDDKEYVVMWDYNIGLVR
ITPFFKCCKYSKTTPAKMLNMNTGLKEITHSITGGALAAQGYWMPFSCALAVCTTFCSHIAPALIPIFGPSFPSLCVLPEAPEHGRMVIDSEITHEA
TMEAEAFRLQYSNYPAPRSSTSNSIRENYSSSPMHTSDRERDRMSATPSTGMRHTPPNLGRSLRLKRAFGGDSPYGMMTDTDFDTNASESDGDGYFL
SPVTPISTSSVLSPSHSHSHSHSHSQTHTLGPAGGTQPVLFPWKASNMASHNLNSSINVNISSHHPNIYSHSHAYKGPNPLLSAIPRSTGLDVAMSG
TWQSRTGPIKRRVEEVDADDEYDGETASVATDDKGSLSDGKGMWSGSGNGSGSDREIDDGGSIGSGGTEKKAAFLLMKLSVRDGDCGADCQKAARDR
NGQESVTGMARPHPLDQGASAFGFVGGEGPRIKRRRATSM
>RCO7_02799 | related to hsp90 chaperone complex associated protein CNS1
MKIEELPESLQDSVNITKPQEPSPPAATDLLTTALNAYASPTPTTNEDGSTTPALPPTLADMRNKTGAEILADLNTVPLFMTDLEENDGIEALKALA
YEGTPAEVAQGFKERGNESFSEKSWRDAKEFYEKGINVLLIEIRKRQVAGKMREKMKGKEKLDGGEEAVDEEEVKLEIKILEACLVNRAACHLELKN
YRSCTLDCGSVLRINSKHVKAFYRCSKALLALDRITEADDACARGLAIDPANKALQGVAKEIIKRNEIISTRKKRDLEREQRKRLTAVTLAAALKAR
NIKTRKTAQPPEMEDAAISLVPEPTDPTSTLSFPTVLLYPLHLESDFIKAFNETEPLSHHLSYILPLPWDNSGEYTPMGVECYMETVTGGLIKVGRK
VPLLKVLSEGKVEIVDEVLRIFVVPKPKAAAWVQEFKSKKAAEKTSPG
>RCO7_02798 | related to glutathione S-transferase
MSSNTTPDIILYTNHNCPWAHRAHIALRELGLEYTEEIIDLNTPRTAEYLKINPRGLVPSISYNGEIVTESAIVAQFLVDSHPSHLVKTSSEEGGAL
QRARIAYFVDAYFSKVNGGFYSIFTAEGEEKEKLGAAFVENVRKEIEPLLQDAAPFFGGSKKLTLAEVQTGSFILRVLGLPKYEELNLLPKSMLAGF
ETKTPAFWRWANAVVAEKSVNFIFDEKKVAEVTAARIAKMKAAAK
>RCO7_02797 | related to endochitinase class V precursor
MLCTNLLSFIFLCGSAVSIAFAEKRSPYYPTVPHSSAQTPKGDGKRTVGYMGNWDIFARKYFVTDVPASQLTHLIYSFGSVNNVTGEVQVAQPLDGK
FILTDTRILTDEWADLQYPYPGDNSSIAAANTTNVYGNIKQMYLLKKKNRSLKTMLALLGWGLSPKFVPVLASPSLRANFVSSAIKVMTDLGFDGLD
MDYEYITDATEAANMVSLLKDLRQAMDSLSTNGSSPYLLSYASPAGAPKYSLMDFQGMDKYLDFWNFMGYDYAGSWDAVSGHASNVFGSKDNPASTQ
FNTSSSIEHYIRVGGVSPSKINLGMPLYARSFSNTQGPGKAYNNTGAAGSFDEAATWDYKALPLPGANATVYNLDIGASYSYDPMSKLMISFDTPKN
AQFKASWAQKMGLGGAMWWEISQDQSGKESLIGTVVETFGGVQALEKSLNHLDYPTSKYENLRRGMPGC

>RCO7_02796 | probable transporter (major facilitator superfamily)
MGNQITQYNISHTFQKRKLLIAINCIAGLSIFFFGYDQGMMGGVNNAKDYIELMGFGHVETIDGSPNTPVITNSLLQGGIVAVYYVGTLIGAMGGGW
VGEKLGRIKTIALGAAWGVFGASLQCSAQGHIWMIFARLINGFGTGILNAIVPVWATESVPHTSRGQFIAIEFTLNIFGVVVAYWLEFGLSFIDKGA
SPIRWRFPIAFQIIPLLVLLGAVWWFPESPRWLVKVGREDEARFVLSRLRGDEGEDKIQAEAEFQDIRHVSKLEKEAGNRTSYWAMFTGQGSGNLHT
GRRVQLVIWLQIMQEWVGIAGVTVYAPTIFRMAGFNTEKSQWIAGLNNIFYTLSTLICVFTLDRIGRRWTLYWGSVGQGIAMFLAGGMSKLGENAMN
SGDVAKASQYGAAAASMIFIFTFVFGATWLTVPWLYPAEIFPLEVRAKGNAWGVVGWSIGNGWLTLLCPVMFNAIGEKTLYIFAISNAITIPMVWAL
YPESNQRTLEEMDLLFAADTPWVWDAEKNFARLKTEHPELVGAAQKGKTVDDVETGKIGRVESGGASTVERTEDVAASKI
>RCO7_02795 | uncharacterized protein
MDNFLDGRFERVEKALATLITSISTYNPAPALANDLVAADAELSDGFEQLTKHQANYARILALRESSSALDNQIRETLTILTTTRRELLATPSTSLP
MNGNPVSYSDLLSYARRISKYTLPPTHREPLAGDVAETGDNTPKEHSSQAQTNGTNTPIVATNGEAQNSSGMEVDSTTPAAAGQTQAAQHPGVSTNL
TLWEQYLNQPADMPFVPWPTEEAIRKGALASIQVLLDQGVDPATFDPEKSAELEAERKRITEADDAAREQGRIDREDARKREMERRMSGSGAAPERR
EDKPKVFQLETFDDDDDDD
>RCO7_02794 | neuronal calcium sensor
MGKSQSKLSQEQLSELQRSTHFDKKELQQWYKGFLKDCPSGMLTKEEFQKIYRQFFPFGDPSSFADYVFNVFDSDKSGSIDFKEFICALSVTSRGKM
EDKLDWAFQLYDIDGDGKISYDEMLAIVEAIYKMVGSMVKLPADEDTPEKRVKKIFRMMDKDENGSLDMEEFKEGSKRDETIVSALSLYDGLV
>RCO7_02793 | uncharacterized protein
MESHRKDTPVMPGASGFEKTAIQHSPEDHSSRSFVDVDTSALAQASTDHPASTHWFYEPHNISVPTPTRDLEHSHDQPDFTNLVKNLNPDDYLPVRA
SELKAMLDHIRKLKGEVAAKKRHACVLLAFTLFPKLPLELRLKVWIYALHSPETLIFNQASKKQMDRHIAGGLYSHVMRYMVVWPVSKTSIMQVNVE
ARKEGEMVLAQCCNDEPADLHAENYKSIGCVVLGGTKCWHNPNTDTAFFCDATFSRSLVKEFPRSHNIKSLTLTYRHYTQISESPVFDYGARGLHEI
FLAVGYKDLRVKKDMKNTVTATSKPDDFHLSARRGFPISGFTWEMMGQEEMRRWEEKVFKVTLWKQKVDGHTQDYISREWPQTNLDYTVPVITFKLL
VGNAALLRPN
>RCO7_02792 | uncharacterized protein
MPDSQPPPPRTLSDLVEPSDFKEPARMVHKRIGWLKSKLGLPNLIETSSNTPDGTSDTPVFHLFPELPIELRIRIFQAVLTTQEIYAIGWDADRLMP
IRTSPRARATHQSWHDYVVQTAIRTEKSYLLCVNSESRAEAKSSLEVFERGGCKTWYNPATDVAWFPRFENGDDDLGLCDLGFWTDHSLQRMTLPYH
LWINSPDRLVGGREEKFSFDRFCKLGLREIVIRMGDDDLQSSSSVTSVTANSKPSDFFPSNHLKSAEIKNATWGHVAQGEVHDYKSCPVESLVAFID
NFLGCTVPTISFCLENGSKFPLN
>RCO7_02791 | GPI-anchor transamidase precursor
MKLNNLLQLPLFLASLLGPTSVTAEHTSNWAVLVSTSRFWFNYRHLANVLSLYRTVKRLGIPDSQIILMLPDDMACNPRNAFPGTVYSNADRAVDLY
GDNIEVDYRGYEVTVENFIRLLTDRVGEEMPRSKRLLTDDRSNILVYMTGHGGNEFLKFQDAEEISAFDLADAFEQMWEKKRYHELLFMIDTCQANT
MYSKFYSPNIIATGSSEIDQSSYSHHADNDVGVAVIDRYTYYNLDFLESQVREPSSKQTLADLFDSYDESKIHSKPGVRWDLFPGGEQGGRERLVMD
FFGNVQNVEVDSATEGNQTEWKEDLLALGKKIRELRERADTDDAKAKKVSMEEQEPVLERQNVGRMKAAKVEVDDTWWGKKAVGAWALLGCALVWTA
GSYLEAV
>RCO7_02790 | uncharacterized protein
MGWPPAVVIVVRHGARLDAADKQWHLTSPTPYDPPLTYGGWTQSRALGARIASILRSRETDDEVTGEGQSQVTRKRRHKVVIHTSPFLRCVQTSVAI
SSGLAQNPGHINLYHPKPPSSPLVKATQMHSSPRMRPTVATGSPSLAPIPEPTASKLDGRPNEQPENIKRATLRVDAFLGEWLSPDYFENITPPPSS
VMMVAGAKADLLRKEDYSNLSHVREPSTASVGFPGGWGSPVVLAKKEDDEGALSNLSPLGQALPRRDRTSSLSSVASGESRQIRNATHLPTTAGYRV
YQPPIPAYAISAADPIPAGYVAHSRDACVDVDYQWDSMRDPQNWGNGGEYGEEWSSMHKRFRKGLQQLAGWYSNINDDPSKLLPKGNKATHLHPNED
NPEDEDSDLVIILVTHGAGCNALIGALTNQPVLLDVGMASLTMAVRKPTPPTSPGTTPTHSRASSRTVLMSDQYDVKLVANTEHLRSTTSTPSTSRS
PSVGGLPAFRESFRDSFRERSVGNNGSLDGSSFAKNVSSFRPVPTSGNFGSIRRAASIAGQGTRSYAPTRKTSIGLWSAPHPEEEAQEEEEPEDDMI
LNFGDENGNSTGNKSVETEVEVEKEKKEANENAVEEEKGSEMEEDDVAPLGGLWGSPRPPGHAEKIREIAPKRRWTVNERG
>RCO7_02789 | related to ACB 4-hydroxyacetophenone monooxygenase
MSQAPNPLLHPFLFIYQIIQWFLDKLLSPESSSARNGARAWETGDRYHWRWIDGCSCCKSLCRLRRVNTTSGLQIHSIMYRFHPSIKWTGGYPNQQQ
IVSQITELWKGYGLESKTHFSTPVEKVYKDSEGRWIINDPSLGRYDGIIAAVGTCGENKMPHIPGQENFKGAIYHSSQLTGKSAQGKKIVIVGGGAS
AVEALEFASHEEAAKTTILARSDKWIIPRNPIVNVLLSFNIFGGETIFSWIPELLLKKLFYRDLEDLAPSDKGLFTGTPMVNSEVLDKIRSGSAEWL
RGDILSLTSTGIKFNHRGKRRPYQRPRLREIDRGRHHHNGHGILSALAEFPARRLLHRALQPAKLVSANLSADAPFRLRHKLHIHQRDRLRRKLAYR
DLHAHPANVPLRSPHPPSRILDAAMDRHDTPPEKVRADGREPFLHVPGTHLVVCLLHCG
>RCO7_02788 | uncharacterized protein
MKSSIQQAAILLVIVNNINGQTLPDSEARLIAWKAYGNFVTDMLTAGQPLQLGKDFVYVNPPNQAAVRGGTPCPQSVTNFDLFSVADNMQNTGEPLM
DPNGPSYVDNLYNYLETVDLKTATPTQDQLNNITALQDDLHVAQDKADAEAEVVYTRYLNDVRAQASNQAFGSWVTQHAPLLTAYNRQVQSADAALQ
QYEIKVFGPQYRTVTTQRNKIDNQARDELFAEPGYNMPVYTNPYSVSISPWYQNELSDGIIYKPSYTLGNSFEESCDAWFNNTSAARTKFSWNMNSV
NGHDWSSLGHTKGVTKFGGSYFALLSAKKTGTSEETVFNSWSSGFSESISLELSMKGAPLVFTIGSGLWDVGGVRTTYPSILPSKLDTLASRVRLTK
LLIGYEIGLKITINETSTWHSVYNFVSDAKKNTGGGFSIWGIHFGAGGNKETGRNISEVQFVNNGVSGQIIIPPSQKGVTYLLGALGKAL
>RCO7_02787 | related to RNA binding protein LCP5
MATKTASFPVLLDTLQQALTSAAEDAKKLDAPIPPEDGISLLDVKNELFLSYLHNLVFLILLKLRNRRIGSEDEDEELDNSVVKKLVELQVYLDKGV
RPLESRLKYQIDKVLRAADDAKRIEEGPSVQTNGKTIKDDEDSEDGSDAGSTNGVAPKGPEIDDLQYRPNPTAFVRPAPGAEDYARSKSSDGVYKPP
RIQATAMPTTTGPREKQDKKPSKSATLDEFVSTELSSAPFAEPSIGSTIVSGGRRSKSEKEKNEEKERRDYEERNYVRLPKESKKDKAKKGRKDAGY
GGEEWRGLGEGIDRIERLTTKKAGGGGVVEKSRKRPASDGPKSSGEQGQHMQKKLKSLDGVRRDRGRR
>RCO7_02786 | related to endosomal protein EMP70 precursor
MRLRDLSPSAALLATLLATPQLSTAFYLPGVAPTTYKEGDVVSLNVNRLTPVGSNQDGTLKSVLSFDYYHPAFHFCTPDPEPTAVSESLGSILFGDR
IMTSPFELKMGINETCKTLCSTVYDQSSAHFVNRRIAQGFALNWLVDGLPAGQMIEDEVTNTRFYSQGFALGSMDATTLALNNHYDILIDYHETSPG
QYRVVGVLVQPDSRESQPTDNAAGDCGVGGPTMALSEEAETEVTFTYSVYWIPSATAWATRWDKYLHVFDPKIHWFSLINSAVIVVFLTITVVSILL
RTLRKDIARYNALDSINLDDLSGTSAVAEDGIQEDSGWKLVHGDVFRTPSSPLLLSVFLGNGAQLFVMTGFTIVFALLGFLSPSNRGSLGTIMVLIY
TILGSIGGYTSARVYKSFGGEKWKLNIALTPLMVPGIVFGTFFLLNLFLWAKGSSGAVPFTTMLVIVSIWFLISVPLSFAGSWVGFRQPPIEAPVRT
NQIPRQVPPMTTYMKPIPSMLIVGILPFGAIFVELYFIMSSIWFSKVYYMFGFLFLCYGLMVITCAAVTVLMVYFLLCSENYHWHWRAFLTAGASAF

YVFMNALLYWLTKLSLSGLAGSVLYIGYSALISFLFFILTGSIGFFASWLFVQKIYGSIKID
>RCO7_02785 | uncharacterized protein
MSGFSTKSSLPLSHITRQYCEQDYKESNVKKHRLYFKNLNELAKQARMANTSSKVWNSRGHFLTAAPDSQQLHESLSALDHSDRDDKLVWPELPRDE
KKNIGLKNAGKGKRTKKKVGKKTSGSSQSLSINRTDISLNYEEAADNDVMKLPTATFTRFSDLPAELRVQIWQMVMMVPRNIAVRSHEMFRTTERED
LSIKALEAYDTQSRASGPFGHAFYRHNRQFNFFHLSTKMPQPSLLHVNAESRHEAQKRFRLFENPTIGPRLSMKDMIDHRQPIIDATLDCLWFPDLH
TTYDFGALLWGLLHSNWTAKIKLTSLAIPWSTFTKLIQLLGSEEHDGACDCMACAFFRMTMEIGLKEMVLVINRECDVDSRLTDYDVRFKVPAKLPQ
DDKVYHALDVCGPNACAWTVEKALTKAIRRYQEEKINNMKIGESPFPQAI
>RCO7_02784 | related to PDC1 - Pyruvate decarboxylase, isozyme 1
MASSTVPMGVYLWKRLASLGIEHVFGVPGDFNLTLLDQIYNVPELTWLGTCNELNGAYAADGYTRIKESPAALLTTYGVGELSAMNGVAGAYAEQAG
MIHLVGMTSRPIQKMRALIHHTMEPGMDHAIYIGMSESVRKTHTFLMDDSTMAEEIDRVIIEGVKSRLPVFIYIPTDIVSVQLDAKRLETPLDISIQ
NDKTGEDAVVNSVLELIKSASNPVILADVLTIRHGGRGLARELVDLTQFQSFSTPLSKGIIDEDHPSYGGLYNGTVSFPGVAEAIHGSDLVLNLGPL
LSDSNTGAFTREVKDENAVLLGHAFCQIKGKKYDGVHFLPVLRRIVEALKGDTKGYQLPRPSKGARLEAPILNKSTSGAIEQSYTWQRLGKFIRAND
IVLAESGTAQFGMPDATFPANIRYITQIFWSSIGYTVGACLGALVAAKEMKLPGRVVLIVGEGSMQMTVQEIGSYIRFGFKPIIFVINNNGYSIERA
INGPKQDYNNVSMLWDHQKMLEFFGAREETGIKSRSYKCKTVEELEKVLTDDDFAKADCIQVCEIVMDQFDYPWRLTKQVEISKARAVAMTSKK
>RCO7_02783 | uncharacterized protein
MDIFQDVRRLLRDWGYTFEHVYRNELNTSKQIRESRRFLSKHKTSTILRRKQELEAATETDILFSKFQFLPAEIRLRIWGLTIYTPQIIVLEVLRLG
RSRFGYKSVIPHGALPEINSESRFESKKVQTKIGIAWQSRRARHTTLITTFITNTEIDIIWFQENITPTSDSLSVALSFEWDRDLEIIPGPIRNIAI
SSDKWEAVFKISHVAHNVAKFYTHLVALITAGVENISIVVGDNTVHDRRGMQFVAAEGRPSYTSEWRNIMEVFQLEDLSTYVELQCAIAAFLAQLYS
TLVAAKRNGTKHILRQQFPWMALPLLDMDKAMEGCEDLIIPTFRFV
>RCO7_02782 | uncharacterized protein
MTYWLLELLEIRLGSQYMQSSVLLLTALPKLSDEETESGLQPTQIMSELISAAKSQLLSTQQMPDTGTPDFSLMSTLIPVASRGVAPVYDPSKSSTA
VQTPGMTWAQGYGDGSIFFTGVVFRDTVTVGGSTVHNYEFEVCETSKSQVGGAPYGTFGLNIDPADPVFAVDFHKSKSRGVFGFGHVDRKKYVGEIA
YTPVMADNGGEWVVSISGIVVGGTFIKGSFNVIIDTGNRYGFEIPRWALDRHFGQIPDISWDSYWTTYTFPCDYPLPDLVLGVGDTGSVRIPGFIIE
TFKEDKKANLCRTNLHEGGGWGKHIVELLFVVFDYGNKRVGLAQKSSY
>RCO7_02781 | uncharacterized protein
MAPNSRPPLTSRIRASFEGRRKSFESVRKLSKSGRATTADSNNAGQEVGISTGIDSETSRPLPMTGFITQDPDSIQNAVDQAINGEAFQLAIAANLA
KLIKPSIKSALDTIQPVVEAVYSHELLLRKTNQSVEDVLSRMDTNAESAATKRESMIDDTYVVPGSPAEGVKSSDAGDEAAKWKGMGGPSIDQFRQM
LEEHNAKTLATISEYIESNNTKTADLLQEITGISASIEPTKESIDSLKSTSEQATTLYPVLQSQLEQLKADIGQIIETIGADLGKNIQTISEKSESL
PDAELLSSHTTKLDQITNDLAILKGQEESIGKISTEIGVLKASVEAGTVVSAQGFADVLAAVGEQSSILNDIKEKDSQPELLAALQQSVESHALHTT
VLSEIKDRSLGPATIPVVSEGGSTVDHSSALQMIQNDLTTLKENFAAGFSTDGDLSTKINKVLAAIEEHKTEDTSAEILAAVKQSNESHVGHAAALE
CLISAGNDVGPELGTQVAGIVSKLDEHSAALEDIKTLGGTHTSALEGIKSTPSESVSIDTSEITDQIDVIIAKLEIHTATLDEIKGLGSIAAEPKPL
DTSDLTAQISTISTKLDTHAATLDDLKGLGSTHAAAFESIKSVPTEGPSVDAEGITAQITAILAKLDLHTAVLADIKGIGGSHATALESIKSVPTES
PSVDTEDINAQITAIVAKLDLHTAALDDIKSFGSSHASTLEGFKSVSLDSATTTGELSTQITALVGKLDEHTSVLHELKEFGGAHATALENHGIALE
GIKSLAGSVPEGGVEVGLGSQIANVVATLEKHSAALDDIKSHTTALESHSTTLDEIKTSTGAYTSALEIHGSAIEDIKSRTEGSNDVLGGQVSAIVA
TLESHSSVLDGIQSSTDTHVAALESHGTALRSLKSQISAPADVVDPSALEAKIETIIITLESHSSILDEVRANSGSHTSLLDEIRSFGTAHATALDD
HRTSLEEIKSLSIEEPPTNSEKTYLDAQLTTLVATLECHTAALDEIRASTGSHSLVLDEIKTASTMYADTLGDLRSPGVPMIAAADPMNFAALEIQI
GSIIRTLETHSAAWNEIKARNETASMVIVPNDPETESGSADSPLTNIIETLKVHTFILNEIKEDVSAEILTSLHDMGQLQANQSNLLTEIREADLDD
EILTLLHASSESHNNNAAALAKIHDAVILSNESHFAHTSSLDEIKARSLELKEATSSFHDNHTSMISEIRDATLASKDAHASHTAAIQELKSLQATP
AQAPETTDLAELEANIVSMFSTIKDQTTTLSLIKETTTKPSPEILAAIQASHELLTAQGSLLECIKESSFNTSVLTNISELKTILEESKAETVSHSV
LVKDLHSETKDSHSNLASAIGALTLGGAVGAGATALLSKDDESSSNLLDEIKTVQEMIKIGDANIQDTKDKVSSLASQIETNHTAIIANVCTLSGDI
KSEIVASGTNIVESITLLDSDVKAIDISSLPALSLSLSQHGEHLKSLSSQLRNLDSSMKDNTSQVSALHSGVHLNYTGVQQLKDHVTSYPSKVVAKE
RPAMAEGTWFGSARSGSRSPTISRNVSRSIPQPVPEATEKVITSTDDVAVELEQAHDLESPAPLASQEREAPTDADEMLPSIERANVAQEQAIESDI
LMDETLAINEPGVSEPLPEIIDEVRPSIEESMTKPGATLDDSSASEEIEEPSIPVSSLQVAEVVYPVSIPEENLSDNEIEDDSPGQPILVPVTGMDN
YIADAIEEPVNHTLAEVQDEKGFIDQKCHEATAAISDDDSTLHVSTETDESRIEKPVAVEPGSSLMDQSVSAELLAEDDVKESSTGLETPSEDQPDV
RGQAIASYTPIDGQLVHEDLVPFYEKLDQAESELQFRDATHLLHEDEQAGVSLNTSPHAYQVAEFEAESPVAVATSPSPSDKVMPDPLAVEHESLSE
QQDASCSPYTREIVEPSSPFVESPAIHRGLDEPSTVPSLLLPAHQSFIDDRGLESGHATPRDEAQTNPFEDSEDMMSPSSVLSPQSVLSPEAEINAP
EFPIRSMDSIDERGLRSPDSDVLASLPTFPIFPGAGQNRLQPHADESDGDMSPTSEYDAPVFSGTRPRTPVYTDECDNFQLENFGPPPTFPTFPAAA
QHSHQRFDDSDDVVYPSSEYDDPVFSDSRQRTPDQTQPLEGPVFTPAPSFPIFPEPTQHLPPQRFEDSEDPMFPISGYNERGLPYMTQNSPIRSRQS
ETSYSPLSPQFGRNSPPSRRGLQRESSFDYQQENFEPALLPRNLNGQTPAFEDDDFRSPGDGRFIDSDPRHRSPLQTLEDDDFRAGQYEQYSPEPLQ
TNQRLPVEVQLLNARTEVISGFPTVRSRSNTEGIDYESEIQQQYSSEPESPFLYHQQRTPVDAPRFDDFNEPSSTHSQLGAAYPYARETSPVQPFED
DRLAMPVHERFSPEPGPLFSSQRQYSRGTTTPAIAIPAARLELDTTAFRTASPIDPYGERDAEAVSPSSEFAIPITPARITNLDGLYSRNPFLPSSN
IAVEDDELSHKGEPIASPGLMSSELDSTAQFGNNRNEVYSGPDSTLASPTSPASPTFSEGGTMVEDTGGKKKRGEKGKKEEAVHEPLASFLCITQST
ITSHLLSTSSYPPRWKLSGIKKTASSCLKLRFPGSIFSKVLDHSKVLDAEYEITTLNARALLPTNDSNKASDTKPGQSEHDVLQALTCIVQRAGDGP
VQIPDSMLASLLGNLTSVHEQIRDLQAKSVQSHRELEALQVASGTTFPRFKKLPSELLRMVWRFALFTPCIIGVEMIHHWGFGDEAFVPVVDHSPLR
SVNKESRALVLASQPSDLF
>RCO7_02780 | uncharacterized protein
MAQSIEEYYGQLSPGARAAFEYDSLWFWQSANNAYPSMEEAQRRHNQYPTTALRTTKDGRYQFSVVNGVVHRSYPAPGYIAISARLLVVYILVPLYV
KAQAILDVLIVLGLSLLGLIVLILYYIVYEIIYQRFLLKSFLAIILGLYMTAMFLIDLFWSIMAGLVRVMVAFGVALSVVLCILLGGWSQVHLYNWT
SWATPAFTGAWYYPIWLTRLEETFKSKQPYDGWGLNYIST
>RCO7_02779 | uncharacterized protein
MAPMPPLTPYSSASTTSTSSSLFANLLRRIPNPNTLITRQSLSDGQSTPGIIPTTYAQINSGPAPGTVVGIVLGSVGGFLLILWLIYTCLQFGTVSS
RSSYTESVIVRDRRKSHHGSTRSRRVSETVEVRRAPSPVRIVREPSRPARVDRVIVEESRETRRERERSRSLAGSDEVVVIEEHSPPRRKKGTRVSA
EVERRDSGYRTVDPSSYGGAVGGRKASGRR
>RCO7_02778 | uncharacterized protein

MSKFDAPAGAPPPAYGSDAGFQSPAPAHMPPQQQNFSQQPPHQGQYPPQGYPPQGQYPNQDPYAQQGGPQPWGQQQQQGGYYQQGPQMGYPPQGMQG
GYGQPQGQGQSSAMESWRDDGLRDGKGWSRNERSEGDQIGDWMWSREDMEGVERSIG

>RCO7_02777 | ubiquitin-conjugating enzyme E2-17 kDa; ubiquitin-protein ligase 2

MSTAARRRLMRDFKRMQTDPPAGVSASPVADNVMQWNAVIIGPADTPFEDGTFRLVMQFEEQYPNKPPAVKFISQMFHPNVYATGELCLDILQNRWS
PTYDVAAVLTSIQSLLNDPNTSSPANVEASNLYKDNRKEYTKRVKESVEKSWED

>RCO7_02776 | probable kinesin heavy chain

MSNSIKVVARFRPQNRIEVAEGGQPIVAFESDDTCRLDSKEASGSFTFDRVFDMNSRQKDVFDFSIKSTVDDILNGYNGTVFAYGQTGAGKSYTMMG
TDMDDPEGRGVIPRIVEQIFQSILSSPGTIEYTVRVSYMEIYMERIRDLLAPHNDNLPVHEEKNRGVYVKGLLEIYVSSVQEVYEVMRRGGNSRAVA
ATNMNAESSRSHSIFVITITQKNVETGSAKSGQLFLVDLAGSEKVGKTGASGQTLEEAKKINKSLSALGMVINNLTDGKSSHIPYRDSKLTRILQES
LGGNSRTTLIINCSPSSYNDAETLSTMRFGMRAKAIKNKAKINAEISPAELKALLKKAQSQVTSFESYVQTLDAEVQQWRSGEAVPKERWAAPLEVT
GVTKAKAQPARPSTPSRLTAESRSETPSISERSATPSLPIEKDEREEFLRRENELQDQIAEKESQISAVEKAMRETKEELTYLKERDSKGNRENEKL
TGEVNEFKMQIERLSFESKEAQITMDGLKEANAELTAELDEVKQQLLDVKMSAKETSAVLDEKEKKKAEKMAKMMAGFDLGGDVFSDNERSIKKVID
QVDILHDQTVAGEAINPDELESIKAALVETQGIIRQAELSFYGTASDDTNSKRREELEQRLEVVERDYEDLLERNLSEADVEEVKQKLAQAYSNKQH
VQTSLVEDLKADLAQKSAEIQKFKTVNEDLQRKVKAGGVTTGTAGAMANGKTVQQQIAEFDVMKKSLMRDLQNRCERVVELEISLDETREQYNNVLR
SSNNRAQQKKMAFLERNLEQLTHVQRQLVEQNGSLKKEVAIAERKLIARNERIQSLESLLQDSQEKLTAANHRFEAQLTAVKERLELAKAGSTRGLA
SPTNGGFSFGGAGSRIAKPLRGGGAESGNVTANPAITGLQNEASGNVGKRSSWFFSGQK

>RCO7_02775 | uncharacterized protein

MALSVARLLELRDYLIEIAKEAGQIMTSQLDQQGVLATFDELTRHGIIQYGPSEIIPLVDDNFAFEVRICSGWSTKPLTVTGPTEAKREIEIDKFGP
GSDITLSHPRQIISGLCTSTTHTLALNIYPVFPPQYLLLTKDSYRLQTEPMDLDDMRIVPKPEFLDPATKFRFFPDEDQERDTTKVPYAYILKRFNS
EVVMSLEVVLRFYREAVVECTKILREEDTDRSTVGAHNFILTNDWILVIPRRRGLYEGIMVNAAGMMGMPTVSNKELFDIWKRVRPSKALAEFGVAR
EAPTDRSISGQVVGSSKQVLKLFM

>RCO7_02774 | uncharacterized protein

MIQLKVKGFCGIIMSKCSAIIQSQRDAEEVEPHKNHQDMVRMKSKGDVDYSVITATIEFMCKSAPSAIERRWEAFDKQEIMGIPKDPVTIIEDGFVL
PLQLGYKQNSHFTARERNLRELHELLTASGDGSEEESPTAVVLLGIGGVDDLESVNVGDFFPTVAKTGRILITTRRRECTRFDVELELDMRDEDESI
RLLQHSCQHKQLFKDAELEQAREPVERLCRLPLAIDQAGAYLQVMRRPVSNYLPLLHPNKMKDTLSRKPPSAVWSYEESDFTTWEVSFLEIQRTNAR
SADILTLCSFFSCAEIQPQMLEKGLEAIYRETVNVYNYIQPLLSLSLIARKLSPDAMASEDFSIHRLVHEWARERLPLDEKTRMLRKACALLCSSLR
SCEIWTTGVREPEDWHYERQVTPHIESIVHWLKTIPEAGISQDLTSQFISQRTGLATVNRFQGKWGDSERLYKCALQGRQKVDPNGLDTLATVQSLA
VLYRHRGRIQECVELYKWALYGDKGKGNGIESQQAKQHPNTIHTILGYAIVLQRQGKYPHALSLYEEVIDQRISRLGSAHPDTLTAKHNQGDLLRCL
GNLDKAGIVFGKVLDARERHLGPEYPDTLRTYDGLGNVYRDKKMWVKAAILYAQALNGREHKLGFNHADTIGTTHHIATSL

>RCO7_02773 | uncharacterized protein

MHFSTLLLTLVGLTVASPSSLSPRGARVASGYVPTGNVTLFTPPASWASHIALYGRTVVLNQHCETNNVVLATWSQVAPNKTYAPIWKSNDLGKTWS
ELSRVYFHLADYDLIAHLALFETAEDYGKFPAGTVLLAGSAWKSNQPVVIELHASRDKGKTWEYVSTPAVGSIIHRDAALEPLLYAHDGKLGLFYSD
SRYPEVSSQTLSHQTSTDLVNWSSVVIDAINPNNGTRPGMVTIAQMGNGKFIFAYELWAAPAFPTVNVPVHYRVGDSPFEMNREKETPVVAGSGADR
QVGNAGPQIVWTPAGGVNGTIVMSESGNGGLLFINNAYGHPDAWKTIESGLPHGYTRTLQILPGTEGKVVLGFTGGSFPVDSPGQSIRSGTFVLPGP
GSKKDGPGYSNCLPQKSSKKHSQ

>RCO7_02772 | uncharacterized protein

MSSLIPFQTFPPSLNLTTPSPRTTSFSLSPDPSYATDIWRKPTNPISNPTDPIFTFNAPIIYKSIPLSKFKRARVTFEATYQTLFDQGGLILVLPSE
NGTSGVEDIAETSKWMKTGIEFVENKAWVGTVGCDRWADWSLADAGIRDGKGEGRKVVTIELEREKDNGTLWVYAIGEDGGRTPLREITWILSPQGN
GGSPDREAWVGLYAATPILEGRDKNGALCVEFRDWELELEE

>RCO7_02771 | uncharacterized protein

MVRWQGRHNDERSAHTFQLTDWTALLQEAQILNGGRACNFDGPYHAGGRHIVRRLEFIDGGELWLVRIPIVPASLTPDPSEIVKWWTAERQFTMESE
IATMKYYAESTNVPVPTIFGHRTSIHGNTVKLPYMLMQCIRGNMLFDLGGPGILNDEQKSGIRKSIASIQCQMATAKISKLGSLVLGPNGTVDIGPL
PAAFGFEGPFSSAVDYFLSWAAHAEFGNQKFLRDQPEDNEGLRSLKRAVISFPSRLKSAMESRKIVACENGYPIVHRDFLPHNILFDDAYNIVVTDT
DEEGRQYIEDIMNEEKDTPQGRKLSQTFGSILGDIGLCMTHFEEGRAVSFGDLLDRYESESIYTLL

>RCO7_02770 | related to monocarboxylate transporter 4

MDEFFNFEDAARLDIDLNLDSEPNFTDAESLDFDQLMAPGPYDIDLAFVNQTDDENHFTCLQNFSSQEPQPPLSFNDHSLPETAMQDTTMMAPADFM
DFPRWIDGMDVPARPCSYCQRMRLHCKVIKEGYRKGSCTSCVALDHSCSLTQPDLTINNNRGCHFCVPKTVNDNEDTAPDPCEHCFQQGSECKVIRE
GPNIGSCESCISFARECKAQEKGFPDAWGLEDLLDLNVNQQIYTPQCQGLCQGSLAHGRSDSMRNPVAPNSSDENIKEKSAEVAPKVGARFSRESIR
ILRGWLSTHHSHPYPTEEEKDGLRRQTGLNKTQITNWLANARRRGKVCPPRSTSPSVQNYPNGMGIPRRSTPALENMNPLERWKNSPPENEPASVTA
IAKAVTSSTYFSGLASPSLSYDQTDNGSSRSLCNVSSTSSLGTSHSSGASFASAFSYKSRGSYGSFGSFGTRGRRRRRRQATKPVAVKIASGPPRVF
QCTFCTETFKTKHDWQRHEKTLHLSLERWVCSPDGPAQYCSDDGHTRCVYCGIPNFSSEHAEMHNQSDCAEKSLEERTFYRKDHLRQHLSLVHDVKF
QSFSMETWKVATPEIRSRCGFCGIVMDSWTTRVDHLAEHFKGGKSMADWKGDWGFEPQVLDIIENGMPPYLIHDERNSMNPFEASKEVASDEKTLED
KIKIGLVEYVHDAVMKGAAPTDVDLLIEARSIVRTADNIAFGKSHPEGSWFCDLILLSGTTEEKASGRPGSPNNSCIKGVELVNVRVASDFAPSALS
TCIKQRALMSFVERRQALGLTPTDSELQAECCRILEEHEHQSSYKCQPALVWFKYLVMASSCWLRGFRERSGLPRSSEILSEEVRSLDDKSIDYSIH
NHLRLVHELKDWVRFQTSLGNFPSDFELQNQARMIVFKNDDAWNQTAMDDPSMFQQFKQQAGLITIDSARPNMPEVSETTESSQASPKTLHWDLKNT
HMHPRLESVRTKNTHPILEASFPRQIMNQPSTNTNPTQPLKYFLNDANCYGRLVRELTRFVTTCISANNPNQHLPSDAEIQNQARWVIYDDDDPWNQ
TAADNAEWLIRFKRDVGLSSPSLGPGLPLTHPSWRIADGGTGFSPPFISPQVPPPAEKFPENVDVPVTIDHKTYNSESEGGIGDGRTAADDVELLRK
FKAMHGLSSSSIGYLGHQVPGMGMIGSDEELLAEFDHELTGMDFSTMDFTISRPASGTASALNSGSTLSSGGASPDFFIHHPQPQSHRHSDHQARPP
VSDHIQKQPLAQSRSKGAGPAPDYAELYHVHAATASPLRRRSSTRMAARSGFALGVSPPRTTTALCASSVGVGGLGEGEVGELVEIGEMEMGMESGI
GGSGGTESIGAANAGIGVMNGFSREREVGIKIEKEEPKLQNRRLFVCCDGTWIVGDVEGQQLTNVSKVARCIDYVDTWQPKKPMKGDMHREGDIMNK
KDETPNNQAIELIDASETDDQPTTEDAAKTNDGTEAEKGVDKIPSPRNFVQIVHYQLGIGTGTGRIANNLDAMTGTGLSKGIRAAYSFISWNCSGSK
DEIIFDWVLSKCIHRAVCCPIHRRSWTIDQERTTPLPQALQTMETPRTWRPSAGNPQIEICAVWDTVRAVLRRKYRTVCEIMPQNIELGIQALALGE
KFDLYKPMECDEGQRDSEKLLRQRWFAGNHRDIGGGNKDMTLANITLAWVIGPLTDKVEFDHCSFWAITTTRSWSKPSPTEYDREIFSDTCRVIATS
PISLRLLAPREEENDSKIPRTSLEVAKSKPSARDVFEGQILEKWAKHITCAHVNLKQGQPEASPQRGRRHSA

>RCO7_02769 | uncharacterized protein
MSSAPKNETKRSRGEFEDMIDFPDISSPTSAAAGEYTLPHRLRSGMTETTTSSGANAVFNETVQPVESQQNPASSLQLLPHRPKIVTTDEASHTLPD
GQVKREFLDDKSVSTENLRDEHEINQREVIGRHALKLQQRRARGKPAPIPSNYDILLQEELPTPEHEAISRCQISKHF
>RCO7_02768 | uncharacterized protein
MDHPKRQISHVIHLLTEGSPADQKDALDAYFLPDAAFIHPLCRVPSFSHFNLPLIGDVNSRWVIWMIYRWYKILSPRIVLDVECDEFNQKSSILFVE
INQIFSLFFVPFYKSNVHLTTKLKLVQSENDGKYYIKSQEDLYQMNEVVKFFWPGGATIIWLWQMFATGMCILGALLLAPITWIEQRHANQVNGVNK
GN
>RCO7_02767 | uncharacterized protein
MSATTHQIVRSAGIFHGLPTYNKDISGLTAIVTGANGISGYHMVKALASAPQRWKNIYCFSRRPPPEYFFDGLGEGSSRVEHICADFLTDPPHIGKI
LDSRIVHVDHVFFFSYMQPSQKGGILSMWSDADILADVNAKLLNNFLEGLRLSRLKPERILLQTGAKHYGFHIGPATSPSFETDARVTLESNFYYLQ
EDIIFKYCKDHCTKWNVVRPSYVIGAVRDNFLNHMVGIAVYASVQAHLNRPLEFPGDYIAWDREFCQSTATLNAYLEEWAVLTPEAGNEAFNSQDGL
PFTWSRLWPYLASWYRTNWSPPEPDTSKYRSTESRHKNGTPRGYGPSCVVRSTFSFMEWSERPEVVKAWQELSQKHNLLLDPFEDRGKIFGITDSAV
IGGWALSLSMRKARKMGFHGTVDSYESMFRTLHDLAKLRVIPRPAQSDFIEDVQV
>RCO7_02766 | probable MFS quinate transporter
MAGGGGKPQNIFKLNRGDDPKEVLNWRLWFAVVSFGIMGAARGIDEGLISGTLAKSNFQKLLGLDVMDKVQLANVKGNISAMVQIGSVGGAALAFIL
CDRIGRLWATRQLCCLWILGIVIFLTNGGRMGQVYAGRFIAGLGIGQTTVVAPVYLSEIAPKSVRGLCTCAFSGSVYIGIMLAYFASWGSELHIKKG
TTNQWVVPTTIHIMFAGIIILLSFFNYESPRYLVKIGKDDEATSNLARVRNLSIDHDHVIKEIADIQQQLHEEQEATLGQGWKGYLKEMFLMPNNFY
RIYLGLFSQLLSQWSGAQSITIYAPEFFALLGTKGQNEKLFATAIFGVVKFVAAIMCALFLVDVIGRKRSLGIGITLQAISMCFIAAYLTAVPQLKD
GESFTKSQKQASTAAIVMIYISGFGWAMGWNSMQYLLNAEIYPLRIRAISSSMVMCFHFVNQYGNSRAVPNMLLPIDEGGLSPAGTFWLFTVITMVG
GAWAWFFIPETAGRSLEGMDRLFTLKWYQIGRFGEDDANVQQAEADRYAHEKDNTTRETVTQIEKV
>RCO7_02765 | uncharacterized protein
MFGIDSLLEDRDRDIDDGNFDDISQFMDVAESSYTNDAQEIRTFCGDESSSCTSVVDSTNDGILTPTCTLDENYSEAAYPPVSFVTGVRRKISRSWE
KINRPDSLGFQNSMAHVGIEQEINRRVHAELLVRELAVLRREKQEWLRKGEIEKEEWQRKLEEEKEATRTIKRELESFKAAYMQRQAVEQALATPKA
PIRFKDAVGRKFSFPFHLAATWNGISELIKQAFLHVDVLGPHVNDGHFDLICSSGRSTGEYILPQAWEAMVEPGWQITMHMWPLPGMPQRVGRNVDS
TIPPPPPPPPPPSPLQSQSTRPDEMWPRKGGNPARSPPPPDSRPAIDAEKILIQEHRPYIQSLTLSPPRSRSANTASTSFNSPNEDEAITLLKTMIH
TKRIFIVGQVGRAGRTVIQVQVRPKQEGMRVLNAYGRLFVSEMRRLKDIGSSGGDEEVSKESERDWDEAGIIYTEFGKMKGWGFDES
>RCO7_02764 | uncharacterized protein
MPGIPLGHARRRGTVPIKKPQLEDVWHRSLYVLGLQEMNAPPPPEAEAEAEAESSTPAVPDLETASPIVSLTETSNTSLPAMPQKRIVFDDLPIETK
KEIFKHATSHDLITLSLVSKLFRDLAAERIYRNFHILFPDEDDPSNDYPYDCLAGGLETFATSDYNYGQYLKEFIVETESGGTKGTTACSAYTNELS
CGKFMNTLLLLTIRQAKTLERFQWDIRVELSRPVWRELHKIETLKHLHVRMQTGRSVYQPLAPLPNSVLPPAPGQTDSAMPGSLLHPLPPILPVPAG
SANSFPFGVQIAKIYLQPPIGKLETKTPPTFSNFKLLRTLTVVDMDSLEYLDELKECIQNSSTTLRSLKLSFSDALINSSRKPLPDPQSDDDSDQED
EFGQIIPPGHPPPNPALGASDPNGPLKILKAQEEKKRQEAALAKILGVEHAAPIPKPKLPSTPKTEPEKPKVEEDPKRRFIRNLAPVAAKLMGHVKA
AGNISDQAKETLAMIEKAAKLYLEATENKADATEEKTDNAPVSVGSSTTKSTPDSSSASTDGVEDAAIMTGAVGDEEPGLFDKPEETKVNPDVSNPE
DFDVEGPEGGELIMEAPEAGVEITGNEAVAPDTAAPEVLRNETAAIGPETELLSLLDGLDDQKIGGLDEQKRAELWKVLIKHRQMVSIVVEMEQEGH
AWAVKVKEFTARLESGAIVSDTEKKMVIEANAAIQMISQKVAQLSGSMNTVREHLDELKCRLRVPGALDSAMTEYVRNTRGLTLEALSIYMIPTKAS
VLSKGVDLHVLQSITLLNVGTQSPFWNLLGRENKLSPLPLHKIHTDNVTLPFLLCLSQLGRITELILMERISKDRVESNALKSTVTMDQIRKMVLKK
HAPTIRILVIRNDTISMDWGLNIKTAMLLCERAKNLEELGCSMSIRPIHTILQYMSDLPSLRVLHMISLHNPEDQCTWAFREFRKFIVDALCHTPAM
NLEYIALDQAVDRLVRRKPMPKPKTTKADKKGKGKEMNWTSAKALAELVMGTTAVANSTTGVWTENGKYDFPDSSDDEDGIVKTGLRVEIIDGIRFS
DVVDVRIFERDVLTGKL
>RCO7_02763 | uncharacterized protein
MPQAMHDLGKCFKQSYQRQEIFLEALYILLHAFPNDITADLGHIDDSINIVHVGRGGALKDLPRQLRQLDELDRRMSAIRRHEASSRPLHSHPKDTP
LSREWRSAAIMFAAKVLIADKPAASLIPLSLGLKVETPLAKDPLHDILRLAGDMEHGVKRKRTPHSRGYVTGSTSNASGKQWREHIETPSWLDPRSG
LVSQQVETSMWISRQQKYFALKVFLLTIILACLLLRLCVGWLWDGSLLEI
>RCO7_02762 | uncharacterized protein
MEPFETNNPIFQLVKEVGAEFFSQEISTIVSLGTGVSDGLWLGNGLVSVAQGCVKVATDTDKEADRFLDTHCTSSGIYEGKYFRFDVTKGLGGVGLE
EWQKHDEMWSNTLSYLNRAEQRELFDVCANRLRGGLNRDSQLVESFLAVGESGKVIEDGAGKQRERGKHRETKWIGESPNNGHDLGLAMIKGPRTTK
SEQSDSESKFFQLDRIGKQPVKYFASRSQLSKIQKAFAAEQKSSTTDVVALVGLGGSGKTQLMLIYAYTQRDLYGVVLWIDARDMESLLESFELAAA
QLGLLVPPTIAWDKSLPEQVSKYSQLANAIKVHDELRRRQQKWLLLFDEVDNLSHVRSTSILYPCRSERIRDSFITPRRMLSTCTKHDKRVKA
>RCO7_02761 | related to general amino acid permease
MFGLGRPAAAQAVAEAHMDFEDKDVGNKTFSTNVHAAFNPDRIVHDQENNLSRALSQRHIQMLALAGAIGTGLFLSLGGALQTGGPLGALLGYALVG
LVVCAVQFALGEVSALFPVTGSFVRHAELIVDPALGFAVGWNVVYGAYLSTPPEISASLVLLQFWTDKYAALWITLSIIITFLVAIVFVGVYGEVEF
CFALLKILLVIGIIIMGLVIDLGGVPGQERIGFRYWNNPGPFVAYLSTGSWGHFLGFWKVMINAVYSFAGVESVSVAAAETKSPRQNIPKACKRVFA
RVCIFYLLSILIVGMLVPSDDETLNNDAGNASTSPFVTAATRAGIKVVPSIINAVVLTSAWSAQNQCLFTGTRILYGLALKGQAPQIFLRTTKWGIP
YVCVLLQTAIATLSYMALSNGALTVFYWFLNLTAAGTLVSWSVILFNHIRLHQALSKQGIARQELPWSHSWTPYTSRAGLIACMLFLFTGGFTVFTK
GNWDKATFISAYLDIPLVILAYLGWKFLKKTRIIDLESIPIRQALDEMYENPEEPLPKSTGWKRLNILWG
>RCO7_02760 | uncharacterized protein
MPQSHFRRVPGNIVILLAFILLTIFFFRPHQQFPKFDAGSLKSYLNGTHPIQKLQALASDLTPECEAVIQSIIMTETQTEYTTAIETQTQTQTCPLL
PTPTPSLETPIVHPPPISSEDLTPEQLSIARLRTLGITLIIKTGAQEVSHLSIAIGTTLRYLDPSDLLIFSDLQSSLGPFLIHDALRNVDQALKEID
PDFAIYRDIRRYQRTGQDISELKEERAKGDGRAGWKLDKYKFIHMVEQTFEMRPGSKWYVFVETDSYVMWSNLASWLAKLDSSKPLYLGAPVMLGGQ
AFAHGGSGYVLSNAAMNKLLGEDQPQGLAGSWDKRMKQHCCGDLALAIALKEKGVDVQGAGPMVHGEKPATFSYGPGESWCQPVVTMHHVLPHEVSA
IWRFERRREVLEPLANETIFSDLYFHFVEPLLVDVRENWDNMAHGTTYSVEEREKQEIKWTEEDKEKEDEAEKQKPKEGEKEKAEADKKIKLLEEEK
LKNEKLKDEKDRSEKQKNDKTKDEMPKKEKTPEDKLKEEKAKEEKIKAKAKMAKESEAAITKEEKARAAEEAKNDKPKEDHQSITKRTPSNHPPQTP
LEAAAHLSFEDCGRACSADPKCFQYVHGNRACRVGHSFRLGKYAPPGKGDGIEWRSGWNLTRIRAWTGDKQNACTETKWPDWVVRG
>RCO7_02759 | related to C.jejuni serine protease

MSSANGANGMRTKRKQHPGTVTERPQKRVNGTESAGDNTPEVADYEDEAMEVEEIRVLPGLADTAEWQACVEKVVRNVVSIRFCQTCSFDTDPALTS
EATGFVVDAERGYIMTNRHVVGSGPFWGYCIFDNHEEVDAYPVYRDPVHDFGILRFDPKAIKYMPVAALILRPDLAKVGSEIRVVGNDAGEKLSILS
GVISRLDRNAPEYGDGYCDFNTNYIQAAAAASGGSSGSPVVNIDGYAVALQAGGRSDGAATDYFLPLDRPLRALQCIQQGEPITRGTIECQWMIKPF
DECRRLGLSPEWEGAIRKYFPKETGLLVAEIVLPEGPSDHKVEEGDVLIKVNGELLTQFIRLDDILDSSVDGKVKLLLQRGGEDVEVEVTVGDLHAI
TPDRFVSVAGASFHNLSYQQARLYAVACKGVFVCEATGSFRFESTDNGWIIQTVDHKKTPDLDSFIEVMKGIPDRSRVVVTYKHLRDLHTLNTSILH
IDRHWSSKMRMAVRNDETGLWDFTDLADALPRIPPVPRSASFIQLQNPQHPAAADVVRSFVRVLCTMPVKLDGFPRNRKWGMGVVIDAEKGLVVISR
AIVPYDLCDISITIADSIIVEGKVIFLHPLQNYAVIKYDPSLVDAPVQSAKLSTKQVVQGQSTYFVGFNQNMRIVIAQTTITDITAVAIPANSGAPR
YRAVNVDAITVDTSLSGQCGSGVLVGEDGTVQALWLTYLGERSPVTNKDTDYHLGLATPTLLPVIQQIQRGEQPKLRMLSVEFSAIQMSQARIMGVS
EEWIKKVSDDNSSRHQLFMIRKRTFERSGDENTDTLIEGDVILTLNGKIITRVSELDVMYDHEYLDAIIIRDTVQMNLRIPTVSADDLETDRAISFC
GAILHKPHHAVRQQISKLHSEVYVSARSRGSPAYQYGLAPTNFVTHVNGKSTPDLQAFLKAVIDIPDNTYFRLKAMTFDNVPWVITMKKNDHYFPTM
EWIKDPAEESGWKRVTYEQGKVILGEGMEGINVIAADNFEGEEGGGVEVVGI

>RCO7_02758 | uncharacterized protein
MKHEGAAAVRAPRGTVCGKEQSTPRKRKPANDDDDEEEEEEEEELDTTPLLKHSKAAAAKQELENKLREEEEGGSSYNSYDSYDFYE

>RCO7_02757 | uncharacterized protein
MQLAGSLIRRGLEAQKEHGDKINIPRWGAVMLVTTAAIYMFTMFMVEYTFGRVIPTLVMIESPVDTISFEPLPTDKSTVTKDPEQPPKRALITSSIR
QTARHLGGFSSRFRGLGIFIVNALAVQWIAGMVSVVPMIKILPGVADIIAVVLCAQLSLTWTHIVMSENSPKTWYRRLAPVKMWKKVAVPTAVFALA
EQLTVYIPMYMGVLIGLVDEDAQQMVDLTSGQKTAMSIKAVGVLALGLLLTFFIVIPANVTLTRVQASLLAETEETIVPFDRSFGGKVIPEVVGGTG
MIGMLDAWKTFDWAARVRLVKTYLKVLGMQVAVSFLFTMVLVSELFIIAGRDWSKLIPENGGNKQGL

>RCO7_02756 | related to protein disulfide-isomerase precursor
MADAEPPMMSLQARIAALNQQSNSNPMIPSPTGIRPPPPPPPANRPNLPTRHTINNPPLPTYGSAVTKQVNNQPLGARGQVLLPPPPVDRDQPTTAK
QPPPSLPVRNGPPPLPIRKASQPSPALPPRKSSIPLVPGTQMVRRGSNSSTLSHSSTVSGVSLGYGSSMTSVSSGENGRKLPPALGEAKLPPLPPTR
RETEEKNRIAKERDNEEKSRVAEEKARQREEDARRTGKTNVRATPVVPVRPHQITAKSTPELPMRGNRMLEAPKLPSRPSGPPRFPSRSCSNGQVDE
TPPQAARRLPPPSAATKSILQMGFGNKQKETPYPAPRPAPTLPTSRPGPAVIELDEGNFHSAIKGKFALVKFYSQLCQNCTEIEPHYKELGRLFSFA
SDRLIIAAVDAKKYPKLTYDYRFDIFPGIFLIDQQGKSEKYIYGRELEPLIKFVEEGTGIKLSDATKTKTNGVPPPIKMSSKPTARDVQSVQSRVAG
VPSGCLRCRDFSAPDEHSTKFPRHSLPRSHDLTGYLADVLCTPFSSATDKARVIFTWLHHNIAYDVDAFFGNRVKHVEPRDTITSGLAVCGGYAGVF
SAIALKAGLEAVMVTGHGKGFGYSPTKPGEAPPPRDPSGHAWNAVRIDNGEWKLLDPCWGAGNVNGSVYNKDFTPSQFTMSNEAFGLKHFPQDDAYF
FRKDRRIPTWEEYMLGPCGEEPLQVFSDGEGKNAIDITSFSPPQKRIKVNTNETIRFQFSKVCEHWDDNNNHLGKPYVFILSIKGQDGRKEDYVPFE
KNEFWYWCDVKARDLGAPGQTVGIFTVNFVEGRDARGLSTEEYMRKMGKVAMGPFGGICSWDLV

>RCO7_02755 | related to integral membrane protein PTH11
MSIYSSAPAARAFRDDKATLLVCWWCTIFAAVIILFRVCGRYIRTEKLFKEDWLALGCVIPLFGRMALVHVILLYGTNNAITTGLSDEQVRHRVTGS
RLVLASRILYAATLWMLKFTITEFFKRLTINIWTRSHERMLQIIRWVLLLTFLATIVADLAECQPFSHYWQVVPDPGGRCRQGYAQLLTMGTCDIVT
DILLVVFPIPIIIRSKMGMKRKIQLVLLFSASLLPAGTTMYRLPNILNRHGSQQYRSLLASVEILFATAVANALILGSFVRDRGVKKQRWKFGSMSD
SVERTTSRRGTVIRHWGSDEDLVRDLGMSVDPELRRATPTPRPAPMAVAGNIPVKAHRLVGRDWQFPGERSDTSDEIDMIKNGEAHSPGDISSILTP
RKVSFFDVGGLLDGDQPRRGSSMKTDTDGESSVFGTLSTTWSHEQGLSPPPPRRGSSALLQDIGGLLGPRRADRNPSRGYELQTIQQEQSPHLQPVN
LSRQKTNHSLQDVGGLLK

>RCO7_02754 | related to formamidase
MAHSFHPSQYPPEAQSPSTSSTVANNQITETSTATDVPNLDHTLADPAIGPVYITGASPGDVLKIEFLDLKTALFGWTAIFPSSLGLGLLADEFPDA
QLKIWDLETHREEGYTVFKEGIHVPIKPFLGVVGLAHEENGQFSTIPPYITGGNIDCKHITVGSTLYLPVKVPGALFSCGDGHAAQGDGEVCGTAIE
TPMKATVRLTVEKGKDWVTSPHYLTSLEHSKHHAMMGNKGEYAALGIDPDLREASRKALRGLIAWLVGEKGLTRVEGYMLAIVAADLKIAEAVDMPN
YAMRSGLNHSNLNPKLGTSFDTYSLMRGRFVYRSYGEWYMFDEFMTEELTYLQKLSSGILDEVSCCLYRRLPGMKLLTRASQLNNLRTSSMISLLSA
CMANWDMFGHETGEVHNERDHNSDMSRFWDGKQKYTPADDT

>RCO7_02753 | uncharacterized protein
MCFLVTFETLARSQHADLHRTHQKHSHTSIALFPQEVTQETQTKTSPIFSKFSDLTSAKLSNLALQLLEELRPKYPEHVVTYADPSSLNLLSFAYAG
NATATLDLGTESGVSDEMRAWTQPPGREKRGCLAEARGFAKYKYRWGQEYFILYRVVVGYSNTQFVLKEAGPGVTRSSPSREADTLLAQVGHWVILD
PGLKEELKSVSSRFFNSKDVYADLGVPWKRGLIFYGPAGNGKTISIKALMHTLADHKDSIPTLYYISSYGPYQIRIRPRSHNEPMSPDT

>RCO7_02752 | related to Oxidoreductase, short-chain dehydrogenase
MGNAISQMFPPAAKFTEKEVPDQTGKVFIVTGSSSGVGKELAQILYAHNAKIYIAARSSEKASKAIESIKTACPNSKGSLEYLHLDLDDLSTIKASA
EEFLSKEKRLDVLWNNAGVMRPPQGSKTKQGYESQLGTNCVAPFLFTKLLTPILKSSARENAPASTRVVWVSSSAAEFVSPKGGVDLANLDYKKDQS
AMHKYGVSKAGNLYHAKEFAKIYGGDGIVSVALNPGNLKTELGRYNPGQNLILKYILHTPIHGAHTELFAGLSPDVTSEHNGAWIIPWGRFGPLRAD
LEAGSKSIEEGGTGIANKFWDWSEDQVRAYL

>RCO7_02751 | related to tubulin-folding cofactor D (chaperone)
MDAPEVEQDIQLEKAAPNYLADLGQSLPAFLRRNGKVRRNVRTSETERLVSLLEPFQELPQLLDPHLAKYVPDLAKALLEYLRAPPSKKPTTHLLIP
LSQAICKLLYTFCKIRGEKVIVQFFGTETRDLELLLSAIEKGTSWDWEERYITLLWLSQLLLAPFDLASISSQEAMDVELNIPGLNCPPNVPTVTLR
VISLAISHLSSSGKERDAAKILLVRVAMRPDMQQIGVLRSLVHWAISRLHPSAKVGGSQYFHIGILSFLAGMLVSSAGTPDMITYLSEIFAITREQD
DLPTTILDTIRKSAVSRKIIIKIFRGIALLDLASKEIERVQTIIGDLLDFLEDDSTPVRLAASKTLSIITSKLDSEMAAQVVDVILDTFSSTYRMTG
PGQIRTDLSDVRPSQWHGLILTFAHLLYRRSIPPGSLSRVVEALHLALAFEKRSVTSASSTGINVRDAANFGIWALARRYSTVELSEIDPPSQHLLR
PSALQRLGTDLVVAGSLDPAGNVRRGSSAALQELIGRHPDTVAAGIQVVQVVDYNAIALRSRAFQVAINAAVLSDHYLDGLQKGLWGWRGLKDPDPA
TRRTAASAMGRITLLQSKSTSLLKVLSERVVELGVGDGVERHERHGLLLCMASIIELASSEDYSSHVMTVFDFVETKWSKFREQSLTAEACCKILIA
AISLPVENVRWFSVLSSLLEKFMPLDDPGVISNAAAKLMAMAIGVSGVDATPLVESYIAKAKMGGAYLNVLFKIFPLSEKLQSKIINTIHTAWATWD
SRVVILRCLGSSTLMHTHLESVKKLLDEGLDDFKITAQGDIGSKVRIEAVKAITASGTSSRFYGCVMRLAAEKLDRVRREGAKCLGLEHLEPSSEAY
FRALLNMQLCPTWNPEWSRTFLSGYVTSVNGASDISLASRHALVKYIEAGNPVTLPRSPAGLEASAFLIDMGLMQRFPSRNVKCCTKEKLVAMLLHQ
YPSVRNSVADELWELDGVRGVDWTKGTKEDLERVRRDLASARASASGS

>RCO7_02750 | related to endo-1,4-beta-xylanase B precursor
MVSLGSILGALFLSACSLATPATAAETQNETHVETRPVNAVQYWVNGAGKVDFVNGPGGQWSAKWDNPPGGDFVVGKGYRPATDMLFNYSGTFDGEN

GNAYLGVYGWSIDPLAEYYIIESFGNHNPSDNIYAIGPLGTFQSDDGTYEIWRKPRYGDSIVGIASFTQYFSIRTTKRVGGTINTGNHFRAWDAVGL
KLGTKDSFLMVVEGQQGTGSANITVGLPPKHPVPETPTDKRRTAFPGPTSTATTTSQHSTMTTTSRPEPTK
>RCO7_02749 | uncharacterized protein
MSKTQDRLNAFYGIDNLITVDIKMPEDQWASLMACEPRGGICNFEYAGGPRFDWYKASSVTISGTHSPKKSATFKDVGIIKKSYCGSFSKTKPSVRL
DFASNVKENEDVVEKLIGTKSITLNNCKQDPTYIRQPLAYELFRHAEIPTPRCNFANMIVNGTDMGVFVNLEQYKKQFLKNNFDGNDEGNLYELDAG
DDLDAAVIKAEKISFESGGDEDQKDLLVAAEAIASDGLTGAKKVIDYNAFIKLYAMETIMKHRDGFTVNTNNTYLYNDVRAVDNPTIKDINLKFIPC
GTDQLLREVKDFEMGSKAILARLVLDDRKAKADLLSAIRTFATTIFSKSNHDKVVKPYIDRLEALVACAGAMPEAAINSLRHEVKLVRSGAYQHLGE
IPTDGTVFVARISGVCIPTSNSEYIPEPTASTFGRDLFKTGYFTLKCKATGKYVTFGAEKEVIQVEETAQAAQFYLY
>RCO7_02748 | uncharacterized protein
MHSPLVQYLLVGVAAIGVINEATASMFGSAIYSNNFGRPGVNANYDYVIIGGGTAGLTLAYRLTENSNVTVAVVETGGFYEQENGNLTIVPGYRAPN
LEGSLTNWNFTTAPQPQLENATSLYARGKTLGGSSAMNFMAYQRGTNDSYTTWAKSVGDDSIPGPLALL
>RCO7_14029 | uncharacterized protein
MNLGPIIYPSSYIIFSTILVVASKSGDYDIASRLPNYINTKYTILSELLPSSEAKDAELNQGDYYYIISRDLSFKIKELNSIIREFAKKAIFKTTIS
NTKGKRNLPSSSEIALDLDTPGLSLKKKARKISYYTQSTTKATLADLSKELDIVVLVLDIPDLLEAPENLEEKTSKVGVVKEVEF
>RCO7_14023 | uncharacterized protein
MVLVSRGITIQYNSSSIAFRSKARNFPNTYYIIIEIRASGVFKASILAIEFRVYYYTRSISDYEGEKPRVEALRQIYVLVLAINLVSKLREFSSFKT
TLGNNYNIIVITILRAYNSEFYGPLVLLELGGNLT
>RCO7_14030 | uncharacterized protein
MPEYVPRAIRSGCNNPTPNSTPKFHYLKKYKRVLVSIDSLFIQLKKSLYS
>RCO7_14031 | uncharacterized protein
MIKALKTDSISLVYLYSGSKLNKLGGYLRSSILYTSKEKEIYIINKDLFIIKETSGVSMKFIELKTRRTRFYVLYKKGRPIRKVNTVSAYARPARSI
DKIYIDIVYLKPKGLNNYSYASIFLCAYSTRKILLKESTLYTLDKIEELNALYLRLSRS
>RCO7_14032 | uncharacterized protein
MILDIAQSASGESSLANIPTLLLLEEVEEVYFDNSNSIKESLESLLQISRIVLNTRTRIAVKVDDSEIIVSRGAESSALAPEPT
>RCO7_14067 | uncharacterized protein
MDFTELLLDEGGYDTAFIIIDRLSKKLVLIPYYKTIIAR
>RCO7_14033 | uncharacterized protein
MSSTTGYQTSLAVNRAQNSPDYTINIEDLPIIFKKGLFSKTFEVPNIDPTGPRLVTLKCLYKGCSKVFKNQRVNHSTSNYIAHYKTNHKAFNIQRVL
MQLEPESNTSDLEEASSQGSSSTQATITQAFSSLRGTKRPSSRNKEPFNLKKYLYLLIRFIIENNLSFRSISSTSFRELTLYLNEQSPLLYKKVLYD
YLSSIL
>RCO7_02747 | related to rhizopuspepsin-2 precursor
MLFVSPIIVAAAISLVSASAIKREDVPAVPLVRKSNVKSLRSLVQGGRSRIAQINAVDDDTLDTSAIRSGAIANENIYYAAPVTIGGEIWMLQMDTG
SSTTWIGAQKTYTKSATGTWTGHRVRVTYGTSTFSGVEYLERVSFAGLTVNAQSIGVATYPGDAEADGFLGLGPLPAKTNVVGKTNVPTFMNNLMAQ
KSIQTEVFAISFRPLVGARNSEVNGELTIGGVDPSKFKGPLTYFPRLKSGRGSLYWGIQVTKFSYGSTVLSAGLSTGIVDTGTVITWIPTVAFNAFV
KASGAGTDNDNEVPDWVKKPTLDLGITIGSTTYTLTPDQYLVPAAQYANLGLVPGKYYAFLQDGGSYGVNTILGQKFLEYYYSVYDKTNARVGFAAN
S
>RCO7_12021 | uncharacterized protein
MGIDQDSKATGAEYLDGDADFFPAMDSTLEGLNRGEYEGLPLPPPPPNVPQVPIAIVGIGCRLPGGNSSPSKLWDFLCEGKSSWKAKAPEDRFNWDA
FTHPTDPDFDGTFQIAGGHFHGPDVDLSRFDAAFFGLPQSEARVLDPQQKLLLETSYECLESGGIPMESLAGRKIGCFVAFSMGEYGKLWDKDLEYH
QNYHAVGTGEAIYANRLSHVYDLAGPSMAFDTGCSGSMVGLDVACRYLSAGLIEGSFVGGTNLTLIPEVLGRKPRLLSKSGQCHTFDSLADGFSRAD
ATSIVYVKRLDDAIRDRDPIRAIIRGSSNGFDGKTPGILMPSKSAQIENILQAYANAGIRPQEFGETAYFECHGTGTPTGDPIEVDAIGTVFAKHKS
VAGPLLIGSAKTNLGHSEAASALTHIIKASLILQTGLIPPTVGIQNFNQDINFRGGRIKVVQELMELPKDSRKRISIQAFGYGGANSHTIIEAAEDH
ISPRQMEKCAFRYSQGRLLESQTRQEIKDQDENASSRPYLMLLSANDGHSLTESAHSLRTHVMESPSLISRLDLAYTLAVRRSKLFHRGFSILSSHA
PIETAFEADAITSAKREHMAVPRIGFILTGQGAQRPRMGAALIENFVSVRATLSRLDKYLAELPPANQPNWYFAAELLKAEGESRVHEPSFAQPLTC
ALQIAVINLLASWGVKPSAGVVGHSSGEISAAYAAGLLSERQAITIAYFRGFSITDDLQKEDKLWADAGMLAVGLGNAAAHEHIKQFVAETSSGSDL
VVACDNSPESVTVSGAASALDALAQNLTAKGIFARKLRVTKAYHNPTYMGRYSLIFKDALTASGTFAPAERSGKLMPLRKESVHPPAPAPMFSSSRR
AARVQACDVQDPEYWRCNMEGAVLFTDALSTMLSQTGAGPQILIEIGPSSALKGPVRQTITAASNAGALRPEDVPKYIATLVGGSNAAEDVLRTVGH
LFMLGCPVDLEKVNAVERERERERHGHGYEHGQGVVTHESGRLIVDLPNYSWNKSRAVWNEPRASRNHRFKRFRRHEILGSRVPDDNPLVPTWRNFLS
LSNTPWVVDHKLNEDIVFPAAGYITMAIEALRQLAIVAAENQSQNQNTDIGNVEIEAFELRHIHIKSALVLNVATNPEGGVYTFTTLTRENADSRWY
SFSICSQPPAPSDRKPGRLSADESRIDLHCHGQIAVARRRVQSSSIVIRDLQEGSKGWTGNQVSGRTWYSHFSRIGFNYTNTFQVVKSIRSPAAECQ
PADAHPAAETILNLPDATTLRSEYIVTPPIIDGLLQALLATSAAGKPGALRDLAVPTKIDGLYVAAPTAASQKLACYSHIIPEVQDSEASKDGFLGS
AEAFDELDGHLVVAVDKLSCTKINQTSGDNVDSTHVHKVVWKPDLSLLGSFELEPEHGSLLDVLFDLLGHQDPASTWLEIANDHSNALVATQALNIL
APGNGYPRTSSYTIAAKEDDITLSELIEKLQNDHPAANVSFKSLEIPSSGPSDPSTSQYDVVVARIPISFAEVDILSWLRSIQSQVNSGGSLVLLQE
QANQHSYVPSSDLRRLIDTLGLHVDAEFSSTSPHRAEGISKAIILKPIDLSAVPNGSNEASKASSTSNGVEEITRTLSSILSGESSLSLEPSYIHTP
DAIVVLATLHDPDLLANMSSSTWELIKSLVAEGVSAAKPVIWLTQRSQVDALGPNRSSFGPSGAMAVGFSRVLSKEEPELVLLTVDIDASTDPSTIT
ERLTRLAGKVTGIYASAEREFAIRNGIVYTNRIVPDVSVFKELHPDQEPEDTGIYALTSESAQGDSSTADGFEWHLKIRQVGLLQTLAFEQTLPSEL
EQPLAANDVEVEMRAVGVNFKDVAICMGILPHKNFGLEYSGVISRVGSAVTHLQPGQRVAGLPSLHQGAYRSLIRAPAWLCFEIPASMSFEEAATMP
CVYFTVIHSLIIKANLQPGQSILIHSGAGGVGISAIQIARYLKAGQIFVTCGSEEKRKYLVGVMGIKPENIFNSRNDSFVHDIRRATNGRGVDVVLN
SLSGDLLDASWSCVADTGNLVDVSRVDFLKRHRLQMQMFCHSVSFHAVDASQVMTFPDQGGRVTTILSRLAKEGHATPIKPMQTYGLDEIEAAFRLM
QSGRSHGKLVISRKVTEGKRVKIQPCQVSEMLSFPSNATYLLIGCLGGIGRAITRRMFDKGARSFIMLSPSGDSKPAAKELVSFLRSAGALVTVVKG
QVERMEDIERAISTVPVDRPLRGVVHSAMVLRDAPFSASTPSDFRAVADPKVHGAYNLHRATLSLPDPKSVDFFIMLSSVSGVFGQFGQSSYAAGNT
YLDALAAHRHQLGLASSSLDLGFVEDVGWTTQNEDLDARMAAMGILAVRVKEDELLSLIELEMRRYTSTIDVKKGSSQAQRLLGFDCPAQKIFGLTS
LSSRSPKSYAAPRLRALLHSGAGGGQSSSAVQQSGPAAILIQQLKIKSPAPSLLTIAPPALEALLQKMSEFLLVPVEDIDAGRSPENFGVDSLVAVE
LRTWLKDSFGVGASTMEILKAPSFRSLAEVVAKKLIDKVQVDAL

>RCO7_14016 | uncharacterized protein
MDRCDSDIFQEYRTEFVRGTCRWDILASTRLAKGPPFVGVYELHCYRNTESIFSLDYGMGTISGTCSKLENVIAGNRVAEAHRTLYGVPHLASLTCK
ASPLSISHNPYSPSGKGNPDLGLILKLYRVEATAGYSLSPEAQIQGESEEQSTFEQYLQKRSTTCGSTAIVSPLYVSEEEDNPDLLFPTHTRVFAVQ
DMHLLPRLSSKIKVSFLLHLVIHMPCSTLCNHD
>RCO7_14034 | uncharacterized protein
MECKAPYIHAPVLVRYCTGSDTSSAGIPVNLGPVIYPSSHVTFSIRRAFISSSVDSSIEASSLKRYYTPFKLAFTEFRVRLTLILSYRRVVKLN
>RCO7_02744 | uncharacterized protein
MAGNPAPAITACHDRPTASCREDSSVMFSSF
>RCO7_02743 | uncharacterized protein
MPLLFARDISLISGFLKSNSPELEFAFRLALFAPFLGKTFRLVRPKQTRIRKFPYLPLVIHILCAPAQFLRYYGSYIQTRNLPVPDRLDLLFSGLFS
LTSFILICMRAQRHSNITRTVFQTTITQHGVPFILGYYWGDARLFGLSVRFMSLFSWFRVVHRVLPRLLPVRFKGPGKYVVTYDAAIVVGTFISLWE
VGYPAGAGIFAASVACLMWLERLLALRVANYPQTNFVRRILIATGIVDYEALTGKGPDAVTPDMWKETDSSKAKLQ
>RCO7_02742 | related to citrate synthase
MNLNTTDSLSITDNRTGNTYDFPIVNNSIEAVSFKQIKCSPEGRHPGDQFENGLKLFDPGFQNTACMKSQICFVDGNAGQISYRGISVPDLYLSGRP
FEHVAFLLIYGHLPAADEATAFQESLVETPLPPQSVFDLIKTFPLESHPTTAIASALTAFVASQPQKIPAACGKNIYKGNMTLVDAEVPQFLQIYAI
LAAAVYCHLQGRQFEPPRQEYSYVENVLHMMRFLDENTGKPDSRIVNILSRHWILTADHELTNSTAAFLHAASTLSDPYSCSAVATLSGTGILHGGA
MEVSHKQMEAVGDLSNVPQLIEDVKSGKKRLFGYGHRTYKVKDPRARFIHDLISEASNFSKVAKDDKGLQIALEIDRIASQDEYFVSRDLCANIDLF
LSHVYNAIGLPANFILPMSLLGRNPGMIAHWREAMSDPKPRMWRPLQIYSGKVPVAED
>RCO7_02741 | related to taurine catabolism dioxygenase
MAPSSTTESGPVPVNGTPEPFSGSQEWSLPNSTPSAVPQPATESRGNTFIDPELLLGHKEPLPYRGSLDEFESFDVTPISGREFPQASLAQWLRAPN
SDELIRDLAVTISQRGVVFFRAQNEMTVELQKELAKRLGELSGKPSTSGLHIFPFVYGAEDRDKEVTIITHEDKPIEKGKVHARLQDPKTTPPHKMW
HSDSTFEHVPADYAVLRFEKLPSTGGDTVWASGYEVYDRLSEPLKAFFGGLTFTGGQPAYHKKAATNGTPYYTDQRGAPENVGKHIRAIHPVVRTNP
VTGWNSIYALGHHVEYINHVSPAESTKLLEWLHDIVVLNHDIHIRHRWVNNNDMALWDNRCMVHTATPDYLGKGLGDRKGCRVMSIGERPYHDPSAS
GRAESLVL
>RCO7_02740 | related to 2-methylcitrate dehydratase (PrpD)
MTTIGKTRSNNLPDWDQLIIEIKDYVFHYEIENATAWKRSREILLDTIGVAILAVKTSAECKALLGPFVPGVQCPNGFRLPGTSFVLDPVKGAWDMG
TMIRWLDFNDCIGGVDWGHPSDNLGSILSVSDWLSNAQIPRPAHAPPLTIRTVLEALIKATEIQGAFNVLNSFNKLGMDHTLLVKLASTAVVSWLMG
LSEDETCAALSHVFMDGGPLRIFRAGSNTIPRKAWAAGDACMRAVQIALLVKNGQPGARTVLTMPRWGFYENTWHDGEFKFPRPDPAHPATSSKMPG
SPFQTYVMERVAFKLVPCEGHSLYAIEAMQQQSNRLRQRNLDPDKDVASIVLKACRPIVLILDKPGDLNNYADRDHSIQYVLGVTLLKGEPPSTDDY
RDESPWASSVALRDVAKKMRVIQDEGFTNEYLSNQRSDPSPPVASVTIYLTSGEVLEEIISRDCPGVPKNPTTSDGVMKKFRKNMNIGNFKTGTVDL
IEKMVLEEESRSASDLIDLLVQ
>RCO7_02739 | related to MFS multidrug transporter
MADTKPELTQTNAISEDDYSIFTPGQKLAIVLVVSVAAFISPASAYIYLPAMGQIGKELGVSSTAMNWSITTYIICQGIAPSLMSSVTETLGRRPVY
LLCLVIYIGANVGLALQSNFVALLILRAVQSSGSSSMVLLGTAVIVDVSTTAERGKYYSIGTSATVLGPAFAPALGGILAEYLGWPSIFVFMATFAG
LVLGSMLLFYPETSRHIVGNGSRPPQIWNLTLRQWCRQRSKIFKNESTLQADDRTSLKPAKKHGFSNPLKSLVLLFDKQTGLPLFYTGLAYAAFNFV
ISSLQDLVSDIYQLNTLQVGLCYMPLGLGGAMSAVMLSRLVDWNYRRLAREHSYPISRTRQQPIGSFPIEKARLQITLPMAWLAGMAVAGLGWSLQT
KLHLAVPLVLLGFIGFCNTGTINVMSTLIMDLYPKEKATSSTASASINLIKCGMGAAASAFVLPLTNAIGIGWGFTLMASVWALSSGLLFISIRLGP
HGRMKGRTH
>RCO7_01992 | uncharacterized protein
MATWDPNQPRGRRTRVPAPGIFVGVEFGISFSNRGQPHMASLGYTSRRMQERLQRQRRQQEDHVLQEREHYQRPWVADFERPHPSLLMPGTGSNRNE
QYSWQSEYLEDQPRRISAQTHNSRERGSSAPPSLSDHSESPTSPVSSMGTYSQFGPLQHTSSMPIGGIQDRLERPLPPLPSQFRLGEDGLPWTTEPW
YYESEPESEYVSRVMAEVEQEHRRQEDPQRVRDLGALQQAMMTVDSLPYEEAWIWDSPGEEHQGPRSLGWAVRSEDLRPGMSPRRPPPYVVSQFEQA
ITRSVGMRPRSSG
>RCO7_01993 | related to Rtm1p
MEDGKYVDGSLWFYAPNKGAPVIFAALFLVSGLWHAWQCTYYKSWKVSGMLPWSALLFVAGFILREVGAFDYDNLEIFISSLVLIYAAPPLYELSNY
FMLSRVLYYVPYHSPIHPGRVLTTFGALSIVVEALNTNGAINVANTSLSEHRQTIGKNLLKAALILQLGILFVFVVLAGFFHRRCKRANLLPENLHA
ALVTLYISSALIGVRTIYRTVEYFTVSHLNVADVHADTDLSPLLRYEWFFWVFEGVLMILNTFLLNLRHPMRFIPRDNTIYLAEDGVTEIHGPGYLD
KRPFLVTLLDPFDIAGAIKGQNMKEKFWETHGHSQSSTDRNGVQYTMSEAERGLSASTK
>RCO7_01994 | uncharacterized protein
MSSSTEPPESTGRMFQAITQNTASPTFTRTHTNDSRVRRPITAGSALLHNGTHNIHKETRRDPEFDVNLPYRTKTNEANLEEHTKENAAGEIDAGVA
VPNGKGDYKLVTFLLHDSENPKNWSKVYKWYITMLVAITCFFVALASSVVTADIIGVQKELNQHHLTKG
>RCO7_01995 | related to TRI13 - cytochrome P450
MLAAFVVLGFGLPTFLLLIVGLAVSSYLVYCKALPVPLPGIPYNKEATKSVFGDMLAMVKHVGATKELLVWMTSHNIRHQSPIFQIFARPFARPWVV
VTDFREAQDVLLRRSKEFDRSKFFGDIFLGIIPKHHISMKSDDEEFKKNRRWLQDLMTPAFLYQIAAPQIYISCIGMLDVWEQKSRLAQGHPFEPTN
DIYNAALDAVWLLVFGADSSNSTTKATLEKLSPLKSLNVPVDKDTGVTFPHVPLPACIGAVQEVAHSIQVSITSPSPVHVHWVIRQLPSYRRATRAK
DDFIRDEVEKTRIRFEVKSEKDLDVRCAMDGIMRREMMACEKEGREPMFHSRSMYDEILGFVVAAHDTVATTLTWALKFLADNPEVQTKLRAELFAG
HANARSENRRPTTAEITKSTIHYLNAVQEEIIRCSITVPAVVRTATVDTEILGKRIPKGTDVFFMGNGPSIFSPAFPIDDSLRSQSALSAKDRVGSW
DPTDMSQFNPERWLVDDGNGGKEFNASAGPLLTFGMGPRGCYGRRLAYVELKIFLTLMVWSFELEKCPLDLSGYAAADVLTHTPQQCFVRPKKLA
>RCO7_01996 | uncharacterized protein
MASTEHDHRNDVMPSDVPLGREISDQVPSPNPIEFSPEAHIEERALQKITHSAPEEFPSGYAPQDHTIPDIIEPSPAVASLTTASITGPLTSPARKW
LTFEGKAGIWQYEPTGTARPKFVDKKAVSRLNDTNEETLLKAIRVGDEEFVATLLDQQVGSEHQDERGRTALLYAAERGSDMIVRMLLEYGANWNVA
DDSKRTALHLASFNGRDKVVEVLLQHSRIGIEKKDDQGNTALHLAARSGNEIAIQHLLYRRASVQVKTNLGNTPLHLAAKKSLVAVETLLRIVETEV
DERNHVERTPLMQACDRPSDRPPSEESENIVKLLLNQRNSADPLARDINGETPLSLAASSGNTAVVKVLVDNGADINTLNIDGNSALFGPAKFGHDE
TARILLDCGIDSRIINNDLPPGRTALLESARYDKFKVALLILDKWAQNTLESQDLIQSALFEAALYDSSQVARLLIERGANISARGTRSNKTAVEVA

KLRGSQRVVALLLENGGQLFSQGPSLGAHVQQISSEAGISLLPPVDSGVDLGFGFKSTIVSFSFDDHENFAMARPPVQSVLYDHNPEAITTGLEAAT
NMDSTSKSFRWLHIPGNNPSWVNNLISRMYKECKAPEEAAYYQKKCKHLFGEEMWSRHQYQMSSTSVAHRRFIRPICQQVPMSKTDNSNMMMVLPYF
HWETTEGREKMTDVIMEAMKDCIGDISPFATTQLKGLTQALKELERARDPDYQDEQSSDSESGYMSSSYLSDSAVSMKSSDRRSKRSRRSRESEAPA
LEIRHDWIDPSEGAKARTPEVVFIRPEEERRKRRRIEKVIDIARTNRSADDKLILSYMFHETAPMHFRRTLDREFLMTTHQQSFATIRYIILGSLEL
RLTCRRDVEYYYYTLPTTEARDKDQVITRYFEKTWPGDDKLVLMVDQLWLWILDNDTVVTSFPQRWNKAGKPGERDPDPSNASDIVEGILRHVAKTD
RRPLESAFDLAELIASKCVGTMFEHPDVANEKLRFSEFFEISIGNVTNEESKMFDEFTDLSERLATGDNHTADLDMLFNISRETKLIKEIKDIRDEL
YIISTVLYDQERVLVDMDTTVRAIKHGKIDEAAESKENYSGSHQKARKYHSLVESVRRHIETVKGLDKQAEKTYLSLNDLLDLKQKQANVSEARSQR
QQAQETARQGQTLMLFTVITVFFLPLSFLTTFFQLDIADYVRNGQGQLSLAYVSEITFPITALVVTVSLFLAFRINPAKIAKKALTSTWHILIKATG
ILLFLLVLPLIFILAFAFSSKGGRRNSRMHTGEEEETYSRYGRSSVSHYPRKSRNRRSTRMSRMAVAMASVAGLIAIFGLRRKAGTRDRRDPMEVIE
EGRCGRSYSRGEKHDAEERSRSRLRHSFPPARRGSVIIVEELSTASRRAARRGSHSHAAPPKNGLINTFGAMFGILRKGTERTETVEQWYGFHPAPK
TQVMWPPWAWFRKKPDPTRRATREIYVHRPKRKSGLGQRLAGLLALAALCCGLSRRNPPRRDMSPNSTSYQTWSTRISNSGTGIEPRVPIKIGVWKR
VVAWLTAIWGRLLGIFKGKPEQTGAGSRSSDESGSTRSVRRRRDSIAGSDRESRRSRRSDRITVERRSSLRR

>RCO7_01997 | related to GTPase Ras2p

MSTSSAENPHRIAITICGDGGCGKSSITLRLVRSQWTSEYDPTIEDSYTLTRKVDGQTYHLSLTDTAGQEEYRGMWASSNLRSDAFLLVYDITNINS
LGVLQEFNDLIDIEAETRMDAWEQDRYHGTSKKKRNAQQEMGGGPVKPVKMVAGNKCDLPESRQVSAQVGLDWARRHGCGFMETSARVEVNIEETFA
LIIRRVVEARRLAQAQGSGSMTVDVPTRREESLGSSNALGTRRAMTAPLSPLPGGPEKEVSLEGQEKKESRWKALLRKMACWKR

>RCO7_01998 | related to CBS-domain protein Sds23p

MADSAQSPPAPERAGATSPPHNSNGQTSSHRSSFAENMRQSPRSQRHPSFPQSAIQDLLNHPPVSKTVDARFAGRDWRQIRVGELVNKEEVRWAQLD
TGVEQATKLLIELGPPNVILLRENSDTTSACGTFDYSDLNAYLLVVVGLAHPDEEQLEIYDALAKKAREGATIPVRDIQTLAKKSALVTLSESEDLS
KAIEYFASGVHRILICKDNTTEVVGILSQLKVIKFLWDNGTSFPAIDALYPVILRDLGVGTQQTISINGDRTLTDALQLMSNEGLTSVPVVDNASNV
VGNISTADVKLLTNSSSLPLLKSSCIHFISVILSERGIGDGKDSFPVFHVTPYSTLAHTVAKLVATRSHRMWVVDAASPSPSITPHPTPSLSTPSMS
GAIISSPAVSTPASPNLNTSFPAVSAAALPGARISGRLTGVISLTDILNLFARQSGLNPLSPNEQRARRRRSSSSSVRPSIDSARNSSFDLRR

>RCO7_01999 | probable beta karyopherin

MSVLPVDVHNELAQLLDALQSSDNGVRSQAEDHLANNWTASRPQVLLMGLVEQIQGSNDPTTRSFASVIFRRIASKARKLPDESTVETFLSLDQNDG
YAVRQKLLEALVNETTNNVRNKIGDAVAEIAREYSDNKQQWSEILGVLATLSLSKEVGQRDIAFRIFSTTPGIIEKQHEDTVLKAFTSGFKDVDSGV
CLSAMEAFAAFFRSINKKSQQKYYALIPEVLSILPPLKEKQESEDLSRAIVSLIDLAEVAPKMFRPLFHNLVLFSISVIQDKELTDQARQNALELMA
TFADYAPAMVKKDETYTTDMITQCLSLMTDIGADDDDAAEWNASDDMDPEESDLNHVAGEQCMDRLANKLGGQTILAPTFSWLPRMMNSDAWRDRHA
ALMAISAISEGCRELMIGELNQVLELVVPALRDPHSRVRWAGCNALGQMSTDFAGTMQEKYHQIVVPAIVPVLDSPEPRVQAHAAAALVNFCEEAEK
SILEPYLDDLLTHLFQLLQSPKRYVQEQALSTIATIADSAEAAFAKYYDTLMPLLFNVLQQENTKELRLLRAKAMECATLIALAVGKERLGQDAMNL
VQVLATIQQGIVDADDPQAQYLMHCWGRMCRVLSVDFLPFLPSVMPPLMELASAKADIQLLDDEEQVEQVQQEEGWELVPLKGKVIGIKTSTLDDKH
MAIELLVVYAQVLEGSFAPYVAEVMEKIALPGLAFFFHDPVRVVSAKCVPQLLNSYKKAFGSPSEQLTGLWNGTIVKLLEVLSAEPAVDTLAEMYQC
FYESVEVMGKNCLDAQHMETFIESAFSALEDYKDRVAGRAEERLEGQQEEGEEESEDMMFAIEDDQTLLSDMNKAYHCIFKNHGVAFLKAWERLHAT
YEQFLKSSDPTQRQWGLCIMDDVLEFCGEQSWNYKDAIIEPLVAGCRDTAPANRQAAAYGIGVAAHKGGPQWSEFLAPAVELLFQVTQFPNARGDDD
IYATENACAAIAKVLHFNPSSLPDQQQVVVQWIDTLPVVNDEEAAPYAYLYLAQLIEQQNPAVITQAGKVFGLIVQALEAETLQGQTATQTVAAAKM
LLQTAGLDPAQVLQQFSPETQQNVRAYFA

>RCO7_02000 | related to white collar 1 protein

MNNFFGTQYSQEDLQQRLAQRRRNGPSRSTSMTMIPQAGSPEDQDGVDLSSMIPLGGSSLDDIIMQNNKEMQRRQSIPQTYRSQDMDRRASMMEFGP
GNGSLGGYQFGPQTTGSGNSQAHLRSPSGDEMAMVGGYGDMSSGISMSNQHMGYSSSMQMHDPLSINTNSQYSGMSTEMMQNMMGYSPMGMEGLSEE
DSNAMNMFSPTDFQQNFGNGNMDGMSGNFMMPPNMSDGLPGQTANMGNEDSNDMGSLPGLVVTDNDTANSPRGLGMTQNALLYSPSVSTAQPTISKQ
NPSYNLPQTPAPGPDESPAIEIGPIKVEPSNPGFNGIYSSSGFDMLGALMKVATRKNPEIDIGKVDMSCAFVVCDASLYDCPIIYVSEIFERLTGYT
RHQVKGQNCRFLQSPEGIVQAGTRREFVDNDSVYYIKNRIGEKKEAQRSLINYRRGGQPFMNLLTMIPITGEDDKEIRYYVGFQVDLVEKPGAVETK
NASGLYTVDYSQGQLPRYVWNPPQERRHMDGGQTISRDDVSTVLSTINNNSESELTKRMWDKVLLENTDDVVHVLSLKGLFLYLSPSCKHVLEYDAS
ELVGTALSSVCHPSDIVPVTRELKDTSTGASVNVVFRIRRKKSGYTWFESHGSLCVEQGKGRKCIILVGRERPVYALHRHDIEAAGGIGENEMWTKL
STSGMFLFVSSNVRTLLDRSSENLVGTSIQALMRAESRIEFGRSLDRARTGKRVSHKHEILNKRGLVLQAQTTLYPGDASEGQKPTFLVAQTRLLKS
STRQVAPAHGTHVSKSLSPVQRVDGPPDEATTLIQKSAFTDNLSQEMTTTARTGASISTVANTGVISQAGGSGLPIGSQDLALASEDNIFDELKTTR
CTSWQFELRQMEKSNRLLAEELAALLSSKKKRKRRKGAGHPHRDCVNCHTRVTPEWRRGPSGQRDLCNSCGLRYAKQEGRVSPRNSSPRTSARGGYN
NNNTTIKDPSNPKAPTSHSSASPAASSPLHKEISQSKSQVVNNNSNLNFDSKAYGNMKGEAGAALTAKAGGRSTVESMPVHQRSLGFRGGGERRITK
IDESDEGVVEVGG

>RCO7_02001 | related to major facilitator MirA

MLQGIWLIFFTDSLQQQSNLSWTPYVTSSFMLHGLTAITGVVANIVGGVSKLPLARFIDVVGRPQGLLLMLVFVVLALVLMGICRNVQTYAAAQVFY
WTGMNGIAYVMNVFIADTSSMKNRALLFAFTTTPYISNTFAGPSLGQAFLDHSTWRWGYGAFAIITPLMCIPFWTIFVIMTRRARGQEIIVKEKSGR
SAPHSVVFWLVEFDVVGLLLICGGFSLLLLPFSLAAYQGQGWKSPMIICMIIFGAVLLVAFALWEKFLTPKTFFPFHLLTNRSVVGACLLGGNLWIS
FYSYKMYFSSYLQVVFQLSVSKAGYITNIFNIVSCTMGPIIALIIRRTDRFRWVLLAAFSVQVLMTGLMIHFCQPSTQIALLVMVEIFAAICGAAFV
LGEQLAAMNAVPHENVAVSLALLGMITSLGGSIGMAISGAIWTQTLPGKIEQYLPADMKNETMKIYASLVTQLSYEWDSPVRQAVVEAYGDTQRLMV
ITGLVTLLPCIIWIMMIKNFKLSEHKQNGGLVL

>RCO7_02002 | probable ATP-dependent RNA helicase DHH1

MADELAKKLDNTKLSDDASAPDDWKKGLTVPTKDNREQTEDVTATKGLDFEDFNLNRALLMGIFEAGFEKPSPIQEEAIPVALTGRDILARAKNGTG
KTAAFVIPALQKVNPKNNKVQALILVPTRELAMQTSQVCKTLGKHLGINVMVTTGGTLLRDDIVRLQEPVHVIVGTPGRILDLAGKGVADLSECPTF
IMDEADKLLSPEFTPVIEQLLQFHPKDRQVMLFSATFPITVKAFSDKNMDTPFEINLMDELTLRGITQYYAFVEESQKVHCLNTLFSKLQINQSIIF
CNSTNRVELLAKKITELGYSCFYSHARMLQTNRNRVFHDFRNGVCRNLVCSDLLTRGIDIQAVNVVINFDFPKNAETYLHRIGRSGRFGHLGLAINL
INWEDRFNLYNIERDLGTEILPIPLNIDKNLYVYDSPESIPRPVTNFQTTQSTRQPNQLVNELLEGRAIIMAAVVATEQPLTRSRDNRTLNVKARAK
GRVKGFLGVAADLIRAEDEGAAIGISDKMDTKGKEAVVVNLRRIDSPHNTKR

>RCO7_02003 | related to DNA primase 48K protein PRI1

MPHSIPPEDIPNVASNSSADIGMEIEEAQSVAENGKSQEGESANQDMTMADVAGVDTTPETLEESETKPEVKLEDLFADMDSDEEFPSSTGQHLKIT

SSPPEAPSSPVHIGPSSRASDPEVMRSFYQRLFPWRYLFQWLNHSPTPSNDFGHREFAFTLQNDAYLRYQAFPTSDLLRKDVLRLMPSRFEIGPIYS
TNPRDRKTLRKAAAFKPVGKELCFDIDLTDYDDIRTCCDKANICNRCWQFITMAIKVIDVALRDDFGFKHIMWVYSGRRGAHAWVCDKKARQMDDQK
RRAIAGYLEVIKGGAQSGKRVNVKRPLHSHVARSLEILKTHFQTDILRDQDPWETDEKFDRLLQLLPDKNKTLNEALRKKWSSSPGRASTAKWADID
ALAKTVASKDLDPKALLEAKQDIVLEYTYPRLDIEVSKHLNHLLKSPFVVHPGTGRVCVPINTKTCADFDPLGVPTVTELLQEIDEWSAPGGETIGK
ALQDWEKTSLKPYVDYFRSFVSTLMRDEKDVKVKREREGADSIEF

>RCO7_02004 | uncharacterized protein

MAAVDERLLQMLLEVNPPVPVLSDALPAAVATRDPLARRRLTEMLLRKGADVNIGNGQPILETTKLCDMFLINMLLKRRLRAMSLNQAFNIAPSFPD
SNSRFEVCQKLIDAGATEHGVSGIILRGASVDIENGHAICQAVTGKHQQHLEVLAKRPSEQSFDDAFGGAMSLRNPGEQLKYCRILVAAGPPPNSCS
KALVVTVTGQKHDLCKTLLSVHNERGASVTAAARSGNFGILELLIGGDITDEDENEMIRLILAAGLEVHPLDLALVNTTKSAVINATLEAQEAMVMC
ELLLKYGASVNAFNGEALDICCRVVHYEEHRPLVTAARNVNIILLRLLLGESKDLSAPSKVFSALMQDEQSWRKQHAFDVLTLLIEHGARGIAVDDA
LIRALKDTQLTARHFEVTLMQHANVDHKDGEALQIATERGEAALVRRMLALRPKSLSISMAFPYAFVSGHPDIKCLEVIQAFTDVAADELYPEFMHP
ETSEPPVFLCMKYYPHSQGVLGATLDAGFDIDQPMSFESRSFTAWYWASSGGKKFAKVNNHPEPLLTIAVEQLRQSIVEALLKAGADVDEVDESDLT
PLSLAAQKQDVANMQTLLAAKALSNNGSLHEATRTVNAEAIKLLLDFGHDPNFPCLRFEGRPPLFELSYRAPTCLLKTQLTSPQTVTEVKKTVDCLI
KGGALTKDHLPQAGNHSLLMHALDSAIPNMMDAERRKREEDEEIRREIDKQQRDQVAARRKLALEQEAEQARLDRENRAFQLRQAHDAKLHQATIAK
ENDRTRIQEARSAHALQQATSTSQLRSEEEEARHRRCIKLVGERKMLAQSQEALHFAYNMGRDDAAGLQGRKALGSSSSKNILDLGRAARLRIEGAF
PNRIEELDE

>RCO7_02005 | uncharacterized protein

MSQALTRVRPSASATTAISWMKQMFPVKADRPYYDIALLAPTPAVVPTFTYDTDADEILEEGAKATRQPWVDVYNDENQRHAHSTPLPQRLWMFGDT
EDDDDDQTAQMHWMQEEQTLMRIKESSQMLLEPVLSVARSSSAQAQRRIRSQPELKFSVVTPRIRRDISNSETQSRLIGSRHKS

>RCO7_02006 | uncharacterized protein

MLRFTLVLLLSSFQLSLGSAIHDKQAILSPSSSHSDGSNTNVGVKQHVVDPAILSALDVHSDPVAALLSLQPELEADLAARRLLHVSGEKKPEWMTE
GDKLRLRRQEKKFVDITEHEEFYAQQVDTASGKANLPDLKHQGLVKPLFHRVSTDRMYDVLKHMTSYYNRYYGGATGALSARWLHDHIAQIIDAAPF
GTHISLEYFTHSFPQSSIIARFEPKVRNFSHPLTILGAHQDSANYLFPLLPAPGADDDCSGTVSILEAFRVLAESGYVPKDGPVEFHWYAAEEGGLL
GSQAIARYKKESGATIGAMMEFDMTAFIARNATESIGFISTSADEALTEWLLKLAKAYIKIPAGIYELFPGAGSDYMSYTQLKYPAGFASEGNPLAG
GGFPGDYDPYVHGTHDTMDIDDATGYFSLDHMARFTELALAFAIEQSGWDNSWR

>RCO7_02007 | uncharacterized protein

MYQRDLHHSLRRHQHLRPRSPRKPSQHHYCTPAPAKEEKEDFAVTEIPQIFENINTATIVGEHRLGHNTTPLPSIVLSACPVPIEVETEGLATDDIP
QVDEPIAVDTDTIVAKHPIDHSITYIPLLKSASRLAVPKDHELFNPANVDPLAFPRPSPTKKRSVGHAGRIMELHFQAGLDLISTPGTSCASFRVNL
RNPPCSLSSSTRAPRVGGRGPRPRRLSGFDPTSPINRASLRNLLDLTTSSHTTRTPLPAAPPIPTEPSPPTIRTGSQPSLLAYCLTMHKTTYARFNF
GVSFETHSAPSRTQILGTLFMDAIDLSIPAEIARQGYLTAAHGESSATKVHLRSSVVDEDARGSGLGSKMLDKALDCADRRGFEYHLWAFRGLDVAN
RLRGSNVFRIKDQVVRALGMGRDKNLLGSHFVRARAGWGIE

>RCO7_02008 | probable RAS GTPase-activating protein sar1

MSSHDGGRSVRQSKRYSMTTLYMSMSANEKDLEIEDDLAKAQKILRDLKSKISSQSKKNFVLEKDVRYLDSRIALLIQNRMALEEQNEVASHLEDAS
DLQEGFFPNDEKTQKYGNLLFLLQSEPRHIAHLCRLVTMAEIDSLLQTVMFTIYGNQYESREEHLLLTMFQSVLTYQFDNTPEYSSLLRANTPVSRM
MTTYTRRGPGQSYLKTVLADRINGLIELKDLDLEINPLKVYERMIEQIEEDTGSLPASLPRGVTAEQAAENSQVQAIIEPRLTMLMEIANSFLTTII
EGLEETPYGIRWICKQIRSLTKRKYPDANDQIICTLIGGFFFLRFINPAIVTPKSYMLIDGTPAEKPRRTLTLIAKMLQNLANKPQYAKEPYMAKLQ
PFIQQNKERVNKFMLDLCEVQDFYESLEMDNYVALSKKDLELSITLNEVYATHALLEKHSTELNRDENSHLAVILGDLGPAPAQLPRKENRAINLPL
FSKWETAIDDLTAALDITQEEVYFMEAKSTFVQIMRSIPTNSAVARRPLRLERVADAAATSRNDAVMVRKGIRAMELLSQLQELEVIDKSDHFSLLR
DEVEQELQHLGSLKDGVVIETYKLEEVFKTIRDHNTYLVGQLETYKSYLHNVRSQSEGTRRKQQKHQVLGPYKFTHQALEKEGVIQKSNVPDNRRAN
IYFNFTSPLPGTFVISLHYKGRNRGLLELDLKLDDLLEMQKDNQEDLDLEYVQFNVSKVLALLNKRFARKKGW

>RCO7_02009 | uncharacterized protein

MTDSNITSRLRKLRFGRRNSPNRSVHPSTKASTTSSQKSQRPARIDIYRQLDPSAREVRVLHVLPEQPGSLLLGPDPISCVLSHVSLHDKPTYHALS
YTWDDESLGETFEDPDDLRRKRKVLISGFIFLDGQAVEVTPNLWAALWHLRRGANWFKNHPDADVGEFGEKLSKESPIHFTYETHIWIDALCINQLD
VAERNEQVQLMGELYQNAQCVHSWTGLELPNAEDFVEMAAECYKKHHRDTFTELESEFNRLLFDRALESRWKTFGLICGRPYWRRLWVVQEFILGKQ
CAVHVGLRSIRSAILTWFVHYAKIFELEMPLNSQAFGSVLLMQDSSNFQTIRVRHEGSQNMQISTILNTFRDHNCSDPRDKIYSLLGLGSSKHCGIQ
VDYTLDADTVYSNAVRSILVQERNLLLICNPERYSCQCTNSQHDLSSLPSWVPNFMCLRESHTNLTGGLEYNPSGQEQAVITDYHDSNVLWCKGLHV
GTISKIHVNGSISPESSEELVIQALTRFVSNVSDSFEHPDLQASNALPDRLKYVHAAITKNLLFAPLTMDETTFVQHCTSPSPNNQSELHDPQHSSG
MGVLLANKVLFYMRLASLIPGTTKDRIPIGPIFGACYPFCQEGDIIVALYGSPYLLALRADPRDVGRYKVLGEVCVPQFLEGQAVGVFQEQDFELT

>RCO7_02010 | uncharacterized protein

MNSDSDSQEDGLWNFKLARQFNRAFGSGSEASAATPPPGALDPSLYNPKVNVPKSLGDFDRLFYFCGKPVGLPPPDVRRLSTDSTSSPVSFKSSDHS
TILTSEIDDVGLQGRASLDTKIKGVRWHDQVPISGTPKKDRSCVNAAANGSSTTFGLQCAPIESDFSDLESDSENDEIIPAGCDETPSKTSTVHRSI
LCSPRRPVFIPASVRAFEPISRPPPASPKLFTDPTTILPFLTLTAKEQKDKLIKKLDVHFAQEPSIPKALLRLGAIDRSGIHVFVDLSNIMIGFFAR
IKQNRQIPREARIKQPPFAFHSLAMILERGRKVARRVLAGSTISNVYSQSAKRPPHLDEAKNCKYEMNILERVSKPQSLTPNSMKKKRGTGSGYVTS
GYSSASESVSINFKTQEQAVDEILQMKMLESLVDYEKPSTIVLASGDAAEAEYSGGFLATVERALSKGWKVEVVAWSQGVSQEYRRKGFLERWKSSF
KFINLDDYAEELFAEYTQKYKYAGQ

>RCO7_02011 | uncharacterized protein

MVALSLTISMCRRSGHRSSSPSLEYQASVYSSNINPHEPPAYGYHVDRDTSLDQLVTKQRPQGDDQDRCKATTSNAKPWMISKETDFGHLEKRKSFG
IGGAGNIRRPSEFIYPARVNADGTRRSSVWSTISVSFLPGATSAARSFSVFSLFRRGSMDAKISSVDGRARSTSEK

>RCO7_02012 | uncharacterized protein

MLGSRAVAEACPAAVSSLSTSMPFLYQTKTISIWSSNGTNLRYRLQNCNATLRRQYSDIRITRVPTGGFRHFPSNTGSTNHLEREAPAASGWHPGPQ
REARTGSQALQGVDISQSGITTSPGAKKNSQLFPTSWSLEPEEWGLDPVEKPHKQDLDIEEVDTGMELSDDLGIDEESSAADPVQPENPPEEIRDLT
RKQGARKSTITDQERTAFQKIFSDIFSRSNRSSTVLDNTSDLDNDPFEMDTEPRDLQKAKQNLGNILSTAMQRQPRSRKDMEEALEKYPVPLRAAAA
TAMGYIKDELEFERSLPTRSAMLGMMELEALRKPERLRVESLMNAANSDFELLEIMEKEVFSLIPKLGLNGDSEQRADPKPVSLAKTKRKKGWKKAE
IAQKRKDTEPQTEQQDNPEVRAEATIGPSGNGISPLALYGPLYPSYLLLGLRLLDRSFAKPSPLSLSILPRIKSLGHISQILGGSTQFYNELLRIYR

FRHENFRGMIGLLKEMEYAAVEFDAETLTIVKDLRDLQLAVLRGVKGPTLKALWSMPDFVPNGFNDWKSKITKSIIAKENKAKEFLQFPNAERRRSL
>RCO7_02013 | related to Pas7p
MAPVKKEKEEMSAFERSRLANIATNQAIVKDLSSAAAKIAPKPVSKSKPATTRKRAAPVKKEDPRPTRTSSRLAGIEADSETQKRKAEVEYEFVMEQ
AKAKKLRVSGDLNFGDIVVDGKKWNKDDGFLSGIMRGAQPNVRTFTEDDVKETTDEGLKALREKMSGLELYEGFEPNQIKITPERVYSLGFHPSREK
PLIFAGDKMGNMGIFDASQTGEDIKAEEDDDEEANIPEPAITALKVHSRTITSFVFPADGNHIFSASYDSSIRKFDLQKGVAIELFAPSAVNDDLPI
SCISMPASDQNILYFSSLDGSFGRHDMRTKAADAEIWQLTDKKIGGFANHPLHPHLIATASLDRMLKIWDLRSIKGKGESRVPALMGEHTSRLSVSH
ASWSAGGHVSTSSYDDTIKIHTFGNAGSFKPGQDLDDEAMQPSAVIKHNNQTGRWVTILKPQWQERPEDGIQKFAIGNMNRFVDVYSSDGEQLAQLS
GEGITAVPAVAHFHPTKDWVAGGTASGKLCLWM
>RCO7_02014 | probable Sterol 3-beta-glucosyltransferase
MAPEEDIKKRVVRKLTKTRKEGRLVTMDIPERFRDGDDADEDCTALSGRNAYMNQSVFGMIAAAGSQVDFNARFDGQSSDEEEDSGDPPASLTTELK
VDKTRKGKLPAKPEKNHRRKFSESKLLRSLSGLGRSKSKLSSSGSGLPSPTPSSEAVTPDTQAARTISRDAPVMSRMLEARAELSLRPSFDTKRPGH
IREGAIAEEQTSSSLAMQLMDIFDFEAAEDVIEEYPCWLLKSVLLQGYMYITTRHICFYAYLPKKSNEVVKSGYLSKSGRRNPKYNRYWFRLKDDVL
AYYSDPSDLYFPSGNIDLRYGISANVVEKEKGKDATHFTVVTHQRKYHFKADSVPSAKEWVKSLQKIIFRSHNEGDSVKISLPIENIIDIEDSQIID
FADTCKIRVIDNDETYAIDEVSLCTHNYKSLSHQAQYFFSFFSFGKEALNVLRILVEDTTAQQIPDDVLVSPTHLEGARSPRSRSSGPSKRNSSQMP
RERKPHPPLPPPIRTTTPFLEHSVRATLSPIGGALSPRASTENSRASSEAFRKSTDLKNFGRRSVDLGRLTMDGATGRRSVSASRRSLSRHRLPERR
ASEKPGSSDSFVHSLEEPGSSGALPSSSDDTQASASQILRGSDVFLSPTIQRSASTSRGHDAKSSNEDPRAESPSKVTSNAATMRPPKPRHNATTGA
AKEQDAGQVEPSTAAPTLQSLVKAGAYPLQRAAGFAGYLNRHSKRMSTLLATESMGYVEKVSGMWKGGKKHYDEPQGLSLDDETYDDDEDQTAAYGD
RFREHFALPLTEKLQASYFGFLHRVLPLYGKIYISDRSFCFRSLLPGTRTKLILPLKDIENVDKEKGFRFGYSGLVVVIRGHEELFFEFPQGDTRDD
CAVTLLQNLETMRFLKESGLLSAEEEESAQTASAEHKNLQQARMDGFAEHEIKMPKTAEEARADGPPILFDDPRASILNFKPTESLRVTCLTIGSRG
DVQPYIALCKGLMAEGHRPRIATHREFRPWIESHGIEFRPVEGDPAELMRICVENGMFTYSFLKEASTHFRGWIDELLSSGWIACQDSDLLIESPSA
MCGIHIAEALCIPYFRGFSMPWTRTRAYPHAFAVPDHKMGGAYNYITYVMFDNVFWKAISSQVNRWRRKELGLQATSLERMQPNKVPFLYNFSPSVV
VPPLDYSDWIRVTGYWFLDEGGEDWTAPKELTDFIKKARVDGKKIVYVGFGSIVVQDSAAMTETIVQSVLKADVRCILSKGWSDRLDKKDATVVEKP
LPADILLIKSAPHDWLFKQIDAAAHHGGSGTTGASLRAGLPTIIKPFFGDQYFFGSRVQDLGVGICLKKLNVSTFSRAMWEACNSQRMIVKAKVLGE
TIRQENGVDMAIQSIYRDLDYAKSLIKRRDGKSTDDTVEDPEESWTFIGDEHDPALVKRIHDWDSLAQSGIFAQNAGSGGQNSESSDGKVFGERSES
FAKDMAA
>RCO7_02015 | uncharacterized protein
MAPTQEIPWEERNNHALSMECRTRGIALPRVAKLLKHQLVQLIVDDEYQKKKGTFEFKSFTQRNDPDGDLAKKWVANRIPLWVRGVEARFKSVIEYH
QGLEDYHRNLRMGAESSLATDLENITLREKDWMAVTEERVIETEIFGTDEDEEKLGAHPSENSNDKLENDHEPAADVDNCENASQESPVTILQAGNE
DEAMADSDKEDSSVNTDDDEGDEAVADSDKEDSSVNADGDEGDEAIADSDKEDSSVNADGNEGDDAEENSNTKESETKQSETKENDRKENNSKINEP
DSNETFDPSLTIEYPQVDTTQMLLHEVEIEPCSPILCKVKAMFLKLRFRMEAARVFALSDLEQYVKDFNKQKKQVFRFTGMMYDRSAIYVLFHNSIQ
GFEDMRQCLRFVSAEVKTPFPKDYCWDIDVVRMYVGSMEEDAGDEGGEGGDFAEGFAGKIFYYVGSDGKVTTLESLEVDEEVDEEETPFVREASIES
VEE
>RCO7_02016 | uncharacterized protein
MAVEQSGKAIEQAHDVNEDAAHRTLTTLAPIYIPLSFVAAFFGMNVKTFNPDIDVPVWSFFATALPITALSVALVWYWDWISRAAPMVRNSLHAFIM
KWVRRLGVVSVLKLLKGSVAKGFALAGATSLAVDSPAFQVFSRPPAE
>RCO7_02017 | uncharacterized protein
MHCNPAFFQLTKTIILSCLTQKAPARPNSSVYHIFSALVEQELRTEAQPEPTTLEDAATWGNHNTNDIAESSSRSYWPRARIEGRSSSEPQLPRTIG
RPSGSQEQHNNGAAVRPSAVNDIPRQVFHDQKRDIQKECLWDPFGSLSDDNCELQSNRGFSGFSQAESVFRNNVHSGPFNWTTLQKALVCQLQSF
>RCO7_02018 | uncharacterized protein
MSHPSDLNSTNDREADEQVDRQTLSDELSPSDGYFIRGRGLPSNTMVPDPSMDRKEWVEDKTLIPPPNAQQRLGESSRTIPVHPLSSRSPPSQSYAS
QHASSHSPKTSNTPASPIAPPRNEDMVSENSALLNGPPPAYTSSPVSPTMTNEPSNRSYSTFQDHHLEAGTPPTRQPESMGVPTYEPTERTPLKELT
PAKKRWLKHFGIAVLVLIVFTMLTAGTFHHDRSADNRPKVPGSGNDQPSEDKPGDEDAGGSRPIDSSAPYCTAAKHKEDVATYEFPLGSDLTVIQTV
KTGGDGFPSQTIVSTVGEIRLRRLPKDSKHGNRPYITVDVQKSDNSLEVERTWNEESRTLKIVTPSSAPLSARETHCISLEITAWIPEDAQFSSLLI
EAISLTLRVVEDIKVNVSQQSKFSTISGGVRFPVINPSVKRRGGDDSASVSAGWRSSEGFPFSSRRIIVETLSGSIIGNYPLMDFLGLSTKSGSIQT
DVFPQPVLPSAPAAADLDVQTSSGSIRVNCPVGDNSDPSYRPPPRNYITSVHSTSANIYGSYYLGSESTFKSTSGRITITGLPVLRSNEPLAASNDK
FETHTVSGTTTVEVLDPIFISLLSNSLQEQKHTGDDKPFLTIHRSNFGTQPLFEIDHRATGDETKLHTMSSTHSSISAAIELHYPEAWEGTVHGKSI
SGGIVVQGNGMRIIRDNKGNGYKELVARKGVEEKGQGSRVEMSGISGRLTFIVGE
>RCO7_02019 | related to ketopantoate reductase
MPSGPKIHILGLGNLGRLFAHALATSTHSSAPAVTLLFHRSNLQEEWEAAGRRIEITSKDLKSSSSSSNYTIEILNQHVPHQDPNQGQRQNTKTSSD
PNSDKDTSIIENLIITTKTLHTVRALRPLAHRLNRNSTLLFAQNGMGTVEEVTASLFSNPATRPRYLAAITSHGVFSTGPFKSVHAGLANVTIGSVE
PQYGPETETQSNSRTGSRASSGAIHSGVEERDRESEQTAPLLNAITSAPILSATAVSAPTLKFLQVEKLTMNAVINPLTAILHVRNGELLDHPPVRQ
FMRRLVEECSQILLALPELKNPSTSESEKFEIQDESALALEQRFNSDRLEALVIDIARKTASNTSSMLQDIEAGRPTEIDYINGYFVRRAQEMGVCC
DTNASLANWVRQKKRFRVHDEMGFGILDVEE
>RCO7_02020 | related to NADH-ubiquinone oxidoreductase B16.6 subunit
MPQDLPPIGGYEPVQYKRNLPARGFRPSVMLFAMAGVMTFGFYKVGKGIREQNELAREKMWSRIHLIPLLTAEEDRDLVRRHYADQAREKALLGSQT
SPYNSDRFVRPTFAITPSERSK
>RCO7_02021 | related to phosphoserine phosphatase fcp1
MGKLLSFGAKLKYPITIVKILKQPGDSITKLEPILQYKWSWTLIVGDPNDPKGQWPEEQIAIGDWESPVEGTLKSWKVKEGMVIDKDMRFVDVEETC
PHSIQFQGLCGICGKDMTEMNWTSTSDDTERAKINMIHDQTSLKVSQDEASKAEGELQKRLLAHRKLSLVVDLDQTIIHACIEPTVGEWQRDKTSPN
YEAVKDVRSFQLNDDGPRGLASGCWYYIKMRPGLKEFLAKVSEMYELHVYTMGTRAYAINIAKIVDPDKKLFGDRIISRDENGNVTAKSLARLFPVD
TKMVVIIDDRADVWPSNRPNLIKVVPYDFFLGIGDINSSFLPKREEMPAMPPPLKKKASKGELKDSESKEDANGPENQKPEIEEVKSTETDKLETTN
SEEGSKISALEELVRMGSGDDQALRLEQAAEQEEILEKQLTDRPLLHMQEKLDKEDNEAPVDEAANGSATQEPQHRHNLLVDNDVELKYLEQHLTQI
HKAFYDEYEGRVINASGGRVAQLKPGLNKKMSINGADRKVVPDIGNVMPRLKAKTLAGCTIVMSGLVPLQADIMRTEIGLQAASFGADIQSKVNRKV
THLVASTSRTRTHKVRQAAKYPNIKIVNQLWLLNSMSKWQKEDETPYLVTIHEADRARGDAFNSDAPSSINDSDGTSDDSASEDEDRDSLPASSQDE

TAVDEDGVMPDDMEGGISPIDNLKGFDWGGADDELDEFMASDSEANESGNESDVSKVSTSSGQSKVANRDRKRNRDTATEDEDSDEESTLAKKQRVA
NLRTTGLKTVKTPLSDTTNLPTPAKEDGASEDGFDDLEADLEAAFASEEAETLGGNGSE
>RCO7_02022 | uncharacterized protein
MKRKAGSSPESSSRKIAKLTDYCESPTRRDSQGVEIWPAPEFQMTAARAFLRECAAAQKPTLIVPDKDADGLSSGVIIHRTLVTLGLDPKLLDVHLV
QKGMNIHEPLERKAISEKKASFIIVLDQGSRGGLPIVDDPETKSIVIDHHLSDDFPQGAEVVSACHCPPVATSALLTYEICKDLHLDIAAECGYLCA
IGTHGDLGTSLKWLPPFPDMKEIFKKHTKKLINDCVSYINAPRRTGTYDVITAWNALLEAKEPKEVLSNRRLAQAREEINIEVQKHTRAPPKFGKDG
KIAVLKINSQTQVHPVIATRWAGTLKSKALEIVMVANYGYLPGKVNFSCRVARCAKDRDPPVNIIESLKAVANLDTGDLIQRMGESFARGHKEASGG
IIPTAEFEELCILMKIGEKPDKVEGESPKKKGEDQKNTLNNYFKKS
>RCO7_02023 | probable SIT1 - Transporter of the bacterial siderophore ferrioxamine B
MNVNEAVRRDTSNDEKKDPNVVYPQSVVNHQILGAKSPGVARIEAVSSQLTFGDRVFLFCGVFLIAYAYGLDGTVRYTYQATATSDYALHSLLSTIN
VLRSVIAAAAQPTAAKIADVFGRLELVAVSVFFYTLGTIVESCADGVKTFAAGAVLYQVGYTCVILLVEVIIADITSMRSRVFFSYIPATPFIINTW
VSGDVTQAVLKATTWRWGIGMWCIIYPVCALPLMLALFLAGRRARKNGVLDSYKSPFQMLGGKRLATAVFALILVPLTLAGGSTAVDATSKWHTAHI
LAPLIIGILCIPVFVVWEMKARHPLLPFHLLKDRAVWAALGIALFLNFAWYLQGDFLYTVLIVAFDFSIKSATRVSSLYSFCSVITGVLVSLVIFKV
RRLKYFILAGTMLFLVAFGLLIHYRGGHGSAAQSGVIGAQVLLGIAGGLFPYPAQASIQAATKHEHVAVITGIYLASYNVGSALGNCVSGAIWTQTL
YKDLSTRLAFTGNSTLAASVYGSPFMLVTEYPVGTEIRTAIVDSYQHVQRLLTITGLCLCLPLIAFAFCLRNPKLSDEQSQPEAEEGHVVR
>RCO7_02024 | uncharacterized protein
MEGTAESLPHQHQHQYQSSDLDFGPLSQQDLIFNDGEILPSWDSLLDVPPLPLDNWDAALESLSFSPENSDPFSFGSDNGLGNYVAENDLLRDWPTN
VEKVVPNEQDFLRWVNGAYRPPEPCSYCRYNRLECLIIRTTFSNPNPVAACSSCVALCRECSLAVGEKRKPSEFETNQPIMGHLHGVNEEFEDGLQF
VDWGDEADVSAPNTQPSSSMNPEVTSGTSPTKGKRAISKQDIRVLKAWLADHRHAPYPSEEEKLELMSTTGLTLMQISNWFANARRRQRHVQGIPIP
GRGRGSKSKPSSPRSGDLSPISRWQNSPPEDDAVDPLAVARALAAAPSTYGQHNGKAPLARHSSFDNVSVSSIDSKCSSLSTSSSNSAWSHSSFASH
QSFTRPKRRRRQKRDLVDKSPNTSAAHFHCTFCSDSFKKRHDWQRHEKSIHLPLEHWICCSSNGTLTTLLHGTQCLFCGLQDPTEEHLNSHEHNSCS
ERPASERAFRRKDHLRQHLVKFHRCEQPLPAVYELWKVEWGELKSRCGFCDEWLMSWEARTEHLATHFKEGVTMSEWIGNWGFEEEVLALLQNAELP
GMDVLGGKGAELEVS
>RCO7_02025 | uncharacterized protein
MPKRKAMDLAALDEPRRSSRRITTKSEGGASGPEVKVPAPKKTKKDSKVKSEDSKKNVVIEKGKIGDMSDEKPVKPVYKLATATTESKPIEDNSSER
QYWLLKAEPESRIEKGKDIKFSIDDLAAKTEPEPWDGIRNFAARNNLRAMKKGDLALFYHSSCKVPAIVGTMEIVEEHTPDCLSFPPRFNFTYAQTS
CLAVSAHDPSAPYYDASSKPSEPKWSVVHVKFRQKLGTPITLKELKAWQAEKGHPLESMQMLKLTRMSVSKVSEAEWQFLVEEMKKRGDDIKQ
>RCO7_02026 | related to SWI1 Component of SWI/SNF global transcription activator complex
MSSSSWLNEAAVQNHNGAGFNHLDPNANGSMLDPSTLMNNPSSFDPSQYQNQQLQQRVQNGTMRNGSGSPSFNSPVYQTNSVVPSKRSRPREDSLGA
SPRQTPGMPPGSRSQTPQQAPYPGFPQNNGTTQHAPQQPPYAHLQNGSANASPSPIMANQLRPGGVPQRVSTASPHPFSPAAQQFPQVSPSQSEQGG
RTGTPQPTNPYAQNPGFTQGFAQNFTPPPQRTSGPPQSGMSTPQMQQPHMQQPQMYQQGQQQPQPGQQRSQNPLEQQKLMYHQMQMQHQIQQRNMIA
ARQGGLPPGASPMAKGAMHPGMRPQQPPNPSRNGPNPESFMKSLVAFMQQKGLPLDMNPVVGDRQVSLLTLYMAVMKFGGFKKVSQQNGWPQVAQAM
QFHPMQISAAPQQLRGHYERNLLLFEEAWQINQQRQRTALMQQNPNMPVGPQMSPTKQMNPQTAQQSPGFLQQQHINQPHHSQQPHPHTTPVKQTTP
IHHAQHPSVNGFSTPQQSQIPHAMAMAQQNHSRNSLSRGVDATPSQNGSAFTMPSPRSATKTRDVASPQLDAAMPADGVYDLPDLLDPRVRVLDNWG
GTNLESLAKIGDKILPYRPDMPPVSDMGTIDIHALSMSLQSGINAEVRMALDTLASLTLSTAVRLDVRQCEDLVDTIIDCAEVQVELLAENAAEVSD
VMLISSYEDVARACRFDHQSLREIPAINSTEYELDRAVERLICLTTILRNLSFEEVNHAHLADELVIKFLCVVIRYLGTRNMLLRTNQNTMDFMKDV
ITFLSNLAQSIELPGREQALCLIHFLLAFAPCPPPNTMNPSTVSFSPYEPAIHIYLPCAVDTLAKLLARDEPNRSHYKTIFASDVASFPPFDLLTRT
FGLAISIIPDEKPNSKRGGLLSTVEARKPSLMQGMLAAEILSNLAPGYEAGVARSWLTSDDGFAQKLSRLIVMLCLEASPHPPNSRAPVIPKGVDDE
ALLHVTVGGIAVLRRLTEKSKDLEDLTSNIPLQGLPSKEILLGALRVMQPRLQGVLKQLCAYAGLGI
>RCO7_02027 | related to mitochondrial 60s ribosomal protein
MVSSLPLAFLRPMALPRVATIHKYLGFSQSTLRKASTSKTTTTASTSSPSLTATPSSSASPQPSSIISAAKTAPSAPLKPYFVIRTPSNQLPVYQLA
KRGGNMKLTRVRKIEGDVNALRNDLQKELGMSDKEVVVNQLTRQVMVKGHMKSQIEKFFLSLQQ
>RCO7_02028 | probable Eukaryotic translation initiation factor 3 subunit E
MAENAPTKTPEEIAKEYDLLPKLVTHLDRHLIFPLLQFLEGQDEEEQSNPDVTKTKYELLKKTNMTDYVASLYCELEGLEDAPPEFATKRQEVLDRL
DKYSEESEKITDLLSREDVVTGLRSDKVANLEFLKKDHDVTLEMINVLYDFGNFQYSCGNYQAAAELLYQFRILSTDNDKVAAATWGKLASEILTTN
WEVAMEEITKVKESIDTKLFSNPLAQLTHRTWLIHWALFPFFNYEAGRDTICELFFSAPFINTIQTACPWILRYLTAAVITNRNRTRNTGQYQKQLK
DIIRIVKQENYEYQDPVTDFVKALYIDFDFEEAQKKLSEAEEVLRSDFFLVSAADNFVEAARHLISESYCKIHQRIDIKDLSARLGLNQDEGEKWIV
NLIRDTRVDAKIDYKEGTVVMNHPPSSVYQQVIERTKGGFFRTQVLSAAMSKGIAKVGDDERMDNGRRD
>RCO7_02029 | uncharacterized protein
MAQRFQVGWMRLIPFLGYHHVLMILIMIAIILLSLLLAGCSSSSPLIPDIFLISLYYEDYAARPSTAQVDFNVHNAIAVVAGDAVLAARVGYFGICI
NPDGGSWLCSNNATALADQISLTQDPLNLIWLASQFKDMIVFPYLIIIALIFAFICLLLLATFPGWHEEADDRGSEREVKPFPSRPVSQIALAIIFI
ASIFVLVSVLWQHTASVAASIIAQDFGNGSVKSGVGTTAMVLGWFGFALLIIVTIGLLVMILSIRVLSEAFS
>RCO7_02030 | related to DNA replication regulator SLD2
MEDSKREELTETSNSLRVELKSWEKAFSAANEGKKASREDIKKDVEIAAKYKEYNKIRDVLSGKIALLALAAPRQTPRKRKHEDYTGQEISKRQLIS
RTPSKGILQPWEVDPYDSPSVIRNLFTPSKKALGPTPQKDGMVLGLFDLLHENATADTPSRRNAQSVGLKAIHATPRKTGSDNPLKGSRTPGSGKRL
LDAFVTPAKNRHINGQAGTPSSVSKLHFNTPSFLRRDNHRVQLPAVNEEEGLELSPQMVRVPRKPIVRGLSSMLAGLRKMEDEAADDDLDVLREMEM
EMSMEGGRTTSPKPKPKPLAKSIPVATKENILVADSQTNLVGGFDDEAQFDSDIEDQKDRDGQPLKVYKKKGQKRTTRRTKMKPTRSKPSNPQPSAL
VEDSDDELAGTGELVPETQVDDDTDEKLDAGVDGDGTAPFEEGRNYDSGSQSEYTASEGGTRYRRPDQSKKRKVMTKDGKIRTVARKVGAMAHTNFK
RLKLRNTGSKGGPAHNSRFRRKK
>RCO7_02031 | uncharacterized protein
MDQEDGNTRSQVLRNTLAEISSRKEVSTGHDTEDETCCVICLERVSEQAIAKPCQHASFDYLCLISWLQEHSKCPLCKADVQTVRYDITDQKTFKTY
EVTSTTKPPPSNPDSNYNVFEIRNRFNERGRRSYRGRREYDRAPVQPADEALLRRRHIYQHQLFSLHVGTNRVSRFRDLTPALFTTDSELISRARKW
IRRELHVFTFLTPDATSSSNAGARGDRRANNAEFLLEYIIAILKTVDVQSSGGQAEEMLQEFLGRGNTRLFLHELRAWLRSPYTELDAWDRHVQYPA
IGENKNGEDGRGDRRGSGKDPQGADIEEMALAGVVEGIHHTGGEDLREMVESFQNPPTSSTGLCPSTSMRLSLVPLKKAWRITLDTPAWEESTASQV

GRAIHKLKGEEYESRDSKSSSWNSSSLSIIGK
>RCO7_02032 | related to cell wall integrity and stress response component 1
MNSMFSFVAATALFAATNVLAMERTSQGCFSSGTGLTLNATLEFNSRGSCGDNCYAMQSATFAMTNSNLCFCGETLPPASTKVDSSKCTIKCPGFGS
EFCGGPRGYFSVYITGMTTSVENAEPAASDVAKSSTSSPSAPATATSKAAASTVGGVTVVVTAGSQATTPPPPLSDSKDGGPSKAGIAAGVVAGVLA
IAGLIGGLFVLMRNHKRKEIEDEYKRNAAVSSFISAGKPPMSSGGASSFNDMRLDPAVMADRRMSDGSIADNKDYSRRILKVTNA
>RCO7_02033 | uncharacterized protein
MINGVVRIKWWRYKYAVLAALVVNVILVNHFFFKSSFADFVQPRPAPGSKSTLGQAPAPASAPNGAVPQKTSAAKPGEPTYTYDPSLQEVIALDKVP
PSTPRKLSLNDYDFDGPYIGWPLARTCNETKWQPGLVFICDNNSGGIGNIRNFILTCIRYGIEAGAAGLVMPRIQRRSDSDLGNLFTSGFQPFTYFF
DENHFTDSMGKFCPQMKIYNDTDHFPNSQNKKEAKEFYPKDLNLDSDGCDARGVNRHLDLFRTKFDEWAVKYENQPSVDRPVTELAAHTITEMAKFA
GQAGDVKKSPPKYLGVHLRTESDALGFWPDFKTQSEGYMKEAEVHKLKHAYIASGNATEGHKFGEIAAKQLGPASPRGLPGSVQEHQIHWLLILEFR
DEHRDKKTSNDGWHFLPCLEEPQGFIQ
>RCO7_02034 | uncharacterized protein
MHRSNSRSKWMDVLGFDQPVEARGYRHSPSSSISSCSSDGQESAYEFVRYPLHSPTYATYPKFPKDITFFRSKGGILLSPSSPAPSANDIKPLPAPP
HLFYITVQKDPYLITSAGRPDLLIHSGPTKASSVMSFAKFHSVTQITDMTLCPTPPRAESAHFSTPNFSVPRSTQETLKQHTRPRFTFESLAPTGGL
LSVEKYEFCHTLPWSDVREKFEWRHTSGPIKRSIDRDSGGMKLIRVSTGDVVAVYAGLRQSSKAKNASRVQGMFRFLRGDSTVGLGGEFEVLAITSI
LSLVERGRRVAMAHKKAFGLN
>RCO7_02035 | uncharacterized protein
MYHRAHGERDTFQIGTLGNWDQDFIEALRKVGEAVKKHGKIFGIAGLYTRTDILDKVVDDFGARWIIGANGTGLLFGAAKANHALIRSIQKA
>RCO7_02036 | uncharacterized protein
MAIFGTISGLTLGLAGPGADLIAGEAAGKGAQYTAAQRAFPDRFYLLGMIVEFLKQLQSFHIIALDATGAIFEDKHDGHSKKNADQRMTVQYQDSQK
QFIQEKAAQGIYIQPKPLGYQPGQQYQLQQPVTQTYQPLPPSQDQKHEYVTVSESQNCTVPYQPASQQQNFAPDGRWTSAAIKCMPAITSIFFYTRL
TPASRCSRCTHTRSITKTVFISARDTSIPSPMLYSIANLLSVARSFSPTISKQLALEPSVVVCKSSIVDFPIDVFELPAELVTAAVPDEDSIPATPS
MEDELLILKARILQMEIERGGGAVDIVPAKNELEVSHQDSASLQSALTVDVEEPAEHQDTQNKQNEQKLAAELVTKEQTRKSPSSVSFIVDEHFEYQ
TTQVKIISRQRPPPLPFRPKSQIFHSPPVLQQQQQQYSAPIASYIEAPQPLPKPSYQNPYVPQPSGASAGYNPQTYSPASPPTQQETQVPTPRPQSA
YQPLSFPIYLNGAPIQQQ
>RCO7_02037 | uncharacterized protein
MATPTLIGMPDPPSNPETPTEMPGTPNSTTTSLSALSTTAIKDGHRGSAFPHTSHGHRHTNSSNEAERERADRISFLAGLERVSTARPNQSQLGGAA
AGPAVGQIPGYFDQNGNPVYTTKMSTVGSASATGSAGGRTTTWASGSTKGPTEAGDEDQMSMDAQDRDIDERDRFSASAMDEDMDGMSDNASLVGFG
EGAGSTVSGPIYSRRDLIASPPVGRSGLASQVQSSGAATPGETPQQGGYADGSRAAGEGAGGVQAAERIMRDRLDGGESRRPLGSPDEAGLGKFYFE
EKK
>RCO7_02038 | related to tpa inducible protein
MTSMNGVMSAASTLESQDSTPNASLSAKRKRDEVIGVPNTSNDTLRSKSAEVIEQSSGVTQRLIRDLIDVLKEDDTNPSILSRSLPQRPSSSGPQVK
RQKSDEGSETSSILTRLSTNVYNNVKDVLEDIDAAVADIKNKLQLPDGAARNQYIPVSSSQSELSVHAEAFKERAHELVRRELASMSGNATTISSRP
GATSVSGSNAITQINASSGDNRTVLTFYGNAQGNKQLFSSFQVPTKVDGEERKVIQTIREAGLPNGITTTQIVPIQATGMIDDKKRVPTLGEVFPIP
STVPSLQPPKPSKTATTRSSAVGWYHPASNEPTSRSASYSKQSISSGQWLDYSNASPPQQVTKRRQRERALSIVASKTPSLEAEPAESEASKLEALF
RGAYSSFAPTRDDSAAVVPAGVMNRLWWQQVGKKNFGKLVEKWTDEEGTIPPTPSSETEIDEELIMFEKFAKEMENDSIDPNLVSTETLPEKSAEEK
DVEEILEGISDLLETLNSYQRIRHMSMNASSRPAGLLSAPDTTAIGTPTKPSEHEQATYEILKSQLTLMIATLPPYAVAKLDPDRLAELSISTKIEI
QTNDYKGVMEEDEAASRAKVAAINAASTTPRPAAPPQVHRSSSSSLYGNQYAAPRPVTNPTQQYYGASQTPIRPPSNNVNMQRPAVPSPAPYQQLQR
PPGNAPYRTGQSYGTPTYSHQAPRPVQQPYTPSNQQYQQTPASNYMRPPSQGFPQHMSQSTPQASNMNGRYSGQTQQPGYAHQAPPAANGMGYQYAN
GASFNRQTSPQKMYSPQPQNTQPRSNFPTPNASMQQNSRPYLQNGQNGMNQGPPMNGSTPRPPSQQQYIPQTQTPTGYVSHHSNAAQLEIMAQQRAN
LDAQQETQQRARIAAQSGMNSPSKGGQVNGGNPVAAGL
>RCO7_02039 | uncharacterized protein
MPTLPRFHLASSSAASAAIRPIQSIQPTPRGSTTTQSVSSGDDGTHSDHMFKVRRSEALDEEGPAGAQRSVGALYPTRSIAGLSMSGASSQWCNQRT
REDFSKTAAWKDNAVRRPIKLKTQPRPESHSPATALSEYLQLQDVVAKQTYWRDAEKRLPLNSLPTIILHQLYMNTIPKDDWKDGDLAYRNNAIKCL
ERRGLQIGDVERWAWILSGDSPGENVNRLVSITPDHPTVLLLEILRKDLLDVAELKKLLLHAWNHLEWRCSQNLQSLARTAKPDQMADHEFTHLIRQ
LLYQVRKIWPAATLSVAHMVPRYIQHLDVRSSQSTSKYNARIYDHRCKMINVFLPLLALPSSIEPYKSMIYNWSAQKVLLNLAGEQDPPLMLGKDSY
TAVIQVLTASRKSDRESRASFHRQRTWPPWRTEQDGMDAQRAPGDDLSRASLAAIQSKEAGFRETSHDRHLRIYAGQELDGTPTIHTRKLVKRQPRS
STDGSELSIETAAQFKAGPNPLLWAARVEATRDIREAWRAFVAYKESGGKPNQALYLSIFQKLRFEQVSQGRNSAYEAAPGDGKEVLPVPDDNMSDF
YKSHSKPPKLSVLYKQMLSSGIRPSGKCLIFLVRHARNSTIGVNYLRDSGLHPLALQYITGGSDTRISPTRHKPPQDILDTVGSRVLNAFIHLICRF
APRAVLTTSDEFNRYKLKPTPLKESLLPSQWAIQEFEETPYYRLRDPLRQAARLLKDGKVKFRPSWYCLFGGLARRNVVLRPSLIGTPENDALAWRF
TTSVLRNFHECGLALDPQGFLLICTTFFKFAEATYGVSEKYEEGLATGVQLLKHEFAKLSASEVLPYYIPTLLHSVRWVVLHMYVRCMGIIGDCPEI
ITVLEWMVQHVEELEECNGQDQNSEKMLMRTLVAIKISCHETEYEERAMELVQQVPSWKWPDDGDLESYTGGSENAASEATEPSEDLNNE
>RCO7_02040 | aspartic proteinase, pepstatin-sensitive
MKGAIIAAATLLSSASAGIHKLPLKKVSLSEQLATANIDTHVKHLGQKYMGVRPQAHAEEMFKETSIHKDGHDHTVPVSNFLNAQYFSEITIGTPPQ
TFKVVLDTGSSNLWVPSSECGSIACYLHTKYDSSSSSTYKKNGTSFEIRYGSGSLSGFVSRDTMTIGDLKIKNQLFAEATEEPGLAFAFGRFDGILG
LGYDTISVNGIPPPFYNMIDQGLLDEPVFAFYLGDTSNGEGDESEAIFGGVNKDHYTGKITELPLRRKAYWEVDLDAITFGDATAELDKTGVILDTG
TSLIALPSTLAELLNKEIGAKKGYNGQYTVECEKRDSLPDLTFTLSGHDFLITPYDYILEVQGSCISSFMGMDFPEPVGPLAILGDAFLRKWYSVYD
LGKGTVGLAAAKQ
>RCO7_02041 | uncharacterized protein
MSKLALKDKELRIEALTNVTTRSMLARGVKLSKDIIVEEQPLFPLFPMLPIELRMLIWKNYSSGPYLARMVEIFVSKAYSRWHAFRRPLTYTTNSRP
LMLSICHETRAEAMRNSSICTLEDSAKRRTMFNPLCDAIYFRFEHHKLADSAFPGLNTVRHLIVNYCTDPYFLARYNHLEVLTLIAHQYHSCSSKIR
RESYKTGRPRVEVEFYKPTSRVHYCTATFCQQEQLMVAYKLKNPNWRQPVLNVMCTSINGKRCCTMDVWVNPIGGFAHQPPLQTGSFWDENCVPEPP
S
>RCO7_02042 | probable SIK1 - involved in pre-rRNA processing

MTSIDYLLHESSVGYAIFEVVHQADTVGNRLKEVQDASQDLAKFGKMVKLVNFAPYRGAAEALDNINLVSEGVLSEYLKSNLELNLPKPSKKKKVVL
GVSDKNLAGSIKAAFPGVDCETGETSEVVADLLRGLRFHAGKLLKGLQEGDVERAQLGLGHAYSRARVKFSVQKNDNHIIQAIATLDHLDKAVNTFS
MRCREWYGWHFPELIRIVSDNHTYAKLALAIGDKKTLTDASLHDLAALVNDDADIAQAIIDAARVSMGQDISETDMQNVSAFANRVVKLAEYRKSLF
QYLTDKMAIVAPNLASLIGEVVAARLISHAGSLTNLSKYPASTVQILGAEKALFRALKTKGNTPKYGLIYHSSFIGRAGAKNKGRISRFLANKCSIA
SRIDNFSEEPTTKFGLALRKQVEERLDFYATGAAPQKNEDAMRSAMDAVLGDIKIADPTADPDMADITPRATQKQEKKSKDKKEKSKDKDSKKDKKR
RHSEAADDEEELSEKKKKKKSKRESLA

>RCO7_02043 | probable vacuolar sorting protein VPS4

MSNTDFLGRAIDVVKKAIEADTAAEYEKAYQLYYQSLELFMLALKWEKNAKSKEMIRAKAGEYMERAEKLKSHLADADGKNKKPGMVGANGSGTGGG
GKGKDGEEEVDADSKKLRNALAGAILQDKPNIKWEDVAGLEGAKEALKEAVILPIKFPHLFTGKRQPWKGILLYGPPGTGKSYLAKAVATEANSTFF
SVSSSDLVSKWMGESERLVKQLFAMARENKPSIIFIDEVDALCGPRGEGESEASRRIKTEMLVQMDGVGRDSKGVLVLGATNIPWQLDAAIRRRFQR
RVHISLPDLPARTKMFEISVGTTPCELTGGDFRTLGELSEGYSGSDISIAVQDALMQPVRKIQMATHYKKASHAMDNGVEKLTPCSPGDAGAMEMSW
TEVDSDKLLEPPLLLKDFIKAVKGSRPTVSQEDIKRSEEWTAEFGSEGA

>RCO7_02044 | related to Gim complex component GIM1

MAAEAQQKLQSLTDEYQKLQQDLQKNVNSRQRLESQQQENKAVQKEFDGLKDDANIYKMVGPVLLKLEKTEAVMAVNGRLEFIENEIKRVEKQISDV
ESKSDEVRQQIIQIQSEAQPQAGQPQIAA

>RCO7_02045 | uncharacterized protein

MDRLWDHKLWKPSSTPLINSGGRLPKKAIEDLQNFLITTTKNIGSIPYLHAYWQQRSVYLMQLGYPELAAADTYKSVLLCNAGLDSASSLGDAVRFI
TAMHSTLVDDVIWGLDEKVAPKMINGILRIARKASYSILIDSMMELGAFPEVIKTCTEVSTLYPLYSSEFETVRVAAQSAFNNLARMLTHLPFHEQK
ILLSFGRYCVRNYPWLPVDYRTRSRDSIQVANQNLKQVSDCLELRPSFIGGKVSNTSAGSCYGVFATKKISKGQTIISEKHPFAVSLEQPKTHCGNC
FTDLATCGTIRSLACCSIYLCCRERCETSAWGYHKSICGKDFSEIIDNAHKAYGGKDEGEGYPMGKTALSHFTGWADKVGKSELKDFQIAFPDHTPV
FLARFLALIIQDGCDPLDHSSIAPLVAHNDTSNMTWSLNGMVSGPMTALQILGVDIFADTRFDTWVLLTMWSRIRNNCMEADIAVPNKSLSPSYSWF
NHSCAPNAERIAARSGSACDMEMKALKTIKKGEEIFVTYISTEILALKKTERHAALRAWFGSACKCQRCLRER

>RCO7_02046 | related to Similarity to human DS-1 protein

MLAHRALQSLAPQLRGQFVFVQNYRVYSGSSGSESEEADLEAAREWYKGFKKSTIPAKLGQTTYARSSGPGGQKVNKTSSKAITVWPLYALRSHVPK
VLHQGLLDSRYYVASSESISIQCDTARSQSDNKEETHTRLHDELAQIYKMRVPGVTSPEQKQKIEHLKKAENTMRLRAKKMHGDKKRSRSGGGNHRD

>RCO7_02047 | related to RNA-binding protein

MTSTHLDPTLPSPAVAASAESKFESIPVKPGSPSADSSFSDAYNEEERKEDKMDITVNQSSEVSDDYAMTFDSDGEERTDSKDIAQANIKSEPISLP
AQITLPSPSTTPIDISPAQNTIQPGPAALLSPPSLPTTLPNFTHISENSDTTTTQIPKETADSKQQTYEAIANGDIDIQQLLDNITANAEKNEAAIV
TTPTIQPSSSIPKPSFGLLSHSSLPPRPNLPQTRPYDDPPTYHANTSSLPPAASSYRPPGVAPALIAAGAPGTSSDPRGGLLLPPPPSASFYPPSSA
LSPVTQASSFGIKRLPTATGQKTQSVDSQDEADELDTKWGPEVQRVYDQFLDKERAYVTEGLWDRFPVNSRLFIGNLPSEKVTKRDIFHVFHPYGKI
AQISIKQAYGFVQFHDSSACYLALDREQGAEVRGKKMHLEISKPQKNTRNVSSTGPTPIAGRRSKSPDYVRGNMPDRGGHHTQGARNGERYDRSNTT
MRSDEYGRPLRVRDDYRPVRQATPPRGNLRSRDDYSPRDSYDGRERRRSRSPPFAYGQRDNGRYRERSMSPRAREAIEDDDLQIPRRDPRGVPDVQI
ILMDQLDRAFVSWVETEMRNRGVNVEIMFLSPRLPLQAVIRRQIIEGVHAVSKLDMRSQNNSKIPLQVFDRQGGANNVRFDEYQDLDPKIAAELVLR
AKQTPEQVQRPQAYSQPQYAPIQLPYQQPVPAPAVPNLASLVGQLDNATLQKLLGTLQPQQQSNGHAVAANTSIDLASLLGGFAPQQPPPQQQSYQP
QPQEQASVNPYASLLSNPALAALLQNNAPAQQPIQAQPPPQQSAQQVQNIMAQLARFR

>RCO7_02048 | uncharacterized protein

MSPTTLRGLRTAVQYQNAQRSISLCFISNSLHSISSPIKSKQKTHRPRYSSSSTSTSTSISTSKNKEASSKPKPKPQPIVNGPSSTLPTPIVIPVHE
PGKSVFKHTLALGKSYITFYKAGIKNTYHNYRAAHALQRRLDKRKTPSFSSAIKARTITRSEFLLLSRNWYDIKRVPLFAAVLLVCGEFTPLVVLAC
TNIVPWTCRIPRQIDGDRKKLEKRRGISFRNLTAKVLKGKTKTEDLNRMQLLHISWSLGLCSSMWDYLGGQLPGLPTWLLRRRVANRVHMLEMDDTL
IERAGGLKDMDIEELKLALVARGVDIMEKEEKDMKNDLNAWLKSREKVSVERLLLMRYA

>RCO7_02049 | related to ferric reductase

MTWPYKIILQFTEEGKHNRRLLLDRYGVYAQLSALIPILCYQLYRLAIWVSFARQRSRIRYSAVPSSPISKHGRDSRTGSVVIRWRVVKWWLGGEIT
EGWGMRGHWLAGSVWGTWLLFLCVKETGDDYLHITKRFGVIAASQLPLHYMLSMKSLYSPLAVAFRTSHEELNPWHRMTGRIIYCLLLCHAAWYMNF
FVQIGVVQKRLADLVVIIGVLGFAMLTLLVTTSLEVVRRWSYRAFFVCHLIIGVTLMPLLFFHAKSLRIYVIEALALFVFDIVSRKLDTFTGFATIV
QIPHTNLVKLTIPVPQSKLRRFAAAPGQHVYLQIPAESTPANTSNPSIHDLCYNPFTIAAVSSSDITLVIRTLRGPTTKAIDNLSHLPKARPPLNIE
GPLGSSRHFPNLARDYDRVVMVAGGVGATFILPIYRAVQEQLRIEARSPDRATFAWSMRKTDEAGWAVGSESDSSTETEPRTGNRGLLDDENLKIYL
TSGFLAEGNHGDGELLPVDGSVEMADLQKDDESLRGVRVRARQRPDLKVIIDEAFRLGKEENVAVLVCGPKSMAIELRRHVGAWVEKGRDVWFHDES
FGW

>RCO7_02050 | related to VanZ domain protein

MRIRLPFAGAFLFLVATSAYAGLSSLQISPLINDKVLHFLTFFILTTCFYWILDTSRRRTLNLALVTCTGLLGVGSEFLQEWLPNGRVFDFYDIVAN
VVGSLGALALSTWYHMRMLERKRLAKHYQIVPVEEEDLELGDGIGLGVGAQESGEVGALPGPVQKSVEEELDNWDENMDDGWDEDEHAAATDSAEGE
GVKTPSASSAGDVGGEPIKRAD

>RCO7_02051 | related to transcription regulator SPT7

MSRSHSGISNVQPSWQKTSHFLSNSNNSKPLLRCRDDSSTPSIAGPEDATMADSVPAMYDPDNAEEEHQRQLFKDLYLRTESKIAGLFGGRGPEQDP
VEDDAAAGAQLAIEDSIAADAAAVEQAPKKTTRTIDEDNYDDEEEDEEDGGAQESPLKNRSGNALLSPSKSGSSPVSSEVSPTKPAESDKEETAPAQ
PKSAEDARKHLEESKKATEEAAKRSFHTIFYTLENDRIAMLEQQKLEESEKQIDAEMDHSGNANNSSAPNGGHHGSLSSANLGASSLTLKHLIARID
LKRDQVRASDAELRSLMNEVRKNRSKWANEENVHQEELYEAAEKVLSELKAMTEYSAPFLTRVNKREAPDYYNIIKHPMDLGTMTKKLKTLTYKSKK
EFVDDLDLIWSNCLKYNGEIQHPLRRNANSMRKEAEKLVPLIPDLVIRPRAEVEAEERRRQNGGEDDAGDDSDDEPIMSSRGRIAGTGAKGLKNRKA
REQSTPGVEQKPTLQLNGLLGNIGNDGSEVGFDGSQNGFATPPIGSITPGGINGAVGNGSQGDGDIDGPSINGLLGQALGAAVDDLREDEEYKIWKQ
VTKKDRALLAKERNRLFRGDKLNPDEPALLRSKAGMRRWLRQRTQAQMDASSSKLDEKAKDAIKGAETLAEGMEGEEERVLPDYYDSLSAIPEINPK
LQWIEDTDGQVLDRGEEFLRMVPSGHFQAPKSALSQRVEANMRQMQETRKLCSKIGVIKQMQLQAQMYNNQFPKYEPEAFIETDIEPHVTSDDGPIM
ATWVCKAAMQRSVAKLCYHAGFEELQPSALDVITDIAGDFFSKLVQSFNVYRETPKVPALTALADSGAIWQPRFTDEEVVLHTLSENGMDVEGLESY
VKDDVERLGSKLGVMHDRMKAHLADLLRPALADGGADGSGAFKDGSEQFVGGDFAEELGEDFFGFKALGLDSEFGMSSLAVPLHLLHTRLYQSQPSA
VVQNASAEIFDALPPLEPITVPYIKEAIGLVKNFFLGKLQSQGGLPLLDDEELPVKQRPSRPRLGPTGKITSPRKRPQKDQSGNSKKKKKLDNGTAV

DPATGSKPGVSGSPEKPGSGPAKKLKPLANGGLVSMERADSSQGNASNTEKDDAGAVGMMSPESIERG
>RCO7_02052 | related to UTP6 - U3 snoRNP protein
MSGAADKARFYLEQAVPQLQEFKEKKIFSEDEIRSLVTKRSSFEHKVLARGSTPVDFARYAAWEIGLENLRHKRCKRMKIKGSTSHTGQARIFKIFD
RGTQKHPGDVALWMSYLEYCKQAKATKKFKTVLTAAIRLHPLKAELWLYAARWSLEAEADMKEARSFMSRGARFCTMSKDLWIEWAKLEMIYLAKIA
MRRRILGIDEEENAVDAMEVEGAGNESAFGSEDVVAIPDFKMNVMRPSMLEGVKVDTEASQDPMNTPALQGAIPLAIFDEAKKQQFFNASVAADFFD
MFAVFTQVRCLPKILQHVLDVLADSYPVDPSTCDCYNKQPLVGIDPTSPEFPVALGIFLDRLNETMEKTKDKSALAKKTKAWVEPILLIGELDPAIK
TVLQHTMRKL
>RCO7_02053 | related to CWH43 - putative sensor/transporter protein
MAPQYKDKDGQVLLSFSGKWISWTHTAAGYTAFLSALIVGISLHYHKIVQNEYYGYPQEWFPSVSSTIGDRYPERSVFMLFIAITSGPRFVLVGLWY
LLTARPNATLPKIVAGTGVFRGLTCGGWTYVTSTDNHDWHDIFMISYLVATLPWTLGCIALSPPNAKAVKYRKYLASAFFGTLVPMIYFFIQHKVHK
VAGAYTNYAFFEWSLILFDVAFDAVTALDFDTFELVVRDVKGSSRGNNRLVADAVLEKEKQQQQAGQILNQSFSWAEAIDTAADVYNGFVFWSMLTS
LGLLVWYFPLWHMGISGYEVMVMSTVSPFMLANRRLRSLVVKNLRICHFSALAGLVAYQAEDPVLRLFIVGFAVWMSCLSWAATWYSEASQPGHLET
KISAWTIGLIASSVVKFAWQTSNPIWPTSHASNGGWNGVGLILAILAVLRSTRKSPAAGSDSAVQGRKEGSSVLAAFGIGGLFFGLHSLLSDSSTMI
LWVWEGYPVRGPISVPHGALTIAAMGAGLIIGLFSEVIAGSWTFYGIGCIGAAILTLKSNWIGYYGALILAVYLMAASVPLIGSAARKSPATSFGLG
FLLYNFLVLFHVWVVAYAFVPGGPLVREHTDWVMTTMMLFIGCGVFSSVSSTPAGQRKHFNAFLNTRKQRSYYLYFIGLLQICAVSIAYLRFPTYDY
VPYHQDEKILTAGIWTIHFSLDNNMWSSEYRMRDVIKELEIDVIGLLETDLQRIIMGNRDTTQFLAEDLGMYVDYGPGPNKHTWGCALLSKFPIVNS
THHLLPSPVGELAPAIHATLDVWGEFIDVFVFHSGQEEDPEDRRLQTEYLSKLMGSTPRPSILLSYLVTKPWYGNYNTYISEESGMYDIDPTDWDRW
CEYILYKGLKRTSYARVSRSTITDTEIQVGKFKVGEKASDRPDLRNSRIPESEVPEGERFPELFKGEGVRGHAYHVFDEPRYFGG
>RCO7_02054 | uncharacterized protein
MRSVIFSLLQASVVVAFPNMAEKLAESHLQERIAPLAPFPEYPGTPNHALYNKFDAKSQLVSTSGEHAFIAPGPDDRRGPCAGLNAAANHGYIPRDG
IATAESINTGLWEAFGLDKTATLFLQTATMFFDGDPLSGRWSIGYHSDKTNSLGLLGDLLGNQTGICAYGHLKTEGDASITRGDWLAPTQNSNCASY
PEFAKELIDLAKAMNPDTGFITPRVLAQHSNNRKQHSIATNPYYFSPAYAGIAFTFGAHMFANVLLANHSAEYPRGFLTPEVFETFFSYTRDADNNL
VFTYGHERIPDNWYRRANDDPWTLADILASTAQQCLSYPSNCQVGGNTGTVNSFSGVDLGDISGGLINAATDLQDPEKMGCFISQVIQADVPSFLDN
VFNGVALTRVLGMIPTVLLPALAPLGNCPNLPKGKPMLDYGKKFPGAATKMSGNRNPYKM
>RCO7_02055 | probable aureobasidin-resistance protein
MADARYHPAGSPTTFTKTKLPFSWPSILNPIPRRYRRKLRSKFRSAQSPASSIASIQTSFDPADSIKALRAHRWSYYDAKYLLMIIISVFSLSISQA
PGPMVKTGASALLMLALLMPVTRQFFLPVLPIFTWLLFFFNARFIPSEYRPHIWVKVLPALENIFYGANISNILSAHKFVVLDVLAWVPYGLLHFGG
PFFWAALMFFFSAPGTLPVFAQTFGYLNIAGVAIQLIFPCSAPWYENLYGLAPANYSMPGSPAGLARVDLLLGFDMYTTNFTASPLVFGAFPSLHSG
NAVLEALFMSHCFPKLRPLVIGYAMWMWWATMYLSHHYAVDLVGGGFLAAIAFYIAKTNFLPRVQMDKAWRWDYDYVERGDAPSGAYEYGLSVLDIN
EFHNDSSDEWTMGSSSSISSGSRSPVDESQSSWEGDTLASQASDTELSEIATR
>RCO7_02056 | uncharacterized protein
MSRITEAFKELGSSTGKNLGGKWLKHEVYEEAGEAATAHSQQERCSRVQQRNTDLRKGTNDCVQCYAQMRGCAAMRRDHTEIEVTRHLEKIEMGTQE
LLHSFHRRQILGIGSSSATEALEQFLQAASLVRSSASTVVPSNTPTTRGVLCQPREDGRSIFGDVLSDDRYETIKNWIAPPRLGTRDSASATTKEAI
GISHQSSLPELMSKLGDVTRMADKY
>RCO7_02057 | probable calmodulin-dependent protein kinase
MSYSNPQESQQGKPPVQACRYKTGKTLGAGSYSVVKECVHIDTGRYYAAKVINKRLMAGREHMVRNEIAVLKRVSMGHQNILTLVDYFETLNNLYLV
TDLALGGELFDRICRKGSYYESDAADLIRATLSAVAYLHDHGIVHRDLKPENLLFRTPEDNADLLIADFGLSRIMDEEQFHVLTTTCGTPGYMAPEI
FKKTGHGKPVDIWAIGVITYFLLCGYTPFDRDSNLEEMQAILIADYSFTPIEYWRGVSVQAREFIKRCLTIDPTQRMTSHEALQHPFVSGVTSGQAG
KDGKGSDLLPVVKKNFNARRTLHAAIDTVRAINKLREGQGVSGMMDGIISTDPAKGAQPLRRGGNDSGVGMGPGDEMQQDSGYGTGGPISSAPQADD
SDIPMRGVERTTGQGQTQAQIEAQTRKIAETTKGLWSAGSAKLTGR
>RCO7_02058 | uncharacterized protein
MITLVRRLGGSEVASANGKDQSTTAKSMEFEAANVTAHSATLSSNSVTISTSANDSKSLIIGVMLSATGALLLLALLVVFCIQQRKKRQARKMEKGA
QPTAYSGLNDAFGGVAFQDSQHNSLSPQSLLLSRSNKIYSGAPSPSQRPSEMIGLLHQSNRDVSSPQQSPRHSPPSWPPQSPAHAYSSQQSRTRSHA
HVRRYSYITHARMHSRTISRAESNSSPLTLNDPCEAHVLSGNGTCSPTELEAAKFQATPVQERDTMGFPVEQSAIIDDIELQPMTPVLHSPKPKRPL
EHQDSLERMIREGNSAPSPAPSNSAPGRDRRISQECRESPILGVLNPMIIQNATLTRLGDRLGRSDSHKTVASVSTMGPVIGDEELERLGVGIRPQP
LRLRNDTG
>RCO7_02059 | uncharacterized protein
MSSLMRQNYTIAAGDTLYEIAKRYGIDISVIQSLNPGVKPESLQVGQIIVVPGSAGSRLSSGYINADSSLAASTTYVIISGDTFYAIAKRLGTDVSH
IQSLNPGVRPEALQVGQIVNVPSGPTQRPIVKQAQPAIEGYQYFSGPTHQFPHPNRWTPYEHLIKTNERLMLLNSSPTEVFYIKKWIPIVAYESGVD
ARVILSIIMQESGGNVRNPTTLSPAPDFVKNTGLMQAHNGQEWDERYPEWCVERMIRDGVQGTQYGDGLIQCFHKWDRNWYHACRAYNSGCVNREDL
SDGITATGHYVERIANRLIGNQWAGM
>RCO7_02060 | related to peroxiredoxin 5, mitochondrial precursor
MSSTNILRRVALNASRSSRSFHASAASFIKVGDKLPNIDALVENSPGNKVNLSEAIKGKGLIIGVPAAFSPSCSNTHIPGYIKHLKLKSAGDVFVVA
VNDPFVTKAWADNLDPTGSSGIRFLGDPTAKFTEALNLTFDGAAIFGGPRSKRYALEIEDGKVKALHVEPDNTGLDVSAAEKVLG
>RCO7_02061 | related to BNR/Asp-box repeat domain protein
MLLQSFPLVLLLLSAVTAAQTLAPFSTFSNVTIFTPPSTYNDPRVLYARTVELEHGVLLATWENYSLEPPLVYFPIYKSVDGGASWAEISNVTDQVN
GWGLRYQPDLFVLPVAVGEFPAGTILCSGNSIPTDLSLTKIDVYASRDGGYTWEFVSSVASGGAALPNNGVPAIWEPFVMHYKDEIVLYYSDQRDPK
YGQKLIHSTSKDLLTWCASVDDVVSSRYTDRPGMTTVVQLPNGKYMMTYEFGGGPTVVGTDYKFPVNYRINDNPLDFNNSISLPIYTNDKIQPEGSP
KVVWSPIGGVNGTIIVSCGTASQIFINQALGDVNAWRTVQTPEGTSYTRHLRVLNNTNHLLIMGGGVLPPSTTNKVTVSVIDLEESLKQAS
>RCO7_02062 | probable ring-finger protein Ariadne-1
MDSDEDFMSGLSSDEDVMQDESDDENVSADADFGFDEPEPDLGYTAKDQVKKEKKSFDTTFKVYHPKDIQAQQDDLMDEVNMILDIRKEEAAILLRH
FRWNKERLIEDYMDRPRKVLENAGLGPSTNGPPSLENIPGFMCDICCEDEAGLLSFAMKCGHRYCVSCYRQYLTQKIKEEGEAARIQCPQDGCKRIM
DAKSLDLLVTVDLKDRYHELLTRTYVEDKDQLKWCPAPDCVNAIECGIKKKDLDKVVPTVACDCKHRFCFGCGQTDHQPAPCELVKRWLKKCADDSE
TANWISANTKECPKCVSTIEKNGGCNHMTCRKCKHEFCWMCMGLWSEHGTSWYNCNRFEEKSGHEARDAQTKSRVSLERYLHYYNRYANHEQSAKLD

KDIYQKTESKMIKLQTASGMSWIEVQYLNAASQALQTCRQTLKWTYAFAFYLARNNLTEMFEDNQKDLEMAVEALSEMFEKPVEELSESKLKVEIMD
KTSYCNKRRVILLEDTADNLANGVWTWSNGY
>RCO7_02063 | related to exodeoxyribonuclease 1
MGINGLLPLLKSIHKSCNLRKFEGKTLGVDAYGWLHRGTVACAMELAMGKPTKKFVEFAMHRVRMLQHFGVIPFIIFDGDYLPSKAATEADREKRRE
QSRKAGMELLNAGKTSQAYLEFQKSVDVTPEMARQLIDELKRTGVQYIVAPYEADAQMVYLERKGIIDGILSEDSDLLVFGAKCLLTKLDQYGNCVE
INKADFSACKEITLTGWSDREFRTMAILSGCDYLASINNMGLKTAYRMVRKHKTIEKVIRMLSFDGKFHVPKTYLEQFRQAEFTFLHQRVFCPQART
LVLHTTPEQPLDLDKMPFLGADIEPGIAQGVARGDLNPMTKKPIVNHTRNNMVTSMDPWATSRPRNNKPSPLDLMKGVPISTFFKKRIPLAELPLNM
LTGSPEQQDLLRRNSGPWIAQAAPSTTLNISTTSPQFPQSAPLISRSQPANHRTTRAPTISEPRPPKRARLCADIDTALSPSKEAELGPSRFFNAVP
EPSPSVSRNARGKKAKKQDFNIFSDDGIEEAMLSLANVDDDSANGKASGKKIAVFAEMVTARSEALTIFDDHGCEMDKAEPRGCTPGMTLSESSSSS
FSQPPTPTSPCQIPNSMSKLKEQFSFGGAAAVTPKGTGNLAFPPTPASSVSRRQSRIPLPVKIAATTPKLPAVSALVTRKPLTPLQRLGATAASRTN
LPGTPPMTPATLPLKVRFPHRSLLGKCSIPFPEAVEAGKENATNPASVPLPVADDMEKNLLSMGAGSEDFIIHESEDDSDISLGAGETGTKSRFDFG
RFIYSA
>RCO7_02064 | probable TMA16 Protein putative involved in cytoplasmic ribosome function
MPKSLEKTRKKIAKKKGNITALHENSRDSMKLRRALMRDDKLVKVASARRKNDKPLVQRAAYFQEAIRANEGKPLELGAIQTLIQSFVHQHDEEFSE
LKKDRRPGRPASTREDLLRIKIATDEKEYESGFYLPDLTDENNVIFLDRWEGSWSYLSTLKWVRMSSSGQIHESKFPPKGES
>RCO7_02065 | probable succinyl-CoA:3-ketoacid-coenzyme A transferase, mitochondrial
MSSTALLRTARAYTRNNTKKSILLARTFSSTFQRNEINKVLSSAAEALKDMKPNSTVLCGGFGLCGVPDTLINEVINKPEITGITAVSNNAGTDTSG
LGKLLKTKQISKMIASYIGENKTFEKMYLTGEIQLELTPQGTLAERCASGGKGIPAFYTPAAFGTVVQTGELPLENNTDGTPKIYSYPKDVKVFDGK
QYLLEESIKGDYAFVKAWKADKLGNCQFRLTANNFNGAMGRNAKMTIVEAEHLVEPGEIPPEAVHLPGIYVKRVIQSTTEKGIEKYTFAKDPNETDA
KSALGSGETAAKRERIVRRAAKEFKNGMYANLGIGMPMLAPGFVGPEVEVQLQSENGILGLGPYPVKGKADADLINAGKETVTLKAGAATFGSEESF
GMIRSGRINLTILGAMQVSGNGDLANWMLPGKIKGFGGAMDLVSNPEMTKVVVTMEHTDKKGNAKIVKQCAFPLTGKACVSMIITELGVFNVDFATG
LTLIEIADGVTVDEIKSKTEAPFKVADDLKPMLL
>RCO7_02066 | uncharacterized protein
MNRIMVIRHARTILEVDLAIAEDLFANNGLETLVCLCPHADPSALKVLASRGYVAENFMNCYARVLADDDLEMERVEGAEISRVPPERSSELPVWCV
AGFNAGGGLIYFLNTLGRLIALHKDTIPTMRL
>RCO7_02067 | uncharacterized protein
MRPVCEEYNEFVNFVVRNAEVNGNPSLELQPTWPGYDKDPFDITARMFRRAVKDRMIEDGIMKQCNRIGAFRAPSGVQLDHSVSYQDYPLTKRCRWV
QDYFSEGYSVGVRIRIGKVIDHCQSKSQGPYVPPARRLGIFPVQRTTNDLSNLSRLDLVIRAPLDCGEYLDFINKVVRKALHYTFPQTVYEIDFPLG
SDGFGHQRAEQLVGRVFRRMVKDNILEHTGNSVLGRYDLCPSFEAKRFYLRRKLHSSDAGFRLDTSNEQSLLRLQGLLDTNIDSICQEDLIRLYGSD
AGSRYDELQAEFMPKIKYEVIEDDLPITVPIMETRSTETPTVMEAKWRSYPDGTVIVEKATALWVASHCKSRQATSSFGTLSSSKVSLSGRPSYPSQ
EDMPSPRSGMAFSDDNLPGLTSKRDEKPNIYVRQPFDVKAIFQSKMKELARKRELEREASQGERPASKRQHC
>RCO7_02068 | uncharacterized protein
MQSSKGVCTFYIYKEGIPKAPILARICHVYYAPSQMRGVEEEELEEEEATKEEKAPKKEEEEEEEIATKELEEERESTII
>RCO7_02069 | uncharacterized protein
MLGTWNHLKRIAQDWTSGDINNFSNFLPHPYPFPSEDVEAAKAWLADLKNQDLSAWDHEKSYYSGIWPILEDLIADVVGIPVLMLREGIFAVCNEEC
GDQPTTTRLSHEKQKNIVRNYTRLLRDQCKKEWNAKIEPWIATALHTWANRAICLWKSKLRHNKLPVTDQPPRHRVGSDARERIYTPEGETGISSGQ
IYLPYGVSTT
>RCO7_02070 | uncharacterized protein
MVASSGEPQPGSQYRPHPRRPPPQLSVSLRHNGPAQNDKTVEAQSHVAGISVRPLKRLPSDESYDSSEGAERWFDHANKRPGKGLGFPRTEDDEPPY
FLPHDSSKDSKEESLDIARLQTAQVASQQQRVQRSITGDSSVGDYRSVIDDLTIENRKLKQEIRKLKKSSETHLQKDRLFDVRIHGKLSARKRRELE
ELLGSFASNIDDSTKKDASLSKKSKYTSLGDTKSFAAKHSTSSSTSNSRPLDSAYASMSTSGPTSLSTPTNGPGMDRSNSSVPVKTDQSIHNFLHNI
PEGLLPKHSPLLTERQKKKLVVQKLEELFTGRKGIIVGDHSQPLQQQEVSASAAKADRAANHDGLIPLEGLREAHILPYVMDVDSGKSKDLVGHSGN
ENTAEAYTSDVSGEASPEISTPGQRPTRPLDLDPDRAQVPSENIDYIRHLGLSTPKFNSDTSSDSATAADADGWIYLNLLVSMAQLHIINVTPDFVR
EALLDVSEKFQVSRDGKRVKWRGGTQGTRMGSDDMKDFAANQTVEDSYSLREPSKKRRKVDGGHFAPVPIEAPDAELSHYKTVQPLHYKPLFKHAES
FGSSVSSNESESPFGYDTGNEDTQENGLVDPQASRGDPSQKSTREKQEAGVLVYYAGAKFYTDLSGDPDPSSTPLHFSGVSTDGYYSSNRRAIGQIT
RESAPPVERTQSGSLLPFRPFKDYSKGASIPGLEEPRPRTPELLDEETDDDQFVDKFAGGTAPLNRQQDFDSTGLGGTRPADHFIMKVETRRTTRDG
SQPGKQQGLASSASGHKKSTVPRSTLDSFFDRGGKGHRARYVSFPISSKASVVENLPVQTEILSLHTRQLEPSELPPPLGYHTALDSDSDCSDSDSD
GDGNASSQSSRSQNKRTSPQHQNSNTSPKHPSWAQRYPDGGFSDGDESDNEEDDGDGDGSIDILAEARKHDPETVAAKEMEFEMAIDDKGTDAATVN
DSIASTRPRGWRRNLNGGLRRTSTMSMDEEDEDD
>RCO7_02071 | uncharacterized protein
MVWLRLAEVWLTARLLESQTFHKVVKRVHKKMHEIQRGEKLDDPSEMGGTNIDGPKPDAQRFLRYYMEELKDQFKGTPRK
>RCO7_02072 | related to protein tyrosine phosphatase phi
MSRNRLSSTRSKVPLGVGVGSTNVAQLDGSCFGKPAGAKYHEESVEKGPPPLPSFLTLSEIEVRDKYAELTRLENERIGLGKTDPQWARRDPDPILD
RYNNIFPWDNNRIKLAVPEGVNDYINASPVSLISTSEKQSKLKSGVQDKYICMQGPKKQTVDHVWHMIWHELAEPYTSSPAIVIMLTPTHAPIGDDP
TRMFEKCYQYYPVDEKSPPLLINQSNQLGEDFKAQVRFEERLPGIEGTPIEIRKLIMTVEGEEDDEKPIYHYLYPNWPDFGALAAENVASILSLMEE
SRKQNGRGENPRLIHCSAGVGRTGTFVALEFLLGELEGGAWEGWDNSEHSITDPVYETVNQLRMQRKTMVQAYEQYAFLYEVCRKRWEEKYNTPCIG
GEHTHTQPMNDVCVNGLDEDDN
>RCO7_02073 | uncharacterized protein
MSRKPDFIIVPGAWHSPDAFDPTSTFLRKAGYEVHGVDLPSYGADPPLKSFDPDVLAVQNVINKVLSSGKDVIMIYHSSGGMAGSEALKEYVNEVGT
DKSGKQGWGRVRRLVYVTAFALPEGASLMSGLGFKPLPWFEIDGDAVFPANPKEIFYNDLSDSQAAPLIAAIKQHSYLTYASTLTVAPWKTIPSTFI
KCEKDNAIPLPVQEGMIAGAKEMAPDAFDVIEKCQSGHSPFVSQPAWLAEKLVESAK
>RCO7_02074 | probable SMC4 - Stable Maintenance of Chromosomes
MSESPVRPSRRVVARRKVVVDSDDEEEQVQPKMEEDSEEDFTPAPKKSPRKAPAARRKTTNVVASTPRTGGRARKGAAKENIEPSELFDPEETVQPE
PESPTKKASPRKRKSAPVRASRSSMTPDLQPPPLPTPEASASPEPSQLHGIPLADITETLNDRPGTSGSQSSVVKPINAMDTILERPMDIVLKTRSM

IAPVVEDTGPKARIVITYLILTNFKSYAGRQEVGPFHTSFSSVVGPNGSGKSNVIDSLLFVFGFRASKMRQGKISALIHNSAAFPDLDHCEVAVHFQ
EVLDQPNGPPEIMPNSDLVISRRAFKNNSSKYYMNGKESNFTVVTTLLRDRGIDLDHKRFLILQGEVESIAQMKPKAANEHDDGLLEYLEDIIGTSK
YKTPIEESATEVETLNEVCVEKSGRVQHVEKEKNSLEDKKDKALAYIRDENELTMKQSSLYQLYIDECGDNINVTEEAIGQMQAQLDAELEKHQGNE
DGIKQLDKQYKKGQKELESIEKDTQTIIKEMAKFDQEHVKFEEKRKFLTGKQKKLEKAISTSETAAESAQSIIEDCTAEIEKSAQEITAMETRMKGE
EKELAVIRDSLKGKTQVFSDQIAAKQKSLEPWNEKINQKKSAIAVAESELAILSEKANAGAVALEETQAKLASIEESREAKIAELEECKMERLRLEK
EAAKVESEVQKLSQKEPELRSRLSGARQKADEARASLSNTQTQGNVLTGLMRLKESGRIDGFHGRLGNLGTIDQKYDVAISTACGALDNFVTDTVEG
GQQCIEYLRKTNLGRGNFMCLDKLGSRDMSVIDTPEDVPRLFDLINAKEDRFRPAFYHSLQNTLVAKDLDQANRIAYGAKRWRVVTLDGQLIDKSGT
MSGGGNTVKKGLMSSKLVADTSKEQVAKLEVDRDGLEQDFQKFQDRQRELESTLRELKDHIPRLDTKIQKIGLEVESSARNLADAQRRIKELDKEHQ
PIKTDDSRVASLEKEISKLNKEIDKLHGETASVEQEIKALQDKIMEIGGDQLRAQKSKVDALKEEISSLSEAISTAEVTRAKSEKQKTKHEKEHAKA
SKEIQTAISDLEALEEDIQNQSSNAEGYQARVDEASEALKAKKKDLNALKAELDEKTGVLNEIRAIEIEMRNKLEENQKVLGENQKRLRYWNEKLGK
LSLQNISDLGEETESQELPSYTKDELADMSKDTLKSEIAALEEKTQNVNVELGVLAEYRRRVEEHAARHADLQSAVAQRDTAKKRCDDLRRLRLEGF
MEGFSTISLRLKEMYQMITMGGNAELELVDSLDPFSEGILFSVMPPKKSWKNISNLSGGEKTLSSLALVFALHHYKPTPLYVMDEIDAALDFRNVSI
VASYIKERTKNAQFIVISLRNNMFELASRLVGVYKVNHMTKSVTIENRDYMCR

>RCO7_02075 | uncharacterized protein

MFNYQSFAEVFAFDPECSYDEETVSMIERNRKDMEGLFIDRVVKETGIVRPAKHYPPKSNNAFRTLHTAIIESSGADHTKISILYYLLLTFDFPTGK
RDYSLALEQSTFLPQKYQIFMKGLWHMDRKEFEAAVQYLTHPSLIPTFADEILEVLVRKSKDDLTLALAYYYTAQPTLTSRSAIECFFSAIARTSVT
DAFYFTRSQPPHSQQHMFEMLVSVVLNNSPKDLVAHRSLELVSLPLSLEENAWLEEYLLYGDGRALKKSKDTVLMRKIGTGNFIDALSMRGINSRSI
GNLDWINLSDGIKHGLGPRIDG

>RCO7_02076 | uncharacterized protein

MVILGGLELVAVGYVIHKHAQNKKEKQRIAEEAAALEEQQYRVFPSDRRGRHAHSQHRRRRSHSRRRHSADGRFKKESPRPLMPDSRPPQYNAAPVP
MQKPFQRPSTYPQPFQSPNAPLQPPQQRPQPQMQAQLQPQHRHQSQPQAQYPPDIKYGWIDEPARPALQQDPYFPPTGWPAHWEQSRTAGPQIPESS
RGRQERRPESPHVRFAPPRHTASVRSSSRSPPPSYRA

>RCO7_02077 | related to carrier protein YMC1, mitochondrial

MADVAAEMEEGGMVRTLKDLFAGAAGGIAQVLLGQPFDIVKVRLQTTTQYPSALVAAKTIYAQEGALAFYKGTLTPLIGIGACVSVQFGAFHEARRR
IEAYNTSKNPLSPGLSYAQYYGAGAFAGIANSVISGPIEHVRIRLQTQPHGAARLYNGPLDCVRKLSAHEGILKGLYRGEAVTILREAQAYGVWFAA
FEYMMNADAARNKIDRKEIATYKVAFYGGMAGEALWLASYPLDVVKSKMQCDGFGKDQKYKGMNDCFRQTFRAEGLRGFWKGIFPTLLRAMPVSAGT
FAVVEMTMRAIT

>RCO7_02078 | uncharacterized protein

MSMLAFLWLVTLLSACYASPPSIAAPGLLERNTSNHLKTPHAGTSSFVDLCTGQPVNEIPKNIPPGEVKAQRPGLRQVAYLTIINGCDQEFEFLSTS
QYQMRNWDGQWVTIPAGESAQFEINFIQGLFIRDSDTRGEAYFRIKNTGKQFHISTHFVPSLSPNLRARISYDGIKSKDTPQGTMFDLGFPTKDNGN
TLQWVLTGSEKYGYWSSANPPVTYLHSMLDIIGERKLKYVTMIGSHDAGMSVIDGSTAFSTWQNTQTQWLDIYGQLVRGSRWFDIRPCLGNNGKHMT
CHYFVSKNGAVGSNGLEVDEVIMQINKFMDDFPGELIIVDLNSDCGFDTDHRTPEGSYNRLTDDQWRPIWQKWQDGIKKPCKGFGAVVRLDDLTMNQ
LIGDGQGCVISLYHNIPAIEDASKGFYGYNKLNTYNKYAETDDYEKMRADQLAKLQQNRKLGKEGDSETKDGFFMLSWTLTMGVNDWITPLSDRAAI
AQSSLFWSAYHEFTPYSYPNIIYVDFVGQPYLLDQGNTQTEYMKQTGGHLIALAMAVNLQIASQNCHVGGGKI

>RCO7_02079 | uncharacterized protein

MTSSKGTPTDPELREEIKEEIKQEPNKSGGGQGQWSAWKATKLAKEYEKQGGDYEDEPGSKNKPKKGEPEKK

>RCO7_02080 | related to Rad50-interacting protein 1

MASNSIERERSPVAVLLNPRKDIPSGETDIRVEDYLNDKIQTATDLGNISSLLASVQLQQKQLQTQLQDAKSELNQARETSLNRGTRMLEQTQAFER
GYLDVQDRLQLITLSDTPEDAKRRFEKPMEKLRKVELAQSYVALLQEAELLKKEAKSYLPENPKEALKPYMILKERTMILPELQELAEGGGVHLVKF
MQETTDELWIEMKKIMLDEFDAVLKRSNWPDATSEPTGEWSDCLEKLLEFQMPEIIAAKGPLVLLPMEVLAKPFVQQFKYHFFGDKPTNNPNQLGNY
YLEWFLGTVSKWQNFLRENIGPLLAAHFKGNIYSGNALYVDPVAAFVTALLPVMKAKVDAQVEAVANNPQLLSRFMVQLMNFDETVRKRFNYDGGNP
DLGWKGLTWEVLDRWFDTWYEVEKKFALDRYRDINKSPDSGVIDYDSFGPGKTKPTYGAVKVIDLIQTETLQYNKLRKFSHKMKFLIGIQAEILDLY
YGRLKDSLDIYGTITSTVGRTIHGITKEQEAALQGVGKFETLCKVFGSAEHLISMMKDWSNEEFFIDMWEDLQERAKDTTRSTKLAGEMSYKEVRDS
TSDAMGSESEGAVFDKTIESFEKLRETAEAYITQAIKYSFPVSFKQYITKPQWCTIGDASPSSYPSARTAELDGPLRELAQSMEFLSKVLADSAFRR
IWREALGSLQDLIFNDVLLKQEFTSLGSAQFKYDFEAIQSTVARYIKYGNGSTFGMPKLREAIFLLSLPVDSEGGQMSLSEVSEQIFAGGQRTSDAL
ESLELKYLTNAEARTIMAKRLEANND

>RCO7_02081 | related to DNA ligase (ATP)

MAPPAKKRKINNDSKSSPASSRNLDFFFGRQKEALPFQTKDKETQQDVQVQDNSKELTDEQLARKLQAEWDQEEAVVPNTPKVRNEEDVEGLVDTIK
DDGSDIQADLESANIEEPSTTQTEGKPETSKEQANEMPALTSMLAPKGKNTLTLQSAGSAEDNICSNIPFDESPLTFNPAKYVKELQGHWQAEGGDA
SYALLTRCFFLVNSTQSRIKIVDTLVNLLRVIIEGDPGSLLPTVWLSTNAISPPYISLELGLGGSAISKALKNVCGLDSRSLKALYDKVGDAGDVAF
EAKKRQSFTLRKPKPLTIKGVYQSLVKIAKTQGTGSGELKQRVVDRLLQDARGAEESRYIVRTLCQHLRIGAVKTTMLIALSRALLLSQPPDADFPM
KSATELAKLKKEELAEVWSKSEEIVKACFAKRPNYNDLIPVLLEIGICDELLIRCGLALHIPLRPMLGSITRDLSEMLTKLQGRDFSCEYKYDGQRA
QVHCDDQGKVSIFSRHLELMTDKYPDLVALIPKIRGEGVSSFIIEGEVVAVDRDSGDLKTFQTLANRARKDVAIGSVQVEVCLFSFDLMYLNGESLL
DRPFRERRELLRGLFTEIPNQFTWVKSIDATSQDSETVLEFFKSATDIKCEGIMVKILDNLPTLKLEEEAEDTEISVPEPLSKPLKGKMKVEKGNTE
KKSRRKALLATYEPDKRLDSWLKVKKDYSTTFDTLDLIPVAAWHGQGRKSKWWSPILLAVRNEETGSLEAVCKCISGFTDAFYKANKEFYDEDGENV
LGGKPSYVDYDGGHPDIWFEPKEVWEMAFADITISPTYTAAIGLVSDEKGLSLRFPRFLKKRDDKGIDEASTNEFLAGLWRKQEEKAPTTVNEEQDD
GGDDDEA

>RCO7_02082 | uncharacterized protein

MSSSRGASSSPLPSPPNSARLRDSPNQSPKRRIDSILDTARTRKLYMDSANTSGATSPRRRNNGNVSADNESSADEETSIFAPNNRGQNINYQSTQQ
MNSKIAQERPSEVSARRSGRGRAEEDNPSNENGEDDEDGWWARMISKYGSIELENKGSVARDHLALERTFLAWLRTSLAFASIGIAITQLFRLNTTA
AGGGHDPYRHLRQMGKPLGATFLAISIVMLFVGFHRYFESQHWIIRGKFPASRGSIALVAFITFALMITSLIVVVVVEPRAFEKK

>RCO7_02083 | probable DNA-binding protein SMUBP-2

MSPKDAVDIPSFCTTQLSLLDAELQSELSETSFLITNSSPTSLSKAGLAITNLVLSSQRTGLGGKTVVELTPDSATSSKKGDGGGELELPEHGIRVG
DIVVVSEQQAGSAKKKEIKELEEKGSRGVVTKVQRSAVWVALDLDDGQAEGVPAGKRIWIVKLANDVTYKRMNQTMNRLLKMKEDEYSSFVRVLFGL

TTPSPVADDLIEADGEKLEWVDPSLNDSQKDAIRFALASREIALIHGPPGTGKTHTLIELILQMLKQNLRVLVCGPSNISVDNIVERLAPHKVPIVR
LGHPARLLPSVLNHSLDVLTQTSDAAEIVRDVRKEMDAKQASIKKTKSGRERKAIYGDLKELRKEFREREKKCIGSLIGGSKVVLATLHGAGGFQTK
DELFDVVIIDEASQALEAQCWVPLLRASKVVLAGDHLQLPPTIKTLNAKSKSKKSKTDEAEGIIKGLNLETTLFDRLLKLHGPGIKRMLTIQYRMHE
KIMRFPSDELYESKLVADNAVRDRLLKDLPYEVSETEDTIEPLIFFDTQGGDFPEKDEEEDVDKKAGKGMVGDSKSNEMEAALVREHVQNLVDAGVK
PEDIAVITPYNAQLALLSRAMKEAFPGIELGSVDGFQGREKEAVIVSLVRSNLSREVGFLGEKRRLNVAMTRPRRSLTIIGDSETLSFLKNWMQYLE
EHSDLRYPSVAAILNTQ

>RCO7_02084 | uncharacterized protein

MSKFRGAGKWRVEGHARSNTGSSIRAKSISQPIPFPDDDEFPIRTPGSGIALPLSADGTERLRETRANGDIDIVAHQTGIAVSDYTTGTRAPPMPTE
PPPPLPDAQIMRTIQGHRPNQPSGLRNSITSVPDAPSIEKPQRKKSSLRSVFGKLFGRKKKETSPSSSERASKASDVRAGQHRSVPSALNRTPHGTM
SPQKRSASLPINEFNRALRSHSIGATDFQEFGDDNDDHSNRESLQGDGQSRPRRATTPSRLWTPNKIPGHADWTGLSPRPASSHARGSKAVSDEANA
AVGIALKGSSHLHRRSRSVGELQEAMRVKVVARRRSDEIRYWRQSYDPGWMSPMSSNKAEMEEPIPMEPEDRLDDDTSKPEPFNFGPMGEMAGMKIT
QAASLETRVQRLESRIHKMERDVSRTRNHEALQLQDPPKRHSARNRSDSGTRSITRHAEASLPQYPRNREAQNRGDSYGSRRCSQNGSSFYSSSRPS
TMSTNNNQLQPFDEFSPEQLLPIETAQSTARPLSTSTTIRGIPSGSPTGGMTLTGEHFKALIDMIHAEQSARLKLEAVIHSLQRQLQTVLIASGTTY
PTTDSDTAGNQLHQGKTSGGSFSNSEQDDSSDDGRYVNEEVFQTPMEEKNRFEDEIFGDGSNITDGKNAPRTLSLGQITLGRNVQPSLNF

>RCO7_02085 | uncharacterized protein

MRPRRKDIVYLSGVVFLLIGFSGIGVSTFKFHQDDFNWDTGSCQIGLGVPMAATIMGWDVLVTIFLTIVFVRRCEPYMVRGLGPTFLYPVFRGIKKK
FSRREHKATPPNGHQSATISKDALVHVIRKGFWSCPGILASTVVNFVLLIYWDGREEVWCFFTFFTIDVTWTLIILHCLTSAPHDFVVKPRISSVYS
GLEPSRSPLKHGKGENQSTALPSHTYGSTPQVGDSRSAPEPNDPESLR

>RCO7_02086 | related to cutinase G-box binding protein

MAQSPFFYYNPDPRPDNRQHGHFSQQPSNIQVPVYHPHMQPMPSTPIYPRPNSAGSQPQMHSQMYSNRYPMNMTPMSSPRPVYQNHKPTIVIQEQHD
MYYYPSTPPLSSSGSSISSPPSCDIMSTPMNQVFFGLEGFEGVKNGCQGEVQTENLAGGDWARCGSPPMTPVFIQPNSLMSSGNANELLSATSCPSL
SPSPSPYPPSVNSEQDFDFCDPRNLTVNSGVPSAQSGIKSAISADFPSLPTLCAGDDEAHRFMLGGETFNKAAEIHAGTFNFSTPVSNHGLPTFDQF
SDLDSEEDFVNGLVNFPPTDNVQFFGTKRQRTSSGSDLVSLDHETLISEDDFEDFEDFEDSEQFATACLPSPPASGSENEVKKEKRTKKAKKAHCDE
DSSEFDNLVRSRKYTVPMNAASGAPAQESTVEPQSTTPSQSGSSETGANNTGAGSDAGNTPKQPSVNRRGRKQSLTEDPSKTFVCELCNRRFRRQEH
LKRHYRSLHTGDKPFECHECGKKFSRSDNLSQHARTHGSGAIVMGVLEDGELPSDHPESASEGEHISTMGNILFRVGAGVSGSDTDPSSDSGSTDND
SQARKKRKRSE

>RCO7_02087 | related to ATP-binding domain-containing protein 4

MTESLQVIALISGGKDSFFSLLHCIQNGHQVVALGNLYPATSASAHAPRRPDASNHGTESEDEQDLNSFMYQTVGHTVIPLYEQALGIPLYRQQIVG
SAVQTGTSYGFADDGGTGSKSSDLGSAMSGLDVRDEAEDETESLIPLLKRIMLEHPTANALSTGAILSTYQRTRVESVAIRLGLTPLSYLWQYPVLP
PGTQISLLEDMQAVALDARIVKVASGGLDEKFLWQNVADQKVMRRIETSMKRFGTDGDGAVLGEGGEFETLVINGPSSLFKGRIVVDQDYRKVVREG
GGSAWLKILKVKVVMKSPETAEKIRCRNPELLASRFTDILIALNKDNREELSLKSQSLFTSSRPSSLRSLSTPAEQVHSHNILHWNVTARQPNANEP
ITIHASKAITEIRQRLRQESLQPCDIISTVIILRSMDDFASINKVYGTLFTKPNPPSRVTISCGTLLPPHLSLMIHLAVSNTPSSQATRKSLHVQSR
SYWAPANIGPYSQARSITLPSSSPPTSLVSIAGQIPLIPHTMNLPLSVSTSPSTPPRNQHDQDFALQAVLSLQHLVRIAREMHVSWLSSCVAYLPSD
PKISSHTTQQKSLVLAQTWKMLHRQPNEDDDVEDDETRDLWEEKHFSGKEVRGAATDERKFPAWDVVDVSTLDERYRDGYGAHPPFWTVEVEELPRG
SCVEWAAGLGIAGGEIKLVALTSKDGWSIHQCLTGATVISIIMLEYVSDISALTAKSKDALASIGIKAGTREVSFAAYIDVSIAGLWEQETVGGAVP
CRSIWDSEGRRMSCVLLFNNL

>RCO7_02088 | uncharacterized protein

MSTVFMLTLIAGISLSMSSDPYLERMILYMLTSESASTQPPLLQKANPGVSPEAKQKNWTEEESLIHLVARPDVFEVLLYNGRVYNFNDPKYAWLVK
RGEGNKNGKYFLREELWARVDSSYPFPSPAQREYVLSQLRIRGLHPVVSSTPRNEGWQAWQALRKRKSENLKKFDSRKRPKIKIKVDSDERSESDGG
LATQPCYPAISQDESAPPSEVTSDAEPLKVLSGILGDLREQVRSQKTEIDTLTEANHAKDHALSDLQSKLSDLAKAGNISKVKRLEEEVAKLKTGRH
ALESDFNQTRKELADSMIARGLARKRADQAEKAREKLQAGLDSEREILAIYDEARNRVARKRQEMVRS

>RCO7_02089 | probable U5 snRNP 100 kD protein

MSTYINGDSAIPPPPSDMNGRQPSPPPPPPPSSSAPPPPSDLPPPPPSELLPPPPEEPLKKKKGWGAARDRGPLSIEDILKKKKEADEAAAKPKFLS
KAARERIALEKRAKEVEEQKRKKEAENSGMFAGNGYAPQNQSSREPMARPTNGRDTSSVPTGPRAMRNGDPPSGPAAGRNNHSGRPNENRPNGDKGS
GNNAPTRAASVVGKVHLAGEKRPANGEATQASLTRTRYMGAETNLSTFSATKKRRRTTEKKFNFEWNAEEDTSPDYNPIYSQRAETNFFGRGRLGGF
AEDVSESGIIKYAKALEERDGEAGSARAREILEMERRRKEDAGGRNSLDKHWSEKKLEHMRERDWRIFKEDFNISTKGGSIPNPMRSWEESNLPKRL
LDVVAQVGYDQPSAVQRAAIPIALQARDLIGVAVTGSGKTAAFLLPLLVYISELPPLNEMTKNDGPYAIILAPTRELAQQIETEAKKFATPLGFTCV
SIVGGHSLEEQSYNLRNGAEIVIATPGRLVDCIERRVLVLGQCCYIIMDEADRMIDLGFEESVNKILDALPVTNEKPDTDDAEDAQAMSRHLGGKDR
YRQTMMYTATMPSAVEKIAKKYLRRPAIVTIGNIGEAVETVEQRVEFVSGEDKRKKRLNEILASGEFQPPIIVFVNIKRNCDAVARDIKHMGFSSVT
LHGSKTQEQREAALASIRSGATNVLVATDLAGRGIDVPDVSLVVNFNMSSNIESYTHRVGRTGRAGNSGVAITFLGNEDTDVMYDLKQMLSKSSISR
VPEELRKHEAAQQKSTRSGGGQKKIEDTSFGGKGAGSGW

>RCO7_02090 | related to ribosomal protein YmL25, mitochondrial

MATHSRPLIRLAKSLPPKLLNFFQRYPPQAIVSSPLSTSNTTSTDATGSSADHTSTGQDGLVGPSPFRGQRSPITGKYHNPVYSLRRQADLLKLARK
HGVEQLMPFSVKSTEERLRKREENGLRVKGTGIGQRVKGKESERTLKGRLEKRRKAMLEMPQMIQTWKERGHGRGWKKWPK

>RCO7_02091 | probable oleate delta-12 desaturase

MASTAVPKQQNVLKRTVISTTSESSPSTARGSPNDTPRQSPSSTSLSSMSSLDDVKDNGFGNLTDTYGNKFEVPDYTVNDIRNAIPKHCFERSGLRG
LGYVARDIGSLAITFYLTNKFVTPEYIPSTPVRTVLWFLYTVVQGLFATGLWVLAHECGHQSFSPSKILNDTTGWVCHSALLVPYFSWKISHGKHHK
ATGNMERDMVFVPKTRDVYASRVGKLIHEIDELTEETPIATLLHSILQQLFGWPLYLVANVTGHNNHEKQHEGRGKGKANGFTDGVNHFNPSSPLYE
AKDAKLILLSDLGLAIVVTALVMLSKTYGFTNMAVWYFAPYLWVNHWLVAITFLQHTDPTLPHYTGETWNYVRGAAATIDREFGFIGRTLLHGIVET
HVLHHYVSTIPFYHADEATEAIKPVMGQHYRSDVRGGSLGFLKSLWTSARWCQWVEPSEGATGQGKNVLFFRNRNGLGTAPMKLSAAQ

>RCO7_02092 | related to ATP-dependent DNA helicase mph1

MDEDEDDYGDIPDEYMIEAFSQPSQALPALSSPRPAKRRRISRDSIECGNSGNEEQENNNKKKSKYRIHVSEREEPAAKIVGATQAEAFPDSSPWRF
RGPIYIKARPESPPKQPTFSATPKRVVKPAAILSEKRSTNPTPEHNYSRELEDLPSDAFSSPENDAATASREPIILGSSPIRASQGGPFRSQRLAAP
QQGLRQTTLFGGRAPDEVPASQVKKIYNFIADKPPEAPTHHKLDLEAVKTWVYPTNLGSIRDYQYSIVKHGLFNNLLVALPTGLGKTFIAATIMLNF

YRWTKDAQIVFVAPTKPLVAQQVDACFNIRIALLVVDEAHRATGNYAYCTVVSFLRRFNKSFRILALTATPGASVESVQEVIDNLEISKVEIRTEES
IDIQQYTHQRNIDQIILEPSDEIIMTKDLLSKALQPLVNTVCQQNAYYNRDPMSLTAFGMLQARKKWMADAGRTASMGMKGMMNSLFTVLASIAHSI
KLLNFHGIGPFYETIKAFRSGVEDKAKPSKYKSQIIEHADFRKMMDRIHLWISKDDFVGHPKLTCLCESVLNHFMDAGAGRLGDDAPPSSTRVIVFA
EYRDSAEDIVRVLNRHGPMIRASVFVGQADSKRSEGMSQVKQQETINKFKAGIMNVLVATSIGEEGLDIGQVDLIVCYDASASPIRMLQRMGRTGRK
RAGHIVLLLMKGKEEQSYVQAKDNYEQMQKMISSGARFSFRHDLSVRILPREIVPVVDKRLIEIPIENTQNPSLPEPKRQGARGKKKPPKKFHMPDG
VETGFRKASNLNGESGTLTNLGIIAKQKAAPKKKQCDFAPIVPTESVFLTPVQERDFTDKYITICGDESQEVSVPILTSHHVSQRSLGPAVNVAHGQ
QTIRCVKLFGVLAKSQNIGDRYVKPYGEDEPSRGFWDPQNLLEDEEKVTKGPRKSKGPAKSKAAPAPAKKGALQKQKQKQTLFISDLESNDEDMDPT
SSARPHGALHGSDSLSGSADSEGQGDDINSEERSEDEDSDLGSLRDFLADGSSPRTSMMARSSTTPLRNTEPRIHEERRRKLFVSSQLSDVQGVDGD
EDDDEMPDLRTLLGGKGGMGAERVISKAIEVSGEDEVETAEEEEDEDVDPVRMQRKKTKRAVVDSDSDD
>RCO7_02093 | related to monooxygenase
MAPIKSVAIIGAGPAGLISIDALAQEKAFDTIRVFERREKAGGCWIADPKDHVQQYPDFHKIASRTPDDPIPVPSDLPTTTARNTQYRFSDTSIYPT
LETNIDATAMSFTQEPFPEERSELNISRHGHDSPFRHWKAVERYLDGLVDRNGYQNLVSYNTTVELVQKDQNTQKWVLTLRKPLENSEEDAWWTEEF
DAVLVAAGHYSVPFIPHTPGLAELARDLPGSVEHSKAWREPEKYRGKRTIVVGASISGPDISHALADVTEAPLNCVVRGRYHPYFGDYAFQHPNILR
RPPITHITSNRATNERTVHFEDGTKLEKVDHIIFGTGYSWTLHFLPTLASTIRNNRLPSLYQHIFYQSDPTLCFIGAIAAGFTFKVFEYQAVLASRF
LAGRIVLPPLEARLQWEADRIAYKGDGVPFSALYPDFEEYFEEVRKMAGEPAVDENGQIIGRKLVKFERWWREGFDGAHLRRIEMWKRGNEEARRRV
KSRVEDDRAQVAEEDGKVAGTGRGELTGGRLSSNL
>RCO7_02094 | related to environmental pH response protein palF
MGANVTPTTSSVSPLPTNSRSFLSRLTAPLKSRTRNLTDFHIRPDEPHRKYSPGDLVKGAVVLTVVKPIRLTHLTVCLHGYVRVFKSPNAANDPLPD
LGLTASNNPRKSQYFGNGHASLFQDEVTLCGEGRLDIGVYEFNFELEFPRKGLPSSVDFERGTISYLITATITRPTSIAATSSCDQKLSLVETVDIG
PMVPPKPQKISLEPISRRVRRKKTIKNKETASPENTEAGNGTAADAAPAVTSPQPEDSASQRGSTDHQVTSPRSPVPSEVQSSGSAGNSAESTVSSS
TGLSFRLGAVPSSAKSTKDSQRTSSKASLVDQTITATIELCKSGVLPGDNIPVKVFIKHTKALKSMHGIIITFYRQGRIDSAPPLSLFADIKGKEAE
RLKHEEYFPKSKTGLGGLSLSSAGSSSMFRKDLSQTFAPILVDPTTLTTTVNATVRVPEDVFPTISGVPGQMIAFRYHVEVVVDLGGKLAGQQRYVP
NMGAMTLPSIGPRTGENNQLLTALSGSLVDTANIRREKSVVECRFEVIVGTKNTARKVRDRGNSFGKRSVSDWPEDMHAIQAPTHEPIYEESVATND
ERQTYRQDRDSYPYYDRPPDHPHPDHQNPEYYDYDYRYHYLPPDHAHIHVPPPEIQADEGLSEKQRLRRAEERLLPSQPPPDENSPSSSRTVVPPSD
PPVPPIESDDDLYGADDATPREAPPVLLPPDISTPSEALNGPSAPDLEDLDPQAGHQATEDKQELERRRLMGEASAPTEFPDDEDDNGGEGSSRPQQ
EPSAPPLIEDEHYDHYRAQYAQHNSPESSAHGENLPRYER
>RCO7_02095 | uncharacterized protein
MSTSVSALRGARKWIFGQKGTTATATAIPYKQNIITSLCGWQYITYFTVIPDDPESRHRLTIARRHFSSSGPAADWKLVTFADPVEIREDGSSGVLI
ASEISCFRGGGCEKWAATDGLCCKFKFRISKPGVANNSCGIWDVSLFTEAMNCLPGIERDRFLNMRVIGPRFINMASALLLMCYTCQEGEGARSVAL
YRYFYPTWKYTFDGQLLTGFPHTPHVYGLSCDRHNRLYMAWSNFRSAATSSSVARDAHREKNNLAVSDDDSRLEYAISEDYGSTWKDTRGEEMGCMS
GLENVITIGTISPDDAGETGFFLGSDASRTQEAKLRTSMAAFGWSTGSCSMAKQTGWRSAVVPNRVFKATDSGPSPTVCVDNIGDVYLILPLTSKPG
LVIMRARQSDAHQEFESVCEYEKVEGDPCVDVCRLETSGVLSILMRTVARKNRTSQVVVFDLNVGEIENLPRQKNSATGTEIKENAILVTMAPKNLP
PAAKQQKILDFFQQSMNVFTLKELEKTLASVASIHAMQVKEFLQSMQDENVIRVEKIGSGNWYWCFTSDAKKTKENMLNKLKAEESTLTMAIADAEK
QIEEEMAKREDEDDNLLEGNGMDRKTLLETHGALEKEMAILDKELAAYSDNDPVEILRKVEETKRARDSAIRWTDNIESLESYIGTLTTDRAQMVEI
MAQACGDEYVLGEGLKDL
>RCO7_02096 | uncharacterized protein
MTPPIHIIGAGIGGLTLARCFRNRGIQAVIFEKNPSPAKHNYGISLQPWAWRLLVKELGIEEGRLLGRVAVDGDGDGGSRGLKYLDSDSRSAFGEDG
RGVVPLRAHRGRLEGLLREGLEGTVRWGHVLRDVEMGGDGNGIGNRMGGVLRFEDKPDIRSLLVVDTSGVHSSVRKSLLPATELNVLPYVVFRGTRR
IERKVFEEVYEAAFERGTVLKTRVGEVLLQIWIDDVKEEGGRVDLSIVYSRPSKDNDPLHRPGRDLSQASDISEAFFEEVSKLSLQGLGQPWKDAFA
VDDVRKARTLHWLMRDVLVERRELDRLGREGVVFIGDSAHALPILGGEGANFAIRDAVELAGFVEESLKEGKELDVSGFYGKMFGEWKEGIRAAEER
LRDIHAGGKSSL
>RCO7_02097 | probable aminopeptidase 2
MCRSDRNADVESGGMDVTKGRQILPADVVPKHYNITLEPNFETFKFKGTVVIDLEVVKETSSVSLNTLELDIHSTKISTSGQSSTSSEAKNLTYDED
SQTTKIDFEHSLAKGSKAQLEMTFTGELNDKMAGFYRSTYKNADGTESIMATSQMEATDARRAFPCFDEPALKAEFTVTLIADKKFTCLSNMDVSGE
KEVKSEFGGDVKKAVSYNKSPPMSTYLICFIIGELNYIESTKFRVPVRVYAPPTSDIEHGRFSLELAARTLEFYEKTFDSAFPLPKMDMVAIPDFAA
GAMENWGLITYRVVDLMLDEKTSSASTKERVAEVVQHELAHQWFGNLVTMDFWDGLWLNEGFATWMSWYSCNVFYPEWKVWQSYVTDGLQSALSLDS
LRSSHPIEVPVKRADEVNQIFDAISYMKGSSVIRMVSKYLGEDVFMQGIRDYLKKHAYGNTTTGDLWNALSKVSGKDVENVMDIWTKKIGYPVVSVT
ENEAGSSIHVKQNRFLRTGDVKPEEDTVLYPVFLGLRTKEGVDESLVLSTREEDFKVKDTEFFKLNADHSSLYRTSYSPARLEKLGQAAKDGLLTVE
DRAGMISDAGALAASGYGKTSGVLNLLKGFSEEKEFIVWSEILTRLGAVRGTWTFEDQKIQDVLETFQRDLVSGLAHKAGWEFKESDDHLEQQFKAL
LFGSAGVSGDQVIIKAAQDMFAKFADGDTSAIHPNIRGSVYGINLKYGGAKEYDVVLNAYRTGKTADERNTALRSLGRAKDPELMKRTLALPFSGEV
KEQDIYMPVGNLRSHPAGIEALYNWMTENWDELARRLPAGLSMLGSMVAICTSSFSSQKDIDRVTKFFSDKSTKGFDQSLAQSLDSIKAKAAWLERD
REDVKKWVEAYQAKTIKSEL
>RCO7_02098 | related to Caj1p
MRTFYEILGLPAALHDEPNLPAQTLRAAYRRALLQNHPDKSSANNALNTKTTLYSIDQISEAFNILSDPKSRKQYDQELKLQTANATHGGVRAKQVF
RTGIETADLDDLEVDEVQGIWYRSCRCGDERGFLIKESDLEEAAEDGEICVGCKGCSLWLKVLFGVMEEA
>RCO7_02099 | uncharacterized protein
MFRLGTVASLLARCALAISPELAAEFGYPAGVDVWCGKAYRATNGSFEPGGWLKKPTLSTTPLLDLSIRPRLNLYLASETYASFLIDAPISFMHGGR
YVNASYDRQNNVTTPFVKLFIDVEVVESGLNLIAGRYITVNTTNNEFGIKLSDLTPRFEPYQIVITGASGDGAQFYTATTELYYVPERTDGGSVAKV
DNLYGGLLVQDVFANKTDWTPLFPYTFYTSWDEWLELNLDYIRLFKEQGYNIIHIVPNLALDNKAFDFDVFDKYQDLMDEIGLWLMFDMRWSYMNLS
SVETQVKRVKSHKSLLLYYTGDEPDGQVDPLNATKITYDLIKSIDPWHPVSLCLNCLNYYFGEYTSGTDIIMSDPYPIAVNTTFSSQYNTVCNTTYG
CCGCDDCEGDFEDITTRLDLFKEYQEILNVPQKPQWGVPQAFGNETFWVRYPTPEEEVVMNMLFINHGAKGIAMWEYTTEPGLINITSALSKALTSS
TVTPYLLGAFPVALDVEGETRVDATAWSLGDSTLVSVVNMNYVPTFKANVSIALQGVGKIEQVVWGSGWNAGGGLLSKVGLDALEVDIFIVS
>RCO7_02100 | related to putative alpha-L-fucosidase precursor
MKLLNLVGLAAAVVTAAPNRPWENETSIEQIVQVPLAAHFNNKGFGLVPGEANFDQLYNSYPAHNLPAGGSYTSTKTNISYAFPGYQGADASDNVVM

AGQTIEIHEDSYFSLHMLVATESAGTSGNLTLEYTDGTKSLTEVRTNPYSTFLSILKGEIVMPSYFTNNATNWNTSHIFEYIGPVDPSKSLASITLP
DTSNDTSRIHLFSLSLLQQTGIQIQFLRPTQKHDADKVQVVEVVINNAGPDWISGSGVEVTISAPGIETIEPGHIKRLRPGDQKKVNVGVTGCGNVT
ATIHLSGSLNATYVIDHVKFGLEEYTSELSSLSTHESPEWFNDAKYGIFIHWGPYCVPGWGNSTPVEIYAEWYWWYGHHRIADKADVYNYHLNTYGP
EVVYDDFFSNFTAENWDAKSWVDLIADAGAQYFVLTTKHHDGFAMFDAKETTHRSSIHYGPKRDVLGELFDAAKKYQPQLKRGTYFSLPEWFNPLFG
PYGFLQTTDPGTTSWPGILAKNPYTGEDEPYTGALPKDDFIADLMVPQMEILAYDYETDIMWCDCGASNGTAEFAAKWFNHAASKGRQVTMNNRCGI
PAGADFDTPEYTTFSSVSERKWESNQGLDPYSYGYNRATPASLYMSATKLIHSLVDMVSKNGNLLLDFGPKADGTIDATEVAHLLEAGIWIKANAEA
IFNTTYYFVTAETGDLRFTQTEEAFYILSLTKPLETFVVNASLPIRPGDSISMLGARNGTSLAWTSSGEEGIAVTVPSALISAGQHCWAFKITYAS

>RCO7_02101 | related to integral membrane protein
MPADSRGTRHCITDGSGSGRRRPLHSRKTSSSKQTGRCGTAIGVRGRGFNTIMPILLILIASLWISPVSAVLVEFQNCLSDAAQKNLPMQLQFVPLF
VDASFNTTDPNHPLEITVWGNITGSTVGKAPRLILPGANDTEYWSGNSTINGGKIMDSPFPLANVPKLTTLSNKVNVLTYEPFSEDLQFCNVLINGS
CPLGPRFDANESDPLSYPAFRLKNNFFSTYSFTSFAATLVIKWGDEAATPIGCTSTVITPDLGSPLSGVLTYIPAVILIMVAVATAFAAIYSPWGTT
DTFRWTTNYGRDADLLRLVTPGFGDCLQYIQFIVLTGGLTLSYPGFYQPVVSKASWSTLMFDESFVRNTTTNHGLVDGIYVVRGTYGLDKLRQLVGL
SGVDDVWTGMTVWLLVILAVVLVSIQIGFFIRWAYRHLSDTPEEDLRAKNMPFSIGNVIRIVFNYFLLPIVALSMFQLVVASRSPMYAVALAVAMLV
LIIGFAIWLLYVIASTRPKSYLFDDLPTVLLYGSLYNTYSDNAAPFALIPITLTFVRGVTIGAVQPSGIAQIIILAICEVITLLTLHAFRPFHSPTS
MNAFHTVFSAVRFASILLMVAFAPSLGVTEGPKSWIGYAILLMHALVLIFGFFLNAIQTIIEVATRLAGAGGDESGAARGGLVKVFGMRQLSKRMPR
RDAASRQSQLSSAAMLDAENERKSYVMGDGRNRSQSAGSTILLNRHSTGLDYNVEPFGALQSQQVGGSGGNSSFTATPREAGDSAFLPSAAAPAGRR
PVLGLATAEASDPYYRPPRLRRPTLDAYSPGAKSRGSWASGDWGNKAISSPEAETPPVDLGPSISGRNTPTALPGAALEAAPNDPRRSQADYTTREV
DFYYGVRGPALNANVPSRRIKTGPADPTGIPASAVGWFKGMFGGKTKEKGKGFEVVRSSRMPPGMQARNAPGQETPPEGIPVATGVVRSGPIDSDDD
EPVPAVSKTAGPPHAQDALVSPMRSDEESDGEYSEEDFEVTRISDLPPNLSGLDIPGGGIELPSRFPSKATSKASSRRVRRSENTPQVPGLPSRLLS
NKLGVPRRSSRRKSQSVDLPQAGPEFLHQYPAQHFLDIGGDSSQVPFDRSNSSKRHSGVSAVSSIAGPSGFSHSRDGSLVMGRFSEDLSDDRPTSMG
FVNQHNILTITPSENQQHLGSSAEVVDGRISGASSMEHPRQ

>RCO7_02102 | uncharacterized protein
MEAHSSSLKDGEKKRNRFMGKLFKDKKEDTSQEAQSQAQNDVNDFLHGPSDTLHMVGTSPSFPPPLMRLDTSSARRWPAASDLPTSKSTRGRSASPK
RSRKGLVVRFTDEKPEVIGEGGDEATSPVAEIGMRRRAHTHPPVRQPNPAQTTEQREMNPSEYRPSFAEHANSRDEFRPGLIRRTQTGAQSIPDIEE
DSGQAYASNGSPHDTPSRSFGSRAENDRRSFADKVRADMRSEEGRALVQAASHSSDPDELFTGDESTESSASVNQLGALQIHTRDITHTALSPGIPP
SATSSRLSSSRPVSPNDTYPSHSSENHAGGSRTSKLCVPRSLQPSVPITSSHTTESPATLSRTSTSTLQDIAVSVGDDALQEFQWRIGHLFTLFRLT
TEASKPLTQCSLEELVRVAMWWFLKGRMNLESAVRDRPSTPRAQQANYFMRAQAYADLAKSLWIVETVTSPYPQVQSRQGITESDQGVLESRQAVLS
SLRKLTMSMKRNNFLPPDPKEAPLTQGLDPSIWIRGAGDQSLLYSQRMTSVKSLSDAMPLGDTSRSFQLGRMFVEATLVEAAASQQYRCAVLISLVR
GLKENSTTAVIASQDGALNFSVQSDKSRGLTWEDVRWRTSQGIAEITLPRGFILLLHCNEQELRTLYGTHEYETRTQSVLAQRSGEEIVFETFLNSF
QYFDQSQQPPFPKEAQPECHFRLFEKTVVVKAATGPRSMHRGFRLGINTSTKSKTLRCIDQEFLPSHPVQFGFLRGEGGLPALLLKIDDGMSKYTMV
CTFYDPNERFRLHTILTGIALSQGEDVIAEAPIAGFSVAELDGDLTCLQALEWQGFRFINYDHTDFQTDKTVLSENLRVAIDFKGGSLTDRINVEPG
ELKVRLDVMSMTELKILRQPQEDMTASVAESQVSKDLPRELASILLNSIAKAETIRKYTFPSLQELHLFQAALTGFAVTFDGIACSFNISRRRMVVP
IYKKWDAATTRVQIVQREKVIQLLAFFDNFNHGKAMNFTLKSTDIFETSSNKKTFSLRIVDAKFSLPKAQKGSEAGVDHEFVCLDMPEYPGEHDDVT
VVFETEADRDSFAKALPAPSKIASRMPSVRR

>RCO7_02103 | probable transmembrane protein
MDVKSSAAELRSQGVLEAARDPDSSVTAEDAQQSIVAESKKAGVAAFSFDPDATPEQKAAQARAHVPEGFHHEHKSKGVAIPTDIDDGKPGAYNLPS
PTTAGALAPTAPPKDKTGKPITNGISGQFIDDEENDRWVERTGWAPRFGNGVSSASIEEESLADHQTWVEGKLDDKFFGDWYHNTAVIIFACLSSWF
VAVLGGGLAWVFLIMAICGTYYRTSLRRVRRNFRDDVNREVAKNRLETDTESLEWINSFLVKFWPIFQPVLAETIINSVDQVLSTSTPAFLDSLRMK
TFTLGNKPPRMEHVKTYPKADDDVVLMDWKFSFTPNDHADMTSRQIKNKVNPKIVLEIRIGKAMISKGLDVIVEDMAFSGLMRVKIKLQIPFPHVEK
IEISFLEKPTIDYSCKPIGGEMLGFDINFIPGLESFILEQVHANIGPIMYAPNVFPIEVAKMLSGSAVDQAIGVMAITLHGAQGLKNPDKFAGTPDP
YAVLSFNNGAGLAQTKIIKENANPKWNETKYVIVTSFNDSLTLQLFDYNEFRKDKELGTATFPLERIQEVTEHENEQLEVMANGKARGILSSDIRFF
PVLEGRELPDGKKEPPPESNTGIAKVTIEQAKDLDGTKSLLGALNPYGVLLLNNKEIHVTRKLKRTNNPIWDNGSKEVLITDRKTAKLGLVIKDDRD
LSADPILGTYQIKLNDMLELMEKGQEWYNLAGAKSGRVKFTVQWKPVALSGVGAGTGGYVTPIGVMRFHFKNARDLRNLETLGKSDPYVRVLLSGIE
KARTVTFQNNLNPDFDEVVYVPVHSTREKLTLEVMDQESINSDRSLGSIELLASDYITQATNGEFLVNDSKKLQSGPLRIHAKGSPRGTLNYTVSFY
PCLNVADPEDEEELAARKKSAEEARGRASLESSRSGDTKGGDPVAAANKTLENGKIDTTLAHTLAEGEKEQTETEEEKKLPKIHLTPTELLKYESGL
IIFKLMDVDLTHSNTHVDVLLDDLALPSYSSSRIKSRKATIDEIGDCFVRELDFSRITLRIREKGELKGDAKKDKEDVIAKLTGNTLDTLKQCLNNP
TVLKLKDDQGQTCSIKVSLKYIPVKMQLDPSESMNNMGKLRVDVLDASNLPSADRNGYSDPYCLFDLNGKEVFKTKVQKKTLHPAWNEYFEVDVASR
TAAKFTCKVFDWDFADKADLLGNAEINLDMLDPFKAQEFNLSLDGKSGSVRLRLLFRPDYVVRSRQGSSTFSGTFATPGRIVTGVAGAPIKGVGFAA
HGVGKGASFIRNGFKSKKKDDEPNGAIMEAEDAKFANGGSSSGLRRASNLPPPPARPESPVTPPGTALGVPGHNRTKSFGQSSVHSAVVGGSSAPPS
GTASFTILSASGFPPSSNVMVYMKQLGSKTKTIHKTDHIKSASGTVTFNDKKESFKCSCSADTQFQIQVKGHNTFGSDDDLGEGLFFVDESGTGLEK
SVKAGSGQVVLKSNFVLNPVIESGDNSPKPSIGGLRKGLLSKSGRNSRDVTPS

>RCO7_02104 | probable putative oxysterol-binding protein OSBP
MPWQTGARSSVDESRSDGAEDETTVVEPDQGNVLSHIISQLRPGADLSRVVLPTFILEPRSMLERITNFMAHPETLLPMSEIEDPTQRFVSVVKFYL
SGWHIKPPGVKKPLNPILGETFACYWDFPDNTKGYYISEQTSHHPPKSSYFYMAPNHHIRIDGCLKPRSKFLGNSAASMMEGIAILRFLNRGDSAKG
ERYILTQPNMYARGILFGKMKYELGDHSFVRCPELGLSADIEFKTKGYFGGTYNAIGGVIKNDHTGEVLFELSGMWSGEMSLKNMTTGKKEVLFDAT
RAKHTPPTVRPLDEQEERESQKLWFATAKAVKERNHEVATDEKTKIEDMQRDEASRRVEEGVEWHPRLFRPVRGGPGGSEEGEEDLDWILNATMSTE
KNPIPPQHTHKEPSTAIQASTPAPAPVLTAIPSAENERPQSNHSDDFVKFDKEDGTPSNINTNNTASTNATPTIPEYHAPADLEAAQTFNNGQQQQD
LENTLRSTSTERVSGSPLIDFSGDLKRDLSTVDASKKKTPATLKKQDTDSLDGFVDAEG

>RCO7_02105 | splicing factor U2af subunit
MANYLASIFGTEADKVNCSFYYKIGACRHGDRCSRKHVKPSYSQTILLPNLYQNPAYDPKNKMNASQLQNHFDAFYEDFWCEMCKFGEIEEVVVCDN
SNDHLIGNVYARFKYEDSAQKACDALNSRWYAARPIYCELSPVTDFREACCRLNSGEGCVRGGFCNFIHRKNPSPELDREIELSTKKWLRLRGRDER
SASRSPSPEPTRKRY

>RCO7_02106 | uncharacterized protein
MVSRFISSVRKLVEEKEKRGAVAWPPRVDYPVPCGAHRDKSGKWYPRDIGRSTMLSNGHVLFQWGDTFSHDHAGNFLGLTRNTCSSTTNPFDCTKSA

YKSHQHNGMVKSLIPGWVVQQKLAWSFSGIIETSDPGSVLISGWTWYEDRQVVSGAAIPVYNYTGLAKIEYDTVSKRVTATRVKFGDSYRLFNTNEA
RYGSMSAVRSKGYIYLYGQVNDQNKSIHVARVKVDQVTSRDCYEFWKGSGWVKWVDNLYRSVDVMRDIQHGAVFKSKMFGKHSKYKWVFIGCNGQGD
NKVQMGRAISPVGPWDIKTLNYDLYPLDSRQQPGGYAYCVYPHPWVRDTCLDGDLVISWSEGGMTGEVMMAQLRLAIVGGWRET

>RCO7_02107 | uncharacterized protein
MTTCASPHFKTLISPEVNHTDHVAHWDYVFEAGQREIKVTGSTIVTQGQPDLFEGSTRSSRSVESFDTDRESVELLVGFENDPLIPSTEQINHTFLR
TQKIWERYLACANSLPSGCVAAAVLKPAVLLHQIPRLPRHLPRKRSITGESVWHVPNPELLPSSDAEEWDPDHVHGVKKTFLLSVSTPTEFRISVQP
SFRLNDTQSNGIAILVPLWSYIFTVRFLEMQNRSIWYSSNQLIPILVKRYRPQPDDIVIHLGTASRDLIRWLCAILAPDLGWSITGRLPPWTAHYHN
ETKFVVTVDAPFTFGDHDVPPSSHTAANILIEFCTLFGFESPVDGENSCLSFQQVTVAFLAALILPFYNALDLKPQLPLPRLISNHGTSSESLQFVQ
DYVNDLPYYMTLSIHPGSVGSAIWSMFWEPGINCNIVSAWFVAIQEVLRPTIKAGDMDILARVFITRRMQAALLWLGVLVMGDTTILTMLVSYLETH
QERENFGSWSGPDIDVAAWTGSKQSF

>RCO7_02108 | uncharacterized protein
MKLYLLAAASALTSFVSAQGDGVPACAQPCVVKFTSGGGSSIAGCNRIDVACICSNKSFINDIACCLSDQCSKPEQDKAVTYALALCKANQVQDLPT
SVSCNTAAPTATGTGSPTKPSAPTITGSPTKSTPTGANAAGATGSGKSSSAFAAPTHAAGLGAGVLGGLAAVLALL

>RCO7_02109 | related to transporter protein HOL1
MGLWILESSSEHVPGTTRYFDDPERPQVATAETAGLKCDTSGPVPIILVPQPSDDPNDPLNWPLQKRDTIVLILCIVAIFATSLGSILAANTITLSL
LFARRFDDIAVLTGYFLLGCGVGGILCVPTARIWGKRHLFILGTVIVIISSVWAGASTSYRSLLWARIFQGVGTAPFEALVNAAVGDLYFVHERGKR
MAITNLAVFGSAFFTPIVVGKMTHTIGWPWTFYMVAIFTAACLPLVVLYVPETAYRRSAHLNTDLVTSQTSHSHSYTKSDDNGHLLQTLTQQQIANT
EHPANPLATPNNNLEANSGTAKKGFAQSLALINGRFTDDSFWKLLLRPFPLFLHPAVFWATIIQGSMIGWTVFIGIILAAIFIGPPLLWGEVNTGYA
YTGAFLGAVIGFLIAGALADWSAKYLTRKNNGVYEPEFRIVLVIPQLIFGCGGLYLFGITANKLSDYSYVLPITGFGMEVGGMVIGAVAASLYIVDA
HRDIAVEAFTCILIFKNFFTCGLTFSAYGWLLQSDVYGKRNRNYFHKHDILKISGLA

>RCO7_02110 | probable 3-phytase A precursor
MGDSVEGNALLSKSPISPIQEEGVPTTIFTRSRSTRLWSKAVLITITGLILYCTFGMLFDNLLLIITAGTANSAAFPGVPGGKNDNLEALRKTSSDV
PQYFQTTPELWAGPTETGRAPFLAQTNAVSFDPTATFVPNTPLETAIPIVGQQQNQSIFHLMGQLSPYFPNPSGFGVAEYPLPPGANITQVHMLSRH
GSRYPTTGANVYIFGQKIANLTGKFQASGQLSFLNEWKYELGREILVPRGRQELFESGILHYYEYGQLYNPNSKIIVRTTTQDRMLKSAEYFMAGFF
GLEWTNNATIEVIIEAPGFNNSLAGYDNCKNANTFRNKGGANATTEWVKVYLKDATERLKPLVKGFEWTIEDTYAAQNMCPYETVAYGYSVFCDLFT
YDEWVGFEYSLDLYFAGSSSFQSPTGRAVGLGYVQETVARLKNHTLGYSGSQINTTLDSNEETFPLNQTLYFDFSHDTNIMSILTAFGFRQFNTFLP
ATHYVGPHNLTVSHLEPFGARLDIEIIKTPSPLNAKRKYEEGEQTTYIHFLLNQRTLPLGLNFAECGDRLDGWCELKTFLKTQEKAEELAKYDYACN
GDYDAVPYGQIVDGAPI

>RCO7_02111 | related to alcohol dehydrogenase
MAPQIPEKMLAAQVVEFEKPYKIHEIETPGKDLNEHDMLVKVAVGSLCHTDGMVSKGIMGTKLPCVASHEGAGTVVQVGSSVNDFKAGDRVLCSLTY
HRCGECADCKGPEQDRQYCANVGGYLGVTIDGSFAEYEVVDGRECCLLPDNLSFQSAAPLACAGVTVWGGLVRSGLKSGETVALVGGGGGLGHLGVQ
FAIALGLKVIAIDARDKGLSLAKECGADFIIDARQDKESIVNEVKKANSGKLADATLNVSDHESAATTSAAITKMHGVLVQIAQPTNVSVPFAELLF
RDIRIHGSLTSSRGECQKMLKIASENKISVRTNPFYGIKEIPKAVELAHSGKMQGKPVIIIDNGAIENERKSGLEMEDVSIAIPSPAT

>RCO7_02112 | uncharacterized protein
MSSPISSFSKLSLTQRMQSSRGHAGDRSSGKGKGKGVQSERQSSSSDTSSGEESSGSDSGDDGLEEETDNTCGVFALDHCRQHGTRYAFQIAYAEVE
RYSVRISTTDSGRPTCSCTQQGICQHIVWFLDQIRRTRQPTDEEVTLTLYEYISQHGLDNLCEELHWELRQGTDSDTEETQWQLQKAYSNLEAGRQP
RGGIKERSKTARDILATLSNLDTDSYRHDIFESAFDVNVESVLVKRDLEATMARILMTDDNIYHYFQTLVSRNVRATDYFDKMSMKAKTSLDLLDRY
CEVGPSAGQHDLIQCAQSLIDIVNTISINVTERQPLNPSSRSEAAKALISILSTVVRERNHDAYQNSTWPRRRPHGELSIDRNLYERLIGKASPMNP
AGGTFIIKALQDLPEAQHFVDELEEILALLGTIGWGPAPQAYREKLAGLIQQLKSSGMTPPAAKRPAGSLDRQVKRMK

>RCO7_02113 | probable alcohol dehydrogenase 2
MAAAANQKIFDIPKKHKAIVYDKPGTISTKVEELDTPEPGPGDVLVRLTHSGVCHSDMGIMENSWRGLPYPTQAGQVGGHEGVGIVVKLGPGVEDGR
VKLGDRVGIKWIAYACGACAACLEGQDGVCFNQKISGYYYPGTFQQYALAPASYVTPIPDALSSEDAAPILCAGVTTYAALRKSDAKSGQWVVISGA
GGGLGHLACQIGSRGMALRIIGIDHGSKESLVKDCGAEVFLDITKYDDKSIAEEVKKITGGLGASAVIVCTAANKAYAQALDLLRFGGTLVCVGMPE
GDSVPIAKAYPAAMVQNSHNIKGSAVGNQREALEVLDMAARGIVKTRLRTEPMEKLTEVFQEMSKGKMQGRVVIDLQ

>RCO7_02114 | probable L-lactate dehydrogenase
MAPTNTGNMELFRTSYKEVHTCPYPTVTTETDRFVAGMMHQQLPLVTTDPNKLEEQAKSVLKPTAYNYVAGGAGERATMDANRLAFRQWKMIPRMLR
PTTTRDLTVKLFGETYENPVLMAPIGVQSIFHEDKETGLAQVCSEIGVPFVLSTASSSTIEEVAKANGNGKRWYQLYWPQDEEITESLLKRAKENGY
KVLVVTLDTWALAWRPADLDGAYIPFMKGIGDATGFSDPVFRRKFKEKFNATPEEKVLEASSEWVGDVFSGAAHSWEQIAHLKKHWDGPIVLKGIQH
PEDAKLAVQHGVDGIVVSNHGGRQLDGAVGSLEMLPEIAEAVGDKLTIIFDSGIRGGVDIIKALSLGAKAVFIGRPAIYGLAVAGKAGAKQVLQGIL
ADLDQSMGLSGIMNIEGCNRSMIRRVEYGGDVKSSN

>RCO7_02115 | uncharacterized protein
MVANEVLFSNDNFKTHIYTDVPMKGSVLSRLPDEIIEQILRLTSPNGFASLILLDRKWRTVSQQAHLYAHHLARCPSYAAAHRTKPTPEDEENLPHL
RRLFARETKRNLFEAYLRPRETIIKLVSTSISSSSAPRGEAFHFSISSRGHYILAYSSSRIHVIDVTGPEITVKRELKILRRPASTTITDDGIKLAV
LSTDLQVDLYDLSGKHPKHTRAVALDHTPRTIALSPAGSVLAAAYDSGVEVSSLDSSYASTDRRSVNCYAADSLSFSRDGIQLLGTTVQSRNPSTVI
LTAPYHDPGGSLPEDSVSSLWTTSILFPNGSRDCSHAVLLPSSSDGEVTWAFTYDRVLETFRTVRIDDLRNGTTYFTGPIAESASGPRLLPSTIPAA
TGSGDLVASGFQGTIWLYGIPEDLEALPNIRDSVNNSPESGVSTPTSDIGRRNSAPSLSSVTRARDSISRTPQWQLLGDKFRNTFVEGRKIGSLDRV
SALAWVNTDASSFHGERLVAVAPGVGGLGSLNEDNGVNPVDGGRISILDFDYSPSNGRKTVITVEVGMNEPEVLEEEFRDLDAEVAIVQRRTVAQRR
GNRSHVSRSATIQPRSPRSEVPPTSNAQDLGDLLSSRSPIVRRVSQQTTSTERSTSSLDEEHDAFDDPYSHNNPRSGTTLRRAATAAAANRRFNPRS
AAQEDIAYRRADGREEHPHESDADNWEPPPPPYTRDPLPPLPEHIQRSLRSEAAAANSDRSRPRRASSIDFPGLESPPLHRSHTIATMVSSSTLESP
RERVPVQRSMSDSTTVTSDRLSFEEEDPIPVGSPPENFDDLYDVSPQGSPQPSPRPQAATVNQISRRPVGAPATMPAAPTPSSPPPVMLATLRQSAS
PIPQLMQPMDRSSDGQSTLFSEQSSPGNGVVVPAHSKHDAQRFVEHSAIPPENAKLRSQGLPDRDQTLNKQVPPRPDDTHHMTELPAAEPVPRAQQS
LIESQQNPPRRSETGPIISSPPDDIDSDSLRVCKRADTAPTTSRSQDNDAQPPSLVLPSADQLARLNSRKGRPNGITDPRRPSGGSHRRNVSGGSTH
NTPPRLTPEQAFNASQGPRGPAGAFSSSPQRHSRGNSPRDRPYSSPSRRPSGDSPNRNISEKPPSLRPPMLRLETIHSQTSDRGEPSPFFVQKSVMS
RQPSRAERGASKNIKDAKKKGWRSSMRKEKKENFGDRASSAGWTDGSPDSGMLGNHREKEKKEGKCLIM

>RCO7_02116 | uncharacterized protein
MPINDIDYDELIKTLTDNFSVLAEEVQLLSDRKQILEHKLRFAHEQFQHLADKYSSGDAEISNTLAKLQLPPDLQVLAADRGGVVPLPHRTHISSKQ
QTAEAIRDGRRAAQRLSALTGRSTGSTVSGRSISGTSSNVRYSGRRTSLSTVLEQDFTVQGKKSSLLCPFSDPARPNDASMGPEASPGSYESNQSIT
PSISRDPARHQSLDPICAALYSETMNSPPPSASGSGAKCPIRYMDQHSPEEIAQYFEIHKHEIPRSHEVCVKRYQRNEDDIRKLDAKYGNLVSMIQG
LGQKHQPMLPTKEEEEAMELEKTSNERVENWASTVSADGIGLQDHVSIGAEEDRETRFDRPLREIRVGESPSRPWGISVPILDQHEDERPVSPPAAP
VPTVQTPRPKGKCPFGHVAKFEENNVSPPASEAKVTGICPFPHAAGAATPKMEQQEAPEPTLRASPIIQSRPTFMQPSELQRPAGGPQMIFTGPVFI
GYPMEQAITFMQQYKGTQ
>RCO7_02117 | related to Golgi apparatus membrane protein tvp38
MPADYQSTAKALALPISPISSPSAERQSVRPPWSRRISFARHRSHSSPYSLPRRDQSLQAKVISSASKVQRKVFKTFLALSFVQRVAAVTALVVLNV
ALILFMVYNERIFGYLAPAAKKWHDVQGGWTILWLLTFTSSFPPLIGYSTTITIAGFVYGFPNGWYIVATATVAGSTASFLASRTVLSKYVHKIVGQ
DKRFEALALTLKHDGIKILCMIRLCPLPYSLSNAAISTFPTVHPASFALATAITSPKLLIHVFIGSRLASIAENGGKMDGKTKAINYASIAFGAILG
ATVGFVIYQRTMARAKQLENEALEAGAIEEGLVVGNSRSSYSDLDLAEDTDSAALMGDDDISLWENDGERNGVYRDELTDDEDVFASGDIEDEPRRI
RPKV
>RCO7_02118 | related to nuclear WD protein PRL1
MVSDETYELCLPLLQDASLEDEEKTDKLEEFLKKETTLVGRILENAVLDVLWRYRESSTNPSSPPPMRHTVLRRAASPAPWPIPRGSSGTPVSSSPR
LGVSPLAPPGFVPQSFNRAISSTASPFTSPRPSPRLAFISPAIPHSPSLNAYEFPTDTSPTQDIYGDYGSDNVDWLVNDDGGSNTSSSAGGQSGLNA
AAAEYISPQNTDMSPYDMLRSILGPSKSDEEIEAALAMHGYDLSATIMAFMEGQTGDSSNVAQVTDVKNAILIGKSMASNISRPITPAGQQKSGVVC
RFWLSTGQCLRADCRFSHDLSNHICKYWVEGNCLAGETCIFSHDPSHFMNTLSVSSTPPLQNAHPSFQFQDFNAFPSLQPAQDQWPNSYSSINAFSN
YQGASFTPPPPGFKGMQGYTSDGSSQRSRPSSRHQSRENMPSAPALDDTEAFPSLGAIAIKGGKKHHGKRGGHGHGHKENNLPSSLAEVVKMSPSPG
PSMMRQDVKKMGRHGSSTSIRNGENSAAAQAISNPQHVPWLETGERANKAYLKARQDAIKHGGLRNKFLQSAAQAWNRNDARAAKALSLRGQSENDA
MRKAHREAARELYEERNKGSSMFSELYVDLHGLHPEEAVEYLEKVLLENQKETRPVYAITGTGHHSKNGKDKVGKAIRNFLNEWRYAFREFSVPGDR
NNVGGILGIDARSFDKSLARDGVSVLVTAPEPEKEPIDILGGHEIGQGKVRLLVRDPPKGPGGNR
>RCO7_02119 | probable valine--tRNA ligase
MATNAASHNPIGEETGPVSGKPAPVSNETKAALADAANSSPIGTHVAGQDAGSKVGSPEVGTKVKSEKELERERKKAEKQAKFDQKKAKATTATTTI
SKTKEKKANAVKKADEGILPPYFEDTPFGEKKIIKSFDDPQYKAYNPTAVESAWYSWWEKEGFFKPQFTEDGKVRPEGSFVIVEPPPNVTGSLHMGH
ALGNALQDVMIRFNRMHGKTTLWLPGCDHAGISTQSVVENMLWRRQGKTRHDLGRPKFVETVWDWKTEYHQKINTVLRRMGGSMDWTREAFTMDENF
SAAVTETFVTLHEEGIIYRENRLVNWCTKLNTSLSNLEVDNKELSGRTLLDVPGYEKKVEFGVIVHFKYEIEGTDEKIEVATTRVETMLGDTGVAVH
PDDERYKHLVGKNAIHPFIPGRKMPIVADTYVEKDFGTGAVKITPAHDPNDFALGTRHNLERINILTDDGLMNENAGPYVGQKRFDVRYTIQDDLKK
AGLYVDKKDNAMTVPLCSKSKDIIEPILKPQWWMKMKDMAAAALDAVKSGEIKILPESAEKSYIRWMTDVNDWCLSRQLWWGHQAPMYYAQIEGQED
NDADGSLWFAGCTEAEAHAKATKVLSGKKFTLKRDEDVLDTWFSSGLWPFATMGWPNKTHDLETLFPTSVLETGWDILFFWIARMIMFSLKLTGKVP
FTEVYCHSLVRDSEGRKMSKSLGNVIDPQDFIEGCTLEDLHKKLMSGNLAPNEVERATKYQKTAFPDGIPQCGTDALRFALVSYSTGSGDILFDVKV
IHGYRKFCNKIYQATKFVLGKLPKDFVPNKTSQLTGKESLAELWILHKMTIAARDINQAVNEREFQKSTSVVYQFWYNQLCDVYIENSKAILQDGTE
EEKLSALNTLFTALESALTMIHPFMPFLTEELWQRLPRRPEDHTRSIGLARYPVYEKSMDRPDSEAAYELVLDISRGIRSLMAEYSLKDEAKVYIQT
TDTTSHSTITAQMQSIKSLSGKGVSSIEILSTTSTRPAGCVVFSVSSTTAVFLHVKGRVDIDGEIAKAAKKLDKTKVGIEKQKKILNDEGYKEKVSK
ELQEVEQSKLADLETEAKAFEETIKQFEVLKME
>RCO7_02120 | related to DNA mismatch repair protein PMS2
MAITALPDSTIHLLGSAQALTTPASLVKELIDNALDAKATSVDILISPNAIDKIEVRDNGYGIAQEDLDSLGRRGHTSKLRSFDELKSIGGISLGFR
GEALASAVQLGVVSVTTRTEGETVATCVQLKAPGGIASQSRASHPVGTKVCVTKFLNNLPVRKQTAEKEAAKTVKKIKELLQSYACARPKVRFCLKV
ASGGKGSWSFTPRANDGMKEVVSQIIGRDAAAQCIERSFFFSEKSSQVKLNEESRSADLAQSTEIQISDSRQFLVEVFMPKPKATSVGHGQYISIDT
RPVAHDKGTMRKLVSIYKYYVKGSILEGEEKLRDPFLRLNINCPVSSYDPNVEPAKDDVIFQNEPLVLESIEQLFKEVYGEPIDSSVSAVPKGRGKE
LEDFELLMSRSISSQKPPVPANNLNAGHKERIILTESAVVSDRARKPKIGGLLPLNVEVREESESREGWKWDVDMSKDLSEDVEDIQRQNQSSRCPV
SRYSPELDIRATPENSLNPWTISKMTAPLRHKNDVTPTLASAPILLQNASHTMRNYLPIPHHSSDPVSTDAESLASIRVAPPRHVVNRDDISILPEP
SSLSTNREPRRQSDQPFMLNPILYSKTAESDDGLMLGEDSETFRKSKNDFHSARAIFDGSMQRFPRQSDPRKSKGMNMPFVPPIRAGNHIEPQDDLR
QTTLEGGITHKAPGQNGRVPTSLDPDQNDELAWAMDFEHRKENATRHRRKEIVAARAEAKAEAEAELVAPTIRRGRRLQNSNCYAGGIDTDETSKSP
HKNRYNAAIANLETNEAAPGGEDAAKQSFKTSLPDGDPRAYLMRRQKSLLPSVRGGLLKPMRAKSTRLPLERIPQAQNMHNVLLKCPVDIGTIQDCV
GKISTHDQYVRGANQSNGLQMSVSEAEMAEKRVQKVVEKWMERCPKKRDDVNYDFEN
>RCO7_02121 | related to cystathionine gamma-synthases
MATLDVKSLSLENKEDHIPDQSLAEFSLSSKTIHADDYLNEGTDVAPPMHVSTTFRYDRNPDNLKSMRDRQPGESFDSHIYSRHTAPNTTRFEAILS
DILKGPTLTYGSGLSAFHALLVFLNPKHISIGDGYHGCHGVIGIHQKLTGLKKISLDCPAEDLYPGDIVHVETPLNPTGTAYNLKAFAEKAHSRGAF
LTVDATFGPPPLQDPFLWGADIVLHSGTKYVGGHSDMLCGILAVNPKREGWFEKLSAERVFIGNVMGNMEGWLGIRSVRTLEIRVERQAANAAKLVT
WLDDALHPEKDSGSKDGEIIRKVLAKIEHASLQAEDIKDGWLTKQMPNGFGPVFSICLKDMKMARQFPSTLKLFHHATSLGGVESLIEWRSMSDSTV
DTSLLRISIGLEGWEDLRDDLLQGFKALAAQIE
>RCO7_02122 | uncharacterized protein
MSKPSIVFCHGAWHGPRFFDKVIAILEPLGYRCVTFSFPGTGNVPAVESLDEDIAAVRAVVLKEIDAGFDVVVSPHSWGGVPTCSALDGLSIAERRR
DGKPGGVMKLAFVSAFVLPEETSVEDVIGGAPPFWVPDEDGNFKLPDDVSKAIFYHDLPSDEADEWVSQLKSQSLTTCLTKTTSAAWKKIPSTYLIC
ENDRPIPLQLQESMIATIKEEGGIIDTERLFVSHSPHLVIPEKVVGFLRRAAGEDWKKA
>RCO7_02123 | uncharacterized protein
MTITSGNVDWSGTEIYVHKWKSIRPECGFPGNACCTGPYEMSKSGTVCVAPGDFGPAILKEPLDFELLETSVSTRRSSNHNFSSQVKVIKVDYTDLE
SLTSTLVDQDTLVSAIGTLAIPSQKPLIDAAVNAGVKIKLLSISVLSSKIFSQELSQSSQPRSRPRNI
>RCO7_02124 | uncharacterized protein
MDSKSLPFRPFSFEPEDPGKYPSISGTERSIPSGASQPSPRFAANCESKDKPSVPHRSPRRSQVWNEATKTWETVSQELPGYSSQIAGYPNIQATAS
PRSPTLQSLPSPRISTFQTPSISPYPSPRSPNFQTLPSSRSQAFHIPSQSPRSPHVPLLPLPRPPAFKTPSSLPPSPKSVTFQQHTSSPTPPMTKSS
KKILQLTGYDPRFERAIPLEHQQLPSPQPPPNSPIRSISSNSSGIFYSQADAGSRHEVASPRDSGDSPIVQSSKELSEYLTSSIYNISEHGSLLSNI
SRTNFKKRSKYEQAVSQLPAEGVPQTHSQLQTEQKEDKEVPSTPHHSPKPKTSGKTAPLPKTFAQQHIHFCNNSEKDTTSALEHRIPTTQSLAPASP

TQNPSPKVKERTKLQYITLVKEKQSLFRSAKDSLEWGIYDLNSSSSNNRNTNIISPSRRHTTTPVSPMFSMESDHLALSPPLGSITPGQFPERSRSR
RFRFGSESKHLLKSPSPFSRGWAREGGDVGGEESGVLGVGDIAEEAEEEETDYMPSPSTALSFKRRVSSTLKSLSPASPSSSTSPTTSGKKKRRGPP
SSKKFVITNAARRADGPATPIPMPSLSYLSQRQGFKDGVMRGKEVLGKVGKSVVGASKEEKRRESLKKRIVVVGITDQSPDGRVAEWL

>RCO7_02125 | related to mutanase

MRFLFQLSTVATGLFSQGASAQKSVFAHVVVGNTAAHTQATWVQDITLARNTGLDAFVLNIAYPDSNIPGQVAKAFAAAEAEGSGFKLFFAFDYLGG
GQRWPSTGSNSVVSYLNQYKNSPAYFRYQGLPFVSTFEGVDDINAWAPNGPIRSAVGGLYFVPDWSSLGPSNFATHNNNVQGAFSWEMWPAGATDKT
TDSDYAWKNNIGAGKTYMMGVSPWFFHSTNGGKKWLWRGDSLWADRWKQTLAVNPEFVQVVTWNDFGESMYVGPVRSRSEIAAGAEVYVDGQSHESW
LDFLPYYIAKYKGSPFTISRDQMQYWYRTHPAAAGSTCGVVGNNADQGQQELSPNSVVQDAVFFSALLSSPAEVRVQIGNSPVKTYQGVTGINHWSQ
PFNGQTGVPKFSVVRNGATTGSGVGKAITASTTLANGCSNYNPWVGSF

>RCO7_02126 | probable alpha-mannosidase

MGGETKEIAKPKSTYPKLSDHPVGQWIPNIYKDRITQFYGGGQYESKNLRAMMDEGVASGTPHVKLSVWDAPDIGSKRKSLYPKSCGLTGGGERIEW
VLPEKFRDGKEHTIYIEMACNGMFGNAPGGDSIQPPDPNKYFQLSKADIVAVNSEARQLWIDIWIIGDAAREFQSDSWEQHKALKVATAIIDAFELG
NQDSIIKGRKIAQEYLGKDVSSSKVYETGTQPIVYGIGHCHIDTCWLWPWAETKRKVARSWSNQCDLMDRYPEHRFTVSQAQQYKWLKQYYPYVFDR
VKQKVKDGRFQPVGGSWVEHDTNMPSGESLVRQFVYGQRFFESNFGERCRTFWLPDTFGYSSQLPQLCRLAGMTRFFTQKLSWNNINKFPHTTFNWV
SLDGSQVICHMAPSETYTAEADFGDVKRSVSQHKSMDQDETSLLVFGKGDGGGGPTWQHLEKLRRCRGMSDTVGMLPRVHMGDSVEDFFDRLEKKVA
GGLDFVTWYGELYFELHRGTYTTQANNKLNNRKSEIMLRNVELLATLASIKSGYKYPKEKIDNMWEAVLLCQFHDCLPGSSIEMCYDDSDELYAEVF
ATGEKILKELEELLSVQSVEEPKSTDNLVALNTMPWHRREVISIGNGKAGVACGDGQLLNIKTFKITEAPEVSVKETKSGVFVLQNDQLRVEVEDGC
ITSLYDLKADREIISKGKKGNQLVIFDDKPLYWQAWDVEVYHLDSRKELKSGVTKIFQQDAHQVSVVTETKISEKSWAKTYITLSAAFKSQQSYVEM
HSEVEWREDMKFLKVEFPVDVRNTEASYETQYGIVRRPTHYNTTWDMAKFEVCCHKFADLSEHGYGVSILNDSKYGFATCGSLMRLSLLRAPKAPDA
HADMGRHHIRWAILPHQGDLGSTTVRTAYNFNNPLKLTQSSKALEASAFSSPIKLTGNPSLILDCVKRGEDDEDVSRGELSKRKGRSVILRIYDSLG
GTSKGTIETSLDVKKVWKTNILEDDEEEFKIEKGKIEITLRPFEVATFRLQL

>RCO7_02127 | related to carbonic anhydrase

MAPTPIQENLVNSNKTYAASFTQGNLALPPAKKYAVVTCMDARIDPAAAYGISLGDAHVIRNAGGNARDALRSLIISQQLLGTQEIILIKHTGCGML
TFENNDAVGIVRNNLGEEAAAELAAFKGEFQAFPDLEAAVKDDVEFLKGSKLISDSIIISGWVYEVETGKVRTVV

>RCO7_02128 | related to coenzyme A diphosphatase

MSVETLETSKEAPARSGQHIDERDVNEIIASIKAAQYLMQLAAIARLRAYKPPPFAIWDRLPLGRKAAVLILLFADRRGDLRVVLTMRASNLRSYSG
QAAFPGGKADTLDEKPFDIARREACEEIGLPRDDSKIPRPFRIEHLCQLPFSFAKTALAVRPCVAFLHSDDDDKAASVEESMIPRLDAKEVAAVFSA
PFHNFLREEDELQQGDQVAGKISDWYRGQWMDFHGTRWRMHNFYVPINNQNVTKPKVREGGQTIAEQLDEEDEGMMRYRVWGMTARMLVDAARLAYA
EEPEFEHNNHFGDEPMIEDLYKTDRLGEKIPGGPDLTDADPKTARDAAAAGMAKI

>RCO7_02129 | uncharacterized protein

MADILAAFDELEKKENSKKPLKSTNKKFVNPLKSSGSQRTGRTQTRPQSSGNSLVPPSSNRSPSVTPSVISNRRISFVAPEVPHSTQRRLRIPTKTA
SLASGFVWDPKLTKYGVSEKEWEKFTEDILRAAALPKRAKIMWSLVKQDVIDKIKRDLDFNGDVKTELKEWSAHFRQKGFTVGLELPGKVKEREDET
FEERQLAESYAKFFRVVITPNAERSASIYSRNSSLTRSITGEGLANRTTPDASDDDDGDDDEIDEVGKPGGTQ

>RCO7_02130 | related to a putative low-affinity copper transport protein

MDHSYMDHSGMGHGHGGMADMCNMNMLFTWDTTNLCIVFKWWHVRSTTSLLISLVAVVALTAGYEAIRSASRRYEQSVAKKTNEAPRRNAVAVSQNA
HVMKAAIYAVQTFYAFMLMLLFMTYNGWVMLAVGVGSFVGYLVFGNSTSATKDGACH

>RCO7_02131 | uncharacterized protein

MLAAKSTSTVVQKERVTHEAQCHCGGVKFTVKMDDPFPTQTVNKCNCTICTQNGYVFVYPPRRDIHFTRGFESLGEDKFNTKLKTHKFCKTCGTSIL
IDFNGTVPAKRDTDHDILAINVRTFTDILWTASCILPSMGGS

>RCO7_02132 | probable Alternative oxidase, mitochondrial

MYVARVSTKLQLSKQSAAQLSRAVTTCSQCHGGSTNAAGFRLTAAHLQSRRQFSTTPRTQLRDIFPSPEHEHIKKTEAAWPHPPYDGEKIKNDIYYA
HREPQDFSDRIALFMVRLLRFGMDTATRYKHDVETPKKIGDSNAVTETKPYAMSEKKWLIRMVFLESVAGVPGMVAGMVRHLHSLRRLKRDNGWIET
LLEEAYNERMHLLTFLKMAEPGKFMKFMILGAQGVFFNSMFLSYLISPKTCHRFVGYLEEEAVLTYSLAIQDIEAGKLPKWSDPKFQIPALAVNYWK
MPEGSRTMKDLLLYIRADEAKHREVNHTLGNLDQNEDSNPFVSEYKDTDLPHPGKGIEHIKPLGWERKDVI

>RCO7_02133 | uncharacterized protein

MARPFILSIAICGLFDSVVSQLFPNSTNSSSSSSASVHWLGGKPAYNCGTTFGLPWPQGQHYPKNTTFTAEATSDEQAELQTWVTGYWADGSVKWTG
HAIPASESLADKYTITAQNLKNATTSPYTNKTGSLTVNNTTSRIIVNTGKLTVSFPKKGSILIDTIQTKSGKIIGKDGHLVLQSQSGVASNSDDRAN
SSINYLNFLSNIEEVSVSENVSVRALVTVRGKHQVQDGGSHADWLPFVLRFYLYANSDSIRIVHSLVFDGAASEAFITGVGIRFGVPLGGEAQYNRH
VRFAGVDGGLLSESVQGINGLRRDPGQVVRTAQVDGEELPASSTWDVRVFSRLRWIPTWSDYSLSQLSSDGFSLKKRTKAGQSWVNIPGGTRAGGLA
YLGGATKGGLAVGLRDFWKRFPSVLDISNAVSDQGQITVWLYDPAAQPLDLRSYHDGLGQDGYADELDAREITYEDWEPNFDTPYGIARTTEVFLFG
FEETPTSEKLAGLTEYINNPPVLVAEPAYLQESKAIGTYWSIPDTKSPQAATIENHLDFLFKFYEEKVEQRKWYGFLDYGNFMHTYDTDRHSWRYDV
GGYGWDNSKLSPDLFFWLYFLRTGRHDVYRFAEALTRHTGEVDVYHIGKWKGLGTRQGVQHFSDSTKQARRSQPQYRKYFYYISGGDERVGELMDEL
LDTVNTYGILDPNRKVRTDGFVPSPGSSVAIGLGTDWGALAGGWLIAWERRGARWEEAKTKLTNTMTGIAALKNGFVTGSSLFNLASSTLGPPPADL
NNTGSVSVSHLSAVFGLPEVVSEAIEYYAPLSQQDSKTPG

>RCO7_02134 | related to DUF726 domain protein

MPGSGQAANKDSLVSNGNVAPTAEMDDFGLPVVKHRVTMLVAPESKDENGEKSPTPGTNGYVLRKVSKIEQSIGSKKIQDETRKEEAVKDEEFKDAR
STQVACGTSIPKSQEQEVEVKEPEAVAAAVAEELQKPADLDKVESKPHDAVLEDNPAEQAECAELRLSQDPPMPVEKKLENEKEKDETTSKQEDSKE
FTHIRGQSSQSGGISEWSHQHTTQLDVKSPVAEEDEWQTMPSFAPYDIYDDDNRLIAKEHNSDAEEDAYEGLGGAGKGYTRVLLDEDAQSATSLDEN
TQYLFKDVNGGTGAGEIEDEEQRDATSQMQATKDLLTEGQRIAYVGMTRLILSNMVTAAESINHSRGSKKDIQMSAEAMRMWSQRMMVRVYAHMEIS
TAEQIMIEQLAEHGVVPKDLTSTLMQNARVKNPMAGEESPNPDIKSPRPDSMTSTDNDSQVSLSFRPSISSPKPSTFPKFEEEPAQPPPPYEEYDGD
DLPEVRTPSQLPTTASLDIDLRWTVLCDLFLTLIADSVYDARSRVLLEKVGDNMEVSWLEICRFEKRVTDALEMQQASEKENWNEDEHKESRRKLAL
NKRYMMMGLATVGGGLVIGLSAGLLAPVIGAGLAAGFTTIGVAGTSGFLAGAGGAAIITSGAAASGGIIAVRAANRRTGAVKTFEYRPLHNNKRVNL
IVTVSGWMTGKVDDVRLPYSTVDPIMGDIYSVLWEPEMLQSMGDTINILATEALTQGLQQVLGSTILTGLMAALTLPVVLTKLAYLIDNPWTVSLDR
ANMAGLILADSLIDRNLGTRPITFVGYSLGSRVIFACLKELARKGAYGLVQNVYLFGSPIVAKRDEYLKARSVVAGRFVNGYARNDWILGYLFRLTS

GGISRVAGLAPVEEIPDLENVDVTDLVPGHMAYRTAMPKLLREVGWLVESDEFTEIEDPDPENHAQRQRELINEIEEARKELEKKEKEKESKGKFGF
FSRKKKTAVERKEWETYEETKVEPQKARTEDGQGNNHGVLFDVDAIRAELAGEHMEVKELKSTLPPMKLDLTSSPLSPTYPRSPLRETQSYDGSGSA
TLKVNKFSSDVSPRKSSSEWIPAKRSPPVYAEEEEEIQMTFDTAYRSPPRSAGTSSTHLPIRIPTPLNPPTPEPTERAATLQRPELKSSSTMPATLA
PPMDLGHNAWADDDDDEFGTEKEIQMTFA

>RCO7_02135 | probable rRNA-processing protein UTP23

MRGKRSKQYRKLMEQFGLSYGFRVPYQVLLDAQMIRDADKFKMDLVGGLERTLHGEVKPMITQCSMRHLYAASSEPGVSYLIDKAKTYERRRCGHRP
EEYPEPLSTQECLASVVDPKGSKTNKNRYVVASQESEVRKHMRGVLGVPLVYINRSVMIMEPMAEASADNREKEESVKFRAGLKRGSGSLKRKREVG
EEGEGRIEGLGEKDVPKRKKAKGPKGPNPLAVKKAKKSAEEGSKSSAQKESKNVKAGESSIEKPDAPEQGAKRKRKRKPKAGADDGRASIVSDAADG
NED

>RCO7_02136 | uncharacterized protein

MKSASRCGPNFEKSSTTISAKQPATIKDSLPFRFETGFALYAKRAPRPFPPPFLSPPSGSFSDALSTHDRSRDRRPLVNGQKIRGYTNGDDAVYASD
QFIAANDGVGAWSTRPGGHAGLWARLILHFWSVEVETAANQISPPGQSYTPTPIEYLQKAYEQTIEATSQPNQWQGTTTTSGAQLHFQRFNSNPDAP
PTPLLYVTNLGDSQILVIRPRNGRDGEKIYKTSEQWHWFDCPRQLGTNSPDTPRDNAVMDKVEIEENDVVLAMSDGVIDNLWEHEIIQSVVDSIQKW
ESGQGGDSAGDRKGGAGGGMKFVAEELMQAAKIIATDPFAESPFMEHAVEEGLAMEGGKLDDISVVAALCRRSKG

>RCO7_02137 | related to CAF120 CCR4 Associated Factor 120 kDa

MSTRNRVLSFMSNFSSSRDSQRSPTPTSSTPKQELARSEPAQHATTMPLGNSTHNTDQPRVQRERAQSGSRPLSMVQTYYPSMMDVSQDTLPELQPI
FTFLNSHANKLYQEGYFLKLDDQNTHGRPNADRTWTECFAQLVGTVLSLWDAADLDAAGQDGEVLPKFINLTDASIKMIEALPTRADSEAPLQNVLS
ISTAGKNRYLLHFNSHHSLIQWTAGIRLSMFEHATLQEAYTGALIAGKGKGLNNINIIMDRARIPTADWARVRFGAGTPWRRCWCVVSPPDEKEVQK
LQKQLNKKKSAYDRSRPPTLRGDIKFYDSKKTKKVRPIATISDAYSAFAIYPQSKPLIDASTLVKVEGSITIHSNPPSTSEGFVFVMPETHAAVTGF
EMMLRWLFPVFDTFGLYGRPGRLVADTSDPKSLMFAMPKHRRYGYLEILDVSGLILEPGSASWKEGEWRKRLKELTGKRMKAIESSNQPNSRYSSRR
STMQNNVRPPRNRIQFDDGASVRSTPGNTWGQGQTDGASGIPRTDSAPPGAGAFAPPIKTRSSAHTRSFSESQRLDQFRDQVPSNYDGGYDHPPAPP
PHTTGVAASRDVHSSRYIPEIGSTPERISSEDEQAARATPVRELQELQATTNPEPVAAPPAFAHGPGSLPISKPYQSPELRRANSRMSNATLSQLAG
AGGVAGYHAHGDEGRGYNQPSNGDRGVLPAANVHGLPANHDGLNEGLVTVSKPRYSYEDSSPSHPTNVTMQTSLSQPSAQHSATSHHLSSSDASRIG
SQPPLASREPLLQTRIYEPPQMFNSPVSNVHSGAIGHGHDQQHSTDSAHRNAAQPRLQTSPSILRKPLPTRSSSLQAPASADTQSSLGSLGQHVIDQ
TAFEMIGRDDHLPIRGPETQLYRHNTDASSVYEDNASTASPDYASTRRSVDARNSVEKPRAGVLKTVGNSEDPRYLGNQAATSPPIEIDFGPTFNLA
SGAGPRSQSPGPSQAYGRAASPGPTLTNLNTPQPPRHGSPATRPDSAGYSRSPARKPLTPENAYYRDQSSESRTVAWSPGMATNASAGSKMSITPEQ
FVHQRASMAPATPLYAHHRQPSSNTLRANTPPLVGRSSDYMAQHSRNSSADLLQRPSSRGANVILGPSGNGDMPTSLSAREQEQVAKMTGTPLISMA
NNNKAQGPPSGLVGAIEAREREKQHMKQGINSQAVQNAISQRQQQALHHQHQQQYQEQMASEYRAPQQYNIMGQYQQYPQTQRPQEQQNWGMSPAAS
AFAQGGGWSASTPSPGFAGPEQGRQSPSQYPPRQQQHFPQQQQQQQPPQQGRGNSTFHGHGH

>RCO7_02138 | uncharacterized protein

MAVGGRKSLAYDVQFVEPFIQLGTNTVIQYIVHSNSMDLPAEKFSILLLQTTAEEGDDISTGNTIKLAKPQSGICIALEEDQCPTSNPSLSRIQLNN
VTATAVRFTEGRDLDRRTMPKWVFFCFSSNDGSNDICRYYSSIFSIEHPFNDATIASNFVSPATTRSSSISSRMNQKRVPKMLSPGFSLEVVRDQSE
LIVVDNAPMTTLRPPTSTLIVPISTDTSIIKMSASSTGETPTSTVTATSAVTLAESSSKGGGLSIAAKAGIALGVLAFALILLILALPFLRRKHTRR
NQPEQVVLSRSMHIDSFSQNLVIEKEDPTASSAAATPVDEPTDASLLPVQRQSAQEAYETVPSASSSGVAAVVPRRKPTTATLASTVSCGLSTTSGA
TSSGTKSSQSGGDEYEQYRDVVPIYGDARHVPQVFVGSSSAGGMQSPLLEEEEESMTPEEVARPEEEERRIDAAIAEAERR

>RCO7_01896 | related to translation initiation factor IF-2, mitochondrial

MRGRSLIKDPANPSLCAFCAHRLGQARRPSHVQRRFLQSSRPVNKPPAEAAAAREENGNQVPQPSWGKPAGGLGPTASWGRSGVGAGIPPAGPSWGR
AGGCGTPGVGSNSIPKSVPVREKGSEISSSVASGGSAPQEQHIQSKFTPSEQLHARTKPSTVASAPTQPRPSNTVPIRPNDETDDLEPHERRAREMI
SARDAKSQQRPVTQVRGDGPESNRAGRLLPRTESERIQAAQREITRRKAMESSEANRSHYEGVGQGTASMKLRHTMGDTNWSGIRSSEDVKSKWSHL
RMQSESAAAARAVEEDRQRPRSTNFAQERAQREEEASQGRYTPLSSRHQNQREEGARYGRYAQSASRPQDTREDEARYGRRQDGEIPGRASYGLARD
RYTGRQVDSSAYMEGSAVLQEVNRQRDPSHQPDPNQKVSFRPMAAIVEQHVTPGYLNNSGYVANDHEKKMIETFEDEEGDNKPKSGREKKKKARKGQ
SSETSYDMATKGKVRDKAKRREQFTTYDDEADLGAAITLAEEKAQRKRERAEKRAAKAAAPTPILLPEYISVSNLAVALKVRVEDFVYRLQELGFEE
TGSDHIMNAENAGLIAQEYNYEPIINRGDADDLKAREPAADPSLLPQRPPVVTIMGHVDHGKTTLLDYLRKSSVAATEHGGITQHIGAFSVPMPSGK
VITFLDTPGHAAFLSMRQRGANVTDIVILVVAADDSVKPQTIEAINHAKAAKVPIIVAINKIDKEDSNIDRVKQDLARHGVDVEDYGGDTQVVCVSG
KTGQGMGELEEAAVTLSEILDMRAEKDGQAEGWVLEASIKPMGKVATVLVRRGTMRPGDFIVAGKTWARIRCLRNEAGVEIKEAAPGTPVEIDGWRE
QPLAGDEVLQASDEAKAKTVVEYRLEKEERDKMAEDMEAINENRKVEQEKREREKVEAAALEAAIQAQEEAPETLKDEKPTGPKQVYFIIKGDVSGS
VEAVIDQISILGNKEVQPHILRYGVGQLSEFDIEHAASAKGLLINFNTAVDPHIASLAEKAKVTILNHNIIYRLVDDIKAEMSKHLPPLITQRVLGE
AEIAQIFEINVKGRQYKSVAGCKVRNGTIAKLAKVRVMRKGEKVYDGTLASLKNVKKEAQEMKKGSECGMGFNNWSDFKVGDQIQSYEEKEEKRYL

>RCO7_01897 | related to SER33 3-phosphoglycerate dehydrogenase EC:1.1.1.95

MAETPPLHIVRLDGIITPDPIFSPSFPHTYTSYPLVPFSSPSIITCLTTPKPANVAITTRVPITEETLQACPALNLIAVLAIGTDMIDLAACNGMMS
LRKVVRMHGLTVNGNEWGKTGTLKDEFGELPGTCREEIVAIVGAGELGNRVASICRALGSKVHFAERKHSDTVRQGRISFVECLQTSTTIFLTLPLS
PESLNLISTPEFALMREDAILINVARGGIVDEAALVQALEDKKIHAAATDVFVEELAMMENVLVRLANRWREEGSPFDGRLILSPHIAWWARSSIEK
LGSTVGQNIEAWARGQPSNIVA

>RCO7_01898 | uncharacterized protein

MKSIIFATLACTAFALNVPRQVSHPELKGMTVFGYQGWYPIRYANNTGTNFKWFSPPDVTPGPPNYPQTQVLTDVLPYTADYAAECLLDTNFILANG
QHAKFYTSYCTSVIEAHFQYMVKYKIDGIFVQRFFDAATPSNEFYQQFLFVLNTVRTMAEKYGKYFAVEYDFSGKPADWDPNFYMPILIDDYVNILV
PLFQSPSYIYSGGRPVVELWGAGINPDGLTGSKWKNIVTAYLEADEHPFVILGIPHNWLDYRTPSRDPTGYWAAYQIADCLQPWPVGAFSNVGDLEW
SVRNELVPGKAQADAMGVKYSGAFTPGGSNRNAARSLNNIPPLGNRQLKVFSNNTIKPYFNFGAMFDEYTEATQILPMLKNSQLPTNSNPGFLGTDD
NMDVFHYMALSGQYTTAFHGLWGQAPLSV

>RCO7_01899 | uncharacterized protein

MPHVINQWQSDHLIEDMDFRGSTKLEKATSTEFLRPVQISIRRSRRTGIRPTPSLKLLATRDHEHSEYGSSLYDSEQLAWEKVGGGRTPSSSVESVF
EMYTSNAYSSPNSSTHSSFIAELEDTALVKRYSRLSAPPESNKMVNISPSGMEFQTSDLGARAVIKVVDETIASIEDSNRKLLSRAVAAEDVAKSLR
EQNSRLQLKIERCTRKTRPRTAPSSPVSKTGPNCIQKANDQTTLSLFHATIDELTATARPNTNRSQSEPNRVLPPYPAEDSSLWPQAPLSAPFQSGS
ISSPNHHSFPAQRRGLQPPTYHCRPPSLPAAPRPHHFESRPQPQPEIQIQPQSRALLQPPTQTETSLLSPFSSPGFQPPTCPPPRLKHRELPIYNTY

HSLTPAGTTAHLRTVHLHPESQLKDKPLPPLGPMSPSVLSGLVEIGTNNEIDEWGREAKRYGAGRRKRGLSDLFKKAKDNTVWR
>RCO7_01900 | related to PML1 Subunit of the RES complex, which is required for nuclear retention of unspliced pre-mRNAs
MDRASGRERERRGKSRSLSYDSEEERLRRRRRERRDKEESGRDRHRDGDKERDSKRRRTRSRSRSRSPHGSSRRKDRDSRHRSTRERLPHRDTSNKD
RERESSATQGQDQVSRKPKGPLPSQASSFQANGGPENAGAVVVAEEIDKQKPNFAPTGLLAAASNSVTQADGSAIALKYHEPAEARKPPVRDEWKLF
VFKGPEILETIDLNLRSCWLVGREVSVVDMPAEHPSVSKQHAVIQFRYIEKKNEFGDKTGRVRPYLIDLESANGTALNKEEIPPSRYLELRDTDMIQ
FGHSTREYVLMLSRG
>RCO7_01901 | uncharacterized protein
MVCSIPQASGPPLHMQGSAIKPEDIKRYEVTEVYTHPDAKVDIVLVHGLNGNPRNTWTAPNGVFWPSQLLPASLKSFQARILVYGYNADVYTFGSSK
GGPSSDTIHQHAQTLLANLALERKSEDVSEHPIIWVAHSLGGILVKRALELSFDLQGNHDDDLRSIFVSTFGVIFLGTPHTGVDPAKWGVMLQGMVN
ALVPKKLFDTHSQLVKTLQSNNETLQNVNLKFLDIYPNRLRICMAHEGHPTDLKGTKRLIVDQIAASPQLPDVQYFGIEATHSGMCKFGSKNAPGFT
NVSVTLRMWVQECPGFIQTRWDAERFLRKQKREDEIAQLQRLSGLSPDTLHLTSTPNTPEPGSVHNSMIISKSTISIASEFPVEAAAYFIKPSGFRP
NSLFVGREAELEMMHKMLFDKKKRADGTSAVLLQSLPGGGKTHLARQYVFEHKDDFPGGIFWLRAKSETELAAGFWDIACKAALKHPVGSEGDKSQK
DPEHFITMVRNWLDNRHDWLMVLDGIHFTHSALRKFIPDSTNTSLIYTSTEKSVIGDHHFMNPQMIKLPLLSAREAQKLLLLELGKTEPFAKDDLRY
SMELVQSMGFLPVVIHAVAQRLKTTDEPLSKFAKSYSSEPRLRGLGTYIAVVEQLKNHGAKEALNLINILCFFSQHIPVEMISLGLKALPSVISVKA
FEPVSGHSLNNTFKILNTFALIDRNDHEHDIPIHKGKDPSYSAHSSQSQTSKGSRDMLADNVDVIRLHSVVQGFFIDTLASSSSATFPDSPHPLSFW
LDLSVRLFCVSYDMAHFRISRKTHAGLVEDYRLYEIHGNKLAEHLAKQLFKSTRLSSGQKEILREAEDQLAIRLVSLRAEIERRTPESSIILSAGGV
KDDVVLTSIFDRTSSSSDAGPETPCDGYGTRTGIEAYTGITTWGMENGTPESESPVHGLQRIYGQVSEYHPLPQQQSHFPFPPLSMPEDPGYETDRD
EVDYAIQFPIPNSPALSIKGQHPSRFRRPRLNPLLRDTPLYRTLPSSAASGTRDLGLNFTSAIVPHLSYDHAQGFLQRDHGGRDSRSLSRVRHGFGV
RKDKETISGQSSAEVALAQLRQQSPLSPGRGGMIRDREQSGSKERGGSVKISAEEQRETSTKAENKSGGVDRRGRMLMLGRESYAAPVAAVETGGGS
GSLDSDDINHEKGSLGEQVKDQTLQRPHLSAMESLQRVPFRTNMPPYPITPALVHPFSKQDDESGRSDGEYFKPDSIYTIKQNENTQHTHQSGYDQD
PECDQENSYTRRNDFLPVEHSYGPERADDQQGFSPESPSTPRFRQKGKEREKKIQSESLPASLVLSQSVFDQDNGRGSGFRDREESDDAHLMSLSYP
GLQVLRNRRFSNSTGEGLGERMGAYHPRFPEFANIDMHRERGVQRQCESLPMSREGSVVDRFGSPLDGTGVGRGRRGSVAGTEPGSVFWDGKGDWEN
DNGVFEPREGGEGNTDTCYFSTDPTSSGLSPSFGFAFSPPQVQQQPRPQPSTYPHAPNPAKSPLSKAKYPSSASFNSDYTAPYPRDDTQTAGLGNAN
PRRGLKTSPPVGYGYLNPKFSPPHGFINLSPIQPMSPLNPNSSPKSRISPSQGSQISPRTTPFNGFGGEETNRHRSASGSGSRGRRGGISEPVNYVL
AREVGEREGVLRSWGERERNERKRRDEMKGKRKEVNDVGLGILNAPLGDLL
>RCO7_01902 | uncharacterized protein
MKVGEFQRAISASSSTYSGFLGAVSTEKKRVEGTSSTEGTKAGEGSKAVEKTDTDFGDIVLFGEAENEVEVYDSLPSHARSESPSIQKKRSVGFAVF
LGKKGPTVGDTSSAFYGSYLVFEKMRIKNKKPKTQRRLGIEIDWDGLNSFSYKKPVMRVTKLQDRETHIMPVGESRSIYQDEFGKPQMGF
>RCO7_01903 | uncharacterized protein
MTSAAGSGKTMILKLLNGRTTCSFAGWHPDYFGEGIHELLEKPSMSIIEAINDLDVLIVELNIYRFIFRKYLWMKSVPGTPEHIISESSRELSLAWG
QAVQGKPIPIDEYRVQDLKKSLNAQISSSTDPASWRPRRLTPKSGPKRGLVNGTIGVVIGFAPDPGENVMVTEMTGQHRDFRFASASLHGTLPLS
>RCO7_01904 | uncharacterized protein
MPPLQWKNPVYAYTILAVSIAVLSQISLKSRRRIRVMETEVQACGDARKELKEEMEALREEMRRVREVDREEKLCLVETVKEVLRRGKGVSESEVMT
NMDDVDEAYEGSLTQDTVPMEKNGEEEEGSLIQDTVPLENDGKEGDGLVVKEQIEDSEGEVEKEISCPWCAHAHQLRLGDCSGNNNCDGSVHVPYCP
SCSYKDREDDSEAITEQESSEVNGVTLPPAVVPHDGEFDAQLMDSRIPET
>RCO7_01905 | probable RLI and DUF367 domain protein
MVRHKKDGFASKSGKKYSNAPKRQGPRYDDADEENPASRPSFKAACWDLGHCDPKRCSGKKLMRQGLMRELHVGQKHSGVIISPNAKQTVSPADREL
IEQYGAAVVECSWARIAEVPWPKIGGKCERLLPYLVAANSVNYGKPWRLNCVEALAAAFYICGHPDWAEQILAPFSYGEAFLEINSSILKRYAACKD
EAEIKKAEEVWMARLEKEYADSRGNGEDGKEDMWKGGNSNHRAPVSSEDEDDDDEDGGDGNDEEVDGIFLGKKPEKVDLTAPEEEKDPFDISDGEDD
EEEMAELRRKVLAAKPFSNPTDAGQKKQPEKIARPVPLKEDSEVEPDSDNGDDDEFDGIINATPVTDRIGIKAKQRSKAEEPLANAIFSRTVVGAPK
QW
>RCO7_01906 | probable ADP-ribosylation factor-binding protein GGA1
MEAASARMAARDRFSVMGDPGPSNLQRYIQQACSPENFEANLALNLEVADLINSKKGNAPREAAVAIVNYINHRNPNVSLLALNLLDICVKNCGYPF
HLQISTKEFLNELVRRFPERPPIRATRVQMKILEAIEEWRGTICLTSRYKEDLGFIRDMHRLLSYKGYLFPEVRREDAAVLNPSDNLKSAEEMEEEE
KAAQSAKLQELIRRGGPEDLQEANRLMKIMAGYDTRQKTDYRAKAAEEVGKVQQKARLLEERLESFKAGDVMTEGDVYEELASALQSAHPKIQRMCE
EESDDHEAVAKLLEINDSIHRTVERYKLMKKGDVDAATKIAKGTLGTSTGVSKNADNELSLIDFGGDLDTNGSSADTPAPVGQPGGLEDDLLGLSMG
ETSFGQGGGISLGFGNSSTADYNTARGPTPTVSPALPQQPTLVKPDYSSFSAFGSSNAASKPSTPQPSLFQQQQALQQQQFQRAQAALQKSQPSADP
FAALASPRQAAPPAVSASMFDFGARSTNSQAAPAPAADDDEWAFASALPEGLPAANTILVSETALSITLHAAREPQSPDVITMSISFSSKSDQPISE
LTFMAAVTKGYNLKLQPQTGRRLQPHEQAGVKQVIFLNGVEQGKGDLVKLRWKATYKVGEQAVGEQGEIASLGVA
>RCO7_01907 | probable L-xylulose reductase
MPISIPKTDSLADMFSLKGKVVVVTGASGPRGMGIEAARGCAEMGADLAITYASRPDGGNKNAEELSKKYGVKVKAYKCDVGNWESVQGLVNDVIKD
FGKIDAFIANAGRTADSGILDGTVEAWNEVIQTDLNGTFHCAKAVGAHFKERGTGSFVITASMSGHIANFPQEQTSYNVAKAGCIHMARSLANEWRD
FARVNSISPGYIDTGLSDFVDKKIQDLWMSMIPMGRNGDAKELKGAYVYLCSDASTYTTGADIVIDGGYTAR
>RCO7_12016 | uncharacterized protein
MAAGANLILSPRMFVAESKLNMLSPNGRSRMWDAGGDGYARGEGITAVMMKRLSDAIADGDHIECVIRETSVNQGGRSTGLTVPNPVAQVSLVRQTY
AKAGLDLNRSEDRPQYFQAHGTGTKVGDLNEATAIHNTFFGNQEDMDKEKFFVGSIKTIIGHSEGAAGIAGMLEAALAVKHGVIPPNLHFETLNPKL
APFVHNLKVPTIAQKWPVTLSGVRRASVNSFGFGGTNAHVILENAPELIERTSSISPIVALPFTYSAASEGSLWSLLANHSQFLAKSPEVNLNDLAW
TLLSRRSVFSHKISFTAQTTTELQAKLDDELEHRADGTSRAISSRPINTPKRILGIFTGQGAQWPGMGWDLISKSSLGMKTLRELEESLASLPADHR
PQWSLQTELSAPAATSCVAEAIISQPLCTAIQIILVDHLRAAGIQFSGVVGHSSGEIGAAYAAGFISADAAIKIAYYRGFFAHLAGAGVEGSMIAVG
ISRADAVDFCQLPQFSGRVVVAASNSPTSVTMSGNASAILETREYFEGKEIFARILKVDTAYHSHHMIPCSEPYLQALKDCDFELLARTDNACTWFS
SVYEGKVMEAQDALLGPYWKENMLKPVLFSQAVEASLMDGSYDVAFEVGPHPALKAPALQTTQEKTGARKPVLYIGLLGRGRTGIETFADALGSFWM
QFGSKSFDAASFNALFSQDTPPRAVQDLPTYPWNHERTLWFESRGSRETRCRAEAPHELLGIMTSDQAEGECKWRNYLKLNEIPWLSGHQIQGQTIF
PAAGYLVMALEASKTVAKGREVRLIEVKDFKIFQAIPINDDDSGVEILFTITNVSFDAKRNILTADFICHACLSKDTGSLVLVSSGTLNLILGSPSA

TILPSRSLAVINDLREVNIDYFYDSLGKVGYGYTGPFKGISYLEQKLDTSTGLITDANFTASNQSMMMHPGTLDSAIQTLFACLGTPGDGSLWTIHV
PVSIKSIRINPLTCSNHFERQLLFDASLAENASDTLCGDVSLYDIDTRNAICQIEGIEVTPLMPATPADDRLLFHELVWGTAEPDAKLVYRKSAFSK
AEMLRAETLEKVCLWYLKQMLETLTEEEKEETSWHGKRILAFAEHVVGETREGRHKSCKVEWLGNTWNDIQMVADPYQTNVDCRLLHVVGSKLIPFI
RGETSILEHMREDNLLDLYYQNSELLEYNLYAGMIASQIAFRYPLIKILEIGGGTGSITRSILKHIDNKYSSYTFTDISVGFFSQAQEQFKDHERII
YEALDIELDPVTQGFTENSYDLVIASNVLHATKLLGNTMKNVRKLLKPGGRLLVLEAIDNGAARVGFSFCGVPGWWAGAEDGRELSPLIAPARWDEL
LRGNGFSGLDTVTSGTESVYQPVTVFVSTAVDAEIELLRKPLAVEGPKRHIDTIFLVGGKTELTKRLIVNLQLVLQPWTTATKILESLEDVHKLDDF
SMVHVLNLTELDAPMFSDLTSTRLESFKSLLNISKSFLWITAGSNSCSPYSNMALGIGRTLVHEMPHLRLQVLDAAKKEELTAEILAEAFLRIVLVE
TWENDIYAPKRMWSNEPELWLADGRLNVTRVVPERRANDRLMSRRRSIEEDVDADEVNVALTCTGAAYEVTSSRADEATSVMGNRTTVRVTHSTLLA
IKVGSRDFLHLVIGEGSGLGMKVIALSETIGNTISTPHRWTMPWVFAAGEEAVLLAAIASELLAQAIVDMADDERTLLVFEPDLLLADAITRKARDT
GIKPYFITTGCWSEKIDWIGIHPFASDRELRSILPKNSVAFVDLVEDSDLSARISMLLPFNTRRGDNRNLLSKTSHYVDSKSRYSVGDSLSIAFTNA
ISNIRSTSSLSHPVIIEAASLSRLPPPSPGLQIVSWSKGQKLPIRVQSAESMMKFKSDKTYLLIGLTGNLGRSLCKWMIQHGAIYIVLTSRNPIIEQ
SWLEEMESLGGSVSVLAMDISDKASLLATHKQISSMLPPIVGVANAAMVLSDTLLSNMSFSELQTVLKPKVDGSRFLDDLFASPTLDFFILFGSSVD
VMGNSGQAAYCAANMFMNSLVNSRHARGLAGSMIGLGEVKGVGYAARMNRELNDIIGATLPLSEKEVHHMFAEGVLRGRPGGGENPVLYAGMDSKDP
RKEPDILWYPHPKFWHYIESGNGAAVKEVKGAVVSLKVRLAGALSMDEVLGVVTDTFISKLRHKLQISSNTAVSNEAVLLELGIDSLVAVDLRAWFV
NELGVDMPILKILGGATILDLVSDATARLPATMLPAFVREVQEGEDDAKAEKAVLVPNGLGGHDLVPAVSDLVTEPIPVECVLALEPPTNTFTAEHR
GHSKSLSLESTCSNDTNSSEQTFTPPHSPACLDTGFSPDIETGATVHLLFSNLDFGQNDNLLSTRDLERMDDENREKFSPSFDPATFIPTAEEGVNE
DRSMLLLKKAAPPCSQTEKQNFASTSEESVDNARSLAVLKDIDIDNYICLPTASAVERQEPDITPDDYIKITLTGTSYPSLIHNTRTQNTDEFATEA
LPSVRDQSIDSSSTSTNEVQVPELTEAEKEREATAL

>RCO7_14037 | uncharacterized protein
MAILPPTSHLLDKRKPSDPQSSENIDIFVR

>RCO7_01910 | related to E.coli tetracycline resistance protein TCR1
MNITKPNRFTAHQPQSLGPGERGRNGGYHFNVSDQDDAAAEGGAGGNPRKVNNEKEEVVTWRSLPHRQQLVILTLARLAEPVVQTSLQAYMFYLLKS
FDETLPDSTIATQAGILASSFTGAQFLTAMLWGRISDSDRGGRKLVLLIGLSGTAISCLGFGFSKTFQQAVFFRTLGGLSNGNIGVMRTMVSEIVQE
KKYQSRAFLLFPMTFNMGVILGPILGGMLADPAGTYPNMFGHIDFFKLYPYALPNIISAFFLICAILGVFFGLAETLDTIRHHEDLGMKCSQNIGAL
FRGRQSQALSYAYVAVSGHDFASETDLEMAPASPTTPTREKAIPRWKHKLPFRRIFTYNVICTLVAHGLLATHLGTFNSLWFVFLSTPVANPKRPDP
PGFHRRLPFIFTGGLGMPPRDVGFAMAVLGVIGEPCNSSSIQLSTQDWEQ

>RCO7_14017 | uncharacterized protein
MGSGWWGLYQAVGGVETDKKVIELQGKWSTMDSSLRMFRWWIAELERMPRPHLLPWGESKQEQARTQSKLIGTHYKKCYAIKMMIISLLHPRNLSSV
CYLLTKRAGTNTCPSIAFGAETSFNTTAEEYYISCYFLFLQNCKPPKNPLQMGDDASETIKWYQSNKIVQEEDGTFGLLGLILADEDIRFSRNPSKI
FDVSPVTKRNF

>RCO7_01911 | uncharacterized protein
MQSPPARRKKESPSQDIKLTKAVSWIETDAFEHTASSMNDLSALDAKITESFGSFVFSVTRPIMAPTFDHNLAVLLPTRAQGEILLDYYLDNVNWIY
HVIHVPTVKVRFDAVYNSIEMSQSPNHSHLALISTIFALSAYFSTATSRMYFKHSEAMFHSRRWTILAQEALSASNCLAEPNIETLQSLILISQHMM
ANIGAIATIRTLSATIIYAARTMSLHTIDAARTKKLRENTVVDYVDLELKRRLWWHIVSTDYANIPIIAGLLSFMSGAQCGTYMIHPKQMHVDYPSN
VCDQNISSLGPDAYAQPIEIPTEMTYSLFRFRFSTIYREMVDEAWDIGSDMDDLPYEIVLEFDKKMNNVAFDLENSYAALGKLTLNFMQPEKAGIHY
QVSDPKKISLVRQRDMMYFGLHTRYARLHRPYLVRGAQDSRYSYSRMVCLRSARTVIELGKSMIGSNKALTSFKIWFVNHHVFVSAMILVMDYCFNR
EEPRAKERREEILDCFIVLEGSREESTMASRGLTKLKSMLSEKSGDTKRGAFTGNTAAQYHQTSAASDIGQRYTTTLSPTAVLSRPPSTTESVQYSN
TEQDFAHYPGDTVMSVKDFNDNFNSGPPAPACQDSWPAYDYFSIDNINFDIDLDVSQLEALFQGIDGTAYS

>RCO7_01912 | related to monocarboxylate transporter 4
MLLENHTKKDPVTDVDTARNEEKLSVEDIPVSEEPPIILSEFNLRSTILLTGSFLGLFCSVGFVNAFGIFQEYYSTHILSHKSASDISWLGSFNVFL
GGVIWPIALQRFFDSVGFGWGVRICAFMMIPLLGFCVMAISVPAPTPSARNNTANELEPETKTILRHDLSILKSPILHLLSAGLFLVYLGLFSPFFY
ITSWTIGLGLDTNMAFYMVSIINAASLFGRILPGLWADRIGAYNIMVISAGFSGLVCMCWTEATSIGGIAVLSLAYGFASGAVIGLQGACASQIAQP
HQYGIVMGFVISFLSIAGLIGSPINGQLLDRWQYLGLSLFSGLAMLLGMIVLIFAKLKVNINFFGKA

>RCO7_01913 | uncharacterized protein
MGDRHTLLFSQTITSPHPVDLPPHIKRYHIPTPLGTLELLAAEPTQPSTSTSRKKAILFQHGGFGSAAVFVPFLTYFSQSQHPCYALSVRGHGTSWK
PSYFRMVWGYNRSAFAQDLQSGLQFVQYLEARRRDKIESEVVDEIVLVGHSAGGGMVQDLLSQGMGKVGGLVIMAGFPNFGGWRVYWNWFKMDPWFI
PRYYVRDFWHSRSPLSSTTLVHQAFFCPSYPVSEVKKFETLLPEYESMLWPLQMMFRFVDLGKVLGNIIGWSKGGKRVLVVAGERDPLMVPELMRRM
TADYKVAVNKVWGTLIGGGERPPNGAEDVVGFEVVVGSGHHLQNDLYWEDCAERILNFVKQL

>RCO7_01914 | probable nitrate transporter CrnA
MPFNISHLWVAPEVNPLNGKARSIPILNPINKYGRTFFFSWSGFLVAFLSWYAFPPLLTLTIRKDLHMSQNEYANSNITGLIGTLVIRLIAGPLCDK
FGPRYVFVGCLLAGAIPTAMAGLVTSPTGIIVLRFFIGVLGASFVPCQVWSTGFFDKNVVGTSNALAGGWGNSGGGITYFVMPAIFDSLVKNQGLTP
HVAWRVAFIVPFVIITAIAMGILFIGEDCPAGKWENRHQMLDGVMVANSSHNSIMEKSADYKTTPEETKPDPEALNIRTAVDRAEGEVVVAPTLKEG
LSVLCSLQTLALALPYACSFGGELAINSIIGSYYLKNFPHLLQTGSGRWAAMFGLLNVFFRPLGGVVADIIYKYTGSVWGKKMWLVFCGVTMGCFEL
AIGLLNPHHEATMFGLVAGLAVFMDAANGANFAVVPHVHPFANGILSGLVGATGNLGGIIFAIIFRYNGKNYNRVIWIIGVISISVNLSVSWIRPVP
RRQIGGQ

>RCO7_01915 | uncharacterized protein
MYGYNSAHRGTLMNLGVPPSSGPQHRGIVWASNGFAGPHVENAADMTLRNGTSHAGLQLAPTYQDFPNAQNSFSMQQPPPSHIQYGSHAASPNTDAS
PCWSHGMPEYVVLQPQAEVSHPGVMMPRFPGLSTQRQGDHLDYAIYQQPFPIQLENPSQSPAPVIYPLRQTLQRPPTTDFTTLERQARQARQSQLER
NTLSDKIAALKVEQSRLISVIATKDKVVKSMTAACKRLQTKNQDLTLKLEVGDALASLLRRSCDREAMGRGYYMAQVKLKDKMLEKLQPSFSTDKRT
FTFDITTWHKVKEGVSNLRTENWQLKASMSKKTAEYQELLERYRKLRTENLGLVADDPDLG

>RCO7_01916 | related to ubiquitin/ribosomal protein S27a fusion protein
MSPTPISQQLNVSLKDPMRTSSGYKTIRVTYGGDHPLNISLRRTVRVPDNGSSYNLPPDCGPFPIYSVKQYKDKLPNSMSAKGGMFLPIYEREAMWI
KFDSLRPFAIKIYAGGVNVISGESYIEGLATMLRRKLRLAEGKSVQDYVVSGSQKWIDGIATADGKVMQFIATPTGSGYSVETQVVGKDSVAGLQFE
IMPAKRLMMRITIKSLTGKSILLDNVDGDTTIEDLKDLIRGKEGIPIDQQRLIYGARQLQDNQKLSECNIALESILYLVLRLRGGGPVLPDEMSPEE

KKMQRETAEKAEEMAVAPGGFINQTIVMDPFLADKWDQENTILFNLQLLNALTFEAILGIKAPETPITAALYKQYGFPFYKMYEELSGIQGAFGGVK
SVASIDKKRGKKANAEDAESMKFREVELNTVDEKKPFLPVSEMERALATFNFAQDII
>RCO7_01917 | related to putative transporter SEO1
MQIMRTSPGKLPFAFIFPMFPMNWTIPALELGWGIFTLLQYRTQTFGELMAYRFFVGIFEAAFFPGVHYVLGAWYRGDELGRRGGVFYVGQMLGTLT
AGMIQSGATKNLQGVRGLEGWRWMFIISALMTFPVAIAGVFIWPGTPARPNRLFLKESELALAISRLQKNKVDVAERIGKTRLQFVKEIFTDWKIYA
LTFWTVLFWNAGSTTYGGYLLWLKSLHRFSTSKITQIGTTAPALGIFYVLFVNFSSDLIWGPSGAITFARIWHFTAMVILAIWDVPEGAKWFAFNSA
YTQVAMSSVLYGWANHILRHDSAKRSFVIVFINLFAQSTTAWTGILVFPTVEAPRFLKGWSFCATNSLVLIAFTWLIIRPLARKEERKFLAARSGEA
FQSERSLDDEYASVSVTPNKP
>RCO7_01918 | probable permeases of the major facilitator superfamily
MAEDNPKDENVSTKIDAPDSGSNSIHSDAEADRRAFLSTFSPEEDKAIRRKVDYRFLWLIGLMYIIKNIDYTNAASVKVLQVGKATNILRQLKMTPD
EYNWVQSIYFVGFLMAIAYIIFEVPSNLLLKKFTPRNWQFRIMLSWGIVLACHAAVKNKEGLYTARFFLGMMEAGMFPGIAAQLCSWYRSDEMGKPI
MWMFGFQNCSGVVGSLLAYGISYMDGLGGMSAWQWVYLLEGIMTILFSFIVYAVLPDYPKSPRSNKWLTAREQEYLEVRLSENAPKTEDAAFSLKEI
FASLVNPRTYSFMFSQILLNLGGYGLSWQLPTVTTSLGFAGLPRNQLLNIPPAAASVLAIIFAGWVLNRAFITRPAFVMWICGGALVFFIILAATRD
KYAVYIACVFGTMFYSVYFIPFWAWRSSTLTGTTGTAFTLAFQSCVGQVGGVIGPQLFQSKYAHNSYKVPFAICATAIGAGWLANVWTWYLTRNVEW
DVRRIRRLRIKSEKQGEVFADDDVKVFEERKVFGRGFVKKEGATAEI
>RCO7_01919 | probable coenzyme F420-dependent N5,N10-methylene tetrahydromethanopterin
reductase and related flavin-dependent oxidoreductases
MPKRTTRSSDAASSSAPKRHQTSGSASTPVKNGVSKESNLTSTEKSVENGQPKKQILLNAFDMSTVGHLSPGQWKNPADWSATKRDLKYWIDLAKIL
ERGNINALFLADTYGGYDTYEGSLDNCIRRAAQWPVTDPTIPISAMAAVTKHLAFGITASTTFEPPFLLAKRFSTLDHLTNGRIGWNIVTSWKKAAF
KAIGITTPIEHDERYRQADEYLRVLYKLWEGSWSRDALVEDKENDTYVDPDLVRTINHHGKYYDLESRHIVDPSPQRTPFLFQAGTSAAGSAFASKH
AEAIFVTGHAPSVLAPKIAKIRALAAAEGRDPNSIKFFCTFTPIIGRTDEVAYAKLAEYKRYASTVGGLVLVSGWTGIDFSTLPLGKPITAEDSKEA
HKVTSALSAFTTSSEKIPVWTPEVVADMASIGGLGPVGVGSASTVADELERWIREADVDGFNLGYVTTPGTFEDVVDLLVPELRRRGLYPEAPEEDA
VPLTAREKVYGAGQKELRTDHTGSKYKYDVYVEDEPFDKEREARDQKKRPVPLGP
>RCO7_01920 | related to alpha-glucoside transport protein
MGATEVDSSKDEADVGKPMPSHIEHAAYTPNMELIEAAVARDEEEARLPKKELFKRYAPAVAFSMLLSLALVMEGMDVGLINNFFALPAYLRKFGWP
DAKGKIHISTAWQGGIGAANNCGSIIGLLINGTLQSRFGSRKVYMLAMVLMALTIFILFFAQNIEMILAGNILCGIPWGIFQTLTTAYAAEICPPAM
RGYLTAWVSMCWGAGSFLATGVLRGALQFGPNNDAGWRVPYGIQWVWIPPLLVVGYMAPESPWYLIRKGRQAEAEQSLRRLARKGHYTDRMMAETLA
LMNHTNEMERIEAEHGSYKECFTGTNRRRTFIICMAWTIQIFNGQSITSFAAIMLRSVGMSSTNAFNYNMAIQSVNIFATAIAICLMGKIGRRTFYL
FGTSSIGACMLAVGVAGFASNDKNVKAYVTAAFLILVQIAFKVSLGPTTYVIVGEMSSSRVRAQTIVIGRAIYVCFQILVQQINPRMLNSSSDAWNL
GAKTGMVYFVLCLVWVVWVFLFLPETKNRSFADIDYLFQKKVNARKFTTTPIDLFEFTNAPVGAKVLDDDEGLERTRTTDRNVTEIQQPRRAELQA
>RCO7_01921 | uncharacterized protein
MVFLAELQLLLNRGTTSHTLDSLDL
>RCO7_01922 | uncharacterized protein
MNLVLLTTISSLSVQVLAYTPSKWTSFPYLSPASLFSNKLRNGLEHSVPTAPTNAAPISQLLLLPPQQQIHFSPSSPTIFQEAISESTAPNSISVSR
AVLFIVERLMYQVLLLLIASPEETGNIESSTDGSQIVLTDIQPVPPTTSPSPPSYATLHARSGYNGYNHVVAGGLLLLGNSDPISTWSETMSWLNAY
REQSGIRPYGCLYAISTLGNFIGHSLKENVKVVKNNIKRYNGQWGMVVIGQGFSPD
>RCO7_01923 | related to MRP4 - mitochondrial ribosomal protein, small subunit
MAPPIMILRNVALRQTQKDIASPIRKCCLRSLTTEALQSSSSSGSNSELHLAKSFRPPRSSQPKTPKPRTNQEVTTAHSLSLHIKKTTKKLGASVAP
YYKPHTVLTKPPKPEDVTLELLMASQSHLGHATSLWNPMNQRYIFGVRQGVHVISLETTAAHLRRAAKVVEGVAYHGGLILFVGTRPGQAPSIVNAA
RMAKGCHLFEKWIPGSITNGNQILAKCGIKAVDVNDETIDGYEDKIEGWRALRPDLVVVLNPLENYILLHECGLNNIPTIGIIDTDADPTWVTYPIP
ANDDSLRCTRLIASVLGRAGEEGQRKRLEAAKSGEITWKSTPGLGRPFSEEDRKKEEERISKRAAKGFVEGMDPTLASPPALEVEEDMHEL
>RCO7_01924 | probable CBS and PB1 domain protein
MASTGTMRGTPSRGGNRGTVPAFPNSPAASNIPRPALETHNTQSEAGGSTMSVSRQKQTKKDEAIRRKIETDLSKKKHTTGRARQTRKAPPGTVLAL
RPSQALQIKPNTTVAEAAQLMAAKREDCVLVTDDDDRIAGIFTAKDLAFRVVGAGVKASNVTIAEIMTKNPLCARTDTSATDALDLMVRKGFRHLPV
MDENQDISGILDITKCFYDAMEKLERAYSSSRKLYDALEGVQSELGSSQPQQIIQYVEALRSKMSGPTLESVLDGKPPTTVSVRTSVKDAAALMKEN
HTTAVLVQDQGSITGIFTSKDVVLRVIAPGLDPATCSVVRVMTPHPDFAPMDMSIQAALRKMHDGHYLNLPVMNDAGEIVGMVDVLKLTYATLEQIN
TMSTGDSEGPAWNKFWLSLENETESIMSGEGSQLQSQQHTHGARSLMSPDMSRGYERQVDASVAPGDSASHTGADSPAHSVLTPAEAHPEEIPFPFK
FKAPSGRVHRLQVVAANGLAELIEAVISKLGSEVDAVGGVASFENGKLGDSGFALSYLDDDGDTVSITTDHDLLEAILIARQGHRDKVDLFVHDPEK
APISATLDPHPIIAHQPTPPQSTVRERRKPISDEEESEEELPVRRKKNATQPTQEQLIAGMPNELLLPGAIVTLAVVIVGVFTLTRLTSR
>RCO7_01925 | related to gastrula zinc finger protein XlCGF17.1
MLSNPTNNLHNRQRQHRRQNSTPNAFERVKATNLPNIQRHNSHRRGMSLDQRRRQTPPQEYMQQRLARPGQQHFSQFDNDENYLNSPAVTPHRQSFD
AGCTTQYGHRMSQSEFQFPGPINTIISVNPNSFNGNPDFDLYQQEAVMTPSAYLDFSAGFENASQGTNNQSHSRRSSAGRRISGGIMDRVAQFEHLA
LHSPCRPTTPSDQNATHYFPPTPVDTPHGHMIKQEQMNQIFLDSYDTSMEETIKPRSNQRARGIFDDMRKESEMIYMPTPQNAPIAAMNNYDSAPMP
TGHFMNSSKLNLQFMKNEPVSSTQYSQVSNNVSFHSSHNSSPDVSQAPMFDPFVNKPDLEAPELSYQEPISHGLPMSASPSHQSHKPSHRRTESISS
DINLDESITDTGITIDDIATFISGPDPSDGKWICLYPECKKRFGRKENIKSHVQTHLGDRQFQCPHCQKCFVRQHDLKRHAKIHSGVKPYPCQCGNS
FARHDALTRHRQRGMCIGAFEGVVKKTVKRGRPRKNRPDDEERAEKSSRTRSKNHKKSMSSASSTSGSSSSRGESPRSELEDILDDKPFANYDHAYT
QQSQYTQSSSIIDSTSFEYAQARSPTPGNCVSQHIQSGHTPSAYSTHSQHSQHSHAQSHRGSISSSSVHQQSHPNSPAKSVHSYHSPPGLCESSSSP
AASIYYDLDDHVSPLNDHASPLSTHSLHDMHEMHTLNGLANISEHDDELFLEAFAAASSNVGVGSGEMMDMGMGKFEDVFVDCGEGDVFRSEDVFFG
SP
>RCO7_01926 | uncharacterized protein
MSLKSWVETRLPQLQAKVGLLQLLNDTPSLPSENAPNVASISGSAHVLPFLKEKELVQTLAFIASSTDDPAKVIAVCVEEGIDQKSMTVKLAVNTGD
LDNVVVAFKRIAIVLQRNCKGGDGEIDDVEVTREVIRLNRNRILCRLRSRHARTKSQHARLGRPKPLLSLAHVLANVKKSTSQDVLVPQFEEVIGEL
CECFVQLENLSESEGRSETGLVLSFAIIMAARKLHCSRSIAKLLELSDYDDTQKVHIRHTVSKLGRYSTASEFLVQAARKYTVFAKITVQFITVSAL
PFPPIKHLEIFAETLRTGLLSAKELWKTSSKVRDRLEIKSLASACSRTSSAKFKVHAEIQLLFHYETYIAPLRPRVLCSSKHACFLCELFIRSHGKF

FLPSSHGRLYAQWTLPASLPGLLGEAAETMIIVLEIFAASIQESLRSQILFTKKRFPAPNESVMLGSVIWSDPAEALPDSIPNDSGYDKTDIKSDET
TSTSTLQSKTTSDRSKQNPNSIRRVDSVSDVVEREIEALPASTGVTSPEDTSAIESSPYTMLARGQATVFDLSDYTNILKLGTPGIHLTFSYASWVA
SKVIVSDSRLPESDIGCKLTLLWLHTTDVVDVNPKVINLSGFPESFQDTFDRLAGSCDFYVVKGRETISIKTTYCVA

>RCO7_01927 | uncharacterized protein

MFLPRAEKEVVYISPVKEVNIGLWVLLAGATVFLGLRLYCKISRRTGLWYDDYVLTVSWLVLFVNDIIIVDEWSTGHEKGNWDDRTHILIKITSCGT
LIGQALSKTALGITLLRMSNKKQAAILWFCIVSMNSYMIIKSFFQWAKLCNHSEYNKWYNLQGPCLNYDVEEKIKIGGNTYNIIMDFVLAAFPWWIT
WNLEMRRVEKFALCVTMSLGIVVAIISAIRTSWKDRPSMQIHDERFLWRNGMANIWYSAEIAGTIIVQCIPILRPLLRDIIVTTQSRRTGGDSIDRS
HHRSTAHRSQIGIATFDPKDAGVPPHITESYDHGTEDVYALDIIPEEPETKRTSFVSHCPSFVSQSPSEMGRLTPTVNASPLTRDSDSGWSYSVRSD
KTDLRSPGFIKPWEDGEEPEGLSPPPRPARVSSPESQKELSSNIP

>RCO7_01928 | probable CCT7 - component of chaperonin-containing T-complex

MSFGGQTPTIIVLKEGTDTSQGKGQVISNINACLAVQATIRSTLGPYGGDLLLVDGNGRQTITNDGATVMKLLEIVHPAARILTDIARSQDAEVGDG
TTSVVVLAGEILKEIKEHVEQGVSSQTIIKGLRRASNMAVNKVREIAVNTSEGNQRETLIKLAGTAMSSKLIKRNTGFFTKMVVDAVLSLDQDDLNE
KLIGMKKINGGSLTDSLFVNGVAFKKTFSYAGFEQQPKTFKNPKIVCLNVELELKSEKDNAEVRVEQVSEYQAIVDAEWQIIYNKMEAIYKTGAKVV
LSKLPIGDLATQYFADRDIFCAGRVGSDDLERIIQATGGSIQSTCSDIHPEHLGTCGTFNERQIGGERFNFFEDCPEAKTCTLVLRGGAEQFIAEVE
RSLHDAIMIVKRAIKNNTIVAGGGACEMEVSAYLHRYADKNVPHKQQAIIKSFAKALEVIPRQLCDNAGFDATDILNKLRVEHRKGNTWAGVDFDNE
GVRDNLEAFVWEPALVKINAIQAATEASCLILSVDETIKNEESAQPQGPQRGLPPGAAQRALRGRGRGMPRR

>RCO7_01929 | uncharacterized protein

MASPQPVSKRQKTTKEDTPYELIYWPGLPGRGEHIRLAFEECNISYIDTAQDPKAMDIVLSQISQSNQGDALNPPICAPPILKHGSLIINQTPNILL
YLGPKLGLVPTAEEDDVGLYHVNQLALTALDGLSNEPHDVHHPVAVGSYYEDQKVEAKRKAGDYLENRLPKFLGYFERVLGGEASRGGEWLYGGRLT
YADLVLFQCLDGIKHAFPNAMKRIQTEGKFQKVFELHERVRERPNIKNYLASERRQDYGMGIYRHYPELDEE

>RCO7_01930 | uncharacterized protein

MSNSSACWLPDGQTRSPTGRRAPCDPSALNSACCAAGESCMGNGLCLSQNGLIYRRACTDRDWKDPACSTFCIEASGRHTGQQTDFEFLKPCNAGTP
GSAPTGILVWICGLNNNCSDPSTTFPLIVGSSDPSSIQSSTQTPAQTLALASSSSNPNLTSKDECSSSKTTIGAGIGVPLGVLLVMALLWAFWERRI
RSTAKQTNEKTWVGNVMEYEPAPVEAPATERITEPPPKAYQHTHRELA

>RCO7_01931 | uncharacterized protein

MLKPHPPSRSSLPATSHFLQSTNIPAISPSIATTSPKRKRGLPAIATIPPTPPRSSPTPDHDHSYDSKCVPRSESAPDMLLTLNIPGATVNEAGREG
EREASEGGEEGASSPRTKVAYNFQGLRLEDASSRAGGGRFELDGPVKRKQLVEGWGGDALREAPRGVTLSDQVDEMVFMGNGTSDPSLTRPLSKPRR
KRAGTPPLTGSLSLLSVSDTHDDLERDPSSLIWHDDEITGHDPTDPDDDGEGINGIGFKPTPAEAYARKQKRRQQMAEYRNREAREARKMRSERRRG
NERPSKEEEKERRVRFMEGVEVGGGSFRESS

>RCO7_01932 | related to COX20 In the maturation and assembly of cytochrome oxidase involved protein

MASDTRDESNSNSPPPTEPPPGSTSSPLHIQSSSPKIYEVFNAPASPPTSDPLQAPQSANALPDGSGQNTAGSGKEAPTLVSAIKTVRVQDFKQVHM
YPCVRESLLMGIGGAFGMGGVRALWGAPIPKAANWAVGTFVFASFANYEFCLYRRRLERQHMKRAVEIIDRKKVEKEALAKAKREERRRAKEEEDRR
KEEEAKRGWWRVW

>RCO7_01933 | probable DNA polymerase epsilon catalytic subunit A

MPGPRMPKNGYRRGGKQAYHGPRKAKTFTASKGNEGTSSEEQREAVRLAHSIDEAQGFARYESGKKKTGWLVNVRPTSIEDPKIADGRAALDCYFLE
DDGGTFKATLEYDPYFLVAVKRGHEAEAEEWLKRAPGGGCVKTLRKVEKEDLGMPNHLLGYRRTFFELRFANQSDLLNARRDIMPIAERNKKHMNAM
DTYAEVASANAGFDLFDDDRDDERRFNVSVADASDFIVDIREWDVPYHVRVMIDLDIRTGKWYSVEAKHGVTSMKCLEERLERADPVVMAYDIETTK
LPLKFPDATIDQIMMISYMIDGQGFLITNREIVSEDIEDFEYTPKPEYEGPFMIFNEPDEKAVIERFFLHIKEARPTVIATYNGDFFDWPFVDARAS
VNGIDMYQEIGWRKGPEDQYCCDYSAHMDCFHWVNRDSYLPQGSRGLKAVTTAKLGYDPDEIDPELMLKYASEKPQVLSEYSVSDAVATYYLYMKYV
HPFIFSLCTIIPLGPDAVLRKGTGTLCEMLLMVQAYQKEIVLPNKHVSPKEAFWDGHLLESETYVGGHVESIEAGVFRADIPVNFAVDTTAIDELLV
DLDAALKFSIEVEEKKSLDEITNYEEIKQQIANRLNSLKKTANRSERPLIYHLDVASMYPNIMTTNRLQPDSMIEEADCAACDFNRPGKTCDRRMPW
AWRGEYLPAKRDEYNMIRHSLENERFPGKWPNSPARTFQDLSAAEQSDLVRKRLQVYSQKIYHKIHESKTIEREAIICQRENPFYIDTVSEFRDRRY
DYKGKQKLWKGKTEALKSAGASASEIESGKKMIVLFDSLQLAHKVILNSFYGYVMRKGSRWYSMEMAGVTCLTGAHIIQMARQLVERIGRPLELDTD
GIWCMLPATFPENYGFTLKNGKKLAISYPCVMLNHLVHAKFTNHQYQTLKDPKTFRYETHSDNSIFFEVDGPYRAMILPTSKEEDKNLKKRYAVFND
DGSLAELKGFEVKRRGELKLIKIFQQQIFKFFLEGTTLTETYTAVAKVANQWLDVLHSKGETLADEELIDLICENRSMSKTLEEYGTQKSTSITTAK
RLADFLGEQMVKDKGLNCKYIICSRPKNAPVTERAIPVAIFSAETAVKRYFLRKWLKEDPANMDPRALLDWDYYLERLGSVIQKLITIPAALQKVRN
PVPRVPHPEWLQRRINVKEDKLKQKKMTDLFKSAPLDDITNLMDPRAADMEDYGVKLLKPKALGAQLSQATQKSQKRKSPEPAVAVSTNPYAALPEK
MPNPTEDYEGFLEYQKQKWKIQKQARLRRRHLFGESRVSAQNNIGATFQNQAEITYKSTWQVLQLRATTSPGVVMAFVLIDSKIHNLRINVPRQVFL
NLKGKELPDIEVEGCDAMKVTHTLPNGHPSVHLFKLTMPESVYVNDAQKLSLLFNHPSVEGVYEKQVPLSVRAVLRLGSLCTFDESQPGVLGKGLES
GFDLSGLKRAISEKPYLNQSPIAYLYLYHVVAGDRQVFALFSSSKEQANIIILQKSKDSATDLPNIGKIYSDMLARREQGADGAEWQTCFPYQERLQ
FKTSQVTTRRKALLEVGDIFKKMRNDESKPLMLVIQSPQRRMLVHDVPILGDFPVLPLKYESEDSNLPPLGWQAFVAKRLVNHYLSLGSWILHLTEL
ARYGDVPLCNLERDDPRFLIDIAYARRLQKNNVVLWWSAGPRPDHAGYEADDVLGPLETVQMPSINNPGTYPSVCIEIDIRNLAINTILTSSLINEL
EGSDSISFNPAAPTDDSPSDGTNVLYSDNAFATAGVTVLREMVKAWWTEACKGSSMADIMVQHLVRWVEDPSSFLYDRSLHYYVQMMSRKAFQQLLS
DFRRVGSHVVFASSNRLLLQTTKSEVGNAYAYSQYILKSIKAKPLFHFLDLEIKEYWDYLVWYDEFNYGGKATSEVVEQEKQTLDCVMHWQLSKFLP
VPLQPIFNDWVVEFVEKMHALKRPAIGSSSTPRATQIPVRDLASTQDDENKEDKIILGKTFEKPLKRQIAGLIRRQKDEMLHPELASDYSFPVLPGS
HLTTLKNPALELVKSLMQVLSLDRNITLEARLLRKELLALFEIREFSPEGRFVNPSQSLKIPGGGVVCENCTATRDIDLCRDEDLLPISDPSSPSSS
SGEVRPWLCTTCNTEFNRLELEERLISSVQGMVAEWQGQDLKCVKCKSVRVNDFMEHCPCSGQWTESVNREDVVGRLRVLKGVAGAYGLRMLGVLVD
EVLGGI

>RCO7_01934 | uncharacterized protein

MSSSLLSSFLGLSTSTIIAIVLTTSLIALLFLFPRDELDLREPPLAYSRIPLSPRSSNQSFSFFAKLNSFLTKISNTFQSYLPHRLAYQIINSIVSK
TQPSPITTLLIGRQRIYIISSPNIVQLAFRASKTIDFETIKQHASCKAIGYGQHAYDIVKSPLIPDPEIQGRMANYMMDLHTEMYGALAQGPALLRT
NRRILNGLVRSLNSVGDGVDVKLFDWLKLFYTTASAEALYGVENPVKWDPSFVQLVWDFENDLGLLVLDTFPYLIARKGYLARSIMGPQFEKYYSAG
LLPEASAFIKGRAKCAYKWGLTENEISNAEITILFAAVTNTVPNVFYMLCWIYSSPTLVQELREEVQGIVSMKDCYGGGKEGLLDIEHMREKCPLLT

ACFHEALRLLLKKGAIVKIPTGVLQADKATWGEDAEEFNPHRWLPSPPSSNAENQTQDEVFKSKEMRKIQNAAYMPFGGGKNLCPGRHLAFNEIAAF
VAVVVQGFDITGRDGDVVNVPMMATNKLGDGSTSPKGDVDVRVRRRQGFEDVRWQVVVGGVEEGVANSIFSCHICSWDERIRWWSKPTWNHVTEFSQ
IGSPTLVEETQKGRKCMVALYLMVAGRICWFLSSCVTSAELATLMFDIFARVLIQLFMFIDILSCILHSPHFQNPNPNKVPD

>RCO7_01935 | uncharacterized protein
MSPGRLGGAAIGVSCAVGTVPLLCLIPGVEERLAAQAAVWGPRWSRGFAALTPHVSHHAGRVEPGIKKGVEKVEPPLKRAAFAVDRNIKKIVPEKKE

>RCO7_01936 | uncharacterized protein
MRSQSLGAIAFSTLTLLTTTTLAKTRSEERLADLRYKDFKYPDRVHAAGLEPNQVDLGYEIHEAESNDEFLAFRNIPYADQNYQDTRFSPPIWPQAI
SEDVNKGSIDNKCPQAQVGWVPLATEFLQGFDKVLNKKWKKEIKPENYGPMPDPIEGVHEDCLTLDVMVPKRVWENRKKKNFEPVAVVVWIYGGGYI
FGWKDQYGSPAGLLKAAGEDTWGDVIYVAMNYRLGAFGWLGGKQYMEEGGTPNLGLRDQRFAMNWVQNYIESFGGDPERTTVMGQSAGASSILHHIT
AGAGEQFKPFFNKAIVQSAGFFPQPDPDYDDLIYQQFLNLTGAENLEELAIMDTSILQDANAKMTFDSPYGIFNFGPTIDDDFVPDLPGKLLAQNKN
HDGISLLLGHMAYDGLLFTPPWIRNNSQLRDHAAKLYPGINGSVQNKITELYKINPLILVAQKRIAIVSDFLDDIAIQCNSYYLTEAALTATNPAPV
FRYSFNSLPAIHGYDTGYTYYPSPSPLGKANETLAKFFQQSIVDFVRAGHPQLDIPGGEDEWELYDSGSRKVMDLGKPGQEKADFSHGLGDDLMDRE
KCAYWQSAPYYTAPTSEIKEEGFLVQGEL

>RCO7_01937 | uncharacterized protein
MSKSLVSEFAIQQYVKALGYLTNPATDRNKLSTDVALIICILFVCFENLRGEYSTALSHINGGMKIIEKIVETSGMPVAPKFPDTLSPSSYQSPPSS
TSSLSISQNPYVPLSSLSLVFIEFYVQASGLTSNRNHVRLTRKFDMPSSDYGFNIPAEFSSADEACLALDYIRTTGIRMSDTALRKQTSANLKERRV
TLDQVHTFSSTRMKEWSRALGRFLTTNPDMENERSILMLKMHHTFMGINTAVGRIGLVPDECVFDSFITMFKRIVELCSKIIAAESNLERPRRIFCL
DTGIITALFIVATKCRDGPTRWKAHEILISSDRQEGILNSILTARVAKRVIEIEETGLKQPVFAADLPGFRRLAGVEVDFGQDSKQATVRLLRRSPL
AGPPAPQQSIEETWEL

>RCO7_01938 | uncharacterized protein
MCDQPSDMSVVSESSDASETKKKGKRAQLTSYLSDEWSKGKVKSKEGILKGWEMSKERGKVEWVKGVTALQHSLGLGAVPNVIPPGEARMDGDLRLV
EIGWHPVAGMGGKWLAEQSGLGDIITKNIGTYPDPTQHWAVLVGDFVHQLWMDEDLNIIYNNEKLEREAWRTFEVGQTRFTDEALRQAAVMTIYKMR
QERAAYNLISNNCQNFAVRLLDAIQIGAHHQFATSFAVYQAATGDGTIKDLFVDAHPEEQKIDPAEGGIQRTDTVQNAQHVMDENTTKLDNHSVIPE
STTNPDNPIVVKEETTKADKKRSWFGLGK

>RCO7_01939 | 40S ribosomal protein S20
MSYQKPEKEFGEGPKTHKIRITLTSRNVKSLEKVCQELIERAKGKDLRVKGPVRLPTKTLKITTRKTPCGEGSKTWDCFEMRIHKRLIDLNAPTEVV
KQIIINIEAGVEVEVTIAA

>RCO7_01940 | probable CUE3 Meiotic induced gene, protein has a CUE domain that binds ubiquitin
MAVSSIPKFVPFPEAAWRNHIVPEEWEACLDAWVALAGAHLSLPASEFARSSAKDGSLPTFLLSYASETALSHDVSPSSHVHKEKQLRKLSFMLSSR
LLDSEHPPEPVLSWEFLADLSKIYGQSNGGKLASLVWTKNSSSLETSLASLKTFLIKEMEAGLKGDLKAVELRLKRLDYLLHASPPTAAFFMAGSDF
VDSLISCYKIMNPPLRKVIVSTLYLCLIGLTEGEKPNFSSLVDQLYSLKAAADAHKAGPTNFNDSLVAEIVTVTPVLKQVQQRIDASGSGSVRAKSI
LKSLAEFKKPTSGRPVRVTKKKVNKGKGIAVDVSGHEHIHVHRMSLVSQVQDLFPDLGSGFVVKLLDEYGENVEEVIGHLLEGSLPPHLEDADRSEE
LDSNHQHIPDLAPNFTPPQVPTRRNVFDDDEFDQLAVDTSKLHFGRRNPEQTADDVLQDRSNAPSKAAILSALAAFDSDDDERDDTYDVEDVGGTVD
SATPGNNPEEINADVRDAHDEALFRAYKSSPEIFGRDSATRRGKPRGVLRDETGMTDEAIEGWALMLSRDPRQMRRLEAKFTGFTGQQRDLGPTAWR
ATGAGSGTEDSDNNANPNDRGRGGRLRGAPRGGRGRGRGRGIVAGPTGDKETEAARNRKEAYKGSRANHNRRDQRAKKMARGGFPG

>RCO7_01941 | probable formamidase
MGKTAIRNICTVSLDTPAETQPQLHNRWHPDIPFAGTIKNGETVKIECVDWTGGQIGNNDSADDVKNVDLTKIHYLSGPFEIEDAEPGDVLLVEIMD
VQPHEDHPWGFCADVRGDVGVFEKKNGGGFLDELYPSAAKAIWDFEGIYCTSRHLPHVKFPGLIHPGILGCAPSAEVLVTWNQREAELIAANKLDRI
VAQPPNPQNAHAGSASEEIKEKVGRRPEHGGNCDIKNLSRGSKVYLPIHVAGAKFSVGDLHFSQGDGEISFCGAIEMSGVITINFKVMKNGMEDLGM
KSPIYLPGPVEPHYGPGRYLTFEGFSVDQHGKQHYMDVTVAYRQTILRCIEYLRRFGYSDYQVYLLLSCAPVQGHVAGIVDIPNACTTLGLPMDIFD
FDISPTGKATKLDMGSCAYETGVTEGIVTNGGGNSEVSFGGGLTFKEKEVKEVPVHENTLEETLRRKLLGLE

>RCO7_01942 | probable transmembrane protein UsgS
MAEVVSSMTQKPFLTQEQLKQKLAVSNFDPNAILRGAQLTVVGALRALQNPALFTSEHYKQAAIAVGAGIAIRLLIYIPVIGIKVLLFFLGFIFDFT
KSTWDNDIVSGLDFVQNYVLQVPFFLMTLMRYVTPTLDNMFMDSLAWVDQTYYAKHKGEDTSTLRETYYPNLRKYPTRDGSTNSTSTAEAVSMFLMR
FGKKAGLSLAVFALSYIPYVGRLVLPAASFYTFNSVAGLGPAAIVFGTGLFLPKKYLVIFLQSYFSSRSLMRELLEPYFSRVRFTKEQKKHWFHDRE
GLLFGFGVGFYIFLRIPLLGVLIYGIAEASTAYLITKITDPPPPLDQSEGFAASQQKWKNKHEFLSLKLSNLDAHTKHSNLSTSQASQNPLDTGSSS
GIPSGPPRTYAELRSR

>RCO7_01943 | uncharacterized protein
MATNPAPPTPRRSSSLPVGRLAASSPDPQIEILFTLPSVRIILFTTSSKPSSRPGSSSGLITLEEEPGSLPWTSRVERTIAVGTKDCFWAFLTAPLR
SLLITCLGPLRIYRAPGSVAFLNCANALRPILPKSQAWCVDGNSKFVLQIRPPQYWRIEVPNKTTEESAMVEELKKMLEQVLLYEKTACPFQRDFVV
TLPDKPATPVKKKPWKPIERPQGDLSPMTSPLLRAITPDYSQIYTSFSESRPSTPCPVADISAPTSRPKSPRTPQKEPKSTVPKSISGIRQALEAAE
LSTTSETTNTVFVEPSPELEPISRALKPSLLDTPESEYLFGSYAGTDEESDDYSDVTGDTDLTPRSTINAQYESLEVESSKPSKPQSIQNCNRSATA
PPLLSLVTSPSSKQRTSSPLRCSTTFETSSDCSSSVESFHSIQSWHSPLGPPSPPASITSSPTATYPYPHENIILPKRQIHSREMSELTVTQIANPW
ERNTTASKRSNSRSLSPPPRTPPTLILDGSEKSDEEHSDIVTPPTLRPTMRHRATTSSNSRRRALSPLPAAVNLFTPPQRAQRRLRTSRHLPTAIIQ
KTCEILLSPPSHLFQLMLSIASKIAAGEWRGMLSGHGEAVHWDFEDEYGADALYEDDYCMSLAKTKKQTAKVETPGANATSGSWEVD

>RCO7_01944 | related to NUP42 - nuclear pore protein
MPPVVCRFWQQGTCRNGDRCKFLHSNDSNPNQQPVSNRNQYAPLNNNGYQSGSSRAVSPVRELPYSLDKKAILLDLTSEKPQWILSAYGPGRQAPAQ
LFGGPMREHSFEEMRLLHYIAVAAGNPQQAVQEAEKLWHVSEQQIQTAVSNIDGAVNYIINAEKEHPNRLDIVRAGHPASGSQPNPFNNQSSSFQQP
SASAQNPFGGPSQPAPAAAAFGVPTAPAFGAPSALGGAFGQPSALGQKPNPFGGANAAFGAPTQLGAAGAFGQPSALGQKSNPFGASAASSQAPAAA
PFSSFAGSANAFGQNSAFGAPSQPATSNSFGAPSNGFAAPSQTAQPNPFAQPFNANSNTNPFGGPSNTQLNPVGAPGFGEPSPARNPFGAPTQPSQV
PKNAFGAPTAPQVNPFGGAPTTPAALNPFGQSSNPTQTANPFGPPAAVGDGNPFSKQPQSQVQLTQNGHGPNVQLNAKHPPLTSYSSKDNTGRLTMF
KNKRVIYNKDNEPGFTNQDGIWERIWFPDGPPIFNKDTQVEESMYDEKVKNEYLFAKQTGSFEGGKMPLLPPKREWCHWDF

>RCO7_01945 | related to DNA damage-responsive protein 48
MDFVNKLTGGGDKQQGEAGQNTNQNQQQGQNEQGSSGGGFLGSLGDKFNSAAGGGKESEKNEDYLDKGVDFVQEKFLGQGKQDNESAIEQAKDEQIS

DFIRGQYKNTTGSDIPIKDKETRLG
>RCO7_01946 | ubiquitin (UbiC)
MQIFVKTLTGKTITLEVESSDTIDNVKSKIQDKEGIPPDQQRLIFAGKQLEDGRTLSDYNIQKESTLHLVLRLRGGAKKRKKKVYTTPKKIKHKRKK
TKLAVLKYYKVDGDGKIERLRRECPSPDCGAGVFMAAMHDRQYCGRCHLTYIFDEAGK
>RCO7_01947 | 40S ribosomal protein S26E
MVKKRAANGRNKNGRGHVKPIRCSNCSRCTPKDKAIKRFTIRNMVESAAIRDISDASVFPEYTVPKMYLKLQYCVSCAIHGKIVRVRSREGRRNRAP
PPRVRYNKDGKKVNPNQAAAKTTQA
>RCO7_01948 | related to calmodulin
MPELGASNEQDVAALKEAFQLFDSDNDGVITKEEMSAVMNSLGLNPTMSEIEDMINEVDLDQTGTVDLEEFIKMMSIKHKPANADDEMRSAFNVFDK
DGSGSISVQELGQLMKTFGENLSDDDLKVMIQEVDKNGDGLIDYEEFVTFFMEK
>RCO7_01949 | related to conserved oligomeric Golgi complex component 3
MSAGLHPTETSLISSKGSDHIASTQAPILELYEEPTGLKGPPTATLIRRAKSYSDFYDAAASYLGKETVKPKDVLEGCEISHEIDSVNGRYEHFEDE
LLDESQEQYRLYRDQLVISERHLDTLINDTSAALDLLASLSESFKAVESETTTFQAQCEDLLDEQKRLRDLADEVGTDLQYYAYLEPLTRRLNAPGS
GRLVRNDDFLDMLLNLNTCIDFMVQHPNYRDSTVYKTRYSTLLERALNLVQTAFSSALRDVSEDVSIELKAKEHTETAEYILLYGKYETVYEILGTP
IQKLLKSAEFAFGQKGDDKASRPYAHQYHELYNQLIDAFLKSREPVGTLVLKNLRRFADKEKPDTDFESFARVCTQHVLDICYNEQKLVTQFFQGGP
LLADYQPLEAYTKSSEYAGRLENNILSHLETLHTFLLPYLSNGDLQRICGLVNWLETMYMVSNEEDFDNDQPVDSRRSIAQALLNKYLWKSLDSLFL
KAATEIELFKPAQEDLKTTAKAKIITNETAKLGSGPDVDGKVQVHGSHAPLVSNSYPTVKTVVKLLVMYNEGFYERPRTSDVLYEIVHQVTESLQKA
ATIIKRTSTMMDAQLFLIRNLMFIENLFMTQEIPDVVRQSAEFDFSPIWDTIQELQDRKQLFNPLAYITPLVRGNLLPAVVDRVLDARKELEKVLVQ
QITAFTKTWQAKLAEKDVKKREVVARELEILLNKAFDDDTTRAALMKMIRAEDTE
>RCO7_01950 | probable FMP25 Found in Mitochondrial Proteome
MMPSRVNSTRFSLAQRVSKLPRSAAQRRCFRGQNQSRVAVASRNSGSRKAGLFFSIVVGGGILYSCGYPRTLHAEEIPGPAEVKFEQPRKKATSREE
NRDLISSQHLQVKKSWENPGVYAWGSNSGRVVAPDSDEPSIKAPRRIPYFDGKLIRDIKLDSNFGAAIAENGDLLQWGAGFSKTTTNPTPTLVGKDL
VKLTISRDRIVALSSNGTVYSISASQKDQLAGEKALESSWFPFWNSRSNISYRTISLKDLSWGERISDISTGLEHSLILTTKGRLFSAATATEDFPS
KGQLGIPGLTWATRPEGSVDQPHEISTLKGFEIAKIAAGNFHSLAADRAGRVFAFGDNSVGQLGFDPSAESPVIDAPSLLPIDKLYKGTFSVPKVTN
IAAGGVNSFFTIDATRIAGQGEEDPRGLGRVTADTWACGQGIFGGLGNGRWTHVQGTPTKIKALSGLFEYDEITSTVVPIRLASLSVGATHMSAVMD
NITHLKASKHSSENDTNWGADVLWWGGNEFYQVGTGKRNNVSNPVYIAPLDADQERGRREEHRFQITPRTNIRFGGRNVSVEQRIECGRGVTAVYSG
T
>RCO7_01951 | uncharacterized protein
MKWPLSRNRRLLLGRATQSHDRAPLPASGDYKFDIHSGLMYTEGTISSQRLEELDWARPRYITTKSTLANPRPAKGSRTLRCTAVGVAVENLMELDF
DGISRLPRGAIIAIWELANERYYVPLSVWKIFSNVLREEDDIPLNVLRFSEYVGAPRLGLQTYTAPLISPTFEFLTYLNITVNFSVPELVRLASVKN
LGILEVVHNFRDKHQSSVTDRLIRAWHQATIDDGAFPVLRILKLWNHKEVTEVSLRYLNSFPALALFDVRGCTFNTGSRAIGRTLGWKSTLDVGVLS
FFDAMCVERVVLMRATIDEKPKPIRRAASRQLADHDKVIRIPRSEVAGFLTNSRLPTPRPGLELHPEWTVWEKDGNFIERPSTSSSSEKIRRNIHHN
RSHIAQLYETWEFIPYTIFSRIGELRSDRDLRRAGVSVSDAGVVNEQLVSTVPMACLHLGRQNEPLNPLLPNNPIKSFYGNAYTESSSSASRYRSEN
TKTLDRPGEEMFQFPNYMPRGRPDPRNITFYRIKTPSSDSEANTSGVLEVVDNEANKGEKRNSTKSKRSGSPFARFRDEGQTANKELSMSPRRSASP
FTMFKERGKKADKEGSMTPERAHSPITVPVFKDEVEQLPEPTKSRRSSLAYFGKHPAKFMQNKKQKLNDVLSSFM
>RCO7_01952 | related to J domain-containing protein 1
MVSDGHSRHDHGKLRWPEKTSANTIPTPYQIFDQRKGSPYSKRRFYELVKLYHPDRHDHIIASNGLSYATKLERYRLVVAANDILSDPIKRSAYDCY
GAGWNGAPDVKKPRDASDPASSWGGSNAWGWGGGTEGPSQNATWEDWERWYQRDAKGPQEPRYVSNSAFVGLIVAFAFIGGIGQVTRAGTYGVSFVE
QRDALHNNISKDLIRRRKETTTAYGSREERIVSFLRQRDPVGYGVVDPKEMSYRKLLPPPEICSSDDIKQSQMDVYQQKSKSEEDKNG
>RCO7_01953 | probable endochitinase class V precursor
MGGRDGYRSVAYFVNWAIYGRKHKPQDLPADKLTHVLYAFANVRPESGEVYLTDLWADKDIHFDSDSWNDIGNNLYGCLKQLNILKHRNRSLKILLS
IGGWTYSTNFAVPASTAAGREKFAASAVELIKDYGFDGLDIDWEYPKSPAEAEHFVLLLQACREAMDAYSCSLPEMYHFELTVACPAGPQNYDIMDI
SGMDQYLDFWNLMAYDYAGSWDSCAGHQSNIKPSEKNAAATPFNTDQAVAHYKSCGVHSSKIVLGMPLYGRAFQNTEGIGKPYSGVGEGSWENGVFD
YKVLPLAGAEERYDEQARATYSFDPTKKHLVTYDNCEMAREKAKWIKKHGLGGGMWWESSADREGEHSLIETVVGELGEMDRRRNCIEYPYSKFDNL
REGFEDC
>RCO7_01954 | related to prenylcysteine lyase
MISGWSLVLTLLTSLFVGQSHGWFWPFTAATIDTPGTTYADTGAKRIAIIGAGAAGSSTAYYLEQFANKCGIAINVTVFERNSYVGGRTTTVNAHDN
PLEPVELGGSIFVEVNAILNNASRLFGLQARESDTETNEILGIWNGKTFVYTQKDSGWKYWDIAKLLWKYGLAPIRTQRLSKSIVGKFLKLYEFPFF
PFRSLSDRLFDLGLTSVTSQTGEQLLTANKIGAPFTTDIIQASTRVNYGQNLASIHGVEAMVCMAIEGAMQIQGGNWQIFDSMLKASNTSTLLNTTV
NAISKTNGKYKIKTSFRASTTHETLTNEEAFDTVVLAAPLQYTDLKLEKGLLQRIPDEIPYVTLHVTLFATNKTFSPLFFNLSSGSEVPTTILTTLA
PDEVPEAPPKGVGSPGFFSISTLRQVINPKTLEKENLYKIFSPEKVTSEFLSKLFATEVPEDLSSIRADSGHAITWFYPKVWQSYPYELPRVTFEDP
ELARGFYYTSGIESFISTMETSALMGMNVAQLIVNDYLQLLEEQAHGKSPAHAVLEEKPESLHVEEL
>RCO7_01955 | T-complex protein 1 subunit zeta
MSAAQLLNPKAESRRRGEALKVNISAGEGLQDVLKSNLGPLGTIKMLVDGAGAIKLTKDGNVLLREMQIQNPTAVMIARAATAQDDICGDGTTSVVL
LVGELLKQADRYISEGLHPRIITDGYEIAKTESLKFLDTFKLEREVDRELLLCVARTSLSTKLNHTLAEKLTPDIVDAVLAIYQAPAKPDLHMIEIM
KMQHRTASETQLIRGLALDHGARHPDMPKRVENAFILSLNVSLEYEKSEINSGFYYSSAEQRDKLVESERRFVDEKLRKIVELKKEVCGNDPKKGFV
IINQKGIDPLSLDVLVKNGIFALRRAKRRNMERLQLICGGIAQNSVDDLSPEVLGWAGNVYEHQLGEEKYTFIEDVKDPKSVTILIKGPNQHTITQI
SDAVRDGLRSVYNMIVDKSVVPGAGAFQVALAAHLNSEAFRKTVKGKAKWGVQAFADAMLIIPKTLAANAGHDVQDALASLQDEQAEGNIVGLDLTS
GEPMDPVLEGVYDSFRVLRNAMASSSGIASNLLLCDEMLKARQMGRQGGPGPGMDE
>RCO7_01956 | related to class I alpha-mannosidase
MLRLRRYRVFLIFALLSIALIVHLRKTSDWAHPAHLQDFDSPPQKPNTQKDGVGALPVQTPPPAVRKETPKELPLPRPTDPQKPPSKTEPTSSTIES
TAAEVKDVPKVVLPDRKPVAPTKANGFETQEGIHAVSPPARQELPTFPAEASPTIHWVKQKEHFPVAKESIIPLPTGTPAKIPRIQHKFNDETPDAK
INREKRQLKVKEAFKKAWTGYRSKAWLHDELTPVTGSFKDPFCGWAATLVDSLDTLWIMGLHNEFEEAAKAVNSIDFTISPREDIPMFETTIRYLGG
LVAAYDVSGAKYKNLLDKAVELAEILMGAFDTPNRMPVLYYHWMPAYASQPARASTRSNLAELGSLSMEFTRLSQLTKDPKYYDAVARVTNALADLQ

NRGTKLDGVFPDNIDASGCNRSEPPTPILPVVTSFAIPTEAPMGYQARNSKPSGPGTLEVQPSSGEASKASIAELGDSKRKRDVEAGGTMPTPTVDS
VTGLPVDVPTAKVLLGAGLGDWDCVAQGLESYMSDYGMDRFSMGGGQDSTYEYFPKQYLLLGGLDVTYRKMYIKTVDAIRKWMLYRPMLPDNVDILF
SGAVTTYGKPAEDLTLSADVEHLTCFIGGMIGMGAQIFGIDGDLELAKKLTDGCVWAYGATKTGIMPEGALVIPCKSAEHCTWNETLYKESLDPMGT
SRNDAVAEYELSVKKQEAELEAAKKGAVIPQTPLSDKPSTKSGDLVKRDVSGPLQKRQSSPKDDVPKPITHNFAADVPKKKDDTPKAQPVPASAPKT
SNEQYYEEKSNVAKAELDKIASTSGHQVEAPPNDAQAPLLGQSETILLDPPPTKPPTHDEYVAQRIAEEGLPPGFVSFKEKKYILRPEAIESVWYMY
RITGDSTWQDKGWKMFEAIINATTTEHGHSAIDDVTLDQPMAMDSMESFWLAETLKYFYLLYSTPDTISLDDWVLNTEAHPFKRPDASPIK
>RCO7_01957 | related to acyl-CoA transferases/carnitine dehydratase
MRSRCLSSIHRIARGKWILGCQAARSTNISLAQRITFSTSSTDRSEESKKDQQQRHKHFIYENRSQQNARQPESKNSPSTSSVPQPRPLDGVTVIAL
EQVIAGPYCTRQLAEMGARVVKIERPGQGDFARGYDTRAGGLSSHFAWTNRSKQSLALDIKNPEDLALLKKLITKADVFLQNLAPGAADRLGLGYEA
LKETNERLIVCDISGYGADGPYKDKKAYDLLIQAEAGMLSITGTEETPSKVGASIADIAAGMYAFSSIMAALLVRAKTGKGCRIDVSMLECMVEWMG
YPLYYSYDGASPPPRAGASHATIYPYGPFQARDATIMLGLQNEREWSSFCTKVLQNSSLISDPRFSSADLRSENRTQLKQIIESVFSRMTAEEVVQR
LDEAAIGNAKVNDMHAVWEHPQLRERKRWKEIKTEKGTLKVSIPPAIPSNVEPIIGPVPRVGAHNEKIMRELEEGSFGKKHYQNPRI
>RCO7_01958 | related to Altered inheritance of mitochondria protein 24, mitochondrial
MRSRIQVHNAVRGFRQLQRPCAEACGRRAIQISATPTTESPMLTGDVLSNSIDASTDSAGMQSLNNGPEKLANQALYSDARFEVLGAPYSLLSVSLS
ASQKLYTRMGTLVGVSGKAENVSRPLLLYYKVMIDRGQAQSTLSILGPFRRAALGIPFLYQKISSTSPITALISTKSPLTSFTVLHLNGTVDWMVAQ
RKALLAWTGHTLSVSPTVSRGMSFAHWGNSEITGRGLVALAGPGQIYQIALRAGEEYVAHPGNVVAYTITQHPPLPYRLKSSSLRFQVPNLGLRYLV
PDIKFFRVMRESSTWRGLTSLLFNVRTSARRTIWGDSLFLKFHGPTTILLSSRASRISDVMTSKDVNEIAETPAGAVQSAVTLNRKPNESEEPTKQL
TDVPTGFHYAQVSRDGKVKFEDAQNVLPKTK
>RCO7_01959 | probable ATP-binding cassette transporter protein, mitochondrial
MILRNLYRVSCPGLRASQRTQSWSRPGIGIQGFTSTNRLSTEDLKTTVTQSQALRQPRAADNISGSKPKTAQNFPAAVPGRKDPLALDDKTNKEQRK
ADWAIMKEMAKYLWPKDNLGTRFRVGLSLALLVGAKVLNVQVPFYFKNIVDSMNVDFVAIGGTAATVAGSMIFAYGMTRIGATLLQEVRNAVFASVA
QKAIRRVACNVFDHLLRLDLNFHLTKQTGGLTRAIDRGTKGISFLLTSMVFHILPTALEISMVCGILTYQYGAKFAAITALTMVGYTAFTIWTTAWR
TKFRRAANAADNKGSTVAVDSLINYEAVKYFNNEKFEVGRYDQALKEYEKSSIKVATSLALLNSGQNLIFSSALTAMMYFAADGVAKGSLTVGDLVM
VNQLVFQLSVPLNFLGSVYRELRQSLLDMETLFNLQKVNVAIKDPPNAKPLALTKGGEITFENVTFGYHPDRPILKNLSMTIPAGKKIAIVGPSGCG
KSTILRLLFRFYDIQEGRILIDGQDIRDVSLESLRKAIGVVPQDTPLFNDTIEHNIRYGDLNASREKVIAAAQRAKIHDIVSAFPNGYKTLVGERGM
MISGGEKQRLAVSRLILKDPPLLFFDEATSALDTHTEQALMQNINSILKDKARTSVFVAHRLRTIYDSDKIIVLKEGHVAESGTHRELIDTNGVYSE
LWSAQETLFGDEGEQREVDVANPINTDHTKNRPVS
>RCO7_01960 | uncharacterized protein
MHLLDLIHSKLELFRLEQRYTRRRNRRSTFFSEAQYVDGEYIHSPTSQCSTKGSASGSSDSDETTAEFASKETKASRRLSKMGLDRMDWRKGGEGKS
QSRVCVGEIKLHNSRT
>RCO7_01961 | uncharacterized protein
MFSGGPIFGKVFDNYGPRWLLLDGTFFHIFGLMMTSLSTEYNQFILAQGICSVLGASALFVHAAMNLVGTWFFGNRATAFDTMTSGASLGEVIMPIM
VSKLISQIGLP
>RCO7_01962 | probable kinesin-II subunit
MSVRVVARIRPLLAKELHENVIVRAESSQEGKPNNVVKIPSPKNEAEEFSFTFNGVYDMGTTQEELFTNEVAPHLKSLFQGLDVMVFAYGVTGTGKT
HTMRGGLKLSERGIIPRLLSGIYRRGRKVTKDSGDETTVAVTLSYYEIYNDKVYDLFESPDKRSLAGLPIREKEGKTFVVGLSEHACDDLKDFERLY
IEANNNRSTAGTSLNAQSSRSHAILMVKVTQTSGDETLVSTASAIDLAGSEDNRRTDNNKERLVESASINKSLFVLSSCIDAIGRGDKRIPFRESKM
TRILSLGQNNGITIMILNLAPLRSYHLDTLSSLNVSSRAKRIEVREIENEVVFTQPPRKPAPLSGTSMTRQPLRPLANAHNTHANGAAAQKGDKPAK
AFSVYTDKSKTTGPPRAPAPRVNTTSKRPSDSSMSSRQTKMARPNPMGIRAGAEMSSAKIEELVERKVQEALAARQPATASTDLSETVQRRLEALEK
KIESGEAEDARAEGLRFLLMAKQHKERGEDSSALKMYELAVPFFPGQDKLQKKIEHLKARIQAKKDDSAAKSAGQPELEKRKALSTMAISSLPSPPT
SFEITMEAQPKQRKMKVDAESDDEFNGSAVHQADDYEDDESFAYRAIKAKKPKTKPTTKSALRIFSDEADTNVFEPPTPRTRHLLDIVNSRNVAMIK
GLSGVGAKKARDLVEFLELQNDDEGGNIRNLQELIAVPGLGKRSVERAYEGITALLLV
>RCO7_01963 | uncharacterized protein
MESTLRHCQAFPDQNWKGADFYPMNSHSRYVVQNCIKTIDWNALQEYASRLHNGIKCLVLPGITNGQNHLVSVLEFENKTRWVARIQMYKSTQRLAA
ELQREVDVMALMRERTKIPLPQVFGYEIDDNNQTGVAFVLMEFLPDNVAMDADGGYEAHRGQIPLQRRDGFYDSTAHVQSSKQVAGPDDVGPFAKDR
DSFQEQRRQLEAGPFPDIGGPFETATAFFEAWAAHASFPMSTTEIRESMKNGPVDEVLMSITEFPLKVKEFASRLSSNDSGPFPVSHQDFLHSNIIV
NDRYRILGVIDWEGACTVPWELVEFPLFLSTVPLPMDAPWNYDQDGEPLDEDTRQTWRERKEYIERAVRFEIIEGIDDRLSATLNDQTLQNLAYAMR
VYSEIGKLGFYHKVMEPFEKKHVL
>RCO7_01964 | uncharacterized protein
MSSEELTRTSIGAMI
>RCO7_01965 | uncharacterized protein
MSCEDGGGLEEPLSYYYGASRTCSQYSSSEDFHLANTPAGMWIIGEKLLIFRELLSLKFCQTNAATVPLRPILVRKSNIRNCLVLDLSNVVLEIFAE
VPEWLFSPSIEMSSHLN
>RCO7_01966 | uncharacterized protein
MSSQIQHGTVEDVEMVPGTIKIIDLLYTMNVKHMEGNMSDIVLVP
>RCO7_01967 | uncharacterized protein
MKIGRRPVYLMATIFNLVGCVMGGLSKSIGLFYGVNILTGIGAAPVDSLVEISTMDIFFAHERGTRLSLLLFTIYAGSYLGPAAAGYVAESQTWRWC
YWYLVIFLFVLLVLQLFTMEESTYRRPITSVEVGEMPASSHVRIKEVEAGQHKQAETTIIDDEHEMPIPPIRTYLQLISLFQTSQNDPRSWIVIALR
PFALITYPVVMWAGVVYGVQVMWLSLLATTQSEIFSSSPYNFSIIDVGNINFAAFIGGTLGMLWGGKVSDKCLLYLARRNGGIAEPEMRLWTMLLPC
IMNSGGLLMYGLGSFYEMHWILSAGFGTACIAFGIGSGGAIAITYAVDCYSLVASEALVLMLFVRNMFGMGFTFVIQPWLSAGGLKNTSIIMSTICL
VSNLSFLVMVWFEKE
>RCO7_01968 | related to oxysterol binding protein
MASASSGSYEPSPSSTAPSSSSDTPAHNALATAEKPPDDSSKLRMFMGILRKFIGVADIASVRFSLPAQLLEPTPNLEYWNYLDQPNTFVAIGDSED
AFDRMLEVLRFWFTKDLKYVKGKPCKPYNSTLGEFFRCNWEVQDTAPAITASKMQSAAGSAASSIKSKKAATISPNLSLPTDATAVEKSGRVVKVSY

LTEQTSHHPPVSAFFVDCPEKGLTARGFDQISAKFTGTSIKVTPGEHNLGIFITLSKRDNEQYQLTHPAAHLGGLLRGSLSVTAGDSCFITCPQTKI
KTILHYTEEGWLGKTQNKVEGVVFRYDPDNDKKMRIKDVSDKDILARISGNWKERIYFSLGAKGDAQTLLIDLAPLSVAPKVLPPTTAQLPNESLRF
WSSVTEAITARQYSRATVLKTEIEERQREKAKAREEAGKVWTPRFFVGATTPLGKPELTDEGREVLKALQEDRWELNESNITGA

>RCO7_01969 | related to transcription factor BOM

MFRNRTSSQKPGDAFIANFRQSFPEVSVATSIPGSGSGSNSHGEATAGPDDTQHLSLGHEDLKDLDPTPRAQHEPWRFTPSLLDPNSFAFSAFANQP
PGYYTPTPGGNNTFYHNQAGDLHTPGMGMGMGLGTPLSLPTSADGMHASTMMDMSAFSHQMPPQFHTYNPFGAPQQQHHQQHQHNHEQHHQTSYAPS
SFVHQDTGYETMEHDGSPLDDDEGRMGSIEANFHHRSPMMSFQPAHYNVPAVMPASAENFRFHVTLNAPTAMIKSSDEIPITYLNKGQAYSISIVDS
APHLPLPQGAKYRTFVRISFEDEQQRQRPGTCWQLWKEGRGTNEAHQRGGKLQAVEYVEANQPAENDDKRTRVEIDTASFDGFSVIWTPGANGTTEC
NIAVRFNFLSTDFSHSKGVKGIPVRLCAKTETISTGSPGSGSEYSEVAFCKVKLFRDHGAERKLSNDVAHVKKTIDKLKQQISQAETGMKDFGKRKR
TGPSNIKSQQPSQRPGKVQKHKRTWSMSSTSSAGGRMPVEEDLHYKLQIMQDMFTSTRPVSILYLRGAEQDDPDLHPVALAGEPLDLTKVDSRSSAV
WQQRRSDRSSTTGTSSLVSPSPSSLSLQSQAITATTVPAAPGLWSDFNSLAPTEVKASKAQLANATDELTKVARTDAAGNPSGWVETMGVDAGYQPP
VDRPIKPVACFYALLRDPLQPEKPEHYRAIYLMQRTLKDFTNMIATKWNVEATKIVRTLHILDRGLEVEVDDDVIREMAEGQVLTMEIAEVPIAASV
KREWEITDVTADSDNTSGTQHVTHTEGYELRLMF

>RCO7_01970 | related to NmrA-like family protein

MSQSIKNVMVMGAGGLFGTELFAVLHKSNDFNLSVLSRESSKSTFPSNVKVYKVDDDCPILQLIEAFKGQDALVSALPGRPYKVHLRMIDAAIQAGV
KRFIPSEFGNNTCAAAADLVPMYADKAKVIAYLKEKESTGLTWTAIHGGQFFDWGLETGWLDFHVEEKAVTVYDSGDKLWSTTNIGTVATAVAKVLL
KPEETKNKPMFISSFTVSQNQVLAELERATGKKWEVRRTTEEAALEKAKKLHEDHSDQLRLLVLMLLYADSTDRGANFEKDGLLSNELLGLPVESLS
DVIARIV

>RCO7_01971 | uncharacterized protein

MVDNTVVIPIAVLSSICVTAFVFTWWWFPRAWAEGDAADREEYEVAKRRREIAEERAVGSEGDTDVELGTTLSGNAGVNAPPRAPAGYVPPVTPY

>RCO7_01972 | uncharacterized protein

MFIMEDDADWDIRLLSQLTEFAKCVSSISGIRPSDAQHSPYGDEWDIHWPGHFHKAEAPVCTFGYAVSYRGAQKIIMGLGVKAGANLAIDNGMACLC
RDGYLNMKCYSVEPQLFQHHRPAGSVNKDSDINVGYSDAIRERVVTDLIILSARLSIEQLIMGSKTYIMQW

>RCO7_01973 | uncharacterized protein

MGIFESANFYQDEQLQICLEVGRASSWKFGFQKILVIGLPERSDKRDQFVLSASLRGFQVEFLDALKADQVLQKARPPVNMAYEEIF

>RCO7_01974 | uncharacterized protein

MTRVRQFLVLATLFYASRSVDTGLPFALTWSSKTFGPDGPWQAIQIGIGTPAQQVALYPAGTFRSHILTSKICSNATLSPDVCCASAAGLYAIEISR
TGLDTIVQQLSAVDYTHGGLQVQGSDGTSALDQMNIGILDSSRTFVIVPNVTFGMYSDIAPIYPGGDIRAFLVPGFLQEKEVIPSNTFGLHIGSVSP
KIKGSLHFGGYDQARICGNISTQQGGFGGLEPIDDGKKGLIDLLDVDIVTYDGVSPFNSTRVGGLLAAGNSSIGPFLSLPLYPESPYLNLPKSTCDA
IAAWLPVTYNANLGLYTWNTNDPQYQRIVSSPTVLRFVFRKDQSNTKKITINVPFMLLNLTLEAPLVAPRTPYFPCNAQSRGRYSLGRAFLQAAFVG
GNWNANNNQGVWWLAQAPGPNFGSQSALKTIKDQDTVITSSNNDWAASWEGVLVPLNKQLQPTTNTDGSPGSSVVLPGDKTAGLYEDMSVGAKAGIG
IGAVAVLLGIVSLCVFLWYRKRKERRGFQEAALTPGVKGSKMESVGSSRG

>RCO7_01975 | uncharacterized protein

MIKPAYLLSCLLLPLRITVASPSGKTPSPAPTTNLNAPQRPISISPPSQHPVLDPYLPSSAKTLAFHGTINVFPGGPDHPIPVTYSFSSETCVPLIL
SIPYIMNNLSTKLLDEHLDGITFPSPSDTFTVSLPVFISANITEQLYRSKYVLSLSLKLSPLATTLEKLATSGWRSIVVLLEQSAEELDRVSRKRNG
AGLGSVMVFEAEVAGVSVLAEWRLWSIVDGLAVMCES

>RCO7_01976 | uncharacterized protein

MSSLLSTSLLKSLACLVHQPSLLAPTVLVGMLHWGLAENSLNQYYSAQYRPAMRCSDTLPSDTVTVVCRTLNPPPIFKECLIGWLENKPLEVIISTT
EEFEPLLQKIKQEIHAEQPDFGSKIKIVVSVQGAREQLMTGVQHAKGDIIATTDNHIMWPKTYLAYMLPCFDDPRVGAAGPPIAILIPKERQNANEI
NMWEVAAMRMANRDAGAASSALALDVIAQWRWILPGTTCIYQAYILKGKACRKGYLSDTWNGIKLDVGEDTWLSRFILKQNLILATQRCDEVVVHRT
VKRTAAFHDQVLRWERSTIQSYIRTILEVPQMFKHPFIVFKTIERLLKTPLLIVHLIAWIVSLIYYPGPTLVLLAYYMYYKYKSVKSFIAAYPYMAK
YWWVVVLLDFSGLYINAVASCTLSNNAWDQDEGGRDAN

>RCO7_01977 | uncharacterized protein

MNYPVTDEAPAAFSTKRKLSTNTANTTNTSPNKAPRIVAIKPPQPRPRRLSILRGGAEREVTIPLPCGHIACRLSDLGTCQESETTYFSIGNYGAGG
RKEDGNDDQRKSRRRRLPDASTTSFPQPQPKKTVSWHRSVADISRSQQEMQDYRGHDFEIVKEWWEDDWQLKVCEFSLTKQGKLLDAFIGLDEEDVG
AIVEYLPSRIRNMVMEISTSVSQWGNEEGDRGEKSSDGKQGDGDKDEAPSKEEDSLERAEPVSNDEGSCEDFIEVFTRDAEIENQVQENDHDDTAAA
ADKLVHQRSLLEFWDSHLEEYIFCRYQGTVRRPAPCPLPILRMKDISDVDDLYKTYGPTAYIVSHEDLPHRPLISGIRFSQAYMALKMYRLGENPKP
WIRSLTSYAGTCGKSTNVVTTSESWVAKDRLLLRTQSWLYAHNLYPQTRKIIRNFLNGEHVPAYDSGTIPSWICRHLAADPERRLWNFTQLEESAEL
RRCKECALEYRIDVVKSIPSNWSSINHHSVKQAFCAVVTVWRDFGRCLTPYDPRWTAHFQEYETEDFKRQFPAQNQAVRDAGEEESAATDWELGGIV
RAFEGTDEYLVDLELSLQDTLLSPLVSTEEGRNIEIEENRRKEGENMKKQLDSRLEEEESERLGEGRREEGGGVGRIVAC

>RCO7_01978 | uncharacterized protein

MAESFTKPRVFKGSQNTQLSYELPHRVYTAKAYPIQSPNGSSVILYGHGTGVKIIWRGGRKFKLQDSGSAAHSKTNGSANAAVISLDSDDEGSSANK
SPFEDKPEFEDDEEELNPSHPYPAILQELDLWFGTEVLDLALLPATILKADGPSWRGVDSLKQKIVFAASCADNSVRLVTLPLTPPSPASKARPEIR
SDFTIGNAGKGTWGETVVVLHGHRKPSDGVSITMDLTGAKADSEQSAEPHIVIASHSREVTGILLLWRVPAKTPNDQVEPFQRISLMSPAKSVSFNP
SLSRQYTSHLLVAQGVGICRIYDYKGVLKSNEEPSETLSSENGSWLLSLYAGFPATKNNSQTPQQPAAHTGFGRKAVVDAQWVSGGRAVIVLLNDGE
WAIWDIEGVGPNAPQGLLGRQGIKGGSISEYSLTGFIDGANKIRTSGPPQITSSRFAPMTPGSRKAADPFSGRGSDSRARGQISVLEVRSSSPTTPS
EESILFWLGDTYAVIPNLSKYWAANVQKTGGSGSLFSGPSGSRMVKLENVDLQGERCSGIEQIAKHAPTSAGVSSEILILAEHRLALLVSGKSARER
PAEKSASRLALVEKSINGGDLDITGIDQALANLDDGVAKRKIF

>RCO7_01979 | probable benomyl/methotrexate resistance protein

MSDLKSPGDDNFPARLDSSRPAERALTEDPQKGIHTTASSATHTAHSNSSHDSITSNPLSALERALTATDLATEAERAARPALTYTRTGASLATTGS
RIPSFEVDFTEGDTDNPLNWPLWYRSLVIGAVSYSTWTVVLYSTSYTSSMPGMMKEFHVTSEPVATLGVTTYLLGLAVGSLILAPLSEMYGRRNVYA
GSLAIYCLLVLPCALATSLSEVLVIRFFGAVAGSAMIANAPGSVSDIVTEHYRALAFSIWSIGPMNGPVTGPLIGGFAAEYLGWRWTNWLVMILSGV
GWIFCSSMQETYAPVILQRKAAKMRKETGDDRWWCRYDQKSSFVQMLKINLSRPFILSFTEPILWFWNAYIAIIYGILYLCFVAYPLIYSGLRGWSL
GFTGLAFVGIGVGTMLAIITEPLARRIVNSHKKDPETGRVYPEASISIVCFASILCPIGQLWFSWTSVPITIHWIWPILAGIPFGAGNCLVFIYASN

YIAGSYGIYAASAMAGNSVVRSIVGGTLPLAGPKMYSALSPQWAGTLLGLVQVALIPIPFVFYKYGDRIRARSPLIKQMREDAERNRKRAAAGERRK
QRKEDAELGITGDVEQSERDKSVKEQVTAFETEKA
>RCO7_01980 | related to eukaryotic translation initiation factor 3 subunit 9
MAVPTQFAYRTQKEIGVFDAAPVYEPLPGFQKPEGSSRCSVYSPCGRYFAYASTEGVSVVDASVGHVITSLPTPNVYELGFSPRGSFIITWERPSKD
EKGDAVKNLKIWRTFEDVPAGGEKQVVGRFVQKNQSGWNLQYTFDEKYCARVVTNEVQFYESGDLGTVWNKLRAEGVADFAIPPGNNHSVAVFIPER
KGQPSAVKVFNVPQFTTPVSQKTFFKGDKVQLKWNQLGTTLIVLAQTEVDKTGKSYYGETTLYVLSANGGFDSRITLDKEGPIHDVSWSPNSKEFGV
IYGYMPAKTTIFNQRAVAVHTFPLGPRNTILFSPTGRFVIVAGFGNLAGQMDVYDLEKDYKKICTIEGGNPSVCEWSPDSKYILTATTSPRLRVDNG
IRLWHVGGGIMYNQDMVELYDVKWRPAEFESFSPGDLLHPVPTPHASALAYLGTVKTPSKPAGAYRPPGARGTSTPLHFKREDEGGAAHIVSNGTQL
VGSNGFGKQRRQVPGAETVDTSLPPGAAPANGAAPGTAEGDENLSKAALKNKKKREAKKAKDAETKAAGLVPESGAPAPVGENRSPERRERRDHQRS
RSKGQQDNVRTPSQQRYRSNTYQSNQGRSQDVRNNGNGYGQNQNGNGHGNGYNGFGQSQQQTQNPGLSANNVNNLSLNLAASRIAETPDLSITSPGG
GSPNAKKLRGLQKKIRAIEDLEMRLAGGEKLEDTQMKKIGTKSSVQAELSAIDTD
>RCO7_01981 | related to hard surface induced protein 3
MTTKPENVKWVDGLRGFASLLVVFTHLCRAFDEDLFKPTSAEGAKPRILQYPIIRILFQGRIGVTIFSLVTGYVCALKPIRQCRAGQQDAMFPGIAK
SAFRRVPRLILPTTMATSIIWFLCQFGVFEVGNRVNSWWVNYTSPNITPYFGNAVMDLLYHLITTWTRSWNVYDNNQWTLLPLLKGSMLVYMFLVAT
AYCKARYRMILELAMFVYYYISNDSAFGMQFFFGVFLADLSQHPPHQAWCAARKWPGRFLSPLLILIGLLLASYPEDKAQWVRWSEIMGQNSVYIFP
KDNETPRFYSGIGLLFVALGIHFSSPVKNVLSNKYLLWFGKNSFAVYLLHGSLLRSVLVWMLFGFKVPADIKHEDGHVTPGPPLQICGNGRWYFWLP
IWFVILYYVANLWTKYVDPLCARITENLVRYVFEDQPAATNGAEKRLLPQ
>RCO7_01982 | uncharacterized protein
MAAPNLPPDIGKTAPRKLDIFDGPNDGTANDIVAFANNVLSSDGTADEYTPDILPNEEYDGLFSENGMMKDTLESSVESGDPL
>RCO7_01983 | uncharacterized protein
MVWPRLSKAFAKTKAPRLPAASKNSEEAVLSKSPPPKLKRNLWARITKRRQSPRGVHQHKMLPDSMQPRKSWASQILRLMARASKFHCRRISRIQAL
LTRLKQLRHQKGWDELEYEAEEMIKRALDQQSLQIYEQCPVLTQHKLDKPESKENAADADSHSTNEPGDGPAQHRFTAQISSSPQQTPNLTRLTEAL
RSNRTPIPQATPHINTDVNIAISTSILIKVQDSILDRHTHTSLRRRILVHLPAPTL
>RCO7_01985 | uncharacterized protein
MRTVNQSISPRSNKYIRWEKPTRNFRRVDRRYYLGISARTMHVTIVT
>RCO7_01986 | related to bimE protein
MASVTSLGLHKPTGLHYAIQEHLVPSDPSSTSYEWHNHFDGDSSSKFEDDELLVTSRCVIWSRGGIFRKAFKFDLEKEDVTRALLTTFPSLGPLAAR
ENKERQKKGSAAKRETAIVVFLKTQAHVYFLSGTSHVVHLPFEVDTAFAAPNGIIIQRKLRVETPVAASVKFPRVPPNSFVSSQPQPWSAASSQQST
FSIADLGGPKQMPMPHSTLKDMWNPPAVKSDSNWPRLFSLSDPLAEIGLVVAQPSKSSHHKSRSHVGKITALDASEEILHVSRRGEFSPQNSERPLI
LALTLNRETSMYTVWKFAYVGDEVTTVAEEKRRVVSGTMSRRRSSFMPGAATGATTPVANNQHSFRESLGGSQQGVNFLKGSIEDEARDKIVDFASS
LDPDFESTSLPRRKSRRVSSMLARADLSATHERSAFSDTGHHAHSTSRRGDSLGSQHARLSIGPYPGASFSHGSQFNHSLNGHLEAPVDDLLEELRA
GGDFEGFHNMGLDDDEFDAFRQEVVLSKVCSVPAEHSNVRYSSQNMPAATQCKIFTLTAPPSANDDQHGDTIVVCLLDPDEKRLLVMTLYSKTHKAD
ADLSNNRVPGVKSDRDVTVVTLASSSWAKGVIDACRVDDGQISRILALTGSADGYGELSLQAPWSTLMKVTLPAQFALSNIRNLSHDPTPRARREGS
FKRVLSRGPRALRGVRNPKPGGIVDLVDDEGRLHQLQLLLEPRNPHVCKILELCRAVIPGGNGGEGILVFWWNVMQWIRLENIHSVDKEWTALVITI
FALVFGLSGTSKATQVLTKKKPRRGHLRSSSGAQLDSENWGLMQAEEASHGNPSPSWASNTGWNWLIEDGDFIPRGSESSASMIMPTGSEELPFIRR
HVDLAQKFAGTKFGSESMFGSLPTSGNRSIEVRKAALTDIFIALHLLNEEQKLDTMMADSFSTGLSSLAPILAQIARWLRWDSWIQYYEVEEASLLN
VDYDTKSPIHSPILEPFECPSVYDWIQACLQTRSLRPYITLSELVTTRLPSATHASNTDQWLHLTPRTMLFERLFSAMRTDWTSQQIVEALSSAGAN
QLMLETLPEAVLAPLQEAIVKSQAEPPATWNKDLLALIGRQDVGMLLTPGQRPPQVQSTLLAPTHEANLDIHAICVSIGDPETTGSYDGSVEVDRQA
TTRSIFKDDRRMNEAIAVLSTSRTTVARCKSEPQWTESELLEAQKEHAQMLAYRTLAIPSGSGLLNYSARIPLLTQKWSVRGFNLNVIMKPDNNTVA
AEKSAFSEEKIGWAFFHAGVASGLSISRDAKGIDTSWILYNKPTPDLSNRHAGFLLALGLNGHLKSVAKWVAFRYLTPKHTMTSIGLLLGLAASYIG
TMDSLVTRLLSVHVTRMLPPGAAELNLSPLTQTTGIMGIGLLYCNTQHRRMSEIMVSEIEHIDLETEEEPLRNEGYRLAAGFALGLINLGKGSDLKG
LHDMRLTERLLALAAGSKKVDLVHVYDKATAAAVVAIALIFMKSENQVLARKIDVPESILQFDYIRPDIFLLRTLARHLIMWSQIQPSFEWIRSNIP
EVYRKRSSLEDVTNLTSEDLPFYDIIAGLCFSIALRYAGSASTIVRDLLIHYLDQLMRICRLEANTFDKKLTRNTVRNCQDLIALAVATVMAGTGDL
VVFRRLRSMHGRDDSETPYGSHLAAHLAVGALFLGGGTFTFGTSNMAIAALLVAFYPIFPSSIQDNKSHLQAFRHFWVMAAEPRCLVARDIDTNQLV
TIPVFITLRNGVETQRHTPCLLPELDQIKTVRTNSPEYWNLVLDLENNEKHIAAFKSTQTIYVRRCPAHEAGTSPFHATLQALNDVDFTPSQSLEWL
FELPSFASLTKAERALVLPADHGGAGDVHAGTDETVVDARLVLENASLDSGKRDRLLGLRLLFEFADQAASEGKDMLWIRREVVDRLKAKVWVMATE
E
>RCO7_01987 | uncharacterized protein
MSFLTSRTMFRASRTSFAQAPRAFSTTFVARKSATEGVKDTLKTVDRKVSDVLVDGIEAGQNATQKAKEVAGMSTSEMQNKANEVAGEAKGKASELA
GQAQGKANEVAGKANNIAGQTSGKASEVAGQAKGKANELAGEAKGKKEEIKGKM
>RCO7_01988 | related to enoyl-CoA hydratase precursor, mitochondrial
MRVLFRPSKPLASRFIRCYSTQPTPLVKVFDVPAPGSGRIRILSLARLAARNAISRQLLHELRTNIDFIASEYDADGNDLPAKKVFGGVAGTDHKGP
TRAVVLASEVDSCFCAGADLKERAGFTAEETAAFLTNLRATFTAISVLPIPTISAISSLALGGGLELALCTTLRVLSSTAQVGLPETRLGIIPGAGG
TYRLPGIIGLNRARDLILTGRRVSAAEAYFLGIADRLVEVVPEEGKEGEEFKKELMAKAKDETLSAAVKLAGEICQGGPIAVRSALKAVEGAREEVE
NKMYERVVVTEDRDEALKAFREKRMPEFKGR
>RCO7_01989 | related to ankyrin
MASIAELPPEAIAFATRMYDAARNGQMDVFQQALPAGLPANMMNEKGDSLVMLAAYHGHAQIVTLLIQYGADPNRANDRGQTPLAGAVFKNEAEVIE
ALLAGGADPDYGTPSAMEAVRLFKQEEKWEKRFEEAKGRGKVHGG
>RCO7_01990 | related to SEC7, component of non-clathrin vesicle coat
MQSSENTPMSPAKRVGVSLNIDTSYKGTKKDSSPPHTPPKTENHRPHRGNTATANRALKLRTGQRETFLDDMTPIEPSNNEAHDPERSQGGRRDSHD
LSLSPRQVTRDSLVDNMLLSLDQFSFGQGGDGFGRHPTVDEEQLYSTFTEETYQPAQNFAPKNGRGVGHNYSYSSDYEAPDDSSRNSGEKLGRGRRS
NSSSNFQTNLERINSIRNDATSTFSATRPAAPPQIIPRGTLSRNRKGSKGSSANSFDLGYAQVTSNQRRTHGLGKRSSSFDFSGDRVAMYASSQPIS
RSTETNKPPFNQYDYDAAPEPTVPVGPRRVRPTTPITIPQPEPVQASPPRKLERKRSTRSSKSGYKGKLSANNGSKDRNRELPPMPAFIKEPAFAPA
PLVSYGKPKEQQNPSLAQPKERPGFFRRVFGARSSPVSTTDLPPSHSSTTSTETTDQPQSRPQHIGNQMKSQQSHSSRETPLSQKEPAHVLTKKPSS

FFRRRRKSVSEPEPAVPMVPAIPLESLEPLEPLEPLQISKEHLPTRAPNSPVSSLREVMNQYLATPARNPIDLMSSPEADRPMSESPEPNERIVRGF
SPDYEPDKSATIRTVQSTEREVLGDLSASLPPTAVAACSTERSLTPDDSRDVSEGTFLQDSSDNDPEVSETSGMTNIKDGSKKPTGKKPSSPVARDR
VLGTQCESVHSKRSPTTSSKIGRSKTVSVEESPRSIDESRSDTKQTVLTTKDEEWVMLTPNKVPADPESKDTRVWLEPSSEEEDTEDSSIVPPLKSA
QPASSVISDSTETIYKSATSLPILQVEGKDETLRSPSQQQHPPTASKAAKSPDTETPADEDIIPSEEERETASKIYDGDEKFISKEKAAAWMGEDNP
VRLRTLVAYMELYNFSNLNVLAALRLMCGRLVLKAESQQVDRILVNFAKRWCKCNPNHGFKGIDVVHTICYSILLLNTDLHLADIDQKMTRSQFVKN
TMPTVRKSVADLPSDAFEPTRGTILPGKGSAFETIKQNGDVSLKPERSSIENDRPSWRTSFKPPPRTDSGGVTPTPLDYDTPMDDCGPLVKAPFHGT
LRTWEVQVEIVLKDFYNSIRSERLPLFGAPIERPLLQAPSSNSLSVFTNGMLRRSPSVLSKTPSESQSFVRGRTAETVRVGNGKWASKNRSRPRLYP
GSGMGSSRTSLDDQSSMWSPSVASSTWSKYSLGKTQTSMSVDSFGSGFLQGDYHQSIGFANALSQAIIREETVGSAGSIGSERDENEDPRVAPLLED
ESLELYGAPWAKEGIVKHKHHLESLDKKAKDRNWSEVFAVIEKGYMSLFSFSSKSIRNKNKGKAAGGVVGGGNWQDNATSLGSFLLRQTIASALPSP
GYSKARPHVWALSLPSGAVHLFQVGTPDIVKEFVSTANYWSARLSNHPLVGGISNIEYGWSESIVNNSLVNAINESTRPSTSGNRPSLQSSLRSSLD
QSYPSGSVRSRLPGDKISISDWTPPTQSMRASNLMEADQLRTLSDYVSGIEDELQKHNQLRNPMLLAFTPRHPNAQKAMANWEKKSSYLLREIVKFR
TYIDSLGAAEVGKQKIYAERVDRLAPDVDDEEDDVDITLRPE

>RCO7_03582 | uncharacterized protein
MRHQLRDDNRPSMREKTKAQPEAKKDMLHNDGQNYVPSESADVMIDDKDLYGTSAKQLSANYLLQNSIEQQQDDIPIPASEDQEILHISSTQVNSMA
IIKTRLPQ

>RCO7_03583 | uncharacterized protein
MAENTTQETYPPCLQVIQEIAKEQGLDMGLVELIMDEISAELRAHPAKKFMSDAQQECWLDIRLWCSLFPEKQSDFPGDKAPLEEYEKETTDRRMDK
LVALRASKNKNTLASRSAGSGVESTPHSSDASATDDGGITALISQVSDITSKKYTWAKKVGEPAPATSEEDIISQRFNAVLDVRILAAKIAHGEENL
KNVYSHRPLEHPLSQEERTKALTIISELQPMRGGKYVYSVSLPADPETRKRFTEGGQQSLSKASEMLKVAIRSDYRPNVRHFIYPWPLEYNVLKDKE
AAAADLIFAYNVLVFWEYSMRNDKMNHITVERAAELMRSETSMPVTAWLMATNRSDPRIRVGDTAAGMGMGYDVAIAGVADE

>RCO7_03584 | uncharacterized protein
MHLSLLATIVLPLLASAQSTSVSTTTATSTATLTLTVTLSQVVASVYSTYPTYNTTTSTSPGPTAASASFSPTANGTGSPIASSIPTSTSSPGPPPN
FSGASSSLNAYWAGSAGLVACAVAALL

>RCO7_03585 | uncharacterized protein
MLQKVLLVSPLLIAITSAQITGYSRYVIGCSSIWSDEVGPELLVTGVNSYNGYLSNGSFPEFSLMPKQGSGGAPKYGTVAQLHLVGKITNPLSNITV
GIALPDEGSVGHYQAETSDHIVVELTATSRAGMYQYTFLLGQRTPSRLMCFHLSEGKDFPKDMQILQRYTFYSKCIFRNCCEGKRETAIRFGQINLI
SDYVGGLHTFNTSSISWLSVEKNTEILSKITTTPTNTTNLNLFYSSLYFMNLLPTNQTGEHPGWKSAGPYHQDIFTLWGTCRCSKALMHVISPVAYE
EYLRAMIDMLRFDGYMPDGRSSNHKGRTQGGTNADNV

>RCO7_03586 | uncharacterized protein
MISLMGGPETVVRRLVTMFKNGANPKQPNATILEVTDELPFKVPYLLNYVGRQDRSVFQARGIAYRQITLLIHPSWYGSMTIDLGTGKRLKVTSIGG
DGNGDIKSLRSKP

>RCO7_03587 | uncharacterized protein
MISRSVSRRPLRVVALVAITIILLCSYHSSTFAGFGERGYYNWLWEPSNGVSPFDKANKSQRAAIARDVLVVVKTGGSEPLGRLKTQLATLFTEVPK
NNLLLVSDLEEDVGSYRIQDILKDIPREERALYPDFGLYDQQQVLKAEGKDTRELNGWELDRYKNLPLKRMIWNSQQKLKEEQRKKWFLFIDTDTWV
EWDNVFELLGHLDHTDKLYMGSPVWTESQLEFAHGGSGYVLSYGALKALNKPDAHTIGTPLYSQFGVNVTSICCGDLAVALALDDRGISMKGYWPMF
SGEIAATTPYGDDHWCEPVISFHHMGESELVDFGKWHNNWKAKTKGVQPFLYRDVYEYVANRFMERRENWFNIEDPDKRLNTAIFEDCRNACEADKH
CYQFTHHGDKCDLAHYFRVGRAKEQEAGGQKFVSGWHMSRIEAFVARKKCKIPHWVTSNP

>RCO7_03588 | probable thioredoxin
MPSSISIGSSAEFSKLLGSSTIVIADFYADWCGPCKTIAPTYESLAAKYSKPNKITFAKVNVDNQQEIAQKYGVRAMPTFMIFKSGSTINTIRGADV
RGLTTAIEAAVKMAGTAATSYSSAGRTLGGPTGSSRTSLSRGFNFKGIVDAIIGFLGLYFISLFSFDAYVAAENSPFNIHRPAQAQVKMANGRNVEK
RTGAATQTGKKLGTIAGLADID

>RCO7_03589 | related to Putative channel protein, exgression is glucose repressed by Mig1 and Mig2
MAQIHSQNRGDDGQRMADGTQPPQNPPATPATSFARPSPRRNTQQRASQVSKRTHVPQQPSRGPSRPPFSLAGGNIVPTHGMSYIDPTYLQYNPTYR
KEQNTPLWGLAKPLPRVVRQGMRRNRDGKGTVEDAEAEIQGPGSSEAIPQVGMINDQRDDTGKNPVGRQGENSERGYGHQKDRRRGAENTVQRAGSR
RSDAYSNISALQEKANPMEDWESPEDSAHRSETFEHGDLGEPSMNRLESVQEVPANRSSMSNIASYGMRREHSDPYDIDVEAAEKGDEWPMEEGEEQ
QYLQEERDMHNSWAEVRAKFREPLAECLATMVAVLLGLCTNLAVQTSNETSGSYQSTNWAWGLGITIGIYIAGGISGGHLNPAISLMLCLYRGFPIR
KAFIYITAQVFGAFLAGLIAYGVYKDAINAFDAAGGSVSAHGGSSSSVGLFAGGTGTSFFSQPASYAGAGTGFANEFVATAILACAILALGDDSNAP
PGAGMHALIVGLLVTVLSMAFGYNTGACLNPARDLGPRFVAAAVGYGGQVFTVSNTWWIYGAWGATVGGGLLGGFLYDAAIFVGGESPINYPRGKRR
KAKREVKAKAKRNWWGFRRTVGSQK

>RCO7_03590 | uncharacterized protein
MSEKKTAGAAAGNTKGPYAADQKPDLKAESLEVKIKDQNESETIFKIKKNTKFSKVFDAYCIRQGLARLTVRFLLDGTRIQDHDTPESLDIEDGDMI
DAMLEQLGGAAEGEAGGGPKAEVAKMTVRVKDTTGREVEFKCKRTTVLKKLMDAFCQQQGRAPDTLRFFTPDGKRVNATDTPASLDLEDGELLDVHE
QQHGGGN

>RCO7_03591 | uncharacterized protein
MFTKTAIIAALVGLSSATPAKRFTNYFQADILAGGTHIQHGSIRASGERLFINKEAAAYCEPEIIDCSTVSNATTFFYNPATTGINLNVLSPGGQEV
YVTNTGELGYTRPHTLAIPELAKIQGFQYTPQLADGTVGSLTFENQGFDACPTGEKSNLGQDVYQLFARSVAGHTGCIAVTVATGGYTGLPAWAFKE
KN

>RCO7_03592 | probable rho3 protein
MPCGLGGNKTTQRKLVLLGDGACGKTSLLNVFTRGYFPTVYEPTVFENYVHDIFVDNVHIELSLWDTAGQEEFDRLRSLSYDDTHAIMLCFSVDSKD
SLENVESKWVGEIAENCQGVKLVLVALKCDLREQNADDEAPAEGGQVREKKDMIDYNQGLEVARRINALRYLECSAMRNRGVNEAFTEAARVALSVK
PNGGKDDGKCNVM

>RCO7_03593 | uncharacterized protein
MLRSLGGGDGRPASKVVAPSLPNYCFSDGVKKPGFVELKHYAETCNKLMHKLGYKEDVFQRGDWGLTSTCSRDEQRTLWIYIQACRTKNYVQTWY

>RCO7_03594 | uncharacterized protein
MALNSLLNGSTPDKTLKIIIIGGSNTGLINGIMLKHLGHDVHILEKNTQSERSDLAAGITTHADFDQFSKAHDLVDGPWCIDCPGIHFLNKEAAVTR
EVAKDFKMTSWGSIYHRLRANFDGLASGFCPNPPPRSEKDGTATFDLGKVVTKLTDTAKGVQVRFDDLINPQGHGTLTADLVILADGANSNLRGTLF
PDLKREYVGYVAFRGTVLEAELSEKTKNAFSSKLTYFCWKNNYILLYIIPGAEGSLEPGSRLYNWVWYHPLEVASPDFTEIMTDTSGTLHRNTLPAS
SMNLTAWSKYKEIATSEMCAPFADVVQKATQPFITAVSDLACPRAVAMGGRLLIVGEALNLVRPHLALSTTASAKQALLLEKVFRGEISIEQWERQV
LYEGRISRLQTNAYGIWLLYGAWSAVGWVVKLIGAMIGGYMPFSTLPPIPVKEEVNSKTDPGVSDIRN
>RCO7_03595 | related to integral membrane protein
MEQHPSYQARATDTASTILSILAVVAVALRFWTRRITSTKFGPDDWWILVGLLGMLLTGAVLLYGVRADPDAGQGINRDDPDFDYAPHATYLKTSFI
TATLYFSVVTSIKISILHLYRRVFPVDETIIHSHIVGALVLAWWLVGSGLTIVSCLPVERLWIGPSAGGYCFNFNIYWMSMGAVEIVIDTLLLILPV
RMVLGLQLSRQQKVLVVGIFALGGFVILTGLVRVITGYKPGSQNVAFLRAELWSAVHVCTAIICACLPTLRPVIKLTSATISSLRRKCGSSSNSRLS
SSWTTSGGSNAASRGTRPPELSALNKTRIARVSADELNSTRDHHIHPTIPLQVMSPRRQLRHEDVI
>RCO7_03596 | uncharacterized protein
MDKEIVDLDNELWPQKRLRAPDEKIPTDPANLMDNWFISSKETKRQRDSKDPRDRRAWEARRDLHPLSKEKVQWWWKYSRKSRQRKWTLRRNEQHKL
SRKTSNLTLNEPTYSFPIEFGNFEISWIYRDCWVCGDTQEFLNKIYSKFEVKGIVPEQNVWQIFACLVSELVPENQAWQGAPVYIISSPNTIWQIGK
CMLHIVTRGRFWDEDYNALNPVERNQKFGQFKQETLQANYTKTLMKYILGCLTIKEYERFTRQQLMVHFKTVQDIYDGTYVPPPVEDPLDGPHTPKD
SRIPAKLTQEEGLFYEGLIQVLETRELQSKKDGIDRRPHIVTITDLAKDYDDLMAMICLKELDRLGIIKIEGFVANLMPADRRALFGRGALDSLGRK
DIPVARGTVGDAKRQLNNYLHEFDNTERFIADAKTELEDGQDLLARIFTERSRETKVTVLTISSLMDIAQFSKDQTDLLRSGLANVVLQGGYRMEGD
KLVPDPAAANNRFDLEGAEIFHKFMQDNEIPSTAWTKVAANATPIYSSLFEFLLNTGHPLGLYLHAVQTSQELNFYERCCSDKPFAPHMTQDWAVTT
KSTWFASGHEPDEPYPMGEAMLPFFTKVIGYDALAVVGASGEDVLQHFGIVKPLKKRLDANHPLHRLIGVPKSDGKGDDDGLPEEENFDGKMLGVAI
SALMKGSILSFQQGLS
>RCO7_03597 | related to pre-mRNA-splicing factor cwc25
MGGDLNLKKSWHPVLMSNQRRVWEEENKALEERKKTDLRIKELKEEQKKEEIQRELEAAGSRKRVDRVDWMYQGPSSGQAGTTEEMEGYLLGKRRID
PLIKGVEHKKLEKQAAEDSFMALQHANTLRDTAQKVREDPMLAIKRQEQAAYEAMMNDPIKRRQLLAAAGKAEDATEKKEKRKHKHHHRHRESSEEQ
STRKRRRRDDVDGHRSSRTEHRRRRSTSRRRSVSPEDRGRVMSERHGDSRRKRRRNSSTVSSSSASPPKRRDSFDRPRMRSASPENRGRDRANRDRD
YDRRKRRNTSSGASRSPSPERRRSPDRRQFYPAGRESRFNGSTGRGGFNNRRDSNFDRRDERRPAPAPREAPNDDRQAERQRKLAAMQQDASSLDVD
REKRLAALAEQEKITHEAEDKARARSSKYGDKGDFVNDLHKKAGNMGLADRIGRGRQGFQRDEQGV
>RCO7_03598 | probable COP9 signalosome subunit 2 (CsnB)
MSDDDFMQDSDQEGYDFEYEEDDEEEGGDVDIENKYYNAKQLKASDPQAAIEEFLGVPALEEEKGDWGFKGLKQAIKLEFKLAQYDKVVEHYTELLT
YVKNAVTRNYSEKSINNILDYIEKGSDDEAAGRCMEEVYSQTLQSFQSTNNERLWLKTNIKLAKLYLDRKDYTTVTKKLRELHKACEREDGSDDPSK
GTYSLEIYALEIQMYAETKNNKQLKRLYERALKVKSAVPHPKIMGIIRECGGKMHMSEENWKDAQSDFFESFRNYDEAGSLQRIQVLKYLVLTTMLM
KSDINPFESQETKPYKNDPRIAAMTDLVDAYQRDDIHQYESVLHNNRDLLSDPFIAENIDEVTRNMRTKAVLKLIAPYTRFNLAFIGKALKIPVSEV
QDILGFLIVDKKVNGKINQQDGTVEIDDNSDAERLRAMSQWNSAIESLYHTIFNDGEGFKMSDIQQSGEEMSSSFGASNVNQKTSWGPGKHKNRGKK
MGISS
>RCO7_03599 | uncharacterized protein
MFQPQATAYLSSYGTPLPNFATLQSPVGIVNNQIQTQRQTQNPGSSAFRDRIYTPVPTNQNGPSPLLDYNDSNQTTTIRHGSGLPQHYFDKMSGAND
INEQEALARDYIPTLDGPLVGGKRSSLAITDEYAKADPIYVAKTAALPQQYSHYRQILGDAAGFAYFETLLRQQDKDQLEMEMARMISLNNLLTTVG
GFESWLFEDMVEETINLLKDIADLVETAPREAEKLLLERFNNKEISDAIVYHFRLLASSCLRSNPPLYQGFIPDVGIDEYLKNGMLIPNQEIDHLGM
TLLIDVLLKPIGFAVEILYLDRSPGSQANSHLFQTEDANGIPTNPNGPMIYLLYRPSHYDILYKEQGNVAQAIAEATQDTNLQVNRAINFSHQTFQS
IPVSMGGFSLMDMSLMSCIPGLSLGPQPSHHGFPAHYTNQIDTYSPSPTSASISPISPGASSATPSNANIPASFPAQPPPPSSLTSPTLTTSHPAFP
NPTTQLPIHTHIPPLPQKHRPSLLSHHSLSAHSTDVLSSPVSATAKSSQFRPSRYEWEAAAATDWQESPIVFQTSTFKNSHYNTAHYNNPNFQPEEW
SPESEDPPVRKRST
>RCO7_03600 | uncharacterized protein
MPTLPSILIRHIHLPSITPFPIAQRLQSHLVSQFLAYKASLSTPTPLSPPPPTILTFVPTAVYTTGRRELDDITPKQLKVLKAPLTPSRKTTTNRFR
NPEWADVVPTLRGGQTTFHGPGQLVIYPILDLKPLPIPSALPTFSASAEVGNGEEGNEKGLESKNVPVYSQWPKGISVRCYVHLLEQCTINTLAHWT
LTGIRTSNPGVWEKSGERKIAALGVHLRRNITSYGVGLNISTDMQWFDRIVACGLVGKGVVSMRDLGEEIGSWERTMINEGKIEFLARKVEEAQAAA
ERLGEKVDEQGRREGKRQWLETLQNKTGGQLRARLKPGTVARTWVREFARGLVGEGGEECVVKVSMEDLDVPESLMDAYKLATEPWRHDWENDW
>RCO7_03601 | uncharacterized protein
MQESLEMGGLTYPIEDNLVKVPEALWRTLVADRGPNNISAPSWYHRACLHCLIHVTPNGGLSTGVLKEQSGTATTMVTLLKRVQQVVWNRKFLLSKS
KKLFGLAPTNAQEGDSICILFGCSVPVVLRKMESETGTYYHFIGESYIHGIMTERFWNNFRWNSASILIWIK
>RCO7_03602 | related to hydrolase (HAD superfamily)
MAFNPTEYKVLSFDIYGTLIDWELGIYKGLQPLLSKLPKSDPRHPSQNSPEPNQAIVLDILTSYTKLEAQIQIEHPTLPYPKVLEAIYTRIASQISL
DVSEDEIKEFGSSIGEWPAFPDTVAAMQILSKYYKLVVLSNVDKTSFSRTLSGPLSGVGFDGIYTAEDIGSYKPDLRNFQYMVDNAEKSFGAKKEEV
LKVAQSLYHDHTPAKKFGLKPSVWIKRGGDEAAMGGQLEDVKGEVDLVATFTTLGEFAEEVERAFEKS
>RCO7_11449 | related to FMP45 Cell cortex protein involved in sporulation
MAGGGLRGALGFASLILIGGALLLMFFVVLSGVRDHTPLNRSWFLRADTSSIPGAGRAESYWTYWKICAHDGGQCGATIPALPIGTPWKGNTQGVPA
GLVGSHYHDSTSTYYYYMWRFGWVFYLMSICLTGLTFLTSVLAPCSRLAAGLSGVLLSFSLFWFSIAASLMTVVFVKARNEFRSAGISASIGRYAFG
FTWGAWAAMFIATIFLFMGCGVSRKDEDNIRSTKRSGGMGNIPFFRRQRSRRSTRGSFIETESQRRVKEEY
>RCO7_11450 | uncharacterized protein
MNYNRSCSLSLQMLELYELPEEGTLEPQKRHSKSYRKRIKYVQTPSEKAKSKGA
>RCO7_11451 | uncharacterized protein
MDENNESVSLTSAPRRSHGNGLSGIPFELLEMMFMDGIALGPDRQVPPLLLALGTCKDLKNVYRIMHIVRTLTEYPTAIIVLLHRAGGIDLKGAKIL
CMNKISTLTLDFTMIDDTIDIQEGARSVSAGDHLEQYVFWTIRASTRGVEKLTVITPEAMSELRKLVTLNSIKYCRHKRKISK
>RCO7_11452 | related to Endo-1,4-beta-xylanase A
MVSFIHAIVGALVAAGALATPTKAYPAALGKRVYTNIRGENNGFFFSFWTIGEYGNVTYTNGTAGSYSTTWSDVDGFTTGKGWRVAKPRNITFSASV

KAIAREWYISVYTSTPKGETYIMENHSEYNPCSAPLATAKGTLHSDGSDYEVCEVDRGADFLQNWSIRKDKRFNGTVTTANHYNYFAAQGMVHNPIE
DADYQIFATESFLHGSGSANVTVSEAI
>RCO7_11453 | related to O-succinylhomoserine (thiol)-lyase
MSVKIQTPSMGSLPPHQRHAITIHMPGWDQMLRLMEKEPGFIQQATSFYPRILPHKDVKALFGAVLERFGEQGQSVLLFSAPESANECKKYATASAR
GDDALAPEDIILKVLDIKIRLYAVFFPVVKMPIVMQFWVNPGVGISSRLAEESLKHLELLHEVTRNEPPPTLEISPADKTLRERIAGLLERAPKAPR
KTQVTPEDVYLFQTGMASIYNVHQFLLSKYNTNTVLFGFAFHSTPHIFEDYGPGYKFLGLGNAEDLIELEEYLKAEKNEGRKVQALWTEFPANPLTV
TPDLTQLRVLATEYDFILIADDTVGSFCNIDLLGEGGADILVSSLTKSFSGYADVMAASAVLNPSSAQYNDLKALFKDKYVNRFYGGDAEVLEKNSR
DYMSRSIILNRNAETLVAYLQSQVSNPSSSIAKVYYPTTSSTLSSYRARMRQTTTDFTPGYGCLFTVELNTVEATIAFYNNINVHIGPHLGAHLTLA
LPYVKALYGKQLDWAAERDLRETQIRVAVGLEDTDELLQTFKNALVFADAAKSEETLVSNS
>RCO7_11454 | related to actin cytoskeleton organization and biogenesis
MAHLVRDAKAVADTAKGLGRAVGGSFMENKTRRERKFGEVEDSLPNVKAAPASDNRPSSIWNVLSFLGSWNPLAQPVTENDTVWLLDNTAYRSASGK
WQAEFVAAVFDKDTGVEISTIVADIAEKVGLGNGDVAEATIRERLMPFVQTILPGRKVTIEFAKQQQITLAPGGRNGISSDTKAVPTYPDGTVVSYV
AKVPQGANGVLQANTVYAEPEGWGVVSDIDDTIKITQTSDPIGILRSTFVSQATPVAGMPELYEFIQRIISPTSPWFYLSASPYNLYSFLHDFRRKF
FPQGTIILRDASWMNLGGLLSNLTLGTQEYKVSRITKINTWLPKRKMILIGDSTQADPETYGEIYRKHKGWVKLILIRKVTDIAALGIEEKNEPKRF
EKAFKDVPKDIWHVFETPDECYPLIKTTVARG
>RCO7_11455 | uncharacterized protein
MPRYSSGDSDDENLPDGMKRVGYDADTQTYTYRDRDGSFWEGEPGARYGVLRESGTAYQPMTLERHQEMRDADRAAWRYMLPFFLLVLVVLLTLFRY
LGFGSESLSTPLSCKVGFTGYFVKRGDSCWEIAHDRGIEVAELIFKCPGIIIDEIDGLGGSKYDDADEANEALTAAVYLEASPTSSPGEYS
>RCO7_11732 | uncharacterized protein
MNTSTDLQANKAFKGKNSKGSKKYSYYNKRNYIEANCYIKHPELIPNKSTKKKSKEYDILLIIGRGDILIITKEGDRKVTFNKKDVNHELLEPVSFK
VDSNKSSKLDLYYKRLLYTNKEFIYKTIEGSKGLKIQKGLDLSDYSACNSGKIHAISSTKPMSDTPPLTIFDIDIAGPFKIKVRVLSSLTYILINKR
TNKFKDKSDRGILVGYKSVNNFLVYIPEKRAIISSKNVLIKEDLTFKDEVISKEELESFDKTLDDCETSDYLNRVISLLINTPKSDPSKNSEKIDSK
TADNSLNKEKVIEDIELDLFNDIAKEIPIVEIPKRGIKRRRDYSN
>RCO7_05396 | uncharacterized protein
MHAFLSSQVQIRPAERNMTSQHVLGNITPSTVGETAQLRIHTRHIIRSASFIPAIRQGAHPANTFTTAKNPNLSIKAQKRVF
>RCO7_05397 | uncharacterized protein
MIPESHSHAPWRNAILIPFWTIQLGLEAILIGLLSVAVGFLVHVDNNIDDYNSSSSFSDSDEEVIEKAGKVVGPVWIALISSCLILTVTEIVLLARK
SLKPVTFLITNMLKSAFWGVLFIIDIVAVVKSSSGSRVTDTVSLLIEAALLLSFCIPLIYASIIYHRFRTGKQYRPVNNPQLTPYTILAGAPAKTQG
TKVTQYSNAPIPVSTMPEPYKGYGQQSISDVEAQQVQQGGRGSSYKMAGNGAASPPVPSVLVQHHDGHAYLRNGERR
>RCO7_05398 | uncharacterized protein
MEQKRQKAPQYVKTQNQSAERPATFIFLHGYGDDADGFINVAHQFQSAHKLPHLSWIFPNAPHNHEANTTAWYSLSSISFSPIPVGSSSSPSHEATE
EDECDESAESDDEIWGSVAYTEGLIEKEVEKGVDVGRIVVGGFSQGCAVSLILGLAGRYKGKLGGLVGLSGYLPKGKRVWEGREELRVSRKKGEGGE
MKVLLGHGTKDMLVPVRIFRETKERIVFTVGEDRVEGYEYHGLGHTANGAMFRDMYNFLEKVIPE
>RCO7_05399 | uncharacterized protein
MNLGHLDVHSVHHSRPRVQQADTTSERPITPLNVRLEADRSPSPTSTLSDPTTVVRWVTPPSRIYTPQRSDDTLRSEDTILPDDYHHSIRPNGRAYA
HETSLGVRFDEEQIRSIEAEASKRERVMDALSMDSSPPTPVDDTPYIRFAIDQLTRDQDVRLGQRQYTPASSESHPSERVRSDNGLGYMSAEQEREA
MRLVRKHRSSPEEGRLFAFNATRPLSLRSTPSQNQVLPRKPSDPEIFIPVELANNTFRHPDLTFVPTILRPLSMFTLSVLCLLMTAALMFCAMFSTY
HDGLTPWINGIYGGRYFVFSFLPQILGACVFFYVQCVMNAITRMMPYTMMAMYDTKSRANALFLGVFPRTMLWPSWNGPFSIALAKTFFWSSVFTIP
LQGCLFSVINVDEVWRWTAVQGVAWTLVAIYLLMMIAAVTTGLFFFRRNTGVMWDPRSLADVIALLPRSNCLRDYPGTDVMRNKEDIQHKLTLRSDR
LGYWRTPNRERGIFYCIGEEGASTRQYTMKAGKIQEKPQTAWDVENGEIYSTDARFRYIPWFLKDAFVIFWAVAAFVFLLALFVVAFLPSTAISKGF
PPLVSVLPNSAGFSPANFLYSFIPSIIGMLLYLFFQPLDMALRILQPWAELGQPVGATAERSLLLDYPASSPIACSFKALGNGHYRVAFISLLSTLF
LIIPILAGGIFFPLVTPAQKVRMIPNLPSFYIILALLVLYLVGLLLLIPRRYEMHLPHGVSCLAEIISFVHASHILKDAAFHEPRSKEDLVARMTGE
KTRASSGRRGERNRFAFGVYEGLAGGECLGVERLGRRGGQEVVILGGR
>RCO7_05400 | uncharacterized protein
MTNARPVFKYSSASGHRASYPSYAGQWSISWPNGGPCIVRLFPHDSHNAGADVYPPSFLVRLDKCTNMLAGIFSSGERKIGFPGRAKARALGSCKRS
QKDLEGHMEVVTCTTCKAERFSNLLAMVPSVLDVQLLSVETPCLGDDTDVATVYVPPHGARILAMALKNLPWSSISWSMHRGLKDLLLAVGIPTMNR
YRDSLASLLKGEILLSREALVAMQWSREFVYGPMSEMAFAAVTSGVGNSGDIVRIVTAAVEVFLVRNGFSALDKDNNRFWKGIVEVDVKSDPMIQLD
SENVGEVEADAIVALTKFFVLEWSQELDYQLYYDLPVELFLAP
>RCO7_05401 | uncharacterized protein
MLIPHSLRSLITAAAALSSPDTTSRSESSNNTTFLSTRGTNAEYAKTASSAITALDGFYMKDSFRWKDIGGWSAANVYNDIMDYDLWTRSKKYESTY
GASLLTIATSPAAQQKAGSTNNFNDDQLWWCLAMIRAYQNYGHRELLDQSIKQWRNIGANAQIFKVDQGTKVSKGGIERDVPIPADCDIDGAVYWGS
AKDSGLNAISTSLFAQVGAWLFDITGDASFRGPSDAALSWLQRMMLDTKTGIMTIDALTADGCTKHLGSLTYETGVYIGALTSLYITTGDAKYLDQA
TLSVTSATTGGFGNNPALVIDQQADLTTNGDGVQWRDVLFRNLADFYVTAGSKGKVTEDLQGKIRAFFKANYDQIQSKAKFGNLYAANWYGKMTSGS
DWGTGSVLGNFIGSMLVL
>RCO7_05402 | uncharacterized protein
MLTCRQSDMLPLPLLFPLSSRAAPRRFLPHAAFIHRLGNQISSNLGSDKVPSPPPSLPPHSSALYIFSAALRCISKGFDWASMRLFVPGWVLVSWGL
KVWARSDGETDGDGDGFCYGGCDLVLSGLVFNDTAVELTTVEPGSRGGSALRSGDGNITSSSNSVDARRCSNAYRLPSLYLCLQRYCSEGERVTGLS
GLNETCGRGLPAFEDVLARFGDEEGEALRRVGREDLVSGVKRMGMGKMVVREVVVVGESAWRLGRGTLAAWDFETRIHNVYGCATYIFWTFIILIGL
SSHLGQYLLSTSFRNPKYQSLPYEDGHDTDRGIFDTPYIFLKKYITVPATFGYRRAQNVGWCTIPTRVQSLAIVAFVVMNVVLCSCSYWIFEGNMYW
PNPRDQFLRYVADRTGIISTANLILVWTFGIRNNTLLWLTGWDFAAYNMFHRWVARVATVQAVLHSVVYTVLIVIGEFALSVLESETKMKIGGIAQD
SWSEAWTYYLAYFERSYFWNGVLATIFMVFILVASVYPLRRNFYEIFLWLHIILSILILLTMYYHVVPFRNYALYIYPCVIIWLFDRLLRILRILSF
NPRFWDTKATIAYSPDSNIVHMSVPYSKAWMKPRPGGFYFVYFLSADRWWQWRGWESHPFTLAYSTPLETEDGVLRTTNSHSPSMSLGTINPPSRVG
SPISQSHNIESASLLPPSPFPSAETAPPATLNFLIRPYDGFTSRLRASALRSGTSGTRQRVLIEGPYGETQPLRKYRNVLFVVGGTGIAVPMSYLRG
LASFEQSDGDGTRNQWNDDVRTRRIRIMWAVREETLLDEVLEGDVEAILGSRSDVDEALKEKLKIRAFITRHAQDENKNVDVELREGFSIIPFSEPV

SSIQGVNEAEAETLRRNPRVSRRGIEIVRGRRPDVFAEIEGAVRRTGGETLAVVVCGPPVMADDARRAVVELLGRGKGGDFIAQMGY
>RCO7_05403 | probable casein kinase-1 hhp1
MALQDLRVGNKYRIGRKIGSGSFGDIYLGTNIISGEEIAIKLESVKAKHPQLEYEARVYKSLAGGVGIPFVRWFGTECDYNAMVLDLLGPSLEDLFN
FCNRKFSLKTVLLLADQLISRIEYIHAKSFIHRDIKPDNFLMGIGKRGNQVNVIDFGLAKKYRDPKTHFHIAYRENKNLTGTARYASINTHLGVEQS
RRDDMESLGYVMLYFCRGSLPWQGLKAATKKQKYDRIMEKKMTTPTEVLCRGFPNEFAIYLNYTRSLRFDDKPDYSYLRKIFRDLFVREGFQYDYVF
DWTVYKYQKNAQAIAQAAGQQPVQEEEEKPGRTRTNAATAGGPTPQHASSASKPGAISGTRRKVIERGASGAGVDTPDTNRAVGGSDRM
>RCO7_05404 | related to YSC84 - protein involved in the organization of the actin cytoskeleton
MGLFTSSTIEKESTKAAQILNSFIIKNKIPQEAIANAKGIAIFSAIRGGMWVAGSGGSGIVIARLPSGLWSPPSAFAVRSGGVGIVWGVDMYDCVLL
LNTSVAVEAYSKSESGLRGGVALAAGPAGWNGEKREEKPVWMYTKSRGLYGGLTIDGTVVKEMEGANEGFYGRKVSAKTILKGEAADGWPNGAEQLI
EVLKLAEGKFGDKKVLQGISKEPTPGDLED
>RCO7_05405 | uncharacterized protein
MGRKLSGEQHMDSRHISNTREGPRSNHNSSNYALYSYYGIRRPSIQERQKIPTLQNRRRNEQHDQEDHESGDLKREAPPGQIQHGSGEAFQTLLVIA
LLATVFWNTVFFYARHSDTPLLLPLQTSDQLVSSPLPVPSLLPEDTPKPSLPIIAIIRRTGAGKSTFIKTLDGLSIGKAPAVSDALEPCTEEFTFNK
FNYASKYGTAAWIIETPGLDDANLSDTDNMRGIRKTLDENRLDNRNIHMIYPYYLTLPKFNDEAHKTSKNLLAWTSLEE
>RCO7_05406 | related to DUF895 domain membrane protein
MSTSRENPNLGGAERDESSNEVYSEPRRVSRFTRWYRSPLFNVIIVGLISFTQPGIWSALNNTGAGGQQEPYLVNGANSLTFGIMVFGCPFFAIMSN
KFGLKKVLMLGTLGYAPYSASLYVNNRYGVEWFVLFGGVTCGIAASALWASEGAIALGYPTVKDRGKFTGIWLGLRELGQLIGSSIQLSLNVKKNQR
GKVGYETYLVLIALQCAGLPLSFLISPPAKVIRPDGTKLEGPTKNKAVLKEFRRAWALVKTRRIFLLIPILVGFSWNSTYLNIYLTKYFSVRSRALG
ALTTGIAATAANIFWGWFLDLKVFSRPKVAKIAWFSFVTIMLSLFGWQIANQHKYQDIVPKVTLDWDNPGFGRAFASTVMFRNESHYMFVYWIIGTF
NNDIETLTLSVGIVRSFESFGSALSFGLGAAHGVSPMANLLTAFVMFIVCIPTTSLVVFQVPEHPTDKQLLVEESTETVGPSKQIGSTDQSVED
>RCO7_05407 | related to cell polarity protein tea1p
MAFSLFKSRKNADKAQSAKDANAAVASSQVSANTASNGPGRGGNITEKGAVQASTPASSVNNSMNSLQGGAGAIPSPEQAANGRRGPTTELPASDLP
FRNGSAPAVQPMNAPPNASLYPWSQRRLTYTTAHPSPFPRYGAAVNSVASKEGDIYLMGGLINSSTVKGDLWMVEAGGNMACYPLATTAEGPGPRVG
HASLLVGNAFIVYGGDTKMDDSDTLDETLYLLNTSTRQWSRAVPAGPRPSGRYGHSLNILGSKIYVFGGQVEGYFMNDLVAFDLNQLQVPTNRWEML
IRNSEEGGPPPGQIPPARTNHSIVTYNEKLYLFGGTNGFQWFNDVWCYDPVPNTWEALDCIGYIPAPREGHAAAIVDDVMYIFGGRTEEGADLGDLA
AFRISSRRWYTFQNMGPSPSPRSGHSMTAYNKQVVVLAGEPSTATREAGDLGIVYLLDTSKIRYPNDQAVPPAPTADRVLGQRRPSGNEKSGLGANR
GITAREGSTIPEPKRLNGAQTARDPGSDRGNGAPGVNGNDMNGIAPGSAQPQGAPMGQPPPGPPPIAAQQGSPLGGSKLPRASMAQAPPGPPPQQQA
PTPRANGVHGSNGPNGAPMGRGKPQVKADRGFGPAIDTSVHNRIVENVVQMSPSQQNNRNISPVSRESSQTRESPVMNGGRKTPTQAQTSKSTSSEN
GPPVSLNTVVASGSRSSSKSRQGHQQGSMDSTSEQSSLRNVTNAREKSPPPPTRQPSNPLARKGSKRNSQTVSILKELDAAKNRNAWYASELELARK
AGYTPNQSASPMLDLRAAESFDDDDKPLIEALIAMKAELTNVQGSIDKQAVIAARKIAEVEKQRDAAVSEAVYAKARLAAHSGSQNSTPLPYADARE
LSAMSNDRSAEISKKLATALADQRDLNNKIEMLTTELEAEKRGRKLADDTLNAAQSRLSELEAYKQKNSSEVEHLKAELHEFQIRAREEAIVCSEAV
AAAQILRADKDELEAKYQEAIGSTKDNSESFGSLRAALSSSADMRNVLERRLDEERTQREKIEAKLSSLKVEHEAQTIELESASRRLRDAEELAEQH
ANEARTHREAVMSGLDRVVARDVDGKSATGDDRTAALQAQIQAANALVRKYQQAADTASEKLRSAEERIAGLEAYQEQASREGMSIRKQLQATMREV
QSLQAGNSDMKYQLANQQLETNAVHVQHNTLKDILGERGMSPVSAVRTRGLSSPRSGANTPDISRLRELEHQLATSIQAHEETKQTFESQQEATENT
YREKLSQLENDYQSAVHYVKGTEKMLKRMKDELSKYKTDNTKLKEQLAEAQEKSGLSEDASAGWEQERASLHKQVESLQAEIQSSVGLLESQMAEVK
KELASSHHERDLLKQNHEQSQHELSTATQQARSDLAQIQEENTLLERRAQDAEQKVTLLLDQVETSVDNYRRQSRIPDTNGGAPAVAASLHHQRSLS
ADSTSDTSLYDDGNRNSMALDSLASELETLRSHWENTNKNYRLSTAFDFEDRDAPALGVPDAGAGASTVGGSGNESLAVTNVGTGLSDSLGEWRKRL
EDEEAASKSRKDSFGSDALSPTSDSGAGSGLGVPNAAKREMSPNGKDVGVGGSNAGLVNLI
>RCO7_05408 | related to raptor, a binding partner of target of rapamycin (TOR)
MTAIGLQQQQSHAAQQINLRQSSHSSNMPSRPQSYTSAGQAQLLRQEPPIRNGSSPQLGHRPAVSNEPVNENDHPLSNHKHSTASSKNASNSNSSEQ
AHQRRASLQSRPTSAPNGAAESLQEESGTEIVRRRPKPLLQRSKSDYGPRGEDQESAEEDVQDWGARHGFEDHYASEEYVSQLANNWYMYFTDKRHE
TTGNPKPKSASYELQDWRMKDRLKTVSAALAICLNIGVEPPDQLKTIPGAKLEAWQDPTTPPVAKALEIIGKALQSQYETLAIRTRYKQYLDPSVDE
TKKFCQSLRRNAKEERVLFHYNGHGVPKPTASGEIWVFNKNYTQYIPVSLYDLQAWLQAPTFYVWDCSDAGNILSNFHRFADKHKTEEADALKADPN
YITQAFEPYIHLAACGVKENLPTNPLLPADVFSCCLTTPIEMALWFFVLQNPLPSQITPERAKKLPGRLQERRTPLGELNWIFTAITDTIAWTTLPR
PLFRKFFRQDLMVAALFRNFLLAQRIMATYNCHPQSYPELPDTHQHPLWESWDLAVEMALSQLPMLEEKEEGIRPDYEFQNSTFFTEQLTAFEVYLT
QGAVTHKAPDQLPVVLQVLLSQQHRVRALILLGKFLDMGPWAVNLALSIGIFPYVLKLLQSAANELKPVMVFIWTRVLAVDITCQTDLLKDSGYMYF
AAILKPNEGLPVVDSLEHKAMCAFILARLCDGYKQGQTVCNQSEILSYCLVHLQNAGNPLLRQWACLCISQLWKDLPDAKWRGIRENAPSKLAFLVR
DVCCEVRAAMLYAMITFLGIEDLTDEVARIEENISWTVMELTNDGNAMVRKELLVYFSRFVHRYENKFLVAAYEHMIEEREYRQYPPSNDGNDHKMG
LHYARRANRDGNGSINAIHHGVAHNSIFAAVWKHVVIMAVDPHPEVARNANIIIDYISVALLQSPIGAQVQALADDISKLGARAAASASRQSKYTPV
DTRPNTPSGQDYGNVAPPTPGLLKRTASYLFTLPFGGSSADTSPANSISSRHPPKSPSIAQSRGQIHPRSRLPSEFHPPPEQNDPTPAPGVYHAAKE
PMSGNYKPRKLSVPPTIPLESTFFEWSIEYFREPQMKPNEAEEPGSTDYNERLWRRSRNEAILRETQPQKEIAGSGKWTTPAGFFNNQSQPSKMTFH
QFEDHLAVSDDRDIISVWDWKKSGRLNRFSNGNPEGSTISDLQFINEDDQAFLLTGSSDGVIRIYRNYDSEKKIEVASAWRALTHLVPSNVNSGMVF
DWQQVSGKLLVAGDVKVIRVWAAAPELCVVDINARSGSCVTSLTSDQMTGNTFVAGFGDGAIRVFDARARPQEAMVKKWKDENGGVWIKSVHMQRGG
QRELVSASINGLVKLWDIRMDKCIRTIKTTKDGLRTASTHEHLPVFAVGTAAHAVKVYNFEGKELSRVEPYSSFLRGVTPISATAFHPHRMMLACAA
KNDAHINLFTCVEPKKKKDVVVEEH
>RCO7_05409 | related to aspartate--tRNA ligase
MADQAKDTTAVPTDPSLNPAGAGSSAQQPATEGGEGGAEVSKKGAKKAEAKAKKEAEKARKAAEREALAASSSAASSVDLAKDNYGQISHTTKIPAS
LIHLRDLKEEHVGQKVKVRAWIQNARMQGAKMAFVELREEGSWTVQGVVSVSPEGEPVSKQMVKWIGGLKLESFVAVEATVQRPLEPVKSCRVSGFE
LHFQKVYLVAKAPEMLGLGLGPASRAVGRLDEEEVVEEKVEGLTINEGTPLASLATHLNNPAMHKRAPVSQAIADIRIAVEDLFCEYLKQNRFKKFH
PPSLIGAASEGGANVFRMPYFEKEAYLAQSPQFYKQFEIAGGRKRVYCVGPVFRAENSNTPRHMTEFIGLDLEMEIEEHYHEVLHMLENVFLYIFRG
LTTDYREEIELVRSVYPSEEFLLPEPGKEVRLTFAEGQALLRSEGPPEFANVSDTEDMSTPQEKALGALVRKKFNTDFYVLDKFPIDARPFYAMPDP
ENPAVTNAYDFMMRGQEILSGGQRLHLPEELEKTIRAKGLDPNQPGIKEYVDVFKSVGVPPHGGGGIGLDRVVAWYLNLPSVHLVCDYPRTPKRLSP
>RCO7_05410 | uncharacterized protein
MPANPGNSKLAISTIPEIDEYDEDYDNFDSMTALVPLGTAPRNAKTSSSGKESWSLVSKTRVSNTRVLDSVVYHDAAESFSYESSGSKDKSILQSAY

FKDPSKAPAGKSVLQSSFFKDKPKPSREKSTMPSFPIKDDPKSPRVKTLMPSARARDAPQSTRMKSAMPSITFDPSELKNYMTTKVDKAMSRRQTSY
ATLPPKEQAKQLVWAVEKIDEIAPCPDQYAWKRVDQDGWGGFVCSAGAHAMLDQHLAEGRGAILILGVLKQLGSEGAQRCGPWYPHPTIANCHIWIP
GTEVQGVRFYDHPSFFGSGKQRARAKWEYYSSNPDTALMDRMNYEFPEQVPPQEWEFAKDEPKP

>RCO7_05411 | related to tetracycline resistance protein (probable transport protein)
MSERTPLLISGSEDVEVPIDGGVIISHETSAHNSASEVDDTPLPKLQMAVLCLVRAVEPIAFFGIFPFVNKMIKETGDMIEADVGFYSGFIESMFSV
TQMILMISWGKLADRVGRKPVMVFSLIGVGVGTALFGLSRTIWQMVIFRCLAGVFAGTTLTVRAMISENSTPRTQARAFSFFAFSGNMGIFLGPLIG
GLLQNPVEQYGGAFKRFQFFNDYPYALPTFATASIALIAAAICGLLLKETLKRKPTTNEDGSPVGVEMTTLELAKKPGVAYVIFLYTHTMLLGLGYS
AVSPLFWFTSPSLGGFGFTPRQISYFLGTIGIAQAIWLLVFFPIFHRKYGTRAILRTCYYIWPLTYMVNPLCNHFLRQSWTTAFWIVAPIAQVLGSG
VSMAFTCVQLALNDVSPNPAAFGLLNALALTSVSGIRAIGPFSFTSIFAAGARSQFLQGYLVWVVLIALALLGTVAMRWFPENAEGKLKQED

>RCO7_05412 | related to VPS64 Vacuolar protein sorting
MTAVANLPSFQQNSRSAWNTNVSQGGLNAMNTDEVARMFMPRKSAQRTNSSSSISSIASTSSTSSTSTIAQAPQTNGVPMIPSGDLSTWGGTAAARK
KPQRTGPWPAGKSEAVAGISIAKPQSILAPNGSTAASAMTSIHQPSAVVPSQHILQPPTQQMNGSRQPVQPVGEGNPVLYLLSMNGTFERKTISVPF
YPDSLRIGRQTNAKTVPTPLNGFFDSKVLSRQHAEIWADRQGKVWIRDVKSSNGTFVNNTRLSAENRDSEPHELQTQDHLELGIDIVSEDQKTVVHH
KVAAKVEHAGFLGATNNVLDMNFGDLDPANGAMMLPSQGSLQMRGRTNSVGSVTSNGRLGPPASLAGSQMSAMSQQRPMNFWLTPVTTEQIVKRLTE
HEMRVARLQTHELGRTDNFFGSLLSKDDIKENQKEKAPVMEAPKAPQVNGGSVSFRSDVKPRFSDPPAPPPQQPLPEKPDVARLHNSDSPIPPLKRT
NTERPRSLTSVSPVRQESTSQIVTLVEALASAKKEIDIQGARLRDLEEMLQKERHARENAEELARKFEQESESRANGEAKASDEGSIIEEAFEPPSE
TVEVKEELLADQVVKDNVVDPTAISESTLLLEKRLETMLLDMQELRAQMESFKCRAETAESERDTDRKTLAEMVEKIRADELSRIKSAENSRVLSKV
SSIEDLPNGVLEVIRPVESLPIRSTHSNVNAGPTDKELKASAVSTLSRAPGNPALYHATPYASMLGVVLIGMGLMTYLNGWQPPKVER

>RCO7_05413 | related to MGR2 Protein required for growth of cells lacking the mitochondrial genome
MPVPMGANMGGPSAFDKWKMGAMMGSTVGVIIGFIFGSVNIMRYGAGQNGVGRTLGQYMMGSGATFGFFMSIGSMIRTDAISQEALEAFAQAKRRPI
IMPRQPYKPTRT

>RCO7_05414 | related to laccase precursor
MSLMGSFFKGVMGVVGVLNQVQTNGLSKFGTLQAQTFPAFLSNNPIVGGFPWGYLTAAGSNPYTEAPNTGVIRTYDFTVTRGQIAPDGYMQNVILVN
GQFPGPQIEANWGDVIQVTIHNKITGPEEGTAFHWHGMLQKETPWYDGVPGVQQCPIAPGGSFTYQFRASLYGTSWYHSHYSAQYAGGLIGPMIIYG
PKNADYDIDLGPVFITDWFHASYDDIITEILRPGGNPRVSADNNLINGKGNFDCTTKAKGDLTKCTNNAGFSKFKFTSGKTHRLRLINAGADSLQRF
SIDGHTMTVIENDYVAIKPYNTTVVTLGIGQRTDVLVTANVGKADSAFWMRSNISTICSLTTQPNALAAIYYDKADTNKAPTSTAWDVPDPGTCAND
DLSKTVPIYPIAIKTPTTTQTYEVGMFVNSTGSFLWTLDNVSFRANYNEPVLLQADQGNLTFPTEWNVKNFGSNTTIRIVVNNRTPASHPMHLHGHN
MQILSEGPGDYDGTTIINPSNPQRRDVQLMRAFGHIAFQYDADNPGVWPFHCHIAWHASGGLYAHFLERPDDIMGQIPYIMQQTCVDWENYSNRAVV
DMIDSGV

>RCO7_05415 | related to nodulation protein nodB
MRLSGLIRRTRRLGVFNIWSSIYSKLNTNHRRKHKHIKIDDEESQFNKEPLHTFKAHGYRTMYLLILIPLLIILTLLILAYIIYRPPHLLIRYLQHH
NPSVVFHVPLPASQRIVALTLDDAPSSETPHILDLLKAHNATATFFIIGSQALQHPKIIQRIHAEGHELGNHAMTDSPSFRLPLSELSHQIAEVDAL
LPGNSNSMKYFRPGSGWFNAGMRERVERAGYRLVLGGVYPHDPQIARPRLNAWHVLSLVRPGSVVVMHDRRAYSVEQARRVLEGLERRGYRAVSVGG
LLAVAEVEARKKGG

>RCO7_05416 | related to NAD-dependent deacetylase sirtuin-2
MTPPSVSSTRHWNPPAPFRYKIQTTFLNKETPLLFSIKQHSTANIGRRRRERHPNGKTFDKHARNKPRNMGQENSQVLDPNARPYTLSSRSISAVAD
FIKDGPPKKIVVMTGAGISTSAGIPDFRSPETGLYSNLARLDLPHPEAVFDISFFREKPEPFYVLAKELYPGKFHPTIAHSFIALLNRKHMLHMLFT
QNIDCLERKAGVPDDKIVEAHGSFATQRCIECKTPYPDDLMKEAVESGNVPHCEETHCDGLVKPDIVFFGESLPSSFFDNRDAPQKADLCIVIGTSL
SVQPFAHLPSMASEGVPRILINREQVGDLGSRPDDVMILGDCDDGVRKLADALGWKDELEEMWYVTTGKHKEKEAEKIEERDSGMTRNELLEAEIKK
LTEGVDSTLKLTKDHVEWANKGLEKHEKSKELTSSSEPPSEPISVEKVENEKPVEEPKIDVKAILDTKLPQHEPDADTPKPHI

>RCO7_05417 | uncharacterized protein
MVLPRTTLLQSASKINTSYPQAVQTSEPWSFTTSLPISYRVAIFLDAFILFLTLAILVGALLYLRNRGPTPYMLSRQRNHNLSPDPKARSRGAGRGM
DEEQTLLIVGYSDERPKKEMGELVKASEDKIVVGIVKGLGGKKKKGHVRWTPSVQGGEAFGIPDNCNGKGKGKEDGLNCNCGGVMHAACGRYEVKSG
SRKEVCGERKDGASRSKGY

>RCO7_05418 | related to RSM22 - mitochondrial ribosomal protein, small subunit
MLSARKIPRACQSCRHKLLLLFENGFTNCAPKNAAQARYSTRIQTPLRTLPYRPNTSRALSTTRRKAEETKSDQLKLPAEATESAEGIEAVVRQARQ
TFGETLPKNYLSAEEYMIYERLYGPPLRETRPEDLEYLPGGGEEADLERGRNVLLRQNEQGEYEEIDFDPGFGYTVTEEGLDGEENDQMYLNDDQAY
IEEEALVDEAALIDQEALIGDVTLGGAEDRPLDEEGMSEQEEKSSAELERDGEGYEYIEAFEEGEPAAEDIDETAIRIQGRNQREIDAIARLQLDMD
AALAKPIEEEEEEDIDEEYEEDEEDMEEEEEEEDDAGWISSDSVRTHPHTMTGRFGTKPTTLTFPTDTFLAPISELLARTTSKHIAESAERVFGGPG
LPYSSSVSAAKKMLPQRAIALDAMQHKMSEIEADAYLTAVMPGTFASITSTLVEVRKRLGSQWIRDLISREDGEGPRILDAGGAGAGVIAWREILQA
EWDVMRDEGLVEGEQVPHGKTSVLTGSDSLRHRVSRFLDETTFLPRLPEYHPGPSSTPHLDGNVNQPRKSYDIIIASHTLFPLKEDFRRKNLVQNLW
SLLDPKDGVLIIIEKGLPRGFEAVAGARSLLLEKHISSPGETAVENEIQSPNSEKSRFTKKEEGMIIAPCTNHLKCPMYPVPGYSSGRKDFCHFPQR
FIRPNYLQNILGARTRNHEDVKYSYVAVRRGVDARRTSPNQLQGEEATLESLVGYEGLAESDIEADAEAKDMNFEPYNLPRIILPSLKRRGHVTLDL
CTPAGKLERWTVPKSFSRAAYRDARKSSWGDLWALGAKTRVFRPPRLGRGGQEEGKMKGIRNGKIGKGGKKMRKKHYDMILGGKDGPEIKEAGIHAR
LVTNERRTKGGRIYKEPKPIKEKDL

>RCO7_05419 | uncharacterized protein
MNNQMWYSISKNAPGILDVITLYRDFQSTVPQDKGFALINLATDMDSMDSTQDYTKGLAQTWLEFAVAVAKKSVGLDITCAAEPVAADGLIVPSWCP
DWSTPTTVSNMIRRIYVPDHFDENHAPYRWTNPRFSFNGSILDCAGIILDTVRHIGPFDPSETMLGEQPIWKDWMEMAAGALQTDEDAALLILEQTF
QARFWGMLSGSSEGGIDELRTRVPGWSGEQDALTENKDRDVYVVVTNGRCSLLKMGSWDLLRIMLRGVRRLLF

>RCO7_05420 | uncharacterized protein
MEIIHPLNAIYREAENVDTDTSDDNINKSTSNTSEADNDDDDSSQIPESKVKRDPRPWYRNNQEIQDLGLSSYSYTNLDLETQEIRVLILKPHNGKR
ESPLYVSFSAETLDKCEPYTALINTRGNPFDTAIIIIGNNLWKTSPNIWVFVDGVRHEAEARRFWLRDLCTNHRVPEEKAKYCNQGWMDTMSQHASS
VIDMSQVIMTT

>RCO7_05421 | uncharacterized protein
MSSIGNLQAMSSAVVDINAKDANASNTIHWAVMDGHRSNGLLKGQALHGTRTFIQIAHYHSIYDEVIQPPIKKSKEKLRKSGLNVEADRAFSFAGNP
QINRLIAGVDTSHCLVIVTSAKSAWKSIFTTSVMDRRTIYNKDHTFSITGPEFDVIVEVEKESTEEGEDTDDSGNEEEKKSSDTKSNIIEYFMQSVF
EKESNPGDPHGHIFERRKRAREHFSSQGPQ
>RCO7_05422 | uncharacterized protein
MSSSQDTDLDEQPEIVHSIKGSVFAPSQDHWYCCKEKDAFHGIAGRETFGRSTGRFCNFCDHARCLKCNSRDKFLTFWRCCKTSMCHNTGTKDIKLR
ASSFRSQYWVVNEMDYGCCRLCGHPRCDDCYHERYPERSWEISNIDSTNSKSLFESGTSVESRDATAVERDEWSRILTWSKAMRYQKIKLSRGSVNE
DKIPDKVKKIKPSVIELPTPNETHVARKEEDTTTQKDENTLLKGWKEECIAAFIATSPGPSPHSEM
>RCO7_05423 | uncharacterized protein
MLPSILALLVFSTTISAQTPLNFSPNVTTKLQVKFGSKSVTTGFALTKAETAKIPTMGTSDEALKGTYNFFVINLDAPGSFVGGAAGTRVTNLHCLL
TGYTSATMATNSLYTLTNKDASVKAYVGAGPPAETPPYAHKNVELLYMQPEGFKVPSAQISSISNGISMLRSGCKAGCAG
>RCO7_05424 | related to quinic acid utilisation protein QUTG (inositol-1(or 4)-monophosphatase)
MADLNLQEIHDLLISVAQEAGRMMLAATPSYLSSGTKKNSADLVTETDQAVEKMVSTRLLTPYPSFQFIGEETYYPGQKLTDEPTFIVDPIDGTTNF
VHAFPAFCISLGFTVNKIPTVGVVYNAYLDELYTAIKGQGAFLVRNGGSKERLPLKQDPEPLKDLSTCLVGTEWGSDRTGNNFALKCKVFSKLAASK
EEGGAMVHSLRCLGSAALNLVSVASGQLDVYWEGGCWAWDVAAGWCILVEAGGIMVGGNPGDWQTEVESRKYLAIRGAPSGQKQIVEEVWEVVGDGR
LIYES
>RCO7_05425 | probable acyl-CoA dehydrogenase
MSKSSSDSNGAYPAFGSPLPYAEPLWYSRNVSPHYNDSHRLLRAVVRKYVDEEILPHAFEWESAGQAWKLHVEMGFVGLATGVYNNIKLPGDIPPDQ
WDSWHSLIANDELSRVAYTGVLWGLGGGNGIGVPPIVKFGTQAQKDKFLPGVANGSIRFCLGITEPDAGSDVAGIKTTAIRQGNNYIVNGSKKWITN
AIWADYVTAAVRTGGAGAGGISVLIIPLKASGVLTRKMENSGVGASGSTFITFEDVVVPVENLIHKENRGFEVIMSNFNAERKSIATQAIRLSRVCA
EDAWRHACTRETFGTKLIENPIIRAKFAKMGRMIEPAQAFLEQLTWLIELNRKSGKDDVRIGGMTAMLKVVSTRCLEKCVREAQQVMGGLGYARGGK
GGRIEAISRDVRVMAVGGGSEEIMSELAIREETKDLKKYASASSKL
>RCO7_05426 | uncharacterized protein
MRVNHLTLAFLLGATASFSLPNVQGGKNFAQDGNGTLGLPAPSQPPPVPTPADHKEGHCGEKCGGVCGDRIIQVPEECDLGPELNGKEGSGCTIDCR
KCAILVCGDGKVDEGEECDLGGQNGVPGSGCDKSCKKCTIPVCGDAHLDAGEECDLGDKNGNLGSGCDKSCKKCAVPLCGDGYVDAGEECDLGYQNG
VPGSGCDKSCKKCAVPVCGDGHLDGGEECDLGDKNGVLGSGCDKSCKKCAVPVCGDGHLDEGEECDLGAKNGALGSGCDKLCKKCAIPVCGDGHLDA
GEECDLGPKNGILGSSCDASCKKCAVPVCGDGHLDAGEECDLGNKNGVLGSGCTKDCKTCPIPVCGDGKLDAGEDCDLGEKNGVAGSGCSKDCHTCP
KSYCGDGHVDAGEQCDLGKDLNGKPGSGCTVECNTCSYCGDGKVDAGEQCDLGKDLNGKPGSACTTDCKTCSACGDGKVDSGEGCDLGPLNGAWNSG
CSAHCQPLPICGNGKVEDGETCDKGAENGKPGSSCDANCRTCGVCGDGNLDTFLGETCDLGPLNGKENSGCSKDCRVLPICGNGHVEAGEECDAAGA
NGAYNSGCSKACKLCGYCGDGKIDHASGETCDNGWELNGTPGNACSWNCTAVVCDYSCGNGIVEPGEACDHGKSNGKAGDSCTTECQWVAPKCGDGI
TQYPEECDDDDLNGSKWSKCTKDCKWVVPCGNPQPPTCGDGLVAFPETCDLGYLNGKVGSNCTSDCTFCDDEPSFCGDGVIDKGEECDDGKDNGQAW
SDCDKSCKNKYTSTCPQVCNPNPFFNKCHITTSCIGTPSLADYCACRAGYRADGLVATDAKQFRLAFPGQEYRVFVAPGVECNTLCTSPFPGPDSCH
EVPIQGSC
>RCO7_05427 | related to molybdopterin synthase large subunit
MAKELEDSGCYVALTDDHLDIRATMDRVRSPKAGAIVLFAGTTRDNFDGKPVKELQYTSYEPRALQSMLKICKEIKDKHCLTSIAMIHRLGVVPIGE
ESILIAVSSPHRQAAWRAGEEALEECKEKVEVWKKEEFGGEEGGIWRANRDGATGAKIDQGKEDIEIVPSSAPLHGPILRPGRPGERGHGSVVHPNN
LPDNQ
>RCO7_05428 | related to RNA binding motif protein
MDRNRPMRYQSNEDAAMYDDQPYADDFRGSSSQDYHTWKDDSRTPPRASAPGRTYITANNERRHKEDRYESYDRGYDRSRSPRRDARAHYTDRDREG
YQSPRRDRSRSRSPYFGGPPNRNVILEGLPFEWTQEDILKELQHIAQHIHLEGLEEVRLIKDKRTGQSKGFAFAQFERISEARSFLERYYPIVPLYG
TYDPNQSISKEPTHVRIAFGRERDDRERIGKGDDDWKCDICFVDNFSHRTLCFRCNAPRTRATANGLVVAQGNMSAFSGFATTGDSDVSPDGVPSQF
LLLRGLEPGVNEEMLAKGVAKLHKVKASTPPSNGQGFKKRQISSTTNDASLGAKEGSLQRVLLVRDRKSGDSWRYGFAEFSTVDDAQAAMVKYNSSE
KFTISSKSVTISYIHAGVFVPILHQVGDEYAKFTFSPLSNAAVKLMYWDEAAYASELVTAIPPQNPAGKSKESKHTKLALAAAKEGLINSGTDGEPR
LKKRKMEKETKVVALHLQFWTNRHAEIHGLPQKEASNDTATLPSSISEKTPKTDDPPSQTFADLKRKCCLLCSRQFKTEAEVNKHVRMSQLHRDNLK
NDVLVSKAAAKLKKPGDATSDDTYRDRARERRQAFNQPKQPAAQHGRSKDFTQTSVNKQEIEDPPAQSKGATLLGKMGWNAGEGLGALGTGRTDAIV
PELYSQGVGLGAQGGKIGDAAEEAHRQTKGTYADFLNKTKDKAKERYESLS
>RCO7_05429 | uncharacterized protein
MPHPKRSTLQPRMPELYSTLGYSKILSPERHKLLYADIHAFFTAYERNVSAFGSRDLLSDEIKLCASEFLVEESRGELYWGKSPPAGNYNGPTWPAE
EPLISETVAHILRRKAKSTSVGRSIARSRARRADMASDTESPAKSCKKRQRDEGSTDTSSKLCYEFGEDSESQFYLQYIRSLSPKVGAGKVTGFNKS
WLKTTNIIWPDLADGKLQTFMHNRKYYVFHHGPGSELVNILKKGSDIEILENGLLYDEFKKRIRDRIKFLAHRLATDVPYPVLELKNSGNVQMTRRF
ALMWGRKEEWWNSIDLFPPQDLAVASSKKQYLSKQRKTSGSKEKSPVAFPNLSTSKIAIPQKSRLVSLAGLALLTATHGSEDEWSLTLADQQDEMVT
LDASAVMSTRNRNRSRNASTEDSIVVDSLRRLTKEASRTFQSRSSIESLSRYAQVQDRDGTNGQGAASSAIRPPTFVSSKNHANAHNSTRPESSNDL
EMQIPSFGHNSGQFMVIDEKGNARFSKTEPVPDTTRCAPMETTQQQPVQPRSRSNRQAALDGRTRAPDPQLLSINERISHPLSESYPPRSILPPRPS
WGTVADLGHNKTYPFVNTKSIEVSTPVHKEVTQSIDDTNGSIRPLPLLSLSPTILASSSHLSPARSLGSLSPLTSPGSQSNVFGPFLSHYGRRGNKP
GPQASSKQVSFAQSHVSILSPKQRILAEKRASVLEEAAEWHEIMSHEIRISPQVLERRRSQEESTLPLSFSLPRSIDTESAPLEDFTSFSDDGSDQR
QSEQTATTTPNSGCFAPSNEHSETIAPLFRVADEQTNIPPPQSSPSGRRPDDHACSPPAQIYSRDSQPSQSCPDSATVLLSPSKSRSSVPGSESHLP
FSPEQEAPASLLSSHLSRQQTEPATTTTVLHATAYSFSEETVSSHETTISLERYNTPAASRSATNNLEPRTSPVDPQAMVPSPRPFTSGDPQSFPVG
KNMSQPVKASVYNLKSVRPTPFKHHLDQGVLDLFSPNCSSSHMETDTAETNPGRLMTDTNKVLNSKQGSLEGNVIEPAMIEHEGAAVRRSAFSTRTL
HPEQNRQHVYVEADISQPAQPSTFAPLYIMRSSPLSQITTETMKSPDPIANRLGTEVDIARAASAILATEIEETREKITSDENAGLTTSKELHGVPS
GMSMSTLTNVPPQRHGHYTHVPKSSPFSARPSKEELTGFQNLPNQTRTIAQLGPSKKQDFTLVKTINSHSRTKTLELLFESASGEMNLDTGYSFDVI
LNNTLSGFFSFYAIASGAPIDSFGRLRFTPLWPNCLTTRATKQMNDQAWRKLQKVIQASFKQAQRAEPEEMDFQIMVQME
>RCO7_05430 | probable Sco1 protein
MAKSLNASRTLLSSLTARTSKPQLIRQCTRAYTRQAARCVQQGSRSRMEGGSLGTGLAGGRVLAGGYGSANASVRGSGNGSVRGYKTVQEAKSRYKS
GPFSALAGVLFLASGAGLIFYFRYEKARMERKRVAEAAKGVGRPKVGGPFQLLDQKGEVWGDEKMRGRYSLVYFGFSHCPDICPEELDKMAQMIDLV

NASPLLSASSSSADSKALPPLLPIFITCDPARDTPSVLSTYLSEFHPAIVGLTGTWEQIKDVCKKYRVYFSTPAGVKQGEDYLVDHSIYFYLMDPEG
DFVEAIGRQHSPESAAEIILAHVGDWGKAKR
>RCO7_05431 | uncharacterized protein
MLSLTPFSHSLHLPIDSPPPNRPCAGRQLHARRAGTTIGWWWCCVESEIRTAALTTPSPPLSNDPYELNEPLTPTPVQRQQRHPLRRTHLEAASAGI
NPLPRAQFQPRQPRSDELTHDFDEEASSTPLTSSQHYSPEAEQEPRAQRISRTTASAILYTLEEALRHPNPFTTDLVEENASMSDLVGLPGPAGNGR
SGNGRSHPPPVTSASPDVKGPREIMRERTAREARKKAENEQREALERVRAAEESKLLEQEKRRSAERRAAVAAGVAAQQRASGESGQRISSGTTGQR
ISDGSQQRRSDPTPEDLQGVGRGGRAVGGGESAPATRPRPTQQQQQSAPRPAPGSSRPRPTQAEPEGAPASAPDPASRSSFPHAFERWETLSAHWEG
LTSFWIRRLQENSNDLNRDPLSQQLSRQVTDLSAAGANLFHAVVELQRLRASSERKFQRWFFETRADQERAQEMQAELEKCLEDERKERAAAIADAV
AKERENSKSTKKVAEMQRELQIAKDEARRAWEELGRREQEERDRTAALRDGRPTLIGGVQVVPMMPGVPSQHTSARDRSRDGQYASTDGPEVEGPID
DSDVAYQQYAQSERAEPANPFNDNRSSSRPAHTEASLPTHPAFTNSRSQDHSPAPAVQPASTSAFYQQNQGASSIHSDPPYRQPSVPSETGAMSEDE
YEIDSQGQFIRDARGHKVRYQGPPSDADTDEYDVASEREREQANHQRYGQVSGVEYGRGPTAATTGPTSNPAVGAPADYTGQGYGAAAPEWAAVPRH
HHPTRLSDVLEEDERSRTSASQMSRRE
>RCO7_05432 | uncharacterized protein
MRSVYLLAPLFAGVQAALTFKGVDWSSLLVEESAGYTYKTTAGVTQPLEKVLVASGVNTVRQRLWVNPSDGNYNLAYNLKLARRAKAAGLNVYLDIH
FSDTWADPGHQLLYIFT
>RCO7_05433 | related to arabinogalactan endo-1,4-beta-galactosidase
MISIGNEITSGLLLPTGSTSSFANIARILHSASSGIKDSSLSSKPKIMIHLDNGYNWDTQKYWYTSVLAAGPLLISDFDIMGVSYYPFYSSAATLAS
LKTSLTNMAATWKKNIMVVETDWPVVCTSPAYSFPADTTSIPKSAAGQSTWMMKVAAVVAGVSGGNGIFYWEPAWIRNAGLGSSCGDNLMLEQNGVA
RSSLGVFASI
>RCO7_05434 | uncharacterized protein
MAIPDIESRTVALRVSSDDFPDNYSVSSYSSGSDSWLMEDLFDNSPGFPSHNISHSSCGSSNSRLDYEEHLWRSWDADQDTFCADPLLAPIQVREQG
QTRTTRKLPSQIQHERTETSKLQHLKRAPATRSPRRKSRIQAYSPSTAVRTNYLPYISSEPEAVDDRQDYHMKCHSWPTPAGPLVRPQRSRANTTPA
PTCILKFSRPSNLSTCTALNQNNGPPIADISILRSQPPTPTFLQFPYVPERDLMDLMVETSAFSDDEDDEPPTLKSAIKYTKSVLNLHRAAANSESE
KLPVEKAKRKPRMTLRRAMSSFLSKKKGATL
>RCO7_05435 | uncharacterized protein
MTWPRTDVTILTSSNDDITKNTWSSSRDSDGHLIFFPIIVGCRDCTSLLTIINGIDGFFNTVFKFPPIPFPRFPKIPKLHIPCIFFCHKGHRHHKPK
PPVYNEPDKENEGNDEDDTSTKTSKSMSSESSCEAATASVCTVYSTLKVDGTKTTTMTSTSCSAETKCSATGHSTTTATTSSSTPESTRYHITANRR
AGMIAINALTARLKVETDPTTLWVIGGPRSTGGWTQDLTLNQAELYKKEPTVASVRPVADYKLSHEISRVPSAQEQRDSIHADLIQTVAGSISSRSR
PKRDGVPIQQTTEDDPLKIVSQPFGALDLSLIATYSHQQEEKGARVYVLDSGFDITHPLYDTLVQESGIPDWLWPGSADDADHLYLPYFYEGPGTHT
DGDVWDSHGTAMACRVVGSKLGVSKKASLTIVRLPRSIVGAREVRISSFKTRVRVIEDALNLVIEDVESRGIERMSVVSISGAISAGLTSLPVEGDD
LWGVYQGFQALAELGVPIVVSAGNGNGFLDAQNRKIWPITSEYVKWATVLPLIVVGGSDKDGTFDVKTRWQPAAGFPQSGVRIFAPSFTMEQACSVA
LGTYHQVGGGTSAAAAMTSGLVAYFLNIKSHHDKIMGNLEAINLDGEKYAWPKAIKKYVEQMTFQRRIGLREESPFIITNGENPFDNQGHAVCRPRG
NFAGNSKRQTGGECIRQDDADASSSIASLSTASLASASSASLASASSASLASASSANLASISSASLAAISSVSLLSVSASIASVASAIVASISSASM
ESASSELTATKTSSSAAPTPTDKFSGYIGSTCGQGNVSPMGKTDTEKVVDKLCDRSYTWETKNKAPRERQGTSGSIAEVVLGQDGIKTLGRIWPTED
VGSACASGIYPRALTNSECYNAYHRLSNGRSTIFGPQDHNGCMNFLMIQGPSKLPLETTSTPPPQTSATPPPPAPEPSPPPTTIGDRYCYKPDEFDD
QQPILPGLAQEAIQDMCSRYYTWQDAKKPANGESGKGVALACKVNKYPRTLYEDVCAYAFTQIKDSSCKNGGMNVATAINGCFYFTMKQVQNFN
>RCO7_05436 | uncharacterized protein
MPSLHELTIDQVHHAYKSGVYTCRELVEAYIARIKALDQAGPKLNAITVISTSCLKEADALDVHLKEHGSFSGSLHGIPVIVKDQCDTKGISTAYGN
ISCVHTPTEDSTLVAKLRAAGAIILAKSTMPDFAASFNSASSLSGITLNPYDTSRETGGSSAGTGAAIAANMGLIGVGEDTGGSIRVPASFCNLVGL
RPTVGLISRCGLSPLVKLQDTPGPMTRTVRDAALMLDVLAGYDSKDSYTATAVLAGPPAGGSYASNLSEVSLNKARIGVLNSEFDRNERSEAKGVSQ
IVREALTQIEKTGAMLIDIEIPNLDFYIEESSAYMSRSRYDIDNFLTKHPVLIGVDFDSIYAAKNYHQSLPLFRAMGAPGSIKHPYDDLSYGKCLDV
QQTFQQVVIGIMAQHNLDAIAFPSVQIPAPLVTDVLGSRFEEYFPTNTSIASQLHHPAISIPVGFTEQEGGLPVGLEFIGLPYTEQKLLELAYGVEA
LIKARKAPSFDCLQKGV
>RCO7_05437 | related to oxidoreductase CipA-like
MAKQTGTEPSGSQNRIKNIALVGGGGRIGSYILKFLLLGGKHHVTVLSRPASTSVFPSHPSLTIKNIDYASPVSIVTALTGQDVLVITMAATAPLQQ
ESFLIYAAAQARVPLIMPNEWGPDFTHQGLAEGTPIIAAKLATHRGLIEDIGVSKWLAVTGGFWYEYSLASTEWMYGFDFKKKKVTFNGDGTVKINT
STWEQYARAVTALLSLPIVPVDSEDSSSTLSNFHNKHCFISSFRVSQKDIFESVLRVTGTKECDWAITHEDAKARRTRCLDLSQRDYKEGFRLAMYA
RTFYDDGAGDFETRHGLSNDLLGLPIEDLDACTAKAVERAEKLAETY
>RCO7_05438 | probable alpha/beta hydrolase
MAGIRVTEDKFALPDGMMAYRKTWTPSGEPVAILIHVHGFGEHINKYYDFFPTLASRGILCTGIDQRGWGRTCRDDKDRGNAGTTETVLSDLASLFE
SYLSSSTPVFVMGHSMGGAEILTMASTPEYQSLTSRLSGILLDAPYIGLAPAREPYAITKRLGKIVGAIAPKFQIVNKPPIECVVNDPAVQQDVTDD
PLCNGIGTLEMFDGMLARGADLQSGKLVLNDGIKALWLSHGTGDQLTSCDASREWFEREGKKVQDGEFKEYPGWSHQLHIDTPEHRPIYARDVGEWI
LARVGNSQ
>RCO7_05439 | related to cat eye syndrome critical region protein 5 precursor
MRRSISSPRHSVLKCHSTLIAARRTCTEQSFHTIAAREYSSIRPAPLPNSRRPSRITVPKDQLVVPRRFLNTEVVEDTEVSASPIPTFAFAFDIDGV
LLRSSNPLPGATEALLYLQKHNIPFILLTNGGGKLESERVAELSERLGVSLLEENLIQSHTPFKALIEKTAPQYIEGLADGVVLVTGGDGEKCRQVA
ESYGFKNVVTPADILMACPDIWPFSKNFSDTYKSSCRPLPRPVNLTDPDNSLKIDAIFVFNDPRDWALDTQIIMDLLLSREGILGTVSEKNGKDRGY
LQDKQPRLYFSNPDLLWSSAYHIPRLGQGAFQTALAAVWQRLTDTGLRYTVIGKPEKATYHYAEKVLLAHRQNLSIAAGKADASPLSRVFMIGDNPA
SDIRGANIYALRNQKKKSDINWTSILVKSGVFQEGTEPAFKPKVIVDNVLEAVKWALKKEGWNGDVEKFKE
>RCO7_05440 | uncharacterized protein
MKLFILPQIVLIVNISAAGWNPGHFEYNNLLDTWQPKPEHSIWTEGHGTKHSSYTQRAKEGTSAERTLKDQVPRIATQHVFHDHDVDHHLTYYPYLV
HKRTIPRLIVYVQTLKTPDGKPLSLFPLLENKTGITHVILASVHLHQRPGEIRLNDNAFSDKLWDPIWGDVKVLQKSGVRVMMMLGGAAGGTYGRLN
GTDEEFYKYYYPLRDLIKRYNIDGLDLDIEENVPLSTPIRLLTALHRDLGPSFILTMAPLSSALAQKDGQNLSGFSYFSLDEFATVPGSDTKLVHWF
NAQFYGHFPRGSPSYERILEQGWEPERVVMGVLDCADDGQPNGFVHVEDLGKTVKSLRRETRDSFGGVCGWEYWNAGTSECEKTEPWMWVKKVGRAL

FEDLSYLEKFQEEVRGEKGD
>RCO7_05441 | related to acetoacetyl-CoA synthetase
MTDNKKSNTNGTVMSSKPILWSHPDPDSTQMADFMTWVNTKYMLDMRTYEELYQWSIESMGDFWGEIWKFTGINAIKSYKEVMPKDAHIFPRPDFFA
GSSLNFAENLLYPTSKTNLDIDENSEAIIEATESGRSSITWAQLRERVRICALSLQSQGVVESDRVAGFLGNHANTVIAMLATASIGAIWTGVSPDT
GVTAVLERLIQIEPKVLFVDNAVGYNGKVHGSLAKVKEILAGLSGLKACVMFETVKGFEMKTEELSLPGGKVWKYEDFADKSSAPLEFNHLPPSHPL
YILYSSGTTGAPKCIVHSALGTLLQHKKEHVLHCDIRPEDRVLYFTTTTWMMWHWLVSALASGATIILYDGSPFQPYGDLSMPRLIQDLKITHFGTS
AKYLSILEQKSVKPMESEAKLDLSSLKAIYSTGSPLAPSTFNYVYEVFPTSINLGSITGGTDIISLFGAPCPLLPVYSGEIQCSGLGMAIEAWSTSG
EPVPDGEEGDLVCTKPFPCQPVTFFHPSSPSQGQDKYRAAYFEQFPGVWHHGDFIRFEKGTRGLTMLGRSDGILKPSGVRFGSAEIYNVLLKHFSKE
IADAICVGRRRETDTDEVVVLFLKMADGQVCDAILKDAIKAVIRKELSARHVPAIIDECFDIPITGNGKKVEIAVKQILCGMKIKVGASVANKECLD
WYKEWVASH
>RCO7_05442 | uncharacterized protein
MPQESPHVMYDIQPRSGGGWLLTEKKFKGLPRLSATARGEHSKIIPQELHAPQHVPTVTLKSIGYHSLDDNKPVFATAIAGRQVSELLEAQTFSPQN
MKDLGLWEKLVELQSIIVKPEMAPHLASLETTQNRKRTGTVYNITWSVEPNSKDGSIRPGIIAKKRDPEVMRMVELTTEISFALVKTADGSWTEEHE
RQWIKEASLTCGGGENKSITSIQVNLTAIKREDELDEDLLGEEQDISEKDEDPGHGGAASAHQHTALNDHDTAYGESEESDSIKAGEELMEETLKQK
SHVHKDSHDERRNFSTILFLNHVPEDHFVGRFNITNLRLTCTCIPYSALVFTANNPHGGSGFAPYAADLSPDSPLRFKRAIGLEFPVFPADTPFTRC
LTIAYSRQDCMRARTRQLNPSIWGKTALGGFINHKAQSNWMIRHAIRDCVDIGVPNPSIQDYLAKFSWVEDGKKCFEDRKLVKEALRLRGTDNTEWE
IMLKLTGYNSAHIKHDHPSRYESPKQRRARLVREGLGGAAYCTALTAVGTRCIAFLAKDVGGTKMCANHWRRLVAKQKIDLADRVENDNHNGIVIDE
AGVKEYNAHHMATESSHEWQAVNNAKRGKRMRNESGTSDEDEGGDIRDSFKRRLDHAVDRKRDYEEDGEVEDNEGGNFSVSSRRRLNHRKDRKLFSG
GDG
>RCO7_05443 | probable thermophilic glucose-6-phosphate isomerase and related metalloenzymes
MHFQIQSLALCSLAVFTCSVAAATLEKPTGQSFVVGQPADGKGKGGPFSGGTNHQLDLANLDNLGAQSTDNGLVPNLKWSFSDSKARIFNGGWTREQ
VVTDLPASRDIAAAQQHLKKGASRELHWHRVAEWGYVYAGEIQISAVDEYGRYQVDKLQVGDVWYFPKGSAHTIQGLADENEYLLCFDDGDFDRVGT
TFMVDDWIAHTPKSILAKNFGVNESIFNTIPTPDPYILNGTVSSTNTTGEAAGLFGNSSSVIHASQYGSVPVPGEGGTFSIIDSTNFPIATTIAAAI
VTLEPKGLRELHWHPNAEEWLYFHTGTARATVFIGGANARTYDFTSGDTAVFPDNSGHYIENTSETEKLVWIEIYKSDRVVDISLTQWLALTPPDIV
ANTLKISRSVVDQLKKEKQLLIKGN
>RCO7_05444 | uncharacterized protein
MGHKITPPEKPLKILTIDGGGLQAISTLLILDELLDSIAKTNEVPHRKPRPCDVFDTIAGIGAGGWLAILLGRFHMDITTCLSEWYKIIRNIAPRSK
SEEIRMRAFKHSYFNPDRLVQQIDTMTKIYRTGDLLFDDLAEDFRTRHVIVAALRSDAEKYDLFRSYKIPENAALKRQLLEGPVDPATFKISSAFGV
TGAARYFSPSWDERMSSGQTRFNDRKFPNPHNITELALNEMWALYGTRVEISIVVNIGPGLPSTHDVRQIARRFSWGLVPPTSTSGYPKRARSPASN
EEQSLHGWKRTKTDPPGEGRSSQPKGPSVKFSLCENKVVSHPAENKHPIIRRDTVGSIKGRPVGTKLKRKEAEIENDIKKKLLYIYKEKGATIYHRL
APLQAPDGTARNDTSAPGLTLDSTENFLKQPSTLEKIYRISEQLKMVTTTSGKQDTTTTISVC
>RCO7_05445 | uncharacterized protein
MYNETNDSSATCTNVLTLDGGGIRGLSSLEILKALMDYINEAVQTLETKKQGASDRNGEIDEMWEGAQRILQPRDIFDLVAGTSTGGLIAIMLGKLG
MTVDDCIATYEQLASGIFGKKHLRARFTRGFAPARYSASGMEARMRELLKSKGLDEREKMQVPGAKDKIACAVICREHINKSRYSDFLSAAVCICSL
PCPATFECSVCEAARATSAAPTFFPVQKIGNRYFSDGGMEFNNPSLEIWSHYTRPISVAETRRRSAVLEIGSFPGHPGGLDFSKVRIINLGTGDEPP
PDREKMGSKFAILIPPPIRMLVSLGSKLKKMAVNAQRTAKVMEALAQVSRNGATSLLYHRFSADNGVCFIKMDEHKKIQELKSKTLDYLRDPTIQRK
LQQLAASIAANYIARESARQNQPVINQSSVLQANTSTEESRAPHTILPTMDSASTDIEQYSNISSKDSAVISSPSRQPSTEVTTPGTGSTPNTRPPR
TALKGSNILQDSNDLELAIQNMVTVAA
>RCO7_05446 | uncharacterized protein
MGVLGVFGREGRRWLWERQETDGTGGGDEDDERGGGPRSDGGGPGSGEGPGGKGPGGKGPGGKGPGGPGGGPGNPAATGTPSGPGGPGMGGGPKGPG
GSPNRPGGPGPPGQRLATSTSTTSTTTQETTTSTSSTSTSTTSIEPSTTTSTTPPPPPPTTSTTSTSSSIVTSSTQLPPSFTAIPVVIAPPTAAPII
SLPSPSSTTLSTISLAATIIPFPTISQPQTTESPTPAPVVFTSPPASSATQSSSKGPVQSNGNAFLPNIARTSTSRPTGVSSASSSPSAVFAGNGIS
SSKSTRPTVIGIGVSIGVVSLILSGLLFFVLRRRRKQKANSMMGRSAATNHSFWDRLSGPLSRAVPAQPPKIPVQDFNTYTPASVPPVQRRFDTSSG
ESSNVELSQSALFIPQLTRNEFTISPPIYTDQSYQQQGQQSTLRIAPELNPQSYGTTTAIRNGPLSLSWFLGKPSKIPQPVHGNTTFRQPTGYGTEK
NDASRNIAHVEAEVLEQEKRWKDSRELADRTSANTNTHTSASSFPQTGNRQTAQSDGWESGIGDAMSARFLSGFGSDTTGHESIAIENARTEFVQSV
TREEMRSMEQQKARIARTRREKWESSPDSLNNLPRWRDPMLSIFEEVKENSEMEQTTNWGV
>RCO7_05447 | uncharacterized protein
MADSPIAETFGPGKIVLKKKKKGSKWHRLDLSGSVPADNEAEDEASSNPASSAPTRASTPNLMLTSDLSRSPPPTSFEPLSITTSDCANTHPLSQEH
TAALNIKKKSEISEANTGSENRPDSESEFEGFAADSFEVQHPVVSGSFRLSNTYSDQTYSAGLHSTPTQAGIAPSLSFADSEYIDNDPTPRVAQGGF
PASFESHNSLSETDWATFDDIDRSDTQSTKDRTEAVLAQLSASIMVNNGRDVVLDDVFDSADWDPEMPKGPSPTASPELMPLELKPVAYTTVGSLVD
PSNIPQFSAPNRIQREGANRRPVPLSMMQLQQFDSSFYNQQRGPPPPLNMSNSMQYAQQLGRNPSNSTMPSSAESQSSGSAMSRSMSGHMPERSSEY
DSLGPQELTEREELSLAQQLNIQESYCYGSTSYDDGNKPVFKVMPTVDENRNVHSVRDMLDEDARRRSHSYHGSLQGMDKMQTLQRLSKFENPMQEA
CRNRLAELSVKGKPANGSASLTPYDVAVQDQNSAMYSSTEEASIEKLIVNIGPGRGGELNRSYQFPPPGLATNPLLASFSNSALQQAFIQPRPPGYP
QPLTAGPPRRSQFPAGLGSIGAPQSNSQQVQQMENSADGTKPKAGISIAPPVPTNSHYHKAGAMGGAPPPLIENRSYPSTKIQDTLSAQDAMMKYYP
NGLPPDFNYKWNPISSENAKLIGERVPTEEERNAARLKGQQDWFYQGQRRYATMKGQDHIEELEMRNKQTDKFGNIAPPKPINHPVIPAFITPEQAR
NISTSEATIPLLDATFGTLLAYAEASNSSRSRLSKFVTPDAHLIDASPTGNDSSFGEDWGPPGGPRGSRASVSVANSSRASSIAASSRGGGVKISPF
ERFNSGKHGKN
>RCO7_05448 | uncharacterized protein
MSPSPIRKVFNLLKDMVGGFGNEVISTEMPPPPSYESIDHDPSSYKLIPQSRFPLRLYNPSQPPRIVATDVPQWNWSTTECKEWLVAVLMDLMDWDA
LAAARQADHLHGHGPNLYLRTSESWIALLGVDNGKGIYAMLVGCRRRKGAVPQGVRIWHGVGQ
>RCO7_05449 | uncharacterized protein
MSQKMSPHDPSNPNDPRNWNGRPGPIFMAVNPFDVHKNPVLYSSFTLLPIPAHLQPPAQASFSSPAGTPILNQQQSLVEPSPSEELERRIAELIPGQ
PIPPSLRSDIEFAGLDQNVRRQNPDQATAPTSVQLLAELRRQKVLTRFYEKHVQLLPELVRHLANNGMAFDAFASHMELDALASEIVNLMARTNENI
TSEDVQEEIELRIREGSSPAEIDHNIHQLQSLLSQILQQITREEEGDMEIPQVLNDEILYQQVQTYLTGSGIMSTHMDARNDLEKRIKKLRAERARQ

LGSNPASRALSRVPSLIPDDTPAETPQPENSSGFIREDILKFNMQARSRAGLPAGFAYDPAWRDKGKGTEDTNKIALKFYVNDGPQGPNETGPDYKK
RMKRAVKNMGIERRLVPSLSEEEVLSFGNDKAGLAKARQISRLEYTKDSNRHSGMLQDKGKEASEYRARWAAEKRVRQAKNAVRRREAQEELRAEMA
SRPESWGMRLPTPPPPDDSGDELYDFTVLSGPRNVEGREIKLAKGRQKKARYRQRVDPSKAGAQGTVDSRDSEAISAPPQNTIQCATCHSAGAYCNI
ANTGRPCTRCLSNGIQCLDRDQEITYTFLNRQTAPRANTGRDDGPANKGRGANPNFKNSYSTSAVYRESRGRTQLVTKKGKMSKRARDVRSRSPTGI
FETDSDFGNTDIVPCDNCIVNGRSCDEDGPPCKSCVLNGVEATCDAGALHGQQYQAQPSMMTYDPAQLGTVPDTGAPALDPWGRVNALLEEGIPLTS
GAGLNPFQEIPYATQAGMAWNDTDFHLGFTSHTAMANPSAEKMSQSMNWMTNEPAALPGETQYNSFGQELDMHGQIVPGGRMRRDVIVPDPDLPSGN
IGNRNFNRILFNINTENGQVEVNNSFDPGADQAMDLFTNIYNMDDTAMGGTLNETLNPQLPNDALSFGQDPARQPEYNIPQDAVLSDIDPLPTLQAI
PAQNTHAYPATPLKTRPSLPPKKP

>RCO7_05450 | uncharacterized protein
MPTGANIKSISSISSSKYVPQNRTTGLVSDEVDTDVTMAPSDNGSRSDDELQATHILQPSSISSVDRQDFLDISLIEPWNLYGKDDCVNMLHCQLSD
TENGGFTIQSAPEHFGSVKSQFHLYGLDLSNAQYDQDSQLQENSSSVIDCPKAAVEKQIFSDTELPHTQCGDVIMDEGSDKSRQPTSLGMSEVLSPK
MKSLITGHFQASKPPTKYETSPPEEPQHLKAAAGSSRDIELPKTQPFSTTLPQEDVSQHLHLSLQSKTSNFETSNSFGKGHVPGTLVSKVAGQGNGT
KMLASTGLLAIYSPDQSITSDPSLLTYQNPQILSGQQALPAFRDNSSIQVHELGAEAQSHEQQLKNTKIDRVFTLLESSQSFISTSSDIKTPRNIVS
CKERKRIAVSYNRPPKITKAMTDWVTSTNWLLDPFREEDDCWFHPSPPSARLSVTGVLRPVGKLQRRFAWKDCGGKHSIALNYGIAVKLINFQMTKQ
QQDGFINKQWHLSHLCGNWTCLNPVHTTVEPGPVNINRNSCFSHRSGCLHSPKCLKNKKVALGADGKLIDHSNNAVKEIVGVSHFDDFSSPLLLDED
NLVVDDFESSDLGS

>RCO7_05451 | uncharacterized protein
MPSACTNCLGFHYPDHRRASAANQSNNASYAEALATSSGTVPTSRTRSDVLPGSHFQGREPGLKKRILNALKVNPGSAIYVNDICIYLGTERHFDVD
DKPSRGRTLEQRVQKERERSMSPARYRQPSPQNHRDRSPPLDCGPPGYYGSSQQQSRYRSRSPLAYCRRTPSPYRLPSYAPDRRARSPRYARDSSAV
VFEARNGGDRRDKNREPRRAAPVKFNMPPAQPNFHQTGRPANTSQHVSGNTAEIARGSPLQARDTNSQPMQGVIAESQVKAVSESQSQAEAYKAFKQ
TQSQMSPPPASSQTRASTIVDDPHFVLGITRGAGRDEILDAYQQRMTEVANERRADENFQHRMPSHIWEDSMNILIAAKSQLLRGV

>RCO7_05452 | uncharacterized protein
MTEVNITNSSAEETCLSAAISPSMQAPDEAQFEAVSLANPPQYLPPEIIDIILSYIPLRPASQSTLRACTLINRSFYYASTPLLYHRPYITPSNFSL
FVQTICPSKNAHIKLTPLSPLVHRLDMGALVHNSSKSLTARLLGRLKGNIEQFVAPQSSFAINSFAALGKCRGMKLLDLSLISASISNSLLFQTLSH
LNDLETLYFPRSSALDQLSVAANTIPYIWPPKLSALHLAGGITDSFLWTHMISLPQTLRTLSIQHCSQIHQHSVIHVLEVLGERLKQLTIRHPMNHL
SITSLDNLLLLCPGLLALRISADFISPALFAAENIPLNIPQGTCKNGSSKPSQTHPLRILDLECSPSASSEVDIPPNVIYQAAEEGMLPDLRSVRVS
MRLAWGATETLRRDASDLLEVMEEREVERPVGVQAEVLWSMGDT

>RCO7_05453 | uncharacterized protein
MAETKRKSRGDTPEAESSHKLRSKPSAEAKVDPTYGQRSAIPGLDNETLQYSDEEFDCDEDMDALAYLRAVRQEATTIPNLLVAPKTPISSDNRKIY
GDCVGEFRGWYADGAYIAQSDPISTDAEEAGAIEEDADPRLAYFDTILARYQTLRDQLSQTPPRLVVEQLGRDHPTHVDKMNRDLTRFWIKKMRSVD
PKAAQLACFDKGSVLRLLRLLTQGTLLKRGLGVEASISMWIWSLLAKLPERGELSSEEIGVVRELGKKAVLVGMGLVRNKEWEEGIKEVEKGFDRDA
RSAGDLEGEDKDVTAYDEKDVVVNEEEIMLEEELQDDRAEAESREGAGGNQGATANEPSKSASSEPACMKTEASNHTTTALDPLATAKARLLANITA
KALEAPEAHASGIELGFEPNPEPTIGPVQPEEPTFPENDFDARINTKATVDVILTVAGEAYGQRDLLEFRGQWGGN

>RCO7_05454 | uncharacterized protein
MQYQNSDDFWFTDDFWLTDDLWLINNGDILAPITSYQPQLNADAAQPDFWLTDDFWPPDDFWLLNADAAPKPDFWLTDDFWPPDNFWLINNSDISAP
KTSYQPQSQQPQLNADAASQPVTNNALSVYSSLPARILAAGHLPFPPRLRYDDDSELEYGFDLPTDIRTAGNRQFEIPLAHNRDYDYQFYGNSPPYR
FTPWSTEMEEFLWYLVQLAMLQKNRYIRYTEFRPITEALNRKFKDQQPAGTEYFKIGWRNVQGKFDYMSSIQLWKWTL

>RCO7_05455 | uncharacterized protein
MSFFRTAAGFPYVSKYGQPTAILHEGDVYLKVPTSLGSAATQGGLHTQVIALETSDDDLSPEDDPMDVDQKGPNVVAFNQAIYHKSLYDPAFAGDDM
LRTVVASDLDLDLEPQHAATAGAPEPAPLHAPIIGTAATQEVPLRAARTTMNNHHLAGWLASQSSSANGVPKYHITRSGIDSFYKGAQSSQETTLSM
PPRSAIRNKSKLALGFDLSPVERAATRFIKPLPFNYYIDAAGKQQEYTAVTKPARAIWVPEHKVYCWELVKLATLQMNRQMERKDFMVITEALHRRF
QGTTDPTHGAYPLRGFNSVHTMVTKHPSWAAFNADLLN

>RCO7_05456 | uncharacterized protein
MKGITAILLASPLALATGSSAKSSPTSNSLSLPHFVELPISRSMNQFVTEVGIGDPPQSIRMAIDTGSGFTWVKLPDTQECWQCVEGETVGFCANGE
DMIHMFNANASCSYKPDAKKPFTAYRDKDFIQGYQSSESLNLNGATISKLQISMVQNSTMDVDGFLGLGYPDQFLGKGKKKGAKKDTLLDKMVKGGL
IHHKAYSFYLNDDDAATGNILLGGMDTDKFTGSMKEMPIIPHKDSRGHTSYQAPQVMMTSLELDGKRSISF

>RCO7_05457 | uncharacterized protein
MPQDVFEPILEIIQRSGSNGTHLPISGSKEEGQIIKFVDCKLRNTLSDRTITLGFGGTEGAKIEVPIQDLIRPAPGCNEETIESMQDENGPPLLDSH
CPCYLAIDQSPKSHSNDKTEIMVLGDALLRHAYVVYDLQNNVIGMAQRNFNSDTSNIVEFGKKMKGFLGMQSIKATASTASRSGGTEFDSAFWALMV
IFGWLVFFA

>RCO7_05458 | uncharacterized protein
MEDLFRSDRLVYRAIEDTPEDEEFMHLIQSDPVAFSNSDNALLAPMSKKESGEWKKSVQTKKLIGVIICLAPPLSNPALPSDTKAPPLTPIGCISLT
GLKPGYYQHRNSDVSIDIVAPYQRKGYGSEAIKWILDWGFRIAGLHRIGIECFSFNSGARELYEGKLGLWDELGKGDAVKIAVYAAEHFEKHKRPLR
IAIDEAVWCYKYCIHDHEHIDQIRLVRQRDSQPSEKNILYQILKLLKLNIQFVFVADGPLRPVDKLKDAICEHQGWPDARSGSPSRSAGYHTRSASS
SSCKDLLYEPRKEGIAARSAAVADTSNKGSQTRKRERQHSTAPDQPMLTMSKKPKNAACSASPAEQILVLPAQSPCRSKSFRVPSPMSPFSSQLSMR
DISPLLSNSVAQSRIVRKEQPVVIDLLSDSE

>RCO7_05459 | related to arylsulfatase
MRWLHLTLLTSSVASANATTFGSNRQVLGNGGDINSTFNKSKQNIVFVLTDDQDVHLSSLDYMPFVKKHFLDQGTYFNKHYCTTAVCCPSRVTLWTG
KAAHNTNITHVNPPYGGYPKFVTQGFNEAYLPVWLQQAGYNTYYTGKLFNVHTVDNYKKPYAARFTASDFLLDPYTYNYMNSTFQYTGETPKSYMRG
TDNPFFLTIAPIAPHANIEMNGSILDEGHTFELGSPVPAKRHQHLFKGEKVPRSASFNPDEPSGANWILDLKQQNQTVVEYNDHFYRQRLRALQAVD
EMVNGLFESLETHGILENTYIIYSSDNGFHIGQHRLQPGKSCGYEEDINIPLIIRGPGIGGGYTTDIVTTHTDLAPTFFDLLGIPQRDDFDGSSIPV
TKARIEIAQERRRSTSMLSTGALLVGKANMTNNTYKAIRILVPEYNLYYSIWCNNEHELYDMDADPSQMHNLLSISHSTEHKIAGLPITKVITRLDS
LLFVLKSCKGITCQQPWNQLHPKGDVSNVEDALSERFDHFYEVEQQRIKYSFCSNEYLIDAEGPMFENQGSVFRDGLTWYECV

>RCO7_05460 | related to trichodiene oxygenase cytochrome P450

MVFITAFSVVLIFGLFLFGLAIYRLYFSPLAKFPGPKIAALTSLYAFYYDVIKGGQYIWVVEAMHKKYGPIVRIRPDVLHMSDPEFIDPIFGGPGKC
RDKYKVAVNGYSAPYSGVGTRYHEVHRRRRAPLNPFFSKKNVRKLEPVLQRTLQKVLERLDRSSKSGEVMVTNTLYSAATSDIISDHCFGESNNNLD
KEDLNKPYFSAFHDAGKGFHFITWNPWFVPTIEALPQWVVALLIPQLEIFLQLMQDLNRRLTNVKMEIKDIGSSDNAESTVFHILLRNPNLSIADKS
DERMLEEARVMLGAGTDTTSITLTAITYQILANPAIFKKLRAELIAAIPDPNNEPVLSQIEALPYLTAVIQEGIRMHPGGSIRQERVAPDEDLLYED
RKTGKKWIINRGIPVGMTAPLLSRNEEIYPEPSVFRPERYIDNLRLDKYQLAFSRGPRRCLGMALAYSELYVILSGIFRKYDLYDGTGKQSSPTLEL
YQTGRDDVDMVADYAIPYVRDESLGVRVKVRGV

>RCO7_05461 | related to mitotic spindle biogenesis protein Spc19

MSAQSQSLSSLSASVASLRSSLSLLDSSISILDSGISDFPRLKKVLSSTRHFELTPHSTLQSAQSSLASELAPAISTLLSRAEIYISKLERKQNNLI
ARSELLEGRLEGAGGLRKQQSREKLGRSGGAGGLGGKGGGKGNEEKKLRLKALKGKKERLGYAVERLTLQSQQRQRQLRMSVAGSANA

>RCO7_05462 | probable siroheme synthase

MVIISLLTSIDATGHIHLIVGSNPLAAARCAKSLEVGATPFLIASESAQLHYALQKRIDSGEVKWLKKDFEDEDVLRLGREEISGVVDAVFVTLSSR
EPLSSHISKLCQQNRIPVNVADSSALCTFSLLSTHTDGPLQIGVTTNGRGCKLSSRIRREIASSLPQNIGVACARLGTIRKRIQEEDHLSHVTLADN
LPEEEITDQTSSFNALVKEADLDAAKNRRMRWLSQICEYWPLRRLANITDEDVDSVLKSYAANPSTSTPLETTHLDAVERRGRILLAGSGPGHPDLL
TRATHKAILSADIILADKLVPSGVLDLIPRRTPVHIARKFPGNAELAQQELLSLGLAGLRAGKTVLRLKQGDPYVYGRGGEEFEYFRKEGYGDRISV
LPGITSALSAPLFAHIPATQRGVSDQVLICTGTGRKGKPSVPPEYVDTRTVVFLMALHRISSLVADLTTHDSVDAKIVGENGMMDESRRLWPRSTPC
AVLERASCPDQRVIRTTLEFVGAAIEEEGSRPPGLLVLGNACEALIKGDAGRKWIVEEGFKGFEDFVGLGTSGIEELVVGNGKKDGRLETVAPLVRG
DSVGRELNLCV

>RCO7_05463 | probable Putative 4-hydroxy-2-oxoglutarate aldolase, mitochondrial

MSAPQVPPSGVWAPAITFFNHEDDTLDLKAQKQYDAHLSKSGLVGLVILGTNAEAFLLTREERSQLISTAREAVGPTYPIMAGCAAHSTKQVLELIS
DAAKSGANYVLVLPPAYFGKATTPAVIEKFYSDISAKSILPIVIYNFPAVCNGVDLDSEFITKMAKQHSKIVGVKLTCASVGKITRLSASLPASEFA
IFGGQSDFLIGGLSVGSAGCIAAFANVFPKALSRIYKLYKEGNFEEALKLHRIAALAESPCKAGIANTKYAAAINSAKAAGIEGAEEKLKPRTPYLP
VSEEAKSQIKSVMAELSGIEASL

>RCO7_05464 | related to cell surface protein

MSGLKSSILLPLYIYPLPKAWDPLYSAIESHPTLDFTIIINPNSGPGKTALPDEDYSREIARLNQYPNVYLVGYVNVDWCKRDMEKVCRDIDKYASW
GKYGNGEFTMKGIFFDESPNEFKEKRKVFMDAVDQRVKNADGLGGFRLTIHNPGTVPDTDFANPGPDLTTVFETEYKHFKDREVQQRLTNLLRYDRD
RCSFMVLSVPKSEVPDLVRDLKRRAKYIYVSESRRGWYEKFGDGWDRFIEAVAST

>RCO7_05465 | uncharacterized protein

MVSQPLARADLETAIANYGPILQIHPDEKYDLCSIEWFLSHSTLVDSKAPTSSILHPTELQLPGAPKEDKRYYFTIEDAVKPGNFDTAKTYINALWS
EGNPYTDIQFWYFSAYNGHGTARFSSLVFNQVRNQGDVSVAPLGEHVGDWEYAATRIDNATKEMIGVILSAHGKNTFYDQATVAKLFEMVDGTHPVV
YSSLNGHANFPTAGPNFTEHRKVLGIPAGLEFNLLNSTADGGKRLECSKRYQVVAAKWLDGTSDAYAVPAWVDYPYRWGPEGTAISMDSKNLGEFIK
AALGNDAAKLIDTPIVLLASELLHIFVRADINGAAAPATQGPWSGHY

>RCO7_05466 | uncharacterized protein

MRTDDLRESPGFLHNLPELYREFSDRDPLLENAVMAVALAHHSNQGGSCDAALQARKLYGLSLSLLNEKLSGGNLQSETALIAVLFLNYYLVFGNES
PTSDVWSIHSDALSTLIRTRGTSSQFLDPKIGGITRAAVYIAVYRNLTRRILPGAEVALLEKSLELYRDAIWAQTTLALSRITRLLCQCDELLARDS
QDVLASEAVVQLIFRMRDEDHRYPEKYDTMALDKTRLERSFFDIIWVNSWRAARITLLQSLIDLIIRADTQSELQFRLTDLERLRYAAEKSILTIVD
EIMTTTSSLLAEFEAKRLQANRDGTSIGCVAIAYFMSLAPLGVAIGVRGLSEEQRLHIAGQLAAASANIGLRRPIRERWRR

>RCO7_05467 | related to RPN5 - subunit of the regulatory particle of the proteasome

MSDEIIRKPDKDFSSEVDKQLPEVEKLAQTNIQGAIEKLTALEKQTRQASDLASTSRILVAIVTISKDSGDWSLLNEQVLLLSKKHGQLKQAITKMV
QVVMGFLDSAPDSETKLSVIETLRTVTEGKIFVEVERARVTKVLSDMKREQGDLKAAADILCELQVETFGSMERREKTEFILAQVALCIENDDWTQA
GILARKISTKYLSRKPKKSEEQLAKEKKEREKKRDKGEDIPEPVEDDVTDLKLQFYEQQITLAKHDNKYLDACKHYRQVLDTEAVEDDPSKLQPVLQ
RIIYYVILAPYDNEQSDLLHRVFRDSRNAQVPLEAQLLKLFTVHELMRWPEVSKLFGPHLCGTDVFDSASGQSSDKKAHQRWEDLRKRVIEHNVRVV
AKYYTRIQMPRLTQLLDLTEDETEKYISELVTAKTVYAKIDRPARIVNFAKPRDADDVLNEWSSNMKSLLGHLERIDHLITKEEMMARIQPAKAPKA
GKTGKAN

>RCO7_05468 | related to dihydrofolate reductase

MSTEKANGEGPRKLKILMLHGFTQSGPLFHAKTRALEKILTKAFPALPPAPHNCKASPGNLLSYPGGIQLIYPTAPIRLQPADIPGFSASEQSESEK
EDPDAWGWWKKDSSTGEYIGLDEGLETIRKAIEEVGGIDGVIGFSQGGAMAAMLAALLEDGRESHFLPSSPLPYPPSYLSLRSTLPQQPLRFAVSYS
GFYAQPELYKPFYEPKIKTRFLHVIGSLDSVVEEERSQGLVERCEEEVRTKVVHPGGHFVPVGREYAGVLVGWLRDVLSEKKVDEESVEDMDMPF

>RCO7_05469 | probable lipoic acid synthase precursor

MAASVTRFRCLNLPPLRQVSRTLFPPSLPSRSFATEATSLEPPSKRRPTYFKDKLNSVPSFSEFVGQENEILSPEESLELRTAMVGPEGRKKQITRL
PEWLKTPIPDNTNYKKIKKDLRGLNLHTVCEEARCPNISDCWGGGDKSAATATIMLMGDTCTRGCRFCSVKTSKAPPPLDPHEPEHTAEALSRWGLG
YVVLTSVDRDDLVDGGARHFTETIMKIKQKKPDMLVEALTGDYAGDLEMVAMVARSGLDVYAHNMETVEELTPFVRDRRAKFRQSLLVLEAAKKTVP
SLITKTSIMLGLGETEDQLWATLKELRKVNVDVVTFGQYMRPTKRHMKVEEYVTPAIFEMWRQRALDLGFLYCASGPLVRSSYKAGEAFIENVIKKR
KGVTILVDETTGMQKAIV

>RCO7_05470 | related to multidrug transporter (yeast bile transporter)

MSLELLNIQCVLAIAVLLQSIPSIWSLLSREWRRPKSLRFGGALYEDEDGVATPESTKRFSNKTQTILLYLAVIIGFGVSIADFACLFAISGLSSHS
HSNHYDNNLLGILLLVPVWLLVPIYHAVATICRLAEPVIRFRAIIGRLWSCFPVAGLALVTLIDHSDIVTKTLTSFQLGLSLVLIATIFSVKRRPDV
YRDGRLVDRQWNVSLWAKYSFYWGESSLAATSRSDFHNSDMPVMDHFIRSEKATAKFRNIAIKEDSLPLWVQIAWAFSWELALQWIATLFSNFFDVA
PAFATLQLLKYLETREEGSPSQSGAWMYVTGIVGATISSSIVDSRLVWWSHTDIYIPIRSILTGLVYAKMMKVEDSSKPPNKRFSKDEDKTVDDTKS
SDDGQSADQQDILNMFTVDCSQVAFFGWSNTQYVNLAGKAIVTTAFLWLLIGWQSLCAGLLGIVCLFPINRALASKYGKKQKALMAIRDTRTTVTTE
ALRANTFPGDFVSFHNASVSFPRTSTDSDDTKFVLRELNIEFPNNELSVISGPTGSGKSLLLAAILGEVCLESGYIRVPKFTGERFDSKVTTSDWII
PSAISFVFQTPWIENATIKDNILFGLPFDSIRYEKVIDACALTQDLDIFEDAFYSRAVIIIMDDVFSALDAHVGEHVYRHAVMGELTLGRTRILATH
HISLCLPRAKYAVRLSAQGVLEHAGSVEKLRQNGELDEILEGNNTTKSADIAEDEVLRLVKANGRVKAAVYSGYVSASGGWPLWTILVTLLLVTQGF
TVGRSYWMRIWANEYTRSENLSNFSAKLLISYHYDLQRHLASWPLDTVSHVNFSVSTSQLVPIDIHNRNLWFYLGIYCLISTISVMLAVGSVYTVYA
GSIRASRKIFRDVFDSVLRARLRWLDKVPMGRVLNRFTGDFINLDSSLAGNFSRFAGAITQTIGIMVAAIYVSPFILICAVVLLLGCMYFGKAFLAA

ARTLKRLESTNKSPVISHFAASLNGLSTIRAFAKTSDFKNRMFTLIDCYAACTWHTSLFQNWLRIRIAATTSLFAGTVATFVIKKRGIDASLAGFAL
SFALNFGSKVKEVINVSTLLELDMNATERVFEYRDLKIVDQGGDEVRATWPEVGKVEVMGLELGYAEDLPAILKGLTFTAEGNLRIGVIGRTGAGKS
TLSLALFRFLAARKGSMKIDGVDISTIKLYDLRKRLAIIPQDPVLFSGTIRSNFDPFSKFSDYQLREALMRVHLLPTATHTPNPQLQNVSSSSSSTA
INTSSTTENKTRFLSLSSPIASSGSNLSHGQRQLLCLARAILSQPKVLILNEVTSAVDMATDLLIQRSIREEFANTTLLVIAHRLSTVADFDKILVM
SEGREKEFGTPRELLEKEGEEAIFRGMVAMSGEKEELEKMILGRLR
>RCO7_05471 | uncharacterized protein
MDDVFSALDAHVGEHVYRHAVMGELTLGRTRILATHHISLCLPRAKYAVRLSAQGVLEHAGSVEKLRQNGELDEILEGNNTTKSADIAEDEVLRLVK
ANGSTAMSSQDAAVAAKAPPRKLHE
>RCO7_05472 | uncharacterized protein
MAAKSRAFSTRTKHIHRPSDGVRFEVNQMTPHLRYYR
>RCO7_05473 | related to hydrolases or acyltransferases (alpha/beta hydrolase superfamily)
MPNSMSTSILRLLFTSYVVAAEALVWSSCGTNLDCTTLTVPLEYAVSTNHGQASIALVRYKAKVSSSQRLGSLLVNPGGPGASGVSFVQNGAGSAIS
NLTGGLYDIIGWDPRGVGQTRPLLECFPNASAEYKFSEALPGGPNLWLGMFSNSSYDAEVTKRISDFDTSIAGLSHACAAQKSAALYTSSAAYVARD
MATIVTALDGKDAKLNYWGFSYGTIYLAEFIQAFPTRVGRVVADGVFDPEANALTYTSQFPNDQISARDAINDLISFCEAAGSNCALSTPPKGVTAT
LTKRIDNLFESLFLNPIDYFGTPISLDSFNTFLSSLIIIPATWSLVANIIKGLELRDATLLVNLVSSQTASAPTDPSAPGVGTQSQSPLMCIDNAPS
SSITLQTLVKLTKKISIAENTPFLSAGLKPISFCRNFPDTRPLLKNAGVSLMSATDAILQASNTTVLIVNPKHDPSTPLISAKKLRCLLPNSSKIAI
RGGSGHTTISLASLSMSQTIHDFFVSGALPIDGEYHNVDQNVFPAGSGKDLVAAPAFNGTYTGAQTKILQATYSVLAAFISLA
>RCO7_05474 | uncharacterized protein
MFIKEIQKSPNNNIHQALHTFFRAAPSTEDRQKNHSGAHVGLHATEALREIAVGKGYFFVVMARNRSAFCISYIYASNAPREVGRWYGKICRREGER
LAWIKSPPIETRLSAIGQTKDLGERSNQVTRLFHSLKGETLRGIGKKPRVGGYKGPACIVCGM
>RCO7_05475 | uncharacterized protein
MKFQGYSLAAAAFATPTILAASVPSSLRYCTLPVAGAAYESVPAAALNIDQDILNKAVGDANPSGKLAIQVFRNNCLLSTNQTSALTDQDRKNLFSA
AKGVIGILTGIAFDQGKLKLDDPIDKYLPSTAGWGDAAHRAITIRQLLQETAGLDKGVFSEGITFLLDPSLPQQALAMKFVTPAGEAFQYSQRVPDL
LAYVVSRAVGQELQAFAQANLFTPLGIAKTQYIWFKDNSGNSYGYAHLYLTPDNFARLGLMMQNGGVYSNSRVLSQTWVDLVSVPSEHNGCYGMLFW
TNRGDTCISPTGYPFQRSWLPSAPRDLFAMSGSPQQKNFMIPSLNMTVSWMEVTPGKGPPADIWYKFFKTLMPGVRDLPPFDPKTYEMEPSGLNATL
EALSLSVLLGNLLSSPQCNIVICNADISLLGILGWAGSFEAAIDMIYDLLSATSGRFGM
>RCO7_05476 | related to brt1 protein
MKSSMKSFIDKRRLSHQLPRPTIGELRAENGRKLISSGSEFEAVIGYSRAVVTGSWIEVSGTTGVHYDTGFLAPTIVEQTEQAFINIAAALDQAGAT
LRDVVRVRYILPDKKEFCLIWPTLRAVWGTIRPAATMMEAGLMNDEMKIEIEVTARKFRPNLEGTV
>RCO7_05477 | related to n-alkane-inducible cytochrome P450
MFSVTSGPLLSLLVAYLLYKIIRSFYLSCHNTITARRLNCLPPPVQPNTLPFGLDHILAAVRSIKSKSYPLYLLNRSTTFPYHTFSTTILGAPRLFT
IDVENIQALLATQFEDFNIGEVRGLNAHPFLGKGIFLQDGQDWERSRKLIRPQFSRGQISDLGVEERHFQEFVKAVELEGTTEGPDGEEGWTKELDL
QPLLFNLTLDAATEFLLGKSAASQTGFLQRRKQELEYGSGRQTERRDEGADAQAFGEAFDVGNAGLAKRSKFQPYPHWYIPEGWNNAIKTCNQYVDT
IVTEHLRARQEKIDEKKVLMSDFGSINGDQKGTYVFLEALANSTQDPIELRSQIMHLLLAGRDTTASLIGWLLFLLVRDTSRFQLLREEILSKFGSY
SSCNPESDITFTKIKACKYLQNCIHETLRLETVVPHNFRVANKDTYLPRGGGDEGRGRVFVPRGGMVFYSAFVLHRREDLWGSDVDKFVPERWEGRK
FGWEYIPFSGGPRICVGQQYAIIEASYIMIRLLQKYNKIENMDPQLEASYHSTMTSCSANGVKPSNLPDLGVCGLKPFFKNTHPPQASQLNNVFPIS
QSVKMKSSMKSFIDKRRLSHQLPRPTIGELRAENGRKLISSGSEFEAVIGYSRAVVTGSWIEVSGTTGVHYDTGFLAPTIVEQTEQAFINIAAALDQ
AGATLRDVVRVRYILPDKKEFCLIWPTLRAVWGTIRPAATMMEAGLMNDEMKIEIEVTARKFRPNLEGTV
>RCO7_05478 | related to cytochrome P450 52A13
MFSVTSGPLLSLLVAYLLYKIIRSFYLSCHNTITARRLNCLPPPVQPNTLPFGLDHILAAVRSIKSKSYPLYLLNRSTTFPYHTFSTTILGAPRLFT
IDVENIQALLATQFEDFNIGEVRGLNAHPFLGKGIFLQDGQDWERSRKLIRPQFSRGQISDLGVEERHFQEFVKAVELEGTTEGPDGEEGWTKELDL
QPLLFNLTLDAATEFLLGKSAASQTGFLQRRKQELEYGSGRQTERRDEGADAQAFGEAFDVGNAGLAKRSKFQPYPHWYIPEGWNNAIKTCNQYVDT
IVTEHLRARQEKIDEKKVLMSDFGSINGDQKGTYVFLEALANSTQDPIELRSQIMHLLLAGRDTTASLIGWLLFLLVRDTSRFQLLREEILSKFGSY
SSCNPESDITFTKIKACKYLQNCIHETLRLETVVPHNFRVANKDTYLPRGGGDEGRGRVFVPRGGMVFYSAFVLHRREDLWGSDVDKFVPERWEGRK
FGWEYIPFSGGPRICVGQQYAIIEASYIMIRLLQKYNKIENMDPQLEASYHSTMTSCSANGVKVRMHEAK
>RCO7_05479 | uncharacterized protein
MGSKDRENEVEERPSERRHRSKTEKDPNRPHKTRSSRPKVIDPETGEVIRSSHRRRKEKESEKDKERGSEPSTSMADLVPELARTASAPGATSRGSL
PYPSFNKACSKEAVNSRDDVRLPATSKAGPYTPESTDLGSNEKSRSKSAEHIAPPRSGNIQKDGRPPSPPETNVSQQRKYSTSRMSQVREDVEGEAR
PASSNSWFARMANDQVKETQSKVSTKSKNSKASTIKSPKMKDERGSMDNLRVRDSGIGSGVDSNITSVAPKRDQEKRESETSSKRPPVLDTDSSPDS
GQDSSPRTPTQTPQFLPSVVPSIKPTPSPFIHFEDHGVISSAYDSPQPPPPPPPPNVPINIPRVDYLMQNGGLLRPVPKTLLTAAPNFPSQKSGSRD
ATPIPSELEKIFGPFYTVLDQYEAVINKNGSMAVATGYRSVARRLLDRLENVFNRDLSSEGCSCVMCQHSDSARHEGSRGLGWGEVLEWVSGRRELP
VWPAFDFATLGVRAGEDLSSGLGISGDGGPERPRSPIKMDPDVAEEFREHYLAQTKKTKHAVDKWLSSCPQTAATPPQEVDDETLSFAILTHLDQYD
RPIFNALVLGSTVLQPASRVPQVKPRSEFIIKTGHSIQRLYRLPIPPRDPEAAIYLLKNPNLHNLLATISSINVSEWEILTSGRFDGFLWSGADESS
NASPAPSRGPTPAGGFRGPMSPAMRQAHHSRNNTPFSPIRSQTFSPSIAGFQSRGPTPFAQVRQPVSNDEETEIAVLAEVEREIYLSMEALEDAFEG
LHRKAEMVRRALRERGAGLSMSLQSRQSTQPDIISASAPGFPPSGLGPGYERQNWGEGSEMLSESDWEPESELMSELAPDDSASNISSSRHRRPKRR
NERRTPALVEEEDED
>RCO7_05480 | uncharacterized protein
MGDDFVAPVKALLKALNAGKGVGNRLAASANTAPATQALQITDAVLVLQESLERSSHAITEAYRQNAAGCGDQFARTLSEDKAIQNQLKNLKNEIRD
KIDEIEEELNSFDTATCLDAAEEAKNCSATCINIMNGLRDRLLAAQVLVAEEPKDDRKQLASMRLERSPTLRKPLPTAARCGSPVESLRLVSPIVET
SQEPMMPRNSWAIDTQSQFYLGPPIRSPGNPSQRRQSSRDISPSSLPNVAHDLISRDVVRSRMDENEEFLERRRQSKLLFWNELRKSVSSIEEYKER
KSFVDGPLIVSPVLKLSDGVISPSGGSRPNSGYSAIVTRQRSQASQGSRHSSVPEHPEHHSQRHDSQDSIFGLRNAPLSPPLSGHRTSGQADTTWTG
LEGGSLATTLQLPDFGKGVEPGLEVANGIDYDNEKILVGPDEYKQPTPTASLKSLDHPIRHDTSFYKFGGFCDGANAILRGEAGLKVVKRPSGIYNS
SLSAKCTKCSFEVGWNEVEKDRLLESSGIYSNSEIRWRQRFISKCHLKTTDEAIYACIFCIEEHKTTEEHDATVFFSVGQLFRHLAKHPRPLPNIPG
IITLYGFQSPEVVDFDLNFTSPHPTTSVYSMRVIASKVASRPSGQATSTHRPKPGRSNLHDPEGNPVLKFANGARIVGITFPVRFSGKWCMGYHDGQ

RGAFPASEIMLDVPAKEDILMNPQSSLIAIARWDFKPKDTRDGGWLRLSRGDKILCIGFTFQDQWFWSGQNSKGKWGLFPAAFTENLQDSGAGRSGG
GPRHLSMVHGSVKPAAPAPSGHRMSLSSSAGTKSGFGFSSRMPSFPLSRNRSSRGSVDNSSVRSSGSASSPSQQAGLEVYTGGTMK

>RCO7_05481 | related to dis1-suppressing protein kinase dsk1
MSASRPPTILPADVRIEEERNPGYDPKRFLPVNPGDLLNNRYKILVKVGWGTTSTVWLAKDTEQWWWNSNRYVTVKVTASDCVDDDAAKHERILTQH
LMKNPSHDGFSFVRTMLDSFEAPGQDGPHLCLVYEPMREPLWLFQRRWEDGKLPPALLKVYLRFLLRGLDYLHSECHIIHTDLKLDNILLGFEHPSV
IEDFVRKQAENPMPRKIRDGRTIYRSHNDFGPPQSFGILPKIADFGLAQSGEGSEPLMHPIQPPLYHAPEVLLGTSWTHSADIWNLGVLIYNMMEGV
DLFTHIRSSNGDYDARAHLAEMIALLGPAPKILLDREIRWSEVKWSHAVPNSQGKLCQTAREFYGGPFFNCEGEFMHKDLIPTCVSLEDSVLSLEGE
DKRAFLSFIKKMLQWLPEDRKTAKELLEDPWLKAKST

>RCO7_05482 | uncharacterized protein
MSRHFSSAVRAAARIIWTFKGTTKNLDMEVVAVEQAVVANPELSKKVKRVSSSNGDPHPTKYADGTEDPIHISGVLGEGNLKGSKRATSFHYYPETG
DIRFSNSKYPPIRIGTSNAAAASSSSAQSETQLPAHQEAPDWEWDENIQKYKYWDGVKWVEQEET

>RCO7_05483 | related to 1-acyldihydroxyacetone-phosphate reductase
MSVKQARKSVLITGCSPGGIGHALAREFHAKGLHVIATARTKEAIQDLEDMGMSTLALDVTSKEGIAEARVQVEKLTGGRLDVLVNNALVFLFPFLF
VGGFVGRNCTLPATEVDLDDARACFETNFFAVIALTQSFIPLLIASKGLILNIGSVAAIVPYVFGSVYNASKAALHAYSQTLRLELEPYDVNVLVVI
TGGVQSRIARTDRVLVSDSLYLEIKGDFERRVKHSQDGAMGNEEYARGVVREALKGKATMKKWYWRGNKSWLVWFVSTWLGSWAFDWILPGMFGLRK
LKGIVRARARARGR

>RCO7_05484 | uncharacterized protein
MRVNTYTLALVSILLALAPAIQGLPNWFQGKNQEAEDVANFPRQYSVYGASPYAYGGYTYPGYGPAPTLTKSSSEALSTATSAGEVTSSNPYVPPIA
SSSSSVAISIVTDPHFASSSSPSSALPSTTSSTSSPVLETSTADGVVTSTTSSPPLYTAPSSSSEIKSNTSSPVSSVSSASSSDQTTSSAIGIFTSL
SSAVTSKPYSPETSSAFVSSATSNIGGSSSTSSKQPSITSPPGSNTIKPGACYKNNCLRQLIGKSTLAAEFCSSYTTAINTATAGLPSFVSQCKDSP
SAVSSACNCLNSGAATSSLPAVTSSGISATVPSSSSVSNSSATTVPQTTSSADGPFTSTSQSTSNTPSSVASSSSPSGSSDTTVSSQTTQTTTTSIP
IGTGSSGILTSASTSGLYSNTTSIAGSSTSTGGIATSSSSYSSSSSSIPATAPYTSKSSTDSSSSLNDGTATSTPSSGFSSSSVVPTSAPYHNLTSS
VASTQSSSTSSSVDLSSSLTDGIATPTPSSGFSSSAAPTSAPYYNVTSSTASTKYSSTSSSIDESSSLTDGIATSTPSSGFSSSAALTTAPYYNLTS
STASTQYGSIPSSIEVSSSLTDGTATSAPSQGFPTSSVPTTAPYHSTNTSTTAGPTASQYTKPSSASSIDASSTLTDGIFTSTSASGYIPTSTSSNA
GPYSNTTCSEAETTKPTTPPFPTNTSSTASSVIETNTTVKFTTQVTSTVPAPTSSDASSSLTDGIFTSTLSSSAPFPTHNSSSVASASSTVSGGFIS
ATLPLYSPTTSGALSTSTADGVFTTTAPFPLFNSSSAVVPTGTGSPPSLTTTHDGAVSSTTSVPYGQPSSSTYVLPGTGSSSSVTQTSSAIGVATSP
SSSAPYSFPSNSSSIVGPTGTGSISVTETSSAIGIATSLSSSPPYGIPTSSSSDVTETSSAIGIATSLSSSSSHAAPTVTPPYPGNSSSTVLGGTGT
GYTTTTTHVSSNTSCTLTRSTVSSSESGASSVSEPSETSTADGAFTSISSTSVPSTFVTSAGTVDLPTETPIPGGYSYAYGPVPTTTSGPYGPPSYG
GYNNRGVARRNIGRRWLW

>RCO7_05485 | uncharacterized protein
MSSTMDKASAKAREVAMEDFNKAKALASSAARSGAYLYPIKGVFYFLSHKTLWKPLLSKLFPTLSLSVVVVVAMFLFAYLPQLAVLVFVNGPLAAFT
TILLTLSESSTLINLLSRTFLLQDALVDTFDGVLVSRRQTAVLSEGRQLKSGNFNDPMEKLGKLIKSPFEKFTPKALIRYIMYLPLNFIPVVGTVIF
VALQGRTRGNSAHTRYFQLKKWSNPQKEAWLKENTAPYTAFGTVATLLELIPFASIFFTFTNTVGAALWAADIEGNNTAMTEMSTPSSREGDKRVE

>RCO7_05486 | related to 3-isopropylmalate dehydrogenase
MSPSILEGQPTYRIASIPADGIGPEVIEAGITVLKKLAETLQTFNLEFTNFDWSSDTYKKTGKYMPDDALTTLKKFDAILFGAVGAPDVPDHISLWE
LRLAICQPLQQYANVRPTKVFKGTKSPLRSCQPGDLDWVIVRENSEGEYAGHGGRSHTNQPWEVATEVSIFTRHSVERIVRFAFEIARGRPKKHLTI
VTKSNAQRNGMVMWDDVAFAVAKDFPDVKVDKMLVDAMTCRMVLEPKSLDTIVATNLHADILSDLAAALAGSIGIAPTSNLDPTRKNPSMFEPIHGS
AFDITGMGIANPVATFWTACEMLAWLGQKEAADSFLDIVESVCEQGIMTKDLGGSANTMEVTTAVCKEIEARLGKPKIL

>RCO7_05487 | uncharacterized protein
MKVDKQGFRWVTVEVDQVADWWNPDHWGSNSSSAKRDIARAMKDRRRYVGKE

>RCO7_05488 | uncharacterized protein
MANLGFDSYEISGVTSNISLWLTTTLTDIKKHINRAFVG

>RCO7_05489 | probable sulfate adenylyltransferase
MANSPHGGELKDLLARDLPRQKELDAEAEKLPAIVLSERQLCDLELVLSGGFSPLEGFLNEKDYNGVVENNRLADGNLFSMPITLDVSDEQIKDLGI
KAGARLTLRDFRDDRNLAIITVDDVYQPDKAKEAKLVFGGDEEHPAVRYLNNTAQKYYVGGKIDAIRRLEHYDYVALRYTPAELRLHFDKLGWSKVV
AFQTRNPMHRAHRELTVRAARSRQANVLIHPVVGLTKPGDIDHFTRVRVYQALLPRYPNGMAVLGLLPLAMRMGGPREAIWHAIIRKNFGATHFIVG
RDHAGPGKNSKGEEFYGPYDAQYAVEKYKDELGIEVVPFQMMTYLPDSDEYRPKDEVPTGIRTLDISGTELRNRLRTGREIPEWFSYPEVVRVLRES
HPPRSEQGFTVFLTGYQNSGKDAIARALHVTLNQQGGRSVSLLLGETVRAELSSELGFSRADRTRNIGRIAFVASELTRSHAAVIAAPIAPYEDARQ
HARELVEKYGDFYLIHVATSLEHAEKTDKRGIYAKARNGEIKGFTGVDDPYETPKKADLTVDLEKTSVRSAVHQIVLLLESAGLLDRL

>RCO7_05490 | probable ISD11 Iron-Sulfur protein biogenesis, Desulfurase-interacting protein
MSVLAGAKGETGQQAAKSLYRQLLRQGEQFASYNFREYAKRRTRDAFRESKDVKDDREVQELMQKGLKELQAMKRQTVVSQFFQLDRLVVEGGKTGK
QGGRRNDIVRQKDTGWD

>RCO7_05491 | uncharacterized protein
MASASANRGSPSPAKNPFHSPARDSLRSSARNSIEPLARESLGSPARNSFGSPARKSFESPARSSFGSPARLSVRSSERNSFHRTPPRRDSTLDLDP
STIVVDTGGTSVKYTPQLRDPAYYFDSAGIQADTGGLDFEYTIQPADLVHYFDSSGIEKDIGRTSYDYTAYLEDTTYLGDPANHFDSSGFEEIFGGS
FERPFPDGSGFANEETQWKKVHSEGKATAQRLSVCSSLDERAQSKERHSESKATAQLLSGSSSLDERAQSIEVHKKVTAYRLSRRPSLDERAPSLCI
DFVTQKMAPTYRNANRRQNRQGVDHGEYEGIPIRHWRRDFVTVAPPPTPDSSTTQNDIWAVELPHGMPKDYHLLPQHSQDLLRAARSGKIYKRPAPA
DEEEADPETVVGDKPEKKDEDLKEKGFTAKSWKQVARHLEGPDVVYLAKRRKGLVTATSKPLPVPTVTKATVKRIDAAGNEYVQDVVVPLGQAVEGE
VISQIQIPDPNAPVGLAAVQATPPRPRNKPKKKAKGPGRGRKKKPIAPTSVPQAPLAEGTVPVSTAEGTTGPDGIKIEAEPTSTSSLHEDTEMADGS
AANSDDDDVDDGDDGDEGDDDEDSVDVQESPSKPSSFPPVPPFDQTDVSMGATELPHAPPRLMPDRSDGKSGSPLKYVVMPTSTLTSPSEAPAELSP
TKPFSSIHSLASESTSTDPTKPKLERLQEEMQQEVSELAPETLPLPPPEPTIVETIAALDERIAEEEEEEMMMDIHDNANNANIGALIEYSNVSASS
APRSPAVEVEPAQLDLIPQFDNDLDTMPAPKSDIVPEPTQARVDSPKAETAPEELKTVPRSSPAAVGDLTPAAVPETAQEPPVEVSTQDPPPEDDDD
FYPDLLGGLEKSLGARAETPAAVPISENITKAEVEETPNETPAGGEAIPHESDAVVDRDEKAQPDPKDPEEMML

>RCO7_09024 | uncharacterized protein

MINSPLVCGSDLVPTFTPTPPAHFGYGRELAMLAKLYQDTMKFSGQGDSLTSKLLIFYDTCDRADVPPEAFTKAFPTMLKGPALEYYYHGLNSITGA
PKELIIHNIVTKMLLQFENDELHRAALTNWNFRTLQSIQSKESDKTIFQYFELLVTQIRELRHKILESMRNKDIVFNKLIQACQGSPSCSIALALSP
PSLENAVVSIRSCIVNYEFAHPTQTFYVDRTFRNSSNRGPRYGGSSGGRPTERQQISGQKPRIQG

>RCO7_09025 | uncharacterized protein

MAKPQACTNVDCTDIFPPWVYRWVLVKVQQKLENRMFKNQDILNAASEKRRLAFAESIQRQTRDFDAKERRIWDHARYHFFSKLLDGGVKKARQETV
PAYTFERFLELPVELKLQIWSMGARSEPPKFHTILPLSYDIVDPMRKAPLGQPVITGSSRILQERPFKKIPAILQVCHLSRLLSEKVYTRMRCYGKK
AVRTWDSEGYFNTLYDDFYFGEHSWESFKILIDVVSQQNTTRQLKTKVQRDMNRLLKIRNLFIDFRILVDAPISIWAEFANLTKITIVTYPLIQFNR
DVPRSDEKLAFVKAQKGTLFGNCAAWVRKVVSAALEKVKSKHPEWNVPKVEALVRKLGGDSDGMLVESWTDDLAEYKRADMKVEWCTVSENSIWYER
ARIRLKSTIAPADIEELMTAFHPHQS

>RCO7_09026 | uncharacterized protein

MVIQVGKAKPVTSNFLHLPREIRDLIYSLLFVVDGLLYPNRERSGMAEYIALLRTNRQVYAESLEILYGRNTFQIRGTPAWSAPEFLNMLGSQRREG
FVRPSQWAIDMSKFCLARQYLKRLYIPSHNINLDRLKHLISLLKYFPNLEYLRVIYNGSFGVKDMDVVNVCRLFRDRRPLVESFVLCKRIRYSEAED
ISWMLWEERYRDWKSVEAETGMKHVWRSQDGDLKEAGIVYAPQRIPE

>RCO7_09027 | probable NOP10 - nucleolar rRNA processing protein

MHLMFTTDDAGKRVYTLKKVVSGEVTKSAHPARFSPDDKYSRHRVTLKKRYGLLLTQQKNLKVLGQ

>RCO7_09028 | probable 20S-pre-rRNA D-site endonuclease NOB1

MTIDAPKPIHSLILDSGPIIKNDPHISTILGQAENIYTIPAVIDEIRDAVTRARIESTLLPFLKLRSPRPASVKVITDFARKTGDLEVLSRPDIHLM
ALAYELECERNKGDWRLRSDPNQKKINGEPPKAVEEGGKGEVVENPVEAPKVVAPVLETRGAWGTIVPIDVVLGDGAPNSTDEVLESTHISSPEAGV
SKTTPKVPSTTEEPASTVQLSAVEPSQSTESSAPEVQASKSVEDSTNVLTLNESTETTQSSAPAVQAPESEESSIPTVPVEEIEESDSEGSDGEGWI
TPGNLQKHMAKTENSTASKETEAATMQVALITSDFAMQNVLLRMNLNLLNPSLQRIKQLKTWVLRCHACFSITKDMAKQFCARCGKPTLMRTSCTTD
KDGKVQVHLKKNMQWNKRGDVYSIPKPVAGTSNGKLVQGGGKGGWGQGLILAEDQKEYIQAMSGARRKKERDLMDEDFLPGLLSGDRGRAGGRAKVG
AGRNVNSKKRS

>RCO7_09029 | uncharacterized protein

MDPDPLHRPFFLPSSRPFPHPGSTSRAQLPLRNGHGRPQHAQRSACGKSNQAEKDQRSEAPDRCPEQTQGQESESDLQTAACVPEEEENFSGLDVPV
ARDHLRYFHRVLFPTAFAILFIIAATTLFIYTFGLKKAVSRRFMKTMGILFATVIGLWVLVSLGLYFRAKHRAYCELERVDKARNKAQQELERDGAP
PEPRQVSCPLRKRSIQAALYKAGRCGWLWATRQPTLLNEKWKAHRKAKAKKRQKAFGIKPNDEENIPPTPVPASAPIGGLLDVADCSSKRISTFDNM
PPSTYNQEAAPERSLPDRVLGKNKFKKNLLTPCEIEAKNQEKIDNMFRERKYATFDKSAQDFDVHDPVDRPVLQPRNSGLESKIFGAGRHYDGTGQA
AISKSRSRAKPHNLAESSKIEDASTPNPQQYNEQVQDPRSARQPISKKPVGSSSRRPKVLGPRENLPVVGMPSMAGSSKKNVRAELHTRAEEAQSPS
SNDTPPAQHSQSSRAQNATAPTTKSHITSRNPALRRKQARVDLKNENVTVSPMPNNLVVNMFLIPTDAALGLAAIKQFQSRQEAFASTQEVSKSDHD
LSKIYESIVKLDPAWGPPDSRRKAWPFDIHSKPSATEKALSDLPEMPSPVKLAPPAFSGILFPERPAQQANFQKQMSDKNNMRWHPMKRRSDGLLHR
IPFFIDEIIRRAYSAMYEEHSHLFKRSKRVVDDCESATGNSNRLCPESCQASTFQSKPDDALTVAPLKFPTRRLSQATSKIAEDGENVQGSLVVGSV
IRLHTPEAGDTSPMSSVDMVSGSVLKVSEEEMETRKLSVAPQLAPIGVGLREKTANEEIDFTDGNWI

>RCO7_09030 | probable clathrin assembly protein AP47

MASALFFLDLKGKTLLARNYRGDIPMSAVEKFPILLSDAEEESSSVPPCFSDEGINYLYIRHNNLYLLALTKRNTNAAEILLFLHKVVEVFTEYFKE
LEEESIRDNFVVIYELLDEMMDFGHPQTTETKILQEYITQESHKLEVQARPPIAVTNAVSWRSEGIRYRKNEVFLDVVESLNLLVSSNGNVLRSEIL
GAIKMKCYLSGMPELRLGLNDKVMFETTGRATRGKAIEMEDVKFHQCVRLSRFENDRTISFIPPDGEFELMSYRLNTQVKPLIWVECIVENHSGSRI
EYMLKAKAQFKRRSTANNVEITIPVPEDADSPRFRTNIGSVHYAPEKSAIVWKIKQFGGSKEFLMRAELGLPSVKGDDERGGGMTGGFGGSMGGVGG
KGAKRPISVKFEIPYFTTSGIQVRYLKIIEPKLQYPSLPWVRYITQSGDIAVRLPDVS

>RCO7_09031 | probable glycolate oxidase

MGEKSVIANMSNEVILSIEDLQEAGSKKLPTSAREFFNSGATSQTTLHENSTAFSKYRLRPRVLKNVSKCSTSATVLGSRIAFPLGISPAGVQGMAH
PEGEKATARACAVKGIHMGVSSFANHTVEEITAAGKAVGPMTFVMQLYTMKDRALEERIIKRAEAAGCVAIFLTADSPVLGVRYNEWRNDFRAPAGL
GFPMIERSTEQLQSQTHDSGFLEMNSDTHSWAEEIPWLRAKTKMQIWIKGVLTAEDVLLAREYGCDGVIVSNHGGRQLDGSPATIDVLAECVDAAAG
EIKIHVDGGFRSGADIFKAIAIGAECCWIGRPAIWGLAYDGQIGVEKAVEILYDEFRRCMMLTGCKSVAEISKASIELHMGRQAEPRTQRGHTPLGR
EDITKI

>RCO7_09032 | uncharacterized protein

MASNRRRSSVNRASVESILQSGQSTQPAAAPSPHVGTSPNRAQFAMAPPPSRPAMGHARALSYTPRRPNRLSLSFPVAPSSNGLDSTRATPTSSSVP
SFPPTPIQQTPAPSPDERNTFLVALAGQERRVLELREELAKAEVELAALKRQYARHEGSKKRAEVRHIEPLQTVLVEGNNEDPSASSRHSADMERRR
VLLNNLNIPKETRRKFSGAHTRTLSLLSPERSNFNYPQPFPPVMESSAETQGTPKSLTMPDTSQGIRRISSSRANARHSYQIGVPLGAKQLAEDLKS
GMWTFLEDLRQATVGDEAVNGTTSRSAVESTPGGPVRKSSLVGDRPRGQSPRSMSPRTWETLTGRSPLIDMGGEEPVRPREISPSVIKKSRPLSLAA
PPLDDLDDDWAAWDSPIPKSPRWSGSTTVSNPATPSNENSDENVKYDKSSSLPPFSRINNTRIIEQTTDELNTPTKRTDLQWPALDNLNISPGAIKG
NLQRTMSTIMKEWEKTTSTLLDESPDPVPSCPKADSSTEEVAMLST

>RCO7_09033 | uncharacterized protein

MPFPFVYVCDLLDKIEGICVRDVPLLRKDRVSRTKDSLISWFMTHRWRINAQDTDSSAVLMMLKPEKQTDREYGLEEHLEQVLARIFKMPTPMYEKM
MRWKEEAHNHGDLGLRLCQILQEMKATPSSATASKISTEEIDQSLLRIAIFNDRSSLAVRSLMQPEEKHPDGIDVLENLYTQLQPREAKWLTRIILK
DHGPATLPDSFPLPGNVSHLPSSIPATFSFPLEPPAPTRRIGTRVRKGIGSNNLAHPLPTPPTSSPLLPDTVEEVKKFPPRIRIGWDPRSSNLSASV
IATAPSAPPSSSPLPATLPSMSEQHLPKLLSPTTSSPPIGPALNSIPAQLNAPRKRSALGQISSNIPSGSQSQQSQSRSQEKHCNPSSSIASIQHNA
QARSQLRRAPPPPPTIFSTGKCLLTSHPKRCQFSSALLILSPNLLSNLYILKTLIPHHGAHYLTSLASLSHPSVPRRTKSGRRIKKFILVDITYPEQ
TLTFCKQAEKTVWALGWKSRNGNQERIPIFDWRVLESAAKVDRGMVLGFDFVGKHFQGTI

>RCO7_09034 | related to purine transporter azgA

MVHYTEKINDAVATSFVGRRFRLMGSGHPKAREGSRFLTEIRGGLATFFAMAYIISVNSNIMTSSGGICGSCDISEGGSPFECPSQPEYALCLNRMT
RDFVTGTAAVAALTSFCMGLFANMPIALAPGMGLNAYFAFTVVGPYGFGPVSYELALTAIFIEGFVFVGLSLLGMRQWLARAIPASIKLGSSVGIGL
YLTIIGLTYSAGIGAITGATSVPLELAGCAMSDRDPVTGFCPPGVDKMASHTLWIGVFCGGFLTAILMMYRVKGAIIAGILLVSIISWPRNTSVTFF
PHTPLGDDNFDFFKKVVTFRPIRETLAVNEWNLSGASGQFGLAFITFLYVDILDCTGTLYSMAHFSGAIDPETQDFEGSAVAYLVDAFGISIGSLFG
LSPVTAFIESGAGISEGGKTGITAMVTGLCFFISIFFAPIFASIPPWATGCTLIIVGCMMATAAKDINWKYFGDALPAFLTIAIMPFTYSIAYGLIA

GIVSYIVLNTIAWIVEKASRGRIMPADKEFKEPWTWKVQGGLLPAWVVRASQGKRDFWHEDNHNGIPTSPVSNSSPDSASARLDTDMKGQPLSTSNA
ASALVDEEKRGKIA
>RCO7_09035 | related to endo-1,3(4)-beta-glucanase
MVQTIPTSTSGTTVRLPKPTQSFQPLEYWKPPKPVRHHVRSKSSGIFSTKEEGRLRPPSTTITEIQDPEKHDLDIQRQELEAEEFFESKSKGNTDMS
FATIGEMAGRRKIFANDQVRGYKHVDSYRQPWWDLKSWGKKAWMILVGSVVVVLIIVIAVAVTVSRYNRYPNYSTQSYSLSETFAGESFFSQNFDYY
TGYDPTNGHVHYVPAQQASSLNLTYASPSSAVLRVDTSVSNTSVPNASTGRFSVRVTSKKQYGLNSLFLFDVKHSPIGCGTWPALWLTDPHNWPENG
EIDVMEAVNVVDKSFNQMTLHTSAGCTMKHVKRQQTGKVIANTCVNTTNANGGCGVEAGKDTTFGNTFNSNGGGVLALELREAGIRMWQFTRDKLPA
GLWTSPDPNSWGTATADFPNTECNIGNHFRNQSIVANIDLCGDWAGSKKDYGKNCPGTCVDHVSNNNMAFTNAYWEFGNFSVFSVK
>RCO7_11064 | probable Tim22, subunit of the Tim22-complex
MESCPGKTAVSGVMGFALGGAFGLFMASMQYDTPLHTPGSKGAELVSLPLRQQLKAGLKDMGARSFSSAKNFGKVGAIFAGTECCIEGFRAKNDLAN
GVLAGCITGGVLAAPAGPQAAALGCAGFAAFSAAIDAYMRRPSEVD
>RCO7_11065 | related to Probable tripeptidyl-peptidase SED2
MFFTRYILPSAVLIFCVSALPSPTSRQDTYGSYQVIENKTEVPSGWMYQGPANSNTILPLRLIVKSPEGDRLSNKLLEISTPGHEDYGNYLSQHELR
SLVASESGSVDLLTSWLKSYSGVSGVVYSAHASSLSFKTTVSGANSMFATEFGVFEAANGEGTVVRSLGYGLPESLTQHIALVHPVTHFPTVQSPKS
SSLEEAIKESEKAVASFSKRDIDPALLAACESITPTCIAKMYNIDYTPPVNCTTSGSSLGVAGFLDEYINHKDVTDFVRKYGNSAATRANPGTFTVE
LVNGGINNESYPGVEATLDMQYSMPFIGSLPVVYYSTGGRSPALGPDGKILPISSTATEPYLEWLEYMLAKPDGAIPQVIVISYTDTEQVVPRDYAV
HVCDLFGRLAARGVSIINASGDGGLAGQRDGACVSNDGLNTPKFLPTFPASCPWVTSVGATTIIPEQAASFSSGGFSNYFAAPSYQLNATGAYKTFL
NGKYDGLYNASGRGIPDISLYGSRYQTENGGFSSGWHSGTSAGTPVIASMIALVNDIRLRNGKPVLGWLNPMLYSEKMKSVWNDITEGISYGCDETW
ETTTGWDTVTGLGSPDFKRLVAALQ
>RCO7_11066 | uncharacterized protein
MRSSLATAVALHIGGALAASSSLYHYMPVEFAYGADSRVTADIVFGTAPSAKPVRVVMDSGSPSFWIWAPDATINFGSPYLGATGPCNAKVPVNYDP
AQSSTSSLVNRSSNYFYASNSKIVYGVQFANDTIAGVGGSGPIPNVQFALENAALLKGASPTCEAPEYDLGIVGLSHYDKEKTGSSGSASFRQNLFE
SGRIASKTMFMWFDKHLGALGDLNGGVLFGAIDESKFTGPLVEVANVIPENQIAVHVAKPNITFNGRTFTPDDDVRCLVDSGAHADSIPFLFGGPAE
KEFFAAADGLLVDYAGIVAYNGTCGSIPQSLNLTYTFAGVRAGKSVDISIPLRNFARGLAYPDTAGLCLLNLGTGGCTLGAPFQSAAAILNDDEGDR
VAFAQAAVCEERKGVNADAVVVMNEAEALAFWDTL
>RCO7_11067 | related to HypA-like protein
MASPSKTHLTAEDTGIFKIKDQDSTTAAKVSELLQENHEKHHIFFNHDGFHNHIVHHLLTLYGVGASASVIEKHYENNASYQRPPLPVEERVVQDMS
DPEHFKKYLGNEKYYHDFLVFFQKEMESRGFETVLDEFLFAGTEKADDLLGRMYGGFFHPIIHLGFGLEFKQPAIIAEALAQGAVHDSWTGEYLLRT
EAAAKSNNEASVTTTLLELLDEIRANKKLARSAHWGDANKIRDGILVRAPEEMIRIARKWIVTPETLERKTAEMTNAAIYFTVAAQRPPKQVKFDFF
YMHSTNTSIFFPTFNALPFLSSANKVRLLQWKAYLDLALYTSRAAAPLDLAEISLYTPSKLEAGDAEWPGILRRLTEVADDGHAVKFGRAVANAERL
CKPYEDAGDEVGVLKAFMWEKIGNMITDSVEDSGERWVRGTGFAEAWENFEDHPRTSQL
>RCO7_11068 | related to alkaline phosphatase family protein
MAIQDKAALASSLALRIGAYIFLRWIPGHHLPPIIYTALALYIPSFISSFLTQPKYDVVEDDVKITVTETEFEDQPPVLASTAAHSQNLPRQDKPTE
IEEEIEVDETIVLEPKRASPLKTLLTGLPDPASTALSLATFLINAALVLGVTDMLYRAKVFHPENNLSFARMGYVSPTEANLLVREPNPSQLPIFVS
YRAAGEATALEDSVWQNAGTITTLDNATDYTGTVTIPIPILASSSKTYQWTTSNNHTGYFTVPPKPGQVSNHGDFTFLTSSCIKPRFPYNPFDHALT
IPGFKHMEKVIKSIPGGAQFMLFLGDFIYIDVPKRFGTSVEDYRREYRQVYGSPDWPSVGQNLSWIHVLDDHEIANDWDGNTTGVYNAAADPWHHYQ
TSVNPPKARQSAGHGLLRTAATYFEFTQGPASFFMMDTRKYRDSSSELSANSNEKSMLGAEQLADLLAFLQKPEPKGVKWKIVASSIPFTKNWKVNS
LDTWAGYLSERQIILEAMWDVGLRGGVGVVVLSGDRHEFAATAFPPPAGGKWPISSTVHEFSTSPLSQFYLPVRTYKQTDSEDVMMKYIPDGNSKLG
AVTIENTSSDQSILKFRLYVDGVEAWSSVILSPPTIAGNRWSKDALWG
>RCO7_11069 | uncharacterized protein
MGAYFSNDLLLPPSRNIFLSNDSYIINYLLHRTSYKAFHFLLQRPSLYLPKLIHIASISAGNFTSTSNITSIKKKDRIRGLTNRIWLQQADTRNKLP
SYTVEHSITYQFPLLASDNWLLSPLYTCSIDNYEAPTITMGSKIARVNRDSLSSIASRGRASSKSSEISNISPKTTAPKRGSGSLKVNFTPGKTSPL
RDTSKVTNDTRVVQLPGLPFKSFMNGTLITSNGEPTVRPAMEPLPVAPKISKLSATTPNFVPTTPSPKPFHMAGHDPRQFGMMTPPTGAYDNVQNLT
PDMRASSSGYGRYAAGNFDGHNGGYNGGYNDVCDGGAQQNHGQAHFSGAIGSYPTPPGFAGIVVPQYASSPGPSSVHSYDSVPNGPRNPGNYAVQPP
RQVQTIAQRPTREFIARKDRSKKDIIVTADGLTRNHVRIIERQLPNGTPYQSFHYEFDAPEYNVAKLYEEMSVKQKEDFLAKNFLDIQVDIKSSGEE
AESFVENTGGNTEVANVKKKRTHAGKAKNKAQAVMHAAKVQEETATSTAVEKREFTSLDVLKSLGPEIVTCSKRMAVTLVFPPSNKPIDPNAISSAG
PVAQFSLTPPSGPSLTSPDFLYIKDLVDYIHTFKALTHLSIVLKIPASQRMPFTMPQLYHVLPFYDLGFTDWDIKYLPDNLSIPAKVQGWAVGQLDR
ERNKIIAERLRKVEEAVFVRGSVMPGISNDNLDAAAKDFNTAVAVAGAPQGPRHPRAARGSR
>RCO7_11070 | uncharacterized protein
MTKHEDPANANAQPQRPPSNCTREQPATPTINPPPHRRLAKTTSTDLRHLLHHRNDIKLTHDGLSLALIDASRADHERDAKILLEAGADVNYTGCEG
GLVLLVAARRGHGGLVRILPEEGARVEEVHLYGVI
>RCO7_11071 | related to carbonic anhydrase precursor
MLHTLITLTALTLVLACPQHDFNTRAVGLGKRADGLAKWTYATSGTWGASDSASRNDTICHDGMTQSPINLPADSFSTRHAPKFKYSAPISGALYNW
GFGPSFSLNKTNGVDYSANPSFTYDNQTVYMLSWHTHAPSEHLVGGRRTRAELHLVHGDAKGNPKGVVGLRINPSTISSPFIEQFVSKIPGHDSSDR
RKLVGLDMSLAIKEVGGLEKFWTYKGSLTTPPCSEGLRWWVSGDVLQVSDVQMRTLLGVSVYSARVEQMVWNHAIGV
>RCO7_11072 | related to multidrug resistance-associated protein
MDIRGGLSRALNSTAYDNSFGPFLNIPGKRTFDFTLLFEETILSIGPSTLLLLLVPPRILQLWKSPHKVTSSYLQTTKITLLTVFAVLQIINVVKIS
QTSFRTRASLASALLALAASLGLCVLSNIEHTKNIRPSSIINSYLLLTLPFDAAQVRTRWLRSDNLAGNGITSAILAVKLLVLVSEAIEKKGLLFAP
YVSPSPETTSGLYSRGFFWWLNPLFQLGFSKVVNDSDLFSADEDLLSKSLKSKFSKHWTNRSKYPQKHTLVWVMLRTMVKPLLASVPYRLAWIFFRF
MQPLLIRRIIELVGEPDSRSADNRGRGLTAAVGLVFFGLALNAGAYHHKANRMATMVRGSLVNAVYVQTLDLSITSLDESAAVTLMSSDVERICAAI
VHIHAMWSSPVEITLAIWFLSREIGIALLGPLFVTALAISGPFWLSGRMGKAQGTWMEKIQTRIDATAKMLSSMKGVKMLGLSDKMSSIISQLRLDE
ITMSLKMRKLMVGMIAFGNMSDIFAPGAAFAIYVIVATVNGQTLDVTPAYTALSLIALLVAPIRDIVFSAPPLVAAVSCFDRIEKYLCSQTKKDYRM
LLPDSAAEAKIISRPSPELEDIENSCNIDLTEVAPQRSSSSPAIEVKNLTLAWSAVTTDSSVIKDLSLEFQPGQLTMIVGPVGCGKSSLLQGLLGET
PSSKGNVYINHAHISFVGQAPWIQNDTVRNNIIGVTAFDPEWYAKVVHVCALDRDVGTLSESDNTRVGSGGAALSGGQRLRVALARAVYSRKRVLIL

DDVFSGIDATSEDCIFSRVLGRTGLLRQISTTVILVTHATHRLSYSDNIVSLNSLGALSEQGTFQQLISGDGYVASLAARHTTESEGGLAKVPALLK
APADDTACQNAAADLNRPVGNWSVYKYYFASAGLRNVLILAGFTVTNAAFERFPDLWIKFWTSAVAVHGNSANGIYLGVLLGVEVLAMVAIMSLAMV
LFVLIIPKSATFFHSQMLETVQNAPLSFFTSTDVGQVVNRFSQDLAVIDSELPLAALILTNNLVTAIIQAILICVSTSYFAAVIPFIVLVVYFIQKF
YLRTSRQLRLMDLEAKAPLYSNFLETLSGLVTIRAFGWEKNMEQRSMLLLDASQRPFYLLYCVQRWLALVIDLMVAVLAVILVAIIVKFRHRMEQGF
AGVALVNIMSFSMILSVVVQFWTAIETSVGAVSRIQTFVNSTQNENILGECQEIPSGWPYEGNIVLADISAAYSQDLDPALSNISISITAGQRLGIC
GASGSGKSSFVALLFHMLNIQHGSIKIDGIDITKISRQKLRESLSVIPQDPVFLKGTIRQNLDLLDLANECAAETALRKVGLWAIVSEAGDLDVPME
PEDLLSHGQRQLFCLARAMLRSSKILVIDEATASVDLQTDELMQRIISEEFKEYTIIAVAHRLQTIRHYDRIAVFGNGKLVEYGEPDVLLADGGSRF
KALWDS

>RCO7_11073 | probable SNW domain-containing protein 1
MTSMAASLSRALPTPKYTGEEEDIPQHAQQRGTRVVGAGTLDETQIVLKRSGPPPYGKRTGWRPRGQEDFGDGGAFPEIPVAQYPLDMGRKPGSAST
ALALQVDAEGKVKYDAIARQGHNDKRIVHASFKDLIPLRQRADAGDINLARPSEEEVAESTQRTKDALAKLVVGAVAAQKPKNVNVGSRKDPTFVRY
TPANQMGDNTRKNDRIMKIVERQQDPMEPPKFKHKKIPRGPPSPPAPVMHSPPRKLTAEDQEAWKIPPPVSNWKNPKGYTVPLDKRLAADGRGLQDV
TINDKFAQFAEALFTADRHAREEVKQRALMQQRLAEKEKSQKEEHLRMLAQKAREDRAGVGSGRRNSRTSRSRSGSYSDSGSSRSGSDDEEVREREK
ARAERRREEERKLRQSRMGAERRVQMMAREQNRDISEKVALGLAKPTQSSEGMFDSRLFNRTSGFDTGFNEDQAYDKPLFAAQDAITSIYRPRQNME
DDDDDAAEAEMGKIQKSNRFGEALGKGTFKGSGDVEAREGPVQFEKDTGDVFNVDDFLSKVGESSGKRQYGLQEEEDRANKRARFDEDED

>RCO7_11074 | related to ERP2 - p24 protein involved in membrane trafficking
MKFSILASGLLACLPTLVSATSLTYKLGANEKACFFNNIKTKGAKIAFYFAVQAGGSFDVDYEVMDPFHKVIIDGQKERQGDFVFTALHDGEYRFCF
NNEMSTFAEKFVDFEIAVENEARASLPAKQGTSPEQTSALEESIFKLSGQLSTITRNQKYFRTRENRNFSTVRSTERRIFNFSIIESLMMVCMAGLQ
VFIVRFFFQGARKGYV

>RCO7_11724 | uncharacterized protein
MLGLSYRVPYVREPFEGLSSLIAIREYFVELREESFGVLAVCRASPLLEVSYASSFVPWESIVGGIYLPEPDGSLSELDRDAARDSMRVFIRALEDD
GSPGGARVY

>RCO7_11075 | probable periodic tryptophan protein PWP2
MKTEFKFSNLLGTVYSQGNLLFSPDGTLLYSPVGNRVTVFDLVNNKSHTLPFAHRKNISRLGLTPRGNLLLSVDQDGRAILTHVQRRIVLFHFTFKS
PVSSLSFSSSGRHFAVGLDRHIEVWHTPSTPDQNADGELDFAPFVLHRRYAGHSDAVQDIEWSGDSRFFLSASKDLTARVWSLESEDVSAKTVLGGH
REGVLGAYFSKDQETIYTISKDGAVFERKYLAGENAQERDEDDDDNDSHARWRITKRHFFLQQNAKVTCAVFHAERNLLVAGFSNGIFGLYEMPEFN
MIHSLSISQNDIDFVTINKSGDWLAFGASKLGQLLVWEWESENQILKQQGHFDSMNALVYSPDGQKIVTTADDGKIKVWDVNSGFSIATFTEHVSGV
TACEFAKRGNVLFTASLDGSIRAWDLIRYRNFRTFTAPTRLSFSCLAVDPSGEVVCAGSLDSFDIHIWSVQTGQLLDRLSGHEGPVSSLAFAPNGSV
VVSGSWDHTVRIWSIFDRTQTSEPLQLQADVLNVAFRPDSLQLAVSTLDGQLTFWTVSEAHQKSGVDGRRDVSGGRKITDRRTAANAAGTKSFSSIK
YSADGECVLAGGNSKYICLYSVDSLVLLKKYTVSVNLSLSGTQEFLNSKLMTEAGPLGLIDEQGEASDLEDRIDRTLPGSTRGGDPSVRKRMPEVRV
TDVAFSPTGRSFCAASTEGLLIYSLDTTPLFDPIDLDLEVTPASTLNVLETEKDYLKALVMAFRLNEASLLRRVFERIPYTDIPLVTKSLPVVYLQR
LLRLVAKETEESPHIQFCLLWMVAIVDSHGRWIQDNKGMLDAELRVIERSVTRIQQDTLRVFEENCYTIEYGLSQPLEKIVDGQMLIRNGEDEDMGE
VGAGDEGWIGLG

>RCO7_11076 | probable cell division control protein CDC12
MAPNPTETASHIGIANLPNQRHKIVAKRGAAFTIMVAGESGLGKTTWINTLFSTTIKNYADHKRRHAKQVDKTVEIEITKAELEEKFFKVRLTVIDT
PGFGDYVNNRDSWMPIIEFLDDQHESYMLQEQQPRRVDKIDLRVHACLYFIRPTGHTLKPLDIEVMKRLSSRVNLIPVVAKADTLSPADLARYKQRI
RAVIEAQGIKIYTPPIEEDDEAAAQHARSLMAAMPFAVIGSEKDVKTSDGRIVKGRQYSWGVAEVENEDHCDFKKLRSILIRTHMLDLIHTTEEAHY
EAYRAQQMETRKFGEARPRKLDNPKFKEEEESLRKRFTEQVKIEEHRFRQWEQKLISERDRLNKDLESTHAAIKSLEGELEQMQGSAVRSHGRR

>RCO7_11077 | probable] kinase, mitochondrial precursor
MSVAKTRSYNTPPWRPASTLDEWVGKEARPISLRQLMVFGRSLTEARLISSANYVRTELPTRLAHRIRDMQTLPYVVVTNPHISQVYELYYKAFEAL
RRIREIKSLEDNEKFCKKISLTLQEHLTVIPKLAMGVLECRDLMKPEDMDKFMNTILRSRISRRVIAEQHLALTETFHSPWHFPDAQPLTPSTPTGA
HTEFVGEVFLKCNVREVVERCFSAVSSLCLLTYGPSTILPVIKLSGHLDATFPYILSHLEYIIGELLRNSMQAMVERQKTHPRGWDNAEPPPIEVTV
CEAPQHVIIRVSDQGGGVPRDILPYLWSFSKGPRSSQRLENLTQVPKMAATLQELRVSSDMPSGLSSPPPCSQSLSRDSISSASKDVAQTPPSISGH
DSSLSSLSSRPPDLRLGMGLPLSRVYAEYWAGSLQVHSLEGYGVDAFLQISKLGNKNEQLTMRASMDAV

>RCO7_11078 | related to Phosphatidylinositol transfer protein sfh5
MSFVPEASVPATNPQLSTSEEKKLEACEATLTATQGGPATVVAPAPASGVDPKTSHTDAADEKKINADADADADAEDKTATTAEEQKPVATPQEQLLAE
LPSIIQEASHNEIWGVTLKDRSHVPTTIVLEKFLRANTKNVAKAKSQLIEALKWRKKMDPAKLLDEVEFDRSKFGGLGFVTVYPKTETPGKEIVTWN
IYGAVKDNKKTFGDVEEFIKWRASLMELSVRELDLASATEPIPADGIDPYRMVQVHDYLNTSFIRMDPAIKVASKTTIDTFSMAYPELLKEKFFVNI
PLVMGWVFSAMKLFLSPETVKKFHPLSYGSSLAGELKGWGSELPVAYGGKGKDVKEGLTVRYADEVAKVEAKE

>RCO7_11079 | related to human ubiquitin-specific protease
MESDSSGETSSFFDVAMGDLLADFNAPEPFPSYDGPRDGPFADPNSPGFQDYNATDAVNPSEMLIDSDEYMNEEDAKDDVVNIDPDQSVPRADDFEK
MTELVLYPLPEQPPTLEYATSTWEIENWKELPRRARGPIFHAGGHPWRVLMFPNGNNVDYVSFYLEQAYDEAELPEDFTCCLQFGLVLWNPEAPWVY
VTHTAHHRFTKEEGDWGFTRFVELRKLWAQPYDETGHYLAPGQKASMTAYVRVLKDETGVLWHNFNNYDSKKETGYVGLKNQGATCYLNSLIQSLYF
TNAFRKAVYQIPTQNEETLQNSAYTLQRLFYQLQSSNNAVGTNELTKSFGWETRHIFEQQDVQELSRKLMERMEEKMKGTDAENVLSELFCGKVRTY
ISCINVEYESRRVEDYWDIQLNVHGNKDIEASFKDYVQVEVMNGENQYFAGDDFKLQDANKGVIFESFPDVLHLQLKRFQYDIDRDAMMKINDRYEF
PETFDASAYLADDADKSESWVYQLHGVLVHHGDLNTGHYYAFIKPTKDGWFYKYDDDRVTKATLREVLEDNFGGEYIQPNGQVMKVRSKPVLRQNSA
YMLVYIRQSRVDNVLLPVTEEDIPSHLQKKLDEEAALREARKKERDEQHLYINIKVITDETLERYGGTDLTNFDSSPDQDPAAPRAYRYLRKSTLGD
LAKTVGEDTGVDPRRIRFWGMVNRQNKTVRPDVPLPDRLMTVDEAHSKTSNSKGSDMRLWAEVAQEVDAEGEGIWPATPGPNGAARTDLIVIFLKIF
HPETQSLAGAGYIYMNRDQKVEDLVPAILKKMNWPDKLPSGERTQLRLFEEIKPTMIESMKAKQTLKAAELQDGDIVCFQLANTDNKPESDSTAQNS
KPSPTNSVKNSWTTADGTLSKGSPEKYELAPMYYEFLIHRREVRFVPIDTTSGIEPFTLVLHAKYSYDNIAMRVGEQLGVDPTHIRFTTANQSSGKP
KAVVKRGQNQTLQTILNPPYTAYINQNTPRVDSLFFEVLDMSLSELDTKRSLKITWVSEGITKSDSYEVLVSKSANVEDVIAALIKKAGIDDEVKGG
PIRLFEVAQHRLSRQIDRNLLVNSLSEYINIMAERVPEDEIGFEDSIDIISAFHFQGEAKNSHGIPFRFRLIPKEPFSETKKRLEKRTGLKGKNFEK
IKFAVVKRSSYTKPLYIADDQILDDLITQEEDLLGLDHINRSRSVRNGAQDLFLK

>RCO7_11080 | uncharacterized protein

MKAHWPKYPPSAETCKAIWILQTLPTELRDMIFKHDIESRILEKMTPASPLLTALREQIQLPECTDIQNDMHTHAEATWFLDSYSVSSLEEARELCT
SLKDAQQTSSHKYLVIRGLTEKEVHCPSIASLGILRPHTICLNTSDFGYPVLHWGPTGGPAGSLLRRIVPSAFAGGQLEQIVFRRMVRMDECKLAVD
MLKKGMDGYLGR

>RCO7_11081 | related to fluconazole resistance protein (FLU1)

MKEPEDVESNGLSNTEKILTFEEERPSLNPHNWSTTRKTLILAINFALVVNATNGTSLASGGVKATVKHFGVEDAYGWRVLPVSIYLIGYSIGSVLL
APLSEDYGRRPVNLLSTFGFMIGIVVCAVAPTWAVFIIARLFTGVFAAGPPSTAGGICADLYAKDLHRGHAILGYNMATQIGAVFGPIISGWAVMHS
WSLPFWVGLGIGAFCLTASILGMPETNHNVILNKRAKQVQQTQQTQIPRGPLQEKKFVWKEFATKTLLRPLSMLKEQIVLFSCLYIAFQYAVFYIFL
QSYPIIFEGIYGFNTGEDGLTFIGFGIGIILTVPAQYAFDQIYKNALSKERPWTKHHGAKRLPPACASGPLIVLSLFLSAWTSKASIHWIFSALSGI
PYGLGYILNLNALLNYMVDSYKTYASSASSASSITRQMMGAMLPFAAVPMYRKLGVDWASSLLGFCALVMAAIPFLFWIYGEKMLEKSKLAQKLAED
EKAVG

>RCO7_11082 | uncharacterized protein

MIQMQRSLSLPGPAHASPPVSPTITQLSSRSPTPSPSETTTVPPRLHRYQSRSPHRPPTSYKDPIDRERTRSSTRRSSPSPASRRKDAPTSSTEAPS
TPVKLPQLPLLQDVSQYLNPQLNAVSAATATTTLEELAHLVRLSTYQERKRTHSRIRLQRSLVSTALSARLARCGELAHRTLVDNFRSDEKKHFASL
HNAIHDVRNSCDATRRYALLEPDLDHSSSNSSGLGDIGALSSSTFMHEIPQRSRDTLLKFLTQIRTNPDYLASRICSLTPAELSALVVFHQGMESIN
TVLPYYNSRSKGHISHNHRTSAYIPSPVERLLSFQRHDPLSALIHTCFANSAGPDSGEDLRRTDVWATTCAKLISTGKTGTETFIICVLNVWTAMRD
WSGKTNMEWYLMKILEDGAFLLEKAEDQAGTRIHVEPRNTKDTIAADEFYDAAVLGLFKLVDDPGAGGIPEGLIELGNAILRKLEPKLHFSTKKFFV
SRWFFSVFLSSVVIHPEYFGMMAEYHITEYGRQKILKEVLMRAHKLVADMLW

>RCO7_11083 | uncharacterized protein

MARFRSGRPSRGKAKLLPARSITSLRETVEVHPYLVLGPSDLITMVNSLFPEKRPASSSLAKDTPLGSVRSSASSVSGMSTILQSSPITAPRNAFDN
VSIISNSGSSVISDFTTSHEPLLEASTSCRQSNYEDDGFELRVAIYEMTQTLGTEGVSGACHPCAENWTVLFMSPDGQALSHLLPHDPDEDDHEEEF
TTSSDSDEEVTGSRPDLDKDYHQLRNSVLKLVEDYEIPQSLRPTSESETFSNRTYALESPRKKYRNRPGSSSQSQSKNPYRIQDSLAAQEPKNGSKR
RYDSDSERQFDREAPSVLIAMLEAAVSQCQAQSDFVNAHLWWKTLNQLHQLSAPSLKRDGFASLLSIFSRGPRDSIRRSTSAIGEYDAWLVWLKQSQ
ERHDVTIESMMKRLKAIRDKMWYVTDVKNSAAYEGARNIAMALKCMASPRKALYLPPAGLRPRNASKSSTNNFLLKTEAQVMDMMAASDEQGGPNKL
SDEQSEKTLRWLSQFSIENFCKGEERIHRFCLELETCINKLVGDNLMEGPVLWSSELYQRDKRLLDGGRQKSDLFVGGFGSLNLSGDDHSDTDTVRR
GLRRTDFNHPGAGLRDLRSMSARNNSQQSFDSGRFSMSRMSNTGDLMDSQDYFGIASPVLTIDSTTTFWSPFQTRAQSPTTSISSHRPGTSSSSMNE
TVTVKEERASLAKQRFLTDLKQTLTSLLISDLGTLVFARGSETDSWFSGSLGDDCLERKERAERKARRKSKKRTLEKKKSFRDLRGAQKAEALSDNP
DTLKSKVERGPSSVGSRSTERGTPDAHSTTESSTSEQHIGIGLRKTGSKDLDSPDFPYRKAFLRLLRMFSVHPNPYSKLNALFELEHLIIAYLTPAA
PRRPRIRQEPLTAAPQSPEVQHINAFGHTDAATITPQAKNLEEAIGNCRERRSHILEEAENTAPVRGTDRSVANPASTDMIVDVLQDLFRDAEIRPK
TLFRDLQFIASFVPASVLDKTERGKAFWDAGLAALGLKQDVCRTLIEIADEVVVHYTRTRKPTFSAATDAAAHTTASGELMKYSMQDAAKMWTITAK
EGDPAAERELAIFYLTHPELVERVTAPLSKPRETFKAQVMEMHGGGGSAGKEERDRERSDPATMCVAYHWMELSATGGDELAKKYLRQREELNAIP

>RCO7_11084 | related to Het-c protein

MSANTSFLLAVSVVLLFTATPAAAFGAGDIVDLAKINAVNYRHGDIENTLLELIMVAGGNKKFEKLDVKRVYFGNWLRDYSQAIDVGGLKQLPAETI
RVLLWCLSFLTFGFATGEFEVTAERLGCYRPEEHIDNPKDYADNEDARQYDQRLRAPVNEEQELKVDPETGLKVYIASENAGCTTSSGLIRSLFEKS
IELGRKYNRDHDKKDLYEALRLLGTGLHCLEDFSAHSNYTELALRELGVDAFPHVGKNTEMDVKGKKIFPLVTGTFGMTDFLHSVVGEMGDKVAQSE
IEGLDSQLNQASQDDEKNDQTSVLKAILDKVPWDLLESDTKPDAAKADQLKEAAAAKKQETAAHPPDPNASLGGVNIEEAKAQAQQTLKDMYPILEF
HDQVMKGVTEVISKVPGLDDLLENMTGALQIFVFSLLAPYVTPIIAHARVELKSTSEGVLKTSEKGQYEVFENDTCTDPTHSMLSKDHFSNVLNTIA
GQIACATVKFAVPRIVDSWSDESKDVRQTIDDILQVFHHPALRDENREGQKAMFETVKNWWENKDESDKEKFKQILSFDGVKAGNNHEGESEEGGHG
HSHGAPKKKKQENELVPSAQEGASVISDLTSGLGGMFLKKTGLDKKLGVDADNLGQSGRKNEESSYGQTQQSSYGGNSSGRNDNQESSYGSGGNTYG
SSGRTGRQEQETSSYQSGNTYGQSRTSGRGDDNESSGNTYGSSAHSGRNDNEESSGNTYGSSGRSGRNDNDESSSNTYGSSGRSGRNHNEESSNTYG
RNENTSSTYNQSGRSGRGNNEEETSAYDSGHTYGGGSGRSGRTDHEEFSNTYGQSRTSGRDDNSESNTYGSSGRSGRNDNEESSYGSSGRSGRNNNE
ESSYGSGGNNYGSSGRDQESSNTYGSRTSGRGGGDNEEFSYNSSSGNTYGSSRRDDNESSGYGGRSGGGRGEQNEESEYGQQREERGSGYGNRRRGD
DENENSRY

>RCO7_11085 | uncharacterized protein

MGITHSTARWVAPLSFAIDFAAQQYGMLASPNMKDIHDANLSFWSPQPYFIAAFFFPQQLFQVAWLYRLWKLDANKSAEEKREVAIMTDFVPYYAVG
NLCIASWMIFWNSSALKTSNVFVLINSLTQLTYIFTRLRPMNTRSTSSVLTHIVAKTFAGIGVLDLLHNGSVAYFDHQGPSLAVKAITGVGFAALAG
MSDWIFGGCLVYDLVALAVGQRGIGETSWSNLLAVYALGTAGIVAARNVAKPPYVSEDKGGYVEAATEEDRLSP

>RCO7_11086 | related to PQ loop repeat protein

MVPPTETLNLSITAISGILGSISIACWIVVFSPQIVENFKRGSADGLSLQFIIVWLAGDVFNILGAILQGVLPTMLILAIYYTIADVVLLLQCFYYR
GFTWKDEVVPPKKRDNLGEANERSALLAASHINHDRRSSTVSASHLSPVVPLLDAPHPHDPPAVSKPTTRLQATLFNLISIIMVCAAGVLGWWISNG
SQNGHSHRSPKHPRPEPLTFNLWGQIFGYFCAVLYLGSRVPQMLLNYRRKSTEGVSMLFFLFACIGNLTYVLSIFAYEPHCTGRRGRCAHGEARELY
ARYILINTSWLAGSLGTLFLDMGIFAQFFIYRDGPAQADVVVENGHARTESRDSRPLLERGD

>RCO7_11087 | uncharacterized protein

MISTTDYSQIPAHDPPQDITANFINPDTIACSLLEVSLPLSFISTVLVALRIYTRLKLVKSPGWDDQMKHGNGEDIWNLYNTTALTFHKLRLASLAI
YHLALLWSKISILIKLLRFNAAPIPSTIFRITVFSVMAFTALFSLASAAIISSGCSPSIEIPRCVINPTFAYVYGACNILSSWAIFGLGIVVCLRRR
VLGKGAGNAQRWCMGFVIAVGILYVPALHCDIRMATDWDSVCVTSIARLVDGIPHIRSENVTRFEVSICKSLVHFLGTNRTVSSVLSTSLFILARWC
EIELTSALIFASLLALSPLLTAILRTYFPPQQLPATSYLDTESSTPSHSPSPTCKISKSASSTLTPQPSTSTLTLSSLSHASSRRDVPLSESEKRLS
AKVGGIALVERRVLGGSVGRKGLVLMTVEYAVRYEACLLARRHDMEVWEWKPQG

>RCO7_11088 | uncharacterized protein

MYELATNSDTYGVEYGYQFSSLNTAWSCPSISANSFMTNESTIIQSRRKKFVFGEVETC

>RCO7_11089 | probable NADH pyrophosphatase

MPPQPNLPDPAHHDVDSMLSRKFGREVANYFSGSPLNRVSFLRANYDFITKALVHPSTSFLLFNDLAPLAKDPTQLAYVAHKDVKPLIGENPFEKSE
EEMIKEYNSAVTLPLVLFLGIDEKKKDGFEHGLYKGKPYFAVDVTPRGSVEKQAHGVIEAVKASGQKFIEGRMHMTLNAPEAAIYAHARALLDWNAR
NPFCGGCGQPTMSVNAGTKRVCPPTDMSSLPTAQGGATSVLSTPRERLACVTRKGVSNLCFPRTDPTVIMAVVSHDAKRVLLGRQKRWPPYWYSTLA
GFCEPAESVEEAVRREVWEESGVKLGRVVIHSTQPWPYPANLMIGAIGQALPDGEQIHLEHDPELEDAKWVEMDEIRQALKVGTSGLGEDAGEGYVE

GGLRLPPRTAIANQLLQAVVGGFLWETPKI
>RCO7_11090 | uncharacterized protein
MPGATHATTLEKDIPQFDKDIKDVHLMYDYDAKDASGNPEKWRYEMWFFSSNRIVYKIHGGPMAGRTNFQTASYQCIRPGELWQCNWLEGTICSLVY
DIPQKRITTLLGFSQGHWENPEAAHGDKRDPEDLKRWRGLAKDGCQTDRFMLNEQAEIVECFKGKGELEPITGDEETI
>RCO7_11091 | probable DNA helicase RAD25
MPPKRKAVSSVKGSNKTGKESASSTPGPATPRSIDDGGNSDNYVSAEESDETEEETEIVKNAKSNLTVAKYHKKSATTQGRDSASYRFDGGNTDFSY
LSLKPDHDNRPLWIDPLKGRIICESFSPLAAQAQDFLTTVAEPLSRPQYLHEYKLTPHSLYAAVSVGMTPNDIINVLNRLSKVPVPQEIREYILGCT
TSYGKVKLVLKNTKHYVESTDPEMLQRLLRDEVIGPLRVQGTEELTTTSAPKMGALVIPGTKNAAGVNQTTDQTKKPQDGENADQEDIFATLNEDDD
EEELDAVHAFEIADDGVETIQKRCLELGLPVLEEYDFRNDEANATLDIDLRPTAQIRDYQEKSLSKMFGNGRAKSGLIVLPCGAGKTLVGITAACTI
KKGVIVLCTSSMSVVQWRQEFLKWSNINPNDVAVFTSDNKDKFSGNTGIIVTTYNMVAQKGKRSYDSQKMMDFLTKREWGLMILDEVHVAPAHMFRR
VTSIIKTHSKLGLTATLLREDDKISDLNFLIGPKLYEANWMELAEQGHIARVQCAEVWCPMTTEFYSEYLKQSSKNKSLLWIMNPRKFQACQFLIDY
HEKRGDKIIVFSDNVYALKMYAQKLNKVFIYGETGNAERLRILENFQHNENINTLFLSKIGDTSLDLPEATCLIQISSHFGSRRQEAQRLGRILRAK
RRNDEGFNAFFYSLVSKDTLEMVYSSKRQAFLVDQGYAFKVITHLQGIESLPELAFTTAIERRELLQNVMIHNETDESKYDYDDGDDLFHHVDKQGT
KGVAKKGRKKAGARRTAGTLSELAGGQDMAYVEMNKSKNRELKKPKESNPFFRKLQRENAKKKLAMEEDN
>RCO7_11092 | uncharacterized protein
MCKHILNAQVSIRSPCCRKWFDCAECHAESQSHPLLQQTEMTFACKKCKKVFRKDAQEFEESDEYCPHCDNHFVLEAVTPKARLEVEGEDVRVDNRM
LKDERMRGEELRTIFDVKEAPNKLG
>RCO7_11093 | probable 20S proteasome subunit (alpha4) chain PRE6
MASGYDRALSVFSPDGHVFQVEYALEAVKRGTCAVGVKGKDIVVLGCEKRSAMKLQDTRITPSKIGLVDTHVCLAFAGLNADARILVDKARLEAQSH
RLTVEDPVTIEYITKYVAGVQQRYTQSGGVRPFGISTLIVGFDPNDKTPRLYQTEPSGIFSAWKANAIGRSSKTVREFLERNHKDDMDRAATIKLTI
KSLLEVVQTGAKNIEIAIMAPGKLLEMLPVEDIEAYVKDIEQEKVEEAAKKKNSRTPGSGNTAILTRPAEGSS
>RCO7_11094 | uncharacterized protein
MKWTRKSDIHKPSRRFTIAIRLLEWFRNFYEPQRTNAGRLLDAIYQNNDPPNLINNLLHAMQPGEDCWLKVFTTLLRLDKGIYIEKFWSNGILDRRL
PITKGDLSTSLKCMLGGTLNDEDQNFADAFCSLQYELLTADSLSENGRVLNSMTVLPITTYVPIKPDGQPGLEKIFQIEIPYGCIPPKILKKVTAKP
YKMADDDDEKYLKFAIKTLRDFKEYQQETFAYIALKGREGIVQCLGFWELTKPSGESEYHLLLEYGHYDLHEYFEKFPHPSLPQDIIQFWKDLSNVA
IALDRIHNMELPSENGTNSWLGWHLDIKPENILFCEGGWKIADPGFAQFSRHEKADKDEDKMPVVTLRGGTTRYGPPEQCLDHGKLVTQRFDMWSLG
CVFSEAATWLLLGCRGVEQFRLVRKCLENGNMSSISFTEPRGDDCFHNREDVSKAVVEWHRYLKNSLRSGDSVTGLILDFIEGKMLVYSIRDRTTSR
DLVNWLKNTIATAEKDENLSKYRPPKFFRKAFEAEQRKTAEDWANPPSQALRRTNRYKSMRYENAPSNGQDSLAYDAANIHTPLLTSPFPDLQLSKD
PGMPRGSTMSSQMTRESLAVTTTHGINSNDLHGQDRAAYRHNDETERFDFWDALLLLESKGWIRRGTLQRVSEYETQQLLSQTVSDSTSSLQSRGKT
PLRPVSAPNSTPRSSRTQSMGSALRDLFSSRSKTQKYATTSPSHGEQSVTPKTSRHPLSVQAHRRITSDMTSHSKVDMNYRTSDFDQFLDKRDIVFL
LNNGSTMGDHWPRARDLVAVLVALLHGQDDNGLELYFTSSKKPFGPFVEPREFVDTIDLPINKPRVSQQADDCDEQGFIGVKNGSADNIKEVLFHIL
DLVGKASYARKLTLIIFTDGIWKGVEEKETVADGISHHITMWADRNKDLKELMKVRGLSLQFVQFGNDPDATAMLEDMDNHLVNPRGVKQPDIIDVE
PATGNVKKMILGSLSDQWDDHGHTTATSGGPPSVMGQNDFRTSTLPGSMASPNQYQEPPRFPAIFEDPSEYSTSSGRPHLYSGGDTVLGAGTQFGPT
SGPTFMSRETLMGPRRFQGAETPSRYDARKKRATEDSSNTVVRCAYEERKNILIPQHNPPRPLPAPKD
>RCO7_11095 | probable D-lactate dehydrogenase 2, mitochondrial precursor
MPSRIRVSLAICRARVSLPPLVRQLRALPQSRWQSTATTEETEGISKGSTGSSKTIKFTSETYPEIKRNSKFAELTPGHVTFFKELLGKDSAVIDGV
TKDATEDIEPFNGDWMRKYRGHTKLVLKPGSTEEVSRVLNYCNDNMLAVVPQGGNSGLVGGSVPVFDEIVINMSRMNQIRSFDDVSGALVVDAGCIL
EVTDNFLAEKGYIFPLDLGAKGSCHIGGNVATNAGGLRLLRYGSLHGSVLGIEAVLPDGTIVDDLSKLRKNNTGYDLKQLFIGGEGTIGIITGVSVI
CPQRSKAINVAFFGLESYEKVQEAFKEAKGQLSEILSAFELMDGQSQSLVHTVTKNKRPLEGEHPFYCLIETSGSNSEHDTEKLEKFLEHVMENKIV
IDGVVAQDETQVRALWGWREGVPECLGHWGGVYKYDLSIPINELYALVEETKEKIKQSGLMGDTDEHPVVGVVGYGHMGDSNLHLNIAVRRYDKRVE
KLLEPFVYEWIAKRNGSISAEHGLGLAKKNYIGYSRSDTMIKLMKQIKQLYDPKGIMNPYKYI
>RCO7_11096 | related to chloroperoxidase
MATQAPTSHPPNDWTKWEAAGEGDVRSPCPMINALSNHSILPHNGKDITKAQIVSVLTSSINLDSKIANVFATGALTTNPDHSAHSFDLDHLKKHGV
IEHDVSLSRNDVAFGDNHSFDKGVWEGVLKSYGEKTETDFVSVSKARYERVVAAKKAHADAGKDFTYGIKEFVLSYGESALFLGILGDPRDGKIPLK
YLRVLFEEERLPFTEGWRPLEKPLTQTQMNHLIFSLTTANEHKAAEAAEVGLGTVNAVTSAVTSILPSFCNVM
>RCO7_11097 | uncharacterized protein
MSHDDFPPGTALGADPKFNQFSTAFFSSINSLAIAEVDQNDKTRYTSAHLAKYLKSASQHLFNVMDDKHWKYQYHSQFGTAGQAIIEKVVGCPKFAK
LPAVIRTMIWKHALPDPRKIRITSMITYNNIWGEPNDPLIVLRSVCKESLDVVTRRYQMIPYSNLGSVTTDVVYLKGKAVKNCVAAWNDREETRQVF
NLTKYGPEPGFNLTSLSLSADSSAFSELVHGDKSGKWLTGFTGLRKIVLVEVEDDHEFRRLLLTSGGKINKQLHLRIIWEKSHDTFQLFKSLEGS
>RCO7_11098 | uncharacterized protein
MASVSWPQSLEKMMIMMITGAARESNINWDRTWLIFKQTPINQSESRASTILAGTIVPTVISSFFVISLGFAVILCLPVVYGASHHQQFLSDANLIA
TKKLAFANRIVYQFVLCTTKLGICSFYLRIFEDKQSKRILYALSAFILVAALTVEFIIVFSYRPVSGAWTLGARNCLPARPIYIGSTVINIIGDVAL
MGFVVPKIFILEIPGRQKVCACSVVCLGFLVIIASILRLLSIIRFNDSDDLSWQVGSITTWVSIEVSTALLCASAPCLKPLITKFFPHLLSSLISTT
AEPRDRPESIETKRVRSRRQSMQSQKSAFIPHLKKAITTRVKTGLEEVKLKTINAKRLSRGTFAYAVRKRDDAFQENDWQDLTKGASVESWLGRIED
EEAVKKAAVTVALSDGSRDFGSIGRSTSGVPSIMSSG
>RCO7_11099 | uncharacterized protein
MLKSILITALREVEFFKKETAWHDEKPGFFEPMRLIRLGDRQRLATYLFKIDAYLSIFRDQPAVVLSEELHYSLPSTFRLYNADGLHIWEERQAKEP
IYRSQTSTRKMIARSSFDLVTEDEKPILIEDIQTCICAIQPNIWKICAASGYYQHDTTIISKNNLKAQLDSLRNKLNEISNQLPDEDALKWEKSMPY
LFYSGYEDPSMPGWQYHVVARVKSLLFDSIMLYHLSSLQIFAELRKLTNLARDRQLGAIEKASTVHRQAREQRIVEMRAWGTTPTARWCLCHAVEIL
VAHQAIILDDRTSGLTLKTLDPIAHIALCAAALVVWVYCILDVQGCEHCTPGIGTFIELKLSYSPDVHFEQEKEVWIDSGNGYRVKLQGIPICSCNV
DILMAMFQEWLPDSWATADSMAPGIFKFST
>RCO7_11100 | related to 2`-hydroxyisoflavone reductase
MSSIKNVAILGAGGALGTPVLKALVDSGKFNITVVSRPASTSTFASSVKVIKADYNSADSLASAFQNQDAVVSTVGTEGLLGQSIIIDAAIAAGVKR
ILPSEFGSDLSNPKAAALPVFGYKVATRKHLEDKIAASADITYTYVINSGFLDWGLEYNFLLDWRSAEPKLHNGGEFEFSSTTLASVGQAVVGVLSH

PEETKNRSVYVQDIAISQKKLLDLARKVAPERKWSPITTSLDEQEKWANEKLAAGDYSVMITYLNVVMFQDGYGARFEKVDNELLGVKGKTEADVED
IFKKLLAVE
>RCO7_11101 | related to isoamyl alcohol oxidase
MAIISRQFEELDSSILTSEEVALLNFSHSDAPVKRPEWPSYNVEKCKSVTASWGNSTLHISDPTSMMSLVFQGRTCEPPSISPASNQTCTSGGYPAY
AINASRIADIQLGVNFARRSGIRLVIKNTGHDFSGKSGGAGALSIWTHHLKGMEFVPEFRGEGKKGYNGPAFKCRSGIQAWEIYEAASKQGLVVVGG
EGRTVGVMGGYILGGGHSPLSSIHGLGADHIISLDIVLSSGRFITATPTKNYDIYWALAGGGGSTLGVVTSVTVKAHPDFPVTAFSFSFSASSTAVL
WAGVPSFFNYFIPLSEAGTYSYFNVFPGVIPTFSMKPFFAPNLTIVQTEALLKPWFDDLAALGIFIVAKLAAYPNYLRAWQANFPQEGAGGDTSIVG
SRLFPRSNWLNETLLNATFTAWKESVDADLFTISFNFGPTLAAGGDPDNSVNPAWRESVMHAMQLVLWPSDANYTEIKQKRDLLTERQNAWIEVSPG
AGAFLGESDREDVDFQQNFYGKNYARSLRIKHEIDPEDVFWAKTAVGSDAWHIVNYGPVDDENGRLCRV
>RCO7_11102 | uncharacterized protein
MEIPLPGDYLSLFLSFPLTDVRCCDFDDDAAADSYSQTRDEEIIRLGREMERNKNDTDGEASETSAGCALKGMGCFRFSLAQLAVNGDAVGRQQYHL
NQRSKNIQIGRLEYRCQWTAFAAEDGFKEARRRYVVGALGGPSATNVDFEMPTPLPAKRTIGSWTLGDPLGVGGQERVFFASDPSDNVAAIKVVERT
FRSRDNINKEIQTLQEVTNLTSRSDDSEQLLRMVDVIHTKNEELSSTTSLRQCCHCSAANDAPDLGDLIGSRSMGLSSQAESSSLFQSAQALTIDDL
DRLDSDLTKLQMLILALRSRDEGAEAHDLGDRQTHSSGYITPVMNLPLFGEEGWESISIFQDSGSDLSRDASSEGEFSDRTTLGCRASSSSATFLA
>RCO7_11103 | uncharacterized protein
MEYIEHLRCMSTAHNATNDDVSKPFTLNPDIPEEILQKHYQQVAACLLELSQHTFPRIGLLVEVNPGTFSTAARPVTKNMNDMLQLANIPSVILLLQ
LKTYKNADEYYVWLAEMHIAQLVFQQNDLVRTEQECRNKYVARQLFRRLARDGKLSKFGFKEDNWSAQSKTKSMKLSSMPSNSDSFRLHCDDLRPAN
ILLTASDAITAIIDREFTYAAPSQFSLDPPWWLLLDTPDQWDAGLDNWTTLYEPRLETWILAMKKAEEDTKVSGGIGGVPLSAYMRESWETGRFWLT
YIARKSWAFESIFWKYLDERFFGSREQGLPRNHYLKARIDLLS
>RCO7_11681 | uncharacterized protein
MSIGGYNIIYRLKVEGFDSEVLVRRPIPCYAQFPVEKTSIEAATMMYLEKHTKYNTTTIITILWLTQTT
>RCO7_11682 | uncharacterized protein
MIFSTILVVASKSGDSNIVPRLLNYVNIEYTILSGLLLSSEAKDAELNQGEKVFKELEFIKDLDLLIEFAKKAIFKAIISDTRGKRNLLSSSEIVSD
LDTPGPSLKKKARGISYYTQSITRAILVNLNKELDIVIPILNILDLLEALETLGEKTNKVEVIEEIEF
>RCO7_11063 | uncharacterized protein
MSKFAQIHVLKVNFTIFGALPVEVWASFPTLEKLSIIIYPYDEIRELEHTQCYELRFIKPQRGSIHGNRAGWVLRHTKLALGAVDAVKYSTWPMPEI
EVLVRKAGKKEDRLVDAYWTDDVETFKKAKGWDSDAEEDVDHDSDEYNDEDCWYPQAKASQVGHERLWSVVDTAPPTHTSGGRKDEGNWESDIETEG
AADLSKRPRAPMRRA
>RCO7_11062 | related to cytochrome P450 2A12
MAFLRDFSPSVLGFVAIAIFVICKLFIQKPKLPPGTNRIPGPKGIPLLGSVPDLPAKHAWLQFYAWTKQYGPICQVKLGADTCILLSDPKIVEDLLV
KRAAKYSGRTHFSAIWGDCATDGHYLPLMTSCADHKRIKTFLRKIIASMPKERLIEVAIAQTKLLILDLVRDPMDFGSALERCCGGISSTLAWERTT
PEIAKAVVSTSVGLLEVISPEAIQNKLPFLEQIPLWVPLFLQPWRLKELTRVTFERNLWLGQRAQTKARIENEKESPDEYSWTKASLKDDSLEDEEK
AYAIGMTTLIASVLESSPIQGLIVALCMYPDWQKKGQDEVDTVCGDRMPNSDDIQNMPVVRALIREIFRWRSPVPFGVPHTVTEDDVYEGYHIAKGS
IMFALECAMSRDEVLYPDASNFRPERWLDPAFPTYKEPLTHYPSIKSHSSFGWGRRQCLGLDYSEIVHMTIVATILWSCNIQKKIDEKTGAEIELPW
MDYSPFVIVRPMPIPMDIVPRAEWKVKMMSSETSA
>RCO7_11061 | related to myo-inositol transport protein ITR1
MSEKISSTDAGDTVKTSHLEGEKPSSHPYSQPIDGTGRRKSVALNIVENPLKRFTKEETYANAQAFAQKYGMQDKSDLFGRAALVARDPERFEMVNE
LLDDERAALNYERDHKWFNSKMLWYSISLCAVGAATQGWDQTGSNGANLSFPEEFGINGGGRDEWIVGLVNSIIFLTAGLIGAFIVDPLNYYLGRRG
EIFLTALCLTATPIGSAFARSWQGLFAARFVMGIGIGAKNATVPIYSAEMAPARIRGALVMFWQLWVVAGIFLGFAANVIVKDTGKIAWRLQLGSAF
IPSFILGAGIWFCPESPRWLMKKGKIAKGFESMSKLRAHPIIGARDFYYSFIIYEEELKVGGGLGYFARMADCFRIPRIRRSNYGASTVMLAQQMCG
INIISFYSSSIFVRAGYTETEALYASLGYGAVQVIFTIPTLFLIDTKGRRKLCLYTFPLMCIFLLAAGLSLLNVDKPGVSRGAQIGPVVLFVYLFTI
AYSMGEGPVAFQYSAEVFPTIQREQGMAWAVCINNTFAGILSLTFPRMNHVMTPTGAFGFYAGLNLIAWFMIFAFVRETKQLTLEEIDQVFSLPTSK
FLGYELKVQLPYFLKTTILRKKGLAKPPPLIEKAQSEDDLLDA
>RCO7_11060 | uncharacterized protein
MMLDDKEPVSSTPPPKYSRYRRQVVKPEQEPGTVPVQKPNNDFSRTKSMSRYRRSVPSKSAHTIDSLNPPVPALPRAHNPDIENGRDITRRATEPVN
NKETGRDGENTGRSEARYCETEEERMRRRVKEFQEREEQQRKVQEAKVEQERLRQQRGREEELQRMAGEEPEKLLAEQKRKDLARLEAELDAAPPPL
MPVMSPKREKFSFFSRNRAATRTTPPTTAGSGSGSTLMSMSKSRSTEPARSTGGPRGIEQGGGGIVPQTDAPISASNAGERRVLVRCKQSSINLPII
PETTPVDIIYSSANIMSQNIIPSTAILLESYTQLGLERRVRRYEHIRDIMNSWDRDTQNALLLANSDSPNFDKDLEASSVPKESPGNVTVLLYHSQK
PGKWNKRYVTLTSSGQIYTSKKPGAKMSDKDVLSICHLSDFDIYTPTPQQTRKVLKPPKKHCYAVKSQQKTTMFLSTENFVHFFSTDDLNLAENFYD
AVQNWRSWYLVNKMGEGKKPETRNIKDITGRERPRTRGNGQGHALKVSVDPNPYTIGSFQPVLDPNRSSPNADEYDSEEENMPRQIPFHLRNRVSLP
PRSPQRETRRHPPPVAYNLPPEAEEEFASSGLLGRTYSQRLKTQKDRDEKASPFIEGPSLSNGPGGHHRSLSVKSTRTSKRPQTSGGTTTNSNSDLQ
RNASTKPPKPLLDFTPQFQEAPQWDRKGKGHGVAPIEGVPLVEIATTPDNPMVDIPRTGTVFRRETSRRPQTSGGAFIKGGLVAGE
>RCO7_11059 | uncharacterized protein
MSLAPKNLLIEINGVTRLRGRANYCFWRREMIRIFENHRLEAFIAQGDIPGHKNRPDDVGLICLSTMIRSTFSEDLKSRFHIWAGLAIDSRRLWREL
QDRFEAKGKWAYIMLSIQLKRTQREEYADLAALLLKQQSIVLQRSDTGIEMTSDIREMVKIAEGVPKRLRYLHLKWCVAEEGDLTPDKMKAEISKAE
QRLQEDGEKTGAQMSLSYVLR
>RCO7_11058 | uncharacterized protein
MASASTSLIGELVEPSSWDEDVKLNMENSHIWSHRVGLMLRHHKLNKYIRLKAFADTIVTPSEEDVKNLSLASSYIQQTMSLPLLALLVDGDDTVLH
DSQKLWKKIADSDLLIPKGRAAFIRFHIQLSNLHLKDFMEPADFVSKRLEIQKLRAATGVPLTDDLENIAALVRNLPRELEDLGLKWRLSDYEGLTA
AEAAAQMKAAREEFDKLPREEKPRDIRRPDHREPRREPRHENWRRRGGERRGSERRSDGRSRRGARR
>RCO7_11057 | uncharacterized protein
MQYQDGPSQSSGLILVNSPADCPLMRLPVELQRIVCQYVMADWRWTKRLHIVRDYEQGDFGTGKFDSPISPARTRRLTYVPCVTRSEDKLALSMTKS
WPTQHDSCRGWKAFDCDPPRFQGLYLAISLSCRHMHSEATRLLYSQHSFDLLDIPSAHRFLTQAHREQLNHIQVIWISAVFDKQSGISANKALSSTY
EVSPEMAQINFEQWAAICDVLAKMTGLQRVTMRIHRHVHSGVEQAKIVGLLKDVRVDGEFVVKVSGEQ

>RCO7_11056 | related to phosphoribosylformylglycinamidine synthase
MEFLTILGESCFTAADAKKLKKAINNSDSGALVTKVRGYWVHYVHFKTGDATQNVEKKLRQLLPGSDSESSDILKNPGAQTQIYHITPRNISPWSSK
ATSIAYVCGLKSGVNRIERGRVVLLNVEQNGEQSSSNNVSFRDELYDRMTENFTTSAPDMHAMFGEDQSYPLEVIALGEDDSNRLEILKGYNTLRGL
SLDLPEMEYLVQAYKQLGRDPHDIELFMFAQVNSEHCRHKQFNANWTIDGVSMGKSLFEMIRNTHKVSPKYTVSAYSDNAAVLEGEVASFWAPDYST
GSWKQTKEKVHFLVKVETHNHPTAISPFAGAATGSGGEIRDEGAVGRGSTPKAGLCGFWVSDLLIPDHKNPWEIDLGKPSHYASSLDIMLEGPIGSA
RFNNEFGRPCLTGCFRTLLADVDTGVDGREVRGYHKPIMIAGGVGTVRPQHALKNGRDVQEGAHIIVLGGPAMLVGLGGGAASSNASGERSVELDFD
SVQRGNPEMERRAQMVINACVALGDNNPIAFIHDVGAGGLSNALPELVKDAGFGGKFELRQVENADKSMSPLQIWCCEAQERYVMIVNKNNMNRFVS
IANRERAGFSDVGTVVAMDANGHGSLVVTDRESNVYPRPIDLPMSLLFPKDKKLDRVVNSRKLVLTPFDGRQSLVDAYPQIPEHDLLRKAVERVFHL
PAVGSKSFLITIGDRSVGGMSVRDQMVGPWQTPVADVAVTVTALNMGDKIKTGEAMSMGEKPNLALISPAASAKMAVAESLMNLAAAHILRADEGDL
ARVKLSANWQAAVNHPGEGAALYEAVHAIGMELCPSLGISIPVGKDSTSMKASWKDQKSGEAKSVTAPMTVVISAFAPVADVRNTWTPALRRLEDVG
ETVLMYVDLAQGHKALGGSALAQTFRKIGNEVPDVRDPDLIRDFFDAIIQMHEIDVVLAYHDISDGGLITAVAEMMFAGRCGAEIMIDGFTNSPSLS
HVLKSLFNEELGAVFQVRKSDETRFRSCFSTCGPPSGMVRKIGRIPAVTKQELSVRYGQQSILHMRRSEMQQMWSNTSYQIQKIRDNVDCAESEFET
IKNDRDPGLHYKLSFDPKENIMPLTSSITSVFAKVPRVAILREQGVNGHAEMAFAFKVAGFDPVDVHMTDLISGRTLSDFVGIAACGGFSYGDVLGA
GQGWAKSILMHEENARPEFQKFFARPDTFALGVCNGCQMLSRISELIPGAQHWPTFLQNESEQFEGRVSMVKIQDNKKSPSVFFHGMDGSSLPIVVS
HGEGRASFKNVSDLEAMNEHGLIPLRYTDNLGNVTTRYPYNANGSPEGISGVRSLDGRVLAMMPHPERTIMADVGSYIPRELVGQWGEFGPWVRMFK
SARRWVG
>RCO7_11055 | uncharacterized protein
MEQLTHGWASQPDSRGTLDIVWSSLLTVFLCTWTVLCLNLPARTDSYFKFMLRKLRWMLLATIGPEFVLSFAIGQWASANRSVKDFDDPRWTMRHAF
FADMGGFVLQPRESVPLPVNAKQLHWLVSHGYTSIPAIEQKDISDKSKADGFAKFITIFQVSWFILATLSRGIQHLAITTFELSAIAIVAGTLVTFL
CWLNKPLDLVVPIIIDIVASISEILIQAGDQAKMPYTQTPLDFIDNQGPSWSTDVMSKVSIKTGPQQRPLERLGNDRIPHLTTPVTIVLFVLTFIYS
GIHMVDWNFSFPSPEEKLLWRICSTILVVTTVLFWVVDRSDTWHRHGLWGFWLRQLTSSKGAIVEPPVRGEYRVSWIQMAVNGLLMVTYTLARIYLM
VEVFVGLRALPETAFVNVEWINFIPHV
>RCO7_11054 | related to membrane proteins, contain hemolysin III domain
MHQKISTNPAMDHERRRKAMAPNVQMNGSEIPNGIKKSIAKRKITNTLLAWDELPAWQQDNHRIHSGYRPESNSHCKSIYSLGYLHNETVNIYTLLL
GMIAAIVLCLVVLNVARSRYSSAAWSDVVAIGAFFISALACLGMSASYHTLSNLSPRISNLSNKLDLLGIVLLIWGSMVSIIYYGWDCERTIKIAYC
TMMTVFGAACAFLTLSPKVRAPKWRAFRALIFVLLGLSAIIPVVHGVFLYGMTVVNTRIVFVPWLLTEALMYILGAVVYAVRFPESNFPGKFDIWGS
SHQIFHVLVVLGAAAHLVALVHSFDYNLTSGRC
>RCO7_11053 | related to DUF821 domain protein
MNFDFAPSWEKNYYLPVFMKGFPIRTHHWESLPPAVAWDEKKEMLLRNTTCSFSMIRRRRYPILVFTTLLLTALLYNKLYHPFAPLPRDAHPQGRGE
FDGTWNYTRDAKNLQMTESQCTQAFPDLYKEIDRAVEDRRLNHITLKEIEDMPQEDDGFLRPMIYDQQLYLINATYGINSRGEASLSALHRAILTSP
EPLPNIEFTMMVDDLAESANPRWTYSRQKSMSSLWLMPDFAYWSWPEPKIGAYREIQMKAEAMDAKVPWDSKIDKLVWRGASLEVLVREQLVNATRG
KSWADVKMLVWSDDAKGKSHDAITMDGHCQYKYMAHTEGISYSSRLQNLQNCRSVIVAHKLSWLQHHHHLMVSSGPNQNFVEVAKDFSDLDQAMEDL
RSGAEGKHLKAEQIAENNVKTFREWYLTPAAEACYWRQLIRGYASVSFEPEFYKDNGMGEKTQWRGLPVESYLLMRTMEWRLQ
>RCO7_11052 | uncharacterized protein
MAPPTPLPFSSDDFQNADEYVESLLQFSAASTIFQTLCGGVHILDFFTREPSLYHTVIPAEWRSWLMARDSIDLLDFLMRDDLEKVREDDPPESLIE
YIREIRKHSLRRNVPARPEGDPIKKLPRHVAVGMIPKKAHEVSNFADYVVRVADSVGTNTGKEITHYVDFGSGQNYLGRTLASPPYNKHIVAVESKG
LNITGAKSMDVLAGVAEREKVMRNKKVYRKKQESLVPAEQLSQKALRRNARPQKPTPAENEVDMRPSKDLATIYTPADGKGYIQYVEHVVQDGDLSN
VVEQIEKMKIAAPAGNLQVVNAGFENPKLPEVLEEISKSEETRLMAISIHSCGNLSHHGIRSLLLNHSVHAIAIVGCCYNLMTERLGPPTYKLPFLR
PNLRAINAVGQELATSDPHGFPMSERVSNYNTDGIRLNITARMMAVQAPLNWTAKDSDSFFTRHFYRALLQRVFLDFGVVKKLTPNQEPGEPSNNLE
STEPVIIGSLRKGCYGSFGSYLRGALDKLANDPIRGGTVGEQMKGITDEQIEEYSDRFGQLKKELSITWSLMAFSAGVVESLIVTDRWLWLKEQPGV
GDAFVEAVFDYGLSPRNLVVVGIKE
>RCO7_11051 | uncharacterized protein
MHTCQRKKRGPTVPRHVAMDSYNQIRQAPGWSALYEEWKENDLKLKDPDTFRYETSDFGKRVVSLWSAPVQDAIGLVPSQVACAMEAIDYQSNEGDT
ISEEHELQRPSCILIQAHKTLLFDVFFLIGKSSNVVDIITALALTSYGYHKMLKEFHRGLIPLTYVEPCEFDEFDEYGDLIVRPAMWDCNSMFRNVG
EWLGQKYHLSLHRGNAVFLNSAVYNRLGDRTLRVHERRFDYKMMQQIKSENESPRYNNILNGEQHRTHVLPNPHNKGEAWYDALCESTGQWKSHWKA
TKIWKDNWMNVNEVTEKETLALLKLWEGKGPPVGAQVRDAQMELWGTIRRREEERKRSRLMTASDSRDQFSVGSCPRGLDFESG
>RCO7_11050 | uncharacterized protein
MNPTHKLSKGPRIFLGYLDNPTATSSAFDSGRFSRTCDTESLKAKGCIVIHDSIKEMLRVKGVQLVPDKLEGLLQGHEMVEDLRCDGFRMIMLVKDP
LPYSLERSERKR
>RCO7_11049 | related to nitrate assimilation regulatory protein nirA
MTQIYTQVPIPPPLERRPQLYDQKQDQYIPREYQHTNAGSSQPSNKQSEGNGWKPSYSTSPMSETQKSFFAVSPSKTGDMYRPESSMKSTREQLPPL
SSLFASTSHQTRPPPTSYSDGHSPVFSTISSTNPRQQGTSIYTDRPFDSSFLVARHYSYNSRPEVERLGIPPPPRPRQIGPRPESPRYDSRYAPVET
SRPFAPASVNAWSPHPQSQRPEYFPRDTSSSFRSHPEFRQPTAINRSEVDSRATYRDSQQSAPATTIQPPTSTSTVTGDPLTTKDGLGPKIWTGSQF
LPRFVRSAEVPGEGTCYFYDDGTHCKTVIDGEIVNAHWGVTKAGKPRKRLAIACITCREKKIKCDPDYPRCVQCEKFGRICKFKNAPRGGHGSPDTP
PSDPEDSVSRPSSSRADLETFKVEKRESSHSVSPRQMRQATPDSEPHHSKRQRTGYNDFTPVASEASPQPSIHDSTSPTIPWAEPVNNGLSSQTDLL
QEWQTNPFSTNPMLVTELITVFFKHVPETAYSMFPEGPFKAWILSVSEKSVEDLMLVYTVLALGTVFSQNSEHKAFGAQFAAVARFGCDNSRFSIQL
VQSRILLALYYFAINNPEDSWDFCGAALRAASGIKLNLEMEKTDDAYRKTFPYGLNRAGFAECRRRTFWSCYLMDRYNGFCSGHLSITSSDDVFIRL
PCDVDSFESQLDIRNPFFDPATPPIENIDWTIGSMAYLINITTIWGDVMANIYRTSQRPSPSTSNSNFATFYDNATLRLRIWNDALPASYAFSPENL
ARAARGGKLGTFMMMHTVYHTTAMKLNRYIQQYNLTNSQLTHHVSVSRQHAEGLLRVVDTLATFRATAPSSPGMHSDLPIKFSSPFVGYAIVSAIDI
LTAKITARSIACRLASFRGSQAIIAELALFWHSSKNQQALIEQRLRDLGELGELVRDRDEGFPSTGHIAAFARESGDGVFEMKEPIEKTFSRDYDCI
YA
>RCO7_11048 | related to aquaporin
MDPRLMPPMQDNRLGSLFISREGTNLARVDPLKRMFRKLFNLIHLSTRGHVVAIVGEFLGTLIFVILASAGAESAGASSNENKGDSVSTAPSVTSPA
LLLYAAVATGFSLAITSWTFFRISGGLFNPVISFGMALIGVITWARCALLIARQPIATVAASYIVYGVFNGGLNTATTLGNAFVIFMLAAEQHAATY

LAPLGIGLFWTGASLNPIRSLAPCMVSHSFTSYHWIHWIGPISGVILAVLIYKLVKALEYESVNGEDHDIPLDLLPRLSPSRKPSSVVAHASTHSGY
ESVRALTPEPASLKPISRQHTVNASPRTGSYTAKPAPTIAQNTE
>RCO7_11047 | related to transesterase
MTSQSFENRMQQAIANGEISGAVLAAENREGKFRYEKAFGYRSLKDPSNPDLMKVDAVMWMASCTKFPTTIAAMQCVERGLLKLDSAVYEILPELKG
LKILTGFEENNGKEDPVLVENTKAITLRHLLTHSSGLTYDFFNPLMTKYRNWQKRTPPDLNIKSNMRDAFLFPLVFAPGESWEYGVGIDWAGWMVER
VTNTSLEAYLQRNIWDVLGVKGFSFFPQTKPDLMARMTDMCDREGGLTMFGTAADPEGKIVHRQGKELWNSSSTESAGGAGSYGAPLDYQVMLHSIL
TDDGKLLKPATTEEMFTPQLTDASRSTLMEMLKLPEVNNTFGGLPIGTKCDWGLGGMINLHDIPGRRKKGAMAWGGYPNLIWFIDRAGGISGIYGSQ
LNPPGDPKTVELFGEWEKELYRKGRELKL
>RCO7_11046 | alpha-1
MAIARPLRMLGLCAVGLWIFFLYRTFGPTRSPKGPGDTLENMDRDPTLDLTGEPESTVLWRADQGYGLGAAGTNRINATLLSLVRNEEVDGMVQAMR
DLERTWNRKFNYPWTFFNDVPFSEEFKRRTQAETKAECIYEVIPKEHWEIPSWIDEELFQESAKILKENDIQYGAMKSYHQMCRWNSGLFYKHPALA
NTQFYWRVEPKVHFFCDVDYDVFRYMADNNKTYGFTINLYDAPNSIPTLWPETTKFVAAHPEYLHDNNAMQWLSDAKRRPEHNMKANGYSTCHFWSN
FEIADMSFWRSQAYEDYFNHLDRAGGFFYERWGDAPVHSIALGLFEDSSKIHWFRDIGYQHIPYFNCPNSPKCKGCTAGRFTDGESWLMKEDCRPNW
FKYVGMGTIPNRASDKRAGGYLDLRPEIGL
>RCO7_11045 | related to GCP3 (gamma-tubulin complex)
MAHVAKLSALTDELVDLITSTRTSAKSDQTKFSIHRESALRALRFHGNPRTNQFEITTQLEGLEEKLRVYNEDPLADALRERLDKLSSLEVKWTPEI
LHLLLELSDQPVTRSNLENLDFLKEPVPDTGPTLKWKDLVAEDPSLRDESVWRNVDFTAGDSDGEDWFEDSRSEVSAQTDTTAHSSVEDEFSRRPEE
HAVNTIDMVALKELQKQQFWRNIPNVSGVKLETVRKSITELQAIREVLFMLGGLQSSLFEVDAQQMMEIWPSKGYALNHASPEAFFKLVSSFAENGS
SLARLRSWVRNPQIIPLLQVLQSTLHDRIHELDKYLSEIQQRFILPQEDSVVSLLSVQTELASQMLPLVRLSNVIKNLDTERYPHAFRYLEMIYDDT
CTSQMNGDEETYEYMGRIFFDCFRMYLRPIRTWMEEGQLENDDKVFFVSETTGEVDLPSLWQSRFKIRKTQDGVLHAPKFLQAAANKIFNTGKSVVV
LKHLSQYESLRSARGNEPILDFDTVCYPSVRLAPFSELLVTAFDGWVQSKHHHASSILRKTLFDSCGLQKSLDAFAHIYFMADGITASAFTNNVFDK
LDTLNSSWIDRFTLTELSQSTFGSIASVNPDRLRTHILTIPRKHRDVANCRKSVKALAVLEFKYHLPWPIQIILTPSTTTLYKRIFTFLLQIRRSSH
ILTRQRLISDRPTSNSSSDERAIYYVLRSGLLWFNQMLYHYLTSLVIEPLSRKMRTDLETAEDVDAMTEVHSTYIKTAIDQALLGSKLELIHKTILK
ILDLGIKLEDAQAANAAANKGALEHQQDMMDLSMASLGLQTPRKKAKQFLRKPRLAKKDLDSSSEEDDVEVDVDLSMLSSPQAADREELRYIDSLRN
MKADFDRLVRFVASGLKGVARAGGGDDARSWEALGEILESGLDNVTSGYR
>RCO7_11044 | probable aromatic amino acid aminotransferase 1
MADFEYISERDGREQTGPKPPVDLSHHLSRITAARKESAIKKFYQYFQIPGIGNLAGGLPNAALFPFDTLEAQIAKPERWTPTPNDPNDPSKDLGEK
FSKSSLKKDGDALASTHITVPHTSTVSNPTQKIDVTSALQYGTAQGYPPLFSFLRQFTREILHPNVPYAGGPEINLTCGSTDGMAKTLEAFTNPWSA
DRDWVRQRPGMLCEEFAYMNALQSAAPRGVQIVPVKIDSEGMLPSGPGGLEDVLESWDDSKGMRPHLLYTVTIGQNPTSGTLSVQRRKELYALCSKY
DVIIIEDDPYWYLQFPSAAGREAAMRNLPTPAPQPIHEFAKKSGYPFIDSLVPSYLNVDHDGRVVRLDTFSKTVAPGCRVGWITAQPAIVERILRIT
ECSTQQPSGFVQAMLSELIMGQQPAAMAELCKKSKKDQMLFTGWHTDGWIRWLTGLRGNYENRMNRMCTRLEEGRFSLKQQTPNRSADADWAVISKT
KMYSFDWPRGGMFVWVHMHYETHPLASVVPGPKMSELLWVFLTTVPYLVLASPGSVFAPTEDIKAEKGWQFFRLCFAAVDEEEVEKSSKRFADGIRA
FWAIKSKKELEDIEPEINEENVGLLCDLGMGIAC
>RCO7_11043 | probable methylenetetrahydrofolate reductase 2
MEKITDKIAALPPGSSYFSLEFFPPKTTMGSSNLRARLDRMSRALRPLFVTVTWGAGGSTATKSLELAELTQRELGLTTCLHLTCTNMSRELVDQAL
EDAKALGVRNILALRGDPPRSEEYRDLGEKGTGEGNVDMEEEFEWAIDLVRYIRKQYGDYFCIGVAAYPEGHADESDPAGQSLEHDLPYLVDKVRAG
ADFIMTQLFFDVDAYDAFERRLREHESGVFKTIPIIPGMMPIQSYQMIKRTTKLSHARMPRNIMERLDRVKGDDEMVKKVGVDIVSEIVTHIQKEPA
PGPRGFHFYTLNLEKAVAFILERTNLIPSSPTDSEFAILDVPSSLESLQINGSSHKRPSRRQSSIGSDPHNRVIISGSKASNPTRETTADEAGIPAE
PVNTRANTLAISEGEGSLGREATWDDFPNGRWGDARSPAYGEIDGYGVSLHMSVNQAIKLWGFPTSAEDITSLFIRHIEGSIPALPWSEEGLNEETN
TIKSQLLKLNQKGWWTVASQPAVNGVKSSDPIFGWGPKNGFVFQKAFVELFIPAAGWTSLHAKLTSSTVAPTVSWYASNASGSFLSSSPNGPEEGDG
NGGGSTNAVTWGAFPGKEIITPTIIEEVSFRAWAEEAFGIWGEWGRVYGSRSVSKGVVDGCREGYWLVNVIHHGYIEREGLWELLLS
>RCO7_11042 | uncharacterized protein
MVATAPGAQFRTISPETPNVKLLKNSVNQTLDPKEAVLTENGKTDRSGTKVARCYGKSVNAKAIRNFYDRTIKHDIRAILNTLENGGDPEELQLCGI
AKISGGNVDDPPAETAKCFGDGLKANALNMHFVRNIKPTSNLILEAIARGEDPFKTVPVGAELKGSGAKEMVKYFGDDATPGSLQVAICRNVTPVFK
LVKDHADAGGNCKDLDLFGNAKSEKDIAKHFDTSLNRDAIRMAIARHVTPNVKLVLDCITAGGNPMDLNIGSSEVKDASKDYTRELAKHFGSDTTQG
GIAKMFSRHIIPPSKLVRDCVKSGGDPKDLTLWGDIKNDAGKGGQKGQEFTHQHLNFLHIFSLLILVFLFDCLRSLSFRSRLGFGSDATAGGIRFQY
FDRIKKDIDALRKGRADGVDCKEITLQSLGGPAVKGPSSVLHFTPTAQFFYTTWQFLIIPLEIAAVMGSDVTPNGIRFQFTDRIKPTAKIQQDIRSA
GLDPKDIDLDSIYSIKKGDISKYFGKDSTKGGIEFQFRTIKQDAKRQKACADTGGDPQTLGIGTGAIKASGPAIAHYMADGATAAAVEHRFRPLKKE
AETLKCAKPTCLDCLRMSDGTTATALQHRFRPIKKEADAINAAIAGNFGDGDNSVKKTPAKRTPKKKPSTKATDGDDDEGSMIETPSKSTLKKVKGG
RIGKATSSRGRAKNYTEPDEEDDDEVEMQGTTNLKEEDDEDIDISSPGFGNGNGHNSNGHGHAYIKSDHGDHDGYDGEELYFEAINDDDEA
>RCO7_11041 | uncharacterized protein
MPNWKSYESSVRLLSAIIAAHPTLKLDYGEVGRFYGDGAKYKSVWGRMSVINKNAKAIAAAVEAGQDPFAVPLDDTQTSAKSDKTQEISARFGGDCT
KSAIDNRFRRLKSDAKLINNAIQNGVDPITINVGDTDGKLAMGSGGGGGRGSEIARCFGTDATPKAVNHAVARIVKPAVKMIIDTLTSGGDPKDIAQ
GKLV
>RCO7_11040 | related to PQ loop repeat protein
MGIIATLMGFVAPMFIVISPITSYADQTYSIHRTKSSAGFSLDIPLIMLVASLLRVFYYPGAQFDRSLLIQSFIMIAIQLVLLKVALDHRPGPSSKG
GEMANPFAGAKEGDFGLQRPYNFWQWRSPKPYWQFLLYFFLALVGLELVLSPVPSLYAMYSASIGIIGLSIEATLPIPQVLSNYRSKSCKGFRFSVL
ASWIAGDIMKMFWFFTATSEIPWTFKLCGIFQMCCDLFLGGQYWVYGEGEPVPKGHVDLGLRMNGLGKKDIRLG
>RCO7_11039 | uncharacterized protein
MDPIKALNFNGPISSVANWNAWAPPELQNRLPFRPIVRGLSQVNDPSEWGIIYPATSTLSYTISTSQNAQVSITAEQAAELWREKMVPLRREKGKKL
VGPGCASDKAGEKWLKEFMERLCELGEPPDYLGLPFYYGPDGSAAIEYIGRMWDTDLLIVFSFRPGS
>RCO7_11038 | uncharacterized protein
MPPNVEVTKGDDIDDIDEIEYAPPYHNGLPAQRSSLVASYDSPSPEPDHGPDFKPPQPLKKVVLPPADPLQSILDLPILRPIPWREGHELPPDKSTE
HERMQPRSATIMTTRGDIADPACASCARGVGHFAVCIVKEGYFLGACATCYFNHNGVSCSFRKEKEAGAKAVAAAKKAQNHGLLSPGGDTIHVNAPP

RKRKRTSTAKASHNQVAEEGGAYSYEKSFDDDPNALLQFVYNQQQQINSNGGTKRHHQQHLAERDDHESRPHKSNGHDARRESYRVGEGSYSPAGPY
GARERSSFNESNLAGAYNHRESRDALPQDDEPLALIDTFPRKKQKQIFAVIGSLQSGIRTSRQQTENLQRQLDSLQTILGIEPEEVEYN
>RCO7_11037 | uncharacterized protein
MHFNTYLTAALTGASLLTTTVLATSKPKNSYARNLKTISLIYKFTVFPNNVSIISGGSAAVPKESIEYFFALALTPNPPSYSVFTDAEVVSFSSGCP
EVAASVAYLETRVLNYNSTENGKCLSTLKQVCGIWRFDKHGAVIAFDAWIPNLNIWNFLTRGEADITNPFVQQAFIERICPAIQGLCTGAIQQYTDV
PAGIASMNSKPFGNYDECVNEPYNHGYFDDRDLFGAPSGETFVCPDKQEERHYERSGNDVKSGVVDVAAKKEGNFGVLTGALLVEISPILYGDIRGI
LL
>RCO7_11036 | uncharacterized protein
MFANSVASALCLASLTTAHFTIDYPEMRGDSFANGASQFVYPCAGVNQTAQTNRTLWPLDGGSVKLKLHHKWTYLWINLGLGAEYPSFNISLTPSLL
NQTGNGTLCIPKVPLPANIKPVNGQQASVLRGQ
>RCO7_11035 | uncharacterized protein
MDDASALPPPYHELDWNTSANNSSIKSNNFRVPRKPIHAERPRTAPSRNQNAPPPIYFEEFKQLKQSHLQTPPPPPPPPIRYSPAPAPEDLLLNTSV
HNNLIDPHTYYSPASIEPLSRGISSLNTLSPPSTLRSSRSASPVLTTESLRSSQSSNSSFIQEAFREARHFAGGLITHPVESTKHFSILRHSHGLVF
YQGANTTLAISIFSDQPLPPDRTIWLQSKGWSGKTGMRAKAFMGRNGNWINVTPSLSVGSEQLKSTDERAWQRDMTHFRKKPKRNMQQYHILRETAV
VRIPVEAEDGYFQLVLCLGLSKQKVLCPSPVFRILSTSTNPGSMRGASMTTLPLEIGVIALGTYARNTAGRVVGPVATIVQTRVQKLMPSWVTQQAT
AAAFGVLNPPVGNADTNGSQSRDQPTFAPTTRDAIPEEGPHAPFPLRFIANTELAKVGIEQFSMPSMAVTGLAAQIAQKLSGFYLGWARFLKQPIMG
SSKSGDVTWYQAVISASQTVAQTPATKTIIIRLTRDYEEWCPERRVIEVRILGLIRPDDPLQRDALRRGLQARDEAAAEAAMLAEVNDIMFAENILD
HPAWNPEAAPRTNFRPGTSGGQSIRLTAHRQISEVPFHKIGVRSPLEGAGVDDTPFAANGYFVTR
>RCO7_11034 | uncharacterized protein
MSRLQLNIIIVLEAGNQLSEGGAGIQTSPNAMRILDSMGLKDVFYKEATKNEGAVIRRYKDGKVLGKHRANTLELCGYHNLSMHRADYQKVLYDAAL
EANAHISFGRKVISVDTSEPSLNLQDGSITTADLMIAADGKSFVMPDSLI
>RCO7_11033 | uncharacterized protein
MPYMAQGATQAIEDAAVLTGCLARAQSLNDISRLSKAYEDIRKPRAEKIKATSLGNMKQYGLPDGPEQEERDEMYRKSHLPVSESTKEILVSKPDNN
AVYGSPAFLLGYICTIRKKLCESTLAMRKNIRRDNEA
>RCO7_11032 | uncharacterized protein
MAPPFKYSQYPTPPPTSSPKYKDKDNSYNSRPAQETYFEQPTTTTSYSRPASANQWDTQLSNQYTTTPVVLYQQPQNYLPAPHRQPQVQQSLQAQQN
SMIQVSNSDYYTRPASPLPQKVRPQAQTCNPPRRRSFSPPKNNRHSPRPLYYSPANPIPSPYNASRPKPRPGFVQRMLAKIERWIRSCMRWCKRNPI
TAGLLTFIPVVAGAGLVRAVKSLKIGDMFKKMGAGQTKKTATQKQWDWGLDQFAGFGGSKGGPLEGMIKILQMGVCVAPLPFLRAFLLFASDDVPRL
ASIILELYFLEVKK
>RCO7_11031 | related to sensory transduction histidine kinase
MHNSTSVSSARPWTGSSNNRRRRIFDWLSHPELESITSFQRFILDIDWNTSPLGPINAWPAQLRQMVLLVIQDPSPAVIYWGDEATIVYNEAYTELI
GQKHPALQGQDPRTGFAEIWIHFEKLLTEQRETAETVVEANAFLLLYRHGFLEETYFSWKFVPIIGSEGWVVGSHATVVEVTREVVGDRRLRHVHAL
SREVSLSRTIKELWARLIRGIKDAEKDIPIALLYSIADSATTSSLAPSKPEASTVTGSPSPSICVLEGAVGIPTGNELAPQVIDVELSDSCLGIALK
EAQLEMGPVVVPVKERTQKQFKLLEWRGFGVPSTHLGVFPIITNDSNSLLAFLVVGLNPRRPFDEDYRSFLVSLTQQVTTPQLSAVILREEVERRQS
LARQEALDRDRLSRELSEAETKFAKFANRAPIGLAVLSPDGFAQSANELWRELTQLQVSSMRASWNDVLAEGELEPVNAGWEKMLTEKQPVTMQTRI
KRPWKAPEPDPEGNVWADTYIMLSMYPDFDGNGEVTSIMSCVTDIRQWSENLLRRKMLQAIELKEQTERHIDLTSHEMRNPLSALVGCADEILASLN
EVRRNLKGQDPTRADKTLNLIDEAMEAADTIIYCAMHQKRIIDDILTLSRLDSNLLRISPEPSQPLVLVRGVLKMFEAELKRAAIVLDFVEEDSLTG
LAVEWVLLDPSRVLQVLINLMTNAIKFTRTESEERRIVIRMGASMVKPSETNPLNVQYVTKSNASPDQTTKAEWGTGEVLYLCITVQDTGRGLDEGE
IKNLFHLFTQASPKTYQTYGGSGLGLFISRQLVEMQGGEIGVAAKKGHGSTFQFYVKTRRAPAGNQADLPILLREDALREACAVETSGLNGKMSSMQ
AEASVLPASDKAPAVYHILVVEDNLVNQKVVMKQLGKAGHIVNVANHGAEALEFIKKSEFCKHTDSGLAQKLNVVLMDLEMPVMDGITAVKKIRQLQ
AEGTIVRHLPVIAVTANARKDQISLSLDAGMDDVITKPYRLTDMLEHIDTLLFKEPVRRGSK
>RCO7_11030 | related to cell wall protein YGR189c
MWLSFAAACALFACVSAQTFTDCDPTNATCPNDPALGMSHNFVFNTSTTVTNSFNITDGAIVQGPDGSQFTINKIKDAPTIRSKFYIFFGSVSVVMK
AAKGKGIISSIVLQSDNRDEVDWEFIGGNSTHVQTNYFGKGNTTSFDRGAYHPIATDPRETFHNYTINWTADKLEWMIDSQIVRTLLFAEANGGHNY
PQTPCTVRHGIWAGGDPSNQKGVIEWAGGITDFSSGPFTMTVKSTTVTDYSVGAREYEWTDKTGSFQSIKAISGNSTAAKDIEKIEHPEPSVSEKFA
ALPQATKLAVYAGSGAAAALLLGASLFACMRRRKQGKKEREEYEAVVNRERAEELQNQVELREKGLGGWDKGAYERQGDDALGGWGGTYVPQVAKAA
DFPEPKTPAGGTVREPPSRISSPVSINSTPSLAGPVSQSPWNGGGGSGGLMDGAGNAYTGGYGGRGGQGQQRGYSDHGGNGGY
>RCO7_11543 | related to cutinase 1 precursor
MSNLILTIVMALLASLGGIAAAPLSTPSCTNVTTVEHEYTLGGCKPIIFFYARGTTETFNMGDAYYSPGPPTSHGLKDRFGCQKIAVEGIDYAALRD
TNFLPGGADPIEALAMKALLIDAATKCPRSKLLVGAYSQGAALTHRAIENLPCEVMDKIVGIALYGDTQNLQDQGRIPNFPANKTLIICTEGDVVCA
GNLTITLPHIGYVSRVPEALIDAQNNIYLTANNAWLSELSN
>RCO7_11542 | uncharacterized protein
MPKLLECRSAILAAVNGWPEASHNRALCALANSLSTGTLFMCRFLR
>RCO7_11541 | uncharacterized protein
MATVIRHSHHSSQACLISRNIIILKTALGSFSDWVVLAIGWFSEKLCDRIFTNFKLKQRHQYRQASADDLHRLGDKPWWQSYADFEPLRADPPSEKV
QCAFG
>RCO7_07855 | uncharacterized protein
MNLGPIIYPSSYMIFSLLSLDYDIAPILLNYVNIKYTILFSLLLSSKAKDAELNRSSIIATYKAINQIYYLAKSTTLTITCSIEKVFKELEFIKVEF
IKKAIFKATISNTKGKRNLLSSLETASDLNTPGLSLKKKAHLDKELDIIVLVLDILSLLEALENLREKASEVEVIKEIEF
>RCO7_07856 | probable nitrogen metabolic regulation protein nmr
MPSVARSALPIRPSSRPQPDVFHESSPPSTTNKLKHRPCTSYTDLSPLASIGFSPVQYPQTDRPSKRPMPTPRKTIAVVNSSGRQAASFIRVAVAVG
YNVRAQLRNLDGIVANEISSLPNVTVLVGDLYKRAPVENGESDSPTLGTKAKGAPNHDLIKELYRGTQLAFINTTFWGDEVEIGKALADAAVVAGIE
HYIFSSMPNHSQHDQHWPSLPLWSSKATIETYIRSLPALAPKTTYLYTGIYNNNFTSLPYPLFQMELQKDGSFTWTAPFHPDVPLPWLDAEHDVGPA
VIQLIKDGISRWGNGERVALAYEMLSPRAACRAFSRGVGHPVRYKYNAKIDIKVKIPNGYREQLLALEKMYLLGAKDAKLQPPYFGSQLMENSCPSE

ALELWEGHRGLEEYAREVFPLEEAANGLTWMNDSNEVEGEVQGAEVEQTADNEDDETGSEGELVMGGGTGTDTPARREESWLA
>RCO7_07857 | related to phosphatase 2a inhibitor
MSAGLEETPVSYEDLADIEKEFDDVETEIIRQQIALSNPLYERRSKTVSQIPNFWPLVLEQAPPDIDQYIQPSDSALLLSSLLSISEGRDLTGGLLE
LVIKAWETEQKASAASSAGAKANGKADKERLTPEQKILKRKIGNTGMGGLSFFAWFGFIGRKISEEESREAMRIEKEKREKRKAAKSSSEAPESTGE
EEEEEEEDEEEGQDPEAEEDQDIDLEIFPDGDDLAIAITEDLWPSAIKYFTQAQEQDALSDADFESDDNEGNAEVEVLAGDRDAENEDRPKKKQRSS
>RCO7_07858 | related to Lysophospholipase
MATLYPEARVLVIMTGGTICMRSSPEGLVPARGFLREGMAPRPSFNDGSMPDPLPVMTDATTKVYHPSLRTPPSTYSRHVRYTLYEFPILLDSSSIS
SEGWTQIATTVQDNYSLFDGFVILHGTDSLAYTSSALSFMLSHLGKPVILTGSQASIFALQSDAVDNLLGSLIIAGTFMIPEVCLFFHHNLYRGNRC
TKVSASSFDAFASPNCEPLAKVTAMGAEVNWALVRRPRSLARFDVQTNLDTAHVACLRIFPGIKPEMLDSVLHVPNLRGLILETFGAGNAPSGADGS
MVNVIESAVARGIVIVNVSQCQSGSVSPLYAPATTLGNAGVVFGHDLTTEAALTKLSFLLALPDLNYQDIVSQMQFSIRGEMTESHSTAFAHPASYI
PTIQDSQVAFTALGHAITKGQLETVKNLLDGDQFGLLVAKDYAENTALHLAAVGPRIELLRELLKRGASVHARNLAGNTPLYLANKVSNREAVGLLE
ETGALLHVDEVEMVKENGVEVKRRRVV
>RCO7_06331 | uncharacterized protein
MSRNVCISAIDGQTGFLIAELLLTDRKFKVDSVCGLTLHPTSAKCKELQKLGVTIIPHKSGKVKDMAATLKESGADALCVIPPTHKDKYDITMELVT
AAKKAGVPNVCLVSSAGADMADAKKQPRLRQFIDIEQLVMEAKGDAETPTGHSPVVVRGGFYAENLLNYSPQLKEGILPLPIGPNHKFAPIALGDVA
LVVAHILSGKGEHGFDDKHRGQLIVLTGPMLAAGEELAEAARQALGTDMQFEDISEAEAKRVLHAQAPSDASEIQYLLEYYSLVKEGKTNYISTSAF
HDITGQHPQEPVDFFKVYADEFKEEHPSKKRKANGK
>RCO7_06330 | uncharacterized protein
MVNGSPKPQNQGTTQEYPNQFSTLFLSTKISVMILIEANTLTVLDVIVGPAFTKHQIVAKRKNRVTERALSANWDPKVSLYAYAI
>RCO7_06329 | probable phosphoinositide-specific phospholipase C
MPGPESHPFAPLAATDSFAVLPPNASSSTNTAKSFPSRYTIQNHVQSNHLPPINTSAPSVPASAISTSSVTTSSSLQTSPIMSPETMQLFTNNSSIQ
GSPEGMRGREADLALTPFELPESIVSRKTSQSAMSEAMSKSPNLIRRLSNRASQFTNRRRQSSTQAMSRDHSTGPVIMRRRSDSTNTAPEGGKAALF
DSDDDLSGDMREELPMPYGFENRDFPSTTASIGSSASPTSSPGPGPVVPSLLLQGTRMTKVTKKNRKKLLSLVLEKEAAKVSWDKNRPSKSLYIDDI
KEIRVGKDARNYRKEFGVSDADESRFFSIVYAVPDKNKGRSQQKTMHLIAEDAETFELWTTTLDAISKHRQDLMASLSSFHDKAVRACWRSEMIRQF
QDKHRTEDDELIDFLGVERLCRSLHIHGSSNYIRSKFQQADVSFSGCLNFVEFQDFVKLMKRREDVKRIYEGITFDLKKGLTLLEFFTFLEKYQHED
VSSDPAHWENVFNKVIRRSKSKEQAHLDATDGEPQRMTEAALSSYFISTFNVPLKSPPQEYTLDRPMNEYFISSSHNTYLLGRQVAGQSSVEAYISA
LNGGCRCVEVDCWNGTEGPVVMHGRTLTSQVSFVDVMTAISKYAFVKSQFPLWISLEVHCNSQQQAMMAEIIKETCGSKLVTQPIDPSLEQLPTPSQ
LMNRILIKVKKPRDEDPEQVGGRKRGSSLSSPHNRPVQLENGPISAGLLPPSAYSRKTQAATSHPKYSGSEGQDSLSSSTSDSESLTDDVARAKESR
RANKTSNIIKVLGELGVYSAGLKFHGFDTPESKTYNHIFSFAENTFDKNATTQEEKRIITRHNMRYMLRVYPNAWRVASTNFDPLKYWRRSVQMVAL
NWQTYDLGMQINDAMFAAGTDQSGYVLKPSELREIKMLPNVPEEAGAGHAKRERKNVSFSIEVVSAQQLMRPKGLASNRSVDPYIEVEVYHADDKTK
ENKGVVGEGGLDASAKDGSSGLGAPHRRRTKIVQENGFNPIFQEKFNFALTTKYPDLVFVRWTVRCSSDGNTYSDKGLPLATYTAKLNSLKEGYRTL
PLYDINGDQFLFSTLFCRIKIDTPTSIYVDSPEATAKGLKISRPWHRSTPMSPKTSFEGDHQ
>RCO7_06328 | uncharacterized protein
MTHDFPILKEEKGTENLRLPQFWWWAGAGEGISGMRQALSSDENLIHHLERVCDRLGIFTNFKLSAMASHALPILSGEKWERQADEAAGEAE
>RCO7_06327 | uncharacterized protein
MNLKVSIVNGLSDFNPARSRYVPRDLEVMQRQQDSGTDDVSCPSVSLIQSHQCAYYL
>RCO7_06326 | uncharacterized protein
MVASMNDPSTRIQALLSWAQGHGTSLHPQVEIYHDSITGMSFRALQDILPGSKLVDCSFRTTLSYLNAIEASPVFLSHSPPFPPHFIDALKIDDPNV
IGHFFLIQQYLLGPDSFWWDYIRLLPQPDSPEAIGLPVWWPDSDQAFLAGTNAEPPIKKRKSLWEEEWRQGLSLLREGFSDSERYTYHMYQWAASIF
GSRSFRASLTIPSEYITVAAHDDLSHLNMAHIDKDRFSVLLPVMDIGNHDGQNRVDWSQHAAEGSFSLSNSGLISRGSQIYNFYGDKSNSELLVAYG
FILPDLSRDVVNLRLTPSPKAVLLRRSQNSYKRDPKQLEQEFMFNVGIPEPRSHQGLSEPNMLSPGLVDTMSCMVANSRERRYLLSNPTYSVENDPA
AFRGAMSRNLILVLRLIHEKLQYEVSRIEQSDAELGEPQNQNQRIALEYRSRQIQVLKTAIPPISSSLLSALNDSSELQHPTKNVNCIEQDRVPKEG
FAEFLSLERAFDWLHLYFPEISSQVSQLISEDQEEPLPLDWAVLIEDWDHTYWTVWIYLVWMLWLQNTSDFEDRHAKMTAWIGHMNLLYDEALSLDS
QSSRLYADSTEKETIDSMVQDIAQISSLKSVSASHPGLIERLRNFASFVATEEVIPASYQMRNGSQSGEMLEQKLLCIWNSGGAQHVRHSGLWTEFL
FI
>RCO7_06325 | related to hard surface induced protein 3 (sterol glycosyl transferase)
MASNFDSKWEKQDLSSTTQTAAKWAIDFVRPAIMKRASGPNKKAMRTAYLDGLRGFAAFLVYWQHHELWPLREVPSSRIMEMGWGYEGKYYFAAFPI
VRTFFTGGHFAVAVFFVISGYVLSVKPLQLIHAGEYSKLSENLGSALFRRWIRLHFPIIFITVAYFTSWHLFGIWTLSPAHKPTYREELWNWYIEFK
NYSFVFRGGGEAWLTYNFPAWSIPVEFRGSIIVYTSLIAVSRATKNARLCVEMALIYYFMYVVDGWFGAMFMGGVLLCDLDLLARSGNLPRFLTSLE
PWKMTFYYGVFVVAMIFSGCPSHIIDMEILRNAPGWNYLALLKPEAPWDQKWFYLFWAAMFLISGIPRIWWLKSFFESSFCQYLGRISFSLYLVHGP
ILWTLGDRLYCAVGWYKEAHEEFIPDWVNIFPLSHSGPLGLEPAFLVPHLILLPLTLWAAEIVTKICDEPSARFAAWTYSMTLPPPTRPMELHG
>RCO7_06324 | related to glycosyl transferase
MHLKAPSISGGRFRNPSKRAVPVYIACALLLLLYTQIDHFERLQHTPGEVLKRVLAYQQPVERAQDTKFPKKIWQSWKTDPLEFEQRETERARSWPK
LNPGHRYEVLTDGNDMDYVETHFGRDGVINRPDIVETYRTLNTTIIKADLLRYLVMYAEGGVYADIDVENIRAVNTWIPPQFDERDVDLVISVEIDE
PAFVNHTILGQKSQSFCQWTFMTKPRHPVMLRLIEHVLHWLNEVAQKQAVSIAAIKLNFDEVITGTGPSAFTSAVLAEMALQTHRRIEWDTFHNLTQ
PVLVGNILVLTVAAFAAGQGHSNSGTHDSPDALVRHHYHASLWPSRHPRFSHPAYGMVEECNWEPACVWNWTENTAAYGKLDFDAKVNLIRQKEKID
KARFDAEVAEDEAAAKEEAAAVAAELKAKCEKASYIHVEQVTSQPQATPSVPSTPWPPAGVLPGNAPAGTDQQAGAQQPAANQQSQPSSNTGGQPGQ
PEVRI
>RCO7_06323 | related to trehalose synthase [clock-controlled gene-9]
MPMPPWDAGTRLESRSMISEPCVRLADLLGVKLTWYCPKPKQGVFRNTKTIHNIVQGVAEPGVRISGEEKQVLMDWIGDNAKRYWLSPGGPLRPASE
GGADVIMIDDPQMPGLIPLIKSITPKRPVLYRSHIQIRGDLAIQEGTPQEDVWQFLWENIKLADIFISHPIPSFVPGNVPASSVAYFPATTDWLDGV
NKDMNAWGQGYYGHIYNETQLKWPPQKYFIQVARFDPAKGIPDLIKSYAEFRRLLPAHDPTLEAPQLVICGNGSIDDSDGTIVLDQTMHVLETEHPH
LLTSISVMRLTPNDQLLNTLLSASHTVLQLSTREWFEVKMSEAIHKGKPVTATNCGGIPLQVQHGKNGFLVEAGDWTAVAKHLLALWTDEALHEKMC
EFAKLSVSDEVGTVGNALAWFYLADKWANGKGIVPEGRWVNDLAREEAGIPYTDGENRLPRNFGGALKKAS

>RCO7_06322 | uncharacterized protein
MVSQVEPSHSLAIRGPSSVVSRSSRHRRHGRSHAGGSSLVPQNEFPVFSRTGDVEMLVKAGSQTNRYLLHRIILTQCSGFFEASTSQEWSKASNEGV
VELARIGEDSGSESARNKDFKKQWRYELDAGASNDDIPMLVQKENTHASIFGATDARPPPVRNKPPSSNPSFFRSVANLSLSAPQGPSAPPLRHKDQ
DLLNDYDNLFRIFYNYPPALDPIDIATAYIQCKSLLTLADLYDALAVVGPRIDHHLLQFQSRLWKQIAKYPSSYLKLGYLAQSKSIFQEALIHVVGA
WPMGERHIRHQLPDTVLDIIEDKAEELDDLVGKIEGRLYRLSLTTSRGERVNPHNSYLDWLAMSLFRQWLADSTSPPPLPSPPRLSSSRNGSGHTRH
NTVQGTVAATHHTSQTVQHFHPSSVLSSSSSNPPTNTNPHLGRVFRTLGTTPSIYLGHEDCKRFLKLTPEIYTRDNLKKFEKRLEEMKSMAREVVRP
LMKSGLLGEGTHVSYLVCTKVTERDFPWNE
>RCO7_06321 | uncharacterized protein
MESGAEVFSGPISRSMDFTRPVFTTPFSGGINPAKSSWTTPNSFTPRSAAGRKRSRDEAAPNLEEEYFNVAPTPALPEPVNEEDWEYGEGMVLIKKG
TGYVTDSTSQTGTWHEEKALREQGEQTKQADAVMTDRPVLRAHKSQRLNLSATPSIPEELFQAQDASPVSRGSPERHIEPTVDKFTLHLGIGWSSLA
AAGPDVEAAARGWAKFIENQFPVTNAKIQLQSKGLASYLVEASEGYFLFGEDLKQGRLVSTELGKTFANLKGPVPVFDGDVIMEAGQSTNEQPEMVE
VEMDMS
>RCO7_06320 | related to calponin
MASVTSLDKDMRKLRMDRYTPQAANEVRTFIEESLGERLAPGDLLDSLKDGVALCKLINLAIPNTLRFKTKAVMPFVQMENISLFLGACKSAPFNLQ
SHDTFLTVDLFESKDPAQVLQCLGSFSRAANRINPSKFPNPIGGKSRNGYMSPQGTGAGAVGGGSYGNRGRGVSNASNTSSAYAKPTSSLTPTKTGD
SNSGRWSPTKSNANPMSPSVSSWSKKSDEGATSPAWNIAQYGYMGGASQGNLGVSFGGRRQITSVGPAVPNMAEKEKRRKDQESEAERQRMEAEQEE
RRRLAEQQAEEEHARIEEEQRRAEETHKAQEGERQKAEEEKRKWEEEEQRWRQEEDARQREEQEAEARLKDDRQRARGNSDARLRGQFLSQYKAENE
VSRRISNGNGSESSRIKELERELEQARERERQYERERQAKSSQRSHRVVEDHDMSNRVKEEHAKARSRSRSRPRAQSRKDDDEVWREDERDYLRKQW
QSHHSDEHVHTPQPSKSRRPLPEPTPSLPPRVVKHNTGSSRPLPDPAKYATAKAPEEKYSPNLNRTDRYLSSNPAPRQAQSNTTYSDEIGGFDSSAE
RDAEDRRRAASQQKTKASGWASKSLLEREMEMERQRQQEWEESQKELKGKVPKGDGVDGIGGGIGGKWDVNQWTGYTGGDGQNRGTQGIGAGRRQIV
GPRPPPGR
>RCO7_06319 | related to DNA repair endonuclease rad2
MGIPGIYEEIGRGERVSLSKLAIEKLEETGRPFRLAIDISIWQFQIQAGQGGANPAIRTLYYRLVRLLGTSIQPLFVFDGAKRPQLKRNKRVGRGGA
SASDVTTKQLLKLFGFPYHNAPGEAEAECALLQRHGIVDAVLSEDVDTLMFGSGTTLRDWSPEGSRGNKAPTHVSLFDAKKTKEGRSGLGREGMILV
ALLSGGDYAPDGLKGFGAKIACEAARAGFGKSLCSISKSDEEGLSIWRESLTQEIQTNENKFFKTKHKSLIIPDDFPSKEILGYYTHPVVSSATKID
RLKEDITWDGGVDVLGLREYVKEAFDWTNKGGASRFIRNLAPALLVHQLRLRANRRDSGYGDEILTQLNEMEYVREICGRREHFSMDGCPELRIVFA
PLDIVGMNLEDEYDDSEDYGRDGLAPVNGDDQVEAYVSEDDAPVRKRAIASYDPTKLDKIWIPETIAKLGIPLKVEDYEEAERKKRLPKIKAVRKTR
TAPAKGGMPRGALDKFVKVTKSVDENIVPKVPARAVASSQPTLPQAFLAPAPNRLSSSQPAPVSKSHRTSRSARSSTEALSRPTTKSRAKTAPIKSR
PNGNPWSLAKPTTSSQPNPSITKALNTQTSKSSSPPTSSLQEPYYITSSPLSSPSSLSRTNSRKHIRSQSPSTPPELSEHEIELPSTVTISRGTRKV
RPDPTGTPSKSSSQPSPRKKISPGRIAASHLSSSFEGNVTVPSNFEPVARKLSFSAPAGSPSRQIKPQSYQEKPSDNATSSSGNIHTIDNAEIENED
ETEDYGDFPSINEMLSPSPMPAIASTSSFSAPSTPISTSKSISPKNNIIIDLDSSPPAPIRAQTSHPKFGLYFPSCTSSSVDEKSAPDVVRTEEMVT
AVKKGKRFITLRESLEGSWKEISEEEMLGKEKEKEEKEKRMTRPGGGRQGKGAWRMSEVEVLDLTGD
>RCO7_06318 | related to actin-related protein RO7
MSNSSGPSHRNVANIRSPASAQPGAPAAPHTPLRTISSTFGSPSALRAEEDCIILELGSRYLRTGFAGDALPKAIIDFGPEEQRRPGDLRRWKVDYT
PSTESHVQTKGWGEGHELWRPDLRGLDMGLVGDKLDRAVRDAFTKFLLIDSRPRRMLLAIPSALPLPLLSTILDTLFTSFQPPTISLMSAPVLATVA
AGLRSALVVDIGWAETVVTGVYEYREVQCTRSVRGMKMLGEAMFKTLSEAIDLVGTGDKPKEEELPSFDECEEVLKRMGWCKPVKKQEQRSFDRGLT
PVVEEDEIRSSMKGMQISEEDGEDATISIPLSSTKPRRILELSASDLAEPCENALLATSTPEKALDDEELPLHLLIYRSLLRLPVDLRSVCMSRIIF
VGGGSNILGLKSRVVDEVASLIAQRGWDPVVGRAVELTHFKELQRTRSRKNGPTEVLQVDEKSGTILIPAALQEQELDPIEEQLKREARKGIPHSEA
GYLRAVVSLGAWSGGSLLSQLKIPAISVVDREQWLQQGVSGASRSGEIASSSHRQSMGPGVFNKTGAGDRSSWTLGLWG
>RCO7_06317 | related to mitochondrial serine--tRNA ligase
MSIPRRSFTCLECRLRTIPRSLRQFHSSSHLQAEAPRPSVAPKVSIDVKHIRQNAALHEQNCLERNYKSQSQYPARINTLFEQWHIYQHEARSLRER
NNRLKLQLSKPTTPRDDDSEEVQGIRQMSKIEIIDEAKILKDQISGIEAKESDLTTEIDALAAAIPNLTSDETPRGNDPTVVGYINDHPEPEPAASH
RVWRSHVHIGTELNLLDFAGAATTSGWGWYYLLNEAAQLEQALVQYALGVARKRGWGMVSPPSMVYSHIADACGFQPRDQNGEQQIYNIQQNASDVG
RKPELSLAGTAEIPLAGMKANAILEEADLPMKRVGVSRAYRAEAGARGVDTKGLYRVHEFTKVEMFAWTAPSTQSSTQVFDEMVTIQTEIFTNLNLH
CRIIEMPSTDLGASATRKRDIEAFFPSRRPKDDGWGEVSSVSTCTDYQTRRLATRVDIRTLGGKIAFPYTVNGTALAVPRVIAAILENGWDEARGEV
DIPEVLWPYMDGQQVIKKSIC
>RCO7_06316 | probable tetrahydroxynaphthalene reductase
MGSIEASNGDYQIGSLIGKVALVTGSGRGIGRGIALGLAQRGASVVVNYANTAKGAEGLVTQIEQLGSKAFAIKADVTQVAEVERLFKEAIDHFGRL
DIVMSNSGTENFKPADKITEEDYDKVFNLNTKAQFFVAQQAYIHLEKGGRIILMSSVAATMSGVPNHALYAGSKAAVEGFTRSFSADCGPSKGITVN
AIAPGGVKTDMFDENAWHYSPGATPESSPESIEAGIAKMCPLKRVAVPEDIAKVVAFLASKESEWINGQIIKLSGGSIA
>RCO7_06315 | uncharacterized protein
MVNTGKPSRGCYMCRARRIKCDEGKPGCMRCQKSKRICPGYRDAVELKLRDDNKSAKKKLNKRSSEHSDTNGIIIYNSDGFSGNLPSTTLSHSRHSS
LSSLASSSNGYTTDYVHIHHTFTAGHLTTPLAQQASCYFLANFVLVPEQGSVRGHLDFVLPLLKQRDPPQSLVLAFSAVTLAALGSRPNSKVLLPTA
DLWYLKALKEIKLVLQDPKAASTDSTLAAVMLMAAFEQLTPSRMKVGGWSSHIDGAVAVIKSRTMEQWRTPLGKKLFTAVRAHMIVHSIAQSKAINP
GVDWLGVIADDPIIQKFDAANLKMAQLRADNDLVTSVKVRSAETTENVLRLLRRAESLDKEYTDWMKSLPPLWQHNTVAWVDAEIPDLGKSMVHPGR
IDSYSELWIAFKCNLARGCRLFIWTTILRCVAWLSNDGDYRLTPEYTTAIQTCRPLIEDIVASVPYFFGWNRGIDPAMYDGSSFACGEQNLKTVKPL
AGIFAMWPIFTAASSDFASPSQHIFLKGKLKYTVESMGINQARIMFQAQLLHPSLYIARERMSVPIHACQVRDAEDDKLAAEGSPPPPILPMDMPLP
VSSSPIAKEPIFMPEPHLWAQTPPLISQFLPSSQEKLWMPVPTIESLWLSTPPPEDFSTPTLPTIEDRKWSTSPPGDEIWNSPSGTLTPPTWIPRTF
TDPVYVHESHNSMQGPTVTYQDSPEYDRDYHTFEHAGFGAISSA
>RCO7_06314 | uncharacterized protein
MSFSALSPSPSPAPKIKVQIYSDLHLEMNGPIYTSKYTSRSLVYGGTRSGDLPSLAPYLFLAGDIGSLVIPSHQSAFETWLANQCAKHTYVFYVAGN
HEFFGRRGGVDAGIAELRRLSRLACMGGRLVCLENERFDIPGAGASVLGCVLWSRIVPAQASLGRLADVGSISGTSIEKHTARFERSYGFIKEAVRD
IRAEGGDRRIVVLTHYCPLMVGSTRFEFRGSWSNWQTDILGGEGVEGLGEGDTWIHGHTHFSHESWQDGVRVLSNSRGNSMERTRFEWDRVFEI
>RCO7_06313 | related to stomatin

MASSMDTNSVAKDDGGRKPTETESSGSNAAGFRPSNAPGRGGNALLVVEPPKRDDLQPSYAQTLAGESDQGTHGWYGSMINTLGSCIGTMGAIPCCI
ICPNPYKPVSQGNVGLVTKFGRFYRAVDPGLVKINPLSERLIQVDVKIQIVEVPKQVCMTKDNVTLHLTSVIYYHITSPHKAAFGISNVRQALIERT
QTTLRHVVGARVLQDVIERREEVAQSIGEIIEDVASGWGVQVESMLIKDIIFSEELQDSLSMAAQSKRIGESKVIAARAEVESAKLMRQAADILSSA
PAMQIRYLEAMQAMAKSANSKVIFLPGAPTLGASMAIANQYGEGPEQNGSNSGTSAAQRFDNTNDFGGQHSGFQQAMNARVIENI
>RCO7_06312 | uncharacterized protein
MSTNAPNTLTSHSTTSAPESNSDTEAKKPLALPSVPHNGTTTLDLSSGSTSVKLDHLGPMVVNADGTLSRISNWDGMAQVERENTLRVIGRRNKVRL
EALKKKEKREGEEGGNEVKEGKNFEEKVEGEK
>RCO7_06311 | uncharacterized protein
MRSSTAVVAMSCFLQAATAQIYDPNRPVQIVNLINPLWALPNGENSTRGLGASVVNVDSTAITYAVSCDATAELIPGPTPISWYGFLLLSSRRVGSS
PVFWYRNIEIIPLHADVLISIWETVGPQLFTQWDTSLHFTLSTSGFNDVASYEGDYTFLSTLAPTITGTFSLGIAAATTTGRTRQTGTNTDATWFPI
PITAGEEKLAAAFSSLTRTLSIGRPTTTLPSVLATTTTSSGRQVDQTGVTETRSTRSEGENESGSSATQSNTGVSSASATPEPTATSMISTSLGTGE
SEGAATIPSVSSSTVADGVGRVNGEVGWFGAVMGGVLGVLVL
>RCO7_06310 | uncharacterized protein
MVSSSATSTIISFAAITASAPRIFNVINPIFAQPSGKNVTGPLGASIVGVDSTATTYQIGCNGNINHTKPCGWDTPPFWYFTQGPTEEHFTISDREE
SGEGITIQGDYTFSSTLAPTITGVFQLTQVVVSNYDITTTADLSTLPSYSEETVDVSATWYAIPVTAGWEKLSRNVTASVIATVMSGARITATGTSI
RGSGKATGSGGVPTSTGSVAGGERVVGRVGLLVGVLGGVGVLAGLVL
>RCO7_06309 | uncharacterized protein
MHTFTRQTREADSSSRMSSISGPENDIPHRNREAGFVKHEMLLKFHPTSIYPKANQQRIHGHNKAIRPVRVTFLKAAGINFLLLQLLFFALFVYIFG
ALYQQTDRIHALEILFVDYDGGSVGHAVREAYGSLQGKTFPTLNERPANQFQIGSLREHVCQAHYWAAFYISPGASDRLESALGGIEVPSYDRSDVL
TYVWNEARYPAIVDSAISANLKTLSAAARVFYTTNSTFGLVNSTNSNSVVVFANPWTLTNINIQPTSQGSRLIYNTIVIILILIQEFFYLGTINGLY
AQFKIYNKLYPHRIIAYRFCISLAYCFIGSLCVTGSIWAFRAGWDVNGAQFVLTWLILWLFAHLNFLAMDLFTVWLQNPYVPMALIAWVMLNVTTIL
LPFELSNGFYRWGYALPAHEVYQILLDIWSGGCNPKLHYALPLLFVWELIGLVFSALGIYKRCHYARVAEEAQEAVLQQKADAALAFEKKHDQERDD
VMEARQSRGAEEEHDKVGEVPSLDRLQTVEREKIEEAIRDEDNILRKEQTRASKTCNFGPSFGFASYADEGSDTD
>RCO7_06308 | uncharacterized protein
MSPPVTEIAYITLKPGTDISGSSDAAKAWKEGLSIISKQAGYQRSRYGLTMESPELLMWFIDWNSVSSHKAFEASSDYTTFGSLLSTLMTTAHFHHI
AFSPFPPSILTTAPVTEFVTFLDTTDDFQATELISIPRRPSFPSNVSKFMSAVGIPDGCYGGVWGESIETDIGKHEDGSLKGRVVVLAVGWESKDAH
LRFTETEKFNENIGLLGEGLGGVEMFHVPFTAA
>RCO7_06307 | probable dienelactone hydrolase family protein
MLIKETYKDVVTKADGKVGSMRIYLFHPTIPNYPNARFPGVVLFSEIYQVTGPVARFARQIAGQGYIVAAPSSYHEFTGPEPLAYDVPGTDAGNEYK
IKKASYDEDATLSIDFLLSLKTCNGRIGSTGMCLGGHLAYRCALDPRISAAVTYFATDLHSATLGAGMKDDSLARASEIKAELAMIHGTLDNHVPPE
GRDLIRKTLREKGITFSWYEVAGAQHAFIRDELSKGRYDPAITKICFEILLELFGRTLKLDLGAHDGVEQQIEDIC
>RCO7_06306 | related to CDP diacylglycerol-inositol 3-phosphatidyltransferase
MSSVRARRQAAAIPQPSTPTPGHRSEQVIMNGNGSAHASAKKEYPYENIFLFWPNVIGYVRIVLAFASLYYMPLHPRTCTLLYSISCLLDALDGYAA
RYFEQSTRFGAVLDMVTDRCTTACLMVFLASAWPRWAILFQGLISLDLASHYVHMYATLIMGGSDTSHKKVDKSRSFILNLYYTNKTVLFLFCMFNE
VFFIALYLLSFSSPLLSPSLLQTNDGSGAASSLQPGNPSHPSASFLFANPNSAGALELARANKMDSFWPWVIAGVSFPVMFGKQVINVVQLVKASNW
LAEGDIEMRRAAGLPRQKKEI
>RCO7_06305 | uncharacterized protein
MSESSAPPALSRFTPTPIETTVKRVRRFAVEPVETTTRSNKKEAKENGSGVGVDKIDFAPTSPPRRRFLPEPVETTFKSSRQTIKPLPTPEPTPVSS
SPQETPEEATPKPRRKFVPELIETTKRSKKAGDAKPGTLHTDKTDLTPGVPNIYTRSKRKSRPSAVPKPPDNNPNHSSANLQTVDIPPLPPRRQGSM
RPHTNTRRSTRQDSFQPELEVIASDEEEPDLEDEYDDDEGTPSLTGSYGSSEDSMMRLQLARTRESCDDRFSGYLLALAAKAAEKQLREQALAAFPN
ESMHEIVEHFYDREIDGGSDEESVEGVGLLVLNDPKLENIRRKSTEVGWAAKEMQQHQEKLNRLREDETHKKIAAEATKPTFQDPFWTNGMTDKSSP
FSRVQQIEPVDKQKEAELKRMRSAASPPMLGSDLRFRMCPSPKATKFESDQRIDVQPNKCDNGGGLWGGYCVAEEPGEFLSPSVSKQPALIQTPRAD
GGLEDPFSSAFGSQLPNGAKSPSKRESGVRMLAGIEERLKAEVAKSKAEEVLLEEFDDKFVTQVYNYLSLGYPALARPYDDELARISRCPQEELRAD
DDKKNAKGYIGIAEEVQDEHCPRWKALRLYILEWARQHPSMSNGAASPSAWGVRARRGSWAI
>RCO7_06304 | uncharacterized protein
MPTDEYTPVVRGALKLKGSAPAGIKKKKKKPKTIDSEASSSTKKSALQSALEEEDAESSKAVVKGKSKEGGKETGEEEELDEAALRELEDKEGDGKT
ASERAYEEMRRKRLHNRLQKEGVKTHKERVEELNKYLSKLSEHHDMPRIGPG
>RCO7_06303 | uncharacterized protein
MGNSSSKHVESGKGKGRGSDQSRSEVTEQRDRAIQSVQRLRAQFHSECSHSNCSEISPQLDYDRIFDTWLAGSQVVPPRSQFSTWTCKQGHSTCFGC
GETPKLASESFFTSLGVVNHCCDRARQFTIWLLLSQFDSLCLESENNNEKKNKADAMTNAKSKLKAKAGTQGVGYGTSYGGLVGGWPVDAGDEALMT
QALVTAELIIGHQVVASDDKGDILDQNVSQDDLLKDTVKILGACLPPMDSDTTLELDMFRLGILFDTITQLIRNDSIVDITERLEVYQATAEFVIKT
ANHPGLFHLLFEERPHKANTPGLGDLSLPSHISLHNLNSTSSTKPLIACYGDTYLQVRTFLGMLRNPKTTIEVANTRHSKETSRHLQDLVRCFETLD
AVVARNADPIVDAQPEDPWARFADDNKVTFTDDVLLHHRYTENFKLLQTSNRGRLTTISKEIATLKTALPPGIFLKVAESRSDVMKVLIIGSEGTPY
AGGLFVFDIFLDERYPATPPKITFTMHGNDEDGESFNPNLHLHSGMVCLSLLNTWIGDPSQAWQPYKSKILSVLVSIQAMILGSPMPWENEPGYEGT
GTTTKNLAHKARVESRTLRFAMIAWLENKFAESQAKEYIWKDISRMYYLHNGIKVMGYVREWVADNPGLLNFGPTDYWLLHVTRIKPRLPPGMSVNN
LVEKLSTLLDIKYEPAAFPTREVRIKESRPKRKSKASNNGTPSSKKLKASATPSTQFEWLYARDKTQKMVKKACKDFGIGYNNTIKASVEKLETHVN
VNINKDSKSIDPELMETWGEMVQNPSQFTPSHQDLEDEMDFFTEADWQVELQAIAESSKLPHMPHVPPKTLPAQPHSDAPAITQQHSKPTPPKGVFT
IPKPHKHANIQ
>RCO7_06302 | uncharacterized protein
MALSSPRDAFIRDFIQDAASDLEDFPRDRYTSVPRNIPPSGNEATLTTVRSPSTRTHHTRQRRSSFKASIYVIVGFSFHNGSQFAHEISLNQTEPIQ
GQDSGHLWKFEGQQYLNQAPVTSHGLIHTGLRDPFSSFNHAQAGKTGQYDDHISFPGSSGVQWNNELTPKLESVAMSRNVSQDSVGAQSQRTTNSYD
QSRSARMYPSVSQMTYHMSSARSDVTVRSNSPDSSALYTPTQQMETQVFDNFPYTGDDFPETQSTLHRGSTASSINTCPLVSLSVDPSYPVYATSGT
ESFMPTVSSSVAAQGPIPGDTMLYQTSTILESPILWDNGPGYPESQRSSPILLEDPSWPILSQQEASSMANGPFQHSPSAGSISPRYVQDSIDLADL
LPYTTTGDRVVRKRMGPRVSKVNSDMAALNQGEYGASEVPDESIKMGSRPNVDLDNTARDHPLYHNVTAHDDGLYHCPWEKDPQSNCQHKPEKLKCN

YDKFVDSHLKPYKCKVSACKDLQFSSTACLLRHEREAHGLHGHGDKPFLCSYENCERGAPGNGFPRHWNLRDHMKRVHNDPGQVPTKSNASASPPPS
GPKSKKRKADSVEPSITDKAPKRVATPPVVACLPQEPSLIDRYQEKHQSLLALVSKLGDPTNQENIGLLRSAMDCIKVMAHATQRIKTAPSAEQDIL
AQQSG

>RCO7_06301 | uncharacterized protein
MEMATANLTCHGDSTAFPVAYLPLHRISTVIVMSQSCTQATGYSRRSKPWIIQDDDAGHIPVDKPYGFPWIVAGTPVRMDCDVWIFDNITRWHDEET
SVASAYVRLQEEV

>RCO7_06300 | uncharacterized protein
MARLSSANAPDLTTINLTRLLARLQQTLISPDSVTEARLRTSFEREKVGTNIEYARTLLVRLEQDALSIKVQSKKHEVQADLVSKRETIQRLAERLE
ELNELGDFGSGEEDSSEGEDLMGEDTPSEETDSRADNLDPTSSTSPFPLQSKSPPLIPQPEPQPHPQTRAPPSTVQSEPEPHSALRARNKKDAQARA
ELLTPASTSTGISTATTEAMLTHNRTEQENLTGSLLAMASALKESSRAFAMSLEEEKSVLDSAVSGLDKNELGLEAAQRRMGYLRTMTEGKGWWGRM
MMYAWIAGLMVLAILLVFVMPKLRF

>RCO7_06299 | uncharacterized protein
MAPAKAFHKKPCVGVKKIAPNPITARKVKNEKLEKQIFRGLTMSSAGILKNVKGETSLEEISRWIKYHGGTYEKEVTNDTTHLICSIEEYKKGGTQV
RKAWKLGTEKCQIVVFDWIEDCLQRKPKRLLKEKPYSLDRTIMNLKKMGAEKIREHRKNFEDGVRVSRELSNSNLYHIYYDTEAFEYKVMLSRIRLD
GKIMIEKYTLYLFESHNKFPPIYMFGAKLSRSHRPITCYRQDCQPMTFANAFRCFQKFFKEKTGIDWDDRLERIIPRRIENGKEIEFAFFKYLPPIN
GRPVGLLPYGYVRPEYRQAPIEGAQIEDVGYDTDSEVGDDDQVSDDLSNKDYEVVQYEFPGNRERSINPGDELNVAISISSDEPSQFSDSDETLASS
RDTPSQADSLVGMTGGLPHGAVTDSSDEGNPWRDDKS

>RCO7_06298 | anthranilate synthase component 2
MTSLGLIDHSPQQPEASPPLANAANVILIDNFDSFSWNIYQYLVLEGAQVNVYRNDAITVEELAKLKPTQLVISPGPGHPKTDSGVSRDAIKYFAGK
IPILGVCMGQQCMIDLWGGDVSFAGEILHGKTSPLRHDSKGVYASLPQDLPVTRYHSLAGTHPTLPECLEVSSWIEAGPDGGKGVIMGVRHKEYVVE
GVQYHPESILTEKGRVMLKNFLQMRGGTWAEYDRLQKEAAESTKTVANGSNGSKKENILVKIFAHRKAAVAVQKNIPSQRPSDLQAAYDLNAAPPLV
PFVSRLRKSPFPLSLMAEIKRASPSKGIISMATCAPAQAVTYALAGASVISVLTEPEWFKGSIDDLRAVRQTLEGMPNRPAVLRKEFIFEEYQILEA
RLAGADTILLIVKMLDEETLTRLYHYSQSLGMEPLVEVNTPEETVIAVKLGSKVIGVNNRNLTNFEVDLDTTSRLLDQVPKETIVCALSGISGPQDV
EAYQKNGVGAVLVGEALMRAADTAKFIRELLGGSEKILKSLPGPLLVKICGTRSAEMAVEAIKAGADLIGMILVPGRGRHVAYKDAIAISKAVHESH
VTTGSVVSERPGSQASDFFAHAAANISSHRPLLVGVFQNQPLEEVLELQKAYQLDIVQLHGEEPLEWANLIPVPVIRSFNPTQPGVGKRGYHTVPLL
DSMSGGSGTKLDVSQVSAVLGKDIGLRTLLAGGLNAENVADAVRAVGDYSDRIIGVDTSSGVEENGVQSVAKIQAFIKAAKSVR

>RCO7_06297 | related to nucleoporin nup184
MAPMVVSSYFPPLDRCLSGEELLVSWKSVSTALTSNVDLEHDHAAFIERFLFDSYVYELLKNPYNAYPPPSAQSKNAFDTKTSAINVTPTSNAQYDM
KEIKEDALWLSKTANINEISALRIVVEECQARAPAQLLGPFSEEELASIRNAAGNNRYSSSIPVGLMSQGADPKHTKEAFGTQANRHKRILRTYLSE
RKHILKCSERVFHYILSHSERATSSNGSVVKGSAVAPPWSHRIGAALVLKLQQEGYLGANEILLRCTEGITKNMNNLMAGSGWLSEAGGKDDLELDW
TRGQICEAIHSMELMRQFCELYCSEPVSSEVILAWFQLQQDYGFFGSFEMEDLSVQTIFSALQSISILVSLAIIGLERTLPSFDPARAHEVPKREIY
VRNPQTMTDITNILVQAADNRFPYASPTILTWSIVLQAMTECMLAQEAAEFPLVDRPSSVEADATLAHEMYKEALEQINDILEEDIIDYLARSAIDS
CKVFDALSSLSSRIGNTTSAFFSDEVGAQMRTTIVRLIQSSTRVGYNGEIVQASIIASTGGLGYWDIIDAGSNLRKIDLETNIQYDEEAEDLFSFLL
RNAQYRYPFEPMPFLQMVRALACHTSGVDVAASYSKVAKHLTTLTSFTFALPPNFHDYETTQEEANNNSIQLTKDIPLFIPRSNNLRTRSSQSSSLI
SQDAGFRIPAGTIGRIVSETDPKVAYWFHEYSGFAYLGKLLETFLVASELVDAITGMPADRDCASEIIEIFAILLKNIGSSTETDEESFEQAVDLLE
KAGLGLSHDQDIIGIVFNIFQEELQNQSASLGADVPVDILVSCVHFVHALIPLYPGRVWPLLSHCGLIDLGRGGGKLPIIVEGVELISGNYDLLISC
SRLFESLVEDYANNAIKRRSIAKPTTSRFSSARFQSSHTQPRDITTGLPDSTVSKIFLSFTRYFIEVLESSRTWKYISQDDRRRISSIIGKSSIKIL
NYAYGVEAPAEPDMVEVHNEPNVETSLVPFSGTPEAYEGATKEKRTKVMEALMLAASHIVESFLSPSSGTLRFQPLLRSYFDGLETPDTTLSLKMLD
LWTDHVGTMLSLAQALLRVKTMLGLPPSQLEAQLFKSSSVIARLYAAHDTYKTQVVGLFEALVVAASSDETSEPPSLLGYLGPQTAWNFLHCLSDLD
KPLSRKRNLNAIWHFLSMIMSSRQQWFANYLLTGKTPRDAMKVKSGTKELVTLDQPLLATALIALCGIQDLPKPTSLAMLEFVAMAQNFWPWTVCNS
PNYNTFIDSIQDFVGKLKPLGQSKDSLDALIEDCYQTRISAYIAEILAMHLFHSRQMGASVPLKPLIENLSYFKRFATKVPEYNQPLHSLLKKNFEA
RYPGCTIGDLKRSPLELRQLGTEYFYDTSLADRMLSLDRGWNGVKGGGLRGDVWRANVNLSLVDAQIALFHSWKYLSIELSSNISSEPEAQKMLAAV
VTNCLAANGQSQPPEEIFSTLSQARADFALIIGQRLVQVKSSIPEMQTLLPTVWKTIENLRGSFDRPLHGDDVLYYRSLLKLLFLAVRVHSEGASTE
RENLRASTRASNFAVIPTILTILENVVAKGLRELATSIHDSPADSSPEDLALITGILQSCLRIPGIELNHGQIVTMMVNSSAPLLAIKLFSWAETLT
INGDPIYGELSILFLLELSSIPPMAEQLAINGILSQIYSAGITSYFLRPGVSPFAESAGLQRCYSIWARGILPLLLNLLDAVQSSIAVEVAQFLNQF
PLMLAHSEQAFDTPETDRIIPKGQTKYVTATICSEVHSMSLLVYILTGFREALVSTMNIPDVKWDAAGVLENVMFWLQPSSSSLLRSRILPMGEREV
EAVQKAKSAGKSVSSLEVKVVMELNGIRDVLSSVDTS

>RCO7_06296 | uncharacterized protein
MDPANARSQVRDPEKTSYTVSSPSAEPPQPKPSKMSRLRITFTVLLVAILALTITSASANGRARLSISPADKQRFQELLESVNPSALHKVLQAVENK
YQVGVFKEDRVAMEAVHEENAEVATNLMELAKRQASNNTTTPSDTSMPAVVDPTPTPTPTPTPTIDTPVIPTPTPTPSETTTQVPPPVVTTSNPPPAPP
PVTQTPTPAPNTSVTLTTSPTQIVVEPTTQPTTQAPVQTTTSAPTTPAGPVPTTSAAGQPTNGTFPGGPAAYPFAPLLSTPLYASHVQNSSSVPPTT
LPSLAPYLLLSNVSNSSTSLATSSHTYVPLVLTSFPISTIQKQATASTLFFSAYAPLVTPFPSHPAVQSTSIIFATSSSLPLPITPLVIYIPIPNKT
VVSNRTYGFAQPTITPASVPYGPIQNTSLVVIPSVVLVPYGPVQNISVVPNTSVVPASYGPVQITSLISNPSVSDSSTSTSSSNPSISTAALSSPSD
YFFNSSFSGASPTLSSIAGSPAPSSNPTSPSSSEIGVTPTTIAQPSVSSVIQTSNKPTARPSSTLSTEASSGDRPTTAQRSVTQQTIYTTTLANGAV
ETVTSVTVVAGQADPTGGSPTKGSSAKGSLQTNGASLKSVGMNGLLGALGIVVAGAL

>RCO7_06295 | uncharacterized protein
MAQVTRPRTIEVKFMYTEEAEAYAEAVKNTRPSMNQYKQREYKYVILDNDTIDTDYKPVKKTRLASTFKIVNTSSNKLVLHAINRTSMLFDATSIFS
KPDPTPAAYSSTSPWASWLSRRSLLFG

>RCO7_06294 | related to translocase of inner membrane
MLMQENSMLPSAKTNVVPKEPRYGLSSAIAKTRLNSAAVTSIEKSPRFNIGPYPSTHIPQIAILDICQHGRREFQSRMERKQMKEFMGMFSNLVTHC
FDSCIDDFTTKSLIQRETGCVTRCVQKFMAGSERIGQRFQEQQAQMMSQPPPGR

>RCO7_06293 | related to Rho GTPase activating protein
MTSDAPASRSARQPFTHPQPAPAGQTIQAASPPTKQSLKTWWKTFSKPPPKNQEHNVPPSTGIFGVPLRQSITYANVAISLVDAEGRSYIYGYVPIV
VAKCGVYLKEKATNVEGIFRLSGSEKRIKELRTIFDSPDRYGKGLDWAGYTVHDAANVLRRYLNQLPEPIVPLDLYDRFRQPLKGFTKQAVGDADGP

QLSEDFNVEKAIVTYQHLITELPPLNRQLLLYILDLLAVFASKSDENRMTSANLSAIFQPGMLSHPIHDMEPEQYRLSQDVLIFLIENQDHFLIGMR
GTAADEQTVADVQNGGTPPPGTPNTPGKSKSGVARTASNASAGADSIRKFGGVRRNVSVSSRHSKQSNGAPSPASPAYGPPLTHSPSGGVHRSNTVP
SKRSPGLPSNRRQINSGSPSPTAAAFLPGSLEAPRGLSPAAASSTNRSVSPSMSGAPSALGISSLAPSTHAASVTSQERLLGDQGAAPTTPRNISNL
FQKSPTSESEKKQPNKLRKKRLPGSSNPSAQSSTQSLHSQDQFSPALHPAHLANDIAAHPQLESIPSANPILSNTQATPPVTDPSQADQSGHQFPIR
PEELHQSSDTTLKPASPRGSLRSRSSFNDQSDADHHEDAAAVAEQREKRSRWRISRHQRDSSQLGHTLTPKKAVGSETAPGASTSSVGSSSRPRKSF
TADTMPASSDPSLTGAHPQSSHDGSAASDEKKGPLGWIKNKMREKREENKEKEAEKERNKSPPASTDRIPSAFPPRGKSIDIRRPDNPERPFEEPAR
SQVPEDPRNIQQ

>RCO7_06292 | uncharacterized protein
MSSSGSRNGNVTTIGPKPTKACVNCRRQKMKCEVDPGRTSSCKRCRLSQIPCIFKPRANAAAIPQEILPILRPPYDDLDASEPKLDPRTVLNRLNAI
EALLGISSSSQPVLDDDVSLHSPDTESAFAGVWAAALHLKLTTRPPQSSRIWSRAVIEHLWLSFHKTMPGLHFLSKKKTSSTPTPLLLAAILYVSAL
HSPSPDFAALAPGFFVATCCAISELAVPIQAAPRVDQPDNNCDAPKISTEQKAFQNVLGLILAGLISEAFIETTGLWITMGYRLTLDHCPVHIDEES
YEWRGLFSGLQIIDLEHASLHMSCPILPKEAPLPSLRQLQSAANSKDPFFSLTQMMHIGLSHFVGRGLPTIWSFISSGQVDSTIKPPPAFTEADGKV
IKDWARQLDDWLVLWNKSNDADLDAVMVFRQYSLHRIFILSIYHTARGFDLFANNVASIERHELLISARATLKLQNEDKGIWSNWDLMITWAALLVL
QGIEGGVGEPEDFVLIQAHLNMLQYTHQPSPSLRHRLASRLESSLQNMHTPRPAPDAEAMVDITSTSSNLPNNSTAKNFDNDGNSWAIFDHRSMEFA
SQNLNMGGILDGNGTANGGSMGIGMGNGMGAGNAGGNGGSHSMQIYDGGISGVGVGGQVAMEYTGEWGMGGSGGGGEPYSDAWQNTLFRLFGNVEEM
PGGSGHGLV

>RCO7_06291 | uncharacterized protein
MASRRSLQMQPDYGYGSPVPIQPIGTRSTSRSNTYQEVGQPAYDNNYYPASSAPFTPATSSYSPPGAMTLVPAGASLARPDYSSNGYNIGPSSALYG
TAGPGVNNSYPSPNSSWESQARIPCETYEEYVALPSPNDYVPEGSSKSIGKSKGEGKVLSQQRRPSNRDEFDGPHQFLQRPPPEYIAQQERDLPHLP
TNLVVHEQDSILTQVNDRLSQCAFDFVAKYQFPIPLASGEMRPVERPQDREWTEWVYLLKRLATKRRIPARVLYNGQIKQFITILENSLEMRHAAKH
QSRPLKDDRNILQLISAGIQVAKILKDSIAVAALDNLYVTTEQQIQERILSSRYRA

>RCO7_06290 | uncharacterized protein
MSSSAAQVGYQRKGRQRHTNDETSYSRKHEDLQVLTGKDAQDDLLEGQ

>RCO7_06289 | uncharacterized protein
MSSNQFQRSRRGRAVESPQQHIVSFPAYGPQSRAVVSPSYQSDITVDDSPNDIPTYAPLVSSIPQSILAAG

>RCO7_06288 | uncharacterized protein
MKRPITFAFVAASALLNNFALAQVDPGLLPTASFGCEPHEDDWHCDGPKTSSITLAASVTSPPVAVITTTTHAEDDHAAGTGTLPPSRTESLGCEPH
GDHWHCNVPTATTGAASVTIAPSPTESVGCESHGDHWHCDGPAVTSSSSAGSLVSVSTNRTVVSPSSTQSPLAPSSGATLHGVGYGFFAAFSILAVS
MSL

>RCO7_06287 | uncharacterized protein
MSLLQLPYELLLEVLSYLVEDSDVKCLVLVNRYLYELFNDILYTRDIRSGINRAFFWSVYHGHAENLRRLIRLGVDINLREAPWTWEMVTELLPGVP
DTLHRMDYEIELLPSVPSVPRPLSHRHSYKLCTSAQRIAAHNGFITGLSLLLEAGAKIEGSNLHGDPSPLALAILQDHAEVFHLLLNAMTEELRSEK
QAPSQMTYLELASHHHRPEMVRAMISKGADVAIKDSRGRTPLMHAILSGGYLHWPTHVDRDLNLISPGPPLAPAMFETMKVLLDAGADPSCEVLPYP
QNFRSEDFELDEIKLGLE

>RCO7_06286 | uncharacterized protein
MNILSPSYLCILSVLCAAFGNALITLDTIRNLTRATDAYRERILEVGDVDLGRGLRDAVRGAARQAVLGQLDDSASDKEGVEEVRRVHGNPLLGSRL
HELGMCGKQFPGGRALHDESRIRRPEMQVEHPILKGCGYAMLRHTGGLQGFMPGFFMRIYSIVAAALRKLCTDLFIELEKPLTTTPPPSPSSEKANC
DTTKKEYHEFLASTVRFLYVVQEIQMAWHWGRESAVHDGVAWMQGLWASRRRNSQNRSFIEQQMSLYAETGCFGKSKEVLRRDVEVVEYLNDIMDSF
A

>RCO7_06285 | probable G protein alpha chain
MGCGMSTEEKEGKARNEEIENQLKRDKMMQRNEIKMLLLGAGESGKSTILKQMKLIHEGGYSRDERESFKEIIFSNTVQSMRVILEAMEQLELPLDD
QRTEYHVQTIFMQPAQIEGDNLPPEVGNAISALWRDIGVQECFKRSREYQLNDSAEYYFNNINRISLPDYMPDDQDVLRSRVKTTGITETAFIIGDL
TYRMFDVGGQRSERKKWIHCFENVTTILFLVAISEYDQLLFEDETVNRMQEALTLFDSICNSRWFIKTSIILFLNKIDRFKEKLPISPMKNYFPDYE
GGDDYSLACDYILNRFVSLNQHETKQIYTHFTCATDTTQIRFVMAAVNDIIIQENLRLCGLI

>RCO7_06284 | uncharacterized protein
MSVTHHRTSRSSQPKTPNFNSRINRHGQYDPSSFQHPEQHNQYTPPGSQPKTPIFNSRINRHGQYDPSSSSFIQPAQHNVYTPPSRQPKTPTFSSRI
NRHGHYNPSTSLPEQQHHLTPSEYMVLLFALGILVAVVSWLVWIMVEFCITFVNEKVDEMDIRKRFRDDRHRAEERTKKAGKAGVVLGKMGLGGLAE
IGGRIFGRKEIEAKGERRRKHEEWRGLLDEGRERLERGGYGDFDERHGYGYHEGVMYPSNSGNIIRYADGTSESSGCVGPMHGHREECVGDCTLQTR
RRSREDAVETV

>RCO7_06283 | probable Mitochondrial inner membrane organizing system protein NCU06495
MPETSIPPPAAVARPSKPVSETLLNEKWDRCLSSLLIRSSLGLSFGVVFSVLLFKRRAWPAFVGLGFGAGRAYEECNGSFLRTGKEGVRVQRP

>RCO7_06282 | uncharacterized protein
MHRRAGAIIRALDLIMASKSRMAQEQLALLEKQAAPFEDQLVEAAKFIGLGLNKICDIEQTEFGHSEGARHVIYHGREEWLLRWLLKRLQAPSGEIP
RKTPSSWRLLSHLLRNIPLPNAARILVERKLLSIIRQTLEEAQKSAGKDVQTRSTSESSATEQETVKTSKKRKRSGELVTKSNAAGSTALPNLLDAI
FSVLNCIVQSTKATSSSLDQERSSAVSAEYMKTVIRTTAEEAATILGLWLSLCHAALPQVGGLASVEFWLDPLVEVWDSHSVDDTPHLHFSLHVTRS
LLDLLRSSKVDNFPASWRRLSEILVARNILLPIRADQSLLEILTKASVLQNIDNAPLLFDIAIRAVQPTGSARRRKTPDEKFLQSVYKTLKSSMSGL
KGNHGGQIRAMLRLAIDHRLDLDLAVLREISSEFAMADWHILATIIELDANVFLLGEGIILLDQLLEAITKASLSQTWSNIQENVVSTVLVPLMRAF
AQARDLSGFIRHWFQQLSLYETLRNDAKVDILSAWEDEALQNELQKLMEPSLTVSQITKILDWLSEEVAEHPDAVCVILEAIAGSVSQEEQVVDAVN
SRLYDIMFDNNAADKLNSRYRWRSWRILSRPMSWFEIDDLKKIGALWEDQATPFAALSSLSSSESILRIKPKEKRGLESLEIFRFTCSAWTAATKQR
RSVQSLQSPAKAIILSLLRALAKDVSQLFTDLQENKELSDELCDSKQNSLFRGKGWMMWALIRCLFVEHPNVLTIFLSSEEQIFAEMLEQIFLIASA
TFSDNESAHSSRFFQKNPAAFQEIWRLALRGGASTLRTNVPESVDNPILSHTPLTKQFVTTILSHKTNLSNPLIKSTGINAFAIRSLNDLTVDEIPK
EFRGQILSSWSIADQAADLDNLPSLESGVLNNSVLFLKRKILCRPKLYESMRFRDFFDLADNLAEARRPKISDNLASLKDLARLTFISALQTMDQPR
SITYITDAVKKIQKIINKAGEKKKHKMNFAVITMIEVVLSECLGKATALNDSDIIQRNDLEIVTVLFKSTILSQLEDVIHKFRRDNTNDSLHILCII
DALATLGVDESRLAGLEDALAALVDSAGNMDNQFGERLKTFMVIHGAKTDSSTRLKGSVTTLYARQSIIARTNAVISKMDNDEKLALLGELFGEDLS

GLVQLDQLLAARHIIISIEDTRKPKQETRHLDDSDEEDEKESFDLTVAYTILALQLRRCTDVVQFNVISETLMLMLETKRRSISQYNIDATLGSITT
LCSPNSPNIYPIYTHLCWLMQSVLTHQRLKLKGHSHLTQQTLQSLLRCLFTPLSHNTSKTNTFGLPPPWLVPTSHQLKAAHGEAFTRLVLSICDPTV
SAVQGNSNTLTSEKDKAKRIAAQYMKFVLEAYVRGQLEMKMLPEVREKMIPGLYAILNCFTEEIRDAVSAELDSSGRAVFMRLYADWRKFEKPRGY

>RCO7_06281 | uncharacterized protein

MTLHNRSIEVVLESQKPGQVVPRASMLSVIVLQPKLANTSVRNRERRVKCDETKPSCLRCLKFWGRCEGYVIPCYRSQRSRNKAGPWTARDPASRPL
LPLLTNDASTTQVLQPTPERNLGRYLQVLPRSITTESFRSQDHYQSFSHFIESTSHSLPGLFPTSLWETILPQASHRTPFIRTALTAIGALSGCGRK
FQEDKYATSGIVISPRYHFALTQYGIAVSQMRENLVAGEKGLNDALIACLLVVCFESLQGNYFHAWSHMVSGHKIFKDWQDAKNPYLTTEAALQSSA
AVEKEIINMFKRMDLQIMNWIDPRPASVHLEMMNEDEKMVQDMPDVFTSLQESRTYLELIQRRTSHFIASTTKSYPQLDNNTRMTRVDTGTETGTVK
VHPESETGLPSSLPQAQRIEFASYLKEMTRWLDAYAPLYDCQEEGSRRWAAAALLHIEALTHRVMLLSSFSNSLDSFVSTFRYMIDTAEKITDDPLF
AQDDLYTFDIGIVNPLRLVAKWCREPIIRRRCIALMRRAKCKEGLWDALCMAAVNEWIMGIEEESMDENGYIPEGARCRVADLKVDTWRRSLVCKCE
KIGTQERRSTTIEW

>RCO7_06280 | uncharacterized protein

MLPITPFLLLVATTLAVATPLTTRDTGTDLLITDLLRLDRAIRTITYAAGNYTGGAEGYKAIRESFAETNRTNRIAYYDAMTITPQNVKDSKAIIAV
VSHPITPDITDAVNALIAKKSLIDAAGFMKETAAGLNLISYDHDTLSLIAVAPKLALATVPSAAVPVLAIDLTWREGVLAFGGVPLAPITM

>RCO7_06279 | related to OrfH, unknown gene in trichothecene gene cluster

MFFQSSLTAAIGLATLATALTCNSSTKLSTEAQDLFEFSMSINDARFDESYKMIWTEDNGPWSVRFTAWYTAGLLYRNQGDDLENAKGAINLATQMN
ENFTSPWYGDFKLSPDEPSPQTPLYPPKIYGSYDPNWREFVGSQLVQCVEEFEDLLGPDLVQEIETAMVHAAVGAMKRNGTNSDGDNLILAYSNPAY
MRALNVGWIGSRIKNQTFIDFGNTQGDELFKLFTKMGANTMGEYNAPNYYGMDFWALGAMEKYGPENSSFKAHAPVIMAKLWDDIADHYNPYLGNMV
GPYDRAYTRDMNVHDAILSLYFWGIFGHGKAAGPPKGEIDLRYDAAQGSAIALILDNVASAMSLEVKEALLGEFGEKRLLNRTVYYDLETDNNRTTT
AWISKSLMIGGQKLAENVDRGKQFVPAIVHWASDPTHKPRPLNGYFSLFPSTTTITAIAESQKLTISYPNTTQDGSDSFQFMLSGIPPPWSLAGNVV
DGFTNVPCLDVNVTAPGLQRLPTVYGSSIYGSWYYNITYLVPSNFTGTPMISFDLAPTC

>RCO7_06278 | uncharacterized protein

MSSRPPSNNEELNSSTINIQHITHDKSLSSLPVVHKRLSASMKVRSFISRRISKNLDSPYPNSHHERETEDRPTTSFPRFEARFDESKSSLAESKSE
MTGDLVQDHKRNKETKKQEKVLISANSSGSYLPLQSPTEEISSINPSTKLKGKETAHFPSMPSLKKSTFSNLVKRKPVPEVNVSRNSEEKADGMAKI
HNLRKAMQEGKLERVVPPPSANISSGQNRRPPPRPPHSPFLDYISSTGSPSLSASSQQISKLRTTPQTLSPRASSQSARPTARTKKTDSAGSKIVSL
IGTSADFLDETRREIKGEFRPPFDYLNYPSFSLGKKAVREDDGDDDSDESFFCFGDEEPGILGSGLGTATLVKSEDFRPKTRGKGSERGGSRDRGPG
RGYEDEFTAVLVVKKCKLCGLGIVASSRGLCGECETDILSLKRNPLATEMESTCSDSEYEDDLVRDNDNDSEEDVIPVTLPLNIRKQATIVQEPLKY
TQDISRPTNPFEFHDSNSEEEESERPPVPPKDIVILGLSFPNRSYRPVIQPIDQTRQNSQRAEIEKQPETQTAINSFRSASWQSNGASPTYEEARKM
LERWSDCFGDGAVEGMRDNMVDDDGVPMVRALDCDGVKRDSEFYRFWDEVLKEHAPKTPAEKTRIST

>RCO7_06277 | probable Serine/threonine-protein kinase ATG1

MAAQPPPSSSSSRRTRTGDKVVGSFSIEDEIGKGSFATVYRGTHKSSGALVAIKSVNLSKLNKKLKDNLYCEIEILKGLHHPHIVSLIDCRESVSHI
HLVMEYCSLGDLSYFIKKRDKLADNPALRDMVRKYPMPDAGGLNEVIVRHFLKQLASAMEFLRDRNFIHRDVKPQNLLLLPSPQYLAKSKDNPQVMS
ANGKIDVPMAGLTSLPMLKIADFGFARSLPSTSLAETLCGSPLYMAPEILRYEKYGPEADLWSVGTVLFEMMTGRPPFRATNHVELLRKIEQGEDHI
RFPKDGIISPPMKEIIKALLKRTPAARLSFENFFKHSVVVDEIPNLVGDDRPKEIRAPASLPTETIMTRTASTRSDRRQPARSETPTYSSSPRERQP
PPSPRTQVVDPVRQLAGTPPRQALPSLPSAREQKRPSIQPSATAPNVETILGGRPPSRTFGSTAKEQRRLSSRQASVDEIPPVVKKPLEESQTREQI
AAAQAVQDERDYVVVEKRAVEVNAFADELAANPRLQTKHSSLPARASPITRRATTQGNPASATGAVPSSPSRAVQIAQGRTRPEVVPQRQNSFGRSY
GSPSGTTSAIAKALHGASVRVFGVGWSPHLIGKGVSPPQMYTPFPAYPTPQVVAGLIGDSKSAGPIDEDQKAVNVIEESATRSDVVYGFAEVKYKQL
IPMAPSMDHGLGGAIMEKPGEADEDDGLTVEAVVALSEEALVLYVRALSLLAKSMDIAGAWWSRKIRHDAVTGGHSSASNAAAGNRINSAVQWVRNR
FNEVLEKAEVVRLKLIDAQKKLPENHPGHPSNHATASRLGGTSSTDGVHLSSGITAEKLMYDRALEMSRSAAINEIANEDLPGCEISYMTAIRMLEA
VLENDDEVQPPQRRRASSLREPREKKDDDGTVNGINIDDRQAVMKVVQMVRSRLSTLRKKMQLIAKHNSLPPSSPRPASIAHSPGTTPTVATMSQS

>RCO7_06276 | uncharacterized protein

MSSESSSLPEQSSDDSTYFYFSHPDGLRVARTIVASLIQDSKNGNAQNQHDNFSLTSPPTFTSPSPEVASALNVLLAFCEGAGPVQTSRAAANVPLC
SNTNTKRGVMSDTRFPANRGSNHFDDIHPDPFAAFSSQLSHTGPVRSQNTILVPPFSTQTTMGNSKLCTSNTRTTSSSSQQMEHLEQMLPGSEGPSA
SRATSSPFHGTESPYNVESPSGRSSTFTPQPMSRQSSGRHMNMSNLPNPESEPLRLDSAMSDNRHPQASQGSNNTQTNLGGGGYFTPLSAMPPSTRH
QPYSNSSSHLQSRTQQNLPSQIKNFLPVNKVPNNSKLAPQSKERSIAINNKAVSTFPSTSTLTLASSHNSPVAIVPHPGVNSPLFKAQNSMDAMEPP
LTKKRKPKGEGKPRVKRQKPDVPKVKAKRIPKTKQKEEKAEKPILPYNIIMRIFEFSPPGFLKKARFVNKEWRGLVDGFTSLRVNQRLENYGADLPP
ASVLGLTEKQYTDLLGGKGCLEPGCNDELSSRTHWSWAKRWCSSCWSKKIEREDRIMKSRQHDLPNRTILTKLLECIPMGMYDSFNKAHNVVENLDG
RAMTAPRIYKYYIKTEVDQIIEEYEAFKVPPFKDDPTKSAAENASARTEHAQRETEAAKKQTDFLEERKAKNDEHMARVLKIEGAIKKKRLEDAQQY
NKLRDGRRNLFTKRAAEDLPHIPASFVQNTKAYKAATRIFRDSGTERGWRTLKPKIEKEWDNSAEKRRLESGECQSAEQDQEDASISIEQSQDVQFP
KHASSIGGCYNSISFQSQVLAIQEAQNNRYNQFTAFGAQQASQTNIQNFMADRANNMMHSGGMFADPSSNHSYGIPTNNNYGRSTGPSLQSDMFLSN
QFGNHFQGGLSQFHTQPSDMNHGLLQLPMALNPHFPNNAYMHHSQASNNHNNNFFGSDSGSARPGDRKITIGSLLANPSPDVAMRYGTYQ

>RCO7_06275 | related to nicotinamide mononucleotide permease

MFGFGKKKTQEPSANGSVDPENGFNNETNNYYDPKPADTVVEHDDLNVVCPPHTTESKLMRKIDFRVIPFLCILYLLAFLDRVNIANARSFGLREDL
KLGALEYNTALTIFFVPYIIFEIPSNVLLKKLSPRIWLSGCMLMFGIAAICQGLVSNYAGLLACRFFLGVFEAGMFPGCFYLIGMWYKRSEAQRRYS
FFFGSTTLAGAFGGLLASAIGKMDGLRGYRGWRWIFILEGVLTCVVAIAFFFCIPSFPEEVKWLTTPEREYVKARLRVDQGSSAAERKITARDVGRV
FKDFKIILGGFMYFGMVVPAYGYAFFAPGIISTYGYSPIQTQLRSVPPWACAFVFAMMIAFCSDFAKHRFVFTLIPISIAITGFSILISIHDNVNVQ
YLGLFLVAMGAYSAMPVIVCWFNMNLGGHHRRAVGTAWQVGFGNIGGIIATYSFLPGDAPEFRKGYSICLGFLCLSAFSCCLYAVAVFVQNRQRDNA
PPNRLTDYEKTEMGDLSPDYRYLL

>RCO7_06274 | related to dolichyl-phosphate-mannose-glycolipid alpha-mannosyltransferase

MSKLTSSKGHDSTINAKLENLPPKDNGLHHLINEQAAKDAWVLLLVFRCINALAVQTFFQPDEYFQSLEPAWQMAFGPQSGAWITWEWHHQLRSSLH
PAIFAIVYFVADKVMTFLSFFPQFRAMILAVLPNLVQAYFAAVGDYYTWQLAEKIHGTGTKVSAAAFWMTMFSPWQWFCSTRTFSNCLETTMTITAL
YFWPWAVSTDTVLGKGSDASQLDQDQVPTVSSSTNGVFQTAKSVKHLRISLLLAGFACILRPTNGLIWFSILMPTIVGLFSPNKRVTISDYAILLRE
GILCGSVALLLSVTSDRIYYGEWTFPPYQFLHFNLSQGLAVFYGRNDWHYYLSQGLPLLLTTYLPFGLVALYQTSLLPSSNIRFLFTTTIFLTLGSL
SLVSHKEVRFIYPVLPLLHILTAPTISEYFQPSTVTDTSQDSKTGSPQITNESSTPTTRKKLLCTLLALNILLAGYVSLSHQRGVLSVTTFLRHEYE

ALALDGRGRLLSSPDAGIDDVIQKISTYTDDETFVAFLMPCHSTPWRSSLIHPGLKAWALTCEPPIHLKPGEERSNYRDEADRFYDDPQKYLGEEVG
GRERPWPRFVVGFEGIEGDLRSFYEGEKGGESRMKGFRMRERWRTGNSHWHDDERRVGDVVVWEFVDKSLVGKN
>RCO7_06273 | uncharacterized protein
MNPHTTSPQPPPPSPPSPPLAPRKPPPNPAPPAPQTAALAASDEALMAACVEIAIIEYGIGGDPVLDREAELLMENPGKTRREVEALVEGDEILRRL
GERGLARR
>RCO7_06272 | related to hydrolases of the alpha/beta superfamily
MPRSDIEFKTADGVTLRGWLFTPYQSSSDPLPCLVMSHGFSALKEMDLDTFAEHFTTHLQLTCLVYDNRGFGSSDHKPGSPRHEIMPSIQCSDISDA
ITYAQSRDEVDPDKIGIWGSSYSGGHVLWVGAVDKRVKVVLSQVPCVDGWANFHRLIRPDFIPGLNEMFQADRQARAAGKEAGTIPVVDADPSKPSA
LPTPDSYKFFTAWGEKSNWKNECTVKTIEAFREYNPSAHIHHISPTPLLMTVADHDVLTPTDLSLEAYSRALEPKELHILPGGHFDGYSGPNFERNA
GRQVEFLKKNLCA
>RCO7_06271 | uncharacterized protein
MASTYDKTFVSTEVDAQPKRLVICCDGTWQSATSLDPTKGCSSNVTRLSRVLANAGKDKDGKEWQQIVYYDAGIGTGDIGDAEKKRQGGLGLGLMEN
VIEAYNFLANNYRAGDQLFFFGFSRGAYTVRAAAGLVCNLGILKPASMPFAISTYHDYMHRTDGIEESFLVYPPWKKFSDQGGHVIVPPADINIQVI
GVWDTVGALGVPDLGHWFKWHKADTKAYKFYDTSLNDQILHAYQALALDERRESFAPAIWKLRPPPLIDPKGDPNGPRQKHKTALCQCWFPGAHVNV
GGGSSANAGKNPQGDREQLASVSYAWMLDRIRPHLAFSESALDSQVAEFKRMAEVKPPAEEGWSILNAPGYVKNLISDTTNKVLPTGYGLGEIDDSH
TSLYWLMAFPKEREPNYNNKTGKDIPVEEQWYTVERIHPSVHYRQQMQLEHGLEPYVPAALQGWERVEDLHGAGRDGARKGWKWIKFNEKREKLDEM
WEFEIGNFPEGMSVEKRFIDASLVKGLHDAAKDAWKH
>RCO7_06270 | uncharacterized protein
MYISTATALGLFAASVAGKRCINQTIPVEISARQAIFDIDVPQTNLEVTDFILNVTQQGRNFTDIALSGYGTTQGTYNISTQFCMPDSSNITHPTVQ
VLTHGIGFDKTYWDLPYANYNYSYLNVAVDQYKYCTLSFDRLGVGNSSHGEPLNEIQAYLEVAATAKLTEMLRQGQFPKVNHTFTKVVHVGHSFGSA
QTYSLANLYPNLTDGIILTGFSMNASFVGLFASGGNFQLASKNQPLRFSNATGEQVQTVLDMYAEPLLDYIAPVDLSNLPAPQGLPNGYMVSSNAEA
NKYLFLKPKYYDAGLLALAERTKQPVTQGEILTLGSLVMANNYNGPVMVITGDADLPYCGSDCLATGGAAASIPAQVKKNFPNVADGNFTAVVQPNT
GHGINFHYNATGAYNVMNEFLASKDLAGH
>RCO7_06269 | uncharacterized protein
MSAYEEKDMVITNSEAAEQRPHAKILTINRPCPSRQLSAQLLSTINDVDSTRSLTPPGTATNEKTIETTYTTAINERDLLYADLEAQSLTTQKTQVS
ASKTGLLNTACSRVDSAWPGRNHMKQQKKAAKLERSRCGCWAGLSKTYKALIISAITLAILGVALGIGFGLSQKVGGTINDGTGDHKPAVHSKKS
>RCO7_06268 | uncharacterized protein
MPPKRSHKKKETVAAGLLRQVYPDDIPMGERNEAPAKQYIGKLYIGIDMGTTQCAVATAEVLYPPHPRANQTPRVILFEGWNGTYQDGSQKRTYPST
SMYYQEDGTAVTGHDIEVLEKLQDPSVFKPARHIRLWKLMLHENHGDLHTETIQARIQAQLDSLGLTSDDLVRDWASYIFHVLGVTANGDKSMLKSQ
YDNFDRLEKIVVIAVPPGRTTIAHAQVTQAFVQAPLTSTSVSLESEPAAMFRSWVENRKDDQDWVEGSTYLVVDGGGGTCCFVRFRLDRLNPLGFTQ
EFASESVICGAETISDSIEKLIALQVPPNHKHRDWEISRMRNDFEAMYKYNIGSEFLHFDEIAFKRSDCLDSFVKIPMPEVEKCFDSCTAKLIPAMQ
RQLDKSKLGEKVFIIVGGGLFQNPLILSTMHAAFPALRIIEVSKKKGDVAIGCVLSRINGGFFTRYPITTTKAITTLQVVTPKIRRSKYYPSLHTKQ
GDFDGREYFWCAEYLVRKGEQTAAGQGISSESSLKDARKRYIDPGETSADYCETILTFTHQPESKDLWAGCCKDGSWIDERGDAIPDPVHSEAVHWN
PYRAPDDDDQTHGIAVADLDSERSSDKKTYKIIRYSLELLVNEVGTSIWQKVFSSKKIKKTTRRNVAFVSRPILREPLYTHQAISQSLADSFELDIS
RKKDESEANRERSVSESIEPQPESSQKFPSVGCSTKLKDSHSSFRFLHKNTTTIPAVNENEDHVEVPVSCWSCALQDIHCEVRQDNCVRCKQAGIAC
GGGTRPRWWNDHHIRKEQVVLLNNKIRESRSGERHEARQPLDKSRDETAPSLEVTRRRPVAPMWSASTDQRSARIPTPGPPASFPAVNRLPISQGED
RFKTPGPLKRWREPPIKKSYSSMNAFPARRPPERSVRPSSFYPSPDTTPPGPALPSKNLSNPSLTSYSFSRNIDDASSPSLQPSPTPKPPHSYTSSP
DPRRKPYPDRESNPDIEDSDDEYIGPPLPKRHHPISPGKAIRGRSRRSRRVDTQRKRDPEMKSWNDEDVCIEEVRGFARKALQISEDVLYSGPH
>RCO7_06267 | uncharacterized protein
MGKRRGSMDKQNYSGVPSMETSTDALDTVADKLQKKRKIQDQDQLHRQEGVASSASTSQCQDRPVVSAVPTPSFTPCNVEKEVSEEEVLRVAILTPL
KRRNECLPTHFDQSGRLKARWSSQFQTPVARAQEEARLHRAQAELKNKKHRARVEGGRFTKEKNIESESSQVKNDVATSDAPLGTPKTCKNCQSGIA
GSKGAICLHCHPKKSRISSRGKMGNTNPSSDSSGTSSYTQEQISNAENTHNTATKRSIPSTANDPASQATSNFNVSESGRSMPDSTSSTRKRPSNAR
KILNPAANKMQQFAGNSPSSFVTSPKFVTSPKFGQTQLDDDEIRRMLDQLSALLLQYTSKACGKPLPVYAPTTFLNIPCIRDENLARADETLLLRAM
RQLLDVPTGISVRDKIRSLQIEPEKSVWIGGLLVYLIKEFVFTSKSPFEDTSVWVEGLTYLGYAPHETEMILRDNRIRSITSPPQFFASRLAARKED
FIRRLNATMMPLVGCDSETNGFHIAIASQACSLNTQLSAHIGKYEPIFPKTGELFDYGRHELDGSETHGPMRNAKELFGTPVLLTAMFGLKAKTTEK
EWRTCVSAKVRMWPVKPATTVAGKEVEKSGDGEVACLNVISHRKCAGTIFPEFLTY
>RCO7_06266 | related to FMN-dependent 2-nitropropane dioxygenase
MALPRTETLKDHYPWTQAPLVSCAPMRLIATCPLASAVSRAGGLGFLGAGTDVSTLSDLLKEATTSFEESPLANTPDGVLPLGVGFICWGADLSRTL
SAIEAAPLKPVAAWLFAPQDPKELVSWSEGIRKSSNGKTKIWIQVGTVASAIDVAKSCKPDVLVIQGADAGGHGLAQSSSIISLLPECADSLACEGF
EGIPLIATGGIMDGRGVAAALMLGASGVCMGTRFLASPEAVISEGYRKAVVDASDGGVTTARTTVYDKARGTHGWPGIYNGRAVLNQSYWDSQKGMT
EEENAKLYEEAAKKGDQGWGETGRMTTYAGTGVGLVKKVMPAGEIVKEVLRDSAQRLSKSGPKN
>RCO7_06265 | related to DNA-directed RNA polymerase 13.3K chain
MNAPDRFELFLLSDGEKKVAEEPDTRTADSSVFTFNKEDHTLANILRAHLLKDPHVIFAGYKIPHPLFAKFELRIQTDGDISPKEALVNCCKALVGD
MEILSREFTKEYELRKMVSGDGMVDK
>RCO7_06264 | uncharacterized protein
MPPKAMRKVPPKTPKAKPPLKKQSTPQPPPAPKPTKRKRSPSDSPSPPTPEWDKGITSLASRKRAQFQLSRASFQEELDANYIEREALKLSAESANS
WGSMIRSPIRGTRRPKARCRGLRRRRAGTLGLDDAYLEMFNAMAQQRREPIENCLDSTPILRIPLEIRERIYGYLLVYPDPIMVKDDWRSVERNSFV
DHSLMLGCKQFAFEASSFVYRNNTFRSLVRVSSSNPALRFEPPGKLPSFAHSLLRNIIIDCSKTCWNLDWHEKVAEGLGTLVQAKAVIDALILIVVP
QRVGMSHTALGMEKCPVTFADFLWHAGPCMRAVCKLAPKTFKIVVKKPRKMKLGIEIDLTILRNWDGDEGICDQEALRIRKEKVKILTEELEGLKRR
FEEVFEDDELALRKGLCEMISPRDMGRDEDDLVGFGRLGSRQNRDGDGEAERGESERSSSEEIWAT
>RCO7_06263 | related to METHIONYL-TRNA SYNTHETASE, mitochondrial
MKYDSLPSFQLYTSEAKESIQKIQAETASEPLTLEEEYAMQRSWRTDVDKLTFIACLPLPILWPSLDESPRTLKPGTADSPSRMIGDVNLFLTSSVS
PPSSPTHSSTSPTAVRFIIGELELMIAPSKFRRQGHGRGAVIAFLSYISTHLRSILQEYGRGQEPPIEDVRLEGLRVKIGQANEGSLGLFKSLRFAS
REGGEGLNYFGEVELWFDGELGDDSGEKMRNTREQWGMVEYVELAYGQEDSISESVKEY

>RCO7_06262 | related to glyoxal oxidase precursor
MYFSKTGLLALCAASASAYSANQRTFAVNHFYGKGPLVVGRMDPIISPGVASGHVHAIQGGNAFALSMTDNQALKSTCTSSRVKNDKSNYWTPALYF
QDPKTGKLEPVEMFYMNVYYFMDATTDHIEAFPEGLRIFTGNPGARSPPATGGKQIIDKSDGVIQPVQWTCPRSNNNSPLYPVNSNGRAGAGIQDPG
NGGSGAGFPDKNCDGYASPLRADIHLPSCYNPAKGVQNYKENMEYPTNGKCQAGWKHVPHMFYEVYWNTPKFQDRWTPGQGKQPFVLSNGDPTGYSL
HADFLNGWDPKTLQQIIDNCDAGSSGMDKCPGLVGGLNDPSTSCNIESPIKEVIDGIMDKLPGNNPIGKWGEAAPAPAPAPAPVPAPVPAPAPVPIA
TSNAAPPVAPKPTTTTKSDVPVTTSKTSPIITSFPAPPVGGKSNTMATSYVTEDKVEWTTVTANGPAPTSGSTVAAGWSYKGCFADTKDRVMTGIKF
ANLGNHEVTNTKCVAYCQTKGFSMAGTEHGGQCFCSNSLAVSTKVDEGKCSVPCEGDANQVCGGSMALSVYSKDGGKKRAHLRRHLHNHI
>RCO7_06261 | probable putative GTPases (G3E family)
MSPIPITIITGFLGSGKTTLLLNLLPQLRARNPSYKLALLKNEFGDLAIDSQLATSSSISGVRELLNGCICCNLVGQLDVALQELSEKIQPDRIVVE
TSGSAFPATLAMEVNRLARETKGAYVLDGVVTVIDVENWKGYEDTSYTAKIQARYTDLVVFNKWETVDERRMDECLDRLGDLEVQIAWVKSDKGKVP
MDVVFGIDGGLARTLGENESNGHDHDHGHSHEKGHQSEVEVLSITYAAEAGSLINSSKLEKLLKTAPKDEVYRIKAVLAASSPIQPSEINAIESSPD
GPGKYILNWAFGRWTCTPMQSDEHASSDGVVLRMTMILARYESKKWTKRIETAGFVELEGDKMGTLKVEKIA
>RCO7_06260 | uncharacterized protein
MVSSLLTALILLLPLIAAQESFPVESYPVETYPASYPAEVPVETSSLGPGPEPFPTYSAIPQPEPEPTCRPMGRDVMISEKACFL
>RCO7_06259 | uncharacterized protein
MPPSQKVAAAYASAQPDPKAEPKGKEPIPAYDLIVTQEWLPLYQRYKDLAMNEPEPFTRRNQDPGRYISNTFGNPPLPRDFPPGEDRGYWAEEDGYE
HTDLRIIDQPGMVYYNSRYFQMDDQSRVAATLYHSLTLKRPSDADAGDTRTYPHYDTTKDTRLPIHVRLDDSYLVACLLDFPPDHLNDNFPTDFAPD
GEPYTDRPRIGMPACPRGAYKDYPHNGVFVLDRRLAVIFVTIGNLSLPYICGGEGFDAGKVSDVRWKNFHQHFIDITGKARDDLLPVLDEPVEVERR
RLQPAQVLPTQLSQFQPPGTTSKFNQALGKIRPAVTYINNSKRKGTVPRAMSERVLSNHPTRGYLPDRPDFELIAHAAASSSAYHNSHWALDTYISA
DMEDHNDLMMDIEELLNGVANWNTTTGSQLPKDFLSSFEKLGIAFRRKLADNFSGIHYARSVIANRLDGIPAADLILEALPQTVYSNDQRSVVAASV
DPIVAFNIYDAPPLWVSRTSLEPTIQVPPANLAWSIPITQLSLYPRPYAHNETATHQLLFSALKVHDMDDSSTPNKRAPDNSADTSSSKRRKGIHGR
GNYHSSAGTTSSPAAKEEKEDEEDLGVAKPGNDAKSGQFLPTGKRWLLIDPPGGGQANKKFYREMSKLWEVKRHEKYEDIISDIVGKVVHKGWAYTQ
AGRKYGIIEDATPTKSTKKKKS
>RCO7_06258 | uncharacterized protein
MSVLVNDIEEEFETPSRAFLLTTDRRQEPFCPDTGSSICLAEKNHILKHFPGLTTYAPPIAVRLTGVGPGPISQYCVDLPVVCPTISGSEIEFPPFR
VYLIDKLPCKLLMGRDWLRANKLNFIWGMHGDVDRLTTPCGQAIALNSVKQAIRPSRAQVYSNASVVISPGQGLNIPVRHRPLPPLDHGYLLRPFAQ
ADLPLTKFGSLVNGITDGSPKPIPFANFGQYPIQIPKGTVLGILEPCPSTLQNQEVLFNMADVFKGEGEDAEHQRYPDGFPFLVTPPEDDPDVQANI
SDHFGSAYQAQVQAIVNSHTSLFRSGLGCFNDGITMPVPFKDGISLDDLRQAPYPQSKKDREAMDSILDPMVKDGSLEPVPLGQPSPAASPAFLVYR
NGKPRVVIDLRRVNTKLKLDGYPLPRQDTILSALGGATIYSSMDLTKSFFQQKLDPEDKWKVAMVTAHRGHEQLTVATMGLATTPSFFQHRMESLFG
PYLWKFVLVYIDDIIVFSKTPADHLEHLDTALALLEKSGVTLSLSKCFFAQPSIQALGHYVSRLGLSTLQEKVEAIRTWEFPSNLSELETALGFFGY
YRSFVPHYASVAAPLIELKTLGFRQAPTSRRKRSNFALATSLESLDNTYKLDLIPKKETQPIASIEDCRKAWTELKDLLCNAPVLAFPNYDKPFTLY
TDGSKEFGFGAALHQEDDTGVERPIVYLSKSLTPAERNYWPTELETAALVWAIQKLPQYLDRSPFTVVTDHSAVLSSVDPAKAINKNSTRLANWRMF
LSKWAPYMTIRHRAGKDHQNADALSRLPRREPADQTIYHTSKESMTVTTIRAFPVAVTDPEEHPSTLAATAIHLSETMVSQFRRELPRDKTFASVYN
SMMGRLKSSPPEEPTTTFENFRLDPKTKLLWFRDSDIIERLCVPGKYLQRVLEIAHDNRAHVGSKRTYEYLRRHTFIPKLWKTTKEYVRSCPTCRMA
RPDTQIAPGQLMPIPPPMKPLSTLCMDFVTSLPESVEGHNAICTLTDQLTKWIDVVVGRDDWTASQWAASFFRQLYPQIGLPDKFISDRDPKFTSGF
WGELCSLAKIQLAFTTAYNAKSDGQSERSNQTVIHALRCAINGTFVQSNWESLLPIVTLALNSSTNASTGFSPYELRYGRLPKSILEGECKSAVAQL
TNKGAREFVAAHASLFDEAKDAISLAQARMKLSYDKKRRPLDLIPGTDRVYLKLAKGVGNGYRLLDNHTKLSFTKMGPYAIKRKISRLSYEIDLPDW
LPIHPVITVDHLQEVIQDPYNRKIPEPGPLIQDGIEKFIIEKIEKKEMRSRQGYRTRQPFYFCRYLGYADGAWQPGNILREDVPDMVRKFEENLGPR
RSRAGLNQR
>RCO7_06257 | uncharacterized protein
MPPPPPVGKERLRDTNGRFTASLPPVSPPQSPTHKPKRKKKRKTSLPTELRSIAEEAFLSVEDSLTDSVNPCRPRARSAASEDFPSTGNTPKGANRI
SRSSRFPSTQSRSLPTSPIAVRMDIIYSNTAWKRDAALVYQVAQAIRDGSYPYLADVLNEGDIRESRAALRIIDKETRRELEKKAYETIHTQGSCIT
SAQAFATFIKRFRDGPTQVLQTPADRIGHPGPSDTRRENQNSSSVSEESRPGSQHDQDKGKGRAEPEPTPSTSPPKRVRSHWEDDHNLRERDQHNPR
DPDPLREPSRVPEHFPGTSRDNPNYRSDYRPPQERDFHPVRGSYPPRDYPSREYPPRDHVLRDYYAENIPPPHVRDFPHKGYYSYDSYPPRDTYLPQ
ETYRSNNSYPREPHVEPQGHRRSGYDRPGGYERGYVQPRIRPLPRAEEYDGPEEHNPYARHNPYTRRYPPEENRFSHSRDGGYTFEGVKGLRVDEVG
SYDGSSSAYAYTEKLDFLASSYGATRILATLPLCMKGQAETWFTGLDREVKTRMMHDLDEWRVQLIDRFHTNASTALVEADKLSFTFKNEGKLNVRE
YITKKHGLYIEAGETNIDNVVRRIHDGLDPALAAAVSLKRFGNSMADFTSKVYTAEPQARAAYLQVQNQFDEQRRQMEELKSSMDRPNRDRYKPNNH
ENVTHYAVPASLVKPRLDLSNIPIANVPPTTTVPLARRLPAPTLSKPEGATQKYPCRHCGSWEHFDNFHRLQGQGQLPMRQVKAFVVDAQGCEDDDY
VIVPREEFESWQDQNDDGDSQMGNSYGGT
>RCO7_06256 | uncharacterized protein
MLLTNVVLTWVPGSPNTTGITVTYDGPVTSTYPEGPPIITNPACNPEAGDCPPCVPGEGDCPYPATSTTSPPIITNPASESPSPSPSTTCICYSAPC
APCNGTPIPYPQTIYTTILHTITSCAPDITSCSPGHVTTSLISLSTITSPIPVYATTYTTAYVDICPTGITTKTYTITRTCTEEKCSAPTTIPEHFT
TTTKVCEACPDRPTLTITCPVESETGTWSNSTTIAAGTGTGKPSGSNTGAGGAGCGYGGLCPSENGNETGHFETGGAESAFGGGVKVLAVGGLVGLL
GLML
>RCO7_06255 | related to L-serine dehydratase
MSSSSPPQTKPWVSTPCILSAALSRSAGCNIYLKLETLQPSGSFKSRALGNFLSKAILAHRPSKPVHFYCASGGNAGLACVVAATMLKRPATIVVPM
STSVLMIEKLKNLGADVVQIGAHWSEADTYLREELLGKDEDGVYVPPFDHELLWEGNSTIVDELEEQMSPKGGYDALVCSVGGGGLFSGVMQGLERH
GKLLSGKGQTVKVLAVETKGAESLNLSVTNKRLLRLPAITSIATSLGATQVASQAFEWGMKDDVTSHVLSDAEAAMACVNFADDERILVEPACGVSI
APAYNDTLHSLLYPTLSPEEFAKLNIVLIVCGGSNVTIQILDEYRETYSQDRDVLEKFHSRRIREEGAKAVPTKLQAEPRIPFILHNEEEHKRDDVL
AQARGRNFEGEQVVPRPAIGTMTLGEMERQIEEFGKVVKP
>RCO7_06254 | related to na+/k+/2cl- cotransporter
MSSTLRRPSQGGAGRQHSNFHSGTAHDDAGELNRRSSMAIEEPGSLDGANNDEDLEEQNPYEPATNETTAAPREYFLTKRILHIATFNDENDSSVRR
RSSNGRSKPAPIAEDEMARIQKNNAAEMKKANGESSLPKAGLGPRPVGGDEKLGMFSGVYVPTCLNVLSILMFLRFGFILGQSGVLGIMGMLVASYA
INLITTFSLSAIASNGTVRGGGAYYLISRSLGPEFGGSIGVVFYMGFVFNTGLNAVGLIDCLKLNFGTHTGNWANIMPETPWYLYLWSTVVLVICTA

ICLAGSSIFARASNGLLVILVLATLSIPISALILAPFENRQLGIEYTGLSVDTFVGNLMPRLTKGAAGSQLHGKETFQDLFGILFPATGGIFAGASM
SGDLKNPSKSIPKGTLYGLATTFVLYTLVILAMAATITRSSFITNANVIQDTNISGLVILAGEFASSFFSTLMGVIGSAKLLQALARDKLLPGFSIF
GQRTEKGDEPTYAIIMTYLVAQVTMLCDLNQIASFVTMTYLMTFLVMNLACFLLKIGSAPNFRPSFHFFNWQTALTGTIVSAVAMFFVDGLYAASCV
GILVVIFLIIHYTSPPKSWGDVSQNLIYHQVRKYLLRLKQEHVKFWRPQILLFVNDPRRQYKLIQFCNSMKKGSLYILGHVIVTDNFGGSVPEARRQ
QAAWTKYIDFSKIKAFVNIAISPGVEWGTRNIVLNSGLGGMRPNIAVLGFYNLDDLRRSRPLIDVELPSEDKKQAGGKREGIGRQDSKDAKMSGTLP
TDTCKTEGMMSVTSYVTILEDLLLRLQINVAVAKGFSALQFPHAGGDHNKKYIDLWPIQMSAEIAGEGGNKQNVLTTNFDTYTLILQLGVILNTVPA
WKKAYKLRVAVFVEYESDVEEERGRVKVLLENLRIEADVLVFWLASGKLPTYEIVVNGASASKEAEEEVEDCLKGQEWWEELQKIRGKRGATSGSED
LSEIASIYTSGSFWPEASFQQGPRGERVERFLGLRRLLKKSKRKHTLVGLTKLGVSLGMRTHRLSDNVLQASNVSASEESGSDSDDSDSDALVSDDE
GPNSAASEADMDDYESGRDSPSPDRSRIRRRKSHSDTMRGPPPSKKSTGEREVTAPQRAPRKSILPLENAVTSTPELTFHKTEPESSHRKNSSISNI
ATSLKISSEIGSRDGSLKEPKSPHPESSGYHPSSKSERPSLSRHATQPKFSSKPVPMTRVATEDGPGPSIMFTDTASPPPFRRNRLPSAYIANPDRI
LEASETDSIHPSTRSRRGSTYSTQGVPISFNDLPCRAQHLILNELMRSKSKHTAVMFTTLPSPVEGTSLSEEASANYLGDLEVLCKGCPPVLMVHSN
SMTVTMSL

>RCO7_06253 | probable AVT3 - involved in amino acid efflux from the vacuole
MSTPQDDESSARPLPVPRSSSPSSTITRGRLSDSPVPRAASIARLASPVPSHNTIGTPPVRQIPAQNQAGSGSFASDNLTPLAGPPSHSPQPGPGVS
ALAAALSNSFGQSPPNFGTPPLRPLSPDGAAQQNVRPAPQSNYGSFDRARSVQGAPGWAGPSTYEDPEIVKRHLVQPSEQGDGADDSIFGGPSMSFR
AGSPAARGKQNIEDIAPGLDDNEFSSLRLQGGDITRPIYRWAEDAEGRGKAQRSQSFHFSRPHPENEVLDIGSIKVPGGFRRNFLRRAAGSPSPAGR
YADENSVGVRRQPKMLTNNFIEFLTIYGHFAGEELEEDDEDLGPNEYFTSDDYDAVEDGGSDEDREPMEDSALLTPGRKRRKRKDRAPPGTNGSMGA
ALLLLKSFVGTGVLFLPKAYLNGGMLFSNLVLVGVALLSYYCFVLLVNTRLKVNGSFGDMGGMLYGNWMRTTILISIVLSQIGFVAAYIVFTSENLQ
AFILAVSDCKTNIEIKWLILMQMVVFLPFSLLRDISKLGFTALIADAFILIGLVYLYYYDILTIVRQHGIADIVNFNPNDWTLFIGTAIFTFEGIGL
IIPIQESMKNPKKFPPVLGGVMIIISVIFISMGALSYAAYGSKTETVVILNLPQDDKLVNGVQFLYSLAILLSTPLQIFPAIRITENELFTRSGKYN
PYIKWQKNLFRFFVVMLCAGIAWFGANDLDKFVAVVGSFACVPLVYIYPPMLHYKAVSRTKLRKISDVLLCIFGVIVMVYTTSLTVISWASGNQKPP
LPSYCDKKTKFNLF

>RCO7_06252 | related to DNA POLYMERASE DELTA SMALL SUBUNIT
MAVSEDAGNLLRSPSKQSHTLLYRQPSLYKPLSTFALQKEKHYQQQYGDMYFLRLSKLKPEVEEIAAEAWQDFHIAGEDCERVERVLDVRQGKLCWV
AGTIYMEMPLKPNILDDISKDHWISAPPPREKYLSPTGEDLIMLEDNSGRLRLVGAPLANEMLVTGCIVAVMGTENANGDFEVVDIKVPDLPPQAER
WQTEDPESRRKADVDTDMDVDKPPSKKIAIVSGLGFSGTDADHSLEINLLVEYLLGEALDPTTQENVSQISRLIIAGNSIALDNEAVSHDTIGNTRK
TQKKYGYDSSAYNPTPTKHLDDFLASLLPSIPVTLIPGFTDPANVSLPQQPIHPAMFPQARSYASIPPKAGETAEPGWFDTVTNPWDGEVEGWKVLG
TGGQNVDDVFKYVESEDRLGMLEAMCRWRCVAPTAPDTLWSYPFQNDDPFVMDSCPHLFFVGSQPKFDTAEIEGPDGQTVRLIAVPKFAETGELVLV
DTETLETSVVRIIVA

>RCO7_06251 | uncharacterized protein
MSSSSRSDVKTMQLQISEDARTSVSIPSQTSKLTPGVTTPSQDALGQVRRAIGAPPYRFEQPATTSRTRINKHIPEGLYRSTIQKRRKAQFSYYFTS
TLYNACLILQILLSAALTALGSSSKKNGTVITILAAANTVNAGLAALLHNSGLPGRIRNDWNEYDKVEMFLVEVMDSGIVENGMSTADVIQTCFNRY
SNARATVEKNKPGYYTGGAPTGPGAAVNIIPPVLGVR

>RCO7_06250 | related to FMN-dependent 2-nitropropane dioxygenase
MAAQGPITTSLTTLLNIKHPILLAGMARTSGGPLAAAVSNAGGLGCIGGLGYTPTQLREIIHELKANLDSPSLSFGVDLALPKVGEGARKTNHDYTH
GQLDDLITVTIEEGAKLFISAVGVPPPHVIKRLHDAGILIMNMVGAPKHAKKALDAGVDIVCAQGGEGGGHTGDIPNSILIPSVADVARQYKPTLLK
GQTALVVAAGGIYNGRSLASSLMQGADGVWVGTRFVACTEAGCSQAHKDGVVSATFEDTVRTLVVSGRPLRTKRNAWIDKWEAQPQKIKELTESGVV
PLEYDMEQGNDFDIPHLMGVVAGVIKSIQPARVIVDEMVSEAVYQLNKAQTFLGVPSKL

>RCO7_06249 | uncharacterized protein
MAPLLEDPRYRQTWNQFSQNAESATETAAAGIWTFQHRYINPCLSSVASSIVQCTAPCFPDREERARRIRERSRTRGRAELSFDFYDDWDEDDERSS
GGLLGGGWGNDELDRLLAGSGSHSGPSTGVNQAPRKKKGMSYGTRGRKKSLDPDPTVIPSTNTLGFLGRLPFKLGGTLRYKPSAADLQDHPGAQRSE
LLGHEEEPLISEDHSDDDGIKQKGHNRHRSYTASSGETTDSMRSRGDLFPSDGEDDAVPLSDEFAMVLERRMTNTTFDDKSSGKTKSGKGKRPSGAR
TVSRTMSRTTQSSQSRPSVHRASSASLPQTPDIQSPGMVEIPSLSDLQQEEERIRHEEELEVEMKRQAAVKLAVERGLHAGSSTESITETKVEPTQV
ENIPTLEELPVETSIAPSTVSDGLSEVVGDSRDNFIPARLPHFS

>RCO7_06248 | uncharacterized protein
MSLNTNTVGPRASYHDAPETIRSDQSHNAPETVPSYILPEAIPYHEYYASDKTLKETNPKVMEVSIGMRRRLGDISARRFWLVFGIVCAIVVAASVG
GAVGGSLAVRNGKECEVSSALPSARGDSSTNSLSSSSTSTSTSTTTFSSTPTITAFPAPSDACQNGTTYNSLFKTGENGIPSAGTGLTFTRLCGRGA
VLTNIGSAFVYSLEDCIEICAGINFWPRNRNCTSVVYRPVGKGRPVNCWAAGKTGVFNDEAELFMGVLQ

>RCO7_06247 | related to muscle-derived protein (neurite-outgrowth-promoting)
MSTAASSRAPSIPANHASTDPPYTNGHHHHHHDAVSGAAKKGGKKKATDPNEASNLIALKISQLESDAAGDKEQEAEIERELKKYNRELNNLTSKSE
DLQKIEVLHKRVSDLFTSMKRLDRDNQKNKKRGDQLQKEKDLARTESSKNLNMKEKLEKLCRELQKDNNRLKSENKIMSDAEKDNHAAWDEKFKLVL
WQLQEYQEAKDYPKSQTINIEVEELFKQRFKSLIDQYELRELHFHSLLRSKELEVQYNMAKYDREKKLAESEGSRSRSLNSQVLTFSKTETELRSQL
NIYVEKFKQVEDTLNNSNDLFLTFRKEMEEMSKKTKRLEKDNMTLTRKHDLTNQNILKMAEERSRTNMEMDALRKKNEKLTSIINQMQKQGRGVAEG
MATMAEGSTEGDSVEGDLENTESEYDYEDEEGEDGDGEDGEEDEGSEDDYDEETEEEQFVAQKKFGPPLPPTLNATTNGAVAANGIKH

>RCO7_06246 | related to metalloprotease 1
MLRNASKGAVRKAVTELAQYPKPGEKLHGFTLVRSKHVPELELTALHLQHDKTGADYLHVAREDKNNVFSIGFKTNPPNDTGIPHILEHTTLCGSKK
YPIRDPFFKMLPRTLSNFMNAFTASDHTFYPFSTTNEQDFKNLMSVYLDATLHPLLKQTDFTQEGWRVGPENPQAAQTVDGAKPEESKLVFKGVVYN
EMKGQMSDAGYLYYIRYRDHIFPAIHNSGGDPQKITDLTHEELKEFHAKNYHPSNAKVITYGDFPLADHLIEVNAQLNAFERTQGDKEIKKPIDLSG
GPQNVTVAGPVDPLVDKDMQYKTSTSWLMGDATNVLEHFSLGMLCALLMDGYGSPLYRNLIEAGLGTDWSPNSGFDNAGRIGIFSIGLTGVKEADVP
KVKEAIQKTFTEVHASGFDKSKIDGYLHGMEISLKHKTAKFGMGLIHKIKPSWFEGVDPFESLAWNDTVSAFQTELAKGGYFEGLMEKYLLNDNTLT
FTMAPSTTYGEDLAAEEATRLAGKISEVTVKAGGVVEARAQLEKREAELLVEQGKSNTEDLSCLPTVHVRDIPRQKEAAVVRDSKIEDVKVQWREAP
TNGLTYFRAVNNFENLPEELRSLIPLFTDSIMRLGTKDTTMEQLEDLIKLKTGGISAAYSASSSPLDFQSSTEGMSFAGTVLDRNISDMFALLRKLV
LDTDFDSAEAQGRIRQLLQGSADGAVNNIASSGHVYARSYAEAGLTNYFRTKEQVSGLSQVKLVTSLASRPESEGLSDVIEKLRAIQKLAFSGTGTF
RTAITCGKESVSTNETALKKFLSSLPKTLVSSPKSPQPDYSKNTKTFFPLPYQVYYGALALPTVSYNHVAGAPLQILSQMLTHKHLHHEIREKGGAY

GGGAYSRGLDGVFGFYSYRDPNPQNTMSIMRNAGQWAVEKEWADRDLEEAKLSVFQSVDAPESVSSEGMTRFLSGVTDEMLQERRERLLDVTKEQVR
EVAQKYIVDALEKGVERMAFLGEKKPWVDCTWETRDMGISSGVKEPEIQDEDDVREAALGS
>RCO7_06245 | probable ornithine decarboxylase
MSPSAITILETQTSHTNIQSYYENPKNSFIEIDVKSYGVNNPKKLIGDALKERVENIDQDACEAGEEDAFFVADLGEVYRQHMRWKLNLPRVKPFYA
VKCNPDQRIIQLLAALGTGFDCASKAEIEQVLKAEVDPSRIIYAQPCKTNSYVRYAANHNVKQMTFDNADELYKVKKLFPGAELFLRISTDDSTSLC
RLSLKFGAAMDTTNGLLALAKELGLNVVGVSFHVGSGASDPLAYMRAVQDARLVFDQAAAYGFSLHTLDIGGGFVSESFEAMASVLRQALDTYMPSY
INVIGEPGRYYVSSAFTLACHIIARRTIEDPISREKSYMIYLNDGLYGNFSSIMFDHQNPIAKVLRTSEQTYFNNVAAHDSANGTEYSIWGPTCDGI
DRISESIRFNHTLDVGDWLYFEEMGAYTKCSATRFNGFSDAHEVIYVASEPGARALMGMN
>RCO7_06244 | uncharacterized protein
MNAIEGNTAASDNMRSAAAKMGGRALSIPTRANTTPASYRKWSPNHGIVFSGPWNPNQGIVFRPSAGTPRAMSTSDVNSMRQEHLFHSEVEDNYVMA
SADTAALERQPTITPQATVAANLKKVGEQDPKNSKVSKISLKTHTPETNVPKKTAPETAPSKTPEGIEPEDPLQNEVPETTTILKMDEALFRKAKNA
KHGSPESYWSHNLYRGPLRADGKEHKTIVHYCKSILTTERVLATYFSDSKVIGFDIEWKEGAHRNSTPKQNVSLIQIANEERIALFHVALYPHHELV
APGFKKLMEDSSVTKVGVSIKADCTRLRKTMGIDSKGIFELSHLYKLVKHSTDKTHSEINRRLVSLANQTKEHLHLPMFKGDVRTSDWSKILNLDQI
MYAASDSYAGLQIYHTLEMKRKQLDPTPPRPYHAELNLPIRIAEGVEIPSDVEAEEVEPEEPAITSPNLNPTTKNITKKLSKKELKAATENISLEDP
ELEYALTGRYPQARRTSLIRKIVHGPSSNETDTSPTYERKLPSLFSSYTSPLVHAAETLASTHLDSIQNRYPRRPNPHHPLPPHTTELLQRGKNLRT
YFLWYENPELSLDDVGKMLRSPPLTGRAVAVSILEAIRREKVPFDKRRLREVLGKWRGMGNKWVVGTRYGALEKECGFVFGEGDEGDEVQKPGEVVE
DISSTQSEGDSVGEKI
>RCO7_06243 | probable u6 snrna-associated sm-like protein lsm5
MASQLLPLELIDKCVGSKIWVVMKGDKEFTGTLLGFDDYVNMVLEDVTEFDYSGGQTKLAKILLNGNNICMLIPGGEGPSAMG
>RCO7_06242 | probable ABP140 - actin filament-binding protein
MDSQSENTPVLDVPAMEKAQSEPSGLLAEQLSFLAVTGSSTGPDAHAQVPPHLSHDPENNMKRTDPFQFGSRLLNEQDNVFEFNAWDHVETDDTYKE
YAELQYAKQRESPVSDFDKTRFNSEPAKWWNNFYKNNTANFFKDRKWLQQEFPILSQITQAEAGPVTILEVGAGAGNTAFPILASNQNPNLKIHACD
FSKKAVEVIRENKAYDSELIQADVWDAASEELPPGLVEGGVDLVIMIFIFSALSPSQWNQAVHNTFRLLKPGGEVLFRDYGRGDLAQVRFKKGRYLE
ENFYIRGDGTRVYFFERDELAKIWTGKEVDSTVEALDAVDATGFEVADLGVDRRLLVNRAKQLKMYRCWMQGRFRKQDVESGK
>RCO7_06241 | uncharacterized protein
MFKTLFQTFRPASALHSFRPSSRRSFLTIPGTETTKLTATRILPYKSTSLYTVIADIDSYSDFLPYCQESKVTKWSQPDKDGKRWPSEADLKVGWGG
YEETFTSRLFCDPGATVEALGGEAQTSLTKADIGHHSETLDSPAVANNIFKSLSTVWTVRPFHYKPPSGRPQTDKAVLPAREQTEVHLAIEFTFANP
IYAALSKAVAPKVASIMIEAFEVRARKILDGPGAGVKEKTNLDHVFSAGKKIGA
>RCO7_06240 | related to ribosomal protein L34, mitochondrial
MLCLGCSRGLAAAIKYSTLRQSVPKTIAQQSSTRTFTYLRGPSRPTLFQSSLAPGSAPILSTSPTTLTSSGILSKLCAPRAFSTTSVLGAPRDTFDP
SHFVRKRRHGFLSRLKTRKGRAMLKRRLAKRRSTLSH
>RCO7_06239 | uncharacterized protein
MSAFPPQRSVASIPVSQDVALKYLTSYLVSAKSSPHLLPNARLEPSGPTAGSSNSNITIHNLERVEAGLRGEWLAPTLELEEGAGDVPIAEGMDDGT
NKHEGDEGEGWMDLDQYQREQSIEGRDVEDGIPGVSKDVEMDSDLEEEDDLANGVHGNKTDPATRPVDKEARKAEKKARGKQERRERATKSSRD
>RCO7_06238 | probable zinc metallo-protease
MTDKMDVLQRLARFLDRPLFPWKKLIVGFSLAQYAFEGFLSLRQYQVLKRTRAPKVIQKEVSQEVFDKSQAYGRAKAKFSLFSGLYGQVQNTAFIYY
DVLPKLWSLTGSWLLQYAPAKFSGEITHSITFVLTFIVIQQIISLPTSIYNTFVLEEKFGFNKQTPKLFVMDMLKSQMLAFILAPPILAGFLKIVQK
TGNGFFYYLWMFGAGLQVFMITIYPITILPLFNKLSPLQPGELKTGVEGLAQRLEFPLHELYVIDGSKRSAHSNAYFFGMPWKKHIVIYDTLIEKSE
TEEVVAVLAHELGHWSLGHTTRLFGISQAHFFYIFSLFSVFINNKSLYQSFGFHNEFPIIIGFILFSDALAPMDTVIKLLMNILSRRYEFQADAFAV
KLGYQTELARSLIKLQIQNLSTMDADWMYASYHFSHPILSERLGALGWYGDSKASVSEIKQDEKVAQASGRDL
>RCO7_06237 | probable METHIONYL-TRNA SYNTHETASE, mitochondrial
MNVRRIIPATRYQLGQRVSNQNHLQWVCKSCRAEPLSRTSFSTTRCLLEKPYYVTTPIFYVNAAPHVGHLYTMVLTDILKRWQVMRGKQAILCTGTD
EHGMKVQRAAAQAQTPPKEFCDLTAETFKSLAKRAGLANDHFVRTTDTDHKEAVQYFWQMLKEREYIYESKHEGWYCVSDETYYPESAIEKRLDPYT
GRTFMASQETGKEVEWTSERNYHFRLSAFKDRLLDFYKENPGFVVPAARMSDVVKWVTDGLQDLSISRPVERLTWGIQVPDDESQTIYVWLDALVNY
ITKAGYPWAPGKENSLGWPADVQVIGKDIVRFHCIYWPAFLIALDLQPPKQILTHAHWTLNHEKMAKSTGNVVNPFFAIDRFGVDPMRYYLAHDGGI
TNDSDYGNDYIVERYKKGLQGGLGNLVSRVTRPKIWSIRKAVQGAKNVGFVNLNKRTDVQIAMLETLSEKANAKMAELNPGAALHIIMNAVYDTNRY
LQDQEPWALAKILQSGRKEAKLPALINCTIYHSAEAIRIVGILLQPYMPEKAAQLLDMIGVDKSRRTFDNAKLGADDTYGTAKIPVGRDAWDGLFPP
LPVEK
>RCO7_06236 | related to nuclear transport factor 2 domain protein
MAELTEDIAQKVAANAAEEFVKHYYAALNSSKGGQPPIASFYLSPTDSRTPTISINGEVFHEATLLQSKIDDQPERSQYEVQSFDCQVLNSNYNVGV
DDTAISPEKDGRKMSILVLVSGSVKNMKDDIGADIRGFSESIILVPGWDAHASKASKGSRKWLISSQTFRFVL
>RCO7_06235 | uncharacterized protein
MKIPPGFLDAKGKVAKGDFSLTRGDDHIEVKEFGAVSEGRKISCYVLTSPGDILTLSFALRADIANHADFVVDGILRNCRSAPASRSFNGTFEKAVY
QGWKSEMKRAAVKYSRMRVKERGNAENMISTNSDTPSTVGSLEVRLYRTHARSSAELVTNSDANAPAPAHNDRAPAFDKFGEWYEANSNVNFVGPPP
PFCIELFDHNQVGKIKKERILKDLPENHELWATFIFHLRSAEYLRQLGFGTSLGAIATDPSMKTSVARKEESELRSDATSIEKALVEDNTGGCQKKA
PKHAELLKNKAVPRPAPILAPPTTVTGLLNALSSARDGSPEPLPATTVFKNSKGAILLKQEAMDELQKFQEPAESKTAILRGVGGLGTSPAHQAFLQ
KASTLQGEILSPTPTQDEPSRNGGNGAPQTRPASQRTIDAIFSPTKLLFSQPRESAEEMLAFSKKSEDRLSKADSQHLKIYNNNLNFVKPAYTSLNN
PRHDSPRQIALSRGLSEVSDSPAEVADPQDIARAVKSSQTSSQRTTQDTNTSHAFQLDQVGLGISHGPLLKIKSIEYEQGNHTYLSPLLGTSQYPTP
NSNIGSPLHKFHTACGLSFSNPREPLREQWQRPALGSVSSSSPKPRQETPQNLQSQVPRQSDLRSTTPLKRKSDYLTGNSTPDVVSPRNLSRSPSVM
NAEFEHDKAAAEARFATAERKREELQQRLGNALDLKREMGKIREINQRAADVERQNAEMEICFKYFLQMLN
>RCO7_06234 | uncharacterized protein
MPTPLDRALNSKNTFLAFGGIVTAVAAWSIWGQDMFPKEPDPIGDPETWTYEEMRRWLAARNLHPNSKDTKEQLLERVKANLRTPRV
>RCO7_06233 | probable ribosomal protein L38
MPREISDIKNFIEICRRKDASSARIKRNKKSSQIKFKVRCQRHLYTLVLKDSEKAEKLKQSLPPNLTIADTPKKNAKGKRSA

>RCO7_06232 | uncharacterized protein
MAVTEFTTLPFNHDDWEPSEKILPKFEVAKRAQKIASSEDQEDAPPQALTCVLCCHAPATTAITSPEASNSLLPGHGPARPLGDPAPRLVSPRNIEL
KLETAIHVLYKKSNFEFRVFQQLDDPSIIHFLGRLGSVKAHEAFLRSTDNKKLLKLFKGDIPESGRMKRQMWHLDVDIFQCPHSRWIRTVNSLHFQG
WSVPAEHKDEVATQLSKHINHERIVNKRRVVGGWKADKAPTEPQEFMLFYFMGGSFEGPLMSAINVYIQAKFITGSTGATRIRFVDLTLMKPNPDSV
TGAQLKYVRAQMAEDAKTSSHSLSQIATAYLKRAIVLKQQIHCACLCEVTFLMMSRLVICRRLTFVFTAVTL
>RCO7_06231 | related to MEVALONATE KINASE
MKFKLPTPDGSASYLSPSTADASTLPASARALGGDTPKTRTPSTSSTSTASISVGTPSETSPSPSPSSEITKRAQTVEMTDVLDKTGVNGSKIPSRP
VNGNRRQSSPMMPSFMVSAPGKVIVFGEHAVVYGKPAIAASISLRSYLLVTALSKSKRTITLRFPDINLAHTWNIDDLPWDAFSQPSKKKYYYDLVT
TLDPDLVAAMKPFLQNVSPDAPEEVRKVHQASASAFLYLFMSLGSPSFPGSLYTLRSTIPIGGGLGSSASICVCLAASLLLQIRTLSGPHPDQPSEE
ARLQIERINRWAFVGEMCIHGNPSGVDNTVATQGKAVVYQRLDYAKPPKVTPLWNFPELPLLVVDTKQPKSTAVEVAKVATLKKNLPHVTGSIIDAI
EKVADSAVGLIQHENFDSEELSSLEALGNLMTINHGLLVALGVSHPRLERIRELVDHKGIGWTKLTGAGGGGCAITLLKPDTPGEVMQQLEQSLEEE
GYNQFETTLGCDGVGVLWPAVLKNGSEDDMGGEEIDQEKFLKADGIDGVEALVGVHGESGEDREAWKFWRVED
>RCO7_06230 | related to geranylgeranyltransferase type I alpha subunit (RAM2)
MAPKTSKAPKQQAKYTESPKEYPTIAAKLEAEYLASRPYQVLKETKGFSKFISSEKIAYAHSILLETGAWRTWAAPQQKEFWKLVEQQKIPIPLPKP
PSLGKDQRGIDLGSYTPAEYKLYERRERDLRALREKSNRFRIKRAQGWTEEEVEEERNRRKLLGHLQGRKMGIYERDPEWDDVIPLEQDDGDGALAA
IAYSDEYAEAMGYLRAIMAAKEYSPRVLGLTEHIISLNASHYTVWLYRARTLFALESSIEAELEWMNKVALDNQKNYQIWHHRQILIDNLYEKISSD
HTAIENLADTETAFMARMFDEDSKNYHVWSYRQYLVRKLDLFNQKEIESIQTLLRSDIKNNSAWSHRFFVVFSDPKISTPGSLATERDFNMPSEIID
REIEFAKSATFDAPQNQSPWNYLRGVLTKGSRKLATQECFAGEFAKIPKEGEEDVKSSHALDFLADVWAEKKEFEKAERALDLLADKYDRIRKNYWM
FKRSGLRGSELNLSI
>RCO7_06229 | related to endo alpha-1,4 polygalactosaminidase
MISILKTFLFLGVFLIHLSSSSVIPKRDQSSASNYHQDQNTASTSRQLAISTTTNIISDDLDDSCEADEPENSGTTGPNGSNPTPVDSPSSTLSTVV
STSVPTKTAQPHAAPVAPGEPDTPVLPKPTSPSTPASTPTPPNPVTAPAAGKFWEPAAGSTWQIELSGIVTDTSYPADVFDLDLVDTPQSTIDALHA
AGKKVICYFSAGSFENWRPDQAKFTAADKGLAMEGWAGEWWLNTKTANVRSIMAARIDLAASKGCDAVDPDNVDGYNNANGVGLTSADGADFLNFLA
DKAHSKGLSIGLKNAGALISSVLDKMQFHVNEQCIEFDECELFKPFIDAGKPVYHIEYPTNAPTIASDLKIEKCVAAKTMSFSTVLKTEALNAWVET
C
>RCO7_09428 | related to Sls2 protein
MSNFKRAPVHAGGPGRSSILTSLKAAEMIGGKPVLPAEIVSTILDYLPIPDLMSFARTSKRMLEMVYEDSRWVQRLKVMGVWNEGEARKRFEEAVKM
KREIMRIRAEEEGKRTGIGVNGNAAQRKTSTTLFDAGVEEERQRQSTEVASKAAGTSIEDGFETLALSSVAQSSNTSTARAAMLDPEALLNIFSGLK
SIRGSARQEYAKIYAALAPFYYDLARSRSHMDPIIFRVYRDPEQQAQMLAHLQIFSRTDWAQGWRQREEKLNTMIGIFENAVLREFEQGYEGMDVDG
RMRRYAQVLAVLNGGHACIELFVQKHPMFTDREYLGNSMDCINQASSDGVALEPSRQFLEKLSKKVNEQSDVIDRVFPPGEDVLQLFLDKIAEDILM
EYVTPLFDECHERSIPSYLKAVSGLFEQSIRFGASLKPTKNSGDSFPATIKSVLARVFEPHVDLYLSEEFDNFKKKAEAEVGIWESKLSAQDATSES
FFMANVSRQADKKDFLSSFKKVVMMPVNVLPSLPISSPFGAAKVLSPGVTANRFSVQASPGPSRPQTPGLGAAGNRSSTPLPGHAPTDELAAKAALM
ASRLEGIRSLFSIEVALDLTHSAKASIERAALFVRLGGQTGEEAREQCEAIFVSLLQILGNRHVKIGFDKAVDHLSKYNPREVSEHQQGVAPLVTFL
ELVNVGDLISQMIDVFYEQQLAATKLADRNDFLDPAVKAKKKFEQMLDERVAAGLNKGIDVLMDEVEYLCATLQRPTDYNPLPASDPRTQTFEIGTT
QAAEKVVNLVQSHTKMLTGSTDKNMLDVFNQEVGLRLFTAICKHLKRQRISVDGSMRLISDMNLYFVYIRTLKNQDLLEYFKALRELSQIYLIDPKH
AKEMAEVIADGDRFHGIFRAEEVYEFAERRADWYTVKKNVERAMYGIGCGIM
>RCO7_09427 | related to FK506 suppressor Sfk1
MWGVSYWVFPVISGLTWLGMLLGLLLHWTTTGKPIYPSMDSTQHIAYISDVGAQSLKPLFIAGSCVTTIFLDLSFLSERWLRHRGRLARNQTTTEKV
LSWLSMFFALVGTAGLILLSIFDTLRHPSLHDVFLVLFIGGYVLSSVFICWEYQRLGIQYREHSILRTSFWIKLVFILIEVALAIAFGTCNVKDKFD
IAAVLEWTIAFVFTFYVFSFYIDLLPAVKTRHESARFGTGQGETEMQMEQNDHFAQQEPGGGYYGDAGRGARYTAESQRTVGRNDVRTVNGTKFDNG
TAPVASNF
>RCO7_09426 | uncharacterized protein
MAQTTAVVPTGPIQDAERPHPRSTKLEDQAALAALYVTRPDDNQNKPKKGGQEFLDKDSKLSSAGAAASLKYAKPQDLPSYPSVGLKKNDSAAGAAA
SLGWANQKPFEHWKPEASEAASAAAMQAHDYKMAPLWQPEASAHGAKAALLAHKEGAKVEIWRPEAKSAWGHSAATQAMANHRQGASSPQLDHGHAD
ICRKGSLLAATGAMASSRKRAQSNPNAALLPKPNTYPDESNAATNALRAATSASRSSRKSDMPGGGAVPYTNMAREMFTSAPPVQPEIDEQNRQNTL
RASAIAMAQSMYYIQKTQIDAASHAQSGAAAAHGRTPSIGSSDEVAQPTRFINLQEAAQKLANEKLAKLHDEHAQNREYRDYYTASNASASQSRLSL
RGKNRNRASSLGYDDDREQSNKIRAQMSQFSSNLSQVDEKKRQQDREKLIAAAQRNVRRSMHGMDERVFNDTGKIAPSLLDEWEVKAHAAAQAKSDS
RMENHGKVHIGGGKFINQSEINLVAARNVQPVLDEITEKAEVARERQAAIKAEQETQQRKAADKKAREKEQKEIEKKLRQQDKEEKRIERNDEKLAA
KERRKSLKAEGGVGSIKKVVVDDQESAPDHGEERTIADRHENSAPDPIRTSMEDQASLRMREVIGTANGDEVTPMGLASSEVPKDGRVKSWLKTKFN
RRMSKSQKSPGLETENSAGSGFVGGAALTGANVNNSTASLGAKSSSGQEIAKAGTSSAVPASISTTEPADHHNGIEALAKSPTTIDSDPEIEAGSHS
DVSSQHSEHRTITATEPVITGMPVMAAGPVQTSDITKAAVPPALAETEQRGRPISQVSTISRMTGDDDDEFQEARDNFDEDLAPPPTFPAEQSTSPA
RTAKFIENI
>RCO7_09425 | uncharacterized protein
MDTRTDAKPLQRRSMSSTDDKPFEKILNFRDVGKTINRFLGERVVAEGLIFRSARPDDATLSDRKRLQDEFGINTIMDLRTVTEHANQAKKRAGDLE
IPALLQSNSALAEPVKIPGINYLEINVNGKGFERSLLWKLKFWSFIKLISLMVIGRRMAAISILGREVLRPRGLVGLGHDSLTYCGPEISQCLLSFL
SPSTIPPAILIHCTQGKDRTGLIITLLLLILKVPVEAITKDYVMSEKELESERTERLKEIASIGLGEEFADCPGDWVEEQEKFLREKYGGLGKYLRE
IGVSEVQEEELRKVLGWKA
>RCO7_09424 | related to S.pombe rad8 protein and Rdh54p
MGRAKRTARRALRRNGVSKRRGPSVGYANSSSTSIPHTGQGSSSDSETASPSGSLPARDLTDALIDFMLRSPSTLEPPQKRQKIMSGIVEESDYGHI
VVKKSTWDINFASRKLSLLDTPLVKNNIRPFVHWIRNLRPEYIEIMDESKQCVFHAPLPPKDDFEDLYLALSVSRSLTSKAQGRLWTEFGLALVEKE
RHDVLQITFEIKWNITLSPHHILQSTTKPKAIRQVLARYYPDPNASKAEKWSPQDFYTSVHSPVKNNDVAEIKVGGLETDLYPFQQRAVKWLLKREG
AEWSAEGVRKMTPSLDSELPLSFLQAIDDNGRMCYVSHLFGVVTMDITPFMESQNQLKGGILAEEMGLGKTVEMISLISLHKRPREEDQVFDIFTEE
DVRPTGATLIIAPPSILQQWISEIKRHAPGLKVMHYEGIKAYSKRDFSDLVDDLAGSDVVVSSYAVLNSEIHFTRLNPEKSLRREPKYPRPKSPLMM
LSWWRCVIDEAQMIESGVSNAAVVARMIPRINAWCVTGTPVRKDVNDLLGLIVFLRHEPFASIKYIWSSLISTHKNEFRKLFGSLALRHSKQSVRDE

LKLPAQRRYVITMPFTPVEEQHYQEMFNEMCAECGVDAQGAPMEDNWNPDDVTDVMRRWLVRLRQTALHPEIGGKNRRALGQKEGPLRTVDQVLSAM
MENTDVAIRTDQRALLTTKLKRGQLFENSPRVKEALEIWSEAADAAKVIVDECRVQLQQEIAASTVKATDEKAVATKSASEIDNESDDEPEEIDPSS
RVGVCRNRLRTALEIEHMAIFFRTNAHFQVKTNEEMTKPNSEEFRALEKLEEEGYEAAKKLRQEILQEVSKKADRLMKKVSRKAATQSFVQIPEMPS
EPAKGGIESRRILEKLDALSAALDAQANVLDEWRETTIQFLLRPLVDDDSIETTGDEYEESTKTQDEVMVYVNVLRAVIIDRYDALTGQTNELVKQE
VKTTLRVAMDGEGACPEKTVELLAIRGHIKPTADMGSIRGTVSELRALSTSLRTDVENGRARAQNELVIVDKQLKEAQRLFTQQTKAISLLEKEIEL
FTKVMNIRLEYYRQLQQVSDMVAPYEGPIDMMTVSKFLQEEESLVKKIAIAKSKRRYLDHLRMEATNPQEQRMCVICQESFETGALTVCGHQFCKEC
IRQWFHTNHNCPVCKRKLLQTDMHQITYKPQELSIETEEVHDANQERFSPTQSSKYVIYSEISKSKLAEIKNTELDGPSFTTKVDTLARHLMWLRES
DPGAKSIIFSQFKDFLDVLAQAFAKFRIGFTSIDKPNGIETFKQDPGIECFLLHARAHSSGLNLVNANHVFLCEPLLNTALELQAIARVDRIGQQQE
TNVWLYLVDGTVEESIHQLSVKRRMEHIGKRLAGSGNKSKGKARDPSPVEILDSNIEEANSMELQQASLTGLLAKGGKGEEMVNKEDLWDCLFGTVT
KRASKDSEVRRKFQESNLRLDTVVGRELRAGAADERMGIAGPSESA

>RCO7_09423 | uncharacterized protein

MVVNYSQLRPIPSFLLPFAQSTRSTQTRCLHQRVKAKPIPKTTPFVPNAQTFLTLIGRNLSQHASKIPTWRALFSLTSAQLKELGVEPPRNRRYLLR
WREKFRTGHYGIGGDLKFVNNGVAEVRVAEVPVTIQGSETAAASTGKHKVVVNVAAGAEDVSISAEQFVPVKGLKIKGAHTIVGPHVLPLKGGKAAK
IEVKEGLWEDRRGHKIDGGERRQAEVRAKKRGEERRTAR

>RCO7_09422 | related to SRP40 - suppressor of mutant AC40 of RNA polymerase I and III

MTTRVFAESPSTIQLYDQKFHRVSNLQVDTRENDHATEQSTTTIPVITIDDIDQNRTLHYKSSSTETGMSSSHRSSHHSSSSSSSKSKHASSKSKSK
KDDWSEITDPEERRRVQNRIAQRKFRDKAKDVKEREDRDADNQTHAGHSYHTADPGDMGPEHNLSGLPWGSLSLKHVVSKGREKEEESRRGSRSHGD
RSPQESQGPAYEQQDGYHEAGSTYYEEPDRVYYDYGSGGSGHGGGSR

>RCO7_09421 | related to Dictyostelium protein kinase

MEGDRAMSPGSTIANSEMDEQMTTHPSSPSRIDPRSTLKHVLDNPDSRTNTPPIQVPRATQDMTEDDEIRTPGGPAEATSKSTSRKRKDPPLGGLGS
IQSGNKIKHLKKEDGEPLWRKDIQYDFLKYVFDDPQEVFTNSYDPSRPKQNFADMYIDTMARSSKTSKILRDKLLTEHEPAKNMAMVCLLVNLGRMN
TTLNFFPEMRAQLRTYHAIPSLQAQQDPNSYKQLQDAPRLKSILKGASEDRVEPNSLEKIKMQEVPRTNPVNLIFVLAQYAPKVTELHFPPGNDFND
MLMADHLSSFTRARAFLWLMWFYLESDFTEEGADENPFGPGVDYDVDVRNQGVPRFDQLSIEDQAKENVDTEEECEYGRAKMRERKRIIEADQAVFQ
AEHGPPKRGPKPKLNLAPDEGPAFGRIRSKYDEASPATLRAYKRPKYESDMDSTRSTPPPRALTGMRIQSVLNTGKNRGTGLQQMMDGSSPVPYVEE
PTIIRRPRLRPLTAHQLAVERNRNQRVNYLLSRGLNKSYHVAKKQRKQEGAIWRSTQRLNRFQNDVFEDSEDEESLAEEALGSGFKERGMAGLVPLD
WEVDDFGEEMAAYCNGFRRSLRRLARWEGQVGLGVMGTGRIPSRDSGDANGNDTGRDNDETEDDQPASQQMQMQMQPRANGHDLHHNHDHDHLHHHD
EDQDQDHRRMEEEEDLDDMEKEILGMGSDAEDVDIDGDEDLDEVDKALLNLGGGDDTEDDASDGMDVD

>RCO7_09420 | uncharacterized protein

MEGLRDEDKLKPTFLGDYLPSKGPKGQSADGLTDDELRALPFIGMFVGVDELIPTKAVYAVCDPSNCGITYVRGDGTFAIARQICFTRHFKDTSIPN
YRSQRTYLPELIIRTAMYHHHTYNKEEHLANGTSTFTTISSVKASLTYLGDLEMESCPALTAFDSTPIGPDLATHHLALKGTLKWNFSTAGFQAFAP
QGIDIVTTKHQEFKQKYINVNISLDDFQQALFCLGGMLKAGLIDFLREGQNDRRYFVPGLTRVKPSQFVTPRRTSIGWTVDCFVARFSKFHDVYCAD
XSTFAQIPNPINWLEAEMNNEARLKKLQMPWEISVKDRDNSIISWELLKTLQLKTQGDTKTYPKSLVPKGPQPLILNDIIDKRGKFRESKNARKQRE
AQEKVNERPAKEDLTIDLTQGDGFMSGHMINNPRPIHDANQHFVISNSKSRARTSAADSKRKNIGGRGLSNENSNLDDDNNQDDDKPAHVAKNKKDE
HNDKESGDSVLGRHRRKKSRRAKSPSPLFIDDLAKHLED

>RCO7_09419 | uncharacterized protein

MRRSHSTFSDQATPNRNPSVPQDDLLDEAWDHSLHGTYASSRVSDESAGPSTLPHLETNDGAGDGANYVADSLVKDSGFGSEISTPGLGDGNGLSDC
ANDLDVPQFEVVEPLPGFQRMFTVVILHPGGSSGAKFKHKLLESSKCSSGKTLREELPSLRWIFPDAPLREYLYPDGTVERRHTWVDSYNQEPDDEA
TVKRLKQMKSSMAIIRQGLDREVERLLLDQEIESVQGWEAEQIVLGGHDHGGMPAMFRWMCMSIKVAGFVAVKNILTSSELTSEGKQRSKDEVQEDE
IDLESFQRHLTSLLVCKINGGRFVGGVTNGFEPV

>RCO7_09418 | probable ATP-binding cassette transporter protein YOR1

MIRPGQADEEYTPTASNDPAAAAQNPTHDEPLDNDGYEKEYIEIKAHGHASSSQSDSDEIHKDQDEKRPHVDRTKSNATTTSAFSGTDSHVDRPEKK
KKKPWHKKLNPLRWGKVPPVPETRGMSREHTASFLSLIYFQWVAPIMSVGYKRTLEQNDIWAVNPDRSAEVMTLKLQASFNRRVTRGDKYPLLWSMH
ETFKFEFWFGGVCQFFSNILQVISPFTLRFLIQFAQDAYVAQQRGQPAPHIGKGLGLVFGITIMQIIQSLGTNHFIYRGMMVGGQARGVLISVIFEK
AMNISGRAKAGGRDFNQGPETGKEHDDQIKETAEKIKADMKKRGPKVAADTAKGIAGDGTGWPNGRVVNLMSVDTYRIDQASGLFHLIWTAPISCII
TLILLLVNLTYSALAGFSLLVIGLPVLTKVVKILFARRKKINKVTDQRVSLTQEILQSVRFVKFFGWESAFLKRLQDIRDQEIRMIQVLLAIRNAIN
AVSMSLPVFASMLAFITYSLTSHDLAPARVFSSLALFNSLRLPLNLLPLVIGQVTDAWSSVIRIQEYLLSEEMGDEAKFDANSDNAVELKNADFTWE
RTATQDPDHAIPVGRSKADMKADKKAKKVSDKAEKEAAKLASTKPETSGVTTPDDGSTLAEDSEPFKLQNMKFTIGRNELVAVIGGVGSGKSSLLAA
LAGDMRMTNKEKGEMMIGASRAFCPQYAWIQNATVKENILFGREMDKGWYQQVIKACALEPDLEMLPQGDATEIGERGITVSGGQKQRLNIARAIYF
DADLILMDDPLSAVDAHVGRHIFDNAILGLLKDKARILATHQLWVLNRCDRIIWMEDGRIQAVDTFDNLLRDHAGFQLLMETTAVEEKQEEDDQVKE
DEIEGEKKAVKKKRKGATLMQAEERAVKSVPWSVYFDYMRAGGIINSPMVFIFLLASQGANISTSLWLSWWTSNKFGFSRGVYIGVYAALGFSQALT
MFLFSVVLTIMGTNASKVMLNRAITRALRAPMSFFDTTPLGRITNRFSRDVDVMDNNLSDAMRMYLLTMAMILSVFGLIIAYFHYFAIALGPLFLLF
IFSAAYYRASAREMKRFESVLRSNVFAKFSEGLSGTACIRAYGLKDTFIKNLRDAIDDMNSAYYLTFANQRWLSTRLDLIGNLLVFVTGLLVVTSRF
NVSPSIAGLVLSYILSIVQMIQFTVRQLAEVENGMNATERLHYYGTQLEEEAPLHTVEVRQSWPESGEIIFDNVQMRYRAHLPLVLNGLSMHVRGGE
RIGVVGRTGAGKSSIMSTLFRLVELSGGSITVDGLDISKIGLQDLRSRLAIIPQDPTLFKGTIRSNLDPFNEHTDIELWSALRQSDLISEEATLDDK
SPGRIHLDGIVEDEGLNFSLGQRQLMALARALVRGSQIIVCDEATSSVDMETDEKIQHTIATGFKGKTLLCIAHRLKTIINYDRICVMDQGTIAELD
TPYNLYEQGGIFRGMCDRSGIRKSDFGVWIENKE

>RCO7_09417 | uncharacterized protein

MSSSLLHPPAHLPPSVALSLSQQAPTLLQSTPSAISSYSVSSLWSAAETPELWTTYENLMLSCLRTGDEQSASQCLQRLTERFGTDNERLMALRGVF
QEARANDDAALKNILKEYENILVQNPGNMPVSKRRIALLKSLDKIPEAVVALNQFLDSSPTDAEAWAELAELYVSQGLYQQGIFALEEVLLVTPYAW
NIHARLGEVQYMAATTGEAGADKYLAEAFRRFCRSVELCDDYLRGYYGLKLTTNRILANQSPISRQSKADAGLPTPNIKTVERLNEVATAKLSEIVR
RNVGNEAGWGGYDKAEVIAAKALLDSEIAKLTR

>RCO7_09416 | related to APL5 - AP-3 complex subunit, gamma-adaptin, 107 KD

MSSAKYLQKRVGYLGAVQSFRPDTEVLMLATNLLKKDLTSTAITTMSLPIITLPHIITPSLAMSVLSDLLPRLTHSHPTVRKKTIVTLYRLALVYPE
TLRPAWPKIKDRLMDEGEDPSVTAAIVNVVCELGWRRPQDFLPLAPRLFELLVDSGNNWMAIKLIKLFAILTPLEPRLVKKLLPPLTSLIRTTPAMS

LLYECINGIIEGGILESSDDGGDEIATLCVSKLRGMIQIEDDANLKYVALLAFNRIVVTHPHLVAQQEDVIMECIDSADISIRLRALDLVVGMVNSD
NLMSIVGRLMRQLKNSRSASVEELHPRATPIEPAADSDDESPEVAIKNNNGGSEAPLLPDDYKIDVISRILEMCSSNNFGNLVDFDWYIDILIQLVR
TAPISGSGPSSEQADFGLRAGIDVSELIGDELRIVAVKVKAVRTQATRAAESILISTFNDPSFPLHAGSGVLRPIAWMCGEYALSLASPDDTLTALL
QLTKDSTVAEGLAVYLQALPKIFSLIASDDQSPWTPERKTMTSLLMARIIHVLEPLAMHPDLEVQERAVEFSELLKLAAEASSGQEACSDTSNYSDA
PLLLTQAIPALFAGIELNSVAAGAQKNVPIPSNLDLDQPINPNLNNLLRAVESAVFDQHDEDEFEVYYHQPPPQTQASQKENEPAISRLVGTEEVVQ
SYQQGGEDSYLDPDIVARRRAERLERNKDDPFYIPPSDDRSGRTTPLHNIIQSHNGPDLDIDTIPVMQLDLGKSVVASVQSLPKKSASRQRIQVAAD
ETLGTGGTSSPRNDDSENSLEGHQRPKAKGKHSLLQVDSSHIGAFSLEGDSAPVDFERQQREEAEMAKAMQEVERLRLEMQRASERIQAAQGVEGTV
VKKKKKKVKAADTGLDDEVATDVVKKKKKVKKATVADIAQGDATTEVMKPKKKMKKMKIDEAGVEDSGA

>RCO7_09415 | uncharacterized protein
MKLSILSSFMLFGSILAAPASTEIEKRGDTVTSVGSIIATLQNTVQTNVNDITLLTSTIRGNVEASAQVVAKVSADFDAIAAAFAQATKDIVATTAF
GVGGVITGIGGITDVQIANLTGALKATIALLSQIQAAVTITASNLSPAAQAAIKDEVNAVYAAILPFVAPLTIFASAVAAARVSVSLVVTGLRTAIT
GLLTVASGFTAGI

>RCO7_09414 | uncharacterized protein
MDANYIPLGFRPEKREIVEEQPAQKRAPKVIGETKEDKKAIAREIRLAQRKEKKKIKAEAKQQRKENDRLHRKLNRNTEKYNKNKERNKQRAIDLER
QRIRADAVKQVERLAAIHDPSGKMFNVGEVIVLPGGHVKSKEGMRRAAEAKEQRDREEAQRKAIENRYKNAERAAKLEAEEAQRAIDQGLDVPTEFP
AKEALKKMNRPKKISKKQLQRQEQLKPQPVPPKPVIPEGISLPEEEENLLALWDITDAQITKRLADQKKNKAKSRKELITIQKENKKLNRALKVKKR
EADNLGVIFDKEKARKEILAQVAKRGQPRSDSDSDTDSDADSNSDSSSDSDSGSDVEEVKPKEKKSKGAPLPKLDLGLIEKAAEIARAHKEKKQNAK
ERRRQDRKRKAAEEAARLESEKMAPKASEEAQLAKESSRAKRAAKAAKKHASANGADDSSSKKRKRTEDVEAVVEEPDTEKSHKKKKSKSEATEVEL
VEGTRPAKKEKKSKQGSGDRPDETIAQREAKLKAISNKGDDGPSTGAEQWNPDALAGDAARKDKFLRLLGAGKGGSKADENDKKKNKDAGVDIVKIQ
EELERQFQAGVKMKHDGGPKKRGLGA

>RCO7_09413 | uncharacterized protein
MGGRAAAFDSSPSRPISNPSLPFLTPKGFNKSKSISSTTVVMIPISTVRRGGGVAARVANQIRFNTTEAGQKAVSPHVGFYKTFTRPVAKVLLMATF
TYQLAYWGWVYLEKGEIRKQKSAEIEGLENKLAVLTQEKVKEP

>RCO7_09412 | uncharacterized protein
MHRTDGGISSEQAPAVRTRRSNGKSRLGCMACKQKRIKCDELRPKCSRCKSSSQGCVYPANDVPKWQSSVSTFSLPAASESRSPSTASATSHKIDRE
HSVTPSPPYSGFGEQRQPPLEYDNSFFGNFDWLGHDLLPMPIEQSPIFETHDLLLLIHFTSTTSRDLIGPQQLWTEDAMQLALQHSFLMHTILALSA
RHLQKVPCSLISGPEPDYKLLEEYHHHEAVTAFHADFQSNLQSNRDALIAASFLISFHACSILDFNPTAVLPARDTSLTFLRYIPSILADRPIAAQS
GPFQILVEPRLFLPHVTPSMGPGAQFMSLLNHLPTDAPALVHRDTYIERIESLTLYLSTSTSKDLQPSVLEELLSCFLRWQSMCPSEFITLLDELDG
IALVLLSYYYAAVAYLLSSNRGKWWWCHEKPAYMVGTIGDYLGRDWAHWMEWPRGMIQRVGNLSSS

>RCO7_09411 | related to SEC59 Dolichol kinase EC:2.7.1.108
MHEQLKPDSQQQSHAQKLREDAVRRLSRSRHPYHRQHFELPYGSERFNSTITNRPSTKSPLRSAHNTDDEEPQEVRRRPESYWESTNSESGTEADDE
HVLKGLPAPKLRPHKGLRGVDGELSGSPSPLLSPASLDEDFSRAPCFSLQPDLPSTGVNKEDVDKAVEKFQRRRRVEVVRRSTEVGIICFVGAVLCC
DSQVRHVIYTWRKELSCQFLVTSSLIILYPIRLLRHTQPLHPLKMPLPIRIPSSFEAAALIYPSSISMLVTLLLCRKNPVEFLPSIALGLSSLPKHL
IPSTGGFGGSEISHWALTCLPIVFSNLTKSKSGVKTLPGANGILEPEILVLLYPLHQALCVTLHYMTTTSLLTAELQLLSISLIELLLLARSPQTTI
LKALIWGGGVGTLVTCGRVLVWGVALARVPNWRFRRAAMSAKPISAYFQKRAPFGRIGTVFWKNLAATDSSEDEVVTDSNSKRLKLNTRGSMSTHKM
STENGSVSAIALESKNCRLNGGVKPSTDRIILINRRHTLPSFSSLPPRSSTSTPSGRRKRAASSSVQAFFYLTQKQASIRKWLYAGYVYFCLLVLIL
IGIRGYVQKFALQGNEPIGWALGYLLGDLPWFRMQVVSYNLQRWICIPARTGWEHEKSCYMGWVEHLRQASFGPANTRLILCAYWLAIIIVGLAIVL
RLSSIYEVDTRRKVFHFMMVAMLLPATYVDPTFAALALSLILAIFLLLDLFRASQLPPLSKQLAYFLTPYVDGRDLKGPVVISHIFLLIGCAIPLWL
SLGTLPRTGTDSLAGWEVPTREVSMVSGVICVGMGDAAASLIGRRYGRRKWLWGGGKSIEGSIAFATAVGLALLLAKAWLRIGGWPANNDDSWFMTG
MKSSVAAGIASLTEAVLTGGNDNVVVPVVLWLCVKGLDI

>RCO7_09410 | uncharacterized protein
MRFITLALFATSILAAPTKPNLPTIVFTPGAWHGTWAFDTVRLQLENLGYPTEAVPLPSVGSNDLNAGLSDDAAALRAVLVTLTDSGKDIIMVAHSY
GGVVATNAVEGLGFATRRAAGNRGGVTMLVYMTAFAVPLGTSLLDGLGGKYLPWMILEADGFVSPANPQSMFYADVKDPALVARAVGALRHEPARIF
SDKTTYEPWNQGVNVGFFFTEKDQAIPIATQQKMASQFPENYFSFTMSSSHSPFLSMPEKVVQGIVAASVDAGLKKLF

>RCO7_09409 | uncharacterized protein
MTRLHTRGYILKRRRNQQMDGSTWLRQITISLQDRIRFIRTSYERVQEAHDFASRQLNSPHYRLYLRLASPTPPLNCTWSCLPRDCLRSYDKSGDEA
FGGVGQPWPEVQVQEGAAEASSTNFSVPDFDKQSKFTGIGAISSRRIETSSAKPGLDLPSCYRGNEWAVLRAKGGSNGDVPMHFTVVPDTRSDARLD
YHRTIDTESVVTPYANELLHTYFEVVHKSYPLLDPARFNSSPKTGDPLLAVIYNIAAPFCQSTASDFPALSSFIQQTLSIEHQHPQLETLEASLLNL
QRNISASSLPTISGLSSFIGSLVGVAHDLGLNNDPSSWSLSVTDTNRRIRIWWALYIQDKWSALGLGRPSYLNDEHSNVPLPTLSNFSHVGLANTPS
SLTPALQFVAMAHLSTILSDILNTFYTHKALERIRLIPIETLLSIFDGFQTRLRTFRDEHLCSLCSGNISDKFDSTGSVVLAFYTMEIVLLRAVLRC
LPMSHPEYSGLRGQAKTTLLNVVEFLEKMSISRLNAFWWSPMSRLNFSLAGSFMFFQLLTSHTSPDIELWSATIAHYRSLLRLHSTSFEMTSLASMR
MDQLAQGMGVDSPIPLHLEREDSMQANGGILGSEFSDVSIGGAGLGMGDCVGFGTLTGSDSLKREVLDPVSADNWILRQGDGGFLLC

>RCO7_09408 | uncharacterized protein
MSRYERIQRLDNQDEEVQGQDRDQDLDDPSPTKPRRQEAGAKPLPPPLPILLLDLPDTNFNYHAASGSGNENSTTNSSSRFTGGFYSPLGGLNYLVN
SITSLSSRSTRSTSYDMIDSDDFPDDADLGSTSKGSLPSETSRSQPRRCHIPPATAKRSQSYDPTAQTSPGRKPALRHPTPDLQVLKGAYTGNIEQL
ERTAERLSMTSSIDDAIKELHDEQKRNDSRRSSLLSSQGMQAISRQVSNASSIVEVNSAARSGGYSPAGFIMSPKSSFTTDTRARSASKSSKYGSRP
EPEMEGRPLDSFVNMSFPNFSLPPADLNQTASIAEQDEHSSTLTRPVVDKLESPNTTDASLKRSVEADRPTTSASMNTIEQAKIWEDFDGEHGAPIP
DYNLRDIGDPDYIRNIHGLAQNDYQRRVSGIDSIRSDEDAQRRASSGNRLSTASLPRPQSYADPGTGQQMVYYPAPVPMMLNLPQKLSKNPSAMARN
QRRSQVMSGLPAAARQSAIWLPDVLENEAKKDLAVDDDSHHQEYMARHQRAIMGGRRLTQDVSHMPPQLRATTFFDLPGPSEVVQLKDKSAVATLDS
ILDASAHAPVSAFTDHAFAGHLGAEVYGRTQLRNSQSTSQLFDTQKKRTSSFNMLRGKRNSTSDLLASNTHPAIMSGVVESAVRMPLDDDEDEDKAK
DTTPLNHADGDARSRGVSGDFGHGGKDGDDEEPAEGHRDDEMYCGAPTTLLAELQLRKQQQKQRTRPLATAYPNGMHSTLLEIDAVAQVEQKSRRGK
RINLAWEDPAVQAQEDGEGSDEDVPLAVLYAKKSQMRDMSRPMGLMERRDMEDNEPLSQRRNRLQGRPLGGRAATTMNLSGPAPPQAEGETPQERLC
QGEGGNENGLPTARPISGDFASEMMSQFGGNLHNAKDKGKGKEAAPSPPSEEEETLGQRRKRLQAERAAQILEVGITGDNQSERPELRNRRSMADIL
QAHPSAGADRIVNYQKPATGLLGLHEKSSARRSSIMLNLGTPNRPAAQADRTPSSDFKRGQFNNGRGGIVPTPLPQAQQQVPYNIYGGNGLFPQPSI

GNFNVYNPNGFNNQMMMPFASQYAMQMGMGYNPNALPMNMARGMPMGQGMEPLNQNQLDMVERWRQSVMQ
>RCO7_09407 | related to glutahione s-transferase subunit 13
MHASMLASLPQPRNDTSDCFLSTCRTAISKPIYKKTQRAVTMAQPKITLYVDTVSPFGYIAYHVLRNDPVFSKCDITYVPIFLGGVMKACNNMAPLN
IKNKDKWIDAERTRWASRFNVPMTKNVPEGFPNLTLLTMRALCALTVLHLGKGGQAVFTTTLDRLLEAYWVEHKKIYEKGALGEVLESVLGKEEAEK
IMAMAGKEGKEILGKNTDQAVQDGAFGLPYFLATNSKGETEGIWGVDHLAIVAEHLGLEKPKTSGWKSML
>RCO7_09406 | related to phosphatidic acid-preferring phospholipase A1
MPAHTYVPGCHLAPEIAVSGLDSHGDIPSMKTHFFYASPLPIDDPLSAVPIPTGSDAKTTRHPPRPFSAQDNNALEDIWLGFSGQDSKRGTTKPKAG
FARPQETNTSSSTGAVPRYDNFEGGVGGDASKDRATNAGKNKSEELKPKLQNISAYKDAHQIQRDSKSHLRSTQHGKFPDQDSHSSVDGRPITYGKD
DLLNLEANTSDDLSSSLPAKSEEMGTTGLPFLKFSASKQPVLPPNEAPHGGESSRSKPASIDEEDSAEVETVHIHNSKSHRSMGQAEVPVGVSRLHL
VKMPVLQMHPIYWSPVHDIASVIRGTWFYKDTMSPVEPAVANQLEMGYRELRPWSQTWKDELNSAMEVGAAGEEKITHILWPTEYQRKPHKAPEITK
HRLSSDPFCAARCSNGEASAEGNTDPDGLVDETPDVLTIVKRYPNSQVIYKDARDAYILKPNLAPSAYYGRKPLQKIKRGMAVGVHCVRGFDWKAWE
KLHPSKKSTTAKQAERNAPVAGDSNATKINSCPACKALEVPRKVTDLVLVIHGIGQKLSERVESFHFTHAINDFRRSINVELNNEAVHRALREDLGG
VMVLPINWRANLSFEDGGPMKKGEEVQRTDFSLKDITPSTIPAVRNMISDVMLDIPFYMSHHKPKMIKALISEANRVYNLWCQNNPDFDGNGRVHII
AHSLGSVMALEVLSQQPTIVPKVNFTDPEINTKHFDFCTTNLFFVGSPVGFFLLLDKGRLIPRRSQGKAGAEPGDETDETVTAEVGTLGCLAVDNVY
NVIAHNDPIAYRLNATIDPRFAGTLKNAFVPSATTGFFQSIGNAMRSVTPGVAAPTDLAVGQIAKPAGMTRLPSQLEMEVHDFTREEIAEKKFYLLN
DCGQVDWFLRSGGGPLEIQYLNMLGAHSSYWLSPDFIRMIVIEVGRKAGRLHALPNMRAQKAIRKTAS
>RCO7_09405 | uncharacterized protein
MDFAEELNEFSTLFTSYTMDQASETEHNSKVPSNTARNRSVSGSSSQVQSTSPIPELSQPQINTHTKPLQIRKASNQLHVAQSQQQLNDYSSTHGSI
HGVSSSPIYPPRRSSIRKINVSAAPSPTRTRENGHMRPRSDTPSEYRFTISDAGDFLLDTSVDASTPSMMNSHSTRSTGSSNHACYPSDSSGIIGNF
VPVGANQMENQPSTYSNGRNVSRNEHVRPRSPSRIPRPSNPYEFEPDTPYAQGQRQTQFSDFMERPNDHYGPSHRAGRGHTKNARSEENGTYLTRGD
DYLPLPKPSYATLQRSESSPSLVQARFETLSRLEAPVSPQARATSPNMLAYYAEANGHGSLPYRGRSPSPSRSNRKHEQVNTSPTYYQTSQSYSDRS
RSPVRSESKESTQNSSVHGRQSGKAPSTTLDDVVERDEHREHDVFRQDDRDSASGPPKKRSRSPMKKMFGENGWLGKSPDEIQDVKIQVKKAAALQK
DKPTMMGKLMNKLGEFAEKADLSPGRGSRSGNDRHSKISILSVSLGPPEQARLLMEIELMIVHTANTFLMNQFSQGRMAVDSIKKTVDAWKARGRHV
VIEFQYDQATQRDLVAANQQNFRFYGERAGNDVRINSMLYNWKQVASMMSVRTFCDADTVILKLIFDVEQILELLGVAEAIMLRLQQIRATSNEMMR
LARQRKRAQSNPHKAAGGATPGRAATWLSQSSNEASSRRPSADTDPYGGMKLVPDSYDRGARFGSRVE
>RCO7_09404 | phenol 2-monooxygenase
MDNSFTPTERVGGKLQKGSNEYDIVIVGAGPVGLLLSTCLARWGYKIKHIDNRPEPTKTGRADGIQPRSLDLLRNMGLKPAIMAYEPAKVYEVAFWD
PTSAGKGIQRTGTWASCPSFIDARYPFTTLLHQGMIERVFIADLEKNKVEIQRPWTITGFRSDEAKNLDYPVEVDLEHVDSKEKETVRAKYLFSGEG
ARSFVREQLKIGIKHKDPIAHVWGVMDGVVNTDFPDIKMKCTIHSEHGSIMVIPREDNMVRLYIQIASSTDKDWNPRKTASEEEVQSSAKRILEPYT
IEWERVEWFSVYPIGQGIAEKYTLDHRVFMGGDACHTHSPKAGQGMNTAFLDAQNLAWKIHHVESGFADRSLLHSYESERKLIAENLLNFDAKYAAL
FSQRAPAAKDVAAATEKTGPDASDENEFIKTFKESCEFTSGYGVAYDPNPLNWSSSHPAQSDVINPRGNKLRTGRILINSNVTRVVDANVVHLEQEI
PVNGSFRIYVFAGNVSKSQKALEDFTQNLRKKNSFFSTYLRKDIDTVSHHERHNPHSHFLTFCTIFASKRSSIEISRDVPDLLARYRDNVYADDIFD
QRVPDAKAAAHAKMGLDQESGGVVVVRPDGYVGIVTALTEGSGTVDALNQYFSAFCSKKLGESRAQL
>RCO7_09403 | related to Ubl-specific protease
MSARKRKATEQQMRPSPAMKFQRPVPRSRSTTLRKAPRLPQHNGVIMKAWNWLSGWICAPEDMQKVQKSIQGRVPSSDGELVTDGLEAASAEAHIQT
STRRSDGTVTMKRQKTQIGGGAARRPKSANDAVHVTSKTVHKGPIDFRDAHDETQRAQILNAYWEPPQLGFFNKKMSQEAEVPSETSMEAIDESLSG
LQLDAPRPPSSTSSSQSPPGQYEDSPFRKHIKQIPQTSGSISRLGFRPSKSTGNLKRNDFVKTFFKDEKETQSLKTSTRKVRQLEVLRRDRERRELQ
EKRQAAMQRRLIRQSPLKPLIQALDMNWNARINQILHYRNPDEELTKSLEGTELRVKDFQTLLGQQAWLNDEVINAYIEWITTAANNAAEAETKAAG
EPVSTVPKFLAHSTFFYNILVKKGPSGAERLMKRKKAPGASLLEVDTVFIPICRGAHWTIALVRPIAKTIEYLDSMGGQGTDVISVLTKWVKHQLGS
KYDASEWRFPRTSCAYQSNGYDCGVFVCTNALCVAIGVHPDCYSQRDLTQQRMNIAAVLLNRGFEGDFRWDTTVFVG
>RCO7_09402 | related to WD repeat-containing protein 48
MNLGTGISPAPQRMWVGVMLAVPGLAWLLRSTSNGDAVCSAEQKLFTLSYLHLLRASSTLNLTPSSPSDQGLALPAFGAMANKKVRQRISYVLPLAN
SPGGHRLGVNGLAVDSDQSILYSGGRDGAICAWNLNIDLKTSIPPENPFDSPDDPTSETSSKTQTSTTFRAQTQAHTHWVNDIVLAQNNTALVSASS
DLTVRVWRPLSNESEAPQTVGQHADYVKCVATPGPQSDWVASGGLDRRICLWDLSGAGKKLEIEVGDEEKSEKGSVYALSVSRSILASGGPESIVRL
WDPRTGKRVTKFVGHTDNIRDILVSESGDTIMTASSDQTVKVWSVTAGRCMHTLTMHNDSVWSLFSDDPDLGVFYSSDRSGLVVKTDVRGTLGEMDD
GLSLAVAHENEGVNKVIACGDHIWTATSSSSINRWTNIDTGSDIQLPEAYRRHRASSAASRPRQLSTPVTTGGSKKEIPAQSVLRISNTASFPAPAA
RDSDAATTYSALSGARKASEVIIDPDIGVIIPIHALPEETIEGQHGLVKHKLLNDRRRACIPIQSFGKRHLEDVEPEVNTMEAVAPWCSIDTRTGRL
AVVLEEYNCFDAEMYADELELDQGVEFRDDQRINLGKWILRHIFSNLIDEMIKRDEVIRKELNDKIKKGGQRANAPTTIQIPAAGSSWADNSALTPR
GNGHTYPMTPGMGIGVATPAALNHLPGVPEDGAPLDKKASQASRTSADKTGDYFSNTPLPSEASSKPIAETLEAPPKSPSDTDKETNGKDGNTLFGK
KFRMGMGSMSFGSKKLGRSASTATTEKPVVIDEKVEDGSETSSSGDKEKEVDDNFFGIVQKIRNEYDRFLLENPETRVETAITPSLPNETPVLKPPP
MTTVIIQEETSGGSADLYRGTVATVGEDATLIAERAPMWLGDLLLRNKIPIKEPVKVSFVLQPWQDLLPSIAGPDGNSRLNANRMLRVKKILAYVAE
RIEAAPEQPDPDALRPEEYLELYCYDQKLPITMSLATLRAHVWKGGADVMLYYKANGRKPIAHAKAPESTPGVPAAPTTPTT
>RCO7_09401 | related to PET8 protein
MSTPPPKTAFTTALLAGALAGTTVDLSLYPLDTLKTRLQSSTGFLASGGFTGIYRGVGSAIVGSAPGAALFFCTYEYTKTFFSARRHAKSAIEGSGG
QSEEWTAPIEHMIAASLGEVAACAVRVPTEVIKQRTQAGQYPSSLATIKAILSQRRVIGLPGVWMELYRGWSVTIMREVPFTVIQFPLWESMKEYRR
RKSGKESISAWESGLFGSVSGAVAAATTTPLDVLKTRMMLAKEKTAVLLLLKQILRDSGPRAFFAGIGPRILWISAGGAIFLGSYQWAHNSLSGETE
S
>RCO7_09400 | uncharacterized protein
MSATTRILTTSGLLRKHEPPPSLPISVDEFSEIWTRIWPKSRGARSGLTRPKSLTIGLAISGGVDSMALAFLCSSMKDRLSLGNTHTDFRAFVVDHG
VREGSHQEAAAVCGSLDKRGIQSHILQIKWPSTRGSSSSFESAARTYRFRALGKACRRWGMESLLLAHHQDDQVETIMMRLMEGHRTGLTGIKESSS
IPECYGIHGVHESGGLYYLARAGIIPDEPNVMKASGNRPQLLTETGGVRLYRPLLGFSKERLIATCKANDVSWFEDHTNADKTLTKRNAIRYMRAHH
ILPSALSTTSLLNLCQRMNEQKAFRQKIFEKWLGKCRITALDLRVGSMKVRFTNLNEFKKDLFESRDKAGEVAAELLRKIVMLVTPQEHISLSALHG
TVGRIFPELAGEKPLETSFTVCGVYFQFVPSVGAEDSTISTEVTENKSEYKAKPTWQISRQPFQSSETAKRTITFSCPTSIQTTTVPPPAISSSLDT
ASPVPLTQNNWSPFKLWDGRYWIRLRTKYISLLQPPSTSISISIQPLSPTLWADLKARLTKEQADVSKYIKAKASGGVKWTLPAIVLRGGDGGERAV

ALPSLDVVLNEVREEIEFEVRYKKIYTDELDTPDSW
>RCO7_09399 | related to peroxisomal Ca-dependent solute carrier protein
MELPESQNARDARIERLWKNLDAQNKGKLDLNGLKKGLTRIDHRELARGSPRKLLSLTTTTALKNASDLLEDVIKAMDKNGDQVIQYEGMSSSGKRE
GLHVFFTLVQVTDKEYAEFRRFVEKTEKELLTLFHSIDRNQDGKLNKDELKTAFKTAGLAVPNSKLDKFFSEVDQNNDGYISFEEWRDFLLFLPTQK
SPGLKAVMSYYSSGVQLNAEGDTSISEETLEGLGMKSQSRFSSLSVLFGAIFKIADTSPKVNQSLSIDAAPLQLVPDSEMSADAAATKIPESLVDLL
LPTTSNSKSETTKTAEDRKKNVSGEIKPGEKILLTDILPDPGYFAAGAVAGVISRTSTAPLDRLKVYLIANIGPAKKSLDAVKQGDAVGVAKTVGRP
LIDATKELWKAGGMRSLFAGNGLNVVKVMPESAIKFGSYEFAKRVMAHMEGHNDPQNINGYSKFFAGGMGGMVSQLFVYPLDTLKFRMQCETVSGGL
HGNALITATAKKMIQQGPVKSGYRGLTMGLIGMFPYSAIDLGTFEYLKGRLAERNARILGCHEEDALPGSFATGCIGAFSGAFGASIVYPINLLRTR
LQAQGTVLHPPTYDGIVDVARKTVQNEGFKGLFKGITPNLLKVVPAVSITYVVYENAKRAMHLK
>RCO7_09398 | uncharacterized protein
MSSFYTYNNHQHPTAAHAQSASSHHSGRGRRAPRVSQNLHKQFRGVARKEEEDKAGREFRLQFEAARSFDLQDDVDFCPNLLTESDRSDFGSIHSSA
SDRSSLSSGSPESSPQTYQVAPDTSFTLNSSSAPYMPSSSYQSQPTSLKLHQPAATRIRNAIPIVNPSTGMSVASPPQSVSPSRMQHLNRRW
>RCO7_09397 | uncharacterized protein
MSGTITPTRRSPTAPSSPQAHIVSQYSSDEIPSPTEGQRPPAQDLRMSPRHPSSATQMQRNRTRVLSNLNLAHNVDLRAVTYESIVDENLMCPICHC
PLVDPVMTECDHIFCRSCIEESVTHSRTCPIDRSPLDQDVRELKRAPKIVINQLDGLKAKCPACGMGFARSMLENHLEKYCPETIMRCPGRNEEIEC
RENVKRKLAGRGCLHFETECIDCGEKLLEVDMEEHREEMCKERFQGCEYCGVEILRCRTVEHEKVCKDIIAPCQWAGYGCQHGAKRKDLYLHTNECG
FKTVGPMTDMLRKEIGDLRSEVRTLTEANQRHERRLKFMESGTSQNFTSPPYPSDLSLPSSSHLPDPLPTTDPLDSGHQYLLSLLEAQESNLSHLSS
SLTESEAKQTTMLFNETIPMKNELAEIRSMQQTTSMHVRWLMRFRIQENSRRVVGGPGPGNGSGGSGGVGSYGAGGGGGGGSSDGGGGDSILPRRLS
DTMSRELITKL
>RCO7_09396 | probable beta (1-3) glucanosyltransferase
MFRPVQLAFLALLATSVLAVQPIVTKGADLVNSVTGARFQIVGVAYQPGGSSGYNPSSKIDPLSDKDVCLRDAALMQRLGVNAIRVYNVDPNINHDA
CASIFNAVGIYMILDVNSPLSGESIDRSSPGTSYYASYVNRTFAVVEAFKSYPNTMMFFSGNEVINDLDTGKTVPPYMRAVTRDLKNYIAKHCDRKI
PVGYSAADVREILLDTWNYLQCTTTGDASDPSRVDVFALNSYSWCGDSTFQTAGYDVLVSDFTKTSVPVYFSEFGCNVPSPRIFTEVPALYGPLVTP
VLSGGLVYEYTQETSNYGLVTLNSDGTADLLADYDALQKQFNSLNSTLLQSTAVTNATNSPPNCTASLITHPVFNKNFTIPAVPPGVQALIDKGIAN
KPVGKIIPVTSTKVTQQVKQSNGDIIQGLAISPLPEDQSNNPSGASGPSGASTTTSSAPAATTTKKSAGVNFRASFNVLVGLAGLAAGCTFLL
>RCO7_09395 | probable ATP citrate lyase subunit 2
MSAKSILEADGKAILNYHLTRAPVIKPSPLPKSSTHNPPTKLASLYFPEDAEVMAILDQAETSYPWLLVPGSKFVAKPDQLIKRRGKSGLLALNKTW
PEAKAWIAARAGKEQKVENTYGYLRQFLVEPFVPHPEGTEYYVNINSQREVRLLFHTFVFGSALGARSNCQWAHNFAENWNSRGFLIFKRMSKVRRV
RNIETGTRMWDAASFCYFRPLNGRRHAKFRTCICMCVLIAVVKDTAAGFSRSRQPPLGDWILFTHEGGVDVGDVDAKAEKLLIPVDLSEYPSNEEIA
GTLLKKVPKGVHNVLVDFITRLYAVYVDCQFTYLEINPLVVIPNADATSAEVHFLDLAAKIDQTAEFECGVKWAIARSPAALGMAAIKASDGKVNID
AGPPMEFPAPFGRDLSKEEAYIAELDAKTGASLKLTILNANGRVWTLVAGGGASVVYADAIASSGFADELANYGEYSGAPTETQTFHYARTVLDLML
RAPITPEGKVLFIGGGIANFTNVASTFKGVIRALREVAPKLIEHNVKIWVRRAGPNYQEGLKNIKSVGQELKLDMHVYGPDMHVSGIVPLALIPGKL
AESKVEEFKA
>RCO7_09394 | probable ATP citrate lyase subunit 1
MPAPTTNGAATNGTSTPAPSSVNDNIRRFAAPSRPLSPRAEHTLFHDKTRCFVYGLQPRAVQGMLDFDFICKRKTPSVAGIIYPFGGQFVSKMYWGT
SETLLPVYQDVGKAMEKHSDVDTVVNFASSRSVYSSTMELMEFEQINSIAIIAEGVPERRAREILHVAKRKGITIIGPATVGGIKPQSFKIGNTGGM
MDNIVASKLYRKGSVGYVSKSGGMSNELNNIIANTTDGVYEGVAIGGDRYPSTTFIDHLLRYEADPDCKILLLLGEVGGVEEYRVIKAVEDGLITKP
IVAWAIGTCASMFKTEVQFGHAGSFANSQLETAAVKNKSMKEAGFFVPETFEALPNVLAQVYQKLVKAGTINPQPEPIVPKIPIDYAWAQELGLIRK
PAAFISTISDDRGQELLYAGMPISDVFREDIGIGGVMSLLWFRRRLPDYASKFLEMVLMLTADHGPAVSGAMNTIITTRAGKDLISALVSGLLTIGS
RFGGALDGAAEEFTKAFDTGLSPREFVDTMRKQNRLIPGIGHKVKSRNNPDLRVELVKEFVKKRFPSCKMLDYALAVESVTTSKKDNLILNVDGAVA
VCFVDLMRNCGAFSAEEAEDYMKMGVLNGLFVLGRSIGLIAHYLDQKRLRTGLYRHPWDDITYLLPNIASGPPGAEGRVEVQM
>RCO7_09393 | related to DNA polymerase delta subunit 4
MPATRRTRTTSSGPAAKGAQKTLSFGNKVSKPSTAFPYTKDSPAKDVLTADMSSTPEAHPLSKKTVEVESEVEEELQTGHVDPTPAVTRQGAVEIRA
LRKKDGGDLEAVRERAEKVTDAQIKKYWRVCEGQRRGKQVHAEDVGVEEKILRLFDVSSQFGPAIGIARTKRWSRAQKLKLNPPIEVLAVLLREEKK
GNEKIQRAYVDELMSSKFVNGDAS
>RCO7_09392 | related to general amidase
MGQNYTEIAAIARKRRADAIPKDLLLPETSLSNLPRNLTTFPKSSGHFTAEELEIIEADAEEILSKIRERKWSSVTVTKAFCKAAVVAQQLTNCLTE
ILFPEAMARAESLDEHLSRTGTVIGPLHGLPISLKDCMITPPHPSSIGMACYANETTTEETVLVSVLAKLGAVVYVKTNVPTAMMMMETINVVWGET
TGAHHSGTTPGGSSGGEGALLAMRGSPLGIGTDIGGSIRIPSAFNGLYGLKPSFGRFPVYGGKSGIAGQDFIYANNGPMSRSLSSLKIYCRAVLSSQ
MSPWDLDPKCLPIPWKEAVIQPPTRKLRFGIVLNHDGEIHVQPPINRGLVMTKEALEAAGHEVFEWEALNHPAMADEMNRSFHTLGAAAILNLTLEY
EEPVYGSMKTYEATYKKGEHGTLGPTKLREMIIKRNAFQKAYLDKWNETAEGGKQVMDGIIIAASPWTAPRLGLTQDIFCVNYTGVFNVLDYPACTF
PVTFADKNLDLTRKDWTPLNELDGKIQADYDPEFYHGTPVALQCVGRRLEDEKVLEMTGVIAEALKSFSS
>RCO7_09391 | related to Elongin C transcription elongation factor
MASSEKGLSKYVTLVSSDGFEFVVLREAACHSGAIRKMLDPKSNFRESSEGRCVFEEINSIVLEKVAEYFYYNYKYRNRDDVPDMDIPPELCLELLM
AADYLDA
>RCO7_09390 | probable IPT1 Mannosyl diphosphorylinositol ceramide synthase EC:2.-.-.-
MLFILTWITTFKNARLIPAARRPLIHVHELEDADHTIFDITPTGLFIQVTVAALGYFWMYALTRRSKLSLLAALPPFALNILYAGTHSLYKPLDVFT
WLSYGVIHFLSPFFAAFWLWLFASPGVVSVFAWSFGIQNCLGIITHLAVPTAAPWYGDQYGIPLPPGNYSMPGSAAGLVRVDKVLGTHIYANAFKAS
PLVFGAFPSLHGAFSCCCFLFVARYSRRGTYILGFYLLWQWFSTMYLRHHWRIDLLGGLAYSAAAYSMFYRSLQKMDKAYSTGISGGNGWQRLWEGT
RLQYWFDGKPGRGYEVVMEDREDGEYTRMSVDDAVRERDLESSWIDDRGILGWSPKEPTQVTMHK
>RCO7_09389 | uncharacterized protein
MRPLTLNPRFLLSKSKPNLPIRSLATNSQPISLSLPKSPHSHSLTNKTGLVTGASRGIGAAIAQAFAREGVQCILVGRNRDLLESVKQGLDDVGEGS
EREGGGRHRVLVGDVGEMGFWEGVRKEKNIDILVNAAGVTHYSPLFVTSPGWLEEVMRTNLMGTMMGCRAVGKGMLGKKGRCIINVASLLGVKGGKG
SSAYAASKAGVIGLTRALAAELGEKNIRVNVIVPGYIETDMTEGTPLPHSSLVTFSLKLYSLYFTSGYSNPRHMPSGSFCSNIQGVAMTPEARSNAL

NSIPLKRFGQASEIADAAVFLAKNQYANNCVLNLDGGLSAI
>RCO7_09388 | probable NEDD8-activating enzyme E1 catalytic subunit
MASIGKRDQYNSQSLGGPLNRRVKEAKILMVGAGGIGCELLKNLVLSGFGEVHIVDLDTIDLSNLNRQFLFRHEHIKKSKALVAKDAAHKFNPNVKL
EAHHANIKDPQFNVDWFKGFTMVFNALDNLDARRHVNKMCLAADVPLIESGTTGFNGQVQVIKKGLTACYDCSPKETPKSFPVCTIRSTPSQPIHCI
VWGKSYLLSEVFGASEDETPEMDHSEDSENAKEIEKLRQESQALKQIKEAMGSDAFPQLLFDKVYKDDIIRLRSMEEMWKTRRPPEPVDYASTMEKA
VEAQARKQKVLKDGQKVWSLEENLVVFKDSLERLGERMAEMRSSTGEVTDEPSIIFDKDDEDTLDFVTASANLRSIVFGIETKSRFDIKQMAGNIIP
AIATTNAIVAGLCVLESFKVIDGKYNSTKEIFLSPFAPERLLASDRLRQPDPDCPVCGVAQTRLLVDMSRATLEDLVEDFLRVELGYGEEIVINFGD
NLLYDVEETDNLSKKLSELGIKSDSFLTVIDEDDDNPRVNLVLNVQESTVVDGKPIKSLDITVTTNGDSNSDSPHSPIPRKKKSQKPASDEPTNGTS
SKTNGSSYGVSNGTGPSLKRSAADALGEDIPSGKKTKQAGDKKDDDVIILEDTDGAILID
>RCO7_09387 | probable cobyrinic acid a,c-diamide synthase
MSDDEPDHELLDFLRQHFQKVAISPANPETQVLEGAEYVYDNAIDVAIDYQSTKAAAAMIYEQMQQKEYSTKTWSSHELHPKAKDESTVAFIFTMDL
LNFSFWSEKDDEERFTIEYKGQKWTGYWSLVAALQRALEEDIPITSSDFWQNEDECTEEVLKHVFRSSTEEEIPLLKERLSCLREAGKILYEKYQCN
FTNVIKSASHSAAALVNILADDFPCFNDVVSFEKRKSVRLLKRAQICVADLWAAFEGESFGEFDDIDKITMFADYRVPQILNTLGCLWYSPLLDHVV
RQKKIIESGHSWEIQMRGCSIWCVELIRREILRNHPKAKINAILIDFFLYDTMKEREGAGQDEIPHHRTRSIWY
>RCO7_09386 | uncharacterized protein
MRVKDKRRQEWDRVIAEAREDVPTNDPVGCMEKLKKTGSRLEQLQIGDRIEYKPLAVGEIPDPDLQLREPVKGLHLERMQAMIARLAYKFLLESKIF
SEEGIQGNDQMQEQMLEIKSRIQSLMGGFSDLPSFQWTDLQDVQYQREALNQSLCTICRNTTSNNASSVSLMLAKISYNLLVSTSPPGMETYNILLA
EFSRLEKLNLAQIVINSFMHESKFKPTRITTQLILDHYQAKRDPKGYRSIVKRMRGTRRVPPNEPKSSPDMRIGKRYVKDLVHPAVQRWAMAHDTIH
RYGALHAKAPRDDAILNTQIIGGLKFNGLQAAIREVRSAFRKNHQVREDTLCAVIRVCIDQASFSDGLKIIRVIINAWDEGLRDLITGYSHELRRLI
HQLLVMCGFDTSLKSEKDLPIKRSWDALQDLLHFMRIESLSDAVDRYAVFTSTLSHSLGLDISDKAEEYKLQQSLEVKKKSNIDLAMKIVEDFATEE
QLRLDDQRKLGIASRWSRLQALEGRMKLRWSEIQALESELRLLLRSSRLTSQKSILSWNTVESGRITMAPSKADEVAVAQADTDASKDQTPVANVRE
VSITVKESSPKLTTSTPLRRRTPVPAKPFRAPFPVSLPLPTMRGKIELEAFAS
>RCO7_09385 | related to DUF866 domain protein
MMILTLTADLTGVTDLRPDDTPENAFWYTFKVQCTSCREVHPNFVNVSRFEANDMSGSRGEANFVWKCKSCKRESSATIKEPPVSYKQGSPPTRQKV
IEFDCRGLEFVEFKPEGDWLATGIDSGSKFTTIDLTEGEWFDYDEKAGEEVSIKDLNISRIKLIQHLGNKSMISTMNTDSVEVKNKNNPAVV
>RCO7_09384 | related to snRNP protein SMX3
MSFVPINPRPMLQNLVNEEVVIRLKWGQTEYKGRLVSIDSYMNIQLSGAEEWIDQEMTSVLGQVLIRCNNVLWIQGANQNNGDTKMEG
>RCO7_09382 | related to SHK1 KINASE-BINDING protein
MSYSQPMSGADGEPSSSEDDYTPRFYVGHHESKRPLPVTDFVLRQAQDVGYDMLTSPITSPHFHSRVLTLISTYLSELSDIESSGDAAKRSAPPAPI
ITPLDPVDTPLTPGDTVSQIIAYSSPWIDLCSSDPLIANISRQVLNIEIAYASFCGVGNIVIPGPRTYHSGSTDNDGLVQYARAIQEGLSIGSYLQM
AIHVPMYGNEEAKEMIGDLRPFARGYSSETAQGKGSKDIDLYETWDAWNLIRSVCKYSARLSVALAIPRRLPVESLQSRWFAEPLRLLSFDCSTFLK
NAGGHPVLSKGHQSLISRYMRLKQPPWLLLCDVGPIPGLDDPTQLTPTADGFPSPGVVVDASRSVSPTPAEAAKHQQKTKHKSKDFAAHLVYIRYLQ
RNQPARTPLEKFGSGYQDYLQAPLQPLTDNLESVTYEVFEKDPVKYDQYERAIVQALSDWSDQHKPTSSPTGAVVLAVAGSGRGPLVTRALRASEIT
GVAIEVWAVEKNPNAYVLLQRHNEEDWGRVVNIVKSDMRAWKGPLRSATGPIGQAITTSSSAPASHFGKVDIVVSELLGSFADNELSPECLDGVQHV
LAPLHGISIPSSYTAHLTPILAPRLFADISHRAITDDTATETPYVVMLHAIDYLATAVPDHPCIQQAWEFLHPLPSSTLAIAEARRGGGVSGGGGGS
MSGGDGANEHNSRSAKLKFVCKDRGVVNGLAGYFEAVLYDGGETGIVELSTRPDTIDAKSKDMISWFPIFFPLKNALYFPDDSELQVSIWRQTDDRK
VWYEWLVEAFVMVAEGKRMRLGMSEMGSSRKVGCLM
>RCO7_09383 | related to SHK1 KINASE-BINDING protein
MSYSQPMSGADGEPSSSEDDYTPRFYVGHHESKRPLPVTDFVLRQAQDVGYDMLTSPITSPHFHSRVLTLISTYLSELSDIESSGDAAKRSAPPAPI
ITPLDPVDTPLTPGDTVSQIIAYSSPWIDLCSSDPLIANISRQVLNIEIAYASFCGVGNIVIPGPRTYHSGSTDNDGLVQYARAIQEGLSIGSYLQM
AIHVPMYGNEEAKEMIGDLRPFARGYSSETAQGKGSKDIDLYETWDAWNLIRSVCKYSARLSVALAIPRRLPVESLQSRWFAEPLRLLSFDCSTFLK
NAGGHPVLSKGHQSLISRYMRLKQPPWLLLCDVGPIPGLDDPTQLTPTADGFPSPGVVVDASRSVSPTPAEAAKHQQKTKHKSKDFAAHLVYIRYLQ
RNQPARTPLEKFGSGYQDYLQAPLQPLTDNLESVTYEVFEKDPVKYDQYERAIVQALSDWSDQHKPTSSPTGAVVLAVAGSGRGPLVTRALRASEIT
GVAIEVWAVEKNPNAYVLLQRHNEEDWGRVVNIVKSDMRAWKGPLRSATGPIGQAITTSSSAPASHFGKVDIVVSELLGSFADNELSPECLDGVQHV
LAPLHGISIPSSYTAHLTPILAPRLFADISHRAITDDTATETPYVVMLHAIDYLATAVPDHPCIQQAWEFLHPLPSSTLAIAEARRGGGVSGGGGGS
MSGGDGANEHNSRSAKLKFVCKDRGVVNGLAGYFEAVLYDGGETGIVELSTRPDTIDAKSKDMISWFPIFFPLKNALYFPDDSELQVSIWRQTDDRK
VWYEWLVEAFVMVAEGKRMRLGMSEMGSSRKVGCLM
>RCO7_09381 | uncharacterized protein
MIPAANIPEDVEVLQSMMLENSQDAIFVSIDVEGGRRKKENEFRIYEMGISMLDSPRLLHEEHGIDDDIINRHFAISADNIPSVLRNALNIDDTASP
SSPNQPKLRRVILVGHSLWVDIHLLQIFGIDITLHPTVIRIFDTQSITISLLGKGYSVELLLKTFCIPYKNLHSATNDASFTLRVLIMLTHRSLRKF
PSPKFEGTIIKTDESRKLSWLQVVARQDLPDVALRNEVWRKSRGLGFDVLDENEDFDVMLGLEVES
>RCO7_09380 | probable Putative channel protein, exgression is glucose repressed by Mig1 and Mig2
MSSAHVEHSRNPVGYDAHRLYTHNMEVGVTDAVQRHVQRHVVPAKPVSQRKLDFEHARPRWMREMAAEALGVFFYVYPGIASQASFFLNKTEPVFGS
LFQIGWAYAIGIAFAIIVCGPTSGGHFNPAITICFAVWQGFPWSKVPRYIFAQVLGSFIAGLVLVGQYWPEISALAAQFRAEGLSPNSLGGPGSILC
SFPGPKQINYGYIFFIEFFVDSFIGLVIWAVLDPANPFITPTAAPFVIGLAYANMIWGFANVTISTNLARDLGTRIVAAIFWGGDAFGDYSAIALLA
NIPATLFATLVYEIILRDSFKIIAGGHAVHEDGEEGLTRHLTKTGTLGQGPAGDILRGQHNSSNEDYRQKPDTSLV
>RCO7_09379 | related to SSN2 DNA-directed RNA polymerase II holoenzyme and Srb10 CDK
subcomplex subunit
MEPSEYPTNVISFNNFVSISYEYVELQATSPGSARKQLQKVEARWRQDGRLVHYDPYREGIWIFRRVTVPNGSPTKESEFSNMSVESQGLGVVRREM
GTYEPASLARSKQHSGNSVSAGSASSSPSSSLDATLRNAQIFNAKSIQTNANLNMMQEPSASSPGAKLESMTSPKDINEYFISAVLSSVVYFLCHDH
DFIPLNSRTLILAAPRSSAKPGREIELATLDISLTSLGTLVIKAHSDMASGLQTLRDVFGATSTTCGLSPGTALWLAPSGSAAKFHSMPDDKNLPEN
LSIAQLQATSSVMKSQGVLNPLTIRSWQSRCLKWLAAKGLNPVSLEAGGWIYVQIVGGLLPYANSDSSGIPLLEELAIVPWPAVLCFQTSSSSNMRD
SQVESVADCRDPLSFAEDWFTSKDERAAVISNRLKEKLVADALLNEHADGEIRALQSHSYSPVALRRGSNVGAMYPTPPDAPQPHVGATPSFDGNVS
TPGNPNHSVGHEAVGALPTNPNMMDVDADLWGSSGKKDRTNSAVQYHDDNDNNNENDNANLFGDLGGDIFGTHITDDDFNFFDEPDDDFDQKPQSTV

QVMGEPSIVEVKSGRHSSSADINDKDTTEIRVDMGHDQGPRPTTSKTVDTAENSQIEIETVQHPQPSINLPFNKEIIFQRLVQNPAFSTVNKQPRRT
SLFRNIHFEESLQSVNEKYGSNGQFKFSDDVKYRNTGDHAGLPQTRYLTSRRKAHEGTQEMGTIARMLGEKALDGQCVLEDDPMDYLMTSDGGSPIS
EQDDSSRTTDDGIGESRFGLKRKWEGLEEDDMASTFDNLAMEFEQSVGTPQSMSGSQLPLLDADPADWALTSYFTSPEPDVDVEPNSLTDLERIATA
QILADQAVSGTLRLPGLSPNDACVSFDRTSATKQLLNKLAKAVSSCLHDGTICSMRNYLDIQGIPVLSQALRLPPRPAPNPRNSSNLDSRTNNPFLI
IPPQIEVRRSETKLSILPSSVPFWENLGLGPSKGTKDIDAVCVYPSFEGVAAHASTFLDQMRSVYESSRFGNHDKVNSNDIGNGLLPFGIDTTSQNK
VHHSTVLKETAARLSRTLSSLAVGERNYVIYFVYPVDNSILLHICSAFQHLFNLYRKALAERRANTANELVLQLIPLDFIASPTSLAVPTPSKYFQL
CMEVYDRCVDFKSSSSSPAIMLEQPLPRTIDFKLNPSPSASVLQENTCLHVAYAQSIDDRWITAAWTDNRGTRQMTASYCLGRKNEPISTPFTEVAN
EIWETTLQVVASHKIHWRIMIARVGVMDSSEIDFWTGLVSRESNFQIALTLVTVQTDPSLRLLPAWITLTPNGSGAQPVITPVSTPQALQSSILSPE
TGTTPIRENFGAATFAETPAELDRDSRLIDYTDQNWGAVLSHRLNNSNSLLESNPALISGYLIKRGGANATDPPIVMEVNIVHSEVLGNPRIFHESL
LRELLGYYRGLGTLARARGATDAVFDIRPWHIAAAEKAVKSLYMLI

>RCO7_09378 | ENP2 Essential protein, putative role in rRNA processing

MKLTNSNEVLVYTISGASTARPLPDWLARQRKRSLKNDPEYANRVELLQDFEFEEASACVRVSEDGEWVMSTGTYKPQIHAHYLPNLSLSFARHTTT
LNHSFILLSSDYSKSLHLQTDRRLEFHTPSGCHYQTRLPRYGRDLQYDKHSAEALVPAVGVNAEGSGEVYRLNLEIGRYMKPYQVDVGGDDMTTAGG
GALQGGINVGSVNCAAIAEDSHNLLAFGTSIGTVEFWDPRSKSRIAILAGQEGEVSALDFSRSGESLAVGTSKGLIQLFDLRKPVPILRKDQGYGYP
IKTLMHMTTSSQEKKILSADKRIIKLWDEADGKAWTSVEPAVDINSVAWCKDSGMILTANEGKQQHAFFVPQLGPAPKWCSFLDNMVEEMAEEAPAE
TYDNYKFLTLPELKAINLGHLVGTTNLLRPYMHGYFVASKLYEEARLIANPYIWDEERTKRVKEKVEKERATRIRGSKKVKVNQNLVDKLLKKQERR
EKVDEGMGILGDSRFGKLFEDDEFAVDERSREFQALNPSTRVDGPAQAASVKSDGSNTDDDEIIKPKAKPEMRISSSSYKKAGHQRQDNALGARAQS
TGRVSKSKGDIVGERQVTFAPTGGRKGKEKEEAAPARKGRRDEGRRSASGNVFRNM

>RCO7_09377 | uncharacterized protein

MVTDSPESRAPLWGLGGQVIHRHSSSAARSPSWKLFTGRNSLATGSMLPSPATARIGTDANYGRRYEGFQDSQEFSRLPRVGPLRLPSTPLPRWMIF
ESLFFPESRCNSSNSILSHDILIQMGSSHLPVKAKATVTTFLPFPITSSSLPAPELINLALIYYLHAANMKSILLLNLFLRFLFPLIVAAQDSLSST
EISPPARTTTTAPTSTISQTPEMVSSSVASVFSALATSAPTQPGDGPAAGDAGSSPTSGDSTAGAAGADHGSIAISKGGIVAIIVVAVSVCIFGAVS
AILFYLAKKRSWQVRESIRRSAKRVATALTPRRSTFPKDVHSRSSRGLTRIEEVPTPRRSKTADVEKAHPKLMSFEMAELQSKQSKWARKFGR

>RCO7_09376 | uncharacterized protein

MHKRLPPVGRNDQESQMPSSPIEEPEDNYFHDAMEHSHQHRGFDQEYQLGDRVTADNATSQERGVDQDDQLGDLDKIGNADSAAGVQDSNPSVVGET
QTVALEIDTQAESNQSLIEDTQYIPLEIDTQAAIQSFDKSTTALDSTKSGKSTIKTRDVASLINSNTSEEPRTLPTGPQMSRRPAVGTIKVPGLIER
PAMNDAGNAALAFKFGLPPKLPVVWPHVKTPQPLVGAKISTAAKSGSAIEPDGKDYHLRLNVPQDVTAGHPPISKDEMKNFRSLSTNVIPSMPPAVT
QNASHVPHDNINSLLPSSQRQSTPKDRASGTGLDTASAPLESTKIHPLSSQKQTPSKRSAVVTTSKTSDHSEVSPHEASSAASSTRISDAKGYDESK
SQPSQSLNMGTKGGQKMSGQNLSQRSLLALSPAVQNDGSSRKRSLASKLSAMPFPEASSRPVRLHDRSASDQWKTNFSATVQAGNVPSTSEAICNEK
RTRTSGPSTTQVHGGHRKGGFSTVILTSADAHDVLTQHIDLSENPGCGNDRQDSMPASRLNLHPIDIAEHIEDDEKPTNRPPQYAQKYPSVTVRPHA
SPHGSHTESTCQAGEQEDHEVQSYRPAGHEQPETGNEDSISSVWEPVLDVIPQNEYSESLHPKHAQEFSQTLSRAESEARPNSRRSNRDRPMTRPVR
ADDLISRPSTARSCHVNMSKVSRLIGQQTATSNSITASAPKGARTRMGFQEILEMAQEFEDLCCAYQVQEKTIAIYESKIMQLEQSNAMSSRRVEAL
DTKNTALAEKMQKFTDLNSKYKKHMNEVVNSQSYLKEEATRIQSKANEAHRVINKQRAIYEKIEKAIKEARDMRGSAEKFQNLNQELNEQKSKLLAA
QNHTKRLQQVNERLHQDNNGFKAALDTEKERIQTLQNELDRKSHDFSREMRAKEQLEKQLENQTTVYRELVDHLKKLPESVSEQLQKKNGVLASILS
AGNVTDSRINEMVSVLNQLRDNDPKAPTALVQLIEDLSSRLESREQNSDADMASSKDATTKALEEIKETVKQLRLDETTQSRYQDRISRLEKTNETL
TVDKLARDTETQSLTQQLEQLQRELVDCQDRLKAREGELTEARAIPRDDPLLSTRIKELESARTVLESQLDTANQEISKAKDEVKSAREVAARKDQQ
VKGFEQKLNNAQKTVKAFNEVRDSYIAAKENEKKAACHELAKKAESQKETLRVKLESQINNARHRHQEKESELVQAKQKLQEIQTQLESQINGASNQ
NKQRAAFIGETKEQFARVQQLIEKAPSQKVPAEFFQELQSIKVTTKESHSRYDLAKDQLFKTIANATQEQRRIEEKVEKVGALNVEIQDLKEQCSGY
QGQLEELSRAAIRHQQPLVETEFRREYVNATPNLPSPATNVYSTHAQMPKVVQITPRTFDNDGSENMRRSIARNAQHKSFVQPAGTSQLYSKDDSMV
TPRGRVSLGLHGSISAARSSSQQHVPASQNSDNSIKPFSTLTSFSTPPNSVHSHLNSLLEDVDKTTGSAIALTTSKTSERRISTTQSNTTLVGTSSG
QNAGANGRPITQRSSHELNVDPSEILFSSSKITTRTKSVLKQKVNPHFAAENSKIETTLRQEGIPNLSRQTLGMGDIRGVKSGNVPEESMYMAQDGK
QLATGRPQEQLSPLAGDISRFRNQKRPHEMASSGPRKRAASMQRHKLSRF

>RCO7_09375 | uncharacterized protein

MAKKAKSRTIAVRLISMALTGYYKTLVRPRTHRPLSMLKYDPVGTLKKDSSFLASSAVENKVGWAVSGHARLETWELRIAQSDLRARTKVRMDRETK
LLLINLRSAMG

>RCO7_09374 | uncharacterized protein

MANKQAPLEQLQNEWKQMFQKTLPQAAQSKSPSQSSWPVHVDHCFARIILDNEIGITTPWMSVLKSPAYKNMTREQLESCIELGRKILDGEADLVEL
DERSLKIRGKEKEGGKKRKAGENLEGGKVKESRSKKREAEPSVTSEAEAKSSPRSAEEELDLDSGSGSGSDPKKTEPGPSNSSKPEKDVSPKSDRNK
QGEDLTPYLKKIALSEKTPFQKKVLSALCQVPRGQYTTYGGIAKHLSSSARAVGNSIRNNPFAPYVPCHRVLASGGGLGGFGGSWGKKGEAGLNDDK
KRKLLREEGVKFDGKGIVVGKPWEGFT

>RCO7_09373 | related to WD domain, G-beta repeat protein

MSGQLSRNRSVSMSSGHSSKGKGRLATLSELSASMPPPEIGRDFEPCAATASMFLYAQGNSVVCAHHDTLKIERRFLRHTEEISLLAVDTVSERGAG
RLVVSYDVGQTAIVWDCMTGDELARFASYENLTVAAWMRNGNVAFGNAQGNVILFEPTTSEHISARTIDQIPITAIAPAADCRTYAIGFSNGSLLIA
ALQPRFTILHNLTTSRGPSPIVTLAWHASSSRQKSDMLAAQTHDGDLRVWSIAKSPTSSDTAKVVRVLKRTENFQTGPNWLGWSKNGRIVQFSEGET
SSWDVRTKHVTYESVPTLEHVRGLAVYGPGATLFTLGRSNTAQQFDLNSPPQLVANVQHPANLLPPSPPVSIEEQKKQKNSAPVSGDEGQTVPINID
ISESDEDHMSPLARIAREMDQLEIGHRESDRADTLSPVSSRSHASTTSRSSAGSRNQYRKHSSVVSRGMSDGTTMSMGSSLHSTREPSVISSRDSLS
VSSLSSQSNASGRSRPRGSRLRQEVLRSPEEAKVVDLFKFTKSRLSDIPYRHPQVLDNTRLTNNDLRRQMLSTIFGWNGEAQELVQDEMSRHPQGSP
NRLLLAKWLGDIDTDIMATSSESMTSSDWMLLALSGIGGHASQTKVARAYVQRLLEKGDVHTAATIMIGMGDQNDAIEIYVSHKRYMEALILVCLVF
PSDWQRQAELIRKWGEWAVQHSQQQLAIRCFSCTGTEPSEPWVSPTAQAATFSQLQSMSIPEMLSPPLSPPGHRGPQRSIAKTSALKLITSFGDKAG
KSKFFGLGEDERTPIGGGVTPIAESALSPSGGDTAHTAFLRPSHRSAYHTPASARTATPGGFSRQRLPSIGEMPSDVIPKRVMEPAKLPTPVDSGSD
KERNDRPGVHERKVSQPETMQLTSATYVPLNRAATASPMMQKNRQLKISNPLPSPSPDSFTLTKQNARTRNGSRDRKPDGLQIQWPPMESIITGDYM
TSPDLSIASSRARTATNKSVAGSTTSHSTAANRSPLTSERSYRSVGTASPVVTGRSLDQYISSLESAQHHADKQRRQVSRERDRTGRTRSSSRKAKG
RDASEDRGRSSARFIKPAKRSPTSPVPMSPEDLRGLGAIGYGEDLLPSARRDASQSRVKTPKPSSRVGRTSPEPVLRSQISSKPPSRVSSRNASRRP
SPSGCTLTLIDTRRGRSQGREGSLMRSPSSPLPMSPQTKFYQADDDEDNEELKRAHNEHKRFRSRHRSSSRLRERGTSAARDPSPDRRRCDRSASRF

HAGRDVSKTRKEPSPHPKRDRSSHSRTVSMSDPRMGDIRQIKDERTLKKEQAARDLEERRKSLVRRPSAPPIVHPEELAQLSPMQYRPSPSPEFHRS
STYPSPKPNQTQPSRSQTTSPANFQTSPAYLKESSERSSMQIGLPATPRAMRHPKYDPDGNDIPDVPQIPGRYDQPQPPSWGSLNAITYNNAFENLA
PLPKTTYQAAPRRIPPRSASAPIPEEPLSPKALPAGLPLHPAFHAALPPSSRRKTQDPNTTRAPLLSPRKIAPGESQPGTLGYETLNSRPAYASGLP
GIMSGIDETIEASSQPINPSNDNLTPPPPPPPPAPPILKELQHLAMPPPPPPAPLYRPNNPNKNSVVSGVSQGSGVIEIVMDDEDDKINQTIVDIPT
TQQHFQRTPSISHNRGRSENDNSISGRFNRAADRFRSASRGRNGASPNLDRTRSPPQPDQFLQGMQSPYESVPDIWSPGRNPVTAPGLQQENTTERH
PRESKSQHTSAGVIVF
>RCO7_09372 | uncharacterized protein
MYFSFSPSPPATSYATAPMAIPSASSSRPQATSCAYPSWPRRSSLSSNSSGEDEAHSSSFITDEELFPCVFDDAELDCTPPTTPSLSRSPASPNMMC
EARLVLDKGSMMRQLVAEEKAKKERRPLKRSSSRKSRSSSASSKRMSPIQEVVE
>RCO7_09371 | uncharacterized protein
MSSSDIPQGDAQDNDYVSRPGQKEAGIPVQSDNAPVESGVDETTADSDEQLARDEKEAIDESNIIDDKTRHAKPTGSYKEPGDDEGLPGPEDGTSSG
AQ
>RCO7_09370 | related to endo-exonuclease yNucR
MEIATQEAPKGGGQAQDIRKRPAQGGRGPKRQRARKEKPVREGDAVLLADVRALFAKQKLRDTIPHDPSEHSEIPIASSEESHTKEESNRQIPATNG
TPGLPEPFTETEVEVLEISSTGDGLAKHPSSNQIYVVPFGTPGDILRVKVIRHFEDEHYSTADFVSVVKAGPLRDDSRINCQYFSRCSGCQFQMLDY
SEQLKHKKAIVEKAFKNFSNLPPELIPLIGDTIGSPLQYGYRTKLTPHFDGPPGYLSKKDKMNGARKYFDKVPDIGFMQKGLKKTLDIEDCPIGTDA
VRMGMKRERLRVGEEMKKYRNGATILLRESTDRVQNDDEAASQTLPNTIKVTSASHTDFKSCVTDNNGTSTEYIDDFVFTSIAGSFFQNNNSILPPF
TQYIRDNIMPPSSSTGPPIKYLIDAYSGSGLFTITLSSLFTTSVGIDISAASITSARENAKLNNLPPSQCTFIAADAPELFESITYPQDETVVVIDP
PRKGCDESFLSQLLTFGPRRVVYVSCNVHTQARDVGVLVSGMESGGSRYEIESLRGFDFFPQTGHVEGVCVLHRVEDAGSATTAAE
>RCO7_09369 | uncharacterized protein
MIFYPHLPSTASGSSEGTDMQFILAGFSTYYETAPG
>RCO7_09368 | uncharacterized protein
MAIIALGFTAFTLTEAGGRDKAKSPYGNS
>RCO7_09367 | related to DUF887 domain protein
MLDIFQPAPFYLVRAIKPLADFLSLWTLPYHIHEVIAALVSYQLIFSVLSPLASSWIAPKTYRGLPPRRRISWNVHVTSMVQSTFITTLALYVIWND
EERKNMEWVGRIWGYTGAMGLVQGLAAGYFLWDLIASIIHFNVLGPGSLAHAISALLVTSMGFRPFANYYGLNFVLYEISTPFLNIHWFCNKLNMTG
SRIQLYNGLVLVTTFFSSRILWGSYQSVCIYRDVWTALQTPTIDLKYASDSSIFDYMMATGLNGVSYSHNMQLPLWLVIVYLGSNTLLNFFNVYWFS
QMVQAMRKRFQPPNPAKDR
>RCO7_09366 | related to YRB30 Inhibitor of RanGAP1(Rna1p)-mediated GTP hydrolysis
MDVFLGKITQHAMNYAIRAGIGITASYTLRQTSRLLKTVDNNNTDYQELQALQERLNSKIKIISPAIDLIELISARGNTTLESAVTLTKSLRWDIQA
LGLRLAKAATAEESSRRKKTNTKVAHEAEIHLIVKDIKNLLVRIEDAVPLINLAITTSGASLSTSLPASVSPSRLLQASTFLTAGDAQYSINSDGPS
QVGPAFMLSLYMLFAGHSYRVSDPDSMRDTTWKEAIHKARVRLMRIPIQHIPGRNFPILESIENDGKENPILTGENRQNEYAYHIEMIEDLEDDRVH
TFDENEAQPGPYEGVRLAGIRDVLPIYQISKIFYADTGKILNIGSQGETNNPVLLLKRDINALPPRRMMEEGERSSEWYDEEPETLDKAVSETSVTE
EGDSQDDIDQQLRRESSIPKILEITHEQKNLEDRTWRLPADLDPEWMALEVYTETDDSSSDDGLDVNDDSAYVSHRPSSSGEQKEDESLAEGLAYLN
LDPGSSPSASPAQQVAKSTSLPSFSTPKTSPFGPIRSSLSLLEMLIRLTALQQFQQASHLSIPDELLTFFLVESSTTGAGGDGEERRRTRREARQKV
GFDPYDESPVKQRGEDYQYQHQSPGQDRYVYSRGGTPYQDHNQNDGYPPGSPRWTREQSQSMPPQGTPEPWLLRSREETDSQRGSPDVRPSTPVSPY
RPHRKTTRPLDRVQAERSTGKGSPLGRGVSVGTDSTLGTSPGSPKFVDRDAKT
>RCO7_09365 | probable translation release factor erf3
MSDLNSWEDDPAAQEDLSRQTQQMNLNNNPPQPQQGQGGGAPSFRPGANSFQPGAQSFQPGQNFQQYGAYDQSGYQNQNYYQGGQGAQGYGGYPQYG
GQHGGYNNQYAQGGYTGGGFQQPTYNAAYTQQYPGYSQQPQAASTTQQPLRQTPTIAKRPAEGASGSADLNKPVTTKAGAPKVLSIGGDAPKPKAKV
LSIGTPTAPAPAVKKEAATATPAEGAKVTAAKAIEKTEKPGGSESGKTSPTPSSGRSSPSRGAAKTAIREADAVEKEQAADVDDETLNEIYGKEHVN
IIFIGHVDAGKSTLGGAILIQSGMVDERTIEKYKKEAKDMGRETWWISWALDLTKEERSKGKTVEVGRAYFETEKRRYSILDAPGHKTYVPSMIGGA
SQADVGILVISARKGEYETGFEKGGQTREHAMLAKTQGVNKIIVVINKMDDATVEWSEARYLECTTKLGAFLKGTGFNLKTDVFFMPIAAQSFIGLK
DRIPDGICPWYSGPSLLEYLDNMTSLERKVKAPFMMPVNGKYRDMGTLVEGKIEAGVIKKNMSLIMMPNREKIEVAALYGETEEEMTIAQSGDQVRV
RLRGIEEEDIMPGFVMCSPKRPVHCVKAFEAQIRVLELKSILSAGFNCVLHVHSAIEEVTFAALLHSLQKGTNRRSKKPPTHAKKGDSIIARLEVIG
GAGIVCVERFEDYAQLGRFTLRDQGQTIAIGKITRLITEDEGAN
>RCO7_09364 | related to Che-1 protein
MGKIKTFAQKIANLGKFTSKEFDPEEDVEAQSTGDSESEESEDDLVGTEHYVKVGKSKLRKPEEVPLGPEYSGSRISREALLNDDEDEGVSRSDLEE
DDELDTPFADPENSDLDLDADEDGEIDSDEALGDSDEEKFKDFTFRGSGRPREPSNRKRPTASDFMSDSEDDNAGVAANLDKYDEPETDEDVLNVSD
QHQDGSEDNTNSEGHAEQDDKEDEESGSDDDAESEEDEDEDERRTELRKIMGEEQQSVVASITQAAKADAAKGNAVREQRKAFDSLLSVRISLQKAL
VASNSMTTVDEKVIEDSSNQPYEAAEEAAIKLWNTLDSLRTQLSNAGGAKTGQKRKRGIEISTSSSNIWDRMQASEVAVIDNRQTTLEKWSSKVRGT
TSLPISRKLNPSAPQQSITSVLQDQLASSEHLIAKTKIPRACAPIQRDAKLTEDANIYDDGNFYQMLLKELVDQRRTESLTAPAAGKALQWTAVKEV
KTRKNVDTKASKGRKMRFTIHEKLQNFMAPEDRTSWRPEAVELFFGNLLGQKMNLGEDNEGDAEMEDEVDPMEALVFGS
>RCO7_09363 | related to Nbp35p and human nucleotide-binding protein
MKPRLFSTFRCLRHENPLGLPRRGTIPRMQRGLPERRRIKDVKKVIAVSSAKGGVGKSTIAVNLALAYARLGLRSGILDTDIFGPSIPTLLNLSGEP
RLSENNQLIPLSNYGVKSMSMGYLVGDSAPVVWRGLMVMKALQQLLHEVDWVGLDILVLDLPPGTGDTQLTITQQIVLDGAVIVSTPQDIALKDAVK
GINMFKTIKTPILGMVQNMSLFTCPHCHNSTHIFGSHSGVNHACKKYGIDFLGDIPLHASICDDADRGKPTVVAEPESDRGKAFIQLAETVGSRINL
FDV
>RCO7_09362 | uncharacterized protein
MSSEIAAFENEIREYRLQLETVQLGLDADPDSAELQELKTELEQVISLTEAAIAELKPTSAPAVVSKRTDAPVKEKWSRENHPAFKKSTALTPSEET
TDAPLNFKVNDMVLAKWHSGDKGFYPARITSITGSSTNSVYIVKFKSYDSTETLRAKDIKPIVNANKRKADGTPVIASVPPPPVNSNVISAAADINP
ELANQTKREPSKVSDGPVRPAKVPKKIKANKELEAGKSKWQDFAAKGKFGKSTKKDSMFRTPDGVNGRVGFTGSGQSMRKDPTRSRHIYQSNGDEEF
>RCO7_09361 | related to C2C2-type Zn-finger protein
MQGFNMGRYVPPDQEGLMSGNQLHGKHALGARANKISQGILTVRFEMPYPIWCTTCPKPTIIGQGVRFNAEKKKVGKYFTTPIFSFRMKHIACGGWI

EIQTDPKNTAYVVKEGARKRDLGEDKVEEGDVKILTPEERETIRDNAFASLEGKVEDKKRLQYSKKRLEELQDLSEKQWDDPYEQNKRLRNSFRIGR
KEREKDAEIVASLQDKMSLGLDILPEHESDVRRARLIEFGETGAIVAIDKAISKPLFKQEEVKPDCKSRGSKHTKRLKSEDIAKHKTAAFAAEIRDN
TRAAIDPFLSESRKKSRSVPVLAGVKRKRSMHRESPTDELAAVCLVDYDSE

>RCO7_09360 | uncharacterized protein
MHILKRQKFLTQPPPVFEHPNEDNGGVILAVTVTFTAFALLAVMLRMYVRTFMLKTVGSDDYVMIAAMVCSLGVIACVIGEVNLGVGHHLGFPKLMA
NQMIIAHYSWFHAWINVLGTSLVKVSIGLFLLRLVQGKWYKRILIGWIIFTILFTISSMGTLLFQCLPVNAAWDFPLRADPNTKCYSLSIYRSIGLF
NGAINIFTDFFFATLPIPLILPLQINLRTKVSLMCILGLGYFACAAAIMREHLLAKFFDEVDPFYDYSLQVWNGIEINVGILAACLPSLRPLFASIL
ETANTLKLSGLRGNKKGSGGTPQGRYYLQQDEIKMSPVARSGTALGNKGYKITVIGGGGKSTTEETDLYRNSSLASSGPRSKLEQSITENDSGSEDN
IMVPMPLPLQGRDNLYMTREREGDRDRAERSREQPNGILRTTEVSISRRD

>RCO7_09359 | related to NAD-dependent histone deacetylase
MTITVPESSFGPSSDVQEFSDVLKGSKRILALCGAGLSAASGLGTFRGAGGMWRNHQATTLATPEAFARDPGLVWLFYSMRRHMALQAKPNAGHYAL
VELSKKMPDFITLTQNVDGLSQRANHPRDQLKLLHGSLFDIKCFNCSRIEQNNYDDPFHPILQIDTAEDERLAASANTIKARAAYLDPNVNTNTINP
DELPKCPECKTGLLRPGVVWFGEALPEDTLTEMDAWINKGKIDLILVIGTTATVYPAAGYVDQARRRGARVVVVNMEGMGGELGAASNLRNGDFLFQ
GDATKILPDILKVVIGEVNVPDV

>RCO7_09358 | uncharacterized protein
MEEFVELGLEGADKMIDKHFHKLPDKALHSDTYNPKNLHLHRGQKSRKNSTDTRSNYESDSEKEIDHRSTSHRGSSDYRNLPATEPGYSYMPPDSVY
SSPPYYSHDPPHPRPEYMPSPPPASATSYYTPQPSAGVPHMAMNRGRDVDCYNDDDYHSDSYRRPRRPKAVTRRSSSYHGPRDRRNDYSYDQQISRS
RRHGNGSGSDTVDRVSDKAKDVAHRYKLKEDMNNVFTASTVGLTGGAVGAMVGGWAAQKAQVGYRKKGPKNDPNSILTLLGATVGGLAVNAVVDKWQ
DGATMIVMVEEVEEATEVIIEAAKTVTIDNCPLFEIVLPGE

>RCO7_09357 | related to secretory protein SSP120
MAHGGAHQKPLVVDPDADWATRHMAEEHHIGDFDAPSFFSLHDYDDNGYWDAREILKTYGMEDPTAKDVTQDKKAEILREVLKLTDTNNNGLVERDE
WTAFTQERKGTLPDFGTGPGHHWDMETEYEIHHWEKYHDENTKEEDLIHPEDIEHFRKHDELEDEAERVAALDKMSIVEQNIPAKFRKE

>RCO7_09356 | uncharacterized protein
MCDSEASSPDIPEDGPHQPSGSSLDLGTGEPVPINTPSESDVEMMPTQPEPHIKKEIYATPSRVSIGPSVTIDLTKDSDETSCCIDLTESSDENDPA
ILTSSEVYDPKPIKEESSPPSEKKKRKRMHEGASTNRHGEDDVDHTEQSVEDDEEVSTPSDITGHRKYIDPTECGDDYGDDYSGADDDEFPAPSEIV
NREVIKEEPPSPPEIQSLLIPKDDSGNDEDEYSDIQESLAMQNSKKRKQRAPRARTAREYHQAPKDKLSITQRRSNIWKKQRLDKIEEATKKHIASK
KHTKIPRAHAKDFDAGHFFDDLLGSGDPTSGDDLDDGLQLRGNTRDGVWKDLQAKYPHTHTKEMKAENSKLYCETTNCHVWHGWSSVKRECASEKPN
GGMVADVMGLGKTVQCLGLIVANPQIPDLAITKATLWIAPASLKGQTWLELNKHTSDLGDTSMVYESKRMDNSMSRMSKSDVVITTYGELVKSLPQP
DPDTIRRWKKEN

>RCO7_09355 | uncharacterized protein
MEGAGMLHQVQWYRIIIDECHHIKNPETRLFRAALFLTGECRWLLSGTPVMNRYEEFHPMLRFVEEPFTKDLSLQHFREDIAMFPIRTLKEKILGFP
IIKLKPTHREIREVKRYLPERLLYRIIHDRFRELLNQSFEDGDEQKHLNSPLAQLTRLRQLIASPDLIARQIMVVLGSKGMRAFMKKLKDTRFAAKA
KPQRRILEARLKRWLVAKKADAYQAVTEEDICAVCKQPDEHLFVLKKCGCILCGGCIGNNHDFDVHDNGDERGQCPSCQRSYIVGSGIRQHASIEVP
NKDKSKHKARREVRKGKDARGFRPTLSPEQKWPLEWLKDYDEDSDEEVLATAKSRGTVLQTKVWLKEAPLDKIVVFTQFRFFAILVGIMLELKKVKF
IYYTGDMPNTDRSDAVKHVEGDPTIQVMIAGLKCGGTGLNFQFANRGIITDIWWNTCIDEQALGRFQRLGQLKRVHFVRIVVTRTVDSKLIKLQDKK
KKNIANVIQDHDLDEAELADVLGYLDGDLDEEPDTSDDEGDDVYGDDGF

>RCO7_09354 | uncharacterized protein
MPLINGCKYSCEPCIRGHRASSCAHTDRILIEVRKPGRPLETCGHNLNTCQCGRVAEVIAMNDILSDASAGTFGMENNSNFVVTTPPMPVGSYASIR
RPKPRTKSQSKVTKRSKRKTFTPPASPVDEASSKLASISAVSQPEQPQDEILTDSTRKERLDPLSPPGQSDVNSQPMQYILPNPHQYQLLGSGQGAY
MNYPSGPGESKMRTWDGVQIHSRSRTPTPRNTDRNMSWQHRNLLGGRCGSKLLVFELKQLNNGPSTMRDRSVPSASL

>RCO7_09353 | uncharacterized protein
MVISKEAWEIRYGVRVLIYVRHATPPISIHSQGSSGIQDEKRGVLVLQKGKLLDMLHECTYSWDLLPPS

>RCO7_09352 | uncharacterized protein
MPTYLTIFLEILEATPLLMILILFSHMSSQTPPEMLFMVSVKTNRRLQLRDGLM

>RCO7_09351 | related to copper transport protein
MEMGMVMPVIPLVASSTTSSVAQATPVAVQHTLTTSMGMTMGDSGGCKLSMLLNWHTIDACFLSSIFHIRSSFTFFLACVGAFLLVICLEFLRRSQR
EFDRYLRKRSEFLQTKTYALPEEAEEKLLETRLDVKQRRQKIALVISEQLMRGLIHVLQFSVSYCIMLLFMYSNGYIIISILLGALVGFALFTRDTS
YSFQDTNVNDEMEQSCC

>RCO7_09350 | probable mRNA export protein 33
MPPKKIEKAGGGKKPSATKLVEDRTFGMKNKKGAQKQKEIERMTQSAKAGGTPEEKKKAAEKAEKEREKAALEKMKKEEMELFKPIQVQKVAFGVDP
KTVLCQFYKKGHCEKGRKCKFSHDLNVERKGEKKDLYQDTREGEEEVRKKETSEDWDEEKLRQVVLSKKGNQKTTTDKVCKFFVDAVEEGKYGWFWT
CPNGGDTCMYQHKLPPGFVLKTKEQRAAEKALMDKSPLKTLTLEDFLESERHKLSGTLTPVTPESFAKWKRERLDKKAAEAEAQIAKEATGRAMFEK
GDWEASGGEESEGDDDDGEDDAWNMEKLRKETEALKERKEAERIAKYGGQVPNTNGDGAAVENVEPDIEAKVSGSVNGEGS

>RCO7_09349 | related to RNA annealing protein
MSGRLDKSLDEIISTQRTSSGRGRTRRGAGRRTAQTSKPVVAAPVGGVRKSTRPTRGPIKVIPTGPASSGEGKVQVSGFPKDISETMIKEYFGKTIG
SIKKVEISYGPGGQSRGVANIIFHRFDSATKAVSTCNGIPVDGKPIKVELILDGQRAKAIPPPKGLSERISQPKSQPKSAATTKTAAAGAARGGKAA
RARGGRGGRAARPAKKNAEELDAEMVDYWQTGASATDAGAAAGAAQPATNGDATMDDEILVG

>RCO7_05937 | related to cytochrome P450 monooxigenase
MSSTLQAIWPQGLGRVRPDALSLIIVLIPFALASWVILRTIYLLWLHPLSKVPGPPLLAVTDIINQWRSNVTGTFTREASQLHNEFGPLVRIGPNRI
SVDGSVGYPQVYGLKARGVDGGYFDKVAGYLFLGDEHTLLAAPHELHRSMRRALGHAFSEQAVREQEGIVQKQVEMLMDQLTRRAKSGEVVDVVKWM
NYLFFDIIGELTFAKSFASVETGTEHPFIQNFYETTLGDAYSRFLTTYPYLAIPFGILLGRKQVNKAIALGAENREMIAEMTRSRLELGEEPASGQR
DFTTYMLKKTRQGEQSMSTRNILANSGILIGAGSETTSSAMSFFFYISSLNADRRQILQDEICSTFSDESSMNFTSCSQITYLQACIEETLRMFPPA
AETPPRVSPGAEVGGKFIPQGTIIHVYPWATFRSPANFTDPDSFRPERWLPSTHPRYDTRYANDNLACVKPFSYGPRDCIGKNLAYNEMRLLICKVI
FRFDYKLVAGQNMWHDSLNALIIWVKTPLKLQFTLRKK

>RCO7_05938 | uncharacterized protein
MIVSRRLRKIFKPCISPISRTRSNFSAVRTPLEIDDSPDLFHYTSGRWIYNEPLRLKERILHFDVAELKKAAAAAVHKDAANRFSIASDVATMNLVR
SYGVPVPKVLGYSATSQNAVGAEYMIMEKVNGRDLGDIWYDLSEKERLKVVVQVARLESVLFSIPLPACGSVYYKHDLESNAEAVTISAGEGDGEDA
SGIAGQLCIGPDVAQKWWYDKRDQLPVPRGPFLQADQAFTAGAEKELAWLKTHARPRLPHIIPHRELHDYQKISPADHVASIEKYLQIAPYLVPRDK
DYLLRPTLRHPDFQPRNIFVGDDFTITGVIDWQHCSTLPLILQAGVPEYFQNFGDDESLRLKMPSLPQSFDSMSDADQAEASEQYRRRQLHYYYFVA
TYKYNKPHFDALCLDSTMPKQKLQQYAGTPWEGDNITLKAELIRAVKNWPELTASKGGEAPACPIHFSDEEVEQCLRIEAEQNHIDVQMERIRDRLA
VSTDGWTSTERYEDAREENEHVKAEALDGQDDATRNEVLDNWPFDDHEE
>RCO7_05939 | uncharacterized protein
MDNARQDFDELAWDRNDEEWEEAQKALSKKSLYRRIELLVAEKFGKPATWITPMIIGGFNNLYRIRVKDFSPDVLVRRPSVSQAQFPEEKTLREAAT
AKYIQRNTKIPTPQVLFYGDVSDVGPFIIIEHVENKSTLSHALTTPGVDRSITHALDPNISQTTLEDLYL
>RCO7_05940 | uncharacterized protein
MSDMLQLANIPSAVLSPEHKTFKSSDEYYLSLAQDHLVQLIFQQNDLVKSADDCRNKLYGDDLRPGNILITDASEIVSVIDWEFTYTAPTQFILDPP
WWLLLDTPERWDAGIDDWVKNYELRLETWLSAMKEAEENVDSKCKSTKFPLSAYMRESWETGRFWLTYAARKSWAFDVFYWKYLDERFFGRREDHVA
ENELWKTRAHLLSEGARAAMEPFVARKVDEMKERKLVEWSPEAARSRLKEKKKKKKKKKKKKKKKKKKKKKKKMKKKKKKKKKKKKV
>RCO7_05941 | related to RNA polymerase II mediator complex protein pmc1
MDHRSSNGSHTNHDRHQRPNGSNEAMEKMQEKGKAREPYHSTAQPGSTMLNGLNGKMPEYLRHGDAKIDHSQNLKAHMNRLPEEIAHIAENYFPLST
LISRLAQKTHVDVLNTIQELGQMPAPVSAVNGNASYHGSVEDSSTENVSKKLRLLNFATSSHEAWTKALVITGWSRKAEEVTHLIDVRIHLEAQKQL
YTQAIDLMAENKRALHNFRLPNPDLKTALEVLTTGKASWMPDLNYIQPPPLTAKEVLRSLEKLNTLLSIRLNLNDYESIPWQFKDFTIKSGRVTFTV
PGEFEIDLTIADEDPESQYWYIDFRFCFQPSSASMSPGIRWHLENKVNEILLKDGLSGCYKYLHELILTYKINEFRRQAVTLARSTWIDTLRVEILN
RPISIQYWLNRYSDHRNPKGVLTKGTKSWIILGVHSGKRKDGRQDPKATSRLFIRWFRESKEVKDVDVPFDVTNISAESLLKSIVAKHIDYILTSIY
TNLVVKPLFANRELELSLKISHDNPTTSELRIQLTNEQHVTIRIDPISGRFVFGPMGRTFATFEAGLNDRIRDPANEGHTWIERLRMFLITEDLTTR
ALSVGWNKIGNPELRYDKVQQFAGKNHLGVVWFRRNGWLKDWYLAVSQSMSGETWYLVKTFVPAPKIYVSQAYPHSALVPTSIEPKNREVACAVKLP
IKAHSPKPTYSFLSTLNIFAAGVASHYSNMKTLHAKHVHHMLGKGRASKGLTLPSIFAKFSELIPSKNRLPRTGKPWAKDIIRISFQGVEMAQQDSL
DIANLDSPEKTPGYPSPNMPPASEYSVAERSVLITEAHMLVPLPQALLNINEQVDKDIVFNARNETFAIRLHSRVGESVIPALVERLVRVERLVEFV
QVLDRYEKSLTCETVSLGRIVFTYRNNPAHDSIDAADIGFMSDLYRATIDFSAADNVMALLLERGNPHLRISDILSRILNGSEGLDGIATFLPLTLP
VLRGFDAIEKAWDSDDLSGLGEVFINVRAQGAFDVPESVPWWYVRRSDDPARNKGEDALDQDFKILWKSSGPGWQGMSVSGVAQGAGAEILLVKIDE
VVRAFALSGKSLDSIAQAPIPGPQKQAPVLNGRQQQQQQHRQQQPLPNMNQNQIQTQGRNNALKREVVEID
>RCO7_05942 | probable Autophagy-related protein 22
MVPRHEPQAPPHDLPLLLPLSLPLPRPHQPQRALSANSTKRSFRSHTSSFEADDERSSSDNESMGPDHGFRDGPSQYVGEDTRLTSRKELSGWYAYG
FAAEVFVICGMGSFIPITLEQLARENGVLLSDLTSPCPSSSSHATPNMPGPNAFKDRGQCVIYVLGIQINTASFAMYTFSLSVLFQALLVVSISCAA
DHGNYRKRLLLFFAFAGSIATMLFLPVVPRVYLLAALLAMIANTCFGASFVLLNSFLPLMVRHHPKTQYQSLDFTPGIPSTILESQTSVASLDATED
MRDTSSPLLSPVSTSPLPPARNLTSVELQLSTQISSTGIGIGYSAGLFLQCVCIMVIYTLHSSTFSLRLALFLVGAWWFIFTIPAAFWLRPRPGPPL
PANANGGKKSWIAYIAYAWMSLWRTVKLARRLKDITLFLGAWFLLSDAIATVSGTAVLYAKTQLRMEAASLGLINVIATTAGVLGAFSWALVSRKFG
LRPHQTILACICIFEIIPLYGLLGYLPFVKNWGVIGLQQPWEMYPLGFIYGFVLGGLSSYCRSLFGELIPPGSEAAFYALYAITDKGSSIFGPAIVG
AIVDQTGEIRPAFWFLAVLVGLPAPIIYFVDVERGKIEGAKLAEIIEGFKSAEASGLQSLHEEQGLLASGHEDDEGRR
>RCO7_05943 | related to esterase
MAHLPKPLRVLCFGASLVEGYSSYGMRMTPYSKTMKRVLAAEIGYEFEFEVETNGVSGQQVTSGFRKRMEDLYSSPNSFQSPYDWVVFLGGTNDIAF
QKSPTDIFSEIRTITNLNLENGARVLILTVPECGVKNKGLDQRRNDLNDLIKGDEREGVYVLDLHALVPYHAMPAEERKEIWDDGLHFTPEGYERVG
RLVAGRLIEILEGALDEDKKGVNSKGGKKGEEVPVEEEEEEGK
>RCO7_05944 | probable oligosaccharyltransferase alpha subunit
MRSFAIASAVLSFASTAFSAAQGNLTKPLASRLILPAQFSPPQNFQNVNLVHLINLEKSYPKEAINVLIENVASGPQDEYFLPFTSRQMETIGALEV
KDRKDPDGGLFDVEAVEYNIDSDTQFYRIRLPKPLAPKAQQTLGITYSYLSALNPLPAAISQRDRQFLVYTFSAFAASAYVTIKQKTEVKFPSAVVP
EYTIVPAGKGETESPQKQGSKFTYGPFAEIPAGAVEPVSVRYEFTKPLIHVSRLERDIEVSHWGGNIAFEERYTLHNRAANLTSQFSRVEWAQQAHY
NPATVAIKELKFPLKVGSLTPYFTDVIGNVSTSRFRSNKREANLEIKPRYPIFGGWNYPFRIGWDADLKKFLRKLKNGDGYVLNVPFLEGPKQPEGM
EYEHIELRVILPEGAENVQYSTTVPLVSADISLHRTFMDTTGRTSLTLKAINIVDDLRDRELIVTYDYPLLAGLRKPLIIFTAFVTLFAATWAIGSL
DVSIRARK
>RCO7_05945 | probable hexokinase
MVGLGPKKAPSRRGSMADVPKDLLQEIERLERLFTVPKEKLKEITSHFVKELEKGLSVEVGSIPMNPTWCMAFPDGNEQGTFLALDMGGTNLRVCEI
ILTDAPGEFDIIQSKYRMPEDLKTGNADELWEYIADCLQQFIESHHGDDDKLTSLPLGFTFSYPATQDYIDHGVLQRWTKGFDIDGVEGKNVVPMFE
AAISKRGVPIKLTALINDTTGTLIASAYTDTKMKIGCIFGTGCNAAYMENCGSIPKLAHMNLPPDTPMAINCEWGAFDNEHKVLPMTPYDIIIDKES
PRPGQQAFEKMIAGLYLGELFRLVLVDLHENKEVHMFEGQNIDKLRKAYTLDSSFLSLVEEDPFENLSETGDLFQSKLGISVTRPELELIRRLAGLI
GTRAARLSACGVAAISIKKGYKTCHVGADGSVFNKYPHFKARGAVALREILDWAPKKSAKEEDPIEILAAEDGSGVGAALIAALTLKRVNNGNMAGI
LHPENYK
>RCO7_05946 | related to protein-arginine N-methyltransferase
MDDPAFAPSPNSGIDIQTQTILLHASNHDLLALKPLLRVPGNASVQDPETGYSPLHAAIAACGPSTPLQSSNIQNGEVKSKAEGEEGEEGEGGEGDG
KQEVDIEKVKKVVEELFFSGAIWNDLDSNNETPGCLAYRLGRMELYEMCVNAGVRAELLLGLMGGYEELEGEDSEEDDEAMEAVEGNIDGQGEAKEA
RESNGTTIVPAEHNLAVGPAEEAILEQQEDQDQSAKKDVNSADYLASTLKFTDDKLLDSDNNGVMMAWETDIMRRTVDLLLPSSSSSGQPKAGARIL
NIGFGMGIIDRMFRDTKPSRHHIIEAHPAVLKKVAEPDSDFGQAWEGSAPAGAYKIHAGTWQTICPLLLAANEVYDAIYFDTFGEDYSQLKLLFTEY
LPGLLDSDGTFGFFNGLGADRRVCYDVYTKVVECDLGDAGLDVEWTDVEVGRLGEEGEGEWEGVRRRYWVLERYRLPVCTFMG
>RCO7_05947 | uncharacterized protein
MPIVNNLEKLFENGCGFQYSNWGYAIADERTMTLSGELSWGVALKKNIFDPLAVDRTITSNESKLDNRAEPYMSLADGTPYHLAPRPQFEDGRIIMG
RSTETQHDINSNQPASAVTNPTQSIHTDISVTIWTGELLCFRLLVLSNGFANNDVSDWIGQMLLECVLDNPRKNDYVELAKISAKNYVARWPKIKAD
RERERIPETVHQPLALYVGKFYNKPENLYLEDSAEWRGT
>RCO7_05948 | uncharacterized protein

MGEVLLARLRILALTISEILNVSGAPGASIGILHHGQVIHTEGFGFRVVAKQLVPDEKTICYLASLSKTFTATMIAIFVERGKIDWTTPVSEVLPAF
QHWDPMIQSKANVADFLSH
>RCO7_05949 | uncharacterized protein
MKQQNRRKRLREVEIGVVQALTSTGSQAQTCEGSGLVWEDGTGPDALSPTNWAQAVPILASTSTV
>RCO7_05950 | uncharacterized protein
MGSLTEDLVSQKDEIIVLVTGFLPFRSQNTVNPSWEIAKGLPPFLPDSTFQPFDASAIANHVPVRILVHPEPVKVAYKSVRELVPTLWEGKKIDFAI
HIGMASGRQYYSVERRGHRDGYNMKDVDGELLEDEERRKLEGKDWIWDGMPEELLSSVDVDDVWKRWRAALPGTDVRVSEDAGRYLCDFIYFSSMAY
LTKKEEERRVVFLHVPVSADAVSVDNGIEITIELIRAMVQSDRLKKYVAARSSATSKPQEVQV
>RCO7_05951 | uncharacterized protein
MLLWSFRPLPAKLPASRGEAKRATGSQKAQNMTSSIQSAILRCRTKLPPVTAIYDIVWQASTSPSAPLSIQTSYAGSRILFRKEPVTTRSLSPSGED
YAFTAVLKFDDWEGVYGCEESLFENFEITTARLKTATFKLTPMPPTSSPDYISLSATTSPPSLTVKFCSLDNEGYPFICFQVETPTEVRDREGELLK
MCAIGWAKRREFDDEVPGVIDTCLIDGEKERLDGTGQINMDRLERDGEKEREMEGLEEGEVKE
>RCO7_05952 | related to single-stranded DNA binding protein
MDGNWRIKREPSQSPRTANRSQNDLAQHHVLDWRSNGKKPSAARNDLTSDGKLRRPLSDSQVNQAIEEGRRIYVGNLPYEATVSDIESLFSSIAPAI
EGVNMSVDGMTGRNPSYCFIDFTTRDMAERVIQEYNGRTFMRRPLKVKPGVKARSGAGRSNPWDRAVDIESQSFRRWNTLEEPQDQNVASREGRRLY
LGGLPRFQTQQDAHDQIGRLFKDYNVQIISKPISAHKSKRDLPGNHNYVFIDLESPEEVILAAHELDGISMWGWNLEIDFASVASTSGKVFERRTVY
VGGLPRFPDRKTAELNIRELFEGYDILKIGSLKVPEANHSGCFCFVVLKDEANTDSALQNLDDKQKWGVEITVKPATTKKFGYKAKQ
>RCO7_05953 | related to triacylglycerol lipase II precursor
MFSHLVSSQSIFIALAFASTVLGAPPAPPPPKTGGPTAVTAHGKVNGFKDTNGNSVYLGIPYAASTAGQNRWRAPQPAPAVPVFNASTFGQTCAQAI
STTPFSQQGEDCLNLNIWAPAKGKNLPVFVYIYGGAMVTGSSSNTQLQGNNFAKNGVIMVSFNHRESIFASPNSGELTGTQNFGILDVEKAMDWVHA
NIAAFGGNPAHIVLGGHSSGGVHVDHYLWNHPDTWLAGAVEMSANSASGPGYAPTNIGLNTIAAEVGCPAGTGQLDCLRGKSIYELETASFNGSVNT
WFTPVVDGTTRFSNADLEKRFKKGIFPSHVPLLTGNSAGEGNIFSLVYGSENTDFLSWVQSFDADVGHIPADKLVMAYLRQMFASVSLKSGTQYGDA
RFNCAVDWLLNIRSAAQKTWSYRWFGQYDNVVGVPGTAPTHGTEIPFFLGGNECFADLAGVTAAQQALADFTHAWFVKWIKNPAVGPGGPTWAPAKS
VGGRAATMKLGVPGNELQLVQANTGDFNGVCRSVYNQFMPKYPVILNPLA
>RCO7_05954 | uncharacterized protein
MSRELHGRSSYNQHTINIKSQDMQQDHLKFGWGFYELEYGRSKNKLAVSHRRGGISQGTLTMNRTFHIPVVG
>RCO7_05955 | related to integral membrane protein PTH11
MAAVGLGQVTSWYICTIVAVFFLSARLVVKWIRFKAFSLDDGFLGLAGTCLVTDLVIQQHMWNLGMATPQLASRAEFEGIMQMIIPGSIAYVTSLWA
IKVALVIFYKRIAARTRLQTVYNVVLGVLAVTWAVIFFDIIFQYQCSKKASDINYWITILSNILLDVVIIILPISMVAKLQMPLKQKLGVGAMFALG
FFVIIASIIRAYYSSKNETMLTCTVSMVETAVAIIATCLPALRVIILGQVSRVGTSGPHYELGSSRHTKVQASVAAASRHDNYLNSGQNTSKRANDS
EDELVKDTERNGRNGFGMVSPGPVDDNAIAVTTEFQVREEDQKEKGNNRNMVNF
>RCO7_05956 | related to double substrate-specificity short chain dehydrogenase/reductase 2
MPGTTYSSFDGNTEALEVAKAFANSVRGKNILVTGVNRGGVGWTTAQAFASQAPANLIIAGRSQAKLNESIDALRAEYPDVSYRPLILDLSSQKAVR
AAASELLSWSDIPTLDIIINSAGIMCIPERTLSEDGIEIQFATNHIGHFLFTSLIMPKLIKSSKSNSTSGATRVVNVSSASPTWTQMRWSDLNFEKK
NKDILENERPNYQVHKMWGQNGDLDEKSYLPLEGYNQSKVANLLFAIALTDKLYSKHGILSIAIHPGVIFSELGRAFDQETTGAVQALLSSGTVPIK
SLGAGAATSIVAALDPKLGPGEMKDGKENWGAYLADCQISDTALPNALSSSEAERLWNVSEKLVNEEFAW
>RCO7_05957 | uncharacterized protein
MKFVNYAAKGACNASSQSLPLITVSPSNSTDDEALNWESIEDQARKEFFKDYCIYSPNQDLSRGYLSGLPAMTRRAGPSSDVAKACTTISLASLGSK
SGDPRISQRGQSLHTSLLRSFSLSISAGDTFISVESLITATLLGLHEIIINTDTTNGAHIAHAQGVSAILTSETSPFDLMCGGKLFKATTQDLVDAS
STWRVKLSNWQHTPPDPQKVASRLSILCTPLSRHGAVPIDEIFARTEPLYIRATSLLARKATLDELYSVKRDAENLKDEYNQWEASLPEEWLPRVVG
IIDSSGDETSRPQVGYWPGPVTSYHDPYIATIWNAYRKARLLVINIIMSCYDRICTFPEHEEIDPAIFTEIAELSAGIVSSVPFVLSANTHAFLDSV
GSNKPLVPGRPIGGLLIMHTLYIISVLPIVDRKIQRYLRGCLTWIGKHMKIGQAVILSQCVTNDLFDYVTEAHVLIWAGMLI
>RCO7_05958 | probable dehydrogenases with different specificities (related to short-chain alcohol dehydrogenases)
MADNNLSGRLALITGASSGIGAACAHSLAGRGMHLALTYSQNADGMKKIVDSIRASSPDAGKLKITMHQVDVGEVDEITKMFKEVSEQHEGKAVDVL
VSNAGYGKRIVDIWDIPLSEFEKTININLRASFLLVKGVIEGMKAQNWGRIIFMSSIAAQGGGINGCHYASSKGGLTAMMRNLSSHLTKYNISVNDV
APALIGDTGMISSPDVIPGGVGTIPMGRLGEPKEVANVVTMLAETGFMTGQSLLISGGLK
>RCO7_05959 | uncharacterized protein
MDDYMPQDEYFEWEDIIPYRSSLDLIAKNREESHQTQPLEYRSTFTFEDCESSDSDDFQWSEADTETAASTTSIQTTFTFQSFIDSGKEDLSIDFPS
YEEPECDPREGIDIGLGGLETAIPIVEDHHTPEVPVTTALQSERINPRVPSFKRATITGTRDCEALEVQPCGNVNYLLHQWREEDVSASWKHVVSKS
KSWNEDVSSLDSSKWKRHNIVRRLENSSWRTWSKLRFGLRTVHPKTINWLKDCDNTCLYGPFAIGSRTGSSSPMTRDVRTPNSKSNSSTTTPKSILK
KPSTAEILCRGSLPSYSISSSTRVSIQVRSLSDNSPLTHVQLDPKHVDFRTPKSSVSTSLSNALQSKQVRRTVQFLPEVRQYVIVIPIGDRKIHRTV
KKTKSATLKEENAPFKLVKPAKAQLVSEPSYWRPESLWSQNPKSVQNQGKSGSCEKKDDEWTWLGVVGEEAVDDEPSIKEGSLSYYYGNQRSHSLSR
NQNIIGSAPSLSSTPPLHFDTDIVDDPIDCLLSATSSSSVGSLSPPSSAEEDGSSISEDSSDDDLPGVASPPIVRAEIVRDEKFGSGMRGLSLDIGI
MDDEKHRLYKQVMEEFNLEY
>RCO7_05960 | uncharacterized protein
MATPSFKPPLPKILPSHTSRKRAVHRPPLPPIPPYRRPWITSAVISHLVHAAKTQYLPSPTSHYPVPLGILLPLQEEWYHIVHDTFNHFQSALKCLE
CGDRAEWCSDEGVVWYLESLREEMDSTDAEDVEEGKCERWDGGFERLRGILAERIGREGIVGGCWLGVGEEGEGEMSQDERGGDVAMHGGVDGAEEL
SCEGDLVQEHKPSHEGELVVRAGENDQYAEHVQVIEGLEALHERGAVLTADGFVRYGSTLWGSVDDEPLEKDPAGEGTLADRHVRFKSLLWESDDED
PLHVDNPGERSSRGVSMKQNSIVRELIENIDFVALIEHDEDFDFEENVECDPGGLSTAETDVEDSMIGEEVEIAGLFSASLNGAKDGANESAEQAVA
DNVRTLVVCDDGIEICDLLGSCQKAKGIFEAGLDTEAMEDIWLPDEAKLNAVMEWVARSRGDNAEPSNSEWAPDSQADVEMDLDELFGSDEHIDEYL
EEKPDGFHQNEARNEMDFEPDTVKIEESKTSDSDSNSDAEKSEKVHDFASAGDDAQTIQSDEDNQNHNIELNPEWHAARGSDDPALWEDIYQEPIKD
EDDEDEPGLLGYWNLPGLPTKCRESSDTGMDRHAQGEISDGDQESVEVDREEEYGGKIEEENDDEDHLESSQDTATTDLMDNVIIEPPPDTRESNGV
TIPDEGAPYIPVGYGAQFHGVRICQGDESEESEEE

>RCO7_05961 | predicted RNA-binding protein (RRM superfamily)
MSRGGKLAPEVNRALFVKNLSYNVAVEELFDLFGKFGPIRQIRQGIANNTKGTAFVVYEDVMDAKQACDKLNGFNFQNRYLVVLYHQPDKMVQSKKD
MEARKENLEQLKKQHGIE
>RCO7_05962 | related to vacuolar membrane protein
MLPPPGFAASLVSTTTPTSTLSATLSSLTSLALTTPTSLSSTNTKPPQEPENGQCELFGSFAILIQGALGLCALLALVYKRWRERPQRPVKIWFFDV
SKQVVGSVLVHIANLLMSMLSSGQFNIRIDASSVATVARRVGDEKGKYEPNPCSFYLLNLAIDTTIGIPILILLLRVLTSLFQLTPLGSPPESIRSG
NYGQPPKARWWFKQSLIYFMGLLGMKICVLIIFLVLPWISRVGDWALRWTEGDEALQVIFVMLVFPVIMNATQYYIIDSFIQNQKPEGHERIPEEDY
EEETGERSAFVGAEDLDREDVETGDDEDREIKPLGNKTVETVKRKKGGSSRRSPKALKTGSKDYDPLYDGESSPTVVGSASTREDEGSKEEDSEDEG
KRVRR
>RCO7_05963 | uncharacterized protein
MDGLLSKKKARASHAKSKAGCRTCKVRRVKCDESKPACRNCNSTGRKCEGYGIWNPTISPTRKEIVSVVQLVKTQSRDDIPLETPRMTVMFMIPDLN
DEERMCFDYFQTQTIKKLPGVFYSYFWQRLVLQACTSEPAVLHAVIALGSAHRIEDDSLMFRNKLSSDRKETHNIDRRQVFTIQEYSKAISNLRTRV
TNDKCRSLRVVLITCVLFVTLELLRGENENAQAHTESGWRLMKELRPDDDLTLLSENEKPSEYTVDESLSDSLACLSIQSALFGCKSATSHLEFNQP
AHISETKIPVSFRHMSEARKCFNLLLVNVLSLTQDCRSCDLSGLPYTAELRSRQVCLRSAIATWKISYGRSRSRLIQQADEKHTRMGVSLLRVFLSM
ASIMAETALSGGRQMIFDDYTPHFTSILTQTLALLKKAGHPMPKPQKETIAGEFIADVGMLPFMWFTALKCRVPWLRRQTIALLTNTPIREGMWDSF
IMARVAQKIIMLEEDGFYDNFSEEIEPQPFDSPVANNDRLKHIPVLPESSRFYDVDLQMYNPKGSGKLVLRRLKSDGGGWEEITSTFDFSDVKNRSP
TGLQDSPTHPSTCKAYIEFRNG
>RCO7_05964 | probable amino acid permease NAAP1
MAEKQMVDVHPDTASSDSPTRGDVEGKHTHQQQLAMHSGGAVRQEDFYTRNGLNLESFKCRSYGQGLVELDRTMKHRHLQMIAIGGSIGAGFFVGSG
SAFVNGGPGFVLIDFLIIGVMIFNVVYALGELAVMFPVSGGFYTYSVRFIDPSWGFAMGWNYVFQWLIVLPLELTVCGLVTQYWQGAKEVPVTVWIA
IFWVLIIIINIFGTLGFAEEEFWSSCLKLMTIITFMIIAVVLICGGGPSGGRYDEYWGARTWHSPSPFRNGFRGFCAVFVTAAFSFAGTELVGLAAA
ESANPAKALPSAIKQVFWRITLFYILGLTLVGLLVAADDSQLIGADDPYADGASMFVLAAKYANLVGYDHFLNAVILISVLSIGVSCVYGGSRTLTA
LAQQGYAPKIFTYVDKSGRPLPSVAIHLAAGAFAYIQETSTGEEVFNWLLSLSGLAALFTWGSICLAHIRFRKAWALQGHTLDEIPFQAIFGVAGSW
IGLTLCITVLIATFVSALLPPGVNRIATAYEFFSAWLTIPVVLFFWAIGYVWKREGGIRIDQIDVDTGRRPLDWDAINAYRAEVATWPKWKQTLNKV
F
>RCO7_05965 | related to allantoate permease
MATETTTQHASDTQMQKVASFDGDEKADVTFVEDIPTYDTLQTKRLLRKIDWHLIPFLSLLYLLSFLDRTNIGNAKLFGLEKAIGLEGMEYNTVLSV
FFVTYVLFEVPSNMVLKRWRASMWFPIMMLAWGITMTLTGLVKDFKGLVIARVFLGVAEAGLFPGVNYYITLWYCRRECAFRAAIFFSAATVAGAFG
GLLARGINEMDGLGGKDGWAWIFILEGLLTVIVAIIAFWAMADSPATASFLNAEEAKEVSLRLSHDNDDLASHYDAKFMKAAFVDWKIWVQSVAYIG
ILVPLYSFSLFLPSIIRAMGYSDAMSQLLTVPPYVVGCIFTVLGGFYSDRMNKRAVFLGGYCISAIIGYVFLLSTDTPAVQYIGTFLAACGVYPMIP
IMVMWNGNNIGGSTKRGAGIAIQIAFGNCGGVISSFIYRNGDRPRYFLGHGVCLGFLCMSFVLIVFQWFALGRINKRRDEEHPRPNDYSTEMKRLEM
DSGDEASFFRYTR
>RCO7_05966 | uncharacterized protein
MLGAEQFHERHMRTNMFDRNLTTVSMNKFVPSESAIASDNAWKS
>RCO7_05967 | uncharacterized protein
MKEYFVGNTSPNGRHRPTTPWGGGAI
>RCO7_05968 | related to DNA polymerase V
MGQKRKRAARDGPQVEQAPNKQQKTDEQVEKRTAEPTVAPTSIDSPLFLYDPQGADRKREAGLYELLSSEDIEDRLSAANTILAGLLGGEGVEESIL
EWHLERKLFRALATSRKAARLGRSIVLAEIIRQLYGEKNLSESKYPGLTFEKVLSILIAKTKPDGDLSGQEEKEHVLGLLFGLESFVGSKTLFGEDN
KWNTVLQKFLELAQKKPWTREQCGWIIVSALPQMDQTQAEYTLEQIQFAGLASSPEGVGIWITARNLFPDMKFPSKPWGSSGNPLDHFKTLAKALKE
SSSDEGADKSQQAKQTGNWNAKLHFVWSLVLAQYAAGVKSKLDGIRSEFENFWKVTVDENLFSDKASSERKFWGFLLFQKIVEDPTSYGKLLPSVFS
RNLVRCLINQVQGKDRFLHRAAEKSLKVLISAVEAKPKLLVLILPCLIGGHGTYNFDRLTKTKTVERLLSLVEDSTAAAVIDILVEPALSISGDDEK
EVEKEAEMRRQMLGDYILNIIRKVNITDESRNCNWIRENALPTLARFAYGKDARCKPALSDKTRMIFRTRLSSSFGHLLSDLQGYQYTCDLVRSFSP
DAVEMDAMISKAKDSAIGTVEKILKRAKKANDKAPLQALALLYSLVVFQLYNGESEAVSILEELKLCYDRLIRHKDTEDSDIDASEVLVELLLSFVS
KPSALLRKVTQHAFGAFMGDVTAGGLQLMTDVLNSSESLRGQQELFDQEPEDEDGMDVDEDEDEDEDEEDSDVEVVDMDGDEGHLNGHLDEENDDSE
DDSDEEESGDENDEDAEKLDLALAQALGTHPLNQAGNDDEDSDADMTDSEMLQLDKKLVEIFSARKKVPNKKQDAKDAKETMVNFKGRVLDLLEIYA
KKQASNPLAFGLLLPLLQLIHTTQTKQLAEKAHNIILAFAKASKREGASEVVASDQVELMKLVHKEAAKDPSHLLARSASSASLLLASSLYRSDKES
MKGVTMVYRDSQLAWVNGEVAMQASFFVDWVNWCQNHAKA
>RCO7_05969 | uncharacterized protein
MYLLTAKIIKACAALYLYEKIEKILGKLGGNGKSNWKPRVTFVYSESEIRKLLKRLRDMKGTLATIMMSLQVDLQLSLLNLSSTSSSNLCNSQGGSD
VPLEPETLRNLKEAQESVRHGGLETKYPTTSQKAVESSAKSIQTTSSPRGRSNSRQSEHQPGLHSRATEMPESTTSGATGSASPPSMNIYSMPQSFM
LIPANTSATQSVFETQHVAKSDVNRHGFSLPEVEQVARQVPSQLTSSSTDSSVHMTIASSSLDNFDSARSTQDGQVESNSTPAVPKPLPLPAQQSGE
KHTGIDPSLYNTDSGQWSSTTLIAPQLTTLSSPSLHSSDNWDPRFSSNAPIAPMTPDGPSFSNDTAFSPTTDRTLTPIQPIQPFVGFSQALQDYQMQ
LMLLEQQKKERRLDLLAQKLEQGSKERLVVARQDADLPGEQDYQLQLMLLEKQEKNHHMLVQQEEGGIVGTTSNVPNHSVGPASALL
>RCO7_05970 | probable mitotic checkpoint serine/threonine protein kinase
MSVSEDLIDFEIIENQKENIQSLPGGRSARALASMFSATPLHKLATPTPNDTKNLNDVMRNEYEKELLTISESDDPLDIYDRYVRWTLDAYPSAQAT
PASQLLPLLERATKTFLTSAQYKNDPRYLKMWLSYIRFFSDAPRETFAFLARQNIGDGLALFYEEFAAWLEGAERWTQAEEVYKMGIGKEARPTPRL
LRKFNEFQQRFTQRPEDPNEPSSPALPTVRPALAAKLDPYAAAAPRDPQAPRPNSGVGGTAKSGRQRLTIFSDADSEAPPPGSSGSTKGWESIGSLA
DRKKENVMEPKPWVGETLKAGGKKSSTKMAVFKDESLPHFDYLQVTNPAQQQVTVNQKGRTERIHVNLEAIYPSPDVIGSELSLEELRAGSRGWLSK
IWQPEVAQSDQFPLKSQQSIENESVQMNEIIREVSDKLVIARDPPALDENGAAKEPAREGKGRRMKIKEVNETQIIKAKLSSPSGPKMKKRKASKEQ
TMTLHTKAATDEIYDLFSQPLPAPEEEEEDEEEDESDDDDDMTDGDYTSGNESTGTGRLMTGSEAGDDETSDVKSVSEWSEFTARKHIPDIEDEDDE
DTRASRFTEADDEALEELRVDIPGNEKHDPEVITPISPELPSIARTSFVPIPPEDYEPPLRPYRDAAQISQNRLPFMTPIAEKTESSLGLSTMRQDK
DYFTSKTPSKENGSKRPPVRLGDGLGSSPFKEILNESKPIERIAQPQLGKGSKTNRTTAIAAKVQASGGPLAKEIAPKGPLIKDAQCNPVDDYTRNM
IFESLQPPLTTYDGYFKHVDETLARTAEIKKYAKAASKMHKNSTEKTSTNLAMPPILRFPGVKRQYMVKRELGAGAFAPVYLLENIAAEEDDENDEN

HRPQMGKGTFDAHPRKNLEALKMEDPPSVWEFYMMRQAKRRLGVSRAAESVIDVYEMHLYADECYLIEEFRGQGTLLDVINLARMETKPSAVGPGVM
DETLVMFFAIELFRTMEALHSKGILHGDLKADNCLVRLDQIPDSDVWSPKFRRDGTGGWNKKGVALIDFGRGIDMQVFRPDVQFIADWKTGPQDCAE
MRELRPWTYQIDYHGLAGILHSMLFGKYIDTIADKSAGLGAGSNRTWRIKESLKRYWQTEIWGAAFDLLLNPGSHVEGEEGGKMPVLKGMKDVRESM
EIWLEGNSEKGSGLQSALRKLEMGLGAKKK

>RCO7_05971 | uncharacterized protein
MTQTHVPRISKDPQYSLPSFKSSSTSALPPSPYDPQKVAFLVETRPLPHLPALFTHMMTIVPPEWIFKFMGSPASIEFMRTSHPIARFEASGKLQFL
DMPSNYSVADRENISRMFTDIHLYRDILAPAEHLLVWQPDSIFCANAPTTLNGFIEWDWIGAPWSKTAKYGGNGGLSLRKVSKIIEVLSNNTRRHGD
GALEDLWMVQKLHGLSGNHMPAANVSKTFSVESVWDEKPLGYHVGWMGVHHEQIWDNATQVDHIMEYCPEVKIILGMKLDNDKTAGVPR

>RCO7_05972 | uncharacterized protein
MSSRNFDKLIPIENISTTTGYCSDPTIGDSLDEIEQEDRWTDLQLACRDGNLPAIEVLLSDPSTNINAPPSGWYGQNALQAACAQGHIAAVKLLIAA
GADVNAAGDFNRPRTALQIACSAGNGEIVDLLLGARADVSVPAAKYNGRTALQAASEGGHLPVIEKLLDVGADVNAPGAHYGGLTALQASCSPTSDI
AAVRLLLSVGANTNAPPSRYLGLTALQNASLHGHLDMVKELLERGADANAPGAYTGGGTALLAASECGYVEIVKTLLAAGARVDTTSGQKRQTALQA
AAANGHGDVFAILEKAEEAYLRKREIRLSAVLNPS

>RCO7_05973 | uncharacterized protein
MANCNINVNQHVQQRNRECHARHHHVRHRRRETCTVEEDDDDCSSTHSVSSDDSYTTSSETRRSNQEVQRTNASISAYMLHAEVHPKLSKRGRYPAA
FARPRRIEWFLSLDSGTLIEICQVYDIPTTGYNLGYMDKAFGTFRRKTKEAWSEKWNENRKREYRMFNLFQYLGVNCADTDGGSSSKSGGRGNRGKG
WGEV

>RCO7_05974 | related to AP endonuclease
MSRRSSRKTDKPPIAVEPISTPSAPLKKVRKAVKVETTEVVAPIAKPSTKGKKVAKAVKTELYSDEEPENNVSLVESRTSKVKSETVLEEKAPQPKK
AVKRKVKDADDEEVEDGEEIKATEKQSPKPKKAAKRKIKDEDGDNEDAEDNKSKKKRKTKEEKEAEAMPIAARTAVGTLKSAMRIGAHVSGAGGVQN
AIGNALHIGGNSFALFLKSQRKWTSPPLAPEARDQFKAFCLEHEFDAAKHVLPHGSYLVNLAQPDAEKAAQAYGCFLDDLQRCEALGIKLYNFHPGS
TGKHPRLEAIARIAAQLNKAHKATSSVVTVLENMAGSGNVIGSTWEDLRDIIALVDDKSRVGVCIDTCHTFAAGYDLRSPESFKKTMDNFSETVGMS
YLKALHLNDSKTPLSSNRDLHANIGTGFLGLRAFHNVVNYAPFQDLPMVLETPTEKKGADGKAVEDKTVWATEIKLLESLIGADPETQLFRDEEKRL
QDAGAEERKKFQGQIDKKQQKSLDSMFKKTPAKKKKSKKTDDEDASDDNEGGCSH

>RCO7_05975 | probable CyPBP37 protein (protein binding to CyP41)
MSPPAANFNELQAQTESAPFKNAFEAKSFAVNAPQTQAQTKSLADLADKWEQGFKFAPIRESQVSRAMTRRYFDDLDNYAESDIVIVGAGSCGLSTA
YMIGKARPDLKIAIIEASVSPGGGAWLGGQLFSAMVMRKPADAFLNDLGVPFEDEGDFVVVKHAALFTSTLLSKVLSFPNIKLFNATCVEDLITRSL
PDGTLRIAGVVTNWTLVTMHHDDQSCMDPNTINAPLIISTTGHDGPFGAFCVKRLVSMGQIEKLGGMRGLDMNTAEDAIVIRTREVVPGLIVGGMEL
SEVDGANRMGPTFGAMALSGVKAAEEALKVFEERKLQNAY

>RCO7_05976 | related to ubiquitin--protein ligase
MEAMSTQEQQLCDFLKTQPRVHNNRYTDTAENALLQALFWSLACGRSDYLKLFFPDNTRPLPNATWKLRRAQGNADGDEFTEAARGKACGHIFKAGE
ATYRYHTGHMVYVSVSLGNSGCCDCGDPEAWRLPVHCSIHTPHAEDSPKKDKGKAATLPQDLVEAVRMTIGRVFDYICDVISCSPEQLRLPKSRETI
LLDEKLSRLTSAYYNGDIVEEPCEFALLLWNDEKHTVDEVRDQVARACKVSMAEGTQRANETDDIGRSIVKYGFDVDDLLRVSKIIEQIKVTVTIRS
ARDTFREQMCGTIIEWLSDIAGCSVGPDHNILRMVICEEMLKKWSTGSAASNKDIGMKGIDDHQIDDNNEFSHIGRGLMFQDAAAWRAAAIAANARA
GDDSDASDDDENIVDDGNENDVATDEEDEADMDDGERFLMNLVGGEDVGSELEEEDIALVVPVTGSFSFQGTQTTDAEGDVDMNTGDTETSPMEESE
ATMAGYPPPPPPPPPPTRPSRDRDLTPSDSDTAEMQPLISHNVYTKANMEIPKTPGPVQQVPEPPNPPRYWLETPPAFSDREDVPLHEDLWHRLRLD
WMILFDLRMWKKVRVDLRDLYISTVVSIPQFKRVLGLRFAGLYTTLAQLYLIADREPDHSIINISLQMLTTPTITAEIVERGNFLTNLMAILYTFLT
TRQVGHPHEINPNAVLAFDSGSVTNRRMYHFFMDLRYLFSSEHVQDKLRTEDRYMMQFLDLVKLHQGICPNLRAVGEHVEYETDAWISASLITREIN
RLCRQFAESFKWSIGEDQTHLSKAIRLTAKTVILNSLGTERKRFLQAEIKDEIKFKKVGDYEFDTTEISNNVLQHSVVKFVVEAQPISFHHALHYTL
SWLIECGKNMSREELIQLLTFTTADLTQKPRAMGQRTMPILHYTAEDHLMAAFDYPLRVCAWLAQMKAGMWVRNGMSLRHQMGTYRGVGQRDVSHHR
DIFLLQTAMVVCSPSRVLVSIIDRYGLEHWMKGIYEQKGDGLEDGHVLDVVEDLIHLLIVLISDRTSLASTDPHVLAMRRDITHVLCFKPLSFSEIC
GKLPDKFQDQEECQDILDEMTIFKAPEGLSDVGTFELKPEFLEDIDPYIAHYNKNQREESEMAYKNSIAKKTGRAASDIVFEPKLRPVESRAFADLS
AFTRTGIFAQIIYYALLYPMKAQELTPTVPLTRVEAFLQVVLHLVLIAISEDRTDEDEMSEESLQSFVYISLTQPARSNFLPNAPASKTIAAILEIL
SRKEEFKAVHLKITTVLKRMKQKQPRNFENAFARLGVPIDRISTASPANSAVLEEREKKKQAAKARAAKVMAQFQQQQKNFIDNQGGIDWGEDDASD
EQLDVEAEDEHKTYWQYPSGTCILCQEETNKDGRLYGTFAMMTKSNILRQTDFSDPDFIREVTKLPANLDQSADSIRPFGVASENRTSIPKVTSAGT
EIIAERQFIGKGFAASSSRMGPVSSGCGHIMHYKCFEVYYEASTRRHQHQIARHHPESIEHNEFVCPLCKALGNTFLPIIWSPKEELPLARFQPQSD
FNQWIAQAIDSKAPTRRTLIARAPGPERNRTFELFTQNNNSFLPVALSSRVMELYDASDSWSQPLPRELADLRPEMPPFLPGRGPLAAIWANDGAAS
VGTQSPAVPPAVSPVWELIQIYRRLKDTMLKNDLVSKHRSINSPSVAGAAYSIIACTDVLAQALGYSISSVEIQQRGVASEGGMTFIETVPQQALAH
LRILSDTAASYVSIGGMRTQGENAANREFLIDHQQQYLMLFLRFPAVTDNQELQVELRSLSEKGYTLLSQDMFVFLTECSLCLVPMEEMEITYIIQL
CYLAELVKVAIKMGRNKGNSRYMQWITSYPGQSESEVAFANFCLTVGSWDLADAAGGNASKDGPPSSAFEQECFNGTQSIMDFMKKYALVFLRKAAL
LLHVRHGAAFQDFISANASADELDRLSEAMHLPSFDIMLRSVLESPLLGTLARGWVRHSNFPIEDERPSPNIISLSHPAIFELIGLPKNYDTLMEET
MKRRCPTTGKDVSDPMLCLHCGIIICGQSICCLKPASPTRTGRAQYIGGAQQHMRQCQKNIGLFINIRKCTVFYVYLTSGSWMVAPYIDKYGEVDPG
LRHSRQLFLNQKRYDALLRTVWLGHGVPSVISRKLEMDINNGGWETI

>RCO7_05977 | related to ubiquinol-cytochrome C reductase complex 7.2 kDa protein
MLGVVFASAFAFEMMWDRTTDGIWDKMNKGRQWKDIRARYIEKSDDEDDE

>RCO7_05978 | related to RNA binding protein Pym
MPSVPTPSKAGIVEQNGERHIPSSLRPDGTKRKEIKIRPGYKPPEDVEVYKNRTADAWKTRGSAGVPGADGLKDDKDEGSTSSNKNAKRREARKKAK
AAEEGEEKSNEGNGSAEKKNDKAQEPLDPEAEKEKKARNLKKKLKQAKDLKEKKEGGGALLPEQFAKVIKINELIRELDALGFNAEGEPKASTEDKK
D

>RCO7_05979 | related to uridine ribohydrolase
MGSNGKVPVWLDCDPGHDDAFAILLAAYHPSMELLGISTVHGNASLANTTWNASSILTAIGKPDIPVYSGAAKGLIRPAVHADAIHGESGLDGTRLL
PTPLTPFKTEPCIPAIAAALFKTPPVTAWVVATGALTNIALLFQAHPELASHIKGLSIMGGALGSSFTTAPMGIVNDTSRIGNYTPYAEFNILVDPE
AASFLLSHPILSLKTTLIPLDVTHLVLATKDVQEMLHYGKTNLNSEETGSGKGSGKRKCSVLRTMLLELLLFFAKTYAEVFGITAGPPLHDPLAVAA
LLDSIPGFNPLFQDYLQPGHRERYAVKVITEGTHAEALAGEAQTGRTVATLLDEGEDGIRTPRGLDVRRFWDMIEDCLVRADEVNAKK

>RCO7_05980 | related to cullulin 3
MSAESSEESNIERAMKDLRLAGVNPLGGRDDNDFESQWEILGSALREIHTKNASQLSFEQIYRASYKIVLKKQGDILYQRVKQFEEQWFGGEVLPGI
RKLITPNLLSISRDGGAGVAGVTANERRMTGEDFLRGLKAAWEDHITTMNMTTDVLMYMDRVYCTDNRKPSIYTTSMGLFRQHVLRSAIASGSDVTV
SHLLNNVLLDQIAMERDGDVIDKPLIRAVVYMYEGLYESDDESEKEKLYLTVFQPVFLQHAEVHYKKECETLLRQSDASTWLRQTRKRLAEEEVRCQ
TTLSTLTTGEIARVVENEMVIAHLTEFLAMEGSGIKAMIQNDRYDDLTLLYQLISRVDPSKSPLKIALQARVVELGSDINRSITESESSTGQAAQPE
EGEPEAGDKSRAPKQSAASKQTASAIRWVDEVLALKDKFDTMWRQCLSQDLILQTALTKSFSDFINLFPRCSEYVSLFIDDNLKRGIKGKTETEIEV
VLEKATTLLRYIQDKDMFERYYKKHLARRLLHGKSESADVEKQMITRMKMEIGNAFTTKLEGMFKDMTMSDDLTSGYRAFISSLGDLDRKQVDLGIN
VLTTNYWPMESMGGSNSKREDGTPISCSWPPEIMNLQESFKKFYLKERNGRKLTWLGFLGSADIKCVFPKIPGKEGLFGRERRHELNVPTYGMIILL
LFNDLADRESLTYEAIQQSTNIPAQDLSRMLYTLSVLPKARVLTKDPANKELPKPGDRFSFNASFTSKAVKIKAPVMVGAVNKVEGEDERKETEERN
DEHRGYVIDTVIVRIMKARKTLTHQILFSEVIQQLSQRFSPNINMMKKRVDSLIEREYLERVEDAAVPTYLYLA
>RCO7_05981 | related to ZIM17 ZInc finger Motif protein, localized to the mitochondria
MSPLQTTLSALRSTARISQRRSCSSSCSQFRSNQLYTRPQHKPQPRYPPFSFSTLKYHSTTTSTPSTSRPLTDRISPAQSHKPHAPKPPTPERPEYE
MTFTCTPCSTRSTHRISKQGYHKGSVLVTCPDCKNRHVISDHLNIFGDKKFTIEDVMRDQGQLVKKGTLSEDGDFEFWADGTTTPRAKSESDSGSKE
TDEYEPRT
>RCO7_05982 | related to DNA repair protein rad8
MDSAFEFGLTKTCLFPDYSKIDIDKYIAAGCLRISQPESNISIDAWRKCSSWQKLAQSLEANESSQISDVEITLRESILHTSLLRPFRSLCMEQWIR
LEFRINDYIHGQVRVYILPDDVGRSVIDRDVPALRKNLLLLLSQLDISPSTWSGRWTQDSPTRHVEPSLDSDRATGEDPSLFQIFNTLPSPNPDPRS
VPDVHARNAMNQILDGSIAGMRTVMYDYQRRSAALMLQRETKPEYLLDPRLRYLVDRRGNNWYCDSDSGSCFREPRTYEAPRGGICAETMGLGKTLI
CLGLIMSTRDVTSQIPEEYLEGTFPVRKKTASLLTMAAATLGRRAFPWRDQLARREAEEGYLFDRCREALAKSAGSYMIAPSGPRRKSRNPTVSRPR
KILLTPATIVVAPANLIQQWQHEIKKHTTGLAVLVVKAMSDVLPTAKELAEFDIILFSKQRFEKEAAIDVDVSPNSPLFRSKSRHKIMIGGLFGRVS
TGSDNFRCSPLKELHFKRLIVDEGHTFGNLSSSSRTEASAVLDFLQVSARWIISGTPTKGLYGAESGIGSSQSTSPENTPSSARTPSNDEGVSPKGL
SAILGSSAPENSPQTSGKDLNLFHKQERNDIEKLGNIATSYLKARPWANQREDKDFASWSRLIMQPRHGSKSRGNLDCLRATLEGMIIRHRQEDIEL
EVTLPPLHQKHVFLEGSLYNKLSLNTFSMMIIGNAVTSERKDADYFFHPRQRKNLQQLVSNMRQGSFFWSGFETHNIQSAIENNKDFLAANNTISRE
DEDSLLEAIKHGNNVLNNRIARVIFAFHEMLIHVKNDLADDIRAAWSLTGEPVNPTLMGATMVHAAQKFVGLQLYKDDPTEGLLKEGENIMHDARMG
SAPQITRSRKRPAASRDEGGVRKRIAKAPTLAGNVTMGSESNLRKRARTTVKTSSWGSKLNVSNNTDLLTSQGIDDDHEDYEDDACIQRQLDVQLKP
NSALKISTKLDISGTLHPSSSLATARIISTASSKLSYLMDRVSIYSPTEKILIFYEADNIAYYIAQGLECLGIKHLIYAKSLSSARRSQYVVTFNQS
EVFRVLLMDVSQAAFGLDISSASRVYFVNPVFSPQVEAQAVKRAHRIGQTKPVYVETLVLKGSIEEVILKRRKELSIEEHNSCKNILDDRTMHDWIR
NARFLDLETQGIDSGREGEAGDELDQMAILETPQLLFGRGGAGAEGRIMDPDQDLIVGDSPKRKDKASGEEKTKIMLATGVKLPAERDDSMSEKAKG
KRNVGFVNVGESGDEGSRGSQDNSTSSGSGSGVPVRTRPAKKIRFTES
>RCO7_05983 | uncharacterized protein
MFSSVQRPRLLVASWFVLGALYFVYISLHNDFEDYIKIPYNVIFKPSSPSAKSNITAFVENAHTLPDADAYLPHFNAVILSPNVTLAEAKRGCTWED
SDGVNFMYSGDAEWVKQERNDTELAVKRSEWQTFISTKLMPYSRYSERFSGRGIVIVAGNERTMKRVKVLLRALQTVNCSLPVEIHFYGDEVPPQTQ
KDLIDLYPTMTVFFNDLASRSNIIKTGFNAFVANFQFKTAAVLNSRFAEVLLLDSDNIPAFDPEELFVSNIYEEYGTIFWPDIARTRPNNPIWSITN
TICKMDEYEQESGQLLVDKRRFFYHLQLAAWLNGENASYYNMFLLGDKDMFRFAWHALKTRYGRPTKWLTSVGTLTEGKYCGHTFAQHHPDPGDDRI
VFLHGGLLKQIPNEVVKWQKEERGGVYQAYKRSNVDEKWGEVQKCGMEWENGDYVPDERVDRELPVWSCIEMFGVEPKPVYEVLGGFEGLFEGVGGY
WMLDD
>RCO7_05984 | probable inositol phosphosphingolipids phospholipase C
MEPSIPSEINVLTHNCWGLKYISKFRNARMTEIGKRIATADPIPHIVGLQECWTQEDYQSIRQSTKHILPYGKFYHSGIFGGGLAILSKWPIEESSM
YRYPLNGRPTAFFRGDWYVGKGVACARIRFGPGLKDVMEIFTTHLHAPYEREPNDSYICHRTAQAWEIAKLMRGAAERGHLVIGLGDFNMTPLSLAH
RLISTHSPVRDVWRLLHSDSSIGAAIDEVEKGRRRPIPTADINTFENGATCDSVLNTWRWNKGQRKHLGPNKPKIEVPGDTPDPKAKRLDYIFANTA
FDRTRPEQGGWVVKTVKLGMMSRHPELQCSLSDHFSVEATLVHTKHVDVKDNSSIEENDTVVSNGAYLQSPSNSEFRRFHAQFEESSSPFLPLSTYD
EILAMIHKYRAREKRQRRLRLGHFVGSLVISIGCLVAVWWSPRNFVAFILMLLSTLGLSAGVIDGLIGGLFVGSEIRALKEFEWEISNARAAATGEP
QFLAEEGIKDW
>RCO7_05985 | related to S.pombe beta-transducin
MSDFDSAASTPAPAGSRPAKRRRYGDDDGYSSSDDQTHRSSRLVPRRESTPRRREHSSDVSADEQEHSYHARNKSRSSSADSSQSSRNAPAPYRPLK
LNYKMKFILKGHKKGVSQVRFSPDGRWIASCSADGTIKIWDAATGKHMRTMEGHLAGVSTIAWSPDSNTIASGSDDKAIRLWHRATGKPFAGNMLVS
GSFDEAVVLWDLRARRVMKTLPAHSDPVGGVDFIRDGTLVCSCSTDGLIRVWDTATGQCLRTLVHEDNPQVTTVRFSPNGRYILAFTLDSCVRLWDY
VSGTCKKTYQGHVNEKYSLGGAFGVSNTEGFIVSGSEDGNLVFWDVKTKHVVQKVSGHEGVVCWVDTSPQPNGPVVSGGLDGTVRIWVDVNEDDVEI
GRVKGLKIEPEDTLDDVTMENGANFDDTPRNDASVDGGSPGRMDEED
>RCO7_05986 | related to ketoreductase
MATTTKVLITGPNRGSRPYHSPSYPNSIPLSTNIPPGIGNGLLRAYLLLPNHTVIAGVRSPSSPQSLALHSLPKDPQTTLVIVHIDSEDNSTPAAAI
SRLQNDHKIESLDIVIANAGICEYFGPVSSMPAAELTRHFQVNTIAPLSLFSAVLPLFRNPGSLYADGEKQSKFILISSAVGSLTLMEHIPFSTPAY
GASKVAGTYLVRKIHLENLGLIAFPVHPGWVQTEMGNKGAEAAGKAEGEAEITLEESVSGLMGVIGRATREEMGGRLTNYDGKVLPW
>RCO7_05987 | related to hsp70 protein
MDVDFSSNSAPESPRLIVGIDFGTTFSGVAWAQTSSDRQMAITSWPSMTDTHDETSSEKVPTELRYTPERTEWGFQIPARVQRHQWFKLAFAESNIE
GMIQSPDAEQHTTDYLKELYKHLMHTLEQEIGLVHLRNLPMEFCLTVPAIWSETSKQKTLMACQDAGMKSAKEILLVSEPEAAAIYTLHGLDQQGLS
IGDTFVLCDAGGGTVDLIAYTVTALRPVLKVAEAAVGTGGFCGSSFLNRRFQDFLTAKLGHISKWDDKILAAAMEVFETVIKRQYMPTTAAQNPVSV
PVWGLDDDRNLGIRRARFVIESADLNAVFEPVVLSIVQFIQAQIEECRGDVTAILLVGGFGQNIYLKSRIEAAVDPIKVLQPANGWTAVVRGAVMMG
LTRSDSALTTVGIVSRAARKHYGLELEVRFNASKHLESKRYFSRKDQAFVVNEMQWFIRRGEAVKEDKPHTINFVAEYLVVNGHPNSLSMNILCDPH
SRQAPIHKIGSVQTLVSLEADLLPLSTATLSRTMVMQADGQQYYRIAGSIEAMFLSASTKYTLLCQGKRYDSVTAEYA
>RCO7_05988 | uncharacterized protein
MALFGNCELSKRSKSIGNKMKRCLSKASNPIPSAKTVNPEPNASSERSLTPEDLQEPRGRPEPGAYIDEQRLVNSWNTGEASTHASGKGFESLHSGS
PDTYEGKVWREPGSIGDYVQDQNVVMHLDRDHSPKDIGSDSDITTSDHSNSSLVSKVRRRGKNCNFSERLAHEISGAQQTEDENLRNQVIRLQNELS
ESQAFVLSHIPQHKSLTETEATADFTYLCGAVEEWVDCTLGDAMEDGLAKKEMFSIDDAKSFLALIPKAGRDAFSYPHTDTFNVTAAILMFLQREVF

TPELYGAITPVVDFLSGIEMSMMNMVPTRGVREYRTWHSETYTAIANHADFESHKKARVDMISGQLSSLLRILCPQIEERTRKNMIKTSIVEPAVSL
AHKMSLSADIYTLEWTSLHNLTFLQRQNVQLYSHEGSDSLDLLSQGRPVKDIREGEELQYLFDYCPRLTVRVPKGDKFAGSKLLKRSKIIVALIKPS
CKKLSPERDPRFYIPEVTFLQWLDFIARSYSASDNHDGSDMDMGGAKKS

>RCO7_05989 | uncharacterized protein

MSSTFSTIPVLRGTPPLQYQESSFQTNLNENVLRYGPQPPLGVRRYPSTRNSSTMMPSGMAQAFQRMLRAADAELDLLALNTLNNEFSRNNGPRVHR
SANTSSPEINAHPSSCVICTEDFSDDRKPPPCISLACVHEPSVCGDCFQEFLEHELNNKLWNKIACPECGVFLAYDDIKRLANVRTFSRYEILSLRS
ALASDESFIWCRACNFGQVHTGDTQQPIVRCNNCGFRTCFQHSVPWHDRLTCDEYDEMLRDPDSFESAVDKANEAVAQAIKKQEDEDEAARQLARTE
KNAEEARQKSESEQEIRRAQIHQEKEKMKRRLEEESLSLEAAPDANINTACIVSRHGQVIVHFGPAETGDRIYS

>RCO7_05990 | related to mitochondrial cytosolically directed NADH dehydrogenase

MSTKGHQNQQSGKPVLAILGTGWAGFTLLKQLSTSSLLQTHDIIVLSPSRTMALTPLLASAACGIFDFRIAEEPVRRIGMMNAATNHGSDGIKKYQV
WVDSVDFSSRTLSCRPAVGSNGNERSEGTVHSKPRSKNSQDGDESDGTFGVHFDQLVIAPGSEVNTFDTPGVGEHCLFMKSVSDAITLREKVLDSFE
LASLPLYTESQKKSILHFIIVGGGPTGVELAAELDELIHGHLLSIYPECRDLVSVSVYDVADRMLGMFGEKLSEYAMEKFRRRDVNICMGRHIEGFE
KGVMKVKEDGEVGFGVAVWAAGNKTSGLVEGMEGVKKDDAGKLVTDGYLRVIGEEGEAMNGVWAMGDAAGIDQNGLPATAEVAVQKAKWLAEHLTLQ
SSSSEKEGSSPRGKEFEYEQKALVAYIGRKDGVVDGGGKWTGKSAWLAWRGGNLQWTQSWRRKAMIMIYWVLNKWDGREIARR

>RCO7_05991 | related to papaya ringspot virus polyprotein

MPVNTSGRIVKTRKGKKGTMHQKNHRWESFTTKISKLNSLDPIRRVRRHDIDTEDLSTTTSYLRAGLDKWAELNMSEGFILFSREMSDLTESLPQII
YSEDKIMALFVTYMEKRERESLEPLLELLTDFAHDLGARFEKHYPKSLEIIISIAGMLQDVAVIEWSFTSLAFLFKYLSKLLVPDLRPTYSLMAPLL
GKQRQKPHIARFAGEAMSFLIKKAGAPAHRTTALPLIVKYAKDDLNSIQGTKEFGLYYHGIMTLFAEAMKGNGLSVHTTGPAIFKSLFLALEDSDLD
SSETHIWMNVICGVLTSVIHHGSSDTFPEILDVVLENAASAVETFEQDVSKQNLRHLLLSARTLGIAAGVRKGTRVRNWTGLLNAMALILKSITKNA
SFVIENEYADVWKYLILSISITFQYAPMDTLIGFISPAMDALTKDPLMKWFLTFCAYLSEVDADRFRSIALPYFKKFIVAHWSDENNGDTFSVLLPK
MVLTGVLPSRYGKDGFPLPRSWQDQIVSKFERLEVQPFPEQSSPYDRSPATWHDRCLPKYNALLEVLDCTVVHPATNARIAEILQRKLKLALRPSSS
LAPEEANFIVGRGFSSFSRMTKGAGAVDRSLEPLLRAAAPRYARLPNFLEALLAYETSIASSPEPKAASPTKDMDSDTDDDLLITSLISNLSTGSHD
LRYLSLRLLDHIYTTEHGTESQPLSIMIMVENSTLDPQAVRSASMHTRKLATMYANEPAESWVKQAIPSFYFGMLTVKLRELWDQVAASLRQIAESK
SGDEAVAKLAFEWLEKPSMTGHEHKSLDEDKNQGMTDFECSNLMKLDKLAEEADSGVAKSRDTMLQKFAEAQELVSAQPKAARAQALMVLSAATNVA
EKRSRLLVPMFLSWAKSSPEIDQADEEEEQRLSDWTRNDQKALLNLFAQFGNPKSLFRSEDVYNALLQLLANGDIEIQKSALKAIFAWKNPSIRPYE
ENLLNLLDEARFKEEIAILLQGKTLVQAEHRPSLMPVLLRVIYGRSISRKGAASGRQGMEARRLTILRNLGKDDMEGFLDIALGELANVQLLENGTV
RESLFDIEVMNVRKQVGFTHMIEGMLKELATKVVPIAGKLIDAVLYCVIYASRQLHDEPETAAESVAATTQISLLKVVRQTGLKCLVLLFNHAPDFV
WSPYMNIISKEIISPRLENLPIETGQGASVILRLFSTWAISPKLVFFLTTEMLSKVAECLAPPKSKDEVKRFVLKDIIQKIIGLSREDVAAEAPAKE
LSRKVKDEILTPSMDSFLIQIGSVLRTQGDMGKELLESCIGTVSDLAPFVTTSTQAQNLVDVSIFLLDQPTRRVKPKEKGALLVVLEHFVPLYDLQN
NPELKDRVYNTVTSLFGFFKDNASRQGLSRVLMVYAENDKVMGDVAELCMGLNSFLGNRLDEPDYDRRIKAFNKMNVCTDFTVRQWTPLLYNMLFYI
THDEESGILSSNSSDSLCQFISTAHSAQKEKDAFMALLSSVLMPALYTGARHESELIRREYLKVMAKLVETFPEWPEVSDMKALGAEPSIDDNESEP
SQSFFESILDIGKGRRPAALKRLSDAAESDKLGSKNVAHFLIPLLEHFIFDKAEGNDASQLASEASTTIGVLAGCLEWPQYRALLRRYIGYIESKDQ
PKQMIRLLGKVLDALSLDTPATALGDEVDVPEAMEVVTTDAVKSRLTKTMPKVEKFAEDITSNILPPLTTYLHDKDESTVSLRVPVAIIVVRLLKLL
PREQLTSRLPAVLTDVCHILRSKAAESRKMTRDTLVKICALLGPTCIGFVLKELRSSLQRGYQVHVLSFTMHSILVATTPDHAPGDLDYCLGQIVDI
ITDDIFGNTGQEKDAEEYTSKMEEVRSSKSYDSMELIASTATLSRLTDLVTPIRKLLQEKLNIKMVRKADQLLNRISNGLQRNRAADSRESLIFCYE
VIQDANREQKPNERKKVDHKLKKYLTSKGARRGLDRGSTTVYTFKIVRFAFDVLRAVLKKHDGLRTAKNLTGFIPVLGDAVVEAEEEVRVSAFKTLT
AIVQVPLVEEANWTNLYRVAAAEATKAIIESPQTDSDIAQAGLKLISNILRFRPDVKIKDTAVDNVLGKLRQDITEPERRNVTFDFLRAALDSKVET
AVVYDVMDFVGEQMVTNFDKETRIRARGAFFQFLSEYPQQKARWSKQLKFIVANLNYAREGGRLTVLELIYLLLKKTSKSSPEIFRQIATAVFKPLY
EERLNSEESDKCRVVACDVLREIFAHADPEQTNALLGILRNGIRSDDEDIVRVSFQTFRLYYDSNPSDDSDVSLLMDRISIIGTSAEDPGSDMGQIF
EALLLSNSLAEKFPSIMFSKSSSQSFWTIMRACLSYPHEWVKLSASKLFNYYFDDFARKNADTNFKLPLKGSGGLRFTGDDIQDLIRRTTYSFNTPA
FSNSATPELMSNIKYLARWAAANNLKWRNSQTAEDEEDEAEDEKEVSRTALRFLFSRLSFLLRKEISPPRLTTLLPRTNALALLQSLVLTLPTDSLH
PALQLIIQPLHHITDPNIPTPYSTDEAFRAGYEDMKTSAEALLESVKRKVGIEAYSEALLEVAKRVKKTREERRAKRKIEAVSAPEKAGKDKARKTE
RKKERRKEKGAEYQAKRHEQ

>RCO7_05992 | probable meiotically up-regulated gene 161 protein

MSSKILVLGDIYGHLQSTFTKVSSLHAKNHFSLAIVAGNLFAEDETAVDELLGGKISIPLPTYFTVGTTALPQRIICENLHYLGKRSTTKTSEGIKI
VTLGGKLDETVVAGLSKEQYLPYHTVGDAKALHGANSADILLTTCWPTSIRIGSKVVVPVGDVAPPTGLEHVADLCAALKPRYHFSTTPTFFYEREP
FFFNASQDSPDYKPVTRFISLAAHGPKSNPKWLYAFTLQTKPDPLAVLPAGCTASPFTARSKKRSALDPSPYSRYAPHDNGYHNKRQRRAPPGPGQC
YFCLSNPNLETHLISSIGDDAYVTIAKGPLTTSTTYAEHGINHPGHALIIPLTHSQTLALIPKEDNAKEKTFAEMTKFKEAMQTMIARDSGNKLGAV
TYEISKISGVHTHWQFIPIPAETISKGLVEAAFQVEAENLKYPPLEVRDPGIGENEGDFFRVWIWSPPTDEQPNGNTKCLTLPFDDNVRFSLQFGRV
VLAKLLGLEKRIQWKDNVQSDEEEKKDGEAFKAAFKDFDFTL

>RCO7_05993 | uncharacterized protein

MTCQKWQKEELSTLKWFVEKREVYFEGLAQKGKADTGIEGKWSWTYIAKKMQRVAGRDEWESNRQYDASNCELAWQTLQTRTAEVEAARTKNIKVEP
KEEFEINDETFLKIEHGSGDTVGPLPFESDTAIDIEASPEHAATLSRDASVATADDQHGPFQIRFENGLDHALEYRFDHTTNSYVVKPKATTPIDPS
YFDSKEFIKDERASSQALNSAQDAARSIVDDSPWASAPFPNPNKRKAESEAPSQFSPEESPIRTNARWEEPELVALEWLVGKQKEEQQTNFGRRNFI
WTWRTIAEKMNKVAVRDGWDMGRVYNAGNCSGAWHTNATRVPEGRPSVSRRVKTPKKPASRPVGRPPQFPRAEQQGEPMVLDTINRPPPGPDAGGDQ
APYHWLLAEREALHEVYTYSNIAENKLLTRGECRRRGRWTWTMVAREMNARSVGAPWYVGRVYDQSNCYNMIKYEKENFNLKDTQQPWGGDEEEKKE
EEDEKK

>RCO7_05994 | related to neutral amino acid permease

MSTSPHYVVEDKKDPAITHAGILESGHESDSVDTITALVLEDHQHDISLRTMSWQRAAWLLAGDQVCLAIMAQTWSLSVLGWVPGIVTMVVAGSLFW
ITSITMHKFIMKHPQIKDICDFGYYAFGKSRIAYEFTAFMLLANNIILIGFHVLTGAKVLNTLSDHSMCTVVFSVITTVIGIIMSFPRTLNHVSFMS
MFSAFCMGIAILLFIIFAGIEDSPLYGYGGSYPSQGPVKTYAFPQKGTNWIACMNAVLNITFLWVPQILFPTFISEMEKPQDFPKALAVLAAISTLL
FIVPPSIGFHYLGQYSTAPAFGSLGPIAYKKGSFAFVIVPTLVIGVIYANVTAKFVYFRILGNSHHAHSHTVKGWGIWGAIMVAIWAIAFIFAEVVP
SMGDFLSLLGAAFDSFFGFIFFAVAYWQLYKGKLWNGLGRGVLTVVHVFVMICGLFLLGPGLYAAVEAIIADYSGGTKPAFSCANVAI

>RCO7_05995 | related to mitochondrial protein

MASRVLLRQRIVPVATGAVIAGIALFPKNTLHAEGPDVSDRVEARKPIYDDFELPAAPSSSLPPSKQTTSEPNKAASPTPTDRLAVQIRKTRLFLHS
YLAATENKINELMDSALHLEDSFTSTVASLAPSPQSGEKLMPGTLYILVAAMTGSIVSRNRNIILRGAVPLAVGIGAGWVVLPVTMRNVSDLLWKYE
QRFPAIADGHIRTRESIEKAWRMARIHSRQAVDIVDDKVSGGRAVVEDWVKKGK

>RCO7_05996 | probable Mitochondrial intermediate peptidase

MLKSAIPRPWICSRCIGRQLAPQVRRNHVQAIPQSPPNGPIALGYKPARGQVSLDHGAPGSQHDDKTLGQIFDSPGFWKEYSQSSKSGNHAGLFQNR
YLTNPQGFEQFANISLAKAKRVVDKILAASSTEEYQHVVKDLERLSDLLCRVIDLADFVKATHPDRIINQAATQAYAMMFEYMNVLNTTTGLARQLD
IAIKTAGSTWGEEERLVAGILKRDFAKSAIDLPQGEKEKFVKLSQEILEVGSEFVEYMEPEKHYLEFKSSSLYGMDPMLVKAFTRWGQVRLPTIGEP
ASAALHTVYDENVRRQIFAASRTSSKNSLRRLHSLIVKRAELAKLSKFQSYAHMSLEDKMAKTPEAVDGFLQELSKDNRPRVETCLAELTAAKRSYT
KSPNPVLEPWDKDFYLSQILAAVPSRSRSSDFLSSYFSLGRVMQGLSRLFTRLYGIRFVPRENLPGETWNSDVRTLEIISETDGHVAVMYCDLFARS
GKSPNPAHFTIRCSRRIRDGEIQEAAAVADSLFQSAEQAANDGMALSQTQNGVMQLPIIALICNFATTSSTKKPSLLSFSEVSTLFHEMGHAIHSIL
GRTNFQEVSGTRCATDFAELPSIIMEHFAADPSVLALFARHYETDKPLPYEMVADKLALDKKFEGVDTENQLILSLLDQACHSSLPLNPSFNSTQTY
LSLQRQHGAMPSDPAGTSWQGFFGHLFGYGGSYYSYLFDRVLAERIWQEVFEGGRGGGALKQGNGERFKDEVLKWGGARDPWKCLAGVLRDERVEGG
GREAMQTVGSWGIERRRRNRSELGGSRL

>RCO7_05997 | probable tyrosyl-tRNA synthetase

MASTLSPEESIALIKANLAEVLNPEIIDNVILKEKRPLKVYWGTATTGRPHCGYFVPMMKVAELLAAGCHVKILLADIHGYLDNMKAPLELVEYRAK
YYEKVIKSLLKAVGVDLARLEFVLGSSYQLNKDYTMDRFKLEGITRINVAQKAGAEVVKQTDDPTLGGLIYPLMQALDEQYLDVDAQFGGVDQRKIF
TFAMENLPKIGYGVRAHLMNSMVPGLGEAAKMSASDPDSKIDVLDDPAAVEKKLKKAKCVPKEVEGNGVIAFVEHVIFRALALKNSKPTFTVARREG
EPLLYTSVAKLKEDYTADILTPQLLKAALTIHLNDILKPIVAEYKESPEWQEIALKAYPPEKAAVKVKKVKDKGDPAKRAAGAAAAAAAKKGGVVAQ
PDGSVEGADAEKVNVGPSTEETLQKLKVAE

>RCO7_05998 | related to chromate transport protein

MTRLVYQTPWQSINSLQRVAPEIWEQMKDDFARNWHLGFTAFGGPPVHFQIMHKKFVEENEWIDEQLYQEIFALSQALPGPASTKMLYTINYIHGGF
LGAILAFFLWCLPGAIGMYGLSLGVSRIGDTLPLPVYALLSGLNAATVGIIALAAVQLADKAITDKLTRLLVFLGGVAGMLYTRLWYFPALMAAAGI
ATLVWDYRLPHKLARKVWHRGSQSEVAGEEGVAEQAVAASSSQPNRTSEEEVPQSLRSRRGPLVTEQNSMSLTPQSSSLPHATDPDTTNRIVPREAE
LKLISWKTGMYIIAIFLISFIAIMILRALLKSPPRGVSLFANLYLAGTIIFGGGPVVIPLLREYIVAEGWVSPRDFLLGLALIQSFPGPNFNFAVYL
GSLATARASLPSFAGALIAFIGIFTPGIMIVTGVMGLWKALRSRRWLLSILRGVNAGAVGLVFTAVYKLWQIGYVDIENQTGDPLGRDPWWVAITAT
SFVGGAWFGLSAPFAILLGGGLGLVWYGVVEA

>RCO7_05999 | uncharacterized protein

MKSIFYVEIEHSSRLTKHLHSLSSVSMRPLVRSQLSPSSSRKHCSVQALATCWELLFATFGSSLCSSYAVRHEVASSTGTRPSTTPEVVDTSRFSFI
LDPSPALLLVACLILGFSISSFAYRRQRDDRYQSLIFVLAITTTPIFGIALGINASLIMLGLVPWTLCLAMMFSVALHWAMRRCSRSSYTRIRCCET
GEKEPIPLSEKQ

>RCO7_06000 | uncharacterized protein

MTTDVLARVRIMQPPLIARAGELRDYLGPHLVALTCGSMFASAIVLPSFATDALGVKGLYEITLGVFTSSTLSFGWIHRVEVKENGPLGLVLSLPTA
LIALFALRPSAKNLASYLPLSAAIAIMIIVHVVPRARNSFLTLNSHALGNFFRADHVSQRSGSDDASVGSSSIRSRGFPLGVLNQYTRSNLEPRDLE
HIGYRGDYNMAAINARWDALSISDTESGLNSGSSTTTLDESTNRL

>RCO7_06001 | uncharacterized protein

MSSQWRLDPMEAFPVSAKDSKIYDNDEEEIVTAAKTLLALKHSGQSSASSTAITTPSNARNLTRYTGYGDFCFGRKPLSGTPSCPKISGYTIYTDEE
AIGLRLESSYHLVSETGEFERTGSFLFLNLPLDVRLQILGLLVAPLFKYNSNTKKHILRLKIENDDPDILASYFDGGLEANLAGIARITLVNGNMLF
HGPRSWHEREIIYKCLEREFHRDSQPHPERSYPYRCNAQVEMLRLDPSRIDTDWLMIEHVRQLSNVSTQFRHELGSVIWTSIHLEIDGSDYSATSQS
FFAFLKERPAIHRSIKSIHIKLNCIDQGYYSLAHISRWCEYLNGKVELASLSIDLIAERKDLEHLVLGGGPLSHLLSVRNLTVTSEFKFMAYVCETK
LTRVGALYEENRTDYVHYLMGLQRRFREPIRQVLMPNTIRQSRLATKNMEEYRKARNTRHSSGRRSGAPVLPATEENGFTTVYNDLFWFRNPPGYID
RLRAAIRLEGAVGT

>RCO7_06002 | probable beta-glucosidase

MLWLSSSSLAIVAGLAGLSNAQNDGDLSPPSYPSPWMTGSNDWQEAYAKAQHFVSGLTLLEKVNLTTGVGWEGEACVGNTGSIPRLNFAGLCLQDSP
LGIRFGDLSSAFPSGMNTAATWSTRLFRARGKAMGAEHRDKGIDVQLGPVAGPLGGRPTAGRTWEGFSVEPVLTGVAMAETIKGIQSSGVVACAKHL
IMNEQEHRRDLDAGLNKQAYSANVDDVTMHELYLWPFADSVRAGVGSIMCSYNQINNSYGCQNSYTMNYLLKNELDFQGFVVSDWWAQHAGVASALA
GLDMTMAGDQGLASGNTYWGSNLTAAVLNGTVPQWRLDDMVTRIMSAYFKVGRDAVRVPVNFNSWSSETYGYLHPQANPKEGYQQINYHVNVQADHA
QVCREIAGASTVLLKNVNNTLPLKTPKSIAVIGEDAHDNPAGPNSCGDRGCNIGTLAMGWGSGTATFPYLIAPNTALKEQALKDGTKYANVSDNYDF
AAVTAAVTGTEAAIVFANANSGEGYLTVGGNAGDRNNLTLWGNGDALIEHVASIHPNTIVVLHTVGAVIVEKFKNHPNITALLWAGLPGQESGNGIT
DILYGKRNPSAKNVFTWGKKREDFGADVTYDFPSEPPQLNFKEGKLIDYRHFDANDIEPSYEFGFGLSYTTFKYSSLKITKLSPGAYEPTQGLTKPA
PTFGKIDFNASNAMFPPGFHAVDKYVYPYLSGDVLKGQPQNWPKGSSDSTAQPKVPAGGSPGGNSQLWDEMYSVSATVTNTGKVKGVEVAQLYLSLG
GPTDPKIVLRGFSDLELDVGQSDTFQVKLTRRDLSNWDTASQNWFISSYPKTVHVGSSSRNLPLTAALA

>RCO7_06003 | related to hydrolases or acyltransferases (alpha/beta hydrolase superfamily)

MTAPPPFSTPPATVQKQPTPFKASIPNQDIADFKQLLKLSRLPKETYENLREDRKYGVSRAWLQDAKRAWEEFDWKKSEAYINTFPHFTSTVTTSTP
IPSPSSPHSPSSKSTTHTIHFVALFSTNPSAIPLAFFHGWPGSFLEFLPILALLKEQYPNPKDLPYHVIVPSLPGFTFSSPPPLDSDFDVGSVAKVT
DQLMQDLGFGAGYVAQGGDIGSRIVKVLGDNHPSCKAVHVNFNSIGSPPSGTESSKLNEAEESMIERGQEFMKTGSGYANMHGTRPATIGAVLASSP
LALLAWIGEKFLSWTDDDPSLETILESVSLYWFTQSFESSIYTYRTRFLPSDQQPAQPKVRVPFGFSNFPKEIIPVPRHWAETEGNLVFYREHKKGG
HFAALEQPSTLLGDIEEFIEQVWKA

>RCO7_06004 | related to hnRNP protein E2

MSASPTAAPPQSTKRPLEDPSSPSAPNDQPEAKRPALDKIVKGEEEEQKAVAEVPEPPVVSSNGEPKVEVTNGLKTESKDSQGDTVIPDATAQSIES
TATSSRNTPAGGSHLQHDESGWIHIRAVITSAEAATVIGKGGENVSLIRKMSGAKCTVSDYQKGAVERILTVSGVVDAAAKAFGLIIRTLNNEPLED
ASGTQSKTYPLRLLIPHILIGSIIGKGGVRIREIQEASGARLNASDSTLPLSSERSLVVLGVADAVHIATYYVGSTLFEQLSERFGGPAASAYASRS
GGPAGVVPGGMQVVPYVPQPAGGNYGHPDHRRNDRGAHHTPSHGYSQPYSAQGGPSQAQGATPMHYGGSPVVGGYGGVGPQQPHQPQHGGFVQPGPG
GPGGPAAPVVPGQPLTQQIFIPNDMVGAIIGKGGAKINEIRQLSGSVIKINEPQDNSNERLVTITGTAECNQMALYMLYSRLESEKHRI

>RCO7_06005 | uncharacterized protein

MEDTKASRNASSYSTRLDKTLKTLQARVKEQEALLEELRASATTLETEPSVDPKSHLQQLRALKAAYELLLPSQPWLPPRDSLVPALLALRNSDKVA
TETVEAIAQNEIQLQDTRLQLEKEQGDLNDAKLMRAEMEARISTLEEQINQRTQQSPAQIAKEMIQAMEKRKTSYDVETGKLVKAFNAFIDDHLAAM
LAVEELGGPIVGEVTDVDEEMVEGGFSTQGKPKKAKPSGDKRQRRIDQIWGPRPAHDDDSQEPWDEKRAAAAEMRDLTEELLNSLVDTEGNGPGAYV
DLQRESAAARFLVRSKVAQFHPKDARKLRLIDFGGELDD

>RCO7_06006 | uncharacterized protein

MVSTLTEIVCLVLKPGINITGSSDAAKTWDECVSLIQSQPGYIGSTYGPTMEDPLMYEWFIDWTSATSREAFGRSPDFMPFKTRLESFNASICCYHV
PFNLAATIFTLNFPVVQLVTFFAVSPQMLSNVREFITAIGRSDQCYGGVCGESLESNIRWSGDGRRGTVVALLIGWESKESHTAFEETDVYKESIEL
LEEEGVAYKGQETVHVHFKMAIDFEGLI

>RCO7_06007 | uncharacterized protein

MSQLQSPPQPSLQHQANKRHQACTCCRQVKLRCDNAQTFPAACTRCRKNNLQCQVDPSFRRIRTKNRLNEVTQELSTLQKKLAERSASEVGQSSNDP
ISDSTPQDGEVPSDDDFYFVSSLKDMPHPAPYMGDIELKTIQIAALFEHFHEQYNRHCPILNTNMSIATLFSHSPFLFWTIVMISSRHHPTLAFLCD
ALTETYRNLLEKTLMAPLNTLAPIQAGILLCVWPLNPEKQVYDPSWNYCGLVTNAAIRMGLHRSGGYRRENISPSEFRAQSKTWLACCFVNYSHMWQ
TGVCLLPEVPNMLTTIPSPHSKMEKEFLTRNSVLRVYAKTTAVLGNLHENIDVTFLQYLCKDLDNIREANKDIWNPEADIILLGAQLCIYTQHLERS
SRRDQRKFTSAETDSSTDILANIVFGIASRLITTFTSPSSLILPHVPKHYFQMLLLASTLILKLSVAYPGIIGKMEVLVQNLIAQSFRILDSWCVRE
GDEYYRAARLIQALAQAQKKHQLKMKEARNALGSGITVLRDAIVTHRALRGEDEDEGPLERPSTQVRDFGVIENLNEQVVRNLDAGVEDGMHYGDAM
AGLDPTAWEPRLQDAFSDWNLPWGWDPAWSQDFGIDIDENMYL

>RCO7_06008 | related to SRC1 - regulation of cohesion (Splice variant I)

MSDTDSLDYLQTGFDPSTLTVPRLRSILVSHDVPYLASAKKPQLIEIFNDQVLPQAKKILSIRARARRTSRGITDADSQDSTVDDDEDMMPPPPTPR
ARSSRQASLRYRSEESESDAPVAVSSPTKRTPRASNAKRPRASESETGMDIDGARKSIRKTRKSEASTAVLATAPPPRINSEDYEDRPRTSRRESGF
TNDNPFQSGSSPLTGLVSTEKKRKSLGVVASKTPRKSTSGARRRTDGFQADADEGIHPPTSSTFEIPVSRMKGLVDVDENGVEASEEFTPEEQLEIE
HDLAVNGMSAVGPLRPKRQQRRGFSLKGPLMVAALTVLGGWAGWYRSEKVAVGYCGVGRDPTPVIPAGVDVPDWVRILAEPQCELCPQHAYCSENLE
THCEADFVLKPHPLGLGGIIPLPPTCEPDGEKARKVKAVADKVVDQLRDRRAKWECGSLTDEAGLPEPTVEISTVELKKDVMSKRKKGMAEGEFEDL
WTAAIGEIQAMDEITSVVDGHRHLISSTSLIKIPFSCQIRRSLRLTLARYRLEIAGLLMLTLFSLYLRSAISSRSLSNAQIPNLVSLTLDRLATQAA
LHAQDKEAVPENWISIGQLRDDVLRDEHSIRKREALWTKVRAVVETNANVRASQREGRNGVISRVWEWIGAVPSLESGGERRRKSGRVSWGVYDDRS
SPVSGNDGGPQIVQNKWEESRPIY

>RCO7_06009 | uncharacterized protein

MAYNTYNQAPFWHFVRSFDQRGEGVDHSAPGQASGSHPTPPPPPGAYSWGAPQELFGGFPGEFRHPFGGPDFGGRGGRRARHCRREGSGEEESRSRT
ASSSGDQAEGEGPVGAGEGHRGPGRYGRRGQHEHSEGEAGDGHEGRRGPRGFRRGRGGHRGGWGHHGRRGPPPPFGGPGGMGGFDLSGLFEALNSHP
VGQQPWAKMLRQYAQQAGFAGEGQRSGETAGPEEAENTFTPPIDVFSTETAYVLHIALPGAKKEDVGVNYDSDKGELNVAGVVYRHGDEEFLKSLSQ
SERKVGMFERTVKLPPAHEEKEEVDGDSITAKLEDGVLVVTVPKIEKDWTEVKRVDIK

>RCO7_06010 | uncharacterized protein

MRPNRFERRRQAAALGLLGSRTNNRWFQGPFDQHDQFQTGVIRPGASADAPNTIHIVHDGLSDISPLSLPPSALPLVSDNACRVSRLDPEAAAFAPH
TIHVKYDGPRTLPPLPYRLSMPSDSVGQDNTPLLLQYKTQSRESEKPRTTPNPSKSHTTYLRNRRNMDQKVKVVVGNSTNDKTDNAVALADSAAIMV
GDKAGRRTTEVHVQEQDMTLALYIEKTKQSVSPADKTAQVWDYVAGLDGPSSPPESFKDFLKTRANTAISGPTSRPADDPKPELVDVLRLFERFRKS
TPRCAMFETNHRIMELPGNPHTLWNIATVAKDCSDRYKRTRLALIQALEQFLKAEKFVSQTLGYKIDWDRVGVDKHIGGTVMDAENHIHRVMLILHD
AEARLQSCTYNGEWNDGWSHIPELKGKANKIRCPEKTFEERGDLPRGWETWMVKIRKPQKENGV

>RCO7_06011 | related to galactose oxidase precursor

MYIQTSFAALAVSTFALGTAAATTRAAITICPSYEIASTGSNGAQFTICLSTDFEGLSVQVIRDVPTLDGCVRICSDISSCTNAVYNHGSRICHIKA
PIGKLKWVQNANYHVIRMNNDATIPPVVVTPGPTTAPHAPSITLPVPTTVVQVPTTKPPVPTTAAQISTTKLPVPTTAPQVPEVVTPVPENPWVVVE
GENIAKCPYTLATSNYGAKKYTTCPGTDLKGATTHLIKKIKTVEECARICSTTTGCVKAVYDKTGLACHIKAPEAKNTLIWVVSKRYSVITLTTVIN
PAVSGRWGNLIRLPVIPVAAYVVPQFPESSRIMVFSSWGADAFGGPGGLTQFADYNFKSGAVSQRAVANTHHDMFCPGISALGDGRMLISGGSDSAA
VSLYDPATNTFAKGPDMKIPRGYQTSVTTSEGKIFELGGSYTGKRGGKTSEIYDPATNAWNLLPGAKTDKMLTVDGEGVWRTDNHAWLFSWKNGSVF
QAGPSRAQNWFDTKGTGSTTPAGIRSGGDAMCGVNVMYEPGKILSTGGSQSYTNSPAVALTHITTITEPNLPSRIEAVPSMAYPRGFANGVALPDGS
VLVTGGQRKSLVFTDTDGILFPELFNPATKTWTTLAAEAVPRNYHSVSILLPDGTVFSGGGGLCYVAGGVGSKTTGCEKSVDHADGQVFSPPYLFAK
DGALAPRPVIAKLSATTVKVGGSLQVSVSAGGGAGAGAGAKLVLVRMGSVTHSINSDQRRVPLVDVKVAGDLYTATLPNDSGILIPGHYYLFAVSAT
GVPSVAKTVKVMRN

>RCO7_06012 | uncharacterized protein

MPSQRVWRRVKIILGVAIILFASAFLLTYSAYPSPHNLVPSSSSTTGETTSTSDQQEDPDVAKKKAVFIQQASEWQIDGPYNNTALTKLCAKQKWVT
GLQFKCAAAYGGIGNIRNIVLTCVRFAIEAGATTILIPEIIVRGTDLIHLTDGEHVPFTYMFDLDVFKSRLTTACPKIRLVSNEANLAEFPSPIIRN
LTPRKLGTEFKVGRVIDFLPAWRGAFDTWVKDFAAPTGFGASKPLLIHLQPTFFEYPILHDEPEFIATFGRILEFRKDVRRLAAVVTYALDKKYKLE
LNPGAAGVPAPNKYYGAHLRTDVDALAANFASYREQSSAYLKGAKEHNLHFIYLASGSKNDIKRFTRDAKAIDIKVTTKNALLGGKEYAAELEEMKK
LTWDQQALVDFALLSRSSHFGGTWASSFAYNIAFQRHVAVENGTWTSSMTALAQRRDKHVTAAKGTLSDKERLVGRDNGVTTEFASGKDDPRRLLKG
EDYKDAVSTIYGPPLMGVWFELSMWP

>RCO7_06013 | uncharacterized protein

MLADPIVAVQRDDFVHAVTEANLIDCRSYHTVTAHPGAAPAALPARGLGRPSQVRLAAEGVFNQQAAAYAAALAVWTAANPDGEAAGEPDAPNPDMI
CTHERRSPLDNPALVSFTEGWARTQVALSFVNDGELNERAGTFRHLMVTYPSATTLGGKSFGARSATRGSIYSPANKLVMFTYPLSHSTEDAGEDLV
VADGQSRSCFMIAAMWNVVRDLALTELTLDWDGGANEPKWTTWVAPTVDLPKPATTFNVNILNPGLPGGGGTITFTM

>RCO7_06014 | related to hydrolase related to dienelactone hydrolase

MTCEACKTIPPVVAEGYTEKGEWEDVGGLKTYVTGPSTAKSAIVDIYDITGFASQTIQGADALAAALNMLVFVPDFLRGDHAKGEWYSNPTPETDKL
RGELFSRVTAFESYVQSVRKFVEEAEKKWEVERWAALGLCWGGKVVANASGSGTKFRVSGQVHPGLLSVEDAKKISIPHIILASKDEDASEVAKCKQ
ALEGKGNGFVETYDTFHGWMGAKADLGKAEDVEWYEKGYNQIASYFEEHLKT

>RCO7_06015 | probable adenylate cyclase

MARRDQDARNSSATSSSTDSWKSTETIKGPLPSIPSISTTSGSSLFRGPSRRGNGNGNGNGMTVNTDARNKPETDTQVSPTTTAPRTAIATSPSSHS
NSSPNVSPRDHRMSDFANYRRDLAVLETGGGAIPKIQHNPPTALDSPNQIAPWMSTNGTVTSPSSAFGTTFYNDSSDNLSQGSQLSPSFRPGTGLTG

NTNTSDSPADLYFGDERRPSVASVTTASSVGSKSSTRHGIHKKLQTFFGEDFPGRDGSDSSLPSHSKDARSHSFARSHRERNHSSATDKTQRDASPG
ASRPRTPIPSSDVVPFLYQDSQDISKYGEAPVREKLSGPDKGRYTGEGPPVPPKTSSSSRSGHVHLPGHSHRHNKSHEDPRTLRPSLSRENSGLISR
HGRGAPTSMGIAMGNASSTSLPKRSNSPTPSNWSAKPSKPSTTDGSTSPNGGTKRRLLGRFRKHKDKEEPQSRLKEMPGSTRSFQTPPSITKSYGSS
EFGQWTREGSVGGSEQSLLRSDNAQYSGSRPSGSRQGTFTKLPFRKGKSKAADDMEQSIDPNDKRVAMPGSIFSLDTNLSNMEGILTKPPPLTPLDN
NIFVGNVDDEAKIEAESAGGMRWDAPDSWAVKKVNDDNMSRLDEIDDTGIPPKADENAAPYCIRIFRVDGTFVTLSTSLNSTVTDIMNQVGKKTYMT
DSLENYQIVMKKHDLQRILGAGERPVVIQKRLLEQAGYEENDKIEDVGREDNSYLCRFSFVPARESGYASVTNDPGISRVQKYSHVDLSGKNLITIP
ISLYSKASEIISLNLSRNLSLDLPKDFIQSCQNLRDIKFINNEAWKLPPGLSRANRLTILDVSNNRLEQLEHAELSRLQGLISLKLANNRLGSLPSY
FGGFKSMRTLNLSSNFLDSFPEFLCELEGLVDIDMSFNSIASLPDDIDKLKNLERFVITNNRLNGSLPANFGELLNMKEVDVRYNALSSIDVIAKLP
KVEQISADHNSVSVCESEFTKIRVLRLNSNPVTKFEILNTVPTLTTLILSNAKLAHIPDAAFDKMPNLVKLVLDKNHFVSLPIHIGKLRKLEHFSIA
RNSLSSLPAEIGCLTELRFLDVRENNLKKLPMELWWANKLETLNISSNVLDNFPKPASRAPHVPGELPTPPQGTINGSPAQNSNDSSFEELGPLEAF
GQRRPSQASGGLLSVGGSPVPGGADRKNSLVSVYGKGGRKTSVVSRSASQDTIQTQPTILRKDSGLSARLLNTFAGSLRNLYLADNQLDDDVFDGLI
MLGELRVLNLSYNDLNDMPQRTLKSWPQLIEIYLSGNELTSLPSDDFEEFSLLQILHINGNKFQTLPAELGKAHRLVILDCGSNSLKYNVSNWPYDW
NWNWNTNLKYLNLSGNKRLEIKPSLPGGAGGRDGRDLTDFSALQHLRILGLMDVTLTITTPPDETEDRRVRTSGSLAGQLAYGMADTLGRNEHLSII
DMVVPRFNSTETETLLGMFDGQALSSGGSKIAKYLHENFQHIFSEELKKVNLTSNETPADALRRAFLSLNKDLATAATQHAEERSLLSHRGSAAPAV
LSQADLQSGGVATVMFLQQSELYVANVGDAQAMLIHSEGSHRILTRKHDPAEPNERQRIRDAGGWVSRQGKLNDILEVSRAFGYFQLMPAVQAAPHI
TQVTVREQDEMILVASRELWEYLSPEIVVDIARLERGDLMRAAQRLRDYAIAFGATDKLMVMMIGVSDLKKRAQIRPHRVQSLSFNPGAIVDEGYAP
TRRVKKKETVEDSGLRRLQAEVQAPVGDLGIVFTDIKSSTLLWETYPSAMRSAIKLHNEVMRRQLRIIGGYEVKTEGDAFMVSFPTATSALLWCFAV
QQQLLEVQWPSEVLSSFLGQEVYDNDHNLIFKGLSVRMGIHWGAPVCENDPVTRRMDYFGPMVNRASRISSVADGGQITVSADFISEVQRCLETYSE
SDRSGSTGSEDAFDNDLLSQSIRRELRSLSSQGFEVKDLGERKLKGLENPEYIYLMYPHALSGRIHYQQRLADADKLTTVEEPASLSQQTQLSIDTD
CVWALWSVSLRLEMLCSSLEVPKGQNVALQPAETAMLEKMKNRGGEVTDRFLVNFLTHQVSRIETCISTLATRHLAAGKPRLTELNQLRAPMEEVLA
SLQDQLKELARYKARFGDLPPEGSLPSGRRSSSAPRRAKRLTNA

>RCO7_06016 | uncharacterized protein
MEIPGGRARGRGRGRPWGRPRGGGAPASRPVGYIGPPEISFTRTRREWGRAQEAYAKARQDRLTHIYRTEVLHDVEMLKKPWSTNSTVIATTDRNPF
DGQEFSQILAAEYNVRRTQELPLEWLKQYFVTYMRDEDESRLTAQREEFNNTHLVAWGDDKILIDPLEQLYKACYGQDTRDDSLLRTPNSPLSSLLW
SYDLLKALRVRRRFADGGNLKVSEAPLPDGSNFEPHNHFLAASWILHRCYIRLLHQRSLHVGSSSVGEKMLKNILSILVRFLDLETRSVPYNPEFEQ
QNLPEFNRITSLYRQLLDALTSIGFELQIERRQGFYTGEETLFFNATTSLEEIMDRTIPASLRHRHLWGDLFFQHDEFNQAMAFEHVEDKRIDKQVV
LVDEKYKVFESLRTQGNFFSPVEVEIDPIPELTDEEFEKNSIPQAYTAKIAEINQLRRNLLLLRDWNQKRPWKQLYCPYKTAPGGDHGQDSEDPMVR
GFHEDITEFHQHLAALHATYPQQDPSSFNPSNTANVFSSLFTVHPVASHCIPPEMQQDDWDAGCIVCMDEFDGISRKMMVQLFCNHYFHYTCVRGFW
DVLDKGSFRCPLCRQNDWVLKEQAGITAEVNDVFDYEELMGRQNGTYDFNQNATYYAKESELRAMSQTYLSSRGYPSIEEIPNTRRRRYVYNGALGT
NRIPEVEMAIVREYRRINDRRRRFDIEQQNDGISGLDPPDPNPDGVPPPHMPALNTFNPDAQAARDRAAQEERDRLYLEAASDEDEDVDENVDQNFR
FEPMGPMDGVQGPGEGL

>RCO7_06017 | related to high-affinity phosphate permease, phosphate-repressible
MFLWGFRWLKPFLSPYANDDFEHISESDRRSYIFRRLESAEFSEWSWIVIVAGVGFFTDAYSIFAINMVMPMIDIIYYDGKMPHNYGIAVGVVTLGG
SIIGQVGFGLAADIWGRRKMYGLELIITISATLGVVMASNGSNGSMSIIVWLLVWRFLRGIGIGADYPLSAVICSEFAPTRLRGRMLTLVFACQPLG
QLAASLVSMIAIFRQRNSIPKGSTAYTHLAPQNCNEECKITIDSVWRWIIGVGVIPAVIALWFRLTIIESPRYTADVGQDSKKAASELHRYLLMQAE
PAGVTSTSINVIRQDMEMQRRTSSGAVSGTMSEESGQESRPPSPHRITRVEIPGGDATIKDHTQETVHVFSPLPPSAMSENGQYFHNISSMQHGLDT
VISPFERYDPFGPHTDQAIPILAPPPPSWQDFKQYFWHEGNLRTLMACSFCWFCLDLPFYGLGMNSPNIISVIWYGKIPQPTDIYTLLVQDVWQSLI
IVSLGALMPAELFPTRYRGLCHGISAAFGKLGSVIAQLFLAYINYGHGVNHTQIERWLPYSLLIFSIFMLLGLITTIYWISGAEHGPDGTVKTLEQW
EVGRPTPNGFSTTRSARTFEVFWKSLARLWMGIYLFIDGFAGGDARERRDMKTEEKENREEAERMRELDEVVEEDSNGGAGGRLVGGQEREDRGPSP
FVSGSAHRN

>RCO7_06018 | uncharacterized protein
MSFGWSAGDVIAGLKVVWDIWEAVSDGPLNARFEAAQFFDEFIHVTSRLAELEARRIACAKDDRLQRSHQELRDQCTEFIKKHMAIIQRVNPNTKAI
RSRCSTWIQKASFTQEQMFALYQQVQWPSERKVVTRLREKLQFFLEIAALDVGMDTNSMVRDIARDIGSSRASQADLVSTNLRLVSSHLDLVSQVAR
NLKLITYPLERGNQVKEIDYPILRQFEQALQPPKPIGAIEDRSHIVQLPWQTRPRLAENEYAAVLPPKTRNQDQGVFPHDEGSGLISRRLENLSMRV
MRRVETMDSISELESSENSDPSVFQLLRRLQDMREQIAEAARRKDRKREVAPGRWYFSTSGAISTNTNTIAEIFGFLIATNIFIRRLVSIIIRKSRP
EQNLLVILSKSTKTIVSQQNTFDIITFAATVICPRTPACSIVVISRLSKTIDIASLDGTVKFKHSVDPKTPAPVETSMKPFLDNSHIDKSYKLRVQF
QGSHTLKITKPNEKAVTLPFPPKYRFLNIEDHLDFQFLLLNKRVVYCADVQHIKSTDKDAQCRLGTIRILLDEFSRTRHILYFRHTPDQKHGFVEWP
VNLFKTLKPISRKAKFLTLESIDGKALFLAKSLSRRSTQGSVATIASFELSAGPAYARLDQRAGGGKLRGLLIEFNEADDCLGFWTEFSKKEVDFSE
NGLGLGPPAMAVELPA

>RCO7_06019 | related to HEM14 - protoporphyrinogen oxidase, mitochondrial
MAPQLPEHVVVTLLRRCYLTPNCQASRLRRHSLCIDYARALHTTRPSTRPLHRQAARAGTLIRSSSKLTEATDVRQLSTQTKPSKKKLTSTEDKQLW
AAKTAAAQNGGRGRKAEAARIAVLGGGITGLASAHYLVRENPNAKITIYEESARLGGWLRSDYMDVDGESVLFESGPRTLRPSTPAALVTLELVQEL
GMEDQLLMTSKASEAHQNRFIYYPDRLVKMPGPGQDTFDMMWRVLTEPVFKGLIWGTITEKVQPTRPDSMDDESVGSFLARRMGTENVGDNIVSAVL
HGIYAGDIYQLSAKSLMPQLWHYEAWKGTLVDAMMTKMSENIDLMSQRDEQLKMDLNPVINETVREAMSEASVYSFKEGIGALATNLEKALKANPNV
EFKMETGVTAVDYDGEKDGIKITIKDGKPATYTKAISTISSRILSDLTSNSLPSLAQSHSVTVMVVNLYFKDPYVNPERGFGYLIPRSIPFEQNPEC
ALGVVFDSDAVRGQDTASGTKLTVMLGGHWWDAFDGYPDEEEGIAMARSVLARHLKITDEPAATRVSLQRNCIPQYTVGHESRMQVAHLDLQREFKG
KLAVAGNSYTGVGLNDCVRAARDLVMGMKRGTLDTGLEDMGSKDLYIQLPLPGSREV

>RCO7_06020 | related to nuclear poly(A)-binding protein
MSIDFAMDTPLAQALNSAIQPKLVEVGWSSGGGDESQLAEYILLMLANNKTQDQIAKELSSDLLGLGPDDPGARDFSQWLFQQIESSNNGTNGQIIA
DTDAQANVQDAEMGDVSEAGDGKVPTGPKSMRDGTGTSRPRDKRMLGHLAKAMDRTSESVLHRVRPQNGNERINSHSRGPPTGPRQQAPGRGGVRNL
NSRMNGNPMGGMPMGQGAAAQSIMNMSQAQQMQLYQMLEQQSLLMASMMNPQQAQTGMGRGGHFGMNHNNFSQQQPGRSLFDRVQPHQRPHNNGRQF
PQNERFGAQAQAQTGSEAPPSSMDVEMSSQEKKEMDPENTKCRFNLKCTMPDCKFAHQSPAAPPGAAIDFGDVCSFGAACKNKKCVGKHPSPAQKIS
YQTVQQCRWGADCTKVDCPFVHPTACRNGADCKVPNCKFGHTKIECKFNPCERPSCPFKHVEGQKRGKFEDKVWTADKKKEHVSERKFVEEGGPEEL
IIPGQTVSEVPQAATVKDEEVIS

>RCO7_06021 | related to beta-hexosaminidase precursor
MFRSKYLLLLLTAQALAIWPAPQSITNGTSVLWIADSVKVSYERGGSSLTSRRLFSRGDATDSDFSSRSIVKAAITRTLDTLFKQSFVPWKLVPRNE
LSKFEPDKNAKKQYITNLIISQTGTDNSSTFKPLAGQVDESYTLDIGTDGVAKLTAVSSTGVLHGLESFVQLFYKHSSNCGIYTNMAPISIQDAPKF
PHRGLNMDVARNWFPVADIQRTIDALSMNKFNRLHIHMTDSQSWPLDIPSMPELSKKGAYQTGLSYTPNDFKNIQTYAIERGVEVIVEFDMPGHTTS
IAYSYPDVIAGANAKPWATYCNEPPCGTLKLNSPAVPQFLEKLFDDVLPRVAPYSAYFHTGGDEVNKQVYLLDDTVKSNDTAVIGPLIQKLVDRNHD
QIRKAGLTPIVWEEMALEWNLKLGSDVVVQSWLSEASVAAITAKGHKVLVGNYNSWYLDCGKGQWLNFAPASFAQNYPFLDYCSPVKNWRLVYSYDP
LSGVPANETHLVLGGEVHIWAEQTDPVNIDDMVWPRASAAGEVLWSGRQDASGTNRSQIDAGPRLAEMRERMVSRGIRAGPVQMVFWDGDWRLKGKS
KVFMDG
>RCO7_06022 | related to n-alkane-inducible cytochrome P450
MIEEILARVSLKTLLLAAIAIYSLVKITTWTNTDRKIRQLGGRTKRVNVRFPLDLDLIARAVKATMSHKNLEAWDYWFTSSTGERVYTVEAKPVGRR
LIFTADPENIKAILATQFTDYGKGEPFHREWSDFLGDSIFTTDLDQWHSSRQLIRPQFVKDRVSDLDVFETHVQVLIQQIVNGGRGYDETSKGGEID
VSDLFFRYTLDAATHFLLGRSVGSLELPEQEFAEAFGEVQRVQSIIARAGPLCSFVPRASFKKGIKTIDEFVNPFIDQALSLSQDELDTKTKSEEGY
TFLHALASFTRDRKVLRDQLVAVLLAGRDTTASTLSWTFYELARHPEVVKKLCNEIENVVGLDRAPTYADLKGMKYLQNVMHETLRLYPVVPFNVRL
ALKDTTLPRGGGPDGLSPIGILKDTPIGYSTLIMQRRPDLTPPVPNPSNPQKPITVLDFYPERWQTWQPKPWTYIPFNGGPRICIGQQFALTEMGYT
IVRMLQRFEDVENFMGGVDGGNPCLKAEIVLQPGQGVRVGFRERSREKKSFDLI
>RCO7_06023 | related to ARO8 - aromatic amino acid aminotransferase I
MTPPSAIGNTFQPEAITDTQSAVLPNPLTFKAIAARRVKAGRFVAGTAAPTSSDLFKTPDTGKPKAKKWDHYLTTEAKARQPSSLKAAAKYLSKPGL
ITLGGGMPLAENFPIEEISIKVPTVPHFSEAETQENGTVLKAGKYDVTKTDNGTYDLSIALNYGLGMGSGQMIRFVTEHTEIVCNPAFADWQCALTV
GSTSALDLAFRMFCERGDFVLSEDYAFASAVETAAALGVGFVGVAMDAEGLLPDSLDDLLSNWDEKARGARKPFVLYLVPSGQNPTGATQSFPRRKA
IYKIAQKHDLYIFEDEPYYFLQMQPYTGPDSPAVPPPASNEEFLESLVPTYLSLDVDGRVMRMDSFSKVIAPGTRVGWITASEQIVERFTRANECSV
QNPSGISQLVLFKLLDEHWGHDGYLKWLINLRMVYTQRRDVLLSACEKYLPKEVVTWNPPAAGMFLWLKVDWKQHPHAKTKTHAEIEEEIFLAAVEE
GVLICKGSWFTAERDGFVQAEMFFRATFAAAANDQMTEAIERFGVAVRLSFGLK
>RCO7_06024 | uncharacterized protein
MEPELSSSGGRSTRINEPKFCNVNLIIPEINMLELTVLGDDRLLDLLQYRASTSLWEQYKQGVGEELGDAGFIERGMRANDLRSDLTISHRHWLNIY
TDDEKYVERRRYPNKGQYDDSYALFSGPATSGACLPTPIGDFVLKRQHHTIISLIVIFNYILTIDTAYRTAKADLTNSTAVSSEAVEQSTKLLSFLS
IAALPQTLTLNDIVSGALDMKSSREEILELCRKDSTVLLYMATSWLFSRPELVKDDKGQCLSIIDDSFNSQYIFDMAKDMVISVATWEYIHRLLLLI
NGQPVDGTLRAIAVQELSNVCDIEHRRSRRQLIHSLRRGSCAKYLVRIPVAWDDGFPLVKVKGKPDLKKEPQDNHLLSLCQKSDAAESIAHVRKVDE
LHRSDPANRARMHSSGYDALGNLAATVSFIIDVRAVIPMPDKSGRKNQIYLSRSEALTSELESVREAIDLSAFVAVIAKLNDDNNARGTWQSLDATI
LERTGTTLETLYEDLIDQCMEDIHRYHEQQQTKSAQKKTVPQPYVPVTEISSSAERIEQRREKDKSRPAHSSFFHASVIPAEELEEEEVEPQVFRVK
QDTLNTFSVLFPRDGKRGSIHWTAFEAAMADLEFSVVPKFGSVYTFLPPASMGNQKSLTVHRPHQPKIEGHVLLAYASRLRRVYGWVPGTFELG
>RCO7_06025 | uncharacterized protein
MYFSGLIPVMVLGLSAMTSALPGLDTRSPALSNRGEGSSTTESLHVRSPVGQAGDRCTPGKVGDCASGLFCVTSRGRSTCS
>RCO7_06026 | related to polyphosphate synthetase
MLLGVAAHGQQVYPNWPFGDAIPSTMQEKLGVLGPLSQYLHAPAAASSVFAEHSTGSIVAPNSDGLHYCTAPASHDIRTVPGRRGELLHTVQAQTQL
RSIFTLQSSENDNVPMLIVEDLKTKKRHWQSRASAIGTRGRYRFGPGLIIMKFGEQLRTSVIKEYEWCYIDYDKLKNLLKTEWEVAPTKAKPKGKRK
AWIEAMESEFINTLELELDKVHTKQKVRAIEIGRRINNSEKEVAEVVARLDSQGPVGSNGQNNNGDAPTEEEFMLLEEDLSDIIADVHDLAKFVQLN
YTGFQKIIKKHDKQTKWMLKPVFATRLKSKPFFKDNYDADIVKLSRLYDIVRTRGNPVKGDSSAGGSQGNFIRNTTKYWVHPDNITEVKLIILKHLP
VLVFNPNKEFEMKDSAITSIYYDNTEKWDLYEGRLKKTEGAEALRMRWYGGMDTETIFVERKTHREDWTGEKSVKARFAIKEKHLNAYLRGEMLPEA
IFEKARKDGKKPAKQIDEDERLAKEIQWSVLKKGYKPVCRSFYNRTAFQLPADARVRISLDTELTMVREDNLDGRQRAGDNWRRMDIGIDYPFSQLP
AEDIERFPYAVLEVKLQTQAGQEPPEWVRELIASHLVEAVPKFSKFIHGTATLFPTRINLLPFWMPQMDVDIRKPATQHFGIRRAPHSNPDSTSDDD
DYDDDDDDSDDEDFDEVSPATTAMGSSDEHVNRLRQRGYENRDYDQRAPGNSLDIEEQMGEQPLDLDDAYPLYDSDDEDNESDMLEAARQVGGWTYY
SQFIKSKSKLAAYKVVNTFQTFRRPHSIPQNGNGGLPALDIGKITSKRFKAPKGKKIHVLVRVEPKVYFAAERTFLSWLENSIYIGTIAVTVLNFGE
KPTRVSFIAAFAFTTVAILSLLYAVGIYLYRSQAIRSRRAIKYYDSFGPSVLCGTLFVAIVLNMFWEASSRGFLGKGVRMNILEEL
>RCO7_06027 | probable DNA replication licensing factor mcm4
MSSPSHRRQRSSQSGTPKRTSKRSNVPSSPPDAAAAQLQNEAASSQGTGTGTPRRAGAPPSSSPMNYRSSPADIARMNRERDVSSPLRQMTNTQTTQ
EDGERTPRATNSGLAGDSSPIRYAPSSSPSGAGFNTRQQTIMSDIRSDSSALFVRNRSAGPGSSINNSRRGDINSDNINTPRARRRIFMDESGRVVR
DIPAEGSEAPTFSNMDPTTSDAQAMGGSSTRCIWGTNVSINDTLAVFKEFLRNFTKKYRMWGDGLSEEETDADPDAQTKEYVQMMQNMLTLGVTSLF
LDFRNLKAYPPTKKLWQQAQDYPQDIITIMDQGIKDVMYELAEAEMAKDRQSQVSAGQISSRSRIMSSEPPVPSSDRSEQEVSTPRDQDSNEVDLCQ
DVQKRSYRVRPFGLDETINMRELNPSDIDKIISVKGLVIRTTPIIPDMKDAFFRCQVCNHTVKVDLDRGKIAEPTRCPRPICDSPNSMQIVHNRSAF
MDKQVIKLQETPDSVPAGQTPHSVSMCAYDDLVDLCKAGDRVEITGIFKAGSVRVNPRMRTLKSTYKTYIDVLHIQKVDKKRMGIDVSTVDQELSEQ
IAGNIEQTRKVSEEEEEKIRATAQRSDIYDLLSRSLAPSIYEMDDVKKGILLQLFGGTNKSFEKGGSPKYRGDINILLCGDPSTAKSQILQYVHKIA
PRGVYTSGKGSSAVGLTAYVTRDPETRQLVLESGALVLSDGGVCCIDEFDKMSDATRSVLHEVMEQQTVSIAKAGIITTLNARTSILASANPIGSKY
NPNLPVPQNIDLPPTLLSRFDLVFLILDRIDETADRRLARHLLSMYLDDKPQSAATGMEILPVEFLTSYISYARTMCQPRISPEASEELVNAYVEMR
KLGEDIRAAERRITATTRQLESMIRLAEAHAKMRLSETVTRDDVKEAVRLIKSALKQAATDARTGLIDMSLLTEGTSASERRRKGDLKTAVLALLDE
MTRQGQSARYSDVVKRIGEQSSVAIEAAEFAETVRLLEQEGSIMVVGEGARKSIRRVTGIA
>RCO7_06028 | uncharacterized protein
MQLSNGISRRYVILVSSGLIFVWLWLAMGEDRDRRLPKSIAWAIGRPVSTPQNDVFDHPLLDSWELREICSATEWNASLVFTCDDNRGGIGHVRNSI
LNCVRFAIGAGGGLVLPNIKLRDVNVMSAGDAEDEEGDDRFEKRHGLGSEEMNYMFDRNHFVDSLMKSCPELVLVRHMESTSSHRRRSLLPESLFEN
IPASGIEEPGEWPARLGMWIDKYIPPGPAAEPVVIDLEQSFLHYPIHSDGSSLAWSFGDILKFRPDVRQLATSVLKGLAHSHDKDGTEVQLYDVTSE
IINPSFIGVHLGTENPLAERHEVDITYSHYQAQAAAYIEQATTAKIPLMYVGSGNLPEILKLAVEAQEWNVDVTHKEVLLQGKQADALAKLRWDQKA
LVDYLVLLKGQEFAGIGHSSFSWNVMLKRHELGDGASASLAKGVYRDGLSTLYGVRSSYLESSGCMWP
>RCO7_06029 | probable ERG6 S-adenosyl-methionine delta-24-sterol-c-methyltransferase EC:2.1.1.41
MPSTEREPVTNKNEMLKGYYKSLESRIGYRLVLGRTRHFGYYTPGTYWPFPIGEALRAMEDRLIRNLALEKNSKVLDAGCGVGNVAIHLAKNGYYVQ
AIDLIDHHLVKAQRNIKAFDVEGKVTASKGDYHHLENFADNSFDGAYTMETVVHATGPEKAAAEFFRVIRPGGSLAMYEYDHADFSTKPEAVGKSWT

SINKYSAMPAYDRFKQGVLDDILEKAVFEIVTVEDISDNVLPMMRMFYILEFIPYMIIALLGLKHKFTNTVAGYEGYVHRDASRYISVSARKPSVPG
SEVSKEAKKSR
>RCO7_06030 | probable SnodProt1 PRECURSOR
MQFIAAFFSLLSVASAITVSYDTGYDDGSRALAAVSCSDGSNGLLTKGFSTQNSLPSFPRIGGASVIAGWNSGSCGSCWALSYNGRTINVLAMDHAN
EGFNIAQAALDELTGGQAVALGRIDAQYSQVDVSACGL
>RCO7_06031 | probable conserved oligomeric Golgi complex component 4
MPPPGLTNGTSAHYSSEETAASPNIYESSSLASIRASLSALHTRDTAITSQLQSLISSQADLSRDLGRLDLLRAHLGTQVIHTRDISNVMLDSAAGT
ASQLSSKVKELDLEKKRVEETLGVVEQVAELKACVQGVVGSMGAPQDWEAAAGYIARASKIPNSIVEGKFAATIVPSVEVPDAPSITIENAKESLCG
LFLREFEKAAEEGDGSKITRFFKLFPLIGREDTGLEVYGRYVCQGVAARARGSLREGTKGSAGKDGFFYANALTRLFEHIAQIVDGHGGLVERHYGQ
GKMVKVIERLQVEADVQGGIVLDMLGDERSVDRRLTDVKSYPFSFLVHSFLPAQKNMGISRTNSPAVGSATNGRVSEDEGVDMKEIDGLLNETAMML
GRWSMYSRFLAGKCRVSAPKAVLLQAISKISQNSDESPEELLVMPELLIKSALSRKISARLITPFNTMSTFFFRRSVEKAFQLDESPTGLTLNHSKP
LDGNAPFIISAVDDVMYIVNTVLQRSLATSLREVIASVVPTVSRVLGSDFIGMIQRKMRDESYPKAVMQGGFPPEDKIIAFIVLINSLELAAEYLSR
IVTGRLSPAELPNGGKGPNPLDEMFSFGHDSTFVKSALENLNSSFASKTSELVADGLQVMFERVVKPRLRPVLLETLRDVDYSLTEEDLIDLARNND
TDEDQEILNDIVARRFEHSWDALMKPIQRIMTPKSFASLLDTTAKYLSKVLEKRIWGYYGKINALGAQRMERDFSGIVSAVARGGRYGIRDSFARVT
QISMLVNMEEDEWEAINEGEEEDDDEMAWVLNEEERKRARMLVRG
>RCO7_06032 | related to meiotically up-regulated gene 136 protein precursor
MKWRPGTRKAQRTFIALIAITIACYFMITFWKPPPEFNPSYGLLSPVTNSSKLAVATFLCKNYVGDENAADNYFVGARTLHYQLKIAPETRMVRDDV
VFLVVATIAVSAEKRRRLEMDGAKVVVVEDVKIPWWVRTGVKKWKDQFTKLRILEMVEYDRILFIDSDTLIMHPIDSIFNEPIVKNPARTLGNLTRQ
IKSDEALLPAHYLFTARSDNALTGERLHPYPPRPSKVFSAGFWLAAPSIEMYAYLMSVMQHWRRFNPTTMEQSLLNYAFRREGPMPWRELAPKWSAT
WPNAKDLEAGVVSLHEKLWSVGPQDLMEKWKKAKEEMEAYFEKKSAKRKSEI
>RCO7_06033 | uncharacterized protein
MSTPESTQKQGQRVSETKPLEIQGLLADPYSTVPEVVKEGKTIAIYDLVWRSGDGLLGSTNVRGYAHKSIRINRLETEDENYRYRQYKAYFIYDVQS
AHGKDTLVNEYNCIGSEDEYTFSDFTFLKQGEHSEMEKPRFFFPKIPVQDSDGTPFMGLSMVYRNAPELQTIVAGWAKLRSSRRWTSEPAELDDKEY
ERLSDLEGYPKRVLRWEVFDPWF
>RCO7_06034 | related to translation initiation protein SUA5
MAANTNVMMAECRILRVNTCHMGQFKDKTTLENWVLPADMKDLAPLQEAARHLRDGVIPVGFPTETVYGLGADATRSEAVKGIYKAKGRPLDNPLII
HICDLTMLRSLIAPIGGQDGDTGSKDPIPAIYKPLIEKFWPGPLTILLPNPKPSRLAPEVTAGLPTFGARMPDSPLALSLIHLAGVPLAAPSANAST
KPSPTTAEHVRHDLQGKIEIILDGGPCLVGVESTVVDGLCKPPVVLRPGGVSIDRIRECEGWAGVVKGYKDASEEGSSSAPRAPGMKYKHYSPKAKV
ILYEATPRNFVQNGLSDELILISRAQKKEIAHLGYEDLTQSAKIGIINTKNWGEWAYIDKERSDGRRRILIQNQRVLTTSNSFSMNQGEIWVEEMGH
QESGEGGPSSDNNKLADVISISLGKNTKDIAHGLFSALRELDLQGVDVVYVEGIKDEGDIAAAVMNRLRKASFMIEC
>RCO7_06035 | coatomer zeta subunit
MAPSMSLFAVNAILILNSEDGSRVFTKYYNAPHHTTAGHASNPPTAPYPDVKAQKAFEKGLLEKTAKQTADIILYDNRIVLYKSESDVMMYVVGGVD
ENEIMLYNVILAMRDSLHLLFKQSVDKRTIIENYDLVSLALDEIVDDGIILETDPTIIVQRVSRAPTQDVTQLKGIDLSEQGMNNLAQFGKAKLGDW
LRQGL
>RCO7_06036 | uncharacterized protein
MKTSQISRAICLIYTFLLGIHAQAGSNATGSKESAPNPLFDVYPEGITGTQNSTIFVVPIPFELARSLIPQQWGINRKAYCELLPGFPTDSYPLVVR
SGVDHDIGVAKLGFKLDDFQFFTTLFPFVDFVGDGYSNFAYKPYLLLSKEAEIAINATREYGIVPIPATFSPSLEAYAYAPSCNSLPSVESYFTAYS
DLEPRGTPQAAVKFTSVESVKPWPIDFYVNATNQPVSGDGTLCDNQIFLYNTTISTGDNAPRGVKGSVTLRAPLLPQDSTFHDVFGVRVDTAFLEKV
EIPCAALKGYYGTGPGDRGTGSD
>RCO7_06037 | related to dienelactone hydrolase family protein
MSTGVGMSSCCLSGAVHDGTPTGKVETIDNLPTYVAAPKDGSKAKTIVFLVDIFGWEFKNVRLLADNYAKAGFYCYIPDVHQGDSIPIEFLNTVEPP
LKTREQLTLIDKTKATATVGTTLPPWLLKHREAVAKPLIDSFIDTVRKVPGTGKVGAIGFCWGGRYAILAAHGKVDAAYSCHPSLVAVPGDFEDVSK
PLSLAVGDADSLLDNKTVAQIQDVLAKKTGVAHELKIYEDQIHGFALRSDWSSEKDRKAMDDSEKQGVEWFNKHLA
>RCO7_06038 | uncharacterized protein
MKGPLVSGHALLVAIFLATSATARTPNILFERQASCPAAEHTRCAQAGLPDNFCCPSGSTCIPLAGNTTVLCCPDGSNCSIIKPITCDISAQNVTRN
ANNTLKTTALTIPLLTCGGLCCPFGFSCNVAGNCVMNTDQKAVPSAPTSSPSSTSTSPSSSSSATKSSNPTPTSSSAPSSNTPVVFAPACNKFPTTA
VLAGFFPGLALGILLSVAGVCILGSRRRKTARRRSGSSFGNISDPQPTNDMRTDFLRRPPQTPSTLVASTPERRHTVQRMKSIFRKAPSPTSSPQLG
PPRPLKVQRPMAQNHRPVTPPLQREPSFENISIFADGNTASSLRERERGKGLGIGRGENGSANGNRAGLAPPRVPGIRDSHQTTFSDMMERSGLAGL
QKGQPYVYKRESPGYTPPR
>RCO7_06039 | probable Transcriptional regulatory protein pro1
MAVAQSKPKPAPKANTNATPKGKLQMHRRSRTGCYTCRLRRKKCDEGSPACTACKHLGLRCEYKRPMWWSNNDQRRMQKENIKMIIKRKKLTEKSSS
TTNQVMTTGSETPPGLSHSLPTSATFSDPLDRNRSASIDSQTSLFDFNAPPHIADYTAYNAHMHSSHSQYALYPDYSPYEVDVKTERQMFVNDVPTR
RESTISTFSTYHPPPPPESMLPSFPVDNDWEASYSDRRQSMAEETLNTNLFDFSHGPPSNIRQVAIELDEGDQRLLDHFISDVLPTVFPILETNQHG
SARSDYILPALQSNKCYLHCCLSIAAQHCKATMNIQGEQIDNDIMRHRYATISELCRALNRDTDHSSILEATLGMIFFQTSVGRIDDSLPDISWHQH
FQAAISLVQKLELNRMVSESHDLIQFNMTLTAWIDILGSTIKGSAPTFAHTYREKHLSSTNSSLGLRELMGCEDRVMYLISEIACLEALKKDGMDDI
QLCQHVHALGDQIGLTEIGEPGPKIPYNANGVLSPKQLSKNMTAAFRIAARIYLCSLVPGFTPSQASCVGLVSKLTHVLEFIPSGQLGFDRSLVWVY
LIGGSVSTADSPFRAFFEERLSALGDLANFGSFGRVACLLREVWGHVDGRYSPGGGEAHYVSWRDVMQMKGWDFLLI
>RCO7_06040 | uncharacterized protein
MPSTPPMMPIDPRVEMFQKAQPRDAFFNMKALAPRPMSEATDFDTEFEDDMSEIEDNSPRHSTNSSSRRSDRTLSSFEEVHTPSPNSNEFNAFRFDL
SAKQAVQGPRGPHLFRASIDSTFEEDEDYTLGMSPLTPRPSSSQRAQMDVPKVPEIPARHHRHLSSLTDAVENMNLNEVALWTPRQVARWMYDAGFE
PSIVEKFEENDISGAILITLKFEDLRELDIPSFGQRTKVWNEIHVLRGSAPGTPKPPTPIDEAMSPCVEFERTEFQRPSRHTSRRERNGECASDEEP
KRRKSSRRRHRARGPADIISPLESVSIVGIEQLMPKPHKCAKGENCSKWRKQQRLIDNFKKDHPVSPEGGSIWIAGDPGNPFTAEAVRPVSDAVPSV
VASSDVLGPSVPAFHHLEEASLRNVQLRDPQENVKHFLQFQHMDLSQAPWSSEAPPSPPYEMFPNLQAPNGPSNSKLHNLPRLAIPPPRPVQQQCPP
RSASANAFSPYRMERIEAMSPDLRNATQSPNTAVYRFGTPFSEMDIPVTAVPLGPVARDASQSVPPNMSYRHAPAPAPTPPTRTQSRSSARRPSFLI

MSRVDENISTAPPTQTRFQAHQIQIPTQAPTYQGHQHTNSYPWSPINQPAQRTADDISAQGWMKKRKTKMLRHEWHEHHFTLKGTRLAMHKDAGALD
TLEYIDVDDYAIACSSVASGSKLNAAFKAMNISRGNKKDESAFAFQLIPAVMDKALKLKKRESAMVASGPGEGKDAGAKTKTHYFAVKSRDERIDWM
RELMLAKALKQKSEGYEVNCNGNMI

>RCO7_06041 | related to RSM26 - mitochondrial ribosomal protein, small subunit
MLRPILPRARFCLNSFRRSLVTVPEINPTFHNGIPGLLSPDGFHIAWTQYQGMMVHKLNRLIAGTEYESKAPKDILIKYARDPLSAPAFNYASMAFN
NHFFFESLSPEPTAMPESLQLELEKSFGSIETLKREFIVTASSMFGPGFVWLMKSRAGKYSILCTYLAGSPFPGAHYRKQPVDMNTEDKSVSDSIRR
LNRQDPVNTVGAFGQFSQPKLAPGGIDVTPVLCINTWEHVYLADYGVGADGVGGKNAFAESWWHTVDWAKVEERARPSQSKKPNYLT

>RCO7_06042 | probable Molybdenum cofactor sulfurase
MADGYNQDVEDFRGEEYPMLKDAIYLDHAGTTIYSKSLMERFMCDMMSNLYGNPHSASPSSQLSTNRIEDIRSKVLHFFNADPSMFDLVFTANATAG
IKLVMDALRDVEHGFNYGYHRDAHTSLVGVREIARASQCLDDGDVENWLSGTVSLVEGGPQLAVEVFAYPAQSNMDGRRLPLSWIPRARNSSMVSPA
YTILDASAYVSTAQLNLSNADTAPDFTVLSFYKIFGFPDLGGLIVRKESGDILKERKYFGGGTVDVVVCGKEQWHASKGDSFHERLEDGSLPVHSIL
ALDAAIDVHKKLYGSMERIAQHTAFLAQRLYNGLVSLRHANSEPVCQIYSQGFASEMPISSQGPIVAFNLRNSKGAWISNTEFEKLAVVQKFHVRSG
GLCNPGGVAACLNLEPWEMRKNFSSGFRCGAETDIYCGKITGVIRASMGAMTTQGDVDAFVAFIREFYVENLTFPLVTLSNIEESGQLVVESLTIYP
IKSCGGFAIPLNTDWEIRPEGLAWDREWCLVQQGTGQALNQKRHPRMALIRPAIDFDRGVLRVRCVGSSEEITVPLSSIPVCFETDSGTQPTRVCGD
AIVTRKYASSKVNKFFSEVLDVPCALARFPAGGSGFSTRHAKAHLQKHQISIADAPKAALVAGTQAPPTPPDSDSEVPRRPILLSNESPILVIARSS
LDALNKQITKVGGKPASASVFRANVVLASSESKIMEPYGEDHWTSLRIGKQTFQMLGSCRRCHMICIDQETAEKNDQPFLTLAKTRRFDSKIFFGSH
MCHVPSENLTTTSQFPSIRAGDPVKVSVEDSL

>RCO7_06043 | uncharacterized protein
MAAELKVLRSRPGRPAIHFHRFADLCAELQDRIWETVCFDSPATIGIIVTNHHVKMVGTLPSFPHLLHATSGARAIGLRFYEAVKSFKTFDREPHLS
AVNLHPLNLGPMPPTQAVPGPILPPPAIGFGYSTFGMIPNLRPPAHIRVQVPMSVPDPERVILVGTTPVLEGNVISFKETPEHAGELLPVEDVQTIL
SARAGVHKIYVNFSADLFKLQIKDKVTQYYYPTISFTEDSTGKAPKKARLEGNDLEEAIATLRYDYRVPPQFSGIGNLPPIFDKIENLVLNLVLLPC
ADVTRFSEWAEKEVETLLSSVYVSSTLRRFSNLHRVDFHIGSDNKIDPLRTTVTLKHFRCFHVRNTDGVTFDEAQVKLVEEYLEYEMVKIREELGKD
YLESPRLVTFVEDKAWEIVTADEFAQLLNF

>RCO7_06044 | related to SHR3 - endoplasmatic reticulum membrane protein
MDPSKVSIFKTYEKPRGEGGASSFATFMIIGPVCFFLGMLFSSFPYDYPLLWTTEATPAAFYDQLEIHLRFLHASPPIIARILHIAISVGFVGFFIK
LFKPSEANLLFDGASLVLYLIATVVYITNIVKGLRIVTMGVYGVPEGNTEIAIGREDSLRVLAASNTILALVLVGVLVLQAGQWYAERKDLDESIKY
EKEQEEKAATKSPKTGTHVTRSASKKKQ

>RCO7_06045 | uncharacterized protein
MTSLNSTDEPPLKRQRVAKSKALLKDLPADEFQKKAAMYSGPFVTITVREKEFVLSKPLLQYYTSFFDEDLKAPGQEGEGRELVFDGCSPETFQLVH
QWIYNSHINIPTLRQNKVQDGPINCIRNGSHGSADLKNEASFVPESDTKTGSSVTTMSIFGPKVPADTPASSRQSSVIPTEKDTAFTKWAHEEDIHI
EHLQGIETNPKAQAISRILAFLKLANTIGLLGPFDSVVVEIRSIILSFGGALLAGHIRAASELPSGHSVRILFAEACLRAFAKDMFPRPEGAKPSVA
FKFDKELDELDSFAADLIRVYKNVSKKKAQVLGKKEGVVDFLCADPLTSGTFRLPGI

>RCO7_06046 | uncharacterized protein
MLPPAPTCRRALQRQLHTPPDSIWISDEALCSVFQRFCAVSKTRKRYGSFVPGPLENRRRLGKRRMTLQSNAAPTPSSGVASLWGFLSGEVDRQNWQ
WQAPTSRDTRVEEASSGLPQWLEKWATSPKAPSALPERLMEGEIPRQALDTTAQNTATSLRKARAITFMGEIRSFGQAIKSCNPEDKPGLCDNFNQN
LTEVLSLSIHAERIFLCTMQHVFRDLEQAFADSNEENQRSLALCQAMWKGISKSEVLRPSDFMGMTMKKFARIFCELPMTEALQSLLGNILPSVSKT
QLQVMHSSIARLANSWVLSWQETESVDLDETSLFVAAESVLEATRAVNSLNTMIVTQKLEPHAGGNLIAIHEALQLAKEAITSSANSLREAELKIRP
HQRSIKALTSALSSLPPGIVRTIIDQCSARIPAHTARTKVDSVVTMQWKWLSFVFQLPDVSERVLLSTWQKYGALLDQAAASKILLDHWMSHGLLER
PALTRIVFDVTSYQRRRANRRNFANLLRIMKVEKERDWHKLIFLFNFLNKLGHHETIYKTLVALNDGDLRIPADIMDEILEKMAIANPPLALKSLRT
YMFMRFNDAPLRLERCPNLIFAMIGHDPSNTPTIWKLLRIPIYENLPRSTLANFSNYADGQSIERLRPITVEHFTTMATLFAHCNQISQRIAFRNVM
QCLFHLRRHRAPITPEFTRALVYAGIARKIETDGWIAKERHEWILSLVERVEGTEVAMSVDEVVGAWNEFISLRVSKRDRGNGIAPKW

>RCO7_06047 | probable uroporphyrinogen decarboxylase
MVHEFEPLKNDLLLRTAWGQKVERPPMWVMRQAGRYLPEYHEAKGKHDFFECCRSPEIASTLTLQPIDRFAGLIDGAIIFSDILVIPQALGMTVEMV
DKKGPHFPEPLKSPTDGQYEKVLAKEVDVAAELDYVYKAITMTRHKLKGRVPLFGFCGAPWTLFCYMVEGGGSKLFIQTKTWIYKYPKETKAMLQKI
SEICVEYLALQVQAGAQIIQVFDSWAAELSPDAFKEFSQPYLAYISENLPKRLKEKNLELVPMVVFAKGAWYALDDLCNLGYQVVGLDWLQDPAEAV
KIRGNRPVVLQGNADPGILYGTRENITATLEKMIAGFGGGKQGWISNLGHGITPGVNPDDLKFYFQEIHRITSK

>RCO7_06048 | probable cytosine deaminase
MNDQEGLAIAFEEAKTSYEEGGVPIGAALVSRDGTLLGRGHNMRVQSGSAIHHGETSALYNSGRLPASAYKGSTMYTTLSPCDMCTGACILYGISRV
VIGENKTFLGGEAYLKQRGVEVVVLESEECRGLMERFIREKPEVWNEDIGEEERVYSKEVK

>RCO7_06049 | probable YDJ1 - mitochondrial and ER import protein
MAKDTKFYDILGVAPTATEAELKKAYKVGALKHHPDKNAHNPDAENKFKDLSHAYEVLSDPQKRSIYDQYGEEGLEGGGAGGGMAAEDLFSQFFGGG
GGAFGGGGGLGGMFGGGGGQQRGPPKARTIHHVHKVSLEDIYRGKVSKLALQKSVICSKCDGRGGKEGAVKKCAGCDGHGMKTMMRQMGPMIQRFQT
VCPDCNGEGEIIREKDKCKACNGKKTVVERKVLHVHVDRGVKTGHKIDFRGEGDQTPGVQPGDVIFEIEQKPHARFQRKDDDLFYQAEIDLVTALAG
GTVFVEHLDDRWLSVDLLPGEVVSPGTVKLIRGQGMPSFRHHDFGNMYVQFDVKFPEKNFTTDPAAFEALKAIIPPSKTIAAPPADTMTETVDFEDV
DPSQQARAQNATSMDEDDEDGHPGGERVQCASQ

>RCO7_06050 | probable kelch domain-containing protein 4
MAKDKKKGAEGKKALKAEKKAKQEKKGEKKEKVKSSKSKADDSDAEDVDLDAVLAEYAKKQEQFLKVTEAPCEPPRARASATFIASPANENELFLFG
GEYFNGALATFFNDLYVYQINKDEWHLVTSPNTPLPRSGHAWCRGGNSGGVYMFGGEFSSPKQGTFYHYNDFWRLEPSNREWTRIETKGKSPPARSG
HRMSFFKNYIILFGGFQDTSQQTKYLSDLWIYDTNSFVWHNPVLPLATQKPDARSSFSFLPHESGAVLYGGYSRVKATVTGKQTKGGGQAQRNVLKP
LVHEDCFFLRIVQPAADAPPNTLPTVRWERRKKPANAPNPSRAGSTMAHHKGRGIAFGGVHDVEESEEGIDSEFFNTLFAWNIERNRYFPLSLRKIR
TNQRKLQESRGGRRGRGQANEDELLRNLAALKTGRSLDFSDAMDIEKPAVKDDPDEPQAPAKEVLMEFPHPRFNAQLTVQDDVLYIHGGTYEKGDRE
FTFDEMYAVDLGKLDGVKQIFRREPENWQGSEDGESDDGEGSDEDEDDEEDEDEEGDVKMVDEKPLHTESTRKEKRKEKLAAQSEEASSTSSIPASA
TVAFDDTPDATSTTPDDNLPHPRPFESRRDFFQRSGNEWQEALMTSLRWQGIQPESLSVKEIKTRAFEMSEEKWWDCREEITALEDEQEAAGIGEVV
TLADRAEGSGAVGRRR

>RCO7_06051 | related to prolyl aminopeptidase A
MSFARLLESKAHLIPGKLAVNELFFEVPKDYSNPERGTIQLFARSVSRSEKLTTVISDEERKKKSIKPWFVYLQGGPGFACSPPQNVGITNVILDKG
YQILYLDQRGTGSSTPVSAATLALQGDPHRQADYLKLFRADSIVKDCEAIRKTLTDDYPTELKKWSIFGQSFGGFCVLTYLSKYPQGLREAFTSGGL
APIGQSPENVYKATFKKVAERNKAYYKKYPEDVDAVHGLAFHIKSKGGLQLPSGGVLTVRGFLTLGRGFGAHGGLDTVHDLVLRMKKDLEQFQFVTR
PTLSALESALTFDDNVLYAIIHEAIYCENEASNWAADRVGKTIREFQWLSQSPQSPSSVREAPLYFSGEMIYPFLFDIFPELEKMAPVADIIASYSG
WPELYDTWQLARNEVPLYSATFIDDMYVDFGFAQDTARLSTVLLADFH
>RCO7_06052 | related to salicylate 1-monooxygenase
MTVTNTPKSEFHIAVCGGGIGGLCLLIGLLRKNISCTLYEAAPAFAEIGAGVSFGPNAVRAMSLIDSEIKKGYDEIATGNAWPEKKTFWFDFSLGQK
EEVWKGLNAPGKEGTFIASVVAGDVGQSSVHRAHFLDALVKLVPDGVAEFGKRVESVEKVGEKMKLTFHDGSTAEADAVIGCDGVKSRTRQILLGKD
HEMTNPTFTGKYAYRGLVPMEKAVSALGEELARNSQMYLGLNGHVLTFPIEKGKTLNVVAFLTKEDGKWEDERWVLPMKKEDMFEDFDGWGHNVQQL
LTMMEKPDKWALFDHPPAPTFYKERFAILGDAAHATTPHQGAGAGQAIEDAFVLSNLLGQIKKTDDIEKAFHAYDAVRRPRSQKVVKTSREAGALYN
FQDKELGTDLEKVRRRLHERYNWIWDEDLPQHLRKAQDIMGLEASS
>RCO7_06053 | related to nucleoporin
MAFSFGGPAASAPTGGANVQNGPDLEDIQTEALGFRALSGEAKIQLLPTPWPANQLPPPTSSLMSIASQRGLLAAAGPDAIIVASTESVRKAFEGAG
GNIKQFQPQLKMPMPMRVSQVAFSADETYLVLSAETGGGLAVYEVQSLLRGSTEPAYQLPTENLALRALVPNPTPEKAELFALVTTDGKLMMANLKE
RTFVSGSNGAVLKTGVSCVSWSARGKQLVAGLGDGTAYQMTPEGEGKAEIPRPPNVNAEDHVSSITWLENLVFLMVHTPSSFDNNQAPNSTFHLVTR
QMPTNFTFQKISDPAGPFGMNRSPPHHFMLRLRDFPPNLQDLIVVASSASADIGLFSRSKVPLTTNKPADKVTGVFTMTEMSDDSRRAALPMNSNFS
DTSPIGLAMDLSSNEKVEKPIPGDEMDESPYPVPALMVLNNEGILAAWWVIYMDSIRQGTAYPGLVAVGGSQTTPKAPAPAAGPSTALNTASQSAFG
SSAFAPSSTSAFGATRPATSFGTTSASGPATGAFGATSGLGKSQSPWATAGTSAASNTPAFGASAFGSTKSTSNQAFGAPSFGATSTPALGNRASPW
GSAASTGTTAAFGQTGGLGKPASVFGHSTSSGSTPAASGFASFASNQGGFAAAAGAKPTGSSSVFSSQPAASANPFASAATNQTAATPSVFGTQPAQ
TANPFSTPSTGSAWGSSTVTQTPNPLAAGGFKLSSSFKADPLAKDDSPEPAAGSKGGLFGRNFSSALGEASKSLPAAQPVSKEADMDSDDVPVKEKS
SPFSSMTPASTPAAPKTSLFGSTTPANGGIFGTTPATQSAASKTLPAGFGFGKPLEDKPKPAAFSFANLGTSNPPGPKTPLPSDSPLPPVLPETPLS
PKVKPEPFNKPSGISTKIPEAPLPPDTTSKSSYAAGESSGSSIADAPLPPDFMPKASLKPSQPLSAPSPVAQSKSEESISTSDLPGGPDDDGDDSGF
LTEEGGDESEAASEDVSEERSEEGSGEDVAQQLSPESETNETPAISPESSFGGLKNRSPESIMFTKISIPGPQKPVLFGELNNSAPVLLPPKVQLSP
RSPSPVRNAIPGRLRPEPLRSSSAPGFASQILGSQRGSRPTGPVQPTLAQTQAELQNEEKRRQETRAKQEAEEKQALVDEEDDRFHDFMSSELEPLR
TLPDFEIHTDYQSQSSSDSIPSQVEAVYRDINSMIDTLGINARAMQCFIKGHTEQYKDEGRTREDLEEDDEWCLVEVENLSSIVEKDLAQELAKGRV
KDIQSRLQSCETLQKELTRLRAKHEDVKKMIDSHRDPESLALARAQPLHAEQAAQQTDLRNDFAKFQKLLSEAEEALTILKAKIVSQETSNHRSGGS
SQPTVEAVMRTITKMTTMAEKRSGDIDVLEGQMRRLRFGSVDSREGSPFATPQKNRASIRNPGASSTYGLFHTPDSRESSQRLQNSFMSSIGSRGYG
SPDRKKLSGYTAQEKTQLRAQLAKKQEVTERLKRALKKNGTKVRLMDDDEISK
>RCO7_06054 | probable proteasome endopeptidase complex chain PUP1
MPGFDFSNHTRNAALHSRGVPLPKATSTGTTIVGCIFDGGVVIAADTRATSGPIVADKNCEKLHYIAPQIWCAGAGTAADTEFTTALISSQLELHSL
STGRKPRVVTCMTMLKQHLFRYQGHIGAYLVVAGVDPTGVGLFTVHAHGSTDKLPYVTMGSGSLAAMSIFETQWKSSLTEQEAIDLASNAIQAGIFN
DLGSGSNVDVAVITKDKTTLKRGYIKPNERSKKQKSYIFKRGTTAVLNEKIITREEISKYVTVHELKGDEPALGEKMDLDV
>RCO7_06055 | probable binuclear zinc cluster transcription factor that regulates the ratio between aurofusarin and rubrofusarin biosynthesis
MDYFNSINTPGKTPPEIPKHVPTSSIDSPASNENADSRISASSPAANSQPTSHHASASSGLATRIRRRNRMITSCLECRRRKLKCSKSHPCTNCVKF
QRDCVFLAPALDQASQLKLTEIKEKVGSLERLLERDVARNSGQNSTSSPSQERALPDDADDDLPGNEDEEDLEPTPLAVVDATYEVDGEDDDLLDLG
IQLGKMRITERIGGFFRPKIAEELEYTMSDTYMTGDKSKDEGKVSAPQIVVPLPPAAEWLKAGPQYILPTSGFFFGGSGSQASLIDFLPSRTAADKL
IKQYFKCVHPICQTIHRPTFETEWDTFWDEVTLGIEPPSSVQTIVFATMFSGVVSMEHSDISREFGVSKASLVDNFKLGTETALARANFLRTTKIEV
LQAFVMYLIPLCRAEMSRAHSVLVGAAIRMAECMGLHRDGSTYGMNPLETQVRRLVWHQLCLLDIRTCEAQGPRPTIRRDEFDTKLPLNVNDVDVHP
TGKAPAGEDKWTDTTFSLIRFEINEMMRTIWIDRPRIERKKISLTAVLSKIETFRANMAAKYDHLMDDKIPLQKCAKLVKALSMSRLHIMVLHRYHN
SVVAPMPDRLRNIMLASGTTTIETAVALETIPDLKPWSWYGGAYQQYHTAFLLLMEIYVYPQRKEADRIWKCLDYIFETDASLPRREKGKKILMELQ
QKTAVYQSMRGMRAPVVMQKHAGQREPRVSDNDAPKDMMYHSPEPEHRSSKSQEPTLDQEAQSALPGIPPVNSGQSSGPGAAVLGLGLGPVARTTIG
RVPVGHDMQFSGVSNGQSLWAFPNSQSPEASSDTTSLSGQQYSGARVGAGDVAGVTAEIPGQQDDLMADIDWDAFDALFPPGRSLAEPVIPGFPLNA
SQY
>RCO7_06056 | probable HAK-1 potassium transporter
MSTVRISDGIHPIRSDDGTSTALAGGVYPIRNSSVVDLRATRTRSAERRGVRLDAAEKDDEGLRQEGDFKKKQTFKGKYLLWLAYQSIGVIYGDIGT
SPLYVYSSTFASEPSHQDLVGVLSIIIWSLTMMVTFKYVLIILHADNEGEGGTFSTYSLLSRFANITKRDPREASLIKMERYLTGDIEGANLRVRNR
IEKSKYARAALKVIGVLAVSMVMADGVLTPAQSVLGAVQGLGVVKPDIEKSTIVGTTCGILVLLFLIQPFGTAKLASAFAPIVIVWLGFNAGFGIYN
LVQFDHSVLKAFSPGYAFDFLVRRKHEGWRMLGGTLLAFTGVEALFADLGAFSRHAIQLSWLTYAFPCLLMGYIGQAAYISENGGAYKNPFFNAAPP
GMLYPGLIIAILAAVVASQAMITATFQLIAQVMKLSYFPQIKVVHTSKIFHGQVYIPLINWLLMIGTVMAAAIYNNTTSLGNAYGVCVMFVTFFDTC
MVSLAALIVWRLPYYVVFFPWLVFACLDATYLSSALVKVPDGAWFTLLLSGIITCFLILWRFGKESQWAAESEGRFPTTHLVENGSDGSVKLTQLHG
GDDLSSIKGFGIFFDKGGEYTPAVFTQFLSKLVAAPEIMVFFHLRPLETPTIAPEDRYTVTRVAIPNCYRLVVRHGYMDEVITPDLASLVCEQVRKF
IICQGDSLRSRPSTSQVHKAQEVVFTTLPRDDEKRHAVKSLATEETIAADLAKLQHAFDRQVLYIIGKQQMRVKTGTGWWRRAMLHAFLWLRDNTRT
KIANLRVQPDRVVEVGFVKEV
>RCO7_06057 | uncharacterized protein
MPLGWERINVKQSQPNKNVVFIKPRPGPDEKTSKDYLERIAAQCLPIMTRHHLAVTSLEEYEPNREFWGRNFNNGEVIQLVLKSPSTGRWLPFNFVQ
MVMMHELAHNKQMNHSKAFWAVRNEFAAEMKDLWEKRYTGEGLWGRGVLLENGAFARDTLEDGEVLPEHMCGGTFRSRGQKRKMKPKITYKEAKERR
IKKKFGVNGVALGADEAVKTKLEKGKKPVGKPRVAGSARGRELRAAAALARFEVREEEPQIKDEDLVTDSEAESDPEDKVYIKPEPDDAIDINGERL
TDKRGRGMVKVCEDEEKDDDDAKRELLELQSIPGHSQRYLSKGVIKSESSSSTSSKIKPKVLKPEAAMPKSSISNAKLLKPAPKPEPEKSRQTPGET
PKQAPNGANSSSIATRAPKGGDLDYQKPPVHTGTCPVCSVDNEPNALTCMVCANVLKPDFVAGSWQCKSSICKDGEYTNAGDVGVCGVCGNRK
>RCO7_06058 | related to HIT finger domain protein
MINFGVREVANSKTAPAPGWAYIPDTGVNASVAALQPSSRKRARNQTVASSHETTARQDAKILRELASLDRENAKDVSIPVPIRHRDNAGRVSHGKV
TPGVRKILQSQKTFANYLSDFEALAQNPSAAPAPSQSVSTPIRAPVPRAAPGTAVPHLTSKGTRSHKKKVPNAVATPTPLRRVSSVSAPIPVKAEPS

TKDTPMPDAPVLSQGSSTLPIPHPGDKDALLVSRIPGIPSQADIEKLLAAPPLTYNEARGPWVQEDMRKPVKQFCEICGYWGRVRCMRCGGKVCALE
CLNTHQQDCFQRYGA

>RCO7_06059 | uncharacterized protein

MASRIIRPAMRLSSPSAAVTSRSFQSSTRRLAEVAVPLPVRKPVGAFRGGLFGFLLGSTLSGAGVYYYVLDEYKMSNSLLTEDIYSLQASVQRVHSY
VQTLEEKINELEKKKK

>RCO7_06060 | probable protein disulfide-isomerase precursor

MKTSLALALGLVSAAVASDVAALTKDSFPDFVKDDITLVEFYAPWCGHCKALAPEYEEAATTLKEKNIRLAKVDCTEEADLCQSFGVEGYPTLKVFR
GPDNVSPYSGARKAPAIVSYMTKQTLPAVSILSKETLEDFKTADKVVLVAYLAADDKTSNITFTTVAEKLRDNFLFGAVNDADVAKAEGITFPSVIL
YKSFDEGKNIFTETFDAETIEKFANTASIPLIGEVGPETYAGYMATGIPLAYIFAETEEERTTISKSLKDVAELHRGKVSFATIDAKAFGAHAGNLN
LKDKFPAFAIQDTVKNKKYPYDQELEINAKTIGKFVADFVAGKVEPSIKSEPTPETQEGPVTIVVANNYDEIVLDDKKDVLIEFYAPWCGHCKALAP
KYDILGQLYVDGGFTNKVTIAKVDATLNDVPDEVEGFPTIKLYKAGDKKNPITYSGDRGIVDLIKFVKENGKYAVEVAYEEEAAEAEKPVVESMAEQ
AAAATEGAKDAAKDAAEAVKEKVAEVVEEHDEL

>RCO7_06061 | uncharacterized protein

MESIQPSTRPAGLDKGHPGDAHSTRPRASSERDLMRISMSSQRPNENHSPANFSRACEGMLKTTTETGDIGMFSIKPSRVPQSLGTPRRLGTSYNPE
TGHQKSRQNFQPYGVPAIDDRRRLPSYARDASSEIISMYESASQKSGSRVFDEPDYRSYSMTQTSYSSYTLSNHRSYNSLRSQADSNTQVQRPRSPF
AYPARLKRPGFRPSSPALTDGGIVDYSRRAEIERIHPGHNTSSPSSLYAQKRRPHQSLRPDGNRSTPSLLSQSSPPRRSSSPLVPRNNGVSSHDWAR
RPGPTSVNTSPARSTFSLASTANLYTSAQPPSTTTTPGKVPPSPRYYDYTEEFEVQSYNEPVAMDPPPLFRIDKTIPEDRPMSSGRPLAKEHGPEIN
YDAFQYSPPVRSTPLKSHSDKVSPQSITETKEESVAMQLTPSDVEAVSPEKECSPSGRKSVRLSGLGYGAQLLRSHVDEAFGNFPSSALEITNPNEV
EHGSVAESKSVNVNIVNGSLDRDKELQSARSSYSVITSIPHFPSPPNDQDILQCKNAVNMVPETELISLSMNSLGFEESIENPIESAHPCQTKHQVL
DTSHIDILKSLSEVQKKTMTSGSNHRGLAGTGPEYFAPTVALNRKQSALDDSHSERSSMRRTSMTSPTVPNVFNLEKTDPEQSHTSPMSLLNGRKAG
DGQNVPQIQPLKRYQYHENRRLDLSGRQDLEATTVPNFSHQISRKEMARSESPLIAPKPISPARQLKLKNSVPQLMKALPPLPPDPPSRPESPTSSP
EGGEIELVCSYSLIERDLNSASRPVKAEVPMKFISPKLVTSAKNDKKGKTKIAETVPTGTAAAGVLNRSGDSKTRHPLPRMKLKVKSSIYQRPISPP
ESRPWNLAENYPWSSPAPSVRLPSSVVPGLPVPISKPPRFKLKITRASNSTQGTVRVNRESAESKPLAGVHLHNPKDLFTPPTGLDNIFRQVSRHLH
SRRTSVASTFSSQNDGNLPPHLPLHSTSTACPPVTSPSFTQIPSLPANLPSNSEARSVFSDDSSRGNGNRSLRLRGRLSNLKTKIAAPYANRAGAQS
YDDITWRDRQGTGAPIPAAARSIPDLHAGKKIADSLRPMRRLVEKARRQKLKTKVQVQSWLKEAKSAIVTRVRTHSTTED

>RCO7_06062 | probable MON1 Protein required for fusion of cvt-vesicles and autophagosomes with the vacuole

MTLEEQNDDERKIGSSEAEGTTCGFTKEITKEENAGRLEAEESRPALPPRPSLLKPITRPGSAYARKPTTGLSSVDIQTLSFPDGSRGTFSTPASRS
VSESVSTSGTSGGQSTPSKRLNRNGSDFDDGASLMSFAPTLRGNGDLASLLDEGLKSQSAAWKLLSTQTESVNPFETIDFEDPLLAEFENEFEEIEA
VDSKGVNGEEVLLQWKSKLKHYLILSSAGKPIYSRHGDQNLINGYIGIIQTIISFFQGAKDPLMGFTAGNTRFVVTIAGPLYFVAISKLGESDAQIR
AQLEALYMQILSTLTLPTLTQLFTIRPNTDLRRPLEGTDILLSSLADTFTRGSPTALLSALECLKIRKAQRHVINNTLLKARTDKLLYGLVVAGGRL
VSVIRPKRHSLHPSDLLLIFNMLFEAGSVRAGGGENWIPVCLPGFNNRGYLYMYVSFLSAADDEGEADERPSTSSSSSREDEVAVLLISVDKESFYE
LKQMRDDVVAQLQKNGSMEIIKTAVRRGRPSTTDIVPGTSLRHFLYRSRANVQFAMPSFSPHFSTPLARRKLMTLYHNLHAATHAKHSHLKVLHCVS
RDSISLAWTTPMFEFYCVAGPNASRAGLAQGANKVIQWVKREEERVFIIGGAVF

>RCO7_06063 | probable regulator of reproduction DopA

MALEAGRQSVSPTSSGRASPVPRKWRNQLGSDEPPSKDKAFRRYASGVERSLSLFDTALQEWADYISFLGRLLKSLQAHPKDIIAVPSKAIVAKRLA
QCLNPSLPSGVHQKALEVYSLIFSMIGRDSLSNDLPLYLPGLSSTLSFASLSVRSPFLDLLEKHLLKLDPRSLRPALKAIILALLPGLEEENSEEFE
RTLKLLDGFKHALRPPSTEDLGENHSSGDEYFWQCFFLAAITSNGRRQGALSYLARNLPKLGQPLSSDSTTASANGSQKEEESAERLGEIVTSPEPG
LLLRCFAAGLGDEQLLIQRGFLDLLVTHLPLHSHVLQKRVKSDDLELLITAAAGVVSRREMSLNRRLWTWLLGPEPTSNDGEGGPDSPTSATGDPLG
LSSSPGTRYFQEFGLEPLVQALLKLVARDSLSAVERARPFRICLSLMDRWEIGGLVVPDIFLSVVDSVRKYKDVAATTADFSEVLRSASVFFDGVES
GLIWGEIIGLIVQAIGAGELSTAERVDKLSLVNFIIAHFNVREEEMLMVHAPLTTLTLLTLLEDAKARSEQQPNHTGTLENVTRLALTIAVDLIDLI
PERAFQTRPSTRQSTISSPDEQTIRQLTNSEILRKIKKFYVQDQGNLDAFSPPYSSHDVSDILMREVGRIICQSLSDSVSSADAGIKSNLLVMLISK
VPKTDSLNIPSLVLSIERRLNALSQLPFLTFNSIISLTTNLYSASYLSAVELSKLVSPLVRHAWSYLSVSHPKYHVETVRCLWQLQTALTISSHEIE
AAICSLMIEQDTDGTFAVRNADPGRSFTVLWTHTMQDTAAHIDRRASKTSAQDSKGPLRLLGTTHYEVMLARPIFLLLDSLLDERTQLFITVRTWLQ
SLVGIERIFHLFISKFSTFTLLQTLSEEGSSYQDSTVQTCSGEDDIDQCLYYLRTVSNMLRWSSDSMWAALAESSISTDTSHSSLYRITGRDGEIPL
LEFFLHVCLRAIACSSGRDGGEEPRISQLHRTALTTLHQILLSPYSLSFAEFQLENVLIIRLEQSLNGPDPFIQVLLLDVVFDALKLRNTSRLSLAP
PLSPTSEQKRSLVDTPQNSRPSLTTGHDEQFLSLSLPPPPLSLVKCLQAGFAAPSSRSVLDSWVSFLTECLPFYSDTIFQILIPLVETLCAQVGSAF
GDLQGIFKDSAAAADVEDSTAPESTLISLLNGLEHVLARGHDRLLQEEMKTPQAKSPEQPQGFFGNMVSGVFASETPQSRSATANNRLTVLLSFQDA
VRICFVIWSWGGKSGSMQDTASAASFNYTSLRMRNRARRLLEHLFAAEALECLETVVEIWQKSSIEPDDPKSPVVLNLLHVLDGSRPKHTIPAIFNA
IYSRTNPSALEPTRKSTLTASLSDTNLVVFLVEYARSLEDDAMDEIWTDCMTFLKDILANPFPHRQTLPSLLEFAAILGEKVDNTNFGEQRKMRREL
GDLFLRLLAAIFTTRPMGFADGTPESDDRSLSRPDDVVGILASIAPNLPKVLVEPDRILAAANTISASVIGPTFKSRSFPDNISKSTLILLYQLSRL
PNTQKTWKKDISDAFNDARFFANSVALIESDWLPLLMQWTLSDKDRMPEFLSRLLPPSTAGIVFGVGATSARLEADRKTQLNLRRVATLILATMNDN
FAGELPLLQEKIVELLAASTTSSPSSTTRADIYLLLRAIALKTSAVHLATLWPIVNAELHAAISSVVSPDHSAASETFNNQSVLQACKLLDTLLCIA
PDDFQLHEWLFITDTIDAVYRPSHFHPVALIDELSEELGSTALSSATHTDSAAVQEAHGTSRTPLIGPGGISDEGTWERKDELVGKVLRPYFSQLSI
FAFESTYSMSVPDWEACRMGLLKDLFDERSIVKAL

>RCO7_06064 | probable TGS1 TrimethylGuanosine Synthase

MPSVTGFEDSESVQGSQNFELTDQCHHYTKLGEVEYDIQKYFQQRFSIWSLYRQGIYMTDESWFGVTPEPVANKVAEDFAAIVPESKTILIDMFAGA
GGNVIAFALSERWSQIIAIEKDISVIACAQHNAAIYGVADQITWINDDSFAYLAKHASSIDPSQTVVFASPPWGGPRYEEGDIFNLSKMQPYSIEEI
YEVVKTMDSALYLPRGSDLRQIAKLASGDKKIEVVQYCVFGASKAMVAYIPALTIE

>RCO7_06065 | related to RNA Polymerase I Transcription Factor Rrn3

MVSLVSSARPTASASAPTPKPSKPLLRRATLSGTIRKSEDAGLDVDLSSISPSLNKRARVTFNPTVEEKVMEAYQVKGRSLDSIRADVKRSIEAHVR
KEGHSTGYDDMKEMFAPRTRDNDEDEGSGVDMKNYLVALTSYTSLLNRDCNGLVSAILACEWLGRDEPFVKAYVHFLGSLASAQGAYVGMVLGMLVG
HFYGVRLSSGRLAGCPDVNRDQLTSRIHFALKYVVRLIPSASGILSPILATKFPYSDETKKVHVTYIDNLIRLINYAPELKSDIFALITDRLVKIDV
QMQVDLDDLDDEVAAAIVQAISLSPSRDDDEDGEDSDSDADSVTSDEDIHADAKRVKEVQANVEKMDSILDLMFTIYSPYFEDPNSVEAASMFDTLL

GHFSNIILPTYRSRHTQFLLFHFAQTAEHLVDQFAGTCVQLAFQPSRPAVLRQSSAAYLASFVARGAHVPPHVIRTVFDLIGSNLDVIRTDNELSCR
GPDLKRYSTFYAMTQALLYIFCFRWRDLITSTDISEEDDPVAFLGQDLSWTPGIKETLTRTIYSKLNPLKICSPPIVAEFAKIAHHLRFMYVYPLLE
TNKRIRLSQYTSGQGNGALRDAGNGGNNESWHQLDAYFPFDPYQLPVSKRWIEGDYVQWKSIPGLNQEDDSEDDSSEEEEDDDEEDVDVEDEETATD
GDDED
>RCO7_06066 | related to transcription factor HAP3
MSASPKETDHEAGVQSPDDPDAAMNDPHNSLQFEFEKSPHLKPGRDWHRLLDRRIVAIGRRGSTDWPVIELEVKRFLYVGWSYYCHTPIMSHDSSSQ
SPEAAQTSKTPKQDSSDSNIRNFAPVARIMKTALPDNAKIAKEAKECMQECVSEFISFITSEASEKCHQEKRKTVNGEDILFAMTSLGFENYAEALK
IYLAKYRETQSTRGEQRPGSQGGFGSAAPGGVGTQNAAPTNFQSSAEGSNNILQQADGEHDPSSYGNIYDGQVSSGHNGATGGGY
>RCO7_06067 | related to Gim complex component GIM4
MAQQISQKKQNELQQQYTNYKNGLQQIASKIGDVESEAEEHKLVLETLEPLPGDRKCFRMINGVLVERTVKDVIPALKTNSEGLRKVLEDLVKQYNG
RQMEMEKWKKKNNIQVVQQ
>RCO7_06068 | uncharacterized protein
MHPHLHTKDNTACEEVMMALDECHARGFLWKAVGMCNGAKTQVNKCLRAQRLERTALNREKAKVKNEEIRAKWAEIDANS
>RCO7_06069 | uncharacterized protein
MVSLRSTDKAMKSRELQLTNPPIQGIETPAFIIGAVTASGGTYGYLKTGSIPSVAAGVTVGALYLLGGYRISNRQSYGVELALLASVVLAGSSIPRA
LKSQKPLPAGLSLLALYGLYTYGSAFRSKA
>RCO7_06070 | related to apoptotic cell death regulator DAD1
MAPKRSARDRTPSSASTTQTSVTSADSVPAVSTPSKSSLKSTNSNNQSPQQIALGIWRNYLDKTPQRTKLIDVFMSFLVVVGVLQFVYCVIAGNYPF
NAFLSGFSATVGQFVLTASLRIQTNVENQTEFTEVSPERAFADYVFGSLILHFFCVNFIN
>RCO7_06071 | related to GRH1 - Yeast (GR)ASP65 (H)omologue
MFNALNRFISRLDSDAPPQRSDHGAFGFQVLRNKTLELAIEPWFDFIVGINGRLIDDSDSALFAQEIKNCGGSTVTLGLWSAKGQRTRTIHIPVPAE
NPSLGLTLQWTSISTVSNIWHILDVPANSPADLAGLLPYSDYILGTPEGVLHGESGLGELVEDHIGRPLRLYVYNNEYDVTREITIHPSRDWGGEGA
LGCVLGYGALHRLPAPLSEPVAGPGEMLFETENARFSNEEARPLSDKGGEYFMPGDTSSPGDFLVPAQIVGPQPTVGPPMGGRKKDKKHGRGHSPNN
RIMDDYFMEGEKKSREIDHAPNAKSAPPPPPPKGGGPPTKAVEVETEEKVEEKSAEAVNGGID
>RCO7_06072 | uncharacterized protein
MSEGRFPFPVKDDERIARRRRRQALGHRQAPAADPAAPELGSEDSVSEGVSSASEDESSSSGASGQPQAQPPPPASSISATRNRITMTAILPPAQSS
LMPGFSSSQRQIPTLTAILPPAQSSLLTQVSSTSSPTSITQTTSAQNVQTSGQASQDQLAATKSPTSLASASLPLSTSSSVASTPPAAIPGIPVGIA
TSASIALTTATSLISSLASTAPTARVATSASALGEIKEVPFQGSHSKDDKRLSKLVETVIIVASVGAAFALIAYFFFMYYQKSKRRKLEADASAPNN
TRSLWGGSEPVAGQGAPQMASTPATGPLPTYHPPPLRQQAPSPDENPFSDPNPDPRRRSALSNNTADRQERLVRVRADLLAPRELTGGLMRSVPQGQ
RNLPEPNRGHIRKASGNNILDYPPPLRVGNVFPEARVDGNDISRNQRLDIEAGGQWDDSVTIARYSTAETERSIPHWRTPSQWVTDQANRSQGMNRL
PG
>RCO7_06073 | related to severin kinase
MISRRDSESLRRRAAERWNESEKEAGVTTADTEAEKRSRAHRTWLQATKVVDTVPTNPCVAYFSGRQYSPEGVPPQEEISSPKDARRPQRLPVRVLS
NLVELIQRDDARVLALAREISAMGSGRLVQDELHVASHDHVQNDEGILELESEPRAGIVVDDRFANIPTFIPNSVEASATSPTTSPAMENNRLTVRS
PEINQIRLKAMDDARQMQVRVIEHCRKSKRDPPPYVLEELIGKGSFGRVYKGKNVNTAAVVAIKIIDIDESDAINPRNADSYSEFLKEINALKVLSE
KKAKNINLVIDAMPVNQAMWMITEYCGGGSVATLMKPTAPGGLNEKWIIPILREAAVAIMWVHEAGIIHRDIKCANVLVTEQGEVQLCDFGVAGVVE
SKLDKRSTIIGTPHWMAPELFGASPSYGSEVDIWAFGSMIFEIATGLPPNVANGVSYDRLGSYLQKHTPRLEGGNYSNNLRDLVAYCLEEDPKKRPT
IGQVQRHPYIANTSSSYPTVTLKTLVGSFKVWESRGNSRHSLFMQHGAQGPSSANAPRDEWNFNGTEQFEDNVWGQYGVKDVIETYGSSVVGFVEET
ARPPAKVSRRRPPPEALGRLPTVPLEQIFDPKSNMNYMSNAKGHYDSAQMGLSDRSDLPLRDDSAQPSIRDTMIDLGGHNIETGLSSFPEMGTIKAG
RRARDESEDQHNATLADFSRPALSDPAETNTNRRTQDWKFPSMASPVSADPEPFKFPASFEVTQSPMTPGLGARPALVHHTTEPVGAFGGGFASQPP
LDRMSVQSVTIDLDDIMRDIPEVRRPSTANSDLGSITGEQMNTTNPFALERHASLYQPLPPFQGREPSIYVSDDVALPPRLQSGNALQDLAEMSDFS
ASDAEGSNSRNLRDINVTYGDSEDSYYVVNPGRNGTREGRNDFQQFDGIDERDYRQMQQPSVSSGQATPLPQSDSFPIPRIPDLPPFPSQASLTGTA
SSSEMTMEITKIVAAMNSQLEVFKDIYDTGNVPQRQNSNRRMDSQEVGTQ
>RCO7_06074 | related to TEL2 Protein involved in controlling telomere length and position effect
MEGLLTPVSTTYKCGKKDTGDEFALVEIVKAPEPKSKPRFQTASTPTEALEILRNEPDHETLISTLRFLGKRTHDFDITSPSPLAAQLVHTLVSDTV
PNYWHVFQASCGKAKLGKNSRTLPELEMLLQCLRSVMGLNAVLLSLKQQTQISKDLKKNIGGPKIEDLSVINLQLLQALLAGTKTIMTIWTSVRTAS
DASLKQKAVWNEFLALVGGGKILGIAAESEDTVNNLSKKIVEKSWVADGTLFSRWIAQNITNWAKSLIPVNEDGWKNLAELFSKSFRLGHTDSIIKE
VISSMLLQDKECKAQFLKLVESLPSFDQHNFLLTILKFIPRDYLSFPVTTEAGSGWWKSDASVIAAAAGLVSVVVAEDESRKKMLVSWLTNSSGAGV
GDGIAIRRAVLASLAGNMSDMESILDASLAQFGDQLYIRHTPTLQQDVHAQVLLLAAGYVHRMAPLRLTMMMRTGSHLSVVSNRLAASSARARFLGM
CIGEALSSLVDKGDKIMDFKVEEMSTEEAKWYKSLINVSDIVGSLSPLKSGAVAKVPKKQPAKISEEVKKKSSQVLQSGSKIVVIEQIDETDEEGSE
DDGLTPYAKPDSDAEDSDEDATLITRNKPTAPVYIRDLITYFRDVENYDRQKLALATAAPLIRRKANFGTEVSAHAEELATLLVGLQDKYEVENFQD
MRIQGMIAVLVALPLKMGQWFSKTFFDGDYSISQRASVLTTLGLGARELGGFGAEDEALTTMKKLPSSSKPSFPSKTLPPHILTHYDPQPQKKKLAS
TSISALDTLTTNLSNTMIAPMAVSLADKLTGPSILKVRTFSTRMAVEASRKKPTTNALAQVVATGFFFPLTGRFSIHLKTLGSSSANITFHPYLLSL
FLKTLSLLLHASGPNTLSLPQMTSEFWDLCLGLRAQSTGDVMVLEALLFAFLTILEVNADKRGLVEGFGRQMLETQEWVEAVIGRLGVGGSEEDERL
RMLAAGLLVRIRENVEKYQALLLGDLASFR
>RCO7_06075 | probable NEDD8-activating enzyme E1 catalytic subunit
MSQSVTAPIKLSTEVNPRVRWKYLDNFLFHKGPFCGEDFNPSEDAASGIERMKLLVIGAGGLGCEILKNLALSGFKDIHVIDMDTIDVSNLNRQFLF
RQSDVGSSKAEVAARFVEKRVKGVSITPHNCKIQDKDDEFYMGFNIVICGLDSIEARRWINSTLVNLVDDDNAESLKPLIDGGTEGFKGQSRVIFPT
MTSCIECQLDMHAPRAAVPLCTLATIPRQPEHCIEWAHIIAWEQEKPFPKLDNDDPEHITWLFQKSLARAKEFNISGVTYSLTQGVVKNIIPAIAST
NAVIAASCCNEAFKIATQANACLGLEENYMMYSGNESIYTYTFKHERKDDCPVCGNLARDLDVDPNLTLQEFIDSLAARPEAQLKKPSVRTENKTLY
FQNPESLRLQTAPNLEKKIHELMVDGEEIGVTDPSLGAVSFKFKVKFSRDIFGSEKSNGIATR
>RCO7_06076 | probable DNA-directed RNA polymerase
MAPYQPSQAELNRRRIVGVNSETVTDITSTDFPGHYPGEDHAWDVEKFKEAFQIKFHHNKPTESSFSLIGIDASVANAYRRIMIAEIPSLAIETVFV
NNNTSIIQDEVLAARLGLVPFKGGKEGLLDFLKWYKKPEEGSGDEPQNFDYNTICLDLKIECTRNAEAARGETDPLKLYHNAHVYAKDIKFNPFGQQ

HRYFSGENAIVPTNPDILVAKLRPGQCIDVEMHAIKGVGSDHAKYSPVATASYRLLPTITILKPILGKDAEKFARCFPAGVIGFETVTKKEAATKGS
GYENHEGEKKAVVLDTMKDTVSRECLRHAEFEGKVKLGRIRDHFIFSIESLGQWDSDELFLESIKVLRLKCHNMKRSLANMAR
>RCO7_06077 | NADH dehydrogenase (ubiquinone) 49K chain
MASSLTRLAGRHAKRLCLRPAPPATSASRASIRCFSAAPARRYAEAAYEGTRLIPTDERFGPASSLEETLSGNVTPESNLPDGEAIENRKIRHYTVN
FGPQHPAAHGVLRLILELNGEEIVRSDPHVGLLHRGTEKLIEYKTYLQALPYFDRLDYCSMMTNEQCFSLAVEKLLNIEIPDRAKWIRTLFGEITRI
SNHLMSILSHAMDVGALTPFLWGFEEREKLMEFYERVSGARLHAAYVRPGGVHQDIPVGLLDDIYQWATQFSDRIDETEELLTDNRIWIGRTKGIGV
VSAADALNYSLSGVMLRGSGVPWDIRKSQPYDAYGECEFDVPVGVNGDCYDRYLCRMEEFRQSLRIIHQCLNKMPAGPIRVEDYKVSPPPRAAMKEN
MEALIHHFLLFTKGYTVPPGETYSAIEAPKGEMGVFVVSDGSERPYRCKIRAPGFAHLGAFDQISRGHLLADAVAIIGTMDLVFGEVDR
>RCO7_06078 | uncharacterized protein
MGDCDCPVMFDAADRERRLRSRSGRGKGKGKELTQGEQSEPGKTQGKHVRDDQQHTSNFGYQVHRTYDESAGPRHYDNESADARGSQQGWGSQSGNN
AHYYEYTGYRCRAPAPVSAPVHPNIDHLGRGFGIPQDGFVPHQYISPNTLMMNQPGSGMKWYPEHQNQLPVQLPFTSSPASYTVPTIMAAPAPVIPS
ETFALRELTLFAGTQDPYPRFQKKKAASEPAEFRYSPYPSSSESDLVLDEDVDVGFIKNSPVVVSSSVVENTIPM
>RCO7_06079 | uncharacterized protein
MKFQYRFTHTCNHTGIGPITDRQTARSQDSSISTTPSSSTTTIPLSLPFACPFCTTPFTHHLSTIPGDGVLTILPPFPTAWTVIRACTFAELEPMDW
YPACVNAWVDGQYIQMAWIARPLGNVTADGVDDVDDGVRRWFMTTRVGAGWRLRGYVRGVGYGNFAGLLSSLHKSVSDREVIE
>RCO7_06080 | probable ATP synthase gamma chain, mitochondrial precursor
MLSRAARPALRAGAAASVRPIPQTAATFATLREIEDRLKSIRNIEKITKTMKIVASTKLNRAQRAMTDSRSYGQTSNTVFEQAETKALEGENKKTLI
VVASSDKGLCGGIHSGLSKRVRKMLIEKPDADLVILGEKCKAQLSRSSAKNIVMSFSAVGKNIPTFAESQAVADQISLLPTDYASVIIVYNKFVNAT
SYEATPVEAFSEEAITNSPNFSAFEIDDGQLANLREYAMSNALFWALTEGHACEISARRNAMDNASKNAGDMITKYQILFNRTRQAVITGELVEIIT
GAAASED
>RCO7_06081 | probable DNA topoisomerase 1
MSSDSDDDMPLARVNGKLSQAHISKSEDKAMDRAIPSTTAPAGVSVRNGPVVEDKMNMDGPTTNGHSKRKSRTSTSKPVYNDATEYSSDEETVHLAK
RQKTKKAVESDSDDDTPLAAAKKRGGRLPPKGKAADIGVDESSDDEPLTNKLAKEKAAIEKKAEKEAKEIRAKESKVKAKKVKKEDSDDGGIKVKPK
RKSNGSTATKKGNGVKKAESDSDAPLMKKPAKKAKSEGKAQKENSEEADEVYRWWDAPKKEDDSIKWETLQHNGVIFPPEYEPLPKNVKLLYDGIPV
TLSVEAEEIAGFFGAMLNSTLNVENPTFQKNFFEDFTEEVKKTGGAKGPDGKKVDIKQFSKLDFKPIFNYYDGKSQARKARSTAEKKAEKAEKDLAE
AAYTQCIWDGRKEQVGNFRVEPPGLFRGRGAHPKTGKVKRRVLPSQITINIGKEATVPAPPEGHKWGKIQHDNKATWLAMWQENINGAYKYVMLAAK
SSVKGQSDFKKFEKARGLKAHIDQIRKDYTRDLRAELMADRQRATAVYLIDKLALRAGNEKDGETEAETVGCCSLKYEHITLKPPNTVIFDFLGKDS
IRYYDEVVVDDKVFKNLKMFKRAPKKEGDDIFDRLTTTQLNKHLNSYMPGLSAKVFRTYNASYTMSNLLTKLTDTNITMQEKVKLYNDCNRKVALLC
NHKRTVGAGHEAQMEKMTDRIKGLQYQQWRLKQMILDLDPKQKKKRGAEWFELDSDLDQEWILEHQAYLVQEMRTKIEKKFQKDNEKLIADGSKEMK
AKELTERLKDADDLEKKFKKENKTKKVEAEGKGPSVEKFVSAIEKLDGRIATMRLQTEDRESNKEVALGTSKINYIDPRLTVVFVNKFNVPIEKFFS
KTLREKFTWAIESIGDDDAWEF
>RCO7_06082 | related to monooxigenase
MKSQLQRLFSRQLGTYVCDTCTRQLVRQRRRYASTTSTSPEIFDVVCVGGGPAGLSLLAALRSSPATANLRVALVESQDLSKTRAFSLPPAQFSNRC
SSLTPSSVRFLDNIGAWSHVQRDRVQPYQEMQVWDGLTGARIEFDWPGEKQGGTIAYMNENLNLTSGLLKRLEEVGGVEVLDGQKVEDIVLGEASQE
ADFSSWPVVQLSSGRKLTARLLVGADGANSPVRTFAGIGSKGWDYDRHGIVATIQLEGNGWGGGDIKTAYQRFLPTGPVAMLPLPGNFSTLVWSTTP
ALAAHLKTLSAKDFIAMVNSAFRLSPVDLAYMHTQAEGQAEEFKWRSQHTNFDKQRIPQLALGVQEGSVASFPLKLRHADTYIGERVALVGDAAHTI
HPLAGQGLNQGQGDVESLSKTIEFAVTHGQDIGVQMSLETYNAERYAANHVLLGICDKLHKLYAVESGPLVPLRSLGLRAVNALGPVKHFFMSQAAG
TGAKIL
>RCO7_06083 | uncharacterized protein
MSPVRRSSSQYSLFPSCSPSASPLQSPTSSTPHGKIGNTRNLHKRHSVGSVRERAQANINKSLRAASLSTSDFATNENNNNTNKFHLAINHPQANQT
ANTMDRLIPLKLEAIMSDTKSSSTSQKSFPLLPLAHLGAVQIPAPLNPAQPSKRIRPGPVTDRTILPYSPAEWAAVMEEVRMLHAKGQYKHCAMRCK
QLLDGVKDPSGVHPLYSIYLSFFAASSLEMTASTLNNHASTKLPLFQESLAFYQKAESYIEYAFFSSDPNLSFATRQISMYGHASHSSTSTSSSIRS
SVDSVFSEASASSRFSISSSSYGDSPTFEEPSMKRSSLNYSSSESEGSLRRRKKVSFSLPTLDSETPLDLSLDTYTISDSSITPEASTLLDAFPSPP
STSTSTLSPSRSPTRYSRSSRSDSFSTFFLSQSILRYREHLTSLSAQLNFHISSIHSQISSLADARRPRRSNTCDFADENISVGGADVGEKERRPEL
RERIEKLKELGWKRKRFDGERYRVLCEKALVEVNERP
>RCO7_06084 | probable Ca2+/calmodulin-dependent kinase-1
MSFSNMLNKLHGQPESYDKKAKYRFGRTLGAGTYGIVREADGPMGKVAVKIILKKNVKGNEQMVYDELEMLQRMRHPHIVKFVDWFESRDKYYIVTQ
LATGGELFDRICEQGRFTEKDASQTIRQVLEAVDYLHDNNVVHRDLKPENLLYLTPKPGSDLVLADFGIAKMLDSKDEVLTTMAGSFGYAAPEVMLK
RGHGKPVDMWSLGVITYTLLCGYSPFRSENLQELIEECSSARVIFHERYWKDVSEDAKDFIGHLLQPEADDRSTSKQALGHSWLSGKNATDHNLLPE
IKAYMAKARLRRGIEIVKLANRIEMLKMQEDEEDGAPGQADVPADAKKAAGQALSGADAGTSSKPAAAAPEGKRSLSKIAKGAIFREIVLAKVREMK
ETEKQLQVEKEAQENAKNRSSSG
>RCO7_06085 | related to ubiquitin-conjugating enzyme E2
MSFATKRLSKELSKIHGALPPGIELVAADGFQEWQLDIKVLDANPLYMNKVFRLKFKFSPQYPIEPPEVTFTQQPDRPIPMHPHVYSNGIICLDLLG
QQGWSPVQNVESICMSLQSMLTGNSKNERPEGDQSFVANNRRRPRDIDFYYHDSDV
>RCO7_06086 | probable HTS1 - histidine--tRNA ligase, mitochondrial
MAPKGQKFELKTAKGTKDWEGKDMVIRDKIFSTITEVFKRHGAVTIDTPVFELKEILSGKYGEDSKLIYDLADQGGEICSLRYDLTVPFARWLAMNR
DVQNIKRYHIAKVYRRDQPAMTKGRMREFYQCDFDIAGTYDPMLPDAEVIRITTEVFEGLGWKGSYTIKLNHRKILDGIFEVCGVPSDKIRTISSAV
DKLDKLPWAEVRKEMTKEKGLEPEIADRIGEYVVLKGQKDLLDKLKADERLAANESMKAGIADMELLFEYLEAFRALDNVSFDLSLARGLDYYTGLI
YEVITEGSSGSVPVATSPTTAAAPPKSSKKPSKVGAEADEDRSADPSVGVGSVAAGGRYDKLVGMFSGKNQIPCVGISFGVDRIFSITKARMAAEKN
AVQVRNNEVDVFVMAFGGKGFTGLLKERMNICSRLWEAGIKAEFLYKVKPKLPNQFKAAEVNGVPFTIVIGEDEVAQGKVKIKEMGLREGHPEKEGI
MVNLVDVAAEVKSRLRRKADLDGLFQEAEGLRVVDGIKGEAEKIASVESAAPVARTEEAPAEPSLDTSTAPAADDATVSESKKAADASPESLESIGA
VPAS
>RCO7_06087 | probable vacuolar sorting protein
MAPHAGFDTEQIKEKARKDLLYLLEGVRGKKNLVLEKSLAGPIGIFVKFSTLQDYGVDKVFFLENGNADVSQRNVVFIARGESAKHAQSIADHIKRM

RRESQTGHEFSIFWVPRRTLVSEKILEEAGVLGDTSIAEFPLYFLPLEKDLLSLELDDSFSDLYLRRDPTPTYLLARALMLIQQKHGLFPRITGQGD
NAKKLADLLARMRQELVAGEDTNESSRLGLTPSATIESLIVIDREVDYATPLLTQLTYEGLIDEVVGIQNNQADIDSSIVGAAPQPAPGSSKTVGGA
VQPKKRKVVLDSSDKLYEQLRDTNFAIVGSLLNKVARRLKTDYDGRHGTKTTAELRDFVNKLPGYQAEQQSLKIHTGLAEEIMKHTRTDQFSRLLEV
QQNLAAGADPSSQHDSIEEMIARDAPLSDVLRILCLESCLSGGIKPRELEAFKRMILQAYGYQHILTLDALEKLQLLLSRSSPMALMIPMTGGPANT
GTKTNYTYLRKALRLIVDEVNEHDPNDIAYVYSGYAPLSVRLVQCTLQKSYLASITRGGSANVPAGVATGGASQGWRGFDDAVKHVRGQTFDQAQKG
EDKAVKARSLLSGSGEKKTVFVVFLGGITFTEIAALRFVAKKEEARKQIIICTTSIISGNRIMETAIEKASLGKNVVLDS

>RCO7_06088 | related to VPS33 - vacuolar sorting protein
MDTHMAQHDDLHLMGLQELDSHLSIFESSNMEMESSAGTPESTSNYGDTINVSDQLNSIIVKSTDEVYLPSAQYGSRARPTDPKLNALQAEHSIKST
SDGSLHLRPESARDSMVSSMNTDIDDGSSALSSISSKATSPTGFDAHSKETHKSASQLAKRREKFDIRPKVSIPTDLTPSEYARQCIAAAESSRLNP
YSLHIEEHAMLRKHISHQQVTTYLNIRNGILRLWTRNPMIGVMRDEAVGCAKDVRWFDAASVCYEWLVRRGYINYGCLEHIEAKRVNKKPRAPKRTR
RTIAVLGAGMSGLGCARQLEGLFSQFEERFIAMGEDPPRVIVLEGRDRIGGRVYSKAMKSKPKYPTLSYGSRHTAEMGGMIITGFDRGNPLNIIVRG
QLALPYHALKPDTTIYDAIGRPVDINRDQFAEKLFNYILDRVSEYKFKLPTHPVIDGDKDLLDAGRDNSSEGSKTISEVEDSSNSSTSSSKNTSRAP
SEQMVPVSSDRLTGRAHLEPGIPAVHTAAFKAQEIGWQLRDGVGIEQDLDLENVVNSKYATLGLVFDEAIRQYTRIIEFAPLDLQLINWHVANLEYS
NAVTCNKLSLGGWDLDTGNEWEGKHTMVTGGYQQVPRGLLNCPEPLTVRKGRKVRRVSYKPDTNDSPSLIECEDGEEIEADYIVSSIPLGVLKQQNI
QFEPALPDWKMGPIQRIGYGVLNKVVLVYEKAFWDESRDIFGTLRNPANRFSLEQSEYFTQRGRFFQWFNVTNTTGLPTLLALMAGDAAFSTESTPN
DFLIAEATKVLRCVFGASVPLPVEAIVTRWGHDQFSYGSYSYTGPNFRPDDYDVMAKPIGNLFFAGEHTCGTHPATVHGAYISGLRAASEVLESMIG
PIDIPEPLVLPNSSSMKRKSDSIRSPKDPKQARLEKYEAEVWDAIYVKLGDRPWKPANNYANPYRMYSKDKWEEAKKKCETGRRPGKGKPIPNEVKK
MVTKMWKEASDEEKQPYNDRAEVQKKAYADALADYNLKAGQWDKDALAYREIYELEHPSIPTPEEFASPSRDRRAKRGVNGYAEDSDDEVDV

>RCO7_06089 | uncharacterized protein
MSSPPKIYLAGPDVFEPNAKERGEDLKTLCTKHGVVGLFPLDKETTTTSPGSVSHADAIRTANMKLISSCDAILANMTPFRGPSMDVGTAYEMGVGS
ALGKLVIGYTTDGGKPYVEKVGKACTVKRAPDGFLRDEENMSVEEFGVKEGGGLVDNLMISCGVEKLCFSEEEGLRVLVKLLKGAKKV

>RCO7_06090 | methylmalonate-semialdehyde dehydrogenase, mitochondrial precursor
MRRAATRGISAAAVRFSASTIAFRMPSAANNSKVATRRLHATTQHLKPAAASAFTADNYPTTHEKIQDVQDTPYFIDNKFVKSEATQFIELHDPATN
NLVTRVPQNTDAELKAAVESAKKAFPEWKATSVMARQQIMFKFTQLVRENWDRLAASITLEQGKTFADAKGDVLRGLQVAEGACNIPQQMMGEVLEV
AKDMETRSYREPLGIVAAICPFNFPAMIPLWSIPIATATGNCLILKPSERDPGAAMILAELAEKAGMPPGVLNIIHGSAKTVDFIIDEPSIKAISFV
GSNRAGEYIFTRGSANGKRVQANLGAKNHAAILPDANKQHALNSIVGAAFGAAGQRCMALSTLVMVGETREWLNELAESAKSLKVNGGFEAGADLGP
VISPQSKERIEHLIATAEEEGATILLDGRGYKPDKYPNGNWVGPTIITNVKTHMKCYTEEIFGPVLVCLNVDSLNEAIDMINANEYGNGVAIFTKSG
ATATAFQKNIEAGQVGINVPIPVPLPMFSFTGNKKSIAGGGASNFYGKPGLNFYTQLKTVTSLWRSEDAISKSADVSMPTQS

>RCO7_06091 | uncharacterized protein
MSSYGEDFADEEINNIEHRGASQGESDSETSFPGDGERLEDIPGYVALGGRGADGNDGLDKTSVIESARTVDTKVISGNPNGAEVGGAQGSDPKVNG
VGLEASVDPSGTLNEGREASQRLKLLRSPDVTVSVGHEEQCFTVPKDLLFLNSKFFDRALNGKFKEGAEQIIHLPEDTVMAFQMMLQWIYGNVTLHT
YSPDFDRSDVTGFYLDFFKLADKLLGYLHSFFKDFRAHLARWTELRFTNELETVNGFCKTLLMEIARLVVKDDKMIDPLSSTAVVQWPHGFPAPQGN
DGWSTSKGNLGFISAQLRKEFLRAQVVKIRDFRFYN

>RCO7_06092 | uncharacterized protein
MLPLPSLLVLLFAAHGFNAQTVSPSRSSTSSAPASTQTVNVGAAGLVFTPASLTAKVGDMVEFRFYPQNHSVARAEYKNPCIPYEVVDVGRKGFWSD
FRPVNVVLSDPPKFSVLINDTEPIFFYCSAPGACQEDLMVGVINPNSTQTLEVQKAFAHNSTVMFSPGENFPKEVADPTKTATLASTSTNHLPSTGT
ALPSHSHPALSSGAIAGIAIGGVAVLLLGGALIYLCGRQRTLGEIIRGQGHNAHPPPPPSYAPSPGHMSLASYAKSPQIGHDRFSPQGGGFYSAEDA
SYRSRSPPIDDGMEYSALGGTASPDRAGSPFIRRPAPQTPVTLTDRSMPETLGADGVRRTPSQNGPHELGVENDRNYTPVSSPRLG

>RCO7_06093 | related to conserved coiled/coiled coil protein
MTIKDIVTDPGLKAALETSAQAREQAVALLDFVSNQPATSAPTEEFQIQVSKQQKLLLTYLAQLRGLHRDAHMAARETKGVTAEARQEVDKLHLQLQ
NLYYEQRHLQGEIAACESFDHKYTQLPLIPVEDFLAEHPEHADADENALMTARIDHEHAGREALESQRQGLLKKKLGLAAENKKRKEDLAALDKDLE
TFIDAAKPIIATFDKVN

>RCO7_11745 | uncharacterized protein
MSFDHIVEEREKAKEKFKAKNSSKFKEYESIEDEYIATTFTSCEAGSDIDYDSDDKKPEALFMTSIGPVLVEAV

>RCO7_11746 | uncharacterized protein
MRGVKEEELEEEKATKGEKATKEEKKAKELEKEIASFSYIFPEEMKFKGDGDSFSSKVRIFYDAYLRAEILPEEYSKAFLLILKGATL

>RCO7_11679 | uncharacterized protein
MADDLIPTMHFVNFPPNPDEATKAILNSLVSDMQDSTSFISNMIAIALQEKIESTEISDDDHMAKVNFQILAFDLIVGTKATWLSRARTSTVDKKII
LDRHNLRFDLLTQAFQGQNLPAVLGERLQQFTLALAQVLVKTSSACESSRFATQIIYYTYDEATKSIKAQIKAYNFEATASTTKTSSNVEKCSVQIC
LKLVEYDFNQLRFNAVRKSMEEEAKKAAYDIASRATVEVPP

>RCO7_11678 | uncharacterized protein
MSKPITVNGNVLVVAEEATSLHARFTNYLYIKGRGAITTEQKRQLASVGVTIFEYIGENTYICRYLPEDLTPIRALDFVEHANVFPNRLKTSPYLDN
AIKADEQNATAALYKINVILHKGENATDEFVENLVGVAGIDRNELSVDHNIIQVTATAESIAKIGKLDAVQSIQEFIQNAVHNNLARKDLQVPDGTG
TVAGHMYEGSDQIIAVADTGFDLGDENNTHPAFEGRVLALLSEGRSSTSGKKNDFEGHGTHVAGSVLGDGHSKTMGGSIRGTAPKAKLVFQSLSKEQ
VENQKPQLYTPPNLWDLFITPYESLNARIATNSWGPNWRGAGSRQVPYNSDAGAIDRFMWHHPDHVILFSAGNDGAEPSTTSAHIGGNSAAKNSICV
GATESSRGSSNYRYERLPAAGNPQLVAAFSSRGPTFEERLKPDVVAPGVAILSAASRDESVNDIRRNKFGVTDDKLWMFSSGTSMATPLVAGCCAVL
REALAKAGLQKPSAALIKALLVNGAVDLHVPREQQGFGRVDLQNSLMSVEKQTDGINGLADSSNNSAMTLEEGEVWLHTITVPQTVTSGFLKVTLAY
SDRHGPALQNNLCLKVQVHEVGGDTVIEKRGNEHLRAENNVEQVSCPLSAGSTVVVTVVAERIARLDDSQSFSVVWAVYQL

>RCO7_11677 | uncharacterized protein
MSKKPSSMSVLDLGGITRLPNLKPGQLEDNAVVAGSISTSELSLQDIPNISDMGVQALTITQQFPSIWFVNFPPELDDRKKAHLAGLMDDMLHYRSW
ASLQWWTEVFKNVPSGVTQDPNTMKAQSRELARAAYSMLKSTSWLQQINNDVQDRTIECKSSDFHAALIHEAIIGYVSLTPRLLQSLEPVLMAIVSS
LDTSGGDNQARTLVMEKYEYVSENDSIKAYIRLVAFEVTESFYNIPEGKSGQQQWIKCSLKFLNYEALFDMEAWKASDHVRVNTAAMHSDGTNIE

>RCO7_11522 | uncharacterized protein
MSSEIEINSLFGNEKSVDDLIKIFKEENDPQTVFNLIPISPDKPLQQETEDAREAILKSQYFWATRIERTVQEKLGSSNARERFSMERSWERASFRA

KLVDFLPRQTPWLFVIRDESGSPGVEQLHGDYHSDKIIYQKITHEFLSSSLPAAQKGKLQIIERYISETLVSIHDKMIKPLRFSVSLPLTTQEGPPR
ILILTLTFAQKKDGTKTSLEVSTSLYEAGVNTKALEEQRLNEKLLGQGRSILDNWTLYILD
>RCO7_11521 | uncharacterized protein
MSTTLELGKLVSVHPGLGAQEPLTFNDFASVDADTSLSTNDVEPLPAMDNKTIADKAVADTAEAPSIWFVNFPSAQAAEQKELLATYMQNVLSYRCW
SSLVWYTTVYESKKITNADTPEGKAARTAFAAKVAAKHMKLTPWLAVNRDINVNKRIECFTREFHTKLITDVLEGFVSVTPSVLVTLEKILLALAKS
NGQSSGNSETKTIVCERYEYLKEANAIRSYVRLISFSVSDSMKEVNNAKKTEKRVTCNIEYNEYEAVFNHDAWLDIAKEKAEETKKASKAFVEKFTI
DCDP
>RCO7_11520 | uncharacterized protein
MSYIDGTETKPSRALYFKSEERINAQGEKRIDYTSYSPELAIKYYKRLADFERANKKALGAIKSIISLENLDRFKDKTSAKDLWEAIIATYGSTSLE
EISRHINRIVDNTYSSYKNIDEYTSVIQASSVYLKQLKCEIPKPILASLIFKGLPSSFDSFASRKYEEISNNISSIDIESLIRNLISEEARMNTSTD
LQANKAFKGKNWKGSKKCGYCNKTNHIEANCHIKHTELIPNKSTNNKKKSKGKDAKESKEESTKALMSSFSSTSSSSSTADQTYATIYNYRIVLDSG
ASEHYTPNKS
>RCO7_10055 | uncharacterized protein
MHAISSTKPMSDTLSLTIFDIDIAGPFKIKGLKGERFFLTITCRGSRAIWVYALKHKADAYDTLIEWYNMITTQFNPYSPEQNGIAERLNRYLIERL
IAICTDKNIPLFLWPQIIQGIAHIKNRSYNSVIKKSPFEVLFGKKPTLDYIRVLGSLTYVLVNKRTNKFEDKSDRGILVGYKSANNFLVYIPEKRAI
ISSKNVLIKEDLTFKDEVISKEELESFDKTLNDCETSDCSNRVISSPINTPKSDLSRAENSEKIDSKTADNSLNEEKVIEDIELDLFNDIAEESIVE
IPKRGIKRRRDYSNWVPNVTTRSQAKDPDIALAIQNNKRLIQEQKEAYSVYRNVINLACQAFISSKSDKEIKLSPDPERILIKKDPELKAINKEIAS
LENHNTWKVVDSNTKTIKLLKTRWVYKIKELESEYYELKARFVAKGFKQLYVNKFGFKLILSENCILVNKELKIIICIYVDNLALISPDISTIKSLI
KELKHFFKLKDLELIKDYLARFDLSDYKPKNTPIDSKVKLEPNPNKATKEDILWFQFSSNPSDTHILAAKNVFRYLKGSIKLGLVYINSSSKYVSGY
CDSD
>RCO7_11782 | uncharacterized protein
MYTRGFMVVFNNTITQGLDPYSGNRPKVRITE
>RCO7_11783 | uncharacterized protein
MSLLSLDYNIVTRVAIFTNIILFNYINIKYTILSSLLLGDKAKDPELNQGGIIATYKAINRIYRLAKSTAPTTTDYYYIISGDLGLKTIYREVLKQI
KELNTIIREFTKKAIFRAIIFNTKGKRNLLSSSKIASDLDTPGPSLKKKARRISYYTRSTTRATLVNLSKELEVVVPVLDIPDLLEAPKTLGEKAGK
VEVIEEVEF
>RCO7_11785 | uncharacterized protein
MDSKVKLEPNPNKATKEDILWFQPDISYAMIKLARFSSNPSDTHILAAKNVLRYLKGSIKLGLVYINSSSKYVSGYCDSDYAGDISTAKSTSGYSFY
IGSCLFSWKSKLQSIIAQSTIEAEYIAINSAVKEAVYIR
>RCO7_11324 | uncharacterized protein
MKLGLNAAHQLIVTSSSQAGECSDHAESASESLPRNKVAQRVLDEGDTYSASSEFVQKDDRRVGNHKDCTVSGLPNKSSSDHRGDIKPQSSQDVGYD
NDTGNSELLPQNEEEDSRMQVLPRFRKMMTSDSLNKKAIKDVPCHSTFRSPSSTCHSQEVIPVAQQYRHLSIPTTEPKSGSSSAPRSLLQKVLSRSG
ASIPLKQFSFREDEIEFVDIIGESFEEECHARMFRITAGGRNFALKHKYWESDMSQSLSQYPLPNQRFDHESTTYARTAHLQDLPTSPVPKCYGYVE
LTKIPQARSRHQRNPFRSTWFSTAAYLDFLIQEEDRRGTENQQRKRYFRDKPPSACILRGIVLEEIPSGSLERRTLSHPSKLINSGRESLARLHECG
VTHGDVGDLRHALVAKSGRVVWVGFANSYAYRQGALQKFSKRAETEMRLWDSLFVKRRPRPRKQQA
>RCO7_11325 | uncharacterized protein
MSFFPSFMVFGAGPKVCLPTSTQDLRSKRYTAMQLSRCSILQALKILVDRTDAVMSERIASIINVPSCLGLPSVRRFPQGGPIMQLNITCAHSTKDV
SPATNKISDAPTLQIDDKQWIAVAKAVTGLRDLRAQLSAKEQRRFDSLYDGVPLMNSLPSPITSQSSVVTATVVKPGLSTASNSSSVSPTVATLPSN
AQQARQIPPNRNLEPSKEQNTANCAVPSKSKPLVEKGLSKGQRRRLRKRMFAQDATPCPQVPKLKPSNSHNPQPKKYQHPAEDRLERHRYKDKILKN
TLPAVRQCLGFGQNGHTEEDRFKDVVLISIDFENTERLLDGVQASQPIRLETEMGVSVLDTKLLDSNTVPVEELIRGFNFSTALPHKRASQPAWKDY
FFRFGQTEYTTIDSLSTKLNSLIDRSRNNVLIAHSAQVELEILRHLKFDLDTGISAVVCTHALMCSVYLGPDYECCVDCRPTKKLFDSTLQGLCRKL
GMDVDRWPESFHVGGNDANYTLKATLLLAIEAFHEKKHLMSSDQLKKMSILEEIALARLPSLGAVRRDFPEASEDVVVQADEAPDSFDFSEVASLSR
SQSSSTLISASASQSTEEELMSSCVSDAPCPRDRVTMSVAVPITVAETVPGDTIVGEVAKKDTKERSKERKGTRDRFRVIWKKLVRK
>RCO7_11326 | uncharacterized protein
MDCVQDVFDNWQCVGYDMDFGSAKVCVLVGTKGSSRRAFKYATDMFRDVEVMYQCRTVIRSDEEDFALAIILQYEPVFDSLAFSGSVRGAPSEYTYM
SLVRDVEVIPFQVIGKCGLGERGKTFTVRKKRKKQGNALQTLA
>RCO7_11327 | related to RNA helicase, mitochondrial
MLRPKPSTCLLCSFRAARVTSLSTRCHTQQTASLYQASKNARPNRMGLAKARLVGSGGSRTNEPGKPGRRRQDGPFGGMNLTKAGIRGQPERGPGSR
SLDMTQAAKPAEAPRGPAGRGSKDRKDRGFKALKMQRTLAPVSYNTRTRIKARMAADADSFDHFGLLDSVKAAIPTQALQGMESLVPTPVQRIAIPR
LLGDKAKKRKKDAVREEFLIAAETGSGKTLSYVLPMINAIKLAELEDAEFEAHEKALAEERARQNDLTLVSPPLSNMPHPTTGRPRAIILVPTSELV
TQVGTLVKSLSHTIKFRSAVISSSFSGTVIRNRLFSPKGIDILISTPHLLSSIADSDPNILSRVSHLIIDEADSLMDRGFAPLTSAIIDRATPSLKQ
LILCSATIPRSLDSYLRKRFPDIQRLVTPNLHAIPRRVQLGVVDVERAPYQGNKNLACADSIWSIGKAAADHDGPVKGMIDVKRILVFVNEREKAQE
VSDYLVSKGIDSIALSRDTPDHRQSEMLASFTSSETLNAPKADHPGALSDNQPNYVPFGEAAPPVRRKLNNAKVVVTTDLGSRGIDTLAVRHVILYD
VPHSTIDFIHRLGRTGRMGRRGRGIVLVGKNDRRDVVAEVKDGMFKGQALI
>RCO7_11328 | probable NIP7 protein, required for efficient 60S ribosome subunit biogenesis
MRPLTETETQTLFAKLANYTGSSLKNLIAPLDNGPNADRFVFRLHQSRCYYVRLSLANLAISVSRDKLLSLGTCLGKFTKTGKFRLHITALPILAEH
ARYKVWVKANGEMPFLYGGHIVKAHVGRWSEDCPEHQGVIVYSMNDTPLGFGVTARSTQEARRLDPTGITCFRQADCGEYLRDEDSLFATS
>RCO7_11329 | related to NOC3 protein, required for maturation and intranuclear transport of pre-ribosomes
MARIPAVKRRKLTPPPTDGEDSSPSTLDNVSETSAFFKQASSWNLEQDYESRPRKGKKKDQESTRLPIKTSDGQIQELEVAEEVKDAASDMEWLGAE
ESAEEEVVEKKPKVPMRQQILEAQEEMARIALMVTQEDPEEHVGAFKALAQFGQSHNSTIKKLALRVQLAVYKDVIPGYRIRPLSEEDMETKVSKEV
RKLRAYEQALVGGYQGYIRELSKLSLSGRSGKSGKSDGVKDGGLSLTSVAISCACTLLIEVPHFNFRGDLLKILVKKLSTRVMDEDFVKCRTTIETL
FKNDEDGTPSLDAVAILTRMMKERSYRVDESVLNTFLHLRLLTEFSWRASTNHIDKPDNKFERKIKEKRVFRTKKERKMMKERKAVDKEMEQADATV
SHEDRDRMQSETLKQVFVTYLRILKLRSPHLMGAVLEGLARYAHLINQDLFGDLLEALKDLIGHAETGDDVEEDPEDIETERNLTREALLCIITAFA

LLEGQDAAKAQASLSLDLSFFITHLYRTLHALSLNPDIELSAKSLHLPDPNMPTWTQTHLTDSKNKVNVQTTTVLLLRSLSSILTPALAARAVPPLR
IAAFTKQLATISLHLPEKSCIAMTTFLGKLTKVQEKKVASLWNTEERRGDGVFDPLTGEVEGSNPYAATIWEGELLRKHFSPSVREGVKVMEKNVIG
LK

>RCO7_11330 | related to ceramide glucosyltransferase

MSSTLQTRGDGGQDYEISLLLFAVCLACAIWYFFVTFLQAVGFAQLYRNYSSKPKPATSPALQLEHVPHVTIIRPVKGLEPQLYECLAATFHQTYPL
QKLTIYFCVASMRDPAFPVLKRLLANFPHFDAKIFIEEEDPKLSGHGGERLNLGPNPKIRNMSRAYREVKGDLVWVLDSNVWVGKGVAGRMVDKLCG
YQEGGKRGRPYKFVHQLPLVVDNVGASGGGREEARSLQGQGEKSLNKTSRSHGGRFEEMFMATSHAKFYTAINTIAVAPCIVGKSNMFRRSHLDDLT
SCSPIFAPGIDYFSENICEDHLIGDLIWRKQVQDEIAGEKFHKHGLVFGDLAIQPMAGIPVREYIGRRVRWLRVRKWTVTLATFVEPGVEPLLCSAY
GAFAVTTLPYFAGIPHTWTSFWVIWLASVLAWMSVDYLVYARLHSCTSVELDENTPSFAMPPKKGRRRSFGEWLFAWLGRELLALPIWLWACYGGTT
VLWRGKAFRVGLDMRVKEIKMEERRKN

>RCO7_11331 | uncharacterized protein

MGLNIVSNNVARARGKYPSRPSIANFETLSATIWYSMVHPDAFKVSGLRIPWEQQQHHLSHDLKLYFMVVDTQSEESPLLGDSDSSGLLCRNGAPHL
WMILRVGAAMYSFAFLGLFTATIGVMLQPLIHHYSLSDVQVSLVFIVGPAGYIMAAQLNNQVHWKLGQRGMAVLAPTCHTIGVLIIATHPPFPIVLL
GFAIGAFGSGFLDGSLCAWAATVHNANTVTGMMQGSFSVGAALGPFLAGNVLPAWNGHWYDWYYVLAIASILELCLLFLVFRNETADKYRGQAQDEE
ALSRHIFHHRATWLVAVYLLAYCGIETAISGWMVTFMIRSRDATPHFASISSTGFWGGMAAGRFTLGIVTDKLGVGRANIVYFVITLAVQVVFAFVR
NDVACIILLGIIGFFMGPMFACGIVQVTRLLPRELHVAAISFGASAGQFGAALLPFGIGACIQAMGINMFPVAIVSLSFLTFLSWLPLL

>RCO7_11332 | uncharacterized protein

MALVFWLIPATTFFIPGATIVVALAVNGTFHLPVPFFNSSGIGSGTNRDISSTNLFKKSIYDLENTAGISMFIPNDGASQIVERLAGEVIV

>RCO7_11333 | related to choline dehydrogenase

MVQLSAGILTCLAFLPAQLSSAFSYGTAYSNNFGVPGINATYDYVIVGGGTAGLALAYRLAENINFTVAVVEAGGFYEQENGNRTLVPGYYVPNIEG
ALTNWNFKTLPQPQLANDTVAYARGKTLGGSSALNAMLYQRGTNGSYKAWADAVGDPSYEFDQFLQYFQISANYTPPNMNTRASNSSVPSPAIEAFT
SLGGPLHVSFPNTAAPFSCYGQQGFREIGIPDISDFSSGTLIGSQYCPLTVRPEDQTRSSSESSFLQAAFTRNELYPNLVVYIQTLGEYIVFDNNKT
ATGALVSSKGVSYMLNATKEVIVSAGAFQSPQLLMISGIGPEEELNMCDHVLFGVTYEIKLVTTSSLQDPVTAAHASEEYNKNKTGILTTNNADYLG
WENIPLHYQANLSANARSDLAKFPADWPDLEYVVLNFNQDTKVPVDMNHGTLLPALITPLSRGNISLASASMKDAPIINVGWLTSQTDLEATIVGIK
RAREWFATDALKQVIIGEELQPGKNVTTDAQIIEWARRNVQTVYHASCTCKMGKLSDPMAVTDSRARVIGVQNLRVVDASTFPLLIPGHPQSTIYAL
AEKIADHILKGT

>RCO7_11334 | uncharacterized protein

MLPSVFTAIGALLSLAGLAYSVPQIGSTTTITPPLATQTRLSTGRVACNNSPDLCTRSYNNITHMGAHDVAFLRDSSTSFSVSGNTFYNATLALSAG
IRLLQAQVHDSNGILQLCHSSCSLLDGGTLESWLSKIKAWMDINPNEVVSLLLVNADNHPIGDYGTVFQTSGISVYGFTPALRSATSNWPTLRTMIA
AKNRLVTFVTNIESSADVPYILPQFNYVFETHFEVTTSSTGFNCTVDRPSSLSSGSGTSAVSSGFMSLMNHFQYNEMAFGITVPAIEFIETTNSAAR
NVTGALGNHAVRCNSEWGTKPTFVLVDFFNVGPAIQVADNMNQITPTGRIVLSTAQLTAATSGGARSEFQSWFGAAALAMGVIALGYSVWL

>RCO7_11335 | related to Conidial Pigment Biosynthesis protein brown1

MYKTFVTILILLSFIVVTYAKTITYNWSIGWVTAAPDGFTRQVIGINGKFPLPTVEGNVGDKIIISVYNNLGDESTSIHFHGLDQLGSQFADGPSGV
TQCPIPPRGSLVYDFVLVRPGNYWYHSHNKGQYPDGLRGPLIVHDTNDPYAGQYDEEIVLTMSDWYHEKVPGLISTMLSKSNPRAQPPFPNALLLNE
TTSATFNFVTGKTYKIKMINMAAFASVFIQFDNHPMNIIEIDGSYTVKKEAYQLRLSPAQRYTVLLKAQSSTRRNYAFLASLDQNRDFSNENVAAVW
PLNITGNIVYDYTKALAPAMVVPKWKPFDDATLEALDGQALLGPREKADKEITLNFNFGLDASGIPRSYFNNLTYIPQKVPTLFSAISTGISNINPS
IYGAVNPFVIKRGDIVQITVNNLDGAIHPFHLHGHQFQVVERPSSGKGKYTGKGRDFPVIPPKRDTYAVQANSYAVIRFQADNPGVWLFHCHIEWHV
IMGLTATIIEAPELLRDLSLPPDHKANCDAQGVPTKGNAAGNTRNFTDMAGAYTLPEFPDKGAAYPKRMVKASKAFGRILPLPKRIEADFPPEPKSV
ASDTVADSLRRRPSPANYINACLREERRRPGVRISDIGIKAWQQLDDPYVRSPPLPIVIPKQYGT

>RCO7_11336 | probable polyketide synthase

MAFLLFGDQSLGVHSFLADFYRDGTPSILTLSFLDQVGAALRFEVDHMSSIERQMVPHFSSIKDLSEKYHVRKIKNSAVDSALLCITQLAHYIDRAE
KIHEDATRPEETCLVGLCTGLFAAAAIASSPSLSTLVPIAVQLALMAFRAGAHVAALAERLHKDSDSSETWTYVLPAITEMETISIIDLFHDQVGVP
SANHVYISAITSNSIAISGPPTSLESLFRFHSFDEKPVPIPVHGPYHAPHLHSAVDADKILRLRDPQVQKVLGDAKPRNPIMSSRTGAWYSEETSIS
LLQAVLRDILTEPLQFQKVVHGCVMKAQAYQGPKCLVIPFGPTEAGTSLATTLKAQTDLDIILRRAPASARLPSPTSSNFANGSNGRCKLAIVGMAG
RFPDAASHEKLWELLEKGLDVHREVPKDRFDARTHTDPTGKTRNTSHTPYGCWIENPGLFDPRFFNMSPREAFQTDPMQRLSLVTAFEALEMAGYVP
NRTRSTQLDRIGTFYGQTSDDWREINAAQDVDTYFITGGVRAFGPGRINYHFGFSGPSFSIDTACSSSAAAIQLACTSLWANDCDTAIVGGVSCMTN
SDIFAGLSRGQFLSKTGPCATFDNDADGYCRADAVGTVIVKRLEDALADKDNVLAVILGTATNHSADAISITHPHGGTQEILYRSILATAGVDPLDI
DYVEMHGTGTQAGDGTEMRSVTNVFAPTDRKRTAEQPLYLGAVKANVGHGEAASGVTALIKVLLMLQKNAIPPHVGIKNTINKGFPSDLAERNVHIA
FHKTPLRKRTNAPRRIFVNNFSAAGGNTGLLLEEAPALKRAVMDPRSTHVITVTAKSKSAMLRNAERLIGYLAQNSTTSLADLAYTTTARRIQHNWR
MSITTADIGEVQALLGSKLHENFVPVLPAPPKVAFLFTGQGSHYPAMGMELYNTSTLFKDTIDEFDKIAIIHGFPSFIPLVDGSAVDIQTLSPVVVQ
IGIVCLEMAMARLWDSWGIKPSVVLGHSLGEYAALNISGILSASDTIFLVGTRAQLLVQRCTPGTHVMVAVQGSLASVKEALNKRDINIACMNSSRE
TVLSGEAAEMAEVADSLTNSGFKCTQLKVPFAFHSAQIDPILDDFQRAAESVKFGRETIPLISSVLGRMLNEPEAIDAVYLRNHARNPVNFVGGLQS
AQIAGAADDKTVWMEVGPHPVCLNMVKATLDIPTIIAPSLRRSECAYKTISNSLCTMHTAGLNVDWNEYHRDFNDSVHLLDIPTYSFDDKNYWIQYE
GDWCLTKGNGAKLAPLLEDIKPKFSTTSVQNIISEFIKDDIAVVSAESNLAEPALKGVVTGHQVNGTMLCPSSLYADMAITLCEYAYKLVRPDAIDL
GVNVSNMKVVKPLIARPDGASQILRMIATVDVVAGKADLIFSTGLDKDKVEHGTCEIIFGNTKDYLAEWQRTSYLIQSRVDWLKEAEQDGRAHKIGR
GLAYKLFAALVDYNPRYRGMEEVILHSENFEATSKVKFQTTEKDGNFIFSPYWIDSLAHISGFIVNGSDAVDSRENVYISHGWESLRIAEPLSQKKT
YRAYVRMQPEEGKVLAGDVYIFDGDRIVAMVGCLKFQCIPRKVLNMFLPPTGGVKTIVAKPIQAATKTAPAKQVKTAQVTLANIATVNKKLISVCAR
ALDILAAEVGVGIDELVDNIGFTDLGVDSLMSLTVSGRMREELEIDVHSHDFNDHPTIGSFKAFLSKFETALIPSSDSSDTSIEDKSTPDLVDDSNV
TTPLDDTPVEENKDESLGNIIRTTIAEEMGVDIEEIADTVELSTLGMDSLMSLSILGRLREKTDMSLPADLLTVNQSIRDIKRSLNIGEPAKRIVSV
SVSKRIESSARSIIPPQRFATSVLLQGNSRRATKTLWMIPDGGGSATSYVDIPDLSPDIAVFGLNSPYMKVPEEYKCGVIGMAEAFITEMKRRQPTG
PYILAGWSAGGVIAFEAVNQLTKAGEFVEKLILIDSPCPDIIEPLPSSLHRWFASIGLLGDGDDSKLPSWLLPHFAASVNALSNYTPEIINPEKSPH
VTAIWCEDGVCKLPSDPRPDPFPYGHAQFLLDNRTDFGPNIWDKYLNPAKFACKHVPGNHFSMMKKPYVSEVGRIIIHAMNAIV

>RCO7_11337 | uncharacterized protein

MSSDVESSTPYGMETDWSTILGSPDPSRQHRLSTPSTTIPGFGDGRGSEPDPGANQDLFDTVFSWSNSPETDVTSPYNNNSPYQHHHNHRRAESLAD

PTLQPSIVSWYDHADYTPSPPGPASEHNVYSSTSAPRPTTCNCFNTCLSALQALHESDTITATSPFDVILTVNQRAVETCSTMMNCSICTSKSGSSL
RTMLLGTILGRIVSIYQDASKNYFALTSSQGGGQSQQLPLTFGTYRVANEDVRWLQMEIILRDLKKLKELFAKFQETTMMSDSEEDVGMHGAVSNYL
CQSLDLTFESLRKQRSFNIA
>RCO7_11338 | related to transcription factor Pig1p
MIFCTYCGKSFTRKEHLERHIPSHTNVKPHRCTLCQLSFPRRDLLQRHHFTYHEAKDPMQVVPGTVPSIAGRTPIACINCANAKTGCDKAVPCSRCA
EKNLPCEARFARRSGKASMRSASLSGAVSAHLNSRSPTATNRLAPKTATPAQTPIVATASPVESSQIQESPHKEQTQVYNMQELAFGNTPFNTLPSD
HVTGMDTFMCLNDEDMLNVETSYQDLMMWNQCPSELEMYHPTMTGKIDCPFMEMAGSYSSSDALQSGSLHTSISIPHTGSTSISSQADFERTFHIVE
ATGLMSEEPMVPEFEVVIAAEAAWPLARCNRPIFSGSCPRTAIVHLENLEQHSRYENTWSLLDSSIDLADVDYKKRISVVPFSPCTRDRILAITQSF
LHTALETHRGGMKVWDKGSPHGNFNFLVLPPSKVLEYFLRSYVRSLAPYYILIYGNSLDPNELMLNNQASTLLLLLMIATGATSVQTSEARCLTAGL
TETCRISLFNIIEKDVELSADPVVLRCALLFTILGAWSGDAWHMNIAMGQRGMYLSMLKHAGMLEPLVYNWVMVDQELSLFHDTAPILSITELQTPI
PDMESLWLAQDSTEWLLAFQQTNSATGWMSPNPIEVQPLPPSLCDLFQDLLHDNINHRYNQLSPLQLKLLLHPLQSLLCHLSQVLSCFSDFFGARRG
TRTVTKASTMLRMEEVQSLLQKWYELCAVHVKAVPTCPVTQANLVLYHLISLNAVTSFPEIERLARKEAFDGSSRELTNRYKKCIHQPEEVLIHCGQ
VLRIVSSMPREGRPHWWSTAIYRATLILWVQSLSRVDPTSQRKEKGPMFAIDAVMPDDRSVVSYLWNGEGVPVLTKGDRLVELLPDEVLSYCIMLLE
QGVALRICDGIKRKIQTLSRNWSSVLM
>RCO7_11339 | uncharacterized protein
MKFPTVEIILSTKYHEYQDPQKGP
>RCO7_11340 | uncharacterized protein
MSPIQDHRYQSTDPENGSYVLVLNEDAVRDLADLKVLGELVRPIFLNCLMKNYFVDKGIILRGGEAGALPLNRHKLDEKRHETQRTLVSYVQGYISI
LAYL
>RCO7_11760 | uncharacterized protein
MKVLDRVLLLPTLFNKLSVATILFKGKISIETKPSRALYFKSEERINALEEISRHINRIFDNTYSSYKNIDEYTSVIQASSVYLKQLKCKILKPILA
SLIFKGLPSSFYSFTSRKYKEISNNLSSIDIESLIRDLISEEARINTSTDL
>RCO7_09266 | uncharacterized protein
MANVRCSASICFRVVVDFKALLFDPSKTMYDVGLEIRNPSESQIVRRPNSVIPLIFPSTSLPGYNPQLRRTVSFDDAKSNPVPDFNIFL
>RCO7_09265 | probable coronin
MAGRFVRASKYRHVFGKSTRKEGCYDNLHISRNAWDTNLVKANPEYLAVNWEASGGGAFAVIPVNEKGRLPEQIPLFRGHTGPVLDTDWNPFNDRLI
ASASDDGKVFIWQVPQGFSLYSDAEEPADVAPMSKLTGHSRKVGQVLFNPAAENILASASGDYTIKLWDIESGQSHLSLKHGDIVQSLSWSANGAML
ATTSRDKKLRVWDVRQERPAHEVSGHSGAKNSRVVWMGEHNRLATTGFSKMSDRQMALWDVGAPQEPLGGFSVLDSGSGVCMPFWDDGTQCLYLAGK
GDGNIRYFEYENDKFEPLSEYKSGDPQRGLAFVPRRGINVHENEVMRAYKTVNDSYIEPISFTVPRRAEVFQSDIFPPAIGLKSAVSAKDWLAGKDG
IPAKIDLESVYEGKAPVEVASDYKPIQPVQVSAPAPVQPAAVKKEEPAPTPVQSRAPPPTMSEQKGSIAAMASKFQDDEADEDDDDASSFEEISKPV
QKHIPAAAAAKPVSPIKVAAPTKTEPPKPSPVSQAQAPARSYQAPATIKSPITTTAPTSSSTQGLNLSSGSGDSVESSLAQIKELLQAQTRTLNAQS
EKIVNLTQEVDTLKMRVGSGTQDQSERIRLLELELESLKS
>RCO7_09264 | uncharacterized protein
MSQENDTARDIASLYDSIGGKFDILYREIPAQIASLDWLVSQLPRSGSSVLDIGCGTGCPVSLTLTISPSSHTVLGIDVSEGMLSVARSTVTSPYAT
FRLFDCRTFEAHPATYDAITSYFAMLLGFSQSQIRGLVGKIYVWLKPGGLLVLGTSPANVEDFEQTWLGRKGLFSSLSKDQYVALLGGLGFLIIEHR
ASDEVYTEGS
>RCO7_09263 | uncharacterized protein
MASSTSSKSSKSRAYDIESVKAKAELYMGSNPGLDNSAKNLVCHRQFYDLINGIIPERKDLLKINDTLDYRLHQMKSAEEYCQALNLSMLEDEKADQ
FDHAEWRESILEDQKRSPDRAKRATELLERFRICLGWIIRLGLFNHYPKNPSRGWNYSKPGQYLAARLAESSMTTSDIYRKLEDVQ
>RCO7_09262 | uncharacterized protein
MASSSASTMLQPVPLGGYGRNTGLYGGLEGLEYASCVPPDVQKNSRIIAVCGIPQERASPQTDGWFFSDFFLFWQMFNAHRYVHGSATGNAKDRRIV
MNEAMAPDDEVAAGFRIVEPKELLSRSLSTLKEEINTAAKTGQAVVVLVFGHGEEDTSSVYIGCAEKGHWLLNQAMLGSVLREDVPTTLIFTSCYSG
GWLMKPNANENFLIKPLFNHNFFTAADKELESLSWPVSKTIGRQAGGSPFATMLAASIMIASKEVQKSDDRGRLTGSTHTTLTKIEEDDEGQRLSLT
MVGLVEKIKSELQSRNVTNFAAHVFSFAAKDDLWAETWGARIGLPLLDYEARWNRLPEAEVKKEFYSTSKAHTGSVKSAFTSSKSYSWHIRAIQAKA
KLYMASKPGLDNAGGNTSCHPLFYDLIAGKKLTFEELQEVDDTLDYRLHQVDLAETFCRVLKLGMSDDERASKFHQAEWRETQFNDQNGEIPERAKR
AQELLSKFTTIKGWITKLNLFDSPIAGQGFDYSKPSHYLSARLAESSMSTSEIYGKLEAIQQWKLRRLQLVADSPLGRAVLDQPEIRTMRQRIYGTA
ATLKHRLRSLSPSKRAVTRQRQGLPQFSSQG
>RCO7_09261 | uncharacterized protein
MEARFVSTTSKSHLDIVALVKEKAIRYMSSRPGRDESGGDTRCHSLCKQSIQGILESDRLLILNDMLNYRNPHLELAGRYAVKLGSSKDGIPDQFDQ
VEWHSSLNKDRISGSSVRKHRAADLKKRFADMLDFIDDLRLFDSPLWTQGFDYSKPPEYLAAKLA
>RCO7_09260 | probable pyruvate dehydrogenase (lipoamide) alpha chain precursor
MFSRALRTSRAAPLRSSVNRSALVKRTVTTDAASAHADKDAVPEEDDKPFTVHLSDESFETYELDPPPYTLETTKRELKQMYYDMVSTRRMEMAADR
LYKEKKIRGFCHLSTGQEAVAVGIEHSLTKEDDIITAYRCHGYALMRGASVKSIIGELLGRREGIAYGKGGSMHMFAKGFYGGNGIVGAQVPVGAGL
AFAHKYNGNKNTSVVLYGDGASNQGQVFEAFNMAKLWNLPVLFGCENNKYGMGTAANRSSALTDYYKRGQYIPGLKVNGMDVLAVKAAVKHAREYAT
SGNGPLVLEYVTYRYGGHSMSDPGTTYRTREEIQRMRSTQDPIAGLKLKLIEWNVTTEEELKGIDKEARASVDAEVAEAEKMPIPDPTPKNLFEDIY
VRGSEPQHMRGRTLEENYYY
>RCO7_09259 | related to ATX2 - Putative Golgi transporter involved in homeostasis of manganese ions
MLDGLFMLLSLSVVMAMASFLAGALPLSMTLSSSQLRLISTVGMGVLVGTSLIVIIPEGIEAVYTAGKATGLHTRGVRLKDRSVGNEMRWVGSGVHR
LMERDFTLPGLGGSFRETSTSAPKDLVSGKLPREEIPPAEPANPKPPATETPSPAKHEDGNDEEGHGEHHDPPTFYIGFSLISGFILMFLIDKLPRH
AQEHIAPPAAPRHISLNNLSQDLHSSPTSPTTDTESFLHSLTPTPKQTRSLATTTGLVIHAAADGIAMGASASSSNTKLGFIIFLAIMIHKAPAAFG
LTSVLLKQGLSKRAARGHLMVFSAAAPVGAIGTWLLVGILGGGEHMEGERGQWWTGMLLLFSGGTFLYVAMHAMQEESSSGVDNAHSGSNGYSEIST
AQQRKPQKPQMRDTLAAVGGMLIPLLTQLGHHH
>RCO7_09258 | related to archipelago beta form (F-box-WD40 repeat protein)

MDDFLVGKQKSFAERRQSIHTATFEEGDLSPTKLLTLNTNTNNAQLHSRLDRIVQSRPRGPPTPNMMTPSADPDSPTHSSHDPPPPPTPAASPGPDH
PQPDWKDAGDEEDYFLSKIRSHFKVASSAQRHRILADLLNLCTSQQLSFVRQYVDPLLKKDPFTSLPNEICLRILSCIDDPKVLARASQVSQRWREL
LADDVTWMKLCAKHDYGRRMSENHAHTPTTISMRPPLHPIHNQIDEGHTHSFPGAPGPAFSAWHSGNSKSFDSTTAANALRRPKMRSYKSHFKQRYL
VETAWRTGGRNIAKHITQDQGVVTSLHLTPKYIVVALDNAKIHVFDTNGTNQKTLQGHVMGVWAMVPWEDTLVSGGCDRDVRVWNMATGESLHTLRG
HTSTVRCLKMSDSSTAISGSRDTTLRIWDIKTGLCKNVLVGHQASVRCLEIKGDIVVSGSYDTTARVWSISEGRCLRTLNGHFSQIYAIAFDGNRVA
TGSLDTSVRIWDPANGTCQAILQGHTSLVGQLQMRGNTLVTGGSDGSVRVWSLEKMAPIHRLAAHDNSVTSLQFDDTRVVSGGSDGRVKVWDLKTGC
LVRELTAPADAVWRVAFEEEKCVVMASRSGRTIMEVWSFSPPEEALYEPTPTTPAQRGLLASLASGPPRPLSAIEYKSSGSSSLSNVQGTDHAMGGT
VSNDGTRYANSRQMEDVEMEDSGTSSQAQVPNTAPLDGRIGETFFRERDD

>RCO7_09257 | related to midasin (AAA ATPase)

MSSDERNDDNMEGMETAEKLDELPEEILEIIRLQNSPRFLDALAVAALKPELTLQLFTRYEDIFADTSARWIGRGTEGNQDVRVIGAFARILQLAPH
LSTFLEKYLEKTSNTGHERRDARIQCLWQERGSSVLELQRILLATLRLLNFNGAAFSRTISAANIQQYLKHEDRGVRYLAILILCQLCFASETKVEA
MIEEHVGKSEAVLGDFDGKTVDFGFLTLFEEKRLRDAANILRRDLKPISLELQQLSEFVVRYSNTLLPRSNGPPSQPSTMVQTATTSKNRENFAKSL
LSSSPILLHGLAGSGKTSLVNDFARELGMDSDMVTLHLNEQTDAKMLIGMYASGSKPGSFIWRAGVLTTAVREGRWVFIEDLDRAPNEVISVILPLI
ERGELLIPSRGETIKAGRGFKLLASIRTSLSVTGHENLPALHMLGSRLWQRVPVQMPSQEEFSQIIHGTYPILHKFLPGIIRVYERLYILSQKPSFA
SKSRTSLGRPISPRDLLKWCRRLDGVLRTAGSQNGNEPITDAIKDEMFLEAADCFASSLQSDDTRKTVISAIAEEMHIDPQRVEHFLTSHVPPYQDS
ETELTIGRVRLQKRPANRVTKPPKKSRPFANTTHAKRLLEQVGVAVKMMEPVLLVGETGIGKTTVVQQLADSLGYKLTAVNLSQQSEVGDLLGGFKP
VNIRSLAIPLKDEFDDLFAATGISATKNQKYLESLGKCVAKSQWSKASKLWREAPKMFNSIVSELKKKEIANGLPVEQPTKRRKTESRLQSLLQLKP
RWERFSHGLAQFDIQLSGGSKGFAFTFVEGNIVKAARNGDWVLLDEINLASPDTLESIADLLHHGSGGSPSILLSETGEIERVKAHPNFRIFGAMNP
ATDVGKRDLPMGLRSRFTEIYVESPDRNLDDLLAVIQAYLKGNTSNDEKAAHDVARLYLNTKQLADQKQLVDGANQVPHFSLRTLTRVLSYVVEITP
SYGLRRALYEGFAMGFLTLLDRESEKLLMPLIDHHLLSSHGNARALLAQTPRRLDDGKLYKAFMNKKRDRQYWMLQGSETPQEQTHYIKTPSVERNM
LNLVRATSTRRFPVLVQGPTSSGKTSMIEYLAKFSGNKFVRINNHEHTDLQEYLGTYISASDGQLRFQEGLLVQALRQGHWIVLDELNLAPTDVLEA
LNRLLDDNRELLIPETQEIVRPHENFMLFATQNPPGLYGGRKTLSRAFRNRFLELHFDDIPQDELQQILEYRSQKVAPSDCKRIVDVYKELSTLRQS
SRIFEQKESFATLRDLFRWALRDANNREQLAANGYMLLAERVRNPAERTAVKEIIEKVMKVKIDPVVLYGGEFSPEIEAYNETSNIQGVVWTQAMRR
LYVLVAHALRNNEPVLLVGETGCGKTTVCQMLAEAFGKELHILNAHQNTETGDLIGAQRPVRNRAVVLEQLKQDLLVVLQGLNEIVDDDSDVEFLMA
RYCSLPASTITQAPTELLSRIELNQGKAKALFEWSDGSLVQALKDGSFFLLDEISLADDSVLERLNSVLETQRTILLAEKGVDNSFVQAAEGFQFFA
TMNPGGDYGKRELSPALRNRFTEIWVPSLSEHEDVYQIVEAKLDEKSKHLSKAMVHFAEWFGENYRSSSPTSISVRDVLAWVKFMNSSSSTDSYFAV
LHGAAMVYIDTLGANPAALLAINPDNIVEERKKCLSQLSTLLKHDISSIYFKPVELVHGETFLIMGDFSIPKQPGSESDPGFAFNAPTTKLNAMRVI
RALQVQKPILIEGSPGVGKTTLIAALARACNRPLTRINLSEQTDLMDLFGSDVPVEGADAGHFAWRDAPFLQAMQNGEWVLLDEMNLASQSVLEGLN
ACLDHRGEVYISELDQTFRRHPNFSVFAAQNPHHQGGGRKGLPSSFVNRFTVVHNFPAMPDEIVNTIIAFVSRLEHEIVHQRRFGSQGGPWEFNLRD
ILRWLQLLGSSAPLLSAATPSDFLNLIFRQRFRTPKDRLEVNRIFAQVFCTHVPFRHFFHNMSSSAYQVGLAYMARDTLIQRIPFPAIDPISRLPEV
ESVMICIQQNLPCILVGPSGSGKTTILEHIAAVSGKSLTVFPLNADIDTMDLVGGFEQVDPQRAASSFLKEMKEFIQTKILGSLPGKIPDEALKLLE
LLNLPGQNTPAHFTSLSQNLLALQEATSLEAFGTLATTCTAFASRPMAVENARFEWVDGVLVKALEQGSWLVLDNANLCSASVLDRLNSLLEPNGFL
SINEHCGPDGEPKVVRPSEGFRVFLTMDARFGELSRAMRNRAVEVFVEPLELDHPVESGLAKMDLNVKVEAGMRRFQNLAKVLDVQNKDPECARLLY
AAALDNLSWSDMPLLSRFVEAFQHTYTGSVDFATICESYDDIYQGPANQQLRAAIGSILGELAMNNKLSVESFRKTQVMHPLRNSPLVPLLAKSISP
DHAFWLGAVFELIIEISTASKAHSTQENGLEALKPSKMNRLQRSLVGGRVAAVTKDSTINISEFLRNTLIALSAYLQSHTGSIETWKIQQKAFRALL
RYWWNTFQLATSRSFEESTFQAHLAIGSDLLNELSSTIQVSKSPISLFAYRLQTDFASGFKLTTGLSMELLWRQLRPAVIPNFNVMDTLAQMEKLAL
RFDTLRWKTAISVAELGHIMTSLVKAYKLILTSDVDGASLIATLSTEMESLEQSIGSEEDDVTPFFTSEFEALRQFRMLDILTSGSISTGEAAIDVD
ALILSNHATTSEMQFASSTTTSENLQAIDYLLGTGGKLRPVTDTFSTEMLKKLSGVGEVDLKSLRLFETELPAMGQKLALSTATLSRDQIVDLNGVL
STLLLSVISAHGPEIATPFLAWRQSLPLSTGPGVIDLSLSQAIISQDHLAASTPTYLREVLTKSFGPAVLSILASRSQPDMRIQFSSLAWIHFAIGC
ITLYVPDRAFDPDKRQRLERERHSKYRADLQTKLAALREFERLFSGQDSSLRCQLLEIELLELGEPPQILQEIYRPDVSEMDQLQGEFGNMLKTVLG
SDLAGTVSSYFKSSEESGLQQIKLLSHNVDQTIRRLSERFRAYKDLTAPVISMLRCLQIGLSMATLVSAVPSAKNETSLALSKMTPFLGGGPSAMNE
EIISSQPMEYLALIATKAATEKLSSFNSTSRQALFKGFHGCYDQWKKRLESDRLEAETNSGLYVFRGSAEDEEEHDQEQFNELFPAYDDDVAADKDK
PKGVTPAQFVVRETAIGLSKVHSEIFLGSTMPQAAIISSIRKIAKRVGSVHEDAPFSERKMTRTLLPGTMLLLSDSIETLNSSTAMPAAYNFYTSAN
LPETRKLVTLTHQIIMRFRALQAVDEIGHMQPLADVLDSCHSLLSFRHTEPLAKIITKVEKVHTFMHEWQFGGWASRANSALSLYDEVTATIVNWRR
LELSTWAKLFETEKENCEDDARSWFFLAYEVVVAVPLQIYDSPDELRVYTQKLLKDLEAYFHSAILGQFVQRMLLLKQLQNHLTMLALDMPHLSIIA
DAVGNFIALYQRYEKAVEENLKRGRVGLEKAMKDVLLMASWKDTNIVALRDSAKRSHHKLFKIVRKFRSLLGQPMESILKNGLPDEVTNPTTDEVSN
VQIPAVDETALQICATAVPEWNKKAKRFINVNNTVSMMASTAQLPTTAIECSTYLDSFLANIITSTAELQKATPALLTEENKDVVKHLKSRKHKLFA
DTLKALRQMGVKYNLGADALKQQDSLSVVLANVEALNGDGGGMQYYFHKAVDLAPRVRASVHEHNQDLSGAEVARSTGFLEGLLQVLLIQRNFLSNA
LKGLSTIETNIKMVEGLWNPAYTLKNLNSASNHEKLLRWLPNVLLVAIEFVTIHAKLGKIDSKYVLGVLGSWHDRFGQFARQWEECATLPEGVVSTA
SLTLEEDVTDAAQQLNIELSNVNEQRPDLAFILNQILPWTSITTTSNDSDSEEQTLTNLNQKLSTVCDTVLVAMEKYKKTIAELPSSTEDPGWLTKN
DTCLSSAIKSLHSENISQEINQAFAILRSIDLDHPKTSQAAPAIFAVALPILRQYTQILRESISRYASLHRATCKTSYILAKTFIQIATQGFCTPFE
KSAAQDGQTEKLEGGTGLGDGEGAEDISKDIQDDENLDELAQEPNKEKGDIEDENDAVDMADGDMEGEMGEGEEKEEGEGEDEESGDEMDEEAGDVD
DLDAGAVDEKMWDGAGEEENKEQEGDDAKGEQKKDEQVAAEEGRKENKAKEQEGDEVDAGDEEEEEMEGAEQGEEVKQDEVERHDPTAQEGETLDLP
EDMELDGEEGSEKESEDEMGDLSDVEENDKEGDEVKNDGKEEEGADNANANEEQQMVDEMDIVDLDEEPDDEGEKTEEAGEKVEEESPDQEPEDQEG
LLQDRNDDANADADNAVPSDVQGVGEDQNENSLDDKTDATSKAQREDGGKGGDSSEQKDAAAEDGEKGRQANGDAPQDSRDDTEDSAAAQPFKKLGD
ALERWHRQQSKIRNPEQQKEEQKKQGQDQKQDDQQETSEFQHLQDENAEADAQALGTATEEQAKALDESMAVDEESKELPEQFQPDEVETDDVERDE
MDIEEPSTPKEQEPSDAYEGRAGAMIKQANPALEEDLDARAQMQEDLEEDVEEVDSQLDRTHLDSTVKPQLSLDSRAQWQHYSSLTRDLSLSLTEQL
RLILAPTLATKMRGDFRTGKRLNIKRIIPYIASSYKRDKIWMRRSVPSKRSYQIMLAVDDSKSMGESGSGALALETLVMISKSLSMLEVGQISVVGF
GEGVKVAHDFETPFSADAGPNLLSEFSFNQERTDVTRLVRESINLFREARQKASSSPADLWQIQLIISDGVCNSSEHDTIRRLLRTALEERIMIVFV
IVDDVRKKGKGESVLDLREAKFVDGKVEMGRYLEGFPFKYFLVVGDVGELPGVLAGVLRSWFGEVVDSS

>RCO7_09256 | probable 54S ribosomal protein L12, mitochondrial precursor

MSLSCQSAARSCVRSLRSSSSLRLSSSAIAAQRRNTPIASAKRWASTETAAVNPKISGIVDQISQLTLLETADLVASLKSKLNIPDMPMGGFAAGPA
APAAAPVEEEEAAPAQQEKTLFNLKLMSFEAGSKPKIIKEVKSMLGLSLVDSKKFVESAPKLMKEAVPKEEAEKIVAALKELGGVVVME

>RCO7_09255 | related to CTD kinase subunit gamma

MDPFEVRIRFTQQLASLNASVTGASKTAQYALKFRELDEDLHSCILEQLERSNNSMNNRANIMYFIEHLCDMAARENHEAYIRMMQRDILRMVDAVA
PEDGSGAANVKVVRKVLQALQTKTFLLPQTVIEIEEVLKERDTGIDSMDVDEEVDPSTPQAPASNTKSRSIAPQKLDKKQIETRIEEDRERHKRLRE
SIWAIPKVTPGKESGGGGRADEFDKLWDETSDLGEDDLELFREEGDERGKAGEVWHEKFEKMHATSE
>RCO7_09254 | related to putative tartrate transporter
MRSSDFSEKNGPTTGADIQVSSSKITSIEGSNPKRLHLVQRGDVILESEVSDETITGYDADLMRARASLTADEEKKLMRRVDWRIIPLCAVMYAVKN
IDSSNVSNARIMDKGTPYNIMTELKMTENQYNLVTTMYFIPYILAEVPSNLLLKKVRPSVWQARIMISWSVVLLCHAAVANRQGLYTVRFFLGLFEA
GLWPGIVLHLCYWYRPDEIAPRVVWVTLLGNFSPIVSGVLAFAFNGVNKGLSSWKWLIFTEGLFTVLLGLVVFFHLPDFPATAKWLTDREKAFLQAR
LPRNSPRAAESSFSLKEFWVSLKDIKIWLFLLCWAFYTVGTSGLMFYQPTVIDNLGFTGIAKAQLLNIPPAIFSCLLTIAFGIWTDTGRIPLPLIPL
GFMIVLLACYAVLFTFPNTGSVYAATVIAGGFSIAWYTVMWPWRVQTTSGATGSAFAIGFTNSYGNVGGAVGALAFDSKYAPRYATSFGIAMGFIGA
AIIMNIITWGFTWRVDVETRRLKRERIKAARSNAAVLDDVDILKLSMGEKKRGEA
>RCO7_09253 | related to extracellular cellulase CelA/allergen Asp F7-like, putative
MKFQSIIAALSGLTITLASPIVEQPERTAVVSGGKATFYGGNIAGGHCSFTTIGRIPDGMFGTAFSGQVWDHGGMCGSCLKVTRGSESITVIVVDEC
PECDRKHLDLFQDGFMKLGTASEGIIPISYEVVNCGIASPLKLVNKVGTTRWWFSMQVVNANGAVKSLEVSTDGGKTWQPTTRRDYNFFEENSGFGT
EKVSVRVTGATGKSVITHNVGVGSQTQFTAADNI
>RCO7_09252 | uncharacterized protein
MFVKAILIILLQVTGFFAQDLDSNGLSLADKVLAIERLLLTPGTIIFPVTPCNLTLNGPPPEISGAQTAAQWVRTVFHDFITANISAGTGGLDASVG
FEADRDENLGLVFSTMARPRQSFINETIMGFNLFSTLEVSTADFIALGLAVSLLSCDPNKRMIKLRAGRIDATKAGPEGVPRAEDSVAKSNATFIKA
GFTTKEMIQSIACGHTIGGIHRRNHPEIVLDDEITGGGPDFDGADTFDSTPFVYENKNVEEYLSAKGKAGGPLVTSKNTTFRSDFRIFNSDLNKTII
AMSTPQTFLDTCFAVFEKMMDTVPRGMKLSEPITPRRWILRESHLDLSRSGVVQYSGNITTYSRGGPPVPNQAIYYYSTEGNGNTGYPLLSGPKVIQ
DNIVNHVISDPFGDIAYYSFNDSIHTPTVKSINIQDVNKKDSYTENINLNIFVVPSQTYRDNTDPNRPKFVIRAALLTTLSSPNTKLDGIFYWAAAQ
QLSKAPKYTQIKFQLTSFKTSGLYTIFQGLVAQPGESAPGGGGLSVDVLLGTTQRSVKTNLGSFNIPFIGTCSKADMKLCGV
>RCO7_09251 | uncharacterized protein
MKLQILIVSCLVRYAMAAAVPEAKLEADAGILEDRAIGSFCQQSSGIDKGTCQKESWCKAAAQIGVVSTGDCPNDPANVKCCYIPDLATARDQVITN
AACTEGMLWYAL
>RCO7_09250 | probable RTT103 Regulator of Ty1 Transposition
MAYNDDAVLAKLSALNETQESIVTVAQWVMFHRRHADRTGQLWLQRLKDSGSNKRLNLIYLANEVAQQSKARRKDDFLVAFSPVIAEATACAYKGAT
NEVQQKLRRVVEVWRSRQIFEIPIQESIESRIDDLDKTRSNNNRSGGSIFSSSANSVPSELQPLVTPQQTISKLVLSTKTSVNAANQDYTKLTDPNT
VAPTPPVHAARLNGLLKTLANAEGAVAESIKARQLLIEGLEKILDTNRSVLASEEAQMSELQNRRAEIDNKKRDVEESIMRGFSNSNPATPVGDGSP
GAQHTPMTPGQHSGSVEPDRPEVEALTPPGYPQPPPVEPIPEYDLNQNNNQNNQNNHGNNGHHMHTNGHGNHNLYQQDYTSQQSPTGAPGLDLLSSL
STTYARPASSGSAKKRKLNDEFPDLGGEDAMDGLDDEVVGILNKGL
>RCO7_09249 | uncharacterized protein
MAGFVNRENRVPHYQRMFQQGAKQHVRQWNQTPKSKLMLYPYYVALFGGLAGSMYMMVRLTLGHKTWFGKN
>RCO7_09248 | uncharacterized protein
MRPALQRLVSRPSSRELLRLLVGHNRAIGFLAPAALDTGSRQKRSIRLRKYSGVAVAPNESDLEIQEAGNEITDGSTNADLQQLCSSNARKHKHTGL
RKDMISTATECSKRASRATELGTVSSANKALSISKPPGARLMERKRTQWQESMFSRTRLDFESDFDASPIASQPRLLDTRLENDASLWIMLLSYRKR
IDGMQGVRSFWEAIQERNLHLPREKHLADKLWRNFLALGFKDLDVLESIYQYAKRMKEQHDLSWSTLYSDIVGHFFESNQGGLALKWHNRLSKLQQP
GLGVFSDMCRRVISKNGDLGVLKQIYNLQPHRNVYASIVPLLCRSEQYNLALEWHTFLYKKGDTPEVATAAQPLVAYYSIYNPHIARKVTSDLVAAN
SSFASTLTQNLEEHAKISREMMNNIHGKTFDIPAKKYSDELGARWFATTWVSLDVAINAIHALGMQEIGPLSLQAIALRAPDPKAIVARIKQLETLG
ISIGDSLFSRAIENFARDEKSDLLAALLDSDEHPDEFQNVELQESLLVSYAQTANWTLYRMTLAIRILASQYPEINRRNIELRTVASINPRSSMNRD
LESMLMDAVPITKRTITILLEKTLGHRRIGRRPVSLKPVDGRIEKRALSEGIQMMQAIMKSGTRVNVRYWHEIIRRIGMRGDMSSLRSLCSWLAKVY
GPQNHDSTEGWLERYRVPLDVKTSHESHPLRKMFPASLQKAIVEWGFIASQPYQVPRHTHPSSVAEQTTIRTLTTASRESPASLSSGISILQNLNSL
GVHIDGPSVRKAIFNRLITYYGPGYSNRRYNKGKMRSIGSLEDVAKEIDTALGGEYFTSVELRDVVNKMAITRWERREKRVRRRAERRPELRVRDPR
WSFLLQSRKPMVLKLVERDRLEKSE
>RCO7_09247 | uncharacterized protein
MSSSSSTAIVGSSSNPPSLPANHHDEGEFYSIFIDLFPPRPVFDAEEYASDRLRILASNLLARSAAIEAEVRSSTAAVEKSLESLSVQTRVHKSRGK
GLDLKNRFWRRFRT
>RCO7_09246 | uncharacterized protein
MALPSAAEMTELMAVWKKMKDSSPMVLVMKWMAVMVKHLLPLQPVEPPIKRGFHSVFIELFPPQATFDTKVPSMNSDAGLARDPFLAFLIGVERLQE
HISLGQTLEQTQLMVMSQASPNGSYLDVLKALSWRPMIQNAMGSSTEEDATLQQVVTSSQDSGISDKKAH
>RCO7_09245 | uncharacterized protein
MSYLAAIDEMGLAGFIRSILYPTAVSTEPGFHSTFIELFPPQAIFDIQVPSTTDLAGAIRDPTMLRLSRIELMQINIANGQNLEETQAFLDGSDRIT
ERYLRRGLKKRSNRVLAEEAHAAYAEDQGKARDRV
>RCO7_09244 | uncharacterized protein
MSSSLAASASPVASSPSTSSDTPAEPDFHSVFIDLFPPQAPFEVESSTLAILNIPTGVSAAMNARLTAIHNMLANMAIERESMRAEMEAMNKARLTA
MADLHQNLRAGVRGLEDLAQDDRVKLQFHFDEIRRHQDDNQRRLDENA
>RCO7_09243 | uncharacterized protein
MSYSMCNHYLPVITADQDRNISSKCPKTAEDLCLPSCELFPPQPIFEYCSRPNPLPRFLNNALLGIQKRKPKDGNWVPKILAAACVAEQTSPQKSSR
PASEWYPPPPPNPTALLGDYLSITSMEPLLPALNSEAHPNHRFSSFARPTRLTPLIGLEANDGSEDDEEGPCEEDFEKSSRQKIQAAELQREIDTYG
KGQDWDEKEEEARNHWDALDDGRPFHGKPWGNLQEGQA
>RCO7_09242 | uncharacterized protein
MSNPNVPFNIVGGNWSSSSSDISILSSPPGSDVPNATATAPSVLGQDSNNQNTHGVTPSLFERFGAQNPMPPRVQSLADYFAQNGQNPTTSNTQAPQ
TSTTSQIAASNSSIPGLQNYTVPGVINGFGQSAHAPGTLNPGSSNSLTPNMPILPSIGTSNPLTFTPSASTQHTPSRSNVFGNTDRNKMKQNMRAQL
QASTNAQLNNVPTAQLANFNTSHGQMSEVQIMLEKQISEGMDKMGAIDGFAKEPTTFIPQCVDAILHFKGQVREAVLMLSRQNVNLDDHNYVRDSAL
KIVDLQRAVSSENIRNTVSKEIIQQMKDVCKSTGFQCSEVEFIPKLFRAAESLKQERDSAIVLKDAQAKRLDSLQGGTINQQNASASQSARILQLES

ANKVLQDAAVQQSQHVTALEKMVSTKDVEISKLNASLEIHKIQERKMEATMQTLNKNVEHHKDQAKRSGDSYEELTKSSSKARLRIEKLKESEKTLK
NQLKQQYKTGVVHDTSDRPYEEELAKAIAATDSKKCFTTPIDYISASAQKILDQNFKLYNQWEDLEEAKRRLREYKADEEKAVALIIAHDLPASKDY
ILESAKLINNLTSASEVLKEQVVVATSERVEELKKTLETRDAQIRNIHRPFKAATRQAKNEMGVAMMLNPVRGGNLMLEGRTAARPCGECIVLEKMD
EFRQEEDDKEEEEEEEREVLMIKNRQRSKTAPAANSSFKRKRAEDEDSAPEVDSSTKRVKSSDASSVLVQPTNRDLSLADAGINPLGAATSGAGSGF
FAKISRGGWSLPRWFRRRG

>RCO7_09241 | uncharacterized protein
MSSTTPPADCMLPRCKTAKSNNITYRKMQEEEKAKHEGAMEAQKKAHEVEIRRFKDRLEHARAGQFGTYGEDFEQKGLIARQLKEFQTLKSFCKEHH
DGITPGIVAELARTKNELSEAKAEVERVTYQKKVQVENVKQAKAKIEDLEREVYAAGVRESELMREGKQQWTELQNVRKEALGRLSNGEDILTSLRG
ELTTANMNVTSLMNELGVVRVQLNEALEVVSSTKSTLVDVRAELVTSNGQVKVLKDDLEKSLKGDLENVKAQLSEASESLSSSARTLAETRAEATTA
IALADSLQHNLKQAVRDLAETKKVEDDLRKKLDEASKTAISTEVPTPNHVDASSLTAELEQKELELAESKTAEGELREKLLDASKLGIHAETPTSES
HTTPTSETVDAATQTESTNPIVPDIESEKPASTPSLKITSPLGRSTKVTIGIDAAAIDEVFKTVVSLETKVKTLSGTVKYYQKEKAVEFAKKKAYAH
AIYTGQETTPLVYNRSEWTGSSLALVGKTNWLRMQLMNQKTAVVQEKIDLASPAEPGARRARGGRRGKNAKGKQEAKAAEKDAKKGKEADKDELFEE
SECESIIPRVIKPYRSFLEEHKSTVSNTFDTQKAVELRRYRMARSVDAESMSARTNPPKSRANVGSIDCENHSSANGPTTATAMSGLIITAMVPTLP
AAPIIEPTPAPTPPSWSFSSILGFLIGIDFDSIIGTGGAHFISALDAIAFNGDDLRCDS

>RCO7_09240 | uncharacterized protein
MSKSHDSNFMSGIARDVLENPVKPKGTGIIKLPLDIPSPFLLSFLPLNHNKSPAPQVPFIFRKKTVVRRTLDEFVASVSSHGRGAIHSIDPAKVCFL
TPMQGMATADSFSNIANPTAYVGPDYGHRDILAAYPHPLTHCKNKEAKEKCSACLLHDFKICEARLKETNIKLADAKLLTES

>RCO7_09239 | uncharacterized protein
MSYFEEDADAFLQEMLEASANVVDTFRDPADSPDDWSGAILGLTAAELSYLNGADDDGNDSDGLLQRLGGKDGAIVAAHEFDEIGKDSAEEKDNDKQ
GEEVEENMDLNEEDTSETLTTNQAWPSRIQDLPHEDAILVEIQTLMITASGNYDKLQGQADDLQILLNNASGTNGQLMAEIDRLNSLVKPLNDQLDT
KQKLIEDLQKEVQQLTASENHWKKEAGQLESKLRDANSRIEKIEGLFSTSTSTIATASNEIATKQLLVDTVTAELATAHNRITVLEEKEAGKNEVFK
ALGAAQFESKRSTNQIVALEKKLKQSRIATETVAQNKKVLDELNDVKEENKKLRRANFHVVQDANKKLEIMRETNTRLVLKMNEPQRRIAFREAYHK
LQNMPDPVEKIVVNTIEEKEGKEIVFEKVVAHTVEEKENRGFIVARAPGSWTGNDVNAFYGPSLTDSIANYSENIIAANRRMIAATRTAALHAKFTA
KYLWSQWKHALFWMSMAMLTSVAFIGTDLFDQEPQVQVRVPCCKPKQRNIRGIIVESTYTKHVKVTTSTITSASTTTGDFSSATAIAMLLLVAGFIY
LCTYLQNQADDRKLASAELALEAAVRADILAREGRKAAESEAIRRQWQVAAAHQPDFFESLNSKWTPVYQKPRKYWGNNL

>RCO7_09238 | uncharacterized protein
MSYYNSQNGFGQNAPLQPQTELSPEAQTFMDSRNFDPELFNPLPLSTAMIAASQAQAPAQKKRGREEEVSQEPGSLHKVTKRERSQSPRSTPRAIAD
SHIDQGASTEPVVTIGQINHDSSIQIGADVNPLLSTYSASSFDFLANPLNFQPSATPSKETSKAPKSSKRKGKERAAYASSYDHEYMPGHSGPTSAP
KVETAPNGNNQSAAGQVIVSSSYSSSDVEGMDRVQQYPTAEGAETNLSMPCPTASFDDYNGNFVANGGISQEEQNGFQQGNRSQQDSYTYPSYNPFG
LPIAATDTSCIDAQNFDLGHVIYGQSCLYTSEEVDLLLAEAKWKSDTEHDDEEDKIRNNASKWAQDEIDEYHRECEKSLQVEVEKGGLIMVGKAEAL
FAEKKAEWEQGDRKKDAQIQQLEHLLSQASNDQLLKIPSIPQIDQEMLKDLNDARGIADVLNYEKQKLLENAEALIRSFNCVNEKITLLLKKLEDAE
RKVRDLTNDNGKYTKSLSERGNELELLTKQKENAEKEILALQDRIDNTPKVHPDTEKMLQDFNVKVDSLESENKKIPELTEQLRQQESRVSLHQTLV
DKIPDMSKELEETKAKLDQLHLATSKHTCPVAEPKILPSIPIVLQEFNHQEYTTHGSIGLPGVKSQNHFGLSDRYLLKNTKRELAKTNLALESYMDH
VAFLEKDRTRMAKEIRKTNYALVYNVHDKNGPRNSSAKNSSAENMHSKKTINTRKHTLESTFLQKLFHGDDVAITARKLKVLSPDQVAVNAHIRELR
DICVPSSKASSKGDSDSEPVAMLVRKRKPSSSATIAVNAATQEQSDPNVSPASKYFDLSLQSTVTGGPLPTKFIAISNEKRMKSSFKSLNEGATHKQ
KKRVAFKLPPVADGTPAIATPVAPVDAQAPIPSDIPNTPSKSPRPWYSDLFHPLVQTTLLIMTIIFVSMILITLKVLAPQRIVTPVPSYYHSIPDDW
VITVEKFSDTLSITTYGPPDPVPAKDKYESEVDIGMVYFRAQEVIETMRLEDEQAEKVLRMVATLQPMPEPTPPPPATTTSSDPVAVESEPAEPAIS
SPNPHQTYPTVCDLTWELLRSIRGLFVICFVFWCWNRCAHIKEHIRLNNIEMVKVRQRHRERCERE

>RCO7_09237 | uncharacterized protein
MLSMILVGYHHGSVEPSISRSSLLLEKHCGRSEEPGYLFEGRLALIPSKGDFRWKKRRGKSRHWYSVAKLIIWEDLGFEKLIGVMREKKPVGQLYPH
LPQLDHRHTMSQDYTRSHEVSEVKSVAGLPFSLKRYIRPKTKVIPESAVYLSQFQFQSQMPLQKQETHPAVLKSDP

>RCO7_09236 | uncharacterized protein
MSSTLRRSKRIAASKKPISAKKSPAADMKMAGTVEISLKFGPPRPRPRSDRTDRKDDLETLRLMEEYEEEIRKMNAKSRKAKFQAENVEAEDDKQVA
PQPKIKLFGSPSSWVGNHSLGHGILRPASLCGPDHRSDSHPSRQVRQPTATRRPSVVIENDILKPKDKNARLEAVKKRRFALEHEEVEISKIAKTCK
GSNAPARPTKVKNNGAGRATRKFEELSIH

>RCO7_09275 | uncharacterized protein
MNEGDANNKNMNGTFGAQNINGQFGNQFYTPHSNGIMAPGSSNFNNGSYGGDMSNGYPMQSPYAQNMSSEMYSGAPDVTANNFGERQNQTQYESQSH
GQRFNGNMNLAMPNFGDRGYNSSMSINPATNQSYAQQIPTMNRRAPNYANNGYGPRINYRNPYASQAYSNFEKGSGNTSMINGQATSQIQAQAPIIP
ISTPQTFPDITIGGNSASMSKRQATNAPPARVTGPSRRQKTILAKPVADELLCQYGKKAYKLSIKEIIRYMCQGQPLPADDVEPERRSARGTTAHRV
KKELERLEDLEIRTVKGNGIPVARAPKVVSGGQSYESNTTVEKSSDSEQQMDVGCQEGTHDTSKDSLSHSNREVVVESNSGQSELQPVDGRVEQQTA
SNSVGHNDHCAKITSSSNLQEGESESSSMDEVDKKASENEDVDVDKFEAQLFEVSNTRTEISAVQEYDNISLLEKLAFKDEELKQIRNSSAILGNNL
KQFQGNIEALSSDLKQAHENNSILSDELKQAQDNTADLQEDVFKADAKILSLEDQNNTAENELRATIDEKKEVELTCATHIESIATLRGHVEDFKKN
LHRCQEHLRNSRAEAESLLPLQEEVSDAQNRISELNLLVESTKSSHKVKVQVLKLELQAFQAEVEYLTPLKGELEEGQKKIFDLESLVKSNESKHVS
QVQDLKNELKTVNRNFSLMSKRMDELERAKKDEEEARENSPTPKVSSFWSSKFVSSKRFQVPGLTILLLVMLYFALSNFGSASNRAVNFVEQTNIYT
IVTESPFVYVIPSASAIEDPTPVGIIAEEATCVTESEYPDGLNTVNLDLNGIPTARDHGRDGSAGSEEILEEILRSKPWTRGQKVFLRAVPVAVVVT
GAWYMGWI

>RCO7_09274 | uncharacterized protein
MDVRFPPHGPSDADRLAWAANAAADSADSANSPSVPINIAGNDDAAAFTPGVGQVSTSPPSTPKPRPTPRPPKDCKPRRGPISSTPSLQLSSSRIFA
NIATYPQVSFQGPVSPPTAAPLPRNSLVFDAFGITEDSSELALKLQMIPKTPPRVSASQAAVGIATTFSTGQAPQIDMRSQIEKVNQAFTSTESTPL
TASIKSPSRFHFVQKASSLQRENSIMGISNQPPAVAPFAPTTSDLIFGRPAAPVVKFSNPFNSPEPQAKTTQSFGLGSPSNSNSFSFANTAQNNLGD
IFTSVPMAHNSRPSVPSPLYTPPPRQTQSASHFFGSIAPAYNSNTQASSITTPPIAPTTTITTDPSLTSYVASPTQLDDSIRVAQKRALEITTVDDE
GGLEDIYGASPKLRPTPSEPEQDNMDEGISEIDRFVNSLQQGISSDLVATTGADQSATGNSADTCFGVPLVNDGESVVAMHGLLSNNLEQFNSILEA
ESKAYGSNGTTDTPGVSFETQNSYQSSSAFSLQTETADDVTAEDVIMDDNEWFERFVQIMQDPNIQDDVVMNEFPAEADVDHQISRNYPLASSKDDK
DSDIEIEDVPPPSSADPTNLQILSVIDTPNTAFTTVQDYTRNVDADMQDSPDLEAPTQVIGIATVAIPAGVEETMINLEYSDSTSAHAIVVDLKDGI

AVSMAYSEPATLETILENSKPFVEDYGDLSRAADPEEDEFPDQHLESKLRVHVVVEEQEVVSVSKLIEVATIIGAPSEEILVVTVHEKISEEHIFVA
PIEPTEPVAPEKTIDGTSIPSNEQSSVPQDGTSLPLLYHPSFSSPPVEPLVSKTCPRILATIQNYSADLETIIDSMNSARLSDIVGDNEIESTNSGL
LEKGEVEVRQPYGNAECPNFNSHPMNPLSTPAVEKSETPPVTDLLSEASDINLVATTPSNGRAKSINKVKTSKINKNPRSKNAGTMTEEACSVFKPC
LHKDIIDDWRARMVEANEVARIRKIVLPEDYIERSVSDIQSRRHYEVKWRRDYQEELASRDVHDLQLESEIVGLQRDRDDLKLALRESEVHTKLAEY
WSVAGMKQVKSLEAKLLEATDTIELYKDRFARKIRALKEAHEKITKSSKDTFDKDAKLSKDTFDEEMKSSKAAFDKERQVWKKEERALNKEADDLSD
GYNDEVEKLEKAHAKKEKELWEEYNTILLKQKSSLSKFEAGQQKAQQDVDRANKEAESAERMAGLERVPRPGSGYDLVLIVKPQIIQRVQEQGEDTE
IASFTVDDVPETSLPEKSETPTSILNGSRRVSSLIHADSSIRVKPAAQVPRSHEEISGAEVARTITEGSKEEISFTNAVCTVTPTSDSTEVESDAVK
QFTTETKAQNSLLDASGENTISCGDLDLNPVKPATADSSEDTIHSEPKNGNTSMPILETLTTQPTTETLDIFGLLNNTDVISTHTDFSQGASSSETQ
SSSERLISAATPVPAATGPIQRARLPGWLMRALLYAILFLTTIYVAKMAYSVPLTIPKNQIGNSEPMTVDTPQFSMVQTSPSWEPTLLGTPVVVCTE
DQTPPRYLWDDYVHSAEPHGRQASWRDNWLNTLTWVVVSVTAATSVGRSMQGGRGGG

>RCO7_09273 | uncharacterized protein
MAEETTAPIADTLSVACPPSADYTPINDTNTDEKHKIEENMAKKEDSGDVVTAEEIKKKIQNEKNRRNKAKKNKKAGRNKDAFRQLQALKDARLAGT
GNGAVAQVSQSHSQATSIIAGELNARRQLHVTTEHSPLQDAIIGATVLGKETAPVPTVAGSSIVLPSTIHHAEAKDASIVKSVFGPTIASGNTKITV
RTLSIDPPSHLAIRSSSDAIDDYQETPSDTPMIFSGNRSLIDFESHADVGSLVVALEQHTYVHLPK

>RCO7_09272 | uncharacterized protein
MADVIVVEEEETEKRRSASQPQYEGGGSKLLQASFNYALSR

>RCO7_09271 | uncharacterized protein
MSAPNNTITPDSSQRAEDLDVKAMMAGNHEDLGRNGLAGSRWAIPGVTYGFKKEFLVRMAAVAAEKKRLEAEEVAKKANGSGNGTSTDTATSDAGGM
DVDTTSSNA

>RCO7_09270 | uncharacterized protein
MGSEVVELFVGSETIKFIADKDLPCAKVPYFEKMYRGGFSEATTNSANFAGDTICLPDLLDEAVDLYLTAAVESNPFSVTEVIKDMYQESAPDSRLR
KLAFTIFRNTISYNKEEGVKTWPTIDLSTALIELPSWALDLVTALRNGDKVEDPSVEGCREAAEVKCGMVRMARFNQVMKCIQEINRRGKTCTSRPK
TSS

>RCO7_09269 | uncharacterized protein
MPSKGVQCYSYIAVPGCQIDFSVPGTTLSRNDQKRYLSDHLEVDSAFIKGAFNYSGTFYFRVTQNGNEIAHEKISINVLTGNLEGGTLRTMADQASI
VRDDVIVTYGYYDAGPGVAGLPSSDQCFVTVSPNYSTWMGQVAPQGSEQAAKPFSRMFLPAAHDIGMQSMQSCDAVIGSDALVAVLTLINPVFAKIA
NMMAHAAVMALAPDIVRGLAITQKDTLSTILSIGARYFEFRPAYLHNVIRGKCAIADVLYFSHSAIPGMPFDEYLADVVTFLVAHPDEIVVTQLRWD
GVPGDCAQPSAEDISNCIATALSTTNGGIVQGSLDDMLRLSIAELRSERKRLILFTSSDSFSTYTDAANATLNGDSIMAEFDKICPQSQAGKPFSNL
QCQATATNVPEAVAYSVLAANASSSCLLATKPICDSKLLPWIQANGDRLEANQLVVVMNDFLDGATADVAIDWCRKRLA

>RCO7_09268 | uncharacterized protein
MNRIYGKLIRCRKKLGTWNLIQSNRANSKDKLASPIVAHRLDLDHQAVAAIISENHLVMQTGFNRNLLEFGATHGMINLCTQVLSGVTSVKDHVLLK
NEAGLTSVHIAVVNGYVEIARLLLSIIDKPFVGNPDNLLHIALRNQDDEDMLRLSDYSSTLELTQIHLITWDGQQRNMLCSGGHLAVGDMFPVPTKH
QSPAFQQSLMAEKVYMLPGMILLEHGLMLTVSTSESAVSVQRMLPLLDDPVDDTFVFFVENSEDITVLFNIHEGRADPDGQATLIGAGIALLEAHNN
CVGIQHGLLMREQSVAIMYKGTLKLLGTISFSYTIIKPYHQLQSPKSNSKSLRTTGSAKIVGHRGLGQNCQDNFLRLGENTIESSRAAAKQGADYVE
VYVQVTRVLVPILFHDYSLSESGTDVPIHEITLNQFMHMSDSQSSTLEPTSMLGGVENYEARDNVQVVRVRSGSVAFADERETERMKNRMRHPVDYQ
DKGFKPNTRGDFVHGTFTTLQDTLGKLPEHIGVDMEIKYPRPHEASQAGNALTSIDINVFADTVLDVIARFGKGRHIILSSIK

>RCO7_09267 | uncharacterized protein
MPGWSAVGGQAQSAYTFGDVDLSDTPLGHTSPSGSSTGSAVAVSAGFSPVALGTDTGGSLMTPSTRAAFDIRYCWSYGPSPTDLAVMLDVLVGPELI
GSKDSYSGALTKTFRNLRIGVLRPEEWFFGPELQKPVSSATNQIVGAIADTNAAYAKLKHLAKSFKKVTLATPDAFIVNQTDSFYAIQTARYKATLE
EYLQTLETSKVRTLDQLISFNPDHASHEMPAGYDNQDQLIAAAESDVRITV

>RCO7_11690 | uncharacterized protein
MNLGPIIYPSSYIIFNLFSLDYDTASRIYNANSYSTFTSSYCVKEQLRAYRLLEPKQYTILSGLLPSSEAKDAELNRGSIVATYKEFIKKAIFKAII
SNTKGKRNLLSSSEIVLDLDTPGPSLKKKARRISYYTRSITKAILVDLGKELDIVVLVLDILDLLEALENLREKASKVEIVKEVEF

>RCO7_11757 | uncharacterized protein
MNLGPIIYPSSHVIFSTALVVASKLSDYNIAPRLPNYINTEYTILSGLLPSSEAKDIELNRSSIIATYKAINQIYYLAKSTTPTITDYYYIISRDLG
FKVFYRENLDLLIVKSAKSKLIAEIALKQIKELNSIIREFAKKAIFKATISNTRGKRNLPSSSEIVLDLDTPGPSLKKKARRISYYTQSTTRATLVD
LGKKLDIVVLVLDILDLLEAPENLREKTSKVEVIKEIEF

>RCO7_06227 | uncharacterized protein
MESRQKILSRPISSQQMVSDIGICVIEFKMIAV

>RCO7_06226 | uncharacterized protein
MDNTYAPQSPDLSSFLSSPPKTKKTHQPSNNPQSTTTTTTASTTNTNTTSYAPRSPNIPSFVTHSSHQLNSFGTNQTQFGLAPDGANDIAEYGSNSC
MPPIPPLPPSHSDQFNAQIPFQGQFQNQTAILDPHSSGVYGRPHRQARNNIPSYSDDFEPPEQAYEQDQGPYITSPHFPPPPQAQQQFQQSYPQIPQ
DQYILPQQPHSQPQQQQEPMSSRGPRIKPDPSSTNNVSSLPTYTDPNPLNIEIRTKFPVARIKRIMQADEEVGKVAQVTPVAVSKALELFMIALVGG
AAEKAKEKGGKKVSAAHLKQVVLGSEQFDFLAEIVGRVAEVQEGAGGEGKRKGGKGKEENGGSDSSEEEKKPKKARGRKKKNDD

>RCO7_06225 | uncharacterized protein
MSPFVGATATPPPAGVIPNLPNPTDVLRTVAIVTNGLALGLTTLVTVGRFYVRVRITRAVFLEDWFCALSWILSTVFCILGLLSPLTAGGGYHAWDV
SPATLVQFQRIQYAVTILYGPTVWCIKVALLLILVRVFTPFKRIIWAVWGFIFAMLIYYIIATALKIFICTPLSKFWDPNVQGKCANENLLFTIDTV
WSILTDVIILVLPIPLVWSLQVPTTKKMRTIALLGAGGLATAAGITRLILVLDLDDSPYQLGDPTVSLLRINLLVTAELSLGIICACLPAFNIFFTA
ERQRSRQRSTYHSHSNSSSKPKQHARHLSKSSLKLPALPVMSPIGAPDVVTRPEKAVKRDSWPLRNVGVGVTQDSEFRTGEGEV

>RCO7_06224 | uncharacterized protein
MNTSTCRPIVRSFLKTTLSNQTCRLIAARKPARAALAPSKVQKDSPDDHGRISTSRNTASAKRSGSRTQPSSSPSKSYEQILPPTDLLNTAYDSGAL
HITPEKAMEFFREFLTADMVNSPGWQRRVCLNNDIDPCTLGLLAGILENCEDAAQRRFGGNLLAIAAKFGDRAANLKRVHQANKTGQLRLVPDALAQ
VGLMAKKGDDPQAMTLLGMVCFSQGKEVQALEWLRKATAGSLDFHGAADALVLQGRILAAKDKEAARAAFQRAATELNDPEAYFRLGALTKPNSEAQ
HEHLLQAASSGILEACHNLGMIHVSKFGTETNMTSLDDYELARDWTLIAAEGGFALSMLNMAQMCRSVGERKEGMRWLQKAAKRPEVREEAESLIEQ

WSS
>RCO7_06223 | uncharacterized protein
MVTSRSQSRASRGGEAEETTHVQVSSGKKRRLRSSIGGEEDEAEVAKQTLTPAKKRKTLPVREKDSSPLVKKSVLMVEIPAKKNTPVREPEPVVGTT
AKPIEIEDDVEEGGDAEVSEEGEREEEVEEPKEVELDTKKIHKRFDSEEVKPAVFLTAQEVPESVGEAADSEEGSDSEDDAPEAIGTKDAAKEILTK
ERDTAKAVKEQMTASRKKRKERDEVLRKQSEKAKKRKPVFIAAESDEEAEQSKQSVIDTFPSHILSSRSALPEFLPAEYLEDTDPQDTIRTEDAEPA
KKKGKKTRFIDADLKAPKDRRVGKTTYRVAKAGSTNLAPKASFRARSTKDAWMQGRSGGMIDPNRRAFAKAFGRR
>RCO7_06222 | uncharacterized protein
MGHTTYNIFVNGFRTEALADTGAWLNLVSESYLQRNPGPWIIVPDQYQLRVGNGKECRLSGYVQAMIRVGDCEELNQITLYIIDGLLFDVVLGHKFL
NTTGMVQFSPGGTKRVYIHSTGSSQPNNAMILAANLADVRGPPLLQRMKMCFGLGRRPPSADARAVLESFNLRQREREERVPYCNTSGAMIDLPGAP
ILGVALPQLPPLVHLAI
>RCO7_06221 | uncharacterized protein
MKHEPWLLIYTDEQADYVVTSYTAD
>RCO7_06220 | uncharacterized protein
MAINCSDKNCVLAFDGVEELKSHERAVHSSTKDGLLPEIPNSDPSPNTTITLATIADLASKSSIEGCPVQVESSSDSQQLKQLLPSASKHSYTSTQP
PSAPIDCSHLVVDEPLHTEEKKSVDHVKEVARQEVVKNCYRYAIPRTIPRKFDRRITLTIRNLEDGLKDTSLADLLGHYSSDEESDDGFSNYSYL
>RCO7_06219 | uncharacterized protein
MALHQSPEKEKHRSLLKRARSKYRSTSHKLCGQRRLVKNKSRFAATDRRVQSVKTRMGKDYLKQYLWLLGNEWDVLSQASQQSDERCAGYARSVTPL
LIPEQAPSDDYFSYEQSTNTDARTNTSDVVYTTALSLQGCDTMHLETDHAGSLLSISQGDSFSTAPNLASDIETQSEPEFMQAEYTVDSDLLVGNWD
WQQPW
>RCO7_06218 | related to hydrolase
MILGQISWLDCFVFLLFLAPQLIIHIGFFPTLFCGIKALPFLFIRLPLKFLYERYLLAKASQPPFVQQASWFEDIVIRCVRYAFASIPADIGKVFFS
KGAATPFLRWRMLRHGFVKKPVHWEEIERKDFEGVWIIKDKMKVPDVVVYYAHGGGFSMGTSRFYLEFLLAFHSLLSPKFSNPAILALEYTLVPQAS
FPTQLHQAIAGYKFLLSKTHDPSRLVFSGDSAGGTLILSLLLHIGNSFSKSKNGGKIRAVHDGGNDIQGVTPALAVLISPWTTLISPKDKNTKSDFL
DANNLHHYARQYIGSQNSPDDPLISPGNCKDASWWRRAGPSKGMFVIWGKEEVFAPEIRDWVALLESADVSVEQREEEGGIHAWPVACMFLSSTREE
RIKGLVRIVRFIGERIEANKEGGDLIEVDEKDLADL
>RCO7_06217 | uncharacterized protein
MAASAPTAAQIELINSLSHDEIPLKLRCAVCSKLAVNAYRLPCCDQAIDESCQSTLPSSCPVCEHTPVAAADCKPHKSLRTTIKVFLRTEEKKREAA
RLKEQKNTPPASPPAPVKTAAPVEQVAVQETQDIEPAADVKIEEISVSQLEETPATNEQSEQPAGDQQDVPHQSIEEIVPGQEPTEIDASKAEDTAA
ETEEVKLDDGQGAGHGVSQNPGVGTGFGFDPSSAGGFPGMGFGGDFNQMQMMMAMQNGMGATGFGNFPMMGMPGMPGMPPMGMDPVSMQFMNSGFGG
SMNGMGMGYDGGVGQGYGGNWNGQQNWNVGDQYNNSHAGSMGQSDYATNNSGYGPQNGYSQSNYAGPNQYNNHQNNYGSFRGRGRGRGGFSRAVGYG
PNDAYSQQMPQQFGSGQQSNGPITEAETVPPGPTVESSNVDEYGREIRQKSTTADQVLKATDDEKDAPESEITAAGGQAPEVTSDAVQNEALAGAND
APADSGLMPIQTLDDVTPYAYSGISDAYNLNPYGGGYPQDQSYGGRGGFLSMQPPIVKSIDIPINAPTGPKAMREGLPNTGLSGLRTQQGFSIAGRA
SSKPSGSVSACIAPDNSEQGRERGRSRTPSRERSRSRDRKRSRSREKSRRHRHHSTSISEDEKETERRRERRRERRRRDDDDAATDEPSKERLENG
KGDNVIEDRSRSASPSDSKRTSHRSRRDRDKYRESDRDRDHKSSTSHKHRSSHRSSRYDEKDRERSRSRGDRDRDRDRDRERRHHSRQQTEEPLPKS
DVEPTALKTPIEPENSSRRPSTFSNTNGIEIKGASSRHKSIFDSTPTLPTGPRSDRVTSSTRDRERDRNRSHVRDRDHDKSRDNKPTRHHRDDEHRS
SRHESSRRNRDKETHKDRDSTSLTSKSASNKRTKNIPTNAPPSAKDPHELEREARNRERLQKEAQRMAGLGGVNGGAGGAFPRKRSRDEFIDENEGV
ENRGRGGKKGRKGRRGNGGGNGLEGGIGEEGEEARISRLEAERESARWG
>RCO7_06216 | uncharacterized protein
MSRTAGMNSYFLVLAFVTLAIAITLPASYDVTWTTQSRNSSESMPLGGGDLGLNVWAENNTILFYIAKGGTFDENNSMLKLGRVRLEMEPNPFVGNN
SFSQTLKLNDGYILFRGAQNSTLKIWVDVFNPVIHVELQSSKDVALNATYENWRYEDRIMGLKGTTRAEQEQSSRASGNWTTFGDDTEFYNGGVRNV
HHNQKTTVFDFTVAQQHLQEYSGTMYNPLAGNTFGLWMHSPDLEPGEISSGNYVNTTFKSWKLQSSKAKSSYNLKIVAGQSQEDNAEGFHTKLGSLA
QSTANSSHAATMNWWHEFWDRSYIIVNEEAGQSDASFQVGKNYQIFRYMQGCNAFSDWPLRFNGGLWTFDPVFVNPDAAFTPDYRRWTGGTFTAQNQ
RLLYWPLLKSGDFDLLTTQFEYYRRITATARLRGNVYWGINATVFTEQMDNYGLPSPKEYNSYSSPENPRRDSFPIGIEFNTWLEYLQDTANEFLDM
ILQANLFIGADVSPYIEFIEHQIIWFDLFYQQEHAKTDVFNRTGLNYAHDNGAGQLVIFPGSGAETYKNAYNPSSTISGLRKIIMDLLQVAPNYQVG
NTTYYEGLLQRIPETPLRFQQGHPCISPAQGYSRIQNTEIPQLYPVFPWGEYGLGMPNLDYAINTYLYDTETQKFHKNEGWTQDVIWMARMGLTSLA
KNMTLERWSDSLIYRFPVFKGPHFDWVPDINHYGSASIGLQEMLLQTFAANNTQLRLMGAWPANWDVRFKLHAPMNTTVTGKIVGGAMQNLEVLPES
RLKDVVYGTS
>RCO7_06215 | uncharacterized protein
MAPPPKIPEPKLSNPKFPPLSRSIPPLSPVFPPNGGPIAAGAAVAGPVPLVTSSRLGDSWVWDFNNLAAYNKAIKKIDRKLVASTWMNSESQWKNRV
GKGWVGKSLLGRGSYGVVGHWSYEGPDREKKGLRDVAVKQSLRNPFPLGGWGLEGEAMALMELGKAKSQHVVKMYRHLYEELGQRTNSYDVGLVHRI
FLEYCPGGDMGEWIKAHLQNNTSVSEAEMWAIFHCLARSCLVMDHGSENANFPTPGWPSQEMVHFDLKLENILIGTPTTDIEHRDASPFKFGDFGMA
KRVQNSQSPQYMADHSTWGTPVYYAPEQVLRSNHSAGARPWFDMLGRHTITEPKYGSATNLWQVGLIMHCLMSRSRYPDWETSSINRLRCYNSRLSA
RLRSSGNTIGASYDQKCEFNAKMSAYSIELRTLIHECLIVNPKQRPRPSTVVQKSGEAIDLLRMSMGGILNTTFKAYEEPTLSVRWYSGQNNGDPAT
KPRAATQAQVTAADKLHEVRIAMEKARIAQGIRPVQVSNKSSPREDSPDAPYKTAPIPVQPTQPTQPVQPAQPAQLTPTPATQPNVPNASPGSPSAP
GTAIYAPYVNPATPIIVTPAPLAPAPPLQPPAPPIQAPALLPTAKPALIPSLSPIPIPILHKVTQVTSIVTTQSFFGAVIIKNYTLKNLNSDTSILV
CKKRLADMGCGIPSEKQRWMNGRTLMTDYMRLGEFANLVGGRNSVRVTQV
>RCO7_06214 | uncharacterized protein
MAEFEKLTHSERVTRMVNLGHISNNRDLSFAKQIISNTSSGYLKKRAIDLIALFGSDEEVLWTLRSVPSYLQVATLHRLRHARGRRKRLVVIEEYLD
VLDNENQDIKHFQRLFLLGLDSLVEKHLPRFLDQFSTQQWLDLAKYHPIIAHRVLEEWMERSLEDGRTLTVKINCVPGQLLTHDYSVNYAVELFRTA
RISWYGSTTAWDGENENGSMDADIIAALPSKERVAEARRNPKLNKFEGNPSDRIPYIAFTPWDKAMALKVPFIRLGDVKIRSTVIKGQVEAARFDDA
RIEDALKLVLSRMNEQNSVQAEIIDGLRVISKGKWNETYFVILGEIITNRLNFRDMSTGRIIRDHVHYAIGIYLSGQTPVKDCVTSIQEELSPLLQK
MLRKKGQTPSDIGKWALSELYKMIGKYRPKSLDWLLLRVYEDDAFACEPLVVSHVHRRRQNLPDGYLNKDLEGFEDRSNALKSLQGGFLRWTASQQE
IFQEILIKEICHEDTTIEDKVNCVQQLSLLNYVDQKPLFDLANSDKSAIQEAALRASGDLDGDQGLPSLIEALSDERARIAVYSLHKILKAMPSKTY
QLLSTIPDTKVTVAKEAIRLIGELGIEKALQHLTQKAQSNLHPHAQTYLDRDEAWTILTRAAENTDPKIAKSVCSIPEDGISSQRNHQLVQVMLRLL

NHESAEVRIAALKRLDGKPLQDQGDILAPRLLELVHSDLDDECTKAAKAILETYARTNVAKIGDVYRKILPDRPTLKRVHDTYMEIVSPSPDKKYLR
PVVHLLLSIFRTDRLSVTRRVNLMCSGLPWDELRSYVFEIIPELHADALFAAEVFIETNSTGWKEPGDNLLKVELGLKASKDERARRLALSVLVGGV
DESTGWIDEERFRSDGYKDDESFLVAEATWEFDVPHEVEEDSEGEDDEDEDESLRDGSGSEEEGGEDTMMGKDK

>RCO7_06213 | probable CTP synthase
MKYVLVSGGVISGIGKGVIASSTGLLLKTIGLKISFLGDEIDPYMNIDAGTMNPTEHGEVFVLDDGGEVDLDLGNYERYLNITLTRENNITTGKIYQ
HVINRERKGDYLGKTVQVVPHLTDALQDWIERVAKIPVDDTNESPDVCIIELGGTVGDIESAPFIEGMRQLKRRAGKGNFMQIHVSLIPVIQGEQKT
KPTQQAIRDVGRAGLVPDLIACRCDVPLEKGTIDKIAMFCQVEPDQVVAVHNVSSTYHVPLLLEKQGLISTVREILKLDDIPKAQSLVDRGQRTWTE
WNKLTTQQERLFDDVTIVLVGKYTSLHDSYLSVIKSLEHSAMRCGKKLKLVWVDSSNLEEQVRKEDPATFHKAWHEVCTADGILVPGGFGKRGIEGM
IAAAKWARTNKTPYLGICLGMQIAVIEYARNVCNITAAGSEEHNETCADKIIIFMPEIDKTSLGGTMRLGLRPTIFQPGSEWSRLRLLYGEKVEIHE
RHRHRYEVNPAYIDQLTASGLNFVGKDDKGERMEIVELKDHPWYVGVQFHPEYLSRVLDPSKPYLGFVAAAAGCLEKVTKDMARSVTLANGDGASSF
NDVRI

>RCO7_06212 | uncharacterized protein
MSLTHPQGGGFGGPPSRHPYRADSNPSRAPPPTLPSMSSLLNPEPMQQQPQYSQRINGHFNPPANMVNQFHPLYQSQRDLNVPVQHIYRPPSPPANS
QSSQTPQPITTYGDRQYSPANFSSGEVPLQRRQAKAITQRRADPHKGGNRESASHFPQHYYPVNTSQSPSQGSFESDGMSSRRESTFSESSSRGASQ
MQSSKMPISNILSEQPRQVSSENFYRVKTNFHRPVVGPAPIYSLRMRQQPVAARACGFGERDRRVIDPPPILQMHISAPHLTASEISKLISSSYLVI
HCILWDSENNCDASAMPGTTDKRQQRRLMGTLVASPFVGKDEHQVEGCFFTFPDLSVRTPGKYSLRFSLVSLNPMKMGPGACEPVRSTIISSDFQVF
NAKDFGGMRASTELTKALKHQGCLISVKKGNSKGNREDEDDEEDEVDEGNFSMKRGKRSKR

>RCO7_06211 | uncharacterized protein
MPVRPSYLNGSIATCLHTCTKLSARSGHRGRRREDLNGVLDGQL

>RCO7_06210 | probable bifunctional fatty acid transporter/acyl-CoA synthetase (FAT1)
MDLGTGAVISAAAVAAGAYLNAKLSIGLDVQNLRHDREWGQRLGQRIQALGDTCTIYAMFDSVDPNIEALWFEGRTWTYGELKRDVVRLAAYLENQG
IRKNDCVALFTTNSPEMITTILALSKLSAVAGLVNTSLRDATLKHCLDVANAKAIISTPDLSQYLTLSTQHWTLNLGSFDDVVTDQSITYLGPENLP
VQPVVNPPAKATPADLACLIYTSGTTGKPKACGIRNHQMCVTSNPTSPDMRNPKKYFPLRIYSPLPLFHGTGLFSALCYSIGTGSTICLARKFSSSR
FWKDVTESKATRISYVGELCRYLVNSPPGPYDRGHNCIVATGNGLRGEIWEKFKDRFGVPEIREFYRSTEGLAKFDNIDSGAWGAGKLGFAGPLRRY
METDTLIIKVDLETEQPYRDPKTGFCVRADIGEAGEVIGRVKSRALLTEYLNNPTATNEKLMTNVFRKGDLWQKMGDLVVQEDSGWVRFHDRMGDTF
RWKGENVSAGEVRDHIAKLDGVLDAVVYGVKLAGYDGQAGAAAITLDSGADAMFMSNLYAGLKKTGLPPYAMPRLIRITQEIEANATFKKSKIDLIK
KSWIASDPNNQDKLYWLDGQTYRPLDAMSWGSIESGKAKL

>RCO7_06209 | probable 3-oxoacyl CoA thiolase
MASAGQRLSSVLGHLNPVSSESSGRAKILQKNADDIVITYAVRTPLTKAKKGGLKDTQIDDLLISLLTSVRENMTIDPSLVEDICVGNVLAPAQGYV
ARSSVLAAGFPATAAASVANRFCSSGLLAIQNIANQIIAGSIDIGLAVGAESMSTCPDTGAPNASVKITSHPLASQNEQPMGQTSENVAGDFGITRE
AMDEFAARSFQRAEKAQNEGWSRDEIVPIEVYFTDPKTGVTSQRIVDADDGVRAGTTAASLGKIRAAFPQWKPSNTTGGNASQITDGAAAVLLMKRS
RAAELGVRVIGKFVQATVVGLEPRIMGIGPSLAIPKVLSKVGLQRDDVDVFEINEAFASMGVYCVDKLGLDHEKVNPRGGAIALGHPLGCTGTRQVV
TALSELRRQNKRIAVTSMCVGTGQGMAGVFVSEH

>RCO7_06208 | uncharacterized protein
MPTIRPREHVWTAFELHTMLCLITKGVHLEQRPNKRTEERTVTRANAYENFYTALNNAVHGKDFNRDIHKKEVTRMLDQMLAERKHVVGLGGLVERQ
RNGRVTRALSMAWNRSKCNDYDGSVGEWDQGRKEKVMMQYKITRGIIAAPVEVPGEDRDIAMAGDDVINEVSSMKDLCLTQVQDTGRSRWRTERERA
YESISPDRAPAVQNPSLTKTHLDSFRILPETLKSSSKFDWATNPGTNRDNYARSEISTIDRPLRRAGLRNRELSRPMEAKYIGNVYQADRMRLPHEA
YRSSTTLKSGFSTSKIFDKRDYHSTDKNYYSSTPDFGDGYSTPMDMSPQTTTPVSRLSTNPSIRSSRDSSLQASHKLKINSRKETSAGLERALAGEL
NQDVDMMDDLEADLTAAMEAQSQDQMMA

>RCO7_06207 | related to phosphatidylinositol 4-kinase
MSWDLLKRFIESDVFNQNPFLSVAYLSRYADHVGIHYVLCSKLRQFSYEEIEFFLPQLCHLIVSVDNESMALEEFILDLCEESVNAALLTFWLFQTY
LHDLSANPQSEAFKTCRRIYNKVQHIVFGVAEPARNEKINENVLPVTVLASFVLASVAVPFLPNWAGPLAIAQARKPQPTGDVISDASQTQQKIVRS
NTITPGSTRTRRPKEAGRTASTPGNGNFPSDARPRPSRASSLSRPSSLNSNRRHPLESRPRPAHLDLRAADPRLSSSSLPLPSARSPRMSATRPSTP
ATAGLTQRPADLLHKKHIHITRPLTPGALSDPQKVKLLRQNYFRSQTQFITALEDISTRLVLVPKPARLSALRAELALIDQDLPAEVDIPVICPATL
IDGIPSKSRHHRIVRLNPAEATVLNSAQKVPYLLMVEVLRDDFSFEPSTDDNEGLLARLMSEQGSSRRRIFDLSESGRARNGDRPIETATDSVFEPV
SGDIGNSSFITSSDGDMSQDKENTPIPHPSRHSNGVSTLSTPSGLATPRTSGASTSRSSSPGRRMTLPSHSRSGASDQPDFSALATHMRTASQMLAQ
LDSTSGKRPKHEVAAIRAKIIASMQSLEEQSFEIDDGMNTPNFDTIMANANAAVANIVPEDIEEGTATDSALNTGVGAARMENDQKTGGVQRKGDRD
DPSAATFGEAWNLKKERIRKSSPYGWMKNWDVLSVIVKTGDDLRQEAFACQLIQVCDKIWQDAQTPVWVKRMRILVTGESSGLIETITNGVSLHSLK
RSLTLATIEAGQNPRRRIATLKDHFVKTFGAPETEAYQAAQGCFKRSLAAYSIISYILQLKDRHNGNVLVDNEGHIIHIDFGFMLSNSPGSVGFEAA
PFKLTQDYVDVLGGVGSPAFDDYKKLCKQAFQALRRSADNLIDLVNMMGRESKMPCFSYGVLQATNSLRQRFQLQLSADEAEQFVETDLIGKSLGSY
YTRL

>RCO7_06206 | uncharacterized protein
MDFKHSLPSQATRPPGPDYNSLQLKLNIIHGNLSLQTILLIGACLQTLLFLLPIPKLYSVGPAIALLLFRIIETTLITYNLIPNPYLEDAILRKTAA
QPHDSEGSFSGPGKEKIAILLLGAKSNHPLGIFEPQFGKVGNFLRIMTEELNGDPTQDSGFLGQSAVTRKDRNGATEQVTISYWRSIEDVHRFAYSP
NHLSAWRWWNDNVKRLDHIGIMHEVYEADAGMWESVYVNFQPTFLGSTTYLKKDGKLVGGEVKEEWVRPLLDANRGKLRTSNGRRGLMDKKENINKV
YGGDAESYETV

>RCO7_06205 | related to ADP-ribosylation factor (ARF) GTPase activating protein (GAP) with effector functions
MGNVSSRPDDGAALYLRDQTRLSISSLTITNSRRRTVLNVAPNSYPATKVSVSRDLGDPSVVEYVQDPESTAAPSPNFILKINNDDEITFKFTFILR
QAQQETGSLVDTSIVGLTYVSASTAKEVETLVTREFHADPNLHKNANVQLVGDFSTGGSQSVSFEWSWKWRPSAESRTGGWRNSCSFVEYDPRAHRL
VTMASFSFWISNQQGFLSQPNSPSPTFHLIPPPKLRIPSSQSMDSRISGTDNREYDEPISPNIVPYETSQGLPPIPQRDLVKVDVSCQRPGEDMSAT
EDGPLFRATMKSLEQKTGNMRQRMKKVLKKAEAAHMAQIECNDAIAGFMDALREASSSNANAVQPALEHYFDKIAREILGYEKQNTVNLQRIIIDPL
NKLYNIDIKQAESKKRDFEEESKDYYQYVSKYLGQRQDSLKQKKRTESDTKYQTKRRNFELKRFDYSSFMQDLHGGRKEQEVLSHLTKYAAAQTTSY
LATAKKVEEMLPQLDALNAEVQDADKEFQYQRTEREEKRRNLEKSTVTYVEPDTVPAALMSPLTAQATVISAGAYISDSELGRSDSTTTTLRQVPTN

GTSMSQALNGSQPTEFSRSPGSLSSVAGSVGSPGPNSKFRGIRDLEEKDYSLVSNSNGTQRKEGLLWALSKPGSHVDPRGLNKQAWHKFWIVLDAGK
VSEYSNWKQKLDLHMEPIDLRMASVREARNAERRFCFEVITPQYKRVYQATSEDDMNNWISAINNAIQSAVEGRDMREAPIKQVESHSIRRDISSIL
TGKSSSMNYGHSHAASQSSSPANNGVFRRTTVGARPAYQRQGSSGFDEGPDKLLQVLREADQGNCWCADCGSGLKTEWVSINLAIILCIECSGIHRS
LGTHISKVRSLTLDINSFTTDIVELLLLVGNRVSNMVWEARLDQTIKPSPQATREERLRFITAKYVDRAYVEPISSTLSRYPTADETLLAAVKKNDI
QQVIYALALKANPNVLDKSRATHSVFLALVAADPPSPSPVTTPTRPDAATKAVAFPIAEMLVQNGAEIPSTLPAFPLSRSAALYIDQKSGRGGSGSD
TLGSLPVGSTAERAQKEREARLQKRVSAGGRLAKAPIIER

>RCO7_06204 | probable TVP23 Integral membrane protein localized to vesicles along with the v-SNARE Tlg2p

MEGSQVPQGSLSWRLSSHPITLLCFLIFRISSLLVYLFGLLFTGNFVLIFIITILLLAADFYYLKNIAGRRLVGLRWWNEVDAQTGDSHWVFESSDP
AVKIINATDSRFFWIALYSQPLLWVALAFVAIFSFEFIWLTLVAIALSLTITNTLAFSRCDKFGQASNMAGSAMYSGGIAGNLATGMIGRFFSRG

>RCO7_06203 | probable citrate lyase subunit beta (Citrate (pro-3S)-lyase subunit beta)

MSTSSILRRALLYVPASSPKFLQKSLSLPPLDTVSYDLEDSVTPSQKPEARKSLLTFLNQASRPSNINELSVRINAVSTGLALDDLTTILRAKHLDA
IVLPKVNKASDLHFVTDVLRHQLPERQNGKEGTIPVKIIALIESAEAIMNLGEICKASPYLSGLVFAAEDFALDLSLTRTPSLTEFLYARSAIVTAA
RAFSLPSTIDLVCTSFRGPSGSKTLEEECVQGRGLGFNGKQCIHPSQVEAVQRAFAPGKEEVEWAVRVVVADEKADRSGRGAWTLDGKMIDVPVVGK
ARSVVRRAERCGFDVGELKEKWKGQEPE

>RCO7_06202 | uncharacterized protein

MPRDSRDHHHDRRERHHSSKDPNHRARRDRSSKATQLDRRNAKPLKGSSGKPLNGDNDYVRQWLAQTSRDINENEALVTRDTNQGLTKAINAEHPSR
RTSADSVNLPRLLKGKRKRHSSSDSSLLEVPVRPRSYQSNRVDPKLASLKPPEKRPTPPRKRQRVEASDSGVTNHSDVLGPAKETFEKRARHKTRED
RYEPKKKEAKSKRNDEKPSRKKREKRGDRKKVAKKSGEELIQNFSSKNISQDRLTIRPSHGLGIFSNGRASSPARRWGLPDLAFAEMEFLRHSTGHE
HSKTGETVISSYREREKKKKKALKKQDEISTFFKPRVPLGDVSPNVGNPPSSLAREEHSLYSKQLESERDANNCHRLKPVCFMVEPQGRYEAAVMFS
QHKTNLNLSPSIIRSTNLPGSARRLSDKATTYVSWSESQISPARTSLHGNSDQGPCSQTPESVRRALVNTGIFRDTGIFKYPSLQDSRDKYGRQAHG
AYNDRPETSREERATEIMSSSESGTEISESLVQDTKSSTERISSGDVLDELLILPHENAISNRVRTISHNVPSRQRIVVEHCDPKLGWREDPNVIDH
SRPTSAAPMRSFDPQSERPTRTLSREQLAKNARIKLPKRPATTEPFGRDMRNGPNSAQDKEQFHEKLSSHACRGAQSKEDVIRAGISSMYGISGPRP
LFNTVSNLSLPTIYEELQEHSPSHGEVVMPEMRSCLEDASQEARPHFNSKLQNDGFQGGSPLQLEAQASSPVVLNSSNINTGLDRNEGRLRFPVGGS
WTGNYLGSTSLGVPRLPTLVGAESLYLRQMQKQTSSPQFARDRLVYGPDGPAWELSLPANVESPGYIHEQNAADLAPYDSVLEYRNGPAPFHEYEGT
LEDSAAENLIEQGIRHPEASDHIHVDQNMLGGDYLYENEQVYEEEPAYVGPHQSAYQGYDYSDNLSQAHYHRNGYSQPQGRY

>RCO7_06201 | related to glycine-rich RNA-binding protein

MSKLFIGGLAWHTDENALRQKFEEFGAVEEAVVVKDRDTGRSRGFGFVRYGSDADAEAAITAMNNIEFDGRTIRVDKASERGSGGGGGGGGFGGGRG
GYGGGRGGGGYSSGGGGYGGGDRQQGGYSGGGGYSGGQGGYSGGGDKGYSGGGGQGYSSGGGEQQQGGGRWQ

>RCO7_06200 | related to E.coli cation transport protein

MSDSSDPPAQPPDPATESEFWLFGYGSLIWKPPPHFDRRIPGFVTGYVRRFWQIAQIAKSPLTSHPSEDHRGTPSAPGRVVTLISHSFWATLADPHP
SSPSSKVWGVAYRIPAPKVAEVRAYLDIREINGYTIHHTPFHPADGRAPPINTLVYIGTPDNEQFVGPQDVQVLAEHIWRCEGPSGLNRDYLLCLDE
ALDGLSKESGDGHVKDLAERVRRLEEGLRGGVDGKGVVNEAVGE

>RCO7_06199 | related to programmed cell death protein (calcium-binding protein)

MAYNRTFNPDSLPAFAEPERKNTPSHGQQPPQKPHPTSYAALQQQQQQQQQYSKPAPPLPQQYAASGHSPGHSPGMAPTNYGYGPPQPNHGYGSPPP
GSYGARPPPAQNRPPPASRPPPSPAPPNGADPALWPLFQAVDKDGTGHLTEKELRAALVNGDWSSFDPHTVKMMIRMFDSDRSGTIGFEEFCGLWGF
LAAWRSLFDRFDADRSGNISLDEYTNALVAFGYRLSPSFVETLFRTFDKRRDGAISFDLFVQSCISLKRMTDVFKKYDDDRDGYITLSFEDFLSEIL
KQR

>RCO7_06198 | uncharacterized protein

MPPNSTTVVAPASRRTLDDLLPTPPRENLSTHFVLGEIIDQIDLIAEEFPLVHISTLKEHLWDIRNKNVDPERHLRGFLHVFKHTEVFKDAFEQLDE
GMQVRIKAFMDGKGEKEVLAVGGGEFVLPPSPPVKHHFTKMVEDLVEEFKEDVHDLFHPGDEAKQKDGGEAVKEKAVDAGAAGYPKIFEDAAETKTM
EVHASTNFRNWGKSVSNTPKWTFVPKTVLGLQNLVKWAKVNGLRVRVSGYRHSWSPVFSEDKQVLVSLLNLEQVNTIPDVMSIAAEHIDPENELKVI
QHAAPEGTAAVGQDQALVRVGVSVTAEQFRRWAVKNDKWALPVDVILVEVTFGGVNAPICHGAGRRHQTINDYVRAVEYVDANGVHRTVSEPAHLKA
AAGCFGLLGIVTHITFALDKMSYALMQPYKPDIGLAIPPLSRNDIPIALRKTFTDAQYAAALVDFKKRATEDYYSEWFWFTRSQQAWVNTWNPTDDK
EGAVEYPSPFMTFIQWIQGWLGGVITENPIFQAFPGRWQAAILATFGMVVLPPFEFVGFKQGSKETIKTAMPNALHFRRGVQNSIVRDMEFQIPIPA
LASDPTQPDYSVVQRAWWDVINLCYEDDDTPMRLTMELRIMGDSNIILAPQRGNKFGTASIEVLSIPDAVTDNEWQPFLQRVSDLWMSYKDSHGALL
NVRPHWAKEWDGINMRGKPSRQYLKEVAYKDEIPEFKKVLGEIGQGQGWSLDDLQKRFSNDLLDSLIFQ

>RCO7_06197 | related to nitrate reductase [NADPH]

MAVDNKGVSASGEALASTGGDLHKDEPDVSILHPDLVIRNKDEIPDPEELGLEEELKGWHGYVEWENYPDRKEKAKEMLRKFVFPGPPEFQLVPLPK
TNPVLEGVRWKQYHYALGKATRDMPAESWLFVQKEKSPDMIHVLQFPYNGEPPRNRLVETAITRNEDHFVRNHGGVPEIVPEEYFIDVTGLVNNPKR
ITLAMLQDESIFPRQSNVVTIQCAGTRRLEQIKEYPGDGDELLNAPWGEGAIGTARWTGVSLKKIIKYCGGLKQPNDNAHVEFIGADTYFKKGEVFN
YAVSVPWRKVKLNEVLVAWEMNGKPLPKIHGFPLRTVVYGYIGARSCKWLTRINVLNQESPGPVQRKEYLYYNSQVGKHNASYSSGFSIQDMPVSSA
IMSPIDMDQIIHEGTIKLRGWAYSGGGHWPVRVEASGDGGSIWYEVPYENMTEKYYYAWRLWEIDLPVDAEGWLELVVRCWDNSLNTQPTYVRSAWN
WDLHVTSSCHRIKVYSINKSRPKTKAKLDLFEREGIPFLPITQPGEMDLETEEDYMQQMESRGGRDPKE

>RCO7_06196 | related to serine/threonine-protein kinase CBK1

MKRAHCKTGGDRRGSITPDIDIEVVEALSEQGTVNRISSGHVLLTPPSSPEDNGRPSKLRRHGTKLITALRSLRNSVSAASVTELSPPISPVRRFST
ALLKGQQDELTVVHRTQFKSRPSFISLDKGVVEITPEGSPSTSTESSGNSGKSSIPRPGESTGKTSLDSKHSSKKASQHSSENKKLITKHATGDGFS
SGDPVLSPIVESQETPEPVPTVETVERAAAAKIFFETHYNNATSGAVTSRSLRRRQLEGALYHELSLTPEEQDGKRRAWAQDETDHLRETRVMKVRA
GNALRGKDITSSRYEIVKVLGKGSFGVVRLVKEKVEDDSPSHAHEEKKREIYAMKVIRKSDMLRNSQEGHLRAERDFLVAAEGSRWVVPLIASFQDL
NNLYLVMDYMPGGDFLGLLIRDNVLSEAVTKWYIAEMIVCIEEAHSLRWIHRDVKPDNFLISASGHLKISDFGLAFDGHWSHDQAYFNNHRYSLLAK
LGINVDGDSIDVKENRTMAAALKGHSATTSTGKDQRHERNSSNGIDNGEGILNWRNRYSCRSLARSVVGTSQYMAPEVVRGDLYDARCDWWSVAVIL
YECLYGHTPFLAEEGGRQQTKQNILNHKNTFNFPHKPIISKRCQDLIRGMIQEKDSRLCSKRYRMKDHSPTLQHVQDYAGRYVFPNDAEEIKGHKWF
RDIQWDRLHMMVPPFVPDIKSVDDTHYFDEEDPISDFSESVDGPPPTADEISDALKPFNREIQVLAKGFVDRPHDSVKLRKVEREIDGFAMCEEQKD
YLKAFVKHYGRKEKKRPRDRLLRDKETAPKVLELRKQGAFLGYTYRRFQPKREPFFHTGSIRYGSVAGNAAGKRQVWHRARLSIN

>RCO7_06195 | related to FK506-binding protein 4
MSLLPVATYGLQVPPGDIIIPAIADFPATFRITMAAIDPSEPADADVAVAGQAPRATLKLIRQPDGSEDDEDSEEYMRALLAESDSEDEEESDAEAN
GGPSDPAKSKKARKAAALQQLMDTIGAASDDDEEMEDAPKSTKGKVAKNGKGKATSNDAEEESEEDSDDDSEDIEVEEFVLCTLDTEKNFQQPLDIT
IGEHERVFFKVSGTHTIYLTGNYVVPQDDGHNRHHEVYDSDDDEDEEYDLSPDEDELDLEMDDDESDDLDTLENPRVTEVDSEDEAPKLVSGEKKGK
NKRSAESLDDIMSKDLKPEAADEQKLSKKQLKKLKKNNGEAAPAKDEVTDSPAAKSDKSDKKVQFAKNLEQGPTGSAEKAKAVAPDTKGKATLGVKT
VGGVKIDDKKLGTGPACKKGNKIGMRYIGKLEDGKVFDSNKKGKPFSFKLGTGEVIKGWDVGVAGMSVGGERRLTIPAHLAYGSKAIPGIPANSTLI
FDVKLLEIK
>RCO7_06194 | uncharacterized protein
MAPESDRAVPQITTSPTAAEQTSITVESVKTTMTSTTESAIPMRESAKTIYSTTAFTENPTGQPETTKTATTSTVAPSQTFVPFEGGAGSLRFEVQC
TAFALMGVLGVFMLV
>RCO7_06193 | related to RNA-splicing regulatory protein phosphatase CYT-4, mitochondrial
MAKQNSQARSSLETQTTGSSPQEPPLLASARPNIRERLRQWETDNAADIAAAATPRDDIKSIEDRPRPGEVSNEVLHVAYNDFSENTEEWSGMVEES
SGLDFDRFEMVDVGESRNFLLPGDLVELLSTGSLNRELAIFVRDLGQMAQYYTMSGRWMHRGASGIKFFVPGFVDAQELDEIIPLLPDEVVDMSMEG
KLQSFNESVPVAIGQPLLRKMNEFWKDANAVYQGAAMNLDKAHRSVADVSHYKYCTLDQIADKVLPKSFRKNSNGKYEWPALYAVHRSISTNEIGFR
TLPLTAMRSNPYYEVNGLSEVSSISRVVGWVRNHNDSLLGEQRSHTTSADSKCFEFEDFVKKAQRLIDISRGNREYTSHGAIGPSSMTLEPGQNFRS
GTSVEALTISDLFFIRFLESWACLRSFAPNSTLHAIGSAILRQINRYPEETLCQSTAWTCLQELGALPPWSTRAAFDLRLPYAGRQEAIEHRLHPPA
NSHQGLVPDKLAKLRKNWRQLPVYCVDETDTHEIDDGFSLETTEEPGVYWVHVHIADPASHLDPRSAISQFAEKVTETVYLPDRVVPMLPPGYFHNR
MSLAPERPCLTFSTKTNLQGDMLDSKITPGYVQNVKFLTYATFREITLATKDVKHDTYSVGSQQSKPIPTRLLLTKEQIPEEEQEDLRILRLIGDAR
RTQLSKRGGISAGMPAPQISMSFGGHPWSKPKNLTDSLQFLGDPTITAKVEQVTPEKRGYSAEINTVADIMIMTGEMAARWCSERSIPVPYRLTPRN
PDKQDPSEYFQQVLGPAQEKGAVPVEINRQYFNLIGKVQPSSTPGPHVALGVDMFMKVTSPLRRFGDLIAHWQIEAALLHEAKIGHSLAGSTDVSYL
PFSRAEIDEMLPRMASRERQISLSTRDAERTAYMQLILRAWKFGEERLPPLEFTVRSINPETRVTGGVIDNLLVGGQMIVPPEIDVATVVEGDRFAV
ELTDMNLFRNTMLFTYLRQLDSEAEVYVAAKEK
>RCO7_06192 | related to Molybdopterin synthase sulfur carrier subunit
MSASEKLPEGHFKILYFASAGSYTGKDSEHLPSPLPIARLFDTLEHRYKGMKGKVLESCLVTVNLDYVDIPEDADAESDFIIKEGDEVAIIPPVLLT
SRAIRYDQENTSRVKHTGLKTSVTRPRLDKNHPTLFSIQQRPLLLILLVPPPPYNIHKP
>RCO7_06191 | probable UTP-glucose-1-phosphate uridylyltransferase
MAALKNALPGHLKSTLGIPGGEAEFAKKHHGKTQSHMIKPLPKLALAKWKTGRIHCFYLPGICIHACPALPGTDEDLHYQPKDFAPDTILLPLPAYD
DLDLHPALRLSRSATLQRRSGGSPPNLADLPIESWESPAFVKGFLKAALLPYRSESPIAPSPAMSSSPRLKPAAPFLARRLSNPELRPPPIPPRNPL
RISPALRPPLAGRPKPNKMAAPLIVSDSPCLEELAKLIDQEQAFENTSTSVAASQMRNALNNLADTVTDPTEKKLFETEMDNFFALFRRYLNDKAKG
NQLDWERIAPPAVNQVVDYNELANSESVGFLNKLAVLKLNGGLGTSMGCVGPKSVIEVREGMSFLDLSVRQIEYLNRTYNVNVPFVLMNSFNTDEDT
QNIIKKYEGHDIDILTFNQSRYPRILKDSLLPAPKTFDSPISDWYPPGHGDVFESLYNSGILDKLIERGVEILFLSNVDNLGAVVDLRILQHMVKTD
AEYIMELTDKTKADVKGGTIIDYEGSVRLLEIAQVPKEHTNEFKSIKKFKYFNTNNIWLNLKAVKRIVENNELEMEIIPNNKSIPADKKGESDVSIV
QLETAVGAAIRHFKNAHGVNVPRRRFLPVKTCSDLMLVKSDLYSLKHGQLQIDPSRFGPAPLIKLGNDFKKVSDFQKRIGSIPKIIELDHLTITGAV
NLGRGVTLKGTVIIVATEGSTIDIPPGSILENVVVQGSLRLLEH
>RCO7_06190 | uncharacterized protein
MAPRVSPVSTSTSSSALDERPLPPLPTSEEDDQAGESGGVKQKDYDGRKVRSKPQISDGSSSRVASRSASTSGDIETSPTGPARTPAIEFYPEAGMQ
LVDEGTTSTTANAQRISSAGVATHEGSSFAAEVDAIFSSQMPSYSQESPRVHHADQASAPPRSFLRSVNSSGSDSAGDSGLQGQIAVRTRNTQQDLD
NTANTEQAPYTVPKWQSDATVTLCPICRTQFSFFVRKHHCRKCGRVVCGSCSPHRITIPHQYIVQPPATQQVSPTHSTRPRLNSGRTGSSNMVENLG
GGERVRLCNPCVPDPNIAPPQVPESRNLPSRPTQQGHSRSVSSTVNSTYTRSSVHNPSASSATYAQRRTRDATRMASYNTSSSYTERNNRIRPVDLQ
NRSRSSTVGTNPSLSNVGDSTTTPGQWTGTPGRCEQPHAPSHRPSPAPRSVIKEEDECWICHKELPSRSLIDWENKRAEHVNNCLSLAMQGPPTSSS
PSASTNPAPAPTLTILSQPSRTIPSIGQVAGSRRTRAPSTSTPTPTAPPTANTAEARLAARESAHAAVVYASSSGTSPARRTGVFPYTATEKDCVD
DAECTICLEEFEVGQQMGRLECFDRFHLKCIRKWFETRPGQCPVHQHGAGY
>RCO7_06189 | related to cercosporin resistance protein
MDDNTNALDPRLRDSIANLYTPQQQQQQQVNSLQTPLAPNTRPPATSYAIGQSPNFLHTPPAGGDGSQQGGDDANDPKRSRACEACRGLKVRCEPD
INNPEGPCKRCTKANRNCVITAPSRKRQKKTDSRVAELEKKINALTATLQAQGAGSAVATAVAAQGVDNGMQSQSPHNPYQQVTNGGYGSPYNTSGP
SPNTRPNEWLYPRSAEVDKAVTAPPMVVAGQKRKFDQHSAASESPRSASTGMQKQAQEVIGFFHTANSEPQKPAPTHEYADIIDRGLTTAETAAEIF
NHYVKNMAPHMPAVVFPAGTTAAEIRKTKPILFLAILGAGAGSLYPDLQRTLTKEVMSTYAERVICNGDKTIELVQALIISCLWYWPPEHFEELKFY
QLIHVASVMAIDIGMNKKNKMQKTKAAGLFRDNPWRRTPFPDAEGLESRRTWLACYFLCCNASMGLRRPNLIRWTPFMAECIGVLETSSEALPSDKS
FCQWIRSQHIAEDIGTQFSMDDPSATVSISDPKVQYALKGFEIELEKWVSQIPPEANSPSLQVTEHVVNLYMHEVAMHVDHNVEEFKPPFTDALLRD
APANSEQITLTGSHIAALSICLKSIDGIFGNFLQFNVDVIRCLPVASFVRVAYAVVVLIKMYFAAATPGSHFGKVIDKDNMKVEQYLDGLVDLFRKS
AKDEKSRPSAKFLMVLLMLKTWFHRQREEKGNNSNDAGPSSAPGDQSANAPNHNANGQRPQSSYSPSNTPLQLLSEVATGNSGGQSRSGSMSNFAGS
NEWQQMQYGGYGSMAQPSLDQGYAGLIDPNLVGMDFGYSMGDGLEQAMGMTLGVGEYGNFYGENGFFGSLMGDIGDSLGGQGGNFEGNM
>RCO7_06188 | related to MFS amino acid transporter
MSLSQRVSSFESLSLYPERGRSLSNGGGSPSSRDRKLSFSPLPGSWDPPPALVEQAAPISAFEVPRSTRFLQVVVAVTYCLFAAGIVFGYAALKPVL
IREKVYRDLCPKDDLDRGSRTCYAQELHLNLMFTVAAVGTNVAALPIGAILDTFGPRICGLIGSVLLAMGAVLFAFAWQLPFDAYIPGYLFLALGGP
FVFISSFQLSNAFPKHSGLILALLTGAFDSSSAVFLVYRMVYQWSNGSFWPKKFFLAYLIVPVFILAVQLFIMPKASYKTVGELVKEVEDADDVFED
QVDENTALIREEHRQYRQSVVTEVTDLLGSKSGATHLKQEEHKNKISGVWGAMHNKSVLQQVTSPWFVLVTLFTMIQMTRINYFVATIRPQYEYILG
SYAKAVEVNTFFDVALPLGGIFSIPFIGLVLDNTSTTFVLSALITIATTIGILGCLPYTWAAYANITLFVLYRPFYYTAVSDYAAKVFGFRTFGTVY
GLIICLAGLFNFSQSGLDALLHKVFEGNPVPVNLILMGGALVVGIALVGYVGVRSWQIEREGLEVEAEQATETMMPGAMSPQRL
>RCO7_06187 | uncharacterized protein
MASTNSSASAQENVGEMRLLLTPHALSNLTGDPHTSISITNLQAVLPLGIDAWGRPNITQPVLISTHISLRNPFTTASSTDTVVSGSTVHYGTLSKA
ILKACVAFERVCKAGDGEERREMSLRALVEFLHFYLTGRRDTVPVSQSQVALFIEKDADGKVLEPLLKNVEMQLFELEITLPKASLMGTGVSLKGSF
GYASGKEGPTAYSMVLKLKDLRIPTLVGVNPNERLAKQMVVVNVEILRWDVVGDEYCALEELVAKSTEESSFQTLEALALHLIERIIQYVILPLASS
KASDISDKPQLDNYPLIRIYLSKPTAVTFADAPTVSMVVDSDPGNSEVAREVWGRNAGKGAIRRVPFPLVGRLEEWIEKQGNDRESSDT

>RCO7_06186 | related to component of histone acetyltransferase complex
MPRDDLSIDFVGRGGKMAHHEQLDAAQILEEWMNRAGNLPNEIQHFQEEIEHKDRQFAECQAVITKHDNQIQKWIRQNGSHTPNPKEEQLSKIIQAN
FDRAELLAAEKVALSQKSKELMDKHLRWIDHEIKTLQDRGEMPNDPDLPSTLRPQPVARQPRPDPGIAAMPLNQVSNNALVNPPRQRHANQYPQQPL
VPPHVQAAQQLSGHATSSAPATPASNLVMQQQQQRARESSLGAAANKRQRLTGGVGPLPPSNLANRASSNGPGTPGRGGTPATAGVRAGSAGPRASI
KTGGHKKTAPQGSRQSGQPRKAIGKKSNLGRVKRIGNKNSPSTNDDSEGASGSDDEDDEAVTPRRDADGDDEMGELDDEDGADDKKYCICQSVSFGD
MVACDNEACKLEWFHWGCVGLKSEPSGIWICPVCTEASKKEAK
>RCO7_06185 | probable histone deacetylase HosA
MVVSSNGIVQEYWEPLSQHGDHYNASLLSKVRQQIHENGIVRPKGYTVSWHSNPEIEKHHFGHAHPMKPWRLTLAKSLIMSYGMHAGMDTYVSRPAS
RAEMEDFHSEEYLDYLKTAKVVLPDDDTPKDFNLGGSDCPIFEGLFNYCSMYSGASIDAARKLCNNESQIAINWSGGLHHAKKAEASGFCYVNDITL
AILQLLRTYQRVLYIDIDVHHGDGVEEAFWSTDRVMTLSIHKYDGMNFFPGTGDLDRTGPADEGNPGAHHAINVPLLDGIDDHQYIYLFKTIVSMCK
DHFRPEAIVLQCGADSLAGDRLGRFNVQVQGHGACIAYCKSLDIPLLLVGGGGYTPRNVARAWAHETSIAIGCDKTLSPIIPQHTPYRSHFRYETIF
PTLSEILGDPRPNKNTKKKITEIIESVTEQLRLVNRAPSVQIKAIPPDLMGVKDEYDALIRREQEDLDEDLRRDREEGLGVPMEH
>RCO7_06184 | uncharacterized protein
MKFVLQERLLWTEPIVPEGKPFEKSEDVRILWNDWPYGVDNKIVHLVVWTKFELKEDPTTEDLTDEVRIWIERFVGRTSAEEVGKENASLSLIMSMV
LWFKNWQSLKSVASVEHFHVMLYDPHPTFVKRITDGDVPLSQKL
>RCO7_06183 | uncharacterized protein
MGKPRKQPHVPRPSPLQQVQLTRPISQAPVSPGLVRDPICWKRFSAAVHASEEFDLERGRSDSTSTVDSKKKGERKRENDWLEQQRKEKRRCRTLCI
VITLIVACLISGGAVAGWWFTQGPGR
>RCO7_06182 | probable ammonium transporter MEAA
MSSGYAPNYAWTGPPTQYNGTGFDGGDSATENLNQWFSSGDQAYILICSAMVLVMVPGLGFLYSGLARRKSALSMIWACMASFSIITFQWYFWGYSL
AFSASATNGYIGNLGHFGLMHTLGTPSPGSPLIPELLYSFYQLQFCGVTAAIVMGAVAERGRLIPALVFIFAWATVVYCPVACWVWNINGWAFKYGV
LDYAGGGPVEIVSGMSALAYSMVLGRRQEKMMLNFRPHNVSLITLGTILLWFGWLGFNGGSAFGANLRAVMACWNSCLTAMFGSISWCLMDYRLARK
WSMVGWCSGCISGLVAATPASGFITPWASIILGICAGIISNLATKIKFWIRIDDSMDVFAEHGVAGMVGLIFNALFGADYIIGLDGVNNGINGGWLN
HNYKQLYIQVAYVVAVTAYSFVVSAILAYAINYIPGLHLRASEEAELLGMDDDQLGEFAYDYVEVRRDYLAWTPATDEPEKTESNINPSDRHGIPAH
SEMINGHSPEEGSSGHEHTGVMGDRHGIAAEEAIKEKRRIGTPPSQPLAHEQ
>RCO7_06181 | uncharacterized protein
MAPERRRRSPEGYSSSSKRPQDPRADYNELPRMRSTPQSYPYSSSASSSSSNSIIDISHSYPPKRSGIRTFFTTPSERKLRKRRSSRLMKNSNSSSS
SVSSDRDLAYGHGYIKRPKLRRVRSRAGREIDRERHGDRYNERYNERQSDRYSDREGGKVRHNERERDSAGSSSSGVRGKIGTTAGILAVGAGLRAI
AAEQNKRDLREARNGKKPELSNVRDHAGNSYGESRGIGPSKPSHGPDEDGWESASDSESSVDSRLAFGNDTSAGWSFFGRKKKHKPMSRKSSVVDPR
LFGPENSLHGLVVQPVGFGNVAWTSTSDFGDQRETYQRDSYSTVRQQSFNSSTSQVPLQQIPPMPMSDVDRSEPPRYTSEPQQQSAPMRPDPVPIQI
QHPKPFTPVSQSIYEPIYPSRSEPIIPTRSESGGILKSSKTPSSSGRGKSLAGAAVAGVAAAAVGSLISSARDDRKDRQREDEIEALERDRIRRRDS
EKRESKDESRRNKRSSPPREDRKDKRREKPKDKDDTEERRREKKRDERRGETRDEKEDRREKRREERRVADKSDDRFDSRRTKSEAAVSTTSVDPFQ
YQIDNNSFTVPPIESSSGHKRTDSVPTVVTVERIPDFSRKRSSSIKSQPAAPKPESRREPLSSQREYSDQDDQEQRYRQASEPGRKNSEWHEREERY
RGVERRDRVLHDAEASIHDAKRFTGPYDAAVITAVVAAEHHRETRADERRRERQKDANYDVYTSTQRDITPARDPIQEEADRAYREIVMARKIASQV
IRSRSPSPDPSVVHKYDRKNQKEEIVRIVTPPGMEEHKGKGPYDAPNADFRLDYVLEHPKDLQSFSIPSFGRNRSISEPIRDPDASEPRPLLNLVRP
TPTPSPMPEKQIARSEPGRKNKSKSRDTPKRSFSSDIVIGPKGNIIASPTASNVSKGVTWGENDIKHYEVESPSEHRYEFLSKTDVKSRDSTASSAT
PKGDKGWGAVAAGIIGAGVGATAANEISKSSKSQEDAKPVPYEYRGIVVEPEKSPGREDYRRVVVEPESPPRKERQRSPPSPGPKPTMPQIPYSTHM
PGSFDDDLDFTATVAAGLQDTGFDPNIVIDDPTFRRRDSPPGSNDTRLYQAPYAETVTDLGTSPSEISRTRGTEGFVIGEVGSTSKHWPGVSPTEND
ESYSKLSKKDQKKRDKAAKRQSAESTPIDEPSVSREVEAEPESYFEAPLSKKEQKKRDKAAKRQSSQADDITPFSEPSVAADIVQEPESYFETPKKS
KKSKVSSTYDDSVVESPRERTVSVPVDAFDDLQNGEDEWAETPKKSKKKSKRDSDRYESPPRAAPVETASELARSISKKSKRESERYESPARSAPSS
EISSSGKKSKDKSSRRSGQFDYEATEVPLPPSGTTSEISSVSKKSKDKSSRKGEQSEYDPTEVSLPPSTPSETSRDGEFEDLRGTRRSSTRDSGIFN
SEDRGDSRSVVSTSTSRNDDQESRKKKKARSSTADFDDTRSVASAPAGDDYEDKKGRKNKKSGGIFSGLFGSKSEVGARDESPKRSKDDFEDVKKKS
KKSKRSSVPDASSVYGSIGADSVNDLSRSVSNGHSNGNGNGSYADDNEDDNGARSDGEKRKKTRSRSESTSSKKDSFLGKAGTLGAGAGIAGVTVAA
IAAHRHQQPKAKNNNSNTATTRTVGAGADHLLERDEVLDPEITERHFRPSIDPQYGDLLPLPPSDPASPNVEPLDDLPNLPDSRPNTPESDRLARER
VRNVRKSVQETPMKSPSHSQVPLKFKMGGNRSTPSSPAVGRSSPLPSPANPSQESLGFPTRRKSRPSSWDNSKEFKPLYLVESTRRGSNAQLHADDE
PLPQLPPSQSTSRSSSQLDDTDKTALGITYRGFDPLSIDTTLASAPISDDMLGSGQSTPRANIHRGFEDIENPAKQEQLSDIVTQLARSSGPRLEKS
PASLGGKAAEIAVAAGLVSTLGYFASTSIHPKTNESWFDDLPSAKTQQVSGELPTTGQSSPVDKHRSFPVDPVTKDRSSYLLRSSPISKKSEDSEVD
DNMPGSPSSRDISSTDRDALHSIQEGELGSAEASGLKHDVDDDREKALETLSSGNNVVNQQPSPELEDPIDQFSLKKSKKDRKKDKNGKGTSSSEMR
DDPSLPEPDASQTSNTFSPIESESVESFSKSKKDKKNKKKNVMSWDDIEVSVPQADEPPFQVKEDEPDSDTFFDAEQESFEPAVVEDTPAQQDEFSA
PKSKKGKKDKKVKSKMPWEPESSESQPQLTKESLPASLETFTDALASRENEEADLGEPAQVDDFSASKSKKGKKDKKGKSKMSWEPEAIETQPAALQ
TFSDAPTSREIAQEDLETSVQPVGDSFLVDEQVSKAIDVSSEGIQTSTNEPTADAAFDEFPSSKKKSKKDKRKSAATSDWDERGIGKAQLQDEQQMP
DPSFENVQTLGKDDLTDVPCSSASKKDKKKDKKKGKVSLWEVEDTETSQNPSKETPDIDDSAQIDDFSTPKSTGKKNKESKAAAWEPEPELLGASEL
REPAFESRDLPDDVSVPFEDPQPIDDFPSMSKKDKKKKQKGKASSTWDAEDDSALQPSTFPGSGFKVDAQEIPTPVEEPFAEFPSAKKKDRKKDKKK
NQALSAWEPELDNAVVQLASVPKEDTLSTVIDASEKEPEAATDETNRDKTRDMEQPLSTLANPSLPELQGEQNNLSQPRTDEAVPETKSLDEQPETR
DLVSTNDEFGFTESKKSNKKKGKATMSWADEVESSIPECLPQTSMEPGKSPISGTPPVGDLESGFTSKKDKKKKKSSSAWDPDHEAVSPTSPVAVE
EPVFTTPSSKKDKKKGRKLQQWDEPEISSNQHPTVETDRNAEPEIIDEITALATEKSVSGDTSNALYTEEILPARETPFSRPTPLGGPGGWPITPAT
PLTGGEQSSGEIPNSNSKGYFPAAAAAVSAAIFGSKASRIDSSSRSKEAPMEEQNPSSFDVDQGPSLETESRPSPDGLTAGYDNTQLSLARQLQEEF
GKKSSKKDKKKRQSLPSTPARLPSRTRNLDDDDDAKLRARSLSNGPAGGRSATSPNTSQRDNVYGEDQLEIARQVKADFESGSRMSRDKKSKKGRRF
QDDDDLLNEDLGNTQASSSTSMDLQEPEVDPVLDEKVSANNDSEVMTPDGLAAGYKEEQLSLARQMQAEFAKKASKKSKKRGNTSPPPAEREFAHDD
FGDQTQFPGSGSTQSVHAQAQSQSNFEENLPMRDGLAAGYSPEQVENARRLKEEFEPVPKKKGPDKKEKKHGSLLRSNTEDDFSSDQISGDLDTQHN
FDNSQPSGTVDEIDDFATIGKKSKNKKDKKGKQGIRLPSTSDHDSPTETSFEKQTLSQADDLPRSVTGEELSAEPESMELEVNDFSSIGKWDKKSKK
SKKQENSLYGATGDDTFDLADTSKHVDVSHDASEETSSKPEPIDPTADPEDDFAFSTKKSKKDKKKRQSSVAIEDFPDQQMVDTRALPSEDLTIDDT
TAATSAIPIDEVGADDFGFSSKKKDKKKKRGSLLRNESFNANIDEQSDDHESLPTRDSQIESMPSPVDAEPQDDFDFSSKQSKKDKKKRGSLLRNQS
FSAAAEVQPEEPEFAPTPESQIDTISSPLGEDQQDDFEFSSKKSKKDKKKRGSLPQTGLIDAVTEQRSDDHDSAPSLETPVEAISSPVDEGTQKDSE

FSSNGSKKDKKKRGSLLRNESFSASAKEGSEDQKHVIDSQTVVVPSPEKDKKKRGSLPQTEPFSTTTEQQPEDQEHVSESHVEAITPPVIEELQEDF
EYSSKRSKKDKKKRGSLLRNEFFNANAESQNEESVIKTPPFEEKMTSLDEPTPQSLMEKVESSQFSSPSNERREPELEETIVPSESQTASVEIIDSS
SELPLGHSVSRKADQNPEDVFDEFTFTKKSKKKDKKRKDSNKTDDLSEGSKSVEPLSELKKYDEPSLPVDPSLEDPVPVGHEEKDLDVFASPIADQP
DDHWGDFSTKKSKKKKSRKESSKLDSEETSIPSEPTLEPSKDAALTPLPLDQSLENSVVPQLPLKRDLDRVSELLAPAHHPAASEEPKDEWSSFSVK
KNKNGKDKKKQKYSSSADNEDTSGTVTPVDTVKDLDQSDSVAPETIENEQSAFLSSKDPTLITKTISEEPPDEWGSFSTKKSKKGKKDKKSGSSTPT
EPLIAAAAIASSIHEPSTQEVDPEDDWGNSSSKKSKKLGKSKKSGLSTPIEEALRSDSVQPSLESVEEPILPAETIRDIPEQVAEKSKEISEIRSAN
IEEPTVVDPFDEWGSVPAKKSKEKKKKKTNSGFSTPLEETSLPIPEQLAEDHFGQSSTFKALGQDTSWADRKIIDVPIATEEQGDEWDDFSSKKSKK
KDKKQKNSGLPTPSEELPSSEKSLPELERTASTIENVADVSVPVETYLDTKDVKEDQDDEWASFSTKPSKKDRKKQKSTFSTPKEADSDPKPEEQIL
ETNQSSEIKPTDEALQSDLPVDVDITQVDEDQADEWGASFVKPSKKSKKDKSKRSSGIVTPIEQAEPIADRDFLESDQPSTLPALDNESAEPIKQPA
AIEMEGVIENSDDIWGSVPVKQSKGKGKKNRKSSFSTPIEEPLPLDKSRATSADPVQQYVSPSDKPEDHSSGPVVDVIDEQDEWNFSAPKSKKDKKK
SRKSGTSTPTVETLPLSGTEASAEKAQNIDAVLDNSRELNQDMTEDTLNEPADESATPPKKSKDNKKEMAERSPSVARTGSSLPSLAPPETAEHLEV
VSTDTPPGAHDTTKDLVDDYQADDCGTSSKKKKKDKTKSGLLTPVEEPSLPINQISSNPVQQSRASIDEPELPSQVTKEAENQDDDEWSSLPTKKGK
KDKKNKKQKSGVSSNAGQNLGSLPEQDQPDLAEPSTAPAHTTPIVEELSGRNLKPDPVATEEPIDEWGSLSKKKSKKDKKRKSGLSTPVEDGQAFAE
KSSPSKDTVDRPDIVASEAFDKDQPAPHETETGQIPHVPQETGTETQDQLPEDDEFTFTSKPLKLSKKDKKRKSGISTPIEETPSQDVSESLSEVTP
TAKTKESQEDIKGSEEPQPQSFAKDEDLQIRQPSDGDFNLSPTKAKAKQNRKEAQADTDSGPSTPAQPRLFTSLEHEELPSIPGQARGTSPVLFETN
SEEQDLFTSDLSRKLSKKDKKKRKSVVDVASESKDSVPAPLTSWADEIEEAKVVRDVPIIEEIAKDQSLSHIAPTVDSTPVDDFIRPSKKGKKGTKR
NSISSVSTPVAESFPSIESRDLNDSPKAGSSKLPAIIASGAAIAGAALLDISETSTPTKKLSKKDKKKKSIDRRAPREEDIFDDPALWEGADPKIHE
EEKEIDDDSDGFWSPPQHEEQPAAISELVREEPTNDRSLATSSTEAIRPSSSTFITQPELHLSNDHSPAPEVYPSSSQEYSDQRYHSDLHRESSDPA
EEFVVSSSKKKYKRKKNSASNTWDFEASQDNDLAQPVAQSSALDSPTVFGASTGRGGSIDQSQISQEQVFTPRRDLFDQQHSNREVSTQESPRNLQI
ERPQSRSFYSRLSDLPIVHEESSTQLETNDYHGRDVDANRDSGFVTGSPNPMQGGFVDNHEHIRDSGVHLRELSPAEKTRAPVKHSDDALERLSWPS
VDEDSETANLGKSQRTKDSNYHEKHHIKEQPSSGSHDSKRPKGETATNFYQAQRCTPTKDHHEETTSRDLPSQRGKDDQHTDLHRTSTVHGSRNTEG
QSLVKQRMQQFQQSEPADLPRTPKPKISSSWSSERITSRVSEFGGYPESTSSRSLERSKGESRKNDYHSEVPPSQSEETHKEVKQSSTSAKSDRPKE
AKYAELTSSPRPKAERSKGFSDMEAGAVIAGATLGFAAARKHSQEQRPGSAQSQRSTSNPNINRLRTPDINRPDSSTSNRSGTPPLRRSDRKSGDLR
SLSQRSKLDLAKEAELATSANSTSAVNTANPTANEGRARAKDMADVYDGFGEGRMGSPRSPTRPHSMRRRQSMQVLDLEQKLEQLAAENRMLAEAKA
QADYALQSGQNAPSALVERDAEIDSLKRTLEWLQNEVTRLSEVNTGLTSANMTIAGQHGDQYGVLESQHTQTARELQEAREAHENLTAGMDSIIKNE
VQNAISNKDREIAQLRAELDAAKEQIRDMQRQILASKANDLEFLTVRDEDYFDNACQQLCQHVQQWVLRFSKFSDMRACRLTSEINNDKTIDRLDNA
ILDGSDVDNYLADRVKRRDVFMSMTMTMVWEFIFTRYLFGMDREQRQKLKSLEKTLSEVGPASAVHQWRATTLTLLAKREAFQSQREQDTRAVVHAV
LETLSEILPPPSHLEAQIEEQLTRVMKAAVDLSVEMRCQRAEYMMLPPLQPEYDANGDLASKVSFNAALMNERSGDTVSNEELESQKAVVRIVLFPL
VVKKGDDSGEGDEEIVVCPAQVLVAKPKKTVRLLAPESNTSKISMQSSMPAGDSVI

>RCO7_06180 | probable leptomycin B resistance protein pmd1

MDKSVIITEVATGDLHAELFEPKDESKHEATDTTLQAPAIKDPQTDYSSKAKNHTTFSHYWRIFTYSSVSDRTFLGFASLAQIGTGTTLPLMNIVFG
KLVGNFSNYFIPGSTTTKKEFQDTINRLTLFIVYLFIARWILSYFSMYAFRMVGLRMSAKLRLEYLKALFSLPVSTLDTLPTGQASNTLTNTANTLQ
IGISEKMGMILQFTALIISAMVIAFTYSWRLTLVTASILVFISLVYGVVVPINIKLQKEMEHADEKASSIAGEVLSSIRMIVACGAESRVAKKYSGW
IQESQRRGLKMSPMMGAQFAPLFFAIYAVMALAFWFGFQQLAAGNIDNVGEILIVLMSVMMITFSVSQTAGPIVAITKAAAAATDFFAVIDAPKPST
NGLTAPEISSAKEIVFNSVTFAYPSRPHVTVLDDLTIEIEPGKITAIVGASGSGKSTIVGLLERWYELDDAKRIVLPESAIKDEKVEKEKKIKEDEK
KESGIIDEQTIQAPAVELSGFISIGGHNIDSVGLKWWRSQIGLVQQEPFIFNDTIYKNVEYGLLGSPWEHADRETKKNLVEEACKEAFADEFITRLP
QGYDTPVGDAGIKLSGGQRQRLAIARSIIKRPTILVLDEATSSIDVRGERLVQAALDKVSEGRTTITIAHRLSTIKKADKIIVLKKGKLIEQGTHDS
LLSIENGAYWALVNAQKISMGEGFAEESDLVESYKDPLVRALSTVSGETKAAEVEAVWKPRGFFGSFGLLMIEQIKHWPWYLILMCACAAAGSSYAI
QAFLFAKSLGVVELNRDLARQASARDHWALMFFFLALGCFVAYFALGWSSNTISTYIACTYRQEYFESILHKPIGFYDQEDNSSGTLSGKLANDPTQ
LQQMLGINMAMVLTAALSLVGCIIIGFIFGWKLTMVTVFVAMPVILLAGFFRVRYEIQFEALNQTVFAESSKFAAEAIGAFRTVTGLTMEEMIALRY
ETLLQDHVHKAFIKARWSTFVFAASDSVQLLCMALTLWYGGTLLASKEYNALQFFVIYIAVINGSEGAGTLLSFGPNMAQAAAAANRILSFRIASKT
DEKPAVELQDTKGGVKIELRDLWFKYPTRDTPIFTGLNITIEKGQFAALVGPSGCGKTSIVSILERFYDIQKGKILCNGINIHDLDIREYRKAISLV
AQEPTLFQGTIKENILLGVDVSTSSEKLHAACRDAEIHDFIMSLPDGYNTDVGNRGIALSGGQKQRLSIARALIRDPQILLLDEATSSLDSESEKLV
QAAFERAANGRTMVVVAHRLATVQNADVIFVLGEGKVLETGDHSALLRKRGVYYQMCQSQALDR

>RCO7_06179 | related to calcium-related spray protein

MLRPYFMSSTLPLLLLGSLSGRGLADQILTTSGFSECLTGSNITVNNLELQYNNDAKLVTFNVAGTSRTSMNVTATLNVTAYGRDVYHNTFNPCSSD
TYVEQLCPVPAGTFSATGTQHIPDKYASMIPSIAFSVPDIAAQATLELSELNTGTKVACISSRVNNGKTVNVPAVSYAAAGVAGAALLLTGVSAIGA
VGAGSTAGAGTASPSFTEVITVFQGFAMNGMMSVNYPPVYRSFTKIFAFSGCLLPWDSMQKSIDSFRQSTGGNLTTESVEFLRNATLVYEDGTTKSK
RSLDLLTAGFLRIRDNLETSVNTATPSEGIHPSNSTSTVEKTVHGIQAYVEQLSIPSANTFMTVLLIVACVVAAIAVGILLFKVILETWALFGSFPK
SLSGFRKHYWGTMARAIVQLILVLYGIWVLYCIFQFTHGDSWAAKLLAGLTLALFTGVLGFFSFKIWNAARTLKKMQGDASGLYENKDFWMKYSIFY
DNYKKDLWWIFIPVIIYMFAKGCVLAFADGHGLAQTIAQLTIEVCMLGLLVWNRPFERRSGNVINIVIQVVRALSIVCILVFVEELGISQTTQTVTG
VILIAVQSSLTAMLAILIAVNAIIICCKENPHRRRRKEAEKLNRDLDNLTPLDARNSLLMDPTKAPMSSDVYSSDRKHSDDSFMNEPGNPYRGATPM
RTTTAGFQAPQLGRPFAPSSGSLYHPDTREDQNLVLGAAPLGGIGGTPPRQPTLPQLSGYGGYK

>RCO7_06178 | related to putative protein

MASSAAPRMRSAGAGSSLDAAMRAPSTTTPDVVVLDSVREEVKPKELIDPRKDLWLTTADGRYNSSIIPVRVGIHAETFHIHKDILCKSEYFRRALE
GEFKEAGDQAIDLPEENPDTFSFIVAYLYEEKFSPIKSLSTVLVPDVDKGKRREESNDGNSESDSATDSEGSASDARYDPLILDRTPAKEGSLRSQR
RRDDRRRRAFEQSLRKVPGRHRAGCGCDACSVETRGPPCWSCGSSRNPPPPRHPLPIPGPIPMGRNGYPPPQHQRPRDRERRRGARPPGGPLPIPEA
LVPEEHMSQEDIRTWALAYSLSIDVYVCAERYLMLDFKLAIAAYVIDSFEIAGVEAAIPTVLQSCQTLHSGVSALDPLLKRVFARVGFLQAKLWKQF
PEETQIFFTENPDLAILIMKEMVERREEDKRDVLPPMERPVTPPMFGQEDVFIQGPGGRRDARYYR

>RCO7_06177 | related to novobiocin biosynthesis protein novR

MSPTATTLSNESSGNANVGALGKTISGKKLKIRSYPQFDTLEEERLYRKQHLAAAFRVFAERGFDEGVAGHISVRDPILTDHFWLNPLSQHFSQICV
SDLILVNEDGDVVIGDEPINAAAFAIHSEIHKARPDVHAACHAHSVYGKAFSVFGRPLDMITQDSLRFYNSHSVYDNFSGIVLDREEGIRIATSLGS
GKACILQNHGLLTVGQSVDEAAFWFMSLDKTCHVQLLVDAASAGSGREKIFIGDEEAAFTYEQVGKPEKGWLAFQGYYDEMLAKTNGSFLT

>RCO7_06176 | uncharacterized protein

MQYSFVAAAAAAILALSSSIFAQTAGFDAITSPTQDQQVAAGEALDIVWQPTAEHKGPITIELLQGATPATLEVGQSIAASIDQTTGKFTWTVPKDL
KSFATYGFKITLDSTKTLAADKQIFQFSFPFHITGLGASTSSGSASATPYPTDGTNTVQLPTATGYPAQPMSSSASSSVGSSSENHTSTHVPVTTYV
ASAYPTGNVTLSTTHKPTASVSGFTTRSGTAAPSATTVTANSASTMARGGLAVAAGLVLAFAL

>RCO7_06175 | uncharacterized protein

MATKMTSSRVERRTQMPLKTATVTSRQVTRKQAAIERALSKGTEMKNYDAKMAESQNDIRTQQRPALEKPSLPVESLPKPPNAPFTTPEGVMIGQEK
KNPLLIPVVEICQMIDPPNLGGELAHTSHFSPTLREKQFKEDPIHIPGREMVQFEELQPQPQDQSLLFKQIPECDSVQILQELDFQHQSFEPALESQ
SPYFDQTFQFRHQDLDLGQQHEGPSFSQIGQAPQQMYYGLGLGQHMFLPQPHGLTCGSNGIIDNQDSPNQGELAFDEDSQIDPRLLEQAAPVQITPN
LGHANHVNHHPQALAPPRHGFVTQFHGGPLDFSQPTHGFQYPFVPQYMPNILPQAPQAPPGYMTVLNTFVIPPNIQQNGHMHMLYTAGPGFPQQFNP
PQNMPEPTRQHDQNQQHIITANQVQKASLPAGKGNAGSSARSQAELSTASRSNADAERGMVPEADPTIHIMTPAVVKEGLKKISREFKRTKDADKLC
ESLSTFEPLFSC

>RCO7_06174 | uncharacterized protein

MTRHNLDSHISWLLSRKVNPPSGVHARGLNRSTNREDLSEADTVAEEEEEEEVEEIDQEIPRAPPSPPHHRRAVQDINVSEAFARPALPASTTAKAR
LQNSREIVKEESMGKLSSATRSTRPSLISQQQLATPASTTSSTAASHISLTSNYSAFLQKEGQDSPSSRPSAKRSLPPQVQGSLQTKTPRTPRQTPR
PTLGADPYKIESVDLSCDDKGGIGAPGSSSSIEIWGDSKRVWREESASRAEPLPRTSKKRKSTGISPERPRRNNSYEKQRVRTRRDQHIVVDGFVDI
DDVIPSQSTRMSPQRTRNKAVQPSVEQSTDRSDVEEVQVTETISRVETRMRKSISRVSSATDDFLIRPLRGHSKPLPPSGRDSPVMSPRSSVQVAAS
PFRRAKSPVASSPQTPHKSSKRRNRTVIQDSEEDDNYSDINQKASYSPAVSSKNSPRVKEQQSSLGMKSVSKLEHTDSMVKDYRSSNPRNSSPLRPI
SQNISARPETIMSPLRRKSPSKTTFAKLEQPPSGQNTPGSSLGVDDRKLAMFYLNKPSEIDPYHERIQHLVAQNAVTSMSYVDRNEAAPAQLKAERR
TLLDMGKAYSSLLELEGKWKMLMEEKKKLARQVYELLDRNADTSQQEERQASINQDIRTLEQQVAQDLHSSGAVNDGFGTVSKHNADDRQGQMKSND
STAPLQSGTSTVGSAQVIMQTQFPSLQQTSTAASESLFLRNIPSQTNTKDHLAVSSNAFFAPASPSPIRRSVPAQSFHESQPPIAQRIWPSPKTFKQ
PNFYQESPPLDYDELDDEDFNDLIGAEPNHHCHSRAQEHVPDEIEDDYGDSEDDNDFVKMAQALEKLPTARPIQSNYVAVPESAVTLQSSSKSKPDP
TETTMYSHVEPDQSNMFDHRWSQDVKKALRERFKLKGFRRHQLDAINATLGGQDAFVLMPTGGGKSLCYQLPAVINTGITCGVTIVISPLLSLMNDQ
VQHLRAVKVQAFSLNSDTPDEEKRQIYTFLKEEIPEHYIQLLYITPEMVNKSTVMINALTRLYNRKKLARIVIDEAHCVSQWGHDFRPDYVALGKVR
EQFPSVPLMALTATATKNVKEDIMLNLKMRKCPVFVQSFNRPNLHYEVRPKKGKGILSKMVVEIAELVKDTYKNQTGIIYALSQRGCEELAEKLVSH
HSIKAHYFHAGMTREEKATVLDDWQKGKIQVVVATIAFGMGIDKPDVRFVIHSSVPKSLEGYYQETGRAGRDGKKSGCYLYFGYQDISMLKGFIEKS
EGSEEQKQRQRSMLQQMILYCENQSDCRRSQVLTYFGETFAKKDCHRTCDNCCSNAAFKEIDFTDYAKAAMRIVKHVQHHDFTMLNCVEVLRGTAGA
RVKLGKMEGDGNIAEIGYASQVARGEIERMFYRLLLEKAITEVGVRNRSGFATDYVKLGPKCRDYMNGKKKMILTVQVTGATPAQHKSQSSSKYPTS
TMLTSPVTATSRRQMITKRPNTDTGYGQDGFVVSDDDDDNYEDDAFESMHRPGDHRQATRADNFSGPITTDRRMASLNDIHGGIVLEFVHDAKALEE
QLRNKAGARKPFFSEANFRDMAIDWTITLDAMRRIPGIKIDRVDAYGKSFLPLIQRTHDYYVEVMTGNREPEEDGDLDTNHQNVIDLVTDDEGEEED
AEEVVGSEYFEMDAHTEAAVRSAENETSPFFPGTSKSKSTGQSRPGGSFRGRGKGRGGKRYKPRTSNGSTSGQSNAGVRKASWPPANKSRARKTSGS
RFNQQSGRGGGGGGGGGMGIGIMPT

>RCO7_06173 | uncharacterized protein

MYIKQSASSSYRYLEAELNTTTNYNTQDLEPASGKYTHHILRSRPEQFARQAPSMSDNNRYGEPRTQQSAEDLSKDTEMSLDSCSIAAAQPTASPSG
KSHGTKDHSKFSATAKTPVISKVAGCEEYADIQMNSESQTFMWAPTESHESRADHPVTSTKAQPSSKSIISVIEASDSLTALPTTVKARHELYDVVR
PRPQQAPKIPLKVAPGAFRGISSMIADETIIHDDRKTSRRSGPGKSTFPKDVFSYAIPVTSPVQQAKREVDFIGSADYYDVRYDEVQQSMGGTYLIV
YSRDLDQGHEPCGEYEVYPVSYDNRITVLPTGAATPVQCGKKSAVFHKSKNWAEGEVDFNNRFYTFWLQPRWSSDGIQAACKLKQEFPGESPQTCLL
DQTLDTGVNGGLISTARFGSKYMRTDKPWSEDRSSPMPDRFGFKFIALDLGTWAFTTGDESFRRVIGVKIPDKKDVASGFLLNQRVTWHEYGPEMIH
VTDYRPASIQAPKGSQRKQEKDVLSRDKRKTWADQVEADERATIKDRKKTGNDGGVRMIRDDELFAGLRRR

>RCO7_06172 | probable clathrin heavy chain

MAPALPIKFTELLQLTSSTAGVDQASIGFNSCTLESDSFICVREQKAGAPSPEVVIIELKNGSNVIRRPIKADSAIMHWTKNIIALKAQSRTLQIFD
LGQKQKLKSATMNEDVVFWKWFSDTSLGLVTDSAVYHWDVFDPNQSSPVEIFKRNQNLTGCQIINYRVSDDGKWMVVVGITQQQGRVVGAMQLYSRD
RAISQAIEGHAAAFGTLRLEGAPADTKVFTFSVRTATGAKLHIVEVDHQASNPVFPKKAVDVYFPTEAVNDFPVAMQVSQKYSIIYLVTKYGFIHLY
DLETGTCIFMNRISSETIFITASDSESAGIVGINRRGQVLSVAVDETTIIPYLLQNPGNSGLAVKLASRAGLPGADELYAQQFDQLVSAGNYTEAAK
IAANSPRGFLRTPQTIERFKSLPAVQGQLSVILQYFGMLLDKGTLNKYETLELVRPVLAQNRKHLLEKWMKENKLDCSEELGDVVRPHDLNLALSIY
LRANIPPKVVAAFAETGQFDKILPYATQVGYQPDYIVLLQNIVRLNPDKATEFATQLANNEGGSLIDIERVVDVFQSQGLVQPATAFLLDALKDNKP
EQGHLQTRLLEMNLVNAPQVADAILGNDMFSHYDRARIAALCEQAGLSQRALEHYDDPEAVKRVIVNIVATPNFNQEWLNGFFGRLSLEQSLSALDA
MLKSNIRQNLGAVVQIATKYSDLLGPTRLIDLFEKYKTSEGLFYYLGSIVNLSEDQDVNFKYIEAATKMGQFAEVERICRDSNYLDAQKVKNFLKEA
KLTEQLPLIIICDRFNFIHDLVLYLYQNQQFKSIEVYVQRVNPSRTPAVIGGLLDVDCDESIIKGLLTTVTPASIPIDELVNEVETRNRLKILLPFL
EATLAAGNQQQAVYNALAKIYIDSNSDPERFLKDNDQYDTLIVGNYCGKRDPNLAVICYTKGNNDLELVAITNENSMFKAQARYLLNRADNELWSFV
LSGNNIHRRSVVDQVISTAVPESTEPDKVSVAVASFLAADLPVELIELLEKIVLEPSPFSDNENLQNLLILTATKADKGRVMDYIHRLDAYNAGDIA
VICVEVGLFEEAFEVYKKINDHTSAANVLVEHVVSIDRAQEYAERVELPEVWSRVAKAQLDGLRVTDGIASYIRANDPSNYNEVIEIATHAGKDEDL
IKFLRMARKTLREPPIDTALAFAYARTDQLSELEDFLKGTNVADVEESGDKAYAEGHHRAAKIFFTSISNWAKLATTLVHLEEYQSAVECARKANNI
KVWKQVNAACVEKKEFRLAQICGLNLIVDAEELQDLVKQYERNGYFDELISLLEQGLGLERVHMGVFTSLGVALSRYHPDRVMEHLKLFWGRVNIPR
MISAAEEAHLWPELVFLYCHYDEWDNAALAMMERAADAWEHHSFKDIVVKVANLEIYYRALNFYLQEQPSLLTDLLQALTPRIDVNRVVKMFEKSDN
IPLIKPFLLNVQTQNKKIVNVAINDLLIEEEDYKTLRDSVESYDNYDPVELAQRLERHDLVFFRQIAANIYRKNKRWEKSIALSKQDKLFKDAIETA
AMSGKSDVVEELLRYFVDIGSRECYVGMLYACYDLIPIHVVMELSWRHGLTDYTMPFMINYLAQQSSAIEVLKKDNEERKLREKSQEKDESNAPILG
GNRLMITAGSAGGHQSPAPFAQTNGFAPQPSGYGGF

>RCO7_06171 | PYC2 Pyruvate carboxylase 2 EC:6.4.1.1

MTDNHDPNGAYTEVFEEGKDSQQSQTIHRIRANSSIMQLKKILAIRTKSVVPRTVLSKKQLLINILFIEADEAYVIGKRGQYTPVGAYLAGDEIIKI
ALQHGVQMIHPGYGFLSENAEFARNVEKAGLIFVGPSPEVIDSLGDKVSARTLAIKAGVPVVPGTDGAVDKFEDVKKFTDEHGFPIIIKAAYGGGGR
GMRVVREQKDLEDSFQRATSEAKSAFGNGTVFVERFLDKPKHIEVQLLGDNHGNIVHLYERDCSVQRRHQKVVELAPAKDLPAEVRDNLLKDAVKLA
RSVNYRNAGTAEFLVDQQNRYYFIEINPRIQVEHTITEEITGIDLIAAQIQIAAGATLAQLGLTQDRISTRGFAIQCRITTEDPSTGFSPDTGKIEV
YRSAGGNGPEQSLLLVKCTCHGSTYEIARRKMLRALVEFRIRGVKTNIPFLASLLTHPTFIESNCWTTFIDDTPELFDLVGSQNRAQKLLAYLGDVA
VNGSQIAGQVGEPKFKGDIIMPELFTDDGKKIDTSVPCQKGWRNIIVEEGPEAFAKAVRKNKGCLLMDTTWRDAHQSLLATRVRTVDLLNIAKETSH
AYSNLYSLECWGGATFDVAMRFLYEDPWDRLRKMRKLIPNIPFQMLLRGANGVAYSSLPDNAIFHFCEQAKKHGVDIFRIFDALNDIAQLEVGIKAV

HKAGGVVEGTVCYSGDMLNPKKKYNLEYYLKLVDELVGMNIHILGIKDMAGVLKPRAATLLIGAIRKKYPDLPIHVHTHDSAGTGVASMVACANAGA
DAVDTATDSLSGMTSQPSVGAVLASLEGSEQDPGLNVHHVRAIDTYWAQLRLLYSPFEAHLNGPDPEVYEHEIPGGQLTNMMFQAQQLGLGAQWAET
KKAYEQANDLLGDIVKVTPTSKVVGDLAQFMVSNKLTFDDVQKRAGELDFPGSVLEFFEGLMGQPYGGFPEPLRTNALRGRRKLDQRPGLTLKPLDL
AAIKKDIHTKYGSVTECDVASYAMYPKVFEDYRKFTQKYGDLSVLPTRYFLSRPEIGEEFHVELEKGKILILKLLAVGPLSDTTGQREVFYEMNGEV
RQVTVDDNNAAVENTSRPKADPGDSSQVGAPMSGVVVEIRVKDGGEVKKGDPIAVLSAMKMEMVISAPHAGKVGSIQIKEGDSVGGADLICKIVKPE
HK
>RCO7_06170 | uncharacterized protein
MVASATTNSVTGGTSTKSTPVNNTGASFSARRSSQGTLFSGLVNQKRNSGDAAAQARRESFNDMKPAPGLIGKMWNNFVAGSPPK
>RCO7_06169 | uncharacterized protein
MSNTANTADQTAEKGFLANLVSGKTPGVKNIEAAYSRAGASNHHTPGAATRLGSQDQASGAQEAQGVGSEKFKNGFSDQRQEPTAIGKMFNNMINGT
DKTK
>RCO7_06168 | probable ribosomal protein L11.e.A, cytosolic
MAESGEKSGNPMKELRIQKLVLNISVGESGDRLTRAAKVLEQLSGQTPVYSKARYTVRTFGIRRNEKIAVHVTVRGPKAEEILERGLKVKEYELRKR
NFSETGNFGFGISEHIDLGIKYDPAIGIYGMDFFCCMTRPGERVAKRRRCKTHVGSAHKIKRDETVKWFKNRFEGIVR
>RCO7_06167 | related to small nuclear ribonucleoprotein B
MANKQGKMAGLINYRMRVTMNDGRQMVGQMLAFDKHMNLVLADTEEFRRVKRKANKSAAPGASGSSAAMVENEEKRTLGLTIVRGAHIISLSVESPP
PADPSARLGASAPGGIASTLAAGAGIARPAGRGAPIGLAGPAAGIGGPPAGFPGGFPGAPPFGRGAPPPGFAGGFPPPGGPGGFGQGPPPGFPPGGF
APPPRR
>RCO7_06166 | probable FMP37 Found in Mitochondrial Proteome
MAAFIKAINAKIRANPTTNYLCSTHFWGPASNFGIPIAAVMDTQKSPELISGQMTGALTIYSATFMRYALAVQPKNYLLFACHFVNEGAQLTQGYRW
LQYHKWGGKEEQAKQQAASGIKAVVGKVEAEAGKLAEKAKDVVGK
>RCO7_06165 | uncharacterized protein
MSSQSSLPQSWPYKQLTPDPVANEKKRPTPLVRERTSSSSSDSSLKVPGPRTPRFAEATTVYSPIEASEDSRSPFADPPAIRTQTVMAQSQPSDIGF
GYISNNDPSRQTEVPLTPGSPLKSAMRVPGTPGRKIDNPLSPTFREEQMMEKHEVATEKEQAKDLKIKIRVRMAKFILRGVNFSCSLIVLTMIATTF
QIFNATRHLAPRNNLPPWAKNTQTWPQMVILVVACISLALCLVVFWNYFRGGHKRAEKVAVYYTLFAVAFFIFSVVMWGIAAGILQGSKSNSGNKDI
WGWSCVDNKRKQLFKEEVNYELICRLNNWALVCCIIEIVLESITIVLYAVVFYRYYSKQRLRKSMDVRDRARSDLYLAQLRSQSAPNTPGFGPMSPS
FPTHMKSPRFPPSAYNNSTVAEEGFAGPGTRFVEAKPEHTIAVKPFALQPPPIKIHSATPKTPQSGFEAPPSQLKERVIEHVAAAPGEQQYDAVPIP
GAYASPLASPGLAQPHHQRFGSVGEAFTSDRRIESPPGSPRGWK
>RCO7_06164 | bifunctional purine biosynthesis protein ADE16
MATSTKTAIISVYDKTGLLDLAKGLIKHNVRLLASGGTAKMIRESGFAVEDVSAITHAPEMLAGRVKTLHPAVHAGILARDLASDEKDLAEQNINKV
DYVICNLYPFKDTIAKINVTIPEAVEEIDVGGVTLIRAAAKNHGRVTVLTDPTDYAEFLQEIEKGEVTERSRNLYALKAFEHTADYDASISDFFRKQ
YAGDGSQQMALRYGANPHQKPAAAFTKLESLPFKVLCGSPGYINLLDALNAWPLVKELKTALGHPAAASFKHVSPAGAAIGVPLTADERKVYMVDDI
DGLENSPLAQAYARARGADRMSSFGDMIALSDIVDVPTAKIISREVSDGVIAAGYEDAALEILKKKKGGKYLVLQMDPEYEPNPQESRTVYGITLTQ
HRNDIQLSPKSFTSIITPKDSAPLSDSALRDLTVATIALKYTQSNSVCYALNGQIIGLGAGQQSRIHCTRLAGDKADNWWLRFNPRVLGIKWKKGTK
RPDKSNAIDLLVSGELPKEGAEREGYEAFFDEVPAPFTEQERSEWLGKLSEVAVSSDAFFPFIDNVYRAGRSGAKYIAAPSGSQNDSVVFDTAEKLG
ITFVEQSMRLFHH
>RCO7_06163 | related to thioredoxin-like protein
MSKTVQISSSKQLSDLVQSSQIVVTDFYADWCGPCKTIAPLYEQLSASLSRPNHITFVKVNVDTQKEIASTYAVTAMPTFIIFKSGQVVEKIKGADP
RKLQDVVKKLAAEAEGGPSSSGFGGATGSGSSWRVGALPRGYSDVTDQVDLKGLELLNADSEFGSVRTLVDSGKPTGLQKGKVAAAAGKDWVESDTD
EQLMLFMPFQCTLKVHTLQVTSLPPAAGEDDDDEVPLRPKTVQIYTNRAHILGFEEADDIPATQSITLEAKDWDETGTATLSLRFVKFQNISSLVIF
IVDGDGDGERVRVDRVRVIGETGEKRDLGKLEKIGDEHGE
>RCO7_06162 | probable phosphate transport protein, mitochondrial
MPLLFPSHETLHGVFHPANSSSCRETSFQDNIPHQRTPLEARAELYPTWSTIDDAKNTASALSAEASKEFEKASAKAQAKAGAIELYSAKYYAACTF
GGLLACGLTHTAVTPLDLVKCRRQVDSKMYTGNFQAWGKIYRAEGFRGVFTGWSPTFFGYSAQGAFKYGGYEFFKKYYSDQAGAENAAKYKTGLYLA
ASASAELIADLALCPFESVKVRMQTTVPPFAKGTFDGLSTVTGKEGFGGLYKGLYPLWGRQIPYTMMKFASFETIVEMIYDRLPGQKSDYGKGAQTA
VSFTGGYLAGILCAIVSHPADVMVSKLNANRQSGEAFGAAMGRVYKDIGFGGLWNGLPVRIVMIGTLTGLQWMIYDYFKIFMGLPTTGGAAPKQEKA
>RCO7_06161 | related to cystathionine beta-synthase
MTENASPKAPTSKYASRYRGATVEDLDPPSALSCSPTDPISHALLSAFERDYTHLTVVSATNRALLGYLSIPHLQILLKAGKVQETDEVSKAMVKFR
RKGRVYKVITMDTPLEELELFFNGGENGEAGKQEFAVVTDERRRFVLGVATKTDLEEFARRRPA
>RCO7_06160 | related to helicases of the Snf2/Rad54 family
MDSADKEARPGSPPAKRQRTANGYKSTSNSEQNTNAYNSDNDSGDDLLAGYIPETPTQNTYQTQATQILDRSTLALPTPSPPGTPQHIVQVPASSPF
TGRDSEGSKSVYFGGSSQSQNVPPPPRPQLAQGMAPAGTVYKAPAGIIAKPPPSKTYVTLDDDEDDGPKFQGASSDDDGSMQSANIKPTTFMSNSAH
NSFGNSTSNGAPRTANGTASFQDVMRNSAYQPLAPGRNPQFQTRPDRARPVPQDMTIEMALPNLRQNIVRMRLMFPKISVLTAQNFLVTAKGNLNDA
VELYVKDSERDEQRSTETISISDDEIDSPQQAESQFKRTLAAPIQSLRDRYSSTQALPPRNPAAVATPPKPRRKLMKGRRNASSPAPAAASSPLKLQ
SPAPAESVDYDSDDSGVASESEPDPELEGRLLKYFNTCKVMDLVELTSITKDVAEVMIAARPFKTLSAARIVENTKATKSGKKSNRAPIGDKIVQTA
LDMFQGYEAIDTLVTKCGDLGKPLAEEMSKWGFDVFGASKTGELEMTSLEDDTESQRDSGIGSPSSAANSNNGDDDIKIVSSTRKRGNVKFLKKPEM
MADDCVLKDYQVVGLNWLALMYRHKLSCILADEMGLGKTCQVIAFLTHLVENGHPGPHLVVCPGSTLENWLREFQRFSPQLAIEPYHGPQKERTEMA
LQILDNRDTINVVVTTYDMAAKKEDNKFMKKLKPDVCVYDEGHMLKNVKSQRYQGLVKIPATFRLLLTGTPLQNNLQELAALLAFILPDVFKEVEED
LTFIFKAKASTADADHAALLSAQRIARARSMLTPFVLRRKKAQVLKHLPAKLCRVQYCDLHESQKGVYNGHLDAARERARARLEGVKAPKTEENNPL
MQLRKAAIHPLLFRRHFSDEKIEKMVDILRKKDPVNFPASHKRAHLVEEMHKGSDFWLHQWCLDYPCIRSFDIPNMAWMDSGKVETMIELVKGYKKN
GDRVLIFSQFALVLDILEAVMNTSSIVYTRIDGSTKIEERQPLIDAFKEDESITAFLLTTKAGGTGINLMYANKVIIFDGSFNPQDDRQAENRAHRV
GQVREVEVVRLVTKGTVEEAIYALGQSKLTLDGRVAGDSEDGGKAEEAGEKAVARMLLEGTTGSADDEANEDAKVEETKPKKDEKLSQRKKSSIMGM
LTNPGAKGESQESEKGSQKKPVKIDEGGEDMFL
>RCO7_06159 | related to Vacuolar ATPase assembly integral membrane protein VMA21

MATRRNVPGEKTPLEKSLSQNLGEKSIIAPAVPGHVIFKLLGFTLAMVVCPIGSYFLTLNMVFKGNSTWAGATAALLANVVLMGYVLVAFNEDQTET
LEVAEREKESKKGI
>RCO7_06158 | uncharacterized protein
MSSSKNHPLPTPPGQQRPRAQSHFSFRSTHSRQSSSGSQKIDLHESHQEKESKRLTTKADPQMALNEAEPSMVAREKASLAPIRAIQHRDNQGNPIA
DPDRSNPTRSRWERPLDTIRAFEAAIDGNYSGSRKSYLRTDSDAQSTYNRRSSYFGGTQVTTDDRYRGQSGYYNGRSQSYRPESFADGRGNGMMRPD
SYFHDQSNGYHPNRARYPRTASEPHFNYGQGVYPMPGNQSSYETVATASGSGSDPAGYQTPLSENSSIDRAAPLPLVREPGESYGFNGFGANPQYAP
PGSGLQNQQNGFGGQPRQANGYPTPAPQVPRKESSPRVPIKLGKSNGYTGQQSDSQLPAAAEKRKSWFGKKFSKS
>RCO7_06157 | 60S ribosomal protein L33
MVSEAGHRLYVKGRHISYQRGKRNTTPGCSLIQIEGVSDTKGANFYLGKKVAFVYRASKEIRGSKIRVIWGTISRTHGNSGMVRAKFRNNLPPKSFG
ASVRIMLYPSSI
>RCO7_06156 | probable glucose-6-phosphate 1-dehydrogenase
MADTVIKPEEHNAGSVELKDNTVIVVLGASGDLAKKKTFPALFGLYRNQFLPKDIKIVGYARTKMDHEEFLKRVKSYIKTPTKDMEQQLKEFCDICT
YISGQYDKDESFEELDKHLVELEDGREETNRVFYMALPPSVFTTVSQHLKKCCYPKNGIARIIVEKPFGKDLGSSRELQKALEPNWNEEEIFRIDHY
LGKEMVKNILILRFGNEFFGATWNRNHIDNVQISFKEPFGTEGRGGYFDEFGIIRDVMQNHLLQVLTLLAMERPISFSAEDIRDEKVRVLRGIPAIE
PKNVIIGQYGKSLDGSKPAYKEDDTVPKDSRCPTFCAMVAFIKNERWDGVPFILKAGKALNEQKTEIRIQFKDVTSGIFKDIPRNELVMRIQPNESV
YIKMNSKLPGLSMQTVVTELDLTYRRRFSDLKIPEAYESLILDALKGDHSNFVRDDELDASWRVFTPLLHYLEENKEIIPMEYPYGSRGPAVLDDFT
SSYGYKFSDAAGYQWPTTQTAPNKL
>RCO7_06155 | related to ERV46 - component of copii vesicles
MPPKSRFTRLDAFTKTVDEARVRTTSGGIVTIASLLIVLYLALGEWADYRRIVVHPELIVDKGRGRNRCTRKMEIHLNITFPRIPCELLTLDVMDVS
GEQQTGVMHGVSKVRLAPAAEGGADIDIKSLDLHNADDQATHLAPDYCGGCYGATPPPNAQKAGCCNTCEEVREAYASVSWAFGRGENVEQCEREHY
GERLDAQRKEGCRIQGGLRVNKVVGNFHIAPGRSFSNGNMHVHDLNNYFDTPIPGGHVFTHKIHSLRFGPQLPESVTKKLAYGQAPWASHHINPLDD
TEQVTAETAYNFMYFVKVVPTSYLPLGWDSSARHTIGEHPRLGQFGQLEDGSVETHQYSVTSHRRSLTGGDDAAEGHKEKLHSRGGIPGVFFSYDIS
PMKVINREERTKSLAGFLTGLCAIIGGTLTVAAAVDRGVYEGTTRLKKMTGKSL
>RCO7_06154 | related to mRNA export factor MEX67
MLHNPPPPRGPRGSSPQVRGRGRGGIQKRRNGGPAPKIDRDGDLNMDAAVSAADKPKSGNGSGGRGRGRNPDRPGRSQAGPASRPGGRGNTISERAK
QNMIRGLGGKQANVLESRITDGGLRLQVSGLSESKAASNPDGGLESLLGFLERKASGLDSKSNRAVKIKKSSKAGDSVFITASPEDIAAILKLNNFN
FAGAILTIRALDASGDAPDVPSATSEVKDQLRAVLASRYDAGLKLLNLSSLVADPGLNSMGVFNGSTTTSKIFPALMVVCNDLFKTKKEKQEAIVSV
TLADNALTKVNEIHILAEMFPDIRNIDLSRNNLADLRSIDAWRRKFRNMEHLILVGNPIEAQLAELKDEIMKRYPKLHTLNNVQVRTQEEVAVTVAA
DEAARNPFPVLGPNFQDVGGVGANFVTQFFALYDNDRNAFLGQFYDSHSKFSLAINMTAPRSTELSVPVQAWSEYTKHSRNLLKVTHLNTRMNRQYI
GVQDIQPVWASLPASRHPDLHTQGDKYIIECNTVSGLPDLTGQAIHGVDGLMITIHGEFEDQPPKNADKSLRSFSRTFVLGPGAPGGPQIRVVSDML
ALRAWAPLAQPVVSQSPPQLQAALTPEQQVLQQQEAIANQLTEKTGMTLEYSAMCLNETGWDLEKAFVAFTTNKANLPPNAWVAGIPR
>RCO7_06153 | probable sulfate permease 2
MASSKVGHALAKGLGIKLNYRNELDDEIQRGESVFSTQTADTYVEREPHAMDWIRETAPNGRDLRNYLWSLFPFLHWISRYNAQWAAGDLVAGITIG
AVVVPQGMAYAVLAELPAQYGLYTSFMGVLIYWFFATSKDITIGPVAVMSTLVGKIVKQAAKTNPEISGPAIASALSIICGAIIVFIGLIRAGWIVD
LIPLVSISAFMTGSAINIIAGQVPTMMGFSKKFDTRAATYEVIINSFKHLPDTTLDAAMGLTALFLLYAIRSGCSLAAKKWPQKQKMFFFIATLRTA
FVILLYTMISWLVNRHHRKKPLFKILKDVPRGFTAAAVPVVNTKIIKIFASDLPSAVIVLLIEHIAISKSFGRINNYIINPSQEMVAIGITNLLGPF
LGAYPATGSFSRTAIKSKAGVRTPFAGVITAVVVLLAIYALTAVFFYIPSASLSAVIIHAVGDLITPPNTVYQFWRVSPLEVPIFFAGVLVTVFSSI
ENGIYTTICVSLALLLYRVLKAKGRFLGKVKVHSLVGESIVGNESKPFLPNNGTFAPSGGAHEDASSRNIFLPLDHGDGSNPDVDVQSPYPGIFIYR
FSEGFNYPNANHYLDQLTNHIFASTRRTNLDHYPRPGDRPWNDPGPRRGKAPEVHSDRPTLKAIILDLSSVNNVDITSVQQLIDVRNQLDKYASPST
IDWHFASINNRWTKRALVSAGFGYPTPDSTSTHRWKPIFSVAELGGSDSAAQAAERSANEKELEETRARESKRSDHHGDGIAADSDSGLSSGADLKH
VGIKTTGRAAVVNGLNRPLFHIDLTSALQSAIANVEAKESFESQGGPGIGELP
>RCO7_06152 | related to cell cycle arrest protein BUB2
MSTSPTKQSIPKLAPPNLPPSLLNPPSPRTHRALRRLQSAHTLGQSNHQPSLISQQHNQVLQKTQSPANSTSVPHHSRGRSNSDATNMSIPTPGSAS
RRPIHPKKPIAADALSLDRLVRDGPPDGDVIGALESVRLKILDQGIKSDTDGMSSLRIYVWLILLNAPVLETDSYLTLIHRGASPAYSKIRNDTFRT
LATDPLFRRRVSEASLIRLLNAVAWKLHDAREERAESLSKSTSKFTHTANAHGSPELQNGTPVMKSRARALTLTTEGSEVGTSEPGTYVQGMNVLAA
PFLYAARSEAEAFVAFHRFITVECPGYVRGAMDGVHKGLALVDKVLAIVDPKLSLYLIGKGMNAELYAFPSVLTLCACTPPLPEVLRLWDFLFAYGA
HLNILCIVAQLVILRTSILSSPSPTKILRSFPPLQAETIKAVTLSLIKKIPDDVYAEIVSHAK
>RCO7_06151 | uncharacterized protein
MASVSSCLMLAYAFLGFTTFSTVRAEVPGSPDVSPSLQEILNKAHKAPLYTYPTSLTQGIIPKGIHSHNDYWRDVPFYSALSVGAISIEADVWLYNN
SLFVGHETSALTKERTFESLYIHPILDVIKRQNPSTPFVNEKTLNGVFDTSSGQTLYLFVDLKTNGTTTWPFVVKALEPLRAAGYLSSTNGTHFKSG
PVTVIGTGNTPLSLVQPVQQRDYFWDGPLLTLNTTFSNITALVSPIASASVSGALGSTVIGTGLNDTQLAILRGQVATAHAKGIKVRYWDQPGWPFS
TRNGVWRQFRSEGVDLINVDDLEAAAGFGDTW
>RCO7_06150 | uncharacterized protein
MPTFSLVTRLRRSATKLEAHLPSEDFIDSGLSYDPYDSCSDTQDLQITLPTSRILRSASTSEQATRTTPQSSRKRSLRSAGSPEPVFVKGGSLVSPD
DAKKRKLEEFHNVEDISSQDSNSDNRSCSIGARSLGLVTLDKSDCLHCMSLDQERNRRKVQDGLPKSFDSGYVSEIDLPTDCIRRFSETDRQHDSSP
FQSQYERRRSSLTRRLSSARAMERKRTSSSSPPLWKNTPMMSNLTIDEKHKPTKLPRRVRSRSPPRDRDSSEASAESRFNLDESYSSADDNRDPRVS
LARKEQEDHAFEHETGIQTEQDICQSQYPSNDDASFSSPTINSALRGTQRSPVVATNTLKGRKLSMPRISRTPPHSTPINTVLALSYAPSSTLPADE
GISHVLHAEKKASSYPTSPRCFESIKAHQYSTANMRTLLELEEFRLPSPAIPVELPLDSSIPKDT
>RCO7_06149 | related to Tip elongation protein 1
MSTRRSLARPRPSILNGINSASSPNLGAVYSSQKQHSGASPGSSARPHALLQKQSLNALTSTTLSSIPDESLGYSLNTSLDDQSEAARMPPFTPSRA
GGGEDLEVGDLVDVPGSMYGTVKFIGTVQGKKGTFAGVELSEEFAGRGKNNGDVDGISYFKTMIAGAGIFLPINRALRRGSPSSQEGSFPLTPTTPS
IGGNFKIAGQGSRAFTPPTPSLPKFSQSVGPGRAASPQIKKSRPSLPRPESPLRKPQLSSRPSIGTPTSKAPTRYGSPAPGKFGQSVRGTQDSRDPS
KKAGHTPKNAFKASVGPRSASALGQAPMNYSADELTPLGINRAATNGSLGSVSLFNTKMRPASRSASRANNDDEVDRLRGQLEERDKQLKEQASSLA
EMENSLVEVQALMNSPEVGSRQNRGSMEGKDSAQLRAMLREKNEKIAMLTAEFDAHRADFRSTIDTLELASTETERVYEKRVEDLMQEVKEFAERGE

DVDSVARQLKQLEELVQELEEGLEDARRGEAEARGEVEFLRGEVERTRSELRREREKAAAAMNVGSANGETGSLSKELEQRDDEIRGLKAIIHSLSR
DAIPDTGISNGDTQKTPTHRHSASRRKASNGGIDSIDDRLAREKLEREVAELRATIETRINREDELEREVERLRRGTISNGTNQRASAISTATVTPD
TPSIRDSKGTVVSWRDRDSRASPESHRRGNTLETMPESDTYSSTNESFCELCETSGHDILTCTNMFSPNNSAPRENNHLLNGKDVVKAGLSPKPSHD
EYKPAPLSPLKNKSSYSSLQKSSPPVRIMPNPMESGPVAGKESGVVNMDKWCGVCEREGHDSIDCPFEDAF
>RCO7_06148 | uncharacterized protein
MSAKNSTEVEVSHGRGGAGNIGPDTTQYTDGEIVREGVAGPHGDGAFSTGRGGAANIGSPGMKATRRKDDMAIPEVAIRPSMEDQTFHVGRGGEGNV
HKPDPPAGPKHPIGFADKLKNKLFKKKVVEEKPVVTETAV
>RCO7_06147 | uncharacterized protein
MAPKHGIKTEERLVKRAKKSTTSRSETPLDHGANFPFKVEYPIMKIDGSISLEQKAMMDMAEFQVSPFIAKGARAKGELDQYYTVTPHDEWERMKKY
NNFIIQGEAYTNSQFVFVRGEDTPKDKDNIEGRPKDFWVARILQVRAKDPQHVYALVTWMYWADEIPPPVPKATDQVTKDTGRRSYHGNFELIASNY
MEVLDVLSFAGKADVYHWPEDDDNVQTRLFWRQTYNRKTLELSQLKKHCLCSGHYNPDVPMYICDNSSCKIWFHENHLIDDHLNKTYRRLIGDDVTN
GDAKPTSKKSKAPVYRAIFKAVMEENADGPPQIVVTDLRKGADPQKWHEFLLCPKCDTPFE
>RCO7_06146 | related to monocarboxylate transporter
MAGINEQSRLVVDVERRLIDDKSNVVERSGSSDIAAPIPAKNNESSKLGTKRSHSTYQDTLSVAVSKVLGQVLRKSHLEPLVDDLPPDGGLQAWATV
FFTFQTGFNTFGFLNSYGILQNYYVTMLNLPPSTVSWIGSLYAFLMLVLRAFAGRLSDAGYFHQLFFVGTTLQIIGFFTAAISTTYWQILLAHGVCL
GIAGGLIFVPTMSIAGTYFSKKRPLALAITALGNSVGGLVFAAILQNVLPSLGYAWAMRTCGFVVMATSIPANFVLRPMKLKRARGLIIDWGAFKEL
AYSLFCTAIFLTFLGMWVPVFYLGSFGRNIVGIDNKAAASLILIINGVGVAGRIVPALLAPRLGPLNLMIPLTFLPALILFCWASVHTQASLLLFDI
FYGFLMASGQGMLPPSLGSLTKDLSKVGVRFGMVFSICGFALLIGQPLAGALIEANGGVYLYAQMYSGTCMMLGVVFMVAARTRIVGWNLKVKI
>RCO7_06145 | uncharacterized protein
MAATFKFISLNHATPKRLQSSKACDNCRRRKKRCIHGDNASRHSTLDLDDEVASADCQENIKSHASVPDRSWTVQRGVTDGAPQLHGRVPGLETDSP
TAQNPRFIGDLNPESIFLAETSNATTRGVSLDDSVGVW
>RCO7_06144 | uncharacterized protein
MLQSARLTKLERVALQQGICLAASKDITARKYLTLSDATPLSCREFGERLSGAMRIIIETGLVTDKIVLIQIFALLSQFIDDPPGEDLSSQYCMKAV
HQAQSLGLHIKGQEEVDDQGQTTLLCCIWAMDRMNAAFKGRPVTMHERDLRKDLSYCLQIQDPAFRLFLEIVTLLDKVIGFYRPQSNPGDAFVSDME
FPAYEDIVLKCGGSLIGMPALESIEVFYHSVAILSCRTRSWMDPERSSTAFLRQGLSTSALCIIFGNTPQEKLSFFPFIPYGMSLTMSIVYREMRYS
KLSTHRSRARNQFQILCDALSGLEDVFGSALTTAAMGRKLLQEMDRVSSTIPSSESLPFNKMPAAALGQQHQAPREAAQNDLTGSSNLDIDQPDNLM
CNLDFPNHGSITDINLFGLFDPAFDLEGFDACLEGNINPGFISGPQ
>RCO7_06143 | related to DUF1479 domain protein
MLPAAKSSLRSSLVFRSPRLVRHVASQTASNAKAEGDISAVFPSLSGVEIKPLPDRFTDVKRKLIDGNEKRLTGSWQRLLKQLATENAIVKERGPEI
IPQIEFENFMQPSSDFIGEVKKRGVAVIKGVVPEHEARGYKDEIEDYIKKNPSTKAFPSDNPQIFELYWSQPQMKARLHPNVILTQTSLMKLWTSKD
KDALISTSSPLTYADRLRIRQPGDNQFALGPHVDGGSVERWEPNGYGLGGVYNKIFQGRWEEYNPFESSARIPAVTDLYQGPGGCSMFRMFQGWLGL
SHTRPREGTLLVNPLLQLTTAYFLLRPFFDPVQSRDAFTSKNFSQYLSFENWKLKTAQEMDSALHGANPGSSQEFNDVLHPHLDLKTSMVHVPTIKP
GDFVVWHCDTIHAVDQVHTGKTDSSVMYIPVCPVTDLNSKYLVQQREAFETGKPAPDFPGGKGESDHIGRATTESVFCDANETSLSTIGLSRLRTSE
TDELPGAQKVIEKSNQRLGFMRGVKQLA
>RCO7_06142 | uncharacterized protein
MKNLMKFCLTFSSAITSLAYVTTHSPVKGLKSKRALLSCLETYGGGSVTCGGADSLFCYDPSLGDTCCSMDNGYCKAGGFCAPVAGFCCTNGEYPGT
CVAGLNFALLAPYLISSQMAVSTSAPSISATSASASTPEGSLKSTSTVQIQLASATAESPVVSISNVSESSLDIDGMTPELKSQVGNKITTESACVN
TTSAAVATKTANGNLLAYTGAAVANKKAELGSAMGLLIIVAGIAL
>RCO7_06141 | probable IZH3 Implicated in Zinc Homeostasis, membran protein
MSRKNFTMVCTSPSLTVESYDEIESAIATGKDDQEGKPIYRRRHSSFHPRRKSTEPGMDGEDRLLLKVDIFLSELERRLDFLENYGNLNFDAGISRA
YATLQAVRARCSQVSGEVIGAGRRRARVMVETVEMRYQDALVAKETMSDKVHTGIGLLEAILSDFEARAYKMREQGFVGAAGTLMDEGRRVVDEGIE
RAREVVDEGIERARKAAETVEEHVQSAIIRAREHGLIRYEDLPVPWRVNPHIVKGYRFTESKVDCVRSVFGLSNELVNIWSHAIGLFIVLAIAFYFY
PTSVNFSVSTKTDVCIAAVFFFAACKCLVCSTMWHTMNSVADQTLMERFACVDYTGISLLIAASIMTTEYTAFYCEPVSRWIYMTLTATLGIGGVIL
PWHPTFNRADMAWARVAFYVTLGATGFAPVLQLNLDRGGAWAWEFYAPITKSITVYLVGAVVYASQIPERWCPGAFDYVGGSHNLWHFAVLGGILFH
YVAMQEFFTGAFARADNGCGLY
>RCO7_06140 | probable cytochrome P450 51 (eburicol 14 alpha-demethylase)
MGIFEAVTVPLAQQVSQRGLGVVIAAGFAAFLVVSVILNVLSQILFKNPNEPPIVFHFFPIIGSTVTYGIDPYKFFFDNKAKYGEVFTFILLGKKTT
VYLGTHGNEFILNGKIKDVNAEEVYTVLTTPVFGKDVVYDCPNSKLMEQKKFMKIGLTTEAFKTYVPIIQDEVETFIKGSAAFKGHKGTVNIPAQMA
EITIYTASHALQGKDCRDKFDHSFAELYHALDMGFSPINFMLHWAPLPHNRARDHAQRTVAKAYMEIMETRRKDKKSLDNMDIMSQLMRSTYKNGVP
VPDMEIAHMMIALLMAGQHSSSSSSTWIILRLAARPDILEELYQEQLEVLGSDLPALQYEDLAKLTKHQNVLKEVLRLHTPIHSIMRKVKSPMPIAG
TKFVIPTSHVLLASPGFSSREATYFPDPLKWEPHRWDPESGGVLGTEVEEESYDYGYGLISKGAKSPYLPFGAGRHRCIGEQFANVQLITITAVMVR
YFKFRNLDGSSKVVETDYTSLFSRPLAPAVVEWEKREKVKV
>RCO7_06139 | related to diacylglycerol acyltransferase type 2a
MPATTSAPLNAEPANPEERQENHLPPKSYADAVEEEAPKPEPNEAKAKNGKNDLNGITGTNGTGTGKHAAPVLRIVDTGAPVAKEKNEEKAIKEERP
SVDRKVSQQEYTATGLDDTPRTPPRNKHRKATSKSSNNSADKGSSNEKSKLSGDLPRKETKVKDDNDNTIVFEKFKEQKNGTKLVSIKPDDTFEKFR
SDSQQDALNRRKEDGLASGRKAGQRWEKSAIRWAPMNVPLQRRLQTLVVLWHTLCIALCVSTFFFLCAIPLFWPLLIPYLLYCMLSTASTSGTLSHR
SEFLRSSPVWSLFASYFPARLHRTQELPPTRKYIFGYHPHGIISLGAFAAFATESLGFGQLFPGIKNTLLTLDSNFRIPIYRDYALAMGIASVSRES
CENLLSKGGPNKEGMGRGITIVIGGARESLDAQPHQLRLVLKRRKGFVKMAIRTGADLVPVLAFGENDLYDQLQPDSHPKIHKFQLLVKKLLGFTIP
LFHARGIFNYDVGLMPYRRPLNIVVGRPIRVKQSAQPGQEEIDRVHEEYIQELETIWHTWKDAFAKNRKEELSIVE
>RCO7_06138 | probable zinc finger protein 771
MASEQAGVSAPLVSTAPTEPVASTESELARNKSLKRGRSDLVPAHLTSIAHAGLGGSPSPKSPRFKGTFSPGYTPMPLTGEAALMDERRRFEENQRR
QQPAMSENPGHKALSSLMAGGGTGMSKPQDAPMATTTLSEGLATAGNDISIPSSMHFETSQETSPASVTSLASLGSSAQTATASSTLVASPAALTSA
IDADTRESRLGGNIMLQAPGDEQQPNRALSFPGNVLAQQDLRMPPRGLSLPMPGQSLAPRSPSQKKHKCPYCETEFTRHHNLKSHLLTHSQEKPYVC
QTCQMRFRRLHDLKRHMKLHTGERPHICPKCDRKFARGDALARHSKGQGGCAGRRASMGSFGGEDDYEGSNAGDGDDSTMDGVMYTNGTPHPNENEM

TEEDRRRFSLPSIKAQHVTGPGTGDSYSSHSRGPSTYPPAGPRPGQSSGGLYPPNADRGGSSGSTSPSMQNGIVGGHTPNTSISSMPLSTGGNSMFS
QSGMTESPKPLSPGGMHSHQLGHDPSSIHRQRSPSLNTQFQQQHFGRRQSGRSSPPAMSPGMPLPTPHGTSLVPKLPALAGLAPPDQRFTLPSQSSN
QSIPINGSHGHPVPGPTSPSTMFQPPGGSTHGRGYPSSPIHQGSANGDNNNNLFASGDRGVWNYVQQLEDKVKMLSEKVQTMENTEKSQEDRFNQLL
EELMSLRRQVNGQNPPPQPPLQENS

>RCO7_06137 | uncharacterized protein

MAPTIVLIRHAQAQHNYTIPDPPLTELGFGEQCDALAKHLENELPLAQEIELIVVSPMRRTLQTAQQGLGWLMKRGVPVILKAEFQENSAKPCDTGS
SISEMAKEWPQFDWSTVDPKFPTNDGIYECTREGLTARGKAARNFLRNRPEKVVAVVSHAGFLRTSVCSRRFENADFRIFDFGKEEEADIPALVEWE
LTETKGGGLGKSEKGVFELNDGDYDPEQKKAAPEEVVSENPA

>RCO7_06136 | uncharacterized protein

MSFKFSAAHSSRIKKSSKPPAFKRNSSSSSSFSALPRRKPLQRSASKSENIDHDEEDDFFGDKLDDIGLVKSLATDLTLRDVAQAILYVRGRMWNPI
PEQRAGMNSTRVAEVLNFRASLPPIVTVSHIQALLNSPTSVEREIAELTRGGTIRKVVVGGRGSMGEALIMVRDLDEMIAKSGAEESVRSKFVKLLH
EFPTAMKVSRSQLSVEEAKSLMMTGFLTTATPGWTSSDVYSRPGDGMRGTMTSLNSISKAASGSLAAVGGENAVHSAGGTGGGVKGPGFGDYSIAVP
ATGPYLKLVADARAHLLSLLSKSKYRETAESLLRQRWDGGIAADNAANTARNNRGEFGVLPGRTRKWKQFHGMSFEWTLGECVGAGVVEVFDTRSIG
RGIRAL

>RCO7_06135 | uncharacterized protein

MEAVGRLFYAATRRTAGIEGMAGGIRSHRILEGDCAQSRPEADEAQEAHNESSGFSESECRVDVAKTVGGQMWKPEAEKDTGGIKVIWRWVTVLCSS
IQSSAAAMQYNAMLCTFRAGRYTHPYRDVSRVG

>RCO7_06134 | related to kinesin motor protein

MQASIPRPSRPSFGPPTTALPALPVSKTRKSTGNVPSCDPKPGSLTPNPPKSGLRAPSASHTGNSTTPGGIRENGTTPKAKSISTPGVNAAGKTIRK
TISINSFPQPPRGIRTISLPSSPLSGGAGGSAISSASGSRRDSTDTTPGGIKARKGKTGSSPQSQSLSYIGNITPSLLNGSGDSRSISSGPGARGSD
GLLSLPSPPQSRSSSAQDSYSTSATTFEDNGDGARGRELSADATDENRMSRPVEGRGNVIVSVRVRPDAGANGQPAKTDGEWMVDGRRSLVAYKGKE
GGDYYYDNVFATHDNNSKVYDSSAKRLVRRVMEGYHGTVFAYGMTGTGKTFSMQGTATSPGVIPLAITDIFSYIRETPSREFLLRVSYLEIYNEKIH
DLLSAPAAGTVPGPGAPHQEEIKLREDSKRGVYASPLKEEIVQSPTQLLRVIARGDHARRTSSTQFNARSSRSHAVVQIVVESRERIPGGAAMGDNK
RSGLLPGGVRVSTLSLIDLAGSERAAETKERRTEGSHINKSLLTLGTVIARLSGDKDKDGKPTDKDGKHLPYRDSKLTRLLQGALSGDSLVSILCTI
QIGSAGSASSQNTHTGETLNTLKFASRAKNNIVSHAKKAEEALGAGGDGGSRVLLERYRMEILELRGQLDGQSKTKHEDDDDEREREKEAEQRHEEQ
MLEMQLARTALKERIEHLNRLILSSKSTGVNASGSYSSLGMHHRLSAMASNGHLSQMSMRSSMAASTAGRNSLERTASMTSGSTIGAVPNSQRLSGE
RMSGGSAEEEDSMGEFGDGTASLQAQNRALQADLADKTRYCQTLEKRLIQARRSSHSRASVGFSNAKSSLMGGEDHGVALLLKEKDSEIADLRARLD
DKDRMLAALRSAARSRDTAEGPRASLNLHLLENGPISPVSARASQLLDNGPLSPVLAAGPVGLLSPKIRKRTKSVDEMSKMLDEMIQDRVESGQLVK
GARGSVRIANERKRDALAESMIGADDKGPSAVPSKVPSVPPEV

>RCO7_06133 | uncharacterized protein

MILSSRKPPYLSLRPGKYDGSDRGPASSTSSRFSFQNMIVSPPPSPGLPALVPRHGKPSPTHTPRRCLRAVCWLIGVLVVLYTGLSFIRIQLEDVRQ
PVGWATHSGEEYEMVGESELPDFPTPVVVTDKRGRTKWTVSIPPDHQFPLEPKMYAEICQQNMEVANHVADLHAYKQKQHFHHGYYNVDKNFMDVAE
AEFYGLLPGPKTKSTMKVGGSLVGVNVDDLIESKVCEKSLTFVMETSDAGLGKTLLMMWSAYGLAKKEGRSFFIDDSRWAYGKYVNYFASPSVPSCR
PPPSHEMLPCPHHARHLIVSAATASHVFGGAFTDQFEDARKMEVYRQKPIYALARVGYEALFTLNNQDQKYVDDRTLFLKQKTLRPPPETENGIIIG
VHVRHGDRHPYEFQYKDAYVPLDRYGDKSRGLLYDTFNSSGPDGDENLMAEMHSVFIVASDDPDVYASEEFSHALRAQESIRLASKPSVSTAKPAGG
AIRKFVDESVGWEGGFFAGMFWSLGKPNTVPVTAIENPVTNVPPTNEALRLRQLVGRAYLMDLAVLGKASDQLVCTISSTSCKILAVMMGWEAAIEK
GRWVNIDGQFDWRGIDW

>RCO7_06132 | probable sorbitol dehydrogenase

MAHDTSTKGEEVIASVLHGVMDLKIEHRVLPLPSSTEVQIAIQSTGLCGSDLHYFNHYRNGDIIVREPLTLGHESSGVITAIGSSVTSLQVGDRVAL
EVGLPCLECELCTQGRYNICKGLRFRSSAKSFPHFQGTLQERINHPAVYCHKLPSNVSLTTGAILEPLSVAIHALRRSALPSPNSSSTPKNTVLILG
AGAVGLLCAAMCKVYNCKRVIIADIQSSRVSFAVSNKFADAKLVVPMKRPQSIEEKLAFAKEVAELAKGENGGEEVDAVFECTGVESCLQAAIYSTR
PGGRILLIGMGSPIQTLPISAAALREIDLVGVFRYANTYAEAIKLVSSHNPLLPDLSKLVTQTFSGFDRIPDAFAMAGRVKDDEDNLVLKVVVDTTS
A

>RCO7_06131 | related to 2-deoxy-D-gluconate 3-dehydrogenase

MAASATMAMFSLEGQTALVTGGTRGIGQAAAIALAECGADIILIQRDRSNTATLQAIEALGRKATIYTADLSSQAEVKALTPAVLKDGHKIQILVNC
AGIQRRHPCAEFPDEDWNEVIQVNLTTVFTLCRDIGAHMLSLDPSSSGRRGSIINFASLLTFQGGLTVPAYAASKGAVAQLTKSLANEWSAKGVTVN
AIAPGYIATEMNTALLADEKRLKSISERIPAGRWGVPEDFKGSVVYLASRASSYVSGHVLVVDGGWMGR

>RCO7_06130 | uncharacterized protein

MATTQPLRSQPSFRRDSPSPSTSPTPALGACPELSRSVSMGSADSLYSGGSSLMGRDSLGSNSSGTSVSRSSSASYTNRQSTGGLEKPKRRGYVRPQ
GTNFAASAQSRESVLSLGSIAHLQYYFARTGLLDGKGGRLYKKKDNRGTLDLSALDTSFLAPRVLASDADSSYASMGNSPELHAQGMGMGLGGMLVE
SPTQEEFEYYSGEEEEDPDHPHMLPPTVSTYNHREKKIPRPPTLEELKDDLQKCLDDAVRLLEDAKQNPASAPSTPQKTSNAPPGPTIDEDRGWHEL
QGMHILDIMTLAIRAAKMYYTAHNQPQRLAAIKSEREIRTELLSVMEVLKRMATRSFAKGMRTEERLTMEQWVASVYEMLHQEESMEEAERKQRTSW
TWLDDSWEGRSVDREYAFIRSMDPEAETLPEFQSVGDVIDDAALPTKFLDDMRTGMRLVKLHNAVVRKSKRPFGAIDKWHTDFAKPYRCAENLRYWI
KAAELRWEVVLKVDVMGVVSGTDRMALKGFEEAIWKWCEKVREEITADLKV

>RCO7_06129 | uncharacterized protein

MSAQQNSPAEAQSPAVSTSNQDCEDTSSQSSHSLIDIDSQPTSPSHSTSKLADDIDELTLQDLSSTSSSSSSSDEVTEEETEFFQDTPPIAADPAEI
EEFSRLASELSLFAACIASTQFPSSDSSTLSQNTLSILTTTSLTDAGADAEKTPTQALSTSADLQRTEAQALMEQRKSELTRDLMELISDEEGPNKE
LILSIYRLLCDWRSVYDGLEKWRREIEGEKVRKMYNREME

>RCO7_06128 | uncharacterized protein

MPSSTAVLSTLIPSHQHLVEIPIANPKNHSTGPKQRADIEAWFQKHEPDIGGLVFIFVFLLVLGGLWRLRSAVVEWVFERNRDKARIEWADRERRQR
RTVVVVGILRKEKDGGSDGSGSGSGKGRVLKRVRFLDGEEFDGLDGLDGLDGLGSRVVVVNDERAEALLEFLENGSVVGEVF

>RCO7_06127 | related to DNA-directed DNA polymerase theta

MHVNKNIARTGQGPITYHSTTINAHTSISRAGVKRTLNDFQERQGGKNVALADVTSRTEFRRPALPTNGSRVLKAGEIRDIVDVQGQSEYSQRRALA
LTPSATSNPLLDLSHPSYGLPKQLTQNLASLGVKSIYPWQSECLLRSGALRGEINLVYTAPTGGGKSLVADILMLKKIIENPEKKALLVLPYVALVQ

EKLKWLRKVVEGISKMAEESSKNQRPNPFRTRGDENAVKVVGFFGGSKTKATWHDMDIAVCTIEKANSLVNAALDEAAVGKLGVVVMDELHMIDDES
RGYILELMATKLLSLDQEVQLVGMSATLNNAELLAMWLDNAKFYVSRYRPVPVEEHLVFDNAVYPASSSRSFYKTATQLNARTQNQNQTQTHFSTQA
KPEACRTIQQSNSKELNNPLINSVIALANETARSGYGALVFCSSRTGCERDAELISLVLPQPHEVESLIMERRRELLNDLRSTNTGLDQILERTVPV
GVAFHHAGLTTEERDLITTAYDQGVIKVIVATCSLAAGINLPARRVILHGARMGADLVGPSMLQQMRGRAGRKGKDEVGETYLCCQKSDLEAVAELM
EAELPSIESCLVPEKRGIKRALLEVIVTKLATNDESIDDYMKKTLLYYSVDHDELAKMVKSTIQDLEESNLLQRVHDSEFKATLLGEAIVASSLTPE
DGLFIYRELRKALQAFVMDGEMHVLYSFTPVQAAQSNINWQIFRKEMDGFDESNMRAMEFVGLKPSIINKMAQGGTMKETTEQEFEIARIYKRFYSA
LQLRDLCNEVPVHVVARKYDIPRGIVQNLAQTCHGFAAGMIKFCQRMNWGALAAVLDHFSDRLRAGAKADLLALAEITYVKSRTARVFWENGFKTVA
AIAAADVKDIWPVLLQAQPKKVKLAGQEEEKYREKLINKANVISASATRLWEKQMREELEEEMEY

>RCO7_06126 | related to PHD finger protein

MAKDGSRRSSVVVPSQVSSPNENSDETSAQDSRRTDETMAEPVSSTPPKTNNAKQVALNGINTRMEESHPATSSNSTSANQSIKDPAANGAGPAVVY
GTRSRNRTGNPRPNYAEDKEMDAEFELGPSVKETNGRKATKVVDSSTLTDAEQTPFPSKLLNGAEQENVSALQNIHKDPIPGTSTFSANPTTNGGHS
KKRKAATQAPQNQAQLPAPTQSMPQAATRRTTMAVYTGSVIEDSNMLSFGTCGGRLKNSKLVADDGTVLEVNDHAYLVCEPPGEPYYLGRIMEFLHV
NNDPAQPIDALRLNWYYRAKDIGRKVNDTRQVFASMHSDVSPLTALRGKCQIKHRSEVAKLDELRKSKDSFWYEKLYDRYIHRYYDVIPTSQVINVP
TEVKKVLDERWKFIVVEPGRGKELTSAVKTCKRCSKYCASNDSVDCAVCHNTYHMSCVSPPLLKKPSRGFAWACGPCSKAQEKRLEARNTPNVNSPN
EDEENIDEDDEAHETVGGDPDTGRTSPALGEVDLSLQPGTAEQIHQASLWLFRYLGIHCKVEDALDYDDRIYPRASSRLGPRHQANVPTWPGRPVEY
VKPPEIKRKYAKGGGHKKDTKLHKDTAAALEADKVARENRPKWVMDEPPGYVHRGEDYEDGDPNSTSTLLYKLPEAIQVPGRTVTGFDSEGRPIPAR
EQMIFDYMGRAAQHARSLGLPDLSTNLLDVALHTLHLNGYDVERALRTFSQTDKRAFKEPDLSPQELKKFEDGVAKFGSEWHSLKKHVKTVSAANIV
RFYYTWKKTARGKHVWGNYSGRKGKKEAKRAEATAGKLQDDVADEHDDSAFDNDKARDRKRSFQCKFCTTRESRQWRRAPNTPAGTMISDNPGVKSS
GKDKGNQFMVALCRRCAELWRRYGIQWEDIEEVKKASQAGGRAWKRKIDEELFKELAAANEVTNEAVVTAPIAPLLTNGAASPETVNAPLGPELPRK
RQKGASDGDSVDPGIDQSIAAPRKKLVSDKPVGPPPPPEPPKAKTLPCAICGVMDPMGDQHISCKECRMTVHRNCYGVVGENRSHTKWICDMCSNDK
NPQVSIQYKCTLCPIEYTEHDFVEPPKLTHKKKTEKERERERIERESNQKAADYFRKKQEEQNKPVDPREPLKRTANNNWVHVTCAVFTPEVKFGNA
KALEPSEGIPLIPTARYDDTCKICKKSKGACVSCQCCKTPVHVECGHQAGYILGFELTPVKGTRRDQFTVVTIGSNVGTMSAVLYCKEHFPAKTVFY
HMHDIVDTDSGQNALQLYVQRFKQADLTLTGTVRKATQVDLSKKVLSSQAPVIQAPNRRGSTTTVANSSASGRGSVINVKPEDMIGQPSSTEKGSSS
KICVTCDIDVSPKWWPFPAEAPVQPPELTSDIAMVMDNDHTRQNDLPLSNGHATDESPEDNGSGNVALAAAALHRNPAKPVLPTEFQCHQCHFRKIQ
KEPPPPPAPPVALPGPSHPPLEYAPTPRAPTPGSEIVQPLPAPHVWPPHPPSYPSLGAPSPYDQTTQRSLGPQASLPINHMSGMSGNHSSRRNSGSY
QPYNGQPQMRQPIHGMPQSPHQNGHIPQAPNGYHPQSPHRGLGSPAHHMQNGTYASYASARPLPPQHLTNGGPPPRAPEHPFSHAHAPMHPHSSYGP
PLGSPTMIRDSNGQMRDTINAINGNPRPSDGRVNGGASASPSLRNLLS

>RCO7_06125 | uncharacterized protein

MSKLEEGQDGVSEATFSALSNHLPTSIALYRRLQFMNMQGGKTANSHVLSLFECPEIFTVAYLDFSRGPETEMWIYSSTERLPGGEIEARCERQILE
ILERMRFIESSYVVANGARLTPGIVFIGSLHEKTLNFLEERQRVNSVSEPFLKYVFKSVNLPPAIAFKDGDLDYSEIRKRDIPLVLSRSPIPRKERT
VVLFPSVAIAVDDEPVAWGFLGADASLTSLHVEEGRRGQGLAKAVATKLFLDKASIYGPEKLYHADVGTKNLQSQGVCKSLGGKADFCVHWAWIRL

>RCO7_06124 | uncharacterized protein

MASDEPSIRVDFGRPIVFFDSHPDEQEGYIYSYWSGLKSSLKIAWTGEVPKFHETGVLRIYFWTIDGTQGLKDYELREYQKVKEDWNKLLDLPDVRR
AVVMGYSGQNPYTLGNNPWVEKFQREAKKAARAVKEREEWDEKSRQRKRDNNAKNLIDFDELIEQTELAEYEKELRERERQNERRGSSENDRLLEV

>RCO7_06123 | uncharacterized protein

MSASITKLHLDCAQQRRVGLDKREYKLEPLLLRSNASANSHPALMALKSAPKRPVNVRKSPMKEVEEDIGREPDSSSDSENDPDPSDIKGTDYGSIK
ETIGHFTHASRKENALTDRATNEDSRGIRTATRSANAVHSPSNSSVSSRNSTKRKGEEQPPKLGGGKTDIFGNVVQRPGKKAMNTYGNAKPPKIRVP
RGGRKAKEKLKQYDQVDQSPQKSNSSKGLKVFSDIDTSPESTPKKTTGLNRHADLGFTPTPTKDEPKALRKYGLDDLSDSDEDSVKQVVKNLRLPST
DESPAKQIEGLKPHTLYLGTDLLSTAKAIIDKDRDELGPVSQDMDYDFTSMTQRACCPMCGADVSPEDIRAHSKNGVMNIRVQEKFCRAHKVRTAQD
HWDIEGYPPIDWDNLDSRISKHHAFIKKLINGQSSHYRDLWDENVAAGGDRNLRKMTSNLTPGFYGARGLRIFSENIMHKFTPLLKRRAPQDPLISA
RGFAAYVQSVLVPEVAVQLIMEDMGRDIEQARQVLAESVEVGELLNEEIKDVVTRRVVDSEGEDESD

>RCO7_06122 | uncharacterized protein

MALNRKYAALPDLDSAPDVYETPDLTDDNSTAPTGRDRSESTSSSYKDFDEEENDAPGISRSRLHPDEARTLFSPAQIDARDVDFSDRVTAKKKSYK
ASTRRQRRKEDGTEEYGDFSDDEDGESLERKLARLRREIEEVKEEYGRRLAEKENAGEDEKIDLGQDVTDLNRMLDGMSTVRGSKRIGAKFAKDLGT
GVKANGPPQTSPANGESATYTITYAPTYQQSHALAKAADFDGRLALIEKALGISAAELPSLTTNGVLRAMLPTLDTLQRQISVISESTPASLDSISR
RVRALTQEAERLEDSRKAAKAAQDALRAAGGDTDAEDGEDSEQSAKINALYGTLKTIEDLAPLLPSLIDRLRSLRAIHADAATASDSLDRVEKQQTG
MADDIQKWREGLEKVEEALKQGECMMRGNMKAVEAWVKELEQKMEQL

>RCO7_06121 | related to sucrose transporter SUT1D

MSTWQGKASVKGSSERMRMALLTFSLVGLQFTWGIEMTYCTPYLLSLGLTKSRTSLVWIAGPISGLIMQPIVGVIADQSTSKYGRRRPFMVVGSFLV
AASLMVLGWTKEIVAYFVEEGDFRKECTVTLAVLSIYAIDFAINAVQGSCRSLITDTLPAPKQQAGSAWASRMVAIGHLVGYVIGTVDLIGIFGRSY
GDTQFKKLILLAAFALVSTVAVTSWAVTERVLVSSKDDNVPSKGLTHIVSKVYRAASTLPPRMQAICNIQLWMGVGWFPFMFYSTTFVGEIYFRYDA
PQNLKHSSDSLGEIGRIGSFSLVIFSFVTFVGALVIPLFVKSPDDESFTARPPAAIANVVTKVNEYKPDLLTGWIYGHLLFSSAMILAPLAHSFRFA
TFLVALCGIPWVFASWAPSTFMGIEVTRMSNSNSRRGSKSSPIELNSLEKGSPSADAASSGELSGLYFGILNIYAVIPQFISTFISMIVFNILEPGK
SPELAHDADPSEHHSTDGPNAIAVCLFIGAISTLGAAFATKKLRKLHREGYDRL

>RCO7_06120 | related to carbon catabolite repression protein CREB

MAGLFSKLKGTSGGASPNITSNSYKNKKDVEPEPEITPLVKMLQHAGPIRNDGSDKFFGLENFGNTCYCNSIVQALYYSVPFREHVVRYPTQSPLDT
PNGHVKIVTPIRAPIQNGGAVSPTTKPKGLTAAEAMKRRAAINSGQPVPATPGQRPEDKPDSPEYKKKHAMLAGPILELTYENASSYGMEESTFTAL
KDIFMALIANDSRIGVLSPQRFLEIFKRDNEMFRTSMHQDAHEFYGLVLNAVISNVEANAQRIRELASPKSEEGMAHSMTQAVTSAAYAMGLGGGTR
SPGTGWVHEIFEGVLTSETKCLTCETASQRDETFLDLSIDLEEHSSVTSCLRKFSAEEMLCERNKFHCDNCGGLQEAEKRMKIKRLPKILALHLKRF
KYTEDMTRLQKLFHRVVYPYHLRMFNTTDDAEDPDRLYELYAVVVHIGGNAYHGHYVSVIKTQDRGWLLFDDEMVEPVDKHYVRNFFGDKPGQACAY
VLFYQETTVEAMRKEQEAEGLAEVALASVEADVALGHPQPNGTYPSSVSKAVSPPTTPVDEGPEFVSLNHAMTAPLPMSPPIPTRSQTNPMLSPSLP
NMEMSKTKTKEQKEREKKDLKEAEKARKVAEKAAEKERIKADEKRRKDLENARKTQAEEVKKAMAASKQSALEDEEKRRREAAANGSEPPKENGHDK
FGLGSLSRSHKGSKSMSRKSFGFLGVKSSDKNSTVDESYTAVEGDLGPPTPEKNSKPSKSRTSFGFGKKKSNLNQ

>RCO7_06119 | related to YOS1, subunit of the Yip1p-Yif1p Complex, required for Transport

between the ER and the Golgi Complex
MFFAFGNLIYISVLLVNAIAILSEDRFLARVGWSNSVAEPAFGTGSAGDASIKSKLINLMTSVRTLMRIPLILINTVIIVYELFLG
>RCO7_06118 | related to ECM39 protein, involved in cell wall biogenesis and architecture
MKPIDVCLLPVIPAVILLHLLAAPYTKVEESFNIQATHDIITYGIPLKNTTFLQSYDHFTFPGAVPRTFVGALALAGYSIGAIRFLGEQYSQLVVRG
FLGLFNAVVLYNYALDIKNAFGRDVSRWYILLQASQFHVMFYASRTLPNMFAFGLTTLAFNQFLPLPGRNTATVQKKQQFGIFLFVLAGVIFRSEVA
LLLFSQLSVLLLQSQILLQPIIQAGIMSAIVALGISVPIDSFFWQKPIWPELAGFYYNAIQGKSADWGTSPLTFYFANSLPRLLLNPFILILIPLAS
IIPSTRHPARGLVIPSLLFITIYSLQPHKESRFIIYVVPPLTGAASLSASYIWTRRTKSFLYSFGSIILLGSIAASFLVSTIMLLISSLNYPGGDAL
IQLHDIIETSHQSTTYTNTTLIIHLDVLSCMTGITHFLETTHLSPTLHLHYDKTESPPSTLLDPSFWSTFDYALMEEPGKAIGKWEVVRTVFAYSGI
EILKPGDGSSFSENLERVYQANNLTKASHQNSESDENDARMKGDSVLSSEEIQREVERLGEEKEKIPWDEEKEREKREMANEKTRLLLEEMGRFGTF
RLVRDAVRVVTGGYWIGPRMEPKIRILRRVKD
>RCO7_06117 | uncharacterized protein
MAPAVASVASANGGSGAQEKRYRSMQEHIRRAHPENYISKLPATEESFQLMINTPPSERPPPPTSSNLAPNGYGNGNDKQSYYGEDSSTPNTPRNLD
EYQVSNMLPAASAAAALAQLHNHKLEQDWDLEGDWMSDTEVHKQAMRSSIELPPLHGNHHLEPTSDPFSRLNAHRRELLPSISSTSPPGRSSTLPPI
QRNPSHNRPRKQSVSKRAREPQHKRQKSRGETAHLRRMSYDRKAYSAEPSSALSAVYGKRWEDLIDAATSATEDVDDDRTPVPPSPVSVNRASMPPF
SANQFQGYQASPLQQALTPPSNLPDAPEPFPSVESGESGDMFHIESRGLSDSSPSFSSQSIQIYCAACQGISLLKESYACTECICGLCRACVDVLMA
EQGARRKCPRCATIGGRFKPFQLDIR
>RCO7_06116 | uncharacterized protein
MSLTVKHLNSDASFLLTFQPLISVLPPPGPPPKTFTIVLDPWLAGPSKFFHSKFSVSRHMSESCVTSLNELPEVDIIVISQDKSDHCHKETLTQLPK
SGGKTLILAEPSAAKVIRGWKHFAPEKIITLTKFEDPRSGKNSNIYRIPVPSAYTNGRPGEVTITFLAQKPDITRVHTAIGITYRAQQDFDTSTELT
PPNTPKSQSFSSTYNDRALSALHAPHGCTFKTIERWANTHLVEQAALPLTALLHCFDRIQNVWYLGGNICSGLPGGQRIAQGLGAKVWISSHDGEKV
IKGVVNKKIVVQKFDREEVESVVSPRCTETPSKRSGTRAVVLNIGEEIRLSSSMNIGPGEDDESEKQINLSGLPYLPPKLATIDSEKPVFTDVEV
>RCO7_06115 | uncharacterized protein
MSKTPVPTPIAESSDTPLFRPSKKRKIYRQRDTTDDEPAPPTTLSPPPQAIASIPLPSAQSLDELISTAGASLSHNDGPFPQHDAVSMVEILRLRKK
NKTRGGVGFKASGHVARDAEGALILRPGEEKGLAAPGISGVPRKFAPQTGTVGDVNRHMMAYIDSELAKRLAPEGSQARSLDQTLQAGTVPPTMSTP
GSGNGAALPNHARTKDPTQRQPATIGKLQEIDLGDEARNRNIERTNNARRRMDGEVVEEVVQGGKKKKVRLNRDGSVWKPRKRRGSDDIKRDQLVDA
VLRENRLEIYEEPAPEPERINDDQAADDRIAEEFRRDFLDQVSARQRKKAVPAQPPARGPGGKKEEEVMKGPKLGGSRNARAAMREAMLKEKK
>RCO7_06114 | uncharacterized protein
MSPSTSHKQVSFADAMSVKATSPHTYEADFPEDWCIGSVPHGGYITAVFQTVASTHFKTTLKAQNQPHTIALHLDFLRRTQKGPALFTVKDTKLGRQ
TSVIHITLSQISGSSSREEVFCSLTQSNMASEHGVSIPTHYKLQPPPPALPINFALLKSNKDKNWVKTGEGPHTEFRKATAKAETYLPVSNKEQKGY
SEQWMRLKNGERWTNEMMGYVVDIFAVPVERNLDLEAAAPSLTTKSTPSTNSNSNSSSYKPCPDFWYPTVLLNLDVKKSLPEEGVEWLFTRTSAKVI
KNGRMDLEFVVLDEAGEIVALSHHVALAVGRERNTGVRGGGESKI
>RCO7_06113 | probable HCR1 Component of translation initiation factor eIF3
MPEKWDEEEDSSTPPSSPPTAAVATRRKFDDEEDDSDVLDSWDAAEDSEVEREKAKVAAERKAKADAEAAANKKSKAQRIAEKQAEKARRLAEDSDE
ESSEEDEADRRERLRRTEQESDLKHAEDMFGNIGISNSRKATTAANAVVVDSKNPTAVVDLTALPLFDPKTKLQFEKLRDTLVPVISNNNKKAQYVI
FLQEFTKQLAKDLPSDQIKKIASTLTALGNEKMKEEKLAEKGGKKSKAQKSKVTLVASRNVSAVADTQDYGDDFGDDDFM
>RCO7_06112 | enolase
MAITKIHARSVYDSRGNPTVEVDVVTETGLHRAIVPSGASTGQHEAVELRDGDKTKWAGKGVTKAVANVNEIIGPALIKENIDVKDQPKVDKFLIDL
DGTPNKGKLGANAILGVSLAVAKAAAAEKQIPLYAHVSDLAGTKKPYVLPVPFMNVLNGGSHAGGRLAFQEFMIVPSSAPSFSEALRQGAEVYQVLK
GLAKKKYGQSAGNVGDEGGVAPDIQTAEEALELITDAIEKAGYTGKVHIAMDVASSEFYKEDVKKYDLDFKNPDSDPEKWITYEQLAQQYQDLAKKY
PIVSIEDPFAEDDWEAWSYFYKTSDFQIVGDDLTVTNPIRIKKAIELKSCNSLLLKVNQIGTLTESIQAAKDSYAAGWGVMVSHRSGETEDVTIADI
VVGIRAGQIKTGAPARSERLAKLNQILRIEEELGDKAIYAGEKFRTAVNL
>RCO7_06111 | probable 26S proteasome AAA-ATPase subunit RPT4
MSDEERQHALQSFKTKLLESREWEAKLKALRLEIKGLQKDFDHTEDNIKALQSVGQIIGEVLKQLDDERFIVKASSGPRYVVGCRSKVDKASLKQGT
RVALDMTTLTIMRMLPREVDPLVYNMSLEDPGQVSFGGIGGLNEQIRELREVIELPLKNPELFLRVGIKPPKGVLLYGPPGTGKTLLARAVASSLET
NFLKVVSSAIVDKYIGESARLIREMFGYAKEHEPCIIFMDEIDAIGGRRFSEGTSADREIQRTLMELLNQLDGFDYLGKTKIIMATNRPDTLDPALL
RAGRLDRKIEIPLPNEVGRLEIMKIHAAGVVTEGDVDFESVVKMSDGLNGADLRNVVTEAGLFAIKDYRDAVNQDDFNKAVRKVAESKKLEGKLEYQ
KL
>RCO7_06110 | probable glutamine-fructose-6-phosphate transaminase;
glucosamine--fructose-6-phosphate aminotransferase [isomerizing]
MCGIFGYINYLVEKDRKTIIETLVNGLSRLEYRGYDSAGLAVDGDKKNEVFAYKEVGKVIKLKELIAAESPDMSKIFDSHAGIAHTRWATHGPPSRI
NCHPHRSDPTWEFSVVHNGIITNYKELKTLLTTKGFKFETETDTECIAKLAKYLYDQHPTIGFTDLAKAVIKELQGAFGLLMKSVHYPHEVIAARKG
SPLVIGVRTEKRMKVDFVDVEYTEDGPLPAETASQNVALKKSNVGNFLSAGNLLAPADKSLLHRSQSRAFMTDDGAPMPTEFFLSSDPSAIVEHTKK
VMYLEDDDIAHIHEGSLNIHRLTKADGSSNVRTIQTLELELQEIMKGKFDHFMQKEIFEQPESVVNTMRGRLDVENKVVTLGGLRSYIATIRRCRRI
IFIACGTSYHSCMAVRGAFEELTEIPIAVELASDFLDRSAPVFRDDTCIFVSQSGETADSLMALRYCLERGALTVGIVNVVGSSISLLTHCGVHVNA
GPEIGVASTKAYTSQFIAMIMFALSLSEDRASKQKRREDIMEGLGKISEQIKEILKLDQPIKELCARTFKGQKSLLLLGRGSQFSTALEGALKIKEI
SYLHCEAVMSGELKHGVLALVDENLPIIMILTRDDIFAKSLNAYQQVIARSGKPIVICNPNDEEFKAGQAEKIEIPKTVDCLQGLLNVIPLQLMAYW
LAVAEGLNVDFPRNLAKSVTVE
>RCO7_06109 | uncharacterized protein
MAPSTTSPGQLVAVKREPRSAGNSREPTPTITRPKAKNEAQLATSFKTDLTDIRTLVTCTICDQLLYEPYTLGCGHTYCYSCMCSWFTTNRRKKTCP
ECRARVTIAPSPNFLVKQMVDQIFTKRKELMPADESIEQHAQRRAEEIATVDEDRNGLEGLFKGLFSRRRVELMVDEADGGIMRCPGCGHEHEGGPV
CQYCGLLIENPYGVSDWGDDLDQGELDEEEIDLDLQDEVGAEFYNYPGGHFNHGQFASPFLDVAARNHGHRHLVHHNHIYNYFQNYHPDSPSAAEDS
SSALDAPNDDDDNDSIDSDDSLNDFVVQDDEPRNRPAAGGSHDPESVQSINLISDDDSDEGGAISNRRPRHRNRAIMSPVDLESQTPSDASASLDGH
QNLGPGSSPFRRSPSILTVTDTDTNGSELGDQAELLRRSGWSPLDHGNDSDAEGADVNYGVHRYGNFDTDDEDGSDNSDTGTETATENRHIDEDGRF
RDSLSQTPVPFEDHYQSQIQAGTNFFDGNPYGHQEDTDNESEILSVTDHDGDTEMTPASPRSRDSRSVSANPYYNRRSISRDFEGFRDVSPKIERSV

SISTTESSEGGDEHGGYQTYEEERNDLIREFNRTRNNRQAGREIGPSNALHQVEAESSDSSIRPVRRSRRPQTTASVQQQYNPRISSIMATHQAMAA
STRGSQENPISFGDWNEADAESDQGGRIVEPSASRTLNPAHNMTAYRNMPARRVDPLRSSRSPSSTRVISSSQRNNRLPRQYSRRG

>RCO7_06108 | uncharacterized protein
MATSDVYVPPGTPDVPYFQIASPPKILPSPRETQASLKRSFEKYLATDNASPAIGKLFRPFDHLAFEEPKHIHTMEDLGFSADSGVSPVAVSDPFHL
FSEEAIDIMRSEILDPEVLEKYSYTSDIAPRQIRGYAPKHGKFVFEAWKHPETLAIISKIAGVDLVPVIDYEIGHVNLSIPGDKKDHKDLGDEEDGG
AIVGWHRDSYPFVCVLMMSDTTGMVGGETALRTGFGDIRKVRGPSKGCAVVLQGRYIDHQALSAFGGQERITMVTSFRPRSARIRDDTVLNTVRPIS
NLSDLYGQTIEYNLENAESRIRHMLKNVRESMKAGSTDVESIKRFLDFEIKTMMHLNNEIVDEKLVTKGILGDVCTEAKMDKKRKL

>RCO7_06107 | uncharacterized protein
MDQLQDRADAQIWNAIEGKNLKQALKLVDKRLTKKHTSYHEALKIYIRALSPQSTEKSAVLVYLEELAEKKTALSELVVAELYDDALNEVLPETQEH
WARIIGELRWQCVKAAPKNEDTGLKCFQACLARNDLDHARQASQPNIANSLEKAFPKNHAYIFWNISTMFLFSMSPNCPEIQKKIWGGLALGQIGKL
AIATKQATDQKQLPIRSIQSPQELLLLHRVTKAYGKVEHSLEYLQDPLLGPDSAAAKGEWELWRMKLDSLQKAKEWDTVFETTESLLLRARTLNESS
QYAEARLSDWIVWTAFIRSATEQNKPELWNRVRAEVEAHLDPTCNIDKSWKRNASLALVKLAFERSGSTSIVSKDETLPYRVTVIITYLNQYANAST
AYNDLRPFVGQLSQDERKQLQDILDKKVDAQSLSTISHITEAINHSKLQYLLRCSLPEYERRQSPAKRSAQDEFKCVSCSKPCGITCKYCLTRTAEK
SIKFYRLAASDDKLVADLPSTDRHPADDFAVLAAMCLIKLALAEASHTNEPLKSSKTSYLLQAVVLLEVASVPSRSNFQISLMLIRLYRYLGCGSLA
MRAFERLGTKQVQLDTLSYVLFDRISTFHPHHFAQLPNGSDKTRKPIEQMQKQRKMYHWAREHAIKNIWLSFKHSSYNSVFEIREVQDNLSRSLARV
MSFVESTRIARLVEPKRPLSEVLQEFDILAPNAELSEDSFVDTNDYETFPNYESSTGPRFEELSRVESSPTETRYRQNLIAQKILLIIDPTTPTGGE
ALTLQQWLSQYLNSQKHSPLPQSSNSRSFVPTEPEILAQATYNSIARIIHHACSPELRTEPDLEDKVAGYTQDLVASLEKHVAVIESMEGLVPAFAD
KLHALYTAHEVGSAVANFAGYLARRGTDVFEQYRQEEYFPREKIVQLGEKLLDGVAKQGMEVKRGMDEGGWIDKVLEHVLPEESDGVGDRIVGVLRE
LLDEGFMEQWAGEVADSWNDSTTGLGLLKGPAKA

>RCO7_06106 | uncharacterized protein
MAIISGATIITSLSLFHITLAFFFLTNPNAIADQTLVFIIGEAMGLPNARSFETQSPPLAFLAAVLFVVGITDLVSISMPEEISQHHWGSQAPVRLI
LFFCITLYSYVFSSVSGLYTNSTYQPSSWGEGLKNRVLFTWAFVEMITWFWVFVTLREERRDMVLRIQQRRAAEEDMIKPARTFVFCITPTLVHSVR
FFSTLLRTIKDVDVLF

>RCO7_06105 | related to geranylgeranyltransferase beta subunit
MAGRILEKEKHIKYWQRCLKSLLPTGYTSTDSSRMTLAFFILSALDLLDVGPSTFPEQDSTRIREWILKCQHPNGGFCGSPNHRFPDRYYVDVGSGI
QQMDPANLPATFFALLSLSFVGGLDRVDRNKCLSWLKTLQRSDGSFGELTTQDGVIEGGRDMRYCQTAVAVRWMLGDSDESIEDDIDIEGLVNYVRA
GQTYDGGFSESSEHEAHAGYTYCAIAALSFIDRLPNTSSQSSSNWGQDSEPGLTNRSATIGWLVSRQVVYTDDDEEDDEDEDKEAQKSTIKLAGVYK
DDPPVMTPDDGEFIGLNGRCNKPVDTCYSFWVAASLSLLGQNETRLLNIEAIRRFLFEQTQHSIGGFGKTPGQPPDIYHSYLGLAALAIMKESGLKS
LDPALCISMQQKETIEQFRKAAVVPTRTYWRHGYCFSIREDDPDFERVMACSQEPQHF

>RCO7_06104 | related to diaminopropionate ammonia-lyase
MQLLIGSIFLLLSSYVQITSSLSTQEPLYPHPPSQSQSQSQFQSHESSSTKALLALHQGLVTHESITGNEESVGDYLAHYLEKAKFTVEIQEVAPRS
KSHPARNNIFAYVGSHHSARKTRTLISSHIDTVPPFWKYERRGDEIWGRGSVDAKGSVAAQVRAVEELIESGEIKKGDVGLLFVVGEEVSGDGMKKA
NDLGLEWESVIFGEPTELKLASGHKGIIGVEISAKGRAGHSGYPELGKSANAMLIPALNALLNAELPSSEKYGNTTLNIGRIEGGVAGNVIPEDAKA
LLAIRIADGQPEDVQKIILDTVNELGEELTVKFLGGYGPVYIDSDVPGFETMVVNYGTDIPNLKGDHKRYLYGPGTILLAHSDHEHLRISDLEAAVE
GYKALIKHSLK

>RCO7_06103 | uncharacterized protein
MSNTAFILDFDGTITHSDTISLLAKFGISTQKSQTGKDMTNEWRLLSYTYSEFYSRSLHGYRPAEIDRKSLAEEITFQRYLRGVELPSFKRVGVSGI
FKGIKNEQWREFAGDALEKRDLSIRAGFKDFVKQVEERDGIWGVISVNFSEIFIRGVLEASASAGTLNVDILANHPNDDGMISGPDSGPIMATSDAK
LAAMNKLWQKWRATSRVPFLRVVYFGDSGTDIECLTAEGVTGIVMSSDGQGRLIETLKRIGRVPVHVSSSQEVETSPLYWARNFQEVIESPMLGLEA
S

>RCO7_06102 | related to calcineurin responsive zinc-finger protein
MDHQRGRSLSAGHQQHHINPSHSPSFQDNGSLGLGIGLNNNGIQIQSNEQQFLNNSFNASSGFPNNDFMTSQTQAFSQGGLGDPTFAPTTNFNQQYK
QEEQSSAYSQPHFKREDQSSPYNQPQMGSFTQDLMNATSSFNEGADFPLFPSNQAEYDPSFFSSDPTLSRNHSVNPSQLDMSSPQNAPTPPNNLLQP
DSHPPASAHQSPNFNTNQFQSSSNHSRHASLGPESAAFLQGQNIEWSMMAPQFTGHRRTPSEYSDVSVASARNSPNLGHHDSFDAIDQNHSPMQRPQ
DSIYENVLGIGSFSLSDNHHGASPRRGLSPAHSPAISPRLGPQTLPSMSQQPPMYMMNNNGFGQTIYGQNQQESFPQMQNEMTQQMVPDINVVFAPA
SRQNSFEPPKPSLDADALTPPDRGRRRRANTDPNNTSTGIPRVGTPSSVSPSLGSDLGSRPPDSHRSLSPNDRSGANSPSRRRQSTSSLPNRDYILG
LADPEYQPSVTESGNAKRVQKHPATFQCTLCPKRFTRAYNLRSHLRTHTDERPFVCTVCGKAFARQHDRKRHEGLHSGEKKFVCKGELKQGGSWGCG
RRFARADALGRHFRSEAGRICIKPLLDEEAIERQRVWNEQRMQNMHNMQQPQPLALDPNGFPIDSSGNYTLPAALLAQYPALAGLSWSDLPQGDPGL
DEDPSGQGSFDASGSEFYDEDNEGGYVSSGPGPQQGYAQIQMHDGYTGYSSDIGR

>RCO7_06101 | uncharacterized protein
MAAVEGLLFCADRPRNDYGSTTIRPLTIGLARRWNEEDTRIRLNLISRAWIQLRTAAKLEGAYGINLELLPHSESTWPCRTKPHPLKAPKGLGIFGK
WPGGIPSPLSDDDSIPSFEPNTDALARKQAHDSPASRITPPSSVVKREDHSLFRDPTMATSVDLQSEAGFKMAAKKKKGKAAAKSAWDDDEDEKKKE
EGEGEGGDGGDKSGDLGAGGDGDKKDETSGNADRAGDNPPEDDWDAFTPAKGKKGKKGKKGAAEEIAPPAAEKFDAFHEIKLDDTGPMLDLSFDTGT
KPSTGGFGSWGSSWNTGTTSNWDFSATTADAAPAADDKKVTEDNPWSMNRGKPTKKEKKGFSFGSLDEEEEKPAEPDPIVEKKDDDNFDFGFGKKDK
KKKKGGAFSFDAEETPESTPAVIEEAAAEDDWGGGWGAPKAKGKKGKKGAAEPETPKVELPKIEEPAPVQDDWSSFATAGKKGKKGKGKTVDEPPKI
EETPAPEPDPEAAADDFGWGATVFKKDKKKGKKGAIEEVPIVEGVKIPDPEPEPEPADDGWGFSAKKDKKKGKKELVDEPAKAVEVTPEPAKEEEPA
DDGWGSFGTAKSKKKGKKGAVEEPVKVEVKIPDPEPEPEPVVEDIGWGAPVTGRKDKKGKKGKTVVEEVKVEPLKEPDPEPDAEPVVDDFGWGATTS
KKDKKKKGKNAIEDIPVMEEKTPEPEPEPVADDGWGAAVTGKKDKKGKKGKTVVEETKVEPIKEPNPLPDPDPEVEESSGWGASWGLGSKKSKKKDE
PKAKEPTPEPEPTPVVEEDVGWGSFATGKKEKKGKKGAKAIVEEPHKIEEPVPEPELEPGKDEISKIEEPVNEPEPELEPVVEEDSGWGLSFGSKKD
KKKKGKDEVSKIESIPEPDPVVEDDGWGFGSSKKDKKKKTKDEPAKVEVVPDPVPEPVVEESGWGFGLGKKTKGKKGKEEPKIEPIREPVPDPEPEA
VIDDGWGFGTSSKDKKKKGSKTKETSPLPAPTVEEKVADDDWANWGQKTATKDKKSKNSKALVKVDEPIRAPTPPPAVPEVDDDFGGWGTSKKEKDK
KKKGKTSSPEASFLEDSVKPDAIEEPKADDIWGASSSKKEKDKKKSSKSKSAFEVIDETPPEPVVEETKAEDDWGSSWGAAPAKKDKKGKKGTEVEA
PPPAPTPPAMDLTEPEPDWDFGAPAEKTKSKEKETEIPAKKLSKKEQKEADKLAEKAEKQAKKEEAAAKEAEELALAEAEAEAKKQEEEDAKAKEEA
EAIAKAAKAPKLNKKEQKKADDLAKKLKLEEEEAAAAAAAAATLAEEDAAREAEELAAKEAEEKAALTEAKSSKKDSKLKKSKKGGAVAVKESEPEL

DLIDLSSGKEKVEIEDKSELFGFWGASKKLPKGGGQSGKEEIAIADKALLLEATNPKDTTSSFKASTTTSSSSMKPSAITKKAVGGKIADRLKAFES
SKDVVAPPPPPPPPSPPPPAKEDKKKSKSSKKDKEIIEEPPIPPKKISKSKEVPGSFPTDVLDDDIVEVVEMPTAKKSSKSKSASKAKDLPKEVPKE
EPVVESPPTPPPEPKSSKKERPRVVRDGTSWGAWGAAPREEKKKSSKDRKPSPDYEKKSSRESKSKRSEKEEKVSSKDSSSDKADRPPISRGITSMF
GGGAPPLRRASTSGKTSSRRQSIADSGLISPPPEMSVKAAKMLGVTPGKLSRSKSEKHSKSRGLDDEDVMVVGADVASPEKSSRDRKRKSKVTQDPM
DEDIVMVDAGGPSENPGLKRSERKVGLGAMFGGLLSKPRPETKRRATVDEDVRGLRREDRKIKRSFKDRPETEDADVTMTGGADADDQEERRAARRA
RKAEKEAMDKAAEDARMAKDVERRERRRKHEEESEARRQEEKEARRAARREQKVAEEAERQAAEVKAAERAERHRAKRAERDAREATHTDVEPLTEG
PERLKKSDRRKSHMDAPLDDEEERRRRREERRAARGVETPKTSRRKSAPIVDSYFDSRNGNNPPKESRRKKAGWPHSGTDSWVADHSDAPAPPDDAP
TDGPEEPTIGDARERRRMRKTRKAEDGAEDDSEERRKRRESRRRERDVKSSEGSHGGDGRRRRDSGFVEPRSRAPSAKGEGGGIFGRLRKMI

>RCO7_06100 | uncharacterized protein
MTIQSYLSDRWMVTFGIISLLLSIIGLAVNKRQRDAVLRRLHFQRRRTSGASTPPRSILPSKKSAGPDAPDFFNAFPPSRRCALPELAKTLPAHSAQ
IFQSTEPSGDFLGKHALPISQTYSLESKTPQYTPTGFSTTEIKAMGDFPAYDILSGVPLPQAYENFDATKALPRPYRPLRWKYHQTMSLQKLESDWW
LEVENTYVARIKQRQDLFREYGSKVLDYLPGSELACKELMEMALQFLCARYPAHFSLSSDKKIFHNKLLNTDTTIKRFHPLHVLLNNVPEDFAIVLR
NEEDGMYYFRAGVICSSLGWSVGTKIGMQLEEIHAKIPDYKEKMSFSMDRFFSKMATNSPIQRGSWGLEVGTPLFMPPGHPHEKLREVQDPDVKIEE
CNFRVDWQTLRRLPLSGGVVFNFNALFTPVTEFRNEPYIPALLVKILKEGKKNLMEYKGTWHIEHICIPKLEEYAQEQVAKGWVKPEGDGQEEWEIA
TLAESPYFPGWEEKWHRQQGF

>RCO7_06099 | uncharacterized protein
METSLHLELDLPLTGILELGDRVGMPSFNVPFCEADHLGNQATNFEAHFASALALRRLGTTINAQIYDSISNTDTLASDEFGGPSATTLKSLAAQLT
QWRGLLPRDLQWPEEDPAAFPTPQTGNIGVNDAVDPSLATPRPGRPGSQLFSTDLNSDPMQYRFVYDVQVATLRTRYYYSKFVVYRPFVYKALHFPE
QMTQEDAQGVAECLRTCLKWPLTLSPTSRHKRLIPYLFCWSQTFVSILLIFHLTQHNPMLRDIRAQLCGPRFEEDFEVSVALMQDWIRDLKAVDPLA
LWCYKILQPIYNLDP

>RCO7_06098 | probable 2,4-dienoyl-CoA reductase, mitochondrial precursor
MAALAKSEYMSSVWRDGIFDNKVVFCTGGAGTICSAQVRAMVHLGANAMIIGRNVEKTESMAKSIATARKGAKVIGVGAVDVRKIQDLEGAAARCVK
ELGGIDFVIAGAAGNFISPISGLSSNAFKTVIDIDTIGSFNTLKATLPELVKSAKKNPNNGTNSSSGGRIIFVSASFHFTGMPLQAHVSVAKAGVDA
LSASTALEYGPRGITSNIITPGPIFGTEGMARLGDRESEANGKAYKKVPLQRYGTVKEIADGTIYLFSDAGNFVNGEVLVIDGGDWRSPGAPGGARS
AYPDYLLDDSMGRKAKL

>RCO7_06097 | related to Rotein of unknown function localised to mitochondria
MASRSVSTLKFVGTISLGLLTGLSYSLTTLTLPTLLNLPSASSASKAFANLNTNSLLHLRPLAGISSTSFLLAYFLSPRSQKHPYLLWTTLFVVSSS
FAEYLVQPFTSKSTSTASTRTVKPKSKKVQIRQMDASYEVLGASDRDSEGTVSGEEIDEDVNGEEIRLQVEGYLTANIAKTIIAGIGFAMSTIGIWG
DGAADLIII

>RCO7_06096 | related to MUC1 Extracellular alpha-1,4-glucan glucosidase EC:3.2.1.3
MTTSLRPARSDSPSSSWHLDLHLHQHRGVNNNNSLTASSTADLTTSNDYDQRKPRQARKPSPGLAARLKALGFGKDTNEGKLHRSPSNDRIGRIPED
QIQKLDLIHRANSVNSAKSTGFQPRGRAWSGTSGHLTPQATGGSYTDIPSVDLRVLEGGTRRPSSSTSSRNQEMTIPAEPTGMDSQKYRLPEHTNGN
GTKAMSETKQAHIERIIPPDDETPPPPISKDTPPGGTTPAEFQGDASAFFNPLRLQRTGSIYTLSRVSFANQLAQLTSLQLPDAGSLSTKISAIPTS
KAASGALMGAAEQIRSWISKASEVVSGLDGEDDVEWAAAGGREGLEEVDNAISRFTELINVYVSAIESLQNRPDICTVAPDELQKVVLQVETILSEW
EKIRKILKAVKNSVEIAMEWEELWNTVLGDIGNEMDILARLVFEMEEKRHKSLMAETGGDSGLDLNELQTIVETTPPSKAKLNASNRFSVTGSFPLT
PTSPNPSAVTVQDDSSLLALFARMQPLRASLDFLPMRLSTFHYRAEKIFPTACEELETRRTGLESSWKDLEKDAESLRRELGEDRWVLVFRGAGRQA
QKMYESVDRSVVKLKEEVASGTHLHNPASMGKKIESYEAKKMHYGPAIERVLSIIERGVKDRLTVNGEILRLHSEMQRKWEALKEQMNELDMSLEEI
QADKKNQQLRDSISSMVSNDRSTIGSYYDTPGSSPASSVVLTGMNGGSEMTPIKNGKVRPGNGLPQPGPRRNSSNATAQSQLPRKGLPNRLSTIGAP
IDRSSPSPISFRAVSATPTGSRMPRPSLTHNPDGRPRWNSSVNVKDTIIGHNFKPLSLTTPSPHARAKPPSAHANRSNVSIDSRIPLRSPLSRDNTS
SPAPDTTPSRKSTSRQGSRDRVTTPGPYSQQVMSQNSFPARPRLLASKTSMSTLGSNTNRRASFQPKSSDQSGFSSPPSNAVRPASSLAANRRVSLL
PQPKGKQDSAVTGRESSQATARPSSAMRTSSTNISDSKGKAQRPWK

>RCO7_06095 | related to sodium-calcium exchangers
MRQQSPSAMPSDTSRLPRRFRFRAFYVTVLCLSLLAVLSLVAEQSARYRHGAQYGLAQRRALEQLDANRLVKRDEECRLVHHAEDKCAFIKANCPDE
EAGLFSYLSLYYCGLQKAQPVAFVILSLWLALLFTTIGIAASDFFCINLSTIASILGMSESMAGVTFLAFGNGSPDVFSTFAAMSSHSGSLAVGELI
GAAGFITAVVAGSMALVREFKVGKKTFVRDVGFFIVAACFSMVFLADGALHLWECCVMVAFYVFYVVVVVVWHWWLGRRRSNREKEAAARGQYLVTA
NEEIEISEENDDDEDAPAGTPRSRGAEDFGALERAGSPAFLGDESDEDGVEGMQLAAEMASSMRVTRPSGSRRNTITPIRPSLVGALEFRSVLSSLQ
KSRGSHARPIHLRRYSDDPTSGLASQIDDTEAPQEHYSDAPSDPIMAGSSESDPSRLGAPITRTRAVSLNDAASAKPIDPAAFSVATIPFIGVVAAT
PTFPRNLEVPGQELVQSSPSVSGRPTPSPTFSISPPPSLHGPRDASPTPSQEPNNRDTLAPPGDGFPGARHLRTDYFRDHEVERDSVHASSHTRSRA
AQRPRLQIPGSSSRDSSYTRTLSPTIQFPAYTDSPAPMSAVSSGAPSIMLPEPELTTHSALGSHDLDYQERPIWWWPYLYLPSPHVMGSTLFPTLYT
WREKSIWDKFVGLVSAPSIFLLAITLPVVESDNQDGEEAEEATLEERTPSMLRRYSSSVPPSTPRSSSLENEPEWIRYRRATESHNHPRSPQPRGYS
AHSSAAVAVSAENLRHHSHLEPMLAKQSSVSQMDGPPISPTVVSSQDWNRWLVSVQIFSAPLFVVIIIWANSAEGNTRLLVQMLLYSLLGSLVAFAL
LVLTTSPTTPPKYRFLLCFLGFVVAIAWISTIANEVVGVLKAIGVILGISDAILGLTIFAVGNSLGDLVADITVARLGFPVMALSACFGGPMLNILL
GIGLSGIYMTIKGANHKHAKHPGKKIEYKPYEIEVSGTLMISAVTLIITLVGLLIAVPWNNWVMSRRIGWGLIGLWSISTVVNLAVEISGVFDTPSR
K

>RCO7_06094 | related to condensin complex component cnd2
MPRVAQNPRGASQGKAASASIAASPFKSPVKIPLNDDAQEKAKRLQSRHALHDMHINQIKAAASPMRKLSNFERAGSSSPSSNPKTPRRTLGKENDL
DGGVMMVGGTAVTPMKRVPLLANFEEWMKMATDNKINAANSWNFALIDYFHDMSLLKEGDGVNFQKASCTLDGCVKIYTSRVDSVATETGKLLSGLA
DSGNNKKKKGESEEGEESEEEVEDENGVVQKKPKKRAQRSSEATLASSFASLQLKKFELEFSVDPLFKKASADFDEGGAKGLLLNHLAIDSQGRIVF
DSSDDAGDASGEGQGRQRKGDAIEEEEETQADSMIDVTTKDLEEDEEDVEIDIGALGAKFFPSLEILDEQDICPSLKNFDLGDPSGTMDIPFLKAPE
DWRDKDKPEETAVGDKSGIFLDDDNPPGFDDDEDGLLGGFEIPADTGFGEGGEAWARDAAIDTRMRVHDGGFDNDGMGGGDGEDGDGAGAGAFHPET
GEYVISLDHGSKVQGGHDDILSYFDEALQKNWAGPEHWRIRKIKDINKPASATKVRKEKELFEIDFLSPMSASLAETIYTQASSNNVISLPKKDWKS
KTRNLLPDDKHFNSKQLLRLFLKPRARMGSRRSGLGMRTNNFGQRKEEETPEGEMDEAFWAQNEGPLAADDAPQGDYDANFFQDDGLPMPGGMDDDD
DIEFADARDHFSPGAEERGEGGMAGINNVLNGGMTQLPEGEEGAFGAQLVTQSRRMRPEYVQYARVAKKVDVRRLKEELWKGMGIDALDLNIPTQTP
GRLPTPQSDPKKGEDGSLKFTSVMQNLQSVYPKQAMNDISTSYCFICLLHLANEKGLVIEKQEGLMELDIRKDPTAEITVGG

>RCO7_07661 | uncharacterized protein
MFFTGFSAAELQVSESLAPYHDPADKKLLNSATSTNFTWPIHPVFARPRWQEKLPKHQALFPLGNGRPGFWQVDHLAVWRILEPALRLATQFLNVST
AWSWWDTLLAGEYSQIPVKEYPKDYDYTERGMRYRLTPRSPQTIHQDRIDVNRILMDLSKKVSFHLCSGDINMDTGDRKQHNTTGLTEFCHHGNTIV
WFSFENLEPLLNDQITAAERMMCNFKNATILLHELTHAFWWEIWEKKSVRPGSPGKPLAKEPYIGADFFAELGFSMEMHVFGGITAGFEFNQPATAN
SKGTTINTWNAKDFIVLAEYPILTHRKADDWKHQIYFPVPLRHYFNVNDPNFWTTRVQSLGGKAAHLGPKKVGSGWDGKESKLDPATGSENVDMAIY
SFETKDIFIVNKENARRAQRGGIIEAIGALDRGERPAGMKGPNLPTPADKSANVIGLRDMATRSTDERNNEIAAYFDDSRLIMAVDTMGKMSESVLY
SHLIRTVGLGREFVTPAEFRQFLKACQKAKVKFSWAEVNRGPRPTQGVVRFVKYGWSPDDGVYPDGPYLPMPRVYQPPSKERLDQFDACVKHMMVWF
SHYTEEGHRDQDFNVFCDWINYSFLSEYPGQAAFFTRQDVLCCIYDWEARGERWTIGPLDLPEGHPPFRYPSVVRKLADGWEPKVIAQKGVAQKVTK
KRKIPEDEDEDEEMMIEGGERPVVCGKEPLSRKRRMMRGSDGLWQVQSGV
>RCO7_07660 | uncharacterized protein
MPPKKATNTSVYMVLVGTSIDSIHASLDSANERVAEAKGEGNGKRRIEIQDLIGGSITVDPVAEKKPAAKAKAAKEQVKEENEEEEPEAKIAAPKKT
KTPAEQRAANAAKPKPAVDVLELPDNYKALLEGTGSALKGLSICVTGVPPTLGRKNAERLVVNHGGKVASSLSGKTSYVVVGNDAGPTKLEKIESLG
LTTLDEAGLVKLIEDGGGKGSVDEEEEEEAEPAKSKKRKTKA
>RCO7_07659 | related to Probable leucine aminopeptidase 1
MHFSTILPLFATLLSLVSALPPTDVRVANDGSLRLIKTSEADPGTWVTEDQKIEQYVAKNIGFIDITDIKNETVLNRLSTVQSESIIQARAVTYPST
LTHQTEANALIAKLNTTGPKSWLTTLTTYFNRYYRSATGTQAGTWLLAQVKSVASSNSAITVTTFAHSFNQPSIIAQIPGTSPNIVIVGAHYDSTGG
SATARGPGADDNGSGVVTILEALRVIAASGFKPKNTLEFHFYAGEEGGLLGSQQVFANYASTGKSVLAVVIQDMTGYSPSGKVSVYTDYSDSGLVAY
VRKVVTQYTGITYTTDTCGYGCSDHASAYSNGFPASYVCDEVIKTSSPYIHSPNDALSTIMWDAVLRHTKFTVGFLIEAAYM
>RCO7_07658 | uncharacterized protein
MQFSTLMNLATGAALTSAAPLEVRTSLPVSANIVFHGAADAAYSLTVPLDGSLTYTYNPLSISSVSSYTIDIGAQCKLNTVDYPPALVQGPANTWVV
GPPQTVISISCVQGSSPPPPPPAPTSIVIEFDGADPSEGAFYKLTVPLDGSSVKTNNVLSISTLVSDFGNLASRCTFVTVDRTNALSKIDTDTWALG
PPQTVISVNCNA
>RCO7_07657 | uncharacterized protein
MATEAAAKAFFTAQHFAVVGASSDPTKFGHKIFTWYTHAPLPVTPINPTSPSIRAFPPYPALEIQTYPTLPNLSSLSNPTQTSVSIITPPTVTMKVL
EEAKQLGVKGVWLQPGSFDDEILEWALREWPESAVGGDGGRGGEGWCVLVDGERAAKAAGKTLKL
>RCO7_07656 | related to calmodulin
MAANHSYDAQASTNYKEAFALFDKRGNQRVQVDSLGDLLRACGQNPTLSEIRDLEKNVGGDFDFETFSKILNRPGGFRDPGEPEEYCRGFQVFDKDM
TGFIGVGQLRYILTNLGEKMSDDEVDELLKAVDTGSGEVNYTDLVRTILAN
>RCO7_07655 | uncharacterized protein
MAPPTIQTYHCLCTTLLIASTHTLSSLPRRSNTSSSSSSPHSDAALILPLPSSPPSSTNANDLPPHGHTTLLSLSADHKATLIRRDQGFEKRLLYRC
GRCRLVVGYSLELPPHPPPSIPSNQTNMDMDNDSTLSKSTATEQEYDGKILYILPGGVTSTAVMSSGRKIGEGDVDIAFSSTGGGRKAVPVFE
>RCO7_07654 | related to metalloproteinase
MAPTKYRSPPQAPPLFTATTTSLVSDAREIYDKTRDLYDALVKDVKAEDATFDSVVLKMAQNEDEIGLKSRIIGFYQAVSTDAGLREASSKAEEIMD
EAFIELSMREDIFKLVDGAWERAKKDTTKLDGESLRLLERERKSYIRNGLGIEKGVKRDRFKEIKKRLSTIQIEFNKNLNEENGCIWLTPKELEGVP
EDVLQGFEKGTGENEGKLRFTFKYPDLFPTLKFALDPETRRKVFIANENKLNANVPLFKEAIILRDEAARLLGYPDHASFIIEDKMAKTPKTVNDFL
SDLRTQLAPGGAKEVDHLLEIKKEDLKARGLDSSDDNYCLWDSRFYGRMMVEKECSIDEQKIAEYFPLQSTVQGMLKIFEEIFGFVFVELTEEDKAK
ISSTGKAEDIVWHEDVKTFSVWDDEEGGDEFVGYLYLDLHPRPGKYGHAANFNIQPGFSFPNGTRHYPATALVCNFSKPTPTKPSLLKHDEVVTLFH
ELGHGIHDLAGRTKYSRFHGTSVVRDFVEAPSQMLENWCWTPGPLKELSNHYLTGEKISDDLIAKQISVKHVNAALFNLRQLHFGIFDMTVHTPSSH
AEAEAFDFSCMFNDLRAEISGLKGPESLPEGSKHKSDWGNGQATFGHLIGGYDAGYYGYLSSQVYSMDMFYSVFKKDPMSKTEGRRYRKLVLEKGGS
QDEMKTLEDFLGRKPSTEAFYKELGLVGAK
>RCO7_07653 | uncharacterized protein
MRIKDFENRERGELKLLVILRDNTIKKQEGYKDLLDKGKKSLKDKAKARVLAKRAKAKLVLKEEKAIKKKALGVNSERKRKARELKEDNNNKLTSSI
RGSFKKNLELLIIRLEVKIIKESNKKYRVSKKEIVAFIREVTNLKAIKDFYTRDKEIKVKEDNYNSNNIIIKVSTNKEEDNKDNKEEFSK
>RCO7_07652 | uncharacterized protein
MNSRPQPPKKAHSKTGSKTLIKERAAPEEFDFDAKVAAATGRRPSKSHTTLDDGFHRTPGVGPKGAAMVPRPTHLPEDPLNLPGWRKELAFGSLMLG
TAVVGMLKTVFVTVNSVIASETSVDYMSATALTGAPIIFGAFAALKSQMLSHSFGKRGIYLGSSILMLIGALWNLHVYGSYAQFMVSRIFQGIGWGM
FEALISSSIADMFFVHERSARTSAYNVVSIFFTWGTPILGGFLSQSNAGYRNQIMIINIIQAISILLLIFATPETTFDRASSQQPTVDIAPDKSAMK
LYVETLKLSNKHSVQKFAMNEALRPLKALAAPSSILTTLLTAPILASAFGIASSLSLLFAPMPTFLFPARIGYLFILPLVFSLLAYALGSLATRLLT
KPPRHLSDSGIKLLTVAGPGLLIGLAGLLAFGLYTSADLIPEIEDDGTIFALNIVGLEISLKTVSSLLGLLVCGAIILQHSGSTYLSKFGPSNGVGS
SELAGAHHVLQELVIGIWIIGMPTWISGDGAMYIAPGLNNTSIALGVLSIAFGSSAGAVLWIKGAAVSVIDSRVLGRTPEGGPLQRWKTVDSFMEA
>RCO7_07651 | uncharacterized protein
MGNDFMTEKEQEKLLDGDELESTGSSRNSFMMSPLLPTTSLAKPVRPIYLQENFEISGRLKALVWNGSSHLSSSAVASWALLLVPSFLRHTRKTVIH
PTSWLDGLRGVASFIVFIHHFILFWYTDLNYAYGTPDQKSWNFFQFPFMRVLYGGRGMVCIFFVVSGYALSYSPLRKMRNRDYEPLLHSLASSLFRR
GLRLFIPVLACTFVSLIINRQGFAITSMAGPGPQGTFFEQLKDWWWQFVLISNPVQTTDPNTVYSHPYAFQLWTIPREYRGSLCIYLMALCLATTTG
TIRLVLIVFSAHYLLWISNWDLYLFSMGMLFADLQLKFNDIAQSPRLPRLLNFVPSAIRRRSDAIIFTLSAFVTLLSVHFLTLPDMSAETAPGYATM
IAWTPKGYDGTNLTQRFWLCMGSVMIVGVFCFCPPLFRNSKTPFYQIPFNTPFAQYLADISYALYCVHPHIVFTFGDKILQSYAGETGMSYLSGFLM
AAVVNFTLTFWWADLFWRAVDMKSVTIGKWVAKMCFVKL
>RCO7_07650 | uncharacterized protein
MGLFKTGLILYGAHVAATRRYTEVQKTSFGFPSKHASTRASVSERNYGTSIATSSSAKYCSSVSGRVADLSATAMGGTEAMYLWCRSKSEQWGV
>RCO7_07649 | uncharacterized protein
MSYNPYGAAPSGRPPGFGGFPGQNGFPPGMGPPPGMGPPPGMSAPGTGPPPGVQQANATVSSRPSGLPASFQGPPNMPNINFSAPVIRLGTGPSKPS
TPLPGAAGRRESENPSSGGGRPGLGAERGMDAQRQALRDSMMSLVPPTKEEIVRTIFVGGITEGAGGDDGIERILSTAGRLRRWDRATDANGKLCSF
GFAQYDDAESLATAVEVLKDIEIPTKKQPASDGVKKEENDDKEVEKSKLLVFVDDNSLNYLDNWSSKRGDDPAAEQARLDAARSGLKAAIYELFHPP
MYVKMDESGEDAIMHDGNGDNIEVINIPLAVDDELADIPVEMRETVALEITAFRDRSTRRDMERLKREEEMEAAERLRNGAPRPSRLASPPPNTPLG

PAAGTNNIPLGPRGVPNAPSGPKLGSQIPRDYQQGVKFVNGSGINGAASGDVWINREEEDDSASDEELERRRTAKKEAELEKIYLDQERRWLNRERS
RTAAVQREKEREDEDEAKENAEKEKMAQRLRDWDDDVEATRKVEDYYADRSMWIRNRALFRARESAADERDRIAEARDRQRDTADKEQARGLADSFL
DRQAEELESRSVPGRAQQPFKLSLGAAAQKVQKEKAQPPRRTVAEVEGLLEDEEDAGNSSKRTLIPIKFDPSAPVAQMSDEERDQAVRLLAAEIPTE
KEGLWAWQVKWEFVDDTIIVEKLRPFVEKKIVEYLGVQEQLLVEVVEEHVRTRGKPQDLVEQLEGALDEEAEVLVKKLWRMVIFFSESEKRGLSA
>RCO7_07648 | uncharacterized protein
MEIRRVADALLRSQTSHLAAFLSPATTGRLGQKTCSNRQIQRSFTSSVQRSALRPSATTTSTPPPSVEASTPSSDRSDNQPAMQGEAKSPGWTARPR
PSNYGTPTLTPEKERALNGGTSAGDLMATLNLKKRDNSRMQVNRMKDVGSFSNRIGGSFADAMAAETGVFKAARKPILLNPSTGRSVSVTSQIDVAK
SFRLMEMRCARNRIKRDSMTQRYHERGGMKRKRLRRERWRKRFLEGFKATIVRVKQLKRQGW
>RCO7_07647 | related to nitrate assimilation regulatory protein nirA
MSGKANFRNIRPSFEESSASTSNPNSSTPETTGSDPRRPLDKDKEPDGNASKRRRVPEQVTRNACVNCKKARAKCDGNKPCKRCASRDENSTCVYEV
HVKHAKEELVKQIKELRTKDHQSGHILQALANNEKVPEILERLRNSDTHESIIAFLGRPPTADFETLSPMPSHQSTYEGSDHEMGGVDTSRPWSTVT
TETAILDPLFQLYFAWVHPVHTLFSEGHFTNNYARGLKSYCSPVLVNSICALACSLHTASEGEDLNYGQLGAEFSNAARRELDPEGKDITTIQAFAV
MYLVDCAGGNALRATAYLRIATLALLQMVSQENDGFEESCKTTVRGIGNLNIEWAQMTFQLPPFIVFPVNDDLDEYDVGIDNRPWYPYKTEHEHPEG
RPSMLATTNREKTKLAKILQDIATMIFTQRGSKITAKQFLKQYGKLKMWREQLPKELGDVEDDRQQVLPHVLYLLILHNTAVVQLLRPLLDFDGFPS
SLVENVIREHSQDGLMLLEKHYGLHYGFRFQPVLQMIAALQLIDTLIRFFPGGAEGDSKDGPAAVQFGLELLKESGAGFLVAGPLQEMLRISAKQCG
ISHTGNLEELMLPPPPPQKKYMMDDFIGACTRPTYLQPVLNAHSKYDSSFSSEWKTEGPAYGFRESTIGARRPEGPSAEEIGAQSLMQIRNVLNTTR
>RCO7_11586 | probable transcriptional adapter 2
MGVIRKKTAARGGEGGVKYVCDVCSADITSTVRIRCAHNICNDYDLCVPCFSQGESSHNHQPATHPFRVIEQNSVPIYDKNWGADEELLLLEGCEIY
GLGSWADVADHIGGYRDKNEVRLHYENIYLKSSNFPLPMRADPRDTQLLNEMPREEFQARKKRRIEGRKEAQSNAPPATPKKKPTASVPACHEVQGY
MPGRLEFETEFANEAEEAVQHMQFDPGDGINPRTGEIEPEMELKITVMDIYNSRLTQRAERKKVIFEHNLLEYRKNAALDKKRTKEERDLLNKAKPF
ARMMNHDDFQDFCNGLIEEHNLRQAVSQLQEWRAMKIGGLKGGEKYEADKLLRVQKAQPMGSLDRERFASSQRSKPLPVIETPSGAAAFVSPDLPTR
AKAITSSITSSSNPNKILTNGNGHTSYSGLTLPKQKFQIAPIPGIQPLSLSQENIPDLHLLTLEEIDLCEKTRLHPKPYLVIKESVMKEALRGNGTL
RKRQVRELARVEAGKGARIWEFFSASGWIGKAGPGA
>RCO7_11585 | related to protein kinase 1
MSWKLTKKLKETHLGPLANTFSRSTSSSTITGDTAKEEKASIGGGSTLNDNGIAASEAIATQPAAQPRPGILIVTLHEGTSFSLPEQYKSIFNTHTS
NSLSQGNGFGVAGSVRPGSSQQVGSVAGSYANNARPQTSGGGFSNVPTNHGRISSKYLPYALLDFDKLQVFVNAVSGTPENPLWAGDNTQYKFDVSR
ATELAVHLYLRNPNAPQGGGRTTDIFLGVARINPRFEEGHKYVEDPKLGKKDKEKAAADWASKEKALGQSGPEWLDVQYGTGRLRIGVQYIENRSRS
LKIEDFDLLKVVGKGSFGKVMQVKKKDTQRIYALKTIRKAHIISRSEVAHTLAERSVLAQINNPFIVPLKFTFQSPEKLYFVLAFVNGGELFHHLQK
EQRFDINRSRFYTAELLCALECLHGFNVIYRDLKPENILLDYSGHIALCDFGLCKLDMKDEDRTNTFCGTPEYLAPELLLGQGYTKTVDWWTLGVLL
YEMLTGLPPFYDENTNEMYRKILSEPLHFPSAEVVPPSAKDLLTRLLNRKPDLRLGANGASEIKAHPFFHSIDWRKLLQRKYEPTFKPNVTDALDTK
NFDTEFTQEIAQDSYVDGPVLSDDAQRDFVGFSYNRPVAGLGDGGGSLRDPSFAGSKPHFPENQFFGKTFPEFQQQSSYIDTQLRFEAHTRNTLYSQ
LQRQETTAIMVADSLPSWSALQQHHNDVGKSFVLKKEFAKDPERYSKFSFTFPNPADGTEILFDFSKNFLTEETLKILVQVAKEAKVEELRDAMFKG
EKINNTEGRAVLHAALRNTGGESIEVDGKDVMPGVNKELKHMEEFSEAIRSGEWKGFTGKPLTTIINVGIGGSDLGPVMVTEALKFYGDRKQTLHFV
SNIDGTHMAEALRDSDPETTLFLVASKTFTTAETVTNANSAKDWFLKKTDGKGDIAKHFVALSTNESEVTKFGIDAKNMFGFESWVGGRYSVWSAIG
LSVAIHIGYKNFYAFLQGANAMDKHFRETPLEKNIPVIAGLLSVWYSDFYGAQTHLVSPFDQYLHRFPAYLQQLSMESNGKAVSRSTNEFIKYTTGP
ILFGEPATNAQHSFYQLLHQGTKLIPTDFILAAQSHNPIDNNKHQKMLASNFFAQAEALMVGKDETELKKEGTKEELLKHKTFLGNRPTTSILADKI
TPATLGALIVYYEHLTFTEGAVWDINSFDQWGVELGKSLAKKIQGELEEGAEKGQHDSSTASLIEAFKKKSKI
>RCO7_07646 | coatomer subunit beta'
MRLDVKRQLFARSERVKGIDFHPVEPWILTTLYSGHAYIWSYETGLVVKTFELTDVPVRAGRFVARKNWIVCGSDDFQLRVYNYNTSEKITSFEAHP
DYIRAIVVHPSQPFVLTASDDMTIKLWDWDKGWKCVQIFEGHSHYVMGLAINPKDTNTFASACLDRTVKIWSLGSSTANFTLEAHETKGVNHVDYYP
QSDKPYLLTTSDDRTVKIWDYTTKSLIATLEGHTSNVSFACYHPELPVIISGSEDGTVKIWHANTYRLEQSLNYGLERAWCVSYQRGKQGVAVGFDE
GAVVVKMGREEPAVSMDGSGKLIWARHSEVVSSIIKGGDASLKDNEPISLPTKDLGTCEIYPQTLLHSPNGRFVSVCGDGEFIIYTALAWRNKAFGS
ALDFCWGSKDNSNDYAIRESTTSVKIFKNFVEKAGGLDVGFQAEGLTGGVLLGVKGQGGIGFFDWQSGALVRRIEVDPREVYWSENGELVAIACEDT
FYVLRFSRDAFLAAVQSGEADDDGVEAAFEIVTDINESVRTGEWVGDCFIYTNSTNRLNYLVGDQTYTISHFDQPMYLLGYIQRDSRIYLADKDVNV
TSFALSLAVVEYQTLVLRDDMETAEELLPTIPQDQLNKIARFLEGQGHKELALEVATDSEHKFDLALALGHLEMALDLAKEADVEHKWKIVGDAALS
GWDVALAAECFKNAKDLGSLLLLHSSTGDRDGLKALSEQAQGAGAHNVAFTCLWQLADIEGCIELLTKTGREAEAVLFAQTYRPSLAPKTVGLWKDS
LKKAKKERVAKTVGVPGEDDELFPEWEEYLRLETEGVGDLVDVREEEEGVAEASDPDAEEAEAEEDEAEA
>RCO7_07645 | related to gibberellin 20-oxidase
MAPTIEIPKTVQWSGKDVPVYSMQTVDYSRLLSQEPEEIEKLVKCCQEEGFFYLDLQGIDGRRFLDDQQETLKVMHKFFEAPLEVKNEFGLVAPHLG
YEPVGSRTGVLENTKDGYEMIKVSRDEIQASSPHIPRNIKNTSDMKVLENAIAGSNTITKIILSALSTGMGLTGSSRFENSHRNHKPSTSTLAMMHY
IPCDPKTDKNIGHQKHTDISSLTLLFSEQWGLQIRPPGRKEFGFIAPLPGHAIINIGDSLRFASAHTFQSCIHRVVPLTPTEHRYSIAYFLRAEDAT
MFTDSNGRYVTAGQWHDEKFFAFMAPPEMQAQAPSYLLLGGMEEERDLSVSQREVNAAEADAKKMVAVAAN
>RCO7_07644 | related to salicylate 1-monooxygenase
MGSLDAEPNVLRIAIVGTGIAGLTAAIALRKLPHVKVELYEKATELKEIGASITLGPNGLRTLQRLDLEDCISSEVGYRGPNPISRFYRHWKTNEII
GEDFYEDVHEELHYTARFHRGHLQQALLKHVPRDTIHLKKKLVSATLAQEDDGEVRMEFADGSTAVADLLVGADGISSGVRQSFAPDFELEWSGHTA
FRGIFPASLVDDIPGVPLDSTHWWGPDTNFFATRLARDLFTVQGGIYADPKDEAAIRKFRDGGQWDKEADIQLLREKYVDWNPVVKQLSEVCPHVRY
YPNYFCGSSLPTWIFGGRVTLIGDAAHAHGGAFATGGSLAIDDAYALFLSLQTILPPSSSSSVPSSSPTIKPSSSQILAALQLYENTRRPHAVKLLK
VVHANNEMKTRKIITATQETDRELRDRAKRGSNTTWLHEHDVVGAFEEVVRRRKGEDGR
>RCO7_07643 | uncharacterized protein
MKISFQYITLAILASAQACDTVAAVKAQDDGQLVERNPNPKKGGGLLAGAVGLIGGAVAAGAAKKAAKAGAAAPATPAAGGAAAAGSGAPQSSAAAA
RRARRQQVRAEAAKAQATR
>RCO7_07642 | uncharacterized protein
MSSTTSNVSHSRTRSLRIPPSNLVKSATTSTTQLPSGPSNITLFLTNLRLLDLDLRADWPDITPLTFSTKDAQQNQKKRIQCVEWALFQLFALWDPE
ETRNKLQPYFPPLEPLQSLNLRAALFRCLDQAKKNGALGRDTVLRKTMLDECKVERLDEVLAVFSNAVLKKVIQSNGSGYEALAQQLALETFSYTGE

RTSLSVLILAHKMSLGKYLRSKEDARARYYDFSDLLNLNDRRIARRHEQLKQAMEENRESGSMEKREVYALQDTVEKNWSGNTQWLETILYGDNRTN
QDGVLSAKFDKIWQHVDKGSIHEVEATNRVGLLEQLDARVKDQEKRLARWQDFGKTLAKSDSPSPIRNPVKDSKESGRIDLGFNSHQHLQTGRTNNA
KVTQSNSVSLEEYSRLLENLRTELADVSKPQAQADRTPRRSLIPENRRSVVKSPNPTTDETVERDDEGWSSASDMEDETLNSSHYAANSASRTPPSE
AAVKIPSPKVVSPPRKAARPPVPIFTETVKVAIPPKSASPTPPRISPPHVRPITPPPPSRPVLKPRNTEDDLADQILNSMSAASPSPKKPRHTLSLA
ERTRLSMSRTSHSQFSDMHESFEVADLPRLSINKTSRPSLNTRTPSTEDLDPHADLIERTRKSMAGFEAAQKRAQVERRRSVKDQRKKQRESSYFPK
VEEEDAKPEVPGASVELLEGDPDYESVFMSRPKIATSPAVSPSRRWVDDIEELDE
>RCO7_07641 | uncharacterized protein
MSSSSSSYESEASSRRRQDSGVCLEDCGVDELHDPPTILLKYPKSALRDIHQDFALRDRSANIQSAHRDKKHENFKNPLNVTLDIFESKDQAFLSDH
PFHITQSESSESDNETFASPADHPLDHINHLTLLAKHAAVTDNPDIYAHIDDLADFAIGLAKSLLSAQTSIQTLQNQYENDRALVQNTTLALLSSRN
KIEAERSQIQDLSIRLNGMRVNHMTALAKLAVRKAEYEYRADEDFKLKEEHALMRKEIDKMKREREEEILGMATEMWRVKVCVRDMFERNEWSLRDG
IRKAEEDIDSSLERLNIVMNAGIKSGTWGRSSEDSSLESEDNRKTSHSSDWYSCGAKFCSPNPLHVSHARDWSDMEQYTAGCGARSVDSDERVSEAT
VLVTKEEMEMREFPYWHGGEYDFR
>RCO7_07640 | related to NUP170 - nuclear pore protein
MAYAPATPQRPLPGAFFTTPAASRFPAGPPIRQPLFSQGGRPPAAGLDSNNGNTDVQSRQVPPPTTITPISRAARTISDVLQREAQFPEIDSYIRQG
IFSDYDIPHHTAEAAWSPFQRTKMYDIPDQILDQYNRAEVQTMMGLFAELNHAWVTIDNALYLWDYTDPNPEVIGFEEQQYGITAVKLVKPKAGVFL
PEVTHVLVVATTSEIILIAVSSKMTAQTSNSKLENTGVRTVSLYQTKMSVSTRGINVQVIEGSAATGRIFFSGKLNEVYELTYQQQEQWFSGNTGKI
NHTNPGYSSIIPWGTKSQEHVVQMVVDDTRGLLYTLSSESTIRIFHMDGPVTLTKAIEKRRDSSLRDISHMVTQSGLINNSMKIVSISPISQKEGSK
LHLMATTQTGCRLFISATRGYGYTNTQTAPQSLLVAYIKFPPRLDPRPTNAQSYSEQTPEISSLALSYTTRSIRLPPGLFLCFVSKHDANDVESLFL
SAPDTGRISLQARISNEAGKYYEQACWLNLQSHMEDVGLVTPPFAAGNQPIGFGNELAVQFDEAPQEIAILTNTGIHIIRRRRLVDVFAAAIRSQGG
DEGLEMEIKKFIRNYGRAETTATALAVACGQGNDITPGDSRISRLSNPETLELARKCFVEFGGRPSLNENMVSDGQTQAIDNVRPSSRHEGLALYMA
RLVRSVWKASVITQELPTIKGAPAFIKPTILSGKLLSIQEDLTKLATFLEKNKSFIEGLAGPEGLQRVASQQEEIALQGEHQALHSLQKLNLSIIEG
ISFVEMLFDERVDEIWTVLEAPVQQRLRDLTFESLFASDEGKDLARTLVKAIVTRNIANGSNVDTVAEALRRRCGSFCSADDVIIFKAQENLKKSAG
VGASSDMGRKLLNESLKLFQQVAGALSFQTLRDAAEQFANLQFYAGAISLALLVAKESDRGNRALFWVNENKPANDARESLYVFRKECYDLVHTILQ
IVDNDTSSQPDMIDGRLTLAATKRNEAHNVVNDSDDELFQFDLYDWYLAQGWENMLLAVDSPFVVQYLEKSSHMDPTRADLLWRFHVHHENFYDAAK
VQFSLAQSQFAIPLAKRIEYLSKAKTNASVHTVGIGRAARTVTLYEVTELLDVANIQQELLYCVKAETRGDAATKAKLAEALDGPILDITQLYNSYA
DAANYYDICLEIYQVANHRNDADIRATWQSLLDQVHDLAAEPDSTQAPYEAIITKVRDMAQRLHRSETTFSPYMIIPLLESYAVTKQHQVGPRTWLP
DLFLTVGFSPEAILHVLNDMWSNTTPPFTGNRKQILAGHMIYVMEHWYQECIRTNAPLYGSTANADSIKELLSELQRAGTAGPDRQDSQMAQELSRK
IMRSFR
>RCO7_07639 | uncharacterized protein
MSSSQTQPSASNGESSSSSGPPQENTDTQAESSSTSSSTTPATPPTCTSCHKAPTDTKPLKPCTKCQSVSYCGKECQKAHFKVHKKECAKKAQVYAQ
TADIKMEATNRAPKDGFRGGLQKWQFDT
>RCO7_07638 | related to enoyl-CoA hydratase
MSLSSPEFDNYKLSRTACPVLVYQSSSRISSPSTKMSSSKFATPPPPANEHILTTFPKPSILLVTINRPKDLNCMNGPMHQYLHDLFSWFDNEPSLL
CGIMTGTGRAFCAGADLKEWNSSHDTTDKPQKRTMTSSGFGGLSRRTGKKPIICAVNGICFGGGCEMIINADIVIADSKAVFGLPEVKIGVVALAGA
LTRLVRTVGKQRAMEMALTGRTLPAEEAREWGLVNKVMKGDVLDEAMKMAESICANSPDSVIVSREGVKLGWEGVGAEEGTRLLAENWYSRIDGGEN
MKEGVRSFVEKRKPRWVPSKL
>RCO7_07637 | uncharacterized protein
MAPSILSRKRDLVYFVHFSISLPLMFLVDMQALYPVSIVPGFMKALKFYLINTHHDQFFIDPPAWFRAFIWTEFLYQAPVMIWSLGALRRSSPRLPV
VLLPYALLVFVTTATCMYEYSFWEIPFQHKIDLTTLYGPYLALSAFMFVDMWIRLNNIVNKSIVSAAKTNPKKLR
>RCO7_07636 | uncharacterized protein
MSATSAPAQTDAAPEPISLKTRKTHTKSRGGCVECKRRKQKCREQKPVCSGCTKRETACIYLEVESHQARTTERNRFESDASSSISSPSSTSILQPM
VSVNSQFSLQDMELWHHYIVYTSEQTSVMFGRKPEIGLSCDYLLHGMLATAAIHQAYRHPDQRQKYNLLARQHLDQSFGPYHRALAIISDENVENLF
SYNVLLVICSLASAESVHTSASGKSSGGIADWVVCIRGCRSIAAASTSNVQGIPIRQWIDTMIQVPMTAENSAKISPEEEGSFSRVESLLEQSKRSN
NSQNMNDITACLQALQELRKTFAFTTDGFDAMLTTAMKSYSTAPVSPRLSRRLFVTIWPFLVSDRFVELLLGMYPPALMIMAHYCLILRRTQDCWYM
AESGLRIFQAIQNNLAEEWSAYIEYPRRVFSV
>RCO7_07635 | uncharacterized protein
MFSPTEDDLIKAVMAIRKVAPMLARAKVLKQLKDENDWELSEKRLKACMDTNNLGASLQTIAPEALKPREAVFDEIVKEAFEELATKEREFLMGLSK
TDAMALIPIPGISTAELPLKAACQQRHYVEILLTLKGIKPCTIFFHPFATHIFTRLVKEVLKPIFKTHELRSYGFELRRIEHATMIDMGRPQPDAFW
VGGWFLADTLSPHWSAVQKIYCSPVQITISRQDNNSYQDRLCKILGYPVNGYPRQEDFNRVSYMDETECRELARLTGNSEDKIEVIGFEYEDDEGDE
ERWMRLGRANRPGKAEEFGAKETCQTFGLNSGWTEIKSTIPLTSLGYKPEYTFLRSPYFESAFTMAGSLHDPASQVSDLVKQHLMQLLYYFLLMIPV
SGLS
>RCO7_07634 | uncharacterized protein
MTRQNWGWKAIVAAGALVLWAQGITAQEEHSKIPLPSYHYGAKIPVSCLNRSIDTGEHISNDKNELQYIPFPVCNETGQPLELQYGIEDELNCTIPF
ITDPFFHLLEFYIHNDAPLSCRIPSRPAAHVHPGGTPSDKLPSEFQQEYVPLIFALAGTLQLSHLHVSTHLNILLHSTPKHHLHHHDSGVIDSGAAY
STSPLSHTTGPAALTKKLVIGDPLPLQFSVRWFPTPHLPRENGKIEWAGMGGHFYASTFFYCLLSAGAGAVGSGVWFLGVVLPKRLKGRGMGGATPL
GYGVGNGWGMGVGVGKRD
>RCO7_07633 | uncharacterized protein
MANMLPLALMCAVCGREEQNLMRCGQCLSRINSGSECQNKDFKYHAAQCKRQNIILKVDLFPKFITKPPITRTISCPAVSNFTELHNAIQVAFGWSN
KHHYAFDVFGPRESKASQSRLANPDFRIGDLNWMDEDSESEDEDWDYACFATAKDGNQTSLFEVFDDPNTQTKNVLYEDHKRGMSYGTRGDGWKHNI
KLVGRADFTSY
>RCO7_07632 | uncharacterized protein
MGFHFSGFAHLDKIKSLFEKTLGLTWTYGSDTTGQFRLNPCVNSEFLNRCGPDVLHDNGYIKANHIANVRPEDRVFVADSSRGESPVVLQNTERDIW
ATLGKLEV
>RCO7_07631 | uncharacterized protein

MSEFGSLSGHTFYAPTSTDLLWPLPVGDANVEFSQYKNFNDFAYCDFFSNGLLIPADVLQGPESIPQTEACTASLENPMAKKMKILDDVSNRKANII
LYEPAVNNIEPEFGSTTNDTFHDTWEPYRFCNDIGAIQIATPNRLTMEEDELQLIGPQLIECEYPKFVCSQDDIYQAASDISDSLHFREMDKDQPVL
HLLGSKRLVRQPELMATQGTDAVASSSRNSSESNLSMEPASSEVARPPSCNVANEVLRYATAVEIKLLIAAIEADQKEARKALVRGKPENSGDCVFE
KGWKPYKCFVCPLQFPQNSEIVKHLKEKHAILLSPKLKAWTCLFPGCRKAYCLRKAALIHAECHFTEV

>RCO7_07630 | uncharacterized protein

MSSDIEEIREKHKRMDYARMEISTKRISGKPNQSQGREFMKHGIWLAAALAGTGWDKESIDGAVEQLVQSIEKHGGKVIGLVDSVMRTLGE

>RCO7_07629 | uncharacterized protein

MSAAFKTEFGPLLKLSADPLAEFRKYVQGAGDQYLKSYPGASDTPSNMELHTMLQKLPGPIPATYKQLHDILICIEYRMDLQEKANQYADHPRIGGT
IPRCQDIDIEDWLRVNMSWIYKENHDKIQRMSHARWEIVMKRIFGKPDWMLGQGKAYYKPVMWLATAMAVKGWDEGRIKDGVKELQELVGSREIL

>RCO7_07628 | related to allantoate permease

MRNRNSQASTKYLKSSLSSSQKASFKPATEAMALASATPEIILTDASSREKTSNMTESTDRPVNGAPFTAVETKKLLRKLDLHLIPFLALIYLLCFL
DRTNVGNARLVHMEADLKMKGLDYNIALAIFFPFYVLAEIPSNMMMKRFRPSIWLTVIMVSWGLVMTCMGFVHNFSGLLACRVFLGICEGGLFPGIS
YFITMWYRRSECGFRMALFFSAATAAGAFGGLLARGVSEMNGVGGKAGWAWIFILEGLLTLFIGAFSYWAVQDYPATATFLTTPERIEVERRLSEDN
GLSDEFHVKYAIQALRDWKIWVKMFITMGLFTPLYSVALFLPTIINNLGYSNNTAQLMTVPPYAVACLVTIAGNYAAEKAGQRGIFLLGFQAMAIVG
FLLLVSNGVPHVQYAGTFFAASGIYTMVPMTTAWTSNNIGGSLKRGVGIAMQVGFGNLGGAISGFVYLSKDKPRFITGHSVLITLISMSFVLTSFMT
IYYRRENARRDAICAHRDITHGEYTEEMKWQDRERGDDAVWFRYVV

>RCO7_07627 | related to FMN-dependent 2-nitropropane dioxygenase

MASKQQLRTTVTDLLKIPHPVMLAGMNVAAGPKLAAAVTNAGGLGVIGGVGYTPDMLREQIAELKSFLDDKNAPFGVDLLLPQVGGSARKTNYDYTK
GKLDELVDIIIDSGAKLFVSAVGVPPQHVVDRLHKAGILYMNMIGHPKHVKKCLELGVDLICAQGGEGGGHTGDVPTTVLIPAVVELCKGKKSPMTG
EPVQVVAAGGIYNGQTVAAALMLGASAVWVGTRFILTDEAGAPKAHQEAVRTAGHDDNIRTIIFTGRPLRVRNNAYINNWEVNRAAEIKELTGKGVI
PVEHDFETLGDDIDDETMDNARPFLMGKAAAVVNEKKSAKAVVDELVGDAVAWIHKGEKMVAKL

>RCO7_07626 | related to multifunctional folic acid synthesis protein

MRSMRAFRALGSLGARAFTSKTFVPKSAFNIPRSAISSSTKKGQSLSTDAVKTTLWTPHSLKVSASSNEISDTSSTLKSVKTPQKHLAYIALGSNLG
NRIEWIEKACNLMEERGLNIKRTSGLWETEPMYVKDQDQFLNGVAEVETSLEPIALLDALQSIENFLGRVKVVDKGPRNIDLDILLYDDQLVGHPRL
TIPHILMREREFVLRPLAELIPGKALDSKNPWKVTQDYLNDLPPTDSPMTTVTPLCPNMEPLRGLDSQRKTRIMAIFNATNDSFSNDLKQGASDEPT
TQYDIIEQAIKTFWSQFMDVKPYTLWTNAIIDIGGQSTAPKAPEVSPSEEKARVLQAIQSIPSRMNRNISVDTYRASVAEAAVNAGATIINDVSAGT
MDPAMLPTMAKLGVTVILMHMRGTPQTMSSLTYYPNGLIPTIASELLERVAAAEAAGIRRWRIILDPGIGFAKSASQNLEILRRFEELRDWPGLRGL
PWLLGSSRKGFIGKITGVEKPSERVWGTAATVVAAVQGGADIVRVHDVGEMGQVASMADAIWRS

>RCO7_07625 | uncharacterized protein

MSLLLSLTWSLFALSTPVLAAPATVQITPNLVRDLATINALKSHITSDPHHITKNWTGSNICAFKGIYCMKKLGSSELAVASIDFNNYNFGGPSLLL
TGFLEKLKDLSLFHIMGNGFTGEFPDLSGSADYLDEIDVTNNKFHGRFPQTILDLDLTYLGLRFNQFSGPIPDQIYTNMPNLEALQLNNNQFTGPIS
QHIGSSQVTELSLGNNKLTGPIPPSLANAPYLEAVTVHNCSLTGTIPKELGSAKLLTDFDASGNQLTGGVPEELCARKMTSLTVNDNFLTIPLGPKC
QALAAKKILDISGNCIPGAPKQRPAAECKGH

>RCO7_07624 | uncharacterized protein

MFHSYQAVNTTAQPKPPVRWVSAGATLLPLYAFTLSVAMQSARIYNQVSETDASVSGVLSRPHVRAIAEFDIVQSLILVPLEEYICACGKTADSEKA
VSCKICMCTCSRYTLNRFDVIHEDGNQPVVVMQSSQRVKGGGEGKEDWKSGECLYFYQRLEQ

>RCO7_07623 | uncharacterized protein

MSENVQSKKVVSAKALFRQPLALQWFHDGHLKKRGEEERQASRFELFLDLLYVAIIANLAENLAEHASGVGIVKYILILAPSWHIWSDLRELMNSFY
DDDLAQRVLILWIMAVLVIYGNNATLVDEDIGALRSTVGAYMVGRLSSSTVHLIYSFSSYHHRAQQRLWFCLSTAALCIYIPLFIEDISFRSKIAVA
AVGITIEEFIWLFSYSPVAKKLLNAKYTTAVDIPHEVDGFAAFYIIVLGEFLYQIIVGSPAVIGFSLPLLRAIWTLVIAFCLNRLYIHGDGSLDCIH
PLKHSVTTSFIWVTAHLPMLASLLVAGHVSAHTTKSTEIHEPELWLLCGGLCIGLFCLYLIALLHNSQDPPGILTLPKHFRLMFRPIVAIIIVCLPL
SHGLDLTSFLSIIMALFAFLVLWEHVTSLMRGAKFWERWENTAYPDEVAHSSSVSASGKKEVAESRIGV

>RCO7_07622 | uncharacterized protein

MLASTISLPWANKAVAWIAGSLIILDMPLSPLRMLKSFQVPVLVAYVALYTLAKFWLGHVTSTVRQPYLDEIFHIPQAQAYCKERYDIWDPKLTTPP
GLYIVSTLYAKLSTYGKCSPAILRSFNVFALIMVFSYACDCRALIIRARSRGSPGQRNHSSRSRMDLWQDGNSKLTLDEIHTALNIALFPLLFFFSG
LFYTDVLSTCIVLRVYRLYLERKGAYQNTSQGLIWLYPTGIVALWMRQTNIFWVSVFLGALELVRTIDASRIPEHSPGSMPYAWKDICVFYFNKYSR
GDIHDVSLKDAGVHDFILCAVSIALAALFRPLLLIGRLWPYIGLLVSFIVFVVWNGGVVLGDKANHVATIHLPQMLYIWPFMTFFSAPLIVPVGITF
LHRLYSLLRLPLFPRLVRQYLLVTTYLGLALAATLLIIKFNTIIHPFTLADNRHYMFYVFRYTILKHHLVRYVLAPVYLICGYLVYLTLCSQTLKVS
ATLKPNNSSKDHDDEKGSQNIAFTESEGPTTSFVLILLATTALSLITAPLVEPRYFIIPWVICRLNMPSLPTLQSPPKIANGRGEGDIAASATSWIK
IWGWQRHDYRLWLESIWFLGINAVTGYLFLYRGFEWKQEPGNGTFSHLPEIFSSNAYRQTLLPKDEASSAYACEAYSM

>RCO7_07621 | probable beta-glucanase

MLFSKVFTSLLLASAAAKYIVPGARWRDTNGDLVNAHAGGVIYDKDGTFWWFGEYKVQGQEEGGGVSVYSSEDLVTWTHHGFALEPIEGHPYIDPKS
IIQRPKVVYSEALEQYHLWWHADNSTYGLLLQGLATSKTIAGPYSFVNATSPLGNWSQDFGIFTDYKDGRSYSLYSNGDRKEGRDVYLTSFNKELTA
LDEVVHRFDKYDLEAPTIIQTEKSYYALMSHKTGYRPNNVVAFRADSLAGPWSQPFTVSPLNTRTYNSQSGFSLRIKGTKKTTYLYLGDQWDSNSLW
ESRYIWLPIEIDDRKNTLEVVWYDVYDLNVKTGEYKGIEGKTYYGKDAVVTGDAYKQEANFASGSVIVTGIYGNDSSVMFEGVEGTGKHQWVSFYSQ
NTDGMGFGDQPGGSPDRIGGAWQLRRISSVVVNNDTSNVHTLYQRATHKGVILSTPLQLKLEKGRNNSITVRGLWNGFDYKGADLDRIVVYPPEK

>RCO7_07620 | related to meiosis-specific protein NDT80

MGSQAGNYQDLAASSGLSPSCIIGSETEGDNSFRNDYSNSHSQPLSTDMQQYMNRVSTDDVRYPSEAGTSHSPVYSLEPAVQNTNPSSTLAFAPYTQ
LYHHQPLNGNTYTSGGSYHFTPNTSLFSMPDLKPRQTSFASSGLAPLSRSPALPQPSIPINPRDIYGGAQPHLRRPSDLLRSPTLSHSYRGVPLSPS
STSGFTSPISNMDGSLGGAPCPPLGGTEVLYSLQTSDGQVFKPEIFGKIDKGFFLAEKDWTCYRRNYFSLNCSYTITPSIPNGSMYLVQHNGSGPQI
QAFAMSIAAVVDGRDGKSIELVQHTPKRDKGPQEKPARITLAPRPAASHGMYGDSSMGSRAGIYDNPGFSQNPNQPAVEATFERIQFKNATANNGKR
RAAQQYYHLLVELFVDVGNQHPDRWVKIASRMSAPMVVRGRSPGHYQGERRGSNGSAGPGSSAGQGGGSYTPSGSTNRTSGDMNMGGGSMLPGSGYS
YNDNRGGYHRSGMPPLHDPTLSHDEEKSIAESSCFMHYPGAIYEGHEQKYTLPSVSDYTTSKINNDYSGAGGYVLPSITSSTDGYGRQCGRWDGIES
SRGYYPTTILQRELNLSV

>RCO7_07619 | uncharacterized protein
MAAQNKNIRVEKLVGTNSRSFSSPGPRSSLLVLRHSKEASFAATQFTAAHTERASSPEKGRTPPTKLMNQPLSGVYIAQQQRYGPMHTNRED
>RCO7_07618 | uncharacterized protein
MPKKRFASQYSKPQSTAHPSLNSNVSSSSTNHNDAHPTVNDIISSLRRSSISSKPATATVTTPTLPPQIRHLLSQPETPVPRARNRARGLDAYGRRL
PPGPAIPRSWLEGSRHDPLVGRRSQVRFLPEDIRHLPGAPEDARKGRSLQDICLREMAREWEFVRKYEKNNLADLPTGTRMLLLSYIAVYGPHEGVG
FDGLKNILLLPPLENGELPDFDPGERNDRFYRVDLSGAMGNSVSFKQLSELVLKPAPPADVDPDELSWDDNSLSQSLSPPIPHLTHLSLSHPASTVS
WPRLISFAKHLPTLTHLSLAYWPVPSLTPNAQNAVIQTANGQQIQYGGTNMYSHSLDDDFAEAADVLRRLADRLHGLEYLDVTGCTHWLQAFRWTGS
RTQRHVEWGNQWTKLRTLKAYSGVEMTEESKFCDVASFVMAHREATITEEMLRWWMRRNKILGRPVSWIEVLKDDWEVYKGLWCGDGKEHERKRDAL
VGLGNKDFMGENQWREPFVLDPLAMRDDGSVERMSVWDQ
>RCO7_07617 | related to CHIP protein (carboxyl terminus of Hsc70-interacting protein)
MVNAEVDHDPAKALEYKECGNKCFQAGDYTGAEALYSKAITHDPSNPLLYTNRSMALLKLQLYPRVILDTRQAISLLPQNMKAYFQLAQAQIALSDS
AAALTSAKKAHELCVEECINGGKGASSIGPITDLVLRAKKEDWERREDERVRGMGGLLRDVVKGMEESRDRELEGIKGEEDEKEEKVSEVVWRWLKK
IEEVRSVFETAEANAEGAKDESRRRKVPDWCVDDITFSVMLDPVVKTKTGQSYDRSSIMEHLRRSPTDPLTREPLQVSDLRPNLALKAACEEFLDEN
GWAVDW
>RCO7_07616 | uncharacterized protein
MSTFIFNVIWCLLAIFTHVNATQPTLPTQSTQSRQSTQSTQSTQPTQSPRPNTTSPSNANSTSGQQPCGRVGSAAAAFMANNPRAPAAIIPAQLAFD
CLQTVPNKPDQAAAMIKSLKSYVQWQSTLAFLKNPPDSYMLPATDIEGGLDNISSTAVAGGFKSEYDFQLSVVKLITTAHDGHFGYRPDVFKAFVFR
NSMASDIVSVSADGKSVPKLYHLGASNGTNGTNGTNGTIPNRSPAITKINGQDAATFINNANLESSSFQDPDSQWNSQFRTYAAPLNLLTVAASAAF
QGPSVTLNYDNGQQRTEQSVALIRPGADFSGINTGEDFYNRFCNPDAQVRSNVTGPTTPNPMTPTMPLLNMTQPRPASPVSPSSTILGYPLPIVRDS
GANTTSGYFLKGNEYNDVAVLAISGFAPQGNVAPVEYLNNFQSTVQSFLAISAAAGKTKLVIDLQANGGGFVVAGYELFAQLYPTVQRFQADNLRLT
DSLVNMARVVGAIPNNFTATTRTQQAAFNALAQSSVISNIVPGGVFTPAGTQFTTTESIIAPVSLKNDLFTAYQQTPLNTSDPQFNLTGTGNRANPP
PSVFAPENVVLLTDGTCGSTCTIFSYLMILQMNVKTTVIGGRPQTGMMQSIAGVEGAQVFSMNELALAAAATIELAPADRKAELKAGNLGTMAAGYA
IRRAQNPGSSGAVNGKNAYSAENSQIPLQFLMQPANCRIFYTAQMLTSPEMTWKKTVDATWRNPKEFCVEGSIMAKNTTTNANVDALFRLSVDKSHG
ALGMVEKNAQSAAADVGGGLNLGLLGLVTGLTVGVVGLL
>RCO7_07615 | related to 2-haloalkanoic acid dehalogenase
MAAKKHIVFDVVGTCVSFDAFYARIAQILGLRLLAQSINPSHFGYTWKEAAELEFYFLLFSERYTPYNEIFKAVFYRSLFMAGISNPREFATDEERD
ACQAGYSELELREGCVEMMGKLRKEGWTVWCLTTGDVGRVGGYFQKAGLEMPRENLVSCDQFGEVDPVTGVKKRVYKPSMESYKSMLKLLGEADDSW
FVAAHMWDVSAAVKAGFRGAYCSVLEKEPCSEIFDRTMDAIADSLPELADKVIAATS
>RCO7_07614 | uncharacterized protein
MRKGSSQVPNPSLRDHTLIVVMIFISRRSSIASKFHKILRRRERYSQSETPKGLSITCRGKPIVQEDLFRCTNGRFLVAEETQYRRRYLKFNVQKLC
DVAAALGDPSPVMQIDKMEGGFSKALLLTRADGQECIAKLPCPNAGPSHLTTASEVAVLQLVRSQTTIPVPRVLAWNSSSSNPVEAEYIVMEKAPGT
QLFQKWDDIDGDCRLSLIKQITELEHQLASIVFPASGHLYFKDSILKHKHTLLNSSIDTTFQYGIGPSCERSWDMDQTQLSSDSSRNPDVGPWKSVA
AYGRALANREIFRLRMQLSTRPDRSHHTKIEDDIPLLQKAANLMDILESYPLLKQNSRPTLWHTDLHMGNIFVSETEPQTIVSLIDWQSISVSPLFL
QVRWPIFLEPPDDYTKGFVHPELPSDFEKMDEDDKELAMYKFEQASRTKAYETSTYLKNRDAYNAMNVPRVFRELFIRCGEVFEEGAAPLRACLIEI
SQSWEQLKLPGTCPFSFTPDEISAHDVSFEEYEEFHRVRKFALEYLDTDSEGWIAPSMDFEEKKAQNKALFEYYLENLAGGKSRKELLRRWPFSESL
N
>RCO7_07613 | related to alpha-1,2-mannosidase subfamily
MPRIRTSHIARAAGAVAVTCLYFLFENPGSPSLRSAVIWRGAGDKDKDVLNLVNMFIGTVNGGHAFPGASLPYGMAKAVADCLGESHGGFSSDSSPI
SGFSHMHDSGTGGTISLGNFPIFPQYCEDDDVSTCKFTRNQRVVARGAHSASPGYFDITLADGIRGEATVKAHTALYRFSFPKNISSTGAPLHPVIT
LDLTDLADTRNGDAKASIHPQTGQIQGSGIFAPSFGTGQYELFFCADFSGAGQLESSIWEGSGVLSNETSKDFVGLAPGGTLTIFSPPKTNDNILVR
IGLSFIDSRQACRNAESEIPSFDFQIVRRAAENEWRNKFDVIKIVPGGIEKDLEVIFWSGFYRTMISPQDYTGENPLWNSTEPYFDSFYCIWDSFRS
QHPFLTLVDPNENSRMVKALIDIWKFEGKLPDCRMSLCQGFTQGGSNADVVIADAFVKELGGGIDWDLAYRAVISDAEDELEQWDHAGRGSLHSWKT
LGFVPIHDKSDDGWGLPTRSVSRTVEFAYNDFCIAAMAEGLNHREDNGKYTSRAENWRNLFNAEQKSSIGGIDTGFTGFFQPRNANLTWEVQDPARC
SPLLEPNSCYLDGSGGETYEGASWLYTFFVPQDMAALILLLDGPEKFTKRLDYLHESGLLYMGDEQAFLTVFLYHYAGRPGLSARRAHGYIPKEFNN
TINGIPGNDDSGAMGSFVTLTMMGIFPNAGQNVYLITPPFFKEISIFNSQTGKTATIRNINFDPEYKNIYIQNATRDGKTWSWNWIDHSFFAEGGLL
ELTLGDVESKWGTRREDLPPSMSTKPKDSMQQ
>RCO7_07612 | related to capsule polysaccharide biosynthesis protein
MTYVVNPGNVDFPPPDGCVPRSSEPDARSDSEILDSLTSHIPTTDSEKNIWAYWHTGFESMPPWTKRNVISWCRLQGPSWTIRVLDNVPGSPNNLLN
FVPIDFFPPAFKSGKMAGPYVATHSADLVRLPLLQLYGGIWLDVGIILIRELNSMWNVLCDPTNKFEFAALTFTCRPDEEVVINAFFMARANNELAE
RWHKTYLAVWGDATECTGFSEHALLKHVPIYGTPTEEMNAPEIKVSQRGIMDYGAHVLCFERLRDLVDVDDGWNGREYFENKMFLLKGLDEMWRYQT
TTAFSGQVQFEKLCTKLDGSSAQGEDATKAKEAKMWIDDLLANTTMLKFCHGPKGAIESALADLYDDPKNADRDCEPGTAAVYLRRGILEFDQTREL
KPLQIEKPKAKVWNVGFLDPFV
>RCO7_07611 | uncharacterized protein
MSVTEISLSSDAIFWSKICIPAISGLMDYAGTYTPAEKDNNLKFLAQFVAPSLGPQPSSQITSDASPLDVASPVEASINFSANSKPIVRFQFEPLNV
TVGGRTDEDPFGQARVRELLFEMGKQAVEGDLKWVKQFTEAFFPLGPAEIASVKAKEHDLPFPLDHALAFNLAFDLDGDRKRMKAYFLPMAKSLATG
KSGELITWETIRGLDPYGIDLSPTVNILDDYFKRCPDTMTIDMIGIDCVEPSKARIKVYAHLQTMNSWNTIHHVCTLGGQAQNESRLQGLKILRSIY
HLLFDEQGLQDDDNFNYPMRLSSSLFGSIMFSFEIVTGSRFPEIKTYVPLWQYGTSDGQIARSLSAVFRKLGWNTAADNYLAKLKACFPGADLEGPS
SLHSNLSFAYSQKTGVYMTVYYAVNGKSVCASKQG
>RCO7_07610 | related to cytochrome P450 3A7
MILFTSLRSRSITRSIRLIIPCEASLNPLLHPYFKSIDIISQEENSFTLTFAPITFLMMWYFYIPIALFTYVFISSIGSFAKNYSAAKKTGLPIIIS
PVQRMNIPWMLAQHSLAPLLALLPLGLGYFARYSSLDYWFEDKYHLHEQVGKTFMFVSPGKNELHTVDPLVKKQIYARRRDFEKSEEILNAARVYGN
SLATVSGPDWQRHRRITASPFNERCFKLVWDESIRQTQQLMAYWSENGAAGSKNTTEDLTEVALNILVLAAFGESRDSRGSQENELEAMGQKKSRND
VDVEMSSGESISLLASQVRLLTVIPRWFFALPASFMPTQNLKQLVTARVNLDQQMKEMIGNKKAEIARGESTDASFLSVLVSKSNEAQHEKHAIGSS
GGGLSEDEIYGNLFFFHIAGHETSAGVLAYAVHLLAAFPEWQRWVHEEVDAIYKPHIDVGKMEYKETSPKLKRCLAIMFEILRLYGPTPFIMKSAIG

PDGQDLEIDGRICRIPPNTLVMPNAIASQTLPEYWGEDSLEWKPDRWFKSTSLSENDSTVKGDGRVNEDIFYFPAEAEETFLPWSGGARVCPGKKFS
QVEFVAVISLLLSRYSIEIVREGGESEQEAQERCVAVINNSVAELTLKMIDPTSIRLKILARK
>RCO7_07609 | related to O-methyltransferase
MESIKNQITDLASKSDNAGRMEILSALRGLQCSLETPYQTQMRLYDLHFQIAMTRVGCDLGLFKTLSESETPVTVQDLANKTGAAPQLLGRILRYLA
SCHHIAETGTDEFTANNITRALAEPDREGGVHLSFDVCGPVTQALPDFLLETKWQNIVSNTKTAFNLAWKTTLPNFVWLRQQPQFWDYLHKALQVQH
SSDWLSGFDVEKYLGNWSAQPGDDKVLFVDVGGSMGIQAAGFKRKYPHLAGTVILQDMKETVENPEIVKPIEGVEIMAQDFFKPQVVKGAKFYYHRN
IFHDYPDERVLILLKNLLPALGKESLILIDEKVLPGRGVHKHATTLDIAMMAQVGSLERTKGQWYQLLENEGGCKILDIVTYTDEYDSILVVAPK
>RCO7_07608 | related to cytochrome P450 CYP3/CYP5/CYP6/CYP9 subfamilies
MPLNSLIEYGSLLGRSYISGGIFHGAGILCSGVILLFISKCFYNLWLHPARAYPGPFLGRATRLYFTYYRISGQLEFKTKELHDRYGLVFRIAPNEL
SYNGGTAWEDIYGHRSKKRPNANLAKDPHFYIGATAPNGEKNLGASADQDHTRIRSVLSNAFSERALYAQEGMITNEILKLIMKLRETGAKPTNAVR
WMHHIVWDIITSLTFGESANALNCPDWHPQARLVFEGIREGVSLIEILRFVPFKHFCLRILMLAFGAARMQNFNMSVQRLEDRMGKKDIETPDFMSY
ILRANETEKELTTSEITANCALLLDAGSETTATMLSGCLFYLLKNQKCMAHLTEILRTTYEQDTDMDSKSLARLPYLQAILEESMRMYMPLPFTLPR
KTTREGAWICGRHVPPAMTVGVNQYSACRAEENFQDPDSFKPERWLDDSTFPNDKRNTFQPFSNGPRNCLGKR
>RCO7_07607 | uncharacterized protein
MVGEVVTSGPIYKGHGGIRPLEKLWRSRDPRAEKPINRWADVRIRNPKILTSSGK
>RCO7_07606 | related to geranylgeranyl pyrophosphate synthase/Polyprenyl synthetase
MDYQYSTVIDNATWDSEGLCEGIDLRQHNYTYFEDRGAIRAHEDWTKFISPVTGYRGTLGPRFSFMSVAVPECIPERLEIVAYANEFAFLHDDVTDN
VSQREGEVENDDMMEAFHEGSLRGTININDPNTKRMNKKKIQAQLLNEMIAIDPKCALITMKAWAKFVEVGSSRQHHTVFTKLDDYLPYRIMDVGEM
FWYGVVTFGMGIVIPEEETEICRELMRPAWIAVGLQNDLYSWEKEKQAADRNGHTHVVNAIWVLMREYNISDEDAKILCRKMIKDWVAKYIQIVREN
KDNQSLSIDLRKYIEAMQYSISGNVAWSLACPRYNPTASFNRAQLEWMQNGIPNINDSNISHESATHSPKRVTYDDSSASSISTQESRIGLNQTQNS
PHSSFSSPAPSLRAECLSIFGIIPEENLPALGTEATPFDYLCSLPSKNVREQFIDALNQWVKVPPLLLEKVKAVAQLLHNASLLLDDFQDSSPLRRG
RPSTHTIFGPAQTINSSSYCIIRALDLVRTFPESSALGFVIEKLLVLFVGQSYDLHWSFNATQPSMPQYLQMIDSKTGALFQLLSLLMSANATVNKD
TNLDTLSILLGRYFQIRDDYQNLKSSEYTSQKGFCEDLDEGKYSLPLLHLLQAEIENVQISNILSTRRTNGKMTYEQKVLMLEHFKEAGSLEFTAAV
LESLYEEICGEIARLEKACGENTHLKILAELLRL
>RCO7_07605 | related to cytochrome P450 CYP3/CYP5/CYP6/CYP9 subfamilies
MAITTATMETISAPSMPILCAVILMSYWASIVIYRLYFHPLARFPGPRRAAATHLYEIAWDYFGDGGYLFEVQKMHQKYGPIVRVNPLELSILDPDF
YAELYVTGSVRRTEAFPHFGDGMDFNGSHGMTVDHDLHRRRRKPMEPFFSRQGVSRIEPKLSELVCTLVGRLQDYRGTGKVIRLDHALSALAGDVIS
NICMDDPPASFLHDPDFNPHWFELFHTLIRSMPIFMNFSWIIKIVRLIPESILRKLDPRSQMFRDWRIMSENHIAEAKNRKLSDGSLSKSEGYSRSN
TVFDQLVNSDMSESDLSVERLASEAQVLMGAGTVTTARSMDHLTVHILRNSRVRDRLEAELKEVMADFPETLPSWKTLDQLPYLQACIKEGLRLSHG
IMHRLPRCSPDVALQYKEWTIPRGTPVGMSAYYMHTDPEVYINPFEFRPERWLGEVNPNMHRNYVPFTKGSRNCLGINLAYAEMSMVMAALFCPKGP
KLKLFATDERDADPACAFLLPLPKLDSKGIRVVVE
>RCO7_07604 | uncharacterized protein
MSPSRIDNVSSKFRISPLVHSPDKKCNFGATVEGIDLNNLTDEEILVLREAIWTHKFLVVKDQTALVPKKNWELVTRLDPEAPILNQMDFAKCFHPT
GEGILKKITLTLLPGVEDVHLMGKGYQGEDHYGVKNVTLNEAFSSAFHSTPLSEEDFENGNTRFQSWHMDGPGYRIDPPWFSSFRTIKLPNGPDQTV
NWDDGSGLSMKAKPGRTAFFSSAQLYDLLTDEEKIMADHSWVEHMHHPYEWVRDCHGNPNGLSVACEGRETSMEEMDTFERDPSWTKKYPMVWVNPV
TKEKSFQVQPNIVRKIFIRNNATDTPKVIDDLTEVRAFLNDIQLRILKPEYITAQPQNEGDMLLWDNYGMMHSRIDYPVKYGTRTAHQCWLGASRGP
VGPVALPVDA
>RCO7_07603 | related to gibberellin cluster - GA14-synthase
MIITLWDFQSLIRRLQDTYPRHTIPNLVFAAAATYLIWMTANIILYRRKLSSFPNATSNQGLFGIFSTKARTAFITDCANLVKRGFSMNQTAFRLRT
DHSEVIVLSSRLAEDIRSEKRLSAGKYTETELMGHIPGFEPLGFAGTHRKLMHDVITTRLNRVLPKMPNFVSNEASDVLKSSWTDDKSFHKVHLYQT
ALTLIARVSILAFLGPDLCRNQRWVEINTQYTVVALGAVNALRKWPRFLLPMVHWFHPQVRATRALLNEARTILGPTHEKRARELAAGKEAPSDALT
WFEELAQGQPYSYDPTVAQMTFTVASIHATTDMFCQILLDLTKYPEIVEALRKELLDVLKKNGWQQSSFSQLKLMDSVMKESQRLKPISQVFNKRVA
TDDIKLDEDLQIPKGAYIVVSANNMKDPETYPEPEVFDAYRFIKRAENPEYARSSSFSSVSVDHTGFGFGNHACPGRFYVTLELKILLAHIILRYDW
KLPDGYESKIFCNGFDTVTDMMAEILVRRRAEEIDVGLTC
>RCO7_07602 | probable leptomycin B resistance protein pmd1
MRADVSGIEDTTGQEHTESSNSSDVIKEDLHKNSSVQAQAASDHNEPGTDYSSKAKNHTRFSDYWRIFVYSTMTDRILLLLAAAAQIGTGTTLPLMN
IIFGTLVAKFSDYFVPGSTTTKRQFQNELNRLTLYIVYLFIGRWVLSYFSMYTFRIVGLRISAKLRLEYLKGLFALSVSALDTLPPGQASNALTNTA
NTLQVGISEKLGMILQFTATLLTATIIAFIYSWNLTLVISSGLLVIALVYGIVVPIVIKMQKEVEHADEQASSIAGEILASIRIVIASGAEGRVMKN
YSGWIQESQRRGLKMSPMIGIQFAPLFFAIFAVMALAFWFGFKSYQEHNINSVGDILIVLMSVMMIAFSVSQSAGPIVAMTKAAAAATDFFAIIDAP
KPSTSGLIAPLVSSTNKIVFDSVTFAYPSRPHVKVLDSLNIEIESGKITAIVGASGSGKSTIVGLLERWYELDEERFLLPESVVKDEKLEMESERET
FQRSTGSEISVTPSGSILIGGQNLNTIGLKWWRTQIGLVQQEPFIFNDTIYRNVAFGLIGSDWEHVNEVMKRKLVEEACKEAFADEYISRLPQGYDT
PVGDAGIKLSGGQRQRLAIARAIIKRPTILILDEATSSIDVRGERIVQAALDRVSEGRTTITIAHRLSTIKKADNIIVLKKGRLVEQGTHDSLLADH
GAYWALVNAQKLSIEEGFPEESDHIESIKDDLVHDLSTVNVETKAAKTEVTWKPRGFLRSFGCLIYEQWTYWPWYLLLTIACAAAGSSYAIQAFLYA
KTLGIIQLSGSALANARDHWALMFFFLSLGCFVAYFALGWSSTTISTYIACTYRQEYFGSILHKPIEFYDQEDHSSGSLAGRLANDPTQLQQMLGIN
MAMVLIAALSLVGCIIIAFNYGWKLTLVTVFVTTPVLMLASFFRVRFEIQFEALNQAVFAESSKFAAEAIGAFRTVTSLTMEDMITRRYELLLQDHV
EKAFVKARYSTLIFAASDSVQLLCMALALWYGGRLLASREYDIEQFLVVYIAIINGAEGAGTLLSFGPNMAQAAAAANRILSFRFRSNAATKPTLEL
QDMTGGANIELCDVWFTYPTRDVPIFTGLNLTIEKGKFTAFVGPSGCGKTSIISLLERFYDVQKGRILCNGSDIKDLDIREYRKVISLVTQEPTLFQ
GTIKQNILLGVDDDECISMEKLHMICRDAEIHDFITSLPDGYNTTIGNRGIALSGGQKQRISIARALIRDPQILLLDEATSSLDSESEKLVQAAFER
AATSRTIAVVAHRLATVQNADMIFVLGEGKVLESGNHNALLRKRGVYYQMCQSQALDK
>RCO7_07601 | related to ADP-ribose pyrophosphatase
MTAPPQVRVGVGVFILKSTHESPANPSFLIGKRINSHGHGTFALPGGHLEFGESLEECAAREVLEETGLVISHVKFLTATNDIMESEGKHYVTMFVV
GVREDEEQEAEVLEENKCEGWEWCRWSELVGMVEGDANGESGGKQLFVPLVNLVRSRAGFVPSIA
>RCO7_07600 | related to RING3 kinase
MDVTDNTIAHEQQNNAMKSPSENLAEAESNTSFTPEEIAYYGSSTIAYKNSTPAQLPQASSSSSKETHPRALQQARQAAPRPSTPRHQPKSYRGVDL

AAEAGEASNTVSWHEAHPLFVIILVGADEIPFGIQKALLCAQSPYYREYFIQNGGDNQVEFIVKLPDTTVDIFGCFQNFIYTGKVYDKAQGRPIPEY
PLLMGVWKLATKLRMAPLRVAVLDTMSERRLETSRIPGTPLLIQAWKETDEGSGLRLMLIGWAAEHMRTSPEARNAFAKSLPQEILSELVIVMSELP
ATPAFTPIAHRNQNQTLTHPKSAALESTPAPGPSAPHPPAQHPSTSRPTHTNATTNSNNKRARKSEIGHLSTAGADDAYEVKPATKKQARRSEPLIR
RKSKTATFSSANAVLTPEEDLEFCRGMISRMVLGPGYWTRLVKAFKHPVDPVIENVPNYFEVIKKPMDLTTIKGKMERDEYSSAQEFESDVRLIFQN
AKSFWKEGDPIWEQCGKLEAYFDQQWAGRARYTPNIKNEVVD

>RCO7_07599 | related to protein PNS1

MAYNQPQHGGQADGYYNQSGQQDIYMQDQRKGYGQPVQYNGAPYQQQGGYQQQQGQYQQQPYQQMDGPPPQQYPQQPPNYGNNMPPQNNAPKGKLSG
FEQTFKLDKPKYNDLWAALLFLATFLGFVAVSGIAIHGYVLGGTGGIYGNQQLHLNSNTIILFAFVLAAAFFTSAAYFWMIRAFTKQAIWITGILQI
VFGVGTAIVYFARHYYSAAIVYLIFAVFYIFCFISWIPRIPFSVLMLQTVIDISKNYGHVFMVSTIGGFIATAFGAWFSVTMVSIYVRYYPGSEACS
AGGCSQAKVIGLLVFITFAGYWITEVIKNVIHVTVSGVYGAWYFCAQKPGGVPKGATRGAFKRSMTYSFGSISFGSLIVAIIQCLRQACSIAQQNES
AQGNMLGACFFCCLQCLIGILDWAVQFINEYAFSYIALYGKAYIPAAKTTWTMMKDRGIDALVNECLINPVLTMGAVFVAYLCSFLAYLYITFTAPA
YNQGGAFTVVVMAFAFLIGLQIANIFLVPIKSGVSTLFVAMAFDPEILINEYPDLWQRMIQVYPHVQQAVHV

>RCO7_07598 | uncharacterized protein

MRFSSLFPLACAIVGFVLSMLCLFAGSKKAFMEEYHIITLNTSTLGHNILGSSDPKATPTSSSPSTTSTSKIDRIGDFFGDLKDNVTNKIENEFNEL
VADVADKLAKELGIHQWYSLHLMDMCEGEYKPNATAKGVSKNVTNCSNRTAMYDFNLDNVLNQQLEVGLLKINLSDINWPKDIQNGLDTLNVAFNAV
FVLYAIGIAAAGLAILASLVAFFTSGSRLISFGNWGLATLSFVCLVVSSALVTYVMQKAVHIINKYGNDVGAYAYKGTKYLIITWVAAAVMGLASAA
WVVEFCIGRKRQRREYTEKSITKRRIWGRSRRSDEAALRRAGV

>RCO7_07597 | related to zinc finger protein GLO3

MSSPEQAQADASTYLATGEEVKAIFAKLKTKAANKVCFDCKKNNPSWCSTNLAVYLCIECSSVHRGLGTHRTFVRSLTLDGKWTWNQLRIMKVGGNE
SATKYWQKTGGRSMLDSKNPETKYTRDICDKYTQRLKDLAQADAAQQLATAKADGNLEDSHVVYITDVMSNGPDGTSTPAGEPDDDFFSSWDKPTIK
KPTPPISRTATPPVVGRTPSPFLNAGSANENGIARTASPLAGGAAAPPATSRTTSSAALRKTAIGSGPRKANVLGAKKTKLGAKKVTGDVIDFDAAE
RKAKEEAERIAKLGYDPDAEEAPAKKTSVSKAIDSSSIASPTPISPGNRGRNNSDVERLGMGMGRLGFGQVGGSKAAPAPKKMGGFGSMGPAKTEDD
DQKYARQKFGTQKGISSDEFFGKGSFDPHAQSEAKGRLQGFEGATSISSNAYFGRPEDEDAGEDYGDLESVAKDFVRKFGVTAGDDLENLTQALGEG
ATKLQGAIRSYLNS

>RCO7_07596 | probable TIM21 Constituent of the mitochondrial inner membrane presequence translocase (TIM23 complex)

MISIHHPALLRVPVTLRPIVAARLYATQTSLGATTSGSPRRKTVTPFNDDGKVAWGDLSKGEKAARATQQTFNFSFILIGAVMTAGVGYVMWTEVFS
FDSKTTHFNKAVNRVKKDPRCTDLLGDGKKITAYGEPTWNKWARARPIASSTRKDQYGREHMIMHFNVEGPLNKGVVSLHMVKPPAESEGGGEYVYK
YLTLDVRGHQKIYLENADATLDSPAKNKSKIFGISWR

>RCO7_07595 | uncharacterized protein

MPQIIAGRQNAFNEIKAVSTHTNVIPHTFKYKLGTVVDSDVVTPNHVNFYLQAHASPKGTVRSAHCNVLKDTCGHTGACATKALSLAYDGKYPEKDK
KKDGGSPAKLSSPG

>RCO7_07594 | related to translocation protein sec62

MAEQQAQQGLPAEQQGEPQINFQAPPGQPPPTPEQIEVMKKQLIAEAAKAGLTVPQFLQKMQDAQRQQQMQQQSQQQQVQQQEQQPQPIQPGPPKPE
ALAVANFLKSQDLKLRTVILNDQRKDMFKVKRALRALQSPEYAKARAKNPLLPEITDRASLENAFKLLPMSLLALRVSKGDPHEGHNHAPGAHKTKR
VKGQWTVKIEQQQECREELHFVWLYEGAQVKQKLYALGALALVFTIVMFPLWPMKLRLGVWYLSMGMLGLIGLFFVMAIFRLILFAITMFTHAPGLW
LYPNLFEDVGFFDSFRPLWGWQEEKKKGKKKSKQSGSANAGATMAAMTGQPAPAQATTSSAAPQIQTGSSTKQRHMAPRVEEVFDEE

>RCO7_07593 | uncharacterized protein

MSENYTPRPDTQSVPPYNTVVLSQRDLGLRVPINFVTDPGVSLKAACFNENRFELDLYWNDARKVWSFCPVAIPPVIANLTPLSTVTPFPYPITNSN
FSQFPSPATISSPTPQSSSSTSPNLNARQMTASTLASPSPTSMDEPSLGQSLPSTSSVLDLSNNPLVAIGPYVCTTTINLSTFTSLLLDYIQKTETT
LQAHLLYLILNIHAASSELDPGGPAPLPSILPHGSSELLGELFAENLTNYIYSEFNLLSDRINLNDSWYNIREEAYRPVNGYYDTTRTPNGVLTTED
GWPSEGYIEFANSKRLLVGYGNIDPQMSDYNFTGDAGTIFRDGFIQDLQRNVTATADGVITSGCFMNNDTIELAQRNSSWAVLSSLPSFGNPTAASA
DLTPLLNLTSSATNCGISPHLNTTLLGTSASTNSSPYSAFSQSTIWSWAPNEPQNASTTSDSPSPDSRIFRCAISNKDRDGRWVVDNCSAKRFAACQ
ASSQPYNWTITDEETVYSFAAAYCPEAYTFAAPRTALENAYLTLAMQRSGRNWNGHGAWVDFNSLDIEGCWVTGGQKYVPPLFISSILHLYSTSKYM
PVLALITSFYRLVKNSEVHEQCSVIHSVLFR

>RCO7_07592 | uncharacterized protein

MPPHPVVVSGAIVVVAAAVAAAIAVYESPQARQFAEDVRRRLALALHSLGDEINPASQSQQPRFNRPEDAEGFLLAGGQVGENGVDADEESKKRQRE
ELMYWNAVHLEKVEKERKMNGERPVNKSRGRSFDDFLQEDKTEGVEKGTYVYNTGADVRGDAEEGLRSRNVRVLNRGSFYANPFGDENLIDADEQRA
VDSSLMAPEEEEKDGVSDLYSANEEPRDSRKTTTTIAEQLIDTSEEKVADPTISYPTMGDLTLDEASYTNHTTTRDNEAYASIHAWANAATSNAATS
NNSDTDFYSPLPASPRSVSPMFSDPEISVPGSGEATPTISDSVSLAGSGEEVWAPISGSTSENGKDLDLVSLDGEGVSTPGTWTEVGSVVSEDDAVP
QHA

>RCO7_07591 | uncharacterized protein

MARTISSSGEPAALRGQTPSPSPRSATTSLQAAAAMNAGLQQEGSRRSSSGSITRTRQSSHAGRRRSTVLMNLQLHDPALPSPGEMVNDHHASSHRT
SSPHSLTNSPIITSGDPHHYRAASLGEIHQEIEQEQEAQVNRLLQMIRIQQQELQQLQAIRGSPENTHPTPAVIDETTPTSERSLSFSTPNVRHSTM
STPRSPTAIHPRSSFDIARADLQHRQSRTPSRTASPRMRSTSISGEGGESWNLGGRDESAFYQAETQMMVRENQMLRQRIRELERQASELNTNSSVT
HEPAIASHLLRSQSVSDEGPHQIPATTAANISATVGVEIKND

>RCO7_07590 | uncharacterized protein

MPAKQPQSPGKKLQKKGKGHEKSKSYQPLGTNPNQASLLSQSSSSRKAESFLLVALTVGIPGRNDFMIGDFAEHSEKVVYSRLKAVHRQDDYLFVDQ
TQIKNKFLEWMKDVTRKALHGDVVTIILVTHGHPLDGKLQFGNDVLTVKETLKLLSYFQKGVQVNLVTTACGSGSLCREIPTNDQKDRFIAAGSHES
SSRNGLVGWKKGMSSLGKLTFDRPGPTMEGLKHNLIQGVLVKPIGPLAKSTPQFAGSAASKEESETALQRIIHLDYFDFPPCPKRAARYLRQESDMQ
VISGSNQDNVDDFGFGAAVLEFYGEEVHKTHDSCLIILDAELHARAHRMLDRTKRGERTTNAEIMKAIYFQAKVQSACFNVVMFLQDQCLITLKGLE
EPIQIYAAPHDEIRDVACALSAFDLFSGVLKYPFETYTEFTGYYHAYS

>RCO7_07589 | uncharacterized protein

MANCNGLTPIEAGGLDELPRQDINLAANRRERPPMMNLSTGDIASRVPLRAPKIQKKDSKGGLRAMFTRKRTEQAIAISPLAEEDAPMSGFSERSMG

AAAEASLLSVKMAKQRTEKSTPVREIPISETPGKSTKTSRMNMSLRSRSAPSVKTPSKVVPDLPSTKSMSRPRTRSSAAWDPPPLFQAYPQAIKHAQ
LSASTLSADSIIRMNNHRRNNSLRSDTEATDCSTAGEKKAEKSKSRHKRQVSGSLLKADWIQKTFVLVTSGYLLQYAGEGSFDRLPEKIMQLGKDSV
AFASDAIPGKHWVLQISQAMDSDGTPASDSRSLLSRLAFRGADYRRSATSLLLVFDSAEDMDSWLAIVRREIEALGGKKHASETGRPKADDKILQLK
SQPSHRYLIHRSTDDLSNLASPQMPSLGPPPWIQDKDNEPQKNLEQTTSERTRPQGSSIRPSTGHSMAGSVTSNDARQLESLRDSTNRFSYLSSGQR
TLITSRGSSSSTSSTRESANFDDNVSKPSSGDIHSRPNAAAVSERRRSMLTMAIPLFGAPITAKAYRHSTYGGPSSVGRSRSPGFTPNFSVPNSSIK
RYSIVRRPSSPIASPSSRPVARDSLMKGTRKAPPSALHVPRSLSPVKASPKKAAAPMASTSSSPNSRIYPQHQAQTYLQAKPSVITIPPRSPSDKTP
TMSISHPRRMSSLAPLAPHESAHLDLHLPRRYSSMQTLGEVGEKRFLNNLDAPSRPAPLLPAELASSISLSPLRQGFDFSPPSENQQIQPQTQQMDF
AQKQYSRPSSRTSINSRQPLPLSLPLQTPMPLPALANMKSKVNRPISMQISPAASHRNNHYLTHNQDQTTIPPNTAFQPQPRSVIQFSPRPTSSSSI
RSSSLSPTTSISTAMTTPMSIISPGLQRAKGEPSKTLGIRKSMPMLVVNGPPPAPPPRCALPPIPPQGGSDNGSGSGRARSGSVRASVSVGG

>RCO7_07588 | related to FAD dependent oxidoreductase

MLYKALRRQLLKTSCRGFASTAKREADFTHAVIGGGAVGLAIARQLAGRDGTSTVLIERNKAVGMETSSRNSEVIHAGLYYGATSLKTKLCIRGRQL
LYALCAKHHIPHQNTGKWIVAQTPQQYEALVKIYEFTKTLLDVPTHFISSKQAAFEEPHVRALSGILASPSTGIIDSHAYMQYLLSDLESKGGDIAY
NSLVTSIQPSSSSSTKKGTTGWEITTLDSASSEKTTITASTLINSAGLSACTINNMIVPPTRHVKPYFAKGNYFSYASSHPRASRLIYPAPEPGLGG
LGTHLTLDLAGRIRFGPDIEWVDSPDDLAVNSSRLDEAIVQIRRFLPGVDEREIRPDYAGIRPKLGDGMGGGVAETDFVIRREEGYEGWVNLLGIES
PGLTSSLAIAEMVEELLYK

>RCO7_07587 | related to M.genitalium alanine--tRNA ligase

MDNGPLGRRRRFGHFTPIRSPQVQQPRYMQRHPIPELPPLQNASITPNPQLSSPLYDGRIPPEIRNSIFQFALTEDTTILYDANKGYTRPYYTGRKK
VDTALLQTCRAIYLETFHLPAANKEHVFWHPPETGPHGRFYSDRNGWEREKEMFYGSSKMMSWQVELVKEIHLFTQEFWLEQYFNSYCDERFMNGIE
KVKITIRRCDWWWNERNNPLGINPYRGNADSDQMTRDIVACKNGEVPEWNMAGWAGAFSKLPNLKELEMELETSDDKIDELVAIVEWAKMWKFPFRD
GKVLNTEGVNAKPVQTWQGPMCFWSQICPYCAGYGDCLKTDTPNEKCTERMRLRGLSMGPLCSVYSLRWKVAEGDSTA

>RCO7_07586 | related to L-fucose permease

MQQPPLSVLMSWPAPNYKDPETRGYGNVILNFILYSILLGFIGLRIWTRRCLQNAFGHDDTFILLALVPTTGFFVISVLKDTAFLWIRHVYDIPLSH
IEGGLKMVMAAEVTFAAAITLTKLSMLMLVQRLLSSASLLWRRITWLAIFIVTAQGLVFCFTIIFQCRPIHDYWAVTIDPQPNCISQPITLLVAGII
NTLTDLGTVLLPIRTVWTLQLPKRQVSAVILLFGLGLISCAAGIVRTYYMYQVTTGWDQTWRSYPVWITSGLELYIGIICASIPATRPFFSTYLPTF
IGSLTSASTSRNTLHQSNASHFGRNGGQSKRSGRSRPVTMTGCSEEMLDLEKGGSGSGSGSVDAGIGESDKAKTVRGTRYSQMPEGKEVRMQQSSTS
VVSMKDGRHSKEERERMERERVGSPDCRGILVVQTFEMIER

>RCO7_07585 | Eukaryotic translation initiation factor 3 subunit G

MSKAAASRPDWADDEDLDDTVNELPANTTTTNKDGTKTIVSWRFNDDGKKVKTTRRIRFTVHKEVVNPRVAERKQWSKFGLSAKDGSGPATDTTSVG
ENIIFRPSSNWRKDAKEEKTEAGAMKDKLKDKKVKCRICNGEHFTARCPFKDTMAPVGEEGAGADVAAGAADVPEGPGGLGTGKSSYVPPHMRNGGG
AAAAGDRMGGGKYERDDLATLRVTNVSEMAEEQELRDMFERFGRVTRVFLAKDRETGMAKGFAFISFQERTDAAKACEKMDGYGFKHLILRVEFAKK
AA

>RCO7_07584 | heat shock protein, mitochondrial precursor

MLSSRLSRALPRATSTATRSSNLIRTPLGSSFVRRYADEADKKVRGPVIGIDLGTTNSAVAIMEGPTAKIIENSEGARTTPSVVAFAQDGERLVGVS
AKRQAVVNPENTLFATKRLIGRKFTDIEVQRDIKEVPYKIVQHTNGDAWVSARGEKYSPSQIGGFVLQKMKETAEAYLTKPIQNAVVTVPAYFNDSQ
RQATKDAGQIAGLNVLRVVNEPTAAALAYGLEKDEDKIIAVYDLGGGTFDISVLEIQKGVFEVKSTNGDTHLGGEDFDIHLVRHLVADFKKSSGIDI
SNDRMAIQRIREAAEKAKIELSSSMQTDINLPFITADSSGPKHINMKLSRSQLEKLVDPLISRTVEPVRKALKDANLAAKDIQEVILVGGMTRMPKV
AESVKSIFGRDPAKSVNPDEAVAMGAAIQGGVLAGNVTDVLLLDVTPLSLGIETLGGVFTRLINRNTTIPTKKSQVFSTAADFQTAVEIKVYQGERE
LVRDNKMLGNFQLTGIPPAHRGVPQVEVTFDIDADAIVHVHAKDKSTNKDQSITIASGSGLSDEEIQNMVNDSERYAESDKERKSSIEAANRSDSVL
NDTEKALNEFSDRLDKTEADQIREKITTLREFVSKSQSGEGTATAAEIKEKTDELQMASLNLFDKMHKARADSGETPPAGDEAKTEGEAKDGEKKQ

>RCO7_07583 | uncharacterized protein

MAVKEESLHHATENLILQTPRKYYRVKIDTNHWQLRSLISSPEQDIIYFPNGADIISIKTKTRERELIASLTFLPRCLVASKDWLCCGGDNGNYTAI
SLKDRLPDFDPISFLNADPDPRLPLDLDPPLRSRHQTQIGEMIDAYRRLRSGRARTTQNETIGPEIVNCITLWSPSAGLSERVHNLPVAVVSNNDRT
VSILNVATSETLQTLKLPDFVNRTAISPNGELMVSVCDDPFLYIHERKLESRSKRETCENKDVVYEWVLAQRIQLDGQRPSDRSQMRGSFALSFSKS
GRYLAVATQYGIISIFDAECLTDMHSLLVTFTSSRPGRPPGAVRAMEFSPGPFDLLAWTEASGRVGVADVRTLFISRQLILINTSEHSTERITLSDR
SSQRLGLRNLRTESPHSSTPDYLDLDAEVRRRNLTREMLLGDNEPPTQAELDVLEVSRIARRQRDAANEAREVLAEASATSRWGPWTEGRRPILIPG
PDQPSRLVSNSGLPASLRDFVAHEGQASSFRDFLDERNRASVNEQNREAVRRSEANQAEARQRRAPANQIGEVDTRDIAQNDESVSSASALDRLTLA
ALPQEASNRRDPPPPLPPAAPANSSRTPESNTPWTDIESIYRATLQADPLVNRATRVRVEIGNEDGEQTIRIDPREFAHRLRQPWNPTDDADNTIER
RRTRIGTSTRDESGLLDGVLRGAETMGLCWSPDGRILYAATLEGIHEYHVNVQGRKMFPSIVFQ

>RCO7_07582 | related to E.coli tetracycline resistance protein TCR1

MRAPNPTYPTCLAADPDPSLSRLLRPFQHIRIDYIATFALLDFPPTTLLSSPTQKKKKKKKKKKKKKKKKEEVEIEPPQISVCAPPLAQTAPESQS
ANFRKPITLANNSAPFPAIVRLAEPIALTSIFPYAWPLVKKFHVGDENDASFYAGLLISAFALAESLTGMWWGSLSDRVGRKPVLLAGCAGTMLSMI
MVGFSSNIWMALAGRAIGGFLNGNIGVIQYVAFFLGSELSVISRLSRLEAFTKDNLRTMVAELVTKPEHEPRAYCIMPFVWSIGTIVGPALGGTFAD
PAQGFPRYFSQDGIFGRFPYLLPNLLCSSLLFVSILAGYFLLEETHPDMLPRVNLPDSTYVSDETPLMATADAIKAPPIDLRAETYGTFKGSDDSDW
RRATSKSSTSPKIFTKRVIALVIALGIFTYHSMTYDHLLPIFLEDERGSLTTSALSNTPLTNPFFIPGGLGLSIQKVGVIMSINGVIALFIQAVIFP
LAAEALGIHKLFLTVSLLHPISYLIMPYLIYLPESYLMLGIYTCLTIRNILSILAYPVLLILIKEATPSPCVLGKINGLAASAGAACRTVAPPVAGY
LYTLGSRMDFTGLAWYGSAFVAIIGALQSFSVKRTKRSGENEEWKPERVSTVVPLAH

>RCO7_07581 | related to 54S ribosomal protein L4, mitochondrial

MSTSSAIRPSMRGLLKRNLTAQFPPTFLLPSLAAPSKQQTSSFSSSPSILYPRDMNRQRGVSTIRRTGLPQPLSVSSTKLPRPVTVDDRLSKVEVDE
DHGLYQFFHSKEKPMNTPEEDAERGRAWTPSDLREKSWEDLHSLWWVCAKERNCIATEAYERKRLEAGYGDVESRARDRIVRWTQRAIKQVLTERYY
SWQLAEQLAKTDPEIDLSGNGPLYNPKLFEEEYEAEESFEEEKQPEVASLGPEVKPEQKASTTA

>RCO7_07580 | secretory pathway Rab GDP dissociation inhibitor

MDDIAPEYDVIVLGTGLTECVLSGVLSVKGKKVLHIDRNDHYGGEAASVNIETLFKKYGNYNKGEEPWKKYGRVNDWNIDLVPKMLMSSGELTSILV
STDVTRYLEFRQVAGSYVQQYSGAKAAVAKVPSDAGEALRSSLMGLFEKRRMKSFIEWIGTFQESDSASHKGLNISTCTMKDVYDKFGLEAGTRDFI
GHAMALYQTDAYLNEKGGAPEAIERIRLYGNSVSRYGKSPYIYPLYGLGELPQGFARLSAIYGGTYMLNTNIDEVVYDGEKAVGIKATMQDRGGEPP

MKFETKAKKILADPSYFPGKVQVTGHLLKAICILNHPLAGTDNSDSCQLIIPQSQVGRKNDIYIAVVSSAHSVCPKGYYIAIISTIAETTANHHLEL
APGFERLGRIEEKFMGPPIPLYEPLESGLNDNIFISKSYDATSHFETTTDDVKDIYRRVEGHDLVVEGLREGTNLVGEDN
>RCO7_11604 | uncharacterized protein
MSFLSSFRNLTPRTRLIVGVGFLTWGTLGLFITDRASSKFGLEASERDREALGRAMPKVQIVEREGR
>RCO7_11603 | related to regulatory protein amdA
MDGQQYHQGNGMTNNTNSPYLPNISPHQLQQATGIHHTTLPPLQATQHATMPAHLQYPGSAPHTPRTPATPGTPVSGNGMANFQQMAGQQQHQQQQQ
QQQQQQAQAQAQQQQQRYQQQQQMMPTSGYQQPPQTYRTAGSMMPQGSMSMSHPQAIAPAPMQNRGNQPLRPMPPHGLQQMQGGMQGYGQHNMGML
PDMEPPTHVVGSQGRRGILPSAPGRPAVSATGTGKNALIPAKDADGKFPCPHCTKTYLHAKHLKRHLLRHTGDRPYMCVLCRDTFSRSDILKRHFQK
CSIRRGNPTGASHLSHAQAHLKKSHPGPHKSANPMGNENELMGVNGMNSGPLGPNLFGISADGTVPDAGSNMTDEQSEQLRARVNIIGGRDGNRITG
PSPAGSNRASFEQQNYAGPVASMPSGMNPSVAFNLNQGQNGHSYNQGYDYASHGNSNTMQPQQQTQAAAGQDWSHLFHQQPPQPGYLPYNSTIAAPQ
VPIKSEYTQVPVKSEYKAEFKPEPLASNANNSMYTAIYSGVPPQNNTNLSSWNLQNDPLEEISSRLIVFCFPQNQIIGRSNDVRKHLSGQNIKHFLE
LFTSFQGHFPVIHMPTFRIPDAFDGLLLAMVCIGAVYSDRASASQARDMMELSKSAIERNSQVFSIISREQNGESSFGGETIGSSKSEMEQITAMYL
MQTMSCWHGTPIQREKARREFHLIVDVSRRAGLTKPMTISPFSVLHQPNVTVENFNAASFDWSAWIEQEKRSRLMYAIYLLDSAMVIFFNAPPMFEI
DEIRLPLPADDAAWDAASSSDCAEALGLLGPAAARNKNQEGSRRPKQPEFSVAMKTLMHGDWLQPGTTNLYSKFILIHALHIQLWSDRKQMAGQENG
AFPTSGTTTPVSGLHSANNSGRGTPVESVGQLATSIKNLNMAFDKWKKTWDEDMATQYPPSSTNYRRFGFCRDAVHFYWLAKYLLQSGRSLDSQMAP
DQRFGQVMTLLKSVKNWVQTDSAKRGEELGSVNDIDKDYGVLDLTLDMAQLFKPINQQIDSPVPGVQTNIGNTLG
>RCO7_07579 | uncharacterized protein
MLSLTTTLLTLTLLTLASAKTDLSGCTSTTAGASIIYFVPGTGELCDLLDCGGGRAPPKTNVPGCPQYAGTATYSPSYLAGYGVASTTAAGPASTST
VAGPVTTTSVTGVPSSTGSLIGTVSSVSLASNVSSSSVNSGSASASQATSASVSASASGTGTGIASASVSESTSTSTDSGGNIITLTSTTTNIPTRS
GSPSQSTSSSSRSSSAPAVTPTPGTGVGNVNAMHGFVGAAAAGFAFLL
>RCO7_07578 | uncharacterized protein
MENLPNELRRSILQHLPLKNLKNIRLVSKLWAVLGQEYLFAPTYRTLPHRPDTPYLQNISHHIFYAPVIKAISFNHGEVNEYSGRHNSYFLQYLMEP
GERLTQQHLTWEAYSRFKQLTDKYLPSSCDDEILTDIFARLPNLTRLSISLMYCPFPETDPQIPNLLADIWRFPSTRLLPRVATVERMFSITKAISA
NAPTLLIKTLSHDRLPFEFFSQNPKKVAVIASAFTNLTSLTLHMDYSDLPNDTHSTAAFANLCTCLRAASLLQTLSLAFQGRRKINIAPLLENFADD
EFTFQYLEILQFQGMITTSDSLSDWLIRHKKSLRTVMLGGEGVKAVRQPANGGISLESGSWKELIKRLSEELESDTQAEKENMGRCKIFLQGDLRGL
ESGESWILPNRVEATDSVSVRREGETGLIEMMVAEIDPNGMLAGV
>RCO7_07577 | uncharacterized protein
MAPFEQTRKVPKPWDTIDLILAEAQNFGPVRPSNLQETTSYPLHKFFSPECWESVSDEDYNLLLPSMQLASNLIQVGLPYLCSFVPPDRVHSSLNGK
SRKGPNDYQVDLKDWDKEDQQNTRDELNTIASYVTWELNDTIATDNKWLGVTRLVTDEKWGPRPWKDLLRDDIIRSDKELAARGVDRRRLRVGIMRE
YVDALKRYSSTSEEHLRATFLAAITMTHEIGHIVWHQDFRSISYDINGKEPYVEDYSISELGCCFIASIFRGKNPFECGKQIPTDFTRALYWERVPK
MSTTELYRTDHSMSIPYMLRILSQESWDQLDPRRPDFVVKATAIFQPEEDVVKVLVSPDSSILGPYEDGERPATANIREWTVTDFNNEQKVVWKTAF
ADRRTRSDEQFNTLTEAEKKYAMYEISSTNPGVFRNNSSVPRVSAQTNTFTKGVPDDEEVRPIDDGVIPLDLFTSGQTDLKAVKRIQIEYRPKPGDF
KARDHHQTRPHDHHHTREDAFDYNTAIPLYEWFDSLEHEDSTYDKDSPRDFLFGGLKEEYKPATILALIANKQPEIIAKTTIKDAHQFCAERHIPFG
RALPATYVEQNQRLDLLKDADRALIERMRQFCLKQAVKLFAGNNQALLYIYFAAIKYIDDWTREDLVRKCKAEKLPHNGHLDTLQRRVRDKMAKFLR
LFARDHNLEAEEKDFEKVGLIDRVDLVKWTDAQYLDFFRIHNIPTWGNRRIWIERHGAFERELIHGLATRRDIDFDSKGEIQRSIDLVEVYAWDAVL
AGSSVLALKGALLAAGHFPSDATLNLYFGNDRQTALEDDKPLAYYKPASWETLSLEITRTSPPDARIANTEPEVIVYKPRIPAGVIIDKSHTVNDDS
FGGVGLGHRLGSTGDHPFASKNSDEPAAKRLRIPEDVQRIYDIAHGRARPTVTEHLASIHRNAEELTQILHPSGARDKLRPHLEMLRATSAVEMMDS
YQDMMEVRADRQRHVDLQVDPETVLEEDKRKRVALLKELRPDLVVGSDGRLVDKPAEQKKVKVGGFMDDLYLAVKKRQGIL
>RCO7_07576 | uncharacterized protein
MTFLRDPENGGHIEIAAIGAGLTAYSSDNEKTIHEGAIGHSDDIERQCSRGSIKPSPQDHKNGLSCFNSTTSTRSHISGIAINLTSKSKKARLPLTS
LPISDLDNYIAGWESQNDPEMPADSPQSRKCLLIALLGSITFISPLARSMFAPAVSFMDADFHNDSTILASLAVSIYVLGYAIGPLILAPLCEIYGR
QYVLTGANACFCIWQIGCALTPNLSSLIVFRFLAGVGGSGCITIGGGVIADLFEPDQRGLASSLDSLGPLFGPVVGPICGGFIAQRIGWRFGFCLYL
EPLSLLGLSLQKELNRPSLRQLLQSIRCTSHSLPNSAKRPHPALKNALPLTNYLPVVSLSGRGMRASLSPIHDPTQVFSETYGWEPENCGLAYISLG
FGFLLGSGIVAKIS
>RCO7_07575 | probable 3-isopropylmalate dehydratase
MPTAEGRPQTLYDKVFQDHIVDERLDGTILLYIDRHLVHEVTSPQAFEGLKNAGRQVRRPDCTLATTDHNVPTTSRKNLKNIETFVEEEDSRLQCMT
LEDNVKDFGITYFGLGDKRQGIVHIIGPEQGFTLPGTTVVCGDSHTSTHGAFGALAFGIGTSEVEHVLATQTLITKRSKNMRIQVDGELAPGVSSKD
IILHAIGQIGTAGGTGAVIEFCGSAIASLSMEARMSICNMSIEGGARAGMVAPDEITFEYLRGRPLAPKYDSEEWHKAVKYWTGLKSDPGAKYDIDV
FIDAKDIIPTVTWGTSPEDVVPITGCVPDPKKFATKEKQEAGQRMLDYMGLTAGTPMEEIVLDKVFIGSCTNARIEDLRAAASVIKGRKVAPNIKRA
MIVPGSGLVKDKAEAEGLDKIFTDAGFEWREAGCSMCLGMNPDILSPKERCASTSNRNFEGRQGAGGRTHLVSPVTAAACAIIGKLTDVRKLADWNA
TPRKASPQPPIEVQPHVDERVDTDDDEREAIGDQPEDGGPNTNTISAGTSIAQVKFTVYKGIAAPLDRANVDTDAIIPKQFLKTIKRTGLGSALFYA
LRFNEDGSEKPEFVLNQPQYRKSKILVTGANFGCGSSREHAPWALLDFGIKAIIAPSYADIFFNNTFKNGMLPVAITNKEHFATILAEAQAGREIEI
DLPNQVINDESGNKICSFDVEEFRKHCLVNGLDDIGLTMQMEDKIKSFEKKMSIETPWLDGSGYLKRGKNGRLAAKAVPVKKTNRGEEIKEPLDW
>RCO7_07574 | uncharacterized protein
MSTDVQPSQTPASISPTPPPRSSSWHPSSLFPKHKRSKTPPPAALTTQSERRHRRRSSSLGKALAKLKPSNRDEKGGTLRDGRGSFEGFEAIEAESI
VGRDFSVPYRSVLANGQATAPVDEGQGAIYILRQNFDQPPLASPSAPDSHILDQSQEKRTNTFSTFQGYPRDVYARSAPQKGRFCDDRILHVGSPTQ
EALSQPIFVPEPTIDTERNDKPASEGYHTDEPQARATEIRDILALDFPVVDRVHGHTRRTYEFAKNYAVRANDADLSDRNIEHSVVSNRASIETKET
RTAGPSEHGSGRGTGLRKLIGSWGRKTNREEMSVSPEIDRLKKPLPALPVMAQEDLGFHIPALNFSEEKQVTTAQQAFEDKKFRRQQRRSLKESGDY
LGVQGANPRTGYWDVSSGSEPSQISEETRRKLDEDAMEVAKRKRRYEEAEEKHRAELQRVQTVRENKKHMEKKMKQRRRGKWQLSENGWSSVAEPDL
SPIIQSKVGTPVAELSPEDRLFPMPTAAEPAPYVNQNAIKERDYFGHRPVSSPLKKEHRSTEASSAHSIPRKPVGSPIAGSAMRRKDNESTDTTIHN
PIFPTPVRPAPAKVSIDDPQKPHIGLGISLGGGNASPKPAMLSSPRSPSQRLESFLERAAKMGESEEPQENRASVISFQSVSTKQVHIHQPSAQNQR
SPSRQARIITCLNELPPVILKDPFTASIPSNLLAKDAFHVWMPPTISQTKPDQPLSSTSMSITTTTGSDLHPHLPAQLDGQDTNEDRAKVPSFQHKP
SRLPLRVDSFQDTRQKQEPSRSCQNQTADTVISSVHQLSETKERTARLCQMVSPEGEKVDLKNTPISISTSLSPIKEKQAARNAAQMAFQHLKHTMP
VRKAEGQKMDQLTPPMTRKSKEEVGRAAPGGREGTESPSRTVIGKQDIFKRQLPSPNRKNPESGDKLTVRHPHPAAPKADNAGNSKAAAVRAVVLHQ

ADTINSPAKGAGKHLQAARVTQLSVDKALLGLLHDAWLFVEPVFNPDSDVRKRFDRQALTGQDKGLFVVAAFFCVAVFVGSLVFLRVLGSVVQALRA
FGGVLRAVIGV
>RCO7_07573 | uncharacterized protein
MPRLVRRKPTLQRFKDYMNPGDWWLYIAEEFETADLDKQYASPLAFGLHIALLIARANTGSSLGSRGGDAVFGEDYSRTGWLSSIATFTVYILTALS
IANATYTFNRKRHYRLFESSIDAPQSTPSAHRVRVDSSPVSSSPLRFLTGILGDTSAESRAHPDPSRDVWEVAIWDPIPICLRLFCFFSPGHVLVYW
LFLPTVASDPRPSVTVFTTLLLQALLSSQLYLLSVFFSQQEKDSAIIHKEVMSEYDIKYVHPRLNPLTRDVGTQYADAGAGTDYEGDGPVDVYTPTV
LLRRGFRTNPNPNYSKHVDPENSNGITRQASPAPSFTPSNYASREPTPFTGVTPRPAIRQPQFRKSIGGAVSSSTSIGDGGSLGVYSHVNSPLKKAT
SMYDIQSREVPRNSFEMANREIQQQRERSKSPAKRQSEAPFLQGRIPFPELGDDRRSSTPVGLNRRPGNTDSPYKRGPSRF
>RCO7_07572 | V-type proton ATPase subunit F
MAAPPSAYKDRQFLAVIGDEDSVTGLLLAGIGHVTDPPDSQKNFLVVDSKTDNAAIEEAFERFTSERKDIGILLINQHIAERIRHRVDAYTAAFPAL
LEIPSKDHPYDPEKDSVLRRVRRLFGE
>RCO7_07571 | related to phosphatidylglycerol/phosphatidylinositol transfer protein
MKSCLSIISLLCSSLVAVEGYSVFGGSQKVLGGAAVPGDNPLTFCQLEHDDDIFTLENVDLTPNPPKAGEPLYIKASGTLKRNITENDNAVVDIVVK
YGFIKLLSTQAKLCEQIKNVDMECPIEKGPITITKEVALPKEIPPGKYNVHANAITMDADKKEKDHITCLEATVQFGG
>RCO7_07570 | related to emopamil-binding protein
MGLEDLPSHPYFPESLILSGGKYVANTWDVATLVTIFFAGFAAIMSFTFMIAMNVNENLRKRDVGLVMWFVLCGWIHLFFEGYFMLNHHHMASKMDF
FGQLWKEYALSDSRYMASDPFVLCMESWTAIFWGPLSFLTALLILIDSPYRYPIQAFVSTGQFYGDILYYTTSLFDDLYRQQRHYRPEPYYFWFYFV
FMNGAWIVIPLCCLFSSIKATAKSFAISQKVERTKKVQ
>RCO7_07569 | related to SET3 SET3 complex includes two histone deacetylases, Hos2 and Hst1,
and is a meiotic-specific repressor of the sporulation gene program
MTERPLPNSTQSAIPVPTAFHSTTANPVSDARSVIESAEEEPYTIKCICDYRDDDGNTIYCEKCDTWQHIECFYPGQVDDASKEEFDHSCADCKPRL
LTLDRHHATERQTLRRHNKAINDGSDKKTKRPPSKSHKKKTKPSDLQVNGHHDHSHHKHASPSEHHPHTKKSKGHRSTQSISSQMKRSPPLNGRPQN
HAHPPSPAHTPPEIGNLNGYIYNDRFINLYAGDESKTTSTNSFASLSVSNRMGLWLQSPEILKEDANAIKDDIFQVLTVPVDSLKWPALKIDTKDII
QEGGPNLTWRSVRNSAPLTEAGRICPIHGVIKFQVEYCSDPQSRWAEAGHPQPFVIFHPQLPLVIDMRTEGSQYRYVRRSCRPNTALETFLAHDTEY
HFWLTSEQPLAANEQVTIQWDFRFPNNELGNRYKRLLNLGEEERAVSDVLDVTDEEYEDLSNLVLTVLSDHGGCACDLGSECAFARFHRDYIGRSHT
HINGVKPKKGRKTKHTHISPTSTGHATNSRAASEGQGDQYDDDDNQSVSGSVRSKPHSRDMTPLHNGEPNGITTENSEREKRKLAALEDSFRKMEQQ
PPRKKKRVSEGSNMSVSSHVAPKQRQRSVIPRASISQASAPATNGGRAHKYVDANTATRRPSGSPSSTTSATNAVRSPENHASPSQSMRSRHSSANP
KTTYAEASTQTEEVKNAWWHKSSPKPKRRSILTLAQRLLKNRRTIQQGQQEVRAAQQTVSTNGGHGSVRASPTESMDLDPPNSEHRLQTQPPTETKA
RNMSVASSTPPVDLSGSVEVAIVDAPAVTSATTTKPPPPPWPTPSDSVSGSKPVSVQRSQPLRVQLPSAPVFPTTSMSAPLSGTGTATPSSASSTGH
SPFGNGHFPPAFPTTAVNSINPSPIKTTKKLSLSDYAARRKKTEPSAKPSTGSSPTMPPAVLKPSLSTIDEAKAQGGLEGSAIVESPAAIEKTLNPL
AAVAGPTSGPSRNGTLPAEKSNGTL
>RCO7_07568 | uncharacterized protein
MELIALSQAIVTQVIVEGSTIVTSQSNGHIYIFKSINEKPIIIENERGVWALAASKKGMASGDIAGKLRVWDLETGVCIATLEGHTAAIRAIHLLDD
STLITTSKDNTLRHWDLSMRSCIRVFAGHEKGVHCSVVHGEFLVSGSHDNTARVWDINDGKCLLVLEGHRGPVYAVAFDGKSLATGSTDSTIRIWDP
VSGACKAVLESHGKLVGLLVLRGELLVSGGADGVVCVWNVKELTLIHMFSAHDGVVASLAVDNSIIVSGGVDGAKIWDLADMALLKHFNVGGSIDAL
ALCGKKACMKGLRGFNKTPASSNNTVRQLTPPETKRVILSTVQLIPDITFTPHFFPGKTMALRIGTTLRGSKYSFRLVEKLGDKTVFSSVFKAEVLP
GIQALLPKNRWAVVKSADLENETQMDSLVKEYKYYRKPSIESSTNFRKLCDVIHVPTGWTAQKPFCLAFEWMDTTLAEVPLEEHMKDPGLVANIVKV
CLEAFVELEKEHLVYSDLKPANVLLSNVDGLFEVKLGDLGLAGPEGGNARWVQPEAFRAFRKILQRLDPNILGNADNIDKTLNPSMAWCLAKIILLF
DPSCSSIPPPSDADKTLQAYLKLAQNLTKTQAGEDSDELLLQIPPFEVWADLAADAGIPKVVLDMIRLLAIPNPRNRPSALQALQSPEYKALQEAAA
AYHNQVALLRSDIR
>RCO7_07567 | probable UDP-N-acetyl-glucosamine-1-P transferase Alg7
MVIRHTGTSMSTSTASALSFTESLSLLSLTLGCVGIISNTFRGDGEPLIASLAFSGIAFAASYSMIKWLGPTFMKAGLKGKDMSKVNKKEIPETMGA
VCAVVYLLMIIVFIPFPFYKDIVAATSGGGNRDVVLEIETVHTGRFLHRFPHSKLASYLSAILSLQSVCILGIGDDLFDIRWRHKFFIPGIASIPLL
IVYFVDFGVTNIVIPIPLRPYLGELLDLGFLYYVYMASIAIFCPNSINILAGINGIEVSQSLVIAFLLVINDAYYLLAFPALHPATDSHLFSLYMLL
PFIGVSLALLRHNWYPSAVFVGDTYCYFAGMVFAVVGICGHFSKTLLLLFIPQIFNFIYSAPQLFRIIPCPRHRLPRFNARTGFMEASVTEWAIPPK
PHIAMLLALLHRVKLLRVTWNEQGVVETSSNFTILNLWLVWLGPKREDRLAVEILIMQTAVGLLGLFIRHNFALLIFESDNLGGK
>RCO7_07566 | uncharacterized protein
MGLFWSAICSVGLIGRVYGQLSSVAYCDPLTTICYSSITNDWGISYRIALPDVSAAPSDAIIQIVAPIEFGWAAFSWGGTMVWSPLTMGWANGTAAV
VSSRFAYGLSQPGTYDMAEYTYLRGTGTNATHLTLTVRCRGCTHWPNNDAINYAGTSNVACAQAKQAVVDPADNTTAFNYHDSFSKWQHDIKAARSP
LFGTWVSDNILLADPSTCSNSIVGPASAVSMVSTPPITSVTATRPIQTQSTIPVPTSCPGVPAARYEGVVANGWRATKVKGDLGIARGIIYDKPGNL
LVVENGKGVTAHTIGSDGCITSSKTIISQRTLNHGIVLDANGTKLYASSMSTVWKWTYDPVAVAVVGTSEVVISGMLNGGHPTRTLVIPPNHPNLLV
VSHGSVDNLDIPSGDINTQRAVIKVFDLSAVPATGYKFVTDGHQAGFGLRNEVGLAFDGNNMMWGVENSSDDITRTVNNTAIHIHADNPAEELNYLG
DVAVPNKKWYGYPTCFTVWKPSDIAEKVFSIGDQFVLAPNSSINDDTCIARSEPARLAFQAHSAPLDSKFDPSFENLYVASHGSWNRVTPTGYKISG
VPFMQEEDGSYRPIAALNSTAGYVDIWSNANVSSCGATNCFRPVAIAFDAFERMYVTSDATAEGELWVLGKV
>RCO7_07565 | uncharacterized protein
MPPKRKALADTSSNKDTATESRNAKAAKTSDESDASKNSAAQSKVEVPRVAETATPATEKGKKSKAQPIKYSEPNTLSKKPEWTNDQWPNNGDFIDD
ENQDMPQDGQLIDEFCYRVSDLGIPLSEEGTKQNDWNGWGMSELLENFLKDFNKDVFKKTASPYQKWAYIEGLAVFFFGAEMEMVYWLGNEDGDRVT
EIAQIVGTMILTTFDVPKEHDLFKPDSEVVNIGIVSLLMLHLFKQKAMDFDCDWAPEVVRLCDEAGIKLDDIVRKQVALEKKDIKEWRDEYKKKQTE
SEHAGKNDEGDGYKHFNERKDWTPEDDLDESKCKMWYRWDWKLEYAAFVKGGSHPGGKHYDLSKMSKAEKESYTLGTKAFSRRIGI
>RCO7_07564 | related to GNAT family N-acetyltransferase
MADSVDSLKSRTWTRDKYLITTNSTLMSVADVNAAFTSNEMYWASPLPDDAMRSFLEHNLCFGVFCIPQSDSSGPITAIDALPPNTNFIGFGRLMTD
FTTMAYLTDVFILPTHQGQGLGGWMPACVQETLSTMPYLRGSMLFTGDWKRSVPLYEEVLGISVVQGRRVEGSKNGGEGFAPMLKTWKGSPLYEEER
HKAAEKI
>RCO7_07563 | uncharacterized protein

MSLVVEQTIPYSTPQLQLKDPQRWSRLLPLMRPSIKVVGITNGQTVMIDTALAKSKDVLITSVVRVGNFSSKILSESHLAAFVVEQDEDAVSAGDLT
KTLSDSGFPIENGVVVIRVGNNQDLKNSSGVLELMVEGELKVDHALSLLSAAKPDVRASLDKIEALLGHFVKSSANTTSRFHTQKCENTPSVAHGLD
MVAFNSAKGSIDRDLSNLLVSSSSDGNGKVYSIHYSDINGLSRLENNIIAHEISEYLAKNNLKPYITQSTILNEQSQARGWSISLCVIPPDFLTPQS
KPSNTLANTKLAFSNASAITSKITFSDPRVRKMITKGCERVIKEEATITEYDTIVGDGDCGYTLRDGAKQVLSYIKQADLSKLPSTLSDLVDDLEVN
MGGTSGALYCIFLSSLAQSLRDSSTFAEALEGALNSLLMYTNARLGDRTCLDCLIPFVETLKKTGDAEMALKGAKAGVESTKKLEAKLGRSSYLDEA
VTRGVPDPGAYGLLMLLEGMVGA

>RCO7_07562 | uncharacterized protein

MPVGKHIFKSPSEVYPATPQTGPMTTEISIKRPVKETFHFINDPADAINEAAIGITKYNANLSYAVAHKIVYRSDLETFRKDHVTTIGFAGGGHEPM
FSGFVGPSFLSCSVSGNIFASPTAAQIFEAIKLCQSTSGSSKGTLVVCGNYTGDILNAGLAITRATAAGYKVRFIAVGDDVAVGRKKGGRVGRRGLS
GHVVGLKIACALSDQGESLERVGDVMEYIAANSGTIAVAFDRVALPNGIITELQTLPPATIELGLGCHGEPGLRQISPVPSPEALTKEMINLLTDTS
DEDRAFIPFSKSGENEAILLVNSSGSTSDEVLARFAELAIAELGSQGISGRRMTLGPMVTSLKQSGFGFTIWRLPRINETAVLGRDEALTLWDKKVK
TASWRQ

>RCO7_07561 | probable autophagy protein (Atg22)

MASAAPALDLASAPAEDPPKVTSGQAESISDHPVAPDQFDPKWETDKVEIWSYYAYYVGNNGLTLFNFAPTAFQNLLYQAAGDGTSLRFAGREHTIN
SIVLLSNGISFAIQIVVFLFLGSFADFGTWRPNILIGLSILAWGIGFGWLGVHTPEKWQIAAGMYIVGLIAYQTTLTFWTAAFPGLARNTPFLREKA
EQYQAGEITRKEYDFADMMKRSELSNMAFYIQSLGEIIILAVIVGIMFGLKVNESTENNNYGLSVLIAFASGVWLLLAIPWFLKEKRRAGQEVPPGM
NIITVGLWQLYRALRQIWHLKQSLVYLIGYFLLGDSLNTTVTVIGTLQNSIVAYNTLELTYVLTVGITAQAIGIYTFWWAQQKWKLSTKTMFNIVAF
NIIILDCWGMIGIFTQKFGFHNLWEVWVYQAFYGLFVCPWYSYSQIMISEVTPRGREFLFFSLFSVIGKTSSFIGPLVSSAIIDATPSGNNSTPFYF
LTALSAVSFLVLVFGVDLEKSRREQEAFLEREEAAKKALVGEELDRDEVQSRNSSGKGKRSSDV

>RCO7_07560 | probable BAR domain protein

MDFNKVSAFGKNFTASFTPFAARTQQYVKEQLGQAEDKTQLPPDYIELEKRVDALKQVHQKMLQVTSQYSNEAYDYPANIKESFGDLGRTVSEKVHL
LSSATTPAEAQAALTAPPSAKPQPKTFNHAIARASLASSQLLQQQHAGAGEDPLATALEKYALASERVGEARLAQDSQIQSRFLAGWSTTLNTNLMF
ATRARKGVENSRLMLDAAKAKSKNGGWHLPGANPKASDGAEHDDPSEEARVEIEQAEDEFVGQTEEAVGVMKNVLDTPEPLRNLADLIAAQLEFHKK
AYEILSELAPVVDGLQVEQEVRRSGEFNA

>RCO7_07559 | probable Amino-acid acetyltransferase, mitochondrial

MILQEIAWKKGKQVAGHNIQSWAKRRRRTERTLDNGVRSYGFGRLPVNQSREELAKEHVKDLSNQQKAKKMARAIDKDFFISVLGSSATKREARSYI
QRFTPNEEEPSTPKHHTEDERTCGVNLGGFYGPAAVQESPKFIQQPEKLSKAPLGPQLHVALVKIRAPQTLDDETLSGIGRTLTQLARLGLISAVVI
DCNNGGPPVREGPRDANWRIMELEQANRLIAAIDTNGETGARLIDNVIGVSEETGGPGSRHTSAYVTLRKLLMTPLRRSVIPVIPSIGYNDVSQTAV
PVSASDILLALTKELAGLSTDLPLDEDPKFVQERLQAHRKEVSLDRLIILDPLGGIPSSDRVNGYHVFLNMEQEFEPAKQDLLRGLQAATGRPLQGQ
EKYGHVSDLGLGHAFSKFAETEFGSSKPQSSTLDKDITNKPKVDNEYHLQNLQLVRSVLSMLPPSSSALLTTPEEAANSGKDAPFQAARVGTRRQRN
PLIHNLLTDKPVFSSSLPVGRLGHQSPKNEANSPTESVTPTTFAKHGMSVTIFPNPKFEAWRPPAPGQPQLTLTDSQIDLPRLVHLIEDSFGRKLDV
KDYLQRVNGRIAGVIIAGEYEGGALLTWETPPGVKDDGSPESRARMVPYLDKFAVLKRAQGSGGVADLIFKAMVRDCFPRGCVWRSRRNNPVNKWYF
ERSRGTWKLPDTGWAMFWTTPDLSLDKQLFLDYEDVCRGIEPSWADNKAVLD

>RCO7_07558 | related to gamma hydroxybutyrate dehydrogenase

MALQVAWIGLGNMGRGMCKNLVEKGQLDKPLIIFNRTEKRATDLNKALPSGKSTVASSIENLVSKSDIIFTCVGDDHAINDTIDAALKSSVEGKLFV
DCSTVHPDTTEGLAKKITEAGGEFVACPVFGAPAMADNGQLVCVLAGPKESVEKVKPYTKGVIGRANIDFGDQAVGKATMLKIIGNTFILNMVETLS
EGHVLAEKSGLGTDNLHRFVETMFPGPYTAYSTRMLSGDYHRREEPLFVVDLARKDARHANALAKTSGTRMKGVEVADEHLAQVKAHKGASGDIAAI
YGAVRQEAGLSFEN

>RCO7_07557 | probable VMA9 Subunit e of the Vo (membrane) sector of the vacuolar H+-ATPase, essential for vacuolar acidification

MAQLDINGHFKLIKSYNMANGWSIIIGFVVVALACVAGWFLAPKGETQTIWRSSLILSFASCYIMWAITFLAQWHPLIEPRASGLRNHTVKG

>RCO7_07556 | ARV1 Protein involved in sterol uptake and distribution into the plasma membrane

MPICIECRFPVKTLYTEYSGADDKSSGQGVRLTVCRNCGRFCDKYVEHDNVVLFIDLVLIKPQVYRHLLHNTLMREHDQFDPSIIRLGVLLLLFDVY
LTWARIEKQTSSTPPTTDNNFLRLAQQPIVFQYVFFLILCALSTLAFHMSIRFLTSSSLSPLVLFGLIPRYSRPNSVSTALLVSSSTKLFPILMVIW
EYDVPAAARSLGWAVVANNVEALKILLDCGYGTTAILATVGAISRWMVGRGILWVVGLDGVDTVGDSGVAADGKALWALIELGREWGGRLGLG

>RCO7_07555 | uncharacterized protein

MSTSFSSLPIVSLAALKSFSPSPDDLKALASQLNEVFSTTGFAYLTDLPLTYTHDDVFRLCDEFFGPNGLSMDEKMKLAKKTFVPTNCNTYRGYFPP
QEGDDNLKEGFELGTPTSRHSESAMGTSEFDLTEPNVFPPSPEEFHTRCKTLHNELQNLSAQLVSLVAVALGKPSSFFSHYLEDSLSTLRLLHYPPI
PESRQQEIVCTPHTDSGILTLLHQDETGGLEVENCKGDWIPAPYVLGSIVVNIGDLLARVSGGRWIATYYHRVRSSKKQGVEPKERYSVPFFFEPGL
ECVVQSIDGGKVVYGEHLLGKMKGWVEFQNASVVRPNDVLSRADRELRNSLVEVL

>RCO7_07554 | uncharacterized protein

MRPSSSITSNPRSEPLIRDNQNPIPSSTIRPRNKRLVSTEQELVSTSATSTPGGSRAASPLPSKHPSRTVSNHSTGNQNGRPVGGLLAPPRDGRGGT
SSPVNVGGVWQGGWMSSWTALQGIANSVLGAVEGESDSDARPTTSSSRNRKTTLGKAKTPDKWGPSSSAWRKTDGGIGTGSTEELQAALMQRKRAGV
LEGRDEDRLPDTSGNYKRRTSTEDLRPGSSQEDDQALVYVHHVQKQDTLQGVILRYNCKPDVFRKANRFWPNDSVQVRKTVVLPVDACTVKGRPCDA
PSSEYPYQGVDLLAPTPGIEETPFPNGGDSSWPGTTRSGKSAELSEENENPWVHVRWVLIDSSPNSKPVEIGRMPRKTLGYFPPRRRKSTVTPSIAS
TPRESSELTRLAQSTSNDQTASTASTPSRQSSSLGPRPSIFIGSIGSYFPHKTTTRVRRESVGEAADRLGWMRGPGGVGTFGKNVRRPGPGNDGLNS
WARKHIPGLTMESLPSRSISGGDAAHFGFSDDLASISEGANSGSSSYNNPNGSGSATLSAGQGLGLENAAAAIEGWVRRMATVTPGTPKGGGRIDSQ
PDLIELLDGTGSDDGRGFELSPGRLRSATPVGGTGRKDLDCVIRGRTTAGAKGGKSD

>RCO7_07553 | probable cutinase transcription factor 1 alpha

MDMTMVPTGASAQPPNGYAAAPISNSNSNAPQGSNPMPNSQTPGHPSFRRQRASRACEVRCDAASLGVPCTNCVAFSIECKIPTPKRKKTATGKAKD
SDSDRGDPVDERSPANDSPAGGRRNSIYAAVPDGTPATSLTEAQYKQRQDDDGTYAQFMKPKFTRAPIKEAGRVAYLGESSNLTLLVHDRHGTADVV
HYPLPENVRGSRARLTELDNVEIDILHQRGAFLLPPRSLCDELVDAYFKWVAPIVPVINRNRFMKQYRDSKNPPSLLLLQAILLAGSRVCTNPQLMD
ANGSTTPAALTFYKRAKALYDANYEDDRVTIVQALVLMGWYWEGPEDVTKNVFYWSRVATIVAQGSGMHRSVEGSQLSQADKRLWKRIWWTLFTRDR
SVAVALGRPVHINTDDSDVEMVCEDDFIEDDNDQAPEFPPDPLHVQFFLQYVKLCEIMGLVLSQQYSVASKARRQNAIDLTHSDMALADWLQNCPKE

VYWDPTRHHFWSALLHSNYYTTLCLLHRAHMPPASSSRGTYMEDNSYPSRNIAFQAAAMITSIIENLGTHDELRNCPAFIVYSLFSALIMHVYQMRS
SVPSVVQATNERIQICMNALKDVSRVWLVAKMVFTLFESILGNKVLEERLQKAAGKRHKKMTQSLTAGINQANQIQQANQLKREESGSNKRKYDDMA
LDFNVNNGPAPQESYERSRPQTPSHTPSRELGHNVAPMAAPPVTSPNSRANDAFMGGSSSRPHTRPATPFNPSFSVPATPPDLYLVTRNSPNISQSL
WENFQPDQLFPEGSTSMQANQFSPPQHNLDPNLMPHMNLNQMPNQNQAAQLPQRMRGQNIAGSPTQGSMLQPNVAGYQVQSQPGIWQGFEPALQDPS
GHSPSDSLSNASAQAVPMTMNVEDWFQFFGINGDLSGMNGDVPLA

>RCO7_07552 | probable GPI ethanolamine phosphate transferase 1
MARVNRFGFLAIALAFHLVYIYSIFDIYFVSPIVSGMREFGVERPDGVEAPAKRLFLFVGDGLRADKAFQSFPEPYPKNDADLVPRPLAPFLRSRVL
EHGTFGVSHTRVPTESRPGHVALIAGLYEDVSAVTTGWKLNPVNFDSVFNRSRHTWSWGSPDILPMFQLGAEPGRVDAFMYGSEEENFAGDAVLLDI
WVLDRVKALFAEAATNFTLAAALREDKQVFFLHLLGLDTNGHGHRPYSKEYLSNIQVVDQGVKEITKMAEDFYDDGKTAFVFTADHGMSDWGSHGDG
HPDNTRTPLIVWGSGVAKPVKHEGSIAPGHDELSSDWGLDHVQRHDVAQADVAALMAYLAGLAFPVNSVGELPLSFLSGDMAAKSEAFLANARGILD
MYRVKEEQKKATELRYRPFKALGGEEHSVNHRLAAIRALIDVGRHEEAIQETAALVNVGIAGLRYLQTYDWLFLRALITTGYLGWIAFALTTVVDLH
VLHGKTETSRTTFGTILFSSFLVLLYASFLASKSPYTYYAYAIFPVAFWEEVYARRKALEEGGKALLGHITSAGGSVVLLLKTILGLGLIESLALGY
THREVFSVLWVAGAFWPAFYGTNFLKANKELVGTWLVACMAMSSFTLLPAMKTEDVTLITWGGCLMVAIGIAYLIFEKQLLQKTKLPGDSTVPAEDS
LSRSLIGIQIGFIVLALVVTRSSALSLQAKLGLPRGNQIVGFMVLILPLLMPFVHRLQPNNHYLHRLMVIYLTFSPTFVLLTISYEGLFYLGFCVTL
ITWVRLEHRVYVSSKDQTATSVNGKKAIPASLSSSPFRSLTLADARTSLFFLTLLQSAFFSTGNVASISAFSLESVNRLIPVFDPFSQGSLLILKLM
VPFALISANLGILTKRLGVAPSALFMVVMAISDFLTLHFFWVVKDEGSWLEIGSTISHFIIASLLCMFVASLEGVSEMFIAGVEVEDDSEQLVKEKE
LGAIVLERNLNGKPIGALAGGVSNRKPVANGLNS

>RCO7_07551 | uncharacterized protein
MPKIKAHSTLSALVDSDSDNGQFGTPNPESAVENKMPTKKGRGRPKAAPSKPAPTKVTKTKAKAPARRTSGRLEAKALEMDEVLTKNKRPALKDKTN
QYAGDEDELDGIERDVVMEGTLEDSIIVPMKAKTNVAKKAITARVKAVKAGLHNDSVKEDALRVAKPKARATKNTRHTKKERPVEPSPEKVIQETQY
EEMDMDVNADDDEVFEAPMSKPARSISRTQSHSRQRQPSAQRRRAGSASDTERNDPALRRKLGEITKKYDTLKMKYQDLHEIGIKEADRNGNKLRKE
NGLMKKNGGDLIQSLNADLAKQTAMVKKQEGLKKELEAKIAETTSLQAQIAKLKANISEAQSENKILTAKLAANRTASVLVERAQLKNPSSAMKANG
GTRLMGSAEAAQVAQAAQLKEDLYSDLTGLIIRNVKRESEEDIFDCIQTGRNGTLHFKLAAANETAVESYEEAQCSYIPQLDPSRDKALLELLPDYL
VDEITFPRQQAAKFYARVGKALTEKPV

>RCO7_07550 | probable ATPase family AAA domain-containing protein 1
MGDGPSRKLGFIQDILLILVSSTAMYYIAKSVVSSLPLQADPEKEQHEQARVRAAANLRRLDKLRQENDSDDESDRGRDSSGRPPKEELNLDQYESQ
IAMEVVAPEDIPVGFDDIGGLDDIIEELKESVIYPLTMPHLYSQSSSLLAAPSGVLLYGPPGCGKTMLAKALAHESGACFINLHISTLTEKWYGDSN
KLVRAVFSLARKLQPVIVFIDEIDAVLGQRRSGEHEASGMVKAEFMTLWDGLTSSNEVGLPARIMILGATNRIQDIDEAILRRMPKKFPVSLPTNSQ
RRRILKLILKDTKTDPDHFDLEYLTRVMAGMSGSDIKEACRDAAMVPVREFIKEQRERGVAISGVRTESVRGVRTEDFFGRKGGGQIVKDNHARYMA
KAIPKKAEGSSDEYEDVDDEAEVIR

>RCO7_07549 | probable cystathionine beta-lyase
MCTPPGPSGGSGKLNGIGKGLSQIDLDGHDLPPSPAPSSPRNGRKYALATELVYTESKDQYGASSMPIYQSATFKQTSAGGGNEYDYTRSGNPTRTH
LERHLAKIMNATRALVVGSGMGALDVITRILRPGDEVITGDDLYGGTNRLLTYMSQNHGIIVYHVDTTNPETVRGVVSPKTAMVLLETPTNPLIKIV
DIPSIAKIVHDVNKSALVVVDNTMLSPMLCNPLELGADIVYESGTKYLSGHHDIMAGVLAFNDPAIGDKMYFTINSTGCGLAPNDAFLLMRGIKTLA
IRMEKQQGNAQRIAEFLENHGFRVRYPGLKSHPQYDLHWSMARGAGAVLSFETGDVALSERIVEAARLWGISVSFGCVNSLISMPCQMSHASIDAKT
RKERQMPEDIIRLCVGIEDADDLIDDLSRALVQAGAVTITQDGFQAVGPARALADMPIEESDAAAAP

>RCO7_11564 | uncharacterized protein
MPVLVRYYTGSDTSSAGIPINSGPIIYPSSHMIFSTALVVASKSGVPLLVPASTLSAAYYIYCLRYVRAFLKIKYNNTPILELLCSFNKPNSKLYKY
YSALKSGYKYISYLNINLLDYVNTKYTILSGLLLSSKAKDAELNRKKVFKELEFIKTKELNSIIQEFAKKAIFKAIISNTKGKRNLPSSLEIASDLD
TSGPSLKKKAHRISYYTRSTAKAALADLGKELDIVIPVLDIPDLLEAPEDLGEKANKVEVVKEVEF

>RCO7_11768 | uncharacterized protein
MRGVEKEELEENATKEEKATKEEKEEREKEMKFKGDGDSFSIKVRIFYNAYLRAEILPEEYSKAFLLILKGAAL

>RCO7_11767 | uncharacterized protein
MKFIELKTSRTCLYVLYEKGRPIRKVNKVSARVRPARSIDEIYIDMVHFKPKALNTPRAKKGILVGFEGHNIYRCLVNRKVVHTSYLRFDKDGLVIE
PHEEDAIIVPQTRGDSIDTLSQNQDVEVTIATTPDTGIVSEEEVDSSTDAESIVEDEVPALEVDIPEQIAI

>RCO7_11766 | uncharacterized protein
MSFDYTVEEREKAKEKFKAKNSSKFKEYESTEDEYIATAFTSYEAGSDIDYDSDDEKPEALFITSIGPISVEAA

>RCO7_11104 | uncharacterized protein
MDEKDKTGDIEVLDAKEDKRYSEISLEDIWTAPQEWHRRLVAEYTGQHDGKSETLPAGSDPERVARAILTLNEEESLKELRYLVENCSNDYTIDYVL
IERCKQLIEGSAACELSPEDWSYVLCKTAGTVLNWSPYAEVRAVTLPYDDPEEPFFSPRQPGISIPGQVIQLLIVPMGRFLAMSLPDWGFRLRGTRY
TLNPGPWSSKEQLLATIISQANTIGNFTGLLVMRLPVFFDQRWAGFGFAIVLALANQIFGLGAAGMLRRLSVYPQEAVWPSVLPTLALNRALIHPEN
KGEIIHGWKISRYRSFVIASAVFLVYYWIPNRFFQALRLFNWMTWISPNNKNLAIVTGSYGGMGFNPFSSWDPNASGSTAMNAPFFAQLQQYCMRVI
AGLVILIMYYTNMSWAAYMPINSNAAFDKNMGSYNITKVLTPDNRVDIDAYKVYGPPYYAVANLFVTGANFVYYTFSIVYVFVKYWKPLKKAFAGIV
VNTIKRRSIYTGFTDGHTRLMKPYKEVPEWWYTIVFVFGFVISVVGVAAWPTQTPWWSILIVVGVGTLLTIPWIIIESIAATGISLNVIWQVLPGII
WPGQPLPQLIILMLGGAFEQMAGGFAGDLKYAHYAKLPPRAVFRGHIASCVVNCFIYCGMLEVMVVYFNTDNTLCQWNNKQYMVCQYANSVYSSVIS
FGAFGTNNMFELYPMLPWCFLIGAVLGLIWVLTEKAAPRIRQAIQSRMDAKQALSFDKYMWNPTTAVMATLNPAVALSGALQWAGNTNLSYATLGIF
IAWYFQYYLKRRYTAWWGKYAYMVFAGLSVGVAISGLIVTLVFSFGVGKNADLGWWGNNIALRGVDHQLYNNNASLLAVPEGGFGLAPEDYPLRW

>RCO7_11105 | uncharacterized protein
MSNIPTFYRIFFLYIDPLICLSGVYIFFFDHATYLASGVPHTLSGYTIDSLSQHLLRALGSYSLCILAIQLLLLHRYSEVKIWRIVQFGLLLVDLGL
LQSIQAADGFRDPSNWTSGDWTNNGILIAVAMIRSAFLLTVRTPLLLRDQSGGLSREEDRGSK

>RCO7_11106 | uncharacterized protein
MARWRTYWIIAEPRAAAPGIGIFGFSYLVFEKIKAATGGCLVKLALRHVR

>RCO7_11107 | uncharacterized protein
MAQKVSTTINFEVTQITEGQYVVRQLEDEKPVHGYVDPDDKEIAVWPSVLGVQIGDGYKAGFSSGIQIQIVLAVYNGSVRFYVENRVLKMNLHLKPV

IHWGDDVNFNGDIISF
>RCO7_11108 | related to manganese resistance protein
MKKNSRNSNSNSSTDRIRSWARSKAHGSSSLTAPSQQTLPISNPSASLQATRTPSSLRNDSTNIPPFPSTDVNGLARQSSKPTVNDAANDTDTTSDI
PPPVPPPEVDGERNIVNNEKPDKKNVAARFWLTAKTILLSSYINILLVFVPIGIAAKAAKLNPGVVFGMNAVAIVPLAGLLSHATESVAKRMGDTIG
ALMNVTFGNAVELIILYALLHLDERLNHANFLSMYVYLTRDQDKKEREALLKALSYQSSPISSRPFFCSCSACWAARPRYVDMVLTSQNEIRIVQAS
LLGSILANLLLILGMCFLVGGLRFREQIYNSTVTQMSACLLSLSVMSLLLPTAFHASFAATATAKANSAVLKVSRGTSVILLFVYVLYLLFQLKSHA
YMYESTPQHIIDEELAPGPVAQWMETSTDDSSSSSSSDSEHSSGSNTTAKRFKRVMRGGKRRRKSSFGSKETSDKIEPSRTPSFGAGSVSHANTDNV
IDKHRFGAIDFGDEGDDEDQNRGSRKNSVIPRPKKGFKKERKRQEKKARKSARRNGDDTVTEDIEPNEKAADADAPRRVDFAVAPEEERQVEQTALS
RTQKRPFNLRNISSIRPQIPKTFSQNVFTQPSSQTPAPSGPIPRVRYGIRRTNSLPDRLSQSITGGAATPSTRVTPSRVSSLAISAKNDKADEDEEN
ISRTTAVVLLLVSTGLVALCAEFMVDAINDVVASNSGVSEAFIGLIILPIVGNAAEHVTSVHCASKNKMDLAIGVAVGSSIQIALFVTPFVVLLGWA
MDKSMSLYFTLFETVSLFVSAFIVNFLVLDGRSNYLEGALLCAAYVIIAVAAFFYPNADQESSLGGADVVGRSLAGLVGF
>RCO7_11580 | uncharacterized protein
MSSRCDVQQEVLGVGNKKLKKEKKS
>RCO7_11581 | uncharacterized protein
MKNTPQTQRPNLRSVLTYLTLSLAHTQVGFSTTSISGFQAMHGFLAAYGHPDHISKTGYNMGITPQQLAASFVNFGAMLGMLASVPLRRYLSRRRGL
WFACVVSVVGSGLQLKPSNVAGLYARRCVIGISNGLFVSFAKVYAVESSPVRYKRGVLRGFMIWMSAGSLLGAMTNNFTKAIKTSWAYKIPLTCHIT
IPAVLVLLLLWVPESPGWLVERGKMNEARGELAKFRNDGSLPGVIDKELLDISLKVDKNREKTKGLGSQYVEVWKIEHRKRTLLCLALIMSNSASGI
WLMLSYGTVMFQLAGIEPTRQAFHVSIYNNLANLLGTVLGLQLLRTSIRRRSMMIIGHFIPAICMLSIAVSSTMSPDDRWTKNIILVLIIAHGFIYY
ALSAAVAMPLCEEFVGEECKRVTVRFGMSVNYVLAWLITFTMPYFINPRELNWGPKVAYIWAASNFVAGIFFYFFLPESKSSLAQPMMCIFATQKSV
SMLETQASVSINPSH
>RCO7_11582 | related to glutamyl-tRNA(Gln) amidotransferase subunit A
MDQSSPPGPRFFGYPRAVEGPTIPYQKKKDANPAFSGIILVIGAWIVSRLEFIQRHLWANAGFNGLRGLPYLKDYPERYDPTVIPLAVGNSTSEPQT
LDLKSFPIAPANSPGRYRSTAEYHTMYLSGELTPTAVIESLLPLIRRDISQSSHHSVAFIDSNVDEIIAEAAASTLRYKNKTPLGILDGVPTAIKDE
TDVAGYRSRNGRRPNDQLFKIAEKSSHPVQNLRNAGAIVMGKLNMHELGADTTNNNPTWGTPRNPHNSQYYTGGSSGGAGYVVSAGLVPFAMGVDGG
GSIRIPSSFCGIYGLKPSHNRLEDLGCTVADSGPLAATISDLEIAYRTMANPDPSDPTCSLFVKPSKASINRHKVIGIYKEWFNRADPAVLALCNEV
VNYYEKQLGYTIIDITIPYIPQGQLAHAFTILSEMASRARANPASPTDWLADLNPANQVLIAVGAQTPAQDFLLAQQLRNMLMQHLAFLYQQHPGLI
IVTPTNPMAGWPIGSENDLKYGVTDGNRSVRSMEYVWLANFCGNPAISCPVGYVEPEKGEGKVPVGIMAMGEWGSEMDLLAWGTECESWLNGTGKGQ
GGGRQRPAAWEDAIGNAKGKMI
>RCO7_11583 | uncharacterized protein
MCFGNKLKGDDDPSSRLNDDYNNHLNSRPVESKPSNTGTHTKNSSTMPQDSYNAPPGPPPSHQYQSPEIYGAPPGPPPNRNNEYSAPSGPPPSFNNS
SSSNNNNNNNNNNNNNNGTGYAAPSGPPPSHSYDAPPQEPYHDWQNAVPDTSLLPPPPSMGNQASSTNNATEQQAELGEIWCTQNPMTGPVTYPEAAL
EAIAKGEIGVIRPRDYQGNLERPRPGVWAGKTKASNPDNCIISTLPLYTVISHSPLRTGKTKSIYYEIRINRNNRREVSLAMGFGAQPYPTFRLPGW
HRGNLAIHGDDGSKYINDRWGGKDFTQPFKAGETLGIGMTFTARNIDAPPSYDSAPAQTMSTNPIDIEVFFTRDGRKESSWNLHEEGDAEEDLPVTG
LEGFNDLFAMVGTFENVEFEIVFNQGEWMYHP
>RCO7_11584 | uncharacterized protein
MGQKCSGLRRPKQKQQQQPTAPISNPPSRPPRSPPLPPHELIYHPSAPNDPHPIVTNLEKEKEEKQEEPDPSSHPYFRASGISIPHTGSPIPQPSLP
QPPPLTPSPAPAPALLSQRPLLLLPLPLPPTIPLNQNPISAPAPEIITALSNPHPQWTNTQCRYWLSQVLITYANRPSPVARRLADGFQGWGGSLFL
KTREEWDGWLGEDGRAIWALLKGTRDSEDVGMGAREVNRDIGRVRGGLGNGDGIGNAVARRWSLKRGSLGAGVGEKERANKRRSEVGREVSVENEDS
KKMQVASEWGKGKGRLKSLSEEREKVRGEKPRPMPEDDRRGKSWLAF
>RCO7_11109 | related to peroxisomal amine oxidase (copper-containing)
MSFSKQLPHPLQPLTISETHIARDIVLNSHKNSLIDFRAIALEEPLKAELQPFLDLESKGKLTRETKRPARLARANYDVIGSDKVAKYCESLIDVVK
RAVIDQTVVEKPAHAALTLKEFDDVTAAVAASPLFQEEVAKLSIPKHFEVVVEPWPYGGPDEDEDYRRYFQALCFANDTRAKNPDSNFYAYPLPLIP
IMDARTKEIIRVDHLATGGSEDGLSYGTSVGNLMDRYCSAECVPELLSGGLRQDLKQLNVVQPDGPSYKITDGSLVEWQKWRFRVGFNYREGATLHD
IRYDGRSVIYRLSLSEMTVPYADPRAPFHRKQAFDFGDGGAGICANNLELGCDCLGHIKYFDSVNTASDGTATVSPNVVCMHEQDNGIAWKHSNWRT
GRAVVTRHRELVIQFIITLANYEYIFAYKFDQAGGVMVEVRATGIVSVVSIDAGKTSAYGNVVSPGVLAQNHQHIFAVRIDPAVDGAANTVVTEESH
AVPTSAERNPRGNFYEVVQNEILKSTSLDAAPQLNRVIKMINPNIVNPISGHPVGYKFTPMDTQLLLAQPDSIQARRAQFAKHHVWVTKYRDGELYA
GGRYTLQSKDEIGGVSDAVKRNEDVTNTDVVVWSCFGLTHNPRVEDWPVMPVDIMQLHIKPADFFIANPALDVPSNRNLTSTLVRDDSCCSKLEPKL
>RCO7_11110 | related to HNM1 - Choline permease
MANRISKQPDSIAHSEMGTDMEKVPGEELADVGCGDSDLIPGGHVNELRRDFSVWSLGSLCLCLMATWEALTSVVGAALTNGGAPCLFYNYIISFIG
SIAIASSLAEIASIYPTAGGQYHWVAVLAPKKQRIIASWFTGWISIGGQIVLTASAAFVVGLQFQALITINNDGYVPLRWQGMLFYWVVLLYSTAIN
LWGSKMLPHSNLASGVVHIAGLVVIIAVLSAMAPKNNASFVFLEVTNSSGWSSDGVSWLVGLLSAVYPFLGYDAACHLAEEMPNPARNVPIAMLGSV
LVNGVLGLGFTIILLFSLGDLQELLSSPTGFPFMQLFLNVTESKAGTTILVLIICLVATAANVAGLTSTSRTFWAFARDSATPYPKYFAHVDKKMQI
PVRAVVAIALAQALLGMIYLVNTTAFNAILSMSILGMYSSYFLPIVCMQFYGRKMIASTGRYGPFKLGNILGPIINVVAILWLLLAMLFSMFPSVQP
VTTANMNYASAVMGAWVLAGVAFFFISGKGRYSGPLIELDAVA
>RCO7_11111 | related to CHA4 - transcription factor
MSDPQQQPPRKRVSQACQPCGLKKVKCDGTFPACTPCQYKQIECSYGISKRSRPRPSIGESPRPRPPPPTYSSRDDQRHDPASQSPYTAMESVRLPS
RRAACAISIVSTELSTRLLQTYFNCLHPLWPILYKPLYTSMDYGSPSDVMHPALVAAIFSIASCVDSPTQQPRNAVMQKCPEPRQFLQEAFDILQRG
DGSKEPHLIHALEPSITACQVLTILCLQQHGVAEYGQAAILCSVAAAMAIDLRMHRLDESDDPIQLEVKSRLWWNIYILDKIISCDMGKPVLLRAEE
CDCPYPSTSEADEFELMSTQAEGQNNPGQFKNTSIKLRTISGFHTSITLSMIFERVCREIYGIAARKAIRENQLAGQAKRLELWAALKEWERQMEAS
PLRLDLSESLTSVPAAITNYVVAWHCSILIHRPFIARWTYNPATPDSPDPLEVCLDAAKNICIVLEKYIGRLLGLPCDMVFSVFTAASALLYDSKSS
KEPSPETNRLLQLCIHWLSMLGKSWKSAGKRHEMLAAKVYDLPQEMHTQNNSGARTIGSPALEASIQSQIYPSGSAQVSNGYSGMEQMPQIANEDWG
FLKNLGDANDDFFAFDVQLRGLLDGGYGLNNLNNFNNINSYSG
>RCO7_11112 | related to laminaripentaose-producing beta-1,3-guluase (LPHase)
MPLFQKIMGAAKSVASTASPVSESTGPTMDIQLQNRTKSNTVYAYITGLAVDKGNQVCVMKADGKTPYYPSSPNEILQPLSENCSIKLGAPGSTITV

TIPQLAGGRIWFAIDNELKFIVNPGPALVEPSISNPSDPNINLTWDFCEFTFANNSIYANISYVDFVSLSVSLTFQPKDGAEQKVLGLKPDGFQHVV
DGLKAQDNKDWSKLVYEANGKPLRVMSPNNGIVMAGGNLFKGYYEPYVDQVYDKYTNCCIEIDTHAQWGKVKGKCNSGKLEFSGAGSFTKPSTADIF
GCSSGPFAKNAGALGPLTARITAGFNRTTLLNEQIHPNAEKVDEFYKLPVTNHYARLCHEANIDGRGYAFPYDDVPAGGGGVDQSGFVSGDPKSLIV
AVGCE

>RCO7_11113 | related to Cyclohexanone 1,2-monooxygenase
MVPKYLDALVVGLGFGGIYQLKKLRDQGLNVKAIDKASDVGGTWYWNRYPGAISYSHVYRYSWDHEDLINYPWNTRYLQGPDILKYLQHVVERHDLR
KDMQFGTELLGFDWNEIERRWVVNLSTGETLRVKYLVTALGVLSKTNFPAIPNLHKFQGKLYHTANWPQDADLRNKRVGIVGNGSTGVQVITAIAKA
DEVKQLLCFQRNPQYSVPAGNGILSPQERQEINDNYKETWSKAKQTLFAFGFEESTRPTFSVGPEERERVFEEAWQKGNGFWFMFCTFGDITFDERA
NFEAQEFIRKKIRQAVKDPEKARKLCPTELYARRPLCDSGYYEQFNKENVDIVDIKASPIVELTEKGIKTSDGTIYELDVIICATGFDAVDGSYARV
AIRGREGESLKDHWVDTGPTSYLGIMVPNFPNLFMIGGPNGPFSNQPPALETQAEIITDLIARVETVATNKSHDTNEARSKGGTSGGEERCGVIEVE
LEAEKGWTDHCEEISAASLFRKLDSWIFGKNIPGKSDAVMFYFAGLGPYRKEIAAILEDNLRGFKIS

>RCO7_11114 | uncharacterized protein
MGFADHFNLSRFVAAQRLQYPIALSQMRQGAKRTHWIWYIFPQLIGLSGSGNGRTYAISSLAEAQAYLNHPLLRARLVEITQVVLDSGTGNIRTLMG
SDIDVTKMHASMTLFMRADPEKRVFDFQAVLDKYYRGATHTASDRILDL

>RCO7_11115 | uncharacterized protein
MSRSAILIPPSQSQHADDPSYDDSNSPSIQLQTTINESITRSLSSRRPLLTHLNADTTWLLSLPYPQYSTGNNGKIYYHILIDPWLRGGQSDVAKFF
SQQWHVEDSAVQSIAELEEAIRGIEDAARGRPLYPALPSEVSSELEDNEEMESVPGSNTKISSEEERQSPLDAIIISHEFTDHMHKDTLLEAPPSVP
VFASTKAASAIRSWKHFDSVTEVPRFAGDWRTSALSPLPKWVRVSRVAFAGQDLLYYHSAVMISFSASDDDGEAEAVIYTPHGISPADLAPVFTAQP
AIRTLALLHGLSDVSLGAQLNMGAHNGLKVQRLLGAKYWIGTHDEVKKGGGLVSWFLARKNISLKEAIEREKEEKGDEMRGSMVEGLKEVRFEDLRN
GESLVLE

>RCO7_11116 | uncharacterized protein
MEVEVCAQLATGGPVTSYPCSATRQKWVSGDTKPGTNIPSAAARFTSTVGPRQNNFRSKQQRAWSWHH

>RCO7_05583 | probable GPI-anchored wall transfer protein 1
MSRAAEQAMAASYKSLKEDFVSNLTGGEIGEINYVTAVAPAAVILWSALQTRQSFFKPYTPLAFAVDFLLNVCAILVAITLYAPTPLLLNAILLAPV
PGLYLLPGPPAPKKAKLPPSASSKQSKPETLNSLPKRAFVTTYRGAMIVVTCIAILAVDFRIFPRRFAKVENWGTSLMDVGVGSFVFSAGIVAARPI
LKAQLVGEKLAPLAERISRSLRHSLPLIVLGLIRLYTVKGLDYAEHVTEYGVHWNFFFTMGFLPPFVALFQSAFEYVPSYAGLAVALGVAYQAALEF
TDLKAFVLTAPRTNLFDKNREGIFSFFGYLAIFLAGQQLGLLVLPRGEGKTGGEQRKRLLLKLGVWSVGWIALFWFSTNYTYGLSLAVSRRLANLPY
FLWIAAFNTTQLMAFCLAETILLPNAHKIYATKKEEDEVYQVSTSRVLEAFNRNGLAVFLVANLLTGLVNLTVPTLHVTSLQAMGILVAYAATVTSV
AIGLDIYDISIKM

>RCO7_05584 | uncharacterized protein
MAYQLEERLSLTVSDKVSRYGQASGGLNQAPDGPLIKDRSEFYSSVLKTRSEIFICERGRRQHRVRNEATGPLTSRSTVTWHLAPDHSNNLAIIYFE
YRELAVKLSEPSQGIQPLLIFVINIPHHNGYGEMTELSAIDRRHHSELQPLRIRPDSPFTPSQRQRQSSITAAKLTSLLPSPSLVAARAYFFESTTP
VEQDVSATQRRKSLLESQVFPRRHSVLPAAKTLAVQLESFSFSGGSKNLHTVPEAEEIVTEAKIESPSDTYMAEVDAFDEVTTPIRRNSSMICGTPQ
EVLRQVPFQYTHDHLRDWGYAYLGNSATADAFINPVSLRRPSMAAVKIEPTQDNTLGWTTIRARVVPNGKDRKPFIIQKRFDVDELRSSIPQIPSQP
TERKSPAILRRSGRTRRSSTQEVTDTWRKDSANIKRKDRFPFLGKAPLPIHIEYALHYLPVLGALMLSGHVRKGDSIDLPIPHPEVWREVLTYIYTG
RGSLSAAMKQNICFLAGHA

>RCO7_05585 | related to polysaccharide synthase Cps1
MFDLFDLGGWAITFWVFWLHRYVRTIVNFISHWTYKSIPIPENPSYTAEDVTVIIPTIHNNFEELKDSIQSILACNPHELLLVTTSDKYQKLVRFVK
SLEATNIRTFHVPIANKRIQVCEAIPAVKTSIIIMADDDVTWPHTILPWLLAPFENAKIGGVGPSQRVKRIRSGPLTDICFNWYGAAYIERRNFEIS
ATHGIDGGTSCMSGRTCAFRSEILQNPLFLDGFKTERWGRYQLNADDDNFVTRWLVTNRWKTWIQYNPQCEIETTLENNIKFLYQCSRWARSNWRSN
YTSLFTEGHVWRQQPWSTYSLHIATFTSLTFAFDPWIIYCLHKAAYKLPGNGYWYAMCAQVIFMLWIKTIKLVGLFRREPFDLIFLPLSIIFGYFHG
FIKIYAGITHRMTSWGSREDGDTNDNERMSPRGRRSESITLPPGNHPGLVRYNNGKMFIYSTDEKEHAYTAIEQAIDPDDEAESMAGSEKFCDEVDS
DSN

>RCO7_05586 | uncharacterized protein
MTSFNSHGHTAKPRERGSKSSVKPILKRLTQSEKNSLDLDRSAAEQGQGQARIEDGLGIEYGSGSGSGFGVGFGSNGGGGGGGGGGSGPGASRASI
DVHTRRGYHYHHRSTSGTSQFSTATTGSGQGNRTGSFIHPFQQTPRPYTPPIGTQGSYQGSWRESELENSNSPALTEDEDQIQNQAQYQTQTQIYSF
RSSSNLSNHPHTSPASTTGLSSSSPPNISHSHSHSQHSQHQQHPLRITTSKQSSSSRLAFATSHNSLHNPTLSSDLTYPLSPTDSTAMSPASAIRSS
LDTGFRIRSRSEVTEPKMVRSETIQEARRKFQEKEEAKEEKAAREEIRALEKRQMKEARMIERGHRRSSASNDTHTRSKRSKSDLTSTMQEKDGFVG
RGYSEVTQQQTPTFATVVGGGGVGDGEYAERRSGTAKLKTHSAWTKFVMWIRTRFIRMGKKN

>RCO7_05587 | probable serine/threonine-protein kinase KIN4
MSSAALQAAPHQPTSVGSHSPVAATSGRPYTAGPSQSRDGYYNQQPAANASPSSTRRSSKRPSGNGASANNSTAQQHHPPSGNNPNPTSMTSRGAST
NPMSSAEASAPSGYQTMSPGDHQRGVPPVVSARTSSNRTAAQAAAATAERTRRAAHANEASNTSRQATTGYGQEREGQRSNGNTQGIGEDPAVAAAS
AATRRKRAQQSPEGPPHRPSGSREPRTSQSATSSQRAAMAAVQSPSGPSREASAVLNRVVVSQPEVDIERERERMAEAIPSSPGTTHSTPGAMSVVG
TEGVDDQARGNRSRHDHSTTKREKSTKFGDYYLGNTLGEGEFGKVKMGWKQEGGVQVAIKLIRRDTVGTNPTRLAKIYREIAILREISHPNIVRLHE
MVETEKQIGIILEYASGGELFDYILNHRYLKDNAARRLFAQLVSGVGYLHKKGIVHRDLKLENLLLDRNRNIIITDFGFANTFNPDDELGDEIEYNL
ASRDYVKRKELDKVLPGGHRRGDLMQTSCGSPCYAAPELVVSDSLYTGRKVDVWSCGVILYAMLAGYLPFDDDPANPEGDNINLLYKYIVSTPLTFP
EYVTPHARDLLRRILVPDPRKRADLFEVARHSWLSEYSHVVGFITSTTTTTEQIGTTAVGNDDQQDGPSLNRSASVREASKTQKSPTAVGDLSRKHG
NVDPDVPESYPKPNKDNKRRTVQVEYVAPKSQTQRGEPAAGPPSVSRTRARAGSSGPVEVQSSQQTRRTASVEKPLPQDPPSREQYASQGRRGSNSS
RQQGMPPPSRPERQVSRSASDANDVAAHAPPPVSIGRPNTGGSMTSSGSRPGSLALRDRGSYSQPAAPAVAGTNAQGRMSQPKTTKGYNISAPMTEG
DQDYGRQSSTQVPPKFSKVTGLHDGTSGTSQGTSGTSQEFKTHKRSNTIGSIFGRTNSLFGGKRDQDKTSEKPKKSYPPVSMSGVVGQGQGQQDVPR
QSMDSRRSISFGFGKKRSGSIHGSQTTLQGEKSKRFSLLPAGFSLKSIGIGKDSPQPQDDQYDDRPDTHGTYHDTSRNTNSRNVSGASSDQHANDGA
YDRGEVRGTNNTTSLAQKRYTSQGQGQPDPRTGGGQFLPPMNFQQGESTLNTESETSLNDLPQSQPQRRGPYPPGFGSYDDTSANRQAPQTSRSENQ
NQGRLGRGVLQKNNRKFGDAYEAEQGNGYGAAHNDHAGSSGAARKVMDFFRRRGKDRGGQ

>RCO7_05588 | related to nitrogen metabolic regulation protein nmr

MSKLIVIIGVTGNQGSSVAKTFLALPGWKVRGVSRNPSSAASQNLSALGIEIVQGDVDDKDSLIPAFAGAHTIFANTDYFAPLFAAIGDPDLAAPQD
GNAKRYAYDREVEQGVNIASVAASPAVLETLQRFIYSSLADATALSNGKYTEVYHFDSKAEVLRIIRDKYVEVAEQMSMLQMGHFVENLSAFPSMAP
VKGDDGTFVMRRPNAKETRWEWVVARRDTGMFVRALVEDLEAGKTLLGVSEAMTGLEFLAVWGKVLGVETRYEEVSHEEFFAGLPAAMSEEMGDAFR
FMEEFGHCGGDEEVLIPAQLEKKLKLTSVEEWIRSDDWSSILKV

>RCO7_05589 | related to ATP-dependent RNA helicase ROK1

MDILKILSRSTKRPNKSSTSSTTPAKLPSAGVSANPQLYHDAIPDSRGKKRKRGAAQVEEQTALKEEDEDVDFFAPKATAPKAKKTRPEEADNATKT
QPSTEGKLLDQDECRQILKSHRLKITLLPSGRAAEKKIKKSKSGKENISKKVVKEEIRQLFPQPLMAFGDLKSVYDISGRMAENLVQQGYKIPTEVQ
MASLPFLLRPDIALGDCDLGEEEVDLLAVAPTGSGKTLAFLIPIVDKIIQRRRGKEEKEKGEHEWEAVVVVPTKELATQIVNEAKILSLGTGVKVVG
MRKGMRIVEVGVITNTKADENASSSEEEEEEDEKEKKSTQAQPVSKGDILITTPGLLLSALSTGNPSKHASLPNIRTLVLDEADVLLDPLFKDQTLT
IWSSCTSPLLRVTLWSATMGSSIESLAHSTITTRRTDLSLPVTPILRLVVGLKDSAIPNITHYLTYAATEPGKLLALRQLLHPTSSSSSLSKNSTKT
VPVLRPPFLVFTQTIPRATALHSELLYDIPSSAGGSSRIAVLHSSLTSTARSAVMSRFRSGEIWVLITTDILSRGIDFRGVNGVVNYDVPNSGASYI
HRVGRTGRGGREGGVAVTFYTKEDIPYVRDIANIIAASEKQAGKSSGDSQKWLLDMLPKVGKEDKKKLKLYGVEARRGGLGVKEKEDGKGKGKGKGK
MLISTKSGYERKLENNRKGAIQGSRRRAQLEASGDGEEKPGQKVADEGEWGGIDE

>RCO7_05590 | probable xylitol dehydrogenase

MAKTTDNLSFILNKPFDVTFAQQAKPELSSPYDVLVAINYTGICGSDVHYWEHGRIGSFILKEPMVLGHESAGTITAVGSSVPNLKVGDRVALEPGT
PCRRCEPCLSGHYNLCPLMRFAATPPYGGTLTGFYLSPSDFVYKLPSHVSLQEGALLEPLAVAVHIVKQAEIKPGQSVVVMGAGPVGLLCCAVAKSY
GASVVASVDIQPSRLEFAKSYAATHTFIPSRVPASENAAALLKLLDLPSGTDAVIDASGAEPSIQTSIHTVRRGGVYVQGGMGKEDINFPIMELCTK
EITVKGSFRYGSGDYKLALELVSKGFVDVKKLISRTVEFTEAEQAFKDVKSGQGIKVLIKGPNEK

>RCO7_05591 | related to beta-mannosidase

MSKHTITPLNKNWTFKQGGDAKDSKFLPVAQFPTNVHLDLIANNIIADPFIGKNENDVQWIGEVPWIYKTTFPSPSLSEKERGTVKAVIAFDGLDTY
ATVVLNGKEILKTESMFIPERIDVTTFLKKEGDNELDITFESAYLKGCAILEKYPNHKWGCWNGDTSRLAVRKAQYHWGWDWGPTLMTCGPWRPINL
EVFSSRISDVYFTSSVDKSLKSAELVAKADIEGFASEIKFDISLDGKELASKIVQAEKGHASHKFEIDDPALWFPIRYGKQPLYTITATLIDGKSEI
DAQSKKFGLRRAELIQRPMTGQPGATFFFQINNIPIFCGGSDWIPADNFIPRISKEKYYDWVKLVADGNQFMIRVWGGGIYEEQAFYDACDELGILV
WHDFMFGCGNYPAFPEFLALVKTEAEENLKLLRHHPSIIIWAGNNEDYQYQESEGLTYDFENKDSESWLKTDFPARYIYEKVLVDACNELIPDTYYH
FGSPWGGKDTRDPTAGDIHQWNVWHGTQEKYQNFDQLVGRFVSEFGMEAFPNIKTIEAFLPLGAKDPDRYAQSSTVDFHNKAEGHERRIALYLVENF
RYAPDPLEQFIYATQLMQAECLASAYRLWKRQWKGPGKEYCGGALVWQINDCWPVTSWAIVDYYLRPKHAYFTVKREMAPLTLGVTRKEHLIPKDKY
TRAFIERKIEIEIWGSNLTLEDVTADVVVKAFDVETGKETYSKTIEQNFSLPENRSTEIAVLPVPVSEKGDEGKIVVAIYLYVDGEQKARYINWPEP
LKYVHLQKPENLKATLSANGKFVELSAEVPVKGVAVECEDEEVSFEDNLVDLVPGEIVRIAVKATKKETKIETRYLGMV

>RCO7_05592 | probable glyoxylate reductase

MPPLPKGPIRLAILDDYQGIAPKHFESLKPTFEITTFQDTLPAFNAPSTPESTKQELITRLKPFTVISSMRERTPFPAELLKSLPNLKLLLTTGGRN
AAIDMAVAKSLGIPVTGAGEKGRTPSAAVDRKKRRGPDSTTQHCVALILGIARLLASDDRNVKNGLWETDLATGLSGKTFSSLGLGRLGGNVAKIMY
QSFGMRVLAWSSSLTQEAADERAKEMGLPVEDEDGKVFKAVSKEELFKEADVLSLHYVLSDRSRGIVGKEDLKLLKKQALFVNTSRGPLVDEDVLLD
FLEKGGIRGAAIDVFAVEPLPLDSKWRTTKWGEEGRSNVLLTPHMGYVEEETMNSWYEEQVEIVKRWQNGQDLLNMINK

>RCO7_05593 | uncharacterized protein

MADNQEASEGGRVPGQGAERRKHRKKDKSVLPSSNATSASHPAKKTTKKRVSTERLAPAVAVPKEVKDPQEYITIHSTDSESDVPVHVDQEAWEAED
AEAETQTEAAIQRYAQAQAQGQVQADTTGKQPKRRRRKKNIEERVSGFSSFGRNQGSLDSYQNGQPSAELSDARNQQGYSSQSPQPNELPQPRLMAL
QPPQVSNNNNASFFAQTPAAEFLAQHQASYFQHSHAQSNLPIIPQTSQTPTLLQLPQQSPYLHPTTRTEPATQQSTDLDTNMESAASTRRAVASTAS
APVRAQSGRATRSSSVAILPGVARNIVANRGHAPLDPPLSDIYKYDVEFFLQKANLMFQAHYRNEQLHVHDNHGLLVNVLMKWQAFTDYACVPLTHS
AQNGHDIGRLLATTCIVLGLDPMLHDLIAFFHDFELTAIKRISMKTAEEVRLYDEERESSWIHLQHTEQHFFGSAKEEIARIWDVQRKKIFQGVSLE
GVAQTAANGWASRRGGQ

>RCO7_05594 | uncharacterized protein

MAPQPRRYPKRQIRRPNPPEIPAKAASPSPLHANRNSKLDPNGILKIRPLLNTRSRTNAATVFEQLPLRNKRLSLVPKKKKRRRKSTVVDISLEEVQ
ENREEQEDKDEKVTGRYEGIEDADVRPMKERDEELLNEDSDREEGTKRGWKEAGEEELHMSHVDEFVTMFCGFETEQVEEYVFFKLDVLRMNTFGRL
GGLLKSDKSKPLALRTTDNEAERLAAILQNWLSTASPFPSIPTPSSPSSSDSDLPSFNTKERYGKGSHDSPISIPSTPTRLPPEILLIHSHGRSLGR
QLLSTCLDRGIDVISLHRLMKDMADFYAEYSQDLEFQLLDLPDQDQDEYQYQDRSPNESYTRRRYQNQTAKSSTKRKARVSAKPDRVIKKRKKKRVP
PNSILALVLGIDKPGFGYPEWEVLKENAEMIFSLLQGASEEIRDVLKRAEEEGIGGVGVLGDARGRKRGRKSRGK

>RCO7_05595 | probable 3-hydroxyacyl-CoA dehydrogenase

MKIEGRTFIVSGGASGLGRACVEDICSKGGYAAILDMNDELAADVVKEIEGGKSKFFEANVLETESIAEAVKGALAWSKETGAGVGGIIAAAGVSTP
AKILDRNLQPFSLDDFDFVMNVNVRGTIDLIRQVLPNIASSDPVGTDGERGVIIMVASSAAFDGQPGQVAYSASKGAIASLTLPLTRDLARYGIRVV
TIAPSLFESRMTSMMSDKVRGSLLRVMEFPVRPGQPHEFAQLVTQGIENIMLNGVVLRLDGGMRMPSKM

>RCO7_05596 | related to GTP-binding protein rab4b

MWDGKELGSMYDYLAKIILLGPSGSGKYGHPYRSQQGGRGTDDYGGRKKQFLINFLNCRSCLLHRFVKNEWRIVSSQTIGVEFASKIIRVGTGARRK
RIKLQVPFPLPLSQDFHIKIRELTDSEFQLWDTAGTERFRSVSRSYYRGAAGAILVYDISSHKTFTALPSFMNDARALASPNLTLLLAGNKADLADS
GMLIDVGSSSLPPATPTSVSSRASSFPFNAGGSVSSNTGSGNGSVSTNLGLGTQLRATIAPNGREVSPEEASQWASKNSVPVSVEVSALNGDNVDEV
FNRLARMILTKIELGEIDPDDPMSGIQYGDVDGWQGDTGGDGSSVKSGVTLDDGARRRKGAGNRGRGRGWGIGGGTLGGMREWEEVFTLSRSRRSNQ
GCC

>RCO7_05597 | related to ral2 protein

MTQPSTPGPSGSIFGGGGGGGGVNGQTSAGTVLTPSSAASSNNTFLMPNSPIKGRISMDGYRPKVTRTLGQRPACLVNASVTYCGNNQIYAFGGFDQ
YTDEVYNHVLKLDMVSSQWSLVDNYGDIPGVRMGHTATLYQGDKLLIFGGENEHRTYLSDLIIFDLRTAHWTQPSVSGPIPKGRARHAAVLHEDKLF
IIGGITGHNNYVLEDICYLDLKTFTWSRAWKFVGRFDHSAYLWGDRVWVFGGLSEDMDKIADISWLDLKGSPAFDSPPPFGTLDRNSALSRMSGSSR
QPYAMAPPPAVGSSGYAANSGSAQVNPPSFQLTSSPPVAPGSISSLKFVSGPNIPSQGSGMHFHVYTSGTLLDFVTPAATITPQECSLSSLELNTLR
WQKLAEGRDIFRPGYRWHYCTMNEDGTKAWLLGCPTDPTATDLGPGGFEEYLSDIMEIDLRRYGIIGNNLTPEPRTETSMIPSADRSLPPPSKGLGA
DLAKVFNKPPESGSGADFTITALNECDWDEDETGMMMRSSTNQQQQTWLDPNATTSSPIHVHKLILQTRWDHFARLYASQMAEFHTKKMHIPEPYSV
VKAFLYYLYTDSIQPEDCKELSDVAGMLVMSNIYHIPHLRLLCVNRLSKELDVEHACIIWHCAGTANEEWLRKRAANFCLMHWGRVVRTSGFLRLPR

AALVELSQEIDMEGRVVGGEELEFVGGLGGSRFGFGGVARKASVSSNQTQQMGSDGDENENEEMEMN
>RCO7_05598 | related to cell cycle protein p55cdc
MSTSVSTPMKTHMGLFSTRTAGGRMPLTPSPRTRTAAMASNISPFTPERKLDNESIRSSTYGGNLASHFKSASKPSHRDSPKSNIAKGVQTPRRALE
LGVSDFTLTGTGAKTPSSSRSRKGPLRQKSTKTTLSYGDRFIPNRTASSAIVNVGSGKLDAGEKRPKSSNHESSSILASGADDALAALGSLSLDDDE
PSTYSRPSPNTVAYQDSLASACGVSLNQRILAFKPAAPESSKPVDLRTQYNRPLKNSSATSAQFRRRVATAPERVLDAPGLVDDYYLNLLDWSSGNQ
VAIGLERNVYVWSAESGTVSSLLETSPDTYVSSVKWSGDGAYVSVGLGTGEVQIWDVEEGTKLRSMHGHETRVGVMGWNKHTLSTGARSGLVFNHDV
RIAQHKTAELISHTSEVCGLEWRADGAQLATGGNDNLVSIWDARSLSAPKFTKTNHKAAVKALSWCPWAPNVLATGGGSYDRHIHFWNTTTGARVNS
IDTGSQVTSLRWSPHYKEIVSTSGFPDNSISIWSYPTLVRNVEIPAHETRVLHSCLSPDGQMLATAAADESLKFWKVFEKKAGASSAAASGSSGKAD
MVKQMTIR
>RCO7_05599 | related to transcription factor TFIIA-L
MSNTQVGTVYQQIIQDVIDSSRVDFEEGGVDDHVLEELRAGWQQKLSQLQVAQFPWDPKPEPIPAMVVPPTVPSNANYQTNTPPLPNHDQGPLTLPQ
LPRQPQIKAEPGLDHGLQHVPHQQYQMPLNLPANATPAQARAAQHLHQNYGSRAAASINAIQAGPNQPQQPQQPQQPMNQQQAQQQQQQRMQQNGQS
MNLQQMQHHQQQTMARQNQQMMQGQGQGQGQGQGQSQNMQEQVQQQGQGARPAMNQEQYRQMMAQNAAARLQQTTAGQNGVSGAQTDGAGDEDKVDFF
GLVKSVNASGEEVLGRVEIDGLIRAKIESMGTSMEGGGLMLPLKQASISSSRRQRKVKKVNSGGAGQMDAQDDDDKDDVKDEELDEDAINSDLDDPD
DGLNDEEDDDENMGHIMLCMYDKVQRVKNKWKCVMKDGVLTVNGKEYVFHKASGEYEW
>RCO7_05600 | uncharacterized protein
MQSIITLTLALLASTIAALPAGTSSASTTVQITNDFSGRSANIAIPLTNTKQALSTLLRGTALDNNNNAFPATSFFLQANFGGVQCDLFLDAGVTVS
ITERKTFAAFAPTGSPKDLSGAQIACFLF
>RCO7_05601 | uncharacterized protein
MYNPLVLLPLFGAFALASPLKANSKELTDSPAVLLARGPNWIPGLPSIPGQSSPPKWAQNADDTCKVKTIYGPYTLKVPTLGFGQGEEYYAEKISDI
LCITGHGPNDDPLGSNRKPGVELDYIVTKHLTLSFSTSIWYHTIPGGYQPTNCATTVTVTKGLPDFPTEMPLLPKPIPHMGQMGVPAMPAPTHKATY
YEA
>RCO7_05602 | related to NACHT and WD domain protein
MAVSQSQDGGSLLFGSSAKSTERLVADPKGALGFDLLYAPAEPLVDFIFVHGLGGGSRKTWSKTASEKDFWPQKWLPEDRAFKNVRIHSFGYDSDWA
KGKINFLNIRHFGKSLLGQMSTLPCLRDTNTPIVLIGHSMGGLVIKKAYNLARQSAQYQSLANRVHSIYFLATPHSGSDSAKLLSDILQFASIPREY
VAELKRDSGTIQTISDDFRNYERDLDLWSFYETLPLSMGKFFSRMIVPPDSAVIGFRDEKQMLMNADHRSICKFDSIADPNYQILRNSLESTVAKIS
KMVRTSQQDLRHSQLKDLERFLGVLDEFDNDLATAQEARLSGTCEWFSRKNAFLDWKNFAQPAPTVLWIGAKPAAGKSVLAGYACDYLQKENGNCSS
FFFKHGDDTKSRLSACLRSLAYQMACSDSLVRQKLIEMQRDDIKFDRENERTIWSKLFVSGIFKATFSNHYWIIDALDECANSLALFDLMLNNLESS
VPLRVLSTSRITGELGEMFQSLGSQRYQLLQISMADTLPDIRLLIQAKAKAFRLQNDDDRTALVEKILQKSNGSFLWTALVVNELSKCYSQEAINQV
LDDVPSEMRLWYQRTLEAMSQNTHGRKLARAILIWATCATRPMSLIELDIALKLDFNETSHGLEQTVAALCGQLVAIDRLDRIQMVHETAREFLLDA
NLNSELAIKPIEAHTRIVKACLTYLTGDEMKPPRTSRFQSNIAVKRGHFSQYACTTFSYHLANADSRSNDILSLVDKFLKLNVLSWIEIIAQSQNLM
LFVRVAKHFRSYLIVCSTERSPLSKELSLIRDWSTDLIRVTAKFADALVLSPSAIYSLILPFCPTASSVYQTANNGRRLAIVGLSNSFWDDRISCIN
YNQGQTSAISAGDQFLAVGFLNGTINLYHAASYQEYRSLNHGEAVKFLQFKEKSDIMASCGMKNIRVWDIRRGEIVHSFQTPQRPMCLAFDQDLVMA
ASQQNILSTWDLGNDGARKPDRLWNDSPNETTKQVRQQPCAISISVSHQMLAVAYSGKPILLWDLAGDMFYGNCGKKLSNGDTSTHAISALVFNPNI
NIGLLAVSYLDGQLAILDPFNDQENCSFRADCHTLAASSDGRLLAGGAGSGIIQVYEFDTLRLLYRVKSSNFYIKQLAFSPDGLHFSDIRGSQCNVW
EPAVLLRDMVGDDSSEDSSTSVVEAISSDSKIRISAMILHQNSEVAFCGKEDGSISVYSVRTGVQIGTLYCHKSLVRILAWWPLTSVVMSVDTSNTI
FAWKLQQGKPSSWKVDILLFQCHLDCSSTIIQVLPGEAVGKFILSTRESDHCWSICGREERVLGHSVKPRIRKWIQHPQSALHIICIDGAYAKIYSW
DDWSEVSCVCLNINVEGLQLKSVFQFMTGGKPQVLLEMSELNGSANTRELYSINVALFNIDISEQSNIDTSNNAQQIQNNDSPDTIEVTTSLRSPIP
NAIWSPRIGSQIEFLADYVSHIIGISESGSLVFLDTHSWVCSASLESTFGKAVSYLRHFFVPYDWFSGTREIVCGLAKRDVVFARNDDVAIIKGGLE
FVEKVDVRLEPLNSKAGPGFDFGKSFTG
>RCO7_05603 | uncharacterized protein
MTKRHTCTGFQLHIQTSKSANAAQITPPCRFAPCDFCINIYPIFQSSHPRLVTTAGLTHCPSLPIYTPDPSRFPPPWVEPDRADMRQLPQQVEIPLP
ALTGLHVYVIFAVVILLAIWLEDLNSKGVVFSASKARPIRDPTIAIALGRSYSSVATFRDHVFETVIGEQGHSKIPSCVRFPQFGPPVLGFEAGDQL
KYDESGTTVRDLGFLFGREWSDPELQPAIQNLPQDVMAKEAQVVMNAPLDATDTFFSVEGILAFHLTHLKNITEGYLNQTKAAVELAAISAGLDLKL
LISDSKAISEAYHIDRMVRKRDIGKEGVADYFLIYQINNEGSRLSVEYSLRRDRHTVGFLDDGFDLWNCHLSSDFEWSSSTSIALVERLLKTSTLEN
FFVGRKILKDEEDSFRDDQAILYGAALVAYDLSDDFDHIFPCTIDTTIFDIGIQTQGEEFLKIFPEAITIPRMEFRVVTTTTNDHGNAVINVYEGRS
LVASENRLLGSIELDELSVGPKVEVEVEIIFVLDAYGALIIEGTEKKSMVRKEAVLKDICINGQQVRGLSATTMENRRTSLEDEDEDKGEDRDEGDM
HGKTAGEDADTSRGKVGRIMVERGAPERGAELFILHWFFNRIEGIVTSSEISNQR
>RCO7_05604 | related to methyltransferase
MGAFALARWFKDWGIYSLTIAPRRTISYPPSNISLHYAEHFTSAKTSRPQFCPLRLKMELTSPSRMPLPVRPEHQTNHPPPPDYIEYGRSYSGFRKG
KYMFPIDDNEMDRMDIYHKFFSVARREALHSTPFIENYDKGPRVLDLGCGTGIWAIDMAEKYHHRNVEVKGIDLAVIQPARIPPGLVFSQRDIESPW
WWCEVDSWDLIHMRMLAGSISSWQDTYTQIFRHLKPQFGWLEHVEIDMEPRCDDGTLPADSSIIQWTKLLFDATAQAYRPLQYNHRTGAMLQEVGFV
DINEQIIKVPLNPWENDPQLKDIGRWYNLGLTQGLDALTTAPLTRMFGWSKVDVDRLVANVKREICSKKLHVYCNMHIWIARRPADA
>RCO7_05605 | uncharacterized protein
MAIDPVLTAFRISNAPEEADTDMKQAFPAHQFLHGSSHPGSTRHQRHEQSPSTQPLSNPISNSATMGTEQRRTTKLAPMSLQASPSPSLSEQPFALH
AILPGLYLSSFPHDILPRDIKYILNLSTHPHPPFPSSSSPSSHVEILHLPLSDIPDITPYLQLILKFILRSLQSVGSNAGTHPKRRSKVLVYCAQGV
DVSAAAVVAFICYAMYVTSGQALAFLKSRKADVNPKERFLVQIDGFFGRESC
>RCO7_05606 | uncharacterized protein
MATTTSDLEGSRQDQNEGNPTRNSPTGGRENDVGGTANVSAVVDSTASSSSAIFSPPAMATDTAQEIVIDEEFDGDSAFGDDTQSSTASMTSEISRG
YIENGRTYQAMKGHEYWGPSDDKQFETYELGHLLYVILDSNMPEPLFHSPIGDSPQTILDIGTGDATIYGIDLYPPPAVWVPPNCILQVDDATLEWT
YSKKFDLVHLRLLLGAFTPKERERVYREAYDNLLPGGWIEEVELDVRVMSDDGSLAPDSIVAGWGPIFLGCAERSGRPLDTQLTMKESIAQAGFINV
QDKLYKCPLGSWPRDRIYKDAGTVNMEHWKMGLEGWAMYLLTKYGAPTPWSAEEVQVYVARKESMGAEAFGIARNH
>RCO7_05607 | uncharacterized protein
MQTTPRMFGTRASVTLVDFLPCSLFWSQSINGPNHQVRPCIVHHSKSLKLPRSFKMSILPTRVFAGATIPDTPLITKALEYTRAHSTDYAFNHIQRS

LVFGFIMAAKIPALADRDLEVHAIAAIMHDIGWDPTGELISKDKRFEVDGADAAREFLRKEAPDWDKHRLQLVWDAIALHTIGTIVFHKEAEVQAVA
YGIWADFQGPDRIEGNLLTWDEYNVVVAELPRLSLMKGLKRMMCYFCETKPATTMDNTVGDWGDKFVKDYDRTGKLTCDLLLTCDLDGKTLLEDPI
>RCO7_05608 | uncharacterized protein
MSVFKPRKVSHDIRPHPTYELDLDETSRSSALSFLKRPYPSCQPQFSYLRSTSGEKLWVTVLLFRGSQWTSDAHVLKKDATLQVAQKVVDWLFSNEL
SPCNQHGYLATRKMSKSVEEGDGIWQLELDWDMLKGQARSSAPNQWNNRRDSFIFFFGYPQYQATLLNKIQIGQSNVGGGGMITTWNSVLPSLPSYF
IYRREPNDTVSAYNIPSALNMAKTTDNITSADDFADLDVNKSPKDIVPAIHASTDVKGTTPAMALQLKTSNDIASGQITSALNSSQTAGNIATGSIA
AAPDVTASLNLIATGNNPTATNVTTSSNNTTSANDFDTAMDDTTFTETTDSTSNVRPTLSVASFDQDIAVDINADTTNSPVHDVQMSAVPSIPCPIP
QPTDMVMDNAIEAEGNNDLEMEDDNDPEASSYSHTPGSWAASQEAGVNSAKGTELGDDADTEGGEEEEEAEEDERDGSSDSDDDDEDGGAHDSHGAA
TLTRIQDATMADAQYDSDDLSDPPSDLEENNPFDKEEDEEGEEEQSGDEDQGCCNVSGEGEDAGDSGNELEQLCYAHWEKEEENEAEGNDIADAFSS
LSTTLQQGPVGEEDEEESDGEGKEGSGEIEVGEDWDEEGDETEAGDEGDKEGGSSETETEDDGLAGLFSTLTTERTS
>RCO7_05609 | uncharacterized protein
MVNKTNYQLNMAGPSKYYLSPYPPLRNDYGNQANVLGQSHHSENGLNDTVSSYNSSNRSPGMLHPAPGLGNTSFRSYHSTGHRNNMHGSFMSQPIPT
HSNVTNISLEFGIFSGPAANNSTSGAHSFPSHSPPAPEIVAPEFQGQGVAPNTFGPLCGQAGAITSEPQGQPEDNPNPRIVHPRRARAGAPTVADRE
ARDQLDPRRRVLREEKKRRTIERKKEINDVWNALSKKEQQRILSKENKLGKAKKAAMEEEAVAEMVQGAPALPGIARAFSAPPPAQQAYALDKPLVP
NSGAPQLLEDDLGPDEAAVIHDQNIAYGGMVDGLGFFQQAKFPDDKNEDRDIIDPWAPVSEESELDWRDLGDVRDNIPYEPIAGQLCHSEELKVPSL
SSSISTAGSFEQFGDAERMRSDSPGTRFDWRTLIDWAGGLPPMSDAESKHGSEP
>RCO7_05610 | uncharacterized protein
MSEFPTILTSSPSSSNIPSSFSPKRVKYSIEPWKPYDAPWKMHEVMPHVFMSSWPLEIPDNIIYTLNVCNRLPVIRPNHRGIKNHWTISIDPDKDIL
MSLAHIIGVMKNALPSIPQSSIAAEPESRSLLNQSSSVQRTDHSLSAPSQPFDVSPVAETNILIYSQHGLNRAAIAVLAYICIMLGINIVDAFFLLK
EKISDISPAEKLMEQVQDFIGEGEVFEGSVGKEILRRIVKDKGLKEVMEKAKSENWMYEAEE
>RCO7_05611 | uncharacterized protein
MGGGPEWRHLRKCSRDDARMSETSNLLAGGSSQPKVGPKYIFSFGDSYTSTNFDINGEQPSSKKPFGNYDIGNHQTSAQGPVWIQLLATKHLDSRPV
PTYNFAVGGASIPDNYTYQVEKQYQPKYSENKFWHESNTLFTSWIGINDVSEAWWKKNTPLILDRLDMYTKLLEQLWDTGARNFFIVNIPPLERSPY
IQDGDETSIAHYASVIKVFNDNLPKHVAAFQDKHPNGMVMMYDAHKFFTRILDNPKEYGFKDNSSEGEEGCMWADGFHIRTGFDDLIAKDMAKAIAD
FPFIV
>RCO7_05612 | uncharacterized protein
MSLQQSPTCFGSYGQSAAQTIRSNSIAESSSSDNSSDGGVPLPNNQEDTPRTLPNISLSPHLPPPEYQFDGSIPGTSACSLVPGHTADRSPPYSLGR
HINSDRQYWADWLSSRERESDVDIYMSDTYPRDDVNHQQAAEVAVDAQFEIYLARRQQRAYVYPDWQTWMASAERRNRISTLHQVEALPGYLAIGMA
DIPFELAFGPRPPQLISPPYQTTTAEWESWLRSEGRWVAISLYIISGESVLQAEKMADDDREDLLGERAFPTPANHYYGGERVRRPESRSEDHVRHC
RFAITFRRAGGTDAFIADVFNRLYRERG
>RCO7_05613 | uncharacterized protein
MQPHRRRGRFSAGRISAETLPWMLEANGASSNEGEGSNSRNNFDQATNARESAIRIISDAANSQLIQTSSPPPIYNELPDSPTGGSPNSHSSSLPDY
TSDERPPYPHDIQANNDRAIMTRWFTGPLRRNMIERRMDNSVPQTNIEDRRRATEVAVDNWYENGLIRLRYQEQVLYSAYRNWPEWLASVRRHNNFR
RNLREYDEPLEATHLRTDEPFTFAFGPRPADTPPAAPPLPISVDEWDRWIESEDRWVSIWMQVLDGNTPQKAQDIVDEDMEDLIGRRPYYFSMPQLQ
VRAPVPRPEPGSEDHIRHQSYRDAFATAGFSAHNIEAIFRLFYMRD
>RCO7_05614 | uncharacterized protein
MSRNFRFFRRSTSGEISNSSSSISDKNRQVEVSTRSRFETILQGLVPSQQVQTQSTASLSDGADAPSDEPPLYDAFSPPSPQDGTLLVDCPETFRSW
FLTSDERRDYNNRLVAGDREFDLPGMSIEEAQAMADHLGEKMIRRRYPVQVAVDQRPSPAQPPAAVPATVERSPSISQEDSAAWRETDTYRNLVYEY
ALDGQTREQAKVSANLYFTRLRSLTADRNRLRAKPRPNRPEPGSALHEHYERLRVTMLGWGMSPLQVEGNLDALYLEEEHREGRAMMWEG
>RCO7_05615 | related to COMPASS component SWD1
MNLSLVDPFVLSQDYPESTTLSLRSGHATCVRFNRKGDFLAAGRADGTVVIFDVETNGVARKLKGHTRQVQSLSWSRDGRYLLTGSQDWKCNIWDLQ
EGFILRTVRFEAPVYIAELHPWNHLMFVVALFDAQPLLVDASGGHVIKMNLSSVPKRAQLDCDDAISDKQAAQDAKQSTTVSVFTSTGDHILAGTNK
GWLNIIEVSTRTTIYSTKLCTGVVVYLRLTSSGRDLVVNASDRIIRTITLPNLSAPDLDPDTIDLETEHKFQDVVNRLSWNHVAFSSTGEYVTASTY
NNHDIYIWERNHGSLVKILEGPKEEHGVVEWHPHRPMIAACGLESGRINIWSIIPQQRWSALAPDFVEVEENVEYIEHEDEFDIHPQEEIHKRRLDA
EDDDIDVLTVEPVKGSINVEEENGFVMPVKLDLMDSESEEEFVLVGRGEMRRKSPTDSKNYALDGGEVLGSADEAGKKKSRRR
>RCO7_05616 | probable glutathione reductase
MAPIDIKMYEFIVIGGGSGGSGTARRASGWYGAKTLLIENGLSGGCCVNVGCIPKKITWNFAAMAEALRHSRDYGFDTPYNTPFAFAAFKKKRDAHI
GGLNRAYERNWDSEGIELLKGTARFVGQKVLEVVREDGAIAHYTAKHICIASGGYPIIPTDIPGAEYGITNEGVFEIEVLPSKIAIVGAGYIAVEIA
GMLNAVGVEVHMFIRGEKFLRTFDPMVQEVMTKRYEDMGVIIHKGYKGFEKIEQISNGKGNERVLKLTSKDGEELPVNELLWAVGRAPETQSLDLAV
ASVKTGNKGYIVVDQYQNTSAEGIYALGDVTGQLELTPELSNSYLPYENIPTVVFSHPEIGTVGLTEPAAISKYGPANIKTYNTKFSALFYEMSSAK
EKQKNPTAFKIVCEGPEERIVGLHLLGLGVGEMMQGFGVAVKMGARKRDFDACVAIHPTSAEEIVTMR
>RCO7_05617 | probable DNA-directed RNA polymerase II largest chain
MANLNFAHSDAPLRTIQEVQFGLLSPEEIKNMSVCHILYPETMDETRTKPRDQGLNDPRLGSIDRQFKCATCDQNMSECPGHFGHIELAKPVYHPGF
LKKIKKLLEMVCHNCGRVLLDRSNPAYKAAVNIRDPKRRFDTIWRLCKPKMICDSDVAPTEDGYNEDPKEAAKRAHGGCGNTQPEVRQVALELFGTW
KVPKDEDNEGAQPEKRLISAEMALNVFRSISTSEIFDLGLSNDYARPEWMIITVLPVPPPPVRPSISMDGTSQGMRGEDDLTYKLGDIIRANGNVRQ
GMQEGSPAHVQSDFEKLLQYHVATYMDNDIAGQPQALQKSGRPVKSIRARLKGKEGRLRGNLMGKRVDFSARTVITGDPNLSLDEVGVPRSIARTLT
YPETVTPYNIGKLHQLVQNGPNEHPGAKYVIRQDGSRIDLRHHRRAGAISLEYGWKVERHIVDGDFIIFNRQPSLHKESMMGHRVRVMPYSTFRLNL
SVTSPYNADFDGDEMNLHVPQSEETRAEVMQLCMVPLNIVSPQRNGPLMGIVQDTLAGVYKLCRRDTFVTKENLMNILLWVPEWDGVIPQPAILKPR
PRWTGKQVVSMIIPKIVNLHMPNDAREDAPLKDDGLLIHEGELMFGLMAKKNIGATSGGIIHIIFNEMGWDAAMAFFNGCQRVVNYWLLHNGFSIGI
GDTVPNKSTIAKIEGAIQLQKDEVAVLTAKATANELESLPGMNVRETFESQVSKALNTARDQAGTKTEASLMDNNNAVTMARSGSKGSTINISQMTA
LVGQQSVEGKRIPFGFKYRTLPHFTKDDYSPESRGFVENSYLRGLTPTEFFFHAMAGREGLIDTAVKTAETGYIQRRLVKALEDVMAKYDGTVRNSL
GDIVQFVYGEDGLDGVCIEKQKVDSINLDDKKFADRYRLDIMDERNPISSELLENAHELAGNIDVQRLLDGEWDALKADREMLRWVNLKKKDDESMQ
LPMNIVRIIDSAKRLFKVDGSQRSDLHPAEVIPQVERLLERMVIVRGDDHLSIEAQTNATLLIKAQVRSRLAFKRVALQLRLNKLAFAHVIGELESR
FTRSLVNPGEMVGVLAAQSIGEPATQMTLNTFHFAGVSSKNVTLGVPRLKEILNVATNIKTPSMVVYQEGDDGTQESAKYLRSAVEHTNLRSVTAAT

EIYHDPDIQSTTIEDDLDMVESYFIIPDDVQDAPENQSRWLLRLILDRQKMLDKGLRVEDVATKIKENYQKDLAVIFSDNNAEEQVIRIRMIKQSDS
KYDDDEVEEDIMLKRLEAHILDTLTLRGVPGVDRAFLNKETKLIITPEGGLLAKKDDPRCEEWYLDTSGTSLAAVLTIPGVDTTRTYSNHFIQIFEV
FGIEATRSALMRELTQVLAFDGSYVNHRHLALLVDVMTSRGHLMAITRHGINRADTGALMRCSFEETVEILLEAAAVGELDDCRGISENVMLGQLAP
MGTGELDVLLDPKMLETVISDNGRMGLMPGLAVKGADGGAATPYDSGSPLAEGGYMSMNTPDYNSNFSPIQTGGSATPGGFQTNYTDNSGFSNQSPY
TARSPGGYSPSSPFSTSPVSPGFSPTSPGYSPTSPMMNSASPGYNVSSPRFSPVSPAFTPTSPAYSPTSPSFVSPTSPSYSPTSPNYSPTSPNLHVS
PSSPSYSPTSPSYSPTSPNYSPTSPNFAGGNKGPGSGLSPTSPVYSPSSPNWSPTSPAQGAAATSPKYSPTSPSYSPTSPQFSPTSPRN
>RCO7_05618 | uncharacterized protein
MDLHPPAKEESPIPSLSTYYSTSTPASSFSTLKSRVPPTATKQAIEDCISSLSDDSYGKTLREIIAVIGKNWQTQHGTATIDRLTRDMAINNFLNLC
DRSLYLNDAEREKALVETFHGFMVKDITKCSKSVTGAKSFRDNVINFKTREYFDSSQKKTAKDDKKLLQMFKKLEGRILDANSWAVNSDAQIELFGY
GNSEKSDVPDQPAEEKDEEGVKAEAKEQKIAENDNDKQEVKEEPAEEKAAKQYADSEEDEEDKQLSLSSSRLEVSDESDAPASRRAGTKKRKLSGQG
K
>RCO7_05619 | uncharacterized protein
MSKLAFTIMLPHDKTDGKRTPGFFISTSNMTYLSMKGKDWRGSRIGNVNSKSGWKNRLEYAVTASKGATKISLIMNTSVILPPITWTVPIFGEDAPK
NKDISKDPKKKSSRRGRSSSCSLSNSSRNSHSRRESREKGRSRRDESPERPPPRLKEAKPVKVHQFQERDHRHRHSRERRRRRPHVDPGYIDGVDVS
>RCO7_05620 | uncharacterized protein
MPKSSPNTCGDVRKTLAEELKDANTINSSARCAHDQEITYLKPRNLTDTIRKLSPDRDMEVSQHRRDEHLRPSFDSYLSPHDTDSEGHRSDPESPES
PPCEKGCVNQAVPHIFGERARCAKAVKSAKRDRQSESFAESMERELDEEWAEVERKSFDNGKEENNLYGNLLRQTIINAVELGEIPLEDVFNTNLTM
GSIRDFFAKHKGCLESQLPVTNVTNLSDDILQIEFIYARSHFKVREVEEERETRKAKEEKDLKKAFFLFKERSLLETDRKKIMNHICEILKPDTKVI
PKNDEIVPAPAEPSLGADKKSTGSQQGKKSGSRPQLRVDLDTWFSKSDLETHLDSAAEELNFTLPMLNMNSGSPKPCEAENRLTRSSEEEARCSPPA
YTVQKVSKNRGRPRRRFFKSRKDRTRLTDEMSAVGIDDRRPSSKKQAGSLPATRPQGSGREKKKAYAKKFRSDSPAKKQKGVDGEVYATKERVDSV
>RCO7_05621 | related to calcium P-type ATPase NCA-3 (Ca2+-transporting ATPase)
MSSSVRPGGPDAKVVSFDTPEKTAPSRNGATTKHDSINEKGALESVLPKSALVTQEVTAEFILQDKEALYPDPGTEKLFEVESSAFAFSPGQLSKLL
NPKSLSAFYALGGIAGLEKGLRTNAISGLSLDENTLNGNVTFEEATSDVASYEAINGNGKSNVVKRSGTGASKRKSTGAAYEDRILVFADNRLPEKK
SKSLLELAWIAYNDKVLILLSIAAVVSLSLGLYQTFGQKHEPGEAKVEWVEGVAIMAAIIIVVVVGTLNDWQKERQFVKLNKKKEDRSVKVIRSGKS
MEISVYDVLVGDVMHLEPGDMVPVDGILIEGHSIKCDESSATGESDLLKKQGGAEVFKIIKAGGDLRKLDPFILSGSKMAEGTGRFMVTAVGVHSTF
GKTMMSLREETDATPLQQKLNVLAEYIAKLGGGAALVLFIVLFIKFLAQLKGSPLSPSEKGQEFLSIFIVAVTVVVVAVPEGLPLAVTLALAFATTR
MLKDNNLVRVLRACETMGNATTVCSDKTGTLTENKMTLVAATIGSSTQFGRQTISGNDAGSMIHHEVTPSDKPDENEKQAISSSTSSDAISAADFLS
HLVPSAKHLLAQSIVMNSTAFEGESDGKQTFIGSKTETALLEFARTHLAIGPLQEERSNVQVVQVIPFDSAVKYMACVVKLENGTYRAYAKGASEIL
LAKCTKIIQDPSAEDLGESALAAQDVESLNQVISTYASRSLRTIALLYKDFPAWPPAEAVIAEDPSQAHFNQVFNDMTLLGIVGIQDPLRKGVKEAV
IDCQNAGVIVRMVTGDNIQTAQAIAEECGIYTTATGGIVMEGPVFRKLDQEDMDKMLPKLQVLARSSPEDKRILVKRLKELGETVAVTGDGTNDAPA
LKMADIGFSMGIAGTEVAKEASSIIIMDDSFASIVKALMWGRAVNDAVKKFLQFQLTVNITAVVLTFVTAVASNTEESILSAVQLLWVNLIMDTFAA
LALATDPPTRNILNRKPEKKSAPLITLNMWKMIIGQAIFQLVVTFILNFAGKSILGFDAKDQKGIEDEALQLKALIFNTFVWMQIFNQYNNRRLDNK
FNIFEGIQHNWFFIGINLIMIGGQVMIIFVGGEAFKVTKLNGIQWAICIVLGALSLPIAVIIRLIPDAWIAKCIPLMTWKRNLAPEIYDTESARVKM
GIKRRGSRPEELSFIRSVRGGRVSSLKLRVEEKVADKLHIHGHGHGHHDEKNEK
>RCO7_05622 | related to TFIID and SAGA subunit
MAEVNGDIPQTNGHTSPTPQPAAPIAAPQPQPQVQLPPHNQTPTPPSVPNPSVPLTSLQDSGLSKRPRDARLIHLLLASLGCTAYQERVPLQLLDFA
YRHSSSILSDALHLSSDAYVSQQTRARDAPAGGGLREADGQVSSNAVQLAISSRLQYQFGGGNGGGGLSKEFLLETAQQRNKVMLPRVLQNEWGVRL
PSERFVLTGVPWGLKGQWVVNEDEEESVSGVASGGVASGEGVDIEMGEAEEGRDEEGEGHMEDLFGADGDGDENMDKDD
>RCO7_05623 | probable histidine biosynthesis trifunctional protein
MDTNCPLPFLASVDFTKEFPKCEDCLTPAQLSYLGCVHLTATSQTLEALLQYIKSNSSLEAYVDVSAIESTNDILSILNEGARKIFVNTTQFKSLEE
YGDRVVPILDTGDGSQAYPHGVLLRSADFFNTETSLKKLATWNTTPIYIITSSTDEDNIISLAKDHSAVPIVPSTSLTVERASQDKVSVSVLIAGTW
RSDREDKLIPTMVCDERGIALGLVYSSQESLAESLRSGTGVYQSRKRGLWYKGATSGAIQELVRISLDCDQDCLRFMVRQKGYGFCHLPQASCFGDL
HGIAKLEKTLVSRKASAPAGSYTARLFSDDKLLRAKIMEEAEELCDAKTKSEVAFEAADLIYFALTKAVSMGVTVADIEQNLDAKAFKVKRRQGDAK
GQWAAKEGITNGQTTDVKETVKEAASVPKSKDDPAGTINGRISMRRLNAATLSTQDLKAALQRPSQRSTDTIMNIVNPIIKGVQAGGDKAVLEYTHK
FEKATSLTSPVLKAPFPQSLMNLPPETISAIDISFENIRKFHAAQQETKPLRVETMPGIICSRFVRPIERVGLYVPGGTAVLPSTALMLGVPAMVAG
CKTIVLASPPRADGSITPEIVYVAHKVGAESIVLAGGAQAVAAMAYGTESISKVDKILGPGNQFVTAAKMHVSNDTNAGVSIDMPAGPSEVLVIADK
HANPAFVASDLLSQAEHGVDSQVVLIAIDLSETELQAIEDELHNQAMALPRVDMVRGAISHSVTLVVKDIEEAMTLSNDYAPEHLILQVKDADKVVD
LVENAGSVFIGDWTPESVGDYSAGVNHSLPTYGYAKQYSGVNLSSFTKHITSANLTAQGLRNVGGAVMQLAKVEELEAHRRAVSIRIKYMDENKI
>RCO7_05624 | uncharacterized protein
MMKNATICLTEISSSYRLTRNSFTDSFRISTERFYELLVPFHRIIYNKASKSHDQPEFYKHNIQQFAYLNTAIITHFHSNAGVSSTPTNPAIKPVMS
SQQVIRLKDAILNANAEWTTTIDNLNRSLATDLEACLVVPSEVQDRAGGLPAHVPSALLRQFLAECYAENHVSIQERDNSLVSIIHGFTCRLVERFS
VDIRNAKKTRDRKINRYISEYTKSIDVKIAEDHEVVGKLIEELDVSSSTQDEDESSSAEFDAAFDAAFDAMVLNDAKR
>RCO7_05625 | uncharacterized protein
MSDDLPPPYKGYKAPRTVTERYNFWLQYNDPDTQPVTRQVMNETYRKHPYARPPPTRPPARPARGTIVGPIFQTAQYTSEEEANLQTYLLENAGPPA
VLETPERQKYLNNWKATKILGDGGQGLIGLFEYDPSASDPPMEMKKVVKQVKDGSNLQMERELFMRLEVANSEHIIRFMSATGDDQQIVLEFCPQGD
LGDLLNQRIKRYIDARVNVLEFGRELEIDLDQSPRSAKAFARPMEDWTPIIHFDLKPENVLLGSRTRGHRETPVCKVADFGLALMDLPLDKDERETL
RGRGTERYFTPEQFTPRWNCSDWDEGPDEEKVAGIYGSPTNVWGIGAIMYQLVCLDANPPDHRFPFTPGYIINEKDPKGDTYGPAIEAELQYSDELR
HMVLECLYERPADRCVLRDMKYNISKKLDAYFDQDDFVGDAWADLDYYGAVPSGFTPIPSPSPPPPPPPPPPPPLPPPAPPPPPPPPPPPALILS
VRCEFIFPIGHQKAGKQCKKVRRQAVGPRIRCAIHGDPLRFV
>RCO7_05626 | uncharacterized protein
MVSPLTLETLAEVNYWRRYRDPKRTDYDMKDLMRFYRGVPHTIPVLGSPGNAQRRTFACPPDFKSSKQSCEMERNKIPRQRGRGNGWTLGVDWSPEH
PSSMIHTSRYQRASLMDTDHPPSYSLELENDFLPWCRYSDLLHLLKPLQAAVIISRGADEGLGPEWNGVHRRLCLEYCSVGSVEDLLQKRITEQKEF
TEKSLWLIFNCLVDSLTSMECGTEFRTAPFTGMLYPPGIFVGWNPILHFDIKPDNFLPISGWQCSTMPMYHLQSQCEQFTEEWDFSDYKSSQIAGQY
SFYTNIWGVAAVMYQPATLSSDPPNHREQFLAD

>RCO7_05627 | related to 3-oxoacyl-[acyl-carrier-protein] reductase
MTLPKRELDLDGKVAVITGASRGIGRAIALNLASRGCSILGTCATSEGTMHHGIGEEIGAHFTSHAQSSSVKIVVIQCSILSPTCAQNIADVLAEHF
SNRIDIFVNNASDARDATLGELTVESIQESMISNIQTPVLIVEEFVKRKMFQPESRIIYISSIRARQPWSGQLMYAAGKSAGESLCRTWSMAFGGKE
ERFSFMEGTTANSIAVGITQTDSVMKCPPDMLEEFKKEFIPLQSSPEFGQPEDVADVVGMLCSRDARWITGTVISASGGGIKIG
>RCO7_05628 | uncharacterized protein
MFGRSKSQTESFSRKSRSKKNPSFREHAVSKSRPEKSTRKLPAEEANPMGGTLTSSIITLVVGREQRLFAAHEDVLCISPFFQVACRGQFMEAAAKR
ISLPDEEPEIFSSVLEYLYKGDYYPRLIHNKRKNSWELETGDGGTGSIESTVYHHGIDGELLKDTVIYCTAEKYGLDELKRVALRKQGLQSGIQCST
ILSSARYAYANTPDTDSKLRAHYLALIIRSRGTFKRSGTMQMEMQAGGSQLFFDLFVALCNHVDDVASIA
>RCO7_05629 | related to CSN12 - signalosome component
MDEVFGDFRKAYEKGDGYALAQTLSPIPPTSEPDRLERFYQSTNFQHVQRDFKNRLLNDHTSPFTLPQDEGNGWVDVYQLYWKAVGEILKAEAAAET
SAKVSWLKVYETWRDMTVSLIRGYTNCNFEAWTVPCLYMAGKYLRIFAIKADEGAAGTTGSVTNFDDFNPEAEKNEKLEDAARYLNKIFTTCLSDRA
PLEESRKWGIYNIINLLFKTYFKLNSISLSKNILKAIQAYRGDMPALDAFPKAHQVTFKYYVGVIYFLEEAYEEAEKHLTEAWQMCHKDSVRNKDPS
LLAPYPHLQALFSPLSHCIKSGDLSGFDAALVAGENEFTKRRIYLTLERGRDIALRNLLRKVFIAGGFEEGVKDANGESKMVRRTRIPVAEFAAAIS
LGSREMMDGDEVECLLSTMIYKNLMKGYIARERGIVVLSKGGAFPGTGV
>RCO7_05630 | probable 60S large subunit ribosomal protein
MDQMGNEWKANTQAGRLTEYQVIGRHLPSEANPAPKLYRMRIFAPNTVVAKSRFWYFLMKLRKVKKANGEIVSLNVIHEKRPMKVKNFGIWIRYDSR
SGTHNMYKEYREMSRTDAVEAMYQDMAARHRSRFRSVHILKVVELEKTDDVKRPYIKQLLTKDLKFPLPHRVSKATGKKIFSGSRPSTFY
>RCO7_05631 | uncharacterized protein
MANIPGPVPPPPPGVAGPFATPAFLTANPTFIEQYRGWYGYNNPGSIPAGTIPLPAAFIPSWRATNFVRAPLPLDFVAPLLGPTIPTAIVFPPAPPL
PFEIPAAAQLAFLNPPFAPRGIGKRPANWRGNKVLGFGGQGTVCLWEWSPKATARPTIDQLQVAVKIATPTGVGDLGLEAATMMAHRKIESDHIARL
LAPPKILTRADCVREGLLPGELKMSSVGNVLVPAVQVPPLRTTVHFDLKPHNIFAAISNKEHDGIPVYKIGDFGGILKVDSNPLNVKARNVWRVDNA
MRLQGTRGYYAPEQFTPRWDSKDFRTSPVCGKYGTATNVWGIGVIMYQVRIPFSYLHNSQAKADAIYTSAPPRPHRPFSYTSATTGENFVSYGQFLA
RQNYSGTIKDLIAECLAEIPGQRPGLIELKTRIRDNIALLKANGATSDKWYDMELPDPQSVRAEATDIALAAGPIAPPPAGNRRAPFRKANLKATRG
WPY
>RCO7_05632 | uncharacterized protein
MAVNLNANPGVAANPGTLAFYTEYQDWDMYNDPTQAQGILTVAQINAAYLTSPFVLPPPLPPPIPVPPAVNIVPARRASQRRQRVETVPTAAASIRI
AALLAPVPSLTGLGGVDWTGVKHLGTGGGGALTTASRIKVTLWEYTGPAPAPPIHNKIVVKQQDFPSPNLLNEGAFISDLTPAMSQHIVELLVNPAT
VMTSADATNQLGLAIGGAAANAWIGSVRRLIMEYCSSGTLDDLGAIRSERSIRLEELTMWKIFECLVDSCTVLEHQQEFVIDAAGMAQIHPNSMVNR
INDQGVLVHFDLKPPNVMIKRDVTGVTHPNTPICKLGDFGLASYMPRDGSGVDATGFFPLPWATNEENRERVCFESVGVQAHRPFTPGPLNGAPTLG
RAFGTEIQAVPFISALLKDTIQECLYENPDNRPDLQDLKNTIMAAITAMEAAGVQPEGWQDLERLEPLTAAQDIAAAYALRSGVRCNALKGGLLGTP
RCKNKLKARANNLRPRCQHHWDLRRYPLL
>RCO7_05633 | uncharacterized protein
MATGGDPALFLEAFNYWDEYLTPPPPPGAPARQAMTLAAAMANYNSTYAVPGSTAPLTTTAVFPAAVLRRRKRRLPPIAAPRRAKPTQNYNLKFTRR
AYEPVGAPGPGAPGGGPTGSARNWRFVKLLGQGVGPPVALWEYNGPLPGPVINKIAVKNSPNPPNNDLPIEGAHLGMLTIAPTEHIVQLYVNPPDTL
TPAECAAQGLDPLIWNTAVRRLIMEYCPQGSLQRLLNYRIGRRLPFPELTLWRIFECLIDGLAVMEFDGEITTSAGVLVPPAAFNPADNMVVHFDLK
PPNIFGINRTNAGGTHPFTPIWKLGDFGLAQDLSRDKHNVSVASGGLGWTGPALYSQLHSEMRRHGTKGYFPPEQFSPRWHYRDYRDSTVCGKYGPW
SNIWSMAAVMYQLACLDEGTPEPYWPFNPAALPGGQAFPIRGAPALGITYGTKLRITPYSAALKDFIHECLYEEPANRPTILTLKAHVLAGISACAG
QAVDGWQDLDMPEPKTP
>RCO7_05634 | uncharacterized protein
MPGLPPNARREKISDYKNQCSGIEWREESITSTDGTKISLCVASVNKLEVYEGKMVAHGLWTVGNASSIPPRLPFLSPILHMLGQRSSHPLVRYTMV
CCSYRGYWTSKGRPSEKGIAMDAEASLEWIKDDFPRQGGKVDEPVPIVIWGQSICAGVATNLAAQARLFRPTKYMLETLYPQKWLPYRYLWPFLWNH
LDSHWSLRQMRKALQDHELKAPSVVILEAGKDELVPKEHGNVLERRCQNLGVNVKKVTVGGALHTEITAKPKGRRAIVEAIENSTTASRIT
>RCO7_05635 | probable regulatory subunit of protein phosphatase-1
MSPSKETTPPPQHISLSDPPPTDSADHDTPKTPRSSSGWDGKLRLEKQVELANPEAISDAEYSDEENVLPGEEIEADEDLLDDYPSTTTEIDCVHAR
ISSIPSLRLSRFPEVQRLCLRQNSISSISGLEPLSETLTELDLYDNLLTRIAHLEDLPNLKSLDLSFNKIKHIKNISHLTKLTDLYFVQNKISTIEN
LEGLTKLRNLELAANRIREIQGLETLVGLEELWLGKNKITTITGLDTLQNLRILSIQSNRIREISGLSSLPHLEELYISHNALTTLNGLESCTGLRV
LDISNNQISSLKGLENMPDLEEVWASYNQIGDFKEVEEELGRKEQLNTVYFEGNPLQLRQPALYRNKVRLALPRIKQIDATFIRVS
>RCO7_05636 | probable D-xylose reductase
MATIKLNTGHAMPQVGFGLWKVANETCADQVYNAIKVGYRLFDGACDYGNEKECGEGVARAIKDGLVKREELFIVSKLWNSFHDGDRVEPITRKQLA
DWGVDYFDLFIVHFPVALKYVDPAVRYPPGWAVDGKDDVQTSNASIQETWTAMESLVEKGLAKSIGISNFQGSLILDLLRYAKIRPATLQIEHHPYL
VQPTLLALAKEQGIAVTAYSSFGPQSFIELDWQKARDTPVLFEHDVVTGIAKKTGKSPAQVLLRWATQRGLAVIPKSNDPARLKANLEVTQFDLAEE
DIKAISALDRNLRFNNPTDYLGTLHIFA
>RCO7_05637 | uncharacterized protein
MAAIGGAANFAAEYRAWEQINTGLPPITTAAAAPGVYNISRTIPYPPPAVGLPPPVPNGPTPILNRLKPNPIPPAAPAALAVLLPSRPDFPGNPAHW
TGVKILGEGAFGEVSLWEWNKPAGVVAPPVPKIAVKTAATPAAGSILHEEGQVMRGLNMANSAHIVELIVNPPVDVTLASAAAEGLPVAWVTATPRV
RRLIMEYCDQGSLRELIRMRQGRNLRFEELTLWKIFECLIDGCAAMQHGGEFVYDALGIAQIDPTSPYVTLPPPVAGHVHFDLKPANVMTSSRDIPP
RPAVAVPPAAVPPGTHPDTPICKIGDFGNAVLWPDSRVPIPIWNWSVNQKYRYRGTPAYLAPEQFSDRWNHSDYITSPDRVCGVYSAHTNVWGIGQI
MYDLACYDQAPVEAHRPWTPATIHSVPSLGRVFGVELSTLPFSLRLKDTIQECLRVRHSILTLGTIANMPGGVGKEQWSELNRVEPLMPAAMLQFRT
VKLLCTRTEFAGRGRCGNRVKWRRGGQGGPVRCWKHWDTRRYPFGGV
>RCO7_05638 | uncharacterized protein
MAGVIPVVLQGTGGWSRAFYDRYNFWAGVNNNPYVQGAPPPRLANAVMMAEYTRTQGLAYTQELAPVPPVAIPVAAVPAALARPLGPLARIPNADAI
QDADRFLVGPMSRPRGYGPANWVAVRILGSGGEGAVVTWRYVGPAGPAPPQKKIAVKTALRSNRDLTEEGRLMGVVGASLSEHVTRLLAPPEILTPP
KRLGLGLTVAWDNTTRQLIMEYCSNMTLDHLLEERIRRRMRLEEYTLWRIFECMVDACSVFEYGMELVYDPLSQQAALPASYNAALNLDTVVHRDLK
PNNVFIGSRSGTHVDVPICKIGDFGLAREWPKTFAIPWQADYVGNDGQFRRGGTRGFFTPESFHPGWNYTDYQSSPVCGKFGSHTNVWQMGAIMLAC

FGANFPEANLPYVPGHNIHGAPPLGRLYGTQLRNQPGLSNLLKDAIHECLYEIPTNRASLLKLKTIIRTQIDKMVLDPAILPEHIQNIEQPEPVSEA
QDGTPGFATVLKQCTALLKKPGNPQCGNSLLVRSITTRPRCWRHWDLRAFPPPA
>RCO7_05639 | related to cytidine deaminase
MPQSLNSSEIALIATATATIDAVPRFTIERRRMDHSVGCAALTSTGRIFTGINVFHFSGGPCAENIAFGNAAAAGVSSTFAPGIKGPDGQAEKIIAC
VAVWNDNRGVISPCGRCRQMMLDYYPGVRVIVQDPVGGLVTVGIDELLPYAYTLTTKPFSEERGTQVLEKSQ
>RCO7_05640 | uncharacterized protein
MATSFQNFAKLPYELRHMIWENALPSNDFKAMQYFLTGLEHLILSHPRDVFYGRPPSKFDGSRIADFMRRHASPYAALSGCLESRTFALKHLGKLLC
RQKHLYMWLINPQYPFSDPGLVVSEKEGKLFYRLTPTIGQSVFERTEKGSGEFSHMRKDHDQGEYEERQIDEEMVLWENETYTTDLEDEEIFPWDDE
SDSEDSVASLSTTDPVSPPYDITEGVREQEAWDARSTDICRLLQTQKAGTIPQDTRPRPGARKREQDDRDDCHYQSSCKRRK
>RCO7_05641 | uncharacterized protein
MTSESAFMTAVLRQLLVTQLDFQRLSDDTDLSSAEAARSRSRRMKVKLETPDSAGNSAVKATANDLGSRSRHVTTAPSMQELPAKKCGKKRRESVTK
LNEGEGDGSNVEGRKAPPIAKLG
>RCO7_05642 | related to beta-glucosidase
MKFLAACFVLSVVAAVDTSPLYKDPKASVDDRVADLLSRMTIEEKTAQLIQGDISNWINTTTNAFNGSGLAQSMATRAGQFYVGYPVSQQWISEGVR
KAQDYLVHNTTLGIPALVQSEGIHGFLIGNATIFNSPIAQGCSWNPDLIKKMGAAIAQEALALGVNQIFAPLGDLARELRYGRVEETFSEDGFLSGE
MGYSYIVGMQGGKVSAMVKHFAAFGNPEQGLNVGPTHGGERELRTTYLPSYKRQIIDAGVFAVMASYSDYDGVALVANHHVLTDILRDEWGYKYWVT
SDAGGTDRLCQAFKMCKEKPIDKEAVTLYALPAGTDVEMGGGSYNFEMIPKLVKDGKLSIETVDTAVSRLLRAKFAMGLFENPYLGVSSNQTVTKIH
TKEHVALARELDAESIVLLENHNNVLPLSKTAKVAVIGPMAHGYMNYGDYVVSGSQYRGVTPLDGIKAASNGVVTYAKGCERWSNDQSGFAEAVQTA
SAADVAIVVRDQNQLWQGLNATTGEHIDVSSLNLVGAMPHLVKAIIETGKPTIVVFSSGKPITESWISSEASALVQQFYPSEEGGNALADVLFGTVN
PSGKLSVGFPYDVGTLPIYYDYLNSGRQVSAGREYPNGTLEFGSSYVLNSPLPLYEFGYGKSYSTFVYSDFTLSKTSVTASDEITATVKITNNSNRD
GMEVVQLYVKDLITSVVVPNIQLKGFSKVMVRAGESVTVNIPLDIEKLGLWDIRMKYVVEPGDFLISVGSSSADLRAKATLTVV
>RCO7_05643 | uncharacterized protein
MSTWGSYLASYVKKKPPTAGDDAPTSTTTKVDGTESRAPASFPLTLSAPSTTKPKAFPTKKTNDGFQRANSGATAKKLYEIPGLAAKEESSVMKDVL
AGEKAGTNASRVAKMFGYAAAAYTASPNTNAGVGFGEKGRKPPTMKPLLHVPDKTAEKSAGGPEPPLSPLMKMVREANAYTSPSATATAETRSRKPP
LSPLLLVPESKKPGLSPPLSPLMTLVQEAATKREQPKGIPSVDAVLRSKKEDSDPAVAGEKKMRSKKDEVQDMLDFFASQLDTPSGDVLALPSDNKR
TSPSSEPKLEKSNREEDRAKPKAGVDKANAMNMLDFFSSQLDADADLLAAPVEERREEEKMGGGGKKEGFNMLGFFSRKSDKKEDVLTFPTDQKPQT
STSKPVTEERLQPQTFRAQDTSRNLSPFNDLGQAKPFIPPATRKESNWRTGSQGSSTSQELNSIVSTSSPKPKIWSRQTSRTSSELSSVTGGIGRKG
SIWSQQTSPTSSVRAMSIKKSTSQVEQDLSQIRGRIRSFGEDDEQMKKEQERRDAEHERIVELQTQAQRIIFEKEEMERERRRMMEEQMKFEREKER
IEEEAESMRKFVEDVERERVLDEENREKKRRRKELEEEARREVELEERRRIEAEEEEQRARIQAEEEEERRRIQAEEQERREAEIAAREEAERAARE
MEKERIRVEGLERKKQYQAKEDLLAKQEADRLTAEMMQYEADQEADRLYYAEEENRKRDVARRKDLDRQEYEEDQEKRREVERQKLIAAVERQREDE
RMRVEHEAQQEARAIEQERYEEEQRRAAKKRADQLFREENERRLFEQDQERRYYQQGQADPRYRQQQGRQFYQEKQADPRYRQAEYQRGRRPGPDRR
PGADRRPGADPRPGAERLANDYRTNIDKTILSPSVYQESERYEPEPKPEVEPEEEEHEETKEEKLAKAEEKIRQAFAGLAAERAQSVTSSSPPASVT
SRSNSARGPGGYGGFGKTPSGNGRLENAGGFVRGNTTGGGATKLQKRMPQPPQRVKPGSVNGRMIGLPGGPRPVRR
>RCO7_05644 | uncharacterized protein
MKGPAVDQLIYEFMFPNPKSSDPQNFQGLLQRNLVPEVRLETQAFYGHLSSQEAKYPGLDYSYQPHRVRLSRYPWHRRLFRAFTAVGLTRHEIAVLT
KWEGTRWAKERFEREQGIVIRDTTADGIHDWVPPQLRVPITHAQRADVEDMEDIHEDEEIEDTEVENEMDEDDDSDGEVSSIGVALNEQLRANAALR
ALGSDIVMDEAWEQWLKEAAESGGMPYMPTELSPTANIPGTRPAQLENAPNPTRLLNAARRGQWSQIPEALHNVVRQHLADNNRRMEDAQIGSSSPA
HTSSRSSSSNSLFVSRPTASTSAAVSPNARAPTLASSTSRPRTATERQAWLANNPYPLMDTSQLSFARDASGRSSSGTLARMRVNGGASAGTSSQGR
QSRTGNS
>RCO7_05645 | uncharacterized protein
MSTFKGVMEGFEDIRVDYFRPTSGLPTPRACFLSHIHSDHLQGLESKLWRTSPIYCSPPTREILLRLEAKMNRIGYETKVLEARKVQYGHLEKLLKP
IPLETPTIIELKPGITLQVTLFDANHCTGAVMFLFELEGTAVLYTGDIRSEPYFVNSLLRNPLLIQYTTGLKTLDCIYLDTSNTEPRIFPPKADGLK
ELLEKVSKYPVDTVFHFSTWTYGYEEVWMALSKALKSQIHVSKYAFGIYKSLRGEKADKKGPATAFHIHEGAALTGYTCGNRFQPGCLTTDPTVRIH
SCEKGFKCSMLNKKTVWIQPIVRRRSDGTEEAEPAIVQAGNDLSGCSQIEFDEDVDIDQLMNLFAGASDHIRQDVRQMLSKVLATPGRVLSLSEFGL
DDDNGDISLPQLAKAIIQAVTESSGGSITRDKGNGHALQKIITFPYSRHSSYEELCDLLKIFKPKDVWPCTEDPYHWHEVGRSVQGLFGEHCSEQVF
RYDQEMRQKVAEAEARHVYLQSQTTASSQISIQSISPVPKRRLSIAISRQGAKETSASLLKVTDGSSDIGMSPLSAVKGELPSPKLVSAEGGSAASK
DLRRKSNVNEVESPQKRPRPNPDVCFQSNKTSTSLYLANASKGTSTGHAAGHASQPLTISSDGSDVEDRNKPGSDADIEESPEDDTDTEPLIFFDTV
DEVHRCTACKHEIWGGERGSCGYCDEGATGPAYIEEALRTGPMPQITYDDYMEEVVVDSAVVKEIVGDCLDYDSSAYDSQDEVQEFAEEYEDNSMID
DGQISEAETDDETSSSEEKEDWEAKFKVLQTRHFELITAYEDLEEEHEDFRREMLDDFDDIMEDADMDVDGMLIVDVATPNPVATDIILSQAREQSQ
DSEVSEERIKDRVDAFEAAREGEWHGVELISVAGNHSIAEIEL
>RCO7_05646 | uncharacterized protein
MAESGKRDNILPLGSDAIHRPNSEIIAINNAITQLQQQFAQMQQQMTAFLGAKSVPTTKATLHQRLLEVIQRQVDEMEEARSHDLKLQNTLEKLMGP
DGLAKEIERLEQAKNAAVADMERQIAALKKENDSLKKQGKSDGGEESRNKRGLQDMEESSDFQDTWISVVDTQHEVKRMKPGPETDLTKMQ
>RCO7_05647 | uncharacterized protein
MEKPKLITHHTTRLIALLESQPCVYGAEWQLDQSLITWIIMEAQEDLEGAGYYDKMNMEEQVWALFSHVYPHFYPYGHGFPKYNMSPPPSDSLPAQQ
TQELSGGLRQLSATAKPFIPRTIESARPDGRNLNVRRKPNGRVEYSPEAIKTQADFWVGQLMANLFNPNGRNLRKSIIPLRPTVLHPEETKRLFHEA
AVQHAEKS
>RCO7_05648 | uncharacterized protein
MQKQYYDIARNITGGSTKKKTLMEKKHFIMAKRERYRIHNEEEQEKYLQQQNEDAGYQNDDDVENYSVRSELEEIFKQASDMMLIHLWLHDSASGE
>RCO7_05650 | uncharacterized protein
MEVYTSQEAAIIAKAHQNGIHTHELDAIFELPGEPFPTENSKPQSAYEGAARRDWVHDRYQSESPEHPEIPTKIDSYRPQTDIDSYRPALGTKSPLS
EENRSPTGPASKLARSRMILPRQDEEKKDRRVLKPLQVNGRTFERRANWDPSLSPPKNGPVRYCSQVEVIKRRASESGISILKIEDSFEEKATITEK
KYADCSRDWQMFFVEIGVWNRYFTDPFPGVEPLKHVGAAVAVAQDNRNTEIEYDQQITRLSPYTPQLSEAMMEALAIREGLRKEFFKYLQGMRDYSR
IEHKGEKCRFIRGWFADNLAWQIFFGSKPFPFAQPYGKLDPRSGANRTPPVQAVSIVPALKSAQGSSTDLHPLGALILRRSLRTPPPSAPVSKRPEA

DFHPQSPPPLAMTTQLAQMWSRDPFMGTGTVIMQNTLMTIYNKTFIGKLFNCFMSDEKHTIAAIGAELKRHIHYYVTSTGDLFLWTEPQSPGDAISF
KRGHAFITGWVARVGSFGMVKPSLHWNAIRIPLAPLQAQQAPILAPVKAENTLRRLSSYVRAATAERNLPIPDTICPSAFENPEKQGEKYQVAFQTS
DIDRLMIEEAANKEGDLRMVLDKESREVVSVEELIRRTVARCTVTEGPQSFSKIIQRVDDIATPLGGKKRKADADNSEDEEGRREEKRACV

>RCO7_05651 | related to NGG1 - general transcriptional adaptor or co-activator

MPRNRQRGRGRGQGSGIRIRVRDPSRQSSGGSASRPIVLSDDPPTTPPNRVVIASDTSSDDLPLATRHKRLQDELQRQREADGAEAAGEEAEAEASR
LREQVAKYLIYIPSDDDTISERDWADDEADDQSDMAPPSLTGHLPTGSSQKSTGKKGRDRQSRSRNTTPSLAQPDLTETPYLKIPLLNFQTDETIDN
YGSGTSGSRDLPTSKDLEALQDRLSKFTTMVDARGAVCDRGMRAAVSHRKDRLEEVETERQDEERKERLKKDAADEEERGRNKKASKMKKRKDASTA
REERPLTHGAHGLAAQDGSHLPERSSPSRDKGKRKASRERDNDSGSSSLSPVPVAVATPTATGMDVDKDDDDDSSSDEHQPPPAPAVPHLQTFGEDP
NTFPDSTVYEIRSPRPGMSREEKCELYSVAGFPEDDLEEFIPDTPPDKDFSNAKPTNQVQANTFASYIEPYFRPFNEEDLAFIRERGDRVQPFIIPR
LGKKHYTEVWAEEDGAVSVDGPSREKYPPNQARGDIENMTDAIAETDQISAGPVLSRLLACMRPEHRAPLEEKPNGTNGINGDVDMNADLNEHFHEN
GGEGSSNPSHSATHSLPPATFMPDSNSEAWKKLTHPKLDHAQVDERLKQELRNIGFMPEDKEPDYDAQDDDDVSARLRHLQAQLKVTALKNGARKAI
LFEKVKEAMAAQEYNNIREDLDTQTQTAFVKRTRSMGKNKKNKRPGGAGGGSHFVAGGANPGAARPGIGDNTKVLMERRRKWVDTVGGAVDEDASKV
RRNRDPDSSIFKPEIMAEYIQREKEHWDEEAEEE

>RCO7_05652 | probable urease

MHLVPRELDKLVISQVGLLAQRRLARGVKLNHTEACALIANNLQELIRDGNHTVADLMSIGSTMLGRRHVLPSVCSTLTEIMVEGTFPTGTYLVTVH
HPISSDDGDLAKALYGSFLPIPDKELFPTPKDEGYEAEKQPGAVVVVKGKVVLNEGRERRKLSVTSKGDRPIQIGSHYHFIETNPQLSFDRAAAYGY
RLDIAAGTSVRFEPGDTKTVNLVKIAGRQIIRGGNHLATGKFDLSRIDEIIANLQKAGFAHAPEPIGDAGFLKPFEMDREAYATMFGPTVGDRVRLG
STDLWIKVEKDLTSYGDECKFGGGKTLREGMGQATGVSDSDSLDLVIVNALIVDWSGIYKADIGVKDGYIVGIGKAGNPDVMDGVGSNMVVGSCTDV
IAGEGKIITAGGFDSHIHFICPQQINEAISSGITTMLGGGTGPSAGTSATTCTPGKNYMRLMLQACDNLPVNIGITGKGNDSDPTALREQVNAGACG
LKLHEDWGTTPSAIDSCLTVCDELDVQCLIHTDTLNESGFVESTIAAINNRTIHTYHTEGAGGGHAPDIISVVEHENVLPSSTNPTRPFTRNTLDEH
LDMLMVCHHLSKNIPEDVAFAESRIRAETIAAEDVLHDLGAISMMSSDSQAMGRCGEVILRTWNTAHKNKIQRGFLPEDEGTGADNFRVKRYVSKYT
INPAVAQGMADTIGSVEVGKLADLVVWDPAWFGIKPMTVVKSGMIAQAMMGDPNASIPTVQPILSRPMFAPLVPSTSILFVSQSSIDTGAIASYNLR
SRVLPVKKCREIGKRDMKFNDVRPKMSVDAESYRVEADGVHMTAEAADSLPLTQVGFVY

>RCO7_05653 | uncharacterized protein

MLPRENADIVKSNISFTQFADDELRTLSTRNADQDGTISGFLYVPDLKPDDGCHDISQKYMPSNVTRTANLPQTDFTLVALAPWINVECTFSYMTAA
RAAPVRALIFYQPGNNTITPHTDDKTWDLHDGGKWKTHHPFPVYAIPGALGSALMHQLSLYSGNMTEVPHGHELAGLPDIDVRDYVRLYTQIGLSTK
SVLPIIWIYFLVVVAILVVLLGLISGLMHFVQRSRRKSLRQRVANGEVDLEALGIKRLRVPQSDIDRLPLFIYVSEDEKSLPASPKQKEHFISIDQC
DDFSGAPTVLDSQIDDITSGKEISTAEIVLTEEKGSLHETTFVHKFLPYIQPTCAICLEDFESGISEIRELPCGHIFHSECIDTFLVNNSSLCPMCK
KSALPLGSCPTKITNAMVRRERNLRQIRSRVSAENENENQGADIEAYGARRRLRDMKAKLQKTLLRPPSVQPLPLQPQPVFVAHPGTGREPNNQISS
FDLELSRRDFVDMRIRELQAGQIPIRDPDLVGQRGLPKWRQTFTNAFPGF

>RCO7_05654 | probable DNA repair exonuclease rad1

MSTIGDPDNLPPIFKSVSSSARQLFQLLNCIRFAPKAQVQISPEGIRFAVEESRVMQGIVFLDKALFTTFSCILPEQETPADDTESSILDLPNFQVS
LSALLETLQIFGAADPTNTRFLKSNADSYSSNIRPSRPNAFSNQALGMAGVCRLSYAGIGSPFSIILEESGVTTTCNLHTYEPENPEEIPFARDAMQ
LKIIMQARWLFDAVSELSATSPTRLDLTAYPAAPYLSLSAVGPLGSASVEFAKGRELLETFTVAEKWTQSYKFEMIKSAAEAMRLASKVSVRGDEQG
VLSLQFMVEVEGGGISFVDFRFVPFVRGEDDEDEEEGSEEDDDEYGDDEDLL

>RCO7_05655 | uncharacterized protein

MDSSLHQVWESAAGNPFVPTIAKDSQFFVGFTLLSIGLLLSGYFGLNRSVLNIPLIGIPASLSIAFGAVYMICAVGVYV

>RCO7_05656 | probable histone acetyltransferase

MGPVKELKRKATDEPNTPSDSKRIKKSSTEPPEAKAVHRIPFPERPAVIEERNGEIEFRVVNNDNKRESMIILTGLKCIFQKQLPKMPKDYIARLVY
DRTHLSIAIVKKPLEVVGGITYRPFHKQQFAEIVFCAISSDQQVKGYGAHLMSHLKDYVRATSKVMHFLTYADNYAIGYFKKQGFTKDITLEKEKWM
GYIKDYEGGTIMQCSMLPRVRYLEMGRMLLKQKEVVHAKIRAFSKSHVVHQPPKEWKNGIGKIDPMSIPAIRESGWSPDMDELARQPRHGPNYNQLL
HLLNDMQNHASAWPFNHPVNSEEVHDYYEVIKEPMDLSTMERKLEAENYATPEDFIRDAKLVFDNCRKYNNETTPYAKSANKLEKYMWQQIKAIPEW
SHLEP

>RCO7_05657 | uncharacterized protein

MLARLRRFCSPALATQTTHRVLAVATSRKALHTAPSLETKYPKDSTDPYLYTTGRWLNRDKLQREARYIKFDFPALCTQAVNACPGATKVIRYEKKE
GGFNRVFILYLDNGVRVVARVPFRIAGPRRLATNSEVATMAYMRSYTKIPVPKVLDWSDDDSNSIGTEYIIMEHVPGVQLHEKWPSMSPHQHMLCVK
RATFMVTEMAKLPFPAYGSLYFADAPIDPTSKIEFVNGFCIGPHCGTRYWDCNAGETRSYEERPPNRGPWTDLQSYCSGLIDNGFSRIPKDNNRVDE
LPYRGSVQEHLRLLSISEKVIAELIKAPMIQKVASPTLLHPDIHKRNIYVSEDDPSLVTAIIDWQSTSIEPTFVYANETPDLVEDSTADIPILEELM
SSPGEHPSNVDTSEGTVVGPEEAARKRHEKDVLTCKQTFEVILIGFVRKLHDARAMDQTLLRPFGYCDASWRDSAAVLRQELIELSQHWTELGLPGS
CPYQPTPEELNEHAKQYEDFESMQQLKMFLKRALDADSDGWVPAENWAGATKEHRKVFSLWMESIRESGGSEDRARKLWPFDQVNG

>RCO7_05658 | uncharacterized protein

MSSTILILPTSISVKDKRPTTPNAAGPSKFKPEIIDISDDMDAPPESAESNKRRMDHDHHEATPSKIVKKEPAETPSLDLQANSSGEAHPRLVGDTA
MKSNKLSGVMAVINEVQNENEDLKQQLRDAKAEVQTMKLSHTTQVEQLNAAITQLNTELSSRPAINIETTEADTVDETRDAHVILRQTILGAKTELN
RLLYMLNLTMMQWGSASMRIAYFVHLFRKNKLSQQLSPTSTSSLCNQQSGAYYVPKQLYDIIMDDASPGVLSRITSEFEPIRAVYEAEITESKRSYG
IMAESRGYSIEELELMSRGRGEISSKAEATYASSHPGSTQGVTGEKNVISEQNLNIQD

>RCO7_05659 | uncharacterized protein

MFRQKPKRPLLTLTSIKNNLHTVVLPPIDFATPNSNIHFGYLHQLPALPTSEYEYSPSDLHDEYEDLLRRSNSADALFLLLNSPPEFKLHLSATNVH
DICYNHDSHPMADNSRNAAPEPEHQSRLQTPHNHKLQQQGMTSKSSEKRKTSQDYDEDSIDDLKDSEESESSNNLGDVVKVHQQNFRNLEQQLDVVA
QDAKVNIMIANGNPPEHYTTGRGRLIELYREFRKFINEKKDIGPEILDKYFREAGFQ

>RCO7_05660 | uncharacterized protein

MLCGWRMTVEEALIEVEHLQNLRPPHMIQLVGSYLQGKRFSVLLYPVADCDLSVFLEEVHDLVQETCDLKNRGATTQIPLQPAISSMWSFFGCLADA
LRYIHSTARKHLDIKPGNILVRKHPLAKYGYRVYIADFGISRSFKSLDHSTAKQTPTPTAHLKYCAPEVWEQDVHGRAADVFSLVCVFTEMLTVLCG
CKCNVEEFAEFRARNTDGNGAYHETIDRVFNGRNI

>RCO7_05661 | uncharacterized protein

MSTPAAKRRRIDVASQTLSKPFRSPFKTPFKSPIKDGQPQDSTTPTVAGSVPESNNNTPLASRTTNSLLSNPTKTPRLPTPSAPRTKKTFASPVAAA
ALNTDPDIALLLKAQRELEKQLRDVKEELDTAEQARKIEKDSYGKDPDGEIDGELRDLCEKWRGASRLAAEELFGKVRDRVNRMGGPRAWKEMQKKQ
EENRNSWDQEEQTNKDDDEEENKDVEKRDVYAEYGIDPETENEKSQREKGVGDTGEMPGQEDEFTMAMMLRTLNVDLDTIGYDKEQQRWV

>RCO7_05662 | related to HRD3 - involved in degradation of Hmg2p
MTLGDQQDSLHQHPATNSAFHLCISDPRNELDSDVRHDEGLDQKAVVLDLFFASLIYPAVLAQVQDDKDTTRTADGSPQPSLAAQSATPQQPLHGKG
GGRKKVDGAEQVDKALFFLRRYERLHPRPSRKQSGILGTVGKYALSLVPQISAQGPASEGSVEGHKELPGPVADAVRLLEEAAQVNNPDAIFLLAEM
HFYSNFSVPADYPEAFKRYHQLASLNGNSSAQHMLGFMYSTGIGGAVERDQAKSLLYHTFAAQGGSVKSEMTLAFRYHTGVGVAQSCNTAVKHYKKV
ADKAIEWFRSGPPGGMAWVPDSYRLADEDGGVYGEGASYSSSGSNRNKAGVSSDANAALDDVLEYLDLMSRKGDFKATFSLGRIHYDGQKGLARNMK
SAKWYFMKVAKLYWTRDGRIIESEKHGLEKIATKAAGYLGRMFLRGEGVEQSFEKAQIWFQRGIKSGDAGSQYGMGLMYLEGLGVPKNSVKAQEYLK
TAADQDYSPAQVALGALFLDQGTTGDITVATKYFELAARYGQIESYYFLAELIEQGIGKERSCGLAAMYYKSVAEKAEPLLTSFAEANEAFENGNEE
LALIDYMFAAEQGYEIGQANVAYLLDQQKSSWSIPSWLSLNSVTRPALLQNGALALIYWTRSAKQSNIDSMVKMGDYYLEGIGTQVDFEKAASCYTA
ACEYHQSAQALYNLAWMHENGVGLTQDFHLAKRYYDLALETNEEAYLPVTLSLFKLRLRSAWNTLTQGSVNSIQDEPTAKKQWSLSEWITNFLRDDH
MYYGDTDYDDNYLPDDSPMPGGDADGMYEDMGEDGLLESIAIILLAGALIGLIYYRQMRQQNHRQQEAGQNAALPPGQQQQGQGQDGELFPQPGDPA
FNQWVAGGVGH

>RCO7_05663 | related to WD40 repeat protein
MYNLNIQSQFHISSPAGTYVYDIIPVAAGLASISSDDTLRLLDPLALDSGPVKEIKKANKDVTCLKAVGEGDSVVVCTAGRDGKVVMWDPRTGGMAG
ECRSEGDAPILSLAMTTSYGLAAGTELTNHQASVLIWDMRHLTAPVVNYIESHSDDVTELQFHPTRPQILLSGSTDGLVNIFNTTIIDEEDALHQTI
NHGASISHANFLSDVDIFAVSHDEKFSTYQLVTNPEEGVEEPLPVHHGDVRELLGGEYVANVVRRPDGGAVIGVGTHSRESFDLIQLRNNPPWTFSP
ESKVTLPGAHGSEIVRSFCFLDSHQTVLTCGEDGQIKAWKGD

>RCO7_05664 | uncharacterized protein
MVKPLTFKGDKKAKKRKRVDIAEKFGDEDGPSTQLAAPKADETTADDDSWVTAEATGDVVGPIVLVLPSDPPSCIACDTNGSVFASALENILNDDPS
TAEPHDVRQVWIANRVAGTETLSFKGHHGRYLSCDKFGILSASTEAVSPLESFLSIPTADTPGTFQIHTLRDTFLTIKPSTSSKSSALPEVRGDADT
TTFNTTFRIRMQARFKPKLKASKEEKAREKISRKELEEAVGRKLEDDEVRKLKKARREGDYHEALLLIKVKNKHDKYS

>RCO7_05665 | uncharacterized protein
MSSAAVTVSLKDLKDGNVSFQTLVDAFGPDSLGIIIVKDVPEEFAQLRHRLLTYSSYLGNLPQFRLDKLENPSSKYLTGWSRGKETLKNGQIDTHKG
SFYANCAFYVSPSLNCAKPTEEFSPDNFPEYLSPNLWPSNIAGFKETFEDLCRLIIDTAVLVAKACDQYAEKEIPDYKPGYLEHVVKTSTTTKARLL
HYFPADEEAKEDTNDDDWCATHVDHGCLTGLTSAMFINETRQVPVIPITYSYAPRFLPTLTELDSSPDPTAGLYIQSRSGETVQVKIPRDCIAFQTG
AALEKITKGKFKAVPHYVRGVRPGVAGGENEGGKIARNTLAVFTQPNLGEIVDLDQDITFGEYARGVVEKNTTK

>RCO7_05666 | probable EXG1 Exo-beta-1,3-glucanase (I/II), major isoform EC:3.2.1.58
MLFKNILAAVLSTGVVAALPAEEPVSKRSVDFKWGSQKVRGLNLGGWLVLEPWITPSIFKNVDQSLGIVDEFTLTEKLGRDAAYNILKPHWDTWCTF
ADFQKIAKAGFNTVRLPFGYWAYSLDAGEPYTQGAAPYVDAAIDWARETGLKVILDLHGAPGSQNGFDNSGHKSPPRWQQGSTTAQTLAVLKTISDK
YAQVQYQDVVVAIELLNEPLSGALNFDQIKQFYRDGFNQVRRISDTPVMLHDAFVSPSAWNGFLSVSDNNAQNVIIDHHEYQVFTNDLVAMQPWQHR
QHVCNNIGSYASGTDKWVVVGEWTGAMTDCAPALNGYGIGARYDGTYAGSPFVGSCANKNDIANWNQTFKDDMRGYIEAQLSAFESQTQGWVFWNFK
TEGAHEWDAFKLLDNGIFPQPLTDRKFGGICSS

>RCO7_05667 | uncharacterized protein
MSSLAVARGQSTYASSNPLRSRANTPHPLSPLSRKDSVALRPESRHSGGLVGFRNQEPFLAPRAWVRLTCSPHRADVLRVEPYLVDENGNSVVLRFT
QDLVHHRYSSISRPSLSGRTIMAPPRTPVRQQTPINGDGDSPVDRASTCVTPDTPAPPPKDTPRPKMVSSVDKELPPKPILRLTSSPERRGLLDATD
SASKRMTVDYPPLKPSNIGHRPSRSDTSFEVTPSLRSARGSASFEVGTASTKTSLKVQGLPVTITSQRSLRPTTSGFSSTASRIPGSTTTSTRRVTS
LSHGGHIGAYKNGSPIQRYPSSIKSTGKAPGKFNRRQARDFQVLPDSSPDDGFKVQVEVDAEQTEETLESGMENFNISGLTLADDSMAGLPVQSDSD
RRFDKLGVGPTVRYSKDAREVLMGKSPNVANTLKNSSNIGTSASVKLFNDSPYPRIPAPKKTVKEVKSKFQVNGSLGARVSHPTASSAARTQDAKAK
VGDRKSSLPFEVKKATELKKSPELKKASKGIRSRVSDLLHGRRRAVQPFALKTPATFIHKKSTGVQQVLVKSPAASIRNVSGIPVRKPIEVSSTNEP
SDKLASDRDQRRVRGYSRALSRGQTTPAAVQARAHAANNSSIDLNDNGDEPPPPPSNSIEDLHAHYLEDGDNLQSEDTRLSASIAGVQAMLNEIIVI
AQGQSARYPSFRNIVDPIVANLSAGILIAQNARIAILSLRNSNQRAINDTLLLSEAIHQTAAQAIDMIQIIESMIPADRAA

>RCO7_05668 | uncharacterized protein
MSDPEEISYMLRENKTADESRRLDTQHSFINTFGPPEQIHSSIPKDGIVRIADIATGTGIFMQDLSAILSKTPTFDNRPRQYVGFDISRDFFPETHS
EEFTYVQHNVLRSFPEEHLGKYDLVHVRLLVAALKKDEIPIALENVVELLAPGGYIQWDEWDFPSIQLPSAPAPVLQTMDDFIKFCASLGFARDIGS
MLHSELSQDSTIDQHFLSKSRWYNLRDEETKEKSGEMARVWWVGAVRSLWPIMLARDERGVVREKEVVGRLVEEKVGVMKEWFDQGGVPGIPLVVVC
GKKMEF

>RCO7_05669 | uncharacterized protein
MAPSEQPQILLLCLSFQSFLDQQYASLIDRISQSAQLKRSKTVSGAIRYLDSNTPKAIIATDEGLAKPENAAFIPRLLSYLQNGGVVIFGLHFPNFV
TDVMFENLFKGSFDLAWKRGDYQRGTFEVNDFYTLPRGVAPSSLPSAYSMKALHVRDAKPQERILVPVAGSKTQSMVFAPSDVDRSQAAVVGARIGN
GYLAYVGDVNGEEESDDVILVLCGL

>RCO7_05670 | uncharacterized protein
MTELDQSKILLLCLDNQPSIHGKYKDLLAIISRSVELKRARSIDEAREFFDEKPRAVLVADAGVTRSENVRVFSKLLSYLITGGLVIFGFDFPSLTP
NDAFNVFWGKFELPWKSGNADRLSFRVNPFCSLPRGVRYNSLPSPYTMSVLHMRRAKPDDRMFLQAPDPEAETEDTLFPTGPHKGQAAVVGAKVKYG
FLVYIGDINGQTGTKKLILALIGLRPRRTNTGRT

>RCO7_10788 | uncharacterized protein
MLSTGFASAPVSRSLAYGIVATSLLASITDSKHYFYIQVDPHIWQYHQFWRVLVYQLCYSNSTECLFAAMTVYNLRVVERVWGSRKYASFIALSFLL
TTILPPVLLTMLIRPLSLHTINYLPAGPTPLLFSLLAQYHALIPHVYKYRIAASPYNPTLPNSSFVGLTFSDKSYVYLPAIQLALSQFPGGTIGAMV
GWIVGYSWRNEILPSRFTRWRVPAWVVGEKMMKRGEGFEGLRRRMEDENSGGAEATGSDGRSRGEANGGRRRTMGRQFMD

>RCO7_10789 | related to p33ING1b (ING1) protein
MKTSKQPQTDSASSRRAQPPRQTRNNPPRSSISGVRNFGSRGSLGGGMEEAPMEIFPAITHFADAITALPKELVRHFTLLKEVDAKIFAPEEELGRL
VEAALNAPLSRPRQPEPHHAPGPTSVPISAQGSINGSSWNGHAGSVQSAADIEAAIVWDPANIPRRQLFQHCAYTMQNMLVSLDEKNHVISTASEAL
NKQLARIDECLPYVESEVSEEARNGSLSHWAYPENRQSKVPAGVSRREIAAANSLSAAAQQIADEAAARSDARKQAILEKKKGKNIPAESDFDEERH

KEKKPHGNTKGRKVADSVGLGVTNGNGNGNGNPPKRRKVEKAPAGGVSMEKSLSSVLANGTAKGKAASPRETPVPEPKKRARAVATNGQPRKRNNTV
TSAMSPSLASSPIRSTFPDIKTKITPPPTNGRPVARGRQNSAQAMVEKRPQSSASNKPNGTNTPDLVAAAAITGRSVPEVKSTMKETANNSKEHLLE
DVEQGASGVTGGVVVGNRKDIVAKEDNVEPMSAIQHTTITTKSGRASKPSTPAILHFPEPIQRSRSSRAAETSNSNKRSHKKGAGQAAQQQLAAHAQ
DSTNGDDANIVEEDGDEDEDVPIGDDEPTYCYCNNVSYGEMVGCDSDTCEREWFHLECVGLKVAPVGKAKWYCDDCKEKLKQKRFSTR

>RCO7_10790 | related to nonmuscle myosin-II heavy chain

MNGAAARSKALPARPSQDLDAIPGINYGSRPGQGGYRKENVDPRSNNQNGSSNSILSQRRVPPEPSGRIVYEGYRKGVMNGFEEKPRYNPMNPTRPQ
SSTLLDVNDPIQIHLLVETALGDSQEYELLSQEEVDELKKQCRVLTLRIEQTRQSLAIQSKYRDAAISMAKLYFPTDKKDGQGGRDRRSFGHNRNSS
GSSKEADHERITSEKKCEELALELWSMEKRLMEQQMRLMKHTAGILQMTHKGPRNSPRGQGGSQQQGIPGSPESIYTYHNARDSMESIHDEMFFDER
SLYRSADRLDGFDIGGREGNISSQGPSKEQMQMIANTEQRLESLNSRLREVIIKANPDRKATYGSPPFSRLENGNSNEAGTTLQSHLEYLETSINVI
DQESTAQSERYQEQSEAAMEETLEELNSKVWNLLLPYDPDRLEPPRLSGNGLNQQLAYFQEIIGAVEMQLAQASNTMKKSMGTSENSEQMQTVMMGL
WDIIQSGEEDQRQRKAERRKTRTTQNLPQDEEDSPDEGDQPIEKFSVQAFSSKVQWLYTQATRLKDQQKVLQRQIKQQRELNSKSDAAKDAEMVQKT
EELQKTQDVLTRTEADADNVRQQLSDMMKKLDDTNQRALMLDQSRSKDESNAVQQAQQELSSRSQKIQQIESELNQRNQQIQEIENALKSRDQTIQD
VEDELTARDQTIASLEEELQDLQDDKAIGNAELQSKMADSESKIASLTQELAAAGAARAAYEKDVQEKEKAITAKEKEMEEMNMEFARLQTEVTIAR
AELDGAYGSRAQRAANVASNPAIQREIDTLTKSNSSLAAEIAALKASGTSSNSDGDANMATLRKELEETIEEYEQMTKASIEWEKERESLEGTIDKL
RDEREGLEAQLSDEKVRWLGMQSPGLDGGSAGGGGMGGMGAGMTSTTVLKNEFKKMMRDTRAESAKALRAEQAERRRLEDELRSLKRAMGPGKSGLS
QSQG

>RCO7_10791 | related to transcription activator

MPLIHIPTLRSSIVARPQEMYEKNLIYSLCALTSTHMSGKSIPLILASYPPSWEAAGRFFLDECISVRQSYDFVEDRSLYAVISSYFVSTAFFELNQ
NKKSWYYLREALTMGQDLRFDDEKTYASLSPTDALCMRRTFWILYVTERSFAILRHKPLTLSRRTPSIPDTLHVYEAPEIHSGFTHLVNSYHLLDAS
FVESWNESTSPATATATYTTLQQQLSNPHPTSNLSLTSIQKADILVTQQWLRLIVWQSSMRQGLLSSTAEDESMTFQYPLKIAHSLLDVISSLPTSS
IEVHGMGIFEKIFEIGNTMLDVLQACGNSLNLGLPVETYGVGRDPFEMFIKTLSQTPNSQRQYAALLLAKAREKPEIQRFSMPLGGPFAGHNGLPNM
SNTEDFEYGNEETGPLGGSMPGNGIGSSNSMRGWRGSIVGEIGEGLCLMPPFPSREWRGSIVGEIGDDGVYTENEEARDVDEEMSSAWVGSKDVVWS
PEINDQVITAENV

>RCO7_10792 | related to gibberellin 20-oxidase

MAAVTKTAQAGGMQSSLEAAREAEQWLQSCLSTTTTEAPAFRSIPLIDLTASFSSSLVDRQAVAKEINAACTKVGFFLITGHGITQRVCDDVLRLAK
RFFHELSQDQKDVLHVRHSDYFRGYEPASYTSVNELTTSETKEAFNWGYESGLDPAGGDGKYVELDGTPEASVNAWPKEPELPGFYEGIARYYGQVL
SLSRHLFRLFALSLALPEDFFDPMMTHPGGIARLIRYPPSTNPKPLSELNGDEEIGLGAHSDYECFTLLLQDSNPGLEVLSPDGRWISAEPVEGALV
VNVADFLMRWTNGVYKSTIHRVVNRTAKERYSIPLFFSINYDETVETLPSCVSEENPSKYPPIKAGTYVLDRLEMTVKTGKY

>RCO7_10793 | uncharacterized protein

MLDFVTLAALLSASHLGHAQSLVSTSSAPVAIHTVSVGAVPHVFSPNDFKAAIGDIIEFRFYPLNHSVARAAYKNPCTPYEVNGIGKQGFWSGFKPV
SVILPDPPKFRLLVNDTEPIFFYCSAPAACNKDGMVGVINPNSTHTFETQYAFAHNSTLAFSPGESFLAEEDVPTKSASSSSSTSTTSASTAAATIA
PTSSPASPNSHQTLSAGAIAGIAIGGAVVLLIFGALVYLCGRQRTMGEIFRHNQHPPPPSYVSNPGRMSVAPSPGYKSPHVEDPSRFSSAAGYYTNE
NESYRSRSPPLEESMEYSSLTGSNLAAGKVSPNRAGSPFIPRPVPQSPGRSPLTPITLTDRPVFDSIGSGDNIGRTKSQTGPHEMPTAENGQIYTPY
SISR

>RCO7_10794 | related to F-box/WD-repeat protein

MTSYEGSPQDEGYSEDPLTIGHSRVLPPWVESMSILERTEYVMTIISHLPTPQVAAIVSRLRPRLYINFFQTLPPEVCLKILGFLDPASLINTAQAS
REWMGLAMDRKLWEQLYILEGFRVIKSEVALFEASLNPLESPNLERARPSGSSDDEHASKRRATPQRILPSLSNLDTEMPDVETGPKQVSIFGGQMT
KEPDSTSLDVPMLSPRAPSTISQFSKKSPTSTNSRSTNRSSMDSTIAPVTNISSLVVVDPSDRRKKLNWQYLYSQRRRLEANWENEKYVNFSLPHPA
HPEEAHEECIYTIQHSGKYLVSGSRDKTLRIWDLDTRRLVRLPLRAHTGSVLCLQFDADPAEDLIVSGSSDATIVIWKFSTGTMIQRLRKAHRESVL
NVRFDKRVLVTCSKDKTIKIFNRKDLHGGDLGYPGVVNPVPMYLNNYGYNPAPNAGLPVKPAYSMIGCLEGHGAAVNAVQIHGDEVVSASGDRTVKV
WNWPEQTCTRTLIGHTKGIACVQYDGRRIVSGSSDNEVKVFDKESGLEVASLRAHSSLVRTVQAGFGDLPYSAEEDKEDAKAIDYEYFKAVDSGAIS
RTTQSQRSRPRNAGSRKPEDITAYGAQLPPGGGGGRFGRIVSGSYDETIIIWRRDKEGVWRAQHTLRQEEAALAASRAAAAENSQVTQPPVVESSAT
PSIDVDAPIQPFTPSSDEFYHRLIDTLIPMGPTALQNALQAHPRLLQYDYLTTSVRNMTAPTAQIMTGIVDNARQTQMQLSTVAGPSTSVSLPVGPS
TSAMHAMVQQWHNTLPVAPNLTPTSHSLSTPQASASTPLPSQPPQLQAAVPQTTNTLASTSTSASIPTSAHPTLQTPTPPQNQTSAPPTQTVPTPAP
GTVPAPVSTTHHHHVPSNMARVFKLQFDARRIICCSQTSTIVGWDFANNDAQIIEASRFFAPIE

>RCO7_10795 | related to Scd1 protein

MAQSHGPLSISSLSRTNTAPVYNSSNAAIPIPGIGHSSTMSHSSRSSQLSGSTAVSSSSTTTSLSSMSSSATLVPPPTGPTSTQQMAQNGGNVVATN
NIINQRADASRSLYQICVNLRQRLATVPDFDAHLNDSDSEDDGEDMDPVSSLWRCLRKGTPLMTIYNSLKPPDLLKIDEKIPEAKRPKIAAFKFVEA
CLKGDLKLPPGECFSLQDLFGDDTTGFVKVTQVINIVLDAAQQKGNLLTSEKNDAVPAAMMAGSQMSYRDHVVRELVDTERKYVQDLENLHELKKTI
EQKGVIPGDVVHDIFLNINAILDFQRRFLIKIETTNSQPDDRQEWGLPFTNYEEAFGIYQPFIANQRKAAAIAKKEFDKITMADHPVVVDFNTLDGF
LLKPMQRLVKYPLLLKDLRDKTGASDETKADLTAGIEASNRVLMQANSAVDRELRAEALEDLCVRVDDWKNHRVDHFGELLQHGQFPVVTGKSDVSK
EVRPLFSLVQNLSSLGEIRASLDLKRRATLSSRQRSYSTLNSQSSTASQSCSSANPSNPRSPSQVDELDEELLKRKATLTSRLRSFTNQSTLNIQSS
FTSQISPTKHSDESEEGESRRKATSSSQHSRQSSFSHFTEGIEEELSSWQAVSSGQPHVNGQQRGTQEQLDHFFADMVFHEFTGDHPSTGEPFFART
FADETGIICPHYEQYTIYLFERILLCCKDLNPNKSKDKLMGAQKDKKDKKDKSRIIPNKNAKLQLKGRIFMTNVTEVVSLAKQGSYTVQIFWKGDPG
VENFIIRFSNEETMKKWYEGVDGQRKQHANTVQTGSSPDAIPQEFAWMREQTGQLPNPYAQQEDEEEDDEYSIPASAPIPNSTYPGPNPGMSRNASS
TSLRSRATTSDSGPSLAGIARAPPSRFPMGAHNPPLSLQTHLASQLPSPGHRGGDSYFSPVAESPASSRTSTTSSSMFPFPRQGTPQSGWEPVEYNR
YTAPAGPRAPSRGSQHAMDAYQMNGRTPQRPSLPAMASTSAQQTVAQQRSRSYSTPDINAQNGSRRLPNGAVSGPVPAVPGIPAHLHPAYDNGLPLS
QNNSPNGHPTRSNTQSPGAQRERLHQQQQQQQQQQYANPAQYSRSNTTQFPSTTQDSRAMSPPLNSADSNNKDMGFGLPTQLKVKVNCDGNYVTLVV
AFNITYQSLVDRIDAKVGRFSNNAIAQGTMRLRYRDEDGDFVTIESDDDIQIAFQEWREAQKMQYHQGQLGEIELFCLSIET

>RCO7_10796 | related to ribosomal protein S37

MPPPSKGSVSTALQPMRLPPLHKLRVRRPNQADANPCLALMSSVLTCWASSGYTAAGCQAFETQLRACMDTPRPKSQKKNTINHHLSRMYPNIVGPR
KRK

>RCO7_10797 | uncharacterized protein

MDLPIKGGNGERKEENWSVYRDAFAPSHTTKPKPRPWERAAVSAHAPRLVGQKIWKKASSLQSTATNSSKNQDKENAVKSQLELDTEGKGARKRRRG

MGGKDNIGDATWLVVGTETGGGKGGGLDGLLGEGSPRKGGGMRDEDAMLVPKKRTNANLMITPRKALQSIQRNTLAPALLPGAELHTAKSPERATKI
QRNDLEVATQEEREKPGRRKSKSMRKSRRLTKSDLVDEVVEERRGSFVFGQTGGNGIESFSGVDPLPEPVGAHVEDNSAGTEEGVDSQQSSSALAAT
SALLGEAAEVLEPVTTQPSTEPMHVDTQRASPVSRIDEKTLQTVDRTFVQQAVESELETSSDTEEASRSFNERLEKHFGLKPTVELPFIKEGPVQTV
IESEDIILPAAEIVRPECLAEQPPQTPVEATQFHVATLESVEPSLAITLSPTNFVATSRSRRKTPQRSVMRRSTRTTRNSSMSRGEASTHLEPPNMV
DSLREITDAASSSLSVRKHSVDFEALEDTVASSHQAALITEDVNAFAETPPELVLAEEQPLHSEAGGEAVQESETADNAEKQPEEVALFSLDSVDEE
PVSMETEVEEDPQQDSCNEQLQQELDISSPRKPELPSTFDSLVDEPVQQVPSSDGISEDSAENFELIEPISINNAPHSPIDETTYLQESSTPDPTTT
ELTEMISTNAVIPPTVYDQDDTDLLRNFLSKVKANKALKAESSIPKRKRSLPHSPLQIPLGTVEAEGFTPSPTRGPKDDEFGVSLPTASPAKRRRRN
ENEVSVSRTPLQEHDTTELEPQSIRRSNRTRLPIKAAPAAPSFIPVRRLGGHDGENSTVTLRQNEEKELAALTRVNTRKNKKGASHPLDWLAKKEKA
AEKEKEDPASKHKALKEVFDEKNYKPKLNKKGMSVVWAEELVEFQGEGGNLKKTIVPASVMSSAMTEKKVAGKEVEKEKEKEKERPILPGDEKKSAL
PTASISTATSTPKPSVKVGIRSKMTLGMAANGTPAPKRKARRRP

>RCO7_10798 | uncharacterized protein

MCDYTQVEFLCGHRRYTVRAWCINYETTHRRCPPAVVAVEFRRLSKACNRAKLDVTHQERSNPHLSAKTITGQDSIGMVEEKADDAVLITSTEVQRH
SNGVTSVGVLSMGVWGFRCSGTGAAGYGVVNIELGSTWWLSESIRRYGVSPYRRLSCPSEKAQRLVRVDRHNVPENTEIVPTHFKRNQGLCVERDRN
QDSCAAASRLVRIELHESREIGTGLRESARISKQHFRKSRILAILRQGHTLVMLSDAENVISTGRQDALEKSNLEVQPGSSALQHAFSERHRRKNTA
STMAT

>RCO7_10799 | uncharacterized protein

MLTRRNKYLFCTCIALSLVFLTSTFHYRQNIPDIRHAITEKIHENIPGAVKPSAPVPGPPTDQAITPEHDVDPVPPSSLSTSSVSETPAAASPTHKF
KYKPIPSILPDPIVDNFPLAFSFHSSKDLPPIPPWNEPPAKHVPEKTPLFIGFTRNWRLLQQVVVSYITAGWPAEDIYVVENTGVMHSNAKGLLSLQ
NPFFLNHTRLRLLGVNVLITPTLLSFAQLQNYYIWHSTEKGWQTYFWGHMDIIALSFEDQSFNKTSHSPRDLVDETTSLAGSTDDSDIRAKGEVKMK
VNPEEQSYEGFKSLYANCVDALRDATKRDESTGKERNWAIRFFNYDKLALVNVEAFVGLGAWDTQIPFYATDCDMHARIHMAGLEIKEVPAGNLVDV
GSSLDDLYTFYRKEDSPPASFVDPQILEKKIQAAEEAKTKAGKGKGKGKGAAKKARAAKTGESGRIHERAFENGDAALEDIVPYDTEGKERESDATT
NAKQEARHTPLNPSRSPSLPLNSPSFHQLHTTILAMENSKASSPHGRNVWQARQRGGEGDPFYRDSAGFDRGIAMAIEHGRAVFAEKWGHRDCDVWE
LGLRAGDAWRVERDW

>RCO7_10800 | related to NonF protein, involved in nonactin biosynthesis

MSSQPKVLFVLTSHGQMGNTGKPTGWYLPEFAHPYHVLSKHAQITIASPAGGASPLDPSSVEASKDDEISVNFHKNNGKLWKETEKLENFVGKAGEF
DALFFVGGHGPMFDLATSSTSHKLINEFASANKIVSAVCHGPAALAYVKTSSGSYLLDGHAVTGFSNTEEDAVQLTSAMPFKLEDQLNTASGGKYEK
AGADWGEKVVVSGRIITGQNPASASAVGEAILKAVQK

>RCO7_10801 | related to Tuftelin-interacting protein 11

MSSMHAFATNSSSDSSEEETDFLHPSTDPRADEFADYNPRKRRRTGRDAKESAALGVFGSESEDEGYRPGKSWNSKGEGRGEGRSLRAKRMSFVKTG
EKPKRDSEDEDEDDEEEEYAEAGQEEDREMVDADAQEEAAAPRGLGFAPSKSKGLGIGMGYQSPAPRKQTFTSANSTSAAGTPLGRGFVPSSAAVPI
LLDEFEDEVTTPRISRPSAFSTPTTNENGRGGGGGGRQKGQLAPGVNVSSFAARMMAKMGYKEGDGLGKEGQGRSNVIEVTLRPQGVGLGAVKEKSK
QEIEEEKRQAKIKGVKYEGDSDEELKKKRRKKSGFGGGLESGSGSGMSTPRKTAKPKFRTLEEVQKAAPGLQIPEAFAPILDMRAPGQRLLTTASGL
LTPTAGGFETAEQTESKKLARRAQNDLSAYVEEWKNLEERKAYVEMVIVQQQQDMDEEQREYDRMKSFADTVQAIEQAVSELQWDPVIEALIAADKS
SLADEGSERVSEELNNIAVAAVYPFLRQAVEGWQPLTDPKLNGLAPQLFKIRHILGASSPSSSKSTTLASQNYMKNDGSHRIHSKSTTTYESMIYKL
IFPKIVSSITSTWNVHSPSSLLTLLQTWDGLLPSFVRSQIFDQSIVSKLNTAVSSWNPKKRREKELPHLWLFPWLQYLPSHQSDPSSSTGLVSDIKR
KFRSLISTWDFRKGVIPGLEQWKIVLQPNAGNDHWTSLLMNHVLPTMARFLRNPEYFMVDPQDQSPYMSTLEGVLAWKEILGKKMLAQILVETIFPM
WMGVLHQWLTIVGPNEEIGVWFEWWRDDVFPEDIKNLPAIREEFEKGHRMIEHALDLGDNVGSDLPLPLPSTSTSTQSQQAPLPSTPAPAPAPSKVT
PPAQAEEPTTFRHRVEDWCIDNDLQFLPEKKVLHSAGPLYRITAAGNGKNGTLAYFRGDSLTALVKKAGETVELRIMWENEGARDALLEMAWQGVK

>RCO7_10802 | probable nuclear migration protein

MTPILTSRQAEELHKSIIAYLSSRNLTSSAAALREELSIGDTFDAATSKKYEGLLEKKWTSVVRLQKKIMDLESRNASLQSEIDSATPTSLSRRNQD
PKQWLPRSPARHTLQSHREPITCVAFHPVFSSLASGSEDSTIKIWDWELGELERTVKGHTKAVHDVDFGGPRGGTLLASCSSDLTIKLWDPSDEYKN
IRTLPGHDHTVSAVRFVPSGAAGSPSSGNLLVSASRDKSLRIWDVSTGYCVKTLRGHADWVRDVSPSYDGRFLLSTGNDQTARIWDASSGEPKATLL
GHEHTVECCVFAPPASYANISKLAGLKKPPPTSSSAEFVATGSRDKSIRIWDARGTLIKALLGHDNWVRGLVFHPGGRYLLSVADDKTLRCWDLEQE
GKLVKTLDEAHGHFVSCIRWAPGMDKDVPPATNGVNGTPNGASKKDEPVPNVSIRCVIATGSVDLNVRVFAS

>RCO7_10803 | related to microtubule associated protein

MTIIDLHIAPTLRKLTRRVTGGRLSKGRLSDSKSQISLADGMAEAEEDFSSLPLPDRFQHKVWKVRKGAYEDAAKQFEITPDEHDPAFRPFLQDPGL
WKGAVVDSNVAAQQDGIAALCAFLKFGGREGCTRTRSHVISGLVEKGLSSTRAATKASALEAILLYIELDTPGPVVEELLPALAHKQPKIIAATLAA
LTAIFHNYGCKTVDPKPVLKILPKAFGHADKNVRAEATNLAVEFYRWLREAMKPMFWGDLKPTQQTDMEASFEKIKAEPTPKQERFLRSQQAAMSRA
PPPGAAAVEEDELDEEPVEIDAFDLAEPQDVLSKVPADLSDQLASTKWKERKDVLEALFGVLNVPRIKDGDFGEVTRGLAKSMKDANIAVVTQAAQC
IEVLAKGMRKPFGKYRSIVMGPIMERMKEKKAAVQDALGAALDQVFLATSLTDCLEETLASLAHKNPQVKEGTMKFLVRALRTTREAPSKPEVASIV
ESAKKLLSESGEVLRSGGAEILGTVMKIMGERAMGPHMEGLDEIRKVKIKEFFESAEVKAKDKPKPPPQAAPRAAPAAAAPRKVVGKKPAAKKAPPP
PSQYAQEAAPLAPQPTARSIPGSKLGGPPKSGLATPGGALKAPMKRTLAGPGGAPAPNLTSPRRPVSQAPPPMEEEAPPPPKLGLGRGLAGRSLAAK
APALNHVPSPASPPPNSGMTSVERAELEELRLDKDRLLRQSDDLRQEKSRLNSEVQELKNQNAQLIEDHTRDVLSIKAKETQLVRARSDCEAAEAMC
GQLRREMERLKRALTSAERVNSPPLGLASPTRDGSSDEAGIYRDTGMHGQDNGGGRPAYNSRARMSYNSALSEEKENTNDLYAPQYGRSKLSPDLGR
NGRTSAASGSGGRNSPAPAQPYQSSRMSRDIGVDGSGARGEGGNGVESWKRAAEVTSALKAKIEQMKARQGLARP

>RCO7_10804 | uncharacterized protein

MSSNLMVDTSMDFAHTEFEQDQKRQLLLIKLARIAAEKEQLDAQLALLPSSNLQPTPQHQRTPIHRQGQQRRGSHGPRSMSSTGAPAMSRPLSDRNE
TSQRPRALSSRSGASMARANSSGNPSPRPTVPFTQHGAIPPPLSFEPLQENSMIMDWASQEQPYTSYTFSQQNTQLQMSMPQRPGLQLVAEDPGAYI
SRTFGNIYSPEMPNPSSAMMSNSQLASGSFIQQQAPSTPTTESLTTATTLPSEISMSRQTSLCNGVESMQFTSNNFPSADHSNDQSTFDYVPSFSSS
HLSHRPSNEEQSQLLVGAGGAIHESTSSSHSQFSSSDPLGGTKMEKSASTSSTSSSSSLRSHKRMQERLQEHIAAGQARQIMPKSLPTSRDNSSQSM
ARMESKDGLQDQSAASKPGYKRPKHDRVFCKLCENHPDGFRGEHEYRRHVDREHKSMVKKWVCVEPKDDGQHPKPIVPLSKCKACSTQKKKYGAYYN
AAAHLRRAHFNPKPKGRGKSQQKVEDADKRGAKSGGDEPDMPELKKYWMKEVEERAEYTSGALQEAADDSDEELFDASFDDQSFTQQHLSSISNRSF
NGSIYNNTDNTDNNNDSNNNNNNNTSHYSSTSNMNDAYGAVDTLLDFSDPKQQAYMSEAMYSLPNQYDFLSFPADLFQNELLGLPTNSFVVPSQSYD
GFGQWNT

>RCO7_10805 | uncharacterized protein
MAPIALSSLSPDIVAATPSLKKSSQAQSSPWLLDLQRDGYAVIKNAIPRDRAAAYQQSAFNWISSLRPGFDVNDPSTWIKKHLPVTSTINTFSTYGI
AHEKFIWGARMEPGVLKVFEEVWGTSELLVSFDSLNVTFPNRRDVPRKQAWEHVDQSPLRKGVSCVQGIINLSEAGPEDGGLICYPGSHLLSEEFFD
TQTDARTWARKDWYKFSKGQLEWFTLKKGLKPLKVCAEPGDLIIWDSRTIHYGAEPTEKSDTIRTVIYAAYTPAKWATKGDLGIKKDIFESYLGTTH
WPHENFVKRYAGSMLEDGTRDPNDRTEPFELPEMTPALLKLAGAMPY
>RCO7_10806 | probable pirin
MTVTRAIRKAFLAVEQSEGAGARVRRSIGTPQLKNFSPFLMLDHFTIKPGAGFPDHAHRGQETITYLIEGAVDHEDFAGHAGTIEAGDLQFMTAGRG
IMHAEMPRQNADGSANVGMQLWVDLPEKLKKCEPRYRDLRASEIPNIDIDDGNVHIKIISGQSHGVDSVKELAYTPVWIFDIEIKPGGKITQNLPEG
WNAFAYTLNGSTSFGVGPDKTLVGQFHNVVFEQKGDEVFAEVPEDAEENGRFFLVAGLPLDQKVVQYGPFVLNTQEEVYQALMDFQTHSNGFERAKG
WQSEIGKRMV
>RCO7_10807 | related to acetylxylan esterase precursor
MKISSALIVLASVVSAAPVVEERQAACASGVHMIIARASGEAVGPGFINAVATRVKSAVPGSDSEAVSYPATLDNYQSSQSQGVAAMKKLITSYVTR
CPNTKIALLGYSQGAHVAADVMCGSLSGFAASTQISSAIASKNIIAVIEMGDPSHIVGQVYDVGTSKKNGIFLRTNAATCLGKTYTQNYCDTGDTYC
DQGNIASVHSSYVSKYGSAAAAYIAAKFKAAA
>RCO7_10808 | uncharacterized protein
MGEFDTVFVHSLAVQSWSLYGVGMFLILLRTSSRIHRLGIKGLQLDDYLMIWAGSLYTTLMVCLNVISGGGGSNLYPPGAFETFTTEKIQERIKGSK
IGIVSEQAMLNVIYTIKACMLIMFTRLTLGLQVQRMVLYLAVYVVIGWVATEIAFFTACTPFSGYWAMPPPTTQCATLEHYAIVQACFNISSDVLML
FIPLPLLTKLSIPLKQKLVLLVIFSMGLFVILAAILTKVFNLSNVWEPTYMLWYSREASVAVYVSNLPMIWTLLREWFPVLKQLTPGQKISSRGTDG
VYASRKGGFRMTTKGRRLSVNRFGGKRLSDGGIITTILAKGESTEELSTGSEDTELGILRFKDGYETNPSMRGDDESWHREQQPRDKGGITLTRTVH
VSISEENIYASETRIQNLGPAVIARNRDKDDFPHASYDWDYGRNNAKR
>RCO7_10809 | uncharacterized protein
MSQFQLLYTKHVLLIPSPAGVKTTGSLPENRSILTESHPIPT
>RCO7_10810 | uncharacterized protein
MILLDHGGAENWRWISAFKDIMVKIKAADDLHKEFIVLPFFQAPTLKGIDSLVNCEFGPELEQSLEGLEKTQIKKVRNSYSSTPKMLKINCPLVSQV
SKSTVYLKLTRPDHVSKEVLELTQQHNITSSQHAGIILNLETGTELNGLDELMADQKLDIIMTLLDRRPYGMVMIASPGSEGKMLQEMNAWEATVAT
WLHQLQIYKI
>RCO7_10811 | related to zinc finger protein
MDVMELVENEPNARPFQCDWQTCSKSFNRKSDLQRHYRIHTNERPYSCVTPNCGKSFIQRSALTVHIRTHTGEKPHQCQHIGCGKRFSDSSSLARHR
RIHTGKRPYKCAHDGCLKSFCRKTTMVKHQRRSHQRGIHSSELEDGDTSDSDSGESPSTPQHSGTMHWPQNLHVPQQAIPHGHHMHRAHSFTDFGHQ
QVDAYSMPQNYGGHRQNLAGPQQHYNGPIQEDPHHPQAIMHRAPSLPAHASYYVPEQNNPGVATLNTNSAPIQNYQIPRQVERQDVLESSPSSYSSA
SRASPVSQESFYTHHPAAQAATYALHNSSPTEQQQQPMVHYQQHMPQHLTQHHNLPAPISHTQSHDQYHPAQPQEGQWYDNPAAYQPPIEVVSHIPS
YPQVHLFQDPWKVESFDDPSLQMPSARIENL
>RCO7_10812 | probable AAA protease IAP-1 (mitochondrial intermembrane space)
MAFQASALPGLAAATTEMWPAMSNAMNAPWRVFARQKPSISLSKTSKCRDSGVQTEIVSAAPLLSTRSELSDCLRDLPANFSSRMTPRISAQTSLGI
RHTLAAIPKGIFAAANPIARRALLPSQIRRMSTGLFRSQFQKSSMGLVGFQKRTLSGNNMSQSTLAHLEETANNNPNSATSQYAFYQALIRADMPAI
IVERYETNQFASNTASDNLYYRALGMLGKNGSVANTNHFSGQNGNTARRQAVGQAVTAHSRGANIAISQGANTGDGAKEGPLHVLVQETIGGTIFKW
FKFLAYFGLFTYLSLVVVSLIIETFQVFKKTGGKTDNEAKAEHQNVRFSDVHGCDEAKEELQELVDFLKSPEKFATLGGKLPKGVLLVGPPGTGKTL
LARAVAGEAGVPFFFMSGSEFDEVYVGVGAKRVRELFAAAKGKQPAIVFIDELDAIGGKRNARDAAYVKQTLNQLLTELDGFEQNSGVIILAATNFP
ELLDKALTRPGRFDRNVVVGLPDVRGRMAILKHHMKNVTSGADVSLEVLAAATPGCSGAELENIINQAAVHASKAKAQSVNMLDFEWARDRVMWGAE
KKGMFITPEEKETTAYHEAGHALVIMFTPGFNPLHKITILPRGQALGVTMHLPKMDKYSQGKDEYQTQLDVCLGGKVAEEIKYGADRVTSGVSSDLQ
KATQVAYAMVTMFGMSDKLGNVDLASNHDSLSAGTRELIESEVRRLIDEGRERAMKLLLSKRKELDLLAKALIEHETLDKDEAFKVIKGEKLDKKLI
LPSAGIKLPEVQTPISGGGMPNLPPIPGSQPEKPADKGPPAGGAVA
>RCO7_10813 | probable vacuolar ATP synthase 98 kDa subunit
MVHHEDTMFRSADMSMVQLYIANEIGREIVNALGEIGQIQFRDLNSDVTAFQRTFTQEIRRLDNVERQLRFFYTQMEKAGIPLRKIDLDVDTLAAPS
ASEIDELADRSQSLEQRVASLQDSYETLKKREVELTEWRWVLREAGGFFDRAHGNTEAIRASNDDDDAPLLADVEQPAQNGDAERSFSVMNIGFVAG
VIPRDRVAAFERILWRTLRGNLYMNQSEIPEPLVDPTNNEAVNKNVFVIFAHGKELIAKIRKISESLGADLYSVDENSDLRRDQIHEVNTRLGDLGN
VLGNTRSTLDAELAQIAQSLAAWMVIIKKEKAVYQTLNLFSYDHARKTLIAEAWCPTNSLPLIKSTLHDVNNRAGLSVPSIINEIRTNKTPPTYQKT
NRFTEGFQTIINAYGTAKYQEVNPGLPTVITFPFLFAVMFGDFGHGFIMFAAAAAMIYWEKPLKKVRDELFSMAYYGRYIMLMMGIFSMYTGLIYND
VFSKSLSIFPSAWQWNVPEGWKEGAVITASLKGNYRYPFGLDWMWHGTENDLLFSNSYKMKLSILMGWCHMTYSLCLSYINARHFKTPIDIWGVFVP
GMIFFQGIFGYLVFTIIYKWCIDWNGIGASPPGLLNMLIYMFLSPGNVDPADQLYAGQGTVQLFLVLIAVVQVPILLFLKPFYLRHEHMKARGKGYR
GLGETSRVSAMDGDDDDSNTLDGRASMNSDGDGVAMITQDLGGDEEHEEFEFSEVMIHQVIHTIEFCLNCVSHTASYLRLWALSLAHQQLSVVLWSM
TLANGLAVTGPLGVFMVVVTFYVWFFLSVAVLVVMEGTSAMLHSLRLHWVEAMSKHFLGDGIPFEPFSFKTMLEEDEQAAEIS
>RCO7_10814 | related to aspartate aminotransferase
MAESAREILRGMGISNRKFSMNRNTGTPRVSTKAARRFSTHDPSANETTSTIHKQFRNAHEGHRPHAGLDPTRASTGVIWCTERAYEHGFLEEPELW
ANLGQGAPEVDDEIEGSFERPHTIDITMAGREYGPTAGIKSLRAAVANLYNVHHREGKKSLYSWENVCIVPGGRAGLIRIAAVLNNAYLGFFIPDYT
AYNEMLSLFKNFAAIPSPLSEEDGYHINPDKIAEEIARGTSVILTSNPRNPTGKVVKNPELAEIQNICRDRATLVMDEFYGGYNYTSDCDGTTISAA
ENVDDVDEDDVLIIDGLTKRFRLPGWRIAWIVGPKEFIQAIGSCGSYLDGGANVPFQEAAIPMLEPTKVRTEMKALQTHFREKRDYVVERLRGMGFK
IGTVPDSTFYLWLDLEGLPDQISDGLNFFQACLSERVIVVPGIFFDLNPSKRRDLFDSPCHHFVRFSYGPKMETLKMGLDGIERVVKKYATVADGED
AVSSILSGFQFSSVQSS
>RCO7_10815 | related to monooxygenase
MGSIAFTPPEEELHLKESSFDVPCAPYPQISTILLPTSVSEIRDIVDKSIEKLNTALQAESYGDLHELMAKTSYWRDHLGLSNTKFSTLNGAGEVIS
LIQAESKSSSRRNQYSQNGVNGTSKNGCNITSITITGTPELTSLDPNGKVTCILAKLAFTTQHGSGVGNARWIPDVESGDEWRIYTLFTTLTDLSAT
PFLTGLTRPETCMPAGRNFLDWRAEQKEFLHEDPAVIIVGAGHSGLMTAARLKMMGVRTLVVDCQERTGDSWRKRYRDLVMHDPCWMNEVPYLKYPP
SWPVLIPKDKMADFLEYYENALDLDVWNSTQLIYSTWDDVKKVWTVMLERNVDGKVSRRILHPRHVIQATGLNGEPRTPSVPGLSTFNGPILHSTQY

TTGTQFANKRVIVVGIGTSGHDISQNLYKAGADVTIVQRSPTFVLSLASTHQMIREIYNDGTDTEGADVKIMSFPTTLFKRVGGDTAALLAESNREV
WEGLEKVGFKTISKGDLPSLLSLTIQRAGGFYIDIGCSSLIASSAIRCKFSPSISHLTQTGMVFEDGEEIQADAIVFATGYSNGRVRTRKVFGDEVA
DSIEPIWGFDDMGEVRGVWKRGGKEGFWVAAGSFWLRKKRGSGGEEWGWGWGWEPVFASRYVVEMLMKGHDIIIGDSCLRVASGSSKGEVFIRPNAP
PQRPSSEMQNSDNLCLHWNCDF

>RCO7_10816 | uncharacterized protein

MEEMKPYQYQTLPSDEQGGIYIRLVQFHPAEESTGKPPPCSISSHPLFSHPKYEAISYYWGDPKILPGQIFCDGKTITIPSNLYAFLSKMRLKAANR
YFWIDSICINQSDDREKSIQVAEMRNIYAKASLTIVWLGDEGDDSTLALKFAGQCSEALSDIDPKLATRRSLGYRVRKYRDFSVFSRNWVAFFKLLD
RAWFLRAWIVQEIALSTNTKVLVGGSPMISWSVLYRALHYIIIHQIWIFEFYGSPQIETLMALQSSQFEISQGKKRIYWQILSRHRKAMASNARDHV
FAFYGLSSHDSFKEHAITPDYGMSVRDLYMNVAISTLRQATNLDFLSVPRFKWRNEDTHTLPSWVPDWSNSDDYCQSFLLFESIEGDGPLELPYSAS
KESTCTPIVREDVEQLEVSGYIIDKLTRVSTHWELQDTMGYQTLRQQALVLRRNQAYIHNWEGTINLRSKPDEKYPTGETLEEASWQTFLAGLAADN
KDAIRPLYHKFRRRQNYLLYIHIYELSSYIWIWQLVVILGHILRFIGIPNPEMGFRALTGQMINRRIARTEKRYIGLVPRLAKEGDMVCLLNGGKFP
VVLRLREKGLWEFIGDAYVHGVTRGEMWDEEKCSVFRLC

>RCO7_10817 | probable DENN (AEX-3) domain protein

MGPSLNNHSSFVRPKTGDREGRPGTRDQSDQNLIIPSRTSSLHSRITQPIPSTLNVKPQQRTPKTLTHAYMVCGVGREPSQWVKAPAPAQGKIGHMK
GAVGQFWLPEILGSSPRLEQDNEIARALHAAMRACFPHDVEICTGRSQPHCVHHSFVLQQDSSHTLYGIALRVWSRADEKRAETIRDLRRKTESDFY
DSPDETYWIPYCLSFLSRYPLYNLLGDYLRGMWIHWNKATNLFHAEEVSRILSFPAPRLNDLVRIDMKDYALCYQFPSSPTGFQNFAMWPLFSCLSI
PNIVGVIEAALSPTRRIVFVSHYPAMLTVAAETIRYCVRVYEWSGLYVPVVHARHAKELVQEPGPYILGITAECRSLFTAPNDALVVDLDRNFVLTS
SPPTALSAGQRTKMVNRMTQALNGDVTPSGVPQHLRSAYGGGKLVPAGQIIVMRGEVESIQDPEWWNQDATMAVMDHVCEKMGRNTGMKAVFGGATK
KPLMTKVSMRHLNEIVRERNQYSRDALEAWQDFINLKGRMDTELGKVTKRNNFLVEELESWKQQFLKFQAFAEALTKETQDLKAKIETHKRENRRLS
GLIDQQKDDAARLTVRLSGTEKQRDDALEALVLQQEIAEELERERKRNKKELAALQHTNVTILRQRDEAQRVVLHLRALISGQTHHMEHIVRTLGKS
PELVDYIESGYGEEEEGDLEDIAEESKNVETGESSTGLDSRSSSRAYRNSTHSDDMTPEMEKRLANGIRNSKRYSQMSIVDVADRHLKDKTDAIAHI
IRNISEQCAAAVEGLQLAHDAEVEAEEIALSEARGQHRVSSMSPVSVSDDGRSENGDDSHLNPGRTSSIPPTPDLIHNRSSTSMSIASVTTTPERSS
QQYNSTDIPTKIVEDSDEELTGRSENEATEVIGKRSMLSRPAGARLSALGGR

>RCO7_10818 | uncharacterized protein

MPAPAPVPILSYSPEGQPVSNMSIGLDATVLHCWRDNSNFGNLDPAYPYYGMELQISCWKTPYSSTTSLCTNHILARYTGGKLKKDALYQFHGRFFI
DHTSKDPNGENKSYFHVDEAIRFQGPGTLRSFRMPRFLLVGIVEAVVEKGVLVRWTTRDPYRGDMQYEQQAVVGLERELGEKEVLVLEGELCMVEGR
MEGLDLGRDLVGGRVKLC

>RCO7_10819 | related to BCD1 Protein required for box C/D snoRNA accumulation

MDDLSSLCTICHIEPPIYTCPRCNLQTCSLACSKRHKIRSMCNGIRDPTKFLPIEQVATPWGIDHDYNFLHGIETSVARSEKVLIQDLELISIDEME
RARTGESIQEYRRRTGRGEKELPGEACIKRDLKWANIRVMKAPKGMKRNKENATGWNKRQRCIIWQVEWIREGKERTLFRAMGNRPIGDFYEAMVEE
ERILNMSEEERREKKKGEKRRRADEVKRNLAKRARSEEEKLDMTSVPILQDPKTGTWNVAPVYSAREEVANSEREDSIAMPPPPKPRDYKFYLHRPL
TPASFPKVLAPISHSKPLTEQLRKREVLEFPTIHVFPSSAETLPEGFMLEEDFLKAVADGKKGVGKKMEQDVETEDEDSTDSEDTSSSEESDSEESM
EDGEIA

>RCO7_10820 | uncharacterized protein

MAVLIDQISFVQGLPGTAGKSHATKLSKNLNRLSWIIRTNLQCVYFPTWKESIDRLYEKYGCQMAVVTQPGDGLFERFQIWQLVYNYAMDRVNSGRK
DEHAKKLVDTVSELIATGGNSRSMIDTDERAELTSAFKHVAGDFLGQENINFIIIDEAGAGIEYDIAVALKMKNDGVLILRDHLQGRPVIESRGHND
FYDQASVSGFEKAP

>RCO7_10821 | uncharacterized protein

MTGKRKRKSEVECAGDVILHPSKSHLRDNNSQGAADEATFERFLATYRGRHDDPLGRDTPPTKFFVQKEAAIEIRMWLEDQAQAHQHFNHVRSVVIN
AEVMAAPLIRIRIPSPGPLAVIKALEVIIPKVSTWFGIVSDVLKTWQSTIHGVECLNIDNLEYITVLPASAGAALRFINAFWQEMEKLPSGEVDLPY
IYQVLRGFLPAPHLPWFKKPDFKPNDWLSRPFKVTFTSLEEWEAVFTIALLRDVEWDRRTAGDVFASIGNHSMRVVEDEKDPSHFWLHITLATLELL
CPRLLPELSSSSMMNPNISSASTSKTLEARAVNIEGCDDLVLELRVRSKKARPCGGTTALKDRQTFWERQQDEGVKKRADIDVLIGRPIRNNLLEVE
DLKYVNGLSFGISRSQSEGDEIDMNSNVSSVSESDVSMDKDTDSDTEDQSSHTSFSTTQRYTTFPKILAQLQNIARLR

>RCO7_10822 | uncharacterized protein

MALNRQTTAHTGDDLHKLLSDAMDEPATKHASYTTVRASVLEKSGGALLIVDNAATTHSMAKSAVREDVYAGTGSGGYSLHVFLSPADCKEAILKKW
ERE

>RCO7_10823 | probable threonine synthase

MSGTAGPAGSAMPATKHIPVTQEPKDATHTPSQRYLSTRGGSYGLSFEEVVLKGLASDGGLFIPEEIPAIPRDWESKWKNLSFSELAFKILSLYISS
SEIPPSDLKEVINRSYSTFRAPETVPLVTLDETNNLHLLELFHGPTFAFKDVALQLLGNLFEYFLVRRNEGKTGSDRHHLTVVGATSGDTGSAAIYG
LRGKKDVSVFILHPKGRVSPIQEAQMTTVLDANVHNLAVEGTFDDCQDTVKALFADPNINQTLNLGAVNSINWARILAQTTYYFHSYFTLTKSPAYK
AGDKVRFIVPTGNFGDILAGYFAKRMGLPVEKLVVATNENDILDRFWRTGYYEKKPVHGVAAEGGIAEDGAKAHEDGVKETLSPAMDILVSSNFERL
LWFLAYEFAAGAGMDEEWNKKQAGQEVDSWLKDLKNKGGFGVHEEVLASAKKDFESERVSDEQTLKTIKDYYLAKPSYILDPHTAIGVAASLRSIDR
NSPADLHHIALSTAHPAKFANAVDVALKDEQGFSFDSVLPQEFVGLEKKERRVKTVPKGAGWEGVRAIVKEEVEAELKGSR

>RCO7_10824 | uncharacterized protein

MVNEADLRLIERLTSILKVLNNVAGDFDADESGSADASGGFEKCQQLQPRSSSSPRETQPSYEAPCVRVREGARLFGTAFEHDTLYQHSMNSARQEA
PKSWASVSSVGGLEISNCQSTRDTGSTQAFSVSEEIEPYIGFREILYGISDASHSNAGCGKHGNSCQENAVNMTDTKIHYLWIKILTNNTVDMSRDN
DVVNSAHSNNTSGWKGSVVGIVAYLKNFGIAAQQ

>RCO7_10825 | uncharacterized protein

MALQPGILSSPGGTSTSSKPALLCLHGGGTNTTIFNIQTIRLQRALSASFDFVFIDAPFEAPPGPGVMPVFEGCGPFYRWTELGSQDMPEATHKKIA
DVLSSRDKNIVGIIGFSQGAKLGAGICLEQQIRASRTVDVKQGGLVKFAVFLNSTSPPLTSSTLTAEEVSVLIRIPSLHVVGLQDPWRGDSEKLYGD
SFDKGHSKKIEFDLGHRLPSSDQDTALIAMEIMRMYRETSGKTQRYY

>RCO7_10826 | probable DFG5 protein

MRCQNLLWPTLLLHFAAAITVDTTSSASLKSAAKTAVEGLLTFYHGNEPGQVPGLLPPPHFWWETGGMFMTMIDYWRFTGDTSHNALVSEGMIFQAG
PERDFMPPNQTKTEGNDDQGFWAMAAMLAAETNFPNPPPDQPQWLALAQAVFNELTARWDTQTCGGGLKWQIFPFNNGYTYKNSIANGCLFNLGARL

ARYTNNQTYADWAIKVWDWENSIGLIDDNFNVYDGATEPTNCTTIERLQWTYNAGIYLYGAANLYNLTEGSALWGDRVSGLLSSSITVFFHDSIMTE
QACERGGKCNIDQSSFKAFFSSWLAGTSILAPFTSSTIYPLLAASAKAAGLQCSGGATGDVCGFKWTTGANYDGTTGVGQQMSALGAFSSAIVQVPR
KSTSKPSSNPNSKPNSNPKSNPNSSPSSNPSSDPSSDPNTGSSTEDNDPLPNFAPVTNTTGGTSLGDASAGLSKPGGRTKPEIKTTMKDTVAASFVT
LGIVGSVVGGSLIMVLER

>RCO7_10827 | probable cell wall protein UTR2

MVRSSILVAVLASVSTAFAAAPSCGLDKKCPSDTPCCSQYGSCGVGAYCLGGCDPRSSFKLDSCVPAPVCQSKHHTFENLDKVQPNTKYLGDATTAD
WVSSGEPISYQNNVLLTMPPDSVGTLLASTTYMWYGNVKAKFKTSRGAGVVTAFILLSDVKDEIDYEFVGVDLTTAQTNYYFQGIPDYVNGANLSLS
NTFDNYHTYEINWTPEKVEWIIDGQVGRTLKKSDTWNATANQFKYPQTPSRVQLSLWPGGLPSNGKGTIDWAGGLVDFNGGQDIKSNGYYYATFESV
TMSCFNATSAPGTNKGVSYTYNGMSGTNDTVIDGKNPTVLGSFQANGENMNLGKPSGTASATKPTVTAESVPGLSGGDPAGVDAHSAPSASGDAIDP
ANTGTSDSGSGSSDSGSASTGTGGFSQGSGSQGVDKIKSSAEHMVNPERMLKGSVFAGIVAVIAVMAI

>RCO7_10828 | uncharacterized protein

MSKRPDRAELEFFTGSSLSNPRPAAAASTVVKPENPPARKRRTSGTTTAIATGIGTATFPMSGSSTSAAAPMAAGIEQSMMSDLSMAPPPAKKSRTN
TPWTPAEEQRLKTMKDAGNSWAEIAKTFPNRTEGSVKKHYYKDMHYAEFAEDESQALLNAIKDYETNKWKEIGKKVGKPAKACEQYAKEHFVGRM

>RCO7_10642 | uncharacterized protein

MSSPQMNTSAHVAPSNYSPVDAINRHDYGVQKNRKQASTGGGRAWSEDEEVYLLQTRLQKMPYKHIAAHLKKTELACRLHYHQLSHGSNRRKRTNSV
TSSGNGSVAHSPTMSHSMPSPIRENTQPITPPNYSYSPQSPVHVQLPSASSLLQRSDSNSPPRMLSHPVAILPKPSAPRRALSESSPNPPLRLDCDI
ASAPAISSNVDKDRLRQIYEAHRASFWSVIASEYGAGVSPLLLEETWKRGIATNAPPTPCVSPDAQTIRNGSYQGYNPKPMHQLPTPTHESKIHATS
ISALLGIDASPRSPKEREMIKRMEERRDTRDIGMAGI

>RCO7_10643 | uncharacterized protein

MSTTARPFRTFSLSSTSTRRFARKQIYRRVYSSDPEREAKTIASDFLAKAQANPPHSQTQLLDANQLQRFSATLSRSELSRNVPKNGTPLPAGYHLA
YFTPAQIEEELGRDGTDTMFNPPRPYTRRMWAGGELEWIKDNKLRVGQEVTETTNPVSSYAKMSRAGNEMIIVSVEKKFQNERGVALLDKRNWVFRE
EITTPQPPGKKPQEVPFPDGVNVRDFCQTPVTLFRFSALTFNAHKIHFSKEWCRDVEGHRGLVVHGPLNLINMLNFWRDLHGGETTPKKITYRATSP
LYADEPYRVVMGEEVGCLTDVKIVDSFGQMSMQATIESF

>RCO7_10644 | related to endothelin-converting enzyme 1

MARASQDDAERAPLLPDSQKGHDREDNAPPKKSGRWLARNAVAVFMSLLILAVIVLLCVFFGMYLSKTPQTKSSVCLTPECVHASSEILYNLSPDYK
TIDACNNFEELVCGGWDEHHDLRPDQGDAFTGTIMSENSQMLLRHILEAPYPGDSKHSSFSPAQLLHTLSSVDQDNFDKLKAAYGACMDEDTIKKVG
AKPLLDILHQVADMFPVKESAFRRRTPISTKDSEDMASTLLFLTKLGVPALVSLGAGADDKDPDSVAVQASPPWSIGLPAKELYSDDTVTKKYEDTI
AQVLSVLHPDHSDENATLHSQWMQVRGHGKIASRGRSQDLAHEVVELEKKLAAASPDAEDSNDVTKYYNPMSLKDADALTPQIHLLKVIRELEPADV
KTDRIIIASPDYMKTLTKLISGTSKEVLQTFLCWKVIQAFASVTETDALVPYTRFINELQGKDPDSTQDRGRTCVDHVDDGLGWILSRFFVEKAFSE
KAKQFGDQIVSDIKETFIEKLQKTDWMDNSVAQLAIEKVHNIVQKIGYPTKSPDIMNPPVLHAYYQSVNINSATFFQNALSMNRFAVAQGWSSLGKP
VDRDEWGMTVPTVNAYYNPPGNEIVFPAGIMQFPVFDVNVPAYLSYGAFGSVSGHELSHAFDSTGRHYDQNGNYTDWWTNSTVEAFEERAECFVDQY
HKYTVPGPDDKPLHVNGRLTLGENIADAGGVTAAFGAWQKRRSETPNQDLPGLDFFSQEQLFFVSYGNWWCGKSRKETAINRIYTDPHAPKWARILG
TMANSKDFKESFKCADKKPTCELW

>RCO7_10645 | uncharacterized protein

MEDEKPVTSRHPIWVPIVHLAQIFFSVVVLGLSGWLIQGKYFDTLGYDIFTSLLTWLVVAYLLITTHMSSFAKFTHIFLVIAANAVLVLFWLAAMGG
TARLRSRFKYDVTVYGCYDDGSNIDSSTCLVGRKLEQRAAVATTTGLAVMSGIAGVSALVMLLSIAPLVNAVLTWKNSRSTATAGTSAQVQVLPQKQ
EQQGEGYQMAAQPQFASAPAQQQQLYAPPQHYAPSPQQTYPPPPQNQQIYTPPPQQAYPPPPQQFSSLPQGYELQNHQQQQQQYVQPQQQHMASSPQ
QGHSELYTQVN

>RCO7_10646 | uncharacterized protein

MPPKKVKSSKDELPKASSKVAASKASKTASKAKAPKSTKTSKASKTTSTAAALATSASATVAQPVLNPDRDFRRRTRANPSPSLKERSGLEKEPSFK
KPTIARTAISNAAARRDQEAEESTQQESVSASHSSEPEESRSTSPELASLHSHPWSPSSSRMPGAFTTVEPSSHQAAGSSKATPRIAKRSRPEVSDA
SEADTEDASPSRPAKRVRTDATPKLHNDTPFEYFGLDHAIDPVQQQLALEIEAAPTSPSNIQEDTVGEQQPASTPSFFSVTNKDESTYYTPQNVEAA
QATAFSQATKVAEATEVFQAPEAGQTTAESQAIKLAEVFSVPEVIVHQTIAETHEPGVVAGDQPISMISDVPAQSSVNNRASASKSAAKSTSHSALS
SSRSAARSASRSANKCAIESPSNARVPRAYSRRSSPDLLREEMMRRRDRRLEKSKAQPPRQRKSIDKIHISDMSSDSEELVPYNAADMRFVKENTKR
MLSIYESEKIHKESLYVLRPDLEAKHGKMSRPRKQGGVPSAMRHRKKQSPTSVISIHVQTQNGAELFDVAPKDSEILLNIHRLLTVNPGLLTADEAL
AGLQSAMDAKKAQLAPNTSIVGNGGMASTQSQSMTVFDPASSAINPNNTSSPPPEVQNNNTDHIINNTSASIPEDQTNSNDHMTNMGNSDVRNQREV
NAASASPYPKQDNTAKLHTEDLESHSAQPSPEGWAFSTMSAIKSVVSKPFEYFGGASAAGPSTANDQDFFSPLKVPSTPTPAPRVKRSFAALFNPSR
RDKGKGKASALDDRTTEFQAHAHNMKNKHRKSVAASTDGLDLPHRKRIYHTKPLPLYKGPPTKNTFTVPETTDDDDDDEEEAEEVSAPVETVAEAS
ENTNTNDKYPIDTINQNNPIDLFNQNNPIDTMHHNNPIDIFNQNNPIDTMNHNNPIDTMNQNTMYQPKLRLPPPPKPTGLHAHWNRLNHTWAENSER
KREIYEVNSEMFNSRDRRRREDPEKYRQWVENIPDDLNYWIRALRQRWTVTELWDKYNLIDYARQDPYRFLRLACLNEEGNKNVSCSDYGVTDDDRE
HLAIWHTRRGTVGRFQKEAAAREEEAAKKASEQEANEKEASEKEASAKEAGTREEQAAKEAIAKEANEKEASANVFSLMRQSQEDFVIFDNVRECEA
AQQQKWANLGSLVV

>RCO7_10647 | uncharacterized protein

MDPEDPFGKDPDAIMSQMTRLSLHPILSAYPSKEANSAMRSLIHALQTAQTERIRICADAISTPQRLQARKEEYVRCQRVGDDLKEGEMRSVWQGWM
DLLKWEMVVSEVEERLGLVAF

>RCO7_10648 | uncharacterized protein

MASTNQTTNPTEPASSLATPDPFLRPADPKVPVKELTQAELDLALIELTIEAAWNNTITLLNTAKTATERRKIRRQEMHVVNTVSETAGTRAAQEML
DGRIRLLEVGFELGEWEEKYWFSRL

>RCO7_10649 | related to vacuolar protein sorting-associated protein VPS13

MLEGLVASLLNRFLGMYIRNFDPKQLNVGIWSGDVKLRDLELRKEALDQLKLPINVVEGHLGQLTLKIPWSNLRGAPVQVYIEDVFVLAAPKEDAEW
DEEEEERRRQAVKIEQLDSAEMLKDRNQEGMSQEDQQKSQSFTDSLVTKIVDNLQITIKNIHVRYEDSISAPGHPFALGVTLQEFSAISTDGKWKPT
YIQDTVGPTHKLATLGALAVYWNTDTPLLGTGREAEVPDDTVVPHDEMLAKFREMIVKGEAPSTGSHQFILKPVSGQAKIEMDKSGKADRPHVKAGL
IFDEIGLVLDDDQYRDALMMIDLFHYFIRHQEYKKLQPKGVTPKEDPRAWLKFAGNAILSKIHDRNRRWSWAFFKERRDDRVRYIELFKKKKKAEAP
LPAEEAAELAKLEWKSTYEDMRFWRSLARNQLKKENIGVRKTQTAKKSQGWVAWAWGSKPKEEEEDPETTMTEEQRKELYDAIDWDEKTALAESVDL

PKDSVKMQLDASLNTGSFTLKRDPHDNVVEVLSLYFDGFRARFLQRPESFLADVSLNGLRVNDGTTPDSLFTQIVRVKDAPDIPSKKLEIDSGDIAE
GSVDPFFQFQFEKNPLDGASDLALTGKLKPLEIIWNPEFLVGIIQFFKPPERHMESIGALMESAGATVESFRQQTRAGLEFALEEHRTLNAKLDLQA
PLIIIPESITTKNTTCLILDAGHISVNSKLVDKDTMKEVQAKQRQSYTDEDFKRLESLMYDKFLVKLSSTQVLIGPSIEETKAQLDNRDNSKSMHIV
EQINIDFMVETSIMPKAPNLTKVRISGNLPVLHVAVSDKKYKSLMRIIDVAIPKFDEDEVEPPAQEAITQKESSAQRPRAQSAASKSDKARKRQSTT
SFQFSTQEAVIIQEDADSDDEAEFQDAENGNTTNNLKIQQRNFELKFEVDRLQGSLYRSDPEGKKPDQLLVELVAENFTLNLCVRPYDLIIDTSLES
VVVDDYVENPSAEFKSIVSSGDADSEDHKDLVHVKIIKVKPQSPEFMPKYEGVETNIDVAISTINLVITRKTLLTLLDFILITFTNNAEQQPTESSA
KQIMDSENEEDGLVLSTPVPTSNAGSIRIKVDLKSIRLILNNDGIRLATLSLNAADVGIFVLGKTLRIAAKLGDLSLLDDIDQGASSDSNLRKLITI
QGDDLADFRYETFDPDSGDGYPGYDSSIYLRAGSIKLNFLEEPFRKIIDFLVKFGKMQAIFNAARQAAADQASQIQQNANRMKFDINIKTPIVVFPR
VMMAGQPKRDLLTAYLGEIYAENKFVPLDDSKDAIIAMKLSAGIRNVRLTSDFHFSDDRAEELELIDKVDLGFQITYAEHVEGVKRPDTEIEGNMTD
FNLRITQTQLKFLLELAKSVPAAFAVDADENEQQAKDEVPKSSLKNAKTIENKSGLSIEEANGKDELVDLGPELGADSKSWTNLDLAFHVHTIGLEL
ILAKDDEPVGDLESSSLSKFSLDDTKVKLRMMTDGSLETELLIQSFTIKDSRTKSANKFRKIMTSSNKDVQQFMASVTISGGKERNLIAIVAVDSPR
VIFALDYIFAIQMFVAGGLAVEEPLIADDESLLESQEDSDVDSIAPTTGSKSSPKRVQTSASLTKTSTSASSQAEESTMTIAFRVNVVDAQIILIAN
PLSSSSEAIVLGTKQILMSQQHAMTLQVSKMGMFLCRMDRFEDSRLRILDDFSLQMSMDSSKENLSSIHIDVEPLVLRLSLRDILLALQIVSKASEL
SGQDVVDEQKPSASNEKSKQLKGSDSKTLKRRTASGKGASMTKKTKAATIAPPKRNEQSGVSRLIQKHEELTATLDGMRVILIGDLHELPILDLSVK
GFTTTAADWTSNLSAETSIDMFINIYNFSKSAWEPLIEPWQLGLQISKEGNSNRMAIDLTSQKALELTVTSATIALASKSAQFLTQEEDVLSKPRGT
EAPYRIRNYTGFGINVWADVPGTDNPMAAKLEDGEEGPWRFEDWEKMRENLSPENNTGIVGVRLEGSGFDSINKIAVNREGEYIYSLRPRKDQILHR
LLVEITLGADNVKYITFRSPLLVENKTQIPVELGVFDAQEGHLLKIEKIAPGESRPAPVGAAYLKSLLVRPDQGFGYSWSTESLWWKDLLQRPTRTM
ICKGEQDKNTPPFYFQMHATIDKTNPLTSIYPYMRIRLSAPVELENLLPYDFKYRIYDKNTKKDWTNFLRKGGLSPVHVVELSHLLLLSVDMQDTVF
KSSEFAIINSNNQEDFRKESTLVCKDNDNLTLNLRLHYYKIPDSGGAFRVTVFSPYVILNKTGLDINVKAKSLLQQAKTAAGQNFHTDPADTQRRKA
LPYMFAFGGDDQRNRVLLKVGESSWSKPQSFDAIGSTIDVVLPSSTKSTEIHVGITIEPGEGKYKMTKVVTLAPRFVLKNQMNEDINVREPGSSELM
TIKPNELQPLHFLQKATLKQLSLCFPGLNNQWSSPFNISDLGTTHIKIAKAGQRQKLIRVEVLMENATIFLHLSAETKNWPFSMRNESDTEFMFFQA
NPNIDDEESEHRSGWRPIRYRLPPRSIMPYAWDYPAAKHKELIINANGRERHIKLAEIGNLIPMKIPPAPNAASTRESKIIDLNVAADGPTQTLILS
NYKASKSLYKQKSRSESTTSVAGGFEVKNQDTGVTFRAQLNLAGIGISLVNAQLKELAYVTFRDISFKYAESPLFQTITAGIKWIQIDNQLYGGIFP
MILYPSVVPKNTKETESHPSVHVMITRVKDDSYGVLYVKYATILLQQMTLEIDEDFVYALLEFSKVPGATWSETHEGVLCDENLGIPEPKQDQSGQD
MYFELLNIQPMQLDLSFVRTDRVNVEDKTSSRNPLMFFLNVLTMAIGNINDAPVRLNSLMLENARVSAAVLLQNMSNHYSQEALYQVHKILGSADFL
GNPVGLFNNLSSGVADIFYEPYQGFIMSDRPEQLGIGIAKGATSFVKKSVFGVSDSFSKVTGSIAKGLAEATMDKQFQDRRRMTRSRNRPKHALYGV
TAGANSFVSSLASGVGGLARKPLEGAEQEGLTGFFKGVGKGAIGFVTKPAIGVFDLASNVSEGIRNTTTVFDGDGLDRVRLTRFIGTDGIVRPYSQR
EALGQFWLKQLDNGKYFNEMYIAHLELPREDVVVMLTYSRIMLVKSKKLTSEWDVPLKDIQTISKERTGLSLTLRGGTNGPFVPVAEESSRNFLYKK
IGVAVGEFNLKYKATE

>RCO7_10650 | related to MNN4 - regulates the mannosylphosphorylation

MFRTPATRSLLRSLTKAPTARSGYSAASSQFRHALRLRQLSNKRSQVLAGLARPQTTTLSYATKSEPGSGISPLELEAEKKLAQEIIDSDPDHVSAD
SSVRHVFEESQAPKEEAAADMSAGLKADLVTIKETFSMSEVPKESLYLGAAGVIPYAATSLSTVYLAFDINQAHETGSGYLFSPELARQLLDIVTPI
QIGYGAVIISFLGAIHWGMEYSGFGGYHSYRRYAIGVVAPAVAWPTIFMPVEYALITQFVAFNFLYFTDARATTRGWFPAWYSIYRFVLTFFVGASI
VVSLIGRGRIVAAEHAAMIASSEHIKADRDVQWAALEREENERRKALAAEEEEEEEDSEDGDGEKKDDDSDDESDKKDDKEEK

>RCO7_10651 | uncharacterized protein

MSIFTRSRPCSSPIQPRYRSNTSTYSISPFPCPSPSPPPTIHNRRTLSSHKNSARSSSRSSPPPPSLPDLGLPVSPFSSSKITAYHSSFESQGHGVS
APALRERESDAECWERMLMLQREYHCYNSARLEAAVEALEQGWRIEDVPIPSRFCLDLLNEGLETQIRMTNLH

>RCO7_10652 | uncharacterized protein

MPPMPPCSRSSIGALLIWYCTASARKQIEYRAMLVFQRLIRFYDSFILVSALMAGLSVGALTFDEFHPSTNAIDRAAEGFFTSATCSAVVAVMLAVM
LSFRFEGHVSATRLDFIIAWSPLVLLDWSIVGVLLGMSTWYWQKNASWRAGMLVGSVAILLCFSIWVAFMVWQKMGDKGGLGEEGSKAFREVKQGSR
DEQAKTTSPNTVLSPVMMHVASEA

>RCO7_10653 | uncharacterized protein

MDYRRASLATNRQHHVKANSHIYPSFAGDYSNRQANVPVFDSPVTMWWDEERIESTVDRQFVLSKLRPGEQVRLDEPLLFGDGLTDDTYMEWIELKA
KRIFLILVDLGVPDQIFGIVDDSWDDDDLPVPFDQVERLRLTFAKDEKLEKKFFHRQFLYLLRNVQKGEHLYYDDEEVVPLEPVEKRPVGAVAGLTQ
SNVDKVHLPGRPDDVFVRRRIPLGATAGRMPQEEFLSGIETLRLIEHDHLTTLWASYIHQGSGYLLLTPVIESSLKSCLNVMPQSIKILAKQDRRAL
LLNWIHCLADAVAYLHEKGLAHRNIKPSNVSFDVDNQIFLSDFSVFGAEKSGFDKETYDHQAPEQITRQIPSGVNSQPSTSRRSGIPGNAFGFSTAQ
KNFLVSNDSSSIYTSSSGIGSKPSTGSCVQSAHLAGKHDPQTADIYSLGTIFLEIMTFLMKRNSRTFASHRSCKNKTPGRGGGLPDSSFHKNPRQVE
SWMSLLAKDGKKKEDKIFRSVSHILALIEKMMNPVPDERPGAHDVQEKIYCILIEFCGIGPSSTSRGKIHCTMRESEDNDWDFGFDQLRLASQRAAA
EACANVLPVIAIGNRQGVGDSERERMSSLVSSVAWGPGPGSPTPPISPLMDRAPTRDGDVMSVSSGNKSVTGRSSEGKSRSGSASLGSGTQIGKMKP
KRKAKAWQAPVYAVNFEMYGLISKEGTEVMRNDKKHLMTEHEYGYGYGAAQHSTADYGSPRLRFGVTGRGCGLRAIVVS

>RCO7_10654 | related to triose phosphate/3-phosphoglycerate/phosphate translocator

MSEEKVRISGEAPRTAAVSILPTVNPDAEKSAAPAASNGIHPALYVAVWISLSSSVILFNKWILSTLGFAYPILLTSWHLIFATIMTQIMARTTTLL
DGRKTVKMTGKVYLRAIVPIGVFFSLSLICGNLTYLYLSVSFIQMLKAFTPVAVLVAGWILQMHPVDLKKLGNVSFIVIGVALASFGEIDFVLTGFL
YQIGGIAFEAVRICMVERLLNGAEFKMDPLVSLYYFAPVCGIMNFTIALFLEIPKVQMSEVYAVGLWTFFANASCAFFLNMSVVFLIGKTSGLVLTL
CGVLKDILLVAASMLIWGTQVSSLQAFGYTIALCGMVYYKLGQKELKPFISECTRRWAEFGANKPILRKLVIFSTFIVTVFLLLGGLAPYAPADYDP
KAYLAAAKNSLGTS

>RCO7_10655 | probable protoporphyrinogen oxidase

MADINVDVLVIGAGPTGLGAAKRLNQIDGPSWLIIDSNGTPGGLASTDVTPEGFLYDVGGHVIFSHYKYFDDCIDEALPNEGDWYTHQRISYVRCKE
CWVPYPFQNNISMLPKEEQVKCVDGLIDAALAARTATDKPKDFDDWIVRNIGVGIADLFMRPYNFKVWAVPTTKMQCAWLGERVAAPDVKTVVQNVI
LNKTAGNWGPNATFRFPARDGTGGIWIAVANTLPKENTLFGKQGEVSKVNADAHTVTLSNGKTIGYKKLITTMAVDHLVEQMEDKELVSLSKGLFYS
STHVIGVGLRGARPERIGDKCWLYFPEDDCPFYRATIFSNYSPYNQPEESVKLATQYLADGSKPRSSEPQEGPYWSIMLEVSESSMKPVDHDSLLKD
CIQGLINTDMIKSDDEIVSTYHRRFEHGYPTPSLEREGVLKELLPKLQAKDIYSRGRFGSYRYEIANQDHSFMLGVEAVDHIVNGAVELTLNYPDFV
NGRQNTERRLFDGSQMFKNKATDTADAAGAAKVIDIETNKADVARALMNGASSETLPTRERASSKTQSSSSSHTRKPSKSVK

>RCO7_10656 | related to histidine kinase tcsA protein

MDGTVALGDEHLDPPLRLYERLRQVSGYTWDESREPFHSSYDNWQVFGWKDVVRNSNTTKPQSKGDSESNPSAQDSTSARGFRCNESESGSESNASH
NDPSFESSRVQVIARVSRHALREERAYHICKNLIKKVDPEGDHIIRPLDITRLTSQQGDKGPIVVCIFENPGPNYLHKVIDYGAAWYRGRRIGDKHE
AFRDEFEPKEIVSLETFLDFAVAATECLEILHHGQRIVHGEIRGDAFHMNPENGKVRLINFGSGLRTFEHGLTSTGWSTLSKEVGAKTKLCYMSPEQ
TGRMPAEPDSRTDIYSLGIMFWTMLTQQPAFDGETPMDIIQAVLGRRLPTVSSIRLDIPDVIGRIIQKMTAKIIGERYHSVSGLRYDLMEVRSLMGA
GDSAALRNWTIATKDVSSFFILPTVMIGRTEEHDQVVKVIDKVSRRHEASSLQENYSLSSGSSLSDSRLETFQAAIGAGAAMSLSSDGTSSYEGRSN
SLGNIASSSSETKSLKSGSGQLQSGTGSIPNSYDPSTSLRSVAGFFPSHDGSAGPVRSLVGSLPNSVDGHNSSTQSNKPRPWEKNNSLSLDNGSVAG
SMSDMGGGSRSSEGVGSLSGRRNSQKFKRKGRCEVIGIAGAAGLGKSCLVQSVQIEARRRGYFASSKFDQAKKTPFGPVLKLLSSLFKQVFSESNTD
TAFHQGLKAFVKPAWPMLHRVLGLPEFLLGSMSGPNRKHGSQLSQSYNRSVRSDMRREASPSSSSQASIYSMALGSQNSQEFLRSGSSTKSVRLMNT
FLDVLRVFTQYKFICFCLDDLQFADEESIDLISQIVASRMKMAIIVTYRPDEVLPERIKGILQPPNTEGIKYVKGGGVGVTRIVLKPLSEDDIKKYV
AATLSRSEEYIVPLAAVIQSKTAGNPFYMREMLDSCHRKHCIYYDYKESGWCYNLDKIFRQFETKSYHDTLDSAFITSRLNELPTSSRSILAWASLI
GHSFSFELVQRLLSGEFDYDDSDPKEKDDMDRRPPLVSCSPQDAIEGLQAAIQAYIIIATQDDDRFRFAHDRYMQAATTLGDSNTAKMHFIIARTIL
KYSSSVDQAQSDCAEHIGESIDIIRRRVLHRQSFRKLLADCAQSAAERGARPTAARYYKHCFALLQNDPWTDDLPDVYYDETLQLHIRAAETYLYMG
SYPEAKRLLSNVFKYAKTPVDKSPAWVLQSRVYAQEGDGSAAFRSLKQCLQALNIAVDDEPSYEKCDMEFERLSLKIQSMPVNDILNRKTTKDSNFA
AVGAVLVETISAAYWTDSLTFYQMALVMVNTHLNLGSFPQAGMAYIHLSMIAITRFNMIKFASDMGAIALALLSVLSDPYTTGRGGTIYAIFVGHLH
ESIQSSLKQLEGALEYVIQVGDRGSTILNFGLVGTLKFFASENLTELESFLHYGCEEVPNWALDTRGGTMAIAVRQACRALQGKTNISNSSEIMSDE
GHNSVYYKGWLKETVSSSDRPLIFYEGFEIAPLFLYGHFAKAVEVGDRCIANLSSVWSARNTRFIYFIHGLSLAGLMWGKLNSPLRSFDQNDSGQTQ
PEKQPSERELTADVTTSLKQIKKNKKMIEDWQSVNNVNYYSWSKLLDAQVAEMEGNHGLALSNYEQSLDHAAANDFLFEEALGNYLQAGFFLRNGSR
RSARASLREATVLYRNFGAVGIVTYIEEQHSLLLQGATRDERTADVAVQTDFAGDSAEVQYTTLEGDENADRQQTRASETQTKGDRIGAWQDGSARP
DAGSGLPALDMLDLTSILESSQVISSVLQVDQLLKTMCEIILQNCGGLATTAAIVVEEDDPIGWSIAASGDPEHGAVAHIPGLPLTETALVAEGVIL
YCTRFQETVFLPDLIHDERFSNVTKAWQQRNPVGKSVIAIPICHGVKPLLGVLYLEGEPNAFTDRNLTVLQLLVNQIGISYSNALTLKEVEKVSAFN
NSMVDVQRRALAKALEAEKQANAAKAEALRNVKLAEEAAKAKSIFLANVSHELRTPLNGVIGNSELLRDSMLTKDQAEMADSIRVSADLLLTVINDI
LDFSKMEADKMELYVVAFKADEMMREVFRSVSYSNRDKKNVKNVEILQDISLPESLIFGDPVRLHQVLGNLVSNSLKFTENGSITIGAKTDLETADE
VKLTFWVKDTGIGIPPQQLVKLFKPFSQADASTARKYGGSGLGLSICKSLIESMMGGKIELESVEGKGTIAWFTVTFQKAKEASAGDCQNGVDQQDH
MSSPNNDSSGSPIPYTHFSDVERDQLRICIAEDNPVNQKIAVQFMRKLGFKYVDAYDNGLQAVEGLRAKAKEGTPYHITLMDVQMPVLDGYEATKLL
RRDPIDAVRGVLVIAMTASAIQGDREKCLDSGMNDYLAKPVRSNVLKKKLDQYILQPPNATPNLDSEASKITSKVLREMNGSSSPSSPETSGTVTPA
TTFPSPVPHPNDPSHDEQTLPPGLRDREPPARLRQLTRTRTAEIIPTVDPINLDGGVEKIDTKPAAGEVHVDEEELSPKSIPRRPIGGRGDDGRSRE
RERDRPKFKESETMLMVGKVETKTESGGEGREDKKGASGVARNPVGGGGGGGSSGGDKVSGGKEGK

>RCO7_10657 | uncharacterized protein
MLLTIKQPAQHGYKSFHDYTPPTPPATSRFSPAVASSGPAFPQIPATNKSLPSLPVTKSFSRSMSTPHRGLPPPGVMSQPGLMTLPPPTQQQQIQQQ
QQHPPPLAQQPPLSQPMGQLPAPPPQWQGAEESMSHWLHAKAEEDKRKQEEEKTRQESLRLEQRKIEQDMLRTSLSGGIPPHMIPMVFAGMGGGNLS
NASLEWAQHFMAQAHQPHPQQILPPQAQVSPEQLSRRDSRVVSQPYGAQQNPVPLTLPSTPIGPSSSQQSAGFLPSYQMSPASRARQSNQGQGTITR
PPQTSHLPRLNTGEMHIQPPPAGSSIQHPLQQSQSAQQEQHSSPSIYFHHWQPPTTQADHTSSPKKRKATGPQQAAPPPTSQPQYTSPPFSGSSVSN
TPSSRRRAHSRQRSDYSSRGLDSYGRPHSRQRQSEGFGQNLTSPPPQHSHVHGFEQQAQGPTSSNELRRRSGGSHPVSSMLEQPPQSQSQHISQHQR
DPHYSAGPEMKHDGRRSTPEERGTSISRGTSLIKRDEGRN

>RCO7_10658 | uncharacterized protein
MRVLLLGPTGNLGLRMIPALIAHGHQLTVFVRNPSKLHSLVSTELLALIHAIAVGDATDIAALKKAIIDNDIESIICVAGNQVLPWKDYSLPKIAKA
ISGAALAVGKERGTPMRIWVTSGILIMKIPGEEFTMMDYLPRIATAQHEATRANTEMIPTADLQWSIFAASGMTGRNPSQGLFQPLEAPQPHDLLAR
ATVLPVWRRSWPQKIPFIGMIIHMVILAYVDYHTEYEDVADFLAEDLEVGDGKWVGKKVVLVKMVIKKDV

>RCO7_10659 | uncharacterized protein
MRLLLICFLIRVCSAVECSWENLTVSRYFDTQEKFDALSKGCTTIINAAVVVEPKYTGSFVWNDVTDISGSFSFGNSDEDSNLTSIDMPNLVSINPT
ISWSILNAPNLLSVSFPRLQAICGSGLGTDAAPTARFDFPSLLIAAHIEIMEVFRDLILIKHANQKSFNAESRQDWKGQHIDENEIDNSGREISHRG
NLLDLTLPKFTEVTNQLDILENFGRYVFRSSQHDNLANTDLPQHLANIPRQVPEVVNIQSYAQQNIVFPAQSVIEELYLTGNMTAVMLPVLQSIRRL
VLYKGPLLSSCENEFAVHSKYLSSHKVLSHNFYAKTRGQKQTLNLPPALYPLSALE

>RCO7_10660 | probable chaperonin of the TCP1 ring complex
MQAPVVVMNTQAGDRQTGRKAQLSNITAAKTVADIIRSCLGPKAMLKMLLDPMGGIVLTNDGHAILREIEVSHPAAKSMIELSRTQDEEVGDGTTTV
IILAGEILAQALPQLERNIHPVVIISAFKHALKDALEIIDEISLPVDINDDKAMYQLISSSIGTKFVSRWSELMCNLALKAVRTVTFDIGGGKKEVD
IKRYARVEKVPGGEIEDSRVLDGVMLNKDITHPKMRRRIENPRIVLLDCTLEYKKGESQTNIEISKEEDWNKILQIEEEQVKIMCDAILAVKPDLVI
TEKGVSDLAQHYLLKANITALRRVRKSDTNRVARATGATIVNRVEDLQEADVGTACGLFEIEKIGDEYFTFLTKCQDPKACTILLRGPSKDILNEID
RNLADAMAVARNVMFHPRLSPGGGATEMAVAVRLGQLAKSIEGVQQWPYKAVAEAMEVIPRTLIQNSGASPVRVLTALRAKHAEGGSTWGIDGETGK
LADMKEYGVWEPEAVKLQSIKTAIESACLLLRVDDICSAKAARQAGGGGAPGTGEE

>RCO7_10661 | related to DUF1168 domain protein
MSEQIPESIPTSADPRSKRPLKKRALSPRSLTAKSIDTLFSKPDQDIRIPGSTSLSTHSNPNGGPPEIVQNVQGSSAGAGSGEFHVYKVRRGEEGEK
WERERREEERDREKTRRNREKRDRLKRKKGGNKAAGGAEDTESTTKGGKVKARIVVKEGLDGLGGEGNGDEQMGGLAVEEEKGVIIHDDD

>RCO7_10662 | related to transport protein USO1
MPSMERSTSRDSDRPLKHQHSASSDCGRAIVPMWDSSDPERAPPPLPMNPSSPVATSRPNTSTAIQSAHLALTEKARESGYVTNSPVKRIDTSPERS
LIKGAAHKRMQSLQTGNVRDLSSFLEGGSTFGSPRSPEKSTQRPSTPHTNKDFALEPRSPEKSPEKSSDRDSSRSATPIPGRETPNRELTVRPSLRR
PPQSILGENTPPQSATMLALQNMTTRETDNPLSNVTNGSTALVRTPQTFDAISNQILSLTSIATSLQREMAQLSRRSKDNATDLVSLKEATNARDED
IRKSLRDLVINLSESSSRSSSTIYPPAGLYLDSKAHISPGSRSMKPFSLPRIPSPTSFAASLERESMTSASSYNHDGVASIALLEKILREMGTKEGQ
ESLVSRLTEVAEILARDGNATAQKLDALVDLINRNSSQELVTQYGAESGGNSGGQRSRGFSFEESPRLELDFETPRSGPVAQRGGILMESTDNKENK
GKPSAARASEIINDDVMKIIRTIKDSVAQGGGLTAEVKALVRELRGEVLGMGREIGRKLDEESSRNASAKDVDADTEREQISRVVQDGLEELKVHMD
QILREHRRQSASSMTSRNTVDYQEIYNAVRSAVNEKAQRERHPELQKQDIIEAVKEAWENYKPEFELQQFGLEREELLTVLKEGIQEYAPKDNAREF
EGATREEVFTAIVEGLKHFSPPQVETEASLSREEILDAVRECLEEFEFPSAPPPEPIETGTTRNDMLDAVKEGLSSFEFPSNAMALSRDVSEGLTRD
DILEAVREVLDGFEFPVHAPESVKEDDSGLTRDDMLDAVREGLHTFDFPANGEAISRETGETLTKDDLQDALKECLQNVDLGGSSTALTLGAALTRD
DIFDAVKAGLGESSQVELVDQVVDQLNEILECMHTEFKAVSDEAKQNVAAHGRDTEQLLDATKDGFEKLRSDIETYVDRAADINEKDELLDRMRDSF

DSLRMEVEALASQGSGSSLGVVQTELENLRETMSTSLVRGSTGADKDEILNALKAGLDSLRADIERPKDSCESILSGTGEILDALHDGLSGLRGDVE
KISTDLKKPVDMTVNYEILDTLKLGLEVVRADIDRLRESGHGDQAVAEINSGAVITVESLKRNDIENLEVLITQLRIKLEALESMPLPPSQPAPGSL
LKDDLHNVEEMLRNVQETMVGLSSRERSVDEDGVKREDVEAIETLLRNTKAKIDDMDPEQAARKDHIDAVELLVSETRDGVHELATHLEDVPKREDI
NVIEGLVRDVLAGLEEMKDRAAKESEDLEKVTKTDVEAVEAVCLDVKTAIEQIIASDIAALPSKSDFHNLEEMIKEFKGRIELHEGNNAKAFEERQA
ETVGVGERVSEVKSFLEEFKDALKLKLDESATNIEALGKLFETLGETLSQNEDVKEMFETMKTEFEKSNAGVVGSKLESDEKFQQTWDKFDFKLDEK
FNELMTKYDDAQIAAEIQAKLGEDRNATSEAAVLSTKVVAEELKVLIDTLGPALTESVEKMDEASKTVFSKVEDTFARVEETHADAKADHQLTRDDV
YKTLTAIDGVQVHASEYNPKILDSIKDVLLIVGQHYEHSKTAMVTIQEKIAERPAPPDMPLLAEPVPQEKYDDSPVHEKLDKLVDHMHVAGKSFAQL
DALDKIHKQVMDTAAEVSAFVTAQTQRIADDHEDREKAVEAATIALEKRLAQKEHVEATVVGLREEEERLKESVAILKAEQDDLSHQKMRLSADVSS
METALRIRREELHAMEARAEGLERRILEGVIDHSRALLISKSNKGRDAMSRKRVPSHAPSTTGSIVSNATSRASQSTQSAVSMAMNGNRALVSVPIN
NGAGASRRILSLNQITHNVPTGGFKRSHSVKAPGGSGALRKSSWGGSLSQKYGDLNKENLMLKESEEDDENLSEGDVSDSGTMRRSSRGTTVMTTTT
GTGTSESIDEGTEWTGSMDGDEYSEEGEPTESGVVLFDEASQVA

>RCO7_10663 | related to gEgh 16 protein
MLFKSMIMAMAAAEIVAAHSAMIKVVGNASPAAGMAIGVDTATPRDGTRRAPFQQDSTRFKNAAADQCGETLGGGTNDPAKQVPAQLAANGGQMPQI
TPGGEVTMTIHQVNGDGAGPYMCMMDSTGTGTKWVAMKVTTNVPGQNSRSRAKAMDFPLKATVAPDQTCTGSMGGMDGVCMIRCNNMANAGPFGGCA
AVQMAPAAGGKGNGTTAAAPAAAPAAAPAAAPAAAAPATAADDDDSLARRAATAGNKVTRSQRIANFFRS

>RCO7_10664 | uncharacterized protein
MSLTSESVKPASGLRKYLASLYSVYGIHLNAKTAGCASSDTCRIGRSPVSKHKLWIIAGDRKESLREHGNQNIGKAFKREQYGILITGRHDRNKPSF
ESPNGIKPYKQLPGFQPADQ

>RCO7_10665 | related to 60S ribosomal protein L27
MAINRRLGSRPSAAFVFDVTRPKLNACALPMVDLSSLAVLEGHATSSLNSTKAGGKAAAHDQPHITATIVFSADYARNVPHRTQGHFKISAPERIAT
TRQISTPTTVEMKFLKVGRVAIITRGRYAGKKVVLIQPQDAGTKTHPYPHALVAGIERYPSQITRRMSKARQTKRSKVKPFIKIINYNHLMPTRYTL
ELEGLKGVVTADTFKEVSQREDAKKTVKKALEERYTSGKNRWFFTPLRTIFPRDYPSKVWLTQTGF

>RCO7_10666 | related to Y.lipolytica GPR1 protein and Fun34p
MHTDNGESSSSSFNGNVHHNEADLKRTESLSISPELFEKLFLSPQTSVAGDLRSTFGNPTPLAIMGFAVALSPLSIEFMGWRGAGGTTATAGANWFF
GGLLLVISGLLEFFLGNTFPSVVFIRTYTIRHCYGAHSTAFAATFQPFFNTIAAFSTEGTLPPKFAASFAFYALFMGLLSVIFLIFSLRTNVIFVIV
FIGASLGFLLAAASFWTTALGMTIGATLLKATGGAFFVAAMMG

>RCO7_10667 | uncharacterized protein
MNTISTTANTSTSASSPSPTPTSPPAYTPPPTTSRSTDPKFYIIIPAIALGLAVPVGAFYFLRWRRRMRKRRFDTAGMGGRVREGKSGREGKKKEGG
SLGAFLECFKFIV

>RCO7_10668 | related to Rab6 GTPase activating protein, GAPCenA
MVSSPSTTASSPPATSLRTKISINLITPQSLTKSDDGIITLRYEDSVAAKPPIAVTTPPPRDAPTDIHPALRRPKTGGDKSKDEGKRDSGLATTTSS
RAGGSSVITTDAIEEEMPLGIEIDFDKTSKIVSPLQSPTLPSNPQVITKSPSVVGSMRWKPGTRKGSNNKPGADKAEEEKAFVPITMEIPTEEFLDE
DLLTTLAFSKRGSVMLGGKKAVNSQARTNVGRRQPSISMLVSPTIKILPDHIEMESQKVRSMYEQGSNWEWEVGANSGIAERLNGDSAHPVSEGSNA
NGTAPNGISLRPDSAMSTRQQHELAGGIEDWEDIDGNDVDRYGFIDMRRKNMRPGTPEPRAPHRVPTVLQLATEAPRKKRAIGRSASTATSKATFRR
APSRKVSPRSLKTVASSATQRSSRIRDATNRLPGNKDRRLMDEAGDMLTLPPGLADIAEDEEGGRGAEMMKAKEVERAEKWKKMAKTVKRGKDGEGM
AFEFDASSPKLIDRTWKGIPDRWRASAWHSFLSTSAKKRKDSATDEQIIAAFHALLNQSSADDVQIDMDVPRTINQHIMFRRRYRGGQRLLFRVLHC
LSLYFPDTGYVQGMASIVATLLCYYDEEMTFVMVVRLWNLRGLDKLYEEGFPGLNAALDEFQTQWLSPGPVSEKLVEMAIEPTAYGIRWYLTLFNYS
IPFAAQLRVWDIFMLLGDPLPSVKPTPERPFAGGLDILHATSAALIDGTRDILMDSDFENTMKVLTSWIPVKDEELMMRVMRAEWKLKRGKR

>RCO7_10669 | probable protein localized to golgi-vacuole transport vesicle
MDIGDHGGDLSGGFGDDDQQQQQPKRPRALPDDLPKSLDDRKNISSHYTAETEMYDAWQGQSQFLTTPVLARPLQFNSLSLDDERFEDDLTAQAQKT
GDSDTRLMEMLAAQAAHRDGNATQDEDAVASDDKLTESEKRDSLQKHLNMAASNGDVDRIERILSGKAKQYVDIDAPDEEGTAPLIYASCFGHEAVV
IALLDAGAKLDIQDRNQWSALMWAMSNRHTGITKILLERGASTDIKSSSGRTAFDFVAPDSEISDYLHDNGYGNQIGSVGVTDDFYNPGFSQDRFEE
EMAENELRRRMMMESARDLEVDLGNMGIDDQPESPAELEEEAQEFDWTKCLHDQMFVFQESELGRILDIIITHMTPQRTPSQKPVPANILFLSARYA
HYHANQDLLAKLLITAMDKINDVVEAHQWDMTILAFWISNATLLLHYLKKDAGLVESTSEFQLQLVELINEIFILIIRDAERRMDKVLDPAMLDHET
IPGFEDITFQNEWKIFKRKNQVKEVPVEKRFRPPSPKARAKPSPRNVTSLLSSTLFVLDLYDIHSVITAQILAQLLYWLGAELFNRIMSDRKYLART
KAMQIRMNISSLEDWARSNNRQPEHYEHGSMTSSGEPTIESGRHHLAPVIQLLQWLQCFSSLGNDDFEALVGTVQQLTRLTPQQLIHAVKHYRPEVG
ENGLPKSAMKYLINLQKETQIRKEQQRSRRRESGVPTTPTRNTSNGHIPDTPESNGKPANTSKPVPPDVLPEEDDDAPEHLLFDPSLMLPFSLPTST
DMLISYGAGFGGLNRERERKYIPTVPAEFLAKLDLSGGRAQSTYEERDWENDDE

>RCO7_10670 | allantoicase
MVFETEYKTDDVAATAVASDMIDGNFRSSTIDLVSAALGGKVLSFSDEWFAEASNLLTPTPPIRAPGKMVFTGAWYDGWETRRHNTAPFDYVVIRLG
VASGTVEGIEVDTAFFSGNHAPAISVEGVFSSNDEEVISWKGEKGKWETILGLQECGPSQRFGWRLKIPTTKAYTHVRLNMYPDGGIARFRLFGHAV
AVFPEDREAIFDLAAAQNGGVAISCSDQHFGVISNLILPGRGKDMGDGWETSRSRGKDHVDWAVIKLGARCTIQNLLVDTAFFRGNFPQKAKVEAID
WSGEGEPGALADGWIDVVAPSKCGPDKEHEFESLEKVKPFTHVKLVMIPDGGVKRIRVFAKRSV

>RCO7_10671 | related to CYTOCHROME B561
MASSTGIPETTLMPQQGNGEDEPLLGRAGDVAQREGKPIYYNLVIGTAVIAQAGIFLLTASVWASVFLNPIILFSAHPLLNSAGLLVLTQSILLLQP
THTPEQKRKGTVAHFILNNLSVDTLVAGLVVIEYNKFSHNGTHLVSAHAILGLITYILLGIQAFVGFTAYFVPQLYGGVAQGKSLYKWHRMSGYLVL
VLMLATVAAATRTDYNKNVLDIKLWAVLISSALVLIGVVPRIKKQKLGLSGGRVKPSGALGQ

>RCO7_10672 | uncharacterized protein
MVGQLITNSNRVITITKKITSPSHQTSYISTPLIQAPKPTKSRATKPKPKRYKNFNQFSKIPPEIRLKIWRYAIRPRVIRAEYQNVCTELVHNDIRL
ARYVLDAGPVPPIMRVNSESRSEALRFYSLIKAQLPVHFMARDGERSPPGSEPRKMPTWLDIKIWINPSFDVFFFVNFPSTNEFLSYFRRISRPSIG
GLPLDRPIKHIALVGKDVQRFRTSGRTDLFYSLCMEHKQVSTINIVLDNSNFRDDAKPETYSLWKVNSLPAHSYRGGGLHGGRELRENCVDIFQGFW
EGKATVKECQRWKAWREKNRDWTPPKVMFKRIAKIKKAPPVKKPRVRKPMAKKVVVVIEIDDDSEEESEEESDG

>RCO7_10673 | probable tripeptidyl-peptidase 1 precursor
MYLSLTTLSGLLTVALSAPTLNSRHVVHERRDRLPAHWVKSARIHEDSVIPMRIALTQNNLHKGDEFLMDVSDPESPNFGKHWSAKQVADMFAPSHK

TISSVYGWLADYGVTSDRVKQSQSLNWIHANVTVGEAERLMNTKYYEFTHRESGQSHIACEEYSVPERVQQHVDFITPTLHFDAKIEKSKKRRAMSA
NDIAIAKRQTSVSDHKIVPGIGHSVGSPGDKSLPKFGGNIPFQAILDQLEHCSTSIVPNCLRALYQFPPNVPANPKNSYGIVEYTPQAYLPGDLDKF
FANFSKSAIGQRPILASIDGGYVQSDMQAFSYNGESDLDLEYAMSLVYPQKVTLYQVGDNFEGASFNNFLDALDASYCSYQGGDDPTQDAVYPDTLG
EGPGVYKGPQNXCYEYMKLGLQGVTFLYSSGDYGVAGNGGQCIDTATGLYNAGASGMFNPAFPSTCPYVTSVGATQITPDASVTQPEQAAESVIYSG
GGFSNVFSMPSYQSSALKTYFAEHKPAYGADRYNTSQTSRGYPDVSANGVNYVVAVDGKFSYVYGTSASAPTFGSIVTLINAARLATGKSSVGFMNP
ALYAHPIVLNDITSGGNRGCGTPGFTSVKGWDPVTGLGTPNFPRMLALYLALP

>RCO7_10674 | uncharacterized protein

MSLIVNFYEGKDADHRGCCLSDILQWNANKLESAHDYIQIVFPLPEQSGVQWSAPIINRRVFDAFRARPDLRDRLRDSFKKILWFYGFELVEKDNTY
MVQKGLNWDAHRKHWDVSFDHNHLRITRIIRCLRVLGLEHEAQSFYDALESSAQRISSRSHEYWRRASSRTLNLRPDLEDDDIDGDNDLSIGPKFLR
EYEELQKLIADSEKPEGSVDTDKAAEKYVEDKKGDEGDRVAEGNLDTDLETKEV

>RCO7_10675 | uncharacterized protein

MTVIHIVLFKFKPAVTTLQREGFFKAAKSLKSLPCVKDGRLIVGGPSITSPISKSKGFECALVSYHNDLKAVEEYQASEEHEELKSTYVLPLTEDLV
RFDFEVDHEDESLVGGLPMLAGLGVRKE

>RCO7_10676 | uncharacterized protein

MMVLDRLRQWEALAPQLNEIQQKLSKIKGNEVVMLLLRPSPATPNPSHESLRICYESSIVVIRTFDQIYRVDVLVFNWHTIHSIFLAIVTILYCTWT
IPSVTRDTNVETLMVDLKTASNILSALAEYFVDASRGRDMLYELSMATLRRIMDSKSHRRTATDASISQPLVTPDGASDVRSRGAPSAHGHGSQPRA
IEADIVSFSNEPLYFPEPSFDDFLSSTAWEELLNQSNGSVTPIDTIMRVYSMVSTRLRV

>RCO7_10677 | probable malate/L-lactate dehydrogenase

MALTQDPPPHKIHISSTSARNFTQKLLIAHGVPQENASIIANALVLADLRGVDTHGIMRLEPYIQRIRSKALDPLSSPTLHQLTPVVAQVDGNNSFG
FLGAHMGMQSAISMAQTFGIGMVSVKHSNHFGMSAWIVQQALDAGMMSLVFTNSSPALPVWGGKEKLMGVSPIACGAPGAEGGKPFILDMAPSVAAR
GKIHKAARRREKIPFDWALDKDGERTDDPEKALEGVMLPMGGPKGSALSVMMDVFSGVLSGSAFAGGVTGPYDTSGKEADVGHFLVAIKPDLFMSLD
EFRERMGVLYDNVVGCERMKGVDRIYFPGEIEQDMCEERLKSGIPFVETEIEVLNREAELVGCPKIEAMP

>RCO7_10678 | related to lipase

MARISLYITAAIIRFFQNLGRYCDLYLSKPYPQRPAFSRTISSTVGSVPGKFKILFYTPPGYDIKSRRERYPVLINFHGGGYTIGNAADDARWATEV
IKRTGGVVVSVDYRLAPGYPFPTGIEDCVSAVLYLWKMADELKLDISRTAFSGFSAGGNFCYTAAIRLQEELKTLKATGAISGSQKAGKLVSTVAFY
PAVDMTKSRAARNASNPNVKPIINPIFLKLFTGSYFSPEQDRHSPLLSPGVAPDQLLRDALPHNQVMITCFGDGLLMEAEDFRERLKGLGKRVDGYT
VPDVPHGWDKWPSFGRVDAKRDAAYKSAAESLREFWS

>RCO7_10679 | related to Probable exopolygalacturonase B

MLFSLSNARLLALVASLASSVASAATGPVYNGPKSIKEFRSQYPYVKPQNLLRKEFQIRASQSDTDDISAEFLEGLRKANHGGTLVLPKNKTFVIGK
KLDLTFLDDVQVNLEGKILFTNNITYWQSNYFSHPFQKSISFWKWGGKNIKIYGSGILDGNGQAWYDGSAGHPVLNDDNTYFRPILFYAENAHNLYI
QGIQFQAAPLWTNFVVNSTNVVYEKVVIENLSTSKNLAKNTDGWDTYNVNGITVRDAWVDAGDDCFSPKPNTTNILVENIYCTGTHGISMGSLGQYA
GVKDFISNAHIENVVMLDAQNGARLKVWAGPTAGYGYIKNVTFQNFYNYNVDWPIVLDACYFKIDAATCSKYPSRVDMVDIHFKNFTGISSGKNGHS
VAKLICSPNAVCTGITVDGIHLTSPSGGAPVVLCDGIKGGVGVDCVPSGSA

>RCO7_10680 | related to epithelial zinc-finger ezf protein

MDLTPQSARSPSSPYRYLSDPQPLYEYPSPARSDSRYRSTDSLQGLGLYTCPVPESNVEQGGSVQLPPVNNNWPTNNLQQRGVSRSTQSTPNILSAE
YDPFAPFHPAVSVASYSNDLYSAHPADVSILPASPLPSGNTSQRSSFSSTPASEIFTQAGSTQSFTPRIKMEEHHDFISGHEGPMMTSSQMDHSILI
TSATSYPGSLEATYYNDQSSIGWPKVDYAPNQELPSISSLPLPPYERRSESLERISSGLQSQLRRPSTIARTRQPRKLTTKEDANFQCSVNGCGKLF
GRSYNFKAHMETHDTGREYPFPCPMDACGKKFVRKTDLQRHHQSVHMKQRTHRCDYCSRYFARKDTLRRHMEDGCPRRFDIETVDFRPHIYGQDEQR
SGRMESHAPESHSRRPSYSSSSHYSPPPRNPASHSLVDSSLVLSSGSYLERQGFLAGEAGQPWSS

>RCO7_10681 | probable Autophagy-related protein 18

MAMNFVTFNQDYSCLAVGTSRGFRIYHTEPFSKIFSSDDGNVALIEMLFSTSLVALILSPRHLVIQNTKRSSIICELTFPSAVLAVRLNRKRLAVVL
EEEIYLYDISNMTLLYTIATSPNPNAICALAPSSENCYIAYPLPKPREETGDKRPSHAPPLSTFVAPTSGDVLIFDCSKLEALNVVEAHRAPLSCIA
LNNDGTLLATSSETGTIIRVFSLPKGTKLYQFRRGTYPSTIYSMSFNLSSTLLCVSSTTDTVHIFRLGGPALVSPDSPKSPTERWSRSRSYDSGVES
PTTGTSPGSDNAEAPAITRKTSGTIGSMLRRSSQMMGKSVAGVVGGYLPQAVTEMWEPTRDFAFIKLPKSGMGVNATGGPLRSVVAMSSSSPQVMLV
TSDGGFYVFSIDMENGGEGVLVKQYSLEGDDKLDQSATDYNN

>RCO7_10682 | probable leucine carboxyl methyltransferase 2

MPSASLPMMKPAREPETGRSAAKSKSQLQDDSIMGTNNSSIVSKRSVERLYFPDEAHFFRYFVKKPQRRSPLINRGYWVRMKAIDQVVRQFLEQDSP
KQKVVVNLGCGYDPLPWQCLERYPAASNGTKFIDIDYRDLMLKKRTVVQSTNELNSMLTGAKVSENDVLFTSDQYIQLGCDLRDLQALGRVLASVID
IENCTILFTAEVSITYMNVEASDALIHWASRLTEARFCVLEQLIPDGEDHPFSRTMMAHFGKLRTVLGAVQKYPTEKAQFSRFTGLGWPKVQVCNLW
KLWNSPTFATPEERTALDQVEPFDEWEEFALFGCHYFLLVADSANMATRAVASSISESQRSNNLEKSTDSTLPARSGLQPELIFSEYPKNHGYKRFA
ASMPVKGPDHSRDMIGVFAGMGLNTRTDSMDKYSVDEIDFQVLNPRGPAVTPSSRMCHTITDMGDTSLLVGGRTSPDNASRECWLYHKWLSTWERLD
DLPWPLYRHQATRLNSEYVLVSTGRIDSRTVSTDFLVWNRRKGWVRCSSENPPRPSYGAVFFSNKIADVGDNSSSRRGFLAGGMSTSSSFLDDVWQW
KLNEFNTQAPTIHFTRLPSFEDKHLVARFGANVVCIQDKFYIIGGVIKDRIIKLAEEVCVLSINSTSISVESIPLGFTPRPLLIGSTTVAFDQSLVI
TGGSAVCFSFGTFWNKGSYTVLLPSLEKAKSQEEMRPSEVLRLIQTVAAETPCKTTESRISTESVTLNSVPRVQIGSALEFSRMLESSTPVIIEKAD
IGPCTAKWTTDYLKEKIGTEREVIVHEASTEHMNFKSKNFSYVTKWFGDFLDQIQQGQMLYLRSLSAEKPSEKAADISRDFPSIAADFVLPPELAVV
TENTHSSPLRISGPVNMWLHYDVMANVYCQIKGSKRLLLFPPTDVKHLGFEPGSSSSQLNVFQELHSPRLAGTHPQEALLQPGDVLFLPSLWLHAAS
PTSGVSIAVNVFFRSLSAGYAAGKDVYGNRDLQAYEKGRIDIAKIVKSFENLPKDVRGFYLQRLLEELRDNI

>RCO7_10683 | related to tetracycline resistance proteins

MAVSNTEHRVGSDKQEYPQDDLPLQAQDEPKQGIESTDEQQIIENNSLEKWNSPSINKYRYLATNFGFVIMGMNDAAYGALIPYLEEYYDINYTVIS
LIFLAPFVGYSAAAVLNNKVHMRFGQLGVAIIAPTCKIIAYVVTCLHPPYPVLPIIFIFSGFGNGLEDGGWNAWIGNMENANELLGFLHGAYGLGAT
ISPLVATAMVTKGNLQWYTFYYIMVGVAISELLLCAYFFRAATGAAHRAAHPTNNDKTGTSRTREALKNPITWICALFLLFYVGVEVSLGGWLVTFM
LKVRRGKAFESGLVVTGFWLGLTCGRVILGFVTGKIGEKIAIAVYMLICLALQLCFWLIPNFVASAVFAAWLGFFLGPLFPAAIVVATKLLPRRLHV
SAIGFAAAFGGGGAAVLPFAVGAIAQAKGVAVLQPIVLAILVAILALWCMLPGGFRKSGLDDLQRERDEGRSGLVEEGEAKGIEGKITMLRVKIFGF
K

>RCO7_10684 | probable dual specificity protein phosphatase PPS1
MATIALPRSILAGNTRSSSPHPLTPTISLDSINTSAACPIPIPNKHLPVCPPGPAPSEKPDTPPQSPPAKEISLQSRSILYPPHNYKSRTLGATTIY
EIDADGVAAALDHLAGQPLPDPSQVFPWFHGLHPCNHIQQAFFIARRKNLRKTPKCLRGLTVVKAGGDLSCSRLKGAIAPEEFLLRDVDGAAFREID
PREGFSVRNFQIQAAKSAMLSDVLVYGEDPFEVERLAQDVATAQQTWRETHQEKGHEILRYNTFICVSPFEEFQQKYPEIVSTNSRGQMTGQVMDFF
HQERIEMCTMTKASEIHHNVWMGPTPDPAIDPALLGTDQQFDILIECNDLGRLNASALQALAGNPADDGPAYFEFPSSGSIMPPTWSNIEVDGILDT
CRWLYNLSHGILPPGTATQEIDAGGDSPMPSPSPAVKTPGRKILIHCTDGYTESTLLGLAYYTYATGLPIPSAWLDLHMSKHRNFFAYPSDVSLLTT
IAPRLLSESPVNAGKSLAEITELAKDEPVWLKSMDGSLPSRVTDYMYLGNLGHANNPDLLRKMGIGQILSVGEMATWKDGELEKWGKDNVMVVQRVQ
DNGVDPLTDEFERCLDFIDSGKAKNTATLVHCRVGVSRSATICIAEVMRTMGYSYPRAYCFVRARRLNVIIQPHLRFSYELLKWEEKLGKASSSDGR
FRRELEWPDIAREIAAMNKPYAR
>RCO7_10685 | probable DNA-directed RNA polymerase I
MNISQPVPSAIGSVDFGFLNAAEIRSLSVKKIDNPQTFDTLLHPIPGGLYDQSLGAWGDHFCTTCNLNSVGCPGHVGHIELPVPVYHPTFMDQLLRL
LRAKCAYCHYLKMSRKEINRYFCKLRLIQHGLLGPAEEIDNIEVLPNKDAEVEAGSSDSEEESAVDNVIRRRNAFVKKAIKAAKSSSWEWRREKNEG
VAEARRIVVKSFMKAITAGKSCGNCSGISPTFRKDRYVKIFEKSLSMKEKAKMSQGNFRAVNAAHLLQTMKKEGSGADIDEGIADIDLSSNEDDEGE
GDELDVDGDVVMGQTATKSSSKSKVAAPPQRYINAREVQASLVLLFEKEQEILSLIYDSRSTAKKATKVSCDMFFLQTLMVPPNKYRPEARTGDGEI
SEAQQNTLYKSILKSCETVAQIYNVITNPDKSVEYPSWQKRDYYDLQEAWCQLQDTVNSLIDRDRNPIQGAAGKKNEDGIKQKLEKKEGLFRKNMMG
KRVNFAARSVISPDPNIETNEIGVPPVFAKKLTYPEPVTSHNFKDMQQAVINGVEKWPGAAAIENENGQVISLRTKTQDERLALANQLLASSSSSTS
GARNKKVHRHLTNGDVVLMNRQPTLHKPSIMGHRARVLPGEKTIRMHYANCNTYNADFDGDEMNMHFPQTEIARAEALQIADTDHQYLVATSGNPLR
GLIQDHISVSVWMCNRDTFFDRAAYQQLIYNCLRPESGHIIGERIETVPPAIIKPFPRWTGKQVITTILKNITPVDCGPLTLTSKSSTQSDRWGEKS
EEGMVHFKGGEFITGILDKAQIGPKGGGFIHSIHEAYGPTVAGKALSILGRLLTKFLHMRAFTCGMDDLRLTPRGEELRREKLEAAKDLGLKVAAKY
VTLSSENRTDTDPELLGRLEGVLRDDAKQAGLDMMMNKSSSQLSSEITMTCLPGGLVKQFPKNQMQNMTVSGAKGSGVNANLISCNLGQQVLEGRRV
PVMVSGKSLPCFKPYETHIRAGGYIVNRFLTGIRPQEYYFHAMAGREGLIDTAVKTSRSGYLQRCLIKGMEGLKVEYDTSVRDSDGSMVQFLYGEDG
LDVTKQMHLIDFKFLLQNLSSELAQLNYGDPRYATIFDEKDAILKRMKKAIKHANVNDPNGPDPVLADYNPGKYGYATSEKFFDALTEYLKTNPDGL
VKSKDHPDGVGVRKALEPVLVAKYLKSVVDPGEAVGIVAGQSVGEPSTQMTLNTFHLAGHSAKNVTLGIPRLREIVMTASNHISTPSMTLRVNPELS
AEDGARFAKAISILSLAAVADEAEVEERIGQGRAYSQAKIFDVNIKLFPSKEYTETYAITVADVMTTFEKKFAPKLQQLTRKALGKKKGESALKSSA
NTAAVPEIGKSVGMIEEAAPTAEREVGEDDDDDDGDDDATNDKQRANRTEAVSYAANDEDDDRVQAQMQKEADPQADEDMEDEGIGGSPRDPASDDE
EHVDKSSSKRQNGTDASDERGARVMKTCTDIVRFHFDEVNGEWCNLTLEYDADVPKVLMLSIVEDALRQSLIQQIPGLATCTFVPDEKFTDPVTGKE
VKYPVVHTAGVNLQAMQSYPEFINPNSITTNDIAAMLTNYGVEACRAAIIQELSGVFGGHGIDVDHRHLNLIADFMTRGGGFSPFNRNGLRGSVSPF
MKMSFETTVGFLADAVTEGDWDDLSSPSARIVIGRMSKVGTGAFDVLTQVPTQKGDEVEN
>RCO7_10686 | related to U4/U6 small nuclear ribonucleoprotein hPrp3
MDRGKASPILAPRHDAASRIGKPESAAEKLASLKARVAAAVGSSKAKAGVGLSSHPATVTARGGLNVDLHPALQDLGQYKPSKNIAPKFATSLGNAR
PQLEKPAAKGKKELDLSGPSAEETRNNPYFDNSLGGQTATLKNRHSRQLVFNQKGKYIQQANALRRQAALEAMKKRIAESSRKIGIDEDLDTEKKYL
VEAPPSIEWWDEGLVDGENYDNIDDPKRLKIETADSIITEYIQHPVLLEPPQEKNMPAPKPMFLTSKEQAKLRRQRRMVDLKEQQAKIRLGLEPAPP
PKVKKGNLMRVLGEEAVKDPTAVEARVNREIEARHQTHVEMNDDRKLTKEQRHEKLAKNQEGDAAKGIHLMVFKIDNLANGSHRFKISKNAEQMALT
GVCIMHPRFNLVVVEGGEHSIRFYRKLMLQRIDWTENSPTRIKEGTKAEALQDWLKAEDENGELKDMTLNKCVLVFEGEQKTRAFRKWGSKVCETDS
LARETLQRAKMENFWALAKSMK
>RCO7_10687 | probable excision repair protein rhp3
MRFNIDDLPVLFPYPMIYPEQYAYMCDLKRTLDAGGHCVLEMPSGTGKTVSLLSLIVAYQQYYPEHRKLIYCSRTMSEIEKALHELKALMKYRADEL
GHEEEFRGLGLTSRKNLCLHPSVKREKSGSIVDARCRSLTAGFVKEKKDRGEDVPVCIYHDNLDLLEPHNLIPNGVWTFDGIEKYGEEHKQCPYFTS
RRMMSFCNVIIYSYHYLLDPKIAERVSKELSKDCIVVFDEAHNIDNVCIESLSTDITEDSLRKATRGAQNLENKIAEMKDSDADKLKNEYAKLVEGL
RDADEAREEDAFMSNPALPDDLLKEAVPGNIRRAEHFIVFLKRFIEYLKTRMKVRQVISETPPSFLAHLKEYTFIEKKPLRFCAERLTSLVRTLELT
NIEDYQPLQEVATFATLVATYETGFVLILEPYESDTAEVPNPVLHFTCLDAAIAIKPVFERFSSVIITSGTISPLEMYPKMLGFTAVVQESYPMTLA
RRSFLPMIVTRGSDQVSISSGFQVRNEPSVVRNYGHLLTEFAKLTPDGMVVFFPSYLYMESIISMWQGMGILDEVWKYKLILVETPDAQETSLALET
YRTACSNGRGAILLCVARGKVSEGIDFDHQYGRTVLCIGVPFQYTESRILKARLEFLREKYRIKENDFLSFDAMRHAAQCLGRVLRGKDDYGIMVLA
DKRFLKKRDQLPKWINQAIQEGEVNLSTDMAVGAAKKFLRGMAQPFKPSDQEGISTWSLKDLENHKEKQEEEHIRALEEAQRADVAGDREMGGTGNG
TVPKIDEYGFVDDDELEASMMEM
>RCO7_10688 | Histone H3
MARTKQTARKSTGGKAPRKQLASKAARKSAPSTGGVKKPHRYKPGTVALREIRRYQKSTELLIRKLPFQRLVREIAQDFKSDLRFQSSAIGALQESV
EAYLVSLFEDTNLCAIHAKRVTIQSKDIQLARRLRGERS
>RCO7_10691 | uncharacterized protein
MTEDIKPRTFNPRGVPLPPPTYNHVCITPLIPGSVDLITLAGLTGFMPSDGSSPKTIKGQAPIAYSKIKTCLRAAGATPRDIVQVRHYIVNKTGDST
VDELDIVERGWGNAWIEFMDRDAGGHRPPDTVIGVASLAVKGLLYDCEVWANVRK
>RCO7_10692 | uncharacterized protein
MLIDIIPAAVGVDFERNLRVSGCASERGYRIIITKYIDSRRSKDILNRKLYLSDNIDFTLLKILMFDTQKYSKSYTALKANICLPLEFFCAIAESLE
EFSSSTERIEVVVRIFRIILAIDIGRLLLWPSRFSKLHEAWHYNYLYYSLLALSLKSKKRGKAN
>RCO7_10054 | uncharacterized protein
MSSKGEFEVVISKKSKQFARESAAFRFLDLDREIRNLIYSHCFVRPIGIAPGQNMENESDPAPVDGQVERMLVTWTSIPTRKQQDLLSQGGRYFTDT
QVDAGNEIYSKIEHRTNKRHDGTFEIINSQSQNVSGLAGISLLATSQQVYNEACEILYGKNTFVINTAFVHGLSTFDLDSYLYSGYPNNNGHTASMT
DNYRRVHKLLERGRHSDFAIHDPLLIFLRKIGPHCASLLRSLKINGLFKSQAALVRRYSLYASMNHFDRKLPFAKILPVYTHVLREICTNLRSLTLS
QSMGGEHRISQLWKWVDEDDRSDGERFSKAVGVVVKGLPSLEHLQLGDYSCPWEDVEEVEVSEEHTADVSDENIETESNDPWGVAVRRSAVVRERNI
KRVFGGGSKNDGGANMDRHLGRDRVFTLQTAVHQGGGKPDIEESIQARFQQLDDVLGFTKVDRHKRPRNLPLATNNTS
>RCO7_10053 | probable kinesin heavy chain
MASVDPGASSISVAVRVRPFTIREAAQVTKCEDGTMFLGDGSLAGAPAPRLGGKGIRPVIKVLDDKCLIFDPPEDNPVQKFGRSMVSNMGKRSKDQT
FGFDRVFDDNTTQGEVYEATTRGLLDSVMEGYNATVFAYGATGCGKTHTITGTAQQPGIIFLTMQELFEKIAEKSDEKHTEVSLSYLEIYNETIRDL
LVPGGSKQGLMLREDANQTVSVAGLSSHHPQDVQQVMDMIVKGNEYRTISPTEANATSSRSHAVLQINLAQKDRNADVNEPHTMATLSIIDLAGSER

ASATKNRGERLLEGANINKSLLALGSCINALCDPRKKNHVPYRNSKLTRLLKFSLGGNCKTVMIVCVSPSSAHFDETQNTLRYANRAKNIQTKVTRN
VYNVNRHVKDFLVKIDEQMALINELRAQQKDSEGAAFVKFKKQSEKRDGIARDGISRIRAAFDNSAPERQEKVGNMKRLRQIERRISLLSSWIGAFD
NICDSREDEDMPPSLVAMRKTASGILVELENSRQHYHQRLEKINWERAIDSALQNSIRSLTEADGADGVEAASLTREAELLKANAIRDALREVLEHD
KGGDAETMQILLSAQFDMIASLNDILSMTEQDAVQHAKTVLKRLLQAGTTTASHVIKPDGSLKVIEAFPPTKRGTPKRKKPAHTPTSAPPIAMAALA
AAVPQVFASPMKSSPRRRKVVAGKKGISFTPKKRSVRWRDDTDSGALADFEKTPQKQAESPEVSSIEQSVILPALPSYLSEDVSNDSLGSSPIPQAP
ETSFEIKPKANRFQAGFLAKKSDGSPPPPTITRLSSSDNEHSPLRDINASNAINRSSLSMMQAAADNTTPTDSGNNSSSEGEGGYPVNRIDGAKIRK
ALRRSGSISRVSNGHDSATRTQRRRSPTAATMSGSPPNENNLFTAGHARRMVNSQKESNFSASVLSPRSAPVMKNHMRRTTIGEGRQVSGSMTSGAV
RLAGTIGSTPKPRESVAGVMGKGSWR

>RCO7_10052 | related to flavoprotein
MNRIPLSTTLKIGLIICSTRSPRIGPDIASWIYTSISSSTTSSISLTTIDLQDFPLPISPCSMPIPAKQPLPLSPNAYGLESVNKWSKQIQKYSGFI
FVTPQYNWSFPAVIKCAIDHLYHEWSGKPALIVSYGARGGEKANRALRQVLNGVRMSDWEANVQLPTRAGGAESSDRGTLDAAVLKAWEELSKKEEL
LARLRELVEQAKTRAAF

>RCO7_10051 | uncharacterized protein
MADTQSDIILRSTLPFAQSQSQPQLSQPALSSPLPQHDERESPSSFNSNPQSREVPTPKQDYQNTQAVPPLHTLYEAEEILLPYDQPSLYGTPVLPQ
PLHLPAYQGLNSTDSLSNLPYSLLLLIMNKLPAESRAILGITTKRLYERLGPIFPSQSLCLVTFPVGTPFRDLFRESKRRIREFIRLIARDIHDGRQ
ACGRHLVIHGISTIADDADTTHDIVSRAHEIQAPAVHESATQGSNPQPSTDQDLSLIDEDLIQLHFDDPQSSSTSHPLNDARPPSKPTNSSQALIRI
NTQQWTPLTNSNAEIRKRISLQFERLRGDSAFEGESAL

>RCO7_10050 | related to transcription activator protein
MTQKRPSQDEGNGYSDGHANGTGKANKYARSEDPEKYSTAVKQKLKNSRRAGQACDRCKMRKIKCDAAPGKCINCKQIDSECNVTNRNTGETEPRGY
VDQLKEEIEYLKRRCQELEDQVLQDGENIKPSRGHGRIGSEIQQQRTPSLPAQSSNGSPPQQETDPHQSLLTIRTGTCGSNYLGVSAGNSNLSAIKG
TALTILGMEIDIADFISGDMDEPTDSRFNPEFYNKSYQSFLQTMFNINPKLAKPRLPERHIGFEYAKMYFRHLNAYAPLLHSPTFMALLARSYDPTY
TPTIAESVMVHMVFAIMIFHFCIRNDLDPAMKSDLNHQSNVHYHYSLSMFFELCCSKTFDDVQAMALICLHLRNFPKPGASWYLTQNTMTLAIELGL
HRSAKTWVTEGKPNYLDIEMRKRTFWTLMTVHVTIAGKLGRPMMLRLEDIDVDFPEAMDDELLTEAGLDTSSTPGVCKHAIGLAAMRMIPLFLELYT
TIYAVKRSPENYVTTVESLETKINAWKQELPTQLQSQNQPKGTSSELRISALYADMWVLELRLLLRHPSVEMTDDKAFKAESMRACADCASEMLNVV
LELRDLNGLDTTWYNAAVYVMAITTTLFATHDKKAATQSEINVLKTDMHKWLAVMGDVGRLLGSGDSLKTAVHSVIVGTLGMLEARVTRPAMTYHQN
SNPIGQSTASQRCNSEAYTALPNPAPEYRRPFQEQPPAHGPSRVAASSTAYLQSSSPPEVKVPPRKTDSGMGYDNITNAALESNHQLHSQVNTDYSQ
GQMDHHSTAYTPTQYSPYSEPPPTITYTPRESVRSYTNYSDDAAPLTDFALAASQIQTNGVSHWQPVPGKQQWQQFTHNLAGNFAPQDRYSASTLVS
LSGRVNDLPIVDNGVGVQSGMPDMVSVKGDVAFGQLQINGHLTGELPVWPPQAGLYPFSASGMGQGSVGGMGRDPGPGAG

>RCO7_10049 | related to Protein cgi121
MSLPHLQTLHLEHLPPAYDLHIALYHHVTNASFLHQQLLAGNTDFEYAMIDATVILSKTHVLAAAYRAVNDLLENKLRSRNIHSEIVFSLSPNQNIA
QSFRLFGITPTTTSLLILKLSTPTAPYLSSSVQAHLSSSVEGENVPFTDEVLAQGCDEKKVRKVYKLGALAGSGKVGGGKKGNVVVNGEKGGVEGGM
VGSERRELEVSVLGAMVLRSVTG

>RCO7_10048 | uncharacterized protein
MNQGDFKYEWVTKIVEGGNDWQLVNGGPKAGKLSLSQWNKPSSEKHEQATAFKKILNAMYTLPYAISNAAELFTITNLARFYMCLPLVSGTLDGPLA
LAQDWTMKQLWQTRKKLLQLSIEFRHKNLFHDVLMFSLGPFSRPVFFDWDDQELKKILMPHHKLRSRAFGALEQTIILVLDDYQQ

>RCO7_10047 | uncharacterized protein
MPSPAKKQKTKGSIIFLTTGGLQPDTLLNVLGQDFHVHSYLLKTHSAFFAKFLDSKDKESMSDKARGSSSFRYEWISMADDDKKGWHLIAKPDSFSE
NSDSLYKAYKGDAEFEQKAFGSVSCAIYGQAYTFSSRLALKTLTSLADYYQCLPILSRTITDGLLNSPRMFLGLYEDACDMMMLATKIRNKFLFTEA
LICIAGNLELHSNVEIVD

>RCO7_10046 | related to RNA-binding protein Y14
MADTEMDVDAPLSPELKQDTKNASMATHTNATAVRSIEGWIVIVTNVHEEASEEDLNDLFAEFGEIKNLHLNLDRRTGYVKGYALIEYPTLDEARKA
IDGAHNTKLLDQTIEVDFAFVRPPPGKAGKGRAPANGRARSRSRSPGARGEVVD

>RCO7_10045 | related to dimethylaniline monooxygenase
MASPHSTSHHDVVIIGAGHNGIVAAKTYLQMSPFVDLLIIDGEKSLGGVWSAERIYPGLIYEMPYPMMNFTDFDIGEELGIELWGDVTGYQVNEALN
RYAKKFDIPKLCQFNTHVEAVQRNGPGWKVITRRKNVKTDNVEEVTCNKLIVATGITSKPKPIPYDLSKFDSPSFHAVEIGQRQHELLAKEVKHVTI
IGGHKSALEAVGACAQAGKKVEWLIRTEGSGPTWMALARDAEGNSLAKLTTKRFMGFVSSSIYNSDRWLNRFFHSGQWWLGTWILNRFWRIMTVTVK
KDGITKKNRYHNSENSRKLEPAPDSFFWFVPGATNIHDRDLETIKLIDEGDLVSVTRENLVTAYGKTITLSNGDKLSTDAIVFCTGWDPTFPSLFSP
SLAAELGIPVDPSHLSSKVASYWKTLDALAESNIDSLNPMLANPPSNIHIPKSAKTPYRLYRTMVPPSLAASGDISIVILGNYAGGRIQQSAEINSL
WAVAYLLDLLPARTKRVLQDKERMNRDIAHVEAFRKKRYLNMFPYRLAIFEAPEYEDAIMCDLGLRADRKAMRVPKGWRGWFGWKAWTQEWFGSYLA
EDYRGIVWEFWETVERRERESENKLSQGEREG

>RCO7_10044 | uncharacterized protein
MKLVHLIFVPLFLVYANPLESRGANNGCPAPNGCAGICVSKTNLKGEVKDYCNTPNAQFPCGNRRNGIKSYRMGIRRLGVQPTAPKHALTFALDEAR
ARANRDRFLAVRGVRRPGDLVYVKVENNRRKGFWPIRGT

>RCO7_10043 | uncharacterized protein
MLRRPRRVIYILVALLLLYLLIAYEPVPLPVLARAPKKVTYDARPTYEYLSLYRQKADLKFEAIVDEKLRSLEREIIKGLPNNQTRDTLVTNLTIWQ
LTNKKTAAELAAFADQWRDNNKDWIYQLFTGTPGGLYDHFESVPEIANVNFTSKTVQDDLTRYLLLWFHGGFYASVETWNRLALRDCSPIATVLQHH
KNTGLMIGVDRDEPYLSDATLKDWQWARGVGFGQTAMWAAVRFDPIIRKAIVRTISHAWTHEDMEKGTWREKYTAKVEGAIMEKLKARVDYSGEISG
NGMLTDIILETLSATLKKDHKLRDPDAGLEKRVTWRKFWKLREVLWIDGDQLEEGSKDDIRGLTVLPINVWGSGKSHSRSGAFDSEEACINHSPNWR
PPKDLKKKIFG

>RCO7_10042 | uncharacterized protein
MGPTWVFKTSPSPPLIPYNDLVGGNHHITRDIWITPASLNVLKHIPGVPAAYADEERTGLVLYIRGIPFGITSEVIKDMFMPFGKVNKAPMLICLGS
GQTFRWVVMKHADDAKDARRALHGSAHEGGQLFVSMAMGPGKVFELQGQELPYRFWFSSDNNTYGNGAVGHAHPSPPAVQPPKLLLPPIPRIAVPAI
AHLSAQALRLAARPVAQQATTASSQQASVALPVQEPAYPVEQSESSTSSGDTTIKAVSPVQATSTQVSSWANIASSSDPLTRVIELHPTHKRTNLAS
RLNRVGRIPSIVVPAFEEPLADQMRLIFLLNLPNTIDLAAITSAVNEGPLVRIHFGNDNEQQPPSRFVGIIFQWAEHADAFYNALIEEREKSRPRKF

RFLVEVVKGDPVPTDHIIHSMSHDPWATRRLTIVKGGFFFMFCERQLKEFCYKIAGEENVQKVWLYNGGNATVVFADVESAIKVKNSFDKRANDSTN
DAEFATWKGLQTTFSKDPCIHQVDFKTAM
>RCO7_10041 | related to proline oxidase
MSKLANSKSSILSPDHNPLLRFFLKRTFYKQFCAGETSAEVKQTVDGLRNLGFSGVILAYAREVVLDKKQTEALASSGNDEAAEACIRNEIIPWKKG
TLETVRLTRAGDYVGLKFTGAGSQALYDLSKQADPSPALKEAIDSVCDLALERGVKLLFDAEQTALQPGIDAWTLKYMEKYNKTEAVIYGTYQAYLK
SCPTIVASHLEVARKGGFTLGVKLVRGAYLGSDPRHLICDTKADTDAAYDGISEALVRKSYNSILKPSSPHNDQTETPPFPNVSIVLAGHNLLSVRK
VQAICSAQKASGEKEADVIYAQLQGMADEVSCELVLAGQQALAKGGEKAGLDVPKAYKYLVWGTTGECMKYLYRRAQENKDAVGRTREGRDAMAGEL
WRRVKGAFGGA
>RCO7_10040 | uncharacterized protein
MSTPIEQEEAAKRAAYRAEQIRLLRIDSRFSFPFGMRLPIATSISFFSGLVLGLSHGSQVAGYRFRAENAHRLPTSSTGWYLYHKSKNYNMALGGIK
EGLKMGAKVSFWTAGFFAIEEMFDRYRGTKDALNTVLSSLSVAGGFSLWNRFPITTAARTAKTSLAIGLAYGLAQDAVGLARGRELAWVEFIRRRGG
KRRAGTGTGTATATGEADVSQIT
>RCO7_10039 | uncharacterized protein
MVFARISIAPQANGKSNDQTTPSSWTLLFKHSKITILLLIEPLTPLPTILTELLTSLHERYPSGLPTSDSLSPIEIPESGIDVIFGVRKDEFDPTKG
WQEVKLEGAGMNDSPKSLGWKDGIAVAFAFEGEEGWRERKEFDVQAPNVDELYPEEE
>RCO7_10038 | related to NUDIX family hydrolase
MAPPRPELEKQYMSTKPIQEVAEPRPSASILLISPKNEILLLHRVRTSSSFPSAHVFPGGNLSASQDGDIPAADDAERHVDGRAYRVGAIRECFEES
GILLARKRDGEGLLEVEEESRENGRKDVHANKVGFEDWVKEQGGVLDIDSLQPFTRWVTPTNLPKRFTTQMYIYFLPLPLTSSLSSTSSLPTQSVIP
PPTSDGGLEHTAALFAPCSTWLQQARSNEIILFPPQFYLVYLLAPFLTPSTSTSPLSTSQLQSQRNAVLEFLKGDGGDGKGIKWADKAICPIGLMMR
KSDRRSVLSLDKPGPELKDSGRRGDEKRVVLVKFGKEGPRDVDVWERKEVLEEQEREGAKL
>RCO7_10037 | uncharacterized protein
MAEILGTIASGFAVISLAIQIAETIQKLKNFHSLMQSAPTDILFAIEELETLSMVLEDVDRSMQEQVFLDKRIKLMVVKSWRMCQVVTDGLVELVNK
LEEHIGKGKMRAKFKFAKRKGQIDEFRTRIECAKTTMLLANQIYYQATQRQRWETLDRDVLHLQRSHERNHNIIEREVTQIRAFVISAPQSSFPSSE
KLLADVGTAEVDADNGNETDVELRISKRTSSSGSRQHRPRFNEQNGRILLSGLLAINFARGEKSTTTSILFGLPRWIYARRLEQMISYESEVFNCCM
EGDVVGLRRLFSDGQATPFELDPDGRTPLHYAALYAQPAICNLLLEHGADVNRQTFWVGRFCQTILERKISIRVYSFSADIPSEEIFRRWAAHSTPL
HFLLSTGRLLTVNMRPVFRNLKCPPVSTTSMYEDYRLSLEALMRSGADAMLKDQYSRTAYSIYTGPASLLHWLIKDDEWNFKTISPQDLQFMILFQV
MHGLKFEENLIEPLLQIGTEDILKVITQPLKYEFTVLYLLVSLWVCCSWQGSDSTHPAMERLLLNLIRAGVDVHSLSSGGYTPLLVMLGEMGRRTGK
FLIRKWLELLSRGGVDLVEYSRIENELHDNNGTDWELKLWCDLDYYVPLLQLRIGETPDDFYIEFEHPYVAKGWAVDFWLGVDDAIEEERTRSMPGR
WHEDETE
>RCO7_10036 | related to Structure-specific endonuclease subunit slx4
MANVYIISSSPPSRHLSIFDMPSSPPLPSVNDILKKKPQALRRGSRASPVPQIEMVALTSAATLLQKEPSRDIDVNAAENSTTTVKPKACRVSTKKV
DNVGKVAKPKKVATKKDVTFDGETLVKKPRKTRAKKADIVGEDGIAVTKVPVQRKSRAKKLAQDTLPNRNLVEKPPRKTKAKKDPGSQTKLPKGRVT
KASTASDAKALGSTLFEDNLDHGLVEAISRRKAWTPPPSRQDSITTPASVGLLGGSVSVESLLSGEKLNGFTDLLGNFGFTKAEGQTTKPTVAAVGI
PKRKLIELVKTSVAAAAATSPEKAAKKKARTLTDLATSAYAELEEEEPPADPAPLLQYFSLQTAERTTTDGFKIPSKSRSKIPTKGAAKGKKGTLQA
PILLSPESAMKQVGRQDFVFGTSSQLAREDSPTLLRDLHEAMQASNEAEDDPFADVLIESVSQTISDQGKSSVSTKRNLWSAASHGGEAIIEDIDMI
ELVDTPVPAKTAAVQGILDPQSSMLDGDDESFWHDVEELSQSLTQKSQPVEAQSQMSVSEDLIDKSPPSPTKRIALEAESLELTLPASTQPPESSQP
AIKPTRKPRKPKELVKPDFSSYTTAQLTKEIASYKFKPIKSRNSMITLLKKCWEGKNKIALAAQSTNKSPIPLAVSSKSAVPTKSQPAVSPKRPRGR
PRKDSTASPEKPNKTTPRKKGLTSVEYLEMDSDTPLSQMRTLRKSPKKPKDYAEDIFDSEPRLTPSPPRRKISPKKTKALTLKFSSSLSDASVELSP
TSSQRHLFKHISSAVTTASPAKDSINPSWHEKILLYDPIILEDLTVWLNTGALEKAGWDGEVDPKEVKKWCESKSICCLWRENLRGGTRSRY
>RCO7_10035 | probable 40S ribosomal protein S21
MENDKGELVDLYVPRKCSATNRIIKAKDHASVQISVGKVDENGRFTGESQVYALCGFVRAMGESDDSLNRLAQRDGLLKNVWSGNLRFSGWDTLGLG
LTCIWGKEWAEGNC
>RCO7_10034 | uncharacterized protein
MAVLDSLQGIEVMVVVDGKALTEYSTENDLVKHTNPAAAAHRQARTVTKYIESTTDKAFLVRLSVKAPFMLDCPHLCFAVTADGQSIYRPLMSKEGY
ARGEWLCEVEGVIGKLESRGQLAAMKFSEIKTTDEVTDSAALKIHKLETDRVGEISISVGRETNGKTAAFKGCAFSELDSDKKYHEKVLAKDGKSHG
VILGDRKSWILPRILHTTPIDGIDFPLGVFRFKYRSAAALRTLHVLPQPDDAGPADEEAAVAGEDDELRDLDPELRERMKRLLARAKGSIKSEPKIK
RDHSDSEEDVKPSKKVKPSKKKKQIGKTTIDLTEDSDEEVPVIPLD
>RCO7_10033 | uncharacterized protein
MASRTQYGLYGGMDDSTSAAILEVQINDIDELISDRMGSNAGNNDNPSELEITLRLHKEVLQRDLTTIQDRRLSHSLAMRVMHESNANNNAISAAIA
QERRAEADRAVALSLAGLPVLPAIQQALAGLGDPTPSQTPRQAAIPPRQLPPLRTGRPRPWTSSDTQRHGMLPSRPVAPESAQRFEPTAVSANRKRQ
WKAWDSSLPSYQSVPGTSSSFSSAPNQSTTMKPIGETQPVLGMRGQSLPTPSSKLPNLAPTAKIVPRYWTSAKRNSNTSGSESPSSIGQGVPTPSQP
GSSRMSDYFADSFGKAAAVDEPISKTVLPTEYASARTKSSPPNATPSASCATESSATSQSTSSNGTAETTNGGSSYDDHSRCGSQSNPNTTGYCIPV
KKQKRKFENDGEDHSQTKKVDIGEENIVKFNFRTKRRREEDGNLELTAEKRLDTGAGKVIDLTRHQETFKRGTKHRLEDDDPGPRATKRVDTGAKKV
IDLTGGRKVLNSTAKRSRENDDDLDSRTEKRVDTGVSKVISEQASPPDKIKKCISCFDDFESVHTCQMPCKHDYCYFCVQRVVINALVDEACYPPRC
CQQPFEIESMRVALTAELISGFYEKKTEFETVDRT
>RCO7_10032 | uncharacterized protein
MQNSWISVLPLALLFLLVAGPVESAPQRRKGQGAGNGGGATGGGTGAGGAGAVAATKITQARDGSMILDKTVQINGLPIRYKISAPANQFTAASGVP
GGTATANSNGTMGVNLLLHGDGGQSFTDFPNQAVQNNLMGVVVLAPNQKKFWGGGSGLDRTDGVAHAAAVNSLIQDQMSKDVAFDKGNVFFTGVSGG
SLLMSGFFVPAYGAQYKTGVVLNCGGMPPKVPVVDAKTMITSMKIHFQSTKDELALLQGSIPASVTAYEKMATDAGLSADQIGALQTVDNSPNGGGH
CGFDGQGFSSGIQLVAKSYDQIMGSTATGVVPGIKANVLTTVVGNEKVIFTSKT
>RCO7_10031 | uncharacterized protein
MWVPGEQDPKTPQYLAAKAFYLDLELQGIVSIQVLQALILLALYETGHAIFPSAAVSTEACVRCGQALGINWASKSSAKKPLFGSIGRSKIGVSRVG
YPRDSSILEVPCPDIRLSSDTSAWDDGVMPPKNLTILQPRSNQDLGPFATMAKQHGY
>RCO7_10030 | uncharacterized protein

MATLIFMTGITGYIGGQALATLIAKHPEHTIIGLVRTEEKKQQILARHPSLEVIIGDLDSDQILIEESKKADIVISKSPPPFLDTQKVITQDTADAE
HLGAINSLLTGLSSGKKGTYLHLSGAGSVFDHSLGYGKFSPKIWDDIEDMTAITTFKQPVFHAKADRLVLDLGKKLKIRTAILEPPMVYGNSDSLSD
RSISLPLLVDVAKARGKMFQVGEAGGDVLTEAEALEVHPWALVVFATNMRTRASRLRALGWVPKQPGLIETVSGLFKR
>RCO7_10029 | related to copper transport protein
MDHSAMGHSGAACYMSMLWNWNTIDSCFISESWHIKSTSMFAGSCVGVIVLVMTLELLRRLSKEYDRHILHQYQRHVASMSTYITAQSPKSTPPSDS
CSPPVPALPTPPFRPNLFQQMVRATLHMFQFAVAYFIMLLAMYFNGYIIISIFIGAWIGAFLFSWESVSFSGGISVKEEATACCG
>RCO7_10028 | related to ferric reductase FRE2 precursor
MDSHGVLEARHIQNHSAGGKEIFYWGYASRVMPCTNDAGSCEYLDGVYWMHTVSMLYTFILWAVLGGLLAIFVLSRAVKPSRTRSPRWELEGGASVS
PMSIFTRFWKSKTAALRRVLLPEGFQSVFGHVTRLQLVLLAMLLGYLTIFSFVGIVYKTWITPVKALPGKFNTRTGMGGFSDRVGAFAYALTPLSVF
LSQRESILSLVTGMPTQSFNFIHRWLGHIIMAQSMIHTIIWTIVEAKLYQPQPKVYNEFIKQTYMIWGIVAMGLLSFIWVFSFPRMIRLTGYEFFRK
SHALIAVIYFGACWGHWSKLACWMIAALAIVFMDFGIRYLRTLLIHVGYLKSGGYGFVSAQATLQCYDDAEGRVVRIDFEHNHGPWSPGQHFYLCFP
ELSIWQNHPFTVASVASQDKVNPHHTYIVRCLKGETSKLGMLAERLQAEKLTTPVILSGPYGPSTLSKPGNFLAIAGGTGASMAFPVTLQRVQEYSH
IGGIVQLAWIIRRAQDLEWMAPELAILKRHIAAAAGKFSVKIFITRELNSRTSKELSSSEDEIKGPTTRTSIAGSNLSSLSDAEPGYEVIWLGDRHP
DLSVVVKEFVEAAPEIGGSVSVVGSGPGGMGTSLRKAVAAVNDGSRVWRGEEKYDVHLHWDDRMD
>RCO7_10027 | related to high mobility group protein
MARAKKAPEEKPKEGATVTMDLDSFVRTRDSVRIIPLIALPSILPLLPSASSTRPISHFILSLPRHPYTITITNHTSTLHHPLLGPTHRPRFPHSHL
IAILSREYLASRSFPRPSTPNAPPCLLSDAMVLKIIRRQHHVVTGLATLSDAVHTLSSAYIKHTNAVLNEHGHGIDLVAALARLKHNPLLNLDDQGN
GAASPAKSVAADTDKKERKKRQHDPNAPKRPLTPFFLYMQTARPIIASDLGADSPKKAVGVEGTRRWGTMLPHDKQLWTNAYKDNLRLYNARMHSYK
SGANPDAKDMSDQDAALYADEHNIGADNTADAQLVGESSAAALHDEDAEGEPEPEVEPEPEPEPEEEEDKEPTPPPKTPKAKAGGRKGKASKNNTPA
VPPTPVVPASASSIVPPKAAAPEKEKSPDKKRKRTSKKDELAAAAAEKEELAVETPKSAPKPRKKKAKGGDS
>RCO7_10026 | related to Het-c protein
MPSYSSTTLLVTIAVVLLFARPASAFGAGNIAAVAKIEGSNWRHGDIEDTLLTLLMSRAAGGKKFDKISVARVYFGNWLRDYSQAIDVGTVKYVSAE
AIRILLWVLGFMTFGFGTKEFEVTTERLGCYRPEDHIDNPKDYADNIDATQYDHRLRGPVDERVELAVDPYTGLKNYIANERAGCMTSALHVRQLFG
RCIQLGRSYNRSRNKDELYESLRLLGTALHCLEDYSAHSNYIELALIEMGERDIFPHVGRRTMMRLQGARSEVFPIVTGTFGGVDFLHSVMGEVSDK
ATQSEIQELEGTIQQQANGDTSLLQDLLDKIPKGIFGDKDQGGKAEELKMNATEAQMHQTRVSPRQPEEFTIQMQAVAAQIKPIMAWHDEIMLSITE
AIEKIPILPNLIEQLEGQVNMFVFSLIAPFVLPIISQIKNELNTGSSEIIQSSKDKQLIVFHDDNCSDPTHSMLSKDHFSNVLNEPAGKIASEVLKW
VVPQIIQCMDDERVDVDRTINRIIAGVFHHPAQRNLGDDGASDGRRAMFQVVEQWWQSQGYNQNELRQQLSRNGVMNGENHKPGVQDSGHGCCKPLG
MAKSSGGTSGTAAGGLMGGIQSALSGGGSGGFGSSSGGYGSGQNQAVNQEISNFASEVAGGGALGGIIGSLAGGLGGSLLSGAFGGSDEPETKQYQQ
QGYNQSGEYQQTTTEYGRSGNQYAQAEYTQTQRQDGGRQQEYQRYEQDSQGGSRFEQRREERPQGGSYEQSERQEYGGGYQQPSRQQYGGQTGYGGG
YQESTRQQYGGQESYQEPARQEYGGQTGYGGTGYQEPVRQQYSQPQREEYGGAARGYGEQPSYGGGNEAGWGQPERRNSRGSRNSSKERKQYGGRRN
KSPDSDDEKKQRRRQKSPDSDDEKKHRRRQKSPDGGDERRGGYGRGGRQKSPDSDEEKKYKKRNKSRDRSGSRERRGSNEYGGGRRKKSDEYERRW
>RCO7_10025 | related to ATP synthase subunit 9, mitochondrial
MNSIAQLTARTARVNGASAMRQTTPIARRAFTNGPSASVSRFQAPARNSGLLMSRSMLKNTAQNLARNQSRGVADVAVGAAILGAGKLIGAGVAAAG
LIGAGTGIGTVFGSLITGVARNPSMRGQLFSYAILGFAFAEATGLFALMVSFLILFAM
>RCO7_10024 | related to ankyrin repeat protein
MAEIGEQLSRSRSRSSDHHERLEPQLLRAAENDDVEKLRQIIEAARTRRQLTENFLRIGLVRSSEKGKVSATEYLLTQGAQPDGATGNRLSPLFKAV
ERNNIGIVHLLLEHGANPETADKKGRTALMTAAWMNFWHILNSLIVRGADINAKDGRGRNVLHNLGADKQCHWGDSVIELLLKGKIYIDGVEGQDQL
GRSPLHWACATGKTHLAELLLTRPRLPRANVHAVEFRGKTSLHLAAAHDWIDIVELLLENGADISAKSDGGWTPLHNACEFGFEKVVRTLVEAGSDV
NAKLLTGITPLHLAAQGGHLGVVKYLLEQKDIKKAARDTFGSTPFLRAAQNRHKDIVNLLAPFNHMDGISEDALGASNGFNATVVDFGNFHNENRVK
RPTVYGIVLVEVGLVIADGNVELLYGRDPVNSRKPKYTILPIDDKASDFRWIHLPANNMAWIEVLLTKMFIEEGASDVEGFKALEKSFSHHHRGQQS
HSHFMRPLCQSSTRAARISKLPVEPTVDPGAPKIVINGADAKGSPKPASKNSTFQEDSNGFSKSLNGKDHDKGAHKDKGKKPHTKGNKSPKLNDTPS
KDKDTPRKPSQSLDRPSTPGRNETPLQAKGNVFTFMPYLHFESTRRRQEMQQAIKRAEKMRSPLCPYLGKAQTYDEMLIRAHLATSNVSLHVRRTLD
QFFYHNIDTESRDQDQVVYRYQLKGKEHEDPDLDPKIVMVDQLWMWVLGKDLIVTSFPQRWQQPKNDPLNVLDSVIEDINSKTREPVKSVYDLAMII
TGRCTGVFDRHRMGDDEYQFLDMFESSIGSATDRETILFKEFNAASAQASIWLQHHRKSHGFSSFIEHGTTEAEIKHETNYMQWDAEEEKFKMEELM
RNPPFIDKLLDIGQETDLLAETKDIRDELNMIAKVLDDQKNVLPDLQEAVCDIYRDEQKSQTEVKKRFREQLKTIEMHLKDIERMDRQAERIYKSIT
DMLDLKQKHANAFEARFARDQAAGTARQSQTIMVFTIVTIIFLPLSFIAAFFAINIREFPRSESGTSLPLSWVSKYMFGIGFAVSIPLIAIALSLDD
IGHLFRRVRRTLTQRRLKKERASQPGDGSLDTLTFAQALSVARSTRKSIETEWIRERFSTSTRPPPVVRPEIRQTATGFKMTRTSGDLERGTQVRDL
AVSKA
>RCO7_10023 | uncharacterized protein
MAQCRPMVSPLLISHDDKVSRSPTVTGKPYESNQDVDLILLEDRAVYDAPVTSQPYKPESKYSLLDVEPESTFNAELTHSAVTDQSDKKDISLFETS
EQAVDDAPTKSPPRPIPSSYGPRKLLLELLERSIRPRPSAATNQSENSISIDPIERSTQPAITLTNPSPERNASGCGPRNFLTEVMAASNFHTQPTY
SAVIDQPETKDNNPLPEQSEQPDDDTPTNPLPESIPSGWGPRLFAQAMEESTRHPTVTHNPYEPDPLSSEDLIEKMCARASVLEREILKMENEPELD
EEGIEALKDEYWYVQDKLRVERSETG
>RCO7_10022 | uncharacterized protein
MFLMPMFWMGKGTSEIGLLDFERMKGFAFFLSQSEDVAKVTQKMWRTIDWCYIFYALNYQISAILLATTTNWYLIQSLVTNLFWMLPWAIAVTEIGM
TPSNAWKYPSIIFGGSLVFSLLNLCVILALWAWFLKKGKVSLASVTKSV
>RCO7_10021 | probable endopeptidase K
MVSYLGRLAALAAVVVPAVFAAPSPVNLKIRNLDARDIVKDSYIIVYQKDITAEAFSSHLEEVKSMVSKRDVGGIGATYDIGDFKGYEVVADVATLG
RIASSPDVAYVEKNQKVYASALTSQTGAPWGLGRISHKNQDSTTYVYDSTAGSGTTVYVVDTGIVTTHTQFGGRATWGANFADSSNTDGNGHGTHCA
GTIGGSTYGVAKAAKLVAVKVLGSDGSGTNAGVISGIQWVANNAGAKSVLSMSLGGGSSSAVNTAVRNTIAKGVTVVVAAGNDNKNAANYSPASEPL
AITVGAIDINDNRATFSNFGSVVDIFAPGVNILSAWKGSNSATNTISGTSMACPHVAGLAAYLIGLEGLSTPAAVQSRIKALATSGKVLSPGSGSPN
LIAYNGNGA
>RCO7_10020 | uncharacterized protein
MSAPTSYALKYGTFPGGPPGSGKSGLTPIGPAFYNAQSTTQAIRDESETYQRKVLMGYTSQDLQELDCLTNRQLKPNDLTNQIWPIFQQNRWVPENN

PVYDLRESTLGPDQYGNARLGTIAWDANEPKIWKHLEPCLRLSCQILSRLESLPWFDALLAGTLKATPDDRFSFEDLIRMDKVERLRYKQFQPRTQD
ERLKGPSSADVLRTLISDVFVPRLKLGFVYKETNSLLGGPPMNPNNASYPLGSTASCKGGDIYIFLSCQSFIPLMREDLSSNERLLQTSQIAVTIVH
EFVHAIWYAIDNYQNGTFIAHEYPEPYYQQEQKNELGHSLEQALFGDDLVQEMDREHLPIVERAAAPSIALFAKKFPTVLARSKFPILINPAITSPA
LIHPIPVTFYENLNSDAFWDVQVRSMGLKAVQLPKAISTVYYDTVKGAWMPLRGDLANCEEYMRKIEARETMRLAALTPAERKEHARVTRENLVALY
QPLTVERNLKVHSIREQSEIISVTYESDPMAPTIMANLVPLLEQLWDIHKQICGLLSTMEKEAGLLLDTRNSISSFHDDFRIFVSRFLPCPWSDLHD
RLMKIISNLDKIVPPAYPGQQQAASPQAPIPAPTLTPAAGGSFVNLQPSVVPYINMSSPTIQLPPLPPPQPLPDYDDILDQALAAIDDKDVLGPLCE
QIMNSLLAQPHIHAVARILYATTGTATAQKKHTEICMAMKFLNNISEQNRTCFRAPITYESVIQMGTTLQIQSMHASWAAQKAAIITTHC

>RCO7_10019 | uncharacterized protein

MLDPSIVATAFACTTSATVLPTPPPIPNGSLLSPRILAIRGTIVHTPCRPYEQGILDRLLSNFDTLVDKLINPKSGNELFANMPLGPEKLDYIGEYL
AMIPWTLHPNYDLSPFLAVLENLRRFGLDKDAFKSHCRYMDRIIASSHVPDSNFNGRLNCIPTKGLPQHMGGAGVAIGADSYAKYSSRYMLSPPSIP
QSQGHHPKLAVTANSQAREGVGFTWSSGSHAVRVPGQIRPNYMGDDSQHVSLQRSPSSNRDRQRMGMGQIGPVRTNQRHFAAYPFPQTTSAPAQSHF
RSAELQTAPSSITTGYKAHSHQEHRKRATEATTQHSKVITLQTSDSEGSAPISQQYFPSRKQYSMGGSMNGPSQDSSSYGIQNRFAPGPSYHYHETQ
NSNSESMYSCNGPRFLPNYEHNQMMINLPANLNSNPPYHPFQRTAESQIQYTLPSYDGQGYQPQEQNLYNEMVPASGGYPMQRGNGSQGAGRI

>RCO7_10018 | uncharacterized protein

MSAHYSTGPCQPAQVMPLYVSCIANIKQKARTWGVPGHSFDLEYTRMSSQIRVHGVYGAYNDEEKIWHIEFYMWGRYFGTEPFPFPFPSTTSAILIS
ATNPDPTPTGPRALNSTPIPNPYPPMYIPAAPQTPKIATSSHFSPAPGSGSRANLSQNYKGSSPASGPRPGFTIRGLAANGGSPGFRHMGQAYNHRP
TRGRGSDEQRGKENIRSGGTTVYEKVDQSGHASQNGGGFGGVRMYKNGRGAVHAARRQLKIARRAGGRD

>RCO7_10017 | uncharacterized protein

MRPYDPLFSPILSILHLPLATSRSLPTHTIDPRDPTFPEPTPPPSRNLAQSPSCALVSQALSICAVLTPGFVTLLPPQQAHCLCYSSTLWAPYVLDD
AVKTCADFASTAAPGAFPPLRNLEGFCLGVGDVDKSAPASVQATSSSFIPVMGAGGMPGSPTGGLTGLNYLPPSMPTYVAGNENGANGGQDGSGDGG
NGTGNNHGSINDGSGSTGVSENNGSSGSASISIPSSTSSSGGHGSASSTDSLTPISTMSSSLNDVSTLTTTSRTSVMGLTITVINGDAPATQTAAGA
GAVRNRGEVTETEVVLVSLAIASLILFL

>RCO7_10016 | related to Ras GTPase-activating-like protein IQGAP1

MSYRHPLRQTQTADYYSSTKRQPSNASTASSGYSNSSGIYDLSRTSTLSSAASSGYTSHKRGVSEATGMAPSAIESRMSRSIESSPDSAYKSVRQSL
RPLPQPPASSTPSHMRNGLHTRTHSVDALKSSFGEHTPTPVPRTLAIRPNSMILSRADSINRGAGSLRSNAIQHPHSPLTAPDLQQLQRSTTSQLRA
LSKFAEDANPDEFTIKNPEQEVVGLHGRRRLQRHGAEKGTSKNVALSKGNVYGWEGRNWMDKQRQFLQAYEYLCHIGEAKEWIEDILQRPIPPIVQL
EEALRDGVTLAEIVEALHPERRIRIFRHAKLQYRHSDNIATFFRYLAEVELPDLFRFELIDLYEKKNIPKVIYCIHALSWLLFRKGIVDFRIGNLVG
QLEFEHHELEEMQKGLDKSGVSMPSFGNMGADFGVPEPEPEPEPEPVESEEDRIDRELGENEMAILDLQAQIRGAAVRMQLGDKMQRLWDSEEMLVE
LQSIIRGDFARQIVQYRLDMRRFAINLQSYARGFTVRQRQSNQESFWKSREGDVLKLQSLIRARKARDEVRMMRSELKQEAVIVRELQAGIRGFLAR
KSMAAQERETKTLAGPVKDLQAAIRGMLLRNNVADNHESLWREESSISSIQAFARAMLTRNQVSREREALQASTPIWRALQACARGQLLRKQVASTK
QELNTHLPQIATIQAFARAAAARREVDATRSALQNEESSILDVQNFIRGMLVRIKVAADYQALSAQFSQITQLQALARGSLQRQETGALLDSLQVHE
AEIIELQALSRAVLLRNDIGMVLAELDNEEESIIAFQAAAKATLVRAKFKEKQRFFKENMEKIVKIQSFVRGRLQGEAYKSLTTGKNPPVNTVKNFV
HLLNDSDFDFNEEIEFERMRKTVVQQVRQNEMAEQYIDQLDIKIALLVKNKITLDEVVKHQKNFGGHSGNLLVNTSMISGNQFDLKALNKNSRKKLE
SYQQLFFTLQTQPQYLARLFKRIREQGTSEPDAKRIETLMMGLFGYAQKRREEYYLLKLIARSVKEEVDGVNSIQEYLRGNYFWCKLLANYTRSPRD
RKYLKEILGPLIHANIIEDPALDLESDPMQIYRSAINNEELRTGRPSQRPLDIPREIAIKDPETRDMFIDHLRDLREISDQFLLALEALLHKMPYGV
RFICQQTFESLCEHFPREPQKHLLQIVGNWLWKFYLQPALIAPESMGVVEKQLTPLQKRNLGEVGKVLGQVASGRLFGGENIYLQPLNAYVGDAIER
ITDIYSNIISVPDAENTFDIDEFNDLYARAKPTLYIKMADIFSIHHLIAADLPHICPNRDDMLREIVQELGSAKNNETEMLGVTSTEIQMNLNPKLH
DIEDPEADVKALFMETKRCVLYIIRVQSGPNLMEILVRPISREDDMKWHSLLREEFAEGSRTRGAYSDANTMVDIKSMSYKELKRTALENIMRLEQW
GRISRQNYYQDILNAIALDIRTKSRRRVQRQRELEGVRLTLANLNEKAEWLESQRKSYDNYIEQAMMTLQKKGKKRFLMPFSKQYNHERELERSGRK
PKFGSFKYSARTLCDKGVLVSWKGYDSREWDKINLTISCDEVGVFFIEGSKGSIQIPGASAQVPMDSLLAAQFANHQYMDLFEGCMRLNVNLFLHLL
YKKFYRTDG

>RCO7_10015 | probable IMP dehydrogenase

MPHTNGAKSHFGPASEILDHTKALEVLKQYEERDGLDIEALLDSKKHGGLTYNDFLVLPGYIGFAASEVVLDSPVTKRISLKTPFVSSPMDTVTEHE
MATHMALQGGLGVIHHNCSADAQAEMVQKVKRFENGFILDPVVLSRETTVGEVKALKEKWGFGGFPVTENGSIGSKLVGIVTNRDIQFEDEDSKAVS
SVMVTDLVTAADGTTLLEANAILAKSKKGKLPIVDTKGNLVSMISRSDLTKNLHFPLASKLPDSKQLICAAAIGTRPEDKLRLQKLVDAGLDIVILD
SSQGNSMYQIEMIKYIKEKYPGLDVIGGNVVTREQAASLIAAGVDGLRIGMGSGSACITQEVMAVGRPQAAAVYNVASFAAKFGVPCMADGGIQNVG
HIVKGLALGATTIMMGGLLAGTTESPGTSFVSREGKLVKAYRGMGSIDAMQDKKAGSGAKDSQKSNAGTARYFSEGDSVLVAQGVSGAVAHRGSVTK
FVPYLAAGLKHSLQDCGQKSLAELHESVTNGTTRFELRTASAQLEGGVNMESYEKKLYA

>RCO7_10014 | uncharacterized protein

MSVHNIIVPSILAVFTAVPLWMTVEVTIWVFYVFRRWSGLYFWSVLICTWGVTLHAIGFILEFCVPSCNWIVSTTLAEIGWVSMVTGFSVVLYSRLH
LVVRSPRILNLVLIMVITDAFLLHVPTIVFQYGVSGNGKTHAYYLPFMAPMERIQVFGFSIQEVVISIIYIWATLRMRKGSFNEKIRNTIIFLILIQ
IVVILADVIVIALDYCEYFTLKAVLHSFVYAFKLQLEFAILNQFKDVIANGGIAPRGLEAMQAEQKNHLSPTPARPANSPRKWGALSRLGEWGLWRV
MGRRRGAGV

>RCO7_10013 | uncharacterized protein

MYDLRGWAARKYAISLSVQREVGFKREDGSSTGIPLGHNGQTLNEANYTSSGNDFPKRRTEHTVLDGPQRWFIDESTSLDTIELLPYTIGNCDRFPR
WRNEREDKISPPSGLCLFGYEKATDTRQTWKFRSCMIPSRRDHFD

>RCO7_10012 | uncharacterized protein

MASQDPQYSSVRDPTDNLQEELDEGALEVETEEKEVMEYLQTKAGELKKLVESTFRTVELSNEEWAKLDKAHKAKDLIRKQLPDLERKFNDLEKELS
SSRQKRVSLAAHTNTCMRILDKESPPPITAVERALCIIRRAGIDFSMISPVIVDLLRDANLDHLRSEVETPKASADNDATNSEEVILERDEKIERLE
KVLGEEKAARIAAEDSFKAIEALKNKADSDAKAKVDQVEKAAKLRIKGLGEEATKLKEAKEAVETKSANDAALATDAYKALRERFDTLITSEKKNKK
TADDFRGTYDELVKKFNDLTASEAQSKKVADATAVKAMSAYHVLEKKFDILKVSAEESTRQAGLDAASARKAHDELQEKLDALKASEKESKDRAASY
ASEATTAAQAATAALDGLRTEFRKLKQSKEDHEKETCEVTIALTNWIDRLRDSKKYELGVANRALEDLKTQTLESERTAMAELTEVQTRLSTLQTKK
DADDARSNSILATERETATAALNTANKALEDFKAQTLESERTAKAELTEVQTRLSILQTKKDADDAQAELTLRTASETDAAELKRQLDEQKAKASNN
ANKLKKQLTTVVEFIASSIGGVTTRDPPTPTF

>RCO7_10011 | uncharacterized protein
MRKLEALSKSNFPRSRKLDQHGHSADHLIIVIAAADFKKRDLIDRLQVASFSFVLDPGIESLRRSLHTARCVNLNGSLTKQSLLSAFRDLNYTDFIL
IHIGQQNAALIVRREKSDLADEVVFEAFEASPVSENVLAAKGSLQWDFPGSAVAIPTTDFDNSDFQDELATFLEKASTESIKQFAAHILKAGSLTYE
SRDTVDPAIITTMLMTVFEVIGRRILPILLRKKVRDEVSWDKGEPWRRCPFWLCLRVAVQRHFYIVEHDGLGRLKYKILICFLLARLLTDCIPEIQL
ELLFYLKSKLCRRVVKLESEKAIVEVPLALAYEKLLVQARPFLAEAVSSASGRINIAWEAMKKKMQRPVFPLPMRLINPYLQLRCSRRYLDQVLNAP
RFQKMAPSNQVWFLPQSYRHTARITKPATAFANHYFQLATTESELNQQAFDSSKASAASNFKQNCMDISKSIEEYLGKVGSSYDSNPEQKSVMLLTV
MELWMAMDSNAVKAFDLLRDYNSGFPVQILDVLHLPQRKDMIRLQKIRTHIQQRESACKYPRMTIFSNVQRGCFAERFYDDSAVNHPLLELHQLIED
DAARSREEKEQELQIKNLQYEEIARELMVAPCTRISSGSRKMISDEDECRHCELVTSRSKCTIRVHEHPLPVDPSQAKSAIFEMACPEPLLAYRQAT
WRILGTLGLSEPLQGDRPRILLRDYRRLVPYGSSRKQSNSSGFCMASTSKSFRFTHYTVVPLPTTIESVCKPNGMHLSYFDTRLELWPGDLYQKPSF
AHHCRMSIPPTSPFALFNYASGFDAVSMGPSSNEIIASQTRCPPGTNVHEFVAFQILFAGKARRWPQLLVELGSSNINFSTDAVTSLIQFLALQAGP
GLGDNHLGVIYAVFKDKSFCEKLIQQLEQRLDAISTNWRDTNSMESLITIGLRIFELGVGVTEKAKKLLEKARTITNNWVANLRIESRHATDAETAL
RCSRFALSAALLCRRTFAIFLHDGQLMDATALESFIRCSVTLQENLGENPSMLIQSIRRALVRDIKMVSELENFLLSTIKSNEETLIASVTSFWHSG
RASSGSTASVEYLSNPDGRWIQIEFGLDSQTQKQVIHFNFLEGHLLVMGKPVGRLPPEWAGSNVVESLFRGQNLLAFPSSLNGMTYMLAVSENGHQI
HLGRRKDDFIVKACLNDTVLELVPRSIFTVGNDFDLPSDLVDDCIHWLDLKTGIIEIRSQRSLWIPKPGNWRLDIRLGQATTPKLTLVDPHHQVFKL
VAEKFSFFEWSRHITVYQPKIHGSRLTVELRRLELLFFVNRRGLLECSQLRAEIDPDQDAGTWYGLRSKLVLRDLAKQRDPATGHLVSTPLRQRSIL
VPMGNVKTEINGPHLNVTVDNNGDYGKYVINDVLGRLDCAAEPRLLYLKAAYHALTSFIVPDPLTGRTGTEEAIHCLKSGHCQPWSPITPGPYHGLQ
LIANLTPLREYYPQNIKSMQRTTWSDKLTTTVQYDGFRSLVDDILAKSEQLSKFAITKVELEPLVPVVSAHLVLRSQFRRQCYQRPAATDFPQPIVE
DVYEARDCLRTSRRRLNVAECVNLLRKWPSSLQTTKDLAGVLQEWSSFQGYTSPFEKVLLTDTLDVDWQKDWGSLVNLCRQSTSKDVYQLIFLLGAV
SFRADANMDAVRTLVAYSTIDDLKRPPPPVYTAYLKFRQNHVPDLAYIIELLKPCLVEYGSDERTSGDFTVSLKMRRRLEALELAHNRQLEKDTKCL
AEFLLNQWPCAEPSLEGFTNGVMIDLSQAIGIIRQEWFCLFQNLELSGYVSQIQSILNQHHSLARPFDLVEFKADGEIYAAPRLNAIVLALPLLLCQ
ITSDTISTTVVCRGQNDRMYETQIPVLQQLVPNRQGVRVMPPPLSEEIRQLQGIVAVIAQSSSNVERQYGEDLGRSVAALMQSDFKPQQQYSKVIQH
QLQALIAESKAESQRKLQIVQDMLVGQNTDHYWRRQGALWPPITPVSILETLRSTSKFLCADGVQNALINYAFSITALQRLLRLEDASQKGHWQRLA
EEQQNTGHQNWIPSRHPDWLLLEIDANVLLRPSQVDVALATISPASDSNSVLQMNMGQGKTSCIIPMAAAVLADSQNLLRVVVPKSLLLQTAQLLHA
RLGGLIGRELRHVPFSRKTPTDPDTVGAFLSIHRTMQESSGVIIALPEHLLSFKLSGLQRLSDGLIPEAKTMIQVQSWLSRRSRDVIDECDSILALR
TQLIYPSGSQKTVDGHPIRWEIAETILGRVDGHLHNIQISFPHSLGVIRREQGGFPLMFFLRKDVEDELISRLIDDIYRGRTSIFPADCPQRHRQVI
RDYISQAKVKKQTWELASKMFKDKPALRHSMHLLRGLFVHRILLMTLKRRWNVQYGLHPNRDPIAVPYHAKGTPSDQAEWGHPDVAILFTCLAFYYD
GLSLSQLGQTLEHVLKCDDPNQLYDRFSQKSSLPDALREWNAINIDDEIQLAEILSHLRYNTVVIDYFLNIFVFPRHAKQFQVKLQASGWDIPLAST
RLEQRLTTGFSGTNDSKRMLPLTIHQRDLHGLTHTNAEVLTYLLRNRRYVLAADHLGRHISEIEFLQKIFEVKGIRIRVLIDAGAQILEMKNVDLVR
AWLDIDSDAQAGVYFDENSKPMVIYRNNYSRQTPLVATPFVDDLSGCLVYMDQAHTRGTDLKLPADARGALTLGIDQSKDHTVQAAMRLRQLGTTQS
ITFFAPPEVNQSILDHSQKKSSESVTSYDVVRWLLEQTCRGMEQLQPLYFSQGADFCRRAQAELDNPNFLGDSTQREFYVNSLRQVEQQTLEQLYGP
KTKGKVAASIDKYSPELHVLVEKLDMDRKEYQDNGNAVHGSALQEVEQEREVAYEVEAVREVQVPDHYPALKPSPLHRDLLTFANTGRMAADSAAYE
PAFAAMQRFSICKKFGVSCQGTSGNLYMSSEFTRIIKVRLGDSAYDNFQRPVHWILYSTVSDTAIILVPEEVELILPIVRNSASTASHILSYAAPIT
RKMLHFNGLSYYAVPNLPLNWEAPAWLRTELGIYAGRLYFDFSEYSTILAFLGVKETTSKIEEEDIDHLNASEGTELLKIEVNGIDVSIHKAFTRKP
LAFLQEWLAIRRKGQDFTETPMGYICQGKQLSENHPFFRQREAEGSKKVPIAKVRVVAEDRDDDDGHGGYNHEEYDPVQEGDDKFDYSTLKENNVSD
KDEGGSEYESYSDTAEENLVRYSKDG
>RCO7_10010 | uncharacterized protein
MSFSALAIEIRLQILSPLLVLPTPITFSADRGPLSPPLRRLGTDEEEDKLHPSILLVSKSWHHDGSLLLYYYNTFQFPEVCTSHGSFTPDSSHIAPF
IHQIGTHARHIRHISIPFPTLHIQIYERTPQARSLVHEVHVENLELLRENCESLRTLELLVPPEGNWALDCSPAAEETMDAFDVLLKSILPEREVIV
NFKVYPDEKPEDSIMEKIRGFGWTVRFTRLPKRTCNANRRFST
>RCO7_10009 | related to glutamate carboxypeptidase II
MGRIIDEKMDERSPLITTIRIAPPRQRYKHSIVRRFCTIALSSSLIALLVVFLLPVAFLPSHRHQRPHPHDSAITYSELQTILLETPKAEKAREWSK
YYTAGPHLAGKNYSQVLWTQERWEEFGIKADIATYDVYINYPLGHRLALYEKKKTKEGEPWKVKFEASLEEGVLEEDPTTGLDNRIPTFHGYSASGN
VTAAYVYVNYGTYQDFEDLINANISLAGKIAIARYGGIFRGLKVKRAQDLGMIGCVIFTDPGDDGLITDENGVDPYPDGPGRNPSSVQRGSTQFLSL
APGDPTTPGYPSKPGVPRGPVDGAIPSIPSIPISYMDAIPILKALNGHGPSAKDFNKYWQKNLGLGYKGVKYNVGPSPDDLILNLVNVQEYVTTPLW
NVIGVINGTLPDEVIVIGNHRDAWIAGGAGDPNSGSAALNEVIRSFGVAMAKGWKPLRTIVFGSWDGEEYGLIGSTEWVEEYLPWLSNANVAYVNVD
VATTGQKFGASASPLLNKVLYEVTSLVQSPNQTVEGQTVGDVWDGHISTMGSGSDFTAFQDYAGIPSVDFGFTADVDDKKAGTVYHYHSNYDSFYWM
NTYGDPGFHYHVTIAKLWALFTARLAEAPVIPLNATDYAIALDGYISKVEAKVNSAITGIQSEDEEMEARARPTPASPKGDLAGLKLSFQRLHKAAF
KLKEAAQAHDSWAAELSEEAGENIPWWKWYSKIKLYYEIRRANDKYKYLERQFLHQDGLDGRSWFKHVVYAPGLWTGYAGAVFPGLVESIDDKDYGN
AEKWVGIIEGTLWKAYGSLK
>RCO7_10008 | uncharacterized protein
MQFSTFFTAAIILAVASTEAPKCKYAYGSYTATCKRGNNIFCGGMTGICGGGLKESFDDVATKANEASCGGIKPGTGCNQTVRCCTAAKERQILQEE
TLLSFDD
>RCO7_10007 | related to E.coli tetracycline resistance protein TCR1
MVSRRARGPPKLPTKQLAILAICRFAEPVALTSVFPYLPEMIESLGVPKKEVAWWAGMTSAAFSLSQCLTAVIWGRISDRFGRKPTILAGLTCTMIS
TMLWGMSTSLPMAILARSLAGACNGNVGIIRTMVAEMVPEKELQPRAFSLMPLVWTLGSIFGPSFGGFFAKPAENLPALFGSSRFLIKFPFALPNII
ASVLFLVGITTGILFLKETLETKKYQSDYGLTLGKKLTAGIKACVSVKKQPKSFHRTPTAFDETSPLLRPASVSAGSESSRYESYAPKNDKPPLPRP
TLVEVFTKQSVINLIAYTFLALHAVAYDQLLPIFLHTPRQTPDSTNVNLPFKFAGGFGLGSSRIGTLFTAYGFVGCIIQFLIFPPTARKYGVLNCFK
CCAVAFPIICIFTPYTALIQSSNLQQAAMFGIMIVKSFAVIFAFPCSIILLTNSAVSLRILGTLNGFAVSVSAVGRAIGPAIGGAAYTWGIERGYVI
TPYFMLALIAVIGAIPIWYLVEMPGFSKTDDGSEDDDDDEEEDLLSNVDEDVDGEILEGDEVIYEEDDNITPISGPSISGTMRSRKNSDGERSLGVP
GIGSPLERRMSSPIGIRGGSVGPGGGRRLSNGLAASNNGVGFGGTSFT
>RCO7_10006 | uncharacterized protein
MAGVFLGRSETPDGSGRQACYNFSLPLAILVGPYAEAIYINEELICASSHFFRAACEEPVRNSCRRNITLHDTDLTLFDIFISWLTTGNISTSSELK
GITKSAHGETEEEEEEEEEEEEEEAILIEQHYAPWDQLCGCYNLGDELLSPGFKNAVMDLPVKISGHLVMHLKTFPCRTTYELETIYKTTIPGSGLR
RLVVDLAIGCLGIENLDDIDRENQYLDEFCRELLSRTGDSLRDYREGGRSDDCNLKYPWEFQTSSYPGLVEEA

>RCO7_10005 | related to Probable pectate lyase E
MQFSATIAVAILASVTAGQTLNIPTRVGNIVSLSSPSAISGVVDMGNKEFDRGRACDTDADTGSSSAVFILADGATLKNVIIGANQLEGVHCKASCT
LINVWFRDVCEDAISLLGTGNALIQGGGANAAKDKVVQHNGKGTVTIKDYTVTGAGKVYRACGNCSNNGGPRKVIITGLRAKGVTSDIAGINSNYGD
TATISGSCGSSVKNVCQEFKGVDKSQKIESPKLTTKNACLGAQGKLATLPAC
>RCO7_10004 | uncharacterized protein
MVSTYLLLSTLSISQAIAFVDGLQNRAIYQGSWALAIPGSSCPEDVSVTCKGSLPTTGCCVVGDTCFGAGAHYCCPSKDDCRTNVSNFPACFNSTWS
LYQAHDTEYYFCCPQGQYGVLPIGNYGGICQYNDVPVAASKIATLVDQVGTSSISRPTRTATMTSTRSDGATVIVTQILEGTATKPPGTNPTSSASS
SKDNQNQNSSDTSPSNKGLSAGAIAGIVIGSLGVLALFLVAFMLYRRNLKKTKTEQASRGPNGGATDAYASGMPQGNAPNYTAVPQQNHDINYPIPV
TEIKSPLISAASPAPGGYSQSPPHGAELQSPASGNTGPYEAPTQPQWKGRAELFSYRG
>RCO7_10003 | uncharacterized protein
MSTQPQAPPQPEAQPPPPQPSTNAPDAHSYYGYLFETDKKPTKVLEALLRGVATYISESVGNTDEKALTPDKLASFYKAVGGNYDSLFVDVPHPSVS
WIYASIGCQHTLIQQNDFSPPTIPALTPKGFVRWQSIEILLGPEEHVPFIQNAIRLFPIFNPLTGLPFPLPLPQEAFPLVPDPDIAKWHDQCAQELR
HRASPDEEVRPHLPPRPKVQAGYTHVRPPRPRVDPDYFEPKSMRGTGRPFAYNHVSSTGVRGSAPIPVRPPLTRAPSHRARHFLGPEDPAVRGGRGR
RASFPENTMPSPQEMPNPPQMDREDHTRRHSHPRHARMGSMSEDASSSEEGSPSTPIAERRRRRRSYAHERPGPSPPVAVRYSMTGEAPEQRHARER
ERDRGRDKDEDEGRKRKSFPSIPIDITGKLSAPFLLGKRDRDRDLQRAKPRSSSRSASGGNVRWRDLDGQAARELWRGTSGGNLEEEGGRSRDDRER
ERKRREKERSQRNSYEDDSRGSGQDGRYRHRDRERDREAVVNGRVPLTVPEGRNFRDRDRERDRGDKRPVSPLRGVDGRRYPAHA
>RCO7_10002 | related to arrestin (or S-antigen), N-terminal domain protein
MSTASIYSTTGTIASAYKKIAQNGRPDMEIILENHTDGKVYTTFDALSGQVNITAPHEARFDEIQITLEGTVRAAIENMSPHAARSRTTAKHNFLKL
VMPIRESDYPQPRIAEVGRTYTFPFNFVVPDQLLPKACSHTVVGDHIQHAHLQLPPSMGDRSISGKDDLSPDMALVDYCIKVKVTRTRDQDGENVVL
AESSRKLHIIPAVSEAPPMTIRPLDKEFVLSKTKSLKKGMFSGKLGRISVSAEQPSALVIPSPSATTTIQPTTMATVNLRFDPHNTSSQPPRLGSLA
TKIKSTTFFGTKPVSDFPAHHSDQIQFDITRGSYDASVSINSRCVESVVWTRQCSSPAYSRRSSATSTGSSDFSDDEHSPPKDGNTYYTASILVPIT
LPSSKAWIPTFYSCIASRAYCIDFSLTIHTPGTGVPASTVNLHVPVQIAADGNNGRRASMTAEEAALELAAQEAEEYFQPRVLEVPSEDLVGRSVLR
PVAMELPPSYDNFVPRKFVAPGRG
>RCO7_10001 | uncharacterized protein
MEPFPKRQRLHAPIERSFPQSFDNQYAYYDELGDDLLDGEVYGEEEEEEPEAGYDPEAELDQRRARLDYKLKSTFESIFEKYERDFEGVGDEIDLET
GEIVVNNGHVVQMVNEHDAGDMNRARHALREYSQEADEPPSSSFDETEIMEDDDENDEEEDELVSDNEILDEDMAEDDLILRGFAKANRFQQGPQEL
SLSNVPTAPEKIHRREKVHQNQPIPRPAPAKSLPSRADILAQFGPQLGPQIVEYVSLQNVADDRDVESAWRAPELKKNLAATRNIEPAWRTPALPSA
APRHVESAWRVPELPATTHARRPIQKPILIMPEEERSPSPEASASIWAPIRTRGRRRLDGADNTALFRGESRVPNPVAYQSSRFATHQADLVSPMKK
RLAFTAEEDDVLMEWVSKSRRHGRALTHRRWKELEAQHPRHSALSWRARYIRNFTYLSLNSVEESDRSNSEGSVENLGYRPLLAVKRTEPQYDSDQA
PHDRPIRARRPAQTDPRILNWNQAIDSIESVDPVLHAGITEDVKRANRGPLQYSHRRHEPRLESDIDTPIQSQETTPPAEIRHSYDDLPIRSSLAVE
ATSEEEDFLIPGAPCPHVDCKTQSTILYRLQRREHEDLSEMCLHLFQAHHTTPFPCGEIGCSKKGEDGYFMQLDLVKHVRRTHKNASALYRLRGRID
PALLDPQAAIARPTVTSDPLQRPLSRRRDSDFLSPQKGQARNLSSSQPAGFDPDRTLTPRGMAGLNFTPMTSVSSMKVHHHSATSLGVRDIDTSQDR
TISDSQVGSSQILSSQPRKETTMHSGSLVQEAQGFSQIANQRRVNSDPIVQSEESSRRHFEPASGRPVGALKTPSPVIPAGILTSAIVDLTSPTTGN
QKHIEPDITKQDFMRSQSQVTILPASKPVVEEAAFKGESSTVSRVVTTTALPKHPPINPSMFRSTVNAAYEFSDEEQEMQSPKTVPVHQFHTPRHGP
KQRAKVPIVPASVSSRFAVVIPTPKPFVEPPIGGRIGALKAVAKPVATPGCQIKPPATIAPLSGPSSTRPKATVKLAATPAAKRHARVRSEDLDELS
LGVDEFILLSSRQRTNPLPIRQIGIKHEDLVSSPALLSVPATRKRKLDAIHDHSIDELSAFNQLSKNGLFQPTIKTETDEPSLPAMRPIMPKRKGRP
STVLGVVESSSSQEGSSRASELMQTITSTPLLDLTPVRNARIKAERMKEIGDSETEEDEDPDSPTHRPRQRPREQTARPVISGNNSSVTMSRWNRDS
LKAKQVSVLVKTPGGTMRRCGVDGFECKRSFCFRCEKRTLEQVV
>RCO7_10000 | related to Beclin 1 (coiled-coil myosin-like BCL2-interacting protein)
MYCQKCRTPLKLDSSLEDLNPAAFDLLVGASSQQLKNIPSSRPAYPQERKQLYDRVSNNATSPTFKRTIPPPRRSDAASSDTMRSGLGNPAMSFVML
TESQVVPPAVIKSSEDSNPRHQGDDESSSMEGTKDERKAMSQDMERASRLFEILSARSDIDHPVCTECTDLLVSGLQQRLEAATKERDAYVGFLKRV
NASVPTEEEVKESQSALTKARKEEEEAITELKRLEVEKAVVDEEIASLEEEALALDVEEEKFWNSRNAFAIKLAEFQNVRDSVNLQYDHDTQLLEKL
QRTNVYNDTFCISHDGKFGTINGLRLGRLSNVPVDWPEINAAWGHTVLLLQTVAERLNFRFQGYELQPMGSTSRIIRHEIFAPSSSRTRPPKKHILE
LYSSGDMPLGLTFMHRRFDIAMVAFLECMRQLGAFVQTESARDSEGGRGLALPYKIEGEKIGDVSIKLGIAQDDAWSRACKFTLTCCKFLLAHASNA
AAGGARRG
>RCO7_09999 | probable protein kinase ck2 catalytic subunit ck2 alpha-3
MARVYADVNQQMPRSYWDYDSVNITWGILENYEVVRKIGRGKYSEVFEGINVINYHKCVVKVLKPVKKKKIKREIKILQNLSGGPNIIGLLDVVRDQ
QSKTPSLIFEYVNNTDFRSLYPKFVDYDVRYYIFELLKALDFCHSKGIMHRDVKPHNVMIDHENRKLRLIDWGLAEFYHQGTEYNVRVASRYFKGPE
LLVDFQEYDYSLDMWSLGAMFASMIFRKEPFFHGNSNSDQLVKIAKVLGTEDLFDYLDKYEIELDAQYDDILGRFPKKNWQNFVNSENSRFVTNEAI
DFLDKLLRYDHQERLTAKEAMAHAFFAPVREAEQRARLSPGAASAS
>RCO7_09998 | related to ribonuclease P protein subunit p30
MLYDLNVPWSSNQNSQELQRTISFLSELGYDTLALNHVHSGPLPSQISNAIPSTQPFTLPPKTTLLRRCTLTLIDPAQNYRLPVLASTYDILALRPT
NEKAYLAACISLSEHSLISLDLTQRFPFHWKPKPLMTAINRGIRIEICYGQATGEESNARRNFISNTLAIVRATKGRGLVISSEAKSVLGVRAPADV
LNLLGVWGLARERGLQSMGVNPRGVVINEGVKRSSFRGVIDIIDGGESEIVKSTPKEDAAGKKGKRKPEETNAGPPAISKRAAKRAKLLMQSNAASG
VSFESPFSYLTIPKA
>RCO7_09997 | uncharacterized protein
MRDSIITSLLLAAISTCVQANQSFERAQQPDTVTDLLAALDKSQVGAGQKGNGLQKGNGVSVAQISGDGLKAAAAPQAAPQSGISDLLAALQSSQVG
GGPQRGSAGPQIIGVDGSQPGNQGKQGTQGTQGTQGTQGTQGTQGNRGSQGNQGNQGNQGNQGNQGNDGNQGVNAGGQAKTYTESKSSLQTFAA
INPADQRPTMTQKSTSTPQVQPQAVQPDQVNPNAAAGAGAMTRPGIVKSEGPSNPAQATPAVNPPTGAQSPAGGTPAMGVPGGMAMGLGTLGAGGAC
DCKCLCGPGSFPNAFGAMGQAPPAAGPAPGTTLSTLTIPSIVKQTNGANPVSAGSSSSQSSSSGPSSVSSSSPTPSSSSPVQAQAQLPNPFAQTTSQ
SQSQAPTTAATPAPPAASTSGASRIDLPLSKPLAQDRPANTPPPGPAAIANAAQQAAAAINIGSYKLTSSLMLGNLAQPAAVPPRG
>RCO7_09996 | uncharacterized protein
MTVHALDDYYLAITLLITIAYQLFFFAIAFSLKFDKLTDFAGGTNFVLLAIITLAFSGHHDARQIVTSLFIMIWGARLSGFLLFRIIKTGKDDRFDD
KRDNFFKFLGFWVFQMLWVWTVSLPVTVLNSPNVTKYPQPAFGTGRDIAGVILWSIGFIMESVSDVQKYLFRARRSDKSAICDEGFFSWTRHPNYFG

EVIIQFGIYMIAVSPAANGYVRGQAYKALYATILGPCFLTILLLFVSGLTLQERPGAKKRYEKNDHWEEYSCYLNRTSILIPFPPQIYSKLPTIIKR
TIFLEFPIYVFDPAKHSDVGRGEVAAEEGNGNNKKNADSRRSGEDQLVGENSGSRH
>RCO7_09995 | probable transcription elongation factor S-II
MDAKEVHSQIQSLQKAVVEKQPASVIINLLETLKKDVVPTEELLRTTKAGIIVSKQRANPNKEVAKLASEIVQKWKQIVQGGQKKKTMATPAGSSPP
KSASPAPAQENKAFKGDVAKRRWETEKVDTKRTNLPTRDACIGLLYNGLAFMCDESSTNVMIKAMAIEQAAFDHFKGDGQDYRNKLRSLFQNLKSKD
NRELSPRVMSGEILPKRLIVMSHEELKSSHRKEEDKKLQADNMKKAQVPMAEKSISDALKCGKCGEKKVSYSQAQTRSADEPMTTFCECTVCGNRWK
FS
>RCO7_09994 | related to cysteine synthase
MSLKNNPKAYGTAAVAVAFTAGILLTLGFKDLYPDLERRYQRRRGLNSTSSDSRPSGTYLPPVKLEDHTRSSRQSAAGASPPPIPEGIEGCIGNTPL
FKIKSLSEATGCTILAKAEFLNGAGGSPKDRVAMNMIRMAEDKGLLEPGRGDTIYEGTVGSTGISLATLARALGYKAYICMPNDQSTEKSDLLHHLG
ATVERVTPAPITSTDHFVNLARRRALEHTASAEDDSRGFFADQFESLANYRAHLKSTGPEIWQQTGGQIDAFVAGAGTGGTVSGISVFLKQEMGMGE
DLKVVLADPEGSGLYNKVKHGVMFSNTEKEGTRRRQQVDTIVEGIGINRLTENFEAGRELIDDAVKVTDLQALKMARWLVEKDGIFIGSSSAVNCVA
AVVTALKMPKDSRIVTILCDSGTRHLSKFWKKVAETGLEEEHDQTNLMALLGIVEER
>RCO7_09993 | uncharacterized protein
MWTYLFYGLSNRLAVVSTALHASALPVLISTSFSAFADTEWTTWATDTDMSAEYEKYPMVTADQLKLRRERPKRVKMLTRDFIEDSLYNPSYGYFSK
QVVIFTPGEPFNFNNIQDEPEFHRLLGQRYTEFEDKLDLKEPNETRQLWHTPTELFRPYYGEAIARYLVANYKLSQYPYHDLIIYEMGAGNGTLMLN
ILDYIREVEPQVYDRTKFKIIEISSNLAKLQQNQLLRTADSRGHANKVEIINKSIFDWDQVVPSPCYFLAMEVFDNFAHDSIRYDPVTEEPLQGTVL
IDSKGEFYEFYVPNIDPVASRFLRVRHAATGGRYPLPLHQSKILRKLRNVVPFTPNLSDPEYIPTRLMQFFDILGTYFPGHRLVTSDFHDLPDTIKG
INAPVVQTRYRRRTVPVTTPLVHQGYFDILFPTDFNVMEMMYRAITGKLTRVLSHEEFLRRWAYVEETETKNGENPLLTWYKNASVLTTV
>RCO7_09992 | uncharacterized protein
MANLASDHWHRIYQGGNEGGQSLTGTELFNNSVSGAVFFATTNTTGNTPNPAQLWQIVPYNSTYYVLRTKHSGPLGYLSTIYAPLEGTPGRTVPRMA
NASTVLDDSIFWQIEPWGDGTWYLQNAQNGSAWHLQQKPNSLMAMSSNITTTPPRNGQRFSFKQLQPIQNASFSTVITPAGTETASPSTATLAATGS
PSASSSPGNTGGLSTGAKAGIGAGVGIGALILLLILGFVLLRRRKRAQKSISQPEPAYEAVGQSNYYDTEGKPVKVTPIEQIRHAELDSREPQPPEL
SAHRDPAELPAWNDR
>RCO7_09991 | THG1 Protein required for tRNAHis guanylylation at 5 prime
MANSKYEYVKNFEQPDLLIPNTWIVVRIDGRGFHKFSNKYAFEKPNDRRALDLMNAAAMAVMNELPDIVIAYGISDEYSFVFHKTCALFERRSSKLV
TTIVSTFTAYYVHLWSTHFPDLPLTAPLPSFDGRAVQYPSVHNLRDYMSWRQVDSHINNLYNTTFWALIQLGGFDAKSAEKELAGSLSAGKNEILFS
RFKINYNNEPEIYKKGSVVFRDYEMVEPGTALEILDEDSAKTVEGIALSKTQEEKDKKRRAKARITIQHVDIIKDEFWERRPWLLSNKPGKIPKEP
>RCO7_09990 | uncharacterized protein
MDAHALLTSQGWRGTGNSLHPTSNTIGLSRPLLVSKKVDNLGIGKKQHRTSDMWWMNAFDSSLKGLDTSKEGQVVQTVTSGGLDMVQKAGAKWVGSK
GGLYASFVRGEGLGGTIEKKEEESSESGKESGGDKKRKRGEESKEERSERRAAKKALKNERVELVMRELRPVETETKEERKTRRAAERARREQEVEI
VEVPVGSTPVKIETKGERKARRAAERELRKKPTKLDEEPKEDVEMKDASIPETKEERKERRRLKKLAKEAGEKQDSSEDSTEKSKKKKRMKD
>RCO7_09989 | uncharacterized protein
MNAFSEGRSGDGMRDLSEITVLGEKVLSAIQKDSKQGIMCNIRQAMLHRRPEFVVGLEELAEKVDEVAKATRLSEHFRDLEVFRVQAALVNTLRVLE
SMTAGLLGVIKWGKKLAKQVRVKMIEHLGKFHYGIEQICFGLEAIFQFQLVGYRILRVNVKEVRNLLKALNGQEEPNNA
>RCO7_09988 | uncharacterized protein
MSAPYWGQLPPPKISRRQREREEEEEQEQEQVQRGSNPLSINTNMAGDRLSNNYPSRSNPRPNRFSTQTDAPTVSTQSPFASPIASEFRGDGLAPGP
SAFQPGALDTTHNRDYLEKRRRRQSRDQYEEPVTGPPPAAPEVPRAPPISYKQPYGNGAPVPVRPGYSEQAEQLRRESSNGKAPIRHSGSQKQQRKS
SLSEAEEQRHREWAPDRSPLQRLELTLDSITKEEKRARVEEAESVVRGSQSGRGGEPVGQNSVRFRNRPVAKATSEAISQPQSISEYGSVRNSSNKQ
KDQLQQKGTVEKARSVQRGTSADFDHQPQPQQDVIDVPRKMESVPQRNTSVRDRSHIPVSVPADAAVGATVGGVNRSESKKLRKNPPDDPWYTLRTD
QEKANQKFRETRDADAFRKQSVGGEPARDTAFRSHPQDFRDKELPGLPRNAQQYPVLDHEIDRLDLEPEAGKPVRRLSKVERLTGSSDPRIVGNART
ERVLVNGVQYDVPPKATADLARHKPAESHYFSKLIHHRHEDESGPGIYVASKRLDEWKKGGVALLSGSLLDLDVSNQTEEEKDKAWWEAGNTGARRR
NSVKQRKAEAYDGEYDSSNATVSYHAVRLRDRQFVRYDKKTGDKVPREPKDDNDPPSKGNSALNAPNPQCAPNPQSEPPKSRIPITKTHSLTCEMRF
IRVCPDTAPTRFKPNLFLKSGPMLRYCSTRREKVRSRSKRNQVLPDREIWRGSIMIVTQDAHSNYDLAPTLRLFLQPVDLLPPPPAQVDGEMDELAP
EYVDPIAGLPKIGRDGRTLYVRPIDHLEEEKDLSREESDDGLFEMHRSPLDGSAERNPASKNPHYDGEKAGKYKEVRGFRLHAEQNVTFWRFNIEVE
LRSKQQRIAYRLNRGPATAFWVPARGEAMNIMFSSCNGFSHDVDPNAFCGPDPLWRDVLNTHQTQPFHVMLGGGDQIYNDRVMYETLLFKEWLDIKD
PHHKEKLPFTPEMQQELEAFYLNRYSMWFSQGLFGLAVSQIPMVNIFDDHDIIDGFGSYPDSYMRSPIFSGLGSVAFKYYMLFQHQSSIDEGEDTEP
SWILGTQPGPYITELSRSVFTTLGREIAFLGLDCRTERMYDEVVSAETYDKVFERLEKEIIRGETKHLVVLLGIPVAYPRMVWLENILTSRVMEPLK
AMSRAGILGKKLLNKMDGGVEILDDLDDHWTAKHHKKERNWFIQELQDLAAMKSVRVTILGGDVHLGAIGQFYSNPKMGIPKDRDFRYMPNIVSSAI
VNSPPPDALADLLNKRNKVHHLDSETDEDMIPIFTHDVNGKPRNNKRLLNRRNWCSIRLYDPELTPPATPEADAPASPPPRGGLLRRLSSSRGPSYR
PDSSAPVTNKGKFGKREAAPPLSSPGFFARRNSTSQRASIDSERPGVLTRTLSLSRKDFVPGLFRRNSKKRPDDGGINGYGADSDDDVSYDEQPQTG
LRGGSGGHDSDEGYFPVMPVTGRTAQNPLDEAPTTIAGAKPQQGLPRNQFHRTPTGLSVKELKKPRNQAINLEGGLDICLNMEVNPKDPAGITTPYR
LLVPALFHEEPPAKAGVSRSRSRSRSGSSMSSSVSSDTGGVVQPRPGKLKRWNTLTKAVGIGKDSGSGRNLADARFSGGR
>RCO7_09987 | probable KEX1 protease precursor
MRLHSVLGLLGLGFLASASNLQARNYDTQDYYVLHLDPTTPPSQIAVRLGLTHEGQLGELADHHIFSCHKQDEDVVSTALTELRRRKRSNDGSDVLE
GVKLAQKQKVKPRMEKRSIIPPRPAGHPAPVEERQDALVASLVAKIKGVANTLDIQDPIFNDQWHLFNAAQKGHDVNVTGVWLQGITGHNSTVAMVD
DGLDMYSEDLKDNYFAEGSWDFNDAGPEPKPRLSDDAHGTRCAGEISAVKNNVCGVGVAYDSKIAGLRILSKLITDADEAIAMNYAYQKNQIYSCSW
GPPDDGRSMDAPGILIKRAMLNGAQNGRDGLGSIYVFASGNGAGNEDNCNFDGYTNSIYSITIGAVDRKGHHPYYSEKCSAQMVVTYSSGSGDAIHT
TDIGANNCYSAHGGTSAAAPLAAGIFALVLSIRPDLTWRDMQYLVMMTALPINLEKGNWQTTTIGKKFSHTFGYGKIDTWATIEAAKTWKNVKPQAY
FFSPWIHVNQEIPQGTEGLIVPFEVTKQMLQDANLERLEHVTVTMNIDHTRRGDLSVDLISPNKIVSHVAATRRLDTTAEGYVDWTFMSVVHWGESG
IGTWTILVKDTEVNKHNGTFVDWHLKLWGESIDAKKAVLLPMPTEHDDDNHADVATTTIAGTTTSIAPQPTATLVPNPTDHPDRPTKPTAAPTSSTT
TTPSASATPTSWLPSFFPTFGVSSKTQIWIYGAAVLILIFCSGLGVYLFLARLKRLRNNPRDEWEFDLLEEDEAEGLNGTGTRAGKKGTKRRAGELY
DAFAAGSEDESDSEYLDGAGGGDEKEKMLYEESDDEGRHVIGSDDEDDDAVKGGHD
>RCO7_09986 | uncharacterized protein

MSRNWLQDLAHCIAFLLALVHLILDIFIAIKSDQLIFLMAAWLVIDLAAVTFVAVAWSFSRSPDFLQKLKWIVTIDLTAATWYLFTTVKFCLATTKD
IPKKYDVAAWDLGWVYSRLWTFAAVSAITGCIFIGEAATTVIVSFAPFFVPAAAPFPGPAPVNIPLVNLPPLPIHLDMNRDH
>RCO7_09985 | uncharacterized protein
MSNQMSKQDAARVQSTQAKGDKGMSSNGFAARAQSAGDKNANASGGGAGGNHNAGGGQAGGNAQAGTPKK
>RCO7_09984 | probable BRT1 protein, down-regulated by mating factor B
MADMKVVYTKDAAFPAGPYSQAIATSSTIYCSGQIPCDPSGNILTLETSTIGQMTEQCIKNLSAVLKEAGSDISKVVKVNVFITTMDNFAEMNATYE
KFFTHKPARSCVAVYQLPKGVPVEIECIALA
>RCO7_09983 | uncharacterized protein
MQAAVARSAGESSHYTAILEDHPIKIQKRVRFDSTAIDNEHKMRSRQNSAYSIPSVSSSQYFVPSQSSSSPTSQRAVTQSQTSKWRSAKALPTDSYA
RDAMGRVYETDGQYFVQGSWRFPPKPQSPYSVPPLRSRSGESKFIETSAHRTSTRPSANTAGKRNKVSRQRNSSHVPPRVPDAPSTHPQKPPQAPRP
IRLPSPDLLDIDGDMFCACDLNLYGRSLSSEDMSTSTKMDAQLAAAKAHMMTKR
>RCO7_09982 | uncharacterized protein
MVEYLMKKFGLPKLAEYTRAKQFARDNGHQAVVSLLDSASGEYLERADYGRSQAWNGSSVTYTSDLALSEARDRPFLAPNRYLEYSHHQTTLQSTSD
VITDIHDEKFGADGAMLDNIHHYQLSSTISSETRISKRPYIQGDCEELTGSDSTSKRQKRKHQVTCKEAGCGKSYPRQGRLKRHHNTAHANLSFQCE
LCEKTCGRKDTLAQHITSKHNC
>RCO7_09981 | uncharacterized protein
MRAQDLPSFKDMPAVEGMPHGTAWGLWDKDGKRDNCGSLNLLTPEIAKEAQKEIQSGTSVALNWGLENVHEPGFTREKFQHKFKDLSPLGLFAWDDL
IHINTQSGSQWDGFRHWGHQDTGFYYNGLKHADIPDPAHSSDNSQHHWSERGGIVGRGVLIDYVSWAEKQGIAYAATSRHEISIQDVEAIAKDQGVE
FKPADILIIRSGWVKWYNAANEEERIAGAKNGHEHVGLAGNEESVEWLWNHHFAAVAGDAIAFEAWPPKAPYRLHDHFLAMWGTPIGELWNLEQLAE
VCKREKKYSFMLTSAPLNVTGGVASPPNALAIL
>RCO7_09980 | probable RMD5 Cytosolic protein required for sporulation and for the
ubiquitination of the gluconeogenetic enzyme fructose-1,6-bisphosphatase
MDHLQIELAKLRRDANLKQSMEDVDKIIEQLEKARETIVAEPHSASITLAKLQNPVQQGFSKVIDDLKKVHKGHNSYGKALDKYFPVKALPEGYQAL
GLNPSLINRAIAMHLIREGQFDVSSTFLSEALETPPHRHSTPGTPPPASTDHDHLASLNTQGLQQNFSTMYQILNDLKNKNLHSAIEWARENSAELE
NRGSNLEFELCKLQYMWLFQGANTNGLPDDEHNGLNGAITYAQETFPRHQTRFTKDCQQLLTAILFRTNLRESPYGHLFNTESAWNEVSQSFTREFC
SLLGLSPSSPLYIACTAGAIALPTLLKLASIVKEKRTEWTTQDELPVEIALPRSMIFHAIFVCPVSKEQSTENNPPMMMPCGHVVAKESLQRLSKGS
RFKCPYCPNESLMRDARQVVL
>RCO7_09979 | related to SIN3 protein-binding protein STB2
MSSRFAFPNVHDPQMHREDILTLSRTTSQQQTRTLGSANANGSPASPMTRQLPPAARDSSHLTQRRNVVFADPLAFRYLEDDPLAVIIERRGMIVGY
ELYLVEQWACSRTHPTFIIATYTGDPNHVAWVGVLGLPADEDTWSPKIRVYFKAVAQFHARPKDTPKGMLMVTNLSSFPSALTVIPVPDGDITKHRG
DFVVNENLKRLGCSGRSGMSLTAPAGATQAKFLQLYKTSDRIPLYDTVLELVKLCQFALTVFGKLDQEYMDGMLCDITEQGINDWWTEIGSEYFNIE
PTDGILGPTTVAALLGMLMGARNRLNWYGAPVSKDTFDFHGLKRGVAYFQKSQKMERTKQLDRYTLDRLHRVTAKAAAGEGWAVPKAVKSTVVELSG
KGGEMVMGMVGRDKPGIGDIETLDYDRFVSLLHGERAKWLWYGKPKRNGGTEQFGGLGDNDVGHLMFQRDDQGGYIWSHTKAEPTSVEEESRKREDS
PQTFYDSKPLGSATSVLESPNDKDLQLRKTVFKSVTGKMSDARTGFGRIKDAVGLRGHAGKPYKDDVDVGYFNANNSSTTFGGGSNGTPLSPVMIGK
AFTWKDTPAQYQNGSPKVKVLSSGVLIQEPEAMIEEVRSDVPIVNIPEEDQNAEAEAKWAEQVREIRRDVIANDLSVAGSVYDDRDLEGPLLEALRE
PNNFQVLLHRRHSFSGSFPITPKIHNEAWWPRQMSFTDAEDAILGWEPIGTLTDDGEVADTWSALHKQELLSSDYKNLFEKITDLQDSTRPWVSQKV
FDIETLDEQASSDQEQFQTLYYELTDRYQAVKQSSQDVLGEERAHVMEAVKEIEVLGAKLEYEINALVSKVQDVEDGVLQYERQVDDLEGRANELEK
QLSTESWPHWLVRTITGIGTGPNITAPRRQITEQPQ
>RCO7_09978 | probable mitochondrial import inner membrane translocase subunit TIM10
MSMFGLGRPQPSSAEKIAAAEQEMDLVTDMFNKLQQACMKKCIPKEYREGEINKGEGVCIDRCASKFFDVQMKISELLQAEAQAKGAGGGGSGMGFG
GM
>RCO7_09977 | related to lysyl-tRNA synthetase (lysine--tRNA ligase)
MPWIGEQIAKGRERLEELELAKSLDWPRIQQSEHAMTLLEFKKYSNTIQPGQSTSDLVVLRGRVRSCRVSSSKLVFIDIIQEGSAIQVVLDHSRVDH
VDKVDTKKEFRAFYHLIKRGDTISVYGHPYVSQRGELSIRALNIPKLLSPSLASLPRTLEDRETRIRNRHVDMLVNPSVFQTLRLRSHIIQSMRDFL
LKDNFFEVQTPLISDKAGGAIAKPFTTVATEFSEKQLALRIAPEIWLKRLVIGGMDRVFEIGPAFRNEGLDATHNPEFTTCEFYRSFTELEELMSMT
EAMLTTIAARVTELRNATLFDLPESIPLNTFTTPFKRLEFIPTIEAAMNTKLPELSSPNAEEELKALFKHHSLPLPQITTLPRLLDKLSSVYIEPSC
LAPTFITHHPSCMAPLSKSFLCPKTSQLVSARAELFREKFVQQLKWKDHENTAGIDESYLEALEYGLPPTGGWGAGVDRIVMMFSGAKRISDVLSFG
SLRNVVNLGREGSLKKVAVEGKEESLLTREEKLEIWRKKFREEAKAQSERDMECMIKKAAEMGIDLDPGGAGLGGMHENRGIFTQFLAVDEGKGKGA
K
>RCO7_09976 | related to putative protein
MDMTVPPIRRAGTYYIWPGLQDAGNTGVYQQVLDGRKGSCNPKLPWGSGFSAPVGSRVSISNTRVPTGVNWITTMSEGASRTRDAFRVGFKNFNQAV
LAIELNGVTWDFGSLTWHNVVMEVQTTQTAWCTRAPENYRSSTRYSMTTPRAVTRGGVTTCTIDQVVMLGPA
>RCO7_09975 | related to RAD50 homolog uvs-6
MTRKHPARLPNPTSVTKYITSTSRAQTHSFDRLSRHLQHPHSRSLAWYRTRYHTNTDRKYPPECVTSITKLNIRGVRSFDQRDSQTIEFHAPLTLIV
GINGSGKTSIIECLKYATTGILPPNCFKNGNFIHDPKLSGVKEVLAQVKLGFLNASQSKLVVNRSLSLTILKASQKQKTLECNLLIKNKNGERSSIS
TKVGELDSIVPRQLGVSAAILEGVIFCHQDESLWPMSEPSKLKDRFDQIFGAQKYTKAIENLNKNVKNQRIELGKLRIHEGHFKELKDKAERVKQKS
FDLQAEIDALEIKQQSLKVQIKEAEIVAAEKHSLMNEAMGLASKLEQKRNQAEFLESSLESLRTNLVELKESDEWLESTLNQYEERMAQYREQANDY
ADEYQQLLNVAKKCREQLSQKEIEQGQHQAMKQTYEENSIHRVTLIQETASEYSLRGYDGDLEDSQISDFVQRVQKLLREKERELVSVKKATTDELR
QSQGVLSKLDNRKATLSQEKVNAGQAITANEKKIRSRQTEMAAIRMDEGEKAKLDAALADAEQQLAKATESWDSAAWDQRLKSEKAKLMDLEAEASK
LGEELFQINKLAKDRAALEYAKKEAKNASKSLETMVAINKDRLNDLIGTSWTPDNIQDEFETVVEQRVGTLKDLKSQQDTAIQRLKQTEFELSTARS
TITKKKNELQKGLAKILASITDDSDNPITSLEQYKEEYEALEKDLADHKNGIAGTSALLSMYTQFLSTVKNKDCCQLCERSFSDKKEALHAATKLEK
LVAKQDEADKKKDLEEVEALFKTADLVRPLYDVCIKLRDTEIPTLEKEIKRLEAEKASRVSTTERQDRLYNDEESAKRDVEALNKTINDIASYNRDI
SKHEKEMSRLASQETFSSSMSIEEIREQSDACNEKIRSLKIKTDKMNTDKENARVEIVTLEKQVGVFSQQLAGAKHLLEKKQTLAATIEELRESSNQ
QRTVITNAETEFESLEPQVAKAKAQYDDVQRRGAVKEKDVQDDKDKLNKTVNRIKLIEDAINSYIENDGPGKIDTCERSIKLLKKDLDRNEKEVAQV

TKKSNALKTQLADGDNTKRSIQDNIRFRKSVKDLESVSNEIAELETHNATEDYERYHREAANADKRVAKLTAERGPIIGSMHAKDEDLGKIMQEWEI
DYKDAAASYRKAHVEVETTKAAVEDMQKCSKALDSAIMHFHSVKMEEINSIAAELWQKTYQGTDVDTIMIKSEHESASTSTRRNFNYRVVMVKQEAE
MDMRGRCSAGQKVLACIIIRLALAECFGANCGVIALDEPTTNLDQDNIKALAQSLHKIIESRRGQPNFQLIIITHDEEFLKEMKCSDFTETYYRVSR
NKEQKSEIERQSLTDFMG

>RCO7_09974 | related to zinc finger protein white collar 2 (wc-2)

MSVSHGAPINPNILNMDPSMYYSNLAATDSLSRGLSASQAPLNGNDTSMSGMLDDSLLELDDYDNMPDGLDINVLDTGNGQKEYAQINSGMHQHNID
GDEPGALLSSPVDNPMTGAGAGPLPTGFGAQSTLTGGSTLTEFTKRRNWSQRVVEELKDFLHILTPDGRIVYLSPSGEQLTGYPRDELVGKFIVDFI
HPDDSGIFVREFNESIASGHPLRFFYRFRRKDDTYTIFESHGHPHLSSEASTFAGSGPVNSSGFCRGFFMMARPYPTKNAALLDSFLEHKIENERLM
KRIADLKREEAEEADESQKSWMMKQEGAPSEETDTMGSVSTSMNTGNSDALSMPPPAKPSVNPALTTQNLADANAGIRPDSINDKMARYEGATHIET
IEMLTGLRYQEGERSRGISTGDQSPALIRGDAGIAISVDKDGRAADKKKKIKLPDEYVCTDCGTLDSPEWRKGPTGPKTLCNACGLRWAKKEKKKGP
HISPSVAGNTPGQMS

>RCO7_09973 | uncharacterized protein

MAPRPAAVVSEEDDDVPKTVPFKRTNDRIYPTRKTTLRSRQFVRRLISPESRSTLPITAPRRISEQAFNVLNQIEALPSGPFGPEHRLIIARNLALI
QGVTADTVKEREEAERKRREIEEGVKRDLRVAYPDFLMMEDSEDEDEEEEVENAVEKEKNNALHSGGGGGGGRGGRKRKRSSSEDDEDEEAQALKA
KKARLEAIAQLQILEPVDIVTLAPLPTQINYPAHPTTDRPDAWFIDNFTMFYRQVEGTISHYYALHDIPLSSEPWLECKMTPEFLKWAEQVVEPNPR
FGSWDELLRDKEMRKWFVMGVVMKVLKRKVFDKYLFGCGEVEEELFLQTDRAFLGREGFQREDVRAKLTSTLLGHASVPSLFYPSVAKLTAQVSLML
APLTTYLYSLPPPAGKPAPKVSALYQSLHNLVSQAAYLSICCKITPSVIQIHDLRPGDQWQPDDMASLDTDGYIDSRAVITEDYKQEVHNLKAYIAK
VKKEMDSLMPPLVEGIKTTKCEQAIAEYHKYLGILAEKTRCPPTYTHRALVKISVWPIIRRYTPGSEEEFSDQRIPLREKDGFQIFLLGKGAVIPYF
GRENKIGDEYCSLPEWIGMKKRQADERLSWMGTVGKGGLQAVKIFGTIGVGTAAAAAGLWFDSLTGGVLVQGLRGVELDGVREFGSGLVSGLGGYVE
GSWDTTYQSLVQVAELGGQLKWS

>RCO7_09972 | probable brt1 protein

MSSKTAVSTDKAPAPLPFFSQGIKCNGMVYCSGSIGMDVSGKVVEGGVGGRTEQALQNLSAVLQAAGSSLDNAVKVNIFLTDMKDFGAMNEVYAKFF
TKDPKPVRTCVAVHQLPLGTDVEIECTAHL

>RCO7_10418 | uncharacterized protein

MDIDTDDEILGELADGKSMDYEKWPGLLTRLLPRMEKIIQDDFPSAIKPTPSNPSSSPPSESSQNKENAPPPQPSLPTPIQDLVTSITSTLTTLFSK
HPPHTIQRFAELILRPTQHYRSLPAYLHALDRVVHVTSGAQTFPMPPAVPDPSSLSLLSNGSSGVDPLSISWGNPAASITASALGSDESLGGALLTP
ISWLNYTGTGSHSPLEGEVKTESTEMVEGPNGLGGVETVSVSVNGVSSTTAKVESESEVASLRAEGGITQGELLRQEQRAGVVPATQLGGRGDSDGL
GEEDEMPHARGPEEIGMEDTGPQNTAGGGSERAGAVGMQGIDIEAAVGRRLDVNEDDENEDEKEAETKDEPSTPKREADTEMGGEEKRAKTEEIPEK
NTEIVDADGKAADEPKTGEKGETKGSHAVDTTTV

>RCO7_10419 | uncharacterized protein

MSSGRQDVTAFFKALGLVSRQVKRARPSKASKPSSSDEDNNDVSNKNEAIPKTLYQYTSLPSSGNHVRILSLQPGLRSEPIICHLRPISLNESIHHY
EALSYAWGDSQERFSIQVDDGRLEIGQSLYRALRHLRDEKQTRLLWVDAISIDQSSFSERAKQVPLMCEIYQNARSTVCFLGPEIHTTGSMFAMLEN
LAEESRTVAGTEMRAEMAALSVNHLPTQGTKTKLFDEYLGDVTIVDIATRAWWFRAWTVQELMLSRNAVLMIGKYTITWENLAAAVDHGLQMQLWTH
IFLGFIVNPVIVPYISMRSLMHRYQPSNLSSSGSPGADLLRLLTHCRHRESRDPRDKIYSVLGIFRATHPHILTRFAAVDTPIVEVRYERDVQVVYR
NISQELIYKTNTLDVLGICPPTELSGLPSWATDWSKTERIGSPLTQDSLERVRTTHASGHSKACAKFVDGGTILLLRGCEVSTIASLSDVLPVPDLI
NVAGSKASEVYARRFDSQLLNLKQLLHASETSPSPFPDFDTMATIADTKLAKCKISLAKHFYTAGSFVHQRWSTMRNYVLLTFYILKLILQVSLAQY
QSFGHDGHAIMEVFYPLFAWQTFARAEEPTNPGVDPSEVYWHTLCCGTYTSSPKSTDSIAETHNLYTHHSTLLSPFHTFIRRFKWLTGLFPWIGIAF
YLRITWEGHSTFWKYIEASKCRRMGRLENGYLAMLPRGSELGDLVCLVGGGGVPLVLRTVEGEGKRESRGLLRVRFVGEAYVHGIMDGEGWDEVRCT
SIEIE

>RCO7_10420 | uncharacterized protein

MSYRHESRSSLIRADSQDALTYVGGYHSRQGLVPPVESGVPRGRRMYRPNSTWTWAFLITTIVQAGIVLAIEAYLFAKFQTSIIDGLSKEPLAKTIP
TYLTLFIFGFLYQLVLVYDSLRLKNTIQVIGLCIYNVGMLIYASIQYDQIEKAIHDLHLQGWIKPDIPIWTDIRPYLIAVPCIIGFITIAMSIIAWK
LYDEFAWTIYKHISADLRMKRRFLTFQIYIALLKFDFFFFLGFTVQFLVIVTGLADAEFGLTIAAVPVTVLILFMAAFWTRRENKIGMVGTIFLFFC
GMAYFIFKLARMYQPSRRDDYLPVRKSLTSFAVITIVLIVLTIANACVCMANFDKGLKPHIMKRKIGGEEAAEKLDNMTELPDLKHGANQPVSSRMT
ID

>RCO7_10421 | related to probable enoyl-CoA hydratase

MPPLPSSYASLPFSDILISHVPASSPSPTPVILITLHRPQKNNAFTDVMHTELASILPILSVDPRVKAIVVTGSGRMFCAGADLDMGLSYERDTVRS
HRDGGGQVALAIHRCNKPVIAAINGSAVGVGITMTLPMSIRIVSSSAKIGFVFARRGIVMEACSSYFLPRLIGYSRATHLVTTGEVLPASHKLLEGL
FSEILPQEQVLERALDIADDVARNCSNVSVMLMRDLMWRGPDSAEGAHLLDSKVLLGLFKGRDKDEGIQSFLEKRSPEFKGTMDDAPDIWPWWEGVD
IGVKTLRLEEEEGKAKAKL

>RCO7_10422 | related to nuclear transport factor

MAFAIEVPGETVPLSPQQVYHALQSAGSSQQLSIQTGTQQLQAWESQRGYYSLLQAVYLDKSLPSEIRYLAIIQLKNGIDKYWRKTAANAISAEEKS
QIRSNLLQGGIGEAENNIALQNALVVAKVVRIDYPQDWPDVLTGLIKILRDASQSNPLYLRRGLLILLQVVKELSTARLRTSQTRLQSVTPEIVFLL
SEIYTEKVGLWTTFLNGTGEDEGGAMEAMENSLIAVKILRRLLISGYENPNHATEVQQLWEHSQLQFGQFLDMVSREPAVIVSPAKELVEKHLVQFS
KLHTQMSTQHPAAFALLPSSIDLVRAYWGLVAKFGESYGSETQDFSAKALRTDEQMKDQRPVMEKLCLKGLNILRACCKMVFSPSMSFKYRTPEIKQ
EQQGAATLIKTQLLTDQLVSQMASVIVTKFFVFRQVDLEAWEEDEDEWEIREEGGGDTWEFEVRPCSEKLFMDLVINFKHLLVEPLLSFFHSVAGTS
LATLVTKDAVYTAMGLSAPVVHQSFDFDSFLTSTLVNDIQQTGPGYKVLRRRIAILLGQWITIKISDDNRPLVYQIFQHLLKAEDETNDHVVRITAA
RQFKAIVDDFSFDGEKFLPYAPDILGRCMALIQEVENTETKMAILDTIRMIAVRLESNISPFADQIVSMLPDLWEASGEEHLLKQAILTLLSTLVTA
MKEGAQRYHTMILPLIQRAVEPGSEMQVYLMEEALDLWVVILAQTPPPATPEVLALADSAFPLLELGSDNLRTVLNIVDAYVILAPEAMLGEQARLR
ILAYMTNLLGVTKRELAGLVTTIVENMVRAAEKLGGANGVVQIARDLHGCGYTEQIFAGLRDAWEAHQTTGPNRKYPKLDDVVETDYFTILARIALA
DPSVFITIMSSVGNVNEVWEWLSTEWFRHFDSMVNIDRQKLSCLALTRLLELEPPMTPAILMRLQDYFSMWSSVISEMLGGRDDGGDNLIWLTSEGS
EFEGPEDVRRRLHSAEDPVHTIHTFDFVKERLARVVAVCGGEEAFQRDWLANVDKSVLAGFQELGTTDTSQPFWGRQE

>RCO7_10423 | related to YIM1 Mitochondrial inner membrane protease

MTSPQVNKCLRFQGTPGSDPAIVEKDILPLPGNEILVKVHAASINPCDIQLWRSGLVGLVSGDKGMGKDFSGTVVAVGEKVSGWANGDEIFGLFFHV

FGQSTFSEYINVNPASDPVAKKPGSLTHEQAAAIPLVALTAYACLEWLPATSGSQRKVVIRGASGGTGSWLVQLAKIVFDCHVTAICSEKNLSYVKS
LGADTTIDYTAQDVSQSLLSNLKDESKYDLVVDCVGGKELIPVYEQLLHTHGAYLSIVGDKTDVFTLGGPITYFTNPIQIIRYIKGYIWGPRYACVS
FVEKSEYLQQIASLAERGELAKVDIEVLEGIFDEREAWRTAIERMLSMRVRGKVVLSIP

>RCO7_10424 | uncharacterized protein

MNTSSGTKGAVIPPNGTEDALSMFFDFGEPTQDTLEVLHRDLARQSQERHQRGGIRVSLACVPCRSRHVKCGAEMPNCSRCLQDDKPCFYAKSRRGM
RDRNAPKKRASLREAGKTSPGPASSNGNINSLSNLQANSTSEPYTGPSSDGSVSPERWASRMSTKPANPIRLIDLYYSSFHNAHPFLLPRYYFQSRL
QSDPESLRFLCPVMQWIASVYSPDVSSAELRDNAMTQIELANLPPNGFTVQALLLAAIATHSQNDMAKSRAILDRAIYLALEIRMNSRTFANMERDP
VMAESWRRTYWFLYITDAKFAAFRNATHFMLYSIEANVELPCEECDYDGIIPRSRTIKEYESRDFEDEEPVFSSFTYLIDLTRITGSLLGFDRQPPS
EIENAVNNADARLMNWRLHLPREKQGVVDKNEEIDEILFFAHHHLQVILVYIHRPLSRLVQSPLEDLFTCSFPAAPFQQPTGDEDHTYWLHTKKTIE
AAEAATNLYALPCPILSHSPLGTCGLTLSTLAQLSACAYILTGPEWYRTRDRIRLGLGGLKAFAEVWPIARTNEKETKMVARSVFAMPRPGTGTTTV
TVSVEQAKSVTPNFTYTSAFPVGTPIPALSMVTQNQNQNQKSRDGWQELSEIDYFATWNAFSGRQQDFSGILT

>RCO7_10425 | probable peroxisome assembly protein

MAPNDFALAQQRLAARRQAREADAQARIVAQQQASHASEQLNRLPYPLSRLGRAGISVWDSIKGREGTRPAFRVGQVDAELLDEELLELLKAQVGDA
LKYFGSHLQDDWSAEIMLALRAVLFKVTVWDHEATYGAALQNLKFTDARHKGPVLVTPSRWQKSLYGLFTVGGKYAWTRWEDWLVDNDNGYDQPSPA
LRKLSRLSESISTVHSTAAFASFLVFLVNGRYRTLLDRVLRLRLAPPTSQVSREVSFEYLNRQLVWHAFTEFLLFVLPLVGISRWRRWLTRAWRKTK
SVMHSGGDEEIEIKSGELAFLPERTCAICYQDQNTTSTSEAEVIAASGASGVVGSSQTDITNPYETIPCGCIYCFVCLAGRLEAEDGEGWICLRCGE
EVKECKPWNGDVIEEVTKPTGPSKTVGFSEPSEMANIEPHPEEDDNDRTRNNEDEGSSTQPSVLGDAEAFDEEEDGEMDDDDE

>RCO7_10426 | related to Na+/H+ antiporter CNH1

MWDQLEPTAPHLAYLTISTFLIIYALFSLFIRNTLHLSEPPLAVLYGIILGPHVLGIIAPRRWGMDDGTVQEITRVIVGIQCFAVGIELPKLYFHRH
WKSVLYFLGPVMTFSWAITALFAYFIFQTSIAAALIIGACLSPTDPVLAASVLSKSRFSQRVPPRLKHVLSAESACNDGISFPFLYIGLVALNFSTA
GEAIKEWVLITILYQCVFGITIGLIIGNLANRILRFSNGRNYISQPSFVVFYLLLAILAIGVGSTLGSDDFLVAFGAGVGFAHDGWFAKKTREAPFP
TIIDLMLNSSLFVFFGSIIPWARFLPRDVTPHCGVWQLILFLALVLLFRRIPIVLAMKRFIPDIRTYREALFCGHFGPMGVGALFLAMEARAQLETG
TGVPFGKPRQLTPPYSDKDKAIELLWPVICFVVLGSTFVHGLSTVGISVIGHFSRKEAERAPLLGQETDGLEAMDHERGNGDSEPEVSGSEID

>RCO7_10427 | probable glycosyl hydrolase

MGSPRFKWVIWGFSTLWLAIASAMTPARIAELRQETVEMFYHGFDNYMDVAFPEDELRPVSCVPLTRDPGNPRNVELNDVLGNYSLTLIDSLSTLAI
LASAPPDSRRTGPKALQDFQNGVASLVSQYGDGTSGPLGQGQRARGFDVDSKVQVFETVIRGVGGLVSAHLFAAGDLPIHGYNPPKSAGSKQRLQKG
EIPAIAWPNGFKYNGQLLRLALDLAQRLLPAFYTATGMPYPRVNLRHGIPFYTNSPLHQDSDEANDFVQEGAPEITETCSAGAGSLVLEFTVLSRLT
GDPRFEQLGKRAFWAVWARRSNIGLIGAGVDAENGNWIGAYAGIGAGADSFFEYALKTHILLSGHDQPNLTVPYKEPHQSWLDPNTIYNPLTVEENS
SEAFLMAWQEAHAAIKRHLYSGTHHPHYVNAHLTTGSPQAYWIDSLGAYYPGLLTLAGEVEEAIETNLLYTALWTRYAALPERWSVQNGQVEGGLGW
WPGRPEFIESNYHLYRATRDPWYLHVGEMVLEDIKRRCWTECGWSGLQDNPGVVKRKLPPTKAVQPYEAVGARDTCPVAATAVPLTISATAARKDIF
HAASLIGLHLIQNSHAIEGKVQNEYIGDVQQPVTQITNHSYYPWTLPNTLMPLNGMCSKLPFKQTFSIEFPISNPSTSASESSYLVLGPQGLARLNE
GILVKSLSGIRIGMIYESPSPYQSTDGPLMESYRVSSIANMPLGRDEQVFIPRDVIGDMVDPSFTRVRDTVMADIVLQLDNPVVVNSTSTGSDEEFY
EAEATQDIFEDGPRISADDFSTGLAAEYRTMISSLLRQVTSAMREPTATILPKPEIPTNYLFITLPAISPTGMGAAPIVEIADAPDPNLGSQPESLT
WTRKYFAGESCTSKLPEDAAKNHDIIVMRRGGCTFSEKLANIPSFVPSAKSLKLVIIISGFDDELEGDGDGMPKSNGEHLIRPVLEKSQVTPSGLVR
HHQISMVMVGGGKETEEKLRRARSVGLRRRYHIESQGIVIGNIIVV

>RCO7_10428 | related to binuclear zinc cluster transcription factor that regulates the ratio between aurofusarin and rubrofusarin biosynthesis

MLLAGQASAPQTTRPTAPKLPRAFETQSAEQSPTERRTSGDLPRGLNARSCVTCRRRKVKCDKKDPCTNCAKASSVCVFPAPGRAPRRPRQGGKAVS
EREAELLKRLRKLEGVVQKLSGQVEVEAVRQSPSSDNSSLPKDGDSGDTNIGRPATLRVVGMDEGKGDRKTWLARSFRIGSGPPKTAYSVEELQNGV
GRLVVDEGKSHYVSSPFWPQITDELDEIRELLDDQEFDSDDSDVPIVPSHTITEPNHQSFIMGYSSSEVNLKGLHPLPSQIPFYWQTFLENVHPLVM
ILHTPTMNKVIKQVQSNLNSLSRSTEALMFSIYFATVTSMTGTEVQTNFGVEKEVLLRQYRFGVEQALARAGFLNTDEIVTVQALVMFLICVRRHDD
TRFVWSLTGLTLRIAQSLGLHRDGSQFGLTPFDTEMRRRLWWQICVLDTRASEDQGSDPSIIEFSYDTKLPLSIDDDDLDPVATEPPTEREGVSEMT
FCLIRYEICNLTNKLTYNPPGDVPCKVQGQMLTIEQKERMVRECADYLEVKYLQYCEDAGPLYWVAATVARLIVAKMSLMIYHPLTLPGKPSSLSED
IKDRLFISSIEIIEYSRILETEATTKKWGWLFRTYMQWHAVAFILGELCSRPNSVVVERAWRVVELAFGDWHGSAALGKNGMLWNPMRRLFAKAQRK
RIENSKMAEKDVMNSGLGMSSVYLDDHPPPRQNLTPGRCPTTIARDRLVSQLVDGTVEDASQDIPPTTFAPEMYMNDISTLPPQIVGMGMLAPDQIQ
LQIQQIQQQEQAAQQTMPWLLDDNALLDLDMTAVEGDINWDGWDDLVRDFQLEADNTQQPDMARGPALGGMAQWW

>RCO7_10429 | uncharacterized protein

MSVSQTLDGLKAGQYRGAKRLKLSCDLSAFPREILTLFDTLEILDLSNNPLSSLPKDILRLHKLKIAFFSDCKFTVFPKELAQCRSLEMIAFKGNHM
TTIPEGAFPRKLRWLILTNNAIGKLPQSLGQCHRLQKCMLAGNQLSALPAEMATCRKLGLLRLSANRLTELPQWLFEMPELSFLSFAGNPCAPNAED
NPILDDIAWSDLSVSDILGEGASGIISKGIWKTPTEAKSVAIKLFKGEVTSDGSPVDEMNACIVAGQHANLIDPIGKIHGHPDKRGLVLQLIPLHYT
NLGLPPTLDTCTRDSFHPETVFSVEKCKSILLGIAAAATHLHERGISHGDLYAHNILIDKSGHALLGDFGAATIYSKEHDHAEMLERIEVFAFGHLV
EDLLGLVERRVDDEGGLLGEKDAFVIEGLNLLHWKCTAPIVRERPSFADVVEELEAL

>RCO7_10430 | related to 6-hydroxy-D-nicotine oxidase

MVTHVSLFALWLLTVEGAFASVQSVQRRATVTDCLAAANVPRFLSGTPEYTMAIRPYNARLPVKPLIVTTPRTVAHVQAAVACGAQHKIPVTARGGG
HDYAAHGLGGEDGHLIVDMKMFTNVTVDSSTQVACVGSGSRLGNVAIALFEQGERAISHGTCASVGVGGHVTGGGYGYASRTHGLALDNLVEATIVL
ANSTVVSANKTKNADLFWAIRGAGASFGIITEYKFQTWPAPSNSTIFYFYYNFTQKQAVAMHKGLQEYANTSMPSEMNMRMSIDSRYPYQQLEGVYY
GSQEDFSKAIAPLLAKAPFSGGFGFNRTAGWIDTLTTFAYSNLSTPLDFFTSETFFAKSLMTVDVTDTAIESFWAYWHHVLRKHKRSWYLLIDLHGG
PSSAISKVPDGDTSYPHRNALLKYQFHDSSSGEFPSDGFSVLNGWVESLTKAMPETTIGMYVNYADTSLSTAEAHKLYWLKHYPKLTKVKHAYDPHV
VFSNPQSIGLS

>RCO7_10431 | uncharacterized protein

MSPHLLVFGIAPVLFNVVACANLFAAHYSGTINSLTFIPSSSGAASLTLNTSLTIGGQPSWMTWDSASRTIYMPDESGSGRSSLSFAVSAAKDGKLA
LLGKASGLPLVGVANVVYGSGYIATAHYSASSISTMKLPLTSSSTVLQTLKYTMNGAGPVPSRQDAPHPHHVFPDPTGDFLLAPDLGADVIRIYKID
KASGKLTACPSYVEPGGTGPRHGVFWGKDVLYVANELANSVHAFAVTYPSSGCLTLTRSQSLTTMTGNKAAPVGTKVGELHVKGNFLYVSNRRDLSF
APNDSIATFSLSSTGVMTFVDISSSGGTYPRTFSINKAGDLMAIGDQTTANVVVVKRDPATGQLGPQLASLRVGSVGRAENDDGLSSVLWDE

>RCO7_10432 | uncharacterized protein
MVLIILKYASLSAAVLAGIYASLLGMLSTSFCQAHVVYLHGLQMTWFKDLNVPELFGFLHNQVSPFSITTLDGETLYAWHILPLGLYRKHEAALVAE
PFGFALDITSRLSFRLLRDDPEARLVIHFHGAGGTVGSGYRTPNYRALSAGQPDKIHVLTFDYRGFGRSTGRPFEQGLINDALAVIEWATTVAGISP
SKIVIFAQSMGTAVALAISEHLALQSPPVVFAGTILVAPFVDVGTLVSTYKIAGTIPLLSPIARFPSAFAYLRTLISDKWLSKDRIAGYVTANEANG
ESYKLTIMHAEDDWDIPYHHSQLLFWHAVNATASQELSYEDLEDQKYKAKVNLGAAGSVMEWQTEVGIIREEILQTGLHDVIMGYPVITMAVMRMFE
AVDHA
>RCO7_10433 | uncharacterized protein
MGTTTSPDASPSHTAGALVGWMPESGGRGTLTLVSSCSLTIFLCTWVVIHPRVSKRPTIRRLHKLALFLKTLVGPELIAVEALQEWSQAKKMKLSCA
PFTGGQLKLIQAYFIGMLALRYRTPDGNRVIWPNQYTWLLEQGLITWEHHACWGLSVGDISDKSNADGTVKLAALVQVSWFLAQCIMRAAHHLPLSQ
LESMTIGYIPLSAVTYSLWWLKPKDIMTPSLVDLPAMSEEQRTIFEDMAVSKEFDDEGLEGQDTLWGVWHLTPRVFEKEAEDVRRQETLERSLREVE
ERSRRRSKATSQAVERERAGSSDSDEEASVDLPDLLRKEIVISYWDPDLYRSKIWPLSCLMGSSFGALHLISWHSKFPTLVEEWLWRVAALTSIFTL
LIFMHFERVVFRWGGPKTLISLSTPVLYLVSRIVMMGGVIAAFRASDPEIYDTYVVSTYWIHAF
>RCO7_10434 | uncharacterized protein
MEGILDPRTWYPSPDRPVSPRPWFLPLVLLSFIVSTTLPRRSRILIAVPVLLLLVSQIRTYSTGDNIKDFGRGSFIFGFVLKFIDFGILTRDGEAYK
LKDRKSSISNAGSISRSAEVKGIWQRFKDSAELWLFTMRGIGWNWKVGGIPERKRQSTSYFIFRTLLRILGSYIAWDICKYLMGLYPYIHSSPRGAF
FSLPFSSQVILTWLHQLEAFCFINLPYQIGALLTVATGYQTPADWPPLFGDLSGGYLVSRAWGRVWHQLLRRPLGMLTPYVQRVLGTKSRSAKRTSS
LVCSFMMSGFVHWSGALNCAWTSSSHGMFTYFIMQAPVVRLEDCIVDWGRRQGFKSSVLLKCLGYLWTFSWISYSMRYAARYQFEHGALSVYDPFRY
SIIDYLARS
>RCO7_10435 | related to actin-like protein
MASQPLNSSMQPTDVYGGDEVSAIILDPGYSSVRAGFAGEDSPKSFVNSHYGVLPSGKYVFGDDAIHNPLSGLEIRNPMSKEGIVEDWDTATKLWHY
AITSRLTSFKQADPRTNGLNDDLKDLGTEMEGLEGDEKPLEEHPLLMTETAWNTSKNREKSIEVAMEQWGCPAFWLARNSVMAAFGGGKATALVIDI
GASTASVLCIHDGLILKKSVQKSPLGGNWISAQLRAMFNNQETKVDLVPHFMISSKTAVDAGAPAQAVFRKYETPPTDSFRALEEERVLTEFKESVV
QVWSGPGKLNTTSQPGGSNLDFARSQPGRVFEMPDGYNQMWGVERFQVVEGLWDAKAALPIPGEPAVTQSQTIIDMAKASIGAVDVDLRGHLLQNVI
VTGGSTLINGFNDRLNNELVAAYPGTRVKVQAAGLTTERRFGSWIGGSILGSLGTFHQMWISKAEYAEFGVSIVDKRCK
>RCO7_10436 | related to alanine racemase
MATTSFYPLSTKEGLLKEFVGRSIKDVAVPAAVLDLAKVKNNCSHMLEAVESLNFGWRAHIKTHKTTELTRLQVGEGSGPANIIVSTILEAEQIVRL
LLEYKSAGRALLYGFPITQTAVKRLALISKALGPKSLSLMVDHPDQLPNVITLQELSGNVPSIFLKIDIGCHRAGVTPQTSACSTLISSLLELEKAG
KLHLLGLYAHAGQSYSSSAASDALDYLRQEFEALLVTAIELRNISPSHPLVLSVGATPTTNSIRNLLHNDSKITGTIPLSPVQTAALALRATIDLIR
ANECSIEIHAGVYTTLDIQQLVTRALPTSGPNAMMTWDDLALTVIAEVASIYPNRGQKNTPEILINAGVIALARETCRVYSGFGILSPWNREGVSPP
TTGPETHTGWTVSRISQEHGILTWNGSQANQEIPEAEMLKIGQKIRIWPNHSCIAGAGFGWYLVVDGGDEIVDVWPRWRGW
>RCO7_10437 | related to transcription initiation factor IID 250K chain splice form 2
MEDLVTEEPVMEEPDFNSMSESDWKKQAEEDERAFSAVLNGQQEGTTLPDQDTLFDSERPLDLGVKADDAQDFEDISDDDLPEEEEASGDKIDDAPG
LTDDATGNDEYDDDDLFGDSGRASSPFDFEDPTQSSAGQEPRVGSGLTLPSIAPEPEVVDLRALNFPDQFAADEEDGMPKGEAEINAYLAENWPTYE
KDAILNFNQLFPPQLSHFVGRSSDKLPKPLHPTKVSLNIAADQEKAFRSVGAAQSDKYTRIAEEEAKGLVSIVEDSEDGGDSDDEFDYAPITDKVGG
KSMLDLDIICADFEMVDIPAPTPAPIEEDVQDEWEREFLGPTKKRKADFEFLFKPRIPMPNFDNYERMTAQTAKRVVLDLNDPHLLVEVAEVDRTAK
RRCTGLNKRAPKDVKAALNQRFNISNDEAYSHLKNNHGKVRATVGNISVEHSLPAQKLAWPYYQVKLNDHQARTYHRPQLQVGKFLHQNITFSKPGM
RKKRDMRTLTAEQAFKETKDLSLADHYATATLVEYSEEYPTVLSNFGMGNRIINYYRRKDADDQKEPAKFEDRVGDTTILLPEDKSPFAIFGTVDPG
ETVRTIHNAMYRAPIFKHEPKNTDFLVIRSSTGVGGSSWHIRHIDNLFVAGQQLPSLEIPGPHARRVTNAAKHRMKMVTWRKMRHSQRAEVSLKEIT
EHVADSTESQNRQKLKEFLIYDKTTKTYTAKPGEGPLDEIYVRTLVKPEEVCALDAMQVGACHLLDAGYTLDKEDMDDGDPGNQSLEQKLTPWNTTK
AFCEAAAEKAMLELHGAGDPTGCGLGISMIKTSMKGGYLEGIKEGDVPAAKQALDRKANGGHQYNVRVQQDLYGGAIQRIWNGQMETLSDPKEPDDM
DVDMPAGEEVATADRTPQSMATPAFNDNESSFSDDSQQRVLKISRWTKNKFGQDQEVTEVIRDQKVINMYLKRRIEIDMAGVNVLDWVPTGDPETDE
IMKARHVLVKPVSIKAELERLNRNKDRRHHRNALKSGITKGGKPSKSKGLKSAASGMLSPSSTLAPSIEKAAGTTRKCANCGQAGHIKTNKKLCPML
NGTMKPDERPASNSGFGNGDFGAGGGFGDGGFGAPQPSAFA
>RCO7_10438 | related to Fe2+/Zn2+ regulated transporter
MTLRSFLVLAGLATCAVAQTTYTLSGCHKHGGTEYCYLPNGSEVPFTRTGSVAQATAPPKITAPATTAASSTPAPIPASVTACHTHDGGSQFCQASG
TEYEVLEAPKITPLPEAYNGCHGHGSDIFCMAPDGSEVPIALEGANHTEGAGHEDTGHGGEAGAATGGKGNCHFHGTVEHCTGGSAAPATCDRVERN
YNIPLRIGLIFVILVTSGFAVFAPMLIERFSSLTLNSIVFTILKQFGTGIIISTAFVHLLTHAEMQFANECLGELKYEGTTTAIAMAGVFLSFLIEY
IGSRLVARRNAGIVPSSDAEQVSTNSAKGSTDGAHAPAAQDTSIGALGHAHSSGDGHRDSHFSVAVMESGIVFHSILIGITLNVTPNSWFTTLFIVI
IFHQMFEGLALGTRIASLKSSTSFLTKSIMATVFTLITPIGMAIGVGVLKHFNGNDPATIVAIGTLDALSAGILLWVGLVEMLAHDWMGGDMSRASR
GRTVVGGVSLVAGMVLMSVLGKWA
>RCO7_10439 | related to S.fumigata Asp FII
MLFSSALLLGGLSLTTAIPTFSSEQDVEKRDGAAWTWNEGAVTDYTIHVSCNATERAQLQRAFNESLTLAQHAKDHILRWGNSSETYVKYFGNSSTT
AEPAGWFDKLINGDKTGVLFRCDDIDNKCYQDGWAGHWREEKAPDQTVICPLSFEARWPLEAMCGHGYTVAEKKDSLYFGADLLHRLYHTHKVAEGV
VDHYADTQEDIIALAKEHPEQAVRNSATLRHFAVEVYAYDIAVPGIGCPGSLPPASGTPTTPEAPHGAPAATPSAPASSDAPPPSTTAPEPVSTTSS
AAAECHTHADGVVHCA
>RCO7_10440 | uncharacterized protein
MLKLISATPSPYARKVRIVLAEKNIPFELITEVPWDSTTQTKLHNPLEKLPVLILEDGSSVYESRYILEYIEAKFPNTTPMLSSDIDERLFAKKVEV
MVDGMCDALVLLFFEKQREKGQSGEWKARQMRKVDGGFKALANWVGKKEFVVSEKFGLADVAVGSICGYVDVRFSEYPWRTTYPDLGKYIDGLNERQ
SFKDTVPFAQTISDKIV
>RCO7_10441 | related to glycerol transporter
MSGEFRISTFGPLEFEAFKLPVRDIRPASSPPRSLLYLHVLHHLPVAQLFLAFPAVLSNERLHDPTMSLFSYIRNIYDLDTIDTRFTSSSAAPYKTV
IDARSDPASNIKRDHSVPGVGVKTDRSGRPIAQPSKWNTPEFYFYYFVFITVVPYMFYVAFDVSRPSHPNYHKFERYLNKGWIPGRKIDISDAQYHS
FRENIPYLAILLACHPVLRKIYNAIRPVAVRSGSPKSNGSSSFMSVADGEARKEQRASFDFGFAIIFLAAIHGFSGLKVMTILYLNYYLAKNLPRQY
IPAASWIFNIGILFANELSDGYKFARMAAYLSPLDATGQGNSLNNWGKWLDSYGGIIPRWEILFNLTVLRLISFNLDYYWSLDRRSGSTIEKKQLDP

ANLPERDRIRTPANTQDFSFQNYVAYAVYAPLYLTGPIITYNDFISQLKYPPASIETSRTIKYGIRFLLCLLAMEVLLHYDYCVAISKGNPVWSDYT
PAQLSLLSYFNLHVLWLKLLLPWRFFRLWSLIDGIDPPENMLRCLSDNPSTVAFWRGWHRSYNRWIVRYIYVPMGGVSSKTWKDTVMSVVNYIVVFT
FVALWHDISLNLLVWGWLVVFFMLPEVIAGMLFPRKRWENNLTAYRVICGFGVVGNLLMMMMANLVGFAVGVEGLKSLAFLIFASSVLFVGIQVMFE
VRESEMRKGIFLKC

>RCO7_10442 | uncharacterized protein

MDSNWEIQQGNFHLLESELRGGLDLSNLPMVPDEEINWSEWMDMDMDAINALDAGYETKTEGHWATLRFCSASLDQPIRRVGVQQLLLTGEEILSPT
DQVSPAGNGLHDKLLNINAPGKKSSDAFRALSPFSPLPGRRDAMKATKPPKRRIRCPRPGCVTESQNHFLAKINFLSI

>RCO7_10443 | uncharacterized protein

MLSRVSLRLLRISGPRSGCLSGTSTAHAQPVGTVYHNEMKQMLRRYGTSENTRWMPDSTPDSEATLVLDENPISSEEYFALPNLEMKRCRKETARIW
SPEALKWLIPVMRKRSSTESDSKEVDAEWEDQNPHPVKTLLAESRSHWRMTNGKPVTWERYFGASAQGQHLVLDQLPGILAKKPSPQDLISKLLQES
EEYIIDRKYNQQRKAKSIRVAIRGWKILARKMSELQSRISEAEEPPLQGLVFEGHHLPWSIYMSFEKRPRTLTLNETLRYHDGRRNMSDLLVTLSRE
LEDYILFLRARYQDTGDAERKIWKAWRYLTTEFRMRAGKDAKFMYSSYKTKRMQMNPQVNDDNPDV

>RCO7_10444 | related to metallopeptidase MepB

MNLRPKLPPQLPVVFNQTPSDLRRLTEAAIVTSRATLNSLIVNIPPSEATFANFVLPWIHDRNTRMKTSSLVALFKSVSPSEELRDASVDCMKIFSE
FGQEITARPEIYKLFQAVKEKGERLDEEEQYYLDRKLCQLVRSGAALLDGPVKDRFRDVVARLDDIEAEGSKRIRQENGGIWFTAAELRGFPPDALA
TLKKGEGDREGKYKVTYGTVDLDLVCKNCVNPETRKKIFMSNEMKCADNVPLFREMVELRAEHAELLGYKSHADLTIQNRLMTHEGVKSFLDEMQDK
TAVASKSNMEKLRKLKRQTLVSQGLEEGEIDDRLFLWDQLFYMRLLEEQEHDLDQNKIAEFFRLDETVRGLLENFEILFGVVFVDFSEKSRELMMEK
QEHITWHEDVAVYAVWDEEALGGGFLGYLYLDILKRKGKRDHACCITFQPGFETIDGGSQFPSALLVMSVQRPTDMKPTLLRHRSVVTMFHELGHGI
HCLVGRTRFAETYGTKTSRDFVEIPSRMLENFCWDAAILQKLSNHYSHLSPEYMASWKTDKRLEPKPSVKAPLELLQKLDASRRVTLAPLTQRQIAF
SKFDMAIHSVSSEKAKTMEIGDLYNGIRQECTGLLGPEVGGVGYSRFSHMFGGYDAGYYTYVLASVYSSDLYQTRFAHDPMNREEGRKYRKSVLGRG
GSGREMGFLEEYLGRKPNGDAFAKSISA

>RCO7_10445 | uncharacterized protein

MNIFSAQHLKFSTDLWDPSHRFETSWLLPPWVLFAIRATISLYAFVVTFFIIGWEMTDHNGLSAKDVRNSFSFFTILCYWGICFYFLISALHTFTYA
FHGGTPLLNRLPRPLQALHYLFYSTITTFPFLVTIVYWGILYSSIGPFKTPFALWSNVSQHGLNSAFAIFEIVFTRINPAPWIHLIYLILILGCYLG
LAYVTHATKGYYVYNFLNPNPVNKIIGEDGKERNVGGVGKGAVVGYCFGIAIAIVIIFAIVKGLTTLRKWVTEKKMERKGRFYAGREMGYGDVELET
QRVWEK

>RCO7_08648 | uncharacterized protein

MNLGPIIYPSSYIIFSTILVVASKSGDYDTAPIVEYTILSGLLPSSEAKDAELNRGSIIATYKAINQIYYLAKSTTSTTTRSIEKVFKELEFIKVEF
TKKAIFKATISNTKGKRNLLSSLEIASDLDTPGPSLKKKAHRISYYTQSTTRATLVDLNKELDIVVLVLDILDLLEAPENLGEKASEIEVVKEVEF

>RCO7_05492 | uncharacterized protein

MNFYNKTEILLKKYKKSSDTIESVYRRIRGVEEEELEEEEATKEEKAPKEEEEEEEEIATKELEEERESTMI

>RCO7_05493 | related to dolichyl-phosphate-mannose-protein mannosyltransferase

MALVKNDGTPVPAQTVRTPSKRAIIKKPNDYASEGVEDNDIFLLPGTDYQIMIAVTFLAAVIRCFRIYQPSSVVFDEVHFGGFASKYIKGKFFMDVH
PPLAKLLLTLAGWLAGFNGDFDFKDIGKDYVEPGVPYVAMRMLPALCGILLVPTMFLTLKAVGCRTWTAAMGALLIVFENGLLTQARLILLDSPLMI
FTAFTGLAFTSFTNQHELGPTKAFQPTWWFWLAMTGLGLGATASVKWVGFLTIAWVGSLTILQLWVLLGDTKTVTPRIFAKHVVSRVFCLIVIPIAF
YMAMFGIHFLCLVNPGDGDGFMSSEFQATLNSKAMQDVPVDVALGSRVSIRHHNTQGGYLHSHNLMYPTGSKQQQITLYPHKDENNVWLLENMTQPL
DSNGQPINGSLAWDALSPPNFVKDGDTIKLFHLSTSRRLHSHDVRPPVTEAEWQNEASAYGYEGFEGDANDYFRVEIIKKMSEGVEAKQRLRTIETK
FKLVHVMTGCVLFSHKVKLPEWASEQQEVTCAKGGTLPNSVWYIEQNEHPLLGAEAEKVNYRNPGFLGKFWELQRVMYHTNAGLVESHAWDSRPDSW
PILKRGINFWGKDHRQIYLIGNPVVWWTSTLAVAIYVIFKGFAVLRWQRGFNDYGNVIFKRFDYEVGMMVLAWAFHYFPFYLLQRQLFLHHYFPALY
FAVIALCQMYDHITARIPGIGLRENPLVGRLGIVAFLSLTIVAFGIYSPLAYGNPWTKSACAKAKLIGTWDWDCNTFFDDYSQYSAQAVNVNGGISK
TDSPLLPTDAPVAPPPVAGVQKPIVEVQAGISEAPAEPKVSPPPLVPGQSVVSREEKVEYRDQDGNLLSPEQVKELEGKVEFKTRYETRTRLVDAQG
NELAKPEDPKPVAPPHPDVEGPDSSTAGKPEQAPGEIPAVQREVQADESKEAEIGKADTGAAKPASEVKEATAA

>RCO7_05494 | uncharacterized protein

MRPTLYRAMRPTLMRAAEAATKNDEHVLKKGAKKDPELFILLGIMSGAFGLAGFYFGRKPTSATSEAKVSIAEGSMPWQKEGIEGKYQYHPGGDPNK
APKDAPSALHSVIVPNVNLPKELHEKYNKWGKDGF

>RCO7_05495 | related to ERF2 - protein involved in palmitoylation and localization of Ras2p

MASQDNTTTFPHPPTIEEPSQVANSEAGDVESILSSRMTDIASEDGSDRVVDPALGSNIQQPGQRRSVQTNASRPTTGMTGVSNQRSAWSQAPASRR
GHASMNSTARASVSTTAGPRPKSGRSHAPSLTSHAFFRPMSSQRLQAQRGGSRPPPLTQQVVTESLSQGGGVVRSNVNQNKAARLGDDLDGPAPPSR
GTEMTEQETMERVTATTSPTRGHYPTGSLTDSVRPLQRGLPNPGGLSIAIDKSYQNGNGLAIPSKSPRSFRSSFLLPNRGDITPGSPNRSSKGREKL
SSIASSPGLTSVDPSKNVHKKVKLGSNYEYFTGNTIFFWGGRIQNTRHRPINIATGLLFVVPGALFFVFSAPWLWHNISPAIPIVFAYLYYLAFSSF
IHASISDPGILPRNLHPMPPPEENEDPLRLAPPTNDWTMIKSAQSATAAMEVPTKYCKTCNIWRPARGHHCRICDNCIETQDHHCVWINNCVGRRNY
RYFFTFVTTGTLVSLYLLGASLTQILVYMNRQNISFGAAIDHFRVPFAMVIYGALGTPYLLALMVYHLFLMGRGETTREYLNSHKFLKKDRHRPFTQ
GSVIKNWLVVLCRPRPPTYLNFKREYEEGDQRFGERKGKRTAPLVKEVQGKGVAMEMQDVAAAERGFQGPTALRGGNGNGRPQT

>RCO7_05496 | related to histone-lysine N-methyltransferase

MTDIAAPFDLEDALRSQLVTPAPEMARASSADSIASIITVDNASNAQSSSSTPPTSIGDSVSVSSSSLKLEDGAATPAPDTTGRSRRQRANISTYNV
KILSGTAIHAPKKFSKDPIIRDESVSRRRTISGDTLLGSLASANGSAGTLEKTANRIVQDGVEALDLQWSTKALTKSKSRKSLKTSPRKTAKQRDLE
RRKSSRPAGDVVQSLTKKLSVLGKRSRQTLDEGLASSLAGLAKAKRELRNLADTNEFAKIDTQPVLHEVWSNGKLVKPENPRQKKKAEQAALAKEKE
KEQLKLKEEEAKLVEESKPIAKRQKVWLTKGLYAGQQGTRNTLNWFHGSSENSKRDGEEIAPFKPSSFMPLPMWHGQRLLHDGRDFKLPFDICSPLP
PGQPKPDEWRKTSSNRFVGEAAALWKKSSLFDSFSSKCVCKPEGGCDDDCQNRIMLYECDDTNCGAGRAHCSNRAFATLQERRKAGGKYRIGVEVIK
TADRGYGVRSNRCFEANQIIVEYTGEIITEDECDRRMNEDYKHNECYYLMSFDQNMIIDATKGSIARFVNHSCKPNSRMVKWIVGGKPRMALFAGDN
PIMTGDELTYDYNFDPFSAKNVQECRCGSDNCRGVLGPKPKPNPKELKAVNETIKAALKSGVKAGKRKLKELLGANEADGADARSPKKRKIKEATGV
KNYTSSASIKMAKGAAKAVKKSVSSQLVNARKTITAKRVIKKTMKADAKPFSNRKTTVSPSKSSLTVVAMKGSPRSAKKSPIVKKKVPKIVRSARGN
KTVSRMEMADESDDNEGTIRVVSSRDE

>RCO7_05497 | probable mitochondrial carrier protein

MNTGSKTANQSRHQLGSTQLLQSQETGDSGPPQTGYATSLATNPAPVAKSWAHLVAGGIGGMTAAAMTAPLDVLKTRLQSDFYQAQLSQTRLAKGIS
PHAHLSAFRSGLLHFRETFQILGSVHRVEGWRALFKGLGPNLVGVVPARSLQFYVVGNGKRILADYGNGGKENAWTVLGAATTAGIVTSTVTNPIWL
IKTRLQLDKNVVERAGGAIQRKYKNSWDCIKQVVRQEGVRGMYKGMSASYLGVTEVSLHWVIYEEMKKSLANREERINLSGRTKTWWDKTVEWTGKT
GAAGGAKFVAALVTYPHEVARTRLRQAPMENGQPKYTGLIQCFKLVWKEEGMVAMYGGLTPHLLRTVPSAAIMFGMYEGILKLLNAPPQ
>RCO7_05498 | Sorting nexin-3
MQAMPDSRTQSFEEIYGPPENFLEIEVKNPRTHGMGRSMYTDYEIVCRTNIPAFKLRHSNVRRRYSDFEYFRDILERESARVTIPPLPGKVFTNRFS
DDVIEHRREGLQRFLQIVVGHPLLQTGSKVLAGFVQDPNWDRNAW
>RCO7_05499 | uncharacterized protein
MSPSLKNLGLFAVPLLLLLLTAIAGYAYTQIRSLSLPIPQALALFTVILPLITGISAQGTYGLIRRSANNTQYQLTIPLIAVIGVQMIYETVIATLA
LTHMVPPDSLICGLESKWQQFWSAHDIKAGDSIRTIQDALNCCGFNSLKDRSWPFTEPATCAKQFRRTQSCAEPWRRAEQINAGLLLLVALTVFIIK
VLSLLSLLTSTSFSQSKWARPFKQIGNIADVEDVNGSGEDNRATVRRLIEENVEEYHDEPSTTHSTSAINAQEREQDHGPRVQPSPLTDGGSEWRD
>RCO7_05500 | uncharacterized protein
MLVSNANTRFALPKALGGEQAERDPDYGDKMPRFEGINMGKDDPAERDTDTGN
>RCO7_05501 | uncharacterized protein
MSPQPAAGVGGIPQRRAKGPGRRESKVAYRNLPGYSTQRRNSASPANPSSPEQYHFSRINYSTYNHYDQIHGHGQGSDPELLGYYGVDHHPSVGSSN
VNNNPIVHQNILDGNSWVPVSSQNPYTLALNLPASPQKYDGNHGHSPGSQVPQMSGSNGQEISWNMNTPHFNNMDSELDDISMSDMQLGTYGSFNSL
AFSAARTTASSISDTYVFPNSNAMLDAAGNQIQDLALPNGFHRTGTSFATSSPGTVNTESPNLYTEDFPSGNLGSPISPKWICVDPVLYNMESWQWS
ATTLTAPHDTQQNHTMDNALDFQPDIPWNPNFIPGSPFQQDATPGGVTFEPPRGTPYHTHIARQQVLEAERSDINFLNWGGRSPSSENESKSWALVS
NPGSSPKGSHDSPPSHNSSLSQVSSPAPEGIDIHSHIYNSISNLPRIKATRGRQRNLTDDEKKQARDVREAKACWACHISKTKCSPCSPGRPCEQCA
RLATKRRFCLFSCFNDPLETLSTFLVPNYLMGHFTKANVESFVTRNASSWGTQQMLIRMDWGYPKFLEAEVVALALRSGASEMGFFHQTVSNGGMRP
QLVRKLSPPLGIPLAAMDEMQDEYSKYVQEIVQNGIAAYIPTAYIEPGSELPIRLLGAVASYYSAGNTNRNESELLRRALEMHVTSVILERSLFLDP
SSLRRVQTHLNQEYDERSAPRCAQRQIKLAFFMVQRKRIQQVLKAWGSMIWATNPGTTKDKEWAVAFSVFLTLILVIDKTLGAAYYFCEGRIKHHSH
DDSIERKSFQDLVRLTQKELFERCKEIFHWKFKTRKGGKEACNPIRDGIDGFHGKLKSVDKDVARFVKDLQGIIRDHELDVQSPRSSSTSDVEPEYT
DGGRLARIFLDDFRSH
>RCO7_05502 | related to VPS62 Vacuolar Protein Sorting
MEGWRTAELEKGELRHVYGEVVQVEFRERPRGEQSVYHKRILLVALALCLLLLQRSFARPWIPLAARQVDGIPQYVLDHAPLVWLHEQEAFFPSDIY
AQVTNTHPNINLTAIEDPPSPLTLENLDILNAYGNNGWNVYLTSNIDVTTEPVWLTGIVPDSTGETKNIISSAIIVHDRGSGIVDAFYMYFYAYNQG
NNVFFQELGDHIGDWEHNMIRFENGIPQAMWFSQHNNGQAFTFKAVEKKGHRPIAYSAKGSHANYGVAGTHDHTIPDLNLPAGFLQDYTSKGLLWDP
TLSAYFYNYSGVDDSFESIDGSPVGAMYYRGRWGDQQYPDDDPRQPPPFFGFRKFASGPTGPWDKQLNRRNICPDNGILCIIRKALGP
>RCO7_05503 | uncharacterized protein
MPPRNSARSSAARSQASSPPKASRLSESPVGRRTRSSRSRSLDPDVIAAAMRKQRGSKRAQRETSVSSAGSATSASSRVSRARKNIRKPAENRDLSV
VAEDIEDNEEARGLAPSDEDVEDEDHDVIGNIATENPGSRSPALSQYSGTTAISTYSAQEIAKLDPIMAEFLPDLLVGAFKILDHLAPKDAIETEDQ
VALIVNDLKIPGSQFGKRLRRHEEIFTPAKHWYGSDIYIQLPFVLRKLLGTKNPEEGIFRPDPIIHAANLATLVTEFLVLQRGEAKTQTTLQAICLK
EFPHSFIGKADVARLGQQSEDEIFELSLDFHTQTAMVCLTFLEEEGNQFTPSQVLASIFFDQYNDENPEASFTEMTEEGVMKDILRLGQPYRKAQVE
MINERLALIDGTFRYSEEAREAGDLVDFDQLEELFPWMKFITHLVQWSRSRFDDIIETIRKRGGIDEITKSLIVLVKAADSQVDLRYDPPPAAFERP
ELLPTPQIGNKNKSFDSAADIQTLLRMKGKTGKSPASHFPANSLASSSKPPQARSKQASSAPMPVSAQIDPEPTQEAEDEDQPMTEDRNDDTEERQR
PISEYTAAWNENSKEKNKENHKPTAKVAKSRLIDRQANAQKIAWNESQDGIAAPSPKKRPLVEEESEESDDHGFQEDQRAVDISRRVIAPPGPSHAR
NRSGTLPPSKKQRREQVEASPRVESSRAAAQRGPEQSQLERARREPVDESDSDSDSDMAEGHPPPTATQVSVASRIATARSRGVQAPRGRIPWSDRD
SRILTRRIEKHGCAWATIFNLGRWDVTRDQVAIKDRARNMKVNHLKSGIPLPLNFDLVPLGKKEIAAVRTRIPDYEE
>RCO7_05504 | related to transmembrane protein PFT27
MKFRRRPAPLLLLLLPSLATALAAGTQNNGQTTPSKNTQPQGARTDPMPTGPAVDLNTKSRFEIGTKDAPVDGKDGKPHAGPFVGDKEIKKPKAGSE
EDKVAAKVEKTELVTATGEKIPQVNDGVMDDPNRVTPKLGTTGTEGGVSEKDKVRKAQEGQTGEKLEKKPDSPKEAPPLPHSEQTKVDSDKIKTSIK
DDEAGEGLSGIEKPNDLPSKPNNLPHPLPNSANKDHLDITKPDSKTTTKTDYLKDEDAEGLIQPLHSFLLSLTMILFSEIGDKTFLIAALMAMKHDR
LLVFSAAFSALITMTVLSAVLGHAVPTLIPKRFTNFLACGLFLVFGGRLLKEGLAMSPNEGVDSEMKEVEQELEEKEHLARQQGRRRSSISPYALEM
GMGGRTSSRKSRSESRIPPRSPSSSSDRSPSPPRSTVKGVIGGLHNLLSLLLSPAWVQTFIMTFLGEWGDRSQIATIAMAAGQDYWWVTGGAISGHA
VCTGIAVIGGRALAGRVSLRVVTLGGAVAFLVFGFIYLVEAVYYS
>RCO7_05505 | related to DUF718 domain protein
MWAGTSSSNPTSPTSPTSPPPAGSASKPTYRLKNQGRRVAQIVKLKPEFVEKYKECHAKVWPEVLKQIKDSNIEDYSIFHDPETHILFASFKYVGYN
WAGDMERMKDNPKVQEWWRMTDSYQESFVPGAKNSYDGEPAWWKGVQEVFYLP
>RCO7_05506 | related to HOL1 protein
MPPGEQEHGRPPVLKSTSERPRSFLAQNAASEGTPEVEELEGKRRPTKWSMGVLNDTSTYEVPGSVLLLTGDHNQPLGLRDAPARISTSSLPAQSPN
PSSRTSTTAPKNKTTLDGKIILTPQPEDSSNDPLNWPTWRRDAALLSLGIYCMVGGGMTPILAAGFTNVASTYDVTVPKVALTTGLYMMGMGVGSVF
ASPTAILYGKRPVYLFSAIVFIGTSVWCAASPSYNSLLVARIFQGFSVSPVECLPSATIAEIFFLHERAYRLGIYTLLLLGGKNLVPLVSAAIIQSL
GWRWVFWIVAMVVGFCGILLFLFVPETFWDRSPVPKSRKTSRSTSKFSMFAGMRSTKTEKATATGLERQGDGVIDDPSLDNANTPARNLQRKRPPMA
LGPSTLRNLHVGFAQEDSINEKEARPADSIERPHNHHPGAMHEFKHFVEPAGGAPPTPALHNLDSPWYHDIERKGSDYVTTQNSSRARAATNMNVDG
GTSAPQVLRSPQPGMIDEAVTFPPQSPAPAESQRYTTILREKPALTFVQQLKPYNGRLHQDNWFRVALRPFILFAYPAVLWSAVVYSCAVGWLIVLS
ESVAVIYRRRTTYGFSALSTGLIYLSPFIGGILGTAVAGKVSDIIVRAMAKRNGGLYEPEFRLVMAIPVALTTVIGLMGFGWSAEVHDAWIVPTIFF
GVISFGCSLGSTTAITFCVDSYRQYAGEALVTLNFSKNIFHGLVFSLFFPGWLEHKGSKSVFIWLGVIQLVLMAFTVPMYIFGKRARMWTVRKNLME
KF
>RCO7_05507 | uncharacterized protein
MPSFLDLPREIRDEIYICSLTCPRGLISAYLLSRPPTLNSKRRVKASKRKKSNKQHLHLITSPLSLPPNDPIFDKPDTFLSQNKNDYITLSLPSTCR
QIYNETQGMFWQQNTFYFAAINESGRSLGISRTLKVMGQVASRMIQNLTIRMPNHSIEYVGFGKVIKTLGSRARLGHFRKLEMAWNAAAIVDLMNMS
SLNTPQDFEGSLDEMSEAFDGVRFERVVRISTYPRSTGDIQNERDEENVESTYKLFGEWIHYAVGGTLICDGKVEWINGVHLRLD
>RCO7_05508 | related to PHM7 - similarity to A.thaliana hyp1 protein

MSTTTSAAPSASTTAITGGAQAQEGISLVAFITALATSLIIFAIQMLAFVLLKNKLARIFKPKTYLVPERERTDPPPRTPWGWLSAIFRFTDREVIN
KCGLDAYFFLRYLQTLLVIFIPLALVILPILIPLNYHGGRGNNYANETIGSPLEGPNVKGLDVLAWGNVRPSHTHRYWAHLILALVVIIWVCGVFFS
ELRIYIKVRQDYLTSAEHRLKASATTVLVSAIPSKWLTIEALSGLYDVFPGGIRNIWINRNFDELLEKIKERDEIFLQLEGAETELVRACKKAQKKQ
LEKDEKAYAKQSMQKATKLDKQQKLKEENARAEVLAKSGGISTEHEQQTPHTVDDAMDEEERRAREQGTENGTHEKRKGFNRIPGIGGGLAAVGQGF
DAVGQGIGKGFNTVGDTVVGGARGARNVGRDINNQVETTNGFMNMDAGSVAEDDAYDQYGRYRGDLATRNAAAGPFGAGADNDAEKRRQQQDEEESP
ISSRSPGIHGGDMKLPGNKTRQATHHHGGHDGAADGDRRHWGFLKFWKAPAGGFASPVPTGYESGDEFPMTQRDGGRSVSQPGEKPKGFFQKVKSVI
PFLGGDEKEKPEYPLAYNEEYKEDAHGAVWERYLKEKDRPTHKNPTAGWIPGWLTWIPFLGKKVDTIYWCRGELARLNLEIETDQKHPENFPLMNSA
FIQFNHQVAAHMACQSVTHHVPKHMAPRTVEISPRDVIWDNMSIKWWEGWFRTAIVFGIVTGMVVLWTFPVAWTASLAQIESLANKYEWLRWLPKRI
PHKVLQGIAGVLPALVLGILLALVPMILKYLAGVQGAQTGVQKQRTVQNYYFAFLFTQVFLVVSISGGVSAALSNVRDITSIPNTLATQLPKAANYF
FSYMILQALSTSSGTLLQIATLILWYLLPKLIDNTARQKWKRNTTLSTVTWGTFFPVYTNFACIGIIYSVVSPIIIIFVIITFTLLWVAHRYNMLYV
TRFQLDTGGLLYPRAINQTFTGLYVMQLCMFGLFLLVRDDNDNASCIPQAIIMAVALVFTVLYQLLLNMSFGPLFNYLPITFEDEAVLRDEAFERAQ
ARRLGLVDEEEDGITEMPQHDGAIEMSNITRGNSKYSKFNPVNIAQGAGTWAAKSGRQLKAKTMGNGTRESASPHPHRRKRHRDIEAQKKIADALYG
GYNDEIEDLTPDERDVLVRHAFQHYALRARRPTVWIPRDDIGVSDDEVKRTREFAGNNIWISNVGAALDGKSRVVYGRNPPDFSEIDLINL

>RCO7_05509 | related to TSM1 - component of TFIID complex

MASDELTDNYVASLLAKDAKESSIKYSSVGLEAFARSKQPANKPKPNTRFLRNIIKDTDSHNAALLAKEASESRARLEKLHTNSPQRTERPRVGGDI
RRRQLGDIAAILGGRPTKRKRVEKSEGEAREGRRVNTSSDDEPMKEPRGKKSRDHEHTERDEHKRSRSHRSHRRHRTDSKERERDRDSRRDRSRSRS
PREYRGNETRPQNRHRSQKRLRSRSPDADNSRDKPHRSHRHLRSPSQERKSSKPEFKKPEKPAYDSDPLDDIIGPRPPTIPEVRRKGRGTISQASGI
DSRFSANYDPMADVQLDFDEENDWDQALEALKDRQKWKQQGADRLRAAGFTEEEVSKWERGGEKREADVKWSKKGEGREWDRGKVVNDDGAVTIEAK
FGRLTDA

>RCO7_05510 | uncharacterized protein

MAQSHEDILGTLLEVQNGHELSIIKLSEPVSGQLKQNAKERTSDVSADVFEAPTPASLEADLAHYKELFSKLRFSYLEQVTKEKFIRAIVGDPPLVV
EHQENVELEASLAVSKAALKSQKTEVAELVAELEKRGRDLCRKYENIRLQTSQLQDLPQKIEGLENSIEELRAAQQPGSNPRLNMPLEKTIAAVEER
ERQRAELDRQLEQLQVMVPRKTKELDRLNSELQPLEVKRLVSTTSAREAKRRKEEALGGVGDDLEERGRWWRGVECGLKGMLEVEN

>RCO7_05511 | related to 60S ribosomal protein L37

MAPYCDISEINDNYDNNHPVSHHASAENRQNEYVFLVALLFPSIPQPATTTSLSAIPNCITCTDISAAKGTASFGKRHNKTHTLCRRCGRRSLHIQK
HTCSSCGYPAAKIRQCTFYSTLGQEASICEGQQEEVQEANKETDNWGEKAKRRKTTGTGRMRHMKGVPRRFKNGFQTGAPKDARGPTAKAE

>RCO7_05512 | uncharacterized protein

MSTRIPPLLEPYLALPPEASLVLLTSVLGASSNWLVLRLLHSALVSSDASFEVIPEDGPKVLLVSFMRDLAFWKENARRLGLDLDKLSFKQRFAFVD
GLSCLFLPRQSSSAVRRVEEKVLSSGDLESVTREIQAAIEVLQGSRDTSKVLLVVDQLDLLLAAGGDKNRALNIGNMLMDLRENVHATILTLSADQP
LSANHQTPLESNHSALLLSTAHQADFVMSLRLLDTGTARDVSGVLRITAGDRDEENTEIPKRIEERELLYFVGGDGGAKVFERGQ

>RCO7_05513 | related to 24-dehydrocholesterol reductase precursor

MEFPGISVGGGFAGTAGESSSFRYGFFDRTINWIEMVLANGEIVKASSTTKSDLFYGAASSFGTLGVIAEAQVEIEKATEDTSTHYLDGIMYSKDNG
VIFQGFTRPTDPWFYIHVQRLMMGRTSPATEAVPIVDYLFRYNRGGLWVAKYAYNYFITPFNRITRYLLDYFMHTRVMYHAFHQSGLSSYYNIQDVA
VPYKEAATFMTYLDTNFKHYPIWLYPLKQSGNASTHSLQVLKIKQQCPEMMLNFGV

>RCO7_05514 | related to guanine deaminase

MSAPSSPKTLFLGSFVHSKSLGELDFLHDSAVCVDEKGVIVALEKDCDQKLIEENVFPKLGWTANEVTIRTSRPGQFFFPGFIDTHIHAPQYPNAGI
FGKSTLLDWLNTYTFPMESSLSDASKAKKVYSRVIERTISHGTTTASYYATISVPSTNFLADLCLEKGQRAFIGRCCMDSLAPDYYRDESAATSLAD
TRATIKHITDIDPTNSLITPILTPRFAPSCSSKLMHGLGALQKESNLPIQTHISENKNECALVKELFPEYDSYTEVYDGHGLLGPKTILAHAIHLSE
AELDLIKKREGKISHCPVSNSSITSGTARVRWMLNKGVDVGLGTDMSGGYSPSVLEAVRHAALVSNHVAMGGDDTAKLSVEEVLYLATRGGAKVVGL
GDRIGGFGVGMEWDAQLIGMSMVGSEEKGDTGPVDIFGWETWDERIAKWVFNGDDRNTLAVWVKGRLVHERII

>RCO7_05515 | related to serine esterase that deacylates exogenous lysophospholipids

MSSETVSALVEGVSGQPNIMESTAPSALVLAGAVVGEQSGPSSWFGVFGRMILFAIKVISGILYWIITFSTITMPTFLFTLFSTSLTFTMNATTLML
IAIALVSTLSWFVRYRFLNMYARLPPEPQRKEPEIDLYPDTIEEGTKSGFSNYLDEFLSAIKVFGYLERPVFHELTRTMQTRKLIAGETLNLEEEKG
FCLVVDGMVEIFVKSAREGRGSDSEPTGFDADDSSDSGDGQFRRSTQQGYQLLTEVKNGAPMSSLFSILSLFTEDVKLRHDEDDEQEGSASSAYGHR
RFPSSAGFSYEHNSHETPPSLPTSPIYGAPTQRGQPEYRDRSSLLASPTAGGTLPRIPPLSLDSSDRPPPKQRPIPRRTKTNSAHPDIVARATVDTT
IAVIPASAFRRLTRVYPKATAHIVQVILARLQRVTLATGHSYLGLTSEVLRTEKHMNKYTTYELPNFLRGDALERLKEKFNRERERIGEEDVTKGIA
LHNASAGRRRRSSNSLRKEATLHALSGKTAPSVSARVEPFQNSDIGVSPSPGDLLTNIQMSRNGGRRVSNFGSGTLSGSNGTGPEVWQHDTQSPLAQ
RSFNPFDSPINPRRTLHRQESIDEDGMFRGSILECIFKAIGLTNTKNALRMSDSVEASPRLVSYDQKRQKAVFSNNAFGFIDPYEGSGDGDTESMTS
GGISVGGYPSTQGLAHELKDEIEIVFFPKGSVLVEQGERNPGLYYVIDGFLDVTVPLDNKSDSIVLAQSHQRSANTRPLQETLASLSRPRTGSSRTS
GSAIGHGGTDGKKRKSAGGKTLALIKPGGIAGYIGTISSHRSFTDVVARTDVYVGFLPKSSLERIVEKYPVVLLTMAKRLTSLLPRLILHIDFALEW
VQVNAGQVIYHQGDDSDAIYIVLNGRLRLVTNNEEAGMKVVGEYGQGESVGELEVMTESVRPATLHAIRDTELAKFPRTLFNSLAQEHPGITIKISK
IIASRMRALVEDPVFVQGKEKTSGATNNKVSSTINLRTVAILPVTAGVPVVEFASRLTNALTQIGAANGVTSLNQAAILNHLGRHAFSRMGKLKLSQ
YLADLEEKYGLVLYVADTNVNSPWTQTCISQADCILLVGLAEGSPAIGEYERFLLGMKTTARKELVLLHADRFSSQGLTRAWLRNRVWINGGHHHVQ
MAFRSSPGPVHPQARKFGSALKQRVQVIQAEIQKYTSRRVRQTPLYSAETPFKGDFHRIARRLCGKSIGLVLGGGGARGISQVGIIRALEEAGIPID
IIGGTSIGAFIGALYARDADVVPMYGRAKKFAGRMASMWRFALDLTYPSASYTTGHEFNRGIFKTFGNTQIEDFWLEYYCNTTNISKSRSEIHTSGY
AWRYVRASMSLAGLLPPLCDEGNMLLDGGYVDNLTVSHMKSLGADVIFAIDVGSLDDDTPQTFGDSLSGFWAFANRWNPFSSFPNPPTLAEIQARLA
YVSSVDALERAKTTPGCHYMRPPIDDYGTLDFGKFDEIYQVGYKFGQEYLGKMREQGVLPLVDETEEKKALRRTMAPRRASI

>RCO7_05516 | eukaryotic translation initiation factor 2 subunit alpha

MSLTNCRFYEEKFPEIDSFVMVNVKQIAEMGAYVKLLEYDNIDGMILLSELSRRRIRSIQKLIRVGRNEVVVVLRVDKEKGYIDLSKRRVSPEDIIK
CEERYNKSKMVHSVMRHVAEKTQHPIEDLYERITWPLNKKYGHAVDAFKLSITNTDVWSEISFPNEVVAEELKSYIGKRLTPQPTRVRSDVEVTCFG
YEGIDAVKTALRTAEARNTPDNQVKVKLVSPPLYVLTSTCLEKAVGIQTLEAAIVDIRKNIEAAGGSCIVKMEPKAVTENDDAELAALMEKRERENA
EVSGDESQSESDENAVEVM

>RCO7_05517 | related to IMP2 - mitochondrial inner membrane protease subunit

MSISRMFPHFNRKLQWRPTWRELSFWPIRLLPWIPAIIFSNDHVIDVVWINGPSMYPFLNPSFNENLSKDVCLNYKWNPRKNLGRGMIISYQSPAHP

EVQVVKRIIAMEGDLVTTRAPCPVPTVRVPANHVWVEGDNEDSGKTLDSNTFGPIPLNLISGKLTYVLGPWKRFGRIHWEDYEGNSRVVKGSLDDLS
GWD
>RCO7_05518 | related to mitochondrial transport protein
MSLGSLVTNLFSGSTPKSQEDRSQLGFVNDGQERHQQIFAHTKFDAGRFRNKNMAPKAAEEEEGRPPYLHSMIAGGLGGTTGDLLMHSLDTVKTRQQ
GDPHIPPKYASMSSTYATILRQEGIRRGLYGGWVPAMLGSFPGTVIFFGTYEYSKRHMIDYGVTPQIAYLTSGFLADFAASFVYVPSEVLKTRLQLQ
GRYNNPFFQSGYNYKSTVHAAKTIVRQEGFSALFYGYKATIFRDLPFSALQFTFYEQAQTWARQWKQSRDIGLPLELFTGASAGGLAGVITCPLDVV
KTRIQTQVNVTTQPPVKQPSSPKPASSRIQTGPAAIKQQIRAISTSSPSTHLPRPGSINLDTSSVFTGMKLIYKTEGIAGWFRGVGPRFVWTSVQSG
CMLFLYQTLLRKLEVFTIPEDQESAV
>RCO7_05519 | uncharacterized protein
MPTSLPVPSKGALRALRQLALGTSCTVAIGAGLLTEDRRRRIHSAREVHENSKRLKSSRQYHSTGTASLEALENQASRYRDETFWLPSKVSKSTTPA
AQDSPSLSHPTTVRVPQGVEQSSALEIDGNHENLALPRKIARIPSLEAHRAVKIERIDEVTQRMRRSQERQKSLTVKLIQLLDKDPLDVDGAANLFF
NEFEEKLTVDKSGLLPELIEVSARVAVACQRFSMHATSSRMLDTILSYGPVAEEDFNKFQPHEIINQWISMKGKTNFIEIDSDDLKKACSLYLTKFL
EKPIFMSETMRLIGKRLCQATLEQGMSILTLALFFRMEETRAGNPLTSVDCLIKATHSLGRHKKVIRHFQQLYNQTTPDQMQFYQVTSLAIDSALVT
GRLEDAEKILTTASAMAKAGGLELSTTWFLRILGEEYRAHRDLLRLQDLFRRLQLLSSHMHHPQALYGAIIQFCIEGHQEELATLYYKELRESYERS
PEDLRIYGHFALAKAYRGDWNGVKVAFDDMRHSVHEYREEFSSAFAPVLKEFAKLHSVDAIEDFMQYFILELHLKMTPLILNFMIDIYSKVHEVDAI
FRWIAYAAADGCKLNSKIFNAILRNCSDRFRFNYDDVYGMYRRTHSLLPDLVNNDSLSILRRMALSRSPNEEVRLARLQNLKRLDDPVQVEGCNEIY
RAMSITYAQCNDSAVLKIYNGAERDHVRLQTRHLALAVRASLRLGEGDLAETAEIIRDARANGIEVTDAVASVFIHQISDLYAAGGRSACGRTENLL
KRAEEAIASLAASGLEISQMAITHTANILQKRGRSQLAINFWDLMSRRFNIPASSFDLVTLTTLLNAYIGHQDGDGVRWVMQTLSANNLLPDAHLKR
VLKEARNQAGERLHRNPYSEWLHRWLDVLDRAHTDVKEMRQQTFITNKQIKRKVLDIMAAAIEDQASEETAWKSWKSDEGMEPGQSDDEVRSVHMSQ
TDTAWKDVDRETSPVPSQLA
>RCO7_05520 | related to NCA2 protein
MSIVADQVRRVDSALDGVLQLVPRSANDDFFAEENRPISSSPRIAELQGIVKALSTTSSSSPLLSSWRILQLLERAALSEFVAEDEQDPVTSKYEAD
LEWLLVSKATVQTYGLLMGTLLEQTIPLNDDIWYWDEVLGSYTYSSLYTVQTSPLRLWVWSKGIYIDTKGRLERVREDPVDVLPAQEIGTSLTDQWK
QFYGLVKESIRDSSVAHIQQQVLSPIALCRSQARHNQARLRRLRELGASGLGMLMDEGLNFDVSDDDNDITKSAERDMQEWKFVVERSVALMDTVLR
NVTTLDTGISDFEDNVFATVDDDPEITTRESTPTEIARPSKLGMRLQHILEVHVPNHVACSQALVAKYGRPPRLIRYWLPAAALLLSSTTILRIFVN
RQAEIITWIRDLGATTRDFWLNWVVEPTKKVIGTIRHDKDSEVAIMSKDSLKGDRESLERMVVEFAIDNPSWIGETSLNEIQIAEIRSKVKAGDLTT
VLRAYEKDLRKPFVGALRGDLVRTLLIQVQKTKVDLEVALSGIDALLKSQELVFGCVGLTPGILVCFAAFRYLGGVLGSRKGFKQGQKARETVRVLR
NIDRILTLATPTHNNLLSYKDHGLLLCEVHVLRQRAHKLFPTEVEREFLEDLSDLGNINSGIGQQLRVLERIRWGYAKWLR
>RCO7_05521 | GTP-binding protein SAS1
MAGTRNYDFLIKLLLIGDSGVGKSCCLLRFSEDSFTPSFITTIGIDFKIRTIELDGKRVKLQIWDTAGQERFRTITTAYYRGAMGILLVYDVTDERS
FNNIRTWFSNVEQHATEGVNKILIGNKCDWEDRRVVSTERGQQLADELGIPFLEVSAKSNINVEKAFYSLASDIKKRIIDTAKTDQSTSQGVDVGAQ
GSGNGLGGKCC
>RCO7_05522 | uncharacterized protein
MLPTRLLAPQFLLSAWNSQLAQAAQRVHRSDYATEDNENRRYAGKLGHGPEQNRRNFERSKVNLRRDHKPIEAEKVLESCRPEYREQRDGNQNANRT
QELQSKTQHDGHEIVLRQRNFRYNGHRVFTPSKRPRYSERVVERNIPMAHKPETHSSDQEREESFKGLSLFEELFPEEAMARQKRENKARERLEKLP
AFNWDMDSNQLAAHDRRQQEAREKTREKQQTIPGLKGENGVARKIILAKQIPQSSTSSQRMGQGQHVAQDQSRTSKSTASVLVLSACSKNLEESDFY
RVGPKGNHIENWTSGILKVIAARDNVTLEPIGQYYLLFSSLAAARLYLDKTQRLLELSKSSNYFSRPNVNLREGEDLEAVKRNFTLVPAGGRLSLRL
LEPPHSKGVQWMIDAAGTASLVTRQEKSQHIVLFSTDRGHIKIGDLENAIMDDGKRRNLHWKLAGAAKEAIVKLETTTAPTRENELEAASIRRSNFQ
GPARYTISFRDSNEARRFAREWHQRPYPATRVARPEEDEPPTMNAEILW
>RCO7_05523 | related to AAA family ATPase
MSNIPDTKKTLEVKIRPFANQNFKERSDQKDVSRVYITSVALSELNLKPGMLIQIWKKDESERKEAIAWNTTEKANNKNVIQMFKTFREFCDFTLSD
DLLICGAGDVSTAGSVFLRDVTSQESGKITDISDEDRPHWEWFLRDSLSRADIIFPGMMFKSISPMGVKRDFIIDFVNGKPAGMGKYDPETSVKLSS
RIEVPYQVEVDRPLARLEVVDIAGIDQALKKLNRFLSNFDRQFKFTWAQRSCAVLLHGGHGTGKTYLLNKIINTGWSKNVLRLESDAKLSNIRSTFR
DAKLSQPSIIVIDDLESLVSKEDVTSSNMAKAIGEELDVLAQSHSGSSLPRVLVIATSLTSSNIPMSLKKRGRFRTEIPLPIPDVFSRKAILQSLKP
PLDPSTSETTLNKLGDRTHAYTAEDLVALLDAACEIAEDKVEMIESENPDAFYLSQEDIEEALLLVRPTAMHDITLQPPSVRWDEIGGQDSVKNALR
RAVETPLLNPERMKRVGASPKKGLLLYGPPGCSKTLSAQAMATEVGFNFFAVKGAELLNMYVGESERAVRDVFARARAASPSIIFFDEIESIGSKRS
GRNTGVNVLTTLLNEMDGIETLKGVTVLAATNQPQALDLALLRPGRFDKLLYVAPPDLEGRKEILRVRKRTMDMADDVDIPRLAELTDGYSGAELVG
ICQTACDAVMEKCEKTGEELQVHMDDFLSAIKMVRKQITPKLIEGYERWAAGARGDTD
>RCO7_05524 | related to calcium-binding protein caleosin
MAPARTEENEFDVSIQEVPVTVQRRPFISRKGDALKDPGTPRANIAASAEEPNGTQKGDYARRYKHQTVLQQHLSYFDPDADGIIWPLDTYRGFYAL
GYGVLLSLLSLIIIHANFSYPTLPPGHFLPDPFFRIYIARVHKDKHGSDSGTYDTEGRFVPQKFEDIFAKYATGDKLGITLGEVWNYMKGQRLYADP
AGWGAAGFEWIATWILLWPEDGRMKKEDIRRIYDGSLFFEIAARRGEKQNGQQKVNGV
>RCO7_05525 | related to dolichyl-phosphate beta-glucosyltransferase
MEVILELPRKLLWDIYETFEQTPLPILLILAITTAVTILTCTYAAVFMLAPTPRPPFSSEKTYITTAPDGSTTSPKPLPCWHDEWLSHRKEAENIKD
FSEKHTGDIEEAELEMSVVIPAYNEEERLEVMLEEAVPFLDAEYGRVPKAKGTSGNDFSGMGGYEIILVDDGSKDKTVEVALAFSRKYKLHDVLRIC
RLKENRGKGGAVTHGFRHVRGAFAVFADADGASTFADLAKLVEGCKAVADQPNRAVAVGSRSHLVGSEAVVKRSPVRNVLMHSFHALLMILTPPATS
RMRDTQCGFKLFSRAALPHIVPYMHAEGWIFDVEMLMLAESAPPGIITGRKGEQIGTTPGIRVAEVQIGWKEVGGSKLNVVWDSLGMAWGLALLRAS
WMAGVYRRR
>RCO7_05526 | related to pleiotropic drug resistance control protein PDR6
MAQAVPNPPNDKKRVKVYELKNNDWFDRGTGFCIASFIYLPPAVELGSHANLIVQNELNRQEEPRVLVQSEDEPDKVLLETRICKEDSFQKQQDTLI
VWTETTTSVDMALSFQEGDGCAAIWKFINNIQQQLLAVGGPDDALSDDISPDAFVNNQLVLPHPGLGNLGEVESQVRNLHCTLQGREALVKYLLNEE
INYIIKLIPLVEMAEDMEDLASLHRLCNIMKTFILLNDNNIMDLVVSDELILGVVGALEYDPDFPSHKANHRQWLSREGRYKEVVHIADETIRKKIH
ATYRLQYLKDVVLARILDDPTFSVLNSLIFYNQVDIVAHLQTNPVFLKELFGVFGPQETDQERKKEAVLFIQQCCAIAKNIQQPTRQQLYNNFIAHG
LLSVIKYALRHSDVGVRVGATDVLVSMIDHDPQMIRQTIFRQINEKQTPLTDSLIDLLLVEADLGVKAQIADAIKVLLDPGPQNNNPHDNMARGNGD

LAGRTRPQPDPQQAEFVKDFYDDSAKKLFKPLVDLKDRDNLNFNVHEVSLFIYLIEILCFFVRQHTDHSKYFVLSENLGQRIAQLLSSPEKYLRLTA
LKFFRNLIGLQDEFYNQQMTQGKLFEPILDLIIETMPRDNLLNSACLEFFDFIKRENIKSIISHLVENYREKLTKITYVDTFNNYIIRYDQTQGFAT
NMETSFLDTEEDITPKRPETGRGNRWEGIKDLDAQEEEYFNTSDDEDDVAVKPGPRRTAINGASPASKPLVDYNSDEENEDMETDLSAGILEGRDEN
TPPSDSSKESSVGVLTPLSPSLSPPEKISEKRRREEEEDDDEMSKLTQPKRRNSTSSVSSNTSSVLRRKKSYSSNQNGASSGKNKISISLSPAIKTG
GDQGGEDSGS

>RCO7_05527 | uncharacterized protein

MLVTASTASNPDSADAPWARPAREPRRESPNMRLLALPAPSQTVASSVFLQGLPVLSTFLILFRLYIFPSLLKALVRVTSGLRHSAETIPSPTVYRL
RTWRNSIVFVVYWCSGGARVVIVKLPSTIFTGVASGIIQTTLTT

>RCO7_05529 | uncharacterized protein

MSIFSILKASKKAAKEHKAAEKQKEPDAVVIPYKHTPTHAAVDALSGAPSSWSRHDASKIKAQHKRRSEMVMSRTPSSLSTISFVNPSAAGPSSQPP
PLPRSSSHSSFNPTWFDKVDGTIDSRQNKYRPQRGQSYHDSGIGPSPLGSKVQSEDASPVISSSNSTKSNNSSDILEIAVDSTGRPKPNRTRSKESG
PQGTVFVQQDIFDRLHTSTSRKVGEAPILDGPAPRPRVRTSTPAVEQKQKKQRWSLLGKRNTAAVST

>RCO7_05528 | uncharacterized protein

MSIFSILKASKKAAKEHKAAEKQKEPDAVVIPYKHTPTHAAVDALSGAPSSWSRHDASKIKAQHKRRSEMVMSRTPSSLSTISFVNPSAAGPSSQPP
PLPRSSSHSSFNPTWFDKVDGTIDSRQNKYRPQRGQSYHDSGIGPSPLGSKVQSEGTFSTNLHQASLSLSAFQAQIDNRLTSSLDASPVISSSNSTK
SNNSSDILEIAVDSTGRPKPNRTRSKESGPQGTVFVQQDIFDRLHTSTSRKVGEAPILDGPAPRPRVRTSTPAVEQKQKKQRWSLLGKRNTAAVST

>RCO7_05530 | related to RGT2 - Sensor of high external glucose concentrations

MDGFQRQFGRLNSTTGKYFLPPSWLSLFNSLNYIGFGVGVIVGSLVSGGYGRRMCMFTMSCYALITATIAVTSTTREQILAARVLNYVYIGMELAVV
PVFQSEIVPAPVRGLAVGSYQFSLMFGSLIVNCVCRGTSTMKGNSAWRIPIGLFYVVPTIVLFLVWFIPESPRWLLTKDRVEEARDAFYKFRSGCVS
DEEIAAEFEALQLALRLEPEQGKYMELFQGVNKRRTAIVVAMNFFQQATGQAFASTYGTIFIKGLGTINPFNMSIVMSVVNLTLVTTGLFLNDRIGR
RPLLFIGAGIQIAAILTMGGLGTVSNPTDQHKTAIVAMLVVFSAGFVFAWAPLTYVITTEVSALRLRDASQRTASMVNVIMNFAVNFSLPYLLYAPY
AALGSKVGFIFGAIAVCAVIFTFFCVPECKGRTLEQVDRMFNEGVPLRHFGDHQIVDPSEEASLEKTDMGVEVKAVEKI

>RCO7_05531 | uncharacterized protein

MAITDCFVTSGAEIVSCSFGSQDAEPQNAFSPQAQIASPNLTVVLERRRGRKACKICHDQKAKCSGEFPRCERCSQRNIVCQYSPSAPTIPVDIGPD
KAIVRQYIDAFFEHIYPIPGQSFLHRSIFLQNWSKGAHSPHFLQALCGATARFLGPHQQAGAWIQEAEEQVLKLITAPSLSVIETLLIIIFDRLTSR
KFDKVMALSALVVRFALALRLNYTNKKLTFVGQERRRRLMWSIFMSDTLLANGRADFTLISVEKVHLQLPCHERNFSYDIPVETEFLKPDPVLNNKS
NIGMMGFLIRILEIRVRIQKFTHEMVDRRNITPQAQVELDSLANEVQQFSTNLPPTYLMNQRNFLLRAYTPERTTYIMLHVWWNMCYCDLYRFTIPG
FHEALPDEVLSNLPANFLKHCRERCLQHAVDIANIFASILNLGRDLYITDTALAICALQCARIIISLGPLVEEKMERGKIIEKSTACSDILQQHSEL
YPTSRLLVKFRKLYDLANALLRASQTKSCMHAGKTGRMKTDDYRTEIQPSFGSAIDVNLQLPPRQVYTKHSFLSEISQMADTNDLDELLPPEGNRQD
SALARTTQATESQQARQTVGSDVVVTIFPPGMEARQDLTGNFTEYDMTWMLGPEFAMGSAEYDVLMDPYLRMHNGVENGPWDSEGFPCSDQNDTFYF

>RCO7_05532 | related to Probable beta-glucosidase K

MVIVRQKSNNSMDIDYVISEATVREKVQLTAGHDFWHTAPIPRLSVPSIKFSDGPNGVRGSKFFDSVPGVCIPCGSGLGATWNKTLLKAAGVLLSQE
CKVKGAHAWLGPTVNMHRSPLNGRGFESFSEDPFLSGILAAKIIEGVQSGGSAAVLKHFVANDQETEKRSVDVVISDRALREIYLLPFQLALRYGKP
DAVMSSYNKVQGMHCSESKNLLRDILRTEWGFDGLIMSDWFGTYSTDAAFAAGLDLEMPGPSRHRSTAALLALSIGKLQMKDVDAAASNVLRFVQKL
SRQEVASVERTRNLPEDMSLNRQLATESIVLLKNDSGILPLRPDCGSLALIGPNVKNAAACGGGSASLNPYYTTSAFEGIVSQIAPGTEVKYEAGVY
SHFLLPVLNKNNVVNEDGLPGVTIEFFHESYSNRDRVSFDKTTLPEAAYQLMDYKQAQNDETFYISMRGMFIPECSGTYEFGLASFGVSDLYINGEL
TIDNSTTQEVGGMFFGNGSKESRATFEMEQGKEYLFRMEAGSASTSKLSGGMIDLPGGACRLGACLKLNPEEGIRRAVEVAKSCKNVIVVAGLNGDY
EKEGRDRMDMDMPAGYDALISAVLAVQPSTIVVTQAGTPISMPWRSEAQSLIHTWYGGNESGNALADIIFGKANPSGKLPMTFPDRLENTASFLTFG
SDNGKARYDEGIFVGYRYHDAVGRGVAFPFGHGLSYTKFALRDLKVSSERIEVVVENTGGRAGSETLQLYISRDRKTSVFKRPVKELKGFEKVTLEA
KQVMSVTIPIDKYSTAVWDEKRDAWACEKGQYTASVFGGEQCLKGTFELARTAYWNGL

>RCO7_05533 | related to hard surface induced protein 3 (sterol glycosyl transferase)

METKGQQREVWESSEADTVEDSEYAVFFSSGMRLLHRTTCGLLPSFLQRRTHPCHSKPQRLHPTSYLDGLRGVSSFIVFLGHYTEENLGWYTEPYGA
YEDGATSSPLQLPFLRVLYSARPMVHIFLIISGYVLSYKPLKQIHSQQYAAFANTISSSIFRRALRLFLPSFVALLIMAIALFSGLSTDRYAQRQID
LASQLQHVWETCVRLLRASWAVNDLAYPQPQYNPALWTIPVEFAQSLLLFVTLLGLSRCRSNVRLTLLAGIILFCFYSGQLYTVEFLGGMFIAEVTL
LRDRSLSSPTLSPMLPSFDGKYPNTDCGSEVKQKLIQAFWLANAISGLFIASWTNNHIDEVWGLRFLDAHTPEPYQGQKVWFCLGAFQIVAACTQLR
CLQRIFTTPVAQYLGTISYALYLMHNLCLTILEPIFDPIFNTFFGKATFWGRQLYWLAGIVVYVPIVIWVADVFWRAVDTQTVRFARWLESKCVVEK
KL

>RCO7_05534 | related to flavin-containing monooxygenase

MRVGVIGGGPSGLVTLKYLITAHKFHDIEPIEVRLFESRDSIAGTFKYRVYEDSELVSSKYLTTFSDFRCTPDDPDFLSTERYCSYLEAYATFFCLW
PHIRLSSAVNNITRRRDGGHLIAYTAEGGCEEWHCDAVAICSGLHVEPYIPIIKGIENIPKVLHSSQFKSRKEFGAGKSVMVLGVGETAMDVSHLAV
TSPTTSVTLCHRDGFFYAPKVVPVPIIFGFINKSPAGQRNPPVDTYVMSLFDTAYVHPILQKSMLIWEYYDLFVKRMTQLISVFFCKSGKAMPYISK
PYRKPGFFGRIRAALINVPIPETGDRTIDLAPWPEFISPDGIVTFLKNGRPEANTMRNLVCKPDIVVFATGYLPTFPYLEESYGTPYQADRRGIWKS
GDDSVGFIGFVRPALGAIPPRELQFSFLPIQTHDLETYMKRTVDPVSRCKCSKTDSFFEVSELQAQLWVLSILGRLGTALPRDIDYKLHVKPGRREY
EQFGVDHESYAYQLALDMGSAPAFREVLHHGYKTTFTWAFGSNFNTKFRLVGPWKWDGAKEIMRTELYDIVNNSGGWVCITAYSIIPFIVFGLMSAM
LWIKHPEEMFVAGKDERKLNFAPYRTPTDPYEDFGPQQPIADDQA

>RCO7_05535 | related to CYB2 - lactate dehydrogenase cytochrome b2

MKVAKISGAEVNEHKTDDNAWIVLNGVVWDVSGFASKHPGGGDIIREQYGLDGSEEYNNIHGPRVVSDFLGPTKRIGEVEEGTVLKPTPKTIQKLDG
ASPTRPDLNSIVNITQFESVAEAHLSSRAWGYIFGATEDGITNKANADWYKRIMFRSRILRAIATVDTSVQILGQKYDLPFFIAPTSSLKLSHPDGE
LATTRAAVANGVAPIVQTLGSFSFAEIMEAMPSGHPFYFQLYFYSDRAVTERLLKEVGKYKPQAILFTVDLPVISKRESPPRRSLTHGGNQQAELAP
PPAAGNPMDTNIDWSYISWIKERSGAPVFLKGVQCAADARKAYEYGCAGIYISNHGGRALDTAMPSILVLLEIQATCPEILEKMEVFIDGGVRRGSD
ILKAICLGASGVLIGRPFLYSLQYGEEGARKAFSILREELEIAMQLVGITSLDQAHPGLLNTADIDSYVYREEEHPWARKIIRSRL

>RCO7_05536 | probable adult brain protein 239

MASTRKPPKPSQWPWSRRRNKYAPPTALDSVLSSPLRFLVTIIYTILLRLRGAPFKPRDDKPRVKIVCIADTHTNTLDIPDGDVLIHAGDLTNVGSV
KEIQAQLDWMESLPHREKIVIAGNHDSYFDPKSRLDEDKGKRLNFRSLHYLENQAITLRFKGGRKLNFYGAPAIPECGGSEMAFQYKRGQEPWEGRI

PMETDVLITHTPPRYHLDLNLGCAGLLKEIWRVKPRLHVFGHIHSGHGRETVFWDKGQAAYERLMDQKSGGIVVDLLPSLAWWDSLMVLFYGFKGIL
WQRLMVGPRGGNGGLMINAALVWQTTTDLGNSPEVIEL
>RCO7_05537 | related to IST2 protein
MASVKSLYEPSSKTGNALKSNLDVDYVINYRFATTSKAQAEEQFIKLIQTLNNVGLATEVRNSENCSLLIFVRIASNKHLKAEVYRSRVQDWLYGVR
TAAPEKEMQKAIDDEPITEAERLRITYLLITKSKNDGGAGITPKDGEWKGVESIFALHDHAFNKAWIKDITSKYFLSAKDLVAVKDKFGERIAFYFS
FLQSYFLFLTFPAGFGACAWLILGQFSPVYAIINGLWCIVFVEYWKKQETDLSFQWGVRGVSKIQRKRPAFQHEHIMTDPITGEDVKVYSPAKRLAR
QLLQVPFALAAAFALGSLIATCFGIEIFLSEVYAGPFKQYLVFLPTVILTTVMPTLSALLTGFAARLTDMENYETQDAYEAAMISKIFILNFITSYL
PIFLTAFVYVPFAQIIVPYLDVFQLAVQPFAENEKQMSTPNVGFQINPDRLKKQVIYFTVTAQIVSFALEVIVPYIKRKVFHKVKEVQAGRAAKRGG
DAGAVSLEDHPDEAEFLTRVRKEAELDVYDVTTDFREMVVQFGYLSLFSVVWPLTGVSFFVNNWIELRGDALKIALETQRPVPWRGDSIGPWLDALG
FLAWLGSLTSAALVYLFSGDGLGPSGTPWNIKGWGLLLTMFFSEHIFLAIRLGVRTALSKLDSPGLQKERSERYLVRKKYLEESIGRENADTAAIGG
VEAGEKISRSLIEDEARQSNLSGQSSPEERFWGRQRGQVETIAIGRSFIAKAAPQTGKESKKEL
>RCO7_05538 | uncharacterized protein
MCRLMQLNFYHFCAHTQKVKVPSINPDCDRHVIGYDYFMNEWCPRCRWLGFLNPYKYQEFAKAVDCDGHTGKVTRTVYFDRTEFTSSTKDQLWEKRD
HFIENMIPDLRRHQRLQAFFRLSDRELDAEVPARDRTYLMEVFKPRIRDDNRSPDLFGVAYKVPEDRDVCGVCQGRLTGPSAENDDRYPCFSAGSAG
GVVALPCNHYFGLQCIQAWMSNPNTPNCPSCRHAYKIVRELEASELVVLPPGYEDQRLVDFIPDSDMKEMHIKLMKIYYAKILLVAPLFAPFPFMSW
KNLFMLTFGANLFYRCIALVQYQPKFALRERKIQNKFALFSAMGNTMEIILASILGGSSRAFWYSLISRWFLLIIAAYFFKPLLRLIDKIERCPHLV
RARVGGNLGRKLTCNAGAGNEARLAADMDN
>RCO7_05539 | uncharacterized protein
MKSFTTLLFLAYGASVAVAAGCSADNCARAVTGNQRGIIAQSSAKKDCSAFLKATVYPSTVTSTVSVTVFPATATYTSFSTVATAILTVIDGTSTIV
ASTEITTETVATVTINRKRAITSPPTSGTVKPTPIPTYASACSGTVRYSSACSCFGATRTTVTMPTPTFIKTISVSATASATIVSLVTYTSIYSQTI
IQTITTTTTAQSTATATAVGNAYCANGNSVNGLSPHCQIGPCSTFNLRIEGPSDTTYEGVIYTGPEQITTASGGTHLCNGQGASSPSGTATTSLADA
GGLCRFDFDGTYDSQFNDFFITRIGATAQPSNQFWGLLLNSVFTPTGGCQTQPQPGDELLWAFDAFNANGFLDIQPRTINLRLGQLAELTVTTSSGS
NAGQVPVSGALFNNLLSDSRGRVAYAANQIGTFRLKATKNASIRSPAVIINVTA
>RCO7_05540 | uncharacterized protein
MAAPQKILAQPWKDAAEVFMGAGSARRRMAAADLAMAEADAVVAEAEMEERRERKREMDRERRGNRESAKIESPTQRVCPPRRTSSAQDFVRIEVPI
KRKSVDQERRPSLVRVERPQSWPGLIRDCAVIFAMVYFSLAVLGMITKIIMWDRSVDEVPGPGWWFM
>RCO7_05541 | uncharacterized protein
MCYTILTKTYKICLHKIKRITLCTDPYCCSSTRFPTSSLTPGLCPDRTWDSNQKYIDTESPVPKALSEAIIERRRWLARNLLLSFMLYGVVALVIFF
AWAVEMERKREEMNERHRMEDEKWHEIHKNMAIWKGVTAAIPVVGDVLMFAFGERHTDD
>RCO7_05542 | uncharacterized protein
MPALPIILLVLLPIINSSSPSEPDLRTSTPLQLLNILITTLLLLSTLTHPSHHSKPPSPWSNHPLPRTRKSQPQSPHETERAYRDRLLSEEIYATQR
RYSINPSTPRSPPFLLAPPSTPATPAHAHSSSSSASSGAYSWARYLSWGFIAVLVIVWLGDHGDGTPSDMSDVDTRQVGEEGLAYGPEPPPPQSLLA
SLTSHGWWFGVWFVILSVYWAVSVGEAWMRVEEEDEDRDGDVGIDVFATGISKLDTQYEADENAYERARGREWERKRGENASLSGMAGR
>RCO7_05543 | probable septin aspE
MVSSSRPSVSQLPPSAEKLSAMTETSPPRRSSLGLLLRRSKSTELKGSKKQQALAREQELERQRREAATIPRSPPRLPDLYNGQKPANLPFGGEERP
DSVAIISNRSAGYQNGRASMDPPHASTMVGSIPIPPIPSTGSRNGDWVDPYARSESMTHRGRYSYASSAVSSINSPRRIRRRKDPTPFNILIIGARS
SGKTSFLEFLKTSLALPPKKKSNRPTELAEDIFAPKSTKVGNFESHYLETEIDGERIGLTLWDSEGLEKNVVDLQLREMSSFLESKFEETFTEEMKV
IRAPGVQDTHIHCAFLLLDPLRLDRNVAASKISTVIGNGHATNGKYDSSPKIIGGLDEDLDLQVLRSLQGKTTVVPVISKADTLTTAHMSHLKKIVS
DSLRKANLDPLEALGLDEFDPDSPTKDVNRIDEGDEDEESDKSSGDEFPTQNQDVTRTPKSNRLSSGSVRRHSQRREEADSQETPYLPLSIISPDIY
EPGVIGRKFPWGFADPFDVEHCDFVRLKEAVFSEWRGELREASRELWYEGWRTSRLKHREIKR
>RCO7_05544 | uncharacterized protein
MPRSGIPSRAESMHYGLPIILWIVQLLTVSVYIYTMTFLVARMAVKGDLGVLGPSYLTTLIFFLLLFILLANEAVYIIRQTLDPHLYFNSQVVKISL
FVMTLLSIEVFGLAWKKRDTHNAHTMLTGIIGLTLLASIPFSLSLVLAWSLQRTRGCGIAIIVTPVEEEYEERRPLLGIRAYTT
>RCO7_05545 | uncharacterized protein
MAPRFGGDLESEGGQDKQFGQQDPPMPQQGYFAAEKQKEPDLVMQRRQPRPWPKEPGCSEPPKDPHAWFPERVRDGLYCCPSCSYTCKQLFKMRRHV
YVHLFQPDFCRICGWECSGPDEMRNHYLGCDESYSYGKPLPWKAPYFSSKMYLFPPDEERTPPTATNTEFLMCPYQRTDAGGDCRLNRIALPSNLER
HIDAFHRTPDGTVPRFQDSQEPHRPQLQVPQSGFQTSAHPWKIGPRPDDSDTISEGLSDYQPSFGSVSQVTSAYERGQSDSMTEVSQVAILKEKDGL
EALPIISSAHLSKAEVEDQDEDEDEVDPMDIMYAVAVFVAKQRAKATSQGKIGRWCR
>RCO7_05546 | related to palI protein
MLRPATPLTILLFAAFFLLLISVLSTPIIKQIPLASFGGVDFGVFGYCKGSNCTSIEIGYNTASLYTPEQTSSFDLPNETRATLSAILIVHPIAALF
TLVMAIMAAAAHFHAPSHSPRYLLGIFILSILTLITSLLSFLIDVLLFVPHMAWGSYIVLAATILIAASGIVSCAMRRTLVSRKARKRRIAEHAEMN
GENFYNRQGPEPGAAPASTAMVVSDSTADKMPAFATFEMPKKEPERTSDERIPLTARSENSPNGNGAGRMGGADRYGGPPGMGPTPQRDQYGNVIPV
PGAYGGRSRDPSADPSMHRQYSENPMNSRGRGMAGGFRGQPSRGGYPNRTGGPPRGGYGGPPRGGYGGPYRDQMGPPGGAMMRGGRGGAPPAYGRGG
FDNRGASPAGYGPRRPQPGGYDPYAPPQQAEYAPYNPDDSRNDLPRAESPPPLPAHMVGPVGQAIEMDATTGSPSSAPRGFGQFANVRESDGDVAGM
VGLQQQRLQRQTVDSDASQYSAEDAYVPPRQAWAGDGSRSSPLNPNSRPAELPNPGLPAHRRVSSAGDTYYEDVDPQFSNEPQPMAPGEAGMASGYP
QRNVPKQNKNLRPIQPINHLDSNSSYEDLQSGARSPAESDRSNFTSVSQRGVNPRWNGGAGYAPMPTRRPAPQQNDILLNSNPDFSLPGGRGRGGVS
RGGRPNPGPAGMVPSSAYPTTNGP
>RCO7_05547 | probable ABC transporter
MPLRTAELCLRSNGLRSRFTAHIPRSQAFQRISHRNLQTLHRNTRPAVTPSKTNFSNSAKRSIQTQRFQSFTPPSPESLGQARPPKLYTRSIKWGRR
LLIVTLVGGSLYLIDTQFYASSITRSLRTFGLGIVVALDYKLNFRPQPWLGGDITDLHFRNAERLFELLHQNGGLYLKIGQAIAMQSAVLPPEFQKM
FSRMFDDAPQNTWDDVEKVIREDFGGKSPEDVFGVSFSKEPGFGVMEKKARASASVAQVHWARLADGREVAIKVQKREIRQQVGWDLWAFKVMMKVY
TYWFDLPFYSLVPYIAERLMLETDFVNEANNSQKMAELVSNEPRLRGRVYIPKVYRELSSTRVMTAEWIEGVRLWDKETLTGTWLGGNGRGSPGAKG
VPLPPPKTVTRSNDGTGHIKPDRDDWRGRSGKGGLGLSLKQVMTTMIDLFSAQMFLWGLVHCDPHPGNIFIRRQPNGQPELVLIDHGLYVSMNPHFR
RQYCQFWKAIMTFDNETLSTITSAWGVRAPDLFASATLMRPYEGGDSSTKARITNELVGKTASERHYEMQERMRQGIREVLSEEENFPRELLFIGRN

MRIVQGNNQFLGSPVNRIKMTGWWASRSLVDDKDLTLGQRWVNAWRHLLFRFVLFGSDVVWWSSRVRQVLGWGEGMDDDLERQMRFIAKDQFGLELQ
HDVFEG
>RCO7_05548 | uncharacterized protein
MRPPRIIIAVAFFLSTVFLTFLTLRSSHQRQTVTTSSPATSKTGIQSFFAFRAPFSLFPPNAVIALTHDNTTAFLARPAGFGPLLPSRGLKGQVWIG
SGFGDDTIRQGTIAASAEGELGCSDVPGWSDGYAKSSAATSEGGKLTNGRAATSAGKLKPQTRGTDGHGPFDDGTTQQEASGAKRVPKKPHVDDGTD
DYLHHPLAESTFTKPSEKPRADSKGDHADIQSIQEGAEISGKIVLLSRGGCGFLEKVKWAQRRGAIALMVGDDVQGGPLIQMYARGDTSNVTIPSIF
TSRTTAHLLSSLIGPGSFIEDVVDKNGKGSLKLQATDKPKKGGNKQGLHQTFTPTAGVVKSASAPRPISKASTKKVKSVAPTPNMSSEKPGWFKSMI
FGSGKKSAKSELSRPPASGRLDWILVDEWKDDDEPTTKKISTKPKVAGNTKATGDNKPATKPSGDDDFQIGVQDWRDPDLVAKPVKEVDLAGKPSVA
KAEGNTKAAFQNGAPVTTTGRKKHTGVAVQEPGSLPPLRGGSITPGSGEYVGKLPGATEKEQKNPASQGGSTGLLTTIFGADEENVEILPNKNAQVE
LTGKEERDGDDEQEGLWVTLTPTSGASPFLDTLLVLVVSPLVTLTVVYALLLIRSRIRRRRWRAPKSVVERLPVRTYQTLVPSRSPSPRTPNSPSPN
NSTATTPLLVTSPQTRPRPRSRTTSGLPEPGDSMRTSIPLQVPVKPARAPEHEKNASESSEWRKHMGRQVECVVCLEEYVAGVSRVMSLPCGHEFHV
DCITPWLTTRRRTCPICKGDVVRSLARGSPSHPRYEPYHDDSDEDIQAQAAGSVNTSSSAALPVGRSYDIRSDVEQGIASPTPTRPRRNQQSSGSWR
ALLSSSLGSSSRSPQPQVEDRNR
>RCO7_05549 | related to aquaporin
MNINEPRKGTGIVLPFFTKKPSMRSRTSSLKSDRLPFLNWVPDNARNHLVATIAEYVGTTLFLLFAFAGTQVALAAYPAEPNVVGATSHPDQLLYIS
LCFGFSLAVNAWVFFRISGGLFNPAVSLGMCLVGALPYLRGAFLVFAQILGGVTAAAIVSALLPGPLTVRTSLGGGTTVVQGLFIEMFLSALLVFTI
FMLAAEKHKGTFIAPVGIGLSLFVAELMGVYYTGGSVNPARSFGPSVVTHNFHSYHWIYWVGPMLGAIVASGFYLLMKMLEYETANPGQDSSKPDGE
HFNPDLDASHPKVSFAPEEYTAAEEGRGSINAARTHGIPQEYGMQSRPFSKSPAPPHMNDQYRGLANGGMHASEADRVVPLNSRGSGSERTLAEVGP
HHQAQVPRKSVIKPSSQGIMASNEHGHGNDSSFRTNTYNNRNITAGERDDEEFYDKN
>RCO7_05550 | related to squalene monooxygenase
MSLTKSQSAKEKLRRVHHEADVVVVGAGIFGCAAAFALAKQGRSVLLLEKSLEEPNRIVGELLQPGGISALEKLGLAHCTDNIDAIPVHGYEVIYYG
QGVNIPYPNSAGAAPTKGSQEYTNEKGGRPEGRAFHHGRFISQLRRACASQNNITIVETEVTDTITSETKPQVLGVKSKTLNRQTGEKEEDYYFGQL
TIIADGYNSRFRKQYIHKQPTVKSKFYALELIDCPLPAPFHGTVILGDTSPVLLYQIGTHETRALIDIPENLPAASVKNGGVRGYLRNTILPTLPAQ
MQPSFEAALADNRIPRSMPNSFLPPSTQTERGLVLLGDAMNMRHPLTGGGMTVAFNDVVLLSSLISPERIPDLGDTEAVKQAMKDFHWQRKGLSSII
NILSMALYSLFAANDRQLNALKKGCFAYFQKGGDCVDGPSSLLAGIIRQPIILVYHFFSVALLSIWIVIQDTVGSFSGLWKLPMAVEESIRVFYKAC
VVIFPFIFSEVRS
>RCO7_05551 | probable C-4 methylsterol oxidase
MSLLANSTLPAPDTYFGIYNELSKYNVHLNIFERLWASWYAYMQNDVIATGIMSFVMHEAVYFGRSLPWMIIDRISYFNKWKIQGQKIPTIKEQWQC
TKLVLLSHYTVELPQIWLFHPMAVSCGMATGVPFPSWQTICLQIALFFVLEDTWHYWFHRAFHQGILYKKIHKIHHQYSAPFGLAAEYASPIETMVL
GAGTVVVPIVFCLLTKNFHILTMYLWTAARLFQAIDAHSGYDFPWSLHHFIPFWAGAEHHDVHHERFIGNYASSFRWWDYMMDTEAGPEAAKERRQR
KLAKAAKKAKKVQ
>RCO7_05552 | related to pterin-4-alpha-carbinolamine dehydratase
MSSTSNSPTPVFSSTYPADKANEELSPLLKSSGGKWTLIESGKGVERGFKFKTFKKTWEFMNTIASECAVQKHHPEWSNVYNTTFIRWTTHAPPGLS
EKDVSMARFCDEKARECGEVINTEESGLGKDLADRVAVEGGDCCMPKGKGNASVELLVNS
>RCO7_05553 | uncharacterized protein
MLAGSNDPFDPEKQLDWFAGFLEGFKTFKYQQEFHDRAEGITIGLCDWFLDWEEIQSWMSEQMYSILWLTGSPGLGKTSLAVTFINSYDTILRRSGK
ENSHAAIYSFCVPQQNDTASTVICIAIHQLLQRIHGHEQTDLMKIAKKCGLYITPTAGVAIEERQRSARPEFLWDYFRKLVQLSNLKTVYLILDGLD
ECDPKNQEKLSALLAQGEPNLRVLLISRPLEHLIFGASMSKLVTQGILKVVDLHDKDSDINLAIAQFIDTELYRIAQARGYTDARRDLAISRLKKRA
SSLFLPVALVFKQLSASLSSQLEPILDETIDRLDALTEVYQTLLSRIPSQVLSKASTMLMYLLHSYQPLRVEELAYLCAKEYPAESSAQETVTYKAL
RADLRLLGPILRVRTVDDTVQFFHSSAKTFIVESSSSQSTLATWQSSIPARPSCHHELAIACLQTIYKARRSIQSNGPLPWDNNRHAKEFAFLSRHI
FLSYAQRFWAIHVKQAYYYGSKINNFDFSSISREFFRLSQIFLTETKRFADGSAKLHFFFRFFLSVNRDTIGLSSNLMALRADRNTAELRIRGSIDP
LLFYAHFGNAQLFADFRRRNQKQQSLVLSSKDVHYTIGTVLTFAVRSGDLDLLKGIMESYEVLDLESPLLCRILKVAVESGQQEMVQFIQEKRKTDI
RELENALIEAVRQGNMETAKLLLDDSYWSPEVTDILGHNLLHSIASGSRIEDETMFIEIWKLLEDHGLDINARDKLGSTVLHHLSWNRTLGTVDLLR
KMIDDDADPTIKNDLGELPLHFAAARLKFEAFEYLLSETERSSQLEADNHESSSMAIVQASGNGSISRFLSKGRSTPLHWVAHRNESGDVDHVVRII
KCLLSRGYQLTDATRSGRTALSLALTNVRSFSNLCLAATRMEGIDTFETAAVRYDFREGRCAIFCPACMIQFGIGNVRSHANLRGGNMAFVVYSATR
FSPGYNCEHWGTLSSEVIRVETREANTLLALGTSMG
>RCO7_05554 | related to Heterokaryon incompatibility protein s
MAEIFGVAAGALSVASLFNNCVDCFDYIQLGRHFGTDFERCQLKLDILKTRLGRWGQATVLNDNPSFATNLPNEKAAQQVQAILEEIALLFRSTQQS
CKRYKISAKPEDLVCLEQKDMPLVLHGLHGKLGDVARRRQGRTSLLKKMSWALYDAKNFDKLIKEMVNLVEDLEQLYPSDKTQCKLVEMDIEGIEDE
PSLLALTGAADGTDAVLMDLAMRKVEKIVVRNRAKDIKSEGLAEILVGNEWAQRVMTDGMSIAEQTENSTDNIEAGGSSKVQVGNRYGVK
>RCO7_05555 | uncharacterized protein
MPPTFWDPRTLLDLHVYSPGFTCTTPILPKRKRGQPQEPRRRCQQSMISHDCKSQADRALGVIAQMDVVTDGVGDGVKQALVGIAELTACPHSHNKP
GKSKAREVGAVWVGEVEAWVVGRKRELRNERRMAELLSGPALRVHGDSDARRGRQEPARDVDQIRYPSGQQQQDSSQPVVRDAKSHDPRVDAILAAA
AAEVRHERQQVEARRVGNMLGPRQYRVQTPAAQPEVRREPNGQPSAPRNQALPQHPAQNLDPAADLIFEPVLRSRFGAHPNLVVLPAEGQIPDLVAA
RRMQAEYEAQIRALQERVRQLEVQRGPVEQDQPIPIPEAPAAPIHFHRYPVRQSESAAFRPGLFNIQPIPAPPAPHPLFRVRVPIPVPAQPQPYIPQ
RKAIEECFACYEVFEEGEDIIWCEKQCGQNIHRECFEKWNRLNDFAIRTCALCRAPWTEQP
>RCO7_05556 | related to FAM203 family protein C1020.12c
MPTDLEQLVDFISHGNTPVRQLAVENLVPYSLSDAAIFKTNDLLPVKDLKLLVRDYEKIAHDATTILINLTADREVLEYLASDKEFVKILLARVTNP
AEPNANLISMLLANLAKYDELKDILTVEAPAPKELASNNKAIDQLLDLFVKGADGTYNKAADFDYLSYLFADLAKHKEGRQYFLTKQEYDDVVPLTK
LVVFTEHKSDIRRKGVASTIKNVAFEIEAHPAFLDEDEINILPYLLLPITGNEEFTEEDSTGMLPDLQLLPPDKKRDSDPSIIQTHIETLMLLTTTR
QGRDLMRETKVYPVVRETHLHVEHDEVRDACERLVQVLMRDEEGEEVGEGMKALERIPKTGKPSHPQIAAGAGSWAKQDVEDDDDDDDDKIVEV
>RCO7_05557 | probable L-lactate dehydrogenase (cytochrome)
MPLTGAEIAKHNSKESCWVIVHGRAYDVTEFMPEHPGGPKIILKYAGKDATEEYEPIHPPDTLDKYLDKSKHLGEVDMGTVEKEEKEDDPDEIERQD
RIARMPILEQCYNLMDFEAVAREVMKKSAWAYYSSGADDEITMRENHSAFHKIWFRPRILVDVEKIDFSTTMLGTKCDLPVYVTATALGKLGNPEGE

VVLTRAAKKHNVIQMIPTLASCSFDEIMDAAEGDQVQWMQLYVNKDRAITKKIVEHAESRGCKGLFITVDAPQLGRREKDMRSKFTDTGSNVQSGDK
TDKSQGAARAISSFIDPALSWKDIPWFQSITKMPILLKGVQRVEDVIRAIECGVQGVVLSNHGGRQLDFARSGIEVLAEVMPVLRERGWENRIEIYI
DGGVRRATDVIKALCLGAKGVGIGRPFLYAMSAYGQPGVDRALQLLKDEMEMNMRLIGCSSVDQLNPTLVDTRGLSMHTTVVPSDTLGLSTYDQLVS
PKAKAKL

>RCO7_05558 | related to GTP-binding protein Rab5c
MSQSLEAKIVVLGSQGVGKTSLVHRYVKNKFAPASTTSTVGASFLTKRVVDDESDTVVRLQIWDTAGQERFRSISRLYYRGANACILCYSITDPASF
EEMGVWLTELRRNLPPDIILHVVGTKADIVAREPLQRLVPFERCIAYVAENLAPGMSSTPPATATRSGILDQAGSGSAYRGFMGGGGGGGMIFGVDG
ARSPSSKRSSGFWGQEVGWDCCHEVSAESGEGVDEVFRVITRKLVEQNRKIQESLMSAVNTPGMTPGIEGMGHEGGYFDQMRPGGSFRVGRDRRSWF
GVPIENYIEEGNTTAGETQGQVQTRRKCC

>RCO7_05559 | probable YKT6 - SNARE protein for Endoplasmic Reticulum-Golgi transport
MKLHYIGIIKNEIKPSVELCAEKDLSAYSRFTKNNYGEFMTLFSKTVAERTRPGQRQDVEEQDYTFHAYGRTEGIAGIIISDHSYPALVAHQLLSKV
VDEFLAKHPRSSWANSTSNQALAFPELKDYIVKYQDPAQADSIMKIQKELDETKIVLHKTIESVLQRGEKIDDLVAKSDGLSAQSKMFYTQAKKQNS
CCMIM

>RCO7_05561 | uncharacterized protein
MPTGKATATVEGRKIAEAEEWEVVEGNVYFPPSSVDTSLLSKTDHTTHCPWKGDAAYYNINLDKTELKNAAWYYPEPKEKAENIKNYVAFYDSISRS
CENYNMTMGALRRAFSLARLHDGTKEEHKAVVEVGDSNEGARSHRYALRKTRTFPTSSASPSEGHQPAISSTCSSCAIYNNQTTTKMDASDHAAPHY
NDGNRAFLQSMMARGTLTLREAKPLLAAIFSLDSDSLVEADDVTEADLNSYISAAAEAISPFDYEIRTTQHQVTKERVWAFVNSVSDPLSQIATIRT
TEETFYIKRFLDAMFVTFNTRRREVMSMNSFQALDLKKASRETFNEEGSQEQAVDKGLSADQVEDLLRSLAMEGWIARSQEGYFSLTPRALMELKSW
LVETYNDISPENDEEWQPIKRCIACSEILTIGQRCVELNCNVRLHNICENSFWASRSGVKKCPKCKKPWDGKHYVGQKAVTTTEEYLKGKRRSGIAK
KSRAVEPEPEEEEEQQEEEQGEEEEEKLETSAAASRRRRSRREAVTQMESDEE

>RCO7_05562 | related to caffeine-induced death protein 1 Cid1
MFPHNGNAAGQDAGNLEDRLRGLILSNSDPMMIPNGGRSGPAPPPGLQPSFIPPQTLQTNFHGQHNNIAHAPSPPLESASNFLAPGLSSPPGRKRPN
QAQRRQRNAQLSIPIDTRPTPGVQAGRGNGFYGLSNPQYGNQNIANRPQHQGQRYNHHTHQQYSPHFQNNGPASPYSPQTNYQQHVPQSPMYHQQQG
PPPQSQPRQGPNHFSPQHQPQTQSGYNRPLPQNRQLYQPSSQGAQSGRPYGQNIQELTAQSSHLEWLVERYVPGVGVDSQEEAEKEAFRAVVELACR
EAIGEHELLELGNENFDRSTVQLQCFGSMRSGFATKASDMDLALLTPRSHPAADSPESVIPRLLEKKLLGLGFGARLLTRTRVPIIKLCQKPTEKLM
TDLLQERQKWESGFTSDREDEEEHHEPIAFSSIIEISSKQRDGSISSPAIEGHQKPDSDSYEEKLGSLRQRDHQSLGDYFNSAKRLLRKLGGRDVTL
NSPDLNEKESKILNEVCRAFIAGLSSEKLSTRLGQYQSILPLFDSSLPFVQRSIHGVWTQIEGERLALAWDSRPITEPDDKLEFEALNLIEAWRKLQ
DSTGSVMEPTLYNRQLFLASEKLKKINSIQLMILEQIQHEDPVYYQARAQKIMKELLGSGQSFLGTTITPIVVAHYISGIGNEQIRDILEATDHCDS
TLLQIGLHHRALQLALDFEHALEAGLYTDSEKPLVEQYVCMLRSRKLEATPQTEADASLIAKVRKLPDPTITSLNKPRDRYKDHLEFPKTDIGIQCD
INFSAQLAIHNTQLLRCYSQSDPRVKPMVLFIKHWAKVRGINTPYRGTLSSYGYVLMVLHYLVNIAQPFVCQNLQSIHKELPPYLPPAEVEALTSCQ
GRDVRFWRNEGEIKNLADRKMLNHNHDSIGSLLRGFFEYYAQGGQMSTGNGRGFDWGREVLSLRSQHGIISKQEKGWVGAKTVYQTTTIAAPPTPSA
VITPEVTDHPEMSDGFDAPKTPKLHAKTVEETKEIRHRYLFAIEDPFELDHNVARTVTHNGIVSIRDEFRRAWKIIKGVGKPWEGNDGQLLDPISDA
TDEKSGLQSLMNSIHGPIPKSMLNRRT

>RCO7_05563 | related to transcription initiation factor IIF subunit alpha
MSASPSGQSNGPTPNGGPPRQFVRKAKAADPLVARKKPIRRTNLLPNASGPKRNGMVPGSGRPLPQYPVNGVIPPRGAGPSTMAHPNGAGAETGNGG
WTHVPSGHFVDFPLVTSKRALREGMRYHIARFASKKGVDPQDQNEFTRPVLLHRRDPKQPPPGKGIKDEDQVMADDPIDSKEREKQEIAKAEKEKQK
AADLAQIAPTGNNPSALAAKKNQSFRNEKTTQVHRLDKTEEQKKMSDLKYEEALPWHLEDADNKNTWVGNYEAALSDTNVVLVVEGSTFKMIPVEKW
YKFTAKGQFKTFTIEEAEAKLAKKTKEPRWVMQSNQDKESAKMAQDTRKAMHGLYMVKSESNTFKNAGKSETQDMDELDFEEGDLFQDDDEQVTIEP
DNDEDTKDAKDRVKRDRQAANIFDQTNEADVDEEEEEDKKEQEQRKKLGKEVTKALRKRERNFVYNSDSDHPYSETSDDDTSDEEKQKEIDRKKDEE
AKNKIKLESAAKLPSGTSSQGTNTPSGRPKHSDPLKKVKNLKRPGSPNLSESSGNESSRKKLKKKHHSSHASGSSTPIPGSRPMSPDSSHPAASQSP
RKSSIVKLSVNSNKINSIQSAGPNPSPIRSGAASDGEATGGEMSDGGKRKKKIKLVLNSTPNGSRAGSPNPGAAGSRSGSPAAAIGSPGRVQPPSPN
GVSVQELIAAVPASGITIGELLEKFKGRIQDKKVFITTVKQNCMFGPDKLLRVKP

>RCO7_05564 | probable pre-mRNA-splicing factor cwc26
MSLSSYLASKYLTADTSSTTSSGKKRKRKTPKENNGLIIADDDALGWTASATTNGEDDTPLAISSGSAEFRKAKKNAWKTVGVPALQPRDADSEAAD
RIVAEAAKENSAAMHDDEGPVIENGGEDDGVIKMGDGTHAGLQSAKAVAAQFEKRKREEAKAWEREQAALGLGAGKGGKRKEEETVYRDATGRRIDI
SMRRQEARREADAKAAKEREELEAQKGDVQRAAKEKMKEDLDEARFMTVARGVDDIEMNEGLKEMERWNDPAAQFLSKKPGGVGKSGKWRKQVYTGA
AAPNRYGIRPGYKWDGVDRGNGWEGERFKAQNRTARNKELDYAWQEDT

>RCO7_05565 | related to benzoate 4-monooxygenase cytochrome P450
MGFVEVLLDTLVNYSLLSVLCLSTFLCLSRCVYRITLHPLAHIPGPLIWKISTIWPYYHSHIGDETTVIHAAARARYGPPVRVSPYEVDISDVDAVN
PIYVSKGGFLEAPYYANFDIDGHSTIFSTLDPGYRALRAKGVVPMFSTKNIRDNEVALYGCVDRMAERMQEEAKTGRPVNILTISRSLAVDAVSTYL
FQENCDGTSEKVKTLSVSASVDAFVAVR

>RCO7_05566 | related to acetylxylan esterase precursor
MRPSTFLAISLASLTTALPTLDTRESSNTTSSNSAPCATGVHIIVARASTEVPGEGIIGAVADQVVKAVPGSDSEAVGYPATLLDYLTSEGTGVKVM
TNMIETYTMRCPQSKLVLMGYSQGAQVVGDVMCGTSTPAFNSTPPIPIAMTKNIVAIIQMGDPSHIPNLPQDVGDSSKAGIFKRPNTNSTSCMAMEP
ITKNFCSADDRFCDSGTSTAVHLSYVREFGVQAREFVIQKAKAAIMESSNTGTPKPNGAREARDGPAVWMACAFSVLMMVI

>RCO7_05567 | uncharacterized protein
MSATSIRNPIEPLERKDIRSAGLGFKHDKDKREKWGNGIRPASGVRVDWNDELLSASNEAQAIKIRPQKQWSQMATDHKSHANKTPKPSGGSYDSRT
RMHHKAAAVVEANDHTNSTLSKSLFDLLPQHFNNTESPIQVALRESAALADGDILYSFDNKGPSPGDKGRRVDLGGLVDLAEQKWINKKTEDIIKGE
YEVLDTSGETVLLKSKGKKSPKQKAAKAERVTPQAGLDDDFEIIDAP

>RCO7_11687 | uncharacterized protein
MPVLARYYTESDTSSAGIPMNLGPSIYPSSHVTFSTILVVASKSGVLLLVPASTLSAVYRIYYLRYIRAFLKIKYNNTLVLELLYSFNKLNSKLYKY
YLLPNYVNIEYTILSSLLPSSKAKDTELNRSKKVFKELEFIKVDLDLLIINSAKSKLIAEIALKGKRNLPSSSEIISDLDTPGLSLKKKARRISYYT
RSTTRVILVDLSKELDIIVLVPDIPDLLEAPEDLEEKASKVEVVKEVEF

>RCO7_10752 | uncharacterized protein

MPPKSLTNSDTDLVAHFTASSIKFTTAKAYNEGNRETSNYQALGEPVNKDGAGRRKHLAGYWAKESALFEYGMIALALREL
>RCO7_10751 | related to bystin
MPKATTPTSSSRNGRRHNPLETDLTATPLKIKSEKRKSRHQDEGDQFVDSKASRKILRMGQELADDDAEENSVQPANKAFDFESRLEDEEDDEIPGQ
EEEYEEWGDEEVEEIELAPADLETFNKFFPTQEDPLLSQGWPGMAEAEEDEGPGTNLADLILEKIAMHEANGGGNSGAPGPIDEDFEIPEKVVEVYT
KVGLLLSRYKSGKLPKPFKILPTVPRWEDIIEITRPETWTANAIYEATKIFVSSTPATAQRFFEMVVLERVREDIHETKKLNVHLFNALKKGLYKPA
AWFKGFLFPLVGSGTCTLREAQIISAVLVRVSVPVLHSAAAIKGLCDIAAQESSAGTEGGGATNIFIKAMLEKKYALPYQVIDALVFHFLRFRTVDV
ATGGEAMSGVIGAGGSRDTKLPVIWHQCLLAFAQRYRNDITEDQREALLDLLLTKGHSKIGPEVRRELLEGRGRGVALEPEAPSFDNDDTMLVD
>RCO7_10750 | uncharacterized protein
MPRGSMIPQKGVAEPGVAVHRSTYTESSLSSSHPQPQSDGRHRQPDQNEEQSHEPPPYSGPTSSTMTPIRTTAPHAQQSYPGLPRLNYSLYTPPTFT
LSEDQKTLTSQCPELSIYPTKLNSLIQSLATVPPKPQIRITGKSSNGVVDFDLRINLMNLIVPEEGKPGSGGGRMNYVKIIGKGEMGFRGEGKEAQV
PDLRSLEEWARRYCEDQSSIKRFVLERTVINWNTSYLEGSLLSLISSTSYRGHVTVLFPLTHSRVVVHSPDKVNRFFSDITKLFTGTKKYEVIKSIW
PYADVARGENDGMGRRCAVQEEEVWFSDWRDAIRHAIVAKRKGWVTVEDRLEFLMEPKPGEVGKPEDWGSF
>RCO7_10749 | related to 3-dehydroshikimate dehydratase
MSYKPAICSMSLGRAWAHNLSPKLTAAASASLPGIEIFFEDLVYLASSFPGGPTPSNQILAAHQIRTQCTDLNLEIMGIGPFNNCEGLLSAPARAKK
MEELHLWFDIARILGTDIIQIPCTFMTEGVTGDLHIVARDLREISDLGAAQNPHFKFAYENLCWGTFNDTWEKAWAVVEAVDRDNFGLCLDTFNVAG
REYADPCAADGKCVDADVRFRESIGKMARTIDVKKVFYVQAVDAERLRTPMCEEHPFHVDGQKPRMSWSRNCRLFMCEEDRGGHLPVMDVLRAICDE
KDGLGYKGWISMELFNRSLLSEDPSVPFEHASRAMSSWWKIVKAMSWEGMVETQPIVAVPRRAIVPLERADISARL
>RCO7_10748 | uncharacterized protein
MKVSSLLVLITSTITGVAAIALPGVSDNTSLKPRAGELFKREICIIENGYSCHYKDGYCVWHKCRFSCSCPATVNQPSDGDKTPHDQALVHKQCIKY
DKSPCAKS
>RCO7_10746 | probable quinate 5-dehydrogenase QA-3
MPQSLGHTQPPSQEQTQTPPPEPSISHLDKVFYLFGNPIAHSLSPLLHSTVYASLKLNYAYLLYETPSISACLALTKSPNFQGAAVTMPHKVAIIPH
LDVLTPEGLAIGAINTIFLRAALDGRRLLCGTNTDCIGIREAILQNTSPVQSAGMKGHPGMIIGGGGTCRAAVYALRTFIGCEEIYLINRDKSEVDA
VIAECAAKGFGDKLRYVASIEEAEKLAAPRVMVSAIPDFEPKSEDEIRARCIVEMILGKSEKGALLEMCYHPNPDTAIARLAEKSGWNVIGGIEAMI
WQGLEQDKIWLRRKASSLPVKEVRRVFALKETKARL
>RCO7_10745 | probable inositol monophosphatase 3 (Inositol-1(or 4)-monophosphatase 3)
MPDAELQEIYTFALDLGRRAGKILLEGVEKRCGAQSGRESGPQLEKMNAVDIVTQTDLDVEAFVKEEIFGRFPDHKFIGEETYSSGSSKDYLVTASP
TWIVDPLDGTVNYTHLFPMFCVSIAFCLDHQPVVGIIYQPMLDTTYSALTGHGAFQDDAHVTKPRRALPYVNNPKQVLGKEAPKGCIFSCEWGKDRR
DVEGGNMRRKIGSFMNMAAEIGGRDGKGGMVHGVRSLGSATLDLAYVASGAFDIWWEGGCWEWDVAAGICILREAGGLITSANPPKNPETDPVEEVK
LGSRLYLAIRPAGDTEGETGRQAQERVVRETWKRVDSLDYSRPGA
>RCO7_10744 | related to quinic acid utilization activator
MAEQARMGDGPLGENNEKAGIEGEELKKKSSKHGGPRKRVSQACDKCRSRKDKCDGKKPTGDICADRNAERRALACSTCISNDRECTYDANVKKRGL
PEGYVRGLEKLWGLTIRDVDAIGDKILSALAGDEESKESPLATWNNETNSDALVDIWRKSTISRELEKLLSSQEPTELKRKRMTSDDHGRKSVQRNA
LQENDTSRSQADPDYPSATWSERVPNLMTQNDHQTPPNASDIDPSFLPREYESVLSPNPAHAPAHAAPSNGNPAAGADALPDLPSETWHLLDIYFSY
THSWFPIVEKHDLLKTSYQYSQMKGDSASAGSGENAVLWAAIAYAKFQCRAINDIFCAPGAIGDVIWRAERMYAQARSLVPNEDGNIELGHVQALLI
LSLANIGMGHFARAWSLIGQAVRSAIELQLDRPSDQSRAKSRFKHVFLGCFALETLIAARLNRRPHLRALDADLVGLLDEDGLEEWDPWTDCITVRR
SSLGNPRLPASILSTFNRLIQVLQILNDACCCSDGASTIHLSTVLLRRLHVWSQAQSPPLFFDSMARGSEEGLSLLPHQYHLHNVYFTTLARSQLLS
SNHGNVPVNLEPCTQSACHTVDLLSQHLNAFSLPIVPPTYEYFVKSAYDIVHAVHSSIESTHIGLDDWKRSLDRCLDTMKSVWPVFEMFKSSAAYRS
TIQAPRSRSQAAFDLIMDQESDTSMSRNTPRSLASYDAFDPFSPHNSRAPAEAQQSPDVSHLQASRPLFGSSSTGHGLPQNPRSIYEDVHATIGSAK
RHPSNQQHRRQAAVKPPGIMAPQAPFTINQPSIPQLHQSLTMSSTEVELDPMFNELMRLDATEWAGNWDQSLMNLGFTDSDNMNQDFYAFCQEPDPL
HPNTIFQQLVANSNAETNNFFDGSGLGHSMDQMPGGFAGVDGVMADENEGIEVGQILQALSAADDQRGGG
>RCO7_10743 | related to negative-acting regulatory protein
MSVMTQLETPLAYLDSTTLPRPNVRDFLPNASIVLIGSRGSGKRTLGFIGAMHLGRRLVTEDHYFQQLTGVSRGVYMQNYGSLEFYKKNVDVLKRML
DNHRSGCVIECGMGSLSGAAQKALYEYSKTNPVIYITRESQQIQRLLRLGNEEAIRLKNADLAHRNCSNMEYYNLYDSSCDGAETPPENGLGNVSSR
LKYAKEDFSRFLDFLTGQGVIRSGLESPFSIAALPAEFRSYTYALSLRLSVIPDLDLADLEAGADAVQLKIDTWSPGLQKLIGKQVATIRRSLGVPI
IFQVEDYAFENSNLSLLEQVHAYFLLMEYGLRLGVEYIVVDLKYSSDRFSNIVRSSGRTKVIGFHMAREENSWGWDDESRMIQYRRAQSLGCDIVRF
VRRTSKTSDNSTVRQFVNKIEALPNHLPVIAYNIGENGRPSLISNRVFTPVTHPAMQSTVSKSQIRQFLPTAAEAMQARYETRIIDPMHFYHFGVSV
FYSLSPAMHSAAYKECGMINDFQSLQVSSLQDIQQLCQGQSFGGAAITQPFKVEILTRIAAQSYHAKAIGAVNTLLPLRTLSSNTPVDGSTQSLLRH
ANQRGKSGPIIAYYGDNTDFIGILTCIRRNLSPRNVIQPSKTTGLVIGAGGMARAAVYAMLQLGCRKIFIYNRTIEHADDVARHFNSWASGLSIDGE
IVRVLRSLTEPWPSSYRQPTMIISCVPARQIGTSPAANFEMPIHWLGSPTGGVVVELAYLPLDTPLLKQIRRVREETKQAWVIVDGLEVLPEQASAQ
FELMTGRKAPKRRMRLEVIKNYHHYEESTA
>RCO7_10742 | probable ycaC, hydrolase of unknown specificity
MKFSTVMATLAGATAVKASSVPFDRLNKTDAVLLVVDHQIGLTELVRDYGVVEYRNNILAHAALGNLFNLPTILTTSAETGPNGALPKEIIAMHPTA
PYIKRNGEVNAWDNSEFRAAIEATGKKQVIIAGIVTEVCTSFLALSLRSEGYEVWANTDASGTFNDKIAADANRRMEQAGVHILGMFGIVMDLMRDW
RSTPGSAEVLPFLDVYLPAYSLVARAHGNAITNGSLIPGETQIL
>RCO7_10741 | probable ribose-phosphate pyrophosphokinase 1
MAPAAVELGQFANGETSVKILTSIREKDVFVVQSGSSRINDSIMELLILISACKGGSANKITAVLPYFPYSRQSKKKSHRGAITARMLANLLHVAGI
NHVITIDLHASQMQGFFKCPVDNLHAEPLIARWIRHHVPEWSEAVCVSKNAGGTKRVTSLADALKLNFGMVTTDKRRGGNMSASLIMSQLDTHDHDF
DGDVSKLEIDDSENSFVPEDTKPALSSLVTSREGSSSKEEQKPEQSSKYSPPRRGNHSRTDSNSSPRKSQPLPSPLRTQHKNPLTRSPLVRAATTPV
RSSTIEEERGEGDEAEFTDERARDIIHGRLIHGHIVPDDYPSPTQSAMSSSTILERPEDDPMEMSRASSFFNPESHALGGSADAAATSDEEEEGFNN
PSLEQMITLVGDVRGRTVFLVDDMIDKAGSWIAAAECCVKRGGAKKVYCIATHGLFGGDALEELEDCECIDQIVVTNSFPIPIEKSRNTNKLVTLDL
SNLLSEAIRRNHYGESISALFSHSHE
>RCO7_10740 | uncharacterized protein
MGIPHLTTFLRPYATAESLAGKHVVVDGPSFAYHIYYICLKASPGARNGLEAAPSYQNLVETATSWLAGIEDSSVEIKKIYFDGFLPVAKLAVRLQR

LQNSTYQLTKFHQSHNEPCRSTYPQRGTTSLALFHSTAVRSGLTALPALSFIVPAILEALKASARYTDITEVVPGEADLYCARYLKEHGGLVLTSDS
DLLVHDLGDQGAVSFFGDIESSVLEAPYTLRTLIFQPAAISDRLKLPKSHRLYSLAFEISMDAHGTFPKYLTQAQSLHAITNHSQMFAEFLQEYSLF
TESKVPADSYEALRVLRCLDPRTSEYVLQFPSISDIAGQPSVSGKAASSSPHVFLPFLLDCPVRTNAFEVSAVTRQLAYGLLNIIVPASERRSSVFE
HRRQINKSNGRELMLPEVSDICDACNSVLETFKGLKTKFPKFKDIELWIAFAIHQDIEWSISASKVATSQVFLQRMSHQKTSYIAGFFDWDVVQFFA
QLQGSLYSCRILQQITSLVMSNKSKYTIPQAVLRLNSLLRSVPSIVDYPDLGTASAAIRKSDEEAKFMRIVKEVVNALDVSTATSGLSKAGKSSKKK
RKRDRVASELPPSKAISSNPFALLGSG

>RCO7_10739 | uncharacterized protein

MDGQGDTEMDACPAQHALSPIAPLAESTNMAPQSSQNSTGSRSHNLRSLIEGMGTDQRQKENEPPAKTPLTNSVPSSVMVIDISSDDDAIMAKPSQG
AKKRQRPTIAKALTKAQKKARNRLAQQQQQKQSQHRGMTLRSATAVTSQKPLPASPPIRRHLEISASQQREIQRNQKSSFEAYRNASAAGYLCYLPF
ATQHSILQSIQNLLEECLFEFAKARVPHVLTAARWHTHHAGELNLWWPVFRNVMNALPKEAIDHSQLDSSIGNLFDRIKHIRHITVHRIQEMPMSSV
EWMTKDAASLALALGDNDRGSRLLELYKRVKDVCDRAQAALEPTAVRRGQLKVGEEEIRSLEDQRAQIDQRLAVLRGEQLRFLDVKECTEQIGDELL
GPLKDLDSFMVYWRLSWDNCLETDTFDRSEFKTVIIVQPGVVDFCNNAFMRALKFHGVPQLISV

>RCO7_10738 | related to ferric-chelate reductase

MAYTSPASKRDGNPVSAGNKNATALAAAAMHAAALKRKHQHTLNKEAAEYYAVVIAAVIALFTIFHWARLLYSRYASKSVKQYGVMKAQVAVTRKVR
HVLVQRIPGFTSIGHAFLVTIFILLNILSLFIDMDFTSILPFAKRLGWMAISNISFVTFLALKNTPLAFLTASSYEKLNCLHQIAGYTTVILALLHG
ICISSGFIKVKLVSILHEHEQIFGITAGVALFIMMTFALVARRLRYEVFYASHVAMFITLIVTIGFHQPRLAQKGVFSIIFAGSIWAADRILRGMRI
LWYSYDNRATITPLPQGGTRIVLRRSLSRATPGTHCFLWLPQIRLLETHPFTIVNNSQASLELVISAYDGFTKDLHNYALKNPDAILRASIDGPYGT
VPNFSKTADRVILVAGGSGASFTFGIALDMIEKLGQKPGPTIEFIWTVREQETLTWFSKELALLRASPRVNIILHSTRLSPVTPATSPIWDVKTNSS
DPSPISPDSPIDVEKQPPSLSYIKTSALTNTIRQADPVPKDVEKKPIISNSTSSTPQGATKSVIPVAVLPGRPDIDGIIRHLVAKSGDEERIVIAAC
GPDELMRSVRRTATNSIKAKGPSIELHCEQFGW

>RCO7_10737 | uncharacterized protein

MGSGQGKIEFDSSAPRLLSKPIDQKYLVRTRSGGALDPIDLSTPSPPSRTACTYKPSRQITLSSNRIDESGRIKKLLSVSEANTRAFHGFQQHLPEP
KLHVREEPVPKVPVLKGPARKNRESAETLSDDLAYDDLTDDQVASEVPPHEKLLEEVLFNWTKRWVPSVLEAMRWEYPESAEFNQWTKAWGGECRRM
HYALIDSNAGIQHNMLSDLVYSLHKLRNSAVHRHELRLAIVMGWMKSALQLTRSLGDRSQQRKMAEMEAALRSRDNFRLEAAVRKPVDDFSDIDAGN
SGGIDNPIKKYEAKALMPSVERGFGERRENQQSPPNGRRVKPQSPLLRKVSRAEVIDLTEEVEEDIETEENAPAHCERTTAKEDPKASKKRSFTEFA
QDIIETSDDDRGYPGEDACEEDEDPDAIVFSSARPPGLTAAFLMAGGPTTGLDC

>RCO7_10736 | probable elongation factor G

MTRRIGDVDDGSTVTDFLPAERERGITIQSAAVTFHWPPFQEGKAAKADAPRHLTPHTINLIDTPGHADFTFEVLRSLRILDGAVCILDGVAGVEAQ
TEKVWTQANHYNIPRIVFVNKLDRDGATFNRTVKEIGSRLHGFPAVCHIPWWEGGKGRFTGVGDAINLCALKWKEGGDGKTIQSLGIDELVQEDPGL
REELIKARAALVEGLCEFDEQLLETWLECDDDTLAVPSQAIRDSLRRCIIDGSGRLIPVFAGASFRNIGVQPLLDAIDDLLPNPAERPSSEISIGEK
RGSLSDLLDGKLSLASSWSKKMAKKSTSATSMIAQIEACALAFKVVNDPRRGVLVYIRVYSGSLKRNATLWNTNLHVTERAQRLLQMQASDAVEISH
IAAGQIGVIAGLKHARTGDTLISYPGANIRNGPPAPLNMLQLRPIDVPPPVFFAAIEPHSLSEAKNVAEILSNLLREDPSLHVNTDEESGQMLLSGM
GELHLEIARDRLVNDFKAKATMGTIEISYRESVLSATAPQRIIFDRDIAGKKGRAGCEAMIEPLEEKTSAADYTVIRDGNSISINIPTSWFGEDSPG
TSLPKDLPLATVREALVNGATAALARGPRRSFPLHACHVSLKFDPSTDLFGSDTSPAALSSAARLSVRAALKSAMACDSIALMEPVMNVVISCDEGS
LGAIVHDISSARGGHVISLESDSSEDTNSDSLLPAIDPERIYAPPDPFASCGRSSLDGPGQARQVHARVPLKEMVGYLKHLRSLTGGRGTFIMSVDK
FERLSGPREKAM

>RCO7_10735 | related to vacuolar protein sorting-associated protein

MDYSASIHDADNPAGASPWGSSPVPSPRHARTSSFPTTSEASPSPTPYSSNGPNAGYANEDIIGGGGYQRPESSAGTDSATGSDGHRPDTAESVRSQ
TEQQPFLDQQQQQAPAQQPQRPEPQRYHQNARQPQQSQAPQYKLQAKITGLERTGRKDPILRFDIHTNLPKFRTTQFRDVRRTHSEFVKLADHLVSS
NPEALVPAVPPALTSAGAGTDEDEARVKASLQRWLNYVCANEVLMRDDEMVLFVESDFGYSPMLKRKQPATGVRRRVIKQFAPPPDDTPELQDARPI
VKLFYLGTMDAGHKVDKLVKARRGVGLAESDFGVKIGAMSVQEPHSGLANAYRKLGKTIQTTGDYHAAQATAEATTIGDPMQYHSQDAFIVKETLTN
RHILLRELLQSQQLTRSKLSAADRLKASSSVRREKVDEAISALDEARSNELYLVGKTQRVTANLLQEQRRWFARTAADLRLSIREYVIREIEAERRT
LATLESIRPDIRAIDSSGGLSRLGRENVGRRTSVATSQGKNGDSWSGVPRRPDVLSRSISGSFMSNVPEENEQDSQGPGRARALSGGSAGGLKDVKE
EDDEDRVDARNAAARLATSSF

>RCO7_10734 | probable sorbitol dehydrogenase

MAPMAEDPSTVIDITHSRSVPTKSSTHVLASVLHGPRELKLEVRKIEQPALGELQIQIKATGICGSDVSYYKNFANGDLCACAPLSLGHESSGVVAG
IGPQVNGFTIGDRVALEVGIPCGQCTICRKGRYNLCKKMRFRSSAKSVPHFQGTLQERINHPAIWCHKIPDHVSFDAAALLEPLSVAIHSVNRAAPA
PGSTALVIGAGTVGLLVAAMARQSGCAFVTIMDVDAGRVNYAISKGFATHGYVVPKTFHSSASSSSIFTSGYSSPASSDGAMTPLSSYGGISERLDG
AKVVAVDVLSVARPDMSPLEEDEYDGVDVTFECTGKEACMQTSLYATKPGGKVIMVGMGTPIQTVPLSAAHLREVDILGIFRYANTYQTGIRLLAGK
GAMKLPSLDDMVTHKFKGLGDAKKAFELAGRTVDDEGNLVIKVVIEA

>RCO7_10733 | related to cop9 (constitutive photomorphogenic), subunit 6

MAAASSPNSLLSTQKSSDTSLQIALHPLVLLTISDYITRHTLRQQKGPVVGALLGQQNGREITIEHAFDCLLQELEGETVLSQAWFEDRLQQMKDVH
KVPPLDLVGWYTILPRSGPQPENLPIHRQILQSYNESAILLGFHPAEVLEKQAGGKLPLSVYESNLEADDAAMETGEDKEMKDGEPQMTLKFKELQY
SVETGEAEMISVDFVARGGGNATAVESHKATQAKGEPTDKGKGKGKARATRGSEEGEVIKNNEYLSREDEELIASLTAKANAIKMLHSRINLIAVYL
QNLPPSYISNTVPEGAESSDKQYTLVSHSILRSIQALLGRLSLLIPADSAAFEHELMSEQNDVNLVSLLSSITGSIREIRETGRKFSIVDGQKSAKS
KQEGGRSNAPQTWGNSFTGISGAGDLLT

>RCO7_10732 | uncharacterized protein

MAQVGQIQLPEASITPSDTLGVLITTAADPMQIDESLKIQVGMIDSVTSSPIASVGTESLIIEDDDVQILFSAPRRRKKRRRKFGSTVSASPLSQVC
KPAAASYASPEMHHVVSQEASRRRSISVVQRLELCNLGEEISPTCRAGSLPAMPCAVNSSVADMQYPWFADSSYDESSFPQFPPLTDYAAWWDQSLP
TVQSRALPSIRWRPLQTGNLDPKKRKLDESFDEPRIPSSQLHSSVQVSPRTTPVSAISSTILRPCPIHASPYDVYESCQHFPSANSWPEPEWDEFQR
AGYDHNGLQSISQSSVPTNFSTQNSIVSRKSSVGQTYLSNRFESRVGDEATLQYAGQATLIAPLNLNSNSTTQLHRPSNKGEQAQQLRLLPPYSRLY
TLPPSAGTLSHTNSSQMPSPVVLSQSGLQPNVRAIAPFIRPCSDARVTQLDILRKPSLYSIPSWGSPSKVEAIPAQSAIVQSHIRPELPGDSEAIQA
RSTNVGSRYLSSILRPSRIDAETIAKSASMQPAKAKYSSPVREDSNPCVTNFRIPKARLTRKHSPNLIIDIAETCQALFPFAEVAQRQEVPIQKVYD
IFSAIIQLPLLRNADDRRRHSSLAKRRVKEYRDAKRAMEKAQETEKKANMRARVEGAAKTCQDHGRGPGLLNSAVLRNAREMYRVD

>RCO7_10731 | uncharacterized protein
MHTGLKKQYELALKSAAEKGPRGWPQLKAELVADGLGQETLERNREEILIMFLQCLESQRQPIATSMNTKSSPDSASGSSSFVSNNLDLNRSQKYTQ
FRPSSRSTQSQAATSLEQKPVEGWIDLSGGKGNREKVDLSFIFNLKTEIYHWPAYHRPIRKATSASGPR
>RCO7_10730 | uncharacterized protein
MARPTDSDDIYAEADRERQRELRAGFVRSGIYMSSKHSNWKKGQRGVQTGENAQEADMAVRQQMSDSNPGFRNAVDPPQSGGPNEKTPAKNTARKVN
YSIQIVSPSTYYTFTGETLESSRGIQNVRWRIDNGNGPSTRSRYTYFRIASENAPFAVLFGRDLIFSEDIFSFNEAALILTKLEETEVKKDKEENRK
RVEAEAQALATA
>RCO7_10729 | related to regulatory protein RLR1
MRDGGRRASRGGQGGPGANGGRGGRRNEGRDNNPNKVNIAVPGRTTPTPGPMSPPPPRTVSAAPTPTATQASTPTFEYAPPTPKLEPTPFDYTFLTE
ERLSSWDFRRQEVIDLGKQAIQDEDTTDVSSIFQELIRATVDGRIDARIAGNCVKDILGPDPTTSDGEAPSFNAPVLFLDIFSMMLEGGISSSALTP
FAVATDISPELMRLNLDNDVLETLGLTQSTFKRMAVRKATNQLYRQGNYNLLREETEGYSKLVTELFTTSGSEPPTSEVVEDAFERVKGLIGTFDLD
VGRVLDITLDVFAAVLIKHFRFFIKLLRVSSWWPRHGEIDGGRHAGLPNWALPSSPGWMPTPEDEEHSKQERSIRDVQFWERAREIGVDAFFELGGR
RAVDEETKQQSFDSSVSDNTEFDADREWIKHTGTLPPSGNRVAAQLLGFKLRFYTSEARDDDDALPANLIYLTALLIKIGFISLRDLYPHLWPLDED
MPAVREARQEELAEKERLSRPGGGATNALLMAGALTNDDPKDGGRNREAASSKSDPVAKAITEPQEKDKSKEPQDQKVQLLICLLTIGAIPESLFML
GRFPWLPEAYPELIPLINRILHHSIKDLYNDIKPKATIMEDADCSTKKVADTDQSGVPKGQVRLAQLPVRKQLRWPFPDRHDTNDSTSYRFYWDEWA
DDIPVCRNVDDFFTLCSTLLNLSGVNIGKDVNLLSKITRIGIDSLRADRSRQNHERWQDLLKRLIVPALSLTNANSAMVSEVWVMLQIFPVSVRYSI
YAEWFEGQTSRLPAIKAAFARTKLETLSTMKRISKVNVAPMARALAKIAYSSPGIVFGIALSQIESYTNLTEVVVECAKHFTSLGYDVLVWSLMSAL
GGKDRNRNNAEFALLPSKWLLALSRFSGKVYKRYSILNLSPILRYVADQLYRGNSTDLVILKELISQMSGIVPDTDFTNAQIHAMTGGEELRKHTLV
TLFDKRFESTKTSQRLMRALTESHLSGELLISIAQYRQAAIYRISDADAHIKLLATMMDDTQEALSQYLELLRSNLSVDDFDRQVPGIPQLLQDFGL
EPGLAFFIGRSSLSYHRSKATSPVLNGTTTGTSETTIPPNALVDTEGDVDMSDDTTPKVHGEDSVLSKVPNGIAPTEDLLIADSEETSPIVLSSDPF
HKILEPIVAAVQAVLPSGSFTSLNPDLYVTFWASALGDLAIPSSSYQTEISRLVSDISEIAKDRTDMTKAGVAAKEVKKKNLSATRDKLIAEFKEVL
NNFSQKKVRLLKTKALWFSKTSNPNLAMEAFLEKCLLPRLLLSPSDSEYCFRMVKFLHENAVPYFRTLALYSQIFRPNRLRAIIFACTVREAENLGR
FLRLVLMDLSRWHADSAVFEREAWGSAANLPGFAKALDDNGKPKGLVAYDGEQAFKSILLRWHTSLNTALRDCLGGTEWMHIRNAMTVLKSVVEVFP
TINFHGTKILEQLEFIASREKGHREDLALTSNAVLVQLKKREPKWVMVQAFGHVGAMAQTANDSTSTSQDSTKQTAKSHLKPTAAEFKPGARASPQV
VPTTKPPTAAEVEDGEVDDAKNSKHATKSGVVENVQDSKRSLPPATALESKKADVLAERDRFKAAKALQSTPGGVPSRPDIGRNLPVTTLLDQRSPN
LPSRPDAPLPSRDLLDRHTPRHGDRRDGRESRTQDPRPDRQSGGRSGDRPIERIGDRPGDRPGDRLRDFPGNDRRVPDPATREFGRPIDRAPGADRE
RIKEPPPRWTADSAREKLDKTAQAREVDSSRQSRDMLPPRASGPLSDRISGSSSDRLPAVVPERQELINPERAALISADKNPSRSNSPRRGREEPRE
KGSSRPQSPRRNGADKDHSDSRRDDRSSRSNLPESYNSPRGRVDEIQPPPAGPRGDRPAERDPAVPNVKPAFQAAQIPARSVDSDHGRLNAVNRAPP
DPNFGRLTAPASDIPSGPRDRNGRGNRVANPPLPPQYNPRSGELPRPPTPEKQPPTGPSSGRHPRRGGSMQVDPISIVSGSNTVVSTPAAQSPVTAI
HPDRLRQLGGPVAPQPQAGQQPVGIHPDRLKAFGNEDAVRSHPQPHVGNNHNNNRSRPNISQNSMANLGSLATTIPPSGPKGVQSSPIQPGPNGFAA
PTGPSSANERAARGGRRQLAGINTMLQQAGQQIAPERMTVRGRGGRVSTGMGPEAPNSGPSTPILPVPPPLSGPPPARQEPIKDLGRDIINPARADL
ITGAEPPKEDRDMDRSGRRDRKSRRGSRSPGRERESKRGAPDEDRTQRSEYRERSERRVSERGEGEKDRHQSKSSPAPPRELMTGRDSMGGGREGGR
DRDRDRQSSGRRDVRERDITRDLTAGWPNERGGHERSNERGGGGRSGRDTRSSGDLRGNAEARRDGNRSTRDEGGRKRRSDEGGMESRGHDKRVRR
>RCO7_10728 | probable homoserine O-acetyltransferase
MVSNSEFKGADVPRTPKYKRTRQQPENPFVALIPDQTIAIVPSFTLESGVTLHNVPLAYSTRGKLSPNGDNAMVICHALTGSADVGDWWGPLLGGPG
RAFDISRFFVVCMNSLGSPYGSGSPVTCKDGDQKNERYGPEFPLTTIRDDVNFHKLLLDDLGVRQVAAVIGGSMGGMLVLEWAYFGREYVRSIVPIA
TSSRHSAWGISWGEAQRQSIYADPKYDDGYYPFSDPPTAGLGAARMSALLTYRSRNSFEARFGRNTPDASKKQTISQDQHPSTPSEIHLAIHNDGHR
SKRSPLSRPGSSADLTSPTTKLNSDTNPLDFTDPQFHGATASTPPALTNQQTERKRGTSTYFSAQSYLRYQGEKFVQRFDGNCYIAITRKLDTHDVS
RYRVSPDSTTPITDALSQIQQPTLVLGIESDGLFTFDEQKEIAASIPDARLRKIDSPEGHDAFLLQFEQVNHHILEFLRDVLPDIMGAPGRDDIVTE
DGVGTITKNSTFGEAEVEDITAW
>RCO7_10727 | uncharacterized protein
MVMEISANPVTTSPRQDPSSRRRIPSVSQACDGCRGRRVRCEQDSSAESVSHALPATIGGPCLRCTKFGLDCTFLLPVKSRGPQPKHKRTLQQVSAA
EKNTSREASHILRTSTSSRARTKTISSSSKSPVSRREYSHEASSEVQIVSPSSQRSCNDSPSSHAYDLEGSSLYTTDHLGDRAVVEAILADFCQYIY
PLIPVVHRPLFKRDIANHRDCYDEVFLGLIYGLCAVTIASLPSKFHDYQKLRPHPPHANSKAMVYACYDEFMRLRRHEYYDEINFDNWAAHFLFHLA
FFHVTDYNRSRMIGAEASQLARLINLHKFPESNGLNCIEVQLRKKAFWLCFYAFVHGKVHFIRKERICFIDQAEAHTISYESLMPAEVDDEYINEHT
ISPQPRGTVSLVTGFNLNSHVFLAAYSSGFHRGKPCPCIQAEDVQSQIQHLQQRLDVLKYILDDIPAPLQPWVAFEPQDNSPPASDEDDLQARQDSY
GQFAILRANLHVTHLWFQTLLSSQLDALLESQEAMSISPAPVSKIREISAVLLFIPPGLDAGAQRRAATYLRSFAGILSKLDKAGYDGIVSLQSWVD
GDPI
>RCO7_10726 | related to hexose transporter protein
MKFNVNQSVDAELIAVLPKDPKPWYKTGHLLKLNFCSFSLVLFSSANGYDGSLMNGLQALPRWEQFMEHPKGAWLGSINAIYWLGTGIVSLMAGWIS
NSYGRKTSLYVGYACLLLGTILQTAAPNPVAFMLARFFLGGATGFFGNVAPLIINEISYPTHRSICSALFMCGFYVGGLVAAWVTFGTQYLDNSWTW
RLPSVLQLLLPALALPGFLMVPESPRYLISNNRINEAHKILADWHAGGDLDAPLIRFQMAEIENRIRFDQQSSSSAGYADMIKTKGNRHRLFISITL
GIFGQWVGNGVVSYYLAAVLQTIGVTNVTHQLVISACLQVWNLFFSVVAAFSVDSVGRRKLFLASASIMSVSFIVITGLSGSFANSGNAATGTTVIP
FLFIFFAGYDIALTPLLTAYPCEIWPYALRSRGLAITWVSSISAIFFNTFINPIALAAIAWKYYFVFVIVCISFGVVAFFFYPETRGHTLEQMAVIF
DGEDAHVANIQQSSEKAGITDATVVEHEYKEKV
>RCO7_10725 | related to phenol 2-monooxygenase
MATPEFVDIVIVGAGPVSLALSLYLTRWGYKVKHIDNRPEPTVTGRADGIQPRSLDILENLGLLPAIMAYKPAKVYEVAFWDPKAGTSDIERKGTWA
SCPSFVGAKHPFTTLLHQGMIEQVFISEIERWGGQLSHVTEDKHQTLRARYLFSGQGARSSIRQDLGVPMLYKDPIAHVWAVMDGVVKTTFPDIKMK
CTIHSEYGSIMIIPREDNLVRLYVKVASSTDADWDPKKQVTEEAMQALTKKILQPYEIEWERVEWFSVYPIGQGIAERYTLDQRVFLGGDACHTHSP
KAGQGMNTAFLDAQNLAWKIHLVESGYLKRDILLTYESERKAVAESLLDFDARYAKLFSEKQPPSNIAAEAADSQDAAPENLFVKTFKESCEFTSGF
GVTYAPNSLNYGPAHPAQATAIVKQSALKIGRAFPKSTVTRVLDANVVGLNLEIPPNGSFRIYVFAGELPANSRALQDFETTMMLPNSFYTSFPRSD
LSSVSHHEQDNPHSMLYTICTIVANRRAKVEISTDLPAELARYRDHVYADDVWDAQFPDSKAAAHAKAGLDIKTGGVVLVRPDGFVALVASLANGAD
AADALNQYFNSISTKSLGRVSGS
>RCO7_10724 | uncharacterized protein

MADNAASSSDPSRKRRKIALACEHCRDRKIRCDGQMPACGACQRRSNTRNQPGCIYINESSTKSLQEQRYVQALQERLRLFEARETQRNASSPQHSY
HGSGDLRQLDIQQNHDKNIQPPATNSPARDISADPSRGLHLPSTGTRQDVAYNNNYEAQTTTSPAEYSRDRSRNDIASSAGFAGWEKRGNGNEHLSS
RTGHVHQTSLLPTAAAPGDESDAFSPSEKIRGGEQSTSIPVSQESPVSAMGAAASTSAQGEANQDNFYGKSSAISLFHQVQSHINQNGFNSATDQAW
KSKQRRKSGACYSQQNLEHDSDISAENLSLPPRALADQLLKQYWQRVHCLFPIIHRKSFEARYRQLWEAENHMPREGPWLNVGLGSSFCPTSIFHSA
LNAMFALGCNFSDLSSAKRSNLTQTFSKRSLDILSSRFLDSGSLALVQALLIVAQYLQSTDLPTRCWNVVGLAIRMAQGLGLYVDPSSTRSSPLENE
MRRRTWHGCLMLDTYWNDVGASNNSVQSERVPITLGSG

>RCO7_10723 | uncharacterized protein

MGEILEQVYGPWDHAHVNGQNGRDRLKISVTHKIIDLECVLSDYELSIPKKLHWDQGGLEVGDPDELMRQRNVLHTRFLHLKLLLYRPVFHHLIIRP
NGLQQEDTSERSQNLSKSANGGPLSSSLDILTQRYASTCVETAQELITLIGRTMDSHVGGSWWYAMFYVFSSAMVLLLAEIRLPMEDSRTELALKSS
WQECLNILHALSPKYNGAARCAKTLIRMREQAVAKQSRNASHHDLGSLNATWPVSRDFQQSGQVPPVGLDRYPYPTVADDGTGAHYGDVEIPEYLWD
KSGYLMQWDLNGQDWWGGLLDQT

>RCO7_10722 | related to glycolate oxidase

MSPKNSQRVVTEEELAKHASQSDVWTVVDGVVYDLTEFAPNHPGGIQIILKYAGKDATATYSQVHGPSTIIEGLPPSKRMGKCTVTKTTDTTTKSLV
EQEKPDLGSILSSYDFEQVAATTFSKKAWAFYSTAATDLVTRDNNKAFFDRIIFRPRALRDVSKVNLSCTMLGCPSNIPVFMAPVGMARLAHPDGEK
AFAVAAAATNIPQCISTVASYSASEIISAAPNAQFFFQLYVDKDRSKTKALLQRVQNLGVRAIFVTVDATVPGKRESDERVRADESLVSPMASSTMK
NDAKGSSIARVMGAFIDTKLRWSDIPWLRECTNLPIVIKGIMGAADARLALEHKVEGIVVSNHGGRNLDGCPPAILVLLELQRRCPDVSDHMEVYLD
GGIRRGTDIVKALALGATGVAVGRPFLFSLGYGPEGVEKMVEIFKDEMQTTMQLLGVGSVEELHPGLINTADIDHLVPTSDDHPYATWSRAGRRNIS
TRSNL

>RCO7_10721 | probable permease of the major facilitator superfamily

MAFSNQQSSTELEKASELEQEFAEAPSSLPPSDPAAVKRLLRKCDLHVVPPLFVIFLMAFLDRSNIGNARIQGLEASLDMQGNDYNIALFMFFIPYI
LLEVPSNIIIKRVAPSTWLSAIVVLWGIATIGQGLVKNFAGLVACRFLVGIFEAGLFPGCIYLISMYYERYQLQWRLTLFFTASIIAGGLGGLLAYA
ISNMGGTAGYEAWRWIFIIEGLATVVIGAISKFWIVDWPETATFLTDEERALLIQQLSLDSGEANMNTLDKRAARRIFLDWKIYCGTLMYMGVVTTG
YSSSFFIPTILRQMGYTAAMAQILSIPIFTCAAIVAVAVAFATDKLRHRFSFIILGVLVGSTGYAIMLNLTTVSVGIRYFACFLIVTGGYIAQPMGG
HYKRSMSAAIQIGFGNCGGIVASNVFLNAEKPRYRTGFGTGMAFLIVLCGGMAVAMFFGLRAENRKRDRGGRDYRFTEEAADLDNMGDDHPNYRFTT

>RCO7_10720 | related to aldehyde dehydrogenase

MATASTPNIVVPFILDGRYIQAKRIFEVTAPLTGSRLWLGSAATPADALLAIESCSRAFPAWAQTTPAFRRDIFLRAAAVMEARAAELSEYMQQETG
SQAFWAGGFNVPVAADILKDIAGRSTQLGGDAPLLSENGKMAMVLKEPYGVVLGIAPWNAPYILGVRACAAAIMAGNTVILKASELAPRCSWAIGSI
FREAGLPPGVLNVIAHSTADAAEVTSTLIQHPAIKKINFTGSTRVGRIIAREAGEYLKPVLLELGGKASCIIMEDADLDEAAKLCIMGGFLHGGQIC
MSTERILVQASILEQFKSKLQAALTAFLGPETKHAVLVSKDSAAKFRDLISDALSKGATIVASAVAGEAETQVPSTHVGPVILQDISKEMKLYYTES
FGPSVTLSSFSDSEEAIRMANDTEYGLRAAIFGKDLSKMLSMAKRIESGAVHINGMTVHDEPGLPHGGVKDSGFGRFGADAGLQEFQTSKTITFR

>RCO7_10719 | related to BENZOYLFORMATE DECARBOXYLASE

MEGIQAGITHCFVNLGSDHPSILEAIVQGQNSKSGFPRIITCPNEMVALSMADGYARLTNKPQCVIVHVDVGTSGMGAAVHNASIGRAPVLIFAGLS
PFTMEGESRGSRTEFIHWLQDVPDQKQIVAQYCRYVGEIKSAKNIKQVVGRALQFACSDPKGPAYLMGAREIMEEEIQPYDLKQEHWNPVGSGALPA
DSLESIAKLLLDAKEPLIICGYTGRNHAAVTALVRLADTIKGIRVLDTGGSDMCFPADHPAWLGFRYGSDESIKTADVILVLDCDVPFINTQCKPNA
SAKMIHIDVDPLKTIIPLFYLPAVYRYRADSQTAMTQLTEYISQHPSHSETIASPEFTERWTKLQESHKARVLGIAKLAVPRSDNAISASHMARTVR
DLCPPDTIFAVEAVTNAILVSDQIQATQPGQWIHCGGGGLGWSGGGALGIKMATDALEGAGKGKMVVQIVGDGSYLFSVPSSVYWISRRYQIPILTI
VLNNRGWNAPRRSMLLVHPDGLGSRSTNDDLNIAFEPSPNYPGIARAASGDSIHAARVADAKDLESVMKEAIAVVLSGTTAVVEVAIAV

>RCO7_10718 | uncharacterized protein

MTFGILEPSSNASPRGTSLLESVQGGHKAGIILVPQPSNSKHDPLNFSGVRKELAFATIILGACLTGVLGPLLVPGFGILTEVFDVPISGITITNGA
LVMSSGASAYLCSCLAVIYGKRIVFLFTTTVLIAVCCWGASAKSYGSFLGARLVQGFGMGAYFALAGTASINDLFLFISEDAGGYVIVDLLWRWSFC
LMAIGFGILLACVVFFFPETSFDRQNIDVDIGTIDVLTQSATNSQEKRPLGEPVHESNIGTVLRPVSFWRRALGLEHFEIKDQSRIFSVCISPILLF
RHPAVVWGSIMWSVTFTWVIIQGATATQVFGAPPYNLSATSVGNLVGIAPFIGSALGTLLGGWSSDYISQTLSVRNKGVFEPEFRLLIIIPAAVAIV
IGGFGLGGAIHNADSALICAVFLAFTNFFVGIGCTGIVSYTNDVCQEKAGEAFGLAVVIKSSFAFGLTFMLNDYYSSKGPLHFLLYHGDPATDDANA
NSRRLRSLSEEGEKMRRSSTLLSLPDHQKECHFESGAGVGRKRKRDLEYVSKLEEQFEALKTYVKVLDNQNQDQTQRSYPCALNSPDEWYGATDGKD
HAFSTQTGVDSAQPAQDTRLTSAVHEVGSLIWKLSIDKTGDASFTGPSGNFCFSTSPPVKGKKLLAADKIDMSHRLSEYSQDARLCRELFQTFEEFI
NPFHQFVQFPALVLKTFEHCEMESVLLQSAIFAAGSRLLRRPDASQIGECFASNAEKLALKCCRDQPSLVVIQALTIMCWHELSLENENMAWMYNSM
AGSLCTHLGLHVGALEYVDPGTKGDASSSDTETDSRTRTFWQFFLVDRIATSLWGRQCSIPWKRVRTPPFQITLDKVSPLHEVVFDHQCRLWLLHDQ
FMDQIYSFDFPTLPLSEKHKILMYAREKLLSFHQATDDRLRFGKVRNSEHVVCFQMSYQMSLILIHRPYLQGSSESGSRPLALRSMTAAATTMTLLI
RAYRKLGTFSRAPFYIVHHILTAAIIHLLSATSSQQTLRHQSINKLRVCIEALEELRLTWHRAQKSIALLQELANRWSVVFALPMRLSNVIPLPCNA
AESEGEMPRDFGPTPHEESPFDAAYGADNHAFEMQESMLSAEPVDAALAPGIADKDFWMNSDTLHSFVMQDDRFTGMGLDWLFGPQV

>RCO7_10717 | uncharacterized protein

MADRAGIRSLENERPLAWYRLMRANQSINLLLLLPYLNRSTVSVSQKDSEKVDEMAFPTCVITDTAILGYGSGDD

>RCO7_10716 | uncharacterized protein

MKQVSKGERVKAKKNRQKMLTKSSVRPGQGYARVVISQSDASGEPTLFCSYEGKEDH

>RCO7_10715 | related to LSB3 - possible role in the regulation of actin cytoskeletal organization

MQRVTSMLPSWDKTKTGSKKGFDKVYGMVDKLGAPVNNLSNKIGSEAFWPTTLDKESDKAARILKSFCKDGFYAEEDRPSTEGVPKGKQRVLKKIPE
KVIQNAVGLAIFTTMRTGLWVSGAGGSGVLIARKHDGEWSPPSGIMLHTAGLGFLVGVDIYDCVVVINNRKALHAFTKIRATIGGEISAVAGPVGLG
GVLENDGKWKQANRPVFTYLKSRGFYAGVQVDGTVIIERTDENERFYGERVGVADIVAGKVRHPPYEIKMLMETIKAAEGRSDVDGSVLKMLDNQPA
PADLELEEPGMNGPVFGVPEPDDPDPYGVLALEAEGFEIREAGTKSRPPSTQFEFNPSPTSPVFSVFNKINRLSIDTLTTKSNRESYMSNRSNRTRT
SSDRATQTASMGTQTDDTSTPSTSPSRSDQSKKIIEEDEEVIVIEPEEVDYTKVDLTSLNRLNHSEEFDGTTVAESPRGRRSLDRRTISAETDTSYM
TDEDLDDDDEEEPVIFEAASAQAQVITPQLIKARGGLVNIPKRPPPPPLPPRSMARSGMVDQGSGRSPMKDSFEEVDLHGIDRQRNDIPHRLSTVTP
ISALVADNQSPEIVADKQSLEISQGIVMKDLEKKDSPGPTLETFEKQMENELEFEHINNITPAVSTVETPNAHAALKISEDAEEDICHSVPAMPNEV
MDVKRLATVV

>RCO7_10714 | related to esterase
MAASIKLAETISHPLLNSIPPSLIPHFEPAYVEYYNKYSVGRLATHQVPIEDFRANPNAYLTTYGRALVEQGNLKITEQKCPVSGGEITIRIFEPGV
EKYGDWMKPVDAKQSEFNLDLDRLAIGGVSAGGHLAAVVAHMCRDASIPLAYQLLAVPVCALHIFAPDGTSLLSQPYASYRDLANTQPLPLERMTYF
HRHFFGNPRPKELDVDWRVSPMHAKSFKGLAKALVVTAEMDLLKDEGVIYAGKLRDAGVAVQEVQIKGAPHTFMQMDGILEGGKEYNRVTVKALHEA
LGKKIEWVRTRHVEYLSNHSTVSDRYPDTGPEFQIYLKAENLA
>RCO7_10713 | uncharacterized protein
MALRQLSRFVRICSIIAVLLLFVLVHVHLSYEGEGRIYQPTKSWRSKSNGRVESSSSKGTVETGCKGLTGFDRIVIVVKTGATEASKKVPTQLRTSL
RCAPNVYVFSDMAQTIGKTRVYDSLDSTAPSVMDANEEFDLYRKQQELRDPQKIMTDLSDMRIPGTNELAAWVLDKYKNMHIVEKVWDLKPEMDWYL
HIDADTYVMWSSLITWIQRLDPSKNTYLGSVALINDLPFAHGGSGYLMSREAMRTFAVTNNGTAAKWDSKLHKECCGDWALAQALKAQNIPVINTWP
TINGETQSTIPFAEDHWCQPLVTLHHVSPAEAEQLGSFEAKRKDKSKAVTYEELFRDLVSDLIPENLKDWDNLSKDGIILNIASADACKHACQSKPD
CLQSRYDGVECVIGTDHFAFGQKHDPKDGKKWESSWNKTRIADWARSHQPCGQPTFPHQERASK
>RCO7_10712 | uncharacterized protein
MSPIPSSSWGSSFAEQTITSQDDFVTHSNANILSYGCTSAYDFAQTSAASNVANLGSQIFNDLDGGQEPSDQTYSNTSRHADIDWQFESDLTESLDI
NFNNRDREFYEDCDASLHNPAVLHAAPIIFTMIAEDLDFDDSLYDDTEQIDYLDIDDVCHNSDSRSHTSYFPTDCAHQETLLRDWQWDLQRHEWVAL
KFEHPPYATERH
>RCO7_10711 | uncharacterized protein
MADSPLDPQLTSRGDALPVRNIDDVASESENEEGANEGQNDARKKRQKLNLWKCRQCREARKKCLPEGRVWPEKCQRCLQHRPGELECSKPEVNNRT
RGKNVPKGKDTTPVPSTAVIIPDRATPIQNASVEDAVKVDSAVLERPKPMSIPKGTKRDRKETFDEPLSELSAPISEFDKLPAAVYLPINDSQFRIL
RLKPGDPEDLLLQCSFEVHSIDSPPEYEAISYLWGSNNEHEQLPSSHKIVLFDNLEIPRSHTLFIRKNLHTALRTLRHLTEVRCFWVDALCIRRINT
QEKNQQVDMKKKIFKRAKNVCFWLGDEPEHTAALAFIGEIINLKEVDKLINDPNVAGKWVAFIRLLKNNIFNRLWIVQEVALARNVTLHCGAPAPAI
HYTDFVDAVTIFLSCRKHISELFRRDSDKEYEKHIRGLTDRKITMVERFVDVTTNALRRSSESSTDQTVDNNSTDEQILRQLTLEALVSNLSDLSSG
DPRDRIYSVLALAKDGPSLSLNPNDSDPNTLQIDYTKSVLQIYQEFFVKVVSKSKDLDIMCRRWAYSASQKEDLPTWIRPVPSNLQLPFDSNISERT
DADSLVGIPNHKWYNAAKDTKADAYFVSNPSSLHKRQSLTVEGFCLDTISRLGQRASEGFIFYEWLQLGGCKLGEEDYVPDPFWRTLVADRGPDGSN
APSWYHRALLYCLADKTPNGDINTNKLIATFEAGSNLVVEFLQRVQSVIWNRKFLVTQDHKLIGLAPMAARQGDMVCILYGCSVPVVLKKKEKDGDT
FWQVVGECYVHGKMNGEAMDDQHETQKFELR
>RCO7_10710 | related to high-affinity phosphate permease, phosphate-repressible
MICNLGATKRRRKRECEQTRTREGVLARKAAAVEMEYLPEPAIPVNSQKTIGGNAAFHNFHNDYSHVQDPNLRRRLALSEIDKVPFGWYHIRAVTVA
GIGFFTDSYDIFAINLVTSTLGMVFWQGPPIAGSNHGGNYGILPMQVNTAIKAATSGGAVVGQLGFGWLADKVGRRKMYGVELAIIITATLAQSLAA
PSQAVTMTGLLIFWRVVMGIGIGGDYPLSAVITSEFAPTRWRGGMMAAVFSMQGAGQFAAALVALITTVCFKGSFINTSDFSSCHEACQLAGDRSWR
IIIGFGGLPAIFALYYRITIPETPRYTFDIKHDIEKAQADIKAYMNNQKEGEVDLMTQEMTKKRIGHKLTAPRASWSDVWGYFSQWKNFKVIFGTTT
AWFFLDLAFYGLSLNNSIVLNVIGYTHGSTIYQTLLNTAIGNLILVCAGSLPGYWLSVATIDTLGRKTIQIMGFFFLTIIFIVIGFAYNALSEGSLL
ALYILAQFFFNFGPNTTTFIIPGECFPTRYRSTGHGLSAAMGKIGAIIAQVIAQPLLSKGAAKDCVGKECAPWINHLMQIFALFMFCGLLVSFLVPE
TKGRTLEELSGEEAVPLDPHSGGRGDGGPASLEKASTRWWIRFNPFDGGKPAGFRYPKSPNLGPRSPGILGKRQRVGIMTSPELLPRTLSREERKRP
KHEREGSGYERHSRVKSDTSANGSTNRYSVGVESYGRHHVHNDGFVSGGGGGAPPGWGAGWGVQMPTHRGDGTPERSDGRIESIKLLDVGKLLK
>RCO7_10709 | uncharacterized protein
MSVTTPPVLRKAMEDGSEADIPEEELSDEPEKLAVRYRRFNLDALLDVAVKTAAGGARSCTKVLKCVEGQFNKAFLMTMDNGAEVLAKIPNPNVGST
FYATASEVATRNFVRDFLEFPVPRIHTYSLDPLNPVGVEYILEEKAKGKPLGNLWRHWSRESQQDLVTELVDLEAKLASVSFKSHGCIYYKDDLKNK
GVHVQSLKATYSSMGNPSKELDPSHTAKFVLGPLDEAVLWQGERATMALERGPWQNAVDYMLAMGMNETQWTKTYATAQMNYCRPIDTPELPEEYIS
LLERYLILVPHLTPIFSEELQSKTLCLRDLHLDNIFVDPDTKRITHIIDWQSTPVSEIFLQYRVPPMLPLSSGYKSISEPMSEGSGRRSESGETDDI
LRRYQDLTIIKNPLRWAAINHPHKSILQPVSLVSGAWSRNDVFSFRHALITIAAHWQDIYPDSTPCPISFTDQELWLHNEEMELLEELGTVLHLLED
QNLIAVGGRVLREDYERAHAVNMRVKEMFLDMGEDEQHKALYEKIWPY
>RCO7_10708 | uncharacterized protein
MSGKIPKTALKGLADKIRQTPTALQNLRFMDATTSVTAVKTTDLRFDVHKSTEDPNMATGIIQANSGAKDKGVKAFVKEKTDGHRGTHQVIGQKIRF
NLGYDFKVEEVAAAVENPYDEGMQGVTFQGASSLGSGSGSGSGSAIGVGPTPTDWVWWSDEGIWHRQINGLDTWKAPENKADSDRIYSNRKRNYFMK
YADGTVVWH
>RCO7_10707 | probable coenzyme F420-dependent N5,N10-methylene tetrahydromethanopterin
reductase and related flavin-dependent oxidoreductases
MPTEFISLTFPNASTELAPVPNAKINVDYLIRYARTLDDLSYNYTLVPYGSNHYDPFTIGATIAAATKNLKIIIALRPNTMYPTVAAKALATLDQLS
NGRAVVHFIAGGSDAEQAKEGDFLNKDERYGRTEEYIKILRKAWASTKPFDWEGKYYQFKQFNSDVPPVNGTIPVSVGGSSDEAYRIGGSLADIFGL
WGEPLKETKDQIDRIYSEAAKAGRKDRPRIWVTFRPILAETDDLAWAKAHRILDALNTNRAGGAAGQLKASDNTSTPQNVGSQRLLDIAKRGEVQDR
ALWYPTVTATNARGASTALVGSPKTIVDSLIDYVDLGADLISIRGYDNLNDAIDYGRYVIPQVYDILKQRENGEVKT
>RCO7_10706 | related to WSC4 - Cell wall integrity and stress response component 4
MAFSVFRSHFTSLAVLLLGLSHDVVAQFDQPYCSTSNTAATARNESIYQSNSLCFEWCNGQKAEQPVKYALAIVQYQGCWCTNFAPADTTTGCDKAC
PGWAPELCGNTSPSLFGYIKLPAAISGTQGGSAPTSTSTSAPQATVTITPDVVPPPPPTTSSTSSSSSTEAETTTSSRRTTSSTSTSPTWTPTPVTS
LQTITGQVRTVTVTPTVPPNAQASNTLPQKSKGGGGGLGTGGAVGLTIGLVALIAMIAAGVFFFLRKRRRDQAAGGADDLSRRGSSAGFGAAAVPSR
TMSENSRYVLGTDGRRVVETWEPGESAEVRRSRLIPVDQRLDPFSPVYQRGDNKSRESVNTIRDDHDYSRRMVTPGSGGGILRATNPD
>RCO7_10705 | uncharacterized protein
MPICTIHLLSLSVPLSTFLQTLSSTSLKPLTISRVIRWIILPSHLSTIPLLAQNIHWDIPLILPSLSSPLPSSLQHQITHHWSLEAGIPSRLLENYA
SKNARLLHPEKGDVKPLKGALDSLKERRKKEGKMPESSQDLELSPELLSWIEIFTSSGTREAEGAVSMLNLLAFKPGRKPEYLKYGAAYAASAGSSR
GGNAKIVGSVVTSDTGGNQDEGEDVKGEGWDEIALAHYPSLWLFADMLASEEYQDVNKRYRVGSLRDTCILCTSEVGMEEMGGMGATSAKL
>RCO7_10704 | uncharacterized protein
MKNLIAVLWTCLFLQMATPQSLPYNPTSILLPPATSKSRDLAYAFIQSGSEAAQFVSLNISSTISLSNLTLDIISSDLAFLSNTSNAFVPSISSLGQ
ISVYTGSCATSSSAALWRFTPSNTSTIGEGTWEEETTTAGSTGTTALPGADFLSTAFSFSTLVNAAASQTKIYVFGGMCPTEAATTSTWQSAASYSN
QMLRLTPSTASEETTYTLDIPTSRGPPIAEAGFSITGLAPTYANGSGIQTQQQSFVLVGGHTQNAFINMSQVAIWSLPEESWSFVTVDAPGTSKGTT

ELAVKSTIMDIDSRSGHTAVLTEDGSSVIVYGGWVGDVSQKANPQLAVLHLGQGFGGAGDWKWNIPDQQLSGSGLYGHGAVMLPGNVMMVLGGSKIP
TSGNSKRDTASGVQAQFFNATSMTWVKDYTNPAYVAAIASKSASAASASKSKSTSKRVGLGAGLGLGLAAIIGAILVYFCYNRRLNHRRKASREKDL
RDLSIGAANFYESPSRGMTQSGGFPWSNGRWNGRNENGESVGPVYDSNSAVAGYENLNAGTHGLGDRSQIPPPPKQIPRKPLHSRNARGAYQPTPNF
DFNSGTGRANSLGTAGPIHPIYEADEDDQTHHPINGVGIAIGDPDFTPGQAAERSRYSDPFKDPPPANFSVPIRRNRSVSSSEAESPAQSREREIQE
WVSDWAAADALLNSQARSHSNVGRISPTRRAQLIAATTVATSVTGEEDSRTASNLSERTDRSINVSTVSVSRSGSSSQGRSRSDSLRGFITGFNPFA
SPVTGSANTNLSPTFDPQTGLLMPGSAGSGSSNSFNTARTSFPALQAEGETLLPRPHDEYGNGEYSPTRSQHEESQGSPSKNKPIMLNKTRAGWLGS
LRRVFNSSDAQAGAPFNPHSPIYRDVSPVREGMVGGAQPRRTVSAGATLWRRKQGKSDWDDSADFSTGDNTRSNTFNSDGPPQFQRHYTDKPFSGSG
YDRRSGDDDDYDEWDIERAVENRVVQVMFTVPKEKLRVVNADEDSRSDSASSVAGGSLRSKKGSGRSRLAGLVPISAVPSHHVEGGGEREELLVMDL
DRDLDLSLQTPKSEHPPERLVDVPPTPPPTTEPVLDQKQKDKNFVFDHDAEVRSEKDKRKMTERERVREMEKEMAREMQREEMNSPDRKREAAKKSR
VAERVEDIERRGSPERLV
>RCO7_10703 | uncharacterized protein
MVKLATIREENLRYEHEHHTGFVCIFAGATSGIETATLERMVNIVSKSTFFVIGRSEESFAVLKDKLEKRNSTNKIVFFQSQFSLLSDVDAVSQRME
YEVKKVDYVFMSPGVYPL
>RCO7_10702 | uncharacterized protein
MNSLLNAMYAFAAAHVLLHAALLTPTSVLSHIKLAVSFVPLIWSCHFYAWNFGFGYISAIHALWSAELLLFRDPRKDFGLLHFETKPPAPSPLPAAA
TLDAMKDGNRREMNVASVKSKDGNKDKSKVITHVSHTTGWTEPYPQSLWKRFVWVSKLVLSLRYNGWVTSDSQKALFTSQLPPPRRSRLIFIIQKLC
VVGCCFVVLDAVHYYQHFDPYMQIETSIDEAFPRRLGGFFARHYLGFLSPRCVRIMVFGLEQYCNFTLLGTTPAVVFVALGGIGLVDDFWGSVENWP
LIMGNPFGIARKGLRGFWGDFWHQLFRNLLTGPGKTLSRSLNLPSGSTISYVIQVVTAFGLSGMISSAGLPRDSKTINPIRCSSFL
>RCO7_10701 | uncharacterized protein
MLFFGVFLAIISICLYELTIAHKDLVTSSNNASPVARSLYPPGDVQTPDIHTYSTRRAKPVFTLAPAARSNYTPGHVQIPDIWTPSTRRPKPTFTSN
HPLLARGLWLADEEQIQDLRVRSLSSSRTTHIPTIWVVSTFASDHDFSMTLPFINQTLVSISLPTCLPHNPSLSPLGCREPSTSNSLSSMPTSAPIS
SIPPSQATETIWKTILFTVTRQETMSPPYNSVLVTTVIKNEGRQIMVGTGEEKAVNQSIVQKFVSITSVLNSNGVLQAPRLHQHKKRNTLSSTTRAP
S
>RCO7_10700 | uncharacterized protein
MGHTTVLTTSANRSGLPTILLESLLEGKCSTHIIIKIDSASDTDQIAVIEILKTKYYISALDIVIVRAGISEAAPSPVASMPLTGIQIHLQINGIAL
VFWCQAVFPLLEQRAKFMQTDLVNAGAKAVALEKAYTTIDEGAMGFVKRVDAATK
>RCO7_10699 | uncharacterized protein
MSLQDAQPYTFTFPLATTALIIIDMQRDFVDPNGFGSIQCGDPEIFSAVRSIVPTLQKVLKISRNLGLHIIHTREGHRPDLSDLPPSKRLRQISAPN
GHHTMGIGDRGPMGRLLVRGEYGHDIIDELRQLPGETVIDKPGKGSYWGTGLHRVLLARGITHILFSGVTTECCVTTTLRECNDRGFECCILSDCTG
GFDAQSVTTSLDMICGQDGLFGYVGNSKDFFASALECRELTPPATPPASEDILLPITQLQQRYKSGLENPENVINSVFDRIEKYENLNSAVWCSRKS
RQDAVMAARTLVERYNGKTVPPLYGIPFALKDNIDVEDVVTTAACETFAYKAKSTAPAVQLLLEAGALYIGKLNMDQLATGLSGCRSPYGTPHSFYS
KELIAGGSSSGSAVAVAAGLVSFALGTDTAGSGRVPATFNGIVGFKPTKGTISARGVVPACKSLDTLSIMAPSLTDARQVWYVIDQHDTLDPYAKTP
LSLSLWKQDFRGPKHGGFSFGVPPSSALKVCSKEYQELFQESVHKLRSCGGRLVEVDYTPFEKASDLLYGASLVHERIASIGHEFLETNLSNLHPTT
RTLFESALASPLKPWNVFHDQDRQKQYTMQAQRTFDTLDGGIDVLLVPSVPFHPTIKEMEADPLGLNAKLGIFTHAGNVVDLCGVSVNAGWVEKEGC
FKLPFGVTFLGGSGYDGKILDIAKVFEDAVATRRK
>RCO7_10698 | related to uracil permease
MSFRQRITKIKEGAQEKRGSSGWILPQQKSSFADEGTWTNVDMDVTPLDRRTWTAVTMAGFWFSDALNAQGWMAPSSILAVGLTWREAIVCIIFGSL
CCAVPLVMNGMVGARLHVPFPVAMKSSFGWYFARFAIVVRMTTALFWHAIQTYTGSTAMTQCIRAVWPSYLDIPNHIPEAVGITTQQMVSHVIFWSV
QFPILLTPPHKLQWFFVFKFVVVTITCFATVITMTKKAGGSGEIWNQGYRVHGAKRSWLILSSLSSITGGWATMSTNIPDFTRYLKKEKNVYWQVLL
LPLIQLVLGLFGIISTSCAMVVYGEYIWDPVALAAKWDGPSGRAGAFFVGFCWVVAQIGTNLSANVISCANDMTSLFPKYINIRRGVIITTVTAGWI
MVPWKIIYSAASLLSFMAGLGIFLAPIAAICAADFWVTKKMHVDVPALYKSQGRYRYNKYGTNWRAVIAFLVSVVPNIPGMAASVNTKIDAGGAKYF
YYMFYIWGFGSAFASYTLLSHIWPATETLIPETVHGDEALYDADGDIVDAVETSSEKESGGVVSEKKVISDEYHV
>RCO7_10697 | related to DAL81 - transcriptional activator for allantoin and GABA catabolic genes
MDSPQQPKRKDRPCDACRKRKSRCVLEDESPICVLCKFHNQECTFVQNPQSRKRKGLQDGDDPVFGKRRQSIASYNSKKSLRAQRRVIRTTDGTGVE
EYDDLQGPSLLKKTLGLQNKHHSQYLGATRGLESSILGRLSQSKSNELQLTEGILRRVSSSEAFLLLPDPGTQGYEEELNDLDEIEAIVRPHGKALL
AAVYLLALQYWSYNDDLNKLTKPNVQKLEELARKALGDTIHRPKLSTVQAGLLFLQHTDTDSAEVTAQLISVAYGLGLHLDASNWNIPDWEKGLRKR
LGWGLYMQDKWSSLSSGRPALINSSNWDLNPVTDADFPERVEDEQEGSSEVHKGRILFSRMITLSEILAEILETVFTVKASKEIAAAGANSLNIVLG
KVKPVQLKLKNWFTNLPECLSMESTLVMKLNSVGYLRLAYIATEISLHRRILLALSPSTDPHLYTICRSVAHERFMFAIHFVQSLKPQHLSSFWYFA
SPQNFALIGVLGTLLLSTASSHEESEFYRTKLREFRWTLKINNENGARFMKPAMALHDANLGLLEEASTNSTGSPPIPALVAEQHSMGSESIASDSV
KHYNSTRTHRLPTGDFRLPGQFTFHTPCFPDQHPENTTFASQSLGATDSSSPQEPGFVGNENPDLWSY
>RCO7_10696 | uncharacterized protein
MEVESRPVNESLQEIDDESWIIGDRIIISRRYSPTSDFTWSDGRGSYYTVSDAPDPLPPSRTLPSASPIEKVYDAGGVSAVWRIGGAFCKVKILDPD
ATREHVTLAYMNSKRPLSFTTPDVLYHAEYDGRYYIILSGLTGQNLTTAWPDMDEAMKQYYVSRIANICQELTKWEANSISGVDGRHLSELYLTRLG
LPKDCSPRNLLNNCKDLGMDCSIFLFYHCDLGPGNIIVNPADRSLGIIDWETAGFVPREWIRTNFCVSSGMDLPGDDQDTRVDWRRRVLRQLGQDGF
TENADQWMTWWRNKD
>RCO7_10695 | related to integral membrane protein
MAENNTFPAQNTNNLLVPDPSPYFQDAVTGRERSNSMRSQQSQRSGSDFGSSTPLGLETPNEMGGRNRTSIRIRRGISSVQVPTSSDQYGAEGSGSS
SGVRRNRSVSDPQRGQALGTGGSSRLGRGESYMPEVREENVSPTTGRATEQFPPISEQVDREDHYQQQESEPEKEQEVMRPGTAPESTSRWRNLRRA
KTNVGSDAEKGKGKETQSAGGWQNQNENEYEEDLVDLLDLVDPEISTLQTLTNVQNSLFVPDLGKYLNRRPTYNLTKRPTQVPDSSTSGSDDETIPD
VHPKDETRPSAQRVLTGATLNTITSRVNEKYYAVLPHGVRIPNWSEEEKLELNDHVRHMLHSRRSKFKRSMKGFKQYVSKPLGFFVTFYAVSITAFG
LAWVLFLIGWINVGGSRNSYLVNIIDNVLVALFAVMGDGLAPFRCIDTYHMIYIAHYHHLTWRLRREKSLPKLANDSDLPAVQPSEVPSPEASGDAS
TDVDVEKQQQEYSVLSPEQVKKLQHHQKKFARSHSFYKPHETATHYAFPLRLLVAIVVLLDCHSLLQIALGTCTWAISYHVRPFALTTVILCCSITV
NITAGILITVGDHKTRKKDVREKMVRQEMTKDAIKKVEKKRRHELKKAGIIADGEAKESALDNEVKGGTEEERSARQSRKALRIVDPSADAAVPEKF
>RCO7_10694 | uncharacterized protein

MLKVAITLQCVPIEDYPKHMAQRTLTHSQNDFNIRDALITPHGKEQCKNLRDAFPFHDEIDIVLASPLRRTIQTAIESFTPALLRPGVRLLLVPQAQ
EISNKPCDTGFEREELERELEALIEEKSSDGGFDSNKIDYSILEPGWSKKTGNYEASLTAVIARAAELRRWLWQRPEKTIVLVTHGAFLHYFTDDWS
DFEPRNGTAYKNCEFRSFVFTDDSSEEEAHLVQVGRSGPKGVRAPGSHANDISGAEK

>RCO7_09235 | related to vacuolar sorting protein VPS1, dynamin, and related proteins
MSRTSLQTTALESLQSTEELGLLDTIDSLRSQGVSHYISLPQLIVCGDQSSGKSSVLEAISGIPFPTKDNLCTRFATELILRRASAIGVSVSIVPSQ
DRSEAECHRLVQFHETLSDFDDFPILVEKAKEFMGMSATSSAFSNDVLRVEVSGPSQQHLTIVDLPGLIHSENKLQTSADVALVLSMVQTYMANRRS
IILAVVSAKNDYANQIVTKLAKDVDSKGFRTLGIITKPDTLPIGSESELAYANLARNQDVEFRLGWHVLRNRDYESRNTSVGARDTAEEHFFSQGIW
RDFSRNLVGITSLRTRLSQVLLQQIKNELPNVLDELEASIKEIHEALGKLGTSRDTNDEQRLFLLHVSQSFQSIINAAIDGTYGNSFFGDPRSAEGY
SKRLRAVIQNLNMEFAERMRVCGHKREIVDRIGSEIPPLTAVLPQTISRATFLDEVTELLKISRGRELPGMFNPLIVGDLFHEQSLPWERLAQIHLK
NIWEATRAFLELAISHLTDDATTDALLREVLDPLMEQRYRDMTDKLVELLLPHQKGHPITYNHYFIETIQNMRERRLEAEVTRKLSKFFGGRDLSSL
EELPIKKVKTSSLISALSSRKEADMDKYASSEILDCMQAYYKVALKSVIDSIAIQAIETQLLGKLGDLLSPARVVQMKIDMINKIAAESSESRLQRE
RMMRKLVVLKAGLEMCKKHIGRPMTNLQNRPWHSEQHVLEENSDPDLLHEISDLEDVNNQDLVTDTPIGIPPLVTPVSSEPVEVSSSPEWSFGGSEP
IAAEETVLIKKTKKKAKKGLVINSDSPLKFL

>RCO7_09234 | uncharacterized protein
MSSVIRKMLFTNHTQDADAINFPYRRHLESSRVARKCLNQLDVKDLGPSSSIPLEYTLEYSSNGLEIRFEEYTRLLIIISKKSIKIACVKAEVVIES
SLEKVINRARAYNDIGLKGI

>RCO7_09233 | uncharacterized protein
MASQAPSPSSIWTLWQFFQGIHNGNLSLPVADLRGKWIIVTGGNSGIGREAALQFAKWGANIILGCRPNPPPREPAPDAVIQELKMAAQSSGHENTT
FESWECDMSDLASVEAFGRRWLATDRPLDILCNNAGMGGGNDGKPVITIDGFEIVHQVNFICHVLLTLVLLPSLARASEPRIICTTSNMQYIGTFDL
TNANNGSASYPNNKLYFQAWLTELQERMSKNDNFDHIVIHGVHPGYTITNIWASNGLDMFSRFAGWLMHYVGIDSQQGSLAIINAATNPEWSLQRSG
GGGTFANRIWMAKPMPQTKDPGCRRQVWDFVGEELKLKSKGLLEGLE

>RCO7_09232 | related to GABA permease
MEPTYQDHDKEVLNGDRDSIHRRPSTREKVHNTNVELGTDNSADNLLEALGYASELVRNRSTLQVAFMSFVLASIPYGLSTTFSYPLAGGGPTTVLW
GWVMVSLIILCVAVSLGEITSVYPTAGGVYYQTFMLSPVWCRKIMSWICGWSYVVGNITITLAVNFGTALFLIACINIFESEPGVGIWEAKTYQVFL
VFVAITIFCNLVSALGNKWLPWLDTFAIYWTFAGVFAIVICVLALAKEGRRSAKFVFTDFEPLDGWTPGWAFFVGLLQAAYATSSTGMIISMCEEVE
NPSVQVPRAMVGTIVLNTICGLVFLVPLLFVLPDLKMLYGIVSGQPVPVIIATAVGNKAGAFVLLIPLLVLAIFCGIGCTTAASRATWAFSRDGAIP
GFKWWKVVNHSLDVPLNAMMLSMAVQILVGFLYFGSTAAFNAFSGVGVICLTVSYAVPVAVSLIGGRSHLKYGKFDKGKLGLFCNIVSLAWSVLVVP
LFCMPSYLPVAAETMNYASVVFVAFFLVAAGWYFVWGKKNYAGPPVQEDAAIERRRSEIGAHPHELPSE

>RCO7_09231 | probable lysophospholipase precursor
MIAQVLLSLLLVVQVLADYVPVKGPCPAKPLVRPANGISDDEETFRVAKKAVADEALKKWLLKTNSAFGTTDLPTVAMTTSGGSYRSLLSGAGVIQA
LDDRDSAVSTSGLYQALTYQAGLSGGGWLLSSLAAFRDSALDPGKFLVGAAYGEILSSVARKEKAGYDTTLGDAWGRLLSYQLLRGPWGGVSTTLSS
VTRFSNFTSHAVPFPIITALGVKTFLGECKPGPNATTYEFSPFEFGSFDKDVSAFNPTKYLGTTMEAGKPVGTCTTNYDNLGYILRTSSSLFHKICL
PSPAQNPMTDLTKTLTGLINKIHKVTSSDLYATYRNPFYSYISPTATSNPANDISAQETLNLVDGGDALQNNPIFPLLQPSRNISVILVNDNSADTS
GNFPNGTEVLTTYIQSLSAGLTRMPFIPSVSTFLAQNLTTHATFFGCGDAEKVTIVYLPNTAYTYASGTPTVKLTYTEKETDAMIANGVGIGTQGGD
GEWGTCLACAVMMKSGQALPGECEAFFERYCYFE

>RCO7_09230 | related to amidohydrolase family protein
MAQFRGLAIAGALSTAFIAVVASLLLTESQSSNPTLYCLSNPTSSSITTLNPSLPRAQCFRVEDGLFTEVFAEVPAGHGEQITFLDGYVLPGIIESH
GHILQYGEMLESVSLYGAGSMEEVRKRIIAFLEAHKQDGYGTREKWIRGIGWDQAFFGGVMPTAKELAEDSALADLYIMLDRVDVHCVLTSQKVLNL
LPNPLPEAPPGGVIITDPGPGVFCDNAMDVIISPISPKPDVAQKTRWFKTALAELNKVGIIGVGDAGMRPEDVAILETLAEKGDLNLRINVMLECAE
RNTYCPDETKDLKLLEAGKDEIGGSSLMLGGVKLFADGALGSWGAALLEPYSDKTETSGTMLINETELTTVVNQWFNAGFQVNIHAIGDRANRAAVD
AFENVLGTDCEGCNEAKRLRIEHAQIIHPDDQKRIAKMGIIPSIQPTHATSDMAYALDRLGKDRISNSAYRMASLFPSKTTSKKSKYPGPVLGSDFP
VEPPSPVQGMYAAVTRLNPHTGTSPAGHQGWHPEESLTVEQAVLGFTRNAAYGWFKEGKAGAIEVGNWADFIVIDRDIWADESGRSLRDVVVKETWM
GGRRVFPPPGSSGIEVGQSKLYRGVQKLLHYGIRLLIGDGEAEL

>RCO7_09229 | related to phosphate-repressible acid phosphatase precursor
MWSLLIILGAAMTAFAQMQSPTSNIVGKTFDRFVTIWFENTDYSMAAGDPNFQYLAKLGITLTSYVAITHPSQPNYVAAVGGSTHGIKAKGVSWGVY
GEDSPYSGFQGNYVNQENGKNDVRKHNPVISYDSVTTNTDRLAQTKNFTMFDQDLAKNNLPQWMFITPNMTNDGHDSSVTVAGNFVRSFVEPLLSNP
HFMKRTLVLISKTNPFSSPRLEDLADKFAAFDETESYSSDNKVFSLLLGDVVPASAHGTTSSSSYNHYSQMATVEQNWDLENLGLGDKDAAAFY

>RCO7_09228 | uncharacterized protein
MTCGCMNKGVAVLKSRQNINEALPTLFNPPPNFSSITRKSKHPQTTAKMMEYFTYKKVKKHQAEKKAAESLKSPLLDEKDETFLRRVISAEGTPPPL
PTRPHGLAEAGDFAGNASQMVVHDGNTVAADEEGHRRSSKDKGKGKAKESEKGVDTEGKKGGRFLFITSKIGTKKHKDGLKADSNVVTPNEAASEEN
DINKVLEDLNLSAVNNRAFSISDESQQVLQKFTVILKDVVNGAPTAYDDLVGLLEDSQGTLAKSYDHLPSFLQKLVTQLPDKLTKNLAPELLAVATE
AKAFNATSAGASGGAEGLGGAAGLGAAAMKFLKPTSLKDLVTKPGAVASMLKAIMNALKLRWPAFMGTNVLLSLGLFVLLFVFWYCHKRGREVRLER
EAKVDSEGRIIELDDDVMLPGPNGEPSSSTSHQRPSGSSRRNTDRERERERHGSSSREHRSRPSSHDERERERERHRSSRETRSRPSSRERERERDREH
RHERRERDREHERERERHVERRPTSKRSRSEEKEHRRREKDRDVERERR

>RCO7_09227 | uncharacterized protein
MATSTPTMRVTRGRTGKLPTPTSRKGFVTVFEDSESPPPSPSRKKLPKFAEEPISPQVPDELLQVVPYKKPAPFLQTFQSKKKLPDGLCIVRALGGG
RYEVVPLKDVDLEVASAKENGALIESDAGLRSVLSITPEEWASAKWACDQAISSADRSIFRIRKLPLELRLMIYDYALVSHKPLHHKPKGSTSPTLG
LNLMLVSKAIYEETRSTFYKNNFVVFVGTKGPPDYLEAIREHLRFATFKWEHFGKSDSHTFKFLATCPKFKVLDVIVTNWCYQYSRYRFGLGVPNDP
LRKFKYCPGFEKLCALRGIEEVRIVKSLAPDITDADAEALRVHLSSLLTKPIVIIPPKKVKATAVAKAKKSKKKSKNNWEDDSEYDG

>RCO7_09226 | related to actin-related protein
MPPFKDDHILIIAPGSQTTLAQFGLPESFTPASHRFRTRVFLAPDGKSYEAHKIVSRKKQSTTNGDVEMDRAEGDEEEEELVELPEEEEGAIWPLKE
GRIDDMPAFFAFLEHVKATFNAPLHTPVLLIAQPCWTAKNHEDLTQFIFEKFKTPALCIMDSALATSYAFGIPSATIIDVGFEKVDVTAITDYQISG
RSTVHESGGEAMTRKLKELLKSQEFTRDMAEQLKKSTICEILPPGVPLPGTVAADVPVEGDSNPAAAATTGASSSGPDVKITEAPRVPFLDDVDEEF
GIDDRAVEDDGVLDIATIVTSGKTQDFLAKKEKEKAERAAARKADREAAKEAAAAAAAKPLRLPNSKRPRATFHYEEFVKDASNAKRQKTPEAATTV

DEPLSAVEPKPDDGIPPVEGAAVSNEDDAARRENNKAVRKEEKRKALEDKDPSISRKDIEIGIERFQAASDGYLDAIADSVYRTVLSVNDISKRQEA
WDALVICGQGSKVRGFKDALITTLNNRYLVSPSSATMFMSELPSNLATPSGTGSMTPTASFSSPLQAPPTASAVNPLLLAATTASHQGINPNISTAS
FGGQQAHSSHSQSPTSIKVASPPTYFPEWKSFDEAVFLGAQVAAKVIFVVDQGASKGFLSRVEFNEEGPTAIHQVGLLY

>RCO7_09225 | related to Probable feruloyl esterase B-2

MKNPSITLLFGTLVTSSLINASEIGILTDPSSTCSSLNNLSLPNVTINFATYLTAGTNISLSQDYDLASCGYTSQIISVNLCRVAIEVKTSERSSIT
LEAWLPGQEWTGRFLSTGNGGVSGCIQYADLAYTSALGFATVGANNGHNGTRGLAFANNTEVVHDFADRSMHTGVVIGKKVTEAFYGCTHKKSYYIG
CSTGGRQGFKAVQTYPEDFDGVVAGAPALKFPDLSSWSALFYTLFGKDATDPRFVSVPEWDAVVYPEVMRQCDGIDGVVDRVIEDPELCSFRPEALL
CVPGTSEGCLRKEQVESVRAIYTDYYGVDGKLIYPRMQPGSELVASRAYYTAGEFPYSSDWYRYVVLNDSTWDPATYTIQDAKFASDQNPFDIATWH
GDISAFQNAGGKLLHYHGLMDAIITSDSSPLYYNLVSRTMGLNSSQLDDFYRFFRVSGMGHCGGGDGAFMIGNQLESNYSTHPQNNVLMRMVDWVEN
GNAPETITGIKYLNNDKAQGVELERNHCKYPTRNTCVDPANYRKPEAWKCV

>RCO7_09224 | probable fatty-acyl-CoA synthase, beta subunit

MYGTSTGAQTGVSTPRSSSSLRPLVLTHGSLEHSFLIPTNLHFHAAQIKERFLASLPAPTDELAQDDEPSSVAELVARYLGFVAQDVEEGEDDAQGS
YEDVLKHVINEFERAFLRGNEVHALAATLPGINAKKLEVVRSYYAARAASGRAIKPHESALSRAADETATIYSIFGGQGNIEEYFDELRELYQTYPS
FVEELIVSSAELLQTLSRDPRAEKLYSKGLDVMTWLQHPEATPDVDYMVSAPVSFPLIGLVQLAHYAVTCKVLGLTPGQFRERISGTTGHSQGIVLA
AATSAADSWDSFDDIAISAVTILFWIGSRSQQAYPRTSLAPSVLQDSIDNGEGMPTPMLSIRDLSQAQVQEHIDATNQYLPEDRHISISLINSARNM
VVTGPPISLYGLNLQLRKVKAPTGLDQTRIPFTDRKVRFANRFLPITSPFHSKYLTEATAHIDEDLKDVQILSKSLAIPVYNTNTGKDIREEVNGNI
VPAIVRMITHDPVNWEKATIFPDATHILDFGPGGISGLGVLTSRNKDGTGVRVILAGSIDGTVPEVGYKPELFDRDEEHAVKYAVDWVKEHGPRLIK
TSTGKTFVDTKMSRLLGVPPVMVAGMTPCTVQWDFVAATMNAGYQIELAGGGYYNARTMTEALKKIENAIPAGRGITINLIYINPRAMQWQIPLVAQ
LRAEGVPIEGLTIGAGVPSIDVATEYIETLGLKHIAFKPGSGEAIQAVINIAKANPTFPVILQWTGGRGGGHHSFEDFHQPILQMYGRIRRCDNIIL
VAGSGFGGSEDTYPYITGAWSGNYGYPPMPFDGCLFGSRMMTAKEAHTSKNAKKAITEAEGVDDAQWEKTYKGPAGGVITVRSEMGEPIHKLATRGV
KFWAEMDAKIFSLPKEKRVPELKKNRDYIIKKLNDDFQKVWFGRNKDGETVDLEDMTYGEVVRRMVDLMYVQHESRWIDKSYEKLTGDFIRRVEERF
TIGAGQPSLLQSYSELDNPYPTVKRILAAYPECETQLINAQDVQHFLLLCQRRGQKPTTFVPSLDENFEFYFKKDSLWQSEDLEAVIDQDVGRTCIL
QGPTAVKYSKVVDEPIQEILDGIHQDHIKGLTTEFYGDDESSIPTTEYFGGKLIESEPELDVEGLTISEDNNKTTYRLASAAGATLPSLESWLTLLA
GNKRSWRYALFASEVFVQGKKFQTNPMKRIFAPVRGLFVEITNADEPSKTVITVKEQPRPNHYVEVINVQLTGKNEILVNMIKDTTAVGKAVSLPLK
FTYHPEAGYAPIREVMEDRNDRIKEFYWRAWFGNETLDLDAPVTGTFNGGKAKITSEAINDFVHAVGNTGEAFVDRPGKEVYAPMDFAIVVGWKAIT
KPIFPRTIDGDLLKLVHLSNGFRMLPGAEPLKKNDEVETTARVNAVINQASGKMVEVCGTITREGRPVMEVTSQFLYRGAYTDFENTFQRKNETPMQ
IHLATSKDVAVLRSKEWFNLDEPDHELLGQTLTFRLQSLIRFKNETVYSSVETRGQVLLELPTKEIIQVASVEYEAGVSHGNPVIDYLQRHGSSIEQ
PVNFENPIPLSGKSPLQLRAPASNETYARVSGDYNPIHVSRVFSSYASLPGTITHGMYSSAAVRSLVETWAAENNVGRVRSFHAQLTGMVLPNDEIE
VRLQHVGMVAGRKIIKVEVSNKETEDKVLLGEAEVEQPVSAYVFTGQGSQEQGMGMELYASSPVAKEVWDRADKHFLDNYGFAITNIVKNNPKELTI
YFGGPRGKAIRQNYMSMTFETVASDGTTKSEKIFKDIDENTTSYTYRSPTGLLSATQFTQPALTLMEKASFEDMRSKGLVQRDSSFAGHSLGEYSAL
AALADVMPIESLVAVVFYRGLTMQVAVERDETGRSNYSMCAVNPSRISKTFNEQALQYVVENIAEETGWLLEIVNYNIANMQYVCAGDLRALDTLTG
VTNYLKAQKIDIQQLMQTLSLEDVKAHLVEIVQGCAKQTEEKPKPLELQRGFATIPLKGIDVPFHSTFLRSGVKPFRSFLLKKINKTTIDPSKLIGK
YIPNVTARPFELTKEYFEDVYRLTNSPKIGAILANWEKYEEPHTNGVNGTTAVNGA

>RCO7_09223 | probable fatty acid synthase, alpha subunit

MRPEVEQELAHTLLVELLAYQFASPVRWIETQDVILAEKTTERIVEIGPADTLGTMAKRTIASKYEAYDAAKSVQRQILCYNKDAKEIYYDVDPVED
EPEPVATTSAPATSAPSSGGAPAAAAPPPSAGPAASVPDAPVGAVDIVRSLIAQKLKKPLMEIPLSKAIKDLVGGKSTLQNEILGDLGKEFGSTPEK
PEDTPLDELGASMQATFNGQLGKQSSSLVARLISSKMPGGFNITAARKYLETRWGLGSGRQDGVLLLALTMEPPARLGSENDAKAFLDDVSQKYAGN
AGISLSAPVASDAGGGGGGMMMDPAAIDALTKDQRALFKQQLELFARYLKMDLRAGDKAFIGSQQSQSALQAQLDLWNIEHGDFYAAGIEPVFTPLK
ARVYDSSWNWARQDALTMFYDIIFGRLKAVDREIVSQCIRIMNRSNPTLLEFMQYHIDNCPTERGETYQLAKELGQQLIENCRDVLNTAPHYKDVGI
PTGPHTTIDARGNLSYAEVPRTSARKLEHYVREMADGGKISEYGNRTKVQNDLSRIYKLIKQQHKLSKSSQLQIKTLYGDVIRSLAMSEGQIIPKEN
GTGKVNGVKKARNPHAKTGKVETIPFLHLKRKDEHGWEYSKKLTGLYIEGLETAAKNGVTFQGKNVLMTGAGAGSIGADVLQGLISGGAKVVVTTSR
FSREVTEYYQSMYSRFGSRGSQLIVVPFNQGSKQDVEALIEYIYDTKKGLGWDLDFIVPFAAIPENGREIDTIDSKSELAHRIMLTNLLRMLGAVKT
QKAERGFETRPAQVVLPLSPNHGTFGNDGLYSESKLGLETLFNRWHSENWGNFLTICGAVIGWTRGTGLMSGNNIVAEGVEAYGVRTFSQQEMAFNL
LGLMSPAVVDLCQSEPVFADLNGGLQFIPDLQSLMMKLRKDIMETSEVRQAVTKETAIENKIVNGEDSEALYKKVTIEPRANIKFEFPRLPDWEKEV
EPLNENLKGMVDLEKVVVVTGFAEVGPWGNSRTRWEMEAFGKFSLEGCVEMAWIMGLIKNHNGPIKGKQYSGWVDSKSGEPVDDKDIKAKYEKHILV
HSGIRIIEPELFKGYDPNKKQLLQEVVIQEDLEPFETSKETAEEFQREHGDKAEIFEIPESGEYIVRMRKGATLMIPKALKFDRLVAGQIPTGWDAK
HYGIPDDIISQVDPVTLFVLVCTVESLLASGITDPYEFYKYVHLSEVGNCIGSGIGGTHALRGMYKDRFLDKPLQKDILQESFINTMSAWVNMLLLS
STGPIKTPVGACATAVESVDIGYETIVEGKARVCFVGGFDDFQEEGSYEFANMKATSNAVDEMAHGRTPAEMSRPTTTTRNGFMESQGCGMQVIMTA
RLALDMGVPIYGILGLTTTATDKIGRSVPAPGQGVLTTARENPSKFPSPLLDIKYRRRQIELRKKNIKQWQESELEYLHEEIDAMKAQGQEFNETEY
AQDRALHIEREAGRQEREVLNSLGNTFWKKDSSIAPLRGALATWGLTIDDLDVASFHGTSTVANDKNESSVICQQLKHLGRKKGNAVLGIFQKYLTG
HPKGAAGAWMMNGCLQVLDTGLVPGNRNADNVDQIMEQFDYIVYPNRSIQTDGVKAFSVTSFGFGQKGAQVIGIHPRYLFATLDEQTYATYCAKVES
RQKKAYRYFHNGLISNTIFVAKTHSPYTDDQQGEVFLNPDARVSMDTKTSTLTYAPGASKKPADKAKNEATKQMVESLAKGAATASNKVGVDVEDIS
AINIDNDTFLERNFTDAERAYCLKAPSPQSSFAGKWSAKEAVFKSLGVASKGAGAPLKEIEVINNEKGAPIVSLHGGAAAAAKKAGVKEISISISHS
DSQAIAIAVASF

>RCO7_09222 | related to ceramidase

MFSLVQKRAYQALPEQEKHHDSETQIVAVPVRSHGKGRKFHITVASLIIITLLAFVSIASAWINSPGALPEVHDAMLMDDESREYLAKLGRAADQQY
LLGVGKADITGPVVEVGFMGYAVVEQVGTGLRQRVYSRAYIIGSMSNPDDRFVYLVLDIANGDTAIRYGVINGLKDAGLGIYNQSNIALTGTHSHSG
PGAYNNYLLPQITSLGFSKQSYQAIVDGTILSIQRAHASLAPGYLKYGDTNITDANINRSLYAYLANPAAERAKYDSTVDTTLTLLRFKRASDGLNT
GVLAWHSVHGTSALANNTHVTGDNKGLSSYLFEKAALNDPSAAPGFVAAFSQSSVGDTTPNVLGAWCDDGSGTQCTFEKSTCGGTSQACHGRGPAFQ
KLDLGISSCYEIGRRVYAGAQSLYDSMDSVGTTVAGSSVKFYHTFQDMQYFQFKLPNGTTVQTCPAALGAGFAAGTSDWPGAFDFTQANNDSQTQNP
FWVLVRDVLTKPSAKTVACHSPKPILLDVGEMHAPYDWSPNIVDIQSFRVGNLFMILSPGEATTMTGRRWKAAVAAAAISKGITTFPKVVLGGPANT
YAHYIATPEEYGIQRYEGASTLFGPWTSNAHIYLSEQNIGYLVATNTSQPASGTLPPNNFDNSISLITDVVWDSPIIGKSFGQIITQPKASYPIGSG
VSATFVGANPRNNLRLEGTFAEVQMKINGAWTKVRDDSDWFLVYTWERLDVLIGSSQVVLSWETENYAAKGTYRFKYYGDSKQLGGKITAFTGTSNE
FTLV

>RCO7_09221 | related to histone-lysine N-methyltransferase
MAKIKNISRRGGKKGPPNMSAGEPSPRREAMPTFAPISSIPQKRTLEDDHQPAVSSLLNPDFKSKDDAPLARERAPRAKKESLKKRESKAGSSASEP
SARATPDVKSARSKKSEPELAPIRYKLPPPRITDFEVPRGPTFIPADTRTAPDGSEIQFNETTDHVYNKKGFHYTHAIADPMFPSSLYYRQSEAEPF
TSRLNFEDTSTHMFLDESGKHVTTDKGFRMAKANVGVREGRWYYECRITSGIPQKKPGGPVESNGHVRMGWARREATLDAPVGYDAYSYGIRDALGQ
KVFMSRPKDFFPNKEDIREGDVIGLEINLPSETLHRKIVEGHYNPAVDLEDEGNVGIERPDIIRDRVPIRFKTHLYFEQIEYQATKELEELMNPSPI
IQLTGGVGGSTQEPGPTHPVPALRTLPHSNIKIYKNGKYVGTPFTNLLSFLPPASKPLTQVGAREGLDNGMLGYYPAVSVFRGGAAEVNFGPDFWYP
PQEEGAPEDEVDMIGSDQPEVKKVPELRATGDRFDEQIVEDIVYDLIDEVDFWMQDGGIDSGGATNSVRSSADVSAQSGMLAVGQGSEIKELVQEDD
>RCO7_09220 | uncharacterized protein
MQLISILLIGLSASLAKADWGTNGFRGKNWGNWGGKGGVGPECAKSCFSSAFPDQSTAWSSACASQTVIDKCISSACPTASAQYTSASSIRSQWCAS
YSSCSTAADSCTTAWPWWNSADGGHGWVGGWGGKGPGGVFTVTVTSGQATRGLQTDETAPEATNGAGALVIAALGAFMVL
>RCO7_09219 | uncharacterized protein
MSSATPTSSSGAAATSLANYGTPLTSLPVTIFIAAFAVLFGLFGLFLIIGVVRRRRNPARYGPRPAIPGRVKQSRKKGLAMAVLESIPVVRFGANNK
SDEPLQKDVELSGGLVEDEIPATASRNSRDINEVSPVSDITEPPPSHQPTAKEGEMGGGTECSICIADFVESEEVRVLPCDHRFHPACIDPWLLNVS
GTCPICRYDLQPEPEAPAAETNTATTATPAPVATLAVPSPTAQRERTPIRSRLREIRSAHSGADYISALRNLHRDHEPRRPRSSSGAVAENQETRPT
>RCO7_09218 | related to nucleoside-diphosphate-sugar epimerases
MASKTFLIVGATGTQGSSVVKALLADPSLPTDAHILALTRNASSPKAKSLAALDSRVEALSGDPKDANAIFENSPYPIDAVFCVTVHGPAGAEEAQA
DGLIKASLENNVKHFVFTSADRGGEKVSDTNPTPVPHIATKYRIELHLRGMAEGTDMKWTILRPVTFMDNLTPDFLGKGFTAMWNQVGKKPVQIVAA
SDIGHFAAKALLNREKHAGKKIGIAGDELNYEQACKVFKERIGVDMPTTFCAVGSLIKFADKDLGAMFKWFENDGFAVDIAAARKEYPGLQDLGTWL
EKSSAFKKAEKA
>RCO7_09217 | probable ATP-dependent DNA helicase MER3
MDSAGAYAQWQTQLAAMRAAVANIKLPTPTADSYGSDIDFDEDFTSGNSGDDVWDFISDREEDVWSSDANDHISDVEAYGPHWLQSKCIDYASRKQG
LSGDDLQERIGALLASDIADEELQSTLTDIIGFDDLDFVIELISQRKEISKPSTSVRGAAATDSLFAGKLQTRREREEALRQRDYEHKNAQLGPSLN
RDGPTYPHVYTTHAAGNKLDSKGRQYALPVGHTRKEERFYEEYTIPAAKVGTLGHGRKLVEISEMDGLCRNTFKGYKSLNRMQSLVYPVAYQTSENM
LICAPTGAGKTDAAMLTVLHEIAQNISPSPAEQPQATDFAVNLKDFKIVYVAPMKALAAEITQKLGSRLAWLGIQVREFTGDMHLTKSEIVATQIIV
TTPEKWDVVTRKGTGDTELVQKVRLLIIDEVHMLHDDRGSVLESLVARTERQVESTQSLIRIVGLSATLPNYVDVADFLKVNRHAGLFYFDASFRPV
PLEQHFIGVKGKAGTRTSRDNIDTTAFEKVQDMLELDHQVMVFVHSRKDTSGTAKMLYEKAIDQACTHLFDPMDHPGYSNAIKEAARSKGREIRELL
PKGIGIHHAGMARSDRNLMEKLFSSGVLKVLCCTATLAWGVNLPAAAVIIKGTQVYSAQDGKFIDLGILDVLQIFGRAGRPQFQDTGIGMICTTQDK
LAHYLQAVTSQVPIESRFSKHMVDNLNAEIALGTVTSVPEAVQWLGYSYLFVRMQRNPLTYGIDWAEIRDDPTLVQRRRLLVIQAARTLQQSQMIIF
NETTEELRSKDVGRIASQYYILHTSIQIFNTMMKPLSSEADVLKMIAMSGEFDNIQSRDTESKELTKLREESSPCDVGEKNDSPQAKTNILLQSYIS
GASLEDFALGNDSNYIAQQSARICRALFMIALNRRWGHQCQVLLSMCISIEKRIWAFQHPLHQFELAKPILNQLDSKNGISIESMRDMDAAEIGAMV
HNHGAGKTISKILDNFPTISIDSEIAPLNRDVLRIRLFLTPDFRWNDKYHGTSESYWVWVENSETSEIYHHEMFILSRKKLYDDHELNFTIPLSDPL
PTQIYVRAVSDRWLGAETVHPISFQHLIRPDTESVYTDLLNLQPLPITALKNPALEEIYGQRFQYFNPMQTQIFHCLYHTSANVLLGSPTGSGKTIA
CELAMWWAFRENPGSKVVYIAPMKALVRERVKDWGARLTKQMGLKLVELTGDNTPDTRTIRDADIIITTPEKWDGISRSWQTRGYVRQVSLVIIDEI
HLLGGDRGPILEIIVSRMNYIAAQSNNSVRLMGMSTACANASDLGNWLGVKEGLFNFRHSVRPVPLEIFIDGFPEVRGFCPLMQSMNRPTFLAIKTH
SPDKPVIVFVASRRQTRLTAKDLINFCGMEDNPRRFVKMSEEDLQLNLTRVKDDALKEALSFGIGLHHAGLTESDRSLAEELFANNKIQILVATATL
AWGVNLPAHLVVVKGTQFFDAKTEGYKDMDLTDVLQMLGRAGRPQFDTSGIARIFTQDSKKAFYKHFLHTGFPVESSLHNVLDNHLGAEVSAETIAT
KQDALDYLTWTFFFRRLHKNPSYYGLDISAEEHNTITAQQAANEYMISMVDMSLGELAESKCLEIYPNGDVDSTPFGKIMSYYYLSHRTIRHLVKHA
VRNATFTDVLSWMSSATEYDELPVRHNEDLINAELAKNLPLSIKAFGDLPLWDPHVKAFLLLQAHMSRIDLPITDYVGDQTSVLDQAIRVIQASIDV
LTEMGLLSSCMQMITLLQCIKSARWPTDYPLSILAGVPVKQPDGSDLPPTLQAFSAESEISYQRTVTTLDITRKNLASFQKGAKALPCLKIDVRDLT
ALSLSIVLTRQNPLGPDGKMYAPRFPKSQTEGWFVILCKEDRDEIIAIKRVGWNSGGPGGKGQSMGGRPTARTSIMLPVEESGLISDGRKIDVLVVS
DGYLGMVYKIKGVEVPDAPKVVDDGKKEKPSKDRAGASTSFAA
>RCO7_09216 | uncharacterized protein
MHDATCSIPGNSTEKAQSSTQEDYKSKNRLDSMNADNDLRAQLAAVINQRQGSHTYSNEISHHSSSASPHNHNIDPAIGGPGGIMSNGGDSGGEDGD
GDGDGRKGGKRELSQSKRAAQNRAAQRAFRQRKEGYIKKLEEQVRDLHNLEESFKAIQTENYSLREYIIHLQSRLIESQGDYPQPPANVILNHPPRH
DQHPEHIQPRHEAPVAQMAPMSPLQAAVARNIAAASLQTGKHAQESREYEESKRYKNNSDEGVEQEIRTQLGGQSMTM
>RCO7_09215 | probable ARP5 - Actin-related protein
MAPSATDPPAPALGPENLVPPPQLYTPRECHFENLIKAKADGYQQAKSRGNQGAALVIDNGSSATRAGWSFEDVPRLNIVPIYSKYRDRKLGKTYSF
VGSDIYADTTARGHMRSAFEAGSGIVNNWDVMEAILDYVFIKMGIDGANGGVDVPIVMTEAVANLPYSRKTMTEIIFEAYTAPSLAFGIDSLFSYDY
NDGKTGLVVSSSHSSTHIIPVLNSKAMLTQATRLNWGGSQSAEYLLKLIRLKYPTFPGKLNSSQMEYMVRDHCYLSKDFDEELSKYLDWSGLEDRDH
VIQYPYTEEVIIQKSEEELARTAEKRKESGRRLQEQAAKMRLEKLIRKEQELDYYRDLQNRLANETKKEIKRMLDAEDLKDEAALERTIKELDKSIR
KARTKDVGGPEIEEEVEEPDFSLLEIADDQLDEAGIKQKRHQRLMKSNHEARARAKAEKEKERARIAEEQRVDEEKRENNLEGWLQERRDARAGLIQ
KIKDRDRLKADLGNRKSLASQIRMKSIANLAAEDNTKKRRRGGDVDNFGANDDDWGVYRQIATGDSDDEEEEDLGVSLKTLEADLLKYDPDFTDQHT
LDAQTDWTKSLIHTFLRGPRPFDMKSQGEAHQLHLNVERIRVPEVFFQPAIAGLDQAGIVEITADILNQRLSGVGNQDAFLKDIFLTGGSSQFLNFD
ERLREGLRGCLPAEAPLNVRRAKDPVMDSWKGAAKWAGGEKWKTAAVTRDEYLEKGAEYMKEHDLGNAYT
>RCO7_09214 | related to DASH complex subunit dad4
MHSKKGARTSNASYRDENLPRKDKMESPHEHQQNLLLSRIITNVEKLNEAIMLLNKSLQEINIQNMNVELVAQMFKNYQSNVLFHLEATDSLKDPS
>RCO7_09213 | probable IES6 INO80 chromatin remodeling complex subunit 6
MAPQTSTEEAEAHQALLDQLDIHSIQKPFRNTHWKPNQRRNKNIKTILGDAIRKEASLQPTNENSGAVTPNLDDSVMTTDGDSTPAVSTSGSSLQPP
NLAQASRNLSKLVLERNMRSNGSSNAPCATYTNIESAPSLAHSKHYCDITGLGAPYTDPKTRLRYHDKEVFGVIRTLGQGVAEQYLEARGAHTVLK
>RCO7_09212 | probable protein GOT1
MPTMWLSDSQKIGVAFCSGGGFFLIAGVFMFFDRAMLAMGNVLFLLGLTIIIGPQKTALFFARRQKLKGTAAFFAGLVLILMRWALVGFLVELYGIF
ILFGDFLGTIAGFARNLPVVGPLIGGAVDRMGLGGGGQLPV
>RCO7_09211 | probable profilin
MSWQAYVDTSMVASGHVDKGAIYSIAGDSKWAASAGFDVSATEMKEIINGLSGKVDSLYAEGLHVAGERYVLTKAEDRSLYARKGREGVVIVKTKQA

ILIAHYGETMIAGNSATTVEQLADYLIKSGY
>RCO7_09210 | uncharacterized protein
MVRTNPPSKSVWSQLGRGTKGRDTDDSGTPNHVSEDAQARTVDQETARLFEFAPQKRDQVPERPSTSAGPASNFAKRRNAEKIGTQDDLHFNPLAAH
GVGTTFYNFPLPGSLPTPASSPKSTHHPVARNIQVTRPSTPESMETAPSKMNVSQAEIGMALGSPQHPPPAWATAPIDRYSESPDQVDDDFNNSAPV
KQKTRKWKLLGGLFGGKKHEAPQNFYQVQPETSQQTPVNHGFDFGKPSEKTKFRSLGRSISSKRKTKKPEIGRAKTFPLRFDLDGSNRQHQPEIPEI
TIDGGRVAYGGPRSTQKDAGLLDVDIPSVQMERYSIMFNGIISDKQSRPNSSSLLIRRQATLDKLKTANEALASKEIEEMEARSQVLLPRRMTSPGI
RSQSPVRSQSPARSQSPAFSLFPSTPTTRSRNLSISARAGSSVSHQRSNTSPALLSPTRPSFAPGHSNEDHANLVSGDSPTVPIRQQRDICRGPRAV
QKKEKPVAVPLAAPGTRDWTPGQSHLLLDSSSDSEVPIATVIPMKVQQQPEPSWQMTSSNHTVNDSVTGSSASGSDHSTSTAASSITTPVSASTGPY
PVTKSTRINTLPQTRTRAATVNPALQTARSGSSTTDTAPSSVPRLNNTSAITSSLASPKAEDQARLESAAGVSIARQISLSRQQRQLLVPIKTKSSL
KSSTSSANPKKPTIVTTHQKPISRTDPNGSPKKDLVVGGQNFPTPASGIGKVASPLEAIATATQGGRERGEQRGGGPQQHALPAQTRSGRENTPSPG
RLVQVAKPSTPTLVVVGDSVDERENAYINKVRTKDSDSPTPVGFSERRKQKEPSIPYANSHSHNYPDSSNQAVGEIRVGLAVPRSTSGPASKQGSVR
RAREMAMMNRKSERVVVERVGIAS
>RCO7_09209 | related to opsin-1
MASDSLFARDSLNSNPNVFNYPASSDINITSRGADLYWAVSAFMGVSALAFIAHAHFVVARKTGGALQYIIFHYITAAICFVACIAYFTMASNLGYA
AIEVEFQRNNPVVAGVYREIFYVRYIDWVITTPLLLLDVLLTSGMSWPVILFTILADEIMIVTGLVGALVTSQYKWGYFVFAMLALFFVFYQVSFVG
AHHANSIRSSNGTNIGRSYLLAASWTMGLWFLYPIAWGLSEGGNVISGDSEAIFYSVLDVLAKPGFGLVLLYAHRNINPGDLGIHIRDYNTPRRNLY
SGANDREKMGHNNGIENDFGVPANGVNNGAHSNGHNGNGALPANGTERPANAAEGISTSAHHGTAETRR
>RCO7_09208 | related to lignostilbene alphabeta-dioxygenase I
MTFVNERQSRSKGPHPYLHGNFAPIQRVQPLTPCTYTGSIPQELAGGEYCRNGGNPTENSDLGRDAHWFDGDGMLSGVAFQRQGDGSIRPEFVNQYI
LTDVYLSTLTTPSLRLPILPSIATLVNPASSLVRIILRIFRTIFLVIISHLPGSQQPIKKISVANTGFLFHDGRALATCESGPPIRVSLPALETVGW
FDGGKAEGEPIADEAPGDTFGGNGLLSFMKEWTTAHPRVDPITKELILFHSTFFPPFVFYSIIPSSKKAFSPPARLVNAGVPGIKSAKMMHDFGVSF
THTIIMDLPLSLDPRNLTRNEPVVSYDPSGRSRFGVFPRWHPEAVRWFETNPCCIFHTANTWDETVRNPVTKAEETTAVNMLACRLTSAALVFSAGD
IAAPVPKPVKFPKYEPEEEQCRLYYYRFLLSGSENIITHQFALTAMPFEFPSIRDDVSMSSARYIYGCSVSHSTFGAALGRAVKIDSLVKVDATALI
QRAQHEPPTPIVGCVDTRTVSEILASEDPEDPIKVFKLPEGFYAQESRFVARKNGASEDDGWILTYVFDESQLDRSGNAGHNTKSELWIIDAREMKE
VVCKVQLPQRVPYGLHGNWFSEEEILNQRPIETIRQLPSSKRAVFDALEHNDGMFMKAWMGARKKMLQIVG
>RCO7_09207 | probable geranylgeranyl-diphosphate geranylgeranyltransferase (AL-2)
MGFEYALVHLKYTIPPGIALTLLYRPFFNRLDLYKIVFLISIAVVSTIPWDSYLIRRKIWTYPPHVIVGPTLFDIPAEEVFFFVIQTYNTSLLYLLL
SKPVFYPAYLPNHKHHTNKLNLGHAILAILVVGGGWLIWRGKEGTYMGLILAWAGPFALLLWSLSSHFLLNLPWTSTVAPIAIPTIYLWVVDTLALK
RGTWTIESGTKFGVHLWDGLEIEEAVFFLATNILIVFGLVAFDHAMGILLTFPKMFPNVPELPSPVMLVQALLTHVSEYDTDRVVGIQQAMQRLKKK
SRSFYLASSTFSGRLRIDLILLYSFCRVADDLVDNASSEAEAQARIISKEANVHAYISENFPDSAQAALRLLPTHLLSYGPLYELLEGFKTDLEFPE
KDSAKLLQFPIEGEDDLEVYAARVAGTVAELCLELVFFHSYSTTIAAQRDQLIRAGGRMGVALQYINIARDIATDAAIGRVYLPTSWLKSQGLIPQN
ILENPDRSGIEKLRGTLLDKAFGVYREANSAISQLPVDARAPMRVAVESYMEIGRVLTEKGHKVKEGKATVPKIRRLKVAWKALNAG
>RCO7_09206 | probable phytoene dehydrogenase AL-1 (carotenoid biosynthesis protein al-1)
MAAKHNQPSAIVVGAGVGGIASAARLQKAGYSVTVLEKNSFTGGRCSLLQHDGYRFDQGPSLLLLPKLFQETFHDLDTSLEAEGVQLLKCDPNYNMW
FSDGESFELSSDTAVMKREIEKWEGKDGFERYLAWMAEAHRHYEISVREVLHRNFTSVFNLLRPNFLRHLVALHPFESIYSRAAKYFWTERLRRVFT
FGSMYMGMSPFDAPGTYSLLQYTELAEGIWYPVGGFHAVVAALVRICERSGVDIRLNTPVSSVLTSPDGKKVTGVKLENGEELNADIVVINADLVYA
YNNLFPSTSSKSYAKSLQKRDGSCSSISFYWALSQTIPELRTHNIFLADEYRESFDAIFSRQSIPADPSFYVNVPSRVDPTAAPPGKDSIVVLVPVG
HLLNSATSKDTPTTSSGPGLLPEQDWDTIVSSARKTILSTIESRTGCGLLSPLIIHEQINTPNSWESTFNLDKGSILGLSHSFFNVLAFRPKTKHSS
ISGVYFVGASAHPGTGVPIVLAGAKITTEQILDDYAVDIPWEGKECVVSDKGVKQGKGTNPLDVLRRDGAFLSDVGILMLAGLVMVMVLAYLNSGLT
ITWDGEGKKGWGTGRM
>RCO7_09205 | related to spliceosome-associated-protein
MAPSATNGDAIAALEEIKAPAGVVLPPREIKAILEKTAGYVARNGNVFEDRIREKEKHNPKFSFLSPNDSYNAYYLWRLSEIKEGRGTAVAAGRAGE
VEAEPEKPQGPPEPPEFHFSARMPNISAQDLEVVRLTALFVAKNGRQFMTTLSQRETGNYQFDFLRPNHTLHSFFQRLIDQYTALLRAGGMDGEGGK
VQQLRIKELEANVKDKFHVLGRAKQRAEWFKFQDEQKAKKEEEAEKEKTSYQQIDWHDFVVVETVVFTEADDQAHLPPPTSLSELQFASLDQKAMMS
VSSHNMRIEEAMPEETDYYNSYPQQPQQMAPPPIPQPTYQPQYQDTRTLNSEEEDEEEQRIRERTEARQRAQQQQAEAKGVAAPMKIKENYVPRAAA
RAANKQNMVLCPNFELLDPRWKEQKAKADSRYSTTNLSTQDVANNLKRLASQRSDLFDGVTGQPILSEEELARRKKAATSYDGVAPEKGDRRLDVKQ
NVNVEEQIRAIHQKFGDKK
>RCO7_09204 | related to protein transport protein
MSEYVINFMPVAAFSQHNPAAPRSHSHLRSYSSTTSSTKVTPAPPRPVSKSISTSALHTTAAVAHAPALPSRNRSPFSDDDGNMSTLPDPRSRSMTQ
LTDSGINSLPQHPDLDSEVATLSNKLINAINHQTNLDDTLSATRHELESALERVQKLEKENQELAAARAREVSLQRLNAESAKTKFLATIAEEKRQR
AEVEKGKKEIEQELENLTTALFEEANKMVITAREEAQKDHDLVQRRNDQLTAQLADTESLLKSHQEQLAELKRVMEQMTEERDDQTNQTAPSTPGLS
RFDSKDDETLDTEAPPSNYEATSPSYPTSFTHLLQPVLRTDILAYEDFSSLIRISKNIPASSRVSSGSYGSIGLGLGLGGYAPSQPGQANGSSSSLS
TAGNLGSSPATPTTPASTVSNGSTNGQVSLISLKDTRFYKRVQAEDIEPTLRLDAAPGLSWLARRTVLNAVCEGSLVVEPMPTSTKPYSFSCSLCGE
SRKEPAHIRSHRFRTSENDSAQRYPLCKYCLGRVRSTCDFLGFLRILKDGHWRCDDEEAEKAAWEESVRLREQMFWCRVGGGVIPAPHHGHLDSAKS
PRMSQERKDQERKISEELERMGGIQPKDITPVDVTFNSPRASKVPAIEETLAEDVIEAPSPSPLPSNVGEIFEMPEVSDESEKPESVRSSVQSTKSF
KMESPGEVEREGAQRLSITIPGAFE
>RCO7_09203 | uncharacterized protein
MKSIMQTTLVIILTATANTAAVTSPSLIEAAIAASSDLSNLWPAGTVFPDAIDYVPHSTDLSKRSQWHLYNCLDPGFTGRCKNMDAELDQCYNLVNG
WENSISSSGPDKGDVFCVLYSQYECAPSKQQLLLIWPGWTDLRRLGMDDKTMSYRCGSRALPSSH
>RCO7_09202 | uncharacterized protein
MLQLSTILAGLATVLLTLTMPLSIPLGTSGKSLSVGEDGQSITLGGKTINLHQAMNSDVACAPMQAGPGTKKKGGGKGKGRGAAISTNAKTIYFITN
AAENSIVALKVAMDGSLSEGSVTPTGGAGMTGVDDKGDPAIPDSLFSQGAVKVSGNHIVSVNPGSKTISMFAISATDSTVLTMVGKPADTLGEFPVS
VGLSASLSQACVANSGAKVGVTCFTMCPIVGLMPLDTCRRPFELNQTTPPVGPLNTVSQVFFNADSTKLMTTVKGDPTKNNTCFLSVFPVENKLVST
KETRSSPDGTAVLFGAALLPNSNEIFVTDASFGAATLSLSDTNTASTLKSTKILDQKATCWAAFSELTAPPNYLVEIDPTSGDIVKDFELTNGNSGL

IDLVSAGRFIYALSPGNTTVGSAAAVTVFDVSGGRGSAKEVQNFKLAGVTGSAMGMASV
>RCO7_09201 | 60S ribosomal protein L21
MGHPAGLRAGTRYAFSRDFRKKGMIKLSTYLRTYKVGDIVDIKANGAVQKGMPHKSHSGKTGVIYNVTKSAVGVILYKKVKHRYIEKRVNLRIEHIN
LSRSREEFVRRVKKNAELKKQSKTDGTHVHLKRQPLMPREARTISMKDNVPETVVPIAYETTI
>RCO7_09200 | ribosomal protein S4
MPPVSYSKTYKVPRRPFEAARLDSELKIVGEYGLRNKREVWRVQLTLSKIRRAARQLLTLDEKDPKRLFEGNALIRRLVRVGVLDEARMKLDYVLAL
KIEDFLERRLQTCVYKLGLAKSIHHARVLIRQRHIRVGKQIVNVPSFVVRLDSQKHIDFALSSPFGGGRPGRVRRKKAKAAEKKDGGDDGDDDDEE
>RCO7_09199 | probable step II splicing factor
MPPAGAQPRKPNPPSAANKEANEYIPSFISKKPFYIGEEDDQNDYLEHQRLQKAQAEQSKWYDRGKKLGPAATKFRKGACENCGAMTHKTKECLSRP
RAKGAKWTGQDIQADEIIQDVKMGWDAKRDRWNGYDSKEYKTVTDEYAELEEMKLAQAKKDEEDEEGEDGAKYAEESDMGRQQKTSTKQLRIREDTA
KYLLNLDLDSAKYDPKTRSMVDSGATADTAAALVAEEGFMRASGDAAEFEKAQKYAWESQEKAGDTKIHLQANPTSGEYNRRKEKEAAESKRQAHKK
MLLEKYGGEVNSNASKLRDAAVVESERYLEYDESGAIKGAPKASSKSKYREDVLINNHTSVWGSWWSNFRWGYSCCHSVIKNSFCTGDEGKKAFEEA
DLLRNGGGFGASELEAEREPVKEIEWQSEEVTAERPKAKEDVTSSLLAKKRTAEEMKGGVSEEDMENYRRKRTAANDPMAAFLGMDELLP
>RCO7_09198 | probable catalytic subunit of DNA polymerase zeta UPR-1
MDLFRVRLNCIDHYQSTPSRFDPLLRSDIKPSQISKEPKVPVIRVFGATETGQKVCAHIHGAFPYLYIEYHGSLIQEEVGAYIHRLHLSVDYALAVS
YRRNIYDGNAKFVARITLVKGIPFYGFNVGHHFYLKIYLLNPMYMTRLADLLRQGVIMKKAFQPYEAHLQYLLQWMADYNLYGCGYIDCSKVHFRGP
VPHHDEIDNLSHLWHDRSVPGELITDESVLPRVSHCSLEVDICVQDILNRQDIKARPLHHDFVERLNPLPPDKKLVHSMAGLWKDETRRRKSRMTNP
APGSSPFPADVMVSMSADPRNSQPGGWIHEEEYREKISSLITEEKSKSDGAKISFGTFVRPTPFESSVKTSLEAVEDLYPECLRPALSLTPGAAGNG
VAYDLDDTEVREVDEGKIMGFVNDDDDFPYDSDEEVMRELELSQRKKGDNVEEKFLDSNEIKQPEHDVDETRTGGDHYGDQSLEPSDNDIRRNFAGS
PSPQMKDASWPAIGTSPESGLQTTPESSKSSSAPLLNTIRKRSESTYGTSKSDGSDQKRQRISYGQSHDPDASHLLTTESESRPGSQIRPSDVREAG
KRLSRTKQAESSTNVTRTAARMPSSRLSQESLKAAEHSQLPSLGFPVVKDPHDPYTILRLSQRNGPQSGTLGKQKHVSFGPSLPLPVSDPGQMSKGT
SFQSTMSHSSTPMSAILRNMESCYGMPVDGRHFAFGILPPSKRYVETSMQAFGLSSKIYQDAYYSDELDVPERAREWAGREFKLESLSVPFLPDFDP
VATLDEKPNILPDRAKQEKQYSDQRQNCGLLSWTIADPPPTFAEVAEWGRKDRLKQRKISEKEHGKAESGKGSRKNSKLSQIEGPTQKNKHGFKYTQ
DQKSTSVQHEAQYMSTMSLEVHINTRGSLVPNPEKDEVQCLFWCLQSDEEGLLNNCAVEGTHLGAVVLSEDGEMTQKITRQISIDIQEEASELDLMI
RMVEIVRNHDPDILTGYEVHGGSWGYLIERARLKYDYNLCDEFSRMKSQSHGRFGKDNDKWGFNNTSTIRVTGRHMINIWRAMRSELNLLQYTMENV
AFHLLHRRIPHFTWADLTSWYTNGKPRDLAKVINHYVTRVQLDLELLEQNELIPRTSEQARLLGVDFFSVFSRGSQFKVESLMFRIAKPENFLLVSP
SRKQVGGQNALECLPLVMEPQSAFYTSPLLVLDFQSLYPSVMIAYNYCYSTFLGRVVNWRGTNKMGFSEYKRQQRLLELLKDHINISPNGIMYTKPE
IRKSLLAKMLGEILETRVMVKSGMKVDKDDKALQRLLNNRQLALKLIANVTYGYTSASFSGRMPCSEIADSIVQTGRETLEKAIALIHSVKRWGAEV
VYGDTDSLFVYLKGRTKDQAFDIGEEIAKTITNMNPRPVKLKFEKVYLPCVLLAKKRYVGFKYESRNQVEPDFDAKGIETVRRDGTPAEQKIEEKAL
KILFRTADLSQVKSYFQQECEKIMKGSVSVQDFCFAREVKLGTYSDKGPPPPGALISTKRMLEDARAEPQYGERVSYVVITGAPGARLIDRCVAPEE
LLENEHSELDAEYYISKNLIPPLERIFNLVGANVRNWYDEMPKVQRIRRVDANLQLQGLSKELAINKKTLESYMKSSSCLVCKEKLEFEGSICPRCL
SDEPAAVLKLRSRLNSAERTFMDIQKICQGCSGISPLDEVRCDSKDCPVFYTRTRQKARLKTERSVVEPVMKELAGLIVQLEDLEW
>RCO7_09197 | related to C.elegans LIM homeobox protein
MGGLLSLLVAYLLGGLTVIPICLLGLLLHAYHTFPVRDDTTDRANDRSLIVQPGDNTDDIKRAQKTLGEKFQPRDSHEAEVAAGYFAVSRTYVPGGV
GALPPERTTPTGSMTVSAPSPSVYQTMYRSIFDRKPVNSPIENKSPAKRGSNVFYVVLRHGHLMLFDDDEQIEVRHVVSLAHHEVSIYSGGDETPEG
ELFIKRNALCLSRRNDVGEITPDGKASKPFYLFSESCSDKEDFYFALLRNQERKQDAKYNPPIPLQYDVKDIITLVQRLHSSEEHMQTRWVNAVIGR
IFLALYKTPEVENYVRAKITKKISRVKTPSFLSKISLRHINMGEAAPVITNPRLKDLTVDGELVVEADVKYSGNFRIEVAATARIDLGSRFKAREVN
LLLAVVLKRIEGHMLIRIKPPPSNRLWMSFQTMPKIDMSIEPIVSSRQITYTLILRQIENRIKEVVAESLVFPNWDDSPFYDSEDKRWRGGIWADET
ATEHPTDVQTIAAQEGDVDEVEHLDADSNEPIMALPQLEKSISSPNIDAFASGTTYPRKSAKSALNFANPTLNGSSSSIDIRSSGTEKPRALRSGSF
ASSSPSVSTDVTNVDAFKPASPPEASHAMAAVAALSHNKSPALTPVDSPSRPYEIEKPGSQSSMSSKASLRFESEKDINDLTPQPSTNLPDLGNHSD
PSYPSSPTSLSNASFKSEAPSTRSFGSFGHDARREISNASSTKSSAAAETKRLSLAAVTNAAATAKKWGWNALQRNGDRSEVSSEEAPARPLVMGRG
QPLPPPGVPLPRPDKKSKTAPIPVPKRKPIPPPDLPPKPSDSASDINSFHNQKHAVPPPPLPKRRSREEKLSSNTPADDGLLVVEAPTADSEPTTPM
MEHSPAYLQPWVDDFDEANEEDHEAVSKTPYSPMPPKLPKRRQPEV
>RCO7_09196 | probable cytoskeleton assembly control protein SLA2
MAARNDHTKSEAELAINIRKATSIEETAPKRKHVRSCIVYTWDHKSSGAFWAGMKVQPILADEVQTFKALITVHKVLQEGHPSTLREAMANRSWVDS
LNRGMAGEGLRGYGPLIKEYVNFLLAKLSFHAQHPDFNGTFEYEEYISLKGINDPNEGYETISDLMALQDRIEQFQKLIFSHFRSGGNNECRISALV
PLVQESYGIYKFITSMLRAMHTTTGDDDALEPLRGRYDAQHYRLVKFYYECSNLRYLTSLITVPKLPQEPPNLLSEDDAAPSLPQRPRQEIERQITP
PPPPKQEPDDIGEFWQNEQARQNREYEDQQRVLEERQAQQIYAQQQAALQAQRDFEEQQRRLAEQQRLDQEALLSQQYQQQTQGRLAQLEQENLAAR
SQYAQDQLMLQQYDQKIKALEGELAQLQNSYGQQIGSKDDQIRALQEQVNTWRTKYEALAKLYSQLRHEHLDLLQKFKGVQLKAASAQEAIDRREKL
EREIKTKNLELADMIRERDRALHDKDRLTGGNREELEKLKRELRMALDRADNLERTKGNELSSMLSKYNREMADLEEALRKKSEALRDVHAKYSEGG
SDAEQLLREKEDELDVYKQSLDDTLMKLNELEMSRGDTDQALDGEIDAMLLSNIGKINDIIDSVLQSGVQRVDDALYELDSSMQAGNQNATPSYVLS
QIEKASSSAMEFATSFNNFIADGPNSSHAEIIRTINVFSSSIADVLSNMKGLTRLATDDKKADQLTNGARQSALSTVKFFRGLQSFRLDGMDPMQKT
DVVINSNNEVLMNLQKLSKLADTFAPNSGKLNTKGDLGDLVDDELNKAADAINAAAERLARLKSKPKDGYSTYELRIHDSILDAAIAVTNAIARLIK
AATVTQQEIVQAGRGTSSKSNFYKKNNRWTEGLISAAKAVASSTNTLIETADGVLSGRNSPEQLIVASNNVAASTAQLVAASRVKAGFMSKSQESLE
QASKAVGVACRALVRQVQSMISDRDLEDDKVDYGKLGAHEFKVQEMEQQVEILQLENNLAAARKRLGEMRKVSYQEE
>RCO7_09195 | uncharacterized protein
MAAAALNTYITAMTSAEKKALPPHEQLANSASMPDEYLMNYPMLSHRQAATAIRWQQQNPQLFFQQLRLRAPHIAQKPVLPKKSLNSWMAFRSFYLR
IFSHLQQKEASIYLTTLWKGDPFKAKWTIIAAAYSKIRNTVGKPRAPLDHYLKIICPQMGIIAVEEYLEIFNWSSTRDAEGSLHFTQTTAPNLHGLD
QQILHSSMTEKDVVLFCGSVGYIRHSVARRIVGARSNHRQHQHGLLASAPMIGTSDTPVTPMPSISTTQAAAEEFICEEPSTMSSLATKDYEWTGSM
SDLYHPSEGSIDFDRLLRSYHSNPWDTTTIHDPKAFDTFVENGGMQDGFLAPVVPDNPESSHN
>RCO7_09194 | uncharacterized protein
MSLYSVVGAVIRSIEDLSNDWYDLPDHDGEAIPNEDEPEGAESSCTEFCGGREAVVRKLPNPKTDRISGTIRTFVRYVYYSHSLLLRSAGLASGGSC
PSDMNSAAVKEGLRVVMGECRTLRDEPHMFSSIELKEKFQLATSILVDAMLSIEKLRKELLEIKEQVYSPVTDMHQPFSSLLLQTPVVFPMPAFLPD
KLHGKHPWNNWLDNSAQSTTGWVAIQQKLPRTGEKLMRQLSLLYDVVQDQFEEEAVPEVFHESNDKVPSPGDTFRHMTWSGFCTLPRYNLGFKNGKR

KEYDFNGITTLEHFSERLRFLYKGNGMELGTDNCPYFRFAMAYTKL
>RCO7_09193 | uncharacterized protein
MATQPTPPIPMTTRHVPELSWEKDFSILYCTQVYSAPVDTGYFGIVSNRVGMMIYPPALNFPPGVLQISSIFLTSDVIVRIARIMKLEKVSCILTAQ
TVRDLPGSVGVIASQLAAEFGRQIFVFRDAYDNLQIGEEQGGVQFSDFVCEATPHADQVKESTLPLLYCADYIRSIVASGNNTGHRPAYIQLKETKE
RIKEKSHSRVKKNANPKPPNSWILYLNERYKQVKKENKKLKTSQISVIIAKEWKNNEILKAEYKALATVAKQHHEALCGRYLVKPRKSSDIKKRKAK
KEKTIKHLQIILSSQSTPGDDQQHRYQSSGNATTANDRSGNLDDASSLNNGGQVILGLDSEAAGYSIQADPAMDEAASAHVNFAAAFDSWDAETSST
MNGLNSDLSFATCTKDQAYVANLDSSDYAGLMNYEDDIPTGHDFNELIHPLHGQIF
>RCO7_09192 | related to APN2 - AP endonuclease, exonuclease III homolog
MKDQDNQKRELRITTWNVNGIRNPFGYQPWRQERTFAAMFEILEADIVVMQETKIQRKDLQDDMVLVPGWDVFFSLPKHKKGYSGVAIYTRNSVCAP
IRAEEGITGVLTPPNSTTSFRDLPEDQQIGGYPTGIQLSDCDLDAATLDSEGRCVILEFPAFVLIGTYCPATRDESRDEFRIGFLNALDARVRNLVA
AGKRVFLTGDLNIIREEMDTAKVEEQLKKQGVTLEEYFSSPARRRLNQLLVGGKVYGERDEGREKPVMWDICRSFHPTRAGMFTCWEQKINARPGNF
GARIDYVLCSEDWKDWFCESNIQEGLLGSDHCPVYAVLKEKVNIDGEEVYTRDVMSSGFFKDGVRQRDWSAKDLLPMSAKLIPEFNRRRSIRDMFSK
KPSLSKADSSISTIQEENRDGSSTTQTRLISDEETVAESVQPLGGLKVDTPSTNALSTGDLKAPTSHSMQSPTKPTKRPIESFSSARPQKRGKSTAT
MKSTGGKGQAGKGQSSLTGFFKPKTQQPEIQAPPTVDAESDTASFADSAPLKSPTPARSEKEVFSASQSFENESPSKPFNLAEQKDVVDPIVSKECW
SKLLGKRVVPRCDHNEPCISLVTKKPGPNCGRSFYMCPRPIGPSGQKEKNSQWRCGTFIWSSDWTGDGT
>RCO7_09191 | probable cytochrome c oxidase subunit VIa
MLPQRTMLRTSQRFAAQLRTPAIRTPLQRRLASSESSGFHGAEDNAFNRERKAVKDHAAATSDLWRKLSIYMTIPALIIASANAYVLWHEHWGHWEH
MAPLEERPEYSYQNIRTKNYYWGDGDKTVFWNDKVNYHKKSE
>RCO7_09190 | related to anaphase-promoting complex subunit 5
MTRFLTPAKIGLLALIELYTDASVLSSSTIPILSFIFNQLLPSAYKSHPRVPNSSQTLPFILDLKSFETLLTSHPAAIELPGRSLWDLFLRKLWAIN
SLDELHEFFVKRGNLLARSRDEIKKDGEMGIPPPSDDMILLSRTSPFGSFIRRSKVEYERLRFSDSLSLWVAFVDWREESRTYWARRTGGLGRWAGD
KALAGAHEQLGLEATEMLEHITYGAMSMENSDQGGTSTDDVEKLLEFQVEQMQKLGSRIPDDLKERFKGILEKNIIIPSLSHYLNFLDAWRAGDYPT
SFDNLHRYFDYTMQNRDRLFYQYALMNLAVLQADFGCFDEAVAAMLEAVSTARENKDMACLNFALNWLYHFGKAHPKIIKGTDETNMLGVEREGLAF
LRIKAKETGMWTLWSSSLLSEAKLGMSNGESVATAMENILKSSQLIIEKNMKSMMGPQIAMHSSMWGRLGVAHLSRQFCDIFLSCHARYALFDDTLR
FTCRVAHLLAERGMYDEAMEKLEALDENSLRSWKANQYWLKYRGILRLKRDLHRNDLSGADQLLSQLLQCNSSDTDTDLAFETNTLHIDYLIRRTDY
GRALAKIEQLASEMKEDGDDLNLRIKLLTMKALLQDKAGRPQKGFSIAVRAASIAWRARLIPALWGAMGAIANILTSLSEFQAARQILVAIIPRALE
YENCSLNAQLYSFLIDAHMGLAGQAGSGSSKRKENLIKSMEFIDRAFDEYSAVEDINGQCEMLAKKATIMKVVGENVLANDYASAYLDLKKGVSA
>RCO7_09189 | uncharacterized protein
MSSSTGTPSATTSKAGRDSASSLEPSPASTYGGSASSNAGDDDYPPTPGDVTFHTKRCKDIAFGTSLLQQFSMDGLVSTLHFCSRTPLLPLLSKHYF
TPSLHISYTKLFPVDLHVSLLSLVAAFDASILSSRKVSSGLILRRTTSTFLDLSPSQDWGQASPSWLLIPTIIITWADTSLLQHLFYLSSTHPGLLH
PIPRFFLPLPAFVDVPRFEGVMLSKLSKLSVNDGKDTGRYSPPFVRNGSQNKVEDPFTSPQNRSSQRTPTGPKHKGRSSKSGNWRSGSSSGSGSGNG
SPTTTRTARGGQGVFAKEYVNENGELTTAEQLFIKPEDAQAIFPPSSCVFVANLLQSEGDEALEVAVTQIFREYGTVYVKIRRDTKHMPFAFCQYTN
DADAERAIKEGRGRLIKGRPCRCEKAKAHRLFFFERKYGEDITPSEVMNLLRPFGRISFCRRITDLERACYDINGGVLVQFEMYDEGQAAQQAFRNH
SEYKMQCMANMNSRSPAKSNPADRTYLDTYEVDKRSIFIGNLSTDVTEDELREIFSPFGPIVHISLHKADSTIDVNQKHCFAFIEFEQQPSVRQALT
SMQGYVIYERSIRVAQKDTEAAKNRTRRQPSRIALSSSFMQSPAIYRSPAARVSDMGQAPAMPPSPMAYMTQGYASPYGFAQGGQYYAGYPAATLPG
QVQYYSPAGYSPSAFSGNYFAYTGSPTYNAGASSAATVSGSPTQSQFYYGGYSPYPSSAGYWPTSNPHVGQQPVSFYTIPSYAPPATVDVVVDQEDR
SATPTPAGHPSAAETCLESE
>RCO7_09188 | related to SRB8 - DNA-directed RNA polymerase II holoenzyme and Srb10 CDK
subcomplex subunit
MTTRPMGRQPPQRSLSSTAAIHQRPPPNRTQSQQFTSSSPTRRGNDGGFVDLALDGDVARPRIGTSRLRVEISTDSKQADGPDSSRPSSAATPTWRP
SLPPRGRPQLHFNVPSVLISRAAQEGGHQDSTIKPMPLPVRPGQHVPPPARKERPLPTSTSKKDARPKPYTLEVPAIAPRYTPNGHADFYPWTGNHP
EDQFSEPVIRQGYFDKAQMTQNETGSAKPAISPALKHKSGLQTLSALFTNVLAQRRAHGQINSASTFKPPPRVTVTDTKREMWLKDLANPTISLRRL
SRSIPHGVRGKVLLDQSLSKNIPIERAVWLAKCVGANELRSFRRKGASGTFAMGGEAKWIRDFTVCVEQFLETIVGSCGEKDFKARITYAIRLATHF
HAEHLLDREHYMDWLMSSLESSHQTKLPIWILVTQVYWKDLLKYRKYGRRLAAALMNHLTETFKSTDHDILAPLIDRLKSLLKGLISTNIDNFVSPK
AWSQNREAMTSSFGSEDPQFLSILATIEKRNARLVSTGATKEPTSRTRLIRILDSSLSEPFANELPRTCWDLDADKDMLIRAVVDWSTSSYRPGNTK
TFVAARIIRNWVRFGADVTGAILEYLDSLSNTSRTNKPALYHLVSELARSDHFSTPRYLQWLIARGGIYNPEDLAVDGPCSTRLLAELPMSNASDSI
SGLRSALLGRAEISTDDEEDLIRDCLVFMNEHLSGMQTGVDLDLESKDCAEASNLAGLPRNLSRTIKSELGHWLRQKVRLQMVQPTIPPLDDWDVSP
MKGGSSAIIGSDFNTVRGYLEDLDDYSMLADVLKIVTSSNDADVLASCTDTLDLHLETFAAIGALHGLFNILMGRLRALTEEHDAVPRGFLVSMSNL
ASRIPQENVIAKQLAQELVKSDRKTAADACSPVSDLMAVVESPEVNFTDEIERILASGNSMDQATLERLFLRITQRLEDSWKKSPEQQRSCALLLTR
LRTFDAKQFDVLTGAWISRILQMDSRPTLMEALGPLISFGSLALCDVVVSFAVGNEKQQTLGNFDRSSIPQELLHLLVAHCDLAEVMTLEETYRLRI
KQANAQKDLRMDILSVIRQAFEASYSIKGSKSRQVDAKSPLEYTDMFNIYQYYILTDAVGFTQSLIMPLLQSSNPDLVDAVNSIVDKLLSATDAGKP
ITTELLLNIADDFSLPFCQVKLASMLQARDTSMEGDNTSQSEHLADFDRAIESAVEAGRTTWASIIPLLDVSISEHLRRRADTQFLDLFPNLKTNSG
DPWKSSRVSRAENLLSIVEATARSISASSSSPDSSTTGFTSDIVLALNGTWLLLANTQSLETKDALISQWLPLLLTFMTIHVSTFEATKTGNESRAK
AILALLAIYLLLLASPTPTPSITSLTAQTYDLALHLVDNLPEDIRQQCIRSLRDTTSNPQIAYLFSVAANPTEWLVLSQKDRMNSVTGPDGRPAEKE
KFVGFPLKRWEMLGEPTPNVGENDTSLSLTLFGARRG
>RCO7_09187 | uncharacterized protein
MAAPDAKAGQLLPTSVARTSRHRKSNGSRRQLPQFVITHFNELLNHVDQERYAPSGSEYASFFSGFIDASILIPVPVIPFQIPPARESSADISGTLG
STLPMAAMFTRNKFVGWASVVLAVQNWLGESQEAKRSSSQPAYFSVGMGIMALVVTYLPMFLPPPTVPGTGTGTEAPAAAPLS
>RCO7_09186 | translation initiation factor 1 (eIF-1/SUI1)
MSIENLKTFDPFAEADEDTGETKQSQNYIHIRIQQRNGRKTLTTVQGLPKKFDQKKILKVIKKKFACNGTIVVDTEMGEVIQLQGDQRKDVQEFLTD
KKEGLELDAKTIKVHGF
>RCO7_09185 | uncharacterized protein
MAQLIPFRRPLPVFRALRVTCSQPRIQRQCFSQTSLLLASNNINSNKMMGQRPRQAAEPSRKVLMKQNAQIPSDVGLLDCTLPSPLLTYSTTKSTPT
VTFITPTGRNVPSPFGSPKTYLKLRVEHLKTRLRDRFSLFVLWVSSPSVNRKFFTRAIKIQRSAIAPTAVALHRQMYTLFAEGQLAVLRKMCTDGIY

QTFQSRIERRRKGEKVVWELVKYNGGPKLVSHRGAKIPMDGAAIRQAVVRIRSTQRLTRWVNGKQVEGTGKERDVTEYVVLQRMTQGWEEGGWMVWG
TTEETTVEELKKWDEKKALE

>RCO7_09184 | uncharacterized protein

MGNDGKATIFPVFDGLTSEQADYLSSNRTQTAVPLALNFIASALGSGMLVAYPQLATITGVQGVVIYAIASAAPLLIFAFLGPIIRKKCPEGFVLTE
WTRQRYGVVTALYLSFVTLVTMFLYMVAELSALQQVMTALTGMNGLPMVIVECVVTTIYTSLGGFKISFITDNIQGAMVVGLIIIATITVGVETKID
RSLIEKSKLTESSLLGWQLLYILPVAVTTNDFFLSNFWIRAFASKTDKDLLIGVSIAAVAVLIILTLVGTSGLVAAWSGAFDFTDPEQNGSIAFFLL
LEQLPAWTVGIVLVMVVTLSTAAFDSLQSAMVSTASNDLFRNKLNIWWIRIAVVLIIFPVVVIALKAPSILQIYLISDLVSASTIPVLIMGLNDRFY
YWRGFEVVVGGLGGIFSVFIFGTIYFGSALEGAKLMLLEQGLYGNDWSAFGAFVAAPVGGLLWGFAALAMRLTYRYVEAKRKATRFDALDRPAYLDR
RVEGASEYADVGETHSDPQAGLVTVDHKGKFF

>RCO7_09183 | related to GTPase-activating protein beta-chimerin

MADDHNSDKLLSEPPEFPSTHHERTGSMSLGALPNANGDDVSPPNGDSMPTSAPPSAFSNPNAKAVHDVTNSEIGVSTLLNRLKQSIASAKEFATFL
KKRSTLEEEHSNGLKKLCRIAAENIRRPEHRHGSFLQSYDEITSIHEQMSDNGAQFATSLHQMHEDLLEVASNLERGRKHWKTTGLAAEQRVADAEG
AMRKSKTKYDSLAEDYDRAKTGDRQQSKKFGLKGPKSAQQHEEDLLRKLRAADEDYASKVQAAQSQKAELLSKLRPEAVKSLEDLIKECDSALTLQM
QKFASFNEKLLLSNGLNISPLRGNESGSQPRSLREAVAAIDNEKDLSNYISSFANKVPARTAEIRYEKNPVLNPPSYAPHAPQPMINPAQRQSDPQP
SFGVRTQAPPPQLNTTQPPLTIQNNASPFQDSPPAAQQHERSFSQGPSVQKFGSPQAGGPPRGPSHGPSYGSGSISSSGPPQLSLPFQGSQPPPQQN
FHPTPQAVPVQAPFSQSPHSQPPPSVNVANLPPLKPVFGLSLEQLFERDNSAVPMVVYQCIQAVDLFGLEVEGIYRLSGTSSHVSKIKAIFDNDASK
VDFRDPANFFHDVNSVAGLLKQFFRDLPDPLLTAEHYPGFIEAAKNEDDTVRRDSLHAIINSLPDPNYATLRALTLHLNRIQENSPVNRMNASNLAI
VFGPTLMGANTGPNIQDAGWQVRVIDTILQNVYQIFDDD

>RCO7_09182 | uncharacterized protein

MLLPFSRHFQRLAIPTILLCMILLYFRQSSIKYIQYQIPQLSSNGHVTATPKGYSIKPLVYIFPQYYEFEDNDRLHGKNFTEWVNVKKVTHNQYGLE
TIRPHESIGFYNGLEFSTRERQGRFLRDHGYYGAVFHHYWFAGRPVMDHVIQKMLEDGEPNVPFMLSWANEPWSARWDGSGGNGKVLIAQDYGLQVA
WRKHFDWLLPFFRHPKYIRSNGRIQFAVYNPTHIGHVGPHMFAAWRQWAVEEGLGGMDIIETRWGDKKPDAWEEHPPDAINEFAPHAGGRDQSTLSS
LKKISRVYHRGTLACWDTTPRHPTDNLAVAVPTCHPRTWENHLVEMFRKIKTEPNPIGSENFLFVNALNEWGEGNAIEPSAQFGDGYGVAMKNAFAI
SEKKHIWADMVIKNGLVRDAEIASIMEQKADACVLIRTSPDHAEDKIFKLSAMLRSLKAQYNRNWRAVVFQPDGKEFHDFKSVITQTLDARIKHVQV
PKDAEIPQLGGNVTIHNATDWVIRELEKLSPGCSSARFLLVTDGSNTYEPTAFEVLSGSQDMIGLNVESPQKIWDHPKLQNKTWNARCSLLQDTKEL
NLCGASAPKLSEFDLSATFLKFDQFRIENNSLAQVFRTFPRKPQDGAFAEFLINKRHWTFAPPPDGVCHVRRNPAYSSCLETGNFWFDSPVFEEMGC
YSTTNLIKLFEKTSPKLGVLDLEFFRQNGRCVRYKEGAYARKLASSKIESESKSGKE

>RCO7_09181 | uncharacterized protein

MGLIKTAMMTGGGIYAVKQLTKTAERHHENSNNHNNHNNQQQQSLRDPGYQGQQGYWSPGSGPQGQQRQQGPPRPYYQDQRVSLLSLKHLPSSQVLP
QSTPAVLPLTLPPFVQHY

>RCO7_09180 | uncharacterized protein

MTFPPSTQPAGNDQPPSRDTLEKEWKSSIAQGLVAALDPDGNMPSPAQTPEDVSDLLGKKSAGQSGAATCTVPGLPSPIIRTDGRPDYFADVAGPST
RNVSSSNTDLPVPGMTLTSTDNRDSAIISGSECGNGGAPVKDNNNNNADTAANDPDAIAPVNNNDGASDAIEIEHVKATDPTDPAGPAGPIDCNGLD
NHTRKWLRYGPAGFTIIDFAAFMKSGYAAKADRHHNYLVKHGVLPEVRYDVDDRADDQPEVALAGYNMSRSYDKVCPICYTWFHVGENVFATPDDFR
KFRERSSENWASEKILDIQREGRCGLVCERVVNYAREVNRYANTRDYWRRVERVCKETTRRRRSGWRKCIPPWISKIPTVPEGVEVHPAPKIDRQRR
IKIVFRAANQSNPIAEDR

>RCO7_09179 | uncharacterized protein

MSANASRTILVSAAMPSTKTSSVFQCIYSQCDTAHFGSALHHAIAQCFGTNNEVFFAVPPIPNREALRRREEEYAAGPKLAGSGSAAGYLTESVTYP
GQLATYPTDSVGGPYPPSPTASTPFFPLNSATSPAITSATPTESAFNAVPVSTTVSPPVPQLYTGEASYSCTTLSLAVALTIAAVHFIL

>RCO7_09178 | uncharacterized protein

MAVTDDLQEPLLERMSSSPEPESTKDSSKKRKRGVVEQGAKKAAKRAKSKKVKTTEEDELDLEAGINKAFSHMDSQLLADYVAQRTRKHESDLSNIE
LEDKYLPATAIEDTTAWSQPRTLSNLPGFLEKFAGNSTKLWSASKKNGAPHTIIVAGAGLRAAEIAREMRKFQTKDATVAKLFAKHIKLQDSVKFLK
STRTGIAVGTPARLKDLMDDGALQVDRLERIVIDTSHIDVKKRGILEMKETQVPLTVWLLQKEFMEKYGTKQGGIQLLFY

>RCO7_09177 | uncharacterized protein

MSNRLASQERRPSNPASNSNNGSNAGAQPRINPPNSDRDDAIAAAAAKETTWKTGDQLANLPKPTTPLRRASSAGPPSTRRSARRTPAGQARTPGAA
TRLINSARRPIAVTPHGRAAQRELDLRRGLTPGKDRRKSGLQQRETPRDILRQLSRILAPKTQPTVPTPQGQNVATSRWPGADEDDLEDGRALDRPR
FSLPMGEHDEDDEDDSLLLPPRSAGLEDENFTAQSIEMPRRAISELPPGRLSRGSFGSIRLSDAFANLNDMGINGGELYDSSYLAERTFGDLDFPMG
EADGLDGENTDTLRGIDLGGDRLSLASRRGSDIRPAAISADDTETTFAFDVPDREVSEGPVFDVQDDPPEEEEELDEDPESEVELEQGTGFGAEDEE
ESMLAAPEKDISMIDTTTRDAEISSIAQAKVVKKKKIKLSKHGIQYPSLPVGVVKKLATTFARTSGNSKAKINKETLDAIMQASDWFFEQVSDSLGV
FANHAGRKTIDESDILALMARQRQTSATTTPFSLAQRYLPRELLQELRMVPPSKLKKSRQLNSGDEEDE

>RCO7_09176 | related to SURF1 protein

MMRNSSSLLRQARSLNLSSSGIRRNLRPTIFQSCPACRHISSTPRAQAQPADNPDFMSIVDNPPNLVRSGKRHGPGLIILALIPITAFALGTWQVQR
LDWKSKLIAKFEDRLVRDPLPLPQQIDPSAIHDFDYRRIYATGIFRHDQEMLIGPRMHDGTDGYLVITPLERKGKGATVLVNRGWISKKLKRQDKRP
DGLPSGVVTVEGLLREPWKKNMFTPENRPEKGEFYFPDVVQMAELTGSQAVWVEETMESDLLRSWDREAKGIPIGRPAEVNLRNNHSQYIFTWYCLA
AATSVMLWMVVKKPPQDIARRVRQNKEWS

>RCO7_09175 | related to UBX7 UBX (ubiquitin regulatory X) domain-containing protein

MFYEGDLQSGIGKALQESKLVGCFVTDSGEESQLWENEFLQEESLKESLTEQTVLLRLVAGSQEAGYLAAIYPLPKTPTFVLIKSGELKEYLISGVS
KEDFLRRLGAALESRGPSSQPPPSNSTTTPSTSSNILANMEVNTSELASSSSSAAQNARIQQQTANLTATLAERTRRLAAQKRDLDAAEKAKNAADA
KARKEAADAGNPKAVSEQKHAKQQAQRQREAREEKARILKRVEDDKATRREKEAQRKADAKAKLEGEKEIEKAVNESSASPLPARGGANAKECAVQV
RLFDGSTIRSRFASQGSLMKDVRPWVDEKQDGDVPYTFKQVLSPLPNKNIEMSEEEKSLVALGLTPSATLILIPVSGYTSAYEAGNGGIVSRAASGG
YALISSSVGMVAGALGSLLGGTAAPANVQPVSSGPPVPSAAINVRTLRDQRQESKKDDQQFYNGNSTNFKPRRDDDEGKDD

>RCO7_09174 | uncharacterized protein

MSFDTIEPSLLARFQDDFYSYEPPALELPTSIGQLPPLRDVVGHDVSTRRSNTVQHNDQATTSSQFSSQGKGVANSASIQQSVYQSSGKQQTYGTGN
SNRALGDSSPQSLRKILDNDTDTTIRGSSKKRPNPESVKDDLIQLPQPPKKPKTATQIVPPIIIGLHEIPSSKEPPSYKFPRIESGAFRDSNGRNSL

NTAVPQTLLREPSSQPEVDDVEESIETNNLAPKQAKKKRNSTGARRKWEAKETEWLIQGAHKHGVGNWTAIVNDPEYSFEGRTAAAMKDRFRTVCPS
GLLKDLEVQTTSPVQERAASKSPKFRGHRKDKEDLAKLGIETPFRKSSRRERKPYSEKEDHEILRAHEIHGNQWSKMRSDRQFSLQDRTSTDLRDRY
RNIMMSKERGSSPLRSNKEKDEPHDNDALLSVHPSSSNLVIPGQESLSLQTSTLNSGEPRPVEGLSSNYPLTTDLYSQSQAWAKELIHDFRSKDALP
NLLSLDLFPSSQASATKPSEPWMRESTQSVSIHSKNGLPSSYHQLPDVDLRVMTIQKTDGSWPKDHQALSTSHQTNGLRIQEIISPEAEDTRPSALF
NFNPTYNPYTENHLGHLGETSESLSYSLPAPFDWNPTITSLPPFTQNLSQGMTGDMDINRLLQTDDQWSNEIARESTHGMDGKERQSFTNINSILSS
NDEPLGTSQTSYLTMLNADGPLSLYD
>RCO7_09173 | uncharacterized protein
MTSILPPFPRFVMTVFEPLSLLGNIYLLLAMVGIAVLYTTTEAAVVRNYVIALGLADISHVGITCYVMPHEQLINVAGWNAMTWGNIGATVFLFSVR
MGYLLGLFGPDRQPILPLKKLHKN
>RCO7_09172 | probable GTP-binding protein rac1
MAAPGTQSLKCVVTGDGAVGKTCLLISYTTNAFPGEYIPTVFDNYSASVMVDGKPISLGLWDTAGQEDYDRLRPLSYPQTDVFLICFSIVSPPSFDN
VRAKWFPEIDHHAPSVPIILVGTKLDLREDPATLESLRQKRMEPVSYDQALIIAKEIRAHKYLECSALTQRNLKSVFDEAIRAVLSPRPQPTKKSKS
KCTIL
>RCO7_09171 | related to WD repeat protein
MSSSRDAADPENSASHEEEVDDVANNSFIESLLAEHLEAINGEAQDEETEDDTDDQGQELEAENGNQVDYDVEVEVQEEVEANAAGGTRNAPGRRTH
SEPYIYNFIQNLLLILGLTVIGRRQLMQLLQNPDVGRLFRFIQPNNRGDDDDDDDDDYDDDDDDSDGESWIPARWGRGRRAKPDPNRFPKVPSEAGT
SLMKSDIFGSNEAHAVTSNDRSGVGKKKKLAMRILDRELAINSLAKQKLNQRLMAQGMIPASNADVIIHYDQPVYSGQFSDDGNFFFSANKDYKVRM
YDTSNPYNWRYYKTVEFPFGQWTLTDASLSPDNKYLAYTSIQSTVCLAPTDPNDKGDPYSLDLSGREERDPGFLYRRQRPFGIWSIRFSGDGRELVA
GATGGSIVVFDIESRRVLHRIFGHSDDVNAVCFADKASPHILYSGSDDTTLKVWDTRSMGDSRAAGAFIGHIEGLTYIDSKGDGRYVLSNGKDQSMK
LWDLRMVMPSGEFERIQPSRRVATDERFDYRWGTYDQDDWYQDPHDNSVVTFRGHKVLRTLIRCHFSPAASTNSRYVYTGSEDGKIFIYNMDATIAG
TVDVRAATKGTRPRRPGGPTWDYDDDVSAPWRTCVRDASWHPNAPMIVASAWNGYGMQKGTCTVHSWNDGAEEDEAEPKMGLRVNQELQTDPAFYED
EPRLDAAARQAMRRTMGLRNARRGY
>RCO7_09170 | uncharacterized protein
MTIESDILYRFLDDYLAVEFIRFTWVDYSGSVMVRVLTKSFVLSLDKKGQKLSISGPILTACLSDGSVLTEELKSGTDQLWPDWSSINVHSYHPNTA
SVMCFVEEAEQEEGKAFRRCPRTRLRDITTAAKTKHNIDLLVGMEIEFFIIEDVHGVIQPVQTVHNVYSAASLRNKYVLILEEIVQAFQKAGIQVRQ
FHSEGEIGCYEISTEPLPPLHSADALYFCHETIRAICAQHGLRATMFPKPFEKHSIVGSHYHLSISEMENEESFLAGMLASWRALAAFYQPNYDSNA
RVRPGERITWGQQNKTASIRKIKPGYWELRGPDATANHYLALMAIITAGLTAIDSGKDLKMKGATRFMAAAQLDDKEATEMGVVDLQPRSLKEAIDS
LSADEVLKRAIGPEVIEKYIMVKTTEEAKIGKMVPSERRVVAMAIF
>RCO7_09169 | uncharacterized protein
MAAILSATAKKFRLVFSTPAHGLEACKAAVFAAGAGRYPEGKYTECCWMVAGKGQFRPGDAANPHVGDVGKLEHTEEVRVEVMCFGEETARKAVTAL
KEAHPYEEPSYGVYALADF
>RCO7_09168 | uncharacterized protein
MPHSLTYGTESAANKAIGGVPTIHYFDFQSRGRGQAVRLMLIDAGAAYKDIRYTFDEWPKHKRSGPIAEMNPTGNIPIIEMPNGKILTQSYAILRHW
GRQMGGYDGRSEDEKYWVDAICDIVVDWRTLFISAFFSDNQKEDYPKHQQGDRARYLKAIETHLKGSDISSRGPFVAGKEITYADLVLFQLCHDENL
IQDGRQGLKEYPRLVQLVDAVQSRPNIKKFFDSDSYLG
>RCO7_09167 | uncharacterized protein
MADRASATAAPAPIAPAAATTSQSQSGFFSQRSRRQLGLFAAGASFFLLSSVITRRSIVRRKAMSVPLFFHHSNYSNPNINGALEAFEALTLATMNV
FSYGIMFTGGFMWAFDISTVDDMKKKVRVDLNVKASQIDHDAEAEFEELFASVLDRKEFKALRGEKGIKTKEEKEQEAKEQEEQKPKP
>RCO7_09166 | uncharacterized protein
MRVANGQKAAAWPTKRTQRCFSIALIFTLFLIVGIHERQSWPRKAELRVNTRRGLSIYGSSPEAGMPSLPYVEDNKARRSSEKPPF
>RCO7_09165 | uncharacterized protein
MSALFFCTVIYLLCFLPAQAFWIPQVSWPHVLRSDSWTSHKGVGAALDENSSTPYIFSVPSASILAHTSNPQGMFVTSIVPIYEVCDTPGKNTTSCS
TAFETITAEACSTVLTYAFTKTTITDCDHNVTFSSSTIYALATTTLSAVATDLQARDVPSPTPVTYLQSTVSLYAAPWQSLAADTPGGITVSICTND
VNGSKTCVLIKEIWVIHTEYVPVTTTSTLSFSTSFLSNVVLLLGPSQSLVASAGNFTLSTIVERSTMSPNATTSTVVPSTSLNVFEAGTALIVAPFE
LVQTSMTISTRTVTTTGDTASITKTLSLVSVTGEPTTTLTSTTTLTSTMTVHPLQKQQSEKPGDHDSR
>RCO7_09164 | uncharacterized protein
MPPKKHSTSKTSLNTAPSLPAAIPNWPALKPLIPTSDLTLHTLLPSQIVTISQFFTSTLCKTYVNFLKELPLTTTPGKPKKGDALRFNDRFQVFDEA
FANRLWLETGLRELVCGSEDEDYDGEDEQQEGMTREERRELWGGDVMGLNPNIRIYRYTKGQYFDCHYDESNTLTLATKPSPTPAKTTWTLLLYLTS
PATGCIGGETVFYPDEMTFGGKKNVVEKEVVVGLETGMCLLHKHGNDCMLEEKFWKERNG
>RCO7_09163 | related to RNA-dependent RNA polymerase SAD-1
MSQGFRARMDPTQVVRRPRNPVLQDQQRQGAILKPSYEWQQWDELTIKLRGLAPHETTYNLWTTFRDYGTISFIEIFEGNGGNRDGGAKIRFSPPPE
IPIWKNSPHNIKSEGNAGETYMVQLTLLDDRRQSRTVQSPIRHTKFYPPKMKMVPSAIHFGLMVNPWSMMPLHTHIPTSSAHNDTTLVVDLKKHRLV
ASFTVKFENPGHNPSYDRINQYQFHIPFSQLTKIKKLELNDAAFALIISVESPPMYYRKRESKEAGHSRENLMWSEWDTWYRQTDIVYDPYVLQKET
ITLHKDQPVIDIGRWTTFLFEFAHANNMAALYAEIKQALQDFNVEIEPVPRLIKIPPQPAELWSLIDPPVLQNASADLASMQGGNDTFNLPWEIRYQ
LEVCISREYINEYNIDKQFIQKLGNIAAQDQVKARDILEYVANEMGTRLHEPLRLFDNPKALGHTSKVTIPHYCAYSRKATVTPSTMYLSSPTVETT
NRVLRHYSREHQDGRFLRVQFTDELAEGRINSCADKQRNDELFTRVYRTLYNGIQIGDRRFKFLAFGNSQFRENGAYFFCETDHLSCANIRKWMGDF
GHIQVVAKYAARLGQCFSTTRAIRSLPSVKIIEIADVENNGFTFTDGVGKIGPYMASMITAELQLCTITAPSAFQFRLGGCKGILIVWPEILQGEVH
IRQSQQKFQATYQGLEIIRCARFSCASLNRQTITILSSLGVADDVFLDMLAEQLANYQTAMSNDDVAVSLLLRYIDDNSMTINLATMIRNGFMTSRD
PFVLSLLHLWRSWSIKMLKEKAKIIVENGAFVLGCVDETKTLRGYTHPRAAYGEQLAEDELPQIFIQVPDKKDPNHYNVIEGICLVGRNPSLHPGDL
RVVEAVNVPALHHLRDVVVFPIQGDRDVPSMCSGGDLDGDDFFIIWDKNLRPPEWNCEPLNYDAPAAKTLHRPVEITDLMKFFVRFMKNDALPTIAH
AHLANSDFLPNGVKDPKCLKLAALHSKAVDYVKTGEPAEMPKDLRARKWPHFMEKKFKPREAIYQSDKILGLLYDKVETVNFTPRYNEPFDRRILNA
YTLDDATLKAARQVKTKYDIHMKRIMAQQEIKTEFEIWSTFVLSKPRVGTDYKLHEEVGRLSEALKHQFRLECIARAGSDSFSDLGPFVAAMYKVTK
EELDIALAECRPTGFQAPRRKMEPKYMPFISFPWLFEREMGRIATGVDTSEDLEALGLPSLVLREPGQSRRPQGGGEAAQDDHVERQDGRVIHRGEE
LALFEKSDFEDHADDSDYDEARETRDEHWFTRGTSGEAVLATDFELGNSSLPDYMRQGTGVEDVVPQAPMDGLIDPRESARNAHSNATSISPLMGTL

VRPQASVGQSGHARIDSRNHNSTHEASDISTSDPAPVGNGRTGSPSSALDDLAELMYTFKPDVEEEFVQLEIKESPLERVERLLGSGLALQDPVIIT
DQNETSVAEEEVEEIEVHVDVQESTMDRLNRLMSS
>RCO7_09162 | probable D-lactate dehydrogenase (cytochrome)
MSGCMSRRSVKCVPRPLAWTTPLLRARQPGRHFLRLQSTGLGSASEGRVRWNSSNSRSEKFNVPGKQTIRVAKAGVGKEQPRAGNGWTGYSVLALMA
ASAIGTGLVVGWTSEGRKDGEREYSNAAKFIRPTYANLNDMESAIKEIRQATGNEATISTDPEDLKAHGYSEWSSTNIDSLPVAVAYPKTTAEVSQI
AKICSKYRLPIIPFSGGSSLEGNFSAPYGGVSVDFAYMDQILQFHEEDMDIVVQPSVSWMELNEELARRQSGLFFPVDPGPSAKIGGMVGTNCSGTN
AVRYGTMKDWVINLTVVLSDGTVIKTKRRPRKTSAGYNLNSLFVGSEGTLGLVTEITLKLAVVPKEFSVAVVTFPSIRDAAAAAASVMRAGVQVAAM
EIMDEVQMKVVNLSGSTAPRKWKELPTLFFKFSGTKASVKENISMVSAIAKSHRGGDFEFAKDAKEQKLLWSARKESLWSMLALRKEGSEVWSTDVA
VPFSRLADIIEVSKKEMDDLGLFASILGHIGDGNFHESIMYDSRVPGEKEKVERCVKNMVKRALDMEGTCTGEHGIGIGKKEALLLEVGKDTLGVMK
SIKQALDPYWIMNPGKIVDLPQ
>RCO7_09161 | 40S ribosomal protein S4
MGKGLKKHQKRLSAPSHWLLDKLSGAYAPRPSPGPHKLRDCMPLIVFIRNRLKYALNAREVKAIVMQRLIKVDGKVRTDATYPAGFMDVITIEKTGE
NFRLVYDTKGRFTVHRIQAEEAEYKLGKVKRVQLGKGAIPFLVTHDARTIRYPDPAIKVNDTVKIDLATGKISEFIKFDTGVIAMATGGRNMGRVGV
ITHRERHDGGFNIVHIKDAIDNSFATRENNVFVIGSEKPWISLPKGKGVKLSIAEERDRRRAHAIAGN
>RCO7_09160 | uncharacterized protein
MVFLKDSIACVQKWAKPLKTGGKLIFNAQTYDSMILGRCFDVVKQELNMFILYGSETASGTLEDVRQILAGARLGSRQSHGGDLFEGFLDDDSGKEW
DEPGVKERAKDSFYRELAKRAKENGKVKSYCSFNVAIEVKV
>RCO7_09159 | related to small unique nuclear receptor co-repressor
MPRQSRSGGGGRAPSRPTAPQRQVAPQQTRPATTAAYPPATRPAAPPAPAQQSSGGGSMLGNIASTAMGVAAGHGLSNMLFGGRGEAPAAEQAPQQN
GVAAQGNETQQNNSWGQSCEVDAKSFTKCLDENQGNMQICGWYLEQLKACQQAAKQY
>RCO7_09158 | related to small unique nuclear receptor co-repressor
MDDLEASLQPLLKTALSETASKLPLLDKAKLYVLVTYAIESMIFSYLRLNGVNAREHQVFKELTRVKQYFDKIKNIETPPVRNTAVDKAAAARFIKA
GLAGNDKYDLARAEQIAKERAKAHIKFPESTKDLNKKRKAEVAAEEDTDSSDSDSQSASEAVAKPVVSKKKRKTKSTESRSTSGTSTPAETSEQSEK
KAEKSKSSKEGKKATKQKRSIKTKKMGKE
>RCO7_09157 | uncharacterized protein
MEIIGGREGRVSTEGSAVERRAFEGPEKRRAVAEDTGAKTDKHEDSVAEFRLDGSPSTPNDYISVAGGEVGAQEPERDIEATALQHQRQGTRWFHPV
ALTSEEVEVGDESDTPVSDQPILAAIEEHNQLEEGDAHSADSRATSLITDTEDGIQDDLQDIEEVDSKVSQSLPSFEEIPPAQENSDTADSSVALPA
TNPGQDTHNAAQDIRASGAEATQISRDSERGPRDNPEISESMDFLNDKSSRLDLDSQARLELEQAPINRTIHILGLAAAGKYIAHSIASLPFAPPVT
LLMHRPLMMQLWHDEGAAIRVMKGEKLKTQSNFHIESSADFGDGEAPQRYPGFGPNLEHTAEPPTYPIDTLIVTTESYRTVSALRAVKNRLRKGSIV
FLVNDGLGLAEKLNETVFTDPSYRPIYILGNMTHTLQSTERQYTLIAKKIGRLECSKLPQVLVSRRERWDAPVIIREDYSWNPYASHLVGTLARTPE
LCTLTLGHKWFIEKRLEDLAAGAVIGPLSVLFDCSNDLLLYNYSASQIMKPLIAEISRVIRNLPELQSFDNLDKRFNVKRLNAIITSKIMKTGNNTS
TMLQRVRAGHRTDIDYFNGYIERRARELRIYTPRNHMIIDMVKGKGQARSREINNYIPFQDRY
>RCO7_09156 | uncharacterized protein
MSDDNDFFGSPSPSPRDRDPASPESQSSGGYDNCEREEIDTGAPSMELQAADGIDSSESNTGPQIPGLNEFAYGEISPRTAPPSFRAVNDTILTEPE
KAEESVGQLAEQDHGSDNTIDTASASASTVDIEADTERNSPEFKIGESLAVRPPQNGEIIENGVGDGGLLSPSMQSSTSARETLPVEVEIQSEDSDD
SDDEGPSTYEKGKWTETDHITPDPSGDSTVSGASARTDDEPVDNRPSSVDEETQERAAEARSARLEIQALEEDSTPLPPVVAPTRANTSITIATPVI
SPPVILSGTPPLDANLASAVTIAPPATVDRIPASSSPAERKQIAALISQLKPQADILGEAEPEQDRAQRPTRGLERPVQKAGNPKTFKIVRLIENTD
KTGNNIPSAIRLRTHYFDVDFGDFLLDLSGPRAEIAQVRNYAGQERYVPRRMLQDKYQPWDIPATTKVVENGVPLPLMFVREEISADETEGMVPFEE
EEPVMVMDELSGDALQRVTATDYERKAGSFTLAHLERKLERPWNILVDKEALKAAWAKKAAPKLPKGKETGKGKKRKRSVDGEHGDVSGEEVGTDDD
SAGERLSKKPKTKKATTKKGAKAVVKKDKKGGVIVGDKSTSKKSSGRRLTADSMMDDNFADSEESPIVTTKGKGKRSAAKMITDKGINKTRK
>RCO7_09155 | uncharacterized protein
MSPSHLQTLESVHHITTRQVNSIGDSFASRDFTYTVFFGGARIAMIVVSAILVIFAALLTGLTLAVCGLDMNYLHLRSVTGTPQERRQVREVLRIRR
HTNWMLCSLIICSVACSQTFPFVIQSVWHGPQFWVPLLISTLTMTIFVELIPQYFIPQQAIAWGYYCWPVIWGCMWFTCIITFPVGWLLDKLQTKKD
RIGIFTNDELQAVIQYHERSEKRGGKLGQDAARIMMGALKLDAQRLCGNMKKQEHQSVPDEQDIEKMGSAAEDGMIVEWSLVKTVDINETVDEAFVQ
KVRSWSYSRIPVTGKDPEDIREGENIHTEGWKGNKVFGFIHVKNLVGLPVTAPAKGQSSPKVKDLVLYPLPIVRADMMAIVVRESSFAGDGKTGSTL
WTATERTNTHLMSNLKGAKGKYFWTMDYLKGAQAAATDQEHTRQNVLGIECPQPIGILTFEDVVDTILQKTSRDEKDFYDCNWSLPPTKSKKIGDYV
SPLSPSAVDQDLPLLRKKSHVTFEKSVNPGTMRKRKVSNGVSGQCCPTGMDGAVDCSLNKHRASSIRLPKNQQHSTRSSYTDNSRGGFHGMDESVIS
TNHSIMMTPEEIVELANTSSSDCLGNPYSHVKASSLPTRRSDSAVSEDLKGNRIVSAGARLHHLRRVAPFPRENASSFERTPEKQSGVELTELTMPN
PSMSPALFPSIDFHLNYNSKVSGIDTDEMKDSSPGELQTHNRQKSGETTSIMSWSSDDDAHQMVTSVYDAFPAAAIGSHEPCLLQKSLDVVLEEKEP
SRPYSGFPPELLESIEKQKRRPDYGSKTLPRSLGTELNLEDFPERRINTTPPARQSSFHDDRAMLPSQRRILEVSSLGLGARSSSLWF
>RCO7_09154 | related to heterogeneous nuclear ribonucleoprotein HRP1
MADDEFDIDIYGDTNTEHEVGSEAKQDDEGDMKIDILEPVNEHAPESNGTTKNEEEAEEAYVDIKLTNGQEKKINEQQKIKSTDESGADSLNIPKQA
PQQQGVKRKGGSDDRAIDPGATTALLISDLNWWNTDDDVRGWVNQAQVEDEMKDITFSEHKVNGKSKGQAYVEFSSQQAATAAKHKIDAFGEGQQYV
KKHTVTYSNPNVNPFRTLPKDAPARAGKDGPNNRVASGGYNNDRGNHQNGNFGGNFRGRTPGYNARGGMNNNSNMNNFNRNFSGPAMNNNMGGGGFN
PSMGGFPNPMNGQFGGFNRGGMMGGMRGGPNMRGRGGMNNNMMGMPMGGMPMGGMPGGMGGMPMGMGQMGGGMPGGGFQGMQQPHFNPAFFPQNQAA
GGDWQNPHGAKRPRPE
>RCO7_09153 | BfCon[1562] membrane component of ER protein translocation apparatus
MSDQIQEFMDIPRDFVKDGTQFLNKCTKPDRHEFLKISQAVGVGFLVMGAVGYLVKLIHIPVNNILVGGA
>RCO7_09152 | related to endoglucanase c
MPVLTATFVAALAACVTLSEAVPNPKSAIICPITIDGRVAQSTTLQTFDTPASPFNPNYVKGFNLTWSRILRFPDVPPSRFDLPGNKAVEVTISDAS
VFAPGGGNPQLGFRRAGLLMGNGSDASNVGVQTYHWSVMQPEDKKRRMNLTHEYMNVWHEANDYSSNHFSLNAGTMLEQDRPKEGNVTTTGLDKRLW
KVLDRKNNVIWTTRIELDGWQNFGIKIDYEKNTIQVFHSKRNDKLKAVTEPLPNDNTGGGQFQIGIAKKPTETVSVVNDGYQERGIGEGQTYGGIFI
EGSGKGCLSK
>RCO7_09151 | uncharacterized protein

MNGFRTRTTGLGHFNANQPFGNNPFINVPADVNRNPFRLFLLDLGYVVHLRKLLIRIILPLGPMISGPLDELYPSKSNLKDLILHTILFITQLILLG
SLPIVTILFWLVPGVVPVVFVTVFWIVTWVVMRLLNGAPTTECLVGLPDGLEPVNDEHELWFFINGVATGKNWLQSNLNLLARTFQREIVGIHNTTY
GFLFDLLECLIQRDLDYKSRDIRQGRAQIRAALAAPATNKLVLILHSQGGIEGSSILDWLLADMSHEVIGKLEIFTFGNAARHFNNPLVSKPMSPLV
DESKGGRGERVIKYIEHYANTEDFVANYGVLSFTSPSAQPFADGNAFCGSVFTREGSGHLLNMHYLDKMFTIVNGKVDEDGNPFMNTLIPSRNVREN
ATGAGERKMIKDVSRLWQYRNGLKPVDEVLSSPSKPANP

>RCO7_09150 | uncharacterized protein

MAPGRHDTCPCGYLWTKHKDGEGYICEGGHHTINGAGETPGEALWSKQRSSDKKKADGEVARQRDHERRRTGAREEQARKDKEIDDATTREKKDREI
GREKQRDKERPRERERERKMKEKERARRISASKQASPSIELETESARTRRKSREQEIQELRGSRIEADTVVSEARRETKLDVKTSHRRSETSRGTKAP
NVQSSVFQSLLSRTRQQRQTEEAKVDKRKGQRHQEDVDYEYASERSAAWSRINATHTAALSRPDPSTQPSRRPLALPAPEAPGRPVPTQQTTKKPRA
LPAPLPTPVVEPLPWMRAPPATPSRQREPELLPIRGSRTKAKEREKMPWE

>RCO7_09149 | related to potato small nuclear ribonucleoprotein U2B and human splicing factor homolog

MYLRYLQQFRVVTNAFTFHTVLINGQDSTRPASYITMGKTRTEASRAERKAKKRAAEDAIPDVPGSWTAAEAEVEASSPTKKDSKKRKRDGDEDDGI
GKDEKESKKERKKRRKEAEASEAANGEVSVEKKENKAKKEKKSNGGDDEAPVDLDTNMADKPEDDAPKKSKKERKAERKAKEAAEAAANRTGSGKAA
EVTVASPKINGSKLKSADETEPGDEKKSKKNNRNREKKRKGVNGTEATNGEVDDASSKAARFIVFVGQLPFTATKESVEKHFASIKPKSVRVPTEKG
TAGKAKGYAFVEFDGYDHMKTCLKLFHHSSFNDGISAPRDINVNLTAGGGGNTKERKGKIEEKNQKLDEERIRRRQEEEKANLTKRAEGEKKDLIDE
SAIHPSRRGRVPVMK

>RCO7_09148 | uncharacterized protein

MASPAIGTVAVPVKKAPRSSLLRSCERCRRRKIKCDDYFPCTACTRLGLQCKIGDDRKAEKSQSYLEERVRRLESLLAQQESRNGSDTHPVLVTPSS
TLAGSGASQGLRLQIPVSPAMSPAPEDILSSPGRGFQDYQTAYASSFCSSPSDMANSPAGDHPPWSNEAFNFFDQASFFDYPRRTRSFPITPGTDSY
SNVATDFSSMQPDNSFLLPDIPTIEVTSWETHSRREVNEDMMQDIDFNLPDLSIGSCSGPPSPSLTAPSCGYGNDEYVSEVHLDLPSRRSYIAFSEQ
HMHGSDSLKPAASRVLNFTYTRPRSRSDVLPHSVRYLGGTSSKISADTQYQGHSARSSQIPSQIIPGADETGYSQTFFDQVHTYFPVFSPQTIPALA
TTSNVASERYTNLQKFKMLLVLAIGSQYLNNIGACLSTVPDLYFQMAQKFYPANAWQQNPSLSVMQAHLLLAIYTLLATYSPPTNGNTQGSTSDAKP
NLWMLNALITASAIDLNLHDRPDLDDKEQNPFVSVYVLDKVTGMLLGKPNLLSGLHIDLGGMRRMQGAIESRRMRADELANEDVGIGWRCVLRWYRT
NGQNLLHR

>RCO7_09147 | related to quinate transport protein

MGGFNLHASNTDDPPEVRNWRIHVIAIIASMGSVAMGYDTSVIGGTMALDSFKRDFGLADVSPHTRDTLQGNIVSTFQAGCFFGSLLTFPLGERFGR
KKAIMFASFVFCIGGAMMTAANGVIALIIAGRAVAGLGIGADPDAVSLLVPVYIAETSPPSIRGRLVGIFEVLSQAGGMLGFWINYAVNRTISVEGK
TQWIIPLSLQLIPGAFLFFGIMFCPESPRWYAKKDRWEEAAKTLADIRHLDKCHPYVQRELSDIREQIVMATSADGQPMKKLDMLKRLCQKGTRNRI
AIGLFLMACQNLTGVNIITYYSPRIFETLGITGTETKLFATGFYGIAKTLGMVVFSVYLVEKIGRRQGLIWGAFIGSLPMWYLGAYVMRADPAGAAA
KGVISQSGAGYFAMVCVYLYGFIYCMTWQGITWVYCSEIFPFDIRLLCVAITTADQWLWSFVISRTTPYMITSLGYGTYMFFGSLMILMGFWAWWAV
PETKGKTLEEMEVLFGVPAAVEAEAAGEFRKEKVECAEDVHETKG

>RCO7_09146 | related to amine oxidase, flavin-containing superfamily

MMLFQRLCLLIIVSGLISVAIAAAIEYDVVVVGGGSSGTYAAVRLQQLGKSVALIEKECRLGGHTNTYEDSATGKTFEYGTQVLVNTTTVRDFFASL
SIPLAPFKPGGQPKAVDFKNSVAGPAWPVVDANASAAALDKYQALLEQYHDDFFRGYHLPDPVPEDLLLPWGDFLRKYNLGALAYDGFLQFQGMGNI
LAQPTLYVMKLFNPMQVSARKNKSKVSEANHNMQALWDAAEHKLGNGSSTVVKCANIKSIKREPSCVTLTAQTPSGIQTIHAKKVLMTIPPTIALLD
QFLDLTTEETELFSRFNSSYYWNAVLSDTGFPEGVSLYNYDSTAPFGIPGLPGAYYFSTEVNNLYSVQYSSPTKASDDEFISDLLASVQNIRTALNL
PPPSRSTAIKASNNHSPFALTVSIDEIRDGFYKRLVSLQSLTNTFWTGANWASGSSSTIWDFTEVEVIPAILKSLE

>RCO7_09145 | probable laccase 2

MKATFLTLLAFSASLGAAHPPVESRTSSPSSYKACENTATSRHCWGNYSIDTDWYETFPETGVTREYWLSVTNTTMALDGYNREQVLSFNGSVPGPL
IWGDWGDSIIIHVTNNMKDNGTAIHWHGMRQLGTGEYDGVPGVTQCPIAPGETYTYKFNATQYGSTWYHSHSITQYSDGLQGPLIINGPATADYDED
LGMLHLLDWSHTPISALWTTARILRPPALSGGLINGTNTFNCTGSTDVNCVGGGKKWETVFEAGKKYRIRLLNSATNGHFQFSIDGHSLTVIGMDLV
PIVPYKADSIEVSMGQRYDIIVEANATPNDYWLRAGWKTRCAINSNPQDITGIVRYSSHSSSDPTSTSTVNISATNCGDEPLENLVPHLPVNVGSFS
SSGVVQENISFVAGNVFTWTLNNSSLLIDWENPTLLRILDGESIFPTEYNVVPIEITAADPIWAIIIIQDVANIVAGHPFHFHGHDFIVIGQDVGIF
DVKTSKVNLINAPRRDVATVPRSGYLAIAFKKDNPGSWLMHCHIAWHASQGFALQVVESESRISAAIADKRILTDTCAAWNKYSAHAPWPMDDSGI

>RCO7_09144 | uncharacterized protein

MSTKSLQLKNISAAENLAHVVPVIFSWNYIPRLPSFLVAQDWHFEIPVQKGASAIVDSPNSFPINPKNAGLPYHTGLTCLRHNRHWRAALRYAAELC
ELLAADQSYNSATLSRGGNLATIAQRELQAPEGERFVTFAINLFPDADEERMKLIAVGIIFVVIFDDSWEEAPGTDLKNVQDDFVARMRGQKPLGTE
SSVSPLQARFDEIVASCRACDEKTSTDAGKDFIETMLEWVMHSQPETCDFNTPREYLDYRWMDAANWWLVASCKLSIASAVSLKDPLMEKIIRLVGD
HISIVNDLGSYDKELAAFESGRTIVHINLVKIVRTSCGLSIDDAKAAAFTLQLLNEQDILAECTRLKAHPEVTREHWRFIHTLLLLIAGNTFYTMTT
SRYGGQAARI

>RCO7_09143 | uncharacterized protein

MKTQVNSIVFDIGDVLCSWSPPAGLPIQPKLIKEFRSSPIWYEYNSGRIGQDECYSRLASCYGVSSNDINTAFDMARDSQEQNSSVVANIKELRATY
PDILVYAMSNISKPDWQILKSKAFDWDIFDRIFTSWETGMCKPELRFYRHVLNEGKASPSQMIFVDDKAENVLAAKSVGFYDGIVFDNAENVHRKLL
NLLADPVERGREWLLANASKLHSETSTGVIVPDNFGQLLTYEVTGDMSLIDVKYFVRTWNYFIGSPFGTDAKYPDDIDTTAYAFKLLSLEPKVAHSV
MDEMVSPEMTTADGIVYFDPTRDRTDPAVCINAVRMFYAYGRGMDNGLQGTKEWIRDVLHYKAYASGTRYYQQPDTFLYFFARLLLDNPESDIYRNN
AALLRERLTERINTEADAMGLAMRILACSFLGLRNVVDMERLLKMQVADGSFEIGWLCQYGKSQIKLGHRGLTTALAVAAVEAVRCSTQYFQPRFLS
IARAEKNEESSDGDSGFDGH

>RCO7_14028 | uncharacterized protein

MNLGPVIYPSSHMIFRVLGSRLVFKTKRDIDSKIDKYKSEAVSTSLVRDTTIIIFTYIDNFLVISKARIALKELKKKILTIFDILLARLAKYFLSVR
IIPIIIILEDNNIITTIKTLEDDNIKEALTKDYSEATIKTSEDNNIKGALIKDYSGVIIKILENNNIKEALIKDYPGSK

>RCO7_14039 | uncharacterized protein

MPPKKAQLAPTASLDLPLNALQLTIYGPPASRN

>RCO7_05302 | uncharacterized protein

MGGMFHPAWNLQSKLKAERLARKKKSRCKSSKASNTGSKEGPAQKRPIGKDNGPDFSTPGAIVTFYIGEEGKEFKVHKENVCAYSPVLEAAFNGTFL
EGLSQTYQLKDVDPDVFRMLVQWFYTRPLKVYDIDDADDVDMFEAHRRLEEQDLHLAQLWVLADRLLVPGLQNEIVDILQKFQRTARLASTLWIPFV
YENTAAGSPLRKLAVDYALFCLDSAVFRKHAQNFPSEMLLEFAMATAKAIVRDEPPAMSVDSKDICDFIEFGIEPQSSDSEDSATGQSEEDDDEEKI
EKEGTGDAQSDMETEIDPISEREMDKFLCATPDFRLRRETTSYHV

>RCO7_05303 | uncharacterized protein

MSPQEAASTSSENLNPNKRKGRYIKLYQNPKRRLRTIAGPAPEPEFSKPTELVTFRVGRGNDRENFSVHKEFACQGSPVLKAAFNSSFIEGITQTYE
LDDVRPAVFRMCVTWIYRQKVNIHSRLADENCRLADEPHAFDEAELGEMIFDLDRDSILAGVVTDEIMTMGKYDLMGDGPLAEAARAMRLHPKGRIM
GKGAERIENTQAEAEYIDDDGYDEAGFVKPDAAEAEQDLNLIQLWLLADRLLMPDLQKEVIRKLRMMGEDYWSTHWINHMWENTLPESPLREFAVDL
CLQSMPRRYIGMHPEQFPKELLVEMLMYESKKFFRMYGVDIAPV

>RCO7_05304 | related to KAP122 Member of the karyopherin-beta family, nuclear import

MENGELPTSLAEVEALITQLYSPGAPEKVTVVQETLQRLQRSPEGWQLATSLLGHEDEQVRFFAALTFTVKLNTDAKSLGEEDAQALLQTLVSWLIR
CVNGSETALVVRKLCSTLVAYFLQFSSLWERCIKHMMLCLYANEALPYAALGSSQDTQALVDAISTTKAENSMSKAVALFWFAASLVEEVGKTDSNS
MKQHKFHLRVVPNVDDIVPFMSKYITDEPAEMKIRQEAMRCFQSWISYSHRAFIDDGMMLDTLQLLTQPTIMCLGQDDLYEITIELLSDTLTNYSKF
FRKEDFTILQSLFNSPWAQERYQRLVQGDFDFESIQFGMFMIAFGDATVQDLARKCATDPQSHQYLSALCSLLGAEGYAVNEDKIYVPALEFWNTFV
ETMVDDLYSSDDEGDKPAWFYAAQEHVKQVIEKCWIKSQFPPVEEYNSWDSVERTGFKDARRDFSDLLQQFYLTTGIPLLQIFIDLLQNSSGTRNWA
ELEVTMFCLIWFADCVYNTPDRDDYLDKVFTPSLLALIADPSHEVPTRTMKSFLDLVIAYPDYFKHHPTNLPAVLNIVFAATSSSSLAKTASRSIMK
LCSDCRAILLPELGAFLQHYSNIASNYSLDATVKESLMEGVASIIQGLDSEEAKLAPLQQLLEYVQSDVEKCLQLANTIIGGDMTSLDLGLTSMKCL
SGMSKGIQVPEDKPVDLEKSPEPASPFWTTGEGSHVQQKILMMMDRIFDILGHRGEIVEEICVILRHGFREEDPGPFVLPSRMAAQFMMKANSQTPR
LGRVINTAAFLITTQEMSPDTTEILDGLLKWVSQILQSLRDPGNDPEIAQAGIEFLQRLLSKFPGVVIGHPPPSSLEFMFMFALKALAGTEPLPKAS
AADFWATFITLPTQSSPLQSQIENAVSHLGPHLAQALIYNISGQAARSELEKLSDPIKKLVVRQMHAKAWFEAALFDASFPSEKVTTGEKKVFLAKI
MNLRGAKGTNQVVREFWLLCRGSNFAYAS

>RCO7_05305 | probable aminopeptidase P, cytoplasmic

MEKVITTGRLARLRNLMKEHKVDIYIVPSEDSHSSEYIAPCDARREYISGFTGSAGCAVITHEKAALATDGRYFNQASKQLDKNWLLLKQGLQDVPT
WQEWSAEQSEGGKVVGVDPRAISAPEARKLSEKIRKRGGQDLMAIEENLVDLIWGSDRPAVPTEPVKLLAQHFAGKDVRTKLEELRKELDKKKSSGF
IVSMLDEVAWLFNLRGNDIPYNPVFFSYAAVTPTSATLFVNSSKLSSECQAYLTENGVSVRPYEKIFDDSQMLGESIPTPAAEGQAEAKIKKFLVST
KTSWALKRALGGDAKVEEIRSPIGDSKAVKNETELAGMRACHIRDGAALIEYFAWLEYRLTVEKTPIDEVEAADKLEELRSKKKHFVGLSFDTISST
GANAAVIHYSPERGNCSTIDPEAVYLCDSGAQYLDGTTDTTRTLHFGEPTEMERKAYTLVLKGNIALDVAIFPKGTTGFALDTLARQYLWEEGLDYR
HGTGHGVGSYLNVHEGPIGIGTRIQYSEVPLASGNVISNEPGYYEDGTFGIRIENIVMVKEAETKHRFGDKPYLGFEHVTMVPYCRKLIDESLLTRR
EKHWLNEYHSDIHAKTQAFFEEGSLAIKWLERETQPI

>RCO7_05306 | uncharacterized protein

MATLLLRPRLRPQTLGLGLGFSFLTHQTLFQRPTRLDSASSGLLSRDSYVQNARVPIVKQGKLNESAVRQISSGSIIGLCAGLAVSTFSKSLALIIG
LMVVGIQYASNHGINIIPYNRLQKYVTSIDLRSAVQDNVAFKISFGTTFALAAFMRF

>RCO7_05307 | uncharacterized protein

MRLPGQQFRFLAAAAAASLLLSANASTITSAPKPTAIATETCEFRTINYITDTLPQQCLKSSWSSANGTAAVKVAEGGDVLKTIGTGDVAGNGTATD
SGAGASASNQETAQSTSTGEAISVESANASPASEAAEAAATDLETGELSDTSFLSFEEWKKQTLEKAGQANANIGNKKSAEGRKRESESFQNNLDSL
GEEGEIDLDFAAFRSGGNEEKRSSEDEGGEQGQEMQDVEGGGRKEQYRSKDAGKTCKERFNYASFDAGATILKTHHGAKNNKAILIENKDAYMLSEC
TAENKFVIIELSEDIWIDTVVLANYEFFSSMIRTFRVSVSDRYPVKIDKWKDIGTYEARNSREIQAFLITNPQIWTRYVRIEFLSHYGKEYYCPLSL
VRVHGTRMLESWKETEANGDDDENDETDPGPEEEFVPDAVAEVVQIAENLKAASDEMARAFKPSEPEPVRNAASNEAKNSNEGAIVEVTPWEQHASY
IFRLSGTTIPEDFCLPSEAPIRAIIEIATIYTVRNATETAHGSSQNPDSSSEPVASTAKSSVTNTTESIIARNSTLSEPPPIAPLNTTILVSNTSIP
SPTVITTQKLNNTTHSRNKTTSTTSSASSLPTIQESFFKAVSRRLNFLETNSTLSLKYIEEQSRILREAFTKVEKKQLSKTTNFLDVLNSTVLDELR
QFRQQYDEIWQSTVISLESQRDESRREILAISSRLNILADEVVFQKRMSIVQSVLLLLCLALVIFSRVSGGGIHGANIDVPSAFSRARLLSGFPVES
PLESPGESPGYSRTSGSVWMENGQRRGMDDYEVEVPLTPASPDEREEEDVVEFTPSSGASGGEELLSGADNPLPTTTGPIESTPPSGTRPLAKSVSS
NTNSSHQQSTHLEPSTPKTRTPKKRKGSGRRRSASVEDEVSITRADSTNGVSLPSILVQDATPIRKQTVVSPQPPEKAHMKIEEKNFNGLFDGVEER
KGDEDLMKGAAASRLPSPPLDSVPLQTPQSQLQTNGNRNGYMVIPRAAITATETGKTPTSPRAATQERALETGSPSRTRERGQSFNIARKPLPSLPP
ES

>RCO7_05308 | related to mei2 protein

MSRYTNSPSSSLRDESVQNTPYTTLTAFSPEDVRLQQSSTSRSGMGPPTTQSDPFVTSDKSKAEQKLSATASTFQPFGMRGSSMIPTSLSSSPVPGT
TQYLDAVIEKATSSPKGDPEMGFGTFTTNTMMTRNIKVSSIMKNEVMPLIETTWKKLHKAGNSVRGSFKFRDIGDTVYIRLGNISDAPTVYNALSKD
HDNIAVEYVSINTINKGLSPQQEFSSAHEGQVALRVKYPTGRSSNKLQFEKSTRDLLSVEGPIVAWQKMAAVEAGVFHLIAEFNDSAHALRAMQRIN
GMNLGDAVDPSIISITFNEPDRSSTLSAQRAKPTMTPTRRSGPSENQAAFIGGMGNMSIGSGQVPQAHTISGFSTTTSPLSYGMGTPGFNMPPGPLP
LAMNSMYSPVSIGHDSQQCGAASLAQYQPPPFFQQGYSPSTMVSYTPRMYGQQYTSPSRFYDQRMPQGARDHTYYHPRGDGRFEMARYGYGGNRQFG
PRNSRQNQAAGQHNHVDIERIRAGIDVRTTVMLRNIPNKVDQAMLKEIVDESSFGKYDFMYLRIDFSNNCNVGYAFINFHDPLDIIKFVELRSNQKW
QRFRSEKVAEVSYATIQGRDCLIQKFRNSSVMLEPEHYRPKLFFILQDGDELAGKEEPFPPSDNASKLKRSCENAEHVGLFAPSAGQQFRDEQRRRR
SQYDRGTSLAERDEYYDESLYLGFPNCNRSAGIGL

>RCO7_14040 | uncharacterized protein

MIIQLGFELSVDGNQQLTAMLCPKDGNQTAAGCTNEVDDASIPEEWQRIKRREPKSMRRKKREVRREERRGEERRGEEKRW

>RCO7_14049 | uncharacterized protein

MPSQVAVEKKGMIEQVMDDKSMYAELAARLTWTTHPFNFTHALLLHRQQADGI

>RCO7_05309 | related to secretory pathway protein (exocyst complex protein Sec15)

MARKPPQYDDYRVAIILSSSDTDYLDQLIPALKDASNSNRTPGLMQSLSFYAEEREADIERIGLTKHDEFLKSVNQLQKVREGTVSLTSEILQLNQS
IQQSTEKLAAQKEALVDTKSIRQNIAEASEALKESLKILHAVNQAHDLIKKKSYYAALKALDDLQNEHLIPTIQNKYATQHKLAEIIQKSIPASQKA
ISEAVMTDLNTWLYRIRETSQFLGEVAFYHTEMRRTRQKERMETNEYLRNFKLNSAIELVFDESEEFDVLDNEELHVDFQPLFECLHIHEALGQSDK
FRAEYAATRRRQKELLLPSFVDLMEEDDQSLSSLLEGIAGFAIIERATMRRAHNLRSPVDVDELWDSMCQTAIALVSKALEKVDNAEVLLKIKGVIA
LFIQTMDTWGYSVATLDSFLLTLFDKYAELLKKRFSDDFQEIVASDDYMPMPVTNIDEYDKVVNVCWFTPDKPREELSFPCVLPFSQMYPLCCIDIR

NFLNQFYFFSDDHFQHPNVIDDALKKSLDQLLLEKVCRSLVERLSSQYLGQIVQILINLEHFETACRELEQLLIAARSSTSAGGSIVLDATEEFTSN
KKTAEKRIFELVNSKIDDLVETAEYDWMASTLESEPSNYMQTLTRYLSNIMNSTLLGLPREIKELIYFDALSHAANLILALPLSPAIKKINPNGVAA
LAKDVAYLSDFVDTLDNAPILKENLDELQQTVLLMQTENPDEFYDVGLRNRKFGRVDAGVGTALLEKLTYTIMASPSRVDRLGNFSSRFGMR

>RCO7_05310 | probable CCAAT-binding transcription factor subunit aab-1
MDQNPPSSSHGQQGQRAQAPTYDTAHGGHYGASAALAQQGFAPVAEFYTGAWANVNQGLHGTYKDILTTYWQHVINHLESETHDYKLHQLPLARIKK
VMKADPDVKMISAEAPILFAKGCDIFITELTMRAWIHAEENKRRTLQRSDIASALSKSDMFDFLIDIVPREEAASHAKRATGAPQPSAPVPAGNQLP
PQSIPQNQGHGHMPPPDYIGLGHQEPDYRQQQNMYAPQQVQAGQPAPYGATPQQMYGGDLEGIYGGYPPMQGGPMQNQQQMYQMPQQHPRQDSSVGQ
DPGHQYPRHDGGEGDADAEGEREYDV

>RCO7_05311 | probable FCF2 Essential nucleolar protein involved in the early steps of 35S rRNA processing
MADEDLSNEQLRQLLKDAEQRLRSKGKQQMLMSTASSIESSLPKITMENPIVSYIKSSKTGAQVDRSHLVTEKERKLANGSRIVEDPITIKKRAEED
KKASAGADWFNMPRTNLTPELKRDLQLLRMRDVLDPKRHYKKDNKKQQIPEFSQVGTIIQGPTEYFSLRLMNKDRKRTLVEEVLAGEKSSGRFKSKY
NEIQEAKTSGKKAHYKKLRDSRKKGVLKR

>RCO7_05312 | related to ribosomal protein S10
MATSTSSRIPWRAFINSASKPTNFFRTPCITSTLLSSTRRHASTEAENLDHASQTERQQWVDNSLGIDVSKVEPPDPAPETIENLRLPRAVQAAYLR
PLRRTPIYGVPTCDLQLRSYSVRNLEFFSDFALRAAYYCGLPAHGPVPLPRIVERWTVPRANFVHKKSQENFERKTVRRLIQIRDGEAQAQELWLAF
LRKYAFYGVGMKANVWEFAGVEVGKDMDAQVEKMRDELEETLGDFAFKRNGETGKKVIDVLNREASRASSGGKVPMGQNAIGKVGRREVL

>RCO7_05313 | related to mitochondrial tryptophanyl-tRNA synthetase
MLASVRGHTRLLQHPLRSLLYPPHTSPLSPQSYSTSSSPPPLSSPPQTIFSGIQPTGIPHLGNYLGALKTWVTLQNAAPTSTKLFFSVVDLHAITLF
QQPDDLRRWRRESLAALLAVGVDERRSTVFWQGGVGSFSLLLVYSSMGYLSRMTQWKSKLSLADNTSPLDESSKSKLKLGLFSYPVLQAADILVHRA
THVPVGEDQSQHLEFARECVTNFNHTYNCSHLVTPQTILSPTKRIMSLTSPLQKMSKSHPSPLSRILITDSPSTITTKLSSALTDSQNLVTWDPVSR
PGVSNLLALLSSFDKHGRSAQELGGMLEKEGMGLGAFKKLVAGEVREGLRDVRERFERVLGEEGYVEEVARRGAVRARESAEETMVLVREAVGL

>RCO7_05314 | related to galactose oxidase precursor
MSFPRSLSLLLLTYGSYTAAQSNNTSDKASLGAWGPVIQFPVIPAGAFVVSEKPRSTRLLLFSAFKEQTFGYGGAKTQFADYNTETGVVSQRTISNT
QHEMFCPGISAMQDGRVIITGGSDAARASIFDPSTNSFVSAPNMTMARGYQASVTLSSGKVFTIGGSWSGGVRTKDGEIYDPATNEWTKLPGALVKG
ALTEDIEVDKRDNHMWFFGWRDNSVFQAGPSRQMNWYSAAGTGSVQAAGTRDAEDAMCGIFVMYDALRGKILTAGGSTYYHNVEPNNRATHITIGAP
GSAPIVERLPSMAFPRAFANAVVLPTGHVLITGGQTLSRAFTDENSTLVPELFDPKSMTFRQLTPMVTPRNYHSTSLLLADGRVFTGGGGLCYDPNN
FCPDIKSDHPDGEIFSPPYLFNADGSNAQRPVIMGLSTDSSSSGDSVKAGGSITVTVDKPQADLTFAMLRAGTNTHSVNTDQRRVPMEDVQMNGSQY
VLSVPNDYGIMIPGDWFVFVISGQGTPSVAQTVTVAL

>RCO7_12008 | uncharacterized protein
MDLPPCLLFAHAKDVCCCQIERPSQLQGTKPNSPISFQKIEVDVENASLRAFSVGASVDPSHVFLAIWALVLARYTGADHVQFGLVREEGKDEMVVL
QHDPNASFEAILGKVEDGIYDEAERGTGTSRVLYNTLVDIRVCQTIGETRAVKAANNLVPTISLCVDIFATEVRASLISHSLCSDQLAGIAATFSAA
LATLLENPSVPAESLPILSAYDRNRLQHWNGPVPQPACPRFVHEILTLQARKTPESIAVQSWDGSMTYSDLEEVSSCVAVHLRQLGVGSEIPVPLCF
GKSIWAVVSQVAVLKAGGACVPIDPNLPRARMEIIMKEVGATIALTSVECSELLPITSEITLVIVNNAFVTSLPLPGVSTEMIPNEPLKSSNAAFIM
FTSGSTGIPKGIVQEHRHMTASIEAHTARMSITPSSRLFQFSSYAFDVSISDIFGAFLHGACLCIPSDADRVSALAKSITELRATHICTTPTVAKTL
DPKDVPTLSTMTLGGEKLTQELVEIWSDKVKLLNIYGVTECSVWCAINERKEGATQPENIGYGVGAVLWVVEPQNHDVLVPIGALGELVIEGSIVAR
GYLDPLKTKKVFVAPPKWLTKTAQRAGEGANMYKTGDLVRQNCDGSLSFVGRKDTQAKLRGQRLELEEVEHHLARYMVDASTVAVEIAVVQMVHGIE
VEALIAFVQLPGSEKPVGTPTELINMTLADEWMPRLVEVGAALAKVLPGFMIPTIFLPVYKMPTTDTGKLNRRQLREIAASLSSFELRKYSLSHSHP
GAAGHGKRAPKPGVESRLADVWAEALRVPVTLLSAEDHFFHVGGDSVRAMTLAAKAQQLGLHLTVATIFETPILADMASLVDVGADSLISAVSAPTE
FELLPAQHRDEMMKAAAEQCGISVTDIEDMYPCTPLQEGFMATSSLEPDAYVTTYKFDLPADLDLDVFRQAWEHTATLNPILRTQIVQIGTFGMFQT
VLKYTELWKYSVISSGSLGRFGGPLHYAALLDEGAESPQRRKFTWSVHHAVYDGWTLPLLIRCCQRYYIEFSRHVKEQEQARDDAPVKFSPFLRYLA
TVNHDDLTTFWTKYCSGFASPMFPALPQRSYQPRPRDTAKLTRNLPTQKIQGITLPTFINLAWALTVRSYQSSDDIVFGLTVSGRSAPIDGILSMTG
PTIATFPLRIQVSNAQTVQDALNAVQKSVTSIIPYEQTGLQNIRRISDDAATTCAFQNLLVIQPEVDDSRSGFLSAQEVDVDFLNDLNVYSMMLECS
PHALPNGSSSIGLMINFDREVIELQQVQRVLNQFVGILTQLLEADPSHEIGHLSFLSIQDREEIMQWNSKVPAILNRCIHELVAEAYADDPQRAAIC
SWDGNLSFAELDYFSSQFAQQLWLRGIKKGDFVPLCFEKSMWIAVAMLAVLKVGAAFVMLSPQHPKARLQAIAEDARAKFVVCSKTQGETFAGTSLA
IIYLGPSYSATELESSESLKTRFEPVSPDDAAIVIYTSGSTGKPKGIVLEHLAFCSSAVAHGLSECLSRNSRVLQFADFAFDVALSDILTTLIYGGC
VCIPSEDQRINNLTGVMRDLEVTDAFLTPTVSRMLMPSDVPLLRTLKLGGEPLQQEDLDSWAKQVYLINSYGVAECCVRSLYHAPVSVNDKPSTIGH
SVGCISWIVDIEESETLVPIGAIGELFIEGPTLMREYLHDETRTRDAIRERKLDRQTARRMYRSGDLVRYDSRGKIEFIGRKDTQVKIRGQRIELGE
IEHHLAASLGGHQSVVVESINSSVSVGKLVAFIVNLHTQVTFHQLLAPPAQADSALYKSFLKSRDQLSQRLPQYMVPDMFVSINFLPLNPSGKTDRR
RLRDTIADLLNDKETAAQYQLGHSEMIPLTLPEHHRLAELWSRVMKLDSATLSADDNFFRLGGDSVQAMRLVAVARAQGYSLSVAGVFQHPILSDQA
KLLGLSSAESAIDREELKPFEILMVRPSTTVVPGVQSYLEAGQIRQQVAEDSGIEEESILDAYPCTPLQEGLMALSIIQKGAYTYQHVYDLPPGISF
SRFQSAWQRLVDQNNILRTVIVRTETWGLVQVVLKHSPLIWLRPTSLDSYLKSDKEIPMSYSEPLSRFALCTDHDGKYQFVWTIHHALYDGWSMDLI
ISQLNLIYDEQEIAPTLPFGCFVAHLQHLDKAAAATYWTEYLAEGTRSPFPVPKATDRPRKGKRHSVEGFLSTTSASNSDFTLTTVVRFAWALLLSK
YAATDDVIFASTVSGRNVDLNGIENVIGPTIASVPFRVNIDQGATVAVALSAVQSASANMIPFEQMGLQNISRLNPSAKELCNPFTLLVVHPGDQRQ
RKGDVLGKPRNADYDVDFLTYPLAIECSLSPDGLRYNISSSPAHLSFTQTEWILFQLKEITSKLLNETQRAALVSELDIISPWELDQVQKWNHTVPE
AEFVCVHEKFSRGAARFPLAEAVCAWDGSLTYFELDQLSNRVALLLIAQGVQKGSHIPVLFEKSVWAIVSQLAVLKAGAVCVPLDISHPVDRKRFVL
GAIGSDKVLTSESLAEHASEFSSDTIIIGPSVLPKFPDYQPSALPLVEPSQSAFVLFTSGTTGTPKGIEIPHATTCSSANHHGPRLRLNETSRVLQF
SSFVFDVAIFDIYTTLFAGGCVCLPCESDRFNGIPAVVESMKINWALLTPSFVRTLNPSELRGLRTLVLGGEAVPTDLVTTWQNELVLINAYGPTEG
SACVAGDFLHGVTSDTIGKAVGCLTWIVNHHNHDVLAPLGTIGELLIEGPVLAKGYLNDEHRTEKSFIFDPTWSGKGDTNRRRFYKTGDLVQYLDDG
SLRYVGRKDTQVKINGQRIEMEEVEHHLRQAFGVNAEVAVDVIKPKDSIISILVAFIRAKLAAGTTNSLLIQLAQKYLKRQVPSYMIPSGYVQLVSM
PMTITGKRDRLTLRKLAQEMTISELKSGSEETASKRMPEGKMELFLAESWARVLQLKVGQVGADDSFFELGGDSIAAIHLAAQARRAAFSLTVSDIF
NRPRLCDMAIAIEALDSASKIVAVKPFELLRAQSDSQLEIDSIRSTIALQCGVDTTSVRDAYPCTPLQQALMASSARVPGTYHARYIFTLPARVDQE
RFCRAWDQVFEKHPILRTRIIQLDSTRTVQVVVDETISWKSTDSLKDYVESDQGAHLVAGGPLTRFAFVFDETTARAFFIWTIHHALFDGWSLQLLL
QDFERAYASEPVVRPADFRIFVKLTEGQNQRNSSAYWANNLKDASPPCFPLVPSTGYQALADRCIRLAAWSLVIAKYSNSEDVVFGSTLSGRGAPVP

GIDQMTGPTIATVPIRVLLKSDQTLGHFLQELQHQAQEMIPHEQFGLRNIRLLGTEIAEACNFRTLLIVQPPESKKELNSTLNLPDEGSDIPGFHTT
PLVIDCSPTSDGVATMIDYDSHLLSEVEVRRIFNQFSHVLQQCAGRDAATPISSIEIISQEDREQIQHWNRNYPKDVEELVHALVERQAVERPNQTA
IQSWDGVMTYKDLWEVSSRVAVVLSKMGTKPGIIVPICFEKSRWAIVSMLAILKAGAHAPRLRTVMENVLVVSDIADRFVDSDLVDFQRPSPNDPAF
IMFTSGSTGVPKGIVLEHHNICTTTRYHGAAMQISSKSRVLQFAAYSFDVSLGDIFTTLVHGGCVCVPSDEERLNDLPGAIVRLGVNQACLTSSVAR
SLPVDTVSEHLDVLTLGGEPLANEVVDTFAEHTYLLNIYGPAECSVWSACTQRIHQGHETGNIGRGVGARLWISDLTSSSRLAPIGCVGELMIEGPV
VARGYLFDEKKTQGAFLTDLPYLPGEQLQAYRTGDLARYSLDGSVVILGRKDQQVKLRGQRIELGEIEHHLQACVPTAQAVAVDVFMQNRETANHAL
VAFICPSGKGDGFESSNMENLTDFEYASEFAKKKSWQDITAGLRDRLAGLLPPYCVPNVYVPLRALPLSTSGKLDRKKLRETASELPTSQVRLSLQQ
KDRRPLITSLQKCLGNLWVKLLGIDLGSISADQHFFQLGGDSITAMRLVVAAREEGMAISTVDIFNFPVLEDMAQQMKSCESLALEQIMPFSLIQNT
SAQNVRQELAALLRVKPNDIKDAYPCSPLQEGLMALSMKRRGDFIFQQALPLPQSLDIDRFQAAWTSVVAQHPILRSRIIQLGSSFTQVVVNNQNIW
HQGTDLSVYLQGLHSNTMVEGTQLLQLALIKEATQKWFVWVIHHAIYDAWSQDLIINEVEAVYCGRRVTASPYQFNHFINYVTLAHAEESKEFWSAE
LEGASASSFPFRRPKAPALGDRTPQNAQYTFSVQNSGNFTMPTLLRAAWALVIARYSSSQDVIFGATVSGRDTPIPGIDRIMGPTLTTVPVRVNVDD
DSIVEELLWRIQRQTTAMVPFQHYGLSNIAQCSESAAVACDLTSLLIIQPLNRSSEKLKELAFLQGDGDTMQDLSPFNVYPLMVQCELTASAVNVSA
TFDSRFLDTSHTNQILQQFGQLVAHLTTANRNAKLGDVDILNSKDYTQIYNWNEKVPETPTECIHELFSKQVSLTPQKLAIEAWDGNLSYADLDMRA
SQFAAILQGAGVKTETFVIICIEKSLWAVIAMLAVLKASGTCVPVNVNDSNHRLSQIISGCNSKLAVVSPTQSSRLENLSVKSIVIDASTCNLEDPQ
PCFKSKDTISSNAAFVIYTSGSTGTPKGIVIEHATLIAGGHAETLNLGSDSRVFQFSSFTFDIGIFDVVTTLIRGGTICLPSETERMADVAAAIQRY
NANWAYLTPSVLRTIDIRTPLPLKTLALGGEAVGQDNVDLWAERVELMNGYGPTEASICVAGSIPRGHPASVLGRPVGSCVWIVDATCHQRLAPIGS
LGELLVEGPVLARGYLGNDDLTKASFISAPTWMLPERSTTRLYRTGDIGFYEIDGSISYVGRRDTQVKIRGQRVELEEVEYRARQLLPSGIEIAVDV
AKFQSDTEARLTAFMTLPQDAPISTAWMPIVSQLVEILPETLPRYMVPTIFLPLPGLPYNSSGKIDRRSLRQQASAMPIEEAIRHTRGASSSNSVVP
TDQEQWLMDIWARVLRVDRSSITPETNFFLIGGDSVSAMKIASIARNDGQELLIADIFAHPILARMAKRCSEAKESMEVRPFALTKAFIRDELMADL
EKDGRGNLEIIEDIYPCTPFQEAVFALSLKSREGTFLAQDISCLPAGIDMVRFKSSWESVVAANPIMRTIICQSEAGDLFQVVLKKAIDWKEMEGLD
SYVHNEKSHQITDGQNLNHFAIVTEEKLGRVYFVWTVHHALYDGFTIGLILNQVEAKYFGEEVQSLLNFNLYAGFLQRTSRDMSQSFWRENLAGISS
SQFPSRATVLEPQPNVSSTLTIAGLRNQIPEITTPTLIRTALAILISRHTSSRDICFGEVSSGRNALVKGIDRIAGPTLCTVPVRMILDHSASLRET
AQTVQETYLQRLPFEHLGLSGISKVSQDAASACKFQTVLLIQPAKQLDVADPLGLRNVSVDIDRDLSLFNTHALMLECAISDDQIVVTANYDNSLLD
EKRVLRYLAQFESLLLQLSNLTNSAGRLNAVDMVTGPELDEILAWNGSRALTIRDTINNRFQHVASACPESQAICSWDGNMTYKELDDISTKFAYEL
QSHGLQPGQYVPLCCEKSLWATVAMISVLKAGGICSFLDPAHPTVRLKRILVDLQASFAITTREQKSVLEEMVKVIVIDSETGPLQSSSTRHLPNVQ
SDAGAFVVWTSGSTGIPKGIVLEHAAICTSIEHHGKAMRFTSDSRVFQFAAYTFDVSISDTFSTLLNGGCLCVPSDSERLNSLAYTIRNLRANQACL
TSTVAELLRPSEVPDLKNLTIGGEALSRINVQNWAGATFLTNIYGPAEASMWCMGNIGLDPDADETNIGTGLGVRTWITDVEDPNRLCSIGMVGELL
LEGPLLARGYLNDPEKTTKAFITNPVWATEQVAPPGTKFYRTGDLVCYNEDGSLKYVGRKDSQAKIHGQRIELGEIEHNIHLELGEDVAVVVLVGKL
RGRDRDTLVAVLGFKDLIDEEEGIATTTATMHHIQPYVKRIRAALRQTLPRYMIPDMFLPMKTVPVTPSGKSDRLRLREMILQLTDEQVQRISREAG
MEFRPPVTAAQLMLRTIWVEILGVPEESVGLEDDFLDLGGDSISVIKLTAQARVVGFHLTVATVFKHPTLIGMTREALVRSSSKMNEEIVAMSDQDY
QSIENEAFPIYAINKLDVEAIVPATDYQAEAVAAGLLPYRGYVNYFTFDFRENISSARLRDACIAVLRSNQILRTVFIVWRRTVLQVVYHASTVECQ
VMDCTDTQDVEGYLTQEREEKLMIGGRFCSFYIFKTREDRTQLVLRISHAQYDGLSFPRISEDLISAASTGGVPIRTDVTSYQHQRYVDEAAAKKYW
TKLLHASNMTRLVDHDRPSWKMLTSETLRRRIKTVSSSDSSITFATMLKAAWAMVLARVSGDTDVVFGYVSSGRNAPHPGILELCLPCMAIVPVRVS
VKEKTCKTLLREMQKQHICSLEHELFGWRNIVETCTNWRPWTRFSSIVQHQNIDNILGELGQSKLPLSVTAKVSKADAADITIYSVPEGDMTTLEIG
FCPDIIPDQVAQLLLDDLCDNLQHMAGDGARSALLAHPLQKELLPIPCFPTNGSLVNGKDKRAELFVDTDGSLNATQIQARETVRQAWDLVMSAPRT
FQSHETQQALYGPETCFYDEWGQLIVAAALAAHFSAAGYKVDMEDVLERPTVAQQEGFLSLQMKHSSGK

>RCO7_05316 | related to iron/ascorbate family oxidoreductases
MHETPSVHDSATVGPPNAAKSPSMEWAQLPTIDFALLHSSEGQQKLAKQLETALCEHGIFYVANHGIPTSEMDLQVAIAQAFFELPLEEKMKFHSME
KFLAGRSEGYRPVSTNQDITGVEDNIQIYMMTLPCESDNRGDEHPAPISVRMDAIRQFVKLCHYQVLHPLFRLIASILELPNEDALVAAHALEGKST
SQFRYMHYTAPRAGHAHEIYAGAHTDMDMLTLHFPQPIAALQVSANHSQASAPAPAPAEGGWHWVRPREDAVLVNVGDALASLSGGYFQAALHRVHR
PPAGQDQLDRVGTLYFSRAENDLVLDPPRQSAKLQRLGLLDMVHPEIGRGTTMERWVTRRQQHKQDQDVDEDVHVHVHVADAKEEKGGEEGGERGCC
YV

>RCO7_05317 | related to iron/ascorbate family oxidoreductases
MTLPAIDFSLFLHGSPSERLAIADALVSSFKQHGFARLVNYGIPLASIERLEKINQDFFRLPEQAKREICNEPSPNPQRGWSFKGAETTSGLRQHKD
APRGILMDEKEHFDAGPAHDVAFPNKWPDRDMPEFRQFLEPFHERCQDLCLSIMEACEVGLRLPEGTLTQRCQLACASELRLNYYPPVSVDRIREGR
TRRTWPHTDFGLVTLLWQDDVGGLKYQDRQQSNSRSFMEREYGTGLSPAAVGDEHDVFVPLTRGDPGEVAVNISDTFQRLTNDILRAGVHTVDWPSG
TEGTEGAEKAEKAQGATERQEECALPARHSSVFFFKAHRDTSVGVLPAFVTQQTPARYDDITALQFHQRMTHVLIDPIGQQG

>RCO7_05318 | uncharacterized protein
MINKPHFLPTIYHRTADKTEFYNPNFGTISLFSTLKHEDHVVIKRRLGAAYAMSSVKRYEARIDASVTQFLNGLADTYRTADLDDWLHWFAYDVISA
ILAGKPIGFLEQRTDVRGLIASFAQVVWPLEFLGRIPKLSLLARKTWLGRKLFTAKARDTSGIGALMAERDVWYDEHVGHPRPETLEDSDLIYQFMA
AKTADKSSTMSEYDVKAEALLAMLGGSATVSDALQKLFRNLLAQPRCLALLVSEIDAAVASGHIPIPAPFTSLQTLPYLSICIRESFRLSPSTPLFP
RVVPAGGVVFNEQLIPAGTALASSPWITMRDPEVYGEDAAIFRPERWMEVEPERKRDWDRWDFHWGFGSRTCLGKHIATIEIFKCVFELLRTFEILM
NKDGILSVRPRESNGAAKEGRTKLEMS

>RCO7_14050 | uncharacterized protein
MLPRILATNQQSSTATHLAPFSYESELRLFQQQEKRFQFFFPLPNI

>RCO7_05319 | related to glycosyl transferase
MFIEERVAVRTLEVVEDTRTAELPRDVVVIWHPLVARICIVTWRLYMALRFYLLVTSRTSSLLQWGFLFAEWSIAMPCGDSQRLTIAAGVAAQSRPR
RPLLRAIGSNLPSIDVLIPCCGESHEIILNTVKAACMLDYPVQQLTVALLDDGNSPQLRTAVAGLAKNHANVRYVARGKKANYVFSKAGNLNHALLN
VQGIDWPAPEYVAVFDADFIPEPQFLRATLPHLLRSSKVAMVSTPQHFYNLPATDPLLQALDYGTSILEPIQDRRGFAVCSGSGFLFRRDAVLQVGC
FPTSAFNEDHLLTALLLRSNWEIIHTQEPLQFGLVPDSMEGHIGQRQRWSLGVVQMVNIWRAKHLTVSAAHRREIAKEGFMFGVYLMQCVFTMAIVP
IALLSDQQLVSYSAKWELKTVLILALLYHTACWVHEYVTAISSNFLCSTFPHLNQVWLTIPQLMNLTRYYTFTLLGRRDKVMPLPTFSSGTSWAALS
PTAQAKPQQQQQPQSQPPSPSSIYRLKRLLFHSGLLVHVLLFFLVPVSLFLSLRRTCTSLSICPAALQKAAFPPAIWLSYVVVTQCYVPVSHLLKTT
VWPDRESMLVQREPGGVFYPSLAARDRALHRRKERVGAGGHFLVVLGVFLAVAVVGSAGGLGGLGN

>RCO7_05320 | uncharacterized protein

MTVPKLRSSIFFASSSILLFVQFLGTAASGWLLHESPWLVCPVAAGVCAATIPISACELLWTALGRPQLELMQGEEIDTGSEHDTRPNRFGHGEQGY
IPLPSQEITSSHPLIPENSAPLKLSRVKVVSRVYPGFAPALSFLTLMHEKFMRHRVIQVALLMDTTIVLGMGQNMIVQQWASQVFSWSLSDTTFINA
FTMFVSQVVLALTPMLTSQILPLCGTGQDMDWSLTQVNLALRACGAFAMGFSTSPPAFFTAIFMYTLGVGLLDSSKALLTSFTSSADITELYTIQMM
VQNVAGMLGSELWPRLFAQQLKNGGLWVGLPFWASAALYLFAIILLRRLPSLWLSKKLDDQAPTT

>RCO7_05321 | uncharacterized protein
MFTPSNREPEDVPAGQQMTELLYSEHVIKLKSVLVVPIPGFSAANMNQKIDVAKYKPADLQTKALGFCLDTNLGMLLQTTDRYPERFFHYHLSIKHH
AYTRIYHGFTNNVFDRSNLVLPPLVLICDAYDNRNLAGPPG

>RCO7_05322 | uncharacterized protein
MGGYAKVAQWMAKEEEFSIIRRFGALSMQKLLYMQAELIHLQSELDQLSKRDVNNRERQFHSKDWYSLSQGETKEDLEQWQKFLEISEKLEVYNAKD
TAVLKHTAMGKFDRPREYDLEFLRSWFRRPGMGSFPLLGLDRDAWDVKTENDIIAIKPRETPDIFSRWFAESFIPRYHRVFGQRYRKELPDNVGSGI
YHYRESSLASAFRILVTVMASLLPICSVVALFLVESDGLRLGLLAIFSACFSLALALMTRARPVEVFASPEDQRFKR

>RCO7_14041 | uncharacterized protein
MPDQYPNERQYAQDALNREMMWTVASVFGVSREPEQDMWKREQGESHHSVNQASWTSRSYSENSQRSEDVVYRVAHVFDRKHGKTKEVTVMEDSCFE
VVAPVTHATLKGSFESNQRDEINWYGQKGKGNSRFYVAPIDAPIQLELLVGMAFQYEYPNVFGLPALPGLALLNVQTKVKEGEGSQIQSDQMNADAQ
AADLAREMRAKKEKRQKDKQKQTNSSSSTKSRLSKK

>RCO7_05323 | uncharacterized protein
MTPLSKCQKGAINGAFEAAIEEGRVLNDWEDVETYLKEAYIGGDLKANAPQIFSCYLSARRNHDSRPTLPPSPVSSSSQKSQASRVPNSIEREGYSE
EPSDTLPRISSKEPPCVCFFDPSSTSFERFDAKYCEGGTSYISRKFVEDKKLGKQRSYILLRWQETGPEEHRFRTRCEVIDADQLHGCDVALAEECG
KSDEESVSELNFGSSESDETGK

>RCO7_14042 | uncharacterized protein
MRLQDEYIYRPNARTQAALYSERVSPPDVIRPYKHRYAVQVTKTSITAERKCVDATILPGFPASPTISRDSGGHRREEGKD

>RCO7_05324 | uncharacterized protein
MSLYNPLDDGRDEIRLLTLLPKLQRTRGEVVQCELEIRSLSDFNSQYQAFSADFPPSNESRSTINWIRSSSQSEGSIEDLSPTPNREPLVAHHRFNW
GDYAALSYVWGDESKTRSIIVNGRELKVTRNLEEALRAFRERSEFQSKFGLWADAICINQNDFEERGRQVTKMREIYGKAWTVIAWLGVEGNQSDMA
IELVRKLCRFRNTQRTSFDLALKLTREPGYLGIGCWHALMQLMERPYWHRLWIIQEMVMGASSVVIRCGTSAIDWTSFCLGIEILQEDLWLVKDKLL
QRDVAKAGGVWQNAGWSTTSLHLVYRDLSGLSQQIEQRENGPSFWKLIDIANSADCRDSRDKVYGLIGLMSVDLAKEIVPDYTIDPHDVYTEVSKAF
IQIYKSLDPLREANPWGPTNTPSWVADWMWDGGRLSLARIENRLWGPAWLSGNSIPDASVYKPFEAARGSTSEMTFTNSRLLTCTGFVVDSIAGFSA
RGRGFFAWSKSTIVQAMQWKSIYGDFAETSKALFRTLVADRVGGGEKACDRHVVILNLPSNFKVAEPQFKQRGWTWLARQEFYYFRWEEWRKANKDL
QLGDCRLDDFFSDEIPLNASEYDFTEVYACFDRTCQKRRFTLTKNGYMGWVPDNIHGSARDQTRKGDLIAILLGCSTPIVIRPSGQHFQVIGEAYIQ
GLMDSEGMEFLTDGKLEKQSFVFC

>RCO7_05325 | related to glucosidase II, alpha subunit
MKDYVFPSKPLANPKSIVQGPNYRFTILTDRLFRYEWAEDGVFEDQASTFAINRELPVPKFRTVDREEEVEIITDHFHLSYDKKRFSSSGLMASFSA
KITLWGAQWRFGSGRQRENLGGTARTLDEVNGRCDMGEGVISRFGYAEIDDSKSMLFDGKGFVAGRPAGDRVDGYVFAYGHDYRGAVQALYQISGQQ
PAVPRYALGNWWSRYYSYHQEEYVALMDKFKRMDVPLSIAVVDMDWHMVGDDAVPHAGWTGYTWDKKLFPNPEKFGKDLHDRKLKITLNDHPHAGIH
YHEDGYEEMAAFLRHDTKDKNPILFDPTNPKFMEAYLRILHKKIEDVACDFWWIDWQQGEHSKVPGLDPLWMLNHFHFVDSSKKGDPLIFSRYAGPG
SHRYPVGFSGDTVTSWASLEFQPEFTATASNIGYGWWSHDIGGHMGGSRDDELVTRWIQFGVFSPIMRLHSANSRWSSKEPWLYRKESELTISKYLR
LRHRLVPYIHSAAEPLIQPMYWDFPDKDIAYSVPNQYFFSELIVAPIVKPRSKRTNLAKVKAWLPYRCVDIFTGTVYDGGEVDFYRGLEDVPVLARE
GSIVPLDVNPTNGCLKPDEFEVLVVVGKDGEFGLVEDEKTYKVTYDQESGTLKSDIDRPCTFRFLGITSKPSGLKAPSGAEISFEAYPNVPSMWIKV
PGVATISLGAYPQLSKIDQRDRIEKMLLDYQIEFDIKDQIWNAVVGDAGMNVKLRKLMALGDEELTGPVLELVLADGRDA

>RCO7_05326 | related to Putative oxidoreductase C1F5.03c
MAETTQRNIVIVGGGIIGCTTAYFLTRHPSYNPSKHTITILESQSVASGASGKAGGLLALWAYPSCIVPLSYKLHAELAKEHDGEKRWGYRALHCGS
LSAKGKDYSNIPSSGNTNGKQENGDAPGGAKAEWQKLPKAPYVKTGPLHRAHPKDLDWFDAGAVTAYSEMGNPSTTAQVHPYHFTTSMASLAESSGA
KLILGSVTSIDYAGPNGVKSVTYEDKNTIESHSLEATDVILAAGPWTKHVFPAAPIDATRAHSVVIEADVSPYAVFSDIDLPKDFGKSGEGKRRKHG
RSVAPEMYARPDGTVYACGEGDTLVPLPANSSLVEISQSQCEDIISYVGSISAQLRNGKVLTQQACYLPSVEGGGGPLIGNTGIKGLFMATGHTCWG
IQNSCATGKLMSEFIFDGMALSADIRELNPRRVL

>RCO7_05327 | probable HYR1 - glutathione peroxidase
MRVQFLRTSLQTKAATPFKLTSTRLALALAPAARSKQFFSPSTTSVVDTRNPFARQSHFHTQIRNMASATSFYDFKPLDKKGTPVPLSTYANKVVLI
VNTASKCGFTPQFEGLEKIYKSINSTHPDQFVILGFPCNQFGSQDPGSDDQIQEFCQLNYGVSFPIMGKTEVNGDKANPLFEWLKEEKPGLLGMKRV
KWNFEKWLVGKDGKVKQRWASTTKPESLEKTILEEIAKGEATKAEL

>RCO7_05328 | probable NAD binding Rossmann fold oxidoreductase
MATQEVKPLNVLMVGTGEYTTGFVGTGASGSDKKVGVVGLTMFDLRRRGKVGNLSMVGTSGGKYPAIREHLTKNITNFYNGLDTSFQSYPSDDKTDA
SAYKTAIDALSPGSAITIFTPDTTHYPIALYAIQRKIHVLITKPAVKTLEHHQALLAAAKENGVFVYIEHHKRYDPAYADAKFKSQNLGDFNYFYSY
MSQPKSQLETFKAWAGVDSDISYYLNSHHIDICESMVQQRGYTPLKVSASASKGVAVNLGCDPATEDTISLLVQWGLKSDPSKRATAVYTASWTAPQ
KAGVHSNQYFHYMGANGEIRIDQAKRGYDVADDSMGQLMWYNPFYMRYAPDEEGNFAGQAGYGYVSFEKFVDGCVLVNREGAAALDKLDGRGLPTLR
NTVATTAILEAGRRSLDEGREVGIVEENGVWSLV

>RCO7_05329 | related to small oligopeptide transporter, OPT family
MVRLWGKEKDAGVSSAVDPESSGAEGVHNAEIIQRDLKALKKSAKWDPNLPREAQEAIDDAIRSGDLEKKAVIEHTLLEEDSPYPEVRAAVRNYDED
VPANTARAWIIGLMWCTIGSGVNMLFSLRNPSIYLTPIVTLLLSYPFGVAWTYVMPTKKFRTFGKEWSLNSGPFNVKEHTIIIIMANASFGGSTAYS
TDVLLAQEVFYGQKFGWGYQLLLTITCQMLGLGLAGLSRKWLVEPAAMIWPSNLILTTMFETIHTQKTPDALKSGTWKIGRYNFFLIVIVSIFVWEW
FPLWIAPFLSAVTFVCWAAPNNVVVNQLFGGQTGLALIPITFDWSIITAFLSSPLIYPFHAIANTMIGVLIFTIITSIGVHYTGAFYSEYLPMSTGG
NFDNTGVKYNVSKILTPEFTLDAQRYSEYSPIFLSTTFAMAYGLSFATITAVLVHTYLYDGEEIWAKWKAARGEGADVHQRMMMKYKEAPWWWYAAS
FVLMFALGLTTCLAYDTHLSWWAFIIALLISVFFYLPIGIITATTNVGIGLNVITEFIIGYMQPGRPLAMMMFKMYGYITVFQGLFFTQDIKLAHYM
KVPQRVTFWAQFIATLWSCIVQIAVYNWALGSIDGVCEKGQKDHYTCPGAGVFFTASIIWGAIGPNRIFGPDGVYSALMWFFLVGAIAPVIVYMAAR
RWPNSSLRYINMPIIFGGTANIPPATPLNYASWGIVGMIFNKFIKDRHRAWWSEYNFVLSAALDSGTILCVLFIFFALQLPGKVTSPEWWGGWDGGW

QNNMDWNAGVQKVVNGTFGPSSWK
>RCO7_05330 | uncharacterized protein
MSIVQNIAFAEPLPLQNRQNLMLCLNKQWVENSSSLWPTWTESHIIFLIRRFDLCSISADKIAPTLIDTIVLATHIYLDLAGWESTHYDRFWEKTNL
KIGYLHASITKMTDRSFADQYCLQRLHAYHQQKVKWTSHAADRRCVQHMSTTFRPPKMSQSHFAPHACPNTGQVSSPTLSDYKKDGLDVWESLAAND
QAKLFQMQIQTSKNFNNLVKIMNQYCKDLRSGAIAWQQAANRSSTKNTATLSTNHIQNALRVQIDLPPSTLSNSRSLKKVDSGGRSGASPPQFSGLP
SPMNCLEGGFQSPTTPVSSYFPVEGSDEIDMIRPIQETDKDRLVREHKPADRHIQDQGPLDLKAIFQNKMRELGLKRKRQQGTAEEERMNNTDEKDS
KKKRRIPLEIRSP
>RCO7_05331 | uncharacterized protein
MIPSNSSPVTDYSFYRDQNMYRCPIEGCSQSFGAPEALQIHIRAGHTFQRPPDGAMSPSIASSTNNYFNSTSTVRRPSQPQHYGSCLAYPPPRNRQI
LPPISAISSITNTASQVPRQSSSWVETTNWPETTVNFLKKLVHTHALYTKPITPEDNRKLYSLYDEFYEKTDFRTYKPPKFDERLWQLFKAKLEQIQ
YAMMQQGEILKTPDGRILPMRPCSTRINTPETLATPPATPVQGSDKDSDGMEVWNWLDADAQALLFRQQLRSAKNLRGLMLEWNEYCGDKGEKCVTK
PRDPRSVTPSTQSPGPKPLPVPPVPRSTGTIDVKEIIARKLQELQGKKDSDLLRASEEHLSKRPKTDST
>RCO7_14043 | uncharacterized protein
MFKTQIPRIPDDDTGTRQGYVGWQEGTIVGGGIRIKSLTPEDWEAQFQFTSNPFVHLTPSYDDYARDSFETSCRLRDQGIIPQAVRFQVSLPAPVTV
VCCIIHTQNQTRAETLYEVFIRPSVISRIRPKPRSS
>RCO7_05332 | probable monosaccharide transporter
MGMFSANDQSAFKAPDAVYNWRVYALAVSAAMGSTRFGLATAKGDELASLKANIVSTFQAGCFFGAILCYWMNEKLGRRIPLMICGSVFNVGVIMQM
ASNGTIGLIYAGRAFTGLGVGASSLIIPQYISECSPPAIRGRLIGVFEILLQFSLVIGFWVNYGVNENVSPTSDKQWHIPFAIQFVPGTLLIIAMYF
QPESPRWLLKNNRDEEAIKSLTYIRQLPADDAYLQWEVETCKEQIQLEFDSGANASFVRKLKAVFAPGVRNRVAIGMALMMLQNLSGINALNYYSPT
IFASIGFTGTSTGLLATGVFGLVKAFATLGFMIWGIDKLGRRKSLLIGSIGAIIAMFYLAGFSNLSGSFGGTAKQDAGAYVAIVMIYLFAIFYAMSW
NGIPWIFCAEVFPTGTRSLCLVFTTCTQWLGQFIIVYSTPYMMENVKYGTFIFFGSSLVVGIIFVILFMPETKGLSLEDMDIMFNLAGLAHSMRAKT
DAIIAERRIADDMDRSGIKNDTHMVGNVEKTV
>RCO7_05333 | uncharacterized protein
MALRMGIGDVFTLCKSAVDVCSRAIHEEHEGTNTLITEMKQIRSHLKSLEVQIGDESAFKKAPIIKRSLEPLYRDLSDLRATLHACSGPRKPSIHVV
DQVRYLVLYKAKLNGFQQKLPAHRASISAIQDLIECQTSSARRESMVRLDGFVEDQERNRTRADDYEKAQSQVVSMFQERISRQSPAIGEKLNTDRL
LGSLEDDLVEKGLKRDHAERVLFPITKALLRQPILATLDKRTALPNLEFKLDLFEVKSDPREASKSWIDATGNETRDDVSLAPDEEVDDLDCRR
>RCO7_05334 | related to multidrug resistance protein fnx1
MANHNSSSSSARADEETPLLRDNDNTKLPQTNGDDVQEGSGEQVVIPEELSSKRLFITLASIYVGVFLGALDSTIIATLSAPISTSFNSLSLLSWLA
SAYLIANAACQPLSGRLTDIFSRRTGLLISNVLFAAGNLMCGLATSEWTMIGGRVIAGMGGGGLMAISTFVSSDLVPLRKRGLIQGLGNLCFGTGAG
LGGIFGGWANDVWGWRVAFLAQVPFCVLSGGLVWWFVNVPAKKSEKSKLSRVDFLGAFTLLVTLVLLLLGLNSGGNILPWTHPLILASFPLSSAALC
AFVYIELYVAAEPVIPVRLLLNRTVAAACLCNWFTTMVTYMVLFYIPIFFQVKGVSTTASGMRLIPQSLGASIGSLGCGIIMNRTGKYKALSILVLT
SFCVGTGLLSTLSLYAPDWPGYIYQFLIGFGYGGMLTVTLLAVISAVDHEHQAVITSATYAFRSTGSSIGVTIASAVYQNILVSSLHKKFDGYPGSE
KEIRKIRDNFNELKHLPKGWEHGVKDSFAGVLRGVFLTALGIAVLGAFCGAFMRQHTLHKTLARRSSDVS
>RCO7_14051 | uncharacterized protein
MTTDIGVSVSLYFCYSRIKIRWAFAAFSLSAITLCLNLQLADVTLIWNEP
>RCO7_05335 | uncharacterized protein
MYERVDTIAKAHRKTLGGVFEGGISQDVQWSPFADWLKPPSGIYWISGKAGSGKSTLMRYITQDPRTVAVLQSWANRPVMDASYFFWKSGAPDQASL
IGLYCALLYQILSQEHHLIESIFSPELKR
>RCO7_05336 | related to 2`-O-ribosyl phosphate transferase RIT1
MHTATTASEIIFSEHANHNFSKTLGELKRSTLSVRNRLESIRHDAAFAQRVAEAFGRPLIANERCGSWYIDPKSKGGSAYFKSTDGHTGVWKFSSRR
LNLHLLDIIGKNDGCIVVDSTRRGKRMPDALSKTIPIWCSVLNRVLFHDTPESHSLYTPPQVVSQSEHAQISVLLSSFAEAFLSLKLSLDEFRTNIK
KPMRPIWVTPDSSLESTSTVFEGFHPIICCTVSRRVAGGEVSEGGYIQGAGDDTENWAHGLSPPIFWNNMNTLLHADEHGIQDLIEKLVEKAQSTGL
GEQAIRLVKPTTMLFVAPAESIDGQNFGTNACVINLLPKSTDQSTWQTSPTRSDVGLGPHKLGSRNLRASLPFIVGLIKQRLAQASSDEKHTELQII
VTCENGKDLSIGTALAISCLFFDDKGLLLDESKNPISIDKDFVRSRLGWFSKSMPDANPSRATLQSVNSFLMERIV
>RCO7_05337 | uncharacterized protein
MALRKAQHKALHFSVEGANDNTWGYGQTTAVFLWAPFLLDAIREKIAHNNKLRADIVAESAIELDDLQGRSAEQPWTSSDALTTDTEIYRRGSAVYI
KQTAQQDRYAADYAETFVSCVMRRDTEARIEGRDGIRKQSMVRAATWQDGHLNVMPAAHI
>RCO7_05338 | related to alpha/beta hydrolase
MPSRICLRSSPFHQPLNLLRNFSSQKGTTPLKLAYDLHSPSKPSSSAPRAIIFMHGLFGSKTNNRSISKALARDLGRPIYAVDLRNHGHSPHDPNHD
YLSMASDVEGFMTDHGLEKPTLIGHSMGAKTAMTLALRSPDLIHDIISVDNAPVDVALMSSFAQYIQGMKQIEEAMVTKQAEADKILADYEKSLPIR
QFLLSNLYQPPQVTTKKFRIPLHILGSALGNLGDFPFKEPGKVRFEGPALFVRGLQSKYVPDESLPAIGEFFPRFRLADVDCGHWVISEKPEEFRRA
VVEFLTPNDD
>RCO7_05339 | related to GTP-binding protein rab18a
MASDESLPTLKILMIGPSGAGKSALLIRYCDDQFDNESSTATIGVDFKVKRLSVHNTAYRLNLLDTAGQERFRTLSNSYYRGAQGIILVYDISNRES
FLSMSRWFDEVENNAQPGAVTYLVGAKLDREASRTISREEGERLAEERGAVGWCEVSSKTRENVRKPFLETVGEIVKRPELMSKGKRAGGTISVGGE
GQAEGGGCAC
>RCO7_05340 | 40S ribosomal protein S1
MAVGKNKRLSKGKKGLKKKTVDPFTRKDWYQVKAPSSFQIRDVGKTLVNRTTGLKNANDSLKGRIFEVSLADLQKDEDHAFRKVKLRVDEVQGKNCL
TNFHGLDFTSDKLRSLVRKWQSLIEANVTVKTTDDYLLRLFAIAFTKRRPNQIKKTTYAASSQIRAIRKKMTDIIVREASSCTLTQLTAKLIPEVIG
REIEKATQGIYPLQNVHIRKVKLLKAPKFDLGALLNLHGESNTDESGQKVEREFKEKVLDEV
>RCO7_05341 | uncharacterized protein
MASKSQSRNSSPKLSSSRRPKLMRASATAPSLATSNASRNDLATLHDARAATLLSRVASYSTAQQNYEREHRQSTGSVCSSRQGSPGSVDRKEPFEI
VIQQSGNYYSFPSFEDFQEYHHQNERHGSP
>RCO7_05342 | related to GTP cyclohydrolase II

MSTPPSDQNDLLKEVLEAVKALTINQTLLTSQVDAISGRVNVLSGLKEVRDAAGGESASKSSVKRIEPQALHESPSSDDIVPQSPSLPATEIGSLAG
PSSPSTALEHLRKPSTAGGTSRIILTTYPSQSGINPLPMDWGHKDPQERGPVVVSRTQTTIRRRNAIGAHGGSYSIYYALAVASNEIAVDHRPDFTN
TEPAANIGPFSQWADKKKIVSMDPLGHLAPWLFKDIIDKENVDIRPTIAITRAHMKLPELEESVRAGRLVPDGKVCLNDSGELAVTKFAVEPVWYLP
GVAERFGIDEGTLRRALFEHTGGSYPELITRGDIKVFLPPIGGLTVYCFGDPAKMSDEKVRLALRVHDECNGSDVFGSDICTCRPYLIYGIEEAVKE
AQKGGSGVVIYFRKEGRALGEVTKYLVYNARKRGLDRASEYFKRTENIAGVKDMRFQALMPDILHWLGIKKIDRMLSMSNMKHDAIVGQGIPIHERV
ELPESWIPADSRVEIDAKITAGYFTTGHRMTEEELAAVKGRSWEDPIEKSSYQTTPLT

>RCO7_05343 | related to ELF1 Protein required for growth on glycerol mediumTranscription elongation factor, implicated in the maintenance of proper chromatin structure

MGKRKAAKKPQGPKKNAPLPSTFDCLFCNHVSSVIVKLDKKAGVGALSCKVCSQHFQCAINYLSAAVDVYSDWVDACDAVAKGDGDEIEGDDRDRDT
QRAQARLPSGGAARPRARPRDDDEDVDDLIDDADADEDDGGYGRDRDGVIADDEY

>RCO7_05344 | probable uracil phosphoribosyltransferase FUR1

MSSPIKDTPQQSLGPEYRPEKQKPIATVSKEVPFENVHTLAQTPQLIALLTMIRDKATSRADFIFYSNRIIRLLVEEGLNHLPVIEHTITTPVGRTY
AGVQFQGKICGVSIMRAGEAMEEGLRNCCRSVRIGKILIQRDEETCLPKLFYDKLPEDIAHRWVLLLDPMFATGGSATMAVDVLISRGVPEERILFL
NLIASPEGIEVFAKKFPKLRVVTAFIDQGLDEKNYIVPGLGDFGDRFYTM

>RCO7_05345 | uncharacterized protein

MATFPDGILPRKKITTYGKATRKRIPEYHGFESMARKSQTPDIQSKNERPGSASTASTAPTLPRPTTPSTLKGTRGRSKSNSPVAKSGNIFDVPESD
DESSAPKSHQRKKKVTPAKGKTPRLLQVSKVPISKPPVRIFDVSESDTDAPTSKPTARKLVRKMAKPPAKPKPVSRRSSSKTPAPPSPTKDIYDIPS
EDEAPVKKLARTPMVKKPQTSTVEQQPISISSTPTTMPKDVFDFPSSDDETILAPKLVQKVIKKTVSNGVSQVNHKPPTHGSKDMASRKKMKLSPDE
SSLKTLPSSHVSGAVTRPRTKVMGARNTSPKSGQFPTMVARPKLQQVQLPQTPKKLSLSPEPEDSTPSINLSDIDMMDLDPTGRHISPKGKKMWQTL
LEPEEDSKENTTVSDESNLMEAEEKEPSHGRVPYAPKLQSLLSRPAGVKKPTQKPSRKIPRRRLIDSLVEQAADFSEDGSDDDTRDPSSFDIVMEDA
PDSQDVLQPAFISESQSSQVAGPRFTYAKQRSMLNEDDLMSQLAMELPSVPPQNAQGRRGRRASIPNLKPLPSFHEDVDDENDSVAAVRSVHELRQA
GANNRFLDEVQDFLDRIGSPGKTTPSIRRSGLLDLANKMQDKNFSRQFRSNGMEQKLFLHLGQESEIISGFLMVTILVSLLMDGNMPHIVAQLRRQG
ITRLLIRLLECQSDINVVAKDRKSNMSKVAQSLVSEYHQCILQFSVWEDLKPQAISPRTIALKCLELMVRQTREAGNGADVFSKELTTTLFAVVQAA
SDDQSWVLPNEKSAIDFYLALSALESHSITARTVQDETIWINEYLPIIGDTLQMALGRPLETFGVLQILLLRLTLNVTNNNPRASAVFARASLISAM
GQMIVTRFNQISRFMLEEDLSVAVDHLILVLGVMINFAEWSPACRESLQTLNGHASDPLDAMVRAFADSLERSSQADSVQESQKNVAFGYLSVLLGF
LSLLPSLSTRISALQPRTTLKPIVSSIEEFIGHHKTVDLIAADEEGFSPQTGLTERLEGLVGKLKGVVKEGKN

>RCO7_05346 | related to vesicular transport-associated repeat protein Tb-291

MFLAANPEKGKTAEEKEALKAKYTAGDNVLQKVEAREMSLRERRIEDADRRLMDEVRNLSLVEVGVENEAARRERRRREDGRRQRAPSSRDASRDGG
RSTGDRERDRERRRRREDETDRRRTETGAESTEERRRRRSRERRSAARQIEHQSSLRSLISSSDVDSREMEEEILRQIREEGLLDGIDLENIDVSQE
DQISERIAEAFRRRQSERTRLEPARRSATSTRSQRPEARSVPDSRETSGDDRPRSSSTRRGLHSRSASAVTAEQTGRPPRSMSAAQAAHLEVQSSDE
GRHRRRRTGSSSSRRTTTAPVPVVESEVRPAARSQTDLTSRPQLADTRPQSVHLPASRPLVSNASRSSTHPSVQQIAELPVPSQNLPASQTTQNSSP
GLRSSPRSENSLPSERRTQAPPSNIIVPASASSVALVDSLDMSLMPAPLSPRDPGTKMSLSDKSNALQSGSRPNSSSSAGSRTRSQLYPEPSLTCAR
CATTHIEYDLHYNCGICRNGDYNICLSCYRSALGCLHWFGFGQSAWDKWQIKSQSGEQIERPHMLIASRYLPPRSTPGGAQGRKTLTNEDPLKRLQS
GSFCANCLAWANECYWLCGICNEGDWGFCNLCVNQGKSCTHPLLPLTYKPAESNISPMSPTHDQQTPVSASILTGPGVMDLGNFKPLTFSTKCDICR
YPIQPSQSRYHCFSCVSRVPGTFPGDYDICTTCYSKLVITSRRISAENGHNGWRRCLQGHRMVVVGFEDVRGGQRRVIVQGLVGGSGLNEQTFPRKD
ISNPSLAATDLQKWSWGDGTHTKDDDTHFKLVTIDVMKSPPMPGTFPDLPALDANFPPDGGVGMICAAEWSWYPAEGADDELMFPKGAEIRECRNVN
DDWFHGTFMGKRGLFPSPYVRVLDRGPGM

>RCO7_05347 | uncharacterized protein

MGAVDFGRMSNSLVAPLRTGLIISVVVFCLIWSLLSLDLHVTSIKIFHGGDQKINSKPQNNATTEHTASVQETSSPAKNTTVIVTVPATDGHGNSTG
GHVQLDLSTISNRPLILYAYADSKDGSALANFKFFIAHGLHAAADFIIILNGETSAAALIPTKDNIRVVHRPNTCYDMGAFSEVLQKDGLYKRYKRF
ITMNASIRGPFMPYWSEGCWSDMFLNLVTDEVKLVGMTANCWPTFHIQSMIWATDLIGITTLLFPPKKALDYLSTHPITLPAPAPPPKNATHAPPPP
PTIFGINSCFSTWHSAVRAEVSSTSLILASGYKVDALMLAYQGLPRYKENLTCKENQDLLFSGNYFGIDVHPFETVFMKANRDVAPKVLERYSEWME
AKKYSSYDVCKA

>RCO7_05348 | related to RNA processing factor 1

MGSSHKPPSAKAHLPFRTGNKFRRQDLHVKQKKARDSLRRDERFKRKREEDKNPEMREARLAKNVPMTIDKKRVWDEVEGDGLSVSVDVEQLKRRRI
EEAEAAEQGPLERAEEEDDDADSMLDSESESEGNDSDAEDAEPKSRPRASSTAASTTSTNLDLTPSSLSLKFPTLFNDEPPPAPKILLTTSINSTLH
HEADLLCTLFPNSTYIPRSSHRYGHKFSLREISKFAANRQYTSVVLLKEDSKKPTGLTIVHLPDGPTCHFSIANWVDGKKLPGHGNPTNHYPELILN
NFRTPLGLLTARLFLTLFPPQPELQGRQVVTLHNQRDYIFLRRHRYVFREKKETEKSVVGPDGKVVEGVEGIRAGLQELGPRFTLKLRRVDKGIGRA
GSEGEDAVQWQWKAHMEKKRTRFNL

>RCO7_05349 | probable glycine--tRNA ligase GRS1

MATTTLKGQPFDRQAMDSMLRRRMFYTPSFEIYGGVAGLYDYGPPGCALLTNIMDIWRKHFVLEEDMLEVDCPALTPEVVLKTSGHVEKFADWMCKD
PKNGDIIRADHFVEEILESRLKGDKEARGVKVVEKEDDPKKKKKKVKGAIEAVKLDDAVVQEYEEILAKIDNYDGEELGALIKKYEMKNPATGVEPL
PPVAFNLMFQTAIGPSGNLQGYLRPETAQGQFLNFAKLLDFNQQQMPFASASVGKSYRNEISPRAGLLRVREFLMAEIEHYVDPDGGKKHARFDEVK
DVELVLLNKETQLAGKTDVAKVAIGKAVADGTVDNETLGYFLARIHLFLEKLGVDQSKIRFRQHMANEMAHYAADCWDAELQTSYGWIECVGCADRS
AYDLSVHAKKTGAPLMVRERLDVPVTIEEWQIDLDKKKFGPFFKKDGKTVEAAIEALPQDKREAFAQDLAADGKITIDVEGVGNGKVEVTKDLIVIE
RRTRTENTREFTPNVIEPSFGIGRILYSLIEHNYWTRGGSEGGDEARGVLSFPPPVAPTKVLLVPLSSHESFKPLLKYMSLKLRGLGISSRVDDSSA
SIGKRYSRNDELGTPLGITIDFQSVKDKTYTLRDRDSTKQVRADEETILKAIKALVEGEKKWADVEKELPAFEGQETESPVREEN

>RCO7_05350 | probable C6 transcription factor

MYDSIASVNTIASVNFHVSPFCETGETYPADDAATMSSFDEYAANPRFLELQEELRAVLFTGVASHTPSRSNSPTQSDRADQPDVPASSTRTFNIDF
TNLSIPKVRLIKYLKNWIDVCAPHLDKFDEERHFGIHAPIIARSSPALLYAILAFSARQTERRNRHEEYTDSLELYQESIRRLAPCLQAKEPNVLVT
VCILACLELMSVSPRDWRRHVEGCAALMGSLNVNGMSGGLLQAVFWCYARMDLCGALTSNDAESMVLHINKWVPTVSGFCSSLEEEEDMVKDMFFQK
SRLVPDMHANWAVYLCAKTCYLVSRRTRYLEFGEVDTFDPRPFQSQWTRLWEELCFWTEHRPPAMLPIKTTSASGSQIFPEVLFTHWAAISGNQLYH
TACILMLEVAPQSQLLQPLMPHYSAIWHARRVCGISLTNPHSGNLINAIQPLYIAGKLFSHRSEHLAVAKLFKICESTTGWGALWRLKDLERVWGYN
AGEILAMI

>RCO7_05351 | related to quinate transport protein
MVTQGTSNVEASTREHCRQRVVIEKKTMWQSLRYNPKVLLIAFFASFGGFEYGYQQGVLGQSLVMWKFKDNFPSVVESSTSTGWLTSVLQLGGILGA
LSAGVIGEIFSRKYTMFFACLWVILGSYLYIGAQVNKPGLLYAGRFFTGLGVGIFSGVGPLYNAELSASEMRGLLVSFYQFATILGIMLSFWIGYGS
NYIGGTGEYQSNLAWRLPSIIQGIPAAALASGIWFMPFSPRWLVKVGRDEEAKKTLAWLRKMPMEHESVQIEYLEIKAESVFEERAFAKAFPVMAGK
EQRGVFMTQVAQYTNCFRTKDNFRRVCTAFLIMFFQQWSGIDAIIYYASNVFISLGLTGGTVALLATGVTGVVFMASTIPAMLIIDRVGRKPMLIWG
SVVMFVSMVVVGVIVAKFRHDWPNHVVAGWVAVSLIWIYIAGFGATWGPVSWTLVSEIFPLSIRAKGASIGAFSNWLNNFAIAFFVPPMLENWAWGT
YIFFAVFLFAGIFWVHFFLPETKGATLEEMDSVFKSHAGEEDAVLLREAQRDVGLTAYLEGNLSRNTASTSIEKGLDQKVKV
>RCO7_05352 | uncharacterized protein
MIEGKQRVRTGCLTCRRRRRKCDEKKPSCENCQAKGLACSYGTKLNFVAQPISGRRQPEERPPGNVPYRQITFVNDVPAAAGNENFSVEEAQDNLSD
EPMSQDSSTTQAQTLQHESTIISTPRDRTRSLNITSPQNQHGYDQTMAASPSESKVITGSLGKQADSPRNERHYVVSPHSEQSVDLRVRARSIQETE
LLRYYRYHLAAWLDVGSAESFFELKIMLLGSSNRSLLAALLTFSAYQRSLTQAEQQRDDLEISRSYRSEAEYRLPFEDGSVNRIVKVLLMLGDFWSS
SPQYWRSFLSQETKILVHHSSLSMTEELDQPMFWLLLRIDLAASICSCQLPLTPNLSVVLENHLLAKSFQFPLLQRQNAIQAYQQSLFLLARCLCLI
YGDREGPYMNQTHRTPSTSHLNTSLSLSASWLSIWNDNQECSLALLSNAVYHITSLLLLQKRPWLPEELAGSRQSKSSNWHAHSIAGIATGAERLDQ
WDPILIAGVLLVAKGMTHEMQQNAMLECLMKVTSLTGIQLHHEIAVLKSEWSISRYVENAVYQHD
>RCO7_05353 | uncharacterized protein
MILSSPTPDTPSTVILAVPVPLPSLSSTSSALPPEFSSIGFMLTRQNGSAAPAAPTMLTSTSCPVLEIHDARTQATAWFAPFPPAKSESDVAMRGFP
GPGHRRVKVTKPVLREPTIQMLEVSAMSKEWGIILVTFCGWQGLLYVICCLMMKQAGLQRSKESW
>RCO7_05354 | uncharacterized protein
MRILISLAVALSAPLTISAYPTQDSDLDNYYPSLNKRENLCNLKAPPALCQPDPSITVAQTAQRAFDFYRAFVVDGDPRKMFSLIDSVYQQHHPGYS
SGPQAIWSLFCAGNKMGTASNTDWCFDASTNMSYAQYPNVDRWRWVDGCVHEHWDQGEKMPAKGKCFDLTKVVQGQH
>RCO7_05355 | probable MAP kinase kinase MKK2/SSP33
MSSPAPLLRPPIPGSRAPGGRGPPRLGLAIPPSPSAKPVDGAVPTIAPPPMRPSGLSLQMPGQAAPGRALPRLQLATPMGSNQTPYEQTSLQNGRPS
VQINTNNNGQGQSASAGSESSAAHSRSGSFGPLDGRASGPTSAGSQYSAFSLASQYGLRQMQGTPDPSSAVGSLYSERSEGGVGMERDGSMNGLEGF
DKLSLERGRTLDVEDLDDDGWRVASMEKRIQELSSLGEGAGGAVTKCVLKGGKTIFALKIITTNPDPDVKKQIVRELGFNKDCASQHICRYYGAFVE
PSTATISIAMEFCEGGSLDSIYREVKKLGGRTGEKVLGKVAEGVLNGLTYLHSKKIIHRDIKPSNILLCRDGQVKLCDFGVSGEFGTKGDANTFIGT
SYYMAPERITGQSYTITSDVWSTGVTLLEVAQHRFPFPADGTEMQPRAGLIDLLTYIVRQPIPKLKDEPDAGIKWTDNFKYFIECCLEKEPSRRASP
WRMLEHPWMIEMRAKRVNMAHFLSTVWGWEEK
>RCO7_05356 | uncharacterized protein
MPNLFTSHTGVVFSLEVPAQPCERHDSICAVDYPLSVDGTMLPRICKDLSLSSHDVDSCFDSHDPDTPPQTDGESGDQIKNRIPSCGSTNPLIEIIG
PDGLQHINDLIPEPVPPFPVVKSPPPPRPNGKRSRRKSSVIDVTSLVTVKMVYNEYGELVEERDMLMRPKSDELSIKQLLRVIKKAYHHELRDRVGK
IVTPRADGRATVLVDDGISRDRLSSWDFKVAHSPKSLNNSIEKLETPDTHTIAVYQGPPRVLELGCSDGNWCFNFKLEQPDWYAIGNPKLSLFSMSQ
GSSEDILSHLSRASEQLLTPSAYRIVEGIDDTNHWSCIAREVAVKDFMSPNAQSDPDDYFGIVHTTQEAPEFTMRNLNCLLAHETPIPHNLYEFIRA
REIFDRVESYKTFLDDVRSMLKPDGVVEFLEIDPRPRAFSEMSKSKKKVEEHKSVPQTDWTDNIADRFKNLLDRELATTVPGWSGRVEARLNATMRP
QDGVAAAHLKSWLQGSGFWDVKQIVLPIPVGGDTRSGQLLKEFILYQLELENCIPKLCDELPKVEISEMDTGAYFMNLHIVTGRKPYDPRPGDLLRD
GTRQEMTASKYDAMARHHDSRASQWKRFDLQEKLTTMMKSLTSLTAPTTLTGSPPPGDADHLALLSRRVEGKSPFMAPPFVAPKPTMKMVKVKNTEI
DPVPATNGRRPSKSA
>RCO7_05357 | uncharacterized protein
MSSQIDIIAILFPKPGKADRIVELLNEVSGYVKANEPGTLKYQVTRGKDEVIMIESYKDKAALGDHGSSKTFKSFQKQMQEEDLVARPMQLKMLKDA
GGFASRL
>RCO7_05358 | uncharacterized protein
MRFSLLVALLTTWALAVTCRPTDTYDLPPQLQPRGFTSCLFPLFNPAPRHFTVNFNTDPIGYTRSRLGDGPWARAGNTLLNWRQFEDLRGISYLNSV
LEVAPPNGHGALHNYEIEIRRTPISNPNAASECFRTTRLNVGQTSARIQWNLDAGYTYHLTISED
>RCO7_05359 | uncharacterized protein
MRTSLPTAIVGLVLLSNPGSAHPHLRAEERDESAPENPIIIYSTYTVIPMPVTSTTALNISTFSAVPMSTPEVALPAIITETYDAVPVPTESVTTPA
TSWSTFEAISMSSMLEIFSTHTETRETFSASSSSNFTVAAATPTVTSTGAAAGVFFTRSGTGCPHATGSGGAAAPSPQANSTASTRTRSLFTLNDPS
STPTPTPTPTPAGFLAKPAFGSSSGVSSSVSTSKPCTSHVPRPSRASRSSMTRPRASGLGSAKMRAKNLGMH
>RCO7_05360 | Eukaryotic translation initiation factor 3 subunit L
MSAFQNGSAPARIIDDDSDVEEEALAADYREQVQYEGMEEMDQGNSMSMAQQTDDIQSRLAAAAQPLDFSAPLEVKFASYDNYCSLFHFILNSDGPV
DLEPPSYYWAWDVIDEFIYQFNSFCSYRNRVARQANNEEEITILREAPNTWGCYSVLNVLYSLIQRSQINEQLAAMKRNEEPMAVAGDYGSKSLYRM
LGYFSIIGLLRVHCLLGDFSLALKTLDDIELNKKAMFARVMAAHFTTYYYVGFSYMMMRRYADAMRMFSHILIYVSRTKNFQKNASYDTKKNDQMYA
LIAICVAFHPTRLDETIHTALREKYGDQLLKLQRGGPDSLPIYEELFRSACPKFISPTPPDFDNPELNVDPLEHHLSIFMDEVKTNMWNPTVKSYLR
LYTTMDLTKLAGFLDVEPEKLRGWLLVNKQRTRQIRWTENGLLDGEVGFSNDLDYAMQGDLIHISEAKVGRKLVDWYLRNLARTYTP
>RCO7_05361 | related to cellobiose dehydrogenase
MRLSDFIASLALVSSTIAQKVTYCASGNVCYAVNVPEVTAQTGKGDIFFQMSGPSTMSWIGLGQGNAMSGSNIFMIYANAAGNNVTLAPRLGVGNRQ
PVSGSTAQLTLLSGSGIMNGQMIANVRCSNCNSWTGGSMSLNDAESEWIWSYKTGEPVSSDSTTINLAQHSRYGVTTFNLQQAAGGNSVNPFAATVA
AITPNTGTNTNTGSTQTPSGSTTGATGSELGGIESTPKFNRILIAHAIIGPIAFVIFYPLGAMAIRLLSFKGLVWMHAGWMVFTYLLVLISMGLGVW
LAVNTKQLDTAHAIIGLVVVGSLLLQPITGLLHHLKYKKVGRPNAGTYPHIWWGRAVITLGMINGGIGLQLAGNTEKGEIVYGVVAGIIWCVWIGVT
ILAFLKSRNKKEGESGETVFGGMRENNSRTRMAGQDSPTLQGGFNSGERPMSQESTVVAESFYRGR
>RCO7_05362 | related to RNA binding protein Nrd1
MASNKVTVEKAYLDTLLRKIWGFTDMALGWSSGSAILVLRKLEIGILTDGVDSSAPVHVPTVTISKAEHDSLLKVSREYDNLKRNLFRGGVVPETLA
VLVGDDAGTDPNGGTSYSTLDDPTDSNSFFPESTDSVPQDTSGNGHKDRNANYTSGNGNGNGSNEPGTNAYANGYSYNDDYNSSPDPRDHFYQAGPN
NNSQSRNQRPQFEKFAKRTILLSNLPDGITHAEITDVVRGGMLLDVYVRANDRNANVSFLEESAAQDFFRYVKRHDLYIRGKRIEIRWNERQFILPG
HVANKISIGATRNLVIQNYNPSHTEQVIRDDLEHIHNLIVIKVDFRGQNCYIATNSVHNSMFARTCMMSRATYKGSKINWDLDECAAPLERPQQSRE
NIPAKERKEKVPLTNRFEILNMDENEEEGSTEDDDLDNSGISLPSKGLASSLRRSRYTSP

>RCO7_05363 | uncharacterized protein
MLPSNKCDDDASACSAPGHHARSIGTETITALAFSSLPFVLTFLAVSFAVLYKLFPLVSSIHKDEQEEHYLPSDAPPSLRQKHAEQGAKSLRRRVVA
VTFSATISLAAVLAELILCEISNSLNPAARTLALKAVVPTLLFFLVVLIPFLELQSIVSASGWTFKRKSNGKLPKTSWALQTLGFVSWLAGFWWLGK
GVPGIEPGKGLNEECLDRVGIVGISLMALLSGFAAVSAPFQTFGTKARPVTEADVARKQAGLDATNDMLALKRSRLRALQRKIKDSPSEGFMTKVIG
SIRGNADTTELKALELEISGLNSMYLSLSSSLSLLQARLAYTQQSSSPLGKVLLTPTSYAFAIYCLYRITSTSLTTIRRLFFPPLDPSTYTSSTSDP
INRILSLLAKHVDPTLDQLAWSRQISFLLSGIILLLSFNAVLQTFHMITKLLPSLLYQAQANLALLIAQISATYVISSALLLRSNLPSEMKSVVSDA
LGSPLEPGLVERWFDGWFLAASAATAVGIYVGRSWGGGNWDDWDEGDVEMGQKRS
>RCO7_05364 | uncharacterized protein
MSAASSSSEELSPRQIPTTNQSPAISPLALPTSNGRNNDNDTNDYIGGTIPRAPLDRIVEHVRAEHIQLQNRSRVGSVSGISFKTTGLKHPTYATIE
GGNKDKAKRKGGMRDVSPPAAP
>RCO7_05365 | uncharacterized protein
MALTDDSSNSRFQHHVSFDNFAGGEGTAKNSTAFTLNMKHRGYQRKRRSRTFMVGVDENDYSDIALSWMLEELVDDGDEVVCLRVVDKDAKVVNDRN
VDNKSYQDEAKKLMARIVSRNDENKAIHIVLEFAVGKVHAVFQKMIQLYEPAMLIVGTRGRSLGGFQALMQVSNSFSKWCLQYSPIPVVVVRPTEKR
NKKKKKRDADPSRQDYARILKESGLEVHESDDVPHNSIFEDPNTAEVEAHAVADALGLPVKYDPAMKPFVLDGRNLRKVESATSDRTSISPDSRPTS
PGLVRKNSKGRRESARRESTQSCDNTSVSGDESSYGEQDDFEAVSGHDLIKNGHGNSRVRLDTNRVVKWTESTSDAAANAPNPNDADPESEGYMSSD
DDELWSQGTAGTFSNATKQKNLDGLFLILEDRAEAATADGTKPLVNTPKASAKIVKGIVTAARKGTDQGWKGIEEIANEIKSLAKEGSEGSTGGAIV
VFKGAIVSPARRGGKG
>RCO7_05366 | related to AGA1 A-agglutinin anchor subunit
MRTSQYSLFYPVLLLCFLTTFTAAWPWPKWLPELDSLVVRQNDNNENSSPAKATPAPTQSSTSPQETGTDSNTDSNSASDTNSKSQSASRTGSQTGT
ITSKPTTSGGTKKSSGRKTSYDPRLPAGGISLLTPDARSTSYYKIGDHVTFAWNYTSLSATPTALNVLASCSANSQTYTLAANLTIANATGALTWDT
GAYQATNQASPLLTQTYTLIIYDADGKVGDAAQAGYLSPFNSYQFGMYVPQEYKPLAEFVCATCSGALGEMERRAVSMMLGMVGLTILSFTWFAGGA
GVIW
>RCO7_05367 | related to galactosyltransferase associated protein kinase P58/GTA
MSSKTKSRWADDEEDTAADLQREREKDEKKRAKAEKQRKAEAEAAQLLARKKQDEADAALRETEAHSQPNTQDLSSRPAKRRKLSPEHADEAEDAEA
KDILPAAKLLRFPAPTWGKCRSVEDYEKLNDIEEGAYGWVSRAKDTRTGEVVALKRLKMDNAQDGIPVTGLREIQTLRDCRHVNIVGLKEVVVGEDT
RKIESIFLVLDFLEHDLKTLLEEMPEPFLTSEIKTLLLQLTAGVSYLHTTWILHRDLKTSNLLLNNRGVLKIADFGMARYFGSPCPKLTQLVVTLWY
RAPELLLGAERYGTAVDMWSIGCIFGELLTKEPLLQGKNEVDELSKIFELCGIPTEETWPGFKRLPNARSLKLPKNPISQGSVLRAKFPFLTSSGAA
LLTSLLSLNPEGRPSAKEMLDHAFFKEDPKPKREEMFPTFPSKAGQEKRRKRVTPNAPVRGEGGAGAGKGAFKDVDFSGIFAGREDEERGGGFALKL
I
>RCO7_05368 | related to DUF185 domain protein
MRSIVYSQTRNSVRIAQRGTGRWKYASPSAAVRWSSSKRKARQWSTPLAKQLYEAITTTGPIPLASFMRMCLTSDMGGYYMSSAEGRDQFGQKGDFI
TSPEISQIFGELIAVWFVAEWMGQGRRKEGVELIEIGPGRGTLMDDILRTMKNFKTLASGIEAVYLVEASPSLREAQRKLLCGNSPMTETEIGHRCI
SRYAGIPVIWTENIRFVPSNPEKTPFIVAHEFFDALPIHAFQSIAPSDSLQEKDSDTIQTPTGIHKISPEIAQQKKKKKGPQWREMVISPTPPDSTH
RTLSTPKSRQTQNPPPEFQLTISQASTPHSLYLPEVSPRYRALKAIPDSLIEISPESHAYAQDFARRIGGSKENPKKTPSGAAIILDYGPLDTIPTN
SLRGIKAHKRVSPLSEPGLVDLSADVDFVALAEAALGASEGVEVYGPVEQGDFLRAMGIEERAGALVKSIKLKEVRAGKWMDEGEEVVQRVDGAWKR
LVERGGGGMGKVYKAMAIVPESGGTRRPVGFGGIVGG
>RCO7_05369 | uncharacterized protein
MSINITRTTFADSPESLAAALNSIFSGTQESTESDLEKLFTPTFTQRADENHPSGFRDFPGFVKHISWIRGFLPPGSVDLKVTHYLRSGNSIAERHS
GEPTTQEDGSVWQGETFMWIELADDGRIDGIVETVRRTILKGPTVVIEGKEAKLGEHGLGN
>RCO7_05370 | uncharacterized protein
MAPLIPSAKATLSYPLYAVDFDPLDSTRLLVGGGGGAGRTGVGNKITLLDTSNPNELTELRDIELSKDEDNVTSLAVGVDTDGSPLVFAGVNSSPAD
VEKGQNKHFRVFRTDASGSAKRMAAEQEKSADQITEVSRSALFEGRESDIYQRITRLSKPFQGQPQLGAVATGLSKAAEIVLFDTTSTTSIRKRGAL
QSNKEAVDVDFIQTGPEEYFFAYCDEHDIYIKKIGAKTDAEEPECIYVTPATRGDERPTTPKFRAMRFLSKEFVVMLTNIASNSGVCLQVFRVPKDG
KGEARLAQSIRLPYSVTKATGLAVANLTPPASRTAPQGYTQFVVAVAGHDISISLFKIDLQVEGAASLISKIKPFRTFKNVHPLQITGLAFSNYTPP
TGPVTAQTPPQGLKLASVGVSNTVVVHTIPLFPVPLSIKRGQSKTPRYVVALPSSAAVFSIEVILGIIGIALASIIVQAIFEVRGTTSIYLNARNHL
PRTIQEHLGRPYEFPRGYKPISSSNTPIADSIVPEVNVHPTGVNHHIGVPLDPVVEQKGADPLVMSEEDSASVPLPVFFEQLQLQQAASRDNKPIIL
REIEGERNGKASREVEVHVHDEEKHGQHDAKLWEELPKHQKEGWKKMLSDAGHWAEEMGETVLKGVLFSELGGLVGDAVRGQ
>RCO7_05371 | probable protein kinase CHM1
MASQNSIYTPGQFMNPGPAPRPPTERPRLHLTPSTQNLPGNMSQMSINSPITRTATSTYTGSTVSLPLARSNPSMDGMGGVSIIKEGWASVKEGKNF
ISPWKQKWLILRKEALDFHKTEGGKISYQITLKDVLGVSRVEAAGTIFEIKRALNGSSTNPGEDDGISRTLQIKTKGDDDLYQWIDYIYARCPGMGG
VSNPTNFSHAVHVGFDPQTGEFVGLPDEWSKLLNSSAITKEDYERNPQAVFEVLEFYSDITKRAQNPNQYPGPTPTSSAMSNQNKQLGYGGSNVAPP
RPVQNNTPNNSYGTPQSSTQAPRRPTPPEQQQQQRLQMQQMATNYVDPQSREDQRQKHLEAQRQRDRELRDKEIEEQNRRDMEAYNASLPKTRPPMA
QQEVGGFGGGSNSSTERYNPARAAPPRPQQGQPQPLRTQRQAPSAPTPSNGVRPPVAAQQSWQSVNQGQSGDGRSPARNENQRPQDPRYQNGSQPAA
RAPAQQQPSRLPAPVQQVKPLNVAAKQPNGGNGIQQNDAVKAAEAALTAKPTQAERKQDVRMSTMSENEVMIRLKEAVSKDDPNLSYSKQKKIGQGA
SGSVYVAKVKENPASPIAREVIRQQGSKAQVAIKQMDLAHQPRKELIVNEIMVMKDSKHRNIVNFLDAFLRNNFTELWVVMEYMEGGALTDVIDNNP
SITEDQISTICLETCRGLEHLHNQQIIHRDIKSDNVLLDARGNVKITDFGFCAKLTESKSKRATMVGTPYWMAPEVVKQKEYGPKVDIWSLGIMAIE
MIESEPPYLNEEPLKALYLIATNGTPRLKKPEKLSKELKAFLSVCLCVDIRSRASALELLQHDFLKHGCALGSLADLLAFRKHAK
>RCO7_05372 | related to triacylglycerol lipase 2
MAAIKKADPKSGSRGSSYHSQQATIADLSVLEKLDLLPAAISTLTSTVLSLFTGVWKAKDRRPRTYFRFVALTGLRTFVARTTTRQQHYISPPTDDA
YEHVCKRRGQTPKSETLHDGTRAHWVGDSNAEKIVLNFHGGGYVLPASDHMFEFMFQAVDVLNKKGKNVACLFMAYDLAPGAQYPRQLQQASSLINH
LIHTLHLSPSNIIITGDSAGANLALSLLSHISHPHCDPSIPRVSIPSPFLGLVLISPWVSFDTSLPSFQENEFKDCVSTPGGKLWSSAFLNCPWPHE
GAKDNYNEAAQAPAEWWSGLLVKDICVLCGSDEVLRDGIAEFEKKLRKGVGSDVGVDVHVLKGEYHDQPNIDLQLGYKEKDEGETAKMVKSWIASKL
>RCO7_05373 | uncharacterized protein
MSRFGSDLGDWDFVLRATEASTFSTVSDGTVEGLSTDYTLCQRAVLEHLPQLKVDCSVCGDAFHPHATVCLACNDVYCKPCLKSFFMRVTKDESLFP

PKCHRQAIDISTIETDFSVEELKTYRDAEQEFTSTNRVYCADPECAKFIIMTQRAMDRASCENCGTSTCMHCKAPAHDGWCPVDERKETLLKFADKQ
GWKACFGCAVDVVRNSATDAA
>RCO7_05374 | probable L-lactate dehydrogenase
MYYASSNTGQSYTHLANGRAFYRHRIIPRMLVDTNERDTATTIFGLKVSAPIGFAPIGINKIYHPLGELPVAKVAKQLNLPYCLSTAGSTTIEGVGE
ANGAGPRFFQFGFTACMLTLDTWQLTWRHHDAAESNFAFYHGTGADLGLSDSVFQKRLNEVGIDPKKQPNEAGAMWIDDVWHRRAWSWEKMPVEDAK
KCVELGVDGIVFSNHAGQQVDGAIAGLDALEKIVAAVGEKTYIMFDSGVRSASNVLKALALGAKFVFVGCLWVWGLSIKGELGIRHVMKSLLADFDI
LMNVAGFQSVDQITRDSIESLPNAAGMNS
>RCO7_05375 | uncharacterized protein
MAPKQGKESVVGDTYLGTIGSMACYTCTLRGGLTDVNSNWRLWKADMKVYRDGESKYEDEETFPSIDDEVISKMERRRKAILWFSVSEAVREKFLTD
MGSRDKTSEDVMRRLFDNVAPEGSE
>RCO7_05376 | uncharacterized protein
MSDESRKRSGADTERFSSQKLSQAKPKTYWILISSCTSGWWPLVGHWDDGVTADSAALKKLGLPATLSTCLDIETAWRGMKNKFSVSSRQLLLRVPP
VSILSRVALNRVFARKGWSCGLPTRPPGAKDTELARDITVTFVVGLVDGRIGEDEDEQAED
>RCO7_05377 | uncharacterized protein
MPSDCVFLEAPMTKQRLQATQQIHLTAKTDRSDIRIDTPTSSSGHWIRSDSTPTPGFLGETSYSATLDSSGLYTSAEIYDEVDMQFDPHDIEIGVDI
LKYLPDQQTSENFLELYISHTSGLIGIPWVIMRQILASIFSTYGHLMKSPREESDLEEISKRIIRAGYGAGTDAQDANGWAASLSGTNLRWDTLGLL
YVAFAYACLPHPDHSNTDYALIDKRNVVKDRSIYVRELKTCVESCIKLSRNSIRPFLCNLLLKNMLLETSMEGDNKLSAWRLNHDLVAVATATGLHC
YQGEPSVAVRSEMQKRLSGCVFRFDKELAMLTGRPPALGRRYYTCPTPLDLDDDVLVAGGEILQEEIAALDERGWNKKGATFPSTLCRFVVLAAMLL
DEIMELFLGSLSDFRMDRVNELRTRTIETFAPIPHLISATKDSLRISAQDPTPLRPVLLWRPLLSRMEYLRIHFLLECLSVERGLESKKRQLEISRE
MVDLTLFPWLERGRGFTITKIYDLDSTLIVYGIPAVGIICTELLKQTRLNHTPSSCITPDIKLPTAEIVQNLSHMIAFLEWIAPDAGNYKLCQHIAK
VIKRVLEQVFQPPTLITDEHQSNKQAEQSTIIGGFEPSLWTAGVNGLGMGLDDLEWLNTVDWIVDPFMM
>RCO7_05378 | uncharacterized protein
MLPIASSDDEDCPFITSKKTHDTDPVLSPTHTSKSLTFVHTLAIISALLSPVLLILLALNIYYNSFRHIHDDDAFTRAIFGDLPFTAHPFGSSGHDF
FHSDPYDGQASALYHGKPFNASQKRTPWDDIYPSDHLAIETPERFGLWGGLHLSNEGKNKDEWTGQMGFNVGILHQLHCVGILKHTVMTYNRTEESP
RLTEFEIYHANHCVEVLREVRLPFLPLF
>RCO7_05379 | uncharacterized protein
MEQSNGFLADYDEQLKPPSSPRQDSPKLDGDDAFASPTTDYESFEEQYDRRSTQRWQYRAIGAGLAILFLIFGTGSIISTTYFSAYPASTSMGECGR
TPEQARQNGCIFDLMMSGWTHPPCYDQELSDQFLRENNFAFFRDREGTQQVTEAEARLGNYKFIYTNGTFHYQHCTYIWAKQVQARRRSVYVLDSQS
RSVEHVEHCFRRVGNPNITQIQLQTGTKLHSSTWRLDCIIGEREVHTEH
>RCO7_05380 | uncharacterized protein
MGPIPIAPLRSQSDRFSILLANRSLLKVPKLVYNLCPGDPPDPGRSHSLFDSWT
>RCO7_05381 | uncharacterized protein
MFDFIRRSSTPKYQNYTHLGDDSGSYYDIQDKSDEPKVGTSFKHVAVLYTVIILLLIIQILSVICIRPISELGSLGSYEAGFATEIRPDAKTLSLHK
VKFSGGVIFDENGTASISHTPGEPDYFGPPSLETEGIWENVLRDRFLKVEAKDWPSEAIQPQEQDLVEGSWRFDGFHVLHCLNYVRKSLSPEYYTKH
KDPPNPDPKSLTHSGHLKHCLEQIRQSLMCQLDMTPTPRTWRPAPAGRKGRGIFHADTDQWHVCRNFEAMRTWMSPLQEYHTRK
>RCO7_05382 | uncharacterized protein
MNFQRPSSYKPLSQSESANEQTISERPWRATIYKHMGWVVASFFAFSTVFLLLQSPRIWNPQIATSVDSFRTGFSTEFNPIKPHIKEQSTMFWGGPR
WYDNGTSYRLRNPSEPTYVGPPSQEIDTAWEVLLKNRYFSVTEEEAELTFGKPHGLYNHPNGVGYLLGLDVFHALHCVEQLRRALDRDHYFNKETKL
AYPDRGHRDHCLDHIRQQLMCHADLTPIPVIWYEGHGRSFVQSDVVHTCRNWDAVHDFVSSRP
>RCO7_05383 | uncharacterized protein
MSNTLSIWDRVSRSGRAGGQPEKTSIATESMEHLIEKTRFDEGFEIPVNRDRLVPSVLTLSIFVLIWGLVAFSVGFVVGGTRRDGKWGTFEHGFHEE
QVVTPSEMFEITQKLFTGGVDFGPDGTETLGFSEYVGEPTPEIDAAWDAIIGGESHYFSISEEEAVKLWGVNYEKYRDRIRGGWTGTLDLFHCLHCL
NQLRKALRRDIYPEEEFRGMTHQLHCIDHLRQVIQCQSTSVISPSEWHDHRGQYVNPKQLHTCRNFEKLHQFSKERWNGSIAVPRGPKVPLHNTDQS
PSI
>RCO7_05384 | uncharacterized protein
MFVTLGINSTFLITWYPEELPFGDHRVRGLLILRAFGGICGSFGFYYSLQYLPLAEATTLNLLAPLAASFLTSKRFNIVQIGSAIICFFGVGLIAKP
NFLISFLDYNLENQDSIASRYSAGFLAPHDWRGLIFAVVGVVGGVCTYTSIPRIGTRAHPLATTNWFSIGSLLTSSISFTVIPGVKYNFNLGLLQWS
LLLLIGICGALMDFLMTAGLAVRQDYPAIYMIYLQAVLALVGDVLIWRLIPDILSCIGSFLIIVALTITERNKEEGAEKEDLAGVEMRFQNRLP
>RCO7_05385 | uncharacterized protein
MAPLISEPIQEPIQVFQWVLENLSPADVLRSSQVRNSFQKFLQRGTVSQLRQLQIKAQDRPGFMPSVSIHDGVTPKQRLGRTSIRASAINDCSRSLK
RKQRSSDQLYQPRNVTKKSQTIGLSESSSPVPVPSSFASSSPASTNSAPDSDFSCPETPRDDSPYLASPQASSSHEALLSIEICEASHCDVISNAAK
FFEARLGTRTKRLHYLVRAVQGFLEAPKLEPGFAKAMWCSRSSIFTRPQMADSNARLRNLYDGHRRIKQAREQYLYAARFCYIYLEHDLEELSKSHA
LVLSQGRGRMTAAFEVQAKIISTSVEVVKAERKAGRGYLQLLLEGGPGFILRLGCNVSTIWERKLSVSDISLIIEYLKTKTPTLYNDIKSHDRIATQ
ALLEGFVAYGWTKDEILSSTSQLFDELKQYVNIDDFFHSEIMEETIPDLPDLTVTATHGTSPQGSYDKNLMPAAAEIDVCNSDTSFADFCLVAGEEE
LLCTQEFCPSYPEMATEIAEMSDAELESWMSVGATDLNQNDEIMVVENDNELLIWDGCFDRHNSDFSDASFMIDSFHTHR
>RCO7_05386 | related to oxidoreductase, 2OG-Fe(II) oxygenase family
MADPSTLDFPPFPSDLPHAPIASISLSKLLSGDSETNSSVLTACQTHGFFYLDLRDSPPGLSLLSSANALYKLSTSVFSLPLSEKRSYAFRPPESLF
GYKPAGTVKQTDKDKRPDSTEFFNVAKDHLFGITESRSYPAEIEERKEELRSFVKGAHEAAIYILQVLARELSLEADAFANLNRFEEPAGSHLRLTH
KAAQPVDERAVGLPSHTDFGSVTLLFNWLGGLQIQSRVPGREGEWDFVKPLPGHAIVNLGDAMVKFTNGRLKSAKHRVVDVPGMQAGRERISVVYFM
RPEDKTRMTPLGEFEDGEKLQVGGKFSADGDDRVYTAAEWLAKRTVQLGSGPSD
>RCO7_05387 | related to 24-dehydrocholesterol reductase precursor
MKPQWTAITASRPQLLSVPRRAARNARIQRRGIASIQQNFSACAASSNRGFQSNGSRQASTICLGLRNSPPRHALIQYRNFSTTKAPLDPAMDQHKQ
RAEKISSRVRDYHSRGEKFRIFHGSTNSTRPGIKKNLVDTSTLSHVLHVDVEKKTCLVEPNVSMDRLVEETLKYGLVPPVVMEFPGITVGGGYSGTS
GESSSFRHGFFDQTINWVEMVLADGEVVRLSSEKRSDLLHGAAGAVGTFGVITLVELRLQDAKKYVETTYHPVTSMQEAISKLKHFTREDSLYEYVD

GIMFSKTHGAIITGQLTDVPKPGAPMQNFSSARDPWFYLHVRDALNQSFSATTETIPLPEYLFRYDRGGFWVGASAFEYFKFPFNKFTRWFLDDFLH
TRMMYTALHASGQSKKYVVQDLAFPYSTAEAFVNYTDEEFRIYPLWLCPLKQSPIPTMHPHFTPSASVPADPDAVPGEPEPMLNIGLWGPGPEDHDE
FIRKNRSLEAKLKELGGMKWLYAHTYYSEDEFWTQFDRPWYEALRTKYKAQGLPSVYEKVKVDVKSGKGGLVEKGKTLRERMRTMWPFAGFYGIKMA
IKSKTYLAARKSAWKQYREVEEVDR

>RCO7_05388 | uncharacterized protein

MLSFASYGSLLFAFLLVPILSLSSINPASKSPSDSTHRHVTQQDHDNHPPFPILEIGLQHILAQIGANATEAGNESMSGTTHHHINPSQKLPTQLVE
AVDQCGPGAPCVDGSCCNSEGKCGFTPYNCGPTATTSCISNCDSRAMCGVNSRNSAEKCPLNLCCSYFGYCGDTEVHCGNPNGMAPCQSGYGSCQIA
AIPSCNGGTSASGGRRVAYYQAGNLLYRKCNRICPSDIVPRDLTHLIFAFVFINPNTFKVESENDPDDHALYYQFTALKTTTTQTWLSIGGYGFSDP
GETFTTWSVLCADQARRAVFIKSLIEFMTMWGFQGVDLDWEYPVEPTRGGRPIDTANFNALVQEMRAAFGSRFGISIALPADFTYIQHFDVFTLSQS
VDFFNLMTYDLHGPWEADILGAIIRAPSSIPDINKALLPLWFAGIPPIKINIGASMYGRSYTLQDPGCKELGCPYSGPGNPGKCTDVPGLLSLWEIA
LLQQEKETAIKYTGDVGMEQIVFNGDQFVVFDASKTVDEKLKWADRLCLGGIAFWVDLNLSPCPQTLSAARRTPQPVLPAPAAPNTTSAVQRPTTAK
LLMDANQLSAPASSVKPLYQEARVKAVCLEIVVLDSAGVGGRKTIVTKVQAAKGPGGIVGGDVGLQGWHS

>RCO7_05389 | uncharacterized protein

MAKPLGGVFTPQSSPLASSIPLEVLLQINKSLTTPEFGNLRLTCKLIENQLLNAFTKEFFQKRQFMFTEFSLQTLLDISRSRFSSTLKYVIFGLDQP
SMIAPRALHRPTIVNSPSNLEKENYLMLQYLNHAAFLGTGQDVEMLAQAFSSLPQLETVGLRDFNSRSRYRDAPKIVWNSYGYTTYYEQTGIRTQIP
YGHRNLNDLGASDQGSFIHRVFQNILRAVGKSTLSLKNIEVILRSSFLGDRAFNCPKFLEPTIRPVLSNLRTLFLDLDDNPVLMHVEAKGVVKPCPS
YFLMKFLSNVVMLEHLRLNIRPSQDESILSWLSRSPPDASNAAAIGGQYKEPLPVTLKYLRRIDLGMAAVDPALILAIIRKHQASLREISLHRISLL
HKADVPADERINLWAKLFENMSKLDLKLDAINMSLNSQQQPGGQHWRRVKFKDMSSGKDHTKRWAGNDTQSGLRDFRELVTIPDLDHDTDVESDEGF
DVDDVDDSMDDLDHEDDDDNDDDDEDMDDDE

>RCO7_05390 | related to NAD+ ADP-ribosyltransferase

MAPTKKAKDESLPLQRCIIAISGSFSGRGRTQGEIENNFISPLGGILAKSVNADTTHLVTSVKDVAKPSTKVTQAKTHGIHIVPIEWLEDCLEQATK
LDEGTYTLIGSSSIAAASTSATITASTSIHPPAKDQTKGNSKAKVTKKRTVVVIDDEDDEEVVKPKPKKVTKPAGTIESNGEASQGSMPTTRLIPQS
KLKHTAFEGKTHVARLSYLKIPVDENCPLANYQVYIDADQVIYDASLNQTNSGNNNNKFYRVQSAVLGTGSLSDALNHFDSKFRSKTGLSWEIRAGE
PKKGKYTFIERSYTEESDEENTEPKVKTKVKEEAPGPESELPVAVQDLMGLIFNQDYFAATMAHLNYDVNKMPMGKLAKSTIVRGYQALKNISELIN
DHTIAQSKYGTDNQTALEDQSNSFYSYIPHFFGISRPPVINNPDLLNREVELLDSLSDMKDTDNLMKREPKDTEKMNAIDRQYRGLGLEELTPLKRE
TTEFQELKNYLVETRGATHNASYQVDQIFRIERQGEKDRFDNSPFAGPPRDRRLLWHGSRTTNFGGILSQGLRIAPPEAPVSGYMFGKGIYLADMSS
KSANYCCSDISNGHVLLLLCEAELGNPKLELTDASYTAGEDAKAKGMISTWGMGMTGPKIWKDAEVINPSLKGVKIPDISSPPDHTGVPGAYLMYNE
YITYDIAQVRLRYLLRVRM

>RCO7_05391 | uncharacterized protein

MERTPRIWDRENHLAFLAWLDYSVASGLHFTSTAPSAIQTITGQIFSEAQINSRVQHVTRNSRRRGHSLQSSDLRKGGSSTLHLLDEQMRQEIGAMV
ETFREQDVSRMDKTNPKAENIRAKGSIDDTLPDDDGSNLSSEDDSHYSDMRRESPSRPSLRMVSVEIPASSAVTTLPRAQTAKTNSDNLVAATAKGS
LSLKEMRKMHEEVVSRLKAETAAVRAQTQQDLEDQSQEANRWKQIAENLSAKVSFMKTAHQERQLARKDPQEELMFTKDKQIWRLTQENHKLRHSTS
FSKKINPQEESLENLKVWNEVDLLQRELISIMHGHDSSAPLLQPEFGVGLDLALLLRAMFREASYEAESSGHLVKRMMRWGPVNVVRSLAVAALNEW
VFATDFPNFCGASTSPPLLKAYRNAIFMHDGWTSLHNLEMAAYNSLIDSNDFIKITVPRKADELASRLSKALAPLFLRSSDVESNATFEQWNQQKNI
CEDRRYRMKELFEAALRLKSAAVMTDERYEFVVYPPGSSVTESGAYSAPDFESQDDSGCWLQATLYTYASELSDPTDHLADALVQPNNFISNRYKKA
AREQHLTEKQLKILKLGDVSMDFSWGAGQDRVDADEVDRWTHRDGGEEIAWRNEGQSPKRPMQQQTHHHTRKRRRTQSSVASTPETAESDYREGENC
SPVERKQRGGKIPKTPRSAPPGSCPKCGAAYSNRGSLQEHIRLDECVLCEQCNTYVKNMTVLKQHQLEEHSDVTGILRNGFSENGSLADNDGIEDND
QSGVQDTNEDGFDQRSTPHRKRNLTITISDKSVKEIAMKPSCQYCRKSFTPHNLGRHLKNMSCTQHRDAKPDAAKKLGKKRQNTAEPLKSTCGFCGE
FFNDKRSRSHHLHNMSCDEHREIKPDRLKELRYRQNSKEMSNGKTVCGMCGTSFTAQNYGRHVDFQPCSKCEQCGEWFQTRNALSAHQRDHLPPFTP
QLVSGKGLRGRNSDPQTTTSDLSSPAGSDMEDELSGMNQSSPEILPRQPKKSGDIPEEERSERSRNQRFSLTISTNKTHSRAPLRPGRDLVGLSGSS
SSPQPVYASLTPQDSSQQTRKATSAKQSQREASEDELTIPDSQPRRATMTQDTFFDTTEVRNAVEEDDDEEVSMVILRGGKGKKKGMNISLLTSSSS
NGNDLPCVFNESLLNQISNVRLLNSAFSKIWAPTSSHASSYMDRDGYERPDLQPPAGYR

>RCO7_05392 | uncharacterized protein

MPPNIFRASSSPEVDEDPSASASARANVSKRPPIKASQSLLAEHSRMDSNASSAHGLSGAQGAASVHAPFPIPAHSNARVDPPTSIAAAKLAVPRTG
SISRSSFLQDQQRLSAIRDRPRKPLSRKRPASSSPPHQASQGVFGASRAPVRRDRKSTTVSGLGSSFSPSSDRASVTEKTPVLSFAQIQNSRNNNTP
VLRDNSALTPRYTQDQDDDMFDDSDTSLYGPSFRKQIRHEIDSSEDEETSIVEKRSRPTIRQPAATRVSRAASKPTPAAAIRKSIRMPSKKLASFTQ
VEFVSEDEDDVDRPPPTNVPRKFVVGLDYGTTFSSVAYVIHAIDDKTPELTAKDVKNIINWPQDRNSGARAQVPTEILYSGIPISRESRASEESESE
NEEPIARNGNHSGVGRSSGRGEVVQRAPDSRDGASPTLSHKKTSAHIWGYEAYHQKYAGDMEYSQMGHVQRAKLTLVNTKHTLDDRKKVLLQLEDLI
QKGAIRKHSNTDNVVLSDVQDVITDFLVYVLAHTKQELREREEFTGDCQISFALSVPTIWSPQSSRILQTCMQEAINMANFGSLAQLFIVSEPEAAA
TFLIGKSHKMIPGDHFAILDCGGGTVDGVAYTVTNGWPLRLKAELGKASGDNCGASYLNDAFEELLLEKLADEKYLDSNGETRADIVRQAVPIFEDV
QKQAQKREINIFKRDVGRVRITGLRGDDYRREQGLTPKNFRRNYVELSSEDYSRIFLPLLKRTSKVLEDQIEGALAQGKDIKKVILIGGFGAAPSLR
SYLKDYLITFVKQRNLPYDIELITADGQDSVMAIAGGAAIRATNLKHGPRRKAVSSYGFLRREPHEPKAAGLAGHKTAQVNIDPFNKQGYVTVIDYF
LQMGEIVPAVSHYKPFRCTHAFDVNAEKFRCEEVLYVNDGKTKSHYGLDHEINRQAEEAGRIIVDMTFLRTENHIQPTMPAIDQYGIQRGKPRYEIT
YDLVPIVEGRYLRYEARYPPGELGEVKKSGQISIAAAFEAGTA

>RCO7_05393 | uncharacterized protein

MSVQAEPVRRRSRVLESQSPRTSVHSDSIRRRSRIIESRSPRGHYTTYLESEDDDAIEVLQIKERSEWEDLKIRALHFLEDVLPQLRIPFAIIASSL
LVYWAITSFSTAAGPAICDFPGAEKLEVCQTDSSELAVHIVVPDPGFDFAPKYAEMQNLAAGLSDVPYRIKGQYVRFDGVITDLTNYEDTVYVPDLY
ALVSCPWLTASYYSTAMEPVHTATRSAVNTAANSVHTWLNKLGTNLDRTLVHYTHARNELQHLKSTGPISKFNTHVKPGSDTAKYNTTLSHLHEALS
PIQEEILAYTTTTLQVLVAVEDNIDITLQAATRNTKVLKREKLGEARYWAWRLRSLKERYLQTTHLAQKPALLSWDAHMLSCAEFSGAVRRARAVVE
SSFLLMLDTKRTLDRLEKELGRGEIINVWAAGGDGGEGNLVEMYLGALNDGLRVLKRARDEARVSGREASQANWDYLESL

>RCO7_05394 | uncharacterized protein

MADTQSDPGLPAGVGQFDPVNDPVGQTVLPPPPTPPDSQTLPTNSQNQDEDEDDEDEEDEDDAPTVLRLTEILLSCIFIWILFWCLRVVLPPYTPTY
PETLPGGFNRQENIWEKITRPGSHRWSDYLSQEANSALESASYDSVKDRYLRYVTRTKVTSNAEVSEPPVMVHTYVWQEAGPVTETMPTPSSSTPGH
SAGETWEAFTPNIRKAMSDARDGLSRAGNIFKHDDQSPLPKDEAKIRKAEAAKALSTYARKVLKELKILETSIAKAVSDPHLHSQLQRPFTITDFNA

YAAHVEGKLADLGDRLFHAAEFPLEDETSKRTYSRKNLEFLKLLIAGRLQRLNDMLVVTTLPTADSNTESRPSVLNFMAESTKDGDSQSSKFVAEQA
STRSSEELIQPAESEAGTTSSSNTVSTTKNGLSNEDFMSYRHGLAKRIRSLRDALVTSTVPARPAVTPMAVSQPAKPLLVKPSEVSRPVVTPESSIT
REKGTKKEILSNEDSNSYRSGLTERIKSLRDAFFTSAVPARPAVTPMAVLEPAEVPLEIISESKTPVMTSGSSITRKLGTTEQILSEEDSNFYKNGL
AERIRSLRNALIDSDVRARPAVTPMTFLQQAELPLEATSEATATIITIESSVTRKKGAYEKWWSTQRLKGPPSAKQASPESISETTANAPIIEQQNS
ISGKQISPSEPSIPQRMTPAITHGSSTSKTAAGHPKLPLKNQHSTSSTTADKDSDAITTASNGASTRDLERKNAESTPITIRYVEIPAQVSACESSL
PQDRICSSDRKTPKAANPFISYPWQKTSWKPKTKPNISTAVIKINKVEKNLYISDDAKASLTLANAHKAKDASVPSYTTTEIDPARVLTDSEYKPQQ
DFSPVTVDIVEPTHDCSANYEAKCPITVLVNSIHNASKKSGTTTASEVSATDESSSGDQSTETRPVKARVHPVLEILNVSSSSPLVAPARRTWKDWF
PTIFHSKNQTEGESQKTQVNSASQPSITKSSERASVSDKSPKEKSRSEQFFNSPAYQNKSPRDRAADDILDVSNSLYSVIAQLMAEGNKHFANMTRL
QAAWGGLSRAEAVMAQSTILKTMAADKQSRDLLTSYAGVIHKFDRLVGDVSKTTYLLATSSEMTKADLERWREQKSGYYMYLEEIRKRPLFVDQFVT
ESEGFHWDVLVAAQSKLNLVRASLRKLIASTVT

>RCO7_10894 | uncharacterized protein
MSKLTINADQVITINNSGRRKLPRRKDKIVLWTLLQTRTLRGQEAYDIVNGLWFACEDLLRGSFIRDVRLFAHSLQEREPVGMGVQDKALN

>RCO7_10895 | probable ammonium transporter MEAA
MSYSHIGAPTEFNGTRPNGGDSTKINLNQWYSSGDQAYILICSCMVLIMIPGVAFLYSGLARRKSALSMIWAALGSSSIITIQWYFWGYSLAFSTSA
STGIIGNFEHLGLMKTLGGPSPGSPLIPELLYAFYQMMFAAVTGAIVTGAIAERGRLIPMMVFMFFWATLVYCPIAYWVWNPNGWAFKFGVLDYAGG
GPVEIVSGLSAFAYSWMLGRRQEKMMLNFRPHNVSLVTLGTVLLWFGWLGFNGGSAFGANLRAVMAVWNSCLTAMTAAITWCLLDFRLAQKWSMVGW
CSGVISGLVAATPSSGFIPPWASIILGVTVGIVSNFATKIKYWCHIDDSMDNLAEHGIAGMVGLIFNGFFAADYIIGLDGVSTGLITGGGINGNWKQ
LYIQLAYVVTCSVYCFTVSALIAFLINLVPGLTLRASEEAELLGMDDDQMGEFAYDYVEVRRDYLAWTPAIDDEGVIIGIDTDTKTATIVTDTKMDQ
EELRYRQVPNFSKPDVFVPMSVSWSEKPKSR

>RCO7_10896 | uncharacterized protein
MDSSVSYSIYKRYKTDTSIFIKWLVDNGTQCGYKVTTSEDKHVEFIRTKSLVDIDELVPFANAIVASKKIVRVPADIIRAGLRAISARKRSAAFFQR
ETSDEDEKKAADNRGHSHFIYLMETVLFTLQPRFASSAGAGSTAAKSSDTIVENLENRFATLAVEEPSEPKTGPAPKTEMQFYELRASQKDLKQEEN
LFALFCLFDDLDRMRSYVLKTWEQFKQGKESGEILVDFPVSADYQDVLSFLIFRLAHKSAETGVEIEGKIAENLREWIYVPAYTMLRKFCKVLVPES
VPMMKRGHLGDYHRENDRTKLSKSQRSLEDLVVLMEILPEFCFIFKRKIDMFAADELTRGLGQFAITKEIPVWLVFATTIFLDIHHILRGKVELGFT
ELQTRTKMAKAQFDKYFELSRGLRKPDSWSTNELFFEQIRDQMSYFILNDAIFPHKTETYWQVFGCAPAEATEKFYLYKRHPILCGIQAFAVILEVQ
QLGIVLNNGMGTVVFPAHFYNALKQNDASCASWPMMDEVIALHGAECMFVGGISTTIKDCFKQICLMLGYSPAQYAKNQRNPKPIVSKKGPRGLRAT
SPLTELFYQGLREPDGRMTVTLHNVEELLNDQARDADLAANPTAKKLRHEWATTKRLTSIQLLEALGTSIPQELPKLELDYFAMHAQSIGLLRRMKR
DLDADYIRFFGSANHIENESQLPNLGPWALMAADRFAGSTTHADAGHRFLSKAAKAMEKSLREEGVM

>RCO7_08565 | probable ARL1 - ADP-ribosylation factor
MGASVSWITGLRSLVWAKKEIRILILGLDNAGKTTLLYRLKIGEVVTTIPTIGFNVESVTYKNLNFNVWDLGGQTSIRPYWRCYYANTAAVIFVIDS
TDIDRLGTASEELAAMLNEDELKDAALLVFANKQDQPGAKGAGEISEALKLGELRDRNWSIVACSAVDGSGVDEGMDWLVQTVSQES

>RCO7_08564 | probable SKP1 - kinetochore protein complex CBF3, subunit D
MSESIKITLISNDGIPIEVEKAVAEKSMLIKNMMEDLGEGAIDTPVPIPNVNESVLKKVIEWCEHHKADPATTTDDDSDSRKKTTDIEEWDQKFMQV
DQEMLFEIILASNYLDIKPLLDVGCKTVANMIKGKSPEEIRKTFNITNDFTPEEEEQIRRENEWAEDR

>RCO7_08563 | related to protein kinase C pathway protein SMP3
MWRRTYLFLVLVRLYFALSPSYLHPDENFQGPEVIAGQIFSYPVKLTWEFTADNPVRSVFPLWPIYGLPMLLLRWLWIGNGNDGEIPPIAVFWTLRV
LMFVLSFVLEDWALHELVQSPRHRRLAVLLVASSYVTWTYQTHTFSNSIETLALAWCLVLIERIVENKQRSSAFATAILAFVAVFGIFNRITFPAFL
IIPGLRLIPHFIKKPQALLAAIISALLTAFIAIYVDTQFYSEHSVTWSYLFSNPVITPLNNYKYNLQPSNLAAHGLHPWYQHAFFNLPQLLGPAAPL
LILGMHQSLRLYSAIAGVAVLSFFQHQEARFLLPAIPLILSSVQLPKNKIPLRIWAGTWILFNAFFGILMGVYHQGGIVPTQVFLSKQPDATQAIWW
KTYSPPVWLLNGKNEVLTTHDKMGMKGPLMLRELAALATCHKYSGNATAYLDEKEGTYLIAPLSATFLDTYTSNQELSLQFQEVWRYEQHLNLDDLD
FGDDGVWDTLRRVIGRRGLGAWRVTKKC

>RCO7_08562 | related to GTT1 - glutathione S-transferase
MSIPTPDITLHFLQASRSIRVAWLLEELKLPYKNVFYPRENNKAPAAFKEQSGNALGKAPVLKDGQLTVMESGAITEYLIETYDPSQRLLGGHDPNP
RNRIRAFIHAAEGTFMPHALAVTYARWNATENMKNNNDLQKMEEGLYVNVVKDLQWIDAELEGRMFLGGESVTAADTMCVFSVQFILARGLGGKIEK
GRFGNVEGWLQRCEGMESWKRAVKKTGYEI

>RCO7_08561 | probable acyl-CoA dehydrogenase
MSSSVPVPFSDPPYLMGLPSAYYNDSHRKWQKTCRALAEELLVPYTSEWEAAGDVPADLYSKFSKANFLIPNLSAPLPVQWLKKLGIHELPGGLKVE
DFDYLHTLIYVDELARSGSMGPSGAVTVGMAFGLPPILKFGSQALQEKFLPELLTGKKRICIAVTEPSAGSDVANIATTAVKTKDGKHYLVNGSKKW
ITNGIWSHYASMAVRTGAEGSGAAGLSMLVVPLLDTPGVTMRRIKVGGQHSSGTTFIELDDVKVPVENLIGKEGQGMGFIMQNFNHERLTISISVNR
ISRVALSDAFDYCMKREAFGKTLMEQPVVRHRLAKCGADLEAHWAWIEQYTYCMTKLSEADANRELGGLTALAKAQAGRVLELVASTAVLLHGGNGY
TKSGQGEVAERIFREIPGARIPGGSEDVMLDLAIRQLVKNFQRKKKDLQTEMERPAGSSKL

>RCO7_08560 | uncharacterized protein
MEPPTTESPPTLAPTFLGNVVEICIVTPDHIKTLNGLLKLGIGPFQIHRFTAANVTQQTFRGQPARFELIVCFATQGSMVWEIMQPVTGPSIMAEFL
ERKGEGIHHVAFDCNHVPPKQRREEFEKRGFEVVQSGVWRGKRGACEFTFFDTEEETTTCFESYHFSEDWEDPEDTVWYPAKE

>RCO7_08559 | uncharacterized protein
MSASRRKGSTPKKAHKVGISFSNWAMGGPLLSLSTTSSLGSRISSKGSQKSLDVDTDEEEPPDVAPPAPKKAPKRKEKKEFPAPEPKEVEKEKVVCA
DCGPEPETATCSPGCLICSEDCTWEKHMHEKYGFMECDACGRGITWLKEEFHRGHGEYACEKCTPDCATCGRGPLWLFKKWQKTMKRRARKLQGQEK
NKKDGDGKKDGEGKKDGEEKKEKGDDGAKKTKEGDDGKKAKDKGKDSGKEKGSEIEGEKKKKGEKDENENKDKAEVKSAEKDNAASSKEPSDKKDGG
GKGNKGDSDWTSEQDAKLKEMKVQNKSWKDIASEIGFHQGHCKKRFNQIEHTSNTTAEKKNDTSGGDKQNTNGGNEGNGLEGFGDWSNDDFNKKTDG
SGGNGDNSGWGATGTLNTNGDNSGGAANNSWGSYDNDNSNWNTNADANANATTGDNGNSGWGNNEPSNNENASGGDQGNSSWDTNNTGEKTNNQNGT
GGDQGNSSWDANNAGGGTNNQSWGEPSTTYGNNNSGETSNSAWDQNDSNKTINQFGSANNTSLSPKSSNGGGKKDKNKNEGKGHKQDKKVEFDGQIT
ESNPTGYIGYKSARADTGTAQASGGLPKSDNAEASGNSWGSGNNSWNAAPPTSNNNTGNAEASGSGWGATNSNWATIDPQQGNSVKEPVRDCWAQPD
LSKDSGNAGATDSSNQPAAGKSNGWHTVTDSDLNKPLNDNAATSWNQSQENGNANQNSGNGGNSYGNQGGSNSNNNNASNFIPANNFGGPINSNFNG
FDRGHKGGFNESNFNPIGVSGSFNSGNNGGGGGFNNLNVFNAGGGFNQEKQHRGKLQPNEAWSQDDCTKLEFLESKYNQHKWAQMQADFYNWTGRMV

HHELIELKFKSDGYHM
>RCO7_08558 | uncharacterized protein
MARIQQLFSAIALAILSQSAIASPPPPPPPSQITPAPPCWSYTETVPYNFTDEERKLCANQLQCGPRPNCIIYEKTFSEVPCANENCPVTPTVTVTA
PPKCPTCEKGCTTRAMILTITTGCPTPTPSQQ
>RCO7_08557 | probable ribosomal protein L10a.e, cytosolic
MSKITVAGVRTNVQQLLEYSLETKKRNFLETVELQIGLKNYDPQRDKRFSGTIRLPIVPRPGMSICILGDQHDIDRAKHGGVDAMSADDLKKLNKNK
KLIKKLARKYDAFVASDTLIKQIPRLLGPGLSKAGKFPTPVSHNEDLSAKINEVKSTIKFQLKKVLCMGVAVGNVGMTEDQLISNIMLAINYLVSLL
KKGWQNVGSLTIKASMSPPKRVY
>RCO7_08556 | related to multidrug resistance protein
MFRRDDRDATAAAGSEDHQLQPITPTRTFPPLQIPTRMTATNTATCQNMAGAPEGEMPGSTTHHQRFAEPTLPTTPGTHEPLDKENRCHTPDSPAIE
ESTEARLERLGRQRPEVFGSVWAEIGFVFSISMSQVLTEYFVSGFTVILPTLVQDLHIPDASATWPASAFSLVVASFLLIFGRLADMYGGFPVYVAG
FAWLTLWSLIAGFSSNQVMMNFCRALQGLGPAAYLPSSVMILGSIYRPGPRKNLVFSIYGACAALGFFIGIFFAGVTAQYATWGWYFWIGTILGAIT
VVTSYLTIPSDIAEKRNAPAKVRMDWLGAVLIVVGLILFTFAIIDSAHAPQRWQNPYIYVLFIIGSLTLIAGAYVEMCVAEEPLLPSSLFKVPCMPA
LVVALFFTYGSLGVFLLYATFYMENIMGGTPLQVVAWYVPMALGGCIIATFGGFIMHLLSGTTLIIISGTSWIIAPLLFAIAPQGANYWAYIFPAMI
CATVGIDITFNVANIFITTSLPRKQQGLAGSVIMILLHLGIAVCLGFADIVNSYTVDRLGMRDSYNAVFWFEVACAATALVILVFFVKIRKAESEYT
ADEKAEMEAYARAPRNVEEKERYAERPETAYTADTAFTVGTADLR
>RCO7_08555 | uncharacterized protein
MSSRVAEMEEKLESLLALVAANVANQSLNITPATPSPSCIQEHSPMPTDHVSHQSSNISATGSKPLLNPELSCTLMPDSSITRFASAYDTPPSSSNP
SEQSFPQQNAVIVYPIFDNLQDVISKGLIGLNEVEDALRLFRSKQNTFPFVVIPVNLSLDSLRRQRPSLFLAIMCCATEHNAKLQQHIELELKDNLS
RRILVNGEKSLDLLQGILIYLTWYHLYFHPDREQIYQLSQMAVAMAVDLGLDKPVCPAPKGFSASNNMPFITSHPLPSADIEGMRAFLGCYFLTTSI
CQVLRKPSNMKHNERLNIAPEPSKIQLSEEVNQAFNYDSNEELPQLDPIRIELLGRAFERQLDYMEDSFPQEIWDNASIKLSFHHLRIYVNEVGFHA
GATAEHDQISRLAAPSWYHSASRNDCLMRCLKATKTYLDHFHLLSDIEISNLVTVDLLQIVYAALILVSFSTGLDAPTLDQHKFRQAANLSYYFDAI
SSRFAHLISMQDPAANVYMQYVRMLFQTSRSWYTQMIHDPLPLGPPRLLFTDISSTMTGKCSDSVAADVMPEKNEEVQWAEMLSEWVASSAMDPAFM
SEDGTFIQFQA
>RCO7_08554 | related to transporter (major facilitator superfamily)
MSLKESNIDSASQDHSPLDPEKQTSDAPATKQAVDDESEYLTGVTLGLVVLGLCLAVLLVGLDNSILATAIPTITTAFNSLDDVGWYGSAFLVCVCA
LQPISGKFFQYFSLKWTYLAFLAIFEIGSLVCATAVNSVMLIVGRAIAGAGAVGLFSGALVILAHSVPVRQRPIYTGCVASMFSISNVVGPILGGVF
TERATWRWCFYINLPLGAITAVILLFFFSPKERTITKHSLASKIKHLDLPGLAMFIPAVVMVLLAVQWGGNTHAWNSATVIGLFVGFGVMICLFVAW
QWHQQEEASIPPRIMMQRSVYSAAVVVFMGLGSVTIIAYYLPIWFQVIKDDTPLQSGIRFLFSVLGSLLGSIIPAGLVTAYGHFNPWLYFGSILVAV
AGGIFTTFDLQTADGMINGIQVLGGFGSSSVIQMVASIPFSSPYILVRTTTKRIEQPLIGLMSLIPQADLPTATSIAVFFQFFGGAIFLGIGNNILV
SRLVSSLHKYVPDLDAQVVIRAGAAGFREVVKEKDLQDGLRAYSEALTTVFYLCAAGAVVAFFSSLGMGWKSVVGKKVVGGGEEDEKTET
>RCO7_08553 | uncharacterized protein
MALNFGSEFLGSLPPIETTLRFEEVVDNRATLSKHRDTYSFIDPFRFKNTLRGKVVLITQAHRGIGRSTALAFALAGASVCCVGPTSESLESLLCEI
KERYNTPTLALTANLLIPNAPAQTVQLVEQYRGPVDILINITPASYSRAFEQETDIMKDWWPAMEAGVRVPVDLIHAVLPSMIQRGQGIIISTTMVS
AVIQAPYMSAQGTASAALLKFHHQLHSETAKKGIASFPVHPGLVPSHMHDPGNQFQAQPEYIGQEPGFRDRVKAVVTNMEWCSAGLASGTFLALCAD
PRAKVLSGLYINAERDLEEVIGKVEADWGEGVREERKYILKVDEY
>RCO7_08552 | uncharacterized protein
MSSLARSTFSASSSPSSPLKRKMSVTQTYYLAHTARGKLSSEAARADHNLRLLVGHANLLDSLMLELAAAEQEQESWFNQSVKKASKIEEPKHIQWA
DTIVEDPEEDWQAEDADSSDSDSEYDSDDDMEIETGFTLLQRGPSNSHMAIVEEAEEQFEDDGEEDFEGLQLQLTPSHSQQPPELDHDSDSSEDDSM
PPSPPNNALPTFSEKQKIATTSYYSKPTASIQSSEQESFFDESYYLPQRTQTGLISAISVY
>RCO7_08551 | uncharacterized protein
MSQPPITSLPGYPFFYAIPINGYIRDVPDRKTRRSSRSRLQDRHSLPPPYTAAPAWSPYILEGLAELDGLNEIPKQTYPDHQRPYEKEKIKRPQSTP
PAMTQRRDSRLLSLSTKHSRTFFRPQISSPLMASTCMDNVKELFTIEEQAPVRGNAHLVSRGPLPEIGRADEYKMGDEERIQVALIESIFLMLHDLQ
PSYLPRPEKIVSQIVPRPSRTHRLSRQPSVRISSTLAS
>RCO7_08550 | uncharacterized protein
MEYQKVEENSGRDSGSAEDYEGLLSQDSGPTYRKQARVVPLWIAIVLPVFFSISFLALGTFIGSRWTNRSCLDHVQKYSPILKEVDNNYHMVRFNGS
FMKENDFRLIGGPDSKVDAAWESLGIDYRSVAVPVSEALKSGFKFDQVQINPKYGGGFPANVEGLHHLHCLNLVRKSLYYNIDYYRSQGKGAFVNKE
NIVQYHVSHCLDIIRQQLMCTPDTGLLGQVWWDRNYPKAFVDFNTEHKCKNFDAIRQWAEERQISEETPLDFLKPPQIGDTIYEAIP
>RCO7_08549 | uncharacterized protein
MLSRVASTSGVDDGITLILWMQTLPFAFAERRRRSLWQPSYTDPEPARHISKHPTNSVPTPKPHPKLPYKMRFSRLAIFATASAVCVSALPAPAPEA
APDAAPVDYGKYGGKYSYTHYGNYGKYNDYPAPPKPSPPPTSYGKYGSYGAYKREPEAEAEAAPAPVAEAESVEKRTDYGKYGDYGNYGKYNNYPPA
PTPTPSPPPTSYGKYASYKAYKREPEAKAEAAPEPIPEPEAEVVEKRTDYGKYGDYGNYGKYNKYPAPPAPSPPPTSYGTYASYGSYKRVEAEVEA
>RCO7_08548 | probable matrix AAA protease MAP-1 (mitochondrial)
MHSVLRQSSNIARISRSSLQTAARSSLRSTNHAPLSTSIRCVQQARLYSNKQNTKKDNEGKQDDTDLKDKKASETPSKTAPGPEHLYDGQTPLSKSS
KDGESSEPELAEGMVKMNPEDEKAMRDLLNTLKLGLPKAQVAIIEEAFVNIQKEGVPKELKDLMEEVRGKPMTLSTAAKLTRMATIMQRKQSERSTK
TGSKTDSSSSEPKNPFSGFGGPPLGGNKGGNKQGQEGGFKVGDVKVDLSTLLLSAFVSYLLYRMVLPGESRRDITYQEFRSTFLDKGLVEKLTVTSA
GKVRVDLHREATQAMFPDSPAANPNFHYYFSIGSVESFERRLDQAQDELGISTSDRIPVNYAPEGDAVWGLVYSFGPTILFIAAIFYISRRASGGGA
GGASGVFGMGKSRAKQFNHETSVKIKFADVAGMDEAKAEIMEFVSFLKTPEQFQRLGAKIPRGAILSGPPGTGKTLLAKATAGESQVPFFSVSGSEF
VEMFVGVGASRVRDLFTMARKNTPCIIFIDEIDAIGKARGKAGSFGGGNDEREATLNQILTEMDGFNTTEQVVVLAGTNRPDVLDKALMRPGRFDRH
ISIDRPTMDGRKQIFMVHLKKIVTHEDLEFLTGRLSALTPGFSGADIANCCNEAALIAARTSAKSVAMLHFEQAIERVIGGLEKKSLVLSPEEKKVV
AYHEAGHAICGWYFKYADPLLKVSIIPRGQGALGYAQYLPAGDSYLMNVNQLMDRMAMTLGGRVSEELHFDTVTSGASDDFNKVTRLATAMVTKWGM
SKKLGPLHFEQNEQALTKPFAESTAQTIDSEVRRIIDEAYKQCRDLLEEKKSEVGIVAEELLSKEVLDRNDMVRLLGHRPFDDNKDFAKYFGGTGEK
SAPPPFPTDNTDSPPEAPPAI
>RCO7_08547 | related to DNA-directed RNA polymerase II regulator

MSSSSSQRVIHQDYIARIRYSNALPPPPNPPKLLDIPNTGLASGQYTTPGFASRLARDQPLNIEADAELGMPLDLVGMPGIFDGDESSIQAPLHPPP
VHPHDRALLRPLASLGKPKFSDSGVSFLRRTEYISNASKPNRFESTTSRSLIDKTGSRNKRAPANANKESLEYIKSQAEKSFTIASNMLSSLRDIRH
PSGKTSVRVMEAYPILPDLDSFPDAGGYCTIKFSTNPVPPSSTYDIRLENSLLKPVEASEEEERARQLIRDNYERDPEHYPAPGETLEYEFFMAESA
SDARRFKRKFDTLDPEKDSVDLYTEKTDSGAPCFRYKRVRPYESESTSGSIANKFDDEIVIAVHDGKDGLHQRGAYYYPIVQKIKIRPQRNKNIQSK
RNRYTPGAPKEDSERQTDYLQVMIEEPDEVMKYERGIFRTMPYGKEFIEDDGEGDAEGDAEGEADDDAAAVSAAA

>RCO7_08546 | related to transcriptional activator Mut3p
MDHNGYQMPQQMAAPPPMMNPPPQMYTGYHDALPPNMNMGDMSQQYMGDAGLMDESLEAKRRRIARACDMCRKKKIKCDGKLPACTHCINYKTECVF
TQVEKKRNPPKGAKYIEGLENRLGRMESLLRLSGLLTEDDNGRTDLGTLEKRLADKRETDSLAAAPASNPNSPSLASQHEGNGTTPRSAIVSPEPSN
TNGDKEKPRSATPEKSEGEVEALSDMMCSLVTNNCGETRYIGSSSGFSIFSPKGISWVNEKTGDSSFQQMISSASVDENKWMYWKPEVFGDLFERRV
FRRLPPKSECLSLLKDFFENFNCMFPLFHQPTFMHLVDRQYSQDPYEGSGWWATLNVALALAHRLRVMSNLVPKAEDEKAWGYLKNAIAVVTELTMR
NTDLLSVQALLGMALFLQGTPNPQPSFFLVAAAIRSSHSIGLHKRGSGFNLNPIEIEQRKRVFWIGYMLDKDICLRSGRPPAQDDDDMNVDLPSADP
EDNIGNIPLADGKGKVNLFRLMCEFATIESKVYKQLYSTKASKQSDGELLHTIGELDHILEEWKDSIPVDFRPEHEIKASHTPLILHVVVLHFAYYN
CLTTIHRMSVHHGYWTSRLSNYAIQGLNARPLNPRVFSSAALCVSAARASIHLIKYVPQGDFSCVWLILYFPVSALVTLFGNILQNPQDPRARSDVR
LMNLVVSFLSMLGTEEENGGVKRMLGVCSEFERIAKVVLDKAEKDSSSRRKRKNNNEEQPGKSRGPPVSNVPQNGAPPNAQMAPQVPAVSGIFSPGI
VLQDGFSPVPINGSPNSNWQADYNHNGGEYTTPPQGMTSPFADIQGYRNGNESNSPLNMNNFQQPFVPQDLWQMPMTLEWDWADMTGGAYPSFENGI
VGDPSLQQSNNQHLQHQI

>RCO7_08545 | uncharacterized protein
MGKHHRFGRSSLFLASHDTAHREHAHHHDLLRRQEKGKDPAGGVVGIVVTEVVATVSVYKQVTVDPNGSTVGLFTWTADATGGTLLPPSATGNATPT
ISASPPGSNSLRSTASSTAASGPADQTANNAAVSSSQSLLSIQDIKTASVATPSSIPTTFASTLANSTSLISVSSTTSLTPSFSKSPSLSSTISGSS
STPSSSVSLLSFSTISDDSSTSSTSSFSSTSSSSSTSSISSTSSFYSPSSASPTATATNGIIAGGGGTSTGSGDPSSKSPAAGGDDGSSAPSTSTVV
GGVVGGVAAAAILIFLLMFLIRWKRRHSSMLALGNGEGEGAAHTTRSAPPSQPPGGMAQRSSVGVFAVPAALASLTGYKRSSQTTTDRHTISSTAGS
ERGFYRVSGRKLPSVFQNGGDGYGGGNNEPNAFSGSSFGQDSRSFYGGVGIPASPGLSTTRDSGVPIMREGPARTPITEPGPFADPPVSLTLPPRTD
VVGRSHPSFDGSQRSRFTEEV

>RCO7_08544 | related to chloride-bicarbonate anion exchanger AE2
MSSQPAERENGLRRPQIHTSTRSKHVPKWWKIRLFRGMINDVRRRAPYYWSDWVDAWDYRVVPATVYMYFANILPALAFSLDMFTKTNMSYGVNEVL
LASVLGSVVFAVFAAQPLVIVGVTGPITVFNYTVYDIMVPTGTNYFAFMALIGLWSLVMHWILAITNSCNALKYVTRFSCDIFGFYVAFIYLQKGIQ
VLTRQGSNEPFYLSIMISLLVLVVGYICGIIGSSSLFQHYVRVFIKDYGTPLTVVFFTGFVHIGRMRDVDLETLPTSKAFFPTVDRGWLVHFWDISL
GDVFIAIPFAVLLTILFYFDHNVSSLIAQGTEFPLRKPAGFHWDIFLLGLTTGVAGLLGIPFPNGLIPQAPFHTDSLCVTKVVSDDREEGSSKGHTK
TIISHVVEQRFSNLAQGLLTLGTMTGPLLVVLHLIPQGVLAGLFFVMGVQALEGNGITFKILFLLKDKSQTPASEPLKRIQRRKAVWFFVAIQLFGF
GATFAITQTIAAVGFPVVILLLVPVRTWLLPRYFEDGELRILDAPTASPFTMVSVGGNFGEAEADDSGQATAIQSGSQSDREGVLVGGKDADADSDE
ARAERGEGGSTLGVKRRESWRGEGRSGRWNERAAGDGLEMQDRRPGVSRRSGSRQSK

>RCO7_08543 | related to VPS9 (involved in vacuole trafficking)
MVFTLPDFMASPERKKRDEQQRPRPLKLSQSFIKPPPASPDPVTRVQRASTIHNGVSSDTVMANKSTGEGQQRTQSDVFEKAGSEEEEGCGSMESPG
KLPDDFDKLPIELVSLSDSFIDSLSAKVHSTPPSVDKLSALFQDFYVVAANHINTHISALSSRQHRASSPAPSVATRIRQKAASISNKDGPKVSLVR
RESEQQMLTAEEITDRKRARRILEQKRVALEEAVERRVTEGIYSRIWRHRSTQDEAQDEKLRSKTAALSVVGIGLTDLGIDLGQDSSENPDATEDKE
KEVREWLEGAREELIAMNDEKYPVGKLHHLKAAHKAIVDTLSHFHPSSSADEIMPMLIYTLITSRPEGIDVISNLYFIQRFRNEGKIDGEAAYCLTN
LEAAITFLETVDLASLRADENPSGPAKSNSRPTTPRLEKPDSMLVLTPSPKPSSPAVNTDNASPTFMKSHTFPAGLRPTQQIQNRRLSDMFQPPAAL
GAAGDAVMNTADQGFKTIGNSLGESYKFLVGKLKERQEESSGQKTEIIVPKTLDDARKLVSTPPLEEEEPVSGASSLHSTEVSERARAVSGPKMEDK
VLSIIGGRKISRDRSTDSVRSSSTTGSSKKVAFVEEGTGILPSPLNTSAPAPAPANPAIVESMRNLGNSLNPMNRIAGMGMMRGFGRTTPVATTPTT
LNPSKSIPDGGIADLTTAFPDLAPSLPAKEVPKVTPPIKKFMELQNPGELRINEVLELLRDYRRLAGALKDLGAV

>RCO7_08542 | related to starvation induced protein PSI-7
MKLQRKALPKCTSAGRVTAGLLLSFLALSSPITAASEAASQQEQAPIPILPPSLTPDILISRKGEHVFSLRHVFHHGDLNRPALHIRHDVPKTVQHL
WIESEEGNLEEVSRPLVVQTSPMKIHRLKDARPSVVDPMVAAARDYSDVWASSPEAWTMDDVEGPDVSSMQTILTFAQMAANAYVEAPGTGDWKDVH
GGFNRTNDVGFGWDSDGLRGYLYGNEDNSVVVIGLKGTTLAIWDGDGTTTNDKENDNLFFSCCCGQQGSAFYRQSLKKENRYYAAARSLYSNVTAMY
PSSEIWMSGHSLGGSVSAMIGLTYGKPVLTFQSVPDALPANRLGLPVPPGVDPDRPGQREYTGAFHFGQNADPIYMGTCNGATASCSYAGYALESAC
HTGRECVFDVVNKNGTRVSIITHKIIYVIENVLKKWTKAPECKFTPECYDCPLWKEITGNSSKTSTVASSTTTKTRTRTSTCQTPGWWGCLDETTTT
TGTSTSTSTTTTSTSTCKTPGWFGCNDETTTTTSSSIYHPPTITQTSKSTSTATCKTPGWFGCNDPTTTSHSSTRPTSANCQTPGLFWGCDDVTSTR
SHTITSPPSMPTSISTAPATTSTHSCTSKEWFGLICIDPSPISSPKPTHKPDKKSHCVRRSFIGFCKEWAGQSINLKEEI

>RCO7_08541 | probable enoyl-CoA hydratase, mitochondrial precursor
MNTMRALRPMASRFRASTSALPAITRAYSAEAAKSYEFIVTSEPRPGVGQITFNRPKALNALSTPLITELNAALHEFSSSPTTRSILMTGSERAFAA
GADIKEMSTLTFSEAYTNSFIESWSLLTTTIKKPIIAAVSGHALGGGCELALMCDILYCTENANFGQPEIKLGTIPGAGGSQRLTRAIGKSRAMELI
LTGKNFSGKEAGNWGVAARTFGSYEELMEGSLKTAETIAGYSKVAVMAAKEVVNKSQDLGVREGVDYERRVFHGLFGSEDQKIGMKAFSEKKKAEWS
HK

>RCO7_08540 | probable RER1 protein
MDSSEPEQTPFASVTAHTSRLQRQYQAWLDKSTPYTPFRWMGTAALLIFFFLRIFLAQGWYIVAYSLGIYLLNLFLAFLQPKFDPSNEAIDNDMEDG
SAGGLPTKQDEEFRPFIRRLPEFKFWYAATRAITIGFVCTWFSIFDIPVFWPVLVIYCEETNPAYDQIPLRTLFIRQSEIQQEQLIVTDRNCCFTLG

>RCO7_08539 | related to pectin methylesterase
MSSLKRVVFGLLTALQLSAQVVAQSSDSQTTSSASTSIIGSSSTTSSASQTPTASPNAICDLPPNVPSTAFIVGPSGSCAKYNTIASAIGALPADST
KQYIFILAGTYTEQILKFSRVGATVFRGESTKPLLQAYNLVTLQYLSSSFTDAEDTSVFRSTTSSAKGHAFYNINFENIAPIQNDYNAIAMDIKAVQ
VGFYSCGFKSGQGTLLANTGTSYYSGCRIEGSSDFVWVFGAAYISNSIIVSNKPDYSVAAQKYAATSPSQVVFDKCSFVPSTASSMSQSTYLGRDYS
ISAKVAITNSYLDAHIRPVGWLIESATPNVTFAEFNNTGPGFLQTSRPTQIQMLTDGSSYSAASVFGDISWIDNSAVVPFSGFAASLFPVPSSTTAS
SSAMSPTSTAAPSSGVYVVSLTPTEGQYGSVSAAVSALPADRAAKTILIMPGIYTEQININRRGKVTLRGTTSFVNDFSQNQVKIQFSYGVLTDANQ
NELTPVINSKKNDGSGLALYNIDFINTFAQRDNYAALAADFYGTNMAAYGCSFIGFQDTLLANKGTQLFSNCYIEGSVDFIWGFSQAYFRQCYIASN
LPGSCIAAQSRPSAGAAGGYVFDTCVVTYTGTYGPSFGLSYLGRPYSPFSVAVYKNSYIDKHINAAGWSVWSNSNPQTSNVLFGEYNNVGPSAWESS

TARASFATNLTETQVVAYDLSNFMGSTSWIDTEAYNFVPSFNFSASGLNGTPNSSTPVKPPTPSTNTTIIHPSSGTIPPTGAILVSVGGLIENSFSD
LTSALASLPADATPQTIFLYPGSYTEQVQVNRKGSVTVIGYQSGSIGKTYTDNRVTLTFARGLSVVAPVAAGHTDAETAVVTTASNGVSFYNINFIN
TENSDGANASYVTLAASVYGDQIGFYGCSFVGWQDTLLTGTGYAYYESCYIEGAIDFIWGYGMSYFKGCTLGAKKANITAHNRASMSAIGGYIFDQC
LFTAALNSTADLDQMVYLGRPYNAYARVVVKYSYLDTIIQPAGWKVWSATDARTDFITFAEYKNTGPGNWENNAAARLGFGNATLLSSDTYTLSRMM
ASTSWIDLSHWDTIVTPQPAPVVIEAGSSTSPPSGACIVSKTAITGKITFPTIAQCIAQLPATGVISTVFIYPGTYNEQLTFNRSAATIFRGYADSP
DKYASNQVIITNSAGVGTQGIASNSDSATFYSRGKNVKFHNINLVNTFGQAANYASLGFSVGNNGNASFYGCQIIGNQDTFNVNAGASTFAYNTYIE
GSIDFIWGSGSMYFLASTISPNTNGVSITADKRTTNTSTGGVVFDQCTVTPAPGSSVSPGTVFLGRPWNLNARVAYIQTKLDSIINPAGWSVWSKST
PNTDTAFFGEYQNTGPGAVQTSRAPFSHQMTNDEASAFRLSSFFSSTSWIDFTAIGISPFVVSNLPEALL
>RCO7_08538 | probable aspartate kinase
MTSLPIRWNDSADAAVVGLNGWVSNEATRWGNNSEGSWIVQKFGGTSVGKFAVNIAENIVRASLKEHKIAVVCSARSTGKKVEGTTSRLIEVFSVLD
TLNSVKDIESVHYASLVAEYERLVSIICEDHANAAHTYIRDDSLQTALVKEIEDECQEILDYRKAVQRWHLGIDGRAKDRIVSFGEKLSCMFMACLL
QDRGVEAEFVDLSDVVTFQPVKGLNIEFYTELSNALRAKILACGQKVPVVTGYFGMVPGGLMDGEIGRGYTDLCAALIAVGIKAEELQVWKEVDGIF
TADPSKVPTARLLTTITPAEAAELTFYGSEVIHHLTMDQVMHATPPIQIRIKNVMNPRGNGTIVLPDVKLSSNQLLYARSGSNVSLRKTPKRPTAVT
IKDKICVINVHSNRRSISHGFFAKVFRILDKRQLSVDLISTSEVHVSMAIHSANISDEEIDLAKAELEECGEVSVLKKMAILSLVGAEMKNMIGIAG
RMFSTLGENNVNIEMISQGASEINISCVINAYESTRAMNILHTNLFTFLE
>RCO7_08537 | uncharacterized protein
MASIQIPIKPFMHLTQLISDSTQRVRVNSESAYKHAKARD
>RCO7_08536 | related to cephalosporin C regulator 1 (cpcR1 gene)
MDIMDSRPPNPRSRSNTAVSSRSRKRPLSRASTTSIHSGVTQPANDHQQIDPAVEYHRQWIDQNTHAHAQRFGSMGHQMTAEDMVMNTTSQLQTSRG
YDIDPSLGISHHHPMAYPQQQQFKPENARQSMPNDPFVASFGEFDSHILEGRSDEQDEVDSLPGGPAKKASKSSAANELEMRQLFQANKHRSLPDVA
TELHGNERGPQSERQRQVFAMLWINSVCDKGKGSVPRGRVYANYVSRCATERVTVLNPASFGKLVRVLFPGLKTRRLGVRGESKYHYVNFSLKDDQP
ELTETQKSQPAQSFNISEPSGFATSFKYVPSLMYWLPAYFPSHSINTQFPIDRAAFPSPDNTQIPEQKSERSNSFVRPHSLYHQPEIQGIPQLESTT
SKMSQRLHFAAATDPLAQDYEPISLPKIDQYLPTGTDPDSASALTALYRSHCTSLIDALRFCKEKTFFHLFTSFHGTLTMPVQKLFANPTIAPWIEE
CDFVMYQKMMRVVAPLTLQVAPKPVLDTLRNISEKLVLHIQSSFHGHPVHVVNAKVAPATLFAGLLDRELRVNLTAHAAANMLSNPANRDQMYEDWI
TMVRTRKVAECVPTRGMDDVVTLLLTELRDLLDPVGVPWEVEGLTPYGEMALRTGRQQQSSIHADSSTENVLDRWVNFLQALPGKFPYASHAEIVWC
VQRVGTAVMRDLTIAQGKSFGAWWVTKCWIDEMIAFMAEQGGFMEFKTSQSTRGPAKQTVVSRAVSQHESRYSSGTDDFLRESGLTENRTSMSRPMD
ISSQAAMNAAAGGHDDSGIGIEVRTPNDDFMAKYEYNRHVPQLVPTDMNRSL
>RCO7_08535 | related to Ypt-interacting protein YIP2
MSSFQDKAQAHITQIDKELSKYPILNNLEAQTSVPKVYAFLGLIATYFFFIFFNIGGQLLTNVAGFIIPGYYSLEALFSVGKSDDTQWLTYWVVFAF
LTVFESLVNAVYWFPFYYTFKFIFVLWLALPVTGGAQIVFRSVIQPVFARYFSGPGATAANLRSKVDGHKSL
>RCO7_08534 | related to MID1 protein
MPLPKLSPLQSRLAASLFASIMLLLLYLFLSVPNFAYAADVDSIQSEDHNHEQLKHFPLLDDYHELDLRGEEYESEFFGLHRSIIGRATTQPTPLVN
NRIEDTNIPLGQSFFYVFTNASLWGNKSAATPGLPSQIKLNNRRLVRSDDPIYRLEAEIGNDEEESELMRRQGRPGPGTNRTLYITVTTCDQPTTNK
TTTPPPQLKLYVSQSPNNTNPGPGQDSKLQEVITLEGGYALHEVNATGDVYMSIHAQNATEYSTGVYSAQIAASIDAPFHTYWNSTDPNLFLADSDD
FSALLYTDPFTSDATNTSLFAKWMDRAPPYVIFASDATDTSLVGVERSYCGLKTKAQVQASRPGQTVSNIVTGMTSIGNLTLPRQQFFVNGLAAGKR
YNVMLAMEGNSTNSGNFVVGGGGQVFKQTQFSMLQDGNCAVIYDLAFCDQTAYAVPSNPNIFPNMSALAGFYDNATQSSFANFEKVLAQIPCETTQS
AQYSLARNCEHCRQAYKSWLCAVSIPRCTDFTKGSPWLQRRAMGQPFPNGTFLPARDREIAKLKSGINASRSARIDEILVPGPYKEILPCDELCFNL
VRSCPAAMGFNCPQAGDIGFAESYGVFPQLPGDDSGRILNTTCNNPGTIYYMSAGGLELPSIMLMGLCMLGFLFI
>RCO7_08533 | related to HCM1 - transcription factor
MSSTRYSQQPMQIYQDPASSFDRAPMPSEQSSNTRKPSPLRPIKNAASRMNIVFNPPHNGPSKRSPSKSAQQASSSPSRASFGNKLNMVSMPPPGGP
SYNTDSMEKKPYSMSNYRPQKALFGSLSNNASMDQENYSQPSYPVPIAPSHDRLAASNFSLEGLYGQKPPKRLMDAAPIHESRPFKRTKLPVPDAQV
EDSMEYVELPSPDSFAPLIDDGSKPAHSYAQLIGMSILRAANRRLTLAQIYKWISDTYSFYSATDAGWQNSIRHNLSLNKAFIKQERPKDDPGKGNY
WAIQPGMEHQFIKDKMARKPLGPNENVPVLSTTLSPVNLPETVQFRTPTPSIQAPELPLPPSYSNPEPQQSTIQDLSSDATIPGSDACNTDPEVEDE
PETPSSPLMHSSPPAAAMRSSPPVARHVQKRHDTPPPVPRFPSSSRTRSHKRKYASMDDSGYFSSLDSSALRGHRLLTSEADQPRMKRGSAEEEIAR
LRGSSYDSPTKKRSLFAPPSSSPMRIGKKETSQMLPPLTPAVKLKPPVRPPPSVSPNTNLRLHRDRVREMVGSPLRGMTTLDENTPWSPAFNLDDNA
SYMFQDFSVDFDIFTDNSSGFLNFPGTGSPEKRSAKRPRLDRSKSANILADMSGANLNKSVTSTPLLKFTPTLGNSLGSGFSSPPKSLDVCQSPIKL
LGLNSPTKIPSPNFNLAAFDLPQDDFFSSEFISEDIDEGWDIMQGFQKIGSGATGGNGNAPTQSMKRSPKAGCASRPGVSRSFTSRF
>RCO7_08532 | related to purine transporter azgA
MPIALAPGMGINAYFTYQVVGPNGSGVISYRLALTAVFVEGLIFVALSILGLRQWLARTIPRSLKIASGAGIGLYLALIGLTYSAGIGAITGGGASG
EPIRLAGCKPSFINSGTGMCESHQMRNPTLWLGIFGGGMLTAFLMMYRIKGAIIVGILFVSIVSWPRYTAVTVFPKTMVGDSSFNFFKKIVYFHPIK
HTLGALDWNITGENAAQFAIALVTFLYVDILDCTGTLYSMARFCGAIDEETQDFEGSAVAYLVDASGITIGSLFGCPPVTAFIESGAGISEGGATGI
TACVTGLCFFISLFFAPIFASIPPWATGCTLILVGAMMARACVDINWRYIGDSIPAFLTMALMPFTYSIAYGLIVGIITYFILNTGAWIIARITRGR
IVPHDHEYKDYWTYNVRGGLLPGWVKRAARGKVDFWREHDFDTEELGSRDSYAIAKKERESGGSNMTGIGVGPSDQLDGLSMDGIITGDRRWELEGP
GYPMIDTVPRTDSRMHTRTPSMR
>RCO7_08531 | uncharacterized protein
MADSLPMEVASTIQSASINRAPSPTHDLNPSTAASQKQPVTLSHSEPSLDKYAYDSEGIDHSDLEDGEEDIPYNVLKSVPRRQSFGPLPDLRFEQSY
LASIAGAESNWQVAFITFRDQLVLPLVQGMVWSLALQGWRYWNRTAELSGKTVGSKVRRWWYRTNNWKLPDFGESWNNAKLAEDMGDFYQNQSSND
>RCO7_08530 | uncharacterized protein
MSSGDESSELSSVSSDIENDLQLTKKDGILKFFSTVPHATVPVVEIASPPRKQRAPSPPHELVLADNPDIAVRLYIYRRVIHIFAHSKRVPVSLIIA
NAHVEQFICMFRSRFTEAFPKSLINFGPQELERDIVESIPGEGAEQFLCAVLGLLLNRKQDVKSGHYNRALEEAIQTHKSQWAKDWEAKNPLSGGAT
FASMLPTQRLTLLRTLILWALSSSDAVKGIIQASYKQNRHEDDLNQPLSVQPWGCDSDKRRYYLIEGLDDTHFRVYRESSYMGLKRTWWSVAGDIDE
LKVLAQKLADDDGGQKARLLSSKMMAAVPRFEATEEKRKRREYRQTRKQQFKRPEPNYSMYEGRTRGKRMKYTYSDEEEDMYSDSTNARRSTRNTGT
HTPAEPSGPTITQSGRQVKLRQGGTYGETMLSGQAHGVAVGGYDGASDEPSHDEDAGGRAPRRAAAISGQASKSRSGRHIEGYNDVDEMTSDDEGDA
SEQDYGDDEEEDDNVPLESDVDDQDEQSDEDEEMEDVEKKKLIVKLTVKTPSPDHKSTIKLKFSPRKSPDKDASSKALFPGVTNGTHAPVSIADIPA

ILVAKDTVDPAPSPASNGATIHISQVPTQSTALPPKSPHIQAPHSPLAIRSPEKPSVTYTASVDVGK
>RCO7_08529 | probable importin-alpha export receptor
MAADTSTLVQLLQATLDPRQHKQAEAALKNEEQHPGYSLLLLNVVASESLPLNTRLSGALVFKNFLKYNWVDEDGNYKLPENEVITIKKELIGLMIA
VPASIQSQLGETISLIADSDFWTKWDTLVDDLVSRLTPDNPKVNIGVLEVAHSIFKRWRPLFASDDLYTEINHVLSKFGEPFVQLLASTDRQIEANT
GNKDVLKQYMEVMNLLVKLFYDLSSQDLPPIFEENLADATSLLHKYLTYENPLLVTDEDSESGPLEFVKAGICEVMTLYMQKYEDAFGDLCKPFITS
TWNLLTTIGPETKFDILVSKALHFLTAVASINTHAQNFNNEEILGQVVEKVILPNVSLRESDIEQFEDEPIEYIRRDLEGSDADTRRRAATDFLRKL
LEIFETMVTSVVGRYIQHYLDSFSKNPSGEWKSKDTAVYLFSAIAAKGVVTATHGVKTTNPSVNIVEFFQNNIANDLVADTGVEVILKVDAIKFLYT
FRSQLTREQWTAAFPPLVKNLASSNYVVYTYAAIAVERVLFLTNDVGQHIFGKDEVSPFAKDLLEHLFQLIERDSAPEKIQENEFLMRCVMRILIVI
RDGVLPIVDSMLQHLITITDLIAKNPSNPRFYYYHFEAMGALVRYTAPSMPEKLEEILYTPFAGILSNDVQEFMPYVFQLFAALLESRPQGPLSEFY
KALIGPVLSPTLWESRGNVPALARLLSSIIPRAATDIVAQNQIEPILGIFQKLMAGKTRTELYGLDVLEAVITSCDAAALVQYFPTILTILYGRLNN
NPPEKFKQRFVRFYHLVSSRDQASLGADFFIEKSNAVQDGVYVPLYLTIILPTTQQLARPLDRKLAVISLTKTLADSQAFAIRYQKGWGWTCEALLK
LLENPPVPVMADEAVVEVDVDDMSFGVGFTPLNTCKKVPRDEWSEVTDVKSWVGSYLKTADEKHGGAIGGYVNDRLSPEAKVVLVSYMR
>RCO7_08528 | related to Endo-1,4-beta-xylanase C
MLEFKNLIAVAALLSNINIAQAAVAQYNQCGGINYSGATDCVAGATCKVQNYHDYSQCVAVTAGGSGDSGASSGDSAKSPAAGSGASSGDSADSPVA
GSGASSGDSAGSPDAGGAVGQPYAGYGTGNKGSQGHGTGKQGSQGQKSGTNSSMPKQYTPPSAAKPATQAVTSGAASEPTAPSTPSTPSSGGGGTKK
QTSAAGSLDAKFRAKGKKYFGVCADQNTLSNPKVAAIIKEQFGQVTPENSMKWDAVEPSQGKFSFGGADYLSKWAEDNGKYTRGHALVWHSQLPAWV
KAINNKDVLTKVIQNHITTEVTRYKGKIYAWDVVNEVFEWDGSMRDSVFSKVLGETFVDIAFKAAKAADPAAKLYINDYNLDKATDLKLTKGMVAHV
EKWLKAGTPITGIGTQTHISQGQGASAAGALAALAATGVSEIAITELDIASAPSADYVAVVKACLDQPKCIGITVWGVLDSESWRKNTNPLLYDGTG
NAKPAKSAILAILS
>RCO7_08527 | probable serine/threonine protein kinase
MATVTSPRDSLTAEKHQGSPGASQTSSAIGSPESLPVKQNGIISVPSTENLNGNAAPPSEPQKSTTSTATHAPQQQQPEKPSMTKRLTRMFSTREAP
RAESHITSPTSATSQNNSKPPPTPTSEQKPKPPSRKSSSTDKAINKPDKTEKPTTTPAKEKKAAGAVSAYQRFVPNAEVKGGHEHHLKSAKRQEKLS
DMLRNVISGKAKPQEHAQEGEQQLSLMSSWVDQLKSERDSLVSEKKGGPNATASLVEKYGKCQEIVGRGAFGIVRISHKRAENGNGEQLYAVKEFRR
RPEENEKKYSKRLTSEFCISSSLRHPNVIHTLDLLQDSKGDYCEVMEFCAGGDLYTLVLAAGKLETMEADCYFKQMMRGVEYMHEMGVAHRDLKPEN
LLLTTHGSLKITDFGNGECFRMAWESDAHMVTGLCGSAPYIAPEEYIDKEFDARAVDVWATGVIYMAMRTGRHLWRVAKKDEDEFYERYLEGRRDEE
GYAPIESLHRARCRNVIYSILDPNPSRRITASQILKSEWGREIKLCKAGEEGL
>RCO7_08526 | uncharacterized protein
MAPSPAPHDRSSYVDIAPSAPQQHHPSTSPPRRITTSATPNHTAQRIGSGSPKSTPISKSSPNTSRNGNPPKIIVKKEPPSSPDLPASRHRPRKLDL
SKNTSSANPATSRPSAGQLTSRGESGGLLIHDVGLACLSPGFQTQDPTMREQLQRSISVREQQRQLIEQRLQQTAKPGDAPMESAKERELGGSGFPA
KTPGTSKRKAPPGLSIVAPSHEQFAHERVIQSAPLNQSFTGRHQPHPLTRHIANHSSNLSNTSHIHHVPANQTANRLPPITDVFAAEQLGAHREIQT
SRGAFFPNNTGSASNSSHSNSRPTFPSPSHNNSNQPPITARPREYRSAEDAQAELAGGRPELLPKLVHYGGGHQPHSPPSPMTGNSMRQGEINRSGG
ARRRTRTEYEEGGSPPLGSGPSTTRRTGPFGEGRDSPSSQQRKKEEFMKLCDRAWDLFHS
>RCO7_08525 | related to DNA-directed RNA polymerase I/III chain AC19
MVRTKPQPGGGKAANAGPASVEEDVTMGDAPAAVENENMNKNPEGEAGMEDDDAVFVFDEEQRIRILPGSSDTAASFEFKNEDHTLGNSLRYIIMKN
PDVEFCGYSIPHPSEALMNIRIQTYEGTTAVEALEKGFTDLMQLCDVVADKFCEAREAFTASTEA
>RCO7_08524 | probable NADH2 dehydrogenase (ubiquinone)
MVINPTHLAQRTRQSVNWSDAQRRVLKSYREWIRSAPEIQTMYSLSIPIPALRTKIRQEFERHRYVNQIQVVDTLLFQSHAEYQETLNYWKQHVHIL
KYFRAEEDPTARRPNNFMSGFLEVCLILPQTHPLLNPSIGS
>RCO7_08523 | probable G10 protein
MPAIRHASKRKAPPAGFSDIEDDLLIFSNKMKDAENAPSTNVPRHAVHWPIFQISHQRSRYVYELYYEKEAISKELYEYLLKNGYADKMLIAKWKKQ
GYEKLCCLRCVQTKETNFNSTCICRVPKAQMKEDQAVECVSCGCRGCSSAD
>RCO7_08522 | related to calcium/calmodulin dependent protein kinase C
MGSLADTSHSSTPAYQSPLRHHRRNPSQHREVKETLNARSAYTNNQADGRAEHHINQYIIKDEIGRGSFGAVHLAVDQYGTEYVSMFPCFSDVSGMC
QGLDKYIARSNGAVKEFSKSRLRKRAQSNILRRPHGAKRPGHLAAGSGLNAPLHRHSASDIHNGQEQGNPLFLIKEEIAIMKKLNHPNLVSLIEVLD
DPEEDSLYMVLEMCKKGVVMKVGLNEQADPYDPEKCRHWFRDMVLGIEYLHAQGVVHRDIKPDNLLLTDDDILKIVDFGVSEMFEKASDMMTAKSAG
SPAFLPPELCVTRHGDVSGKAADIWSMGVSLYCLRFGRIPFERSGVLELYDSIRNDHPEIEGEPEFCDLMQRMLEKDPKKRIKMAAIREHSWVTKHG
SDPLLSLEENTADMVEPPSQIEVNHAITAKMANLLVMMKAVQKFKTLVETRRPTALSKALGKGLRAKPNLGAEGESGFTLHRSRSVTSDDRGHPETV
LATEGVHLKGAAADTIVGNSAERQSTTRDVKEERNANDIPEFIPPGLHKEDSGDKGHAQDPLEEEPLFLGIGAGGDFLEAPPQDIVAESPTAADFNI
YDVAYQEEVNRIRAAQGFTATVYLTRRVDSKKEYKADENMVEAPQSNETAGGATAGFKHLLDKAREKKVEPEHKAGGGNRFSEIAAKAIENTKVFGR
GLSERGGGVVDNMLAKAVEKRNEQKEMKEVKEGNRL
>RCO7_08521 | related to multiple myeloma protein 2
MVVYSFYIFDRHTECIYSRLWARQPDRPVSSSGNRPISTSSNTSQANTLVPPISVSSPEPAPNPSINTTIKPDPARARPTRLSAGDDAKLIFGTIFS
LRNMVRKLGGPDDSFISYRTGQYKLHYYETPTSIKFVMLTDTQTLNMRNVLHQIYVNLYVEFVVKNPLSPVEHGGGVGVANELFELALDQFVKGVL
>RCO7_08520 | related to PEX3 - peroxisomal assembly protein - peroxin
MISATRKWLHRNRTPFAIGFGVIGVGYVATQYVLGKISDARERMSSDRIARENLRRRFEQNQEDCTFTVLALLPTATDNIMGELQTERITFELQQQK
AAKLVRNGDGHPSELGSSPPSVTDDDGRSMVSAHSESGMHISQLGIPASTTGEGPQDGGQQAQKARKTKLQLWNDLKISAITRSFTLIYTLAMLTLL
TRIQLNLLGRRSYLSSVVSLATGGLEQSTISLENNDDDNPDQAYGNDFETNRRYLTFSWWLLHKGWREVMLKVEAAVKEVFSTLNPRDDISMQRFSE
LTLEVRRKVEGATEAERKEGKWLRFLLPPREQEDFVLKESGMTTESTSSTSGTSGTSPLRRLLDETSDLIDSPPFSHVLTLLLDAGYSTLVDQKIAQ
QAFKMPAIPEVPDLEGSRVTEVFESKPVKLPILLATLTRQAHSIGNGVPNEYLQAMEQVRDLEAFAAVVYSSNWENEISPMNAPESSTVFVEKDGPA
GPVVVPTENAVQESVVDLGLASNFESAWGKAVDTAEKGVSA
>RCO7_08519 | uncharacterized protein
MEQRRPPEYIIEVFADPSSVKDVVRGILHTIFFHRFFPSLRPTTRDILDLTLPFVEDVELETLIDQRTTTLVRQLDTSSDMGARNTGVRGSMAVQFF
EKKRRKAWFTKGEEEVCWEQWTLDVTLATPRTESERAKVRKAMEAMLLKAAMKIVTTVNREKDHIPPITTSESNPFPYQIVINPRDNGWGGRLGTYI
F

>RCO7_08518 | uncharacterized protein
MAKRSREDFEPSSPESSSPEKSLVTARSVVHLATKQHPSSTSKFRHLSPESGEAVAPAAEMRCSLPPHRGTLTFASFEEYDVHYAKTHTNRCLECRK
NFPTEHFLNLHIEENHDAMVAVLKERGEKIYSCFVEDCDKKCSTPQKRRMHLVDKHMFPKDYDFYIVNDGIDRRSSMLRSGKHRRRSSAAQHMTEIE
RGRRRSSAIQVASAENGDVAEEKESSDESSVGSPASSKEDIDMDGLSGAMSSLKFVPLSVRFGRGRGRGRRGFSRS
>RCO7_08517 | uncharacterized protein
MASNVAAQNWQLAQQAEAQLKALLKRTSGPTYDETEHAISQIRVASEAVIFADIIFATTVKVEGRLWDAHTLINARYRKMMENVKKQQKNHVERRSL
AKHYADFIKTSQFFYKGYIQRLASHFEGLQNLRRIADSLSLSTLTVDRRLRVSPETERLIEKSCHATLMRLGDLSRYRNSFRTKDRSWAPALGYYAL
ANDFCPSKGYAHQQMAVIALAEEDHLDALYHLYRALSTKEPHQLAFGNLEHEFKKIISAFEKKVPQAKADKASTLCGWFVLLHAKFAQGVDFTAQRI
ELEREILSRLSLLIKEQTFGETLEKLVIINIAAQYISTNKARNDPNDMTVASYKFYLGFNVRMMSLLLQILISELEKDNSGEEIPKEVNGTSERSET
SKEIITAVARRVLPPLRQYSTWLTTNAKFIIAASTPQSSDMTMATHILELWRLYAIVLTKLNVLFPVAGLSFVTYLLEEDEVTVGFEPLLDPELPTG
CNLFKSVEGKAKPRITDRGLEREHPNIEMQSRIRDLLIVGLSLALNDVIPIHMDRSGGGIAFMFSQSNSQVSSPLQYSSSSAFPTRTNTSSEFSPRE
ARPAAKEVKKDEIRGSHDASHSMDNDMSRMVDNLLDTTSNGQHNETSYGMHTGTANEVFAPVASNGYDSQFRSTPKILPSLPGLYNSAFTPKPNELR
STSPNRPGTAGQKSPLSFVSAEKRWEAALALDQMTGGPKSGSTCWSRETSKTSSSSHKSFAQQIQEGLDDHASLLPKSSPWGRQTSRPTSGSFPQPI
SQQIQASLTQQYMPMSSNFSDSSSLYANSTPVPARANLAGSRVGLGLVNGGNSTIYPGASAFDRDTMLQSSIWNNSQAFPGPYVQTPPGGQGG
>RCO7_08516 | related to adenosine kinase
MASNQEFALLCLENPLLDIQAVGNAALLEKYNLKSNDAILAEEKHKGIYEDLLNNYSAKLIAGGGAQNTARGAQYMLPPNSVVYLGGVGDDKYAAIL
HDAVKTAGLRVEYRVDKTEPTGRCGVVITGHDRSMVTDLGAANHYDLDHLKSSEVWKLVEGASTYFVGGYHLTVCPPAIMALAEEAAAKNKAFVFSL
SAPFIPQFFKDPLDATAPYWDYVIGNETEALSYAESHGIETKDIKEIAKALAALPKKNEKRERVAIITQGTEPTVVSVGGKEVQEFPVHAIDSKLIN
DTTGAGDAFAAGFTAGLVAGESLARCVDQGQWLAKLSIQELGPS
>RCO7_08515 | probable 60S ribosomal protein L8.e
MGRVIRNQRKGRGSIFTANTRLNKNPAQFRQLDYSEAHGYIRGVIKEIIHDPGRGAPLARVVFRDPYRFKLHTETFIANEGMYTGQFIYAGKNAALT
IGNVLPLSSIPEGTVISNVESKVGDRGSLGRTSGNYVTVIGHNPDEGKTRVKLPSGAKKVIASNARGMIGIVAGGGRTDKPLMKASRAKHKFAVKRN
SWPKTRGVAMNPVDHPHGGGNHQHIGKASTISRYAVQGQKAGLIAARRTGLLRGTQKVKD
>RCO7_08514 | related to TUBERIN
MGLATLEAYLISPSPSTWPSKLITLKTLVPEHPDSMSPTAGDVVQTPEPKSTSGFASVFKSLTGNRSNKNPNPSAPIIQNGISAVAPTALHLQSTTY
GGPPDYERLYTQLKPGNAQAERLAAAEALRHAVQDYPLTSVTSIFKQGKDLIESNNSRETRLTGFELLTACVRQTISTDPERLFYFRVLTAPANSDD
FHLQLASVVELAKNGKDLSGFHYETLPLLTSWLKHNFSATATARSKAGRSNRSSKSKAPLGEETNLSLLFAFIVDVIKFSFSVSSEETTCDLIEVIL
YICVNTPITGDLKACIDVINAIITYGDIPGAKLMDCVKVICSIHCLVPDVQLEAWRCISNLCKSHNGQKTIRILLDILREPPVDSSGGKQMVREIRG
ALSVLEKLFVKDGKDGYPLVPFTLLIAALEKAVEVDDKKVENETLRLILSLFSDENEEVKRNVMNEDWSIMFDVITKCSRRALENTEGHSHTSRYHV
NSLIATEDITSEQYLATSLVQTLHSIVMRIEELLKKFSTDDFFQKEDCIKFFVTVHPHLPESCAKLVIHHYMEYRYCYPSDLEWKENTKMILSAFFT
DRMQPTDVRLYALKIITDVFEVIEMMDEHEDPDTIQVFVMSILNDIGDEKDIAILQKVVAFAVTVAEKADDMLFDHVIAAMRSTISSDRIQSPFGSP
PSSRQGLMTSSRPVSSTVPDSLVQTPSNVVTRGLILIFMRTMDSSNSKALRIYRELLWISNSHECETDARISALKMLSRLRADWANGIFLTPFTESD
ALAATLYRTPAALARKQAIDEAAQQQRSSRVDDNARILRSTSVGQGHPTSRQPLRSASGLTRTMQRHHPQMWMCPDHDALPEPASGKASLELKSCLG
ANVNDNAEVNGDDEKSEPEISEKASVSGAVSFSNSQTVLNVGLYLETIISLMKNGCDWEVYSYILVHLASQLTNQALFVGAIPQIRTLRELLCDQIK
NSTYYDPPLSSGLRKADVAICIFQILNMVMSYHRHFSKADQDEIVRTFLQGVGEKTSKSCIHALSICCHELPGSTSKSLVHILQKMSQIITQSHVAV
HILEFLACLARLPDLYVNFREEEYRIVFAICFRYLQYARDQQAKETSNRHSNPLGRSSMSSPDPRGQTDSRAAESNFEPNTSDDLPQYVYALAYHVI
IFWFLALKLPDRAGQVTWIIRNLVSTDINGKEKIDEQAQVTLDFMQRVAYADVDESDADPSFTEEVFGQIQKKRWIIGNSLVTVEQATRGDWAQITK
RQPSGTSCYIIQEKFIRPPPHQDPGLADIMKDGRLSDDNVKLPSHLMLQLSASIPQGSDGFNRLFTVDGHKVGVIYIGENQTNEIEILSNIQGSSDY
TEFLSGLGTLTKLQGAKFNTQGLDKEYDSDGKYTFCWRDRVTEIVFHVTTQMPTNLDRDSQCIGKKRHIGNDFVNIIFNNSGLPFKFDTFPSQFNYV
NIVITPESRASFVATRFRSKMHANDAFYKVQVMSKPGFPEVSPASEIKIMSLAALPGFIRLLALNASVFSLVWSNRDGVENVSSWRSRLHAINRIRE
RYTPKSSTSSAISPPGTSNGVNIRDSISSLRRSSVANFLTGSTAPEAVSQRSSILSTAETEVGPVTGEENLVESLDFSKWA
>RCO7_08513 | uncharacterized protein
MALNLNAPPERYTPPPRPPTYSFITINDPKETKSRSKRRQVRSAVAYYQHHKNDNEEAGLSTRRRGRKRRDDTKSPVMLQHQSSQSTISSSASISTA
QTTREEEKPHFDTSWNVASQPHFIFRGARVDPLNSYPIKWKPIYEPILDFYMTYILVDTPAVSEPGKVFRLRTSWFPLVMTSSATFYAALSLAGCIL
HTRRNIALDTPALLDIRSKAISSINTTLSNDEDCKTDQTIGAVLCLCILESFLNHPDLFQMHMSGLARMVRLRGGLDGLGLDGLLRRMIVWIDFNHS
SINGTDLVFPESIEVEARLSPFKHPGSGKSSLTGSATI
>RCO7_08512 | probable negative regulator of sexual conjugation and meiosis
MECLRDQFYDGVVLDGRFRTVSPLNHGSFGMVFMAEDLTTNEMVAVKCLTKKSAIIDGDYSFAVDEKSEELACHALLGNHPNIVNLIHSFETESHIY
IVLEFCSRGDLYEAIRTGTGPLETEHVRRFMLQLVDAVAYTHGKGLYHRDIKPENIFLTQAGEMKLGDFGLATTDKWTYETTVGSDRYMSPEQYDSA
GAGYAPEQADIWAIGICLLNILFSRNPFTTPTESDPLFLDFSRDKQSLFDVFPTMSQDTYEVIAQCMSLDPRKRSLQAAREALERLVSFTTFDEALD
DFCMAERRGIASANREPLRTPSIQSPQMDNGSFPWAKALHASPPQQYRQLSVIADDNESYDSEDLFPSSEESNKDWFSVGEQTPSLASMLESSLGTS
MRSMAIRRPMKSGPPKASLTPISGSLPITMSKPKPLPSLASIFGKKSEVASKSWSDLWDEEEEEEEEEEADKQLKARQMQNARTWSHESKQDEDDTI
RRGPLEPKSSSLVNINKASSDVVTTIAHDIDGDLVADGFFFHDAPKEIPQSPPRYSPPSKRTTGDKWSKLGERRRAYTGTSDSEKSPELWKVRRNVG
LGFSGFGAGVGVCHKLNTVKDTTSAKDKGKGCPWAKEKSHDHGVHKRHGDLEWVGGFADLHL
>RCO7_08511 | related to Enolase-phosphatase E1
MHARPPASLPDTFLGSTVGENSKHVATAAVNHSPATRKAKRQTSNTIAKIALHGEEKTFHLTPLLSSRTRANEDDEEDGYRTNWLTRIPNAASEGLP
SWEIGKLGKDGERGRDREIGRYGMADKLEFEGVVLDIEGTVCPISFVKDVLFPYALTHLDTILSTFWSSPSFTPYRDAFPSSHRHTPDAFRSHIHSL
VAADVKSAPLKNLQGYLWLSGYENGSLSCPLFKDVPSAFKRWTEKGIPIVIYSSGSVAAQKLLFKYTDGEEKDLTRYIRGYFDTVNAGMKGEKSSYV
KIVEGMKKDGNVDVEIGKWLFCSDRVVEVDAAKEAGMQAVVVVREGNAKLSESEKERNILIESFDQIA
>RCO7_08510 | related to amino acid transport protein
MTSRSNPANWDEYQYGTSASHRGSVSSAGGRSVRFGEQESESSALLDTARERSESGQQGELRRRRSSIGLHLNALAQVGGVNSIENFARSWTRAAGF
PEVTPQRPSFIYSGDQDRGTDGTLEYGRTDAEYGRVPRTSLIRAHLAEHGSPENALEDESTMGAESDPSTPRPLDHQESERKRLGSDMLSLQGSVRG
SPSMFAIPPHLATPMSNTLGTSYGTVQSSLSEHSMTHAGQLWKQQQVKQIIHGEGDREPLLVKEVEQDGKIVLAVAGRSTLPQTIFNSTNVLIGVGL
LSLPMGIKYAGWVVGMTFLLFSAIVTAYTARLLSKCMDVDASLITFADLAYISYGQKARIATSVLFMLELLAACVALVVLFADTLDLLIPGVGVNQW

KILCGILLIPLNFAPLRLLSFSSVLGIFSCFCIVSIVFIDGFYKPQTPGSLREPAKTYLFPKNWLTVPLSFGLLMSPWGGHSVFPNIYRDMRHPQKF
GRAVRVTFTFTYILDCATAVAGILMFGDGVATEITANLLNTKGYPRSLSIIMSIFIAIIPLTKVPLNARPIVSTIEVFSGLDTLSVSDAPVLAGLSG
YTRGILRVVVRVVVIIVFVIIAIIFPAFDSIMAFMGSTLCFTICIILPLMFHLKIFGEEISLKERIMNYVLIVICSIFAVVGTVWAFLPKSLIGAE
>RCO7_08509 | related to UPF0657 nucleolar protein C630.10
MVKKRTTKLKSLSQGRPPTLKPQRSISSKATRTLIRAHHTLEKQKAKALADGDHTKAAVIAKQIELQGGIESYQRASLIGQTSERGGDSSKVLMEWL
ESVVPLLSDLVTKGQPTRMLEVGALSVSNACSRSRLFEVERIDLNSQAEGIKQQDFMERPIPLDEKDQFDIISLSLVLNYVPDPIGRGQMLSRTLKF
LKIAPSPGALATFIPSLFLVLPAPCVVNSRYLDEMRLESIMRSIGYVEVKKKMSNKLVYYLWRKDSLKPQRTPFKKEEVRAGGSRNNFAIVMK
>RCO7_08508 | probable ribosomal protein L23a, cytosolic
MADENLSLIFSTTTTYSTNNFTMAPKDTKKGAAAPKGKGNKQASAAAKAALKGVHSHKVRKVRLSTKFHQPKTLQLSRAPKYPRKSVPHETRLDEHK
VIIHPLNTESAMKKIEENNTLVFIVDIRANKRQIKEALKKLYDIDTIKINTLVRPDGSKKAFARLTADVDALDIAATKLAIV
>RCO7_08507 | probable mitochondrial import inner membrane translocase subunit TIM8
MDSAGSSSLDQSFDISKLTPKDKQELQQFIMNENQKARIQQTTHNLTDTCWKKCVTGTIKSGKLDRSEETCAANCVDRFLDANFTVIKHLESMRTQQ
>RCO7_08506 | uncharacterized protein
MIHLPADVLYLVCEELSMLQDFHTLFTCALTGRDLVQPALLWLYRIHLQSPITSSEGSDADLKQNDTFQGRVEAQKTTLLKWALLWKSIIRSSLGNN
ATAYPYCLYIRSLDLRNLTDLLEDPQFRDKALDSFFAGDMAQYVKFQQTPMKSKTRGAKPVYQRLDVPMVLEMVGESITSFVSQAASENMTTVAVED
LSGNIRTTALANWTSRLSNLRSMTLWDGAALNKSVADAISESCYNFDDLTFFTCFKNDIDHDLATFFGGLRANTLRSFVALSAGALGPEALLSLNHH
SKSFRRLKMDGLKSDAVKHLSYLQGCTALESIELSDSEGVVDLEATENDVYLETITWLGRCEVLKELLLRNFVSGPKILTQVCLKNNVRLRKLQVVN
YPLAGNQDLHRALSHQTSLESLELRADAETAFRDDIDILVSSICQLTNLKYLDLQSTSDYFSTTEILTLASHLPQLEEIFFGGYDVTDALWHGLSQL
HNLRSLNIHAITSFSIGAILGYVSSLQETNKGLLLSVMNQKAENAICERHEKNIRKAIEAKVDGKFEFTLFREPDSESDPPSD
>RCO7_08505 | related to rad9 protein
MAILSFTLNPESLDKLHSALACLSKFSEAVAIEASNDKLVLTALNSSKSAYASFTLGSKFFSKYHFKPIRPVGTPVKDKFTCKIYNKALLSVFKGRT
VDPTREKDTAVEKCDVSIEDGEGKTKSRFVIRMTCRHGVLKTYRLTFEAVAPMHALFVKESANNSWSISSRTLREFVEHFGPGTEQLDIYSEDGRVS
FTSYTEKIMSGNEVLKQPLHTTIAVDTLEFGEFSVEEKLHIVISVKDFKAIVAHAGISNTMVKARYSHPASPMQFSYSEDGIFSEFILMTIGDMRGA
SSTPVPIASRAHSKRPASRQPLEATSSSKRAATSQMPPPPPMSAAPSLAHETTRVSRPSPPPPQPNEQSQSLFLPQDDDDRQWDPNYEDDEEMLMWD
RNERKNSLTMNSGMPEIAQNQGQGESGDSDLPPTQRLAPTQRLSEVQGFGLFD
>RCO7_08504 | related to alpha-tubulin suppressor
MSVIYAIGSNGSGQLGIGHKEDVSVPKPVLFNPNTIINQVTQVQAGGNHTLLLASGKLYCSGDHTAGACGLLPNGKILNTHFHQVQLDTEEVKHQVV
FCAATWEASIIVLQDDTGHAMKVYSFGTGKKGELGQGELLFRSSKAQLINEFPPNGLEVVDLAASVSHVVAVLSNGEVYGWGNGRKGQIGQPEGTIH
APRKITGLDFKVVRAVCGREFTYLVGEPEAGEHLVLGYDKWSVNKLAPQAVPGWKDVGATWGSIFVLQQVGKLLSWGRDDHGQLTPPGLPPIEQIAT
GSEHALALTNDGQVLAWGWGEHGNCGPSTTNGDVKGMWNTIASSQYLPPDSKISSIGAGCATSWVCIST
>RCO7_08503 | probable 60S ribosomal protein L7
MPASSVPTKDQILVPETLLKKRKSQEKAREERTADLEKKKKAQKEKRGVIFKRAEKYVKEYRDAEREKIRLSRQAKQDGTFYIPAEDKLVFVIRIKG
INKIAPKPRKILQLLRLLQINNGVFVRMTKATLEMLKVVEPWIAYGYPNLKSVRELIYKRGYGKVDKQRIALTDNSIIETSLGKYGIVCMEDLIHEI
FTVGPNFKQAANFLWPFKLSNPTGGFRTRKFRHFVEGGE
>RCO7_08502 | uncharacterized protein
MNSTKSTELETDQARKIALWEGLEAEELESMKTFETRPPEFPKRYYPQGTIQGKTNAWLQRPHEARPDIGDQSLRVHTRRLYSLVRDRLANPVIASS
DAYKTELRRAGEAMMGIGTTDSPLAKDNEYIGVRGLSPISEASDFEDVDKGAPVVKSQQNFTNLVVLPGFEEPTFQYKDEDRGGLKQEVKQEEGRKS
GQENGDQIKDEQGDDHADEYQRVAYDEDEHLYFPGLDYDEDEDGKDDNGEVHRTRYRQPLLSQSQYCMDPNQQLYFEAIDDEEDE
>RCO7_08501 | related to iron transport protein
MASRSIARSCSQFATSTPSSAVRAFLQIAPHRQLHTSSPILDFLLPSTQCTNLQSRKEFAQLSLRPRNTARRAFTSSKRQQTTVIYNPRDDDDGNPM
HIEITPRASNRLKEIMSKDSNPNLALRISVESGGCHGYQYLMSLTTLPPLVFKSATMQEEFSPAMNTSSADPNVMSSPAEVEATLNEDDTVFGADDG
SGAKVVMDGPSLEVLKGSKVDYTMELIGSQFKIVDNPLATSSWKIDVRDGQQFG
>RCO7_08500 | uncharacterized protein
MVSIQDIRKSNATFKSSEQAFGLVAVFVGATSGIGMGSLRQFAKNAKAPKIYILGRSKSAATPLLSEIKTLNPEGIYEFIETEISLIKNVDKACDEI
KSKEKKVDLVFTSPGFLAFGGRKGFYRYFSTMLKTLTINIESEEGIDIPHALRYYSRLRFIYNLIPLLKASLLPRVISILAGGEESAIDIHDLEVKN
YFTFIKAAENGTTQTTLAFEELAKTNPEITFIHKYPGFVNSGVIDRLLASAAGLYAIPAYVARWTMVPIANLFSMTVDEAGERVLFLATSSRFPASR
TTETVGVPLPSGVNLADASVIKDGVSNGVYRLLANDGSAKESPVMVGYRQDRTDKLVWEETQAVWERALARSA
>RCO7_08499 | uncharacterized protein
MADYGLRRARESKSPFATLQPAVQSARYICDTASALIPWMELTRQGGSEPTLIGLLRVFKDYYPDVIVGEVNSGRASVFTHQNPEWRQRLGEIQDLY
VQRTKDGLPNGQKTFKVTRQVSSRGRNASVLPEVYTSRAHETSVTLEEIENVHDFIQKLERIEPPNQLVAVINDPLLQKFLQLRSSESHSKRVDNWL
MAFFEDQLQSTSNAGERQILDMLDSVLGYTRHTKTLPVSCLSYLKSMIPTWNGVAGRRVVLALLAYTPIVSWDDLYSSTFQPLEEALLDDGTNNSQL
ALLAFYKTVLDQWTVFLLSQTQPHPTRSATTTIINLTNHASALALTIIQNNNTISAHSSVLSFYETTASLITHPLLKPTVRIAIPPAEIVYSLLFTT
SLSTVSRLCAILALHKKAFELAMTPKATHASEPEAQSYPKDYVNNFNGYLMDVCNCFWRSRAFNTTDPNALGCLLPPSTIQTLEKYISSLDTNISLP
NLFSVSYSPVFSRLAIKYVRELEDSSEEQIERRHAGPVTQTSLKQLEKDGGLSLPWADYRLGVLEYLECQGVDGVGELMFNTMKHLMTAREKAKA
>RCO7_08498 | uncharacterized protein
MAMFASTFRWLQRKRYQYEVTFSLYMLTPTEKFIFNSFLFLFFSMIIIAMTLYLPQHIAFLTNRAWFYYNGDLEHATMAVQSVIESPTSKVMGEKVR
ESVVAAGSGVRSAGQTILGAGKEL
>RCO7_08497 | related to polypeptide chain release factors
MPDRPGPIDESEITEAFLKGSGPGGQKINKTSSAVQLKHLPTGLVLKVQATRSRTQNRKIARQMLAERVEEIEKGKESRVAVVAETKKKRKSSAVKK
SKRKYRALDVARRDEVEEEGGDGKKEDGGRTGEEEK
>RCO7_08496 | probable magnesium transporter ALR2
MSDHESSVSTNNSGYSTPVPELDDHRRHSSSVQKPRSRRGTVDTMHSNYRRNLGPDLALVNQGFSPTITRDFEEAVEDGDATGFPPSRLRAPSGRSR
RGTVTTLDPRSVSPPSSVKAFAEARRMERDEVANDGRRCEEHDIHRSLSRDSRRSRRSLRSRRYTNDNDNISVAGSRHTAEEDVCFPLHPVGEKSSL
NINFELLQEFIDEEETRERTAPLGQPQARIFHDLRAQKTGDPTIVTSDGDIVQAPSGGSSALSGKTAGADFDEKHAEPQRLENRFEFFSTLAESTIH

AADFGDLVLPGESVRNLFTLPPITDDEDGVWWLNINSATKEEITTICRAFGVHPLTIEDILTQEAREKIELFQSYYFSCFRSFHVVEEENGGQDYEP
FNIYVVVFREGTLSFSFSPNPHAAEVRQRITKLKDYVALSSDWICYALIDNIVDSFAPIINEIERVADVIEDEVFISRNDDMKTFLRRIGMTRKNVM
GLMKLLGGKADVLRGFTKRCNANYRVTPRMDIGLYLGDIQDHVVTMMSNLAHFEKMLSRSHSNYLAQLSIENIEQGNNSNKVLSKITMLASILVPLN
LVCGLFGMNVAVPWKNSDSLGPFFGILGFLVLFTLLSLAIARRMRYI

>RCO7_08495 | related to microsomal signal peptidase 12 kDa subunit
MADQILDQVRELAEGQIDFEGQRLAEYLTTALLAIFGAIAFITGYLQQDIKRALLIGLGGTAATFLLVVPPWPFFNRHPVKWLSVGGKEPKSQGIIV
DGQIVG

>RCO7_08494 | probable ring-box protein 1
MADVDMTDAPSGSVVPKKGVSKAKGEAADGGPEGKKRFEVKKWSAVALWAWDIVVDNCAICRNHIMDLCIECQANQASATSEECTVAWGICNHAFHF
HCISRWLKTRQVCPLDNRDWEFQKYGR

>RCO7_08493 | uncharacterized protein
MSTETPRRYRAQNATMPSATASSQTSQSSHNLPDSQFRHQINSQAYDQNSQTNPNFTSSFQQPTTPPRTPRKENQSASQHTSSSIIQDAGSKQKSRN
KNRPKNVMTSPAAARNGRHASPLAGAQSAGMTSSARPMSTPTTAAYAGSTFHASPAPSALPIPSFFSKSVPDSPGIKGLRSIKGAPLPTTDSTPTRT
TPSAEQLQREESPLDVFFRADREERARSVSSARILASANGPFPPPSKSPRNTQTPPSHSNPSYFPNGGSNRLSASGIFAIELDGDRAPGTPLGPAFS
TPYAERINAARSGGQCDGPSDQSPQHIQSSMDRSDALKAYLFSGQPPAPSNSAPVYSAPDSYQVPFASPNGPRSAGLPNRPQSNGSSPGPDSRIMNG
PRTGGRSSGLRQEVTPTKTPTRTPDRHTYGNLPTPSRNSANTFNHVNPYATQFASRTPPQASTDAPNAGDSKSTIKGMEDSLRRILKLDPVGIHEAD
IGHEPPASGPNPSYVGGRTHR

>RCO7_08492 | probable mitochondrial translation optimization protein 1
MNRRSICIPPVKLTRLLQPRSIWRQQRFFAAVAHNHRPYDVVVIGGGHAGSEACAGAARSGARTALVTPKLENIGVCSCNPSFGGIGKGTMLREVDA
LDGVAGRIIDKAGVQFKVLNRKKGPAVWGPRAQIDRELYQKYMREELERYPNLAIVQGSVADIIVTHEEGQVPRGKITGVRLESGEIIQTNHVVITT
GTFLGGEIHIGLKCHPAGRMGEAATFGLSKSLKDAGFELGRLKTGTPPRLARASIDYTGLDAQVGDDPPMPFSFLNDTVSVEEQLLCHATHTNDLSH
NIVRANLENSIHIRETVKGPRYCPSLESKVIRFSDKNQHMIWLEPEGFNSDVIYPNGISMTVPAEAQERILKTIKGLENVTMLQPGYGVEYDYVDPR
SLKSTLETKKIRGLYLAGQINGTTGYEEAAAQGIIAGSNAGLSSQSKPPITLSRSDGYIGIMIDDLITKGVSEPYRMFTSRSEYRMSARADNADMRL
TAKGREAGIVSDERWSAFSDEVTQIAGLKAALQAKISSAPVWIKDGFKVGNDSSRRTAFEVLRLAGVTVSSLSSLIPAVANYHPGIQSRVSIEAIYA
PYVEQQNAAMRVFQKDEGLKLPGDLEYDGIFGLSMHEKSLLNATRPESVGQARRIEGMTPAGTLRLLAFVKGRGRSAAKSLATEEIAARKREYMVGS

>RCO7_08491 | related to cardiolipin synthase
MSQFLGPTKPLLKVFSKITTPHENIYTVPNILTFSRLIAAPVVGYLVLHDHHAWAVGLFAYAGITDLVDGWIARKWNLQTVVGTVIDPMADKTLMTI
LTVCLAIKGALPVWLAAVILGRDVGLAITAIYYRWISLPPPKTFARYWDFSLPSAEVRPTTISKYNTALQLAFIGATTAMPLLTVDVTAAMTAMQYL
VATTTVWSGASYIYSKDAVKILNQDKGSNSKETEDKI

>RCO7_08490 | uncharacterized protein
MASASPLSPTFFGHIASTQDALLLFEACLSGALNHVARRPHDRERVSLIKSGNVFIYEEHSSGIKRWTDGVPWSPSRILGNFLVYRELERPFPPGEK
KRAMKRSKRSPGISKPEPYGGSGMSNGYSSASAAASAFDNQSPNSLSKETERSLIGSLVDSYGFKEEGLVKKTVSVTVGGVSHHLVSYYTVADVMNN
KFTTPSKDPRFQHITPRPDLITKQNFRTPIDEVDTMDRIDDRSVYASYPYARNGYEMTNQTITHRPMSLPTPPITYGSGSSMYNAYGQYDGIGQGHP
SAGYGGQFAHSPGLYPHTKPDHYEGGAYRTQRYNSVIGIGSDTSRAQIPPVTTNFARRTPNYEQSGPIESGLSGISASSTESKLTSDSGYSSQGFYG
GMRDSGSSHSYSARSLPTPTHQTTFERVPSQSYSGPETPKGENMWLNHPGMTSHPNVGHPHFMGGQQPWTSTGTS

>RCO7_08489 | uncharacterized protein
MSDSEDEDLKRAIALSLQESSPRLAGQSNIIDLVSDSDEGDDDLDAPVTTKSLKFPTTHAVPKAATEAVAQKPRKEELLREASGSDIEASPSVTKNM
DSMQNYAGMLGLDRKAMEEERLKRQKHREGVQLSSVNNNKRQASISPPRVRREMHGGTATEDVDLRAQPISQPYEEKRRKTAHLPPDVLPRNQEQLL
SASGIQYPDGVIKKTWVKGCPRLGDDIKIEEVLQKDDLKLAVLSAFQVEPEWVESKLDSKTNVIWVLQAKTDAEKQNIQSSAPRNYRFCFPSMEGNI
NCMHSKLQLLAYSTHLRIVVPSANLTSYDWGETGVMENVTFLIDLPRLPTGKAATELTYFAEELLFFASALGLDQTTLNSLRYFDWSRTSQIAFIHS
IGGYHADPQIWKRTGYCGLGNAVQKLGLATDDALEIDFLAASIGSLTETFLASLYLAAQGDNGLVEYELRTGKSARNKVLSETERELYDSLNNHFRI
YFPSAETIAKSHGGTGCGGTICFQSKWYDSQSFPRHLMHDCKSHRLGILMHSKMMFVRGRAKNGNSNVAWAYVGSANLSESAWGRLVKDKTTKEPKL
TLRNWECGVLIRSGDKMSTDRKEAEKGSLGMDVFSGYIPIPMQVPGDQYGHRRPWFFMDR

>RCO7_08488 | related to flavin-containing amine oxidasedehydrogenase
MSVQKMKVVIVGGGAAGMSCAATLAQHPEKFDITLIERNDVTGGQATSIPMDKEKYGLEWMNNGVQGGFQSSNTPLTSSKSTAIRPKNKLINQFSGD
IKKFGKVLKIIKWTLAVLGLVPIRIMLRMFFFSNDFGDKMVYPLIALFLGTGNQTANVSCAILERLFDDPNMKLWDYDSETLLPNLPTMVTFPNLHK
FYEDWKKDLLSKGVDIRLQTEVAAITQRNSTGVILQTRPISYPKNLNDANTPTKTETFDELVMCVLADDALAILGKTASLKEKFVLGGAKFYDDITV
THSDTAYFEKHYETKFDPSLCAESKSQKMSDQIALAKGEGEGEDGEKGFRPSYYTKTYKQDPKKIEMSFDCSNYQHQFREEGIGSGREEKKDYQHVY
QSIFLDQRDQHDLWTMGEIDESKIIERKWWHQLGHRWQHYVRVVPGVMFINGKNHTLFAGSWTLVNMHELACVSGIAAAYRLGAEYTKLDDFATDFF
SKYLLLSHGMLYGKEEKRRKKEL

>RCO7_08487 | uncharacterized protein
MSLSTKEFPTPESCPDTSTQSLLPSTPNPIPDPICAICHSCYNTPSPDGTIETPSLLPCSHVFGSHCITLWLESSANRDCPHCRREMRYAGCGHTII
PKPVPISFLSPSSQGPENESENGRGDSSGLTGKVVRKEDMPSLCLLCREGKEMEDVVKRAERRLAAEESVLGGLSVLESVFGGLYKSPPEDGSVGFL
EKRRKEARERWSSEMRILREGLREKMEGKEEW

>RCO7_08486 | uncharacterized protein
MTAAWHPQALGISERAAEDVYIPHPAPSSMIADDEDTVNMGLTSVVKTLLVPAIISLILYLIISYVVVPTWKRYRGRYSQYLPLDTISTQTSSIRQR
ALDAIARWVLPSAWTAQFRREQYAVNAEDGPGSNFDEEDGEELFEVDDNRREALSLDARRGRDDDGRRLSRDLEEGFKDDSDDEGEEREGRTVPR

>RCO7_08485 | probable cytokinesis protein SepA
MSSADSKSRQSSGGKSFFSRSSKKDRRHASDEGSLGAELVKTSTTGSRSSRHARDSSVASIERPNSPGADLRGLNQMAGVITSIPYESVMADGKSPI
PVDYLPRSDQLPVGREPLPHHLNKKGVDYHQYPAFDPATTSHGSSHPSGPRPPPLTGNITMASTGDRRTQLQQWGPGRASNASTLNGTHNSRYDSYS
TAPTSAYARTSFDHSSLDSSTDRSSVFSSGSSSRTALPASQSTSSFNSNLSPSHPSSRESHRITKFPNHHMSGSPSGSFGGEGSGINKPTDDRVIEE
QFLALMQKRGWHNLPDQARRQMMAYPAAKKWTLVHQDRLTELQGEQKRRTNARNTGQYGREMEMLANAEEEGTPEWFVRKVMDNSISAKQLQSLAVS
LRTQPIGWVKTFVECQGQVALTNVLGKINRRQAQGPAPADGSTSDRDLDREYDIVKCLKALMNNKFGADDALHHQQVIVALATSLISPRLTTRKLVS
EVLTFLCHWADGQGHFKVIQAMDHVKNQQGENGRFDAWMRVVEVTVDGRGKMGSLVGASEEVRSGGIGMENLLMEYAVATLFLINMVVDAPERDLQL

RVHIRAQFTACGIKRILTKMEGFQYDVIDKQIERFRTNEAIDYEDLLERENSSIKDNVEGEVKDLSDPTQIVDAIMQKVQGSRTQDYFVSALQHLLL
IRDNDGEERLRMFQLVDSMLSYVAMDRRLPDMDLKQSLNFTVQSLLDKLHTDSEARQALDEALESRQIADSAMAERDEMKSQIELGADGMVAKLQKQ
LEEQAQIIEIQRRQIEGLKSDLESVQGLRAKEAQRNELETRELYLMLRDAQDIAASNAAKGVGGAALGESDPSQMKGILDREKLMDRLEMQIERQKT
QYKLEGRVWGDAAGPSDRLRALREEMDGDSRAGAGATPPRDFTNSMLGSVSRQTRIPRKPVNSQGQDMLFEDDDDIADDGEEGIVFEKPRVVEMRRP
KKAPGYLEEMNSKVKRYDASDDEDGDGVTTGPSHPSLESDSPRTPSDETLPKTEGFDGPPPPPPPPPPMPGLTPGFNGPPPPPPPPPPPPGSMGGPP
PPPPPPPPPMLGGMMPPPPPPMPGKKSGGFLNQSSYNSAPTLGLPVARPKKKLKALHWEKVDTTMTTHWASHAPTAAEKEEKYAELSRKGVLDEVEK
LFLAKEIKQIGMGASKKTDKKQIISSDLMRTFQISLAKFSSYSVERIVQMVIHCDKEVLDNAVVMDFLQKEDMCNVPENTAKLMAPYSKDWTGPDAN
KDNREMDPTELTREDQIYLQTAYELHHYWKSRMRALALTRTFEAEYDEVSAKLKQVVAVSESLRDSVSLMNVLGLILDIGNYMNDSNKQASGFKLSS
LARLGMVKDDKNESTFADLVERIVRTQYPEWEGFTDDIGGVVTSQKLNVEQLQQDARRYVDNIKNVQMSLDSGNLSDPKKFHPQDRVSQIVQRSMKD
ARRKAEQMQLYLEDMIRTYDDIMVFYGEDPADENARRDFFSKLAIFVTEWKKSREKNVVLEATRKRNEASMKRKHAQLKITGPADGSAPPSPVSTGA
MDSLLEKLRAAAPQARDQRDRRRRARLQNRYQVRVASGQHIPDPDEIPEIEDALKSPESVSTEGLMSPEIGGVPKEGSEDDVAERAALLLQGMRGTD
GANDAEETERRDSVRRARRRDNAEEERKARRKRREKASSFSEAAEGDALPEEEDTPQTVEAIEEDEGKEKVPTPTTVVRPPSPEGSRTKPIELDE

>RCO7_08484 | uncharacterized protein
MVHILTSMRTRRSQGVAIKEGSVADTSLENKMSNTPSKSNLTRGLTLWRIFCCLGTTFVPGHNECISYGDISKPLPIEGLTACESDSSDDVDEEVTN
YIIELDGTSITVEGRTILGSKFTFRGLTIDEKLAKETNIMGVSVADVGFFTVTLARVRYKQRVLSNAEYQEADAAASSPELLKLEHQYTWDASKVDE
HNCKKDTLLVVPFKPQSLRNLPSKIVVLQTMSTNSDAIIEVQVFWNAKSFSDMRHLCIAFDGSTFSNTSVKPPFANSRISTKSTSIVPEKLRLVSFF
RDQISMAKTTHSFQIGEIDPKSNASWVNGEDPGNPKAKPELVILDNSDEEEKMPDLKRERSDIQVVEDVVEVAEPIGVEVKKEVAHGTISNDTPSAK
RPKIGDGTENNWNEVISWSEDEQLERDKEEAKQLAEDIEYEERIAKMKRQQRDLKDKIAASEKKKSGKE

>RCO7_08483 | uncharacterized protein
MAILSDDENEVEVSIIRHADNTEFKEYVKIGDREKGGADSCDLYVVSQPGCIYKIDVTLKKSYVFGDHNQVAAKMWLDSISHAVANGDALEDDMSGQ
IEYASRYIPENIVYKIDGRSFNFQNLMPDETFDNETDLTRPERKVAFTKLQEMNKSYVYNYPVHVIGNSHQRREWYPWNLTQPYERKRAFAELQTMK
KKVDRGHVKQQVKDKIQSRPQDVIDLDEINPQPKVNSNRGKKTVAQIKSEIVEFQKHVSNKRRRALSPNESIASTTIMQDWPPRPRRKIVKIKEEPI
EVDPSKNNVSHTLSALNYKHDSPDPGIRNKQVKSEEEPEVVDTSASEDAEPAEPQQDFLSGADAAERWEIESRNDELEKEIEGENRRAKQDLAEISS
MAETDVAE

>RCO7_08482 | uncharacterized protein
MAQSKQFVLAYDGTHPFSEVNIGDRESVQELLRTLLDPLKAHFSPLKARIKVPGGTAVRFDQTAAEVEGIWRPAWGLAALLAGGGTYDGTELWIEAV
KQGTNPESPEYWGDPRDNDQRMVEMCPMGFTLAVAPVFWESLNEKERANVEKWLGNSINEKNMPNTNWLWFRVFANLGLKKNGGKHSQEKIEQDIIH
LNSFYRGEGWSNDGPVGVWQQDYYSGSFAIQFLQLLYAKLAGDEDPAKAAEFKKRAQDYALDFIHYFDEEGRATPFGRSVGYRFAMASFWGAIAYAD
VELPAPLTWGIVKGLMLRNLRWWQTQKDIWSATGTLNLGYCYPNMYMAENYNSPQSPMWACLAFICLAVPQDHPFWTSKEEPYPSELIPKVKALKNP
GHILSYIGGHRLILSSGQACSYPMKGTHAKYGAFAYSSAYGYSVPTGCYTLEQFALASQLGLSDDGGDMWKTRRICEEATLETHDDQPVLKSIWKPF
PDVKIKTYLLPPVDATPNWHLRVHKIEAGREVMTADGAFAIYNETDPNGRYLDLYNSKTFEGTLPKIIGNYDLNTPEGSSPGAVGAFAVSKGAVGIV
ALEADTRRTAMHVNADPNSNLIESRTVIPTLQHTIKKGETVWYVTAIYAKPSGEKVQPSTYLDGWDSKPVVPKWLAEEISS

>RCO7_08481 | probable transporter (major facilitator superfamily)
MLFGWDIGSIGGIIVMEAFKAEYNITPKIAATLNSNIVSTLQGGCFFGSLIAYYIADKWGRRPSLLLAAGVTCLGVTIQCATKGHLDGLYVGRLVAG
FGVGAASMLTPLYVSENAPRAIRGGLTGLYQLFIATGVMLSFWVNYGCYRNFKPKTTNTSTWLVPLALQAIPALCLFVGVFFCNESPRWLAKTDNWE
KATEVLSRITNLPRDHPYVQMELDEMRVQLDNERRLIGGASFWDLQREMWTIKGNRNRALISIGLMVCQQMTGTNAINYYAPLIFRNLGIVGTDTGL
FATGIYGVVKMVTCAAFLLFAADSLGRRRSLLWTSIAQGSAMFVIGFYIRFKPPVQGEPIPGVGYFALACIFLFAAFFQFGWGPCCWIIVSEIPTAR
LRAMNVALAAATQWLFNFVVAQAVPHMMETVGEHGYGTYFIFGSFCFGMFFYVWFLIPETKGLSLERMDDIFGVTEMAKAVAVGDEEHGRRPKEKTA
HTEVIENTASPRLQEQTRDREVQI

>RCO7_08480 | uncharacterized protein
MAILKCPSGEVEIRLRGTRPKNFKIAYFDEYEEVKVKEYSGKSRCTRYIIPEDTRYAIEVILKSGFHLGDCEGVRIKIYDKATDNFIGQKKITRGPG
EYLAIDKTILIETVYESLDKETNVVGVSVERLGGLQVRVAKCSKKETTTVSRKEFERQLARYEGRQVIGQAQKIDETSYNKDGITHAIGLSGGIVGK
KIETPTQMQFLRQETDKLCFDFICRSAEFLENNSFMKSPLPLELQPWDHLTSDQRDTALRTLEAHKKEHIFEQNIAKFGELQTKEEAPNPTTRPRNK
RQAKIAFLALQHLRVDFENQKKQSATFPVVVPASICPQPAKVQSLSPETKVLPSTLEHIAVDANQIVRTSTPNPERNVIIVLDDSPPRTHQRDPRTR
SPSTQAGTQAEPVDLDTFVSKSGSSSSGIVVRFKPEVNYQSESKRLKLSPPANDYAGHFSKFRKTRLAAIATLYREAEELKASIEEMEETKE

>RCO7_08479 | uncharacterized protein
MSLQNASDDNIREWVLSFHKASDSLKTTDLGKFYTKDGSLKFANNPLLIGLDAINASFATVFPLLSSMKHEIVNLDTISNKIYQTCTITYVVRDDPQ
NRTIKIPAMGVFHLVAGADFRSGEPLIERFDVFLDGSEIFGIIGEVQRLKVEGTRSG

>RCO7_08478 | related to hypercellular protein (hypA)
MAERKMSEAGIKIQIPPVSFPTHNSPRIWFLTSALSPLAVRLMRLLLAHGDYVAAGLPPPEIEDEERSAEYKELINECKGGRRDREGWKDRIRGIRC
DGRVMGQCGAAVAEAVAVFGRIDILLCCTSEAVVGTVEELSTTYATQNLVRDQFEIIFFSQVNYIKATLPLLRKRANGHIIILTGITGHFGTPGMPM
YSAATWAIEGYCDSLTYEIAPFNIKLTIVQPNKEITVLTNKITFAPQLNQYDSANNPAPGLRDILTNVLNSHPETRITPAGGEEKGRHGKESIMSRY
PRLPSEVKDRLVLETVHALAAIGGHENPPARHIVGYEGVASVKEKLKTVSEELEDFVQVSCAVDIFKSEVKRDALTGPKVDMAGGSNINIGSAQPGQ
SSSR

>RCO7_08477 | related to long-chain-fatty-acid CoA ligase FAA2
MLKLLLGNPTIISNEKSLHDFDSVDGLHLWTPGQIYRTREALNDHASFISPFWTSVTEGSDTAVLMLTSGSTGNAKAVRLTYNQILASVKGKSEMHN
MSSTDVFLNWTGLDHVANLVEIHVHAMSLCASQIHLPGAEVLLDPMKFLETIHQHRVSYTFAPNFFLGMLISRLPKPTQHQLINRPALVSIAKNELP
LAKTLQKLALASQPDTDKNALSARFDPTQQQSQCLELSCLKALISGGEANVVQTCADLTNALQQYNTPKSFIRPGYGMTETCAGSVYNAIDCPVYDI
EQSSEFASLGQPIPGIQMRIVRSDGSSAHPGESGELQISGAVLFPGYYNNPEETAKSYTADGWFKTGDKGIIDANGRLSLTGREKDLIIVNGLNLQP
QRIECAIQEAQISGVTPTCTVAFGQRPTGLHTEVIVVVYLPTYDLEDRSVEDRQQQLYQRQSSPTAAFSTLGKLSRPKIRKAYEEGHYDKLVRIDQE
YLKTYHEELFVPPTTDTEIAVVRKCQEVFGSSAVRIGVNDNLFMLGASSIDLLTFKMGLQDCLGLSSIPITYFFSYPILQDLAHSLVGLMPKTTSPI
TQPSSALTYDPVVILDPNTGSTKTPLWFIHPGMGEILIFMNLSRYITDHPVYALRARGFDPSNGGYYSSMSEIIQSYLSGIKRIQPHGPYAFLGYSF
GSILSFEITKILESSKEEVKFLGTLDQPPRFKQRARTYDWYECAMTVAFFLGLIGEGYAYESLPDMRKLTKEQVLDHVFERAPEGRCEELGMTRQKL
GNWAELAWKLKVIARDYDPRGIVKRMDVFYTGPLIGLVKAKTTQEWRRDFIGQWDEFVGDVQYHEVKGTHRTLISPPYLVGFWKVFKRAMENRGL

>RCO7_08476 | related to hypercellular protein (hypA)
MLDQLSPVASARVRAVLLPVGQIKRARFLSFVERLLPENVVQLGDISPDGRPNRNMFSPLAFAMGMIVYDLTTFYPPPTHVALSPFEIYREPLVIIA
LADGAELDHVSYRGNRRSLNGNGATRPEHNMRELYQDLEDLRDRYPKALVHQILLFDYVHGKNAAPLPEGLVPVPTPAECKRTTMKTIMCDISSLLL
AEMTTLAKSLQALPTVESPSQSQITRQNSGAWQQQVQSDVVSRRNSQFSLPSDPRSSSSGGSLDRSHVRMSMPSQLQRANSSSTSPSVSSSSPSNGV
SGTRIVSTLDDIVSSGGRDPRKTEKAIPSRFAAGEPNRDTSQDRVSVQGFGSNSVSERSRNKGKGRVSIVIGSLYTTAGRWPDALKELVEGASIAKN
NLDHLWHAKALDNILVTVLMLAWAGLDFQIPQVCYVNADKAPSTPNSNVQKSQASNRLVSLQNLTTLLPELLDRIVNLYARAANNTGEALPQFPFSE
SVIRFAKLSSAVHLAGGIVNDEVLQLLVLGTPYITSANLTTPRPNIHPTRTEIVTMLMRAFPTSSSTESLSIVDRTIVLSGIASVLGTLGYQRKKAM
VIRELVAVIIPGLVQARIKGAADMGVHPAAGLAALSSLSGNVNGAGALDLGEGDVETGVDTFLSLLGQIYGVVTSKTTKGDDGLHDDSDEAAIERIL
HNASIRAFGAQNLKMDVLRSCINISEALPDFHGVLRFTTDLLRTAGSGVAPGPRSEDASPAMSREEQVRLATNISRTLSAARNLGVKDLQAEYWDEF
LVRGVELEPLQPARTPIPHTKSELPGASTVSEAREVNPFIYNPFLRTREASAADHLLVAGEGAIFKVTLQNPYEFDIEIESIRLESEGVEFKSAKQK
TVIGPYRTQILTISGTPKASGQLKIKGCIICVRGCRERRFPIFDAPWSPQRELKVKTIGVASLFKPRDRPISVSSSIASTTPAIVSPKPNFLGLSVI
DRQPIVVVKATSLFQSALMVLEGEREVFSVTLQNLSKETPVDLVLFSFKDSTQIPLQTAMSNRDASPAELYECELIFARKQALRWKRTDNERLYIAA
GGSASFEVEVLGRPGLTSAMVQIDYAHLGVPPTEIGENFHTRQVSLPLTVTVNASVEMARIDILPLTGIIPCSLWSMIASTTVSKEVLKPEDYCLVL
LDLRNAWPSHLHIHLGIVNGGSIDEEILPGNTSRLMFPMRRIFLDDPCASIPALDPSRARQFVVSTGGVTADFERASREAFWYREEVLRMLQGTWAT
KSGPPRDGTIEFRGIRLNPRMIEALKIDDIGIDISINDNTGSKHEMTTDVFSELKVRIKNRTKELINPLLRIQPSLRNQPHNISLDLSKKLVWNGTL
QQTLPPLPGKETLEIVFGVTALSRGEFDISASVEEAQLVEEPKKPENIEKGGRPRASTRTMMDAVLGARERRIWHCREACRVVVRDEKDGDDESDDC
DE
>RCO7_08475 | probable carbonic anhydrase family protein
MGSNEEKIDNVSEFLKASQEQIFINNKKWCDSKVASDCDFFAKLSSGQKPDYLYIGCSDSRVPANEIMGLDAGEVFVHRNIANLVPNTDLNVMSVIE
YAVAHLHVKHIVVCGHYICGGVQAALSNTDMGLLNPWLRGIRDVYRLHEKELDTYTDSEAKYRRLVELNVMEQCRNVIKTAVVQQSYTHNGYPIVHA
WCFDLKDGLLKDLKLDFEECLKEIKKIYDLDAGPKKIK
>RCO7_08474 | uncharacterized protein
MDLRLATGRCDTSSKIKHIQLATVQAYKVLPEATQRHYLLQTWYSKDHLPSAGNIMRLDLKMMTGYDGEIKNSLFLDVLSGYGVFQPPALAAAPCNT
ASPLGISSGKIKRGHEKMQRH
>RCO7_08473 | uncharacterized protein
MSANLNNTRGGGFQQGRGVQRGGGLQRGGGMQRGGAVQGGGAMQRGGEGFAGRRNGGRPRANSVGSNTGTGNSAQPWGLMGDNRPPTPSEGRAQIYQ
RVGPTEQQRTRSYDNGTSLTFGPNDLLAEPIPGGSFDQQFLEINAAVRDLQVNNAQGALSANTIPAGNNAVHADFRMHFPPPQQLRAAQYPDGTVYN
VVLSRMASVEVLPHVRSLVRHMSDAPGEAHPGDTVDTRHGDNRGQLIVGNVPRRIGDIANHNQAITATGTSQVNAPLPGPRPNTGRFEDSSLSRIIR
EQDQTRERRQ
>RCO7_08472 | related to mitotic and DNA damage checkpoint protein hus1
MRFKTSVRNIQTFTKLTASLSSLGKVAWVRLDNDAVRFTIIPETGTQVWASLSIDSIFEDYTIQSAAPNNTINLELPLPPLHRALKSAINATSASIR
LTKKDGIPVLSLTIITNTISSGHSGHGFLNGSANADPFGDNAFREENLDANMGRDRETIVTQDIPIRVLTADSVEGIHEPRVRESDAHIILPSLIQL
KAISDRFTKLAMSTGNIRHSSSSSTAPKLELAANMHGSLKLSIRTDALNVESVWTGLNNPELDPRQVEEGMAVEEHPSMRLKAMGPDAWSTVRIDGR
DWGKVLSVGRLGGRVIACFSDEHALILYVYLSNYDGAEESVLTYYISSFSI
>RCO7_08471 | related to rat omega-conotoxin-sensitive calcium channel alpha-1 subunit rbB-I
MSSTPRPSSHYGASEAQAPPPREPSSNPELDVKKLQALPSEQQDIYLLTFVSTLTKHVASLEPDDCTAQQLYLKRELMQILNLSAPPPTRVIRNNLG
RCFGHILGKGDRKLLFESVNDFVNIISSGKAKTEADLRTKHAAVYCLGDVFAAAGDSAIGLHPLACSALLKLLKPATSNAGLRAAIFKALGKVAKMI
GGSMDDNIAKDVWKQARTYAPTDRSALVQVAACQCLKLFVKCTPYFDNSSDFDNLKSTLFKTIDSSSPVVRQAAAECLAEAMVKSHSDDPALESQMP
KIKKIKRTNTKKLDDDEEIQRPESPGPKKSHILVLTLPEILRQLSTFYIKSSTSNRARAGIAVCYTRIFKSLSERNVEAMYMKIVDSLTIDVLSHPN
ITSNRYRFLATRRFVQIILEDVIGQSILGQPGQIDAAKSLINDILKNYPQVIKERPEPGKYSLIAVLSALTSLIKTLGSASNTFSDSCRDGLLQVLQ
HPSYTVQVYTSYCLRTFTLACPQQLLPCLTICMNSVNRELTLLTTGRNSPRRCVGYANGLSAMISTAPLQPLYGSVDVNSRVLSLATGLLKSSSKSE
LRISSTQIQVAWILIGGLMSLGPNFVKIHLSQLLLLWKNALPKPLAKDNTSQRSYLESSFLTHVRECALGSILAFLQFNSRLLTVDVSKRIAAMLQN
TTAFLKSLPLKKMSEDISQRLFPSLQLHDLDLMVQRRVLQCYAKLVNLSPAGGSEALLQSNLLTLAVSFFADPENYTPSSLSTSIASSAGNFETVWD
VGDNCGFGVTGLVSGFKVQSLTGQHESDTLEDWMQETGSDSSISKVMLSPICSSLEHDSLALYLGDLGNLDAMPDPPATEVVNIAIKLFAIAFPLTP
PKIQESILEQVATFLSASSLQRDPGRKAAMNVNIATALFSTLKVAVKETQSPAGDITSPAVEKLMQEILHVFVIHPDQYVRSIGYEALARLCNSSGN
SFTNGEIKYLINTIVGNREPCARAGCAMALGSIHAQVGSMAAGFHLKTILGILMSLCNDPHPTVHFWALAALSGVADSAGLNFSGYVTSTLGIVGQL
YVGYTHNQEVASAVNSNLELEMSTTVVIARCIDSLVNVLGPDLQDMAKPRELILTLVSQIQEEDSTLVQGGSLRCLEHVALYAPGHMVFIDYVTLLQ
KNLSSEYPDFRDIAIDGLYNLMKRNSEDVVKAAETGFEDQLWLVLDSAPSHDGIRNLIRNWLKQSCLSDTARWLQRCQNVLTMTRPKVAETSAPSIK
ASGMPDLQDEEVAGFAAGAGAKDDGANAATSGQEPLRWQVRTFAMSCLAEMFAIVSKATPPDAEEPTAAEMALQRKIADVIRMAFSASTSNVVELRV
WGLKIIDAILKMFGKTPDPDFAEAPLLEQYQAQISSALTPAFAADSSPELASEAVNVCAAFIATGIVTDVDRMGRILKTLVTALENFSSESEVQSIG
DLKGLSSNAQVMVKMAVFSGWAELQVASTEQLYLVDVLKPYIGTLTPLWLASLREFARLRFEPDISMSLGPPSLSGSLDTIYSALNRETLLKFYQES
WLKLVDAIASLIEQDSEFVFDALDGKDTDAPTTNGHSKGSDINYRDEPVAFFFVLFGIAFEALVARPGSEALATKEQTLGILQALKKILHPSVSGHA
IYREAIFSETMDLLDRLVLTEGLDVQGVIVHIARGLCIAHPSATKADDKESDDLSEDIEQLFELTRIIVLVLAGLLPNLTEVKQAARHQLTDEAVSL
VRTSLNALVDAAEVFPSIIKTDLHACIIHIFATILGTANCQAVVVPQSLPILKRFMASISPATKKGKPDANVMQVQGCLTRFLSIYLHAQKRESESS
LPCVKNALLASTLLLTSGVNYMSASEPLVTRFLDEVIDCLSDRMTAKVAAGCIRTLVLQSPKTPADQSITRYLLPRLISFTTATNIEDPENARSLVT
HALTLYTTTLPSPQKAIAMSVIVPMLLSRANNEGKGVYQETSARLLDLAGSDQGAFRGVVGGMSVEQKGFMESVILKGRQSEGSVGTWKWGLSVRRS
SQMSYD
>RCO7_08470 | related to M.leprae yfcA protein
MTTSSRVFRPILRQKDYICAKCLFSSTSSIHSGHSRWSKIKHDKGAVDAKKNVQRSQFSREIALASKLFGPDVTNNYRLAAIMAAAKKAGLPKALLE
GAIARGQGKSTSGAALEAITLEVIVPPTVAMIIESETDNRARTLMDLRLIIKKHGGSVTPTGYLFQKKGRIAFEADEMKTADEVLDAAIEAGAEDVE
TDDGGSIVIWTEPNMTTAAADALFKSHGLKVESADIIWDANEDTKVPLKLEDSDAVKRLSDLISELRDNTNVQGIYANVSQGNLSDEVWEELQGSLD
A
>RCO7_08469 | related to cytochrome-c oxidase assembly protein
MGGPNLEVFKFGMYIMFPIGIMYYYGTNLDKRFAVPDFWPKPEQTNRIPFDKDEIHSELERLRQRRMYLRSKRLEQESAGGAQNKGSGDGQ

>RCO7_08468 | related to delta3-cis-delta2-trans-enoyl-CoA isomerase
MSSSISLEIKGKIAVISIDKQLKLNALTQDEYYQIAKYMREVAKNDDVTVTVLTAKGRYFSAGADVSISRALPEGTDIGKHWLQSFVANNLNITNAF
YTHPKILVTALNGPAVGLSAALIAFSDFIYCVPSTFLLTPFSSLGLVAEGGASRAFVQRLGISKANEALIMSKRITSEELLQVGFVNKIFDCGKGED
EKFRQLVFAEIEDRLGDHLIGSSLTKIKALIRKPEIEAMDAQGVAEVFAGLDRFTAGIPQAEFQKIANGQKRHKL
>RCO7_08467 | probable CWC21 Component of a complex containing Cef1p, putatively involved in pre-mRNA splicing
MSSNVGLSTPRGSGTSGYVQRNLAHLKPRDQGKPYSTDLDSLKHRQRQPDRDILEHDRKREIEVKVFELRDLLEDEGVDENEIEDQTDALRKKLLKE
SERGGGPAKKGLKMHQVHELAEAKIKQDNRFRSALGISKKYEEGGHWKKQDEKLKAAAEKPIKDEEK
>RCO7_08466 | probable Cell division cycle protein 123
MPSIEPADGPVPEPEPLTKLPFEPVTKSHIMHCSYDFWHPKYRTSAIKSRIIPLSRAFLSYLREDGIVLPNEIPTFPPPSTYTDNSTSDGWDADPTP
DPSLAFTDIHQQIFSTIAELGGLVAPKLNWSAPKDATWISMKKNSMECATPNDIYLLLKSSDFITHDLEHAFDECVDSPTSNQELKRDNIPYVLVLR
KWFKVNPSCEFRCFVKKRRIIGICQRDLNHFEFLFPLRERLRDTILQYFEKTLKDTFPDDDFVIDVYLPDPYDKVRLVDINPWAPRTDPLLFSWLEL
LTMPLPKPLLGIPDSANNPPLPQASSDEDSSQVEEEIEELAWKPEMRLVRKDDPEAYSFASPQYSAHKLPRDVVDASLGGESGMREFAQNWKGMLDG
GMKMQRPGESDSEDDEADVVRGVQEYKIEE
>RCO7_08465 | uncharacterized protein
MATINQLWVNLGRPLPELNAHKCLLVHQGNDEEALKIKFKRPSELVAASCLFTQNGAVTHFVSVPVGSGYSVEAQVASTEKVGGIQIMITPIKRGPT
QFIYVNQLSKGPPLVMVHSNASVYEFMSEISKENNVPVDQMRLLYNSRRLEKNHLLSHYGIPDKSTVKLVLNIQGRGLLSGSNPADAEMSVGAGDLI
KQSILRDPHAAIAWEGDSTAIFIRRRWSTILLTPSRSRTGITGIFSDIQSVREIDIERGVQNSGPVKSKGKGLAKELEFPTIKLDKSGRWPKFVAVY
EMEKKSMGWGNAQFS
>RCO7_08464 | related to NADPH quinone oxidoreductase homolog PIG3
MSLPTEIKQWVSLQDGLENLSSTTSPMPVPGPYEVLVKISAVALNYRDTEVVMGDYNHHKTIGNSPKIVPCSDMCGIIVKSNSPKWKEGDKVLSTFN
QTHTKGQIKEKDMASGLGLPQQGVLAQYRVFNSEGLVRKPEYLSDEEAATLPIAAMTAWMAINGMRNLGQAAGKGEKVLIQGTGGVAVSGLQIAKAS
GSEVIITSSSDAKLGMAKKLGADKTINYKTNPDWEQEVLKMTDDVGVDIIFETGGAQTLRKSFECITFGGLINCIGYLSGKEDVAGDRRTINVLALK
RNVTLKGILNGPRERFEEMVKFYEEKKIKPVVDKVFEFGEAKDALKYLFAGGHFGKVVIKVE
>RCO7_08463 | probable ECM16 - putative DEAH-box RNA helicase
MPKFVPRQRKHKVKERERRAKEGKFHNATVDSNAVEILPPAKTDHEEKKRRMREEIEAQGPKISGKKAKRLEKYLETKLRKDENREIIARLAKAQSD
TSLYQSSARLGQGRETKRQRLERALHEHKAGIDVDGDNDELLFEKRTPKEFAEERSSEEEEHETSRGLFKTPLTVPIKVKKPVGVTLGAGLKRPLEV
DEEGKPVLKKRKRRGGVNSKLSFKHEAPEEPDWEGFSSASEMDSNTESDASIQGYEDISDASDDEEDEEQSSSNSASKSGSEEEDSESSSEDDEEGP
QKPARSSAFKAWANQQLNEAIGYQPTSNIPLATETPKIAGFKPRAPEQDPLPLELQKTSNTTRKSYSVNVTRTPEIQDVRLKLPVVAEEQKIMESIH
NNNLVVVYGATGSGKTTQVPQFLYEAGYGTEDSPNPGMIGVTQPRRVAAVSMAKRVGDELGDHRSRVAYQIRFEGTVSPETAIKFMTDGVLLREVAQ
DIALRKYSAIIIDEAHERSVNTDILVGMLSRVVKLREEMAIEDPSIKPLKLIIMSATLRITDFTENATLFAKPPPVLQAEGRQYPVVNHFARKTHHD
YVEDAFLKISKGHKKLPPGGFLVFLTGQNEIIQLSKRLKEAFQIGHTASGPRVRISGRDAPMEAEDVDFGDTMEDNNDNYDEDEEVDITLDDEDFKI
EDEEADTGPKKMHILPLYSLLPTREQLRVFEPPPDNSRLIILATNVAETSLTIPGIRYVFDCGRSKERKYDRTTGVQSFEVGWISKASANQRAGRAG
RTGPGHCYRLYSSAVYERDFTEFAEPEILRMPIEGVVLQLKAMNLQHVVNFPFPTPPDRQSLASSEKLLTYLSALSPSGQITQTGSTMSIFPLSPRF
ARILLVGHLHECLPYTIALVAGLSAPDFFIPENQVVPTAPVRDPDAYFTSADRQEEDVRLGIRRKFNKVQKDFCFLDDKSDAIKLLQVVGEFAHEPT
ESWCKEHFVRYKVLKEILQLRRQITDLLRTNITAFAGLKFEDKLDPPSAKQVKALKQMIAAGFMDHIAMRADLAPNPPESRRKPTRAIDVPYVTLFP
SHIKRDDEEKAVYIHPASPLSHISPQECPEYIVYSYLQRAAPTAATPEKIPKTRMHALTDITGGQIAALAKGTPLISYGKPIKEVMPKMGDGDANVR
ECWVIPYLRAEGTGGVGWPLPARKVTQKKIVGRGWVVE
>RCO7_08462 | uncharacterized protein
MSVPNISGGLENLGIGGGAEPSPFPAATKHAAGLVNGQETDVSSIYFSDKIMITVSQEGRLSQWIQVPLSSASPTSFDTALPTDGENTLPLSHLTPR
TLLGAGGDQRETVGHLYASQIASLIATRDPEDTRTVVVGFGLPQIDMDREAFFDMMELIQKVI
>RCO7_08461 | probable isopenicillin N synthetase
MTSSTSTKLELRTAYGPVFRDVLNTPPRKCTQEEIPIIDLAPLSSPIYEDRKELSKQIRAAAVNTGFFYIKNHGIDESTIADAKNQCMTFFRQSPDQ
KMKVSKDKSKYFNGYIGSKRTNISPGESVDMRETLGWRYAPQYDPDTKDLNAIPEEVKPWIRGEEFVWEETAHLPGFKKEVLQYWSSCLTLARKLVR
VFALSLDLEEDYFDSRTTYPGADGVFNYYPAATQEEMENNSIGLGSHTDLQLFTLLWQDMTGGLQVLNREGQWIKATAVEGTIVVNIGDFMMRLCND
MYKSTVHRVYNRSTAERVSMPFFFGLNFNCVEGVVPSCTSEDNPPKYEPMSCGDWCQLRFKAEENAFKKNHALLAQAPSAVIVAA
>RCO7_08460 | related to uracil permease
MAGSLVRRFKEGIPTPHLVAAGAENVRPEDRMLDNDDIRPLNLPERTWNLWTYLTFWFSAVATISNWYAAASAQALGLSIWESVGCASGGQFLIAIH
KLIGTPSGFSVINRASFGVFGAAVADLQSIPNVMGHGSALNSGVIIAFGLFWVINCCFLIVPVPKMKGFVYTKMIVFIISAIAMLAWTLTKAGGKGE
VAKQPVTATGSERSWLIVRFLLLGAANCATFASNAADFQRYATKPNDFILGNLFGFPLSNLIVGIVGNLVGASSQVIFGEVIWNPLNHLDRLQRSEY
TSANRAGCLFIAACFAYSAVFSSIFENSLPAGNDIVALFPRYFSVRKGFFICAIVSFAINPWYLLGSASIFASFMASYQIFP
>RCO7_08459 | related to cecr1 protein
MDPKSPYNQELVKGFFGDRTELISREKQQRSDYSFQQSLSPTAQKACSIVSSIRLQEHSTIWSRQDPHSNSKSNDETSDPNLEQEPEELFPGMIFNS
AKNHMEPTKLWRIVQKMPKGALLHCHLGAMVDLEWLFDQAIQTEGMVISATQALVDDKSRKKAVVKVEFSDPIVAIEGKTIWEDGYEAGTKLQLKSA
ADTFPEGGVSGFLKWMKERCSITQSEAVQNHLGVDDIWRKLQASFVMITPVVYYEPITRKFFRKFLETAYKDGIRWVEFRGITRSFRIEGQTELVEN
RLELVRVYKEEIDRFMASEEGKGFWGCRLIWDTLRSFDDEAIVTDMRICMQAKKLYPTLISGYDLVGPEDFGRTLHSLSPVLLWFRTQCTAQNLTIP
FFFHAGECVGDGDSTDQNLFDAILLKSRRLGHAFSLYKHPLLIDMVKEKHIMVECCPISNEVLRYTASIKMHPLPALLARGVKASLSNDDPSLMGQG
SAGLSHDFWQALQGWENLGLAGLGSLAQNSVGYSAYDDQSDDEWLDDISKSVSGTGIRAQRIEQWNAEWEEFCGWIVKEFGDVE
>RCO7_08458 | related to beta-N-acetylglucosaminidase
MATSKSAPWSDEELIAKAGQACDLQDTKDYLTKNHVCALHLGGVILFSRNIGNDTQILSLTNSLQQIAKNAGHQQGLFIAIDQENGFVTRIKPPVAV
QLPGSMALGATGDLENAYRVASATAETLKSFGINVNYAPIADVNSEPKNPVIGVRSPSDDPETVARFVSAQIRGLSEGGIVPCVKHFPGHGDTAIDS
HHGLPLITKSKEQLNACELIPFRRAVAEGVHSVMTAHIAMPGIGDQTLSEDHHLRKLPASLKPDAIKILREEMK
>RCO7_08456 | uncharacterized protein
MAFKAGTDCVIVCHTKSAQVGAIKLVIEAIKSGELSQDDIQASVARIEALKSKFVTNFAIPISTLQDQNAKERKVRHCSLSTETYAKSTTVVRSVTG

SFPINIGSTKRIVFISPGTNPTGSGAVGSGDRNTRDPHTPSTYDFLEEMDEIQNYVTMYEPILPAFKSAMDVIFGITTPIGALPVGSVPKIHHIRRL
SKSDEEISQLWNLWQKIFPKWPVELKRLATNLRGEHSHHFIHEKGFVMSYIFSLDGVNHGKITAVGVLPEYQGHGLGTALLAKAREALLEGRQLKSL
QLGSGWVEAYEQLAAASQHHEAMVAFDAETNAQVGWTLMCSPSAVVIDDFAFINLLPTKEKTGLIGCVGVDEKARGKGVGLALLVKAIENMKERGVE
GVLIDWVTIRGFYERLGFEVAWE

>RCO7_08455 | uncharacterized protein

MDQAIVNSAIAFTAASLIIILFRIFLRRLQHDKFLPDDWLMLISIIFYLFFTATYPIMVRASLRELWPKRIFWKRACVLMLKIQVYNGTNTTQWRES
AMSQDESVTSRVLGSKMMLVGRVFYTTYLWCLKSCVLIYYTRLAISTSEYLLVEIAAGTLAVTWLLAILSFFLECRPIELYWQVIPDTPPPECAKAV
VELIVLESLNISTTVFLIVIPTPLLLRAHLKTKHKIWVSALFVGLSSVRRQISVVFDKSLNPGKIITISVLRMTIVTGNLTTQSEGLWAQIECFLAT
AVANAPSIHEMWRHGWGHVRTRKFGRDNCSDGYRLATILPMESPKINHGPFDTSRKGSRVPSQDGSGDFELDIDRERRQDIASVPGTESRIKLGLRK
SIRKVGQKLRTSLECLEIQKSVVVIQERKTGRLTPPPDSPGPTDGEFFFGPNHGEDGTARIRTEVSCNKALRSGHNNKVPRSWLGLIFRGPEGCG

>RCO7_08454 | related to NUO-14 NADH2 dehydrogenase (ubiquinone) 14K chain

MDFTKLRAAALKDGDDEEAVTVNTRALIDKVLARYSGEWTTLRELIQNAADAQATTVTIKFETLPSPVVPLANTTNKSEILKHVLLHHTLRRLLVTN
NGQPFGVNDWSRLKRIAEGNPDETKIGAFGVGFYSVFADCEEPFVSSGKEAMAFYWKANSLFTRRLQLPPEESNPNTSFVLDYRNTTTPMPNLLSIC
QFLATSLTFVALQKIELQVDDWKIISLEKKSAPSIEMPIARDVETKTKDGLMRVQSMDRESVQMDAIFMNVVGWKPSISASTFKPSYDSSYGTSSSD
VPSLRSFFSRLTASTSHAQLKTKAMKEEKALQEVVLEDLTAMTVANVFLRVTTAVVKTSVSSSFAAELERATKKPPPKTTKLAILTSSYDEAAALSK
DNLVAKSVDVFSSVLPGKKPGGRIFIGFPTHQTTGAGMHLSAPSVIPTVERESIDLNARWVRTWNLEMLRVAGIMARLAFTSEMSDLSTRIKRATEL
NGHGTKVTKAEIDQFMPEALHNLKSFTFGESTPSSQVSQIIEEAFWTAYKKPSIEIYSTRGILPTTKVRLATEDLSGFVEGIPVVPSALVDGNFVNK
LKDFGLITEITFSDVKQELEAKALTKEQLVQFIGWAGKKAITGDMDLATVHSLMDVAVAMTGDADSGEIMALGTIINYLSVSKIPADFPIPPTTIPF
QFTRTTTVNELQALGWEPLEIVPWLRYLIESNSRRPDSQNLTTSIAFAASVLQVLSKAWDGLSPGSKTTVVSLLQPLSIIPTKAGMKKPGDSFFASV
KLFDDLPTVTSCPGVKEKFFAAIGVRKTVDLETIFTRLLAPTAAAAPGEKVVNYRHMEVIKYLASVKDDIPKEEIQRLRNSQICPAEAGPKGLEPTQ
GTARLYRVSELFEPKDSLRDLSLPIIQWPGPPGSYRPNSVEGRFLALLGLRTHPAVPELIDMMASSDATSRVKSMNYFISNHHMNGYAAFDLHQSNK
PFLPLQGSDRLVIPSQCFTNERCLVLEFSILRKDLSVHANKFGVAIDPPMSECIQRLVAVPPRSKPDATALFGYFASRLGEISQQAVAVIAESRIVP
VAARKQEANSLTIEKPSADQADIRHLTPKQCYLGSSSAYSEIFDFVDFGSEANTFLLKCGSKNEPTTIELANLACREPARLLGILQGYDKYLDVLRK
LADELPQLKRDKELFKQMKRSKFLIGTRVIAASKDNRKSRQLESTDFGDDSEEEEMEDAPIKQWQLEVAGNIIVNDDYVGYRLFKGYLICAPEEEKL
EAFYIALGALTIRSLIQEDLRLGELAPKQDTAAKLRLHLLERAKLFLHEIRRESIKHDGRWLEKNLAVKVVTSINLRRSLRGHSQSHNEKRSAALDH
DKRTGWTLYVAHASHDTFQISQAVSDLLLERPSQSASLTFEQFLNLSLLQLRNRGYNVERILRAKAAEQRMAEEERKKQMAIEQQQIQEQEEQWKQQ
GQLVPATPAREENMPMPGGFGSDSPENSPVHKPRREKERGSIFSNFTKRLGINSSSSGGGSEAQEQLQNFLGGGSNAGGSNTQKTLPENPPSYDEAN
KGTEKVSSPAAVQQNLHNAIQSSRAFDSSTLFSPPRTETVKEQATYCDSTPSQNISFLADASNGTRIFVSKTLTMDPTLFLTQNVSALNAFSLLLQD
ICDVYALPRRAMHIFYDESGGTIAFNSGGAIFCNFRFFKQLHVSKMLGANSGSGEGKGEAAAYWWIVIAHELAHNIVKEHNAEHSFYTEMLAANNFP
KMMARCAAYIQASTSSSSVGGSVPPYRLQIQNGTNQSQTRSLLD

>RCO7_08453 | uncharacterized protein

MDLLSSIRKEGSRGGVNFSWDDVQTSQHRENYLGHSLMAPVGRWQKGKDLSWYAKGDDTKGENGETVEEKRARERREEIKRIKEAEEDALARALGLP
VADRNVTGSNAISVGEVNRAVKEAGVGEEDEVEDLGKGKGFGGFVGKADGGDRMEGDMRFPDDGGLVKRSGDRPGREVRVREGRKGQERSREVAKGV
DTGREAGIDTGIDMGLDDLAMKGKRGSLENEVVRGENGDTEAEAWTEADSGVNEKIDQLVKGREEVARQKGFEGVNRLKTEASEAVGARIVRGVEQ

>RCO7_08452 | related to RNA polymerase II transcriptional regulation mediator MED6

MSSQDIPLDEIQWKSPPLVQQMQGVHENSVLHYFSNSPFFDPTSNNAILVSQAMYNPNMLDVIQTRAAFEGRLKTMSGLEFIIAEQPAEMAPGTGTG
VWVIRKQTRRKKDRDDDEITVHSTYFVVGENIYMAPTVADVLGNRTMSIIISLKNFISGAGKLPEFSPALGHIYAQPPPSTALKPINSHLSQGSKEP
TPLPESLQSSKKALPSLSTTSSSFLDNRLLEETINISLKYGDEYMDDIPITGAPGEFHLSSTGRNEAAKLLVPTITVQPSSDASKPTTPAPPSPLKT
EIPPEKKTSKGEKSPKTPGMPKPKRRKSKGLNLVSGGANPTT

>RCO7_08451 | uncharacterized protein

MSFDLLSRRKTVFALWIPGQVAESPPPQLILGTFVPGPPAIFKQVFKGPLTMTIKDLWELNPFENSKPYLAEGVYHYWFEVQDTSPENLGVVQVTDP
LAYNVDYRIWRMTGDKRQPASVVRFKDGELWPCDRDGYEPGRVEIPDPSTIASNNHLVIYELPTSWARYTTKGKVETDIGTFTDVMALFDANVPGDN
FSSVAAISQQAILSDLGVNALELLPAADARPTGSWGYATANYFATDFDLGTATSLVKLVDTIHNKNVRFFTDVVMAFGHDPYIYIAYDQFHIDPKSP
KEFRNDERWQSHTPHMDDSQLRDGYGGRSWRYNHEVATYDPESGDVKVVYPARVFHKANLHRWMSDFGVGGLRLDSVNNIASYDFVRSYKDHAVRVD
HSRYTNPQDSKFLVIGEELSCPLDLLTTNTLQALWNEPFQARLRAAILGEATEYDFSTTVRKMVDCRRDTNHPFWDGAQAINYITSHDTEGYRKERL
YNFLSNNGVTDMERRVKFAFALLLTSVGIPMIFAGEEFVDQHDRDTSDKQIDPVNYERRSEDWRSRIFKYVSTLIRFRKECPALGDNDTDFFFVDES
RGGKVMAWNRGGVGREVVVVVANFTGEDLGMGEGQEYVVNGWPEREKGGWREVTTGREVSGEWVGREPLGAWECMVYTRWRE

>RCO7_08450 | uncharacterized protein

MSKVTGAPTGPPGFPPFQPSHAELSALSLTIRASITEYETAKTAQEKTAALQKIQATSTKLSRVTTSIQQQFMQLNFGPNVNVAIRIGVEMGLFTAL
LKSGEPSTVRDLARETNSQKEFLFRIARTLSVFDILQESDSSPSELPCYSHTSYSRFLSLPPAEASTRHTFDNMLHAQVNSANRYYTKNGFKNPEDA
KNSPFSFANGKENMGIFDILEEQPERMKVFNSAMAVHSTIGLKDIIKSYPFDNLEPNNDGVVLVDVGGGKGHVINEIRTVYPQIKGSMVLEDMQVVL
DGGTVVPEDVTKQSYDFFKQQQPIEGSNYFLKSIIHDWPDASCIQILGNLASAMRSSPSSRLLICELVLPDRNPTIGHVLRDMNMLVIAGKERNKLQ
WKKLLGEAGYKILGYHGERNADSSIIEAVLDE

>RCO7_08449 | related to endonuclease/exonuclease/phosphatase family protein

MRFSLATLALAFTACANAVSINQINGVKYLSPYVGQTLTGIKGLVTAKGPNGFFLRDTSLNLNINSSNSIYVFGASALQNVTVGDIITVDGTVAEFR
STSTYLFLTELTFPNNVKVLSKGNKVQPVVIGQDLFKYPPTEQFSSLDNGDVYSLPSNKSLVSTVNPTLSPLIYGMDFWESLSGELVTIKNPAAITK
SNRFGNVWIAGSWRTSGKNKRGGLTIRDRDSNPEALAVIDPLDGTKNPQTVKLGDTLEEITGVLTYAFGYYSIYPQTAVKVIGSASPATPPPTTLTS
SGTCGSLTFGDYNVENLTPKSAWLPSIAEHIATYLTTPDLLFIQEIQDDNGATNNGVVTANLTLTTLVNAIYNISKVQYAFTEVLPVDKLDGGEPGG
NIRQAYLYKPNVIRLRKPNLGGPLDANEVLAGPELKFNPGRIEPSNSAFTASRKPLAAAWETLDGKNKFFTVNLHQGSKGGGSPLQGDARPPINGGV
ADRSAQSNITATFVAQILKKDPFAKIIVAGDFNEFSFVEPLETFKSVSHMLDLDDVTLTPTTERYTYMFDMNCQELDHMFVSPALILGAAFEHVHVN
TWSTLADQKSDHDPSVARLNQKSEGCSDSILLYFMKSGREEVAIQVSCFLPTLVWACSFPFQYSRLLSYSPQPFTSSYNTAEINLTSHAEMNKKNSA
KTNQYVFQRSRISSNCSNDDYNERLYEPNDSNPKNKKRVSSRSVASSSRAADVLNIEITRDGGYANFKNFVESQGDKMWNDEHIQDAKYNMVVEIDH
GQRQRDEEEQCYGQRGLNEAYGCQERGYNEGYGHQDYGYRGSSSRDDGQQAGNYQEHDLKNVDVDEEMDVGGPDAQDGEAYDEVDYDDSYRDTGYYG
DFDRVG

>RCO7_08448 | uncharacterized protein
MGANLSNLTPVDTSKAVLSSGDFDTLAIRLPILWGCSIYVMFMIMSTCMLADRWRGPRGERRLSAASVLVAMLASAAWPLVLLYLLLLQFYVHHTAA
ESLLIASRVQHFQGFRSSSHACEEQNIRANEDRFRIMFVVSDKFSRRPVVSQWRPRKCHEME
>RCO7_08447 | probable GTPase activating protein
MTSSKDPAPRPASPSNSFYAMSDDEEGEYNTITHTTSGRGVKLLYSKSKVYIHPTPSAKDNIAGYIALLQQKPAPNSRPTSSSSATTRAKAASSLLL
AWVPEHSLGDARDTYVKVDLAEGDSPPKQSYLVPPPPTTTTHSGSVGHYAFAIPVSAIYSLLVRPPSLGWWFGSVVINSRAGDSFPALFFHDSECQS
TILQKKKHARENMDPFGANGEMFWGGDEVLRWLRRYVEIERSGAEPNIYLVEPSLEDKEAFGGKPVTAALVRPNSSGANVAGAAGSGAGSSSRSPRD
AAMDPVTKFVKEAGWNLMEKFSKVTTFTRRTADSVMDNPKIPPQMRRLMKNPEVQTLQEEFDSARIYLARWAMGISEQAERDRNQRIWTARDVLEME
ETDVGEFELLDTEMGSLSMKEQRKTVTLKEWKSYFDQRTGRLSVTVDEVKERIFHGGLDPDDGVRKEAWLFLLEVYDWHSSAEERKIEAARLRDEYV
KLKGAWWDRLVDLGGEGEEGEWWREQKGRIEKDVHRTDRTIPLFAGEDTPHPDPSSPFADVGTNVHLEQMKDMLLTYNEYNRDLGYVQGMSDLLAPI
YAVMQDDAIAFWGFQHFMDRMERNFLRDQSGMRAQLLTLDNLVQLMDPKLYLHLQSADSTNFFFFRMLLVWYKREFQWLDILHLWEILWTDLLTSG
FHLFIALAILEKHRDVIMEHLQHFDEVLKYVNELSTTIDLESTLVRAEALYRRFQRTVEAIDKKSNFPAPKLRQRNTAATQNPTPGGSSESPASPTA
DTSAVDAVSAGGTNSGPGNSNANANSGPSTTSPTTRAKDNARANVKGKGKGKSDEPQSGELQEQRPKVVSPVLRGLLSRKVEILPRKVVRKEGEGLS
SLKK
>RCO7_08446 | related to L-sorbosone dehydrogenase
MVQVPVFSRPVSAFAIVLAIFTTSSYGQKCATISPAQGAPVTVPGVQTRVVINGLKSPRGMVFDTAGNLLVVEQGGGGIRYIKLTDNGGINVCLTSS
KTLIADNTLNHGIDLSADGKTLFASSLLNVYSYPYNAATGTVGTRRTLVQNMQNGGHSTRTLWVSRFDTDTLLVSRGSDGNLDLPTAEMTSGRSQLR
AFSISATSKAAVNYTAGEVIAWGLRNSVGVSEDLSTGGLWSVENSVDDMKRQGVDVHQTNPGEELNYHGLVNKTAASPQRGLNYGYPSCFAAWDPSV
LPNNANIKVGTQFLIGDPSDSNTDALCLQRQGPRLTFPSHTAPLDVKFNRNGTAAYIAFHGSWNRQPADGYRLSRIAFKNGQPIEPVTSTTAAFNIL
YNPNNANCPSKCFRPTTLAFDAKDRLFMTSDSTGEIYVIIGA
>RCO7_08445 | related to RTM1 protein
MADNGDVYLLYRYNPSIAAAAVACVLFALTTGMHVFQMYRSRAWFLVPLVIGGFFEIIGFAARAYSASQQAPKWTLGPFIIQSVLTLVAPALFAGSI
YMILGRVILMTDGERYSMVRQKWLTKTFVFGDIFAFLMQSSGAGLMSSASNTKTGEYVVVGGLIFQIFFFGLFVVTASIFHIRLQKVPTTTSHSVPW
RKHLWALYISSALILIRSIFRVVEFVQGNSGYLFSHEAFMYVFDALLMLGVLVLFNVVHPGEIRRFLEREKRRTSSGESEVQLEEQLHTRGK
>RCO7_08444 | uncharacterized protein
MKRQCTGYRDESDLIFRHINPKSTKQRAKSIETPEPNVRSQNNTCGPYYNYEQLTADPSRALLFPEEDRRLCYFYQTTMDNLVISDHVQYLHSQLPI
LMSRSRHDSVLQLAARAISYAAWGRSHGNNDEVDLTARMHYSRALLALAASIRDSIEAKKDETLYAALLLEGYETTAFNQEALPAWGTHVDGVTALI
KNRGRENFNGPMSCMMFLFARRSAILSQIQSSTPIDPIFEQNGDALLPYENYGDRLLSRTMRITKIQDRTNRLLAQENLKIHVDTFSELKKDAKDLD
EEFAAWAVQTPTHFTYSAITNIGILSEDWIEGSVYVPQEIHRYPNNYVTRIWNLYRVSRLILSSIIHLISQTQNTDSASSNVKIDGINQAMVDGICA
SIPFLLGYDCFDLKHATVLKPGSLWPQASSGIPPQAIDSGKFSLIWPLYVASSVPTTSDSQRRWLLDQLNWIADTGQIHAKVLKGCGFYKDKAKISS
TIQIPRSANIFEKTDFVTSGRYGLRPQTSVELESSPLDLNKSRLHGDRMILCFPLPTDADNGLV
>RCO7_08443 | uncharacterized protein
MGLLDFLTNNSPESNNDKDSKDSKFKPPSFERSKSSKSTKKPKPPKEPKPPKAPKSPKPPKESKKSKDVKTVEHKKSGFFDFTHLSQYEPAKSPINM
TKPPKFDSSLSVPTLKRGNSTRSLRSNASNASSSKGTKSKDRKGKKSKEQEVTRSIEEICDCLH
>RCO7_08442 | uncharacterized protein
MFDPRFRTDSADYPEKEVGALQYPPVSELRDLHQNLVLESSIELQELQEPSSPTVSELTEVRQNSFDNSHPPRPGSETLTYGHYGDAAVVIKAARTL
MQMRGDNDTLAAALTVLELSRGIGTSASKEESLGSPTMQITDISDTEDEKVESPTQQSMRVSDSDDKQLGSLMKLVDVPNSKVDGPGKPPERLTNDL
IVVEVPQQVLMEPLNRRITVKPWKGKRSRKQSSEGVKKRNARKSKNRIGNIVAKSAGHDNQMIGEAAATGPKYIYNTRSKRH
>RCO7_08441 | uncharacterized protein
MVFITSKVAIRSENFDRFLVIDGDGISSFVEPGFGNVTSSKTLGPLSTLYMDRYNNNTVAIRAPNHPGVFLRLDADDKNEHTFGWAWEGFGVANCQY
SKENLPARGGKETFEIVAHPDGAVSFRSVAYPGAYLRMDDVGKVNCQWYGEGRPSSRSWELFKVILLE
>RCO7_08440 | uncharacterized protein
MKPLNFLTVSSVVRVANLAAAQNASSSLPINNFNSTFSITGSRNIRIDAGNYGPEVEEFHYYYEQWPIGLAVSKQGRTFACYTRGTYAYTLGEIVNK
TAERAYPSQELNTPPGGLYTTTNGIQFGNNDSTHLISVQALFITIILLLLSLYFGSRRLLDCTYYDRVIPTITPDDTLWVLDTGRPSITESQSPTMP
YAAPGGPKLISINLSNNSISRTYTLPPSVHYPDSYMNDLRFDMRPNVTESGGGIAYIVDSSNEGRTGFIMIDLATGESWRHLNQHPSTLRTYGDVPS
YQGMPFYLREKGSSLGFQQEGLDGAELSLYGDVMYYSPLTSNYLYSVETKYLRTNPKNDTLAVKRAFDNVKNLGQRGGNANGLASDSLGNVYMLMPS
SNAIYIYNETTLQTEPYIRDPRMIWPDSANVGFDGYIYFNINQLPYQPIGMMVLTEGSIPG
>RCO7_08439 | uncharacterized protein
MSDRGRHGSNTIRCLASTPVFFRLALEDENLRLAPCFANVLDLREIIVYPSLFMEELWEIDDRNRSKQRIDFHLVDLKQDAPHPTLSIISTDFKSMY
DRATVMKTAAEKPIASYDHQRYTGPRGSFTSFLTSAMTGGTRELGNAKLLLRSLEFHTKEETGLISRKAIYAKAHACNLARRYPLYLG
>RCO7_08438 | probable MAK16 protein
MSSDEIVWQVINQQFCSFKLKTTKEKNFCRNEYNVTGLCNRQSCPLANSRYATIRAHPESGTLYLYMKTIERAHMPSKLWERIKLSQNYSKALEQVD
DRLIYWPKFLIHKCKQRLTRLTQVGIRMRRLAREDERLGEKLVPKLAPKVRRREETRERKAEAAAKVERAIERELIERLRSGAYGDQPLNVSESIWK
KVLKGLERGGEGTRDEDMDEGIEEDEFENEEEYEDEEGVGEVEYVSDLGEDEEDLGDLEDWLGSEEEADTGDEDKEDSEDDSSEDDKSKKLRAPGKR
KRGVDPKAKSKQKSKKPRMEIEIEEEFEAPRRELAMA
>RCO7_08437 | uncharacterized protein
MTSYFSSLLTTTTSRVASIRQNLLPSENDGDTEDDTHVCRVLRAYYTEKGRSFPAWLPPDPKAPPPVVVQPVYAQSSVGSRYGGLQNQPAGVSGGGL
ASLWDKQPAQQIQPQEQQSLRQGRGQGRVAAASGRNPFANQNSPQAPQAVQAQPLPSQKGGSYQQTMFGRNDSTPPGSSGGPAPMSSRQRLAAQFNN
KPGPQRSQSYESSAPAAPLTSANSPWSNSGGGYDAGGYDAGGRYDGGSRNAGRQGLPSGPGAGRRGPGLPSGPRGPR
>RCO7_08436 | uncharacterized protein
MTTLSTSNFVPPLPISKTCIYKVIGKTSIPIDIYLPSCLPKNGDTHPIMLYIHGGGWLGSNRLDYCRPLFYEFLELGFVVTSMDYRLLPETSLQGQL
SDIRDVEYWLKDCLGAEIGSSRIDVDIERIVVAGASAGAHLALLTPKLWVNKPAAILSLYGPTNLHHLPYQQRGRFSNPCTAICTSEMLTGATDYAN
PPTNTAIGRVGHPRGIMARQIFEQEIIAEFLIKGLLRQLDGSLKLPEQGSVAKEEIDAISPIHILETTSFPPVYQIMGDCDDVFDTLHVNDFHAALI
ARSVPAVEILVPNVLHAFDIPAEIGSEIHMSFVEPAVKWIAAWVGVGNELEGTGGELREEVFATSQLATRPCLTEAS

>RCO7_08435 | related to ER glucosidase I
MLLPVAAVLAACCLSSSQVVAAAADDKSILYNEIARKSNESLLWGAYRPNLYFGVRPRIPKSLLGGLMWSRVDNYQDVQNNFRHTCEQGDDMKGYGW
DQFDARTGGQQNIYDEGNGINIRTQFVKIPGGSNGGSWAVRVRGTVREGAPPDLKSTVVWYNSLEGLGSLEVENEFDERGYEGDVTLKGDSAGLGEY
KVTVTSGRGLHPAGSHPSYEEKPLDRTIVHSMQAPEQILWQVKPIVFKGLKEQIDKYIETYGQENPPPPWQVYTLENNNVPGNLHIIQKVFEGNFEF
DVIFNSGSSGKEYTSQDVSEFLVRSSRTFWDRFVVTFDPQPPFEVEALQRFAGSMFSNLLGGLGYFQGDSVVDRSYAAEYDEENEGFWEETAAARAQ
KHEKLEGPSELFTTVPSRPFFPRGFLWDEGFHLMPVADWDLDVALEVVNSWFNLMDDDGWIGREQILGAEARSKVPAEFQVQYPHYANPPTLFFIID
NFITKINAMNGSGPDAKKIKESLGEKPNSVYLQDIDLALHYLRELYPKLRKHYFWYRKTQAGDLKSYDRDAFSTKEGYRWRGRTPQHILTSGLDDYP
RPQPPHPGELHVDLISWMGMMTKSLKNIATLLDYSDDVKELSVIETAILRNIDDLHWSEKDKCYCDATIDDYEENTLVCHKGYISLFPFLTGLLDAK
SDKLGHVLKLIGDEEELWSAHGIRSLSKKDPFYGTDENYWRGPIWMNMNYLAIVQLLKYAQIPGPHQNLSKDMYSTLRLNLVKTVFDEWQATGFAWE
QYNPETGKGQRTQHFTGWTSLVVKIMAMPDLTGGAFELGGEGFGAAKKGHDEL
>RCO7_08434 | uncharacterized protein
MAEPPYKRARRPDSKQMWDEADRRAPQAVMPSRERDDRGGDRREDRNRDRDRRYRSRSPRDSRGGGGGRDSAGRRDERDRGTREGGSERGGRREYRD
RERGMYPVDTTVFCHREKPNMSPQDGPSGRARDGGKDNDTRERDRRDKGKCLTADTNETVFSFRIRPDDSQDGEREGRDRPRERSKDRPRDSDRYPR
SRSPRRERERDSRKEVDVDKNIPKPYHDEEEYTKARTATPPVSFRVSNTAYGQDDEHMEVDEETKPAKKGKKGKKVAKPVEDDDDLIVEDDGMAAMQ
AMMGFGGFGTTHQQKVAGNDIYAVRKEKKTEYRQYMNRVGGFNRPLSPSRES
>RCO7_08433 | related to MFS amine transporter
MILQAASRSTTVYLIGRSLQGASSSAIWVIGLAIIVDSVESNQIGRYMGYFSLAMSVGNLLGPLLGGIVLEYGGYYAVFGMAFAVLGVDATLRFCMI
EKSVVRGWKLPASESQSAILTGTALASTLPMATVPSSGSETDGEKSSVTVRVSTETSTEDKDVDKGNQHSVFSLLKSPRLLFTLWACMVPALILAAF
ESTLPITVLQKFHWDSVGGGLIFITLTLPTFLSPLTGQFSDKHGARLCATLGFLGMVPPLVCLRFVNHNTLSQKVLLCVLLTFTGLGVSIVYAPGMA
EVERIVAERESDMQGEDRDGGEGTKRGGRASAYGLVNMAYAFGILCGPLVGGFVKKEGGLATLGWALGLISGVTGIGSYLMIGGWIGSRRARKRESR
SMMSSN
>RCO7_08432 | uncharacterized protein
MLKITLFALTTLLLAAVARAADDVIFLYPPDGLTFNYLDTVNVSYISPYKRPILETVCLKYTGGSPLAKDIQFGQPYNASALVLVRWPDFVSCHFII
RPTKARGNGSRDTKSNWFRLDPEARPTPVMFGLNQNETTVANTTDTSSSDKSSSATQNSGLSSGAKIGIGLGVALGVMLILSATAATIFVRRKRKMK
AQARAQLLDANYGSAKSAYGAEQESYLVPMNLMPVEIQATGKAQMPHELRSEADIGELSAEERVLYVPK
>RCO7_08431 | uncharacterized protein
MSHSAPTPPPKYIYKILPSSPPPPSPLPLSLPLSSLDAKDNFMHLSTSSQILGTLKNFFSSEPHVYILRIPYERVAKFVTWEDSKKKGAEENGGPWD
VDEKRGYFPHIYANAGPGEGQQGLKMGRDEAESVCIWKKGDGVWNARSWPFEEDHPKE
>RCO7_08430 | uncharacterized protein
MSTNGAAGRANGIPNGLTNGYGIDLTNGNHSNRFPPPSRPSSPAGSTTPRVLLDMRRAEAPSRMEVLRAVPTSQPPLFNEGLSNYTHIPGPPFREAV
DAMFAPIGGPVNGVPRTPAPVSRASRHLQVPVSEYRTAVTLQGLQLSSCSEHMLVPTPMNTPAATPRTSPTSLGRSSVSSPAAPPNTPTTPTNSPRR
VVTTDIRSDSTSPRRFAPAIFGSPLHPTRQRGGGPKKQKKAKMTKGKGKGKVSAKEKMLDDPAQAVANGESPVYSEDLVAILQHQEALAILSSAPGV
EYDDVTALIKSGDISTAVAEFVENGKNGWNDPDWLEEALVASGRRATGDFDALLEDKFAETWEEDGGEEIEDEAGAMDELA
>RCO7_08429 | uncharacterized protein
MSTSCGVYVTCLEQRISTRPNQQGWGFSSAPGVSFGLGKAERKQDVRMSTISENKVKLRPEKAE
>RCO7_08428 | related to cleft lip and palate transmembrane protein 1 (CLPTM1)
MSGAAPPAARASAQEGGMSPMIKSAMQGIAIFVGMQFIMTKVMGPKTPAAVTTTDASGAVITVPANTAEIPPYNARPNNLNEGAIYNPVPQRIAPMW
PLDSALDITVVVSPTFVAEPIHKAPLERVVVNEKGFVLGNLEENRSIDTSFAVPNEVQNNGTLWAHFYVALEGEKIDPVVQGYDHTKAYHFARPLTQ
YIPQKKVKKVKNLLSSSEEAEEEEEALPTGPVVNSHYHPNLTLSFIPDAGVMHYPSVNPAVQQYIQLEASGARDGTGQNGWYYPVLFVNTFWQLKTH
MMPVNSTVKRLPLHIDLNHQANWKFSIIASVDESVKQTARNAAAGQSMGGDGSEFEMIKEVLLDTNIYLLATTIVVSVFHMIFEMLAFKSDISHYRN
KKNNVGISVRSILGNVFMQAVIFLYLLDNNDNTSWMILFSQGMGIVLEFWKITTVVNVRIRPAPNSIIPYRIAFEDKHQLSETEEKTKEYDAVAFKY
LYMIAVPLLLAYAAYSLKYESHKSWYSFVITTLVGSVYAYGFLMMVPSLYINYRLKSVAHMPARAMTYKFLNTFIDDLFAFTIKMPTLHRLATLRDD
IIFFVYLYQSYKYKTDFTRVNEFGQGGDEEELEAKVAAKPLSSLPGADASVIVGKEGAKKAEDVIGNVAAKVTGISKKAGASKRK
>RCO7_08427 | related to Rossmann fold nucleotide-binding protein
MSSSDSLSTNGTPIPASISGSSSPNPQKLFNINPANIISTTRDEKLDSVSSSDGPVPRTKICVFCGASPGNSPAHMEGARALARVFHENNISLVYGG
GTVGLMGEVARTLVSLSGSDSVHGIIPAPLIKYERGPDSKPSEISSSALPEFSQYGHTTVVLDMHTRKQLFAAEVLLGGPGSGFIALSGGYGTLEEL
MEVITWNQLGIHNRGIVALNIEGYWDGLLAWANGAVEAGFVGEGNRSIFLEAKNPEEAVHMLSGYRNAEGRFKLSWGCE
>RCO7_08426 | probable PROTEASOME COMPONENT C2
MFRNNYDNDSVTFSPQGRIFQVEYASEAVKQGSVVVGIVSKTHAVLVAIKRNAEELSSYQKKIIAIDEHLGVALAGLASDARVLSNFMKQQSLSSRL
TYGRAIPLERIVSSIGDRAQTNTQHYGKRPYGVGLLVCGVDETGPHLFEFQPSGMTQEMMACAIGARSQMARTYLERNLEKFPDCGREELVKHGLRA
LKESLAQDKELTVENCSVGVVGLKKEGGKGIEGFKLFDGQEVKQWVDLVADGAEGAEGEESMEVDS
>RCO7_08425 | probable Vacuolar protein sorting 55 superfamily
MAAGLKTIISLSFVLAIGFLLVILSCALFHQYLPLLVVATYILAPLPNWICGRCANPDDFIESSGNAVVDFGRFCTGFLVLMGVALPVLLAHSGIIL
WYAAVMSIVGGALIYGTIIAFGMFFEEESEF
>RCO7_08424 | related to anthranilate synthase component 1
MLIPKPLILFIDAYDSFSNNIVSLLETTLSASVRTISIDNPALSSSEALHKELRHYAAVVCGPGPGHPGNKRDVGIMRRIWQLADEEMIPVLGICLG
FQSLCLEFGAEVRRLKGPQHGMIRRIAHVGEAGQVGKDSIFEGVGEINATLYQSLCVNILQDTIGNDDWQISKWEASKQCPDLIPLAWVEHDLTVNN
DSGIMDERVLVAVRHRTKPFWAVQYHPESICTNNESTKVISNWFKGAKSWSLKYRRTEINLEGPIEGRFATRESLLSQGQRMSEWLLANDHSNPEKV
VCHSRSIVVPEQVSAQCIAEAILDMREDQIILESSNANDTASNVRGRYSIIGLDIQNCTTFHYRTGSGIITMIRPGNHVDQPCVQTIDASKYGGIWP
YLAHYLEQRRLKNGNDQSPFWGGFMGYTTYELGLETIGVTPDMKGRQNERPDLCFAWVERSLIIDHDMRQIYIQQLAPDTEGIKASIWMDVIAAKLE
ATFLPMESYESHTMTFSNLPQHLNSHACLPPMQEIINHFTPSPLKLHYIDGIFTGFATVQNMQNYNPQSVARSMNNVFMSGKRIHASFKNKNTSLIH
PSKTRTIPTRPFEKSTIVSSVLSINKPDYKSYESKVLSCQSSIRAGDSYELCLTDQTHITASKAPSSAWSLYTALRHRQPAPFASYIRLGSLTYLSA
SPERFLSFTPTTSELRPMKGTVRKSSAVNTLDQAKELLDVPKEKAENLMIVDLVRHDLHGVYGAGNVSVPRLMVVEEYKSVFQMISIIQATIPQPFP
EDLRSHIRKEDMEKAETKRYTGLDILAASLPPGSMTGAPKKRSCEILQQIEQGRERSLYSGVVGYVDVGGRGDWSVNIRCAFRWEDEVGDEAGSRDG

GYTTEEKKRESEGTDMRGTEIWHIGAGGAVTALSTPVGEREEMLTKLSGTLGLFQ
>RCO7_08423 | uncharacterized protein
MTQPTAFQYLPSALRGILTSSKCKHRIQETLPSTSESSTHYRRRIFEHLPQPENLQLEPAPNSSREAYTHSHPAILHSSPSQNPRNSTRRPIIPET
>RCO7_08422 | uncharacterized protein
MASSFNMSSIVMWTVTFTLRVMTEFLPDLNQELFVQTFGILTQFHPFIRLPLELRLHIWRLGMPKGRHFALPSFRLSGPKFLGPHNPATTYAYRKSY
TETLRFFNVFQWDLLSLFYIGPSPQGIAVRQYCSRAVLFNSVNDTVTSTMSDVFSTTDIVDPTCVVLWFSPQETTSKLFIHLRYAERDGALCLTKPT
L
>RCO7_08421 | uncharacterized protein
MKLGLLSALFISSALSAAINDVGLEARQEIVPQINDAGLEGRATAPSYCTCSMTQGTTAPYNMIGDNVPIGGGFIKRYVYVRNSIGTVIDVCWIAFT
RAPECGNWVQTSPRVSPACKNLGKSSCVAPQPGGVARKD
>RCO7_10417 | related to SEC16 Multidomain vesicle coat protein
MNTESAHSSWHPAFMPDSKSESIATEALKTSSSLLPTPEASLEPQLEPAPAASNPVEAEALEGENLVVDQDAGDNSEHPELGNLHDALATSLASPGG
VELDESLYHNGTEQESTDDFDKAEFPSERPYHENNRLSTMSFARTVTDDVNWGDDEELDPQWNTHLTGTDPFKFMANSDRNNSFPQVPLAHSPGYNT
QDHELPHSQAEDILNQIEQDASEDLFGNEVNDPEAAFFAHDNAQTDGQQDFPPETGAYEDELRLPDYGQTYGGDVRPEQDEDSQARFEEGLPLVSHD
NAEAPVEPARSGNFFGTDDAAEEDLFSQAKNKNSDELQPESPHLDRKSTTQVLNSLHYQPHDQVHDLIQEEVPVEGSQSSLDRSTGGGIAASSSTIL
SAVLGDPDAPVHDDAVLLDSDEGDLAAKWKAALADDEFLADDDDELLPDDDEPSEIVGFDPATVFGSDDEGFLEEKDNNTDSFFSQQPIPIVPGPVT
GQNGHMIGFDSLTRGVSSQRPTSSHNKYLPAGAAAAPPARSINAYAPSAPLLTDLSSSTFTPATASPYMSPSTANFLPQPSRPEMLKAQSFADKSKG
GYASPYDLPMEVVKPRKRMSMQTMNRAPAPSDIAPPRGSSMQNLPPRTLSGGTTPQSAGSYQSSPVQPTVPKQQVKTVRKSQSGFFEDLPMSRPKPT
ARHTSLASPMASPYGQPGVVPPPLGPTRSSYGHPPVQQQPMQNQPVQQQAPQAQGLVAPDRVSAYASLPTGNSQIPAVASRYSPAPPPLMHSHTAPP
VANARYSPAPQNIKQVPGPYTAAPYNAQPTQSAPILPHQPRTSSPLAHFERNQDPRTQGSLSESGSFDRRSSSFGYESGLRNQHLPSTREDEEEGQS
SPTATRNYGELQHQYNQPAKAPSMRQRTPPPQGLASRLVSSPPKRGTSNYVPQQSSHAPAPSFLPPQRSQTQSPGKAFAGPRLEMSTADPYQRPASV
EVPSSPRASVSYQSAAAATSQGRTSGFSQGLSYVAPDDGRENDPLQRWRGAPVFAWGVGGSFITSFPQDVPRYGMNAQAMIIRSPGTVKLRSIKDLD
PLQERLASFPGPLKGKSKKKELSAWLASGIEVLEQNASYLRAVSTLSHEDKRIEERILLWKILRVFIEHDGILEGTAVVDKAVRAVLCPGLDDESNS
APLYATGGDLSGISHSSDSTTRADHVDPAAVDQLRKHLLRGEREKAVWEAVDKRLWAHAMLISNTVSKELYKQVAQEFIQKEVKIIGDNVEPLAALY
EIFAGNFEESIDELVPPSARAGFQMVSASHGTGPSKDAMDGLDRWRETLGLVLSNRSIDDSKALNALGKLLSGYGRAEAAHICFLFARSLSIFGGVD
DPQASIVLVGSDQLRQPYDFDRELEPILLSEVFEYGISLSSTSTSAITSPHLSVYKLQHAKVLAEYGFRDKALQYCDTITASITSQTRRSPYHHGLL
VSEVEDLGKRLKQSPKDETSSWISKPSMDKAKGSVWATFNKFVAGDEAADTAAAASANGGAADTGPFSRIASGTPTVSRSPSNSDIYGSYPGGSAIN
GSGPVPITRASSRYAPGTGSYGNQDIQQGTSYGSQPRTSLDERSSSEFKRKEPQRQMSDYRPTSQPAQPNSYTPQTGSSFTPQSAYTSFDNASPYGA
ASAYTPQTPVTGEPPASIFASPQAVNSFDAQRPAYAPSEPSYQHQGSNIDSPPQNSYDPPVSTGFDPPALNSYEATSYEPQTSSYEPPSSGYVPYEP
TDEPDSPIENRLKKKSFMDDDEDDIPGLKANPSSGSGEKTKAEKDREADEAFRKAAEADGKFPFLLQKVLLPSSVLQKLTLSIAQKSAPAPAKKGWG
LGGWFGGSKKESTDMGSTSSSAPSNPNKPIRAKLGEASSFYYDPDLKRWVNKKGGAEDNQAKSATPPPPRAPGPPRTASAPLGTAMGPPSGGGGPPT
SAPRPIPSGMNMPSGMVAQRAVSDSTHHNASPNSHNAMSSSPQSDDGGVNLMPPLMNRSQSNGSLRSVAGGPPSRPGTGMSNASSIDDLLGPPVPRA
AGAKKGAKKKGRGYVDVMGAKE
>RCO7_10416 | related to neomycin resistance protein NEO1
MSSSEFHQSNALDAPADDSDSDLDLDIQELDPITTSSLSGPTLSRKDRTPTDERRTTRIPLRNLRMSGLRGFGKRNRGYGDLGRDRDEDAHGLLNNG
SDLDGRNRLSAGSSNSAEDDAPLLPGAGHRRRPSMDALNKLGSHIRLPSFLSTSGSQQAAENVDEQEEEHDPASSRTVSIGIPQSARFPPNAISNAK
YTPLSFLPRTLYNEFSFFFNMYFLLVALSQAIPPLRIGYLSTYVVPLVFVLAITLGKEAWDDIGRRKRDTEANSEGYTVLCFDELGLRNDERYHAKK
KLKGKGKLKKTSLIPPDRLSDIQEEEEGAECGGRRLLPSSEVREVVRKSRDLKVGDVLKMGKDQRVPADVVILKSFPNESAVAVEEEADLPSVSESL
LVEPISDPPIEKTAATVADARGSTTELGDTPSADAGGVGETFIRTDQLDGETDWKLRLGSPLTQFLDPAEFVRLRVVAGKPDKKVNEFIGTVELLQK
SATGYDPHVPRRSRLNNEVTADEPSSNSAPLTIDNTAWCNTVLASNATTLAVVIYTGPQTRSALSTSASRSKTGLLEYEINSLTKILCALTFTLSVV
LVALEGFEHVEGRAPWYVKIMRFLVLFSTIVPISLRVNLDMGKSVYSHLIQRDQGIAGAVVRTSTIPEELGRIEYLLSDKTGTLTQNEMEMKKIHVG
TVSYANEAMDEVTAYIKQGFSVPVSTDPSQPPLLITPSSTFMSSTTATATRTRREIGARVRDVVLALAICHNVTPTVEEENGHKFTSYQASSPDEIA
IVKWTELVGLRLIHRDRKGMLLQSVDTGRPVVRVRILEVFPFTSDGKRMGIIVQFTEGSSQPGLTTPDSGEIWFYQKGADTVMTSIVASNDWLDEET
SNMAREGLRTLVVGRKRLSVQQYKEFASSFKEASVAINGRDAGMARVVAHYLERDLELLGVTGVEDKLQKDVKPSLELLRNAGIKIWMLTGDKVETA
RCVAVSAKLVARGQYIHTIAKLKRKDNAQDHLSFLAGKKDCALLIDGESLSLLLTHFRHDFISLAVTLPAVIACRCSPTQKADIAHLIREFTKKRIC
CIGDGGNDVSMIQAADVGVGIVGKEGRQASLAADFSITQFHHLTKLLVWHGRNSYKRSAKLAQFVIHRGLIISVAQTMYSIAIKFEPEGLYKDWLLV
GYATFYTMFPVFSLVLDRDVDENLANLYPELYKELTTGSSLSYRTFFVWVAVSIYQGGMIQGLSQILTEVDGPRMVSVSFTVLILNELTMVAFEVTT
WHPIMIVSLLGTLALYMGSIPFLGGYFDLKFIVTLGFVWRVAAISAISLIPPYAGKLIRRRIKPPSYRKVQGI
>RCO7_10415 | related to proline oxidase
MKVQDISSLLRTFQLPRCNPAEASRYYSQSYPVRGASTISVSKGQTQSITFKKLPPLSLMPTAILLRSYFMTSILSSPRLLKVSMPILNLIAHSQSR
FLNPDKNPLIGFLVRKIVYEHFVSGDGEKEVKKTIAQMKQVGYTGVILGYAKEFKIDEGGAGNEELDVRRWKEGYEKTMSMIGPGDFMAMKLSGAGA
STLSALANKQPPPARMWSELLTLCHAAKAKSIRVWIDAEQQDLQPTIDEWTLLLMREFNRDGETFMYNTFQAYLKSTPKNILKYMKIAQDEGWTMGI
KLVRGAYIATERRELIHDTIEMTHQAYDGIVSQLLKQEYSGLDGNKPHPKVALMLASHNSESIKKAYAIQKSLIENDKPIIKLEYGQLQGMADEISC
GLLQLCERGTKSSAIEDKLRPRAFKCLAWGSTQECLQFLLRRVKENGDAVSRTGSWVSGFRKEIWRRVKTNFRLA
>RCO7_10414 | related to acid proteinase
MFVNLFLDLSLLALLLPFIAASPSLSPESIRAIIRAQPLTPDVNVTTWVAISRGTLRAGDNGNRNPERSGPPVSPKGQYGLVRGRKRSSFSQLHSSQ
LGQTWHTPIQVGGQTYQVSVDTGSSDTWLVTPDFTCVAENGTSVSQAHCKFGPAYSPGSELKPVQGVNFDINYGDGLALRGRFGIAKVVVGGITVSQ
QLGLVDYAFWEGDGVSSGMMGLSYPSIVYAFSGNNYSANTGDNQVPYNPLFTTMYKEHKIPPIFSMAVERPGASSNSNKKPDGYLAFGGLAPVSTIG
KWATAEIEYPSGDDYHTPGTLPQPQYEAYSFSADAFLYSTTPAHLPAVWKRLNTTAASLSSSAELSASAAQKVNFRTMVDSGATQSWLPTILANHIA
SLYSPPGIYNPSGDSSTSPDYLKGLYSIPCDAVIPRLAVQIGGVILPWDKRDLIMPAYFGPGCVTGIGNGKTFAPFKLGDTFMRSNLVVFDAERGEI
RMKSRGVY
>RCO7_10413 | uncharacterized protein
MPRLSPSIFKQAYSKSELLPLILRGARTLDSSINELRWLKEHVQTLKPSSPETARLKLLNLCQRRSKGEPLQYILGSQPFGELDIKCRPGVLIPRPE
TELYTTYLASLINAPPTSNEIPNLYSKRANPKTSPPSLRILDLCSGSGCISLLLHSLLSPRFPQLQIFGLDISPKAVALSKKNLSHNVLSGYLSSSA

SKDTPNRPPQVQFGIADVLADLAENLGQFDVIISNPPYISRPHFSTQTTRSVRKYEPLLALVPRDENPDIFYERLIRLHQIHLSNVTVMEVGDAAQA
VRVVELAGEMDYQGFRKAPRVRNRLEIWRDDPGLQDPDRDQEIRNIAGREVLFRGCGKIRAVVLFREKTDRHSVHKTLLNSNVVERLGVPPGEIPLT
KQKLRRQLNKERQKRKTIRRNQARKTKEMKEERARASQIWKRDAEVLRMKIREILMKKKSGAFEERS

>RCO7_10412 | probable glucose-repressible protein grg-1
METIKNAANYVAESVQGTGAEASKEANKSVAKDGNASIGTRASAAKDALGDKVDQTSHEGKADLHKEATKH

>RCO7_10411 | related to C-8,7 sterol isomerase/emopamil-binding protein
MDHIDTTTIVSLSVVLLILTTSYLLSQRLLQPSTPNSLRILFVWHFFDFLIHTIFEGSFLYNCFFTSAAFDPAAHHPASIENFLGRPDRLYGARFGD
NWGTKLWMVYAQADKRWAGADLTVVSLELLTVLGAGPLALYICWGIVRRNAMIGFWMTVLATGELYGGATNLLAFCFMTFAPEWLTGNQNLDASNFM
FKWVYLVFFNMLWVFLPLYAMYYAYGDMNHAFLVRNGVLLQSKVARERVQRERERREKKEKSK

>RCO7_10410 | uncharacterized protein
MDRGPPDLFGTSNGDPNDDRITRIVLNHGLKRGHPENEDLIEIGGDTQRKATLKSIRELARVLPRNAISTAHWLTSSPLDPPHRNSLFSADQQIYAH
AANTNSQTRCRAEPTYIYAHAANTGSPTRYRAESIDQYSPLGDTLSRTPKHYRRDPNSYTFATTRSDGGVFDLEIVPSDGNTSPPLPPPISTPTYRK
TRQEEGRLPGTPGKNFEILDEGSDPIAHDQDPRNRVVRSATPGDENDTPPDAQVNVESDLGAVFDEQEENDQDEEDRNVELARATWDHRGTDITPTR
PAAVRTAFDPVRSVDGSPSPENRPNEQIQNADSSSGGIPHMRSILRGGAEDGSWSSSTRLRLRGGAGDRRGWLTSDMDGEIERDEHPRPAPLTADED
RRINPQLWDDSSILGTNTPQAAPVGSPVAQAASVTFDHNLSADEDHLINSSFWPSTDVNNQAVSFTSDLSLSASDGHSPNYLPLGDKERLARELSQF
IEEEEIRFRAIRIRNNQVQESRPQDNWWNGSWRPSSAESEQRFGPSWAPTGSGQSRDGWVQGPPPYTQPPPYTQHDPGFGNRVPPRQDANSGEGPSD
SNPATQPPAYDDDRLRNLLEASGEAIVRGSPIRVSLASPNAQHESNTNHPYWHVQRQPQASGTAEGSEQTNMPPNFPGPVIPVTENHEPDGFHNLTR
LGNEGPCEDLIENQTYADLSEAHRPSVSHVSDGRIPSSGINQPISPAIAPVLAFQPPYTSQQPPSPEIAPAPQQVETLSQTSTCPRLTLALTISSTE
YRPETWTERTLAEQIGQSLERYLAEGAQTAFSYPDVTPALPWYHISQVMDHMRVYLAGRYSIHAGPPGVFVSYVTDIPKDLVVQCLIIDLVVMSTTQ
TVTELRSTHRGGQVYDLSFTVPGGSRNAVLEGRPIAAGPGRERPGVSELWVVMDRGQPAAPLWQWVSIGFWDIKTDDTVMR

>RCO7_10409 | probable Protein required for hyphal anastomosis (HAM-2)
MASLWAGKTPDLPISTGVPDVADTGLADVGLPAPQPMATPMGRPQLQRNQPAPPPPHQPPPPPSPNPNDSLSLMQLRRIVTEFPKVDHTTYAFTYAD
AASFEEEIDEWFSYNDAEYKRLQRARDTFERRWRKFSSTPWLESSDRQSFVEREVNGLHATDLRRRCKSLQTVLHIILGVWDEAAGDKTEDASKSKT
KATPKHLENMKAGIMLVSNAGGIDLILQVMQNAFKMLWDDEFRETKLLDEDIPYIQDELDNVTTVVYLMIEGIRNDPAGLESAKERLLKLNVVDYFV
SITARLRWDEANELPQTRIFLLFWKSILFVFGGTAEIEDVKSATSELRHVNGEGGKLITASPLDYHIFRQEITSKYPAYTPPPPLLPLEPDNNSILP
PLPNRPSRANGANGIIPPPMNVNSSGTSILHQPVHIATPAPSPPPSPPVGGKAGKKQNYQTNQNFPFMYPPLDSTSNSAGGKGAAGLQEVLVGRKWE
GSDIPKSILEAGALFAKRMRMTRAMRQLWNERENFLKFERGWDGNNEDDDVEELDLDTIFARKFALQDKKPITPDIDYGPNVDVGDDVKKKLDLVEQ
FYQNSIPHLQSLVIVLLKAVLANVTALITQPMGQQQGLASGFRSDVNMRNGSQGQNRQQDPASIPLPVTVDPSELPVEELEALRSREITAKAVSGIL
LMLLKWFKVSHILKFEYLTQLLLDSNYLPLVLKLFAHQEIDKVIESRTDRDEMSFFAFCNANSKNVPVADTKDLEADESEDESAPPAIKRDRDLPVA
ASEDRLPALVFQEGQHAGKRERPELDELGYPTTEPPYPDEPITEFSWRNFYSSINFLRIMQKICKNKAHRNLLLVQYKSSNILKKSLKIPQPELRLY
TLKLFKNQVPYCGRKWRQGNMRVITAVYLHCRPELRDDWLAGSDVDAEVEEALPLEQALRALTHWHNIKRYPEQMGADTKLLEEEHDFFVRELERME
FIEEGGEEESADGGWIGYGP

>RCO7_10408 | uncharacterized protein
MADRLSCMSASGSVYHELDGPRREIRLLAIHPSRDLAAQVQCSLEVVSLDDDPVFEALSYAWGDATLNHEILVNCGVFHTTGSAGSALQALRSQDNR
RVLWIDAICINQSNLIERSDQVKLMGSIYGTAKTVRVWLGIEELEDIGVLDVFKALTSLQGASDTFKSVTEPNEHILAKMCHFLGRSWWQRFWVVQE
VALGQHVVFQLGVESIEFHELLLAHRICTAYFGGKYSTNSYSRAIRIFMTAFDNIEVLDLVHHICVVNKISMDPRMERYAIMLWTAIANILRVRKTT
DDRDRMYALFGLLPPGFVRRTKMNSSYSSTPEQIFIDVTYHIISSSKSRMMFNYLDGPRIPLVSRSHSGLPSWVPDWRTDPANELEGSTFRVERDVI
FSASGDSAFSLKRLSSNTLCLQGIFIDIVLQCFRSESRCQNDSHENYSYAFWREKWASFQNLPLNKAMSQSYLPGMNADAAFRKTVLLDCEPNLGAG
KGHKRLTAEDSEEMFRVHELFMQSEYEHKSDAQNFSGADLRRLSYMKDCVRDRSFVITTSGLMGMAQGYPEPGDHIFAVAGNSHPVILRPSEFYADT
WLAVGECHVTGLMYGEIMPHKKHFSDLQQNLYARSEVQNIKGGRRNPRWEEVSAKPDDPWEWLLVE

>RCO7_10407 | uncharacterized protein
MPNSSTRSSSDSSMTEFASTKSRWAALQSRNPLAASAFIYSVINTKIYCRPNCPSRLAQEVGLTESHFCRVFKKVMRMTLGEYGTEINVGMTDQVEQ
EPSNYSRSASNIVGSLTDGRKPSP

>RCO7_10406 | uncharacterized protein
MSLATLTSSASMAMLTPSLTTTFIPQITACSENRLTMLANRAYQIWMNAPVPVPGTTITDCYPTEVMSSFLLSAGSVTQPAFAQLVCPQHYTTIGPF
TSNYIACCPSSYSFHEPDVTVFKDRPAWGGTCYSPIDIPTPVLVTAYGSVGVTATSYFTATVTNAQAYAHPIDGYGMGVVGIKSILPPGASKPTNSV
PSPGATTYTVLSGKNSGYIPNSVVAKTGDTIVFQFTSGNHTVTESTFEKPCDKLANGVDSGYQPITNPSDPPEFTLDVVRNTSQWFFSKQAGECGQG
MTFALNPTNEQTEVLFQLNAAAQDKTPKSDSPSTGVKVGASIGAVAGLAIIIGIIFFLIRRRRQNNDLRAQDDMRDTTINKMRENSTYTDTEAGMSP
ASEIQPALPFKGPELHGNSSVPELVSQRPPAELMDRRLPVEMYSPGEWETTANSYPLDRKDDVARRY

>RCO7_10405 | uncharacterized protein
MAFSFAKAAEMSAALYAKPSTSDEPPPPYDPSILPPNPGFCELAFRERLDNRIPGGGMSSAQYFAPCRSCGIVCGDEIPLVYKNGWLDWIDPSVNFR
WESHVAIKKGEKDDIEERRRELLGCWICWEYEQVWREPMEVQEWYKHMRRHFFVEGYRICTGKTGAMQRRRNCRLGSCPKIHS

>RCO7_10404 | uncharacterized protein
MLAKYVLAVAFAGVATAGTPTGFQPNSSKDLIVAFGSTLALNGKSMTKAETVDVPTIGTKERLKGTYTLIMVDPDIPPQTPGGKTGELLHWMQQGLT
SSSTATMIGGMMVYVLKSASNETAFAPYFGPSPPNKAPNTHRYTQLLLDTSNSNGGSAMALLKQAAATRLNFNAVNVVKGSGAKIMAANSFNVTNGT
TMATAASKNDSSSNPSPVAPPINTSTLKPSNITKLNPQPQTQQPGSAAPGGGAGGGANITTGNSNGTSSTAKNGTTGSNTTSNAGSTSGSASGSTTG
SITATNGTRPAGPAPTSGFGKRGGGAYVAGFLALAAALFLFVTNKLRLAILVSKYHVEPFTGEYVSSFLNCQGFVLQRSLPTLLNTDSHNFRQLLEL
FSYQCAVPIA

>RCO7_10403 | uncharacterized protein
MRLVYYGNLNSVDLVSVGLQGTSGVLALVNR

>RCO7_10402 | uncharacterized protein
MSNTILSTVSISSLPVEVAVSIFEQCDEFQEVVALASTCKGLHSVWQLSSSSIIWKVGRGIRCFDLALIAVRATAIVLKASQAGSPSPPFASMYALS
GGAQKPTIAELKDVLNMQHLVRCIEHMYFFSEVECDTLFGGPMIPSSSRFKSSDREDEEKNERFRIRFYTAIYQLFFAGAALSRPYMAPFWEAKEKS
RTSFFGRCRVPVYNHLGNGVSASLTTNDRDFLRPFPVYNHDVEDYTTIGKWREKEYENIFGPFASWLVKEGSAFQDPMPRSRHHETESLMCLLVGYE

HLICKFTNLNGTHAFGRYADSRICPAALEGKTRTATIIVFGVFRVEEVIMPSNIEDTKDGLLPVSIHPTLKGTDQEAFDIPSIMEHLDYHSQGSAPD
DFHEHPNPPAMFQLWFFALRRYLDLGFSHNAFWQWSECMWWQDVGGGTVFHDPSWAPVQPYKAGKVSWRDEDPDLESG
>RCO7_10401 | uncharacterized protein
MPQEGGNTQLKASSNIQTQLNTRNLVQIKERDKTETGAYDREASQLGEYEVIKIPGVSGKNARKLMLSLASVRNQPIHLGQSDWRFANHALKNVHID
AGTIFDVSIAQEVIRFVRFVTDDLLIPNLSFRVINYSITFMFTLRSSPNIHPETSSISALDI
>RCO7_10400 | uncharacterized protein
MEGKDTLRPYWTVEAPMQSDSLQPTAQNPQSKGSSTGAMIGKLRESQEYSSSSDSDNGGVKLEKKEGSIHTSPYVKIPKRTKTSSRNTSRRIFDVLK
ISSQIGVPDQTRSGVNSWNTPLARPASKYHLYDPKTPTDGIPRARALSALQVYGNASRKDGGYSPSPNARTVHNTWDSVVPWVDDNPFEGSKGSHNT
KRVTSIPDISQENTAAKKAASLSAWAAFPAKAAKEDKADALAYKPSTPGENLQSEIVIKETYKKVVISGDTFKRKIVEKSVNILE
>RCO7_10399 | related to Cuticle-degrading protease
MRFNTILSFLATAGLAASTPLSPILQAANIVNIANVIPNQWIVVMKDISDSSFQSFLASRDASIISSTKAIHNIGTFKAFSGTFSQTLVNLLLSKAE
VAYIEPDVKVSINALSTQSTARPWGLGRISHRKKGSTDFVYESSAGVGTYSYVIDTGVLTTHVEFEGRATFGVNFAGDGLNTDGNGHGTHVAGTIGS
RAYGVAKKTNIIDVKVLDSKGAGALSNVILGIEWAVKDMESNSRKGKALANLSIGTAYSQATNDAVKAAVGRGLFIAVAAGNNGGDAALYSPGSEAT
ACTVGASDANDVKAAYSNYGTVVDIFAPGSQIMSTWIRSNTDSYTQSGTSMSTPHIVGLAACLISLEGAKAPGPLCERMKTLSTKDVLTGGSGASVN
YLAYNGNGA
>RCO7_10398 | uncharacterized protein
MAPGIPFELLVMMAGYLSKPDLKSFSPYPEDQEVFTAIYQSPGLAKHVTSIILDTTFFGKSLVWNEDKLRDD
>RCO7_10397 | related to acid phosphatase
MSIQYHGRPQKGNFRSMDIPTSHVRPAFRDGSRILTASPPPLDAHHSYPSLKRAFHTTDNSTYGETVQSLREEYQENSKPTINQDHRLLSFARLPEK
TTILDNQGRVQRLELAAQIHGMFFLSELATTAGDNMMMQPELTCYRRNLFQISGNVTAARGALFVLTDRGERIPIVSTEVVISATESVDGHNVKLIV
IPWKTPPPNSPDIPTGQEHEPVPILLLPFDEGPDAHSEFTVFPIAYRRLQFRIATANNGRRRELQQHFTLHLNVSGTLANGTKMNLCETSTAPIVVR
GRSPRNFQARKEIPLVGSSSSRGQPPDLHISTNVMPSMTALESKTKFGRPQNVDLPKSPFNFDSSAISGSPSMIRQPNYQSWSAAHSSDQTTTPNTP
NYANPPLALDSYLQVNHHHNDNPPSDIHSNPSSMPAPQRPVRPQYSYHTSVSGPSHESLSLRYIDSNPRPSKSPRHVGLPEISSNSSLPSTGNYPDY
GSRYMPPYGVSTTSNASMPSRAPEYFPLTQTHIQTWTSSPDPVVVYGTSQAPTGVQNYGFPGEGYKDERSLQQQQQQQNQQQQSHYTWSPSTTDGS
>RCO7_10396 | uncharacterized protein
MFDLPDAKRIRRSDLLRSRSSSQSSDTSQTEANATLLQAKLAAIYGPIEYDEPSPTQISIEKGSSSQVEGSIESEGRGGKRRRIETAQEEGRISSPF
SESQEDSEDEEDVTERRRVRSPTPEEHEYEFSLFRTHSSHPSSASQIQQPQTIILSSSPGPGEGRILRSRPISHYIVDTADGAKRAQWEYAAVSGED
VLRGQERRAWGLEVRWRVRVLKNGELVVPSRDYFSESFASLKPMSGFRGDQDQSSEKKKVKPNKKRRIILRVQARKRELAEESRKKAEEMERKTREE
KEEAAKEKKIRLNREKKMKRKLKEKARKAEAGGGAVVEENGTQDPAGNDGGSTGDTD
>RCO7_10395 | related to mitochondrial nicotinamide nucleotide transhydrogenase
MSRWHTLCQNKAILHVRALYQPAQNWNDRKRFRPRVSTIIPARHGTVLSTNAEPSPPVTTIPYSELTIGVVRETYPEERRVAMTPQNAALLLKKGYK
RVLIERGAGTAAQFTDQAYEKAGATLGESKSIWAESDIMLKVRAPSFDGGMSEVDQLKDGGTIISFIYPTQNQKVVQKLANRGTTSFAMDMIPRISR
AQVFDALSSMANIAGYRAVLEASNHFGRFMTGQITAAGPDQIPPCKVLVIGAGVAGLSAIATARRLGAITRGFDTRPAAREQVQSLGAEFIEVEIEE
DGSGAGGYAKEMSKEFIAAEMKLFLEQCREVDIVITTALIPGRPAPKLITEEMLATMKPGSVIVDLAAEAGGNCVATVPGKLAHHNGVTVIGYTDLP
SRLPTQSSTLYSNNITKFLLSMSPEEGRFGVDLKDEVVRGSIVTYKGDIVPTAPRPAPPPSPPKAIIPAADIKQAEVLAVTPWQKTSREVATVTGGM
GLALALGKATGPIFMGNVFTFALAGLIGYRTVWGVTPALHSPLMSVTNAISGMVGVGGFFIMGGGLVPHTIPQALGALSVLLAFVNVSGGFVITKRM
LDMFKRPTDPPEYPWLYVIPGVLFSGGYIAAASTGMAGLVQAGYLASSLLCIGSLSGLASQATARQGNILGVLGVSSGILASLAAVGFPVEVLMQFG
MVASVGGILGLLIGRRTTATDLPQTVAALHSVVGLAAVLTSYGSVMAHIGDASTLHMVAGYLGVLIGGVTFTGSVVAFLKLAGKMSSKPIRLPGPRH
YLNSSLLGLNVATFGTFLAMAPGSPIIAACCLAGNAVLSFTKGFTTTAAIGGADMPVVITVLNAYSGFALVAEGFMLDNPLLTTIGALIGVSGSILS
YIMCTAMNRGITNVLFGGIPPTDNSDYKIEGSITKTNIDEVADALATAESVIIVVGYGMAVAKAQYAISDITRMLKHKGVNVRFAIHPVAGRMPGQC
NVLLAEASVPYDIVLEMDEINDDFTSTDLTVVIGANDTVNPIALEPGSSIAGMPVLHAWKSKQVIVMKRGMASGYADVPNPMFYMPGTKMLFGDARE
SCDAIKAALEARGKMYDV
>RCO7_10394 | uncharacterized protein
MSWTAELPVRLPQPSKENSWEDNPIPSELPNRQSLGTKRRQAALKYPFQPFPANIEIAEDDITAIKFARAEYIPEYDFVESSKGQKMVLWSNSKSGG
GNSRYGIGITYMQSGNRWVDLEYLIQRDVKDWVAEIAAISKALQIAAEEVFRAETKPKILVIYTGSRQALERLNKGIVGVVPGQKFLLKPGILAAEK
IRDSSVVVELRWGPDTELLQGSRRARHAARRAANYTPSRRQGDTVLKVQSITRQARARARTRFRPTAIVLPDDQISDLDLDKQELTVK
>RCO7_10393 | uncharacterized protein
MFKLIQKLFGGPIMRFLTSEIEDSGLCDPCKQIQDLDLLMGQEEPIKHHRSWTMLCQSAESGCKMCDAFVQFQELKRFPGQVSALARDFDKDMSWPG
TGLTLRPHGVNSLFILEQRALFHHPFREVVSVWFELCTSDDSSLNSLLRARHLDPSSNSGTCFKILAKWIKRCKDDHPQCSWSSNHILPTRVIDVGS
ETEDPFLFESSGATGEWLTLSHCWGGSVPLKTTSDTLQKHKLSIPTASLPSTFRDAILLTRKLGFKYIWIDSLCIIQNVHEDWTLESSQMFRVYANA
TINLSASAAHNSNEGIFQTADQKRYLSAVRTKLTCESESGGIRGEVGVRLQIGGNGPFVLLPEEPMHRRAWVLQESILSPRRIDFASTQLYWECRTS
LHTERYPDSNDGSSFLEASGKDLYRMSPRKVETCVDLKGSANTDDLMSWWYAMLNDSYRNRGLTVDTDVLPALAGIAEEVAHRSGFHYKAGLWLEDI
HRGLLWQPSTSLIRSKDEGCPSWSWTSARLPARDRRLALSHYAAGYRATILDVDVKSAGENEFGRVQSAALKLACHVHAFHDWSGTNVPIYNGYGGD
FKAMRMASRYLSPARAVAYVIPPAGRVLCTLDVRPENTDSRGSEIIKRGAICAQIASFKCPDRRIHHCKSDDDVTERKNIIYGLILEPVKDGLDVYK
RIGLFEIAEEDGLTEGWPPQELTVV
>RCO7_10392 | related to flavin-containing monooxygenase
MANGHQLKSVAIIGAGAAGAITAAAFAAEKYFDTIQVFERRESAGGTWIYDSAPPASIPIQPGGLPPDVDPPLDIPNELPRITSPNRQERWHQTPIY
QSLTTNVPSIAMSFSDLPFAYGPFVPHNVPKQYVESYFSHHKIDSLLNLNTTVEDLSAIKVSKKGAERWKLTLRKHDSVRGVDIWWQDEFDAVVMAN
GHYGVPFIPNVKGLEEYLKIFPGRVVHSKIYRTPLLYKNKKILTIGNSASGHDITNDLVSAAALPVYQSRRSVSRWDGAEAPPGIAWKPVIKEFLPS
GRIIFEDGTHLDDIETIIYCTGYKASFPFWNVKNNGHEIWDYERNKLVKSYIHTFFHDFKTLGIVGIPRVLTFRSFEYQAIALARLFSGREAMPLPS
LEEQEKWERGREERVKRESKKFHEIAWETGETLGWLGELYQISGLNLLTGEGRIPPVFSEEVRWAIEHLRKYPDPGKDGIEVSERTDTRSVDEEEEE
EAGSEWVLVERKKKDLLAFI
>RCO7_10391 | uncharacterized protein
MDKLPLPPLLSPNLPRFAPPRGHTRTPSRSPTRANLADDILSDLSPATTLEAFTNSSGKLKSSIEAATPSERAFGLRATLASKKIQEWVDELSAWPW

PVEGGSLGFEIPSAKRRKLSDDRGWRNRNSYQQEPIYVGSLRESEVESYENRIDDITADMEDLNVEEIKRQVLDTHFSPRSRPSSSASNAPPLPTLF
ASYTRMDDFTAVITATVLHALPNLSRLNHLMDVWNIRLSVLRKVPPLMIALEDAEIAIRSGWNAIETADNTSNAAFPSRDAYLSRETFEIMRDVLQG
KVTTLGQNLDYMLDTLEGREDTLPDTWLDRMETIENDYGSWVVYGDRKVREGEWAKMAQARKEEDDVGKLKDAEGVETAIRKAEEEARWQAQLDAEK
EEVARVKAGRDAQEAARLKAEAVAMARQKEEDDRIEAIRLEVLKKSEKLKAARLLAIHQAEAEAVRFKAEDEDAKQATTQKIIQEAQDMEDARLPSV
QQAENARIQAEQEAIELDRQNAFMRAKDAEDAILLAEQEVELAKIQVEKAAKEPAYENALEATQLEFARLLTEEQAAADAIIQAKQPQTPQYQAPRT
SRADTNDSIAIIVSEAKKAAREVASKDAGNFEPSMHTSQWKMEAKPARGLALDLASQAEHHTDETSPEASDPESAISSQQQVSLARRLSKQEHCVPD
LSQVDNKTSNSDLPLDTEDARPNHQIEVAESSRQANRHTEIETKTRQDISNPEPSTMKPTLIGMTVDERSLDCDRCEEIRQSKPSSHLPYPSTMGTA
LSSGAHRTQSYVESLFTANFNDSVKPQINSYAPFDGQHESSEPAIRTTEVEIRRGTSVTDLASPYHLDDSFPQTPTSSTVSSAAKVLTSPTSEESSP
PRSKVLPSKQGLTIVVQVPSDGQDDHVFQPIKKRSFVKEAISQSPHDPNAFFSANQESDIAWTPIHTPEHSDPEQFLDGYQSDGGSTEARASGPLRY
PGSEPSPVIHEAQPAEYFSSPTKSLQSFVEANDGMPSESVPVTPKPMKSRSLADATPTRSPGPNSKRHSRESTSSILSPVAEEFMTLPVPLGGDSIC
DPCEVAVRDLELLQNESEQPTELPILARRISMSRMDSQIRRISTPRRASISSDTSTVVHDRISESPPSTVVSPISEGATELSIEQSPSAGRIGHRSN
KPFDNSPSNSPPAGVAKRPSLFLPATPSFSSTTLSSPAAETAPPTPLDAPIFSNVDVSTIPIITSPKKVSTDEQMQQQISSLLESIPARIHLTTSSD
TLSTPFTSKTLRPKKTRRSTPSYRSSSSMSNYSTSSRAPTPSFTLAPVFGKTYSSRPRPQSSNPEIKLYHLSRSTGEAPIKLFVRLVGEHGERVMVR
VGGGWADLGEYLKEYASHHGRRSAAGSDKGDQVQIQDLPSRNVSSSSTATLRGSGRLTPDPYSRPYSVERDRQGSNLIVRKTRRSIGDSSTSTPAIS
DSLAPQRPDIHSRTPSTPLPSTSSIYHNGTLTTTPGSNTSTTTSTSDQNRDRSNRSASRLSWTPDDLSGGSAYTNSITNFSASLPLGLAGPKSRNVV
ISERDQEWVESMKEKVRLASAEKEKRDRDTSLSFAGKGRESAGRESAGGRESSMGFGGKGKESSGRESSLGFGGKGESGGRSSLGGRESRSSFGEME
KVGGTKRLFRKGL

>RCO7_10390 | uncharacterized protein

MHFKFLTLAAAASTVSAQNQSFCDKYTTTLFTDNTQANQYKLLVAVVNTALIGNYSERNNGIVVNGILARGEVGLAVPGMLEHGQVYRKGVNLLPYF
NGDLAGTNQGEGHGVSVNFLDDGGVEALKAGKPSNGKTSRQYLLLTHLYEYFGEILGCSKQGGGDFPKYAGKSSMYSVHKYMYLSRHEVQYFIEQVA
ASALSFGVAAEDIAPVGQQLMKLFNYRCLPPTTVIQSQGAQLQSICTQMFCPLVEPLLESTACAGLENITHPVMAATFPCKNATYSNSTHPGKLSSC
TPVQCPCGCNRSICPGGYNDGVSDESGHGEVGGEDGAGHVEGAGEYGYGNNGGSGSGSGSGESGSGSGSSEGSTGTVTGSDSVSVESGSGEGSGSGS
DEGNGDYNPATVSTAGAAALGMSFIAVIGGGVAFFLL

>RCO7_10389 | uncharacterized protein

MSFDETERFLKECSATVPLPEDPAKGTFISYGELQKSVESYIKLLRDENDNLPLDCRLPENTLIYQAKQTTVFEWWGFPGHNAFPPPLDPVAHESLL
QSRLEHWIATQPKTPGNLAYPDILFRYPAAKLVLQSTAPVATLPQVQFRAPPSSRKRKSYRKRDNDLQDSDEDDFPSQAPPSTIQGPQEPGPFKSTQ
EISRKSRPRISITYDGSMDGDLSREKKDNSSKAVMDALDTGSRRDSASKPSSMVVGAVVHKEPIPPIWPGLKIQGSWDPRTGFPTGAFISSTDRAFP
RIVGQIIVNGVGQVLGKVNERFPLLNFRWKRTEKKNNGRRDLAVWVEIAAAGM

>RCO7_10388 | uncharacterized protein

MAISARMIAERVVRAIEQDANDTMDGNRTGNPFFQNASNRTGPGGNSTFNLISNLVFAESKSVRTSTIILATFNILAAFATACSILYDCYWASKRCN
PKFKASKFCISSIHPAETFPLVLTIGIVIQGLAFAGVQGQGLDSLFATGCNLIAQFMWPAIFIVPYIQLVFGTECALRSFRSTPFQARGRWDVTICC
GVIVVMLIATWVPSHIQPAPNACFASLIWFISSFGKLGFVMLTSVGGLMIIAALTIFIRLSTVNLIDQHQRIAASRMVYYLVLGIIPLSFVVPFFYS
LIDSQGDIKLAMMATVVVNLSGLMTGLLQLFLRSNTATTSFAPKAAAKKWAEPRHQIRMFGPNEVAMHAHLVNPVTGPGTASEDRTSRSDSRASLVG
LEKDRGISMESLRSQSYGGAKRQEAEMGSLPILPETARASDCPAVQARSHAQKPSYSLFPAEGSSPTKAGKKLDSVYDINQLTPPPAILYPTAPRHR
RDSSITSSATVQIGLRLSHAPTPSQEDLESLPLPPTTYKAMALKPSAARSPSPSSIYSIGPLQSTTYSASKDSTPASKSSAKPTIASRMLKVQTSFI
ASTGQKPLPSPLNISTPQQSPASINKTLPPTPRVFLSQVGKMRDSNTQLSPTVYSLSAAVYTPEGKTSSPTPNKSNGNPFRPNPPGSPVAGPARQAS
SQQKRDWI

>RCO7_10387 | probable choline dehydrogenase

MKFEQAAFILACCQLSLASPTQKGEKRQFNGGLGSLAGAFGVSATFDYVVVGGGTAGLTMAARLSENPAVSVAVVEAGSLYEVTNPLLSSTPAGDVF
FVGTDPADTNPLIDWNFITAPQAGAANRQVHYARGKCLGGTSARNFMIYQRGTKESYQQWADAVGDQSYTFDSLLPYFQKSVKFTPPSTKRAANASA
EYNPAAFSAAGGPLEVSYANYAGPFSSYIEGALNEIGIPNTQDFNSGSLFGAQYCSSTINPKDESRSSSQTSFLNAADGRKNLKVYSLTTAQKILFD
GNKRATGVSVKSNGVTYAINARKEIILSAGAFQSPQLLMLSGIGPAASLQKFGIKVLSDLRGVGQNMWDHVFFGPSSRVNVQTFTRLANDPTYILSQ
FATDYTVKKEGPLTNPVCDYLGWEKVPLELRSNFSPATRLDLAKFPSDWPEIEYLSAPGYVGDFASLSSKQPKDGFQYATILAAIVAPLSRGTVTLA
SNSADDLPIIDPKWLTSTADQAVAIAAYKRLRQAFSSRAMSPVLIGGEYFPGSAVQTDDQILKTIQETLQTVWHAACTCKMGRSSDPDAVVDSQAKV
FGVQGLRVVDASSFALLPPGHPQSTVYALAEKIAARILASL

>RCO7_10386 | uncharacterized protein

MSTLPETPFELKGGCFCSAIRYTISIPSLSSRPKVDPNTNVEIHPPTKVSSRLPMISLDHCTSCRRIAGAIIESWIIVPQSWVQFELQPRTPSPDQL
QVIKPTMMEYLMPDKRVQEQTHVTHFESSETSNRTFCGKCGTHLTFYYSGPPGELAIKNAWGPYFDVASGTLDRESLEMEGFKPSRHVWAEDGIAWV
KGLLKGGESSLQDR

>RCO7_10385 | uncharacterized protein

MEIAYKYFEKRGLEGAGEVADFMGYVDEGEKEEKEEKERKEWEWLNAVDDGKKDEPSNKR

>RCO7_10384 | related to blood-brain barrier large neutral amino acid transporter

MARPYSNLQPQARDSLELASLASSSPGPRTSSSSSRSGISSSRKQSLEADDPLDARNPAANTRGHRSFSNNSVFDFTSNLYPLSSTSGNGYAPIGAP
ISSSNGQTTLGGGSLEKHKTLTYLNGLSLIVGLIIGSGIFSSPSQVIANAGSPGASLIVWIIAGILAWTGASSYAELGGAIPLNGGPQVYLSKIYGE
LFGFLFTWSAVMVLKPGSSAIISIIMGEYLVRAFIGAEAENANSWINKSVALVGLFAVTVLNCISTRLGTKMGDMFMFFKFIALLGVTVIGIVVALT
GFSVSGTANQDWKEKGWFDGTSTNASSWAVALYAGLWAFDGWDNTNYVVGEFRNPTRDLPRVIHTAMPLVILSYLLANIAYFFVLPLGTINSSNTVA
VQFGHKVFGPVGSLILALIVSASCFGALNATTFTSGRLVYVAGKEGLLPAIFGKIGLGNSAEPNIDTLQTRNIFSKTLARWFGDSETGLFFTPVNAM
LLNAGLTAGYIVVGEFGTLVTFYGVAGYTFYFFTVLGLIILRVREPNLERPYRTWITTPIIFCCVSLFLLSRAVFAEPVQTLVVMAFIGIGIPIYHW
RVRGRDRGSKRERGQESEWGEWKFWKRWQR

>RCO7_10383 | related to leucine--tRNA ligase precursor, mitochondrial

MYMAIGRIGQRGPRPGCQRILGSLNLSRRFKLASVQPLDLPALDKKWRLEWQRRRLEKQLLEADEDQALKDHVARETEVLRSVVKNPERLPRKDGYD
EKKLDNLTRIHFEYLRSLQRSRRSNGKGKKYVLPMFPYPSGNLHLGHLRVYTISDVLARFHRMQGHLVLHPIGWDAFGLPAENAAIERGIQPGKWTK
QNIQKMKSQLEAMNGEWDWDREFATCDPTFYKHTQTLFSELHKAGLAYQAESLVNYDPADKTVLANEQVDSKGCSWRSGAKVEKRMLKQWFFKISEY
RQELIDGLEELQKHGAWPERVLSMQKNWVGKSTGARIKFSVEAYDEQIQSDIEVFTTRPDTLFGVQYLALASSHPIVQALAKTDTELQSFLDTMPYL

PQDTKAGYLLPIRAMNPLAYEESMSDATKAPLPVYVAPYVLGDYGDGAVMGVPGHDTRDHCFWKHNRLDDPVRFVISQTPDEANSIEQTGPFVHHGY
LTKTCGQYAGLTTAEATKTIVSLLKSKKLGEEAETWRLRDWLVSRQRYWGTPIPIIHCTSCGPVLVPEHDLPVELPPVESHWETGKTGNPLEHAHDW
INVPCPKCGEAAKRDTDTMDTFVDSSWYFMRFPDSKNCKLPFDPCTAHMNLPVDLYIGGVEHAILHLLYSRFIYKFFTTTRLWHKDSPQLGEPFKKF
LAQGMVHGRTYSDPSTGRFLKPEEVDLTNPSKPIVFASNEVANVSFEKMSKSKYNGVDPGVCMAKYGADATRAHILFQAPVSEILEWDEEKISGVTR
WLRRLHEMIVKSSWDEQCIVFDPNNPIDEEFSPKLYFLMTDKNSIGPESEFWDGAELSELYNPGSRRTKEAFSTLSNANASPRDTPSQERQACLAKK
EAEALDRLSYLRTRQIELDKKFWREVQATISTVTDSYAKTHSLNTVVSDLMALTNTIIEYDDSRVDTKTGITIRAKKNLVLHATRLLLQMMAPITPA
FSEECWEIVKPPPHSTWWNSPPRKIPLYPLSSPVLTFAQLFEIPISQSWSHIKAFFNTNFNLSQRFNPNNNADSIFSANQIRNQKSIFDTPFPEQDG
TYDLLAPSTQVCVVQVNGKMRCAVTIPIPDTSLEGEELEQWLREEILQSDEGTGLKGERKSGNGIEKGGNPKGKGKKVVDIRKARKVIVVKGGKTVN
FVM

>RCO7_10382 | uncharacterized protein

MYRSEWNIHAYYFGEDSKFPGLDPAVDTLEQSAQVPICNSQYSSQQSSSEISSAAAAASEIKVKIPSQTIESVNPDPNDAAQIGATSAEAEINKQLL
ESAILSRNRKTQTSYQAQLGWNLASGEPWFAVRSYATNSFPALWGPNRSALHNLSRLAPEISLQFERFPAAQFPSRGYTLIWPEFADPASVHSDAVW
VRFNQFRAFLERWAGKRGECGFD

>RCO7_10381 | uncharacterized protein

MPYERQLETIWARLNSPATPTPRHAISTRLAFDDVIAAFMQAELGPDLAGAWGISRWGHPGRGEARGRAGGRGRGRGGRGRGRGGRGRGERGGRGGE
QDLEDVMSEQEVFRAERNVWCYYYGENDPFPGIEPSVQPGSYTQTMHYTDHRYRRDKTDHPDYSVRSPDNLLGDISPDLRSSARNRDMYIDPRRTDS
YVPNYAFQNSKPYGEDKGANLGLSAIVRDGERFIKGGEKAKLAIEERASEAEKFIREQSERRRVRRERKIKAGWVVSDVEDAEREHEGNGHGDGCLE
HDRKRQEAREWRTSQDQDRGAYAESLAGYGSAAHGYKTAVEEYSGMQEEAHHHLRGLDRRESHGGQRAGSYGHAEPECQSPVDMYGRTEESKDIGSA
RKTRRGRRYMRKTDGEFAEEIKSLKDRTRGRSLSPGREGGVRQWRGDKSGARMGQEYRERDYEISGREDYDRREAAGLTDRTDDLGRDHDVLSGGHP
WDDDAETYVRFDGDQHPSDKHYDNAQDTGFESRRTNKRGRSSGAQEHENRQPTSLRRQDARRFLADTARTSNWAEEGQEQSQEGFQEDVYEKELPRY
PRHRKLEEPEFRGGRDRGFGVLKDSGKYFKEDRRRRR

>RCO7_10380 | related to ser/arg-related nuclear matrix protein

MEGLRINELLANGYFKTKTASSRSPSRDERSHPPTPSSNVPSFFNTPTQYDHRERSRSHSRSRGPRRPPPPRPIVEDEIVSLKKEFAAEIPTYDPPL
RGKIDQNPILLEAEVTVEERAILQHVDCPRDIHGNPEKRFVVVPKAESDSGSDDEGKRKRKPREKAEPRREEPGHNHSRYKPVNHELRREDKQQRPE
VLRKASRQEEGRESKREERPENPPRRASRRDVEVDQPHPPIERRRSRHDLPTLETKVPREIPPKFRRSASAFAASPRDEEIPKPLAPRTPSEYLLSP
DAIRPKEHFSQSVPRQQAHDALWGKNGTPVDKKSSGSLSGSRPATPSSDQRNSGNCEKLTRSQQLVEEVGGRPRRHSPERASGRSSRSSTPRKSHYS
SSEDDIVDSDSDRHRRHLGHSLKEDSYPRSPSKSKRSSTDLKGSRLSSPLPSPKVSPSQSPRGDHVERAETFPQSGRRHTSRPVSPNSEIGRADRLN
PVDVPRLRSRSRSRSGAMRPTATSHAPLPVPIPVPSRIDLHSPGETRKSPSIPQFGVANSWQPTPFQPPSEHLDKPVGSYRRYSQDIEQGSVTPLPT
CPRTNFTRGRNDWLTLPQCPSFDICPSCFNSIIAPTDFRHLFILAARRPQEVEVLCDFGSSPWYRIAWLLTMKERRRDLNLFYGLANISANYPPCLG
KHEAIRQWHSVIDYKTGSPVRGFDVCYSCVKSVEVLLPNIRGVFVRIDSGSSPRICDLRFDSKRFVQYFDALETCADNASFHSKLPDTRDLASLARR
LAMFEECQHDKDLLDRRWHIITQLPEFTVCEECFEEVVWPELEEGKAIPAMFNKTLKRIERASCQLYSPKMRGIFRLAVDSGDYKMLASKARERKAV
EGKFKGNLAELRRQKSAGMGNGSGVVEREVARLEEEWRKWE

>RCO7_03893 | uncharacterized protein

MRFVSVTFLGLSAFTFTQAFQYGNHVTNPVPEAAARVLAKSMIIVILTRKVLAKLELASPLTLALSVDSGGGDDGCTCCSTRSIQLEKNHYGLLTGI
LSYSHFLR

>RCO7_03894 | related to permeases - unknown function

MESEKVVYASSQPDSQEHQDVDKKTYSVDVDVNDIDNHEDPHEVLDNKFPFPPLKNVPEEGAQITIRALVLGCCLGAIVSASNIYLGLKTGWTFGAS
LFGSILGFAILKPISKFAPRYLGGGYFGPKENVTVQSAATAAGGLGIIFVGAIPAMYKMELLSAKPQEDMGKLITFSLCTAYYGLFFAIALRKFYIL
KLKLIFPSPTAVAYTIRALHAGGAAGEKAAARKAKVLAIAFGAAVALRVASMYAPGLLWDHHVFWWLYTWGWEDVISIVSWGWFFEYTPAFLGAGIL
SGMNASLSFFLGDVLAWAMIGPLTVKYGETFGSKPDEFGMISYNGLGSPGKGLTQRDHPSPRYWLLWVGVMVMLCASFAEVGMNAPMMYRGMKRAFF
ETAEKFPKTRAFAEKHLGGEEEESLDPSPKEEQVPVWAWSTGLVCAIAVSMIVLALQYNVSPGLTILAVILAFVFSFIAAQSAGATDINPVSTCAKS
SQLVFGGVTQGQGIHGNQALTINMTSGIVAGGAAAQSVDMLGDLRTGYLLSASPYAQFIAQAVGSFFSIFLCTGFFVLFSEAYPCIVDPLWEDTTEK
KCPFSIPSVAAWKAVATAVTGTDFPVPPNAAILALCMGLLSIAMVVSKYTWIPAKYHRYIPNMNAVGLAFTLPQTQYATAMATGAILSKIWLKRSPN
TWNEYAYSIAAGACAGEGIGGVVNALFEVIGIAGSKYGSPVACPGFSYCG

>RCO7_03895 | related to zinc-binding oxidoreductase

MTKNTSVTTPYLETMKAWLHTSSGLPEKVLTFTSSHPTPSPPISDEVLINISHAALNPGGSLMMQICPMIFRATPAIPEMDFAGIIIQVGPTVPDSR
KLRSGTEVFGSVLVGTHIRRGKGALAEYVVVGEENVCLKPENMSSEEAAGLPVAGCTALALVDAAKLKTGMKVLINGASGGIGTIAVQLARVAVGEG
GKVVAICSKANIELVKALGANEVIDYQEHAPVHKFLSAEFENDKFDVVMDAFGAQELFSNCEGFLKPGKTFVSVGVALQTYSMGSILYSACQMAGNL
LRPRILGGVNRQYLQVAATVTLKEMQRLADMARDGKLRVPIDSVWEIDDVLKAYERILSRRARGKIVIRI

>RCO7_03896 | related to gamma hydroxybutyrate dehydrogenase

MTAKSQPVLGWIGLGCMGLNMARNLQKHLTKTGHPALNFTNRTLSRGVALVELGGVPCTTIAELISKSDIIFSSISDDSVLESIVSEMLASGSLTGK
IIVDTSTVHPDSSVKASKKLTEAGAVFAAAPVFGASPVAYEGTLLFVVAGPKAATKAIAPYLKGVMGRGVIDLGEDVSKASLMKTSGNFITAAMMEM
ISEAHVFAEKTGLGSEAMEMLIKENYGPLAFSMSRRLTTGVYVPAKNEKPWSDLNLAIKDVDHGITCAENAGTRLKIGEVVLEHLKEAKKFSDIHEG
KAMDSSSMYGVIREEAGLKFETDLILKRDA

>RCO7_03897 | related to UTP4 - U3 snoRNP protein

MDIHRCRFVPFPPSTINALAFSHSHISKDQKTAPPRLAIGRANGDIEIWNPLRGSWLQETIIHGGKDRSIDGLVWTQDPNEEANGKLIVGKSRLFSV
GYTTTVTEWDLRTGRPLRNASGNHGEIWCIAAQPPATGTASSTWEGQNLIAGCTDGALVLYSTKDEDLQLQRILVRPSAKKAKIISVTFQNRNIVVA
GCTDSVIRIYDIRTGTLIRSMTTGSGPKGGPKEIIIWSVKVLKDGTIISGDSTGELKIWDGKTYTLRQRIKSHEQDVLSLATSADGSVIFSGGMDRR
TVTYKPEGKGKPRWAEITHRRFHNHDVKAMASFEGCGMSVVVSGGPDASPIVTPLGQFGFENQRTLPFLPQETTIGSSPRKRLILSWWEREVNIWKV
SNTGVPSSEDDEDQPAVKGRKLVAKILIKGEGNITSATLTTDGSLLAVSTMEEIKVFHLRQRGEEEGLRVSKIALPESFSSGARLIKFSPDGKWLSI
IRPDSRILISRITIDESASSTVFHAPISKLSRLDRQVDKTTLLGGLGTYDRTMTQIAWSSDSKILAVSDLSGYIDSFVLSGIEDTNQPLLAPSPDAS
SDDSDSDSESEDEDSIINPKLIFGQHWTRNPSASLLPKLPSTPVVLCFRPAMQKQLINGIVPHATRNNPHPVSHDLRSGEARLLVVTATSDIFEFDV
LKGGLSPWSRRNPPHAFPCNYRKTLDQAKGCVWDISEGKERLWLFGVGWLWMFDLLKDFASTGTVEESDDEDEQVGGSKKRRRRHGKENPSGAGGVI
ADEILTTGMSRKVRKITQEGENQVTEDSVDLVPTLEEDKDVEQEKENPGHWHTFKYRPILGIVVVGEGDEGCGPEVAVVERPIWETNLPPRYYGKQE

WRDKNSVN
>RCO7_03898 | related to PNG1 - protein with de-N-glycosylation function (N-glycanase)
MDLEEELSSNAENQSLGSPSKPCMEHLIKHGPEGEACVYICRRRKCIRRRKEMGGEYWQFLTIAMDAKQRKATIIVGGGVLSGREEIKGLQVLMEKC
WMGKTVLLIFPALFPDPHSTVKSASMSTYRLTRDGCEILECGRAVSGKLLRAADPRPMHHRLTTTSDHCIFVCGLDWVWVWVWDWGSGSGSLTGRHV
QARKALPAHTHIYLTAPPGRCSFLATDASPSVFAAAQQPTVAQNSKRRSGFATTGLCCEQERTPPSRLVEPPRLSRPRSFSPGLSSGVSTTETGIIG
QTPAEKRCEDWVVDDNDCLSFDTLLIGLEYGEGVLDENEDTMADSLGFGSQQNGNGENSEWARGLTAQFEGLLRTKRLNELDRSRTSSPSPRERASS
NNLRASSSSSSQHSGYRPSTSSGSQMGATPPSYASLRSLPKVPSPPADAQSQKFRNLLISLSLTPTKYENPGLLDEALQVIPLDRIYGEAEEESQVL
QAQAESMGDGRKPEWGYQDCVIRALLRWFKRSFFSWVNNPPCSVCLSPTIAQGMTPPTPEETAYGALRVELYRCSAGDCGAYERFPRYGDVWRLLQT
RKGRSGEWVNVFSMLCRAVGGRVRWVWNAEDHVWTEVYSDMQKRWVHVDACEEAWDSPRMYADGWGKKMSYCIAFSIDGATDVTRRYVRKLEQAAER
HRCPEEVMLYIQNEIRNLRRSNMPKDERFRLEKEDSREDKELRSYVVLQIAQSVASLRPGEPSTMNARPRTPEDQKLPAEQPANRQNGAQEWVNARD
NIQRHHQSPSRDPRDLEAYQQALDHTAPMSDLHDVQSMSDTDATLAATATPLQIREYDIHIFNKNTTILFEEACTFAS
>RCO7_03899 | related to potassium transport protein TRK1, high-affinity
MTEAGLNTVNLSEMTTFQQIILFLLIIIGSTIFVSVGTVWTRKRVFEKRFKGIVKSVREGKRRGNGGLLGGNDGVREVGVGERLEEQRKEREGGDER
VFESRHSGPRDPTQLPLSTRSRDLVETRSLAGDSKMNGNLNPGSGTGTGGRGVGEEGKEDVEMQGLENSHSRTRTGARSRSQGTGTGAEDRDHISTK
RHSASSQDPGFSTGITPEPPHRLLSFVGVDAHRHTLNAGSASAYSHPQHAHSTLIHRTEKPSEGIENTTGADHSGVELDQAMYPHYLTRRTTGRNAQ
FHGLTREEREHLGGVEYRAITLLGWVVPVYFVAWQVLGCVGLGAYNKINKEEVIRANGINPCYPLILRLILWLMLKILTLIYPDPLAHSTHKATLRF
ILTYPRRVYTNLFPAAPTLWLLFMVITLNGIDWIAFELLNIGNLAVEAIPARFRVLDGLFQAIAVRSGGFYIIGISELRIGLQVLYVLMMYISVYPV
VITMRHSNVYEERSLGIYAEDASSLFSSDDSDEENRIENPHNDSLVSERSKPHGKMASFLHTISSLARTQTPASHTRTQFIRQQIRGQLAHDIWLLV
LAVLVISCIEVANFEADPVTFSVFNIIFEVMSGYGCVGISTGMKGEAYSFSGGWSKASKVVLCGVMLRGRHRGLPVKMDRAVRLPGWDEDEGEEGKE
G
>RCO7_03900 | uncharacterized protein
MKSFGFLSLPIVALSTLTLAHGTEDQLPTAISVYLPSSFEGIVGSTVVIVQGSDSTLSTTLLPSPTGPAASFTPPFLGSPLTETSVMLTSVTSTATD
VSIVPSASSTVTEVSVSPTVAISTTLSLVSSTGVSSSTLTHTSASTSTVTTVSSSTAAGAAPTMGASLGGLVGFAAGVLAVL
>RCO7_03901 | uncharacterized protein
MQFHLLNLVLVLLSAFSSLVVALPPIKSMNQNSAGLSAGVSSENAVSVTRPAAGGTSIERGEIPAGVVSQHPGTTFTTVVSTAVATKVPSELAKGSK
NSELYSYYVLECKIGLNADECHLKFGTTCNFTTGQMLRQGNQHFDKTFDCMQDLRHCQCVDLIREACIYNRSC
>RCO7_03902 | related to hexose transporter protein
MPFYTPSKATFEVGGREFPRITWYKEKDLRGLYVLLMLAVLTSATNGKFTLCPLSRRDGETCYAGTPTNGWQIGYDGSMMNGLQALTPWKESFNYPS
TATRGLLNAIMSVGSILALPITPYIADILGRRAGVMTGCIIMIIGVVLQSIGSNIAMFIAARFLIGFGVAIAHGAAPLLITELVHPQHRAIFTTIYN
STWYLGSIIAAWLTFGTEKITTAWSWRIPSIVQAAPSIIQLIAIWMVPESPRYLISRGHNEKALHVLAKAHAHGNVDDELVQIEYLEIRETIALEKE
IEGNGWMQLIKTKGNRHRLIILISLGFFSQWSGNGLVSYYISDVLEGIGITDPKEKLEINGVLQIVNFAVALFMCFMIDKFGRRPLFLLATGGMLGS
FVVWTICAAQYAQTKVKAAATAEIAFIFIYYGLTIMFLAVDLSLFFNSYVNPVALGKLKWKYYIVYDIWLAFELAIVYFFYIETQNTALEEIVKYFD
GEDALLGGTVATDKARALLVENGLDNKVPVVSSSEHRETSDEEKRAL
>RCO7_03903 | uncharacterized protein
MILEICQLKVKANISFSDPLLLAALCQARNQLREKVHDTNSRFYQCLEDPTLIYILGCWPSLSRHAEFLQSPEKAEILDSQETLSDFGWVLHMEIGD
NGMDALPLDAPVMAITRLFMKDGAEHVEACEEFEQKHRGVVGERKRTWSVVNGWRMYCEEGENEGVMITGWESMDEHEAFTERMRTEYPVHAEIVQY
HERMEVRHVRNMES
>RCO7_03904 | related to spindle pole body protein
MSSREEVTLPATRPKSRKSLAHIPSSQSIDQENMTMDVGALGGKKAIPFERPAKKSRSKSIGPGGLDALKDTTGNRRKSLAAIPHPPPRSILKLTMP
PLREIPAHISARRSPKKTTPPSAQKTEKLIDFHLETPGATVSGADVLANPFEVAINPAVNETRVTLRTEEEQEAAARAREEKERKELEKEVISRRDA
RRKSLANRRVSFAPEATLHTWDVVVEYQDSTTSSNSTNSTRRASSASGGNVGSPHHGSSGPSNSDPSEPPSTPPEQVEEETVTASPAHQRDLHQKKR
RRSSGIPPMNFNNPDDDGFSSSPFSGSSAGDAEEIIEDDGNISNSDSSEDDGTLMSLDGGETTNISMASMVSGDSTGSSRLDEALREAARQAGTQGI
DFDENGDAEDVEEDEEVVASFAPWPNKNPILESLQDQENINPFSPAFKAVFHEVTEQSDGEDITMDITRAVGRIIPEEKLENNEMSMDVTRAFGGII
SNDAQKAPPSRRKSMPTNRRQSSRRRSSADESAMGDETMDLTMAIGDIQPAREEAKSPDDEDMTMEFTTVVGGVLPPPTADTRPRRRASMAANQKTQ
SKRNRQSLESAAEDETMDMTVAIGGIMSSIREATSEQDVTIGMDMTMALGDFGSSPFRADVPLNSPPKIPAASHTVASETGSPSLTGFRGKGLRRSA
ESRQSTTPKSRHSTGGTPIKKPGTPSKQITPLPARAATPSKTPPSKNVIMRTSSPKKLFKEEIKAAAASTPQSAKGKTLATPNKLFQQDKFTGVATP
NFLLTPQPRRSSGVGLDRTGLGSPKVAALLDRRGSIVDQARSFVPSQLGDAPSAVVHFENPRAMEEELDKERQEEEDRENGRKIMEREADQAGEERD
VTLNLKEMIQSLTPKKKPLRGRKSLHVGAAKGILGKRPVELDDEEDDEDTGGVKRLKGLQGSPVKTVKLQAPPSKAETTTGRVTRASRKSMEESTST
PTTASLEKVTATTPRKQARFKDAEFGVSLQEIGPPVEKTPVENPEVDEDGFGDDRIQLQDFLNMTSIRFMELTTTKRRHTIAPSSSMKPLEEEKDIA
LEDCVAAGAATIPMLELFQHACQELKRYISEGRKTVREIETETFEENPPLFREYISATPEMKVVMDNQLKNVKTHARLLSKGLWYDWRMTLLRTLKE
GLFKSAEGMIEDEEILDHQQELLEAVLPELTRRAEQLQRDEADLRSAAEEIANCDQDELSDARQQLIAVDADVEAKKQLIADLRRQLEGKESEIEAG
NERKQTYLEEIREAEKVRKECRGWTSSEISVLKDKVDAIEKKHGWTITGVSGTTTSMTYRKEIELVFDASSFLANSSVSPAKQPVSSRIDLWYIGAN
RERNPLPLTAEKDFFLQSIRDHVRGLPQNQTQVKDLLNAVSTSWNKASKVVDDIRLLTISCPTNISKTSDDSILIKSSLLIAPLTTKIEVNFQLTST
SGNIGIHVEMFPRASVVYGERFNEPKMGEFLLTRCGNVVEEKGYATKDSWGNAVAELGEKLLARGRK
>RCO7_03905 | 40S ribosomal protein S11
MATELTVQSERAYQKQPHIFLNSKSKSKSTAVGKGGRRWYKDVGLGFRTPKTAIEGSYIDKKCPFTGLVSIRGRILTGTVVSTKMHRTLIIRREYLH
FIPKYARYEKRHKNLAAHVSPAFRVEDGDQVTVGQCRPLSKTVRFNVLRVLPRTGKAVKSFSKF
>RCO7_03906 | uncharacterized protein
MVNGRIDLLTVLVTLTGSLLSLLGTAFILISYMILPQKRHIRHALIINLTVAGMFDHSVDHLENRLRDEGQMLTRLDFLNAANNGSSGLWVLIRNTP
LRPGAACTFNGFVGQLSVQTVDFSILTITIVTLWVVTSSRSRHDVRLSYILIFCCGSWAVPLITSGIALSMNAYGPAASNWCWIEQDPTYLRYALTH
GWRFVIIAAVVSMCTYIQLFLRRHSELMDITDIARSYQEEMILSQKSEIRLDSQEISPSPGPVDNDPPSPPPTALQNIKAVFTRPKVDPRNELSLRP
PSKQDQQKSIQKAMLLHAYPIFYIILWLPGIATRIVQATGHTSYVLQVLQASTQFIGFANAITFGWNERIGEQMRGRIWRK
>RCO7_03907 | uncharacterized protein
MISYRTEEHVRGTQSQKNRLKTSKQQSISPPKSSCRSSQSLPLTLDSQAAKAMPISPPEGTGVGGLYRCIVDYNHQPFSITWSGSQEYPDLESFPSL

KNAELLSVQQSSEAAAVWKNSELLDYGTHASIRITEHGSFPVLKLAHSDEVSMKLIQYEFDILAKLTEQGLPVVDYDHEPILENGVVCGYRMEKLSK
IEASELRLRAEDIKQAIDQFHRVGFSHGDVGPSNIMTKDGRITLIDLSFAGQLGTTVPSFFPSWVYSDGRFDIGSELERFDRYIVPK
>RCO7_03908 | uncharacterized protein
MADILELLSSLGVLETEPPPSVANSIQDNKTTTTTFSLVSHAGPSSSDLVGAVPGTDIQEPNRAGDPIPKYQPSLFWKALAFAFADSSYLSTATSLS
DEGQALFLANSDQPGVPAGRPYPDEVTNYQTFAKGDAIQIINHPTYSLEGDSYFEYLSLYMRSVVNDSDDPNLTQSRAALIKAKLDKDKAYEHARIQ
YESKFLKGSQNATRPAFIDALTHDDSLQSALKNELACENKYTTLQGDNMADVSNKLDTIKNADNRLMEKVGNNMPCIAVSDDYIRDPTIRPSGKIVV
DPKDVYYRPLYNLPNFDATCNNWQAINSDVSKIERVGPLPILMAEAASRSWSELGHDGLDSAIPAPLSDAQKELLQTLQISLTFLGKPAAVSLDRGM
WDVPNVRSKFKVASTLPAVVRRPFCKTTKMLLAWGMEICITFAISVTDLSKEKISLAGFKIPPLDADADNPNQMRFVAGRSTYPLLLAVLAKIV
>RCO7_03909 | uncharacterized protein
MASSSADAADAVFWKAYGTAIKRTIGQITINEKTAFYLATKAQAGPPGGDGIFPSFTNEGLFQLGNNLLPPDQLFYSPSTLNSYIGQLQTYLHWVDV
GGNPSDVNVTQVTNTLQDMNAAQIGLGKQLTLALADFKQQQDAGLAGTQTFAQWAPGNAVGYTMAVQSYKSKAAAYQKAVSNAYGPLASQKLDDEAK
LQKALDTLTSNTGFNMECVLGSPPSPREFNNAVSSGSQLPAPPGVLRPAYNAPGYITAIKKAQSVIGSGTKPSSSMQITYSQGTDVRETSFNQSAQS
ASVGFSYFPWISFNANASHETTTSSVSTQADASDITITLFYDDMSLVTINPSGSWDLGDVRTKYKGLLPGAPKEVQTLVKPTQLLLATRLGYKVKLG
ASSSKQFDSYYRDTVSGGGSVSIFGIPCSIGGDASRSTENTTHNLAWNSTTQEFTVDPTDNAGFATIVGLIGEKVTTGA
>RCO7_03910 | uncharacterized protein
MGQLTDHQIPQGLASILLSHEPNSSECRTMSTHSLEAYEPSLFSWKMGATVLIVCLVTIFAHDYYPRLASRRSLPDSVPWVGVDDGLFSRARTTLST
FLHTNDLLAEGYEKYSKKDLPFVLPNVTTGPEVILPMSQMEWLLRQPESALSQNEVNRQFLQADHTMLHPRIVTDAVHDDVIRKEMTKLLGDYTEDV
QDEIDFAFRKAWGVNTSDWLELPAYHSMLDVIGRISNRVLVGLPLCRDEEYLKPSHEFARLVVVQATFISLFPQMLKPVIAPVINFFDTRRYRKCAK
YIIPLIHRRNSAPLGNEKKKNDYVQWSIDHSYRKNDPSERTPDVISKRLNVVAFAAIQSSAITLTNLILDLGASPRITEYLSIMRQEVLAELAAEHG
VWSKTALARMVTLDSTLRESMRLWGFVSRGVLKEVVQKDGVTLPTGEHLPRGTHVGIHAWPVHHDEQYYKDPFAFDPLRFCTREEKGVNDMADSGQF
ARYKGASLVTTSSIFMAFSHGRHACPGRFFASQQMKLILAYIALNYDIQPIPSRPANDWFVGSQGPPLDVRVRIRRREGTV
>RCO7_03911 | uncharacterized protein
MQSLHPSLLLLALLTLLPQAILASPQLLGAVGALLNAIPLLSLPLPKELQTKTPSPECANVNGGALLCCESTLQGDIPLIVQLAPLVAYKLNPNSNN
CIYGKRNFETCNPGTRMCCQVDVLATTPISNLVSLALFCQNAPAQN
>RCO7_03912 | uncharacterized protein
MIEAMQDQGKKDKDDFAEALANAAEEDLEDVEAAGLRPTDITASRPKVLSLWSRRRCFLQVKMTIQKRLFIIFIEYISAERYSRKTILRSSSTLRSK
VYSDGGIKTKIFALFVIHDMLYIKGLLNPLLRRRFMPKLKSILKVSSYCSTHPTSDAHVYQSTAEPTIDLFIYNIGDLQFNEDARGENTYRKTAFRV
SIRPPTEREGEADSETRSNMYRRRL
>RCO7_03913 | related to G1/S-specific cyclin
MAYYTQQPCDTFFVEEAYPQQRNPAVLKMEGRRKAEAMANELSRQACDTYMEDIIGHMKHMEGETLPDVASIDIQQEIQWFMRPYLVDFLIEAHAAF
QLLPETLFLAVNLLDRYCSRRVVYKRHYQLVGCAALLIAAKYGDRKERVPMIRELKSMCCSLYDEDMFTQMEWHVLNTLDWMIGHPTIDTWLQLALK
DSPAYDDIEVEHMSWYLCEISLYHKDFVSKKPSVMAEASIALARGILGRRDALDDNDCEVSETILRLSQKLDRPSQVLFRKYATPHMSRVSATLDNF
LRHQEAMSRRATPPSPPCEVLQQKPNHPQVQDLFPGTPQKPYGNMVNGYITPPITPEGEYFVNGAENKGYHQVPRCPVTPSPTVEWINLR
>RCO7_03914 | uncharacterized protein
MAVTKNYPYGKDANTFIFTRKLSSSKDRTVEVNYQPKSHNSERRTSSISSISLYVQHYGIDQNTSLDLNSLSLDNPLPSPLRRTRNHGPGSPTKVLK
PKSPRIVGKRAPRTPISARKQKLSNTAASEANFSISTALATPTTPRARTRAQIRSAAQVTFSEPPPQVKRLDHGVDFLDGNTFFPSVIIGAKETVGL
SKIGRANQEVKMWENILAEHKANMPSLVSVVEEKLWQAKHKRACIDETLAENLMIGDFNPAESMMKARLKVLEWALSTSKFGPEAENIECAIAGYNS
GDIGFNDHLTVIYAGHIFGGVSTYSEFVRTRTEILDKCFEMYGEGWMWYEPPLNVHPESKPKSFSSVGLEREENWTALGGFYVNQGYWKRAGWVSRM
KQTAPLEPALVSVQFEEHPRDPDLVNCQAEGPRLSYRSILDSGATFPSLHEEDFYSLGIDTNFYAAQSVTCLETANGEAATRLFELFVCVLDDEGKQ
LVDEKNAVYPLSHKYLGGMCPVVQCITPLKYSAQGIPIANRLSGIIPFAASYVSSAPTRNVIYLGEDRNDVLGAHRMPGQRKWSIDMPTIKNGIPFD
RYGDPKIQFTHRRGLMIDVDDENRNAVSYLRVRPQAGGGAEVVVVSDPGTAQRQMKQADDAAEAERTRLVAEAEARRLEAEFEASMRDGGRLEGLFD
DMLERGLFPSRNMGNGSGSGSGSAAAISLSSITPVQLTSTRGGESIPKTHETLRTRPESRLQGGPANKPNL
>RCO7_03915 | uncharacterized protein
MSLDNFYEYQLIQSSSGEPTPIPKPHEWKGHPQPPPDERLQAARFFLADEDPDRCIDFASRIAEIKEYVEFLETEIRTGSLTCDQDLLRDIKAKLAV
HRDWEQRRKDGIPDLGCDQKPWQLPYSIRSSATQMPARSNPIRTRDGRPSQMRDDHPPFSVRREADHSAFIAALKKDSTGDPDEVDIETNLIWSESR
AYGWALREPVLIPSWMHPTEGIPRKGVSLADTTPWYRKGNVVDLTDGEKTRPARGWIPGYLVAREQRINSLLSDVELSDKDMEELEDLLNFVAPLEL
QRLRAQNLAYEKDDALGLITEEEDEERRWASVEYAIRQEKWMSNFTSVYFILKSSRPEALKSEQPGIFYVDHGVMDPERQATLDRANSLLSQMYAVN
VDLERLSQQDLAEIEVYLQFSQPITVTNHGRRRAAILRQAKANGREDVNDVDKKRYDAIYREESLERKQWLQSIASNSPQFRYLRPGEMAVVPGTQE
KTEVLYIPWNISSVPTMATPILLESALPPSVLKFQALLQLTLVSVEENNENDDISRGMREFLQIVYPDLRTLGAHWQKYRTLLDNSPIRPEELRLKL
ILDPIFERKFRNWRYGLLDRERTITMKMPRPGQDDERPGILYSPNLTNDHNAEDQRAIQILLDLGDNRGPNKTRDLQNALIKYQYPALRRLHDEYLS
TIAGSKYDGPRKRRWTESMNRWIRTLEGSWVEIRMPSSSTLPANDPCTVYYREPVQPSSYPFMMTADQATGLQNHLGSNQPIEDFKPIGNMPLNIQK
AYERYRDTKREEDAILYAVHLDAWYLSSQYAFSSRTETIDPSIEEIDSSASGESDFELSSTNSTTASQENDSYLGVDLSLMLPQIRNLENEINHIAR
IRRTEKSDRALILRFSNLLQQFIPSRIQDEYIWIAQQREQLGDRPTPGDKKDLDIQSEQLTAAHNSWIREITEYGVSIRVSPGSSFAERKTRLDFNP
RITGSGVDFHITGPAGATLLTATQSRAARLVQHTIPAEVPNAHRFTKADKLVILEFERSINSLLVEQEEGTLSWDDSESLLSKLRVILPTTLQERER
EHAAIDKKAREIPLSQEQDAEFWESWERWNATSRNWISTIPDGRVIIATGDAGQDPAKTIHLNTSNMKDLQRMPTPRPKTLPHPVKTIVRNVNDYLF
GDFAALSTTERHKRDTILWQLFRPIYAHLRRHLNAHIREVYITGDLKIAMTEVNALNDSISLRCCALYRDMLRSLTEVTIEESVPGEYILAHESIIG
LDDADIMSDMTENEKIAGMLFKTYCEAMFTRQRREFLMITTKIRNRIPLTRDEDSKLLHNLANVAKANLKEIHLASDLATKLAIEATEAGGLTKKKQ
TALLRADGLCTWYRWVLRRLPQGIRVSMSPEALRTMVDTLLKLRIQSPQEVDPVLVEPPSVSEIQELQAVLNNLLMQEKMELSTPEMGKALDFLLGE
LLSPSLKTLKSRIDLQEAGFLDLSSNSLANIIGFLEAQKGVLTRFQSFKKELQSRFGIVLDSWWFSEPVIFAACAGWKLWKSTNQNEDGTPKLTVST
TKLENDYQQEQFGIYALLTDWVLNGCSEDVPSETSLRLILKVIPDLGFDALQTQIRDTTAVIQASRDTKDPTNAVFLLGIKEELIKSYMEWYSSQPR
SVLENLRKQYIGTGISVIDFSGKAERRGIQRAAIEISLNLLASNQEQHRPADRFRVVDLTRAHVPLEKEIPISLPLEPSRREVERDAFEFTKKMIAY
KDWKDFDYEVSRNKLLADPPDTSYGILLRGADETRSYAILDPPTNFNGPFALAQYADAIEIAGRRQAELSRIALRLQSAYTSYPRPLLERLLSLISQ
GMDATRHTDHNLYDEVALTREGLAILEHISGDSWDEIAVDDLVSSVFPDAELALLDSFEADIRSIEGIPLWSPQVDSDEGIADTRYSNLTQIRYSPD
VPSQNGVTLDSLTLAFQKLKGKTTYVQDDMRQLLFQLKSEGRIHCDDVDGEVFVSWIPYSGHPENKYVTSREEALVLPYVRRTPENHLAVRYDAQGA

YGPPIVQPNKYEHFQRLAFRLGRDTLRTLQTLENPQLRTDQTFSDQLNAGNLAADIMKEVTSEERGESTHIPAVNLGDINVINIAREVCSAAPHLAM
ELGIEVPYRNAYSVEPVEEAKLNTTQAADLIQLKILEELSNNFEPKMPVNETVWDFAEERLANTTEIVSGRRKIFKKQQTKFFSVRRYPICCQTQAT
KEAIRQSGPVMQVEPAPEPVLTNQQQVEKDLKDDEEAAAESARGPLKTARHIRGQRPHYPFGETPYQEAYQSHVMESELRGVEGFGPPQPTGVLASF
NRGLKRFFRTEDAEVEDVLVEPELPEDPSIPNDPYPLPRLPVGWKPANISAEEKRLRLIEGAKQTPGFPDPAIPEYYHTQEEIEVARARAETSRRMT
EIAANDAEVALSFKKNKSEVPLDDWRQRQIERGINPYTGLKFPVAKPKAEKRQDKPQDKSSNIASTGQGQPSNIRRTNVPRPGSGTQAQDEGKPETS
MHGQMRPPPPPGSRPSSQRGRPGTPIPTAPLIADKEGAVAAGVAAQTDITAAQEAAPSSSEAELELVRLRKQVAELEAEKKRRQIMKDAAKMRQSMI
DAAMSLQKKIMFDNGGDGGGDDDGDDEGMEDVYFT

>RCO7_03916 | probable PSF2 Part of GINS, replication multiprotein complex
MALPLQAGLTPMEVAFLCEMEMITVVPRQRLESLNLLAGPTPSLRPPHRANIPLWLALLLKRQRRANILPPPWLLPSSLDRILTYETDISPLIFSPP
PPYPYTISSRPSPTDHISPPFLSSSTAESPPDYLPYHWLELGEILLEACPDDIPDPGRVRSLLRDLREVRIAKMRSSVKMLEGGGLSSLRGVGAMEV
SEGRSFIVGVMDGLRLLGSSREVARREREEDEREGGEGSEDQSMDGL

>RCO7_03917 | related to UPF0382 membrane protein C1782.12c
MPPFWTIGCIYGASAVTFGAFGAHGLKKRIADPARLANWGTAAQYQLIHSGILLVATTAVPKNTLAASLLVAGMTMFSGSIYLLTLDPQRFKALGPV
TPLGGLCLIGGWAALAFGKRLPIKL

>RCO7_03918 | uncharacterized protein
MVRYLAPLALLVIILSTATSATAKTCPPGQFVDCCEKWAVVAPDILRSYGVPEDMIPQENRNIPVGYTCMGNWNCEAYGLQEKCCRDTYRVSHCTSD
RGTEVE

>RCO7_03919 | uncharacterized protein
MQFSITASLFALLAIANGLAIESRQAGANANRPVPSGACCVPNTSLKQDVCNVNGQAGRCVPAGVNNCGSALTCIEDNRLTCDATTLERGRPRCRLV
GQ

>RCO7_03920 | uncharacterized protein
MVLKRKRSDSEISTSSSLLSSPLSASGYMSIDHPQTPISTPSFFSCRTRKRYRDNRPSESEVHQHTLSLLFYGAQNPQESAVPNSFRPPLKRQEPIS
SLPASTQSNTRQQASLHSFWHVPLASGTRQSSPPSNYSNSTVNTPTTASGNNAFFSATNCEDCDASLGQTEDSDAVNVDMMMDIDMGGSGNYGCTSC
GKQVCHGCAISNLGAERRCLNCAGRSRVIQSCGAFGWVRAC

>RCO7_03921 | uncharacterized protein
MVEVINNATFRESKEALGDDKPITGSDAPEEFSIFYPMRKKEWESVSDPREPQIPPEGDCEEELKENFSQVPDSWEADFVAGRTGKIQEWEEVATLM
LAWIETGLVGVIEHWQEPIKMLCIVCWKSLFLQQNSWIWHQSQSVSGDLRDAKDSLTESLCQIVSESKVFPRLMFLEWQYSVGYFNHLLHFHGKVVP
KQSSKLREVVERVTARERKDSLGVKKPVTDPPRMMKFSSTFCVPVPVQTNPTVKLTPASGFSMNPVMNTGRQSTQRTPMLDVLGDVTAVDVPAKPSC
VEEIATLLFAELLSVGS

>RCO7_03922 | uncharacterized protein
MSNLRLKNDCAINADMAINSRGIRAASLASSPSSEESIEPIESLTISGHDPDCETGLTLDMKWPSIIIKGCL

>RCO7_03923 | uncharacterized protein
MADVPDMHKPIAMEICTKADPFYDDIDMELLHVEHATWETWELCAGREICVDSEVCINSGHLATPIESGGMPNSQETLATFTRNFDHLDLHTPGKFN
SSSRTLIETPEQLKTFLPLLSKLKLSTLRAPELSLDYEACKLAGDGDIRVMQMRVRSMNQTFVFDIKKLGGITMFEAKNTKGLSLREVLESNKHIKL
MWDCRQDQDTLFGIFGIKLSRIIDVQLLELGSGEAASDENLRRLSTAVRRHGRAWMTPTELSEFVRMNAEAKEYFKKSNYGIFGYEDLPD

>RCO7_03924 | uncharacterized protein
METYEKIVESSAAQLIFETELEDTTDKFPARSSLINSGLTIDPRIDSNLFDDNGKEITVDCPEIACDPTVRGFSPSDFQRQTYAQHASRLELILDSE
SSSLDRKGNMRLLQLKIRSQKHIYIFDIHKLGGKSIFDRKGKERQSLRKLLESKEHIQLWWDSRQDQDALFGLFGIRLGRVMDVQLMEIASPTSNSS
DRIIGLASAVKALGQEWTSSESDYVVFDTPDLPDLALEYSAGDVESIKKLYDVYRKEITKKGWLLVHYHSRIRLRESMYPWGAPKATAYIISARSAV
PEAFQYISHRSGARHSMGFWDNLFRDRSIDAVIKLAEEKAADPWGIVGWKDEGDWRYTKAVEGWRGSLKKSRSDLAITTWGESDNQTARRCKRYLKD
IGSVLGFCGWNKSITNVSEWSLQEPEYSPELDYVDFGADIREDLQEALAEADMEIECCDRGIY

>RCO7_03925 | uncharacterized protein
MVPPTFVPNQNILTQPNSFVNWQMDTAISFCSLNQHTQFPPQASWAPFQDKTPHFGSPASNFRFIDPNIAYSNAVGRAISRADPVSVKGSYQPLLLQ
SDGNSHGFVKISDYWPTGQYQHIRSYSGYESAVSMLDPQDFAFQMIARLPRATYQLPVPCLPSMGWKIPPYIDRGVDMVLAPLRSVKTGIAEIFMDE
ESGPHHGRNGRLSTIQISFASASGLTYVLDVITLGATLFAHVAPNGKSLKSIFEDPNIIKVFFDVRADVAALDGQFQIKLAGGIDLQIMELGTRGSE
SKTHLLGLNTCVKNHLRLCTKEKAIWSSANAGGGIFLAGDYTKWEVRPLPEPLLEYAANDTVYMGHLYSFYLSILKGDPAMMEVVLVESTRRIAESQ
VEGFEGTKGVSPDVFVMMD

>RCO7_03926 | uncharacterized protein
MTSTQPTQPSSDSSPPNRRTNSSTFSTSNRFSNSTSETGESSRPASQRNSLRASNSIDQLPHDARAGNRAGMESLEGNLVNDGRGSHRSHRSRNNGG
FLLSNAVFEAQSEIAPVTSDGMMRQRHSRVDGKGKGASKNPEILHRKKRSNMAGSVGGSPLAANVLNAGSATGSKEATNANDGVESQVHETAKGATT
GLDVDSKQIVNLALNLSESRRNAQRRVISTPLPPITNGLGEPFTGGSLRHHLQAQRRVSRNVSPKPDRGERTMTASPRSTSGQWLGSPLQASNEEKG
QYRYTFSASTLARAEKAKTTIELMAQYRRLLQFVPPLRPLGSEKGIAVSRPGTSSGSSVVVRTISNTSSNRTLGRPYNPLQYIRNRKVRSRNSKAID
GEAQGFGDLEKVSTWVDTISHRASSEDSQNGDCLTIPHLSNAADESSPFGSPRSSLGKSHGAPVKVKRPRIDWVTNPADMIADIFWLEQEDNKKLIE
DRHGRRIFPPSAELKRPGSRRSEEPDIKKASPKAKADDLGIDMRMLVTKLPEFKSVKEKPESDVTPSRTRQKLRDVRAATRLHGGHRHLSSRSRSDD
SDLDDSDDSVQPRSRRGVNVTEDGLENGKVILEKQMIEILKREEEESRSASRETSGQSNDTESLKRAPKDISKANGSAGHNRSGSSVKDSRASAKAN
SSGRASLEVPRYTGRASMDDLNTTAPNSPETRPSKLGDRFVPSIAMDSSPGGSRPTSPSRGPLSIMRSKIRPLYDRGHESGGHHHDEDGLMASIEHD
QESPEPRRRSMSPVKRLVTRVTDETQKSVKKAGSIKRGKEDSGIRGLFKRNNPVSRVSDLLWRKESSPGPGHGGNSSGFSTDESDIEEIRDPIKGVH
SRDSSVGTLYEDADEVEGRGQRRRHMNGVPPLPSFTSPFERRGRSERIQSDDSNHDPNANTRSRLLSTREERKNTPRIDVHTASPTSSPETYPLNRH
RDSSVSASDIDSRRNSVAATDARLNSILGLPRKRRNALPIAGLSSLEASNNQPRRPSMQGRQWSISDRSPSVHRGPMNKREIARVRALLLSSGIKAK
EISRRAAELKDIRTEESPLYGDIAEMIPSDLESEITPVPKSQQHRLVARLISSDIQTSSQLHHSSASHFLSSTIPSLHSRISTLQQTLINDLTPTTR
KAADEADEVSKDLVALKMLEVKSIGDKIDKMTRTRRRRFRWLRRGGWVVVEWVLVGVMWYVWALVVLLRALRGCVGGVVEVGRWLLWL

>RCO7_03927 | probable Pescadillo homolog
MGRIKKKGVAGQAKNFITRTQAVRKLQISLPDFRKLCIWKGIYPREPRNKKKASKSSSASTTFYYTKDISYLLHEPLLQKFREQKALEKKISKALGR
GDAGDAHRLEKNANRPEKTGKTKYTLDHVIRERYPTFVDALRDLDDCLSMLFLFANLPSTPTVPAKMIARCERLCHEFQHYLIVSNSLRKSFLSIKG

IYYQATIQGQDILWLVPYKFNQRVTGDVDFRIMGTFVEFYQTLLGFVNFRLYTSIGLVYPPKFDQNKDDQGAELGAFSLEGNGIGAITQPKVIPGTE
PQKPDPKLQQEIDKLMLSLNQPEEVKEPATSQTLAGEEDEEEQATDTIDKFEPAAPGGDILLQPSYSATDPSTLFSNFTFFLSRETPRQPIEFILKA
FGCKRIGWDAVLGDGAFTHNELDPSITHQIVDRPPIQVDTEEQAEDNQTAQKLKPGLRVPGRIYVQPQWIWDSVNDEDLKRPDLYAPGAQLPPHLSP
FIKKVRGQYDPSAPLNEQERPDEELEAASDDEADVSDDEMAVQEPKIFTNDEVDATAEGMDVAGSEDDDSEQVGDKDEVDSFGGFSDGEEEEEDEAT
ASALLRQRELEAELTGVALQEKVVDPKTKAKADARKKAAKKNKEDDEELERAKMMMSRKKRKIMEKMVYSNKKKEAEAEGLRAKRRKIEKSGKASER
N
>RCO7_03928 | related to cell division control protein CDC91
MNVDRRKATLFATAAAVRLLLFSFPGLPDLLTGRVEISTPVTSFKRLQEGLFLYNHNVSPYDGGVYHQAPLLLPLFSLLPNSMSYPAFTYLLYIIVD
LLSASALMQIAETGEAGSSKLYTSPRKDKRWSSYAIAAAFLFNPFTIATCIGRPTSVLTTCAILHAIAKAVVGASFTSMFALSFAAYLSMYPILLFP
PLALLAYDRKRTRNADKTTYSFVIGNAFAVGGSLYALLQMSFFITGSWEFLSSTYGVQLLLPDLTPNVGLWWYFFIEMFDSFRNFFLGVFWIHLSSY
VAGLTIRLRRQPLFVLTILLGIFAIFKPYPSISDTSLFLALFPLYRHVFPLMRYTFLASSTVLYATLLGPAFYYLWIYAGSGNANFFYAITLVWSLG
LSVLVADTLFAVLRDEWEVERPEMKGKEIRQI
>RCO7_03929 | uncharacterized protein
MSVPSLVEELHPLSSTISLASLSFTPWETAFEETSYFQPWTSCPISPTPEPGRISPTRSRDFTAEFERMIESSKYDALFSSPAQDPSDTGSRSSLIV
HPATPVEGPANSSLAREESEDNNDLLMPTSFALQTSSPSRASAPSPADVGRARQTTATYPRQQKAPRLRRKSALEPMVGTSNAPPTRPLANPSLTPW
LRYDEECPNYHYHVMAPLDIGAAALDSDAPILAPFPVPSSTRERRWMIESQNSDHDIRMPAVTFGPPTPNTTISTNNLFSRSFYRRHGILKPKVDIT
LDDDNLSTTVTGGSVSISRTKICDWEVWSKISTRFKKTKENMKDKMGHCALVQWGREKRDRRRLTEDMRLLDKMDLGGSLAPE
>RCO7_03930 | uncharacterized protein
MGTLSTIAETETSTIMDFPALYPPPPTPAIVPESSSAPGVLPAAGQYASVWRSYSHRYPPDGSSSTIPLASSSEILDLGYSRPEDEGIYFFPKQSAA
DQLHEPETTPAPSSFLFSVPGTTESGVQSIPELDIGTPALEPMPAPFPLPSAARQGEVSSARNEDPNITLPSFSSGPARRSGERYGEDVQRSSPGLL
QRMKRKFQDWHEWGIAYEWEKGWEWGCFKRGKRRRREQAREMKRKREALGWGL
>RCO7_03931 | uncharacterized protein
MSNSNDTSSDSESVDETTRPNRWTGPPSSWLLLTEEERGLATSLDTLRNADLSIHLFNAHALKRHAREFDGGVNLETEFPGVPPEDRTFRPAKGWTA
WPLSPEDVPRTGEEIGPRKSFEEYTYRANEDGAPSRELEDVLMGVTLKFAKERFMARQEAPPQKDYREEGKSKGKDKAKHTIEEDLDDTGSEYHNSS
DEGSVDEEEQVTRSNEAKPYLKPVVSADDEHSRQLLLPSVRHTLSKLDDILIALHHARKTCHRYSHSEAETTDDEFVADTNFSEQGRTSPEKRTRGR
PRKFANLPSRAKARLDHEPDPEIDDGGAGGVLSKKSPHAGRPKKTYYHLEGETEQDYLIRVARLQKKPIPSFAPAASPPPTKSPSRGRSRSRSLPAR
RATSEELRDRRKKKLALRDWSEVLGTAALVGVFDKEVVERATRRCADLFGEGMILRGMNEVPFGEKGQDEIVRYVPDLVPAIDSHILGTSSSESQDS
DTDSNSESKSEGEAKVKPGLRTTSHISRQAVFCPIPACPRRIQGFRDVRAMKRHLERGHGIARDDVGEWIVPSDEDMEGAVHRDGFLRPVKKVRVSR
GSYGMPAKKAKKRNERETEDSGDWEDDGLEDGQESGERDAADDSDLGGEEEGEEDGTESDDISSG
>RCO7_03932 | uncharacterized protein
MDSAAKIYLPNGGADKFAIQCDRDTDYGRPIRGPDGFLSDDEVAGVPACSIDKAHMQERSEADSHFFEILSQVLNQASILIRSHAVGAGGNKASLNS
RDQKRAQESKASKAAELAKIRLIEHQRKEKEEQDRERNVKRDHEEARGKWFMSVRKILLQTVRILKIPFSLAVSFVVIGIWSRENREQAIRAARAEE
Y
>RCO7_03933 | uncharacterized protein
MPQNQQNLTKTAIFAKILSFCVILHLAQFCLSVGRWTLIQHTNNKQMELLIGSWDGSCMAERSQLVLDYYAKQTKLKAFLPWEAKEFVYQHLANSEK
GLERVMVSKALKDVGRIDRQKKLRLGCGAMWYEIPFGFHYRHCFNLTDAEKFGIDELRELVNGIRNSEVQVGE
>RCO7_03934 | uncharacterized protein
MPRNIMHIICFLAVASLLTCVCAGGPPRLTFYGLEILPGAPITKFESTLLVPSVTPDQDPKSVQGLRSMWPGLEPQPVSALFQNVLSNLNQAPHVTE
NNAWYFFPYWCCAPAMDLVGNRVRLQPGKQGHRGGVEPLGGGLITDGHFDTKYTEEKWPPMVKALLDIEVQGEGKWDFGPVEWRNVLVEAQTKETSW
CTEMWPEQEEQLPNDENPADRDGQSQHKLNDMLCSIHNFPRDELVL
>RCO7_03935 | related to Y.lipolytica glyoxylate pathway regulator GPR1
MATTVTADPNLNKEYNSNGSATHDHAGTNGTNGTNGSVAARRYDYGGNPLAHMNTGESARFPAFGGEFQPGLYKPTTGRKFANPAPLGLCAFALTTF
VLSLINIGVRGVAEPNIVVALAFGYGGLVQLLAGMWEMAVGNTFGATALSSYGGFWLSFAIVLTPGGFNIVTSYGKEDPNAFNNAFGFYLVGWFIFT
TVLLICTLKSTVAFFMLFFTLDLAFLCLFLGYLNADAEGHHQMQLIHAGGYFGIFAAFLAWYNALAGIADDSNSFFVIPVAHFPWSAKGRERRGITE
KTDRETV
>RCO7_03936 | uncharacterized protein
MDFASIFANVGASATGSIISKITCYPLDTIAVQYQTSTRRPLLSVPLTAYYRGIGVTILTVTPATALYLTTREATQIALLPHLGDSSLNDALSGCVA
ELAGSVLFTPMEVLKARLQISRSGAEGKLLYQLRNIAAKEGFRGFYRGYVMGIASYIPFNILWWTTYGNVRRGMPERSAQVQIATAAAVAAGTSAAF
IHPLELVKTRYQVATSDTVAAAGGVTGTRNSDREGLRQVVRNVRKESGLRGFYSGFVPTLLRSVPSAIIMMSVFEHLKAKRKVDGEVAAL
>RCO7_03937 | probable NRPS-like enzyme
MPPSEPENGSNGLIGNGDSKTSSMPLRINGTNEDASNHDSSSKSNGGEGPFKSQKSKQAPVLNITKDLSALITQQIKTTPDAVALEDETTSLTYSEL
DLEVSNLANRLRDHGVGRDRLVGVLLGRSANYVISCLAALRAGGAFLVLELAYPPSLLADVINDAKPVVVITNSTQAGQIDADVPLMIIDELEKGTY
TPSEHRKQSLVPADDDLERLAFVSYSSGTTGKPKGIANPHMAAVLSYDLRFRLSDLSPGDRVACNVFFIWEMLRPLLRGATVVCVPDEASYDPVALV
ELLAKRQVTETLMTPTLLAACLSRHSDIANDLPALRTLWFNGEVVTTDLARRAMKALPNTRLLNCYSASETHEIACGDIREVIETEAAFCPVGPPIN
PEHTYILDLEGKKVDPGVAGELFVGGNLLARGYLNLAETTAEAFIPNPFDQTPGSRMYRTGDLARMLPSGILEITGRVGAMMKIRGYSVVPGKVENA
IIELLAVKQCAVIAHGEGLDRQLIAYIVHDKEDPGNRPVPIIDEAGYSLAARRALSGSLAQYMIPALWVELDELPTNRVSGKADLKRLPPPGLKIST
MFNHTKTERESSISIEAVAEIWATSLSVPFSSVTKEHTFFDLGGHSLTLADLATRMSRTFGITVPVSRLVMDPTLEGHLGVVRGIREGHTAAVQDNL
PAVLKADAILDEDIKSSGTSIQTLKTLKDDDTVLLTGATGFLGAFLLCDLLESTSARIVCLVRFNSPEDEDAPAGVARIRKNLLDLGLWQDSILDRI
DVIPGNLSHKRLGLAPDHYKELVSGVKVIVHAGATVNLVYPYAALRDANVGGTREILRLASESGATLQYVSTNGVLPPSTEAWPESAMIEIEDVPNK
LVDGYGQTKWVAEQLVYAAGARGMPVRILRAGTISGHSTSGSTNTYDLFNALLVESLHLGYSPNISGWRAEMTPVDYVSKAITTLADDTTSSNRIFH
LGDANPVNTQSLFDDLSKLGFPTKPLEWKSWVSLWAEKRGSLKRGAGAFTADILRGGMPSVEFLRDITILNDEATKPALASLPRPSIDVKLVETYAR
HWYARGWLPRPPTRMNQANGFGAKLVKKGAFTGLVAVITGASSGIGAATATALAREGAHVVLAARRTDALEALKSKISPYGGKVLVHKTDVTKGEEV
ESLVRTAEENFGPVDILVSCAGVMYFTMMANVNVSDWEKTVDVNCKGLLNVLSSSVPSMLSRGKGHIVAISSDAGRKVFPGLGVYSASKFFVEATLQ
ALRVETAGSGLRVTSIQPGNVATDLLGLSSDQEALKKYGEPSGAKVLDAEDVAEAIIYALRQPEHVAVNEVMIEPRDEPI

>RCO7_03938 | uncharacterized protein
MHLVFKLSLIAGASASPLIARSSCWFGLTASGGQSGTLGQLPDGQIRIGGGLAPVSFSINDGKITDHSNFGCLLTDGVEQFQCDENKPPIPGFSIAS
SGSFSYSSNTKFYACPASDSEWNVYTKPVEGQKKCVEITLTANGCGVAPPTSTAVPSVMVSTVTVHDCAPTVPGGPPTETQPQGPPATYPPGPPVET
YPVSPPATYPPGPPVETLPPSPPATYPPGPPVETYPASPPATYPPGPPVETLPPSPPATYPPGPPVETYPASPPATYPPGPPVETLPPSPPATYPPG
PPVETYPASPPATYPPGPPVETHPPSPPATYPPGPPVETHPPGPPATYPNHPPFPTSYPWSNTTVGPTHYPTAPPPGTYVPSTYETTMTVITQTTVS
DCPVTSTYVTSGSTSYWTGTSTTTVYSTITSAIPCPTTKTLSTTKVQPTYTPSTSSNVTYTTYVPSTYVLSTHVPSHTPSTSSNVTYTTYAPSTYVP
SHTPTSNVSSSSYVPSTSTMPVETYPTYPVETYPVETHPVTTSTYTTYPVETYPVETHPVTTSTYTTYPVETYPAETQPVTSSTYTTYPAETYPVET
YPVETHPVTTSTYTTYPVETYPAETLPVTTSTYTTYPVETYPVETYPVETYPVETYPVETYPAEIPTTFKTMTNPATTPTPTPYPSVPEPIYTTYMT
>RCO7_03939 | uncharacterized protein
MPGSTLATKTVLIVGANRGMGLAFAQQYAQRGWVVHGTFRKESRGEAAELLKLDCPTYELDFVDEDSINAASKAFGSQPLDLLINCAAGGNGPDKME
DTTAEELTRNLRVTTVNAVITNISSNAGSISDNDSDGNLSYRVAKAALNMVSVSTARELAPEGIACIALHPGWVKTKMSGFTGHMGPDEAVTRMLKV
LDGIGMSKTGRFFHRDGQELAW
>RCO7_03940 | uncharacterized protein
MSHFALSLNVNFLEATSEMWKLHLDNRNCTSVDLVTAYLKRIEKDNIHGAAIRAIIETDDRADIFALAQELVEERKGGKIRGPLHGIPIDNIAIRGK
LKTTTGSKVLHASVVARDSTVVAKLRKAGLIIIGKAILSEWCNYRASGVLPNAWSGTGGLGLSPFNPGLDPSGSSSGSASAIAAGFIPLAIGSETDG
SLICPSSRAGIWALKPTVGLISRAGIIPVSLNQDSPGPMAKNVKDIALLLNALVGPDEADPASIGASSGRRSDYTAFLTPNFEGLRVGVMNPEWFMS
DQNIPYDAKYIIESTLSALKRMEDAGAVVKNPVNLPTLDEMLAFNPSDVQHLDFKEGLKSYLANLESSDIHTLEDVMQWNYEHLQKDFESQITFEEV
LEWAKKDISAHDEALSRQLRLSRDNGIDVVLKTHDLDILLVPSDAKKATRISAMAGLLLLLLLPPLYSVPVSQFLRSWHNLRNQSPSGVHLLYEQCT
NVSSASLGYPVANLPLGIQPNGLPFGLAIFAGRFREDLLLRAMSAFEALYPDTASPEAFKRDASWPPVVS
>RCO7_03941 | related to isoleucine--tRNA ligase
MSLFTAQIFPGQALGFLVLGATLHDILTRLKAEPQRFPKLDLVYDQSAPVTEPVIVNLPPNGIRLRFDGPEQRLRLVEVLDFTKSQLTYKDTDVLRP
GTGGQPSSVQVENLSGPTFRHIYNRLLGPTFPGEYVGPEPGAEQGMGLYVLSYPGIAFSFPLETSAWSPRKDFVSLLSSASSHPAASMAIFRGDSWP
DARDSLYVQTLHPRDSFTSLMKGKDPVPDEVRFIRIFGEGCLELTRSEGVSPFWIKLGLTSPQELVAALGPPDAIYRKNDQRMSIHKARPTSRTHMR
SEVTEMRLQDDSTDTDQSSVLTSTDDSEDEISPGEVAGNVSGECFYNYFYHGFDILLSTPMIPSQCPPNRQASDRPPAGIIPSDASSRLVASKVILH
GNVPGSYPFNRHRRCRWEIQYLLPTDGQLVIDSETPFKEIEQRLHDEWKSIYLNVEEAKSRQRGMVLNRDWGDSPGSSCELLGGWEDSVGGRRTDPA
GMEDGKGLGNTTLFGFPGMVFEVLKNGVVACVLEFGGGWFVKGTGLAIKHLWRRKLHLIYSEDTYKATTEQSVASPKSPTPKSPPPKKPDHGSPTMP
IRPPTKSWSTTLRLPKSSFPPRPNAADQAKYLKRCSDDLYAWQSRERSAQKPFVLHDGPPYANGDLHIGHALNKILKDVICRVKVLDGRRVEYVPGW
DCHGLPIEIKALEQQRAKNASQSNDSEETTLDAIGTRRAARNLATKTVKNQMKGFREWGVMADWEKAWKTMDKTFEVKQLGVFQEMVKKGLIFRRFK
PVYWSPSSRTALAEAELEYRDDHVSTAAYVKFPLETVEEALRDKLSRAKEGMGGKEIKLSAVIWTTTPWTLPANRAIAVHSDLEYCIVKEVDTEELL
LVASSRISHIAPLLFGETPYDIIGDSISGKDLVGSQYRNTLRGKESELQPIIHADFVSAESGSGLVHCAPGHGMDDYGVCTKLGIKAAAPVDDLGFF
TAAALPDSPEKLAGKSVLDGGSLEVLKILGDDVLTTHKYKHKYPYDWRTKLPVIIRATEQWFADVGSVKLDALNALEGVRFIPDSGRSRLESFVKGR
TEWCISRQRAWGVPIPALYNGSGVAILTDASVAHIISVINQRGIDAWWTDPEDDPAWIISGLEGGTYRRAKDTMDVWFDSGTSWTQTGQQADVYLEG
TDQHRGWFQSSLLTHTSASERVGAPFKTLITHGFTLDEKGKKMSKSIGNTIAPNEIIDGSLLPPVKTKKKAGGNTSQSLGPDALRLWAASSDYTRDI
TIGQPILQANHNSLLKYRMTLKMLLGSLNPRTSSNPLTKLDQIALIHLSTMMNDVASSYANYEFYKGLNLINKYIATDLSAFYLEAMKDRLYCGDGG
GVLAEIFHGLLRMLSPVTPILVEEAWDHRPVWMKEDTTPSSQIHPFQRTPEEPILSPELRTQIGKDIERDVPWLLNANAAIKFAQESARAAKHVGSS
LESSVVLFVDVEDIALFQKYADELASMFVVSDVDIQTQIELTKNSDDAIVSEGWWEAAHEWNFSATFATPKGFAKALVLPPKEHKCPRCWRFVAPVE
EELCGRCEDAVEALKI
>RCO7_03942 | probable kinesin-related protein bimC
MRPPPRPSTAARSQSQVPPSRIDRSGAISPTGSVVSVATTQGGTKRKERDFDHEDEETNINVVVRCRGRNEREVRENSGVVLSTTAVKGNSLELSMG
PSALSNKTYHFDKVFSSAADQAMIYDDVVTPILDEMLAGYNCTIFAYGQTGTGKTYTMSGDMNETFGMLSDAAGIIPRALHALFNKLEIDDAEASVK
CSFIELYNEELRDLISPDENAKLKIYDDNTKKGHSSTIVQGMEESHIKSAIDGIKLLQDGSHKRQVAATKCNDLSSRSHTVFTVTAYIKRTGENGED
YISAGKLNLVDLAGSENIQRSGAENKRAAEAGLINKSLLTLGRVINALVDRGSHIPYRESKLTRLLQDSLGGRTKTCIIATVSPAKSNLEETISTLD
YAFRAKNIRNKPQVNQMINKKTLLKEFTFEIERLKSELIATRQRNGVYLSNENYEEITVESESRRILSEEQAAKIETMETNLRNKVQELYSLTSNFM
TMKKDSESTKAVLDETKDLLEQTESVLSNTRQSLAEETVLRKAHQETEEQLSTVGNELLSTLGRTVLDVGGLHAKSRRKSDLQSLNRNAWGLSQAQV
AEVTGLVESRVENFRVQQQELMETVSTRMQSFVAGELEKLASAQSLLEENVEKFEGSETEVEQQTRAAKEEMAAVLEEIKTLREDVKTRVGEGLQGL
SVAAERISAEVISELGAFHTQLHTSYSSLGRDFKGLFEDLLKHIHAQKAEADKLRQQLSTASELAMQSNAAASSRLDDVMKEEREQAAADRQSLLLQ
ITNLVVAQGEAQDTRLASKIHEVQKDVLASKDGFETSKAQYDDGMDAWNEKETVLVEEVLRSRETLKSKLKEDWIAANKHNTTLQASTNSVHAETVR
IVDSQIQELSLQMSALDDFVTRARLQNAQHHDSHAQSLHSLSATVKSSYTNIGTHFTSMYERVRDLGDEISAKTTTLQESLAPLDSVVKEPLTTLRE
NIASTHFQEYQPTGETPQKVQYTYPTELPRTEAHEALLAAMRDSKIEREVGRSPSKSMGGMMVPVIFNDEDNAPSSASATQTSVRQFSRSLGASTSS
RPLSSQQSDSNTSTESTRPTTSGSTGLREMDVNVQASSTITPDSQVPSFKRSISANPGGKLPVLKSKKSVIALEGRENLKENLGAGNPLVQVNSTGR
RRSPRTG
>RCO7_03943 | related to endoglucanase
MPSMMNTAVLGLLATAAKVAAHGFVDELNVDGVTYAGYVVTTAAYSTNPPKTIGWSETATNLGFVSPSQYTTSDIICHLGAKNAALSAPIKGGGNIK
FHWNTWPESHKGCVLNYLASCGDDCTTVDKTTLKWFKISEAGLLDNTVVPGRWAADDLRTNNFTGSVTIPASVRPGKYVVRHEIISLHSAANPDGAQ
NYPFCINIEISGSGTEAPEGVLGTALYTPTDPGIKYDLYSGTGRTYPMPGPPLKIGGGSSGSSGSAPVDSAPPASTPAPGTSSPPGNNGGNKGGNGG
ASAPPTTMSTSAKPPTGTPGPSRAQGSSSGKSPTAETAADDEGDACAP
>RCO7_03944 | uncharacterized protein
MALNNSKRTYDSFSEPTGASRIFSEPVLTYKRARQDIEPSLWNQILTLPHTTTQSLLYQMCSAHPSLSSFITSAHNARAAAEAARPPVNFDSYSRDC
WFTMNKKYKRLSCGQQFEMMGDICQVLDESRDAIVEAAGAGVRWETRRNALEVLRKISKSIMLCDEPQIRHELMKDGYMLGQFADSMQELARGMTKE
ERGRYKEEGLYKKLVELRTECDPMHMDGLPAVYRIFDCVEDDDEEEGEDEEQEDNIEDSDAPAVDEAYLQNIDNEDEGTDSGTEEADGGAVIRSQDH
SSPALQRFQDMMQPSNTHRTRVFSIGELA
>RCO7_03945 | uncharacterized protein
MSFVYEKAPEVFCCSNTVPLQNDTAKDERMRKNFLIDTLKAFLYSANHHCDTYAVLLGEADLKTKRFGFIIKVTSTKLPHANPDLGLFANPGAGASS
SDKVANEKVRFYVSVLVVDKARWLSLELEDGDGFKERLTKTVIGVNIVCGAHSSAYNVEMWEDKSSTGPLVFVSSG

>RCO7_03946 | uncharacterized protein
MSPLASRPLTAAIKPWAAVASPGLMLVMKGSARLASNIIEQRVSQADGDNTAVCLYLRTDKRRWGSQYQKDA
>RCO7_03947 | uncharacterized protein
MSSTGSNSPISMDVEEPRKKGSRGGKRSVTHLSKAQLARKRANDREAQRNIRQRTKEHIENLERKVKELEQGSRSGSIERVLKRNRDLEEEVEKLRA
QITGHHTPITGHHTPVLSVQIPPEIPDDMMLPHKVELDWARTPTWPPTASHLPILNTSQHIATSNAGYPSTTSYPASASSMGYEGEGSIYTPTESWG
SPVPYGSGPQSSQGLAKSVPAWSHSPVDPSFSHQAHMQQMSSFNIDVNNQHHPYTTSTTCWQNTPQNYTAATHPHAWQMSTKLKTPVTYLDQLMHSV
IHAQRHLFASSPTSREELLTPSYPSVHILFGQPGPPEKSPSEMTIFMEKYANVLSTRGFPMIPEKLSSFMCMYRFVQWQISPTYETYNNLYEWQTPR
PCQLMIPHPAWMDLPPWGKFRDRVIENQDKYDTEEFQLDYASNFRVNFPGDPMKALIFDNGKMLISPLLERHLSDITHLSMKKAFGDKYPEFRDVCR
IDDV
>RCO7_03948 | uncharacterized protein
MAPIRRYLRITKFSVLECRIYVDNPALAESWLLNSRNPILPRVIESVRPLVLPKLREENERSKGKGSKRKGVKDVVVEEDFEVSIFLTETSTRHTLL
TKQKTLREPSKKAIQSNSAKLTGDTGDAPIEVEDGPVITREESDEDLVLQDLPEADDVESEDGLFVSDSRPKRPRTTTSTSQSSSPGSEPLPKRRRD
GEAEEAIDDKKKLGMDTTYDGFSIYGRVLCLVVKRRDKKSKAAANLAGGQATMENWISSTQMPQDED
>RCO7_03949 | related to mitochondrial cytosolically directed NADH dehydrogenase
MSSRLGIKRMSTNISAHVNPTQDIFLTTSSAQGKFPVPISDSRLIYPSWSSFVLSRELDQKKFQTVVISPGSYFAFTPLLASTAVGTLEFRNTLESV
RARGKGVEFFQGWADDVNFSQKKIQIEEKHVKRALRVSGNEAGGNDHPVIARKKGKTFQLDYDKLVIAVGCYSQTFKTPGFETASCPTTSEKLRDQL
LNFAVVDGGPTGVEFAAELFDLCHEDLKKLYPNLIPHIKISIYDVANKILPMLDASLANYAINLFKRDGIQIKTENHIQSLQPGLPKDGEVGVGMCV
WSTGLMMNPFVQAAPDDLHTYPATSTTLSADIQSPSDKKWSLKRHPRSGGLLVDDHFRVKLVPRNESSPSSEEGEKVPEATLQDVFAIGDVSVMEKS
QLPATAQIANQEAKWLGKATNNGNLSENVGFKESGGYDLFGEYEGDYASRRWDGSQGENGVDHLARSVSDADGQLEEQVVDSYLLVYQLDFW
>RCO7_03950 | uncharacterized protein
MEPLAALGLASAIAQLLDFTRKILRQAKRYYSDDESERYHSDFRRLATEIFPGLPELATRTPKDKKVFFFVDGLDELSIVAVTMISATYSPGQQHER
GSRFSPPVDRFQSVRFTWDQLGSYAVLLGMETTEGGVATTIIEYVTSKACGVFLWVVLVVKRLLVCLQN
>RCO7_03951 | uncharacterized protein
MPSSRRILTPLAAIAVLIFLSVLAVVSLGEGFKKFGNDKDGVNLKKRDTITFSMPWNPAPNPAKAISPASADILNAVAKVAAALLGGGSDIAVLAQS
AVDGLSSTILLGGTASGIQNANSAVDQATGVVAGIVSAATGIVGSLIAGTGSGAANITSAVGGSITSSVGGHMTASARGNLTSMASNMTSTRALNVS
SSTSSMAMDITSAPVLNMTTSTSATICASSPTCTACPAAKTETCTVTETWHSTHYESTATLFSFIAAFTYTCTETISVCPKSSLYPLAPPSITSPSP
TNPPLIACPDGVSAKRGEDCLPISPSKESSPSLYPDKGESAHPCPNAGYSCSECPNGVFCPPTPTSAQTCPCGWGWACGHCSQGWFCVPSPTSVSRS
SLLSTAAAISGNGSASASQATALTSAPSTMPSFTANLPTLPFAASALTTSLGSVSGLVPASFPSTGPLNQATSIVGNLAGNIINNVNSALGNIDGLS
GAILNSVIGQLSSVLGSNFPSVTGATGGLIPSVTSLAGGVISNGAAAVSNLPAGGLIPSVTSLAGGVISNGVVAVSNLPAGGLIPIVTGIAGNILSN
VPGVVGNPATAGGILSGGASGLPAGIPIATPAVIFRPAITPPIVGGLLPILAKVVNAPITRSVIPQPLVNSDTQSSTTTEDEGPNVISHLTTTIQGT
PTVLPVVITLLNGKPTVVPLVKMIVDGKEKDLPIVGMDLGKVKAAKDVLDGDGRGEGAEQIGSNEWGGDVVGKKRRGRAIP
>RCO7_03952 | probable 40S ribosomal protein S2/30S ribosomal protein S5
MADAPRGGAAGAGGFGSRGGAGGDRGDRGRGRGGRRGPRRGANKNEEKEWQPVTKLGRLVKDGKIKSMEEIYLHSLPIKEYQIVDFFLPKLKDEVMK
IKPVQKQTRAGQRTRFKAIVVIGDSEGHVGLGIKTSKEVATAIRAAIIIAKLSVLPIRRGYWGTNLGLPHSLPTKESGKCGSVSVRLIPAPRGTGLV
ASPAVKRLLQLAGVDDIYTSSSGSTKTLENTLKATFVAVGNTYGYLTPNLWKETKLIRSPLEEFGDVLRAGKRY
>RCO7_03953 | probable UPC2 Regulatory protein involved in control of sterol uptake
MALRHPYPNVYKFYNQFAAPDQASPEQSSRSQGLRKSGPRSKTGCSTCKQRRVKCDETKPGCVRCQNLGRECGGYAPETLEDSSKSIAPVPIHPRPM
SVMTYSPSMAIPGTADERRYFQRFCDKTASEICGSFDPTFWTEKVLQLCHQDAPIRHATIALGALAKSLEVTSFPTRLSLSGFPQIDLHHLDEHHKY
ALRQYSRSIAALRIILSDGRRHLRTSLTSCVLFMTFEALQGCYEGSLTHLRGGSRLLADWRTARRGQSSRLSQDSLSEIQDGLIDDLGRMFARLDVQ
GLFVPPPFPMPESDWEDVVVADTFDSVQESRESFDFLMQGIGQFYRKSVAHSQSHPERLNTPFWKHQHAHYSAQLDQWRSAFQVVFAKEVRAGDILA
ESSDMLSIYFNVATVLLASSLQHTECLYDEYTELFQEIVTKAHKLIQSSDDPSNSSRFTLDMGTILPLLVTATKCRDRRIRRQAIALLWSKARREGL
CYDTITVARLCAWLSSIEGDGVVDESVRIEENKRYMISYMHLSSEERWLAVQLTSAVTNGSGLHTYRETTFSW
>RCO7_03954 | uncharacterized protein
MSFNLLATAFDDGCTPGERVYLQHLDNIPSSLFDRDWAELPDTAKEHWDSLGEAHQRTLKDASKFDPAEYARADRENMGGRRVDRKESRRKKTEKNG
MKSKKRNSKHYLIDRVSDLAERRKKEMEKKKLVARVKGLSDVARRVRDILEANINARIPGYAVRQQEQPKIRLALPLPQLLKQLSPTPLFPQAFGLR
VVSRPTPEPISPIAARGPGTSWFPQQTPQLLASKPAPSTTSVRELFAAPNQVISPAIQSTTQTHHRDAEPILVASTFKNPQRRPLRRILYVPAAVKK
VYQSPYPPLQSIVTQTQSTPTISLESVASFHLTTSNFPQPSWPTPLPIIGSSSNFVPLPRSGSGVVPFNTIPTFPPSDRNMSISGSIPSRKTRDGIQ
SEQGPHLTQHNLPRPSENRTASSMGLVLATNQTPSVTDQNTHPSSATDNKLPPFFLFALGGSRRL
>RCO7_03955 | related to thiosulfate sulfurtransferases
MSSRRSLSSYLVTPNELHEALKKNSPSKISTAPRTVALCASWFLPNDGRKGLDTFREKRIPSARFFDLDKVIDRHSPYPHMLPSAKDFAAAMSGLGI
KRDDTVVVYDSAELGIFSAPRVGWTLKAFGHDSVHVLNNFKLWVEEGFPTESGEFWDVDTCVYQIPEFDASRAVEFEEVKELAKDFNKEGSEGVQIL
DARSTGRWSGKDKEPREGLESGHMPGSISMPMSELLDPVTKAFLPGDKLRKIFESKGIDPERPIVTSCGTGVTAAVIDAALNEAGYGSKEKRRLYDG
SWTEWAQRVKASDNLIIKD
>RCO7_03956 | probable anaphase promoting complex subunit 11
MKVKIKKWNAVATWRWDIPDDDVCGICQVHFDGTCPTCKYPGDDCSLLSGKCGHNFHMHCIVEWIKQESSKGQCPMCRQKFEWTDIMTATA
>RCO7_03957 | related to aquaporin, Major Intrinsic Protein
MNIVHHPNQQNQMPVPLSYAAHPKPDFVFPRRPPTPIQYQNMSPMLAKADPQSPSRSLYSAASNHSQHTQSHSNHPQERHPLLSWISDDIRNHMIAM
LGEFMGTFSFLFFALAAVQTANAKPDTLPKLDFLSGSPSLLQIMYISFAFGGSLAVNVWVFFRVSGGQFNPAVTFGLCLIGAVPWQRGVLLVPAQLL
GAVATSSLVSNIFPGDFKTQSNLAPGVTPNQGMVIEMMLTLLLVFTIMMLAAENHRGSFMAPLGIGIALFIGHMIGINFTGAAINPARSFGPDVVLE
DFKGSHWIYYIGPLLGAFVAAGLYKLLKFLEYTTANPGQDDDGLDVYRVVTRPVPGMKRRHSGESMNSLTPLAAYH
>RCO7_03958 | uncharacterized protein
MPPLTPIFKKAYLLLFSGIALYTLALIAVTNPWLQRHVIYVHKLHTAWWVDINKPEQFGFAKNQITPFNFSTPDGETIYAWHVMPLGLYAKHEAEIL
QQPSGCAEDITKTLAFELLKNDPVARLIINFHGNAGTVAQGWRTDSYRSLSDGSTSNIHILTIDYRGFGLSTGSPTESGVIIDGIAAVNWALQVAQI
PSDRIVIVGQSLGTAVTSAVVEHFASLGRDFAGVVLVAGFTSIPELLTGYSLLGFIPILAPFGRHPALQRLLASYVVDEWPSYRRIANTVRLSKKLR

LFIIHSKDDPEIPWTHSEDLFRTAANATMEDGMDVDLFRKMKARSTVDMGDGSFVSTWKVDREKIIREEIVGHGQHSRILTYAPVALAALKAFGMDE
>RCO7_03959 | uncharacterized protein
MERKRKLPARAARGLEPASKKRTSTPPEQPIATPTPPPPPPPVEETLPRSIAPGKPLPTVEEPQPENLPASLYQTIPESGVLVESLQRSRQKWLSEG
IFERYWTKPTKKKGAPDAPPDNPPKESMTKLGSCSITVEPHTLEATMYAIKDPTPKPLLTTLPPQQQMYRPIIQYGPPGGVMPPNPPPPAPPAVIQQ
VQQRQTPPVPQASPRSQVQNTTTAPPATSSSNTPLNTIPNGHRPTPNQPSSTTNNPQPAPATNNKSTDPVIQMLAERAATDPSLKALMRIVANGEAS
AEELKRFQSHIDELTELTRVQKARQAAEAVTTPTSRGPPQMNGNSTPKPIPASHQPSSIKVAPKPPPPASNPAPQSQPQPQALRSKGPLPTTKPDIA
GVVFEFTGGNGDRYSFPKFSILETRPSGEVIASFLIVRKGSTSDDSRSYDPELDYYQPVTIRIHAHQARQLDALQKVVERPEEEKEKEKEKEKEKEK
EKEKEKEKEKEGEEGQKMDYQVTPWATTMTTPAVMSKVKPVKKVLTEDEVYQNFIASVS
>RCO7_03960 | probable NMT1 - N-myristoyltransferase
MADESKPPKDAAGKGKAPSDDPETTSTAQVDSDNEEEAEEDIAPDTAPGTTAASKKKKSKRKRVKAALGGGGSSSGSGDATRDDLDKAVSGLNVSQI
QEILKMNPALAQQLGVDSSTSLSDAKLQEAMKKLNLEEIMTGLASSGKNVKDMANYKFWQTQPVPKFGETTEPVEEGPFKIVDIEKVPKEPGALLPG
FEWVTMDLTKEEEIQELFSLLYGHYVEDDEAMFRFNYSESFLRWALMCPGWTKEWHVGIRASASRKLVAFISAIPVALRVRKKVLSASEVNFMVVHK
KLRSKRMAPVLIKEITRRCYLLKTWQAIYTGGVVLPKPVSTCRYFHRSIDWQKLYEVGFSPLPANSKPSYQIRKYALPDHTSTKNLRPMEEEDVDGV
LSLLKRYLEKFDMAPVFTREEVVHWLLYKKDTPGDQVVWSYVVEDPSTHALTDFFSFYILESSVINNASHKNVRAAYLFYYATEHGLSPQYTRSDLK
TRLNALMNDALILAKKYKFDVFNALTLLDNTLFLEDQKFGAGDGQLHYYLYNYNTNPIAGGVDKRNRVDEKGGSGVGVVML
>RCO7_03961 | related to alpha/beta hydrolase
MVISHNIGCVVQLNNIREFSRSRSSYLGFHPNDLLLHRAPKIPEDKKINMADPRRRPRVAEILAHPSYPDTVWNLTPTQSGQLPVAAERGGPINIDW
EVHGKGVTKMVWIMGLGTVKSSWQRQTKRFGHDEGDKYSSLIYDNRGMGKSEKPFMRYSTSEMAKDLIELLDHLGWTEERQLHVSGVSMGGMIAQEL
AYLVPARIACLNLISTAAAIENTTTFMENMSTRIRMFIPKTLDQSVSDGAKMLFKDSWLDSPDDTIVPDSSTPGVVLPPSGKYGMFSTNYERFAAQE
LTKRLDLESFTRKGFVMQAIAAGWHNKSPEQLKEIGDKVGRERIMVLHGTRDNMISVPHGRKLIEYLEPGTSEIKEGSGHVFMLEEWEWHDSMIIGM
VEKTKKLSKN
>RCO7_03962 | related to alfa-L-rhamnosidase
MQINLKYERNTIVQVTPVTFEHHQEALGIGQSTPRISWKSIGDEKDWRQTSYELRITLCAGSEKPQTCKVKASDSVLVPWPCAPLKSREAATVQVRV
TGPEGSEPTAWSAPSTVEIGLLQKQDWKSHMIAAPRTISTRNSLRPALFRKNFRLSKKIHSARLYATAYGLYEAFINGEKVGDHVLAPGWTAYQYHL
NYQTFDVTELLKTGDNVIGAEVGEGWFSGRLGFGGGWRDFYGDKLAVLAQLEVTYEDGTVETIVSDKSWKTSVGGIVSAQIYDGVVYDATQRTPGWS
SPSFKDSLWSSATELEFPSAKLQAPEGPPVRKVETVKPKSVFESPSGKTVVDFGQNLVGWLRVQVSGPSDHKIVFTHTEVLENGEIATRPLRDCHAE
DSLILAGKPMVWEPKFTFHGFRYVQIDHWPKGDPNLEDLEAIVIHTDMQRTGWFECSDPMVNQLHENICWGMKGNFVSIPTDCPQRDERLGWTGDIQ
IFSPTASFLYDTFGMLSGWLKDLAIEQNEANGVVPIVIPNILPRSYTQPQAAWSDAAVITPWDLYNAFGDRQIFQDQLDSMKQWLEKGIKRQSNGLW
DPDTDQLGDWLDPDAPPEDAGKGKTDPHLVANAYLVHVTKLFQKICTILGRKDEASQYKSETDRLKKRFQVEYMTSTGRLAPNTMTSISLALSFDLY
NSAEQVRCATKSLSKIIRSNNFRIGTGFVGTPIILPSLTATSQTQLAYRMLLEKKCPSWLYPITMGATTMWERWDSMLPDGSINPGSMTSFNHYALG
SVGAWLHSTVGGISAKEPGWKVVRFEPVPGGTMTWAKVRHLSPYGEVKCEWQVKAERLVVKIEVPLNCTGEVKLPGKQEVNIVGSGKHEFEVEYEAQ
EWPPKAIFGTFADPQKDEF
>RCO7_03963 | uncharacterized protein
MEKFVKFRNMVRDVLKAKILPSLTIQVFLPRHNGPLYGETAQDCSSERFILYVDEAMRSCVTHDYNSPTQTFFMNKKDFLSQLVNQDLLPGIAASLP
SFSEIPVKDEWKNRCSGPWTEKTLKAANNTDQTASMQPRSLLPERLQSREIEQSPGFKRASRSTCKKA
>RCO7_03964 | related to multidrug transporter (yeast bile transporter)
MFENISTSLAAGSISLILIGLLTTPSVINIASHLRQPKSISEIYEDKDGVATERSVGEYSAKIPKTFLGIFTISGLASSIALAVLSTIGEEDDLFLE
NWFNVAQWFLVLVQITSITSIRDSVKSYNLGLYSVLSSILLLAVLLYQDGLIAQQTPPGSSFGTSSQIGLRIAQLGLAGLVAFSSVSLPRRPEVFQD
GVRVDGMYTVSALGKYTFSWVEDLLTLSRRNNRLELTDLPKMDHYTRSKDLSEAWAATSHERRLWLEIFLEHKWSFMAQWFLTLIQAFGNFAPQFVT
YHILKILEKRLPGDAVSSEAWIWVVTLTIATIGAAWIESWLFWISWSEVAIPIRSQMAALIFQKAMRRKDVKGASQSTKKGVPHGPDVADASQDAVG
GDKPELPEEDDEVKGKQSTVNLIGVDAKRVSDFCSFNNYFPGSLFKLLVSFAFLLSIIGWQSLLCGFLAMSLTIPLNIFFSKRYAAAQDRLMKVRDT
KMGVVTEALQGIRQIKFSALEANWHEKIGKVRRKELDEQWNVFVSDTFLLFCWISSPIALAATSLAVYAWRYGELTPSVAFTAIGVFASLEVTLAII
PELTTDLIDAWISVERIEKYLTAPEISKNISYGPNISFEDASIAWPSDEEKESDDLRYVLRNINVSFPKDELSVVSGKTGTGKSLLLAAILGEVDLL
SGKISVPKPPQTKDRHDHLANKENWIIPSSVAFVAQIPWIENASIKDNILFGLPYDEYRYEKVIEVCALKKDLEMLTDGESTEIGANGINLSGGQRW
RVTFARALYSRAGILVLDDIFSAVDAHVGRFIFEKGLTGELGVGRTRILVTHHVALCASKTKYIVELGDGTIAHAGLVSELKDDGTLQKIISHEQVE
SEQDAAEVIEDEDPTAVNSEESSDGDHADIGEALKKVDSKKAVKKFVEDELREQGRVKTRIYLDYMKYSGGWPFWMTALFAFSLLQILVTGRSWWIR
IWTGNNEKQHTSMTHAMTYSFQAHDLSPYQPNNTFETAEAHSQHLKYYLGIYIAISIGTIFVGLFRYYFIYTGSIRASRRMFDSLSFTILRTPLRWM
DTVPLGRILNRFTADFNVVDSRLANDISFGANNLFRLMGVIVAGIFVSPYVILLSVTLLAICIQIARIYISGAREVKRLESNAKSPVFEQFGSALTG
VGTIRAFDKCDVYIARMFRKIDDHSTSFWHLWAFNRWMGWRMSAVGGLFATFVAIMILLIGGIDASLAGFALSFALEYGQVVIWTIRHYTNLELDMN
AAERIIEYSNLPTESLSGVDPPAAWPSEGRLEVNDLVVGYAPDLPPVLKGLTFSVKRNERIGVVGRTGAGKSSLTLALFRFLEAREGSIYVDGLDIS
KIKLHALRSRLAIIPQDPVLFSGTVRSNLDAFDDHEDIELRDALQRVHLVSAEEAETITNAIITTGSSTPIANGASTPNPNVNLNKNPFTSLNSPIT
EGGLNLSQGQRQLLCLARAIVSRPKIMVLDEATSAVDMATDALIQRSIREEFGDSTLIVIAHRLSTIADFDKILVMGEGRVEEFGSPKELFGMEDGV
FRSMVAESGEREKLEALIKEGN
>RCO7_03965 | related to chromatin assembly complex, subunit p60
MKAAPIIVNWHAENAPIYSADFQPHGKGRLATGGGDNNVRLWRLDSDGEDRKVEYLCTMVRHSQTVNVVRWAPKGDVLASAGDDGNVITWALDTKNS
KPTFGEDGTEDKESWKTRHMCRSSGHEIYDLAWSPDGIYFITGSMDNVARIYNAQTGQLIRQIAEHQHYVQGVAWDPLNEYIATQSSDRSVHIYTLK
TKEGTYTLDNRDEEPRKIGMNMKMDLPGRRISSHSPAPPSVDLRAQLAAEIGNIGSPVPSCPGTPTSIALPMNPPSTISHSRRSSFGAASPAMSMRR
SASPAPSLPLPAVMPMEASPKPYSMGFGVKNVHIYSNDTLKSFFRRLTFTPDGSLLFTPAGQYQSQMKGLEETSKTMYEVTNTVYIYTRGGINKPPI
AHLPGHKKPSVVVKCSPVYYTARKTSPPTKHITIDTSSEENMPALPDPAVQSVMEPPPLLPQIDSSGPTSSPKPKELEVDTHSSSPGPMLAFSLPYR
MVYAVATEDSVLMYDTQQQTPLCIVSNLHCATFTDLTWSNDGLTLLMTSSDGFCSTLTFAPGELGEKYTGELPTEKHPSMTASSSSQNTPLATPTSI
APPSPFPHGHQRTSSSGLAAPSPPPNPQFRPSSPTRSNSTSSIATQSSYAPGSIISNPTLVGSTVPGVTAGSVGFVSGLSMATPPQTPGSTSGSMSG
GGGKRDASEIEDGREDKKRRRIAPTLVSDEKGAGGSAS
>RCO7_03966 | uncharacterized protein
MSQSYFDAPEPELLHLSNLSLFEKELLSRVIQTLRLGVYMSQKRNNTASPLDTTLPGAEECEVFIKSAFSSEMTSDKLFPLRHTGSSMQFIVKNLPV

PSSSKPQELSAINIFQLCIWRSFAFGSCDRLTEIKLQESDKEPDFKHLTSTIQKWGRGPVKLPVPAYGQLQIIKAKIPSMLQSFWELSQTIASSLTS
KTSAPTFANLHNFLVAKEISSVPRYGLIPWLLVSDFFEYGVCQPPTLRDLAEHITNSKAAGPSKAIKFIADRTGETPPANADDLAKALGAVLRILQT
PPEACPTVYKLAEDCKAIQRRELSVVDLEHALCKIARQNSRVMATKKKTVMGGDKVAKDKKRYAREAQGVVRTGDAGVDESEGSRRLGEKGDDKEAG
KEGQHDGCDDVEVSTFKKRKRNDDED

>RCO7_03967 | related to monophenol monooxygenase (tyrosinase)
MYLQSVVTAALFLALVVSHPVRDAAVASEQTLDILSSIAKRNTFKTLDDAYRSINTNRTCTPHNISVRKEWGSLSGKERIAYTDAVLCLQSKSSLTP
PDLIPGARSRFDDFVGTHINQTNFIHYSGTFLAWHRYFVYVYVEALRNECGYKGDQPYWNWGLFSNNTEAGPVFDGSATSMSGNGEFIPGRGNIDVG
TPGFGPTYLPAGNGGGCVKSGPFANMTVNLGPVDLPINGGGSVTGSGLEYNPRCLVRDIGTAVNNKYANSTSIANLLTGHDDIYWFQMIMQGIPGEE
DIGVHPGGHYTIAGNPGSDAYISPGDVAFYLHHGMVDRVWWLWQNQDLANRQNAISGTGTLLNNPPSPNTTLDTIIDVGFAGTKGYGPIAMRDLMST
VAGPFCYTYDSL

>RCO7_03968 | related to light induced alcohol dehydrogenase Bli-4
MGLFGNSGFQIPDLTGKVALVTGAKHVTLSAMCHNTDELHSTGIGYATAEQLAIHGAKVWMGARSEEKAKQAIAKFNTDHQNNTKKGEIVWLPLDLT
FPVDVMASAKSFLAQVDRLDILVNNAARLSSEYSLTKDGIETLVAINHVGHFALTEALLPLLRQTAQLPGSDVRVVTVSSIMHNYVKVIKLDTKSDL
NNTFSADPASNNAGIASAKRYNFSKLLNVLFASELQRRVDQEGISIISISLHPGVVATDGAMNLIPAFLRPGLKWFGKTREQGAASTLFAATSPEVR
AKQDKYKGAYLGPGGKLGLASETGRDEKLGKSLWDLSHRVVKDVLEGKSEA

>RCO7_03969 | probable Restriction of telomere capping protein 5
MGQGHSNGGARHASTEQLSHELAIKFAKRCFTLIELYSFQDVFKSLAEHQDSIAYLKEDTIARFLEIPDILGVSSIIFQMVSYLGAFPFGQDAPVVL
GFEQMIMVVVIMTERYQRVLKKGNKDRTKLLFQSLAVYDRGAHMKEDKEEDTNTDTEEAKRSHAPGFAVDEAANDEEEEEDDDDLALAALESLDAID
VFRHSDAPINQASIPSDNLKKLIMLLLLIAPLSTQESLARHAERLSGDQLEGLRKTADNILAAFVNVEKFPGVKLHQFNTVIPISLPFLFSGFNPFF
EHFLFSKNFDLSKRKEEGPTSLPPPDVVLDQPLLQHAGEILDLNVLSQLSFFIPGASLFRQLRLLYSGGDAGFSMGSFETKVFNWRAPTILLVSGNR
ISEFPEGGQEKAFTDTLPPKRYPDSSKFTRVVFGVYTSQHWKQTHKECFGNVDTLLFQLEPVHEVFHASKINTDYISFSKPPSAHSGIAFGCPHPKP
KQTAGLSTNVSLGAVSLLLDSSFEFGVFTHNYTSGGGAFHNSETRKYDWQDRFEVESLEVWGCGGDKEAEQQRQRWAWEEKEAEARRRINLGTGDIE
ADRALLEMAGLIGANRSGGSMN

>RCO7_03970 | probable ILV1 - anabolic serine and threonine dehydratase precursor
MENGVKTNGHANGDSRPRTPSSNSFSLTEYSSMPSPPSSRSPKSRIRGVVPEEFILPSGYPDYLRLILTSRVYEVVEETPLTPATNLSNRLECKVLL
KREDLQPVFSFKLRGAYNKMAHLDPSVSWKGVVACSAGNHAQGVAYSARKLKIPATIVMPEGTPSIKHLNVSRLGGSVVLHGADFDSAKEECGRLEK
LHGLTNIPPFDDPYVIAGQGTIGMELLRQTNIQKLEAIFCCVGGGGLIAGIGVYVKRIAPHVKIIGVETYDANAMVQSLAKKERVVLKEVGLFADGA
AVKTVGEETFRVCLEVVDEIIQVTTDETCAAIKDVFEDTRSIVEPAGALALAGLKKYVAANPSADTSRNLVAIASGANMNFDRLRFVAERAALGEKK
EVLFSVSIPEIPGAFSELIKAVMPHMVTEFSYRYATDTVANVLLGLSLTSPASERDAELAFLLSRIEAGGMTPVDLSGDELAKSHIRYLVGGRSSVP
NERLYMFNFPERPGALEKFLTTLRPRYNISLFQYRNAGSDVGKILAGILCPTEELEELESFLKRIGYPWEDCTESKVFQTFLRS

>RCO7_03971 | uncharacterized protein
MIHPILVRTARVLFPSISRSTTSATARHICTPKPKTVRCSISASSIASRARAFSTRVGVRPQVQEGVMAKGLGGGLGQVRGMKVRSSVKKLCEGCKE
RREDWKRTCVYHLFAESEAQAEAGEVDGGTRRTTYDILQCVSGRERIDGNLAGEESQDGRYKVEIGGWRRGVYNTTDTVCIGWRLESNCVSEYSRTL

>RCO7_03972 | uncharacterized protein
MPPRLYPHLQPRCLRRSPIRQCRDYASQPQAKPRPRSTKLSSTISLDHFLQRSKALSLWRSIVRGCRKINDPSTKGETLRFAREEFVRNRGVEDITQ
IRYLISTGKTQWEGMERYIDGL

>RCO7_03973 | uncharacterized protein
MAKIDYIEVANKKTLEGFVESYFPDPAWTTWIHPTTKQAYTLTLQTAPQLSSTDFNACFKLIELTSSDDYRKSKDGWKPKAKKKEMRLLDLKYLLVK
KGDEIVGFLSFMPTYEDEKQVVYCYEVHLGKEVRGTGLGGILMGHLTTIAKAIPLTEKVMLTVFTRNEHAVAFYAKLGYEKDEYSPEPRLLRNGTVV
ESEYVILSKAV

>RCO7_03974 | uncharacterized protein
MSSPNKHYRKSISGINLEFTQSTKAMTTIAATDLGLMGTLKNSFRQHWPAWNTIRGKQAAKNINFTFKINEKYKTMSNMGGTEALVSETIHFFQKVC
ALRGEWDGELNEIMYSYLEDTMIETVFGSNAIESAGLNERLTAKICRDVFRGKSVKAEAYDERDADYAKSLGENPGADSIIRSRVEIIQHAKALIHI
IKAIVENSEPLSEELIKTTHIILCEGQNLGYPPGTYRDFEIRAKYGNIKAHHFISWKAVSGSMQELCSQYNDDIRQAEEEATIDPMTLAARYCSKFV
NIHPFVDGNGRMCRLILNAILLKYAGVCVPLGEKDDADREEYIGLTNRASKLFLAEEFEVDKEDETSHLELGVLVTKKLRSKLADLYEKLSSRGR

>RCO7_03975 | uncharacterized protein
MTQAMNIYNDYLVFSTSQLHDSYTNIPEDQYADNYYPSPVPYQINGDSDWMSSASSPASYTAPDYSSSSYDVMPTPNDSFTSSWHVGTNDISPSQSA
KELQKLNRRRQQNRESQRAFRQRKNKDLEHLERALSDLQEKHDKLLMCFVGLTAKISAERLGGLVGDVSFLDEQIKQYNSCLGKDFKMNGDRREVIR
AKTKHI

>RCO7_03976 | uncharacterized protein
MDALSVVWACCSLAVVIMLARLVMGRYCKTKWDFGDSLTAVAIVCVCIRIAFTHVLIIWGTSNVADEYRKTHHFTQREIFEREMGSKFTLVARVFYI
ILLWIQKTVLLMFYRHLVRDMSWGSVTMNVFGCMFAVTFSASMISTFVECRPFHLYWQVIPDPGNCSQAIAQLYIVGVSNMFTDLMLIFLPLPILIK
VRLSIFKKLQLGFLFSIGFMIIIITAIRIPLTVGSKASETFRITWTTGEFLAATFVANAPKLYSFRHLVQRRNSTSLGNVDRTRPNIPQMDDMETAA
VSITEVAAIGMKQSDSSHNSRSVDQSVNTTGRGADRPALSEGPG

>RCO7_03977 | uncharacterized protein
MKSSTFIVAFTIEALSTVLAAPVYPSGPDALLSVLSRQPDLSTFSSIIRKTGGPNPNPAFEERFNSALDARNYTIFAPTNEAMRKIPSATLDLLAQS
RSYELLESIVRTHIGEGLYTAANLSSGAETKVTAVEGFPLTVNSTTAGSGKTFKLNDANLNLTDTVASNGRIHTIDRLLTPLSMLFGVSNSSTAPGK
GSTKTKTTIAGIVDSDPRLSVLKSQIKAVDPDFMTRLSLSKPGNEKQIFLAPSNDAFARIPVDSMAAPSNVGLSRYLLRFGLLSGDLGVVNKMAEGK
VQSTSGWNITAKKSGAAYILGNAGVVEKDICADNGCVWIVDKLIDPLIGVMN

>RCO7_03978 | probable aspartic proteinase precursor
MLFTTSLIAVATISFSVSASPIERETKNLVSVPLRRNISISSVKSLVEQGQRRIAAINGLTSLDTSLVGSGVVTNIIQGYLAPVSIGGNIWNLVVDT
GSSTTWCGAQERCERTATGTSTGNSVTVRYGSGSFSGTEYIDEVSFGGLTVTSQSIGAAFSATGFQGTDGILGLGPIGLTVNTVADTSTVPTFMNNL
KAQRSITTEVLGVSFRSVSGRDTSSDNGVLTLGGVDTSQYTGPLTYFPKLQTGAAARYWGISIAKFTYGSVTLQSSTTGIVDTGTTLIYIPDSAYNA
FLAASGGRTDSVSGLASFTTKPTSNFGVTFGSTTYTLTPDQYLIPTAQYSFFGVASGKYYALISAGGLSGVNCLIGLKFLEHYYSVYDETNSRIGFA

ANS
>RCO7_03979 | uncharacterized protein
MNQQQLRSQTSSSFFFLITNDFLTIEQFFTVNQIFFSFFSIFTISSLLFYESQGGVAADRYGPLEVSSGKKSGDRPGSGGDGSDKREGSFYSRFSLT
LFTEEEVLKDRKRSRLHKIKRRNNTNQKNPRSHRNKHQNNSASKSANHRKYTVDKRDSRDITQIGARLGTDYHVPITLALRKNPTDLDAALSLNNHE
NHPHDTNRHLELLTNILGRGSVRMPSSFFSTTTATAPAATLAPGLSSSSSCCPVILDDNYVQQFDWADAVFDKNAAAGAGGEEGYIMEDADIFVSNM
TSGQGGEKFDRRENWSC
>RCO7_05242 | probable ribosomal protein L23, mitochondrial
MSQTNGLTRLAYSRTWHHISATTPHHALSTIRPLPTPQSTDLQPPSLGRLASRIAILLMGKNKPIWDPSTDCGDYVVVTNCSELHTTGKKRWQKLYY
RHNTRPGSLKSVSMDALMAKLGGAEVLRKAVSGMLPKNRLRDDRLARLKAFEGDAHPYKDNIVKFRGKSMIAEWPKGEVQTSKEARL
>RCO7_05241 | probable copper chaperone for superoxide dismutase
MVITTPFQTLFAVPMTCESCVKDISDSLYKLSGVQRFEANLKDQLVTIEGTAAPSAIVAAIQSTGRDAILRGTGGSNSAAVCILETHSTTVSDKVKG
LARMVQVSPTLTLIDLTTRGLSKGSYWATIRETGDISNGAISTRGIWSDTNDGDTKPRGFLGTVQVGKDGVGSLFLDKRIQIWEMIGRGMVLSKQHE
GEAKFEKNDADTLVGVIARSAGVWDNDKTVCSCSGKTLWEERKVEVNKGML
>RCO7_05240 | related to NADPH oxidase cytosolic protein p67phox
MSLKQEIETWVAALSHYDSNEFDDALKEFDGISDTSKILFNCGVIHATLGEHEKAVECYQRAVRLDQYLAVAYFQQGVSNFLVGDFEEALANFNDTL
LYLRGNNMIDYAQLGLMFKLYSCEVLFNRGLCYIYLQQKEAGMQDFSFAVKEKVVEDHNVIDEAIREEAEGYTVFSIPVGVVYRPNQAKVKNLKTKD
YLGKARLVAASDRANAFTGFAGSEIKNQQQAGKLDVKDDRPVENLSFAATNLVKPGLSSKRQQSEPPLNRNVFPPTPPPESEKSQSASQMSRGASVR
NGTKPAPAKLNIERARPNERYEVRDDRLSPQAQRYGTQRSMSERPGRQTSTRDSSRTRQQQPRRRSEEEEEEDDYPGELYDMYSGGSGARNSRDNRN
WNQRRQQPRYIEEEEEYASDYDDGSFDENDFEMVSSSRAPPRRAQSSAGGRGQSRRPEIRKIRVKVHSEDVRYIMIGVAVEFPDMVDKIREKFGLRK
RFKIKVLDDDMPNGDMITMGDQDDLDMVIMSVKSNAKKERLDMGKMEVWVQEL
>RCO7_05239 | uncharacterized protein
MADLKQEDISEGVERLAKPAETEAEILNGKKGPAVEATVGRSEIKKEIEEEEKKEEVKLPKLSAAEFRAYNSMAEHMEYFHTHFRQSWTLLYSACES
KKRPSNLSLKQFLSTGLQFCSHLSTHHAIEEQHIFPVLAQKMPEFKQGKNAAELLRQHKQIHKGMDEFEAYLERCRSGETELQLGVLKEKMDSWGTV
LWTHLEQEVKTLGAENMRRYWTVEEMRRMPM
>RCO7_05238 | related to Staphylococcus multidrug resistance protein
MGLPKALKRLSLSLGADSVWHSSLDLKLLILARMIRMFAYGGTTLVLVPYLSALGVPDTKIGLFMTLTLVGDIGVSTVLTVVGDGMGVRTTMVAGAL
LMVGGGIAFAVLENYWVLLAASVLGVINPSANEIDPFKAIEESAIARLSTPENRNDFFAWWTLLGMIGMAASTLFTGFAVDVLKGDYGLQALDIYRL
VFLGYAAVGFLKLVCALCISSQVELQASSALLDDSEVESIDTSHPLLSEHQCQHQDGPYGTASYPRGNDISPSHSDTDLAPMFTPDSRSFIWKLSLA
MIPDYIGSGLAQITWMTYFFKRKYNIGEGPLGLAIFIASIISSFLNLLSSPLSRALGQFPTMVLCHTITSISLLMITAPSNRTLALGLFMLRIVLRE
IDAAPRQSFIMGGVLDEERTSAMGLVMVVKTVGCCAGLFLTGEFAGSGYFWVAFIVAGGLKLLHNVVIVAFFWNHKGRHEI
>RCO7_05237 | related to sexual differentiation and meiosis protein ste20
MVGPPNILSTSATPTQKSLYTQASYPSKTSLESSRDGLQPSAGANGPRVLGNSALSFGPRGSSLAPSVAPGSFSSNMRSQMAPPKQSSGQDVNMSNA
NLERMNEEDGLGSGQALTFLREALNREMKIKEGSENMLEALNTKKAKQTKEQRQRVEAELNSSNQRIKDLRIEITELQRPKPPTTPTRTRMDVTFQS
TNGLRSPPSVTRSFGSEYDEPTESPTYALAEILQALEVEGLTPDYYVGHANNLVELFKRHPTLKHDLVWSVFGLRMQVMLLSESREVVAAGYRMTRY
AISDITSLHKIKSLNTDHLVVLSLIKERKADVEREQALKFIRAFLDVKDGVKEISRAVVRTISSVAEHAEDRLKSICIETLAEIMVRDPALVVSSGG
LRPLADALGEGTYEGSESLTGAFLFLLDAPQRRKYLRSGYELEVLFIAFTDSLFAKESILKQNSKAIGFALKSWPGLMTLSMYNFRAIKSLVSCLML
PSTAIRETVIDLLYSLLRIKSPFWATSFLAGRRLTTYGRLATLKSAPQKSTQPVEEEPGDKSFVDHYTSLLLAVLISSDLLKSLLQVTRDAENSMLK
RKTTLLIGEVLKLASNLLPQSWSSDLQLLPELFTAASHFGNNERFDATGTVYQISSVSRTLYRSNPSVANALTSAVNNSNDNLAGLEETPKMNPNVT
LDETTFRQLLVETQVLSSTNPVKWKWEIILKIIEGPLLNGKRLDEAIKASKFIKRIMSFYRPFKYKFAEVRSTRITQKYIRVGCALMSTLLQTQEGV
KYLSDNKLLRQLAECLAQCDPTSGLTAQSPMFSRDRLSETLCYGYFAMLGTLSGDVRGLAMLDRWRMINMMYHIIDLKQRPDLIKLLLSNFDYSLQG
HPRVLLSKALTAGSKEIRIFATNVLRKYSSRSRANGPASQGVGDSKWAIQLLVTQLYDPEVEVCATAIKILEEACNRKYYLEYIVECRPALDHLGEI
GAPLLLRFLSTSIGYHYLDGLDYISNEMDDWFLGRNDTYVGVIEASLARSFGEIQEESSHRMSIDEDNFEMDGDNDAHVPPHFYRELTRTKEGCKLL
RDKGHFEEFASTIRDYGMLCDDAELILKVKGSLWAVGNVGSMELGAPFLEEYDVVENIVKIAETHEIMSLRGTAFFVLGLISRSVHGLEILSEHGWD
SNTTNMGVSLGLCIPNDLSKFLSYQPWKHEKVMDIIMDKNQRDAVAAANKDDDPVNQRILQLIVDLGNTVLQKRAMTELIHIKAKRVPGFKSPELFK
KIMTLLESHHFRLGVRHFVAELFDRSVLRRIVFEEDISDEEMDSEDDEDDSESEGRTARQRSISDASGIAPYTRSEA
>RCO7_05236 | probable urate oxidase (uricase)
MSAVISSARYGKDNVRVYKVEKDPNTGVQTVIEMTVCVLLEGAIDTSYTKADNSVVVATDSIKNTIYIKAKEHPVTPPELFASVLGTHFIEKYAHIT
TANVKIITHRWTRMTINGKPHPHSFYRDGNETRNVEAVVSKTNGIQIRSSIVGLLVLKSTGSAFHGFVRDEYTTLPEVWDRILSTDVDATWTWKTFP
GMSAVNAAVPKFDRAWENARAITMKTFAEEDSPSVQNTMYKMCESILAAVPEVANVEYKLPNKHYFEVDMSWHKGLKNTGKDAEVYAPQSGPNGLIQ
VTVARPSKESRL
>RCO7_05235 | probable Eukaryotic translation initiation factor 3 subunit C
MASRFFHGDSSSESSSDEEEELYSDKEEAEEASDAEDSDDDSDEAEDDSSSSDEEGGKKGGVSKFLRDADSESDSDSDKDVTRVAKSAKDKRFEELE
GTIKAIENGEKINDWHVISAEFDKLNRQVVKLVATGNTPKLYVKAVAELEDFMNETIAKQKVSTKKMNATNARGLNAVKQRIKKNNKDYQKDIDAYR
ADKEAFMESDEEEEPAPKPKKPKAISGVPQATFEDDNEGFSTVLRGGRTLQFTPESILKHLRTIMESRGKKNTDRTEQIKIMEKLYEVATTPYQKVR
VLLTLISTRFDLTTGVQTFMTQDQWKAAEQEFGNLLEVLESNRELVVVETAEEWEDDDKQPTIAAGETFKIPGSIVSYVERLDDELTRSLQHIDPHT
AEYIDRLSDEGALYNNITRVLLYTENLRQDEKLQVSQDSVNRIIMRRLEHVYFKPSAVVKILEENCWKAIPENLESAITPRTEFADAAALVNVLCNY
LFINSEGIIRARAMLCQIYFLALHDNYYKSRDMMLMSHLQETINAFDVHSQILFNRTLVQVGLCAFRAGLVYEAQTTLQEICGSGRQKELLAQGVMI
QKYNQVSPEQERLERQRQLPFHMHINLELLECVYLTCSMLLEIPLLAQTGSSPDIKKRVISKTYRRMLEYHERQIFTGPPENTRDHVMQASKALAAG
EWEKATEFIHSIKIWELMAKPDSIKEMLSAQIQEEGLRTYLFTYAPYYDTLAVGTLSSMFELSDRKVAAIVSKMISHEELAAALDQVNASIIFRKGV
ELSRLQSLALTLSDKASGLIESNERTLETRTQGTANAFERQGGRGGRGGRGGRGGGRGGGGRGGGGGENRAPRQQGGTQFTGGALGAAIRA
>RCO7_05234 | uncharacterized protein
MESSQPSTLQAPAESITNQNGQALQVSSPEEEIWDEERLEEAMKTLKDMHIQLRGLRTTVPRLIAPLTTKQPSPDTLFREFSQSANTANQEVQDFRR
LMTADESIKVMDQAKKSHTENPKGIKTWKVTEHPDWLKKD
>RCO7_05233 | uncharacterized protein

MAQFTEDPFIDDDNSSKKRHSMDSDSAFTATPLVALSKAPTSNFEESPAKTNSTFIQNQISIQRSPSTVKDHASALSRSLSAKSNSSYEVSQPAIAT
VLSAYPEIDQSEAYQEARGRDSREGGDSDASIMTNRKCNLSHSSSERSIKSNKSVRSMQAIGTHSFGSLRVHSPSPTRALNIEGLEFLKTGDVVVVR
DIPIGVVFGYDTMSFTIKQEGVFEGVKNLNPGAHFVWAGTSDGSLRTGFWLMSSKLTSDEYGEIIVKRWDKYNEVLVDEVSVAEIRIQEKCLPEIAD
KLQAYTVKHDGINDPAIWTRLTSCMKAAFLNKVTGQKEWNHWQVSSNHDYKNTNGIAGANARDFGKDEVLDFVFPKHGRTFSASSHGRDRTEQAMDT
SAHIAGVITGSCTHEDTDEIIGELQFCFLTGMMLGNIACMEQWAHVVKVMFRAFKIVMDLPSLFRKFIQAVHAQFLYDGIGIEGSIFDADSSLEHDL
KNILIVFKSRLDEQLLQAQTRLTPEQKSVGDAFAEFESFLWKWRGGWDLRGNYVKSGQIQLEDGEFVHAEMRDFEAEDERGDGDDKLIPPSSPTEFA
PAVVQLDDDGREIGLVSF

>RCO7_05232 | probable CRP-2 40S ribosomal protein S14
MAPKKAARPAQENISLGPQVRDGELVFGVARIFASFNDTFVHVTDLSGRETITRVTGGMKVKADRDESSPYAAMLAAQDVAVRCKELGINALHIKIR
ATGGNGTKTPGPGAQSALRALARSGMKIGRIEDVTPTPSDSTRRKGGRRGRRL

>RCO7_05231 | probable prephenate dehydrogenase (NADP)
MAARYSANMAGTTALGKIVADHFTVGIIGLGDMGKMYARRLSAAGWRVNACDREEKYEGLREEFANQKQIKIFPNGHLVSRASDYIIYNVEAASIDK
VVEQYGPSTKQGAIVGGQTSCKAPEIAAFEKHLPTDVDIVSCHSLHGPNVDPRGQPLVLIKHRASQASFDKVEHVLSCLGSKHVYLSASKHDRITAD
TQAVTHAAFLSMGKAWHANEQFPWEIARYVGGIENVKINLTLRIYSQKWHVYAGLAILNPYAKEQIKQYAQSVTDLYKLMLGGHREELEERITKAGA
KVFPTQSWDEELLLKDEVLDRFSLGKKPETPLPNNHLSLLAMVDCWSQMGIVPYEHMICSTPLFRLWLGVTEYLFRKPALLNDVIRVAIEDNTFRSD
DLEFTFAARGWSECVAFGDFEGYRDRFQSTQKFFEPRFADATKVGNEMIKTILENTRKHGG

>RCO7_05230 | probable RPS16B - ribosomal protein S16.e
MATSQSVQCFGKKKTATAVAHCKAGKGLVKVNGRPLSLVQPEILRFKVYEPLLIVGLEKFSHVDIRVRVTGGGHTSQVYAIRQAISKSIVAYYQKFV
DEHSKNTLKQALVAYDRTLLVADNRRCEPKKFGGPGARARYQKSYR

>RCO7_05229 | related to SNF8 protein, involved in glucose derepression
MSRKGVGLAAFDRSRITSAQYASHGNNLRSSHSTSLATQLSVFRSLLQQFAQTHAKDIRSNPSFRAEFARMCAAIGVDPLANSSGAGGKEGGGSFWS
QLLGGSVNDFYFELAVRVVEVCGATREENGGLIGVKEVRDRIMKTRVEGSAEITEDDVLRAVDTLKPLGSSYSTLRFGHKTYIRSVPKELNTDQSAV
LEAAQLLGYVSVSMLMVNLRWPRARSKTAIDDLVSEGMLWVDQQCEEWEYWSPGFMLEADG

>RCO7_05228 | probable thiamin biosynthesis protein thi-4
MVKGRILVIAGSDSSGGAGLEADQKVIAAHGCYAMTATTALTAQNTLGVVGIHYTPPTFVRKLIDACITDVGVDVVKTGMLASAETIKVVAEALRDH
HVVTTIIDPVMVSTSGHQLLPAQAVKDLRENLLPVATIITPNVPEAMLLLSDSGRPANEPKNVEDLIDITKRVQCLGPKFVLVKGGHLPFKKDGAVA
ETDAEKELMVDILYGDGVVTKIETMYRPSKNTHGTGCSLASAIASNLANGLPMVQSVKQACRYVEAGIKTATDLGQGNGPINHFHSTYTLPFPPGRF
IEYVLEREDVQSAWKDHTQHAFVSGLADGTLPSESFRYYLIQDYLFLIQFARANSLAAYKAKNMADIVAAAKIVGHIHHEMGLHIAYCKEFGIEMEE
IETTEESQACTAYTRYVLDIGQSQDWFALQIALAPCLIGYGEIAKRLHADPKTKRDGNVYWKWIENYVTDDYVEAVTVGSDLLERNAVLQSPQRIED
LIKIFIHATKMETGFWEMGCGQK

>RCO7_05227 | probable ATP-dependent RNA helicase DBP2
MSYGGGGYSSGGGRGGYDRNSYSRDNYSNGYSNSGGGYGGGGYGGGNSNGYQGGGGGGYSGGGGQGGGYGGGGRGGDQMSNLGAGLQKQSWDLNTMP
KFEKSFYKEDPQVTARSEADVQKFRALHNIAVQGSDVPRPVENFDEAGFPAYVMSEVKAQGFPAPTAIQSQGWPMALSGRDVVGIAETGSGKTLTYC
LPAIVHINAQPLLAPGDGPIVLVLAPTRELAVQIQQEITKFGKSSRIRNTCVYGGVPKGGQIRDLSKGVEVCIATPGRLIDMLETGKTNLRRVTYLV
LDEADRMLDMGFEPQIRKILGQIRPDRQTCMWSATWPKEVRALASDYLNNFIQVNIGSLELSANHRITQIVEVVSEFEKRDKMTKHLEKIMEDKDNK
ILIFTGTKRVADDITRFLRQDGWPALSIHGDKQQNERDWVLNEFKTGKSPIMVATDVASRGIDVRNITHVLNYDYPNNSEDYIHRIGRTGRAGAKGT
AITFFTTDNQKQARDLVNVLTEAKQQIDPRLAEMTRYGGGGGGGRYGGGGGYRGGRGGGGGRGGFTSSNSAPLGGGRRW

>RCO7_05226 | uncharacterized protein
MDSLSSIVARGSSLLQIRSEDTPMSGTMLNLLIALMVLVFIALLLVGALFAVRKIRRSRAFARQQLPSYNEHSGHPASTSRRLTITTAPYGRASTIY
VYDEKTSMINSPTTPSSPVPEIRITFPDEHDESGRPKSGGVVIVRVGENGVGLEPVQDEQLPAYEKETGARFHSIDMDRIGGLKEKVVKDQYS

>RCO7_05225 | related to RNA-binding protein pumilio
MPSNTRAPRFPEFGAAPGGHNSDSSQSAPLAQSFGNGATWQPSGAIWGNSTIGSGYTNAKRENAKPSVGNKEFPDGPSGSKALAAESEADTWSAHTN
GPWNAPDTTSPTMQSHSGSTSPSRTRNSIPNVPAQTLSELQNPYHQTRPSGGQGLSYRSQPKSSLNPSSGSFSFVQKKTPSYSYNDDKENSGQYGNS
DAYDVEIPSQYLAIGSVSRDRSMPPSRASESGRNGGSISFTSGHQPFGSIGNHTPSSSIHSQRPSISGPSASYTMQTNGMRYDLAQHEMELNDKLAG
TSLGRDADQPGSSHANNNVGNSYSPTHSSFAQQIQSLNGSAMWGDGHGSKSVNNYDPYSNQPFANQDYFSKPARFTDRGSVSPAGSDYRRGLNSPKY
FSASGTPPLGQELVYRPTSRGPRAPTGPAELNQRLQNIYHQQAQAYMQFQGQYSPYPYEYMQPSFRPGNLPYGYPMPIPPYAAAPVIPTQPAKHQDV
GAGVRSVLLEEFRSSNKSTKKYELRDIYNHIVEFSGDQHGSRFIQLKLETANSDEKEQVFREIQSNALQLMTDVFGNYVIQKMFEHGNQVQKRVLAE
QMKHHVLELSMQMYGCRVVQKALEHVLADQQAELAQELNADVLKCVQDQNGNHVVQKAIERVPTEHIQFIIEAFRGKVQTLAAHPYGCRVIQRILEH
CKPHDQVAILEELHQCSTTLITDQFGNYVTQHIIQHGSPEDRAKVIKIVTAQLLHLSKHKFASNVVEKSIEYGTDEQRRAIVAQITTLRSDGTSPVQ
LMIKDQYGNYVIQKLLSQLKGADRDRFVEDLKPQLTQLKKYSYGKQLVAIEKVVQEQPLHPSKSPTSFVAARMPIEIDSSAPTPTLTNGQNSPQSSS
LPSTNASTIEDSTDVALKSPVDDSKRCPEVVINGL

>RCO7_05224 | uncharacterized protein
MDNAAAAVSKLFSKATPAETESTSNSEVAATNKSSKHNTVDADVKKTTVDADADTTVDAQVNPAVEHTHVTKAHETREQTFVEKEKHQDHYHTTIQP
LKDSEVLPEKHDFEQETQQRAVNKDDGTAREKAQMDTAGYQSSIDEKKVETASKEPTQVNEHIHHHLHETIQPVIEKEVIAPSVTHKRVDIKENIQE
ASQHHGVTKNSAMSVDEFQKKLNDQERS

>RCO7_05223 | related to putative transcriptional regulator
MSLVSQHLSNNTTNSLFSSAESQFHAEGSKNTTRDDDNNVDSFNPFTEAALSKLLGVSAKTSPSSMDRGSTQYTQSGLHSPLQHAFSDTQSEEASAD
HASAAHYTPQVRSNYSAAATPTSEFGAYPASARSGSFPEHIHRQYHPPSNHSGSSGGGMAQPTSPSLPLQDGRTNHHTSQIKSDDDVPIDPSIAASS
PSYPPQHGGPYSPYPPGTEMQHGYQQHAAGGPMYAQPRPDWAGYAGGQQHPMHGGYPVSGAQTPTSAAPAGARPGQHGLAQVYSFVPIPGAQQHKRP
RRRYEEIERMYKCGWNGCEKAYGTLNHLNAHVTMQSHGQKRTPEEFKEIRKEWKARKKEEDNQRKAEDERVRSTVVSADGQNSSDNPPPGAYQQSGR
SVQLPPIAYQPGAQVQAQYQGAPSGGVQQIQSYAGDSHLQYSGYPASPYGAPNHMYNHNPNPATKYEH

>RCO7_05222 | uncharacterized protein
MPCDRKQKRHYQAGDPIRAALRGDQVDRAGDDVRQREAESIASASQLNTNDTYHESESSSPFDLNRILLPHAAE

>RCO7_05221 | uncharacterized protein

MAPAVKENGGSKDRRKSMNLFSRGSLTGLTQINTDVFSSDSLQNGGKKDKKKVGKRASLLGLGPGSSPEPSQDGSITLVKSSDKLDSAKLRPKTLQK
SRPSSIFGSLGRKSLTHVEEEDAYSQHTGTPESPELESMHLHVGKTSSRTVLYHGEIQTTSGMFRKKKEYLVLTDTHLLRFKSQARASEVFSSIPKP
YGRNSTTRHPSTTSIGSLQEVQSNHSHTSAEHENQIPLRHIVTVHRLEDGRPFFTTEVVYLDEDSYGVGSIQLMLHDPKDADLWHSSIRGAAQKARL
LMTEPFPEKIVRYLVAAVDSVEDYDADHFQIFRVARRTTTKAGRSADDLQKMGSSVFYLVVGINKAHLVPLPDFSAPSARISNTKIGRCSWGIVSLV
DLRVTYDDDRFELAFRQPCRAAETLELAASASPDVAFALLRAWRHLKPLWDDHNFNYSGPRRIVDTCETGLALDEDELDCFDRTLAAYCLAYNTSPG
NVQYAVDWEAEDAPEFWLWPPKYSNKYTLAELLAVMRALRCNEKFRSISFRDIDLHALHSTIDGSGIEHAACSTRGGISIEKYFGLNPKDKSLLYQE
IQALALKSGKLRRMDFTNCLPRRRPKDNFDFDGREVDKDPGCEVVGALLPLCQAQLTNVNWIILNGIELGETDLDSLVPAMQRSQAKLRAIECSHCG
LNDRGIMQLITHLDRQNATLEYINLSDNPGRINLEQFQASMSRFTMLRKLNLSRTTWTTGDQPLVLPEILMTWKLQELVLDGVPINAQTLESISTYL
ASPMSDDLYKLKLDQCTLNGDDVALLMHSMVRFPGEIRELELHVSANRFEKGVSEIVKAIRANHAPTHLFLRMIEFAKEDHFRELLQALRANKTIRC
LDISKASLPYDAGEDTCEAMRLVFEDNETLEDLDISGEQAHLEVTRFGIGLNSALQGLKKNKTLKTLRIMYQNLGLEGANTLSSVLESDTGLTNIYC
EHNDINLQGFTTLVNSLAKNYKIVYLPFLQDDQSTTMKRMNANMRESRRTATSAKNDHHLKSSVRRTLTNFGVGQSKPDKPELTPHDVDEVVRLLNE
RWQQQMTRLDQFLERNRNMAAGIPGFGPDGGESILSEEIMRPMTALGDQGILEQVLSNTTPKIELSNPVEAQVTNQTKIQTAAVETGSEWVNGNSKE
NGRKERVMELDDEERPITAKMTNGSGKGNAFVFELGGLENGMFAMDSEFEIEPFANELGRHT

>RCO7_05220 | uncharacterized protein

MIPTTLFAIRRICTGALQPVNSLHYQRAAVRYSSSEAGPPVETSSHQQTLHAELTSRPSTTTLERLSETPQDLLKVSLADFLPPSCLASITDYLDPD
SKLNELQAGTPKTPVQRAIPQGYHLAYFPPSVLDSGLLPDGTDTLHSPGAPFLRRLWAGGSLRFNPIEKHHMRMDQMATCQETISDVNVKGIKGQEN
VFVTVERQLATCRSSLAEKSLKKRAASGNKMAETLLALKYKNEDIFPLAAIETRNLVFMREKSKEEAKEDLLKTAKIVKPTHTPDFSVSLTPNAALL
FRFSALSFNAHRIHLDPQYTREVEGYRNLLVHGPLTLVLMLSVLRSQIEEGKMVLQFDYRNLAPLYVDEEMRICVRKDPTKQDRFDVWVEGKEGGYA
VKGTATAGNVVLSDPKEAGKASSTTRKVSGPSGAPDHRGGAEKDKVDA

>RCO7_05219 | probable P-protein

MASRNDKHDDHVPIVSFLGPVSSYSHQAALGAFEPDRYDYQPAATITDIFEAVQSGEAALGVVPFENSTNGAVVYTFELLADRHGRFADVTVCGEAY
LDVSHCLLGKKGSASDSPEMSGACTPTISSPMPLKPRVSPIHSLKHVKRLLSHPQAFGQCEAFLSVYLKGVERIDVSSTSRAAEMVKEDTTGTSAAI
ASILAADVHGIDVLAKGIEDREDNTTRFLIIIKGVDEKAGAADKTKSLISFKVDHSTPGALASVLQCFQIYNINLTSINSRPTKVVPFQYIFFVEFE
GSKLHDPTGMVGKTLEALENYVQSWRWLGSWDDKLTR

>RCO7_05218 | probable eukaryotic release factor 1

MSDAQANEAEKNIEIWKVKKLIKRLEAARGNGTSMISLIIPPKDQVSRAAKMLAEEYGTASNIKSRVNRQSVLSAITSTQQRLKLYNKVPPNGLVVY
CGEILTSEGKERRVNIDFEPFKPINTSLYLCDNKFHTEALAELLESDQKFGFIIMDGNGALFGTLSGNTRDVIHKFSVDLPKKHGRGGQSALRFARL
REEKRHNYVRKVAELAVQNFITADKVNVAGIILAGSADFKNDLNQSDLFDNRLVTKVIKVVDVSYGGENGFNQAIELSAETLSNVKFIQEKKLIGKY
FEEISQDSGRICYGVEDTLKALELGAVEILIVFENLEINRWTLKDVNGALTILHTTKQQEAANRDQFMDRETGQEMEVVSQESFLEWIAEKYKDFGA
TLEFVSDRSSEGNQFVKGFGGIGGLLRYKVNFEQLAEVDDEDDYYDD

>RCO7_05217 | related to lactonohydrolase

MKNVLIAPCWPSPEFKAFYKTLRRITPEALADITTFNNASTSSEIHFQVYDDAFLAILGQNPSFSLILSSANSSFPQFHEAAILASTTPPVLFVSSN
QFKFTGIDSPDTNQKAVVISRITQDSISQNWTSEIITPTGSEIHLANGGTVSPDGSLIFCAQGDIANPGGLLRLNPTAPFETTNLINNYMGVPFNSL
NDVVRTSDGALWFTDPQFGFLQKIRPAPQLPAQVYRWFPGTTDIRVVADGFAAPNGIAFSPDEKTAYITDTAQSPEAPTASKTIYAYDVTSGPGPLL
ANRRTFAMPSVGIPDGIKTDKAGNVYAGCGDGVNVCKSHNSKGSNPALFTARALIFDAPAKTSFKASEANILDKGNLQGKLLGKILVPGGAANFALG
ENGMVFMLNENKLFLATLAGNATNTGA

>RCO7_05216 | uncharacterized protein

MQSSSSSSPSTSRLYFAYGSNLSLSQMSLRCPTATYHSLAVLRGWKWIIGSRGYANIVYTSIRRDDERGKDGGKEMKGGGEEGGDRVYGILYVLQEE
DESALDIAEGVPSAYEKVDLGVEMLSEEEEGKDAKGGGEVKVLVYVDLKRAGEGVCRDEYVARMNRGIRDAIKKGLPQSYVDGVLRKWVRDEEIPGD
GEIKDPFL

>RCO7_05215 | probable MAPKK kinase

MAMLASKSPFPATLGSSSTNLSASSAQSNLQSSRRAPAMISSNQSFASPTESEFSDVEGPESAKNWDEERVCDWLMTVNCGEYEKIFRKNNINGENL
LEMDKAVLQEMGIDKIGDRVRLFLNIKKLRTKAYANQKKRNRDSFAGLDAYTPLSTGSPKPLTSARTIPTPTANKRYSRQFDGFNPATAIPESVSKP
PSRPNSPLAGSEARNARQARYGVLSPAEISRRENAQGYFGSSNPSSAATISGRRPGTPGDGQPQTARLIHNHTRGNGSIDGSLMAQLPQNQDIIRVI
SSGGLTKVVRIVDCQSCDEVMRLTLRKFGYREDHDRNYCFYVLNGVDPDPTQCRRLPEADLWRIIKDTRRPERNRLILRKIHQGEPGEAELQRAASI
AMEEIATSRTRLPDDKRSQLKVQQVLGENFTDGPQHPLSPASFQSGHSSVSIGERERNVYNAAKDLERPPSLDQQRDTARPRPTGAKKGVLRQFFGQ
RPPSELITSDLTTYFPDHPREEIDRTARLSLRRSTRLSKVNSRLSVASNLSFSSSISDAPPMPTIADTWLSGNSQLAKVKPLDLSRGNGGRYRDSVA
SSMLERVQEESPIEPNRKSYVSFDSGSDTAVNVIDPDGNAIHSYFEDGSTEAGGSLREISQALNDDGEDEDEELQSFLAGDSWDDSKWMKGALIGQG
SFGSVYLALHAVTGELLAVKQVEAPSPGANTASDSRKKTMIDALKREISLLRDLQHPNIVQYLGASSSAEHLNIFLEYVPGGSVQSMLNSYGALREP
LIRNFVRQIVTGLAYLHGREIIHRDIKGANILVDNKGGIKISDFGISKKIEASNILGGAGSNKNRPSLQGSVFWMAPEVVKQTSYTRKADIWSLGCL
VVEMMTGNHPFPDCSQLQAIFKIGGAKISPTIPDHASEEAQIFLKSAFEVDHTKRPSAEELLFSPFLNPMT

>RCO7_05214 | uncharacterized protein

MDLYPKAKEVIRRRLVQWFSLWRPKDRTRHSLGDQRPILKRQRVHERARYVWGRRAWAWAWAWAWANSHGLESEDATGGLPGPATDHWANGQQPESE
QSSFISGLEKTLHSSASLGGTAV

>RCO7_05213 | probable DigA protein

MALDPSNGYVAARNLQDLNENALPIFNVERVQLQFSISSDFVAAQVANNVLVLALSNGRILRIDLDNPADIDDIDLPKKTSEVGVIRRMFLDPTASH
LIICTALGENYYLHTQSRQPRPLSRLRGVSVEAIAWNPALPTTSTREILIGAADGNIYEAYIETSTEFYRKEDKYLKTLLKYPDGPITGLWVDGVAD
SRKADVRRVVIATHSRLIHLVGKIGRTSHEGGASIFTKLFDTEQPVVHEISRVSTTAPSSLVVSPDAPDSNSSESLAPDRIFAWLSSQGTFYGRLLT
SSSSTDLGNKVFAESKLLPRSQLPAGESVNGRKKATQDDIDAIALTQWHIVHLVGGRVIAINRLNDEVVFDQVVLDPGQQALGLFADQQKNTFWLFT
TQEIYEIVVTDEDRDVWKVMLKTEHFDAALRYARGPSQKDAVAIASGDNLVSKGSFLEAAGVYGKSSKPFEQVALVFVDNDQQDALRKYLLTKITTY
KKSAIMQRIMIASWLIEIYMSKLNSLDDTIITKAELSETLNPAQTKDQLDTIRTEYQDFVKKYKSDLDRKTTYDVISSHGREDELLYFASAVNDYNY
VLGYWMQRERWMEVLDVLKKQTEPEIFYRYSSGLITHVAVDLVDILMRHSDLKTRNLIPALLNYDRNFQGPIAQNQAVRYLLHVINQLNSTDAAVHN
TLISIYASHPSKDESALLSYLESQGDEPNFDSDFALRLCIEHSRVQSCVHIYSTMGQYLQAVDLALAHTEIDLASLVADRPVSNPALRKKLWLAVAK
KVISQSNGIKTAIEFLKRCDLLKIEDLIPFFPDFVVIDDFKEEICAALEDYSRNIDGLKKEMDESSQTATNIKIDIAALDHRYAIVEPGEKCYDCGL

PLLSRQFFVFPCQHAFHSDCLGRKVMEQAGMGKGKRIRELQGLVSKGMVTGAKRDRCIAELDGLVASACILCSDFAIKRIDEPFVLDTDDRNEWAL
>RCO7_05212 | related to aspartic proteinase OPSB
MKGFSSLAISATLFSAYTNGLQLQRRTDGPAKVVEFQIERNKIRNPVMRDRLRRRASTIQATIDNEETLYFVNASLGTPRQSFRLHLDTGSSDLWVN
AASSNLCTTKGSPCAFAGTYSANSSSTYSYVNGNFNISYVDGSGAAGDYVADTFTIGSTAVTKLQFGVGYTSSSSEGILGVGYEINEVQVGRAGKSP
YRNLPSRMVEEGHIQSNAYSLWLNDLDASTGSILFGGVDTGKYMGKLETLPIQTEGGLYAEFLITLTAVSFGKTVIAKNQAQAVLLDSGSSLTYLPN
SMTEAIYQQVNAQYDASQGAAYVPCSLADSNTSLNFTFSGPTISVPMNELVIIVTSANGRQLTFSDGNPACLFGIAPAGSSAAVMGDTFIRSAYLVY
DLANNEISIAQTNFNSTTSNIMEIKKGSTSIPGSVDVSKPVEAKVGVDAGVMAGGTGSFGLSGTATSQAGAERTAAPMRIGAMAALGAGMFYAAI
>RCO7_05211 | uncharacterized protein
MKTPRLHLGSTNEYREYDEAKQCKSSKCNSYNCAAFIGAARLCIRVWSRAWFSKRGVSEPGIDGELTNYEAAEDETYTGHWVVLELIPMEVNGDWEL
LGMEPLVAEGLELETGTWAGKVVEFTIETGAGKVAVPTTGTEAGVVSQNVFAATLDA
>RCO7_05210 | uncharacterized protein
MPSKVVVGAIGIACVGVFGWAAHLSAQARQIGTREAFQKLLDFTHHCVMTVESLQPGHYYTLITSSFMHNDILHLGCCMMGLYSFGPFIAVGFGVPS
FLILYFGSVVAGGVAQVKFWQANPSPNVVNHGVGSSGGVFGLFTAMACVAPRTSVSLFFVPMPISLAIAVSLIATVGGMQGRWLPDFGHADHMGGMA
FGAAWAFLVMRRGAPLSRWFQTF
>RCO7_05209 | uncharacterized protein
MNISTFQMESLGLVEVLQDALRHKDEAVTNLGFLFPNASIASLSGNPDFTASLHCSLETAASDPRNISCVEGCSKPEIIFSNWSNFYTCSWYPSLSA
YLDRLDTNASTIDAFSSMGILPNQSSTVTTLNRTNAVICLRDNVCSSTGVVNPDIGHNVSPGPIYTFALRHYLSFSAKGAQRSESLSSAKSILARHL
EALTSALVEFQKAQCFFSATLQIAAIIILPQYEYEENSKDQILLRLISANAFAPIVLTLSHIDLLGGRNSKYLLVLALVTFSLGSTTYWLSSPIWAR
GRNFYRYKAPMLPLMSCSNIAPFAPCYLRNQSFLFKLWTGDSGIFYTQPRKIGLAVWIVTLLLLIHKIVFIIGTLGIKPLPPLQRRFDQVTISFANT
RDRLPSFSYVRKILGYFNALSLALTTKRQNQKVSVFMGKRRTWVYAQIIVGVMAVVMQLVSVIQVVLFSSNIISTKMSFGQIVAVGIWVPVLLEYGY
LEISELAHSTIMPMPDMCISWGCEMYEYRLQFPLVVTRETFGATSETHELGSGREGSKYFDEDEKLECDQYLELVPVPAVAFKEYSLELPASKQSKL
LTLWTIGVFQFKSTINGSSTSTCFQICNGVSRWEFTGGISGT
>RCO7_05208 | retinol dehydrogenase 8
MPRVFFITGTSSGFGNHLVQEVLDKGDIAVATARKPETLKFKGTNDQNFLAVKLDVTKEADVESAFKSAIDQFKRVDVVVNNAGYGLSGVFEEVTDA
QLRTQMEVNFFGLLNVTRKAMDVMRTQEPSGGLIQQVTSIGGQRGVPTFSIYCASKWAVEGFTETVSQEVKPEWNIKFTCVEPGGFRTDWAGRSMAF
PEKRHPAYDHIDAKTQMNKRNGTQAGEPLKGAKAMYELAVMKDPPLRVVIGSDAYQGIMGKIEEYSKNYKKYEKLSNSTDVDGYEG
>RCO7_05207 | uncharacterized protein
MSSIADSSKSQALRDEISELERQLETANAKLKSSEVACGPIPSPSKLLRNAGPLAASSHHFLLLLSDSALPLGSFAFSSGLESYLAHTRPSSSFPAF
LGYSLSSYASTTLPFVLAAHKNVFDLVELDDTLDAAIMCTVGRRASVAQGRALLSIWDRSFNSALPAGASASSVKALKEFTVLLRGTSSTIISNDLP
TASAHLGPLFGAIACILGMSLEQTAYVFMLSHVKALLSAAVRASIFGPYHAQKLLASMDVQECIQRVIDQEWNTSIEDAGQSVPVMDLWIGRHEMLY
SRIFNS
>RCO7_05206 | related to CWC2 - involved in mRNA splicing
MADVEIETPLTMPNPDMEVEETSTALATTSSEVAAPERKMKKIIRKKKRPARPQVDPSTMKSEPPPQTGTIFNIWYNKWSGGDREDKYLSKTAAAGR
CNVAKDTGYTRADKVTGSYFCLFFARGICPKGQECEYLHRLPGIHDMFNPNVDVFGRDKHSDYRDDMGGVGSFMRQNRTIYVGRIHASDDIEEVVAR
HFAEWGQVERIRVLNTRGVAFITYTNESNAQFAKEAMAHQSLDHSEILNVRWASADPNPMAQKREVRRIEEQAAEAVRRALPAEFVAEIEGRDPEAR
KRKKIDGGFGLVGYEAPDDIYFARSANAVNPVGRQGLELEDEQQLMIEADQRLMLEADQVEKEEAEESGIFSSSTLAALKGAQGIAPKPKPSAPSGP
LVAYDSDSDSD
>RCO7_05205 | uncharacterized protein
MTGYTHELLHCTLCIRPVTQRSLRTSWRETSNVLTACDGINSTARRLLYPDEVPPNFSGRLLWRGVSLQEPFLTGRSMVWAGHADQKFIAYPVGRQA
EKDGKSLVNWIAELRVRSKDDPDVTPPVADWGKIVSKDRFESQFQSCTFGFLSIPELIQETEVVAEFPMCDQTSVDRWSFGRLTLLGDAAHPLYPSR
SRSSESWSRRLMIYSRIKQSQPSNFRFSSFILCSSAKPEHPDALTSYQNERLPPTAKICFANRANGPDHVLKLAHERAPDGFENVDDIIGSLELGEV
GKAYKLLAGFDMESVNQNTRATKGSRLKTSVNGMEVGCKK
>RCO7_05204 | related to tRNA isopentenyltransferase, mitochondrial precursor
MIKRPPKSPLIIVLGATGTGKSQLAVDLARRFDGEIINGDAMQMYDGLPIITNKVTLEEQQGIPHHLLGFVGLEEEPWRVGKFKQKAGQIIREIRSR
GRLPILVGGTHYYTQTLLFDETLVTPIRELENQIHGGLTDQELEERYPILRESTENMMARLREVDPIMADRWHPKDRRKIRRSLEIFLTTGKKASDT
YAEQKERRTCKKLINAEKESVAEPMVDIESVLLFWVYAEHEILKKRLDARIDKMVNAGLLDEVKSMELFLQSQTKLGIEVDRGRGIWVSIGYKEFEP
YLKALDSATASNEEVQSSYELSVEHTKIATRQYARQQVRWIRTKLLPALSEVNADNNLYLVDGSDVSKFSETVAHPAIKIAESFLKGTERVAPRDLC
AAAAKILDPEEVADVADPYRQECELCHVVVLADHQWQMHLNSRRHKALLKKKQKNERSGRKRPPPMDSRSGSDI
>RCO7_05203 | related to origin recognition complex subunit 2
MKRKNREDSEDPQADTAPSPKRTRTTQDTPNEIIKSAPNGTKRKSAKGRQEVEVEEIHDVPGSETEAVAVAEHEDGGFEHGIPEEAVKTIPRKHTNG
IPSKGYGKDLTRMTPSKLLEKKLFATPIKKKGKNEENETPRIQRNANRSARRKSTRTLIERTILGDTSDHEKEDEDIAQQIYDSEEDGFELDGDEDT
GELVAPETPSKRGRKNGTKVQRRSPTPPQDLSAHEKYFFQNRGGKAKTSNANLSSLALLDHEEYFNRARNLKDAHAEDVKFLEQLHAESFNQWQFEL
SQDFNICAFGWGSKRSLLMQFADHIYKSQADHTKAKIVIVNGYVKNLSIRDVLNAVASAIVERGQKLGSQPAEMLEILMALLEEDKTQDITLIIHSI
DRAPLRRPATQSILSRLSSHPQIHLVASADHPSFPLLWDSSLRSAYRFLFHDCTTFQPYSSEVDVVDEVHELLGRTGRRVGGKEGVSFVLKSLPENA
KNLFRVLIGEQLVAMDEGMGMIEGEEDEEAVDQRPGNSRRGEVGVEYRVLYQKAVEEFICSNEMNFRTLLKEFHDHQMIQSRKDGLGTEILSVPFGK
EELEAILEDIAS
>RCO7_05202 | uncharacterized protein
MLNWWLGRPTEGCVDDNDPNREPPETPAPVFAARALRSAIFGVPAQEDDDTIYEVERESRAESNEATKELQPRNLSPTKPPGILLTPGTATTRRKTV
SFGNDVAEKAEKEDGKKNAGGKRRNRTLDDGDKQFPTPFATKSESSARPLRKTSLTRALENSRQEKTPKYETQLTSLGTKTAAEELQSTVDQSLKLE
AADKVSKSHPNVGLQQSVEDENTDMDMTVDLNQPHSRSGKFWKSEYEQYHEEALVGMKKLLNYKELAKQYAKHKDAENIDLAKKLKESQETVANMED
RMFEISARIALLGKDGNGDEAPELVKELARQAALGVQYKAQVEEFRAALEGDENSPSKHARKHRSSRRSQENETDTGREMRQAREQLREMASVKEEL
SSVRQSLTTAEKLVQRLQEENAKLTQQLLHADLRLEKHLETCETKRQSSDEHRRKRDEAVQNLQNDYDRLKEQAKSQRRDAEHLLKKRHDQVVDLKK
EIASLRGADSIAQEDRKLLQEKTTEHDNTVAELRTEIDKLKHKLRQKDTTSSREERERRTDVPSLSSKPLPIIEPPQMRDSHIPVSSQSISRPSKVL
MSNSSRSKTPTDSSKHRSSHSALSELMNTGNGEPTPFQRSGPVQHTPLGPITPLANRFSNMSLESPELLLPPAEPSSPVITSRAIHERNCRPSPAPS

MFNISSSPPKAAIVRPRGSNELSRQKSNSNINARQNANTASSRASNMDSSRMRIPIPPERAAAARARLEQKQAEKRRAQALGGDKENIVNSS
>RCO7_05201 | related to proline iminopeptidase
MTNTPTTEGEIDFHVKGVDGPCKTWYKIFGTLTSTSIPLICLHGGPGVPHNYLLSLSTITANTSVPMILYDQLGCGKSTHLPSQSNPEEFWRPQLFL
EELENLIKDLKISRYNLLGQSWGGMLGSMHAILKPSGLNRLIIANSPASMKLWVKAAEKLKRELPEDVQEVLEKCERDGTTGSEEYETAMGVFYQKH
VCRIYPFPKDLVDSFDALKRDNTVYGTMNGPSEFFISGTLQTWTVVDELHKIEVPTLLINGKYDEAQDEVVDPFFKNIKTVKWERFEDSSHMPHLEE
ADRFMEVVQSFIAE
>RCO7_05200 | probable ubiquitin-conjugating enzyme E2 R2
MATKQRLMSELKGLEKEKWVNVNLKGDALFKWSLGLMIINQDSAWNGAYFKCEMGFTENYPFSPPTFKFVNPIYHPNIYPDGRVCISILHAPGEDEQ
SGELASERWSSVQSVESVLRSILLLLDDPEIGSPANVDAGILYRDNREEYNKKAGEAVQASKKDIPAGFIMPTTLVEAPPVKMTDDDDFWNESGDED
DFGASDSSDGEQMDEDEEEQEESEEDKEGAEDEDEEL
>RCO7_05199 | uncharacterized protein
MNAQFQPAESDVNNFLSLVGNVISRQEAVARLKGNNNSIDQAIGEYYDSPDNSKYRWDEGQFNSGREGEYNNHNISFDIHAPDDPGPFPQHFDGGPS
RPPSRTSNSKSPLSRVIDLTSAAAAADPRSSTDHDYNGDLELEQALAASRAEAGMPPQESGITGTEVKHFGPANRSEYEQGQWDMVPTGSSSAREIL
SDPEPADRKREPGAPAFLKPSSNDTRLNAIVTIYHEIPLARSLFLNSEDHMQNYGFDPEWWSGKMIDNQAGDMDDENYPLETCDRELQRLMALLDNT
ERSYGSVEPLAERSDVKKARNTHPFLPAAMFLAWKDALETRDPTIAENIFSTGVPSEERETKEDEQAFAILELDLPPKDSTQETLYDIADEVLWPQL
GSLEYSECPYLSRIAPIISFRIDGVGDRKAIEVPLVWYPDRYLKSGRQPALDMRLQKREVEKELNRIRTLEEKLSFIPTKTGKIVKVQDLFKACLKH
DLAELEESEDSLNDADVDMMSSRSSQRQTAGRLSEDMQNILSSIDKKLLSLEEEKQKAREELRKLSKLFTEPSSDPDAPQLHRYTLRGVSTSKSTFY
VCRRPMPDLIDMDLDVPDQWWRIYCAPMGYSPMTVEKTTEENVIKAAKESKNMILVYANEDAMDVLRYNHALPKPLETFVKFDNRSFKSEFQGSEES
GTVNGDYQNVAGDTLPVGLSSPGKRKYDESSLVNQDSNPYARVNVTARELRNNGELDALSTQQEPPPYSGVDGLAQQIPPDHEVIMGVDPSSIDDTG
FETPPPPQEMQERSGMPMLSRATSGQDNPIPIDSMDLIMDDDTVAGESAAVKHVGFVE
>RCO7_05198 | related to DNAJ-like protein homolog
MVAETKLYDYLGIKPEATQDEIKKAYRKMALKHHPDKNKDNPSSAEKFKEVSQAYEILSDPEKRTTYDQYGLDFMMRGGPPPPDPSAGGNPYAGAAG
GMPGGFDFGGAGMPGGGGRNFHYEFNTGGPSGGSGGFSFSNPDSIFSEFLRGQTGMGGDDFADIFGGGGMPRSRQSGGRTRTAQSGAETARQRAMTP
EVTTVERPLPLTLEELFKGTHKKMKIKRKAFDEVTGKRTTQDKVLEMDIKPGLKKGSKIKFKGVGDQEEGGQQDLHFVVEEKPHPLFTRDGDDIHHT
VDLDLKEALTGWKRTITTIDGKQIQLDKPGPTQPGKKDEYPNLGMPLSKKPEQRGNFVITYNVKFPASLTVEQKRKLKEIL
>RCO7_05197 | probable phosphatidylglycerophosphate synthase PEL1
MLGAFMNELDKIAPKFEIQGSQIDILRSPAEFYETLKVRLIPTLHMQKMGSADGKTEHELISTLQQALRAKPRLKLSILTDALRGTRESPEASCASL
LAPLVSEFGPDRVEIRMYHTPNLTGLRKKYIPKRINEGWGLQHMKLYGVDDEIIISGANLSSDYFTNRQDRYHIFTSKEITEYFSKIHNAVSSLSFL
VTPDAQLPAGYTLEWPTSNLAPSPLSNPAKYISQSSTVLKSLIQPLNTSAQSPANPANNTSVYPLSQLTQLLSPDTSTELPAITSILQTLSKPTFNT
SSWTFTAGYFNPDPSLISLLLSTTSQHNTVITASPWANGFYGSKGVSGLLPAAYTLLSRRFLEAAQKSGRENAITLKEWRNGTVGEKDGWTYHAKGL
WVSLNDEKNPSISVVGSSNYTKRSYGLDLEVGTVIVTSDEGLKGRLGEERDNLGVYAERVGMKDFVKVERRVGIKVRVAMWIVKMVGGAL
>RCO7_05196 | related to nadh-ubiquinone oxidoreductase subunit b17.2
MSTIFRTLRNLRRAGLKDALHQMQHIGDTKAGTLIATDRYGNKYFENLQDELPLRTRWVDYKDYDFDVTHIEPGWHAWMSYMVDKPPTEDPILQTKV
RSWELPDHRPNFTMTRGAFKTYST
>RCO7_05195 | probable cpc-3 protein
MPPKIPWGKNLPQRSTPSSGLPDLKPSVSNEATPKLQLQKSQYEEIQEDELIALEAIYGDDFQKVESNPGAWKVYTPWKSWNFDLKFAQKTEPCFEI
LIKSSSGDTSITLHVTFTATYPKSPPLLSIKKEEGLLEGTKFKIQKAVETKLKELVAEEQAMVMELVTACQEILEDVARAKAAGKELPSLEEERAAH
ESAANRLADAQKEANELKKQLDLMEEHRMQESMVQEELNRQRKRTRESKRKSQAPTELVHQFSIDTSVNGQAAHEILAFEQPISLLDLNKNPILFQV
VASKVCIRRGPVSNCFTVRPVVLQGASDVPTLLLKQTDLDTEVKDTNKFKGHLQLLENELKSLKSIKHQNILDIVDFKVHRTFDEEGESDSAWTVSI
LTEFAEKGSLQEFLEIADSLGAERVRSWTIELLDALRFLHEKGIVHEDVHAGNVLLVRMSNGEVRPKLADAGYQRKLHALHGGKQMDTLSMAKSAYW
FPPEIANTNHPQYTQKTDVWDFGVLFLQMIFGLTVIQKYSSPMSLTDSLTLSDSLNELVLKMFKADPKKRPRAVELGPSEFLATDAPILNVLSSSEN
TSRFGSITSLLPTTPRRQRHDSMHTGGPFQRSRYREDFVEEGRLGKGGFGEVVKARKRLDGQIYAIKKITQKSSASLTEVLKEVRLLSQLSHPSVVR
YYNTWTEELHDDAELDEDATNTDADTSEDSVCDVSPGTGPNVEFGVSTGGLDFMSSTGYPQVEFGYDGVSDESEDETDDDDKSTNPDVASPTGAGLQ
RTNLALNRTRSGSRFQRPFRTVLYISMEYCEKKTLRDLIRQGLKKDEEEIWRLFRQILEGLAHIHGLNVVHRDLKPENIFIDAASNVKIGDFGLATS
GQYTMADKSSSAASQMSGEMTRSIGTAFYVAPEVRSSVGGTYTSKVDMYSLGIIFFEMCFRPLIPGMDRQRVGEGLRQKQTVFPPEYNASELPMQTD
IVLSLLNHSPKDRLSSSELLKSGRLPVQMEDETIRQAIAGLTDSKSPYYDKMMKALFTTPANQAKDYAWEMGVVNHNANDLLLQGLVKQKLISIFRH
HGAVETPRTVLFPRSGHYGSNAVQLLDERGTLLQLPYDLTLPHARAIAKHDSPVQRSFAFGRVFRDRQSGGQPLSFGEVDFDIVSSDTLDLALKEAE
VIKVLDEIVGNFPSLAASQMCFHLNHADLLDLIFDFCRIDPSIRQPVADTLSKLNVGTWSWQKIRTELRSPIIGVSAPSLDDLQRFDYRDTPNKAFS
KLKTLFEGTDTFEKASSSIAHLRDVIEYTKRFDIHSKIYINPLGSLNEKFCKGGVVFSCLFDRKVRDVFAAGGRYDSLVREHRHNTGSHSEAKHAVG
FNLAWEKMARLPKASAKGFLKKAEEDVHGIWNTKRCDVLVASHDAAILRSVGIEVVQTLWRNDISAELARDSRSPEDLLSKYRDDQHSWVVIIKQDS
ILKVRSQDRKEDADIPLTQLISWLSSEIRERDQKNGTHHRTRLQRHSSQADAPSEHEQDVRVLVAGTKSKKSNRRNIVEQAQARAGSIVHEFLDGPI
AAIETTDQVIEMIRGTRLSDPESWRQIMQAVQTAEKRYLGEVHDLMNTLAHQNKEITRNSFIYNFRTGKCIYYDLGA
>RCO7_05194 | Arginine biosynthesis bifunctional protein ArgJ 1, mitochondrial
MASKSYSTSALTRLVRPTISPISPRHLRYYSAPIDGTIPPAKQKYVPTSGTYPKGFIVSGTHVGVKPTNKSNPDLAFLASETPCAAAAVFTKNKFQA
APVTVSRNMLNRRGNNGVRSVIVNSGCANAVTGKGGMEDAEKMGAEADKCFDQPTDGKGGSSIVMSTGVIGQRLPIQKILQRIPSAYDALGASHDHW
LAAARAICTTDTFPKLISRTFSLPSSPSIEYRIAGMTKGAGMIHPNMATLLGMIATDAPIAPKLLPTLLTNAVNKSFNSISIDGDTSTNDTVAVLAN
GAAGGHEITSESSEDYNAFQKTLTDFATDLAKLVVRDGEGATKFVTIRVSESPSEIGARKIASTIATSPLVKTALYGKDANWGRILCATGYSQISEP
GQPISEVAEILPEKTSVSFIPSDGSPELKLLVNGEPEAVDEARASEILEHEDLEILVKLGGGKEEATYWTCDYSHEYITINGDYRT
>RCO7_05193 | probable endoplasmic reticulum insertion protein SEC61
MSGLRFLDLIKPFSPILPEVQQPETKVPFNQKLMWTGLTLLIFLVMSQMPLYGIVSSDTSDPLYWLRMMLASNRGTLMELGITPIISSGMVFQLLAG
THLIDVNLDLKSDRELYQTAQKLFAIILSMGQATVYVFTGLYGQPSDLGAGVVFLLILQLVVAGLIVILLDELLQKGYGLGSGISLFIATNICESIV
WKAFSPTTINTGRGPEFEGAVIALFHLLFTWPNKQRALQEAFYRQNLPNIMNLIATLVVFAAVIYLQGFRVEIPVKSSRQRGARGSYPVRLFYTSNM
PIMLQSALSSNVFLISQMLYSRFSENLLVQLFGVWEPKEGSAQLFATSGLAYYMSPPLNFTDALLDPIHTSVYVIYMLVACAVFSKTWIEVSGSSPR
DVAKQLKDQGLVMAGHREQSMYKELKRIIPTAAAFGGACIGALSVASDLLGALGSGTGILLAVTIIYGYFEIAAKEGDLASGMKGMIMG

>RCO7_05192 | related to bile acid ABC transport protein
MFPECQGPVWQVDDITNCVQRKYLKVLFPLIVVGASFLLLSLRAIQRNVRLKRNRKGKTTVNGTTVHGVGNGQNGTYQHVPGDDAGSTRTDEEEDGL
TMGGGRLVLTKTTTKGSVAAVDAPRAQYTVLSIELLAIIAVDAINVAALVLQAYGPKGTLATVAGITTWTYILVLTIMRLTLSKTSWRVPGVWNHTA
SLYTLMWLFSLVIFRSAIIHPRSGIAQALVISEFALVSLLFSIAITTRKGNKTVVLEWENDIEPSKEPLASLFSIATFGWVDAIVWQGYQKTFELAD
VWNLLPKDKAASVLADYRQLKKTTALTWHLVGYFKFSLIIQCSYAVFSALFTFAPTLLLKSILEYIEEPDSAPRNVIWLYVILLAFTDILRSLADQQ
ALWIGRKICIRLRAIIIGEVYAKALRRKAAAGNDTVLGEKTDAANAAKPGVLKRILTLGGKKKADAKTPDAAATTASKNTSSKKVDEQANVGTIITL
MSVDSFKVSEITAYLHFLLAQAPTQLVVAVYLLYSILGYSSIPGIVIMVILLPVNIAFARAFGGAQKKIMAATDKRIHTTNEVLQNIRIIKFFAWEH
RFSKLVDEKRKAELKALRGKYIIWAFAVAVWNTVPVAITFFSFVVYTLIEKKPLYPSVAFTAISLFTILRVPLDQLGDMIAHVQESKVSVDRVEEFL
NEEETDKYEQLQHDNLDEDGDQMVGFKNATFSWGGKEDPTDESISSAFRLMDMDIKFEIGQLNIIAGPTGCGKTSLLMALLGEMTLVKGKVFLPGGY
SREDVRPDPETGLTESVAYCAQQAWLVNANIKENILFAAPLDEKRYKDVIVACALERDLEILDAGDETLVGEKGITLSGGQKQRISLARALYSNSRH
VLLDDCLSAVDSHTAKWIFDKCIRGPLMHGRTCILVTHNLALCVPRARYVVLLDNGKIDIQGSAEDVIASGKLGDDANRSRPGSAEMSRMPSRVPSS
VGDESAETVIGEIEAANGDGKRRLSRAKSVDKGTKKVVKDAMEETKAVGGVSWTVIILYLKSMGPWWFWVLAVIVFGVQQFGSLAANFWIREWANQY
DTESVRTHYSISSNSFVGNSISMVQVASTRITQVQPYFDPNKTSMFSRIAPDVDVSYYLTVYALIGIAGMLVALFRDMWLFFGSLTASWKIHQRLME
SVTRAKFKFFDATPLGQLMNRFSKDLEAVDQEVAPTAIGFMSCALAIVVTVALITVITPGFLVAGVFISALYFFVGKFYLRSSRDLKRIESVQRSPL
FQQFGETLSGITTIRAYGDERRFIRDNMTRINTHSRPFIYLWAANRWLAFRIDAVGDLVAFFAGAFVVMSIGKIDAGSAGLSLSYAISFTENVLWLV
RLYAMNEQNMNSVERIKEYLEVEQEAEAVIEKTRPAANWPSQGSVEFIGYTTRYRSDLEPVLRRVTFKINPLEKVGIVGRTGAGKSSLALALFRGLE
AEEGKILIDDVDIGLIGLQDLRESITIVPQDPTLFTGTIRSNLDPFNLFTDEDIFTALRRVQLIGMPLSTTSPSTPISTSRPATAGGVLDTPTGTST
PVANKNIFLDLSSTVTESGNNLSQGQRQLLCLARALLKQPKVLMMDEATASIDYNTDSKIQETIRELKSTIITIAHRLQTIVDYDKVLVLDKGEVVE
FGHPHELLKKDGNDAVFKGMCEMSGDMDTLQKAAKKAWDAGKLVDDE
>RCO7_05191 | uncharacterized protein
MIPAGHVAILLARPHDSRWMGPPNTAPRASVDILCHKAKLRNEKRFADQVLDSLKKSSTLLILQPDYSDLRFKDVMGVNFLRDIPVKNWKKFCNQLS
PYQLDAFPRLDIIQHGILWFVGCVALAKTLFAILIMLVAIADEERTDAEGDKIRNTFAAPRSEKKIFRVHSITGGKAALIAHDIPHDFSGNVDINQL
ASEFLVESALNDAAYDAMLDHLNNPYYDYREFAQFKTHLKTLENMPHEFTSKADFNERG
>RCO7_05190 | uncharacterized protein
MDLEETKSLLRVPAIKISLSNNPQKRFLIEHAIHSTKCALNDIGLFVERVRSDQDRDDTVSFLNEFALIRNLAADLTSLKSTQQVFTFLVIIDDDQD
IALVEEFGTAAARDKVLDPCLRWIYNSPKHLHLQIANILPVHKRPAFSEENLILRPRRTYHNRLQKKLYMVYAADNEHAYDIGENAEWLAKLFKSSF
CEIPSSKFQDHKDDNNEAKLLFYVFEFDGKKIKVDRPVAGDTFKIYQPLYPKPCPRYNGNYVRPITEQEDEEDED
>RCO7_05189 | transcription elongation factor SPT4 2
MSENFVPPGQQRNLRACMVCSIVMTQNRFLKEGCPNCEEFLHLEGSMEAIIDCTSQVFEGLITLADPSKSWVAKWQRLDGYVRGVYATKVNGQLPDE
VIAVMEDEARVKYIPRDGSATEAD
>RCO7_05188 | related to mouse KIN17 protein
MPKAEVGSTKHLNNKLKSKGLQRLRWYCQVCERQMRDENGFKMHTQSESHVRQMLLVGEDPKKFINDYSNQFQKDFLQLLRTSHGEKKVNLNHFYQE
YIHNKEHVHMNSTKWPSLTEFAKFLGREGICRVEDDEKGLHVAWIDNSPEALRRADAIRKRERQDRGDEEREQAAIREQVRRAKLDAEGRSEHDPED
TEKELKRADGEKIKLSFAAKPAGSKPELLKEISATEPGLISKPNEFEEGKEKSSVVPVEEATEKPATPAKISMKMGFSSKPKNVFAAAKKKALGGKK
ATIIEQPKRIGEAERIMREEIDRKNKRGPSGLGGPPQKKPRF
>RCO7_05187 | related to YER185w, Rta1p
MSDGRPSRGYVDPNFPNPMGPNDATIIIYGYTPNFAFCILGTVCFALLFFAHLFQTLRSRLWSFIPLTIACVMEVVGYVFRAFSSRKDPYRVTFFVV
QYFLIVTAPVLISASIYVCLTRIVGWAGDAGLDLSTRSVLLRKKVVLWTFITIDVFCTILQITGAGMIGGATSNGKDPSTANNILLAGLAIQTAAYF
LYLLLLSFVIVAIYRDRDMALKLNKSPFLLMLAAASILIFIRTVFRLAETSQGVFGHLSSHEAYFGGLEFAPVVIAVLILAVWFPSRWPATSRRIKV
ESA
>RCO7_05186 | uncharacterized protein
MPLTLRKATAADAAVHTDIYFSAFSVDAISLLVFPRASILGSRDFPAWTWCVEEIEDLNSHFICIYDSDSPDQTVVAYAKWVGRDGDGLFGDADLPE
WPAGADSKIANHFFGSLVDRHAAIMKGKRHWYLEIICTRTEYQGKGAAGNLLRWGIEKSVADGTETYLEASPDGKPIYEHLGFREVERLRDWWLNWR
GKRKVCWVRKISLRSL
>RCO7_05185 | uncharacterized protein
MRSLLFLSFLQLALSTSKPPVTPSLDRNQPIYIGQSFYPPTMTFMAWQSTSQKLMQDWCTRSTDCSDHRIFSLGGVEGLQIHDYFDREAYLTRMGDR
FAECVITPESVRMGVCGTAEGAKRFPGPGVRKWTCWVDEKEGLEGGPDQTREA
>RCO7_05184 | uncharacterized protein
MKPAEAYAWFITTFTHENKLHDEGIFGGYGGTDFPLWRLIETALRRCIDDQRRFLKAGISTTTIPQEFIHTDLEDTKREELEKEQKKEEGTEGVTDC
FSEEYARTYQIRNAIREFFVLNDLNCVIARNYIIERDEDGELNDVDLTQEVWDQKRSGLKGTRGRIYIIFETTARNAEFTGMEDDSSPDDLVQPGDD
MDLRGEDLDFDEEDHVIRNLQPRIVSVEEAVEDNYKLLLSIIGQITDNNELVGLNWKLVAEDLGLESGATAAEKWTRFKAKNGVTGIHLGR
>RCO7_05183 | uncharacterized protein
MAPRGKAKAKPKDTPAASRDGSIQAFPVAPDKANTSVGSLPATTNAVKTPASKSSASTVIESSSAQPAAKITVSASTADDSGSAKPAVNTPSSAPPT
ADKSSSAQPVAKINVSAPPLQTSLPASTLMQGPSAPSQATASKTTTTQANSTSSTRTKAAAQTPRSPKGTQSQGSGSSRIDGGGPGPRTANTAKKPV
PPKTSASVKPSKARHTPTTAWSHLQKDMDRYFDSVLQLQGWMRNPKLFANHFRVFWNDHFLGSDGKVIDRDPPMPDFVLNTVAHHYND
>RCO7_05182 | uncharacterized protein
MIGTDSSPNLASLSVFFLSSPRYHQRLQINAPGRGYNRSTSRNFSSEVYYVVRLLSLRVPTSFKKAHPQVASQPAPYQPAPYQQPQYQQAPYQQAPY
QQPQYQQAPYQPNYFHKYATMPQAPAIMSTSTLPHLMPSQLLARPKVRLAGEAFRQFLKAKYEKRVAKRAAKAAVVKEKDSGVPGGEIVENAPSEVP
NASLTRQASLVLPELSVKRAAVEELPQNAATAKKSWIQETSNPSQLKDKWKLVVTGFQAKKLVVLDQHQDPQTRTLIEKSKKPVFFEQHNNQQAQTH
SVEQSREPSNLPSHPAGESDDCRVNQPKHGPDAHADAMRCVDKLLGLVHGHDGRILDKLNIEEWEILASDMIYETSGSQSCIMMPSWTSSHRSEKSS
PHFRQHIIFFLPMNLNRTMVATIVDIPQQRLYIFGPSRLHQDLINRSEFILRVNDIPCGGSTWKHRGLEYQDDTTDSECAIWTMFFLKRHLTGETLD
PHDYGVTDLRYRYARVFAYEYEALRPEISELLDAYRSVHRMGSSMSLNVDWSSNIERGLNSGSQETQPSPSGAQRSNTTSFVSGTVASSLSTPGTPK
DKREVSLGLGHLYATSPKVSKGIMRTSTSSQHREKTPGQHSSQISSESSSQQMVQNDRSSSVVSNTGRLSSLSSLHNLLRASPFNTIPTAKTDDAPI
REDILSHDRIRQAMIRTNPDNICDRLNDIAPLSRPINKDPIVSLSVPSKQLPQDSQRSRSHISSIWNSKLSRLSPKSIRHQRSGSLTSSARFVTYQR

VPDLSFNKPVSQPFIQNENPTRKDVSPTHHDPALRGSDGDDTLYPRSSMITTRNTDNA
>RCO7_05181 | uncharacterized protein
MGDTREDFDNLVWDRNDEEWEKVQPEMRQRSAIRLVEVLATEKFGCPSTWITPMNIGGYNIVYRLRVPCCSSDVIVRRPIPCYAKFPEEKILIEFAT
ARYIEKRTRIPIAPVLYHGMTPELGYYLIIKYVEHQHSMSTALNATNDNTNKTFVLDPNISEDSLEDLYRKVASCLLELSQHTFPRIGSLVESGEDS
YSVAARPITRNMNDMLQLAGIPSSILPPREQTYSTADEYYTELANMHLAQLIFQQNDLVTSADDCRNKYVARQIFRRLARESKLEIFGFKEDNWSAQ
SMTMSTILSPAPASTGSFRLYCDDLRAGNILLDDSDNIAAFIDWEFTYAAPSQFSLDPPWWLVLDAPDMWDDGIEDWVKFYEPRMKIWLSAMEKAEA
TARYDKSCMEVPLSVYMFESWETGRFWLSYAARKSWAFDALFWAFLDERFFGTRQHRVPRDELWKTRLHLLSDAEKIAMETFVEWKMNETKERKLVE
WNSEIAKKLLSEILFD
>RCO7_05180 | uncharacterized protein
MSNNDRASGGSSGSMERSFAIEDATMKAGDLSQKRRQEAKKKREEEAEAKRVRRKNKEKR
>RCO7_05179 | uncharacterized protein
MPSVEDNYKLLLSIISQITENNKLIGIDWKLVAEDLGLDKAPTAAMRWTRFKEANGIKPTVPGAKKDVEKKVVEKKAVEKKKVVRMRAIVGKEKNVK
MENVKVEVKEENEEAEEDEVEEDYHDSTDDEDA
>RCO7_05178 | probable aldehyde dehydrogenase
MSDLSIELTAPNGRKYTQPTGLFINNEWVKSSDGKQIVSINPTDETEITSVYAATADDVDTAVAAARKAFKDPSWRDLSPTDRGNMMMKLSDLCEAH
QDTLATIETWDNGKTYADSIGDVGEVTGVLKYYGGYADKIHGQVIDTGPAKFAYTIKEPIGVCGQIIPWNYPLAMAAWKLGPALACGNTIVLKAAEQ
TPLSILYFANLVKEAGFPPGVVNILNGHGREAGAAIASHSGIDKIAFTGSTGTGKEIMKMAAVNMKNITLETGGKSPLLVFEDADLDQAVKWAHIGI
MSNQGQICTATSRILVQDSVYDTFISAFKEQVQQVSVVGDPFAESTFQGPQVTKTQYERVLGFVKAGKEEGATLISGGEAFTSGPSAGKGFFITPTV
FTGVKPSMKIFREEVFGPFVVIASFKTEEDALKMANDSTYGLGSAVFTQDLTRAHRVAKNIEAGMVWINSSNDSDYRIPFGGVKQSGIGRELGEAGL
AGYTQTKAVHVNMGNKL
>RCO7_05177 | uncharacterized protein
MSQRPSASRPASRSPPEGQRFVLPPVQLRDEIRQEGRQGEGPRSEPESRGPSQAQETPPRHGQPLPTPGTGENWQGGRQTRDLGVHSILNPTEPDNN
ENSFRRISGTAIESPISAIGRSPYGASPSTTPSHTFPSQPILQSMGPRRILTPRSPSARIVSAARGAPGTIDAHQSPFLPSRGRAYVAEPGPSASSD
IPPMPNTGQMQYQQHYGFPPAPNPATAPRRSSVGIMQAPGRTSLSQSASPSISASSHNPLSSQTSPASFIAHNGGNQPLQTHFGSPTFRSAAHAGGG
MQAQGHSELPPRQYNTQIQGTSFHSSSAGSSRQTSASDPVQIMTITTAEGSFNVPVDVHQASRSADEKRSRNAGASARFRKRRKEKEIEAHSSIERF
EQRTREWEQRIREAEQERDRYREERDRLRDLVLRNPEMSHLAMQGPPSPRSMQSGSFSDMRQGSQQQQQQHPPPLQPQQPDPQTGFYGPETQSDRAT
RRRRTGTQGDFTSLPYPLPPASTLTPGLGPGFHGPPAPSGPPSLPPLRMEQPPGPQSPGSNVTPSTSVAPPPLYDPYARGPYGRDWAGDAGRR
>RCO7_05176 | related to senescence marker protein 30
MAISIIKGSRPFLSWWHWVVTFFFRTNSAAIMPASSYQRWTVTEPYLDLHCALGEGPYYEEATNSLRFVDIIKRHLHTVDLGVGPKSLKTLQFDMPV
GVTADIEGVDPKEKILIGGKSGVYVLERETGKCELLKRFEDSEEKDDRMRSNDGAVDPQGRFWVGTMNDFHVGEPQPEGSLYRFKSDLTRKTLRSSL
TIPNSIGWSPDHKTLYFVHSTEKRIIAFDFDNSTGDITNERVFWQHDGQGDPDGFKIDTEGNIWQAMYGGSRVLKISPEGKVVGEITYPTKCITCPV
FVGTEIWVTTADDHDASRPYAGAVFKVDVGAKGLKEFKFKLDKGISGLLV
>RCO7_05175 | probable C-5 sterol desaturase desaturase)
MDVGLEFCDTFFFDHVFAKVFPASPPPYSLDVTSNYTTADMKAASPWQYKPATSFWQFAPHDAAYMSAFNRDNVYRQFFSLFLIMWLAGGALYFLVS
TLSYIFVFDKTTFKHPKFLKNQIRQEIRQACDAMPVMALLTAPFFLGEVRGYSKLYDSLDQEPFKYYNYLQFPFFILFTDMFVYFIHRGLHHPLIYK
TLHKPHHKWIMPTPYAAIAFHPLDGWSQSLPYHVFPFIFPLQKIAYLALFFFVQVWTVFIHDGEYVANSPILNGAACHTMHHLYFNYNYGQYTTLWD
RLGGSYRKPNEELFRRESKMGQKEWERQCKEMEKQVKAIEGKDDRSYGSSETVKKDM
>RCO7_05174 | probable transcriptional repressor rco-1
MYNNHRGLGPAPGPPSGNTRLNELLDQIRAEFESQARQGQDVEHAMATQINELHTIREKVYGMEQAHIALKAKYDEEVRSLHREIESRGGNPRALGG
QNQNAPPSQAPPAIGHGPSNLFGGIMAGQGGQGAPGLAPPQQSEQHGPPQHQMPQPPGPPSIQGPPPPPPQQAPFQGGYPGVGPNGYAQPPQATASP
GPGKGRPLNRGPGGPPTPQINQQPMPYPDPRAAQSPQVGHPAPGNQQNMFRVGNALAELDLERLPAHQKKVEADWFAIFNPEVPRVLDVDLAHTLQH
ESVVCCVRFSHDGKYVATGCNRSAQIFDVVSGAKVCVLQDDSVDSVGDLYIRSVCFSPDGRYLATGAEDKLIRVWDIHAKNIKVTFAGHEQDIYSLD
FARDGRTIASGSGDRTVRLWDIEAGQNILTLSIEDGVTTVAISPDTKLVAAGSLDKSVRVWDAVTGYLVERLEGPDGHKDSVYSVAFAPNGKDLVSG
SLDKTIKMWELVAPRGGHPNNAPKGGRCIRTFEGHKDFVLSVALTPDGNWVLSGSKDRGVQFWDPRTGNTQLMLQGHKNSVISVAPSPLGNSFATGS
GDMRARIWNYKSYHP
>RCO7_05173 | probable metallophosphoesterase domain-containing protein 2
MAPTVPTRIMVISDTHEHSFDGNTLPDADVLIHTGDLTNFGELSSLRECVRMIGTIDAKFKLIIAGNHDISRDKVRRVDNMTDDEYSEYHEEAIEIM
TGAAAKEAGIVYLEEGTHTFTLDNGAKFQVFASPYTPGSGGWAFPYQSHEDRFNNSEQVATNRTSIATNPIPAGVHIVITHGPPHSILDQADGRNLG
CPNLLRAVGRVRPLMHCFGHIHEGHGANIVTWKSDGSVKNPSSATPLETEQVIEFPYTNEWPIKAGQQTLMVNAAIMMNTAKGMKPNYKPFIVQLDL
PRK
>RCO7_05172 | related to UMP-CMP kinase
MSSAQTFTKWTIIFVLGGPGSGKGTQCSKLAAEYPIAHLSIGDILREEQEKPGSKWGEVFRRNILEGVIGPPELAVSLIAEAITEKDYEDGMEVFVL
DGFPRHVEHIPLFEFTIGTPDLVLFLDCPEEVLQDRLLVRGKMTGRVDDNITVIGKRFKVFKDMTMPVIENFGTEGEVSRIDATKDEEAVSEEIRKV
LEERFGRAFGKKEA
>RCO7_05171 | uncharacterized protein
MKFSNGAQRMRKHLAVTLISVVFVHISMAAPLNSRNEFSDIDPFAILDKQDWVNPDDMTWDDWKDSPGTNWSDPTVRGTNRNFNIALVTVDYSDVFN
NPQPHAPTVFCEAVPAFYRDFLNKPNELNKGHTIHEYWMRDSNGLFGVDLTAFGPYRMPSKSFQYGTSNDMNPNECLIGYTCNLNIRTDALGAWRAD
VGDATANSYELVFVLSAGQDESFTWQEFGEMKFQTKEDVPASFGPPSPNAANGTTLNYAKTRYVEWSSWASASSIWPNAGSGSSIQAESSGMGTYAH
ELSHLLNIGDNYNNPFSVPSRRDYTGSFSMLSRGSFNGPGGPHTRWQIPPQQGGSMGSLHTIRDKAQIGLIGKDSILKLSSEALATSGLVVAKIIAR
SVKPAPGEFIGVRVAMNADLSPACDINTDPFCDGGAYNNYDLEVIDRMGADSFQPDSGVMITKSKDDAMGTYQWTIDANPQDIRLLDFNRPDGTPAY
VTIGDYRQLADALFHAGTRSGSEFEYIDKPNTLHIYIVCVNRDSTGVLSYITAIRSLNSTTSDPHKRKVAVSWLTVGSRPTTKGVACSFQVYNTGSY
SEPAGGVAHPQDVSAYLKFDVFRLSASVTGWGWKVKLPNALVTAKFGEKKTVYVAVTPDSPLASLVGIVKLTATSESNPAVSASGLCWVNRF
>RCO7_05170 | probable protein precursor
MGYLLYSTVFSLLFISTVLFLTRSLWLNTMLSLPGTSFLYSRLPASFSADIENGLSSSAFDLSGNVAAGDSRRGLDDMSKREIQKIMKSRRVNFDEA

RRIYTEGRFAKNNIGPDGLPRDPKFVSFS
>RCO7_05169 | related to 60S ribosomal protein L28
MSHHSSQVSADLIWEIVGAQNSFLVKRAQSGNVRFSRDPLNLVNKHSRKHAGFVNEKAVGIQPAKGDKGGVTLVTKKAKHSQRPAASAHTTTFGGNK
TTRKTYKAIVSSTAKSGYRSDLRAPAVARASAIRFSQRPKKDLPEKKVRGSKAKKAAAASEE
>RCO7_05168 | probable malate dehydrogenase
MGIKAVVAGAAGGIGQPLSLLLKASPLITELALYDVVNTPGVAADLSHISSPAKVTGYLPKDDGAKAAMKDADIIVIPAGIPRKPGMTRDDLFKINA
GIVKGLIEVIAEVAPKAYILIISNPVNSTVPIAAEVLKAKGVFDPKRLFGVTTLDVVRAETFVAEIVGEKTPSSLTIPVVGGHSGETIVPLFSQAGV
KIPADKLEALVQRVQFGGDEVVKAKDGAGSATLSMAYAGFRFAEAVLKGLAGEKDIIEPSFVYLPGVPGGEAIAKETGCDFFSVPVHLGTSGVEKAI
NPLANINDAEKTLLKACVEGLKGNIAKGVEFAHNPPQK
>RCO7_05167 | probable trafficking protein particle complex subunit 6B
MSFDAPLPPYNASDPSATFLNSSCLDLLMIELVPMAYRVVNEVDAATLEASDAGIVAKAGHDSVKSSSVVSNVRDGGGATAARTGGKGKMDEDEERD
AVFFRLELLGYRVGQGLVERFSRDRPRFTDTLDVIKFLCKDLWMLVFRKQIDNLKTNHRGVYVLTDNSFRPFARMSTEAGGQAVIKAQPFLWFPCGI
IRGALASMGINATVHAETSDLPGATFQIKSIVAKS
>RCO7_05166 | related to 6-phosphofructo-2-kinase/fructose-2,6-bisphosphate 2-phosphatase
MNTLLKCNYLDSKKGVLYSRATKLYIRPKLGSISITNIDLREDRTAEIAANSPRYRRRSSTFIDGVHDVKDDKTQHMAPAQLYSTMSGRLFHSGRIA
IVLVGLPARGKTHISVSLSRYLQWLGVKTRVFHLGDYRRATMGDGVDVPEDYFFINASAPSVMLRQKILKKCREDIYAWLNHENGQVAIYDAVNPLA
GGRRSLAKEFAKHDVQTLFLESYVTDQRILEENARSVKISSPDFVDMNPDEAAKLYLRRIDMKIPHFETMTEDDLNFVKMINAGESIEYNNVSFGYL
SHRIVFYLMNLHIKSRVTYFARAGTSNQDDLYKTDASLGDEGKFYAQKMMETLLAQRETERANQIAAGGADVPLKPLTVWTSTRRRTVETAEYFKEA
GFRVRQRSQMSQINPGDCEKLSENAIRRMYPEEVGKHEMDPYHHRYPRAESYHDLAVRLEPIILELEREQNDLLIVAHESVLRVLYGYLMACDAMHI
PTLKFPRNQIIEIIPASYQNEAKRIYVPDLNPSLIPGSPEDIRIPVAPSGIISPLPGAGTPAQGLGTPTAEKPDPLARVNSYENPLSKD
>RCO7_05165 | probable mitochondrial import receptor MOM38
MAAVVELEKDSPLGFLYSNPISATLADTYISLSERRAALGLSNPGTVENIAREVQRDVFLNNYTFSGLRADLTKAFSIAPLFQVSHAFSMGSQGLPP
YTFAGLFGTNKIFMQGNVDNEGQLSARFNYRWSQAFVTKTNIQVAPGNQAMAQFDNEYVGADFTASLKSLNPSIIDGGFTGIFIGSYLQSVTPSLAL
GLEAIWQRAALNQGPETALSYCAKYKGSDWIASAQIAAGGAISTSYWKKLTDKVEAGVDLNLQFAGLSGAGMMGGPARSEGVTTMGAKYDFRMSTFR
AQVDSTGKLSCLLEKRVAPPVNLTFAAEMDHFKQSAKIGLAISIEAGGEELQEQQEMGGAAPPQIPF
>RCO7_05164 | uncharacterized protein
MASTTRTASDLANNGTAFAGAMGTRTDILQSVDEVTAIVVMSILTPILCMKMFIKRYFGGHCVREDYALFCAWLSNMAYCAIALLMAHHGGGNHESE
VPASDLVIFQQLLYANTIIYGPAAFLTKTSLLLIFARVFAHARRAVIFIYVLIGVMACYQVPILLLKIRICTPIQGLWDPSVEVVCFNRQSVFFTDA
IVSVVTGAVVLLLPVPLVYTLKVNWCKRFRIAALLGFGGLSTIASVWRAMFIWSPNTYEDITVTFVRINLLGIAEVSVGILAACLPTFNLLLTRYAK
VRRTPSPACEIKGTATPECNIKRMTGMNLWKEGHKYGLNEVDGVDGGNGGRDDKGFDVEELDLKTRESSEAGSMKGSWQSHGDWSRYGEGRAGTPSV
ERKLPGHENENVSEMLERQKQRQGRQADIPDWPLPLRQKSVVSTSTAGNVV
>RCO7_05163 | probable glycogen synthase kinase 3 alpha
MSQTRPAAFSSMRMGEVIREKVQDGVTGETRDMQYTQCKIVGNGSFGVVFQTKLSPSGEDAAIKRVLQDKRFKNRELQIMRIVRHPNIVELKAFYYS
NGERKDEVYLNLVQEYVPETVYRASRYFNKMKTTMPILEVKLYIYQLFRALAYIHSQGICHRDIKPQNLLLDPSSGILKLCDFGSAKILVENEPNVS
YICSRYYRAPELIFGATNYTTKIDVWSTGCVMAELMLGQPLFPGESGIDQLVEIIKVLGTPTRDQIRTMNPNYMEHKFPQIKPHPFNKVFRKADANA
IELISRLLEYTPTERLSAVDAMVHPFFDELRDPATRFPDSRHPNGPVKDMPTLFDFSRHELSIAPQLNNRLVPQHIRPSLAARGLDIDNFTPMPKEE
MMARLD
>RCO7_05162 | related to cap binding protein 80 (Cbp80)
MADYERPRGGRGGYNNNRKRRYREEDDFDRRPQRRRYEEPLSSRVRKQLLAIAEVPVKRVEDEVHSIAKTVCENYEDEELKDSFYELVVQLVVEQPF
KIPFVAAVVLVANTMHRKNGEAVAVEVLKRTTLRTNQAIATGEWREVKLLMKFLGSLQGLLDGEGVWIVLQDMLTKAVELQTENNEETIGPELVKII
LFTIPYIMASSGTDNQDKAASMVENADIIASEPHVLQALVDPYPGNGKEEAASPTGVLMLLQKQLQNEASTGWELACLPRPWKAVFEEGREDVLVEA
PKHSLPTIIIPEVVSNGPRPLFPELYFSVYANQDVETVAPTSDIASCLIRDAIVDSINILDYNRNATARFLIDIDCYFAPGTFVKRATPFDRLRDVE
GDRSTWKPEDVAVDAVFSQLFQLPAPEHKLVYYHSVLTESCKIAPAAIAPSLGRAIRYLYRSVDSMDLELSYRFMDWFAHHLSNFGFTWKWTEWIDD
VKLPSLDPKKAFIEGSLDKEIRLSFAQRIKGTLPAPYQALITEEKEKDTPDFKYNLPDTPFAQEGQEIMALLRKKSPEDAIQPILDRIHTQALEMKL
GDELVCSTDAYVTAICYIGSKSLSHVLSCIERCKERLLALGPASPAARKQIIDSVMEYWKDQPGIGVNIVDKLLNYTILSPSSVVSWALSKDGTRLG
QAHVYEMISSTIGKVTNRVRQVVRAKKVPGLLPEQQALMDETVERERKAMKDLFDVMEDELVAWASGSKDQMVQGGDQGGPEDQMIKQWGERWLRVF
RRKIAVEEAWVLEFESQKVEEFDTTAAETADVVNGDSLMVNGEAEGGIS
>RCO7_05161 | probable spliceosome-associated protein SAP-49
MSGARHWEQDKEATVYIGNIDERVTDSLVWELMLQAGRIVNVHLPKDRVTQTHQGYGFVEFISEEDAEYAARIMNQVRLYGKPIRVNKASADKQKPI
EVGAELFIGNLDAMVDEKTLYDTFSRFGALQSPPKIARDEAGLSKGYGFVSYASFEASDDAIANMNGQYLMNKDISVQYAYKKDGKGERHGDEAERM
LASSGQRNNVVPEIPVMPPQLLMNGSVPQGPAAMMDNGMGGMPPQYGAPPPNMPPGFGGRPGGGYNSVPPPQQPHQMAQRPNMPLPPPPSGLPSRPP
PSQGGYGGPQDFHPPGFAPPPGFQQQQQQPMPPGFGGPPPGQMPPGFMPPPGFQQQQQQAPPGYAGRR
>RCO7_05160 | related to TOM complex component Tom7
MFFWDQVSLFWIRTSTLPELPVQICNFKSTSNPVKMQLSEETKERIGKVIDFSRVAIHYGYLPLIIYLGYTRSEPRPSFIRLFSPLA
>RCO7_05159 | probable FAD carrier protein FLX1
MSDNHARLSPALVETIAGLSAGTVSTLAVHPLDVIKTRLQIHRNNSQTPVNALTILRSLVSNTHPIQSLYRGLTPNLIGNASSWALFFYFKSIVETQ
LITFHTRPSQPLSDSGHNVPLPSRSVLTPLDYFLASGISGTLITLSTNPIWVLKTRMLSSDRGAEGAYNSMWDGAGQVFRQEGLGGFYKGVGVSLLG
NSHGAVQFAVYEPLKNVWRKYLSQDPLHAPIQDGKEEKLGNTATLIISSSAKIFAGTVTYPYQVIRSRLQTYHSEKLYGKGISGVGIKIWRDEGVRG
FYRGLGTNVFRVLPATWATFLVYENVRYYLPL
>RCO7_05158 | probable GPI ethanolamine phosphate transferase 3
MSTTTPKPPSSPSPQPPRIRNTVPKPSPNSNPNSIAAQYARAKAVHDAREAKDREKVAALLNEAGIGSDGAGNGAGERKKSVVERLGERKAQGWARE
WTWVAAFFVWVFFIHASGIYFFTKGFLLTRLVLDEKSTCSEPPIALHTSFKGSGTPEAGCWHPKTFGKAVVIVIDALRYDFTIPFANTSESGPAQAF
HNSLPFMYETAVREPHNAFLLPFIADPPTTTLVRIKGLTTGTLPTFVEMGSNFGGEAITEDNLLMQLRDAGRRIVHLGDDTWTALFPGYFEEQISRA
YPSFDVWDLHTLDNGVNENIMPLLGKDKRGDWDVMIAHYLGVDHAGHRYGPNHPAMTMKLQQMDGVLREVVQKLDDDTLLVVMGDHGMDGKGDHGGE

SDDEVQAALWMYSKKGIFGRTDPSFVTPPKNAKIRPVNQIDLVPTLALLLGLPIPFNNLGKPIEEAFAGKKGKAWENLAAVARMTAAGIKRYQTAYW
TARGIDENTLDGSPRALWEAAETALAATGKQHMWKEGYTTFSAFQEETLRICRSLWARFDVPSMGLGVAILAAGVLALILFANSNANDGDAVDDPEL
DRKELQLELEQFDKDSEFKGGDETTSRTLVRGALLGTFLGAAGGPAIFFSVKPDSLLNFILGLCTISGLVGVLYQEMRRRMAFVSPFPTTFWGWLAV
VFTVSQSIGFASNSYTIWEDSILLFFISTFGVAAAVSSLRLASVLDRTLAVYHSVLFVALGWVASFSKLCREEQMPYCRSTYYASTTSSTSAPWQLA
IPFLIAIILPSIIKSYYTGSRSFEGFAPAWISWVFRCLLIFSALFWTLDTADDGEWISSFIPEGRLKAIRVPIAQTIFAIALGVGCPAFVYAPPCVS
ISTTAKPSSPNAQMTNSSGATVTILGFANTHGTRYGLLLINFLLVLLLVQKPMGAGALSLMAWQILSLVEILDLNALTTSPIGPIMLALLGSFHFFK
TGHQATLSSIQWESAFIPMHSITYPYSPILVGLNTFGAQILAAIALPLVVLWKQKPRKKGLLRSVAAALAWHLAYYAVIGLATTMWAGHLRRHLMLY
RIFSPKFMSAAFILLIVDVVGVLVALVGVRVNTLGVAEVFGWP

>RCO7_05157 | probable VPS68 Protein involved in vacuolar protein sorting
MSEERLWKFRKPEWMNSATARSSGVYAAGALFSLAFFVLLDAAVWSHSPKNGSEIHINFVDWLPLLFSSLGMLIINSIEKTRLSADSFSYSGSGVAW
KARVVLFLGFASLAGGMAGGVTVLVLNSVVLWISQNMEDEYSYNLAL

>RCO7_05156 | probable 1,3-beta-glucan synthase
MTSYDRHSDYDSPYRTGQHVPLAQSRHAPLTSVATTASESRQDVSSPYFEDSGRHSTSALNGGAYPASPLPHSPAPHSPSPYSPGMRSSAALHRTNT
EENFENATAGEIQLQPFSDGLPPPPPPAHSWKRIDRWAEENYQELYDQLCEGCTSNDLNELEHQLDCSLPMEVRESWQVHDGQERGGNPTGIIFSSM
LLDCEEIVQEWDNWKKVNAEYLQEPVSFQPAAPQKAFGGSSAASSSKDAPGSNQNANWRQELLSRQDSQPPGAIQKVYAHPSWIPLVRDWGGNNLAV
DLAPGPAGKWGQVILFGRDYDCKYVVARSWSAFLATLADDLNSGKWFVDEETHELKLREFKAKNVEPGYLDILRWRMDQKYGRKNTRRKSAAPLNMN
GQAGGSPTGSPYASPTAEVSGEPRGRSMQRFSGASPVSSPNRPNYAKPSPLARVTEERAPPIRLSTNGIKPEKLVEVETPRPSEETKDHQKQKPLEA
LHEPVSLDDDKENKKVEETAKTNGLTNGTPKKATVEDDDTTMKTIEI

>RCO7_05155 | related to secretion protein rsec8
MSRNRYGNFSEDPYANGNGNGNGNGGGYGESIREADDYDPYGTGYDDRYGTPPIMTPSPPATRAAFARPPRLAPESNAEKQIGVVLEHIKKDWPAMC
ENDCVPVQVALQLLDTSSVGRAHEYRQFEKTHLYLQDSLKAIVHEHHQGFNSSIGTFHKIQASIQTSQKRVRTLKESLNQSKISLSTTDPELKKLAT
ASQKYEELIHTLSEIEELRLVPDQLEARISEKRFLTAVDTLQTALRRIRTPALDEIGALSDLRSYLTNQETALTDILIEELHDHLYLKSPYCQERWQ
SLAKGQGAPGKEKPDIAVRPFYEVLDSMELTEALIEDPSRNPESDTFYYIELLAESLNKLGRLESAVNTIKQRLPVELFGIVNETNGEVDQKHPTSL
RGGLSNSQGNQAFGSRENSIRADVIYDLLWTLYAKFESIAESHRVFHEVVKAMVKREGGRDSSILLGGFRELWNLYQNEIRSLLHNYVTTDADVYQF
SSSPKLGGAKIDSKREQLFLFSDADSKSIQMTTEYQDLEGIIRAAVPGLISGRKQGADGKKSQGRAETTLGPIGSRRGASTSMYDKTGGIGVHKSLV
EPSVFNMSLLLPPTLSFLQRLKTIVPPGSDLVTSTLTSFLDNFLVNVFLPQLDETLGKLSDTVFEEADSFQQDSQWTKIARRPVFKGTSAFFALITA
FCRMLDTIPHDQALSSLIITQMLRYYDRCFDWFKSLVSRVQDTDGTTLKLSAFLASGPDDIHETMQKLWTSEEEDKELLEKETGLLIIKTNETPLKL
DDTIRDHETISSLCVLYTSMKWLAIKIDQLRHITRNDIDSSRTTMQKPTNRRWTLLNDVTKGQDDQIPVYLPMTQETVVAFDSIVSSYQELAATVLL
TLHMEIRCQIIHSLSVALSPESAPYLLEQVVNDPDPQILSLNADLVSYDETISLFLREKEISFIRTGLGLLIDTFLVSNAGMVKAMNAHGCGRMQLN
ILVLQQNLKNIEANVNLDRAGKFFDLFMAGPDAIVTHAREEKERGGGAKELFSFEELKMLVELCYSEQLSSPERGISTVAKRGMGEHSLQLSEYMWE
S

>RCO7_05154 | related to 3-phytase B precursor
MAVFSCLKFGAFLALASVHAQLFLAPPNDILLPTSDSAKEPLQWLAAGSPYFAGPDINGISNEVPEGCTVEQVSYNLRHGSRYPDTGAYKEWTTLHE
KVKAATFKATGSMAFFHTWKPVLTDPAAQIAQLSNTGYKEAHDLGYMVRTRYAHLYKYGESFTVWANLYPRAIQTAQSWLRGFMGHLATASGRVISV
DAKNLPAGLFNSLSPSDLCPNFVDGNGGDYQTKYKTTFLPAITARLNALITGDLKFTDNEVFLFPYLCGFESQITGTLSPFCSIFTDDELKQYEYAQ
DLRYYYGVGPGMDLPSKMMLPYLNSLVGLLAQGPGINGTSATGESFKVPDILMVFFNDGQTTELGAATGVWDDAPVLGAEEIPSNHKYTASHFVSMR
GTVAFERLHCPGASSTKAKRVAQAKAAGIIQTTAEIAPNCAHDNCLRQLIGKPKEVAQFCPTYTATTGLALPNFVSNCGGLPSRVSSACSCLVTPTA
APTSTSATTLVTTTSSAVPTLTPIPETNKDVFIRILLNDAVYPVPSCQDGPGRTCGMNAYVDFLAKKMEKAGNLLERCNVTAAGSPKWEDIKGAGFL
TDLSGPGLASIVP

>RCO7_05153 | Actin
MEEEVAALVIDNGSGMCKAGFAGDDAPRAVFPSIVGRPRHLGIMIGMGQKDSYVGDEAQSKRGILTLRYPIEHGVVTNWDDMEKIWHHTFYNELRVA
PEEHPVLLTEAPINPKSNREKMTQIVFETFNAPAFYVSIQAVLSLYASGRTTGIVLDSGDGVTHVVPIYEGFSLPHAIARVDMAGRDLTDYLMKILA
ERGYTFSTTAEREIVRDIKEKLCYVALDFEQEILTASQSSSLEKSYELPDGQVITIGNERFRAPEALFSPSVLGLESGGIHVTTFNSIMKCDVDVRK
DLYGNIVMSGGTTMYPGISDRMQKEITALAPSSMKVKIIAPPERKYSVWIGGSILASLSTFQQMWISKQEYDESGPSIVHRKCF

>RCO7_05152 | related to ribosomal protein L5 precursor, mitochondrial
MALRELPCALRRLTIRDARPATSSITRSCRRFASTEAGAQETSADFQDLESKTSLFSNEALDEKVKSFDPIKKTQGRKRQLPSSRYQFKPPRYYRGP
LHPHQPPPRSDPSSREFVPGPFNNSRFEQTYQSMIAPDLMTVAYVHVPPGTAKVPKAERLRTWDDSSPYHKGRPKRGPRGPGEKLRVVEKNITFRNI
PKIEEVTVHSMIKGAIEDSSHLHIASMMLQSITGVEPTVHKARHSVSQFGIRETMPISLTCTMRGDMAYEFVDKCINLVFPRIKDWPGVKGSSGDSS
GNITWGFTREGAILFPEVEINYDMYPPKLIPGFHVTVKTSATSDRHARLLLSAMGVPFYGKLID

>RCO7_05151 | uncharacterized protein
MNINRLMSRRDKDGSLHRREKSRDKSAERKPQHAPSLTYLSKTFLRASGKSSPLAGISQINVLRSSADTGPRVHSQSRPLSSEGFSSLFRVDPQRKI
EKEHAKEHANKVQAVKQRLKQEGYSDVKEEQINFAIGSHNADGSVDKAVEMLLIYQQSLEGTIKPYSPEVYMCGAINRESVTCYIDSLLFAMFARLD
SFEPIILRGFEEEPKRRLAAILRVYVNMLRQGILIHTDITEQLQKALGECGWEDAVSLEQQDVSEAFNQLASILDLPLLSLKVDLYHVGQDDDPDDH
KIIQERLLDVAVPDEPPPGKPTVRLEDCLESYFNNRVTVSRRLERKNTGSSLKGSSSHHEEQVEASLLSHVNVYVNELNWSTPDTPITPGSPVNLNG
SLESKESGRDRATSIIRHVVIPEEEDSSTVVSNSTIEVDGNGDLESELSSNDTSLHKEKTRKEVMMPAWQFFNLIRPSPIYLDIKPFIYTPPTESYV
LIGNIAWSTDNQTKSDATVAAALQSKPVLGICLKRYGVVDGKPVRKDTLIDIPLDIRLPHFINDDGEVDEDGPLIGQFKLSLQSVVCHRGSSTNSGH
YISFIRGTSPIVDGDSRSKRKLSDANRPPHYSEERWIRSDDLANPRVEQVDIEAALRNEMPYLLFYQVQPYENASPPGRDSDVQPPSYTDSAFKLNL
TESTPIDSQPGYFDGTRDDPTPSIRVSSEEERPQTPRRSINLPDDRAEFRRGSLAFTEISMASTASSFIGTSAPVTPIEETTAQRISRAASRFTKHP
NKSRPQSPSGEDRMENRVENRFSATFSRLSLMKSKEQLKSPISERHSMSIGDTIGSPRKSSTIEEPRPDLRGNLSENVTNFDRPKTKMDKKRDKGKG
PDGSHHHGLSHKDKGKVRVKDGIPDRECSIM

>RCO7_05150 | uncharacterized protein
MSSITSKVEEHQDRNDVIHSEDKEEVSEGDQNPDLWETASDAALRARQVAHLSKSSQEGVETAAQPEVEDGSPSLSVNDVPDEEIEESDSVVAYNEW
FARLAEQEEETFGELLIDFGDASEPDIEDNETNAEDLENSQDSYESLIHEEQEAASDHLVNDEGQIHKGARSISTLEAVDRQFENTPLPSGSENILQ
NNWSEFEDLISPRDLEFLSNTEAHSSTPDYAEQVAAFFHNEDQVDAEAIQEKWLDKAATSSQELSQSNHAETQSVSPDHSHVSEHHSNHEAPLVNFA

AYHQDESPESEETTFQPGPNHYSHNGAENSQGECEYQQQVELSQGGIQFFLNQMEAQANQNENRSQQQVENPEAEDFEEQHFQQYSEFEQEHDLQQY
SSTPSNQADSTNFIAGDIITIEDDDATIFEDEGPGPTVEERILEIKSKIARSRARTAAKLAKIAENKKTIRKMAANLKRQRSDVLEESEDGPAKKAK
TLMYRRPSTRKEAKPHASNSNSNSKASKVSKIEQLSHVQRDDAPANSSRSSRVSANAIKESFARDAEAEAGHDYSPYDPASALMSAPNYPPVNQHQL
DNSTTARSYDQASYMGPTAYGLNPYLQNGFVQTPEKGRRFHQSELTRNYGPPTPQHRAYPRYQPSYTSNSTHQYKQPATMQSYLPEMNVQNTYPSTM
NSYAHDTSNGFNPSSSTNGYQQHSSHPGAYMRNMYPSSGQGYPYIMDNQRQFMQSMLMNGPSGVPLMNDFPLMSDFPLMNSSHTSLNSHSNRYQNPS
LSQTNNRNNNHHSCPPSALAQPGYSPYRFDNSLYGAPDMRRTRK

>RCO7_05149 | probable putative methyltransferase
MADALISHEDTINYWQSIDADVNGMLGGFPLISRIDLQGSKNFLAKLGVGGKSGRKLNRAVDCGAGIGRITEGVLLGIASTVDIVEPIIKFTDALKD
KAGVGKIINLGLEDWSPESSDTKYDLIWNQWCLGYLTDAQLQTYLEKCAKALDEGGLIIVKENLTRSGGDLFDENDSCVTRCDQKFREIFEKAGMKI
KKTEIQKGLPKRLYPVRIYALAPIHEVNGASIRSHEHKSPV

>RCO7_05148 | related to homeoprotein
MLATRPFDSGRNTWSSSKLEALYQNVASPRMSNFDPLPAQPDWREQFTAFSLPGDNSPLQPSFDQSSTSNLTNSNPNQLSGSERPALEHRHSLGLST
QTTHPSPTIDRPDSAPGDRSHPEDNQTRNDSLVSTEPAALSLGSLGSNPLSSASSAPLQQGALSNNDMANEEGDVKDEDDELDDDDDMLDIELEEGA
PPQTAAERRAERRKMKRFRLTHQQTRFLMSEFAKQAHPDAAHRERLSREIPGLSPRQVQVWFQNRRAKIKRLTADDRERMMKMRAVPDDFDNVQALH
SPYGAVHGVGTPMQSPVDFVPGYGDHMMRPLMVDTMRRNENDDQMSPTGLSPAYGNVAFAGASMGSPDILSPLSLNSQDRYYSSHLSSPMSTGPRSS
NPFDRQNSYQELSHSRQHVRPLQPLQLRETMSRARSDSLQSPLRSSMSWKGETLDYSSYQTGQPSPQSNGRQQSVYQPEQMSNNAVSAQQYDGNSYS
ASNVQSSPTHMTYPPSSHGGRLRASSAAAFPAGLDLRAQYRAMPNQNHSPLGLTPRSSSFAHAFSGGYASAPLAAPVDFSLPRTPINGTHASRDYNI
PQLSAPMAPPQDFSSAYSSSLSPSRSQQNGREFSQGQSNGDLGNQGQANEQQQQQQQGRSNGDTSYLRSGEYETGQKRKRSFDIPSTFESP

>RCO7_05147 | probable 3-hydroxybutyryl-CoA dehydrogenase
MLTLTMRRTLAQGFRSTRFFSSSRMLAAQEVKKLGVIGAGQMGLGIALVAAQRAGVPVTLVDTNQTSIDKGLAFAEKLLAKDVSKQRITQSQSDSIR
ELLKSSTSMDSLSEVDFVIEAVPEIPSLKYSIFSSLAQICPAHAILATNTSSISITKIAASTTKDPTDTSASSRVISTHFMNPVPIQKGVEIITGLQ
TSQSTIDTAITFCKAMGKIPSLSADSPGFLANRILMPYINEAIICLETGVGKRDDIDAIMKNGTNVPMGPLQLADFIGIDTCLAIMKVLHEETGDSK
YRPSVLLGKMVDAGWLGKKSGKGFYDY

>RCO7_05146 | related to TOF1 - topoisomerase I interacting factor 1
MELADGKREVVDPEVRAYVSSLVTALGGSGADEDGQYILGDDALACLRDLKKWLKLYDEKANRLDVARCLAESNLVGGDLLQILAAWQENAADDRLK
AKIALACLELLVPLTWPLERNTLEMTVNHHRHVPYLQMAQLGYKRSIINFDGARILHTAIRCALSSMAENMGDRSTRDEGIIKLLLYFLRNIAQIAP
PPNVQYEDDVAEISRSATIAAFDYQDVFHLLLTVSSSMGEDFNTQDVVIMDIIFHLIKGVDIEKLFMDERKADNRNMDELTKLRKKEAAMLRGYQTS
APSRHNRFGTMVWMQREDAKMTTISGQAALLDGTRTLAKMDSTKKFKPPRRAPKGDNGPLDFDTPVMLNIQANKHLRSFVEDFLDSGFNPLFNNIRK
AIDREAERIMDYHPRQFFFLVSWFLEAERVRRRNKKASRKPTAPDDSDTYSLVATVLNQEMFVTLNRTMDFTYENKSWADLSAAMKCFTQILLTIQE
MSESPLEADQDIAENILNRIFYEETTHDRVANITRTYKDQGFGYLDSCTELAHNYLRILEQYAKQNTDMQVRSRRRVRRKKKAAKAAGEDGPDADIV
DESDGEDEARAERVSSERKFDFKRFSARFVTQGCVNTFITFTRFYNDLKSPQLKRCHRYLYRVAFKLEMSVMLFKVDIIALLHKMIKGPEGLDPQSS
SYKEWDELVKQIIRKCTKKLQERPELVVEMLFSKINSTAHYLEYGYEKQTVSSKPRAAAELEVKGGREWEEQIGVVVGAMLDRNEGDHLQWTKTQLF
SAESERRSWEGANAALPSVEKDTASEAGDAGPIEAESPKSPTILVKSDNSARKIAMFKNGHLRLLMTLIGFRRAGDDDDPEGSWIIPSTLSADQLKE
SLDLIKKFEFSPPSFDDGEEAGDFIKRKSANTIAHKRSIFDDDNGIDDDEEEEEEIFFAPGGPTERKSDALEELKKKRRLRKKERREESDDGVDRSL
TDAQLKARAEARRQKELEKNRKIRSKEIAVDSDNDEEADAAFYAKEQELRERTTRLFREEQERLRQRNNVEKMKDLLHVGKDKGAKGTGSKKRQSNA
ITVDSDDDEELVLTATQSKRTSVTPEQSDDGAGRISVSSSSAARDDVLAESEDEATDTPVSSQHSRPSKTKRRKVSEEAEPTSSEPEVIKNSSVMAM
DDEDDEEEVVAVARPARQRVRAGFIMDSSDEE

>RCO7_05145 | related to alpha-actinin
MDIEYHPAGARAGMITPPESEYLYKYLYGDAASDGGPAGPGRPTSIAGRPTTPEQVQVNKNIVTRADAFPPSPPQQSLKARRDRPSQQREANRSQQF
TTRLQRSATVSGSDNDFLGRKRRGRAFRQTFSLPADHGLKAIEPLHEQTLVRMAFAEQQQWITVQQKTFTKWLNTKIEPRGVVVVDLVKDLSDGVIL
IHLLECLSSESLGRYAAKPKLRVQRFENANLSLDFIKSRGIQMTNIGAEDVVDGNRKIILGLIWTLILRFTISDINEEGMTAKEGLLLWCQRKTACY
EEVDVRNFTDSWNDGLAFCALLDIHRPDLIDYDALDKNDHRGNMQLAFDIAKAEIGIPDLLDVEDVCDVAKPDERSLMTYIAYWFHAFSQMEKVENA
GRRVEKFVNSMQGAWEMQSNYERRMKALLQQIHEQVVRWQGSKFQGTYVDAKKQSTEFSAYKRGKKREWVAEKSDLAALLGNIKTKMSTYRLRPYDP
PAELRLSVLDEEWASLMRSEMARGQLINETIRDIKNALRKSFADKANDFALALNTMQLAISGLEGDVEDQLTHVRRLNENLSPMNQYLEKIEAVDRK
CEEANIEENDFTTYTYDELCYELSLVKNSVLKKLAFLDNQVVARNMTNLTPIQLEEFESVFRHFDRDATNSLQELEFSAALASLGLVFSEDEMHDYF
LETSNGRDHVTFEQFIRFMVDVTEDQNTAEQVFQSFREVADGKPYVTEMDLRHSLVPDDVIDKLTQFVPLHKGPDLQEDRGIPQYDYISFMDGLLGG
PEELEEPAALSELPNGRSPQRASTSSTGAKANGHH

>RCO7_05144 | uncharacterized protein
MSTDSTATLQALDEGFEATQTLTLPYRGPAPYATPTNAISQNFAYHPSLAIDPNKIFRTHIVHVYKTDRLGTKSWSCRVCEKPATTAYHSSASLLSP
LGSSLIDELIFSCNSPSCTKYGLDLANHFGKYQIPESQVTSCEICDKKSIIKLCGGCTFSYGSRNCNSHMTTQSKKPRNRGAKGQQNLKTRQFDPAG
FETDPPEI

>RCO7_05143 | related to flavonol reductase/cinnamoyl-CoA reductase
MSRKQAGCRRSSIHCVAGVAHVASISGSFDPNTGIPGVIDGAVNTLKSATKEPSIKAFVYTSSSWSAANPQPNVEYSIGPDSWNDHAIKAAWAPRPY
GPESSMDVYAAGKTEAEKASIIDHYSNVPKMSLDEILLIPYCVDGMLPSANFEIVFDPEYQGFSSPTGWLKSLFDGEITFHNFVTPEFAIDTIDSAR
LHLSALLDTTVENQRLFGYAEPYTWNEILAIFRRLYPDRNFMDDLVDAGRDLSTVTNERTAEVLRRFGKPGLTTLEESIKAATEQILSSKDKKCDSF
F

>RCO7_05142 | uncharacterized protein
MAFDPYSYVDEMDYLVELPAEEKATATKTSSITSPAAKDEEIETIGEATVDLMDTDTSDDESTTQSLRAKLAMSRILSGPTIMERTVTMAEVEQAYS
AALEMENIPEQASHRIKPRVD

>RCO7_05141 | uncharacterized protein
MSRLGAGRSDPFNNYPITLNHRSRELLDLRSASPLKGFWFQISLLYTAAFHQLLSGAAIYFNNLYQGDGGKASGESLAHHAYSLQLVNDQMRNTESA
TTDGVISSIIGFAATTYAVSRHRLHLIADMKSWKRHLAGLREIILLRGGIDTLKSQRFLRTMLPCMDEAPSFQLSEGLPPSTLPIPSSMTLSPFSQI
ELLHSSFPSNSELFNNLTQLDLESLHFTR

>RCO7_05140 | uncharacterized protein

MAEMLRLAAVLYLIAIRQSFEIYPTRVTVQIRKLSASIMTFEGSGPNQRIWEDHGLGLAGLWIMTAGAILSDEKDKTAWFAKRLQDSICGLSVGTYG
DLEDMLWGFSWIDGIHGILLRTFRKKLIL
>RCO7_05139 | uncharacterized protein
MNSQLIIPSVEPVQPPAAIPSLSTTYINHISSLQKPPGG
>RCO7_05138 | uncharacterized protein
MGQITGQGWGRWPEQNPQHSNQTFYSMDISGNVQSYDPRAASSAVTSRTIMAPHYGPAQTYSAAPSQNMVVTQQQHQHNPFSYGGYSAPPTNILVPS
FNNCNFIQQRPLPRLMQVDDHVNRQQVSYPRVSRPGFIEEYHSQSPSLRSEPMWPSPTVGSVHHSTGTKNSPALSSSQEIDYKTEVDTLMKAIQAKP
QTTEAQAVSPPEQITSVAGAFRTPLSTLSTNQVGMYAPGEEMKDKLTQKSSQDSSDCSKNSKKRYQCKIANCRKSFYQKTHLDIHERSHTGVKPYAC
TEPGCGRAFSQLGNLKTHERRHSGERPYGCEICGKRFAQRGNVRAHKITHDKVKPFPCRLDDCSKYFTQLGNLKSHQNKFHKDTIRNLTAKFASIKE
GDFVHAADKELWQYFANLYKNSNKGIKGRGKDRKVGSTSASSSLNAGMRSLCVGQRGFGMAGSGRGHLDNGIHIGMDVGMNIHIDMAGHVVGRSDGH
GHGHGPQYHMYDVDDASQSGSGSSVGNYDDAPSDGYESQGSSGHDMSFGDRMY
>RCO7_05137 | probable Ubiquitin-related modifier 1
MAFEAMIPLVVEFSGGLEMLFSDERRHKIQVPAKDDKGNAVTVGWLVDHLCDELMKDTRKEMFLLDGHVRPGILVLINDADWELEGEAAYALQANDN
ILFVSTLHGG
>RCO7_05136 | probable elongator complex protein 2
MAQANADYLAAGANRHPSAADWDLLSGLLAYGADRNVALWQPQNELSKGVHALLSGHTDIVNALKFIPESPGILLSGSVDKTVKVWAKDPTSKQYSC
VQTLSDHQSSINCIGVSSRTTDIFVTGSADSTVKVWALNDQNVASLQQTITISPRFFPLSLALSNLAGSPDSYVLAVAGTKDIIQLYVLDSANSPEF
KLQATLAGHEGWIRSLEFTQENFDPKSDLILASASQDKYIRLWRIHQGKELPAAAANADPSLGAFLPGKSLSNKAHRFKAHDSDFSATFEALLLGHE
DWIYSTRWHAVGDKLQLLSASADNSLAIWKSDEATGVWITVARMGEISGEKGSTTATGSTGGFWTGLWSPSGQTVVCLGRTGSWRLWDHDITTDRWV
QGVGISGHTQSVAGIAWSKEGDYLLSTSSDQTTRLHAKWKRDDLVSWHEMARPQIHGYDLNCIDSLGASKFVSGADEKLLRVFNEPKAVANMLSSLC
GFSGSHVEDMPDAANMPVLGLSNKAIEALGDDEDLPQSQPNSKDRNAPDPASIVRKSTLSLAHPPLEDQLSRHTLWPEIEKLYGHGYEISALIASHD
GKLVATACKATSIDHAVIRIFETEGWHEIKPPLTAHSLTIARLRFSSDDRFLLSVGRDRQWAVFEREENHGSAYKLKESNLKGHSRMILDAAWGPMG
GKVFATAGRDKQVKIWTGEQQNTTTDSSPSPGAGGYTLRSTITEDGPVTAIDFMDTCLPNGQAYLAVGTELGHVRVYLVDMQEAFSVTDLQVEYSSP
YPYSSKAVTQLAWKPAGALSSTGKVGIELAVASEDSSLRVYSIKVDSGAK
>RCO7_05135 | related to ATP-binding cassette (ABC) transporter
MAQPTQYIDQSGAPQITVNNLSYTFPDRSLGLHNLTISLPPSSRTLLIGANGAGKTTFLRLLSGKRLAPSGTISVGGLDPFKDGLEGVTYLGLEWVL
NPIVRTDIGVRELLQSVGGDHYSDRKDELVQVLDIDLDWRMHAVSDGERRRVQLAMGLIRPWRILLLDEITVDLDLLSRSNFLAFLKKETETRKCTI
VYATHILDNLAQWPTHLVHMSLGKVKEWGGIETFQLEGRGTDTGNSRLGELVLGWLKDDFRERGPRNMSKTSEGTSYLTAGIGGYGAENFDKMSK
>RCO7_05134 | uncharacterized protein
MASPRPDAPLQELTSISQLLHLTHHRNKNQHRLAKWWKAFSVLRRQVGRLVAEVETLERAVKFSSGASLGEKSRKKGRGKQLEKEEESKYVTGAREA
VEERVGFMKEAFSNVIADNQYAALGLMIMATLARVQTLLKSLDKESESESENGDPDLPPSAAKGLDAESVDIARGTDLGEVVSREDVVDMEEDDGVD
IKRLKKKKKKRERVEDEGEAESAAGVAATPAKRPKKKRKKGDAFDDLFAGLI
>RCO7_05133 | probable GPI ethanolamine phosphate transferase 3
MASRTSTLLLLAANILVPIAISIFASGFFPYKPFLPGLAQYETLEYGPPPEAPFDRVIFMVVDALRSDFVYSNSSGFLFTQSLIQNGEAIPFTAHAT
SPTITMPRIKAITTGSTPSFLDLILNFAESDTSSTLATQDTWLAQMKAKGTGKMIMYGDDTWLKLFPETFDRADGTSSFFVTVSRDPVIIRRRVPEN
ILVQDFTEVDNNVTRHVPEELRNDDWNTMVLHYLGLDHIGHKTGPRGPNMIPKQHEMDGIVKLIYEAMTNKQHLQSTLLVLAGDHGMNDAGNHGGSA
PGETSPALVFIAPKLRSINSGHVSPAEFQEDFHYYFKVEQSDIAPTLGSLLGFPAPRNNLGAMIPNFLPFWPKKSDQVQILSRNARQILGVVTAAFP
SFKGASHSNNCKDLSEDIDQLACQWKIIDETEPSLKDNDYDIDEWIQITTKWLKDAQDIMSGTASNYDVRKLASGQATSTVALLLGLAAAFPTLSKS
FKESIPILLISLLYGIMMFASSYVEEEQHFWFWATSAWLVLLWVKCARKKSQNTVFLAASSILVLIVARFGRRWNQTGQKWAGEPDIARTFFSEHRL
TLWAFVGLTYLWILQSLTSRAFHRFPQVAAAGISTALVTAALTFKLAFTNEDSPELMAGIVKYMADSEAGAGASLIGRARFAIIAIGIVLIYTIGSG
FGHEKRPNPTMRTIHDLLTLFLVTQSRATNIPLILLFEIQFYLLNDIDLTLVEISTTSLLLQYMSFFAFGGSNAISSIDLSSAYNGVSGYNALAVGI
LTFASNWTGPIFWTSATTIMLLRFRRKSVGLKGSEDRKNILQQHLSLRTVFVTSSLVFVMAACTLLRTHLFIWTVFSPKYLYSMAWSIGQHLGVNVG
LGGLLYWLGTMYE
>RCO7_05132 | uncharacterized protein
MAKGSRASTKKANNAKLKSRVFGPVETDRTARLSAKLMALAAQPKTKKDVEMEEEEVEEEDVAPEEKAVPVAVESKQTEAMEVDGNSAKVNSKSGKG
EIKRRVSKRRSAIVFPKYNERSKVSKKQKKGKK
>RCO7_05131 | related to E3 SUMO-protein ligase pli1
MASMGAGYLDVEPLVRQVKYGGYVNKLLQNICASEGLSKLGVKADLQQRIIDKLQHYVKTKNTPAYQRLKSMIEHPSTILPQAGMASASSSVAGTPV
PPSPYLGLNGPYNTGGGASGFRPLGHPRIEFKSSPYFDIQEQIGNPSACEVMTQHRHTVKMIIRPQDYPILSKASSDETLRVMVFCAGETAGRQDIS
FPHQSEIKVNGGEVKANLRGLKNKPGSTRPVDITKELRFNPQAYSNSVEMTYALTNKKFYLIIYVVKAVLVADLVQKLSTGKRISEAAVLEDMRSKA
RDTDIVATASALSLKCPLSTLRIDLPCRSIACRHNQCFDATSYLQLQEQGPTWLCPICNNPAPFEHLAVDEYVQNILKQTSKSIDQVIIQPDGKWEL
NARKKDNPQPSRPSDGVASDSDDDLVEITKSGDNVRMGTPRVAPSLPTNGTPSHQSREQSSSSSVPARDSLGSTSGKRPISAVIDLTSSGDEEDEPI
ARQPKRQFTGNGYGAPSASTPVYRPPPPPSLTYPSR
>RCO7_05130 | related to serine protease
MRFSVLVLAIGFAAIAQSVAVPKSHVLHEKRDSTNYHQWVRRGKISPSAILPVRIGLKQQNLENGHDYLLDISHPDSPMYGKHWTSEEVIQKFAPEQ
KTVDAVTEWLTDSGVDAKRIIHSDNRGWLAFDATTEEAEGLLHTKYHIYEHESEGHMTAACESYHLPKNIQDHIDYITPGVKLFAPKKRYLSSRTIN
GQPSHSIKIDKNEGFPATAAGELSRCDRWITPGCIRALYSVPSKPEYFNNTPRTDNALGIFESGDAYAQQDINSFFANFTRYIPQGTHPNLASIDGG
EAPEQQASAGGGESALDLELAYPLIWPQNITLYQTDDWYWSTFAYVGGGFNTFLDALDGSYCTYSAFGQTGNDPDLDPIYPNTFVKSGYQGQLMCGV
YKPANVISVSYGGQEADVPEYYQRRQCDEFMKLGLQGVSLIWSSGDSGVAGPTSRSDPSGCLGSEATVFNPTWPNNCPYITNVGATKVYPGHTVWDP
EPESACNDLKDAPYSTAYSSGGGFSNFYPAPDYQKNALQSYFEKHAPAHKSYDGKENFDTGGGIYNRLGRGIPDVSANGDNIPVYSGDDFARAGGTS
ASAPIFASLINRINEKRLNAGKSVLGFLNPALYANPSMLNDIRNGTNPGCGTEGFSAVEGWDPVTGLGTPNYKKMLEYFMGLS
>RCO7_05129 | related to methyltransferase
MVPMNRGQGRVTAPDHSSDHSSDHYSPTREAEEPLLLDDIEIDSDMDAHGDESLEDLCHFRSRGGARTLYHQPLSESDTLNSTQSLYDTDVEYVTLH
DRRYCENYNMPNDDAEQGRMQLLNSVLLDILDGHLTLAPLRNPTKILDIGTGTGDWTIAMAEMYPNTNCIGTDIAKIQPTSVPSNVNFEIDDAEYEG

GWTWPEDTFNLVHLRNMAGAFRDWSHIYREAFRTIKPGGYIEVIDSYVSQLSTLFLHDPRACRWFKTVSEAAKKAGRHISTDHLETSVLAAAGFTDI
SVTTKKIPLGSWPSDSKESKTSAHFHRVLRDGIEAISLRLFTEQLEMQPEAVRALCKDVSRSLRALIQDPQKSKGLSMDVQVLVARKPGGGELELPE
DENAMGDSMRTVPNDYSKGETVPLR

>RCO7_05128 | dTDP-D-glucose 4,6-dehydratase

MTTHGGQAPSAEQNKFFEDFGVWKDAPVLTGSTKYEPLPDVKNIMITGGAGFIACWLVRHLTLTYPDAYNIVSFDKLDYCASLNNTRVLNDKRNFSF
YHGDITNPSEVMDCLERHKIDTIFHFAAQSHVDLSFGNSYAFTHTNVYGTHVLLESAKKVGIKKFIHISTDEVYGEVRDDADDLLETSILAPTNPYA
ASKAAAEMLVHSYQKSFKLPVIIVRSNNVYGPHQYPEKIIPKFSLLLHRKQAVVLHGDGTPTRRYLFAGDAADAFDTILHKGQMDQIYNVGSYDEIS
NLTLCSKLLTYLDIPHSTQEELHKWVKHTVDRPFNDHRYAVDGSKLRKLGWEQKTSFSDGMAITVDWYKRFGEKWWGDITKVLTPFPTVTGTEVNAS
TEVVEDIHEAMIVDSDDKMTLAKKRKTDA

>RCO7_05127 | uncharacterized protein

MSVTNGGSLASGIFVITRMKILIFVSLAITWTIASLIPSYKQTVKDLAKGKYHDAIEHLPAVKVDWHPKYDPKAQFNASKVALIIEGRPIPHLVPQL
LHMIAVLPTDWRFMFIGTNKSVVTVSRSFATQFQEANGKLDLVIAPKPWKLDSKEDVYRMLTDIRFYEEFLPDVEWLMRFESDSIMCARSDDSLNDW
LHYDWAGAPRTVDDRFAGNGGLSLRRISAVKKILGFQSRYNDTEPEDEWFGKRITVLPGAKVANGKQEDHFAVEDIWHEKPMGFHVRDGGKALSDDV
WKNSDRRKGNFEYCPELAIIMPMKLERERCQGDDREGEIKAEEQ

>RCO7_05126 | probable serine-tRNA ligase, cytosolic

MVTTNPKQRKIAIVGSRSVGKSSLTVQFVDGHFVESYYPTIENTFSKVIKVKGVEYATEIVDTAGQDEYSILSSKHFIGIHGYIFVYSVASSQSFEM
VQVIRDKILNQLGIEWIPCVLVGNKSDLRPDQRQVSVEQGKVLAAKFNCAYTEASARYNENVGKAFEQMIGQIEKVQNPTDTSDGGKCMVIASSAVI
PKEDIQIINTTRILCQIPLERTERINIMLDVLDFIKEKGGNPEKIKESQRRRFAPEEVVDEVIALYEDHRATQYSATQINSKINETQKAIAVKRKAK
EDAADLMKLKTDLEKEKKSLVDSAAEKDVILRKKIGTIGNYVHDSVTVEQNEDFNSMQRDWAPEGVKVEKRDVLSHHEVLTRLDGYDPERGVKVVGH
RGYFLKKWGVFLNQALINYGLEFLDSKGYTPLQTPQFMLKEYMAKTAQLEQFDEELYKVVDGDAQNDKYLIATSEQPISAFHADEWLLSKELPIKYA
GFSSCYRREAGSHGRDAWGIFRVHQFEKIEQFILTDPEKSWEMFDEMIAVSEGFYKSLGVPYRVVAIVSGALNNAAAKKYDLEAWFPFQGEYKELVS
CSNCTDYQSRALEIRYGAKLQTEIRKKYVHALNSTLCATERALCCLLENFQTEDGFNVPEPLRKYIPGAVDFIPFTKDLPKDSTSQKTKGKGEKVPA
PAPKPKVAPATPAEAEEKLKDLKV

>RCO7_05125 | uncharacterized protein

MDGENPIECPFCGFISSSDYQIMLHLETQHPELGESPFVAKDDASIAGFVDVEASNVVGGDEEDYFYCSVSGCGEALLPVELESHLEMHEQEQGQGG
ASEYDSDDDVIRGKKSGERSQRKPGAKGDFGIRLSHALRNLDDDDDLKDGENESKITQDMYESKKNRNETRQEKTKAAWKKVLKMPQSSSKGSSPAT
KPGARRRLGRSELGPYAHEKQMPSWLVKLLEDGDGAVKTSNFLDREGIVHKHRICPNMTAGISPVLEQFLEQDEQVDYAYFCDPAVKHVSKLRREGG
FCGYRNIQMMCSYIIGAKSQGYEAFHEKVPSIFQIQEYIETAWDIGINSTCRIETGGIRGTRKYIGTPEAQAMFCSIGIACNAQALRSSRGSGPTYK
LLFRSVEAYFSDGCHNYNDKVRCTSLPPIYFQHPGHSMTIIGFERKLDGSKNLLVFDPMFHDSASVTKLIGLSFKVKKPAEHMGAYRRGVKYLKKYD
EFELLKLTPPPKMRENNNNITDEFETPTHSNGDGNQNQSG

>RCO7_05124 | related to Serine/threonine-protein kinase bur1

MATPGGSLQNNGVSSIAFALRHVRDSCSFVGCSKITDYEMLGKLGEGTFGEVHKARSKKTGAIFALKKILMHNEKDGFPITALREIKLLKLLSHPNI
LKLEEMAVEQHNKTVDKRKRAVMYMITPYMSHDLSGLLENPQVKLHETHIKCYMLQLLEGVRYLHNERILHRDMKAANLLIDNKGVLQIADFGLARH
YDEEVPVAGKGGGTAHRDYTTLVVTRWYRPPELLLHLRRYTTAIDLWGVGCVFGEMLVGKPILSGDSDPNQLKIIFDLMGTPTEENMPDFRSLPGAE
GLSIPPHPSTLAQRFKPFGSGAISLLNELLKLDWKKRINAIDALQHPYFRTAPLPARPGDLPTFEDSHELDRRKFRNQKAAPPPAPKGGTVGMGPAG
GWGGESNASYVNGDSHNGHRHQNGNRHPPPGGYRNGVAPPPPQEERRPAWARPRDDHRPDTRLPPRPPLPADYRYDGGRDTGPRDPGREPGRDGERR
DGNRSSSRDVDRPPRSRNGASIVDTYIPSYGGPDSGRPPRERDDRPPRDDRGPPREDRLRRSDHDDRRHNRDREGGRLTYDDRSRSGRTRSRSRSPV
RDHNRERIARERESLDRERERERDVYRR

>RCO7_05123 | uncharacterized protein

MAAGKHPVTLPRVRPFYRFAATGLGASMWFFLMYRAKKDGPALLGWKHPWDH

>RCO7_05122 | related to N-methyltransferase

MNYDWILDGGYLPNPVIRVGIRRQLVDRIRIIQSTSLEEEYKRKMSYVELLRKRPIAIETATANEQHYEVGTGVLAACLGPRMKYSCCLYPKGGETL
AQAEIAMLETYVKKAQLKDGMSILDLGCGWGSGALYFAEMLPNSKITAFSNSRTQKIYIDAKAKEKGLNNLTVITGDVVDYEFEKESFERVVSIELF
EHMKNYELLLAKVSRALKPSGKLFVHIFAHKSTPYDFEEGWMSTHFFSGGTMPSADLLLFFQKDLKLETQWWVSGKNYAKTCEDWLSTMTANKKQIW
PHLTETYGEKDTAMWYYRWQIFYMACAELFAFEGGDTWGVTHYLFEKPAA

>RCO7_05121 | related to cation translocating ATPases

MATDEMFAGPMGESVPTSISSFAHRRGRADSTTSFAYYPDDVEEENLPPSEDDSAILDDDEDLHFEEEDGSTDLEADEISVRRRRSSSGARSRNSVH
DRLLRSDSARTEGSVLGRGHRTSQKIYIVTEDLTIVVAGFQTSTVGFAMYFTICLLTFGLGYLLLRWLPRWQVRLVGSPCPLRDCTWVVIENQWGEF
VVQDIESKEYGRPLSTIFGASQSKYVVSYDEDDDPIIEELRIVDYRYMRFSFHPLKDKFMLCNSWKDPTWTDVKAIRAGIDGDEKESRELVFGKNAI
DIKQKTIPQLLLDEAFHPFYVFQIASLLLWSVDEYYYYAGCIFLISVVSITTTLIETRSTMKRLREISSFDCDIRVLRNGFWRYVPSSELVPGDVYE
VTDPALTQFPCDSILLAGDCIVNESMLTGESVPVSKVPASDESLAALNLAASSVAPELARNFLFCGTKIIRARRPQDDKDDEAVGLAMTVRTGFNTT
KGALVRSMLFPKPSGFKFYRDSFRYIFVMGGIAMLGFVASFVNFVRLDLAWHLIFVRALDLITIVVPPALPATLTIGTNFALTRLRKKQIFCISPQR
VNVGGKIDIMCFDKTGTLTEDGLDVLGIRVAQKPANRFSEILSDALALLPGAAYERDPTIDYNSHKAALYTMATCHSLRVVDGELMGDPLDLKMFEF
TGWSFEEGEQKGGDVDDEESGGLSPSIAKPPPGMEYDLDDNENPQSASRSPIELGVLKAFEFVSQLRRASVIVRNFGSPGCDIYVKGAPECMKDICK
SESFPSDYEDLLSYYTHRGFRVIAVATKHINKLNWVKVQKMKREEAESELNFTGFIIFENKLKPSTAGVLDELTEAGIRKVMCTGDNILTAISVARE
CNLIDKTAHCFVPHFSEGDFQDPKSVLKWESIDNNIFTLDENTLIPLPPPAEGDASLPYDISNLRNYSLAVSGDVFRWIIDFAPPEVLQRMLVCGQV
FARMSPDEKHELVEKLQSIDYCCGFCGDGANDCGALTAADVGISLSEAEASVAAPFTSRVFDITCVPEVIREGRAALVTSFSCFKYMSLYSAIQFTS
VSFLYASASNLGDFQFLFIDLLLILPIAIFMGWTGPFPVLCQKRPTANLVSRKVLTPLLGQIAVCILIQAVAFQAVRRQPWFIPPHLDKTRSNIENS
ENTTLFLVSCFEYTLSGIVMSVGPPFRQSMSHNLPFVVTIVVALLVASYLLFDPSAGVAKFMQLTEMDWDFKTFILSLGIWYIAIAWTAEHYIFPRL
AKYLGAVKTFVSGKPKKRKAYKIVLEGMRSVQ

>RCO7_05120 | probable nucleosome assembly protein

MSEIPKKQTQTAPTPQNTPANNAPISSHAQQPGVGTIKEEEGFDRAAAASIFAQNPKLVQMIQGKLGSLVGRSSGYVESLPAPVRRRVAGLKGVQKE
HSKLEAEFQEEVLELEKKYFAKFTPLYQKRATIINGTAEPTEAEIKAGEEDDEDVNDEPVEKSEDTSDLKGIPEFWLSAMKNQVSLAEMITDRDETA
LKDLTDVRMEYLDKPGFRLIFEFAENEFFTNKTITKTYFYQTESGYGGDFIYDHAEGDKIDWKAGKDLTVRVESKKQRNKNTKQTRVVKKTVPTESF

FNFFSPPLAPTEEDDDDAASDIEERLELDYQLGEDIKEKLIPRAIDWFTGEALQFEELDDDMEEGDFEDEDDEEDDVSDDHDEEEESDDDDDAAKPK
QEAAECKQS
>RCO7_05119 | probable myosin MYO2
MAHNYDIGTKAWQPDVTEGWVASEVTSKSEEGVKIVLIFTLANGETKKVETTEEELAEATNPKLPPLMNPTMLEASDDLTNLSHLNEPAVLQAIRLR
YSQKEIYTYSGIVLIATNPFARVDSLYVPGMVQVYAGKQRATQAPHLFAIAEEAFADMLRSGKNQTVVVSGESGAGKTVSAKYIMRYFATRESPDQP
GSRKRGMEAMSETEEQILATNPIMEAFGNAKTTRNDNSSRFGKYIEIMFDEKTAIIGAKIRTYLLERSRLVFQPLKERNYHIFYQLVAGVSDKERQE
LELEPVENFNYLNQGSAPVIDGVDDKAEFEALKKSLSTIGVSSSQQSEVFKLLAALLHLGNVNITASRTDSVLASTEPSLIKAASILGVDAVEFAKW
TVKKQLITRGEKITSNLTQQQAIVVRDSVAKFIYSSLFDWLVEIINGALATEQVISRVKSFIGVLDIYGFEHFAKNSFEQFCINYANEKLQQEFNAH
VFKLEQEEYLREEIDWTFIDFSDNQPCIDLIEGKLGILSLLDEESRLPMGSDEQFVNKLHHNYAADKNRFYKKPRFGKSAFTVCHYAVDVTYESDGF
IDKNRDTVPDEHMAVLKASSNQFLGQVLDAASAVREKDSASAASASVKPAAGRRLGVAVNRKPTLGGIFKSSLIELMHTINNTDVHYIRCLKPNESK
ESWVFEGPMVLSQLRACGVLETVRISCAGYPTRWTYEEFALRYYMLVPSVSWTSEIRDMANKILTKALGASRGGGLDKYQLGLTKIFFRAGMLAFLE
NLRTTRLNDCAIMIQKNLKAKYYRRKYLEARNAILLFQSVTRAHLARKHAQETRKIKAATTIQRVWRGQKQRKSFLAIRNNLILAQAAAKGFLRRRE
IMETRVGNAAVLIQRAWRSRQQMKSWRQYRRKVVIIQSLWRGKQARQGYKKVREEARDLKQISYKLENKVVELTQSLGTMKRENKTLVSQVENYESQ
IKSWKTRHNALEARSKELQSEANQAGITAARLAAMEDEMKKLQTNFDESAANIKRLQEEEKELRETLRVSTNELEETKRKSQVHEAEKDTLRQQLID
LQDQLEMAKRIVPIMPTNGELNNGASTQVPSNGLINLVSSKKPKRRSAGAETREMDRFSAAYNPRPVSMAVTGSNLHRANLPGTAFTPGVDNVEFEL
ENLLADEDGLNDEVTMGLIRNLKIPAPQTTPPPTDKEVLFPSYLINLVTSEMWNNGFVKESERFLANVMQSIQQEVMQHDGEEAINPGAFWLSNVHE
MLSFVFLAEDWYEAQKTDNYEYDRLLEIVKHDLESLEFNIYHTWMKVLKKKLQKMIIPAIIESQSLPGFVTNESNRFLGKLLQSNSAPAFSMDNLLS
LLNNVFKAMKAYYLEDSIITQTITELLRLVGVTAFNDLLMRRNFLSWKRGLQINYNITRIEEWCKSHDMPEGTLQLEHLMQATKLLQLKKATLNDIE
IIQDICWMLSPNQIQKLLNQYLVADYEQPINGEIMKAVASRVTEKSDVLLLTAVDMDDSGPYEIAEPRVITALETYTPSWLQTPRLKRLAEIVSAQA
IAQQEKLDYPLDDGNDLTDSELNGS
>RCO7_05118 | probable POS9-activating factor FAP7
MRNRPNIIVTGTPGVGKTTHCESLAQSTGLKHLSINDIVKERGCHDGYDEKFGSWIVDEDKLLDAIEDEVKQGGYIIDWHACDLFPKSWIDLVVVLR
VDSTLLYDRLKARDYPEAKLQENLDSEIMEVLLQEARDSYDEEIVVELTSNSTNEMESNIERLEGWIKQWRKDHVKEA
>RCO7_05117 | probable inosine triphosphate pyrophosphatase
MAPKTLNFITGNKNKLAEVKVILGDAVDLQSQALDLVEIQGTIEEISADKCRRAAAAVSGPVLVEDTCLCFNALKELPGPYIKWFLEALGHEGLNNM
LAGFPDKSAQAVCTFAYSEGPGHEPIIFQGRTDGNIVPARGPTNFGWDPIFEYEGKTYAEMDKVEKNKISHRFRALEKLQKWLSESS
>RCO7_05116 | uncharacterized protein
MDDFYKPLTSTDTLPLGLLSKLWHSIPIPPALLATLLLGPLLIFLTAQILLIRAPEDPEKEDKGTEDNLWMIPFQPVPWPVQESGLNACNHLILSEP
HQSVVLESVIENLQRNIPQMISFISTPIDHQPWEQHAQAHFISSSTTEINLVSLLRDMTSHALIPAVFGYALLEKHPGVLHDMYDMNAGRPYLLRKL
PAWTPWPGVVKAHMARFRVWRCLDELQRVLDSTVEGKESDASWGDLEDVSEFAWKRNAVYREHGFEVKERADIIILHSLLTSPTLLPIWQILHILST
PDILPLIRTEIASYATVTKPFSIGTISEAPKLVLDLEGLVKTCPLLRSTFLETLRLVAPGWNGVNAGTGEEKGNVEIAFPETFDAKRFVTSTLRSST
ATEGGGCGEVSESYSFIEQTNLALVAGILAFWDFEPADKSTGWIFPEKLRRGGIAMPICDVRVLVRRRSFEWTN
>RCO7_05115 | related to SIP2 - dominant suppressor of some ts mutations in RPO21 and PRP4
MGNNPSANSKSHSASASSSSNSPSPSPSNGNHESSSRPPSTRRDPRNLIQAQRAQAEPSLAQARGTTAHRPRNSQSRTRSQVQSHTAPQQVSSSQNN
NTPSPYKYSSEPQMGVQQSKEEIKVESTYEPSKPVNVPVSAPNVDVTSSRSYSQSIEPSGPPATQDMSYHLTRPPRLPLPIEEEVHAPGSPMLAPAD
MDVPVLDVESLDHEPLGRRTSALSTSTVDEEDAEELRIDKDKATVPTAIEWQIQNDEQKVYVTGTIFQWNKKYRLHPINGRPGVLRSVIHVKPGTHH
IRFIVDGVMTCSKNIPTTVDFGNNLVNYIEVSADDIPLHTPATAIGIGTPVAEFDPEAKETLNDDSKASEEEVDPKLPKVPKTKPVLPPGRYSSQVP
QYLLDLDKAEDSSAYQYAAAAIEKLPTPPSLPGFLGKPLLNAATPMKDDNSVLIMPNHTVLNHLATSSIKNNVLAVSATTRYKRKYVTTIMYKPTGE
D
>RCO7_05114 | uncharacterized protein
MTWLSVLTGAFYYTSLPIATVFWLTIACLLPFINLASYILSWILLPMTFLAKFETLFIYLGAAAAIGLVTGSMLHFTSNLLVSVLNLTAVPVETGRS
AASIRADREKKKHDQAWDRIPTKNETGLLRNDPEMEKFAEWLEKGDQGLLGQTILEEDDSDDLDGF
>RCO7_05113 | O-sialoglycoprotein endopeptidase
MIAIGLEGSANKLGVGIIAHPPNGKPALILSNIRHTFVSPPGEGFLPKDTAKHHRSWVVKLVKQAMSQAGVTIKDIDCICYTKGPGMGAPLQSVAVA
ARMLSLLWEKELVGVNHCVGHIEMGREITGAQNPVVLYVSGGNTQVIAYAEQRYRIFGEALDIAVGNCLDRFARTLEISNDPAPGYNIEQLAKKGKV
LLDLPYAVKGMDCSFAGILSSIDILAAELKANPEQKDPISGEVVTTADLCFSLQETVYAMLVEITERAMAHVGSKQVLIVGGVGCNERLQEMMGLMA
TDRGGSVFATDERFCIDNGIMIAHAGLLAYETGFRTSLEDSTCTQRFRTDEVFVKWRD
>RCO7_05112 | related to RMS1 - regulatory protein
MEGDEFESKTQAFLTWLTSMGVVLNPKVVLLDLRSTGQGRGVGALADIEEDEVLFTIPRSAVLNTTTALGLCDISTTPTILEMPSWLALTAIILAEG
RRQESKWAPYLALLPRELDSLVFWSDEELKELQASTVVDKIGRATAEDMFTQHISPLKLDNGDVEMCHRVASIIMAYAFDIPEKASQDGPEGTEEGD
DLVSDDGEDEKTTLSMIPLADMLNADATRNNARLCCDNEDLEMRSIKPIMKGDEIFNDYGQLPQSDLLRRYGYTTDNYALYDVAEISTHAILFLLSK
KIQLHSAGTMQPLSPEQIERRVELARREGVYEDSYDICHPGPDCPSIPDELLGLLYLLLLDEANLVTIEMSYESLPSRFKLVTNLVGQVSAMVLESR
MKDYSTTAEDDRAIWEAGNLSKRQAMAVQVRLGEKSVLARAVQETRTFIGSDKKMRLKQNCSNTGTKLQIGKGKRKVNEDAGGRKKGRFM
>RCO7_05111 | related to YMR164c and Gal11p
MASKQRQSRLRKLGKNTPQIVLKESDFEREEYLSLLNVYAGGPSGVDAGEEKEYHLQAALKAATNSNAKEAEEIPAPPAEECKDIDYESLYSLLYHK
PATYIRTSQTVEECTGVQYNMTTEDDVFLKAYNQKKPQGGKCSEDDFEKLMEIFEDKHDSDIPFASVDGTILPFDDMKTLIAMRFAGRALPCAKDVF
DFWKGRRQAADNHPLQPKLKEEVDQNKDDSDPYVCFRRRDVRQTRKTRARDTQSVEKLKKLRRELEEANWLVTTAHDREVTKQQFVQLERNIFMERA
KVKEAKIRLGIKTDDDDLLVNQRPQKRKIADFSQPPRLPGSQVRFPGNRPESKALDVDILLLSDVMAQKENTLQTEIEEKAQQHRNWNQGHVDLTRE
PLSPAHGQGSDMGFRPATAQYQYLMTPPSSVTSESFDHPSPAQEKQEAFFFRSESPPPEDELRGQPAYRRRIGRAGRLWIDRRGMTAPQKVLDTDTS
DRWKYDQDDDDEQPVYEMDPYDTKALQFRATIPMLAHTNPQTQRPRQDERTVQHAGTTAVSSPNTAAVTGQTVTAQAQPQAVT
>RCO7_05110 | calcineurin regulatory subunit B
MGNASSAMLENIVQGSNFDRDEVERIRKRFMKLDKDNSGTIERDEFLSLPQISSNPLATRMIAIFDEDGGGDVDFQEFVSGLSAFSSKGNKEQKLRF
AFKVYDIDRDGFISNGELFIVLKMMVGSNLKDQQLQQIVDKTIMEADLDRDGKISFKEFTRMVENTDVSMSMTLDQF
>RCO7_05109 | uncharacterized protein

MDDNNRRRRPNEPHGGSDPRFNADQSHGRGFPGASAERYRPVPLSTSPSTGRGTAGASAYSGYYSETAPSFTAPLASNPLQYQSGYAPDQRQQQTFN
GYAPNISDMYGVGQQTTQGTVYDTASQFQSRQPAAMQMLSDVPPSNGYFPSEQNNTPGPPSLQHHASSGSPAVYSQNHSPADRSVPLLQPGYPTSMG
MGAMNQSAPDLMDEDFQEGPGMEQAYTAYQTALKQIFQNIINGRLSEAATSLLEVSEWLLQHVGDLGLTVDEVALHSDRIRLWGEFNTAWLSIFQKQ
KDMLEAGQHLHLQHGQSLMTQNFINKMAKDLIRMGDAVEKHGLVDYQYGVAEEQIMMILTDCLDFQETIENPGIGRAHP

>RCO7_05108 | related to 40S ribosomal protein S9, mitochondrial precursor
MKAAWLSLCEALRSVSRPTSSSAPLRKAVLGASTQQYTTSARLHAGIAAPEIKFGGGRGEGEEAPFYARLVPSSPSYFTAQPIFIDDLLTLQSLVQR
HSKLPTVKAGEAPRVAWRSLVDYRNMVGEAVKASKYHKIVELLQRLNAIHPSLKPDEVKAAIDEYKKDVNPFQNNTKVIPIDDLGRAMGAGRRKSST
ARAWVVEGTGEVLINGKTLAEAFGRIHDRESAIWPLKATDRMDKYNVWALVSGGGTTGQAEALTLAVSKALLAHEPDLKPALRRAGCVTRDPRRVER
KKPGHVKARKMPAWVKR

>RCO7_05107 | probable translation elongation factor eEF-1, gamma chain
MAPFGKLYTYPGNPRSTAIRAVAKANNVDIEIVETEPAKGVSEEYLKINKLGKVPTFVGADGYTLHECIAIAIYITSQNEKTTLLGKTKQDYAAILK
WMSFFNSEILPTLGGWFRPLTGRDPYNKKNVDESSKAALKAISVVEDHLQNNTYLAGERITLADLFAAGIISRGFQFFFDKTWRSANPNVTRWYETV
YNQPIYSAVVDKLSFIDEAIKNQAPKKPEQPKKETAPKAAPKPKAKAVEEDEEEEVQEAPKAKHPLEALAKPTIPLDEWKRQYSNSDTPVALKWFWE
NFNAEDYSIWKVDYKYNEELTQVFMTSNLITGFFTRLEGSRKYIFGCASVYGVKDDSVIKGAFVIRGQEAIPAFEVAPDFESYEFTKLDPTKDEDKE
FVNDQWTWEQPVIVNGKEYPWADGKVFK

>RCO7_05106 | uncharacterized protein
MNPKADSFQPTPPAAQKPNKSKSMNEIEAVTQSLKSVSLKKSQDPKKAAKPSQDPTPPRPHPPIYPQRNRKDTDPRRTGTEPRWTPGRKSNRSSSRR
DMITPPSTASGGVPEPTAAYVAASLEPFQHLSQAQHLLVVIDLNGTLLFRPNKRQPSKFVARPNTTKFLRYCIDTFNVVIWSSARPDNVKLMCDAIL
DRDLRNKVVDIWGRDKFGLSPVDYDARTQCYKRLTMLWDDPVVARSHPAYETGGRWDHRNTVLVDDSPEKGRSEPFNMISIPEFSGDERELGQILPQ
VHDYLNRLSVHSNVAAYGRAHPFKAATIAAAAPPVHYNTTASGGERAAICIGYLVG

>RCO7_05105 | related to rRNA biogenesis protein rrp36
MSSIKRKAPEGILQRRVRPRRESSLELEDTREEELVEKTDEEDKEGQASENSDDGGESDSGDSEDSEEEVVDNAASISFGALAKAQALLEPGRKKIT
KSNLRDTWEDNEAVERKAGRRDHRDFNRSSKHAPTEISSKKAVSRKREVIPVIKRVYRDPRFETIGGPFDESKFSKAYAFLDDYREDEMKEIRTAIK
STKDEEAKEKLKRALLSMESKKKAQLRRNKEQEILDRHRKEEKELVKQGKQPFYLKKAEQKKRVLLDTFGELEGKQLDHVIERRRKKMEGKEKKKMP
YARRNVE

>RCO7_05104 | probable abc1 protein precursor
MAGKRLLDFAALFNASRGIAQKHVALRSRQLEVYNRTSTLARAVRSQTDRVTETVKAASLLASRLNEDAPVWTSDRPSRTPRRGEAVAGSESTAESS
KIQPGIEIDQDHLHNESSANSAVDAPPNEKLDIKQESASRYPLPGGTIPLEDADLNESPLDPDVVSTRPQGEPAKKPLRGGEIAPVSSSASPIAVPG
EKPSSTGAEASGKGSEQIPFKTVDALDGSVKGLLENGLVEDSFYGKLTHTSPTFSSLPRVQVPSHTSNIQGDPHLARTEIDSDSFYSASTETGTEEA
IPDGVNTDLFYSPRVATLLGGGTHGRRKSYEKKENLTRISNEQVKAGKETGYGRVDTNQSPPISDTKSFSPEPASQSEKIDEDNGELAESTAEDTAA
PASPHELRESKVPSSRLGRLWNYGGLAAGMVGGAISESIRRVGGGGSGGSYMLSAGNMDRLVTKLSRMRGAALKLGQVISFQDSKMLPEPIRQVLQR
VQDRADYMPPSQRDSVLTANLGADWRDMFSSFDEKPLAAASIGQVHSAVLKSSGDRVAVKVQYPGVADSIDSDLSNLSLLLTASRLLPKGLFLDRTI
ANARTELAWECDYIREAECGRRFESLLADEKDVFRVPKVFSEASGKQVLTMEFMDGMGVTRVQSITQEQKDWIGTQILRLCLREITEFRFMQTDPNW
TNFLYNAKINKLELLDFGASREYPEFFITRYTQLLTAASRSDRDTVQALSVELGYLTGQESKAMLDAHITSILTLAEPFLDSSPEVYDFKNQTITDR
VKELIPLMIRERLAPPPEETYSLHRKLSGAFLLCARLGSRVRCRELFENSMKKANLL

>RCO7_05103 | related to nuclear protein ES2
MEALKSSALVRRSTDTDTELMPPPPPKRIKRPKNVIDEESYTDAISEIIARDFFPGLLETETQQEYLDALDSKDANWISTAGRRLTQVMTPGRKRGR
RGTSIKTPSRASDTPRTFAGHTPMSVVSDVSISTHASAVPEVDTNMSLDKFQSLYTSEDNESFYKLLDKQNQKRAEKYAWMWSANNKLPSRMMLKQK
EIETKLLTLRSSLVDDGGKRDRLAIADANEKPARPDSWKSRPDNNLMFSLESVEDSIETVAQKSQNESRAAPRAVVYSNTRMPAIELAQQESSIPAS
PSMSAVKDAIAGRRQACDMESGIAGNETPRVNGYAFVDDEPDEEPQAIAAIIDLGKADMVRNPFIIKDHSRREDLHHRMVDKNAQSKRASLKIGMTG
KVDVTPVPKFPSSPRAGAGQLTPAAQRLWSKVGSGSSRGPSSTFGNETPHTVRTKSGLQARWTPSSK

>RCO7_05102 | phosphoprotein phosphatase (serine/threonine specific protein phosphatase)
MISSEEQAVAFKNDGNTAFAAHDWPTAIDFYTKAIELDDQKPTYFSNRAQANIKSEAYGYAIVDATKAIELDPNFVKVAVAYAAILKTKDALKDFRT
VVKKAPNDKDAKLKLAECEKIVKKVAFLQAIDPGEEPSAAEGLDLDSMAVDADYDGVRLEQEMTSDFIDDMLDRFKNGKKIHKKYVYQIILAVKKIV
YDEATMVEMEIEDDANLTVCGDTHGQFFDLMELFRLNGFPTEKHYYLFNGDFVDRGSWSTEIALLLYAYKWLRPSAFFINRGNHETDDMNRAYGFEG
ECKAKYNERTFKLFSESFSALPLATLIGKKYLVLHGGLFSDDKVTLNDIRKLNRHNQRQPGQAGLMMEMLWTDPQTEPGRGPSKRGVGMQFGPDVTK
RFCENNGLEAIIRSHEVRMEGYEEEHDGRCITVFSAPRYCDSTENKGAYINIGPDYKLEFHKFDAVPHPNIKPMAYQSGSLMSMT

>RCO7_05101 | uncharacterized protein
MPRTKRARSAEDVEEPYDLRREAQKLSSAELDRRYPKRSARTRLPSAGVDATQSESAPEDTDSNNPKSGSKKKRNPPYHMRREYGIPRVNVTKDEFL
HVRPDGLHTTKVWTNPTTATKSLMLTNVEIYRLKLLRDFNGIKWSFPGKGDGWNSVTNEACRRFKISNDEKIDAGLAGQSPTLYSKPTSKRIPEASS
KPFSRRQKLLSK

>RCO7_03259 | uncharacterized protein
MAPGSLGTINEGVKVCIDNGPDHPYDGTCYSIEDFNGDTTNFRTMKQAPPVFPIYDDEVAVVIDEFLDPINMAKLDECVSKLTIKEMREGGNAKRRC
RDNAFAKLESLLAKRGVKEVGYGGTGSVNAGAKIETIGQGGEWVRLGELPDKHEPFIFSGPLLLGASKYRRSPGSNKCRWDYEKCWKADPERCSWDY
IYTTLQLRLLSRRTCEVMVWIFLERIPDVVLDDGK

>RCO7_03260 | uncharacterized protein
MSNHSSAVSRDQPPEKSFSKTYPLSAFLNPNPPNHPADPPSFRSIATKFFKRILRKIIHSILEWITSFPLYESTIHFLYASARLIIAVVYAAASPII
AIIVKFWAAAPILLALPYLYSGLASLQVVPVAILCFLLLTAVFILIHAVFAIPRAVRFLLAHPHRPFLALLCSLVDSSTLTSELQRSPKAVHSAQVT
STQQKRSPRTINMAFLVPDNYFVHLLVFPFAIIAYNLYRAHTGTEAGTPDSSHWQNNQVTTDTPASRPSVPATSASISQPTANYRGQLSIMETGDVV
VRWIGAIKATGENSDGQRKERLSWTVEKRKVVDGRVINDN

>RCO7_03261 | uncharacterized protein
MSFEDIYRDYTISEENGSFSCPPLPTFSFPELSPDFTTENDKKNWKILGDILNKCSEQVSTLDNLVKELVSVNKRFRFISDSVKWLKLELERMCEMP
PLAFSDDVSQIDKGNDILYPDEPIQDVLAQDPSYSNDLDERVDDRSETAGSISHSDSVSAPKSVYDRKYAHVAESKFQPSETYDWSEIEDDILLLQE
VIIMNPLMAVYEILDDKPISEEDLDKLFAQSPLVNWDGTNENNLLEVLKSLTASYVEWHRSRPADPSRVENSTGIGKEDKYNCESPHKYPSPRMTDA

HEIRILELLPGSEEDPVCCQLSIEHLFDDPRYKALSYAWGSATDMKTIQLNEVNFEITPNLESALRHLRDEVEPRRLWVDALCINQADPVEKQLQVG
LMSQIYPAAEQVLCWLGPEADDSDFVIKRLQHLADTPEREESDLDSNVLSEAEQNDEERLVRGLFLLKSRQWWSRLWTCQEYAFTLNDPLIICGKQS
IPWSIFHHVARGKAMIPTTSIFPVGRSGGTGIKSSDFWDICEAVYRFDVACKLRTKQGFVGVERGASYHPIYTMAIQTQRHRCTDPRDKVYGILSFL
SGPYRTLFPPNYTQPIDLVALKYSASVLMLSKSGRIYNQLPTGSTTVSKNSWVLGIYTNLADEKSDCTIIPMIKGNPDCASTGRETQCIAVGPRLLI
RGVILELINTVTSISGDRDLNAAQAYTSLSEFRSAATTKAAEELDSTNFISRFQHLRTSDSVQEVTTYRLYNQDTFQWTPMISAKIQPTTVSHSYSA
RYGEWESEVNTGTENINLRMLVFLHNMENRALFITKSGFFGIGGDSIREGDLVAILFGFDTPMILRPQGSYFSLFGPAVVGGIMHGQLMEFVDDETS
ARQSIPIALLPHNLKPRHQFRATNDTTPPAQAPTMDLSSNNTGGIKISFVLTHLYNFTIFIFSLLFLLCYRFPKVTFFVGMLLSYIAISTILDVIVR
AFFSTPVHRFPLVLLLIFIAIAWYLHRTIKKYDNFELREAFRAAELAAAEQARFLRAEEQGSSQRGSSSSSSEDDDGHDGPRGERASLGGLDLDVWQ
GGERRRGWTPRKP

>RCO7_03262 | related to protein yneE

MADEAAPPDKSGGGNAPVHVDPVHHYDMSQNNASRRSTWTKDMANQLSGTQTPMSGGVNRMSRIEPNLEDYFVGPRNMDSHSKLPFFMRMHGSVTPR
MLLPLAMVGGWATCITCISKFVYPLKVDTLLLTVLGFVVGLALSFRSTTAYERYSDGRRAWATLSVQSRNLARNIWVHIDERPGFEKEDLLSKVTAI
NLILAFAVSLKHKLRFEPYAHYTDINSLISHLDTFALAAHKESNTIEPHHSPWKAWGIYLGIPFAESNPRKVLKRADRPLGNLPLEILTYLASYIEE
VTVNGTLKNPVIAGQIMTAVAVLTDTQSSAERVLTTPLPVGYNILISQIVLLYVYLLPFQLYNALRWITIPGTIAAAYIILGLAAIGNELENPFGND
VNDLPLDEYCRELSSELNTLTSVPAPRFSDVVRGCGGKTENKVLWPLSESGFDAWNSRSVTDIRSALKSKVLAGGAKPPSSDGSAITV

>RCO7_03263 | related to hormone-sensitive lipase

MIDHVLGRPSVQFRKIQVLAVVSFWSFYLFRGHKHGPPTLRKVSRRLSTLLTPWQTLVLTLLYLYIARNLGKLLGLECPEPLANLYTRSYFRATWVT
TAMDAGFWSAMRIRRKWLRDFASIVFTGYYLIAAEQADEKVRKIRGMVTVDHLRVSWNKGTTPYLGFLSNLLRPRFMKYPPRQIRIPRPPHSDYSEP
VKGWLFFDGPLSALKKHTKLVLDVPGGGFVAMDPRTNDDKLFAWAGKTGLPVLSLDYKKAPEFPYPYALNECFDVYSTIMASRGKCLGFSGEVMPKI
VITGDSAGGNLATGLTIMIIEARSHTRQLLGQQPLPIPDGLVLIYPGLDMNIGNWMSDEQMSLIKDRRMRKTNKTFIRQKSMQYTMAAGTPHHSEDE
DVTSPKLTSPPLASGPAPVSITLPSPQFSSAAPSLLSPPVSRKQPASEQSRSHHPEPLKTRLAMSSMISYFNDRILSPEMMRAMIILYIGPHNRPDF
SQDYLLSPILAPDSVLSEFPKTYFLTGERDPLVDDTVIFAGRIRRAKAEKYTKDQASDIRMHKEFDDRDFVEVALIPGISHGFLQFVGVFPEGWKHI
HRCSSWIEQIFATSEERELRGGTVTPGGYRSSGSAHHQRRKTAESSGDEDVGLEMSRSKGKGKQVLRKEDERRKKEILLREQLKERSDKRTKEKSGL
GLERRKSMVSLASSDDLLGRRMLGLAGPLTGMGQQAD

>RCO7_03264 | uncharacterized protein

MRLINTKTLQIESFPCFDRPEIPHYAILSHRWGADEISLQEMQSPSASLTSKLGYLKVLKCCELAASFGFEHVWIDTCCIDKSNSSELAETINSMFH
YYRDAEVCYAYLSDVPSNEDPSMIPSKFRQSSWFTRGWTLQELLAPKSVIFYGDDWKEIGMKSSLEQVIASITLIAPRALENFEKYKHKFSIAQKMA
WASARKTERLEDMAYCLMGLFGVNMPMIYGEGRNAFRRLQLELLKETNDQSIFAWKRAAGHTLAGYGQRRGLLASSPIYFNDAHNIVRRISKFQSKY
SMTNVGLEITLPFLTSQLSWVPKNSVSGAFLAVIQCSTVENAKDDFWLNTHDNGFLGIHLNLLSDGVYERIFTQALEVVDAKQVTESAIERTVYVTQ
TVIAPISQLIPSQYIHVFQRRAFPQLDHYGLTPKTERLVNWTLGNEDVKLRIGAGITTSNKGTALLFTYDAAKSACGIYVGLGHQGFYYNIVPDVTL
QDIESSKGVWRTRTPDMKAHCDRTSITLKGGRMLNFAVRPGYVDGMRARLVEVSAEGDFRLESIVAGLGILRQLVGLFPLTNDTSRAESTGLTNNGS
GQMIRPCHSLVQIDASNYAQLLRDRYSTEANRTFQPPGNHQPTPFHLPQDEHQNMRSIAERSLAICCID

>RCO7_03265 | uncharacterized protein

MRGILKNIKHKAEDYASQQMNISSNSRASNPNHTAADLTATTYSYFHSSKNNQFQAKVKSESTLGEIDHFGYVVWPVIIMIQAVSETLPTRKTHEAI
SCLQAYWNPQRHGFCAWKMYPGNEDIYYDDNAHAAQALISAFEATHEKKYLQQAKSILTDLIIPSAQKDGGVPWHTNNQNCRNACSTGPAAVAALRI
CAIQNDDRLAVFAERALRWLVATLRDPQDGLIWDSLTFKEDGSPNIKKMKWTYNTGFAIHGFALLYERSRNPEDLKMAVSLAEAALSPQNPMFDHTI
PDPQSRMYSDSSFFLHHLVDGYRVLSKHSMTERLRHEISRIATWGREFMFDPSDGLYFRGSCPYSISEESRARFNQKFGINKELAVNGQERDEQGNL
CKTLIGCASWARILHAAEGFKRQIEVC

>RCO7_03266 | related to pectinesterase precursor

MRSFLSVALLFSLVTASPHKSHKKVSVSSQAQAADHSKPPAGAIVVDPTGAVAGSFKTVQEGSNALKNGSKPLTLFIMGGTYNEQVYFPPLNVSLVV
IGQTSDPKSYESNKVTIVNNISRNNVTLNDLTATVRNWVANSKFYNINMVNNFGHSRVNGQNLALSAQATNQGYYGCQFIGYQDTILAELGTQLYAK
SKIEGVVDFIFGTSAKAWFDGVDIRTFDRGYITASGRANSSNPSWYVINQSTVDKRDHNVSDGSAFLGRPWKAYARAVFQNTHLGSNVNASGWSQWN
ATLPNTEFSFLAEFNNSGPGAEKSGRAAFARQLDAPIDITSILGASWKSSSYVDLSYMS

>RCO7_03267 | related to gEgh 16 protein

MPSVLQVLYWAPALIALSTAQGVIQSAQGPTGPASLPLQINLKENDANIINLNEITTNVVNECGRTLLGGNIDIGEQTEGQLIAKTVTSATAGSKVD
VAINQVDANGAGPYTCDLDLKGNANGFNGQTPLDVQESKAVNGIINLSVTMPNDMACIGASTGDVCTVRCFNSAVAGPFGGCFAVQQTDTDASKNSA
NTINTAQTLEGVLAQVNQNQLDLADANKGNAAAVTVDDQGVEIADALLDIDSKALATAPAAAATGAAGGNGGNGGKGRGKGNGGNKNAGAGNGNGAT
KNGGATNGNGATGNGNGNGNSNGNGNGRGNRGGNGGGNGRNNNNIRRALSFAA

>RCO7_03268 | probable acetylornithine aminotransferase, mitochondrial precursor

MSLRLSAKRAAATLRASNSSFVNGILKRNASQAAAVATNLPELIRNEIYRDASLSNPDPASDSSTTHLVNEQAPFMVKTYVRPPPMFVKGEGCYLWD
VDNRKYLDFTAGIAVNALGHCDPEMSHIIADQAKTLIHTSNLYHNQWTGALSELLVQKTLESGSMHDAQAVFICNSGTEANEAAIKFARKAGKVLDP
SGAKHEVVSFNGAFHGRTMGALSATPNPKYQKPFAPMLPGFKYGTYNDVAAINELVTEATCGVMVEPIQGEGGVIVGTEEFLIALAKRCREVGAILI
HDEIQCGLGRTGTFWAHASLPKLAHPDIICTAKALGNGFPIGATILNGNVSEKIMVGDHGTTFGGNPLGARLAHYIVSRLSDPKLLASVSVKSDIFR
KRFEALQTKYPELVTEIRGKGLHLGLQLTQDPTPIVTAARERGLLIITAGTNTLRFVPSLTITEGEIEEGMKILDEAMRVAVRGAGPAGVQVKGEVD
SPN

>RCO7_03269 | uncharacterized protein

MAGTKTKSDAESRGISGAMSGSGYHASLGLASSRKYLSEETPGKKTAQKMV

>RCO7_03270 | uncharacterized protein

MSPTLAPNTNGKFLGPTILLCVPCNAPIPPSLANGPCLIPGFPYA

>RCO7_03271 | uncharacterized protein

MFMVIYQIARQIERKRIIARQIERKGIANVTSTLRCDFARAKDVDWDSLLVRDDVVVAGRMQARNCWTVLLLGSNHYLPPIVLKVSARMTMRTTKDS
PPYLVKEQRKVALLSSVSGEHPLNIGAIAKGAQQSSSIDPHEPTPLFPPRDVNLHTRTNSSRSRASSTFADTSRFSLVIMFRFGEADTCMQLER

>RCO7_03272 | related to aldose 1-epimerase

MRSTFLASALWAVAVQATYQPINSTAAPTNSSSSSSSSTSSSSSSSASGLGPDADGKYTITGTGIRATFVAYGASISNLFLNDTSGIERDVVTGWDN

ASYYQKDLQHPYFGGVPGRYANRIQNSTFEIDGETYHILPNEHKTPEYPKGLNTLHGGPNGWDWRIWNVVAQTESSITFSLFDKDGEQGFPGDVISY
VTYSLGNMTWDFSMSAISLQKKTPIMLSSHVYWNLDGFANNETATALNHTLHLPYGGQRVGTDGILIPTGDIVANEKDGLNDFWSKPKQIGANFTNP
DLLGNCGDNCTGYDTCYLTNRIAPYHWEDVPVASLSSAWSGISLDVYTDQEAFQVYSCGGQNGSVALKSTQGLFDVADRPRVIEQYGCIVMEVEDWV
GAVNHPEWNRDSKIIFGPEDGPYVLKARYKFGLDG

>RCO7_03273 | probable H+-exporting ATPase 57K chain, vacuolar
MGDPREPSSYSVTPRIRYNTIGGVNGPLVILENVKFPRYNEIVTLTLPDGTQRSGQVLEARGDRAVVQVFEGTSGIDVKRSKVEFTGSSLKLGVSED
MLGRIFDGSGRAIDKGPKVLAEDYLDINGSPINPYSRVYPEEMISTGISAIDTMNSIARGQKIPIFSASGLPHNEIAAQICRQAGLVQKQGVTNKGT
HDGHEDNFSIVFAAMGVNLETARFFTRDFEENGSLERVTLFLNLANDPTIERIITPRLALTTAEYYAYQLEKHVLVILTDLTAYCDALREVSAAREE
VPGRRGYPGYMYTDLSTIYERAGRVEGRNGSITQIPILTMPNEDITHPIPDLTGYITEGQIFIDRQLSNRGIYPPINVLPSLSRLMKSAIGEGLTRK
DHGDVSNQLYAKYAIGRDAASMKAVVGEEALSSEDKLSLEFLEKFERTFISQSPYESRTIYESLDQAWSLLRIYPKELLNRIPGKVLAEFYQRSAAE
RKGKGKETQGSKDTKDNGDDSKANGGNQEENLIDA

>RCO7_03274 | related to O-methyltransferase
MSSTATSKWAEVSVLTKYAEKHLLTPNPHLQNALTNSFSASLPAITISPLQGQFLALQAKIIGAKNILEIGTLGGYSTLWFASTDARVTSIEISPKH
RDVALGNINSAGYGDNVDVILGAALEVMPKLKQEGRVFDFVFIDADWGEQWECFEHAVALTRQGGVVYVDNVVRELFEEGGFGYEERETLVSKVGKM
EGVSATVISTVSGWKGNAEDMVDGFLLAVVQ

>RCO7_03275 | related to sterol glucosyltransferase
MSLDSEYTLVSGIDHENEYFHAKARICDDGRVSIHLRDRASKLTKYLEKRSRHPRGHPQIGEDLTSNNKEHENEFQPVLGKYSNIPRLNIAIHIVGS
RGDVQPFIAIGKVLMKAPYNHRVRLCTHPVFKDFVEENGLEFFSIGGDPAVLMAYMVKNPGLMPGMESLKAGDVGAQRAAIAEIIEGCWRGCIEPGN
GIGEKPDAKFTREEEIDRLFIADTIIANPPSYAHIHCSEKLGIPLHMMFTMPWSPTQHFPHPLASLDRNESDPGFANYISYTMMELIAWQGLSDVIN
GFRVKTLQLDPISPLWGHMLLSRMKVPFTYIWSSALIPKPLDWESHINISGFAFLDQSSAYKPPDDLMAFLNAGAPPVYIGFGSIVVDRPNDLTKMI
FGAVKRAGVRALVSKGWGGIGAGDVPDGVFLLGNVPHDWLFKHVSAVVHHGGAGTTAIGIAMGKPTVVVPFFGDQPFWGAMIHRAGAGPEPVPFKKM
TEETLAHSITTALGPMVQRDVQMMADKISGEDGAVDAAASFHHSVDLDSMRCLLRPDRVAHWRIKNTNVRLSSLAAAVLLDAGILKLGSHKLVRHRD
WYVDEGAGDPIAAFIAVASGTVTTTITKTVQYARGMSKALHKKPPSEKSSADEPPYIEPSTSLDYYPSHNPVQHAAHYSSAHLESLAYRLASKTLPS
TKNGKKAHRTHSLSLQQKLPNILHGCHIPVAFFYHVANGFHNAPSFFLSDDTVRRRDNITGFGSGVKVAFKEVYYGLYDGITGLVTQPYSGTKRDGP
LGFVKGVGRGIGGLALKTSAAAFGMPGYTLKGLEKQFQKRYSRGLKANLIVVRIKQGILEFERASEEEREEIRKRWVELGCDFM

>RCO7_03276 | uncharacterized protein
MKRLSEQNASWFRPPGWFTEGEEKRVTFTGEVGPPTKLWKLSFIVWMMVLNTAFQAVLTSMMWAYNRSDPPSWSSGTFIALGCRISLLAGVMMWWEK
RKIKKIRGPIVKIVDAAHGKAGEVV

>RCO7_03277 | uncharacterized protein
MSQNQYNKTWSKDASYKQDKKSGAWDKRDPPKKYGAAPASHGYAGNYNAYSGKSGGILANGEKYVPPKAKKYPEPPIHKDPKDFNFGKGNGPGSSGG
GNGGYDSDDDPF

>RCO7_03278 | probable candidate tumor suppressor DPH2L1
MEEDRAQVDLGVAVDVEEQIEEAAAAQRQPKKRFVGRRQAAEAALKNEPTGSVEESGAIQVSKPRRAPRTLNQVPPEILNDPEINAAIALLPPNYSF
EIHKTIHRIRTNESKKVALQMPEGLLLFATTISDILTQFCPGIETLIMGDVTYGACCIDDYTARALGCDLLVHYAHSCLIPVDVTTIKTLYVFVDIS
IDTSHLLATLEKNFPSGKTIAMVGTIQFNATLHGVRAPLEKAGYNLLIPQISPLSKGEILGCTSPRLTSTDGVDIILYLGDGRFHLESAMIHNPTIP
AYRYDPYSRKLSRESYDHKEMHTLRREAISTAKSAKKWGLILGSLGRQGNPHTMALIEKKLEDQGVPYINLLLSEIFPGKLAMMDDIECWVQVACPR
LSIDWGYAFPRPLLTPYEALIVLGAKEDWAKGNGGVYPMDYYGKEGLGRTREAPAITAK

>RCO7_03279 | related to metallo-beta-lactamase superfamily protein
MSPPLNLAELDSLMATIIIDNEIDVLSTTPSITQNKDRGEAKRDIPMEAICCGAHGLSVLVISLLSTKGTTTHSNLFDTGPEVSAWKRNATRLGIDL
ASIGAIQLSHWHRDHSSGMLKAFSMITAAKTQDSSPVIVDLHPSRPNYRGLTATDPLTSEKSVVLTEADPSFVEIEQDGGVVRKDDRAHTLMDGFFG
VSGEIPRVTGYEKGLKGGVEFISEEEGGEGTWTEDEQILDERFLIYKGMNLFTARSHGGVVNAARHSLALINSPITPKIPLYAILGGYHLVGEQEAN
IPQSARDLKELDPKVLLPGHCSGWRAMGEIKRNFERGVLVPCTVDARFEF

>RCO7_03280 | uncharacterized protein
MEHQHLETGLILVVGGYD

>RCO7_03281 | uncharacterized protein
MATFVQQLLLSFTNSLHLLTVTEKSSEKDRITVYDTVLDLSSENLAEGNYLNAQNKIQGLPKRSDIVVVGGGIHSLIFAIHARTLDLRNNLNAPPTT
ITILEKSSSPGYKIGESTLTVFGIWLKLIGISSPLLWRIFGPKDGLAFYYFNDKGDPEEYSTFVANGPPGDYVATLQVERKISELMLTLYAQRLGVT
VIHGAEVLLDESLVGEEDEETSVKVLSTESKKETSVDAKLLIDASGRFHRFVSKSKQRIERPEGFNTHAFWAYWECDVDEKDIPLRDYESVNTNHIC
IPEGWAWVIKLPTWEGTPLPNLVAMINHLLDLNFVNTPADSYPSTNDLIKKFNLKFRWVTSICFALRSDTIYPSNLSSYGSCEASQKFNYIVSKYAK
VAEFMSKFTLIPNLYGPGTTWYTRKNLAFRSPSVTGSNWMAVGDSTGFTNPLYSPGINANMSTSIFVAEQVREYLGSDKARKREMREKYEDFCKERT
PNLQRMNVFNYNLFRSRELGPLGPLWQYLIGTGNARFQNSKMYTLDNCAELLTAWDWGADDEAYIACADKTNLLLAGPAHEPVSAEVIEEAKSVIAK
AVKDAVATGKFKGRWSGLLRYYDDDLVFRGYEGKRDRDVLAGRCDDCGEWRMLRPDCCRCPFCGWEHSVEASTKVLYSQ

>RCO7_03282 | uncharacterized protein
MYNPKSAHNQVSSIQFHSSKSQCHAPMLLPKPVTDPIQYFKDIPWCAKILSDKSVVQVAVPDRTPLPSTESAFIRETLNTPNTVKACITFFRYIKPT
APASETGEDKKNPFLELCTFVDLNSGVNGYANTAHGGFYGVVLDEVMGTTANLQAAQGAFTASLKVDFKKPLYTPSVVLVRGKVQKKKGKQVFVNGS
VEDKDGNVLASAEGLFIMVDRDIGRWTDKTKSKL

>RCO7_03283 | uncharacterized protein
MKYFSIVAAFTSMVAISSAAAVEKRADVSVYLCNDRNFTGYCKVIKSPSGVCVPLASDFDNLVSSVGPDPGVLCYFFVNANCNSNGGAFHYGNPGVA
DLSRTPVNGPAGSTRNYEDQISSYQCFTS

>RCO7_03284 | uncharacterized protein
MSKMHLSSGLVLSVTLLNMFNLVLGAPVETRGIVGSGCFGGTGTGCVVKHHSRADGNVLGRDPEAAAEPVTEAALRETRGIVGSGCFGGTGTGCVVK
QHKRADGNLVVRNPAAAPEPQGFTIGTPCFGSKKTGCTLKQGHKREEDSDLE

>RCO7_03285 | related to MFS peptide transporter, putaitve
MAEPVLAVSDSHSDGEKSTTVVVDTDKPYPTEEEFATLPKVPGHIPWTSWTVALVEFAERFSYYGTTAVFVNFIQRPLPDGSSTGAGKIIQKSGALG

MGQRASTGLVMFNSFWSYVTPLAGAYFADQFFGRYLTIQYSICFALVGHCILIISAIPPVIVNPNAAIGVFAVGLIIMGLGTGGFKSNISPLIAEQY
KDERPYVRVNKNGKKEIVDPAVTTARIYLYFYLLINIGSLTGSLAMVYAEHYVGFWLSYLLPTMIFCICPIVLFICKKYYVHSPPTGSVMGKAAKLI
GLAFRGKWSINPRTTIKNFKHPDFWERVKPSNIAAADRPVWMTFDDAWVDEVRRGLLACKVFLWYPLYWLAYNQMTGNLVSQANTMALNGVPNDIIN
NLNPIFIIIVIPIMDFLVYPGLRKAGINFTPIKKISFGFFLSSLAMVSATVTQYYIYKLSPCGSNINARMDTEDCSAPFTVWVQVFPYGLVGLSEVM
ASITKLEYAYTKAPKNMRSTVQALALLTSALSSALSQALVGLSEDPLLVWNYGSVAVIALFGGIGFWLTFRRADRDEDRLNNLQESNWAPGTDSDVE
SREGAQVQTVDVKGGEKSAM

>RCO7_03286 | uncharacterized protein

MIPTLSKSGAEACDPTSKLPAFPLAHHPPNTGHAMSDSDPEKKPSIPAWQTAAANKSVKPEEPPAPQEPEGRETIIAQARKFLEEDEVRDASTNKKV
AFLEGKGLRSEEIQTLLGITRNTEASSTLETREARPTNSSTETSPPPPQPVYSPQNQSTPQPPIITYPEFLTSPAHPTPLITKPRLLTAFYAFSGLS
ALLYGTHTYLITPMLASLTQSRLSFASTSKTNLEKLIIQLESVVSEIPPTKDKLGYADNGSESDEDPTEMFHRDIGVQTSPGISRPTSPMDESPLLV
QMARLHVLKLSLDGLMEQTSTEGVETAELEGTMGILREYLDGMAYVQPTYNFGVGGYGGGARSGKDEDDEIGRVKKEIRGVKGVLLSARSFPGGGRL
GSGR

>RCO7_03287 | related to IES2 Protein that associates with the INO80 chromatin remodeling complex under low-salt conditions

MLSRRSKRSAAVKAKDAIKEVITDPFADRSSRARRNTNTSEHAAVAATATVSRGPASGSAKSPATMRLTVKTSSSKLREATRSSPVSTSGGVAGANA
RDPFVGGKIIEGKRARNVRKSYVLESDSEEEDEDEEMDEAGDEDAEVEDDDDEDMDAEDDLLGDEDADGDVVMETEVLPPPPVIKVSKASARGAKDV
ITVKPPVVKGKVLPVEQKEIDDASDDEELSDLDSDLGEEIEEEEGMQLGDEEDAEGEDEEIEVEEGDEEDDSLDSGGETPANGSRASTPDLNKLTKR
QRARFEESDGGHLLALPDEVQVKKHLTAEEHAMRRAEMARRRKNLSEKRNEEEKLETINKLLKKQAPKTNARRAGMNLADNPNNSSGAEGAPFKPHP
MYVRWVSNKDGNRIGVPEEWLEAPVGGVFGGSVKAASGGGRGAGMGGKLIEEVA

>RCO7_03288 | related to carboxyphosphonoenolpyruvate phosphonomutase-like protein

MSFNIPIDNSYARKLKSLHKSGSPVVFPNIFDPSSANTLISINDNNANLIKAAATASCPIAAKLNSADEDLLLPQNLSSVSQFSSTIRVAGLPLSMD
LQDGYEDQVSEAVTGAISIGAVGCNIEDSYPEEGFEDGMACLRSVEEAADRIRKVLDIAREKGVPDLVVNARTDVMCLKPNSEGLTREMMVEEAVKR
GKAYLLAGATSIFVWEIGFGILPAEEIKILVDAFQGRLAVKLGAREDDLSVKELADLGVCRISIGPSLFETGTDGFRRGAIRIQQGGKLWIQDI

>RCO7_03289 | uncharacterized protein

MSRRVKKKLIQMTFAARKRSKPHGVNKQTRLHNRVTLDICDENEEKLPIEAEETPLQEQENQRSNVSGFSLSTPQVNFRYQASQLAAIARDLHKAAK
PATNAQISFASKFFIATKMSVDDLKESEYLEDDGAKLGLERIRREITIFQHIGEVSFFLLEEVQLLNNELDVFQKIVISWVGLCRPDPLKPVFYPTE
KSRCLSLASAAKALKAYLQARKQAMGFKVWIFSRLKTLAKHADELLHESETEKSKILAVKLPTLSDTKEHFGQTGSQGEPFEYFQVAAFESDVKQPT
EIDRPENTEVSQVIHHYTLSLENERSRILNTIMSKQRTLKQIHAEVKQVRAAFNMAQLLPDLQEHVATLHNQEVEWTVEAAGVFGENLQHFGQITKD
LVQGGLVKPLAAEKQAEDELENYLKWSPDSAVLAGTNAVLKELVGLRQDMRSDLVDGES

>RCO7_03290 | uncharacterized protein

MTTYLSEKVTSLWLGSTTTLPRIFSAAECWDEEHLPSTTKLIVFTLHHIEATKKVSDRTYYVYRRSEQAPTVDPRLAIAQLVQPAESGPVVLIGLDI
IPKGVFYIPVSLAEFIEGTEEANQQLLLTPNFSFTDLHVDTSNGISSPIGKCKKLWMVFPPTVKNIGLMKRVDGQRAKLTRIGRSLEGGLVFTTNSN
EAIYLPAGCIHAVITFEGGYLIAIDFVTPLSSRPLSTIVNVSLDASGAANTFREEVMARFLVSVDYGMSCKFENLAIASWIATLENINRYAKDFPNW
KRRAIKIWDDFFMQKKGEEIICVYGDHGKGNFIAHFKEVHMWQKPRVQKRKLGDVVEGSVVEKQPTRKSKIFRIKT

>RCO7_03291 | related to C.jejuni serine protease

MQEVQQSISLRGRGSHVNPIDEIWQDTLDKTAAGVVSVKFCHTRSFDGEKAVSSEATGFVVDAERGFILTNRHVSGPNPFWGRCIFENHEEVDAHVI
FYDPVHDFGILGFDPKAIKYMHLSAISLRPDLARVAENVRLVGNDAGEKLSIQAAVISRLDRNAPEYDGDGYCDFNTNYIQAASGATGGSSGSPVIN
VFGQAVAMQAGGKDKTATDFFLPLERPLRALQCLQRGDPITRGTIQCQWKFKPFNECQGLGLTSEWEAAFRKAFPNEVGILVAERVIPEGPSDTKIK
VGDILVKLNGELIAQFKYLGEILDSSVGGTAKMLLQRRGKDVEVEIGVQDLYKITPKRLISVAGASFQDLSYQRARSYGVACKGVFLCCAGGSFDPI
PPGCTIQKIDDKATPNLDTFVAVMKDIPDQARIVVTYTNLHDPHTPQFSVLRIDRYWSEKMCQLYRDDKSGLWESTDIADAVTRRPPVPRGANFVRL
RSVAPAIADIVKSIVKVECFTPECLNGCDYMPRPSVGIVVDAELGIVLVSRATVPHGFCDISIIIADSIIVDGEVQFCHPLHNYALVKYNPKLVMAD
LQSVRLSSVDLEQGTSLYFLGFKNDNIGGPVCTKTTVTDIYNLQLNGHSEYPKIRAMNSEAIKVDTGLADECGSGIMIGDDGVVRALWLTSLHVNEE
EEDMYRYYGISTSTIIPVISRIREGEALRLRILSVEFEAVTMSTARDMKVSEDWVGRVEIANPYFHQLFKVKKRIIYNDDDSRSLLEGDIVLTLNGK
IITRLSETEIQDDNEVLKARVVRFGEELDLELDTVLADELETKRVVLFSGATLQTPHYAARLRVGKSPSEVFVSSVARGSPAAHYGLSQASFITHVN
DTKAGDLDLFLEAAMAIPDNSYFTLTTMTLSGIEQVMKMKRNDHYFQTKEWARASPKWFCRLK

>RCO7_03292 | uncharacterized protein

MNFLALRLGSLETFDQIVEAARSLQKSQMESALSEDTMKWHAVQDYLKGLTNYKYISAEVNLYLKIGQTTEFLLDGTKFDMDPKYSPSHLKNKRNIR
ALLELNSAVESWSYLSLEVALGHLMMHDHIQEVKAQNCSAAELFRAFIRVQGFRRGTSERCANYVDSSIKLLKAFAK

>RCO7_03293 | uncharacterized protein

MSPSPPPPPTDSPSTSTSALKASYSSPTNKEFAYSTPLPPLSTSSSNPLSASLFTVDKTAYLSALMQATSKMQEDINRELTKRMEEDNLKAAAVSGE
VKGGMKVDEKKEEENYGEEVVEED

>RCO7_03294 | related to PHO87 protein

MLSAFTARPIVELRQRDKFKIESILAYGDRLLVGLSTGSLRVYRVNESPEEDGNQNGSTKPDVKSDGKPASRPMSSSGPKTVEKPVDLLREVEKFST
RAIEHLAIIKESNVLISLSNSYVSIHDLGSYTLQEQLVKTKSASTFAVTSNIVKDSATGIPEIISRLAVAVKRRLLLWSWHESELEHDVLEITLSDT
IKTLTWASATKIICGMNSGYVIVDVISQEIEDIVGPGAIGGAAGAQTSRFGGVGSASMGYMGLGSYIPKPLATKLADGEMLLAKDINSLFITSEGKP
LEKRQLPWAQSPDAIGYSYPYILALQSPSQGTLEVRNPDTLSLLQNVSLPSAKQLHFPPPTVSLAHAGKGFHVASERCIWRMVSTDYDFQIDELVEK
ARYDEAISLLNMLEDALLRNKEERLREIKILKAQWLFDQRKYQDAVDIFMATDVQAPPERVIKLFPRIIAGDLTVLPEKNQDSDSESENPDACRSPE
HSAEPKSETFGSPKPAPVNKLLKAGAKTNSDTSSIRSFMRLDGSEPSDPSSTRSKPSDDLPLEGKDLTTAVLALSGFLVQARNRMKAFLDAETGKIK
PLEQNSQNGTSKHAFESLLTAPASDAEKDREQKLRDTAKLIDTTLFRAYMLARPQLAGSLFRLPNFCDPDVVNEKLLENGRFNDLVDFFHGKKLHRP
ALELLKRFGQGDGSEEGPEALKGPQRTVGYLQNLPPEMIDLILEYADWPLRQDPTLGMEIFLADTENAETLPRDKVVNFLQGIDIDLAVKYLEHVIN
ELSDLTPEFHNKLVGAYIQELKGTKDEESEDWKGLMGRLIDFLRGSKQYSLSKAFGLIPRDDPKFYEAQAVVLSNMGQHKQALEIYVFKIQNFEKAE
EYCNHIHLTSDSAGNSPLQTRRGSTTSQDDDTSIPSIYHTLLSLYLTPPAPHKPNWPPALDLLSKHGSRLPASSTLNLIPTTLPVAELESYFRGRIR
AANSIVNETRVVSGLRKSEVVSAQAELLLGDGAPNGKGGRNRRVVVSDERVCGVCHKRIGRSVFAVLPDNEVVHYGCLGRVGSKTNSGNSGLRAGSW
GRS

>RCO7_03295 | uncharacterized protein
MAIEPSAVLVGEAESSLPSTSTVVASHSSVGAHDQAQMQNQEESEAGSGSGQREPMPATSTTRTSVQPPCPTPSSSLDISPASIQQELQARGSFGSA
GHDGVTIPSPDPPSSFFSAVSNLATDTANLNIHSTVAPPTEITPQSPRAAIDCEALLPNTTQTALDSQTIVEHPISSDPTSTDSKQPVDSTIGGAAD
AEGGSNSSKKDKIILPNAATNVIQRRRNYATTNAVTDYEADLTNKDRTKQKEAVKRYLAERVKDNWKWERPQSEQQETLQPVPTLESVEKDVAWKER
DEWLSNASGDEDGMKVPMPGTTLSSHDTPTPASKKSPTPIRVESVDGPGDTVKNSLSDRKRRRKKRLADEMVWNEGLRCFTARRDAWTCARKVPRRP
GTGKNDVTITATRVSVSSGSGDGSSSRAIEPVDDDDEEWEDDTEIPVAPPILPPENAMRASILPNAYNTIYDKVVVQSLTPSCPMNLKDVTRSCVQG
WKRDGEWPPKATTPETLKKKARKMSVASLLGFREQDRERDKVNLAAAGNGNGNGHVNGTATGDVAGKDTAELEKHKKHGSGIRRGIQKILNWFNPAA
LTFQQDSPTQKPPKDGSFWKAPSMPPRGSCGPSVGVDGVAEEYDARYGETSSESEGMGVGF
>RCO7_03296 | uncharacterized protein
MSDYNMGERVNDPPYPEPLPNDNQAEEETEFNISDRLDEPTDLELLRNQDEVDEGQQLFMSERLDESPYPGLPRNRDQAPEETQFLVALNIYNINTF
ATTDCVRAIYRDPDGLYHVAPATGMTEASNHLSLIQLTPLAATYESLVSRISDLATFKIRNYQGPRIRKLTMAHAFVAWELKNPMFTAFPADDDQKV
KKMLMMVAQRGFKDVIQVHFSFD
>RCO7_03297 | uncharacterized protein
MVNSHLVNNRVLPSYRSTFALMGSEDLSLEGSAAAAALIFVA
>RCO7_03298 | uncharacterized protein
MIAPRQILLFLYPIEISRDAHSQACGSSRKSRIPAISAVAGVETWFIKSLADAGSCHRHTPRKSSPHATFFTANRPGLAERRRKSHTVSFHRHQHTE
DGAKEVTEKEDVDGGTFAFEEILPQPDLARQKINVDGWKVVTREEKWDGKRFATPRLDSEKHLYDGKVAIEEAYLRPDSTLKGLAVEDAEKGPREEE
KGEGQVHTEEPLPRPDPTRQELLALVDQYDGLPYMDQLPIIHLLPRSEHIGGAFSAAPNESQDEDLEEENPPPDYTWPPDAETKNWLDELAIHLRTH
PEADPQEIYEIYRALPEPRAPYLPPDLRGQLLHHLSVVERKNELSMLRYLSVIDDMKRNNIPLSVSEWTSAISFVASYVHRITETEVEAALQMWREM
EKVSGVKANENTFNVLFDAACKAGKFVLAEMVYKEMEARGLPANRYHHVSLIFYYGLKKNANAVRAAYIRLVEAGEIVDTVVINAVISAFILASEPV
AAEDVYEKMKRMHLGKEHANLHSRDWRKRRTVNISLKHLGRTNKNGRKSKYQSESIVAPDLQTFRILISYTAVQAGDLQSTARLLNEMKLFGLGLHH
SMFHEVFRGFAVHGGVRYSEWDEARLESVWLSLLKALDDGAEGLELTKWLIYWVLWAFGKCAGKKRALAAWDEIREKWTHRSEEDLDYVLGCLRAVL
NGPDFVARKQDWVLGM
>RCO7_03299 | related to RSM25 - mitochondrial ribosomal protein, small subunit
MRGMNLKPSRVYQTAHHLLETASISQPPPWFTTIGAIPPSEILTRTQPMQHRDVPRRSSKIRKPSKMFRPQNIVYEEDKLRMEFYSDHPWELARPRI
VLEEDGKDGQRCDWSRIEQPGRQLNGESVIQRQLWLINNAPGMTNNQAYDIARKEFYALRHEEELERKVQREEALWTGAYFGKGPVEVGMELEDKAY
ESWKKWAETEVQTMAIQRDAAYTGIDTETEDEAAVAVTAATIAGDVEDGASPL
>RCO7_03300 | related to ALG14 Essential protein required for the second step of
dolichyl-linked oligosaccharide synthesis
MILSALRLLVAALLILVPTTFLRVLYIIPSTSRRRSRPSESAVSHMVVVLGSGGHTAEMMSLLRDVDPSRYTHRTYIVSSGDGFSTDKALEIERTIQ
AKHIRSAQEQEPTNAGEMHAMTGTWDVRTVPRARKIHQPLYSTPFSSLWCFIGCLRVLVEIARTSKATPGQYPDVLITNGPATAVMVVMAAMFLKFF
TVAPTETMKTIYVESWARVKTLSLSGKVLLRMGVCDRFLVQWEALAERINGEEQGKRKKVEWVGFLVE
>RCO7_03301 | uncharacterized protein
MAEVLSHDQKTWVISERWNNRSAECLEVSAFDGFSAYIGNLPLTEKSNFSLGSYPNSSKFDRIFKDLRRLPEQHLYPAYQNKFTQFDTTTVDMWSDG
EYYFKAPSISEYNDDDAIAKLTLEEVDTNEVLKNHPHPNLGVYLGCIVHKGLIVRLAFRKYFNVLPDRVWVPNSTIDFPAEARIKCMDGIAAAAKHL
HLLGYAHNDISPSNIMFDGNDVPILIDLDSCGRFGSKIRKGGAVNRWRSSVQDGGMTFEVADVEFDELAIEYLRKWLMEDSTNR
>RCO7_03302 | uncharacterized protein
MSSEVPVKQEAKKASISYAMDWGKSSLPPTLLATLIAALHARPFQPLPMLFPPVLLFSTYLNLSNYQVDSAGLTAAWSGLYLLLARRRKVAGSTFSS
RIGNKFGMRGLTRGSAMVLAGANVVGCGVTYASGRRSTQGRLA
>RCO7_03303 | related to HLJ1 protein
MPAATASGADAKANGSARSREHKQGNQDKEVKEEHRREIMRIRKCQPLAFYDILNLESVKTTCTDTDIKKAYRKISLLTHPDKNGHEHADECFKMVS
RAFGILGDKEKREKYDRHGGDPDSRFGGGAPQSSPFSGFASRGTPRQSGGGGGSMWEEEISPEEMFSRFFGGGGLGGGFGPFGGGGGFDNGPGFVFN
MGGGPGIRVHQFGGARPRRRPRDPNAPEAPPASLQQTLMGLLPLLFILILPILSSFFSGDSSPGPTMRFDSAVPPHTLHRHTRKWKVDYYLNPTEVD
GYTPSQFAKLDSSAEINFVQRLNVECQQEEAVRQELVNRAQGWFTQDAEKMAQARKMEMRSCRRLDSMGVSRNY
>RCO7_03304 | related to SIW14 Protein involved in actin filament organization EC:3.1.3.48
MGSTEITSEMSRRSTRIFTEEEQVFDNSTMPAVPYSSSESSVDGSDMGGKYSRKNSTTGVEMMQTHTAIVDLGRNLDIFPSTAEDVRLHITESIQAA
RVSTKAKEGGRPINFGVVLPGKIYRSSWPTAEDFPYLSSLRLKTVLSLVQNDLDPEFAGFLKSNQIQHKVIDMPGTKKVDITKELMQGIMEVVLDEA
NFPILIHCNHGKHRTGCAVGVVRHVARWGVEAIIEEYRGYADPKIRECDVKYLTGFDVQSLQNLFATKKQDTPASSRDQNINSDIRLTERNRKMLRF
LIFAAAVLMIWITSYSWACHWELA
>RCO7_03305 | probable ubiquitin fusion degradation protein 2
MDNDPPPPPLNVSNLPDAPDKEKMDQIRRKRMEKLSSATPRSKAEGAGEMMETDSLSTLETGSTPATEPTQATPKKIQISKAAPSSNPTDPNPFTKL
GAQARAATMPTTVSIPDATSSDLKRKRTEPSAQTSSPTLPRTSNIPAADEPIEQWENRTLSSIFRITLDHEQRTDGTHKLIFLPNLRQELIDEEVPV
LLAKERLDSALLEAASTIPNHKSILDYLLPCWKRVTKVLKGRRGYAGEKDAVLKEAKRLCMSYCIFAVDMPELFGRSPNPSTDSLTPYLLFEGGEEM
GVCPDFLTELVSRLEEDETVKTMIIKAVSGISLALSNMTMNDNYKPHVEALKALCQFKPIATAIALDPFFQIPTSMATSAPAIEKFTILGPFFRISP
LQSEVTKEYFAAPKTMDKRFILNSQEALRLTLQSHQKDLLDIVNQLVRASPESKNQTLQWFAHVVNSNHKRRAMRPDATLLSTDGFLMNVTVVLDGL
CEPFMDTMFSKVDRIDVDYLRRKPRVDIKEETKLNADQEASDGYYDVEVSGSSNFISEVFFLTLAAHHYGSEATNGMLKSLDKDIKTLTSKVAELEA
ERPKFTNSPMNMARFEEQLKRFNDVLEKSMSLKFAIEGVLLDKVMQAKSLMFMRVVTVWLLRIATGSNYTPDQTIQLPLPAEQPDAFKYLPEYVLED
IVGNFNFVFRYMPDVMISAVGDELIALCITFLTNSDYIKNPYLKAKLVTLLFHGTWPVYHRTKGVLGDSLIGMKFANDHLLHALMKFYIEVESTGMH
TQFYDKFNIRYEIFQVIKCIWTNDVYKQRLTQESRTNIQFFLKFVNLLLNDATYVLDEALTKFPKIHDLQQELRDPHATFTPDQRTAKEEELASAET
QAQSYMQLTNETVSMMKLFTKTLSASFTMPEIVDRVAAMLNFTLDTLVGPKSANLKVEDPKKYAFEPKTLLCEFFDVYLNLSVSENFIVAVARDGRS
YKPENFDAATRIITRYSLRAGEEVASFETLKDRFKIAKMNDDQEDLDMGEPPDEFMDPLMATLMTDPVMLPISRQIVDRSTIRSHLLSEPHDPYNRA
PLKIEDVIPQPELLKQIEEWVKETKEKARAARLQAKTDAAMEDTEEKTAMDVSGQ
>RCO7_03306 | uncharacterized protein
MAPIRGRSKYLTCFYCNTRSSIRYDGVRQWECTYCDAQNYLDENGEITDPPVATDLAAPADLKYSTRPVSPENLDNDVFCATCLKNQHVVATAIAEY

PFDTDTCRPAYIQDEREFNSYKQGLENRFPQVCAHCEPKVLAQMRQAGKTAKTDHLRRMMFKSREARSAPLQESSWLGILLSITRILWYLSIAGQIL
WDVSFILDILVTEAIVNLQLSSSLERILPFLDSFTSICTSDSWIRYSLKCGFESIWWNPEFDPATKAFKKRLKGFKSWYIHQLALIILRTMFYYTTR
NGAAPGTSELTTFVAHGASLILVSYLAISAHSAIKIDRSPLWADTPQKLSKIAPSTSTGSPAHRGIESLGDLLDEIAREPRSSDLNPSPPSSPLTIT
RIRTPARPPIYNPQRHNSQVNMSYAEDEMEWLPTVPQTSSFRVFTPPSRPQTAQKFGESPIGDKSSPFWFKVPSAPITPAHRQYNPPNRPTFTSQAV
KENFFSKPAAQFSVDPGRRGMEMKQQSLFIPEKQNPDGDLLSGLLGGISIAEHVDEGPRRKDIKGRIGIAMLGVVAVGLASWCVYQF

>RCO7_03307 | uncharacterized protein
MLGPSQADQTSKVTSDKETETPRYDSSIYDTPFSKLPNPKRVWLGSPSSSLEGLGRLTLLTPPVVSSAASSEIKTGRRVGLGWDMTKLEHSQFGRQK
CGHTIIPLTFAGGAGLGAGFDDKYDMNPQQSSQWDGFRHYSQPRIPGDSSNSADRVFYGGTTKEEIMDTSDHRIGLQHWASEGIAGRGVFLDYQLWA
SSQSPPITYTNFSTHAISFAAIQAMLTFFNITPQKGDILLVRMGVIPEWDAFTSTQKVEYAAQKEPQHAGVEACAETLEWLWDSGFAAVAGDAISWE
VYPTPGAISVHEYLLAGWGMPIGELFDLEALSKICKELNRYSFFLTSMPLNMPGGVSSPPNAMAIF

>RCO7_03308 | related to zinc finger protein
MSIPNVREIAPPPLPPPRYLADLADRGHNEPDIAWKWGNSPKDGAWGDSTSQVAPGSSLHGSNGRFLGWGGKSNENIDAQRRGNSTSAVKSEVRNSP
YQKDEGYESLGASVWSIKTKPQESASSFASFQSTVHDSYQIPAQSFDKYQLQKLDSRRGSSDNVVSSRSHSKPSHGTFFNDASPTSRLHEHRSPGSL
KPLSLPILPGRPGLAESPLSRWADTPLPSAVSPRNPYPRFGMHTDYDETSPIEASDSNRSPLPYIRRTGSNSMITHDDDSSSVCSRPRESYDHRGTP
EHDDDFLMEDSGFRRPHTDDYPNRPEMSTAGGIAGQKRRASSPPGDEGPTLHTVGSAGDLYRRREAALRASPSPRFHSTSGSISSTTSGPRNNSYAS
TLSVNASSITSLGSHGRLSPGGISPGGFSNAGSDMSDSPYVSSLSLNASPGQSRVSHSRGPSADAHLLMMARQLYESIGASKQTPSKVHGILMCECC
PKKPKKFDTAEELSAHEQEKQYECAYCNNRFKNKNEAERHQNSLHLRRHSWSCAALSGYSAAFHNSLNRPNEADTCGYCGEDFPRTGISSTPGTLGS
DAHAGHPIAIATREDWDARIAHLQEMHKFGECNQAKKFFRADHFRQHLKHSHAGTSGKWTNMLEAACMGEEPLPEARRAPGRLAGIITGGARVERIT
EEEQSFQTHPAGVNQGGARVGMMREQGEMLDMDRRRNRQPLPPVPPFPAVNGEINNSETKDRQKE

>RCO7_03310 | uncharacterized protein
MRILGEIEFEFLVQSPSFSASPETVTISLGSPAISVARLVAELARFLIRAEGEGRYSAAQ

>RCO7_03311 | probable YVH1 - protein tyrosine phosphatase
MALSRVPGDEDLYVGGVFTLRRSSALEEKNITHIVSVLKYDFKDFQHWEKYSQLSIEVDDVDDENLLVEFEKTGQFIEDGLKSEKGGKKGAVLVHCA
MGKSRSVTVTIAYLLRKYPHHTVKSALELIRESRPIAEPNDGFMAQLQLYKDMGCPRDIEAQPKYQRWLYDQEVGLALAAGMAPERVRFRDEEENIE
QGSNGKEVELRCRKCRRTLATSPHLVDHLPSPSKIQALTADGPISSLNPSLPPPPLHSACTHHFLHPVSWMRPALEQGILSGRLECPNPKCGGQLGR
YAWQGMRCSCGVWVCPAFSLQKGRVDEVTKKFEQGFTKSGNVGNEAESRTGHSIRLPPGMKGKGNL

>RCO7_03312 | uncharacterized protein
MASFANIYTHRKVADTASKACEICYRPSTSVMVAPENRDFFYVCPSHLKDKGFCNPIIDAAAVAAKKKKEIDAEVERLKQEFEEKQKKKKEKEKEKD
KEKEKDKDKDEKTADKKADEKKKSDELTPAVVEEEPRVFALQKTFYQQRIEKKKNAEIAKRNRDRLQNPNMFPTVPKGFP

>RCO7_03313 | uncharacterized protein
MNLEVKTCVPSLRSATAALERLRCAKLQSSGAAFDIEQLSSIIRFIERWIIIMEADINNNTQNSAVKSLLERAIKARDSNLGFSITEEEVVIWSDYI
DSGVGRSHGEATIEKYMYYWIFPELDSKSTHPLNNQRDLKEDYSQGLRYECGKFPLFGKEDASVVLEIAKPYYFHLIATVERLQECAKKRRKARLSH
HEVAGINFLLYHFRSRTEVDLSESFAEANRRVDTAAQRNEGLVMPRLDVRAISISFASMQISTPLTKHKNQKGSANAQARQKEASHANAPLQIKTLL
PSLSKLVSTTMQRRLVNFQAIVKQGEEVSVDETAADEILTLCRNIFALGIVPVNWTRNALHPQVTALRKLIKATKMVGVERMSLSTEESRSISNIFD
VTPQPLRQFMEMDESVSSAEVHATSSNPPASEHPSNNTEGRHQDEYSAEGQSDEGHHSKKTESAEKKFENFINAASNKLDAIMTTLYDDIEQDLGLL
PQVPDFFCRELALVENGIVNLRMKGQKSLKEADRLMEKRVSAADAEISALKLKLAEATRSAGEDHTKLKVESDRKISMLENQLHLTQSEYDKFKTAT
NKQQGSLNSMLSLSRKEASELQRKCDVGMESEKISGLDYDSLSQQFKATNTEQQGLSASQKLKITALEKELAVLRSHRTNPAVEKDVVARSVASAVA
IKEAELERKHVTEGNASARTSADALAKKQAELDSKEQELDFKQRELDSAHVRFQTSQEGQNEAMKDRELQISELKESLAVIENISARGQGFWAPDNL
S

>RCO7_03314 | uncharacterized protein
MVRPKPSVLPPANAAYHETQIAIHPPEIRNRLMISLKATGNPLTMADSGEQVHDMLQELPRLRLEFKAALEKGHGVVLFHEDLIVLLLAVKYRSRQV
TEEVRLEWKMSGFERLVGETFRWHVSASSMGAIRLPPEEAKLWNDRLGWASELKVQKSSNGRLQGCPEPKRYADILDDFPAAESEKDNKSEHTGDAV
SLWLKGGMKSELPGLKRFCQERRFQDSEIDETEFKICGQSRHRATDDCNPSDVECSEDIEVIKSKILALFRRFIPSSDSNVCSKLRIADMLAVFDSG
LRKQLIDAKAQSAENLRSERGAYTKMKEVLGQNMTELEKQLQIKIGACEKKYHEQLAEENVLQLDYDATLLDLNDLQLEHKKLSDSKNAEVLKLEQE
ISFLKSDQIIPEFVKVNIARGVRDATYDMKKEVVKAAADLEKKQYEIHNKQHELDCLRLELKEKTTELHGVWEFVTDEGPNSKEKDKTIKSLEGRLK
EQVHLIKTLEKSLREEKLRKIDSTKVATRVAKEAQVARLKQELTSEQAKSARLEKKFSDIAVMLDIIESKMLRA

>RCO7_03315 | probable MVD1 - mevalonate pyrophosphate decarboxylase
MTDQKIYQASTTAPVNIAVVKYWGKRDPKLNLPTNSSVSVTLSQADLRTHTTAACSSTFGSEDSLLLNSSPQDVSGARTQACFRELRSLRSALEVSD
SSLPKISSLPLRIVSENNFPTAAGLASSAAGFAALVRAIANLYELPASPTELSRIARQGSGSACRSLFGGYVAWQMGEKDDGSDSLAVQVAPASHWP
SMRAAILVVSAEKKGVSSTSGMQITVATSKLFKRRAEVVVPESMKLMEKAILDKDFETFGEVTMRESNSFHATCLDTFPPIFYLNDVSRAAIRVVED
INEKAGKIVAAYTFDAGPNAVIYFEEENADKVAGVLKSALGGLDGWQVSEVKEQDHSELDARAVQVLKDGVSRVILTSVGEGPIKTEESLINASGEP
VKK

>RCO7_03316 | related to CYT2 - holocytochrome-c1 synthase
MSKETETPPELCPVDPATRAAWLKNNPGGNATAFPGVTQEASQASGGNSCDSKEIDQTPPPPRRSFFSRFTTSRATIIDASKPLPLGLDREISTIPR
ASPVNDEEGAKPANSEKESGVSKDGNWIYPSEKMFFDAMKRKGYASEANDMKTIVPIHNAVNERAWKEIKEWERPYGSEQKCGGPRLHSFLGLSQTL
SPKARMNTWLGYTAPFDRHDWVVDRCGTRVDYIIDFYAGRNDGSANANAKLNFFLDVRPKLNTFEGWKMRAAKFVGLA

>RCO7_03317 | related to DUF647 domain protein
MAQKPLSEPFQEIVEIDQASNVVATYIKSASGEKGERIDIVIPKNTNSYAKIVLNAFLPAGYPHSVTSDYLEYQIYDSLQAFSSSIAVMLTSRAVLE
GIGVGDSDASPTAALLLSVLQQSMGRIATILFAHRLGTSLEPECKMYRLLADILNDSAMLLDCVSPAFPKSMRVVVYSMSSILRSLCGVAAGSSKAS
LSAHFATQGNLGELNAKDSSQETVISLCGMLVGSIVVSYITSKRTTWTALVFLLAIHLGTNYLAVRAVCMRSINRQRANLIFANVIDQIALHENEKG
ESILTGRKLDRKVLKTVNWPKPEWVMLQEKVFERDGVLRWNGRILGHCKLGVDLRTIMKCFQSGNAITGSHVNPISSTLTELFSLFKDEKYIICYDK
PSKTFLVVLDEDAETRHILSAWMFALCFAKEEMGKEGKMTESIERTTAFVRSIEKDIFHGLEEAGWNLTLGAMETKSGVRIRRPGTV

>RCO7_03318 | related to mitochondrial ribosomal protein
MFATKCLRQASAAAAHAERTPLIKFIGKRSIPSSIDHTPQAHPASPSHELPADFASSQKSSSTSFSSYRQSAQQHGPLGRSKAADGTLGSSSGHSLG

PVTPAKGEFFDRSELPARFRTQPIDLSEIDAIETGGATLVC
>RCO7_03319 | uncharacterized protein
MVAFRNIILFITAASALTVGKRDTQTILSDISSIDTNVKALTATFNRYNGGFYSALPILSAEQNVEDSIQQGTTDTKASSQQTSAQSNRIMAAINKV
IPNIESALSAAMAKKGKFAADGLTSTVQGYIDNLQNETDELADAIIAIASADTKASGRALKSRIDKDFDAAMSYFAK
>RCO7_03320 | uncharacterized protein
MVRAAFGEWIGTSSASATSKPIRTDNINTSFSVSTLKASIRATAPGLPQELPSVWCPVPMPRDTDSFRGLCNNASNPASQASALRLHYSSSITNVFA
L
>RCO7_03321 | uncharacterized protein
MDKAQLEKSRKDKADNSKRNDLPNAHELFLTAIVANEDFETTLKILQGYCAMSPTNVLTRKLTWEGPRTRTPSGIDPKFIRNQPLQKIPQWNGLSVQ
LARQSYIMHLLYEVDRQSFGKDDIFDPNASLYHPTVSSLDRRYGTLRWNDLPDPTEVSKLSNTRLADAGASRPVNTRLMFSIENMGLCSLLKMINHR
FVGEVIQESNRFVHGDVVFELTRYLQFLAEENAGAPTIRNGLPAFDKLTPFDSENKWILTASAIVTKGDDPDQMKKGTDQLVAIKGDFEGCFEFQVL
DRHIFDTRVKI
>RCO7_03322 | related to cytochrome-c oxidase chain VIIc
MIQMVSLAAVRATSSTASMLASRRAFSTTRAQLSSPYHYPEGPRSNIPFNPLTKWFALRYWTFMAVGFGTPFGIAVWQTYKNQ
>RCO7_03323 | probable ATP dependent RNA helicase
MDELFGVFDDNIAGAAVPERPKKAKKDKKDRAKKRTASGEVKKVVEEQDDDAEMGDAEPVVEAEEEESRSLIEKKDTKRRRREEEAEPVVTDAFETA
QSREVAASAGLQATDDGALVIQHNIQHQVSLPPDYNYVPISQHKAPEVPARTWPFELDPFQKVSIASIERGESVLVSAHTSAGKTVVAEYAIAQSLK
NNQRVIYTSPIKALSNQKYREFAAEFGDVGLMTGDVTINPTATCLVMTTEILRSMLYRGSEIMREVQWVIFDEIHYMRDKTRGVVWEETIILLPDKV
RYVFLSATIPNAMQFAEWITKTHQQPCHIVYTDFRPTPLQHYFFPAGADGIHLIVDEKGNFREDNFQKAMSTIEDKKGADPADIDAKQVGRGKNKKT
NKGGAKDDNNDIYKIVRMIMMKHYNPVIVFSFSKRECEAYALKMASMAFNDESEKAMVSKVFESAIESLSDEDKTLPQIQHILPLLRRGIGVHHSGL
LPILKETIEILFQENLIKVLFATETFSIGLNMPAKTVVFTSVEKFDGEKMRYLTPSEFVQMSGRAGRRGLDDRGIVIMMINDKMEPATAKDIVRGEQ
DKLNSAFYLGYNMILNLMRVEGISPEFMLEHCFYQFQNSSSVSGLEKELQVMQFEKDNVEIPDEATIKEYYDLRQQITSYTKDMRNVINHPNYCLQF
MQPGRVVHIKHKDQDFGWGAVVKFNPIRVIKGQSVEEVPPQESFMLDVLLLVSSEFSPGTQSSGPVPTGLQPPTGDDKGKMEVVPVLLSCIEAIGHV
RIFLPKDLKPADQRNIVRKSLDEVKRRFPDGIAVLDPIENMGITDESFKKLLRKIEVLESRLLSNPLHNSPRLPELYSQYASKLAMGGKIKEKRKAI
TSALSIMQLDELKSRKRVLRRLGFINDQEVVELKARVACEISSTGDGHELLLSELLFNRFFNELSPEVCAAVLSCFIFEEKSKNVDPLSEELSKHFR
EIQTQAKVIAKVSQESKLVVNEKEYVDSFKWELMEVVLQWAHGKSFAEICTMTDVYEGSLIRLFRRLEELLRQMAQAGKVMGSDELSAKFEEALLKI
RRDIVAAQSLYL
>RCO7_03324 | related to lustrin A
MDSSSSSAPLADYFWIAGIDSISYSDPVCGGNNLWEKVANGAGPPSPQVDTTIEEGSEGELAPSSPPRATARHSRNNSWNKLGKVPTEVRNSVQNFE
DVEETRSNRSSVTIKAPNTNGNANGHRDTVLGDFDFDRALFKFANERENFLDDLSFSAGAPTNKAPPMTIPRADRVRIEDSLETNGSGSGLGKRGPL
RSVGGSIRRRMSFRDMSSTKRQPSSVQRSSSVRTSRRLSNYNSVIPPPEPLNADPDMHPLKRRFEPVLLDRYPPKHATDELKRRGRFPDYVPMFAFP
NDINIVSSDERPRSTWHGFAMTSDDNSKIHGITVIVWMPLNPDAAESVERRCEQWRQNHMTNEERELAASLGERLASERANLSHLLAQLPGAASGST
AREAMEEEISAVEEKIGLMTDLLRPVRHGAAAKIDGLTDGETGLWTPRAYGILGRDATMTSFWKEWLRAVVVPMTDGGVLRVPPSSPRVGRWQPLER
YVVNLCTEALCPISSKTQVELAIRELRLFARKEAANELPDSRNTDLYALFRSLSISNIVALFEFALSESRIIFLSSHTAMLHLASKALASLLYPLKW
ASIFIPVLPARLLSALEAPCPYIVGIERRYENIELPEEDYVLVDLDQDIIEASGPPTALPRQQRRKLVSLLQLAAPHHNRCGVPIGPPPYAIETFPY
DAFSSENEAVYTQNAPLSSLGRFVGQNSASFGDPDPAASKRSSVFNAFLQSKNDHSRVERPATSRSNKTSPPGSVSPKSGHFPLPTTPVSRNDSGFA
LTTTLREKRSGHFDGMSRRSSSFGVEQQPMLRRPSIPFSNGHSSSLSTSAISMDAKSTYGYAPSTYAASTLAASTIMPNMLMQPVRNTDTTVWVEGH
CFVWRRNDTASVCSICDDKPEGDGIYKCNSCSTVSHGRCLGHVSLVCPAAFHPDRVRASFVRCFSSLFYTYRKYLNRPTKEQKNSGQLYGFDMDGFM
KSLPHEQQEYTAMLKQTQAFNEFIHEREITSPSSPSIQLFDSIILAKKSRGRTSFFSKGSKSASFLEDTTEHLWRSAAVPTPSAKFPGDYKSVVSRI
PAQLDVAMMREPRTIQGVPRMDIPGKRVGRKAVPSLLR
>RCO7_03325 | uncharacterized protein
MSHQRGASTVDSVKEPHSISLKVLRLSRPSLSLQNPLPTPSPSPTPPSAHTIDPSASRAYPSSQTDPFILSPLLTLPPAFGSAYVGETFSCTLCANN
EILSGSASAVGKVISNVRIEAEMKIPSSGVPIPLILGPEGSSKENEKGKEREKPESETHAEKDHGGVDLEPGKSLQKIVNFDLKEEGSHVLAVTVTY
SETTPTSGRVRTFRKLYQFVCKGCMVVRTKTGALPPKSGSEEKQSRRWALEAQLENCGEEIITLDMAVLETTEGFTSQGLNWEVVVPGEEMERPILM
PGDVQQVCFLVEEKEGNEDVPEPLDGRLVFGILSLAWRGAMGNRGFLSTGPLGARLK
>RCO7_03326 | uncharacterized protein
MEAPLSSPRLPQQNQNHNSYFNSSSKPCTQSGPTSAPQTQSQAQNQQQIPQPPPAQQQARSADATSPFLRDFNLVAEAAKRAQMACLMRDLEGVAI
>RCO7_03327 | related to human RANBPM NP_005484.1
MSNSNMPTGASGFVPRRSSYASVVSGTAAGSPHQYSQVMRSGAFAHLAHSEADPGYDHTTYHNLSGHLRHESRGLDMDLNMNGGIHGRAGSWGRGGQ
LPSFSSAFGPLVHGYGYGSLGGGHVDHFFTPSYLKGSKYVQRLEDAHRAKVAAQKEVHSAQSSQPGSLSTSASSLNLHTKIAPSHRGMTYDLIEKAP
PVEDETLAPLPSRWNGQDKYGGLEILSDGQEVKFTGPKSERDRDLEACAIRADHPMPPQCGIYYFEVTILSKKREESSIGIGFSSKNVPLSRLPGWE
PESWAYHGDDGQTFCSNSTGKPYGPAFNAGDIIGCGINFRSNFSFFTKNGVHLGTAFRDINKEKLYPSVGMKKSGEHVRVNFGQGPFVYDIDGMMSA
SNRFSYVRTPFGDIRSDTIPDSSSTSIFPRSIRDGPQPAAVAALQLLNILEDSDDVPPLLPPTPPLRPATSVRVERAGATSVNIIFDSDGTVAATSR
RSARTVGLLGILEQQSTERTLLNTERHVIRIAASIDEHRGSLLASIPPVRDSNIHWRRIAASERALDDLVDRVIVRLLPPASLSTAGMSGSYRGSRA
EQLYLRERQIMRMRQDFEEIMPRNSIRGRRDEPNCTSTFTDIQIQQEREQIRQQIEATSTAKLASPLDETDLIQSLVLQFLTHEGYVETARAFAGEV
YSEKQALSLDPNVPIQGFHVREDEDAGHRNHIRKAVLEGEIDTALKYTQTFYPNVLRDNEHVSFRLKCRKFIEMIRQAAEMLNSNHSKGVKKSNGHN
GDWYEDVAHNMDLDDHQSQANNWDRMDTEEYPQNRTEYQQLLEETLSYGKALQAEYKDDPRREINKALEDAFALMAYTDPLIVKEVSHQLDPSGRAA
VAEELSSAILLSLGKSSTAALERLIQQSTVLLEELGEAGGPGSFVSIDDFVKIKDSRET
>RCO7_03328 | related to MUC1 Extracellular alpha-1,4-glucan glucosidase EC:3.2.1.3
MAPPTKTTAAAGGRRKSSKTSLMVTLKLSPKLLQQLSPAPVAEKTVAKAEKEESLSKESSSTISNTIPVAPSSNGEMPTESATNTPVAASTPVPSSM
PPPTAVVKKRGVKRSGPALGPDGLPKPRGKPGPKKKARLEDGSIDHSASAPRAANGTAAHKLGPKANQGAINAGLRALDRSGKPCRKWQKGSFKLKS
FTGVIWEIPRWTAPPRITVQGNSESSTSGDSSKENKDNSQMESEKSEKSNNGVDVDMKSNVSNLVSSPAPSLPPPSSAPPVTPAPFVEASA
>RCO7_03329 | uncharacterized protein
MSSLVSDFLINPVLRQARRFSRSNPPNSQVVPVTNQHTTLENTHEIAVDDIAERLEGLGELRNEENAGPQGITGAVLTSSPIEEDGGLDAELRDLED

MRPPSAPPILNGTRPHRVSSLLSDHGHPDEETSNNPSFGIPNRFRASSAASTTISNRNSVVARMSPAEASSRRSTQERGGQVGSNNRPRNSSLPEDD
GMGTLRQEIIRIQAMDIPGDEKARLMHRLLTQQYSEAQEIFHAKQPPVAPSPASMISQERPTTPGSLSSFIWQMNGAPEPANADQQHTFHLSPADLK
RTYALPDTETDEDGNVTMKDEVDMLGCKHYKRNVKLQCSACDKWYTCRLCHDEVEDHVLNRKATKNMLCMLCSCAQRAGEFCVNCGDRAAWYYCDIC
KLWDNDADKSIYHCDDCGICRKGRGLGKDVFHCKTCGTCMSMASEKSHKCIERNSDCDCPICGEYMFTSPSPVVFMLCGHGIHRACYDKHMKSSYKC
PICSKSTVNMETQFRNLDRAIDLQPMPPQFRDTKAMVSCNDCYAKSAVTYHWLGLKCAICDSYNTAQLSILSDPAVEVPQLESREVEHVVIPDQPDM
GASFLQSPPPGPVRQRRHSAHIHMPSLLAGGSYRFEPYARRARSGRSVSPIRGPGFFHEPAPAQAVEREELVGEDDMDFWGRNEPPHSSASVENVDH
EMEDEEDEEEESDDDSLMEDDEDVDEEDEFELLGHR

>RCO7_03330 | uncharacterized protein

MARTNPSELVHAYRHLYRGLLHAIRYSKPARYIARDQLRNAFRKGEPAAFEQQKITRTLEFLKYAAQESGLEHRIVRSLLHTQYWEAKEGHHLTKVA
KLPAQKEIRRTARIHYEMTLAMLNDSMGLCLR

>RCO7_03331 | probable Mitotic-spindle organizing protein 1

MLPEQDSKKDKQASATQAREVIDVFHEISTLLNADLDRQTLSICISLIENGVNPEALASVIKELRKDAEETKREIQAGNQ

>RCO7_03332 | probable Probable kinetochore protein spc-25

MSTLFEPLLSTSAMRPPLASADAPSMADSLPNINFGFDELRDRMAKFTMKFDTFIEQGRKRVLEERNQFRMNVAELKEDQRMKKRDIDILSQKASTH
QQTVAKEEAETNEMKTAIASLSAQRDAHVATRESLKQQIADTQKQIDARLAAQRAHAQHIDAQSRFNIPEMEFWTSNLCMTMEGAGLNDRLKFMFTH
IDDRDWSREAWFELDTSKREYEIPYCKPKLEKEQIERVLDRLNESRDIRVLLKGMRELFVEAVKG

>RCO7_03333 | uncharacterized protein

MTDHRVTDLAIGHPGKATYDPEEQEWRFSQTFTEESKIKQLLPFKEWISPSDQVPSYQDGRASLVILSQKRWLSKNLPETFPARSVASNLIRESFDL
SAQVSPVLGSLLAIGRAHDPDRVSGFRRPQIVAMPCGAAGHMLRLIKPRIETRGWGKSSGARLSALNVESLDTGHWMSTGGAILQIVSADSENDTEC
WLAVRQNSLVTLFRPKYGNIHIDPTASTGQSNAPSMLNANPITSLTAHRTGSRSYSDVAFNPWFSRQIAVVDALGYWSIWEVDFRFDRRKNGSDALV
PRKTGGMYDGQLQDKSSGPIVHDHFDGWYRIIWASNLSTVVVCNRRHVSVYDIKAQSTPLGKINIFPPGNTDWILDIQRSTADIDHLYVLTTSRIFW
IRIISPGDNVDGQREAGGSVVLSYLHFMSPDDETLKLCLLQSEKVSVAITSANNRVVNYYAFHKPQPRGFASSRGTFSVFLSQDQIKGQNLALHTVV
ILPCHLVPSLKQSSGPGPKYVKDGVEFCQIWAVTADLGLFSTLVAIIRNDSQHHDITAPDTKLLLSSRVLGPKLAHEDDDFVVPDEKGAQISRRIKA
HSAGFTTSLVPEKDDLRFRLDWRKLSQIVCLDDYYKEMSLDNDQDSDMGREFSQLLSLATDQLVEIKERDEPFRIILDEIIDATKQGDDMEEASSAL
RDFLNSLEEDLSSESPWRLSVNDFTIGTKLKFPGNRENSTPDLLQIFDHLVDVWMASLPRELPNITRHAKFKVIRQLAMVLFLNSTGISFQQRTLDK
EPEIVPVDAESIGASVLSKDGRLTRDSSPFMFSSQLATMQAEPGLTLPTPTPSLYSQATSVSELEEDSKIARLRQWVPQLRLTSESTANTNRVILSH
WPFALADPAKYSYEEAKKAWAVANTDEEDARSSRKEKARRRRRTEDFVKAVEPAVSRRLTLTSGSQPAAVGIMFSTQPTNDVSMTQPDRGVFGSRTV
QPTKKKSKKQRTAGFK

>RCO7_03334 | related to thioredoxin-like protein

MSNYCHDEHNHSSHGHGHDHAGHDHSDDITPALQYSLYQHINFDEITTMNEVEANSGRAIVKKTWAERLEPKPELESDADEQLLMHIPFTGQIKLHS
ILIRTSPSSSAPKTLKVFINRDDLDFSAASDLTPTQEFKLSQTSEVQDIQVKRALFGKVQNLTLFVEDNYGEDESRISYLGFKGDWMQLGRAPTNIL
YEAAANPSDHAVKGTAVNQMGSHLGGGH

>RCO7_03335 | probable JLP2 DnaJ-Like Protein 2

MVYYFSSNAVTPSAQIYAGKDKVENEDLIKYGLEEDVWFHADKLSSAHIYLRMREGGSWESINEGVLTDCAQLTKANSIEGNKKDNVTIIYTPWANL
KKDGSMAVGQVGFKDPRKVKRILVAQRENHIVNRLNKTKVEKFPDLQMEREELLKVVRKKDQAARLDRKKEEARVAEERKQKKWQKEHAYDELFQEQ
DSDEANNQNREEGYLSDFM

>RCO7_03336 | related to ribosomal protein L3 precursor, mitochondrial

MAPKLPTSWAQVQLPPSFLLPDAFLPLIAKRSIKYGWTTAPARAKPARFNQKTAGLPVLEHSPAAALARKDFTLPLRTGALAIKKGMTALYDPDTGI
RTPCTVLQFDRVQVVSHKTREKHGYFAVQMGAGWKHPDNVTRPLLGHFAGAKVAPKRFVSEFRVKNKDGLLRVGKTIGPEWFLEGQFVDTRSDCRGM
GWAGGMKRWGFKGQPASHGNSKTHRAMGSSGASQGGGSRVLPGKKMPGRMGGNQVTIQNVKVLKVDAEKGLLVLNGCLAGPKGCIVKIQDAIKKPWP
VIPGNKVTEVTKEVATA

>RCO7_03337 | probable FMP35 Found in Mitochondrial Proteome

MLPRLLRSRALLRARPTVSRNLAPKRTLIAPPKPGDGPLMTRRADRELPDIPENGMKWVRTIPIFLVILISSTLGIFNYQKSSSSVVSSTMYALRTS
PKAREHLGEEIYFKSQMPWIWGEMNMLHGKIDIHFAVKGQASSGTMRFKSHRLGRQGMFVTTEWSLETEDGQKIDLLDGSDPFQGIEMTEEEPKKVG
RGSYAPNLSG

>RCO7_03338 | uncharacterized protein

MATARLRRTFQYPSEMDSDDEGPEAMDEEEQESLIQNLQQENITRNKQYTTLLLILTLTTTLPYLTTLFVPQTTLLSFLSISSLLSTAYLTSTYPTN
KTGIAFLDALNMSSEPQSLAARKEALMQAGGGPVKMFLPYLNMALCVVLVGLGGVVKRRGGGLWWGFEWLPASVYTVVLVAKWVMGSVDPEGELGGL
KYQLKGA

>RCO7_03339 | probable Nuc-2 protein

MYVLSATPHAVFGKQIQKRQLEVPEYAASFVNYKALKKLIKKLSATPTLLALNDVQRQVGIIDSQAALQANKATFFFQLERELEKVNAFYLQKEAEL
KIRLKTLLDKKKVLQSRNQSTSRRSAKFTTLEEGFQQFGNDLNKLQQFVEINGTAFSKILKKWDKTSKSKTKELYLSRAVEVQPFFNATVISELSDQ
ATTSLQELGAWSEGDNVSFERSPDHIVSSQHLLGTDEGDADTLLLETVISGSLEPLKDLLLRLKTADPDGAKDIALLERITRTFLAAINEGPIQSLQ
LLLDTGLVDVQSEDDINERNCLHQATIYGNSFVLAVGLEKGVAVNRTDVYGRVPLHYACMHGRLDMVEFLLNSDQSTIDLIDHDNFTPLIHAIIHGH
LECAERLLARSARIDPTSDADHVPLNLACEHGSVAIVELLLKHGANILPDAEGLYPQHLVARSGQTPQLLLLLKDYGANLDQIDKLYSWTPIFHAAS
EGNVPCMQTLLNVGVKTNMVDEKELSAMYYAAWEGHLECMRLLSSIPTDIRSGRKASQSAGRLTGSSAHGPMSLDVDAIPDLELPPPIIPLRRYGHN
FLDTKTFIQISFDENGDQPMTFFHDSKYPAARLTISSKLSDLIPKNILLPFQEDTRLVSFQIDNLDSFAIDFDVFPTYGAKVIAKTVALPSTFRALM
SSSGHCSLPLFDPRLRAIGQITFNFQVIKPFRGKPLEITDFETYWKATSQFDHRPSAFITGSSLSGDYVLLFVQHTCDGVPVLWPRWTMDYMDIEFP
VSRLTYAQFISAGSRHANKVGDLKDLPDQPLASIADVHRVLSNSAVSLQDALALLPSGLHVNIQVLYPSAEEEKNLRLGPTVNINTFGDAILGVVFD
HARTLREQTPDATRSIVFSSFNPTVCTALNWKQPNYPVFLCNDLGREGELAPSTSVLSSGRRTTSIKEAVRIAQNNNFMGLICSSRLLDMVPALIEA
IKAQGLVLVTDKSAEQQVNMVSLDDPFPRLAEGIDGVLKGNGVLRFNESIDM

>RCO7_03340 | related to CARNITINE/ACYLCARNITINE TRANSLOCASE

MAVKPGPQEDRQNDGGSATNQPIYEGLQKKWIKRYRTEVAASMSSIMSTFVAFPLDSVKTRMQTYNHGSFIDCVRYTYKTEGYRGFLRGVMAPMASV
TLVRTISFSMYQRSKYTYSKWINQNFGFDPLVHVNTPGNYPNLYTVSCFGAAGATAGSVITLVACPFELTKLSAQVSVLMADRKVSSLSEPSTGRAV

AASYQNKGTWKTAKNIVKHRGFAGLYSGLKLHLMRDTLGTAIYFMTYESCKQLLTTYRGDKSPTNATAVVLAGGLCGVTSWALIYPIDSAKSIYQRN
CLTYCKGETVKEAPKIQFFNKRMYRGLGVSMGRSCVVNSIFFSAFEFIKKQINSVED
>RCO7_03341 | uncharacterized protein
MVGKKKKAQRAKAEATIAAKAARRSGPKQERRAHKLAQRLEKRKQEKKGYTADMWAAPAPTHLIAKLDQPRIKSKHQSYFEFADNPEKKQKKLEFQV
TNKSLDKYPGYAFVPIGDPLLSNECKELSRNQDAMVFIVSSLAQTQENTKISEHIHRTGYYFREAIVNQAREIVGETVISNPTILPGTVEPIPDSQD
EINKQADAAIRDLFPRIPNPDRIMIIEHAFKKGAVFHGEPTVGLQAGIPLSRRVQLAVLAHIRHTHTRYDKLLRETSWMNARKAVEPVCLDVLIKWR
GDEETGRDQMDEILREVVIITDSEDEDDSSEEDSSDDDGEITSASSTEPPSRPNSRNQQSIPASQAIHNFNTAAPDRAIQTISSAISSRTRSKDPRD
KKEQRGFKRYQAAWEDAINRRQAPHPNSETPFQDSVVSRPRSGVAVHATASCPTPAELRTHTIHPQQRPSGGARSEVILPHSEHAVYYQEVLPQPPE
NTRYVGHQSIPEHSRITSSPQYLSMGYQPPQVVRRSPVKHGLEDFLVPSIETSSSDISSPRIREWNGLRAHDSIIHSRVVGPLGQTPARQVIVIDDE
SPQVKRRRVVREDESRDFRSIPSRDHTFHPPTSLSGSLSLRTSSSAQFGTIASPSIIRSSRAPTQATQGLLRNRETLYTDPVTGERLPVYEAPEPGY
MKNRPEYTETGNIGFRAGQQEDGRGIRPMGYYQALNESYHRQPIHVQHGSDIPEPNVRGGIARQQDPVYSTGHQMRPISPRFPVSHQPSHSYDMSDR
PGGPDQDFIQSFSQSRLDGPSSLSRDGFISIPARSQDKYVPPGSSSYQDDRIVSYASTSRARSPVRYVERAPKSRELPQQLVYYDLGHPNHSHHRVF
NNQSAAPLPERQPASSEEVPMYVRTIPPSTTRRSVIYLD
>RCO7_03342 | probable VPS20 Vaculolar protein sorting (putative)
MGNSSSSSKISAQDKAILDMKNQRDKLHQYQRRITVLTDREKEIAKQMLAKGDKPKALLALRRKKYQESLLEKTDAQLEQLEKLTSSVEFALVQKDV
VFGLQQGTSVLKEIHKEMGGLEHVEKLMGETADAVAYQQEVSDMLGGRISNQDEDEVEDELAALEAEVTGVPLPEVPTTDLPRKERAKVRQQEREEY
QRVAMLA
>RCO7_03343 | related to nuclear VCP-like protein
MVSRVPRPSLTQGLDKEVYQVVRKLGDEQAQLENGTKRLTTSTVYDSIKRSNSSLKRRSKKLLEDSIERVLNVMKEELDDSDSMDGDFDGIEESGPQ
LKEHNIMNKSITRMWAKPNSASMTPTREGTPPVNGTLTTNLPIQALPMADLESPAKPERQANGEPSKKRRKADTRKDVDRSPPTDVSLENLGGVGPV
IKELTDLVAIPMLYAEAYIKTGIQPTRGVLLHGPPGCGKTMIANAFAAEIGVSFIPISAPSLVAGMSGESEKKIRDLFEEAKRMAPCLVFIDEIDVI
MGKRESAQREMEKRIVAQMLTCMDDMALEKTGGKPVIILAATNRPDSLDPALRRAGRFNKEINLGVPNEEARDKILRALTKKLTMPEDFDYRRLAKL
TPGFVGADLNDVVSVAGTDAMKRMNAVLKEQSVTAMDIDTTSPDLNIPSSLLELRSLVANAGESLPDGDFSITYDDFLTAIPKVQPSAKREGFATIP
DTTWAHVGALHEVREQLEMAIVNPIQSPGRFARVGITMPAGVLLWGPPGCGKTLLAKAVANESKANFISIKGPEVLNKYVGESERAVRQVFERARSS
VPCILFFDELDALVPKREDSLSEASSKVVNTLLTELDGLGSRAGIYVIAATNRPDMIDPAMLRPGRLGLSVFVDLPTKEDRIEILKALYVKALPGSP
EEELAALKEVAEDERCTNFSGADLWNLHQAAGVAAIQREKREGVETEDLRIEKADWDVALGKVKPSVKDAAKYRRLKERGMQG
>RCO7_03344 | related to LSM1 protein
MENLTLDENNAGGGPHQQQQGQQILGPSPQNQQLPPQMFTTAAQLLDMTDKKLMVALRDGRKLIGVLRSWDQFVLQSTIERIFVPPPTSSPSSTPTK
PGQQQEQQQQPGLYADVPRGIFLVRGENVLLLGEIDLDKDDDAPPGYERAEVELVHRLNTERKAKEVKREKFRLARLRALGFEGETTAEASI
>RCO7_03345 | related to diadenosine hexaphosphate hydrolase
MAASRSMESRVGRNKQRYAETGERLVAGVVPLNSAKTHVLLIQSTRRAGWVLPKGGWESDESCTEAAQREAWEEAGIVCTVDYDLGTIKETRPPKQM
SKETPKALYQFYEVTVTSEEADWPEKHKRNRQWANFAEASEQLKARPELLEALTRSTISR
>RCO7_03346 | related to arginine-tRNA-protein transferase
MQTEAPTAYSLLTPIGYSNGSCGYCGKKPGNSDQFHASKDQRQVQNRFTKNILGDTYIKEAARLYPRSREQAKKRNTDFDIVERVHECEKGQLKTPP
VPAHDYNVTLESNEFTEEKYLLFENYQRVVHHEPPHKITKHGFKSFLCASPLLRSKEMFDGLERLLGSYHQCYRIDGKLVAVGVLDLLPQCVSAVYF
MYHESVHQHGLGKLGALTEIALAKEQGYRWWYAGFYIHSCVKMRYKGDFSPQYILDPESYTWDPLDSEVKRRLDEKKYLSLSRERAGKAEERTVETE
EQFTAMGTSNSVFENSDGEASLFDPDIPLFARSMPGILTKAQLQDDVDLDTMELLVRGTQAEAHQLVSWSTSDINDSHSVKCILAELAAAVGPELIK
EMRVEFG
>RCO7_03347 | related to alcohol dehydrogenase homolog Bli-4
MLKLAQVIYANKFLPTPLPPPGTFAGQTILITGGTSGLGLATAVHFLNLSASKVIITARTTSKGSIAKASIESQIQLPESEAGVLEVRILDMGTFAG
IKRFADELQREVESVDYVLLNAGIVARGFRVSEEGFEESLAVNCLGTALLGILLLPWLKVAGRGRGHLGVVTSGVHRGVDINKLPQKDLFAFYSKEE
NWPTGSPNIVQVIVNPMCPGMVKSDLGRDYKTNFLMSIGVDTFMTLAAKSTEFGAVRLVVPAMTTKEENGKYISNSQSNEEYLKLVQKNVLGPEGQK
MQKRVWEEVLSILEQRVPEVRKIMTASAV
>RCO7_03348 | related to rRNA processing protein
MAPSSTQQILLSPAELSYLHTSLSLDPPVRPDSRTPSQFRPLIAESNILPGTNGSARICFADGTEAIVGIKAEVERSRPSYAIIGEVEADTEEDGGK
GKGLNEWVEIAVDVPGFRDDDSMPIFLGALLSEALLADGEFAARLWINERFHWKLYLDILQLSQPLSYPLPLLSLTTHLALLSTRLPRLKSEGDEDP
LFDDDWDASVYLYPRDIQALHARPPVTLLVMAVKDNIIFDPSKEELAVAEVVLAVAVGERSQGRGGTGMDVDGKTRDLRLLSVRTIDPPSRLTAPGV
PNTLNTATGGTAPTTEQAASQRETVEDEGVWQPPRGGAKRKLIVAMIQKVLEHGGVAEEVLDGLDAVELG
>RCO7_03349 | uncharacterized protein
MALTIRHASKASKIPSKTPKPTTKQPNKPFVLEKPAKFNPPSHGARLRKEAPRYPGPKLSEEEAARQRTKKYPNMMPPEGTFLHWFMHNRSIHLYIT
LGTLFGLAATVWVSNFKRNSPFAEMLPARSDLLFHPIAFFRTFVEVVKMNADYVTAQTMERRKQKVEDVAKRAAYRKAHGLDKNEGFGGWTAKTDEQ
LLGPGIPVGDAEVVKEGEVEVQTESVTAPVVREKRPLKKWFGIW
>RCO7_03350 | Cytochrome c
MPFKEGDANIGANLFKTRCAQCHTLCEGEANKIGPNLHGLFGRKTGSVDGFSYTDANKAKGITWENDTLFEYLENPKKYIPGTKMAFGGLKKDKDRN
NLISYLREATK
>RCO7_03351 | uncharacterized protein
MKTQFYVANAVAGWNFAKGMHQVAHKYLQDSRGFFLLRTSPRNPIHIPPEYPLFPTSLPPKQLPNLLWFFFRALPPTYVADTTTAPLAAPAPLLSPS
SASGRPGTSGTELNLRSDRQKAQTSYQRAAEAEQAYRAKRRATYARKDMTAAKEHFKVAGTSIKEGTKCVISAVRAGPAILKEKQVKMREESKQKKK
ENAEAVSFLFLSVSGLPMRFCPRFYLLFALFLVVGWDSSWGFPRICSSPLSCFESAKQKKWEEKAKKSNESSGSEEAAPAAAEATPAA
>RCO7_03352 | probable TRP2 Anthranilate synthase component I EC:4.1.3.27
MGAGEDLQPSLDTIREILEKAAGAPNPPNLVPVFAEIPSDLIKPSEAYLKLSAHSKSDYSFLFESAATERVGRYSFVGAGPRKVIKTGEGHGESVDP
LPLLEAELSQSRVAHVPKLKLPPLTGGAIGYVGYDCVRYFEPKTARPMQDVLKVPESLFMLFDTIVSFDGFYEKIKVITYLKVPDDLSKLQEAYDQA
GDAINEILEVLNSNEKVLPEQPPIKLGHQATSNVGQAGYEKHVTDLKQHIVAGDIIQAVPSQRFARPTSLHPFNVYRHLRTVNPSPYLFYINCAEFQ
IVGASPELLVKKEAGRIITHPIAGTVKRGETPEEDEALADELRQSLKDRAEHVMLVDLARNDINRVCDPLTTKVDRLMVVEKFSHVQHLVSQVSGVL

REGMTRFDAFRSIFPAGTVSGAPKVKAMELIAELEKEKRGVYAGAVGYFGYASVDAKGDEVEGEMDTCIALRTMVVKDGIAYLQAGGGIVFDSDPYD
EYIETINKLKSNSTTIEKAEQLYAKRQAAEKSKDAPKKPHIDLAAG
>RCO7_03353 | uncharacterized protein
MSIRLGISHSPVLHRQLTSPKIEQYPEPPVGNITEDSKDVLIERLNDLVLRLSKVSSLEDGAVSAIHKEVETIELLVDGVEKSNSPSQLLRADSGYS
EADDFWGPSTPTRNIKIRLPVMSTYKLPSPKIASESKPDKAIEVAQAAEELSAKLSCTLAQLINRKVESDRIHDLLVMRNEKAAEHILVLKDRFAEM
EEDQQSSQSELKFLRIQLQAIQVQCMNCIHRHEDDPELTDSINKWKIDWEAINKRAKAPRQKGAV
>RCO7_03354 | uncharacterized protein
MAMELFMAFLFGDSSLPITTERLESVLFTKKKNKTYPPMDYETRAGLPLGIVRVHRAVLGMDTLNMQLHAGTIFPITSQGIDKSTGAFGKVILVKIH
PSHYQDPLMTVGSIVLDNDSSMHYIK
>RCO7_03355 | uncharacterized protein
MIEFIGAITRGHDHYLLLWWVDGVKLSGFWQANTRPQLSVSLIRDVDEQLYGLADALKFTEEDGYCHGDLKPENFFVSNLDPYHVALGLILTWASSK
LLT
>RCO7_03356 | uncharacterized protein
MAKTSSKNSKLIDNILHKHEKTQQSRERYTKMARDSKCKIASSKGIQIPKWETYWKELDEWKKLAADREIEKPSRPEDLEDVYVLPSEN
>RCO7_03357 | uncharacterized protein
MEPEEDELGALISEIPKCCSTIPILRCCCGRTDCAYLKSNTVALDDLEKEVRTAASLGQYMQDAERDRLDMSTKIEKLEADKRALEYENAKSVEENR
ELLDQLEGLNETADESETHIKSLEATLYSARQELRRLELLASRTHDLEMQLAALEQEQDLLQRTVITSQEEERSAIQRWKKAQRRLADVQEQLEKIE
REVREEKEKHVEVMGRMERQRAVERELDTAAGRLKGAAAATTGKKNGSNVVSHFVKDILQDNANLQMGIVELREMLLNSNDEVQTLREQLLMHQPVT
DEDGENGSGPPTLRAELAPKEENVPTVISQALHIHHHYHMPKKEEVRRPKKKRASLNTNLFTPPKGIQSPRTPRTQDSASAILSQTSVTIPTPTTPN
NRWSMQSGQLSDFAPSSVPSSPQSMFRHSGLFDRLERLDIDSSRPTSPSSSVDPVSPQFQPLHHRKRGSEVSTRSVLPASNFQPHVIHEEDDDVEQL
PDYQPTPSLDIDATPSDTSRETEYFSTDTEKERWTASLQSRLRHSTSHESILSVSGIDIHTLRSRPSQITIQGGSALLRPRTRLGTPTTVVSMDTIT
SSSMVTPRVTMSRQTRDSTTYLQSMSSKSSDSRSISSSNSNEGIKTKLGGWVFGRWGVTPQKSSNDLRSSYLAVPPQERAVSTPVVDPLKAFMGRPS
GINQKGPIPGFARKIERAPSKVTPEVVDHDALREILMEGGL
>RCO7_03358 | uncharacterized protein
MSAPEAIGNGVGVGSQHIGTTPEGHIIAADQQNRRIPEDPEKADQDAIRTQQESMALSDNPENVLESVNEDPEKEALAAAIAEQDRARARLERENEI
HPTNETDHRIGDLTAPSEIMGEDATTVDGIESTVDGGDDPKAAPLPPSRPPLEKLAQKNPKATDHLSITIGPAVIILFDVIVPIIIYYAWYNTRVRE
RKQACRQQNQPLQTCSIPQIEYNEEILGYAVISFGFGELYILVVRVARLLRHRDLCAPLLSRSKWELDATSWVYGVSMICALIPFVVGSTLEIPELY
LYSPGFLMAFLGCVMILSILPIPLPIGINSHARGTAMRPFIYYAAEDFIAVDGLQDREFRVRYNARYDASKAFRRMFLILTFWWIAGVIIYLGCLSA
VIWKLHFHYAFGLSLGVLFAYLTIWALASYYFVMWSMHREKVAWEKASPT
>RCO7_03359 | probable 5-oxoprolinase
MEDDIVIKLLSEDPSNYEDAPLEGIRRVMAKFLDKEIPRGEALDTSKIESIRMGTTVATNALLERKGERIALVVTKGFKDCLEIGNQSRPKIFDLAI
RKPDVLYERVIEIDERVTLEDYAEDPERNLTEVKSAGSNGEKDLVKGLSSEAVRILQRPNEARIRAQLQEIMAEGIQSIAVCFMHGYTFSDHEAMVG
KIARDMGFRHVSLSHELMPMIKLVPRATSVCADAYLTPIIKKYIAGFQKGFEGGLGTESVKTEGGSSGARCEFMQSDGGLVDVDKFSGLKAILSGPA
GGVVGYALTSYDSETKIPVIGFDMGGTSTDVSRFGSGRYEHVFETTTAGVTIQSPQLDINTVAAGGGSRLFFRNGLFVVGPESAGAHPGPGCYRKGG
PATVTDANLFLGRLLPDFFPKIFGKNEDEGLDVEASKKLLTELAEQINKETGKNMSADEVAFGFLTVANEAMTRPIRSLTEAKGHDTSKHRLATFGG
AGGQHAVAIAESLGIRQTLVHRYSSVLSAYGMSLADVVEERQEPESKIWADKGDARETLLRKIAELKEKSMAALKEQGFKENSIVFEEYLNMRYLGT
ESALMIVKPTSEDDRKEFEGDECAFGKAFVKQHQQEFGFTFDRDIIVDDVRVRAIGKSFENLGKTVDQQLKEILPRDVKSGDKEYNRSKVYFDGGRF
DTPIYKLEDVDVGDRIKGPAILCDGTQTIVVPPNASSLIIETHVVINIEIGSHNNEDFKSGQDADPILLSIFSHRFMAIAEQMGRALQKTSVSTNVK
ERLDYSCALFDSTGGLVANAPHLPVHLGSMSTCVKRQAEIWKGRLVKGDVLVSNHPEFGGTHLPDITVITPAFDQAGKNILFYCASRAHHADIGGIL
PGSMPPHSRELYQEGAAIKSEKLVSAGKFNEERIIELLLKEPAKYEGCSGTRCLSDNISDLKAQISSNMKGINLISTLIEEYGEDTVNSYMVAIQDN
AELSVRNLLKDVSKRFEGQELTAMDWMDDGSPIGLKITIDAEKGEAIFDFAGTGPEVYGNTNAPEAVTYSAIIYCLRCLISEDIPLNQGCLKPINVK
IPPKSFLSPSDKAAVVGGNVLTSQRVTDVILKAFQACAASQGDCNNLTFGFGGNIEGQESVKGFGYYETISGGSGAGKDWEGTSGVHTHMTNTRITD
AEVFERRYPVLLREFSLRPGSGGAGKHRGGDGVVRDIEFRIPVQVSILSERRVYHPYGLAGGGDGACGLNIWVRKVETSNPERSNKMFNGSGGGKEE
YEERRINLGGKNTAAMKAGERIIINTPGGGGWGNVGDAKEEKKEIDHKQAWRGGSYASREETALQA
>RCO7_03360 | related to transcriptional coactivator HFI1
MPDIDPSALIAPSRISTTPILPPKTIGAPAPVVAKVSKSNHVPPRIDLEPLYTALKSAISEHWGTYKESISLFVMGQLNQKELSERIDDFLITPTGE
IEHLHNQLITAIYANVTREMPDLGVASWVSANDKPTTGAGSKQVSGDAAEQRLKTEVMQLPSRDRRRLKDLSQNDFDPRQEMAIIFGDHHRLKPVRH
LDPVPASAGGLSKTNWDLEIRKRYAQPLASETGEFPDSTTIESRMLPICYETGLLAGHATDAAHFMSVATETFIKEVLSSVFSKTRSNGPGASGSAG
NGGGSSWIQTHKYRAQLEREEESSLRGEVQRDKSGLLPIEAKAASERGPLGMADFRTALELSDCGLGQMPVVVQQIMMGYREGEVEVWDDYSWPETH
PKIFDQELHGDIEMGGMHVSNGINGVNGHFNEEDDDYGWEGGEMEDKASLDSLLDSCLAIGS
>RCO7_03361 | probable spindle pole body component alp6
MSSRNQRVNSGISSLVRRLLVEIPGENPDSAQERESNTVDFVTEVLQRYMHELRFQKRGLTWDYSSRGPAVIADVNQASDLIKKRLIQTNPSPDKAL
RFTNLYSRLLSIPVINQKWAVLYFLYQLSDYQLKASPVLTSPFKSPVKNKRRSRNFESEQRSPEQSQIREARSISEAFAPEGLKKLPQREEGQRDRK
EEAQAFTKSAALQREGVALKTALLAENYVEIDPPETALLRDLPFTLQGLSSTNFPFSSKSTVTLPASLPVPTVSILHTLAEPSLLYRGLSIFTQSPE
GGLLGQSLRAAIGGELRLYLGLVATLEGQIRRALSSLHEKEPRGGIGKAGVTLKRCVVWTREATMGLRLMSLISEESKSKKGGQLISLIHGFSSSHG
DPMVGAFAERLLTHVTRPFYDMLRHWIYDGELSDPYQEFFVSEQDPNAVQDTPARGSRGGASSVWEDKYKLNEDMVPTIITQDFAQKVFLIGKSLNF
IRYGCGDSQWVEEYSKDASKELRYGDTATLETWIDEAYKTTMARLIHLMAEKFRLFEHLKALKNYILLGQGDFIALLMESLSSNLDRPAGVQYRHTL
TAQLEHAIRGSNAQYESPEVLRRLDARMLQLSHGDIGWDCFTLEYKIDAPVDVVVTEWGNRQYLKVFNFLWRIKRVEFALASTWRKCMTGARGVLQG
EDQNVAKAWKLTRGVLAEMIHFIGQLQYYILFEVIESSWDELQTAIHKEGCTLDDLIKAHTKYLNAITHKGLLGAKKKIHGEVDENTFMVQLGEILR
LMLTYRDAVDGLYSWAVSDFTRRQGADVRQEAMKREDDDGLSIDTPAMTRRGPRHLPDSTPAPIQDDLIADEFPVLQERLHSLGGHFKSRVCLLLGD
LAYQPDVDMRFLGVVMNFNDCYQPIRKKTSRPAGRETGRTTGKV
>RCO7_03362 | related to peroxisomal phytanoyl-CoA hydroxylase
MAPSRTSPESQSSAQGLTKDQLSTFVRDGYLIIPNALSPSKVNELLTETHSLLDNFTLSDHPLTKFSTGEKSDHVGDDYFLSSGDKIRFFFEEDAFD
VAGNLTKPKAKAINKIGHYLHALSHPFASLLSPPSNHSPSLIARSLGFRVPQCLQSMIICKQPEIGGAVPPHQDSTFLYTNPPSAVGFWYALEDATV

ENGCLSFLPGSHNSAEIKQRFVRKKDGSGTEFIDNDGPRFPAADGFGGEVKDGDYVLGEVKAGSLVLIHGNLLHKSEKNVSQKGRIIYTFHVIEGEG
AVYDERNWLQPPKEGFTKL
>RCO7_03363 | related to heterogeneous nuclear ribonucleoprotein D0
MAEPDNFEEDLFADLYADEVTAPAAVAPEVERKAEPAHEDVKVEESHVNVEQIDEGAEEHYNGGDQEMDDEIDFNLGQSNGHGNNYDGPATHEAHGP
GIKEDGKMFIGGLNWETTDESLKEYFSQFGEVLECTVMRDGASGRSRGFGFLTFKDARTVNIVMVKEHYLDGKIIDPKRAIPRDEQERTSKIFVGGV
SQEATEQDFKEYFMQFGRVVDATLMMDKDTGRPRGFGFVTFDSEAAVDACLGSPLEILGKPIEVKKAQPRGNIREEEDRGAQRGGGGGGGGRFRKG
GSDENQNSNQMQQGGGNQMAPGGMTPQVMAQYWQRMQQYFAMMQQQMAMGGGRGMPMAGGMNPAMMMQMQQMQQMQQQMQQGNRSQSPQSPSAGMAS
MQGMNPAMMQQMQQMQQMQQMQMQGMGGGAGMGGGAGMGGGAGNAAGGGNAGGRVGTPGYNAYEQQMFEQQKYEQQQVRRSGGNGGREQGQFNQGGG
YGQGMGGGPTSWEGMYDDVPQPNVPSGGGARGGFQGNRGGSNRGSVPPQAGPSAAPANAPTGPKNAGKPGANYRGGGRGGSRGFHPYARG
>RCO7_03364 | related to GYP1
MFSSSSSSSNASKKPLQQEMVQVGQFEPPTRNAGVLTERSESSSPFWRSRTAEGRRDTSPKKPPARDPSLVVGASYSHADMLRLDNLSLSSASARPR
TPPSTSSHKSRSDTPPLPRGSLGLASPPRRNYTDFLSNTNDDWAAEEEGDEYDDYGYDNDDGDDFGLPSMSSMKRKSKKVLEQTSTGNVGSLSQFGR
GLQGSYGGIGSRRLSNSADIAIERPTPSYPVAKKTEGKILRPQYKEVLRDPANSLHLINHSPLPTNATPKEADVHSARITRINKFKKILQATSINLT
DLRAAAWSGIPEEVRAMTWQLLLGYLPTSSERRVGTLERKRKEYLDGVRQAFEKGGNISGHSGKIRGLDETIWHQISIDVPRTNPHLELYSYEATQR
SLERILYVWAIRHPASGYVQGINDLVTPFWQVFLASYITDSDVESGMDPGQLPKTVLDAVEADTFWCITKLLDGIQDNYIFAQPGIQRQVAALHDLT
ARIDEPLAKHLEQQSVEFIQFSFRWMNCLLMREISVKNTIRMWDTYMAEEQGFSEFHLYVCVAFLVKWSDKLRKMDFQETMMFLQALPTRDWTEKDI
ELLLSEAFIWQSLFKGSTSHLKGGSSTTPSNAAPRG
>RCO7_03365 | related to histone H1-binding protein
MAELIEPPVTLSNESSAAMEVFNNVKVSLADLCAKATSQYAHKNFEEAAELYARAAELQAELNGEMSPENADILFLYGRALFKVGQSKSDVLGGKAG
GEKKKPSAAVKSNKADALKEDKTEDEKITEEGVTIIASQSGSAEGAVDAKKPLFQFTGDENFEDSDDDAEDAEEGEGEEEDDDDLAVAFEVLDLARV
LFTKKLEQPEESESKGKAVGDSAVTKHINERLADLHDLLAEISLENERFPGAVTDFRAALGYKQSMYSEESEILAEAHYKLSLALEFASITRTKDEE
GEEPTTESESHLDQAMRDEAISELGLAIKSTKLKLASKEVELAETSSPDDNEITRLQIAEVKEIVQDMEARLVELQGPAVDVKAALYGPASLAGVAN
TGGVLGAALGESPAESAARIEEAKKSANDLSGLVRKKNKPAEAETPGPSTTNATNGKRKADDGGDESGSKKTKIEEVAEGEAGA
>RCO7_03366 | related to DNA directed DNA polymerase II chain B
MSRPNHTKAAPIFKKPTTPAPSNLIPSSSPAFGTPAHPIRPFNVVPAAKASILPVILPPATLRPLAFRTFTKKHSLTLTSSALQVLATFIGRHCGTE
WREEGLAERVLEEVAKSWKNRSGGVIVDGESAELEENLKNLEGSMIGGRIVAARELSRQNSLVLGSSQHGEVSHTRLGLRPSMLRKEDSQSSLGMSN
LDVDDEDDDEGLRDPRKWLKVVDAFEQPRLVYNVAKKHFDRDALKPSLLPPASHKTQVFRNRYNLIHQRLLRNESFQTPTFEASKSSLKRSSSNLST
TQQAYRLTPIANLLGRNGTSHMLLGLLTISPTGTLAINDLTGSIALDLTHAKPIPEDGAWFAPGMIVLVDGTYEEDDHNGGGGLGGVGGVGGTIGGK
FIGFFIGGPPCERRKVTLGLTGADGEGGLTAGGGFGWVDFLGGGSERAVGSKMRKLEQRLIRPSSVEEASGGRGRMIIIGEVNLDQPLTLQALKKLL
GSYAAEPEEDTPMTFVLMGNFVQYAVMARGGSGGSIEYKEYFDGLAQTLSDYPTLLQSATFIFVPGENDGWASSFSAGAATPLPRKGVPEMFTSRIK
RAFATANAEAEKERGKKTDGEAIWTSNPSRLSLFGPTHEIILLRDNITGRLRRTAIKFSSPTAPAEEDEEMDKQSAPAPQAAAASSPSAEMEIDSEV
EDATSHVPQPAEDDIVSSDLHAARKLVKTILDQGYLAPFGMGIRPVLWDYASSLQVYPLPTAMVLADTEAPAFCVTYEGCHVMNPGSVVAPGRRGLA
KWVEYDIRNKVGKVREVQF
>RCO7_03367 | related to Lactobacillus putative histidine protein kinase SppK
MSSPLAADGPAPPLNRRFSRSKRGLRNGTFILPGTGERVRRQITLRNPSNFDGPARTNSGSSILHLRRTYSQAATFRTAVDNTVEAWWKFWAWLHTN
DAKGILKSSLAYLLGSMATFLPPIANFLGHQDSKHLVCTITVYFHPSRSQGSMQEAIILGLGAFCYAVFISVSSMATSVFFESQLGMIELGYIMVLL
VFIGGGLGFVGWVKQRYNAPLVSVSCSLASLAIITVITKENAIQVGVFSNDKIVQVMKMILMGMASTTIVSLLLWPISARTELRETMINVTGSFGDM
LTLITRGFLSGSEVDLKSATFVKAQNKHKTVFTKLKKNLKEAKFEHYLLGTEEEYKLQVSLATCMQGLAHSIGGLRSAALTQFSLLRESTTFGKGTP
QGSRYSPQIEGLVSPISSGWQDRFAILTGLTAIEETSEEGSDADGRDDDLSRRIERQASTMSYASSTMPAVRTPSEIFSRFIMHLGPSMKSLAYTLS
QILQELPFGEGPQYEIKINDNFKTSLTEALKLYSSARADALKELYKSKELDRERPESIEADFEEVAASCGHFSFSLQSFAEEMQTFLSILEDLKDRT
EKDNPRTWNWLKFWRKSKARVSNSAHSIPEEEESLIQHPQAPLLPKELPDLVIERRETQKWQAPVQAKKWSIYRRILEFALVLARDDVRFAVKVGFG
ASLYAMFAFIPFTRPFYQHWRGEWGLLSYMLVCAMTIGASNTTGWSRFIGTFIGAAIACFLWGITQGNPFGLAFCGWLVSLPCFYIILVKGQGPFGR
FIMLTYNLSCLYAYSLSIQDVDDDDDEGGVVPIITEIALHRVVAVIAGCVWGLIITRVIWPISARNKLKDGLSLLWLRMGLIWKRDPLSNILEGESK
IEYMDLNEEFALQQYVLRLDNMRGAAASEFELRGPFQAKAYERIMESTNKMLDAFHAMNMVIQKDLTASEGETILLKYTADERAQLCSRINHLFQVL
ASSLKLEFPLSDALPDTSNARDRLLAKIFHYRKNVASAEEDPNNPVVKDEDYEMIYAFILVTGQLSEELKRVQREIENLFGVMDENLFKLT
>RCO7_03368 | related to stress protein p66
MSITIDKILAASPNTERGRPTQLSSDPKGERIAYASGKSIFLRSIDDPSVSKQYTAHTTQTSVARFSPSGYYVASGDVSGAVKVWDAVEGVNTKGDY
HIISGRINDIAWDGDSQRVIAVGDGRERFGHCITADSGNTVGEVSGHSSAINSVSIRQQRPLRAATAADDSSMVFLHGAPFKFASKLGGLHKGYVYG
VGFSPDGNHLVSVGADRRIQLYDGKTGEATTQIGDGEHKGSICAVSWAKDSKRVVTASADQTVKLWDVEAGKAVQTWRFGGEGNISIPDHQVGVVWP
AGRSDGMVISLNLAGDLNYLVEGSQTPTRVVQGHNKSITALGSSQDGKGQTFWTGSFDGRVCSWDVDTGIGSVVDGQTHKNQVTAFETTSEKAYSVG
WDDTLRIADSTGKTFLGQTSKLSAQPKGLASADGRVFVTTASGIDVFSEDTLVGSVPAKNETPTAIAASGSLVAVGDDANMVQIYTVDGGHKLTPKE
KLTRSTAQITALEFSPDGSLLAVGNSSGKIVIYETSSWDVKTDRWSAHTARVTSIAWNAAGTHAVSGALDTNVFVWSLAAPGKRVKAANAHKDGVNG
VSWVDGGKKIASTGGDAALKIWTVSGVE
>RCO7_03369 | uncharacterized protein
MTRTIVYSTALIAFVAATAMTFGAIFMPDWISYVVDAPSGGHYTKTIGLHRSCSSTDNTCVHFPTSQDCHGSDRYFCSMWRSVGFLMSFAAVMELAT
IVTYVIVLGGGKQKRQSGWKLLSFMLVLVGIVQCAGMAIVAYLFDNDDRFFVGWKLGKSWIFCTVSWSIAVISAAFISLSAFVFPAEGGYELIPSER
HGH
>RCO7_03370 | related to SRP40 Suppressor of mutant AC40 of RNA polymerase I and III
MPSATNIPAWRRLGLKLKSAQNSPSVDSPATPADETSKRKRTTPEDSTPSKKLKKITKVPGDSSQEPITPQLLQKKSVTFTPETKHGDGDSIKQLFN
SWKTEQQAQDPTFDFANSSPAFKVPEPQKIVVEVDSNLDEKERRVKRVKPAPEKASKGKPKNPSKIVKLSAPSSRPFLQYLRQYCESKESWKFNKNH
QNHLLKHAFDVESIPSDHIHFLYEYVKGLQGGVRTRLRDAAIEFKVKDKEAGEAGFPATMAQPDKRQREYEAAMDDYIATMTAATAPQELGFEEGIL
LGLSDGLMAGRVAKRMRTEKILAILASTPERTGSTPAIGKEDNNPKENLPNKVEAPQKVARKRKQRTVIAIEDSSSSDDSSDSDSSSDSSTAQNDQE
EDSSSSSSSSSSESESEEDSDDSEDGEENGGN
>RCO7_03371 | proteasome subunit alpha type-6

MSGSAGYDRHITIFSDTGRLYQVEYAFKAITAANIMSVGLRGKDCAVVLSQKKVPDKLIDPSSVSHVFQLSPSVGCVMTGSIADARAFVQRAIGEAA
EFRYKFGYEMPCDALAKRIANISQVYTQRAYMRPYGVATTLISLDSEFGPQLYKCDPAGYYTGYKGTASGPKQQEAFNHLEKKLKNKDCADGSWEEV
VELAITTLSTVLSVDFKKGELEIGIVGGPRKDGKEGPDPGFRALTEEEIDERLQAIAEKD

>RCO7_03372 | uncharacterized protein

MADGYFWTLQYYIAAAPVDPENQDDYYTEGWSALRQCYIDGQHILNCAAETQVPRARGGPEEQAKAELQQVMLDAYSRRHEAQKIYLRQGAAQRWIV
WRDQVLQGDSPHAGYAELLSNCDAQLRVELAAITDDSIYSEMRSSDYQMGRWLLEDPSLRHVQRWVRARR

>RCO7_03373 | related to integral membrane protein

MSTKLTLPSADADHIIRYIFAFILVGIAWGFTTPFIRRAARTHSPPPHPILDSPAVKSSWTKSKLYGAFFGVLDLLRNPRYAIPLVINLTGSIWFFL
LIGKAELSLTVPITNSLAFLFTVLGDWYVDRKVISRDTWIGMALSLAGIGLCVQSKTR

>RCO7_03374 | uncharacterized protein

MLPLPLETSGEQRMQRPHRKSRFGCKICKARKIKCDEKRPICGPCIKRFPNPEEECCFEALSPPVTREHSSSSSPASAADAMTNTLSRHAARAMELR
LFHHYSTTTCHTMPLVEEDAGREMWFVTVPTSAFEYPYVYTAVLAIAALHLLGNNPDDVSLQTATYQYIDESLSGYRNELGNINQENAAAVFTAALL
LSMSVRLRHRCYGANPPPYTLPLNYLHLQLGIRQVYFETHPFIQDSSVRRYVDLRRDLKPEIKREFLEFPMNVNRNGFQFPHDVLYSTWGALSTNPE
RNPIYATTLTYLSGLKDGIGFDEEIRWIQRRLAWLIQGIPREFLTYLEEGDPLAIVILSRFYALLKYIDEPWWIQGAPEFEIRGMASLVGEEWKWAM
EWPLEVLEVAVRVGYENRGL

>RCO7_03375 | related to calcineurin temperature suppressor Cts1

MASKTKLNGLNGAHTAGIFSDMTVDGPEIGTLVLIVDRAKNLPNRKTIGKQDPYCAARLGKEAQKTDTDRRGGQTPRWDQELRYTVHDSPDYYQLKV
SVFNDDKKTDLIGETWVDLKEVVVPGGGQNDLWHNLSCKGKYAGEIRIEITYYDTRPKQEKVEKIRPAATNGVDDGSRESLKGPRQPKAAVKRRPLP
SDPITGAPASPITVPDHVQTPPNGYPPSPTAASDHTHTPPRGYQNVPGGIPDHIQTPQRGYQTPPSAIPEHVQPPQRGYQSPSYVRNQAPLPSMEYA
TAPANYSPSQGYDSSSNSHMNGYSQSPGNFTSTPPIQPPQENRYDPVPRNDYSQSNSTEHFRGDEDNTDFRDLYSSRQQQSPYELPQQGDFGSPPSP
GGPPPPPPAHRTRTRSHVSPRPIETQGSYGFSQESRSPNQYVTSPQEVYQRPVPIHPQSNSYQAYSPDKAQEQSRRSAYGSYQQSPSRHQSYDPRYN
GDYGAMQPTVEDAPPSPGGSYSVLRNGSRVSQQDERRYDQIPSPAPLNLSGRGSAASGRNSISNSTTPTHQYSNTSMGYPANESRSSFSRSQTDMSV
NSRPYNSMQSQDGTRPQMGGSPSYQQPRGRSEEQTGMANYALPPVPATLVPGMDPMIAQEIQERIYDEKRASYNQGAGNSARGRYQNSPQHQQNKPR
LLSYHEDETAFVPAAAAYDDRQNRFSTATVPVVKPRAISPDPRAPMRKSVSPSPRPSDDTRRLSGVPFGPDSYNALNPSLVGSVSTPALSAAYDTKI
IDPNAKIITHDGREIDPSDHIPESNYAPLLEQKGPKYASQLPDRNYRPPPTAHQLVSATGRRPLRQAGRPHSMVTSSPIYMNNTPPYDPVTPTGRNR
LQKKANRMSAHPAQNSSPLAPISPFQDNNYAQRSRPRSHSTDPQSYENFPPGYGGSPGYRGSAGPPPIPAKVPMGMNGHPPSQASGGDAWALLEEMK
SIDLGHGRARRRGY

>RCO7_03376 | uncharacterized protein

MHPSQILAVLAGTYSLLNTSAWLDEVPVPDAVYGSNPVGILTYSKSGFMSATLTSTDVENRPTNLTFPFKEGQTDVDWAKVGRHSIGYAGRLQISTA
IPATRTHGQVIHGPLTVANVPSMAGASHIRNYTLYENGKLLLIASQRDSRNRGELWWRRLD

>RCO7_03377 | uncharacterized protein

MTKLTPSFPPSNSSIPTPRTSLRNYAETDRSTHTIPSPLPSKPSSSTSGIVPHRPGFNPDLRSPSTTNFYLLTPSGPQGGFHRNAARTVHALHRGRG
RYVIIHADENASKGQYRLESFIVDNDVRNGERLQWVVEGGKFKASFLLPDCEGGRESQA

>RCO7_03378 | probable ATH1 Acid trehalase, vacuolar EC:3.2.1.28

MVGLMKAWEVAASLTVVLCTGVSAVTDFSPLSGISDWDQSDWSLTANTFIPGQFQSRLSLSNGYTGASLAAAGPFFEVDVNQTDASGTQPSNGWPLY
STRISFATIAGFFDVQQNASGTNYPWLNQYGWESFIAGIPHPSAIVFKFGDDYLDATVSNKTIANFSSKISFKTGVAEWAYTWTPETCGATFNVSYQ
AIYSRERPNVLAVKATIIPSGDISGTVTDLLDGRSAVRSYLNLKGLDKNSNIVYTSVHPEGLSNVTAWIVSGANFSNGYSDLASRAVADGSFVGMNE
TTMGQTYNISLKAGEPATFYKYVGIASNDKFADAEATARTSQKLAEQAGWDTLATEHAEAWGKIMTESAIDNFTDPITGQLPDSPDIKLLQIASVAN
AFYLLQALQPDGSGLNDESISVGGLVSDSYAGLRFWDADYWMAAGLNIAFPGWSKQISNLRIKQYAQALANAAFNNFPNGSALYSWTTGRYGNCTGT
GPCVDYQYHLNHDIAFNLIQEYNITKNETWFNNGPKQIIESVATSVSNLLKLNSTTQKYDIYNMTDPDEYANNIDNGAFTLASSSELLKHANELRFE
RGEPINETWKTQADNVAYPVADSMITLEYSTMNNSAAVKQADIVLINYPLVYSRNYTATQKLLDLDYYANRQSPDGPAMTYSIFAINANELSPSGCS
AYTYTQNGFEPYLRAPWYQFSEQVNDDPDTNGNTKPAFPFLTGHGGANQVIPFGYLGIRTTQSQLFIDPSLPPQIPYVKVRTFYYAGATFTATMNST
HTNLTRLATGSSVKVVDVSANTTVGVLVASHDLELPPTTYTLAINQTITVPNRLYWQEVTSEGNINQCLPVISDSRYAQGQFPFAAIDGATATRWQP
INNETASITINMTTTSPQLISSIRFDWGLRPARSAVVYLGNSTSDVADTTNEVEIMIHGIEPNQPFDAAAAANGTDEVLPVQGNVTSFSVVGGQWSG
NYVRLVIEGCWEEDGDGATVGEFELIASS

>RCO7_03379 | related to L-2,4-diaminobutyrate decarboxylase

MSFSVSSSYTKLRLIVDSTTNDALPSVPNLENAAQSLSLALPAVGLGQEATTAHLLTDLTPGFNGPKTSSNYYGFVTGGVFPIAEIADNIVTAFDQN
LQVHLSDQSIATAVEDKALSMLVELLDLGDGWVGKTFTTGATGANVMGLACGREAVVDARLKAAGESGGVGELGLLGACLKAGIKEIQVLTTMGHSS
LYKAGSIVGLGRAAVKDIATNKHEPWKMDVDALKRELEIATEGVVSIVALSMGEVNTGRFATDGPDMLKKVREICDQYGAWLHIDGAFGIFARCLPS
TVEFATLRKYASGIELADSICGDAHKMLNVPYDCGFFFTRSTNILSSIFQNPNAAYLSAGESSIPSPLNNGLENSRRFRALPVYAVLLAYGREGLAE
MFARQVRLAREVSKFLTESDDFELLATQPSQSGNFDDVHIIVIFKAKNERFNVDLVKRINATRKMYVSGTKWDGKPACRIAFPRRLLHCKPVGFDPV
GWSLVHDNYLGPSDRSSTISAMSFGFGVGDFLAVGKLAWAVYKSCKDAPESFSNMSTEVLLLHAVLKEVEEALADEPLTESKKLNLATIGSGCHSVL
SDLQILLTKYESMGPQSRRTWDRMKWGSNDVTGLRARLTSNTILLTTFLDFASNLQRRLNRFVEELQDGKYERSVITVAIVESLAPAAKETWRAIRK
ELENIGISVLAFEANRPFIMNWFEKATRSGHFEEQNNESNHEYLHSDGINVESSSLSSNQRSSKIDHLPTKPPSSQSKFQSSVSQNSTGMSLTKRSF
APSDRFEIHDDGFEASTDIVSFPTAHDHFDANEPSRRRNYNIVRTPRITKLMARVLGYNAAFSKACEAGDVDKAKSLFRKGVDLNSIRHEKTALGFA
ALGCHIALAIWLLESGADIDLADGRIRSPIYQSIRGPIESYLLMTELLLRKGADVNAGFRFDFPTALWEAARSGKTGAVVLLGYGAEVKANQEYPH

>RCO7_03380 | related to methyltransferase

MSGHSTPHQSSPHTPLIADSPNHYSSPDAASRSVDSTVYEFQEENGRTYHGYKAGSYMYPNDETEIERLDRQHAMYKHAFKGRNYFAPLSKPRSILD
IGTGTGIWAIEMGDEFPNATIHGTDLSPIQPTEVPENVNFFIDDATEEDWAIAPASFDYIHTRLLLGCFDKFRDVIRKGFYYTSPGGYMESQELLPT
PFCDDKTMPNDWPLIEWSKHIDQAGNLANRPVRIAHKLKRWYEEAGFVDVQEKIIRMPVNGWPKDKHAKTVGKLSEANFIEGLGGFTMAPLFRNFGW
NKTEIEVFLVNVRKAISDRHVHAYFKVYVVWGRRPKKPRS

>RCO7_03381 | uncharacterized protein

MFAELPPELRWAISEQGIEDMGPCNVKLKYRIGGRHRPKPELLARQGGPPSRKIPSALLHSCRHSRGLFLARYEQFEEGPLFGALRKSPTGFSDFSR
DIFDVAFEPPQSPVFPDWSSLSANAKVAAVFSKSTGLTHMTIVLIDDAPDRIIHASPEQTFAYAKAKHGWVPPKYDLEVFGASQRISSGLEAM

>RCO7_03382 | related to IBR finger domain protein
MDVFSSMDSETVLLILQLQIEDSNELFSSCEGKGKGIEGVLSDTQVAVRLYHEELQRSATIIKDRNMTRSLARACLTDGNMLVFSYSQEQQESRDRR
VALRLGGVPAPRVITDGPARDEDELDDDVLERLNALYICAAGNDLDSDSHSEDNAMALVPYHSTSSSNAETSTWAASRKSRAPKHHCTACRDTFSFC
ELSRAPCTHEYCRSCLQDLFITSMTDDTLFPPRCCRQPITPSMSIRIYLTTKIVDDYEAKKVEFDTPNRTYCSNPLCSSFIRTNCVVEERASCQVCQ
VVTCTICKGTAHDGDCPEDEALNLVLETARQNEWQRCYNCNRLVELATGCNHITCTCRAEFCYKCGERWKTCQCAQWDEHRLYARTEVVVARRAAVH
QPPEQREARFAAVMQDLVERHECDHNSWRWVRGPHECEECRHDLPDYIFECQQCHIQACNRCRRNRL
>RCO7_03383 | uncharacterized protein
MAAPPPGPPKRPGRPSSPTETGDPSTVETSYSTINTPATMTSQFPSGQQTLYTSSLPTSVAAGYGAAGAIPTYKSKGDKGDKGSKGDKDDGTWDHLD
TGARAGVGIAIAIGVLIIVMISVWFCCGCCGLRKRRKERREGLRAPDTTTQSPLPLNTVNPGSVPPQASDAPPEYEEAVPPRHQHIAGGARHGIEEE
EQPGVISDGKTPLSEIPFEDVVLDHSPSEGSSRSFNERHHGIGGDTRGHTNT
>RCO7_03384 | uncharacterized protein
MPARELGSSYDSPHRAHGVGSTLLKRHKILPHPREPAYHPSTLTTRPRNLSIDTGTSSLAGSDTSSPRILKHTSKRIGSLVLPPTPPTHSRQSSGSR
PAPAPAPVFDIASLQTKEDFPSTPTTPVNQQQSPPTPDVTPPRAMPLVFRPHISDRYPASRTDSFKTARENPYSSDEDEASTVRPGIPSTRTSAFEV
PQAIQKAQKRREIGLGLGLESDNGGKSTPRARVVSPEEFVVLDGEWGAPSDEVSEVEREWDGNLMRDVTVRKRPGRNIQRLDLHRDGATDEVIEDDI
VFPTSATRIPRSLPLQERITTHRLARESADRTSVEEFAKHIAWPAAVADPESPSTPDVRRFSAMSGRSVSSTVVEALVVDAAPARRKTLRHTKKHFG
LRDFSSDQSTRSPALYSIVSSEPQHRVHHTAARIPEQGHQSLASNTTVGTTSSSGKSRKEIVRSGGIPVVIVPERRSSSKSRPPSLRSTSSKKTKRS
LSLNSAPLSQSSKYNEPGYIQSRPTRPRTMSESAGSGHDSVRTIDYPPSIPARRSSLSAPTSRNTSRTGSLTAESLNAHNMILKNKQEEIIPTEEPP
QPHAEAERDVDTHTHHRLNVDHNGDPFFGKRLSTQVTPFSQTSYDTAGTAAEVSEALAVTIFPHQNRSVLVVEHKTSEESSPTSLRPVDTSRLQPSM
TFNGNVTTGPVTPPQPSHPMDAVDSPLRNPRNPPEPPAIKFIPPTPAALTPSQEEDRQLGFGIDDEPVSTDNKPKRSMSMMRRAFSNRRYSESLAQA
PSLLKRTFSLSGGRRRDLADGSSQISKDQDNLSALYPSVPDRPADAGKLHPFWRPAYFWDDLDGRDDLEDYEYGYPPIDNRPAPPKRTLSQKLKRTF
AILPIDDELYDHQAYSRDRRIMQRTASGNMRVVKKRSTPSLRREGGDRRTYSEDRRPVSGPAKGTFGYGFKDGNGGRVATIPGLGLRVEYVGWSGVK
NKLSERRREQRSQKLRASISGPKSVQSGMDDVLRRRN
>RCO7_03385 | related to ribosomal protein s25
MAQGTLKSKKLTTATAKASTRRPGVLGPKKGSRTIAPRNQVLVKNAKMTKKHSAGLTAMTERTLGAKAGHLELLKGGKKNKDAKDGKDKKGNEVEAR
KGGSKKFG
>RCO7_03386 | uncharacterized protein
MDTAANKSAAKRQQRKAERKTRPTLSCEACRSRKLKCNREQPCQNCTIRDKAASCAYRGETTPQHGKRHIQTAQAEDMQTRIDRLESLVTSLVDQNQ
QLVGNSSSPEHDSTRLPSDLITPSISDASDTDNGTEEIQHGVGIMQVDEKQSIYKSSTHWYHILEELNELKSLWGQMRETQEMAAHYNPSLEVPDAT
SLLCGMARPVSREELLASVPPKPACDKLMARFFDQEHSPVPTYHLLHEPSFMRQYEAHWAEPSKTSIMWLGLLFSILSPIMFSYFSNDDEPPEYGGT
SRSLSELYRVRTAQCLMMGGEKHHGSVMYNSMAEWARKSVGETRVWMMVGLVVRVALRMGYHRDPAQFPEISIFQGEMRRRVWQFVHRMDSLTSFLT
GLPAMIRDSDIDTAEPLNVYDWELTEDMTELPPEQPATALTPVSYLLAKGRIIRCLGHIIDFLSALGQYPYQEVQKLDKDMVGAFGAIPPFLRMQGT
EASLGADSESLVNRRVQLVYLHHQGMCVLHRKFFIRGRSDPRFAPSYNRCISSAVALLELQDFLYTSANSSLLIATHWYRVSYTSHEFILAVMIIVL
DIRHRKTERSNGVDAQAISQPECLSVLPKLHKAYQIWKDEAIRKRSPEASKVAQVLSNLLCPLGFFEYINTQPEILPSMPDVYPQSPPYMPFAVEVG
MPESELAIDWDVWDSFIEGASFEDVYGGMTF
>RCO7_03387 | uncharacterized protein
MTTSQYSSVIKTMITAEQGDPPERDYLHFIYDYPERYKKAYPGHRYTAVGYVHGWEFHVNQNRQANLRPIFNTSLAGIKPEGEKYLLPTPGLKNPNS
LRRPTILVHGLVFALSKEDDQILEERFELSEYPRSRVWCNATIRRDGIESQVKVSVFVDLRYTCNITEVFITSKVQLEEWENTFLLFLKEGVPKQYL
LSIIAEIQGQGPDKISPIFVDPEAYRIDFSKMNIDEHSEEADKVIADVHRTPSAALLLNEYYENYGTLAPACPTDSQGAKVFEDLHDSILRGHNTIE
SQSSAQRKATTSYVDRMSNRCDDGLDVYDAVRKTRGQKPWKHPDTVGVSVEEDDSDDTVTSRQTAGPKVVGEKPSAPVNPKRSHRKQASRPDGESLA
KKQKVQNPKAAGDPKVPNKKGGNHRA
>RCO7_03388 | uncharacterized protein
MRSNIVLAAFAALAIAAPRPQEIEFDLVDSAADPIIFTPQTDVPFENIAAISAEFIAQVAAVSVTEVAQAIPKRGLQRRDGDCSPEAAGTGPRVSSP
DDTPEAFLAYELFKTNAINAATKANVPQGYSLAFSNLEASSRTSSYLGFKTLSKYDPIECASVCDQHPDCIAFNLYYERDPSIKPNAVDCPNPTSVT
NVKCVRWGVPITKFTAKNNGEHRNSFKIVISGSNGYNKDAPPGTQSGFKGPVKLGGAINAPNDPVTDTNTYMGYKFFSFDQVGTFAGGVAACTAACT
AQTGYNSRHPPKAPAKPSVCNQAIVYLLSQNNQPQGIYCAMYSEEWAQKYATNYGQYRGSEFWSVSSAYAYTNESFAASYGPICALGGCPNGSYKGG
NCGGYGGTC
>RCO7_03389 | uncharacterized protein
MVIQTLSLGVKPKHYDLHIEPHIETATFDGSVTIEVEVIAPTSIITLNAHKLAILNTALYDEQGDPIQILDTGGESTLQTFSIVLAQPLLITTRLFV
HQTFSGFLDKTGMGLHVTEVRGSSMLSTFFEPTHARTVFPCFDEPCFRSSFWNMPIKSESKTAIYAPRVKKRVVFHRTAPISTYLVAFAVGEFNMIK
SHEFRISIRAYAPREYDIEHCRYALGIAARALAFYEQTFKHACGLDKLDFLAVPGNTGAMENWGLVTVSMVTLFIGLDSTETEKIACAQLISHEIAH
QWFGNLSCLGETPGTPLDPITYGKGASVLRMLANFVGKVAFLQGIQRFLRENAYGTGDPEDLWEIFSEINSSDVGAVMKVWTGNPKHPVLEIEESEE
DGTITVIQTPFSASKAEDESTTVYPIFLEILTSQGNFKELLGAEPKTIKVRLDFYKINPGQAGFYLVAYPVARVQKLGEEVFKGILSVEDRIGILTD
AAALAMAGFSDLRTSDLLSLLQKFEDEPNFFVWKTIVGLLREISKRLLFEDEMIRNAFMDFHRILVSRCLYRIGRIEEQDSTTDIRFKALLFGNSGG
DAKVFAAADILFERFIDGDAAILNPNVRAGVFEIVLKRGGKKQFNKLLTKLETSTGSTWRDIVRSLGHSQNIACIKKTIKLATSPEVIADVGIQSCL
ESLTKHRKGIYALWRFIASGAWEKVPGVNLEKAMLVGSMVLNCLTKADVIAEGRKFLQNMDSDGLGTDAERCFEGIEIRAAWLERDREDLIGWLRRN
GYYKHGPTRVSRSVSGVRDALEFLGCI
>RCO7_03390 | uncharacterized protein
MERLPVELSSEIIKYLDKVSLKALRLVCRCLAQEAAPSLFRHVSMFIQEDSINMLLQIAMRPHLREHVETLRIGLELLPVDTTNGWVGWDHMVDGEV
CCGWDHKSKRHINRFIKAQKRLEASGRGLKLLTDAFRGLPFLSCVIVGFPGHPDGSNPKSHGFDQLGLHYQTDPEGFDYLSGNNACRFSDCGNIQLK
YLFRAGHAAGLQLDFLDICGANDSCSRSYPHSMHPDFMDLGESDLACARTVLSRTRGFTWIMPDCYDQSVDDIHRLMSLNSCLKRGSSVALLELMPS
LDYFKIEPSGVRGESTFDHGLTLKHLLGTKKMPRLRRVKFHFLEFDEDNFVEFLSTQSDTLKDVTFLACGLFTGSMKSLCKRIRARTSLERFRLSTG
LHEYRGGVVRLKDFGLWDDNERLYSQWIIERAVTDALEDFVVKRTAKYPTGWVSRVRERGDPEESEEDSEDEFEMPEGPWTYEYHNDTINSAVVKNF
NMLYDYVTFSNSELSDSDNSNMSEGSVVSTASLPGLVAAP
>RCO7_03391 | related to nicotinamide mononucleotide permease

MATTHENLEKGIVVGDFDSNSEGKIDTQQIDHAGKGLSAAEIAPQSHQAPAFIRNMTPEVRAATESRLKRKLDLRIMPMIVLMYIMNYLDRNNIAAA
KLAGLMQDLNLSTTEFNTSVSILFVGYLLMQVPSNLFLNKIGKPAIYLPVCMIVWGVISTATAGCQNFGGLIACRFFLGFVEAAYFPGCLYYLSCWY
TRKELGFRTAIFYSGALISGAFSGLIAAAVKAHMDGLHGLRAWRWLFIIEGAITVGIAVAAFFVLPNFPRTTSWLTDEERQLAIWRLEEDVGEDDWV
DSKQQSFLVGMKLAFTDIKLYVLMVLLFGIVASGTVTNFFPTVVKTLGKSDVVTLLLTAPPYVLAVITTFLNSWHADRTGERFLHITVPLLFAIFAY
ILAAATTKTAPRYVAMMLMVPGVYSGFVVALAWISNSLPRPPAKRAAALAFINAVSNSSSIYASYMYTDKAKPRYVTAMSVNCAMALMAILAATTLR
IILFGFRESGATKKDTSESISWSLTYSL

>RCO7_03392 | uncharacterized protein

MQHPLLDPEKPHFMTLADARTRLYTKASPGHPNGKGLFGGLPSPPPRKRLPRSSPVLRPGLTPWLYDWVSDKNDLLPKDGFDFWGDDLPDDEFSLGP
PVDRINYWEKPWIQARVLEHLQEVTNKGKQALKKKQKKRSIPLSRVGRKKAWKKQAEGKPKRKNGKFFKEEKVIIIGED

>RCO7_03393 | related to thioesterase

MATRGLKQRRRDDYGYILEYRTRWSDNDMYDHSEYGLAVHSHVDFFGSIAFPAVADLALRVNKLGKTSVTYEAALFERGIEEVKSVGEMVHVFVDRE
SGRPVASGMNATLKEGLQKILVTQAKL

>RCO7_03394 | uncharacterized protein

MAGEHLSRPGLEEAVDIDESPTNKPGAKRRASRAGTRSVASLTPDQLARKRANDREAQVRSVQVHPPEDEDTQCVLETPVFYSYFPRETRFILFSGH
LQENVYLPGLLTVEELEQRIRDLSRDQDARNFEQIKRRNEELEVELKQLSGLLGHSESSFGTSPELNFSSVESRYSTDILTEPHPLVYSPNWSGQQH
IEEMSSPYLSHPQSSAGDLLSPYAPDPSGLPSGFSDPGSGRSQTFNQAEVGLRDVMNPQPVPDPMPQRCHSPRPQVSRSRSYPHGRFAVPSVDLPLG
MDAYVDGIGSHVALADQSTSPVNRPMRISATGLHQSHPPTANPLTLNQRTNTAGHQQPNDNGYEVPGPMIGVSAWDLPLRLLPPSGPVAIILHGLVD
RQRNIATEHAHGSQPTGPYHPDLRPMLGPRRGHRIHPVSSTISELFKRLVYVGFAERAAALLLVYHFVQWQILPAKETYQNIPEWFRPRASALAIAH
PLWTSFLVWEGLRDVVIRDQQRYATEEFMNLYQNCITVNWPFRDEDIVVHVGDEVRVNDAFKRHIETQANWSLGEPFHRRYPELRGLYRLS

>RCO7_03395 | related to DNA repair protein RAD26

MACAEHQIDEQTEDDDELSTSDEIGRTMGTDEYIKRINRRRLESDTDSDREVTGIAPSPFEKGKRKAGEKVEWSSDDGEEEDAYQKFKNRKSAKRKR
VAATRKKLKEKTKEIVEDRKKAKNNGENSKQQRMWGDESDYEILDDEIPEYVRQRRKEFDKNHEQYHEDALRLPPRYEDVYFSDDERIAELAERPDF
PPSVESSREYKDIELPHSAGVIPASIAQYLRDYQVTGVGFLHELFVYQRGGLLGDDMGLGKTVQVAAFLTAAFGKTGDERDAKRMRKMRRAPNKPWY
PRVLIVCPGSLMDNWKNELGRWGFWHVDKYYGSKGERESVAQAALSGRVEIVITTYTTYRNHLEQLNQTQWDCVVADECHQLKEPSAETTKAMNQVN
ALCRIGLSGTAIQNKYDELWTLLNWTNPGRFGPLQVWKSSISDPLKMGQSHDCTNHQLKQARQTAEKLRANLLPQFFLRRMKSLIAHQLPKKTDKVV
FCPLTSLQKQAYEYFLESPLVETVRNSADECDCGKPGNPKRGWCCYTTIPGSDTSWRAVVFPAISILQKLSNHLAILIPNPIDPPEKRERDLERLKE
MLPNHWRDLYENRGSLATLSNPEFCGKWAILKKLLKYWHEQGDKVLIFSHSVRLLELLQYLFNNTSYTVSFLSGKTKNDDRQKLVDSFNSDPNQFVF
LISTKAGGVGLNITSANKVVIFDPNWNPSYDLQAQDRAYRIGQLRDVEVYRLVSAGTVEEIVYARQIYKQQQANIGYTASTERRYFKGVQNMPGQKG
EIFGLHNLLTFHADSVVLRDIVNKTNVAEAKRGVDILDFDMDDAANDEDNPLKVDDLDDEDGAMSQLAALLTEDSSKKQPKPRPKTDPIQAILAAAG
VEYTHENSEVVGSSRVEAELSRRAVETGNDAEYGEQRLFDDSQAGDVSPGRIHYEYHPPDDVMLRQFCTMSKGFGFGSATEFAFAVEGMTQKQRTYC
LERFYLKRKERIAELELQENKSKTDGPAVSAVGLDMDVEMQAELHEARAAERRAVESKAAVRKLEELKTPNAINEDAETEDDDDDEL

>RCO7_03396 | related to tRNA 2`-phosphotransferase

MAAVLPPLQGLSLNREIMDPSPISPNASRHGRGKNGGSVSKTKGRGRGYSTVEDREGLISKALTWVLKRTVEEGDEQDEGEDKLVADTEGWVECSEV
LERSNLSSLEVTFPELKELVESPASRTRFSLKLKPDSKEDTDAEKAIPSNYLIKVNPTPSGPMSPTSATTTKYTPLSTTTEDLPDFIVYETSYANYP
LILASGGIKRAGGQALLTFATIVVQEDGSEVRAPKSDADVSIHINLRQVMEAEPKIRWARTDAGHVVTEGDASGGISKANWKKAVARRADIGVLFEN
GEVRKEVPVGLRGKGVKAKKGGKGKGKGGLKEMKTRSEDDDTASD

>RCO7_03397 | related to E.coli tetracycline resistance protein TCR1

MTKPSEPNSSANYGTIENRDTESSQPDDVSPHGTDYSDQALSGVHREPSFDRALRSSLIVQDEDPLQIEPPTMKKKEEIVTWSSLPRKSQLAILTLA
RLSEPLVQTSLRSYLFYQLRSFDQSLPASTIASQAGIMQGSFAAAQLCTAMLWGRFSDRGGRKRILLIGLSGTTISCIGFGFSQNFYQALCFRMLGG
ALNGNVGVMRTMISEIVREKKFQSRAFLILPMVANIGSIIGPMIGGFTSNPAGSFPEIFGGIWFFEQFPYASPNLISATFLFCAAMTVFFGLEETHE
GYAHQKDIGITCRRRVFPGIGRFFGGKKEGYEPLMTSESTVTNSHITEYDPDSKPRKRIAPRYKNKLPFRRIFTYNVVCTLICHGLMSLSMGTFQNI
WYSFLSTPVYDPEDPPENYTPHPPFVFTGGIGLPPRSVGFVMAILGSIGITLQLFLYPFVNQRLGTVRSWRIFLYCFPVVYSLVPFLSLIPSTTPPP
SQKTGFPIWAAISSLLFIQVVGRTFASPATTILINNCSPHPSVLGTIHGIGQSASSAARTVGPALGGWLYGVGLKNGVVGAMFWVLACVAVFSIIAS
NWVREGDGHEIRLDGDDEAEALAEAENAPLLRRQN

>RCO7_03398 | uncharacterized protein

MVRLSFLELAIVVASIFLPTTKAVDTTVGASFHARDQSINFALNIPQGDDNNDLYFTIVAPSVSTWIAVGMGSDKMKDSLIFMAYSDSSGKNVTLSP
RRSSGNIEPSYTKNITVEVLPGTRISEGNYTVNAMCKNCRSWKGGSIDPTNIAAKFIYATGPGGNLKSNSLTADIKRHDLYGAFTMDLTKAFGVKGV
PVIQFADSTGTVQIKDNSDRDFAPPAHAVLMIMAFIGLMPLAVMVLRTLNSPKWHGVVQTASALVALIGMGVGIKAGMQYNRTKHFNSIHQIFGIIV
IVAMMCQFVIGFLHHRMFTKTQLPTKLAHVHIWLGRVVIPAGIANGFIGFPLALNPKYNLALLACVLLVVVLAGPFAFWRFRRNVSKKNATQEPTGY
QAQPWTRSEAQSDINLNQMDYQQQRNYPSIYRGPVQGRDFV

>RCO7_03399 | related to dehydrogenases and related proteins

MSIGVAIIGSGIFVTEEHLPAVKACSNLTLKAIYSRSLKSAKALNAGVDLYSDDSGVGNTYHDLLLREDVHAVIIALPILTQPEFIEAALVAGKHVL
SEKPIAGDVKRAEHLIKFSKSDKVKNGATWAVAENFRFLNSFLFGKQEVEKLGRILGFRWTTFLHVALGGKYIETAWRKKPEYQGGFLLDGGVHFIA
GTRLLLGESARPTSLTAYTHQLQKHLPPVDTVDSIWQTRSGISGTFSVSFGTTLPGNGYTVACEKGSVNVTRGKVTVTLVEGNKVTETDFSNEGSGV
KQEVAAWAQGLVDGKPVSAQSPQEALVDLEILEKMLRSGEQNGQAQTLQY

>RCO7_04288 | related to UPF0591 membrane protein C15E1.02c

MSLSYLPPVKPSAIALGTIFNHAASLAVLGPVFGDTYHRAQAANSKEEFVKSKEAASAAAAYGTSLVGSAIQSYGVGALLNATGTLSYKGAAYLGSL
IFMASSAPSFIAQIFTEKRPLDTVAVGALARVFETVGLSLFLTYWGTRTNPFE

>RCO7_04289 | related to GPI anchored protein

MPISRPSLCSLNSIIAFLFITTVIVPFMVMMGQSPAPSEEHTVYSTVTGYFLQDDEATDPKGFDFVTDADLSSNSKLTQWQRFAREISRLNHDGSEK
VTYKLLYLGRHGEGYHNLAETFYGTEAWDCYWSLQPGNSTSTWSDALLTPAGKAQALVAHAFWAHLITTQKIPFPETYYTSPLLRCLATASLTFSHL
DLPKDRPFIPTIKENIREVIGVHTCDRRSGKSVIKSKYPDWPFEDGFAEEDPLWSAELRETDEAIDQRTLRAIEDIFSTDDHTYISLSTHSGQIASM
LRVLNHRVFGLGTGQAIPVLVKAEKLPGPAPVKGDAPWMPVKTCSEPPPAAITV

>RCO7_04290 | uncharacterized protein

MGAFYETIPQSLIDWILLQKVFWIASAPLSHSGHINLSPKGGSYFGVLSPSKFWYIDLTGSGIETLSHLHEPGNGRITVLFNAFSGPPRIVRLWGKG
EVLEYGTGAFETFVEEREEEGVRMREMCVAGTRAVVVVSVTQVGSSCGFSMPLYEFQGCRSTLNEFFEKRVRSEEEGNRKDGIEKYWAFKNAQSIDG
LPGLRRGVENGKREKVTPIKKMVGPYALEVRAKERADHTRTKIAQFVVVLLAFCMGIFAQWAWSWSWGGGFEM
>RCO7_04291 | uncharacterized protein
MSYRLTHYIQDSNTLHDTLEHSPISSPQLLTHHSPQSPQSMIEVRAAGVAGLGVFAKTLIPRGTRIFSERSLLTLHRNKPSSFYPLLQRLSAHDRDV
FMSLSAFRTRETNVMRWAVAGVHTLHNAFMSAFGLFGKNKHAGSNSNSNSNSDLNSNSNSCPKRYSLSDHVSAISIFRSNSFNIGQSPISMPVSQGS
DASNPSISHALFPQTARINHSCLPNAQGNYNPATQKFNVHATRDIERGEEVKLNYLMEEGGLRRSRMERLREGYGFDCKCPACDFGQVRGRRGEERR
LKMVEKLKGFVVAMEGRGLLKEEMDKEVEVERELEATMAYIELFESEGIAGRELSNMYMKAAELNLDMCKHQEALRLAEQALQLDEDCLGTDHLDYK
KNLEIVQGLKKELDENILQHP
>RCO7_04292 | uncharacterized protein
MAQPKSKAPLYITLAAAGGVADLSRASAKIKSEVPGRAKEAQKEGEKWASEAGQKLDNAVEKSKAELAKAEGKFDQYRKEASAETMKKIDAADRKIE
NKAAEARSGISSWFGGK
>RCO7_04293 | uncharacterized protein
MSILHSSTRRPSPLKDTDYDHEINLIDHTRAESPEVARSRSAGPGPASPGVASDSSSRRHSNSPLRRKHSSPLKLRQELTKRKYQKYQDRRLGEEGG
SDDGTTDLDTTAETDSVKVAVEESDPADRGRTRDNDATKNPKQSPDSAIDILYENQRGGFLCGMPLFSSLALGNLDPSPWTNSAQKTSGTNITNAQV
PDPSWEWAWPEWHINHTDEVDEDGWEYSFMFSKKFSWHGKKWYSSFVRRRAWARKRVRKSTGYRANEGHMLNSDYFTIHPAESRDTSRNSADSRVKH
HSTISRREMEEGIVVEEIEDIGTLMKALRLARIDREKTEAVESFIKHGGDDLYYLRDHMHEIMAMFIFQASRRLLLSHLVKIFDQASEENEATEKDK
VDPAKKRRLDNLEAALKHADEEVKSLEFWSDVKDMAEKGETKGAVDESQGWGKGWSALDNSAPRDVISDQKLPGGDDCHEGEGNGTAILSGQNGKVN
EKGKGKAKE
>RCO7_04295 | uncharacterized protein
MSLAARIAKRGRVAILASSDSAPREPLLFLYPSWNRNNLTTSAPHQQNGASPKYIGQDAPISVPKHAATLGEVPNVLDRRFNKPKAALNSDLQALEA
KDSGPPSQSRPPNITTEDGINSLGGEEAMLKAGASARQIDKMARRLLGLQQLNEKNKLSAISWREEYQTIKREELELWTPDWRILLATLVEHTPDHG
PWLTRALEFKITPSAEARLVHGIDDYYLEIADQHGCRMELGSRNEDTHTFKTLLISGPATAISKCAAGILRIAPDAEIIPHKDSLASPQGFELDNGT
RLPGIRPHSSDSELRFVMETQGPDRTLRDYVFQRSPEEIPKPDEWTEFSFLRYVQALTTSRVTSHKNTYGLKEKAPHKSRVSAMLRALIELPDASPF
ITREAFHEILRFWVRHNQIEAARMLFVHMEIRKIKLTPETFNILLAGAAKFNDLHNFHYILHLMLNRGVTPNGRTWTHFLVAFSDVKVKLHIVTAMQ
KKGLLNHPRTILETAAQLAGPEITSSLEKGQSQQEFIAHMDSRYGSMWLNNSSANHIIDEIASNGLISRCWEWLQFMDSRGIVPDEYGLHTILHHCK
QTANLRGAIELLRSLPRSMKFKPSEETFRLMFDLAWELRCYNVAKVVWRYGCLTGALAYKVRQRVWDSMKNSNLASPLRRGEKPRQRWIRQAGPIIN
GLNTIKEHPARHLERLVPELEFERLVGREEERQTKARNEKARKKRHEKSKKNALKQQQDGLEPATEQLADSENPIPPPYTPEELAAHRASPSYQAHL
AQRELPQVTDPWSPCIVGNRLPSYKKPILKELLFADLEMFKEWEPIRPFEEMLVDAMEKDDEWKREVDYNEKDLNWFLDGRAIRVGIKSYDGLVKEF
DWR
>RCO7_04296 | probable spindle assembly checkpoint protein
MSDEKKEKAKTHKLSLKGSSRLVAEFFNYSINTILFQRGVYPAEDFSSVKKYGLTMLVSSDDQVKAYIKKIMSQLDKWMVGGKISKLVVVITSKDTG
EHVERWQFDVQIFNKTSSKRTSRKTSAEKENVASESSTPAPVEKTEAEIQSEIQSIFRQITASVTFLPQLDGECTFNVLVYADADSEVPMEWGDSDA
KEINGGERVQLRSFSTSNHKVDTLVSYRVGD
>RCO7_04297 | probable GTP-binding protein lepA
MQRCPLQLLRLPSSLRIHYASQFLKQATPAQRSFSTSIARCAQHSKPISDLERRIQAIPISRFRNFCIVAHVDHGKSTLSDRLLELTGTIEPGGNKQ
ILDKLDVERERGITVKAQTCSMLYNHEGEDYLLHLVDTPGHVDFRAEVSRSYASCGGALLLVDASQGVQAQTVANFYLAFSQGLILVPVINKVDLPS
ADAPRALEQMETAFELKPENAVLVSAKTGLNVGAILPNVIRQVPCPVGDHKKPLRLLLVDSWYDNYKGVILLVRIFDGQIKAGDQVVSFATGLKYFV
GEVGIMYPDQTPQNVIRAGQVGYIYFNPGMKKSQEALSGDTYTTVGSEHLVEPYPGFEEPKSMVFVSAFPVDQSDHGHLEDSINQIVLNDRSVTLQK
EASEALGAGWRLGFLGTLHCSVFEDRLRQEHGASIIITPPTVPFKVIWANGTEEIIQSPSNFPDTDSQRDKIAELHEPYVSATITLPEEYLGKVIEL
CEANRGVQKELNFFTATQVILKYDLPLSQLVDDFFGKLKGGTKGYASLDYEDAGFRRSTIVKMQLLVNKEPVDAVARVVHSSQVDRLGRLWVKKFKE
HVDRQMFEVIIQATSGKRIVARETIKPFRKDVLAKLHAADIGRKRKLLDKQKEGRKKLKAVGNITIDHKAFQKFLSK
>RCO7_04298 | uncharacterized protein
MSVLRQNPLDPAACQYFKETLGYPKRVYLKGQGSQVMILQAEDYDAIRAFHFQAFSTFTPMTDVASAGAGVLPSICSNVAEDLEQANFDMWEALFAE
AVDNDSLPLPMDPHTLV
>RCO7_04299 | uncharacterized protein
MTSSIEASAQGAACESTSCELGHTNEAGIFISGDEVRLARAEAEEKARLALLGPEMTCVAACKAPAECTCGLGYTNEEGEWISGDLVRAGLAPPQVS
GTTN
>RCO7_04300 | uncharacterized protein
MSLSLSGESEWTRAVKLYNTTLTDDPRKRIPDDPVAVELMFGTPIKKLDELIDYTRSAKEKVDAGRSKFMKHIDNLLQWFNKYAIIADIMIQHQPSI
TALVWGAVRGLLVVAVRDIEVSDKIGSNILSVLNHIGRWEEYLHLHPASARLSTIIIELFAHLISFLVRSKRFYEINPAKRYVKAAFSAFNEKIDGT
LRKVAELADAAEREAHLASQQEQNRQWKAVASERTEQAGFREAQNGAMANINSKCDTIMEDIQGLANETLPGVISHLAKEANIKIFYETRKEVIKWL
RPEYTGSYPTIDWKEGTCQWITKHEKFKTWKSGGTGSVLWIHGIPGCGKSVISSFLTAHGFAFNEAPFGVLTYYFQKTDEASSPSAMVCSLLGKMLH
HPGIVETLSLYKAIATLGSYLSRYKTGTECPISITWGVLQGLLEKSDEFAMIVDGIDECTNAEDVKALLGHMADLARFPHAHVILASRYREEFQKAL
RDPLEIPMEATQIDADIRVMIRAKVKEHPAQLAHLGVELEAKCDRDANGMFLWAKLMVDDLLATLNKRTQRRKLEMFPSGLHALYDQFMQTSGKGID
AAHLRTRREIFSLLTGCFVSLTVDEISEALCLDVRGLRVDEGLRIFDMDRVLQQLCMPLIVIRNRSVTLIHASVRDYFVRTRKPDQPSLTYLTLDAE
ATHMYILRKCLCILMLPDFAEDSMVAATLRNCVLLETGSGDSHELSKGTEIVSRLLEGFYRYAALHWHLHLTATSQASQICLKMIAKFLKSRQLVTW
SEAIFLLGDGHHGSPAMEISSDLKSWLALQPPSTHQIVEMHHFMQTSFIDLTDEFEKTKKYPLELAFLNSRYAAYFAWTGNLSPQGFQLLVLAAEGL
ERELGRSNQLTLNAHEALATGLLARGYHAQSSESLTRIRQERVQLVGPDHRDIFKTLSYECLCHFHLLNFAAAEACGNEAAKGLLLTGLPSTRDYLH
QQLYLGYALEAQGKNAQALECYERAYALWIDLNGSNDPSTLMTQSAMASAYRKLGRLQDAERHYVLCFAGRQRSLGLDHYTCMDIAVSLSYVYREMG
RVEEALALMELCASLDGLQKPENFERFCQVNHLQALLLGTDQDTKHEAEYKLQTTLKRRDDEWLRDNRETMWIRLTLALWYRNRGDSESAAQLFQGI
VQQKEDCETAFEGKVLGEHAERAIRLVKCGRVDNAKQFLNLHRLKWSRAADFEIQYGGPMTDSAWERAFVE
>RCO7_04301 | uncharacterized protein
MARRVSWLEGAQEDPAIFTAALGNSTGRDSSELGTGDGSYDNLEPEDESSSLLSGSIAPAVTSPWDLNFLGIPPKRLWLMMAVFALGTSVMTADAAV

EYASYIQIGSAFGQLRHVSWLTLTFVMVVTVVQPMYSRLSDIYGRKPILLLSYTLFGIGVVFCTLSYNFWVLVISRGVVGAGSGGMGYMVTIIMNDI
IPLRHLTLWQAGMQAAVLVGQAAGGIIGSLVVDKLGWRLAFLFEIPLAPILVACGTLIIRLPKLSHQNFWNTGEHGSYENMKRGLFDLTGTGILAGF
LITLVLALNLGGNDLAWSHPLISVLFAASCVCLAVFIWYELRVAIVPLIPIKLLATSKIFPIMATVFCANGFFGALLYSVPYYINVSARGTANLSGT
MNVLNVLGFTLGQFLCGGLISYTGKPWNVLIFSATSSMISAAWIKIRWTNSEALWENVLPIIIGGGSVGASMGSLMVLMLKSTKQEDRAIMYGAYHI
FTSTANMSAISSISAIIQTQFRNYLHRSLDGNYSGNIDQLASKCMQSLKCLDGLPENIEKVVRNSFIHSLRDGFNLICGIAAAMTLLAFFVKRLRIE
VHDK

>RCO7_04302 | uncharacterized protein

MAPTTQTFSWMSTRSRQMRINYSPLHAVMLVLGTLVVIPLALLATSQWAWPCRWSPLQRRCPGFSAPHKQPGESPFSLISPTSSLKYSSCYGGEYQC
ARLEVPMDWNSTTDPDTVALAVIRLPARVPVTDPRYGGMIVVNPGGPGGSGVYKMLVEGKRLQGIVDTKADPQKDVDFKTNSKNADKYYDIISYDGR
GVNNTTPQFSCIDDAVARQKWTLDNKFSDLVGSSNVATNKALARALALAGTCSGENGPKLGAFINTTPSVADIVAITEAHGKWRQEEALALIAQKRS
LSSLEKNQIKQATAWDKDNEKLQYWGYSYATVTGTTFAAMYPEKVKRLIVDGICDPNAMYNGFWTTSIQDTDKIVTRFFEDCYKAGPSECPLYSDKG
PANIQATLETTLQSLNNTPLAVSGGLGHGPEVITLSDVLRLIKDAVYTPIAAFPVLADLVADVSSGNGSKFATYKAKAPAKICASRSLDEHAVEDCP
LFSETIYDVLTAISCTDGQDLSRFSNKTQVFDEYYSLLRTQSKWMADIWMSWTLSCWDWKTRPKWRYEGPMAANPAHPILWIGNTLDPATPLRNAHK
LSKDFVGSVVLTQDSAGHCSYSSNSECINDHVRTYFQTGDLPEIGTVCAPDKQPWGNSA

>RCO7_04303 | uncharacterized protein

MGDSSVAICPFRTQIHDPSAIQTEPYEVQTQKFELQVQKYELQPPRRFEIQESRYEEPVNFTGTSKDLELLARCQKGHAFEYQLEGDSDNDSIQQDY
NESDQISHEHPTELGIEDEGQERKDSKDDDDTGTPKAGEASISQPVATEIVEDLPGGASSVPPAAPNPPGQDDDVQEHSAKDVVPRDISGSTDTVRS
TSPNSVHFADEVDIAPPASELKSILKNNSKQSRKEAKKEKKQEKRAKQFEKEPEPEKSSDIAEVEDDLPKSSKKGKDSKKEKKQDKKSKQADKELET
KKPLEPEKAEDDSPKHGKKGKKGKKADKSWEPEPTVEKEKEVKPEKADKQEKGGKGKKDRKGGKGKEKAGKMLIGAAVVGAAAAIAIPALDDSPSES
PGDRVTSPNDDISPASDPAPSNDLPSVSPGDSILTPIEDSLPVSDSVPSNESPSDRPGEGISSPVNDSPPASDLVPLNDLPSDSPSDSVPNPTEDSS
PASDLVPSKDSLSDSPGKDIPSPADSLSASNPAPLTNEQNLDAASHLQDPLAETEEIPIDLQPRSEPLPSSDEPISEATVEETSTPVQQASESVVAE
SPALAVEEPVPTPPVEEAAALAVEDETQAPIVDEVSVPIVEDVPAPLVEETSLVEDKPAPLGESLPVIEEKMTPAEKQCSLTPSPDDAPASTEKEPD
IEASNEVSTPIVEELSPETLAKDLPVVDDSVMPHEEIGSSKPVVEEPKISVDEDIPAAIEETKENLSSPSDGDSAVAIVEDLPLDEPEQLKEEESSP
PVTEELPTSADPDQTPETAETSIEPSKSSLVEETVHEPANETSDLVVEKAPPAAVEETVTALESTNEVIAEGSKVTEEGSNLNADTTTEPDTEVTME
PLAEVISAPSAIDQDAEEKDDDNSQPASEAPQIEADNAILEIGEVDKSPAAIELVVDHEEPVSASNDSERVSDSSSSDEVVPQAPLPEEVADANGLG
LKNESEPVVKNGGVASETASQSPAVEAPIEAAVETLEAKVDKEVVAAQVPAIATELAVEVVDETSGPSDDEPTSQADETSEPESLSEPSQEQAGTPS
TEVDHTATENLDEMSKDQESISDVSSVEQTLEEKVDIPLDVSEDKQKEVDDAQSTSEALTVEADSIIKKVEQEDASPAQPEPIVNLEPLSTPDDSNT
GASDGVEDTPAVEANDGLRDSKNEPESAIEIVSPTIPGKAEPAVHIKSPSIAEEPSELIEMESQKIIAESTIVAVPIEDCALGEKDESSDLFSEPQA
EPISGEPVSLSSDDAIEPAKAKPCEDQSRELAISDEKPVSVTNQSIEEGLTLEAASTIIDDANDDTTASDEALTAPEAEKVEEPLIVVESKEAVSDI
AQEIPAILDVAVAARSPGEESSDESGGKDNESLESSTKEIINETSSEPSEPVVDDPAPDESKGEDNDSLEPSTIEIKELVDETSPELPEPGVEIKDD
PSAVESEGKDHKSLKPSTTETKELVDETSSESSGSIIETKDDPSPVENEGKEHESLELSTIEIKELVDETSSEPSEPTVEIKDGPAPDETLAVESKV
QDGNSGDEQPLTVSEATTAEDLEEDTKLDEPELPTPVPTNEELGETGPKNQASNESEMVDSLPSSEVTETSEPKALEVEAASETNDIEANDEVPEAA
QNLTPKVADNKELDSVPEQTRDLGLEPGLDVIPVVSETKESDSIPEETKDLELAPPFDSSPDVSETKEPDPVTDETKDLDPEPQNLADGAPQVGEPL
HEVEKPVAAEAPTFEPKDPEPEVVESQTPVVELKESEPEPVISLEPQIPTAEPKESEPEVNVESQIPNVEPKESEPEVVESQTTVEPKDRDPEVNVE
SQTPIVEPKQSGPETTVEENKEPEPKPASPSPPQNEEVSKETVVEEGGESKESSALDDALPIVAGAAAAVAVGVIAAEILSDDKPMTDKAIVEEPEQ
LPQVVEGPGPGELPSSPRSDKERRRHRSSRHSRSSHHSSSSKDVPREERSSHHSSSSKDVPREERPHHKRRETEPPPITSPKSSPRSVKPTRHDSGV
STGRTSSPRHRKDRTPEEQAAHDKRKEEKRARLRAAEAELTKSKPLDSTVIEEGDETPMPAIPRRISSSRRHSSTKSATSNGSTADGGDKRPNLLGL
KGISVVKSPFVATDKAHVKEVVEKTTKAPIIDRLRFSTDHERPKLSRRETTSHHTRSHRRERERREESDNRVEEERKARKSRRKSDKGLATARADVAE
ETRKMQEKEDEERRIRREERRLRRAQTEAAGKSSEGGGKTSERSAEKGKERESIGRDGEAVRSKERVHRHRHRREKEKEREEKPKGALKGLFSSMRK
VFN

>RCO7_04304 | probable vacuolar-sorting protein SNF7

MPGVWGWFGGQGAQRERRDAPKNAILGLRSQLEMLQKRERHLQNQMDEQDVIARKNVSTNKNAAKAALRRKKQHEHTLEQTTAQVATLEQQIYSIEA
ANINRETLAAMERAGEAMQQIHGKLNIDKVDETMEKLREQHALGEEIAQAITSAPIGEPIDETELDDELAELEQEQLDNKMLKTGTVPVSDEVHRLP
AVGNSELKGKAPVHAEEEDEEEELRKLQAEMAM

>RCO7_04305 | uncharacterized protein

MPTAELDCIIFDEVGLTFRSVTNYSTKTAILTLEHNFPPGNSLKIQLDVNLLITTLKSNETQIGVWVNVMGYITDTGRHKAPGEDKKNISVQALVLW
SAGPFNLVGYEKSLDQKAADERMAKQTV

>RCO7_04306 | uncharacterized protein

MSFSNEMNRYWIPSVDINKKVIISDIQYYLGPESTVRAYTQDGNEGFLITCPGDCLTDEQIDDICRKSKDLWDKQAAAKMKKDSNKQLKRPLHQPVM
VSRGGYRKIESSRTSRHSDDRERDKGEGSNSGSERRREDNRSSDGYGRGDR

>RCO7_04307 | uncharacterized protein

MAENELPISHESEPAAMTSSVATAPPDNLFQQHYNSINEPTRVAKPEHAIDGAQQGLPVEENIPPLDGTQMGELGVQVAPVDMVVEGAKRLSSSAAE
PAIPELDISQAQAQIDALAGDEVLLERMLQHGSFMPELMRGVEYSGPEELHVALPAGIALDGQMPISNGWHGIDQTVSVPIPLLYQNGTHYNQNSAF
GSDQQLPAAENRQQTKGYAKLEFPDAPYFITTYEVMIGRDMRAHKSYLRGELGARQVTSSRPPRSIVSQRGGIVRDFLEEDDEEKGIGRKRKRKDRN
SDKPHKHMKVSRSSGSSSHNRSRRPSVATLTDDSQHAYSDSERPAAVDVERHLPDPHKRARLYIHPPAAASAGQWKAISRNHLLIRYNFVKNIWEAE
IQGINGCFVGGTLYPQYDIFELTNGLKLQIGAIEIYFRLPEDVPCGKTGADLIEAFHANDDDSGEDSQEHNEQIVYTESGKPMSIGFGTDRREGVGL
DQESDSDGYGDENVLDEDFESASDDEDDRGIDIDIDQSQMSSDDQDLDEREEDGEEEEDEDIEIDDGVGFDFDSLRPEPEPISRPQTPQPKKRGVGR
PPKKGISKRQQKEDARRLAQETSTKKLKNVSQKEPKVSKPPKKPKEPKEPKQPKKSTKLLEVGESDTAKQSIEADTEAETPTQESGNTSNKVASDEK
RKVGRPRKHPRPDAPPEPREKRKYTKRKPKEPKDGEPQVEGAAGDDVDKCSSPKPPRSPRSPTPTWDLDKLTAEEKAKPPQNYLKLLFEILTESPRK
QMSLPQIYRALLRKHAYYATVKPSGWQSSVRHNLGQNDCFQKVERDGKGWKWAVKEGATYEKEKKKKPSPSPQYPPGHVQPIYPGYGSQYQVYPPQG
YPPGSQGYSAPGSMGPLMGPMGYQMHHQMPPNYHPGQQQAPYVGPGGRQAPINGGYQAGYQPPMYSQPPVTLPPALATVNVSYSSPYGPKKPDASSG
PPTNQPGPSASQSVTLGIQQGLPPDQPVASTSQTAPSTTAQPASSTGHSGLLTSQPGFGPKEGTHTQTTQALQVESSMNSPASASQQGSTTGQMGQS
NSQAGRPASQYPQESGPLSTPVSQPGNQYVRQPHHPNYGQSQQFAQSFTPQQTHPNSQPYQPQPQPQPQTQIAGPSPSQSQTVQLDGMSTTPAPVSE
KLATAVQSFRKALSNEMSTRPHGLATLDRAVGKVLGHISVDAPPVYPDENQIVDSLQDMLRRIGIPPPHISASSLSGQTLSTIASTPAPQSQSSQPA

SHSGTQASASQSHPPARSTGSERSSPAIMRPLFTPNQNRQSGNAIPRPPMNSWGRSNSNGSSAPVRQQTPVGSPAPAANIPNGASTPVPTDEISLVG
EAQKELSELVPIDSESERELVVEQLPPSLPAAETKPQAETQS
>RCO7_04308 | related to DNA/RNA helicase (DEAD/H box family II)
MAGGKKKKKPAANPARGFATTSIASKPKVEVAERETQATELAEQQDNIEVKEIEQAASDGKSDTKGPSNTNLTAEEFEKQLEDSELQILVEKHAQKS
KRDAVRQKTRLETDRRVLRGQAESLNTRRWLPPELMEEILELVSGEGRFTGQSNDSSCNIKQASEEELTIRLWVLQQALVGAGFNEDKVVRAIKHVL
DISDKIGLGNKDAIWGMEESLEWLARECARDELPDYENLYRKAGILSKSHTDTPIDSPLPSGTTTPRIESDNRHMGTVASNNYATAMESQRSPVKKS
VALDYESDIDPDELLPTYLDCKTNLFRAQQSVPRKDPRGSARRPATKPPAAAEVTDPTSAKWLGKIKRIQDDILFDQYVADQQWEVKRIELEKEAAA
QRRATEITQDNSDSTSQGSQTLVDSDDEVSKEAARIGAEMLEETGSDDEGALADLFASLPVNEVDPLTGKSSTVVTGSNGVKVTIRDFGKWSGVSPT
RVLEEACRARYGVSDFLPKFELLPAIFVRTDRYRRDSSVKLTYALTSDSSFSNRHTLRIMWSKAQDIPSLSPPAQIDCISSPKSQTFTMASVSVPDA
KQSEAYVATVALFLLFSSSAKEDKVFLRLPPAWRDLWTEFAEAKKEQEDEADRSSIRVFRDMVREKRDQELEDGVLIQGAFRNRNATRAPDNNDESS
TDKINKGLLDPQAYQRIWYDKCNTQSYQMMLNSRVHLPMWGFKNEVLAAIDREPIVIICGETGCGKSTQVPSFILEHQLSQGKPCKIYCTEPRRISA
ISLARRVSEELGERKNDLGTPRSLVGYAIRLESNTSKETRLVYATTGIVMRMLEASNDLKDITHIVLDEVHERTIDSDFLLIVLKKLMARRRDLKVV
LMSATVDADRFSKYLDGAPVLQVPGRTFPVTVKYLEDAVELTGYTLDNTYQEKFKDLDDDEMEPAEAGLSEAAKVENTKALRGYSGRTKNTIAQLDE
YSIDFELVTQLLAKIATDDHLQIFSKAILVFLPGIGEIRQLNDMLAGHPVFSANWYVYPLHSTIASEDQEAAFLVPPHGTRKIVLATNIAETGITIP
DVTCVVDTGKHREMRFDERKQLSRLLETFISRANAKQRRGRAGRVQEGLCFHLFTKHRHDELMSDQQTPELLRLSLQDLAIRVKICKLGGIEDTLSL
ALDPPSSKNIRRAVDALIDVRALTPGEDLTPLGIQLARLPLDVFLGKLVLLGSIFKCLDATITIAAILSSKSPFSAPFGARAQADTVRLAFRRGDSD
LLTVYNAYLAWKRVCVTGNSDYQFCRKNFLSQQTLLNIEDLKGQLVVCLVDSGFLPLTGEERTALNRTRYSSKRRQFFDIPQRANANSDNDVITSSV
IAWSFYPKLLVKDGRGFRNVANNQSISLHPSSVNKGHHELKWLSYYHIMQNKQFYNAHETTAVEEFSIALLCGDVRCDMYAGVFILDGNRARFAVSD
WKTMLAIKTLRSKLRDILTRSFKNPGKQLTSQQQKWLEIWQKIFTQEFKDK
>RCO7_04309 | probable translation activator GCN1
MTEVEVNGMGGVDLDISATKIALSSSSTTIRLSSLHNLEERLSNQAIGQDLFPPLLRLLFITYPFYYDRNSRQAVQRCIKAIFSSGCTPEALAEFVK
TIEAETVKPGLAPGNAFVLVEWCSILLQEMTGTAYWDVWGLRIIQSDARVLELCLSESTKSNLKQTALVITRRGLRKAFSKSDNREKVIGDVVRTLS
AKGAQPSAKNAIMLGVVAGVCARTPEAKEILTKIAPEYYAFYIREIIGSRAPVPAHISKSLGDFFVAFTTLEDVETVLVPALEKALLRAPEIVLNDL
ITPLIHSFPEDIDLSSVLRHSLLKPLLANTKSTNAAIRQGAFSAYKAAVLKSHNSDLIIQIAQEILVPLKSGKVPSTEQRSFHAEMLTALPPSKATV
THVAPAMALIAGKEANEAALRSETITLLRYVTWGLLNDLDVDKQVIDSFVKGLSDKKVPVKKLWAVRLGELFWSIESEEILRSKFFQISELTIPVLV
NMWSEIIANPLAAAQSGLITCAYVLTAIAQSKLTFCSNAKVEAALKKAQVDQQALTMEPKPSFLMNQRIYGKLSIEDDFQWFIRALSSVSPGLSTHE
PNSIMATAWSQAIIFCICSSSVQPEFRKLGSRTLSQLYTNEPAHISAIMIAGLWRWHHCVETGDKDSAATTAKTEYQNLHLIVKSICLSAAQMSKLG
SEVDIAVRRQQMVSLLVLSRPELIPRVNWIELCLRVQVDPGELARSSGDALMQQILDSTTFSESGASQKSEGVKRAAFNAAAELAFVSPDTMISRIV
ELIKDDLNPSQLGAVGPTEAAIFRTEEGTAFVDVLASKSQSYVPNKNTKDYDTLKWEEELRSQLAEKKGQQKKLTPEEGAKVKAQLKKEASIRLEIR
YLEARLLRGIGIIRSLATGPPTEASLWIGPAVKALVDVINAGAGMITANAAPEAYIQCAEILPSRIGLLRPFIGIATLRALDVPHLAEQLVQEPLGA
LITRVLYRLRFSGEQRPFDTVSLTYILPLVFLVLQKGGFGDSDDAEAQLVLALEFLTFHTDACSDVLVPREEVLSILIFSMQTYNQHYKIIRDCLAD
LCRCIAPNITNQEIAILAKGAIVPQISVRTSVLQSISADIDMSELQFSEEVWLACHDDVGENVEIGREIWEEAGFAVSADTPSKMLPYLGSLDKQLR
RAAARSLAEAVKIQPSKFRDTLAQLETTYQELAKPRVPQLDEYGMPRKMDLADPWEARHGIALAFKELGAVFEESMLDGFLRFLIEQGPLGDRDPKV
REQMVDAATAIIAMHGKDKVEDLMNTFEQTLEAPDKGSEFADRVNEAVIIMYGALARHLKSGDSRVPKVVQRLLETLSTPSEAVQYAVAECLPPLVR
ASSENTPEYIQHVLERLFNSKKYAGRRGAAYGLAGIVHGKGISALREYRVLSTLKSGIENKKDVNHREGALLAYELLSTILGRIFEPYVIQILPQLL
SSFGDASADVRDGCLAAAKACFARLSSYGVKRILPTLLDGLDDSQWRSKKGACDLLGAMAYLDPQQLAQSLPEIIPPLTGVLNDSHKEVRLAANRSL
KRFGEVISNPEIKGLVDVLLKALSDPTKYTDGALDALIKVSFIHYLDAPSLALVARILERGLGDRSATKRKSAQVIGSLAHLTERKDLVAHLPILVA
GLKTAVVDPVPTTRATASKALGSLIEKLGEDALPDLIPGLMQTLKADTGAGDRLGSAQALSEVLAGLGTSRLEETLPTILQNVASAKPSVREGFMSL
FIFLPVCFGNSFANYLSRIIPPILSGLADDVESIRDTSLRAGRLLVKNFATKSIDLLLPELERGLADDSYRIRLSSVELVGDLLFNLTGITATQEAD
EIEEGAQEAGVSLLEVLGEEKRNKVLSSLYICRCDTSGLVRTAAINVWKALVVASPRTLKELIPTLSQLIIRRLGSSNMEQKVIAGNALGELIRKAG
DGVLSTLLPTLEEGLQSSTDVDAKQGICIALRELISSASPEALEDHEKTLISVVRTALTDNDEGVREAAAEAFDSLQQILGKKAVDQVLPYLLSLLR
SEDEADNALSALLTLLTETTRSNIILPNLIPTLTTSPISSFNAKALASLSTVAGSAMTRRLPSILNSLMDNVIACKDDELRADLDASFDTVVLSIDE
FDGLNTAMSVLLALVKHDDHRRRAATDYHLAKFFASATVDYSRYNQDIIRALLISFDDGDNEVVKAAWTALSEFTKHLKKEEMEALVYSTRQTLQHV
GVAGANLPGFALPKGINAILPIFLQGLMNGTPEQRTQSALAISDIVDRTSGDSLKPFVTQITGPLIRVVSERSVDVKAAILLTLNNLLEKIPTFLKP
FLPQLQRTFAKSLADTSSEVLRTRAAKALGTLITLTPRIDPLIAELVTGSKTSDTGVRNAMLKALYEVVSRAGANMSEASRSAVLGLIDTDSEDNDL
PMAITNAKLLAALIKNVPADSAAGLIKNRVLPNHFNQSSVLALNAVLLDAPTSLTETAFASDLPTAICHGMASKNNFISDNCVLAVGKYLLLDSRSN
EHKAIKPLFEALANLIQPGNSVDTRRLSLVVIRTTCRHHMEIIRPHLQLLALPVFASVRDPVIPVKLAAEAAFMALFNVVDDESRVFDRYISTQDLP
VNQKRSMQDYFKRVALRLGNTARERKEAEGGQGGLGLSNDEVDDEREVWSVGKVDLGEAAFDE
>RCO7_04310 | probable 60S ribosomal protein L19
MTSEVSRLKVELQLSGQVAPANLKMCTTFKHSSSQLSTIAGVALRPGLAEEKALADSQRISPPEQRPIDNHDDHQPDDINYAVKMVNLTTQKRLAAS
VVGCGKRKIWLDPNETSEISNANSRQTIRKLVADGLIIQKPVTMHSRSRARDLTAARKLGRHRGFGKRKGTADALVWMRRLRVLRRLLVKYRASGKI
DKHLYHELYHLSKGNTFKHKRALVEHIHRAKAEKARERVIKEEMDAKRLKTKAARERKQERAVAKQKAQFGDEEETETK
>RCO7_04311 | probable glycine hydroxymethyltransferase
MSCLRGSSGSLLRASVRRAAPFRGTRRFASSMTAAESQQKLLSADLEHADPAIYDILQKEKRRQKHFINLIPSENFTSQAVLDALGSVMQNKYSEGY
PGARYYGGNEFIDQAERLCQSRALQTFGLKDSEWGVNVQPLSGSPANLMTFSALLNTHDRIMGLDLPHGGHLSHGYQTPTKKISAISKYFETFPYRL
DESTGLIDYVKLEEMAMLYRPKLIIAGTSAYSRLIEYDRMRAIADKTGAYLLADMAHISGLVAAKVIPTPFEYADVVTTTTHKSLRGPRGAMIFFRK
GVRRTNAKTKEQEMWNLEEPINASVFPGHQGGPHNHTITALAVALKQAQSPEFRAYQEAVLLNAKAFAKRLGDSKDKGGLGYTIVSGGTDNHLALVD
LKPQGVDGARVERVLELVGVASNKNTVPGDKSALKPGGLRMGTPAMTTRGFRPEDFVRVADVVNRAVTIAQRLSKAAKEAAEAKERKNPGSVKAFLE
YLGEGESEREIVQLRSEVEEWVGTFSLPWESST
>RCO7_04312 | related to carboxypeptidase
MKLSLLLQAFIVSGFALAESQVPIVEPASHSGEFAVFQSQVSPNHSIRVKRQNSTLCNTPVDQYTGWLDVGHKHLFFWYFKSESASAKADDEPLGLW
LTGGPGGSSMLGMFQELGPCLINEHGNGTTYNPYGWNKETAFIFLDQPAGVGFSYVDEGEAIPGDSFTAAADMHLFLQMFVSQVFPEHKNGPVVITG
ESYAGHYLPALGAQIVSQNLLHPKQAQVHLKSLAIGNGYVSPLDTAYGYWETLCTTNPGVKKPIFNETRCDIMATNLPRCMSVSKTCYDRPDPAICA
AAAQVCWDGVVKWYDAESGAGGRNRFDITRPCEIDDFCYPNTLWIQDYLNLPSLFDALGVPKEIKKFEVASSAVSDAFDLTDDLSIGLVPEVQYLLA

NQIDLLIYQGNLDLACNTAGTKRWTANMPWKGQSEFNSIDLKPWKSTRDGKEVVAGAWKEVNIKMVEGDEKKTRFALVTIDGSGHMVPQDQPEVALD
MLSRWLNGKSFA
>RCO7_04313 | related to dityrosine transporter
MIAHDHDPLKSAMEGSSYPHVLDVDGPFEHPGVSTLRDDEKDMDKNTIDSHNHSSIDSIGPIPETSDPQLEKTKSKVSSVRSRAVTIVPRAKRRGLL
ARFAVIPEVERPYEYKNSTKWFITFQVAIAAAAAPMGSAILLPALPELAMDLNTTPTITNLSVALYMLSMSIFPLWWSSFSETLGRRSIYLTSFVLF
TLWNIISAISTSMGMLIVMRVLGGGAAASVQAVGAGTIADIFEVRERGRAMGVFYLGPLLGPLLAPIIGGVLSQAWGWRATQWFQAIYGGVLVVLLT
FCLPETLAKRQSLNLAPDTNAKAGVRPELTRVSTRQSVHVKTKKAAKVFKRCIIDPLSVITYLRFPAVALTVYLASVTFGSLYVLNISIQKTFSESP
YSFKTIIVGLLYIPNSVGYILASLIGGRWTDYIMHREARAAGRYDSSGRLDFRPEDRMRENAWIAAVMFPGALVWYGWTAEKGIVWIVPMIANFFFG
VGSMIIFGVVTTMLTEFMPERSSSGVAVNNFVRNIFSCVGGVVAEPLIKAIGDGWLFTGLGIICWISAFGVVFSMRRFGPKWRVTMDAQMK
>RCO7_04314 | probable OTU domain-containing protein 6B
MESFEAMQSRHRKEQKDLQSRVMNKKKNATKKTRKGVNSECEELERQLKERQGHEIAALNGEPADAEDVPDLEEDTTEEEKSTHGLNGITETLEKTT
ISDPEPSEDGQPKKRNRQKERLARRAAEQEAAVEEAKKEAANQPDPKAIERKKMLDQFNAKGLVEKSIRPDGHCLFSAVADQLSQVGVSLGPESEDI
KEGERYKVVRKAAATYIEGHPDDFVAWLDEPLEQYVEKIRDTAEWGGHLELLALAKTYNVEICVLQDGAAQNIEPGEDSKEAKKIWLAYYRHGFGLG
EHYNSLRKSP
>RCO7_04315 | related to thiol methyltransferase
MASDQPTDARARLLSHFTSAQGSAEHGSKWNDLWTEGFLPWDKGFPNPALSDVLSQRQDLLPPCISSSQQKHRKRALVPGCGKGYDVLLLSAFGYDA
YGLEISSKALEEAKKVEKDMAGKDVYATREGVERGKIEWVAGDFFDKKGVLGEKFDLIYDYTFLSALPPVMRPAWSKRFVDLLTPEGRIVCVEFPAY
KPPSTGGPPWALPPKVYLAHLTRPGEELPYAEDGELQDSKLGESSKNGLVRVAHFQPERTHQIGYDAEGKVTDWVSVWMHSSNN
>RCO7_04316 | probable NADPH-dependent beta-ketoacyl reductase (rhlG)
MDSSTLFDVKGKVVLITGGAKGIGRMISEGFVTNGATVYISSRDAKACEQACKELNALGKGKADYIQADLYKVEDCKKIAEELKKRESKLHVLVNNS
GSNWGAPYDEFPESAWTRVLTLNLTRVFTLTQALTPLLEAGASELAPSRVINIGSVDGVRVPSLETFSYSASKAGLHQLSRVLANHLGKRNITSNTL
ACGPFQSKMMKQTLEAFGDEIKSGIPLGRIGEKEDVAGACLFLSSRAGAYVNGATIALDGGTLVGSKL
>RCO7_04317 | related to acetyl coenzyme A synthetase
MPTHPQDEVQKHSLADPESFWAEQASHLAWHKKPSSTLVKTSKSLKSGTKHDHWEWFPDGEISTCYNCVDRHVEAGNGDKTAIIWDSPVTKTKTKIT
YKELLDEVESFAGVLREEGVKRGDVVLLYMPMIPAALIGILATIRIGAIHAVVFGGFAAQSLAQRIEASKPTAILTASCGIDGAKAPLSYKSFIREA
IEQSPHKPKKTIIWQRDQLRWDPVNKNGGERNWQRLVKSGRSRGLKAECVPVKSSDGLYIIYTSGTTGLPKGVLRDAGGHAVGLHLSISYLFGIHGP
GDVMFCASDIGWVVGHAYILYAPLLTGAATILYEGKPVGTPDAGAFWRICEEYKVNSLFTAPTALRAIRRDDPENKKFKEVGERRGFRNLNALFLAG
ERSEPSIITMYQDLLKNYADGAPVVDHWWSSESGSPMSGIALVPHAGKDRKTTKRDVAPLGIKPGSAGKAMPGWDVRVVDDSGEEVKKGTMGNIVLG
MPLAPTGFRTLWQDEERFYKGYLKRFEGRWVDTGDAGMIDEDGYIHVMSRSDDIINVAAHRFSTGSIEQAIASHPTIAECCVVGIPDALKGHLPFAF
VTLSTADHPPSAIPSDALFSEVQKLVRTQIGAIASLGGMIQGKGMIPKTRSGKTLRRVLRELVENAVHEDFDKEVQVPATVEDAAVVEVARDKIREY
FKEKGGDLHKATEARAKL
>RCO7_04318 | related to CLOCK-CONTROLLED PROTEIN 6 (CCG-6)
MQYAAVAVLALAATASASYGNETIVYTTEVHTAYTTVCPASTQLTYNGVTYTATENQTLTITNCPCTVVKPVTTTSAVYCATCSTSTPVAVAYPTAN
ATVVHGGVPTYPASPVGPAGTAAPTSLPSGKPSPSPITASGANKAFALSGASLAGLLGLAAYLL
>RCO7_04319 | uncharacterized protein
MIDYLEHYSKQFGIIVGDSLYIEGGEYYITGAASYADILYLCGLKVRETLGGESWYSVYGTNNPLWKTITWPRHPSFAYGPTESYALGGFTTTADSN
VGSMLMSMTVMNKTTNLFEEQSDVGEFSQTGGVNQGEGHFIPSFGGLVVFIGGVAYSNGAIGSSLRSMSKIDIYNPSTQKWYSQSASGDVPSGRKTF
CMTGAQGTNHSTYEIFVYGGSGLEFFSDANSDSRNVYILTLPAFRWIRAGALTAPRAGSSCQTVKNQMISYGGFDPTGTTSFERLEPWAFGIGIFDL
HSLKWGVNYNPNAPAYVQSTAVSEFYESNSMYPIWDDENLGSLFLSSKASSTSATSPTTSPTTSPSGTTSSTSTPETLHPSKTPVAAIAGGTVGGVA
ALAAVIFAWWFWRSRRSGKPDAAPRDSEPVVSGLHDTPAVNELPTERRPEMASTGYNHHKVGQNNLAPKPGEVYEVHA
>RCO7_04320 | uncharacterized protein
MSSSTNQSHATGGSVVPNKAQEKLPKGVEESVPNSVHDTGSQGRQSHATGDSVVPEKLQEILPESVERAVPNAIHDTSKLPPKNN
>RCO7_04321 | related to flavin-containing amine oxidasedehydrogenase
MDSQRSQHGRKKRVLVVGAGAAGMSCAHHLAESPEKFEVTLMDAVDYCGGQAFSIPINKEKHKASWINQGVQGGSYIFHHTMTMFSRMGHHAGPVKL
QVSFGKDETFWTNVFPTKLLQKHAAEIKRFNAMIRFVRWFEIFFALIPIKFVMKLFMFSEEFTNAVALPMLALFLGTGNETPNVPTIMLERLCTSPT
YGMWYPGDKLSVVSNLPPMVVFPNFSIFYEDWRKKLVEMGVKVRLSTEITAVSRRDKNGVSVLLKKRIPVEDGHNPNGGDPNTLETEEHYDEIVLCV
LVDAAKRLLKPTSTFRERKVLGSAKFSDDVTVTHNDSMYMRKHYENFYNDSQAVNELQGVDQTVRCEAGKTSFKPMYYIKEYPEDKSKLEMCFDCTN
YQGQFPENVDFDDHVFQTIFLNKDRDSKLWSLDEIDKAKIIRVDWWHQLCHSFTHYLFLVPWMMFLQGRKHTRFAASWTLVNAHEVAVMSGIAAAVD
LGAKYPEDLERDKFALLCFRLYYLLAYGKWYSRKAGKQGPGANWASGIYGSVYVGPGVVHEERTMHREELKKGNSL
>RCO7_04322 | C-1-tetrahydrofolate synthase
MTATKIDGTAIAKKIRERLHAEIVSTQKVNPRYKPSLKIIQVGERSDSTTYVRMKLKAAEEASIDCELIQYPETVSEAELLEDITRLNYDTTVHGIL
VQLPVPKHISEYAVTSAVADEKDVDGFGANNIGELAKRGGHPLFTPCTPKGVMVLLEESGIDLKGKNAVVLGRSDIVGSPVSYLLKNADATVTVCHS
RTVGLEDHIKNADVLVAAIGKANFVKGEWLKPGAVVIDVGTNFIPDDSKKSGQRLVGDVDFASASEVASFITPVPGGVGPMTVAMLLQNVVDSAAHY
SEKQKSRSIRPLPLKLQTPVPSDIAISRAQRPKQITRIAEEIGVAGHELEPYGAYKGKVDLSLLKRLEHRRNGKYVVITGITPTPLGEGKSTTTMGI
AQALGAHLNRIAFANVRQPSQGPTFGIKGGAAGGGYSQVIPMDEFNLHLTGDIHAITAANNLLAAAIETRMFHENTQKDAALYKRLVPAKKGKREFQ
PIMFRRLKKLGITKTDPNELTEEEVAKFARLDIDPSTITWRRVLDVNDRHLRGITVGTAGTEKGQTRETGFDISVASECMAILALSSDLNDMRERLG
RMVIGSSRAGDPVTCDDIGAGGALTALMKDAIKPNLMQTLEGTPVFVHAGPFANISIGASSVLADKLALKLAGTEPDEDHSEKAGFVITEAGFDFTM
GGERFFNIKCRSSGLVPDVVVIVATVRALKVHGGGPPIAPGGALDKVYREENIEILRAGCVNLRKHISNAKAYGVPVVVAINKFETDTDAEIEVIRE
ESIAAGAEDAIPANHWAEGGKGAINIAKGVIAASEKPNKFKLLYSLDGDVQTRIEAIGKQMYGADKVEFSEIAQKKVDTYTKQGFGNLPICIAKTQY
SLSHDPDLKGAPTGFTVPIRDVRLAAGAGYLYALAADIQTIPGLPTAPGYLNVDVDTETGEIDGLF
>RCO7_04323 | Eukaryotic translation initiation factor 3 subunit I
MRPTLLQGHERALTQIKYNRDGDIIFSTAKDQHICAWFAHNGERLGTYHGHQGAVWTVDVDPTSTVMASGAADNTVRLWDIRSGKCLKVWNFDTAIK
RVEFNENGTQLLAVTEKRMGFLGTIVVLNIKADVEAEQDEEKALVITCEESKATVAGWSYMSKYIIAGHEDGSVSQYDAKSGEQLYNVEVHEGETLG
FITDLQWSPDRTYFITASKDKTAKLINATDLEVMKTYVADTPLNSAAITPNKDFVILGGGQDAMNVTQTSSRQGKFEARFYHKVFEEEIGRVRGHFG

PLNTVAADPTGKGYASGGEDGYVRVHQFDKAYFDFTFEVERQARAAGQL
>RCO7_04324 | probable Chitin Synthase 1 (chs-1)
MAYPGGGNGGYLQGEQLQDLPAGANSQYHRPPHDDEDGAQPLLHSQGAGGPFASPYDNHSNTLRTGTPPVRPVSAYSLTESYAQPPGGGPPPLPYSN
NEYGGSSATYGHALEDNAYPRSDSPYSKAESNSTEAWRQRQAPGGNPGGLKRYATRKVKLVGGTVLSVDHPVPSAIKNAVQIKYRQDAEAAGSEEFS
TLRYTAATCDPDEFTLKNGYNLRPAMYNRHTELLIAVTYYNEDKQLTARTLHGVMQNIRDIVHLKKSDFWNVGGPAWQKIVVCLVFDGIDPCNKDTL
DILATIGVYQDGVMKKDVDGKETVAHIFEYTTQLSVTANQQLIRPSDDGNNTLPPVQMMFCLKQKNTKKINSHRWLFNAFGRLLNPEVCILLDAGTK
PGPKSLLSLWEGFYNDKDLGGACGEIHAMLGKGGRKLLNPLVAAQNFEYKISNILDKPLESSFGYVSVLPGAFSAYRFRAIMGRPLEQYFHGDHTLS
KKYGKKGIEGMNIFKKNMFLAEDRILCFELVAKAGSKWHLTYIKAAKGETDVPEGAAEFIGQRRRWLNGSFAASMYSIMHFGRMYKSGHNLVRMFFL
HIQLIYNMFTVFLSWFMLASFWLTTTVIMDLVGNPTPGSDTAAEHHGWPFGDTATPIINTILKYLYLAFLLVQFILALGNRPKGSKITYMLSFIVFG
VINAYLIVLSMYLAIRGISGSSFDTDNVDDFFKSFFGSSGGGGGIIIVALLATFGLYFIASFMYLDPWHMFTSFGQYLLLMSSYINILMVYAFSNWH
DVSWGTKGSDKSDALPSATTKKEDGKGAVVEEIERPQEDIDSQFEATVKRALKPYVAAFEEEPRTLEDSYKSFRTKLLICWIFSNALLAVVITSDSI
NKFGFGAHDAADRTQKFFTVLLYATAVLAVIRFIGCMWFLGRSGIMCCFTRR
>RCO7_04325 | probable RAS-2 protein
MAGKMVLYKLVVLGDGGVGKTALTIQLTLQHFVETYDPTIEDSYRKQVVIDGQSCMLEVLDTAGQEEYTALRDQWIRDGEGFVLVYSISSRSSFTRI
QRFHNQIQRVKESSASSPSYPGSPISAVAPSAPVPIMLVGNKSDRVTEREVSTQEGHALARELGCEFVEASAKNCINVEKAFYDVVRQLRRQRMQNN
IKAMQGSGRGQRTQTGGDGPARDTSRIYRPDKKRGKCTVL
>RCO7_04326 | uncharacterized protein
MMHASIRSQPLRSTVPNTSSTAQPKHSARFSFTASIINNTLPISNMVAPTKALIPPAFAILPENSEDGILEGKPDEEDVHAPVHTPNGKDQGKTLWR
IGVGGVRGDKGQILRVLVQN
>RCO7_04327 | related to haloacid dehalogenase, type II
MSSTTDIFQSPPKGLTFDVFGTVVNWRDSVTSRLIQSAAAKASSSSQPASLSPEVRARLSQITDEDWAQFAEEWRKTYYKFTLGFMPGQSEWRDIDT
HHHISLIDLLKEWGVEGLYDDNEIKELSLIWHFLDPWKDSSAGIHALGKKLITSSLSNGNQSLLKDLQKHGDLGFRMLQSSGDFKAYKPHPSTYEGA
AEKMGLKTSEVAMVAAHLNDLKAARECGMRTIYVERRMEEAWSSDSEDFQDAKTWVDIWVKEDEDGFLEVARRFGITWVS
>RCO7_04328 | related to nuclear migration protein ami1
MSASNMTAWETEDEYCLAAQQNSLPTPTDTPYRTPSRVSRRSSRQNSVSPGPSSSPPPMPTSERNRRQSTDVTNDESISILDPRRFTPTLHANLVSE
ILALRRDQEEKVRTIENLEADLHNSRGDHEDLDANLVSITKENRSLKRQLALLEGGTSSALSELGKERDEAVENNLESKKRIETLQKKVRSQEDDSD
RAHELWQKDKDNWEEERRKLERKVHIAETRLKTVLDEVATYQAQANGHLQNENEADETSRDPVHGHGSDAASVRTMSMTNSVRFSLLNGPNGYGGSK
LNGVSLADELDLDEDEDETDHDGRESVISVRHNRTQSRESVMSRNHRRNQSMDSLMRPGSVARGRVLAQQAVLERLEDGIIEDDETLPAIVEYTDTG
VQYSPPPSPVLTAAEMKPSVEPMAVNLEATKDEQQTKPPVPREWEIEANQRRKRTNANPPLIIESPSASMVSEASQTLEEPLSPPRTPITPTRAPPL
PPVDAVVQKMISVSTQTDVFEVQALLPSPRRTPPPPPIPIPSIQLHPPNSAPATPHEPLLPQHLKDAGCQVSMQVAIPTRSISVQTEEIRVAQRLNL
LPAHLHPSAISSLPPSPEATEEKSKRFSPVPGNLPPRNPLRVTSRTNLEQEIPSSTPQSTNETRDAYPGSNDDGPLSKDRSSIRRPHRISSLFAGFD
NLSSDDAEDFADADMSDNDYRTALSAPNPHPHGHRPSKRVSTPPTSVPEDDELAEFARPFYGRKSTHAANEVHSESFPEVQELPSRSTKASVRQLDK
PLTLVTNSKPTTMRRAALIQSGVAAHQGRSRSPSLPEVFKEPPFPIPTRASSRRPHISASAPSDGNRSPTWGRGSGSRRGGHHRSNSIRKVRSAAAL
PRGGRGSYRRQGSRSPPPMSPSTEAPESPRLPPMPNNEVTTPRYMRDTSSNRHRSHQRQQPSTTTANTTNTTNTGSGSFGTTNNATSVVDAIAQTMV
GEWMFKYVRRHKSFGPAESGMDGDNGNGVRHKRWVWLAPYERAVMWSSKQPTSGSALMGKAGRKLTIQSVLDVKDDNAPPKGSPLFNRSILILTPAR
ALKFTATSSERHYIWLTALSFLAHSSQAVPEIVQAPLPLPQPSIPDFEIPRQSGGRLRKQGIRDSIRVAKGKTTLARQGPTSVHSSNYDQSSRESES
MYSKSDPLQDLSADPPVVPRFSERGQYSVPPLPTHARKRSNTGGRVPPPLSFRGFSGPSSSGHAPTSSTAGMSVVTTSSSDAYQSQPSSSVAGGYTG
MSASGRSSIRTSDASNRPGTVVNNFFDAVGTMRMEAFISPMAMSRFDDFPDEQDEMGIVEQQRRHSRERKRRSRNRDSYYANKGRTSDDWYGGSKTA
GEEDYGRFNGGLGNDPFRGF
>RCO7_04329 | probable NADPH quinone oxidoreductase homolog PIG3
MATMRAVDIKNKTGPATSLFINDQISKPTVSSGYAVVKIKAFGLNRMDLLQREGQYPLPPQAGPILGVEFSGTIEDLGEGDGGKENFKKGDAVFGLA
YGGAYAEYIKVDVRMLLKKPDHLSWEEAAGIPETWITATQAMYNIGEFTKGKSILWHAGASSVSIAGIQLSKLAGASAIYATASSTEKLDFCKSIGA
TAGFNYKTQDWAKEILAATDGKGVDVVIDFIGQSYFQGNLDVAAKDGRIVNLGLMSGAKLPADTDISAFVRKRLRFEGSSLRSRDGEYQGKLRDKLE
EYLSKFEDGTFKIFVEKVFPWEQVVEAHQLMEKNTTKGKIICTIS
>RCO7_04330 | related to USO1 - intracellular protein transport protein
MIKGLWNQASTNIGMASPLIDAREYALNSASPRKNKETMQDYEVTMESAGSDSPPSSPFVPNVSSDSLGDENLSPSKVSRLAANSPIVREHTSSLKM
LKSRTSSTSMSQSPRNDQSPTRSPRKLSSPEKRFPVKPTSPNKVAASPEKRSIVMERTLDIEDLLRDNEGLTKAIEILEDGDSDEDSHSNETILTTI
AGGQGQSDETSMDDTMVSTFSEFSAVPDMTMFAKIGHSPTKFAELGPTPRRTQMNTPATLRRPATRERTQSPTPHGHRYGGSKDEGNTSNLILDFTE
QFDGFSGRAQSQSPTKKGRQSPLKNSSLSDMSWVSTPTVNRHNMSNLLDFDIPPAPTPRSLPSITPRELESLKSNFLSEISSLKASLSGKEAEVQSL
KTAVGDAEKRVGESMEHIREERNLKEQLAADKEDWEKRGREMEAVLRNVKEEIVHGERERDELEGRLEECERRREAAEIMAQEAESKMAAMKAGKTP
STSDSSDSKSGECGCGGRAVEIAVEKVSRELHTLYKEKHETKVSALKKSYERRWDKKITELEHHVEDLSKENEELKLGRDTTMTKVDPRSSEEITQD
LEKAAARDAKTRELEAEVEGLAQEIKSVKHDNSDLRQLLDEERVEKSKLVQAVDEMIPLCAAFDELLANMDSAPATLPETANVPTSTPPTPSQRHSN
VENLRGSISRASGLKAPTGIAKPGESRIGRGGFGAPAPVSAAISRERSGSGQGGNRPGSGMGYRSGIMTSIEKMGSYRGRGE
>RCO7_04331 | uncharacterized protein
MPPPKSSVPPAAQPKYSNCFDAWNSSSTGHQKAENALGHSTGWRQSRNIKLSHQFKSGDNGGKRISDQVGAGAENWDEKAKALIPKDVRQRAIYSVA
DMVTGKEPSGSIAVSLSKEEKLMAQRKKEDEQKEEEKSSRKKGVFDGLVIYVNGSTYPMISDHKLKHVLAENGARMSLHLGRRQVTHVILGKPSGIL
GHGAGGGLSGTKMQKEIQRVGGCGVKYVGVEWVLESLKAGKRLSETSFSNLRVAPRGQKSVYGMFQKEDTTDSTGGSGSDI
>RCO7_04332 | probable ascospore maturation 1 protein (Asm-1)
MNHGPQEMYYPSHMSTGQPPPPQTVTSGGMGHYPQQHQQPPLLQPGPAQYSQAPGQYTQYGYQNGLTSPQSTGHQVQGSMGQQGNGLPLPAMSSVQP
MSGPSVTATLWEDEGSLCFQVEAKGVCVARREDNHMINGTKLLNVAGMTRGRRDGILKSEKLRHVVKIGPMHLKGVWIPFERALDFANKEKITELLY
PLFVHNIGALLYHPTNQTRTNAVMAAAERRKQEQHQVRNTQAPGLPSLHQHHHHSMSSSVGGPLPGPQHSIAPHPSQGRPSLDRAHTFPTPPTSASS
VMGNMGSQDGSFNWGPPGSMNNVQGTNPLSIDTGLSNARSMPTTPATTPPGATIQSMQQYQQAPQQPYDTSRHMYSAPPPQQNAYPQTAPDQQRIQY
SQPTSYIKNEMGPPTARAPGSEGEHHDTKDNNGMIHHGQAQGQVVHSQAEEEAEHEHEAEYTHGNNANYDSNRGSYSYTNGAPVGALPGDHAHLSPD
MTGSPSHPASGRATPRTASAPQPYYTQQQGYNTPPRVQPPSSNLYNVMSSERGTANGTTDGNVYAPQPDMSNSIPNGYPAQQQQPVINGVPASNKRG

RDDEDDRPSSRGPSGDIDLKRRKTIREGSVSGPPSYEAAPLNRARATITQRRR
>RCO7_04333 | uncharacterized protein
MFFSNALVIGSSLLMATTGVEARAIEKLSFLPHLPLTTSSTSSTSTKALDNLPPLPANPTCAFSPHLPLRNTPSAYSVPETAWPLLATLLSTQILTP
PSTSTATPDIEVPLPTIQDSVQTLYFRSFTTDESLEGLVLGLVFSAGTGTSSDRELRRSLPSTASEEERRSCVEEAIRKVESGRVMEGVLEVDGRGG
TVGFLLYRVD
>RCO7_04334 | uncharacterized protein
MADPEVATKAPESDAAEDSKAGVVPGDTTAQTGASMGGLGEHCVKDRPTASGVGPSGKMTQLGGIDVYVSKPADYPHSPSKLLLFLTGATGLHSENN
QIQADKFAKEGYLVVVPDMFSDDPLPGSATYTAEKDPSIIEQIKLGLAETAKSFLTDMWLARQTPEKVLPILHKVMEAAKDEFADAVANGGGIYSVG
YCFGGRMTLLLAGEKPDTVTWGQQVKDEEAGVVKKGPYIKAGAIAHATLVAREDFEGTKSPLAFVCVENDQLFSDEVKEHGEKYLKENTVECEFKTY
SGVPHGFGVVGEYEDPKIKAAQEEAFDQMLAWLESH
>RCO7_04335 | probable single-stranded DNA-binding protein 68k chain
MADAARSQITRGALNAIFNDPSTLESQFPVPVCQCVQIKTLPSTGDGAPERYRLVLSDMDNFVQSMLATQANHVVHEGRLKKGSIVRLKQYQANAVK
GKRILIILDLEVIESLGELEKLGEPVALTVKEEADVKPTNTTIAGNGFYGNQPKPEPISQPRSLPSRGQGPSSSSSHGTIYPIEGLSPYAHKWTIKA
RVTQKSDIKTWKKANSEGKLFSVNLLDESGEIKATGFNEQCDMLYDLFQEGSVYYISNPCRVNLAKKQFSTLPNDYELTFERDTVVEKAEDQDNVPQ
IRYNFTTISALQDIEKDSTIDIIAVLKEVADVNQIVSKTTQMPFDKRELTLVDDTGYSVRLTIWGKSAVSFDANPESIIAFKGAKVSDFGGRSLSLL
SSGTMAINPDISEAHKLKGWYDSQGRTDSFATHNNMSGAGAAGGRNEQVKTISAVREENLGMSENPDYFSVKATIVYIKQDSFAYPACLNDGCNKKV
VDMGDGTWNCEKCSASHPRPEYRYIMSLNVNDHTGQLWLSCFDDVGRAVMGMSGDQLMELKENDTAAMEKAFENANCKTLIFKCRAKMDNFQDQQRV
RYQVMNGSPINYAMEASKLATLIKLYSIE
>RCO7_04336 | related to JAB1-containing signalosome subunit 3
MEDLLSKLHSFPPLPAPRIPLSDQQYDEGIKSQIEAVKKISDAKMMQPTAGGENMLQVIDPAFNTVPYAFCLVANVQATSKNTAKSVNMDILWSKMV
QFLQVFDARQIRYLGDELNYIIKSVADFARSSRQPHLAVAPIRNAILRLDPSGSMLTANHLTLVKLAMESRRYVDAAPALKKFILYVPGYSALPKPK
YLCDMSLSPAAYITPATKLNTKLKYQDILEYFLYSGMVHIGLVDWENAFHCLESAVTYPSKDSSPSKIMVEAYKKWILVGLLKEGQYLPLPKSTSPG
PGKSYHTLAKPYEALAQIFESGTASRVKSEIEAGTTWWRNDGNTGLILQVQSAFQRFAIRDLGDVYSKISIPEVFSQTTSAETGYKLQNLQAGEALV
QQMIQRGDLHATLSHPPTGPAILTFSPSGAALSERQMQSELAAATARIQDLTKEIKQTDRMVTYDKEYVKFMQKIKKSKEQHPEQDAPGAGWNESLD
DEDIMSMY
>RCO7_04337 | related to glutamate-5-semialdehyde dehydrogenase
MSLTNALPEDAAKGAKSASHILAILPTASRNDALTAIHTALSASKEEILAANARDLELAHRAAENGELSLSIVSRLDLAKKGKWEDMLKGILDVREL
EDPVGKITLRTQLDDALELERVSCPIGVLLIIFEARPEVIANIASLAIKSGNAAILKGGKESTESFVAISKVISRALETTEVPNTAIQLVTTRDVIP
QLLSQDRYIDLVIPRGSNELVRYIKSNTKIPVLGHADGICSIYLEHTADPAMATKVIIDSKTSYPAACNSVETLLVEETALETILPTVAEALLAKGV
SLRCDAATKEALTAKLPSHSSVILQDVEDVDFDTEHLSLVLAIKAVPAISNAISHINFHGSHHTDVILTSSAPLAEQFMASIDSAGVFWNTSTRMAD
GMRFGFGTEVGISTNKIHARGPVGLEGLMIYKYKIRGGGQVSLDYGEGEGQKSFKHEKLSF
>RCO7_04338 | related to threonine dehydratase
MADPTKSPPLTRPSVIAAHESIKPYIHYTPVLTNATLDDLASKPQSASALADTPWAGQTPANPKLRFYFKCENLQKIGAFKARGAFHALKRLMAEEG
WEEGGGREKGVVTHSSGNHAQALAFAARTMGIPAYIVMPTISTPTKIAATKGYGATVIFSGSTSTEREAVIETVIKDTGARLVPPYDHPDIMLGQGT
LGIELQEQAEEIMSAAGRKGKGLNAIITPCGGGGMLSGTAISCEETGIHVFGAEPEFEGGDDCKRGLEQGNRIESVKTLTIADGLRTPVGAYPWTVI
HDRKLVRQMFSVTEEQILKAMKLVLERMKIVVEPSAVVGLATALYNEDFRALVEKEGGGEGWDLGVVISGGNTSVEAIAKMFSVGEKHGERHEGVMG
LDGKRVVENVAG
>RCO7_04339 | ketol-acid reductoisomerase, mitochondrial precursor
MASRTISRALRSPLTKQLSAPARRTFVSALNASARPTAARAAVASAQQVRGVKTIDFAGVKEDVYERADWPAAKLQEFFKNDTMAIIGYGSQGHAQS
LNMRDQGLNVVVGVRKNGQSWKDAQQDGWVPGKTLFEVDEAISKGTIIMNLLSDAAQSETWPAIKPQITKGKTLYFSHGFSPVFKDQTKVDVPSDVD
VILVAPKGSGRTVRTLFREGRGINSSIAVFQDVTGNAKEKAIALGVGVGSGYLYETTFEKEVYSDLYGERGCLMGGIHGMFLAQYEVLREQGHSPSE
AFNETVEEATQSLYPLIGANGMDWMYEACSTTARRGAIDWSGKFKDALKPVFNDLYDSVKTGKETQRSLDFNSQPDYRTKYEAEMKEIRDLEIWRAG
KAVRSLRPENQK
>RCO7_04340 | probable NEDD8-conjugating enzyme Ubc12
MLKIWSMKQKQQQDANADAAAGNKRKKVTAAQLRVQKGIAQLQKRPSCLSILIVRPDLSELSLPSTMKTDFPDPDDTLNFTLTIEPDEGMYKGGRFH
FTFAISQGFPHEAPKVKCTQKIYHPNIDLEGNVCLNILREDWKPVLNLQSVVVGLQFLFLEPNASDPLNKEAAEDLRSNREGFKRNVRAAMGGGAVK
NQSFERVLKV
>RCO7_04341 | uncharacterized protein
MASRDAILLSMISDISLHSIRPLKPITSFQPTQPVTAVSPYGNTSNFARDVLEAEALANTIELFQSNAANGALANGTATDQCCQFDLDIPDAISLMG
ENDLVDNPEQSYNMTARTHDTSDPPNGMILERPEKVDCLDDCSSVKRSCPYQYLLVSNGNFALPMRPADTKRDVETWSSAATICDEDHDDLQTVVKD
NSSTGDAHLLPLTAQQLSPLLLRY
>RCO7_04342 | beta-Ala-His dipeptidase
MAPQLDGFFKQVDDLSGHFIERLRKAVAIPSISADDERRPDVVRMGQWLADELKALGAEVEQRPLGPQPGKEHLELPPVVIARYGNDKKKRTILVYG
HYDVQPAGKEDGWATEPFDLTVDDNGRMYGRGSTDDKGPVLGWLNAIEAHQKAGVDFPVNLLMCFEGMEEYGSEGLDDFIKEEADKYFKDADAVCIS
DNYWLGTEKPCLTYGLRGCSYYSLEISGPGQDLHSGVFGGTAQEPMTDLVRVLGTLVDTNGKIQIPGIAELVAPLTEEEKSLYGNIAFTMDNLYESL
GSQTSIHPDKEKTLMARWRYPSLSIHGIEGAFSQPGAKTVIPAKVIGKFSIRTVPDMQPEDVDRLVFKYVDEQIKKLGSKNTATCTLQHAGMWWVAS
PKHWNFTAAGKAVERVWGVKPDLTREGGSIPVTLTFEQATGKNVLLLPMGSSTDAAHSINEKLDKRNYIEGIKLLGAYLHYVAEEEMIN
>RCO7_04343 | related to ubiquitin thiolesterase
MSCTHINAAELRPPGATQSVYREDCTQCFDSIDDPTGLDVCLHCFNGGCAGDRQHAALHAVLKSHPLVLNIKRTRKLTIRDEPPQKMSKLSIAAETE
ADKYNFETRVKCYECNIEDVDNAGGKLAAVVQGVLKANTFSRHEEVKAWELEITSCEHVLTLQQHPSKKIQSQDLGHCSSCDLNENLWLCLECGNLG
CGRAQFGGMQGHSHGLEHSQSSGHGVAVKLGSITPEGTADVYCYTCDDERLDSDLGAHLAHWGIILAEREKTEKSLTEMQVDENLRYEFSMTDEDGN
ELQKLFGEGLTGLKNIGNSCYLASSLQCLFALPQFQSRYYLPSSDLPIVDNPAQDLETQLRKIGDGIHSGRYSISDPDVRTEEDKIAYQKGLAPAML
KVLIGKGHAEFSTMRQQDAFEFLLHLFKFITRSRHEAPLQDPTESFRFVMEQRLQCLGCRKVRYRTDEQDNISVPVPVRKIEAAASRDGDEDKKEQY
EPVTLKECLEIFTSAEVVELTCSACGSKDGFTKRSLFKTFPDVLAVNARRFALVNWVPTKLNLPVIVGDEPFNLDDYKSLGVQESEELLPEDASESK

PSFAPNEEAVQALEGMGFPRNRCVKALHATGNTDANTAMEWLFGHMEDADIDEPLELGDSGGAAPAADDPEKIEMLGAMGFGPPQARKALKETGGDM
ERAVEWLFSHPDDQGESEEFAPAAEAAPKKDAGSGVLPASFQLHSIVCHKGTSVHSGHYVAFVRKNLPGETDPQWILFNDEKVVKATDVEEMKKYAY
VYFFQRQQE

>RCO7_04344 | probable iron sulfur cluster assembly protein 1, mitochondrial precursor
MFRRILTTSARSTGRALSARPATRLTASQVTSPITVAGRRQYHEKVLDHYSRPRNVGSMPKADTDVGTGLVGAPACGDVMKLQIRVDPSNNTISDVK
FKTFGCGSAIASSSYLTELVRGMTLEEAGRIRNTEIAKELCLPPVKLHCSMLAEDAIKSAITNYYSKNPNARSTNLGGTGASMPTIDVETVMEPTAA
HTATA

>RCO7_04345 | probable ATP-dependent RNA helicase dbp3
MGKRTLEDAGLRNGGPVQENSPVTKKSKKESKSKKVAIQEPAATETDAMEVDEDAEKAARKEKKRLKKLKKAAKAEKEDAPADTEDSKEEAVVEEEV
VDEKAAKKAEKARLKALKKAKKILAEDTPEASTPDVDSETKLESKTSSTNGTSDNGYTEAPGLTALPQSEVDKFLADNFIAVADPLASFAKLRPLTN
FDFLPITDPAQRAPFKNFKAPTPIQAAAWPFLFAGRDVIGVAETGSGKTMAFAVPCVRGILSLPASQRNKGPRAVIVSPTRELAMQSYDQIMELAKV
SGLKAVCVYGGVPKDQQRQALKTADIVVATPGRLNDLINEGCADLSKARYVVLDEADRMLDKGFEEEIRKIINTTPAIGKRQTLMFTATWPESVRTL
AATFMTSPVKIAIGDNPTGDLRANIRITQKVEVMDGRQKEYRLLQLLKQYQSGAQKDDRILVFALYKKEATRLEMFIKGKGFRVAGIHGDLSQEQRT
RSLDAFKKGITPILVATDVAARGLDIPNVELVVNVTFPLTVEDYVHRIGRTGRAGKTGLAITFFTEQDKALSGSLINVLKAASQEVPDDLLKFGTTV
KRKEHEAYGAFAKDVDMTKKAKKITFD

>RCO7_04346 | related to oligosaccharide transporter
MSSKPAIYPAQTKNPSKPVSTTSSAVGAALLIGQQFSSRGLTFIVNQILLRYLSPSLLGISTQLEVYSITVLFFARESLRVAVQRQPDTLDSSSAPT
LKEKKNEKLPKGHVDASSAAGRTQAIVNLSYISICLGTIFAFGVGWLYIYTLSAGDPTVLKTPYFIEALKIYGVAAFVELLAEPCYVVVQQKSRFGI
RASAELVATVLRCLITCGCAIWASRSGRDIGVLPFAIGQGTYAVVLVVVYYMNVWSIASKGGFSLLARKIYSHDHPPIILTYISHPLLKLTSSFFLQ
SLLKHLLTQGDTILIASLSTPHSQGIYALAANYGGLIARLLLQPIEEISRNTFGKLLSSIDGSLPSKTRVLQVRSTLSMLLRAYLLFAICIVAIGPT
VAPLLLKIVAGERWTSSGAGHVLSIYCFYIPLLAINGLTEAFVSSVATKTEIHGQTMWMFVFSAGFAGAAVFFLKVLGMGAEGLVWANALNMGVRIV
WSTVFIQTYLRRFGHGLELGQLLPKPLTIAAGAGTFAVLKQLESGFTGGMMDLIESGAVAFPFVVLIAIFERAYLLESYQTIRAPQNRA

>RCO7_04347 | related to GS1 protein
MNLAKSTDFPPVRACIFDMDGLLINTEVIYLACANELLAKYNRPNLPWSVKAQFMGVPGSSTGGPFYDWAQLPISREQFVAEIKEIQHKRFPECRPL
PGVKDLLSHLKKAHNTNGQKIHFAMASSTSKENYDLKAQSPETSELLNMFPQNNRVLAGDPRVKEDRGKPAPDIFLIALQTINEGLPEGEKPIAPAE
CLVFEDAVPGVEAGRRAKMRVAWVPHPELAAEFREREGDVLAGRIGLVPIGDEWQLGEVGDGWAVRLEGLVNFPYGDYGIRV

>RCO7_04348 | related to C2H2 zinc finger protein
MSSLKDIMDVDVEPFESQAYRRSREAQKQAARFLVASSSEVPSSPVADINRSKSTIKRRRSNRVSKTDSQAEAAQSKVRRRSSATGESMDFTSGYQA
GESNQASNSGSPQQSPRGSDAAVDMPVKYTPVTGRISRAKKGVPVHTCDICRPIKTFTRAEHLRRHQLSHQKPAYPCTFEDCEREFHRPDLLARHLQ
RHETQGEKPYEAGDPSSRASSTDTGNRTHDLKVETPATLGNTMQISPIDSMTPRTSRSGESSMTAASFNTITRSFQAVNFSPSSGYKRSASQAQLPE
SELYSATSPGPGPSRQAGSFDRLSGGNFVNDLQQPYDDPFVDSGASQFPNYTTTPPQPPLPLLRIPEENWIPGLSYSNSPWCSSASDSTYSVQSDLF
SRDRSQSLATLADWPVSAGTHWSPHGLSATPHEIRSPAGFDSGLERFESPFASPRMSSPITSRGQLLDVPNTYGSFYMDTVGTPLPKYLSKPVAQHI
PASPARTTNPGLDFHGKKGLVEPIHLITSPFITTNDAGNLTH

>RCO7_04349 | uncharacterized protein
MFSDQSPGDTSSADDLLDRFGPQFDTQASKISSPSSEWYKWINNEARQRLLGGCFIFDIHQSMYHQQPRARAPRAELSSLLRKPCPENLWVASNPSE
WQAQRSDSNPQPIHLIEQDIDSQAMCSTWSFNQTLVICWFVSRLPPQEDFTYPNEYLSQALHPDIENFVDLFSAIPLAHSYMAMYHTPLRSLLAVAG
DTWIFAQKISSPSAFHAAQLQLKTWSSSFAAAQATHHACQIIFQALSSPTVFSSDGIMVSPVCCISDYWSLYVSALICWSFGHRYQDLPTNGTSGTL
TRSNSSTQMRAVDTDDTPPPTTSDIRIKALTFVKEMLQLSTEELITSKAGMKRETAGIIDTVRQQLELENVGNKCGLLVDSIVVLGKLRKTASKTHW
F

>RCO7_04350 | uncharacterized protein
MEQGGYFEEEEEEEEEETEPLVHSPDVERGAESSRAAAAAAIKTPSARRGRSVSKTFSRRVLLMLRDVVRATTNQSLMSGEPKIGPRRNLMATIFGF
TTSRHDSLRETAWLDGLRGVAALLVMVYHYHLDMFNFSTEAPYGSPKTEWWELWRLPYLRIIWCSGATQVGIFFVLSGFVLSWSSLSSIREGQSEKF
VLSLSSSVFRRWMRLFVPCFLIGILSLVQFYTGLIDLAPMARKDTFPAQVMDYIWECQRFANPFHLERVGFDVFMKYNHTMWTMPAEWAGSLAVFLV
LLMVSRIRNYTRRTIILVLVPTYCCLSAQWNYWLFTTGILLADYVKQAGGFDQLSANMTRRSRIFWIVMLLLGGWLGGVPQKRDWYERPGYEWTDKF
IPQNWRGIDDGGRFLWCWSGIMTIWGFSHFASTRRFFERPSCRYLGKISFMLYLTHRMIGTIVGSWMRKQLPYVLGTPFFRPEEPDVELLVIRGFVR
NIFVYLLQWACMLPMALALANWSTILVDEPSVRFAKWVDDIFVSSGAVGLELRAV

>RCO7_04351 | related to allantoate permease
MEHKIHPSAADSPDGNSLKPECNEIESATNSTKELGPPIFDAASTKRLLRKLDIRLLPFLALLYLLSFLDRTNIGNARLFDLELDLGMSGIDYNIAL
AIFFPTYVLAEVPSNMMIKRFSPSIWLTFIMVCWSAVVIGMGFVTNFDGLLACRAILGLAEGGLFPGVSYYITLWYPRHECGFRLALFFSAATAAGA
FGGLLAAAIGKMAGTAGLGGWQWIFIIEGLLTLVVAAFAYWVIVDTPESAKFLTTDEKLEINRRLVHDRSDLADEFDMRYFWDALKDWKIYVHMLIT
IGIYTAVYSFSLFLPTIIRNMGYTNVQAQLLSVPPYVLGCIITIGAGYFADKYKQRAVFMLGCSGTAIVGWCMLISTTIPGVQYTGTFLACAGIFPC
VPLGVAWNGNNIGGSLKRGVGIAMHVGAGNLGGVLAAFIYLPKDRPQFHQGHGILIGVITMAFCLSVFMRWSLKKENARRDQWAIENNMFPGSYTQE
QKRMERAKGDNATFFRYTL

>RCO7_04352 | uncharacterized protein
MSETTSKWQKECIDAMFSGGTFEFSKSTSICYSTFPGKPKSSKAFPKGNTRSIFLKDVPLARPLMSIVRLVKDSSGYVKLQGKEYKFDKRVFVHFGS
PEEVHRTNNIKIHDLGDTKGTFVEHRFDDIDTSYHNELWQQRVIRFIVEEFQNLGKNFRKAFELQPMFSTVQDLAKRIKNLDADDSDVYWFLKISGK
SLTRWRSLARSTGSIPNYRIS

>RCO7_04353 | acetyl-CoA synthetase
MSEGNVKPSSGPVVAEAHEVDTFHPPQKMFDKHPSKPHLSGLEEYQTMYKESITEPDKFWGKMARELLTWQRDFQTVHSGTFANGDNAWFLEGQLNA
SYNCVDRHAIKNPDKPAIIYEADEEGDGRTLTYGELLREVCRTAHVLKQMGVKKGDTVAIYLPMIPEALIAFLACSRIGAVHSVVFAGFSSDSLRDR
VIDAQSKVVITTDEGKRGGKLIGTKKIVDDALKQCPDVTHCLVYKRTGAEVPFTKGRDWWWHEEVEKWPSYIAPEPMNSEDPLFLLYTSGSTGKPKG
VMHSTAGYLLGAAATGKYVFDIHDTDKFFCGGDVGWITGHTYVVYAPLLLGVATVVFEGTPAYPNFSRYWDVIEKHEVTQFYVAPTALRLLKRAGDQ
HVKAQMKHLRVLGSVGEPIAAEVWKWYFEKVGKEEAHVVDTYWQTETGSHVITPLAGVTPTKPGSASLPFFGIEPAIIDPVSGEEIHGNDVEGVLAF
KQPWPSMARTVWGAHKRYMDTYLNVYQGYYFTGDGAGRDHEGYYWIRGRVDDVVNVSGHRLSTAEIEAALIEHNAVAEAAVVGINDELTGQAVNAFV

AIKDGNEVTDQLRKDLVLQVRKSIGPFAAPKAIFVVPDLPKTRSGKIMRRILRKILAGEEDQLGDTSTLSDPSVVDKIIETVQASRKK
>RCO7_04354 | uncharacterized protein
MDEKDQKTDIHTTMERQYYATDSDSGSAFVKRSVVPHEFRSDNRGVVHVPFHNKERQQNEARCLTFIRENTDVPLPDLLGLYEERGSWDLRTSFVKG
VTLSQLFRRRSSDGDSRSEDACRYTTKPRKPRSRGTGRGFVPAWIRHERME
>RCO7_04355 | uncharacterized protein
MDTSASFPSIVAADLAMPNKHISTDISSTINAGLTLLNKLLALGGRCDGEGAGDGGRSEPGQLAVEISLLSSTLKQISSIILQRDGGGRYAIGVISI
VQKILDRCQLIYDELNTMLNRIEIETRNGMNVGKGKEYTSLVMKVRREFEKVEVKIAKAVMEACSITLHLMVHNLASASRKIVSRRHSSYGTNTEDA
QSELLSQALQLARRITIATLERLENGEQSSSATRSTSKRLRKLQRKPKVKKGEVGSLREWKQEEREKPSEWVKSLVRLEINNELISVEFSPRLMGRE
EVERLEYGELFEESVNGHTSDGRKTGIER
>RCO7_04356 | related to trichothecene efflux pump
MTAVSNPPSISLHAAEDKEHEPQHVGQIATHDQVPGIPITMRKTVSEPLAMMSFKRMMSLIAMALMRTISQIPVYIFGAIPPIIYADIGDANRTGIG
AGISELTAPAATSDLAPTAKRGKYIAVLIFMILPFCASIIWAQLIAHYGGWRYCRLLCGVWTAIGFFMTLFFYFPAPRVKSMALTKPPRILALTLVI
TFVSGANFFSIIMFWPTQAFNVCGHDPVGLGLRGLPARFSILAGAVTVLLCLSVFGGRNKESMIASSILMTDGCGALACANRFNLHQLNSLDLAMRV
IGGSIGYTVSYNILIQKFVPNSKHLIGGTIIYKLGIKNATYIGHAIEYTGASLLPTLRTISGIGKNEKAYQMVVLAGQVAFAESYKYVYYASIAFEA
VSIVAACFLGNVGEYMDDHVTVVMH
>RCO7_04357 | related to transporter (major facilitator superfamily)
MSAEGNINPSTEADTDRPDGGSEAVINTSNAESDNDQDQPQTRNEDQQVPGGPSVKCVVFCALLSAIGGMILGYNQGINAVTLVLPQFLEQFPEVPR
ETTVYKGLLPTMVIFGALFGAMNQGWIADKISRRKSIVWAAGIFMAGSAIQTASLNHKMLISGRVFGGLGIGMLSMVAPLYISEISPPKIRGLLLVL
QEFSIVVGIISSTSITYGTKNKPGNPSWQIPFGLQLIPGLVLGLGAFFIPYSPRWLAAKGRDEEALEALARLNKLPEDDPDVRKEWLEILVEVAFQK
EVLENRSSDVVAPRTTWEKLKLKLRICPWTNLFRSACRKRTWVAFGLMFLQQFAGTNALIYYAPTFFENLGVDNRMQLLLPTFLQLTQLGGVATSLW
TVDHFGRKPVLLGGSSGMLISHIVIAILIRKNSANWPSHSKASVAGVVFLFAYMFLFGASWGPIPWAMPAEIFPSPLRAKGVAFSTFSHWLCNLAIG
FLTPLLIQKTGYGVHVFFAVWCLLSIPWTTVFVKETRGETLETMDELFQDRGTATCVEMKNQIRNRIQAKFGQGYELDDLTNPVD
>RCO7_04358 | uncharacterized protein
MAATDIITIILSFVNLGVAILVAIIAYQSLKALCGNLADAATALPSYHIPRRSYHPYTTGYIHYLRDPYTRPMVGAAYRPLCRVLDAETVGSLNGEH
VLLAQQPLGVLQAIQERSGSG
>RCO7_04359 | uncharacterized protein
MDNNWGRPYLAPQAPIGISASSQFLPQLQTTESDLRSSQIVVRKATAKDLDKLQIELASLYHEETLPQIHLFVRENYNLDASEQQIKNRFKKWDWSK
NINWAVVLLKIDERGKIGKKSEVQIRRQPISQEKIKRYIKDHPEAVGGSRPGVGKMVVINKEEVAATPSDIDVFTPTSAGLHSPSVARSPQRQLQCS
IESSDVESQIRISEPDPMDVNDDDDLYFASPVRRHTPGHIEEEDMDIAMRVLSSTLMYEIIYVPEPSFDPPAMSQRFYDGFPVNLMGSSENSARWQL
ERSPIGFRYRQAEENALWREFDQKTSEFGKNGPEIEQTLSAIIDVLREQGSSKTAERLIRQVLHIYSSAMTRMSAKHALKIFQQIIHAQKHLLGPGH
PDTLVTEHEMAWAFYQIGNYKQAERLGKEVIDIGTRIYGADHPATLASINLLALVWKKKGLWAKAEKLDLELVASYRKSRGRWKEVERLGKQTLEIR
KRVLGEEHPDRLATESPALDAGNVRRGEEHPSTLVTQSNLALTCAAQGQFDDAMKLSEEVLDARKKWLGNEHPATITSMNNLAHTLKSLDRVGEAVD
MMESCLIFYTKIFGAEHPDTLKSMYSLTIWWKDQGRFREAVEMMTKCLKLRTTVLGAEHLSTLYSMHYLARWCKDQGRDNKAVEMMTSCVELSTKVL
GAEDEDTKFSIS
>RCO7_04360 | probable PTH2 - aminoacyl-tRNA hydrolase
MADRAPPTPMAMIIGTALIAGVSGYLLGIGSGLGIFPNPFVPREARERGISNYDDEEESEEEDIDASILDHAPNWSNGFEADKRDGLRATSAGKAKE
VRKEPKIKQESGNEWEDVMPVPEIKREQAKQELEDVNEECKMVLVVRTDLGMTKGKIAAQCGHATLACYKYFLKHDPKSKILRRWERGGQMKVALQV
KSEEELDTLQATAISLGLVAEVIADAGRTQIASGSHTVLGIGPGPASVINKVTGTLKLL
>RCO7_04361 | probable UTP7 - U3 snoRNP protein
MEVDRPEVESGDRIHFNGAIPIKRARMDLTATAPDAALIRRQREANKQYGRGKKIPLKGIKDKKLRATLKAQESKYQTAILRAKDAEILHENTEGFL
EPENELERTYKVKQRDIAKEVPIETAKKGFELKLEGLGPYVCDYTRNGRDLLLAGRKGHIATMDWRDGKLGCELQLGETVRDAKWLHNNQMFAVAQK
KYVYIYDQAGVELHCLKKHIEVTNMEFLPYHYLLATVGNAGYLKYQDVSTGQMVIETPTKLGSPTALTQNPQNAVLHVGHQNGTVTLWSPNSPTPLV
KLLAHRGPVRAMSIDREGRYMVSTGQDLKMSVWDIRMFKEVNSYFTRQPASSVAISDRGLTAVGWGTQTSVWRGLFTKHSLEQEKIQSPYMAWGGEG
KRMERVKWCPFEDILGISHDAGFSSIIVPGAGEPNFDAQEINPYENTKQRQEAEVRSLLNKLQPEMISLNPEYIGNLDLLTAEQRKAEKDLDKKPVD
PVADVKNRGRGKNSSLRKYLRKSGSKNIIDERRLKIEEMKKNQNERQQKKIQEAEQDLGPALSRFARKGGA
>RCO7_04362 | probable TSR1 Protein required for processing of 20S pre-rRNA in the cytoplasm, associates with pre-40S ribosomal particles
MFDRGIPHVSNARLPKSRQTSNLASNIPFRFKAGGSGNMAPSVQSHSHRSTTKGTQKGFKSRKATKGALKEIAKGKLADLSHRKTPHQQMMSKFDRR
NHNKQKQLNKHKEHLRETNVFAGRDGAPRTVAVIPLCEDGNAAAAVRLLSGSLDIEAEVPEEGLLRTDIERFKQKVQYVVLKRDLIACLDAGRVADF
IIFILSPDQEVDALGELIIRSVESQGLSTLMTVVQGLDKVEPAKKRPQVLASLKSYITHFHPDQEKVHNLDSRQECANLMRSLCTTTPKGVRWREDR
SWMLVDEVLWPENEQDSVVLTGVVRGKGLKADRLVQVGDWGDFQIEKITAAPLTSKKRRQDEMKMDESDSENVLDTPTEDQDDTAELAPEEVMMDDD
LDLDATMSVATSDKRGVLLDDHHYFSDDQTHFPPKPKRLPKGTSAYQAAWYLGDTFSDSGSDFEDVDEQGDFSMGAPALPQDGVEGFAPREPTEFAP
TEYAKSEMFLDPTPDDEAEAAQLAAFRNRNVDEAEDDREFPDEIELHPHVLARERLLKYRGLKSLRESRWEEAEDRAYEPEDWRRLLQVSDYKSTRS
QVTREALIGGVPSGTRVHVHLRNVPASLRLSYKPSRPLNLFSLLRHEHKRAVVNFNFTLTSDYNTAVKSKQEMIMQCGPRRFIINPLFSAGGNTSND
VHKFDRFLHPGQSTIATFVAPMIWGSVPALFFKRNTATEDNPSPLPFTLLGIGTSMAPSSSRVIAKRIILTGHPYKIHKKLVTIRYMFFNREDVEWF
KALQLWTKRGRSGFIKESLGTHGYFKATFDGKINPQDSVGVSLYKRMWPRNARVWDPKEVLASEGDVVMDVDTEGGVIV
>RCO7_10693 | uncharacterized protein
MQSSEGVCTFYIYKEGTDTGPYLPRMPKAPILARICHVYHAPSYYPLPRQRLALEP
>RCO7_11696 | uncharacterized protein
MTFSLLSLDCDIAPIVVLLLVPTSALSAAYRIYYLRYIRAFLKIKYNNTPILELLYSFNKPNSKLYKYYSALKSSYKYISYLNINLLNYVNTEYTIL
SGLLPSSEAKDIKLNQGSIIATYKAINQIYRLAKSTTPTTTRSIEKVFKELEFIKAEFTKKAIFKATISNTKGKRNLPSSSEIALDLDTPGPSLKKK
AHRISYYTQSTTRAILADSGKELDIVVPVPDIPDLLEALENLREKASKVEVIKEVKF
>RCO7_11272 | uncharacterized protein
MIVPKRALRLWRYSPATKRLGSSLEIIRRVSQDRAVLEKARSIAQLNSPVNDDGPTTRILWKLAQLLKADPQKRFAEDAEDSKSRAAIARASPRASG

KGGAMAFLREEDADDEEDEEEDYDVLVPLFYR
>RCO7_11271 | related to Endoglucanase 1
MTRTLPFLAAILLGVNNVAAQSLSGKGKEVHPKLDTYTCTLRGGCKKKTSYIVLDSAIHPIYQKDNPKLGCGDWGSAPNKTVCPDAKTCAKNCIVDQ
ISDYSKYGVTTKGSTLYMDMLSDDLSSLSPRAYLLDSDEHQYEMLKLTGNEFTFTVDVSKLPCGMNGALYLSEMNKFGGRDFLNKGGAELGNGYCDA
QCFTFPFVDGVGNIEGKGACCNEMDIWEANRRSTSIAPHPCNITSMYKCSGAECGFEGVCDQWGCTYNPYALDQPNYYGEQAQAEVDTKRPFTVVTS
FPANKRGKLTSIQRKYIQDGKVISNAVVNLPDRAKKDFLDDAYCQENPGGTRRFTELGGLEEMGEAMSRGMVLALSVWYDVTGFMNWLDSGSSGPCN
ATEGNPEVIKKIQPDAAVQFSEIKWGEIGSTYKAK
>RCO7_11270 | uncharacterized protein
MAVGIAAEASIAIEKSDDVVVGTVLVLQMDEDILGFQPYVLGKAAAEDSSAAEPLG
>RCO7_11269 | uncharacterized protein
MERLPESESQHVLQELSPPKAVESQSKFHPWTEEPQCLTDKETNEEFCVYTNAKFASGRGISFFTSPKIATKMISLPALTEPGLYAHVNNFTDPPWE
VRNVVGRGNGLFATRTLYRGDEIVSNTPVGVYQSDAFFPDYPMGYKYLHKAVEQLPKKTRRIFLKMAAHNPGDPVMERVNTNSFAGEFEGVPHFLLY
PETAMMNHDCRPNSVYYHDAATLIHATFASRTIHPGEEITITYTKMIETRAERQEALAQTWGFECKCAICSAETSEVRRSDNRIRRIQELQGFLMDW
SSESIGTPSMARELLALYDEEGIYAGLGTGHMLAALAYNDDGDIKNAKKHAELAIEAGMVNSGIKDKYREEMESLLSDPRHHWSYNVR
>RCO7_11268 | uncharacterized protein
MFENVVSSSIEIAAPPAKVRAKFLDFESLPRYHKNGAFVFLGIKTPGQPLEKGAIMKNVLKGGTFHPFITFSWLGSVPGVFSGEHFFRFEKSQVRKG
ETTFVHGERFSGLLGWMAGTGWVASILGSQEGIKKGVEEIDTFNRDLKMWVESAGGQEK
>RCO7_11267 | uncharacterized protein
MASWKEKGVVPDSDDEDGLDSQGTTNPDSILVGDISSGNGRPIEDGDNAVDDQDGEGDFLKEDSPLFEVPTEEFEPTTQVDLPLIRQASIEPHTKQS
ESLHAASSPQRFKDPRLYWASDEEEAPQIKQNESFSRSGNGLPAEEEISKSYVQITSQMSSPLSSPADSQPSLSQHLELHGQCRSSESPIQGPVDIV
LPSASTDIRTSINMEPPSTARRNFRQRNAIQLHPYVVEQEKFRQTFIARGIAPMRIASSPQEDLRRRLRSSSPASESQDMSFDVGESQQRDKDWDPP
SSPPQPASGITVVNGDASPIDEEEEEFPDIDEILRHPPRLPKRPEARSITQTLPKVKHRLKTYSTKIRRTGLSEIQGQPLRQAQHKNTNDIFDVPAS
PPATSSPFPETCRRPRVSLSRARSTPKEPTPNTSQDDILPIGELPTPATSAGKPVPIPLDSGVKSDDPFASDVEQSASELSSSDESVQIRTISKKIR
GVLPASHIRLDQTKFPKPTVHSLRDTESLSAVKELSRRGVALPRECQISQTPPVSTNARLAFLSDSEDDNDNEDLGFVMADDPLELESIFDQSRLGV
ADEDDRIDAMLPSKKRSSGGSLLPRKKRKSGPISGARAESGSNNRQARITDHLKNPKRHPNLNKPTRRANGLGGGGGSRQRGSGVSRPRKPAAPHLG
ILDVMNPSNRDKKDLPKFIRVAARTARSRVGKGRQSPSRKFIRLASREDTQDVQIVLQDWREGKIAPKSRLSRPRISLDHSFALGQIADNQQTGLPA
LAHERQMLSSLNGPTASSVRRLIVSKRQQSMDNFVTKEPAPNQYAGQLEPHDTKSESEPSRRAKKCQSGQYPARPAQLESAEIPHSGRHSASAFKST
KRVLDGLYRNALRRPPLQRNLQLNRFLADDDFVQPSIEESHEIIDEESDVELIQVAPMPAFRKKRVPQRLDAGAANYRQASNPLIVDYFAPSDVPNA
GENSKLLGLGKFGTNYPYHFDIFPLQRGIFFHQSTLIGSGRLADILGNSDLQRLAQSSLPGLIFAEKVFKWRTWDENVSSEIGVCFDWLIDEIQPQQ
TSSPPTADASEVIAFVLHYVQYNVRFDGILDRNDFMSRMIEVLQEFSSRLNTKHDTEQTQIRAVIELLSCCILLTFHLLKALRIQPETNSSSYDLEN
ILKSIASQFVVRLVSDGLPKIRKLYDDLQYLSFRQRGITGDHYAANGWLILIKVLGEARIPRGGFWDITNEHLVTIPIKDVIDAPTMEKIWYSIYTL
LPMCEFDNYGVVSPGLRQTANFDNWSLPQQMLKQVSSLYKSNQRQFPGFNDYCRSLLQRCHYLLVEWGWWKCSAVVGAIFDFFASHNLAHLRNEEAH
DSPPFLEQLDSNPSLAIEYEDRCFHIFLKILALEIKHLARADDMKSIRNLVARVLPNHDRQYPKDEVIHTRDLTALQNHHDLLCTLFWASPPSQRPS
VALIQELVIADRSHNEACLINIRTWENLARFMVAENSNMEAYKPFVLWQSTFFSSLCHQFLSAEHEVRQQAEAFEKSSGQAMSESRVADTIIANKRS
LIIPMCRSLKAMGNTIKAAKSSGMVREALNCDVLSKALDPSVYTPISLSKQLASDCIVALCNYMDQIKLLDRDHDALPVTTVTTREGESQDSLDVDV
NWERLDLIIPLRQNVVDYVYPLIRSCLEAESDQEVLFMSTIVDCWARLVAIITEDGAMSLESFITRGRYSVFENRRTHKSADAYWPLFLAKLLKNGK
KLDDFRVPGFVFESEWLLCLTTCRSISVPVQDLTAELQRQGYYLCTTIDIESFDQIQTIRAAIRRMSSILIDKTSDADVGLPQKQTQSLFSEVLGEV
MKSIQTHLESLDPGSDLHSHHLQVARVVVADIKSYASDFRPLTDFFVHPSTYYWPHDGDPSLYRAGLVAYCLRLEQQPDKAAFELYYYLHSGWTLAL
VSNRMDNFISCIRTGMKWWDFTKFMLSDFVPAIITTGFNSSAWLLCSIFLPAISSRVISLLDTKDNKSAWVFESIVNILKMIMNGTIMQARLYERSL
LGMHPDHHGILAVAFRFWFAIALPIRQYATRRSQDEVLTLEEVADPLSSFIYHAVNTFQMNDPFIYVPEGQFDVHKGKYTDKFVKHIVGDIKENWQF
SNEDCFAVVVKTRSNELSSVTRFRESLREVLEGNLERYECAYPNKEDVRLEKVENVYIQDLYI
>RCO7_11266 | uncharacterized protein
MSKIRGIFPLFLATAIGVGNGLWVFGPEFRNQQLEKEEQEKKAAEVAKLSGSGTNNTVESLKMAEAAASRTIATETALKPAGKSQSRWWPNTNGFWE
KERNKSPTVEPVNKSQEVPKDKP
>RCO7_11265 | related to DUF726 domain protein
MAHPENKAESSENNHGEDLSTILSTEERVELTLLLANITELMRKQITDTFDASITTAKPPQQALNLTDKNPNVVDTKKTAKETEEEINARKLQEQRE
KELSAPKMSDLKRDTLQFFDQWRDSVLLRVGTAVNNSKEVVGEQKDKASIEATKDEPTTETKILRPNTNTGEADAALLELYPPTSTSLYSLPKEKRV
LLLNAMLLLLLSLEHYVAPSRVLLLHIASSLHLPLHVLVEHEVKVAQGLLEAAKHMSGSEETQKRSDENKTVRRWKVGLAGVAGAAVIGITGGLAAP
LVAGALGTIFGGLGLGATTAAGLLGALAESGVIVGSLFGAYGGRMTGKMMDAYAKEVEDFAFLPLKGSKHHDPKPEDRRLRVTIGISGWITQREDII
IPWRALGRESEVFALRWELEALSKLGSSLESVVKSAAWGIAKKEIISRTIFASLMTALWPIGLLRISKIVDNPFSVAKNRADKAGLVLADALINKAQ
GERPVTLIGYSLGARVIYSCLMSLAERRAFGLVESAVLIGAPAPSDAAVWRSMRSVVSGRLVNSYSENDYILAFLYRTSSIQYGVAGLQEAQDVKGI
ENVNVSEMVSGHLRYQYLVGSILEKIGFEDIDTEEVAREEETLALLEEEEKKEEEKKVG
>RCO7_11264 | vesicular-fusion protein SEC17
MAQDPRALLQKADKAASGAGGGFSLFGGRQEKWENAADLYTQAANAFRMQKLNREAGQAFEKAASIQTNNLKEPDDAANTLTEAFKVYRKSDPLDAA
RCLDVAINHYTMKGNFRRAATHKQNLAEVYEIEIGDQKKAIESYELAASWFENDNAEALANKLYLKVADLAALETDYYKAIEQYEKVAASSVSNNLM
KWSVKDYFLKAGLCHLASGDQVATKRAIDKYADMDPTFPSQRESQLLVDLYEAVEAGDQEAFADKLFQYDQMSKLDKWKTVILLRIKNAIEEKGEDF
S
>RCO7_11263 | related to a-agglutinin core protein AGA1
MSSSTCQSCRILLVPLRPQGLRSLRIRKYSSDIEQSDALAINSSPNNLPTSQRPREKLNIAALLSKPTWSVRSLLSPTSAPPSTEITPRKLHHLLRL
SALPLPKTPEEEASMLTTLHSQLQFLKNIQDVNTDGVEPLQSLRDETEEGIKNITIGLETLKDALGEEDIKGRNKRPRRRRRESLPVIRGVEDWDAL
KTASEKVETPMGKYFIVRSGKGDTVHMTEEAKEASLNRPSFQSATASEVKGSQTNYEPVATQL
>RCO7_11262 | related to MSP1 protein
MHAVSRSVIRTACRPISRRACRIVAGSRRPLAHRNFHASPISYRIPDDPASHGTTGGEKADKSPESVESKAEEDVKEDEGTETKPEIFNLIASPKVK
TRRTISGRHRRLLRQKPLEGLPPVVLPDWFWKNNVKLVGDTKRLSGSLAVYGALVSERQESDDGAILNAEIARQYLDISECGLESVEAAKYSIHVDV

YREILATLRAGLSLRPPTTGKDQPIPRPVTLLQCPKDGGSYFLDSVVETIASKLDADLIRVDSQDIAQIAGPYLEGNLAWHRSQTSNLAYNANKVAG
KLEEYDKEMEEENDDVEGLEEEEDALPTTKARGKAPPPFAMFARSIQFLRGPSKLSPYGAPAPAPSSNGNGNFDFITAQLGGTPPPPQMRSPTPDHW
DELKMSHLFDTIIEAPNARPSSDGDASSSSDRISRPLIMQVRDFKDISGVAGGLALIYKLRNAVDKKWQDGRDIIVVGTNSSEEGEPALSRPDIQHL
QSDIVDGETRTIFVPPSRKEQQDVAFEADEKVRIRKINVRNLEEMILKLVEGSDHVIPVLDLEKDLDSATVFSAGLEDAVWTYARVHRTATTLLGLD
KDVGDIDGAVFGKALKVLSASDQAKFDWGAAELRSEDEEVELMLSESETAVAEKKKSKDRLKEIRKKCNQQEAKLLNGVVLASDIRTTFADIRAPKD
TVEALKTLTSLSLIRPEAFSYGVLATDKIPGLLLYGPPGTGKTLLAKAVAKESGATVLEVTAADLNDMFVGQGEKNVRAVFTLAKKLSPCVVFIDEA
DAIFSARGEHNRNAHREMINQFLREWDGMNDFSAFIMVATNRPFDLDEAVLRRLPRRLLIDLPVEPDREAILKIHLKDEILDDSVSLSTLAKDTPFY
SGSDLKNLAVAAALACIREENAVAAQHTGDEPYVYPEKRILTNAHFEKAMEEISASISEDMSTLTAIRKFDEKYGDRKGRKKKGPGMGFGGTKAVEK
DSEAARVRKMGL

>RCO7_11261 | related to long chain fatty alcohol oxidase

MTSAALKAATPLTVALPKAPIGSYYTEAQWRTLMALMDTIIPSIKRESVVTTSSIDEEHVPDTIYNTLVHQLQRVVINSPTEVQLDQYLAEKPSDNP
EFHDMLKSTRVGSLLFTSSTTPFHEQPVTTRTQILNSWRTSRIPALRAAYKQITFTAKNLFIKTSPSFYGASGFPRVPDHYTPGQHFEYRFEQFGQS
GIQAGRGGKEDGCEVFETDVLIVGSGCGGAVCAKNLAEAGHRVMVVDKSYYFSPSQLPMSEKDGGVHLYVDGGVITSDDASMLAFPLQFPVSVIAGS
NWGGGGTVNWSASLQPQSFVRNEWSKDRGLPLFTSIEYQESLDRVCDRMGVSDKHVRHNHGNEVLMEGARRLGLTYRAVPQNTGGTEHYCGHCTLGC
GAAEKQGPVVSWLPDAQRAGAKFAEGFNVGKVLFENVDGKKTAVGVKGKWKSRNQNGGVNGPNTGRTIASVIIKAKRVILSAGTLASPIVLLNSGLT
NKHIGRNLYLHPVNIVAAVYPEETRPWEGGILTSVVGSLENLDNHGHGAKLETTVMMPSWCLTFLNWNNGLDWKLQALKYRHMNSFISIVRDRDTGS
VYRDSESGAARIAYTPSAFDRAHAMEGVMALAKIQFIMGAREIHVCIAGTPPFIRENIRKTETPGETTARFETWLEDVKKTGNKPPAGIYASAHQMG
TCRMSRRANMGVVDMRGKVWDTEGLYVSDASVFPSASGVNPMITNMAISDWISRELSKDMLKEKMPPMARL

>RCO7_11260 | related to mating type protein

MSVSTEVRHSTMNVPRSPLSSSTDSSRRGSLKQVLPEMHPDLPTPTSPRIRLTRKRAASLNTNSANEARIGDLALNSASTNGPPSSAFTREQVCLCQ
PDPKIPRPRNAFILYRQHYQAHVVSQNPGLANPEISKIIGQQWREQAQEIKTEWKRLAEEEKQRHQRQYPAYRYQPRRAGKLTGLRPASSISGDDPI
RCPKCNGRYISTPSRPLTPFTPGFSAAPPSERPLPLFTPSQNDFERPRYTAPMQNCRMDTPRLVPNHQHSIRRPQYLPPQLLQTHHERDEDMDLLSP
SSGQKRRRFNEENLRGYASNSPMTYSAPQQFSRPGAPPMSAVYRQPLPGPGMIVRHGSMGPPPQSASIQQQQQSRHQYPTRSSTFDESLRLPPLQTQ
MISSTPTSSQRPDSRMDARETHAKSIEAMVMTIPYVNKIKLLTKISPPLAPPGPTSPAQSTRGAVVAVEGPEKDLLSEIGAFINEYLSKDPSFAVTA
WNVSESKVATPGAADLEMKGASNVDACNPFVEYMSIISTWHTKSLEMIRYITTAPLSIPPNSNPNTNITVEEKTVPKILPVALVPTGFSLSTSDTYA
HRIPINDVYSPVDHWQWMATLWRGIVGPDLTVYVSRVGKDEMVKYGGVEIKQDCPCIVVRIPEGSNKMDEKTARRLGFEVVEFVRNVEAGFGRGRLA
ANFFVLSVLFSVFMFGMELHSACYLAIDLVDLLQVTDSNLGQSPSYIVEQSVSSPNPSSSKIEQTYDHYIKGLGDTSCAQVVNSGVHFFCFGEIVSG
ISERSIWRLNFPFAG

>RCO7_11259 | probable RUVB-like protein

MVQISEVKGNARDSRTATHTHIKGLGLRPDGTAEKQAHGFVGQVAAREACGVVVDLIRAQKMAGRAILLAGGPGTGKTALALAISQELGTKVPFCPI
TGSEIYSSEVKKTEALMENFRRAIGLKVRETKEVYEGEVTELSPEEAENPLGSYGKTISTLLIGLKSAKGQKKLRLDPSIYEAIQKERVTVGDVIYI
EANTGACKRVGRSDAYATEFDLEAEEYVPIPKGEVHKKKEIVQDVTLHDLDIANARPQGGQDIMSMMGQLMKPKMTEITEKLRAEINKVVNKYIDQG
VAELVPGVLFIDECHMLDIECFTYLNKALESSISPIVILASNRGMCTIRGTEDLVSAHGIPPDLLARLLIIPTNAYEPEEIKRIVRIRVNVEGLAIT
EAALDKIAEDGSRISLRYALQLLTPSSILARVSGRSQIDVADVGECEDLFIDARRSAAIVNSETGTGFIS

>RCO7_11258 | related to P element somatic inhibitor

MEQPNITAILAALAAQNSNATPPQAQQPAYQQAPLQQHQHNPYAPQTGYSLPQPSSSGSVDLSNIKPVSSGSVSIAEAIAKAKAIAAAKGVSYDRPS
SSYAPIPHQVGRPYRTSRSRSRSPPPRREAFRDNFNPYRDERRGDRAPAARDYRERSFSPGPRGRGTGGPFPPQGVPGGYRSPPRGADDNAVESIQI
ESNLVGLIIGRQGENLRRVESETGCRVQFITGADETGPYRECKITGSRANRAKAKVEINRIIDDSGMAANARAAAERAREAPPVRGSSHQPALRDGE
DTMQIMVPDRTVGLIIGRGGETIRDLQERSGCHVNIVGEQKSVNGLRPVNLIGSKEAAAHAKDLIMEIVESDSKTNNEKQAQPPRNTGRDANQGGGY
NGGGAPGGGGDTSNDSIYVPSEAVGMIIGKGGETIKDIQATTCCKINVSAKQAGETDREIGLVGNRDAIAAAKRAIEDKVEAVAAKSGRSGGGGGAG
GSRNDYNDRPYNQQSYSQPQGQPSQQPVSQVAPAAGGEDPYAAYGGYQNYVALWYQAIAAQQAQGGDPSKPPGTS

>RCO7_11256 | uncharacterized protein

MDPSNGQLHKQYAGGNVITSADPLCDFQCVDIPPVPQGRVDQSLFVPETRIYPHPYIESPERSISGPGDIRPPGPRKSPQKVVFKVPAPVTTRSYHH
PYVKVPDYSSSEDDDLPSPRPKGSQNKAISQVPYSDDEDLPPPPSKASQSKAVTKAPFLPWAQPASKVEKPIDEKAQKILNILHFNTLLAESGIIPA
HRVQWLWAVPEEMYHPWMKYTEVQAEEIVSNAEANTMWKGNKTAFVFPGGGNLFTTYNGKLLDRWVHATVEAINKSMRASAADSSRLRHTDDNKVWE
IGCNFAIFSLSDRVKLQNTAIVPYEVIGTCDQARNFFKSEETLRKLAHLDLLTMFELPDIMPGQELSKIAFAFFKGHEIPENVELLPVSPDACPKEY
HIDYEGRSDRSKVVKSKPLQDPVLALFLQDVMISNHLEYIRVENLRTLSGQMPVRPGCGSSDITTKLKAREHWIGKRALIQSSAARHIRQQRRSATW
WYRQANGPAPSLNLINCVPNLIKVIEAGPGSSYLSLNCSDRASGTNGRISNPKPTPEETVRKTKSKKSKSKGKPKNSNAVAITGIFLSPNEESSSIL
PPSASDSSQTRPTELGVSAEENTIVGPNLEESTTFTAAAVLDAVSSGALALSSQPTSPGPVPVAPEGMSKKNKKKQKEVLNDSPSSSNPTPSESRSQ
GQSTVKVIVGELVEDPKTEDKSGKKPGPVAFTEDNIPSVSLEKPLAKSDDVHGINALGISMPMDSEVGTWETVKSRSTQKQKVTVQASFIAARGNMK
GPARTSRYMSNQLNMHRASKIVISNSQSGQKSKIGSVVKPTATKPNEIRLFDPNEFPAMPTPANDKIKVSAKDTVYDTKRVVSQNSPASESAIANTQ
ALSATLHNIPKVSGTTTPKLESSAAAIPDDPDLGDLYGASPPRRTRTAAVKEKVASTAPAKLIKDDTSPPKSTNAAQVDIKSAVPLYSIKVPKHRER
LIAVPDIGMKVDKKQSSVVPWSTGKETSLTGSTDPTSSRALEAPVFSEKSEPNAGEKTATKAASISNPKLDAQPLISSKIEAEGFISGILEAKIKIA
IPTAEGLNLAIGKANAPINAQSGGVATAKNSTSNKYKRKAKEGKSSNNSMVAGPIPGSSRSLDKGKSNDSAALLMTVTAETSTKSDDEQACASTSVP
THTGGRKKNNRNKSFHKGRKDGSTSDSIYAGLSTTTLPAEIQKLPALDQNVNSSRDSSADERSTKVESIVTAVTSPSHAMSQSVPTSTKILVESSGG
PKGFLPKPVVASEQIIPHMVLSASKSSAQKPEKKDFKKPEISSVPTDLAWADLCSPAKPGYLKQRRLSAGNTQPDEDDLEDTAPLPIRRRSSISAAT
PPVRLQFGQLTPLITSSSATGDDPFISGVTEFGDAEVSYLSSSTDGDVDLRDSRASPGTHATPRTDLMHTPLSPDDYNGEPYVNILGHEVTLFRRDA
EISGFQGQKHHQRASSVTAQGSRFVAPHYSSRASLEIDHAGDIRAPGHSSHDFQNPFNINSGQGAHSHPQPTVYGAPQVRTHGVQKDGQVGQASTSN
QSLGGDLKGKGPEKGTQGGINQGLSPIPEAPLNSEAEAASVYDHNPPTKCSFCEDTKVPTADNPFHFCPFPEKYRQKIFAIFCKFGEVPDIRYAHSR
KWPDIDWSRIMPSCARTSVGDYHIFKSSAIESGRQQNPSKAHVICTINLPNRDGGVNMQLMITRALNVAFVTHDAQVIWFLSRILRYVLQPHYFQNF
MATEPQLVVMAEFKSQFFKEFGVAINDNEPFMVNPAAEFATIHDSISRFEIGLGSLQYWLNVFYNRV

>RCO7_11255 | uncharacterized protein

MAVPEEITPPNSPPAIGALVAPTPQRHRPGLLRLQSEAEKFPAFLPAPKETQGKSKSLTEAEIQSDLLSSNQVAAIASQLQNEASPLSLQEARQRRE
SIKNERKKSIEFIRRRTLSRAGAAGNGRPDLEALLKPKFDTVIEGEKKD

>RCO7_11254 | probable heat shock protein MGE1 precursor
MIQRTLLRQTRVLSSSIRSAAPRTSLARPQFNPAPISLGISRQGATRCYSSEPEAEKDEDVKKDEKSTEAEDPLKKELEAKNKEILDLKDRYLRSVA
EFRNLQERTKRDMQSAKDFAIQKFAKDLVESIDNLDRALEMVPQEKINAAEKDENVKDLLALYDGLKMTEGILMNTLKKHGLERFDPSVESEKFNPN
EHEATFMTPMQGKEDNTVFLTQQKGFKLNGRILRAAKVGVVKNS
>RCO7_11253 | uncharacterized protein
MAMMVASIDPRLDAFIEYPSNGYQNAAPSPTHFPPQFDRYEQEQNASANGTSFPNGEEFVSNPFSEEMDRKFPRLPISPSVLSAYSFMRATNTVDND
PLHSALYVHPSRNCPDERRMQVELLSRRHSINPLAKHTTFFWDPVDEQPRVLIPYVSFDPLKPPPSNISYQEHVHQFPPNFGTNHNKGDLVWQNFGY
VRVRGRWVDPDSEGDLADASRTRDTGDEEAPYLPDIKKRPDPGPKVMTPEEQMGFYQSYVEEVSDDIDGEGDPRAYRITPGTFARWAAGCETGERFE
EKPFVPGPKLPSPDLKYENEILPFHPPHQQYDVECGSAMSGIYEPDPDPRLVCNAQGVNIVRAPGNFARSYPQAAIDLDTQAFGNGQMYGPAASTAS
TPEVFTSENCFLHVAPRPGDPHTGSFNYEDTLNKLIALRAEIATGEAQVLNKATAAIALSQRRFDLGREVFFLQEKLASMPRPLFTSSSASDAIAKP
KSHEAHLSHYQLDGPSSPPSPKPRLRRPKQYQRYLREELERSEITLNKSRALAKRLDGDHQEVLDEIVDLKTQKESLLAELGVGSTTDLPGLFPVLE
NSRQDMNAKFGIQ
>RCO7_11252 | uncharacterized protein
MASTPNTPGSSSASSPAPSHLPPAGYPFNPFSASNSAHNSNPASASTSSSSRPRGATPRNLKASRPRNGPGPPPFTASMQDAQARDKDPYESSDDDS
DDRRWKGGGRLDAFGEEPYEVVQRRRMAAVILDSPELLMMHSQARCDSIPATRHYFTKLLCGFEDQNDTYPTDGQLHDPEKEKKKEKEKDKARMVAP
GGQKPRR
>RCO7_11251 | related to putative venom metalloproteinase jararhagin precursor
MYILRSIAAALVSSCLYHISYAHSQERNPLKYLSLVENTRINTPSHRIHALSKYEITFDLHDSKQRIRLTLAPNHDIIQDGATIVHLKPDGSIKTEE
LIDRSEYRVFKGQAWLQHQVGAEWTNVGWARIMVQQDGTEPLFEGAFRVDGDHHHVQTRTHYMQTRHAKDPIPEAKDKEYMVVWRDSDVAADSFMDS
GGHAHGELKRGLGQDGSCSAEVLSFNTQTDHPIYTGMGNRDDDFGSTYTKKLFGRQIDGQTVGNSAGVNLASTIGNSAGCPSTRKVALVGVATDCTY
TSDFNSTSSARSNIISVMNMASVQYEDSFNITLGLRNLTISDAVCPGTPTSTAPWNIGCSDSVNIQDRLNLFSAWRGQRPDNNAYWTLLSKCATGSA
VGLAWLGQACVATSQVASSSSGNETVSGANVVVRTSTEWQVIAHETGHTFGAVHDCNSATCNDGRTAASQQCCPLSAQTCDAGAQFIMNPSTGPNIQ
KFSPCTIGNICNAIGRNSVKTSCLTANKDVTTISGSQCGNGIVESGEDCDCGGSAGCGDNKCCDAATCKFKQRAVCDPSNEDCCTGSCQFASNGTVC
RGSTGTCDPQETCSGTSSTCPADATAPDGTSCGISGGGLSCASGQCTSRDLQCKTLMGSFTQENDTYACSPSGCQISCASPEFGSNVCYKMQQNFLE
GTPCGGGGKCILGSCQGSSVGKEITSWIAKNQTLVIGIAAAIGGLVVLAMLSCCVSRCRQRRRSRAMKNAPPPPGWAGAPGWGMAPAPTHGPQIANQ
GHHSAQGSWENGRWKPPTQPATAYYQPSVRYA
>RCO7_11250 | probable TPN1 Pyridoxine transporter
MASNNESLTDVEKGQANVSQSQTQLPPSPENPPSELDPTVHINDRLSVPDHKILQWTHRIERVLGLEARGIHRVTTSEQTARTTLGFWQIALMWFSI
NTAPQNITLASLGRELYGLGFRDAVLLSVSGGLIGCLPVAYTAGWGPWSGNRTMICARFSMGWWPVKLCVLFNLVNLIGYPMIDAVVAGQMLSAVSS
KGTLTVEVGIVITALITWVVTTFGIKFFHHFERWAFIPQTIVLLILAGTAGPKFDVNSPSTGEGATLAGNRLSFFSVCLSSAASYAPGAADYLVYCD
PKIVTRWKAAAATFLGLSLSLTFTFVLGAGLASGLQNDPTWEEAGAGTGALIVAGFNGLGGFGKFCAAVSALGLIPNMVAPTYITGIDFQILGRYFA
TVPRYIWNSFAVVVFAVCALVGRNSLSVIFTNFLALMGYWVIIWIAITLEEEFLFRRRRMPSFVWSDWNDPSKLPIGIAALLAFCAGWAGAVLCMAQ
YYFKGPLAALVGDNGADMGNYVGFGWALLVYPPLRYLELKQFGR
>RCO7_11249 | uncharacterized protein
MSAFAIATLAFTLIWVSLLDNFPG
>RCO7_11248 | related to Delta(12) fatty acid desaturase
MRLYPWWKRSHFYFGGDGPKFRPSNRDNVVLSVLGVGMVVACLYAAVGHFGARMVFLFYGAPWLWTNHWILTITFLQHTDSSLPYYPTNTWSFLRGC
ASTIDRDFGFIGRNLFHGAIECHVLHRHASRVPFYHAKEASEAIQVVMKSHYKSDMKTPYLRAFWENYNACRFVEEKDLGSEIYFFGEK
>RCO7_07246 | uncharacterized protein
MLRLSFIEVALVTVAFLPKAFRDILHRGANTGLWVSSTLVNYQDSVETTDSPHIFFPLSYQTAWRTKINLHVISAIRLTTISRVVEGYDSSKTTFLK
ERVLLEKRIAVKIRNIGDDVDITRLCYFVNGRLRMPY
>RCO7_07245 | uncharacterized protein
MSLLNLNQITSPGSIVDDPPIPPLTADAKISGRVAAILRVFEGCKNGYPPSEPWTEHKLSSEEYEDLQRRLEDDVELWGYVHDKARYDYDLIRGKLI
IRMPTTLHNTFACELVTAIKEGFESLKRSQVETRPFISKIISLSGEIHFEENGKKFKHKPDIRFHHEDAAWPGVIFEVSYSQKRKSLIDLAENYLLA
SDGGIRVIVGIDVEYKKLKEASISIWRLKTSQGVDGQPEGEVVQELDNELFRDSEGNPILSSSGLKLPLENFAVQALSDGLPDCSVIIGPEVLCTLL
AKAEKWNGKSTLPQGVKPARIKRKYREITPEEQLTISDEERIREEERIQRRTEKAD
>RCO7_07244 | uncharacterized protein
MIPSATADPRLDSKDSNFVALSAIDATNEAKYDPELLARALAGLLIVAPRWGDEQLLANVEVIDLVLNGQPTGQADFRLEEFKLQHDRERPISYVPK
YQVNVGVNRIRDSQPPEWGGCSTTSSIIPSLAASTNNPKLARARQTQWSKHICLGPCPTRPSTATQEAEKEFNICLVGSGGVGTIAALTLEKSGRAK
VTVVVRGSYGVVSEKGFDIESVDHGDLKGWKPSRIASSMKEAAFAPRSHHSLHIPTGAATPMESPRERYDFLVLCSKQLPDKYSLAAMVSPLIMPGY
TTIVLMQNGLFIHVPFTTQFPQNVIMSAVSMIGVFTEGSNKIKQIGSDILQIGAHYHSGVTDSVSSQRTQTFFDMYSSGGAKSCVLAPDMMQTRYAQ
LLWNAPYNCLCALMGMTVGEVQRSGAREKLVEPMMREIVAIAKADGIVLTEELVHEILYSSPETSRWRPSMMLDREQGRPMEIEVILGDPIRRGREL
GVEAKVIESVYELLCLVRWRSDNPVDGGEAHIVAIKVSPKAAAFL
>RCO7_07243 | uncharacterized protein
MDEASKIVEELQKKLSELDLKVDKFQQDMEAEFEKYTAQLLRNVPKEVSETVSLTMAEAVKSCKALYTTKDGMVKSTGVADITSILENSVANDTVAQ
IQTLTIPDALRRPVQDTEGSPRSPHEREKEFQGVFTPSYLPLLDSTSRNECTSSHDHSISSSPPSFKGKEREDTPAQVDASTDTRSLMNTPEANRPP
TPLRKNTDEWSIGSDHSDGIRRRSALRRSSTASNKERGSPRRVRFEVEGVEVLTTSSPQQESAMSGDGPTSLLSDEDDDEAGSEMIEDVEKPIPKRI
SSSQALRNLSRAPLVEDGTQWTEVSAPPDGSASVATTIGFREYSSSEDLTESSAKPRSILGGALNGTGTQSQTSSDATDSKPSAKQAVDDLSDDDED
MLDMLPLKRHSSSQSASILSPANPPSIEGNKSPTSATRPRKALQGMGGLGWGGNLNFEDHKFSKSDDDGLFDFDENIESDNPRTGTQSPPEDLEDEE
RDSFDTEKSHTQGSSQRGTSLSNYATSPARPIFRPQPPVVGSVGSYKGHPFSMPIVNPDVHAEAAAMGTTDSFFVGSVSDGLDESNAQSFRAGISAG
SHSGTPRSMSERFLRDEVLAEEKKRLRRG
>RCO7_07242 | uncharacterized protein
MATTNALVRAKSLQDRTSLNTDIWYMVFTEIVKSNRLEFKGNEDTYAGPLKPWLLSLRVVSREFKDIVTPHAFSTLKYFDFARLDSILHDQNPRPWS
IAVKHGLLQHTVTLKFALECKRANIEAMILILKNSRVLKEYCWEYKMIGYFILFKECSDDTFQRSLAAFQMCNAFISSHNHQESYRFEYNINWTGVS

IDYDDSTTQPRKSKRLRELADGPEKESSLTAYRTVYNSDKSDSQVVSSPHNIDIVAGYNSEADLKILNALTVSITAFGQFSNRRRLPIESGCPLLHD
NRQYPPTRKLTLESNQCTFSGDEMLSIWNWDITRVRSLTISVTDPEKFFSKFPIHQLRRLRTFKSICSAVGLNSFPLDRRYKDWITSLFQTCKELSS
FKIEDFWGDIVDIRELEKIGNRLRKLRLITDVPQISEDPLGKLTTILKACPCIEDLEIDITVNDSSEVEQAQGILSLLAKARELRHLTLRLWNHTIW
VGKVPRESRYNTDHAYNMATALMQKLHDKKLGCPFEKLTICFQNYLPDGKSRYRRFYFDEYDHALPPFPIRTFSSRKNIAGKCSHEGEYQQWGSSCH
FGVIATQYLSDESPWTGSEGEESDDSREE

>RCO7_07241 | probable RMD1 - protein required for Meiotic Division
MASTSTTESTPLLSSAPSSPADAQRKGRNVTFNPNPSVISIDNNTSSVTRPISATTSSNFSGNVSGSSSQQPMLSALNSRLRRRNSSGSPLMPMSTA
PASKIGPQRTTKNTQKLKLLPNPEPGEDGDEESGRDVYSQYTRIKDPTARRDAARLGKADRDRLPRVTAYCTANKYQLDNLMRFLKGRGKAKGANPK
QFDECVYTPYNYGRLSERATSRMTEVQSMPVHMRERRHSDSAIEVEDNNKQRREDLIDLHTEAGDTTLSNGEIDIHNLHSPSVERQMRDGNIATESN
LDFDTQVHTPEVFLFDYGVVVIWGMSLQHEQRFLKEIAKFESEKLAADDVETECFNFYYTREYQARIYNDFITLREKGNYMTKLAISHALAQSVKTS
LFEELVDNTIETCKDIPTQIATTGKIALNRKQINMQIGELFILRINIHLNGSVLDTPELFWVEPQLEPVYQAVRSYLEMDQRVSLLTERLDVIADLL
AVLKDQLSHGHGEMLEWIVIVLIAAEIVVAGVNILVDVYAGVD

>RCO7_07240 | uncharacterized protein
MSDQPPYTSPNSGRINMQHVTDRKCLALLCLQLRKSLGATDYLCQQDTLFRHLVQDKITISSVPPELPPSVEEAYKRKCIELKQRLNEVESANDAQR
LRIERARRSVYKLRLERAFLLEQLAKRTSTNVEDSEGSPSPPPTPKEKPLRTKRGHRKPDFLATEIGDRPGSHFTQQGPGTMSPSSEAFSHTHPDHF
RNSTPQAQNIAPKRSVPTNGNAGPSANSAPSQLRRPKNAFELYCNETRPVLESEHQKEIAEGEFNMDGLLAAGWSSLDSDKKEHFSQAFEQTKRGTD
LEKEAEVGGGAIVTALSGQPRVATEADEDTEMADDAGTTRETVEVGGFTAVNRN

>RCO7_07239 | probable CCT8 - component of chaperonin-containing T-complex
MSLNVPNAPNANLFKQGYNTYDSEDGAVLRNIDACRTIASTVQTSLGPYGRNKIVINHLQKMILTSDAATILRELDVVHPAAKLVVMASQQQEAEMG
DATNLVIVLAGELLRKAEDLLRMGLKTSDVIRGYELAQKFALEELENLVVDKVEDIRSQSELSKAIRTVVASKQSGSEQFLADMVAEAVLAVLPKNP
VNFNVDNIRVVKIMGGSLEQSRVVKGMVFGREPDGSVKKAVRAKVGVYSCPIDTSQTETKGTVLLHNAKEMMDFTKGEETQLEAHIKELFDSGLRVV
VAGSTVGELAMHYLNRFGILVIRILSKFELRRLCRVVGATPLARLGAPMPDEMGSIDIVETMEIGGDRVTVFRQENETTKTATLVIRGATQNHLDDI
ERAVDDGVNVVKAITRDPRLVPGAGATEMQLVERIQAFGDKTPGLAQYSIRKFGEAFEVIPRTLAESAGLDATEVLSRLYTAHHKKDDWTTGVDIEN
EDNTGTLDAKDEGVLDLMISKSWAIKLATEAARTVLSVDQIIVARQAGGPKPPGPNPNWDED

>RCO7_07238 | related to nucleoside diphosphate-sugar hydrolase of the MutT (NUDIX) family
MSTFNLPGTDVLVKLTDDLSKDEVLDFPAFKNWISTLQSNFDLQKDPKHVYHKSPYILRSINIQAIDRFGKGIGFMKIAATITNSEDESLPGAIFLR
GASVGMLVILQPEDMPSSSQEDKHVILTVQSRVATGGLQFVELPAGMVDDGSFSGAAAKEIKEELGLEIPEHELVNLSELAIPNGNDGEEKSPRAMF
PSAGGCDEYVPIFLHERRVPRGQLKEWTGKLTGLRSEGEKITLKLVKLEDLWLEGARDSKALAACAIYEGLKRTGKL

>RCO7_07237 | related to GIP2 Glc7p-interacting protein
MPYTPPSQRSPAASAPHSPTLSRRSSSSYQDGQMLRAPTTGRPELPRSTSYLTRNRRTTSVKTASFEPSLEPTPPGTADKENNDTSSLTAISSIRQS
PPPVTDEAQIPAGAVISPPDSAQNSSDDEDTKESRGRDLAELADLKEAIRFIEQHRESSPNRKAEEVGRINQALTLIMPSESLTEEPTTSHVVEAAV
NTIRKIGHNRSNTESVFIDLRKRQPDTPQSGSDEESFTDDEELDRPRRNKPPMLRKKSGELVRPALRPSSARRRPSSMPGTPTFSKAVHFDSHLEHV
RHFLQVDRPLAVSAGSSPVESSYDSDTEFPFNDESRSPPFEWEISVSNFPDDSPLRIALPVRVERVFLSSDNKTLVGSVAVANWGFQKNVVARFTLD
YWKTTSEVVAEYNHDIRQPKRDGYDRFNFNIKLADQANLEAKTMFFCVKYTVNGEEYWDNNNSTNFQIDFRKKAKLQNGKKGMTGAASRPANSLPRS
NKKSPPTSGRPRSMPVAFDDFADGFDAKYQFDDFKQPVKDYLGESGTSVRLKGVKSAVSLGSDNLTRRAPQPNGQAFGNRYDFGASLSAAIQAANTV
LGDKSGLTMKAPVKKQAPKKASEDAPLTMAGRRTAPKLAPATRAAPTQASSSGTESPRPAGTEQPALASQSYNELLDKYCFFGSVKSSPQLKDGILK
SDQYDGSNDDGYVLASVDSTADSSPLMMQTIPTLQAQKKASTQASRSASPAPMTGFVSGTSPMYHNLHAGFSFHDAHTPTAIRG

>RCO7_07236 | uncharacterized protein
MDKAASAAIRRCLRSGKVLRCTPSITNTASRSRCIASAICPARFVASQSISTNSSPSTPRTPQQSSSHSILRRKYSTPSAPSSSSAIEPPGHLNPKE
LEIYQLLMKELKPTRLEVQDISGGCGSMYGIDVVSERFRGLGMLKQQRLVNEVLGEEIKKWHGVQLKTKAPE

>RCO7_07235 | related to fructose-bisphosphate aldolase
MASMKDNKAVKMLKAAEEGGYGVVGVVSYNLETITAVVRAAEKKKSPAQILLFPWALHYSPLLIHLAAAACATAKVPIVLHMDHAQSEEEIIAASEY
PFDSIMVDMSHYEKEDNLEKTERITKMLHAKGIATEAEPGRINGGEDGIADTGDLAGMLTDEVEARRFVDTGIDFLAPAFGNVHGNYGGVENIKLDY
QRLDKIREAIKGKATLVLHGTNTFPDATMQGCIKGGMTRCNVNELVLSNYNKFVAENTGKIPLTELMGKGTDLIQELIEYQMDVMGSTGKA

>RCO7_07234 | uncharacterized protein
MSELGKKRARKPKTKTGIRRVKCDEDKPSCLRCTSTGRKCDGYKSTSSLIESQDHSQQYGLSLASMGTGIRNISSVLLKDEEERRAFDFFRHRTAAD
LSGFFPSQFWDGLLLKASHSEPAILHAVIALGTLHEMFQDGKSGVSLDVLTSEKRKFALQQSNMAIGYLTRPSSNCTPRSSEAVLMACLLFICLEVF
QGNHNSAIAHLDSGLKILRSMGCSKPHAHAKFTSAHVNGAEQNDLMYLFCRLDIQASTYLPGRQTLYDLPTGGRPFLLAIRVPESFSSISEANISLH
IQVCEVVRFIHPARQYRESAELLDLDMPLGVLFASPLSKELLATQKERTKQLDRWLNTMNAFLKDPKVVLGPQDLRGAVLLKMQQITTSIMLASTIF
NDQTEYDRLTPDFERVIVLASNLLMCPINSTEKVEQKPYCSFDMGVVPSLYNAACRCRDPFIRRRAISLLEHSARREGIWGSDVSAAVAKRIMEIEE
QDLGSVVSAKCVPMEARIHNLDKTFVSGERKCFVRFQNGRMEFIEEWITW

>RCO7_07233 | uncharacterized protein
MISFGLDQSEVNSQFATSKELFNIDVVGNLDYRADLEHGGNIADFLSFRTNGYLKSSIHRAVAPSPDQALLDRMGALYFLRPEDDLELKTIPSPFLQ
RLGLDQVAEGEELTAGGWARDGKNVNKDGDTTEENGEQEIIKRITAN

>RCO7_07232 | uncharacterized protein
MYILSTGVVLGAVSTVAATISGQRLCKMALDGIFGRQFDTCVPVTAPATCEKSCGPGNIQCISFPTCYNPSAGETCCSDGKYCPSGHYCTDAGCCPS
GTALAECGATISLSVIPAPPQTTPAPTSTARPTSTKELTRTPESTGLSQPTTSTISSTSRTGDTSSTQSITTFSSTSSSFRGSISKVPPATVAPPPT
SSTPVQVPANSALKLGTDLLVLVLGGLGAFMMV

>RCO7_07231 | uncharacterized protein
MEPLNELPRRLEAIPDQVHIQISGYEDEVEAARQKDIQSVRAQELVTRNDFQHSINFGLYKTDSSSSSSEIPGGPSKIRGQLFRRFNFMEKKSRDKR
WWESMNMIGQTATVLAIVSIFSCASVATNALAIWQCPTPPVLYHHPDSSPQKLKVQDEKHFRYLLSGSLLAATTAVTVYPFQIRATLVLLALLSYAQ
LATTLQIITGAVDKISEDVIMIESQETEIRNLSSQSAQGR

>RCO7_07230 | uncharacterized protein
MTIVSSSNIIAAPPSVVRATFLDWPNLTKWDKRYMKTLTPLLPNGSPDPSKTSGFSVVPGDTLHATFWGGESHLEILENTEAVLKWKGVWHGLVAVR

SFRYEEVELEGGKGKGTRFTQDEVAKGLPGFILTVDGWLGGNLKKKFEEFNADLKGECERRGGEGVVSEESAVAFMAYRDGWVLRT
>RCO7_07229 | related to protein-tyrosine phosphatase
MKEDLTPYTLWKLPLEDHPRNDLMTFNPGLQPPFVDIPGLANFRDIGGWPIQDEKGIINGTVKKGIFYRGPDTTTVTDEGMSMLRRELGIMVHFDLR
SKGQIEKAGGFKQLDGIKRVCCPVVPDGEYSPEKAAKRYVLYASDGTESIVEAFTEILTHGAPACRTMLLNIASQSPTSPMAYYIHCTTGNNRSGVF
VGILLSLLGLEPQIIAEEYALSDIGLHPIREAVVDRVMKSLVFAKSGGGGRVRAERMVGARPESMIAMLEMVERKWAGAEGYVRTICGLTEAEIEKV
RKVLVRPVVIERRKPRATSFFDNSRNVFDS
>RCO7_07228 | uncharacterized protein
MEAIIKGQNEKKEQFPKIITWSQCWDTGLGAAIQNASSGRAPVLIFADLSPFTIAGEMRGSRTEYIHWIQDVPDQKLIVGQYGRFTSHIKTGNDIKQ
MVDRALQFACSIPADPVYLTSARDVSY
>RCO7_07227 | related to BDH1 - stereospecific (2R, 3R)-2,3-butanediol dehydrogenase
MRAARYYGKEDIRVEEIEEPKCGEGQIKVKPAFVGICGTDLHEYLGGPTFAPQSPHPVTKETIPITFGHEFSGTVTEIGSAVTSIKVGQRVAVQPTI
FDGTCGACKRDFQNVCYNGGFVGLSGWGGGLSDACVIPADYALPIPDSIPLDVAALVEPLSVGWHAVTQSPWKPESDILILGGGPIGIAVILALRAR
GCGKIIISEPSAARQRFAKHFGADIILDPSKDDVVKRAQELTGGEGVDIVFDCAGVAAGLAVACKAIKVKGTVVNVAIWEKAVPFQPNDLVLREGKY
VACLGYVKQDFKDVIKALGDGHMKPADMITSKVPLERVVEDAFLELIRNKEKHVKILVEL
>RCO7_07226 | uncharacterized protein
MCVTNVYVDRYPDDKEIAFRQTAFCPYGRPCQKLSTLENPVRKIQFGEPTTEYIMTTQHQRMFPHTPPRSAERSQHRRSGESSSEEGRLHRRKSSKS
KPALRATRTHRKERIIIVDSPPTPRTPPPTFRTFTAPSSPATPTFIIDGALHSPREQRDRDRGRPVIVDERPHFRHPRVPSIGAVVGERSANIPIPR
TTRTRSISRKRASFQWESPSTSHTSFDSRARLEAEELSRRREAERDQQKHRLAQRIREQDEAIRRRPAVPIPPQQLRERQNYLRPVVDQSEALHGML
DKLTIRDERSLVNERALIGESEMRRRMDDRERIARARLVEIEEEEMRARLKERQMPRRRASVGPGNRRHRVLYDDGVYRWE
>RCO7_07225 | uncharacterized protein
MQHPVSPHDVLNISPIIHWLRGRFINLPRASRMVLLSLCLLITITFTYRNHSIHQLPTALIEQHAIKQDNGIYKILKGPLPSVNLVIAATSKENYSW
VKDLKVAGMKVVPYIADDLNATYHAQQNKGHEAMMYHQYFYDFYDALPDISILIHSQDRQWHVEQLLDQSMIFSLNHLDLREIQRRQFLNLRVTWGL
GCSTGAMNTTRVNEESGTSPEQKEMQEAFRANFNLYDIPEILATPCCSQIAVTKERIRSVPREQYLHHIDWLLTTKLKDSISGRTWEHMWQYLFLQK
AIDCPLEHKAYCRLYHICFGGPEEYSEWIELNQGRQKLSRELQKILKPPVPEKKKVKDKDGKMVEEKVKVVRLTDAEKKAQETTKKWLEAELRIVEE
AIRVRREVAVVRGSVEAHRLAEGQNLYADKEEPGVEGKIFAKVVESVVVSSSVLA
>RCO7_07224 | related to isochorismatase family hydrolase
MLQAASILSIPVYATTQNRARLGETCAELELSTAIEHVDKTAFSMWIPAIAQHFSSSTPSEIVIVGIETHICVTQTTLDLLAAGHKVYVLADGVSSC
NPEEIGIALERLRREGATVTTSESWIYECMGDAAIKEFREVAGLVKQCSKDTKEVLGVLAGRSKI
>RCO7_07223 | probable hydroxyethylthiazole kinase
MAKVDYSLYLVTDSTPAILGDRDLVEVVEAALEGGVTLVQYRDKLSDTGHLISAARKLHAVTQKHNVPLLINDRVDVALAVGCEGIHIGQDDIDLLA
ARKLLGKDAIIGMTVSSIEEAVAACKDGADYLGIGTMFNTGTKTNTKDIIGTAGTREILNAISEIGKDVRTVSIGGINGSTVQRVLYQSSAPSKGLD
GVAIVSAIIAARDPKAAAASLLELIKTPPPFVTASLANTSKATSASSLIAQIPAIIRQVSQKTPLSHNMTNLVVQNFAANVALAVGGSPIMANYGEE
AADLCKLGGSLVINMGTVTPDGLLQYCKALKAYNLEGGPVVFDPVGGGATAVRRAAVKQLLAAGYFDVIKGNEGEIKTVFGTVVQQRGVDSGASTST
TLEKATLVRDLAARERNVVVMTGEIDYISDGQRTFTISNGHVLLGRITGSGCVLGTIISVMLAVCKGDILLAALAGLLHYEIAAEIASGRDDVKGPG
TFVPALIDELYSLQRATTEGDLTWLEKAKVEAVVFN
>RCO7_07222 | related to translation initiation factor eIF5
MATINIRSDVKDPFYRYKMEKLQSKIEGKGNGIKTVIVNLSSVAASLARPGAYVIKYFGFELGAQTNSNPADDRWIINGAHEASKLQDYLDGFINKF
VLCKKCKNPETDVVIKDGHIVLDCKACGQRSDVDLRLKLSGFILKNQPKTGKKNKADKKAARKAKQNGANGDENGHNSGSEQNSENGSGENGDVDVE
AGSDDELTRRINDGALELDETETKDDEWTVDMSPEAVRARQQQLPDDLKQKLLPGDEEDEDGEGGGNSAYDQLGNWITSEAEAKGDVSKVEDVAIYV
KAKEYGIEAKHRTILVLVQTIFDDKIVKQIPARASMLKNLVTSEKHEKALLGGVERFIGLRGQKDAKFYDETPKVLMALYNEDILPEEVLTKWGTKA
SKKYIDLPTSKKVRKSAEVFLNWLAEAESDEDSE
>RCO7_07221 | uncharacterized protein
MDVGLRSARNELFQELKPKCVELSQLVLRDDGSNSKVLLQSATQLLEVLEAKCRRMDGAFDEKLADYAFFPLSQILQRKKTYTDRLTEITIKCLRIL
LEYGWKNLIALDLAKQLLILLTFVAGGVPGQESATPPEELIIEAYGALTALYQAVANSAGGSLSMVESGTVPALGHCVTVILEGITDGPSAIAQLKA
LQTLDSVWHCIKDPEALSNFLPGTISALTKFLMPATSFRRSRKALRRALEVLEHVLLSTLGDIRTRNIRNGKSVAEVAKTGTGQQQKNLTKSWLKAT
TGQVKLALSNIIRLRNHESEEVRKALNQLSITLLDECHDTLAEAAPILVETCMTLAGVDAEEELSLRTTSLTDLASIHPNLGDMIKNTVYNWVISLP
RVMQSNDEYAKHAALGQLSKAHDLLTGLNLESSILEDALGSSLRDSISLTIEPVPVAQGVQEAEFDINSQAAMTLATDNALSTKFQPIIMYQESQRQ
TRNQLATLLSSLGSRNSQLAMASEMLEYARNASGPGRLSAYWLSSQILQSSESSNKDFDEFFESSLTLSDEQESMNTEMFLFSQTLLISADERTSDW
RLQAIALEVMAVTAQRKKEDFKAELVDTLYPIVQLLGSPSSRLREHAVTCLNIISGSCGYKNASQLIVDNVDYMVNAISLRLNTFDILPHAPQVLVM
MIRLTGPSLLLYLDDVVESIFAALENFHGYQLLVDVLFSVLGEIVYAGSKSEHLQIEDTPTINHRKTPPAPTSIEDLVILLSPKSASKDASITHEEV
PQKPWTSAKTLLDENHPEPNDNDDSSEQGEEDTPTQNQELTPSPPTKTYTLLHRISLLSQHHLTSSSPHLRFKLLSLLRTSCTSLSSNETLFLPLVN
DIWPVLVSRLYDAEPYVQVGACETISEICRCAGDFLSTRLRDEFPSLLKLARQVEVKAETEIQKQKQGKGGRGAYSQNVKVWEGVVGLLSAVVEYVR
IEDESFDEVVEVLGTLVWERESVRTALEAVNVDAVWLAMQVNGRHGIVETPVMGGFEFLALDDGVLV
>RCO7_07220 | related to protein kinase
MFGKEFTPLATDYFEEEMNVIRCTQKVIDNFSDSGVLGNGRRIDLNTPEVWTYDITHVKVLIEPLIGNYRKFISNRGWTPMAGNASGDVMQALSHFS
YHVSYGQLLLCDLQGGVYQNGFILSDPVIMSPTQNYGPLDLGIDGINSFFSRHRCGFFCDKQWTKPPSTGPASYAEPSSDFSLACSDSQGSAALETA
KMGYAAGGT
>RCO7_07219 | probable DUF636 domain protein
MSTGSCMCNAVRYEYQGEPDVTALCHCIDCQKWSGAAYTSNVVVQRKAFKVTQGEPKSYAVTGASGKKNNHWFCGDCGSELYTELEIMPDQTCIKSG
SIDDRSVRDYSVGVEFYTQDRMKYCQAVKDAKQVPQFG
>RCO7_07218 | uncharacterized protein
MKGKQAKHPAIFPSSSFQGQLRHSGYALDCRTPQQNAPKGKGKGNGNNASAKSKKSGSGNASFPISASANAKDRHKGKGKNNANNQPKEQAKAKAKE
TAKVKEVKAAKSKKKEKTKKEKKQQAETKKLNDQHKADKKQKKALEDKRKEEQKKLNELQKQEADKKKAQDLEKKAEVWNQGQVEQGKKQKDQTLKK
EVDIAVLKPIHNGVHKQKKFKKAKNNVRTAPIKEENTTPEPEPEPKPEDAPAKPESELGIDLYDYGTSPPVEEMFAVPKNHHAQYRALWQERRNLAA

HMKDVLAKLKTLDTRATHIDAVMSDLRHLGSMVT
>RCO7_07217 | related to peroxisomal membrane protein PEX17
MPTDRLLTTVLRAYQGAPDLEQNNRILSSTTSLLTTLTNQLNVTLLTSHLLTAPAIWNKIDGLDTSLRMISIFNTAAITVRKNQVEGQSKPYDAYQP
RQGGGIACDDWARAVVKGLDDRTPRWQHLLVICGVLIGMEGQERQGLSRSLRNTLENAMVTAVNLALDSPSTAGSLGSGSLVLALNHVFPLLSNGVR
GELNYDAFLQVVVRTMTSVDGYQEGHFVEAIDFDVKQVGGNQFDWSTRSASFRQLQKLAKKPLIASMGPLSRLISHAIENVRNPLLVVEAREHLLLF
STGISQKWQRNKLSEIDPSEEATFLTPDTLRVTFPVLWQMLKTAMFATVVILRAVIGRTLIDHVLASPQLAPVTASQSLLVLKNIHFISSRLGSNAF
SAYTFVNITSIDILTRFPSASLAFLRTVYPSHAGQIPAHPLQRNHDLFYLNTSEHFTLSLSPNDVETLIVTPCTPYLSPTANVHLLEIFEAAHSAML
AVLAAPQNQELTARILPFYVESLFASFPRNLSPRQFRFAFKTLMQICTPPNPLSSSHPLMAETLLEMLHHRVLNAPTAPLPPSVAIKSEADANIQEM
PLSEQAVLLLTLMDALPNVTMSVLEVWLLLAADLLNVVKDPTMKEYCKRRFWEVLEGGEMDVERSAVCVAWWGTKGGRERVLSGEGEGGPFMSGGLG
VVGRESRL
>RCO7_07216 | related to maltose O-acetyltransferase
MDIVDAVENEARMLRGELYYAFEPTLTTKRNRCHHACHRFNQAGEGSRRELVMLWRDIIDDKTPLPAPGATEVEEASLFENDAYIDGPIKVDYGTNL
RIGKGVYINFNCTFLDTAIITIGSRTLIGPGCSFFAATHPLDPFLRNGIKGPELGGAITVGEDCWFGGNVTVCPGVTIGRGVTVGAGSVVTKDIPAF
HVVAGNPARIIRKIEPQEPDPLLSSSQNKNEVLAAAERV
>RCO7_07215 | related to prenyl cysteine carboxyl methyltransferase Ste14
MASENESANGSTRPSDNGSSTSWTPPRTTGMLSDAATLINRGGLGSFTQSQNASTAISSSASTLSAQELTNALNTWELQLQPGHSKSLSGIAIRSFI
LGLTLSSTLVLTLYLLSIGSPIWRAPFFITTLSLFHFLEFYTTARVNTSSARISSFLFSSNGSAYTIAHTTALLETILLHTFFPSALLPSWIHYPIL
LIGLLFIILGQLIRATAMLTAGTNFSHVVKHTKAQSHELVTTGIYSVFRHPSYFGFFWWGIGTQLVCGNIVSLAGYAWVLWKFFASRIEGEEELLVG
FFGEEYKEYRSRTRVGIPFIK
>RCO7_07214 | probable chloride channel protein 3
MSRPPPSSSSRAGHLPENLIMTPAIPDSADSSSPPSPTFRRTALTRTHSSISDERTPLLPSAGRSRIRLQSAAEPPRLLRLSSHQSINGSLRGSRHH
SRAGSWGARLVTALKSDRKHMDSMRESKSSIYPDDRVWYDQFTSTDWVHDSIADAHRVKALRSRKDFRGRVKATFDGAQGWILSAVVGIITASIAYV
VDVSEAPVFDWKDGYCSSGFLISEKASLPPSHSRCTTPAKAWRAGILHTRLTRQSYFPSFFNLEFYEVLLSEFAAFNCCPDGDRCDAWESWSNFVQI
PGVSEKYVEFGIFVCLVVTFSTLSCLLTLTTKTIVPSTYHISTLDENLAATSTQPKVPQDDGTASPVFAPEENLAPPMVYYSAAGSGVAEVRVILSG
FVLHGFLGAKTLIIKTLALILSVASGLSLGKEGPFVHIATCVGNIACRLFSKYDNNDGKRREVLSAAAAAGVAVAFGAPIGGVLFCLEEVAYFFPAK
TLFRTFFCCITAALTLKFLNPYGTSKVVMFEVRYLTDWEFFEIAAFITVGSLGGATGAIFIKASRSWAKSFRKIPVIKKWPIAEVMLVALITGLVSY
WNPYTKIPVAKLLFNLASPCDINKPDDMGLCPADMDEIFPIVVTLAIAFFIKGILTIITFGIKVPAGIYVPSMVVGGLGGRLIGHLIQWTVLRFPTS
PIFGNCAAHVTGQSCITPGVYALIAAGSTMCGVTRLSVTLVVILFELTGSLDYVLPFSLAILVSKWTADFMEPLSIYDLLTNLNSYPFLNNKHKPVF
TSDLADILPRVRRERLIDISNSPLVSAGSLRRKLEILHQAGEVDGGLPIIRDEVLVGLIPAPDLEYALDNLEDEAETLCLMAKVTSFDDSDDEALSD
PTDFSSYIDPAPLALDIQSPMDLVYECFVKLGLRYVCVTREGKYAGMTHKKTFVKYMRELEERDGHM
>RCO7_07213 | uncharacterized protein
MDVKHVQAVQNNHADRLMRLERRQADDAALKSVWGPSPPFPGILSGTPQQGPVHSSSNDVFDDFDDEQGQNLLGGLHIEADEEPVRRGASRANSVRF
DVSALQGSNWAVGSRNSGEFAPTRPNSGFGSHPMTERSFSYKSDGRHSSAGHSVHSASGRTSSLGLDTNFMIGGQDDDSPLDTPDPPPGLFILGSVP
SIIRCWLTADFSHNSLLYAAVCTGSQRSILDYGLVKDLGLADQVHRSSNGRKTIKLPVYLPEAIITQPTSRSSSPAPHLPALSADFEIVGMTQRSTM
SDRKKIQVFLGSDTLRAHNADILFSQNVMVLFGDDRSKLSVPFVRPEDENTFKNLTTMNVMPERNELKATAPAFTPTENKPKIEPTPDAVRSALTAG
VESVARSSNNKIVTPIESQLPLHATFAVDENARERASSVKLDSADVNGSVTASEKHHDSSTADPEPSDLPTTESSRQESSGGIWGSWRQSGSVNGSE
TESISGYQRATRGGRSMKVLKPATKPATPIAVPLRSASAARSMSTYEPAPAPRASGELRRKSQVNGTENVPLRWETKRTSSEEHKATRTIATVPRSS
NPIGGASAFAWMNPGKPKASATAE
>RCO7_07212 | ARG1 Argininosuccinate synthetase EC:6.3.4.5
MAKDKVCLAYSGGLDTSCILQWLIEAGYDVVCFMADVGQEEDFEAAKAKALKIGAVACYIEDLRKEFIEELCFPAVQCNAIYENVYLLGTSLARPVI
ARAQIAVAQKEKCFAVSHGCTGKGNDQVRFELAFYALQPKIKVIAPWRDPTFYERFPGRDALLDYAAATGIPVSSTKSKPWSMDENLAHCSYEAGIL
EDPDTTAPSDMWKLTVDPLDAPDKPEDFTLFFEKGLPTKLIIGKKTITDSVELFLEVNAIARRNGVGRIDIVENRFIGLKSRGCYETPGLTCLRGAH
IDLEGLVLDREVRALRDQFLTFNYAKILYNGLYFSPEREFLEQSIVASQKDVNGQVRCRVYKGSFSVLGRSSETSKLYDASESSMDEIGDFAPSETG
GFITVQAIRLKKYGQAKADAGERL
>RCO7_07211 | related to FMP29 Found in Mitochondrial Proteome
MDNGSVAIARIPCPNAGPAFKTTASEVATMDFARTILKIPVPKVHAWSAISDNPVEAEYILMEEACGTTLGDLWKDMGIHSKDKLYGNIYFAKDFFP
GCEKAVVSGDISEELKKEVEERFAIGPVVDNVFWRRDQTSIPMDRGPWRTAEDYLKALANNQVTWLSQYAARETPPNMIQELAAQESPDAHMALYKK
FLKIFPYILPEDGRMSCSTLWHWDLHASNLFVKNDQVASIIDWQSTWAGPLFVQYRYPKIVSYAGEVMLMLPEDYESMEGKEKAGVSHQVERSIVQY
FEKTDNRVRRGFLGRRDSTLQAMSHSMRKIKRRYWDEMRHDAACPIHFTEEDLQNHMRDAEGFNEQADFWDRMEGFIARDGWVSNERYEEALDLFAN
LQEEHLKQLTGEERSDFEKQSRWAERNVDRTDGS
>RCO7_07210 | uncharacterized protein
MPLRSSVKQRHRPSKTLKLSPQSPAGLCPWARSSLKTYKSLYPNGPSDVQCWQNQVPDMAFYGESENPFLLDSLLAVSALHLAHLESVSANITGAKK
SWLQTALRYQDLALAGLNKALSSISSENCEAVAVSAIFVLLLSIAIPGVCNDDDDGGGGVGGVGEQGMARSPLTDLMGLRKLLQGMELVYAQSEVVL
MNGVLKDFFLPMFDPNAVAPRAVMKGVEETAFAEGQKLCPQILKSLARLRTAISLRTDDTHLSSLQAACSMLSDIISPLTTLSHGPAITWPQRIDAS
IFSLLEKNDPLSCLLFLHYGVVLHIFSYWWFTRNAGRRLVRALLPYWKGVSGHGNGDGDREWRECVEWAKMVVGVVG
>RCO7_07209 | uncharacterized protein
MSLSPMLITGSGITTTYLPLSTAYPAQAGCSAFFVNPVVNGGGGGGGEKLFAFDPEYAAHNSGPACMPPEATLWWGQDTASNLTTRTELGGYKMVCP
ESYKTVAMSVLDQSSTRVGCCPSGYNFVDWATAPNAQQCSSPLPAGPVTYVQTVPSGTWTTISTSLSQPSPIWGVQINGILFAKPAATGASATATSS
APSNTASSDSTDHSSGLGRGAKIGIGVGSASGLVLLFAVLLFGLLFWRKKRAAMTTSPSQVAIGFEYPEKHKSVHYVKTEETHDEQLVDSSRHLLSV
SRAIHPL
>RCO7_07208 | probable endonuclease G, mitochondrial precursor
MSKTTIAIIAAVSCATGAGFTAAMYSTRSEKKLQAVQSSTSLSTTSTTASLPAPVPGTLPFASKSIIPPVDPAGLFQYGFPGPVADLATRNALVSSF
DRRLRNPSWVAEHITPASLAASHGDRKHSVFLEDPSVPEKFRGKLKDYFRSGYDRGHQVPAADAKWSQDAMNDTFYLTNMCPQVGEGFNRDYWAHFE
DFCRRLTQRYPSVRIVTGPLYLPKRDAADGKWRVSYEVIGNPPNIAVPTHFYKVIFAEDGTTSGPVAVGAFVLPNAPIPNSKPITDFEVPVEAVERA

SGLEFATNLPVQRRKRLCADTVCSLVIKEYAARQKAFGKGEGGAPVERRTSPRNLTPPAVSNV
>RCO7_07207 | related to polyadenylation factor I subunit 2
MAYEQRGERDYGGQGGGGGGGGGGFEGVFIRGRGRRPATDYGSTMVHWMRNRQPRFKGGYQGEAERPSPSYIVDMVPPLARINEPADTIPARHLHT
SLNKNKHPVNVVRWTPDGRRLLTGSSSGEFTLWNGTGFNFETIMQAHDVAIRALSYSHNNDWLLSADHDGMIKYWQPNFNNVKVIQGHNDAIRDIAF
SPNDSKFITAADDSKLKIFDFALGTEESILEGHGWDVKAVDWHPTKGLIVSGSKDHLVKLWDPRTSRVLTTLHGHKNTLTKTLFERVRGDCLATSAR
DQIARVFDLRMMRDIVLLKGHEKEISTLAWHPFHSNMISTGGGDGAIHHYLLDEPNNPSGAVPTLAPWDSTSPSTAVAQTINPAHKVKHAHEFPIWS
MDWHPLGHILASGSNDRTTKFWTRARPGDTDIPNDRHHIGEAAAEAQGTWDRRGGRRQRQEEEEQEMEDETEGLIDQKMPSKFPSFPGIPGLPLPGS
AQPVIPGMGNAPPPSISQYQQPPPQIPYGGVPPPLPGMDLNKPPDFAALAEMMQKAGLPPPLPGQMPPPPPGMMMPGMHPPPPGFGFPGFPPPPVAG
NQQQQQQPPFPIPGMGGEDRQSSEQASVRRRGPLPSQEESLQMEQRRGKFQRAR
>RCO7_07206 | probable sterol O-acyltransferase 1
MTSTIKTTTVTGADLSTEAAVRRKAHSHVNPKLNGFSAPQPLAPLRLKKKYRHVAAVHSNPRTSCLSHDSDSAPSFLGFRNLMVIVLIVGNLRLMLE
NFKKYGVLICIRCHDYRRQDVILGAALYFIIPCHLFLAYVVELVAAQQARRSLRGGGKRSGTATPGGSYLASDEEMANFQSTWKLIAWIHGVNVSLC
LLITSFIVYFFVHHPMIGTLCEVNAIIVWLKTYSYALTNRDLRHAYLHPSKREEDALPEIYEQCPYPQNITLSNLTYFWWAPTLVYQPVYPRTDKIR
WVFVGKRMAEVFGLNAFMWIASAQYAAPVLRNSLEEIANLNLVSILERLMKLSTISLVIWLAGFFALFQSFLNALAEIMRFGDREFYTDWWNSPSVG
VYWRTWNKPVYQFMKRHVFSPLIGRGWSTGSASIAVFVFSGVLHELLVGIPTHNIIGVAFIGMISQLPLIAITAPLEKMQGINGRIIGNCIFWVSFT
LIGQPLAALLYFFAWQAKYGSVSKAAGKV
>RCO7_07205 | probable rRNA processing protein
MPREVEPSLNERQFFAKALQENIRLDGRTFDQYRAFELDFGDELGVVDVRLGKTRVHTHISAQVVTPFPDRPIDGLFTITTELSPMLSPSIESSSRP
TETETLLSRLLEKTIRRSGALDTESLCLIASSKVWSIRADVHVISHDGNLVDAACIGVIAALQHFRKPDTETRGEEVVVYSMAEREPVKLSLLHFPL
CVTFSFYGEGLLGKDGEGEKEKVLLDAGLLEEQLREGSVTIGMNRHGEVCQIAKLGGVPVHALTVLNCVEVAAVKVKEISKFIARRLEEDAKKRDKG
GMMAELSAENDRVS
>RCO7_07204 | related to cell cycle control protein Cwf15
MTTAHRPTFDPARGKDAQRGPAYHQRLLPAHTQLKVRQPGQGGDADHEVRDLRAELLAAEAAHFAKAKGGPGPASEPAESGVQTNSAKRQLENGDEE
EDVDAKRRRVLEESRDIDADSENDEDDSSDDDSDDEDETAELQRELEKIKRERAERREQEEREIAAKEEAEREHDIALGNPLLNPKADFQVKRRWDD
DVIFKNQARGTDERGKKKEYVNVGLLPTSSVTITSADQILGSSSVGLP
>RCO7_07203 | uncharacterized protein
MQDAPASTTLPADNIHQLMTVNNALLDVMIDIKQLLENERQVAYPGNLPATGRTSFAIDRLDVWYFPRICGGHIVWTLDPEEHLEFDRTTESLKFMR
SNLTDDSVEPMADDTIDDRCVAFARQNPHIWAIISYSPAAKEKLEDFPQYGERLVELIGISRQPPGSPFYFVV
>RCO7_07202 | probable cytochrome-c peroxidase precursor
MSKVGDFEAVRKDIAKLLHQPEYDDGSAGPVLVRLAWHSSGTYDAETDTGGSNGAGMRYEAEGGDPANAGLQHARVFLEPVKAKHPWITYADLWTLA
GVVAIKEMNGPSVPWQGGRTDYVDDSKLPPRGRLPDATQGYDHIRRIFYRMGFNDQEIVALSGAHNLGRCHSDRSGFEGAWVNNPTRFSNQYFLLLL
SLQWKKKTFQNGVEQYVHYDDDSEEELMMLPTDIALREDGVFRKYVELYARNKEVFFEDFAKVFAKLLELGIQRDEEGKITNSDNEKGGYMSAPKKK
STPGTEDTTDDKVGPSEGEPLKEENKAFRARL
>RCO7_07201 | related to rat SNF1, Celegans unc-51, Dun1p and other protein serine kinases
MSNLDLQTPISRSQEKSNVSLSASEEWRNAAIENAQSARQNSEISLSFPADQQQDSGSFFRSTNIAPSSPPGAYNAYALPENDKPLHRLDTSSRFLP
IETNHSTPSPSSAGLRIQTDIIPGYTITAASTDNTARGSSESARIPIKISSTSLGRTPSIKNVFASSIGSNSNFGSAPNSALSSPMLNALSDVTPLP
SPLLTGDSPGPWKKLTARPQSRDLTVPSTADSALVTTNGESISAAAANQSKRRAYHGLSTDSGLISAQNKEKMAEGHPRNRSISEYVPESVQMPKSR
HITVSGSHAMVLDVTPTEPVADTHMRREPNLAVQRGLAPIFPPPTPPLSRTGGESSDSDSSLTTANLPRPQRKPHYEYFDAYTRKDKKRRRWRALKI
LGQGTFSKVMLATSQLPAVEHLKDEEDVFPASQLDGIKTPVSETKIDRKKLVAIKICEHGPKGGASEERVEMSLKRELEIMKSISHPSLVHLKAWSI
EETRAILVLSYCSGGDLFGVASECPDLLVPGLLRRMFSEIVAAVQYLHDRHIVHRDIKLENVLVNLPQHELRKKDQNWATYPNSIITLTDLGLSRRV
ADDEKLTTRCGSDDYAAPEVIMGQPYDGRATDAWSLGVLLYALLESRLPFDPNPGMSEGHKQRSRTSHRIARVEWRWIKYAGDEGDHEGDPEKFKEQ
GLLGAMNVAEGLLRRARTRWTMARVAEEEWVKGGVDLEHGIRFREEDTPDEVPDNGIQSPL
>RCO7_07200 | related to Similarity to mucins, glucan 1,4-alpha-glucosidase and
exo-alpha-sialidase
MTVESNGRAGEPGQKGMNGHAKAPRSKPVRKSTKSFGLVSFIFRALTWLSIFNILVRCPSTVDLITESSPSICKPYFQIRSVVAPHLEPYYTTYAAP
YFDAAKPYYDTLDRKVIAPATVLGKKYAAPRVAQLQAYGQAQWDKSVQPQAQKYQTLVKGKYDETLGPHVDTAVAAAGPYYEIAKTGAQQTYYEHLL
PTYNSVQPYVLQGIGITNEFAVNTALPYSKWAWTAAVVFLDRTVWPQIRILYGENVEPQLVRIGERLGRYRDGKKLKAVVEDIDSSSSASIASQTLS
SIASSISSVHATPIPEPTSTETILQSSEAPEATPASEVDVREKAQKIVTHDLKEWQGKFAKAADEGSVDLEERITEITDRMIQKQAEEVGKAHIIQL
EETVNSSLKKLKSAIISIVSDSQDTEESETALRTAVRKAGIAIKEKAQAVRSWRQNYDRETNELISLSASDTFEILDHIRDLGLQEIGMRWAWTDGI
THKDWAKYHQLKTKFDEWRVDVEKVVTSHPGLDKARAASEDIENQAMVIAEDSAKELARLKETGRWKIQAADSSDDFSTKIMPAKAAVVMQKVAEKA
TELSEAVAPSTQTQGTVESVISVGSASASSLADQVSSSIIGTQQGTIESIASAAKASASSVVDQASSSVIGAQQGSVESIASVAKASASSIVEQASS
SIIGTSTGIIESVASVASQSASSLSAKASSSIAGEKPGVVEQASSSIKSAVSIISESASSISAVASSSVSSATIELSEGASKVSSSLSSATSSIASS
LSKSSTDTSSSVSSAASSASSTASKKIWGGAMAQHVEERKIIFDDIVDDSEDASYSEKLQSMASQAGDRYADMTNAVSEALLKSTIIENSPVTKLAA
EKYSSALSAASIALYGTEQGTGESISSVVASKYDEAVAAASAILYGTPMPVTDSIAAQATNAYNAAVSKANENYSSARSLVSAQISGEPQPMHQEMY
SSVEAALSDSKAAASSRLQSALVAASTAIYGFPTPAYQSILSSISSVAQAKLSDGLSRASSQYKEGKDYVAAIQTGAPAKQKLLGQMQEQYYAGIGM
AHARYSEFLESASSAVMPAKTPLYQSLYSDARVKIAGIPTDRFVAALNTASVHYSEAVGAASSKFDQLLASISSLGSENAEHVPTVTLVSAASAQYS
AAMSQASESFASINSVISEKLELGSSSVFSAVYGTENPWTESVASAASENWEALITKASEQVYGAPTPYFVTRRLLSEVKEYAAQATDGAISQYAVV
QSLIGELVSGKEPDFTESVYGRLSSAYYTGAAEAASSASSVASEAYASATSVLGSVFTPPPSLEAILDSASLRVNEAVEAASVQLYGRQKGTYEEAT
SAAASAYSSAQSVASEKLYGTTTGYVEAAQSSISDAALSAQKAISEAIYGTETGTYEKATAAMAEVYASATAQASQAIYGPEKGAIESAQNRLSAAV
ESARVKLAEFASSAGEGASDAVRQASEGVEDFASSVSSAVSSATSHDEL
>RCO7_07199 | related to SSM4 - involved in mRNA turnover
MADTQDGQVVFPDLMNDPQYTTNFDEENDGSADADTCRICRAEGTDTEALFHPCKCSGSIKFVHQDCLMEWLSHSQKKHCELCKTPFRFTKLYSPNM
PKSLPLPVLLRHVVVHSIKNVATWLRFCVVAVVWLGCLPFVIRQVWRLLFWFSDGGWPQDSIPTVSSNRTSSEQDLKMALEIQKLAKIVANGTSPVT
PLQDSQTTSAHVGSLVEKLMEFLAPVARGKNISDSDPLIAGLLNTVYYALGFQNAADETNMTASLPQNIMGSTVGPHHSTLLGDVRFLRNLTRNSHI

NQLVITIAEGYVITLLVVVCFILVFLIREWVVQQQPGINVGAGFNAEFAPPERARDLANRDPAQEGRLRVHDDNLIENGHGLGDIERRPIVQPRRRN
NEIDEVVQLAQQTDELLEDLRQTGGDSAPIHRPAPIRDALTPAAEIQRAITEQPRMTEEFLAIWRRADNDPLEVLRIIEREDKSEQMRYWVNAMKLL
TKQDLQGSGPRNPSRSPNLASRSSARGEVVLSLLEPDRLSDNVTNPATVSASGNRSRASSESWEDVESLHCQYQRRAPDDSVNDADIEDQASDKGKG
KAVQEPVEEDTLITSLQERVEKGTSPRLKGRGLPTQIFEQNIGSTEFSSLPWMHSGINGASLSASRPRAISDGPQPRDTISPLANNSWSFSNLDAQV
TQIDDNVPASSWSKENRKPVAERDLQTGPGTQIAEPREGQSSSFDQANQGWKDAQDRRVQRAFEKAREARGIKEEPQVQSQVQEPIEEHSSSEEPLH
IVGQDGLTRGARNWDEVFDANPVESSTNSEAGLDANPNNLPEDAPLPAELAPVLARPLAPQGFMGRVADFLWGGVNDDRREEDLGGNDEHIVQDMAA
EAPFVPVAHHDHFDDHTDDDDDFALPDPDAVEAAIAAGLDPNDPDAMDEVEDFEGIMELVGMRGPIFSLVQNALFSAFLLALTVAIGVWIPYNIGRV
SLLLTANPGPAFKLPLRFTFGIAAFLQDVCLSILGLLSYATLWLLSTPLELLSSYSPIRSTSIASRRFALGSTAIGLSHDAVDRILNGTQSSLTNMF
ESEMFAFSAASHESLILMRSFILNVLASIGHAITYIFTGDYHVSVGAILQLIAGVAQHCWGLLAALPALLAKPDSWVISLEVSKRAAPLNPELSVWD
GTDRFWAVFAGYTALFLLGALYVKKGSPFSTGQAGREWEATVIDLLNQAGGVIKVILIISIEMLVFPLYCGLLLDGALLPLFEQTTIMSRIHFTIKS
PLTSIFVHWFVGTCYMFHFALFVSMCRKIMRKGVLYFIRDPDDPTFHPVRDVLERNVATQLRKILFSALVYGGLVVICLGGVVWGLAYAFKDVLPIH
WSSNEPVLEFPIDLLFYNFLMPLAVKFFKPSDGLHAMYSWWFRRCARMLRLTWFMFDERKQDEEGYNVRRTWKDIFKGTTTDSLKKIKTDDIEKPFV
EDPELVVYFRMDGHYVRAPASDQVRIPKNMSTFLEVNEANEPLGSKGEDDDMFHSKKKFKQVYLPPRFRTRIFLFILSIWLFAALTGVSITILPLVL
GRYIFAKMIPTHVRKNDVYAFSIGIYILGSLLYAALHVRQFVLYIPGAINVDADTPQNVRRRVTTIASRVGRITWTYTAFLFILPTLFSFLVEFYLI
VPLHTYFAIDERHVMHFVQSWTLGLLYVKLTTRITLWYEDSRPAQSLRAIIRNGYLDPDARLATRSFILPVGLALCLALFTPWCFAKMMILTILKDR
PEKHTVAYRYAYPMCLSLCFIFYAAYVLLGLLKDWRMTIRDEVYLIGERLHNFGDRKAVSSAVGVPNVRRIDT

>RCO7_07198 | related to triacylglycerol lipase V precursor
MFNLPPLIKLLPPSILAFSAVIVAQNASIPTAKVLNGTYSGTHSSTYNQDYFLGIPYSQPPVGDLRFRQAQPLNSSFNETRNATEYSPQCMGYGSDT
WVLGNYISEDCLTLNVVRPSGAVQNLPVGVWIHGGGNYNGGSSDPRYNLSFIVERSVKSKAPFLAVSINYRLQAWGYLFGKEIMEDGSANMGIRDQR
LALHWIQENIASFGGDPTKVTIWGESAGASGVGMQLVAYGGRDDNLFRGAILQSGGPSGSTRYTTPSEWQPNYDKIVNATTCRNSTNTLACLRTLDR
DVLSNVLNSSVTSSAFWGPQIDNDFLIDSGTKLISNGSFVKVPIMLGRNHGEGIDFAPKGINTTEQFLALVQSAGPDNATALTIAALYPDIPEIGIP
GTLVGRPPASQAALGVQWKRASSYVGDLRQHASRRLMAQKWAEYNATAYSYHFNVFTAGFSPAMGSGHFVEVAFAFNNIEGQGYRNVVATNPFEGKP
DSYKKLAKIMARKWASFIVNLDPNGAADADYVNWPEYTLDSPKNIVFDANVTDVAYAEPDTYRAEGIAYLIERMASDYGR

>RCO7_07197 | uncharacterized protein
MVIFGRSKKSKSAPTSPPRSQPQSVAGNYQFPQPVQYLDHCQQNFAFPEQGSYATYGNGLPPQTQGWLIAPVPPQYQPVLMHQNQFRPVPQRPQRAT
ENTSKLNLASMSNLLASNVPACGTELIQNRVAPLYTQGTQYLNQSAALCDLISSKFNQIITLIDGEQFSGDERDLAVLSQPQPIWQQQQAETGHSDR
ALRKGKSKDMLNYPVPSAMTSTNYFAKVYLYANSRLPPNLTPLKLYMPTFPLLCLAAQYSERVYTKPSGQEKEVHLDSDWRLGTKAMVIKSVPMDDM
NTIVFAIRGTQTFMDWAVNLNSAPASPKGFLDDPGNLCHAGFLAVAQKMIKPVAARLRYLLQEDPSRSNCSLLITGHSAGGAVASLLYSHMLATTPQ
AESELNILTGCFKRIHCVSFGAPPVSLLPLSRPSNPALRKSIFLSFVNEGDPVPRADKAYVCSLLDLYSSPAPGQVCAITPKKLQPLVSNLKAKSSS
LTLSKIRPTPKKSEGFPIQEAAPYWVIPEATLSNAGRIVLLRSIEKYENRSSKKPILGMMNEGVAAQIVTDDLLRGVIWGDPVCHMMKLYARRIEIL
ATNAVMGRSG

>RCO7_07196 | uncharacterized protein
MPRPKRTKVAPSAPAPRVKTTTKLAPPVAAAPKLPIAQFDDLYDVSDEGNGRASSARHVTRDNGKGKAVAGSSSRGRGGGINSRDSIDRDPETLENR
LEQDRIVAEDPVEESLLPDIDLNSSSPSMETGRKEQRTPAIESSMLPIGNFRRRPRQPSILGRGPGRARSSSIDSNMAEDNGLMSVGRNNKSAMKNG
NFKRRPREQSIMGRNAAHVAPSSMALDMETEKDTTTKVGSAMKIGTFKRREREPSILRTAQKARREEPLDYDDDEDDFNPDDESTPLNLTKTRNMTS
SSSGPSSSNSRKRKLSAVQVPRSSPSLPSPRASEAHETIPATGPLSDDGEVEAEPSPPLLPSIEARFDTPEPLSETMAPPQSSSPLPSSPELPSRTR
QAPSRGRRTLRGRTPPPRTQDSPISSPPSLTHSPNRPAHAAVTARKPQKQAPPPSNFSTAQLQNLLPRRRQRATARDLFDVPSSGDEVDVSGLAPDD
DELSHLNVPARSRRHTSVRARTPAPAKRGGRINRSDPKPKDSTVKRTYGSRTNAASDKENDAEVDPDDSLAPIPDNHPNDPENSQELEERVGKELKR
AAKKFQEVDKWELEFEEVTASSSSPRDAR

>RCO7_07195 | probable glutamate 5-kinase
MKAFKPLTIVIKLGTSSIVDEKTHEPLLSILTLIVETAVKLHKDGHKVIIVSSGAIGVGLRRMDLEKRPKHLPRIQALAAIGQCRLISLWDSLFNHL
RQPIAQILLTRNDIADRTQYLNAQNTFAELLEMGVIPIVNENDTIAVTEIKFGDNDTLSAITAAMVHADYLFLMTDVDCLYDKNPRTNPDAQAIEVV
EDISALHADVSSAGSALGTGGMSTKIVAARLATSAGVTTVITRSSNPGNIANIVRYVQNLKATPSSQPSSPPPGKIMHSASRSSEEAVARSAAELEP
VVVAPLHTRFIPSPQPIRDRYFWLLHGLAPHGTVYIDSGAHRALSNKAGLLPVGVVDVEGHFAQQEAVRLVVVERVPKTALQEGGLAPKLWEGPGVE
VGRALVNYSAAEITRIKGVRSSEIQGLLGYAESEYVALRENISFFVRESRPVTPSLEHR

>RCO7_07194 | probable Mitochondrial inner membrane protease atp23
MADDAPNPMASNATTTDPTKTGYDPTAKWSNYWSYLTGRMSSDGQHEFREATYIRNEAADCKNCDEWRDWCFKYSPTVIFMKKNIEALNGDLTAGNV
VCRRCPARKDDKGNWIRQGGGFSPDHGILICANEMRDKKHLEDTLAHEMVHAWDHLRWKVDWADLRHAACTEIRASSLSGECRWTREFWTRNNWTLT
QQHQNCVRSRAVRSVMNRPSCKDDVQAVKVVNEVWDSCFADTRPFDGIYR

>RCO7_07193 | probable protein kinase Eg22
MTTRVLESRFERMSVNDENDPGDGSKYLKSKMTSSTSSTAQLSQNASRANLLKIALQNQNTTSTIVTVPSQAAQWRASNLPSASPPRRGAGSSRGSD
EVIKLERKSNLMYEQPAPPKQFHLGMFEIGRPLGKGKFGRVYLARERSSGFVCALKVLHKNEIQQGKVEKQVRREIEIQSNLRHPNILQLYGHFHDS
KRIFLILEFAGKGELYKHLRRENRFPEWKAAQYIAQMAAALRFLHKKHVMHRDIKPENILVGIHGEIKISDFGWSVHAPNNRRNTMCGTLDYLPPEM
IKPGSQDNYYTEKVDLWSLGVLTYEFLVGEAPFEDTPVMTQRRIARGEMTVPSFVSPEARDLIKRLLVLDPEKRIPLDQVQKHPWIIKHCVKGERAS
NRDSKSTGSRSSERDD

>RCO7_07192 | related to TIP41 - negatively regulates the TOR signaling pathway
MAFNGPINEMYPTPNSKESSTVSHRQKGFKISARKLPISKSGPIDEMTKKLKIPVPEMIFGDNMVSIEHEASGWRLEFNAYDALDQVDKTDKNMLKV
AYSQEWSSSREKTHEGIKEVVKPFDWSYTTSYKGTVTQGKQFDSRQENVEPIPIELLKRPDPILFFEEVVLYESELDDNGISILSCKLRVMPDRMLL
LCRLFMRLDQVLIRIRDTRIYVDFNTSKVIRDYTEKEERFEKVKQGLISSGRLPSDITTALRDPNQIGHLVPEVAHTLEALTVS

>RCO7_07191 | probable Probable 1,4-beta-D-glucan cellobiohydrolase A
MISAAAAFAILSFSARVSAQQIGTQKAEVHPALTTSTCTAAGCTTEANQVVIDANWRWTHTVDGYKNCYTGNTWDTTICPDAATCVKSCAVDGADYP
GTYGITTSGNALTLKFVSGSNIGSRNYLMDTETTYKKFQLLGKEFTFDVDVSKLPCGVNGALYFVPMAADGGLSATNKAGAKYGTGYCDAQCPRDMK
FTNGLANNEGWIPDTNNKNSGKGPYGACCSEMDIWEANSMASAVTPHTCKTPKMSVCTGDDCARNTGFCDADGCDINPYRMGNTTFYGPGKTIDTSK
PVTVVTQFITADGTTTGKLSEIKRFFVQNGVTYASPSSNVAGISGNSITDKFCAAQKTTFGDVNYFAQNGGLDGMGAALAEGMVLVMSIWDDYQTGM

AWLDSSYPPTAALTKPGVVRGPCAASAGKPSEVESTNGNAQVIYSNIKVGAIGSTFAAPA
>RCO7_07190 | related to insulysin precursor (metalloendopeptidase)
MSVLGFITRSKFPAAKPLVAFACLPVQQLQRINTETSIFPLPLHPHLHRELDLGHSLRPCNHCFIVRPRRRRRRPAALALRTDQLSHPSPSTRFTST
FATSTITTPAEEAQRQISHKLVGGCLLRPPFTGLSASFCKAYPPRPSAIFVRLPRYGFSLSQTATMSTLSQPQTPAALDSPLREHRHRPVERLTDSL
ETPSLDNRSYRVVRLPNQLEVLLVHDAETDKASAAMDVNVGNFSDENDFPGMAHATLAIHGNQKVENAYSQYLSAHSGSSNAYTGATSTNYYFEVGA
KKAEDAKEDESSPLFGALDRFAQFFIDPLFLSSTLDRELRAVDSENKKNLQSDQWRLHQLDKSLSNPKHPYCHFSTGNFEVLKTEPEARGVDVRQKF
MDFHAKHYSANRMKLVVLGRESLDVLEGWTADLFADVRNKDLAQNRWEDEQPFGEKDLLTQCFAKPVMDSRQLDLSFPFIDEELLYESQPSRYISHL
IGHEGPGSIMAFIKTKGWANGLSAGAYPVCPGTPGIFNCQIRLTEDGLKNYKEIVKVFFQYVSLLLETPPQKWIFEEQKGLADVDFKFKQKTPASRF
TSKISAVMQTPLPREWLLSGHSRLRKFDPARIQEGLACLRPDNFRMSVVSQNFPGSWKEKEKWYGTEYTYEKIPADFLTEIRAAATSTSKNRFAELH
LPHENQFIPTKLEVDKKEIKVPAISPKLIRKDDLVRTWYKKDDQFWVPKANLFVNCRNTLPSATAENWLKSRIYTDVVRDALEEYSYDAELAGLDYS
VSSHSTGIEIAVSGYNDKLPVLLEKVLLTMRDLEVKPDRFEIIKERLLRGLKNWDFQQPYNQVGDYTRWLNSEKGYINEQILAELHHLTTTDIQQFY
PHLLRQMHIETFVHGNLYKEDALKLSNLIENTLKPRALPQTQWPVSRSLVFPPGGNYIYHKTLKDPANVNHCIEYLLFVGDKSVRPLRAKTLLLDQM
THEPAFDQLRTKEQLGYVVFSGARTSSTTIGYRFIIQSEKTAPYLESRIDSFLNGFGELLGNMSEGEFEGHKRSLITKRLEKLKNLDQESGRLWSHI
DSEFLDFELVHEDAAQIKSLTKTDMIEFYQRYISPFSPLRSKLAIHLNAQTPAADSTTGVTDVLEKGMKVLGLNKDHKDQEDGEAIEVKPEGNGTTP
YVITDVREFKSMLQVSAGPQPVRHISEFEELDSKL
>RCO7_07189 | related to ubiquitin C-terminal hydrolase
MLQPRDNPVTPSTTIPIPSPAGALRPILALCFHRALKLSPQTDNNPDIPLSSVEDPESQANEVRFEVPSTSDTTLPPHIPLHLQTSTSLGTVENIPS
AASSPSAAYASLSLEGERGGDPESARTSSLAPSDQDIRAHSPVRHLSHRVIMGGAAEHPHRASSPLKRRASDLEPDASPSQKDDVDMIMVPESDHPE
PTIDAKSSQVRAQSIDMLRNENQTYGAASSKTESGRLDEASAETTIPEIDEQIKIITTLIEAWNQEKPQEGAKAFLVSNRWMERVTSRGTEAKLKTK
VDSDGEIGPIDNSDIVQQIIKDHKGKDFVQLKHGKGLDDFHLFPLDAWLIVSEWYGLMPGTLPIERFAHNTSQNGVESNIQFEFHPPVLTLHRAYGN
GVLISQKLKVDRPAAPVFVLSTSTKYVDFLKMVKEAACIDIKSKVRVWLVPRLLPTQETTASVVNTATPPSSRPGSPVNGNVAAPASHNPQDSWTDL
LLGVDTFLKLEKGSERYVLDLEDLSTNPKYNGSMTLAMAGIASDQNIVLDEYISKDGEWVTTWVQSKVKSGSTAIVRSGVLDKNGSNSQSNSGRNSP
TPSGPMTRGRAQKYRKPSGTVGLNNLGNTCYMNSALQCVRSVEELTKYFLSGRAKEELNFDNALGNNGEVAIAYDRLLHEIYKDPSPNSVAPRNFKN
VIGKYRAQFAGYGQQDSQEFLGFLLDGLQEDLSRVKKKPYIEKPDSTDEMVNNPEAIREMAAKVWDITKQRDDSVIADLFTGMYKSTLVCPTCSKVS
ITFDPFNNLTLQLPIHSSWKREVIFFPLHDKPISIRVDIDKNASIRVLKDFVSKRVGVPIERLLVMENHNSAFYKLHSDLMVVSEDIQPSDIIIVQE
IERKPTNWPPRKVKKKKSFKTFSSNNDSEEDDLPDWDDEMAEHMIVPVLHRIEKNHYEKSQNPNTFSDQMIVGGMPFFIMVTPEEARSEETIKRKIL
EKVANLTTSAAFTNNDDADTSSADGADADIVLTTGSDADSSGDSKVVANSIDGEDELVDVTMKGPKSSSVLRKFNKRRPAFMNPGSQLNPDLQNMFD
VCFTGDGKQTIPIGTGIINIRFKYPSIASRIPQTQQHDDNSPSQEYDAFGSPSGSESSNGTNGKTRMNDESSSSDEDEDLPALAPRVLPVRPAGPKS
GVRVGHNKRGAGRLKTYSRKGKLSSRKVQSPRVVEQDAPDGGPLIRLGETLIVDWRRGAWDALFTGENPDELHGMAAWTKPKTLEDPDLEALQASRM
LRKKNGIHLNDCLDEFGKEEILSEMDTWYCPRCKEHKRASKKFELWKTPDILIMHLKRFSSSGYRRDKVDVLVDFPIEGLDLSSRVIETEDGKQELY
DLFAVDDHWGGLGGGHYTAFAKNYEDHEWYEYNDSHFTKQKDLSRIVSSSAYLLFYRRRSDVPLGGPRFLDIRGPDTSPQASDDDMSEAGEVKGLVG
NSSLHGSSSALTGVGAARHQLSHGSPGEQMTTIDPSALENVPNYEGPFSLHQSIENDEGIDMGDPPPYASKWTTEGFRSLDAFPPSGYGASAMTSRA
DSDAASDNVNHGSSPDRESLDERLNDFNNAEAEDFIEQSPVPDMDESGVASAVGLQQDLLDSLNANAVQYPDHEFSVRAVDEESLELDDEPVTEIHL
REDGDEFLKVE
>RCO7_07188 | uncharacterized protein
MATIITTTIHTNIISTVTETSTTLHLSITPFANPAATSAIAAQSSLLRSNAKLSKTNITVSLIVGSLSLLLLAGLLMIFLLYVRRRRKNQKPKDHDE
NPPFISLAPRPAPTSRRERSGSGPGSGPGLGATSKLPIGVVRSKIREREESIVHKTSLSMGSRGGMVDSDSRAVEAEAGFDFHIPRRVLFRSSSAPM
EAPTPPSRTPPFRGLNSSNMSISGQSPRGTLSPGKGKDRKVEIESPGLPPILGSGSNLGGGLKSPDREPRPSTDILSLGRQSSMPLYHEALRDQAEL
EREANERLQAESLGLPIIAVRRTTSYNEAGDIRGSEGSLVSELLEYDMVRVGGQRVEEGEEEESDSDDERYSERGRKAGLDLRVGMGENGGDSPREA
VLHSTRASSGVFPEGDGNIEGDIGGRNERDVYS
>RCO7_07187 | probable acetyl-CoA carboxylase
MAAVNGKGNGGQASNGTVPIMNGSTSYAAKQKLADHFIGGNKLANAAPGPVKDFVAAHDAHTVITNVLIANNGIAAVKEIRSVRKWAYETFGDERAI
QFTVMATPEDLQANADYIRMADQYVEVPGGTNNNNYANVELIVDVAERMNVHAVWAGWGHASENPKLPESLAASPKKIVFIGPPGSAMRSLGDKISS
TIVAQHAKVPCIPWSGTGVDQVDVAEDGIVTVEDSVYMKGCVQSWQEGLAKAHQIGFPVMIKASEGGGGKGIRKAESEEGFEALYKAAASEIPGSPI
FIMKLAGNARHLEVQLLADEYGNNISLFGRDCSVQRRHQKIIEEAPVTIAKPETFQAMEKAAVRLGRLVGYVSAGTVEYLYSHSDDKFYFLELNPRL
QVEHPTTEMVSGVNLPAAQLQIAMGLPLHRIRDIRLLYGADPQTSSEIDFDFSKENSSLTQRRPKPKGHTTACRITSEDPGEGFKPSSGTMHELNFR
SSSNVWGYFSVGTAGGIHSFSDSQFGHIFAYGENRSASRKHMVVALKELSIRGDFRTTVEYLIKLLETPAFEGNTITTGWLDELISNKLTAERPDPM
IAVVCGAVCKAHIASEACISEYRNSLEKGQVPAKDILKTVFPIDFIYDGHRYKFTATRSSLDSYHLFINGSKCSVGVRALSDGGLLVLLAGRSHNIY
WKEEVGATRLSVDSKTCLLEQENDPTQLRTPSPGKLVKFTVDNGEHIKAGQAFAEVEVMKMYMPLIAGEDGIVQFIKQPGATLEAGDIIGILALDDP
SRVQSAQPFLGHLPDLGPPQVVGTKPAQRFLLLHSVLTNILNGFDNQVIMASTLKELMEVLRDPDLPYGEWNAQFSALHSRMPQRLDAIFTQTVDRA
RVRKGEFPAKNLSKAFAKFLEENVEPSDVETLKSTLLPLTEVLDRYAEGQKVHEFDVFSGLLDQYVSVEKLFSGRQSRDEEVILKLRDENKEDSFKV
VQIVLSHSRIGAKNNLILAILDEYRPNKPSAGNVAKYFRPALRKLTELETRQTAKVALKARELLIQCAMPSLEERAAQMEHILRSSVVESRYGETGW
EHREPDLDILKEVVDSKYTVFDVLPIFFGYQDPWVSLAALEVYIRRAYRAYSLKKIEYHNDSAEPPFIVSWDFVLRKVGASEFGMPIQSSAPSTPAT
PSYESGNPFKRVSSISDMSYLVNKTDNEPTRKGVIVPVQYLDEAEEYLMRALEVFPTYGKAKKSVANGLMPDLNGKRKTLPPINTEDELTAVCNVAV
RDSESLDDNETIARINLIVKEYKEELLARRIRRLTFICGHKDGSYPGYYTFRGPEYEEDQSIRHIEPALAFQLELGRLSKFTIKPVFTENRNIHIYE
ATGKDVEGDKRYFTRAVVRPGRLRDEIPTAEYLISESDRLMNDLLDALEIIGNNNSDLNHIFINFSPVFPLQPPEVEKALGGFLERFGRRLWRLRVT
AAEIRIICTEPTTGMPYPLRVVITNTSGYVIQVEMYAERKSEKGGDWVFQSIGGTTKIGSMHLRPVSTPYPTKEWLQPKRYKAHIMGTQYVYDFPEL
FRQAIQTSWVKAVSKHASLADKQPPTGECIDYSELVLDDKDNLAEVFREPGTNTHGMVGWIVTARTPEYPRGRKFVIIANDITFKIGSFGPKEDQFF
NKCTELARKLGIPRIYLSANSGARIGMAEELIPHFNIAWNNPEKPEAGFKYLYLKADAKKRFEDGKSKDVITEEITEDGEVRYKITTIVGAEDGLGV
ECLKGSGLIAGATSRAYEDIFTITLVTCRSVGIGAYLVRLGQRAIQIEGQPIILTGAPAINKLLGREVYTSNLQLGGTQIMYKNGVSHMTAADDFEG
VSKIVEWMAYVPDKRNSPLPIGPAVDSWDRDIVYTPPPKQPYDVRWLIAGKDDEEGFMPGLFDKESFVETLGGWAKTVVVGRARLGGIPMGVIAVET
RSVENITPADPANPDSMEQITNEAGGVWYPNSAFKTAQAIKDFNNGEQLPLMILANWRGFSGGQRDMYNEVLKYGSYIVDALVKYEQPIFVYIPPFG
ELRGGSWVVVDPTINPEFMEMYADEDARGGVLEPEGIVNIKYRRDKQLETMARLDPEYGALRKQLADKSLTPDQISDVKVKATAREQLLLPVYMQVS
LQFADLHDRAGRMKAKDVIRQSLVWREARRFFYWRVRRRVNEEYILKRMASASKNPLASRTRNLETLAAWTGIPKFSHADREVAMWYEENRKTVHEK

VESLKQEGVAFDVASLLRGNSKGGLKGVQQVLSMLPAAEREEALKFLSQA
>RCO7_07185 | related to isoamyl alcohol oxidase
MLAFSLLQIVLSLVSIAESSCASPSGCKCSPQDSCWPSAESWTALNISTSGKLIKTAPPAAVCYPGPQEDRAACATVLSDLTNSTYVANNPIALDYP
INETCPAVNYTAGATPRECTLGGLPVYAVNASTPEDVVQAVNFARKYNIRFVVRNTGHDILGRSTGYGSLEVWIRHLRQGIEFQETYTPRDQCNESG
WTGSAVSIGGGYVWGDVYAEANKRNVVVTVGCIGGWAQGGGHSPASRDYGLGADQILSARVVLASGKIVTANACQNKDLFFAIRGGGGGTYGVVVST
VVKVHPSTSVVAQTFAMAPYNDTYIPQFMEALAILYDSYADLNDGGYSGYGSWAVQSYAPVLSNTTFLTGYQHVLAVFNQSLSSAQTTFAPIAARLV
PYNSSSLFISTTYYTFPSYQSYYNTLSGFQSAVGTSGAVGSRLLDRRALALSPALKTMLNTTAGLPGQFTQTNLCLVSGGQVFADAAQDPLSGVNPA
WRTAYVHSIVARGWAPGSSEEEIQAVHEDITTTKIGALRKLAPGTGSYMNEADRMDPLFLRDFYGASLERLREVKRRVDGGDLFYCPTCVGSEEWFE
EGGGRLCRQKG
>RCO7_07184 | related to nuclear distribution protein RO11
MDEPPSSPPTDLSTPESALAYYKAQYEQLEHELTEFQASSQELEAELEKDVEAAEKRERVLQEKAESLGFEVEEWKTKYKQSKLEANTAQNTLQKEI
TDLRDTNRTLQLRLRDIEVQNDDFERQARNTSSSLEDLESKYNVGIERAVMMEEEIKLGEQERENLRIETQRLRDELSDLRIEAEIMQDKLRKRHVP
NISTDITAPNSPSLGDSPTSTASSPMISTPPDTKSVSTADGVSDTPTPPSPPISDASGSAKRMLKTPLNLSKSKMKLPSGDFSTTPKPAARYPSSNF
RSSRGPPIAAPPSSTRLRNATPAVIRNAKTKAPATRGVPNSASLTHIRSLTAQMQRLEQRVHSARSKLPAPVNTPPHSSPRNGSALGQNYMPSSVTI
RSRKRTGGSTVSSSSMAPEDTPQSSKKHVARLSTSGISRLSFGPVPSRENTDSRPSSRASTNYIRPDRPVSRTEIARPMSRTSMSGARTPLGHYSQS
SIAESRRPRSSIGGNFGASHGHGHSQSVSHIDLDETRELDFATPSRRNTYGKGELERSESSAIPGPPGLARRKSGPLGMTPLPRRTTSGGPASRDGE
KIEHGMKPPGRPRKLSGVGETY
>RCO7_07183 | related to malate dehydrogenase (oxaloacetate-decarboxylating) (NADP+)
MAASNSYSSSSSEISTPRSSSPSSVISRSSTATTISKRMSISQRRISGFDPMSAVNMDHVEAAMKAAALDCFKGYAQDNYGTVNQYGTTEYVPKNMA
GGYQVIREPAWNKGTSFSPDERTSKNLTGLIPHVLESLETQCQRAMRMINSRGTNIDKYLYLSTLKQNNIDLFYRLLIDNIAQLMPLVYTPTIGDVC
LQYSTLYTHPEALYISIKQRKSIATILRNWPYSDPSIAVVTDGSRILGLGDLGVNGVGISIGKLALYTAAAGIHPEKTLPIVLDCGTANEDNLRDPL
YLGLRQKRVSPEVALEFMDEFMAAVKEVYPNMLVQFEDFETEKAFQYLERYKQEKCFNDDIQGTGAVVLAGYMGAVNLSGVPIGDQRLVFMGAGSAG
VGVAKQVMEFYTRRGLSEQQARDKFWLVDTKGLVTKDRGDKLAEHKISFARTDNNGHQFSTLEAVIEYVKPTALVGLTATFGVFTESVIRALKVSVD
AGGLGRRPILFPLSNPLTKAECTFEQAITWTEGTAIFASGSPFSSFTSKDHMTTYYPNQGNNVYVFPGLGLGAILAKSTRVTDSMVYTSAAALAGCL
NTEEVRMGLIYPKIERVCDASVVVAREVMKTARREGVSTLPEETWIEWEEWGDVALTAWIKKQVYDPKF
>RCO7_07182 | uncharacterized protein
MYTDTKSSYDFVKEPVLSAEDPELMSLHRKLRIQKDRLVSWGLEWSDSTQSPDIDESINKAGLSELVGSVMSTIKEILAEAEPLWQSSKKRSFDEKG
STSEKSIARKPSLIVWDKSRFQDLVRDLTMSIDTLYDLSRTRQSPRKPTIKSGESSRSLARSSAAEEKMFESTRMQTPQQIDPKSLIWPRDLKTIQA
GTLAPAKSGRQIVFMRRPTIRSGSRDTASTTIVPVLLEYAPYNSIYTSVGITPSMTRFEKLFAALSQSYLSSERILSGLLSLIGYFEEQDQSRFCLL
YALPTNFGPADIGSPKMPTINFLSDLLFSRNFEPSLEVKYRLAHNISNAVFELHAKGVVHGNIASFNVLFFEPQFKGLVDFTQVNMRKPYLTSCDLF
SDNATENSDSSVDPRTRLHRHPLDPRNTRYGRFTSESKSLDLYGLAMLLLEIGLWTSLSEIFPTAATVPDNPAGALRKLAARCGTLYVKAVQACMKA
PQDELTQKARPDVMHQKVLWKVSKALDTCCAIDESSDESNEDSDDLFELSAPTKPLRSTTSQQRMVSDSKPSTLTLITSPPVVSRTEKSAYEKASDS
FVDRPRPSWMGRPLPIGKFH
>RCO7_07181 | uncharacterized protein
MEFWHNGLMPHINHVLRGFYRRYPESVEISLESIGESPTTTKPTILVICTSVSKMRSILKKSLVYDESVFGLKVCRGKVVRSRKHGPRRSMAGDIAS
MRAANGEHQDRPMNGASIGAYVGERHLPPVSFGGLIIVDSKPYGMTVHHMLDDPSDGEDEEEPVQAPILRSGAHSSEMPELNLSDSSVFDSGDEEYM
YTLSDYGSDFSEDEQEFEDEEEEDQEDSTSDEYMEPGDVRGIPQGCGEEYLITQPAIDDVSEDFYPNEETRDEDHLDSFQLGEVYASSGIRRRTENG
TVHEIDWALFEFNKERCPQQNHIKNGDRFCHHKPTKYPVAVAPSKDLSDLEVHCMARTSGLQSGRILPGMMTVKIYGRQTPSSSYQVAGKMLGIPGD
SGAWVVDNKDGRACGHVLAWSSKKRVAYICPMDVLVRDIGETLNATSICLPGGEELYSKTASTTVVSARDALAEPSIHFSNENEDRNGAEHEDHSQE
VNADINAEEITQLLKELKIPPPPEQIAGLDTLTLNHFSSDRIQNNTAHENIDVLRRASDSPPFTLVRRTENVQVQARLVQTPSPIQQQSVGFMKGPG
MDGGWGRGLGTLSVCEREVLGGGVENDNDVQVGVGRV
>RCO7_07180 | probable arginyl-tRNA synthetase, cytosolic
MAAAVSTLSDKLKALSIETPLQKFPNCYPEVNPVDIYRAHITTILKDVTGVDTSIIYPALQWTLTLDKGDLVLPVAALRIKGKKPAELAAEWAEKFP
ETPLVHKPTTNGVFVQFFFKVDKLAQVLIPQIIKNQNTFGLNPHNGMKDPEDPSKGKKKMIVEFSSPNIAKPFHAGHLRSTIIGGFLANLYQGAGWD
VVRVNYLGDWGKQYGLLALAFERYGDEKALEVDPINHLFEIYVKINKDKEDEKAKIKEAEEAGQDVTELKAKELDEQARRYFKSMTENDTKALALWK
RFRDLSIKRYMETYARLNIHFDDYSGESQVSQERMDAAAKKLEETGVSEVSEGAVIVDFSKHVAGKPGKSLERPIIKKKDGTALYLTRDISEMVRRD
EKYKFDHMIYVVASQQDLHLKQLFKIIELMGYKELAAKVQHINFGMVLGMSTRKGTVKFLDDILRDVAEKMHEVMQKNQAKYEQVENPLEVADILGI
SSVMVQDLSGKRINNYTFDINVMTSFEGDTGPYLQYAHARLCSITRKAAISAEDIASADLSLLTEPHALNLIRVISQYPDVIQNTLKTLEPTTILTY
LFKMTHTLSSSYDHLRIMGSERELMVARMALYDSARVVLNNGMRILGLSPVER
>RCO7_07179 | uncharacterized protein
MPRSGYHVRSGKDRYRRDKMLGLAVQPPPQTRPGIALYPPIAARISSEESVYEELSQTWAVATLLRYSGEILDDHLGGRVADSAHPLPEVRGSSSSS
ASAQTDRAYFYFPDLVINEPGRYRVRVSLMQMDYSCDEAPEGVVRVREYVDSRSITVEDRSDTSSRPNSHERAFLRVLKNDGQPIPSAP
>RCO7_07178 | uncharacterized protein
MSMPELLVSSAHAEKKCRKICVVATTTVDIKKGLEQLCKQGLGAATACPKIFGAQEGLVRCRKNVLLSSYIDAGSQVHNTRWAFTPRKYLGSCWRSV
QHRCLTSLSVAMMNENIFDPGLKIGPKTTGTRHRRCASIDKATPTYNF
>RCO7_07177 | related to BCS1 protein precursor
MNQMSKPQLSPILGQKATELHDEMQLNPQTVLLDYIFPGFSLYTSAISKFLDIDISSYFPVIVALGVVIYCLRYISQWVRGLASQYFMSTADIRADD
ELYNMLMRWIAQQQFSKQSRLFIANMDLNSRMWNIWRSFDMDDEEDDEEDDEEDGEDGVQFDEDDNASLPVTKAKEKKIHYTPTFGSHYFWYKGRLL
VFRRTETTKSTSWGTTSETEEIRVSSYGRNPNIIKELLEECRQEFAKNDINQTIIYRGGLKPGKAEPAWTRCLSRISRPFSTVVLDEQVKSSLLRDM
RDYLRPNNQRWYANRGIPYRRGYLLYGPPGTGKSSLSFAIAGYFKLAIYIVSLNAQAMSEETLGELFAELPKQCVVLLEDIDTAGLTHSREDKSQYA
EPIIPRIPGSTAVAPPAPNTSRISLSGLLNILDGVASQEGRVLIMTTNHKEKLDEALIRPGRVDMSIEFSLANTQMMTTIFRSIFTTLEADKAPVRC
QPKSEPIPAPAVAKLLAGEKAAEAAAALVLEKIEVEKIKKLGDEFAALIPTLDFSPAEIQGYLLKYKRDPEGAVENATAWVEKTKVEKSKKATEDKL
EEDQAKAEAEAEKKMLERWNLMHWWA
>RCO7_07176 | uncharacterized protein

MISDHGIDEARLIHPTFAELKASSYDSPNIEAALEGLHQDGFVVLKSVVDVTHVDHLNVQMSKEADDLLNNNLKPEPANILQAPPLKDSDYLHNDIF
FNPFVIQVVNAYLGTKPIWNFLTGNNALPKTNGLRQPVHKDITFFHPQCPFFLIANVPLCPFDVTTGSTEFWLGSHASTTGKDQEIATAETKLANAT
LREGEPSIFVLPELIEKRRQTRPPIQPVCERGDIMLRDVRTWHAGMPNESENYRIMLALGYQAQWYENHTLRVKLPLSQGNFFMKHGGQPVEVRADL
LPDDSDFVKLNDDFSFRRSID

>RCO7_07175 | uncharacterized protein

MSEALEREIASVRTFTGSRQTCACKAHLEIRYRNL

>RCO7_07174 | related to cutinase precursor

MWSPACLVLLALPFALALPQRGGKPKSAAAGAGAGGAAAAGCKPMMVVFARGTTETGTLGTIVGPPYMAAMEKVAGAGNVAMLGVPYPADVPGFLAG
GDKKGSAMMAAMVMQTMANCPDSSVSMGGYSQGSQLVHNAAALMPPGVAAKMSSAVLFGDPMNGKPVAGVSKAKTKVICHTGDLICAGTSTILAPHL
TYGRDTPDAAAFAVGAAGK

>RCO7_07173 | related to calpain-like protein

MRYRDADFDIDWDLKVKRGHCLNNLKITKFDIHGNVFSTSASSGPKSIKRVHEIIDKPTFLADGVSAADVKQGSLGNCWFVARIGIYGFVFHRDGEW
MISIIDDKLYLRSPDWDSPSVQRHLLEQIDREDNETEYRKTYQTGSQSLFFAQCRDQNKTWVPLLEKAYAKAHGDYAALQGGWIGEGLEDLTGGVTT
ELLTSDILDTDEFWTNEILKVNKEFLFGCSTGILGSGFGTRDGNTGGHAYVVIDAREIPAGQRLTRFRNPWGKGKKGNWQGAWSDGSKELPPEIPLE
LNHKFGSDSVFWISYKDLLRKYQHIDRTRLFMDNPDWRISHKWMSVEVSWKAQIEQNFRIVLKKETPVLMVLSQLDDGFFTGLRGQDKIRLQFRLHE
VDSLEEHDYRTGTYAVFTMVVAERRTSQLSVEDIVKAQCKQKVDNDKLAQVGMSYDIAHSKEAAQSEAKDTAQKALDLAKARETRIALRRKDWEDRK
TERDVRRKQDKKEVENVPKDQSMQTDDVKEVIVEKKDKAVQTEHPEVSTTVSDEKITLPGPEATAMKDTDKAVQTEDTCGNSVTGGCQGTSATPQSS
TVTGSPAPIVRVPRGPFPPPPPACDDDPTPKPRPPINPPLAPGTKPKPGEEDDEDEPDAEPWNAICIAGFRVYSKDEGLELLIWDESLDEMARKVEK
IFAVGKD

>RCO7_07172 | uncharacterized protein

MFGRKPPRDMYEYVVGHRIPRPKVRILPPSPSESPPPAPKPAAAKPAAAKPADSKPLLQPKAASCSCCNHHPRSRSKSPKRKITVHVTDYDTSGDDS
SSVESIKIATKELKSALKKGSKEEPPKKAVPEVDIEKKQEKKHVSFDSQVKSKEKGKEQSKDKNSNEDQNTQRDQKDQKDQKKKEQGQNKNQNQPQG
QQKSNEGKPQNPQQRNPIQSSMPHSQPTHFSPYHYSNTFPYPGFAIGTFPSPLLPITSTMSSSNGRLLAASRADVVLREDVIECPTDPRPNAFFDLN
SRVLRVYHGPVYGNPFSSVPADSVHIGSFAPRFSGPPDGMNGQHIGGGPPPTPQHVNNVSSYQSNTGKPRNSPALNNNAWGGSQTGFNGANHVPAKN
GGNSGNGGSAMPGAWVNDNNANQSDNANQNNPGGWSGNDQNAGKNGGNSTCGGNGNDNGDSWGNQNSNQNNAFSNGGGNCNGDSWNNQNSGQNSGPD
NGNSNWAGNDGGNSNGNSWNNQSSDQNGGPAQNQNNSNNDSSNWNSNNQSSGPQNNDNSGWVGNGDCNNNNNNSSNWGGNNPPSGQQNNENSGWGGN
GDPNNNSNNSNWGGNGGQSGGNNNDSSGWGNNQPSGQDKYNNNSNSNNNNSSGWGGGNGDFNNQYNSSGWDNNNQSSGQNDSSGWGNTNNQPSGQND
NSSCCNQNQASGQNNGNTSHWGGNGDANNNNNSGWNGNNQNNQSNKNNGNPFNWGGKGDANNNNSSGWEGNGNSDNNNSSGWQGNNDSNNNQSNNGA
SGPGWQNGGNANGNNQPNNQNAGWQNGRGSQNGGGWNNNNQSNNHSGSQNGGKGWNGGGGGNTSGKKTDGW

>RCO7_07171 | probable protein yjbQ

MPSSSSTTTSLTTTVLLLLLLLCAFFPSLFHLLWSIPLYLLTPSTYLSRPSSSSTTAPPLCLPPHQAATMSWFQKSLTLPPKSRGSYLITNTILADL
PEIKNYKIGLLNLFIQHTSCALSLNENWDEDVRADMSDALDRIAPEDRKGDLYRHSAEGLDDMPAHIKSVLVGASVTIPIKDGKLATGTWQGIWYLE
FRASKHQRKVVATIQGEKM

>RCO7_07170 | probable mRNA cleavage factor I subunit

MSTITTTALQTSYPPILPKSFNGNQPKTIRLFPLSNYTFGTKETQPEEDPSVLARLKRLEEHYDVHGMRRTCEGILVCHEHNHPHILMLQIANAFFK
LPGDYLKEDDDEIEGFKMRLNERLAPVGTQFSGEGVNEEWEIGDTLAQWWRPNFETFMYPFIPAHVTRPKECKKLYFIQLPRQKVLSVPKNMKLLAV
PLFELYDNTARYGPQLSAIPHLLSRYNFEFVDEEGKVVAVTPGGGPEDGYVPKTIVLAGGDEEMKEENGV

>RCO7_07169 | related to NADH2 dehydrogenase (ubiquinone) complex I 13K-A chain precursor

MLSTARSRAVLQLSRTARFPARRAYSFSANDQQAINTPPNSSKPVPNVSKTNELPIESHQSDASLQENVADAEKLRAQQAPNRAGVWSRSQNPRAKA
MSGPRFEQTIMELQPAPQAAIDLIHKQPVRWTHDRMVVCDGGGGPLGHPRIFINTDKPQIAMCTYCGLPFANEHHRKHLESLPTTAYPLAPQGNVAE
IPESQRITNEALGQR

>RCO7_07168 | uncharacterized protein

MSAASTPGSAPKAMSSRLLTMKFMRRAAHTSPNASSPLSADEPSPKRRRTDSSSASTPSKVNIDALADKKAIQAAMAGEEAKRQKALEKQATEAGDT
RWVLSFEDQQQSAASPALALRIVQTSFANLDASPSRPQVMDEDSEEQASMVGRRSFGRFNKVLEKQQDPTMEDSSDSDDEEDESGSSESEEDSDDPT
SALIKASRQEAADRARTDRKAKKRALKAEADELAKKRRKDVVNLNGLTSLSGSKQAPTPAAITCYNCGGNHFKKDCLAGTNKRSYKGEDDGPPRKSF
KSR

>RCO7_07167 | uncharacterized protein

MFGKSKAGRSSSNNRTRERLTWDVPVFFGLMFLLSIAELFFSVDSFQYLQRKHKWHSKTERSRLAFLIFSSARTILLSAVYCGFHCARKHFHSMLHT
AFLVISTILWIVSGVLIHQMWGLIKCNEGLGGVKELRDGLSECHELKIIEIIAWVLAGVSVLATVPVVMNAMKRRKRQAARKTETSG

>RCO7_07165 | related to putative tartrate transporter

MEFANHKNEANETGTSAESIPERTAADRALIWKQDLRIVPLCAAIYLLCYLDRSNIGNAKTLNAATHHDLLSETKMTNYQYIIALMGFLIAYAIFEV
PSNYLLKKLSPSKWISFLMFSWGAVTIGLGGVHNFAGVTGVRFIMGIFEAGLFPGLVYYMTFWYRTDERSIRVAFVLASATLAGAFGGAIAYGVGHM
NGVHETVKWLNADEKALAVSRLELEGSHSDDESLTWAQAKNTLIDWRLYAHYAIYFAVSTPFSSLSLFTPSITAGLGYKGLTSQLMTVPPYAVAYIV
TIAVSYSADHFNARGIHAAMFAIVGASRYGCLIVAASGTFSCIPPLLGWLSSNLHSTGAVGLAIALNISVGAPGQIAGVWIYKANEAKQGYPTGHWT
NASLLFFAAAVCIGLRLYYGLLNRRIVRDGNMGIAERLFRY

>RCO7_07164 | related to MICROSOMAL GLUTATHIONE S-TRANSFERASE 3

MATITLDPNHGYVVLAAVSTFIMNTAHMINVGKFRKAAKVAYPAAYAPESRTDEAANQFNCAQRAHANFIENQVSTLGALVLAGVHFPLAAATMGLG
WTVSRYLYMVGYSKGGDGKGRYNGGAFWLFQAGLYGLAGYNGLAMVMRW

>RCO7_07163 | related to DNA polymerase Tdt-N

MEFKFPPIYVLKAKFERNPDELLCVERELGNAKYDPQETRLFIGKETTKGRIRYELRTLGVYTEDVTWSTSVTHADEKSDGYSQGCEPKPAKKRRKA
TTFDYDREVISLDTDSDTPPSSSSPAEESADCSRRARESEQTTTSGQNSDRDTVKVFRLGWFKDSVKANKLLPSDPYLVYEGRVVPKPHLQVAAPAQ
LADRTSILSRARADTPPPASQRSGTSRYHKKTSSQTAPAFYHETTEDHENDANLPALPDFLQTTYSCQRPTPMHGPNDEFLRLLKIIKKARIIDGEE
QTRHSYHSAIASIAAYPFTITSPMEIHRLPSCGDKYASLWYEWSQSGHIQEVDTILEDPRMNILNIFYDIYDVAATTAIKFYNKGWKDLDDVVEHGW
ASLSRSQQIGVKLYDDFQIRIPRAEVEKIGQIVLDHANKFRPGFQMVICGGYRRGKRDSGDVDVMLSHPDEDATEDLIRDLLNSLEENEYITHQLQV

SSRTSDRGQAPLEWRGSMNSSHAGFDSLDKGLVVWQDPVWPTKVEDLKRNPKAKNPNVHRRVDILITPWKTAGCAVLGWSGATTFEIDLRRYCRHEK
NVKFDSSGIRRLDDGAWVDYEKGGLDMIEKEKLVFEGLGLVWREPTMRCTD
>RCO7_07162 | related to transcription initiation factor IIE chain TFA1
MELAQSLVRSCVRSFYDTKHILVIDALVIHSALRDDDMAYLMGMNTKELHKLCGRLREDRFLSVHTRQEQKEGQQRPMNRTYYYIDYRATIDAIKWR
VYLLNKQVQGNTVPEAERKEWFCPKCKSEWTQLEVLHKWDMALGFRCQRCDGILNHDPDNNRGGHEQSTKYHAQFRFITDLLPKIDEIVIPENTFDR
AMASQLKVVRDETNPANDTAPVDPSYSKPTAVRGMANAGNTSISVTLTASEGPTDAEVAAEKALKEKTARQNALPQHFTHSTVTGERVKNGPGSSAT
FNSDPDKKADLDTPSGNVDGAEIDDYFARLRAEQAKEAEREQDEEYETDEDDEDDFEDVVPTGSGAATPASSATDSKPSSFPSSGLTGILKKAGSAS
GSGTSTGATSPVTGPGTPNEDGRPAKKVKIEEPTLTVKDEDESEEDMEFEDV
>RCO7_07161 | related to tRNA-pseudouridine synthase I
MADNPPTAASVGQTGNSKSNGTQETNSGNTASGDRNRNQRGRGGRPGRANQRGGGSRGGGRGGGRDSRGHGSKDRGSRDKRGEMGRGEWAKGNLDKR
KRNDEEQAAKRRKANNGDAGAEPQFSKEEIDAEGRKPKRKVAVMIGYAGSGYKGMQINGDEKTIERDIFKAFVAAGAISKANADDPKKSSLVRCART
DKGVHAAGNVISLKLIVEEPDIIERINENLPPQIRVWGIERTNGSFSCYQTCDSRWYEYLIPTYSFLPPHPESFLGKKIVESAEREGIFETLQSRQE
DVADFWKVTEETYVKPILERLDPELREAVITALHSSVEDDPTVKSIPKTETAEAKLKVEEMEGIEQTNPESSDIKEASPTPAKEKSEQEDADNEATI
KKEAVVAEYDIKVEQEGSKSVLSPVEAAIKEVKAAYIVAKKAYRISASRRERVQEALNNYVGTRNFHNYTIQKTFSDPSAKRVIRSFKVGPDPIIIN
DTEWLSLKVHGQSFMMHQIRKMVAMVALIVRCGSNISIMNDSYGAANISIPKAPGLGLLLERPVFDSYNQKAVNEFSREKINFDKYQKEMDEFKQRE
IYDRIFREEERDHQFHAFFHHIDHFRSDYFLWVTAEGLSAAKHSKAPGRTDDNSDGEADVNGEEG
>RCO7_07160 | uncharacterized protein
MEGTQHTTTSLVDREERAVAALLTRFKALVTLAAEPTPDGATKEASAAHGLQMEVESSALVRATEDLLQLTRELKELWLFGPLRNIKEGEGEGQMDE
DSQRVGELLEAVLKRATDRPSPS
>RCO7_07159 | related to TWF1 - twinfilin, an actin monomer sequestering protein
MRELAFELHFLFRLHLGLPVESPSQDLHTAFQTLVSSEDQRGLICTITKESLTPLTVLSPASDSFSDDLSLLAPHLDPKVALYIILRRYASSETAPF
VAITYVPDSAPVRQKMLFASTRLTLVRELGIERFRETIFATTKEELTPQGFVKHDKHVGLAAPLTEEEQSLGEVKRKEAEEGRGMNERKSHVSSGVS
MPISDEAVQALKGLASESGNNLVQLKINIPTETMELASSTSTDISALSATISATEPRYSFYRYTHTHNGSSSSPILFIYTCPSGSKIKERMLYAASS
RSAVSVAEAEAGLTIDKKIEAGSPEDISEESINGDLHPKVEVKKAFERPKRPGRK
>RCO7_07158 | probable succinate-fumarate transporter
MSAKNFSGPNGKKPTSAATNLIAGGAAGMMEALVCHPLDTIKVRMQLSRRARAPGVKKRGFITTGVEIVKRETPLGLYKGLGAVVTGIVPKMAIRFT
SFEAYKRMLADKESGAVSGKSTFLAGLAAGVTEAVAVVTPMEVIKIRLQAQHHSMADPLDIPKYRNAAHALYTVIKEEGFGALYRGVSLTALRQGSN
QAVNFTAYTEFKEILQRWQPDYATTPLPSYQTTLIGLVSGAMGPLSNAPIDTIKTRLQKMPGQPGETALSRIMAIAKDMFRQEGFHAFYKGITPRIM
RVAPGQAVTFTVYEYLKEKLENSTAPIVGGKYEE
>RCO7_07157 | related to CBP3 - required for assembly of cytochrome bc1 complex
MVSKSCLMCLRTMRQAQPSRIAASAQRAFTSSSRRYVEPLPPNAPQQSSNPPVTPLRGEGGSKINKAPLPVSMKAAAGLQKVTGKATETYTAYGATE
ALYKECARQADYSITLDPESEEEMPKTEDGEDLGIGGGWWLTEAGLKPTFSTWSQVTMLHLYLLSVRLRCFPAQSEKPWQQHLLDHFFHDAENRMMI
YHNMHASGTRSKYLKDLFIQWRGLLAAYDEGLVKGDAVLAAAIWRNVFKASEDVDINALGQVVSYMRKVLKKLDALPDERIGQAAAEFGSPKGESAV
VRQRSKMLDLPFEKASGKDLPGGKQA
>RCO7_07156 | uncharacterized protein
MDTSEALSDQGIGEIRRLRSQNTELQDRLDHSIAKIMILQGSIDEITAGEVKKRFQELYSAIQDWVAEIELDLTRHSQDFQQAFGSILFRERQDNLL
YRLGLRRDIHDGTGHSTWDSEFGKLRWLGKLDTCINVFLSRYIWCHLYQKILLTCYPLGIDDNAMSGLDYMMEAISGDSDGKANRDSILRANKWRAE
TMVTLISTQKFNYDKESQMVDLGRRLKRQLSQTPISLPAEILDKHFQDLEINVLRPAAALKQAIACSSVEYKYRDSEVLFSQSISEAGRVPGCVFKD
IVKWRNIEPYEAFSGIFCCLFPGVYQAGLARDDDLLLVESVILVVDEKAVLQVQELGQMRDEKHSKSQRSPTRSEKTQPPSASPFYYRSSTTRSSES
PQHVLASGRREIIRSEPSTLGLIGKMFLGAIKSKTHDEEKLSPDARIPPSRRGSEDRREPKDKGKRSRRTETEPINPSSSQEVPSGPRPHTRRSRSN
RDARSKSAINDEPTPINASVNLPGTVSQDSYHTRSNSQSEEESGDDSMRGDSHAQVVGDDVMDIITVETERNSRQIHRIAMSPVGRTGGLDLDAQQK
FLEWQNRS
>RCO7_07155 | uncharacterized protein
MPDPLEPASSYSLQNHRYLSKVRLLSISKSKTRNILDSSTMARGQTSASSAAAGGMRMVVAVDFGTTYTTVAYANSLYVSYNILWPFILSTELLKNW
GSGGDISQDKVPTVLRYDNGGTTGAYCWGYRAQQSAKDKRIHEWFKLGLCSDFEERRARESELIKKYKSKTALPPVEGEVCMNLVVNFLSGVKDAVD
KCFNSIDEDVARCPRDYIVTVPALWDHAEQEKTRQCAERAGMGSGAQLQIISEPEAACIFAIQNKISMKVNETFVICDAGGGTVDLASYTIESLIKA
PFHCKLSGAATGSGGLCGSIFLNRIFEAYLEKKLRDYPYWEASFMIDALKDFEERIKPNFNGENKEGYNIRIGGLIKSERHGIDKNFLSLTTKELRQ
NVFEEVISKIQGLVRDQIAQTRGSVKEVILAGGFGNNPYLKKRLEKIDLVVNQGIKVQHFEDSETAIARGALIAGLARLGRTNAHEDVFDGGFNAAP
LDIVEVVSNISSRHYGTKCFHDFSIGDPPSRREVYPNLATLMRPDGDKIEKISWFALRGESIPNGQPMSFRFVKVERVVIRDPHFQTQALFAEVHIY
TCERETPAEFANDSSVWEMAQFTLDLTGLTLPIIQRGGQQLYEAEFFIEMTLRGTNLSFCGVYGIGTSYEKRFPGRDIKFL
>RCO7_07154 | uncharacterized protein
MVQENTTIAIIVILYMAFGILFGISICTCGRRWMLGSSGGSRTSCTFTSDSDPEIGSRRTVSPLGNGGGSGGGRGGGFNLGVGNGGEFDYPGDGGFN
DPIEGGRGRGRGARVRGARGAPDARGRARGALRGGAGVDGGFNAPLAPGGRGNGGFNAPVRQPPGGFDGGFNAG
>RCO7_07153 | related to DFR1 - dihydrofolate reductase
MSDGPSMTPRELTLIVAATNNMGIGRAGTLPWNGLKKEMAYFARVTKRAEPGGMNTVIMGRKTWESIPPKFRPLKDRTNVVITRGDPRAVEGQRTVV
NSMSQAAESAVAQGGNALSRLFVIGGAQIYKSALESTDAKRILLTRILGDFECDTFFPITLAEDGKASGWERRTKEDLDRWTGEVVPGGIQEENGTR
YVFEMWERV
>RCO7_07152 | probable 3-oxoacyl-[acyl-carrier-protein] synthase, mitochondrial precursor
MRRVVVTGLGAITPLGVGIRRTWARLLAGDCGIVSVADCEPAARWRELPSTVAGIVPGGSRAEGGWQALDWLERGEERRMAKFTQYAIAATEMAFDD
AGWRPRSQADREATGVCLGSGIGNLEGFYDTSVAYDKHGYKKVSPLFVPQLLINLGAGHISMKYGLQGPNHAVTTACTTGAHAIGDASRFIAFGDAD
VMIAGGSESCIHPLALAGFARSRSLATAFNSDPALSSRPFDKDRCGFVIAEGAGVVVLEELEHAKARGADIYAELRGYGCSGDAHHVTAPKTDGAGA
FLAMKRALKNANLRPKDVTYINAHATSTLLGDAAENAAIERLFSGEDGFQELGEVAISSTKGALGHLLGASGAIEAIFAILAVRENVMPPTLNLHNL
DEGFKCNYIPNSAQEKHIKSSLSNSFGFGGVNASLAFSEY
>RCO7_07151 | uncharacterized protein

MAALIATYKEIGLSDDNVSDTGEESDRKAPRSTWPRASTLVLSMTTLTFGLWALYLTIRPVGLCPGQTFQEGYSTEWEPAKAAIQLQKLTYNSAFRY
NETSKGYYREFDPALPQYIGSPNREIDKAWGELLSGQYLVISEEEAQKLDDPVAIQGYYLAEVEVMHSLHCLNAIRKAMDKDYYSEHDEHRLPADLQ
RIHVEHCFEQLRQNIQCATDLTPVLLRPLGEEPHVNLIGTPQAHTCRNWDVFRKWYTDRGLKLGKVNGGGT

>RCO7_12007 | uncharacterized protein

MLPKTLIICLLATTAQAACGDVYTIKGNCTIRDYKCKYPRVPSCNSKGACPYLHLFDVPIFCDQDKDCVTSYKCNKNYKRSPLNLGPFYEDGDLVAK
EEGEGGEGDSELVEEDDE

>RCO7_07149 | uncharacterized protein

MTLIFKIYINAINTEKRILVAKSTTLTTFFTAKRIASSYGSCPIGGNMNYAAAASGTVESSPRVPHHGDVSMTKPAHTDASRLEIPQQWSPEDTRSG
RNEHVARKEHRPNTEAEGELVYVLTFQLTESLAKPMNSMRERHFPKQLNRTPAHLTLFHALPHSQIAGIEGALSRVSADTKPFFISSGKPFRMRLGI
GINVGKGFNRMKQVHGDLRSQWMPHLSEQDIGRWTPHWTIMNKVNEEKKVNEAFQAVEEKIVQNVLEGQAVGLDLWRYDRGAWILAKEYKFTG

>RCO7_07148 | uncharacterized protein

MKLISIIQVAFALSAIGANLPRHSQPDLLSGTGPYPAAYTQDDTLLNHTIFSPISPPPGLKLPVLLWAQSGCTRNSTFFASFLLEVASHGFMVIADG
DPDGRDQPLGRFYAYWPFPQGIVEGGAWIVKNAGIGKYANVDATRIAAAGHSCGAIQALWASAQSEEIKHIGVFNSGILNETIVTRPQLEVVSKTKR
PIFYFLGGPDDYARPNGERDYSNIPASTPKWKGNFASGHYGTYLQPHGGAFAVAATRWLEWVLRGNKTSAAYFTTTANVTGTAQGDRWLVEHAQLDK
LKVKPI

>RCO7_07147 | related to protein-tyrosine phosphatase

MANLELDSYSNTLQSPFINVAGILNFRDLGGYPVPSPANHSIRQNFLYRCAEPSLVTRDGIFEINALGITHIYDLRSNSELEKNRAVGRGDVIEWEG
CKRIFAPVFKGEDYSPEALALRLKDYADGNPGGFANSYGYILRAGAQDSFRIILLHLANEPDKPLIVHCTAGKDRTGVLCALVLSLCGVEDEIVAHE
YSLTEQGLTTEWKKSIIEHLSKNPALQAIRNPKAASNLISAKAVYMLATLERIRLDFGGPEGYIIAKCGLTEEDIANIRKNLIVEIPAIHKWLE

>RCO7_07146 | uncharacterized protein

MTRDELISIQYATRSPRHDFEKPFQIASSFPGEYTKSNIDFTHAVAEVIHDLRGSQDAYGIDSHGFAVIEHYSAMVDWSDKEAIERLYLPEVEKIMT
AHLDNVNEVYFFNWRVRLFFPLYCLALAQRYYQKRKNRPYKDEGIQEIDMNDGSQYVLPADFVHFADLHKDHSPVNVVELVQRYMGARAVDLLRGRV
RVINFWKPISPYPIQDAPLALCDGTSVTDADFMTADHVRMQIQGETRLLLYRPGFRWHYLSDQEEHEGYLIKIFDSLKSVPAQCKLKPNLDSGQWSD
FQAINTFQPALTLPFNTAIFLLGVLQEKA

>RCO7_07145 | uncharacterized protein

MTDEWKIPPRLITGPPNVTPGVSGGKVVEGDFPLDQVVIDKLPPGTVVHACNLLAQSEWTVAAKIDTTLAGEAKAYFLKCAEYDQGRAMLESEFLSM
DDIHKVSENFVPKSYGWGQLSVSEPKTYFYIRDLLDLKHQDPDPMSLCKKLVTLHKSSESPTGMFGFPIKPVRGNLPLETSWNQNWSKFFEQLFRGS
LALDEKINGPWKDLGHLVDLAMSHVVPQLLGPLEAEGRSIKPSLIHGDLWEGNIGTDPKTGEIYIFDASSYYAHHEMELGMWRPLPNLVIGREIYMK
EYLSQMGVSEPAEHFEDRHRLYSACTSIHAAACHNRDSNREETYGKLMYLLDKYAPNIEETAAEDA

>RCO7_07144 | uncharacterized protein

MPDVTECSDGYVPPLRTGPSPFEAVDINVIAELPAGSEVKGIVPHGSSFWTQTARLSTTLSDGTLKYWFLKVAEGDNGMGMMRGEFESMSLLYSLTP
DFVPKPHAWGTYKTLSQFHFFLCDFHDMTEELPEIDSFTSKLAILHKASIPLSPGKFGFPVPTHMGFTAQDNTWCDTWEEFYHQGMVRMLEREAAVH
GTSAELDALVEQLYEKVIPRLLRPLTILNSITPVLIHGDLWYGNCCTDNATGKPIVFDACVFWAHNEYEIGTWRALRYRFGKSYIKAYQRHFAISAP
EEDHDDRNALYSIRFDLHSSIAYSSSLRFRRDVMKTMEQLIAKYPKGFEGWEEEYRITHGGHPMDQLPEE

>RCO7_07143 | related to vegetatible incompatibility protein HET-E-1

MSFRHEDRLSVIPGPSSWTPESPQVGLSRRRSSRSFLQRYLTQRRSSSPTSFNAHGALGLNLLNSPTDPLLDLIFVHGLGGGSTKTWCSSEDVTQFW
PKEWLPREPGIHNMRIHSYGYDADWQSSRASSTINVHDFGHQLLERLRGCSSISRSPTPIVFVAHSMGGLVVKQAYVLARQDPAFADLAKRIEAMIF
LATPHRGSDLAQTLNNVLRASGMMTSRSYISNLSGQNELLALLNDSFRHYAPDISLYSFYESRPTNIFLQSEVIVTKDSAVLGYPHERSAMLDADHK
QICKFSSSSDPNYTTFCEALRSVTEHIITRVSAQNVHEASRAIQRIESFLAMPARPDDDLKDVEEARIEGSCEWFAEREKFHRWADPDSEAASAVYW
ISANPATGKSVLSGYVINTLADLGFDCSYYFFRHGDKDKSTVSGFLRSLLYQMALRSEEVRHQLQSQIEMSVRYNKDDSKVIWNKLILPILSRTTSP
AVRYWVLDALDECTGFESLFAIMARFEKHTRIRILITSRMLPEIRQKFAELHRNLNLAIYTEEISVENTKADIRLYLAGNRLKFHVGGEDQINTFSN
LILAKSEGCFLWVRIVLDELALAWSIGQVQRILDEVPREMDPLYSRALSIMSARPESNRDIIRAILTWVICCVRPLTVTELGEALRLDLDDTVPELD
MAIASLCAQLIHVDKNGRVMIVHLTAKTFLTNEDLDSEFRVDSKQGQLRLAKSCLQFLCSDEMRPPRARGAIRKQTKPPRSAFARYACLEFAEHLRL
TTSTSAAVSNSLYSFLEVNVLTWIEFVAAAGNLSILTRMANSINGYLQRHIETSSPLGEFVHVIRNWAIDLNRIVTGFGSNLLAYPAGIYWLIPPFC
PKSSAIAITAGQRFSRITIRGLKDEGWNDRMSCIDTHDFSSTVACGDTIFAVGYNTGSINLHQNSTCLIWKTLDHGSTVCHLLFNSHSTHLVSAGRR
DIKIWEVDNGFVLWNFHVSHDIMNLSMTEDDSVVMAADKGNNFISWNFQSGELTRTLNWAEMMPFADEGKFRRPPLAAAISPDSSLIAIVYRGRPIC
LFDLEDDTPHGLITRDGDPMLHGLGSDLSPMSLVFNTRKDNATLAVAYEDGDLCLFDYEELKLLNSVEVNAHSVACSPDGTTLLTGNSNGMVQVLEF
NTLQLIYRVNAADYGIRSLSFSVDNLRFLDVRGTQCNVWEPAVLLGMTKRDDSSTEPAEWEPIIKGIDNEEVEITSIELDHSEKYFFVGRSDGSLSL
FDTEFGKQQKVLYRHNYQISVNKTIWGSKKHVIVTSDTACRFIVCALRADSRLCWEVSSRLLDRRADSMVLGLLLNPSDDLLLVSTEKSNTVWNLGS
GHLVYTQTWQPAPSFSWISHPEISAQRVLITTCAAEIFDWGSNSRLRSVDLRQSTESGAVRPPGRIKHAFTFAQSRLLFVESSSLHEERCASDMMMF
NWVPNNIDSTLLKPVTGFGKLGKKIEHIIGGCGSRLLFMDASRWVCSVDTTQGNWNSYVQHFPIPSDWRSQQRTLLMSATRNGAILFVRANEVAVIS
KGLDFEERIAMKSD

>RCO7_07142 | related to synaptic vesicle transporter SVOP and related transporters (major facilitator superfamily)

MAIHLHLRNPISLGPVFISVNATRFYLAFNPLEIGYETKNLEIMTGVMDQREEVFAVDWEGPNDPENPKNWPNLKRWRITLLNSLFMFVSPVSSSMV
APAFSEMKLDLSIHSDYEAQMILSIFVLASAVGPLIISPLSELYGRRPVLHITCLIYLIFNLACPFARNRSQLMAFRFLSGIGGSAPSLGGGILADC
WRTHERGVSLSVYYIFPLMGPAVGPIIGGFIVRYASWHWMFYATSVLSAAIQVAGIFWLPETYGPTILRRRAKKLRNSTQNHRIRTPYDKESRWDGL
RHAMIRPFKLLFTQPIIWVLALFIAYSFGLMYLALSTYFAVWIDIYKDRPDIAGLNYVSLGLGFACATQVCASLNDTIYSRLKRSNNGLGKPEFRIP
LLVPGVLLVPIGFFWYGWSIQARLHWIMPNVGAFIFSLGITTEMQCTTSYIIDAYSIYAASAIAATTVLRAIAAFAFPLFAPYMYKSLDYGWANSIL
ALAAIVLGWPAVWLFWVFGEFLRQRSPYTAQLSD

>RCO7_07141 | related to threonine aldolase

MKKAPKYSFHDDYSEGAHPRIIEALAQSNMSQQSGYGDDDFCADARKAIRSLIGAYDATVCFVAGGSGANLLAIASHLRPHEAIIAAEPGHIVGKEG
GAVEATGHKILVEAGTEGRLTPEEIQSAVASSSEFAWQPKARMVFISNPTEVGTLYDKSQLEAIAATCKRLHLLLFMDGARLGAALTAPKNDLTLKD
IYRLTDIFWIGGTKNGALLGEAIVIKDPTFGADFPYHMKQRGMLLAKGRLLGIQFRTLFKDDLYFRLARHANAAAAKMSTALTDMGYKLWMPRDSNQ

VFIIFPPALVQSLARDFEFFVWKNLSETALVARLVTSWATDISEVERFCSAVEVWTHRNT
>RCO7_11730 | uncharacterized protein
MTSTQACGPAPSVSIYMILLPDLMYTRRMPKLMDMLLNAKIRYNSVLYLPAIEQRRRNTGSKKCDCPMRVSLVKDRDSKEEQWQLRVLEAIYNYAAS
ADSTAYPAYRIASIPAEVRASISSLAKAGLLNAQILLALYKEGSSTPLVSKDISNLI
>RCO7_11348 | probable PCL7 Cyclin like protein interacting with Pho85p
MSSIRSANGTCTSRPAALPPVESKPCVHDSADTFSYIQPPRPNPAADTGLAVKTCDETDGSLPPSPNSMDVFTIGPVTALKLLCGGIEALVRVTGDV
PPTPPPAFTTPPNMRGMQAEKENIARSNSYKNFADLHKRPRLSSSSSGVSEDIDGVSFKKAHIGSSKIVPTQPYIVIGDNAEPLNIQHGAITRKFYS
KHPPPISLEDYLMRIHRFCPMSTAVYLATSYYIHKLAVDERAIPVTRRNCHRLLLAGLRVAMKALEDLSYPHSRFAKVGGVSDSELARLEISFCFLT
NFEFKTSKEKLLEHAISLREISSLQGAMHFVPRMPLKNKRRPVVAPGVQETKHEVTADA
>RCO7_11349 | probable Probable Xaa-Pro aminopeptidase pepP
MADSDTILAGKYPAKAHAKAVVKWMKTKNPSVSGVLYLEGQKTRMIEDNDSEAPFRILGLNQRSRQRRYFYYLTGCQLPDSYFTYDIETDKSTLFIP
PVDSESVIWSGLPLSVDEALSAYDVDAVRTTNEVAAALAQPSSALWAIENQVSDQVSFLEFNERDLSLLKLAIEECRVFKDEYEIAMMRKANDISTI
AHTAVLKAVKTATNERELEALFIQKCIANGAREQAYHSIVASGTAGATLHYVNNAQLLKGKLNLLLDAGGEYDCYASDITRSFPINGKFTTESRAIY
DIVLKMQLVCIDMLKEGVIWDDVHLQAHEIAIDGLLELGILQGAKEDILKTRTSVAFFPHGLGHYLGMDTHDTGGHPNYEDKDTIFRYLRVRGALPA
GSIITVEPGIYFCRFIIEPYLRDPVHAAYINLDVLNRYWDVGGVRIEDNLLITKDGSENLTTAVKDAAEMEKLINGSD
>RCO7_11350 | related to KRE9 Cell wall synthesis protein
MLRLLTIHTLLLAHVSLVSADVKFIAPAAGASIVGGTAFTVAWAETGDAPALADLSSFTLFLFTGSNTAPTQLYQLSASTFAAAGKSVSVTVPVNTG
GVGTNAYFLGMLSVATAGGTVWNYSNRFTLTGMTGTFDPTVAAAVKAVSGSTGPPSVNKVAQDADPIGTSVGEGAWATPYSMQIGNTKYAPMQPVPP
TAITATNLEPLWPTSAVRFASTFLPLPSQVTTLTQANTYSISSRANTAVPASSPVDEMERYLNRWKD
>RCO7_11351 | probable cystathionine beta synthase
MASTKSKPAVPAITAMSATELIGNTPLVRLNKIPQSLGIEAEVYAKVELFNAGGSVKDRIALRMIEEAERSGRIKPGDTLIEPTSGNTGIGLALVGA
IKGYKTIITLPEKMSPEKVAVLRALGATIIRTPTQAAFDSPESHIGVAKRLQKEIPNSHILDQYANKDNPLAHECGTAEEIWNQTEGKIKAIVAGAG
TGGTITGLSRGLKKHNPDIKVIAADPFGSILAMPESLNQEHANEAYKVEGIGYDFIPEVLNREAVDVWYKTDDRESFAYARRLIAEEGLLVGGSSGS
AMAAMVKGVKELGLGKGDVVVVILPDSIRSYLSKFADDDWLAANDLLPPSPPTTSPPSPILQSSSTKKDPYHGATIKSLRLKPVTTVLSDTPCSEAV
ETMREKGFDQLPVLAPIGGKLVGLVTLGNLLSWISRGRATGKSPVSDVMFDFSTIPEVVTDAKDISNLSEAPKTNGLEEGASGKTQKTPKRKFVEIT
VDTPLSALSKFFEWNSAAVVTEKSGDKSNGLSKPVAVVTKVDLLSWMVKQHSV
>RCO7_11352 | related to SRP102 - signal recognition particle receptor, beta chain
MSLSMIQNWAHALLTPSPLGLVIAILLAVSIPILLHSLVFRTSGLINLPSILLIGPSGSGKTSLLTLFERGTNAITHTSQTPIAVECHLPVGAVAKS
NQYRSINDPSNQVHKKFLLVDTPGHGKLRHHALENITNPQNLKGLIFVADAATLSAGDEGLQQTADYLHDVLLILQKRVDTKSAKALKEIPVLIAAN
KMDLFTALPVALVKSSLEAEITKVRKSRSKGLLDSGIGMDDADDEKDDWLGEMGSSAFKFAQMEEFNVFVEVAGGNVLGDPPTVERWWKWISERL
>RCO7_11353 | probable palmitoyltransferase AKR1
MLDQKSTTATGTIQNNSVMLPSGSGKSAAVAPKLSDDDHVEMEDMLPTAPEHSPAEDIMQLARLGDIQGIERLYESGKFDARYCDVEGITPLHWAAI
NNQYAMCQFLLKAGADVNKKGGESVATPAMWAAQRCHYYTVHLLLEHGADPLVTDVQGYNILHLATFEGNVFLLVLLLHQNINVDIPDRQGHTCLMW
AAYKGYPACVDLFLRWGADVHATDETGFTSLHWALVKGSQGCIQKLIDYGSDRFAETSTGKTPAITAEEMKTQRMWHRALVESGFDEDAQPRTLSFP
MSSWLLKDKRGFMTKFFFLWPFLTIWVMVMIASHMVVFAGVPLALLAGYGLQWVALQVMEYAPNDMRHIHKTPWLAGIFAGTLFWVGLRWLTHILPG
TFSEYPFSNISFGISYSLCGYFYFCTMVYEPGFVPKLGGLTQQKAVIDELLTLWKFDESNFCVPCMVRQPLRSKHCRRCNRCVAKHDHHCPWVYNCI
GINNHRHFFLYLISLESGLVFLVRVALGYFETLSETGNSLCNILAEPLCRIVNSDPYTLVLTIWGALQLTWVTMLMFVQLVQISRAMTTWENMKGSN
HSHGTKVSESFTSVLTTGTLSHAGAQIGSTGLGPDPVLPPTHAPGHNHHHKSGCFAQWKKILGVDTFVETALDYKGGNRPRRNRNPFSNGCVGNCKD
FWCDPAPVFGKRENGSAMLGGRRVDYTAMYETPRLMSARRGAGVYESVPVDEGV
>RCO7_11354 | related to ATP synthase subunit 9, mitochondrial
MAARMFAPKVASLVGSTSSKVARPVIRNSVKANVVSQRAFSGVRSNNAFQTIKRQQVSKILSATTRNAMGRQTTRSFNSEIATAMVQVSQNLGMGSA
AIGLGGAGIGIGMVFAALLMAVARNPSMRGQLFSYAILGFAFVEAIGLFDLMVAMMCKYV
>RCO7_11355 | related to epoxide hydrolase
MTTAPEPYTIAIPQDKIDNLKTRLTQAEFPDELAASEWDLGVPLADMERLVRAWSEFDWRQAEAKLNQVPQFHTPINVDGFGELDIHFVWQRSEVKN
AIPLLFVHGWPGSFIEVLKILPLLATPGGPAFHVVAPSLPNFGFSEGPKKRGFAGAQYAETCHKLMLSLGYNEYVTQGGDWGFTVTRSIGYLYPNHC
KASHINMIHAHPPTFKKNPILALQHSMASYTKKEEDGFERTEWFRKEGRGYNLTQSTKPQTLAYALNDSPVAVLAWIYEKLHDWTDGHPWTDEEILT
WISIYQFSRMGPGAAHRIYYEVMHTQPGPGKTTDAELSSYINVPLGLAYNPKELMVLPKSWCRTLGPVVFESENESGGHFYATEQPTWLARDLRTMF
GKGGGAYGVVKANSGYDSNRSKL
>RCO7_11356 | related to sec7-domain protein
MPLMTGLLRRRGPSSNAELRRHSVYSAESSTDLPVPVVDGRVSEQITRRLSAADLLSPYAASKGQSLSGTAAESGTESMHRTVSPPIQEESQKHRRF
SMLKFRHASDSQLATRARLQARADADTPPLPQPPAIITTAPTMDINSSKAAKKKSRVKLPGRAKTATADSQNEAPISTTLAKHEKKERRKTMSETTP
SGTRSRVTFDEPERPVTHVGGSPPAYGEDSSSTLALPINRLSESSRSDGSSGDHGVYATTTTTTHTVHTTTTFFRLPRRKKPAPLFDLSHLPQKNNN
HESSQSLVAPSRTSASSSTIPGTESPAVKALRSPSTNDVANHGSFASPLPSPSHSNAALAKASTAFAAAPGVPLLRHGSSTSTKSSPTRTRLGLRGR
SSTLSSLRNMPTEDGLATPTLPSASTRTSTSTGRKSFGDLFGLSHRLRQNSEPPFHHGSGPATPGSSTSKKNSMQLVREPVVPIVLPERHEDDTPAK
YLVRLEEAVSRGVVASVLSKGTDPFSQAVLRSYMRGFGFFGDPMDMAIRKLLMEVELPKETQQIDRCLQGFANRYHECNPGIYASPDQAYFIAFSLL
ILHTDVFNKNNKHKMQRPDYLKNTRGEGIFDEILECFYDNISYTPFIHVEDDLDINGERIIQHKPKKKSIFPRGAVDPTKRPSKEPVDPYTLIIDSK
LDSLRPNLKEVMTLEEPYTYLGTASSLNLQDLQKTFFRTGVLQIVSARSRPDAFMNDKTLNNPEEAQAGIVDIKITKVGLLWRKDAKKKKTRSPWQE
WGAILTGAQLYFFRNTTWIKNLMHQLETHIKQGHDGSPVIFKPPLDSFKPDALMSTDDAVALLDSTYKKHKNAFVFVRHGGFEETFLADNEDEMNDW
LAKLNYAAAFRTSGVRMRGVVGGNYDGQRTRGIRRLDSHNDSIKSVQTPTGEVTIVSGKIDTKMAQDILAARREIMLQKIADAELKLVSAEKQLDAQ
LRNARHLQILAPIQPKTREQVILAAGRMAAQLKWGRMEIWRLKCHKDILTMDLEEEKNPTFASPRRERMDNPTSEHDNLSRLPSKASSSTPQRTPRS
PASLSTNRPSTANLPKSPISPEREVDDFFQTPPDLAKSSSFHKAQASWELPPISFDAHSARKASVSSVLTPSSPNLATTPSKASLKPVTTSDSQRAP
SLNIDAAEQTVLEQEGLVDTNLDKTPDGKRPAIGSEIEEGKDHVTEKDKLDRGKIRRSLQRTLREAHVPNHTRSRKGKDSSSSAGLSEESKDDVLSR
GTGSFVVHGKKASVIHFGSELQSMSQEERKRLRKQSHKDEPGQLSPTTIEDDFHSVLAEPYEFHERHDSQATTSTATARSFRDLHRKLASHSLGHAE
AVTSDAESDAAISIAEGRQASLPTVEDEDDLNSGRPTTQAYQATFYTPEGSNSPAMQAISEKHLPPIRHDEDDLGLSENERLPALQTVISA

>RCO7_11357 | related to SIGNAL RECOGNITION PARTICLE 72 KDA PROTEIN
MASNPTATLTSLLRASAIEDDEEVLKAANAVLKSSKNNPEALHTRVVALLKLDRFDDALRALDDGGDKLAERCVLEKAYALYKTGQLAEAQQLAHGA
KKRGLKHVAAQVAYRAEKFEDAARMYQELSTQSAAIEGEENDLRINGSAADAQLEWQGNGDKVESSRKKPSREDLEAFETSYNAACGCIARGDLGPG
SVLLKRARDLCEALDELSDEEKRAEILPIMVQQAYVFTKLGKLEEAEALQKMINIADVPEPPSRVIAQNNSLAASTKNDNPYLTQRTFDSVPKLSPT
ERLFEYQASTLERNRYVIDLQSQKFSGVAYSTASIIANSASPTISPYITSLAVLNAAGHAKTETGKASLKAILPVLEKRPNDVGLILVIIQLYIHTN
NPGPAITLLESMFKRLEESKRPSDQDVRFAPGLVALIVSLYRLSGRKAPIKTELGKAASYWRRKSKPSMPLLRAAGTALLDSSSAEELSAAGEIFSS
LRQQDPSDRIAIAGYVASYATTDLSKVQPDLEKLTTVSRLISGIDAAALEEAGIASLTPPITASKKRTAGTTEKDKSVPAKKKKLSKARTPKDFEEG
KKMDPERWLPFRDRSSYKPKGKKGKKKALDLTQGGVVKEEEILELTGGAGSVKVEKAVGGKVKKKKGKK
>RCO7_11358 | uncharacterized protein
MVLKKHCPNSPFNFGPRTVNSSKHHSHRKSHSNQPTGSSMSSEKPYPGLHVSSYGGPPAHGSGSGSGSGQPYKYSPQPEQTQTHDNGDGDGDGNGNG
NGNTPSQYPQYSYDIRLRYPQGENMHSYPSPPTALQDLPPPPLPPMAGPEQEDGDYAAQSMRMDQTGQIAPVAAKPRVTATLWEDEGTLCFQVDVNG
TSVARREDNHMVNGTKLLNVAGMTRGRRDGILKAEKQKHVVKIGPMHLKGVWIPFEKALEFANREKITEMLYPLFVHNISALLYHPANNVAYPSQPQ
AGIGSQYQLGRPVPAGQKYEYDNY
>RCO7_11359 | uncharacterized protein
MADAGENYEELIPEDTPADVEMGGDVPVVEIGAAEGEAGEGDGMPFQEEPMEDVTTRVTYIDYLKSPVIGLLVGQGDEQALLTAHQALLVKSPWFAD
ACAKFSDDVSERRIDLIDEDLDAVGCFLEFLYTGDYFPRKIAGSRDLERDPATPEVDETGDQLLKHARVYTLGETLNLPALKSLASSKIHCVNSTAK
GEIAYARYVYAHTQKDDTTIRAPVANFWATRSHTLRAEAEDEFRSMCLEFPQFGYDVLTRVLDEKLKREKQEKMHPTPGSSRKRPRA
>RCO7_11360 | uncharacterized protein
MAIISLRNIVLALRLGAGMFAAAGLTLYVIILAKVTDDRFPGNKTALTALPIGGAAASIIWNIIALATATFTCARPILFSTGDFAVAIVLTTLGAIG
LRHDTVNYLSNVMYKQYDNGTWLAQEIAGGSLLLISVLIQLLLALLNVSESRRLWVAPTEASAPPYTYGAGPYKADLMEGEKYVDVDWKSFVSEDSL
SDSSIEPEAIKV
>RCO7_11361 | related to endo-1,3-beta-glucanase
MPFQKHLDGLINKGKAKLKEFTGDQNQPPAQNQYPQQQYQQPGHYQQHQYQQPNQYQQPQPQQGYGVPPPIPYGSRPGGAQQQQGPNVYWQAAFNPQ
TPVNQIFEQETGDHGWGNNESQNYTSEPQNSFFTPDNKLVIRGIVQTSAPSNKYTSARLITHQKLDRQRGCLSAVVSAPCAPGIWPAFWLLPKKPFA
WPRDGEVDIFESWNGDCVNHSCLHWGHFNGEDSQKHRVVDTPIPSMAHQAQVMAFAWDQPEDGRGGRMVWYINGGVVMKADIPPGTRRLSEWNVILN
VAMGGNVCGGKLPGDGQYDFVVHELKLMDEPLGGWNQFGADWHRGREGKTM
>RCO7_11362 | related to histone-lysine N-methyltransferase set-9
MPSQPNSPKKQRLTLGQLTSYDDILTDALVDKVYYWTEIRKNKSAYHSSRGIKEDTITTILRKLVIVEKDASKAEAELLELPALKKFSQNLKTDKER
NDFRRHLRKYVNIYLPDCPFEVSSTNRYTINTHEAAVTARRYIKKGEVVKYLCGIQVIMTEEEEELIKSSRRDFSIVVSSRNKTASLFLGPARFANH
DCGANARLLTSGTAGMDIMAVTDIEIGDEITVTYGENYFGEDNCECLCQTCENQGQNGWARGMTDKEKTLIPQPSIEEESGGGRNLRKRRRRESTVS
SRDDSMTPDVNIRPFVAKTTPKSLSRFKNAGSPLEKTPSAEPSVSPLKRKRLEDLTPSPSRKAKKGRYKLLKKPEPSSLSISTSVNTNLSPPNSTAS
SRQASSSPSGTDNQTSTDATSVDEDTIIVEQPSPRIISPSASRMRKTRARNQPPLEQAKTGGAILVGESTSMQHPVLQDYSSNSSVLSDLKSENFEE
EEKALMKAIDPKKARGRNTKIKKEPDPESEGEDVEDDEPLPIRTPGDYVLTQKLLAEPQSAWITCKICEESFVQLNAYFTRSSCPRCERHSKLYGYQ
WPKTDKEGRHDTEERILDHRLIHRFINPQEEKAIRQRNRSTTDSQVVSRDVSEVVQPAPVNEKKSKVKAKPRKKRARSTT
>RCO7_11363 | 50S ribosomal protein L14
MIQLKTMMNCIDNSGAAVVECVKVMRMKRHAKIGDRVIVVVQKQRNFSESGPGASVSTSAANKVRRGDIRHAVVVRTAKKLQRPDGSVVKFDDNACV
LINKAGEPIGTRLNGVVGVELRKMKWSKILSLAPMHL
>RCO7_11364 | related to DNA-directed RNA polymerase II chain RPB9
MASPASSAGSEPKKNMEQITFRFCSECSNMLYPKEDPDTHRLQFACRTCQYSEEATSSCVFRNILNNAVGETAGVTQDVGSDPTVGLPFCLLCGSVV
TCEARMVEKALVDEER
>RCO7_11365 | probable parvulin (peptidylprolyl isomerase)
MADAGLPAGWEVRHSNSKNLPYYFNESQKQSRWEPPPGTDTEKLKSYMAEHHSAPQITSEATLNGNVGNSGKIRASHLLVKHKDSRRPSSWREAEIK
RTKEDAMSIILGHETRIRSGQSSLGQLAVSESDCSSARKMGDLGFFGRGDMQKEFEEAAFQLKPGEMSHVIETASGLHLIERLE
>RCO7_11366 | uncharacterized protein
MAITAYFVRGLQLVLGSSKRAITSRAEEMGNESDGIPLTDILTPRNPSSTTKTPSGSSTPRLIDDWSNDLIAPQRAQDPSLVRGTGGPPEENIAATS
PQNSATRQTPMLLQTPLPLTRPQRWAAFANSNLDRFTYLLLFLFIGLPMYYTTGYAMPAQLALTIIAYFFAFSLPPTWKRVLHPVLVSAAITILGVY
ILGLIRGDSLTTSLHAFKTKTTYLDLWHGESHLAAPGAGDILVSILDAGIVALALPMFAYRAELKRHFWAIVVPSVTISVASLFGYPAVCYVIGISR
ERSLAFAARSLTLALATPAVINLGGDVSTIAAVAIMSGILGALIGPQILDLLRIPEDDYVTRGVTLGGSSSAIGTAVLLQTDPRAAALSSLSMSLFG
IITLALTSVPAIVKAVDSLVGSR
>RCO7_11367 | uncharacterized protein
MAEEYMQLFVKALRDHDLPCDREALKSAFADPETQTAIQAWVDEYLSPETLLTKDEANLYAVLTKSGEAEKIAAQNLLIVQGLNDHEIQTAIEELKR
STAAIEKQSEAMQLQQTALNALVKNEKRASQARAHTEKGQLRKWDVEKRHITIAIEDLSQSLIYQTADLELQSKASEAGVKQTVDSILKSDDKLLLS
LQKLSSDLEPGLSDDDAIIERIRELCARLINPDICWEFELTKDRLIKYTVEGIRTKLDRVYLEGLGSAASNGHPDDEETNDLQEELESLYTEILPVA
QMSAEQQFLEPSLQAIAASDGQGQERTVKAVEYIHDCMIFLVNRIETFLERAEESQSHKMALKAVLEIAKKEVSQPEGLSPVFAPSSPTRPNMQTRQ
KSSTSQAIPKVGKTRRSSGRFDEDIEPEQQLARNLGITLPAEGIPDHERANFLESMLAERLARLEGHAASLQSTTESSISSHLLDARLTLGLLHDSL
LSDSSYHKVRLLDPKLEADVSLFEQDVSRLQDDLEKVDLHSLSARNVHREQLIERWSR
>RCO7_11368 | related to acetylornithine aminotransferase
MPPQTSSLWRSLRAYQIYGANTDVGKTIMSTILCKAFAKKFPAEKTWYLKPVSTGPVDEADDRHLTRFSPETKTSCLFQFDEAPPSDSEVQEQVLSH
LASCAQSEAGTILVETAGGVHSPTPSGSSQADLFRPLRLPVCLVADYRLGGISASISAFESLHIRGYDLNLILQFEESKYQNHNYLKTFFEKKGILE
LSLPLPPARGQTLEEDVEIMTEYYDKTSKLDQVDETIFRLAKKHTSRINNLEGMSTRAHTQIWYPFTQHRDVSPESITAIDSAVGDFFQTHSTASTS
SSQGNILAPTFDGSASWWTQGLGHGNPDLSLAASYAAGRYGHVMFAGMINEPALLLAENLLRNLNNPRMSRVFYSDNGSTGMEVATKMALTASYERY
KWDVPKENVGVIGLKGSYHGDTIGAMDCSEPSTFNEKVHWYRGRGYWFDFPQVKLVNGKWIVDMTEGMESELGKRDEFASLADIFDIQARHDSVAGK
KYRAYIEETLERLVKVEGMTFGALIMEPVILGAGGMLFADPLFQHCLVRVIRNSSHIFNQSGSPTPKDSLPDPKAWSGLPIIFDEVFTGLYRLGRFT
SSSFIQTHADISVHAKLLTGGLVPLCTTVASESIYEAFLGEQKSDALLHGHSYTAHPVGCHVANTSLDMLRDLDAGGAWEGYRRDWAEGNVVLAKGR

HEVPSNECGDVWSVWGKGFVKQISCSREVESVVALGSVLAISLQDKHAGYSSTAAIGLQKKLLTGSVEFKIHVRVLGNVLYMMASQMSKPETLRGIE
KFLAEELC
>RCO7_11369 | probable biotin synthase
MAGRRPQFLVTSCRVLLRESKPQSLVRTYGTVSAIVPYVTKPASTFDKALAATAPRNDWTKEEIKELYDTPLMSLAFAAGTVHRKFHNPASIQMCTL
MNIKTGGCTEDCSYCAQSSRYQTGLKASKMVTVDSVLDAARIAKDNGSTRFCMGAAWRDMRGRKSGLKNIKAMVNGVRDMGMEVCVTLGMIDLAQAK
ELKEAGLTAYNHNVDTSRDFYPSVISTRTYDERLQTIQNVRDAGLNVCTGGILGLGEKASDHVGLLYTVATLPSHPESFPVNTLVPIKGTPMEGNAP
SPFDATLRTIATARLLMPRTIIRLAAGRTTLSEEQQVLCFMAGANAVFTGEKMLTTACNGWDEDRVIFSKWGLRPMESFEVEALRELVSTSAPLESR
QESSVEAAA
>RCO7_11370 | related to 7-keto-8-aminopelargonate synthetase and related enzymes
MPQSINQSMKSLLSKRKDNSALRALTTTSSNAVDFSSNDFLSLSNCPIFKKAYLTELTTSPDFHLGSGGSRLLDGNSRYAENLEAEIAAFHGAPAAL
LFNSGFDANAGFFACVPQPGDVVLYDEFIHASVHEGMRLSRAGSCKSFSHNSLRDLRERIEELREDEKAMRGERNVFVAVESLYSMDGDLAHLEAIV
DLVDELLPKGNGLVVVDEAHSNGVYGEHGRGIVCSLGLEKRVFARLHTFGKGLACNGAAILCSPLTREYLINYARPLIYSTSMSFPSLAAIKVVYSL
KRQGMTQPLINHLNELIEHMYRQLLSLLPHAKDQLTGVQILQIPNELPRSPIIALLTPEPRSLAKYCQEKGFVVRAIVPPTVPEGTQRVRDAKMARD
EAWD
>RCO7_11371 | uncharacterized protein
MGRKDFGDSDRDFPVYSLFDCYATNYIVQFISILTCAAYVYLGVRGIANTRRHSKDNVIIMGHYMLIAVGLGFVAYHATIKYTGQMLDEASMLYATA
TIIYGAFTLTIGDAGRRALSITVTITIVAVSIIHNCLSIERAFRLFFTSMVFVGFLQCVWLLSTRISDLVALKGMKRLAFYGFSEGASLPKCAS
>RCO7_11372 | uncharacterized protein
MSDLGHDTVTTPNRMACAFCRRRKLKCNKELPKCQSCLKFGFDCEYVAPGVPGGLRKVEGERSSRVRQLESRLGRVEQLLRAKDQQQGEASSSPGQA
EAAKTKLDEASLDENTTTALDRIYFEFVHPAVNIIHPERYDQCRPPKYLQHAIFAISAAVSEEYSKYREQLYNSSRKLLQEAELQNKRIDSSSLAHA
QSWILISFYEMLQGLPHRAWISSSKAVRLVQMMKFHRIDIAKPPTNSSLAIIGTVKDMTEIETKRRVFWMAFILDRYSCISMRWPTLIDERDIRTYL
PISNEAFMNLQAEPRVFLSQAIAAQEPEHISSFACQVVISSLCGNKLSELERFDLNTPAAQTPGNAWLKPQRLNDPLTTIFCVPQYLTSRPSQLTPS
SVFLDVFAAATTICVHRAAQSQVREDPVSAEMIAQGRKKCLEVAFSIFRLMEMTCHWDNRVFFLGFPFCLYNAVTVFASFWLEQQVELYERPLRFLL
KCIDSFKNMPLATVLAADIEGEFPGLVDRLNTSHIQDGSSENFQLTRPIQLGAMEDFSAYRPSLESSFVDEFGDVSNFDQLYGATWDIDDSILSTMG
ALPPTDFDTWENNLGKGPGL
>RCO7_09638 | uncharacterized protein
MSYINGTETKPSRALYFKSEERINAQGEKRIDYTSYSPELAIKYYKRLADFERANKKALGAINLEEISRHINRIIDNTYSSYKNIDEYTSVIQARSV
YLKQLKYEIPKLILASLIFKGLPSSFDSFASRKYKEISNNISSIDIEGIIRDLISEEARMNTSTDLQANKAFKGKNSKGSKKCSYYNKINYIEANCH
IKHPELIPNKSTKKKSKGKGAKESKEESTKALMSSFSSTSSSSSYSSIADQAYATIYNYRIVLDSGASEHYTPNKSWLLDYKPVSKKSITIANSDIL
PIIGRGDIPIITREGDRVLIKDVNYVPSLKTTLLSSKELTNKDWKVTFNKKKVDVNHKLLEPVSFKVDSNKSSKLELYYKRLLNTNKEFIYKTIEGS
KGLKIQKGLDLSNCSACNSGKIHAISSTKHISDTPPLTVFDIDIAGSFKIKGLKGERYFLTITYRGSRAI
>RCO7_09639 | related to A.thaliana hyp1 protein
MADAPDKNQPNVSLSGLVATLAPTALVAGVYFTIFLLLRKSQRRFYAPRTYLGTLRDEERSAPLPSGLFNWIGPFWKIPDTYALQHQSLDAYLFLRF
LRMTVVIMFVGACITMPVLFPVNITGGGPGGQLDLLSMSHIDKNGHNAKYRYYAHCFCGWIFFGFVLFLVIRESIFYINLRQAFLLSPVYANRISSR
TVLFTSVPKPYLDEGRLRKVFGDSVKRIWITGDTTLVDELVEERDKVAHQLEAAEVKLIKLANGERIKATKNGASVEQPPIGEGDAESGSLAARWIP
LKKRPTHKLGKFGLIGKKVDSIDWCRARLEVLIPEVEAAQASYLAGETDKVGGVFIEFMHQSDAQAAFQALSHHQALHMSPRYIGVNPNEVVWKSQK
FTWSARIMRRIAVLGFVTALIVFWAIPVAFVGLVSNIQYLTSYSWLAWLNKIPKSILGVISGLLPSVALAILMSLVPVIMRLCAKQAGEPSTARVEL
FTQNAYFVFQVVQVFLVVTVASGASSVLKDLIKDPTSITGLLATRLPTVSNFYISYFVVQGLTVAAGVLSQVVGFVIFTLIYKFLASTPRKMYNKWS
TLSAISWGSTLPVFTNIAVIGITYSCIAPLVLGFATIGMSLFYLAYRYNILFVTDSQIDTKGLIYPRALQQLLTGVYLAEICLIGLFAIATTIGPLI
LMIVFLVFTVLVHFSMNAALDPLLYNLPKSLDADEESFRGSLEAATNDSAIKEKNGSGETTSTAVPQKKPNFITKFLKPHIYSDYATLRSLVPHGLL
DADSMYEEATARDAYYPPSVTSPTPLLWIPRDDVGISRQEVSHTSKVIHITDEGCILDAKNKLVWDTEGARPPLWTPKVYY
>RCO7_09640 | uncharacterized protein
MSDVSDDHESEEGIQLDSAPRGKGKQATSIKATRFAPAYKSIFTQKPETGNIISLAAHVNCNYLSTLGKVPTLLEMKQHAQSLVILIGRISMSEQSG
LIDNENSGIAGAFPFSDGSTFDFLNNLSKPYDGPKNPALMKAHILPLTSLINVLSQATLPDYDFDEPHGHAYRNMHSVASQDVCPLHYAVDSAGYPS
QSQPYATHQALISHANEVLEMIDHEYSAVGGLLGILPKAENKDQRAKAESTLLGQLILYMTRLVQRIHDLERLYANSLDCLASESVVPHEALSALGP
DGRKGREIVYPQDRFVLVNAGENVWQFLNSEFEYREEIDERVAANYKKHGVAGEAIWEQRGGKEMSRGITAIDITTRYYRLRGDPLKTVFVIPAHGE
HPGTKATRKMETEPTVVAVVKPVWPERVSEWEKKHRAEIEELKKLRYDVVNAQNGLDEAKNSATVTIGINAQLKKRIAVLDNALKSDVHAEKAKVMQ
EAETLQKMRATLEAERASQKGLAAQFAAQKAQISAMQTQLDAERLQFQQEQQERQKQADDMAAARMRKLDAMDMEQATAAQELAGLLKSEWREEVKK
VMELKRFVERYQVAINLDSVVPTGTTRERQRTLDELAASDQKMQEAIARDARLKEEARRAAAESAGPGDADMAGT
>RCO7_09641 | probable NADH-ubiquinone oxidoreductase 21kDa subunit
MSLLRPSIAGRLLRAGAPSVSRTTPSCVRFESQTALSTPSTSSIPVQKSGPGGLEATSNKHNRPEYTAEVDQASSQFSPIPKRVMNGSEAGDVLPAA
VLSGAPIELEARTVRIYRPTKTATQSGDWHGHQWRMDWDILSKGHRWENPLMGWQSSADFMQGTHLTFKSREDAIRFAEKQGYEYFVQEPNVRKTAP
KAYANNFMWSDKKLKHIRTK
>RCO7_09642 | uncharacterized protein
LVGVVLVVSKMEVVVLSVTDADQEDDCVNDRSSRWILSEVLRLVSTEEPLWLNFWSGTTRKLLIEADYTLHACGILSSTXPSRGCHLRWNESRKGSA
GDQAH
>RCO7_09643 | related to PAN1 - actin-cytoskeleton assembly protein
MATEATSDIIAKPSISPDHVLKIDETTSQNVLPEQSLVNGVADKHDSKQDTENAEPNVNSAEVSVSGGSDIEASKAEASKGQVDEKGHVRTTSTLKK
FASFKPVSVNKTFLAAKGSTSAVPSKLGDKGASGATATQTGPTSSIGALRPRLVAKTVSGLRDSTPRAAAAANGSRAGAAPDASAVWNKNRPAPPPE
PKRVTDEELKQRFGIHLATRLQQDDPGKQANWADIDDDDDDWAPETIEWTDGTKITLAHADDAPAPSPEPAPSSKVKEVVAPEIMKPKSPVSTALPS
ASPTVKPSGFGSGRAGLILKAAGEKPTLVAKPPGPPTPVKSPWASLPPVDKVAPVTTEPQQQPSQQSRFGQRDPHGFNGMPPPPPPAKEIAADDFSR
SWREGTNTSRELYNSQSGRYEPVNDARRGSLRNDSRSHQPAVLQRPTQDGHPEPSAAFQTHRAGQDGGYGRRRTSSNVSGGSGNFVRRMSRGHDMSA
PQEALNIRRGSLAAVSDEPSSPRNFSPSGQQHGQRGHQNQQQWQPQSRASPVVSHQSPLSVHEQTVPPVSATSKSQNSTLARPYEDPIEEQKKIMRQ
TRELAIKRRLEEEARDDAARKERIRIKLEAMGPPPEKKKRDAIKEEASTSTQIQIQSREATSVVPTQTEEPGRNHEGESKAAKVVELQKVHQEPSLA

TPTEAKPVQNRPQDDIKLANGVQSGRPMNQQPSQDGPSSTSWHNNAASTSDRMKSWSAVPGPQTSSMNVWGPPTNDRTLGNGTFNPELSRLPEVHQS
THPGPIGPPQSSRGGNQFQHGRSREPYGSRPAPIGPPNRQLPMSRLDIANRVAVANSGWGNLPEKLAQDDALGAQQREKELARRREMVDQGITPEAN
VPVISETWRKVAINEDGTRGKIQGNIKTIHDPSQQWNGHSEKPQEESATRSIFEDHEPSHRRHLDPISSQPPFVDAWRAQTNQAANPAAPARGSRFF
PTNRDVRLEEQNQFDRPGSPSPPPPTMAGHPAYDGDVARPHVSLPRPPPVVKLPPAPVLAPIGPPKPTSFAQAVQAPAVPLVSHNPAYPPRQDPAAR
ANSSYQDNRRQEPAVGGWQDRINSLIGRKNSPPKTHALAVDSSSKNAFELTNRQFGATVSLPALNSEESAADNGAAESKPAAEACFEEQEMGSLPVI
KVPNSAPAAAWELAPSQPKNLPRKFQVAQVLSVEPIRFPQQIANNNETITIKVPGQNGSKEVFMQLPLARQRSNPRRGGARGGTPRHASSSHSRGGR
GRDSSNGFPSPNHDSSPAFSGTNSPGRGGRGARGYGTSWGRHSSTPLHT

>RCO7_09644 | related to aminotransferase

MTTKKQINLLRGWPNPALLPTQAILRAAQSALSDPSISTPGLEYGPDPGYQPLREEIAKWVGDFYGGEPDPDRICITGGASQNLACVLQVYTDPLKT
NVWMVAPCYFLACRMFEDAGLTLRAIEEGNGGIDLVALEKQLEKTGREGGESKPLKRPTPWSKIYSNIIYCVPTFSNPSGKTMSLSTRESLVRLARK
YDALIITDDVYDFLQFPTSPTMSASSLSKALLPRLVDLDRTLQPMPSGDNFGNAMSNGSFSKIAGPGVRTGWAEATPKFTYGLSQCGSSRSGGAPSQ
LAATMMAVLLKNGELQSHIKDVLNPTYKRRYESMLEAIQTHLVPLNVKVGEVNFEGKAVFGGYFIWLELPKDTSARLIAERAKEKENLIVASGHVFE
VSGDSSIQFKNSLRLCFSWEEEADLKEAVFRLARVVKDNGDDSGLSSRNIGVGVDNQDMKQDLGEFQ

>RCO7_09645 | uncharacterized protein

MPMHPRRLPADIELGKRDDDHRLRSKGGLGSGLGNAWQHRHMPFAPRRKNLRKIALGIVAVIGLYYFFKNMPTDLENPRKRPSYEPPFTPDPPLPNL
PEDHDIAPSPGQEVVAETVQHNYNGPIKFYELSSTLHDASRTGGIQSINNNVLFAAASLKSAAILLPIACDMAIRERNFVHFALMGRDEIPMGILQS
VNGISEECKIMFHDARPDFPTTSSDFRMEVSSGAAFGHINTFIHPQATLIDGSEAEEPWFSKGLRNRAMTLGRTVIELPDKVESNLMWLNLLDSASL
SAWHKVTVDIIIRAQPSASGSLIRLLESLKKADFSSSAVPRLTIELPHDIDEPSRRYLEKFRWPAIVDRSTGSLLTLHHRIPQHGVTAEENSIRFLE
SFWPRDPLNSHVLVLSPMVELSPLFFHYLKYHTLEYMYSANRTDLRQSLLGISLDLPSTYLNDSSSFTPPVAGLTGGGNKPSKGVRPFLWQAPNSNA
ALYFGDKWVEMHDFVGQLLASRHKLPTPTTLNEKLVSKTYPSWLEHVLKLVRARGYWTIYPTLENEHSLAALHHDLFKPPEEYSEEMNAEKAETGVL
TADPKEHLSLKNKEKPIINLSLLGILPAKGDLPKLSEMPILTWDGGVADLKTSEQLALNYSRIFRREIGGCGKDAQEKERLGMFAGDLFCLDDLKT

>RCO7_09646 | related to translation initiation factor eIF-2B alpha subunit (guanine nucleotide exchange factor eIF-2B alpha subunit)

MASLGNIPQRDNSKQFDIVETYNRFLYEDSEITMPVAAIEALIELLVQSNADTVYEFLDLVKTQSDYLKSRIPNSISLSAGTDLFQRYMISSMKPTS
TGDFETVRQHLLSNGRLFVSRAKAARERIAAYGRHFVRDGSVVLTHGGSRVVGTLLGKAAEASKTGGNVRFRVIYVMNEAQSAESKAVVSLLRAKGV
PVATISEGAVGYAMGKVDLVIVGAEGVVENGGIISRLGTYQIALLAKAAGKPFYVAAESHKFVRLYPLGQYDLGIDQQVIEFQTEDSKELTNDERTF
ADRTPTDEYFGNMDSPKPNSAVDAVDFTPPALVSALITESGVLTPSAVSEELISVWY

>RCO7_09647 | probable external NADH-ubiquinone oxidoreductase 2, mitochondrial precursor

MLKQQAPVCVARIGLGLQRAALRNPHLSQRINPRSYHTSHKNLRTTPRARQAQWQQLLRTQGIRFVSGKPLPQQRSWLVNFAYRSAALLGGSLIVLG
GAVGAFFLYDASTYREDLSHRDIQVSEFALSPRRGGPKDLPIAEVQIDDDDCAEMQRQKNKPKLVVLGGGWGSVALLKTLDPEEYHVTLVSPTNYFL
FTPMLPSATVGTLEFRSLVEPIRRIITRVRGHFLRASAENIEFSEKLVELSQKDNNGNEVRFYLPYDKLVIGVGSTTNPHGVAGLEHCHFLKDIDDA
QKIRNHILTNLEYACLPTTSDEERRRLLSFVVSGGGPTGVEFAAELFDLLNEDLTAHFPKILRNEISVHLIQSRGHILNTYDEALSKYAEDRFARDQ
VEILTNSRVKEVRHDSILFTQKGENGETVTKELPMGFCLWSTGVSQTQFCQRVSEALGTVQSNQHALETDTHLRLNGTPLGDVYAIGDCSTVQNNVA
DHLVTFLRTLAWEQGKDPETMQVTFSEWREVAQKVRKRFPQAADHLKRLDKLFAAYDKDQSGRLDFGEMRELLMQIDSKLTSLPATAQRAHQQGQYL
GHKFNKLARAAPGLRANEVNYGDLDEAVYKAFEYHHMGSLAYVGNAAVFDLGGGWNITGGLWAVYAWRSVYFAQSVSFRTRILLAMDWAKRALFGRD
LMNW

>RCO7_09648 | related to LisH motif-containing protein

MMTIINWESLLKITDINALIFDYLITEGYPSAAAKFSKEANLRLPHAEESLRARRQIQHSIQSGNIKEAVEALNELEPQVLDSNPSLHFALLRLQLV
ELIRVCNATPGGKGDLTPALTFASTHLAPRAPTNNEFMEDLERTMALLVFPADSLEPPLAALLRPELRRTVADRVNKAILTAQNARRDASIRGLVRL
RAWAEDTARLSKKDLPSHIGLGLDGDERGSSTGNAHEPMVS

>RCO7_09649 | probable uridine kinase

MTDMVGKRALYSPPWADVSIIGIAGSSGSGKSTLSHAIVSKLSLPWVVILSMDSFYKSLDAESSRKAFRNEYDFDSPDAIDFDVLVDRLRDLKAGKR
AEIPIYSFAKHAREKETTSIYSPHVLVLEGIFALYDPRVLELLDMKIFCEADADTCLSRRILRDVSERGRDINGCIKQWFLYVKPNFEQYVEPQRKV
ADIIVPRGVENRVAITMVIQYIERKLVEKSKAHRAELKKLGQSSQDDHLSKNVLLLEQTSQLRGMNTIIQDIDTSTEDFIFYFDRLSSLLVEHAMNK
IYFKEKVVETPQGNKYRGLQALGETSAIIILRAGAAFETGLKRVLPDCRTGRILIQSNVRTGEPELHYLKLPEHIKSHDSVLIMDPQMSSGGAALMA
VQVLVDHGVPEEKIVFVTYFAGHMGLVRLTKVFPDLKVVVCTIVADFEERWVERKYFGC

>RCO7_09650 | related to carbonic anhydrase precursor

MLSLLVVIAAIPSILACPQHDLAARGKSLNKRAGGEQDWAYEASYNWGMINKNYTLCQTGTQQSPIPLQITQGLSTSHVPSFDAASYSAVPGALSNW
GYGPAFTTSTNSDFASGPAMRFDNTTLYLKGLHIHSPADHSVQGDRSKAELHLVHADATGKERGVIAIRIDPGNADSLFFSQMLGQKANGTVEPASN
PIPSFTSQETIPMNLDILEAIREVNMFNDFWTYEGSLTSPPCTEGIRWWVARNTMYVSIQQMQAILAISTFSARVEQEVWMHGINR

>RCO7_09651 | uncharacterized protein

MRTSILLGLGAGFGMMAAATVNVLKNTLYATTTITVIHCEATHTDCVGGSVTILTTATSTECVTTTAAPVETPLATTNYPVSPPPIVKSSASPTVAP
TPEVSSSAVEVPSPTYQVSSSTAEVPSSTAEVPSSTAEAPVSSSSTAEAVASSAPIASYPPSSTEALPTLTTYVASEYPAYVPSATPVYSNTSQSLL
TATGSPTTTTAIVVTTPASSSPTVPATQTTGGATNVVTPGFTLGVLALGAYLFA

>RCO7_09652 | uncharacterized protein

MPQTEKPKTPAAFQHITRNPLPFPSNILQEFPYKHNHSQPQTISFAPWYATPSPPWESSQPGAWAQCTQPAGNTPRPSTPVNTSVQQTNSSQNQNQS
QKQNSSFLNWQAAKDEALADQIEVQKAAQKAATRKRENQRFYEEFEEKLVFSENLRKRFGPTTSASKVSEKERDYPRKESEELRKANEKSRQQEEKL
LRYKEEAEEREREVRLQKMLDAVRGPILGKVEKLDQSLRACERRAEIAAARNEGKFEGIKEEQEKNRVGRARERRYEIRSQSSDSERSRSRSKYRST
MGRQLQNAPDYTNGYAIGYSTGFGNAMSNPINYQLGAPIARSNSPRSHGCANQPLVQSSPNSNTYWNNQAVPCTNAGTYSSSNLLRESHFQNTAREI
SGKLDQLEQGQHTLLGGFRHLDAKLDSMNERSFNRL

>RCO7_09653 | related to cylicin I

MTESTPTKPTYSNDPILYLYTSLTSGSSHIVTATSRMETILKANRIPFKAIDIATDEKARMLWGRRAGKDESGRQRKIPGLVQMGLVVGDLVEIEDW
NEYGELKQHVTIVPVPGAPVAKILPKTIATSAKASGLQENKKPEPSAPEAPISSETIKAAATEASPALVFRQIGEEAAQKAKDGKRKAAKTFTGVGQ
ADALQESREPKELNDTKVVEKKESKENIPAPIAVPEKESEAPSIESVGSLQSPTSTAWRGTSDKKHTPRNSIDKVESVQSPNSTAWRPTDVDPPVLT

HRGSSISQASAEEIKKVEKAERISEEEEDEDEDEEEDSSDEER
>RCO7_09654 | uncharacterized protein
MSSASSSEPLSAPTSLSTNDLTYGVELEFVFAFREDLIVFTNDADYTVLKDIPYSTRQLRFSRINSTFSPNRSHNSWVVQSSRSDHTGNKLLQPWGK
EPLQIVANVLRQNIPAFVGLNASWDLDILDTLDNSTKKTLNWKNRYQWRITKDHSVCGVGSQNLDTWLPGKSIQADEWDSLGVELISPIMNSNTPGD
MVRIEEIVNALAKDSPRTAAFITNQCGLHVHIQGPNSLQFQTELNMSEDDAERYKAKVWAEFALILLVYEDETARLHPPCRRPGHPNA
>RCO7_09655 | uncharacterized protein
MKEDVANVFPSRLVGPTVGTSINDCIGVDCSTRAISQKASIPVIRQGLSNYSDSDIVALLNWPRTLRAGEYQKVYRDLGDKDRQVNMTYLMRTPNLP
QTIEFRQAKGSLKGPDIKHWVEFCIGLVRLAHVYAADPALFPVKNWRDVRLPNGSFETNRINVFDLMRDVGLSAEAIAYWEQKISTYRAFRTNDEHD
RLDDEVPPKDYVSSGDGSGGSLGK
>RCO7_09656 | related to molecular chaperone (DnaJ superfamily)
MTITPVKADDDIDELEALAYEEKEYLKDAEIDRILKAFRLDAYAVLDLQPGVPESDIKKCYRVKSLLIHPDKTKNPQAPDAFDRLKKAQTELMDEKH
RERLDEAIADARMLLIRENKWTVDSPELKTDSFAKDWREKTKMVLIDNEHRRRRQVKAQMQEEGREQKKADEELDARKRKREHEQDWESTRDQRIGS
WRDFQKGGDKKKKKKVKPLG
>RCO7_09657 | uncharacterized protein
MRLIYVAATAALVSPACATFGHLLTKPEEKNQLEYYKDHDSSYGKHHGGMYHDGKHHDEGDKEDCGCDDEDDKHDHHKFPKVGWKKPHHHLPDILWP
KPGEYHKPDSYIDHPKYPKPSGVPPAPPVLSPPQPSGLPGSKEPPCPPGSKEPPGSPDSPSSPSSPSSPSSPSSPSSPSSPGSPESPSSPGSPSPPD
SPSSPGSPSSPSSPAHPAHQAHPAHPVHQTHQDRKNLHVHQAQKNRQNRQHLQ
>RCO7_09658 | probable ATP dependent RNA helicase
MDDLESLELLSLVSRVTSELQNHLGISDKTLAEFIIAQHSQCKSLEEFRTKLDAMGADFPLSLIESVDRLVRTMHPKFKGMKTMEGGREEKTKVFKG
LAMPDMDINWQDDVMNDAAKPGTDAIDDTLALLEGLEGKTRTEKPTRSSRKRSRSPDEDCDRGRTQKDKYRARSQSVDEKKARNNGRREEDEFGRSR
NGHKSSRRRREEDDSFRRPPTPEIDDEPINFKIYNGHVTGVKDFGAFVNIHGIKGKVDGLVHVSALVEGQRVNHPSDLVTRGQPVKVKIIKIEGSRI
GLSMKDVDQETGRDLAPQARIQSGANSEQLGGSKDGYGLIDDKVLVFEGDMSNPRGTRKRMTSPERWEIRQLIASGVAKASDYPDLDEDYNATLNGE
GEMELEEDVDIELREEEPPFLAGQTKQSLELSPIRVVKAPDGSMNRAAMAGATLAKDRKELRSQEAQDKAAEEGSKLDLSAQWHDPMAHPDEKKFAS
DLRSIKANPANESVPEWKKATQSKDQSFGRRTDMTIKQQRESLPVYRFRSELIKAVHANQLLIVVGDTGSGKTTQLTQYLAEAGFANDGIIGCTQPR
RVAAMSVAKRVAEEVGCELGQEVGYTIRFEDCTTPATKIKYMTDGMLQREILMDPDLKRYSVIMLDEAHERTISTDVLFALLKKTIKRRLDLKVIVT
SATLDADKFSAYFNECPIFSIPGRTFPVEVMYSREPESDYLDAALVTVMQIHLTEPPGDILLFLTGQEEIDTSCEILFERMKALGPSVPELIILPVY
SALPSEMQSKIFDPAPPGCRKVVIATNIAETSITIDHIYYVIDPGFVKQNAYDPKLGMDSLVITPISQAQAKQRAGRAGRTGPGKCFRLYTESAFQS
EMLPTSIPEIQRQNLSHTILMLKAMGINDLLHFDFMDPPPTNTMLTALEELYALSALDDEGLLTRLGRKMADFPMEPSLAKVLIAAVDLGCSDEILS
IVAMLSMPSVFYRPKEKQTQADQKKAKFHDPHGDHLTLLNVYNGWKQNKFANPWCFENFIQARSMRRAKDVRDQLVSIMERYKHSVVSCGRNTQKVR
QALCSGFFRNSARKDPQEGYKTLIEGTPVYLHPSSALFGKQAEWVIYHTLIMTSKEYMHCTTSIEPKWLVEAAPSFFKVAPTDKLSKRKKAERIQPL
YNKFAAEDDWRLSSQKRQGRGGGGGTWG
>RCO7_09659 | related to CipC-like antibiotic response protein
MGWFGGNSNEAQAFDEYRNTPDEHKSKISHELIGGAAAYEAAKAYEEHCAQNGKPASHAEAKEILAGFAGAFIDREFETKGLNFIDRERAKHDAHKR
LNEQVAGDY
>RCO7_09660 | probable uracil permease
MSDDEKKGISPAASAFDTPVSEGQVVTRRFPGFSLAVRQEESSFASTKGASNADFDPIPPSKRTWNWGAYIAYWMADAWAVSNWQVASSMIAVGLDW
KMAIGACVLGNAIMGLIITVNGRIGAILHTPFPVLSRMPFGYYFSYFVVLSRCVLAIVWLGVQTTTGGQCMSVLLTAIWPSFADIPNSISEDEGITT
SGMIGFLLYFLLQLPFLCIPYTKVQFFFAFKSIIAPICFLAIFGDTLRRAGGTINKSVVITEGTTIHGSALTWAFFANLNGVLGNYSTLGLNIADFS
RYANKPSAQNVQAIVIPCIFTIVGLLGIFTAAAAETAYGKIIWNPTEIINLWMESGSHGGRAAAAFAAIGLIIVTLGINISANSISAANDLMAFCPK
YINIRRGQLIAAIIGSWAFVPWKILASAAKFLAFLSGYTIFLGPMTSILMTEFVTHLHPYFIVRRGNVSVPDMYNFNGIYRYSPKYATNWRAVAAFF
IGCIPPLPGFVDNIVVAGLGKTGVSIGGQRLFAIGYIYSFLSAGIFYCLLNRFFPHTESMIDHPETGEDIIAANDAINVEKKRAERAGKKKNVFIRA
FEV
>RCO7_09661 | uncharacterized protein
MSRAYVLPSLDLEYSYEARMKLARRWTFGVRVDL
>RCO7_09662 | related to aspartic proteinase precursor
MEILGFTQGSVLVPAGEGSLSFFVATVIGNQTFSLLYDTGSANLWVYSNESSIYQSEDHPTYVPTSSATLLQNYTWAIRYVQGASSLYGIVFTDVVK
VGPVIAQNQAVQAATFIKDEFTYDGIMGLASSTINTVKPVKQKTFFETLGPTLQRNVFASNLRAEGNGSWDFGYIDQSKFSGDITWAPVINGSAWKY
WAVSVGTYAVGEKSFGQQTVGDVIVDSGTSLVYLPDEVVDEYYSEIVGHVFTVGGTHTFPCNSTIPDFHFKVEGGNVLTIPGKYVNYAVYDEAKNTC
VGGISSLLNKRYSILGTLFMKNYYIIHSKEEEAPKMGFASH
>RCO7_09663 | uncharacterized protein
MFRSDTSTSLMKLGLTALILSTTHAFIASPPFSPTAEHHRLSSKYPTTSYSETPVITIDSG
>RCO7_09664 | related to aspartic proteinase OPSB
MFEFKRVSLVFLTASTLPVFALTTATSKLPTSTIVVPLTRNVGLSAYYAEFQVGTPPQKVLLKVDTGSPRYAFLDPRNPSCVSGSTACTTFGTFDNL
TSSTCRYVDSGFQDALVDYGSGYYLRDTFKLGGVSVEDMFFGYTSFFAFSSHVYPPISTIAGLSLECQFGGPGCDGKGAYLLPELKNASAIDYMSVS
FYLGSDDANITSAQMILGGAYDKAKVDGELFTVNMVDPRDAELANSQTNSVNVTAMEFVSDGGNRTSETYGEKNVGVPVLLDTGVASWYMTKLIFNA
VFAALGGSGEPNRASPYQPVDCKYRDSSYSKSYLSVQFGTAGAIKVPLNSLVTKFADGTCGSFIYARGDTINTFGVAFLRSAYIVYDQENLCVSLGQ
VKHSNKTEVVAFPKGGFKPSP
>RCO7_09665 | uncharacterized protein
MSDRLSSPTGIATHPEPYVRLPTAIHTTTLIILHGTSQTGPQLAGLFLPSKFSLPHTVPANVLTAQVADNKFTLPECFPGCKFVFPTGASRKTTVFG
GQETHAWFDITDFGDRTKGETQMIDGMRESSLYIAELVRNETELLDGKGDGKVVLAGFSQGSAVGLMLLLTGELHRSGFQPGFGGFIGLSGWLPFRR
QIEDVIPVNTSRHICGRIVAGDIDTKRVAATAYIRRLLELDVANDEWRPSAHYLDAPIFLGHGKMDIKVQFQWGVEMKEALKKLDVDVSFNSYTRLH
HWIDEQEMEDVAGFLGTWAVCSITFATATSNFCLEDVTRKQGESIACCTGDWVRRNAIEIQKQVAKFDAQFKEDQNAGLFALKFRDQAGDLAEKGKL
KIEQLQKLETASRVVLREAGAAVDKLSGIHGPEKVLDVVKSKAEGLEPVDRKTQDHDFSLELILALEENKPEMSKVTEDDDDTTTYEANRSHGQSQA
HSITAMLVSPAKRRSVADSGKIDIKGLQMVTKNKTGFKSLGSVGKTPFFDNGDNEDFKASLSSRGSTGSRGYTAYLSPDAKQELVKYI

>RCO7_09666 | uncharacterized protein
MSLLGRLLSGAGPATSNPRTPLDSYLEDQFTYNLLFPDPEALCHIDQVFQLSSATTLVPAALRDADLNGDIDLERENVRVIIMQEATHSSGSACLLF
DSHAPPLPSPSLDRQDAGNGPAYPSRSESRRSISSPRKLSVGQNTRPLVIQEPSTPRAFGAFGGRTPHIKTTSYTETAGQRSLREYKEEVSKFADYM
FGNSDVMAYKGFGTKVHPLPSESRQPFASASYLADGSLGKSSMRSSKLAHSFTSDTVHGPTSAGFTSISRTANRKKVLITRMFPVILPNDEVEDGLQ
DATPTQRSSDGTAGYPFPKISAAATGVRYPEVRKPQPKQKRTPMYAVGVVVNWPQLTNLQAPSVPTSTSSFRGSGSYTEQESLSSSFNSGRRSAWDI
VERSFGVESMESSFSSEPGDRIESITQHWDIVMRTMSHLQAVATTSLLLMLKQADISSPDPRRESNHCRAPSASISISGKRVQEDIKPFKIPKTNAK
VVQLTANCLSQAQRIHKESDAARQRIVTGLRAHQVVTGQGRWAIWREQARLVGRWAGGKDEGFFFFNLLTGFLGNHTEWLQALGPSWYRRRHHQLQR
ANRDDEISLPSRTIILSDNKLMARRLIFLLSAFLPANQQLNPSRMHRQSTSIPFGGYSQSPPNNSTLREESLRRQINKKGSVGRGSHARTSSFPNPA
LFGQEPETHHERRTSDATSLKTANLPIPGSDLKTRKSSAATTFTATPMTTMPHLTARRSTRGTGPIPRPGSSGSLATEDLLRSLKKGDSTGHYSTAS
TDSQAQNFRWGSMFGSWSYKRQDSTAFTSVEPTPPDGLDIHDSQCKGESPLKKNKLVEMVDEVTRNSLQKTKTQQEREPRKSESGSASTAKPDDEQA
DDTPEQIIHVVERVADPSGAFESPVKSSINHDDGVIDIDIPLPDFLSFESAVSSPSSSGYLSTPGHGNGMDYFENHSRSGPDVETTMNVGGWLPRYH
PDFVLQAIPVQTDILEEVKASMRAEPTPFIGSNTPLPEGGRPDRWVDVSSAVIADTTNFTIKHIRYRRLIRPRETPLVTPSVPHSFDSRYGNVYASA
QHTPSTDIYDNHIEEEFVEEPIISMDETLIEAVERVIAQSGHESKASSVCSSRSASRPRSNRDRSISDTRIPEIPEPRLEVPRNECKKMVLSALEEI
VREVAESRKERGDAEVDMERESFLREGVRSWLSNIETVESS
>RCO7_09667 | probable IML1 Vacuolar membrane protein
MVPPPGLGSSTPWRNTQRASHLREVSNGSSEEVSVSRPITPGSDTGTVQHDSGPAEISIERKCVLWVHDEAFSKEDVVINLELFPEVKHGEIMAIMP
LKADSEQRDFQDKLSAKREPDTLATSMRRERSSSNPKSPRTFNGNSNGRGNDGKKNTDKWNQYLFVAKDMSKELKAKHPILEVSIAKHIADAFGLKS
RSSVLLSTTKNSENSASHVEMSFKDEYLARSDMWRLTVAELSNKTVYKGQKLLFMGTIKAQVTAVYVDGRKVQSALFSTSSRPIFRSESARYVLFIQ
MSKEMWDFDSEGSGEIMFNKVVNGFLPALFKKWVSLQAKHLVSIVLFTRTEYDTGIASELVSSAHDSSYHTGVQVDGNKRPYKDFYRVVVSEMASGS
WTTILYQLKREFKSFRRDISMHRIHTMNTNEASESKQGSVLGTRIEAEPSLAMHGNVLEAINLASQQFSHDYIDRDLMRTGISIVIITPCPGLFEVD
YETLRLTTENLIGNGIGIDLVCLPKMPLHSVPLFRYRNPQFATFHEASQFSSQGSEVSTPRQNAAVFGSSFSSLNESMSPTKIMQRDQSVRAGSFAA
IEPPSEWSYAIPHWLDVSFWTGASQDLHLASTSSKSTKKLFKATPVQRTSDFEVRCKMYEMEMASVAENAMTEIAVTPLQHDALFPQLILGPREVPG
KKSATSRDTQSETIRREKVYGSLSEFVSGPSKSLTDRYSSPDDERFYRALETFDIAKSEVSKDFPEARQGINGKGYFKTGSEEASRKLLAEDPKIFE
TSFSNDIEISKGTNFLHKPSPGDGSQEIKVVDGLPKTRKYSVTGSVISPARPVKTNRQISFGKFGFGIAAPKAATAEIQTEHANAGKPVSGNSKHQK
PIMSTGAESTGHLSFSRTAHGYERPPSSQSDQSRSKADTASSEHKARDAGDSDSIESSRPMTIKSALQSLDSTNQFKSRSVLGSVFEVTDRRGEDAR
SMHSVRHDDNQKLYNSKLLAGSVPELPATLSPTRALSPWLTVLNPSNPSVNGSFDTISYRRWQHVYPRPTLTKTMKWKSLCSPASVPLTTEYFPTRQ
QLDFEYQRKPYTVSQNPEEELNEVPKDREELLRELIGLRLSHGFQIVVGPNVAQAFGQKSMKIANVFDSNRIAEDGASVFMSMGNTIHQLSCVNETG
VDINTFIRKPAATTANLGSPTPTAYNPAIRTTLAGDYVSRSVILGKPKDEYNWNYVDAFIAGIAEEMSENLRFWRARFVLIPVERPTQSQRRPGEDN
EEEIRLEGIKKLTQMWQRHRVLTASERRFQSSGSSKVKDPNPLDIVYKTEDPSIVVSAELETLPLVETGEAGPRRGLLLEHEHFRRSKLNIAELAEA
IQAPTERGGVRMQNRRWHFRLHYNCFIGSDMTTWLIENFEDIETRDEAVDLGNFLMARDESQKHKDILTKDKDQDKDIGIFVHVEKRHPFRDGQYFY
QVTGEFAKQRPESRSGWFATKRRDHSIPSTPMSESTFKDSPRPERSRSSSNHDEISYDSGTTTSTTTNGGKGPKVALSKVMKYDVDHRKRSYRPERI
HLHYDRLHNPDNCYHIRIDWMGVTAKLIEDAIGSWASTAERYGLRLVEAPIGEACAISDLHPFRSPYIIDLATQPPDQQPRTYFDVNSFAPQVHSSP
ASRNYYQKAIMKKFNFVLDIEAAKNFPTNVDVTYSWGKPGYKYSQYIHRSGVLLAQITDEGGFLLLANRLYNNRTMASRESDRYVKGHLDNNTRMAS
SLYGHGMMSDKPTPVNSPMLRPFLTNIGSPVLRATSDVLGPSLGSSKVATAVTPVSIKNELETFCRNGSLLEAFYKEVLERVTPPSATPPTLRSPYI
GSVLDSSIPTLGLPPGVLARDSSPSPMRLAGVSMPSFGRRQSTQIGSSSSTGVDQPKHDCPRGIFVDNDKTS
>RCO7_09668 | probable URB1 Nucleolar protein required for the normal accumulation of 25S and 5.8S rRNAs
MAKRPAEDNIDGNEAYLKRQKVTAKARPAPPAGPPIEIRSAKQLRQVLTFDQDLGCAKQSILSFKAFLDGFAETEHDNGGRTAILREYLELQGPSDD
NGKENVFLGELMQSWSFACQSNDDSLQSAVPAVLALLLKTLSTILDLSEYGLRLGRTVLQTRQKELIAKGLEARKGKDFVISPVLRLLREIAIFDGG
VLSKQVFQAREMTLKNLSRNLSFRYIGDGVEDPKKPSVRTNSLRFLLSLMKFIPTECKRDFFNQRELLSAITRDIRDDPPFIIRDILETLKISVLLD
EALPQEVKTKILNATFLGRIATLYWYDQAEDVSNPPKKDIDEVTHEFLLLACTSPNLGVLIPSSGLYPRGVNPDDIDAIAIEASYIDLGLDNVEWME
KFTEKVPVRNTILSEFTQSLRPWSHTKQSDLLTAILRAAPELIADCYFAKKDFSFDPKLTATWIGYAAFIFSTLQLPFPKYFGHQKRYARLPPPPSI
ILESILPQPLTQKALTRCLNLPHNNLITFFAIRILCVAFGKLQDALKMYHEAAAGPTSSMWLRSAERLADEFCLRCPAIKDVILAFRRFKTNDLMQK
EATTKLLVLYYEVVPRIALDAKFGVSTALADSLNAMEETTLGPEGRVLRSIELEHLFQFAKFSPGMRWFARCDGQSVSPFMAMLKLSAEASSDLPLL
NLRSVLSSVVEENQILQTQTTVSALDTFILALKSVPEGGHPSAVYDFLDDCISRCAGKPIRYIFALEDVCAESKGKDARISLLSLAIVEQWPFLVKS
IKEAELESVAQFVALHLAASIKIEEDEGVLKLLIQKLADKTPKHSTARRNIEGSLDMVEAVIVPGAKTQVVEVKDDSENKGAEEAEKVELLAEMSEI
PTNPAEDHKSLTKWTTKDVDEVIDGGHAAALVMLLSSDQVGVRKEAATNISKFAAKLKESSLEEKDQIWLLLCEAVETAKKIIDQGPLATGISAFAS
QAIAVLSDPLHALYPKINKFLSQGPTWDLDKIPLMNKILDQAPSHDDSHSAETSWLLSCMLVGLRTTEDMSLYRKRLVFEKLLSLYNSTYLGAGLRD
KILKIIFRATMIEGGSTTLVTRFSAMTWLEAQIALGGGMSLNVLMKKILDSCDRKRVKQWSKGTGKGRGGKQAT
>RCO7_09669 | related to U1 SMALL NUCLEAR RIBONUCLEOPROTEIN C
MAVRYTPDDLIFLRGSPLVEKPANLPPAEQWMGQTADAARNSTKPAIDRAKSNDSNLLLDQARRPVAERHMSRNSANPEDIILGPPKNQFSSAARNT
GKTFDSSERPTFRDTDTRDRYNFRPKTGDGEAERTRDSRNNISLRPKRADGEDSDGWSTVKPRKSFGTEGAERFNGRMGVDRNRDERRNKDREERDV
KEKPRGFDSFSRDKDNEHDQDRDVRRNGNGRGRNESWFKDKDTGDLPPSGAKDRNSNGDRFVDRSRGWREKERDDNRGERGERNERTDRNDRNERGG
DRGDRRWDRDRDQRQEREPAWFDEPAEDKSPTNQIHTADDFQKWKEQQRSKDLGQKAIQSPMDEPKPDEPSFFSLEKPKVETPLEMSNGPDKFFGMW
SAAKEGATPDSSLELKTDGAAKSKIAIGKASRFTSFFTPQEDPQGRQTEPAPPPPQAMPSGLAAFFLKSAPAASTSTSNSIGNSGQSADPAEREAFQ
SMLQKLQLHASGGSGSTPPVDPSMQSKPPAPEKQRSNPLAQPEPYQQYRTERPEEPRPSTRNSQQSVHQDLLNQRHMAGSQPITRPEQMLQDLVGQR
HSAMSQNSRSDQTPARNTNTEFLMGLMQSARAAPEPQRSEQMLLRMAPRNIDPRNIDRQLQQQAMEREQEMHREAAQRERGASQRQARPQPPPGFHM
DDPAFQRGPPQYERQPGNLPQPTQILQRPPPPGLDMGWDRQSQIPPQHRIPQNIAPPPGLANGPPRGIPMPQGIYPPGFPMGAFPPPDVMAGPPRNM
QMQPPPGFFPPPGFMPPGMSGFQGPPEGMAFGAPFDARGPPPQGAFRRQ
>RCO7_09670 | related to syntaxin-binding protein sec1-like protein
MVSAIQEQRDIILDTIKSITRGDWKVLVIDEFTKKIIDNVVKEDDILNENIANIERIEDKREMNPDMDAIYLLSPQPHIVDCLLADFERRRYKKSFL
VWTALLDPQMRRRLDASRQVQEQMAGFETLSIDYFPRESHLITFRDPWSFPILYHPACNSLVRDHMQILAQKITGICVSLGEYPKVRYYRPRNPNHE
ASVLCSHLAKFVQDELDAYAKFNQNFPPPSTRPQGILVVTDRAMDIMAPLIHEFTYQAMAHDLLPIKEGEKTLYKTVLNEGTAQEEEKEMEIGEKDK
IWVNNRHSHMKDTIEKLMGDFQKFINENPNFTNADADATSLNAIKDMLAGLPQFQEMKEAYSLHLSMAQECMNIFQHRKLPDIASVEQSLATGLDED

FKKPKNLADQVVRLLDDENIGPADRLRLIMLYIIYRDGMIQDDVQRLLAHAALPPQEAEVIANLDLIGARTTKTTLKEARPLAQPLFPRKTAPTAQN
EEYALSRFEPAIKLMLDDIAKGTLDQMTFPYIRPPLDNSEELAALSQASLRSAKPTWARNRMSTVENKQRVIVFMAGGATYSESRACYEVSRTTGKD
VFLATSHMVNPALYVRQVGDLSEDRRRLDLPIDRPKPKAPSHLFVRNDPPPAAPPAGPGRTGAMGLPSGPGRTDQLPRNLGPPARLQNSPSYNNANT
NAYDRPPPQPPTAGLAAMSMNTASGARPIPLNGSTNGTDVAPSKRKLEKKNKHKEEGGEKKKRGFFGSKK

>RCO7_09671 | related to G-patch domain protein
MSDDETYEIPLQDQRGFGAGIKRNRVKFVPSSAPLSSTPSSSNGQTVSNLYLQMVLPGDHEPPSSLPAGSPNVTGGTPLISAKENQVCEICRLPLSE
EGMPAPAEATETIELIRKQRPHEASLAHQVCLTHSHPPSHLDRNRKGLAYLSAYGWDPDARRGLGAEGQGIHFPIKAKPKDDKMGIGVVLPKEADRR
KKEKVQKLDAKKVRKIYEQDKKKAERLREMFYRNDDVERYLGGG

>RCO7_09672 | probable retinol dehydrogenase 13
MAIHMIADLFWRVAPNIKNVGTILKIAVALLVVGLIKWYSIGATNTAERQMHSKVVMITGGTSGVGAATALSLAQRGAQIILLVHQSPKDIFLVDYI
EDLREKSGNEMIYAERVDLSSLYSIRKFATKWIDNAPPRRLDMIILCAATLTPPGTSRILTEEGLEETWVVNYLANFHLLSILSPAIRTQPPDRDVR
IIFATCGSYVQSPPVDDGSIAMNKNEWSPALSYSRSKLALTIFGHAFQKYLDAYKRPDGSPMNARVIFVDPGYSRTPGMRRWLTRGTLWGLGLYLVL
WQNVWLLLKSSEGGSQSFLYAAMEATLGRGAGGKMVKECQELKFGRSDVKDEKVAKKLWEGSEKLIERVERGEAVRRALEKKEQEKAEKSQKPKDKD
AEKSEGTASGAENRKSKYRKQKKAGN

>RCO7_09673 | uncharacterized protein
MFNSLQPSRPKLLHHQPPPPTNQQGQRRTSSTLSSLLPQLPPNSTSSTYQPPRPRNQIEAMPPTPVQQPALRNPILAPQQMVPDASKRHPVFFTDRL
KKAPMGVTTGGGAWSSPVADGYIFNDGARRRGEGDVKL

>RCO7_09674 | vesicle-associated membrane protein 712
MASSSSPPTPLLYACIAHNTTILAEHTASASSQTSSLASLVLPKIEHKTAQKLTYTHNNNFIHYIADAPSEYSPSTASAGGLTYLVIAASSLGRRIP
FGFLFEIKKRFLAQHAPESTDFASLPNYGAGSFNSELKKLMVDYGTTKAGKEDAISNVQGEIDNVRGIMSQNIESLLERGERIDLLVDKTDRLGGSA
HDFRVRSRGLRRKMWWKNVKLMALLTLVVIFLIYLFVGFGCGLPGWSKCVG

>RCO7_09675 | related to ATP-dependent RNA helicase SUV3, mitochondrial precursor
MRSDPRDFRDGRSVRVGSYKDRLREDGLVDAKETTYGVFGRLLLEQTHRLEFSLKYKEWASVEPWGIKTHEELEKYFTVFRMTLKAAMDLAEKGKIY
EQNNPLFYKMRQVFVAGGVHGLTDAMKYAFFSEIATTNFTPHHRANQEKLADLRYPLEWYPATRALQRTVHLHIGPTNSGKTYQALQRLEAAESGIY
AGPLRLLAHEVYTRLNANGKACALITGEERRIPENYDKVMNSCTVEMVPLNAKVDVAVIDEIQMMGDTERGWAWTQAFLGVQAKEVHLCGEVRTRKI
ITELCAAMGDKLVVHEYERLSPLKTQKNSLGRLENLEKGDAIILFSRVAIHAMRSEVERITGKRCAVVYGSLPPETRAQQAALFNDPNNDYDFLVAS
DAVGMGLNLSIKRIIFESTTKYDGVAFQTIKPYEIKQIGGRAGRYKTAQEAIDKGVSAASDKDTSDDPEPLALDIAKNPPKSVGYVTTLNRFDLTVV
QQAMEREVEPLASVGIFPPAEVLMRFASYFPPKTPFSYIVLRLHDLASIHSHFHLCRLKEQIQIADLIQEFDMSIMDRITLMSSPASMRDPGFPHVI
KELARCIAEQKAGSILEMKTFDLDLIDKDIHDDTEGTKGYLKKAESLHRAITLYLWLSYRFAGVFTSQALAFHIKSLIEAKIDQCLSEVTYDRAARQ
KAYHMGLKAAKAAAKEAAILSASFLDPEANHPSSSEQSGTSDSTSSELQASTSGLDDKLDEAERDGVLEKRNEYKPGQHLEKLDHIAEDDRLGAETA
EMEAREEKRHDLEDSPASDGNIPMTPEDLEEQLLGRDSSLTISDADIASELKDVDVNTTTSEPFPDSATSEVETDGRRSETADSRS

>RCO7_09676 | probable Probable beta-glucosidase H
MTFDVEEVLSKLSNGEKSSLLSGIDFWHTFPIPEQNVPSIRVSDGPNGIRGTKWFAGKRAACLPCGTALGATWDRDLLRKAGKLLGDECVAKGAHCW
LGPTINMQRSPVGGRGFESFAEDGHLSGILASEMIIGCESTGVISTVKHFVCNDQEHERRAVDTIVTPRALREVYLRPFQIVARDANPGAMMTSYNK
VNGVHVCEDPKMLEDLIRKEWGCDPLMISDWYGTYSCAGAINAGLDLEMPGVTRHRGAAVEFALSARLIKQSTLDQRARRVLQFVERASRLAVSPVE
GERNTPEDRALNREICASSIVLLKNESKTLPLPKKMKKIALIGSHMKNPAITGGGSASLEPYYSVTLYDAIKEKLGPNVEIVYEVGAYAHKMLPLID
RLLSNSNIQFFNQPSTVKDRVCVGREPLPKTYFQLMDYKNPKLNFELFYASAEADFTPDLTGPWEFGMTVYGTANFYLDDQLIIDGTTVQLPGTAFF
SRGTAEQFATLNLIAGKTYKMRIDFGSAATSKILALGVVSFGGGGTRIGACPVINVVDGIQRAVDAARDADYTVLCTGLNADWECEGFDRPTMGLPP
NIDTLITSVLRVAPETIVVNQSGTPVSMPWESLASSIVQAWYGGNETGNGIADVIFGDFNPCAKLPLSWPADIRDTPAFLNFGSTKGRVLYGEDIYL
GYKYYDKIQRAPLFSFGHGLSYSTFALAHLEIIKTPSKDKRNPTPSAKGVLRVKNTGKYAGAQVLQLYVSAPESLTQRPLKELHGFTKVFLGAGEEQ
RVEIDIDSYATSFWDESENQWCSEKGNYLVTVSACSEEGAVSVNALLKVESTRYWLGL

>RCO7_09677 | probable DUF1237 domain protein
MYVSSLQTWPLWLGIYAVIASSASDIEPDPAYARACPDYKRYSTYMHRPYSQGPLELPFQRPSIHCRTFTSPLVEKVIEDMKEKMVNKDLARLFENA
FPNTLDTTVSWHVDGEAAHTELKARSTADGKWAGAQSFVVTGDINAEWLRDSTNQLLQYQPLAKKDKKIFNLILGAINTQAEYVIEAPYCNAFQPPP
PSKLSATQNGQDDVVHPAYEPSFVFECKYELDSLAHFLALGNTFYNNTGSLKFLTPRWYRALDTVLEVLDQQSQSTFDPITGDFERNDYTFSRKTDQ
GTETLPLSGVGNPLNYGTGLIRSAFRPSDDATILGFYIPANAQMAVELKKTADILSAAKNVGLSEILRKRAQSITNGIWEHGVVEHKKYGRIFAYEV
DGYGSQILMDDANVPSLLALPIMGFLERTDQVYQNTRKMLLSKSGNPYYLKGAGFHGIGGPHVGLEHAWPMSLLLQAMTSDNDTEIMECVDLVLDAS
EYGLVHESINVNQIRDYTRSWFAWANSVFAQTILDLAKRKPYLIFGKGATPYIVE

>RCO7_09678 | uncharacterized protein
MADCKLYLATSILTEDKVVTYRLLSRTLKIHVNDAKEMLYDFHRQQNAKKPDTIHATYLISGTKRKEEAIPTNSAAKKDGEDDYMQSSPFMASSMPA
EEGTGESSVLSITLVKEEDLEGWITRLESYNIAEGITEVRSLYDHISSIHVYSIGPSPLKDLQILSDITREIQVLCASENVDEQAPKYGTITNKYVK
RRPARRPVHVAAAPIPVPAKAVVKPQPAEIKAPVKPTKQESKSSQPSTANDFFGKGKAKSKPAVSSNASSKESTSNPPTLMRDSSSIFKSFAKGTSK
LKREGIDSSAVESPALSAAEDSPMKDVVDDDDEEDTFVAPAPSKEIVDSDRKSRKEREAALKKMMDDDDEEEEDVKPKSKPKRKGKVVVEADEDEEV
EKEKSVEKEEIPIVVSDGRRRGRRRVMKKKTVKDDEGYLVTREEAVWESFSEDEPAEKPKPNVQASSIASKTKKAAAKPGQGNIMSFFGKK

>RCO7_09679 | related to DNA repair protein UVS-2
MKPIPKDDAFDITDSTDWLETPLRSLAGVDSALRCQVCKDFYTTPMITSCSHTFCSLCIRRCLNNDGKCPACRTQDQELKLRFNGAMQDLVEAFTKA
RPEVLEHARRPVESTLSKRDREEAELDEDEMPRKRTRSAGTRTSSRRSQPTPSQIIQDTDEEDEDFVPEDGYVICPVCSKQVKETSINSHLDRNCAE
EPRVTKSKTMGRISKQGSAQNPVPITDAPKRPERLAQINFSMLKENALRKKLGDMGISVAGNKPLMERRYTEWITLWNANCDARRPRTKTELKRELE
IWERTQGGRAQTSNYGQNLGSQVRDKDFDGKAYSNTHDDSFRKLIANARKKPAVKSPAPEGSSSGVQMPVVPESPGASRTDVDMSGEEDGANGEISP
VKQSASQGGFFQDRDQDADSLPKPSPHFADSLTILDKSSNIAQDFPDIRTIQS

>RCO7_09680 | related to protein SNF7
MSELLTYLLENEPQFRKTRLQDLYSDFTKTRNINPDGYQANITAWHQALSHATFAGFMPSPSTSPDLLSITISNDLILALETRDCGRPSALGTVVRE
GVKARLWIDVKEFEEKADSIYKKGWGIPVPIVPSFGDVLGWGLRQLGFGGGEEKLGQGRVVVMENLEEAGKDVIRRTEGNRGRIQRIFSRAAFREAY
GDITGCENRLTEFDMEILLKFLARDKGALAYDGEIVKLKAPNQKTPSPVTAEDITIASLKTLIKDLEIQTEVLTNKVDELATIAKEAVGRKNRVSAL

AALRSKKLAETTLTKRHATLAQLEEIFSKIEQAADQVELVGIMEDSTQVLTGLNKEVGGVDRVDDVVEQLREQMSQVDEVGNVIAEAGESANVVDEG
EVDDELEAMEKQEREKIEEQERLETEEKEKKEAAETKRRLDDLNEAERQTKETATAKKQDEDARKAEEVSMEKELEDELKKLSLDADKAYA
>RCO7_09681 | related to GSG1 - sporulation specific protein
MASTDTLASSISTLPYRASNASVSSLFASTSTPTGSRSVSPSGLGTPSRMSGSVFGGGTPGEGIQLGAGADRPDDPRNLILQAFVPHIAVHTSTDTQ
ELVKDKGFEGGLWYLLRPFGEQVQGKVTVRDSIGAGKAWEDFAVRFVQLGDGQEIPEITQGARKSGDEKVPIPNGKSITASVAAQRARTGGDISPIE
TLVDRHLMHAEEYPTMNGDDYLTFKNTQMRSPDVPSPFYTLYLRRLLSGIPLAPHETFAHPVACVIAISSRNTNPIETLRKLYDESSHGEKRLPLWV
NNEYLRYYVLVHDEERDDITKSITLFEQMKRHFGLHCHLLRLRSTQCVSSDDDSVELPRCEWQSASEEMAIIRARELEEDVEVAHPCIFESDTTAIR
TFIREMVTQSIVPSMERCVATWNDQVASRRRGLSGRITNITKKWSVFGGSSRTAANGSTSSGTSGNYDPSQGFYRPDAPEAIMRKLADYAFMLRDWK
LAQSTYDLLRSDFNNDNAWKYHAAANEMAAISTLMNAQSMSSKIRSETIDKWLEASQYSYITRCGASYGALRSLALVMELLRLRGGSATEDAANWGQ
RLLDSKVVGVVGDALIRERIAACYASKKGSGFGMLGARMRKSAWWSVRAADAWLTLGKPQQSKQRLDEAVAKYESFANKDNISKFSGASDFIHSLQR
EVQLALYPESGIEGPGIEDLVDTSLEESQAFNSRPHRRSFMGAAHHFMTLGSANLQGDLAEKGDFEPTSKPAQFE
>RCO7_09682 | related to tRNA nucleotidyltransferase
MATTNITLTPREAQLRELLLDVARYIDESKEIKEKIELRFAGGWVRDKLLSIPSHDIDTAINAMTGYAFSIKMQEFLKNEENMKKHALEAKDIGNLH
KILANPEKSKHLETATTKIFGFDVDFVNLRKETYSDDSRNPQMEFGTAEEDALRRDATINALFYNLRTDLVEDFTSGIEDLAARRIRTPLEPKTTFT
DDPLRVLRLIRFASRLGFSIDPASEASMSDPVVMEALKLKISRERVGVELEKMLKGNDPMGSLQLIDRLGLYPTIFTDPTSLTPCSQPSTQNWSITY
ACLSSLSSNATPGSIYQSLVRSPEAKYLSWVLAAITPWSQLPLPEPTKPGGKLPRPLGTVVVREGIKSENKICDVVTGAFRHCEEITALKDAVVKNG
EETKQRDTVGMTIRRWDAQGGHWRLQALFALLVEAMKRDSTSYEPLFSEWQQFIDHLEAMDILDAPAERSIIDGKMLLKELGIVKPGVWMRPALDVV
MQWQLRNPGVSDYTGALDEVRKRSEELKIPKP
>RCO7_09683 | uncharacterized protein
MSDEGDIFKHKDDIIQNVLREEDLYHILGAPRSASPAELRRCYLERSKICHPDKPPFHEKSTSAFQRLGFAFDILKSPSARRTYDRASKPTSAQLPD
KTTFLGGEHTFRSAVEAILHEFMTGDFVIVKRWLETLHIQYPNLVSEELVINVEKSFIRIRELVLTTRTYALLIYIELGRINRVQKRLMGLGYFDVV
GRARLTIHLVRVTLAVPMRVDRALKQKEEKASRAKVAGLQARGLTPTETIGRAGILNDRISKVLEFIVGAAGKDESADEAWSASMGKAS
>RCO7_09684 | related to polyphosphoinositide phosphatase family member
MADQDDGPARRGRSPAPSDTASNHVHFDTASMSTDNASRSTSVMTSPLTGDFKNPNISDQSLPKFPPLHNNPPQSAEQLKRPSSGVDDEDDEESTAR
PFQRSTSPTSDLKRNKGAEYEKVGDLGVCKMHKFSLYETAQKYYFVGADVMDRRFRILKIDRTSDSGNLNISEDEIVYTKKEMSQLLNAIDDGNKST
GGMKLRSTTWGIIGFIRFTGVYYMLVIVKRSQVAMIGGHFTYSIDATELIPLTTGPSSRFKPDLRNTEESRFIGILNNLDLTRSFYYSYSYDITRTL
QHNMLAEREALAKGMPYPHDQNYNSMFVWNSYLLKPAASALKNTYDWCMPVIHGYIDQSALSIYGRTAYITIIARRSRYFAGARFLKRGANDLGYVA
NDVETEQIVSEMLTTSFHAPGPKLFASPNFTSYVQHRGSIPLYWTQDNTGVTPKPPIELNLVDPFYSAAALHFDNLFERYGAPVYVLNLVKARERTP
RESKLLVEFTNAITYLNQFLPADKKIIHKAWDMSRASKSRDQDVIGTLENIAEEVVTTTGFFHNGDGKITMPKVQNGVARTNCIDCLDRTNAAQFVI
GKRALGHQLHALGIIGDTSIDYDTDAVNLFTHMYHDHGDTIAIQYGGSQLVNTMETYRKINQWTSHSRDMVESFKRYYNNSFLDGQRQEAYNLFLGN
YIFAQGQPMLWDLATDYYLHHANPRLWSGKRRRSYINWYTPEFLEKRVLPPHVDPTGLMISKPLGYYDEYWLEYYKPLSVSSLLKVFSYMGKLNSTI
RYIPFRSTQEGRYDLSPFKVRTELDQDVPDKKKVRKEVTIVDPADEVEAEGAADDNVSIKSGTTINTKRISIQRWLQPIHEKNGNHHHSIMKESAQP
ILSPQKQKLTPLDKSKAAQWTFTQVVHESLNPSVSAQETDDYARYISHPQILPLVVSDAIPAEIDAEYLEYVNGSWRDIGIVTTGDEELGSGGEDVA
AEEARDFLTVGENPLCVLEEDLGKKRYKAYRKWLAGKSLFKQQPID
>RCO7_09685 | uncharacterized protein
MTNFARARKAAQVRISKSLDDKDTLELSPKSLAQSYSLFQLHDELVGDNGKQNTEDDLSNLLILRSCLEEGPSRLQREDNDEQYITRLSVWISKSIL
PTFEVSDHDSSHESILSSHDSSLQFEDKTDSTNASRLKILHIARRKGILGLQSLFKLLTLAKTSNFLTPIPKEVLVSILAFTSTHDIWSTPTSLSTA
EQLLALPSVQKSLQAPEFVSTDILQRFVRPLFSASKPRTVTAAGRKAMPSTAPLKRYDFDVERASRPWLHETVYTLAVLEWAVGAISPKILETSWPL
VLPPLLTLLDTPGTSILTRGLSLIITLLPKLSPKVLAQSGLASVFSDAIIPTTLYLPSITPLEESLQILPLAYEALFVLYDVQYASLAITPPSSSTS
ITLKATRESDLQSQLKKRDKARLAYLDTLIRRSIFSTYLHASQHPSIVSLLLKQLTTLIPKLGIHTVKHLKDIFPILASVLTDPFAAARLEDIRVAL
EAFRVLLKVCWVRIREVGWRREGVKMLVICWSVLGQVDEDNVIANGIEGLDGKEVLRRVRGECKVTGQVFAKAVGGKVDLKVELKPLLDVEEGIEEL
FGLGYT
>RCO7_09686 | related to autoinducer 2 sensor kinase/phosphatase luxQ
MCLLNWVWSRRKGVKGTEEEEEEDSMRDSAAGQGLQDQDRYHDHDQGQDTESITSSRSWSQAKAQAQAQAQEQGQEHDLQQTLKQHVIQDTSSSTNV
ASETPPSITITSQTSIPRAQSSFSPFEGDDWTSLLPDSEHIRFFRKTDWAASHLGPLSLWSRSLRQSVFMVLADSRATCVYWGPHRVAIYNKEFIPL
AGNTHPSLMSSRFQDSFPELWHQIQPVFHEAETSGMASSLNEMEMFVERNAFLEQAFFSGNFVPLRGNSGKVEGFYNSVHEVTKAKINERRRVMLNS
LQIPAADDKRRLASHILPMLKEHPWDFPMALIYKVDETEPGSCSLLLRANIGFPEDHPLAVKSADINSDVGLMPLLRKARWKMLTIPIDESFDGIKW
TGFGEPSRSVTFLPIAEPRRLYGFLVLGSNPRRPVDEDYFQFMQDLCSKASAIAASILSAEETRKREAALQKELADRMRQIRYMAENASVGMQYIAV
NGSLSWANDEYYRLTEHPREEEFQYPLSFMDVFIEEDRPKAMDIWHRLVHGETSISTEIHLKRVFNPPSGEPEPAIVLIHFFRVMEDDQLKSLMAFT
TDVSAFKWAEASEARKAAAAQEAKRQQEEFIDFVSHELRNPLSAIFQLAETIITSFPTSTKNVTTNSELIEALKENIDNAETILMCAKHQKRIVDDV
LTLSKLEYTMLSVSPLPVQVPELVDKWMKMFESQLQSHHITILTKAHPSLQNHVDDWILCDESRIQQIFINLMTNAIKFTKAEGTRQIEVEYGVTSS
NPRDSFPKDIRWAPNHREVEDLTEHPEWGLGQPLYFTISVTDTGIGMTNDEIKKLFGRFKQANARTSIKYGGSGLGLFLSGRLAEKQSGEIGVSSQS
GQGSTFAFYVKSRRTEKHGVSTPENPQVARSMSLVHQIPVVDFNKIHVLLVEDNVVNQRIIQKQLLKAGCVVYVANHGLEALDMVRKSDIWHEKSAE
TKHLDIILMDWQMPVMDGLTASREIRKLEAEKKITRHLEIIATTANARDEQIETAIASGIDSVMSKPFMVSDLLIKMKERLSIASSGDAPNNTAGYS
FWE
>RCO7_09687 | uncharacterized protein
MAPHRSDAPQQACRPTSPLSAPITATEALTFTGDATKGFFRPVTLVEDQKLLMTYMPGAVTATKMVGQGVFTSAMSVKRTVSTSNLTPSSTSNLASA
TISSAATSEGPPSKVQAKKSDSVVVVDSAIITSSATLSSLSSTSSLGSSTSASLPTSTTSRAWIGRNEMSSKGLAILVAVLALGGSLL
>RCO7_09688 | uncharacterized protein
MSAISASLDSRLHPIIFAAAQFLVSAVVIGFTPPGSFIRHAVVPLLFYFSYSFMMYAKFNIPSPYGGVASSTTWFSLLNYISMAIISGWNFDSRGPL
LKIAKEKKVADSTPRDAAVKVEKKSGSFLERFGFGLHSICSQRDCGLPHEVKNVPPFIYNDPKFVPSAAAFVTRSTVTAIICYFIIDFLESQPAPHN
AAEIFAQEKVSVLTRWREITLQEAITRVAASAMFWVNMITILTLMTSIFNIICVSLGLSKVENCKPLMGPMSEAYTIRGFWGHAWHQTTRKLFATPA
NFLVDEAFMFQKKSPPNVYSKIFVTFFISGVMHQIADWMTGMDWTASGAIKFFYFQVVGILLEDTIGLFYRLSTGRDLKSPPTIWTRMLGYLWVTFF
LLFWTTPGWFYPMARSSVGTEQGKVIPYNFSYFRKYAKQ

>RCO7_09689 | uncharacterized protein
MARKPGLPSHLTVAVIILRHCLGSPVMSISSLAAPHTFETLGPLIKILTLPSLITYGLNVELFSHRTTNKIFRASPEATPQNQNNMPWKFLAALIWC
VDVYMYWQEIERFVEAENSTSANKSYNTYAGLFNDRMKKSRASDHPALHDEYGSFVFPMRADDRSSTVIGFKFGTYLVHDLHTAPFSANASTQSRLR
DDFATFKAIPIVVPGLLGPDGMSWSTDTEGRTRVQSSGQMLFSLRRLQTNDRECRITCLRKSVSTSSHPARLSQVKSGPKSPPVTHHVSLYPRSASH
GGALQTEVNYGQYNIQPPRRYPRCTTTIMTSAYVTPVFKLLSLATIQPLTPCQATTTPHTITMEPNYNFPMGNNNNNAFSEHQTIRTQIVPDTEWDQ
FWKEYNALNTQTINNHNDGGIDVSNQDFKTSQLIESQLYATTEHHLPPVLADQLDLPEYGSNMFIPTYIDAFYDSPRIDPSPWVSTSTSTSNSSPTA
SAYTSQKSIYSSNTSTPNTTPSSASFDTPSSQTSIPSPSSSSASSFICSFCNKTFPQKCLLHRHINTHTKPYHCLHPHCTERRATNRDLKRHMAVHD
RVSAPAFLCAEAGCEFGVRGRGFTRKDHLKRHVENVHGRQC
>RCO7_09690 | uncharacterized protein
MVPPNVQFEISDAEDEWTYSQKFDYIHGRALTICFREPLKVFKSAYDSLVPGGYFEMQDLYFRPTTARSLIALSRNGTPSSRLAEQEMGKDWWCKSN
YARWFTEAGLVDVVEKKFFWPGNTWPRGKKQKEMRMTMLANFMEGGLYGMSAEEVNEVVRDVKKDMGDRSIHAYYPRYVVYSRKHLDTVA
>RCO7_09691 | uncharacterized protein
MAKKTINMFIPHLIEVDARVREGVQQSELIHYSPTNAKVSQATASPEAESAPSESAHETEAGNPLKRRKIEALQKPDSFQSTPKPSTSSSAVQPRIR
IIKSDTFDAAEATLRAHPKASVAVLNMASALQPGGGVLRGALAQEEALCVRSTLYPSLDPSFYRIPLLAAIYSPDVLVFRGSDLVDLPKSDWFHTAV
ISCAALRQPDVEKGKDGKMIYSDKKDKEVMLDKIRLIFQIAKDKGITHLILGALGCGAYRNPPEEVAVMFRNMLLDGRRHEGVTGIEEVTFAIFNEG
ENLTSFKEMFEDIMVD
>RCO7_09692 | uncharacterized protein
MRSLPLLATLPVTLLTAFSFNTWDLGLHGLYPTQHFKSVDLQPPAPRVTKSDPRCDKGNLFITPRGPLVNGATRGPVILDSQGELIWMDNKFEQAMN
FNVQKYKGEDYLTFWTKTKKRTKKNGKVKKSKKSFVMLNSAYEVAYTITPSGKGLKGDSHEFRITPEGTALIAIYKKHEEIDIETNELLFEWRATDH
VSMMDVYSSPSMKDGHGQNKDDAFDYFHINSVDKTEDGNYIVSARYMLAVICISGKTGEILWQLGGKNNNFKDLNHALNFAWQHHVTWQGNNTLSLF
DNHANTVLHAPSKHSKGMIIHLDMQKMTASLIHKYVHPDKILNVSQGSVQIIPESGNVFVGFGNSPTYVEYAFDGEVLCAAHFAPHLLFVLVDFGFV
KSYRVFKHPWVGKPKTVPDVAVKDGTAYVSWNGATDVTGWRLQTTHESEARDDAGFVTVKDFQRDGFETAIKLHKKHKYVRVVALGAKNAVLASSAI
VKAPGTSPLSFWSIIAIMTASALLSGTLAAFLIHRRKLPRRLSDLKFRSYGGYRDIPSEDDFNAEAAPLLLEERAPSP
>RCO7_09693 | probable ribose-5-phosphate isomerase
MAAILPVSENATPHGQDVKPLAGVEASKRLAAYRAVEDHFDPSYSYIGIGSGSTVVYVVEAIAAKGRDITSRMVFVPTGEQSKQLIIEAGLPLGSID
ALPPIEFEEGELGRMSALHVATGLQDLGLRGKRQSIDVAFDGADEIDEELNCIKGGGACLFQEKLVATAAKKFVCVADYRKLSPRLLTAWKAIPIEI
SPMAAPTIKRILITLGSPDPKIRQGGSAKAGPVVTDNGMWIMDAPFPKLLLASDLKPNDRGDGENGTWEVHALGRRLKRIVGVLEVGLFHGRNGIQV
ESAGEEGGGQKPIAAYFGMEDGSVEVREAKEVAAVKSRP
>RCO7_09694 | related to auxin-resistance protein
MTEVITDQVPSVLHGPSNKEKKYDRQLRLWAASGQQALEDAHLLLLNSGAGTVGVETLKNLVLPGIGKFTIADSASVEESDLGVNFFLDEESLGKPR
SESCVKLLLELNPDVEGEWFKSKKGESPFDIQQRYTIILYTHPIEPQALEVAQTYALEHKVPLIAIHSAGFYSYFRTFLPGSFPIIDTHPDTTATTD
LRLLTPWEELSNFAADLTNNIDKQSAHEHGHIPWIALILHFLTKWKEAHGSLPSSYKEKTAFKQLVSDATRTDNPGGGEENFEEAVAAVLKTVSAPT
LSSAVREVFNHSPNEVESKSSFWIIADAIKKFHQKHSQLPLPGSVPDMKAQSTIYVRLQNIYKSKARQDVAEVLETVRAHPGGKEIDVAEVESFCKN
AAFIKLVHGSDLKKPINPEFATKELKSDENAAMHMTPLSLLPIFLSLEATSHTSASTSEDIIATVDKALPGASSNPRLVQITEEVARAKGGEVHNIS
ALTGGMVAQEVIKIITKQYIPIDNLCIFDGITSRAQVLRI
>RCO7_09695 | related to lactose regulatory protein
MDDNPAVNVWGADLQSRVITTNIARETLDALSQSLEECRSILKRLYPTRDAQSLLPLSRQELVSLLDRSGLQSTPSQRSSVSSITHTSPISQEFQSP
LTTPEDDRSLAHLEQIPSQDMEWDEERRNRDPIPIEADDVNALSLSVDRQSSYLGATSIKAAFLVMLKVAPVLRTFLAPTNNNNKQSSAASNCPTPR
PNGPIKTLSAILWSSEGQTLIDAYFNKVQILAPMLDEPSFRADYLSGRRNDAPWLALLNMVFAMGSIVANKSDDHGHITYYARAKEHLGIDTFGSGH
IETLQAFALMGGLYLHYINRPNMANAIIGAATRIACAMGLHRESVPEQGAVDTMMIEQRRRTWWSLFCLDTWASTTLGRPSMGRWGIGMTIRAPEVT
HDPNVIGKHTGIIPLIENIKFCRIATQIQDVLAQTPLMRPEDRANLDRQLVEWHDNLPWILRSTEPCPESIYTARCIMKWRYQNLRIVLYRPVLLNL
ANRGSEGIPTQDEIEAIGKCRMVAKQTIEDIAREWTPNQMLGWNGVWFLYQASMIPLVMIFWESWNAQQVRECQAQIEVVLEAFDGLADWSLAARRS
RDVVSKMYEASKRPLTRVNSPRLGPVMENGINGNVPGMTLNINRMIGNRVNGGPHGVVSGSHGGNPMAIMNGSTHAGMNGHMMDTNDMHQVEMIGED
GMLVMEQGVWDLDGMLWQNFPEGLDMPYDGMPMTDYDDGFIVGYDGNYMMHQ
>RCO7_09696 | related to lactose regulatory protein
MTNLNPTEDYKASVLCGLSPTVIMECASRALNFWAYQTTSEITYQAFLAKSLTDKYSMLNNQVDKLVHEANEQITTLQDKVTNMQADQESLVRRNEE
IANALREKNRKHLQTQELYDKLKRRSMLSQVQDAASDEVDNAIQASVSTNHFVDKGNLSMRPPPPLFSGHPSAPMQRMGATSHAGMGPPHIRRSEDA
GWNAFSSQSNSNQIPPIQTPSSHRQTLASLQGMGHGLQHPGIAATPQSRQRVSPRIPLANINGNNPGLSSFAGYGMSAGLKVSNPGGLVRNGVATGR
PVMKPRGLTKSPFHLAHSCTKAL
>RCO7_09697 | uncharacterized protein
MQSQQVTTPPVGHSKLLRRIRGSSALQSRAKREAITLITSAVPTSSRISSPRLSHDCTVLNLSSHVLQATIASPALPHPLQVGRSASRAESSVVSPT
LPQGDQHTQGESSLIRRQHSRSPHNRKAYVLDGLIYNSELTGNSLPIPRLTNVLSKPPRLYPKTHRSLRSRAKSLTRRLMFHNGSPVVQKPLIISSP
INPVLKDTTGGDLKMVRHSALVVEDRLSPFEAAGVAERYEIRAGWEANGVTDPLRSDGLVPQAIRLQSSTVSRLNDANVKIYRLEQKLIAIEEKNAS
LKEAHQREFAQLKGKFLQVKNQEMERADRFKVKCKDLEAVVRSRESLQRSSFAQGQVIILKAKIKELEANLIKAQVLVDQQSAAIRHNEMSYEIEKQ
MRVAKSATRKSGPVMPAERLSWGAEQDTRVGSSQQEIFEETIDYEALSEEWNETAAQQASDAAGPSRVDTMSSTSVEADNPVVASRITDVMLQAGNE
IYKYVSENSTFDHRQQFPEFCASQSDDIVSDLSTVSSAEDISELSSSSKALQDFSATKQTGTSWLDGPENDDEYSESGDDNNEADIYQLPSLSASIL
TLQNPPSPYLSPFAPTISELALINGNYSQHRQYSSRQHEDIFHFEDSRIEAAPTVQPVVRISPNSGTVQDMETLDMETLCDENVEDGDEDLLQKLQM
WELWYNSLDDDPSGS
>RCO7_09698 | uncharacterized protein
MQKAACDDDTADEGHHSSERSITNHSHNAISLSEHSFASPTDVKGELEASLEPSYRSNMASAPPSYQAAAYGGNRKFWLIVAPYVHSYDLYRACLVC
RQWHQLFAPFLWGDPARKFGFDDDNIYLNLTRFKRRLTQARLEVRRLSHTLHIPPAQPEFYDGPQAGWLCDILDRLPCLQALIVSNLTFFDHSSLQG
IHQRGASIVTYPLKLLIASNCKNTTASSLTTALLHFPELVYLDLSATQGVRSPYVLRQIGTLTELRVLKLRACGLRDDDVDHLSFSGLRSLDISCNL
LTERGLAKLFAKLPTIASRRGNLSPLDRRYSGVPLPLRVIAEGLDRFIVKRLTSGIDGYLGVEEGLPSAFSHLDVDSNFITIDSLSHLAGNHNLQHL
NCGSLNLSQKPYHPTSPGAARRSSDPIIEVEILQPSIFKHTFRDLRYLRIHHSLVTSQSFSGKDISLEKQCFELHEEDLRFEIDSTEIGRPVTFELD

DTSVVPPQVDVPVTPARFESPEDVGASLHTTKPILGSANGRELKPSEQMPQVRVTFADEEQKSSSPITISSNGSLTAKDHPPSLESSSEMDTEMKIM
MPDEMKTLGSYWDIANSDTGRSTSKSTPSPLAGLPQAAPIAPPLPPRSTPDAVGRIQNNYQVETAGPPFPRGRRNIQKLLSESLQRLQVLKTHHRHP
GRFKPSYLPNLKSLTLTSIPSTTHRHCVPDTLSLLIRELAEEEEIARLQEHCRYTIINQPPPQHPPTRTLNLKHLVLEMTSHPDPVMPLRPKNSNSP
TARELAAMASKKASFTYTKSSTEDPDSESFMQSIDTDFSFFGEDDGGLLVSEGRIDSPNMRTGKDVDYGSGTGEGGGDEGEGKKEKVVDVVKELSAF
RRARKNEFERAEEHGVWGVEEVLGGYWRGEVKVVREAGG

>RCO7_09699 | related to enoyl-CoA hydratase
MASDLKTQAPTSGFFLVSYPAPHILLITINRPKARNSLHYQAQWEADAILNWFDGEPSLRVAIITGTGPAFCAGQDLIEQAKIRASPPPPALRRHPP
SGFAGISRRSGKKPIIAAVNGFALGGGFEICLNCDIVIASPKASFGLPEVTVGLYAGAGGLPRIVHTAGLQIASEIALTGRRLTPQEALSYRLINSI
SSAPEELIPDAVKVASRIASLSPDAIIITRAGLREAWETGSVEGAVRRTSERFDRALGEGENIRIGTEAFAGKKKPVWVPSKI

>RCO7_09700 | related to enoyl-CoA hydratase
MTVSQPINMSPPKCSDVLVEYPIPYVLLVTINRPKQMNALPVATCFELDKLWKWFDGEDELRVGIITGFGTKAFSAGMDLKERERASATTDIGAWNE
FYPPTGFAGLTRRTGKKPIIAAVNGNAHGGGFEAAINCDLVLASSNADFRLPDVLRGTAALQGAFPRIMRNFGLQRAMLLALTGYVLTAHEAKEWGL
VVKVVESAKLIEEAIQLAGVIASVSPDSVIVSRSGVRQGWEGGSVEDAVRFTAEQYAENLMGGENLKEGLVAFRERRAPRWLPSKL

>RCO7_09701 | uncharacterized protein
MSFESNSSSLRAQNGSAYGESSDTHDNSTNNRQFPPPPQRQLSDSYTGGYIQHDRNTTGSTTVHQDYSPAQQNTNYDQVNSSDERYTNARIPADGST
SWGQYSSSTEQYTTAPTPDRKPPYLPVYNPGTPRYANELDFDEARHNAAATTQRPQTPTYGGYYQQALAQNNAYQHQNGLANQPMQPQSPTTERWNT
TLCTEERLRLGIPRYASEEERCRAYENAADPRCGH

>RCO7_09702 | uncharacterized protein
MAAPFRVVLCGKTAQIAAAVKAGLQPEFEVIHVILSTSAGVSDLPKILVGKTPSTADPGNIGTQNYAQAPQAIILGGGYDDEAVKTIRAACESANKG
DRGIPWLRPDLSVPVPPLGPKYGAAMVSRVKTALKELEEEGRAQGDGVYFF

>RCO7_09703 | uncharacterized protein
MSPTSADEFEMFDPALEQRSTSTPIAATAAFPFLSHEGVLAYRGALFSDETLENCSVLLGANALILSNAGGHSKFLHDLWNHPETLKIMSKNMKVPL
IPIMQMEEAFVSVQTDSYDIEEMKEISKGATACEELCHERAGKFRSINFKYSTLAYPAMIPIRMLASSCSVTPKVWWEDKHTLNTAIRRSRKLKAQA
MVVLMTYKAVSLTGPAGDLL

>RCO7_09704 | uncharacterized protein
MDAISLEDPGSYPLQPFSTTSTSGTSKTRVSGDFDTFNVGSAGELLLPPSEGILTPHRRSRELWMRFSGWRRGVFYCALKSLGVLLINIILLIWAMA
GHGVEDGYGLLHTGSCKQAQTISTTLHVLINLLSTVLLGVSNYTMQCLNSPTRDDVDRAHAEKMWLDIGIASWRNRKYMSRKKLTLWWLLATSSVPL
LFLYNSSVFLDVGAQEYQAIITGDTFQELVKRVVVRGITIGNDSEFTRLSAQDCMNVYDRPFVFGGGDVFIIADENSTSFAEATKVWSGVEESRLIQ
LGKSMQWKTQDLSINASYTDTDEYVEVQSCYAKLRPETCKVRFSRVLVLVIIICNACKALCMLRVAWGFADSPPLVTLGDAIASFLDNSDQTTNGLC
LASKEDMQNGAWTEYQGPQRWIAKAETYSSVVSIKVWAIINVIFLLACATFLLISVVTAAASSGTVLGTGIGFSVSSKMAPSILPPVIANPGLWGTF
LNILLVNTPQSLTSCLNLFYNNLFTNMLIGAKWNALAYERQPPRVTHPRGEQKSRLYLSMPYNYGIPVMFLSGMLHWLISESFFLVRITALQNGKTV
EEHSISSMGYSALAFALAFTCSCTMILFLDMTARRRYGPGIPLVASCSAAISAACHLPEGDKGASLEAIQWGVIGGAGISVGSWRNSDEYFGHCGFS
SKLVALPIPGRWYAGIIGESRKTKLD

>RCO7_09705 | uncharacterized protein
MSSGSKDGSRDRKGKGKMKATVEPENEVINAENNTPLQGNAAQSSSTDVKGSPPRRSPRLRSMRKKKAKSRTPTPELTQLPDVTEETERLINVMDNM
AIPPPNPFQCHKCNKREPKTKAFSKCPQCKAVKYCGKDCRQKDHKAHKKECANLAKQHNVLEDAAVTIIEERDAQVATTEANNETALNIIFRNAIIK
MNKDEEIGLVLDYWIDSFRLWVSDGYPGRRERCAVTDLMHQFVRFLKNLKKLDSFWAPWLLTRNGMKDCLARATDVEKPITIAELKQKCTMKNMGDL
CISIHYRKAAQLVCGKLSFEMIE

>RCO7_09706 | related to ASI3 Putative integral membrane E3 ubiquitin ligase, role in negative regulation of amino acid uptake EC:6.3.2.19
MAAATFDQPLPKFDLGGAWNWTFNATQYVPSAKDLALAGPRMFMKLGSILSVPEAVDNMFGGVRLGQRIIPEATGNVGVANAVTTAAAGGFGTENTI
NASTQILVDIEEQAGGLTNRFTMEGARSLGNVFSYATSKWALGCIVVAVVLNRTSVYASTRRNLVLGWKIRLFVRILPIVLLLTQSRSILQSIQCQT
SPDFAMMRWGNASRTSELMFTQNGGYLHELSSALLLGASDQASCVAVGMVEPEYDDEIVKDHNGEMPKTELTGSLSLIWPLFKTLCFSHFIETLSCA
VAGRRVAGETGMTIFEHSLAFAEADAAIGNQLGFGPFGTINGNSSSTAEATKIAITRSMIMKKVNTTPEVLLVGFLSAMNHLTSHILAIFNLQSRCR
LANTAFWGLSFMSAIVWSIWSFSIDDLPNQSLLRFPTVCIIGFVPHFLVLLGIIGCSIIYATALVLSALAPPAIEDAAFEEAQSRIPFFRRVLAAHR
NMQANVPLSSIKIALYMDFYSALLKTGFSVMTMASEAVYLNESRGVSIKQRTWLEEDRLRELEAVGAQWLGPTFKLNDPDASLADELTNSVGLVAAK
DQPMDLLQKSSSGYTREMTAKKVASGNGRDRGAGVNGVGAAERSGRWIMALEFFIGISRLLLSWWASLALRLLSRAGFHSRPRCLTWLVRMPKAAQT
AGLVPDKNDPDSLNFWLLSIDGELTLPKDEHVDVEAEMRSRLRQTPGQWYDSEEEQKLDSNLYNWWLHGGWWGVDDNSGSFNPEQAELDEDTTSVVS
FATTPDEYAWESDDEDGDGRRTPTKDNPFFARERSPFTDTPLTSSDLAQLLHPKTPEQRAEAQALSAHLGSDTIVTRSRYRNIMQRERAQVLTSTLH
RPSNFTASSATGKLTLEEEAQILEHLIISRRSFNVSTSTSSSGQPKSWAKGASGMGDGGPQCVGYAGDEQL

>RCO7_09707 | related to tRNA splicing endonuclease gamma subunit
MAWSSDFVTEPVPISLIAGRYLLFDVNVVTYLRRNHHICGTLTGSLPQSPQQNVFFGLPMQLMPEDAKLLVEKEVAYIVDDRVWHKQNLLTTLQGAD
KQAYIESLRSTGMKARKAALSEAKKKTEVGLARYAARKAQENAAAAGKDTPENASPDTSFNEASSVADDSSSLFEDESNKSERLSTTTKSPTVNAFA
VTPTTSYPTSSQPQNPSQQLKPTVSSSYALFAHLHSRDYYIMPGLRFGCNYNVYPGDPLRFHSHFLATGYDYDQDIPMFDIIGGGRLGTSVKKGFMM
GGEVREAEGTATRGDKVRTFCIEWGGM

>RCO7_09708 | related to DNA-directed RNA polymerase II elongator protein subunit
MAFRKRNVVPQPGGSSPTVPVTAKVILPQGVRPSPLDGRLTTSTGTHSLDSLLSGHSGLALGTSLFIEENGTTDFAGALVRYYAAEGIVQGHHVHVL
GMSEPWGRELPGLGTEDGKERRAKGEVEEKMKIAWRYERLGEFGSGSKDRNTSPLKGTSDAASTAVFCHDFDLSKRLILPSPSNMRFVPLSTRTNLD
FKDQDSTVSPFTGFLSHITSQISALPPKNIHRIVVPNILSPAIYPASACKPEHILQFLHALRALLRKHPTQLTAIITLPLTLYSRHTGLTRWMELLS
DGVLELAPFPSTATATKINPTATVQEEPPQGMLKIHRLPVFHEKCGGGGEASGFVNDLAFTLSRRKGLVIKPFSLPPVEGDEEAQQGKIEHGGGKAT
KVDIEF

>RCO7_09709 | related to DNA-directed RNA polymerase chain RPB8
MATSGDSQLFDEHFTVTTFDQSKYDRVARIGGTSSDSQTVMTLDINNELYPLSVGETIHVVLANSLSLDGSKDDGKGWRDVSRNGPGGETTLADMFD
YVCHGKIYKFEDGEDGNTIKAYVSFGGLLMALEGPYKKLTPLRVDYVYLLVKK

>RCO7_09710 | related to DUF775 domain protein
MGEPLPQLFGVIPTGAPCITTPTSVPSQTSFVYTLPRIGKEFSHIVVFLLPGITLPPDTAAAVYISLPSQNAGPAFKFLGGIGPGKESAVFKLSGLG
SGSSTPSNSTGGIAEVDMDADDMSSIGSGNGEGTITLGISLEPASAVSAQIASLRSTATISTSQALVLSSPAAKKTPDTLVLAQRIIKNAFNFLASF
SGNVNGGVEVVPLKAFEEWWRKFEGRVRNDPGFLERDDD
>RCO7_09711 | related to thiamin pyrophosphokinase
MKSNLDLINECDVFPYSSTSAHTTLLSTLYTLLSPTGTPIGYLTERVFTALAKVPISIKGELEVNRTRRTISAFQQADEPSRSAAVAATMAYWRSNN
TFSILQGWRDELYPVYGTSNDLIFNIERSASALFGVVTYGVHMMAYTRVPITPSDEHGIKLWVPRRARTKQTYPGMLDNTVAGGMASGESALDCIVR
ECQEEASLPADLVRANIKSHAPITYVYIRDSRAGGETGLIQPECQYIFDLELPDGVECKPCDEEVELFYSMGVDEVKEKLSAGEFKPNCALAMLDFF
VRWKMLTRENEKDFDEVVRRLHRKLEFPGPHSKD
>RCO7_09712 | related to apyrase (NDPase/NTPase)
MGKWRWGVILDAGSSGTRVYIYRWLNAAKALQKADAKDLISLPKIKMKSERKIKPGVSTFADRPHDVGPEHLKQLLDHALNYIPEDQVKDTPIFLMA
TAGVRLLEPVQQKSLLSEICAYARSYTDFSLPDCDLHIQVIPGETEGLYGWIAANYLLGGFDAPENHNHGKGHHTYGFLDMGGASAQIAFAPNATEA
VTHANDLKLLRMRTLNGNAAEYKVFTTTWLGFGVNQARERYVDALMDATYSKATHELPDPCLPSGLRTTLHGQVSEDAASKDPILVGTGRFDECLRQ
TYPLLDKDAPCADLPCLLHGQHVPAIDFDVNHFVGVSEYWHTTHEIFEMAHKDTAYDFSAYQALVKEFCSEEWHDIEAGVKVGKWGKKVDAKTAQEV
CFKASWLINVLHDGIGIPKVAIEKGTGAGYNSTKEVAAAHAKDKGFLDPFQAVNTIGGMEVSWTLGKMVLYASGQIPPSAATVGPVGFGTNLKTNDF
QEAGSNSKPVPVNEDDTWTETAEEISETVHSRTTPGFFLFMLVLILLGFLFRKRDRRMRVYRSFHHLRRGRRPGSPRKGGRGFFSSSKLFGGRSSSN
YERVLEDGDAANEFELGDVNSSDDDNEHSDSSGGSKMGRTSGLATPKMNVVNFDNSSGATYFENAPTDGVGLGLGHVPVGSVNAFDRAGLVVRTESR
ERLGPNLQMLGAGRRSRAGSPTRLKSPLMTPLEEV
>RCO7_09713 | uncharacterized protein
MPSKIQLDENLWFLYICLQKSDLKAIDFNAVGLATSLKPPAARMRYTRLKKQIESGALNTTHGPRTASSFSSPPPAAASSSSSLAPVKNGTASHGQA
VKRKRRTRAEMEEDSVNVRMNRRPVGRNDGAKVERNMEQASPSPSVSTRLEGMNIDTKIRTISMKAKIEPRNENENERKIKIENLSAYGTGFDTESE
GDSVEDSEEELPLAKLCKRRDLDLDMDLGSRQASSPMNSDDVVSDGLKHESVEANSILGNFPVHSTYASERNGFLGDNSLGETGEGNENGDGNGSEH
PIGMQYPRYVPLGFTTRAIGRGNGTGKYDGQGFARFRDQSRGVFCRSQIGRGRYVSPYAGWVDGRDFEDQMSNSSPGPRLEMYARSQGQLQHEEQFR
EQRERQDQEKQQRHVMESNGSFGVGNEGPRKPL
>RCO7_09714 | related to 3' exoribonuclease family protein
MTDRRRINGPSGGSSAPVYSKYIEKDTASQTERPSRIRQPNVLRKMFLKTGVTPSASGSAYLELEASKAPNSRAPGLASLSTSGLKLTCTVHGPRPL
PKSAPFSPHIILSTHVKYAPFATRKRRGYLRDSSERDLGVHLETALRGVIIGDRWPKSGVEVIITILEGEEDQWWGDDRGGSIMAGDWGMMSVLSGC
ITVASAAIADAGIDCVDVVSGGVAAMVKGSQGKQPSLVLDPVPSEHQEILAACIVAYLPSRDEITDLWVKGDIGHGDRSTNTAQSASYEELADNAVQ
AALGSHRVLVAALKETANMKLVKQ
>RCO7_09715 | probable ANP1 protein
MLPRHHASNGYPRNKSEKEKEKELYSISPHRFQPRTSPIAIRRRRQLIFRIGVGIVIALIFIFVWPGASIIPILSLGLLSSGEDLQIETVRYYDLSN
VQGTARGWEREERILLCAPLRDAEPHLRMFFGHLRNFTYPHHLIDLAFLVSDSKDQTLPLLSKLLGELQADEDPKQPFGEVSIIEKDFGQKVNQDVE
SRHGFAAQASRRKLMAQARNWLLSAALRPYHSWVYWRDVDVETAPFTILEDLMRHNKDVIVPNVWRPLPDWLGGEQPYDLNSWQESETALALAETLD
EDAVIVEGYAEYATWRPHLAYLRDPYGDPDMEMDIDGVGGVSILAKAKVFRSGVHFPAFSFEKHAETEGFGKMCKRMGFSVVGLPHYTIWHLYEPSV
DDIHHMEEMERERLAREAEELAKTERLKKIKDQFQDPNSQWEKDKTDIQNEALKEKKEKEKAAAAAAEVKTDPAAAAQPESKANSKTETKPEVKAEA
QKVVSQ
>RCO7_09716 | related to GEA2 - GDP/GTP exchange factor for ARF
MSNDSLPVNSHASAPRNYSQISSLRDTDTSSALEASKTIERIQFTGAMYNPRKASLSVAVDPVALITTECITVTSAMRKHARWAHSSVSAILGGSSS
PMNPSLQSSRPATPRDEAGKTRAKNRSSSGFTDGDDGGLANRWGLRGKKGKSMQDNPLMAGFGRLRRELTGCKDIHKFDTPSLLHPFLQVIQASATS
APITSLALVAITKFFSYNLISPDSPRLSLAMQSLSAAITHCRFEASDSAADEIVLLRILKLMEGMLSGPGGDLLSDESVCEMMETGLSMCCQARLSE
LLRRSAEISMVKMTQVIFERLKHLEIEAGNDLEALDEKTKEDMDTVKMDPSANSNDAIKSSLAAPPTDSRPSSSFDKARSGAISGSTSMDNGSELGV
GPASDTSDEAPIKPYSLPSIRELFRVLVDLLDPHDRQHADTMRVMALRIIDVALEVAGPSIGKHPSLATLAEDRLCRYLFQLVRSDNMAILHESLIV
AGTLLATCRGVLKLQQELFLSYLVACLHPRVEIPREPGIDPSLYAGVPQAPKLVKQAPSQPSSGRSTPVPVKDRQKLGMEGGSRKPDAREAMVESVG
ALARIPSYMVELFINYDCEIDRSDLCEDMIGLLSRNAIPDSATWSTTSVPPLCLDALLGYIQFIADRLDDEPHSDGYPDQKVLREKRRRKKIIIQGA
QKFNESPKAGLAYLNKQGIIDNLQDPKEIATFLKGTARISKKQLGEFISKKGNEPIIEAFMDSFDFNGKRVDEALREVVESCRLPGESALIERIVTI
FAEHYFKSKIPEPMANPDAIFVLTYAILMLNTDSYNPNLKNSSRMTVEQFGNNLRGVNGGNNFEPGYIQSIYDSIKANEIILPDEHDNKHAFDYAWK
ELLLKTESAGDLIVCDTNIYDADMFAATWKPVVATLSYVFMSASDDAVFSRVITGFDQCARIAAKYGVTEAVDRVVYCLSYITSLATESPSNTTLNT
EIQVGENSVMVSELAVKFGRDFKAQLATVVLFRVVTGSEAIINDSWKHIVRIWVNLFVNSLIPPYFAPNRIEISPIPLQTPSQIIDRGQKPSDIGLF
SAFTSYISSYAADDPPEPSDEELESTLCTVDCVNACFMGDVFANVVNMPIGSLKPLIEALLAQLPDDPSLIVISVKSEADTSAPTNGRKAASSEPVY
EPAMVYLLELCTVLALRDKETVAALGADVAEALQNVMRHAGSYHSIMISRTMFYLLHLLHSSYEHDFLRVPVVLHTISSFKKDLLDKSAPLVLQGLN
QCIKEPGPLRNEIMTSPDFWVILRNLTGNAQSAPTVFEILEGVAVGSPPTIMADNYESAVQLLNEFASAGSIGSTVEQKQDKRVRRGQQQQAKQAKP
PPQPQVDAAVARGVKAITMIFSLTTRIPDLMSQSHLESHSAWTAYWSPIFAALTTQCTNPCREIRHQAFSSLQRSLLSPSLTSSSSEHSEWTAIFGE
VLFPLILRLLKPEVYSSDPVGMSETRVQAATLLSKIFLHYLSALGKWEGMLDLWGRILDVMDRLMNSGQGDSLEEAVLESLKNILLVMSSSGYLVPP
SKDPSQEELWVETWKRIDRFLPDLRKELDLDAPPPKEVVVEKDVEKGKIVEDKVEKEATHQENEKLPERLKEGVEAGVE
>RCO7_09717 | uncharacterized protein
MRDCVSERMNRPGYRAAGHAHNISATSMGARGFSTYMTPRSVGITPAGGLTPRVRNPLDSSLDFASNARADNMQIVRANMAGSATDVDAIATIVTRG
RGMDDTVAIIPALPKIALHWCRKSQMVDSV
>RCO7_09718 | uncharacterized protein
MAPKSSPTINRTSSPPTTKKARIEKMPKKSKKQKKAKAKKGPACETCRKKHTKCAHRLELGSVTKPSSSTIPITATTPSSSSASTSAAVPAASNPAK
STKQEPSPAPKIVENGDATEAVRRRIWEDRQKYTIVFTEEDWYREPVWASRVFGGQPGAEEYLLYTTSARVEES
>RCO7_09719 | uncharacterized protein
MSTASPTTLEGTSSPSLRTPIPLPISSPPTPISQPTSIQGQTSRPPSPSIDDISGFPRINTGCEIDSKDDEAFNTAAYPYPNSNATPTASPDLKTNE
DPFAAQGKEFTFAAKDRDGEGDGEGEDDMNEEQGPKAQRENAKRQRALSDGTASRSPTRSSPQKHKGSKGSLSRDGDASKTNERESKHHSTHSSHFE
KGWARMTGRRSSKGEKD

>RCO7_09720 | XPA-binding protein 2
MAAPSISKLKQSRAKADMYLISEEDTIYEQDILRTPGSTKPWLAYIEFKFQHGTILEQSFVLERACRQLPRSYKLWKMYLNLRMKHLGKLNPAIFKS
EYAKVNALYERALILLNKMPRIWEMYLSFLLLQPIVTLTRRTFDRALRALPLTHHNRIWTLYRPFANSASGQTAVKIWRRYMQIHPEDVEDFIELLV
EMGHYTEAVKKYMDILNNPKFQSKNTKGHYQLWIEMVDLIVGHAKSIDTGDEVGIDVDKIIRSGIDRFADQRGQLWSALATYWIKRGSFERARDIFE
EGITTVMTVRDFTLVFDAYVEFEEAITGQLMDDAAARSDKGILDENLDFDLDIRMMRFEQLMDRRPFLINDVLLRQNPNNVSEWNVRIGLWGENKVE
VVQAYTDAIAAVQPKKAVGRFHELWANYAKFYEKGGDIRNARIIMEKSVKVPFKSVAELADMWIEWAEMELRNDNFDEAVKIMAKAVQAPKRSTVDY
FDETLSPQQRVHKSWKLWSFYVDLVESVSTLEETKKVYERIFELRIATPQTVVNYANLMEENKYFEDSFKIYERGLDLFSYPVAFELWNLYLTKAVD
RKIGIERLRDLFEQAVEGCPPKFAKVLYLMYGNLEEERGLARHAMRIYERATRAVSDDDRADMFNFYITKSASNFGLPSTRPIYERAIAALPDKDAR
DMCLKFADMEKRLGEIDRARAIYGHASQFCDPRTSPDFWSKWESFEVQHGNEDTFKEMLRIKRSVQAQYNTDVNFIASQALARSQARPEGETEEEHA
DAMAALEREAIAPVGFVAASTGPQIGNMKEPTIVAANPDAIDVDGMEDE
>RCO7_09721 | probable vacuolar ATP synthase subunit D
MSGATNREAVFPTRQSLGLMKAKLKGAQTGHDLLKRKSEALTKRFREITRRIDEAKRKMGRVMQIAAFSLAEVTYAVGGDIGYQVQESAKSARFRIR
TKQENVSGVFLPAFESFTTEGNNDFGLTGLGKGGQQVQRCRETYARAVETLVELASLQTAFVILDEVIKVVNRRVNAIEHVIIPRTENTIKYINSEL
DELDREEFFRLKKVQGKKQRDTAAQDEEMRIRREAKEAAAAGKDKKDKDSDKENEGGGDILGESEDNDVIF
>RCO7_09722 | related to small nuclear ribonucleoprotein snRNP U1A
MASLNPIGGPPPNATVYVRNLDEHVKPPQLIEALTELFSEYGEIIDVVAKTNLKAKGQAFVVFDNVESAQKCIDDVQGFELFGKSMQLAFAKTRSDA
FVKRTAGEEELESHKRRRLAEKDKKKAIEQAEEQKRLKLTAPVGMAPDSGARPIKATRGAGLKSTNAGAAAVIPDEYLPPNKILFLQNLTEEYDIDT
LTSIFGRFEGFREVRLVPGRRGIAFVEYEGEAGAISAKENTAGIAMGDGQVMKVTYQRQ
>RCO7_09723 | uncharacterized protein
MGIITRKFEPSISTSEDYDKVTGVCSIEFFSSRDVEDFFQDEIEQILGKYEISQYAIDLKRHSPKHTSVGAQDTLVIYTHNEFITHWKEATTEIQGA
VHRCVEVQGVEAQIQVEIRHKDKVYRDWSFALRPDRPELAALEIAQDCVHAELKSLKIYQNGVLSALVCEAEIGKTLKTNQLSYFASYRAREKIGKA
SRSVWSKN
>RCO7_09724 | uncharacterized protein
MGVIKRKFESTSASRDDYDPATGACSIECFVSFQDKYRFAPLGRMTTPWPYTTTRVSPMARDIKRKITSEYEAILRKYDITMVDSHMQRMSPKHTTA
EGRDVLIIVSDDLDTTRWLAAATEIQAAIDRRVGMANTDLKMRVEIRNFEAMYRDYSFAVKADTPECQVLAKAQSIVHAELARLNATQWTTIGCAMR
GREREDSDNKPTVVVCFPPGSKYLYDYLAGKVESALEPLDTANSGLALQVEFMPGLLIPSISAEMRPAAPVFAGYDYKHPDCGFSIGPRGARDAGTA
GIWVWFRKPGQPRQLAMLTCHHVVVSGDPGRRAVHDTYGIGLQGNNVPNPIVVDYPAPFDEAYTEEVLSNQANPAFNTPEQVAKNTESLAGMKKMKQ
DGGFGRVIHASGYHRRVQGRRMDWAIIAVRNPSFRGTNDAVPRTELTFEMLWNNRVNYQAQAGTFISGIGPGNEGTWVVKKGRTTRVTVGEITALKT
ICHWQDNSQSYEDVAELYKGGDPFATGGDSGSIVYNMEKQWVGMIIGEKTISCAGIFTPVDALLADIREQTGGSIELL
>RCO7_09725 | uncharacterized protein
MATSTTWYQCWTTRSDGCRETFTGRDGAREPNEPSLAQMNDTPKPPRNEKTATSKFLIMDHYKKLDPKDAKAVEWRRKIGGMMMNIMVPDDNKSLKR
RKWILKELPEGYELWEHVKYKILATKAGNDQKYKPYNNVYERQDAYLYGHPEGRKKRFRSPADFVPHLLWLESDKDGDRANCSCKLCSPDKEDELPL
EVNKEEFGSNTIPQVISPAHSNPQTLAASFSNPPPASKPAPTPAPTPAPAPAKAKPMAQSPEQQYDSQAGGAYLYRPGEVVWWENQPANNWRLGVIA
KRGLYNYKPRYLIQPLSNPMEPQATRIIDKESSLRPWLAWSLPNTTVFALQNMPFESVPWDRVINQPPYPGQVRDLVVDGSILAARSIDASYSFFDR
NEKAVVGPGEVHYNGMFLGGEKIWVGEPVRLRVPPAIGHNGVDILVLVVSKLIERVLPDSTAVIIVGDVYKWIEMSKQNNGSTFPNPDLPPRMKADL
DFRNKVAAAANTGMQYNWHLLEKSVMKSLPDIKGRWYDTQTLVPILQGVQRFQQNIAMGRFQDVNESMNSRLEGDKIPNQRRRNRADTLGGAVPADF
KVSRGLAGDPADDLFPDEQVSRAEGQFMSTGQPFFGV
>RCO7_07247 | related to cytochrome P450 monooxygenase (lovA)
MSPYTIKHLEGISAIAFRSPLILSAAGLLLVASFIRFLLSRPKKLDLPIVEVPGSSDQREALLQGTAQYPDSPFIIKSEWPIVILPVSVINEVKSLP
ESKVSFTLETKQLLAYEHTGVGDDAHEVLRAIKIDLTRNLASTLDDMQEEIKVYGKVARLVALLSGRVFVGRLLSRDEEWIEATVSFSLYVMRAVHA
IKAYPSCVRSIVAPFLPELRKLNEFRARAAELLRPILEQQLAKEKNEKIRRDDVAGGQGIMISWMLKHTPEHQRASALVLVKNQMSLSFASIDTTAS
AIVAAIYDLATYPEYIQPLKDEIQQVMDEDGCDIDADGIMRFKKAIIPKLWKLDSFMKECQRHTPSLISTANRITTSAITLSTGHTLPKGTRFGFPA
WAIHRSPNTPVFNPAKNPSSKLVTEFDGLRFYNYRKIPGNENKQQFVTASPESLNFGQGTHACPGRFFATSN
>RCO7_07248 | related to sedlin
MSYYFAIIGTQDNPLFEYEFGTSKQGGDGIARFAEQARHVNQFIVHSSLDIVEEVQWGSGQMYLKCIDRFYNNYVSCFMTGGNVKFLLLHAPSQPAT
TTTSRASTSIAANPTSPQTEEAIKQFFGEVYENWIKTIMNPFYQVNMEVKSPIFKIRVAAAGKKYL
>RCO7_07249 | probable ribosomal protein YmL31 precursor
MFGAFRPTNSLCSGLLWKIPWRLSKFQKARQRKRLRAVDTVVAVVDRALANAGTTMKSVERWKEEMPIEQEMIPKDKYTIFDRKEKKYRKSIRKLPK
WTRVSQRINPPGY
>RCO7_07250 | nuclear cap binding protein subunit 2
MPGAIRNTVDRLDKPSAYFQGRNKKRRYNDREGDEGRERTPEEPAEDPLKDAATLYVGNLSFYTTEEQIHELFSKCGEIKRLIMGLDRFSKTPCGFC
FVEYYTHQDALDCLKYIGGTKLDERIIRTDLDPGFQEGRQYGRGKSGGQVRDEYREEYDEGRGGLGRAIQAERVKEEEEYGKGR
>RCO7_07251 | uncharacterized protein
MQKQNIAEYTPAWLQKPYPGHGIFTSAPTKATSNFLSQSKGSDSASKRSAKPGPRRTIARRGCEIFVAVGKEIRWADLVYLKESWEYKEDKKAASRQ
EGDDRSFRESSQFEANHAQGYRTVKTPVADDIRQLVVSPNGNYLAILTTHTVHIAMLPDSSPLTAPDDSPMKLKTYTLGPTTHVTSQAGIASALWHP
LGVNGTCLVTVTVDAVVRVWELSATDRWSFDRPTLAIDLKKLADGTSVDQDFAASVGANKSFSPDSVEMDVASACFAGRGSGGWSPMTLWVAMREGD
VYALCPLLPEKWSSPPSLVPSLTVSIVAKLAATEDDPTCSPKAKALAQQQFDWMAEIDKQDPVHIETSPGDPPGEVFMRPSKPGKIPKLQGPFELEL
AVDESEEESDSLLSDIYIIGAKVDDESLMFGEEEDILTEGVDREGASFGVVCLLTSNGRLSICLDLDGVEAQWLPKTRSRPQRLVQEEFDVPSLLTF
EVLDTSKKSEVQKKGMDWPVFSEDVTSRYSFYITNTSSISYISLHPWIFRLDGDLSDSSHGAEFRIDLMAKAEKSIRQRIYTQEPLDRLSPLAASTL
IFDPDLRYFLLTATPHGPLALVFETSKDVESDYYRSQSRSPIYDPEPERPLILCEPRPVYEPSHTLDEDSALPAFIEKLGQSKYKRLLKEEIRLSPA
TLQIMAEAHKVLSEETHRIGTAAAELFRRCQRLQAELQSQIKKANDVASRVDAITGNDVEDGPTVSVDERISVRIKVAEARQKELTERIDRLRRKAT
QSTSRELSDKERAWLGEVKMLKSKVVGGNESDDDFGGREVKEPWARYKEADDLHQALLKEVEKMEQFGVVPQTPDFRVPSEVRKTKMVQIMSLLDRE
TALVEGAKSRLERLSLY
>RCO7_07252 | uncharacterized protein

MVSTEDRDVVEPFVTLSPFSPSSRNGHGGNTSESPNTTPEDSFDETTPLPGGLSSATHDTRRADYHMKDLESFARDLQCAADRAFPNEGRAQVRYRK
VSVILLRWEDDEMKVEWELEDLEKVFGNYGFETEKWMIPSKNSHLKLMSKAVDVVKEHDGNGGLVIVYYAGHAGINANRGATWTCKQDPTYASLEWS
AIQTLFEKADFDVLLLLDCCAAASAAPAVGSAVTETIAACGFESIASQPGRCSFTNSLIEVLEDWIDSPPFSAAMLHNKVLSILKHERPERMQNGKR
RRIEYRRTPIHIVATADTTMPSIELSRRAPRRDKSQEINPSTLLSSSKPKPRVHASPDKYRSSGLKGREYQPECLNNVQGDVYEVPRVIISLSLEKH
QNLRSESCQKWLASCPALIKYAKVEAVYSGFSALLLLSIPVLIWNLLPENVACSFVGYVTSPNFLNTKILPEGDDTSSVRSEDVSTQTSPEVDSPQT
CDRCYTKGERCSGRRAGCRTCDEARLDCTYTPVWRREGPSKEYIDDLQRKFNDLEQAFHAQIDKSITLPSIDSSIHTDYRVNAADYDKSLVQRLNGP
RPSIPQSERETLSGEKGSRFPLLFYEHSQRGTQSPMSTTQEQIPGNSPNGKISASQAQQHEFSGQQILKRDAILKDSGLSHGTPPPLPPPRRQKDDE
ASWNDKKLAWIAPKSEYAESKSPSLGGGKSMVRTDSNSSYDSKDWHYPPDKKMKISSVTEASHKGFMNHTTGPMLVTERREMLETRTPDPLYTNFSA
HMRNATSSPNMRNLADVCPYARPGVRSKSALMTPNMTPKTFDGTKSPSGPLPRTPADAQQQHHSPYGYQTTSNLQLHEARPPTTKPFRPEPVSSTAA
TPTEPLVEQDWTYITDIAERRRIQNRNAQRNYRKRLKRRLEDLEDRAGSSSSSRPPDSATSAPHYSSGGSQEQSEIDSVVMDSQPLRCEPEDTRGRY
MSEKDRVNFGPPEDMSV

>RCO7_07253 | uncharacterized protein
MGLIHRLLLFLPAHYLHRYELLTPSDSNAHDDMSSELKEPLSPPTSSPTRLPIWAKSILTFISPSFLQNNSKKPLRKITETSYLNGVRGLAASLVYI
QHLLYAHWLHTGYSSSPGRDSLIQLPILRLLFSGRFMVAIFFILSGYVLSYKPLQLARSGSTKTLYDNLSSAAFRRTPRLFGPVVPAMFSTACAVYF
TCYGAENFSRDGCMPKAGSLWRQIGGYIPVLSRMLDPSVWQEYYPPGLPHLWTLPMEFRGSMVVFLLVLGLGNAKPLYRLILLIFFALVFLHLGRWE
MFLFTSGPILAEMRIYRKEKSMEFERDSPYSKKPIYKETARVALWTGMFLGGLFLGSWPAFQACTSLGFRHFCALTPKPYTGDEVAQQYFWISIGAF
LLLLSFENLEILQKPFTSKLAMYMGDISYGFYIVHWTMLFTVGTVVIGNCKRWLPYGYPNYSVGFFVGAAITTPFVIWVGDVHWRAFDDGAVKCARW
FNVKCARKPE

>RCO7_07254 | related to O-methyltransferase
MASLLELVQDVQVAAEAVASGDGGSDNLLLLRALRRLNRVAEPPAERMRRVVYQPVQNATIRLAVEMGLPHALVEAKEMSADELAAKSGTDKTMIVR
VMRVLAAMDLVDQIGDEQYQANPSTEALASTTWTSGVRFIHDTLAPTYAKVVDYYRDTGFRSSDKTAMSYAVGTDFWKFLNERPSLHQDFHNYMRGR
KEHSPRWLDYFPVSTQVGDLSTATDAATLVDIGGNLGHDLKLFREKCPEIPGRVVLMDLPEVVRGNKDPLVGIEKVEYDFFQPQPIIGAKFYLFRAI
CHDWPDKECLKFLGNTVKAMKPGYSRLLINDQVLPDVGAELHPVTLDMTMLTYFNAMERTERQWRTLLGSLGVEIVKIWRFEAGGSEAVIETMLKE

>RCO7_07255 | related to serine protease
MVMKLSALCAVLGLISASLAVAPQRGFDHKVRKTTISNRSIQKRGGTDPKLLYPAYNIRVPVDHFHNDSLYEPHSDEKFNLRYWFDATYYKDGGPVI
VLQGGEISGATRLRFLQKGLLHDLAVATNGIGVVLEHRYYGTSFPTQNLTTESLRFLTTDQALADQAYFAQNVVFAGLESKNLTAPNTAYLAYGGSY
AGAFVAFLRKLYPDLYWGAISSSGVTEAIWDFWAYWEPIRWYADQQCVEYIQKITDLVDNIIIRQNDSHTTKELKTAFGLPNVTYDDDFAYVLASAL
EAWQSKNWNPEINDPSFDQYCGNLTSPKPIYPASKGLSSTVKDLIRKGGYGSETEKLTTPILNWIGWLALNSISDCEDTQDKCFGKHDRSSYEQDDI
SQAWRSWPYQYCTQWGYLLTGSRPDDILPLVSRTIDVEYQSLICKYAFNITTPPNVEAINKYGGFNISYPRLAIIDGEHDPWRAATPHASPFNSTAV
NRTDTISEPFFLIPGGVHHWDENGVFPNQTVNDPSDLLPPQAVRDIQAKEISFVRAWMAEWKLERENNRQTDL

>RCO7_07256 | uncharacterized protein
MSSHPEGNPSFSSIYNHLTDDKKFSAPLLPPAKPHSTTLTSQIASLQLHPSLEAALHLLNADLPSAHFLVRHMQSAPKYEGMYLHGILHRIEGDLHN
ARCWYSDVNESEVYRKIWAEGKTFKDVKDSVNAGDDARKWMKSSYGLGGEDEGLLDKGQKFLNRVQAFQQMKAKDRKDGERAWLEKESMREISRVIE
WCMEQFGVQKWEDASSAWVKDNEEIKGISQEMTSGGKGYRKF

>RCO7_07257 | Histone H4
MTGRGKGGKGLGKGGAKRHRKILRDNIQGITKPAIRRLARRGGVKRISAMIYEETRGVLKTFLEGVIRDAVTYTEHAKRKTVTSLDVVYALKRQGRT
LYGFGG

>RCO7_07258 | uncharacterized protein
MVLGADLQKFIDTLTDMTERILEPKVIDPIIGRIEHFGRKIICRQAGDSALLLEFGEDTFNLRTSFHIQSLITQHTLAPNPSIIELSPGVRSLHVSY
TPSISQAEILSLLKTLELTLGQNLPKTVSSRTLRLPIVFEHSSTLAAVSRYSRTIGSTAPYLPNNIDFLQRINGLPSRSYITSQGSLGNFPRPRHRL
FGTKYSPPRSFTPEGTVGVGGMYLCVYGMDSPGGYQLLGRTVPIWKMWNGERPWLFEVFDRISWYEVEEDVLDRAREMGEGGGLVRIEEGVLDLAEY
EHWLEGVKEDGEVINGRRQRAIEEMGVLEELGRGDEANSAILESGDGDGGELVGEIVKSEVAGRCWRCEVKEGDVVEMGKELICIEAMKMEIRICAP
ITGTIAKLFLKVGDVLDVGSRIAVMSPS

>RCO7_07259 | uncharacterized protein
MRTLGLKHLARALAETSKVPLLPGSKILKNIEEAILEGDRIGYPLMMKSTAGGGGIGLEKCKSADEVKTRFASVQQQGQKHFNDDGVFLEYFVENAR
HIEVQIIGDGEGDVRHIGARECSLQRRHQKVIEESLPLNIPNEVRERMCEAAVNLAKSLNYRNVGTVEFIYDAKTARFFFLEVNTRLQVEHPVTEAV
SGYDLVEEMINVAFKSPSRLFSASPRDARTLSGHALEVRIYAENPLKYFQPSTGQIFEVSLPKHVRVDTWIKSGSKISSSFDPLAKIIVTGSARKDA
VEKLAAALEATQIWGVDTNIEYLRHIVKSDMFVEASYSTTTLDTFEFHPAAIQVLDPGSLTTIQDFPGRIGYWKVGIPPSGPMDNYSFRVANRLLGN
NPGDAGLECTSTGPILRFLCNTIIAIVGPPAEHKLNGVLVTMSTPISVARGQVLAIASPKSGVRTYLAVKRGIQAPKVFNSRATFALGKLGGLSGRE
LRKDNVLPIPENQGQLDTHQPSKPLLVPYQSKRWNLRVMAGPHAFPDFLSKDNFESLFSEPWKLHYNSNRIGVKLVGPKPVWARKDGGEAGLHPSNI
HDSPYSIGSISFTGDEAVILTCDGPSLGGFMVFATVVSAEM

>RCO7_07260 | uncharacterized protein
MSKFSTHRTRPVTISDWIVHQARGDGLERLLSLQRSLPPSDPAWISTATPDQLRSQWAQLLELEAQGQLFPLYGVPFAAKDNIDVAGFVTTAACPDF
AYLAEEDARVIAELRKAGAIVIGKTNLDQFATGLAGTRSPYGIPRNTFNEKHISGGSSSGSASVVARGIVPFALGTDTAGSGRVPAGLNNIVGLKPT
RGLLSARGVVPACRSLDCVSILALTIEDADLVLRIASVYDEKDAFSRAVPAAHPAHASNKKPRIAICNSPPWFGKTEQEVAYLASLKKCPLLGWELV
PTDFTSPFKLASLLYEGPWVAERYTAIKDFINKPSIQMDPIVRSIILKAEGFSSVDVFEGEYLRQDLSREIETAFKDFDAILVPTTPTFPTIQDLAN
EPALENSRLGTYTNFVNFLDWSALSFPAGFRPDGLPFGLTLISKQWEEEKLLGLCRSFSSGEDRRLGCTEFEIGTTKNENLQLTPLAVVGAHLSGLP
LNHQLTSIGGTLSFETTTSQSYRLFELASTPGASVRKPGLVRVSPGLDTASKVELEVWNIPTTEISKFCRSIPAPLFIGQVELVDGIWIHGFAFTYE
SPEADLVMKVLVANRGEIAVRIIATLKRLGIHAMALYSKEDRKSQHVIDADTAIFLQGDTVAETYLSQSQIIEVAKSEGADAIIPGYGFLSENADLG
KHVRIMA

>RCO7_07261 | uncharacterized protein
MVYRHSTIIIIADGVVIAERDSNIATFGPQTRSSQQIRGKKRNTQQDEESEMALFRRIRIKTEIKVRVKVKAILALTTPPNRRVDGSRSESPSMGTG
RPRKARVPTFNFEAVVSDMGSEIRARTPGRKAAASPQEQERELSPFGTSGSVENIMMDIGADFDPDAEQAYNKAMEVDRDVLSEAQMAELELAEELD
REAATDQEIIDDREKYHSPRTAFDSSDDSQDNDKDDDGSGYDSD

>RCO7_07262 | probable Endo-1,4-beta-xylanase 2
MVSFTSLLVAASAFTGVFSAPNVDVAERAPGALSERAGTPSATGFNNGFYFSWWTDGKAQATYTNGAAGQYSINWSGNNGNLVGGKGWQPGTANRVI
KYNANYKPNGNSYLSIYGWTKNPLVEYYIVESFGTYNPSSGATKKGTVVADGDTYDVYQSTRVNAPSISGTATFQQYWSVRRNKRTSGSVTVATHFA
AWANFGMKLGNTFDYQIVATEGYFSSGSATVTVS
>RCO7_07263 | related to Zn(II)2Cys6 transcriptional activator
MDTEFLIPRSTASPSQSSGPESRHFPEQNTVSSTYAACRIKHLKCGGLQVCSRCATQGLECIYLKSRRGYIGPVANRRDLSVMSSSRINNKADSSIG
AGHSVKPIDSLEMATVLCEPTSMFDFVLVNQSWASIQPTIASPDIDLRRRCTEAFFRYFYDAHPFLLPRQRYLESSKEGPPREHLETAIAYIGSRYV
KGAPQSAFSLELDCFVLQHNLPRIVSTVQAMLLFAIGLDGNNEGKKAVEVLIKAQRFALDLGMNQREYAVVNGGGAFLCEESIRRTWWELYVVSVIV
AALHGNRVFQLSGVISTTPLPCGTDDFANGVTPQLYTIEEFDEHSFLDPEVEWSSCAYRIAAARNLKRILETDSLVFLDDALICILDAILVNWNLHL
PLSKVASYDQSGTFDEMIFQAHMITELSSLLLHRRFISLDATATQNIVSYTPQGTVQAYCSGFNNIHTSKATQAASNISKLVGMPTPLINHTQFFIR
ALTHSSISHVSLWSHLPLLAADENLKEEIRMNAGALREMGMVWPAAQMAYSQVTNAAAKVFESRRDAVGNAFGRDLIGSEIIDASLDLDCFTIGITD
VNP
>RCO7_07264 | uncharacterized protein
MARFARTICNDGIHHNLPTFPDHDGKKYIAIVTGANGISGSEIVNALVAAPERWDVIYAMSRRPPPSNNKRVKAIAADFLSSPEELAVVFGREDVKA
DYVFFTSYVQPPAPEGEGLWSNTEHLETVNVTLLSNFLSALTLANIIPKRFVLQTGGKHYALHLGPRAIPMTEDSVALRVPHSNFYFPQEDLLSSWA
LAHSTHWTIMRPGFIIGANETAQINISYAIAIYASIQKELGLKLEFPSDIGAWDVNKDLTTASLLGYFSEWAALTPEAEDQALNIVDDSPFSYGKFW
PVLAEWYGIEYGTPEEDEKKYFVVTMPRNPPPRGFGKPGEVKIAFSFEAWAKGDEVREAWERVQEREALNRMLNPWASRERLVAVFGALDADLLGNW
ARTQTMDKAKRMGWTGHVQTDEGLKRTILKMAELKMVPCL
>RCO7_07265 | probable multidrug resistance protein 2
MRRTTVIRGQGWATAIFERATGQILTPSPIHRLVKPRIPAVSPFQITNRHNSGFNKIPRASPLPVRPNQALASKPLTQSKLGLSPQWSSAVSQLRPL
TTTPQLQEVQKTTDRQDLLEKEKAKRQEEEEDLKDEQDGFGRSEKASKAAQVNLSARLSSNKAPGNSAGLGEIWRLIKIARPEAKWLGLAFVFLLVS
SSITMSIPFSIGKILDLATKDPSEGSTLFGLEITQFYVALGVVLTLGAAANYGRIIILRIVGERIVARLRSQLYRRTFVQNAEFFDANRVGDLLSRL
SSDTVIVGKSITQNLSDGLRAIVSGAAGFTAMAWVSLKLTSILCLMFPPVAIGAFFYGRAIRNLSRKIQRNLGTLTKIAEERLGNVRTSQAFAGEIQ
EVGRYNHQIKKIFALGKREALISATFFSSSGFLGNMTILALLYSGGSMVKSGVISIGDLTSFLMYTAYAGSSLFGVSSFYSELMKGVGAASRLFELQ
DRKPTIPATVGVKVKSAQGIIKFSNVTFAYPTRPAVKIFDGLDFEIPSGTNVAIVGPSGGGKSTIGSLLLRFYNPTEGTISINGIDVSSMNGKSLRR
RIGMVGQEPVLMSGSIAENIAYGKPHASRAEITAAARKANCQFISDFPDGLDTSVGARGAQLSGGQKQRIAIARALLKNPDILILDEATSALDAESE
TLVNSALAALLRGHNTTISIAHRLSTIKRSDHIIVLGNDGKVAETGSYPALSSNPESAFSRLMEWQVSGGDAADKRSTEQESHLTETEEIADDISHM
EDESTEEEVNEGAAARKEKQSKAEAVLEKTGKQTK
>RCO7_07266 | probable Hsp90 co-chaperone Cdc37
MPVDYSKWDALELSDDSDIEVHPNVDKRSFIRAKQNQIHQHRFERKNQIETYKYERIINDGLLKRINALLTALQSHGKEAESRSPDELVFQAIMESV
GASEDGDKPPPPPVGVHTQEKELPSYSKMMAALVDQVKAKVDEDKPADSERYQAYLMEIKAHQTKVEGLQKQLLVELNKLEVEEGKKITSEGLHDGF
NSSHVSKADAYTPPEPKHTTTKKVQAVEVLNPHALAATDSDPQSSGADGDVDEPGLDKDDDEEEMEPTELGKAFSKIKMGDYRSCLQYISEHPQVLA
ERETDGLLVMAFNAAIKNELDFSKQCVHQGLLLQYCRALGGRDGVGMFFKRITTQGHQAQKVFFDDVSSTFTRIRVRAKELENQRALEEADGNGGVE
QIQLHAVDPGTTINIKIPPATSEDPEEVEARKLFNAFPPGLQRALESGSLDEVNKVLGKMSVEEAEEVVGQLGEGGMLSLEEQIIDATTEEGQQALK
EFEEQERAAARENAASTCKYSEDPE
>RCO7_07267 | probable CLC1 Clathrin light chain
MADRFPSLEEFDSGAQTEAQGSSGFEGNDFLSREKALLGDDADQFATGNDNSAYVEDGNDDLLGGGDMGGGNEQVNEFESSFPSIDTQNESVAPGGS
ITNTGPFRSSQPTYQAHMSDEEEPEVIKQWRERRDLALQEREARSAERKEETVKAAQQNIDDFYENYNSKKEKSIAATRREAEQFLESREDTSAGGT
SWERIAKLVDLSGKGAKGGASGSEKAKFRELLMSLKKDEKAPGATGY
>RCO7_07268 | uncharacterized protein
MDFWSRLIAGTSLVSAGKKASTNNPEKRLARFKKEYSQLLQIWRGASNLSRDHEAAENIRDSLQQLTAIISDESRRPLPHPCITFASAKQIYVPIGK
IATTSYNEWIIREGVAFFATLIDSEEEDFVENDIFSSSLMNLLVRITGANSIRLGSDTEVEVVELSFNITTKIRLDPEILPAWFTAQERSDDREQGQ
DAHEKFTGKTHKEDFPLFYLLIDYIHHEGRIGDFARTGLLYIIEAASSSVALEQWIVESDLATLMATGLGALYSQLSRKLVIDHPLEELPPILALSD
YQQPHTTSEIVSSSSPDYQMHMETFLSHLVFWQDVLNHCKSGEVKQTLLEHFQVIFLQQLLYPSLLESSDVDGGSSVAVLTYLRRILEALDHPDMIH
LILHYLLALPDAAPAPSGSRASVSAARRRKSMDLATMMMTQLEAASTPALFNLVDLIQASLRSENEQTIAVTLQLVSVILRKHHRYAVTTLLWTSQS
LANEPQRTIGAHEMEMDFLLTLAGNVGGDDNFDEVYENHIKDCTSMLESHVCSITLIAPKSAGGTSKFIGSQATIPGAPRDIRSHTLRPEDPMLKTL
VSILTNFFVNSVETNLSLTGAIVDLATCGFMRIDGWLLTDPSKYVYDEDEEDEEDEEDEGVGDPLLLGLGDPIEAQEKVQIHLLRKARRTPKWSESQ
APMIMKELKVLVDQISRYRAEIPRFDELLQQRREAFQAVSSTHATPIPVRQQASRSSAESPSRSVSPNRPSAFDTLAQRIFPELGTPSRSKSPRGRK
SQERSSGLSGGYGFATPTSARTPVPPPQFPMGIDNSPRGSSRAISPRPLRDSENGTNGVPASQAAAFAAIDQTILGRKVSQPLVQHKMPAIPFPNLK
AASDESNNEGSLAGADDSMLSEDYQEPEKWAEQKMVSVNHVLTNVIILQEFLLELAALVQVRAGLFGEVRYV
>RCO7_07269 | uncharacterized protein
MSTPIKIQVPEGTTSMYLTALSLHQGRSQIAVNWSDGSANFGATFIGPNPHYVLADKVFGLPIISLNDSVPKELSVCFKFHNKICTVSSPETKNVGP
QGNGTQIQLSAYTSEDKKQEKPTTVTILFQSHLHGLKKSTVT
>RCO7_07270 | uncharacterized protein
MEKFLVSLDRDPRIRLACSFFSPPERSSPRDTLIVFLNGIDSSKSQWSPAIDSLLKPRRRPYSTPFLAYDRPGQGNTLSRNEDVTARLQGHGRDCLE
AAHDLRELIKKVGKSRLGIDRDNIDSLGIVLVAASIGVAIARLYAAEYPETVTGCLFLNSVLASSNIVSVFPDPDAPDFRPEDLTNGITPQDLEIGR
KRLGRVYHLDAPNTEGLWRGNLGILLPFSDAPPLLGPGPRTPYITVVQHDPVVNTRQMNKLLGIPKRVLDVYGEPAYTEYCEGLTRLTHPQIRKELV
FAKGSGHRVYKDDPRLVASELRGILDNLSRDEGSRI
>RCO7_07271 | related to nuclear protein bimA
MAPSTTCVASQLRQLIHYNIDNYLLKNALFYAERLVAYDHRNAESHFLLALCHFRLGDSASAYEFAKAAGSRGTNLGCAYIFAQACLDLGRHKDGIT
ALEKSKALWGGKNSFGKHTSSSRQPLPDAAAILCLLGKLYNGYENPHKAISCFEEALKLNPFMWDAFTNLCETGTKINVPNIFKMNPEMEAALKVGA
SEPSESQSRDQPLHRNDPDRCRPGARPTTVVSDVADPFNNVPSRAFGGGLFGTLGISQRLNESNPSSTNLPAAGGGGIGSEAMETPTGPSASLDVAA
VQNRRDPGLTSYTSEAPPAPVRKTRTIPGLGMDFSMDAPKMSRAVSSKRAQRQPEPIEESAATQALRTSNLVPPAPDRKRTVSGQAVPRQTSEDPGA
PQRRSVRLFNQIRPTSTKSSSHVPNIGPAPGRELKKARPPISKIIRPSSSMSTVGRQVSGNRKPVEDTMDIDHNETQARSWIGTVTNKPSQRSVEQN

MSRQEEAVRFLLELFKKFGSGYFALSRFSCSEALQIYSSLPRTQQETPWVLAQMGRAFYEQAAYGEAEKYYKRIRQVAPTRFEDMEIYSTILWHLKR
ETDLAFLAHELIDATWQSPQAWCALGNSWSLARDHESALRCFKRATQLSPKFAYAFTLQGHEHVANEEYDKALISYRSGMAADKRHYNAWYGVGRVY
EKLGSYDKAINHFKTASNINPTNAVLICCIGTVLEKQKQPRQALSYFSKATELAPRSALTRFKKARTLMAINELQYALEELTILKNLAPDEAMIHFL
LGQLYKKLKQRGEAVHHFTVALNLDPKASQQIKEAIELLEEDDEETSMMG

>RCO7_07272 | uncharacterized protein

MGENDQTQGCEKVGSEEEDHPFPLTDVDRWVLSQTDEEFHLHDWDELKEIIATNKLETLKRKPSALRKYISWTSATKAEYGSMSAYILQNRLPSSWG
QPPFSPISTSPFSSPSDYRILVNDWPYGLADDITHIVVWSKTLIPVDEKTGDVTEESRGIIEEFVKRVFGQRLAEEGGGAIERVVWFKNWVSLQSVR
TLEHVHVLVRGASKEDLKFWTGEPGRLEER

>RCO7_07273 | uncharacterized protein

MFAAYFMFNGAKSLRTPPLVAKGDLPD

>RCO7_07274 | probable NADH-cytochrome b5 reductase 1

MSEFFSKQNINGIIIPSGLLVVGTLIVKQEWVPWACLLAAILSGWKLFSTRAKAVLKPTEFQDFELTEKTIISHNVAIYRFKLPTETSILGLPIGQH
ISISADIAQADGSSKEIVRSYTPISGDHQPGFFDLLIKSYPTGNISKYMASLIVGQTIKVKGPKGAMVYTPNMVRHFGMIAGGTGITPMLQIIRAVI
RGRPTGDVTKIDLIFANVNQEDILLKEDLDHLAEKDENFNVYYVLNNPPEKWEGGVGFVTPEMMSKWLPNPAPDVKLLLCGPPPMISAMKKNAEGLG
FAKARPVAKLEDQVFAF

>RCO7_07275 | uncharacterized protein

MSLAQDESDVMEKGQVPEAMGDALGEDPATDSHITWSFLIGLTIMVKRLRNFRPFKTKPTWRGEIIVRALYQCPEGYPRLAALLDCDENFMLYRRFG
FLQARILLNKQDQLRELETMLDNLDQSHKHSDSLRLRSREHDEAEGPERSKLFREIEENFKQYSRSSSDSVLCEVTNVVAKRLSVCIASLLSAARDL
ATFNRPPTRDFESVRSYFDEETPLSSKKERYIYRREDLITLKPGRENAWLDVLVERFMQNIPLRFTTVRPTTFPSQPQPTKSLAFEALHHSGKHFAF
RTQKAIDEFDRQDLRAKVEFKSTGIKLFSRTRIDLLVSMVNVCIVVVQLVIPVYILWQLTTDEKVNDGNSNSKIIGVLTTFTLIFSGTLSLFTRARR
HEILAAAAAYCAVLVVFIGNMKQVGKSAGSSSHNSTPAIQPSQGG

>RCO7_07276 | uncharacterized protein

MSTKLPKPKDSDAAYNNALKIAGETYKKGDLVDVNFDPSRGVVPGSLYVACGPYLDREKCNSGDDECYFYLSTIEKAEPKDYFGISVENPKGVPFGV
TSFQRSAKIEGEGVGAAKST

>RCO7_07277 | uncharacterized protein

MGFKSFAIVAGKLAKAQGIDTSKGKNAGSTLKIKSLFSPNKIKPSIASNTNFVQGQHVNVARDRSMVLYEGPGTIDRVEGDFTWIMIDEPGEFAD

>RCO7_07278 | uncharacterized protein

MPDFMHPHYLNVPVAPDASISTYRTPIPQPYQFPRLSSPTVKRDTLTRQVRAEDSSFSSTTRCAATSTLAGIPIQVASALASWNIPPESWIRYVNGT
YAWPTGLMVHDSPIWVQHPPIYSMPIRPRFYSGLATGMPHQIKCSRSSDHASSSFISSKQIRRAPHNRKSSLRDQYTSDVLQQQHLDEPVSGTSPSS
ATSSEGGACLLSSLHNSKSFYGKLTDLMAIVRYIVPAGGLDPNLDYGFFERLKYTPGDLDEGIEHFVRDAKTNDPDFFDKLTDFAGGRPGTFRGASP
TEDFRRQDMMEWGYVCYEGEWIKEEDARVRRHEAREKPQQIISTSRSLRRISYETHPAQLEDELAYRIDYCHADSDDDYNGDAAPDFEGGFRLCKSL
RGGKFGSRGDRKLLGTGTIRRKSCGTAKVEFHGAIVTPSCLKKSSSFAAVSADAQLGSNTFMSYDALLCAEYCNNEILCPVFSSTSSCTLWGFEVKP
ESAINYSHTQDPFQAVVASSNGLEKTNKTTPATQPGWQEPKQCGGDGSKAHNHPSTSISTNFFPRPYKPALCAAYANFQNSISTKSPLWYK

>RCO7_07279 | related to chloride channel protein 3

MAGISAGYFPPAGQASSSSSRSRSPPNPTAVAGHSDDDDPVASSSRDQTVLTEDPLNQDDGDMLPFKRKSQQTTRLRLLSVFSGNGSPSRQPTPSPR
TGTPRGLNIFGVRVGSDNRVSKDEVSLDWYAEGPGRRVGYEDMTAIDWIFEYTKERQRLRILYSNATDLIGYARHFWDASQLWVLLILTGLATGGFA
AAIDIITDWLADLKTGYCSAGKDGGHFYLNKSFCCYGYDGLAQCRDWVPWSLALHITSTGGKWVIEYLFFIAFSVCFAITASLLVKEYALYAKHSGI
PEIKTVLGGFVIRRFMGTWTLVIKSLGLCLAVASGMWLGKEGPLVHVACCCANLFMKLFTNIDGNEARKREVLSAAAAAGISVAFGSPIGGVLFSLE
QLSYYFPDKTMWQSFVCAMTAAVTLQALDPFRSGKLVLYQVTYSTGWHGFEMVPFALLGIFGGAYGGLFIKMNMRIAQWKKGATWLPGAVTQVIIVA
LLTALINYPNFYMRAQSSELVYSLFAECSKVVDDQFGLCRTGSATAGTIFLLIFAAILGFFLASITFGLQIPAGIILPSIAVGALFGRALGIIMEIW
VHNHPTFFAFSSCEPDMPCVTPGTYAIIGAAAALGGVTRMTVSIVVIMFELTGALTYVLPIMIAVMASKWVGDAFGKRGIYESWIHFNGYPYLDNSE
ETVIPDIPVSQIMTRIEDLVVLTATGHTIKSLSDILAAHPHRGFPVISNPGDAILLGYISRAELDYNLRSSTRLPRSLPLETEVFFSHQPDVDPRLS
LDLRPWMDQTPLTLPARSNLLLTANYFQKLGLRYVLFSDRGVLQGLLTKKDVWYVLNGAEETRRTMGADADTGLTREGREGEESGLLGRDIVDNVPM
SPRDSDVPIL

>RCO7_07280 | uncharacterized protein

MATLYDPVATFDKMQELLKAKDDTSRFVGLALLKTVLDNGQLISDPQRLRVIWEAISTKFLDRLLRAHQNEKVSKADSKDMVDLAVAVLHTFSTLLP
EESQKDKRLTGRIAPLLKSLIQSPPETTKLILQTILTTVSHTEGALELLAIEDLTPLLEISNQYPLVLEIIGYSWINALTSQLQVEAVRNSINQVIP
TLIANFRGTDAVTFIGFVGNTLPKLESEAVPRNPKWLKPLILMLRNLVTSKPTATGRTAYTQLAAALLQAYPSTSPSLLFKHEESANPDSKPFAYLF
INLLLIDVRSSFPSLLAKLNSEDYPSLSQRLAADFDIVSSFIGFLVRSLDDESVSAFSMTPDLLLKLRKDIAETMSLNIEYLRDRWDASIAGTSGLH
PSARTGTAATSEGIRLTLNWDSVKDSVNTDALILAGIRALAIWIREDENENLRNESAGLMDMFLELYRSSSKGALDFRYPILLAFEGILIAEEGVDG
FLGQDGWQILFEDLKLILRVTTENPAVPQSSAEAGRGLQIIRVLLAVVDHAATPFPREDWMTTVTTTTSMNVAATTAPLVIIEFYIAMLQLSSALLS
KTSGGMTKRFIASLPALTGLVKQMKVLVQKIDDKAESHDLLGLLDDVALDLENLR

>RCO7_07281 | uncharacterized protein

MQQCRLMLSTLRGSEEKHQRQHASSETLLREREDLENENEKEGDTEDDETLSDSWRYNRRNLALQIVLGAWMIISVCCVFYIIFKLISEVDKRQHVF
PPSDTSIDTDSNTPKFTDMKLQLIIPSYAPHFNQLLEMLHSMACLITDINTIDIALIVSSTNEVLTLNSLLAASNAEICGSTFLSYNVTPHSYQLVY
PRKMTVYNLYGMLPPEIQKETDPRETGNLVGRYGKYKYQSMKKLAAAAYLDYDYAMLLDSEGLVIRPVAFMEMINAWKQNPVIWKELAQPGSPRRHE
WIAHINEACAWTLGRNMENFGMGVSYWEGYTWILEKEIVMDMVNSPSRLDPVTGFFSRLLAAQYDIFEIAMYKMHIAARKMEQSSNNSTLYTKYQVL
DMEEALYDYGLGKAYKRIPSNDPVIAQEFPYMILEEPQQDLLVAFMKEYKVFFLYFHPRYVGLIAPWVMQSFMQKAPLAMTVSGATGMRDKVIPDGN
GSWNMTYV

>RCO7_07282 | related to von Willebrand and RING finger domain protein

MPPMSNDYTRRTDFLLPTSTKNTLYSNDSRSSVELRNRTGGGMAGMLDTDRSRTRRERTFVGSECAVCEEPLEHMLRGERILQFSCGHVSHEACFYE
YIKEFESQYCPTCNAPLGLDTSRGGNVLDIEKLSSIVRSVSASDHQSVRSQQTPTPTAWDSQTVRPPNREANARQPLRDNRDSSRDSRDSNNRDSNI
GSSKDSRESRERAGRYAASSRISHTRNDSEMTGPASSVGYPETAVSGPPRRHDYDVQSMETNLMSPRASITRNPIPPPSVSVRSEFPTLNRSRQQQT
LTCLITIEVADNKWRPDPDDLRSANPQSHIRPEDTYARPPSPAQSAPRFYPYEQPEVLEEITENLRSRVDNWHGLDFERFGKLRLYGTIRVGKDKKS

WQELECYLFAEMLICVKEKKVTIPQQWDDQNSPRKQTRCTLKGSILIRKHLNEVTESGSGKSSLGQTEKITMSNLRPAEENVLTLSLSVAELPSFHL
RFDNKNQLKLWQQALLDLNAVEGSPVRSPEYDLLETDEEDWQRVTDPKRVSSLNSSYGGPRSVTTAPTEYTNARGMRLPAAIHVPIDIVVVIPVSSS
MQGVKMSLVRDALKFLVQNLGERDRMGFVTFGSSGGAAPLVGMTSRAWNGWSNILASIRPVGQKSHRADVVDGANIAMDLLMSRKSSNPIATILLIS
DSSTSDTEGVDFVVSRAEAAKIAIHSFGLGMTHKPDTMIELSTRTKASYTYVKDWMMLRECLAGCMGALQSMSHQNVKLKLRLPEGSPAKFVKISGA
LQITKRATGRDAEASLGDLRFGDKRDILVQLVIAPDNASQEQLPQDPWESIVSGLEALGGSLDKEDERVVSIEEVPLIQADLTWGDVLRDGTLTHLP
RPSLLAITMLPTPTSQQQRKSAWPNTPPIPPHPSVVQRRMELLTSDMLTRALTLVSRGQHDRAQHLLHETRSILKGLGKGGLPPIPPLPHAKSPGAL
DTSSPTSATSDRCRTPSPPTSAHTTNGSIHRHHSSDALSMGSSPGIDAATVAALDAELEASLEWINHPAVFGRDSRKAVLQAIGVISSQRGYTFRSP
VESLWARRVGGVKKLTERSREWREESGSDVGIMEES

>RCO7_07283 | uncharacterized protein

MNSPSREEFKIIVVGEGIAGLALACALERASIDYVVPGKSRRSRATKGAVMHENDTIWTGGNGSEKGKKAAPARMMRAPLGGDIEHGYEVEGVKGME
HGEKEVVVRCENGEVYHGDVLHGADGTHSFVRTEMRKSIEKKDPKLLDKDKKNSFVEYSCLFGISTAVPGIEMATMHRAYSRNMACPTEHVDFVVGG
TDGKVTLSDLWKRKKVGGLQCMDGGHHEHWTFGRIACFGDFVHKVTANAGTVGNMCLEDAAAVTNALVKLFDGQKSSSQYQNGNAKHQNGSTKQKVS
AKARAEFKAVEEALKGYQDGCKDRIKEAVKGANAFTRIETFATFFDEMFVKYIGPAMGDLLMDIFSDGMVGGPKFEFLPTPKISLGVGMPWNRYYGV
TKHESLWRRALRALPLLGMFYVSSSVLIYELPNKLSSLVVHCFKGGVIANGLLSALLRTVFTGREALVTFMMPFLAAFTPSMAGLGGCKYFSLPPHL
QRMQALSFLTDYFAFNAIWMIESCRRGDIWTFARIPVCFLLAAQLYGIGVVAPIYFFLHYVQIPSTKFYAADNRHVPIHLVKTILPTLLLGYVATTI
VMYYPTSSISTLQAWNHIWQPFPIYIAILY

>RCO7_07284 | related to ABC transporter

MSSSAQQPTWRRIYLQTLILTHKNMLIFYKAPMVTVLRAFLFPIAATLVFSLLIHLNVTSLGQDEKLMGISLVPKPILTLASDIDTSPSKKLVFVTN
GLPRESLNPIIAGVMNQPGMSVANPSIIEDSTLLFTECRQITKATSNCFAAVVFTAFNETNVDYSIAVDGSLLRFKYGDYRKDETLLQTRILPLQWA
IESQIGNFTIDEKPLSQTYSGYFGKEAVPAPTTPAKEGPRISLTSMEWLNFVSSFVAPFFILIIIGVVYPSERETAISDLMAAQNVTTMPRVLSTML
SFYAIYFPGLLVCSVLMTQILFKKTSDILFLFITLLSGASTIASTHFVASLFSRAQLAGLCSSTFAFVLAIITLMASTTSKAITPQVLVLTLLFPPC
AWATFISDVAMREFKLHAFSLNAGPYTDKFHEKLQRLDGYLYLIAFGLQIVLYTGAAYYIERKLWGITREYDLIDASDNVALRVTGLSKTYNGNVLG
PNGGGKTTTLKCVAGMTAMDAGSRLELNESGLAFGVCPQSNVRLSSYDDGHAFWDTLTVEEHLDIWKQLKTAAYINPTEDGDDVLAECDLLEKGPAQ
AKTLSGGQMRKLQLAIAFVGGSKVCCVDEASSGLDPLSRRNIWNIIQKGHSRQTVLVTTHFLDEADILADHIAIVYKGKLVCEGPGTSLKAQYGDDY
IIRSEPDVNGETMVWRSSSSAEATRKILELEALDEDDNSYNVTFPTLEQVFLKVTSETAVHDQGGDGMVGEEETSKAIDEKIFAMENDHAEDIDLDV
GHSVGLARQTLTLYKKRCTLLLHKSGWISYGISIMLPIILAAALVKFVYKFHRLETCEVNSIILRNQTEGQTSDMVGFPVVAALEDLVPTNIYIRGK
NIPSTKLGPTSAFIGETQDQLFVNTLETNDIDPSEVPALALSTRGFVNSTDQMVESITEGARSSYDTFSLWASTPDKAIFFYNAYESTYDIGEQMKG
FNYLTNRLGNATATNGNARLTTADLRIMRHPENKSDSSSMSIAILICLAFIAAGSIAVIYPAFEKNNRIRALHYSNGVSPFALWTGYLAFDMQFFLI
ESIVVWSVILGQPKLQQLWYEPSYILGAFILFGIATLLGTYVVSLFAKKAAFAIAAGIHCNKYNGLQFGLGILSPGASLARAFFITSSSSDVLCGKY
ADNDVSRPFTYDRYGSVYANLIIQITFLVSVLFIYEYGSTDWVHHNITHRGVPSRLHYIIENSEAASPALADQTHAEKTATSTATSPPILSVFRVSK
YFGKTFAVENVSFNISANETLALLGGNGAGKTTVINMIRGELKPNFGDIYLDGVSVARQPQKARMHIAVKGLKNVEGNVDRILKALNITIYEDLRVA
ALSGGTKRKLSVAIALLDTSTLNFANEFTGNPRVLLLDEPSTGQDAGAKRILWKALQSISGNRAILLTTHSMEEAEALATNVAIMGTRMLAVGTLAS
LQETHGGAYSVRAVRSPEMESEETKRVVKEAFADGRGEVRNYEDAHGQVGWELEKGGRSWGGIMRVMEGLLGKRIDEDGERNGHLGGGSSMGAAGGS
SAQRASGSVKVFQAYTVTGPTLEEVFMNVAREAGQVTSGF

>RCO7_07285 | probable sulfur controller-2 protein

MASNPPSDPTALRQFIERPSSSDHKTKNSSSHTVSRRNNAFTDGHAMTIQMPSGSRTDLLEQTMDMATVSEDGYPPSHDNCSRQHAGDGRDPSIALP
ASNKVAGMTVAPFLARHIPEQYAPMGTGVMGAGEPSAPKAKDPNTKYCYRHRPDSKCRRTADEPTMDNLQRELDTLSQADQQGISHVWSLFSAAPAK
HRNLMLQGILTQCCFSQLSYLSTAVRDLIRIDFVTALPAEVSFKILCYLDTTSLCKAAQVSQKWRILADDDVVWHKMCEQHIDRKCTKCGWGLPLME
RKRLRDWKRQQQLRATGRGLNEWSPNLTPIPDDHGSLELVKAASLNGSSKRDATAFRSDLLATSPEASKRQRLNPEESYFSKPKFRPWKDVYKDRFK
VGTNWKYGRCSTKIFRGHSNGVMCLQFDDNILATGSYDATIKIWDIETGECLRTLKGHTSGVRALQFDDTKLISGSLDKTLKVWNWRTGECVSTLLG
HTGGVIAVNFDGNIVASGSIDKSVKIWDYADQNTFCLRGHKDWVNAVKVDSASRTVFTASDDCTIRLWDLDTHQCIRVFEAHVGQVQQVTLLPPEYE
PEEFENEDDDGASSTASTSDVHTPILQPDKPYGDDWPSTRPHPPRYMVTGALDSTVRLWDVSSGRCLKTMFGHVEGVWAVAADTLRVVSGAEDRMVK
VWDARTGKCEKTFSGHAGPVTCIGLSDSKMVTGSEDCEVRLYSFKMEENELVDPDVVVARTPSQ

>RCO7_07286 | uncharacterized protein

MRDPKGMGVLDRVFMNTQNGVCEGVHVKTRWTLKSLTDIQEEASSCLEIALFSYWGNGNAVCFDGCYGGFIWNDKREILGRFSFQEKDGQKLVFAPM
IKKSIEQDYCLNSVVARLSRL

>RCO7_07287 | uncharacterized protein

MAPLPALKSYLAHLLNRTPSRAPSPLTAHHLNDLTSSLLKRGDHHGLPSPGAGVTEPEQVPNKTIFILIGLIGAGFVITGIWFFFWAKNGGFYFREN
DWDDYKTTVLRRRGPNGTILSGETASTDLGGGSVVHGEKSGRSLWGGRKKNRKNKSKSGVDRYKDFDDEETVSGLGTESYGGSTVGGSEVGYAAKTS
KKAAKPTKSRKTKKAKGAPSEAGTLDTEMDVEADVADAMRAYRHEKPARVGGLNKQPDGSSWDGSNTNTHDGMSAASDLLGHRERTPTSTPTKVKKE
RKDAYTGGAGAKGIRKVVSTSEGANGPASFWGKGMGNGSVVTSASEERIRVEAKKLQEKGRAAQRRDFSFQVGDDGNSGVGGSVVSESASERHARRE
ERERRRKSRSPTKKQMVVPGSYVADEESLMGSAEGSDVGTKSYRHVIPGLSSAGSALGSDYAEERRRKRNTGAGGGGAGGGGYRRGRRGSLSE

>RCO7_07288 | uncharacterized protein

MGADKAKPAYVEDEDDTTGSPVRDSRRSAHVRPAKVTYEGTYRDRDKDRDRNREKDKEKEKRRSKHRQSHGDARYDPEQSTRPAQHVEIITDRDARF
ERRKSSSSSMKSPRKSGRPPSSHENRPSPKSAIPNSSKNDPSYFGIPPVSQNIPLAIRPRAQTSQTYPRPLSYHAVTPTGVHGHPLSNSAYYQPHPI
ITPSYPPPSPGSSYMQYAAPLHNPLRQLPPPPQTQYPSAYQYSVPPQYPQPSQPSFTMSAQPQYAMPQAPAQSDYFASKASSRPSQTSRPLSARFGE
IPRSQTAFEPAPRTSSGFGNRDTRSQRVYSDHNTSHYDDGYTSAADRATIRKPERSIRVPATIPPLSKADFDAMAMPPPRRPSILRRESVYNTEPKS
DPSIDYYDRDSRLEYRGESRPRRPSTKRHSVSYDLGGVRIEAANSGRRRKSTYEEPSSAGLSDGYEAKVQKASQYQGDSYEAKLNQASSYQEDVAGG
PTDNLTAETLRRQQRQRKQGGSSRSTKSSASRDESDYRKSATTRTTRSGSGDNDENVTLKVTGQTRVMVGGMQIDCADGGEISIQRQKSLRNGSERS
NSEYGGGRIEDRQSRVSRPSGRSRMSSHSGDSWTRTPKYPEYI

>RCO7_11719 | uncharacterized protein

MSEVPPHARTYAARHIYICWSIVTSHVDYLIIPQTFNIVRDNNTPEIDLYTPYLRRSTKLDLKGAREYNTILHSAYLLLANSTLIKNTTNFYNKTEI
LPKEFNNIKRPPLTRIKKSSDTIESVYRRIQGVEKEELEEEKATKEEKATKEEKATKEEKATKELEEKKEKEIKFKGDGDSFSSKVRIFYDTYLRAE
ILPEEYN

>RCO7_11716 | uncharacterized protein
MNLGPIIYPSSYMIFSLFSLDYDIAPRLLNYINIEYTILSGLFPSSKAKDAELNREKVFKELEFIKEFAKKAIFKATISNTKGKRNLTSSLEIVLDL
DTLGLFLKKKARRISYYIYFTTRAILVDLNKELDIVVLVLDISDLLEAPENLEKKASKVEVVKEVKF
>RCO7_07289 | uncharacterized protein
MPRAELQPQMRARIIELASERWSPSRIHRKYPEIPISIIRTTIKNYPFGTTDFTSQPRASRLHALTEERRDHVYDIVNHSNPYIKIRDLLREVNNDY
KKRYIQSLLRSIDKKKWLQKKRPFIIAAYA
>RCO7_07290 | uncharacterized protein
MSENTGNPKLRNAKACEACRASKSKCVYKNQAEPGICQKCEQNGTQCIVRSKARPMRTRAARPAGSSDPSSVASNAEFSLSLAAVHSLDTTKEINAL
HIHHMNVFGDEAGAQIFEEPDRTEPGQPTIVEKRILTLIDAEELLASYRTKASFFPFVKLAPEATVPSLSRTSPFLLLAILTSASLQNLELHHQIDQ
EFRRVLSSKVLLQGQKSLDFLQGLLVYIAWYPAHVNPRDTTSFMYLNLAISLLVDLGLDQETPNAEMFSPTVKSTGLIEGDQFTENARKTYLGCYYM
SSAADALFPSIKRGFRKPNNGNYRDLLDKNGEGVMQEEFLSEIGSTVKLQRLCEQIGDVNALPRLDVSPQMEALNDEVNIQMFLGQLHEWQYSTPAH
IKCQGENHPRQLEQNLEANSAVPVVLAERFMEVLIYGQTLGFFRTPYKDFLKETGYRPMSITHLTSCLNACKRYFDYLLSLPETAYIKFTSVHWGYV
VHSIVAMSRLSFAMAAKLSWNEETARSQVPLVMYLDCLAYRFQLLSPIPARTDSPPKHSDVYHVFHMILGSVKKSYEKRISKLDPQPPIGHAFTTGH
CPMMDYSLNTYFDPLMSMDASSFEPSGSGTPSIETPAANVAPLPQYHDIWATMTGSWADEV
>RCO7_07291 | related to endonuclease/exonuclease/phosphatase family protein
MTRNKVTKIMDNVTSSDSRTLKGAVDIRVITHNIRYATKNPLKGEELWKFRCPRLCSELVINSIAPPSFICLQEVLHSQLLDIHAALNDSPSAAGKW
EHIGVGRDDGVKAGEYSPIFYRPEIWKLKSWDTRWMSPTPEVPSKGWDAGSIRIVTIGTFIHVETKQELIILNTHLDNEGSRSRSESVKIILRIVQM
LHNNKRFPAAVLLAGDFNSPPDDDAYKIMTSPDSSMEDIYLQVAKEKRSGSEMTYTSFGHVDNMPARIDFIFSRKGDNVTYRSYGVLENRFDDGVYL
SDHRACVADILLQIG
>RCO7_07292 | uncharacterized protein
MDSTRRQSRQSQVMYSSANRALCISRTKTKPQPDVNLDFTNKMARAKAAMLAMEQQCRPSNPSVPEIVITPSLVPIMESDDEK
>RCO7_07293 | uncharacterized protein
MRCSSILLIAALTFVIAPTPQYPTASTINGTIGLREQCSSSAVCANGANCYSTNSGLITRCGNFQATCSSNTQCAFNTCENGLCNGFIPSTTTSSST
YPSGTPDIVYLPLGADCNPTSTPCANGSTCYAVNFMLQPRCGNFQAHCSKDSQCAFNTCQNGLCNGFIASTTSAVSRHPVTSTSSNSQPTSTSASVD
HPLGSNCDPKVDTCSGGAQCYATNYMLQPRCGNFQAACTNDAQCAVNKCNNGLCNGFRTTTSYPPFSASSSADSPPLSTTVAVVKTSAVGSYPASSD
AASSAASTTVSVIESSPQPTYVISTKVAVQPQTITTTSYKFELPQQSTGVVVTTPVVTESSVAVVTESATRNPASSPTTSNPAQIISNDASASKVSP
LVLVIFGVLAMIAFV
>RCO7_07294 | uncharacterized protein
MPIHELQRRDSWPPTVVRLRDDENDENLIDDDPFSFFLTSPEDFDDFLDEDLTAGIETPDSARSPVREVSPSKLQRAPLLDADSDDEDDRFGLAMPL
SLKDFTRKHSSSGGRQSRAGLRNDDLQGLGISLPLNTKFSASRGRAQVRLTPPSRNGRGRGQTRSLSARRPQSWRLPSPDIYSIKEEKENDEDEKTG
GEADGEAGTDMIISTSAPATVKIDEMMMDVPKKPKKKVHWAV
>RCO7_07295 | uncharacterized protein
MASQFKISLLTPGDISDASTIFFASFNSAKAQTFFPPTASGKRWFADSITAALNDPSKGIIHVVVTDESELADGEIGGGRRKVVAHSKWVKHAGGKP
PKWDQMWRKEPAEGVSAEMLEREFFAPMERQQERYLGERPHYYLETIATLPEYRKKGLASMLLHWGTDQADQLGWECYLNADEAAIPLYQKHGFVVM
PETDPETQSLPMARPVMKEFS
>RCO7_07296 | uncharacterized protein
MPLEISTESPSELLASLKASATSSSKPSFAIIYASLTDGRSWCGDCRDAEPFVDRKFAEGEEAVKVVYAGQRDEWRKQDNPWKAAPFEIEALPTLVK
YTVEGNVEKLVEAEVYDQRKLDGFVGF
>RCO7_07297 | uncharacterized protein
MFAKSLLLASFAVMALADPIPAPQISPEDLSSLLDDATSALDLFSGLPTLPASIQDILATAVPESELTKTDLQCIATATPSWYSDLPNNAKSAISSY
ETAIASWYSENSSNLSLGTNVPAPCPAPTAGGSSPTTTASKKGASTTSSSRTGSVFPPSSGLTGAVSTTGSSTAAAPRATAMIASIAGLAGILGVMA
AL
>RCO7_07298 | uncharacterized protein
MGSSVDANAIKAAGDLCQTCTAFDFDCFLGRPRMLDEGGTLREPNYLLGSILELSERQTCPFCRLIYRGITRYWPAVPRTERIRIKTARDPLHQDQE
FSNSSNDIPVIQYLEVRNDLGAIFEDPDHTLTLDQMNHIPKLTLQLNIYQTQHSIKATYLMSRPLSALIDIEILKSWIERCETWHRDCNRQPNGADI
PAGFKLIDVKTRRVVDAPPHPRFIALSYVWGASSSGLYRPTSQNFSDAGISGLQLPEQLPQVINDAIDLVRNLGETYIWIDALCIIQDDESHLKAQL
NAMDHIYGCALVTVIAGSGYSSTSHLPGASIIPRPVLPIEEIIRGYSLSLQLPSYIGLLNGVAASPWAARAWTYQEGLLSRRRIIFTNQEIFFLCGT
DLWSENCDEPPEGYSRSLQLWYQDPVGHYLQDIFNSRSLQTPVWQFRSYIGLVKEFLSRKLSYNSDGLNAFKGLQRRLQTSTNVDFFWGLPEGSDFH
RALLWKIPDPQVSSPLRSDFPSWTWAGWFQSPYYPEVPHITDEGQIDEPAHVRSCGARFWKESEDGVLEEVDTETDISGLYQKPPKKIVAYKNFMIV
ETMLAKFDIRLEDGATEPHLVSQGKDCGPAHFSRISEKDVKRKLIDTTRDIIILSETLLWLAERDVQGAQFRMHAHKYGGGHYDDLYLASSKIKHRK
WSVYNAMVVQWYGDVAECIALCEIRTDVWNNVDQQRRKIRLG
>RCO7_07299 | related to integral membrane protein PTH11
MSSIPVSATSTIATSIPTGTISAIIGSPPNTTKDYYVAKYLLMAFGLKTDPIHGALIPPRRPVEGYVFETRGPRILASMSIAIATMIIITGLRLGLR
IFRRGLRVGLDDYTIVPGVLLAICWPTLQMCAVIYGGAGKHMYDITYEEFANFKHFSNLSKPIFFISVGMIKVSICFFNRRLTSMTSRPWLIFNNVF
LLLLVAYIILSLFWTIFQCNPAFAGWDPIRVAKEGKEFKCMSDNIVGSTLSVIHVIMDFVLLSVPLIVLWKVRMGWGTKLRLYFVFSIGAVSCVGSV
MRQIEQKKLSRDTLWNFVLLQDWTLVDLTFGVVAASLPILSAFIPASWKSVRGTTDASTGKKGASGAHNLNGTGGFVRTTRRTSISGKREFSDSMEN
IVRTDVIELSFENKSVYLDSESVRGNSAGGKGAAPKDWNSDETFPNHFKTETWVGRGSGKADT
>RCO7_07300 | uncharacterized protein
MLLLCSALLACVAGTGHAEDCSGINAIKPACKSREANHQRDVFWVGGHNVAGPLGLLTYDQMYVEKLTPEKRVKQPYPLVFFHGGGVSGATWLNTPD
NRKGMASRFLDKGYLVYIVDQTSVGRGTQNDIPGYPLRFGSTTNITEVGFTSPESTNAYPQSQLHTKWPRTGAVGDATFDAFQASFIPLTSNSTRQE
LSMRASGCKLLSLIGPSFLIAHSIGSIHPILLADQCSELVVGSVNLEPGNIPFQSYVGNATSSVGRTAARPFGLTVTNLNFEPPIPKSTDLVTETVG
EDTPARRSCILQASGSENTVHKLPNVAKVPYVAFTGEASPHATYDHCVIDFLNQAGVKTDWIKLADVGVKGNGHFGYLEENSDDFFRVVEKWIKDCG
KSLGRNRRM
>RCO7_07301 | related to H+/nucleoside cotransporter

MATNPSPVVEPLNNTHISHKDTFASHEAQEPYKQSHSDPHKVDDFNHEKISSARTPRDPAMMEVDSEKGMKDTDYREKEINGTPTSFSDEEREREKE
KPSILRRGWNMIKPFFFPFFWLLMTGWWIAGLVLHTHDLHGPTATWLIPTLLWLAITMRLVTLYVSTKYVTKPVAWVWMKAIYNPSKMVPAKLRLPL
AGAGTVVVFIVGTMATEETADNTRANRAVSLFGLVVFIGLFYATSNNRKAIQWQTVIVGMLAQFILALFVLRTQAGYDIFNFIAFLATSLLGFAAEG
TEFLTNADIVSLHLFILGVIPAIIFFVAFVQLLYYWGWLQWAIGKFATMFFYGMKVSGAEAVVAAASPFVGQGESAMLIRPYIPHLTSSELHQIMTS
GFATIAGSVLGVYISMGISPLALVSSCVMSIPASLAFSKLRYPETEESLTAGKVVVPADSDEKPSNGLHAFANGSWLGLRVGGMIIAALLCILSLLG
LVNGLLGWWGKYLNINDPLNPLSVELICGYVFYPLAFLLGVPRDNGDLFRVSKLIGLKVVANEFVAFAALVSPDPKNDFLKLSERSRLIATYAVCGF
GNISSVGIQIGVLSSLAPGQAGRVAKVALSALISGVIATLSSAAIAGMLVVDSAVYTKVTIA

>RCO7_07302 | uncharacterized protein

MAGFSLLKDPFLTYIPSLLLFPSRLSENMDIVANGEYELLRPAGPLEVLTDLFHDLGIQSNVRVSFQYSHETKQLSPAKVFRALKVVIQEIPALSII
GVSQPSKKKPGNHRTWEAKLSSICYRDCVEFLDDTDANDDYALARLYEENHNRWFDTHDTTKPWWKLVIVNRKTALFVFHHAIGDGISGYAFHKSLL
AALNADDFDQEPENDLINNKIFTIKESSRKEEPIAIDEIDARLSWFHIIRTFLFWTLIRIFVSPKYLLFSDANVTNTFPTISKPFPVEERTRTRVET
LRVDRATMKECLAKCREHQTSFTALLHTIISITFAADIYPHAKVGFTRVAVNIRPLMRRDPGPDVFTNASATYYGTHLLGKYRAASQNEISDKKAIW
KLAANFKKHMTASIYKSDEVLQSYLTCRLLGEDNEEVGSFYGLGLYLNNSFLISNIGVFHPREDMKDGGWSVKDVGFGAAAIRAAVGDFGPVFSVAS
VKDGDCVIAATWEEGVLKEEMVRDVLGAVLRRLEDLV

>RCO7_07303 | uncharacterized protein

MSKYLDKLNQKAQKVLGHSSGSNNDNAPPIPFNTKPSTSLSPNPNATLPDPQTFTTDLNQKWKITKLGPIYSSSIPRIGWDKGRTSTLSGTTFWNFG
DVVSLDGPMKNGFCMGAAWYANPNNILEVDTRGCSNVAGWEFAKPHESDPKPPGGNEGVEHWGMDTSNIAEVEPGVGVGFAWVIHRNTVGKEVYQGL
GVLRVTLGKDCPVAERVGPLVTGPDELQMGLMTIINAEGYIYTYSNGGITGIIVGRAKVADAVDTSKYEFLRHDGNWVQGIPKSNDVGYGIKTIGQE
QAKIHSDGQGSIMFNKHLNKYMLFTCMFGHATSFYMSDTPYGPWTPEYRLLDEPGYGINVHPSMSEDHRILYISSGTMENIISMWKVEFGY

>RCO7_07304 | related to stage V sporulation protein K

MAAPDPDNQRVLRLSKLFNDVLYGRKLLNSSRDGKLFLESIFVQTDRATCVHRVLASTDGLGALQASMRFDTSPAFLNGHALRLLDVLQAPELTAID
SGSVLSKILIGIVEPAFFWDAFTKAFVESVLSLDAAKKYAWLLLNLVRLPGTGSSAYVQLAESAILDLILNYNDGDIRILGEKIKHSLPLSDTDLHI
DAEAKPGGRHGNDHVDYREITIMPTADELLSQDRPFFRTANFIDNPELVSTVHRLHVDNQFRLLREDMLGEIREEMKVMMGSRKGWHKGLTVEGLKL
CGIEMGIDKKRSPWGLKFLVDDGLPNMRKVDGSKRRAFLTENRQVLRQGNMACLFIDGEPSAFPTISRNEDELARVPAILTIQFQDDETLSRTLLRL
KTANNVKLVQLDSAIFAYEPFLRRLQEMTELPLAAELLHWREGRSIGEPHFKPLHILGKLENMRGKELNQVLGTKTSVILDDSQSSSLSACFSQSVS
MVQGPPGTGKSFIGALVAKVLHDSTDQVILVVCFTNHALDQFLEDLMKIGIPSANMVRLGGKSTDLTKPLMLREQTSIKRSATQWAQINKLKQKLQA
HEERLRNTFNRYKTTNASARDLMNYLEFLGEDLPFFEAFTVSDERDGMTRVGKKNKAVDHFYLLNRWARYQTDAGLFEHLQPEDAEGIWNMTPQLRE
ACMMRWRQAILNDLVTEMQETGRAYNVDQSEMARVLTENDTAIIKSKKIIACTTNGAATHASAIQAASPGIVLVEEAGEILEAHILTSLGPDTQQLI
LIGDHQQLRPKCSYELSVEQGDGFDLNRSLFERLILKGYPHVTLTKQHRMRPEISAMVRHLTYPDLIDAESTRKRANLRGFRDNVIFIDHRELEVEL
KNAKEMRDGKTSSKENHFEAQMILKCVRYLAQQGYGSDKIVVITPYLGQLKLLRDQLARENDPILNDIDKFDLLRAGILTDLGSKTSKPSLRISTID
NYQGEESDIILVSLTRSNNAHDIGFMAAPERLNVLLSRARDALIMIGNSETFINARKGKEVWRKLFDLLKENGHVYEGFPVKCEKHPDRVALLCTPD
AFESESPDGGCKEHCGVLLHCKLHKCPSNCHQVFDHSKMECHTVMKQKCPQSHSQTWKCFQGAPKTCHTCENERKAAEKKARKLLEDQLRRDDKKQK
HQKDMLKLEEEIERLTQGMKDANMNTALEAVLSQKRKDLEDAQKRAKDAANKPKQAVKPNSSRPTGQGLYSSASGESDQANSGHQQQGQTKKTKPAS
SSSKPPASTLKGHQKLCTYITSAVDHNKSPSKTEWQRQKDQENAVDPAIDSIMEMIGLEEVKSQILRIKAKVETSIRQGTDLTKERLGLVLLGNPGT
VARHYAKVLTSLQVLSGDGFVETTGSRLAHGGIKEAKDHLKQLENSGGGVYFIDEAYQLAEPHNHGGRTVLEFLLAEIENLVGHTIFVFAGYRKQME
KFFESNPGLSSRIPYMMHFEDYTDAELLKMLQFNMNKFYKGKMAIEDGLDGLYMKIAVGRLGKGRGRDGFGNARALENVFARIRERQAERLSNERRD
GLGPDDFFMAKEDLIGPDPSKAMKNCHAWTDLKNLTGLKSVKESVDFMIDLIKTNYHREVQEKPIIEVSLNRVFLGSPGTGKTSVAKIYGKILADIG
LLSNGEVVTKNPSDFVGNVIGQSEANTKAILATTAGKVLIIDEAYMLYPGNSGGGQGTDIFKTAVIDTLVAEIQSTLGEDRCVLLLGYEDQMIDMFQ
NVNPGLTRRFPLTDAFRFEDFSDSELQEILEIKIKGQGLAATTHAKSVAIDVLSRARNGLNFGNGGDVESLISKAKRNYQARQSALPATERSFDFNF
EPVDFDLDFNRAVAAGTNLKELFQGVIGCDAIVTKLDGFLKVAKGMRAQDLDPRGQIPMNFIFKGPPGTGQYVGQTGPKTLKQLEKGLGKVLFVDEA
YRLGEGLFATEAINELVDLVTKPKFAGKMIIILAGYEDDMNKLLRVNEGLSSRFADEVYFPALTPADCLHLLDSKLIESRIAFPELQDPTVFNFLHD
LIEQMSKIPGWGNARDLQTLAKSMVRAVYSANQAKVAQLEIHPDIAIRCTEHMLADKLARNKSLRTRPVNLSPATQSSNPDQGPPPNIGTGTGSSAS
NSSTKAAIPDGEANDKPLSPPDTPSTVSPVSNNRDPGVSDETWAELEQDKRLAKLAAEKYEQEILEAKQALRLANIAQKAAEVAMIEHQRLLAKNEA
AANELLKRREEARIREVEARALAERLRKTLELKIELEKSKRKMEEQVQVKLRQMGVCIMGYRWIKQAGGYRCAGGSHYVSDGQLGI

>RCO7_07305 | uncharacterized protein

MSLQQNQRGRWNRGGRPWRGTGRAGRGGGTGLGRGHHEGNGALPTPTAPPQQPLGLVVDTIDLHALLVELDEPEIQSQCYVASYNWINGRDPVIIVP
GSPPAWTPLAEDKKLKPDSEDVYRDINAARYPKYPMEPAVRSVLAMSPDFELASLDIVGCGSTIGNLLTFAGSQPRAFRFDVNVVGGTVFLIRRGNS
PTEIIDGLQGYGHTFPENYTTWDAEVRNSCSHQRIIQYDFGGLQILIRTETDGYLKPATPKMSSKASDTEANRSLENALDEIAVSTQSPSNHGKLEI
KMGGEVVHQSSIFDIKTRAGYKPYNMEEILPRLWTNQTSKFLLAYHEFGLFDKPRVTSVAEDILKWQKANSSLLARFHALLKRIVDVVTDTKHTEFE
ISWDGQGPLCITKQIGEGRTALPSDLVNLWDINE

>RCO7_07306 | uncharacterized protein

MLNSLFTLVFAAAALASPLDSSETNTGSVAPPTSVTIKNIVYGGTGCPQGTVGSFISPDRTTFTLIFDRFVASLGPGVPVTENRKNCQLNLELQYPG
GFQYSISSTMYRGYVDVEKGVTGRQQATYYFSGQSNQISSGTNFVGPRAGDYATTDTMPLTSTIWSPCGVTTALNVNSQVRLTSTVSGASGVITDDS
IDGKIEFQVGVQWQAC

>RCO7_07307 | uncharacterized protein

MASKSWILILFAISLLKPIHAFNAPADVPTWCGKPYKSSNNALNPGGQFQFAPSQNVPLLYLKIQPRYSIFLESDKVGSFIVDASISNAFGQKYENT
TYDKSGNPSGPFVTLKYEIHNTESGAVLASNSDAVNSTGNIIDFPLSSFAPRLQPYAISISGTSPDGLQTYSASTSLYVLPSRLYGSAVRIDNLFGG
LYVQNAKNDWKGWYGIFPNGGYADGGHVTPSKTSFANLDNYASQGFNTISIVPDGGLPDQSYPIDELNQYWDRMDELNLFNSYELRFAFQNTTRLHD
QVDLWKNRTTLLMWYTADEPDGWSYALNSTKIAYDQLRELDPYHPVSLVLNCQNFYYEEYSSGADIILEDAYPVGINATWSIPWNTPCNLTYGDCGC
DNCVGELTDVSTRLDDIQTYQNNLQGERIKPTWAVIQTFGKQDYWPRIPSAAEVENMMMLSINHNAKGLTYWLYPSTTEVNVGSGEFGKVFQSKTGI
HFLFGTHAIKGLPVSGESLVDASAWIVDGKMMVGIASKEHSDSSSSVTIMLPSSVASIDEVLYGSSGWSVSGRMLTKTGLKALEVGVLVLNLDHTRF
YTQRSL

>RCO7_07308 | uncharacterized protein

MAKLPQARYRPLGSPNRLLTLGFITLVSIIICWLAAGHKLDLSNIYLGAEEDADKLAFATILLPRSGNSSGSQDVDHYFTSTRMLNCQLNHSKKARS

QRWIPFLVVVLPNIVPWKRKILEREGVTVMIAENADTYLLKPMDKTFSDPSTMPTKTGSIVEELRPDEAPLPKRVPLGYAPTDNAHVTSLAASSMAS
LQCRDRFDSTYPEQNLLNHAHRNWGNIPWAHLRVGWNVNLPNMNDTRRGVKSVHEKLWEDGDQLEPFSDELRMIWKQTKAEKEGFYDVMGHRLGWLD
LGPIS
>RCO7_07309 | uncharacterized protein
MSAISDGEIILPSQIKPVVELILDQVDIRHDSHCCFTMSRIIWSTI
>RCO7_07310 | related to Cutinase
MPFHTSQKLAFLSLLPTIFSSPLPNAQVNSNAIPKSTNTTAMAQAAALSASQKTSVTSSSTSSSQINGLLAAASMAPIINMKVQVISGSLTIFEQGI
ATALNVGITASDTACSPMMVIFARGTTEPGNVGLFAGPPFFKALEEKMGSGTVGVQGVEYEASVTGFLQGGDAKGSAAMATLAESTIKKCPNSKIVM
SGYSQGCLLVRNAAAMLPAATMAKVNSVVMFGDPRDGKPVTNYDAAKTLVVCHALDNICAGGDLILIDHLTYSGDAVSAAAFAASRAKA
>RCO7_07311 | related to sn2-acylglyceride fatty acyltransferase
MSSILFYLGAFAVGYLGLTVSLIMLSSRLPAAGFVGLILASYASLIFAASYGVLISILMRLIGHGRSSQWATGRFFKYLMRFTTGITCTIDDPNDYL
NKTRPAIFIGNHQSELDVLMLGCIFPHHCSVTAKKSLKRVPFLGWFMSLSGTVFIDRANSTNARHAMAGASGEITREKQSVYMFPEGTRSYAKEPML
LPFKKGAFHLAVQAGVPIVPVVVANYSDVLFVPEWRFQSGNIAVKVLKPIETKGLHPADVEDLARDTRELMLREIAALTSKARGQPIAMPEQNSGDG
VIKASGAEATIS
>RCO7_07312 | probable pyridoxine
MGSKEQNVTITVGVLALQGAFNEHVQLLRQAAGILATKDTVETGWTFKEVRTEVELSSCDGLIIPGGESTAISLVAQRSNMLEPLRDFVKVTRKPTW
GTCAGLILLAESANRTKKGGQELIGGLDVRVNRNHFGRQTESFEAELYLSFLNQNGPGTRTDPFRAIFIRAPIVEKLLPTVPGVQEGEANVDDTVIA
PSRDIDENVAKNFNVGDVEIMGTLPGRTFSIKDAGMKGKLESENGDIIAVRQANVFGTSFHPELTGDPRIHVWWLEQVAEAVKQRKKA
>RCO7_07313 | uncharacterized protein
MHFSNALGSSLALLSGLVASQITITRTVIVDPIEVTEPSKPSTKPTVKPTTIITFTSLKPTTKPAPTSEVTKTVYITVTTSIKPATTKKPNTTPPAV
TVSPDPNSTKCPVPLYYGCYASRSANACTKCVQGAYCKSQNEFYWQCVTTATDDDRR
>RCO7_07314 | related to human BTHS gene involved in Barth syndrome
MSTPTPPPPSSPSLPWRLSSSVIMGLTGSISRGFLYGLNHMDVTGLDRFLETLDRRRDPETRDRGLITVSNHVSVVDDPLMWGVLPLRYSLDPGNHR
WSMGSYDICFQSKFTTAFFNLGQVLPTHRIHTGSKFGGLFQPVMTQAIRLLSSQPFAKAPTPFTPNAETSDPFSTGALTYSTNGVDCFTAPSAFPSR
RHSWIHIFPEGRIHQHPQKTLRYFKWGISRLILESEPLPEIIPIFIDGNQDVMHESREFPRFLPRAGKKIRIAFGETLDGEKVFGELRERWRKLVDL
QKEALSKKDLETNWEMGELTEGLKYGKEAVELRNEVTFKIRQEVLKVRRSLGYPDEDPKQGLVETWLEEGDTGTGRKKDGSWVGDT
>RCO7_07315 | related to RING finger domain protein
MSHSKRNTSRAVFTSHEREQAKAAWNSTSARLSRDSFLPFASCRLCLQPAVSPVSCLHGDIFCRECALSNILSQKKEIKRLEKTKQKDNQEADGDRA
REDAEAKERAVQDFERIQMGLEAKMKGSSSDQKIVGREAGKIIVDEDVAGGKRGEKRKFELDEDELLRIARDERTKARKAIDDEKASKTTLPSFWVP
SITPSSNTHNTLHDVVKKAKLSPVCPASQADKPHNYALHTLIEVAFTEEKDESKKTSQRICPSCKKALSNTSKAMLAKPCGHVLCKSCVTKFMTPTG
VHDPHAPDVDQSLVSCYVCEADLTERKTKASKAANESGKAEKDKVKPGLVEITCEGTGFASGGTNVVDRLGISFQC
>RCO7_07316 | uncharacterized protein
MALPIHASGFGTLAVLEANSILSNILSLIYNPLKSVDLSKFTRNIRVVLTPVLDINVMQVSHNMTSASTQALARVISVDGGIICNLGRKRYISMSGF
YRLEPIH
>RCO7_07317 | probable CTP1 - Mitochondrial citrate transporter - member of the mitochondrial carrier (MCF) family
MSPSDTPPIVSIVSGGIAGGVEGFLTYPFEFAKTRAQLGQLPTLNTITSKTSPKIAASSTLSKSTPITQVSRNPYLLIAQIYKNEGGIRALYKGCTV
MVIGSVGKDAVRFLSFDSVKNYFRTSPDSVLTPSQNMLAGMAAGVIASVCAVTPTERIKTALIDDARVGSAQQYTGTMNAIKVILNEDGVRGLYRGL
VGTTLKQASATGFRMGSYNIVKDFEVKRGVQQGPAVNFANGAFAGVVTTLGTMPFDTIKTRSQSAKVTTTLQAITGVYHESGIRGYWKGTVMRLSRT
VFSGGILFTTAEAVAKILNPIVGR
>RCO7_07318 | related to peroxisomal ATP carrier
MSFSQYNSQLDAFDSYHKVQETHHSTLNGPALPALGHALAGSTGTAIANLAIYPLDLVITRLQVQRSLRTSSKFADEGEYEGVLDAFEKIYNKEEGI
SAFYGGVLQDTGKSIADSFLFFLFYNYLRSNRLQKKGSNATTLPALDELGVGAFAGALSKLFTTPISNIVTRKQTASMIAARSSSYSRQPTVSDIAS
QIRSEKGLQGFWSGYSASLVLTLNPSITFFLYETFKRTLLPRYRRDDPGARITFLMAAFSKAIASAITYPFALAKTRAQTSSKPPVDEDDAKIVVEE
VEKSGKSRDRSDAETAGQDAKRLAKDSTVFATIIRIYRTEGASALYEGVWGEIFKGFLSHGTTMIIKEQIHKLIISTYYMILKALNKYPSPTELAKQ
AGNAVQDAGQYVKNAGEKGGDILKEGYENVAERVGITTESFGVMANNTTEVARNATDFSAKQAGNLLGNAQEQLGGKIEEAGHALKSSEVKAIKKND
>RCO7_07319 | related to Cvt pathway protein CVT20
MWNDEDNNPYGTSFERRDSTSSAANPSSPSSHDEPVADPGWEIVENAYGGPQTPSTTSDAHDTENDARPRQYDTSDAGSDDEYGGSTLEAPKRKKGG
YDSRIEQILYENPELPILIVDAGKSLESGGKYIVYTIRTGDLEVRRRYSEFASLRDALSRLHPTLVMPPIPEKHTMADYAANPTKAKQDQQIIDLRK
RMLAVFLNRCRRMDEVRNDGVWWRFLDPNSSWNEVLHSHPIASIPKSNMKAPPLDPANPSPAHAFLPVPAASAKLKAASSHSTNAQGMPNQPPEYAA
SPSTAAHTIPGIQVHGRFPPDSQNLNEQALDPYFINFEAGTKELELLLTGPIEKVNRRTLQHLQSLSSDLAELGARFNGFSLSEPSTSLAAAIERVG
QAVDSSYLATEELAGSLGASFAEPMRESAQFAGVVRAVLRYRVLKRVQQEMTNDELAKKKILLESLERSETEAKRIEQYLNNSGTGNLPRRSNSSAR
DPLSTRRGENAQEDTASIDSDFPPTHDGGSSPPSATQGAPEELASPVHRKSSSGNFITNKIFGRISHAVHGVVDVDPERTRRDQIGKTRESIEQLEQ
AQKASEQDVRNASAGVLKDLKRFQAEKEDDLRRYMLAYAKSQIEWAKKNKETWEEAKSEINKIDES
>RCO7_07320 | uncharacterized protein
MVIDEDLSDAALQEYHGATISVLFIASVKPRFNSPDSSSLKWTGPGKPLKKFTLFPKLPIEIRHMICVSPSFLTELDIRLYALPSERVITFCTRERS
FVDGKVKIWPPGNTGRLRASGITRRKTERTLYKRQHRARKLQGSVTSDPSDSEDLDYVYRSDYMDFSEDSEGCTPHVANHDPQTHSIRFAEVNRHSE
ERINTAKLQYRKALASFMDPASASPGNLRYSAINIAATSTTRGSATSQMGRGGSPDNKSASTQHSASIPQRLELRDTNTIRTSLAKSVKAKYYPTLL
QLCADSRAVALKHFTLSLHKERDGKPIYIDCRCEEVRLLDVKTLLVLGGLQSFRDRNKRAISEVLGQRRNELENKLRFLSLAFTWVGSSCRPIVPLL
ARFRNLDVVLMDGLRRGNGHFNQAGETTQEKKLKGLLDQDDKDRGVGCLLNKVPDFKYVR
>RCO7_07321 | uncharacterized protein
MAAPSPSLTSYGATATTFLTTTITLYTDQASFTILSPVAGIERLPSTTLPRVEGQSSTYTPSALPVLILTNVVGIAVNPSGLAIATRTLSQSPVQVT
STNTDVATSSQIGERDCLSWNCWSRKTHIGIAVGAGLGALLLAFLIWWTFIRRPRIKKIRIRSGKAGDEEKGADIHRPPLKISIKTSMSRTRSQSRG
GKKESLTPPLPNMRGDDDGIRIIAGDPDGRTNAKEPQAYRVVRQPSPRQFFRPVSMPFGPAEEEMDRAGDRNRETTTRDFARPMTGAAADVGVGSAV

RTGRRGNVLQRDVRLSREESMGGYDGSRRTRQEIEDEMRERSERRRDRQKAQRPEYGRKRSQSHTHVGRREHEGRGYGERRRHENEEGIEEDRHRHS
RTRRGEESFEFGRGRVEEGIEDGRSRRSYDPRGEGNFEVRRDRAAEDIDGGRPRRSYDNRGEEDSQLRRDRSLKRRESVREDSKHRLRSVSHDRQDR
SNDKEKKRRNSESGESGGLKAGLKKLVPLLPLVLGLMTTYAEPKGGWDQYIPEEKRKGKGKLKKMAEDVFDKHHHKIPEDFPRHIYNPSSKRSKSAD
RAPHRSSHHHRRDSPSPPRRRDTIRDHHRSSRRDSRRLVGSDRQGYDGTTPENESGDSDSVLTPSPPPRRHRSTRERRLGGYDGADDDDFVVYQDGG
EKDDENVVRRYEISEPDIPILNGAKTFPMSNACQRWDENRTFSHTAGEFLPPTTPSTIR
>RCO7_07322 | uncharacterized protein
MESYATILIVLLVLFLLIVSWVVFGKLMVLKVAEYMAYNQDAYEAEAAAAAERAAKRVTKLAAKEEATRKAEEEQELLEAAVMCPNCKIQHGPPSAV
SAITDFQDCCDRHKPAPTAVPHKTVFSVASTESTV
>RCO7_07323 | uncharacterized protein
MNNPSPNILPPSEDRIMLEWLESQPFTAQPTLTHKTFDDYLAKAAQPRHISGNAGIKLCYYVEQCMRSKSPLIRDSIFAEKPCLDLFHFYIEWNEKN
HARSMRQVIELISTMIAKNPSAETISTIKKAIVERDIAIITHQAAQPLVKPAFKSLESLMGKGTITAQDLIAAYRKKAEEENAARGAISTEVLDQID
DGSKNSAKNSNNVEVVSSSEGLSWDIFFLEMFDWMTYADISPAAGKFLVTVFRDLRAIYEMSDASASWQRWIRQGLSKNPEALENVKNYLFPPLFKL
DRVGSISFLNDLNTHKTITATEDQGIDAQSLLQLSAMETGKKAGLVEEPDTIEFLKVSKKASGAVILQEEAIGLLLTHNSETVRSLAFSVLISSSST
VRPFSSKTLEILRSSMYILYSDTDAKFRNEILSSTKQMIERLRGAASLLAKEMSSLSFHSEGAQELPTARTEDGKHRLAAVKELYQVHNEFVTWYLG
FLLLELIPTASYQRHITSLKAIFMFLKSGIINKGLNSQHMKTSGNNTVWPYAIEFFTHGPMRLLMDLLLDPFEDVRNGATIILKLAPHESFILKSIC
QAETKSDIASMKDSGSDQISKLEFSEESVLSLGLLADFITRAEELSKQTGRADHADGVARSYEILFGLQTSTQRRLALIAQLVDNLERKVEIAEHSL
GQAVSEAPIHGNFAALNLVWDAVTRTEDLGNIASSNTDKEQLDDLQLRIATCCIRIWKAVRDILCNDSPEGHMPEDLEEDDEVGTKDVLSYSFRAIH
ESSNLMKSLVNKIKLKLPTPESPHILPTNTFIQIAELSFEQLSTLRHRGAFSTVTSTFAACCQACVHPNMPLASQELLARWFEVSLECINTQESTTR
RSAGIPALITGVLSAHAANPSLDDFVEALVAIAKCPVARNIKDETQYPQVHALNALKEITRSAGIGSQIEPYIASLFELAGESFKSEVFSIKNCGLL
LIRGLFDNIFGTSTAKEVVEMGWDGKSTQIDYERYPALVDLIMSLLQMGTDDALFPAMDVLRRAGPPPKHWLDIELLVLRQLKNNHWHVRRIAADCL
CSLRTDRYWRNLFCDLVGSKSQHVNHRHGQLMAAKAVLQRLGLPSTNGIKALSMKDFVKIIPCLRKKWHEDILQYRDAEILTKYAEIRNTIISSLCK
ITARDEEAWIALISDEEVSALLAINLREHVQCTASHTEISKFPSICQSIARNNLHVLAIQSDLPRLLPALSDAMTLSVDAGVAFIEALSKDFGTSSR
ITNLIYPCEVYVTAISSTTPRVQIAAMQGLCHMLDQHFDLPRYAEKDQVALLNAVLRLKYEGTSTASPALTISRLGLNGWISLFGILQRMATELLPF
KLAILDEKNFRSWSLECVLNGHENVDFDTRFAAAQAQSQFHSRLVKALVGMPISDRLLPSLFGLHTTLNDDDSDVRNLASVAISVVLQRPLVPQAAT
APFANYLWEEYMDSPIFVKFVVSKMTGTPTQSRGIGLPNRLILVSAQSQYNEASVSDSQLFAQEKQNLWLDEIEDLKVWASVFGKLPITQFESLAFE
NLLHPVIADLVRWIAESVNVLKNAASSPDNALGATTKPEVFSVLMRAIITTNTVLDYLERNFLSAVNENPELWGPTGMKLQDDYHTIISGLGEFISN
ASTNRLHPVLVQTLLMGELGRQAVQDRSKIYAHSILPMGQFGLDCQSHD
>RCO7_07324 | mitochondrial import inner membrane translocase subunit tim23
MSIWDKITGRKSPPTSPHDSPSTTPSNDFTPAPFNPQEAQDVSSFLTGPQFADPSQLHPLAGLNQQTLDYLSLEDSALSDLPGSQSALPSRGWSDDL
CYGTGVTYLSALTLGGAWGLQEGLRRSGGQPPKLRLNSVLNAVTRRGPFLGNSAGVIAMVYNGFNSFIGHVRGKHDSANSIVAGALSGMIFKSTRGV
RPMMISGGIVASVAGAWAIIRKALF
>RCO7_07325 | uncharacterized protein
MVEAVESESDAGILGYEPWDIKELLIESAMRGHFDPAMTRQLKDEDLLRAVSLDPKELEGTNYGEPLYIGDDLYTALRKQDYSIARRAYLHNIGNKL
EEDSKVHNQISDMLDAELKQRVPQKHLDRPRSILGKFTLVAAARVKAAMLAEDLYNPIDLPRNLIDFVVHLTSLRGGHAGTTQIQRLCFRFPDNPYD
SSAYISFLAQLQEATQLSTIPPLEPGEPYRTTLKNQSYDDHGFNEDTGTPSNALGIMLPTPPDSFTTTPAPLQPKRDVKGYTINDGPWVYTSKRHWK
VLTGKTGEEKDRTITDKNSYNNMIQILKAQTTIVVSKEGKKEVVKPVIGTLFVEIMHTLDAAALKRWTEEKESDAEEEEGFRASLLSQGFSQDDIGE
PYHDYIKRSIASEKEKASREHYTEKLKETANERITTMTEDMRKEFFGRYSPAFAQAPFEAEVEGQKERMLGQLEEAIKKIPKNTSGF
>RCO7_07326 | uncharacterized protein
MATADQNFQPQVGDTTTGPEMHTYIPRSDGSILVNGIAYVRQNVATPVVVTNIPAAAVVVEASAQVIPPPHPVIYQQPYITQPQPMYAAGSGFAPPY
YDIQQQPYPATGYPNFSIHQPDHGATYGYTGGEMLMQNMGQAVHPDFTKKQEMQPSDPDQFRMYWCREPDNTWTQRNRLTIESGDIGDCRWYATDGQ
FYAFENMKARTLLAL
>RCO7_07327 | uncharacterized protein
MRFSSSIVITALLTLSAARVQIAPEVTPPEIDSGTSLKSTSGQPESLGKTDPSKTFGNDKRTLTSRADRAAESPGGGSHPGHSGKLMRMIRSVSSRS
GEEKGGEPSNPSPGKATGGKKDGTGERSPLRAYTGGVSPVIDKLRRVVEPGSVPSKTIGDKKTKTRSAENGADSPRTGSKLRRLVELKKGASKTTGD
KKTKTRSAENGADSPSKPIHDKLMRLFRA
>RCO7_07328 | uncharacterized protein
MARAVFGSNSIGRLGLGLDETMRLCIAIFQGSEVLDYNERSEIYQAKLDAYVKKGTKEGEKCVVRSRREVVQYAVAFPHIVNQFVKLDQPMSESLIK
ETHRIMTAGLDPAESGNFGIKSFCGKYRQGNEKAFGGANEYVKPSQIPVAMKSLVENLQKDIAEIEGNAVLDPFMLAANYCDRFVNIHPFKDCNGRM
FRLILNAILIKYAGVVVSLGGKGGERDEYLLIAAESTRVGGHPGQLGKKVLEIAHGTLRKLKMTLSRRG
>RCO7_07329 | related to metallophosphoesterase domain-containing protein 2
MCPISTRFLVISDTHNFEFKEETGPFRAPAPKVDVVLHCGDLTQVGGISEYKRSLRMLGQIEAELKLVIAGNHDLSLDQEYWQTLEEDEQDSEREEH
LEAVQIMTGKLAMDAGVIYLEEGTHTFKLQNGAKFRIYASPYQPKFGDWAFPYERNEDRYNLAGQSVPGTTSISRNPIPSFPSIDIMMTHGPPRGIL
DECVDGHIGCDNLLRAVERARPKMYCFGHIHEGYGAKLVTWRETESGSTRANNGKPQVNKYPMSSSSKVGIDFGTETLMINAAIMNEKNQPANDPWI
FDLDLESDRDLSN
>RCO7_07330 | uncharacterized protein
MPALSIRPSPGHHLPGPSSLLDSRLQGVHSIPRSECRSPSQSAQLQMSPVQLPPIRELVDLSGRGERREGEYRANESPTSIGKRRRTADEENDGEDS
RESTFPRINRSPRMMDRPHSAATVGPTRHASTAYDTHSARSSPYQSRRGLPAMRSSPSFELPSRQDDRPTLPSLPSMMPAHNSSIPRSVQPLSEYAF
GSPRQSLQTYPPLSAATYEPATYQQPSTYAYGYPPRGHSYPGPVSSYPNGNDRSPFSSAQHAMYPNNMSPYSSEGHDREGDTRQRKRRGNLPKETTD
KLRTWFMAHLTHPYPTEDEKQELMRQTGLQMNQISNWFINARRRQLPAMINNARAESTARSARAQDGQGQSTSYGNTQRGSSEGDESAYDD
>RCO7_07331 | uncharacterized protein
MGRRRFIALLGILAHTPRVVGKNDFNPSFPTTFSFNATTPFIWQDIKGTALASLFVVGDSDQFERFELPLDPQACVRTTIVDKVTTCTLWLNNGTAT
FGGSYAEKLVAGRLYHLLLHYEAEDAKSEGSSESPVFRMINPLPVPTGSGSPISTPSPILSSQKSTSSQTAPKSPSSGSISRTSSTKEASSTTSTIL
ETESASPTASSTSSPYPSPSVTTLPLAPNSLTPGAKVGITVGVLSVVISAFLILFFLYRKRQAKKKKKQLAHSANRDTGIDLDDIAITLGSPVTYDR
VSEGRRGWHQRDTPRHPTQVPRTPDRRDQSQQELLHGSPF

>RCO7_07332 | probable endo-1,4-beta-xylanase
MHPSSSLLKNFNCVAAACVFLSSQLSSHGFARADNPFVQTFYTADPAPLVYNDRVYAFLDRDNDGAKNFDMTEWRLFSTADMANWQDHGTVASLKTF
AWSNLNAWAPQVIERNGKFYMYAPCRHNTGQMAIGVAVSNNVTGPFIDALGKPLVENGEIDPTVWIDDDGQAYLYWGNPDLWYVKLNADMITYSGTP
VKTSLTVAGFGPRTKTSTTRTTGFEEAPWVYKRNGTYYMTYAANCCSEDIRYSTAPTITGPWTYRGVIMDTAGSSFTNHQAIIDFKGSSYFFYHNGA
LPGGSGYQRSACVERFVYNSDGTIPTIKMTTAGPPQVGTLDPYVRQEAETAAWSYGVETEVCSEGGMDVTSIDNGDYVKVKGVAFRTGTQTFSARVA
AAAEGGVIHVRLGSTTGTPGTYIATCNVPATGGSQKWQTVTCPVTKTLSGTPDLYFVFNGSGFSFNWWRFDMTA
>RCO7_07333 | uncharacterized protein
MDLPGAPIMVAASDDLQKINSSVVSSRLTTCQTPSEFHLFPKLTLESRRMIFEEALPNQTGQILFLDWSFESVTMKSGNNLVFHLYPDYPREHVEDL
RVPLLSACSDSRKAYLKYNRDALPARSGSVIRYSADGTTVCISAFDKIGTESFNAPWESSKTAYRQMWFRDIKHLATGGSALYPHFREQRSDMEGFS
NLESWAGVIDSTTSTVAATRYQTLLMERAQAQMEAYKKANPGYKGPRIFLSYLS
>RCO7_07334 | uncharacterized protein
MAKTPSALATMYKHLHDHIAIAKEKKPKLDIRNRFARDDHASGSTSSSPLTIQPDLGCAHAVKLGKSVEAFPSESTRNDHDECSEESSDEPAQGNDD
ANDTHTSTGKSLTEFSKFPELPFEIRRLIYSHAAITEYTRFLPVELTLREADEEIGLYFTFTICPKQMELPVYFLDGDEFDIGMLSACTESRQVYLG
HHNCILPAGFKSVIRYNPDRTIIHIQNFEDLQLNDDFFDAVRDGWKTQKWFREIKQLSVPVFSFLTESGVFEPLWGDHGYGQMMAVFENLETWRALV
HPGDWIVGRERVQKQHMELMGAIVQGGLHVYKRDINPDYKVPKVSIFEIVPPEIPESIEERGKAEEHDELSGSDGLDEDYWVDEDDE
>RCO7_07335 | probable carboxy-terminal kinesin 2
MDYTEEENSYRPSQLKPPGSRIPSPPKMGLVEISESQGNARSKIMSRMPPPTSLKHKLGGAFNESEPKRKTLAERAGEVRPLVAPTPSSRPPVKGTT
LVGAGKSMHSRNPSFTSSTSSRALSVSSRSTSNSSFSSSIGPNGRPKSSYGGRSQFSQSTATRGNNTALPRPATSMDTHSSDDDLPLPGRRKGMEPP
ILIPTPIQSTDGYQTIRSKKLRAPHSMQSLRTQRSAANVRDVSVSTAMSRLRLDGEVKSKEQYEYQANSARMRPNQSLLSHKSTISSGLRGVRIDNT
ESALALFVPPEESVASKSPSHIPVLSKAEAPMEPPMTPTRTPKPSPQKTPYLTKDSNLPGFVAWDVDLRVERMEGMFLDMQNKITGTANEQSSLQTV
LDLYKDRVTELDSLKTQLSSANEILKSDLHEMKLKVDSLQQNLLTAKASLDEQMRVHKFELDDAKRDHRSEMDQIKRDNTDEMDRILRKHRDETREI
ERRATVELEDRIRDLERRYNATLEEERSQRLREVQELETKITSGSVNLELELQRKDRDIQNMRGELESVKGDLDREQALKANAQDEISTMRETLQKT
GVESASTIHTLESTVASLRARIHFLESGSKAQSDSFVEMERRLQEALDSAEESKRKLIKEESLRRILFNQVQELKGNIRVMCRVRPVFSNNADEGPV
ANLTYPDLDKESKELEIQGKEEKSSLGTISRKNHSFSFDRVFGPESQNQEVFEEISQLVQSALDGYNVCIFCYGQTGSGKTHTMSSADGMIPRATHQ
IYETATNLKDKGWTYTMEGSFVEVYNEEIHDLLGNSKDFEKKKHEVRHDEQRKQTTITGLKTVLLDSPNAVESILKQADNNRSVAATKSNERSSRSH
SVFILKLVGRNSTTNETSEGTLNLVDLAGSERLKQSGAEGDRMKETQNINKSLSCLGDVIGALGSGKEGAHIPYRNSKLTYLLQYSLGGNSKTLMFV
MASPLEAHLSETLTSLKFATKVHNTHIGTAKKSTKVRSSD
>RCO7_07336 | related to monophenol monooxygenase (tyrosinase)
MQIPHLLTAVSLLFSLATAAPPQPEPRLDAVDGLAAKGLINLEKYQKQVKSKCTVKNAVKRQEWNDLQSSDKKKYIAAVLCLQKKPSKSARGVAPGA
RSRYDDFVLVHVQQTMTIHATGNFLSWHRYFVWAYETALRDECGYKGYQPYWNWGRYASNPLLNPMVDGSDISLSGNGLKFNYTGVPLQGGPLPWDV
IPPGAGGGCVTTGPFKNLEVRLGPLSATIPGVPVNPQADGLGYNPRCLRRDINPNAAAVTATNYTYDLITNPLHADIHWFQTVMQGQFEVHKWGVHT
GGHYTIGGDPGGDFFTSPNDPIFFLHHGMIDRVWWIWQTQNLAARLKAVSGTITFFNDPPSRNATLNDNVDLGLLASPVKLGSLLDTMGGLNGAFCY
IYV
>RCO7_07337 | uncharacterized protein
MTSSKQDWYTPKNTTHKILFIVLPTFALIGLLIALLRTQIHSSLTSICHTLSPAPSSTFLTPFETNFTYQSIHPKTDDLWNDLVTPNGGFIYEGSGD
EKRVYGVGMFHQLHCLQIFRNHLQELYSKKQDRSNRRGMKRGVVHGHHLDLHHTLHCMDYFRQVSSSSMQEPLDLDGNGAGISVFRGRFA
>RCO7_07338 | uncharacterized protein
MSTQPLYANLRSEDSFESTSAGDEEKLFTDVDLALEFRSRSFWQIIWQKFGNVHNPPKDRELPKYSRGFVTAAPIVIHLALIFVYTAVSLLVIYRRG
EGYSPVIYTPAQEAIQREAQVLSVKINQTSSKFNADPSTEVDDAWASLFRYANIRITKEEVEKLGRPSIQLSDGSGDYFGTLDVYHQLNCLKYIRQY
VHQDYYTVKDTNVPVKDHVNHCIEMLRQVIMCKADTAMMTYEWLPDFPGPWPNFGIQHECVNWEKIDHWSRERSIDIFDPKFFRHPKFGDPYGKKEG
NMADHLV
>RCO7_07339 | uncharacterized protein
MRYQLITALIGVAIALPFPDPKRASDKRVESVADILLGDYHECVSQPALQDRAEATQDIALGDYYERCGSIVKKRAKEMEDIALGNYYETKKTQVTR
RAKEGNDIAAGDYYERKNSAVEKRVEGVESAADIALGNYYETTKPRAKPTTKPDKTLAVAQADIALGDYYEKKAANKRSEAVSDTALGNYYETKPPA
KPTKPVKPNFEG
>RCO7_07340 | uncharacterized protein
MERRKIQNREAQRRYRDNIKRKLQLAERQLESRRSSDAAFSVTDGLYGTGTNNTENDVDKTGNTEIQTSYSECPSPTLDFDWCSLTSPCNIQNGLGL
PSPSESVIDTPSKGCSSGSTVMHIAARKGHHTIVRLLSECGVEVSARDNAGETPLHLAAAHGHLEAIEALLDAGAEIDAKNNRGHTPLSVAVSNGYD
TSVRKLLDKGADHRARIQGTRIEGDKLEAEDTSLSNWSFERAKFK
>RCO7_07341 | related to FLR1 - Putative H+ antiporter regulated by yAP-1 and involved in multidrug resistance
MDLFRESAIGQIIRYATKNKYLLYPEEKVDFRWEPLDALLSEEDNPAAIEKKSLASPADSDVESPSEKKVVNGSKNEPQDHTSFHLEPIKTGIDNNH
NLASRTHTNGSSLQRELTRTSTVPYTRERFDVEQVIAAERTKSIATAPTKTADGTILVDWYTTDDVENPQNWASVKKSIVLTLLCLYSLAVYGASSM
YVPGEGGVMDKFHVGATPATIGLAIYVVGYGIGPLLFAPMSEIASIGRNWVYVPTFTLFVILSVPTALVDNYAGLLVLRFLTGFFGSPCLANGGASV
GDMYSLLELPVYLSAWTAACFWGPAIGPIIAGFAVQANGWRWGLWEIVWMTGPILVFFLFLYPETSADNILRRRAQRLRKLTGRDNIKSKSEIEQAK
LKTSEVFIDALIKPLEIMIKDPAVAFTNIYTSLTYGIYYSFFEVFQLVYPPIYGFNLGEVGLCFVTIGIACLLGVSGFLAYQYLYLIPDIKKNGLRE
PEHRLVPALLGVIFLPTGYFMFGWTARSAVHWIASLIGVTILVAANFLIFQCVFVYLPLSYPRYAASLFAANDLSRSMFAAACILFSRPMFINLGIG
GGVSLLAGLSCLGVVGMFYLWKYGGWLRSKRLEGNERQCGGEEKERILTGEWKSSGDIGTKSHLEMMPEISQVVGSIDNDTQ
>RCO7_07342 | uncharacterized protein
MAAPAEITLKDLSGQWVMNKTLSDDTDAVLILQGIGWWTRKAIGLATVTLHTKQYIEDGITHIDIDQTATGGVKGTTELRALNWEESSHNDHVFGNI
KGRSRWSTFQEIDDSFLKEGWLEGDEEKAGPEGEKHIESLAVNEEKGWNARQIWGFAMVDGKRYYVRRVVVTKGAEVLKVRLVYDFYKK
>RCO7_07343 | probable dihydroxy-acid dehydratase
MLLPQLRIKANALLMSSRRTSRRSISTTTSLRNDELKLNKVSAAITQPKSQGASQAMLYATGLTDERRNKAQVGISSVWYTGNPCNMHLLDLNHRVK
EGVERAGLVGYQFNTIGVSDGISMGTKGMRYSLQSRDLIADSIETVMGGQWYDANISIPGCDKNMPGVMMAMGRVNRPSLMVYGGSIKPGCSKTQNN

APIDIVSAFQAYGQFITGEITEEVRDDIIHHACPGEGACGGMYTANTMATAIEVMGMSLPGSSSNPAQSQAKYLECLAAGGAIKILLQEDIRPRDIM
TRKAFENAMIVVNITGGSTNAVLHLIAMADAVGVKLTVEDFQAVSDRTPFLADLKPSGKYVMNDLFNIGGTPALLKFLLKEGVLDGSGMTVTGQTLA
KNLESAADFPSDQTVIRPFSNPIKETGHIQILRGSLAPGGSVGKITGKEGLRFVGKAKCYDAEDDFIAALERGEIKKGEKTVVVIRYEGPKGGPGMP
EMLKPSSAIMGAGLGNDVALITDGRFSGGSHGFLIGHIVPEAQEGGPIGLVRDGDEVVIDAESRVLDLMVDEKDLVKRRKEFKPKPAKYTKGTLAKY
ARVVSDASHGCITDGEFVAA

>RCO7_07344 | related to ribonucleases

MPSLQSLTRNIFHLAQLQTPLLSSPPSSISDQKLLSLPSNTRATSFEHTCPIDSPTSCHNSTSYPDSCCFIYPGGQLLQTQFWDTSPSIGPDDSWTL
HGLWPDLCDGSYPTYCHSAPIYHNITAILSSHNASLPPSTSELTSLVPSTSEPSTTGGSLLSYMQRYWLPNRGSPDSFWEHEWNKHGTCINTLAPSC
YASTDPNTNTDVATKDYSSGDEVVDFFTRAVSLFRELDTYAALAKAGILPSWRRTYRREEISEALKEVTGYDVLVRCRGNRLNEVWYSFNVKGSLQE
GTFIPSDPVGKMGRGGCPEGGVRYLPK

>RCO7_07345 | uncharacterized protein

MKYFHAIILLLLGFSSAKALVPRKTASCRDTCGERFSQKTTHPEKSMLVSDCEKYLASTVTGTAVTVTTTTPLAIFANQTLSESTKLTITSTQSTTH
TGGPTHAPIPDYMKGVCQAPLVKMQHDLYTSICKCAGATVTQTTVPASTVTVAVHNPTQVSTFKIRVVFENSTFLYLSVGAYNVAGGEYVAKVSPEY
ANVSSAARYGPADFTLSNGTLLYKPLKLMEYERVLPSLADGTPQMVWFVSQREDRKDHSRPFEITHRNENNKMVHPLVPVEGGAGVDYTEFFICESC
GNQLYISTAAWKDGYMRRVATDKYDRYDWVELQAEPDLIQH

>RCO7_07346 | uncharacterized protein

MPHTRQQYPEPLRHINLFLRTLGLGLSIALLSVAIIVTTKTGDTPPITYVAVIWSILVNVFDWSCLLVRSRIAPGGLLSMDLIAVGLLVGGVINLAV
VNYDGDGDRKFRDQGSLTTAQNWLHGILIAVHTILIGYHCLDCNMRRYREEEVVRVRSSRGTGSRRSSRRGSYRETETVRVTVRK

>RCO7_07347 | related to P-type ATPase

MAPCCSDSNCSNSSKREITSTEVSTHGPPFKTQIGHTTVICGSLPEILGELYHGNHHHGHHIQPAVRLKDTLLAHKETNHCSKTLLHPPAPASGSSK
VSSCSEKLCCVRKLSGHVHEIDTDSTTSQSCVEKIGEDSQDSSSTIVEIDDNGISCQVERVVLNVQGMTCTGCESNLRKVLDSIGAISNIKTSLLLA
ETEFNLKPSEVLHSGNIGHVIEQMTGFSCIKANSSGEELDLILPAGVSVPDGPFPSGLTSMISVGREKIRITYDPKVVGARTLLQDPFFQSAQFASA
PTSQDVASGRKETHKSLLLTAISVILTIPVLVLAYANLPDRKVVYGSISLVLATLVQLVAHGFYIKAYKTLRYSRMIEMDMLVVLSTTTAYVYSVIA
FAFMAAGRTLSTGGFFETSTLLITLVLVGRTAAAYSRHKAVESISIQSLQVQNAIIVDPKDRNREIDSRLLQYGDIFQVLPDTRIVTDGKILEGETE
VDESLITGESTLCLKKPGMTVIAGSINHSGRLLVELTRLPSENTIQSISAMVDEAKSSKARVQEIADRVAGYFTPVVIGIAIIVFVAWVSVGKALRH
ESTSTACIHAMTYAISTLIVSCPCAIGLAVPMVLLVAGGVGARYGLIFKTAGTIEIGRKISHVIFDKTGTLTQGNPSVVDSSYLTTTDLSSVILALT
NNSKHPVSSGVNRLMQTLQSEVSKPVHLEHVISVPGKGIEATSEGLQIRGGSAQWLGVENSPVVQKLLQRKLTIFCVDVSGSLAAVFGLQDQLRPDS
LSTIQELKRRGISISLLSGDNEHVVKAIGEHLGIAPEKTRSCCTPAQKQAYVKKQLAIPNSTVLFCGDGTNDAVALAQASIGMQMGGGTDVAQSAAD
AILMNSSLKRIITLIDLSRSFHRRVVFNFIWSFVYNVFAILLAAGVIPKVRIPPAYAGLGELVSVLPVIAIAMQLRWKKF

>RCO7_07348 | uncharacterized protein

MSAIADTDQAGSGSRFGSSPNEAPRPAEPLAVTDGKAPEKTISCTSCRKRKLKCDRVKPACGTCSRLRHDCEYPERRRNMGSKRRNMKELEARLVEV
ETRLVAETKAVAAAGANSTTTAQASTSIEADWNTLGMDLNMGMALEMDMDINTDLNNSTMLNPGYDMPSTGYNIPYAEPLAENNQNYPQELLELGLE
EPLPPQEMIDDLHRIYFDKIHPNMPMIHKGRYFASLVKAPKSRPPICLRYAMWSMACSVSDQYLCLEDLMYERARHYLQVAEMKAHGELFVTVYHTQ
AWSIIAIFEAKKAYFSRSWMSTGRATRLGQMLGLHQLDATGSAAKQIRTNLPASEEAFELGIMEKTPALAEALTPEGASNISILGGLVLSASLYGHN
FEHIHRDGTDENPHDVSNGEFWKRHRKMDNVLSNTFMFLPDHLRLPAGIRNMSIVFIHMNLHTSTICLHQAAIVTAQKHNVTDSILRQSEARCLMAA
EEITNIMRLVCHVDVSTMNCWVGFCLYVAAGVFLNDQRFGKPKPQNIVNIEFLLAAMWAIGFKHTVIRYFSAQLELEIEAAGLKAAGNSGGPIRVPS
TPMDGVAGISSERDGVHVRFCASGSNTSDSTTNAGMTSMCEESSSAAGSPKNAQPFWTLKDPVMAGVIIKPAEQQKASVNVEASPSVGNSKSPPTPL
PHRMASTPAQANLTGMDSWDERNPFTTPGVRVPTANNFGLAEGVESFLQNNGWDNGPSSVP

>RCO7_07349 | uncharacterized protein

MQAQSTWSDAQMLKTREPEPIPKIVRQFSQLNVDLSDHKSSLPPLSGHDEVSPDTEMETEIPPTNECILEDTFGLTQNLIQIYPTLLNLFINARPPS
QVTTPDSDFLSTDNSGSDESSSSSDVPSPSMSSKPKPA

>RCO7_07350 | probable ZFR1 regulator of fumonisin biosynthesis

MSEAVAVQDPPLDLTPDEANRIIHSHRKVRYGTACWPCRQRKVKCDNKQPCENCVKRDHANLCSYNPKQNPSKSKDPPGSVAGVKRARSPASDESVK
KEEDRWPRTTAAKVSFVTPLSFRDSEEKALINADEEDPNESRYLGQNSIAAFLSEEAQAGESLSDDEQDVIRKDIMPILGLQISSASYPFMSREHMD
KIRLEIAAALPSDRDVLKTFQIYKQIVQPFWGLLVDIEDFESKLCIYLEDRSASSKHPANGGKGVSSAWLGMLFAVLAVANNYSEQAYHKRVAASQT
FVHCSFHCLRLSNYLIRPSLESIQALIILGFVLSNDMKAEASWALMGLTCRLAQALGLHRAPHEGAHASIPAGSDLPRRKLWWTILWQDSLLSLSFD
RSPIAVMTRCQSPLSETALTIGFSYTEAMYTLCYNILQSVKNDSNSSPTFDQIIANSIEVENIRQQVVPRLRSLDLCKTLQDRLQHFAVRLHTSFVV
SVFCRPALRRGETPGMDATQKAILADKCKANLTETVRMYLKMHSLSVIPTRSWAFTYHGLSSAVLLGILGETKTDLEVRQLQGDLISALSVTAAKEQ
TTADVPKSDRDIELSGPLSRALVALQNIYDHGWVIESKAKAAQGTQVVEQDLLPFEQQDAAIAMASMQNGVGLLPADGAGQYVGCPVIGSDNAHVAD
GSLRLYILGISNDWTRSDGRV

>RCO7_07351 | uncharacterized protein

MSTLVASKPSISRSRSFTSFLSPTLNITNTIYCPIKALSLAYMDECERQIIDDIAYANERRAHIIMASTTQPVSSVLPPSPSPSASTTTYTTANNTI
QSGSHNPMEALQSSLLSGKFSDLVIVHGTRRWQAHKVVVCSQSSGLESLIDKLKDSNILDLSEHDHEATVLMMEFLYTSNYTTAVTDVAPSFSLPHH
VSVFNLACTLSIPILKALALQKYLHTLKNLVSNLSVYFASVRSIYSTPSDPSHPELNLAVVETAVLEMQNLLREGSEQRREFLELTSQVPQFQIDIY
DFLMCNGNPQKEVEVVTVCQELCEECGAREEGDGYEVILECGRGWFSWFLLDAFG

>RCO7_07352 | uncharacterized protein

MNASRTAFFSANSFFFASLFAWTSGSTALEVAVVLQEKEEERREEGEEEGEEGEEEEEEEGEGGDSGDAGTTTGAPGPTTGLGSDFKTLDSQLSQVV
SYKGFGDLPQQEAGLPSPRRWAQVAIPCPG

>RCO7_07353 | uncharacterized protein

MQPISQSLSNMFLNTGKVVVAKSSTIVSRARSSGLQKARHIPGPTLESLPIEIQLMFYEELLLTPHTIYITENKEHFQDQGILAPLVLVNKDIHYEV
QDWLKRTNIRRKDGLHPI

>RCO7_07354 | related to methyltransferase

MATSDDVGVSAAATLPTVTPQSEGQGSVAQAEETDAWTQTQTQTGNGDEFSAFPNELEFGTDSSDTNTERDNDSALGTSVVIYEYMEENGRTYHAYN
SGKYMLPNDEREQDRLDLQHHSFRVMLNGKLYLAPIQSPNRVLDLATGTGIWAIEFAQENTESTVVGTDLSPIQPLYVPPNCQFEVDDAENDWNFSE

PFDYIHARAVVTCFKDNRAMVKKIFDNLKPGGYFEFQDPCLPMLSDDKSLEGTALDEWNNHLVESMSRMGRNLKDSQNWGQYMKDAGFVDVTETRFY
VPVNPWARGKKAKLLGAISYQNLNEGIASLSTAAFTRILGWDQPRLEVFLASVRADLANKDIHAYGVVYFVHGRKPETAEA

>RCO7_07355 | uncharacterized protein

MSGIMSITVVLAFCLSFLVGHASSLASTDTITWGGDNSRSGYQNNHNMDPSIVGSSQFGQLFKTLLPGAYGGEPEQLYAQPLVYTPSDGIQYVYVAT
TQNNIHKINAKTGAIVLSRNLHIPFLTADLEGCVDINPHVGITATGVIDPATDTLYITSKTYIDQTKPNVAQGRPAGRYYFHAIDVNDLSERAGFPK
DLEGTVARNNPIRSFGGGIHHQRPALLHSGQYIYAGFASHCVQYNFTGWMIGWDKTTGAVVERYAMEGAGMTDQTKGGGIWMSGGGIASDDAGSMFF
STGNGYASQLDTIPVNGRNPPTSLEEAAIHMTINGDGSLSIVDFFMPWEKTQLDGADKDLGTTPLEILPSQFSCGDIKRIGVVTGKSGKTYWLNLDN
LGGYQNGPNKLDDVIQVYQNENSVYAGAGVYPLEGGYIYISAIGYPTHVFKFTCSAGVPSFAKIADTPDVNAGILGVGHGTTTSLNGQAGTGLLWTS
DVRGQSLRIYNAVPQNGLLTQINGFNVESVTKFTRPVFGDGRVYIGTTKGLLYGFGSPVNLPINCTSPVDFGTSSLNVSTAAKTISCTANVAVTISN
VTLGGTSDFVVSGLPALGSNIAAGTTFTMSAVFNPKSVGILSSDILIATTNGVAGYSTSTPITMRGTGQSIDALLRISPITLAFESVIAGGQVGGVN
QSAIFTNLGNAPLSISQIQYSIVAETGPFLPPNSTAANPRAGPFTFYGLPTTIPGNTGVTITINFDSSITGNYGAYLKIVSNGGTKLFDVVGTAGSA
PKALIEFQTPDGLSWVAYDPAKNFTFGNVTENTTRTLKMRVTNNATSDGTRLSLTVSKPPFGIPGIIGANNQADLAEGTNLAPGQSASATLYCAVPK
TAWNQNPYGGAAHWTMNLNDPTFGKHDIGFECTAVSEQAPPLMSNGLGFYKYTGCFEENNPARQLKTQLSSLPTMTTAICIAQCDAAGFIFCGTQYN
RECWGGPTIPNLKVDELNCNFPCFGDINQICGGNGVGSGAGGDYISLFADQSRFDGNTTTPGPSPTIPTIPVPTGGPFVNPGVGGYSSIGCYTESTI
DRALPDGKTTTTRTVASCIAACSASNYIYAGLEYGGECWCGNAFTAGAVPTAISECNIVCGDNSTEYCGAGSRLNVYQKGAAASSSTSRSVTLSSSS
FVVPSATSVTNSSSVTASSSGVLSSSTSSSGAPTPTGPSIRQTVGKYSFQGCWTESTTGRALASSTYDSDLMTLESCATFCSSYSYFGVEYGRECYC
GNAVAGDSAKVPTQDDCNFLCPGDKYTYCGAGNRLQLYSLSGLSSSSSVPVSSTSSVVSTSSSSISIITTLPPVSSTTASSSVAVPTTSKAPSGPAI
VPSVGLYNYAGCFTEGTNVRALGDALYDNETLTIQMCAQACSAYQYFGAEYGRECWCGNSFGNGATLVSNADCSMLCGGDKTQYCGNGDRLSVYIKN
GTAPGPGSQSSSSSASLSSTSQVATTSSTSSSIPQSSSSSIGTASSTSSISQSTSSTVAPLSTITTVALSSTSSSSSLAPSSSLTTSSFSVASISMI
STATSSSAPTSISSTLFPSSSSTKSSKAPTYTGPPVTSTGNVNFTYYSCASEPSDGKLLPIQVENNATAMTISKCLSRCYKYKYAGVEYGRECWCGN
VLSTAGNNAQSIPSANLSDSKCNIKCPGNSSEFCGAGSLMNLYYYDFAKAARNAGARVP

>RCO7_07356 | related to RNA helicase MSS116

MESKRNPARRHPYRGKKAMGTSAAPRTAAPPAPPMRVATPPLTAPIPLDTPRFADLAKENLLHPVLLQTITQDLKFDHMMPVQAATLHDLLANRIDC
LAQAKTGTGKTIAFLLPAIQTMINKNHKPGSGISLLVISPTRELAMQIAKEATALLQRLPRYKVSFAIGGTNKVSEENAILAGCDILIATPGRLYDH
LSDHRIVSSMSFLDTLVLDEADRLLDMGFLPSLKKIVSCLPDKEATGRQGMLFSATIAPHVQNVAQLILSKDYKFISTIPEGELNTHERVPQHLVVV
PTFSDVAAAMVGSLRSEIAMIGPETFKAIVFAPTAALVDFYGEILEQLPGMPKVSILHSRVSQSKRTSATNAFREAKNGILVATDVVARGMDFPLVT
NVLQVGIPADKESYVHRLGRTARAGAEGRGTFIVTQPETFFSTWTLKEITFEPVAPDLSSKAEVRAIAERRENSARTYQAWMGYYKNHTKGLKWDNE
QLVQEANAFARDGLGSPEVPALPKSTLGKMGLRGVKGLNIGPEPVRVSNHGRRGGATGGGEGRSAGNGGQGRIGGGAPDGGESRPPGSGGRGVFGGG
RGGRGGRGGARTGGFN

>RCO7_07357 | related to non-heme chloroperoxidase

MDLKELVDHVQDKERLELEAMGNGTDSRKSEWRAIGGSLGCAILWFVFVFLATFALSPVIPSPNVPKPIGPQRCYASLFTTTPFTHKIFVDQSPLQN
LIPSDWTLTHCNRGLNSPSSLLSLQNTLATSPKDAHLGSISSCLAYLAYPSPDDFEKISPETRKEDSEFFLGQAMRCNQVWLGRLMGDHTALDWRSS
IAATFGPRGSQKRPKVLVVASERSGCFPAAGPLYVVELARGENGEGEKERVRGVSVSWGGHWCYWEDPEQFNKLCLEFLDEKEMVKDGGSGGRIDMD
KSTNYFR

>RCO7_07358 | uncharacterized protein

MAQSRPPPVRTYTVATSPPPLSPRTHTNSEKKHHSRRKSGKDYVVSEKKATRPTPLSRRNTPQHTTRLVSAGRSSHRDRDEDVYGGRDSGESFPQFC
MTCEKQFLPASTTLYCSEACRAHDQASSQPIRNKSYSSSPPLSPYTNQFAYPSTATYEDGPDIIPRFSPTQSRPRSYFNSDPYPQIYQPSATTYPTS
PKREYNDHGSSTALASLRELATALPKSSKSGRHSRHDPASPPKSTASSITRTGSGVWDYMPFTSSSKTTHTPSVTPGNSYSNTNGSYYTNGYAVSQS
YGAAGRSKEDLYSNGGYGAGAYGYAKSHGAVGGFGSTGGMGMDRPLPPRTASHRPKSVDLVTPFSTGH

>RCO7_07359 | uncharacterized protein

MDPVSMLSLVCNICQLCEYGAEALIKAKDIYDSETGMTAEHEKLQSSMSSLDERSELLQKSGDSSSTDDNKALRDLVTESRAISREILGLLAKIRGK
NRPKLHVLSRSP

>RCO7_11714 | uncharacterized protein

MNLGPIIYPSSYIIFSLLSLDYNIAPRLLNYINIKYIILSSLLPSSEAKDAELNRDSIIATYKAINQIYYLAKSITFITTYSIEKVFKELEFIKIDL
DLLIIDSAKSKLIAKIALKQIKELNSIIREFIKKAIFKATISNTKGKRNLLSSLEISTTKAILVDLSKELDIVVPVLDILDLLEAPENLKEKASKIE
IVKEVEF

>RCO7_09726 | uncharacterized protein

MRVANAGISLRQGVPASLPSPSHIAWCDEDTNTYGVYVRSGV

>RCO7_09727 | uncharacterized protein

MPPKKSKARAKQAQQFTASPRPRTHSFTGCLTCRERHVKCDLREPSCHNCLRLKVLCEGYSRKYTWVPPRTSEPGPRTSATQVSEEVEESQSSRRVL
YSDEERMAMAVQMRDECCIDASFLDLDRVLKELQDKITDTNELLRIGPFSVFPAASRPTPLPTSESPPSVEVEINQDLDRVEQTEIVSPPDLDLSMA
QFTWDELDDLPVWDALDTALITFSRFPSNFGSVNGDGSGDWAPMITSPSCFDRHDAEIVEVAGHLVSGTIESTGGFDLITGLSSSHNSQIGSDKKPA
DLPSIMQMPNTANMSKIPPEARLLLDYYSSQVIRLMSMSPIKKPPWKTIHLPCAMGALAELLVYGEASSFAKMALFYALLSISAFHMSFGNNKDSEE
ARYWKRKGAAHKATAQEYLRSSLDGTLPKAARGKYKEILMSMLSMVTIGVFSGDMQDSQIYLAESESLIRNFGLPKPVKSLKVSKLHHIFSYLKIIH
ESTSLKENDAGTENSNDTCDPTLVQMALNQETSNTLTHTTNSRLAYIEDEENEELEEDPLFVSIYQMPTTLLSLIAQTSSLCKQLESMDSFTPSFTR
RCQIIEDRIFRWKAPANLSLTTQFGGDLSNSPDAVAKEIAAHLVTATYQALIVHFQRQIRNTNPRVLQHYVTSAADHLLAQEQLKQSLKICHTPFPW
PGFIVGCEAYDVSARQKIDLYLKTVRCYNVASVMEVERVVYEVWRRQDLGRNDRRWEDVLKDWGTQIVLT

>RCO7_09728 | uncharacterized protein

MRYPSPYIALFVATAILAVPLSTQPGALPPSLLVDDGAISFDGKSGDQVANLMNTVQGASVNAATANDLAIPVVSARQAASVPAAPGIEFYDDDKSV
PETGKVVDFRAESVEGLTTEENKVLENAHEDATTTDNTKRALTAEEQEKLDDEIDFQENAKRAIVLKSRQAPKEAGANAQAGGKNAAGAAPAAPGQN
GQGNKGQGNKAPGNNGQGAGNNGQGAKAPVGNAPGGKGGNTPGGNTPGGNTPGGNAPGGKGANTPGGNTPDGNTPGVKTPGGTATTPGKNAPGATPA
PPGQTGAGNKGPGDKGPGKKGAGDKGAGDKGAGKKGAGGKGAGGGNAPGGDPGAGAGGDASGGGGDASGGGGDASGGAPPSPGGGGGGDASGGAPPS
PGGGGGGDASAGGSSSSGGDTSGATSPSPGGSSSTPDTTAPTSGGDTSTSTDTSSSTDTSSTTDQTDTTGSASGSDTSSSTDTSSTTNGTVTTYPGS
SGGNSTTTGTSSTTDGTDTTGSASGGDTSTSTDTSSTTDTSSTTDGTNSTDPTTGGDGTTTNDTPTTTDGTDPGSDTNTPTQSSPTSPGGRPKASGR

ARPSALPKRRRL
>RCO7_09729 | probable P-type amino-phospholipid-ATPase
MAGQPPNHRNDLLLDLNDEQPTYNDGQRPPMNDDDLLRAYNANHDETKSRPSESYDDFVGAGGGQPPSRPLQGGPGTVPGAGPYATDSGNRTYSQTS
GLGNYQRYADDLDDYPEDGQSYYHRGGAIPGDGAGMELGNKPRNRNSVLSMSEGLVGKAKSMLGMAPQYSEMDLPLTEPGGRVGTDSHEPETPKQPG
KKFDLGKFKFGFGRGKPDPSTLGPRIIHLNNPPANSANKYVDNHISTAKYNIATFIPKFLFEQFSKFANVFFLFTAALQQIPNISPTNKYTTIGPLI
LVLLVSAGKELIEDYKRKTSDKSLNNSKARVLRGSKFEETKWINVAVGDTVRVESEEPFPADIVLLASSEPEGLCYIETANLDGETNLKIKQAIPET
CVMVSLNDLSRLGGKLRSEQPNSSLYTYEATMTLAAGGGEKELPVQPDQLLLRGATLRNTPWIHGVVVFTGHETKLMRNATATPIKRTAVERQLNIL
VLMLVGILVSLSVISSIGDLIVRAYHGRELRYLGYAVSTTALKKVQQFWSDIFTYWVLYSALVPISLFVTIEIVKYWHAILINDDLDMYYDKTDTPA
VCRTSSLVEELGMVEYIFSDKTGTLTCNQMEFKECSIGGIQYATEVTDDRRATFQDGIEVGVHDFDRLKENLESHESAFAIHHFLCLLATCHTVIPE
RKEDDPGVIKYQAASPDEGALVEGAVLMGYQFTNRKPRSVQITVKGVEYEYVLLAVCEFNSTRKRMSAIFRCPDGQIRCYCKGADTVILERLGGENP
HVEITLQHLEEYASEGLRTLCLAMREIPEQEFNEWWKIFDKAQTTVSGNRADELDKAAELLEKDFYLLGATAIEDRLQDGVPETIHTLQEAGIKVWV
LTGDRQETAINIGMSCKLISEDMTLLIVNEENGPDTRDNLQKKLDAIRTQGDGTFAMDTLALVIDGKSLTYALEKELEKNFLDLAVMCKAVICCRVS
PLQKALVVKLVKRHLKAILLAIGDGANDVSMIQAAHIGVGISGMEGLQAARSADVAIGQFRYLRKLLLVHGAWSYQRVCKVILYSFYKNITLYMTQF
WYSFQNAFSGEVIYESWTLSFYNVFFTVFPPLAMGIFDQFISARLLDRYPQLYQLGQKNTFFKMHSFFSWVGNGFYHSLILYIASECIWWRDLPQSD
GKTAGHWVWGTALYTAVLATVLGKAALVTNIWTKYHVLAIPGSMMIWVAFIAVYGTVAPMLSFSDEYQGVIPRLFTSPVFWLQGLALPVLCLSRDFA
WKYAKRMYYPQSYHHIQEIQKYNIQDYRPRMEQFQKAIRKVRQVQRMRKQRGYAFSQADESQTRVLQAYDTTRERGRYGEMASSRPEGR
>RCO7_09730 | uncharacterized protein
MVCGKCQKISKTTTLATPGVKKKSEMYYGSPAGSSSKSGDTTKISATLGNNGIGKSKLLSKAARNPYATYSSSCTTCKTKVDQGRTYCHKCAYKANA
CAMCGKASSKSTTAAPVIAGQKFTLK
>RCO7_09731 | uncharacterized protein
MKTNFLVYMTAIMISTNALAAPSTIEHATRDVAEVSGDLSILADNCFHKSICSKTWSGKGEGYCDKRKFSHMTRDGCGWNPLKQAVCCVKP
>RCO7_09732 | uncharacterized protein
MEQLRRIRDFGKKGYTRRDPVQVVYYPDTDTFSYKRWSELSDDLDNDKLSSFLIPDFAGLTTNYRAEWPHGLYLGRIKFVRVTGTMVLPWKVWLHRN
WSGLTGGGHFRMVYIVKPARYTRPRVLASAV
>RCO7_09733 | uncharacterized protein
MWSTMFQADDDAKNIARSRDQSKRTASHSSIPKQTSFSPRIGIKQRQSLASLRGYKINFEAIPVVKPLSPILAAEDTISKVDSTLLLPPRPKSCPRL
RSAFRDSAVKMATPDSSVPSSARVYSSWASRNSKSPVEPPYEFPSYQPQPDRSWLPAATRQPPRPSYLKTARDRTTAVHGPDHPVMDNVCPPPTPDP
QDHQVQLARFAQPKLDPPTSPLELVYDTGSDKFSLVRRALLHPNRNSENTMVEMQIDLPPLLVDGRMTIVELPRWKKTMTLFSRSCDGKTTKVTKKE
VDIPPWVWMARNMGQRQWKECFIRGL
>RCO7_09734 | related to oxidoreductase, 2OG-Fe(II) oxygenase family family
MFGYIAALLPLFFFVLLPVSNILFGTSHKPSKSDFQFNGSFIAANEPLECPPHNYKTHILSLEPLVIYIQNFLSSDESAHLLRTSEEKYKPSTVTSG
AERSIKTNVRHSEVALLDRDDIIRCIEHRARGFQGWRPDLHIERLRSQRYGVGGHYTHHYDWSGASRDADRVSTFMVYVDAECEGGGTEFPRIIMPN
VADGKWCEFLECEEDNKDANEKKRRLGVTFKPKKGNAVFWENLRPDGRGYEETWHAGLPVKSGWKVGLNIWSWGPARRSKSG
>RCO7_09735 | probable glutaminase A
MRHPFFLILLGALTTCTWGSTFSPARPPAIPLAVKSPYMSTWLEVGSDGGSGGNLAGSWPRFWAGPQPGPVAARNGAVTGWAGFIKVDGEAYTWMGA
ASVNGWTPTLVTQDSFEYTSQRSTFILNTGGKVTMNVTFLSPLTPKDIKRQSIIGTYLSVTVSSRDGANHDVQLYADTSAEWVNPTHNQEPVAWSYS
VQNGVASHKSFQRTESEFNADYPDDAAHWGNWYWSTASTPSMSYQSGSDQTVRSIFLSNSVLPDTQDTEYRAISSRWPVFAFSNALGSVGNTPVSTL
YTIVHAQKNAIYFNGANGLASLTSLWTSYWSTDLGMVNYFHKDWPSNTGALDHKIAVDSLKTGGQDYLTITSLSARQAFGAVQLCGTPAKPYLFLKE
ISSDGNTQTVDVLFPTMPIFLYSNPSLVKYMLDPLYENQEAGRFPQTYSLHDLGANYPRAIGHPTGDGEPMPLEECGNMIIATLAYVQRTGDTAYLS
QHYKILKQWTGYLVQEALIPAYQLSTDDFQGQLANQTNLALKGIIAIEAMSVVARKIGNLADAKTYTDIAHDYIAKWQDLAVVKAAPPHTNLAYQDP
QSHGLLYNLYGDALLGLNLVPTSIYSMQSTFYPSVAQTYGVPLDTRNVFTKSDWEMWVAAISTPSTKSMFISKLANWINTTPTNRAFSDLYNTQTGD
FANGPFIARPVVGGHFALLALGGASTAAF
>RCO7_09736 | uncharacterized protein
MPPTRNSGASSEISASLPKSRAKLFGNSRSKIQAKVIQDTQDPQNANLKPDKESNKLNAFLNLPIELKLQIVDFLPTYDIPNVRMISQSWAAAGAPS
IFRNGFTIRPQLDDMDRLGQVCLRPEFAKGIRFIKFFAGDTDKGLLFEAVNREEQRLNWATGGQLTKVWNQIDAIFDSERMQKHCEVGRLEKYLASL
PNLEAIKVTSQECPVRGSNMPFCILWQSLEEDFDESDDELAHFLNTDMSIQRYAAVLSAALKCKTITSIALDSFPIDYFGGGRPSLSHYLTNVLQPS
PTLKTKLSMITVLQISIVGRRRPYPINFPQQYTSDLGRKMAKFIGCFSNLRSLDLSYDESVDDTDECLMGFEEVFYRLKFPHLHSLLIAGCDSTEEA
LGRFLFAHKQTLRNLHIGEAGCTPEESTWKQVLTDLRDHMSLEKFELYDPDSEGRIYDDNWKSLHSDGKSKIKDAKLLELYVLGKCPWPMSDSNPRD
SGWKRKFGAEDMKLLDLSEEERRDLLGEDWETDGDSEAEDEDMEDDDSSDNESEAFFSVEEDNSFIDDGNLIAGDGDWEDMEVDEADVVD
>RCO7_09737 | uncharacterized protein
MVYPPYISYDERAAYERRYRSGNHSRHSSSSSSISTSSDTSVSYNHNSVAPPRYSYTDFASVDQKPLPLLPASRCNRSESGGERRVTFVVQKPLPPL
PLKMRQDGGVRDYASQGRSRSSSSASEKSAMGECAWWTKEFFGKPS
>RCO7_09738 | uncharacterized protein
MDTPWEASSSSIAMQSEPSKVQIVQSMVRGAEEQIALITSPPELRLRSPIPEPQNNGDCGEASRSASEAIRQANQSASQSIQQASQQASQSVREANQ
KASQAAQQASQSASQAIQQFSNSASQSIGAASRSVSAAVQSADQAVAQAKSSADAAIARANGAMTTAQASAASVQADASMAILQAGAAVAAATGSAA
AAGSSFLAAAAKATQGAQATISGISAAAASFAAQAGDQVKASQTTAVTATQAALAIVGSIIASTLITILIYFLVIRHKRSARRKSKETKSPNNEYSS
DPKFPIVEQFPISDQVGTTIAASNQFVKFNEEKNGPPTNASFSLFLKITESSPNRGAVKKTTVPWDPSKPPKAPILNSWLKVRDEVSPFGTIKLPGG
KTPLPLGGQLKSPLGRFPTPKSPPSPVKPFLMTPANKTPESPKRYSPRPKSSQESNIPTAIWSPKIAKLITIGNSKRIAPSKIPRSPLALTPLKPDT
PPQQLMLTHHYRESKASVWTDDVVSPSPLASPPLQSPPPQQRGLGKKEPPSVTKFYNMEIPPPMNPVRNTAEWLAARRERTSIQPNQPGDNPSNKNM
SNNINDIRKQLGLPGNPRLGLPTRPGPNMPQSMEGEVGCVDELNKRYASDDRG
>RCO7_09739 | uncharacterized protein
MSSLSLGSNPIRYPGYFAHKPQIQENAHLVLTHDIVRNIKTLHFQINTLQPLSPNREYLQKSMKGYFGVMTYSPCSSCYPNGNGEQVGKHCLWQPKN
TTEPKDEPLWHLRVSVLKDQEARGDCQSRRFAFKSLHHLTHAANQLDEAFKSFDIKNCGVESPDAMGDRVNDGRSENITIEFESDTSLESWKEFMAR
LKALEDEWEHEGMSVL

>RCO7_09740 | related to epoxide hydrolase
MVDKLAPNDSRVQYKTAKLNGVTYSYILAEPKGKALNTIFLVHGWPDISFGWRYQVPHLVSLGLRVVVPDMMGYAGTDAPESPSYYTHKRAADDLAT
LAEQLGLSSIILGGHDWGGAVVYRFALYYPKLISAVISVCTPYSPPLKKFVDATVRQNFKYQLHLRGPEVEAEIVGEEKLRQFLNAMYGGRTPDGRA
GFSTDKGVHFDALPEVKPTRLLNNEEVDFYVSQYAKKGMHGPLNWYRTQELNFEDEKEMAEKMDGFKLDMPTLFIAGTRDDALPPSMSVGMEKHFRS
LTRGEVNASHWALWEKPADVNRYMEEFLVGQIGTKSQL
>RCO7_09741 | related to nuclear protein SDK3
MADTNGPIASVVILPEAEAITAPLKRRKSSASDSTTKRPRLSLEASSHFPTTLRDSPQPIEPSKSEPEVKVEDGAQNRRKSSVQEEKKRGQRLFGGL
LSTLSQSTPNGQQKRRLEIEKRQHEKVKQQKEADEARRRERLADLKAIRRAEQIIYDEAEMQTRHSNILAMANFLSTKAQPKIYYKPWKLLPEDEER
IKSQLREAEAMVERETTQFDLRHPNRPGRAEKEERPEGTGKETVGEPQDDSLLGEPQNESPSVSKVDNTTNSHAQIPQPEQYQAEKQAQEEHNGEVL
VENAEDTVIY
>RCO7_09742 | related to chicken lim-3 protein
MSRHHPDLVMCRKQSGIAIGRLCDKCDGKCPVCDSYVRPTTLVRICDECSFGNYQNKCVVCGGEGISDAFYCFECTRLEKDRDGCPKIINLGSSRTD
LFYQKKNFRNH
>RCO7_09743 | uncharacterized protein
MGSCMTRLKAEMVPPPPRSGNWQSCGPQRTEAFVPDEKNQVMYRHKTAQSIGNGAPLHRKETESGVPGLTYDHAGRPVWREENAVRIEHRENVW
>RCO7_09744 | uncharacterized protein
MAPTNTRSSSISSASTTSSKNSDTSIKKKFGCNFPNCGKSFSRSEHLHRHALNHKDGNNTCQRCSAHFRRRDLLDRHMARHKEKDDEAGGEGLGVLA
TRKRLWRDSDGNIVNARRPSYTPTQDGAKRRQLNQSSRKDSLASSSSSLSSLSSMSDEEYKVPARRSTILKPTVPVSRTGLATSTTIVVDTGANTHE
QGMRKTEEDVDQPSWLRMSTLPSPPVSEPQSAGQSPSPELEELDTLYEDSWPVMHGGLPEIVNNSPIMGRQSEYPASPTWGPQPFQTFMGAMAELPY
DDIFKPETGLYDWQAWNSQREIGGRHIQPQTVHLEGHLEWEPVSLAQLVV
>RCO7_09745 | uncharacterized protein
MVCCECEQRTDIVFGTPPGTVQCSTCDHWECNDCDFESLVQKTASKPQPKPPPKSQPKVQPKVQPKAQPKATAGNGNVGKK
>RCO7_09746 | probable laccase precursor
MRYAAFVAIFLPSLVAGQASYPELPSQYLLTTTPVTPLPQGFPWGPKTANNTNVCKFFLIVTLLAHLTNFSPDNPPHTGVIRAYDFTITRGWAAPDG
YYKDVMMVNNQFPGPLIEANWGDMIQVTIHNAITAPEEGTALHWHGILQKDMQWMDGVPGVQQCPIAPGGSFTYSFLADLYGTTWYHSHYSGQYAGG
VVGPMVIHGPSTVAYDIDIGPIILTDHYHREYFDIVKDTMSTDINKVIQLSDNNLINGRNNFNCSTVATGDTRQCFSNAATSKFRFYSGKVHRLRLI
NAGAEATLLFSIDGHTMKVIANDFVPIIPYDTKVVTLGVGQRTDVLVQAQAGTPGPFVMRSTISACSLFVQPAAKAMVYYRTQDAAAAMPNTSPWPE
FTTAVANAACGNDPLISTKPWFPITPAATPSTTQEFNIGFGQNASGHWVWTVQGSSFRVNYNQPVLLLSKTGNNSFPTNWNGYNFGSNSTVRLHVKN
PGFAAHPMHLHGHNFWVLAEGTGTWDGTVVNAANPQRRDVQIVRAGGYLVIQINQDNPGTWPFHCHIAWHVSGGLYVTVIERPADIAKLPIPAIMAQ
SCRDWAAYTNTTVVDQIDSGL
>RCO7_09747 | uncharacterized protein
MPSLAEFHLFPTLPSELRLKVWALIVSEPRIVDLSCRKGVVKSNKQSTRFVEAFLSSTPVPPVLQVCRESRYKALATYKPHFTSYKSSTPPYTKSLL
PRYIYLALGQDTIKCSDNLLAYLDTDDTANFRRLILDVADAAYFGHFNMEVVLQMGQLKELELYTTEGLSNLRCNSAEIISRDFEMAKRNDPGWECP
RVRIISSETGQESKVIEAGALIPGWTAE
>RCO7_09748 | uncharacterized protein
MSVEIQHGSPMDITHILNPVPIPSTTAPPAYREDSGFFDIKDNFSPNIPYQYSSAPQPMEIDGELPSYTPTYTWGRYESSGQVLPPMQLVADGSHPR
ICQTFQSRGHSNPVTRDPRSNFNSPLRRYDSRDRQGCFSQLGNTLRRLTISLSLSSSYENSSWEEKKNRKSTLPRSNKAYSQEQVHWLRYHFIDCEL
SYKQMHDLWIVQFPDNYRDLRKGNQAFSSRIYRDNNFAVIDDFDNLIRGKDGKPKMITVNMRLRKVPEYKDYPFTLWEKYPEWALYWNWVSTEHKKL
AQTIVDGKNLDASQLRQERSRRANRIYEAQATPRKGWFATPALHDAAALKMALDNATTGLGISA
>RCO7_09749 | uncharacterized protein
MATVLKLQFSDVCKSSPCHRQLKILRLLSSTNSNPWTRPATVSSGSLGCGLAVSKDIRFETFHARKSSKPEYEALSCAWGTPTHTDVAVICEHVGFR
GTRKAQRHLEELMVESIPTTNLGIAYNLAVALRHLKYPDKDRILWIDAICINQYDYGEKRREILWMGPIYNLARQSIVWLGPELDNSNLALQTLGRI
RTGVQYDFPNNKMTIQDGSWTAELESNRNKLQEEVPSRVAISWLLRRSWFHRLWLFQEIVLATASTILVGEFSLDWELFRLGTFWLHTMTSKINLLS
GISGIEFAQKSDLFGLLGETDRAKTMSLQLLSGLIMTKNWRCFDSRDRLYALRASWRAKEKAPANSRRLPTSDEQVLIACGKYNEAG
>RCO7_09750 | uncharacterized protein
MDLFDELENLAVSATYEAPEDDSSTTPHDPDHATIKMWQDRFGYTYDEAAALISITKSTPMTSAQQPMITPAQARTIYLLKLDGPLSTPSKVQEIAN
LPAIPECHLGSSDDGSSMFCKVDGRAKLAIENWLSVHNKDLRPLFVPFGRAYKELSSTSLYPTLGIDTTLPQFRPQDLQFLDHAHSFGQKKGQFPVW
YFFYGTLASAPKLCSLLSLPDEEAPVLLKASVKGGEMETWGNGKYNALINGSEDSRIDGWAYMVISEEYEDALRKYETEAYEVVKCEIEMEGKYVQG
CTFRFTGAVG
>RCO7_09751 | uncharacterized protein
MLAMWPSTCSIALMLAFVHSIRAMPHSASFPSYRDPAENATFDARNLMSRQGDDGFDPSDLSFITRLAAIGDSYSAGIGAGDRLGLHSENGGQTHWR
CSRYDHAYPNLINNDPRLGDPANRKFQFQSCSGAVIADVINTQIPLINPNQQVILLSAGGNDIGLLEIMNQCIFQFAVLNAEQVIVAKYEAFTNKKF
KFAEDFDFDAAGMGCEGQLEASRKLIDSPTFSSNLDALLQAAKNKLEFAEQGGMIYYTGSLTRSKFLRGANEAIDMLNSGPKISQQNAIALPGLLGY
MCRDQKLTRSHRRTMNELVDAVNAKIAIAVEKAGNRVKFVDYDQYVGYFNGRFCEAGVDEATKESETRQGLMFYEMSTWDVFGGSPWKRDTNGVPSD
TFVGRISQLAQLTLLIDPKAQLVNEHFIESGQNDILSAAFAAPTESKLTILGFEVPNMLPDGYGRVFHPKILLHELIANLVIYHMVDWNSQHNGFAA
IPEQQELSTCLYHPPTTEPTTRQGQQIAIASYINPLGDPASWQRLLEYDASKVSVLVANVLNGPDYVVNTAWKSVIDQIAAGGKTIIGYVRTRYLGV
SKQRFTTRLGSHDLADWASQIEQDIDKWFELYGTSLGGIFFDEGWPECGPNNIYADLYAYINNYTKRKHPGAFTVLNPGSPIAQCFEDTMDTLLTFE
SSFETYTSKYVPNDWTPKDPRKIWHIIYRVPQDQVAAVAALALTRHAGLLEMTDDDNPNPYDTLSNSAYMEAAVNAVAGGKPHITSPAEATGSQVHV
AGIPSDSIVSSSDYSSVTLGWSAVGDALGYAVYMNGTQILELPPSLNRATIGMIEPGTANIAFEVRTVLASGDRGGSPRSISASTKELPKNGTMTNI
SFERNGGSVTYTADVLVPYAFVRLFLGVKDVGMGIAHGWPIEAEKLWGAGTQLHEVVNYLVEGNEFYSGFFKYSGTWYEASKNNADWGWAPIGTAPQ
QQNGYTHTWVVPIAGTDIDPKEYVIQGQGYAPVKNVLMGSTRFYQSTCILCPPK
>RCO7_09752 | uncharacterized protein
MYLQPRIHGLLIFILSTLVRTYDVATELEPKGPLGIRLDYNVAMQAGTAERNDVIRTVVFTSHLKFEHDVNAFSDGQLVQMAFDAYNEMLVEAAQYD
FHKTRATPSVMTVLAIEKEIFMASSQKGQGSFIHNFPHSPVSKSLAVCQAIFSDRTSKNRYHENQAKCGEIMAAHSFFRANPSFADLKGLGGRTISV

DRLKGTEPLAIKEPCGTGIANVWGCDLFVENQGLAEVPKGTSPTPYELNAVAGVATIGQFPLCS
>RCO7_09753 | uncharacterized protein
MASPILRQGLPNESLWDFLGDMLMPVLQLLSPRELHVLSLVSKVSRATCEPLLYSSIEWTWLEDRPPPITAFIRTILRRPELAAHVRSVSLLGDSFI
PYDHDRDTVPPRIDISALDYEHAVKAVESTRVDFALLPMKLLWRDQMHQGAMDTLVTLLLSQLHNIRTLVLGPIFTFETGLLLQLFHAAVFRQAKFE
LPTYQHLRVLCLNFDGKQGLGIYSLGSTDLQPWFYLPAIQEFSLVSSMPLTWDKIAMHTPTSSLLTTLHLTAVQPEHLGQILSMTPALKNLSYNWYY
RSGVHLGRPEEGSVWVNLDAIGLALSHVRDTLEELVVTGRVILEEDYEYDFIKFEGNLSRMANLDHLKILQIPLPFLTGDFHARGAFAEEKMFPPNL
KSLRVTDDVLLAWPWKDGWNDNAVSSALQRWYVLHRPAHSLSSISMEIWSIFNLDRPRTCADRVDTQYACDERGGQTLDSRVKKRAISVSVKISGSR
SFGRRSAITSPAYEIHVVAQRRL
>RCO7_09754 | related to glucosyltransferase
MAEIYPSIAQCAVVATIFKLLLLPAYKSTDFEVHRNWLAITNSLPIQQWYYEKTSEWTLDYPPLFAYFEWLLSQGAKLADPEMLKVFNLGYDSWQTI
YFQRASVIATELILVFALYLFVQSSSPESKRASQAAALSILLSPGLLIIDHIHFQYNGFMYGLLILSLVLARKKSTLLASGLLFASLLCLKHIYLYL
APAYFIYLLRAYCLGPKSIFHIKFGNAFKLGTGILAIFGATFGPFAYWGQIPQLMSRLFPFSRGLCHAYWAPNVWAMYSFTDRILIYAAPYLKLSVN
QDATNSVTRGLVGDSSFAVLPEITAWTTFILTLIFQIIPLIKLFLSPTWDTFIGSVTLCGYASFLFGWHVHEKAVLLIIIPFSLIALKDRRYLGAFR
PLAVAGHVSLFPLLFTAAEFPIKTVYTIFWLVLFLLAFDRLAPASNKSRVFLLDRFSLVYIAVSIPLIAYCSLLHGVIWGERLEFLPLMFVSSYSAV
GVVGSWVGFLVVYFTS
>RCO7_09755 | related to EMP47 Golgi membrane protein
MHFSTPLSLTFASFFFSYAHATYLHNELSFGHQNRLSPSPRALPNWHLLGKPNPPEILSNKLVLTPPTPGNQRAGLWSEKTLQHQYWTVDVDFRTTG
PERAGGNLQMWYVKDGQNIVGTSSIYMVGKFDGLVLVVDQYSGSAGYIRGFLNDGNTDYASHRSVDGLAFGHCLYAYRNLGRPSRVAIQQSSTGFKV
TVDGNNCFSSDKVNLPLGNYFGITAASADNPDSFEVFKFVTTTESHTPDGQASGQQQGSGSNTQAQSEAKQSKNVPVKHQRGGSVPLFSDIPDEAPS
KYTSSSEQFADLHNRLQNMMKQISAATRDATHFSTENQKLTHQLSETLARIEGSVAELHSFRERLDEIQADVRSTKGDLHTQLDKHVADVKYEVRDT
HTSLHDKLSARHGIWTIVLVVVGSQVVLVGAYLMYKKRSNGSHMKYL
>RCO7_09756 | uncharacterized protein
MTSNGSSIATTLAPTRETLSSSQLLHSSISSLNSTSSRQATSQITKIYRQSSTLFLTRRLPESLSTILPVITQSPTDDTNANPEPAPVSKAGKTTRV
KVWSLYLTILNAVVELDPDEGKLAFGGTEWRGLVTKVRDGEVWEEVVKNGYRGVEGDVDSDVVINLATLLLAHARTQKVNQQRLENYLASSTTPSLD
VSSHLNSQNSSSPRRRNMSPNKQTSGTDTPRDLNSRVKILELYTLHVLLRNNEWDYAREFISISSVLDEERREAFLQALQSLQDEQNENERREKEER
RYQEEQLKKDLEDAKRRRLENEERERRREIEERSKMDRGVKSRSGGSVAGGSEVDYGVENTPRPGSSKSRSSARGHGSISGKASSPSNKKLHQDRDE
TTSTARPSAASNARKISPTILTRASNVLGNVKKLVEGMAVNFQARPLFILQSLAFLIGFLAVISRRDVKERLRRTLAGGWTKVRQTAGMGVKVSYI
>RCO7_09757 | related to poly(A)-specific ribonuclease
MEVDQANFRRQLLPILKHIANASFVSFDLEMSGISTRPKFSAGDRSRDVGKPTLQQQYDDMKDAAETYQVLQFGITCVEEDREKEFYLARPFNFNVN
PLSAEGVDLRLDRNFTFSTSACDFLKKNGFDFGKVFREGVPYLSRDEEDERREENSQRAKKNASIPDILVRPEDLSTIQFNRDARKTIKDWFEDPKP
ELDFVNVGSDAGALNGFQRRLVHQMVRNEFPKLRTFPRSDGYFMQIERLDVKKEEEFQKRRDSQFNSRIAKQKGLRFIFEALSNGDLSDIDPEWFVD
HSSSDSAEQSLKTNRELAQVLRTLREKKHIIVGHNLFADLAFLFRTFIGHLPVNVKHFQEDIHALFPYVIDTKYIATYGADAMSTRSNLKELLVPFR
KTHVPLVLLHQSHTAYGAEGQEHEAGFDSWMTAELFVKMSASKSLEVNISSTEQASSTSDSSGGAHLSDDSGHSPIDEVPQKWHARQLNSNPYAVLD
MDFSKQRSGRSSPVIKQWLPAFNNKFWDVYVNKLRVNASETGFCDLAEKEDDERLNGLRRKAKQSAS
>RCO7_09758 | uncharacterized protein
MSRQYDLVVFGATGYTGKLTAEHITTHLPTDLKWAIAGRSASKLEDVAAECKALNPDRSQPGIEICNLSDADLTALAKKTKVLIATVGPYGNYGEHA
FKACAENGTHYLDVTGEIPFVRDMIRKYEKTAQANGCVMIPQIGIESAPADLVTWTLVDMIRKRLDAPTGEVVVSVHDLSSAPSGGTLNTVLSLMDT
WSLKDIASAHAPGGISPIPIPKTQPHSSLLTKVLGFRSISDLGILTTSIGGTADRPIVYRSWALLGGDKFYGPNFHFAEYMKARNYLGAIAIYFGIM
MGSVLLAIPLFRTIIRKYVYKPGEGPSREQYKNDRVEYRGIGVPDVQTPNPPRAFCRAKYEGSLYAFTGMSLAQAAISILRDEHNLSGGVYTPACLG
QKFIDRLDGAGFQFERKFYEN
>RCO7_09759 | probable RPL43B - 60S large subunit ribosomal protein
MTKRTKKVGVTGKYGTRYGASLRKQVKKMEITQHARYVCTFCGKTTVKRHSVGIWNCKSCHKTVAGGAYTVSTPAAAAMRSTLRRLREIAEV
>RCO7_09760 | uncharacterized protein
MADSCIVCLEDLDAVPDTALHDDLQDAGEVAALSIDLPPPHPSKTTKNLAIALIKPCNHILHDECLREWSQQANSCPICRQAFNLVEVLDKVGGTVL
SEYEVEDKKQVAEFDPSAWIEDEEEEEPARPCPICGEADQEEVLLLCDACDAPYHTHCTGLDRVPNGHWFCMECEHDGAYERAASPSGIPLTGRLGP
RTLATVRRTRHRTRTDHWQGAWSMLSSRIHDVTGLDLDFSDDDQNLATYRETQHRTTNERRQFSQWQRRINIATRQGAREAFRAAIPADVRPETPVE
SIEETKAWGAFEKAKEIDTVSPNRRKRKSRSITASPSQGPSAPAEPERKLKRPRTRRVLDRPEPVASPSISSSSRPPVARLASPTARILNDVSGQPS
FLSSLLKEVEMNPSSEDERSVVSSTTNIAPNRVTSPVDYSSPAASPTSSSPYHTSRAMSATPPPHITKRSRSPLRLTSRVEPIFPPANYSPNRSPPG
KRSEQDHQCSSPTNEIRQPRPRQRTVRLPRSEDTSPVRAAMTIEAKEGINRIVKSALAPHWEGAELTKEQYAEINRDISRKLYEIVAEQRVNDEMGN
ELVKIATTEVAIAVKQLTA
>RCO7_09761 | related to mitochondrial ribosomal protein L17
MMTASSRGSRAAASFLRTSRRSHPHICSDCISHIRARSLPISTSLPTPRTRSYAVAATSLKTLTPEPDSELQHLSSQKPISSTSTQYVTKAGILLSR
APLLTAPQTSFEKAFYFYQKRLNERLAMPWARYFYFKKGTPSDADRKLKEKERNGSVARELGGYRAYGDEAWHDELLSTEADAGVSEETAKLGLGKM
GIAEPKYLIESLVKDAKVRAVEGKDGQAVEVEIKEGEDTEGKEGVDDEFRVEKPLSRFTESDRKNDLRKLDRKLTRTLYLLVKNKSGVWGFPRGDLE
GRENLHQAAERILVQSAGLNMNTWIIGHVPVGYHVSPPRLIAKHDTSTSSSSSSPTPEPELELQRPGAKTFFMKGRIMAGQADLAENHFGLTDYKWL
TKEEVQKHVTTSYWAHVKNMMADR
>RCO7_09762 | probable ITC1 - subunit of Isw2 chromatin remodelling complex
MSPPFIDNEDTEVWVINQTGEIFVDYEEYLRRIDFYKQRRFICQITGHSGLSFFEALKSETAGAQEVEEAFPEALKAPILRRIQFQTISRIDTLVDL
IFDEFRADYYPGEEVTVHVVTGERLTGSIRDKTRFGPKQLPDGTINPPFSRYFVSLDGRPTEEAVVDDQHITRDRKIFTKQVLRSFIKKTVTRDAWT
GAPWLVKPEVAILYNIDTRVPPNLRYESKAAERKQKQAQHKHAPDYDGMAGSFQGNGPRLPELKPAPKSHKSKQQQGQQLAKSKQQTFLNYAPIPNP
QNPLSYYPPPPYVSHTFQAVGPPHHPGPHQHQFHSQAFTFQQLASLPPAPPPPPPIKYPIEDLQVILRHNPPMKPALKYFSQDTPLDDGTKNGEGNG
ILMKSVGPLLETWDTLNVYCEVFQLDSFTFDDFVEAMQFTSEDVECELFVEVHCAALKLLVSSDADGGKVHVQLPDMDEDSDDEESGAEASAPPTPS
PEPEIKPKRRATRSSLAKAEAEALKAEPEPVKEPTPEPKFTHRAAEMQLEVGWMERLRKRDFKNGGWQSIMVGLLHQLSKSPRRFESCETLLKELAP
LHMDPTPETTRQQYAKLDVNLRIQALQIIVMLTAETKAIRAYMEECAEEMTAYRKEKINHQRKKKELAEELRLLNEERKIQLPANMPPSPIPENAQM

NGDVSMVDVPPVEEPHESAEEDVMDTDDDPKSGRALRRGLDRAAERKRKREAEQEKKEKAEAEAKIPKQSKQFTKLLKDIQKKEELIKEEEEEIAIL
DNDLRENNCPRTIVLGKDRFWNRYYWFERNGMPYTGMPDSSTAEAGYANGRIWVQGPDEMEREGFIDMKPEWQNEYRAKFNMTVPERKKLEDGMTTV
FNAHQWGYYDQPAEVDALIKWLDVRGKNEIKFSKEIKLYKDRIIKNMVKRNEYLNPTKHKSVEPEPKRASTRKKDQRVDTTAHRCLSWHNGAAVEAI
GHIHSEHPRNRKPAKKAAILPSVVVEEERQTRSEAKGKKEKGTGRQGTRYNS

>RCO7_09763 | uncharacterized protein

MISSTTLVALAAVVATASAQAGTTIKVTVGKGGNIYTPNDIKVEIGTNIEFSFFPQNHTVTESSFKDPCHPLENGFFSTFVPTSFAPSSTNASTFTI
TVKDKKPIWLYCGQGKHCQTGMIAAINAPASGNTFEAFSLLAKNATASTSPPVAAAVGGILKIAAAPSGSASGSAATGFTTKTVQTTVTAVITTVIT
TGASTYTSTYPSTYATVQIETVPLAANTGGSTSTPSSSSSAGAAAATLATHGGMAGAILFAGLAML

>RCO7_09764 | related to tetracycline resistance proteins

MASSTYTVIQAESPTAAGKNTPIVLQPYSPTGRKLGVSDLEETREASIPHDAVEVKQQWNSPGGTKWRVFSTFWSFFLVGANDGSLGALIPHLEPYY
NLNYTIVSLIFLAPFAGYSIASIFNNMVHVRFGQRGVAVVAPLCHVVSYVVVALHPPYPVVVVMFIFVGFGNGLVDAAWCAWLGNMANANEVQGFLQ
ASYSLGATVSPLIATALIQKTTLGWYGFYYLMIAAASVEFLTCATTFWKQTGAMYEAENPRDPSSNTGRTRQAMKSRITWLFCFFVFAYVGAEVSLG
GWIITFMSKVRGAVPFAASATSTAYWGGMTVGRLFLPYLTARLGEYPSVILYLGLSFGLELIFWLVPNLIVSAVAVSLLGVFMGPMFPTAIVLVTKL
LPRDLHVGCIGFGTAFGGSGGAIFPFMVGAIAQSKGVKTLQPVILALLVVMSGLWIGLKTGKGKKKSGEESESTEAVRSEL

>RCO7_09765 | uncharacterized protein

MAAIDYTSTPWGLQWRSKTVFILGTVAIGMFTDLFLYGLVVPILPFILVDRIQVPDDQIQYYTSLLLACYAGSQVISSLPAGLIADKLPSRQPPFLV
GLAALFCSTAMLFTGRTIWVLVVARLLQGLSASIVWTVGLAMVMDTVGSDKLGITIGSMFSFITVGELIAPVFGGFVYKKAGSGAVFGTAFGLLVID
FVMRLLVIEKKVAEKYGVDYSESSDDDSEFGETSPLLTNGKTKEEELAKWVIPAGQPTWVKKFPILYCMGNSRFIVALVVAFMQATTLAVFDATIVI
ESRDLFGFDSLKAGLLFIPLILPPLVIGPIAGRGVDKYGARVFAALGFLYLCIPLVLLRIPHIGGTAEIAKMATILGFCGLGLAIISSPSIVEASHV
VEQYHRANKDLFGENGPYGQLYAVSSMVFSAGLTCGPLISGALRERVGYGNMNAIMGALCVIVSALSWVYLGRIPKMVKKGSSGCSTPRRSGCSTPR
EGV

>RCO7_09766 | related to transcription factor snf5p

MAPDAQPSSHPQATDAIDTRPNPTSPKVHRERTKEDFEKIQLEKYLHHDLVHTAAMLESQETLVKNYTLMREQAEDYKKVREDYRQYFTASRLFGPG
YSGYGNGRTDGPPHVLYPHQKPRLGHKKAPKLRLKRKDVALQAEQDEELVPIRLEIDWDKIKLRDTLTWNYRDRIISPEIFAAQMVEDFGLSPPAQT
PVMEQIQHQLREQLIDFYPQLNGGEEALDPELPYSAYKNEEMRILIKLNITIGPFTLVDKFEWEINNPSNSPEEFALSLARELSLSGEFTTAIAHSI
REQCQLFTRSLYIVGHPFDGRPLEDADLIAGFLPSPLPSVFRPQQQAREYTPILYELTEADLERGEVIYSREQRRQKRSVNRRGGPILPDLKDRQRT
VRTLVISSVIPGSAEKVEDSRLYKRDVGPGGKSKRPGAREGDLSEESDSEDSNPESPALVLQQGTARTRNMRGAATAAQQRMANIGRSETPEAAALH
HHETRTSARRHGGRDTREDSEPPSLIVKLKPGRERMRKFHRGLTSGRSSSSHPPEPLGRTSAAPSTPAAPSAVAPTGSMGPPSTPNPASQSLQPSST
PAAIGQIGRVDAPPPPPPGQPPHVPPPPPAWLTAGLTSLLTQYPGDRFEGVMRYSAVNTATDMPCSAPPPGPIPEGIKYMYLPRIRCHDCPGKLYTP
GPERTVGNFEVHLKNRQHRERVDARKAADGNVGQSS

>RCO7_09767 | related to 442K curved dna-binding protein

MADKKEITEEIDYTLSNPDTLTKYKSAATISQKVLEAVTALCVAGEKIVTICEQGDKLLEEEIAKVYRGKKIAKGISHPTTVSPSSFVTPYTPLKTD
EAEAAVVLKEGEAIKIQLGAQIDGFGTIVCDTIIIPSADNKGEIEGRDADLLLATYWANELLLRLMVPPGLLATGTDEEKAKAAKIKAPSQTKITQL
LEKVVKSYECNLVEHTTSWQFERNEIEGKKKIILSPGDGTKGDGIPEIGDVWGVEMGVSAGTGKIKSFENRTTLHRRTTLTYALKRPSSKKVLNEVV
KRFGVFPFSLRQLEDERDAKVGVVECVRGNVLRAYEVAGDKDGAAVARLLTTIAITKNGLQKLAAPPSPDLDKIKSDKKITDEEVLKILEQPLAKEV
KAKTKSKKKKPAKKAAAAAADEEEESSDED

>RCO7_09768 | uncharacterized protein

MSANRPTRSRISSPFIPTPSIEVADSATEARSGDAMPKGAWTEPTLAAPRPSYAEAGHERHGVVLNMMPLGVGPSAKVLKALATVEKPKKSVSSVST
PEVATPEPQQMPEIVEEIPDVAEIIETTEHSIPTQTIEEDEVLPKTPKSATSARKSPSRQSVGPQSAEKSGCALQKSPMSVVGAESVTDAHPWIRYS
SDSATPEPSLGPDGLPIINQELTDKVVEHAVNEALDRHKWPTAYALRLMYDEARSDPRIVRLFDAVYNGWASKSQMDEFRRELKIKKKEGKKGRTGE
YYFHGDEQAPPRRQFSNAMSVIRTPISTYQSVYQTPYNTVPQSSTARESSQPRIRGSMTVSASPQPDHEHISKKRRSNSFQPTNGTLIDGGASLNGT
RKSQSRGAVSPAAEPRPEADTNGDSNASPGAQRSRSNSTSSSLSSVNEDLIENGLVLSPARPVPGQPAPQPISSVPNHLTTRYGPVLGLGFGPAQQQ
QTPRFVSPYASAEGFQAVALSAEAARHARPISQPAKAGPQKFTFSTAPASSLARPSSAASASNQPSSSSTLAAPSVPNTTAEPPAVSSMAPTILAHA
SSTNSSTTSSKKHPPTFRIKNTSKAQQAQAQAQVTQEEVDASNRLKRKARDITGKTSSAESNERHEVKPVNTVAVVEEQGNQSDGADSIAVKPTKKK
KNPPKVRLLNRNRETRQNSSRYASDEGSSPTELAFKAPFPPGDSLPSSRAGTPTTAANRPTRKQKTGSGLRVKTSPMKKKAGTSAGIPKDMRSPTSN
GGPMTQDGDNDEFCSACGGNGDLLCCDGCTRSFHFKCVDPPMIEGSASLPDEWFCNSCLLGRNGRYDDENGGVWGPLIAAFENKNPRSFRLPEPIRE
YFEDVKTGADGEYEESVPPKPKNNKAGWEEAPDYFRKKDAKGKIILCHRCNGEASTPNRMIIPCSFCGLYWHLDCLDVPLAKEPGAGRQWRCPAHVD
DLLAILPATLAPAHRFRKIKGASVIKPAVTRGLKNNGHIEIENDASEDEEEQGFYELREFGHVYKLPETSLKLDFISRVKQQRGKYVPSLHGSSHRR
RHVPKHSAVSTVPTVPSIPKTDRPWNLRTIAEQQAALNLASLIASSDPAPGDKTGLLINTLVAEAPLSVISMMSQGNVESVKKVKMSKLEKQGIQAF
FNLLKEKLDNAESSSDEDGFAPDTPPVSTVEQSLLLEDATAAVDNSKFATVESVTEDEEMIL

>RCO7_09769 | uncharacterized protein

MYIPSAQQIITAGLVMTGCMTVEKGSEVSSGKVLDFAVEKCLDSDGNIRCTKPFLVQESTCYQIEWDTDGAISHTTAEVKDAKSGEVVYYRDTNGEW
TAEKNELVYLDFKPKVWKTGNDTVDYKVTTCK

>RCO7_09770 | uncharacterized protein

MAEEQIWFFIWESTKPSTKSPPYQQGWLPLSEVVRQGLTLQKALTTSRAPGQVSDQNFWIHSNSMSAAVQLLTDQSIKVTWELYCKKDAVVTIHIRP
NKDPSPNASRASSHQQSLADRRKQSGRRAVSEIFVRPPLSQITSALDTLSLGPINKLDSSDKVTLDLGGGKSETFSKEYLLGWITSEIMTAGKDAAG
IKVTSLTKNRRPVEVTLNNHFLGGNYFSPDFVAKILALPMGMVTVKDKLDQLTDRKVTRENQNKICAAHDLAPLFEAALGIQWDIVKAELNKEAIKE
ILAGDGSRNKFGATLNRIRNSRGNIFSSRKGEDRTEN

>RCO7_09771 | uncharacterized protein

MAALITSTTTLPEQESTITTSVLPTMERLSLSTSVEDLRKNQDLWYKLHVFLYDLRNFREIKESHDRLDKIADASYIGLPYFSAHEAQTLKSTLITP
PKPKNYAGKKATAEKSAIQKVLVEGVEEDVGDGKTLEMLIEEELNERLERRLNKRQASGDFRVCAAHDLAPILEKAFDIDPKQLSKEKTFLNLMARS
RLKLKEGDEWKGLPKKSFGKKGAKR

>RCO7_09772 | probable major facilitator protein MIRC (siderophore transporter)

MTTNTTQVRHENGVQLDSLKNRRPEAPASTERSDRSNSISANGESDTKDVERVDAKSIPSSGASNSDGSAQNGVKNIEAVSMTWTKWGLILAYSSIF

LMAFSTSLEGQVVQSVAVFATSSFKSHSLISTVFVVQGVVNAVIKTPMAKIADVFGRLEAFSFSILLYVLGYIQMSVSSNVETFAAAQIFYSAGNTG
LQILQQVFIADTSDLLNRALWSSLPDIPFLITVWIGSLIGKDILKTSTWRWGYGIWCIVLPVMFMPLALTLWMNNRKAKKLGLTTESQFKGMKAMQV
IKHLWSELDIGGILLLTAAFALVLISLTIASKQASGWASGKIIAMLVIGLVCFIIFPFWESIKKLAPHPLIPMYLLKSRTFSAGCAAGFFYFMAFYL
SVQPYFYSYLIIVHSESIPSASRITQTFSFTATVTSVIVSFFIKYSRYYKPYLVLGTCIYIMGIGLMIKYRTIDASRGALIGSQIAVGIGGGMINVP
AQLGVQASTDHQHVAVATAVFLTCVELGGAVGSAISGAVWSKNIPSKLRLYLPEAAKGNAKAIYDSITEASSFPMGSPEREAINRAYQETMHTLLII
AICVTVPILLCTLLMQNCKLDEIKQGVKGRVIGGEVKDGREIGFVGEEQGGGKMGLRGGCSSRG

>RCO7_09773 | uncharacterized protein

MPNVAINADSTPGTPRPTLAPKAPLDPSAIPRSSKEALKTVKNSPYTDKALLSLFQEQYDGLYTPDENNPAYELAALLHYNWRDLKALWTEDALTET
ETEEGEGATITVTAAQLSKLREDVKNKAEKEVREDAKKITEKEMLDQLSYEQDEAKILRTKKIFEDRKKRRRSTIFLNKDIEEFDLRSDALLPPVLT
PTDKTWGKEISVFTKLYPEEMKFKGDSDSFSSKIRIFRDTCLRAEIPPKAYIKAFPLILKGAALEHYYFNLSSTPGAPLIVDFNSIYRNFIEHFEND
EFARASLIKFNFLTLDIVKAENPGRTLSECFDLLTTKVRQLRYSIPIEMPIPQSTLEKTISTLKNYIVTYEHSHPAESFPAGDAFYTDRRFQGNRAE
YEGTEEQYLASAFLQCEVTSDNISSDSDGETFITSLGELSASAAQQITQKLANAAFTHPISVSEVLPDNADPETEIEVMMSNPRYNASTFQGIMIDT
RAAKVSTVSKGQYEAYKALYKAKLLPSRGISIKFGVGNTSSIGVLIVLSPIGEIQFEVMTTDIPFLLCLDDMDKLKVMLDNLRNVLIIPNGDVPIIR
KWGYPFLL

>RCO7_09774 | uncharacterized protein

MIPSTYDVCLLSVSNPKIGDDQFIKSEERELKKASFTSNEREQLTVEHPIDFNGGHITLHADSSITLSQNAYDKTLKLIEDEPVDLLNSRGGQKLNY
AKGLKFVKLDKNSLKLIVFTNSSFANLKDFYSQISYICVLTDKYENANIVHWSFTCYKRVTRSVLASELYAISEGFDMASALKATIEQIMEINVLPL
VMATDSKSLYDCVVKLNTTREKRLIIDLMCLRQAYERKEISEVI

>RCO7_09775 | related to agmatinase

MRLTKTFGLVVAFYGVGSVVAQGHHEHAAESQTPLHERGFVKDSAEELERKWGFEWGFNGVNSFAHLEHVKCLTHPERQFDIGILGVPFDTAVSYRP
GARFGPRAIRAASSRQTSFRGFNARAAINPYSSWASILDCGDIPVTPLDNAVALTQMTSAYLELGHRTPISSVITYPKIISLGGDHSLALASLRALR
MIHKSPIAVLHFDAHLDTWHPEKYPSPWPSKQAQFNHGSMFWLASNEGLILNGSSVHAGLRTRLSGDDWADYEDDTNQGFLRISSDDIDDLGTKGVI
SAILERIGTEIPVYLSVDIDVLDPGLAPGTGTPEPGGWTSRELIKILRGVEGLNVVGADVVEVAPAYDGVGEQTALAGAQVVYEILTSVVKRGLLDV
GRESEVKIKDGTGERGTGTGNVKKEGRKDEL

>RCO7_09776 | cell division control protein 42 precursor

MVVATIKCVVVGDGAVGKTCLLISYTTNKFPSEYVPTVFDNYAVTVMIGDEPYTLGLFDTAGQEDYDRLRPLSYPQTDVFLVCFSVTSPASFENVRE
KWFPEVHHHCPGVPCLIVGTQTDLRDDPSVREKLGKQKMSPVKKEDGERMAKELGAVKYVECSALTQYKLKDVFDEAIVAALEPPAPKKKHRSCLIL

>RCO7_09777 | uncharacterized protein

MVADSQRFSDEIDLLLGRYLQLLDEYTSLLVTLSTLQSSIYSDIARANFQAERGVSYGRESYDWRAMRVGRLCQVNGDVEEGTAVFEVEKVAASGKA
GSETPGKKAEGDKGNILSETEDIEEALKNVTVQADEVSEAQGPEEDQEEKDKTSSRKSTSSKADDTPTPSPPQTNQIPDPLRLFGFSIPSALRTAQS
SSMQMVETSIPRLATVTLQMRALEIQIRRARKYRTKALAVEGGNGDAERSLEKEVAV

>RCO7_09778 | related to DNA ligase (ATP)

MPPKQSTLGYVKDPQTTLGKFFGKPNGTSAPAKQSKLAFSSKASTTPNTSAAKEIEDSEMKDEESDTEVKSKIESKKKKEEEPDTETKPKISSTAKK
DGVSDEEAKPKVKKENVKPMTIESKKRSRSPTPVEVKPDKKKKIKEEIVEEKEDDDEEPVFKRPRRNAMQKEDKPTPKSKSEPEAKSKTKAAPTKSA
TPSPAKKGKKEVKQEEDEEKFEVVSSSSKRRASNASSVSEVDEEMEEDEDDEKPEVAAKAREKIQTTLKSKAKDPFPDWEPGAPVPYAALCTTFSLI
EMTSKRLVIAAHCSLFLRQVLRLTPDDMLPTVLLMINKLAADYAGIELGIGESLIMKAIGGSTGRSLAIIKEDQKQIGDLGLVAVKSRANQPVMFKP
KALTIRAVHKGLMDVATTSGDGAQTRKVDLIKKLLAAADMHMSGKVDITKDKGGASEAKFIVRFLEGKLRLGLAEKTVLVSLAQAMVCHEIEAKESG
KVPSTEQLAKGEAILKAVHSELPSYDVIIPAMLEHGIYNLRDNCKLQPGVPLKPMLAKPTKAITEVLDRFENQTFTCEYKYDGERAQIHYVAKDSPQ
QYRGPASTATKTETGGLAAIFSRNSEDLSKKYPDILSKLNTWVKADTKSFVLDCETVAWDMVEKKVLPFQQLMTRKKKDVKIEDVKVKVCVFAFDLL
FLNGEAVVGKPLRERRELMHGSFIPVEGEFTFATSMDGQEIDDIQTFLDESVKASCEGLMVKMLDGAESGYEPSKRSRNWLKIKKDYLSGIGDSLDL
VVLGAYHGKGKRTSVFGAFLLACHNPTTDTYETICNIGTGFSEALLMSLHESLSPLIIDRPKPFYSHSSGGAHQPDVWFEPKVVWEVKTADLTLSPR
YKAGCKEGLEGGGEKGISLRFPRFIKIRDDKKPDMATSSRQVVEMYRKQESVTKSKGPAVDDDFEY

>RCO7_09779 | probable asparaginyl-tRNA-synthetase

MAAIQELASRAKLDTIYVDTDAGTDDQAATGEESKPYKSLAYAYIQQGGSEGKTYQSRASVTGAVSADGDPAERLVWKEPAKAAVKKAVGALDAHKK
KVLKQQQQAAQEEEKEKARLKTLEEAKKIVLTEDESLPKAVKITIGEKSITLGEGDVKGTRVKVSGRIHRLRQQKQATFLTLIDGYGHLQCVISGNL
TKTYEALTFAQGTSLTLYGEMRKVLAGQTAPDDRELHVDFYRVIGASPSDAEAITNKVSAQQDQWDSAMLDNRHLVLRGDTASSVMKVRSAVEWAFA
KAYRELRFTKISPPAFVQTQVEGGSTLFELDYYGEKTYLTQSSQLYLETGLPSLGNVYCIEKSFRAEKSLTRRHLSEYTHVEAELDFIDFDDLLDHL
EEMISRVITTILDDKEIAGYIKELNPEFAPPTRPFKRMRYSDAINWLNEQDPPILNEEGNPHVFGDDIAEAAERRMTDIINLPILLTHFPVEIKAFY
MKKDPNDPRVTESVDVLMPGVGEIVGGSMRMEGYEELMDAYNREGISPKEYYWYTEQRKYGTSPHGGYGLGLERFIAWICKQHSVRTCCLYPRFMGR
CKP

>RCO7_09780 | related to RNA binding protein Nrd1

MQEIQTQTSQNGPGTATASRFPGHASKPSNSDTGFSHGAYSSNQFSMGGYGDRHPRRANIPSINTQPMNTQGQNDMPTPGTAFDMQFTPLLPSQLLL
GSPFEPGTPAAFQSPQFQNYATFQQHNQQQQQQNMGPLSPGLYQTLVSPSTYGAPQFYNPQSPTGGFANLNNQMSQMQIQPSSPVQMSPGLVSGTSR
TVYLGNIPPETSAEEILGHVRSGQIESVRLLPDKNCAFISFLDGSSATHFHSDAILKKLSIRGQDIKVGWGKPSQVPTSVALAVQQSGASRNVYLGN
LEETVTEDELREDLSKFGPIDTVKIVREKAIGFVHFLSIGNAIKAVAQLPQEPKWQSPRRVYYGKDRCAYVSKTQQQNAAQYLGIAPGYAHVLNGAD
RDLISNALAQQSVAAAAVATTAGGINNLGNRTVYLGNIHPETTIEEICNVVRGGLLHHIRYIPDKHICFVTFIDPTSAASFYALSNLQGLMIHNRRL
KIGWGKHSGALPAAIALAVSGGASRNVYVGNLDESWTEERLRQDFSEYGEIELINTLREKSCAFVNFTNIANAIKAIEAVRGKDDYRRFKVNFGKDR
CGNPPRQVQQSQQQQSPRNDGVNSPPPNSGGLQPSQNGSSPTNSQAPGSANGSTHFPAQTPSTILNAGSNNPLTMYLNQVSQQAHQQQQQQLDPYSV
AQLQQQQQQVLIAQQNALYGNGSQNLDALDIQNNQGMGHQQSASINGFQSGNSGAPIINGLLAPARSQHNRAASLPVFAQQIQENGGQNGNGDQRRG
HQYQNSHSGHGNGNGYSNGYGLAIQDHSGHMNGLNGWAEEEVVGN

>RCO7_09781 | uncharacterized protein

MRNVFSLLFLGLSALFAVTHAVEIQRIRRTNVHLEIDAEIVLASMISHQRQSTAAGNSVSSFLNNSWRGVGMDIAVNGQSSSALS

>RCO7_09782 | uncharacterized protein

MAPKTVSVTVKYAVPGTQPPIFLAGSFSDPAWEPQEMQFTTDENNEHEFSKEVNVEQGKEYQYKFRIGLGDWWILNENSPTGTDNAGNRNNVLTAPV

VDHKTDAAPTEEHREEDFTMTKNQWVHDAPSGTREATPEPVEEAMGTRETSDVLFSDEIVKEDELPTTTGLPMPPHTIEPLEPHPTPAAGLEKNELE
FGLGLKDTNAYTKIESAERIKPAAVPSPEISLKETLPTPSEETKPNSEHVETKGKEDTAESLHVPALVVEKVDDEPSYGDDFGPNATTAQKDAHNLR
SEDAEPDQTIIRDTHTPELADVAAEVADTAETLDRGAPTPPISDEEAGRIGYRRLSDTPIPEIAKTAAEVADVAAVLDRKALGDLLEERGYFAIIDD
ESIVFPETPADEKVPLFPHERGCDSPKGSKNGKHGPVDIPRKLQKIDDQAFWDPNDPSFRDGIHGLENPISPGITLQDPSPSLDAITEDEEEKDEEQ
EIPTNGGNVNGNGSAGHSREPTVQVNGIKDTEKPAQAEKENGVVPTILSQGENAKAEPEVGGFHREIPALAAQNIQPLINHSIGRSSFDGVDDNHSA
TPSVETPAIEVQSAEPKLTNPNDRPASTDGEQLSEPQIQIPATPLIVGNRQLGHEVEDVQQITTKSGLSIQVQPATPRGSTAESSVGKSSAMEDKNV
NGNPETQIKSRKRQPSPTPDRPLTPSSMQGKEQSKNILRAIWRVIFVEWIGGFIMRLCNGGRGRQS

>RCO7_11680 | related to RNA binding protein

MSSARSEHLTLGYLPPRSGNSTATNSPTEPSSGNALRSPFGLPGSLNSAGKMANNTRSGAGSPSHELSGRLFSSKRAREIHSQEGLPVSVWGPPTSG
NSTPLRENIPESPTDGFPDFAPLPTPESLPGTARRARAGTVPSRFSPGGATNGAVPTLSAKSSRPTPSQSPYQAPSPASISEIPEHNSTTSNAALLM
RLRAGSMPQRSQFSNGAGPFGPSVFSTNWASGRERSSTLASIASAGSNNPSSPAQSAFSREGTGETDMQMRTLDYLGLADTPQPPRAQLANPFLANI
ADINKNRFRSYSVNAKEKYAEEEEEEYAGNMTPYEQQAQLHMQLAATNAAIAQHNLAVQAFANQASVNRPRARTAGVLESPTSRLMKQYYPSASRLD
KSINASDLGMSESGEYDDLPTAVAAMTLGRSNSRNDQLNPDDNLEGPTRALWLGSIPPSTTVSTLMEMFKAHGPIISARVLTHKNCGFVNYERLESA
MSAKQLMNGTEIFPGAGPVRINFAKPPSPSGTPGPDGTFPSPSPDPFKENGDAGIISRPGTAPLTIPALPDMKSEILKIVSEFGAGQDDKIKITHSL
ERAIGFQGYQSEIPSISEPSHNRIHDAPKLRDIRKRIDNQSWSQAEIENIASEMLPEIAELSSDYLGNTVVQKLFEHCSDDMRDAMLAEIAPHMAEI
GVHKNGTWAAQKIIETCKSPAQMNLIMKHLQPYTVPLFLDQYGNYVLQCCLKFGSPYNDFIFESMLSQMWEIAQGRYGARAMRACLESHHSTKEQQR
MLAAAIALHSVQLATNANGALLLTWFLDTCTFPQRRTVLAPQLVPNLVHLCTHKVAYLTVLKVINQKLEADARDTILQSLFLSQNDETLEAILSDHA
CGATLIFKVLTTPFFDEAIRSDVVENVRNVLIRLKAQPAQGYKRLMDEVGLSTRNGSQGPREQSSHSNDRQRPGSNHSQVHAPPQYGNQFYPQMPGY
DMGMQRTDSGDSNLPYPAYGQVFNPAVIPPINMQQLKYQQSLLARAAPPMGNFYPTMQSGFGYNGGLVGEGYRNPIQPPQPQMNGSPMQLGGVFAPP
GFGSVGAYGGYGMQGIQGMGYMQQEQQVNSRRGRR

>RCO7_09783 | related to chitosanase precursor

MHLNVLHSLPLITTFLALQIQARDVPANIQTLYNNIKKAGSCSRKLATGFYLKDAPPATYSYCGDHLSEGVVYLQGTGGKLADMDIDCDGIQNGPAS
DGRCGKSSDTQAHTSFEDTVKGYDKGAQGLDAYIHTYVVFGNVGSNAGFVNYDPRKDGVRELGLIAAVCGNGKMFYGVWGDENGDDGPRAVIGEASI
SMATLCYGKSAVDGNTGHDEADVLYLAFTGADAVPGANGASWGAKNAVDFENSLGALGDKLVKRIAGGGATPTTTLKTSTTSKATTTTASPPGATCQ
ACTWTGHCAGAACASGDDCDGNLVCTGGKCGGCTWEGHCLCAACSTGDDCADDLVCRSGKCSKA

>RCO7_09784 | probable Delta(12) fatty acid desaturase

MAPPAAGLAPTASASASGSNTQTVTMTKDAPSASVDGHTHLDLHGNVFELPSFTMKEIHDAIPAWCFKPSILRSMAYVVRDYFYLSTLIYLAVTYIP
MLPNVYLRFAAWVAYTTVQGFVFTGIWILAHECGHGAFSKNKMLNYTMGLIMHSFLLVPFHSWRLSHSQHHKATGNVERDTAFVPHSRESWIKTQFG
AKAKANMVEFAELAEDSPIAALWHDLVHQLFGWPGYLLFNLTGQKYDGAKGAKISHFYYGEDSVFFKKSELGLIMLSDLGVAAMIAGLVVAGKVFGS
WNVIVLWGVPWLWVNNWIVAITFLQHTDAAMPHYSNSTWTFARGATATIDRDLGFIDTHLFHDIIGTHVCHHLISTIPFYHAGEASKHIKRVMGKHY
IADVKTPFWTAFWRNQRSCKFVEETKGAEGSGVFMFRNLYKREGETQPVELATVPETKAVEERKSAMATAMSSSRNLDARRRLSQSAQLRANLPLMA
E

>RCO7_14036 | uncharacterized protein

MNACLLAATNTRGKTDRSSARRASSVLVERGMISGREIGPCCEIFIYRGLTIGRQSLDVTNGRRYYSLLYISQPDMLQGFASQARPPKKVPCLSFSL
LIQAVMKEKIHEPEKLSPTVYFGSKDSRENREEEILALVICQGLRSQTDGPQFAKLRGFAPNDSQSGISDPRSQRRICITPVLNLLVLFAGQENHS

>RCO7_09785 | probable siderophore iron transporter mirB

MSASTFSRFRPNFLRKKDATAAPELALPLDDKNTTTVNNDIAPAHEPAGDDPEKDVVPSEDAQRGVQQVEAVTLTWTKPYLIAVFFNMWMLYFVNAM
QSSILYNLVPFATSEFEAHSLLTVIYIVSNSMTAAIYIPLAKMLDVWGRAEGFLLMIAFATLGMILMASSNGLAQFCVAQVFYSIGFGGLIYSVDVI
TADITKLKNRGLAYAFTSSPYMITAFAGAKVSDEFYNKINWRWGFGAFAIILPFVAAPLFFILKLHLKKAEARGLMARESSGRTLGQNIWFYVQEFD
ALGVFLFASGLTIFLLPFTLAEKAPNGWKSGYIIAMIILGFVILVLFGLHESFLAKAPFLNVHLLTNRTVIGACCLCATYQVSYYCWHSYFSSFLQV
VSNLTIAEAGYVGSTFDVLSGALLLGVGLIIRKTGYFKWLLYFAVPLYIFAQGLMIHFRQPDQYIGYIVMCQIFISVGGAIIIICEQLAVLAASDHQ
HVAAVMALLYVSGSIGGAIGNSICGSIWTNTFPTALKRYLPAENQGEFDAIYGDLATQLSYEVGSPARRGIQMAYGYAQEKMLITGTCIMVLSIVWV
VLIKNINVAKIAQTKGTVF

>RCO7_12011 | probable non-ribosomal peptide synthetase modules and related proteins

MGSIQVEEPPAMRPDDSLPTNNKTLQNLEEPALQSDDPLFTVRNTVLVEDSALQDLQEKQGLQEEHSPPAVIRPGKFEIPNLAAPFGIPTPASTREA
TLLLAWLIVLLRTREGSVKFDWTYLDNDGVEQEVAMRCLNMEEVIPGLEITVEEASFAIARYIQAVESRNTEPGSKALLLSSTSFENEEKEGLQLKL
QYRGSNLEIIAIRHPTNMLPFTISHHISTLNDTIQLCLSSPSSTISSLLSPTKSDLSSIWSWTSPLPPTYNTCMHTVITARAQTHPSKTAISSWDGD
LTYAQIDRYSSILAGTLRDMGVKLHDFMPICFEKSRWTIVAVLAVMKAGATMVMMDPSLPVARLQNMGCQVGANMVVCSRKQEGLAREIMPEGRFLV
VDEETFVADEEVQVLEEVPSDALMYIIFTSGSTGTPKGVKISHATYTSSAFPRAKAVGYTEDSRVLDFASYAFDVSIDRMLLTVGNGGCLCIPSDED
RLNDINGAMRKMQVNYAGLTPSVARILEPDVIASLDGLGLGGEAASPHDVNLWGQVTRIIIGYGPCECTIGCTVNSSAATGRDYISIGPGNGAAIWI
VDPNDHNLLMPVGAVGELLVEGPIVGQGYLNDPEKTAAAFIVDPPWLVAGHDGYPGRNGRLYKSGDIGMYDPDGSGNIVFVGRQDTQVKLRGQRVEL
SEIESQLKARLPSDINVIAEVITPQGAGGQPTLVAFIAPQSTKGLANDELKLAQLPEELRIALAKADVDVKETLPRYMVPNAYIPPSYIPVLISGKT
DRKRLGAFGATVDLRQIDQSSSTAPSRDLNELERHLRHSWAEVLKIDAETIKLEDNFFALGGESLTAMKLVSVCRLQGLDLSVTSTFSKPTLETMAS
TIKISNPEAKVQTAAFSMISQDFEIARREAAEACQSEPSRIEDIHPCTPTQESLFTFSIRSSKAYIAQRVACIPSTISLDKWKKAWEDVVAASPILR
TRLAQLQEPGLQQVVLKGDVSWRSANDLKRYLEDDRLERMELGQDLARYAIVNSDGKQYMVWTIHHVLYDGWSEPLVLRNVSNALQGQPIEVQAQMK
DFVKYIRDTDQVAMQHFWRRELNGATGPQFPRLSHRDYLATPDAFLEHEISLETAAGSPFTMATLIRGAWALVASQYTSSDDVVFGETLTGRDIPLP
GVEEIVGPLVATLPIRIRINRTSTVESYLQTVQQRISARTPYQHMGWQNIRKVSKDAQHASEAGTGLVIQPEPEYAGSELGFEYGDVVREALHFNPY
PLMVAFGIRKGGLRVCANFDSGLIDIAQMKRMLVQLEVACKQLSRGVGKKLKDISCLPEVDLDRIWQWNRVPPLALDEASKIRAHVSLQPGSIYPRA
VIPWVCDPQNPSHLSPIGCAGELWLEGAIPGDGVQSPAWLLAGSSDHPGRTGKVQSTGDLVELQEDGNLVFVGRKENVLPGQGQAADIQGLESHIAR
HLSSNVRVATIVRNSEESLDPTIIVFIEQQGLEEVAVELLSASYKVTCDSGFQMAVSSKISAGLVTGIKILDKSIESSFPSNMVPSAFVVVDRLPCN
DGVVDPTILGQLASKIPSNVLTKLAEGFTKAWMKTAQDNLTPKEDILRSAWAKILSIDAEQIDVQDNFFRLGGDSVLAMKLVSSLRAQGHALSVANV
FNNMRLGDAAKVMKVDQVSQQIFQPYKPFSTLGRTDIDLFLLENVKPKLADQTWVIQDVLPVTDSQALDIRGTVQKLRTSIQYTMLYLEKGIDREQI
FRACKNLIKTHDILRTIFIEHESKFVQVVIEELDSPIALHQTEGDLGKYVTDLCNQDIDFDFKLGSSFLRLSHVEGKDGECLVIGLSHAQYDGNSLP
ILLRDLERFYAGQNAIESVPFSSYMARIGEETVQGKAITYWKTLLKDSTLSKLEGASVQSTDKAIFRTKTVDISQRPEEITTANLLTAAWALVLVRR

FQKADVVFGSITSGRNIDLANAESVMGPCYQFTPVRVAFETHWTALDLLKFVQTQSAQSSAHDFLGFDKISSTCTEWSSEAQFFDSIVHHQDFEDFD
TMPFAGGSAKVDISNPHGDAAYPLKVVSFVRDGQTCVGVAGSENDVAFVDSSLAELAATVQELATREANVLLDEGMFKKDE
>RCO7_14054 | uncharacterized protein
MEKETILAVALAIWIRRRRRRRRRFLQQQQAVAPRYRVPYEYNRHTFDLDSWPERKVLTTFRFSTPELYQLWLIMVHNVDLRLNFSGNWVAPRLNPF
LLCTARKTVFSKVFLTAKTLYYEYGKSHGSWPGCS
>RCO7_09787 | probable multidrug/pheromone exporter, ABC superfamily
MAFIKQLAGYPRLLLAGKPSSRDIGTLLVAIVSAIGSGIPFPIIGIIFGQLLDEFNAATCDQAETSARDDEQKDINSRILLIVYLAFAQFVLIYLHL
LCWTLTGARLAQRLRETYLQNLLRQEPLFFDNLPPGEVASRLNTDIQTIRSGTSEKVGICLSSFSFFVTAYIVAFIKDTRLAAMLISLIPAYFLMSF
VGSHYIEKYSGLMSDYAAKASSIASEALSNIVVVQAFGANGRLEEKFSKELEASEQEGLRKATAVGIQSGVLYFIAYSANGLAFWQGSKQIAAAVRQ
ENGGTTVGAVFTVIFILVEASLLLSQVAPFLHMFVAAVASYQKLIGDIDRIPTIDGTSESGLRLTQAEARFEFRDVSFMYPSRPEITVLDKINLSIP
VNKHTAIVGQSGSGKSTIAALVGRLYDPTEGQILFGGHDLKDVNVHDLRSFLSLVQQEPSLLDRSLLENIAHGLVNSSDPEHAHLKPILLSSTLAEV
ARAVREGQTLEIAAAKAGSEAIQIVSLVQKAAALADADVFITALQHGYGTNVGSSGRLISGGQKQRVSLARALVKDPAVLILDEATASLDSRSEQRI
QRAIAGISSGRTMISIAHRLSTITYADNIIVIHKGHILEQGSHSELMAKNGAYADLVRLQTISSAPTKDTDSKSDMESLTEVGTERNVSMDIEKHAI
VASEAPAEPEEDKTETPSKTLWSLVKGYGPALRPHLFMIFVALLGSTAVGGAFSAEAVIFGNTVGSLNPCKSPDSIRSRGEFYGLMFFVLAIIEFFA
NLVSWAGFGWVSEKTVYTVRVLSFRSLMEQDLQWHQSKGRTPAMLLSYITRDGNALAGLSGSVIGTLFSITVNLIAAIILTHIIAWRIALVCLALVP
LLLGAGLMELRVLGQFEEKHETAYTKSVDIGVEAITSIKTIASFSLEEETLQTYRKSLTGPRNETFKVTVQASLWQAVTYFLGNLVNALAYWWGAKQ
IIAGNYTQTQFLIVVFSLLVSALLWSQMFALAPELSSARAAMARILSLIEIGSDKMQGRIGRLTTDVEASGEKISCPSSTQAASVQLHDVHFSYPAR
PDIKVLNGLSLDLKPGKFYALVGPSGAGKSTIISLVERLYTPSSGAVIVDGIDITKHRSVQFRDNIALVPQDSVLFEGTISFNISLGARPSHPVTQA
EIEEACKLANIHDTISALPEGYNTLCGPNGNQFSGGQKQRLSIARALVRKPNLLILDESTSALDAASERLLQDGLTRVARGITVIAIAHRLHTIRKA
DVIFLIEEGRCVDRGSHEELLGRSESYRANVMHQTVAE
>RCO7_09788 | probable hydrolases or acyltransferases (alpha/beta hydrolase superfamily)
MGSKFWPKGGLPGILHHYTETLVTFEYTSPASKPHALIFVGGLGDGVATTSYMVDLVSKLAPTPWSLFTLNLSSSYGQWGTGHLDRDTDELAECISY
ISAYKASQYAESQRKVVVMGHSTGSQVVLHYLKSQNPHQGTYTFDKDLVHVQRPVLDGAIMQAPVSDRQAVHHICQEGFGEKTPAEMRAVYDELLKL
ARAATDDDGDSMAPLHLSSAIYPHPISYRRFLSLCSPDSPEKPGDDDLFSSDLSDEFLKTTFGMVATRGLLRGKLMVLYSEKDASVPAYVDKLALMK
RWQKAADEGGEREGRGKIWDDEFTAVVPNASHALSNDDQAEPRRFLAEKVLGYLTRVEREEN
>RCO7_10227 | uncharacterized protein
MVTRGFWNVHRGGKWFQIHQKRGRISSPGDITTYSMVKDFQDGITKAHNAIPIPFPLPLRQNLDYVYTLDLDSAYLTVSLWHHEEGSEDTGLSLGMR
RLSLKSINKASDLSIEALLQNGINPILDISARQGSLQAEKDYEH
>RCO7_10228 | uncharacterized protein
MNELQYRMFMDFVYQWRFFIDGRTAWQYPSSPCFRRLCYAFLRLAAWDFEISSESEIAKLPLGAESFPGWDSPPTEFYWFHGSLVVLCEDLRTSSSI
SAVVSRARESVGQLDGRGNDDVNCILISLVDIAFVQVLADKIQCSTVFPLLTNSSATECSAGFRILTYLLTSPHVEKRKRSLAAREVSSIILPTEIL
GMVLNAVAPYDIVSFAQASFMFENWYYSSLPQLPNMAIHHLDVSIPCCGRRTNREGKEGVCCSDCYAWRHSECLDPSERTPEECYICSKCRISREQA
GARPELIPGAIGRANRRVGRLDGCRVMLLKQEKFLQLRVSAPAVMRPELRLMDRDLTSTPPNQIDYDVIFGGSWSGLSFGLDDLGCKATYEKYRESL
RRAGSQI
>RCO7_10229 | uncharacterized protein
MKLLSVLLACVAVTDATVVVCRTTGRSTNRDVVWAIKDKTASGELFGAKRTSGVREMICPIPVLGENRKVVVLCMSEPYPDIGRTRLSNGEVICQAS
GSPNWATCNTKC
>RCO7_10230 | uncharacterized protein
MDIITAIRQCLTGSASFTFTSTSTSTKTDIKHPISPVAPTDTEHASSLLSTLFTSSKSISSLQVHLSSQIHSQNRLTTRLAQHLLDGLVHALNSGKV
MGSTMREAFDKASTVAEEFAEKHPVVVAVMVTLVAIGILVLVMPWAVEALGFGELGPIEGSFAALWQAAFPDVTAGSWFAFFQRLGMVWGKTAVMMK
F
>RCO7_10231 | 40S ribosomal protein S22
MVKTSVLNDALNAINNAEKSGKRQVLIRPSSKVIVKFLSVMQKHGYIGEFEEVDDHRSGKVVIQLNGRLNKTGVISPRYNVRLGDLEKWVVKLLPSR
QFGYMVLTTSAGIMDHEEARRKHVAGKIIGFFY
>RCO7_10232 | 40S ribosomal protein S12
MSDREESPVAEVPEAEEVEVSGDAASKGQMSVLDALKGVLKLALMHDGLARGLREASKALDRRQAHVCVLNESCEEEAYKKLVIALCSEHKIPLIKV
PDGKQLGEWAGLCVLDREGNARKVVNCSCVVVKDWGEESQERSILLNYFNTEQ
>RCO7_10233 | probable Peptidyl-prolyl cis-trans isomerase pin4
MPPKGKSGDKGGAAAKGKGKGKATAEEKEEKAGSAKVKGAQFVNVRHILCEKHAKKEEALEKLKAGVKFDEVAKEFSEDKARVGGALGWKKRGDLDP
TFEEKAFELESSTTASPKYVEVKTGFGYHILMVEGRK
>RCO7_10234 | related to cysteine dioxygenase type I
MAPSRTEDASSLDSSSTPSTSRSASRNNNPFQTLVSDLSSILGPSSGLDSSDIDVQNLQRLMENHLSSEKDWEKYAFEDLSRGYTRNLVDVGNGKSN
LLILVWTPRKGSPIHDHADAHCLMKVLKGTLKETRFDFPLNNATAPQIIKETLYREGEVTYMADELGLHRISNPGEEVAVSLHLYTPPNAAKEGCNI
FNETTGKRSHVMQNSFYSEFGAKTGV
>RCO7_10235 | related to tRNA pseudouridine synthase D
MASPPHTTDDMEPPLKKQRTSSISLPLPLPLPLPLTNNSNSVMESLPTSNTDPTSNSASIKMDNPLLPHATRVVLSDSGFQPEKEIAVGITHFVNNE
NPGFQGVLKQRYTDFLVNEVMPNGVVARLTNDKATVRAKKPQNAPQQPSNLPPKEEKENVPLEPAPTSATKGDSEQTNERSDIQSDAAAASTLAAVK
VEGEDKASLPAQETTSVDSALADSDTAIIKGEGQGGANGSAAATDFVLSPEDDELLAKHFGSSLKDEIVAMYKNIVSKPNAKRDVFGVLTSEPIYGK
DARGSLHADVRRIFDGKLETKAIETSAIEIFAAPNRAMKGVWNKNPRQEQQRGQPSGKLGWKELGGEYLHFSLYKENKDTMEVVSFLASRLRVKPRD
FNFAGTKDRRAVTVQRVSIRRQREEDLAKLNSQLHSNSRIGNFEYSMHPLALGELAGNLFHITLRDCHFGDDAGLDVEARLLLGEQVVGQAVKHLQQ
HGFLNYFGLQRFGTFGIGTDEVGLKILQGNFKGAVDSILAFNQDSLKETSENGDKASKDDRERASAIQAFRNGKATHNMVQQMPKKFSGEASVIRHL
TQRNGKDDYTGAINSIHRNLRTMYVHAYQSLVWNFVASERWSRYGSKVIKGDLVLISSTVAPEAKDEVDENGEVVVHAAEDDSSLNRDDVYERARPL
SAEEAESGKFTIFDIVLPLPGFDVEYPANDIGDYYKEFMGSERGGGIDPTDMRRSIKDFSLSGSYRKLMAGLGDCAFELKTYQTEDEQLVETDLERL
RISRGEPARPPKDQNPRFDQSRGDFGGRGGRGGRGGRGARGGNFNNGGNSRFGDRQDRQDDTSIARARHADNPNLSLWANAGKTIPAAEAIENAAAE

IERTTRVPNNDIVSAPRIKETWVQTNPENFRQRTGVKTKKMIGEEEVDLPLSDKDPKSPIVEADATTNASIASEAAPKRSADEISTAPPSPSVVPAS
SITVEEKTETSEQKPAQESKIAVVVQFTLGSSQYATMALRELMKAGGVKTYKPDFSGGR
>RCO7_10236 | uncharacterized protein
MGAKDKKEVKASMFRALAFRDPFSLSIFTDQNSASADQCDRKSEPVSPKSTPSSSVASTATSNATTAATSPGSPYRHNTKHNFALGTYTPEDMEATS
NSSTSSDDTNSIGSTLFSPIGTELSSLKNSYFGVFKGTGTAVDGGNDSLQSLMSASQGARLSPIRLSGSPRSLSRPTSLAGSFNSDQSLKTLQSYGS
SIGDGGDWDSDALLELTDEIRAMLRAKKDLSKSQIDELNLLFDAFLREEISSRPSTEIDLVIHTRFDLLLKELLNSKDTISTYKSHEVMFAKSETLR
RNWERRFKGLYLNIQKPRTEQMKATGALRGLTLNSSNAHHGQTWVVNYALPADLEGDLNFIPGEWWLNMHCAFRDGAVGSVDKILTMGKSGVVALAL
FDGEEVNGPTNNLFEYTKITQNWDELMKLVGCNRGCPIRLLRGSNLKSKFAPKAGIRYEGLHVIKQFGHKLLDEAKNIYRCTIALERVPGQRPLHEV
LKLPAPSQLDDWDLYKKMMNEDYRRCEGDAALSRRTEHEEEQRTDKEQFIKSKALQEALHRYTETRRKPSYLHD
>RCO7_10237 | uncharacterized protein
MAPSPGVFATTVEELEMRTIAWKCLRDFLTTY
>RCO7_10238 | uncharacterized protein
MSMRAFHGAKHLILQDLLRAGPSQAPGSRDLASRSYYE
>RCO7_10239 | related to amino-terminal amidase
MRIACLQFAPQVGDVDNNLNRADAVLSRANPQDLNLLVLPELAFTGYNFHSLADISPFLEPTTSGITSLWARTTALKYNCVVTAGYPEKVDLSPKWP
ASPEYYNSAITVNADGETIANYRKSFLYCTDETWALEGPDGFYDGEIDGLGTVAMGICMDLNPYKFEAPWNTWEFANHVLLREVNLVVLSMAWMTRE
ESRSFSRSPKDPDMETLSYWLARLEPLIRNEGEDEIIAVFANRTGYEENATYAGTSAVLGIQGGEVKVYGILGRGEKELLVVDTSVGPKMQLVSNPP
RSNTPPAFTMDVRSPTSSTSSTNVSVGSGQSKLSITTGQTSMDPAKLDSCSFSPISPADSSSPRTYFGRRPIPLDQPAPEQKPIKERKPTPIPKARS
ESAPPAERLPTPVPVSSVYTRPASPKSRNCSRTRSRGTDSQHSPPPVLSSMLGNILSDEDRIRESPLLDSMSMIGKGIDEAFIVDDPDEIMYIVDEG
SPSFGSNVMYPLQNAAKLTRTDFIARHIENQPGESSDKSLPVTIQARYEKLPPPPPDHPIPIRPALRPRVEEVVETETPSLSPAATSVVSSEGSDQN
HLTAFQTAPVDDPPQESSSVATCETKNSLVFACAIASQFESSFTRNPLGPRSRHIAPRPLSTVW
>RCO7_10240 | related to amino-terminal amidase
MRIGCLQFAPQVGDIDNNLNRADAVLSKANPQDLDLLVLPELAFSGYNFKSLQHISPYLEPTTAGITSLWARTTALKYDCVVTAGYPEKVDTSPKWP
ASPEYYNSAITVNSDGETIANYRKSFLYYADETWALEGPDGFYDGEIAGLGNVAMGICKWPTKSFERMDLNPYKFEAPWSAWEFAYHILHKQANLVI
ISMAWLTREDSRAFSRTPKEPDMETLSYWLARLEPLIRAEGDGEIIVVLANRCGTEDDAVYAGTSAVLGIQGGEVKVYGILGRGERELLVVDTTRPP
QAKLISEPTSSKSSKSSKSNDKKASTIPETKARSAVSAKAEKSGQSTAAGLSVNTNATAVALPSAPSPPPPDAMDIITGEAPAAPLSPVDARSPSSF
FAKSSHHNGVQRQKSLKSSVCEPAHPQSNQSQPIRNGGIVASSVDKFKRIDPPGMDSPTFYRPPVPKSIFDSRNCQPHIVAPSSTSLNLVKKEPAKE
KLTASRTFGVGVPLQITESPPYSASIIPDHDEAGLPQKDPGLASPQHSPRPRSVNW
>RCO7_10241 | related to amino-terminal amidase
MRIGCLQFAPQVGDVDNNLNRADCVLSRSNLQTLDLLVLPEMAFTAGITSPWARTTALKHNCIVTAGYPEKVNVSNKWPANPKYYSSVIMVNSEGET
VANYRKSFLYNTDETWALEGEGGFYNGDNEKLGNLAMGIGKRNEIVARTAVLTGILGLDLKSAWEFAHHILHAQANLVILTLAAEAVVEIIVVFANR
CGTEEEVTYAGTSAVIGINNGEVKVYGILGRGEKGLLVVDTNRRPEAKLVSTPNSAGTEPPETVPSSKTTEDQPLILSDWADNDSGNGSEDVDTYYY
EFSPVSPSDSRGPPFFFHPKPTPISELYYDLPSPDCERTNCKISSPGSGVLYRPSTPKSRVLSRNENRELIDPKGISEELDEVDESYVERYGRNSAS
AVPDGLQATFSADPLGPRSEYYLPRSRSTVW
>RCO7_10242 | related to endoglucanase IV
MKSFVSAACLLASVTSVVGHSTFQQLWVGSVDKAGTCARTPPNNSPVLSVASTDLRCNVGGTKGVSGICPIAAGDNVTVEMHAQAGDRNCKNEALGG
NHFGPVTIYMSKVADAKTDAGAGSWFKIDEEGYNPTTKKWGTDSLNANCGKRSFKVPSTLAPGDYLLRAEAIALHAAASSGGAQFYMTCYQVTVSGT
GTATPAGVSFPGAYKASDPGILINIYNAITNYAIPGPAVYKG
>RCO7_10243 | uncharacterized protein
MRPSSLPPALVLITSFAAPITALIASTTSPCAAQCGNNLASTSLSDLACSNADFKSTPAGNTFQNCISCQISSTYVDPITRQSDIHWAIYNLRYALS
WCLFAYPNNTNSANTINKNVAGTQCSTERACGAFQGAFAYDSLSLNSSSYGFCPSLPAVNVPHCTTCLQVLTDDFYLTNFVVALDASCQQQPMAGTK
LFIDGSLFSTTHVNITSPSAAPDSTYNPRDHGLTLAAKAGIGAAALCAMLAMVGFCIIWQGKRRRRRYLAKHQQETGYSDWVKQAVLFPPQQPAGES
PGGFSHTPQSQRPLVSAAPWARREDESPASAMGEKVYFSPYTSQYNSPVDVNDQFQTIGREWPVDRKGSVGGSTGVGGQHSSRSRSREKRDRDMENI
GDRIELQDVAPVQNAAPVLLHPGHERGRSSHDQDVKNSNVI
>RCO7_10244 | uncharacterized protein
MSILLLQPPYQRYLGKIKLLHPSPINKPHPSSLNGQLETAGRRRNPPTYSDSFLILRFGVILQ
>RCO7_10245 | uncharacterized protein
MIFRKPRGENFSAIPTRRASKATISTLAIAVVLLNPASALQVTPYSACAPMCMDTPLSDASDPNASNTFDSDIVCKDSDFSGTLVGSKFQSCLNCLQ
GSSATSFNENDQGWFFYNLRFAFNSCVFGTSNATRPISTPCSTEAVCGPIRKAMGDGMGTPLTTGQYSYCEAYDNSFLGSMHTCRSCLKLEDDASYL
SNFLVALRAGCTERPTSGLVVGLNSTLFTKDEVAITYPQGSKPRKKHKNLSTGAIIGIAVGCGLLLLATLAIVFVCLMKRRNANRLKLLQSPLHERY
GAENITAPNSGAYSSPQTSPPLKKESVQMMTTLVRNFSYTRQQPQSVRDWQGNSTGNSPAYPISPPSYSPPFPNSGRDVLPAHHAYIPPEYTPPSRN
STSPLYVQQQPPSGPPSQLSPQQVPRPVPASHPQWSPSQRLSPAPNAPAVSQPPAVRRDSHSTDNLSSHPTPPPVVRNISSASRLQSTNLGARRGLA
PTTVVTGMKPTGTEDSTRAKENLCRQGLGGTRAHGPEAEIPERPSPESDVGSVELWPGSY
>RCO7_10246 | uncharacterized protein
MVKQPGFRAKGNNRLKFRLLFSCVNEKLCSVQGWGGRIACGWTKEEGAEGTPLRLMLVVYGGR
>RCO7_10247 | uncharacterized protein
MTLVDELAILDEYFEQRVIGAGPADGTGESSVECKALEVAADFVHTRSEPLLQAVEKDAVTVNESTPGLNVISATKSESGLLKDPSEAGSLFTGPTS
TTSFAAPINKNPLASDLQYSTLLKRSVLDESVQWLEADSVALKKVVDVISEAAGGLARQLYIRLVLLL
>RCO7_10248 | uncharacterized protein
MADDIIDRIRSHIQEVLRIVLDNHDRTLRELNEIVDQTNKGGQPLSPIHIEFERVRRSGRTSTKRTYENMQCAKNTSSRQTKKHKGTVEEVSTDSSP
TKVFGSDESVNKSAGKEPASDERR
>RCO7_10249 | uncharacterized protein
MKELPSTTAPKNRDPPITTPTILKTFNGAPNDKRYGRDMAELSPYTEAALIKSKI
>RCO7_10250 | uncharacterized protein

MSKPMPRQQYLNSTCTFHLTPNRSIFKTFNPNVVRPIEFAGDTDIKSAGIGTIHATLLKSTNGAKLRLKNVLYVPGLSTNLISASQLNKSEIKTYSK
LGGKVDILPGDRTLE
>RCO7_10251 | related to ATP-binding cassette (ABC) transporter
MPGPPRIQVNNLTFTFPEYPTGVRNVTLDFPSRSRTLLIGANGSGKTTLLRLLAGKRLSPAKTISICGVDPFQETLEGVTYLGLEWVTNPIVRHDVG
VSELLRSVGGDAYPERRDALVSMLDINTNWRLHAVSDGERRRVQLAMGLLRPWTILFLDEITVDLDVLSRANFLSWLKRETEQRECTIVYATHILDN
LAGWPSHIVHMSSGTVKEWGDTDKILQGLDSVAAQTGNSRLGELVLGWLKEDLKERGLRNSPKEARP
>RCO7_10252 | related to cystathionine beta-lyases/cystathionine gamma-synthases
MSIATQAQDVSPLLPPKRLEVQPFGTAYVYPPDSKHGVSISLPTWDSTIAYFEELEEWKNEHIEWCYPRFFINRPVRELADAALKKLNIATDGGTAC
LLFPTVTFARDCAKHIANEKPNVIVDIVQFKSPRNCDRSAAQVLSIASFAIAVFPKEVEFPAMMFWMNVGGGLTTRHAVFAKDYIDYLEAISSNKKT
KIQPPQAITTLPTPSWVHDIAPTAMHVKSTIASLSTSENSSLPVITADHVTLYPTGMSAIYHASQALQAVATTSTVVAFGWMYDETIHNLKHGPWEK
FIGYKRGTEQDLEHLTDSLKAGERIGALFCELPSNIFLSSVPLQRLRALSDEYGFILACDDTVAGFINLDLVPYVDVMLTSLTKMFSGASDVTGGSV
IVNPASRYYNTVQSALQARYQPAFVFPLDTKALRHNSQHVRWRAQRCNENALSVAQMLHGHPLIKRLNYPYFDESLPIYHSLMREGGGYGCVMGVIF
HDEKVAHRFYDMLNVPKGSSFGTNFTIAVPFALLVHYYNRDRVAAHGLPEHIIRISVGLENVEDIKAAIQTALAECHGGTEGIQRESKL
>RCO7_10253 | related to gibberellin 20-oxidase
MSDSTGLTGFSTANLPIIDYSKIEAFFSDKACDNVAENEKLLKAVNDIGFIYLKNHGITDEKMKRLFEYAKEFFALPVTEKEKIESCESKFFHGWFS
PDRTSRAKTADQKEAFDIGDDNNLARPNQWPENWPEFRTDLNYFFQKCHEIHLVLLGTFAETQGLPKDYFTPSVNEKDHFFRLLHYPATTPDSIESR
LRASPHTDYGTLTLLFNDNSGGLQIRGRDGQWLEVPPIPGYAIINIGDLLSRWFNGSLKSTEHRVVEPPADRSKLDAEGKLPARYALAWFGNPNRNA
WIEPLSSCITAENPKRFEGVWAGKHVADRIAKLHKDGKAPEVWKDSMYRTGKQA
>RCO7_10254 | related to Rossmann fold nucleotide-binding protein
MPRVKIAVFCGSSSGTNPAYVEAAQALGRSLAEQDIDLVYGGGTIGLMGEVAKTVCSIRGPSAVHGIIPQVLAEHERTDAYQISHNNLYLPDESKYG
RTTVVQDMHTRKKLMMKEVLSGGPGSGFIGLPGGYGTMEELFEVITWNQLGIHKLGVCLLNTEGYWDPIVHWVNSASKNGFVKRENKDIVVTANEPV
SAIEALRDYQVSRAVFKLGWAHL
>RCO7_10255 | related to DHA14-like major facilitator efflux transporter
MLPSTPNSTGQPDKPTANATSQSTIQDGAEQEYPSPEIGNGSQKSTQEPAGEKPTNHVNLPEAGRTKFQTTVIMGALSMSLFLSALDTTIITTAVPT
IVSHFDAPVGYIWVGSAYLLGNAAVVPVWGKISDIFGRKQTLLGAVSVFLLGSLLCAISQSMGMLIAARAIQGIGGGGAIVLPNLCISDLFSMKERG
MYFGLLSAVWALASALGPVVGGIFTNRVSWRWCFYINLPLGGLALAVLVFFLKLHNPRTPIKQGLAAIDWIGNLLIIGGTLMVLMGLQFGGVEFAWK
SATVICLIVFGAVSVALFCIYESRFATYPVIPPRIFRHRNSVAAYSLSIMHAMAFLGGTYWLPLYFQAVLGASSLLSGVYLLPYVISSSFLSVGSGM
FIKKTGNFRWPIVVGLFVMTLGLGLLTYLDDEPHWDRIIIFQIIAGLGSGTNFQAPLIALQTNIEPRDIGAAVSAYSFARQIGTSVSVVLGGVVFSN
VMNSQQGLLKSALGPQLASEFSGRNASASIEKIAGLPLGQEQIVRATYWDALQKMFILYACVSFFGLLLSLFIRQTKLSQEHTEHKTGLQSLKKEDA
RK
>RCO7_10256 | related to DNA repair helicase ERCC6
MDLPIDTPEFPDSTSSPPNTIESNGKPHLLTTTSIGEAIAACADEAAEDEVEPASRRVAMDEASALEGLTENVREQGDLERDITNQAKQVMIELEDE
RDEKRISKANGNMEKLEGEKQKKLQRLKNLANTPTLRKQCLEEVAQINDDISALKKDVSDIQGRINARHTTDGAEDGDVAGNKRMPNESQRDFLIRT
GKITPFSRVAGRESDAVQTNLSSVLMDAEEEAEAENQEEAPDAEPRSHQNLRLPGFAGSDAPAVVEEEFGLRPRKKKKLNNGSGSSTPRARQPPADE
EGDFAPEVSSGDHDEFEEEDDSDAIAFKETKKRRAGKAKADDKVDFAAIDDGNEEMYQARLNSWVEKRRAARLGRLDQGELDGDQTAGNNEEEWFKP
CPDAPDHQFENGIKLPGDVYPALFDYQKTGVQWLGELYAQQVGGIIGDEMGLGKTIQIISFLAGLHYSKKLTKPIIVVAPATVLRQWVNEFHRWWPP
LRVSILHSSGSGMMNVRSESRFDEVEELYGRGGQRPKSSKAAKKIVDRVKQHGHVLVTTYAGLQTYSDVLIPVDWDYVVLDEGHKIRNPNTTITIHC
KELRTPNRVILSGTPMQNNLTELWSLFDFVFPMRLGTLVNFRMAFEVPIKLGGYANATNLQVLTATKCAETLKSAISPYLLQRLKVDVASDLPKKSE
QVLFCKLTKPQRDAYEMFLSSDEMTSIMNRTTKSFSGITILRKICNHPDLLDERLQGKPGYKYGNPNKSGKLQVVKALLEMWKGFKHKTLLFSQGVQ
MLDIIEDFIKGLGGFNYLRMDGKTPIKDRQALVDRFNNDPDLHVFLLTTKVGGLGVNLTGANRVIIFDPDWNPSTDIQARERAWRLGQKKEVTIYRL
MTAGTIEEKIYHRQIFKQFLTNKILKDPTQQANFHMKDLYDLFTLGGTEDGTTETGEMFKGTEVQFRKTPEPAALEDNLAIQSAASATAVQNDVVSQ
GVTQASGSGQGDAEIEVRNLTGVASLEAFHGDPEEEKPTSDEARLMEGIFARSGVHSALEHDQIINGKRKITADRGMIEREAKKVAAEAAASLRRAG
VAAQNIAPGTVTWTGEFGSAGRPVNNRRGAGGSSAAVLSGLAGRQGITIPGSASSSRSGTPGAGDRPARPAKDFMKLIRDFIRAQGGSVPSQALVNH
FNRMCTTDQQSAQFKHMLGEIAYLEKGNNLRMRGRWILKDEFK
>RCO7_10257 | related to ser/thr protein kinase
MDQWGQPYPDQAGSSRRYNGNPPPSQAQMARDYNGNAQAQAQPPAGFTYEQYQGGQGGIGANPHSSTNSPPATPHMRDGNGDVAMQDVSGMKYPMRP
LHQQHLSGSRLPSHQEPSAAAQRYSPMETLSPSSPYGAPPQNQNQYASRQSPTRPGSYSSPNPYYANRQQPQQLPPITPFSSTNEGYPVSATQQLNA
VFGNDPKSPRRPMPQAAGGPPGRGPVPEFTKLRSVTDLQPKINSQPAFRRANPEGGFISPLQALTSHLPSTYRICNPSFKYESSRNPRRVLTKPSKG
TKNDGFDNEDSDYILYVNDILGSEETGHKNRYLILDVLGQGTFGQVVKCQNLKTQEVVAVKVVKNRTAYFNQSMMEVSVLDLLNTKLDRRDDHHILR
LKDTFIHRQHLCLVFELLSVNLYELIKQNQFRGLSTTLVRVFAQQLLNGLSLLNKARLIHCDLKPENILLKNLESPIIKIIDFGSACDERQTVYTYI
QSRFYRSPEVLLGLPYSSAIDMWSLGCIVVELFLGLPLFPGSSEYNQVSRIVEMLGNPPNWMLEMGKQSGEFFEKRHDVDDYGRRTYHLKSMEQYSR
EHGTKEQPSKKYFQATTLPEIIRSYAMPRKSMKQSEIDREMNNRVAFIDFVRGLLNINPLERWSPQQAKLHPFITQQKYTGPFVPPMNLKNSSVNRS
PAPGTQQQQQAEALSKQRAQAAQAQVQAQVHTAPAHPAQNPYSSGVPAGPYPQASPAQHPPMYASNNMYSPGAGMQGAPPPYPAQQQQQQQPQQQPQ
PGSYNQMGMMQQAPPQMAPAQYAQGQPQHQQQQQSQQSLYAQQAAVRSGRQRATTMEVQQGGIPVAIQRVASHLDPTQPIRLQPSPAYYPPPPEGAG
GENPGSARRRGSRAAGQPGQPGQQGQRSNRDFIRNLEDRTLEEGFMGQTQWH
>RCO7_10258 | uncharacterized protein
MAPSKAALDLNAMISQERERRRNENLAKEIFGNRRASAPGGMNKQDNKPAGVPSLASRIGPLRGGVVKRTISSSTRPAALRSTPRPAGNVNAEWTHD
LHNINNAPASKLTAGPPYGPRAAAAHKNRNERVYTALHASASSPSLNGQFSIVGKAKPGPGINIRGLAGPSMVMIKNLALGTTAADVESAMTPVGGT
VLSCRVIAEQPKVIAELVFETKEGADNVVDTFNGQNADGHLLQVYHISGPLPTNMKPTTAAAATTPAPRSNTPQGPRADRNPAAETRSGYNVADRYP
PRERSRERRRDHSRGEDVVDGTYGFNDDDRMDTDEVENRGLYSDGLLSSRGRGVNNNRDHGGRADRNRSYR
>RCO7_10259 | uncharacterized protein
MDPTSSSPTLGVEFGLLPHTPASSRSKKGRSPNTKENTQSGGSLHKRFLNTIRGRSRSPKCASEDDSPGAKPVRRRKSIVDLLNFSSRESRDERSTQ
ATEQKLNADINNDKEEITNIFWEPPKRRRSLGNLLNPANILGTVTNRVSLRSKSPRKLFTKEDIWVIRNTKVPEHKQSEASNEVLKHHNEAPKTDQH
GDGPFILTLAEGSETDIDLFESRLARILDSIAVDDLETISSCKSDKLSLKMLQAACSKLSGNEDDDDKIRSCSPNSLRPVHILPRDGAASTSHSGIL

VAVNVPREMRVHFEEQNCSEEKRPNTPDSYLRLLIEASGEPLYYEQLRSSSSSVGLTESSAVSSAIQQLLDAEEADASSEQRSASPELCDHQPEMRN
TTPGSQSDEEGTRQDLLDSRPIITVREVSSASTLIDLDPEFNQRQVERAIRYADLELPNKPDWKCIQAEIDRNIALTVAKMTRNYHSACKKTMALSP
AEETTQAQAEMDFNIRCCGSRFGFDQEEAWDSVMTGKRLLLQGESYDETGMIKLNDATRIGTPVNEISLLDFHDLYTVSGGSSGVALNSFSCTPSKH
LRTPSVDQVLQDSSVLRSPLDPFYATRKCDNLDFPLSLDSEVDFSPAYERFLRRTFSVIDPVPSSYLVCETMLQPEPHVTRTSLPGAVKSGQFKSTT
FQVRYPSTVNLHHHTESFSSMNDVIQGLCDYKLGDLANFFVYDEKLRIVDAHSIDSPVPSPAELMRKGLQLCWIPHMFNAMAMKTSDHDSAKSGILS
TTCGSIHGDVGIEEIDPLDRPIFGQSDQGGRQNPSEVSIPYKSGNPVPGSPSVFSARFFLADQQDSDFSGASSVADHSSALGALRTVAVEEHLLSSL
DYDDEVQPTKTWVELAREAKTSNLFQDPSSNEDDEKASSEYSPLAMPSFDELEMWSSQAEKERRVTKGRMLRINHGYAICVGDGQLASLESSVDSDS
GSDGLQDETKESTGVRKSLAEVGHLESFIRPHTVEPPNDSHPCKDDMHCISIEFAAPEEVEDEQHPRQNSVSIKSAASYASGFHFTAVQEHMMRESK
NSDRGSDSSHCDEENIEDLYEAVDYNGADNDLYSSDEKAAVSHLDRIAKAEGAEDSRIFPLSKHSRHPIDLSYKNVLELTECNDLKHPTLDFTTKRN
TSYNATKELEKTAVPRGEITFEHLNLRPVGKAAKLIPPAKKGKSKVGSLVNMFQDHGLMPEKSRGNLPISSIAPAFSRQTTQYRDHRGESSEASADS
STVRGVSATLPMNLLSVSQRTNRVVSPYSTFERPHSSASDIDTEASIPFGEVLRRTKKHGESEDEETSVREAELYG

>RCO7_10260 | uncharacterized protein

MLTCQGCMRHCLQYIIGESALLTSSVRPTLTSHNKIPLRRSYTGTSYERSSAGQEASRIRSEKDNKNSRFPAGNDSRRTDSRDPPSNRDIRAPRTST
PGFGNNLAIRIEHAPSASNVASARVIERRKWLDSRGIRPVSKKGVRVERTDFEIRKHLKYLNDPLKLADYVRQTLRREEFEVAQEVVRAASKTTMCV
VSWNHLVEWQLTKGRMNAAISTYNEMKKRAQAPDAYTYTIIFRGCAEHPDSTHALPKVLDIYNSMLDEKSKIKPNAIHMNCVLKMCARADNMDALFG
IAGQFARHGLTAPNNLSFTIILNALRMNAVGAARSDLSPMEKRARIRQNITRSRDVWADIVSRWRKGDMWIDEELVATMGRLLMAGQEDDQDDVFSL
VEQTMNIPRQVPKFGTKERARIEPAKQQEATQAFQPSQATPEPTLNEDSQETDSASNAHFEVVEAPVTKEDGIAMYAKPGQNSLSLILQVCLDLHLK
APATAYWNIFTKTYLVQPDSDNYHAYLRILRVFRASTEMIEILSLMSKHDIEIKTFRLAMSTCARDKRNPNSFSNAEKVLDLMAKCLPQPDVASLEH
YLSVAIDCPAKKEVPNAQGLQILLALSRLSPHFINLKAAMQFTSRDSGSRTPQVIEGTIELARGMIRAYDLLTNRALVPRERHGHLTEQRKVLSAFI
TRNQHHRGGATSSSGGYKNRRGPDGVRSRSEESASINKTSHGFGPMKTWMAAGV

>RCO7_10261 | probable DNA polymerase alpha catalytic subunit A

MSKASSARSRFAELRELRASGKKRLDTYQVQEEEDLYEEVDEDGYKKVVRDRLNQDDFVIDDNGEGYADDGREEWDQQPNYGSGSEEDLPVKGKSGK
AAKRKREEDKAHKERIDKGISNYFTKGPVAAQPKVKPVKTKADEDFLADLLGEVDTNVPRPSSQSTRYRRVQDKRRTRALSPGVSELPRHTAKRARV
SDTEPTTPLDDQEYGDDGLMAGMDDDMALDEPMPSSPIAKAVQRKSNSNIKAEEDEEEDMMEVALADGIATARINISGTRPPPKIKKAEPYPSPASS
SPTRAPPNRVDASAWNNVTDRLNVVNSSQTSDTGSFGKLDYADAIEEDGSLRMFWTDYTEVNGSLCLFGKVQNKKSGAYVSCFLKVDNVLRKLFFLP
RQYRQKSDKDTSEEVGMKDVYEEVDELMGKLRVGMHKIKPCTRKYAFELPDIPKEGEYLKLLYPYSKPQIQPVHQTGETFSHVFGTNTPLFEQFVLW
KNIMGPCWLKIEDAEFGVLNNSSFCKLEVQVSKPNLITAMSDNDNLEAPPLTLMSIALRTQLNIKDNKQEILAISARIYQNVSLTDTTPPENLPCRS
FTVMRPALNTFPIGFEAEVQRRAKGMVKLVKQEQEILSFFLAQLQVVDPDVLIGHQLEGVDFSILLSRLQAKKTPQWARIGRMRRTNWPSSMWKMGG
NFFAERTLISGRLLCDLANDAGKSAMAKCTSWSLTEMCSIYIPGSNRRDIDNEQALKTWASTKDGLMDYVSHCEADTFFIAALALKVQLLPLTKVLT
NLAGNSWARTLTGTRAERNEYILLHEFHRNKYICPDKAIFKGKQQMEDENADEESGDVKKKDKYKGGLVFEPEKGLYDKFVLVMDFNSLYPSIIQEF
NICFTTVDRLNLSEDEDQVPEVPADQDLGILPKLIATLVSRRRQVKGLMKDKNATTEQLATWDIKQLALKLTANSMYGCLGYTKSRFYARPLAVLTT
YKGREILRSTKELAESNSLQVIYGDTDSVMINANVDNVEDAFKVGNEFKKAVNERYRLLEIDIDNVFRRILLQAKKKYAAINLVQVDGKFVDKMEVK
GLDMKRREYCNLSKEVSTKLLDEILSGDEAEVVITRIHEYLREISTKMREGGVPTHKYTIYTKLGKGPKDYPNADSMPQVQVALRELSRGKNVRKDD
VIAYIVTGDGKTTSEPAAKRSYTPQEVAKTDSGLSPDVEWYLYKQIFPPVERLCANISGTDTVRLADCLGLDVRKYSINNSSSNCGAEAEISPLESQ
IDDEVRFKDSFRLSLRCRACKAKFGFDGLAGSLDICSAAGITCRCGQALSNISVVAQLEHQIRQQTSKYYEGWLVCDDQACGSRTRQMSVYGHRCLG
PKGLGHGCLGKMHYEYTEKMMYNQLLYFSSLFDVEKAKIAAKGTEKERVLAMAEHNRVRFGTLKAIVDKYLDKCGRQWVAMDSLFGKLGFTAN

>RCO7_10262 | probable GTP-binding protein

MVNITEKIKDIEEEMRRTQKNKATEYHLGLLKGKLARYRAQLLEPVGGAGGAGGAGFDVSKSGDARIALVGFPSVGKSTFLSKITKTKSEVAAYSFT
TLTAIPGVLEYGGAEIQILDLPGIIEGASEGKGRGRQVISAAKTSDMILMILDATKKAEQRSLLEAELEAVGIRLNREPPNIYLKPKTAGGMKITFQ
NPPKNIDQKMVYNILRDYKILNCEVLVRDENVTVDDFIDVIMKEHRKYIKCLYVYNKIDSVSLDFLDKLAREPNTVVMSCELDLGIQDVVERCWDEL
KLIRIYTKRKGVDPNFEEALIVRSKSTIEDVCDQIHRTLKDTFKYAMVWGASARHIPQRVGLGHLVADEDVVSIVSAFKA

>RCO7_10263 | related to BNS1 protein

MSSNVLADRDVNAAAQSKIVDVDAKPDVKSMEYHRQVLQSKLDESKGEAAYISPSDNIMSPCTAKLSAYRSKQLGKAKPRSLFAKTSAKNLSAPSKD
MFGNPVTKPDAEDQNMGGQ

>RCO7_10264 | probable acyl-CoA dehydrogenase

MSELIPILAAGRVSDNAKKTLDIVRKFVEERCIPADPIFAAQVEQGGNRWDHHPTIIDDLKKEAKALGLWNMFLPKGHYKESPGFTNVEYGLMAEWL
GKSRCASEAVNCAAPDTGNMEVLAKYGNEAQKKQWLGPLMDGEIRSAFLMTEPDIASSDATNIQLNMRKEGNDWILNGDKWWSSGAGDPRCKIYIVM
GKSDPGNKDPYKQQSVILVPANTPGITINRMLSVYGYDDAPHGHGHLTFKDVRVPASNMVLGPGRGFEIIQGRLGPGRIHHCMRTIGAAEKALEWML
VRINDPRKKTFGKQLKEHGVILEWCAKSRIEIDAARLVVLNAAMKVDDFGAKGALKEIGIAKVLVPQMGLTVIDRAVQSFGGAGVSQDTPLANMWAN
IRTLRLADGPDEVHLQQLGKNENKRGPAVTANILKQQDITKELFAKYNTKLAQPGPQSKL

>RCO7_10265 | related to putative human GTP-binding protein MMR1

MVLAKSKNAVGLGNSLMNDRFGKGKGADRKKVTTAGIHRINHATGETYVTNDRKEASWVKMRSVTEQAALDEFLSTAELAGTDFTAEKMNNVKIIHT
DQKNPYLLSAAEERAAVGKQKAHKDRLTVPRRPKWDASTTPEQLDRMERDSLLEWRRGLAELQENNDLLMTPFERNLEVWRQLWRVIERSDLVVQIV
DARNPLLFRSDDLEKYVKAVDSRKENLLLVNKADMLTFDQRQSWADYFEAANISYKFFSASLAKEMNETREFSSDEEDSEEDEDDAEPSGSKLSEKT
KALDIKYEEASELEDEEEAEDDRTRILTVDELEALFLLHAPDNEGMFKYTDSENPRKTQIGLVGYPNVGKSSTINALIGSKKVSVSSTPGKTKHFQT
IHLSEKVLLCDCPGLVFPNFATTKAELVCNGILPIDQLREFTGPAGLVAKRIPQHFLEALYGMKIQIRPLEEGGTGMPVAEEILSAYAKARGFTRTG
QGQPDESRAARYILKDYVNGKLLFCMPPPLDIDPIEFNKELYDEGHLPEKRRLALASMESQNETDDVSSVAGSDMVPIEQGSKSKKLDGAFFAQGQG
NSAHLRMPFNHKYSEQGTASGKQLSGRKQKTLLALEKDLDPADVKMLTSKKHFKNGTKGNGKRRADYFAD

>RCO7_10266 | related to low-temperature viability protein LTV1

MPRKKWIDKKTATHFTVLHRPQNDPLIHDASASSMILNPTAPLNSSKTKKIDDLASELGSEVEGIRDNEGEAANHGIYYDDTEYDYMQHMRDLGSGS
GDAYFVEAPTAQNKDKGKGKQQSLEEALKNVSLDERARMLLDDEILPSKNLRKVTYQAQQDIPDVLAGFQPDMDPRLREVLVALEDDAYVDDDDDVF
GELAKDGQEIDEDEFDEGAWDDEDGGWESDDTAKPTKEYREAPEPTLEMANDDREDHGDGNWLAEFIKRDQEKTSMPRARATPSDVQSSMMTTTTNG
GRRKKRKGALTNPSNYSMSSSSMFRTEGLTDLDARFERIEEQYNEDMDDMESLSVASSTASSVTGPVRGDFDGIMDDFLGNYSMSGKKFVKKGKYQS
GMEQLDEVRKQLGPAIIRSQKA

>RCO7_10267 | uncharacterized protein
MLLGRQGSNNNRRANRSSRGRGQDSMSRGASNSFSKLKVDFSIPKGPTAVRESTNIPQSRTRGRAIYKKPYSKDATAGTASTPNAFEKERLENAAKR
TQREKGAMVIERGGRGGKGSFSKPPSPPTPPYVATSSVFGGSAPATLNPFAPKASSPLSMHDSTTNSSSFGAPSKPEATNVFGKPTTTYFGASSLTD
ATTSSFNNPSTNANPFEAPSKPDAGTNTFGSFSFGAPSTADTTLSQNDKLNSAVNSVGPPLNPAATLKASGAFGAATSSPWSKPSFGSFGGQSTPNS
FSEAATNGNQISDAPAQSKPSLFGITNGSFSGLPSNTTNSFGSLEKTSTSPFGATKTPFGASNGTPSPTGGFTQPSTNGIHSKSSPFATAKPAVIST
PPMLYKTPSSSGPPTAIRPAANSLAAKVEQQLKKDRIAPPQMPTYDLMYERQLLSVPEILRHVQEYKAYQEKVRSSLMKAGLIDDPDKPKSLKDAID
FKGTCEDMCPQLEKIERLSEGRVDVAEKGAQADGTPTRHAVMDKMVKILARSSAGQSAPLPSEVRTTAALRRTVDYLMKDVLNESNISKVHGFLWNR
TRAIRRDFVFHSFMSPPELVDQVYCLETIARFHTIALHLMSKPENYSETFDTHQEFEQLGNTMISLMQAYGDCKANGVSCPNEAEFRAYLVVIQRKS
NPGLLEMVHSWGWDLFEAKEVKIALAMAEALGNTWDTYGPLKPTAPTDLAQNAFSRFFDIVEDKNTSYTMACFAEIWFNDAREAIIRTILASYRKQK
YQAKDWTVPVLNKYLKFDDENDIIPWCEARDVVLEEADDGSTYLSIEPGNVLNHIEGKQYHSHPYVERKRGSHSLQHVLYNTVYEGAGGGSSQSEDG
EEDGLFVKQAHPLPRSISDTKPIRFGPSPGEGFDQNSSLTNKFPLSTEENRTKPASLFDRVGTTKTSDVPYGFPSGASQPVSQLNLTEPKPTSMFAP
QPTTGAQSRFTRQAAATDNSTIPNGPMNGTSSFLPTQPANGPSSFFPNQQTNQGFSFLKPSTGTTPATKPPSLPIESSGNKAPPVTFFTPQNSTPTS
MPSPFDIGTTNTAPAATPKHVSDFPQQQISNPPPPATVLNLPDSPKKPLPAFFGTPTPPISNQGLASGGSLSNSNTPKETHGAPIFQIAPATQQNPA
VVSNSPPPPFDRFSGLTDWFALGTEGIIEQFTNFHVENVLRTAFLQFEREECARINKEAEESAQAEADMFRYRSLVTKYGYLWREQARIKWLKRRGR
EARKNRRDMAESYRASKAAESAAIVENFRASTSKQRKGGLESIFSLPGRSDGASDTNGESKELVKADTKSPHKRQRSQQSKRSKISQSSTASKHERG
KSENPLRGSLISDQSYLQGGSRIHLMSARNIRDEQHRTQLSGVQTDYFRLKARGISTLHDGTPLANSAAQNMLKTKRSFDGFIRPATPQQSREQSTP
KSVPAKAGVPEINGYFGDEGENIEALKARARAIMLERKNSGQKRSYDDEDEELFARAKRIREQMEEGENYYKKELERNSESRSTS
>RCO7_10268 | probable Centromere/microtubule-binding protein cbf5
MAMIVAPKDADYSIKPEAATPAADSSEWPLLLKNYTNLLVRTGHFTPIPVGCNPLNRDLKSYISSGVINLDKPSNPSSHEVVAWVKRMLRVEKTGHS
GTLDPKVTGCLIVCIDRATRLVKSQQGAGKEYVCVIRLHDKLPGGEAQFARALETLTGALFQRPPLISAVKRQLRIRTIHESTLYEFDNERHLGVFW
VSCEAGTYIRTLCVHLGLLLGVGAHMQELRRVRSGAMDEQKGMVTLHDVLDAQWMQDNTRDESYLRRVISPLETLLTTYKRIVVKDSAVNAVCYGAK
LMIPGLLRYESGIEVHEEVVLMTTKGEAIALGIAQMSTVELSTCDHGVVAKVKRCIMERDLYPRRWGLGPVALEKKKMKADGKLDKYGRANEATPAK
WNTEYKDFNAPLEGSAPASSATVAAIEAAPKVAASSPAATPDPDVSMISNGVEESGKKRKRHEGETAEEKAERKRKKKEKKEKKAKKEGKKVEDSDS
D
>RCO7_10269 | related to translation initiation factor eIF-4F
MTSVSQQSQLPSQASNSTSASQPTLSYASTAKKAVSSPPNATSSSTPSPAVAVGGSGPVQHGKSSSISPMNGKPAISPAVPAVSAPAIAHSSSATNG
SSADHSRKTSVQIGVNGMNGGPVGGMKIQFGNLPEASPNVAHGAPEGIHNAASAPIPIANPRVIDPSHSPSPIPAPSVSGGKPTSGLGQASNAPMLF
GSFDNQRHGQRTPSNQGALAPASQQTGHARQESAQSTQSDMSNHTGGNSGRGGYAGRGGRGGGNNFNPSFQQPQQMGYPPPNTFRPSGNQPRGAMAA
PFQSQGRPQYPNSPHQVARSPNLANSIPGGSMPGTPNMNQAMPMQNQPYNNYYQQQMHPQVNHPSAFNHSTDVSSNSYPTRGKKSRQWSTKSNENPW
SNKSNDQFSNRPRLRETSREVARSVYTAEEPMPPVREVQAPYDASRNPRSGSMSISHGIPHEPHAPSSRTYQDGSHNLPTLPPFVPQNPKIAKVPAI
DLSPENNNFETYLHMVKQYPGYQPSYDARGMPMGGMPFNYPQMAHMGYNGAPSSPQPHFQQPTQYTPGQYNGGGQSMSRNGSQISERPASSMGQPGT
PSMTPISHAQHTPQPKPNIPASPAFTRPVRKSAAILIKRPDGEALDIGSFKAPASPAPSQRSRTPPVIASTPTPPLKSGTPQHSRNDSAPPTKTSEQ
IRLEMVEKVRKSKEEEDAAKSAKVAAETKLKDEEKAKDDAKAVEEAKVKEEAEAKAAAEKAKQEEDDEMERQIQEIEAAEAEREKKEEELLAKRQAE
KKAADAANAEKRKAEAAANDLKLKEQEREMERLEDEKERKRNEAEAKAASGNRAPEASKDAAKTESSTPSTLATKLSNLTLGTESGASTPDSDGSMG
PPPKVNPAEKRGKPAALNLAPLNTKPIEPPQPSAALQSLKSARFLTILNSSLYPPNISSPNPALNSAVTTKGKSFKYDKEFLLQFQKVFVEKPSMEF
ESQIKALIGGADGGSAHPGSARAGGGGSMGPRQNSSRSNQPGAFAMGSFGAVGGKTLPPGTTSEMRFAMASGAIPRPQPNSTASFTRAGGAGFPGGN
QMARGMSNPGMNNIPHSPRQQSRTQRGGSRKDNFQGSNAKQEAQAAKTMPLTAGMDLKPIQVTASGWKPRSIGQSQSATGAAGPTPGSSGATGHMEP
DMVQRKVKAALNKMTPEKFDKIADQILTIAAQSKDEADGRTLRQVIQLTFEKATDEAHWASMYAKFCKRMLETMSPEIKDESITDKNGNIVSGGNLF
RKYLLNRCQEEFERGWKMDLPDKPEGEREDAKTEEAAMLSDEYYVAETAKRRGLGLVQFIGELYKLSMLTERIMHECVKKLVDYTGIPDEAEIESLT
KLLKTIGFNLDSTEKGKPMMDVYFQRIQSMVDTPDLPSRLRFMLMDIIDLRKKRWASKDNNKGPKTLEEVRVEVEAAASQKAAESNARGSQRGGGRM
QMGRGDSRNFSNQYNQPPVDYQKNTVGMDDLRRLTNKNASRASSQQMSFGPTSMFSSRSNSGRKMGPGGSLSRTGEDSGASSRTGTPPHKEKESATS
ANAFSLLAGLGSGDADPTSPPSTSVSPALSKATPASADKSGDKESES
>RCO7_10270 | uncharacterized protein
MLYPLSILSIILLVLIHLTSGHPNHNHKANTLHPSSHTNDTIPFSTRAFWMRRANAALGELDSACPFAAFATVIVNHTDLSEGPHGKAVCYGVNSNR
RTGNPILHGEIAAISNCSSILTDPAGEYKSSTGEVLLAFSNLSLYTNAEPCPMCASAIRWTGFSECIFGTSIDTLIAKGWRQIDVKAEEIFEKAVDL
PSTTRLIQNLLANETDPYFLWQFDEMYPCPKGCERTTSGNTCAAVAKIEYTMDL
>RCO7_10271 | related to nuclear matrix protein p84
MGHHAIRMADDAGKLLQETLQKALEIKTTSNVEPPLSKADLAGLLGRFDTIFPATVSADSKKHAVETAVREAFSDILASTTIDSPSFVNVWNLFDIL
SILSDDDKTEPAVMFWLVEELLESQTVAGCRKIFDYLESRRERIIARNFASKNLVILRSCNELLRRLSRAEDTAFCGRVFIFMFQSFPLGDKSSVNL
RGEFHVENVTTFDTVPSTETNSEQMEIDTKTEPTAKDSDGASKKPNEDQSSLAKGVTFSKTEKSMSADELYPIFWALQQSFSQPRKLFDSAQFSGFK
LGLEATMHMFKSVESTGRPTKVPEDGKRGTKRKRGQGDDDLANAFNPKYLTSRDLFELEISDISFRRHILVQVLIVMDFLLSLSAKAKERLTKSKLP
ENANKSVMYLDQVLTDEDTKWAIDMKKSIAEYLRQGSEGAYFYRMVETVLSRDKNWVRWKILNCPSIAHPAITADEYAASKASARKSTTNKKLRPNP
IGSLDLKFLSETDSRGGLDRLKDPARYKLPPVKSFKSKIELDDMDIEMAMDEESKNAATESKASKSWRAQRIASTTKLAVFDKIERSDKIDILFQDN
VRREEHLSNGDTEAADGQALVKSPKHRRPIVISCISSPTQSTVVSRLFATHEKSLGNKVSYTTRPPRGSESNAVQYYFVDKETFNVMRDGDQFLQYS
TYDGDDYGTSRKSVEGIIAQGKVPVLEMDLQGIQQLKDQDYDAHYVFIGPANVEDLEAVLKKQDSESEDKFKQRLANAKQDVEQSKIQGFYDLVVVD
DSTEPAYEALESFVLGQARETDQEKDKVMQVAPVDGEPRPETIGIEVQTANEMAPSIEENPTSVEGLPESMETDDVPVVVQGNSATTADGDEMMN
>RCO7_10272 | related to NAM7 - nonsense-mediated mRNA decay protein
MAPRTRVSGESRKDAEQGSSIGGSGDLESSFVQLAHAHWLKPTKKKTSKVKVKPDVLKNEIWDILEKDDFAFKSLLILENLQILESYLWPGYSEDSS
NFHVILIVLIANVRTREHLPTWDIFADKPSEFSALFRRILSMTLDTTLSATIRTHLLSFIISSFQSLDSGIVRKECAPLVSISIWHNISNEAKRDRI
LNQTVQLKKAWRAAAKRFDAADNAAKPRLRFERSWLFALVLDFFNQLYNEKGKAENVRYCERFIEFLSDLQSQLPTRRYVNTLLKDLNTLTAIKMSP
MFNDGENGLLRDLYGLLKHYTYFSIDDHTGVQHSRTEAYQRHCTVLATLQRTALKNFKEKLTILALSNYGSIDKRSELQGHFEPLTDDEIVHLCDLL
DFRTSYPASSKIVADRVFLTEVLLAGHEKRKTFQETALDLSILPTEITLFEPALLRNDSYNGSQPVAIPKLNLQYLTVGDFLWRSFILHRSESFYEI
RKNIEEVITRLHPSLNRAGQTSFDGFSRMALPITKPSILEVVPPLVGDDKPSAVRAEISLDVSRLADNVRREWESLRPDDVIFLLAIQATDSSKMIM
NGGDVPSDAQKLGLKYVRAAEVIQVLDDKGRSLRDQNNQNGHGRPRLRRLHVKIDTAMYKHDQERVAKGKPDIYESVNVIVRRRGRENNFKPILESI

QSLTLSDVPLASWLHEVFLGYGDPAGATYTHLANQLKKVDYRDTFLDWQHLIESLPGKTIEPSDDVNGSFGPPYVLQIAPKSEAPAPAKTSKKRRRD
AEPEPQLQPQSVEVSTYKPPNTGPYPTDAPKLNQVRFTPTQVEAIVSGTQPGLTVIVGPPGTGKTDVATQIINNIYHNFPEQRTLLIAHSNQALNQL
FQKIVALDIDERHLLRLGHGEEELDTQANFSKHGRVESFFDNRDGFLREVDRLAANFGAPGAHGSSAETALYFNSVYVQPAWTRFEEIAKSPDVTSN
TIVEAFPFHYYFSNAAQPLFPTDADKDTALDIANGCYHHVKRIFDELADLRPFEILRRDRDKANYLLTNEARIIAMTSTHAAMRRREIAGLGFHYDN
VIMEEAAQITEIENFLPLALQKPKDGQMPLQRVVLCGDHFQNSPIIQNLAFRQYANLEQSLFSRLVRLGVPTINLDQQGRARPSIASLYSWRYEKLD
SLPLTSTTHEFQVANAGFKHDYQFIQVPDYKGKGESEPTPHFIQNLGEAEYAVAIYQFMRLLGYSASKISILATYAGQRALIADVLAHRCANNPLFG
LPKIVTTVDKYQGEQNDYIILSLTRTSRVGYLRDVRRLTVALSRARLGLYVLGRREVFESCTELKPAFDILLKRSDKLQLVAGELWPSQRILRDEEG
SAVPGQTEMSGVEHLGQWVFDMTNTKVEELRAQRGLPAGAPLLAVEAGSEVVGAIDEEDGYVDEELDVIEEDVEEEIKEGSEPEAGDDE

>RCO7_10273 | uncharacterized protein

MNVTYFFPAIDSDYIRKLAKEVADRKDAFDAAMIGHTDLKLTREQSQLKGYWEISEMLLATGFLLSTSLPLASNEYQEQLIRKTKGGKNVPNVEDVY
NLITDEILSSKKMREVDEIMPRQQRLDDLMDLLANRVPADARLRNTRKEMHTIRHELKRFEYTPIEPDRYGNFSPVLRDTGLYQVRGFLYRKINQYS
KAKKGQAPRETPEWIAARARSTTNPGFDQYQAPMTPLELIIPYFNIAHIKEDKNKEPRHLSRDETYANLRDYISSEISKEMTISMIEICPGCKDRLD
KIKKSKLGQDGEGPAKTPSRKRKTAIATAAELQQSPRPTKVIRITPSEIPAKDYEALSNVATGSRDNDGANLYITPPQDTCQSGPSNNSKILDRHER
AQSNVATSYGNINGEPSCYITPPKDAY

>RCO7_10274 | uncharacterized protein

MSLPPELKVLCFKLSTTAPADLPRLTPTLLRHVSCCQVPLSSPAGNATQADASASSVLVHKLKTQLSTLLNGKSPEGRFTAVVLIKAVVEVGGWEIL
SGVESWVRGLLSILGKPDGLAVKELCVMTLTKIYFMTQQYQTLIREITNPTLPTFVTACLRVISNSSKKFQAGPSSLEEIVFQSFAMLVPRHTAIFR
PFASQIRVAIRPFLAPTSSDAFYTSSSLSNSARRLAITLHQTAAKKSSGEEWGKAVRGLVKDIHTTADHVFRAVVEDWESAAGYVGEAVDVNSGLHG
GSATGEDFPLWSGIHAGVERLTGRLELLADYLKVETAEPVALPLGSVMDVVTRMLSMAIPSPSSSAAKSEARLHPAIDRDERDGLWVGMPQIYVAAL
QLIHTMSIRLEDNFLPLAQESLDQLAWVFEYGKHSLDFRLIAYVVAAKTLFYVGRSFNQVQCDKLAGIYQACCQDLQEAHPNFNGLVAVDDVGAMPQ
GQGNNNHADAFLRSNVTVPPEHHIANPALVDAARDLLPMFLSHLPQPYLKLPTRSLIDRTAIMTHNKDAMLASVLNPVFASNGSAVPSILPHLTREF
HDDAIVEILLRPRMPVVPSAATRTIANEAIDEGSGDEDEDEDEDVDVDVDVDMIPNFTTLHNNNVSTSAPAPAPQDPFAVEVQPGFASSHNAPKLSH
HSTFGTGNTADVIPSMNGNFLGAAAEVSGTSQPRGQLDEPMAEDDDDSDDESVHLTMQLDSDSDEDVI

>RCO7_10275 | uncharacterized protein

MSRGQTKAAQYIQQLDEARCEGNWDAVPELVRKIKKHAPQRTCLVTTAEAEHAISRISQSRPSTARPSTAGTTISAANTAASQPIAVSQYIPLLLEA
IEKETTHVEDEFQAQVCLGWIYWQIGEHLLAVAQLPDSIEQEFSRIDGINKGSSEWTKVCALKALYIKGQSQGKAGAMTDSIETFSSGLPILAIASS
SPQQSRELKSWSELYLTGFCIQSSHAIKSRPSSILETETLSAFRAWAKSWDTQTSTPIGGKAFYADVSRRHVWKEYYLTLSDVLKHNLPFPTTALTT
AYAETSTRLQQRAELKRVEARYETLLLSEVLFPKAEEASEEVESFVEIVMQNWRILCGSGWHEHDLGEGGSEAVSKGVLDILYRAATKTFHSTAILR
HLFTVHLAVAEFNLAFKAFDTYLDIVKKGKARVEKTGETEHGLDEDETVLIAASECIKALCRYGSLEGARKARDLGQYFEGWLDKHHPGDLERSNGN
FSGNRDSEVSENFIQPKIFALAWRSIGIAHAQWARLTYEASSRPDIQLHAIKCFRKALLPQFESTRDVETLFALGTILAERRELPAAIEVVKTGLLP
RSSTATANELGPLPGRFSRERSLIPLWHLMALLLSARQEFATATRSCEGAFEQFQDPKYLFGEADLNGAYRSAHLNENANARKQGVVDDMDDFEKES
VLEVKMTQLAIIEVLEGPEVAVNASDELLSLYSRLFGDPLKDSAPLGVPSTALTVAPQSSAGTIRSVRGSIFGRSGRSVRKTHTDSATIDEDHVSPP
RPQTTQTVIGSVAPTIQVTNENGGAARQHSSQHHHEKLQKRSDSVLNKDGTSRSRSVSTGRKHNGSSQKASEGHVVTTLDGDSFFTPPSDTGNRKQL
PQDDHDHGKVGGAASATISHRSSQPKALLSKTQQLAHREPSLRAADSNSGFEQDNRLPHMLSYSSSTTPITRFPKDQERRRRAAILVKVWLLISGFY
RRASMYDDARGALEEAEKLVRSAEADVSKDASGNISVNNAGWGGGKTVQQLWADVFSERGLLSLEEAIPHTALAHFESALTRFPDHPSAIIGLSNIL
LDIYTEDLLPPPAIPSLVLPGPISTPSASSLNNSTVTPLSTQPTAHKQSPTVPVITHGPLGHQTAKPISAKNDVPREPTATPNSVSSKLQPSYKESS
TALLDRLAARDRAYGLLTTLTKLGTGWNNSEAWFALSRAYEEGGQPDKAREVLWWCVDLEESRAIRDWTVAGGGGYVL

>RCO7_10276 | related to 2-dehydropantoate 2-reductase

MAPRVLIFGTGSIGATYSFVLSRAIPESNIVTVCRSNYESASKNGFTINSALWGQNLKVQPVVVRSVEEATASDAFPFDYVIVCSKALPTTPSTPEL
IKAAISPNTTIVLIQNGIGIEEPFATLFPENPLLSTVVYLPASQTSPGVIQHKEVELLHIGSYPASSSIEHATEFAELIKAGGGTTDVHQDIQFERW
SKLLVNTSWNPMCALSRSADAQLLQSTPEAKGVVREVMLEIVAVANACGYTSINSDLVEFQLGRATIRNVPGVSPSMLSDALAGKDMEVETIVGNVV
RIAKEHGVQCPMLRTIYVLATALNSSFSYTS

>RCO7_10277 | related to PRO3 - delta 1-pyrroline-5-carboxylate reductase

MAVPRIQDAKLCFIGGGNMGSAIIGGLLAKGSTSKQNIIVSDPFEGTRKKVQDTHGVRVTTSNYEAAQDADLLVLAVKPQVAKGVCEDLAASWRKSG
EQKLPLIVSICAGIPLDALTKWFTVSDGKAPKVVRVMPNTPALLGEGASGSFAGAGVSEDEKKLVTSLLEGFGKVSEWVNKEELIDVVTALSGSGPA
YFFLLVEHMVASATALGMPRDQAERLAKQTCLGAGRMLVQSPESPGQLRVNVTSPKGTTEAALKSFQESNIEGIVDKAIKAAADRGEELGKAAFD

>RCO7_10278 | related to acriflavine sensitivity control protein ACR-2

MTLPVACPPSSATPSDPPTAPQRKRRRRAPASGASDDCFACTKRSLKCDRRRPYCSPCLEVGSECSGYKTQLTWGVGVASRGKLRGLSLPIARSAPA
PKSPTHNRPRAASSISRHLDGTDDGLKIKIKMESMASMPASPFMTYDFVNMAPHGVASPMHQLPEWNMAVSHDYPIHDYHQDAMSHQRQLPQLHRLH
TMSLGRGDGLGLGSPLDSMSTYAESDYASPISQSFPDHDHSFMNSAIPMYNSYSSSSRNSAADSPAGMMADSRGPTSCPEHYYPQSEISSSISSHQN
HYDIIESRQHQPSPGAQDVFYDDDFLGGMQHTQDTEIYATSARSSHFGWTSINDDDSHSIAASESDLYHRGHDSMSSSFSLEMSPRVTFFLDYYEKI
ICPSVVVIDSPNNPYREHILALASSSRSLQHAICALSACNLRMKRKQSLGQDLWRQPFELEIQDRIKSGSRPVPLRRTSNHRMSPEAPPTDSSLDEE
YQHRTQAVQLLNQQLSDPQKARHDCVLATLFILCHYRMCESGVAQFRTQFAGVKKILGMRDSGVETGNWGWMETLFTYFDGIAASINDREAQLRGGY
LEMIANPVHPSHSLENMAGCDSVLFETIGKLGRLNMLCQHRPVLDHAGPPDMESRRPAPPRPRPGLAGQALADFYNLHAHNFDGNGFASTLDDDAYF
PALTSTTSHDDLRTTFWLDWKAARQALQEWEFDPSRLVATLPVTPSPTQLRDFGYISEAFRYSALLYTERLACPNLPSSHLNFQNLVSQVLFYVTSL
EQGSGCEKFLLWPLFISGSECVNELQQSIVRAKCREIMGRSGYLNNLAGLEVLEKLWAERDDGTLVGNGEYCVPFRWSRFMEGSEGEWIMV

>RCO7_11670 | uncharacterized protein

MARLKLCTNGDAKTHKFTVKSDTKEHVGYKPGQMTGGDAKPSELSRWAFADMQICNFPELLCKSTNNRKVYKPTNVAKWSKRKGRELI

>RCO7_10279 | related to chicken microfibril-associated protein

MGRELQKKKKRSSIPKIKMKPKSKRVNPLGNPIIAANWNQDETLTQNYRRLGLTSRLNSATGGIEKLRAGDVSKSSTTSKLAISNAIPKQFAPVSAR
VERDPETGKILRVIHTEDENPLNDPLNAVEAMDFEGAEDDGEVFEGFEGEVAPKKKSKNEIVRKLEEQASMIPEKKERSQSEREREWIERLVGKWGE
DFEKMARDRKLNPMQQTPADIKRRVGKWKAKGGVLPDAIEA

>RCO7_10280 | uncharacterized protein

MSSFSSEELRLLDLVLGKSIELDKAAAADLLGCTANAARQRWTALRGKIRTAAGGEAKAAGGTRGIAKKVVKRKGAKEDGEEGEDNEQAVTKIKKPR

KPAVKKEKKPDVKEESEERDEDDDGSDGDEMDDA
>RCO7_10281 | uncharacterized protein
MPSDQIVQQQLQAPEAMSASTSNIELQQPKPAPAMGDDVGMRGGESAGCECCGCEHTVQGGNHRPEKYNGMTLLFVHG
>RCO7_10282 | probable vacuolar protein sorting protein VpsB
MDVVQAVSGYISKMVSAGDSASGTPSAKMKILLLDNDTVSIVSTAITQSALLNHEVYLIDRLDNHNREKMRHLRCLCFVRPSADSIQFLIDEFREPK
YGEYNIYFSNVVKKSSLERLAEADDHEVVRVVQEHFADYIVVNPDLFTLDLAFPRQRLWSANPDMWNTDALQRTTEGLIGVLLSLKKKPLIRYEKNS
LLAKKLATEVRYHITQEDQLFDFRKVDTPPILLVLDRRDDPITPLLTQWTYQAMVHELLGIQNGRVDLSEVPDVRPELKEIVLSQDQDPFFKKNMYQ
NFGDLGGNIKDYVEQYQSKTKNSSNIESIADMKRFIEEYPEFRKLSGNVSKHVTLVGELSRKVGAENLLEVSEVEQSLACNDNHAGDLKNVQRLIQS
PTVTADSKLRLVALYSLRYEKHPQNALPILVDLLGAAGNVPQRRIDLIAKLLVYHSSLQQTQSAGGISDMFESAGIFSGARDRFKGLKGVENVYTQH
SPRLELTLQNLIKGRLREQQYPFVEGGRSTRDKPQDIILFMIGGVTFEEAKTVSQLNASSPGIRIVIGGTTVHNSTTFLEEMEDAVASWPEPPPPTA
AGRLRKETGRR
>RCO7_10283 | probable membrane-bound O-acyltransferase domain-containing protein 5
MLPYINLPFEYVAGALGASTDELKLITSFLISYPLAALLKRVPDDKPYQKNLFIIAVSIFYLVGLFDLWSGVRTLAISSIGSYCIAQYVDSPFMPWI
GFMFLMGHLSVNQLARQWTNNPGVVDITGAQMVLVMKLSAFCWNVADGRLPEKDLSDFQKERALKKLPSLLDYAGYVLFFPSLFAGPAFDYADYRRW
IETTMFEVPAGVSPSKKAPTRKKRKIPRSGTPAAWKAATGVFWILLFLKLSGWYFPDLLTGDQYINYGFTRRIWVLHMLGFTSRLKYYGVWALTEGA
CILSGLGYKGIDPVTGKVSWDRLRNVNPWGVESAQNTRAYLGNWNMNTNNWLRNYVYLRVTPRGKKPGFRASMATFITSAFWHGFYPGYYLTFVLAS
FVQTVAKNCRRYFRPFFIDPKTTQPTSSKIYYDIISYLITQLTFSFTTAPFVLLTLPASFLVWARVYFYVVILTVLATAFFASPAKAILIKKLNARA
GTPHRDPLKRTHSQDSVTSKEPVLGVPSEPQKDLEELMDEVKAEMEARQRRGSVKREGLMSADKAKAI
>RCO7_10284 | uncharacterized protein
MSQYDSPRRILHERSPSHHNELARIRLVPATPPQLLGRDGILIDEIYSRTPLPTHPSHFLGPGKGKAKEIAQQPEEYEPDHGNSETEIEDENENGRE
KNQQGPSPVLALATRTGLRGLGGGQHQGSYPPALNEEFQRTPNVQAQRSFSGASASSASTSHTHQPQRPNSATGSTGSASSRPKPPAKKRLHIHKDN
KTFSLLQDDSESQSVDDGSKSPTSFFSASQRSSVSLPLNPDTASNSTTLCASEASSAVIPATPASQSKHKQPISADHITSSPWNYQLVGGLRKVPKT
PDLEHKHSEATISSESALPPLPETSDDTPPIAAVSHDLSTKPSFVSTETSTTSTSENNNYKILNDKSTSTSEVASPSSSGSNYQVIGNSSPPESVIH
RPRTLTSEEDINYELYEDSSPAISYVDLVQPARYSQESLVVPPLNTKVRNQRSKETLGYYKSRSRESLRTGSLTSISTVLSQQEAFRAIVGTGALIQ
LPILKQRFQGSSSWAEPPSLNFHPPRSHMNEHPHQWSSQLSTVLSVSDGGTDRNSRSWSSDNGRRSSGHPSSQSRHSRQMLSISSSVAQEEYSSRSR
TASIEPPTPAFARNGRHNSNSSIRMVEDLDEYGDGITDMQDLRARPSRQRLSNYFNSSASDNGRTNTMRSTNSSRTNSLLAGSLPTWAKLYYGSGER
RYIGAAGSSTDGTDSRSNSFVRTGSPNTDHLPSNIYSPRRRPREGNGQSARGSMEITAAPQRGEDGQYINNDPYSRRFRTWSMSSIWSPHLRLDRRA
TRHGVWEPPSVNWSLEGGWFGRRNVQIVMFTLGFIFPFGKSPLNTRVEFFTNESLAWMIAAFLPLPQQPMRNMSERDNSRSNLDSSHDREHVGDRPN
DYTRQFGPMDEARYESAKWWRRLNRCMSFVGVLVLAAIAVLVVVGIKQGW
>RCO7_10285 | probable CAAX prenyl protease 2
MAPVGVYSRLKAYYAGEKEPALPPISTTTAVALLIGYTFIYVAPFYLSSTTRPSPNLSRDAPSVIRGRIRSVTTSCIICSMFTFVLLSVQDNGGALK
SIHLMGWFPIGIFEALKGVALTAILFLGPLFEGAVAEGQWRDWCLLRGLNSVISGWMGWRNFVAGPITEEVLFRSASVPLLLLARTSNTTIMFLTPI
VFGLAHIHHLYEFRITHPDTPVVAALLRTILQLSYTTLFGGYVTFLYMRTGSLLCVILVHAFCNWQGLPRVWGRVTAGESTSGDRGLGEAKRSEDWP
GWETDGKLSIAWTIAYYILLVAGAIAWWQYLWPLTESELALTTFSTTRETRKVRH
>RCO7_10286 | related to Phosphoserine phosphatase
MSKDQESTGLQLPFLKTNPRFIFFTDFDGTITQQDSNDFMVEQFGIGPTQRKLVFDDILFGRRSFRDGFEELLDTITLPWDECIKALLENITLDDGF
REFYTWARAKNIPIVVLSGGMEPIIRALLAHLLGEDEASTLPILSNDVLARDGKTLEDGGGWKIVYRDDSSFGHDKSLAIRPYAALPEGERPVMFYA
GDGVSDLSAAKETDLLFAKAGRDLVTYCENESVPYTTFQNFSEILATVKDIVSGNTSLREVSNNKI
>RCO7_10287 | uncharacterized protein
MIVLEGLMLVPPERGTIIGRALWKNRYVVLGTGAMMKTQNDLLPQNDTSGRGSAGWKGLKSTSSKPSLVDVSQPDPKGRQLYITIYKAKGEWEFIAQ
HPLSAFKSCEIRALQHRKQSPLLPTMMFELKPDSISEKQRKRRSSRTGGLSSKDPWANFLLFRTIPEERHSIYDWQAAVKPMLSAESEEEDGVMSPM
SPVFNGFTNPFGSSGRPSTSANKPEIGNRASSQSSYPHAPPPRERPSAMISPSPSLRSRRSDLSSQASSQPPHTGFASPHPHGYATTLPTDLPSPAS
TAGYDNQLIEGWTSAQGRSSALSSHTRGSNSIASAVTPAMSVASTPPGPRETILDRAFQMRCIPGSDRILDREDEKISSIARFEALMREVDERKHAK
ASTTQLKERQNWGLEEGSEESSSGDLENEDDSDEEVSIPTPAQRALDYISGRQTPLSTVNRSVSPATRTSPVPFLNPQAMSALHGSSGPNGIRPRTG
TNQSNPRPKGSRPTSLALPSRSMSSTAVPTLRARDSSNSTLRAGSTDTKGIRRESSTSVKGLSFTEFAKRLSSTSSLLLVQTNNSSSSGRESSEFGD
EEFERSNTNMNKISMRGGDGDLAMQSWDKRCGWRGSVGAFDSEGGFL
>RCO7_10288 | uncharacterized protein
MMFSKSALALSALLALSSALTVERNGLSPSLGPVSTKSSTVFSVTGSSCEKEDESDCKEFCGMSEQTATCSANGNKVTCSCKGGKSESNCEERCLLC
MPDKSALEEASRLFKLGGSKMEL
>RCO7_10289 | related to beta-xylosidase
MLVEYAACWALLAGSALAQRPNYVKKHFPDCESGPLSKIAICNKSLSPVARAKALVSAMNETEKIANMQHDVPGSDRIGLPAYNWWNEALHGVAKSR
GINFTASGDYSFATSFPLPIILGAAFDDDLVNAIAKVVSTEARAFSNGGLAGLDFWTPNINPYRDPRWGRGSETPGEDPFHASQYVKSLIPGLQGEP
GDPYMKVAATCKHFAGYDLELWNGIARYSFDAKIKPQDMRDFYLPAFQACARDSSVQSVMCAYNAVNGVPSCASSYLLQTILKEHWNWANEDRFIAG
DCDAVHNIFDGESWNKPRIGHNYTKTPEEAAAVALNAGTDLSCGDYYPLYLQGAIDKGLTNVSTMDQALTRKYATLVKLGYFDSAANQPYRKLTFAD
VSIPSAQALALKAAEEGIVLLKNDGTLPLKSTIKKLALIGPHANATEEMQGLYFGVAPFLHSPLYAAKKAGYEVSYVLGTNVTSDTSGYAEALKAAQ
NADAIIYVGGIDTTVEKETMDRYQISWPQNQLDLISRLSSLSKPLVVVQMGSMVDSQSLLSNDNVHSLVWAGYPGQDGGTAIFNILTGKAAPAGRLP
VTQYPASYVDEVPMTNMSLLQYHSPDKTLNNPGRTYKYYTGKPVFPFGHGLYYTEFNVTKHVPAPATTPNSGYHISDLISTAKLANKPKYLDQIPFI
SIPVTVKNVGKVTSDYVSLFFISGAFGPQPYPKKSLVAYHRVKNLAAGQSSTFNITLTLASLARADEHGNLVLYPGQYQLQENISEGYGGSWDFTLI
GSPATLEVWPKDPKGH
>RCO7_11209 | uncharacterized protein
MAVPQGCSAAAKPTMTRYQRMAIAQQRASGVITDPVSFQLAGLMAEESPALSLVHGQADCAQSAAGGHSDIRSQDQETLSSLGHTLPAMIRIRQRAR
TEMKVGVPRAENGGKFGLVLHRQPPEPFLELVPFVEGSSGAVVVLKEEDRNKCVGRQERRRQGSMADILKDLLELYIS
>RCO7_11210 | uncharacterized protein
MAVPQGCSAAAKPTMTRYQRMAIAQQRASGVITDPVSFQLAGLMAEESPALSLVHGQADCAQSAAGGHSDIRSQDQETLSSLGHTLPAMIRIRQRAR

TEMKVGVPRAENGGKFGLGVF
>RCO7_11211 | uncharacterized protein
MDNIVFYQPPPASRSQPLRFPGTSTASHLSPEPFVSISACKVPTLVSKNIQFSDQYSRNDKQDSTASRNLPNRSDDNSDDDFPDMEKILSSTWQKSM
PASEDLNGDEPNGFFDIDEVLSGAQQKGQTSEDSDFSRTVVDMVESRPRGGSPTVSSRSSAGSNRDPIILSNHEAVRAESETDYSNLEFDLPAKCDF
SFPHIADSNILDGEGFGFDTVYVSDRLVADHQDDSNHRGSGVAHGARLQLAADLPRPAFRGYSSSTHQASPIQMTQGSTGYDGLNGTEEVEEEGIEV
LADDQVDADTCSTKKPPSSIDSPASDSIFFLSELPDSQHDSTEPHQPGSAVASFTQSDMTSYPIPRHHRGRDDTKDVRRKRLRMPSLTRPPSSASSV
SAVLETSDFERTQSVALPTAPAKERETHDTDYETVDDGGTDDSHDEDYNDMSDAAASEIRRSPRSQKRVKQAKDTEHNDMETPNVSYQVTTATLSAN
VQESEEIPIRGYLTLKTVQSKIVYSLTFSQEILQGPCGTSQRKCISRSVSSSRDRRDSGRLPVQEQAVSRPARYSRFSFDDDELLRQLKAEGLSWDE
ISDHFPERSKGTLQVHYSTKLKPRSETSKNAKKRRRSG
>RCO7_11212 | uncharacterized protein
MSRCLLDQFIEEAAEELGWKLSSARPYVGTQTEGSYKTIGALLPVATGDVLKHWTDFFRRNGCVEEDIRNAGFGMDASAYVKSPLG
>RCO7_11213 | uncharacterized protein
MPGTTQSRIACPNLHIISELSSVGTLRQQLHGPKTPNQTLASTEGHHFQGASGLWTTEFHGIRSLSQDFKQEHSTWFFSSTSTVMSESSSEAGLDQD
QVKEAPQGRGILLGFCYHPDQDNQDEYAVFGTLDMKGQLVPVMRHGFRAWDRIQIRHTNLNTIIDLSLITFERHLMCFKRDVEALTEYLLRGYGSWH
GSVAQSASGESSSAVAPTLLSLEEVEEVYSDNSSSIEESLESSTPQTNRTVLNTRTRTAVKVDDSEIVASRGAESSALAPEPTQVPRTQNIPDLPPA
DAKSTSQDYPEEDPEDPESEPITATTPEEPYKRKKMSSSTSLNLADGHKLKGGENYTEWRDKVLNIAKTNGISKFLNVKSRDHVPKEVDEWDDEVDD
KALKKWQDWESGESQMKLAITLNCKAGPLAHTTGKTTALDMWEALQAQYEGGGNVLVYNAIQDYVKLQYNDFNSLEKFIIAFKLSIVKLETLMMAPP
PAWHPIMFIAAVSEKWPIWAERQRSLLRVSSSNNPDTTEKAKSGVTLVSLIEDITDEARASDSTGKMAGQALYGNKSIPKKGSGGGATKPASKDQTR
PTCKHCKQTSPKHTPENCFVVNKQKKKEFEEKSGKKWIPHAEWLKKKEGESKTDKKKTSSGKKKDDDSDDGSIFGAALLPCFPTITASTAMFSHHNK
SRWLFDTGATEHISNDLSNFTSYTLIDDLLCMLTVNGPLRPTGIGSCTIKAFKTDGTVRTLECYDTLYIPQSPVCLYSGSKLNKLGGYLRSSVLYTS
KEKEICTIDEDLFIIEETSSAGYASLPGLSLPAAVEQATVDIELWHRRMCHASFDVVRRTQSMVTGMKFTELKTGRTRLCVPCEKGRPIRKVNKVSA
RARPARSMDEIHVDVVHLKPKALNGHSYASIFSCAYSTGKWAFTYAKKSDAYLANQKLIKLAETQYHRKIKVWRCDGGKEYSPSQMKELADHLGMLL
EESTPYTPEQDGRAERSIRTIIEKVRTVMVDQNIPDYMWPEILLACIHIANLTSTSRVEGKTPFECFWDDIEPGVNHTPSVKHLRVLGCPVFILIDK
EKRVQSHKVAPRAEKGILVGFEGHNIYRCLVNGKVVRTSHLRFDEDGLVTEPHEEDAMIVPQTRGDSIDTLSQNQDVEVTIATTPDTGIVSEEEVDS
GTDAESTVEDEVPAPEVDIPEQIAIQKKRGRPPGPKNHMPEYVPRATRSGRNNPNPTPISTPEATPEPNNGYSHAVSPLEEVLESTSQYRLAFHTAQ
EESPFLDDPTTLDQAMKRADWPEWKKAIIKEYRSLEEKSTWKTMSRSDVPKGCRVLGSRLVFKTKRDMDGKIDKYKVRFVVQGHTQRFGHDYDQTYA
GVCKSSTWKIGLAVAAEYDLEVEQFDVVTAFLHSEADTQIYVKLPPFYRQFGRRLTDDECMLLLKALYGLKQSPRLWQETLRKEFGIIDFVPLQTDN
CVYINRETKIIIVTYVDDFLVISKAGLALEELKVKLLTVFDILPAGPAKYFLGVRIVRDREKKTISLCQDAYIDKILDRFGMTNCKSADTPFATGSE
VSMVKFKGVATPQEIKLYQQLCGSLQYLAHTRWDILYYCSILSQFLTNPSPQHLASAKRVLAYLQGTKYYATTYGGDVTDREKMKLRGFCDSDWAGN
RIDRVSHTGVCFFLAGGVFSAISKRQTTVALASTEAEYVAMCAFAREASWIRQVLKELGYNKPDSRSVEMQCDNQGALSLSENPELHQRTKHIDIKF
HYLRQEVARGHLDPWYIPSKENAADGFTKPLGPQDLKAFVAMLNMTVLHLE
>RCO7_11214 | uncharacterized protein
MSSIVPVSERPSRLFIEAFWTILEGIALLLKGTCILFAAIILNAGFLFAIFNNTLFTPVLYSIIALAEFHKLLFGTSESSEQRSTISSTTVRSQATE
LSHYGKPSANPAETTIGGGRNMSASGEPESHEQRATETKLHKRAE
>RCO7_11215 | uncharacterized protein
MMQPLKIYSNTISCSKPFTEEMPFTFHFATFQSLRAENPELLAQSFTQGPIPTLKSCTNFEVDPVLMDVVEILHKQTISFGEQNVWQTRDGETEITI
FIEVLVPGIFPGRYQQVEALIRNYWSLLLPLRIKKQCTADQEIRDYIYPGSDTKTSDERRVAAQALGLLARQGLGYFLLMVVQDVRWSWESQFAVHV
KEEGCASTIQPRSGKSERI
>RCO7_11216 | uncharacterized protein
MSSIIPVAEQPSRLFVEAFWTILDGIALLLKGTSILCAAIIFNQVYHQCAINVTETKVYKFKLLSPSAPILSIKQAPTPPVRQGELSFDLSSSDFTD
FKRVSEMLEIKRTSTPLPEPYIFSVACTALEELWTVEIQPDILVDSSIALSHAARKILWSIAVQLTSHQRLLLCCIKWEFSANEAIDQSWAFYFGQG
DQDFSNSVQRYNTQTGNQISIEFASSCFAQIRELCEAGLRKKYCYSMNVARTFLQLGTSLHSDAEYIEYLCVQAYNFCFACLKHANFDSLLLRDWYE
EKFGWSDTHRSIVELEKMTMMSKKPITPDSIQQAFRLATVAYCGLMIQQTLPSSERENHKLDSLLACLQILSEWDVVEAFFGEDIPLYLKDYIRNLQ
R
>RCO7_11217 | uncharacterized protein
MCLCSELQNLHTKDSGDDQALLVHVEKILALVHEFVTRKRLTAQLPFILKRRKSLSTNAEKRTAKIFTYDPNEYNINVLLKNNSKKWEEEPSSFWIQ
HQGHQSFESDNPLHLIIFACLQLEQTDAHTRILRRFYTLVLYRLRESQPVNEDAESIAQLLHDFLHADQCGGHETLQTLVDSVAGLIQAGSRYHNIA
ERLGVGSLFLLGEDVARTTWERWLPKEGELFEQAMDHLSANGIVESGKAYEPLALKAIAHLVDHLPEPAWVVECVPATQRPSKRSCPPSKPNAKRQR
GAVLRKRDLTQLSCGEASKTSTFHNAISPRDRSTTAATVDSHCASNDLSDPIETNGQFRASQPLGWDHEFTHATTYTQGVCKNAFQHILPIVGQVLP
PGGQEPSCLGIGHVDGTEIVREPEQVRYSNCRVTNGIQLVQSDGSWNTPPNTKFYPLNWDQDWNQILGELGAGRIPLNWDQEFSNLDLTSSTPLEHS
ACLPSNEALWLGSEATYSNGHGESDSIEPDRNLDIHVE
>RCO7_11218 | uncharacterized protein
MADVNGYAIIRNAVPTELAQKAADTMPGGLVTSVKREKFTEFTVPPVCVKIREHFIKEYGKHGELAQLLETQSVPPPKSINIGIFHETNPDPTKMKT
GLKGEVYVTVALTDLSPANGLFIFLAKSHKHTSESASAVGWEESRIDLKAGDAVLWRGDLVYLHSSGGGGKFETLVFGG
>RCO7_11219 | uncharacterized protein
MPLNIATSLEILGEHVPIPSSPDTPQISRRSRRLQHAARNDRPKLETREQNSSRKRHRGGSQDRNDDTNRLVRVCCTEGVSCEWAKLAMLQGKMISN
LMSRVSVLEERISMCDLPQAIPRTQHSLTAEHASNSLHSRKYVCPVENCGKSFKRSDNLSRHIMDAKSPEHMEVALNLNQTYCVPCQKDFKRPSDFT
RHEKNNHKETYKVRLQWVENGPVDGYVTRMPKSSMPVTGPASRLTECASDHSQSRNNDNSSGSIGATQQRQVICSQHSFDILSRALYAHVGSQADSH
IPIPQDDADHQRDHTTTKPGALFKENIPDDNDNTTYAVDVCAADTHVPFSDGTVFQYEGASAEPPFLPQSFFDLSPYDLPTSPKYGSTSCIQSVYDS
SQSPLLPPSFFDLGPYDMQSVGDKGFVSFPDHSETCASGSGSHSSLFDMESCNV
>RCO7_11220 | uncharacterized protein
MMDLATIEVLLLNGKKMLLEESLEQVVKALVSDGCILLKRATDLTSLEPSLLRDMKALESVRRDIILNEAVKAILFAAQNDDFRITGYQAFKVGTQR
GGMSRDREWKEIAAESKLVGAYSVHLGGDRAVQWAIDVNHYSDNGTVEANGGDMYCIPTTTYRCTI
>RCO7_11221 | uncharacterized protein

MDWAGRIWGYTGAGGAVQGFAAGYFLWDLIASIIHLNVLGWGSLAHARPFANYYGLNFILYELSTPFLNIHWFFDKVNMTGSRVQLYNGIALLATFF
GCRVLWGNYQSINIYLDVWTALHTQTPDSLHVSGNSKFAQRESTLGLGARDNFGTMALPTWLVVVYLGSNTVLNFLNVYWFAKMVQALMKRFRLPNS
TPKLGKKL

>RCO7_11222 | uncharacterized protein

MSLISTLTDFVCALSLTLFILVVTYVTSFCFTPSTLNADNLNETNRKNITIRFIFYYSCNAIVLVTGTYHALLCFTYPTPPSILCRNPTNLSPKLFT
WNFHSILCIALILVSGQILLLCFNKLGTTSNFQLIEPKKLITSGIYSWLQHPAYTADFVIILTNGALIQRRDGVAACLLQKNIVDGEKLEIIFQIGY
FLTVFAVCWTLAERVRNEEAMLKRAFGIKWEEYHRHTKRFLPGVV

>RCO7_11223 | related to membrane proteins, contain hemolysin III domain

MASISISHSRKRAPPRPAVSERALRNTGYNKPWPGWPAGKDSSVNRISLLTWHELPTWQQDNEFILTGYRTASGSFSQSMRSLRHIHNETVNIYSHL
FGGILFTILPFYVYSTVYPRYSNVQLADIVVFSTFFFGVAVCFFLSASFHTVANHSETVAALGNQLDYMGVVVLMWGSTIPSVYYGFYCDLELQKLY
WSVVSVLAIACIATTLNPKFRHPRLRPYRAAMYSGLGLSAIVFIIHGLLLHGWELQNRRMSLSWMGLMGALNLIGAAAYAARVGF

>RCO7_11224 | uncharacterized protein

MAVELSIFLLLATSPTAIATNSSGAVTVGWVSDPAGRGTFSLLFSSLLTLGLCVWSAMHLNIPPHDEQPAQSWMKNFKWGLIGVFAPELIVFAAWRQ
YNSAKALHAEIQGCLNAQNLTPPREDKRDDRSKRRVRPSGTESIEQSYPWTMVHSFYAGMGGFTVESDVSPADGGLSERLTLSARGIAFLAKCGHLP
NIDEDDIKDKSKADGLSKFLVCVQAGWMVVQVIGRLALRLPVTLLEVNILGHVLCALVIYVLWWHKPRLVYEPTKLEGNWVTPICAYMYLSSQVSGW
KSSHAGILRRTWIDPELAALAFFTTQAQSGLDAVKEKNSTVANEQQCASSHGSTELLDVGDEVPAGSNNLGYFGPRPLPSNPIGSFAFSSTAEQAKI
PSTTQLTQWRLAADAVRMYPTIRQRFAASHSPEAGKDGYSWLEPVIEELVTKSASNWPGEDLLRGTGGLIMGMVLWFASMAYGGLHIAAWNDYFPST
FEAWMWRSSSICITASAFVWLMINLLAHMSKSLDAYWDRVLALQANRTSYLILGSLCFVCGAAYVTARIFLVVEAFISIRQLPMAAYGTPDWTQLIP
HL

>RCO7_11225 | related to serine/threonine protein kinase

MASSFKVGQCIEGKVSTYVLSKQLHTDIWTAMSSKLGRVIIKSAPKHRLDNERDVLKHFHARPGIRQLLDQTQDPPSLVLKYLDDNLLSASNSKGLE
KSEIKFIAKRILEALQAFHEDGYVHTDVKPDNILVNYSSRPRRFRDVELGDCGDACLVNPEDHLKLGENGHLIGAHMFRSPEAMLNLRWGTATDIWS
FGTTLISLIWGSGWHIFKPDPKDAGPDDEAYPSHVLVKQIAFFGPFPLSYFDFLPNEDERWEFIGDATQYIIDHQKWKPFAKAEDKELAQEDRTFIC
KIMKLDPRDRPTAKELLQDPWLQDV

>RCO7_11226 | uncharacterized protein

MSSNQILRSKLVGKIVKGGKEVAIAAATETQLWTRPDFVADERAPGFIEAVEQDAKPLPKGTAKVIMREGEHPSDNDPRNHYTAVAVDKDDKHISTL
HFEKKG

>RCO7_11227 | uncharacterized protein

MSSRRESEFARLGNDFKKQISGDGKEETKTRRTTFEEYLRACHTFLSKPLHIQTDISLSMQGFILSSKNKLLPDLLMPWTDFPTLQQRLFQRVSESI
PQGAEHFSSIQYLKELGQDLCNRPPGKRKGLEAYQRLAIERPTTHIISHLQQVEEARHARLDE

>RCO7_11228 | uncharacterized protein

MPVPRSKYYFQSHATKSDYEKAFRDAKLWSIAHPIDRPSKVARQFDIKVNSFTKALTRVRRIEAKGSLKKELFPGSGGHNKLLTALQEEAIIQYCYD
HWEVDMGATHLMVKSAIAHLLAAQHPPKPPPSDTWYYKWLRNHPDLHSIKTKPMEAIRVEPHTEEEVIEWFRALEKELLRLNITQGKRVLNMDESGI
RGALPYAESVVVPKSKLYVAMERERFQPL

>RCO7_11229 | uncharacterized protein

MQQHTIQNAFKNAGIWPLSYKAGLKRIRSFGKQKATNLTLRKPELPLLLSTPTERVHKVTTIIESFIGRDPTQFSDQSKEIFQDSMEGAVIQLHKAY
ITSADNAILQQKLQNSAKRIKTSRRSIKGNGGSPGTISDLRLQIQAKAEADRKEGFKRASRILSNTIGRYKATLKQAGVLARKRNRARKLQLKEIQK
KGEIVPSDSELWQVEREPYKQPTPTEVVLSSEEGYPALVVSKKQFELELDRDLDKEVEIFCTLSQALQEEDRYIESSPPIQEFEESSESDQEEDGIT
AGIDYIEF

>RCO7_11230 | uncharacterized protein

MAAKLSVDSYLGAHAASRGILLTEASHGDLQTYIDFNKTSINNSLRWKWSVQAVKAVAHVHGQGVIHSDLRPEIYLLHATGSSLDLWLCDFGGSRCD
ELGLNVHHLPDEPFSDPRMPWESTTAIDIFSLGSIVYTILRGYWPYMEGPPPVTVEDKNVYETHVNEMFAAGIFPDVSMLRGGKVIKGCWDHQYKTA
EEVLWAVQSELVAVDK

>RCO7_11231 | uncharacterized protein

MATRRDSDFARLEELLQEERRNRREADERAEQERRRAEDERRNRQEADKRAEEEQRRAEDEQRGRQEAESRAQIEGKKTRPTTFEEYIRACHTLLSK
PLRIQTDKSLSTQGSITRPRDKPCPTLLKPWTDFPVLQQQLFERIYEHIPRDAELFSSTQYLTELGEDLCDRALASEKDLEAYQRSAVERPTTHIIS
HLRQIREARREFNLGGGIIFENHANTLSDSNEEVQQSLQDLRISSKGQASSSNPKPRNADQICVYKEADGSRSLCMVVEYKPSHKLSVFNLRAGLLR
ADKGSMNIPEDVINRITIPTDPEDKFVYHSEWLTAAALTQTYAYMIENGLEYSKLATGEADVFLQLKEDEPHTLYYHLAEPNIEAEAQSEVDILLCR
TAVSQTSTFCLMALGSKPRSQKWRNHALDNAYRAVIDHEVILRQMSPEEKTLAPPASVFHARVHPFKRSPIMLRPRKLRKARNSCGSADINVHEDSQ
SPSGSSDETSDVETPSKPGSRTRQSVTEQIRSSNSSQAAKESNVRNRQYCTQACLIGLVQKGLLNNACPNVSAHRAHGTGTHHALGRKSLARLVLRQ
LADDPDNGCEPIGKQGARGALFRLTLESYGYAFVAKGTVTAFEAKLKHEGLVYQHLDKVQGELIPIYLGNISLVRPYFLDVGVRIVHMLLMSWAGEQ
ACKDLVQVIGRDLAAETSMAVTKLLDYGVEHCDVRPPNVLWNPETRNVVLVDFERSKIFRRVPVLQETSPNRKRKYLHFNPNASRRSLAKFSSMPAG
ALV

>RCO7_11232 | uncharacterized protein

MAAVIPLESSSDANNKVCYGEALKRYLEVLRQAMCDAENPPNQPHFFPPIEKLENEISLQQLRVHFYNALESTKKNWLPKGNIEDVIRACVNGQCDK
SDHITIEFYHYGDIHAVIALYLATKGDNNWVFAQIEALPEEWRIILIEEVKKIEINDHVPTWIRTCIKSPIRDDEETPCLNRHAPAKEKPGARRKRQ
RFRKTWCYGASQSSPPPIPHNGQMLPLPSASASSMVESVQSHENAALYRAAPQIPQTVDIPLVVRDDRDRSGLQQTNLNVSKESASLAMPPSYSQDT
RRQEILHHQSLRQWPGYDSSQINTRMQPQLPGLQQITLAVPSFDRDQSQHRGRRQDFTTNRDYGGTINREQRHPLLHHEAVHPSSLQYKQQKSTAAD
SLLPYTENRAIEHMYTNAPATNITKFPEPFKTAIQNSRLWKSERSQNMKTTGCWPSLFPQDDRQDVSFTIWCGNEDGEDLTKFFGTQLEISS

>RCO7_11233 | uncharacterized protein

MAPTEMTVKPEHPEASQVDGKPETAQSPSTDRSTAGYLQQTVSAANKLTDPATEEILQEATLGWDDLPVKVFQPVPFVAEWKE

>RCO7_11234 | uncharacterized protein

MAIPCRLITITPELDPENFTGEVEIKTESITIRSVCQESRREALRGYETITFFDESLSLMYIDWSRDTIFLDLPEECIDIDRVVSVLGRAFRSVQTL
AIRMRAHCFWGLATFLRQSKELQKLIFIDEPEHPPFLHTGNASLYLVDLGTWGFIKGNLLAFSESHPFHEEGTWVKLGESKTYNADGKYEEEGESLQ

NHILGTSTGIKA
>RCO7_11235 | uncharacterized protein
MASDDPNRHTIINLVDIPGSGSPPISPIPSSLSSPTAVSTGHVTPNAKRLKAPIKQRSTVTKRQKTTTATENATLTGSNHKDLAIVQAAEQGVSVLD
SLSIKYESPWRSLRSDYELNLGGFVIIASDRGSERDSFIVKRFSGPDMASKLRMLQRIRHANFISVLQRFSFEDSYYAVFDHISVSLARIVTSPPYL
RICELAAILFQILEAVSYLEKQNLEHGSLNCSNILLSPRGVIKITHQETCRDITSSQPRLTDVKAIGYIAMELMQKYQNDDGAIGLEDFSRYPSDCD
AVDFLAATTSATSAEELIRHRLLRNNVQKEQLKWLVGIATTAHIGFRYDEEKWEA
>RCO7_11236 | related to FRE2 Ferric (and cupric) reductase EC:1.16.1.7
MDWTQLYALVAAGTFSMFVLVHFRKYLNHVVNYLFLLSRYLTYPRLVHRHRFLGPWSPVVVIMQLVYIAANIFCVTFPASSIAEIGRRAGTLAVINM
VPLFAGPHFAFLEDILGTSLATIHLIHRSAGIMTFSLSIVHALVIAESRVSLLLDLPPNLFAVVSHGGSSLCLLILLTVPIFRRLSYELFLRTHQAL
ATATAYSLWRHLPSKEAFPLVYVYISAGLFSVLLLVQIILIVHRNGIFRYHLSRATITDCHGAVHLRIRHQKGSKIDSGQYINLWIPWMPFVSFWSL
LQTHPFMVISWTPGKQDTIELFVQPRRGLTRKLLYHAANGHLRNPVVIFSGPHGTSIAMDEYESVLMVASGFGIAAHLSSLKKLIYGYNARLGPDGI
GAQSFLNNALEEDKLDDGRILLITIHLESHDIVIPFGKRATVYPGPAPLSRIFLEEVSGENINQPEKQKVQQDPSTADSGEPERLRKPRLIESGQTK
DTTRDGKMLVMGKQL
>RCO7_11237 | uncharacterized protein
MFDAFDRSLAPPRWGLRRVKRIYTDLVDEFSRGELSHALEGPLSPYPGSVRSPGKLLRMWLRSPWNDYTLIGSGSVEPSLVSCQGKYFSRATIREFP
NPGSMELLQALSEIEHPNIAAIYDVYCYGNKISIASEYLELSLADTSFLSFPFDEWEVATIITEVLNGSGYLLLRGISCKELSMSDIRISTEGKIKI
VLDLAQYGRKASDESTRFAHALLDLPFIAQIVEEMLLLRYEQEEWPESVMDFLSCCLTGSIQSLMRHPFLANAKSAIKLSPRVRFAIEASRLDLLNL
NEESISGRFDGT
>RCO7_11238 | uncharacterized protein
MAPGLRKAAKRENERVRRKEDTLFVNTYRLSKESGVKVAVMVLRGGRYRVYSSPDWWPPSKKEIAGTYPLPKILQSDELERKIAARSLRVKKCDRL
>RCO7_11239 | uncharacterized protein
MLLQLDTIPKLHNILAGVFSWLLLAGYLVLPGTFTSIRNSRTLSEGAGKAGKVVFKAAQNLPLLWLAGFCCGVASLGMLFLCRIWYSNYKWMLDRII
WPSLTNSAIGFLTTIINIYTARGGHWSITAIVTAAVTGGCTTFMLVLLLAFDIWGMRRIMKEHDEKKRAEQEKEKAKQEEAMRLKRGRGEA
>RCO7_10310 | uncharacterized protein
MKLHNHVPAKISQECLDLALRSSRVSARQLLNGVPELTFPDDYKLDYLHGLHRIEAAREFLSETDKWWTVDLYLSDLDTNLETCLIEEYSNEEKPSD
GEIYRKIRQYKDNFIFRQRWQARLKKTRAKDMTTLLRNEELTEAFDSLLPIYGLWDGMKLTTIHKITPMRCPELITNYLEGIKRFYSDLVEGDEHAM
QKIDPATVKAMELRAPRASTKDAKFLYGEIHGARIFSAFSDPEREEIWRRLQMFEGLVPSLGTFFNDVLYLELLVDSVRRLTQIPNNASLIEALQKR
FTGVNQEDGLIRIQSKEDTFVHWEGNRADQIDYGIRQLFAFAMREYPSMPRERKGKDLLQQPRARAVPSVLHCFADLASDLGFASNEIKALKQLDTD
TRRTYPRSRPILVTSGPGVALSVRCGKPRCRSFEADRNLLFIDHLHDTRQDQGDGITSFYVRKSVYLAFFGRPSETDNATNMGEDTEDADSVLSYYH
RQDRDQYQETSGVDQNGGQTQASTAQEERRQEQRRQEQELQRRLEQERLNQERLDQETLELERLERELLERERLEQAELERVKLQERLNYDALKRKE
LEQEKREQQRQEQLRQEEELQTVLEEERLQRERLERDRLVQDQHEQEKVEIRFKEWKGHCWKALPSIYAHPEDSSEVERIAKKYIRKRFRIFNTELQ
MLAPRDCFQDVANDRTHTVLLVSQDSLCTDNEMEESAKRVRDDALRILELKRTATDEISKTHHARKRR
>RCO7_10311 | uncharacterized protein
MPAYNYGSTGQLRSRKRQLAGVAPYRLPTASMVIASQALDIVMSEEIITDGPSQVTDVDAAMADDMAAGSRPEDTAPTPASIMDDTAPTGNFEPSSE
DSTPVTIIEKTIPGGTRLSTPIDGRTGQLSEETAPAIIMDDTTPTGDLAPASENIALASIVEDTTPGNIRPSTPIDIPTSRLNNGAAPASTIQYTIL
VDIETLIDDESSSHVNILDAMSAKAAVDDDRYDSGHG
>RCO7_10312 | related to calcium-independent phospholipase A2
MVIKDRPPTAGLRLLTFDGGGVRGLATLQYLQCLQEEIGLPYPVQENFDVVFGTSGIIAIGLSICGWTIEQATENLEHYAELAFQPRSIWNTEIPLI
SQFLQVIDFMISYLADSRYSADNLEAALREAFGSNRSMLDYSNATRIGTCVGLPVTTIRDTSICVFTNYNGVGTRSRYHVFGPSDGSSRVPLWEIAR
CGSAAPFYFKPKHITGLGTFQDGGLRENDPGNLALEEAAVIYPSIDEPSLVVSLGTGSSRPSDIPRMSPSRGIFQDGFIARLLRAFKLSFGSIRGHK
FRSRRREGRKEQYFRFDMEFDGPEPALDDTTKMQELKTAARAAVHGSTELKRLARCIVAELFVFELDHDPSRENGKYLCTGRILCRRRANHHAFDVL
MEQLSKKSIKFFVEDRPIEGLIDSSWLDLKGNFSKRVCIELVDRRSAFTIQLREGNMDPCSISGSPFTINGLVSAQELSAPFGASNHRKRMRVDLAD
VSYRKRQRVRA
>RCO7_11548 | related to calcium-independent phospholipase A2
MTCLLIEHVISILSLNSSWPAHYEISDRAATLLHSFLYPESQRPCLFVLIGNRSKARALRELASASTGKRSAGKRGYGEIHLHLDPSAPFSGRPILF
ADGDFPIQQNIRPSTSGKCHEITNILLTKPKESQPKETLQAVADNIYLRLLLPFTDVFCFFALDLGGLQPLARRLAAWLDVGHPPTLPVVVPPQIII
VTEMSTADLQESQLLEHFLRLLAHETMTDPSTCFAAIRVVALLPDGHISSTARHRKLKESLMHASDQVRLQRLEVSMLFSAQHFDTFLREACSCFTE
ALNKPFDFIRASRIVNPPALDLKEHLTNLLTKINTIGELKNFAIPLIASSLLLDGYHPDTHREFSTRRVSRSNENAAFRPRDVFRLLYKDSCLQACR
DGVHLQDPAILVLPSGSARMIEDTFSELFVTLSSRPTNIAADLHHKFFLELHHDWKAFQLDDTCLICLRRTPRYRLPCGHCICLNCIRDFGTPNEHD
PWLYKLESCVFCNISTSGMVIKDRPPTAGLRLLTFDGGGVRGLATLQYLQCLQEEIGLPYPVQENFDVVFGTSGIIAIGLSICGWTIEQATENLEHY
AELAFQPRSIWNTEIPLISQFLQVIDFMISYLADSRYSADNLEAALREAFGSNRSMLDYSNATRIGTCVGLPVTTIRDTSICVFTNYNGVGTRSRYH
VFGPSDGSSRVPLWEMCGSAAPFYFKPKHITGLGTFQDGGLRENDPGNLALEEAAVIYPSIDEPSLVVSLGTGSSRPSDIPRMSPSRGIFQDGFIAR
LLRAFKLSFGSIRGHKFRSRRREGRKEQYFRFDMEFDGPEPALDDTTKMQELKTAARAAVHGSTELKRLARCIVAELFVFELDHDPSRENGKYLCTG
RILCRRRANHHAFDVLMEQLSKKSIKFFVEDRPIEGLIDSSWLDLKGNFSKRVCIELVDRRSAFTIQLREGNMDPCSISGSPFTINGLVSAQELSAP
FGASNHRKRMRVDLADVSYRKRQRLCLFVWLITARACVFTLPPNAMSKAFSESQPVRLGDDPPPVRAKIMTSDLVNEWLLYFSHILPVRNRVGTIFV
LTFFRLATSSSTSHHVSHSPITMHRLFRNALHFLLSHIHQHGKNTTFMPGSQSDLDDSFILGDKIS
>RCO7_11549 | related to endochitinase class V precursor
MWNTLKLPAVAVLCFVPWCNGIREAKRQENSSCSKYRTAAYYANWDIYQKRFFPKDLPVDQLTHVLYAFANINPITGQVFLSDPEADTSNACGGQTV
VQTGTQLRGCLGQLYSIKKSGSLKVLLSIGGATYSQNFAGPASSEQGRSTFASSAVDLIKNLGLDGLDINWEYPVDEAEAANLVLLLKETRKQLDKY
GNSLRTKYHFELTFAAPAGASKYRILDLAAMDKYLDFWNLMAYDYAGAWLVSKITGHQANLFSAGDASTPFDTRSSVDYYTSHGLASNKIVLGMPIY
GRSFTKTTGLGQSFGAVGNGTWEKGVYDYKSLPMDGSSEIYDEKLGASYSWDPTKQELISYDTVEAGRQKARWIKSINLGGAMWWESSADKKGVNGL
IENVVLELADCIRHATNNLDFPDSLYDNVRNPSVSQSPLVNASIWLEHPLSTKLQTPSDIVCTTQVPYDLGTGTALASLPLSWLPLLSTLPLTRSSS
TPSTHSTSSGSSPSTSSTSSTSRSGIRESSSCSSEGSLPWKSLVTQTLGRSIIYTTITTDVPVATTTVVTVVLATRR
>RCO7_11550 | uncharacterized protein

MSSANTSRDMAVANDIIAEHCMKTERASFLKRKGGVQKKVVQLKKLWPFCDMELKIKDNASKKIYLLQTAQGDLDSISSLKRKYPDMVAESLNMDDF
TTDEDTNEDDDEDSGGDRKSKRRTMKNIKLRKKQTRTTPTKTKADKLAARRPADRIPPPAFIKALVSGKKPGNYGGSTLPAPKQTRAGRSGKRNLPP
FPILESGGTSLDTKTTFDVPFGLGLVRRKSSQSPSLS

>RCO7_11551 | uncharacterized protein
MRRATRSSTKTIASDKPMKPKPVDRKISQVDGRTVALEATPELLEAAKKKPMQSLSHRIDELTRENGRLRLEIRFHQQMQEAIETLQIDVKFAVETL
ERSILEFGSVQEVAEEDWCRTLDGT

>RCO7_11552 | uncharacterized protein
MQSRMASQRHLQLEQHLHSGCAPDRLSLEEEGKMTRIEMDTLYMINDMLREEVRRHESVIESMATKLSTHESAAENLVTSSKVRTELPRGHGNLVSD
EAGSPDSFKFVTIDNCTDPYPNSIANNGCFPAVSISTIAPVVHQASPMINRKPRKLKETEGGRRAKKSKKQKPQQEGKKE

>RCO7_11560 | uncharacterized protein
MSKLNPAWVYLEGHPPATSTDATRLLQMDPTETSDEDLTDTSNSQRPCSSVYSDHFALQDLVYQVDDLLVDGQLGTIEQLEMQNSILQEEVAQYQRT
WDAILEMFDEVYDTALLLRCSLEECEEGISIAQADWLALWGVRDATEVGNWI

>RCO7_11559 | uncharacterized protein
MANTDRYSQHVDSIRPTSDETSALRNLGVAFLEKDASWPPILLNYIYRWMHRHNLYHVGPSRADTFSALIDSIIQRTGLPPTELNKSALASKCSALI
RESTLQWKRDCLLIQRGWGFSKHTLLNTAWAAQEESFRQMEYILCRSLPHLEHCDMNVIVAVGVGEDKRGADVPLCRSAKKQRTDDRVIAASDTSTS
DCIDMDERAHEASETDSLAFTLPGTVSLKREHIEQQSVRHNQNSESSPSPTPQHSHDEFPRKNSPQASHPTPHNTAGSALDEANLQPDKIMEPNVVS
GTLTQRPSAYDGEVSSTAADTQEGVQLTALNLPHTIKRSDATVSINSPAAAISGQTAMNSPHSATQASPLADGLSSPTLRSAAPGQEDPDVSKLCSP
PRQQDDFGQAPKGPTMESSGIRPAVVTSTARLQSPPRQSKSALAGASHIGSKHSSREKSNHSLAPDPSYAYEIATLVSRRGHDTATSQKFQSIGRIL
FASLDQPTGRYILGVNALMSQSVTEFFDHYSGLVSSPEYLDRLKFESLDVAAGGHNWSTIIASKDRSNFQALKQMAFTSFATSLSENPSLEQFRILV
TTIPSQRNGTIPQPTSSTSTKRTAASKIAQSTQPNFRFMSQEQSSPPSSLIVSQETADRGHATTTFQDDVRARSYTQRLQIESTSPAPPQITVRIQI
DKCWRMSRSYPGAVLGPGVKNSDFFAWFAREVGFDDCMGPEELTFTFRDALPMPKNNRIVRGNEEHFNYMKQDMRPVCEYVAARVPGLKEFAILVTV
PMWIPKADEW

>RCO7_11558 | uncharacterized protein
MFRLTLPACTLVILEGLARATSLLSRSPAALTKTSAQSFTSSIATFADSKFLNHNSSVRIAVTTVVVLCPIISGGVTASVHLPDKSSGPYAWSNQTF
HNTSSAKTSSAPVSSSQPIDVATPSSMSPNLIFDNGPTPLLPFPTSIDSTLATSSGRRMIYGDPFLWLFLGMVSMGIR

>RCO7_11240 | uncharacterized protein
MASSSQNDMAPLIRSRNPSVEDEPLSEDTNMPDPAEGPPPPGDLQQTQDSYREIKRIMGSSDYYTILDLEKDYSPDQLKKQYRKLAKLTHPDKTAWP
DAELAFKKLSTAYAVLEDSSERRSYDKAPERYTPPDPPERPFGEEFADNAFGGSDSGNESDNNIEDEEMTTLRPSEAIKAIYKDATPLIQGILGDPP
SAREKPRMMEEVAKFNKKIKAQNKTDGLAEKDLGHFFIQYTIFESQALLAKPFWEKLKNDPSDSIALGKMEAIEKVLKNTITKHEYNSGWCYEALGF
KPMGGNSPGQPKQDSDKGGEFTGTGEPWSSQDDAVVTFTPGHTLTGEKIIAMLPRERTVRRMGEDGIRGPPEKIITGYQFIVKDEKENLIELVSGED
IGRKATSGYLSLPRDQIFDARYSEKHVKQDDTDSFKSLIDFTAKPFNLRSSNTPRHPPGYGLVLFKDETESVLSRTALRKMLGPTDADFEIQQCEKR
NGKIPAWMIEPLGRREPRKMVIESPTAKRRSREALMRGDQLDEQGLFVPKDRTVKLPMKLPKERRGRTHSRSSVYSANKGGRSDSKSSVTAEEVAGM
QDEISGMRKDMQDLKEMLRQMVLKNRLSPEGPIQHRLLPFSFQNAYKHVFLECFEIQNGFVLKDKD

>RCO7_11241 | uncharacterized protein
MDLHGTGTGSYHSKENLQELRQWIVASSLEQSAGAPYDAFAADLDQINSIFATRNFDVVFKRLAALSWRFANASQTYSRQEWSTDLDFWQCADTVLW
TGKLITLPHSSNNDRDERLRFLMDSRGKLRIGRGVVGVTVGSQ

>RCO7_11242 | uncharacterized protein
MGSITELEPSLTIDIVDFEEPRTPTMTALNVAELHDWQSRTKDTESELHTERKRLYQERKRTRRLQNEVNTYHNSLIISKRVSDEAIAQCQSLLHTN
ALLAQEVQKQKAAVETLETLIQKLCTESKEGSVFTQVPGWQVAGTGHLSTGMEGIVEVD

>RCO7_11243 | uncharacterized protein
MLLLPARPLSPAYQRLLKIPTPHPRACRGDNEYTVQIHEAIEDEVLTFGCFPKLPPEVRVRIWTLALLPRVVTITSKFDRRAASCEVRVEASRIELL
YVNHESRSEVLRYYSRIKFQGDYSGVTFVDWFRDTIFLDLPDEPGSADVDEVMNQLGTILRPVQKLAVRVRTHLFWGFPRFLRQAEDLQKLVFVDEL
DREPFPSSSKGCLYLIDLGSLGFIRGCKIGSYNESSYFSEDIWITLPEGHENDEFEEKRWEMSLETIAWVRRLTEIGERYCLLLPIT

>RCO7_11244 | uncharacterized protein
MVNNTLNPTESEIAYIVGQVLASMRFVESRGESATISSRTVRVSREGKVKIEPTSVPMDGEGTSADASCLRILMLSRMNETQETLQPPIYVLGHMRQ

>RCO7_11245 | uncharacterized protein
MNNALQTKNQCAFERSDSSRMGEQSPFDHFVGTKAAEVSGRNRTAEMIGSSQVGQLIVIQEPLVCEVSFGKGKGRKTVEPPPVVQLKVSHLSDPSQD
YLQSSHFFLTCSLCGHQGQSLGGIRVSSLRYLVGLDEKEGAFFVFGDVSIKVEGTHWLQFDLYKMEAGEQCVYICGTTSQLFPIVSSKHFHGIQAST
DLTRAFIAQSVRLKLRNGRRSLLKPKGPRTDDNRPQNETVGSAYNQGLLLDSQELQLGSSNNQPRKQLGRSYNKQSFSDSQILDRRQTKRLRTGSEQ
IQTPTYNMQSQTLDTSQYQATGLFTQSAMPTLTPLTQYNGVAHVSLTTRDIFEDVEAWF

>RCO7_11246 | uncharacterized protein
MEYETSFDYAGNSLNGNSCSDKLLFTPNIFNAPDYDFSNMLNLSPLVSESQMNMLEMHVNPQLARAKMPGSYVDGSEYFPTFPASAPPMSWMMASAI
VPAALPMATFSDLPADKVPLSIPLQGQIEPKSDTLVAQQGADIQQCEAERTRVAGKKRAKQATCPPCASQEPKPKKRRGARRKVRTEEELAIRREKH
LQRNKYAAQKCRQKRRVLEDEIKENMAIERQKNLVIWNQVGSVQDELEPLRNLVLDIHYHCYSDDHKTSAKTGLEAIMKMATKLQDSIDICNQRRAQ
ISHGLVMQRSFSGYAQQDSLWEGSGSTHDSQSPALSPQNSTGFSEQILSPRSTRGSSYATGRLNTDLVNGNRTTRKVSNVSSTHPDSAVEFDSPPSA
MKDSPVEDEAIEIPVSGKEEFLPSAGLDKE

>RCO7_11247 | uncharacterized protein
MPRVRNTADVPILDDENTSNSDSDSLFDNEADSGTDTDLDSLLAEEDSNDDDDLFDDEVRHPPEHYRANAATLDVQRLRQRRYSPKTQAQLDRVKEH
YAQYCTFQTWDPAKCYDEISPHFIHGFLSWACDQRRGKGGRRRPGIKYASSLETFWKCYLIVYRIETGRKIDPMIQVNGQDVVKIVAVEKKLDFTKR
PSATMYAEDLAEYARVLLATTEMTFDIGWLRIQLVLFCQLAGITGNRPEALVELRYRHLKLTLIRDPDGGGRPRLFIELTPEFTKGFLGSKDVNEFK
IPEIIYDPTLVLSPHVFLLGMLFKARAFKSPSIDCPERLYSLKILKGLNEQPLPLRDEMNDEFIFCEAVREAQGVRIARELQLSSGSVRYRMKVGGE
ITGFGQILKPYNLRDGSAKGLNESPDVSDSLQNKILQHASIGTFLKHYLNDINVDLQGVYRRLDTQKDLMRFACSMSRSIDPRRPRKLTPEQTASVN
DLPYILKLQKRVNDLSNASIGRRKDDRLQKATKRLFNEKQRKRRELLKDIKERYKSEQPVKDSERQLSGMVVDEDTRDALVQADMSPEQLGLVDAIL
TLPGKSLEQELQRRIMAINAVTLYCGVEEGAPSRHVRRGPLGTDVSPRAPAAEPDVALRQAISSIQADKRPKICFVCIGTPHLTMRERVAEYATPGS

LSRHFVRKHVSKLEDGQFVNCMECNVRLKTRKDLLIHAERFHGTVSRGPAERLLF
>RCO7_10893 | uncharacterized protein
MKPDVLLFSALLIPGALSDHCQCARLMENGNTIISTMPFGDGIIQQNSPVYSSDGKVKLNYCAIAYNRSGKKKERLACGNWYMISNATGKNCDGKIG
PVACAVVP
>RCO7_10892 | related to PHO89 - Na+/phosphate co-transporter
MAVLEKYTYVFAIGTMFALLEAYNNGANDVANAWATSVSSRSVTYRQAMFLCVVFELVGALAVGARTASTIKNGIIPIKAFHGDADVQLLAFACASA
GAAIWVMWCTRNSAHVSSTYSLVSSIAGVGVAAVGVNNVEWGWSKGSGLGAIFAGLCMAPVIAGSFGAIIFSLIKYTVHKRSDPVKWAVFTSPFFFL
IAGTICTLSIVYKGSPKLGLDKKPPAFIAGVTLGVGFSLFVLSGLFFVPYVFCKVIKKDYTLKITDIWQGPALFTRVPPADAAEARVPNYNVVQEDE
EEGGELAPPATLPTKNANIDAIEKSPAGSDKDLAVDNEKLKAQQAHSQAAGASNLEMAIAGDNPKLQYKLLLARAEERHHAHLRQSRGPLGWAMRHV
YNNRQGPGEIYELHNMKAAILRLPAYVVIAACYGFYYDIHRAQVGILGTPEGRRMAAVYDHAHKYKNEVEYLYSFVQIITACTASFAHGANDVGNAV
GVWAGMYGAWSTGKTVASKADVPLWQIAVVALMICFGFITYGYNIMKVMGNKITYHSPSRGSSMEMGAAVTILIFSQYKLPVSTSMCITGATVGVGL
CNGTYKAVNWQRVGLLFFSWVVTIPIAGLIGGCLMALMLNSPHYGN
>RCO7_10891 | uncharacterized protein
MFTPIVVSTLSFLSLALAQSPTSTVSLYIPGADPQGLIGYVAGTASSLTTYVLSCADPSEECGFRGAFTITENASKAKYTMAPEMGDDGVLAFTARI
DCALSPSTAVCIESFGGSDANFPGQSTETYTGTDYQSMPVLITATNTSPATATAATTSASITYSTLTVKAGVTQTLGGSGSGSGSASGAKQTSTTAS
GAGAGTPTSSTSVGVAPAIRGNARWVSSISGRAKKTCGKSERCGNVEIGKI
>RCO7_10890 | uncharacterized protein
MIGPALERQPEVDFPDIPSEPARLILDGPEGRRDVMTDRESLKDLSILVQAFVLETIHLQAIYDAVRLSKFSPANILPVYMPIVENFMTERAAVAFN
AVTKGGSKVLARFLAGEDERYKISCASSDLITATLFAMCDVCNADFDEALKPNIDEDHHITVARIESQRQFKVVAASDVDGWLHQVMLPICSASHSF
LSVETVLTVSSRVFMTFQEKPAFLLAATGDDKMPLAKWFGGKLVEESGVKLYHCIQKLKGKAIDIGSTMHRIWSRRATRLVGQVKETIQSLATTDTS
ANLKMDEKKLPSDPKFGKHVRVAGKNAGSDFGIKEKNDDIWAVENKICKVFFGAGGSCYSSGCGSAAGAGSGPTTAGGPDR
>RCO7_10889 | related to helicases
MVKKGQPKGPKPGAGGKKPSPATTTGDDSFIVFSNSDKEPKPRKPPADSSSTGALGQNGPALAGEAPQRPDVKKIIGGASWTGKLPVNMLSEHCQKQ
KWEKPEYTSSRTSEGYSSMVILKWRNLKTHELVQLAPFKLPPTHKHLAVKPTALEARHFAATYGLFRICSMRNIHMMLPPDYRDLWKGEFEVLKKED
VREGKGWMYEADPFAALREREDAKILNEKKRAEREKAKEKAANTPGGPGGSNLALRNNGGGGGGGAGAHNINRGWTRVPKIEMGKRTRTNVENLIRR
YAIWNPHEVKMSQFQKHSIVNEFRSLDFRQSHIEEAVEECKDREETLEWLLIHVPEDDLPRWALPEGYVAGISMASSDLKREGAIKRLAAAGYALDL
CKQMFDAKGDEGKAAGALQQILVSSGQDTEEPQDEESWDAEDSKEAFEAIWEEEMSSLQSVFGDKYSRESKDVCRVNIKPANRGRNPEVHPIVQIRR
TPEYPQKAPVVSVYASLPAYIRLSIMKQALNHVADNLLGEQMCFFLIDWVEQHLYGIVERPGKLREVSAAASTVSEVRPVRRKRQKIMRHPRPINWS
PNTRSKDDWVKRQTDPKLQSRIQARKTLPAWEMREIIIDTVNSHQVTIISGETGSGKSTQSAQFILDDLYQNSLGDCTQPRRISALGLADRVSEERC
SAVGQEVGYIIRGESKTSQNTKITFVTTGVLLRRLQTSGGSSEDVVSSLADVSHVIIDEVHERSLDTDFLLVLLRDVLKKRNDLKLVLMSATLDAGV
FEDYFKSNGRVGRVEISGRTYPVEDYYLDDVIQMTGFNSGRGGRRDEEDAETAGMDADVAAAIQSIGMRINYDLVSQTVKEIDAELTYLKQDGGILI
FMPGLMEISRTIDALRSISNLHVLPLHASLQSVDQRRVFSHAPHGKRKVIVATNVAETSITIDDIVAVIDSGRVKETSYDPQNNMRKLEEVWASRAA
CKQRRGRAGRVQAGKCYKLYTRNAEMSKMMERPEPEIRRVPLEQLCLSVRAMGIKEVAQFLASAITPPESLAVDGAMDLLGRMGALDGEDLTALGRH
LSMIPADLRCGKLMVYGAMFGCLGSCVTIAAILTVKSPFVSPQDKREEAKSARAKFAKNQGDLIGDLKAFEIIRQGEIRNWCSDNYLSYQTLNDIAS
NRTQYLTSLRELSFIPSSSDAQLTLHNNNANTTLLRSLIAGSFNPQLARIDFPEKKFAPSVSGAVELDPEAKTIKYFNQENGRVFVHPSSAVFDAQG
FPGGAVYMSYFNKMATSKVFIRDLTPFNAYTALLFSGPINLDTLGRGLIVDGWLRLRGWARIGVLVSRLRGMLDDVLARKIDEPELDLAGNEVVETV
LHLVQLDGLDQ
>RCO7_10888 | uncharacterized protein
MRINTLLLGTALTLFVNSEPIPRDPITFTVTITKTVSTKTVTWSAKSTIGFTTTTPSRSTSLPPSENTSPAKPTPTYPHGHPLCNVPNVSLQPGHSF
AIPITHQKSGSSLKQCIQQCIDDNGSSPSNTTGASEAARGPCLSVLFEFRYRMCLFYDVRVEDTAQIADDRFKYTSWDNDCYGV
>RCO7_10887 | uncharacterized protein
MHHVHTGRKRTVEGLRKIGGRMGSRADETGSWLLAWQNNQLQSLWTMNNVKGRQSRKPISSDQPNLSIDSRGYITCTNLAESIRDTRNDEPPAI
>RCO7_10886 | related to Extracellular metalloproteinase MEP
MRFVSQTAVAALLTANVLGHPHASTSSGSIQKRTVDLAAYKLGVGASYTTNVVIEEKQPEFRAFSKPTYVDTATTLVRSKFPNAEFRLVTSYQSGNG
IGHVAFKQTVHGIDIDTADVNVNVGKDGSVFSYGSSFFTGTLPAESPLVKRDQVDPVLALRGASSSLQLGVTAEGAQAVPEKETEKYTITGSSGALS
DPKANLVYIQTGNTLSLSWRVETDIDDNWLLSYVDAVTPEKVLAVVDYVSDASYTVFPWKVNDPSRGDRKIETNPWDTKTSEFGWHGTGFTTFNTTR
GNNGNAQANFEGDSAFINDFRPYDAELNFNYDLDLNAKDPKSYADASVAQLFYTSNMYHDLLYVLGFNEASGNFESNNNGQGGLGGDPVTLNAQDGS
GVNNANFATPIDGQVPRMRMYIWNYTQPVRDCSFDAGVVIHEYTHGLSNRLTGGALNGGCLGTTEGGGMGEGWSDFMAIAIHMKTSDTRNTNYPMGD
WVRGRPSGIRTYLYSTSKQTNPMIYSTANNSTLVHFIGTIWANMLYEVMWNLIDDHGITDDRQPKFINGVPTDGRFLAMQLVVDGLKLQPCRPDFIT
ARDGIIDADRVLTGGANRCSIWKAFAKRGLGADAKRSANPNDHLSRVDSYNLPDGVCGCAADNCLRALRASTPAERLGESQAFCKDFTKTVITDVSV
VKPYLTSNCAGNVVSRVSSACGCIPSDN
>RCO7_10885 | uncharacterized protein
MASSSINFEDCDDDNEDGFVLDDGHEILRRSRQALGLHKGYVPGWKPDHALREFYQNWKDAIVEGAQIQHKDLKVLNKGFNNEKVYIVEARHPTSNK
LLGFIRLKDGMLELTNFGAQLSRRALHLGKSSKKNNAEAAGKHGEGFKVASLVMIREGYKVQYEASKCRWKMKLHGKDLDTLYCFLDPPSDATIQNQ
MKAYRKKVAAGTPRELKNNMWEDVCVQIGQVRRLGEKIETEDFKKWIKVVLDLDPPSKMIQTVHGSLILDPMFSNKLYLKGLLLERNFGKEFRFGYN
LLAGQVNRDRERLVNSKQEAKRFANIWAEAIEIDKNIVEKFVSMLREDKVADVQGVYPFISEEVAAKLWQHLLEQDGEDECFYHDIKNGHMEIELIK
KSLKKTPAQLPTLLWETFQRYNLVRTPREQQCRLLSRAPVSTNRTTPYSLHVARALRAALALDVRTKDLNVILKSGVKADLDLLLEGTDLQINDKWL
DFEEGHRLAPCWLSRQKSRKFSDYEHFSCDHIVTDLYEMVLEELKRFPESSSGGISESDNFLYQRVCECLRQMPLMITSQADPFSHMIRVSWSDLEG
DVLSRLHGLDPKCRVTLHQESTCASRRGDLLLIGLCADQGHADRSTSSRLSITEATNPCQCPQKIVSQKDFGANFDDLDHKQHYFPMVSRNDCNAFF
GLAPESLSPIAISIGIKPENSSPTTPRSRGVRSHERSSDGSDSSNLRNQYGDLGNENESPSNSIPNPSASRSITQSYSNGLLSSGISRRYASPGNVS
PVSGSASRVGQDIEQLQAKNESLTGKVAAKNWKLSALKKQIASLTIKLADTEKELQALRLNFDSTKTAFGDLEEKNATFETEVLQKQQQIETAEEAV
RQVRGDLEASQQRCAELQNSFLQSCNVNEDLEEQLGTTHRELIQVNAYCENNKGQLEDATVDSLAKIDQIERLELDIRNANEKLQAHHTEIDGLNAR
ILRLSSGKIADGDEDCLPSQLQRLQITCDQLRTQRRGLKDRIADLERRLSAAEQAYDTQVRLASDTAQRRDRNSQAFIVKSELSGDATQFRGLKRER
EDDDDLYGAGNPGPPSRALGNVINLIDD

>RCO7_10884 | uncharacterized protein
MRQIYSRAQEVLAFAGVCEDRSEGLMKVIGTQRARTLASLKFIQGTSDREKTLISFNSLHADKTPDPKIQALETRHLLDFAGYAQFFNEMYWKRAWV
IQEITVGPKVTVLYGDLEILWEDMVVFGSLLKESEIARQFHSFEFQEGEVWQGIDHLLVFRERYYVKRTPIGLLEALTLSRKALATDPRDKIFSLLG
LCPDGATFVPVPNYRQPLESIIADMSKAMMAWNKSLDMICLRGLSLRQSTTWIPTWAPNWERIWMGGITVQEESLLKSQDIRNINPILAGSTGLQLK
VRGTLIGTVTHLTSAMRPHSRDSKPLPPRAPWIDSTATLAAKITELGSPSPDVSKFLLTIWYELLLS
>RCO7_10883 | uncharacterized protein
MGLPIKETSDAQLEHSFSTLWTPLGRGLIHDLDLIEWIDRNAFFTIGKWTLREWSQTRRQQRLSKSNPDNISRTAHAIDVLGRVLGSGMRLACLDTR
QYFIGMVHPDAEVGDTIFRLIGCKVPVILRKGPTTSGNANHYMVIGSAHFDESLGLDTILAVTAIKDLTLC
>RCO7_10882 | related to salicylate hydroxylase
MSESIHVIIIGAGLAGLSAAISTKLANPNHRVTVLESVKELLEIGAGLQLTPNATRLFKPWGIYDSLAGKATFPTALSVRRYDGTKLLAHEPKFQEQ
IHERYGSPFWGMHRVDLQRAMATRCSDLGVSIRLGARVVDVDFEMVEVKLQDGEILDGDVVLCADGLWSAARARFIRKPSCPILTGDLAYRVVINTS
DLAGPDAPELQKFIRDSKVNFWIGPETHVVAYTMRAGEVYNIVLLCPDNLPEGVSKSEGDVEEMKKLFEGWDPILRRFLDQVEKVAKWKLMYLEPLQ
EWINKEGTFVMLGDSCHPMLPYLAQGANSSLEDGMVIGVLLGKVHGGEGKEEQLRKAAAMYQVLRKERGEGIQKETFGQRRDFHLKDGKEQADRDKL
MESMLDGELKADFPSRWTCPRVQRWLYGYDAYREVEEAFAKDPF
>RCO7_10881 | uncharacterized protein
MPPKSASNAPARRGRPKAVRGGKAGPATEASSSAHTSAEVPDIESQDQSKAGPSSLKGSAPAIATPQLSEDGFSPNSSPATVPTETPAPTPARPTHP
PILPASAPMIKHDPDAPPTDTIASEQSTQASIRGGPSTRGGRGGARGGPKAPSKFKPKAVRSDAAKRAELAQKEQDRLAALAAMAEKEARIANRGRG
RPARGRGDVMGRPATRGSGGGSGIFGALPEAIKKAPNGAVGAPRSGGGGGGLSGSFGGDYKSSGSRSGGGGGGSGGGGGSGGSYSDGHYQPHYPGED
DDTPRVNIETINLVSDDEDSQEKPKRAGMRPVRLDRHEHKPRVTIVNTGPTIKVDDGDQFEIDEKRSARPKIKHDPTVGDPGDEIQVKSEPEQDVTV
SFRASTPGPSDAVEPISPASRRKVKDRMVSPEPEIDQQGSSQTLPDSKDEKKAKKVTKKKEQKPIHQTDEDREEYARYLQDVDVLARELGGMQGNLN
TVTKGKDAEGDDMMEDVSKSDDNRTGRLYLFQFPPVLPELYNPVDGNPRAPKIDLTTAEPTNNNDADVEMTGTATAKGKGQLQDRVDLIGEAVSAPP
IKLEEEAVPLDKVKTEETKHGRTPYVNEEGFIGKLVVRKSGRVELSWGGVNLRVGRGIDTSFLTTGMVVDGLEKGPPGGGAPEGRAMSMGQIMGKFV
VTPDWENME
>RCO7_10880 | uncharacterized protein
MEESTRKRPRPVTLDWTPPRASSSSAANGSQGTEFGSSPRDVPLLYEGSRDNSPSSDRHGDVPIGFEEEDNLIDMDVAIVPPFSAQVVSNILITFRS
IDNARDFDNTRNIDNTRNASRARNLRATQSESNVPAGSGDIDIEPYHHHVSGRRASPSVDSDVPVVDHDINHRHHANTGAVACLCHGLPPGPGFNIK
KHLQWVTAQSLAFYEEEEGRERLAKLAAGFNGNDNL
>RCO7_10879 | probable MFS alpha-glucoside transporter
MATTANDAIDPSTSSPPLHFPEKDNLEHAKATNEVIQNAKNATEKEHSMTLWQGLKLYPKAVGWSMLISTCIVMEGYDLCLLSSFYAFPQFNQKYGK
QLPNGDWQIPAPWQAGLSNGANVGEIIGLFINGYVSERFGYRYTVMTCLTLIIAFTAIFFTAQTVVHLQVAEVLCGIPWGVFQTLTITYASEVCPVA
LRGYLTTYVNFCWGLGQLIGIGVIKSMLPRHDEWAYRIPYGLQWMWPVPLLIGVALAPESPWWLVRKGRTEEAKKSLLRLTSLDKETDFDADETVSM
MVHTTALEEKITQGASYLDCFRGTDRRRTEIVCMVWAIQNLSGNSFSGYSTYFLQQAGLETSKAFDFALGQYGINMIGVFGAWFLMSWGIGRRSLYL
YGLCGLCTMLFIMGFLGLVPESHRKESSLATGSIMLIWALFYQLSVGTVCYSLVAELSTRRLQIKTVVLGRNLYNIVGIICSVLTPYMLNPGEWDWG
NYAGFFWAAICFCCIVYTYFRLPEPMGRSFAELDLLFERGVSARKFKTTSVDVFAEEVDERTMGDYGDKLEVRHLERKSADGGVGKIA
>RCO7_10878 | probable mitochondrial carrier protein ARALAR1
MADLGTVKEVVKEALVGTELQPQLSAQSKDTFEKNARKDEETGEMLMGEEEFINAVAPPTEDYVSQSPRRARAHKIKREQYAILFRVADRRNAGKIN
LLDWGTFENLLSKPDAEYEIAFRLFDVDQSGTVKYDDLKKLYEMNKGPDSIPFDWSCEWASLYSGGKKRRHDLTYPQFSQMLRGLQGERIRQAFHHF
DKDGDGYIEPEDFQRIILQTARHKLSDHLLENLHTLCNISTGSKISYANVRAFQNIIREMDLVEMIIRQATNQSTDGKITRTEFLNEAARITRFSLF
TPMEADILFHFASLDEPSGRLGLADFAKVLDSSWRNPLYNAFAEVGSANVAKAKSAGQNFLHSVLESAHHFALGSMAGAFGAFMVYPIDLVKTRMQN
QRSSRVGEMLYKNSLDCAKKVIKNEGFKGLYSGVLPQLVGVAPEKAIKLTVNDLVRGHFSGKDGSIRLPHEILAGGSAGACQVIFTNPLEIVKIRLQ
VQGEVAKSVDGAPRRSAMWIVRNLGLVGLYKGASACLLRDVPFSAIYFPTYNHLKRDYFGESQTKSLGILQLLTAGAIAGMPAAYLTTPCDVIKTRL
QVEARKGESSYTSLRQCAKTVYKEEGFKAFFKGGPARILRSSPQFGFTLAGYEVLQGLLPMPGQGAKEAPHMGVGKLGEGSGALQGQEGPLSYLRSR
NALKIILDLDGEFGLPRAIGKEGWKTLPKILGGGGGAASRS
>RCO7_10877 | uncharacterized protein
MRPSLLRYSAESRATLGPIGFLPENRYGSGFVFSERIISHADVILLEKCTESSPKTDSALDRGNQS
>RCO7_10876 | uncharacterized protein
MKRQKSNSPASTSTSTLVDSISSILPCSEDEEGSRELARNSNIKEDSEEDNRTYLYARLTSSTRSTLAPDFTSLIEPEVCLVLTDMDPD
>RCO7_10875 | uncharacterized protein
MMKKKKRTVVEQPSIEQEAIETSVRKSSFLRATQSDRITILVGPSQKSFQVPQDLLMIWSPPLGGMYLSGLQESRERLIPLPHIKISTFEDFLIWIY
ACEPSVNFKNLASVLDLAIFAEMYIICQLKNQTSDILRTELGSGRWQLSPNDVSMVYDEVPPDSILLAFGHSSGFGSYANAASAHRQHDNYLNWKLA
FAKHSDLGWDYFRQIQTGHAQTAMNWGGPCRFHDHRDIPGVRREDVDECSCPRGALPIEEAQPTEKQHAVVEGLSAVEEIPQSTEEAQPTEEPSAVE
KILF
>RCO7_10874 | uncharacterized protein
MDAVHCNYHYTPLREGTRRIYKNDGSFPPDVSEAEDTEDTENTIFITASTRNYHTVTTGDIRVLSLLPGLFDDPLRCQLAVEPIEQHPMYDALSYMW
GNSSDTRLITVDNDQAFAVTVSLENALRHIRLQTRN
>RCO7_10873 | uncharacterized protein
MSTANFEPTYKLRRTAGREHLSLDISGNVPKPGYQGLCKAP
>RCO7_10872 | uncharacterized protein
MADSLSITASIAGISVHATLELLKGVEEGYWKPLGQDIATTIEGDCYQLHSEGKLTWLDLANVRFFKKDQANAMSEQRQSCKLAINLIVGVVTLYSS
VRNSHITEEIKKTITIKQGEVQVPSLQQIDSWWLRRS
>RCO7_10871 | uncharacterized protein
MPLPPAEQPETPRSPSIVSPFSRDIGFIERAILEQIPRKCAIPGIRIALIGLGGVG
>RCO7_10870 | uncharacterized protein
MAVFTALPLVVFILAVVTQLILCVFSLRAEEFKLTGVMTILFQSVRPPRLRRDGLPNHGSNNLLDEQLQNLTFGITHCCLGFATHTECYQFPVNLAT

LKMPLGSAVEIKDVYPLKAIASGIIHTSLAWAIVFTVIFAVTVAAIFSSRHCTFMQRLRTYGVIVKVFLSIWSIATCTFVMLPIMFVRQSSWDLRSA
VGIETSAGNIVGLNFGALCCTLILSFWGQHSDSITTTSP
>RCO7_10869 | uncharacterized protein
MLIYAIIIRTISFQFTPRDDSDIVSTHGVYLTTRPRTPVFHGTYNDEFVSTLENELNHIVTQQIWRQIKEKRAAEVKAMTEQWNASDTESDVVSSPP
ISDLISETTLGNTSEDNKEEKATGFRLGKRRRGSTSDESVEEDKSVTTLHKRQRRSTCEENKEENGTTRISEDKKVEKNPARMKYFPFKSLETFASV
MKRIILIAISVQSLP
>RCO7_10867 | related to potassium transporter TRK-1
MAIINLKKVQLWLPEMNFFTLHYAYIIFAGIFGFIVIYPYGNMPAIDAYFFGASASTESGLNTVDVKQMKTYQQLVIYFIPIITQMGFINIITIAVR
LYWFEKKLKEVAPLLFSRRGPIADSVARSAELDTESQKSLPKEQNTINDDTVQRAAVIRFAADPRLTTSDSKAIHVPSPRERDQGFAMSEIDTDVIN
TYDDDEDNPKKSSSQPREPKARSMSKATSIERVTSSMFVIGSSQARSQSRAPGDSRGVGRTELDLPRISSQATVGRNSQFFSLLLEDREQLGGIEYR
ALKLLLKICIGYVLGLHLFGAICLVGWIQYAPDKYTDYLASTSQNKIWWAFYSAQTMVDNLGFTLTPDSMISFNDATFPLLIMTFLAFAGHNFSPVF
LRLVIWLMAKLSPKKSSIQESLQFLLEHPRRCCTLLFPSGPTWILFGILFALNLVDVILIVTLDLENETLTVLPLGPRILAAIFQAASARHTGTATF
NLATVNPAVQFSLLVMMYISVYPIAIAIRASNTYEERSLGIFPGELKDYNEEAGVKSYVMTHLRNQLSFDLWYIFLGIFCVCVAEADRIMDAGQSAF
AVFPVFFEVTSAYGNVGLSLGHPDVNTSLTGQFTTFSKLVICAMMIRGRHRGLPYQLDRAILLPNEELGDEGENSVQIEDPRRMEATRMYRDSEESE
SIDR
>RCO7_10866 | uncharacterized protein
MPRLYLVLLANKRAFQEARKWALDNPSEPPRNAARIFDVKEDTLRQSIHRAKLKVAQSSIRLPKGRGGQNKILTPIQEEAIVRYCYDQWEVGLGATY
TMVKSAIAHLLEVQIAPQNPPSNRWFSSWLKKTPHLHTIKTKPMEAIRLETHTEEEVRAWFQELGDEMARLQIDSGKKVLNMDESGIRVGCPSAEKV
VVPVAIVQLYTPTQGSRKTVTVIETVRGDGKKTLPPFVICPGEHIILSWVSPNLTGEETITFSTTGYINNSLIMEYGYHLIKHSHASPSKPWKLLLL
DGHESHYFKEFVLLLQENHIQPWYFPSHLTHVLQPLDVGIFRPWKHYHSAAVNSALRSLDLSYTVSSLLRDLSQIRENTIVYHTICNAFRTSGIWPL
SCKAGIKNMQSFGKKHQLESAEAEELALPQLPPNRPAEQVWQASTAIESFIGRDPTQFSDNTRDIFSESMKQASVQLQKAYLTSTELALLQHKLQES
NKKKNTSRRSLKGNGGSAVCVADLRLQIKAKAAEEKQVGLKKASKALSTAIGKHKESLRVAGVAARKVNKARKLEIQEIFRRGGEVYADSELYIQER
EPDKQPTIIEEKSKLH
>RCO7_10865 | uncharacterized protein
MDCLINLMILLVQVGLGSEGKQALVLLEYANRLVGPRDSESPRYQASSWFISDSDTPVSESEDSEYIDNEVEIDNKRVNHLDVSIRDIYTGESDKAL
DEDKAIRSSYESLSEIRSDEKESEYFSNSSFESEVEIDDKDIRGPIKKILDIDNNNISDFVL
>RCO7_10864 | uncharacterized protein
MTLGRRRAFFVLQITDRYGYLLHCRANRKVVRDRDRVIKSGADLRPPEAEAMKINATDTSVPEKGRVPTARCPSLGLRGLMERWNIYRRRNSTDTQG
IAGCTFNESIQLSERYLKFDLQQLLKAAITAISSKGARYCTRVLKCREGLNNKAYLLTMDNGLEVFAKLPNPIAGPAYYITASEVATREFLRYALNI
PTPCTIAWSIDRNNPVRAEYILEEKAPDLYLNNIFIDPESK
>RCO7_10863 | uncharacterized protein
MPVLSFATSDSSMGNFKIDEVHLQFSDVRILELLSSATAVRI
>RCO7_12001 | uncharacterized protein
MKFLVLPLSLAFLQIGLVFSTPDRCRYTLCCDGALKAVSACLHESESCLVPGDCCRGKSRLTLCSYGEGGNGFQCPTGYRQC
>RCO7_10860 | uncharacterized protein
MYPIGFPVSIFSSGKGHLVQDATYRLPTASIGVIISEGIITDGPSSATDVDASMIDEMAVGSRREDTAQASTIEDTILVDIETSIRDEASTQVNILD
HESDKATVHEDSAIVAMDDGVLIPVEKTGDEELSVVTVFTGNVDHDTIIVEEEDARFEIAEERPRVEMIESRAAGGSIQPIMIEDDDEQIDEAPAQI
HDLVRRDVRDEDMESEYLGDNSVSRSPRKFYYRSSRLQGRLNQLQANHVGYRIKVLERLIEQIESEAWKQ
>RCO7_10859 | uncharacterized protein
MAYALQYLPRRKYHSITLWTRNKAAVLTLKNPRRQSGQEHICSIYEAIAKLRRKCNTITVVWLPSDEKEELWTCAKENAKQATRQDAQPREPLPRAR
STTLTEARARRGANKGLPENVGKLSKRVDIALPGRHTRQLYDQLTSKEASVLAQLRTGIARLNSYLSLIRAAPSEMLQYTVIHRSNISFYLGGKSPT
DDKN
>RCO7_10858 | uncharacterized protein
MVDEDAGNKSIVPQGLEHLIRINTEYQKVICIGDGCGCAKEISTKKWVQHLRGHAVPRDIAWNMSLTEAIPPHGLAPQLGIQVIDGVRCTQCRLFVS
TSTIDVKDHWETAGHDPCDGCLVELVRIQTWGKIDHEQRYSVRTFWEVDEDAHRSSAEQGRYTEVNGYETQTSQNTETDDWEDVSNDVEYKGG
>RCO7_10857 | uncharacterized protein
MADIEAAGLVLGMISAIITIIDTTDQVYEAVKDEPGLPTNFKKSKLFEKVMLEEGGLRWDRYVKGARAIGKCGRVEN
>RCO7_10641 | uncharacterized protein
MSQDYLEEDPEDPESEPITATILEPYKHGYKLKGGENYTE
>RCO7_10640 | related to cyclin B3
MNAQPQRPGQKGRVQADENTAPTQAKQTLHQRHKSTGTLINMATTGVNKAEPKRKAFGDLSNTTRPLAAYDDSALPSKQGIELVKPAIPFDTKPTLL
RPAQRPLNTAASKALLTSITTVDPVMTSLTSKVPLADGKQVPAALKRTFSKKSTTIYKDEDSENVAPQVNVNQVMRQEVSAVAPIHQSLETRKSYAQ
LQQGPPASRLIEPSYPVVTDNVELNESIYQDAEENPAGGSDEQYADYAELHSSRSVVMQYPGSYRDQRKLPALPEPEEYWEDDEEEVYDEQGYTTAH
SYRSRGDTTGGVTIALAPKVTLNVRREIAAAKSVVESSRTMEEIEDEAWDTSMVAEYGDEIFQYMRELENKMLPNANYMDTQTEIQWSMRSVLMDWL
IQVHHRFSLLPETLFLCVNYIDRFLSCKIVSLGKLQLVGATAIFVAAKYEEINCPSVNEIVYMVDGGYTVDEILKAERFMLSMLQFELGWPGPMSFL
RRISKADDYDLETRTLAKYFLEVTIMDERFVGSPPSYVAAGAHCFARTMLKKGDWSPAHVYYSGYTWTQLKPIVSMMLECCENPLKHHAAVFEKYSD
RRYKRASQFVQAEMSKGFRLPAMYSRPSLASRQDFEGRDPFFQR
>RCO7_10639 | related to C6 finger domain protein
MEPFNLLSGPESSNAQIPFLAASAPSSTHSYPTRNTLAGMNMGTGNQRLATPPVAFGTTHSNSTTPHSTSMSPFGSPTPKSVAFELLFPELPQYRAR
LPMRVQIFPHDTTDSIVTTVKNFYGLYAGPGGAKGVSFEDDQGNTLIARYENLRNNMVVYVRVIEEPVPANGVYGPSSYHSVSPVLPQAYYPGDGHH
MPPPQPAQALSYGQPLSRPASRTSRKRSVSPNGGQGRGRRSASASTNPPPMKKSRSRSGFKSRGSSAHGSFADIHSDGLTGYSSGDGAPGSVSSKTR
SEHIGNTEISLDNIVEGGRRKRAKFESSELPLFAPPQMPAATSNSSVSPARRMEHQRSAFPFTNHSHNPFSNPLPLQSPQSYSNGFGQPGMYTTPAS
GRRTRAGASYPQNRQSIGSTPGNNSSGILPTPDPTVGSCVSEEDKDVALQLMRLGDMSNVSHGRTSASTFADDTFSGKADAASSTEATSDSECESEQ
ELPPPRLVKREASPILPPGHIKKIRSHLPDILPSQDSTEPSGDEGDYEDGRDETFRPGFKGDPMDLGSQSKTKSVPIMGKPRTSASGVKVKSNKSKI

PRPGQIKSKKSVSGPTSAKPISPTSLPSQSRKTSNASALTFQSQFGEDEEDLSSKPRCQRCRKSKKGCDRQRPCQRCKDAGLSADQCVSEDEGNGRK
GRYGRHMGVPVAKVNPLAGEMGFLPPTAMAGGQGSPDKSKKRKR

>RCO7_10638 | related to putative tartrate transporter
MVNVHDSKNDIDEKVDVLQMENGVSETNAFVCSPQEIQGRFPLLRDLNLEQMTTLNKKVLRKLDWRLMPTITIMFLLNYLDRINVSNARLAGLQEDL
NMSDTVWNAGISTFYVGYLVGQLPGNLWLAKTNPSWFLPSMMLAWSTATICMPAMTSGAGFCICRFFIGLTEAPFFPGITLMTSSWYTKEENPMRMA
VWHAGNTISNIISGFLAAAILENMDNIAGLHSWQWFFLIEGAASILVACIAFFLLPNWPTNTKWLSSQESEMAQYRVLLSNGGRDEGVGGTWDGVKA
AVQDPFTWLFCGMHFSLITAQSFKDFFPSILKTFGFSKMNTYLVQAPPYAIAYITACLFAYSSGRFGESCWHIVGPILASAVGCAVLISTINVPARY
IGAILLVSGTYNGLNLQLSWETNLVPSPRSKKAALIAIANCISQTSHWFSPYFFPTSQEPFYRLGGGLILFGCACTVGLCFAIKWWAKRLNKKLDEA
EGWTEQNGNEKGWRFMY

>RCO7_10637 | uncharacterized protein
MSVRILKAAARSNLDIPSQATLHRIFSSPVFVAMENRVRHRHVIPSVMMRCGTSKGLFLHKKDLPREQSQWSPILLAAMGSRDADQRQLDGVGGATS
TTSKVAVVSRSTRPGIDVDYTFAQVGVGSSKVDFSGNCGNISSGVGAFALDEGLVTPKPGQTQIDVSIFNTNTSRAMVQTLQVGPDGKFWEEGDYRI
GGVKGTGSEILVAFVKPAGSMTNKLFPTGHKQETIEVSSNPNITSFSVKASMVDAANPFVFVDASTMPAAWRSLDRNDPAALEIVESIRKVAAVRMG
LAKDEMSAGLVRGTPKIAVLSPPAPQTQQIDEKQIPDIHVCSYSMGKMHPSFQLTGAVCLGAAVSIPGTVASDVATRSLDLSPPGTPPQMSIEDEDI
TPDPKQVIIEHASGCIKAGVNVQEIKDGEFEVESVSVSRTARRLFEGNVLINL

>RCO7_10636 | related to pathway-specific regulatory protein nit-4
MTRLEAPSGHSSYYGRTSALYDDDLADRRGPKLGQASEMTRRQLMGEAAHQRQLETLNYRSAKLDFDGVDPELGMHLLTLHWNRQHHSHLITYRPAF
MRDMAGGGTYFSKLLLNAIYFGSCKFSPREEVKNLHAQFRQRVRELLGVALDKSDITTIQAMLVMTNSLFALGDERSAAWIYAGIAFRMLIDLGTHL
DNHGPKFTEEDMEIRRRVFWGAFVVDKIQSLYQGRPVSIQEVDVRTPILFQDQYEELEHWQPFAYPENQKYQGSPAYSVSTFTELCKLSVIMNSILN
IVYGVKSTKMAPELLAGDLERMHQELQRWKTALPEHLAFDPSISEQAVPPPHVLSLHSMFNVLLVLLHRPFVSEGHLHSTSRSIPTNSFVICAQAAT
RIVQLLRIYERTFSIRHAPYLIAYATYVSATIHVRIAAQLGPGSDSYAYLRTCLSVFVKNQETNWAARRAQSVIVSLMKKMHIELDASEELTPSAHP
STTDSSDNGPGTVPASIATPKMDNLEAGGAVFPAPGGFQDHDHIVDLDMDAIINSFINAQNPSPEDFYPRQPQRPDAAFHDPRFQDEGWNMMPNFPI
EGSYDDALFGFNGAALDGGWQ

>RCO7_10635 | related to CTP1 - Mitochondrial citrate transporter - member of the mitochondrial carrier (MCF) family
MAQPIHHPLPSATNMVKVNKSQQPTHSVSPILSLFAGGVAGGVEATITYPTEFLKTRSQLKSSAGPQGILETLRTIVKTEGISGLYTGCSTLAIGTA
MKAGVRFLTFDTIKGKLMDSNGKLSGANGVIAGMSAGAVESIAVVTPTERLKTALIDDAKNAKRFRNSRHAISLLVQEQGFRGLYKGLASTTMKQSA
TSGVRMGSYNFLKELSKTRQIPQNTATTFGMGACAGIITVYASQPFDTVKTRTQSASGESTLAAARGVLTEAGVLGFWKGSTMRLSRLIFSGGIVFS
VYEQIVALAGSRK

>RCO7_10634 | uncharacterized protein
MDLSRSSASNAKKSALWEHTLRSPSSSPSPLENQPGRKEETVFVDDGRTEDKTSRASSPCLFLTPKIQARPLPSSDTNRQAAKQEVVDLQTPSPPPF
AQKKIENPQTPENGRKRKRSRSNSVEFVRSTIKFPDEEAKSRRDLFIEACFRRDDIKWDFPADLKEGLIERFTAIYDRFH

>RCO7_10633 | uncharacterized protein
MDSLANSNGAGNGPNGTTPLTNGVSVPVAANNGTIFYAGEDDEDDGGNFIPTESQRRDYAANGYMDDSGSEEGGASIEDIPYFSIGSGANQATLNNG
DYAVGGPSATQNPSGSLGASLTNGNGANGVVGANQAPGSMGGILTNGVSVNGPSAQPAATTSASIAAAQRRIFENMLRYEGFSADDIHSILDLYDQL
R

>RCO7_10632 | uncharacterized protein
MLFSYPTAAVVLQIASLASAVELSAGLRASEQKVVPGAYIVTFDASLPSADEFYRNLTANGILATPRQTFDPAVFAGTSFKLHDVNSTHLDTIGSFA
QVTSISPVTLHDRVTPVGEKAHVAKLGNAGAATLKGRASASPPAHSGTQTSHVMTGVDRLHAEGLDGTGMIIAMVDSGVDYTLAALGGGFGPGFKVA
RGHDFVGDYDANGNPAPDSDPMDCAGHGTHVAGIIGASNDPYVLGVAPNATLYSYKVFGCEASGGADDILISAFIMAHKDGADVITCSIGGDSPWPE
SPLSSAVAAVVARGTPCIFATGNSGEAGMFLTSAAAAGTGVTAVGSVDNTNTPSADVIFRYTTGGDATIEVPYNLEAGNFSGINLPVVANSLDSTVV
SDACDPITKDLSGSIALIRRGICDFDVKIENALAAGAKYVLIYNNEPGEYDPYISDENVLGAAMISGVAGQELVKQLSAGHKIHADFGRHPLRKIIT
PGPANTLSGNAMSYFSSYGLSAENFVKPVISAPGGSILSTYLTTQGSYAVLSGTSMATPFVAGVVALYKQAKGKAISPKAINSALAATARPLHFNDR
TKNSTSLASVAQQGSGLIDAYHFIHGSIVLSEPNLAFNDTANFVSSPSFYVENSGKKPQTYIITHAPAVNSYAFNASFGTPNNHVVAPDPEIDEKYS
SVVISPSTLTLAPGAKKRISISVTPNASLNSTRVPVYSGFIKVTAADGEVASLPYAGVAAKMIDIPTLNPDYNTYDNSLADSVIPYSGPGKTPSGFI
DFYNVSNYSYAQYTWANIMASRSIRLDIVSLNGTNPVIAAGLATVGSAVGFPFPWQGRQPSGYVFTTDFAGYMGDNASPLPSGVYKMVLRILKIFAD
PAKGSSYESSESPPFYLDMTNAP

>RCO7_10631 | related to GPI12 - N-acetylglucosaminyl phosphatidylinositol deacetylase
MQWFTLLALPLVLISAWLYTVSIARGRFPKLLNKRICLLIAHPDDEAMFFAPTVLALTNPQLGNHVKILCLSSGDADGLGETRKKELVKSGMALGLR
KEDDVFVVESPEFPDSMTILWDKQKVANLLSSAFAPNLSNPMSSKSALQPTATIDVLITFDSSGISSHPNHISLYHGASHFISSLIKNRPGWAPPVD
LYTLTSVNMVRKYMSFLDSFLSLAVIAVSKKVMTEHPSPLLFLSGVEDVRSAQKAMTTAHKSQMRWFRWGWIGLSRYMMVNDLRLEKIT

>RCO7_10630 | uncharacterized protein
MARHRTPKTPKPIPLVQPDRSGPSSATLLEIAEQRGLLKTYDGQPDISSSRSRIQFPPKDADADAEALVGRLGESVLWSISLTMLHFTLDVLISHQY
GADSIVWRDICWRTVQAFPVIFLLIYLFHQHPSRSPVIPPLSPKLLHLTHQILFFIGSVTAGCYLIYITNEHGYYAVMKTSPPLGCLYLQKRRGYQR
VKSHHDFRSSRRHTVQELKTQASQASTLRSRKPRLHIVQYTILAVIINLRVVVNVAFPLNVTSKPIRLSFPSSPSFLPNRCKIPDTCSDKESYSSTQ
LFTSPLAQTPEFPRPFEYLPVGAWVILKGVPYMKAL

>RCO7_10629 | related to aspartate-tRNA ligase, cytosolic
MNILKKPFRKLKLGHSSSGDSVPKKVDTDSAASSVNGVGTPTNGHSNGNGNALAGSDVDSRRQSREIINAERERRSLDKQRVKAEAKKRETMARIED
EKFLEEGPADMTKLYKPFSMNMSKDRTNEPRILFKDLDFEKMDGELISFRARIHTLRRLSAKLVFIVFRQQTMTIQGVLQSFNPIEELQKENKGTIT
EQMVRSVEHYPSETIVVVHAKLRKAVKKVKNATIHDYELDVIEVHKVGDLTEHVPFTVYDAENINRDRDDIEDDEDAESSLYPSASDTPKGADTPRD
STPKFSTPRSSTDMIRASTDIIRRSTIGRGSVDKSRTSMDVFGARSQRSLPQRVRLNNRIVDLRTGPSQAIFRIQSGICNLFRTYLDDQGFIEIHTP
KLQGGATESGASVFELNYFGRPAFLAQSPQLAKQMAIASDFERVYEVGPVFRAEDSNTPRHLTEYTGLDLEMALEEHYHEALDIIDGMFKNLWKGIY
TRYQKEIDLISEFYPQERVMWLEETPRIKFADGVKLLIEEGWVDEEGNPPKDTEDLATRAEIRLGAIVREKYNTDYYILDKFPASARPFYTMPDPSD
NRYTNSFDIFMRGQEILSGGQRIHDAKFLEKNLKAKGIHPDTMTEYLEGFRWGAPPHAGCGIGLERLTYLFLNLGNIRLASMFPRDPKSLPAQPPRL

ALRHEEASTTNPPWEQKDYEELSEDSADANGVVESRHEYQPLEKLIANYGDAANTSWLDTRYKVWRHQSTGAAQGYVVHNNYAIAVGEPLCAKSQVP
QMVSGFLQFLKEEHKELKPLWMIAGPQIEEYLGEKFLWRTLGCIAEERTDPRNNPASKDKDLARKIRHAEAEGMKEIDLPFGEPVPEDLMQKIDARV
EDWKKGRKGTQVHLTEIRPWVDQQHRRYSYSQGPDGTIHAICVLHQLSAQNGYQVKFSLEFPNAPSGTIESLILHSLRSVAAADPECKQVTFGTGAM
PTLEGGRNMGKTKTKALRKAYEGINKQFKLTNKSEFREKMGVRNEPVYVCYPRGGLGAGGIRAIMGFLEDEG

>RCO7_10628 | uncharacterized protein

MPYAYCAEMGGFAFKTSTPRANDEGYKLQRLWSDDIFELRQNGGIRQLPFITQDEKMEKSKDDFVIKAMAILQVFWMVVTVIIRATRGFPISQLEVT
ACAFAACTFIMYILWWSKPQGVTACTDIAEKVRRVQEQSGISPWSFEKNWLPVYSIIRPFVPNLIKSQYQTQDMPIPNDSLPSKTARPLVWLVIVWG
AWVWVVCS

>RCO7_10627 | related to Tripeptidyl-peptidase sed1

MLMRSLFAILASGLVIETVANPVTNSLGTKREIPASHSLHERHLAHWSEEWVKKSKIPGSQVFPMRIGLKQHNLEAGHNKLMELSTPGSASYGNHMT
PEEVIDFFAPPQSVTDAVLDWLHSSGIGADRCAPSVNKQWIQFDATAEEVENLLFADFYLWKHSSGVHDISTEEYHLPKHIQEHVDYITPGIRLRQR
SAKVGAGDELLKRSDSTLSGGGIRPQNVGDLPGFPQTNATNCDVYVTADCTRVQYGIPAASKSAPGNKLGIYENNGIHYSRADLDVFYSHLYPHIPN
GTYPEERLIDGAFGAIETVDKFVALNDSEAALDFGTASPLIYPQGLVLFQDGDEYWEVEGDSYGFWNNFLDAIDGSYCTYSAFNETGNCKTEECLDP
IYPDPSPGGYKGELQCGVYKPTNVISISYEANEFALPDNYIKRQCNEWMKLALQGVTTIFPSGDSGVGRSGGKSQCKGASGNIFKPIYASSCPYALS
VGGTQYDRFSNSTAPIAGQKLHEVATTSYASGGGFSNVFGTPSYQRDAVDRYFDQVKDKLGFDGYDHFIEKGNFSSVEHGVFHRGGRAYPDVSAVGD
RQIIYSNGTWIAGGGTSVSAPVWGAILTLVNEERIAAGKSTVGFVNPVLYQHPEAFNDITVGSNPGCGGPGFPTAKGWDPVTGLGSPNFPVLLKVLM
SI

>RCO7_10626 | probable beta-glucosidase precursor

MFYPLMSAAALLAPVLAVVQPLNTTILGAYGHSPPVYPSPNATGIGGWEEALVKARHFTAQLTPDEKANMVTGKPGPCIGNIYAIPRLGFGGLCLQD
GPLAIRTVDYASVFPAGVTTAASFDRKLMYERGKAMGAEFRGKGAEVALSPVAGPLGRSAYAGRNWEGFSPDSYLTGVAMEETILGLQTNGLQACAK
HWIGIEQETQRNPTYKNGSIVQESLSSNIDDRTMHELYMWPFANAVRAGVASFMCSYQRLNGSYACENSKAMNGLLKGELGFQGYVMSDWGATHSGV
PSIEAGLDMNMPGGLGLYGQLWSSNGTDEVSDFGGNVTIAVNNGTLDSSRVDDMIIRIMTPYFWLGQDKDYPTVDPSSADLNTFSPKSTWTKPYVLN
GTRSRDVRADHGALIRKHGASSTVMLKNVNKALPLKAPKIISVFGNDASEDTQGLYNQVDFEYGTLVSGGGSGTGRLTYLITPLEALKARASKDGAL
IQQWLNNTLIATSNITDLATPETPDVCLVFLKTWAEEALDRISLELDWQGNEVVESVASYCNNTIVVTHSSGINDLPWADHPNVTAILAAHYPGQES
GNSIVDLLYGDVNPSGHLPYTIALSSDDYNGLPTTAVNSTDPDAWQAYFEEKLEIDYRYFDAQNMSVRYEFGFGLSYTTFGLADLAIESCSGNATVP
ATAPAQKTTPGGNPALWETLYSITVSVSNTGDVAGAAVPQLYIMMPDSAPAGTPPKQLRGFEKVMLEPGANETVSFPLMRRDLSYWDVVSQDWIIPE
GVFGVSLGFSSRDYKLAGSFTVI

>RCO7_10625 | uncharacterized protein

MADQTRLPHFKRIFRASACSKSYQLNFACHAVQCLPAPRARAVCFDRIIRIEEKRGREIEAENLTSPAYAPTILQVGQDSRRGPDEDGEDEVKAADR
LLPKKVMRETRHLMLNIYSGTYEALTDDPDDTSCQDVVNVFQSFPKLETLSSSVRPPQVFKRDGSEKLSAGLDMRLRRLKIPQSLMDEVTDSLAESK
EEHPQWKQPIVSVVEMERSAGRTWEESCQSLARSNRGSPKIDIRASRSEAHSPLAGKGRGKFTSQPESGSGGTLFDVPGLNRSSQYLG

>RCO7_10624 | related to 4-hydroxybenzoate transporter

MSASSKSPLDPENGQSSSKTVQESVGAGGHGDNLRLSLSTGVSNKLILEERKAELINYHFNEMGMGRYQWYIWSLCGLGYFLDLLWAQAFGLIASPL
KQELGFSDGELGNIFTAFSSGLCAGAFVWGILVDIIGRRWAFNGTVLISGIFGLCLGAPSTYNGILVLTAFNGFGIGGNIPIDTTICLEFIPKKERF
LLALLSIFQPLGVVVCSGIAYGFIPKYSCNIDLPSCKNSAPGEACCSKADNYGWRYLVFTLGAIAMLIFFLRFVLFTFEESPKYLISRGRDEEAMRV
LHHVSKINKYECSLTMDDFRALDARYGNELTNGIADADTTMGSPEQKNKKPKKPKFYQQLLNEFSRIGVLFTTASMARLTILVWIIYAFDYWAFSIA
GSFLPTILLKKNSAINVSVSETYRDYIIIYLPGIVGVGLGAGMIRFGRLGRKWTMVFAALMMGISLFLFATVNTQASNIGFNLMEYFFQSMFNAVLY
GWTPEAFPASVRGTASGVASFWGRLLSIVSPLIAAHLLETSLNGPLYLAGSGALVCVVAIMFLPNNSLDGQLP

>RCO7_10623 | uncharacterized protein

MNIPSKTPSIRVDRRESRSLVNATAQKIVGPFASFILKPGKPEPAGSPRLTPHKGAKKICTIEEMQIADTWVYTFKHPSKSEARPKHRIYYFAGGGF
RAHPAKEHWILCANLCVSLPEYEISVVSIPLTPNSPASKSLPHLERLYDVLAEQSRHDDFRITLAGDSSGGNIALVLGLYAASQLLRNPSHGPCPVE
AVMAICPATDLRNENPEIDVIEVHDPLLSRKSITEVGDGWRAELPASDSRVSPILADLTLFAQAGIKVDGITAGFDTLTPDAIKFREKLAEFGVDGD
WLQWEKQMHCFPLLSAFHIHEGVVGKEWMVDIWRRNVNSLEES

>RCO7_10622 | uncharacterized protein

MGAPEFFYSAFDRQVVQNTTLSTKKPLQASITQRPRNSSVSSISSISSTSSYYSCSSRRSSYSSRSPLLEKYAPIGSLAYLPEDENTTIHCAQTGCG
KKIELPALGHPVFILKKWKSEDGEIMTRACTISGNINPCPQDKARNLPIFHGTSRYPSFNPAEVMRLERTGTLTKQSYIQVKHVYEIPLSKLAPFNS
QRFENRLSEQSYSYLMSVLGLEKAHWTPTSDLESGIQETLPTTANAEISKITTAQKIITPVTTFISKVEKALPSMSLNADTASTVQVPQTQKKKGNK
NKFVAISGHDFFSNMRCDFQ

>RCO7_10621 | related to methyltransferase

MAESPPSPIAETDPITTQPPTTTETGADTPTITTDLAQPQTQSSTTAGESNPQDHAHLAIDEGNFADDDSAYGSSVASSSVSLASSITHYKYENGRR
YHAFREGEYYLPNDEEEQARLDLQHHIYRLCLGGKLYEAPVCNPQTVLDIGTGTGIWAIDFADEYPGSLVIGTDLSPIQPGFVPPNVKFYVDDFEQT
WEFHEVGLFDYIHWRSLSGSTGDFPKLYGQALRNLKPGAWIEVQEYDAWVYSDDDENMTKAPWTLEWCETLNRVSTQFGKVLNVGRHHKRWMQEAGF
VDVEEKIVKCPIGPWTRDASLKELGRYERWHMNESVEAHSMALYTRVLNYTPEQAQVVGENPGRMGLDSGLLAMSSMEVVMET

>RCO7_10620 | related to nitrogen metabolic regulation protein nmr

MAMGSTTPTPRKLIVVIGVTGNQGGSVASRFLSDPTYRIRGLTRNPASPAAVALARKGIEIVAADLEDVESLKKAFEGANLIFSVTNYWEPFWRPDA
RAAAEKKGITCRKWAYEVELRQGKNIADAAGSKGVVEGLDEMGFVASTLSNAKVCSKGKYQELYHFDSKAEVFPGYVEEKYPELAKKMSCVQTGYFM
SSYKLAPGAYFAKQPDNSYIQYFPTSPTASVPHIAINSDLGPFIHGVIRMGPGKHYMAAGTECSWAEFVATWSRVTGKPARYQMCGVEDMAANCPDR
MFGEELADMFDYSSDPGYDGGDKTLLKAEDIRKAGFECPMTSLEEYFKNENWDIVFNQ

>RCO7_10619 | related to nuclear protein SA-1

MTTTRTPLLDISTNDVMSSPAAIGSRRKSGRAVKVPQKFQPEVDSSHAGSATSKRKRTDGEEEGDASNIEEAEDSDDANESAGEEEEREVRKKAKKT
KKPAAKKVKVHGTAAYNDEPLAVKLPARPKKSGKRVAIADKEADGLYADVFQSGDTSETVVTRWLNKYNEDNISALADLINLVLRSAGCSIEITSDD
VNDEDNVMNKLADLQDEHQAKNITDYPLTSKTKSSHAFRDALVGFFDQLIQAIHDTGILYNEKPLIENIDVWISTLSSSTLRPFRHTATLVALTIMT
AMCRVAHHEIEAAAKTSRQIESEKNKKGANKARLADFQKKVKTNEDNETFLKERIQGFFDTVYTHRYRDVDPKIRTECAEAMGSWMMELESMFFEGQ
YLRYMGWMLSDTHGSMRLEVVKQLSKLMNSLNPGGMRHFVERFRPRMVEMATRDSEPGIRAAAVDLMGLIREQGMLEPDDIDTLGKLIFDTDPKVRK

AIVTFFLANVKDAYEARVEELGGEESIEDLLTVDDEDDYDSPRGAWIQFKCLAECLLGYDAQDSDDQPSQIALPEFLDTSVSESRFTLAAQALYDKS
SMLKDWEVLAGYLLYDHTAAASENEVSDTIRDSFKPTEQEELVLLEILNAVVKVSLASVDESARDKGKSKASKAEIAEANDNAARRLAGLIPRLLKK
YGADPKTATLVLRLEHVLNLGVFQELRQDTTVYSQLLDDISAQFNSHADRTVLAEAVAAFLHARGHEELEELADNKILSLWEDTANSLRQLNQTGNI
AVRGSFKVKVLKDLSHTLIRLEQLSTIASSVDTLEEDSIGGEPLPIVILLDIIARGVFEDANDEEIDGLEDDIVLSAMKSAMFYFMWKIRALTDAVA
IEDDVPDIDIDHLRQWQEIFMQNVTAAFSSRATLDPVRLIGAGTVLDVHVLFTTLRPSETEADAEESPYYLNLIKPIIPEVHHELISIFDALEKQFA
KKSHKKLAEPSDDEEPEELDEEPEDDEEELATDNERQAEALTAERELCEFTGKVVLAILAGVIDASGPLKGKLRSRLQRNRSRLGPNFKDIIAYLDE
PKTKGKKGKNGKSTSHPKVGDKQTTAKSDILAVDEEDEEDDPFADVEPEEGTVEDLRRRELLDDEPEASLDGDGVPNGGADEVEDDIMGD

>RCO7_10618 | uncharacterized protein
MFTNILIIALAPSPLVIAHGKGGDIDGNTTALGIMGGIVPGPGRNKVLDVDTTVFGLTNSMSDGLGKTAGGGKNRTKLAITQQIPGTNGNIRAPKYR
RFFRRVLISADMVKHASNVKTDEQMAATVPAGTTCAGTVNGQQNVCLVKIANSNPAEPFGGVIAIQMASAGNTTLTAATADSAPTKASTAASAKAAA
RAASMDAVDTLIADEPDTKHSVAFRA

>RCO7_10617 | related to cation diffusion facilitator 10
MASRQDEIEQVEAARFPSPTPQQHPPSDRNSSVTLIKKPAIAVFEETGSIDQAPPAESELERGRSSSSDDPYSLKGYVQQPSETKFSHKVLPTRAGR
NQRKVKKYYNRQNALIDAYLGSSEEEQSEIDDVKKNGGKVKFAVNASFICNFFLFIIQMYAAVSTGSLSLFATAADAFMDLVSSFIMLITSRLAAKP
NVEKFPVGRKRVETVGIILFCALMTTVSVQLIIESIRSLVRGPHDSEALHIIPIVFVCVAIFAKACLFVYCFILRRYPAAGIFMIDHRNDIAVNVFG
LIMSIVGSRFNVVWFLDPVGAICIACLILYSWASTAFEHMWYLVGKSAPQDFLNKMVYVAVTHDKRILKIDTVRAYHAGDKYYAEVDIIMDRFETLQ
VTHDVSETLQRKLEGLGDVERAFVHVDYEDSHSIQTEHKALYEVKTKGVREPIIERIQKKIQAKVQAIKERGG

>RCO7_10616 | related to low affininty zinc transporter
MSDAVPVKPQCGGGGANKDDYDLPLHVAALFLVLAFSIFGAGFPVVAKRVTWMKIPPKIFIFCRHFGTGVLIATAFVHLVPTAFVSLTNPCLPDIFI
VQYPALPGVIMMAALFALFVIEMVLKAKNGGHSHGGPTGQDLVQHVPTQGKGLSAQGAPHGISAPVQYRNDQEWSDDEYPDEKDLAYVTDSYERKTS
YPPHPLHRSNTSTNYGAESEMPPWFQVFFAQYVRQREEMKNMISAYTPGMAVAPPQLPSSIDPETAMMAAEPVIDDATYRKMNMNITLLEGGILFHS
IFVGMTISITTDGFIVLLVAILFHQFFEGLGLGSRIAAVPYPKGNVRPWVLVCAFGLTCPIGQAIGLITRDSYDPDSAFALILVGVFNAISSAEDFL
SEEAQHLMTKNMKIWAFSYVLMGAAGMSVVGAFA

>RCO7_10615 | uncharacterized protein
MPRPTAINLVTFFYPIGNTPCVCLTQDLPPEDDARILLLGCGDIRNILFTAYADAAPLTRSTDITCCDHEGAIIARNVLALTLMLDDVSDQQHSSIW
QIYYHFYLDDKSLRLLQVQAKKLSHLAGTIESWKAGAYGKLMAFCDEDTRTMVKQHWDEYAVSDLSKNEQVKHDNRLKASFEAAQKMKRDRVGSSFP
LTGLRSTAPVSLHATTDTGKIYAHYWKHGSTDRNPTLLPKNRRLSPTFAPMETETFTLHYGTDPQLGFPLATAYIPFTKESPLLTEGGTKSDFHRIT
DAARTHFQAWAKSFRKSAEKFTLRFFVGDAIGFCHTLQHINSSGNVNGNWYRTKYTIQTIDLYPEDYNSSGSAHSVFNVIDTSNLLDHLGSLNVLVA
AAPLLERGVASIMYTESLVARETNRKDYMDKLLCGSFPTMALLLGLVPIEYWTGATAVSNAAESMLDISASVAGVPEGVSQGQMYCRIVWKPVLACG
DPSDIMERKLHFDAKDLANLIHHTYRAMFEHEDHMKTLASLSMRTIRVNSCPYYNRGSLAAFLRFIKPRVVTDWDSMMELVLDRIAGDGSIMMGLSY
YNDLCAHVSLMQVHDIPGLSVGCQPSDAAKFKNGLGAWKSLPTVVCMTLVVPRAKIEFIRKLTPNQLGSPNVLCTIQAASASQFSIGGWQEIFADVH
LTFGELTTEAEATDDEHKVLIKEDPLGWKGKCPLLVTFNVPSWVVLRDPSKTVVTFGVQSTPQSVGTFMKSLGLTLTIDTTKLQDNNTVHITKFPPH
CAGFASISTFSPMFKDEETKNGFKITISANIEQSTRSICGFTGRLDLHAENLTATLKAGCKVVLTQLSPTTIAVTLENHLLPLKLTFPVPVQSSKSR
TRIARKSSHIEVIVPFADHVSNQDFTNFMFPLFLRNHIPMISNMPYLNLGCLPIIDTTSKTSTKSLEWLTSLISHQFSARERLQRDTESIEADPRTN
FKDSIFSIFMHYTGIQGAKCSVFGLNDAEHGGVQIILLVSRMLLDMASHTVVLDCAVLPLTHEMMGELVPFLGSLGSGGMVMIKVNQEEMKIWREVL
PAMVERCRVWKHIPSCAYKTSGKIPLSAQNGVALICSCGAGKYPDNFSITGVAKSNWAMARKFATRAALSPIFAVNYVERPFQLRDLLEKDEMKILV
CRKCGKDYGGGGKALSKCARCLVVWYCSPECQRADWKEHKKTCKASEA

>RCO7_10614 | probable choline-sulfatase
MAPDLNSVPPSPRQERTAAAMASYSTNTKQPNILYIMADQLAAPLLKMHNPSSQIKTPNLDALAATGVVFDSAYCPSPLCAPSRMSMVSGQLPTKIG
SYDNASSIDPSVPTYAHYLRAAGYETTLAGKMHFIGEQLHGYESRLTSDIYPGDYGWAVNWEEPERRLEWYHNSSSIEQAGPCVRSNQLDYDEEVMS
KQFLYDHVRKGPNTRPFCMTVSLTHPHDPYTIEKKYWDMYADVDIQLPDINIPQEEQDSHSQRLLKVCDLWGKKFTPDQVKRARRAYYGAVSYVDDC
VGKLLETLKECRLDGDTIVVFSGDHGDMLGERGLWYKMSYFEASVRVPMIINHPASFAPHHVSQNVSTLDILPTLVDLAHTKLWDGLPMDGSSLLPH
LESREGGSDTVFAEYCGEGTIAPMMMIRRGPWKYITCPADPDQLYNLSTDPKELINLALLPAKHPSATPATTSALASFVAEAKAKWDMPSITNQVLL
SQRQRRLVWQALKTGKFTSWDHNPIDDGREKFIRSHMHLDDMELKARYPPVDSQGRDLYGNGNAMGRFGGVIGHQAGAHGQ

>RCO7_10613 | related to endoglucanase I precursor
MGLNFRWLVNAGLLILPVGTTVGVLMGVDSHRQTTGQEPLFNTPSSGPGTGGGTGNPSDDRITTEVHCEKQTGRIAPTRGVQYILNPNQWGILEDTV
GAMCMHMSLNNNGSYPTPSSAPPFFVTWSYAPGPDTQPVHAFPNVQVVTGLPMLLSKVKSINLATEWTYGVGDTPALKTDIAALTANAVNTNVAVDM
FFDADKNKAKNSSQAAFEVMVWFADIGPAAQVIGLPAGTIATQVINTTTFELYSGINGFKQNVLTWKARNMTETFYGDIAPLITQLNTIPAAKFDGT
NLYLGHVGMGTEAFSATQNVTFSMPVLSVDIGV

>RCO7_10612 | related to cellulose synthase catalytic subunit [UDP-forming]
MNGRDQDVYEEEMKDIRGHNQPYSQPYNNLNAPYNSQDPHAISSDNLMLPERLGATVSPRGRRPGYEGAHDSMSSVYGWNAESIPGTPGDSRCTTPT
LSPYNNNDFNNSRSYLSTTTLVNKANHSSSTSTFPSKHSYSEDSITQLHKRDDIQLSKGWRRKIFKLVPVLAFLNFFLYIAYLGLRIYCVIIAQNRF
GVAYPGAWVFLGVEIIVAIPSQMHNFWTMWALKRRNRPQLRLNSDEVPGVDVFVTCCGEDDDVVLDTVRAACDQDYPRDRFRVVVLDDGKSATLEAL
VNQLGYVYSNLYYMARTKVKGVPHHFKAGNLNYGLEQLDLLPGGANEFMAALDADMIPEPHWLRALMPHLVVDPKVALACPPQLFYNTPVSDPLAQS
LNFFVHVIEPIKDALGVAWCTGSGYVIRRVALTEIGNFPLGSLAEDVATSTLMLGLGWKTAYIHEPLQFGTVPEDFGGHLKQRTRWAIGTIQTAFKL
NFCLFGKDVKMMTGAQRFSGALYAILGMFTILVTVSLFAIPVVLMWGKPLVAYADIEQLRWLIRSCFAAFMCNRLCELALFSPAGYHTGQRDSRYQI
WMSPYISLSIIRSFILPTWLGGSVVAFKPTGSLGNALNERDPKNKKNMARRLWAILINYMALFHFVFVYFTLVAVVLTTYRVFFPKGQALRDIFIGL
ITHAFWPPLTFLFLISSLWTPVAYAIDPPMVPDREELLVRDQKTGVAHPREDTKKVAFGGQAAWFEFLYTGSTIYTGLVFAYSFFL

>RCO7_10611 | uncharacterized protein
MICYASDVNHTSILTKQTNFNPTSPPKRSGHNIKMKVATLLSIVLMAVGATANALPKGLIARDCEEDDSANADNSATPKQAKEPGLVTKTPGNAIVR
HWTGQQVVVLTILHSYAWRCF

>RCO7_09636 | uncharacterized protein
MAPTPHRTPSDYETDSESSQSDLDSLTRRLALSPKDQVLELYSHRRDDTPRPTSISEPVEGKNHESSQSRDGNRVAKKNELGTLSPIREDGKETEGE
EDVEMKVEFKTELKGSATTPKRKLRKCRSMKKGLKEGVNVVVEETLKVETEDDSPARKRRGTETIDISVSKRAKLTEDSPQK

>RCO7_09635 | probable peptidyl-prolyl cis-trans isomerase B precursor
MFTIQRFVVSVMLIIAITFAFFSRTAEALVGPKITAKVFFEIKHGEEDMGKIVIGLYGGTVPKTVENFRALATGEKGFGFESSTFHRVIKGFMIQGG
DFTKGDGTGGKSIYGDKFPDENFKLKHSKVGLLSMANAGEDTNGSQFFITTSTPGHLDGKHVVFGEVLEGYSVVQAIENVPKGGGDKPKVAVTIAKS
GEIPVPPEDVKYGGAAFVAGESETPVVHTSTVVPGPIKTGIVPPVVPVVPDTDAANESAEWSVLQKGLCFMVILGAIGIWMKLANKRKAKRYPAKSM
A
>RCO7_09634 | related to ribosomal protein S13
MTVFHSVICLHLQVFLLGIPFAETKLLKACLERFYGIGAQHSSRMLAKHSIFPAARIGDLPTKTILALDADLSAMKIENELRHEMRANILRLRTMGS
YRGVRHAMGYPVRGQRTRSQIMNSRKLNRTTRIG
>RCO7_09633 | uncharacterized protein
MGKSGKKNTSSTNNHGKNLNKDRNARSSAPSPCINNANEFETVLQSVEREILPLPTRTSSLGSYSHRINPQSARSDAPPPGVSSHWVETPYQVDAQG
EGPAPERLTEALSRVAEDIERGQGQSDALSSLPYSSPSSSPTPSDGSEYYVITSTSHQPSGAREGQVPRSLRSSAPSPDRHLTTVQSGAPLTSILRE
SSGIVPPKNTPVKPHNILPITNSTCKPFPSPHDPSPRGPAIQRPPLIDTPAYHQNHDAFAGYSLIMSTQAEEHGGGYSSDEADDGDRYSAESDKNLM
EMLKESITKTVTVTHTPAAEATSKFGTFGSGSGSASTSASVPTMRGSNAGTGGRSGTGGGSEWNPPLAPNELKSHTITWVNDKKIGERINGVQVPWE
EMDEYGFEGPPKGEEGKKEGKKPKKGKGKDGKVVTKQGLRDMLSGLKKENEKPSGGKA
>RCO7_09632 | uncharacterized protein
MADDRYIEAKRTIRPIIGQRTRASSVPATSSRQPADNDGMHQSIYSTLSLALRHPSPPSRHAAYLDPQANNSKAVIQPANSIKWAGFKSKHVPRDSL
KHTEPAIFKKSVRTVRANKMSARHGRLELELSEMMDGVSLTGYCMGDTSKRSSEDREERESRKELRDGMDLDDGKKEDDEGDIDMEWLKIGA
>RCO7_09631 | uncharacterized protein
MADLPMEENMPQDKDATAVTASNVGDSEVAGSQPSLGRRSSLRVSLAKSNASQSSKPPPLAKSNAPQSSQPPPLGQRNSSRIMQAKSKASELSVEAK
KMSDQTQRKIRKPKIADTDNAQAPAQTSVPALAEKSIQKSKPAKEEKPVKTRAHTIREWKVIWAAEKLAKEGQALDSSAAEATTPQPAALGLSNPDG
SKTSTDNATTLMTTAKEKENQMWMAGLHPQQKAEKDDLERAKWWSPHGGHKHEYYEGTGQS
>RCO7_09630 | uncharacterized protein
MAPQMLSNYEEIASSAENLQDAPSSNIELPLASINEKTVKIVTSTKDPPPYSTMLGRSRRCKPWIDTVNTLTISAVDIFEHLCNRKYTTRKLRLRTR
DLLHALHKLRDRWNAESPYNTIDSYDPNNPHLPRLNQFDPYKNISRPRAGESLYHKKFMASIIEVFDDLYERANTPVRAREFHNTLFDLRDNWDSRD
HKKHSSLYAAAPKATNEGFVTKTGKLFSVLKGGLA
>RCO7_09629 | uncharacterized protein
MTDRTKYSLEGSFDPVYDDLAQMRYILADHYFNWQLSSVANLRDFVLDLLTTIRNAQGLLHQHKDSPAQSCTTKGVIEAIEEDVEAILETAATMDPE
FITRCDVAALLRERIAIVLGAMREEVQVKAEPAEIADYGSEEDSSYFSHEGPGQVSEYTFYSPSNFQKSSWDIYRLLSVGHQQAVLTYYWVVRISKQ
LPTHGDLFPTDRK
>RCO7_09628 | uncharacterized protein
MTEEGLNAASPTLYHHNVNPPELPFQALEDIDTGLGLSDKGDSPRTRLCSTIENPDLSADSDLQPPAIEFFESLLLSETSTIRIFLHQKRLDLSHID
PEDIVGWDNLVSRKVPFFREERGIYVDELIMFAASPRGEFLDVVQGAKELVMFTDMQIWQGVHTWMDWIAGDGLQLHRGRKEDILKVGRFLGASKDY
LDELARTSKSVELDVPADQASDDEFAVSCTLDAKEVSLPISIQQQTIVVGKPSSAIPDNIEKIEITPNPDPRPRVRIYINYVKTDRLFDDPGMLLHI
ELPEDILSKHSSLFRQALLKKRANKSTFDPDDSMLYDTQASQTPKSKPPPNLVISLEEIILNLCDPRLERQRWIRGDERVASMRLVKQLLARNVGEL
WDALKTWFWWIVEREVVLFPGERAHENAWNVGYFLGATAAYLAELTRSSPDRNSTSVSSRGRNVPSTPSSIGATTQRKAAKAKGKKVTGAESKEPES
FKETDARIIRDLAAEALKLRTGTISQQSLPSPSIRTAVETQSGELNHEHSFYRSRFGKEGGPLKDTRPDDENLVIEDDFVEMKKRKLQRVW
>RCO7_09627 | uncharacterized protein
MSTARRGRACDTCHSIKIKCELGTSKDSLPPCERCLRLGKTCSVTAPVKKKDRIAELEAKLEEMTRLLRVQELGDSASDAGTGNESRSGGGTSPATT
VNSEETSSSGTKAAASGGRGSKKRRLENASPEADGVGSFDMDYVVLEEIQRLLLDKYQNEMQPVFPFDIRHGYDVLRDQHPMLLQAIIFAASPGVLS
ADEQDAITNIAVKLVAPDMVAKQEKSIELLQAVLMISFWYRPPRNQVHVAIDRSLNTALELAEELAISSSESALGIASLESNDKINSAEAWRTWNLC
YLLASSLGSCMRFPPKIPWSVDMELKLSSLEYGRDSLPNDGLLCQFLRAERLCEQIAFEANYSTSLSVLEVTNHTQIRRIQNLIIDRKAQLFSSNST
PALRMYENIATLYLHECILHTPTNKASFAAPYVAERLSLTDFPAPVVTADHIPFLYGLRDACHTALNAVLALDYRDMAFAPIVTFTAKAFYAQWLLI
KLYVAVTASGNTYGAFISAESLQVEHYLQKIGEIGDKICELDPEHMGGKGLQQSSRKIKEWVFNCDFLRAEDTLKNMENPVVMQSGLLEFGPAGPVD
WSQLDYDGFGFGGQDMYGIPPA
>RCO7_09626 | related to DHA14-like major facilitator; ABC transporter
MESSTSLSMEQNGRKDSSSKPKAPSIMAEDNDGSARDHKVLPTFGEVSQANVSEKEAKSEDLSKYPTGIQLLLIFTALCATTFLVALDGTILATAIP
SITKDFNSLKDIAWYSSSFLLATCAFQLPWGRAYTLFNSKWVFLTAIAVFEVGSMVSGAAPTSMALIIGRAVAGLGGGGIFSGCFIIIAESVPLSKR
ALYTGVIGGTFGIASVVGPLIGGAFTTRVSWRWCFYVNLPIGALTLAIVFIFLPATLSRSSSMSKTSTYWQIVMKFDPIGTAIFIPSILCLLLALQW
AGGKYPWSSGRVIVTLTVFGVLFVAWVVVQMRLGDDATVPISILKQRTVVGACVFTMFAAAAFTGVVYYLPIWFQAIRSDNAVQSGINTLPLILSLI
IVSVGSGGLVVLFGYYTPLLILGSTITCIGIGLLYTLKPSSSTEAWIGFQIITGAGLGMSLEQCNIAIQTVLPDSQIPAATSLGILVRSLGGSIAVA
ICQNIFEKTLREKMRGLLPGLDLDLIENSGATTLVANANRALGGDEKKVQHILGLYNKALVGTFLVSLVLAAVTLPASLIVEWKSVKKEKKDGKKDV
EATPATLDSCENEKSAADAEKS
>RCO7_09625 | related to DOPA 4,5-dioxygenase
MTKVEIKAIVLTPHDEDLITVVENRTREWHFHIYFLTQSPVETAAALELRDAVLRLRRDGAFVAVPLFRVNKSPIGPHPAGSYEIWVPDTSFSDVYF
YLASNRGNLSILVHPLTSDQRRDHDQRAGWLGKPWPVYLDDLPREGPVPFQYEELGLGYSAPPKNEESYEKRRRRGAEIEAILSLDPEAAPAPRD
>RCO7_09624 | uncharacterized protein
MSASQRITRGTVSISTSKSAAHASATTPTTLIWHQRCMDGYARSCEIYAEAAKSYNERAKVYLEKVEDFNTTLTTLLQSDATYALTHMPKIPSLPKQ
PTAPVFPTKPFEPRQSVLSVLREVESRDLNSLLGTPGILVDRSKQHELVFEYQSIMDTANENISWTTQKVALANAQLQSRVQVIKADAVIERDTYVA
IARNYKKAIEARYATISVIETVSGLPVYDSQSKSAVKRRKEKSVEEETMVQPMSSKRKMKLRAIKPAVSAKRRMRSIASIDANEEEIGDQSVYSAPG
LIFRTKKA
>RCO7_09623 | uncharacterized protein
MEPFPSFKTAADSRAELHSIIGTRLGLIEAFTTSPACSDEDFEKIEHFLGIIESTVLTKVEKEIDDDRYTAPAARVSTMHPYPRIPSAYASGALLIP
STDPESPVSPKTINYIPRIFSNNYPLTAGSSKDIADVKDHHRDLALESMPERENRDGKSQDRVSRPGKGVLATSFGRPGDLRRRRKLAARKLAIDER
AAVGMLGNMSIKGHGSGKMDEEGATAAGGMDMS

>RCO7_09622 | uncharacterized protein
MQLDLAIRPGPKSHPLRDPDNTQASHHALPASAMTAAEQVAFGRALEEYYHKFENWETECYEISKRYEWDVHMYSHEYIGYCEEIASAIESEGPLPY
FPEEPAYPPKPEIPVPPSKAPRTLINTEKKKKKKKKKKNRSDRIVSDKSAEGHRQRLAKLVAETVAIDPIRITNDGISKEKPAKHSTSNARRAIAVE
RALRSLEVKVISNSTASLRTGGGLEKHLSMRPKFKATKKRLLGVGETSESYTASTDLGMEDGSGGLSKLHLGENKLA
>RCO7_09621 | uncharacterized protein
MSYELQLTKPAYQTDSLRRAGINVQDSQMSEVESENEDESADTRHTTLSFRLSAASVSSQIHHEQSAARRITQYSSPDYTMSAEDQVALGRSLEDYY
LRFEDWESECHDIYLQYEKDLLEYNREYLGNYEERSLDANLEGPMPYMPQEPVFPTKPDMPIPPSNELRALVNTAKSSKNRMEPIRGCGIYARFVNE
TKAVAGAWFSAKSAKSGISKKKKKKDTRSTKSSGGRSEGVDRALKTLEFNVITNSGNCGKEGVAEAAVMSFANLSRRPTSNARERKDAGERNHSLGM
IMQNGLVRVQILAGSHFCTLSQS
>RCO7_09620 | uncharacterized protein
MPPTTSVSSEISNHNVLSEPQHLSRGGDMYTRAKLASMTPAHTKVESKAKASSTSVTTIALNTKNPNHTNQANHNKNPLASRRSNRLAGIQMNLYTQ
IQTSQSCPPSFKIRSNRINAKVVAKVLNTSYSRVAKSAKTARDLQAANNLSATSAIEKQAGRAYREIMKNHPIPPSPIVSQPELVITSLTDSISLTF
NIQDTPTSQVTSNTQTAVASQPQTSNPILPHEKLIVRLNCLKSQE
>RCO7_09619 | uncharacterized protein
MSSSTPTNALQSIINRERYRLELDSHILALDDYEREAKTYTKAASHHLALVKLYQLVTSEYSTEISNLPSNFLLSSIAKPVAPASFALLPPTKPAMP
FYRPMVSGLGKIGGEGKEVGEERPWMKVQQISAARAGKIANLIREAKRSIDSAGVKIDMAVENVRIADVKIKRANRLQTRADKKIKSMKRKSVGDEK
IEEQKSLPSFDGIVFTHHFKSGLKNSENGEQRVEVSSEAADDTDTNEMDVEH
>RCO7_09618 | uncharacterized protein
MSSNSLPDLATATQTTATTSQKPAASTSGNRAATITGSGTTGQASGAISITGTAATTGGGLPSGLPKLSGAIQPVTASVPPTKNAPFMQQSTLPDGT
VFIIVGAILGFMAFSVLLWRGLVAWSLHRSVKRASEHQNMADTKALFRTPAAPVSFYKYSDNNRDSTISLSGLGGGKGGKKGARPTTAPGGPSTSSL
FFSPTAGAAGAGGLGQPGNRGSSYLPAGYYASGSSNIAGGNNSVHVGGSGHQPAISLSNLGPQSQGYSRARSMGPSPPDSPLMRGQGNVGGGGMGNS
SSTLNLNGHYGGRGGERPPSAYLEDLFDGEGVVLSPPQVPRHGPPRAGSTSPRRY
>RCO7_09617 | FCF1 Essential nucleolar protein that is a component of the SSU (small subunit) processome involved in the pre-rRNA processing steps of 40S ribosomal subunit biogenesis
MGQAKKTRKFGAVKRIIGQNDARLKKNQPKAEENANKNDSISQVTREIPQVSSALFFQYNTALVPPYSILIDTNFLSHTVQRKLPLLETLMDTLYAN
CIPCITSCVMAELEKLGPKYRIALRIARDERWNRLKCDHKGVYADDCIVSRVMESKIYIVGTNDRELKRRIRKVPGVPIVSVARGKYVIERLPDAPE
K
>RCO7_09616 | uncharacterized protein
MRLSIAALAATISCAAAFKGASPLLMFSDSPLPKEINTAQLQSRASLLSQIKAHLSTCPSEQYYIHTLPSVSSSELSAHAPHLKNALQHESVKGQVT
VNEVLGLEERDGQALVELLSEKCGVSQEASIGEALNKGEDRERRVSELDSKLYNGLSALPTSGKSYTVIILSTPAPSSSIVAEQAVEKAIVYESDFM
EPLHMDLKRDIYNRAARNESGINRRQPLFEKYNFLSPGLFMGLLVTLILLAILSVGIGAISSLEVSYGAFDKEMGPAAQQKNKQ
>RCO7_09615 | uncharacterized protein
MNPSLLEPGIFLNPRPKKNLLSSLPSKRRKTEHKIEEINFDDNARADYLTGFHKRKVQRAKRAQEEAMKKGREERVEMRKQLREERKVELTEHVSAI
NAALRAVGDPDVLDSSSDSEAWSGISDDESKSTSKSKQKSKSSSGAKSTLAGGGKLIDHEEMYASEDEDKYTTVTVEAVDITKEGLSRVADDGDDDE
EAEAKKKKWEEKKEEDGKKKVWPKKPRKEKFRYESKLERKAGRMKQKSKNKASADARKGGG
>RCO7_09614 | probable TPM2 - tropomyosin, isoform 2
MDRIKEKMNSLRIEADESAAKVEELQKQIKSLEQENLNKDHEITSLTHKNSQLEAEVEKLETSVKEHKGEKDEGSAALTQNETLQRRLQLLEEEAEE
ADKNLRETNDKLRQTDVKAGHFERKVQALEVERDSWETKYEEMSKKFAAVSKELEDFQLEVANI
>RCO7_09613 | uncharacterized protein
MFAARDQENLVHGHHQAAASKPLNQTVRGLQPKTPGAKYPKTPLKIPLNDENAPAGFGGKSVKGKGLEGLMTGKKGATFDKNDFITPMGPRTRAPLG
MKTTNAKAKAFQTPSGPAVEKELEKTQPKQQTSTRKPKRLIHADSVKLEVHGDESPLADRDVEYCPPKPKDLPYESTDFPNNCLDYSSLKPGNLMRG
INKAYRQQIDGNGLSRVEREAEEAYQRSAKQTDEQILKMMDEDWTVGDVPETFRHLRNKKPGLSILQDTSASNKPLKSQANRIALSDTKKAPVLSKG
PGTLTSRKAASALSTSSKPTVAPLQPKPAKPQTGLSKPSFLSRAKPVQNSAPSVPSNASIMRAAAANAASRSTIGYTKGRSASGLLNPQTFTAPPSS
TSNSTTSTTSVKPYNGLEAKSDRKERSLQRSTSGMSSSSEVTITPARWAKESENEWNNPAFMKAFDVENQSLDEEDDGCLFGSKNLQECLRREEEED
GEFVMTLGGNA
>RCO7_09612 | related to Cutinase
MLTSTLLSLSLLGLASASPLSAREDASTEATPTLSSTISLEQAAAMGRVDTIHSLAALDAPSDPTNENGLSGACKAVTVLYAKGTGEVGNMGDGSSP
GPAWAAAIRASLGTAAVTVQGIDYDASVIGYLVGGSASGTTTYVNTINQASTKCPNTKIVVGGYSQGGQILHNAAEKLTAAVTARISAVVVFGGPDV
KTKQAVGKIPASKVLQICHTGDIICTGSGGAAAHLTYAKDAATAAAFVVARV
>RCO7_09611 | uncharacterized protein
MPPVKDRPALSSAPVLPRLLKIKISESLQRLPWISNTLANAGISFSLILRSAATLVFEGLAGIAKGGGLTGASILGVSVDIIWPTITKTYHILTFLH
QWIAVFEPLKNNAKFIHLDRIQKKANITLEVQLKDTLVDKARLSAQDEMVFDD
>RCO7_09610 | uncharacterized protein
MRRLHTVWKLAFHSIIISFLVLSATLCTGDDQSLCPTFLCSRNLGLARIFAYQISKIVPMFIAFWILDWYLFQHEMRAYEARIWEYDPDIIAAYGDD
VDVYIPELSMYKIYQWEWEDNVDRDPADLSSTWEEIKRDLHLQFGNSKIYTEELNKLEKFLIWKEAQACPPWWRKILSRNLQEKDVNLPSWLRGQVL
ASLQIAWETLEVRADTLADMAIYTADLAGEERSKKIMLTSSICAEYLSVKKHMEYFRSKGWSSWLGVDDIDEEILSTCNSLRCVEGVWDILADYELQ
QAMWCFWRKWEFSLGNFDWKTQN
>RCO7_09609 | related to regulatory protein SET1
MSRAPSASFAQFFPTAPRAAKDKAKEREKVKIISSDSPIIRTATDTKTYMPKFSVDDAPSHYGEGGTADIAGSGHDEGDILNGVGSASSHSSTVSSV
FSSAAQQNQLSAAGSNHLNMTPLTNIGSSPNHVASPSQHKSAAPDSSFNGSSSEKPHTPHDIPLSDHTAKADTLLADPRVYARAPNRCVKGSAITYD
PLLDKKLSSKDMKKAKPIYKDIGLEEDDAPPADPRLAKRGGKLDYINVDFHNPQSRLRHAPYLLRPYAYDLKTSLGPGPPTQVVVTGFDPLHNFSNV
SAIFSSFGEIAESSNKLHPDNGSCLGFATFRYRDSRIIKGGRFVSAIEAAKIAVRKGSSMRIGSSNVKVEFDSEGNKSRRMMEALLKAPKPEPLPQI
AKATPTPVGKPADAAKFSGPPPTAPKGPASSRPVYRPPMQTAAPTTIIAPTKPKPMRVMPSIEPVSQTLMHQPYIFVSGESVPCMNTTPPHMLKRMR
HFNPEDVKMDSFGYYIIFPPSDFGRSDCEKCCRTLDRTLMFNYTMVMKPYLYGTSGSRSAAFKVAPSQKRSRSPAPGDHKEWDKQADLARKREEAAD

VEVERKERAMNFDPAREAIEVVRKQLKIQLLKNIREKTAAPALHNFLDPANHIAKRRKLGIADPKDMKLHHIYEDDEREDSFSVGTPNSRTESTDRR
VMGPGRMNISAMPRIRKAKNGGKSTFGFADPFARARPKPKKLVRGLAQFYIQSDGESEDETRSGGRDTEEPESRSRSRMTSEEEDDAYDVFQRSRDV
GVADDDSMSEASFVVGDNAPTKKRKLDLQVEAALKRQKKSDEELFGVSRDKIDEELPLSAGTIDEEMPDVESILSDNLDAQASLAESRRKLAGKGKK
KKSKRQIFEEREALKKEQEGAYLDTFERQESEMPEEDDDEEFVTETAPVETTVEWGMSAEIPRPTVDDDFNTVLDLDGIQNLIKDDEDIPAAVSILK
GLVTTDITIGGYYVPNASGCARTEGTKKILNAEKSKYLPHRIRVLKAREQREALLSRTGQSSAADAAQAAKVAAEKLASKGNSRANRLSQRTMAMDL
DRQKKSLGTDVDNVISFNQLKKRKKMVKFARSAIHNWGLYAMEDITMNDMIIEYVGEKVRQQVADLREHRYLKSGIGSSYLFRIDENTVVDATKKGG
IARFINHSCMPNCTAKIITVDKSKRIVIYALRDIDENEELTYDYKFEREIGSTDRIPCLCGTTACKGFLN
>RCO7_09608 | probable TRM112 Subunit of an adoMet-dependent tRNA methyltransferase (MTase) complex (Trm11p-Trm112p)
MKVLTLNFLTCAVKACKSTSTSFPLHPKDCELVSDSIAPNHQLLVNVLPRVDWAALCITASELGFPALPPTAPSTSDLESDPKLSSELHNLLLETQI
SEGGLVCANCGHEYKIKEGIANFLLPNHLV
>RCO7_09607 | uncharacterized protein
MSTPMEIDLFNLSSVRNTKEEEAFKRRYAPEAAALAELEAHLEMMIRNMPKKLLNDDDVPILSPDVALQQPEPVIQPKLEPSPSLRKSLVPEDIDNK
MYPLGESKTYIPKNWKQNFRDQQEKSVYGGNPFSSILKSRGGSSNSYQKNVLSDFEDLPIRSIKKKNDFVQVSTYCEELVILLTKEDPTKSLTAPGQ
PHHFRVPLNAFRRSGNILAEFLVEKDKKVSEFTDGTVVYSFDKEPKPNIHIQEYAIYIDKLMSSEVMAAATRYLVAVPRFLIVEKMSIDQFWVGVVL
WGNWASGKPFELPCHEDDIESAARVSIFLNDPAYANYFYEQVEVRSVDRSPISAGIMKPEITVFLLVVANRVV
>RCO7_09606 | related to cellulose binding protein CEL1
MKLLATITTLTSVASAHYVFPSLISAGATTEEWANVRQWTGYYTNGPVTDVSSLDIRCNVDGSTKSAKTLAVTAGSVLGFTAKSGITHPGVMQFYMA
KVPQGKTAATWDGSGSVWFKVFNDKPTLGSSMTWPTDGKASASFTIPKAVPNGEYLVRAEHIALHSAGSTGGAQFYISCAQVSVTGGGSGTPGPLVA
FPGAYKPTDPGILINVYYPVPTSYTPPGPAVWTG
>RCO7_09605 | probable Ribosome biogenesis protein ytm1
MDPTMEDIITNTTRHGQVQVQFITSDSTIELEEGKRQLLVPTNIGRYGISQILNSESMLDTGAPIPFDILVNGAFLRTTLEEYLTANGLSSETTIEL
QYVRSLIPPLYEASFEHDDWVSCVDVLSATSRAGSWDGHGVTVGQERLLSGSYDGLLRIWNKSGQTIATSASSSTGGHSSSIKSAKYISPSQIASAG
LDRTIRIWKYTEAEDQLSATLKPTLELYGHKGGIESIDVWGPSNQILSGSTDGKIGLWTTLKNSAPEANASLISSGPTAKRRKLTTSTSTTQRGPLS
LIASHSGPVNAVIFNPLDHTVAYSASQDHTIRTFDLTTSSLVDTRTTSHPLLSLTALPGISHQILAAGTSARHITLLDPRISSQSTQVMTLRGHTNK
IVSLGQDPESRYGLVSGSHDGTCRIWDLRSSRQGTKDEGGGQVGEAVYVVERESHKGVKRPVGGDGIKVFGVAWDENVGIVSGGEDKMLQINRGRGI
TKPAES
>RCO7_09604 | uncharacterized protein
MKITIVYLSLATRVVLANALDNHVQLRAHQQDSDEDSGYDPMVEYLFRMCNPFYREYLDKPGPSKIHIWISRQSSNVFAAVTFGTPMLAATNAIGAI
PQSHHDGDSDGSLTRLRLTLTDDKFPNNTNNTAVSNYWTTSSHAVATIGRLTGAATGRQTTRTATDYDIFTSLTSGTGNGTGAALTSTSSTAAVENF
AVRSGLFLVVVNVVVVMLM
>RCO7_09603 | uncharacterized protein
MADVGLKRRAEDSVSKSPRKRARGIDGAQQSQEREIASLDQQQSDLAEVDPAPNSDGSAGETSYLVLSILISLRKLAVFEGTTQGTQRWQDERSTLQ
EYPSIQDIDFLRPDEVSTGSASDVTLETLQRRCVAAGCAILQPGDIILFRVTADHWKEIQMATTVRSSTFTAQQGVFAPPNKTLSILVPPGLTEDFI
PGAGNLVFPNHLHPELIRAPTSIHKAARTQLPGLPVQPGETRGLWRSMHVSRDEEEIGTLNEMRLAQKFCENEEDLQKQLTFSEGRTRNTTSKIGSN
AAKAGFHMYSTGTLFLKVKSEALTSLNQSLIIDLGAELNENLAELAEDEFSIVIVDNRGAHSEGIPSPDDEESLSKVLIEGPKAFSTEYTRRIAGSA
GWTNGHAHLDDTGVSTIMGPFQHLYRVPAGKSLPVPPGEEVTWTPEEKAAAQEFHETEIKNRVRHYPLPLNRARLPRNIRTMQYRKVDDGWIVDTRA
HPDCHVKDAVSDEDFETAMKMPRTRPLPAREVEEIKDGPGEGAPWAGYESMGRGSSQMTGRHATLENRFRGYEDQLGRNTEQS
>RCO7_09602 | uncharacterized protein
MPSHQVDGARAPSSSQSAFQPPAWITYLSAQGISIHGTTLTEDPHTTWRRQELAHHEGKSTSSWSSGPQAISAERATRLRNGEAKPVDLKRDGAEKS
LM
>RCO7_09601 | related to PCA1 - P-type ATPase similar to the copper-transporting P-type ATPase Ccc2p - controls intracellular cadmium level by enhancing cadmium efflux
MATSTITTSEISVELNRWSQHLPIGGSINRQQMKVTPRRSGKILDPEENFMIQELLPVDGGAAAWKVLIAAFVFEALLWGFPISFGVFQDFYSKQPE
FEGNLQIALIGTMAQGLCYLGAPLVAILTKRFSKYHSQQIWVAWPLCMGGLAAASFTSTVGGLIATQGIMYGLGFVTLIYPILCMIDEWWIQRKGMA
FGIISCASGASGAVMPFITSALLEKYGYKTALRMIAVGMTVLTGPLIPLLKWRLPASEQGKLAKVNWSFLKKPLFYIYSMATLVQGLELFFPSIYLP
TYATALGLSTTEDALILAIMSIFQTCGQFAIGFMTDKKFSVSGLVIGCSAAAAVAVLAIWGLAKYLGLLIFFSIFYGFFAWASGPLRVGMGKAVSDD
PFAMVATYAFFCFCQGIGNVLVGPISSALLSQNIAIGSYAISRFRNVVIFTG
>RCO7_09600 | related to non-ribosomal peptide synthetase modules and related proteins
MDIEILNFTSEYEKLVEADRSLGELFYDQVQRQPSAIAIDSDQSSITYGELHARSSHLAHQLISLSILLEEPIGIVVKHGIGDIVAQIAIIYVGGSC
VPIDPSLPDKRIRTMLEFLEVRYIIVDDENSNRDLPFHQLCIEPTNNNTAQNFRVVPGSLEHRTHIIHTSGTTSAPKAVQIAARSILHVAFHAPFEP
LATTDVVAHSIVQKATMLDPMVMTDRISVLGVTVMIFTASILNLVASTYPQAVKNLRICLFGGEAANLTTVRKIFQHGPPGMLVNAYGPTECCIFCF
AHLITLQDVHDGIITIGHPIGRNVAHIVASSMAKPDQGELLVGGPCLSKGYVNRPNQNSKSFTAKNGVRLYHTGDIVERQQNGETLYIGRRDRQVKI
RGIRIELEAVELALLKTGFFTAAVAMRFEMPQEGAGSILLAFVIHGPSVAHSHTLETKTIRSEITKKLRESLPSYMVPQLEFISTMPLNSHDKVDHN
KLSEQYHQHWRLTEEPRLPSATIIRLALLWIEILGTQHGSGEVQQDCMPPESDFFGLGGTSLQASMLISCIRQNFGSKISLLTLYQNSTLGALCYAI
NLKPDGRPDISQGEDMAWKNDTKLADNFSLPAGVPVEWCSDGEGRIFLTGATGFVGVFMLVDLLQLRHVKQVACLIRAADVAVGFQRLRAAMTKYSL
WRDEFEEKIIILPGRLEDQFLGLGEETFMKMAQWTSVVFHLGAHVNYTQPYSMHRQANTVGTLNIVRFSGTCRSKSLHYMSSISCFGPTGYITGATV
LKEDEPLSNHVEAIECDDGYSQSQWVVEENLRSLMDRSFPIAIYRPGFVTGHSQSGISNPDDFVSRMILGCAELGYYPKLPNQRKEFVPVDYVSSAV
LKIAAAPNVLGRAYHIVPPEPAISIDMDSTMQMVGACSGRQMECVTYKDWVSRLAANSPKTLQPLLPMLEEEIRDGLTHCQLYERMPVYDSANTTMV
LSSDPDVLVYPVLDQALMKKYWDFLNIKA
>RCO7_09599 | uncharacterized protein
MAAPNIMSIVGKSHPDSMLSTLHVDEAISPTEQREQQSTDDNPPVSIHPTVQLTSENGPEISTSSVIGSNEGQLLNSEKNSEIEQEMTFYQTLARQV
ISEETAVNASDKACTSAFRNLVPELVRKEKETPDRVEARSRQAILHIAYTDLRVNNLEKEVKSLRRDIQGLPADFDIETQPGPDQRVYLHELKRSSP
LQFPLNEKSADIPPHLRPGLEVLLADTIDSTDTKTGAGGSGQRSPEAIRIRPALLAAHLGKISGENLAVTVRRKSEYTQVCAMLIRNPFKVFCTFED

QIRASVRELEIKIDKKVNKATESKGKMQEGTEVGHERDVYDDKHLLVDLKLLIEFLDVDLKPILELRSEIEGGTATTIRYEDLWHLFKLGDDVIQQQ
SSVPKVYRVINLTGGREIWVPKIDRDHKPVPVDGFVIDCYSLGFDGSFFGPKLTKFHIRKFQGARLITSLSVFPLRFDPSKQTLEESLVDRGSKYLE
MTKLPYAHRLLVGTTLDEPAEEIDGQIIVDMTLAINRNTHWQPHLDFDEADLSEGDKRETQAEPFCTHLKYDEGCCGSDIVHKDLRMDRLRVEEYIQ
TNLYALKRFPASELDQKDKILLPHWTYGFVLRSRQWVTVNICDLSDVVYENNFDSLVLPPRHKDTVKALVRNHARDLTIATATSNLGASMDMVRGKG
VGKTSTAECVADLTHRPLFPVTCGDIGETAAEVQASLDRNFQLAHKWGCVLLLDEADVFMAKRNRTDLRRNAVVSVFLRTLEYYSGILFLTTNRVGS
IDPAFKSRIHMSLYFPHLGLEATLKLYQILLDRTIAEQKISKKVDFKVKSKEIQKFARSHFKRLEKARLATWNGRQIRNAFQTAITLAEYSSREPGA
ESTTLGKDQFQIVADASKDFDSYMKKTLGNSEAEVAWQEEIRYDGFGNLNRDPPAARSERRNEKPPHLPARNAKDPESESSSDDDDDEDGEDDREEN
CLSRVRDEPSTADKDKAVAAATTKDAIGSRPKQLEMDEFEEFLLFKEMKKKKSS

>RCO7_09598 | uncharacterized protein

MENHSRKLEEFKLARSRRPNEAAMFVENKVAPAYPQPSPVYSGQRDGFISLEEARRLQLMKHESHPILYLSQVNITNSAELWKRADAETDKLFVLMQ
EVQLKLSKRCKGTSNAFVPLDLKACNWEEVISDIRTTSQSWKELPRMSKGRKCLERLGQDSGAFQDWLGILPAGDYGASICGVFKLAVGAAGRFVEI
EDSIFDALTELPENMEGARNYINIYRDSPNQSLERRTFDLYLAILVSLNHIMQFFADSSARKFFEPILKQQNYKISLTKSLEDVRKHVARIKDAAEQ
CLAGQVVDIGNNVIGIRQLADTTVERIGEMVHQQLYRLFKNVRENTSEATPNSFIVGRAQHLLTPAPYDATPAEDLLELLRFDTLLISESLKRCLES
GDKLDDQGKARALAMVNSDKMRVWIAEAKFSSSLIVNGHSDMGAIEGPSPLSFVDAQLVKVFESHEEALVISYFSRFHRNIEFTTPGTPTARLMVCL
IGGLLTEMMARKLEVDVLFLKSEKRKLQDLDLTTLCNAFRDLTMQLPAGAILVCILDEIVSYESFNPKSEIDAIMRRLTRLVTKHTDLVFKLLVTSR
GRSMNLQQYFDDEDILDLPKDSELNDSAMWKIRHMGEQKVLEGTTG

>RCO7_09597 | related to metalloprotease 1

MPSETKKPRFRTIQNFDTDYAPVSISQYVSEQTGMSVVVCNQQGPKVRGYFTLATEIFDDSGSPHTLEHLVFMGSRSYQYKGLLDKLASRSYSNTNA
WTATDHTAYTLDTAGWEGFAQILPVYLEHVILPTLTDEGCYTEVWHIDGEGNDAGVVYSEMQGVQNNGPEIIDIRARRLLYPENVGFRYETGGLMEN
LRVLTPERIREFHKEMYQPKNLCLVLVGEVNKVELLQILDDFEEGIIDSIPPPSAPFKRPWIESAQPPAIQKTIVETVEFPEEDESTGEITVAMFGP
NCNDAVLTAALNVLLTYLAGSSISVLENVMVEKEELASSIGYYWDARPNTVIWLQPSGVLTEKLEFVEKRLFELLKEVASKPLDMGYMLDCINRERR
QVKFQAESSSSFYATGVINDFLFGERDGSTLKEFGTVSEYDKLEKWTEGEWRDFLKKWISDAPHISLLGKPSKAMADRIKSNEETRVAEQKEKLGPE
GLKALAEKLKLAIEKNDVEIPPSVLSKWPVPGVDSIHFIETTCARSGLAKSLGAPENKAQKVIDRANSDLPIFIQFEHVESNFVNLTLLLGTSQVAT
EHRPLLPLFMDNFFNTPIMQDGKRVEFEEVVTKLEQDTISYSMAGAGRINDAEGLVIQFQIEPEKYETAIKWIRTMMFDSIFDPVRLNAGMAKILAD
IPEAKRNGNSMLYAIDSMIHLDKNSSVKSRNTLVKAVYMKRLKKLLAKEPETVLASLEALRKSLFTFNNMRALVIANVENLPNPVDAWRPLIASLDI
TQPLLPFVKLSERLSPDGLNPGNYGAVIIPMATIDSSFCISTANGPTSPEEPILPGLMVAISFLEAVEGPLWTAIRGKGLAYGSWFKRDPDGGFIQF
SVYRSPDAYRAFVAGKAILESYIDGTAKFEQAALEGAISGIVANLVDEQTTMAAAGQFHFVNSVIRNLEDGYDAKILKAVRNITVPEIQAVMRDVLL
PAFTPGKANVAVTCAPVMEEGIVKGFTSSGFKTQVQPLSQFKESYGLEADEDEDLNEDVEDDEEADDEDGDSEESDEKEEV

>RCO7_09596 | uncharacterized protein

MSSPTQAADLGQVLVDFSANGAFPEEEEVSAAYVNSPMVSAALVVLQDAKVALENEVREISRETAPDVDLWIKHAKSIQHDINQSRQLASSIVRQAE
ADEERKEVLVEKETYANFLEKEVSFDNQLISVLQSLQGVNEKLTAVEGCAHEARLVERLHMLEAAFNALNGVKLEKTSRAMRLLDTRCFAIRASLQE
ELFTIWKALIIVDQEVSTITIRRELPGSTTSIVDAMIALQSFHQLDVAAKKLWDDLDDNSLSLGAGLADNTIKSLFVDLQTTIKFLHQNIPAELTQP
LAKHMMPIISARVIETWLDAAVPASLEDMVDYQKALALVGDFAAWLDTVNWPGAEGFHDWVSNASRIWLAKRRETALDWTRNQLSLGTGSPQIAERI
ETRMLAKEEADNTAATGTAATHDWDDAWSDGGEETTDDSVAELQVESRHRASLEEERRASEVFSPIPTPDEDQTDDAADAWGWGDDYVPDADASAGA
SPTQPKPGSRRPSVQQNIAPTCEVTLSEKYWTSSFPRTVYGMIERVYADGATLTRPENEHIPVTPAAPSLFGLPTLILALYRAISPSYYSLEPGGNM
YLYNDAMWLSERLKQFTREWQNGEVIPERAYNLVRLDPEIKVLVSFGKRAYTSELNAQRTVINDLLGGAQNFFQPEYSMSNELLSTIRIVIKHIRTT
ATLWYKILPYSAWASATGSLVNAVATKLISDVFDLTDISVDEAERTATVLSHVETLDDLFLPKHNPANANSHNGTLRSRSYSTIELDLSDRGGGGED
GEVPLTSQFADKWMKMKFLSEVLQSNLKDVRFLWFESDLSLYFTVDEVVELVGLSFERNLAVRGLLKDIRENPYPRG

>RCO7_09595 | related to nucleotide exsicion repair protein RAD16

MPPKRGRPRKEDSASNSPATSRPSTRRAAQPTSSLEKPDTSSELNIKSRVSSNDTDELNGGLSELVKMSKKSALGRESLSSVSASLNEGSGYSTPAT
SAATTPAPGFMGNNSTKKRGRPTGRQNGNIMSDVIPPAINAANALARATALRNSQYSMASTSHKRKRVPDSEDDDEDAGEEHSSDAQLARELQDQED
AAAISMAMDEDDEDHEQEDEVYAPRRAPRKPRKIQPKTRFVADSEDDDLEEEEEEEEEEEEDLYGADDIVLPTSRRQSNGPKVELGAKGKNLVTFTA
SSSSKKKIIIFDDSDETEDEFTIEGRLDSEGHSHLSKAKTTKKSLQRGRPSASTAKASVAGPSSKKVKTAAADSDKEDDESDFDVSESDLSDLSINS
DEVDFDDSSESDTVAPAAITTTAATTTTSVRRRRGVGGARRRVAQLDDGYGNSRQRKDRARLESHHPDLLTMWKDLEDLPKIGDGAIEQPKTITREL
KPFQLQGVHWMIEMEKTDWAGGLLGDEMGMGKTIQAVSLIMSDFPAKQPSLVLMPPVAIMQWQSEIKAYTDGTLKTFVYHGTNSEVKNITYEKLMKY
DVILITYNSLESMFRKQEKGFPRKGTLQKVKEKSVIHRIHFHRVILDEAHSIKSRTTGSAKACFALKADHKWCLSGTPLQNRIGEFFSLIRFLDIRP
FACYMCKQCPCSTLNWDIDRESGRCTSCSHSGMHHVSVFNQELLNPIQLYGNQGPGKEAFRKLGILTGRFMLRRVKRDHSSAMELPAKEIRVDRQFF
GEEENDFANSIMNSGTRKFETYVAQGVMLNNYANIFGLIMQMRQVADHPDLILKKNSDGGQNVIVCCICDETAEEAIRSACRHDFCRECAKSYMASS
DEPDCPQCHIALAIDLEQPDIEQDEQQVKKSSIINRIKMENWTSSSKIETLVHDLYSLRSKNSTHKSIIFSQFTTMLQLVEWRLRRAGITTVMLDGS
MTPAQRQASISHFKTDVNVECFLVSLKAGGVALNLTEASKVFIVDPWWNPAAEWQSADRCHRIGQGRPCEITRLCIEDSVESRMVLLQEKKANMINS
TINSDAKAMESLTPEDMQFLFRGS

>RCO7_09594 | uncharacterized protein

MVFVVLCNAQLVADTLPPSLSNAIHVTDKVSARGVISLNGGAGGIFIGDKVSASGSIDITGGRIEILGSMKASGAIRISSHGKGEEERDARKKSNME
GGYGREGRKCVLNFGGKIEGSSLSIEGDVEVIGDLYSSRTLKLKGNLRVSGDLEVKGDLVMRKGDTVVVSGKRTVHGSIREV

>RCO7_09593 | probable alpha-glucosidase (maltase)

MRLSGPTWWKDGVVYQIYPASFKDSDNDGLGDISGIVSKIDYIKDLGIDIVWLSPHYDSPQYDMGYDIRDYESVYAPYGTVRDIETLIDACHSREMR
LIFDLVINHTSDEHKWFEESRSSKDNPKRDWYIWRPAKYAADGTRMPPSNWRSLFSGSAWEWDEPTQEYYLHLFAKQQPDLNWENSATRRAIYDSAV
KFWLRKGVDGFRIDTVNMYSKGTDFPDAPIIDSGIYEQPASGLFCNGPRMHEFLREMNTEVLSKYGTMTVGELPHTPDPAHVLRYIGSGDKQLDMVF
QFDLVDLGQGKTNKYEMEDYKLSELKEIVSKWQTFVENTDGWTTAFCENHDQGRSVSRFGSDAPEWRERSAKMLAMMMCAMTGTLFVYQGQEIGMIN
APKDWPIEEYRDIESIHYYNSVAKRTNNDTKALAHVMKSIQTLGRDHARLPMQWDSSPYAGFTGRKEGAWMRTNDSYTSINVASQLENPSSVLNFWK
NMLRTRKEYRELFVHGSFQTFDLKNEHTFIFAKESARDMAVVVLNFGEEKREFERPDIGEGKWELLVGNVDGVDGTVDELEGYEGRIYLIK

>RCO7_09592 | related to transporter (major facilitator superfamily)

MPPNPAELRPVNFTTGEVSSSDERSLVLSPEALAVETKLAEMSFRQCFKAYTPAILFSAVGSSTCIMQGYDLALIGNFYGMIQFNKKYGTSVGVVGG
VTLYEIAAGWKLGLNVAALVGEIIGLYLGGLLSQKFGYKKTMIGSLIFMILGSLIPCFAPSVWVLVLGQFICGIPWGIFQTLPTAYAVEIAPAPLRP

LLCSAINICWLLGQLMAVGVVMLSKNMESNLPFRFPFFLMLALPAFILVGVIFSPESPVWLVRQGRENDAKKSLLKLTSRNVEGFDADGIILLLKET
NEIEKARSEGTSFFDCFRGMNLRRTEIACGAWMAQSLCGSVLIGLSVLFYQSAGTKYEQALLYTLIQAPIGIVGGILNWFLIAKLPRRALFLGGLGL
LCATLVTIGFGSWSDQVEKITSYLFIFWVFVYGCTVGPSSYSIVAEIPSSQLKAPTISLARMAYNSCNIIASALTSFMLTDKKGKGWSWKTKSALFW
GGSALLCFIWAYIRVPEQKGVSNIDMEVMFENKERRWNFGKRAKELAERRRLENGEDKTPKEVCRDVGTPLRSLFSHVD
>RCO7_09591 | related to YER185w, Rta1p
MSNLTSKYGGNITLILNPELCTHATCDLTLGQLEYLPSVWGNAVFIGIFGLLFPIQLFLGIKYKTWGFMTGLLLGTALETVGYVTRILLHYSIFNKD
DFIMYLIFLTIAPAFISAGIYMCLSQIIILYAPSLSRFKPKTHAICFCTSDLISLILQGVGGALASVAETQPDVDTGTDIMIAGLIFQVVSLVVFVI
LCGDFVWRLRKNRNAWNTENSAIYESWIFKGFLYALALATICIITRCAFRAIELFDGFAGALANDEVLYMILEPPMISIAVIALTVFHPGIGFQGAW
GGVKTAYKTGKTIMESQYSSDIEDAELGGGKTDRKVSRDVETVGGATLLGEERCEIQSFSKP
>RCO7_09590 | uncharacterized protein
MQYSTLLASLAFAAASVIADTHYNAICVDYVDGGIIYNAAATEAACNDYLLRNQGQTGLDYWETCGDCKMTTVNDVPFCNSAAGVLGGNEIEAYCKA
NGAQGVQT
>RCO7_09589 | uncharacterized protein
MFSSSLITIVMAAGLVSSATIPKRTLSADEIIVYGGDRVEIMDKTTYAALRRDVNLGPPASPLDNPNFLNTTSSFSKLIPRKDCDSITVFTPNPVQT
FLGWDVLMSSVIHATGTTATVAVTEGYSIANTVTVTAGLSAAIPQTFLTASLGISYAETWTSTYSAAYTFGVPDGKYGAVVSNPSTTRNSGWVDTGC
VGSATRAYYQGDSFTSKASGGLSWVDGTISLCVGDEFPLKKCLGEGTL
>RCO7_09588 | uncharacterized protein
MPKSQQVQIQKVVRSGMALPCSSTLANSPFASMEEHQYFELFCVRTGYDIFPTFDSGQTRQRLLESCQYYPAIRHAVVALGALDRTAEMVSSFERMS
LTPVERDAAATSHHQNALKQYVKAVKYMSSDAVDEKLDLRTMLLSCLLILAFESWTGNMDLAVKQVHAGIRLIQEWKENFKDDEDRYTRLSPAPYVV
EDDLVQIFCRLAVQHSFFADGHSASLHAVLGMEGSRFTRSMPDSFTDVFEAGKYYNGIIRRGVYLITTQSAYLGTDDNEDSEIWRWGIKEQEEIQSA
VWRFNKAFEPVLQKIPDGPQKHYALFIQLSMAIGYIGLSTHLSLDESIHDQYNPVYKRVVFLAKAVMREMPSQSKERQSNFCFDTRVIVPLWVVGLK
CREPGIRREAIEFLMANPRREGIWDNGFAGNVLDWAREVEEEFMEEGVVPGWARIAGVKWTAAELGRKTAVLCCVQRVGEGSEEKRITW
>RCO7_09587 | related to cyclopropane-fatty-acyl-phospholipid synthase
MASDLKSTNGSESDFEFIATPKARTPTFEKFEECGVKTTNYPAIKNAPLPADAAGNTSFSNVLFFGLLAGVPTYMSWKVGGGLKTSIFFGIFTSVPI
LLGFWYLASSFSPRKNEKVKYPGRPVEHYLTFKNAADKAKYYGSNKIPMETFYSMYFDGDVDFNGDCLEVMEYRHDWASFRFTLGLFKHVLLVFAPE
VIMHTRSQDEEQVRGHYDRGDDFYGWFLGPRMIYTSGIISDINKEESLEQLQDNKLAIVCEKIELKEGETLLDIGCGWGTLAKFASTNYGAHATGIT
LGRNQTAWGNNGLRKAGITEEQSKILCMDYRDIPVPERKYQKITCLEMAEHVGMRHLTPFLQQCNDMMDDDGIFCLQVAGLRKSWQYEDLVWGLFMN
KYIFPGADASCPLNNFISAVESAGFEVKTIDTIGIHYSATLWRWYRNWIANEDKVKAKYGNKWYRIWEFFLAYSTIISRQGSASCYQITLVKNINST
HRIHGINSQFSLSGALNAAKVAGKALFPNASVNEKIAN
>RCO7_09586 | probable Actin cytoskeleton-regulatory complex protein pan1
MFSGSNSFLGGQSGRPGGPQQFNSFPGQQGQQQPAQQQPGFMNSNPTGFGQQPQAPLQPAYTGYPGMQPQQTGFQPQQMQQQATGFPGQQFNNAQPQ
QQQNFQTGAPPMPQIPQQYQNQAPIAAPAQKPQPTGFAQMADSFRSSPAAAPTARGRRASKSKGSKIPSIRLSFITAQDQAKFETLFKSAAGDEQSL
SGEKSRDLLMRSKLDGNALSQIWTLADTTRSGQLLFPEFALAMYLCNLKLVGKALPSVLPDHIKNEVSSMVDIINFGVVDDVPDLPARSNAPDFTGR
QNAEPPTIHQPQPTASNSALLTAQMTGFPAQQNNFSGAFGQQQTGFQQSMQAGFGQNQGMQANQTGFLGMANPSASGYTGPRPPMPPMPTGYGSQGL
SPAQTGMGGMLAPLNSQPTGRPGQWGLVNAPASGLPNIDLLQSRMMPQQGREQGSFTTSGLQGNAVIPWAVTKDEKTRYDSVFKAWDGFNKGFIGGD
VAIEVFGQSGLEKADMERVWTLADHGNKGRLNMDEFAVAMHLIYRKLNGYPLPAQLPPELVPPSTRNFNDSIGQVKSLLSQESDFRKNSGASLLPQK
TGVSYLKNHSFRSGNSGFGGGRKDATVFKNNDDDIGYKSSARRRLGNGSPRPSSPASSTSNDDISLEQLKKKIREKQVLLDAIDFKDENAADEDDAL
DRRDRREADDLYRRIRRIQEDIDAHPDASLRNVDSGAERRLLRRQLQGLTDKLPEIASNVRKTERSIADAKLELFRLRDAKAHPGNASSIVGTGPGG
SVTESDRLKARAKAMMQQRSAALTGRKIESSNDDFEAPKRLEEENIKIKNEKENNERMVKDVEESVRDFSQGLEDGLKEGVEDSTSEHEKRRWEDGL
GVEDEVKDFIFDLQRSSKSARVRPDDRSSRTTRDSSRPESSSRYDSSSSPVQAKPTPAAAPAPSSSGTYSQYKTPEDRAAYIKQQAEQRMAERLAAL
GIKAPSKPGESSAQRMEREKGERAAKLRKAEEEDAKRESERQARINEEQGSPAPAPAPAPPVVTKKPPPPPSRKAAKSDASERKAEDEQRVLEEQKA
QIIATQELEDDASRQENELAKEREAAAARLKALEDQVKAGKIKKDEEKRRRKAASAEAKHQEARLAAQRAEIEAAQARERELQRQLEAMDDSSDDSS
DDEAPSQATPQASTPTQGNKEIETKAISPPPTPVMPTVVAPVPVAAVTTALPSAITSPGLSDTETKNPFLKKLAQGPEGASLSAQSNNPFHRLPAQD
ASKAAEPIVTQPTGRSRVRPEEDDWSVVGSDKEDSDSSDDEGPGAGNARQLASILFGTMGPPRPLSAAGGPGSTPSSPAPARDGMASPPPPPPMPMG
GAPPPPPMLGLGGPPPPPPMMPPPPPGAGPPPPPGPAPSVGGGSGRPSALLGEIQMGRQLKKTQTKDKSAASVAGRVLD
>RCO7_09585 | uncharacterized protein
MVPTLTSTAPEPIPLRAITLLINYERMISDPRYKGLKLGGTSRGDPQMITGVMKIAPRIWDNEPESVKRRTVHIFAPELENSKSDTVDTADTTDTTD
SKTPPAACDIHSSASAGVIALSPAERDLIFHETRAHDGCYNATGMYQDFFALCPPGQEISIQVGNETPVSIDVSRRVILEYTLHEPKHNILSLIEHP
STCTSPESYTWTSSGASPSENHCVMAFFPSQHLVPSSGYFKPSSKPSKKLENAMIIDMTRLQYGDAGFGTYGENYFLGSYGDYSESMKGICGELKLK
SIVGRTAGRLNDPDNQARVKTCARRAWERWMEREKEGWCEYCGRGGKELMMCGACKGRKVWYCCEEHAKKGWKLHKLTCESVGEKKVVFGPKRKEDV
K
>RCO7_09584 | related to monocarboxylate transporter
MLTTVSITPNIAPQPEIIESRDLESCKESRRTSESNDTHVIDWAPKVGYAREGGLSGWTCVLGSFFALFCTFGWLNSLGLFQTYYQETLLKQHPAST
ISWIFATQLFLMWTGGVFFGRIVDTYGTRCVAIPCAVGCTLSIVILSFCSTYYQIFLIQGVGFGISAAGLFSCATTSVGQWFNKRKALALGIVLAGS
SLGGLVHSFYLHILIGKVGFPTAVRYSAIIVGASSILACLLIHPRLPKKKWDSCLQFIDFSLFKQATFSVYCIGNFLIVWGLFAPWTYLPSMSLRHG
FSADLAVYTIVILNAGSIIGRILPAYLADRFGRFNSVSLISFVTSIAFLAFWLPLEIKPHPCNTEIFAFSACYGFASGAFISLMMPCVAELGPVAKL
GQRFGTYQAVIGLA
>RCO7_09583 | uncharacterized protein
MRFSITFSILMAAALTDAFALTKRTDCQAQDNECRTSPNANQATCSAQLAACLGYNPYDGNHEASTTDMISHDVESACEATAHICRMLPFANQATCS
AELAACLGYNPYAGTPMSGSSHETYDAVPQGDSPEGSSWETYNDVPYDDTPEGSSWETYNDVPYDDTPEGSSWDTYDAVPQGDSPEGSSWETYDDVP
YADTPEGSADDIIPAVYGGAAIQNRPYSSFFAVCVAAVIVL
>RCO7_09582 | related to chromatin modification-related protein vid21
MNEVGVADRARLLRSKQLELSRIVTSRRRKLREVFAVCDHDGPLPHTNLQNPDAPPTSLAEERFLEVTDILKDRLFDESNLPTRRQLRSDTSKQKNA
SRKGSPDGKPGDKVRKISKGQRDGSKSRKSRAPTPTNKSDAGTATATPTTDLGAESNVEPGTVQGMLMQRSTSKGSQIDLPAEGIAVRKEIVEEPFG

TAAEAQPLAYDGTLPASALESDRIRSRLESQPNSPGVDPRKAMPISAVDTANLPGELHEGLGLLDENHKATTAHLPPREVQEQRIRDANEAREHRKD
RNEGLSITLPQESVRNTDALSSPGSTIDANSAATPAMHEASTDTSPENDSRYDPERMENKVDDAATPPEMRPRPEECAEREEHDRILQAQIDVSTAE
IMKDNVVDSQSPHEQTAFGLQGGDSQTSVENITGSIAGKLTQEASEVVQDIVEDGTEVIGVQSDDKPTDSISEAKPKEQEANPVEVPDSEAEEDTSP
AADAMDLDATTIKDSFESAAPASENTPVPANNIAIPSPRQGNETDASTTPVATPRRIPPTPAPVLERMTTRVASGAMRHKSVSEILGETPRPESHVN
SHSPSRSATPQSPGARVRSLVEKAREKERSKLSTVVFPGRPPKSAAAKKTLVASGSPAMAVKDDYFMPLFLSKASADKTRPLDAILQSAHKTITTSN
AYIPVSENQTTQVLKRIYSLQNAGKWMLRQPKRSAEPIRQTTHWDLLLQEAKWMRTDFREERKWRSTVASNMAHACAEWVNSSTEDRKILQVKATPP
PIIDPSRDTEMADGSSQAGTHPTPDLVASAEFDSPMEDFDEEPRLNLLETVAPTAIFALQDDDVVFGLRRSPTSDKLLAELPMYGAPLRVPEMVLAT
SDIDPDRFWKRAALPLSKFVEGRLELKTTSHPRKKSRYEYELEDDDDEPVVFGEPQTKRPILAPEKTDVALFNPEHKHIRDRIHSSHQFRPPSEFQM
PLQTFFECRIPSQWTWDEDNELKGYVRDYSYNWSLISSLLGSKSLYVSGAERRTPWECFERWIHLEGLPADMQKTHYFRAYTARIDAANRIVTAQNN
AAPPQANANGQVQPAPRRRPTTSVRVERRRNQKHLTLVDAMRKLAKKRETNHHKQAHAQGMAAMRKANEVPNANRNLLGTTPQDFSKLKHEREEAFR
ERVVQMQQRQEVARRLQQQQQQQQQPGRNPVNPQQPNMVNGVPRPANAAMPMNGLAPPSGQNLAVPGQNRPRPMPPQMPGQSMPNSLRVPQMPMNGI
PTAQMQGQMPLPNPVLDVGLVSRAQQISQHQQAIRLQQQSQMPGQSPQMHNSPPRLNGVPQPGFQMQTNMMPPFNPNGNGVSTPPVNHVPSPGQGHA
SSPRIGPNPLQPPPNPGASSHISMLEHQFKQKYPGASNEQIASMIQAQLSKTILGPNQQQHQHQQQQHQQRQGFAQSAMNAAAGANLSAAGMNAGMT
AGMSNAAQGTPQLYAQMLRQQQENQQKAAQQAQQAAASVNVGNGNGQSPPMSNTTANMHGNANANGNTNTNGNGGNSAQGHAHRASSGSAGVQSGGG
K

>RCO7_09581 | uncharacterized protein

MPTASRGTPSPVNNRPLAYTQYLRGHLTPRYDTTSGKELFRIYSTPDKFTTMSPSKDAPPSAGPPKLGMKGFSLSAKVSSAKSGANSKPGSGSKGVL
PSTNLGKRPRTTFQRDSDSDDERRNERRHEAVTGFGDEGVERKRDESGNGRRGELVIKGMKNRDWRGEMAAKNRGFGAGERRGKDLLPAEERARRDA
GVVEKRDITEEQGAGDGSKREGVDVVNGNDEAITWGLTVRKRARTEDENSGEAEVEVKEEGKKTSSPSRAQQEEQSTKPQTADEEALASLLGAQTSD
SKPILTIPAAAAQPPLSEQETYRLAVLSAPDPSTLDDYERIPVEEFGAALLRGMGWKGDVDGKEGKKREGGVKRRPNLLGLGAKELDGAEYLGAWVQ
KSDVKRLNPGGGGRSGGRGGGDRRPKAGEYKREKERERERREERGGGGYRREKDRDRREERNGGGRDYRH

>RCO7_09580 | probable hippurate hydrolase

MEDLRSLSLLVEMHFDMIDELEGARHGAENEDEGKCIDQMTVEQFHHTNQSICLSAKEILEGYRPDLESYEKLYTHLHQNPGLSLQEHLAAEAAAHH
LRALEGFDVRTDIGGTGLVGILRNGSGPTILLRADTDALPVKERTGLPYASEKREVDVEDGIEKSVMHACGHDMHITCMLAAASTLSSARDNWRGTL
IILFQPNEERAGGAKAMIADGLYDPKKHNCPVPEIVLGQHVMPFPSGTVGTRVGSFASAADSFRVTVYGRGGHASQPHRTIDPVVLAAHIIVRLQTV
VSREVDPREAAVVTVGSVQSGMTENIISDEAVIKINVRTVTPETRTKVLAATKRIVKAECEASASPKPPLWASTSSFPFTINDSSTTETVQSAFTDY
FGDKHDSKCNPLGGSEDFSILATEAPDGKGGRGVPYCYWVFGGTDEEFWKRKEKEGRLEDVPINHSAYFAPVVQPTLRTGVDALVVGALAFLGKRRW
ERNRGFLEDEWEE

>RCO7_09579 | uncharacterized protein

MTSLWRRFRSRKTKSSHKSDHAGFGRLVEDSAEDLRYPTSRSDPLPSRRRNSAGENDGNREPGRRAVKFASRANLKETHEQNPTNSTTPSRASSLSS
TDLDYLNAQVAFRTLSPKPSPNNAAPQPPLQHVNPPLQASSKSTSTPRPQVDWEAFSGAFAPQSKLYPSNYATHTMTPQQLREPEGAYAASAQQLAY
NTADHQVVIIPRISVAGPKLTWIASSTLSSDPSSGPASNLPAYFNNLSKTYALQTGNATLNLFATLVSHLAPITPDSIIHDNASGPGTATSVILANL
PHGAEYPTIIATDMVPAMIDAFQSSISSSQTHDKTSSQVMKAEALSFPDAYFTHSTSNSSIFNFASPFDLRRGNLPNTANRRPARS

>RCO7_09578 | related to MAK11 protein (maintenance of killer toxin-encoding satellite M1 dsRNA)

MVKRKRTVNLTQEYNKKQIAVPTKKAKSVTPSTSSPQKASTTIQIVAGSYDRVLHGVTATISPNDEVQFADTFLFNAHASAIRCLALSPVSAPVPKQ
TQKIILASGSTDERINLYHLSAHAPSKITIPIIPSLTSKAVVENPQNRELGSLLHHSSTVTALYFPNRSKLLSSAEDSTIAVTRTRDWTLLSTIKAP
IPKPVGRPSGDTAPLGGAPSGVNDFAVHPSMKLMISVGKAEKSMRLWNLVTGKKAGVLNFERGILAEVGEGRHQSGEGRKVAWGSTDAGEEFCVGFE
RGALIFGMDSKPKCKVVPEPRTKIHELCYIQVDDEEDFQVLAMSTEDGRVLFYSTRPADLITAEAIEGKDAPLLAAKLIAQIGGNGAGLDGRIKDFT
VLNIGEGSSKEFIIVAGGSDGALRIWRIAPKDLASQSGKAKQIGKLLGTYETTNRITCLKAFVMLPKIEGAEDEDIEDFEGLEDDEEASSSDSE

>RCO7_09577 | uncharacterized protein

MFDLANVKDQTSMKRLEQTVDELYIGKPYFHGVTADLIEEILIPTSYEPEEIDDEELERPSEPIKSAESKGVEKASVSIESKSEPKMETIEQAIKRR
MANFYNKWKESKW

>RCO7_09576 | related to transporter protein

MADDKVRLLNSREFIADSSSSSSSVQLDGETITPWWSYIWDYDPARSKEERRFLQKLDFSLLTILSLGYFIKNLDQTNISNAYVSGMKEALQMEANE
LNMIDVAWTTGYVIGQLPSQFILTKVRPSIWIPSCELAWTVLTFSLASASSSKQVITIRFFVGLVESIYYPAAHFLIGSWYKPSELGKRACIFHASS
AAAGMFSGYLQAAVYKSMNGTLGKEGWQWLFIMDGLISLPVCLAGFFLIPDLPENTRAFYLTDHDAERARKRMRNVGRAERKGTGLTLDIVRRTFGR
WHVYALTALYVVFVNTGPSGSLGIMALWLKDRGFPVSLVNIIPTFQSAVQLITTICFAIISDYLRNRPLVMGISASIGFFSYLLLAIWNIPVVLHYI
AYFISRTSVAFGPLAMSWANEICGSDAEERAIVLGVMNASGYAVNTWLPLLTYPISDAPRFEKGFRYSTCAMVVLVGVMGVVWALKRWEDQEKSRSG
ASGRDEERLLLFGD

>RCO7_09575 | related to sulfonate dioxygenase

MAPSATEIEVRPITSHIKDFVVQKKDTLPLPAAARARLEKADIDLSNGYPERPGKPLYLDDATSIRNVEREHIDAGARADKSKSALLSGAKEVIHLT
AHIGTEIVGLQLKDLTDTQKDELALLIAERSVVFFRDQDLSPQDQKKLGEYFGEVEIHPQVPHIPGVPGVSVLWPALMATERKASFRQPGGASRWHT
DLVHELNPAGITHLHNDTVPKIGGDTLWASGYAAYSKLSPDFRKIIDGREAIYTSAHTYLDRNDPNAGPKHVERIHPIVRVHPATGWKALWVNRAMT
KSIVGLDKGESDAILNYLFEVYESNVDIQVRFKWTPKTSALWDNRITMHNASWDYEGLEPRHGTRVTSLAEKPYFVADAPTRREALGLEDS

>RCO7_09574 | related to nitrogen metabolic regulation protein nmr

MITDLTNLFYIRAERTVQALSTEEPLTNLSTYLLSIEEPIKMSSTNNLVLVIGGIGAQGRPVVKAFASDGKYTVRVLARSTTSPEALELSAIPGVAV
IAGDSYDEPTLRKVFAGVSYAFINTNGFAIGEKGETYWGIRMYELAREAGVKHFIWAGLICSSKLGNFDPKYKCGHLDGKGRVSDFLASQPTEPMKW
SILTSCLYVEGLNDLLRPRLGIAKEAGTLAFVAPLGKGDLPLIYLEDYGAYARWMLSTPEKSTGLDLYVATEDIPWDQLAEDFTEVTGKKAAYVDVT
LDKYFSLGIFPDPEVVIGKSAVNANGTTLMTVRENFSGFWNAWKDNLSTRDYDLLDEILPTRVKSMKEWMIKTGYTGEYAQVLKNADRTHVVE

>RCO7_09573 | uncharacterized protein

MKQGHLSYIGATLLGILASEVAAFPGVLQAATRAKADRHIEGRQGAPDLTPIFNEKLQHVSNTGKHVFLAPDFAAGDQRGPCPGLNAMANHGYLPHN
GVGTHLDFIRGTYDVFGMAADLSGFLTVLGGAIDGDGLTWSIGGPSKANSGIAIGGLLGIPQGLSGSHNKYESDASPGRGDLYLKGNDFTLQMDQYQ
QLYDAGQANGDNYDLTVLTDFRSKRFDNSIQNNPYFFNGPFTGILVQPAAYTFIYRFMSNKSAEYPAGRLNGDVLNSFFGVTKNADGTLTKTPGHEK
IPDNWYKRAIGDEYSIPYLNADTVIAAAKYPKFLNVGGNTGKINTFTGVNAEDLTGGVYNSKTLTEGNNLACFAMQFAVQASPDIIQCSNVFNGLTN

AMSKLTSQTSSSLSGLSCPQLQKIDQDQFKNFPGYTNLDCKTGRY
>RCO7_09572 | uncharacterized protein
MSARESGSKPKAWSTGRVLTEEQRRRKREVNRLSQRRRKIKNTQRVEHLENQLTHLLETSVFPSPASTAAEYPCEEPIEDVEPVQRALLPDSSSYGT
ELLSASSQAPHSFQPSIPISCMQFIAPYYQMKMHESYIASCLRLTLPHAPPVAAAFSKSRSSIRSEIITTFCQQLNVSIATLPNTIICSNDAQNQNL
LLRAVLFGWNVTETLSRVCPLWTIMQHVDASLFIETPVIERLVLLRHIHLMMLYKTGALGTRQLPIWYRYRPAQILYDHHPSIDYLGWPGLRERLVL
SGSLRMTDHFWAIFGSSFRFEWPHTITACYETDAATGMMRYSPLFDADSLNINLCRMTAHFFESFPEMADDIQTATSEPLQIFGLDEHKAIETLGLN
LDRDSVVEESHMLPPDFTTFDTDAMNSFIVAPS
>RCO7_09571 | uncharacterized protein
MEMQRLNMFPVTHYLSAVYEDLHAKGPAQITKPIREATADHIEHFVYPHAIKVGNFLSPFKLSDASGKEVSVAELLPKVLYSLFFTEENDFVAKGVT
LVAITCEVPKQALSTAEKNKLKFPVLSDPGNKCAGELGLLFAMPEILTPAIESLGVDLKERNGDDSFVLLVPQTLLVERMGVVRMEPDYYSKRAEPE
TVLEWIDKL
>RCO7_09570 | probable TPR domain protein
MSGSGSGTKVSSSQEEYYDLGTFQRPIHTKSNDARSWFNRGLTWSYAFNHEEAAHCFEQAIAHDANCSMAYWGLAYCLGPNYNKPWDTFDKAELDSI
LTRGHRAAEQAHALATTAVEKALAQALRFRYPQRQAEDAKACTPWNKEYADAMRGVYENFPSDLDVAALFADALVNITPWALWDIRTGLPAEGAQTL
EAKAVLDRALVLEGGNEHPGLLHLYIHLMEMSTTPEIAMPAADHLRGLIPDAGHLNHMPTHLDILCGDYRRAIASNTEAIRADERFLARAGALNFYS
LYRSHNYHFRIYAAMFAGQSKVAIETIAQLEASLPEELLKIESPPMADWLEGFISMRVHASIRFGRWQDILSMNLPQDAKLYCVTTAMIHYAKGVAF
AATGRLREAEETKSRFVDALKQVAPTRMLFNNTCVEILAIAKEMLDGELEYRRGNIDLAFKHLLKAIALDDDLPYDEPWGWMQPTRHAYGALLLEQG
HVEKALRAYSADLGFDDTLPRALQHPNNVWALHGYHECCVKLGKTDEARIIRKHLRMATAIADVPVKSSCFCRLSVDDKDTV
>RCO7_09569 | related to Probable dipeptidyl peptidase 4
MRSFNTLSTAVCLLIAATVDALPPQARRSPADKKVVSFEDAFSGKFRVNRTSLRWTSQGADGTYVEAGSNGDLTLANIVTGNSSKFVTASEIGAAAQ
EYHDYSIQPGGEHVLFIANYTKLYRHSFYADYFIYNIKDKTTVPLAADQAGDIQFAGWSPVGNTIAYARGNNLFIWENGTSTQITKDGGPDVFNAIP
DWGYEEEIYGDTSLLWFSPDGKQLAYLSTDETGVPTYQIPYYMNGSTAGVYPHYLQLRYPKVGETNPTVKFNLLGLENLSAGPTTIKFDSFAPEDLI
IGEVAWVTDDSSHVIFRSFNRVQDQEKLILVDTATKSSSVVRERKTSPGWIDNNLAISYIPGTQTYVDLSDESGWQHIYLYPVNGSTPVAITQGEWE
VDSILYIDAANKTLYYTSTEQNSMERHLYSIGLDGQGKKALVDTSKPGVWTASFSANGGYYILSYNGPDLPYQELYSTQSHLEKIKTINDNSVLEAK
LANYTLPKTTWFEMEGADGYIYNVMERLPPNFDPAKKYPVIFDPYGGPGNQRTTKTFRQVDFRAYLASDPELEYIVLVVDNRGTGFKGRAFREVVAG
RLGTLEAIDQVHAAKEYGKRSYVDASKITIFGWSYGGYLAGKVLELDSDAFSFAILTAPVSDWRFYDSFYTERFMKRLSDNEEGYNTTAIRKTAGFQ
NVRGGFLIQHGTGDDNVHFQNSAVLVDTLTVGKVSPKKFHVQWFTDSDHSIDFHGAGTLIYKQMARYFWLEKTRKEEGKHQFDKK
>RCO7_09568 | uncharacterized protein
MHLLCIGVTASPHHGRPVQPATNINPPQNNNQTGKNDNPSIGSPTTSINLSSKKKLPANNNRNSENLDPSLIPIFSIRSGTGVGANGVAIPNTCPPA
RGDFISKMSANIAAGNVLGIPITFNTDPKVQDIKTNKARATAMIITLQSFSGVKGVGCPGASTPELISQQQTGVVVSK
>RCO7_09567 | uncharacterized protein
MAYYVLLSSIFLPVGFSQDVILANFPSCANDCLSKFTNLTSTGSCANADAACICEDSTFQNDWACCINTGCGESDESTTIGIMKSQCPDSEDIGKCD
SGRDPGTGFGRNRGGNRFGGGNRFGGNRFGGNDNRIGNGNEGGEGQSSEKTPISTPDPVTITQSAIPVTANNPVTVVSPTTVDIQVTTSTPADTVAT
AIPFSTLTNAAPASTTSIAPVPTSAQEVIVPPPVPITDMTSDSAPILPSSTSVPDQPSVSDTENIPTSTTEPKTTSETLPQFTTLSSESILPMSTAE
PPSSVLDTTDTTSSSSSKSMTDGQKAGVAIAVLVTVVVIAAGIFFFVKRRRRVIVKEFEELKELHEADKSRPKSTALPVIYPRTDTTVIGGAGAYRD
IFEKPDTAS
>RCO7_09566 | related to protein kinase
MMDIEEETMPTNGLYYPVRLGEVFKSRYEVLSKLGYGANSTVWFCRDLQQQKYAALKVYRFGSSSPREIEVLKYLAAKKSEHVGKAYVRSMIDSFVA
KSAIGDHHCLVHEPLLLNLLELQAILPRKRLSLDLLKRTLRHLLLSLDYLHTEAVVVHSDIQARNILLGTIDQSVYSDMDAAEVQEPSPQKINGDSI
IYQSRRFHPKAGFTAWGLPVLCDLGEARIGSKHTGIIQPNSFRAPEVVLGMEWDCKVDIWNLGVMAWHLFEDDHLFDGRILGQHSDAQLLAEMTSVL
GPPPSSFLEQSEAALKYWGSEGNWKGVQGTEIKSVPLEDCEEYLEGKEYDMFVGFFKRMFVWNPKERATARELLQDEFLIVS
>RCO7_09565 | uncharacterized protein
MKSFAFVVSGLAFACVAKAASCSASNAERVTVNTGSNGGGSNGGGSGGGGGGGGFVPNRNACYDLETLEWQCDIVYRRLTSRRSLMTLSKRDGLDC
TSSEACISLEGEISCYNPTTDDFHVEDGTKGNFRTGDYLLPDGQAGNLFNGPFPTPLSSTGVGASRTTVRSSDAASSTKSGDATVFTTLADSASKSS
NPTATLPAGVTTTSNSATATPNSGHQKQGRGHWVGAGVGLAGLLAL
>RCO7_09564 | uncharacterized protein
MISPKSQARQVQGGKFQFQEMAVMIPHIKNGTPEASLFFISDDKITRILGTRISTDLEASDAPFLRISDPSPAGHLHNGTSVISELIEHPPLLAVTC
FNPYEDKPIEHRRG
>RCO7_09563 | related to tRNA-specific adenosine deaminase 1
MDVSGDDIADAVLGEFEKWPSKRKPSLRSAGVKEWVPLSGIVAQGKNGLVCLAVATGMKCLPQNKIAQAQGVTLHDWHAEVLAIRSFNRFLLEECHA
LALSGSLSSDYVRLRPERERTEMDFQPFTLREGVSLHMYCSEAPCGDSSMELTMAAQDDATPWAVPSANDTERNLSELGVLHGRGYFSALGLVRRKP
SRPDAPPSLSKSCSDKIALKQSTSLLSSVTSLLISPQNVYLDSLVLPSSQYSPVACARAFSDSGRLSLLKGKQWDGGYSFVPFRVLTTDKDFEFSRR
QLLALSEKIVPSNIATSWTPNSAETLIGGSLQGRKQFSLKGASRVCRRRSWRLALEIAKVVSLHIPRIEKTLAVDSYASVKRSPLLDGRGIVKADVR
ASALKNWIRNEGGDNWGVGGVEL
>RCO7_09562 | uncharacterized protein
MPLQSPQLTALSNLLVSKARRPKFDLVLKIIDLNNVPFVNGSSYVKWHLPSSTSAEHRGRTAPAPIVEHKVSWDYSKTIPVRLTIDKSNNLQECTVD
FEVVQDYNSAGMRGEKITLGSVSLNLAEYVEESEMDADGEEAVVRRYLMQESKINSTLKIGISMKQVDGERNFVAPPLKTAPVFGGIAGIMAGEQAE
QDDVGHMPTISKSRDHGELQDMYRRTLAASWAAHADELPADECLEDIFNGGDGWKHHDKMSTPRITHDDSGEEGNLRHHYRSMSGNSSKSVASQNTI
TGKRNMRIGHKHSTSRETLGPPLSHLAVDIHDISSENSSERGRPGFKKAPELDEFEIRDDLVAWRLPGTVS
>RCO7_09561 | probable cyclophilin E
MATNIALETTMGTIFVELYNDHAPKTCTNFSTLVSRGYYDTLLFHRIIPSFMLQTGDPTGTGRGGSSIYGEKFEDEISPLLKHTGAGILSMANSGPN
TNGSQFFITLAPTPWLDGKHTIFGRVTRGLAVVKRMGLVRTGAEDRPVEEVRILKARVVEGVEEE
>RCO7_09560 | related to Minor histocompatibility antigen H13
MDVLFSRFEGDSPVLQTIGKWAYQISANRELIKMYIHLILAAVFPIYIGAHASLRRPPSAAIPKKKTKDEDGEEEEEIKIEGMTPSDAIMFPVLAGI

TLGGLYALIKWMDDPKLLNKILNVYFSVLGVFGVGKLAADCLHVYTTFVFPNVWSTATETYYIDQMLSQQVTGFVNKARVQVHRRFLEDKTNPFPGW
LSGVQFSPAVNKFLWKLRSEFKSHMIFKAHFRGIFTVKSKVRLNDVFGFFIGVGVIALYNMNDAKPWWLTNIMGFGFCYGTLQLMSPTTFWTGTLIL
SSLFVYDIVMVFYTPLMITVATSLEVPIKLVFPGPKRGSMLGLGDVVLPGIMMALALRFDLYLHYLRKQRTTSKPTIPPRAIEPDTIVRAKYQDATG
LWGERYWTRKAKQGEETAADGARFPKTYFKASLVGYVSALLVTLVVMNVFNHAQPALLYLVPGVLSALWGTAFARNEVALMWDYSEDGEWGLEPEEK
GKGGEEEKGDGSKKIEKKSGDEVVVAHAGGKRVEKEKKKDDEYEHHVFMFSLESPRVDMGAQKALF

>RCO7_09559 | uncharacterized protein

METNGASNVANTRAQPSIRSFFQPRQPNYTPPPGSSAPKVQPQVPSPLVTQTPPSLPSQVSAISHEPITSTSKSHLPPQATISQIEQPHIQPLRRIN
ALLLPITYPDSFYHKILLPDSPTPAPPRSFSRSILWTDTSSQDTKVIGGVICRVDPSLSPSSTPQNPSYTPNSHDIYIQSLCLLSPYRGQGIVAAVL
NEVIEAAVSQSELSIESLYAHVWTQNEEALEWYAARGFKMEEAVIKGYYRVLNPDSAYILRRKLVPSDHLNGHTQPQARPGITKQLSAPVSQPLTPI
APGRPPMPIHARSFQDAGPEREWNDLPDDVLGGGLLKPPSALASREGSAPSSRSSSRSGADLKGKKKRVYPAAAFGS

>RCO7_09558 | uncharacterized protein

MSANDNFEVPGLVAPDPNEEHDTLTELTYGVLDDSFYNILHDLVFETFRGEKMLRASSAAIMVEQKASQTDINDVDEYAPSSNNGQKVETEGATWEN
GAAHLKGNPLETTKEIRCQKCGLPRLLHPTDGNGGRKPDPSIRYCEKHPYINKPYHDVYGQTYVPEGPGRGKKKKDMINPLKQQKENTPNGSQDSEE
EEKKNIAFPSSKCNNCGTHVVIKRMNNHMARCIGGFGRQSSRDAKTKMANGHGTGSQNGNTPPTSRNSTPAPTVSSKNGGTSPSKRDAGDDFDSEES
PHKKKKLLKKISSSNKLKAPKMSKNPSQLSASGLSFESKPPPSDEEDIVDDGDDDRDGDFNEKSISVEVKKKNKALKPVKKLAKPKSKWLYGNSGSP
GVPPDPQKLKIKTSSSGVNGHSKSVTRDPSESSQTLSSPN

>RCO7_09557 | uncharacterized protein

MERSESVVSAALKKRQRTSTPPPPMPPPLSDALDLRKRCGIRLNPRVELKSHSMARIRKDQQEQQPRPELKKARSMVEIFTAEEERREMEALREEKT
KERGAGFSLRDLAVQEKDRLKEAEAEWKLQRWAARALCARCEKGFVKGKSGSSDCEHHPGVLGRYEQHLQEILIVLWSCCRKDPEQPGCAEPHHVDD
SLPSDVSKLKRSQEAGQLKVNFALHGICQRCVQKFRIKTPLTQPEIEATELRCDDCKVFAYLKSGAGIINDIPSTNEPQTWAPITAGRNIVDLTEDD
ALDLVSRDKPANLIPNLMIKHASSTSFRTIPGPVFIDFLDESD

>RCO7_09556 | related to DUF887 domain protein

MLDPFFAPIPILTETARPLCEYLSLQSLPLHIHEIFFAFGFYHIIFEYLAPPLSSYFLPKQYIKLSSESKLRWNMHCASMVQSCTITLLALWTIDSD
DERRNMNLDARMWGYTGAGALVQALATGYFLFDLVVMIRHLDVFGLGMLAHATSCLITYTLGFRPIFNYYGCVFMLYELSTPFLNIHWFFDKMGMTG
TRAQLYNGMALLAVFFSCRLVWGAYSSFNIYRDVWDALHLDEPSAKATATVGTMQFAGDRTLPMWLVILYMGGHVTLQVLNVFWFGKMVAAVRKRFV
KAPQQNGVKKKL

>RCO7_09555 | uncharacterized protein

MEKPAEEQDEVRPEVGPVEKFCVFPKLPVEIQLEIWKYAMLGPQRVVSLEELLLPGSPAVGAAFITVLYGWRILLRIQADSALLQIKVFPFAPNSLY
DPGYVFEDTEIPLKIAMELESVDLGTVTFSSDAELCPLLSISRDEALKAFPGCMDLGDGKIIHFNPDQDKVMVIPLTEHRIPAFPGFYRLDSNKPDY
QKMFQDVKHLLLSPNNDPCSLAHVRNNTLKFLAPFTALETLSLVSVPMEKIRLPLRLVSLEAYLASTCSILEEIVRVTRRLKHYEQRWPSRLSNVQG
DYDTRDWSELKVS

>RCO7_09554 | uncharacterized protein

MSSFPWFSDAVRFPAFAHCPVLDSLTEPEDAPYFLLGTIGENMTVSAAPTFILKDRNNVSFALTLRIPQDEIIESVPGGGLDVSDFRKGFTAVVEGA
KRSGVKEGKLGFIVAPSGSVKVIPASLENLNELSNRYHEGVQGASRNCQACSTSKPNDDLSICTGCRCVWYCNKECQTVGWKENNHKKDCKIFKACR
EIFP

>RCO7_09553 | uncharacterized protein

MPFYEVQHAFPLTASQRSSLAKDLTTLHATSFNAPTIFVNVKFTPNAADEGYFVGGEHQPTTNRIFVHVRSGKGRGDEAFAKLAKDVEDVWDRAVGR
EEGEAAAGNSKVLHAVFILPGITAREQGMAIPLAGEEATWLKSSRVMFEKRADAGEEDFKNLVKELQTRPELMK

>RCO7_09552 | related to potential drug facilitator PEP5

MDDHDTPTPVGSTETDIGSKIHIEAVRTVSKLPGNDHYYEKEGLRIYGDGEDHEHEPPMTFNRMMSLTAMAFLWTGSQMPVYLFGGVPPYIYGELGG
IDRWVWFVLANLLALAAVCPFVGALSDLVGRRWVAISGGMFIVVGMIVCSTANTMNIFIAGMALAGIGAGINELTALAATSELAPTAKRGKYVAILV
FTILPFCPSVLWAQLIAYHSSWRYIGALCGVWAFIGVAMTFVFYHPPPRVNSTGLSRKEVISQIDFVGGFLSITGMILFIAGLLWGGYQYKWSSVHT
LVPLLLGAALIVGFCFWEVYGAKYPMFPSRLRKEPRVLALTLIITFISGANFFSVLLFWPTQAFNMYGHDPVGVGIRGMPVGFSILVGACIVLWLLS
VLRGHNRALMVGSSILMTAGCGALAAARLDNLNAVYGILVVAGLGIGGIVVPASIITTIICPDDLIATIAALTLSIRVIGGAIGYTTYYNVFYGKFV
PALKFQIATACVKNDIFSGETIKAAAELTGASLIGEILHLPGVDGNLTIYNDIVLAGRVAYAYAYPYVYYTSIAFGAVSIIAAAFLGDISQYMDDHV
AVPSVARLSYDMIW

>RCO7_09551 | probable ubiquitin-conjugating enzyme E2

MALPKRIIKETERLMAEPVPGISAVPHEDNLRYFDVSIHGPTQSPYEGGIFKLELFLPDDYPMTPPKIRFLTKIYHPNIDKLGRICLDVLKSNWSPA
LQIRTILLSIQALLGAPNPDDPLAPDVAKRWKEDEPAAIATAREWTRTHAIN

>RCO7_09550 | related to Sec27p, YMR131c and human retinoblastoma-binding protein

MMDESRRGKTIKSAFDSTTFEADVSIHVERKVGSATISPSGRDVALASTDGLDIIDLDHPLNPPRHLRHGLPWLVADVQWSPFAARENWVVSTANQK
ALVWNLNMPEDSSQGAIEHTLHGHTRAITDINFSAHHPDMLATCAVDGYVHCWDLRRPRKPVLTFCDWFAGATQVKYNRQDSHILASSHDRWLRIWD
DRKGAAPMRSINAHESKIYGVDWNRTRSTGIVTCSLDKSIKFWNYTNDVDEPERIIRTDFPVWRARHTPFGWGVLAMPQDAPGKLHLYDRRLGTNDH
DSFSRAITTFPGHRECKVKEFLWRSRGNITDGGIDNREFQLVSWGEDNQLRLQHVDPESLEGVGFVKGTQVKKKLIVTRKGATYKTFRTVDTTGTEK
RAATITGPRPGSSGLKISALSAGMKKLNLPHALRNNLSLRAPAMKCKEKISKQDEQNQNQIGWMSGIKFTARGENSAVQKRPSSRRLSLLNPEFEED
GDWDQPETLHDEIIRIHEQLPKISFDDVNMDKRTVVASMNGPWGDDGDAIYITVTIVFPEHYPELKAPSFTLGKTSRMSNDVYVKLKKEVQQIAAGF
ISRKQGCLEAALCYLLGEVDLETSTTFFKDVDDLDDDMDALADESSSDDDVDDVPAVIASQEIGPSPADDGPPRSTNATVPLPRLCGARFAANGKLV
SFFPPKEDKIKSLLETLVAKNNARSKGDPLFETFGRLNNNTSPVPRIKTMSLISESKTDSDASDDSDVSSSSDSDSSHFRTPRFPMSDYFRRPGRRL
YRRGSPTVLSQKSSAAGTGTGTGTGTGTGIGRTRSLKPKNIICLHNVNDFLPSRPELAEDYAIFGEGPDVCEQNAEAAEKHGCNDLADVWRYAAMLL
HNEVPLEVLDQTHRREPILVIAKDAVRRNRSNSSSDSGLDLSYDFRSRQNSLSGRVKWGNNPLAKHLIEDLFNHFERLADVQMLAMLSCVFSEPLAK
DAASHAELFMTMPQTPISMKTPAFSLDYFPTDAAAWSMYQKTPIHSVISTPKLSHTPSGLYGSVGSSTGAWGSDPTSASYSCGETPPSISNRPSSEY
LNQQTQSLSTSPENPRSFRRANSSIAQSFAASFSRPFATTASSSPPHPPPSRKRPSPVESMLSSIAPSAVTWGNTTFLGSVKEQAIAERSSYSDDES
TKDDWKPSFCTGISLTMENQNAFDDEGCMSTPLLDVSHAALYASYRRMYAELLYFWGHPLARLEVLKFNGLKDYFTQHVEPEKKLVAASLLSDDTHT
LNHDSSPPSPIILGKKDAQIKLPPAPFPEQGLDVTGYCLKHDTRLEPLIGSNFGGAVGRCEKCKTTQRQLRCTICMEPISALFTPCLSCGCATHEDC

LSEYHSSGSSMCAGGCDCDCGDKAGAGVVEGWEVMMDAIERLRNLDKHASKGMKEKQDLEDWDVSADWEAAQIPTGGLERGYSTLSKRLRTGDWGKK
PSSLRDENKQGAPGARGKAGLANQQAKKAKKLQKKRAGKRRGGGKKELEAPKNRDESHTSFSQSSALKPSPGLKFNLRTRTRVERILVGVRIISVWR
EERFAGEAERQRILRTREVEEEDETRDWELDGEDGWVEGPELQRAAASGVSSSNVPGDIYDMNIDL
>RCO7_09549 | uncharacterized protein
MEKYPVHSDRLWLQLLNVEDHLEGYHALNSDESVSKWSSDVGPRGLEDTRAKLISRMQSDEKPWMEMYAIMLRPTGAEPAIYIGGMGIIRVSEDGEA
AEIGYGILAAHRGKGYAPEALKALVDYYWTSERKMQKEKLNAGTEPGNMASQRVVQKAGFKRKGLVEKAFEAPNPETKVMEWRSIILWEVERPKACF
DV
>RCO7_09548 | probable Nascent polypeptide-associated complex subunit beta
MTSNDEVVVELRFRSPELPPHLNTPVFDEGLTTAIMDMEKLKKMQQSEADSGKGTPRRKVKKTHKTGGVDDKKLQTALKKLNVQPIQAIEEVNMFKS
DGNVIHFAAPKVHAAVPSNTFAIYGNGEDKELTELVPGILNQLGPDSLASLRKLAESYQSMQKQEGGEDKKDDDEDDDDIPDLVPGETFEDKVE
>RCO7_09547 | uncharacterized protein
MSYQDQSGYPPPREQESQYPPPPGEEDDRARGYHQRGPSNGGNVVLPSITPYEHYGAPPHNGYPADPRGYQQDPYRAPPVQYRDERPYPRQEFNGPG
GPNMAFTQSAPRQRTAIACRYCRRRKIRCSGFDQNPEGRCSNCQRFQQECIFTPVSSQAQAFVPAHAVYPGMRNMGVGPDGRPRPMIYPQGTQLFGA
HGQPLGAIPPQPSPYEYPAPSPTGSFGSFSEDRGSQPPHDQSRKRPQQDPHPSILPPPLPGQPGQPYARVDAVNRRQAVDDDLRLPPVTPTGASAAN
YSPGSSTSSQSGLQAPQHNGLPPMTRTPPPRSSPGEVARADPMSLGNIMDHRRPNMEIDRGMLGRLDRKPK
>RCO7_09546 | uncharacterized protein
MLGALLTQSKTCIRADPICSDSLLNSGASWMSPSGCQASAKLNVLNGKPFLMEGDTLARTPFPCASSMVFDLRNYTEENLWGPYIDRLATADWEKLE
ASMVVLCHHAEDINDCIDRRMFPKGIMPEEGWEGAHPYSYKSVNLRGLDYDDDEEEDGQAEFRDVAEKPSELHDPYNITGTELLEYNLALPLLPNDE
PWPAPQYVQMTYLFLMELHATRGESMDTNDGQSYQIIYFQACEEDRRGQWRLRSEGIQIGGIQSARGVLGHWFIKERNQHSGVGPIAFYKVSDQIKE
RVPLVEEVDSSEKEGETSDLDTDDDIDDIDDGDDSDDGGEVEEEEKREIGGCQHQPATGNSVDTMTAIERYF
>RCO7_11737 | uncharacterized protein
MIIFVDVRLLNRALLNYVNIEYTILSSLLLSSEAKDAELNREKVFKELEFIKIDLDLLIVDSAKSKLIAEIALKQIKELNGIIREFIKKAIFKAIIS
NTKGKRNLPSSLEIVSDLDTPGPSLKKKAQKVFKELEFIKIDLDLLIVDSAESKLIAEIEFIKKAIFKAIISNTKGKRNLPSSLEIVSDLDTPGPSL
KKKAHLNKELDIVVPVLDIPDLLEAPEDLGEKASKIEVIKEIEF
>RCO7_09311 | uncharacterized protein
MRLTNFLSLFALVSATAVQAEFSQYLSEIPECGIQCILQILPTSVCGLTNETCICENEDVAARTQSCLVQNCTVLESFQVANITALGCGREHPDRSR
DIIYTTVLGAFAVLCVIMRMISRWEEGGFNPDDYFMAFAGLCMIPLLTTGDLSAKYAFGQNIWDIPTNHIVLGLQFFYWGEICYFTVLGACKMSILM
FYLRIFPSQAFRNWCFSLLGVVTMAMVVFQLMTLFQCWPISYNWHGWKGEMQGKCLNIQAFNYASSAVNIILDFAILILPLPWLIRLKVGLKRKLSI
IFMFSIGIFIFIVSVLRINFVNKFKASVNPTWDYTDAIIWSGVEVHTAVIVPCLPAIRSLLSRRCPKIFGIDTQADTNKSYERSRGRDIPRSKSFKM
VSITTTCAPGKVSDEESEDGQRFSNSKVCFNLGDQMKGTVHTGITGGRLATFRSNEHLVPEKHDM
>RCO7_09312 | related to calcium-translocating P-type ATPase(PMCA-type),putative
MSLGVPRLQTGGLTVHDDEEDISGGRPRATSDTSFLSAQSAKTLLPPNTPGGASMTSSITFQDGDNALSPDPGTEADFEVQNNKFAFSPGQMNKLLN
PKSLAAFTALGGLPGIARGLRTDINTGLSIDEGELEGTVSFQDVTKSDYYKGESSPMALRSTGGQPGSFSDRIRVFKNNVIPTKKATPLWKLMWRAY
NDKVLLLLTGAAVISLALGLYETFRTHPVSSDPEEAARQKAEGGAKVDWVEGVAIVVAIVIVVIVGSLNDWQKERAFVKLNAKKDDREVNVIRSGKT
VVINVHDILVGDVLHLEPGDMIPADGIFITGHNVKCDESSATGESDSLRKTGGAQVSRLLEEGHANHKDLDPFIISGAKVLEGVGSYLVTSVGVNSS
FGKIMMSMRTEPEETPLQVKLGKMAGAIAKLGTAAAGLLFFVLLFRFLASLSGDSRTGAEKASSFTDILIVAITVIVVAVPEGLPLAVTLALAFATT
RLLKENNLVRVLKACEVMGNATTVCSDKTGTLTTNKMSVVAGTFGPELFEAADAATFSKKVPQEMRDLIVKSIAINSTAFEGIEDGVPSFIGSKTEM
ALLNFAKDHFAMDTLTNERANADIVQLFPFDSNKKCMGVVIKHGKEYRLFVKGASEIVLEACSSVADVTTGEISDITGAPKQRLTDTIQTYAQKSLR
TIGLTYRDFSSWPPAGTQTSADPSAAEFDQVFNNMVFSGVVGIQDPVRPGVPEAVAKCQFAGVKIRMVTGDNIITARAIARECGIVSATDEVNDIVM
EGPEFRKLSDQAMTDILPRLAVLARSSPQDKQILVQKLRSLDETVAVTGDGTNDGPALKAADVGFSMGIAGTEVAKEASAIILMDDNFASIVKALMW
GRAVNDAVAKFLQFQLTVNITAVLLTFVSAVSSPDMHSVLTAVQLLWVNLIMDTFAALALATDPPTPEILNRKPAGKRAPLITMNMWKMIIGQAIFQ
LAVTFVLYFAGQKILGYDFSAQFPGDRSGENKRLELSTMVFNTFVWMQIFNEFNNRRLDNKLNIFVGIHRNFFFIGINIIMVGAQIAIIFVGGKAFS
ITRIDGVQWAICLVLASLSLPMGVLIRCFPDPWFAKIAHHIGGPFRTVYRALRRTFSRVWAKIPSIKKNKKTESREEETVQETKEMPTPPVIITEDV
PEILVEGERDVERGVTR
>RCO7_09313 | related to permease of the major facilitator superfamily
MTAIEKESIPPINMTEKVSSSEENLTGIEWDDKDEKRIRQRMDFRIVPTVFVLYLLCFIDRANIGNARIQGMGPELKLNGNYRFNWALTILYFSYIA
VEIPSNILLKKIGGRFYIPSLVIAFGLVSMCTAFIEDFRGLYACRFFLGLAEGGMLPGISYYLSCFYKRNELLFRMGIYITGSSLAGAFGGLLAAGL
TQIPEWGTDSRKIHNWRNIFFFEGIFTLIIAGIGMLILPSSPDQSKFLTTRDQYIALERINREHKESANEPTTLEHVKRGIFNINNLICALGFFSIN
ISVQSFSLFLPTILVNLGWKALKTQFYSVPPYLVACLFSIFIARMSDVYKRRGIFIIGGTSLSMIGYIMLVTVETDSLKYFAVFLAAAGVFPQGPAF
LAWGLNNAAGPSVRAVSGAYIVALGSGGAIIATWTYLDKDKPKFHRGHYINIGAQVVALSMACIGIAYNKWENGKRERGERDSRIAGMNEQEKIALG
YRNPEFRYQT
>RCO7_09314 | uncharacterized protein
MPSRTDRRDATSLIAAVSNMSVDFIEGVKGDSIPEAAFPPGGSSESIKLVVHQNLTSALIFENDVDWDIRLRHRLDKLSAASRFPTQRFDSDLFEHG
IESSNNPENPEQSIHNDSSPYPISDTLHSLLLSSAPAGQPEISRPYGDPANWDILWLEHCGAGFPRTPPTTQSKPSVQNIILTNPHDQTVPLPKYLR
AHPFGPLDALATSHAPHTRVYHRANGGALCTVAYAVSQRGARRLLHEFGVKRWIRIWDVEMGDWCAGSDHHDSGKDPSSHRRTSNEEESSMEMERVC
VTVQPPIFAHHHPPGGESNIGGVGGGYARTVETKYVRLSVRMNLEILLAGGTEEDLVDQWSD
>RCO7_09315 | uncharacterized protein
MESHDTKIPQVASLSNSALRASAPDFRPTTVTATTISEAAEDTPQEERSRPMKNFPTTRRPYALSSSHLGPTPEKVSNFEGKDFDEPTMRGRGIKAV
RMCSGTFDTLREKRSFEKRTAFDVQCSPHGTEFQCENEELHAIRQQIQLEESESKHSTQQLAFAVIRRSQMLEMELAAAKGENVNLRKRLEIAEKKI
KDMGLNAERKRKDVGSFFKPRASTNMEEANKAFVERILGRLEESSDQDAAEAATLETNQPETSEPSRPFHFAEIMPAHEDDVGRMATQDPRSSKLL
>RCO7_09316 | related to tRNA (uracil-O(2)-)-methyltransferase
MPFTPDPVPPGTSPKLEGSSGEFWTPLYTHGCSFPPEIFKETVLNLIRNPNLNSNHLFRADISLDRPYEDGISLESNIAPRIIQFQSFTLERVVVRT
MIPRNILVDKPLDQTCNFYKRVTDEGEVVSLVVYLPHISSASESPFYHPAVHGIGFLHSFDPRTMQGIVSIHYSFFESEPRSEKLQRTAMHLLAITH
KHGQGSAAGYVKRVHHDLIIPQARVQNTYARLKSKYARDLVQRWVEVTDPGKHVFEDLSIAAFLIELWDEMYKRNEFPGFVDIGCGNGLLVHILVEE

GYSGWGFDARKRKSWPAWSTKARENLKEMVLIPSIIQKIPTGSSLDDFHSTEVFLSSSDPYLPIRDLSVSTDSQTHGIHDGIFPKGTFIISNHADEL
TPWTPLLANISECPFMIVPCCSHALSGSRFRAPAPKDGSSNSAYASLVTWVSKLAKDCGWEVEKEMLRIPSTRNTALIGRRRLVPFDDVNVSELVNA
NGGAAGWEENALKLLKSSARGH

>RCO7_09317 | probable ribosomal protein L24.e.A, cytosolic
MRTYDDTFSGEKIYPGKGKLYVRGDSKIFRFQNGKTESLFLQRKNPRRIAWTVLFRRQHKKGISEEVAKKRSRRTVKSQRAIVGASLDVIKERRTQR
PEARTAARQAAIKEGKEKRAAAQSAKKAEKAKSAAGAAKGNARVTSKMGAKGAPKKVQATSR

>RCO7_09318 | related to lysophospholipase
MAKPSSLIIPAVKKHTATVIMAHGLGDSGAGWVSLAENWRRRQKFDEVKFIFPNAPNIPVTVNFGMQMPAWYDIIEFGDLQSGQDETGILKSRDYFH
TLIASEIEAGIPSNRIVLGGFSQGGAMSIFSGITAPTKLGGIFGLSCYLLLHNKLKDFVPTESPNKETPVFMGHGDSDPVVKPEWGQMTAKILRETG
WKVDLKMYKGLGHSALPEEIDDVEKYLNERIPAIGDKPTL

>RCO7_09319 | related to IVY1 - phospholipid-binding protein
MSTDSQPSSPSALPPIPSSPTYSYASTANPIPSSFNLPLPPPPRPPHAVLTKADLEASQTAYSDLLTTAKSYRLALAALSVSASTFGSALEACARLK
EARSDAMPSSAAGSMTNSFSAKGNWTADNLMAASGVHQLVANHQQILSETVYRSFEVPLLHELDQWRRRMEEEEMSYQREAKIMSKEIRRMEKEGLR
LHKLRKRDVGVFRQHLVQLTSRLDQLTSLSGGHSRGLLRDCQEMSKGIVECSAGLVRAEVDIFEALARKGWNGGGLDELLDKGRDLFANEESGTADA
HPNHGAKIFSILPQNRSILASEDTSGASGMQHTRHDSLLVEGLPYQSLTGAVSGGRDADVNSIFSERDMPSSALMNRPRGVRPFSPTPGERVKDPLE
NYGKAALDVPKEQHEGENDVDKKNAKGESGSTKTVVAIPDLTAIVVSVPEGAHVESMEEKEEKDTKEKERDSSESESESARSGRERMRRWSVTDDGA
VSD

>RCO7_09320 | uncharacterized protein
MAHEMLFNPELLSNYDYLYSTEVNPSVSRIRRTVPETGSFGKSTRRSRSRTGTPAAKREDPTLAAADAIFSQFLTQRTSENPESPQRKTSLSTSISQ
PNISSSALVQIDGNTGNSSRFSTKQVHKEPTEVILRGFDSTQQYAVIREYERLAGRICEDYPRDAPIEQRRFKTDLRDQASLRKKPLTAEEKAKALK
FAGGEHWIKVTFESADAAEIAVESSPQTIMGHLVYAELYRGVPPTADEPVPIGGAARGPGGSKFQAQSVGVMSGLNMGSARRPSSTLPRSFTPAMRE
LRRGDSSISPPGSSSSSQTIDTGTIASTTSSATVTGIRTKQQQQAEESPEDQLYCRKIPTARRIQLLPADQALQASLSWQRRMLNQVPWISSLTSDV
FGSSVPRDEQGEFDRKNATWYWIIMAFIDSLLGGLLGIVKDNSDWN

>RCO7_09321 | uncharacterized protein
MFRFHKTKDVITLFHKASLPASMKVNSLLKQVSANTSEHATEDQASDHSVQSKPNRPEFDLEVTEEPPTQDQLKSILEYIGAQKASTIIKGAQDEAD
AMKKLKENAGSFQPPVVVDWANGRAVVGANESEILKMIESLPK

>RCO7_09322 | uncharacterized protein
MPFHPHPHPHLQSVMALTPIPETRTPSIFVAPPSMPIMTSPLRQLRAPPVPFVPKPSASMPPASNEVTMDFYYPPPHTPAIFSTKYCTRHKRELVAP
FPIAVVRSNMKDDVEARASQLIEEFPFAREIVDVSGDWYDLHQFFDGYDLWVEGARFCYMVMFVLCRKNTEHREIRNAQMAIIDEFAMQWITSNQSV
VLYNPSVYPMTALIPIDDQLEFEFHDMTLEQIQFLNERLDYHRQVLLHANATPPRQQLTNNRHHMLPQHFQPLQPAVPVPVNVLGRAQYPQNKLPHS
TRVLDPSLPQVYRAHHDPGMSLVHRPVNGQESMPRGSLQGEDPSSLSQQFTELIFLGRQSHGHSSIIDTRRQVTPTGYQNQAHPRGFNNEHGNVRPR
GFSNSSQYARAFHGNVQRHASDALRGGSSGNITTPPREAVYVRNISPRDNGPVSVGNRVVSAPTPGVPFYPAGRITSGGHSQVLSIADRGTYSHNTR
VGITSYPWTERHMANDTMTTHYLPGPRDYDGLRTIMVTGLDSDIVFSHTLKDMMEECGTINSIHYMPASPRAFIMFVESSSVQRAIARFNRVTLSSG
HKLLVSVPDQKHHSRSGSNTSQHHRGGAYNFAGRIESRSRRSSIRTIADVVQHHSQVMSPADRGMYSNDARVGMPLSSVENVQNANKRRIASPRKLQ
QGITPTRNNTKKENMSPTKKAGAVDTGENISPRKYPSSDKRSNKRGRGSKQNTSTHPTPAVTPIKSMSSTDLQDIKNLQVIADSLKMKSSNGGCSLR
STANENDFKSAFHDSSKSDASQLTDAVSDATLSPAKSAPTTRDTSFSAMSSRKQSESSQVTKSQGDMNNSSFTLGATTSKNTSKKPYESRFKKQHVS
TDKQDINSGQGTNAAPDDFEKADDSPVKTTQETSIFIAPEIKPVVPVVAVPRAFEAQSRPFHDHVLDFNLGNETWPFVRRFKGR

>RCO7_09323 | uncharacterized protein
MVSAVLKYSSKIWNTSPEKRVAYRQTKDPPQKHNYTAETIRKLCDERELQVIGLQPFMHYEALLDRAEHARKIEKMKLWFKIAKILGTDIIQIPASF
LGKDNTTGNMNVVVEDLRQKGWDLVERVDQSNFGMCLDTYNISGRVYGDPVSASGKTPNAEEDMKKSLEELIQRVDVKKIFYIQVVDAEKMRSPLVE
GHAFYAADQPARMSWSRNARLFAFEEGGYLPVLNVARAIIEGLGTKGWAVSVCRVYSNVQILLNWEAALGELSSIRAFPVPRRLDTSKHLQKPLPLK
WTKEISATPTLANDESPWDCWTIFKVGSSKPDLSDEGPSRSITGEVSNTDESRSRLQTFGDEKLSQSTIQGPATEEYSKAHVVSHEKPFRPINDAVS
TGIEESCVQESTDDGSPHFIPHGTRAYEEVRPRTAEDEAFSQLISSILAPYGTDGSTFESIEISPSMAISYDMCGEGTGDGSILEEPQLGENEPRAF
LGPNIDFDEHELCTRAFIDAICHKFLYDTTITGSVKFTLPKELHAGLQEYILPDFAAPVSDRWFLDTDSSSNWTHNKIAGCR

>RCO7_09324 | probable QA-3 quinate 5-dehydrogenase QA-3
MSTSTPVTPDSSHLEGVNYLFGHPIAHSFSPLLHQTVYDNLKLKWSQLPLDSTDVPNFLRLTKDPKFYGASVTMPHKVAIIPHLDEITREGKDIGAC
NTIFFKERDGERVMCGTNTDCFGVRDAFLHNLPAGASKDLYRGRPGLVIGGGGACRSAVYALHKWLGASQIYLVNRDDSEVEAVLADCKKAGFGDSL
VHVKNIEQAKDLAAPGAIVACIPNFPPKSPEEIEARNVIECFLGKEEKGAILEMCYHPTPYTEIAEISEKLGWQVILGTEAMIYQGLEQDRLWIGKG
LAELPTKEVHHAIATALEAHKRH

>RCO7_09325 | probable Catabolic 3-dehydroquinase
MPAKNILLLNGPNLNLLGTREPGIYGSDTLSDIETRAVSQASAAGTTLSVFQTNWEGALLDRIHQARTEGVDAIVINPAAFTHYSVALRDAILGVDI
PFVEIHISNVHAREDFRVKSFLSDKAAAVICGLGTFGYEVAIEYCLEHMKTKADMAK

>RCO7_09326 | uncharacterized protein
MPRNDWYQVNQLYEDLETSLPFGLRSQVVMQESRATSIISIHGKQGSIHHHRDGDKQNHSARKHDYNLTLISQEDRPQREELKTKTLFWDQYQREAL
ANDCLTAGSADPDPALFAPKDKAENRVKLFEEYVH

>RCO7_09327 | uncharacterized protein
MCFGLFKKQRDEDEMLDDEARNRSVTEGAKREQSPGSRVPKEVARAIAMATAQEANVAILTEDIGWISLWECYDCEYHDSV

>RCO7_09328 | related to Putative sterigmatocystin biosynthesis lipase/esterase STCI
MLTPEYLLALGKINPDLEEILKNVPVIEVLHENTDIPAFRATEYLKNKESNDASRSAGNASYVEEDTQILVRDGSSIAVRIHKPKSPPKDGCPIFVV
YHGGGFVLGGLEGEAQMCRKFTELGGIAVNVDYRHAPEHPFPTSVLDAYDALKWTAENFEQLGGNPSKGFLVGGMSAGGNISAVITHLYRDDKISPP
LTGAYLSIPAVCPPHSVPEKYKHVYLSHEQNKNAPILNRNSTSWFEKHYKPDYESNLRNPLLFESHKGLPPTYFQICGLDPLRDEAFIYEDILREEN
GVKTRVDVYPGLPHSFWGRWPEAHFSAKREEDSFKAMKWLLEQRN

>RCO7_09329 | related to monooxigenase
MSQQSMLASSSAPDPSAIPDRSIAHENPWYNQDFDGFRVSEQPLFQRRPIRVVCVGAGATGLQIAYKAERLLKDVTLQIYEKNHDIGGVWLENRYPG

CACDIPSHSYQFSWHRNPNWSNFYSGAEEIWRYFKDVATTYDLEKYVKFNTAVEKAVWQEEEGVWKITLVSSDGTRFEDTCEILVNGSGILNEWKYP
DIPGIENFKGKLMHSAKWDSEYDLKGKTVATIGGGSSAIQIVPQIQPIVGKLIPFLRSPTWVTPGMGAKFAGKGGTNFEYSPSQLKEFNTDPGAYNK
YCRDLEGELNRRFTLVHKGSQDQKKARELIANMMADQLNNDPKLTENIIPDFALGCRRMTPGSGYLQSLTQDNVTLVPSSVTRFTEKGVVDETGQEH
EVDVVVCATGFNVSFVPRFEVIGRGGKSLKEEFGQLPKSYLAITAADFPNLFLILGSNSPTSHGSVLPIFDWHTRYMFSMIEKLQKENIKCFTPKPA
CVEEFFNYTHELMKRLTWSASCSSWFKMGKKDGPVTAVWAGSRLHYFELMKDVRWEDYDITYRSKNRFQFLGNGYTETELDPEADPVWYFDDPFMNA
>RCO7_09330 | related to salicylate 1-monooxygenase
MFKPTVVISGAGIAGPVCAFFLARAGIKTTIIERSPSMRTTGQQIDVRGAGLEVVQRMGLLDAIKSRTTQEAGLAFVNEKGRRVAEFPVRKDGGRSL
TAEIEILRGEMADVFYGATKSLEEVNYVFGDHVVEIVERGSKVEVVLEKGGRKEYDYVIGADGQGSKTRRLAFKGVQDVIKPLHQYVAYFTIPKMES
ERHFAEWYNATGGRAILLRPDNAGYTRAYLTVTRDPLPELLKGHFKLSVAEQKQKMHEMFSDAGWEAKEVLAGMDKSEDFYMQEIVQVKMSSWSQGR
VVLLGDAGYCPSPISGMGTSCAIVGAYLLAGEIAKHGMDYEKAFLGYEEKLRPYVTKAQKLPPGAPGIINPQTQWGIAILRGLVGVVSRSGVTKLFD
MLSAPQGQDERLTEYEFKREE
>RCO7_09331 | uncharacterized protein
MASSTPTPSITTVTPKTRPRRASRFTEGSPLTGAELAQQSTDNAFLLSILTQMDEHEARKARSSSNASTDSFSSPFSSRKRRDTGSSSNGSHSGNSP
VQGEFVIKERVGRRSITFGRTEDARKSLQVDERPKGDFADGVEVLAVKFKGRLRALTGGRERNVKPYEGT
>RCO7_09332 | related to sphingoid base-phosphate phosphatase
MCSTPKGSNSLSLELKKFPTPPSIALDAPGDVVDAGLRSLDHYKRRLPPWRYNLRQRILPLVRWETPYLAWMQDKMRSPALDTYFAITANLGTHTFF
MIFLPILFWCGHTSVGRGMVHILATGVFSTGFLKDMLSLPRPLSPPLHRITMSGSAALEYGFPSTHSANAVSVAVYCLFTIHSPDSQLQPSTKFIIE
ILSYTYALSIILGRLYCGMHGFIDVIVGSIMGAIISAIECIYGPDIDKFLHSSSWVVPMAVALVIVCLIRIHPEPADDCPCFDDSVSFAGVMIGIEL
GGWHYATGNWAWDIPVPATVPFSLEHMGWVTVIVRMLIGILVIFAWREVMKPTLLKALPHLFRTIEKNGFSLPRKFFVPASEYKKIPARLKVDNVMP
SVSDLPGLFTSIRHPGRGRAVSVGPQSAADAYETLAYREKRRRDSLTYGSDITSAVQSPRSPDPTFGKDYFSSKGSLDKDGAVSQVSGFSEFLGVHN
GGLPTPAQSRVGSYEQMMGQGHVVFAPATPPAAAESENGEEADMTFGQQNELEEKEMFSRLEQPRVRYDVEVVTKLVVYAGIGWLAVETNPIIFEII
GLGMGNVRPFH
>RCO7_09333 | probable RHO1 PROTEIN
MSQYEQNYYSNRQPDMSERNDAPRRKPTRREQSARSSEGTMSTSSTGRESAATHITEGPSYSKKIVVVGDGGCGKTCLLISYSQGYFPEKYVPTVFE
NYITYPTHQASGKTLELALWDTAGQEEYDRLRPLSYPETDLLFVCFAIDCPNSLENVMDKWYPEVLHFCPYTPLVLVGLKSDLRMKRTCIDLLKTQG
LTPVTQEQGMNVARKMGARYMECSSKEMTGVDEIFTEAINTVVANDRSNQQQTPPSGGGGGGGSGQQMGGMKKKKRNCRFL
>RCO7_09334 | uncharacterized protein
MSSSTTRPPASSSTTAPPGKTFFEQQREVLLKEIGVSFEHVLANINKLNRSLEGVIAVGNEFGSVEALWSQFENVMAKDPDAEQEGQGGEEDEDDRR
EDETELTEDQGNNGRS
>RCO7_09335 | probable arrestin domain protein
MAAFVRVSGPPNSNFLVGYPGISATLPRIEGKVEIRPLTGISAPVAISLVRICLQRRETIHPSAESIAKKHLGTPRRETTDVVGKELLLFRCPAGRE
SESVVLMDLPFVLFIPFGRGGEETNRRIPPASLQLPSRTVETFYELVVTVQQGQEQKKFAFPVPIQRYDTLSTFGMYNRPEAAEKTSDHLVTLGISL
PRWSYGPLDPVSVYIKLSPNPDWMTKAKKVTIQKITIGIEEEITYNPEGDEPTKKVNRIAKHTQTVGVRMPEAGYFTNLGLVFPSKEVRDPEGIIRR
GKAAFPMYAVSSFTTTGTLYKIEFFLIIKAHMSGARDIVLRQPIVVCPIDQQDCKEEMDAIEQAAKDASHVDPHNPMLPACTIIRANDKDALRALGW
TMVGGQRKMVIE
>RCO7_09336 | probable Peptidyl-prolyl cis-trans isomerase-like 3
MSVTLHTNFGGIKVEVFCESVPKTAENFLALCASGYYDGSAFHRLIPSFMIQTGAPPSLPKGGVSIWEEPFEDEIRPTLRHNARGIVSMANKGPGTN
GSQFFFCFDKAPHLDGKNTVFGHVLGDDSLATLAKMEKVEVDKKNRPKEQITIESVTMHANPLAG
>RCO7_09337 | uncharacterized protein
MTLSKAPKSDEIVGSTIYLTFNRPHTDNCHRSILCTNPATQNDPVSGNLFHVENDTDPAASKGIFTEYARSGKWSFRERRSRNPAGAESLFYAQKIG
NIAPSLHDKVLDKIRKALTDVPIGKENREAKLGKLGKGEGNLDLDGYDCVIWTIDAMRKLSKEGIIKIDEDAAVLMAEARISAWPGPIEELIAQSSR
K
>RCO7_09338 | related to tRNA-splicing endonuclease
MADVDEDAALAAGYNHSAEDNDPDDETQDFRFLSFLNSKSGQLPKRGEKDFEPHGTKHQDGILEASRKAMHDALAHTRIHTDRNYNRGFYYGEEGLS
RDEAIPQDWARGLTDDHCVVLETSKGPMFKTIGKLPRGKARSSLWLLPEEALYLVERGNLDLWWPGRSSFNGVVEDPSEDDEDEERVNKSWDEEEQD
EGIPMSLQAAYSIFIGNDSERGKISLERYTVYAHLKRMGYTVWRAPEWDPSKPGETPSFENIPWQQSSIFNRLFGRLFAEKEIKRSAYGPLVNPGMY
RSYNTIYKQIAILPRHKPSPVPTNPAPPPEDPYRVAFLLWKPSRTPTFAKSNPGIPDFRVAVVDARSASVPSLTDVTSLLESTPWDPPNTKLPGFQG
PAKLYQRIKQGYRNVILAVIDQGVISYLRIGEVAFGEERLYERFDRGTSPWRGKNARGRGGGRGRGRGRGRGR
>RCO7_09339 | uncharacterized protein
MDNSMDIPSSSDSLTSRSTESMEIDNLSLVGYSPPRPDTPFNNAGDDGEAGNQMSTDTEKRIIVTGPMELADPPAVINGHGEEEEEVLPVHQKRKRT
STINYDDADFSKAIRESPIDAPVKRAKSGKNIRGVIIGIWRDSDQADDEDKHVVFGFIDIHDRLRTRIYGMNRRGKEVVGNAPTGAGGCWVTFERII
FDSHLASLSAAELKEYVKIRSEAKPGPTQEERDHADAKAVTKAKAAVAQQEAASPSGKPVVHKPIQNRHSASRQSLPRHSLHKTASFQAVNAADIQT
PKDSPIADNKPYGVLLGYWLDSAELRIEDKHAVYGVLSETDCFRVKVQRLTRDGRYVDSNFPIGAGALWLSYKKVVLEPHLTSLTRPEVKEYCRIRQ
REQVNKETEKERRANELRAVDQARINVAKKGQDTSTDVPASPELEIRHSARSENRASARHQAEADAAADRVRKEKAEAMERQHEKTRKEVAIAEAAM
AETAAMELKNNLKKLNKVWVAQQAAMNPKAPAPPGPSETTDGEVKYHHGIKYERKQNGPFQGKLVSQAQILSIDGEDYVEYRILTKPSF
>RCO7_09340 | uncharacterized protein
MNEGTVKREIAKVKGENPERLNLGSVPDVTMDRARSTIAAQPTRSLSTAARDTFTFSKDTPAFNQSQNLQLGAPVPSSFIIPSSPYVANVLEQPPHM
DKDDLYTSSPAKLNSYASRNNLKRVVEYNESEDDDEGGPIRDGQQRGKRQKRKGDISQEGSHIRIGHHSAEPLVSVFSKFKKSATGNRVPYIYSRPI
SEPFPSGKQWNDYVSTNNIVGMENVTLDDFLFPASKASAEFLSNDKKRDMVKQYLSSLVDQDSAQATPASQSKPKFNQVPAFIVGYHFDDLELPVRA
HLCQKAENRGAALLFRIDKEDIEKSNIEFNSIRVLPNKIKFLPEFKKPTEKETKAEVMTRFLANENEEVAATEDPPSPSQKKCGRRRLTDRSGTPVN
APRLNIELQKGIAGGVDAGLELLQASGQTYLTAAFEYGQKLRAREDTALLKEVSLMEREAVVQDRERFIDEEITARVAAALSAERQITNVSGSEQSA
AQKRIEDLERQLEQARNIPSSTSTQVSASNSGNRSSASKSLFLDLNGATFHEAYTKIPEQSLNAGWYVKSQAQIKTFDEGPLEGKKFSQNQILQPIQ
GIAVPGRLKETAVSYGDVEYLHYEEGGVSKLVQSSQSVINHEGQFYVSWTYLREIKGAFAFQFLPLKSQLQFEPLDGFQLGIHMFLHKSAYFVPRTT
ERI

>RCO7_09341 | uncharacterized protein
MSSENLHAANAAPTPINKTQEVPVHSPAPQSLDLPEAAPSAEKRSTSDAVAFSSISGQAHGGPTPFRSISGVKRSVGAVSTESEDEGGAIRSIQQAR
KKRRRSGTQYESHVIGHHIDEPLISILAKWKVSQTVMVYALKSPDLSASITDSTRWLQLVNNNSLVRVEKVVLSSIIFQVPDDELQQMSSDEKFTLI
KDYVSGKQKEMVGCSDNEEEMADRELVKYTYTPKYLAVGVDRDDPLVPIQARVYIHFSNVSPSVMFKVLPEESKDSDYDFTVSAIRNPYTIRFKSEF
QRDSLEETKEEIFKRFTRHVIDPGEPLQYHTSRLYSLTKFALLEMEEIRILRRKDRYATPIVASDDDDEPRDTIIVRRRQANESSSKTADTGIYAVE
TAISAMRVAEKELFKSHQDIVAQKAVLSMKQSATDTRDAAFKRKIVEHDTLEAKVKSREKNVTKREADLIVREDAMNESVICINAREEALGFLETAN
QFKSDVDKAKAEIESEKNLLIQRESDLSRDKIILRDNREAFKKQQYDRTQSIDEREKAVEKRLVAVQEKEELLEENDDAIAKRGDLVKQDEGATKPQ
SSEPMQILSSLTDEELYQLIRNNEKAKSVMTRAVKNKVVVQIDNLSKKIPDIKKFLDQQGKESKEEKVDSKDTALTAPTVLATANAADTFLAPSSQF
LQFVPQPLLLPHTTFGNNYELIPEGEPNAGMYKRTFTRDINHEGKRYRISRILLECTSLAEVTNPVFAIDGEKLGEVMLHNELDFDCYEKDGMRKLV
QRLGKKSWFFDKARFFVSWYVYKEIVADYSI
>RCO7_09342 | probable zinc finger protein ZPR1
MSTNTAEDPKPDGAAFDTFFDSIGKKAENLSISDQNGKSDSTTNGAESTDKPDDDEPKIVDEIESLCMNCQANGITRLLLTRIPFFREIIIMSFFCP
HCSFKNSEIQAAGEIQQKGSHYELRLRTPEDFARQVVKSDTCVVKFIELDIEVPAGRGQLTNVEGLLSMMLEDLEVGQSARKEQMPEVFCKIEELLA
KGKKMLAGQSFPFRVSLDDPAGNSWIEPNQKDGVGKWSKTEYARTPEQNEALGLGVGNEQEALEPAAAGQPSAETFESDDIIPNEVYSFPATCPGCT
RHCVTHMKMVEIPHFKQVVIMSTVCEECGYRSNEVKTGGEVPEKGKQITLHVNGPTDLARDILKSESCALECPELQLSVNPGTLGGRFTTVEGLLTQ
VRDDLHKQIFDVGDDSGAGGDSLPSDEKTTWKSFFDGLDQAIKGERKFTVILKDPLASSYVQDLCSPDEDPQIETEEYERTHEEEEDLGLLDMQTED
YVDEVGIEKKRIEDEKKAGCDEE
>RCO7_09343 | uncharacterized protein
MEPPELSARLRFLNDSAHLLATNSPATSRYLMSRHNALLYDSKIELSDAQKQKACGACGTIMILGWEATIAIEKSSKRGTARKEAKVGNHQPRAMVY
SCTTCFRKTRFSTGMSKPARRRRTTLHSTNKLPALMPPFQTKDAKTPAKSGSKGKSRKKGVLDAMMARSQASQPSSSGFGLNLSDFMKKS
>RCO7_09344 | related to lariat-debranching enzyme
MNPALKEAQGLRIAVEGCGHGTLDAIYASVSNACEARGWDGVDLLIIGGDFQSVRNASDLTVMSCPVKYREIGDFHAYYSGVREAPYLTIFVGGNHE
ASSHLWELFYGGWVAPNIYYMGAANVVRLGGVRIAGMSGIWKGYNFNKTHHERLPYSQDDVKSIYHVREIDIRKLLQLRTQVDIGISHDWPRAIEKS
GNAKELWRMKPDFEQESQDGTLGNQAATYVMDRLRPAYWFSAHMHCKFAATKIYDDDLKSKSLPAVPTSIPAPAAIAIRPAAVPTSTHNSDEIDLDI
DMDDDDGAAEIPITNGTVTTNHDEIHLDMDDDDDATALTTVTNGTPPTNDVPTVKDEISLDNDELELPTNGSSTSKNQTLNAQPASSVSLNLRSQLP
AAFQKQSASSSRGQSGKSGQPGQPTPPEIRNKVVRFLALDKCLPGRKFLQLLEVPTANVSSELDSQAKPKFEYDPEWLAITRVFASHIILGNKNGRT
PEDIGEANYKPLIEKEQVWIGENVVKKGRLGIPENFVLTAPTFEVGMPEIVNDGPAEYNNPQMQEFCDLVGIENKFFSTPEEREERMKIGPPPAEQR
RDGGFGGRGGGRGRGGHRDRGGGGRGRGDRGRARGGGRGRGRGW
>RCO7_09345 | related to glycerophosphocholine (GroPCho) phosphodiesterase
MKFGRHLLRKQLPEWSASYINYKGLKKLIKAAVATQKTGNDPDLAEFFFTLDRNLEDVDEFYNKKFGDASRRFTLLEERYGSSKDAFETLDLNDIEE
LRGALLELRDQLRKLQWFGDLNRQGFTKITKKLDKKVPNVCTKERYLASKVDLKPFATNVGVEELKTDVNGLLSILGDIQPNVNGSDAQPVQSAHLV
KRVSSRSIFNMPQGLLDTVDQAIRRDDVPTLKETLAEAGLVPNNSAMQKQLVALLQRCISCKSRMCISFLLKHITSLDETDDINKRNCLHRLVISIG
RAKSARNDEQTTAALLNVDQSQSHFITPAASPPLGPARSTLKESSLLSINDEYVKLLDHVLKTLEPRHRAALKSRDSYGRFPLHYAAQFGFVVVCEL
VMKYMQDWGQFTVENGIDAPEWQDKDGQAPLHLSVIGGHPLTTQALLKGENWKGHSDQKAAMRRDISKSSAVLAMATKANFTLIVKLLVDAGVDINW
QDPAGETSLHIAARFGHAECAQILLQGTPEQKADFNVIENTFAWTPLHIASVDGHLPIVELLIEAGADIHKPDGSGWLAREHAALRGHMAIAAKLAQ
AGSMSSSPRSHAHTRSRESSPPNLSSIGASRSQATKVEATEPVKTFGHRYLTNESMVLVSLGSMDMRRKIPAIMLDRIPIAEAHSTQLDTSLSVIVS
AKGAQGEPTTIDLPITDNISTDPLVFMAADATKVKLFFDIVPTYSGHQDHKVGRGVASLGSIKQAIGTSRMNLQGDVTVPILSTLDMEVIGEVNFNF
LVITPFSHPNMSITTKQTYWKEISSTMIIGHRGLGKNNASNRSLQLGENTLQSFIAATNLGANYVEFDVQLTKDLVPVIYHDFLVSETGIDAPVHTL
TAEQFLHLNDAAMRSSRPPTPPRENPQFRVVRGAERVRSLSTGHLLPDIDMAEKMKHTRDFKEKGYKANSRGNFIQAPFTTLEEMFVTLEERVGFNI
EMKYPMLHESEEHDMDAYAVELNSFVDTVLNKVYDLCKKRKIIFSSFNPDICLLLSFKQPSIPVLFLTDAGTSPVGDIRASSLQEAIRFANRWKLLG
IVSAAEPLCNSPRLVKVVKESGLVCVSYGALNNDEDKVDQQVREGIDAVIVDNVLKIYKGMSKNAAKLTDELTLEAAYLTNGVGGTDSQEIIVT
>RCO7_09346 | related to endosomal Vps protein complex subunit
METIKAVFFKPDPQAQVRKCNQLIRANTRKLDRDIAAMKIAENKAKTYIIQANRRAQRNPSQAKQAEKDIRVFARELIRTRKQHNRLVTSKAQLNSV
SMQVTEAFAVRKIEGSIRSSVGIMKDVNSLVKLPELMGTMRELSQELVKAGIIEEMVGDSLPEEMEEEDEEAEGEVDKVLGEILQDKMGKVAATPDM
PTPNKEPVTEDEDEEDAEAMLSQMRGRLEALKS
>RCO7_09347 | related to protein wos2
MSTAQTPEVLWAQRSSKTDEEKNFIYLTITVPDVQKSSLKLDIKSQSVTFSGHSDSLKRDYHVELELYGEIDESETKINHTAKNIALVLRKKELKEE
FWPRLLKDAKKVHFLKTDFDKWVDEDEQDEAPEDDLTAGMGGMGGMPGMGDMSSMMGGAGGDFGGIDFSKLGGAQPGGEDDEDDDDDDDMPALEGE
DDEETKEAPKKAGAKIEEVN
>RCO7_09348 | related to cutinase precursor
MLLSFWTLIAFLGLILGFPVPAPLLSRTLSPKGLTTREVDLNTFLSLLLNHLPPVDGTLIALSDVLTTFQDYLAYVSGKKTTYNQFTSTTVCKPYTV
IFARGTFEPGNVGILVGPPFFDALRARVGAANLTVLGVNDYKASVEGYLAGGDVKMGFEHIATAFKTCPHTKLVVSGYSQGSEIVRIALASLPAATA
AWVSKVVVFGDPNNATAIPHVAASKVLTVCHKGDDICKKGIQIVQPHLTYGLDVRTAATFALSL
>RCO7_11208 | uncharacterized protein
MGARHRMDAKEHVFPTLAVTSAAPMLTMANTTISHAVSGIAEIKSFQVARHSMEPKTVKQLVPTVEPTWKLSTVWIASSTLWSPALGFAFFDDGFLL
YASDL
>RCO7_11207 | uncharacterized protein
MVGHQHSPLPSSDFIRLVKIEPGNEQRELIRLSISQTRLRVAPKYDALSYEWGTRMWDKHVLCNGQELQVTKNLAVALKSLRLADESRWIWIDAVCI
DQANIPERNQQVSIMRNIYAQADTVLIWIGDELASSKQVFRLITSLAKLWLVREVARLRVGDRKPPLRSKPSRAEESSLLLQDSLLWESLHTHFSST
YFKRTWIIQEIAVSTRAIVVCGRQQVAWKLFHWAASFISLTTSLIHQAPDTGVFGTIPFIPNITSMSKQNDIDPLSFYLRFVQNSKCSDPRDKVFGV
LGIRRDSQEVDPRLRLMLQVDYKKSVQQVYQDAAEYIILSQQDLEICYAQPLTSKVVQGLPSWVPDWSFRMDEAPAGFLLSGYNVRRLLPGNISFDC
GSMYVDGLMLDSIDFTTSTMSCESPLPDIKRIILHLCQSVDVDEASADYWGKTGDAFFDMLPYLGSSTYKNGDSVFEALWRTLIGNTANFEPAKPEF
VRHFWAVLDTLVLRERGIIFDRHNFGWDLEQDPRTARRLDNDPIAQQFWQTAQEGQTHLFFLELVNTIQGRVFFTTSRGYMGFGAMSARVGDQVCIL
GGGWTPFILRNHSTHFEMIGDSYLHGMMRGETLDLGEPRVKRFKIR

>RCO7_11206 | uncharacterized protein
MPDTWIASSPKHSRTLSPDSAAFHWTGKLSPYPPMAVDLHFVEETGVARPMGTYRDLIRSQARRKLRQRAGPTKLAGLKAPTEVRHIETEPLDKLTQ
PAVVPDVISPLVRCPEGNSHDPFDSMIIGKRGKTYFYVKHYYITFKHTYPSDIMANKEKKDISMRLAMTDPSFLHATLFHSALNLCRLRGTNFTRDV
YYHHAESIRIVNRRLSNPRFWKVSDMTLLTVACLLHFEILADFGFNGVRAGLETHEAQIHFDGLQAMVIGRGGLEKISKEFVSGKSACTFIAWTDTC
VSIAFNIRPRFQLVQSEEEQGDDDWTPHSTLARRYQSKLMNLTGQQHLSQEFAQIYSTLRNVRPLPENEALAMIGDGNPAQVFQYKGQLERLERRSL
ALILSTSESSERSLLIYQLFGNAALIHALLFMRDSPASIPLARLLSERIRAILDKIDLQSYLLQYPEMVLWIQIMGGLGALGTSNVSHFAAIQADSC
LALGLVGGSEIASMVEEFLWFDSYCRPVTMAFWNMVAVEQGAGSQSEVVDRSLKE
>RCO7_11205 | uncharacterized protein
METLHLYSPSGFGSAPNHNDLAASYRASFAALPLSKYGSPLRPLVLPYHLYGMLLLCLYLLVPHTHSALIYEVRWPVLGVIFWWQWKTLWETTSMSV
ATAYAAGLVSVLVAVYAVVFLVFERPQWEAWRVERRRRRILNGEAANGAARAEEDEKNIRHANGHTTGHANESGNLKSRGDTAVRTNGNALIPTKGD
REQGEYEYYKQFYPTTLLTRISWVSDLLITFRGPGWNWAVPTLPPLPSHIARQVSPNSPITARHESRTSSVGVQRYDTRKELARAILPKFIAGYFLL
DTLKVVMMKDPYFLVGPNTYTLPAHLQGFSPLTLHLIRQTISSLAIITSLFMVFSLSPLIHSLVLGPEILGLRGESYYYSTSWGSFSNITTRGLNGL
WGGWWHQSFRFVFSSPTNYLIRNGYISPKSSAARIIALIFAFGISGVFHAAGSITQFPPTKPTHLTIFFALQAVGIIIQRCLCSFLSPLINRFTREG
PVRKIGNFLFVLFWLLATASWLTDDFARGGVWLYEPVPISPLRGLGFGEKGDGWFCWSEHLGIGWYKGEKWWESGIAL
>RCO7_11204 | uncharacterized protein
MASGINADQNFYSRRLSQSPEHHQHLQHHSRAYDPPPLPEFDQARSPQLPPKLPFLTIQNLQAANANGYSAPSFNGGDPAEFYREHRGVIQATNGHN
NTFPDMAAPLSDPRPAQPSLRSNGNGTTPKHPSLPQAHTALKPSYRSASTPLDNKGFGIAKSTPVLNGFTNPGKPSVKDLLKRFDQNNEQGGAAVRK
PVSRAIVRDPSASGYMRERGFQPRSATPGAQGAASRPPGTVTREARTVSPGNSKPQRIRFAPEDQHSNNTQSAVARKPRLNVAGSNAQASKSMTNLS
PTTPNIPVPQTRRPLFGEVLPVDQGAPNIAYGIPRAATRRTSDSSLRPSRSQHKRSRSELDVSPISPTAWYLGATPTLEEANINKPHSSRGHNRNHS
DFQDSKVNTMNGVNPSFQTSKHPPIAAEQPSRLPKPSKRLSISSDSSSVPSTRANSPFAAKSLSNGKLRKPEPRPWSPAGRSMTPTNRDKTPRSSPR
GKRNAEKSTSNNASLKAYISAPLPKTSPPLRSSRPRLPVSSASTESSRQKAAERSGSPQYIRSGMKITRNTSIADDATQRTRQEVSLTKAEFVAKRE
SIQRAYTKSIHESEQKKIRADNLRRLTERQAARATLALQDTVKDVDPPAHPRAKEHTTEEDRTETKSPPLHIDTSFQTPQPAPQSVSVDADSPTLGI
PGSFVDDDEPPPSAVSNAPTEIENEPQTEAARLSRMPCEPSRLSSNVEFLDDLLSPEQAFFGMQSLGAEEDIQIMLDATAVEEPEPTPMEDTFEKGP
SPPEVFCAEQLIFTSTVTIASPQEATSAESRSDDMFGCREDQLSSNDEDHNVEDVTFTNFPEPSPEISYPKEQAESPSMHLPNLHIALAPPSDFSGQ
DYLNTPTTDMDYESSEGAGQASSGESFTNTYGSRDGHISPRTLQSHHHSWRTDYSIGTTEDYSEREELTVPEQKPVPPPKTSPVVPPKPDVYSPMPS
PRFAARNVISSPPKHQLPPILTGEGLGLGFTDPSPAFDLNTVTPVWPEYTPPLPPPESEAPTSSLYNRSPPSSAYQSSLNGQQNLESRRPSDDLYSP
QASISTPRSSTQISFDEANTDSKVSSQEATMTDEERQLAEATRKRLFKRMMGIKELIDTESVYIKDMNVVEEIYKGTAEACPKLDPSDIKSIFRNTN
EIVDFSTMFLDELKSAASSIYSPRKARQSKATTSGSPSTERFSVAVTLNDETDDQKDRKTSIGASFSKHLKRMQVIYTDYLKNSELANTRLSVLQTD
GAVKVWLSECNLVAKDLTGAWDLDALLVKPVQRITRYQLFLTQIKETTPFDHPDHDALQSARQELGCLLQDIDDLKKRIHMVGKIVGRKRKESDVRT
GLAKAFGRRTEKIAANPNRPPDDEAYVKYHEKFGDDYLRLQVILRDAEYQTREATNYVQNNLRLFSSMELFMRLGASSYPEIESKWVHFNMSMRDMG
SVGLEDHVAAVRKQVIEPVEKIIALYGPPSLAIKKRNKRRLDYERYLALKAQGKKIDEKLAELVAQYEALNETLKLELPKLSGLTNTIGQICSTRLL
YVQSEWWGIWQAKLSQNLEPGQMAATIPDITDMFNRDFKYSEAKFQDLGIINGSFGSGMSTRASQSMQDDESLRKGRASNLSGRSRGLSLNSDKSPS
LPTPDFAKRHSGQFTFSPISANAPSLPHFNAYQPQSFSTGHSRTGSGSHAASEMASSGRHQASMVRPNTSRSQTSDTPRRPSNDYYSQYRRESGSTY
NSHYIDGPPPSTRPYSGVFHSALPLPDGPEDSARSSRASSRDRNMSGGYNVLYLAASLFEFNISATKSEAGYPYLTYQAGEIFDVIGEKGELWLAKN
QDDSGDQVGWIWSKHFARLASD
>RCO7_11203 | related to telomerase reverse transcriptase
MPAKRKRKRSSQVSGDQKRQKTSSNSATIVRDSLLARYYPQILSLKDYLLSKLPKSSKIRRKKIASVGKKPGDKKTDQELAQFLDETLVGVSKFKEV
THEERWKQWTTFSQRPDDSVSFANLSGVGTFSQTEIIDFAIWLLFSKSSNGKVDHLLCQGFRKDVPHRTINQGENAGSAIPGVTSTYPNSHVTEMKA
KPWPQILMLLGKEGEKAMIDLILDCGIFLAVKDSHGSFNQLSGIPLSELSLLTKDAAANKLRPGTLRNPSSINFVRNRMLYARAALNAKREVSFGLR
HIHVLNRYPLTKDSSDPQSLDPHTIQVMMHIFPLQFNLHNVFTSSTDPRQTVQPFKDYTLREDEIKAKYDAKDPKIPKRLRGKATELVRKLQALHGR
CPYKLLLEHYCPILGPDDQMLDVEDSIGSSSKFKTQVSAVSEPTPTVIESLGLVTIPTKKPSMRNHATPTAKVSAFCRAVLSRLIPSEFWGLGDIQK
HNEKIFHQNIDKFIELRRFESMSLHEVTQGLKITGIDWLSSPRTSGKTSLSDIHKRLEIFHEFLYYVFDSIFIPLLRSNFHITDSNIHRYRLFYFRH
DVWRSLAEPALASLKLTMFEEIKLEKAQKMLEQRTLGYSQIRLLPKETGVRPIMNLRRRVVKKGYNNSTILGPSINSVLAPVYNILSLEKLIWIITV
KTTNPLRLGSTLFSVGDLYHKLVTFKHQLPKAHAPLYFAKLDVRAAFDTIPQASILHLIKCLPSAPSYRLHKHTTLKPGDGAQFHSTTKPIRKWNTL
AHFCDDFTSFPEQLSESLAQGRKNTVFTSNVVSHFRDRDEILALLDEHISRNMVKIGKRFYRQKEGIPQGSILSSLLCNYFYADLEATHLSFLNTDS
GESLLLRLIDDFLLITTNRTHAKRFLEVMHKGVPEYGVTVNPDKTLVNFECLVQERKIKRVLGKEGGFPYCGSLVDMKTLGVSKDRERNKDGAVQDS
LTVEYSRVPGKAFGRKVLSKSIIPLLTYRLTISYHLHHSNHAHIIFHHIIASGAFPLALFSLSYISAIKRLQIPLFNIPEFYPRAREQSKLFSVRSL
VAYVLAVSNSPHFPQHQPSLKHPNCSSIRTTGENWASRPLCHTQAPDRQISSWVGDHQRIPAVAIDNWRFNLAMKGLIRVVDWVEQKTMSWCLLTFR
AEPLFWHTLLIYLQYPMSSRSSFHRENVAYSNQPLHQFFQSSHKPSSILI
>RCO7_11202 | related to Mac1p interacting protein (MIC1 protein)
MTFTSHAGLASSIPGTYMPGSPPELTGSKSSKSSSFHSSYQSDHSTISEDAGNFEDIGLDDESRNEAQIGTFEVKTTSNPYDASFTYDLRNSANAKK
RVPMAQTNGNRAQHNRELTATKGRPAMPSLRGQIRSVTDGGGSGLGLQPVQNGGSSAGGMRRQMSSPGVSAMMKRTRSSSPNVPRGMQNLSTINALK
TRRGSWQANRERKTAEQLELECDEDDGDDVPDDCFLENVPMSPRPASERTKSMPPSAATSPERQPKERVRSIGNGTSPRPAEQGELRSPRTNMHRAV
TSPPYNGNNDPTKARAKSWTAALQELNQEAKDLTEALEAHAEHVENDPMQRRSFNTKPRLNSDTKQRVKSAIAELPPLRRTEIMIDPHPISKEKEAV
LSRTRPSWLPPKNPAEEKRHLKEYQKMMASALEAERKKEAQSKVQTTCRDDTASSLLRIWEEHVLPNWDAVTSQKRTRELWWRGIAPRSRGVVWQKA
IGNQLGLSDSSYVAALRRAQALEKTIKRGSGLSPDEETKKGWLRRIEQDVEGTYKELRIFQKGGPLHETLRDVLRAYAMYRSDIGYVPGTSTIAALL
LLNLPTPSSTFSALSNLLNRPLAHSFHTSDPGSIFRTYSLLFSTLKLKSPRLAKHLTSLNLEPSTYLGDMFTSLFTQNLSLDQVTRLWDVVVFEGDA
VLVRAAVAYLVGLEGKLFGCESGDMVKGVVEGGLSAGVSVSEGEWMGMVRGAGKA
>RCO7_11201 | related to C6 transcription factor
MSSERPAKRIRQACDPCRRKKSRCPGEKPVCSHCARLQQNCYYADERPENDRVSVTPSPQVAQHRPTSSVTGDGRVEDRLSFLENKLSEVLANQTSL
SRSASVQVSKSPRRAINHEKPSPRSSSDRNLPPWNVILGAAELYLQYCDCQPLPLFQRSSFIRTLRDRRPEILFSILAIALRFTEDTQSRNAHLKAI
DGYVEAARTIISKQVFDGTVELSTIQALCLLTVVDFTDGHTRRASIHCSLAMSLAHNASLTSEPPTTLPASQIEERRRCFWSLSLVKRLHGADFMVL
DFSAEDNFPWYPSTTSKPLSPGRECTAGHQSKSARNDEQGQVQGPDKGIVAYAIQLSEVWFKITRYARRRGKPSSLPPWSSQSEYATILAHQMDFET
RMPFKHRFEPAKFSQRSIEHLSANRDYWGPWLFIQFLYHTNLCLLNHPLLLSLRLRNFKCVIPEIFLQHTSELICSHASWVINFIDMLASKEFRVTD

PFLGHCVAIIATIYLQESFVDDPGTRSEKQGCFEKCLTFIHGFGEQWPHLSRIATKLQTLSSTVSSTYVASEEATRQNRKLLIDLVQFFEVLEYSSS
SELLPSSSPITKHQLFGPSLQSAPRVEKGSIAQTQTSVLPMPTRVERQEFGNSTPTPGMVHGPESESESELREAGAEYGVGSGLSPDTSMGNGVDIN
AGAGMAALPLVYSDDELAVLAESFFHQGQRNDYDGTGTTDWWNQL

>RCO7_11200 | uncharacterized protein

MSSVANSGLRLPVKAPEQFSQALEIKQEDFSYGDHDLQKVSVYRRRWGEESARLPAGKGVWIIYIHGGAWRDPAVTDTSIRPAIRELFKNPSSTKLI
DDNVPYIASISYRLSYHSLHPQKPETPDNQINRAKHPDHIQDVITGISFLQNKYGFGSKYILVGHSCGATLAFQIFLRKIFSIPHDIPFKNPEVVVG
VAGIYDMRLLRDKNPHPIYQDFLVSAFGHEVSDWDSASPANYNLSTFKWPEVKAILVVSSSGDELVDASQINCMDSRLENMTANLRVKVLKGFVDQT
HNDIWEKGTGLAKIIVEGLETWLDITKAELEMLR

>RCO7_11199 | probable indoleamine 2,3-dioxygenase family protein

MLGPLNVKLAEYGVSTRNGFLPDQPPLRELSDPYYESWEIVLSQLPTLLKNASLRGQVDQLPILSTSYLTTESEWQRAYLILSFFTHSYIWEAGGPS
QRLPPSISVPFLEIATHLGLPPTATYAAFNLWNFASISGLNDFTDLSDLRSLHTFTGTKDEEWFYLISVAIEAYGAKIIPAMMTAIDAVRANDSLVV
ASALETFALNIREIAIILDRMDEHCSPKVFYDEIRPFLAGSKNMVLAGLPNGVFYDEGEGRGEWRQYSGGSNAQSSLIQFFDIVLGVEHHLTKGSKA
RNGFLSEMRDYMPGGHRAFLSEMESIVNIRAYAESTSVSEVTEAYNLAVKELELFRSVHIQVVTRFIITPSRQKVPNVHPGLNLAIASSNKETKELS
GTGGTRLLPFLKQSRDETREATLTTA

>RCO7_11198 | uncharacterized protein

MRLLKFTPDGNLSLTEFSSHQLPQYAILSHTWGKDGDEVTSQEIPVDPRNKAGYAKIEFCGKRAAEDGLEYFWVDTCCIDKTSSAELQEAIGPYVSM
LHEITGIAISALQGGDLLSFSVPERLTWAETRQTKREEDEAYPLFGIFDVRMSLDYGEGKTTAFERLQEEICKHAGKRHRDEVSLIEQFYFTKIDER
LTSLTAAQGKTCRWFLTTAEYISWNDTDQRQDHGGFLWIKGHPGTGKSTLMKLLFEEKKLNIKHDPSRIILSFFFLARGTIEEKSITGLYRSLLHQL
FAKQVDLRETLEWMTNDGAKSVQRNGWSEETLKQTMVHAIKKLGSWSLTIFVDALDECDTTQTANMVAFFEELCDLAEDSQVRLQVCFSSRHYPTVI
IQKGIEITLEHQVGHKDDIEQYVKYKLKIGQSKPAESPRSELLENSSSIFLWVVLVLDILNSEYPDSSGSIKEIGDRLKEIPQKLTDLFELILIRDE
DNLDRLQICPMVILFAARPMKPEELYFAVQFKLDKKCSGIWDVVDMDLDQMKYYVRSSSKGLAEVNRNEASEVQFIHESVRDSLLGSHEHLRNCCLA
QVNVSALLDDSTLPNIINATQLRETISPFLGYPLHNILHHANIAQQNNINQGDFLHHFPVERWTVLSSFLEKYEVRRYRGVTVGLLYILAEKNLADL
IQIHPGRGSAFLIEDQRYGCPLFAALATSSNEAVEAMLEAQLADTPTSSQLRIFWGQSCHDGHPWLKQKRQTEVIPRAKTIFERGFVFSQTKSVFHY
IKENRVEVLIAFYLINVADVDFREINDTTPLSWAVDQGYDSAVKVLLEKEGVNVVSRDHGFSTPLLIAVTKRNRAIVSSLLGKKGVDVNATNFGGRS
PLCQAIEQEDAGIVKLFLPRQDIRVNYRTPSGIAPLDFAARTGDTCMVKLLLARTDIDINWANRLGKPALDYAAQGGHWDIVQLLRLRTEHEDPIAP
KISDKEEFA

>RCO7_11197 | probable Kynureninase

MPEEQQTSKPTFAEEANTLEYAQSLDNKDHMRSFREKFIIPSKSNIKTKSVVKPDSEDPCIYFCGNSLGLQPKATREYLSTYLDTWATVGVHGHFRP
LENSPMIQWQLLAEDVSKQFAPIVGASSTEVGIMASLTVDLHLLMASFYTPTATKNKIILDWKAFPSDHFAIESQIKHHGYNPEESMVLIGPEEGTF
EVTTEKILSVIDEHASTTALLLLPGIQYYTGQFFDVKTITAYAQSKGLIVGWDLAHAVGNVPMHLHDWNVDFAVWCTYKYLNSGPGGVGGFYVHERH
GKVDYSQGENKPVYRHRLAGWYGGDQVGRMNMQNSFRPSPGASGYQVSTSSTVELASLSGSLSVFNQTNMADIRKKSVKLTAYLETLLQSSPHYKRG
FSIITPSNPDARGTQLSVLLADGRLDTVSDMLEQAGIVADKRKPGVIRIAPVPLYNTYAEVFKFVQIFNEALGKFD

>RCO7_11196 | uncharacterized protein

MLASSAYRVVTTDFFHQANPQDPVKCRLYFTPTPPPIQRNPMPQSYNPAYLQHNQSWPAQGPFHPSWSPSAMGADIPPTSLIFTHGAVSDFNDAELD
GFALGFARHHTVLVFEANSAYHNHRAALFPFLLDHFTASALGGRDIGGQAAVRGSVHTPIKTLILLNFSLNNNPDARSELLALDAETEVLFIAFDSI
TLCPEEQLNAIRKEMKAKTWFVNVLEGDYQFVFPGDLTTRVPDICGQIAGLWLNERDAGKTELTVQVEDDLVSWSEWVAPAPAPASEE

>RCO7_11195 | related to VeA protein

MNTYANQYSGPPPNGHYETRTATPNMNNNHDSYRPAQNGQSNSNGNTHHPGHGQYSSIPAIQHAPSQMNGQPSPHYYSGPPSSSAPSLHEPSHGNFY
NQGLPAPGAPEGTRAELAPLAPGTEPKKDEPQGRSMVFEGRRYELFVIQQPIRARMCGFGDKDRRPITPPPCVKLVVTDVKTGVVVDNNEIDHGMFV
ISADLWHENGKDEVNMVRHSGSSPAISSTIPVSYQEMGLPPAFSHILPQSGFKSEPGQGGGSSPYNPYPGGPQVAYSGTQSGAQNYYQNNYPSVTNG
SNYSSQNSYSQSSGQSNYNYSSQHSPSQMDYPLQSQQVPSNQYGSNSARSYCQSEAAATRSPISNSAPQGMFTRNLIGSLSTSAFKLIDCNEKLGIW
FVLQDMSIRTEGKFRLRFSFVNVAVPVSPTTNTAPGAPTPMMVPTKTVAPVLASCFSDVFTVFSAKRFPGVVESTPLSRCFATQGIKIPIRKDAAVS
RRSRRPNADEEDEEEEDD

>RCO7_11194 | related to HOL1 protein

MADLKPTNDHDSSNSSGVPKQSFTHQSSTIANPEKSQTQRSRRDSSSISSDTVRLDSNGLPLVPQPSRFRDDPLNWPSWLKWAVLIQVGFMAFLGPY
NAALINPSLVLLSEAMHVSRQTAAYSTTTGIIAGGLSPFILTPLTNIYGRRPITLFAVLLTILGGIGSGASPNFAALVGTRALCGFGFGGMMSVGTA
CVNDMFFLHERGEKTGVYSIFITNGAHFAAIIGGFLGQKAGWEWDYYLGAICTSVCFLVALFLFPETLFSHDPTFLANRRQRTYMEMLFNFRGNMIP
GHRLRASDFLQSLTLLRYPSILFPVLYYTLGWTFINVLPAISIASIFTSYYHLRAGPIGACLGVSLTIGSLLGELFAGHASDALILSIARRHKTSAR
IPEHRLYLTTLSLLFMPLGLLVFGFTVAQPHTFSFYIPLIGLSLGVFGLQIASTTLYAYTSDCYKPQTPESGTLFNFGRGLSFAVGYFWEPFKNTHG
VGFAGAWGTFAAVVVLGWLPVGVLMLKGQRWRERLGAPGWNRDL

>RCO7_11193 | related to transcription factor, SIN3 binding

MDHPAKTKKTGKARIPDHLRRRALVSCDRCKKRRIRCSRSSGSEANQPCQSCAEVGVNCESTLPRKTRIYGSVETLSVRYRVLDALIKGLYPDRDTN
DIDTLYAIAEAHDIQLPTFDEQTVAEEVFNQPPKHNAPSPQQSTGSVGSPSTGSRESENPELKGKIVEEKLVPMPQGPSHYIGPSSSFGFVLAVRNM
VAEFNAALRTIQPDDERTKLSADFAGSNWSKALEPIVKDESDESSEDNTDRYSGGPYSRVPRQRAPSLFPSSVESNALTSRLKRVTVLSLLPGKAVT
DTFVNAYFEAVHPNYLLFHRPTFQSRYENMWTQSYVLLRDIEPGWICCIFMMIVFGAQNLEDRDPRQSMQIQRHYLNLVQSRMHSLISASTLINTQA
ILLLQLYQHNCTERNSAFMLLGCASRMAMALGMHREGTSGGFDDMEREVRKRVWWTAYMFEQNQCAILGRPCAIDDSEVNVTFPDEVMLDGGSSVPP
GYVDYSVRLMKLLSDVRRKIYSSPSSATQQGESPKMSVAVQFLLDLESWNHSLPATLRLENQNLTPKHRRAVILMHIQFHQIQSLVTRPFILRKVGV
QLARKLGRHVRSHDLDTEELNLSHACGTYSRKATLLLHQLLITGQFDGVAWIDAYYIYHSVFILALDFLARPWDERDTAEDIERKKAVRDVMNSLQS
VKLCRTFTVLTQVALQLAKIVGIFDARSDEIEKSEEYRQYIDQQQAAFGFNYGPQHTNPSHAQNASTNNSNGNGNEAQIGNHNESVAHNWFQKEPVD
LPWDLGNMFGTEGYVPAVPVVSGSYGANMPSLGGAYMGLGMAMGAGGGGIMGEEEDGFVPVGGVPEHTAYTHWGNVDAPFATNGMGGVPKGPGFQ

>RCO7_11545 | uncharacterized protein

MTVVARYLSRILTIGREMSDERFSASTPTVPESADGTPPERQIRLPLTPSATDELPSTLNPKSPVSAVLHLIKQRQHYNSTDQSRQLKVKPSDYKSL
LARLQQLPELQSFVNDKLRLEYNPLENVLYLPRMPTTIHESFSERVSGETKAQLQRIRDGNDEAARFAARISSVRSGSIQLREIDSDDDTEIDRPYI
QRQPDDQFQHDEAEYPGVVYEVACSQDSRDLRKAAWTYIPYSNANIKAVVGFELGYGTDKEARISMWKPRYLKEDGEGLETLNVEAVIDRDVFRSSD

GLATNTTKALHLPLDWFADSEVATFNSEGLPGITITYAQLAEFLDKAERLQRTRQPVPGEESISKKSRRRTKKRRRPSTPIEEISSDQNG
>RCO7_11754 | uncharacterized protein
MESSKLGSKLCLLYLFAAGVEFNLLSLDYDIVPRSSELLYSFNKPNSKLYKYYTLPNYINTEYTILSGLLPSGEAKDAELNRDSIDLDLLIIDSAKS
RLIEKRNLPSSLEIASDLDTLGLSLKKKARRISYYTRSTTRAILVNLDKKLDIVVLVLDILDLLEALENLREKASKVEVVEEVEF
>RCO7_08290 | uncharacterized protein
MYTSVSKLFALGLLVSAPLASAYAIPSQSQDLARSVPIEARHHTAGQIAAKKAKGGKRDAIETRHHTAGQIAAKKAKGGKREVSIEARHHTAGQIAA
KKAKGGKRDLVSDEAQEDLEDFLDAQAAALAKKAKGGKRDLVSDEAQEDLEDFLDAQAAALVARHHTAGQIAAKKAKGGKRDLAADQALEAQEDLED
YQDAMAAALNARHHTAGQIAAKKAKGGKRDLATDQALEAQEDLEDYQDAMASALNARHHTAGQIAAKKAKGGKREVRIESREAHHTAGQIAAKKAKG
GKK
>RCO7_08289 | uncharacterized protein
MSFTKYDRVGEDEKFQEPFPGGRTSTSTSDSTLLDEEDVRGFAQPREKFTIKWMWLVHAALLSLSFTMFVGAFFIRTSTLEHVKKFSAYSPAASAVE
YQTVKFNATMGEGSPYVGKGPEVDEAWFKISYDIGDQVITDAERKIIGMPESHLRATNPKTGVEGYRVGLEVFHQLHCINLLRQVTYKDYYSQPELG
FGNFVGTQEDLQMHTDHCLEILRMNAECNADIGVFTFYMEEGDPLPWPELNSNHQCRNFNKVKEWALDNSIGNMERGDVNP
>RCO7_08288 | uncharacterized protein
MSLLHHDKQSRYANIDNDEVMSIDLENDNDHDSDTTLASDGFLHSKKSTHRISKYERDSRLSSVLTWTRWAVVIFFQGIIIMLLLPTNGLLRDRWAG
LGTASGWTQEKTETGGDINGLYVPTSHKWTLLTPDEEMFVPNMTSNDNRMEIRKNWDMLMPLGSGTVSIPDWEQHPMLGKPISDDPLRFGPIFEASW
THALHCLYYTVDTYHQLVVNKSFGFGGERNDYHAGHCFEYLRNQIMCMSDMTLEGSESVLDTTGMGQAHMCRNRDEAVKWIEDRRVDDIQSIVGPDP
PTDGPSELAEDMSTDMSAVDSS
>RCO7_08287 | uncharacterized protein
MATASAVPKVTRGGATLKIFFYTSTPSEICDWTFLPTIG
>RCO7_08286 | uncharacterized protein
MAHARARLLAVDCAEALSVKVITVDLKSAISQICLST
>RCO7_08285 | uncharacterized protein
MAAIPKSLAETGRRDSNNSQKKGLSHGRGGAGNFGISSADTAPVNLETPTLKSEMYTTGRGGTGNMAKNDSAEEARRAQDVVGHPRRESASNTHIGR
GGAANIFKPSAADLEKAKKENGKWESAIGDDKSDDGRENLVRTSTNGAVGKKLEKSDGEKSKGLADKGKEWLGKILK
>RCO7_08284 | related to ERD1 protein, required for retention of luminal ER proteins
MDGDPAVEPELDSFSLTFPLPYRVAFIVVLGVWAWGANLHYLSLVKIDVPSLINYPQRASPRTDLPHHLSTYRLAILLTLPLSLSVLLFWALSHRNP
TLVIYYDFLPISLLLLILIIFFLPRRFSSSGRSRFLQTLRRVSIGGLAQPNDGKFGDILLADVLTSYAKVIADLFVALCMFFASNGSATKRPDRACG
GQYLVPIIIAIPSLIRLRQCLIEYVRVRASNRRNGGIGAHGWGGQHLANALKYASAFPVVILSALQRNLSMNHDAVGLTETSLYRAWLVAVIINSLY
SFYWDVAKDWDLTLFSAIRSPSKAPQNMPFGLRPRLFFHTKELYYIVILLDLLFRCTWSLKLSPHLDHFADFESGIFLMEFLEVGRRWIWIFFRVET
EWVRTTGKDDLGGPGQDDVLLGEYSDDLGDFGYSSGKDDDD
>RCO7_08283 | related to C3HC4 zinc-binding integral peroxisomal membrane protein
MADHVSEKVSETPIFNYPWAAAPDIIRAHQKDSYFEGILLNHLSNLLRRLYGARFLHTYTSEARTFSELLYLGLTTFIGNRTLGEEYCDIIQIEDDT
LKLPGVERRAGYIITSILLPYGLAKILPSFRARIRAKLEANLRKLGKRKEVNSRSYKIQEYILTHLSTITSPSPLHALTLTIFYFSGAYYQLSKRIW
GLRYIFTKRIAPSEARVGYEVLGVLMMLQMSVQAWLHLHNTIRQPVPANTSTMNGGSAMLEGGVELSLDPPSPGNEILMESAGTTQYSSRQVGKVTH
TQVLKEPRYDLRTDGVMKFIGGQNRKCTLCLEELKDPSAVACGHIFCWECIGDWVREKAECPLCRREVAVQHILPLRA
>RCO7_08282 | probable ERJ5 Endoplasmic Reticulum located J-protein
MRYQFLTVGILACLIASVAAWSKEDQEIFRLRDEVELSEGPGVSFYDFLGITPSANQEEINKAYKKKSRVLHPDKVKQQFIAKKSTAKNDPKSNKKP
GVHVSKGPTQAEIKATAKAASDRFARLGIVTNILRGAGRERYDHFLSNGFPKWKGTGYYYARFRPGLGSVLAGLFIFVGGGGHWLALYMSWKRQQEF
VGRYIKFARHAAWGDNLNIPGLDGTATSTSGAEDNADPSAGQAMNRRMRRMQEKDTKKDKSDKKSKGNKAAKASPAATPPRGAAGPKKRVVAENGKI
LVVDSVGNVYLEQPNEDGVMQEFLLDPNELAQPTISDTALVRVPIWILNKATSRFLFKPSTDSESDGIDEDEAPDSSSGAEDFEVLEKSKTSALNGN
GKSVRRKKSSKGR
>RCO7_08281 | probable prenylated rab acceptor 1
MSRMQFPIDVLTSRLNLSDRFASVRSQSLGSRFANLKPVSEFFDLKRLSKPANFSEVQSRVNYNLGYFSSNYAAVFAMLSIYSLLTNKWLLFDLVLI
IGGIWSIGKLGGNDLNIAGLHATSSQLYTGLLVIAVPLTFFAGPFSTLLWLIGASGVTILGHASFMDKPIDEAFSGEAV
>RCO7_08280 | uncharacterized protein
MPSWGRPPGAKGSRRRRQWERENEQAQRGGFWNNNGRVEELGSDDTDTQGVGLHYGKRRFVSDPLQYLTKGAGGEASSSRARETYAFGDSDDSESED
SEVSEVDGTDTLQIALRDKEEALVQSALARIRRAQEKGKREVKLNKDELEALENRRKRMQAAATTKARKGSGGSGGGSDREKRRSERISIPIAAATE
SLSRPSSRPSSRRDKGRAPHPAAAANPPGMLVAGPDGLAYAPLGTYPSNAIANTQQQSQPQGRNSPFRPRSNTASSSQHQSRGNPPPIPYFQHQSLS
SGNARHFSDGMRPPSSSSNISRRPLPDEADWRPVSRRSSVASSQGFVVDPFDYQVASDPSPPISREFQYQSQSQEQAQTNRRIVSNPSDVAYSSVRR
IVPPGFASKSQSQFQRAPITSSSSDPSLATRQGLRPRSSRNRGPGAFDSDSFEEPEEDEDEDESDELGNGVQVFVDESDKSREKGKGVAKKPVGKRK
GKGK
>RCO7_08279 | uncharacterized protein
MGWLDGVSDSMLGSTSGHSSHHKKHNSSKHHSLYGSPRGSGIFGLGDSKHNSSRSSFFGFSNNHRSSSSAYRRSPRSGYLNRIYHKLRRLFRDLVYY
AKRHPMKVFVLVIMPLITGGALTTLLAKFGIRLPGGVEKMFGMAGGAGMGGFNGSGGYGGVGRGSSGGLQFERTHVESSGPMGMMGGLGSVLGGMGG
VGGALSLAKMFM
>RCO7_08278 | probable SIS1 Heat shock protein
MAGLPVDYYAALSISSTASQQQIRDAYKRAALKTHPDRVASDSPERAERTRKFQLINDAYFTLSDPSRRSDYDSARTYHGFGSGASTASTAYDSDDD
SSIPDPGAARTGFPWSSFGFRTKAKNEQEEQKFGNEQFGDAFEEMLREEGMAEKGGAPTGKFWSMVGGLSGGAMGFIVANFGGMVAGAVAGNRLGAV
RDAKGKSVYAVFQELPQDAKGKLLSQLAAKVFSHAVGI
>RCO7_08277 | related to serine protease
MIVKLLAVLSLAAHCNAAPSPIKYVLHEERAVESPNWVRGARLEKSAIVPIRIGLTQTNLDLGYDYLMDVASSDSENYGKHWTPEQVHNAFAPKDET
IASVKEWLTDSGIQDSRIMFYENRGWISVVDMTVEELESLLQAEYHEHENSQTSKVRLGTHKYHVPEHLASHIDYITPGIKLSPVIKRTVEKKLKRS
NRSVHVPALVSTRANKGSESLAISDAAAALPPALQDCAYVMTPYCIRTLYSIPETPEPVDGNSLGVFAQGSYFFKADLNQYYAKYATYVPQNTFPIN

ASIDGASYSVPAASESNGAEAILDIQIATSLVYPQTVTLYQVDDDIYGPGQVAVLFNTFLDALDGSYCSYSSDGHTGDDPNIDPVYPHNVTGGYQGQ
RQCGVYKPTKVISISYGQAEADLPAPYTRRQCNEFMKLGLQGVSILIASGDNGVATFPEDGPTCLGPQQTIFNPGYPNGCPYVTVVGATQLPSDGTV
YDAEVVMQADYEGRLPDTSSAGGFSNYFSRPRYQDGHVQAYFHRANITYPYYSELNFNANTTTGIYNRIGRAYPDVSAIGSNFPLYLNGTLGNSYGS
SLSSPVFAAVLTLLNQERAAAGKGTIGFVNPVLYKHSDVLNDIVVGRNPGCGTQGFKAVHGWDAATGLGTPNYPKMKALFMSLP

>RCO7_08276 | probable LRO1 - a lecithin cholesterol acyltransferase-like gene, mediates diacylglycerol esterification

MSSSLRSRGKKDPPPPRDDSPAKAEEVRLAPVSKIIYDDSEHPHNHKQQKNKNKRRNGFIFALGGLFGILVAGFFAGRNDLIDIPAFGDLSMDSMMD
ILPAGFVKDARDLAKGEREAVNYDSFSVGLNLVAQGVRAKHPVIMVPGVISTGLESWGTTNSSRQYFRKRLWGSWSMMRALVLDKEGWKRHIMLDKM
TGLDPPGGIKLRAAQGFDAADFFITGYWIWNKILENLATIGYDPDNSYTAAYDWRLSYENLEVRDSYFTRLKMFCEMAYKTTGKKAVLVSHSMGSQV
LFYFFHWVAAEAGGNGGDDWVDKYIGSWINISGCMLGALKGLPAVLSGEMKDTAQLNAFAVYGLEKFLSREERAEIFRAMPGISSMLPIGGNAVWGN
STWAPDDQPGQNVSYGTFLNFKHYNRTSEYRNLTVEDSMDYLMNTTEQWFQDSVKGSYSHGVAHTTVEVEANEKDQRKWINPLETRLPLAPNLKIYC
FYGIGKPTERSYFYRPDTNPLSSLNITIDTTLSQGNIDHGVILGEGDGTVSLLSTGYMCNKGWNIHRYNPAGIQVKVYEMPHEPDRFSPRGGPNTGD
HVDILGRQSLNDLILRVAAGKGEEIEEFVSSNIRKYAENIKVYEEEEYL

>RCO7_08275 | uncharacterized protein

MAIGRGGRSTVAEETGYLSNESDFYGDETTRSDLEARNGAFDAQNWLENRSTSLIELARQNLTALRTEKSAVTLYNPYNGMLRAKQLHESVEEFLER
LAPATTPVTDGPWIFLANPYRKVSKYKYSEAKLADEGPLDDGANLAEFVVRGIELLEQLTVVRHDLEKKTVGRTKAAITKALNKHKEDIVKQLLETA
VELRVTTGKWMIFPSPSEVNEVWSVVAHATATNQLGISSKVATDDGDDRSARLICIYTNNFKDMADVRRVLLKLKDLGLVQKGKGIYYKCDAYTYLG
LKSNNEYNIKASLYSSKDIFEAKDSKLENFLCPKKKQESGDWIRVDME

>RCO7_08274 | uncharacterized protein

MTNVLTSTNVIEANNSARLISEFVLQKPPSCVQFVPSCDYPNYLVVGTYELEREQSDDLEADAPMDEDCMDHDHSTPQQQVRSGSIFLLEYTDSQLR
LVDSFECPSAVYDLQFLEGDTAIFVTASSTGTISFYFVGETQGIPGPQIKLLWISQVLPTHTIITYLEIVSTELSVFGPLIAATTNTGGVYLMSYSL
EERSVQLLNNDMPLTRHCIPRTNQMPDNAWCCASICDNGQNEVLKILSGSDGGILKSVILPVSNFVPRINFENHLQTETHRFHFAGLTAILPLPLIL
EGSELILTGSYDERVRLYSLRLRRVLAEISLGGGVYRLRLVRQYLIGKSSYIVLATCMHAGTKVLEVDVKVSSGECNINVVATLGVLEEGDYSYAAD
FQPLDLPEDQDYKQLCVSGTWLDKKLRVWDYNCKAEDRSLDGEISGLVTSFKDTSM

>RCO7_08273 | related to SKI3 - antiviral protein

MLGPKAALKAISAAVKAQKYDDVVQEAQKLLAVDPKNYQASIFLGFAFAKQSKLEDAEKAYDAATKIKPSEPQAWQGLIQLYEKGSGEKVSKYQTAA
LSLAEIYRDSDDKYKCQDVVDKFLAFAKSQGTRFQQKKAQELVIPTSQIYDYLEGRVPHPSHTYQIMAQITEFEEKERINKEIGERRTRLGAKIGQV
TTEVKREVLRDSDLEELYSNIIDWSTDDDIRRQYEEKLVQRCVEALNVLPSGQEKTEKRQKALKLANDMVIIKHPFKVAWDITIEWNDVENIRDLDV
NILREYYMFFPTAGLAQVLRGYMSSEISPFAPPPPPVQKAETTASDESEDEDDDGGGVALDGFLSGEDRLLLMHDGISDSGKSILAHRLMGEYYQFL
EEYESVVELTRNGRRLIADESNRTGIKFDHSSDAMTALLGTALVFYQSPKNHPEAKALFDRLLERNSTSTPALIGVGLIYEEEEDYPAAIDFLGRAL
QRDPKNIRVRTEAAWVKALNGDFDSGRNDLEACLATINGKDPRNRDLLAQTQYRIGMCLWNINTTKAARKDRNGAYAYFLAALKSNLNFAPAYTSLG
IFYADYVGDKKRARKCFQKAFELSPSEVEAAERLAKIFAESGEWELVEVVAQRVVVSGKVRPSPGSKKKGISWPFAALGVAELNKQDYAKSIVSFQS
ALRITPNDYHSWVGLGESYHNSGRYIAATKAFQHAEQFEQEVEQAKAGETWFAKHMLANVKRELGDYDDAIEGYKTVLNEKPTEFGVSIALIEVLVE
SAWDGIDKGFFGYAAERACETIDVALSLAPNRNDAFNLWRAVGDASSVFSWIQSRISAFPHLKIKELLQLGDEKDAYSLFADIDGVGVDVVFANGLY
SDEETEGLNLTRCLHASILAQKRAIHVSAHDIHAQAVAYYNLGWAEHRGHVCLCAGIKKRSTRYLKAAVRCFKRAIELEAGNSEFWNALGVVTSQLN
PQVAQHSFVRSLFLNERSSQAWTNLGTLYLLQNDYVLANEAFTRAQSSDPDFAHAWIGQGLLALLMTGDTNEANLLFTHAMEISESSSLITKKQYSQ
STFDKILASKTCSSITDLVQPLFALKQLHSMDPKDIMYHHLSGLFLERIENISAALETLTKICATVEADYEITESPASLSRFALTKADLARSQLSAG
LYSEAIENGEIALQLSAEDAGNELTAESRQRCRLSAHLTVGLAQYYSQEPEAALQYFNPALEESNGNPDAVCLLAQVLWAKGDDSSREQARDHLFSS
VEKEPEHVQSILLLGTIALLDNDTDSLEAASSTLQDLRTSHSISSLEQAQVGELLRAIAALSIQDPDQQVLMEIQTDVFLHPDQPHGWTRLSQFESD
DHAAEMALKTALKAVPPRGELDAEDLAKAFAGTRKLVGAQEAIMIAPWSGCGWDALGAGLTGRNS

>RCO7_08272 | probable glycosyl hydrolase

MAPLRLTIEKGHFQDEHGRQVTLRGINMAGDAKYPSSPHQPSHIPMDFFDGDTVNFRSRPFPLEDAHLHFSRLKRWGYNTIRYVFTWEAIEAAGPGI
YDEEWIQHTIEVLRLGRSYGFYIFMDPHQDVWSRFSGGSGAPMWTLYACGLNPQSFAATEAALVHNTYPEPEKFPKMIWSTNYTRLVCQVMFTLFFA
GRDFAPKCIIDGKNIQDFLQGHFIGALAHLAKRIHEAGDLEDDIVIGWESMNEPNRGLVGWQDLTVIPSEQKLQKGTSPTAWQAILTGSGRACEIDT
WDFGGMGPFKSGRVLVDPQGESAWLPADYDESRYSYKRDPGWKLGECIWAQHGVWDPSTDTILKKDYFKKNAKGEVLDYEMFTNTYFMDYYRANRDA
IRNHHKDCIMFCQPPVLEIPPSIKGTPDDDPKLVYAPHYYDGLTLMTKKWNRYWNVDVFGVLRGRYMSPAFAVKIGETAIRNSFKDQLIAIRKEGLD
YMGNHPCVLTEFGIPYDMDDKYAYKTGDYSSQSGAMDANHYAVEGSSMAGYTLWLYMCENKHQLGDQWNGEDLSIFSLDDQPLPLSPLPPSPSSAST
TSLVQKAGPISKKAFSDESAVNPGNLKDNLKTPSISSEARASDAPPELTTAPGYRAAEAYVRPSPISTVGKIVKSGFDLRNCIFTFTLNAHKPCAGE
KPTEMFLPEYHFPKDKCEIVVTAGKWTITTDDEDGGMIQKLRWWHVEGEHSIKVTGVQRRQNMALGREEEEGYLDQCQQSRCSVM

>RCO7_08271 | pathogenicity MAP kinase 1

MASRAPNPSTGSRKISFNVSEQYDIQDVVGEGAYGVVCSALHKPSGQKVAIKKITPFDHSMFCLRTLREMKLLRYFNHENIISILDIQKPRSYDSFT
EVYLIQELMETDMHRVIRTQDLSDDHCQYFIYQTLRALKAMHSANVLHRDLKPSNLLLNANCDLKVCDFGLARSAASQEDNSGFMTEYVATRWYRAP
EIMLTFKEYTKAIDVWSVGCILAEMLSGKPLFPGKDYHHQLTLILDVLGTPTMEDYYGIKSRRAREYIRSLPFKKKVPFKQMFPKTSDLALDLLEKL
LAFNPVKRITVDEALQHPYLEPYHDPEDEPTASPIPEEFFDFDKNKDNLSKEQLKELIYNEIMR

>RCO7_08270 | uncharacterized protein

MAQPPTLPLLISSLTALSLPTPTSLFLNPILTPSSHRPPPPLAALTATAKHRLLSASITSTPSSPSILIPSTPSFPTNISEVRIQERVLDQDIFVQV
VDILDLGRGKWEQIESLEAQRKGESMKGREIIRVVPVEQDQDASSTSTQVLPNGQARNTSGDKGSKGPFKLLLQDWKGVVVWGFEVRKVERIMMPPG
MGIGCKLLLKRGVKVARGMVLLQPGKVVVLGGKIEGMDKAWRGGREERLRKEVVEERGVEG

>RCO7_08269 | uncharacterized protein

MSTIASPREPSLSGRRIPLISTPTSSSRPSLDTTRSESSPSRSSHPISQGTTLPLPPPKRNRAALREYYNLQSQKSGPSSSLSTTTSQPPSSPASSS
IHSLADEYGNGDGDENLDSEMDREGFDAEEYVRRVLEEKSLGEVLGIYRGVLADVRALDAERKALVYDNYSKLIVATEMIGRMREGVGNGKGSVSGS
GSGSGRNVGGGAVGGKKNEDKVEGVEQLVERVRKGVEALRRDGEGREARKAEMERAERRRKTRLVVERVSSAPEKVRRLLKDGKKDEASALWEHEKR
LLERWRERGVGGPDVGEVIEDGERALRGEDAITRPESDS

>RCO7_08268 | related to negative acting factor

MVYCGKPSRGCQMCRTRRIKCDETKPTCNQCAKSRRVCPGYKDDFDLVFRNETQATERRARRAVNSKRTGSQIVLANQQSSFSISRDETNPQKSPTL
IAPNPDQDMSGTVVPFGVPFVAPSIPLEQQAPCFFVSNFVIAPRQQSRGYFDFLMPMLKNESSDSHLSLAFSAVAMASLANRPNTRGQRMLFSQAIG
QYAKALKATNLALQSPVNQKTDSTLAAILMLGFFEVVAMEKTNAMAWYSHVEGAVQLVEMRGKKQLKTKVGYSLFTSVRNQMLVSALTGSKPLTMGT
KWWIAETDTDKISSFVTDITCRAAELRMELNNAVSTFPRTHEYYQEVTKIMRKGQALENECLDWEASLPDEWRPRTVSWVDQVPGGDITKAEVFPGK
VDMYTDITIANLWNILRVARLFISGAVVRCAAWICSPVDFRTTPEYAQAVRLCADLITDVIAGTPYHLGWRVNSSGILKSGDFASPLSSDSGNGGSG
IKAIGGVFMMWPLFSISNMDYISDSQRIWAKSRLLFVSETLGLNHAKVLSNYHLRLPSMIIRRDNMMHMAQSVAASAAGTRGFSPPVAANTSAQMTT
NTISKIAVANGFPSPPASFINPNSFVASPNANTNINYSVSNPDNNNSNNNHISSNNSFVSNPTINTITNYMVSDTDNNGSNSYASNSSFAHNANMNL
DYAVSSTDNHGNSNYIGNSSFVSNSSDNMNLDYTVSNTNNNGNDSYVSNNNNFINVSNMNGNAYTTEPAPGPSQGANTGAPNVMTTGLPTYTMNPLQ
QREAMLQEKWDDERKNLLKKGANSQGDSVERLLANYFVV

>RCO7_08267 | related to MSN5 protein (multicopy supressor)
MNGSNGHSTTSVLNSTNESTNQVNGDSTTLLPQIQEALQIVHGPYSSNESRREASIFLDEIKNNVEAPYHGFTLASDESQQAVVRHYGLSLLEHAIK
HKWAEYSEAQGTALREWILQLSQNVSPDDPLYLRNKTAQLWVEIAKRSWAAEWLDMDQLLLQLWDAPGSVVHKEFVLFILETLSDEVFNGEDTIAVL
REGALSKACVEIFTPAIVLAEAFPNRQIGTTVRHGEEGWLVRIGELLNQCLDNDLTGNTQYQSCAIRTLAVYKSVMPWAIPKAISSASCVQHMCKSL
ATSSVTVQLGSVEALHALYSRIHFSDEDFLSLVCPMYTGQIVDLLRKLFEYSAVDPRDIDDEKYLFAKKFSEMISNLGSFIEQKISSIPDDCDLPNL
LNLFLAIAQSQSFVISIPLLVTWTRLLRSDIIGSSPTITPLIAPLLELCSSRLIRYENLPEDSDDASVIFLLEDIDTIPERHAFLGNYRRYSVQIIE
CIVRQKRSEAIYHILSQVGTSMRHLYDGQPSFSIESYSKSSVPVLRTDAHFTVVEAALKGYMKWRLAHGSKPQEDEQERTAMENNIESWCDRLMEIN
FEDPMIRKRILQLVVAFSTTALDKNVSFMLKVLEQLLTNKHVERLEFPAYNDAVKELHIDSIYELQRLASKMPDQLLDVYDQLEAKVNDIVCSGAID
SKRQTSYRTFLFTIILKASKIEHNVRLEKLLGFVDPVKQMWQDPDMDRSLTCFSGFSEMLGLDKVKDYLVSRRVHEIDEWGYYQLDEEGQLIQKELD
DRLKALPLRTTKSFLSCSTEKVEKDSPTYEVSLSLWREALPVILPNLLKFLSHAHAFHNPANWTGLPRDMQPLVSRILTDRFWQAGISVGSKDDFYA
RVSGTKSTMEGFASSIRGTVRTIREACYSILWCMSRLDVDFYGFNELPGPLAHALFADSDCLSTHQLIALLNVVRLLVDDCPVELRSHFVPPILATC
FAQIDAKCSSEWEKLAQKQVAATDSDNLTDEMKAESILRQLTHAAVMMAAGSLDPARRNPAASAATAKDASTYQNDDPASVYPSMRTFCLTSSIILE
PLLMFMTHAIRMRDGRCCGVVLRIFRSLISDFATLTSPLASSIREFISTEVLKACISSLNEPYFVDLQKDLAQLIASILIYYSSLTRTPRQILVSIP
GVEENTVDKCIRYIMRQGMQARQQRALVLDLLRDIKGVSISEQGRITKSASAVRKDRSKMQQEFMKEPPPSTEPRQQSPSLAGVADMFEEP

>RCO7_08266 | probable COPII coated vesicle component SEC24
MAAPQDGYPPQGYASQDPYAEQSPSQPGFDAQAASPPPPVGQPEHDGGKKKKRGYAAQAYDFGAGANSALGGQTQGGGPAFQPAPGPAYGGYQAQAE
APAYGSQQYGASVGGPDPVVASPGYAAPAQYGGGVGYQNPAAGYPGPGAPQAPGVAGITQGMGQMGMGAQPPQPGVQPGQPQLHGGAARPAVLNQLY
PTDLLNQPFNVAELDLPPPPIILPPNSSVTPSPDANCPSKYVRSTLNAVPTTHSLLKKSKLPFALVIQPYTSLHDVDDPVPIVQDQVISRCRRCRSY
INPYVTFLDHGHRWRCNMCNLTNDVPQAFDWDAAAQKSVDRWQRPELNHAVVEFVAPQEYMVRPPQPLVYLFLFDVSYASVSCGLLATSARTILDSL
NRLPNADRRTRVGFMAVDSSLHYFAVPKDSDENGETQMLVVSDLDEPFLPIPQELLVPLSESRLSVEKFLTTLPAMFQTNQNNGSCMGSALRAGHKL
ISPLGGKIVVITASMPNVGYGKLEMREDKKLLGTSKESALLQTGNSFYKSFAVECSKNQVSIDMFLFSSQYQDVASLSNLPRYTGGQTYFYPGWNAG
RSEDAIKFATEFSDYLSAEIGLEAVLRVRATTGLRMSTFYGNFFNRSSDLCAFPAFPRDQSYVVEVAIDESLTKNFVCMQTAVLHTTSNGERRIRVM
TLSLPTTTNLVDVYASADQCAITTFFSHKAVERALSSGLEPAREALQSKLIELLQTFKKELAGGNSGGGGLQFPANLRGLPVLFLGLIKNVGLRKSA
QIPSDLRSAALCQLSTLPLPLLMQYIYPRLYSLHDMPDHAGVPDPETSQIVLPPPLNLSSERLAPYGLYLIDDGQTQFLWVGRDAVPQLLADVFDVG
DRTQLKAGKSTLPELDNDFNERVRAVVMKSRDYRARGVGSIIVPHLYVIREDGDPSLKLWAQTLLVEDRADQGMSFQQWMGTLREKVS

>RCO7_08265 | uncharacterized protein
MAWGKSSIPKPPPPPKSALSKLLPLFILFIVLGGLAFVGYHVYLIVCNVQTATNEKMEKKNVVFTKDGMKVGVKELRNENYVDTTQSFLVKAWNLST
WPEYKSRLWNKDAQINKVESRKPFSRHSSTT

>RCO7_08264 | related to Ngg1p-interacting factor 3
MSSLVPVVTSSPFTKTVVGAMKKLYPEALADKSFDNTGLLLEAPYRPNNTALAKSALLTVDLTKAVAEEAIEGKYSIVIAYHPIIFRALKAITLSNT
QQNTLLRLASEGISVYSPHTAVDAAPGGLNDWLADVITGLDAKTKTGEIISHTRKIINPVPGLDNLAADFSSSGYGRIVTFTTPQTLGGLVQRVIKG
TYTESIESNLTGNFVSVAVPQTCVQGQRSGIEIRTVGICAGSGGSILNGLDVDLLLTGELSHHEALAAIEAGRCVITTCHSNSERAYLEERMKPALK
RKIKEELNSDDLFSVDVSKYDRDPYSAIVPTNLDW

>RCO7_08263 | uncharacterized protein
MQYSSNAFEVKCQRQSGSYPAQLFNINPFFGDSSSFDFVACSGDKLEDIDAQVKKLAQKKFDLITLTISGNDFGFGNIAGACVYQTRSANITNPQKV
CDSALATGEAHVANRSIWDSFIQKLSLIKSTSLNEGGRIFVTGYAKFFANTVDGDACNSISFFPIPQLAALNMTVSTRRRANALVGAVNRGIQRSTE
KGAPNVQFIDFDKLYAGRRFCEAKNSNDPIGANNPNVFFNDLTTILPAVGAANSTKQTPGLKVDITNVLQQKSVFHPKTGAHRILAAEMNYNILLHS
TIPVIPHV

>RCO7_08262 | related to BolA domain protein
MAETAGVTQEVLKEKITQSLGAVHVEIEDMSGGCGQAYSAIIVSPQFEKKTTLARHRLVNTALKAEVAAIHAWTPKCYTPEQWEKLNVEGKGVVALG
KETNGEVVRGTAA

>RCO7_08261 | uncharacterized protein
MSLIASSKANLPNLRRLFVEARTDAEESAYSRNAFYNIVLFMSSVAVFSLVAQRMSKTI

>RCO7_08260 | related to beta-adaptin
MAVNRIKGAFAVPKKGETFELRAGLVSQYAYERKEAIQKTIMSMTLGKDVSALFPDVLKNIATTDLDQKKLVYLYLMNYAKSHPDLCILAVNTFVQD
SEDPNPLVRALAIRTMGCIRVDKMVDYMEEPLRKTLRDESPYVRKTAAICVAKLFDLNPTMCLENGFLETLQEMIGDPNPMVVANSVTALVEINEAA
PETKALRITPATLKKMLMALNECTEWGRVTILTTLADYKAQDVKESEHICERVSPQFQHVNPSVVLAAVKVVFLHMRNVSQELNKQYLKKMAPPLVT
LVASAPEVQYVALRNIDLLLQAKPDILSKELRVFFCKYNDPPYVKLQKLEIMVRIANDNNVDQLLAELKEYALEVDMDFVRRAVKAIGQAAIKIESA
SEKCVNTLLDLIATKVNYVVQEAIVVIKDIFRKYPGYEGIIPTLCKYIDELDEPNARGALIWIVGEYAEKISNADEILAGFVEGFMEEFTQTQLQIL
TAVVKLFLKKPDNNQGLVQKVLQAATAENDNPDIRDRAYVYWRLLSGDLSVAKDIILSDKPPITTTMSSLPPALLESLLNELSTLASVYHKPPETFV
GHGRYGADAIQHAAIQEQRQDAADNPIAAAAITAPNGQNAENLLDIDFDGAAPASADAPPSGGASGLEGLAGTPQRVASPTAGPPPGASSMDDMMGL
FDVNGSSSGAPAAGQNNMMNGFAGLDLGGASQPPPTQTQMHGDSSRKTNEDLLGMF

>RCO7_08259 | uncharacterized protein
MAPSEKAIVAGIYAAIKELHSTNPETLTVRNVRNKAEADLGTESGFLSNESWKEKSKKIIKDYANQLAEVAEEPEIPTPKAKAVAVQKSAPAMKKAA
TLQKGNKRGAPEAKARDKKRQKKAKSPSDNETSELSEITPSEESAASDFGDSDSDAPKNKKKSTGKAKAPAKSQAKIRANVVSESEDLSDDEKELED

SDDSEAPKKKIRLKPRTRTPVKRQLKSRAKIASSDESEEDLDSEASAPKKKVSKKPTPKKAAPKKSKATVDSDAESEHQASASVLLATPKKAVPNSS
AKATTLDSDAEDKPTSKPDDGGSESEMSIVLDPTPKPKRQRAPKGEKKAKDPKVPKTGASTRAKAKASADLSPDEADIKILQSQLNKCGIKKIWQFE
LKQYGDDNKAKIRHLQNILKEIGMTGRYSDARAREIKEMRELQADLEAVKEGEKAWGLESGRRSRGAAPKRSMKVASEDEEESGEEGATKAARKSRS
DDKAGSESDDGDDDQPPARKRRLDPGLAFLSSEEDSDE

>RCO7_08258 | probable TPS1 - alpha,alpha-trehalose-phosphate synthase, 56 KD subunit
MPSVEEPNVQGRLLLVSNRLPITIKRSDDGSYSFSMSSGGLVTGLSGLSKTTTFQWYGWPGLEVPEAEAGPMVKRLKDEHGAVPVFIDDELADRHYN
GFSNSILWPLFHYHPGEITFDESAWEAYKEVNRLFAKTMAKDVRDGDLIWVHDYHLMLLPEMLREEIGTSKKNVKIGFFLHTPFPSSEIYRILPVRE
QLLLGVLHCDLIGFHTYDYARHFLSSCSRILETPTTPNGVEFRGKYVTVAAFPIGIDPEKFIEGLQKKSVQDRIAVLERKFEGVKLIVGVDRLDYIK
GVPQKLHALEVFLSEHPEWIGKVVLVQVAVPSRQDVEEYQNLRAVVNELVGRINGRFGTIEFMPIHFLHQSVNFDELTALYAVSDACLVSSTRDGMN
LVSYEYIATQRKRHGVMILSEFTGAAQSLNGSLIVNPWNTEELAGAIHDAVTMSPEQREINFKKLEKYVFKYTSAWWGESFVSELVRISEHADKKQK
RVGGATATGAAGKMQEIAGNVRDMVLGKENE

>RCO7_08257 | uncharacterized protein
MGPQRSSARARSRRSESKSSRNSPATSSKASARTSAYDRNFEQHLIDHQIYPNNRAAKPDNWADINLRMTQPRASLSPSKLSEEAFEKFQKISESAL
TEAKVMNTAFPIILGSDATDIPSEQSLLFNNLKSLTDETVVDAKPDFYDGSELEKIHPEIRESLSSTIIPPTLRHAPCPPNFFMKAKGPDGSAAVAK
RQACYDGAFGARAMTSMRQYRQPPILDHKALSITTTFHDSCLRLYTTHITDLGSEDGPRYHMTQLRSFAMTDTVETFREGASALRNARDWAMEQREQ
VISTANMAVGMDDSRTSASKSAFEGDASTEGGPQPSKGRNLAAPNQSAQP

>RCO7_08256 | uncharacterized protein
MSKLRILCLHGFTSNGSVHAHQIRGITKALSAEYEFLFPVGPRVVEILENSKLESPSMKSWSEYVSKYSTSGHRGWWVTKEPNPANGEPGTFEGLEK
SLKWIILFGTTYPVNPFVPSAGIFIAGFKARFPQYDSAYASGIDVPTLHVIGSQDVAVVPERSEALVKISTNPSVLRHGGGHNFPTSEEDQKIIIDF
LRQKVRVTSTDH

>RCO7_08255 | related to 3-beta hydroxysteroid dehydrogenase/isomerase
MAELIFITGATGFIGSLTAQKALERGYKLRISVRKEEQIEKLRVVLGAPNDKIEFLVVPDITDPQAYVGKLDGVDYVLHLASPLPGGTDKAALFGPS
VNGTTAILIEAEKVSSIKKVVITSSVAALVPMSGPTAAGEISGMLVSPRKWSNRMFRFPPLTKVTCKDINDPRLIIDEDVDCQGEIDEETSFQIYHA
SKLLSSQASWKFMEDESPKFVLVTLHPNFVYGRNLTQTNAEGVAGSTNGKLWQSIMAEDKASILGYVSVGDVADAHVRSLNPEIKNSTSYFLSGPPC
SWDDVLEIVKSDYPNAPYKLKPGVQTVNFVGSTEKAEKELGLKWTSLSDVVHEVMDQQLGFLA

>RCO7_08254 | related to C.cardunculus cypro4 protein
MFVLRNVGKLIFGDTSKESLVELPQGQLYLVRPLSPKGYSELIFKDGAARIRRTNQDFQYQLVIQRAYEEGEEDLQDDENGEDAEIAALGAERDEKT
FLLDEELHFRSEIREGGEKVLAWRDLSGDVGDLYEFVCDNSISSAQLETFELIAVQCQYERKHRKGHQTATVEDLAQFTFDSEQPIPSASPTHSPEV
LSPVTPMPPPARNTANSALKRESTPTKSRRAPVKEEVSTQTETATAAPPALIHPEAHSILANELAELHLFDFVSGAFIIQDANVTAIVSEVGKWKYW
LQISSDDRDWLGQEVIADINPVFNFEFLSFIFNAYTPSGDAYSWLLRFKSQETMIRFQEGLMQALWEQLNEIKWNKSKEDDRDYVLEAFQDLAMDDA
PEEEEEEIEEEEMENDGQKSEHYDSDEEDDDVETRDNDGNVNSQLAVGYKHDRSFVVRGSKIGVFKHTPNNNLEFSTNISKVETPSGKLFSPKKVML
HAEDTNMILQNEADPNSLYRMDLEYGKIVDEWKVHDDIPVNTFAPESKFAQMSGEQTFLGLSRNALYRIDPRLAGNKLVDSELKQYVSKNDFSAAAT
TEKGYIAVASNKGDIRMFDRLGINAKTHIPALGEPIIGLDVSADGRWVLATCRTYLLLIDALQKDGKNEGKLGFEKSFGKDSKPQPRRLGLTPSHVA
QFQHETGAPLSFTTARFNAGEGMSETSIISATGPFIVTWNMKKVLRGSKDPYSIKRYAEEVKADNFKYGSDKNVIVALPNEVNMVAKQSFKKPTRES
IATPVRIGGGSFGGRRSDAGRVGTRESGRYKLGKDDVVNSPY

>RCO7_08253 | related to diacylglycerol pyrophosphate phosphatase DPP1
MNLFKRKQRDPAVVAEPAATHQSHHHEKRRGPTVMNMSTRPSFGQWLKVTWLDIFTMAAMGMVGLGVYTAHPAPSRSFPVYFQDGEIVYPQFAYPMR
NEIVPIWAAALLAALVPIAIFLIMQIRIRSFWDVNNATIGLLYSLITAAVFQVFLKWLIGGLRPHFLAVCKPNIPAVTAEETGNGLRQIMYDRKICT
GKESEIDDSLESFPSGHSTAAFAGFVFLSIYLNAKLKVWSNYHPAMWKLIATYAPILGATLIAGALTIDEFHNWYDCVAGATIGTVMAFSSYRMVYA
SIWDWRTNHIPLNRATPFPGSGAGVELEHAVFTRQAGWGYEDGVHGGVGHGASTGTGMGMAPGVGNGHGIGHNGIGHGTTSSYTSRKPVGTGNGHHA
NETMV

>RCO7_08252 | probable Autophagy-related protein 9
MTSNLLSRLLPQNPQGRSIYDDLRAHDEESDLEEQAGLALDEENLGFRDDELGAADDFGEHSRITTESTAFLPSNQHNIGGGSAPRAKLQSRWMAQS
PRLMDEDGDDDVPASLLIEGNELPGPSSPSKSRTRTGKVPKRHAAIPGPSNRETRAHWEAAQAQQRLHREGDASPGLPQPARHHFGPLSGSAREKAM
WRWINVVNLDGFIEEVYGYYTGAGIWCIVLDRALNLAQIIFVAVFTTFLTQCVDYSAIPRSKKLSQVLVPQCTKNISGMPNVAIWLFTLHIFWRVYQ
LLIDIPRLLRNRDFFVHLLEVPDGDMQTISWQDVVARIMALRDANPITTENISPQARKYLGSQSKQRLDAHDIANRLMRKENYLIAMFNKDILDLTL
PFPFLQDRQLFSRTLLWNLDWCVMGLIFNDSGQVRQLILKDSHRRQLSEALRGRFLFAGFMNVIFAPVIVIYLMIVYFLRYFNEYKKDPSAIGSRQY
TPLAEWKFREFNELHHLFHKRVNMSYPFASRYLDQFPKVKSVQLARFMSFIAGAIVSVLAVATLWDPESFLSFDITSDRTVLFYLTVFGGIWAATNG
MIPEENLVFEPEYALRQVIEYTHYMPTQWQNRLHSDEVKREFATLYQLKIIIFLEEVFSIIVTPFILWFSLPKCSDQIIDFFREFTIHVDGVGYVCS
FAVFDFKKGDGRKPLHHGGGNADIRDEYYSTKHGKMAASYYGFIDNYLLNPKTALQGHVPPGQRPHVPPPSFPGLMSPTLAAEMQSSRLGRSERRPD
PRTPANNLQTSRAPRFAPTAIQSSPMQSILLDPHHQPSSFSFGAGGRSAIQHGNANSRSRYKVRTNIIEEPLEDDEDEAALSRGNRSGGNAYDSGTG
VLEESRWETSPTRTPANEAVEEEADPTGGGGVLGLLYQFQKAQNDGRPGVV

>RCO7_08251 | related to COG6 - conserved oligomeric golgi complex
MTSDYFVSQKASGPIDGSEPPASPTGAQPRSNPLASKVTSVLSASYADSDIRDALTLLDQRDIQNNAETRRQLRLDVQKEVLESNGDIIEEFGHVAE
QLKRIGLTIASLNQGCEEMKRHISAAHLETAPVLEEAFEFMKQKEQVESKQQLLRAFNAHFIISDDDISMLNLIAEPVNEKFFSNLARAKKIQNDCE
ILLGTENQRLGLEIMEQVSKNLNGAFQKLYKWIQREFKSLNLENPQISSSIRRALRVLAERPSLFQSCLDFFAEAREHILSDSFYTALTGTSVAGEE
NISIKPIELAAHDPLRYVGDMLAWTHSATVSEREALEVLFISDGDEIAKGIQAGRDSEPWNRIAAEDEGASSFDGLKALNELVDRDITGVARVLRQR
IGQVIQSHEETITAYKIANLLNFYRVTFSKLLGNDSILLDSLSTLEESAIRQFRVLMRDHVASLQSDTQPVPSNLQSPDFLHEGLKQLTAIMKTYET
SFTSPESREAEFQPILAEAFDPFMTGIQNMAKSLPSPADSIFSINCLLSARIILAPFDFTASRIAKVDSSIESYSTTLSDLQYTFFRKSSALEPLIQ
ALAPLTTSKEDLRSIRTLEPFQPTALSQASQTLDDFLPSALMDATENLKQLQSSKLVTEITERAAEKFCDDFEEVEEKLIAADEIREEEGEEGEEPL
RAMFPRTSGEIRVLLS

>RCO7_08250 | probable SAP1 - member of the AAA-protein family
MMRNKTSSSLQKTYDECYLICSTAVYFEGQGNEAEALRSWRSALDQIYYHNAYRVPAGYIPRSETEKALKDSLRDMEMQCKERVDLLEALKQSREEK
AEADSGAGDSTGKISKTSSRTTRHSSESDHGEKGFIGNGTIPAVNYPELSRPGPPLPQRPAMLTKNSSERAVLGSSRPSYHGSSSSNHVSSSRTITP

SSSASLVPPMKKTSRSPSPEKGRTMLHTLRSGDKAGRKSSPRPPRTSTSKRDVITNQAASMAWQSLGRQNKDRLGRSLDTEADKSSTTLHESGRKDS
CSDPITGSSSSSHNVRYDSKTRTLVPDTHSHPRGGSPSDILTGNADLFGSSGRSSNYPCPPTDPGQPGAVAGTMLTPSALQDLIDIPPPSPLIAESS
VPRARGTPPPPPAHVRSPAKFEPVSYPTYLKEYPETSARKSKAESDIPLRRKPAVKDTADSEASKIKVRRKAVAANSSSPRHRDRFQEKDAAKNAQR
VKKSRDDDTSSQSVDDDTGSSGPSTKLKRKQKVKQKESALLADPTTPTSEDSDTQTNLAKSAWEVKVQQLMKNLPKGVDEGAAKQIFNEIVVQGDEV
HWDDVAGLDIAKKALKEAVVYPFLRPDLFMGLREPARGMLLFGPPGTGKTMLARAVATESRSTFFSISASSLTSKYLGESEKLVRALFSLAKALAPS
IIFVDEIDSLLSSRSGGEHEATRRIKTEFLIQWSDLQRAAAGREQSEKEKERGDASRVLVLAATNLPWAIDEAARRRFVRRQYIPLPEDETRAVQLR
TLLGHQKHSLKEADIQKLIGLTDGFSGSDITALAKDAAMGPLRSLGEALLHMSMDEIRPIQFIDFEASLVNIRPSVSKQGLQEFEDWAKEFGERGG
>RCO7_08249 | related to ribosomal protein
MSTTKVAASATRQINAVVVSAGLMQKTVKARVGVQKWNAHIQKKYNRSTNVLVHDPNSSLRIGDIISISSGWRYSKHVHHVVNSIVAPFGDPIEARP
KVPTLEERLEKRDAKRLRKEAKRGLWKGNAGEGEQVEGQGREVEADVLETGEVAKGRSEEKVSA
>RCO7_08248 | uncharacterized protein
MPYSEDQLSTVLAGSFSFELLQLAK
>RCO7_08247 | uncharacterized protein
MQYLSEAVFIRSERSLDLLQGVLVLLGFYHYHCLVQFQFNNLMQLAVSIVGDMDLNIDPVRQMRVRALGGECEELRERNTDERRAIVGVWYMSSNVA
LTFNKGQSDKCTKYHEQCLEELEKGHEYESDILLIQLVRIQHLTQRIVDCNNRDQLPDELPFIEVIPTSSYHEASQNEVSRLKTRLPSSPQKNHLIL
NHLNTAHLRLYESPSSKTLHSSTPSPALSIPSPSPIPSPTLDSAPATPPYKPATRFEAAKSEMSAAQGGVWKNGFWDLAAEKLSMKRIRIEKWWGGG
REGWRRGNV
>RCO7_08246 | related to protein MRS3, mitochondrial carrier family
MALPNAEPVDEYEYEGLPPNFSLLQNMAAGAFAGIAEHTVMYPIDAIKTRMQILNPTPSAVYNGMIQGGYRIATGEGFLSLWRGMSSVVVGAGPAHA
VYFATYEAVKHVMGGNQAGVHHPLAAATSGACATIASDALMNPFDVIKQRMQMHNSSKMYKSMLDCAKYVYRSEGVSAFYVSYPTTLSMTVPFTALQ
FLAYESISTVMNPSKNYDPWTHCSAGAVAGGFAAALTTPMDVVKTMLQTRGTANDPELRNVNSFMQSARILHRREGFRGFFKGVKPRVVTTMPSTAI
CWSAYEACKAYFIKQNDSVV
>RCO7_08245 | uncharacterized protein
MLPQAQACMIDSYKRIADSALHCYASEGANVMSESAMERTIWVDEKMEETSSGNEMRAGNTASEKNDPVPTIDNTGMSSSTSSSTPPGDPPPFELLH
YLPSHKALICTTCHYAIQPAAVSRHLKEIHQILRARRRPFMSYVSTLDLAAPERVIDIQTEIGNFPVDILPVIEGLMCRYEGCGHLCASTKRMRSHW
VAEHGLAARVGVDWKTVRLQTFFRGNLLRYFTDGEVYDCGAKPVPVDGMKFEYETSISTDSNLFRIATPTVDTSEAAILHHFITNTASTLSTNPTTK
LLWETTVPMLARSNAFLHHGILSCAALHLAQLHPHSSFTSQLTLLASQHQDTAMPHFQAVMTAVTPSNCDAVLAFAHLLIIISFAIDTQSQNQSQSQ
EQSPNQADTSNLMLVSPPAPPIPITTINGNTNAQEDNTILPPWLYLLRSGCSILCDIWDYLELGPISALAEQWDIPVHVPDGTPPLLLTHLLSLIPS
ATNPFSNNESDIEINVITHRKTWTEHEISTYITAARSLDLAFRCRAIMGSDFSTWDALRVWPMAIEQAYLDLLATGHEGALVLLGFYCVLLKKVETR
WYFEGRAQRLLHSVLACLDERKDREKWREALRWAIEELGVEQHE
>RCO7_08244 | related to dehydrogenase/reductase
MSLTSTIIITGGTSGLGYNAALILARQNPTYLIIVASRKDSDTSATSINKTLQQKNAIFLPVDLSKLESIRAFASSFSKNNYPPIKALLLNAALQFP
AGLNMTEDGIEKTFGITHVGNALLYHLLTPHLADNARIVVTSSGTHDPAQKSGLPDAVYISAEMLAHPTGEWATMKDGLQRYASAKLTNVLWTYALH
RRLEQSTSAANAQKESNKKITITAMDPGLMPGTSLARDWKIFNYIPGFFWFSILPLLTPLARRFVHPNIHTAKESGAALANLATAAEFEGTSGKYFE
GNKEIKSSVDSYNIAFQEDLWEWTVKNVSLNEEERARFDLERQ
>RCO7_08243 | uncharacterized protein
MATILVLGHYCESHGPTAICCTEGLPVGCATCFEDEDAMSMRRPSSSRSLNPADGLAGIARLSIRSKSASSDRQSGDSNPQYPSSSSAIETPPESPR
VAALQGAQSSGMRRDSSFRKTYDENDKKSAVPCENCALTLPKQTKDSPATNKLDGNGPILRSRMPYERINVSSPPKTNSSNCSTSSDSEHAISSKPP
HRRTRSKTLVRVGTSSSDSSSLSTKSHDHFLDYTSTHDPLTPSSFSLVRQSCLRTLSCEELPPTSTQSTPSPPSPFINSSFSSSSGPKLASTTNGGP
IFFGDPQAGYTTAYIFRIPDPNARGRVRAYALIALSTHRERAAMQSFSFLSSAFRKLAAWIQVLAEAELERSEAVNSPRLANSSNNTPTSAFLSGRN
RDKFAGPKAKGLAELVGMPDFFFELHMRFVKLLVEMNVTLGL
>RCO7_08242 | probable 26S proteasome regulatory particle chain RPT3
MASSIPNIDSLEGLGTDGTDEYSTMKKLQRHLEYIHLQEEYIKDEQRSLKRELVRAQEEIKRIQSVPLVIGQFMEAIDQNTGIVQSSTGSNYVVRIL
STLDREKLKPSSSVALHRHSNSLVDILPPEADSSIAMLGADEKPDVTYADVGGLDMQKQEIREAVELPLTHFDLYKQIGIDPPRGVLLYGPPGTGKT
MLVKAVANSTTANFIRVVGSEFVQKYLGEGPRMVRDVFRMARENSPAIIFIDEIDAIATKRFDAQTGADREVQRILLELLNQMDGFDQTSNVKVIMA
TNRADTLDPALLRPGRLDRKIEFPNLRDRRERRLIFTTIASRMSLAPEVDLDSLIVRNDPLSGAIIAAIMQEAGLRAVRKNRYNIIQVDLEDAYSSQ
VKSANDKNVFDFYK
>RCO7_08241 | uncharacterized protein
MSSSIAIPSRTGYGESSKAAVASSSSSSSFSSPQNPQQAEQAATPPSSASKYGHDRRRSLLSSSLSKQEHTVINIGDPEGVPRLITCVRSSQGYEWN
PEIFLPSYVESNFESLERKRDPVHEIRLSEEEIKQMFPQ
>RCO7_08240 | uncharacterized protein
MAEFQRKIELQSRDDLQYLVSNVRRAANEKIDKDWPPIEGEDKMRERVEELVNEYINNVFLTSSDNITINGMNPSPDLLSSILSSSTHSPILEIQEH
EPFNTKLFERAKDLARQEEDLIEEIAALRRKVPSAVAEKVKREYKEGVEADEEVLGRLEEQRESGYVDFGIGVLERQEETERAWERGVKGLEGLMRT
LPETVARKERAEKAEAYIRTGGKM
>RCO7_08239 | related to tRNA (guanine-N(1)-)-methyltransferase
MAESEERPSKIRKLNTSDGATETLQNDSTSIDAPPPQMAVEADRTGEDSKVSQVPSTTSDPPLSRNQLKKLRKQQQWEASKEIRKDKRKTLHREKQA
RKAEARKELNEKIAKGEIKRSEIAKPKVYHRPIQTPISFVLDCDFNELMTEKEIISLSAQITRSYSDNKTKPYRAHLAISSWGGPLKDRFENVLSST
HLSWKGVKFFEGDFVAAAKEMDGIMRGPEGGKLVGAFVTNNSVLKKDLSVESEPARRDEATIEAEGNPELAPRVEAEENLKSAPEVDTSVGQPSAAK
IEEISKENQPSIVYLSSDSETTLSVLSPNTTYIIGGIVDKNRHKGLCNKRAMERGIPTARLPIGEYMTMASRSVLAVNHVVEIMLAWMETGDWGEAF
IKVIPKRKEAKLRTNRRVQSEDGDNDEEPGASQSEAGVGEDRGDNDPSPKEESSGLESNKPS
>RCO7_08238 | probable DNA mismatch repair protein msh-2
MSSRPELKVDDEGGFIRFFKSLPAKDDETIRVFDRGDWYTAHGEDASFIARTVYKTTSVLRQLGKNDSTGLPSVTMTITVYRNFLREALFRLGKRIE
VWGSSGKMSWKIIKQASPGNLQDIEEELGGQFEAAPIILAVKVSAKATEARNVGVCFADASVRELGVSEFLDNDLYSNFESLLIQLGVKECLITVDK
SKKDVEMNKLKAIIDSCGIAITERASNDFLTKDIDQDLARLLKDEKAAGTLPQTDLKLAMGSASALIKYLGVLSDSANFGQYQLYQHDLSQFMKLDA

AALKALNLMPGPRDGAKTMSVYGLLNHCKTPVGSRLLAQWLKQPLMSKDEIEKRQQLVEAFVEDSELRQTMQEEHMKQIPDLYRLTKRFQRKMASLE
DVVRAWQLVVRLPGFIGTLEGVMDEKYRDPLEENYTSKLREYMDSLGKLQEMVETTVDLHAAENHEYIIKPEFDDGLRIIKKKLDKMRSEMDQVHRT
ASKDLGQEIDKKLFLENHKVHGWCMRLTRTEAACIRNKKGYQECSTQKNGVYFTTQKLQSIRREFDQLSENYNRTQSSLVNEVVSVAASYCPVLELL
AGVLAHMDVIISFAHCSVHAPTSYVRPKIHPRGEGNTILKEARHPCMEMQDDIQFITNDVTLERKSSEFLIITGPNMGGKSTYIRQIGVIALMAQIG
CFVPCDEAELTIFDCILARVGASDSQLKGVSTFMAEMLETANILKSATSESLIIIDELGRGTSTYDGFGLAWAISEHIVKEIGCFTMFATHFHELTA
LVDQYPQVQNLHVVAHIDDNGKAKREVTLLYKVEEGVCDQSFGIHVAELVRFPEKVVNMAKRKADELEDFTSKHEGQAIKYGKEDVEEGSALLKEVL
LKWKEECEGKNLSKEEMTSKMLELVKGHEKLLANPFFQSVKAL

>RCO7_08237 | related to GRC3 Protein required for cell growth and possibly involved in rRNA processing

MSSNKRQKLDISPEKPQLSAFAARQVFKSKTSSPSSLTRQYESATLSDTTTRPKSEGTDSERTNKKISQSVSKELIAQDGTNMGSDDIDFHSNDESQ
LNSAQSREESPELVLQRPTIALSSFKPTISNLKDLGASSLHIRLAPGERVVIVGQYELCLKEGHITLMGATLQSSENSYRVVAASSHSLPVIRCLST
DVNTADIVLRNCNSGLEDLEKLSPLFGRLWNSHSGPLGAEYQELLPRFRKSTFQILFSPKLDLQSSYLQPLASPPEWNLMLSKLSETARKRIAETSP
AGKRPVEKSPAEKTSTDDPPTRNKRVVMLCGPKSSGKSTFTKLLCNRLLSNLPGSTTSQGIALLDLDPGQPEFSPPGQLALVHVQDLNFGTPFSHPI
PFGKTKMIRAHSIASISPSSDPSLYMSCALDLFTHYRAMGSAARDCPLIINTPGWVFGTGLEILVDLISRFKPTEVLYMSHDGPPEVVSTLKEATLL
TPLLTLPSQISEYTTRTAAHLRTMQAMSYFHLNTESTDTLNWSGMPLTSIPPWEVRYSGENPGILGVMCYSEQPLPELLAETMNGSLVAVVVIDDMS
AVLGQESESGQGCAGRPTSDDHFDSEIRVMDHSHKLRGFEEPRILLTPEEQIPYFNPANDSRLDPRYSHSIGIALVRGIDIRRRRIQLLTPISPSMI
EEINEAGKKIVLVNGKLDTPGWAYTEELNLKISQDKSAERSSFGSTGVGDDGMDLDDAEIDASEVELVEGAVGKILDRHRNAGDGFQDAPWVERLDG
SKGRGVGSRVWRVRRDLGRVGDGGE

>RCO7_08236 | uncharacterized protein

MASDKSKSRDSGKTNRPEKSKKSSKKTPPPATYKSTEFVQDSDEEVEKDSSKTADEQSDESSNSDAFSSSTKSVNGDPKTNGRLPAPEGSSSSNEGE
SADSDESSEDEEESEEATSKAPVAIEPIKQPPTQPISHTVAPKTSYQPPPGFDLASIEGVLDVSQKLKSSSLEGKQIWYFTAPASVPIGSVKAMNLL
DAKSGKTVLTYDGDDYGFLKDTVEDTTYTRIMVPSSNAGYKATSKSIDQVFHLQQVARDPTSVHPTRATIPAKKPIRQQPRGLKMRFHPVGFGDAQP
GTIGSSSSDEEMEDAPSREPRSVSKSKLTNYSGDGASDEEMAESVLLPTRPHPENVTSSANAGSKKEKKRKHREDGEKKSKHSSSAKKSDIDCRELK
RLKKKQTESQRNPAANPSASTEDQETQSLAQTPRFKTPPKILVSTPAIPPPEPLTLSQPSAANTCSHQPKYSAKKSKPAKEERSSS

>RCO7_08235 | probable glycine hydroxymethyltransferase, cytosolic

MATHSSYALTESHKDLLEKSLLDTDPEIAEIMKLEIQRQRESIILIASENVTSRAVFDALGSPMSNKYSEGYPGARYYGGNQHIDSIELTCQARALT
AFHLDKEKWGVNVQCLSGSPANLQVYQAIMRPHDRLMGLDLPHGGHLSHGYQTAQRKISAVSTYFETFPYRVNLETGIIDYDRLEENALMYRPKVLV
AGTSAYCRLIDYARMRKIADLVGAYLVVDMAHISGLIAAGVIPSPFDHADIVTTTTHKSLRGPRGAMIFFRKGVRKTDAKTNKETLYDLEGPINFSV
FPGHQGGPHNHTITALAVALKQATTPEFKQYQEQVIKNAKALEVEFKKRGYKLVADGTDSHMVLLDLRAHRLDGARVEAVLEQVNIACNKNSIPGDK
SALTPCGIRIGTPAMTSRGFGEEAFIKVADYIDQCINICKEVQGALPEGDNKLKDFKAKVAGGEVEKINEMRKEIAAWAGSFPLPVEGWRV

>RCO7_08234 | uncharacterized protein

MNDIEESNFQLFRDCLATPLIEKSTNTPTKPPRKARGGRKNAIKPVTQAEEPNDAEELGEFIDYLATEIFTSLPPSLRTLTHSTWLNTPSLQTLYTS
PLSPAQNTTILSALPPAITDTLTTYSLLPALKTPIEYLTPVLNTYIGTLLTPPPPPRTTGRQATECEICEREWIPLTYHHLIPRSAHAKVLKRGWHS
EDMLENVAWLCRACHSFVHRVASGEDLARELFTVERLCAREDVRRFAEWVGKVRWKAR

>RCO7_08233 | related to 2-haloalkanoic acid dehalogenase

MAPNTDIVIAFDLYGTLLSTESIAKELASHFGDEKAQSIAALWRRFQLEYTFRMNSMGLYKPFSDITNASLKHALAESSVSLSDENIKSLMKAYDSL
GTFPDVAPGLQAIASDSSISAYVFSNGTDAMVGSSVKQSPSLSSHASVFKDLITVQDVKAYKPHLKVYEHLLKRVGKEGDAGSVWLVSGNTFDVVGA
RAIGMQAAWVDRKGGHHGMGGWTDQLGTLASGGPTIVVDGVKGAVEGIKEWMQENGVKK

>RCO7_08232 | uncharacterized protein

MSESGVSSRRTESDVDIDNDEVRGNRTLSACSPATPSTGMRKGKGGRKVLFPSAEEKKQRNRDSQAAFRSRRKEHITELENIVQEQKEEIQESKNAH
AGAKEEVLILKYKNSLLERILLEQGIDVNAELNNILVFPLRLPEKRVRKERALARQNPEVAPAKKAVAVTSPANSTSACCHCSSSRKHSSPISQSSS
PEIPVEETCATTTQLTTRKRARQSSDITTDTTAHKRPRSFRKHRDHTQTRSPNTRDLGKLIPSSSTRYIRRASHSLKYHAKHLMGTHAYTLAGRVSR
TLPTNLSKARQTENMRTDSRTAASTLTSTSLTSAPTIPISIDDSSSSFQSVAPRSVSLAQHENRAAKSQEHESMRAALDFDFDFEAGFSFGAGLADP
VRGGFDMDLGFLGSVSV

>RCO7_08231 | related to cell cycle regulation and aging protein

MKFSHLALLSAASLSLAHKHPHKHALRHASPEGVDIVTVPGPVVTVYELNGEIIPWTEVEDGLKTGKYVLLGDKINAADPPPNPEAKFLEQKPSSIS
TSTSTPPAQTTYPAPPPPPSTPVPEPVKAPEPVKAPEPVKAPEPVKAPSVAEVSSDSSSDDSSDNSSDNSSDNSGASGINAKFPSGKIDCHDFDALT
KYGAVPAPWLGLGGFLGVQKTPSYSVGDAAINYIETAISGQGCQPISFCTYSCGPGYQKAQWPATQGGSGQTIGGLLCNSEGKLELTREGYPSLCMA
GAGGVKAYNKLKKNVAVCRTDYPGTESETDFTNVAPGATVEITNPDSATGYVWQGMATTAQYYINPSGISVEEACQWSTPGSNKGNYAPVNVGVGRS
KDGQTFISIFPNKPTNPDGVLDFDIKIKGDVSGKCSYEGGTGKYYSNGVESPTGCTVAVTGKATFEFH

>RCO7_08230 | related to oxidoreductase

MSAEIPTTMRALALAQHCNPSAYNCATLPVPKITKPDELLIKVYAASVNPVDVKLAGDMGKLMQKASFPFQMGHDLAGEVVGLGTAVSKFKLGDQVY
SRVPEAYRGTIAPYALATVSTTALKPKSLSYTEAASIPLAAQTAYQALLLGDKKVPGGLKGKTVLIPAGLSGTGSFAVQLSKNVFGAGKVITTLSTG
KISLIKKLMGDSAPDQIVDYTKENLVKVVGMESVDFMFDTVKQTMSALPLLKKGGMIVSISTVPNGTGFKEVYKDMPTWMEYILNVMDWFYRSWTSW
KSVQYEYIKVHGNTEHLEALAKAVDEGKMKPIVGSTAKLSDLEAVKNGCQQIMEGKGGVGKFVIEID

>RCO7_08229 | probable TRS130 TRAPP subunit of 130 kDa involved in targeting and fusion of ER to golgi transport vesicles

MEQSSSSSKVTVEYFDPHGVFQLLSPGLLPRLPLRNLHWESHAGPLRSISSLHVDLVPSIQSPPLFITSENASASTSGLSGVKSQESIASGDDGFRT
QALGQAAIERPESSSGPPKLLTKERRHQIPGLRQTPYLKVFFLRCDDNDTYKAQARRQVREWIKENTPTTQSSSKVTAQENHDAYEWLIVHVIVPNT
AAATQPRLSGKSGEGSSGSTSEKSTARWRGGGSSTILEKLRADFNGSSKSGVDRIAQIRIGINDVPYDMLPRVVPAIPGSYTETPQENENAWLDLIA
KLKFQILTSFDMRVTQYEEDIREKDTQRLLPGWNFCTFFVLKEGLARGFESVGLIEDALVGYDELAVGLDMIVREQSITGSDAQHGGSFLPFTEDLK
QKARKARRALLRDTGTEEDVESDDPIDMQSVSAASDPEWDEIPLNATRKRYRDLILSNDISIFDFRCYIFARQLALLLRLANASSSQEELLAKLKEQ
RESNLQGVAARNPASQPSEETENLTVLGEICRRSMDFMASISQIMRDDIWQSWKADDQTGEDGLSALPNPVMNQVINNMVSSFTFSISQQILAQTST
KALPIPPSTLASPSGAPGADGQEPKATIPEPKTMMHPARSSSLALRSRSREPPSPGIFPGMRGSSVPEQGTAASPFLKAGLEDLAGHRADLYLLSRS

VLIQVGKEHKWSVGWEEVKHLGEGDNGEMEDVDLSQEISGNRETVALAPSLYGIVNKLLRTAIDDKDDFYRLYETLTDKALHHYTVANHIHSVQACM
ADLAVLKYHLGNVAAAASYFYRMTPFYGESGWAEVELSMLVVYASCLKKLSRKEEYVKVVLKLLSKTGLVERAKLYNKTILKIGRSSVHSETLPAES
YIPELLEITKGLQHEVRIPLESFFGNIEVDGTLRHQPGKDSFEIEIRLQYLLMENLPIEKAKVRITSSTGDVGREIWLESSKPIVFKRGKNTLSVQS
NVNVPGTYLVNHIILETNNIVMEYDHSTPGLSSPKDGRVLKCPKLLIYQRLEAFDIKLFASRYMHLDQNRSLEIALSSGWNQVQSGELHVRSATAGL
RVVTSEAKIGNGSLELSKISEAGVVHFGAMEPYSNARIVMPFSLEHDVNDISLKLEISYTTEEGTFFFATTPSVSIMLPLGVNVQDFFKHKALFSKF
TISSATSSPLRLLGSKLEDSEVFEAHSGLTLSKPLVIFPRQPATMLYKITKSPSGSVASKIARPSSRKGSKSVLSLVLNYICVEEEIEDAVTLSLEN
LLGKSSLTQYSRLIIPTFLTQVRMRLSPYDLEMSAVLGELHTSNLADIKWGDHFAGLGRSEEHNQEVSNLIEESLQQWIQQTPSIPLAPIFLTDDTL
GKSRSIVIPVDVPSVSVVCTADLKFLELSSLSSDQILAASNQPLSATLTIKYTRIWNTAPEPEHDASTADDSLEFFYEVSAASDIWLIGGKRKGHFR
IPRKASPEDSKRKITFPIVLIPLREGFVPFPHVDIKSTPRLHSSGENSGNPAKKVDVVSCETDYKNAGETVRVITDALNTTVSLDASGPQGGAWLLE
SERRGWESVEAVPSERQ

>RCO7_08228 | uncharacterized protein
MNITYPPIPIARAPISVEQLGHEMTKGTAFLLIPTELLYFAIYFHNKGLHRIYEFLTILSLATFWLAAYAAPISCGSARCLQHFAVAIGTMKLLDIW
ARQNPLPIYSGKTLADWKLALIILTELRYESFTPNHIRVSKDHEDFDEPTQLGIRVAIFAFLQALPQNFSTVLAFEVMLGIYILWTGMQLLLRYKNS
PALFGPLYRIDSLTGFWSESWHNAFASPCTSLANVPLRHGLPKFGVPVVMARSLGVLGAFNLMAIFHMYALSPILDQQGLLRMGMFFFLNGVATVSE
AAIWGHKKHWVKTVLAWTFEIIIASWAASGLNIPNGLSQIRWMAVCEARTY

>RCO7_08227 | probable SWR1 - DEAH-box protein, putative RNA helicase
MTQTASPAPEEQNAHVDIPTNGDAPPQLNSEHDETRSDAEPPSKRRRVTETTPNSKQRSKDKPISPPWKPIKAEGPSSFTIDGQRKSGRTNHIPLEL
QPPSDKRQTRGAVQKENSKGTHGIANGHTLSFQARDVPPSSVNGTKRPSSASTPSSQHPPKSPAKPPPPKRSHQRKSIPSVPSEQIITPKRSHKKKS
LLPQEPQSAPAAPVTARTTKGRRSGRAVENSNEVGTPLPQPTKDDEPLLPSPKNILSRIRFRVKSATLPLTHPGLVLARPRQYNTLKEYFDHGTDIR
IEDGGLFVADEPSEYSQDQIARDSEVILRAEEAVKPGGILSEERCSAYQPEATDQLPRQYSHLDHTIRAALEFRRLMLIEQKKHRAVAKRFADACVA
EWHRRQPKTLAEIEAENEEAQKVRYKKLVTKTLDIMFESVKVEVNRRRLLEWDAQEQARVRKALSQAVDISTQKLEARRSQIDSGMATDEEDSAASD
ITDNVDISQDGHDDDRESNLSETESEPDEARIEPADDEHLTVEQLREKYATLPTVDPEPVEKDMADPTENQPFESGVGAEIKSTALEEIVDDSDESI
DMDDDMGSSDEDHDSDEEDEDDDVSDEKDEEMGESSLLGFLAPSELKAVELGTIEHGADTSGTSDVAEMAEMAEIDAVDGEREVSFVPDVIEAAQFA
GSAAEDNAEFDAMEVINHQEEVAGDVQRLTSSANRPNSLKNVSSELLATSPDRSSQPTPRTTETRPSDIDSASSVELHQSRQITPQPGNQLKTKVPF
LLRGTLREYQHYGLDWLAGLYANNTNGILADEMGLGKTIQTIALLAHLACEHQVWGPHLVIVPTSVMLNWEMEFKKWCPGFKILTYYGSQEERKRKR
LGWKTDDAWNVIITSYQLVIQDQQVFKRRRWHYMILDEAHNIKNFNSQRWQVMLNFNTRARLLITGTPLQNNLTELWSLLYFLMPSDGTGQGVGGFA
DLKEFQDWFKKPSEQILEHGREQMDDESKGIITKLHRLLRPYLLRRLKADVEKQMPAKYEHVEFCRLSKRQRELYDGFLSRGDTRDTLAGGNYLSII
NCLMQLRKVCNHPDLFVERAIMTSFPMERSAVADFEIKELLVRRRLLREDPMTKASLEFLNLVPTKLERLSGNITTRSAALSAQRVLMDMREAQRLR
AQNALTSLDPSTAKSNLTYLESASRWGRFEELQHCVYLNALRRQQKPIFGTQLLNSLTLGINNRPLKPRPTQRAQMLTWLENRSPSLMAMIPTLESR
SQDLNTTIQKFACVTPPVVARDINSMILSPKGLSTVQSSLTSAKVDPFHDARMRLSIQFPDKRLLQYDCGKLQTLAKLLRKLEAGGHRALIFTQMTK
VLDILEQFLNIHGHKYLRLDGSTKIEQRQVLTDRFNNDTRILAFILSTRSGGLGINLTGADTVIFYDLDWNPAMDKQCQDRCHRIGQTRDVHIYRLV
SEHTIEANILRKASQKQMLDDVVIQEGDFTTDYFNKMSVRDVLGEKSELLDGDAAANAAMDRLLAGPSNDRDVQKVLAQAEDQEDVAAAKVAEREIV
QTDAADFDENATTSATPAGVGTPREGDPASGAAVTPAIDEVIEVDEDDKINAWGERILSTDDYLLRLVADLLKDTPLELPKDKSRNRRGRDHRSHRA
R

>RCO7_08226 | uncharacterized protein
MSRTQTWLVLKIKSKHVGFGMIAEIWIATVRRERSIRGPISEMLTRRIAAARPLRNAFPVVRRTAINQQRGLVQQLEPIYPKLTEAEDPGMNGGYIN
PPPIKRQFRDPHADWWDKQERRNYGEPVHEDNDILGMFSPEEYTHTTPGKGLFQIGCFVAVVLGLCTVVGMTYPDKQSAPREFEGGLERELGGPDAL
RARAPGDE

>RCO7_08225 | uncharacterized protein
MRYQNWDVLLFADQFKVPLQEFKTSCQVIQDPELHNMQLNPLLLPTVTSFIPGLPAGSPFRVSIHCWQNPDVSRYGQTLKKPSDVVMFEARLFIDGR
LTGGPWPTIIDLSVDLDKHGEFEKMKFPAFHRELLSQSYWNPGDDLGRIKVVISEGFSREQPNYAFERIKNIVSFSFQHAPLDVLESSSIAWPNAAM
WRQVALVGPYLAQHFSPHPGSDEFDAHSHSPRHGQSLKSSWPISGIGSMPPPSLLPRQPNFDPFVTDHSNNPAFSDWRHASSTDTSMPDYSSTNTRS
NTSRHVSDHMQVVQAEKTGRQFESIQTPGAYETLCEALMPPAAPANTPDNGLVSNMASLSAASRRASSKMSIDGPVKAEEPTLPKPFGFLKSSGSNN
NNIKSRKENIQDSPLVTVNINPAGNENATRKVSIPYTNAINLLSGAESNTASREEPIRKTSQSSTSPARQAVNSGIAAVNNENPPRRVSQPFTTTNN
SGTKRQRVVTPAAAKVIDEEDEPRSSPSLRKASQASARTDGRENERVVLGGIENV

>RCO7_08224 | related to bZIP transcription factor
MSPTSSSSSSVLEEGGDGTHPHPQPTDTTPKRPRLHSRKSSGTIIVPREHPRVELKEGDEVFDEDDARAMSPRRSSQDLEKMSEDAKVQLDEHAKIL
QKSLLEIFNRIEAVKEEHDKLDSNNKFLQKYIGDLMSTSKITATGAAGGRKK

>RCO7_08223 | related to multidrug resistant protein
MTVRIDRKLLEFSEKDESNPRNWSKWKKLANIAVIASMSILSPLASSMFAPGIEQIAKSLNSTTDGVIGCQTGFVVMLGIGPLLLAPLSETFGRKPL
YLVCFTIFTLLQIPTALAKSLPVLITLRTIAGFFGRPTIGPLIGAVILENLPWPWLFWILLIICSAAVISAFFFLRETYVPAILSQRKKELEAEDST
RYYYEDEDMRPLRTKLLQSVKRPLLILFTQPIVITMAMYQALLFAITYSMYTQFQSIYGGIYGFSTLQVGLSYLGPGLGFLLAVWIFVPRIGTIYNS
LTKKNNNTPKPEFRLPLANIGSVLIPASLFTFAWTTEYKVHFMVPITATFFYGMGQVAIFNSVQNYYIDAFEKYAASAIAAGSLFRSVVGGVVPVFT
GGILDKVGLGWGFSIFGFISILLAPSPILFYRYGETLREKFRIELD

>RCO7_08222 | probable DNA repair protein MUS-42
MGSRLDKNSESVRKRIEAHTFEDEDGEEYKGSEFGGFTDYFRRKKIKLQNLDAELRSESTDKPKIFRGIVAHVNGYTQPSLNDLHRLIVAHGGGFMQ
YLDGKTTVTHIIAASLTPKKVIEFRKYRIVKPAWIVDSVAAGKLLPWDAYRVVDGGVGQRLLGFNDGKMVSQTKTQQRGYRDQTSTSWYTSQVQSVV
DDIDDEDGAQFPSTQSVVFNGTGVFMGDLAPQHQSLEQKVTGVAMKKASEDSQSSGDFEVSSSLEDALINATTGDAVRKASPLKQEHLLSLKEQQTP
KLEEISKDPLPEFDALASTTPSKTVGVSSPLKRQHEIESPSPSKKTKLITAEEHNAILLADPHIRKSTTANPEFLKQYYSESRLHHLSTWKADLKAR
FQQMASEKTASQRVPVKRKPGARRYVMHVDFDSFFCAVSLKSAPEFVEKPTVVAHGSGAGSEIASCNYPARSFGVKNGMWMKNALVLCPNIKVLPYD
FPAYEEASRGFYDAILDIGGIVQSVSVDEALVDISSICLPAGGVDGLGHDEYCISKEQAKADMVADGLRRQIKEKTGCAVSVGIGANILLAKVALRK
AKPAGQHQIKPEDVLDFIGELTLQDLPGVASSIGGKLEEIGVKLVKDVRQLTKDRLVTVLGPKTGEKIWDYSRGIDRAEVGEQVVRKSVSAEVNWGI
RFISQPEAEEFVQNLCTELHRRLIDQGVKGRQLTIKIMRKSADAPLDPPKNLGHGKCDTFNKSIILGVATNNAEVLGREAVSVLRSYGFSPGELRGL
GVQMTKLELLKASTASMPDGSQRRINWGAAPPPPKLAKQVTEDPIDDPQTPTKPKKTPLSRIMSAAKFPIEPIDEAVTPTKSRSFTSRLLFDKDMTD

DIESPEKTRDTHSVHPAAAIARANAADQSAKKVLNVMGTQFIIPSQIDPQVLAALPQDIRSKLMAQSKSKPASRAQSPFIVNSRSNSLAPEEPLPLP
SQLDPEVFEALPDDMKAEVLATYASHVIPGQQGLLPQSPRKGLHIIPPKRTTPTKKRGRGRPPGARAKIKPDPHSNLTQANFVANKGTSSRDTGGEL
EGYKSDDTLDPDFLAALPEDMRQEVMNEYRRKRLAKKGGLMTTAALKKRRPPDPLPLAQRKIRLPPREPRPTFTTAELSTLPQLRDTLSAWYREFAD
DGPHPDDVAAMERYLRRVILDERDMSKVVGVVKWLGWLIDESDGDNEGTKVWSEAYHGIKEKVQVAVKERGLGKLEL

>RCO7_08221 | related to beta-1,3 exoglucanase precursor
MLSCAAPSQRVFLSILLLFSSTPTLTNAQSASQTITSGTSINAKIFPGDKNYAYAGCYAETTQNNGTNNLRALTAGKTESLETMTVQTCLDYCKKDN
YEFAGLEYTKECWCAHSLSSAAQKLDDGACDLACTGNTTQVCGGALKLSVYTATKASKKGAAGKVGQVAPVGSILALGIAMGFLLCLA

>RCO7_08220 | uncharacterized protein
MRNNRHVSGAGEVALNALGQGQQPRSLSSDRGSETDLSPCLSDVPRKLLLSSNDFEIYLCYALKHLRRGDPIELTTRTITSTEMVIAPTVVTIDRGR
ISKGAVLSFAAIFFGTQHRQAEITRTGFAMYGKVLQRLNESLSDTAHNTNDDLINGVVTLSILELFATTGAGNYLKHMAGLERLFALRDPSLPVSYE
SAKMYRSVQQMILFAALRSKKASILAQPQWKKRLREHIVSPVEEQKQELFEVLADCTVILSAHEQIVGNFDMTTEINAYKLVKLKQHALNLLSQLST
WKKEWDSDIEQKVTELPFPPDQLDPEVMLLPFTTKLDYSSESIAIAMGLYNISLIHVLQLLALLTSPAAHLICDSTNRPQTPPHPTNDAHFLHDLPQ
FPNLWSHPPTADQSPPNPYLAAQVAPILNIARSVSYNLNTPHRTCSATFHWAAATLWIKVGGDDSVVGRYVWRQLLEKKPMLLETLRTLAA

>RCO7_08219 | uncharacterized protein
MPVIQVPIDGGSLAVEVDGQSDAPLIVCSPGMGDTRDAFGPLSAKLVAAGYRVARVDLRGHGESTLGFNNYGDEAIADDYVAIIGALGGGSAILAGA
SCSAGAGAIAAAKNPESVAGLILLGPFLRNGGSALMLYILRIALWWPWGPFVWKAYAETLWPGLGDTAKDRAASSTALLQRPGRWAAFHATVVGVNH
NVVTPHLGKAKAPVLVVMGEKDPDWSEPLKEAEWVASNFTDSEIIPVPGAGHAPMFESPEVVAAGVLKFLERIQFGGERV

>RCO7_08218 | related to LIM homeobox protein
MSDATLPPPRRLSSAAPPRIERSQSDSTSGEGEFETCLEQSAGYTVKGERLEESEGRSDNKQKRKRTSPADQAILEAEYKQNPKPNKAARADIVEKV
FLNEKEVQIWFQNRRQINRRKSRPLLPHEIAAFGLGGMATLSSDPPSMGGYSSSPSMEDMEANSQAEVIAIQHESDRTQAEVPEMLQSMPGQIPVEA
EKKTEVEIEPFVEETVSTLPPPLLRRGSSAISLPESSSMPRPDTAIKSFSSTSGYLSNRWNPYNSSFSSPSSSHAPAFTTPVIFKAPQPNSCPERID
ETVSSVSSNVRLSMSLDGKAELISTTPSPPRRFSARPTSSSSSMLPHRRMGLQRSQSAITFGPRPTTAHSGSSLMPRLPTGRSRDARTWETCCDGEV
RDELTKLAENESHGSAVAAISLIRSSSKTALKVNSNKRNAPALKHDPVKQGKKQKLGRAMSSLARLQNTSKPSSKESQDPSGYTKDGLLRSPSGDSD
KENWLPREGGGNPRRRPLPAGRSNTQPQPRAILSENNNITSHADFGGNRNRKRKPKVEHAIFEDSENSAEAGEEVEKFMRGEVSPSKKGDLDCIQGL
LSLSQGNWR

>RCO7_08217 | related to carboxypeptidase
MILSLVTSLAVLATVNGARNTRPNLQARSLDNHKFPRQLPANATGLKSITTPQNITIRYKEPGKEGVCETTPGVNSYSGYIDLDENSHTFFWFFEAR
NNPKEAPITLWLNGGPGSDALIGLFEELGPCNITANLTTQVNPYSFSEVSNMLFLSQPLGVGFSYGSEGEGSFDNGIFQNSSVNGVKGRYPVINASA
LDTTDLSAVAAWHVLQGFMGSLPQLDPNIMSREFNLWTESYGGHYGPAFFNYFYEQNQMISNGSSQGIQLNFNTLGIINGIIDEEVQAPHYPEFAVN
NTYGIKAVNDTVYNYQKFALNMASGCLDQIRSCRSTNLTSLSDRAICTAAGNMCRDNVEGPYYAYSGRGVYDIRHSADDPTPPGLYVNYLNQDSVRN
ALGVNLNYSASNSEVYFAFQQTGDFVYPSFMEDLEMLLNNSVRVSMIYGDADYICNWFGGQAASLAVNYTHKAEFAAAGYTPFMVDGTEYGEVRQRG
NFSFTRVYEAGHEVPYYQPIASLELFRRTLLGLDLASGNLRIFGNYSTSGTANSTHTESFVALPSTSSTVIATATMSSTAVAVTTAAP

>RCO7_08216 | GTP-binding nuclear protein Ran
MTETATAVPTFKLVLVGDGGTGKTTFVKRHLTGEFEKKYIATLGVEVHPLGFSTNLGNIQFDVWDTAGQEKFGGLRDGYYINGQCGIIMFDVTSRIT
YKNVPNWHRDLVRVCENIPIVLTGNKVDVKERKVKAKTITFHRKKNLQYYDISAKSNYNFEKPFLWLARKLVGNTTLEFVAAPALAPPTATVDAELL
AQYQQEMNEAAQMPLPDEDDADL

>RCO7_08215 | related to NAS2 - ubiquitin-dependent protein catabolism
MEENLHAPTIPSGPTSGHATNGTHTSNLTLAQLQAKKDNLEAEIRALGGVLNSHGVDMNTRLLTPDGFPRADLDVAQSILPSPKETLAATDSLTVRT
TRARIIYLKNDHKALMSVIEKHIHEHFARLAEDGPEDESTINERTSTTEFQTWSQPQILTPPFAKVNSVVAASPAESAGLKASDQIRVFGYVNNANH
DELKRVAECVQGNEGREVLVKVSRAISGSSRKQELTLTLTPRRDWGGRGLLGCHILPL

>RCO7_08214 | uncharacterized protein
MDLPDAGFNATTTTTLGLSTPTCSRRSSTHISRKTSWATPIPPPSSQKATVGNAFQEDLFDEVNLQSKIEGSSGSDKGAGWNTLDNIAAMGLSFTVD
DTQPPEPIKFQRFSLEDPDSLPVDGERPFNKWMKSLQRRATDRRKTVSCDMTGSALEHELFETPSVRRRSGHKKSSSGSSLGFVTAVKSASISLASF
SVAPHSRRTGVSSRHQRTDHSSKASNVGRLSEDSSYMASGPVIDQAVYVTLLASIPSLSLSLRASINRNLNDIVELHEELLGELHRAVPHSEYTQPS
AEVAISAPRHAHHRWRSLDAVPEHVGGSSWLQKIPGMTAEPQVAADVARVFGKKMNRFFVYEEYGAKYELMIKDMANAYRTIPQWETYQRGFEALAS
SIASIDSQNDNSKKALSIGDLLVKPIQRVCRYPLLFSELLKQTPVCDCPDSHMEIENVLIRLREATTEINRATDDPRMKATIEKSWLLQDRLTFPDM
PGARSKTSIRTLGHIHLCGVLHISWQTATGVDGQYMICLLYRDFLLLASASKHDHIYSVQACIALSDVRIEEVDNGRGLQCHTAPCSWKLIFESDHQ
LFEITMSACSPKEEHEWRSRLAHHSGRDNLDVGEQALFTSLLMPVKPMGAVFGKPGTVARRISIHRATTIGSMSGLCQVIIKNTSAFKEPAPSTSIN
RSQSLLTTNRIPVLAPSRADRIRLEGLLADVWTREILPYPGMTSRARSEHLVRASASSIMRKLSVASIASNFTKRSGSLASLHMTAEDDETGENLNL
KATPSRGENHNDQVQLIDSDNAIRPRLSVIQDEKENVQHSESFETITGLGVARNGSPANSTLYRFATLKGRSWSHDGHRIITPPLRTSSANSVPLNR
ITPTPTPMPTMNDLMSEDKGEDKENRPRSRSQQMLESVGGSVGKHIKKEKEKEKEKDRTRGLSISLGIRNFFR

>RCO7_08213 | related to RNA binding protein
MVRGEASVIKCHYKGKTEDFVVFVDDAEAAEKMKTDSTIPLAQVVSSFKIFVSKQGKQGPLDGASNQTLETEFGTSVEEEVIKQIIAKGDMQHSEGA
ARQGQKNDSMGSRSAH

>RCO7_08212 | uncharacterized protein
MFCTSLRKRPEWASVPTTLLSSQTLRWEEKSLKTYDIAIALPQSRHDSTLTLFHLLALSPSDLQDQASSMARIQHLYHHSGGQNVGIIFLLNEKSSK
VNGTIAMMNLQVSLFSILEMPIIPLFSLSSLETALSAFQRQLAETRLSTMPAPVNPAVSLLPYCTNSPPLAEHARNVVSDICQDLSGVSHLATSVDG
QSCLRNYLDEAVPGSAQAIIDFWADEIIIY

>RCO7_08211 | uncharacterized protein
MVPLPLFKLGALFVRQISKYGANYIKSQAHDHPKFRTYAARYGQTIHQINMRMTVKLLKDSAAERRAKEKAEAPTVKTEEQMRHDEEQRQKNAQKEK
IAGQESSRSIWKRKFRPLPEAKAVDLFADVIGDTFVLLVAGGLIIYEYVRSKGKPDANAVKIEELNKKLEELDSREKDLEEQERKQQIRVETLEQTI
EEMRKAGSKKKLLSLSRS

>RCO7_08210 | related to protein kinase CDC5
MEASFATPNDWVSNGSGICPDIIRELQRRRRTRDVAEALAFQPCIMIYCCHTSHEEQRVKHLSRQSFRYLTPSEDPRTDGITYHQATDSIFEEVRKY

LAWECIYPEGIDMEALSPRDANAHIRVKQTLKSKMAPVAAKMANSKEKDHPPPPPSEVHEPPSSDRPNGAIYKTGKCLGKGGFAICYDGQLAGTKKK
YALKIVKCHMPQKKMEQKFQTELQIHSKMNHANIVQFHRAFSYEKCTYIVLELCPNGSLMDMVKKRKFITEPEVRFWTVQMAGAIKYMHSKGIIHRD
LKMGNIFLDKDMNVKVGDFGLAALLMSGKDWQACRRTTLCGTPNYIAPEILSKDKGGHDHAVDIWSLGIIIFAMLTGKPPFQSATADEIYRRARERE
YDWPKLDTSENFISEETKDLVTDLLQAPDKRPDPDTIVQHPFFTCGWVPQTEEMTPSLREKHPEPHQFLSVGMRGGRTNLYTKNLKKLCMKCDVGPW
TAKSKQYTSTYREVADEEKAGLTPAVPLPEDIVYRPFHEVLEEESRQFLEQSEVNSKPQSVLDKILSPVRSKANEVPIVPIKPITQSFGAQQRAKPQ
VPTAGPTGRLPRTRQPVPESSSRPMLTLNPRGRPRKVKPAEPEKVIDVEDRLAADLVEQLNKAEAERKSTEDAPTISLNVNASLFNPQEKLEAVPNT
RPDHILAGLKRFQAELERALNSRTTAIETKHENPATPIIVVKWVDYTNKFGLGYILSNGSVGCIFKPTPAYSDDESKGHIPPTCVLVRDAERHLQNR
NNVAYIDRLQVVPVSGPNIEFYENRAEKGIFRGKVNPQNFKVAINAAGESSRITRGRDEWDNRKREKIVLWKKFANYMTAFGRDQNYPFDEALARSS
PERSTDNVAPGNVVTFYQRFGDVGCWLFCDGHFQFNFPDHTKIILSADGTWCDLYHLPLEAARDLAVNGTISASALDDRRVLSYPVQTLLNFMSKPS
RVGKSTTRKRPEIDPMIQGIPQANEFRKKIDFIKSVVNEWTTNGGIGLSDTSIGGRLRWNGMRELINVKVPYKHVWVTVGGQGSDERKVAWFNPRKA
DELIPDIE

>RCO7_08209 | related to protoplast regeneration and killer toxin resistance protein
MESQAFPGSPPRNPQPITTSPRFVENSEHKENGGSPNRKALPQIPLPASGRMHGAPMSPVKINVQREDWPPRSSVATIEEGNANFPQESEQYDFAQY
DRAEPQIPIVQGIPFRPAYDSPKGTQSQQKQAPVLSPGAAVRSRTPSDEMQRRGGYGNVDENGHEVEVQAVPRLQYYHQSHNSEGGVNRNRGQFSPY
GNDLVDVGQSINRHLTPTSQVGRSTPLQRPLSTYSDMGPRGRSPGSPNWGGRAPSAHSGRSNDNRPLSYVDLANMSYPQAPPPPISMDNSQLRSVVG
TNASLLSMAKTLEMYRQNVKKLNDSETQYAFAIFLIQAAQESGLSQDGDASSGKASPRPGNRDLESPYIEKPQASPQELLTEAKHMLQKLSDRSYPF
AQYYLADGYASGLFSKGKEDYSTAFPLFVAASKHGHAESGYRAALCYEFGWGCRKDPAKAVQFYRQSASKNHPGAMTRLGRACLSGDLGMNKYREGL
KWLKRATDSADIQYNAAPYHLGLLYETGYGDDVFQDEVYAAQLFTQAADLGHPEACYRLGDSYEHGKLSCPRDPALSVHFYTGAAQKGHSLAMMALC
AWYMVGAEPVLEKDENEAYEWARQAAESGLTKAEYAVGYFTEMGIGTRRDPLEANVWYVKAADSGDERAKHRLAAIRAAASGGTQMEVAPPRNANGA
KIKKNNGVSEKNEKDCVVM

>RCO7_08208 | probable chitin synthase 4
MAKAKAMATPNPESPLQEQKSIYQNSPSRRRQPQDEEVGYFQGHGMSPTRHRRDQSKSSFAETHATSLLTPTISLDPLEPPLRSGTPSHELGRKRSL
IRPERNRIDQNHPNYHYRQHAAKMNVLPSSTGNDPIMEDLESEVAATETSGLRIYGDVDSDVSPPPKKSRRRHRSVPRDTDSTEKTAEPRTRTKLRR
EKTRKMTKEEKEIQKQLDAVTPPSLWNVYCSIVTFWCPAFCMKCFGMPAKEQQRAWREKMGLISIILLIMACVGFLTFGFTATVCGNPGLRLRVNHV
DAGYMIFHGKAYDLSKSKHPIARGITANANVLYDLPEKHGGQDGSFLFQNVNGKCKDLITLSQDSDVPTNSDKDLAWYFPCTTFNQDGSTPVNTSMP
FYLGYACHTSGLGREAFYSLRSAGDVYFNWDDIRNVSRNLIVYSGNVLDLDLLNWFNGTEVTIPAEFQRLRDRSSAYNAAVHGRDVTHAFQGKREKH
IAQCLEQIIKVGTVDTETVGCIASKVVLYVSLVFILSIVVSKFLLAILFQWFFSRKFAASKTSQSSNKKKRAKQIEDWSNDIYRAPPRIPGDIGSTT
VGSDRTSKRGSTFLPTTSRFSSPYDAESRLSRVGRPQPTTMASQTSTAALLLPNPVFKHHQNGSRTSMLRSDGYSGSTDFEGPGPAGFIHESVVPQP
PADWQPFGYPLAHTICLVTAYSEGELGIRTTLDSVAMTDYPNSHKTILVVCDGVIKGKGESMSTPDIVLSMMKDHSILPDEVPAFSYVAVSSGSKRH
NMAKVYSGFYDYGLNSSIPGERQQRVPMMCIVKCGTPDEASKSKPGNRGKRDSQIILMSFLQKVMFDERMTELEFEMFNGLWKVTGISPDFYETVLM
VDADTKVFPDSLTHMVSAMVKDPEIMGLCGETKIANKRASWVSAIQVFEYFISHHLSKSFESVFGGVTCLPGCFCMYRIKAPKGGQNYWVPILANPD
VVEHYSENVVDTLHKKNLLLLGEDRYLSTLMLRTFPKRKQVFVPQAVCKTTVPETFSVLLSQRRRWINSTVHNLMELVLVRDLCGTFCFSMQFVVAI
ELIGTLVLPAAIAFTFYVVVVSIIGPVQVIPLVLLSLILGLPAVLIVLTAHRWSYVVWMFIYLLSLPIWNFVLPVYAFWKFDDFSWGDTRKTAGEGK
VKKAGIEYEGEFDSSKITMKRWGDFERDRRQRSNAGWNAYSSKEGSHMSTQAYPGRQHAGFDEYSDI

>RCO7_08207 | uncharacterized protein
MKEQALNRGGKKLKARKARRAQAGKHYKIPGFDAFSVCITPPLLQDLCIHFLEERIGKLINNITESTKLSLLSRQTYIDFTGGSLLYRLKAFRFASP
TLLLNYLCVINPVHKSFIRDTALHIHLKPHSSTLPTKAFQLLSTCTNLQNVSLIIRLPRDMYRFSDVFVKPGTSAALLAAWEGYWLSSNQGVYGATV
GLGVDAIVV

>RCO7_08206 | probable UTR1 protein, associated with ferric reductase activity
MSSALRSPTSFHPALTNPDDLPLPIINEDPSLAYQKDVQSQPVSNNGLRASGGTGDNLLRENTQQLGPLNTRHSYDFDNDPSESSFSAASTVGQNSP
SDSASLPASPAFPPRPAKSPFSHRKNALSVESVPRQSLIKALAASSRNHNPRDLSLPGMVSSHNQMAIRREGSTSQRLSAALTDLAARHGTPTTPRF
NALQSPCFYHERFDDVLNIDKVLEEIRGEEWMSHSRLLATATGVREISKQLQRRPIKRAVRNVMIVTKARDNQLVHLTRELATWLMSTPRYGSELGV
NVYVDAKLQASKRFGADKMLEEHPRFQHLLKYWKPEMCRDQPEKFDLVLTLGGDGTVLYTSWLFQGIVPPILSFSLGSLGFLTNFEYDKFKEQLNKV
MGEDGMRVSMRMRFTCTVYKGGATRNGAEEAEQFEVLNELVIDRGPSPYVSSLELYGDDELLTVVQADGCIFATPTGSTAYSLSAGGSLVHPDIPAI
LLTPICPHTLSFRPMVLSDTMLLRVSVPRNSRATAYCSFDGKNRVELKQGDHITIAASQYPFPTVMKSGAEWFDSVSTSLKWNTRGAAQKGWDGLEE
NQEEETEWDIDFDDSAYGTSEETSTATSPLRKKTSSIDL

>RCO7_08205 | related to RRP46 protein, involved in rRNA processing
MAPSAEPTALLSHLHRTDGSATFSQNGYTVIGAVNGPLEIQRRDELPEEAAIDVVVRPAAGVGGTRERHLESILQSTLRQIILIHNFPRTLIQITLQ
ITSTPENDTAGSKLTLASSNLPILPTLLQTAVLALLSASLPLSMTLTSTFLALTSDGSSKRIVVNPTLLESEAASSVHVMAFTSHGDLLVAESEGDF
TLREWEAVHDAAKSFCCDESQTSGARHVAQDEMDEKNGNMMMFVQSTLEDKVESDLQWKE

>RCO7_08204 | related to phosphotyrosyl phosphatase activator PTPA
MPSTTETPTSLRELPSSAIPDLRDRLPKLQARRRQAPPSNPLPVPETPDLPSPPDLTTLIFKKPSRRILSRKDHDLFLASPTYKLVVGFVFSLTESV
VDTPASAVRDSDLSPAVKTILQILDKVQDVVERSPPEEQGDSRFGNKGFRDFLDLAAEEEVNWHKQLGITSLAAITEISTYFLQSFGNRTRIDYGSG
HELNFMLWLLCLYQLGIVTRSDFRSLVLRVFTQYLSLMRIIQSSYYLEPAGSHGVWGLDDYQFLPFLFGSSQLLHHPYIRPLSIHQSLILEEYGNDY
LYLSQVNFVNSVKNVEGLRWHSPMLDDISSAKSWSKVEDGMRRMFVAEVLKKLPVMQHFLFGSLIPAMEEMSTEEEYGVPSEEEDPEGGETVVMVDG
MRHVHQMNSWGDCCGIKVPSSVAAALEAKRRGGGQNLRRIPFD

>RCO7_08203 | related to isotrichodermin C-15 hydroxylase (cytochrome P-450 monooxygenase CYP65A1)
MSGIPFKPVTYFSAASSASLVGYRPDLLLFSRPSYIGTFLQLWIVSFSLWAFYKIVLYPRYFSPIRHFPTPPNGSWWNGHYDQIKALPSGGPHVDWI
ESVPNEGIIRYMGIFNSERLFITTPKGLGEVLVTRNYDFIKPSHLATGLGRLLGIGVLLAEGEEHKRQRKNLMPAFAYRHVKNLVPVFWDKSREAVL
AMTEHINAGGIPHSELPAQHQKSDADKGDAVLEVGDWASRATLDIIGLAGMGKDFNAIKDPNTELNRTYRTVFKPSGQAAVLGLLNIFLPLWFVRNI
PMKRNGEIEGAAAVMRAFCRDLIRSKKEKLVEGSLTDVDILRVAIESGGFSEENLIDQLMTFLAAGHETTATAMTWAIYMLCLNPDIQTRLRAEIRE
KLPSVNGSEEVTTQDFDHMPYLSAVCNEVLRYYPPVPLTLRDAAVDTVILGQPIPKGTRVMLVPWAVNKHSTHWGADGANFNPDRWLPSEKNPHSAN
GGAQSNYSYLTFLHGPRSCIGQGFAKAEFMCLLAAWVGRFEFELNDENEKIEKNVVIKGGVTAKPANGMYVKTKVVGGW

>RCO7_08202 | related to 40S ribosomal protein S28
MSFALHHELLQKSAIRLPHVESGRDAEQSPHSSIFNFRQPTFKTTNLKIITPSNPRAFISIANMDASKVPVKLVKVTRVLGRTGSRGGVTQVRVEFM
DDTTRSIIRNVKGPVREDDILCLLESEREARRLR
>RCO7_08201 | probable ATP phosphoribosyltransferase
MPIFISGELQESISNDPSSLEGRLLFAVPKKGRLLQAALNLLEGADIQFRRESRLDIALVKNLPIALVFLPAADIPTFVGEGRVSLGITGRDTVAEH
AALVESSRRERAESGKSTPIEDDGQMGCEEVMDLGFGSCKLQVQVPEKGQYVKPSDLIGTNIGTSFVHLAEDYFAALEAEAEASAGETNGAKSGRKL
KTKIIELSGSVEAACALGVADGIVDLVESGETMKAAGLKAIDTVVSSTAILVKSKNPSNPQLVELIASRIRGVITAQKYVLCQYNVQRTNLVAATRV
TPGRRAPTINALEEEGWVAVSAMVEKKRIATVMDELTEIGAADILVLDIANTRTT
>RCO7_08200 | uncharacterized protein
MKSHSLSIVAVLLTLTSALPQILPICIVGAGPAGLTAAKKLEDKGRKVVIFERQVTVGGKCQAVYADNTFHPLGALLFSNASYPETLKVIATSGVTS
VPLQTGQRWLFDAQSGGVTQAPAITSAFSTLVGQEFQRYAQYWTTIFAPYSALRYKDGVPQELTVTTSQWLARNNFQALPVLFVQAMVAFGYGDLRE
VPIPYMLQYLTPDILGFFAFFHGVELIDFHKVWVDWTKKSITGPIYLGSTITKIDRSGPLPVIIYKKSDQYGHGPILPQTQVCSSVILAFPPTIPAL
QAAKVVLTPAETTVFSPLRLIPYFSGAVRLQAPRNLGFSAASPPNIPVAATGAPVSLLTLFNTSNIATTWSWGNNSTTTPVALQLLKDTLSKINKDP
RDPAVVGKPVIDKDILGFQQNDYFPHFGPQELAGGWYEKFNKLQGAKSTYYASGLNGFETVEFAIRAGIEIVEAFF
>RCO7_08199 | uncharacterized protein
MYGFAVAGPPGPTSKDQKIRARRFCPGVDAKSAPSRAVTITESNPNTLQNSPEVLTLFTDTYDLFMLGPSSAWGMRVDFQHSYLCSPVLLHDILAVL
WTTVKRARDKSDALDQSDVARGAVSLRQLRTAHIENVGDTVAIFALGQTLAAFDLLTSCNSSTSILRYLLMSISPWYESVSNNPTLDPVIITSVSWD
TLNCLVKRDVPMIKHISREAHIVDRLAGFGAPLLPILYDLCIASQRLEHHCGPGSGAEPERIEKIQQEIFWWKPEPPSNLASNFSKQEILTMQAQAS
MYRTAALLFCPSTPSHNRKTRPGRQRLRRHFHV
>RCO7_08198 | related to Probable beta-glucosidase btgE
MKAGFVAVAAALVASAAAQPGKQHARRHAHEAFHERGVHPDGAAITGTGSAPESTCGCTTIYKTITGEGSLIFPPAPTYAPNTTIPVPSTTSPAPVV
PTPQITVCPTPGVYTIPATTITVTNTTTVCGATSTHIPPGVHTGGGVTTVVTNATTVVCPYAAVETNGNVTTSIIKTTTYVCPTPGIYTIAPFTTTA
NASTIWVYPTPVTYPPGNYTQPETVTTITKTNYVVVCPFTSVGPVSTSAPAPAPTPSYVAAVVPTYAPAPIVPSPAPKPVSTYKAEVPTYAPAPVVS
PPTKPSTPPVVSPPKSSPKPHDHLGSSGTKWAMTYSPYSDAGQCKDKATVAADIARIARAGFSTVRMYSTDCSGLENIGSACETHNLKIILGVFISH
TGIAAAQEQVTDIVHWKKWGMVELFVVGNEAIFSGAASGSDLAPFIVSCKQALQAAGYNGPVTTTEPLDVWQKNTAVLCPVVDVVGCNIHSFFNAET
DAEHAGEFVASQLKIVDKLCPGKSGLNLETGWPSAGISNNKAVPGKAEQAIAIKGISAAAGGRSVMFSMINDLWKDPGAFGCERSWGAIQIFE
>RCO7_08197 | related to vegetatible incompatibility protein het-e-1
MLDQYPLTPPNDASTEADAFHIGVTPQSMPNPYATYGLLNTPASMGFDGPEDRADQEEVEPPTISDEEDDRDMTDGGIVSTMSLAQAVALNNEMDMV
DAEVMGVDNLLDIAGLDSYFNTPFFADFATINPLWSNVEALQHMDGLAAPANLPPVMSAVSQVLQNLQDGQNEQEHAELVTGAGVLHGANLQQSTPS
ILLPFSHNSQNEDVGIGSSLPNFVTMSQIAPAILPVPVPMPVQQPAWSQAWTGYQIPPTQLGNPTPSHIIVVNDDDFFDADHPEAEDVVNLTLERFL
HTWATSASSRSPEHAYRKGPSIASIREHRLETPQPMVLNELQGDRCDIQRIDWKSLGVSRLAARQQRRATYKNYTNLRFDHQWHPRLNGARLEDDQN
LFRFRRMDFNHSVNLAHFQLRNLLACASRDHVFYAGKAQIFHWDPYNGSSQPEVALDLHSPTVQPAHWQLGNLPGIQVSTLTVNHDILVAGGFSGEY
ALTNLRSQKGTLHTEGLVTKNANSITNRIQVHLTPSSNAPVVAFASNDNFLRVLDVGTNTFIASHKYNHAINCSAISPDMRLRCLVGDNRQVMICNA
ETGEILQSLEGHRDYGFACDWADDGWTVATGNQDMQVKIWDARKWTNSSGVAQCLATIAADMAGVRSLKFSPLGSGKRVLLAAEPADIISVIDGETF
TSKQTLSFFGDIGGLDFANDGQDLWVGNCDDMRGGLMQYERCDLASHGLYGLEDCNPRQKNRNRQRGQGYDWKRTDEELKYHPGARGTEEQRHRRVA
RLGTAMGHF
>RCO7_11736 | uncharacterized protein
MNLGPSIYPSSYIIFSTILVVASKSGELLYLFNKLNSKLYKYYSLLNYVNIEYIILSGLLPSSKAKDIELNRDLGFKAFYRETIISNTKGKKNLPSS
LKIVLDLDTLGPSLKKKARRISYYTQSTTRAILVDLSKELDIVVPVLDILDLLEASENLEEKANKVEVVKEVEF
>RCO7_08196 | related to ribosomal protein
MASTQCWKCLSRPTNPLASSSPLVIRLANPTTSTTFIAAAGNAARFSTSAKRDATPPKKSVKPGKVIAKSKGATTLRLKKKAFVKTGKPPASGERKA
IRKRIILSNTNALEVLNLKDLDGRMVDEIADQNGEGTKKPESLAAAVLGSGDRSYVGKVVGLNGVTVDSLRAVEAFKTTQGWGIFRRPALLIREETA
VLNRMLMDAGERRETVRLVVDGAQGTGKSLMLLSAMASVFVKGWVVVNIPEAQEVTNAVTEYAAVPGTDPPLYTQNTYIANLLNQIGKANSIVLADL
NVAQEHNLPIPISTDISLFRLCELGARDPDIAWPIFQALWSELTLKGRPPILMCLDGVSFTMQNSLYRAPDFSLIHSHDLVIIKHFIDHLSGSSKLP
NGGAVLAATNKSHAPVSKSLNLAIKQSEDRKAGTDVTPRDPFEKNYDVRVDKALASVDVLRLKGLSKKEARGLMEYWAKSGVLRSKVDEENVTEKWT
LAGNGVVGEIQRTALWMRV
>RCO7_08195 | related to regulator of ribosome biogenesis
MSTPAAKLQVVVNKPTPYTFDLGLLLASDPNPLLLTTPENLEDDLAATARDGAQALLNQLLGTCPIQSTPAGVLLSLPEIETRLPREKPLPPPKLQT
TWEKFALKKGIKAKTAEQRKKMVYDEATGEWVPKWGYKGANKKGEDAWIVEVDEKKERERKEGTTVQGDSRRARVERVKRGERLQRKNQRKERIPGS
SK
>RCO7_08194 | related to GTPase-activating protein beta-chimerin
MARKVPQPLTLPNAANLADIDDDPDFIGSPRSPLSPKSPISHFRFNSNKKTQSELPSMQAAESQQRITALSTSQTTPSLSAISGTEPQQHQQQKKER
PARSGFFSNYKANRLQHSSNPSYDDRMSRDGRPSMPGRDSSKDHNRTGKTSPISGSSDSKAGITDRSLLRTESSLDRSIARRAVGGPSNSDVSLDSN
GDSTPNSAGTLKKNKPKAFSILSRSKSVRDEHSPRELSPTNHFEEGEKVQIQQPIQPQSQPQSLSQDNPAKATPPVPEQSDSRSFRSMMSSTVRQRS
EDRQPSAPRDAPKLKESSKLREQSKPQMKDPRDNLGRSQPSFSGSFREGGGHTFLNNLKSSATKGAGALSKGLFGKSGRSGSTNEKEPVVDDEHYQI
KVLCLPLMEQTRLTRISKKLEDSRDKTEFWMPAFPWRAIDYLNYKGSDVEGLYRVPGSGPQIKKWQRRFDEEYDIDLFEQDDLYDINIIGSMLKAWL
RELPDELFPKASQDRVAREAGGQEEVPQLLIDELSNLSPFNYYLLFAITCHLSLLLAHSKKNKMDFRNLCICFQPCMKIDAYCFKFLVCNWRECWKG
CKTEQYYVEQEYMLFDMVVPSSAEGRSSTAVESHDERNVSSSDSSKPSSVSIDQAGKNVPSQNKKLQSQANSVGTVNTTLTVVQERTPPRRSNDMRP
LSPIKPLSPIGF
>RCO7_08193 | uncharacterized protein
MPQIQDHSSQKMQQNTAPDHEIWSNEWPRPMWHWETTATTPTEMPLWQYTAAALNSGEFSSSYFPIESQAVAHSIFHSSLSSTNNSPRGVQCSNDGR
FPSLVSNDERRIRQSDRSFPLSLQLNDDDEMEEDSDEVSWEPRTPSGVGYSTVSPSRSQMHRRVKSSTETLTRDARRAHTVVERNYRERLNDKIAEL
GLYLFETSSDSRTKPSKSLVMTRAKERLEQLEAQNKALEAEVTKLKQHIAILDHVSARGEQGLPSPE
>RCO7_08192 | related to bilirubin oxidase

MYAQHLSLLAAALFSSKALAGIKSWASPEYKYIFQLPLPIPPPLLPSASYTNTTTGKKINYFEIEILDFEKQIYPGLQTTSLTGYNGMAPGPTLYIT
RGEEAIVRFINKSKRDSSIHLHGSYSRTPFDGWAEDVTSPDAIGETAVNAYFGQAGFYILKDPAKASLGLPSGDYDIPLMLATKQFLSTGKLLSPEN
ERDSLFGDVNTVNGQPWPYMSVESRKYKFRLLDASVSRSYSLYLVADSAPNTRLPFTVVGADAGYLDHPVDTTSLVIAMAERYEIVIDFDKYKGKNL
TLMNERDFQTNDDYPATDRVLRFVVGNVATSSVDNGVIPAHLADLAIPASRTIVDQTFEFGRSNGQWLINGVGFEDVKNRVLAFPGQGKTQRWKLIN
KSGGWSHPIHIHLIDMQVVARTGSGRKGVTTYEAAALKDVVYLGRNEEVDVIANFAPWSGLYMFHCHNLVHEDHDMMAAFNVTQVDLSSLGYPETIS
FNDPMAPLFRAKPYSGTDLNQIRDFLLPGFQNLNAYPNAQAVEQALDAYYLNPPKSTKAGSAASNPAVTTSNPNTLVTSKTAKATTTKKK

>RCO7_08191 | uncharacterized protein

MTLRKEIMREYQDIAIQAKPEVKPAIDELYTWLLNEYLPTRYPTMFSVTSLGLLNHTTSTHIPLQPSPDPAKTFEILGENLDEDFLILLPSDDGDSY
MLKGFVNCFPAGFNTKDKLGLKLRDIHTPVPGYKQKLELSMDRFFDRLEVGKVVKRANWSINTEEKLFAASGLHLYGGEKKVDEKVDVNTGQTFLRV
ERQLLHRLPRAKALVFNVKTYLYPLSEIKEEGLGEDLAQAIDGLKEGSTPGMHFYKRGVVWGSSQGCSLSIGKDGLGALRSAHAIVYYPIGTLRTPI
PE

>RCO7_08190 | uncharacterized protein

MLLTSFLFTAAAISAVHGLIFPEVSGVLAGNTDKLKSSIPDYGKIGTRSTPDIARRSGGSGGCPAVWTPIISELSALFNDKSVSPSQCNDDARAAIR
AAFHDCGTWDNSQGETGGCDGSLITANEAFTRPENNGLQDTSTKLLALQQKYNKPASPVSVADLPQVAASVATLTCPGGPRVSTYVGRKDSSNPAPD
DRLPDAHGSGQSLYELFLAKGFEAKELAALLGAHSTSKAFHQPDIPAGTPQDDTPGILDVHNYSNTLKPVAGMQPFQSDTTSQPILLSGRSSRVL

>RCO7_08189 | uncharacterized protein

MASPMGPPQPAGYSLRVQLFGPTAYDAADKPIRCFRVVASPDYTVEEFCEEASRIHQINYGEPLTLKKVQDDQQFDITQSEIIGSLFATASTVRFIQ
AATISGREDSVAPNSALRFDPSVSRKREREGHSRVNGSVSVNAWKPNKRQRVADPDEPLPSRENEDDAGQISRMNGRTSDANVIPNSQESIILGETN
GHHQKSGDVRTASSFSSRVAEEIAETPPPSPPPYAFLCSPFDEYGSADDMNQHDLEKDSNLPSLRGLSSPLEEATARAQSQGSGSRAKSYHIQRATE
RGTSVSTAATSPLLLDHQPVPSGITSASQRRRPNSRPANRERNGTLAQSHDETSIYEDIAPDDEEFGLAALARQRKVSQSARNSPSGLLGLEQARSK
LNTPPSGSRRSTTREQNTPGELPLTPSSKVREERRKEKVQADEARKIRLAAAEARHAEETLQAEAERAKREEQERIDIENFQHGEAERKSAVARAAQ
AEKEREANEKQEAEEERHREHVRVTKEQADEERRVAQEKADADEAERVRKEEQAAAALNQRKKTPTPEASQHSSPILPKARGGTPGSSTTPFIPGQR
KSALKRTASSQAMRSSSPAGSRVSTDDSMNGSGVDIQIPLTNIPGRRVSFRDEPEQKLTPIRPPTRILPPKFSTPKSSKKAATPSSSTPKPSTTAPK
SAIAPSSAPRSSPILPPPRSYTPILPPGRSAARSSLGHSITPVQSNTSLAPKEPTPDTLKKASPIPAPAARKSITPDPRKSVTPIPAPKDKTKSVES
DPKETSENEASKDDSDKENHVQSVPEKQPELTTKSAMEIDSSEDGEEMKPKANMEIDEDETQSHNSSLRDSRSPVIFSQHPELTDTVKARHSAPPES
DSNSESEVDDDDDDDRHEDDSNIEQGSKSTPRNEFLDDEADEGSSYSGSDGEEAENEKDENDNSDNEEDDEEDEFEVPNSSPPVLPPHKNQASPKPA
GTNSSKDSLSDEGHNTQDEIDQQLTSSVYEAYSDIPESSALVYPPTSSAAPRPSMKIGVSLSSLSKTRSMLAASSAMKPVVSRSGQRALQTMDEESE
ESEEESDGNSSDSSGPESTKPTQKKSNTPLRQTVSSGSDSSSDSDSDAEDEQKKIRDELALEIASLNATDNSNSQNPKLNRTSSQQQSSGKERKKTG
EKKSDKFLTGYKFNTSF

>RCO7_08188 | uncharacterized protein

MESPAPQIRAPLSPEAPKESAVSRLLITPITFLSFLLSLALVDSHNYHLRTKSLSKSPSRSQPTTLLGRVRSLLHGLVFREVDAGPYAYVRSPNLEV
KAGEKRDRSASGHSSPSPSPGRRSGEVDEPWHWHTKQKKMMRAEFEDALKLRKWVVLSLGLVVFSGLGMVLVIGSWMVGAWRVNGHGPHVRTDL

>RCO7_08187 | uncharacterized protein

MGTMPNAPAAQTPQTSVPLQITTLISVQTVTATQIQTSPPLQSSSTSVSSAATTPPAPNLPPIPFSPHQTQREEELARPTGPAGAPFGEARPGVEAA
LIAEAAVRQPAVASAPPLSAVTIASAAIGGVVIMTLIVVVSVIVMRWRAAKKAEASENKETSSEARPQDEEKGMNMSGGARAPEADRSFVEMRGPNG
FAAPDSSTGIIPIMRPTTAAGLENPFQSPLPSPRWLNEERNDYRNSEYSAGGYNETSDPFSGATLRPEPPAIPGNGMRNNEAMDSSMKGKYADRQSE
WSVATLTPAYPGDSTRTVRTRDVDSLDREVDQMRSRYPEQYSDPNERNYDPSNPRDPPTIETSNGLRIPAAGLERRVSGEGPGNMNSQTFQKLLHDV
QSQPF

>RCO7_08186 | uncharacterized protein

MDYDQNNELHFEQMMTDFPGMSLPLHFEDMRPAMYEQVYTPQSLDESQWPSPIQSSPSTPIIGSAVPRTKLARTSHPSEYAMKAESAAVDGVSKDRR
RKKNRQAQAAFRERQKKVIADLRQDLVHHVHYNRLLKEKMYDMLGGMEAVRIEVEEVLALEPPLISVDYLRTGILEVRTSPAPSSEASRE

>RCO7_08185 | uncharacterized protein

MQPPTLLIIFSVFSIISSTAAQTNAAPAAAAPSPDGLIVPFKSGLPVCASKCGPLFDVQGKCSPPFIAAVDNECFCTDSRLTPLDNDNGVSLVCGAE
SCQDPTQQQAVKTWYDGLCKKKQAGPPQVVTSTASDGATTIQTNASKPKPATGGAAQPSWMSSHYKWVIMIVIIFCAIVFGWIGACIFRRRYLRKKE
KEIEMAPPIAWGPHQMQGATGGYAYGDGVMDANKGGPRGAGGHAKEYAAAAVTPADGRKAERGTFKGNVVTDRES

>RCO7_08184 | uncharacterized protein

MASTPSPRHQTTHHIPGVPLTYNNTSANTPPYQPYTPPKSPHDHIHHQESFSSYLPQTNSQQIRVLQETINRLQLVDSSRAEAITEQKIEIAVLKND
LYHAKQKVNDKEAVINSLGIVIGSITRGASVAALPQALEGTRTTQALDSESKISALETEIEHYRKSDRRMRSRIQNLEREAEARGHEKERENDAGSY
DREHKVRVREDGWVDCDLIAQTKASEKGKGNLIEGDIGLGLGSANPPQSQQEYHHTIKAGLTGSQLVGSWGEDFHANLPNIPNTPATGQSFNPVNAD
VGMCSLEDFLDNDGYPALNFQPPLSGRLSTIPSTASNNFPPSITAQSSSLTTDAQFPRIEEDERHIDEQIKENQEAMAQFSNMPTPGVIRTGFQREG
TFRGQDYDKMKVIQPLQNFGRFAPRNFGSQPCQSRRGPPTGPRAMLEPSLDKSFDHNLWDDSQDLNGAVEAHMRAANGRGDTRFPDLFRYGIQYIPV
ETDSNYLRTVTISNLPLGTTVLDVLARVRGGEVLSASIVKMGLIAPDTLQARVVFKHEAAAEEYANYASSHPICFGDDATSEVTVVSTPTYPISAKT
QSRLREQTRCLSIPCIPHNFSPDALEYNLACGNGHRAQGLIEIYVDSAYTLHLEFSSIELANSAWNILQSRSNYRGMQCHWEADSCAGDVEELKLEL
PPRPKMLPDNWSENRGAVDVDGVVGGARKTLAALEKQEVIIPDLAAVKLKATSWADEVNDEFEDEDFTKTGGAKGRAVGENEFRDSGSGGEGKKPAS
DFVMHGVDLATSQIGIESPEIIQGQLRKASAWNNSQENKPSSSSKHQNTTTIGASQSTTVQPTTKITVLTADQELSAAINAFNTNKDLATPTSNSSS
TFIAATPALPSQNRSVGLAGSKYSSPTPDFVDTASRPRSFNRSTSSLTFDSPSVPDLGSIQNLVSDEPASKKQRFSYSPPRVDLDDLIKSARSSLAS
QGVGGGHVREEMDNRVEVESEEIGEKEVEMAKKPRVQLFKWFKPSSVADEKRGCDGAEEEVDKLNLESRAEKFSDASNSPSPTAPVEQEVIEEKVVN
PDEVDLEDENEDDGSAEETLKFCKAVFGLDL

>RCO7_08183 | uncharacterized protein

MKFILSSAVFAATVGALPNSFTTLTATGGLVVPRANQLIPVVVGGPQDTFAPNSIVAAVGDVIQFQFSNGNHTATQSTIEAPCTPLAGGMSSGHIPF
VDGQTDVGTFNMPVLTTEPMLIYCATGPHCQTGQVMIINPANAAQVVAFVKAAQASAPSVDSDLITAGTVGKLPLGNAAFTPDKPQGGGATGGAPLA
QAPAPAPVQAAPAVATLAVSVPVTAAHAI

>RCO7_08182 | uncharacterized protein

MAEAAVGLAASVVAIVAAADTAKKICGFLIDLAKQLPVASDEIKDLASDLEIFYIAVHASLDNLQRYAKIPSFKQSPILKVLLERGGFELLQQKSRR

TKRRIQKAWKVAKFIQIDTSFFKNTLTGLNWLYRKPELMALRFDLGFYQANISFILDSIDRDMKCDALAELEKHQGTVPEIMVTNLLVEIERLQSQI
EVHVRTIALSQEREERQRIKQSKSSVQSDERLPRSESLQDILIDHGTSATKRKQAPRSDDLTPASLSSAKSSTCRRSYVSTTSTSTVPSTAPTQSES
SISQQYFSENTPPVNPTALLPEPLQLRTEQSRSSFENRDGAPSLQPASKHPQLRHRQQRISGLTAQRDPAPPSSSNTVRDFTSVKPASNYLQRFNGS
ETMGGISGYIIANGVSVPTTANLDPRFPQNLISLGYAASLGLIVKPHENADDLGLQEVVIEFPEGEVRSSGEVTFEWSAGHSLHKPPFNVRCLVYEH
GVRNLVLGQPFLERKKRYWNGGKDEEG

>RCO7_08181 | uncharacterized protein

MLLNRYPGHLVLMEKAEFDFVVAERPEYVPKSGPPLAPISLMLAHDKNGIIVHSFEVNHQIVYVVSWPDAPHLRMTARPETVLDYVSDCTLEEYEYQ
QALEREGRGPGSKSGQNTSAVRDDDQPQKKKGKPGRKPKHAFVELPDEHGAAESFRPTAVIGPASRVARPSIEQPEPSFTSPQRPTLASPSKQRGLA
DMVESEESEEDEELPTDIAIEAQLNRTMESRPRSKLRDNILPSPSPKSSSADKRQLAAFTPTPRDTRSSSRQNRTSFSRSVSLSANTNEAKRQRRSI
RDDSIATASSLEAAKMSEDHKRKKSRSNTPAKKTPLKSPHFSQYSSLAKKKREEEQSTASLVQTAAPQSPVEEEEEEEDLGEDVYEVDAILDEMQYS
VGKKNKQVVTYYLIKWVGNWPLSWEPAENVGSEAIDDYESKKKMGLIVVGEAGAAFDAALEAEAIAEEQDRKDEQAKGGRGNDEGDGDQDSFTSGDA
SKRKRPAQGQVIDDDDSSGNDA

>RCO7_08180 | probable PAM17 Presequence translocase-associated motor subunit, required for stable complex formation between cochaperones Pam16p and Pam18p

MLGTTTPTLRTAAIGCRFQSTLLTPCTYTIASPSIRRHQSTCTNTTTSKRRVQLPKRNITLRPTSANSRHASTATPPSSSTPSSSDESTQVLDWNTF
FKLRKTRRWYQLGSSVGTGLGGFVGGAQILTMSDMDALVSQLPLDPFISLGLITFTCGGVGWLLGPIVGTGVFNWRNREFRAQMDIKEKEFYRRIKI
FRVDPSASSMANPVPDYYGEKISSVAGYRQWLKDQRAFNKKRTTYIRA

>RCO7_08179 | probable 3-dehydroshikimate dehydratase

MTISRASLRDIPLSFASVSVGKSTSPLESKLSAISRSRFQAIELGFPDLLSFASSFHKKDIAEDDYDSLCSAGEEVKKLCEKYNLGIMMLQPFANFE
GWEKNSKEREDALSRAKGWIRIMQAVGTDMLQVGSSDSPNMSTSKTDLAADLAALADFLAPHSFRLAYENWCWATVAPTWQDVWSIVQLADRPNIGL
CLDTFQTAAGEYGDPTTNSGLISHLGPLQKLALSYAYSSSLLTKTVPAEKIYVLQISDVYRPPVPFEDKTIDGLRPRGRWSHDFRPCLYQGGFLTKQ
CVEFAKAVLGTGARCWFSVEVFDGGEKGDGKGGMGCEDEESMRGFCEGALGSVKRLLDECADTA

>RCO7_08178 | uncharacterized protein

MVLLSLIRYIGISLLIQSQAPTAPKKRPPIRTKISNSGSGMIARPPPKHREGAIISDSFINSKKDKRIIKHSSFLNRIEKAHQKPLKRRRPSKKLVT
TLESLADALPDVGELVKEAKGGGEGKMKMASLKSKPGARKRKEKLERMERERFTKNMAVIMAGGQEEDSIPGIGMAMDAVDGVAVSASVAPVLNPTV
NRFAALRAWVNANMEKHPAFEEKK

>RCO7_08177 | related to molybdenum cofactor biosynthetic protein

MNSATTSAEALRNQIAVTESELKRLKEQLAPLEAQDAAAQKGIVGLNLNAGLVIEDDNPSERKWPLCEEEYRRYGRQMIVPSQLRLKNASVLIVGAG
GLGCPAAAYLAGAGVGTIGFIDGDEVETSNLHRQILHSTAKVGMKKVESAMLYLKSLNPNPTYITHPTHLTPQNSISIAAPYDLILDCTDHPTSRYL
ISDICVLLQKPLVSASALRTDGQLIVLNSPPLPAGNAAGGPCYRCVFPKPPPVESVVSCGDGGILGPVVGVMGVLQALEALKLIVGGKLKSQPTVTP
TLNSGPESSPDTKENDGTKATSTPVQTTMILFSSNSSPPFRTVRLRARRLNCFACSSSASLTLESLTSGSLDYVLFCGVNAPISILTPEERISAKEY
SNVHAAQQSQKTGSETHLLIDVREKVQFDICSLPNSINIPFSTFQNPNNPIQFPRQLPQSPASSQESQIASPTSEKQILETLFNDPATPIYVMCRLG
NDSQLVTRKLKDSEFGKGGRIILDVKGGLKAWKQDVDSSWPEY

>RCO7_08176 | related to sentrin-specific protease SENP8 (SUMO-specific protease)

MGRDGFHPFKGRVSRHFGDSLAPDDAYLSYYDIRLTKEDVDTLKNDWLTDNTIAFWEEYLEREELRKYPASHIVLLRPSMAFMLMRTPDPLTLKDAL
PDFTRTTHIFLPINDARNVSVAEGGSHWSLLLVSVIDGVAFHYDSLSPSNYNEAMLATNKISQLLGKPLRFMNLEDSPQQENSSDCGVYVCIQMRHL
LLKRLLSANAKEKVSMSMGGKLVDANGGRKEMLKTIEGFRKEGERRRSTEDSRSSSPFGKVGKTDSRSPPRIDS

>RCO7_08175 | uncharacterized protein

MPPKKNATRKGAAALSQEDQFQSDIRSFSQMLKMADKTKGYIKVPTKTLGAINKLLQAYRAQERLLDQDCVYDFVGSLEGDEGDNICKHLSPEAFST
TLQVILQMVVSKEAERGLYLLAASIFQISQDFDDADEVLKKKDVIGTSCLGQLLRFFVDSESSYGMQRWVGLLCIQLVTGCERNHSKVEQMTEDVRR
SIGRLVVEEGDELLRVIYALLVRAMTDQGTELSAMYPEDFEPAAFAHFPLSSQETTGWGIRFQDYLDNVFNKTALQTPAQVGELMFTASVILTPGGQ
LGAKHHNNMLFVDDLQLTFLATCRDGHFDSILEIPRSSIKSITTVPDHESQTNAHRMALNILGKGDILDGADLCFLDSQAIRLTTVTFSIELFSMQK
LLRAVREGQDSIEVSSLNGSQIEIIDNSQTTRPIDNVTLGDSQARPQNTSQAALGETNDDNDLHGSQKVLGGTLGHLGQIQSARLDDAASVTNAEET
AMETAKEIAIEDPHEENEDDLYSASPKTTQRRIASPETRPAIVKPITARGRRIIKSKAKRPIDYGRSSLKSQLANTKSQVTQANSNEDDHTQGQKIK
AGAANDGSTAAKPAADNTSTNKAVNGGTNANTLSRGGPQAPGADNSTTKSHKKYGLHKPTDDPSKGEDDPTTKLKNTNKSATTNLTMSKAKAPEPQL
GTKTKIDAKKRQSAPAAVPPRHSQRAAASKAKTKMQGANDSYYENEVEDMPSIKLKLKATKAKQKNATSKSAKMVKPKMITTLLGSPCVSEDQDTHA
LQAEDARSMGLAPDESAIEDQDEEENPYNTSPKQPSKKAGPPAKMPKEATAPKDARNSGIDLAIKLADSLEAILSSDPERIDELPAPVPQKTAALRK
VGAGSQVAPKEQLSPDRSNEIQAIDDHDEAGTQADVEVDDQNQLTVEQETPLHMHVDNIAVSSPIALIPDDLTAPTVSLSIPSERTVIDSSSPALHD
IIETEQKTRLLIAVVQDLPNHTIAVQNSKNSLTIAKKNGDDGALEQVTITELSQVEVVEVAPKKRKTPTEKHIGMKRRRVEEESTPVAHGMAMQPEP
SQNLVSVSKISGELDPSSPIPNRRSPRLAAKSTRLQAEPISASPRVPSAIKDPSRKPQVISFSSKGPQNQGMGSAGKPKDKVAIVQAYEVESSVNSP
IPDRKRKRDKANLSKIVSPFKKKLNSSPFVDRKENDDPVEPGSNSESRVKVKYKSTQQRQMSGRPSSQGSRVDRNGSPIAADIAVDHIRKLKEALAS
GQVKLDPRVSGNGFIVVTEPDEEKIFRARRASEIFGPKIALGNKSKQRPSSPGEPNTRYILHGESQGVYTDFDTKKIVEEKKVVDPFTEGGRRSSGF
IDRLQGSTPKKGATAKSKSTSTIDPRDSKVFQNIPTEKGRLIVEEELPELPREKRILNRGRHEVEAMPQQQRARRNVTAVSSPSDMTSGTSYASHSS
DVARTPLQEVEPPNDTWNLAVRPHYNTFNLALHRIHEEVIVRLVGEEDRMDLLVDQYKENGTKMLDNLKKKREVQRGVINRNLKQKKTELASVYAES
RGEVMKTEQSMREESTSDFEVNWRRNQNAIRKKISEGRKSSE

>RCO7_08174 | uncharacterized protein

MASQHLHPGFQQFGQSQAQTIYPINNHQPAPPFYQGQVYEIPPTPYGTSFRGPGFEDEFAYNGGSEASFHETSSPDMVYPYDMSFQCSTSIRRDSGT
TSQEDDEPVDKISSGPKRKRTSIALDENQRLEKRRIGNMVAARKFRGKRKDELETLRQMYSEQVDKNAALQAQLYEALSAKYQLSIELVEHLKMKQQ
KENPQQQPLQQQQQQQQHQHQQQKQQSVSAMQSFDGTLSEEEYGRCPSLDWSHSPSDAENARWPGPRAGVMGMTNVNHSP

>RCO7_08173 | uncharacterized protein

MVGLNTLVKSLLLASTVHAAPAVLDERQSYCVVPGNSNYGGNGGYGNGGNGGTTVVNQVVTTEVVIYQIVINTFIQQNTVLNFGGGFTVVVNNAPTQ
ILTIGEGTKTATNTAVTTVTLVTQNTIIQGGGGVNIIINNAPTFILTTATGTSTVTATVTSTVTSTTNSNAVPTSFLLQVVPAGPAARKQRRQTQNP
RFIAADGQTVGGCGVASVFSIIAGQLVDATGNLISTNVGVASSLFESSQAIGDISTTFSISGDLTWTNNAFSGGVARFCLTVDARVLALFSANATVS
ACVQQNLLAIPSSSCNNGVITPPGSSSAIASSSALTTASPSGGSAPTTASSSGVGSSSLSRSVSASSVSSAASLSRSSSSASRSSVSSAASLSRSSS

SASRSSSVSSAASLSRSSSSASRSSVSSAASLSRSSSSASRSSASNSASASNPASSASASDASVSSSASLSRSSSSASRSSASNSASASNPASSASA
SSSSNSVSLSSSASSASASDASVSSSASLSRSSSSASRSSASNSASASNPASSASASTPSNSVSLSNSASSASASDASLSSSASLSNPASSASASTP
SNSASLSSSVSSASVSDASLSSSASLSSSASLPSASDASTTDSPSTTNSAPASSSDASSSSSAISPSATDSDTTTNPAPTSSSDTGITDSASSTNSA
STFTSASLSDTSVTEPPSATNPASISSLSSISSDAVGSSLSSASSASSTRSASSASSLSSASSASSTASVASSLSSASSTSSTASVASSLSSASSAS
SASIASSLSSASSASSASLTSSATLSADTGLPTLIAAICDLPNQVLDPIGNTCACLPGFGGTSIDGVLDCVSIVTCDPLTQVLDVASNVCVCATGFQ
LDPLDTLSCLTTVTCDTLGQTLDILSNTCTCAIGFSQDPNVAGLSCLTDVTCNAIGTILDPLANACTCAVGFAQSPTSDALNCLSTVVCQGDGLSLD
TVTNLCVCANGLTSLGNGPTGAVGCIVAVGTCGVGQILNQGVCQCATGFTDSGLGIAGALDCVTELVCDAPGQVLDVVNNVCQCASGFAGTFVNGAL
TCATTVVCSGLGEILDPVANSCTCLAGFAPGTTGLNGALSCISTVVCDGLGQLLDVASNTCQCSTGFAGTTVNGALSCASTVVCGALGQVLNAATNT
CQCTTGFQPQLLTGSVVTCVSSIVCTVAGSALNVLTNACACVPPPQGLGLVAATQAAANYATCLLAIPITVG

>RCO7_08172 | DNA replication licensing factor CDC47

MSLLTFRSPVNYEEHQLAFEDFLSTFKISPKSELAGALHDMNIDEDDFSDDYDFMDDDDNEQNQNTRRRTRAQSKTPKLKYMEVLRKVADRYVDEIT
IDLDDLAKYDEVLEESGTPLNLVASIEINAKHYLDILSKAVDKVMPDPTREINYKDDVLDILMAQRTARNNALQIAAADQPESVLEPELFPAELTRR
YTLNFKPRMNGDDPIKALAVRQVRGEHLGHLITVRGITTRVSDVKPTVEVNAYTCESCGCEIFQPVGTRTFGPLVECPSQECKLNQTRGQLHHSTRA
SKFQPFQEVKIQEMAEQVPVGHIPRMLTVLCHGALVRRINPGDVVDIAGIFLPTPYTGFKAIRAGLLTDTFLEAQHVTQHKKAYEDLAVDSRVFKRI
EQYRSSGHVYEYLAKSIAPEIYGHLDVKKALLLLLVGGVTKAMGDGMRIRGDINICLMGDPGVAKSQLLKYITKVAPRGVYTTGRGSSGVGLTAAVM
KDPVTDEMILEGGALVLADNGICCIDEFDKMDDSDRTAIHEVMEQQTISISKAGISTTLNARTSILAAANPLYGRYNPRISPVENINLPAALLSRFD
VLFLILDTPTRDTDALLARHVTFVHMNNRHPDTDGVVFTPHEVRQYVAQARTFRPVVPTPVSEYMVKAYVKMRDQQSRDEKNKKQFTHTSPRTLLGI
LRLAQALARLRFSEEVVQDDVDEALRLIEASKESLYQDQGGFGKDMSPSSRIYNMVRALAESGQCRPDDADEGDDELGMELSMKKVEGRVLAKGFTI
DQWQTAVMEYTDLDIWQTAGNGTRLIFIVSEAAHMARDAEFEME

>RCO7_08171 | probable peroxin-1

MAPDTRKRGSQPTSAEISLIHLKNCLVNLPASLSSLLVNVNTPAQDVIIELNYRLPKPPASAEQNGAPTTRSIFAGWTGMQSKRKLAPIVNRDGISG
TKGNISGREQDVALVEIDATFARSLGITDGQKVTASIHIDPPVAHTINIEPLTAEDWEIIELHANFLELNLVSQIRALPNPNFTPSSGPKPPPHPLT
LHLSPTSTANIIITSLVPEPPSSSPYAKLSPDAEVIVAPKTRSKPSRTSGETRSVSSRKSAGVRSGASTVGRRNAREEVRPAMFFRGLDRSLCKEWF
DETKEAKDVGLKVWVDRDMLLSKALKGITWVCVTVVKPASLLAPIDPRKQQKEIDNLGEAGKIASRVVAKLVAWDDPPDSQHVALSFALCAAMASEG
IIGGVVKLEPAPQQVSKTVPPASKDPSQPAPKSGTHVMKVYPFSSETGKSSDGLKFGGESKVEREEASRRIMKMYGSEGAQDALFDGPITDGSILGK
PRVDVSGWEGGIIRFDHPPLESGKMICNWFLGSERKITIEIQAAVPRPSSSSKAIMVGEPLPLQAPILVGIDNLIEQLQGHLSHMSSVLLTGALGSG
KSSVAQLLAHRLRSENLFHTTYFSCRQMVTDETRIATIKETFNRIFMGAAWGARLGGKSLVILDDLDKLCPVKTELEVGSENGRSRQISEGVCAVVR
QYCGRDSGVVLLTTAQAKESLHNVIVGGHVVREIVGLKAPNKEGRRRVVEMVVKQNVTEDSSSDRPRSTGSRPTTANGSGGEEEDGAWMDSASAPSR
PGSSGTSEGFSISPDLDFLDLAGETDGYMPGDLVLLVARARSEALIRSVSQSSKATDAAGVQLSREDFNSALKGFTPASLRNVTLQTSTTTFASIGG
LHETRKILLETLQYPTTYAPIFAQCPLRLRSGLLLYGYPGCGKTLLASAVAGECGLNFISVKGPEILNKYIGASEKSVRDLFDRAEAARPCVLFFDE
FDSIAPKRGHDSTGVTDRVVNQLLTQMDGAEGLSGVYVLAATSRPDLIDPALLRPGRLDKSLICDLPSREDRIDILRALGTQLKLSEEVLSNLPNIA
NRTDGYSGADLQALVYNAHLEAIHDVLGDQDHDELSGGKEKGANGVNGSGPGPRNFIQFRYGIEAERLESEARSKAGHNKSKLLAERALISSKLLEI
KNAKKRAKLERSGGRDMGRAGGEAKEEKEQQEVIIGWEHVEKSLKSTRASISQQERGRLETIYREFVVGRNGEMKSGEGGREVGGRTSLM

>RCO7_08170 | uncharacterized protein

MTKIPPLRYECRPRKGTSPFGTCLTIRTLRTAPMGTLDSELVRRPLLSPPTSDSSTMSRKRSDFDKLPAELRVMIFTLALGDEWNGKTPALIKALRT
EENVYTACMVSWYKQDHTYTLHEKNCWSFGDMSANAISTITKVKIVIDEQIALHPLLRWSDMRVVDDRLPMSLHDLAVTAKLGTSITSVSLDCRPSC
TNLYYWYPQKFFLYLSGFKSLKYAAVTCPIRPGGRVMEGGVGRVEKIEDGMVCSMWQANSMRNGVEKTNEMLGGMAKMGRVYADKIDKRGETLHRRF
QDREMWVWVAEEGKSLKPVILPEGLTMAYEREV

>RCO7_14056 | uncharacterized protein

MFHNRALHGLAFELKNAAAGERKVVLDMTKLRRLPLMTTCTKFRHLNEEILNISDAYSKRIDGNSLTRGILLVYATMQKKRGTIILEPPGGSNNWLP
EGFIDRSPKLRYMSCILAEPVVKSKSK

>RCO7_08169 | probable multidrug resistance-associated protein 1

MEDPLRSASYAAPALVAVLTIQPIWRFAKLIRWRKNAKVDCDAVYEDEDGTATEESMEKYSTKWQFLAIFIASAFGIAASLSLVVVATIYQFHDISR
IWLLFWSWILSLVQVFDTLRESRIVTRSDRGVINSISCFLITILAAVIFSDMQPEHRFHGNHEIALPITLLVQIISAISTIVSFSLIDRRPDIFTTK
GKIVERQFSSSFWTRYSYNWSSDLLDLAATKLIDLDDLPAMDARIRAADARTAFQSIALKPSVALWLRIFWAYRWQISFQYVFGKLASSLKLSLNLS
HPLPSYSEHAFANPIVYRWIMSIASSILDSGPPFAMYQLLRYLEGRTEFTTIDSNAWLCVAALLAATLLETIVDYRVNWLMWSELGIPIRASLTSLI
YEKMMKIKDCKEPPKVENEKADDKKDLNGSTKKPSPSESAEAKKEEEKKKADPNQQDIINMFAVDANQVGVFGAVNQFYVMFASKFIVSIVFLWLLV
GWQSLAVGMIAMVIAFPFNKIIADRYGSFQKLLMKARDKKTKVISEALQGIRQIKFSGLETEWSNKINAVRDEELVLLWQTKLNNLLMVLCSSIAPV
FLTVFALATYAYVYGDLLPSVAFTALGVFMQLEGVLAMVPFLFMMGTNAKISCDRIDAFLRSAEKPQNTYPGDAIAFDKVSVSFPTKTDTLNVIPED
EDAEAQEARNNRFMLRELNLKFPNNALSLVLGPTGSGKSLLLAAILGEVDVLEGNITAPQPPPADQRFDSKATAADWIIPSAIAFVAQTPWIENASI
RDNVLFGLPLDEIRYNKVLEACALEQDLGLFDDGDLTEVGAQGISLSGGQKWRLTLARALYSRAGVLILDDVFSALDAHVGKQIYDNALMGELAEGR
TRVLATHHVSLCLPRAEYAVCLSATGVLEHAGLVKDLQGNTDFKEILKATEEDLDRHDQASSEEVTTDGQNDNSTAKPDKPPPKKLVEDEKRETGSV
KRTVYVAYLKATGGIPFWVIVFMFYVVAQALTLGRSWWIKIWTANHEHTMADLSSYVYEYAAQTQLGSMNTSATINSQDLIDIPTIGNLDPLSALAV
PGLLSMFKLEDISGYASAAPIISTQQFTAQEASRGFAQALPIDVQHRSIGFYLVGYILISVITTVFSIIRIYIVYRGSLAASRTVFRDMTYKVLRTP
LRWLDTVPTGRILNRFTADFSALDSQLSSNLSSVGSQLLSIAGIMVAAFIVSPYIIILAVILLAICAQIALRYIRGARSIKRLESIQKSPMISHFTA
SLQGLSTVRAFANTEIFETRMHDLINSFSSATWHNYLFSTWVGFRMAMTGSAFSTMVAAFVVSTSGIDASLGGFALAFALSYRQTVNSTLRLLAATE
LDMNAAERIFEYSSLDIEDQEGIDVRASWPEKGELDVKDLEVGYADGLPSILKGLTFHVDMDQRIGVVGRTGAGKSTLSLALFRFLQARAGSIVIDG
VDISKIKLHDLRTRLAIIPQDPVLFSGTIRSNLDPFDEFSEVQLEQALQRVHLVPSADNTPVPETASQAEVSSAETQSSATSTTAAEPHTANRENAN
IFLSLTSPISSAGANLSQGQKQLLCLARAILSRPKLLLLDEATSAVDKKTDTLIQRSIREEFANTTLLVIAHRLSTVMDFDRILVMKDGIAAEFGTP
KELFAIEDGVFRGMVEQSGEKDELVRNIGGA

>RCO7_08168 | uncharacterized protein

MAAQTGPLTSFTVFPTLPYELRCIIWWATCVTRVVEIEYDEEEGFTPRCCDPIALKVCKESRDTIIQAYPLCFGSIFHPAKTRFNFILDTLYIDNEL
EENVPHFFSTFGPLEISSLQTLALEDCYNEIVTPYEPTITTHLHKMVRKLPALRELCIVYNIGGMTDRQIGCTDGHAIELYTKVPGDLDHPAVMIEP
LPRIPSNADDADPLGFRLWNIQVKPMYGWRRCPHAGPAFSDLNEMEGDDMSDGSRYDLHGPWGAPHLALTDMFGDFYDSDDMYGFGEDFDEYSHHME

DEDSDDDEDEDDEDEDRDGASVDFV
>RCO7_12020 | related to polyketide synthase
MAPSATSIFSASGGHAVPETTNGVSSGLFDGNENGHSHAPSAPNGGIAEPYTSGYTHGYTQGYISGLTEPERPKRMPIAIIGMSCRLPGNVSSPDEF
WELCSRSRSGWTEVPKERFDSASFHHPNPGKRGTFNAAGGNFLKEDVGLFDAPFFSLTAQEATSMDPQQRILLECTFEALDSAGIPKHEIVGKNVGV
FIGGSFAEYESQLFSDTEAIPMYQATGNAFAMQSNRLSHFFDLRGPSFTMDTALFSDEGRSFSFDSRGTGYGRGEGCGMIVLKPLEQALRDNDTIRA
VIVGSGINQDGKTPGITMPNGEAQESLIRSVYEGAGINPRETGYVEAHGTGTKVGDPIEAAALRNVFGEGRTARMPLFVGSVKSNIGHLEAASGIIS
VIKTALMLERGFVLPNHDFKKPNEKIPLAKWNLKVPINQCPWPRGKRFASVNGFGFGGTNSHIILEKAPYLKKGELDVPETQDYTIQSRKLFVLSAN
DKPALEAMMKNVGIYLEQRPEIFQSELMSNVAYTLGQRRSLLQWRVAISTPTSFELIETLNSGKLTPTRQTESLRLGFIFTGQGAQWNAMGRELYEH
YPIFQATMDACEECLVSFGASFSLLEELRKDEKTTAINEAHVSQPACTAIQLAMTDLLRSWGISPTAVAGHSSGEIAASYAAGILPLASCMAISYYR
GMAIVSLKKQWPGLKGSMMAVGGTEEDIAPLIAQLKEKDVRIACFNSPSSLTISGDEAAIDEIQTLIEEKQLFNRKLQVDVAYHSHHMKLVAEEYDE
TLDIIEQPSVTDVRFHSSLYGNLIEGTKLQPNYWVDNLTKSVRFSEALTSMCKPVEGYKTGVDMIIEIGPHSALAGPVKQILKANGPNAMAIPYASA
LIRKKDAVESAMDLAAALFVRGAPLDLGAVNFPRPRKAPLLLVDMPRYPWNHQTKYWHESRMSQKHKNRSAPRNDILGTLANYSNDLEPTWRNILRL
DELPWLRHHKIQGLTLFPMSGFLSMAIEGASQRASTRGAQFDSFELREIFVTAPLMITDQDVETTIQFRPHQDGSEIWDKFLIHSYVDGKGWTEHCN
GLIAVRGDELSDFDHTRIVQDSKKLLQSTISKIQDSLSDSIDKDLMYSSLTDLGVSYGSTFQGMNNCQASTTCSMANITAENTSQEMPLGFQSSNII
HPAFLEQLIEMYWPIFGAGKTSLDTIYLPSSIKSMTVSRNITELTKTAGSSLRAFCEGEAPKTCPKPVQVSMFATSAGNLDTSVIRIDGLTIAPIVE
REMASDSEAHRELCFKLEWEPVAKTPETVNGVTLESNGASNGASNGASNGDLNHINGQVVIVHGDSKEQVLLASKLADALELLTGQKPELGRLSEVK
VDEKLCLFISELEKPLLSTLTSTQFLDLQSVLTKVQGALWVVRGAYADSNNPDTNMVTGLSRSIRSETLLKFATLDLDGTSTLSDEGASRTILKIFQ
KVFNHESQANCEMEYMERHGKLFTPRIVNDDEMNAYVHKQISTSVLEPTRLAQDGRELKLVIGTPGALETLHFMDDESVEVTLAADEIEISVRAIGM
SSRDLMIAMGQIDNAEFGTECSGVVTRVGEKVTSITIGDRVAGVSVSHSTYSSHTRAKAAFTFKINDNLSFEDAVSIPIAYCTAHYGLLDLARLESG
DRVLIHGAASPAGEAAIAIAMINVAEVFVTVGNQEEKERLMDLYKIRSDRIFSSHSTSFGPALRQVTQQGVDVVLNCIAADSGMSKELWQCLASFGR
FVAVGKTSKFDNTCVDNNASFMSVDLLSIPNERPIIMARLMSSVSRLLETGKISPVGSATVFPMSDIETAFKVLSSGNISSSLVVVPRDDDIVKATL
SSKKSKLLRSDASYILIGGTGGLGRSMARWMVSKGARNLVLLSRTGSATGKVKELIDELTPLGANIVVRSCDVANAASVENLVNNELENMPPIRGIV
HGAMVLRDVLFEKMTYEEYNTVIESKVKGAWNFHNTLSSSPLDFFVAISSAAGAVGNRGQAAYAAANTFLNAFVQHRVALGLPASSIDLTAVSDAGY
LAENAEAAAEVAKNLGSDTICEAEALTLLGAAINGKLKTSCNNHTITGVRITPSQPFWTPDAKFKHLRLAAEALALSNSSANPDAVISYQSALKEAK
TLEEAHEVVQRGLLKKLPSVLMIEEEDMDVTRPLTSYALDSLVAIEVRNYITREFEANLQVLELLSAGSVESLSKVICGKSKIVKIVE
>RCO7_08166 | probable FSH2 Serine hydrolase that localizes to both the nucleus and cytoplasm
MKFLCLCGAYGSSDKFRVQLAPLVNELASDKTAELFFIHGPVQAYPPQGFEEYFGQAPYYRFIEPNKGDGTAEGGDDVLERIRHFPEGATAEDQMRE
LMNYGSGSGSMDTTPESSDDGSNFGDYSYSNSSAQNAMDYLYQIMEKEGPFDGIVGYSEGATVAATLLLHEQKRFAREGRMPMFKCALFFAGWPPMT
PEFDGIVLADETDLTITIPTCHIIGSLDPYLAGSLALYNICDMDTAILFDHAKGHTLPRHKDTVRELGNVIRQMILDI
>RCO7_14053 | uncharacterized protein
MLPRLQDSSTLITSLPRQFATTRDLCARVRAHVHRQKPPVRASPSFEPAIAISPRSTGHDTQIPISTGAAVAPLVANLGLLVSPTPIQNGRSPGPCS
NITFHEF
>RCO7_08165 | related to multidrug resistance protein
MGQEKFNESSEDEWPASPGRESESANERLLSEEESSHAAAHDEEKTGERGEKKKKPPPPPGTATFSSFMRIFTYSTHGDRILLLVATVASIFTGVTM
PLMNIIFARLVGTFGKLYSVKEGEGPQAFLNGINGIVMYLVYLFAARLALGYVALFGFRMASLRISAAMRLAYIKALFLQPISTLDVLPPGQTAAII
TVTANTLQVGISERLSMLIQNVSLIITALIIAVSYNWLLTLVTSSGLVFIALVYRYTIPQFVNSLKEVGEADRMSSGIASEAFTSIRMVAACGAEDK
MASRYASWVEESHRRGLRMSPLVALQQAPSKICALAFWFAVKLYQGEYITSLTTMIIVLTSVLMIMTSLGGTVTPASAAMHAAGAASIFFTIIDAPQ
PKTSGLGGPHVSSQEDIVFENVNFTYPLRADVKVLDNLSLRFPAGKTTAIVGASGSGKSTIVGLMERWYELDGNMTDNMITLYFRNGTIKSGDKPLQ
EIDLKWWRSQIGLVQQEPFLFNDTIYKNVEYGLIGTEWEFASTSTKCDLVKQACREAFADEFITRLPQGYETSVGDAGIKLSGGQRQRIAIARSIVK
QPKILILDEATSAIDVHGEKIVQAALDKVSKNRTTITIAHRLSTIMKADNIVVLKKGQVVQQGSHDQLLADTEGAYWHLANAQQLSLGDDKATTMAE
IDDAASEASDLTAFGRISDDSDRQELVEAESYVLKGFFGSFGSLLWEQKPHFKWYFAMLLSALGAGAAFPIQSFLSAKIFSVFSLYGESLASETSWW
CLMFTALAVFVGVSYFVLGWSANTISFHITSTYRREYFSNVLKKPISFFDDEENSIGSLTSRMATDPTQLQQLLGINMAFVVISLFNIVGCVALSFY
FGWKLTLAALITSMPIILAAAFFRFRFETQFEKMNYAVFAESSKFATESIGAFRTVSSLTLESEICGRYQKLLEGHIQSAFNKAGISTLVFALSDSI
PLLCMAFVLWYGGQLLATFQYAPFNYLVVYLAIVQGSISAGQFLSFGPNIAQASASANRIRGMRPTDLFEVTGKELDFSATEDEEKEQRGPKIELKD
VWFRYPTRDVAVLTGLDMTIEAGQFAAIVGPSGCGKTSIICLLERFYNPERGSIHMHGTDVTRLSLSGYRSHISLVSQEASLFEGSIRDNILLGVDA
NTTSESAIYLACQQAEIHDFIISLPSGYATEVGTRGIALSGGQKQRIAIARALIRNPRVLLLDEATSNLDSETEREVQNVFEKTGKGKGRTMVVVAH
RLATVQNADVIFVVEGGRVVEKGNHNELLALRSTYWQMCQAQALDR
>RCO7_14038 | uncharacterized protein
MRLQSVIFFLIVEVLIKMTLWQHLYNGINSKLRSAYFKVILSGRHGYSIAAMALTTLMSSKHK
>RCO7_08164 | related to DSBA family oxidoreductase
MTTSKSPRGSSLTIYVDCVSPYSWFGVTSLLKYRPGLLTHGVNVDIQPFFLGGAREAAGNPWQPTPKWKEAFSKQDSAMTGELLGLKVVQPKEFPIM
SLFPVRVATYIKNHHSSDKFDASFLALVSGYWSHGIDISQPAGIIQALSPIFSTPEIEEIMKKALELENKKKVIETTKESGAFGAPWIVGVDGKGEK
KSWFGNDRWDQVFAHLGVPYEPVKLLMPRDSKL
>RCO7_08163 | probable 17 beta-hydroxysteroid dehydrogenase type 3, HSD17B3
MSHNPDSKPVVAVVGAGPGIGEAVARKFVSEGFTVALLARTETKLQEMVSGIESRYGFHTAKYYITDLRQENDVITSFNNIKTDLGPVSVLIYNAGA
RRVNGRSILETSSEEFMTFTKINLFGAFWSVKCVLPDMLSQAKGTVIFTGATGSLRGSPGLSSFSPGKFGLRSLAQIITREYQEKGIHAAHLIIDGP
VDGKLIGGVTRRKWEREGEKEKLADVESRIMQPTDLASIYWFLHTQPRSTWTQELDVRAQKETMFSKL
>RCO7_08162 | related to trypsin precursor
MMFISVLFLGLAFTPFNLAAPSPSKIDARVAGGSLSKPGEFPFFVATQRNGLYQCGGTLLNAHTVLTAAHCSINNPPANLTIRAGSMVQTCPGPKRA
SNSNSQLLAKHTLIPRFSLALWHLSTPIQVSDTIDYATIPAQGYDPPVGLKATTAGWGYTTPDMTVPGPEVLRYVNVPVVSRQECSIYGQITSFEIC
AGGEEGKGSCPYDSGGPIWNAETKEIIGTVESGGGCGSKGVPIVYTNLGSMSDWVRNNSWSA
>RCO7_08161 | uncharacterized protein
MKLCRSSPLSALTTVAARRTSKFRDHKKKSAKIIAFANLKFIFETSWDKQLLASLHYCRVSRDFGTEIAVLESLIAGLGVWKTADRHRKYLTIFSLT
RNAEKERTEQHMESLSGEYCKEDVIRPRNILADKSWIGFDLDDTLHEFRRSSGIAIDSGLQKISDYHHINRCVERKYAIIL

>RCO7_08160 | uncharacterized protein
MYQPISQEVFLHTTVSFYSDLLARHDSRIRSQLNPIIDEIDGIDQVANIYTMRRIPAHLPSRELRHGPLFFHLTDLRRGNIFVDENWNIKYIMDLEW
ARSLPVEMLAPPIWITNRGLDDLIDEKLFKYERECKVFMHILEEEEKSFPRLFDDNFKY
>RCO7_08159 | related to allantoate permease
MNSETKTQSSSDEKISGSGSQLEDGRTENSQYALPQDPDAHLSEEEKRVVDRKLLWKLDLTLIPWLCILYLLAFLDRTNIGNAKIDGLQKSLGDKNG
PMSTGRYNATLSIFFVSYSVFEPLTNILLKKLRPSVFIPIIMVVWGICMTFMGFVENWSGLMAARWFLGLAEAGLFPGINYYLSCWYRRSEFGIRAA
IFFSAAAVSGSFGGLLAAAIVKMNGLGGKPGWAWIFILEGIVTVLFGVLSFWCVHDFPDEAKFLSEQDRARVIRRLKMDQQSSAEHEEFKMKYVIMA
LKDYKMWLGMIIYMGCDMPLYAFSLFLPSIIKQMGYSNTKAQLLSVPPYAVAACLTVLIGYIADRTHQRGLCNIGVAFIGIAGFSMLLGSDDAHIKY
AGTFLGALGIYPCIANTISWVSNNIEGVYKRGVVLGFVIGWGNLNGIVSSNIYQKAPYISGHSTVLAYMIICLLGGSIALRILLARENKARLAGKRD
HWVEGMSEREAEKLGDMRPDFLYTL
>RCO7_08158 | related to FMO1 Flavin-containing monooxygenase
MAKRVCIIGAGPSGLVAAKTLTDSTTPSNFHVTLFDVKSRIGGLWPVSTHDEGLVNPEMCTNQSRHTVSFSDLAWSSHEPLFPKAWMVGRYLERYLV
VYGKGWDLRFGWKVVKVRRIGEGNEIGWNVFVENHDEGKEEEIQFDYVIIATGFFGKAKMPQGLNDASVPIAHSSQIRKITTLITGPERKAIGRGRK
IVIVGGQMSGVETAAAIAMQISSATNTPSDTSIEDAGKYVVTHLVQKPVWVMPLIFPVDPVMEKDGVKEKNRSANFLPLDLVSYNIGWRPEGVVKNS
SGHITTEAAALTHGFMETYTGTNQSEFGPALAISGGTKTEPPLLACSDQYTEFVRNEKIEVITGRMIEASDDSVTISTPAGDKGKITDVAAIVCATG
FDASPSVDFLPADILQMLEFDATDDGFPLALNVHATISKKVPSLGFVGFYRSPYWGVMEMQARFLTKLWSGDEKAGKSLDQDTTMETMMSLRKDPRK
AQFPMGDYAYLMESFAEILDIQRHEPSPGPTGTRTGLITPYRYTYSDVTASQRREIDLSLSDHYSTLKASAEKARFVPRAVFRGLQGIWALNRTITS
RISTLPSGTLLGTATLLPRYPTDGPHSGAIGAQQIPSPPSQDNSIKQSNVTSPSKPAADLEYIYFEEGNFLTSFGATMTAKRSYVYRYFEENDCIDL
WFAKGDYLTADYFFHRVKFTGRDEAVGWRAVSSHLCIEDMYDVSYTFLFSGATLSTWTSEYTVKGPQKDYTIRNVYTRPALN
>RCO7_08157 | uncharacterized protein
MATIEAPWADTPFNLIPTPGRGEDVSKLPVAVFIAREMTCAHNGMLRGLNSIYQQSTHVVQPQDIKDLLKYAEFWCGWIHEHHDAEEQYYFPEVERL
TGMKGLMAKNVAQHYAFMPGLENFGRYSTDTSVEEYDGLKLRAIVDSFGEVLAKHLSEEIETLLELKAFDEAVMRKAYDEFDLKLRAGDKSILFPIV
LGTTDIGYEGDCVWPELPGVVKSLVHYWYERKYQGVWRFLPCSTWGEKRPLTFTAKVI
>RCO7_08156 | uncharacterized protein
MAPTIHNPDDLTPEARLIIERKQFQPPLPHMHAQYLRWQLECDYIYGDSPRDATRQSYDLVFDSRNDGEIIWKTVRDSSYPISRKQWASLISTETAE
MMRPSNYPMLIEAYIMLFCTHINRVRGDAKRLLLQESSEDEARQRKRSRSPAARRIGNELVSGIRLGSPQRRKRFSLNVVSNISPSCKVLSGTDLLA
CFPEYTIEDPQKGLFLDEKALDDLLLSINCTADNFRELDYLFIPVVDDYQAHAFLMGLAPKQKYAFRLNSCDSSIELEDRWWGVALMAIIHRLDPTI
KTNTMNRELNVPESDRSKYWYLFGQYPRRTHTNDGSPDGPQQRDYYNCGVFTMTSAFCLAFGYSLMCWQQLEDRQLPRDLDYWKKARIIFEMETEDF
SATNDFDYDLLEIPQDEIQPLLRSENVTPSVYSDSDPESPKRFVDLTPDHGPMDEDEEEAGKLEYGDGDEEDDDDDDMNEAYRIERLDVGLGYITDE
GEEGSDGEDFATEDDASRAFLTAKEAIERENPRVAPMSDDLPWPAQMPAEPEGYFQRSGFIYPAPDVNFQPELNYSKRELKKACRDFPLVGWKSMSR
QSQPLFLQWMLNEMAATISLIRGDAIEPFFHLARGYKDRV
>RCO7_08155 | uncharacterized protein
MSSEELVDRQGGDQVRGPSKLGDLLIPKACENCKIRKIRCDKSSPCSSCRTAKLPCRVASRAPENKLRAPSATYHEKHFSLIHNSLREIKDRLEKID
ISQASVPAPPELCITASETEYPFVPETAFQSETSFDSQFVYATVTAEYSVEEVVPNDLNQEIGVSLAALKSLLCGKRKPSPSNKLSFPRAVTKATLS
APKIELPPMDIIIEVLKKASTQIPLVILHSGLRDESLLEELCKKVYFPTKHVSKGETTLMNGLLFYVFGEYGMEEGDPNPLYLNYAKLCEKNFVAGL
QDYDCLVTPTLENIQSLLLGAIKAQEDSRPALCWTFVSAGARLCQILGYHREAVVSRDSPQVAEAKRQVFWMLYMIDKTLSLNLGHTSNIPSHDIDV
MMYSPISEPKIAPWNRVMIAFAGFSRLQGRLYDELYSVRARQEHAEVRARTIHELVTCFYAWHTEFKKVNSSSYQSRAVIDLERD
>RCO7_08154 | related to MFS transporter
MAKRPSLDIVATEVPPSKSESTSLDEKSASPTSASMSSDSGKRPVPLSFKIASIVLVSMIGFGGNWSSGITGAMKTKLKKGLKINNTEFALLDASED
FMKTALVLVSGIVTDRIGGAQAILYGNVIYTIGSILAAAATTVRSYRFLIFGQVVLALGDIATQVAQYKIFSSWFPPGHGFASTLAFELAIGKIGSF
VGKSTSNIIAENLGDFSWVYWIAVAMNVFTNVITLVFYFFTKYCENRFLDMSDPATGEVLTEKNKKFDLKRIAELPWTFWMVMLFSLVETSGVSVFS
ANATELAELRFDVDSITAGWYTSVLQYAGFFLVPLIGIFIDLYGNRLTLMVFTGVLLMAAMCLVNWSVTPQGTAAAFGLYAVAFCFGPTLIIDSIRT
SIWSQSVFGSAYGLKVTMNNAQNIIIRVMTGVLQDSSPKSNPYKKVTPVYLFLAICSFVVAVVLFGVYLVSKRGSGGVYIDVARLQWTRKQRTANGE
RMVERRKEVGFDSLEEKNARVDAGTGVVGEEEVVSEKVQRERRRMMVISRGACGVLALWVMGAWAAYFWGVATGNNN
>RCO7_08153 | uncharacterized protein
MAEAEPFISSTTRCSGQQIFTSLPKLWTSHRATVHTKLPHTTIERLISASPETTILYLAYGSNLCAETFKGARGIKPLSAVNVHVPSLDLTFDLAGI
PYTEPCFANTRYHVPPSTSTNTAKDNDYQKDRWTKGLVGVVYEVTSEDYRTIIATEGGGASYHDVVVPCYTIPAGTKSVDTIPTGTPFKAHTLLRPS
RDSEDSQKSTNGGIVRPDPSYAQASARYLKLITSGGEEHSLPDEYMDYLYKIRPYTITTAGQRVGQSIILAVWLPILLFLFGLGKLTADKDGKIPGW
LAGLIGGFTTVVWWNYDTVLKWTCGDGERTIGDDGGKDEDEERGGRSWCEKRIVLE
>RCO7_08152 | probable Rab geranylgeranyl transferase type II beta subunit
MSLVSGPGRASEAISSLPTEIQLSISAHVKYIQSLDTRKDELEYHLTEHLRLNGIYWGLTALHLLKHPDALPRKETIDFVLSCQTAEGGFGAAPGHD
AHLLYTCSAVQILAMVDGWQELEERGVKIEGKGGKMVVAQWIAALQNPETGTFAGDEWGEEDTRFICSAFIALSLLKLLSLANVPLAVSYIVSCANF
DGGYGVSPGAESHSGQIFACLAALSIAKRIDVVDKNKLGRWLSERQVEKGGLNGRAEKLEDVCYSWWVGSSLAMIGRLHWIDGGALRDFILRCQDPE
MGGIADRPGDVVDVFHTLFGIAGLSLLGYPGLEEVDPIYCMPRKSIQRELGTGYDTDL
>RCO7_08151 | uncharacterized protein
MPKVKHDNDIELQCTLCPKDPRFSDISHLLTHISSKSHLAHRFKLEIRAQSEIECKEKLEDFAFWYNENGLDVLLSERMAAKDDKKAKKAKASNTSA
FSKAPTVPKKEKKAKPRTVKEVLASTPVFRAPIPRMQAWPTEGEQEIGTKEWEPNTMYTTPTARRRIPNFSHQETPTSSKVDPNLTTPVKHRVEDAD
SAQGKKPGESFSDSAKLKGIVWPGMDLFDSATPEMKRMRNQRKDHTVLEDMIAYSLASEPAEVSFHANGDFRGSRDIFGPLSAESSPARSVPSPKKK
KPRQSTKALSNLSTNAPHIRAPRAKKAMQSMPTRSSPRKRQIGSMQAPPSHTLGSAPVLNPLANFDRRYVPSAEEDEEFRLTVGNMSKKRGFTIFQD
IPEVSPGRTETPLEDHRFDFFAPHGLSSYPSNGMNSTLTLASPTPVPRPTTFRISGKENGLPETLNYHHNRRSLSDSQVYPPHVYHEGNSNPLFSHS
FARPYGFGMGPSTYTGFGDSRSPNSFNFNFLNDYNRQPNPMTSMGQQEGHGMGQQAGNNASLNNFGI
>RCO7_08150 | probable DNA mismatch repair protein msh3
MVKQPSSTPASSQSKQTAISSFFTRKPPTSSQPVASLPLPNPPPHTAKETNLYDAQSEEDEAESLFVAQKSPPLKRPLADVSKGSNGINHAIEPPAK
RKKGEENEGSSTIFPASEKSKSVLTKPIISPRTEKYVYTGSSQVASSSQPILAEEVEEISAEDKARKEELHRQWVKRIGGIRIGRRFDDALPAPTEG

DGDEDGDEEEEAPAPKAKRKGAKTGKLTPLELQVLDIKRKNMDTLLIVEVGYKFKFFGEDARIAAKELSIVCIPGKFRFDEHPSEAHYDRFASASIP
VHRLPVHAKRLVSAGLKVGVVRQIETAALKKAGDNRNAPFIRKLTNVYTKGTYVDDIDSLEQPSEGAPSTGYLLCVTESKAKGWGTDEKVEVGILAV
QPSTGDIVYDTFEDGFMRNELETRLLHLAPCEFFIVGDLTKATDKLVKHLSGSSTNAFGDRIRVERVARGKTMAAESHSHVTQFYADKLKAQENETE
KEREQSLLDKVLTLPEEVTVCLSAMITHLTEYGLEHVFDLTKYFQSFSTRSHMLLNGNTLTSLEVYQNQTDHTAAGSLFWTLDKTQTRFGQRLLRKW
VGRPLLDKAQLEDRVSSVEELKEGYQTPKVDKLHALLRNIKIDLERSLIRIYYGKCTRPELLMALQTLQKISIEYAYVRSVSDAPFQSKLINTAISS
LPSISSTIISFLDQIVAEAARSDDKYAFFHEDHETESITDHKLGIAAVEQELDSHREVATDTLHAHKKITYTTVAGIEYLIEVPNQDLKRVPASWSK
ISGTKKASRFHTPEVIRMIRERDQHKESLSAACDTAFQTLLSSIASHYGPLRDAISALSTLDCLLSLAIVASFPGYTKPTFLPSSPGSASQINIIGG
RHPMVEQLLPSTYIPNDTKLSNASSPPAPPSSDPFSSLPSQISPSEQHTRALLITGPNMGGKSSYVRCIALISLLAQIGSFVPATSCSLTLLDGIYT
RMGAYDSIFTSQSTFQVELSETSHILKSATSRSLVILDELGRGTSTHDGVAIAGAVLDWVVRETRCLTLFITHYQSLAGVARGFEKGELRNVHMKFS
AVEKVTGRDEEITFLYEVGDGVAHRSYGLNVARLANVPQAVLDKAALKSHELEMEVKQKKMSSLARLMSDVFTTKGAPRLEELTVGMEEL

>RCO7_08149 | uncharacterized protein
MLAAQFSATAVFCPVATVLLTREAHTSPFFSNCGPPNPVMYPLPVMMADLASRLDDLRPTVLKLMAIGGTPGVSLGLMVKGKQVYQANYGYRDASKK
LPINEDTTNPVCSMTKAVTSAAMGILVEENKVQWDTLVKDALPGFHISDDILQNQMTITDLLCHRAGLSWADKLIIGTENNVLVSGDDAMKFFNSQT
RLMPFRGAFAYNNMGYEIAGKVIEALNNVGACYNTLDEGIYAQIPCVKLGDNGFGSAHAGMRRCVNDLMKLYNAFISSFNDQFATGKSATKGSPLKQ
VKELMSAKIPMGQPTKNEVSYGLGWARIQLPGAMGQIGINPDLLPEGMPIVGKEVSSQLLIFHQGSLPGALSIVILLPESQSAIFVTTNSLALNDVP
DWIGQLFLEALLEVPSAARNDYIKAAEKTRAENLKWYPNLIQELKQAQENGTSPRNFEDYAGTYWDKYGIFKIIVTVQEGKLYWKLQGLESEKFELS
HYQNDSFTWLATRNELSRRGRWVGGDQGPDFWKVEFKTASEGKISHLSWSHDNGVLANVYIKS

>RCO7_08148 | uncharacterized protein
MAAIASIFVVLRLYSRTIIVRSFGWDDWNVVVAAVFMVMIAGLMIWGLHAWDVESPNKLIAIAKLFFVMRIYYIIVQVLLKVSILLFYIRVFPVRWL
ESTTWIMIAFIILHGIAFNFAIIFQCTPVKKLWNPRVRGHCLELDAIMFPGAIFSIVEDLAILILPIPCLSKLNVGRGKKISLISMFSVGVISACAI
SIIRVKPVLDYRDTLDQSWDTIQLLAWSEAELAVATICVCLPSLKPILNYHIPHYFSSSSSAGVISGSPSVKPPSSGHGDVTNSAGSENKRNLLSSH
STSKSFGASRNNSEQTSDVGEFASENTPISDNIMMKTETRGWSEKDDDLERGSSMPNMGHHISQRPPQVVEREVTIKVPIDSNGDPQMDKVQRIGRL
SQVTHLEAELEKGHAVAPPGLFQGPGVTFST

>RCO7_08147 | uncharacterized protein
MFDNFWTPETIGTIDYRAILIFIGAALVWKQYHQTELQLDEERLDHHNGRRQQLLPVHGATTTRRERGQIYNVPTWRLRDHFRETSNDILASAFGID
VGSLAVGLQPFRRLPAASLQATPSLALEVNESNIAPTLPVTSFQRGFNPAHLNQASNDTSTPASLSLSMATTSIGTTLNISTGAHLGDIAVSAVGL

>RCO7_08146 | uncharacterized protein
MSFRETMCRGWKTTYQKASKRELNAQEQEQRKLKLPKKFESHSTNPQFAGKRQRMLENSLKALEIIDSEGRCRGGAEVIQLLHLLLSELLVFGLETA
NPISRPPQL

>RCO7_08145 | uncharacterized protein
MENDLSTVLLFGGLAVRSRIKYTNLNRTGVQDKSVEPLILGVDSNTMPLENDLEAA

>RCO7_08144 | probable 4-coumarate-CoA ligase 2
MPTKSNYPMIDVPNVDLWTFLFERKDREFPDNKVIYVDPDKSRSYTYAQVRNTALDFGKGLKAVWEWKKGDVLALYSPNCIDTPALTWGVSWAGGIL
SPANPGYTADELAFQLKDSRAKALATQKPFLEIAQEACKKAGIDEDRIILIGDEKDETAKFKHFTNIRNISGATRFRKAKIDPKKDLAFLVYSSGTT
GHPKGVMLTHSNIVSNVMMLKVGEGGNLSWKGGKSNEGDKILAFLPFFHIYGLTCLIHQSIYTGLTLVVMPKFDLEKFCSHVQKHSITFAYVVPPIV
LLLGKSPVVDNYDLSSIRMMNSGAAPLTRDLVDAVYARLGIPIKQGYGLSETSPTTHTQPWEEWSNTIGSVGRLLPNQTAKYMSEDGQEVPAGQTGE
LWIKGPNVFLGYLNNEEGTKNALASDGYFKTGDVGHQDQNGNFYITDRVKELIKYKGFQVPPAELEGYLIGHPDIDDVAVIGIEDLSQATEVPRAYV
VPKKGVEGSKEKEKEIMEWLAKKVANHKKLRGGVRFVDEVPKSASGKILRRVLKLQAAEETKRGAKAKL

>RCO7_08143 | related to acriflavine sensitivity control protein ACR-2
MGRDIASNSSGYGSPVSTPLLFFGAEDENSNLESSDRPQKRVRIRSENVMRGFDDSAMPPPGIGPGSHLNLVSESGHGLYKPSRRSFPEAPDLRRLS
VKSLLSGPLGMTGPRGNPLSLDWPGQNQDLSSDTVTWGIDRGFKDLDYGKNDDLNAISGSSPLLSRDHIEYTLEEISVSNPIEFGFGMETNTLSFAS
GSYYDKPVTIRIPRWYGELPTKLRQHPMNLLYFHHFINHTAGCLVPHNCSSNPFKSILPQMALQDDNLLNLLLAYSASHRARLLRQSEPAIRIALWV
QDIFPNLRRALDDPNQILTNANLATAIMLASLEIISPKAFGVSVPWQNHLDTARQMITARGGAQYVQTASRGDKVMSFLWRWFAYLDVLGSLSGGKA
NASTLFWASEGDGNNEDEYQIDCILGFTSRCVRLLALVAELARVCDTERIGPDHEIITTWKPSDYIAERAHKLQKDLDASILHPSKPCTHMQSSGGA
AYQWDSLEMTAINEAFHYAGLVHLHKRILGKGSKHPDVQNAVLEIFGALNKVRRGSSAEACLLFPMFTAGCDTRDEKKRIEILDRIKSMEMVGMTQI
HKARNLMQKVWDTGKPWETLVAGEFFG

>RCO7_08142 | uncharacterized protein
MESPNPASVPSTGAKNIFNKFLTRIRKPAPRNPISNTEKDTNIEMEMTPPSLPLTPVFSTSPTFDNMAMPARRAQNVSFTVTDATSDTCTELESTPA
VTPNIQPLPISNTIDTDIEMELISPATTTLDVMQIIDMRVKHSLYQRKSNDNYFLENMEMILDDRPPSPADSAICLDFDMECTPTSSISGTELQFLR
ERGTLLPKLMEDKDIDMENGNSIINNTGLDGNELMRVRRKRIESFKQRSLAFREVEMDDGFNCEGIEMEVDNPVDDLIAIFALFGIRDGDVDME

>RCO7_08141 | uncharacterized protein
MSPKSVQQMTRHPLQRLSSPSRGISAVFHLFGIISFSLSYKYLFEFPTFINDSYGWHFQYLTILGLTVAFGTFIAGFLADITLSPNLFLIKNTLSLC
SAPLEVLISVLYWGISAVDKTLLVPPEIHIAPLADIGFHAMPSILLAIDLLLLSPPWTIKTSQALALSSAIAVAYWFWVEECFKHNGFYPYPMFGEL
TTIPRAGVFAGAVLLMTGSTVVLQKLCSLINGRLPADKSQAPSSIKTD

>RCO7_08140 | probable peptidyl-prolyl cis-trans isomerase
MADIKEVKSNKRSRSDDDGISTLAVATINIRYTDNGSDSSSDDDMGPQLPSTEVPKKKRRKLPYEKLYLSALPTSAKYSKSLMHKEQLAFLTMTPLT
DFLITSSVDGVVKFWKKGADNIEFVKEFKAHNGEIKSVSVSADGRSFATAGADKTIKIFDVITFDLLSMLTLEFTPKCVCWIHKRGASLPVLAVSDE
VNHTIRMYDGRGENQEPIHTLAGLHRSVVSLMAFNDAYDCVISADENGMIEYWRPETYEKPDNVFEYKSSTNLFEFKKAKSTPTSMTISPNGSQFAT
LSFPDRKIRIFDFPTGKLYRTYDESLQVIEEMQQAGTALQKLEDVEFGRRMGVEREIESPTIRNKANVVFDETGHFIIYGSILGTKILNTYTNRVVK
VYGKEENYRPLSVALYQGAPQKKGITTVAMAASNNPLLQESEVRDPILITTGVGKVRFYLFTNDDNISKSDRDVQNEKPTNLNTKKAVAAKAAETGT
AAIIHTNYGDIHIRLFPDAAPKSVENFVVHSKNGYYNNTIFHRVIRKFMIQCGDPLGDGTGGESIWGKEFADEFSTLRHDKPYTVSMANAGPGTNGS
QFFITTEKTPWLDNKHTIFGRAIQGLDVIHKIENARVYKEKPEEDIKILNIEIM

>RCO7_08139 | uncharacterized protein
MSVTIDTDLLHINIPILVDDIMSGRLLIGDALPKLDSIRGEEFRSMLIAEADLMKAQGDEADRLKIRMIEGRVAESLDRDECERGIEFATVRKGKSP

AFSTYEGSKSAEIRGLSLSKASNVIKAGDTIAMEKALASLSKPEPQTPKTSPSSPGKSRSKPKKNSPPPLKFDMSPASNALSAKLTLSKASVAKEAL
ARPVNDTHGQGDAPDTCETIRASSAPHVTNSKENSPRSTSQLNHTDLAAAEQIIEARAANSRSTVLHADFVPYLVKFKAPDGSYVVEERIRGAANET
YHVLGKFVPMNVEEASDKSYSVRQRQVPNPSIAALGPSRDEVPVIDTEISLPIEPVTDLADSVEFESPENDIGVSLNLKPYAIPEFLMLFKGPAYSF
RNLWIVVASIWALYSTWHRSDKILGALVAGIKAVKEGSLWVLDKLFGFVGVLVRDYLEWREDESGIIASAVFDG

>RCO7_08138 | uncharacterized protein
MSTEHIPDGLRIKPIDERTLKEFEAVTPIELSPYTIHAEGDTPQGSPTSIWSASPISYLATNHNLPPSLPASRTTSPDLSGPSAPPPTPITPTSPRT
AYPPLTNVTMPEHPPCLRVQDPAFLSKFFTSMSSSEESIPAWAQSEAESQQREENYAWVNSKVEEMKNEFAIQICSLRDDFASHIGPLRELTQDHAT
SPKRVYEAILNGMSRLDGEQKNMVDAQEKQANLLSTVYGPERDLPRGLRQLDLLIEIQQKKGHWVASPRNRGVRYAKRNSAAVPGNMVRTKRTPTLQ
SAKSALYDPEISKSENANARDELFGCDEASTDDAGDVFYDCLAVEGYLEIPGLEHLMMQGADKAE

>RCO7_08137 | uncharacterized protein
MSVHIAQLRTTLEVNNSVAEQHMESLATVKSACDVITRSQHRQKKTSDKVLTQLGSLSRIEERVTSTSEVASEIFSSLAAIRNHEDEVLVRTAALKE
KSKTSDLMNTMILNSIEQLAIIFRDPGNNDDSDLGLVALFNEEPDLRCDEPLRTQLSRFEEKLDSKLSMIPLLSHLAVVTLKCRTATLKLSEMVASA
EVNKKGVVAEKLPEVVGKVVGAILWHCLYLIFGCLVCSMFLLTISEEYREVVSGTWVEQGVHGP

>RCO7_08136 | uncharacterized protein
MFASEHSSSSFDSRNVVNVSRPAILSTPSYEEQKNTLAKSINAPIDLEQPSDEAVIVSNTDSGYGDVRANQLRSNFVDRLDDLERGRMQALELLRRT
RKSIDDSLHCRRRAVYRISDQLAKLQSLTLIKVEATFYSGADFGRFAEFSSWFAATMRRATATSVHLNTINAALEESIRKAEPLCETPKGYYPALFA
RIKESLNHRSDEEVKLEFSRLEETMTKFLGHCQMLEENAGSALDVAKILRDAFDGLEDMITKESEAVVEAY

>RCO7_08135 | uncharacterized protein
MLRRISRFLSLWLCASITGIITISAYLFFYSESEHSQILTSNGIHAPGANIVVSVKTGASEAAGRIPIQMRTSLRNVRNVVFFSDLEQDIGEYHLYD
SLDTILPKVMKDSPDFVFYKKQRELWNATHDISSLKEMKHPEKSDMLAAWALDKPAMSGEAPWTLPFGPGTPYYWCRPALSLHHLSPEGMAEFTSFE
DRRENKTITLTHQEIFDTFVLDTLVSERDNWDNMASEPGEFGETGGVSSLTTTFEECSQACEADERCFQYSHHGNTCNIGMSVRLGYKKEANKEGVW
RSGWRKDRLIGWAKSQPKCGPASFPKQTT

>RCO7_08134 | uncharacterized protein
MRRDGELDSFAPSVCNVPAQLNQQRQIHKPLTSCNSIHEITSLLQLDHHPILKSLKNHKFVLPMPPHSKLEPCELSPDLADLLQRTFSESPPELAHV
YQNRPKPSIIRKNVDELMLKLSQEPPPFEVDDGSPEAIEMTLRSIQGSWDIFEVSVTSNGFVRTPLGVSYEIVSIEGEDEISLQVETSKPAKSF

>RCO7_08133 | related to phosphate transport protein
MAEFRADGTTSGGNVTFHNFHNDFAHIQDPNDVAGLLSLRSTRLRSADQYDIFTASFLTILLGIVYEHGNAGKLHIAQDTAIKVATSAGTMLGQFSF
GALADILGRKKMYGFELIPIIIATLAQTMLGSGPSVSIVGTMIFWKVIRALTSSGGDYPLSSIITSEFATTKWREAMMGAVFSMQGSGQLGGALVML
FCVNGSSACSDCSLFPPHHPRNSPYIFDVARDVEKANVDTAAYINGKPAGLVSDDAAIHVKQDAAALEVPKAGFGDFFRFYGKWKNGKIVLAIGYGT
GPSVYKILYNLAAGNCILIAAGAIPGYWTTVGLVDIVGRKPIRLGGFCIMTLLFVVWGFDFKPLSGHDQFGLYILIQFFFNFGLLTPHPAPVHVRML
IHLSYPMNVSQRATGPPVTVSQPVWGKSDPSSHNQQSHLRTRRATKNNASPWQNHVMQIYALFMFLGIFTTLLTPETKRKTLEELSGEYAFANNETI
TGGATVTEPKAESSTSPEAKSL

>RCO7_08132 | uncharacterized protein
MSSISTSGYKTNIALNRAQNEPDFEIDPDKLPIIFKKGLFSKTLEPPSKDPTAPRLVTVKCFYKGCSKVFRGQRVNHTIINYITHYKYNHRAFNIQR
VLISLEEDSRSSSSQATITQAFRSLRGTKRPASPIKEPFSSKKYKSLLIRFIIENNLSFRSISSTSFKELTLYLKKQSPLLYNKILHEYLKSIYKER
KEIIQGELDLNIKEKGYFSLNLDAWTAINQDSYYINSSLKLKSYAISIAYLSEPHSGKYMFQVLSKALEDWKIQDNIISRLITYSITRDNASSNDTL
IEAFIKDYDIKGIKFQGDITCLAHVLNLVVQDILKNIIKDAYSELDDRDDISNIENNREGDLHNNTSLWKKIRTIILGLKYSKENNRALKRHIEALE
IQNPCFPQLVPEVYKIYTRLETIRDEFNIEPFTSAINKGIGKLRKYYPKSGITEYNKALYTGLVLDPRIKVDGLSLLGLSNGIISDIKRKLQEEYNL

>RCO7_11725 | uncharacterized protein
MSYIKSTKTKPSRALYFKLEERINAFIATYGSTNLEEINEYTSVIQASSVYLKQLKCEIPKLILASLIFKGLLSSFDSFASRKGRIRKAHPELIPNK
STKKKSKGKGAKESKEESTKALMSSFSSTSSSILDSGASEHYTLNKSWLLDYKPVSKKSITIANSDILPIIGRGDILIITREGDRVLIKDVNYVPSL
KTTLLSSKELTNKDWKVTFNKKGINISNSSINIEARWYYNAYYLEVDVNHELLEPVSFKVDSNKSSKLDLYYKPLFTKLISDTPPLTIFDIDIAGPF
KIKVRVLGSLTYILINKRTNKFEDKYDRGILVRYKSANNFLVYIPKKRAIISSKNVLIKEYLTFKNKVISKEELESFNKTLNDCETSNYSNRVISLL
INTPKSDISRAENSEKTNSKIANNLLNKEKVIEDIELDLFNDIAEEAPIVEIPKRAFISSKSDDEIRLSPDPERILIKKDPELKAINKEIASLENHN
TWKVVDSNTKTIKLLKTRWVYKIKELESEYYEFKARFVAKGFK

>RCO7_02265 | probable cytochrome c1 haem protein
MLARSSLRSTRAVGTVRNGAVHTSKRAASSNSGAADSPFRLNVAGSAATAVAAGSVAWYYHLYGTELHAMTPVEEGLHATKYPWVHAGWTKTFDHQA
LRRGFHVYQEVCSSCHSLSRIPYRSLVGVTHTVDEAKAMAEQNEYDSEPNDEGEIEKRPGKLSDYLPSPYKNDEAARAANNGALPPDLSLMVKARHG
GCDYIFNLLTGYPEEVPPGVKLPDGLNFNPYFPGTGIAMARVLYNELVEYEDGTPASTSQMAKDVTEFLNWAAEPEMDQRKKMGLKVLAISSVLFAL
SVWVKRYKWVTLKTRKVTYNPPKMGGKH

>RCO7_02266 | uncharacterized protein
MSNTNHSDSDISSFAAWETQNPPAQTLSAKQQSMLDMKDPARVWKDRDSSNDARSSEGGSAEENTAQPKDEQVMTEAPDLLKLQTSVQDFAREHPFW
TQSVYDGEAALEFENDVFEFAREAGLGVGVAQLEVGKALGAWKIAKGLGVQTGLNVDVEAGKVFGKVLQTIELVGEAIGGGKRMRDGDVKPVLVEST
QNGTEGREEHKEPNLKRQRRRDKKKLGNGDVPLEGPHSSVQAGADTLGAKGDANTKGSKRQRSKRKLGEEGIPAIREVEPTIVSSVVEEAESRTPKL
KDVKKKQTAEEDSIKIVMTSAPAEELKSAKRIKNEKKKEKKKRAKSGPTSSSYFAQPDATAFTKTKQVSPISVKGVPARSQMEDTQMDDAPEKQQTV
EEVSRTSKENIEQIDAVDRDEKKKRKKKRNKNRLPVVETTDAAKSAEERTARKTDRSTVLKDGKAAEPSAKKKRVRSRRTKADGDDSKGSDKTTVAK
PEAEEPAGSKKTYNQEKDSKVSSEPSTINGTTVEEVLIRPLRTFDANGVFGPPGSSNPNLPKIAIEAAAFEQTPTKEKSRKRKKSSDTQAEAQVEAG
ITAVEFNNVEESEPPKKKSRDRKRKSDAKSLDISTKEVEVPAAIVEPMIEPHESNSAVEITNPESATLKKHRHRKRKSDTKLHDIAPAKFDALAAVA
EPLIELPDANSEKKKQHKSEKSRKRPSGMEVVAKAIEEEASNSRHS

>RCO7_02267 | related to 5-methylcytosine G/T mismatch-specific DNA glycosylase
MAVDVVLNENASQCSRWSMTEYGALDWDHSGNEYESTQARAKTTRSVSNVSPKNAAKVRAAFMNAVMPTRRKAHSAPPSGNRNTCVTRDLHGRFARK
TTSSSPVQTRMRAASTPAGRGSVSLRSKRESPTPPTERIEFSALKLSATKLSKNDAASSLVSVAPGLQNVPTMATSDAQKTKPAAKRDSKGRFVPKN
NSINVNTQDVVVAGIPHVDKPVLPAKIKVKRQRAPAKSPYFTPPVTPKTPKVKKEASAAVQEFSQKPSPNQTEDTPPSSQSSAKKRIPAKTVSCIPF
PPLSASHFGLIQEKLAHDPFRLLIAVTFLNRTHGKHAIPVFYSLMDKYPTPEELINADKADIVSVIQHLGLQNQRAATYQTYANIWVENPPSKDKRY

PVRGYPDLESGRDIKKGETVTDSDPRFAWEIGHMTQGPYAIDSWRIFCRDVLRGVAEGYNGEGTEKQEGFQPEWMRVLPEDKELRAYLRWMWLKEGF
EWDPFTGEKEVAGEELMRASIEGRVAWDDQGGMRILDDVMVMESGLSQIGHV
>RCO7_02268 | probable glycogen debranching enzyme
MVSSEVYLLPLKDNGSPDVPGGYIYLTPKTAAPLTVRFEIEGTSSICRHGSLWTNIPEDGKEFQRNKFREFKLEPDFNRTIEISVTIHGAGSFAFYT
TYTPLPDLSETVQKALEPAKTEIYYIDVAPRLTLEGRQMPLAALSIFSLISKFMGKYPTDWEKHIRGISERGYNMIHFTPLQHRGSSNSPYSIYDQL
SWDPECFPNGEADIKKLVRSMEKDHGLLGLTDVVWNHTADNSKWLQEHPEVGYNVSTAPWLRAALELDTKLLEFSDTLAAQAVNLKSVDELLKIMEG
IKAEVLAKLKLWQFYVIDVERDADAAVESWSKGDIKFPEGGFGGSDFGGLETIKNSTPAQMAQFLAKKGLLNTETLGERYRRVADPRVAAALITAIY
GRYEGDASNSADRAAVRNKLTGILDEVNLPLYQEYDKDVAEILEQLFNRIKYVRLDDNGPKLGPITKKDPLIESYFTRLPKNSITAKHNQEDLALVN
NGWIWAANALIDNAGPGSRAYLRREVIVWGDCVKLRYGKGPEDSPFLWDHMAKYTRLTAKYFQGIRIDNCHSTPIHVAEYLLDEARRVRPNLFVVAE
LFTGSEEMDYVFVKRLGISSLIREAMQAWGTGELSRLVHRHGGRPIGSFEVDEISSEPKSISSPGKTNGQSQREIIRKIKQTPIHACFMDCTHDNEV
PAQKRDARDTLPNAALVNMCASATGSVMGYDEVYPKLIDLVSETRLYTSASSIKHVKVGGGEGGIGGIKKLLNQIHTLMGKDGYDETHIHHEDQYIT
VHRVHPESRKGYFLIAHTAFPGYGNGNGNFSPVHLGGTKARHLGSWMLEVDTSEEAKKAAADDKKFLRGLPSKVVDLPGIRMEVKAEETVISVRDKF
PPGSIALFETWIPEAEHSTGLDAYVTSGAKAAFSDIDLIDLNFALYRCEAEELDSSDGKDGVYEIPGHGKLIYAGLQGFWSVLKNIIQENDLAHPLC
QHLRSGQWPLDYISGRLEKISAKSGFERLLKVATWMKERFDAIRKLPSFLLPRYFGLVIRTAYTAAWNRGLELMNDNVRKGQWFLQDLAMVSIQQTG
YVKSASLYPKKEVPALAAGLPHFAVSWARCWGRDVFISARGLFLGTGRFDDCKDHIFAFASVMKHGMVPNLLSSGSNPRYNARDAIWFMLQTIQDYT
KIVPNGLSILKEKIPRRFLPYDDTYFEFDDPRAYSKSSTLEDIIQEALQRHATGMSFREANAGPGLDMQMSSAGFQQDIQVDWKNGLIFGGNQNNCG
TWMDKMGESEKAKSKGVPGTPRDGSAIEIAGLLYSTLAWVSKLHNEGKYKYAGVSTSSPDLKVITFAEWASRIKANFEKCYYVPLDAKDDKNYDVNT
EIINRRGIYKDLYKSGKEYEDYQLRPNFPIAMTVAPDLFDPKHALHALTVADTVLRGPTGMATLDPADLNYRPYYNNSEDSEDFATSKGRNYHQGPE
WLWPTGFFLRALLKFDLMRKKTPQERTESFQQITRRLAGCKVAIKESPWAGLTELTQKNGEFCGDSSPTQAWSAGCLIDLYHDAAQYDVSQLSRD
>RCO7_02269 | uncharacterized protein
MLAPTSKQYRVVTKKGRRTHLTYLTTSSDDTSRVGMVKLNNLAILHGLSTYSPFGIGSLWKISLETAGLSSLSPSSLESQNTFKEIIIESSIPNPGL
TKSFNNPSLMAHVLFASVGEQFLHPRSVNAIGSQQEAILVERALHGSLRRVVRDDGSLDSVYPRRRPRRLAGP
>RCO7_02270 | uncharacterized protein
MDLSLTGGWPSPTIQGPSHLTGTRQGEVDMYTSLPIEDDTGTTILPATEISTFNEYEPYFDDAFMNMDIAREGHGKEKVRLGPGIYPLDMTTMSSLL
DLNSSMVTVDGTYATVTTQNHMDTTKGSLDYGRDRVKIELPSAGDHYRRGVSEDLLQSRHLSRLELQSDSIRGLPCIYNNFEPVSEPDSDGDAPRVM
PEIVHGENPRHIPVSVAKPELLSTASSAGLSLLDLSSSAPSSTGQYSCNTTTPLATPSGAPTPARLARGATPATTSFTSSRVIDGVDPGDGHLGVTS
RAAPVCIRLLMLYIKSRGIENGQLAEDLVAQDKWYLSGVKEALRIRARFHGRIHSRRSSTASRQPSFQFPTSTSHQTCDSQAPLTAAPLAPAAVTPG
TNEHNTPNEGIHGQRQRQYQSFANLPANHQQNRQNQLLGFTNSWSGQMQPPATSMKRAASNPAQGESSATRMRPNQQGLPQPTTESQLQMQQAMRFP
LSPMNSERSPVDTLTGNSSQLYVPERGTQSFQNQQDDASYYKMENENWIPFPGSSHGIVGRAGMSSQSSQHHHIDEHASMVTHNPMYHYPGQQGQVS
GQFGQFENNYIVPSGDGCNAGGRAM
>RCO7_02271 | probable glycerol-3-phosphate dehydrogenase (NAD)
MATLGAYSKKHKVTIIGSGNWGSTIAKIVAENTKEHSDIFEEDVQMWVYEEEVVLANDSKHYDASKGDSPQKLTEVINTYHENVKYLPNITLPKNII
ANPSVVEAAKDSSILIFNLPHQFIGRISKQLEGNILPFARGISCIKGVNVTSSEISLFSEWIGEGLGIYCGALSGANIANEIALEKWCETTIAYDPP
PVDSRAATPTGPSPSSSSINLTITPADEPHKDVLGRFSKVKLRALPTEYPPLDHALFKTLFYRPYFHVRMVSDVAGVSLGGALKNIVALAAGFVEGR
GWGDNAKAAVMRVGLLEMVKFGKEFFGQTVNAATFTEESCGVADLITSCSGGRNFRCAKMAIEKGITVDEVEKTELNGQKLQGTSTAVEVNSFLKSK
GKEDDYPLFKAVLDILEGRNTVDDIPALLARGDDD
>RCO7_02272 | uncharacterized protein
MGLSRCVRRIFCRQKKEKPTPSTTLLNSSPNEKKPTPPITLPNLSLDGGNPTPLANLSATSPNEGETILSKTHPNSSSNEENSTQSKILPNSCPDDE
KPTPSTLLQISSPNQEMALLSTLLPSSCPNEEDSTQSTSSYLSIHSLSVEVPTPTPSNSSPAFTFQAASEEFIPCIQVTSISTTASRRLNPPSPSTD
FLQVPQEPTLPSRKRTRNQRLGSDHLEIESSTPRWRPATQLEDERTDYFGDVVIEPEGEEEASGKDVSNEEPNTVTTASISPNIRSRTKINFNITDL
DTIEALSSTEENGEEPRFLFMKNHTLLDSEVHNCHKIAKVVIASDVHLPQSAVIVSLQSSEQLCDDTPNSGKEEISKRDERDGKKAFSPLFEISSPE
ADQPPSNSLSRTEKDKNLDQYAESNSSISIDLSNLPAVTPTTQFEILTSQLNDIQQRSSERKITDDQKRDIEEYLVMTAIEGISSHEVVTTNMFQDL
FYSKPEQAKKEQILPIRKGCGEHARARDSGVVLNLELDLDVKEEKEGVESAKSETETETMTEDSQEISLEKMVREVLSNDEYPPSAELLASSYCHSP
HFSPSRSTLVQPLPQYQEIVSCEGKEESQTPLIKSLDEDIRRKILAWRYITQEFAAKKKPLSADLINRTYRILISGHDHSSSESRFPNRLILNSETH
ARDSSSDSESRFQESMRDIATKIHTAEDEGLIDPISLAAELCYRILVSDYSFTSAPSSGSGKIASSAKRTLATLLVNAILLRYLGFIIPFTQDFDDI
ISKTTIREEIVSDDDEIPPWAELSIFILQQSADVVEEIWDILTSSRFLDEDNSRTQHEDLGDIYRQRYLRIRWPHSGRMNET
>RCO7_02273 | uncharacterized protein
MPRTSNIHVNVFTRPGSVTYTLPSPPYSSPCTTITLPVNSTWTSGLHWHETHTEFLQIISGAALITLNNVAQIYTSLDGIVAVPRFSKHEWRRASLA
PSLGYDFSPLSASLTQGQIDDEELVVHEWTDPNDGQKEVFFRNLSGIIADGVESKTGEWVMELRLWALFREVDNWPVVLETCRLPILGPVLEKISLG
RISEWVVTHAVFGILGCLGWVVATKGVREEYTPKRHEL
>RCO7_02274 | related to F1F0-ATPase complex assembly protein ATP11
MASFRTPALRHVVSGAAPYLRSTQRRWAQVHDVRFLATQQSDRVIEKYKEKLAKKAQEEGLKDISELKEVYKDKILHLKQKALRIPLSTQQNSTTSP
FPPAPPAPEAQTPKPPPSATKIPPSLPGIKTLSSYLDIEKSRVLPPKELEAIWRLRHVSDPQSLCAVIPLTIYQKLQNTAKKHPHFILPLPKEGQGA
EIHFLQWTFPAENTVTVLFTHLAEYKLRGEYSEPHTTITHHLELAEEKGVVLLQGQVVEGRGVSVKEAQWLILCLQKFYGGLGGEENSEGRKKLLEQ
FRKGDPGFSVDELLEESEKII
>RCO7_02275 | uncharacterized protein
METKPHVPLHKRSLSLSTSKSPQSESSTSSKSAKRQKIASSPSQDSDENGGNALGITFGEKDGGERELEIADSQDVEDMDVDDTADDELDSEENISE
KAKDKVTAKPIKKTAAARLPSSRIKSGGSSIPSKPKSGKNISLSALVSNKGSATNDVKRRLSSAGNFHFDPREFKSIVRWTRMHRTTKVTHHKAEFV
ELLSHMGFMDAELSTEEQNALKAKVGLKMRTTLNVAMRKAGAITDSHDGYESSGSSVFQPLAFAEWTHWWFKRGWDGSLTKPDKVKYEAVMNEPDSD
DEAVTANTQQEKKQIEGKGRAKETAKENGKGKSKVREQDARVHSPVRRYSSAESEATVSADLQLEENISQYPFSHYKEDDNRPELFIVEEPFLEVSE
PASPIPPPKNDFPDVTNWNTYLLNKEIIDEHDWNYRVMTAQSLGLDLKAVAALYPDPHPGYEAPPHEENDDFAGYATVAPDLGVPKPVFSKAVSG
>RCO7_11712 | uncharacterized protein
MSSFKGDKLVGRSNYIEWLNAASLYLEVNGFISYINSTKTKPSRALYFKSEERINAQGEKRINYTSYSPELAIKYYERLANFERANKKALCAIKFII
LLENLDTTYGSTSLEEISRHINRIIDNTYSSYKNIDEYTSVIQASSVYLKQLKYEILKPILASLIFKGLPSSFDSFASRKYEEISNNLSSIDIEGLI

RDLISEEARMNTSTDLQANKAFKGKNSKGKANCYIKHPELIPNKSTKKKSKEVDVNHKLLEPVSFKVDSNKSSKLDLYYKRLLHTNKEFIYKTIEGS
KGLKIQKGLDLSDCSAYNSGKIHAISSTKPISDTPPLTVFDIDIAGPFKIKEALELFRVLGSLTYVLINKRTNKFEDKSDRGILVGYESANNFLVYI
PEKRAIISSKNVLIKEDLTFKDEVISKEELESFDKTLNDCETSDCSNRVISSPINTPKLDLSRAENSEKIDSETADNSLNEEKVIEDIELDLFNDIA
EESIVEIPKRGIKRRRDYSNWVPNVTTRSQAKDPDIALAIQNNKRLIQEQKEAYSVYRNVINLACQAFISSKSDKEIKLSPDPERILIKKDPEVVIY
EPKSYKEAINSPYKDY

>RCO7_11723 | uncharacterized protein

MAICPILIVQRLSLAELSTSNQKNVLTPDFKGANKKALGAIKLIILLENLDSLIFKGLLSSFDSFASKKYEEISNNLSSIDIEGLIRDLISEEARMN
TSTDLQANKAFKGKNWKGSKKYSHYNKTDYIKVNCYIKHPELIPNKSTNNKKKSKGKGAKESKEESTKALMSSFSSTSSSSSSTADQAYATIYNYRI
VLDSGASEHYITNKNVNHKLLEPISFKVNSNKSSKLDLYYKRLLYTNKEFIYKTIEGSKGLKIQKGLDLSNCSAYNSGKIHAISSTKPMSDTPPLTV
FDIDIAGPFKIKGLNKTIFYKDKAHIKNRSYNSFIKKSPFEVLFGKKPTLNYIRVLGSLTYVLINKRTNKFKDKSDRGILIGYKSANNFLVYIPEKR
AIISSKNVLIKEDLTFKDEVISKEELESFDKTLDDCETSDCSNRVISLPINTPKSDLSRAENSEKIDSETADNSLNEEKVIEDIELDLFNDIAEESI
VEIPKRGIKRRRDYSNWVPNVTTRSQAKDPDIALAIQNNKRLIQEQKEAYSVYRNVINLACQAFISSKSDKEIKLSPDPERILIKKDPEVVIYEPKS
YKEAINSPYKDY

>RCO7_11525 | uncharacterized protein

MPLLRANYRTTRDSSSPNHRYTIQSPQRLRRAR

>RCO7_11526 | uncharacterized protein

MSLLDDLNDYKLETSYQRDPECTIYTSYRADRARGIGKVAVIEKWVRDQKLLGVGTFGSVRLERRESSNARTQTCRAVKQMHKSHMARLKVDHNKEI
IALTKFSRSKFSQSQLFVEFFGWFEDDDNVFLAMEYFELGTLDIHMTETLLEQDARSIALQLLEGLKIMHEEGFTHRDLKPENIFIAQKSPAWWVKI
GDFGIAKRVSNNDTALQTATGTPLYLAPEVLHFVENEDEESSSYTNTVDIWSFACVVYQMMALQVPFPTYPRSLLAFCQGGPFPESPLLRRTSADGI
EFIKSILVPFPTHRPTAKSVGLSKWLKDQDMGTSDMVEVFNQVNIRDDQTQSTKGALLPYREDQILSIPDQASGVPAQTTQARKLPALSSNKFPTPA
IPILTPTTQVPTSVRLAKLMPSEAPSNFHANESERFVGSDTELSNLKVNSKFGRPPLPSGEHRSKPRNLPPISKDLPAGWKQRKAKDGKLYYVNSKT
KKISSKFPKSS

>RCO7_11527 | uncharacterized protein

MSAAFGNLDSSSSSSSHEDYLTNPLA

>RCO7_11528 | uncharacterized protein

MEIAASAISITDICIRYGNILVKTCKSYKNADQEIGESCLMIEARWSKIQQQLEFLRRIWPGLEDDYQLHQSSILHLEPVTTHEGELVSALKDLPEA
INSTLTQEGDADKNSVLLPDNFLSDTHYTPIQSGSTASGVWANNDGQTRYLVDQASTISTLSDVCKLAKILRRVTSFDLGILACKGVVKSASQNEQG
FNTRLLFDIPSNLTNPQYLRTLLSFVNSSYPLDGRFLLAKQLAKGVMFVHSAGFVHKNIRPDTILVFQDGKSSNLWPFLTGFEKFRIAEGSTLHQGD
DTWEKNLYRHPQRQGSNPETNYLMQHGIYSLGVCLLEIGLGESFVKWDVGDSKYLPSPSISAAIQSLLKDKQKKAFETKRYLVSLAEKLLPSRMGRN
FTNIVATCLTCLDSSGNMFGDKSEFLDENGILVGVRFIEKVLTVLSEIKI

>RCO7_11529 | uncharacterized protein

MISLKLSHLIVGCAIATVILFLSLRNHGTAASTPSPWNFSNKPSSTKNGNFRSASSPKSIDTRSEMGRASNATLGFHKILVLGLPERSDKRDAFVLS
ASLTGFEVEFFDAVKGDQILDKTRPPGLNLKDGALGTWRSHLNAVRSIIENNLKSVLIMEDDVDWDIRLLSQLPEFAKGVRSLSGIKSSEVQHSPYG
DDWDILWPGHCGDIMPKGDDRRYTIPNDETVAPKTHQPWLKGLKDLPEKTRMIHKAGAPMCTFGYAVSYRGAQKILMALAIKAGDNLAIDNGMAYLC
RDGLLDIKCYSVEPQLFQHHRPAGSVNKDSDINIGDSDAVRQKGITDFIVRSARLNMEQLIMGSDQYVEQW

>RCO7_11530 | uncharacterized protein

MAQSLIFETPSKFVRATIPVNITWNPQTFGASPTSNFSLSLWLLRSDSPDNDIVNSYLPEILAHNQSVFANLVVWTPRTDDVNVGVRQLGSDQLAWE
KTNDNPELSPFLTKFKGFSRGFTVQPPLSDPSLSSSVVSSSSPSSSSSSSSGPSSTSLITSTTSTTLGTTSTAALESSTSDAAKTSTTNLPVALGLS
IGLGLLALICVSATIWGVRRYRRLKSAAVVGQPQDTYISAEPSNYYKGELAGSRMTEAVEMSSEKYNR

>RCO7_03415 | uncharacterized protein

MPRILCWACNTVEDIRVDQPYGENSAHLEVLTMCGSRIAALDSLRLATLGCLVRVGSKLYGLSAAHAFEQIVRSKSRPPDLPTGSPQPEDLVSDLLS
CSFVRDERYFVNDEDECYLVVDDVEYDLDSEETSGDTTAPLESYTPFYQDGHREVSEKIMTGAMIFPSDGFTHITWPDLDWALVEVTERQHQRPNAY
MALTEPWGPVFLSELVKYHPDQQRDIVVLSSALNPRRGLLLPGISFLGGINRLGICEVWNIVLTGEEKLASGDSGSLVVDVTTNEIYGHVIASNPLG
EGYVVPLIATMGQIKEFFGTDDVSLPQPLPLLSRLTTFYFATLQRQNAKIDENTNREVGQEDIPIPIYERTEEPVATLRKDNSTLSKFPFAKEQSGG
KEEPEVQKNGLLPAGSYRSRRRAEEQRKVHEEIIVLEADFHQDTGWPAEMRDMPIPAHEKLTEIKAMPKIYRSKSASQSPSVKKNPDVKEEPGRRRY
DRLTTGYNWKKHGDVGNSFPDGLPGLRSVEFVENDPADDSGYRSAVARFATFADATDADDGDSPPTYQLLSASDGKDELPSSTSSSASITSTEPNSH
VSSTRSVLEGSVPTQSLSSI

>RCO7_03416 | uncharacterized protein

MHVATTTLLIITLLLTFVSSCPTLFSFSDSNTCSIFTNDTISRIQEPPLLLSPIEIEISSLTTLLRKLSSTASLYDGSLQQTFDLAKIVKEVKLKLG
KTTADLGSGERVGQGLGRSLTPIAALEDMARCTEDVLDVLVMKAPTIATAGYKSLVFSELGTLAASTDLFFDALGKREQIDPRNGDGGVDEVKEEQD
IRRLQRVVREMFKKVGGVFVEDNSGARTHMIHGGERDRNQFVKIGMGSY

>RCO7_03417 | probable Methionine aminopeptidase 2 homolog BC1G_04189

MAAETSDALANLKLKDPEAVKASAAAAASNGNCKAPEAEDSDDDEDEKAAGEGGVEGGAKKKRKRKRKPKKAGGAAGLATKQSDPPRVLLSNLFPSG
EYPIGEEVEYRDENLYRTTNEEKRHLDRMNNDFLQEYRQGAEIHRQVRQWAQKNIKPGQTLTEIAEGIEDGVRALTGHPGLEEGDNIRGGIAFPTGV
NLDHIAAHYSPNAGNKTVLSKDNVMKVDFGVHINGRIVDSAFTMSFDPMYDNLLEAVKQGTNTGIREAGIDARLGEIGGMIQETMESYEVEIRGETF
PVKCIRNLNGHDIRQWQIHGGKSVPIVKSSDQTKMEEGEVFAIETFGSTGNGYVRDDLECSHYAKIPDAPNVPLRVQSASKLLNVINKNFGTLPFCR
RYLDRLGQEKYLLGLNSLVTAGYVEAYPPLVDKKGSYTAQFEHTILLRPNVKEVISRGDDY

>RCO7_03418 | related to MDJ1 Heat shock protein - chaperone

MPLRSFLFPRAPRIVSIARSFHSSSVLRNHYETLGVVPGATPAEVKKSFYALSKKHHPDLHPDDPDANSRFVTISDAYGVLGTPAKRQEYDRSISLS
SQPSPGSSTQRPQGSYHSSGPAGGRPASGLSRRRTQFHGPPPSFYRSGGWGAHSAKRKAAQDSHAESPAGTAGGMGAGQKPWGHDEVNDVPHFDREG
HYRTQENHSRRWQRRKGMEGRQIDTGDLPRSMLANFFFVGGILSIGIMVPTLLFEKFSQRRGNLEK

>RCO7_03419 | probable mitochondrial porin

MSVPAFSDIAKSSNDLLNKDFYHLAATTFELKSSTPSNVGFKVTGKSTHEGANAGLLEAKYADKPSGISLEEFILFSEYPHRFNPIGFLVYMSPAGQ
TLTCFYRRAGLTLTQTWNTVNALDTKIELNDVITKGLKAEILGSFLPATQNKGAKLNLHFKQANFHGRAFFDLLKGPTANVDAVIGQDGFLAGASAG

YDVQKAAITSYSAAVGYVAPQYTASVTAANNLSVFSAAYYHKVNSMVEAGAKATWDSKSGNQVGLEVASKYRLDPVSFAKIKINDRGIAAVAYNVLL
RPGVTLGLGASFDTQKLDQATHKIGTSFVFDA
>RCO7_03420 | asparagine synthetase
MCGIVGCHHVPDAKAFKPTALKMVKQCRHRGPDWSGSFMANNTILAHERLSVVGVDSGAQPLTNKDETIALAVNGEIYNHRVIRKTLTTPYHFKTHS
DCEVIIPLYMEFDIDAPKHLDGMFSFVLYDKSQDRTIAARDPIGITSLYQGWSSKMPGATFFASELKCLHTICDKIISFPPGHIYDSKTDKTTRYYQ
PSWWDGEKVPSTPLDLKLLRETFEKSVRKRLMAEVPYGVLLSGGLDSSLVASIAQRETLRLRAIALKQMENANGDGEAIGDEDKGEGLVGIDDDDKL
STVTYLPQLNSFSIGLPNAPDTKAAKEVAKFLGTKHHDMTFTIEEGLNALTDVIYHLETFDVTTIRASTPMFLLSRKIKAMGVKMVMSGEGSDEIFG
GYLYFHAAPDKNAFHQECVRRVKNLHLSDCLRANKSTMAWGLEARVPFLDKEFLEVSMSIDPEEKLITKERIEKYIIRKAFDTTDEPGAQPYLPDNI
LWRQKEQFSDGVGYGWIDALKDTAEANVTDEMMKNPKPEWGSDVPDTKEAYWYRTMFDEHFPPHCADTVMRWTPTWSDQTDPSGRAIKIHNQKYETT
K
>RCO7_03421 | probable ubiquitin--protein ligase hus5
MALCQNRLQEERKQWRRDHPFGFYAKPQRNAAGVLDLKVWECGIPGKEKTMWEGGLFKMSVVFPDEYPTKPPKCKFVPPLFHPNVYPSGTVCLSILN
EEEGWKPAITIKQILLGVQDLLNDPNPDSPAQADAYNLFKKDRAGYDAKIKKIVRDHPAP
>RCO7_03422 | related to PEX19 protein
METKPGDLEGLAETTSKAIQKDSEVSTSSASKDPAPVSSAPIQQDVATTENVPDPDEDDLDDLDDMLDEFNPSKPELTTASKPTSAPTGPSNPIADG
ISDEDFAKQLQAGMAELMGELDTNPEMATQLEQMLKELGGVSALDTAATSSSLPSQSTASPASSSEAPKEAPAKSGAPSEESFQETIKKTMERMQSS
GDQATAAAASDNTDDILAQMLKAMESGGLDGEGGEEEFSKMLLGMMEQLTNKEILYEPMKELDDKFPAWMKENEGKVDAADLKRYKEQQVYVKEIVE
RFETKTYTDDNSKDREYIVERMQKMQAAGSPPPDLVGDMAAAQEAFGAPEEGCPTQ
>RCO7_03423 | uncharacterized protein
MFSMLPTHPQTYGQSNHHTPHKPSPLSSSPLRRHSTPSPLSPRDMNVQTCAQVEDAIMSSPSKISSPSQYSPNTNTIFTTTPESARKSYTQTQNTNR
SLISPPPTKIESAYSKRTTKPNPLMSCGRSSSDEGRETRRKLFLKRVREGSEEKKWRRRGENEEFLRVLWLSEERRRGEGRRREALGIEELPEEEQA
AWMEELLDNEEPLTEELELDAILSGMDPEATRFNYGSAPSASFGGMDTSEHVSYSKPIDQQSIWGSDDDEYDEVFMDVIQQESRTSNQQQPPGNVQD
EDMMDMS
>RCO7_03424 | related to UPF0662 protein C30C2.08
MADTPTMPFPLDPREQPVLDTLMKIREELTTLKQDRSTYVKSSDVMGFYDKVVEQVKILNEIRADKPQEDNRVDRVLDGCFQLLSLFFMTIGRNNEA
PAAYALTSTIKRLLAHLREVDLYSEKDLTHCSHTLERLRKIVKDAEGDYSPYFITLLSNRVELCQATLTNLQTRLDRLGGDLLSIHEKLISILRSIS
LANTRSKFSTTEVEKLRSQLKEIDALRNDGKFVTVGGEVPAGNDETVELLNKCLMWSEIVLQRKGKMVESFKEPYQILIDIRNKLEKLSLTQAWSLR
ETDLYDYQRQLDKIDESRIDGNFVDAEGNFAELYVQRTLLYLIRRSYAYIYYLMVSSEPVSEALLPVYNQLQTLRRCLIEVKNSGGVSSPRELYPYS
MKLNSIDNMRVDGKFLVGKDIPEGQGSVNDLLAECFELSYELRVAAETEGEE
>RCO7_03425 | probable 60S acidic ribosomal protein P1
MSNAELAVSYAALILADDGVDITADKLQTIIKAAKIDDVEPIWTSLFAKALEGKDVKDLLLNVGSGGGAAAAPAAGGAPSGGAAAAEETKVEEKEEA
KEESDEDMGFGLFD
>RCO7_03426 | uncharacterized protein
MQFTSTILLTILATLIAAVPTPTIQPRGCTTITPNAMQSLLSTEPTIGYTNQGLNGAGGNGFTIFQDNTQASNRYQMLQFLDFVVPAGSYGCELKVT
DVGKSVSYSHLRGHEPLSDPGMAHVKVQALIPNAMSIYPSYNDVKNVSPALVSAEKFGSFSIKNGTALTVINGEACPPAMSDGRDGHLQFVFELEGS
DDLSRTRYFNMAQRGVGAVGGLNGFHMTFNC
>RCO7_03427 | uncharacterized protein
MASSAPEKFEWLVIVPDQPGKLAKRMEVRPAHFEGLKENTENGFWKMGGALLEEVPKEGDGLKIQGSAMVALASSKEEVIEKLKADTYAKNEVWDFS
KIQIYPYKCAFRHP
>RCO7_03428 | probable DIP5 Glutamate and aspartate permease - able to mediate transport of
other amino acids
MSANVNTYDHSSDGSPERKVYNHNDKTYDPNVQGSTEVEEAEDNNHHLHRNLSSRQITMIAIGGAIGTGLIIGTGKSLRQSGPAPLFIGYTLVGFLC
FLVMAALGEMAAWLPLPSGFTGYATRFVDPALGFCLGWNYWFKYIIVTPNNLTAASLVLQYWVSRDTVNPGAFIAVFLVAIVIINYFGVKFFGEFEF
WLSSVKVVVILGLILLSLILACGGGPHGATGFQYWRNPGAFHEYILKGAAGRFLATWATFTTAVFAYLGTELVGVTVGEASNPRKVIPRAIKLTFYR
ILLFYVVLVFLLGMLVPYNSVDLKTAIEKGGNTAAASPFVVAIINAGIPTLPGILNACVMIFVFSAANSDLYIASRTLFGLAHEGKAPKIFTRTDKR
GVPIYALGLSVAFCLLAFLGVSTDSYTVFGYFVNLVTMFGLLTWISILIAHICFVNARKAQGIPDSALAYVAPCGKWGSVGALAFSILIAIFKGFAL
FCWKKLGQKRFDTETFVTTYLGFPLYFIMYFGYKFYMKTSIIKSEDVDLYSGKARIDREEQEYLAAEMERKGIPETKWERIYRLTLGWAF
>RCO7_03429 | uncharacterized protein
MSSPLRRSWQIKQLPTSKVTETFQTFGLDGASDPESPTDSTSNRDTQSNRGSLSRKSISYNDTQFWKSTKASRARAQSSAKSSRKASLADGIFDEPA
ISTKQRTRSNIDSKELSSSTSTFGGARMVRDITMPGSSGYIVLQYTQEFPHCKPQGIFTSLVTANNKVIELFVNDEEERYAGCKLAEEWAKLRGKIT
PHISEEGFLQYTRTRVEPKSMVWVSKTPVYSDVIDVNEGEVVDVDAVLMKWPDAKEMKDLWEASCPERRKLAGWR
>RCO7_03430 | uncharacterized protein
MSDTDSTRIKRDYSSDSSLSIDDASPPRRKKVKRQSTENSYTPDSDDTSTAEKGTSASTPATKGLLAILEPSQKDDVSDTPISDQEAGIGSTSLPSI
PATKGLYEPPCQGPKPKDLVTPTAKTTSIPEDTKPPSATGSLYAPPWSGPKPKDSDTTTTKKLSVPGNIALQSRPAAKNRFTLPLPYDKDKVVGQSS
GISIPTTQSPSTPHTKAKRPSAALSRRIEAAHQKTQPSTCENPLYAVRRLSSYMSTPRLHRYNTLATYDNLNDANFYVARLWTALHGSGGDWVYSKG
KEADGRIWWAVLEGSGSLVKIDIGKVTAWLIPDMRISKLGEGEELTDVKEWGNDINNDADLAKRAEELSTPLNC
>RCO7_03431 | related to DNA-damage repair protein DRT111 precursor
MDEAEWTSKNYTTDNTSDIAGYSLKMSNPNQTPAPRGGGLSLYANLLDPESSTPGTISKGPVVFKPADISDDGSAKKPQLDSGALRFQPTKRPQLSQ
KPKPKSAFPKSFPVDATALRNVSTPSSTPHKFARPAAKTTLADWTGLDDDDVNGFYGGVEKRQRGGKGRKKNKPREEHMAVQDWDDIYDPSRPNSYE
EYKHSDEKIREVREWKDRLYAHRMARKSSEKDSDEEDYRPQMGNQFAPPSNYSFAPPPMDSSPKKPVENTDSPAKSDSYSPVPPPPPPPQITSPPAA
PEPSPAGAISRAPVRYNLPPPPSELPSSEAELAKALAEEPDEDEVEGEDAPRSLRPGQKGFAERLMSKYGWSKGKGLGAEETGIVNPLRVMVEKRKK
RSDAEGGGFREPGGRGKIIGGQRKVPEKEEEVGKFGPMSEVIVLRGMVDGMNLDEEVEGAGDGGLMQEIGDECAEKYGRVERVYIDHHGTAPKVFVK
FTSPLSALRAVNALEGRIFNGNTISALFYETERFEQGQYDLS
>RCO7_03432 | 2-succinylbenzoate-CoA ligase

MATTLSNSFSSGDNTTAIIIPKKPNPLVVSYKQLSAEILSFQRKLAKLGVTPEAAVSIALPNTYEFIVAFLASAWQRGIAAPLNSAYKQEEFEFYIE
DLKSAVALVPKGSYAKDGAAVRAARKYSAAIAECYWNGQEVVLDVKDEGKLKGKGNQKVETAQPDDIALVLHTSGTTGRPKAVPLTHKNLTRTMKNI
KATYDLTPADRTMLVMPLFHVHGLLAGFLAPLCSGGSVIVPLKFSASEFWDDFITHGANWYTAVPTIHQILLKSPPPATKPKIRFIRSCSSPLSPTV
FHQLEEAYNAPVLEAYAMTEAAHQMTSNPLPPGKRQPGSVGIGQGVEIRIIDQAGKEVPQGSEAEICIRGENVTKGYLNNPEANKTSFTAEGFFRTG
DQGKLDKDGYVIITGRIKELINKGGEKISPIELDNVLARHPKVAEVVSFAIPDEMFGQEVAVAIVLKNGEKVDAEELKNWVADKLAKFKVPKKVYFT
DNMPKTATGKVQRRIVAEIMLKQDTPKAKL

>RCO7_03433 | related to sporulation-specific protein 2 precursor
MFAQNLLVPGFALLSVAAAQTATICTQPSVTINSPADASQIADCSTIGGSIIIGSDANGIIALDGPSEVKGNLTSLSAGNLVSITSSTINKIGGEFR
LFNLTLLSNLQFDVLKSVKTIYWEALPTLPQLNFAGPLSQASSVTISNTFLSTLTGINLNTVGTLQIDNNNNLKSFDTQVANITNALNINANGNQLA
VTFPNLIWAANMTFRNISSIKFPSLATVNGSLGFYDNYMESISAPNLTTIGNFATSFGSMAIVTNEKLTNITFPMLKSVGGANQIANNTNLNAISFP
SLSQVAGAIDFSGNFSTPELPKLSDVKGGFNVQSKQVISCEGFQAQSGGKGSIIQGKFICKSATATTTTLDGTTTDGSTKSSPTPKSDAASYHLSEA
ALGASIFAGLLQLIL

>RCO7_03434 | uncharacterized protein
MSRALDPDTAISIQKANSQTIYRDLVSALSTNTIGPLEIEFLPKSYTLAPDCNVLVEGNNIAVTKIKLVQAFIVARAIFFNYMRECTEAQESELRDV
TAVMLLLDPEHLTAVNTRKRLIQRREDGPGNRLEELLRQELLFVDGYLTSRLHRHTKSPTLWGHRRWVLGKLKSLDVERDVFQDLKSVILVAAERHP
QNYYAWSHMRWLVQVFGESPTRSIQGEKFPLDHSKLVSVVQNWCLKNPSDTSGFSFLLFCLFKSGSLSALARIELCSSVCADILKLAVSFRWIHESV
WVFLRTVIASEMATESIRIDFLQAINTIANSRQGKKAVLESAKGWYRENQQILQIDAIDLVREEGVS

>RCO7_03435 | probable Protein get1
MPSLLLLVFILQLAIHLVNTFGAATINSLLWNIFNRFPTPTSKSAAEQKDLKAQYFKIKQEMNATSSQDEFAKWAKLRRQHDKVVEQLEKSKSSTDG
TKAQFDSAVSTLRWLGTNGLRMFLQFWYSKQAMFWIPKGWVPYYAEWLLSFPRAPLGSVSIQAWALACGAVVLLVSDAAVASIGLVKGSGIATTGVK
TEKEAMKMSGEGINAREKVQKKEL

>RCO7_03436 | uncharacterized protein
MAISWGTIKTLLMLFGPILIPKGISYYRSIRNAPTIHGIYIRPVPPHVFRALTILFVASAVFLLKTLPIFGAENIFTLTQSRIQTPTDVLFTRLSAL
RPAGLTANDNLLRGRLNSLDSRLLFFQHGPDVLSECTFCNADDPNSYLYYSFPSILAPHLINLVILALVTSGLFTGKEGAIWRTTATTGAASLALLE
IYLVASYQPQVNARAVRAEDLDFFFWKMRVYRGVGLAALDALLGWVLYLSSTNRAFVTPLTTPERIDVSSRILDAAKAKLNATVILRNTIQRNEDLR
NMNSAYWAHEGQVMGGVMEERAVIEGVNNALENRIDMARISADAEGYVKGIFSPMQGIPGIND

>RCO7_03437 | related to RUD3 - suppressor of uso1-1 transport defect
MSSVTPKDLSQSSSSGPKKKANKKKKASKDKVAEDTPKIPESGKDATLETGDVEGEGDSEHSAVNTPREAAFPENIKLQTNGHSHDSTSNGHAVKPS
SQSAKQTKPGTPVGSEEKLSETSDASVRFDAMSQEREALRVEVEQLRKALEDIQGKHTEEMSIIKGQHAQELSSIESKHMAEVMTIKDQHTEEMSTI
RAELEETESAKDHAETQYQSLLGRINTIKSSLGERLKADKQELAEAKEQIEELESQNETLQNNVIRLEGEVNRLEQEAHESSKELSSLRNRHNLSQQ
NWVSEREDFVQQTRQLRDEAEAAKEAMGDWEVLAMEERSMREGLAERIKDLEEQFSVQKEAHEEAVSERDSHSQTVVGLQRALQDVQESRKRELREM
VESYEEQLQALKKIVQDADSRATEAEASKGALRTEVDRLIPFEKEIKEKNLLVGKLRHEAIILNDHLTKALRYLKKAKPEDNIDRQIVTNHFLHFLA
LDRSDPKKFQILQLIASLLNWTDEQKEQAGLSRPGASNSSLRLPMSPFHRTPSTPSLSSEYFTEPAVTTKESLADLWTGFLERSADEASVSGSRSGS
VSSSVVRPETKAGEGSSR

>RCO7_03438 | uncharacterized protein
MPPGTHARTQGVMKGKLVVGDLPLHLAQSLFSQPAEYPMAMRYSSEPGDPGLDDRIPQPRGLAMKVFNVQGDMFNIGEDYQTQDIEFNSAPAIDLAD
AKTTKEVFELRTKYGDDKKELYKHLEARNDTDLQKARDQVPKKHLESTRQYP

>RCO7_03439 | uncharacterized protein
MASFTTPSKSGTVVQTPKLDSTSKKRKAIQSLPSKNNEDKEEDFCGRIAAQEAEAGIKPKRPRRKKTEVEESEEKRLRRFRPKAPISYNERLERVTY
QRMFLIDREKGVDADGCLEEKFDIAGSTGNIYQVTICKVPKCSCPDATKGNQCKHIIYVMVNVLKARKDLGYQLALLSTELVEIFANAPVTPQSSDG
AKSAATDTGGLRKPIEGDCPVCAMEFDENDKAEDILWCKGACGNNIHRHCFEQWAKSKPGPVKCVYCRTAWKGDDDSIKRISKSGKVNAEGYVNVAG
ELGLSGRRDMSSYHQIWVRNEFGDGRNGWHEHDGDGSDGEGGFYEAR

>RCO7_03440 | probable ornithine carbamoyltransferase precursor
MPSASHLRPARAALQHISRRNYSLSPSPATPLTSPFAPRHLLSIADLTPSELTALVRNASSSKISIKSGSIPPKLQGALSGKTIAMMFNKRSTRTRV
STEAAVTTMGGHAMFLGKDDIQLGVNESLYDTSLVISSMTSCMVARVGPHSDVADLAKYSSVPVINALSEDYHPLQTIADFLTIHEAFPSSSSKGSS
SGLGLEGLKIAWIGDANNVLFDLAIGALKLGVDISVAAPKGYTIPSRMRDIILSSTTGVSSPGKLTETSVPEEAIKDADILVTDTWVSMGQEEESAK
RLKAFKGFQITSELAKRGGAKEGWKFMHCLPRHPEEVADEVFYGPRSLVFPEAENRLWAAISALEGFVVNKGKIV

>RCO7_03441 | uncharacterized protein
MSDNPSSPLLRPSDTSRPTSNHSRHSGEPVENTPLLSRDDNTSRYDGNSNHDSSRRPSPATRSLRTIQNGGSISSTKGDRRWPTFIAIASLALLAVI
IILGAFFAPAIVEEYVKEALIIEPTNLSIDSFTASGVRARVQANFRMDASRVGNKNVRNIGRFGTWIARSVESQSSTVEVYLPEYGNILVGTAAVPS
VTVDIRNGHITAIDFLTDLEPANIEGIRKVANDWLEGRLGGIRVLGKANVGLKSGLFPLGTQSISESMVFEGNDLPAIPQYKITRLNFREVPITTSG
RRGMAADVSLELANAYPVKLIVPPLGFDILVESCHAKDEYIKLADAITGAIDVEPYSDVKVGVNGIVRDLPKTFLQACPHSNESPLDLLLGKYIHGN
DTTIYVRGSSAPDIDTPDWITKIISSVTVPVPFPGHSFDSLIKEFSLTDTQFFLPDSSAKPGSDEENPQISGTILVTAGLPKEMNFGINVTRVKAIA
DVIYKGKKLGVLNLHKWQKAHSEKITPKDGGNATIKIESRIEHAPLEVTDDDVLTDIMMSLFLGSKISLKVVALVDVEVSTVLGEFVIKQLPAEGII
PVKPISKGGDIRQFQPQVGELKVLSTSRTSLNLEARVNFTNPTEYSAQIPYFNIHILNNGSIIGDATANNIKVKSGNNTNILVQATWDPSKFGGKKA
AEIGRELLSQYISGYNTTLTFQTHKDSIPHQPDLGKALSKFHIEIPTPRLGSNGSNDGEKPHFIDDATFHLLSSTATFTLISPLQYSTIYIENINAT
AFYGHTEPVGQILYDLPFKVPPGKSESPKLPVDWSLDSVGYGALKSALGGTLRLDAKGTVRIRLGEWGDTVWYVGSGIGASVRF

>RCO7_03442 | probable ACETOLACTATE SYNTHASE SMALL SUBUNIT PRECURSOR
MASRQALFALPTRAIRSSTFSSTSRISLQHHRSESTASSTSALAYKALHRRVYPLPKSDSTPSWSAQAAVSNILYETPTPSRAPPTRHILNCLVQNE
PGVLSRVSGILAARGFNIDSLVVCNTEVEDLSRMTIVLSGQDGVVEQARRQLEDLVPVWAVLDYTSAPLVQRELLLAKINILGPEYFEELMAHHREI
TGGEEELAEGGEWAQRNSETNDFHPSKLAMSQALRLKHEHLKNITYFTHQFGGKVLDISTNSCIVEVSAKPDRIDSFMKLISPFGILESARTGLMAL
PRSPLYGHNETELIKDADEIVDASVLPPG

>RCO7_03443 | related to branch point bridging protein (MSL5)
MDDTERRTAKRSRFDQKEPEQKRSSRFDRRSRSPPAVKPESRRSRSPLPRPSDSPVPEPKKPSADPAAAAAAAAAKINAQIQAKKGIQHVDVPPIQS

TLSPVRNPASPGPSGSVSGNSAALVNGEMYIADGDYIRDIEVNDLRNRYTLTKGSTQKMIKEETGADVTTRGNYYPDKSMATAANPPLYLHVTSTSK
LGLEQAIVKIEELMQQELPNLVDERRFRRREPDAVERDEFGRRKWPEEKIPIDFEPVPGFNLRAQVVGHGGIYVKHIQQETRCRVQIKGRGSGFMEH
GTGQESDEPMYLHVAGPDPAEVIRAKDLCEDLLKNVREQYEEFKNRPQQQRGYGGNTGYGGERGYGDRAPDRNNSYGGRDRDNSYGGGYNSGHNQNS
GGAMSPTTPSAPGAGSPTAAADYAAQYAQYYAAQAQAGGQDPYAAYGGYAAYVQQYQAYMAQVAAAQQQQQSPPGAAPPPPPNEAPPPPPPGGAPGS
GYNAVPPPPGM

>RCO7_03444 | uncharacterized protein

MARIEGAAEQSLRNGIPLERAAGLVLVMDTPKGRGVFASRDIPGRTVIEVSPVLVLDPVENEEHVRKTNLYNYTYNWPYNPPPARANTQGVNATKPP
TTTQAVILGLGSMFNHSTMHQNVGWDRDINNLLVTYITLRDIKAGEELCISYGQRLTFKDMDEKEPETGSEDWTEALAIIDFIN

>RCO7_03445 | related to mitochondrial outer membrane protein (Sam35)

MPPKQPPEKSHKDDKVPNDGAQTPLARQTGRMKEIFSIPAPIKKLFDLVPVVVYPENPLPQRAPKSARIPSLYVFSRGQDASAGRPSVNPSCLKWQT
YLNISGIDHRLISSNNHASPSGALPFLLPAARTGGSPETLLPVPSNKFVKYATEHGGKVEESNNMRYSAYQSLLDHRIRNAWLFTLYLEPLNFSAVA
YPLYVAPASSNPIVRASISHQLRNAAESELLKNTPVIDTDDLYSEADKAFEALSILLGEDSWFFGNDKPALFDASVFAYSQLLLDDDLGWKEKKLCR
ALRVRDNLVQHRERLLVRYYGGS

>RCO7_03446 | uncharacterized protein

MKFSTIASVAAILTAPVFSAPTDIKYGPPKGGWESVDYPKGTGENLPAYPAPPGGWENVKYPKGTGENLPSYPPGTGEGKKNEPEFTSTYHITALGA
EVRNGTVSVPGPKDSVGYFNYGVNSKTDRICWEITLHNVAGTYVSPARTATHIHEASRGASGPPRLAFPNPVGDDKKRVSTGCMVGPFTTGLKGPNG
QDTGIGFKLSQIEANPAGFFTDSHTNLFPLGVVRGQLA

>RCO7_03447 | uncharacterized protein

MRVDEYFRPSSGKRSESTIRVISTVESLIHSLLSEFCSTITRNVITWNIAYSLNPKPTFLEPREQRILTPGAGWDDRILSEDFVDKYERRGWNLIDS
DLEVGPEECDIALYPSRRIGDSGTWKIELDTNHMEPSKTPNYVLELSYFHDYGSRSLKCVTVSKVTHPLLKYAYTSGYDTSENEPEHYCDFRHELRD
NLDGLLKLKAAEWYAKSKQEVLSGAPGDQGNFDDWRKYLAHSHISNRPNHAPANWTFYDDLMPRWRDEWEETCTDEGFGYHLLQKDDGKPQSRYGY

>RCO7_03448 | uncharacterized protein

MAKTVLKRKSESALPTGKSKHRKTSARKEDGSDSGEEGSSDQLFVVREPVTSKDTKKRSVKSRKSEPVKPSSRVDEYEEDEGRTESRQFLALVEFES
KKKKRAAKAAAELIERFENRINDAEESLKKRLHDLSTEASKKDSDFNEAFEDAYAASRPLPPTANGGSKAKGLSKDISFATLFDRSLEIIDGAKLII
EKFEMAREKTNKIEIARLMDNNWSEENDDIAKILATGHMVGLEKYEAMLMGSGEPDIEEEDLELTGLFYPDTEVNTYIPWGGMARKGEKAMRKLLKA
IVTEVV

>RCO7_03449 | related to suppressor protein PSP1

MASNTVKAGAVGGKSAPSNPSSMNSSNPSILLDKFNGRRSTPDSEALASSDDENERQDHPQPTTQPQKPARRASWLNDTTTPTGPQPRKTSFASSSM
SPTTSHPSTPSAESSTWGAYSQAGPGVGRGHNSVTTAFSWGSGIWNNDSRKEPPSRLTEVLPSPTSLLPSSGSSYFGDMSNTYRDPPSNPNIPFAIP
LHPTPKTYRSQSYSVGQLDPDSPASATSSGNAQPFAGRARPLPHSGLQHRPSRPSMLSEMSNDGALSKLKEVDDDDDDDESTNGSNHGVAVQQSNEA
KTIELLARENAMLRQQQYHSRIRPRSSTSNAYGLGGYSLQGTLPEESDYAIDELEELQQDMQTKSMLGRRMSEYGAAGQPRMSSSYTSLENRKIENV
KKAYWQSSPGFGGLQDIPQSRRHSFADVPTRQGSISSIGDPLSNHENGLQESMSPKDYQNRYQDGTGYALNDHESCNEAIDSQKSTAASYFGGIATL
PRNNDPYGAAAYQAPAYPYANAAAQYGGGQAASPHRSMYGAPQPRHNQLLYIVLFKCSRADVFYVQEGTGLAVKPGDLVIVEADRGTDLGTVARADV
DWNTAKELKEHYAEEHYRWLMMYSQSAAGNQDGTGAGLMAASNGLQGSAVGGMGPPNQHGMQDPNPGEIKPKIIKRLAQQHEIQALRDKEGNEAKAK
RVCMQKVKEHGLHMEILDAEFQMDWKKLTFYYFADAYINFNSLVTDLFKVYKTRIWMSAINPASFASPSLGLQAPSGIGPGAVGVTRAQPERRPQVP
EQPAYPQPARGYQGVFAPPFTPSLDRNIMPPATFQPPGYGYGYSPFNAAPRVQSSFVPLDQYGGFSSQPGYQGLPNRFPSPSAPTDPNDFGRHAGNI
PTSNDGWVTTFQGLSMNSH

>RCO7_03450 | related to NFU-1 protein (iron homeostasis)

MAASNSSTRPTLNALHQPSGMLRPAAVTGSRSIFIQTENTPNPDALKFLPNHPILPPGLSSPFLEYLNPRATLAPPHPSPLAAQLMNIDGITSVFYG
ADFITVTKAADANWAHVKPEVFSLITEAVTSGAQIVNITENKSGEPDGGEEDSLSYNENDSEVVGMIKELLETRIRPAIQEDGGDIEFRGFEDGIVQ
LKLRGACRTCDSSTVTLKNGIEGMLMHYIEEVKGVNQVLDAEEEISALEFAKFEEKLRQQKGPDAAPSTIGKGTLDTVPG

>RCO7_03451 | uncharacterized protein

MSTNTTLDVRDYAQARPEELEVIESLPDLEITDVIEETSTATTAVAEEEILPEEPEVTESLPDLETIDANDETSSATTAVIEEEILQVAKAAEADGI
VEVTEELPTPTQDSPKKKKLCGVCNEKESKYKCTRCLLPFCSIVCSTIHKATHPAEEPKSAVELKAHPTLPAKPVSARPGTVAGANAASANSNNPFA
ALDDSEELQQLFKKYPRLKMLLEEIDKVTLPPVNGQQPQNGGRGKEQQWNSDRGLQKGVQSLNTLRNTGSKDGKAIREFSKLILRLLSPEQGLTARE
VIEKELAEENQKIVEQLLNGER

>RCO7_03452 | uncharacterized protein

MTAIVTLTGVVSESSLKPTRTMTYPLLDPRGNGARAKAAKKGEPLDPEELSHRLNQHLAEQRLKTERRREVRALKAAALAQQNVYHHVPMVAASAFE
RTTNPDATRQVHALSKPIVDIYFKLPSLEAHVPGHAYTNLQKTQAIDQAMQQKEVLRNRNQFQWNHAMEEANYADTERDLYRMPKRDFNLDFVHHKA
DWQAAPRPLSTSNACWRKETPRLLAKLKGPLKPQHDGLDRHDWTQLEEVETKKKRRTNPFLRKMESTWILRGRKGKMSVKQDTGSSNSLSPEEEGHR
RGSLLALLRRHPS

>RCO7_03453 | related to aimless RasGEF (aleA)

MEALGRIPDRTSSIRERGSKGARGERTIKILSSVSNATPRTSPRPSLPHRNSAPLTSARIAEQPPLEGDLRAYIHRGSVSSIKDDPFFRNYQSPTSV
SLARELRSATYSNADPPPSALDLSIETSGNSNSQIRGGMADINIAVIGSAGVGKSTLIQRALGLRAAPTSIASSQRMTVDGVAYTVSMIELDLESFD
IKAEKRIQWPKQMNGYIVPRMDGVLLLYDVMNRESIVKFPQALNGLAHSYLPTMLVSCKCDNPENTRQIDVENMEAACSSCVEAVKTAENVPESARL
CLSSMLRAVMANRTGPSSVSSQNLHLPEIQGPRRRATSTFEATDSSSRPLSQNSKHSRASSEHSLIRGFTSPTHNSSRGPQPVFRTHLNQQITLPSP
HEAPPLSSHPAFRNDSSQNIELTSKATKPRSPVVSHGAGGLIDNSFLDMEESDQDSSHRCSDDIPILQRENNYFEKPAKVVGVTFDELVDRLLDQNM
SRADNNFSDIFLCLYRKFAAPSELFSAIINRLERIADDKNIHYLTRTSTQLRIITVVAKWVANYPGDFAYPATSAKLEAFIGQLFNDPVFAAAAQEM
RQHLRSRVHEDDDTGWARTDADVENEANNLDAPPSPASVPTRVRTHTKSDFEDEIGDFHIDDDGSEEMMRKESRGDSYTSGRPLSSSQSLSSSFHTV
EDYEREAATMLPKGTLPLTKFRYHIFMDTSDDDFADEMTRIDWVMFSSIRLRDLVRHVSLPLEQKEKMTNVHRLINHFNHIAKWVANMILMRDKAKH
RALMLEKFMTIALKLRQLNNYNGLAAVLAGINGSAIHRLTQTRNLVPADVQKRFAQLVILMGTQKSHSTYRLAWENSSLPRIPFIPLHRRDLVSAEQ
GSRTFVGSNNERINWKKFEILAEVILPIMKSHVVPYPNLSKHESSRELILDCKMNVDDEESYQRSLQLESSSGTSDVGKKKFPWFQKEK

>RCO7_03454 | uncharacterized protein

MAHNRTSKRKEEKCDECSKEGGGLPTRVLDVSGQNVFLYVSRIEVEPYAALSHCWGKLPVIQTHRSTLKERSVEIPWTNLSKTFQDAVTTTRLLDDA

EDWEKESGSMASIYECAQNVIAASDGSDNNPGFLHDRHSQIASKPINEGIDAGGESYQIRIREGDDHRWYGNLLPPRSQIVRDSSQLSTPGWAFQER
LLATRYVQFRSQELVWECKTSLWCECGTLSRPSQQRVPASKQALYKLLQSQDRQTIYSIWSRIVNNYASKVLTIGNDILPELSGLAKRFQAAGSGGY
LAGLWREDLPLSLLAPSWSWASIDTSIAGSSLITESITDSKASAPTNILATIHDVFCESSVADPTGRVSAGRLTLSGKIVTIIAMARQVTSRYEPYE
SPFDWTAKLQHDFTNQRSLIGFHADTIIPNLHLEALICVLIAETAGAPRALVLRKAKAGNPKGHLQGEVLYERVGLIDRIILGSSVRSSGWMGMFEH
ATIQTISII

>RCO7_03455 | probable 60S ribosomal protein L15

MYTLASVKRTGLPDVVVRANADCREPGLAMESDTLVQAPRYSTLRIASESKKCPPTLNHLETLTAALHQTTDNYANPHLPLTVKMGALKYVEELQKK
KQSDVLRFLLRVRCWELRQLNVVHRASRPSRPDKARRLGYKAKQGYVIYRVRVRRGGRKRPSPKGATYGKPTNQGINQLKYQRSLKSTAEERVGRRC
ANLRVLNSYWINQDSTYKYFEVILVDPQHKAIRRDARINWIVNPVHKHRESRGLTATGKKSRGLGKGHGYNKTTAGRRKTWKRHNTLNLQRYR

>RCO7_03456 | related to ubiquitin-protein ligase HUL4

MPPWSSRLLSPSTRNETGPNAVNGPLPESPARSRPRISEADILNNAYGIPTLPPPSHANHGASKTSKPIRTLSHGRSMSHPFPSLFSTKKKRHDESA
QVAGCESTDEDSVSPLAARNFIQNPTSNQKGPDKDLMNGKCMTCDSMVRWPKELKVFRCTVCLTINDLKPITLEARRGDGHRAPVAARAGTYPRSGQ
IHKVAPLSIGRTRQIVDQCITTYLIERLKHDEESNSDPLPLQSSTWQITPKGEAIKAQKAASNRKDNLDLEDNRPLMYSKELSITQTDGYPGSTNSF
AFDPQQVDALLYSKSSPGSFLGAHMEQRDKGPHSNFQRLGISNDREAGDSVQRNQFGATNSIFKPLEDYIISSFGSFECVNSSFSTTRPNLAPRAQS
EGIRRTVTAPLADRSVRQETELSEMDAKTLLIGDFAENGSWWTGNRPDLRSPERSQTHRVGDNDTTDIVTLRSPRVDWSEVNEWYHLVLNAGKSWRK
QLEDTSETHVPKLKVPSALEMYDIEDRIMEAQYYVQRILLNAIESLLKRPGRPLKDPSDLRFILIILTTPLLYPSQNIAKPRTRSRSRSRDKPGTGK
EAATDSRNRGTQTNVRAKSDANRGSTGQHSGIIKRILGLLSNVPNECHHHLVSWFARFSDGQFQRTTDLIGSFVTYRLTRQHGKKREVEQDPTSDLV
PSIGGSGRATSAALHAALGAPGQSSKKKDGKPKPVLYNDDWQIKAAARVMALVFAANNSGLARRGEVKPVLATLSGAHSAGLAARDKAHSHGQILPT
SDFYNTLLDYSDLIADFEAWESKRGKFAFCQYPFFLSIWAKIQIMEHDAKRQMEVKAREAFFDSIMTRKSVNQYLVLKIRRDCLVEDSLKGVGEVVG
TGGEEIKKGLRIEFRGEEGIDAGGLRKEWFLLLVRDVFNPEHGMFAYDDDSGFCYFNPNSFETTDQFFLVGVVLGLAIYNSTILDVALPPFAFRKLL
AAAPPAAPGATSHAKPSMTYSLEDLAEYRPTLARGLRQLLDFEGDVEATFCRDFVADVDRYGQIIQIPLCPDGETKAVTNSNRREFVDLYVRYLLDT
AVTRQFEPFKRGFFTVCGGNALSLFRPEEIELLIRGSDEPLDIASLRAVSVCDNWKVPNAAETEPVVQWFWQSFQAANPKDQRKLLSFITGSDRIPA
MGATNLVIKLSCLGDDCPRFPVARTCFNMISLWRYGSKEKLEHMLWRAVNESEGFGLK

>RCO7_03457 | related to ribosomal protein MRP49

MVAIVTRMRKLRALLAIRIGPGAAILPPEVTRIHMDFARAVEDGHYGPRKFWRHCLPRLKYHNPAIPMTVNRTNDQTGPALMTIHFTTPEAAETIKT
EISSTTTKQTSSAPVAATKAGPPTERTEVINMKHRPESEILDQLLAVTRARVLKPTAEDLRQVQEIEEQDARSERDAIMMAEVNAKRKREEAIMTQA
RGNPDAVTS

>RCO7_03458 | uncharacterized protein

MAASTRIAQKVVRQVRISLADIPTFLCPAILRTTSTPLGCVYKARQQPSIGASQRRDVTSIARDPAKILQPPRRSSIEKLPKQCAGCGALSQTIDTE
GAGFYTLTRKSVRSFTEGVTTPGLSPEDKVVKAALERAGVEAASLNLGGLEAPVTIAETPVCDRCHKLKHHETGASIYHPSMQSIQDTIFESPHKYN
HVYHVIDAADFPMSLVPGLQKLLNITPQRSLNRRSKTGRFYHGRKTEVSFIITRSDLLAPVKEQVDSLMPYLREVLRDALGRSAKDVRLGNVRCVSA
KQAWWIKELKEDIWKRGGAGWMVGKVNVGKSQLFHDVFPKGRSTPNKKLGTILPARSGPKLDEKKNSALAEPVEVSTENIQEEKSENLVAWEIVNPA
LGAETSKTHDAFHKYEWSTFDSLDTSSLLPPAPAEVDYPSMPLVSSLPGTTASPIRLSFGNGKGELIDLPGLSRGDLELHVQPEYRSNLVMRSRIQP
EQVSIKPGQSLLLGGFIRITPTDPDLVILSYAFTPILPHVTSTEKAIGTQEQTRESSVVNMSLPGTGKKTRSAGIFPLKWDVTRSRAGPITDPKVVG
INPTKLPYKIFSTDILVEGCGWVELVAQVRKNSGDRSRVSQVQQYGMQDQQGHELLGSHDDVEYDVDPDCPSVEVFTPEGKFISARRPMNAWLRVLE
KPVKQSKGRPRRSMKGMKKTEKRRLRAY

>RCO7_03460 | uncharacterized protein

MEDCWVLGFRFLEFLKVQVYIQSAAIPSKSASKISIKAPKGRKSTKLRTRLPSALVQLAKITLKINTKSTATKSTEPTIDSVVAIVLATVLAIVPVL
VLVPAIVLALAIAS

>RCO7_03461 | L-threonine 3-dehydrogenase

MADSLPKTMKALRYSKPEHYGIVEVPLPKLRPNDVLIKVKACGVCGTDLHIHEGEFIAKFPLIPGHETVGVVAAIGGEVKGFTVGERVVADNSELCN
ECFYCRRGQLLLCEHFEAHGVTMDGGFAEYCAYPAGKVFKIHNLSDIDATLLEPASCAAHGLDKIAPKLGSSVLMFGAGPTGLVLAQMLRQNGGCKV
VVAAPQGLKMDLAKKLGAGDEYIELSRSEPEVQFEKLKADHPYGFDIVVEATGSPKILEDAINYVRRGGKLVVYGVYSASARVSWPPSKIFGDEITI
LGSFSETYMFPAAIDYLDSGKVKVEGIVNKTYKLEQWGECLEAMKNKTAIKAAIVFD

>RCO7_03462 | probable 40s ribosomal protein s10-b

MGHEQPTTSKSTTAKMLIPKADRKKIHEYLFREGVLVAKKDYNLPKHNDIDTKNLYVVKACQSLTSRGYVKTQFSWQYYYYTLTPEGLDYLREWLHL
PAEIVPATHIKQQRSHAPPRGMMGGEGERERKPFGGRGGRGDREGGRGGDREGGYRRRDAGGEGKEGAPSGEFAPQFRGGFGRGAGRGGAPPAS

>RCO7_03463 | uncharacterized protein

MAPSTINVLLTSFPGLNLPSTLALPLPSETSISELQERIHERLPAHNNRLILTTISNKQIPSASSEPISVLLSDPLNDFLSLRLALPMCGGKGGFGS
QLRAAGGRMSSKRKRNQGEENGSSRNLDGRRLRSVHEAKALAEYLAIKPEMAKKEQEQRRKRWEEIVELAERREEEMKSGNKGKVDGKWVEDKEEAN
ERTREAVIAAMKSGNYKDNLVQQSMVTSLSSAESDSEDEAMAGPSSKDTTPPSDTGTKLKAQKFFGFDDDDEFMSSDEEDEEEEEKAQKAISETISE
ENEEVEGVEEVVEKESTPPPAPAKGKGKAKAKAPAKAKGNGRGRVTKA

>RCO7_03464 | related to n-carbamoyl-l-amino acid hydrolase

MTMRYSTIRAAVCRLRPCYISRPILSNHSHIEPRFCRTTSSTTTRVLRSSETTDSQFQSVKIDRQRLWNDLHETCEWGKGERWGDGATDIGMKRLTL
TDSDKQARDWFVKTTESLGCKVSIDAMGNIFAIRPGKEDGPPTYAGSHLDTQPTGGRYDGILGVHAGIEVLKTLNDNNISTEYPTGVINWTNEEGAR
FPISMVASGVWAGAYSLEKAYNLVEVGGGGATQKSELERIGYLGSIEASHKANPIGAHFELHIEQGPILEKSNGKIGAVEGVQAYRWFIITVKGADC
HTGTTDFQNRSDAMLIAAKLILHSHNKATELGCLASTGILTLKPGSTNTVPGFVQFSLDLRSREDAVLLTLEEALKEDFAQIAAGEDTGGLNTLGTK
GRGCKVTWQLDADSPATKFNEDCIRCVEQSAKDMLGASSSTQVQRMTSGAGHDSVYTSRHAPTSM

>RCO7_03465 | uncharacterized protein

MSITSSVFELRARSSHHAVNSSWHTSHCAQVPGVSDGMISERTEPSPLVLISRRFGQQVNEHWMFETGVVEQGLCTIQVDGMQTRIIGGVI

>RCO7_03466 | uncharacterized protein

MFRPTRRMMAGQPSEEHRAHTITQRLRTLRKIPPELIPLGIVVGVAVGFAGYSIVRKLFVDKQMRLSRQNRKD

>RCO7_03467 | related to cyclophilin

MSDQARWKATVYVGGLAPMVNAANLHAAFLPFGEIADVSLPKPDGPKSTELHRGFGYVEFEDPEDIKDAIDNMEGAELFGKVLKVSAAKPPKNVNEG

LGSKTALWEQEGWLAENAVSEEDKMAADRAKSGADDAPYDPMQGLEGLDVAGPKPE
>RCO7_03468 | related to SEC31 protein
MVRLRELPRTAAFAWYPGADSPLVVTGTRAGAVDADFSDETKLELWDLSLDDLNQGVELQPVASITSESRFHDIAWAPANSDHPKGIIAGALENGSL
VLWDAEKLMAGADDAFMSQTTKHTGAIKSLQFNPLKPQILATAGAKGELFIYDINDIQNPFRLGTAAARSDDLECVAWNRKVSHILATGGSGGFVTV
WDLKTRKASLTLNNNRKAVGAIAWDPNNATKLLTATPDDTTPVILLWDLRNSNAPERTLQGHDQGILSLSWCQQDSDLLLSCGKDNKTIIWNPQTGE
RLGEFPEVTNWTFQTRFNPHNPGLSATASFDGKISIQTLQNTNPAATQAPVQGPVDGEDFFTKAQTQPQGASFSLTKAPKWLERPAGASFAFGGKLL
SFGLMTTAPGQHRSSKIQISNFSADSDVVSATASFEAALVAGNIGEICESHISNAKSEDEKADWKVIETLIAENPRKRVTEYLGFTNEIEETTNGVK
DIDLDGAKSDVAGESIDGTAAKNGRLSTLFADGVEGEDFLSGLAATKGAKTDNPFHLFADSDATSEKQITKALILGQFEKAMTICLKEDKIADALII
ANCGGQELLEKAQAAYLSRKSGGPNYLRLLTSVIGKNLWDVVYNADLSNWKETMATLCTYADPNEFPDLCEALGDRVMESGSSKDASFCYLVGSKLE
KVITIWITELQEAEKAGIADPSGDSSFSVHARTLQNFIEKVTVFRDVTKFEDSEQNMTSDWKLAPLYEKYTEYADIIASHGHLSIAERYLALLPIQY
PAAEVARTRVKLASRKGAPVTKPVQPTLTTKAPSRPQQGYQPLNTPAATPSRAAPNTFAPPAPALVSNPYAPPTSSYAPQQAGYQPTQQTGYGGFNS
GYGAPTGTYGAPPQAFGAPPPRNITPSGPPPSQRKNMEQWNDTPMVTKPPVARRSTPATAPITSAYPNQQGLSMPPPASPYGSRATATPPPPPPKGS
APPRISSPLVTGPPHSFQQPARPSSAANQYAPQQNSPAQQYGNPVPAPTIARGPSPYNAASVGPPPSNRYAPSPAAQQYSQPPNPQSQVAPPPQGGP
PPSNPYAPTSNSPQSQYNLSEPQHQASQVPPPHQGPPQTSRPPIGLPPRATPAAAAPVKAKHPVGDRSHIPSNAQRMVEIFTSDMQRVASKAPVSFA
AQVKDTQKRLNILFDHLNNEELIKPDTILRLNELAEALQSKNFDTAAKLQVEIQREKTEECGNWMVGVKRLVSMSKVTP
>RCO7_03469 | uncharacterized protein
MSFSTRWPGAVTLLTYLLYLCNDVKAQNELEKLPTFGDKIQILGAMERTDQDFQDGLALDLFSPKNRTLIVKKNTAPLGAQFVTGTTGGPFVALSNY
SYIIQMNETANDLIAKIEVPYRPEMLNTMGVLKGNTYVATLASDRKSWVVDDSTRNVHRSENNTRIIKMTSLDGEFLLVGRKTVDTSNIFVQYGQGA
TRTVNLTGGAGIQEAEFVDGLRFSVRASEAVKMNVDLKHGIDRATLPAGTQSLNSFMWIVNSSNPSAKVEAQMLVPFNRNMLVALRPAGSSPSTMLT
VARRALNASSGQFTPVNKDAQFVRELPEDRIQIPGMTELDGQYIILVTEAKTIGGSK
>RCO7_03470 | related to synaptic vesicle transporter SVOP and related transporters (major facilitator superfamily)
MGYIPRPPPASHAATLSSLTNALPEGQDQARLQDIRTGIHDGWVMARKSRIPLRAWDRQSILVFADFNNFESPRGSRTRILGRDGRDLKNTSFRPEY
VRSKASSSYSLDKALPEPPYHVFTLAKKKQLVYIVSLAGLFSPLSSNIYFPALGQIAMDLKTSISLVSLTITVYMVVQGLAPSFWGPLSDTQGRRIT
FIGTFAVYLLANVGLGFSNSFAALMFFRGIQAAGSAATISIGAGVIGDITTARERGGLIGIFGGIRMMGQSIGPVFGGILTQFLGFRSIFWFLFGLG
SIALTLIVLLLPETLRSIAGNGTLRLVGIHRPLIYTFSPPSDALIDRDHVPKKKVTLSSIVAPLKFLFEKDVFVTLFFGSIVYTVWSMVTSSTTSVF
QSRFHLNDLQVGLAFLPNGAGCVAGSYLTGYLMDYDYHVIESQYRISRNIPEDTILTKKDLTDFPVEKSRLRNIWWIVLIFIAATAGYGFSLNLNLI
AIPLIFQFFIAYAATAVFSLNSALVIDLYPGASASATAVNNLMRCSMGAFGVAIVQIIIDRVGVRVAFSSLAAVTAGTSPLLVLEWLYGEGWRMERM
ERLKAEDEKKIGNVENGKTMTAG
>RCO7_03471 | probable homocitrate synthase, mitochondrial precursor
MCPSCEPENIANGHGQVNGSSNVAANGAANGAEAHPGFTAVETKSHPQPTRHNPYQPVGDFLSNVSSFKIIESTLREGEQFANAFFDTEKKIEIAKA
LDDFGVDYIELTSPAASEQSRADCEAICKLGLKAKILTHIRCHMDDARIAVQTGVDGVDVVIGTSSYLMEHSHGKDMTYITNTAIEVINYVKSHNIE
IRFSSEDSFRSSLVDLLSIYSTVDKIGVNRVGIADTVGCASPRQVYDLIRTLRGVVSCDIETHFHNDTGCAIANAYCALEAGATHVDTSVLGIGERN
GITPLGGLMARMIVADREYVMGKYKLHKLKDIEELVSQAVEVNIPFNNPITGFCAFTHKAGIHAKAILNNPSTYEIINPADFGMSRYVHFASRLTGW
NAIKSRATQLNIEMTDAQYKECTAKIKALADIRPIAIDDADSIIRAFHRGLKIGKQVDLLPNMTEEEKALLAQKEKEIDIPEKRELDAEADIPAGKK
ARNGISA
>RCO7_03472 | related to YER185w, Rta1p
MTNLTHSYGHGKGYGNETLLLMPELCTLDTCDLSMASFLYIPTLPGNSIFAAIFGIYLVAQIYLGIKHKTWGYMTAMVMGLLLEIIGYVGRILLHND
PFSNDNFLIYLVTLTIAPALLSASVYLCLARIVNLYGENLSRFKPRTYTLFFVTCDIICLVLQALGGALASTADTESQGDLGKNIMMAGLVFQVVCL
TCFATAATDFGLRVWKGKGQWNPRYLRIVATPLFKAFLIGLAVAVLTIFIRSAYRIAELSGGFNSHLFTDDEVAFMVLEGVMIIIACGCLTALHPAV
CFQGVWHETNFVFRTSRIRAEKITYETGDEESQNAVQMNPLAARK
>RCO7_03473 | probable meiotically up-regulated gene 190 protein
MSSNDQKVGPGSHYSGTNPIPNIQQFLESLDIDKKERDKKIDEGLISGEVKDHSASEPGVSGTRKSVTDPTTGRHVEIEDVDKEFMRAVEKPQSFVP
NANVNKETHVMTDKTQSGEEYRKNQDITAPPDPVEPNTTSDVPIHGEKTNILFHPTTSTSYEPMFEALEWKTNIFCASVLIAIVALGKFSGGALYGL
VPLGLCIASGIRLWMKDLIKKGRAQEWSTEKTRGETATANLIPESVEWINTFLGIMWGLIDPDTFASIADTLEDIMQASVPSVIENVRVTEINQGNN
PLRVLSLRALPDSHVSRIKNEIHTQNKQKKDSQEFLADEEGGDHYNLECSFAYHAAPTGAGTSEKARNMHMQLVFIWVPLPIFVELQGLVGTVRLRL
QLSHEPPFLKSVTFTLMGLPKVQAGCVPLIDAGTNVLDLPLISRFVNHAIGAAANEYVAPKSMTLDMTKLLKGDDIQEETEALGVLWIRIHRATGLS
KQDRHGSKGGGSDPYVTDDLNPIWEETCALLVTPELIKADEQLSMELWDSDRATADDVVGKVELSMQKMIQHPGKMYPQVSRLRGIHKGKMMPGELH
WEVGYFGKVNLRLALKAHGKDVILPDELIEEAVVSTPPDPLWPSGICCVVIHQIVNLELQNLKRSQGKLVGREFEPAKPSGENKDEENEKLPSGYCT
ILYKDELVYRSRTNAVSSKPIFNAGTERFIRDWRSSIVTVTVRDQRMRKHDPILGVIPLKLSEILQNVETRLTPVQLGWDVGTFEFTSDKIHATGLT
TKTKLKMRTGGSSGNISRAQCKKAEGQDGVYWDMVDEEGNSKVRLPVKYRYRSPVIFELHSASKRSAEAYAIIWLHRLEDNKEELINIPIWKSDKGM
RLTQIYITEDNYTSIPDIIIEEIGRLQFRGRFKAGTDQDHSAFVTGNDSRETQETWAACNCDAVRVSIVTKELPQAVKELHDRSWMQDRDFLSEADK
EERQKWLSKDGTDWRGAFGEDPARLTDHQTHERGVERTMNENKAEPDEWRSEEENDSLESDTGESDLGFRDATNHEPFENEQAEGQVDGESQRDSET
NDSTGVHIKGESAKKLACKGLLSRVKKPVRQIKNYNEDKQELHRKREGPLQWRPVRNLQFAKNEAKFAMRRALKEGTLQGRKSDVESEF
>RCO7_03474 | related to N-acetylglucosamine-6-phosphate deacetylase
MPSAVQFVNCRQCKEGRLVETPLTIDLTTGLIIANSPLPPDTEQIDLKNAIISPGFLELQTNGALGFHFAHYTQPQTYQAGVRKLARYLPSTGVTGF
YPTIPTVSPEIFQGALPFLKPQDAPNSASVLGAHVEGPFLAPSKKGAHDAKNMHVPESVSLESIYGKENLENSIRMVTLAPELPGALAHIDTLTKQY
GIHVSMGHSAATHEEGLAGLKAGANLITHTFNAMTPLHHREPGLPGLISDPSPPFFSIIADSIHLHPRIVGIAYRSSPSHCILITDSIELSGLPDGM
HPGHAQIPFHQLKEGNKVTIEGTDTLIGTCIGLDECIRNLMAWAEIPVEKAVRCVTENVANAMHLKNRGTLDLGRRGDIVILSEAGKVRETWILGKR
IT
>RCO7_03475 | probable cytochrome-c oxidase assembly protein
MNSFPRLLSSLARKDAAWVCSSCARTARRNPSTPFFKPSINSRTISNSTNFRQNVAPTMEQLRAPFATKNASTLYYTLSVILGTVAFSYGSVPMYKM
ICQTTGWGGQPIKAPGHGGTDDGGDPSTRLRPVTSAKRIRITFNGSVSDVMPWKFTPQQREVRVLPGETALAFYTATNRSNDDIIGVATYSVTPAQV
APYFSKIQCFCFEEQRLNAGETVDMPVFFYIDPDFVNDPNMRGIEQVTLSYTFFKAKYDNNGQLKPYM

>RCO7_03476 | related to AraC-like ligand binding domain protein
MASMKANTGIPAHDMVYFPKMTSKLPASSGEFRKVLFTGLYSQVVLMTIPVGGDIGDEVHTVDQALTFTSGKGKATINGKDQDVEAGDLMVVPAGTQ
HQFINTGDSPLILYTIYSPAEHAPTSLHHTKEQGDKEEEDEIDEAPEWSQKSKKENEDAGLVKLSGKY
>RCO7_03477 | related to cytochrome P450 CYP4/CYP19/CYP26 subfamilies
MTVNLFPSYQQLPGTLLAIWISGVAYVVMKGWKSRSLIYRLRKDPRGLPIPKWNPITGHLLTLAPYAFRLPTNAHQNYLLAELAKEYPQSDSAFYLD
IWPFIMPILLISSPSLAIQACQKYDLEKPKSLTDFFLPFAGSSDHLFTSNGPEWKNLRSIFNPGFSANYLMTQMDHIIEETTEYVSILREHAEGNVM
FSLDELLCDFTMDIIGAVTLNSRLHSQRRYNQLASAMRSQVRWHIAAGEFNPFKRFNPIKPLVQWKNGRLMDGYISKELDKRFADRQQSSDTVTHSI
IDLVLEEYMSRNPEANKANQMDPAFKKWATVQIRLFLFAGHDSTATSLCYTYHLLSQNPDALQRIRAEHDEAFGTELSTVATQLLDHPQKINSLPYT
NAVIKEAMRLWPAAAGIRTGTTDAVLQDGDGNEYPTEGTAILILHNAIHRNPKYWKDPDSFLPERWLVGPEDPLYPVKGTWRPFEFGPRNCIGQTLV
MQDMKTVLVMTLREFDICNAYDEWDELHPRKGLKTVLGERAYPVFVSSVHPADGFPCRVSLRK
>RCO7_03478 | probable DNA-dependent ATPase MGS1
MVACPICSKAVKSKDINAHIDSSCESFLDTGSPPLTQQQQTQQPQKAATSVSSFFQTPAAKRAAAYPTPKIEPASALSFQPKSESNGVSTPTQPARK
RSFDDITTAVKEETELEAPVRVEDGQRAKKSKTNAFHKAAPLAERMRPTSLDQVCGQELVGEQGVLRSLIEQDRVPSMILWGSAGTGKTTIARCIAS
MVGSRFVEINSTSSGVADCKKIFAEAKGELGLTGRKTIIFCDEIHRFSKSQQDVFLGPVESGQVTLIGATTENPSFKVQNALLSRCRTFTLSKLTDD
DIFQILERALSTEGQNYTASDLVDSELLQYLAAFSDGDARTALNLLELAMGLSTRPSITKEDIKSSLTKTLVYDRAGDQHYDTISAFHKSVRGSDPD
AALYYLARMLQSGEDPLYVARRMVVIASEDVGLADNSMLSLATGAYTAAEKIGMPECRIALAHVTVALCLAPKSTRAYRGLNNAYAALREPGVAALP
IPIHLRNAPTKLMKELGYGDQYKYNPNYKDGKVVQEYLPDQLIGRTFLEERDLGTEVDPGAWNS
>RCO7_03479 | uncharacterized protein
MSTRNPTHGQKVTDPSAPQIREGAGPIASDSLAADSTRSGGEFSQNRNSEPQGVAGANSTFANENTSGARRLDPAVDAEVRMAEEDWAEEKKLGAAS
STSYPDAVGGQRGENEDGASSRETGTGTAPSYVNSQFNDTSGLKGKNLQEGGFESRDANNASFNSEIGSKSDPSRLAERDFQRQNADFDGVAGMPRQ
EGDLEDNTYEALKRDASA
>RCO7_03480 | uncharacterized protein
MTGEKSKADIIAERVANLEKPEDPPVASDWNSASESINVKSDERQEELSNSEVADTGLEGAATKGSGAREADGADLSKVGREGKDGLDGLPKDAKAK
>RCO7_03481 | probable tubulin gamma chain
MPREIITVQAGQCGNSIGSQFWQQLCQEHGISQDGNLEDFATEGGDRKDVFFYQSDDTRYIPRAILIDLEPRVLNGIQTGPYKNIYNPENFFVGKNG
VGAANNWGDGYQTGELVHEDVMEMIDREADGSDSLEGFMMLHSIAGGTGSGLGSFLLERLNDRFPKKIIQTYSVFPDTTNSGDVVVHPYNSLLSMRR
LTQNADSVVVLDNGALSRIAAERLHVQEPSFQQTNQLVSTVMSASTTTLRYPGYMHNDLVSIVASLIPTPRCHFLMTSYTPFTGDNLEQAKTVRKTT
VLDVMRRLLQPKNRMVSTVPGKKSCYISILNVIQGDVDPTDVHKSLLRIRERKLATFIPWGPASIQVALTKKSPYIPMNHRVSGLMLANHTSIATLF
KRIVRQYDGMRKRNAFMEGYKKTAPFSDNLNEFDEAREVVTDLIAEYEAAEDADYLNFDAGDRAAGEAGDKRPNHTAKMTGEKSKADIIAERVANLE
KPEDPPVASDWNSASESINVKSDERQEELSNSEVADTGLEGAATKGSGAREADGADLSKVGREGKDGLDGLPKDAKAK
>RCO7_03482 | uncharacterized protein
MAYHVPYSSSPPSTPDGKSSNIFSYGANPSTTPAGPPPSSARSFTPAGPPPPSTFGSSMGTPLKPLSFSQQSAFNPKSSPPSFMRSAAQGAIPGQRS
GLSHEYRASPPQRGFHAPSGDSEGEDDTEYMDEEDDRQYNNGQRGYTDQNEDADGMMDEDAQYGDDADMDEYRSEFQETRGSGRRYVQGSTADFLQS
ASGLKRSREGGETGFDSSIMQSGSRTETSYFDSIAKDLYSRMPQPLLHEADDVVLNTELTIEKLFQEGIGATEDDDLLDEALPIVSAELVKIWEEYA
SKTAVYESEEYTAAVGPGARASDFEKANFLASLALKIQHPGKISKSFDRRVVPLPQVLLEWMHDYHNPYPSTLEAVQSHFPSPSNHRSFWDTVFSCL
VRGKVAAVKHLLEHAGWDTARNEAENSISQFGQVGFSGPALINVVKVVSAATNVLGQCPAIREDWNTRSSDWTLFRLRISQALEELRTFAEGSSRDR
MGSLYEPDGFGTSSIAGTYSKNAKKAESKVPWHIYQNLVTLYNLVMGDSNAIIENAQDWCEATIGLLVWWDEGKDDRRVALGRSQSTYRAASREPDA
VSYRRKLRRSFQVATADTTDFRVNSADMVEVGLVSLFEGNFEAVVGFLKGWSGPLSAAVAEVASLGGWLPRTEEKNLINMGSLDQDDMDLLGYNSSP
TKEDGVKDKTLINFARMLAKRGVLKATTSSGQTVLREGWELAIAVLGRLDSTERQEEMIGLFLDGFKLSSSTTVDKLWRLLNELDLDRHAERTAESY
ADSLAEGSHRYGEALWYYALAHKTQKVKDVLDLLISFSLVQSVAYPPEADLDDFLRSLVSSPREALTRMSQMDDDAAKLLHKMLSGYATLRKFYNLR
DEHVLDSGRRSQLGPIARKIEAASSLMAVITSSDDNIRGGLYDEERGAVVSVDFLLALLGEALVFINQTDHIITAAQIDILLKAIEDLQAVGDRVYS
ACTEFLQTVISSGTAKGSSPMDMLQKSTSNVSGSSSFLMVGSSMYASQLKQSMSSSGVLVKGNTKRGWDWRQKGISANTSGDDLLRILRLGLAKDLA
KAYLLEADSRM
>RCO7_03483 | related to galactinol synthase
MAGSKRATESKRVWTTLITNTKYLSGLLTLDYSLKKHSSKYPLVALYTDAFPPEGHAVLAACGIPSQKVEYLLPKAGRDYSNEPRFYDCWTKLTPFS
LTEYDRVVQLDSDMLVMQNMDELMEMELDGPEMEGKGKRVFAAGHACVCNPLKKVHYPENWVPENCAFTSQHSDFEAAQTTGADPAVGPLGFMNGGL
QIVNPSKAVYDQIVAHMNSDAVIDMDFADQSLLSELYEGCWVPLPYIYNALKTLRWDGVHSDIWRDDKVKNVHYILAPKPWEEMDEEGKCTSKDPTH
AWWVDTNNERLAWEKRNGIKNDGF
>RCO7_03484 | uncharacterized protein
MKSKTSNDSPGAVPKPKRKHKARNKSAVKVERSVSPTGSASDLEEKPSERPFSSTKIGVVKYPLETLEMRTRRKEKMVEIGVRFLSRLQTLMGDDGR
FHSECKLYIEQCRSMISMGNKPRTLIGFLGTTGAGKSSLLNALVREDALLPTNSMRSSTAVVIEVSSNQSNDAKQAYGAEIQFCSSAEWVAEFEVLR
RDIEDLLEEDSSADDSDSELNTAIAKLKAVYPGLSLQKLLALTPQDIVQDPELAQILNGSSEMIYTSKAKELLKSMNKYVDSSNGSSGSGSIEYWPL
VKLVKIFTKAEILKDGLVLVDLPGNLSHIWIVADINRAVSDKVAESLLDSSLKEHLYMNESYDDKFVAFITTKTDIINTEEAIDTLNLEHTGLKVDI
EREASLGKELTKLLQPLGLKRKLTDVEETGDNKENEHKIAALHQQLDILSASIRGQCIQARNQFTKDRLGVQFRDGAIDLMKEFTASDKPRSKCRVM
DQATVDTLTGNLNVFCVSTKGFQKLHGLLWREKPMPEFRAFEDTGIPSLEAFSVLCTLDVREAASDKFLAEMASRTSSIRFWAEEGQSQYRLSEIER
DCLIGSLEKQSADLKEAERKANYNMRRNFKNILDKRLVSACTEAVQEGTKDIRRRGKYEKASPRLAYDLNERLTRSFLKPILGPWRYLFRDTLSCHH
SLYTSLIIKALDKFEESFKHVIKETCGHFPPLQRLMARLSADRDRVCASVDYCLRSKQTRANEARENIPGYIQRSMDPFYEECMQIKGRGSLIRMKA
LLRDFVKAHAREIAFAPNEIKKILDSIIDDVRHVIESSATPLHTEDIEKESKDSRNRILGEILEMEDNFTRLTPASGTDGKSSFNAGLDKFKHITLD
EEYIDYDAEIDEEKAPS
>RCO7_03485 | probable mitochondrial carnitine/acylcarnitine carrier protein
MAEKEKSQGNYKGFVAGIFSGVAKLSVGHPFDTIKVRLQTSSTTRFSGPIQCLLQTVQKEGVAGLYKGATPPLVGWIFMDSLMLGSLTYYRKLLHRT
LFNPHRMAASPSALAQRELPLPDEKLHRLPSLGHAMAGVMAGATVSFIAAPVEHIKARLQIQYSAKSSRLYSGPIDCFRKIHQHHGLRGLYHGLSAT
LFFRSFFFFWWGSYDIITRLLGEKTHLSTPAINFWAGGLSAQVFWITSYPSDVVKQRIMTDNLGGGLGDGERKFRNWKDAARAVYRENGVRGYWRGF
APCFLRAFPANAIALVTFEGVMRALP

>RCO7_03486 | probable ribosomal protein L22
MAPTTKSTKGKQAKVTHKFIINASQPASDKIFDVSAFEKFLQDKIKVDGRVGNLGEIVQISQIGDGKIEVIAHTQFSGRYLKYLTKKFLKKQQLRDW
LRVVSTSKGVYELRFFNVVADADEEDDE
>RCO7_03487 | Plasma membrane proteolipid 3
MAFTASDICKIILAVLLPPLGVFLERGCGADLLINILLTILGYIPGIIHALYIILKY
>RCO7_03488 | probable GTP-binding protein
MPRDPLIGLVGKPSSGKSTTLNSLTDASSKVEDVSSHETGNFPFTTIDPQRAIGYLQIECACARHNVSDRCKPNYGACVNGRRSVPIELLDVAGLVP
GAHEGKGLGNKFLDDLRHADALVHVVDVSGTTDAEGKATRGYDPSQDIVWLRSEIVQWIRGNLMGKWGSIKRRHIAVKATAVETLQGQFSGYGSTAS
VVARTLDKLALKEPLEHWSDETVDKVVQAFTDEKFPTVIALNKIDHADADKNISKIAKMQDPQSIVLCSAISEVFLRKLAKQGFIKYTEGSEFVDTR
EDLIADGDPNGGGLKELDEKLKNRIDNLKDMVLYRFGSTGVVQVLSRAAELLGLVPVFPVRNISSFSSGASGSNAVFRDCVLVKKNTTVAECARKVI
GDAPLAYVEGAGGVRVSEDDIVMVGKNDILSFKVGRA
>RCO7_03489 | uncharacterized protein
MQPTTTRLLARSFHRIPNPVRATTSASARAFSTSSPSPKWEGRKPEENPVREGDSNNVQHDAVTAGKEERAKGKESASRGASQSGEGSVERAESEFP
EAPDTIGMQDERGGKA
>RCO7_03490 | probable transcription activator protein acu-15
MPGILPMKVIKVGSSSQARIAQACDRCRSKKIRCDGIRPCCSQCSNVGFECKTSDKLSRRAFPRGYTESLEERVRSLEAEVRELKDLLDEKDEKIDM
LSKMHSNRRSSTVSTSPPVESRKEVVATPPKEDIFRIQASPLLLGADNSDSYFMGASSGRAFVDAFKRRIQETGRSLAGLNMDAFLNIQTDTALVSQ
NSDFKNPATPPRMFSDRCVNVFFQEWAPLFPVLHKPTFLRLYEEYMINPEDVTSPQKLAQLNLVFSIAGISSDIPDKENITFCENQWRNSLESILMD
NTLGTLQCLILALIYCIAKADYTRLQHYKGIAVGLSHRLGLHQNQKRFSFGALTIETRKKVFWTLYTVDCFSAALLGLPKLLKEDDIHAEYPSDTDD
EYVTEKGFQPTLPGEFTKISSALALFRVSRILSKVLDQNYPAAATHDLSLQSLLALEGELTEWSDKLPTHLKLTFTQDKPSTDVTGSRSALLSLAYY
YIRTLVHRPAVGSTLGTKSSPSVISLAESSKHIIQIVQLLEERGMSFSLCVNKNEMLTLCGLSLLYQGLDLKQEGKLMQDGQRLVASVVKLLEKADA
PGAADFKKLGASLFKANTQARTLASRSPNVASLKSTSSPVASKQKPRCQVYRHESATMSESDLLAQQEKLRRATVPNTCMRQDSIQQGRGSLDSSRP
EPSTCKRSARNSVPHVATMFKPRLVKNEKPPNLDYLSLSNTPVPSQPQSPIQSHSHPHVHNAHTPIFPNTGYTATKSSCVSASEWEVLLSSLDSGQT
NLYDAIYGGPAPYLPDHGSSNYEGWSPDSQWDMTSLPMNDFGDGSGAARSVLSFSEESLSSGEELSASELGLGGRQQDYGQAMMGNGENYLLESLHA
FSGL
>RCO7_03491 | related to SET domain protein
MKIPHHPITALPAWSKLNDVDFLDIHVSDLGSSKGFGLVTSRALNSKEVYDAPTLLIVPKELVLSAEAVEEWAKVDTHFRELLGKAGGKSTRGDIML
FLLMQITVAAKHHGLNVGVSNPWTEYVTMLPSEIPVPTMWSEEEKFMLKGTSLESAVSAKTDSLMHEFEHLREKTTDISWCQKCWWENEELNYQDWF
LLDAWYRSRCLEVPSSGECMIPCVDMVNHSSQANSYYERKPDGSLVLLLRPDMIVETGSEVTISYGSLKTEAEMLFSYGFIEEESTVKGLKLSLEPF
PDDPLGKAKAVAFSKPTTLRIFEKDGKIEWESPFVHFMCVNEEDGVEFKVLQENDGSRQLKVFWVGSDVTSATDNFEILTSDHPLKDMFRLRAISVL
QERIRQQLESFDETEDAGLTISVVSDDRYSSAMQLRSSEAKLLEQALDAIRDEESNLHKSEVIFRYLGSMEDEKIPEQVETNEEEDFS
>RCO7_03492 | uncharacterized protein
MAGWSPHAGSGGGWSRTAAVGRVDTDVDAKKAAASIRERGMQRVRSGGNSEADKAREAGIRIKVVDGREERVDAQGFRERNVPVVERAVVARQGMER
EKKGGLKRIVEGMGFGGGGKKGEEKISMRDVVGLVTAKGKADGTEEAHAQAALRWKEREREMQMQMQMQIRDQMDNHSDVQARSPTRSVSQTMGTTK
GRDVTESPGDAQARHRPLYRSTTQTSWTEPGQEEERDRNSLGGDMGKELEGVMSSEEYAESYRGIIGPGPWEEGWLVGS
>RCO7_03493 | uncharacterized protein
MAKSRSFETDALLPEKMDSPTFTSAIHTSVGRIPQAIAHRGYKAMYPENSMGAFKGAVEVGAHAIETDVHLSRDGVVVLSHDATLKRCFGLEEKKTS
SADAEIGRSSGIPDNAWVGGYLDSVRHQGMCAARDFKTRLLTSGKLEDDPDALLGSIAAAIRSVKPSRRWAERILLGCWNAKYLPFCNKHLTEFPIA
HIGWNIPYARQFLEIPGISFNMFQRMMIGPGGEKFMRDVRKAGRSLFLWKINDDNAMRWSISKGVDGVITDDPKRYLEICRSYDGEKVGISLRGWST
FVLIKFMVPFLHLLVKYKYGTRMGTGKVKQDILVGGGRMRDHERIE
>RCO7_03494 | related to anon-37cs protein
MDFHKISHTLLSHRSSSRIYQDLAYCRSTFQEYSDDTVPKPIMESDMKFREKNSLAKPASICIVGAGISGLRCADVLLQNGFDVTILEARDRIGGRV
TQQRLSTGHLVDLGANWIHGTESNPILDLAKATNTATHDWGESFNIFDEDGKLVKDGKEMNDTLWGIIVQAFKHSAENTATIDPKESLYDFFLEKVQ
GIFPSKDESKEREIMMQMTEMWGAFVGSPVQTQSLKFFWLEECIDGENLFCAGTYQKILGTIAKSALAGSKMKLSTKVTSVETHSNRIIVSTENGDF
LEFGEIIITCPLGWLQKNKKVFNPELPARFSQAIDAIGYGTLEKVYITFPRAFWLGNEGHPDEKPHTGFTQWTAPAYTSPTNPERWNQEVVDLATLP
GNCAHPTLLFYLYGTQSVSFGKELSTRPTEEERNIYLASFFKPYYSLLPHYDADSVDCAPLQCLATTWILDDLAGNGSYTTIRTGVMEADKDIEIMR
EGLPGRSVWFAGEHTAPFVALGTVTGAYWSGENVARRIVSSYGMEVIKDGGEDEGGGK
>RCO7_03495 | related to DNA repair protein NTG1
MRTSKISQETSKLLNATSLTPRRSTRTSISRFTHPGPIKKEESEEPLDIEDVIPSRKRKRDVSRAPTKSSPSRTTIKTETTETVTFSPTKERKVRKP
ARKVKNEQTGEVEIHPPNDWAEVYAVVKEMRTSGAARNAAVDTMGCEKLAQEVVEPKVKRYHTLTALMLSSQTKDTTNFQAMNRLYTELPPYQEGAP
GGLNLENILAVDPKLLNELIWAVGFHNNKTKYIKTTAEILRDQFAGDIPDTIEGLMSLPGVGPKMGYLCLSSAWGKHEGIGVDVHVHRITNLWGWHT
TKGPEESRLALQAWLPKELWHEINWVLVGLGQTVCLPVGRKCGDCELGLRGLCKAAERGKVTIGRKLKEERIKENGEVVKTEVVKSEVTEEVAVPDP
AVEVKGEMDI
>RCO7_03496 | uncharacterized protein
MAASSHHDDGDLETDATDHPAVPTRILKKKPSGVEIGSIRRKKAAERVVVSKSSIRSSPYSMVQDHLFDAALASDVLDIQQDPSVVEPMNDSVTSGN
PYSMRAQHYHAIERRAEGGQKRIDDWDESMEKPIAACYIEVEDNKTLPYTLGSSINILDSPTSEDKYREILVQCFRNEGPKTETEKGIFEDYKGYLE
VRADPWGDPAFKSVLKRLSQNAVLDDNSIKWAMTFFGIWVQGVIQEHTEAIASAAPEILETYIPCKQKKITALIQGFRRAEAFLKGPYKESFDVKAL
GGAMVDFNVLRQTRRKDGQLESLSACAGKMFMRVCEENQFMERTREGLEIIPEGQELVVGDSTTSSLSGMLPIRSTSSMSGILPPPARNAESGGKFP
SPPPT
>RCO7_03497 | uncharacterized protein
MAKSDQGNDVFLECIEGTPLETSQTPGSEQPETHRSSPATVSGESTNGLDSPQTARDQTIEEKHQAALAEYENKHYVACRDKCMELLRDGNLPSITR
CQILQLFASCSYYYGAKHALEQALIIASNLENLDPSHVLQKDVEDMLEDLEQFRPKDGAPRAYIKEFEYDEN
>RCO7_03498 | probable peroxisomal protein POX18
MSLKNDKFPSSESFDAINEALSSDAERKDAIKQGNAIFAFTLKNKAGETESWHIDLKNKGQAAKGLGEKPTVTLSLSDEEFGKLVAGKANAQRLFMS

GKLKVKGDVMKATKLEGVMAKARGPKAKL
>RCO7_03499 | related to cecr1 protein
MAPGRDMTWPSRMDEDVWAEISQDVPTKDEPFIKQYLDGQEALIAQEKKQRSDHVFRESLSPMAKEACSIVNKLRDEEQRTVWTAQFEDHLAQETGA
NVYPGMMFSLAKDRMEKTKLWQIIRKMPKGALLHAHLDAMVDFDYLYDVLLKTPGMHIQSPGPLATPKALESIFFKFRFFKAEKKTDSSIWSSEYTP
NTPILLTQAADAFPDGGRSGFISWLKDRTTITHNESIEHHHGVDAVWRKFQSCFTILNSVIFYEPIFKLFMRRMMQQLVADGVRWVDLRLAFGFFYY
REGSEEPEPTYDRLFKVFGEEVEKFKATEEGKNFWGTRMIWTGIRVLDTRKIIEDMDACIAIKLAYPHLVSGYDLVGQEDPGRPLKDLLPELFWFKK
QCVQEGIEIPFFFHAGETLGDGSDTDQNLFDAVLLGTRRIGHGFSLYKHPLLIDMVKEKKILVESCPISNEILRLCASVKSHPLPALLSRGVACSLS
NDDPAILGQGTNGMTHDFWQALQGWENLGLAGLGSLAENSVRWAAFEDQTQADWITGIKEASMGSSVRAERMRQWSVEWEKFCLWIVTEFGDEGESL
V
>RCO7_03500 | uncharacterized protein
MERANAAQMAARSIKAKPKGRMGGRMGPRPDASTPQFAQPSQNGGGLFGGSIQSSGSFDFAAPGGMNLAAPSFGSNATSSPDVSDNEGRFAGDNRAM
KRQFGGPSTMQQAQQLGTFGQTPRNQFGASTEQPGGSIFPFGNSAGAPFSNPNPGTMPASNPFSFGSQPQAANTSISFGSGVAETKPASSPFQFGQQ
AAQPPAISSSSFNFNIPAPQTQQAAPSIQSSTAAFNFGSTAPQSINNPFVFGSNTTQDKPAATPFLFGQSSAAPSGSAVNFGSTTATAPPSSNIFGT
STVQPAQTGNAFGLPTAQPTTNNLFGDLNAAAPPTNNLFGSQKQVPAPTGNFFGGSTNTPSAPTEPAPAPSPFGIQKQSSARSSNSLFAGPVNASSS
SNNLFNGTANVSSASDEPPPIPSLFEMRDSPASDSTMSKAAPTNGPFNTHPTASIPDSIFGKMSSTGMTDLFGNVNKPASEPANHEKSDNGIGSGAN
GNDRSTATAEISSPFKMAPTSSLFGHSSSSNNMSTSATGTEANTPSTSNPSVPQQTSKVASPKKSTDTPMTASQPPGMFSGLMKSAMSQSNIFRSES
PVHDDPNLDLVALPPIPAGHVALNSGPDPFYITDEHIAKVLPDSLKNDPQSRVNWITKYKIESLNRAMSDMFNTLPANHSPKVMMLRYMKRRVQLVE
ENNAFQARFLQSNANVVQLAIEAPPNQSRNIGSATLSQTPNKRKMVEDEGQTTENPSKRTKEQPSQAQAPAATASTPFKPQVNGIGHPGTSRPSQET
NISRPSAPYDNRSSSSNVATPSPIKNKRKAESQITKDSEESNPLRQIKTPRLNGTTIGSNTSNLFKNILDSPSPSKSSSPKKPLSPVKKPVSIPESE
IDTPRVNPFGTLPLPASSSKPSFSLSPSAPASTGFTPKPLSASNLFNAKPSPAPSNTFTPKPTGTLAPVSKPAAVPNNGSAPPTSSFKPPVFTSGPV
DFLAQFGKKASEDKKDNEEKLLQKAIDEDYDSEDDLEEFKQKYREKRKAEVKALEDLAKNTSNAFVYNKVDGASTAATPGASKKIAAPTEMAPKSLF
SQSTTQGSGNSVFSSLNVSRTSTPGPSGSNSASVLDGASTKPVSFAGNIFAHLSDADSGKGNDADDDDESAEEESDGDEENRDPNYQPGNDNASGPG
TPASETGAGIASVKKSNFFSNYGVKAPSPLGSTASSTPSGGLFGRVGSKEPSAANGHGGTTTPSGGLFGRVGSKEPPAAHEQIGSTTPSGGLFGRVE
SKETTLDQDQGGTSTPGRSLFDRITKDSNGNPVRHISTEEKENTQPSTANIFKTVDSPIENPFNKTTGLPADKTWKPDSPIRFGTSGESSNSAPTVS
ITEATPTKADSPASIFGRFTSTPTSSLFGNNSSAPTVNITAATPTKPGNPSNLFGGPTSTPSSSLFGNKDSNPASSSTPFSNLFGNSSSAKGPSPAS
VGFGFGAPSVTSSLFPSAGGSRNTSRATSPGGGTDADSGVDGDPDDEVHEQINLTAGGPGEEDEEVLHEVRAKARIYSTTPDEDGNSWITKGLGPLR
VLQNKDTKAVRILLRADPLGTIVLNKALLSGVSYEAAAKTVKLMASADDGKGLETWLLQIKTEEAAKELADILEKNKSS
>RCO7_03501 | related to ACYL-COA DEHYDROGENASE, LONG-CHAIN SPECIFIC PRECURSOR
MPHKTLTRNEVAKNNTEDSLWFVIDSKVYDVTDFVDAHPGGEAVLKQVAGTDATEAFYNLHRQEVLQKYSTLCIGTIDGEKSQVIEHKAGDLSLVPY
AEPTWLTPQFKSPYFNESHRKLQKAMRIFTDEELYPVAQECEKTGKHIPQEMVDKMAKNGILHMRLGPGKHLHGVELIGGAVKGEEFDYFHDLIVTQ
EMVRANARGFQDGNMAGMTISLSAVLQWANDDAWKNKIAQEVFSGKKKICLAITEAFAGSDVAGIRTTAEKTPDGKHYIVNGTKKWITNGIFSDYFV
TGVKTDKGLSVIVIEKGEGVETSAIKTSYSAAAGTTYITFDNVKVPVENLLGVENKGIQVILSNFNHERWMMVCAVTRMSRLVTEECMKWSNQRLVF
GKTLMDQPVIRQKLAKMISHVEANQAWLENITYQMNSMPYKQQATHLAGPIGLLKMFATRSAHEIADEAVQIFGGRALTQTGMGKTIEMFHRTYKFD
AILGGAEEILGDLGVRQAVRNMPKSML
>RCO7_03502 | probable Autophagy-related protein 2
MASYFQSYFQASSMPKRLLQYILTRIEILDTDALDLQNLDIAWGKNSVFEFRDVALRLRKLENLLQLPPSLEVAKAQVLLLRLTIPVDIYSSPIIVE
VEGVESLLRVKPKMETGAAHSQSRTNHDRINKRPSTPRPSKSPKSRRESEGIEEDDEEAGLPTAVDLAASFLQTEPEDERAEFEAAILSETQEIGAS
PILSDDEEISVGTGAALSLPTFMARFIQGIVDRLQVRVRGITINLDVELPPESPKRLAANQVDAVTVQLKVEDVEIQGVTRESGTLNDSHRDQAPFM
EGKRLISLSRIRGFLVSDAGFLSTLARSSAMSSPSATHSNTFEDSVEPESSSGFHESTGASKSYSTPDDDSTVSSSPQSMPSVHTGAAISTSVYSSI
IASDSGRFEDAPEDDEASSVCDSHASLSEIGDSVYGNSAYLNQVTNSTLFQEDQSMSQPLSSSIHPTSPSSTPRASVHLPLSVPRVDYPVLSDSLSG
VHPPSMLQSTTLPTRSHPRFSHARVSHSQPSLHPTDTYPARNEYSTTQDPSIDHVAVNRGEEDDEYDSSTPLPEEDLSQSQLFSHEDAESMYMSAVS
HTSTTSNIPGGWIRSSSESEGSRTQPGSPILSQNPEQGSSCDNLEHARHVAPHKPDPELAQAPTMPSTPRRLSLSAAQTAPSVPRNPSDVSERSTTS
SNGYTRLTKEFFNLDRIVVYVPMTDSDIGAVSPSVGSSNTAGSSVYSSPTFMSQSTLMNVPGSFSTHLPSPQKPTVSAATTEEVYHEPKDRNSDAIE
IAIGKLLVQFDVSMGKLIFKLISQLRGVIETKAQTTSLSTEPTLGDQKFVLAAQNISVMFLERLEDVMDPPGVPLSTSQYTALPSADVLLRVGLSGL
DVQTHMLEENTKTSIKLKKFVFGYARENIVSFDAGLLIGGSVRDLKASDGIDLSLNITQAVDTTRCEIVTLPLHVSIDLQRLDETFSWFGGLSSVLN
LGSSMASNATVTANSASKPRPRGVHFETPIRPDDNSLAAQNKVDIRVGGFVLDLVGTECSVGVETSAVKVVSRDEGIGVFVQKIRLSGPHLKRAHEE
PAINVEITSTRVEYLASPKDADLDRLLSLITPSKAKYDQDDDILLDTLLRQRKQGAVVRLTIEDCQARIGRLHEFSYLPELGEEVSRLSTVAKYLPD
DDRPGLLSLITVHTLNANVDIGEPLGTVRLLSTGIEIAQISLPSLIALSVAGISARRNASEELIGAATEPELRDPRARSPAVMARMIGDEMEPVVKI
KLWNLKVEYRVTTLMTILGLTENATVQDISASLTASVATLTEFAQIKHARSTMPPPATGKRFHSSKPLAVDIVLRDCILGMNPLSLPSKVLVVLTEA
HVEAVLPKDQNASAMMELNKASILVIDNVAHLTPEQGSTDPRRNSFDGGSTQVADLCATGYVSVSYISSAKAIIQMSTSEDGEQSLDVELRDDLFVL
ESCADSTQTLIAVLGNLSPPILPTKETKYRTKVIPVQDLLASLSGDAFGTAEGDYNFDDDFGLGEGLAEDFSAEDVDDLDFDSHYYQSDTVEGYDEA
VLEDEDGSVASTHVTSRDTHDGVLLDSIVEPQQVLENQDLEFQDDHFGTGSVLEGTAHRWNSAKNTYDRSNAHKIRTSPLRVCVRDVHIIWNLFDGY
DWQHTRDAISQAVQDVESKAIEKRARNERRPTFDQDIDEEETVIGDFLFNSIYIGIPANRDPRELAAAINQELNDNATETESIATTSVSSSPSRQGG
PRKTRTKRLRLQRSKHHKITFELGGVSVDLVSFPPGSGETQNSVDVRVRDFEIFDHVPTSTWRKFATYMQDAGERETGTNMIHIEILNVKPVLELAA
AEIVLKATILPLRLHVDQDALDFITRFFEFKDDTTLTEPSPSDSPFLQRVEVNSVRVKLDFKPKRVDYAGLRSGHTTEFMNFLILDEADMVLRHTII
YGISGFEKLGKCLNDIWMPDIQRNQLPGILAGLAPVRSLVNVGGGFRQLVVVPMREYKKDGRIVRGISKGAAAFAKTTGTELVKLGAKVAVGVQTVL
QGAETILGPASDSPSYTLEGDDSEEENKQISLYANQPVGVLQGLRGGYAGLQRDLILARDAIIAVPGEAMEGGNAAGVLRAVRKHAPTVILRPAIGV
ARAGGQILMGATNSLDPVHLQRAEAKYKRH
>RCO7_03503 | probable general amino acid permease
MDKENYAVNESPTPNGHHDAYVDPVTGLESKSGRIDEAAGIYGDLETAEEYGYVTRGLKSRHIQFIALGGTIGTGLFLGIGSAFTRAGPLSVLLGYT
FTGLAVFGMMQCLGEMATWLPLPGSIPQFCARYVDDALGFAVGWNNWYNASITLCAEISAAAIVIQYWKGAEHISVALWISIIIVLVICLNIFAVQI
YGEAEFVFASIKIITIVGLLIMAFIVDLGGGPKHDRLGFRYWKNPGAMKEYASTGNTGRFLGLFSVLVNAAFSYGGVELVAVAAGEAENPRKNIPKA
VRRVFWRILFFYVLGSLAIGVLVASNDPHLLKAQSDGLAGAARSPWVIGIQNAGIPVLPSIINAVILTSASSSANAFLYSGSRYLFALAQNKQAPRF
LLRCNKAGVPYYCVAITASISSLTYLSVKSGGPSQVFNWFQNLTTIASLFTWCSICIAYIKFHKALEAQGVDRNTLVFKSHFQPYTAYAALVYFAII

ILFNGFHVFIGEHHQNWDVTDFLAAYIGVPIFFSLYGFWKVFKRSPIIKAADADITSGKAALDAQDSEWPDLVPKNVIQKIWFWIA
>RCO7_03504 | related to GPI-anchor biosynthesis protein PIG-F
MPLVDPVTMSSAGASPQVITVKPSSPIELLPNDIARIFSQIHPAILLSAFYLRFPALVAQPTSTLLSSLLPLAVVQILYAVVCLPAVGSSPKVVKKV
KLNASKKPQGAAATRILTSFVALLFTTFSIPILSILQILFGAPLTTHLPHTLLCSAHVALLTVFPLIYVHGSDARKWREVVSLYSPIDEVFGGAVGC
LLGAWVGAVPIPLDWDREWQKWPVTIVAGAYAGYVLGKTIGAWGLKGKRIELD
>RCO7_03505 | probable translin
MSSSGMVDPRIFEQLQTKIDDDADVRDQIRAITQTLERQGRNAQSVLSRAHSTPAANVEPVLVAAEASIKEEIESISKLAAISSSSPYYKYNSLWTR
DVQNVVFSILFCGWLGGMSTYIKAEQGKLLTIEEVGAILDVPVNLKDKDAFHITIEEYLQSLITLIEELSRLAINSVTLGDYQRPLQISQFVKDLHA
GFQILNLKNDSLRRRSDSIKYNVKKIEDIVYDLSLRNLVPKAGAGA
>RCO7_03506 | uncharacterized protein
MSSLVKSSERLLISTKKAKGSNKELHMSKPADDAESTLHISSASASAPVPDPSTSHSLSQVIVPDADDIFSHEANESDENSTNNNYSLNITVRVAEN
NDSIHYHGEEGIKSNGGASREACERNNTMPGSITWVGNSRFQQKYDEFKERCIYLLEQAFLPYVTRALAL
>RCO7_03507 | uncharacterized protein
MPALRAFYGTVLRPLGYTEMIVVKDGNICGFGDDYPYLWLKALSEGKEPIPTHIAVEAKGT
>RCO7_03508 | uncharacterized protein
MPFSISSSRCQSPNVSETMQIFVKNVAGESKPPPSSEQRRGSNPEQAHQLTFSPAFPMTVPADASIRNLTTLLSVRTSLPESDLRLVYAGRHLSSSS
TLASNNINRDATLHMAMPLRGGMPPKKIRCTYKDCKQGAQRVIGDCGFCNGHYCGTHRLLEDHKCDGLEDCKKESHDRNAAQLNAERTQVIKGI
>RCO7_03509 | probable alcohol dehydrogenase (FDH1)
MSTVGKTITCKAAVAWEAGKDLTLETIEVAPPRAGEVRIEIYYTGVCHTDAYTLSGKDPEGAFPIVLGHEGAGIVESVGEGVTSVKPGDYVVALYTP
ECKECKFCKSGKTNLCGKIRATQGKGVMPDGTSRFKCKGKDLLHFMGTSTFSQYTVVADISVVAITKEAPMDRTCLLGCGITTGYGAAVETAKVEEG
STVAIFGAGCVGLSVVQGAVSRKAGKIIVVDLNPNKKAWAEKFGATDFVNPSDLKNQTIVEKLVEMTDGGCDYTFDCTGNVGVMRAALEACHKGWGQ
SIVIGVAAAGQEISTRPFQLVTGRVWKGCAFGGIKGRTQLPDLVDDYMKGKLKVDEFITHRKPLAEINNAFEDMKAGDCIRCVVNMRDP
>RCO7_03510 | uncharacterized protein
MNGHPKADPFGLHVADQALNTILSSSQSEHGSNSQSRRQFNSLSALTTTASTAHDIACRLGLGMPQRIMVETQSSGPIVLTSYLHLPDHRELAPTDQ
SQGRLHPVDQNVSDVGAGDAPANGLDVEEDGMENLHDSPSRNRSPLLIATVVASSSAEATEARRAAARLEKIGMDFQRHWTEKAR
>RCO7_03511 | related to USO1 - intracellular protein transport protein
MADEDAAKAEKLAAAKKRVEQMKKQKQKKAGAKKEGKEEAAPELSQAVDKPDSVPDNSKDSAEELKDDTKDKEDTVPEPNSGLPQRQPSLSLQSKMR
SSSFRQSTGGPLSPGYGFSPEGDTAPDIHRKQAARIEELERENKRLAKEAIDGERRWKKAEEELEDIREADDDDTKKSAGATPNPISSGEVEKLNAE
IAALQRQNTQLQAQSSRVSRHGSSPSVATTVPADLEAVLQSKSSTIESMEIEISNLRAQLERIASSSSEKEQIAALEAKLLRSERSAETAQRELGDL
KKNLERTTEKAVKEGSERISAETKLRTLEREAEESKVRSEELQLKVDALEKKVSTLATLHKEHDARSQTQKKEREKAEKEASELRAKMAGIENENLR
LKEERERARKRDAQGIDDEGVEELENEERQRLEKKVRDLEGEVHELRRGVWRERRKELDGEELSGLTSPGTKFTDVDLGGGMSPNRRRSLAAGGKGG
LGDFLTSGFNAITGANANANADDGLLLEDDEELDFDEDAFRLAQEADAAKRIERVKGIKRGLKDWEGWRLDLVENRRGGGDGVGEIFEV
>RCO7_03512 | probable TRANSKETOLASE
MGYSDVDKLAINTIRLLAVDATFKSNSGHPGAPMGMAPVAHVLFNKILNYNPKNSAWLNRDRFVLSNGHACMLQYALLHLAGYKLSMDDLKAFRSID
SITPGHPEAHDTDGIEVTTGPLGQGFSNAVGLAIAQHHAAGEFNKPGFELINNYTYTFLGDGCMQEGVASEAASLAGHLQLGNLIAIYDDNHISIDG
DINCAFTEDVALRFKSYGWHVEVVEDGDHDLQGIEDAIKKCQAVKDKPSMIKLRTTIGFGSLLQGTGGVHGAPLKTDDIKQVKSKFGFDPEQSFVVP
QEVYDLYNKHGAEGAAKEQEWNQLLEKYGQQFKSEAADLKRRLTGDLPEGWEKNLPVYSPSDDAVASRKLSEIVLTKIHQAIPELVGGSADLTGSNL
TRWKDAVDFQPPANGLGDWSGRYIRYGVREHAMGAIMNGLAAYGTVIPYGGTFLNFVSYAAGAVRLSSLSQIRAIWVATHDSIGLGEDGPTHQPIET
LAHFRALPNCMVWRPADGNEVSAAYYVALTSKHTPSIIALSRQNLPQLENSTLANAIKGGYAVHEAEKADITLVSTGSEVGICVDAAKYLKEKHNLT
ARVVSIPCFEVFDAQSKEYRLSILPDGIPSLSVEVMSTMGWERYTHEQFGLNRFGASGAYKDVYKKFEFTPEGISKRAVATVDFWKDVPNIRSPINR
AFQQLI
>RCO7_03513 | related to AP-1-like transcription factor
MAAGQYNDNSVDSQSYLVAPDINPGLYDGTSSDSSASSPMNCNSFDNMYTSNGFMTYAAFPMQYPMSGDGMTPMGLIPVELDIEGLYEDHDRRRRKN
GTEKSISSHVHSRRRAQNRASQRAFRDRKEKHMRELEQRLGELEGRHSDLSRSYESLQLEYASVQQELDKIREQNSRPEVSTRDYQSREWEESKAEI
LDPLLFDVSAFCFDQDDGHDRKE
>RCO7_03514 | H+-transporting ATPase lipid-binding protein
MSGLDVGDSLVYCPVYAPFFGAMGCTSAIVFTCFGAAYGTAKSGVGICAMGVLRPDLIVKNIVPVIMAGIIGIYGLVVSVLISDGLKQQLPLYTGFI
QLGAGLSVGLAGLAAGFAIGIVGDAGVRGTAQQPRLFVGMILILIFAEVLGLYGLIVALLMNSKASLDVSC
>RCO7_03515 | probable 50S ribosomal protein L7Ae
MAEEQNGSAAWPVADAALTQELLDIVQQASHARQLKKGANEATKTLNRGISEIIILAADTAPLAILLHLPLLCEDKNVPYVYVPSKTALGRACGVSR
AVIAASITTNEASDLMNQIRSLKDKVERLMI
>RCO7_03516 | related to SAC1 - recessive suppressor of secretory defect
MPGLARKLLISAAADGLIIDQRGRSATKIAYQDKSITQVSKDYSTEVTGKTFEAFGIVGLLTVSKSSFLITIVKRQQVAQIQGKAIYVITDVAITPI
SSKTEAELSVANTRALLHKNDGDHCLDECDTDTEEDGARLSDEVEDGISPSSAAMQTPHRRTTSVAEDVISRKGGYGRFAQKWFSKSGWTVDQRRNL
GMTSGESNSATSDQPGSKTTPAEMTDKLHPGDSPRMDTTDAVESFLPKILRTTQILFGSSQSFFFSYDYDLTRSFGSRSTSNLEGSLHDRVDPTYWW
NRSIIQPFIEARQSSLVMPLIQGFVGQRSFEMDPRPPNSVVGLDNATKSSVELVDLPASQGTQQSSEEAQGTQPRDSTSPRPFLLTLISRRSVKRAG
LRYLRRGIDEEGFTANSVETEQILSDPLWDSGKKLYSFLQLRGSIPVYFSQTPYAFKPVPQLQHSEETSYSAFSRHFRHLSDTYGSVQAVSLVEKHG
PEAIVGDRYKLFMKRFNEETQKNIGFEWFDFHAICRGMKFENVSLLLDTLGEKLDSFGQTVEVNGQRLSKQEGVLRTNCMDCLDRTNVTQSACGMRA
LESQLKQEGIDMSLQTDQTTQWFNTVWADNGDAVSKQYASTAALKGDFTRTKKRDFQGAIKDMGLSISRFYSGIVNDYFSQAVIDFLLGNLTSIVFE
DFEANLMSSDPGVSMEKMRQHAIENSRSLVVADEHEEFIGGWTLLTPHLPNTIKSLPFEESILLLTDAGLYSVRFDWDVEKVSSFERIDLQHISRIM
FGTYITSTLSAAQVEEEHNVGLLIRYKAGIDDITRVNTRSMSNIQSRGETELLAGNSVPGLQSHSKGSTGAVTSELSVLALKAVPARSAVAGSESRV
NELEQVKGICAEIERMILHGKVVEVGTERESIVESGDIISLSEARKSTGLLEQLTHSIKKLVWA
>RCO7_03517 | uncharacterized protein
MGKHGKAVKDGGRMVRDDSESLHNGGSKKKTTKTKEKPTAKTVKIEESQEVLDSLKLQQLALNIFKNTFPDVLASETLQSLLQEVKGCLYARDFERA

FGRKDYLEAYSVRWSPSRALCYQAVLIDLQQHLSEVFPACRNGKPRNSGGLHAMSFGGGAAEVVAFGAFLRHLHDFTQDQRAQDVDVRLDSLTITDQ
SSETEPLQDNASSTDHEIDLVLVDSADWKDVSVKLTSGLTAIPTLSKYANAAARESNFPLLDVGSLKTSFIMKNCLEMDRQQLLSLNAGKKTLITLL
FTLNELYTASISRTTQFLLDLTASAEPGTLLLIVDSPGSYSETTFGPAGDTETPNKYPMKWLLEHALLATETPDGQENSVALWEKIVSDDSRWFRIH
ETLRYPIAIENMRYQIHLYRKV

>RCO7_03518 | uncharacterized protein

MATASPAFLRLWRDESVRANLLSILDTEAVCALRLTASECCNLATQHLFARTRMTFTPSSFSRQSRLEALSRVGRHIKHLTFSMPHSPATFLPPLIN
PTTGREVNFLYTPHTTGGSVCQRPKYGSPELADLLTQQYPPIFHAATNVPAFVKALTYMPNLRHLSISCPDQDPAQRYRRDAVDYALISLRIAIERA
PIEKMEKLSLNHIHPSGLVYLRHMSGYGCTPSAGRRWKQIKKLSITMDSWDFYGLRHGLDHLKILDDYIRAFSSNLEKVSFGWSGRRGPCPLTIFTD
PLFAPPKSTTKLFAEVTSPMSPLPAAPLRSAMTFPKLRYMRVRNSTMSTEQVSSFVLEHRHTVREFDFENVALINGGIWEDALSPLRRSSNSDEWLS
QLSGSETGNSSRFQSQDYLDHLGDFDEVIDTAGGTHLDSARTSVLIKKKRVHRRRRRKHSHKEPPGKLVISSPIPITGPIEEVLMPTTFRPNVQGVQ
RDAEKEAAQQELADDPDKRVSALKKAREAVLKQLGKEYCRGQGRKEQVRGFFMNTYSSGSKGRSLITHESSALVPLMFSRY

>RCO7_03519 | related to monocarboxylate transporter 2

MMEPNLHLAPLSDAKTTSTSHPSTSSKETDHEFEVGNVEFPEGGSAWLVVFGAWCALFSSLGIMNTMGSFEEYISTHQLRDYDLSAVGWIFSLYAFL
TFGVGLFVAPLFDKYGARWLILPGSVLVVVSMDTIEYCQEYWHFVVVFSILGGVGSALLFSPSITVVGHYFNRRRGIATGIATTGGAVGGIVFPLIL
QYLVPRIGFVRATKIIALISMVLCAFANVFIKGRKTTGSNSSARLDLGILGHPIYAVTILGIFLLEFALFVPLTYINSYCISKGFSPAFFSLVLPML
NVGSFLGRLLPGYLADKYGRFNAAIVAIFLTVISVFGVWLPFGGNKAGIMMFALIFGLGSGSNISLTPVCIGQLCDVENYGRFYSTCFSIVSLGCLF
RVPLAGKILDMNHGNFNGLVIFVGACYAGGLVAFSCARALAVGWKLGQTF

>RCO7_03520 | related to protein histidine kinase

MRVGIREQLGAVVLLVALVPLAVLSISVWINNKNFVVQITSQELSLTASLKASQIASDLLLIQSTCATITTRILLNQALKSYYKGPQTATNFTAALN
DVSSALDSGGFSSLLQIIVFSRNSTIGGNGRENASLGLIKATAPNSGIRLPYQYPNLTYAMLGDDSDLGYPAALYPNITYTQTDQPDPMDPSVNATS
AMAFNDLPLNNTAELLLGPLQINDSYALVSLTLPITDNLDRRIVLGYMTVVAAATSLISVTQSREGLAKTGVVLLVGPNRRENLFRYEYRPSDASYD
ADPKTIGDGFVKYVFPPFPFQGQSDRHGKYLKNLSDFGSSNFSLRSYPAALEGFTKHLPNSVNSADSHLTTPNEENRSVAVGWARPQSSLVSWLLIV
EQSHEEAWSPIERLRTIVLACVFGTVGLVLVVVLPLAHYSVRPIRRLRDATEKSIAPPGYTPNGSIRTSHEMSGDEIGELEHRNSNSQRSKKGLFVR
LKQMRPGSRRKTIVERHEDERRRVVKIPGKVRDRKHFITDELTELTSTFNDMSDELMLQYSSLEKKVAERTEELEISKRAAEAANESKTLFIANISH
ELKTPLNGILGMCAVCMGEDDLPKIKRSLGIVYKSGDLLLHLLNDLLLFSKNQIGQQLSLEEKEFRLSDVKTQILTIFAKQVQEGHIKFSVKFVGTD
AEPGVEPTTGKPLPALGPGGIGRLKDLFLWGDQHRILQVIINLVSNSLKFTPEGGKVEVRIKCLGEAESLSDLSRNSMGGSKQSSHRASRNKHRNDS
SSNASQASRKHSSSTQPPLGTALQINPMDSKATSRIQFRERSRSPPPLNARTLVFQFEVEDTGPGIPDQLKDRVFEPFVQGDLGLSKKYGGTGLGLS
ICSQLAGLMGGNITLTNIEPHGSMFTMRIPLKHTKSRPPSTSSTDPQGSRPASTYSNTEGTRPMSKTPGDASPKPKFEKDSQPRLVGLSQPFFASTT
AHSPPAKDPEGQLAALSKAAAKEPGSKLRVLVAEDNLINIEIVLRMLKLEDIYDVVIAKDGQEAYETVKDRMSKGEFFDLIFMDVQMPNLDGLQSTR
LIRQMGYSAPIVALTAFSEESNVKDCYDSGMDMFLSKPIRRPALKQVLKKFATIPEEIETSSVTNKSSTTPSETDVSGSTSKMDEPTKTAADGTPRP
P

>RCO7_03521 | uncharacterized protein

MSLFHDPRTFPDYPQSSMMHEPHQEQDDNSMQHNRYPSPPPPMSDNAYIPQDMDATEGLTLDDMPELPVKGNADAPSPERSKPIPKPDREVTKGEDG
RFICNWIGCNEEVQAFTRKCEWSKHMDKHDRPYKCPSEGCEKLPGFTYSGGLLRHQREVHNLHGGPRKQLNCPHPNCKRFSGKGFSRQENLNEHLRR
VHTDAAEVLNAAIETDDEASEMAGMKRKRPQFDGVDVRMEMKRLRQENEELKKQADLQTIRTNELVRSLNTLQNLVGARIHEVAADVSQHQAPQAPM
M

>RCO7_08131 | uncharacterized protein

MRTSIVFTLSFLLPFTVADGPICTQRTLQCTSASECTALFNAYYGTCTSTEEPNSCFYHKAHAKHGLPYAVEVNNIPGTHGNSQYKLTFLSARVAKW
GKIRTSKGIN

>RCO7_09804 | uncharacterized protein

MRTIFFALSLLLPFTAAKGACQNRTDVCAVTPVILSLIPASERVKSPNTKTALVQFKNTHPSHAAAVTSRLLDKLAR

>RCO7_09805 | uncharacterized protein

MPFGFLHGNRSKSALNDPQAQVQLPETQKLSGSGSGSASSIPNPSFSTDELDQQQPQAHFNQHPREGVYVAQSIAPDIDPRIQQRAGDFPSRSHSTR
RHQHSVYPHQPPSGSSSSTDDLALNSRRHQRPVENQLAPVAVSEQKKSKSLFDRMRTSKHSESKTSPAAQQDSYKNTTGLARRLSKRQEIPPVLRTN
TQRDSLEKQNLDWQSQDSRSHLPSPQEGAEDDGGLDPYQQRGSDQLGSHSTGREEGHHQTVRPIQGDSEAQAYPSVDEQHHQLETQQQHSRLESGSQ
NNYHPQLQKYQSKLNISPTSLITGEKTRHQNLETVSQLSYDLRDPQEQRPVSVQSNGHSPTTYQSPREEHPSSTSSTPQGLRLLSQFNMAPPSGASR
RTGDSKSLLPGQGQPESRDGPPSNYSRGNFSNTQAPAPATNTLPAGSAQGPGYRGGPLQREYSSISAGGGEQGRSTPPPTTGDREISDGHKELMTKY
KKVKSLYFEKTAQVEQLQNTLANQRLSQSRTSLDDSEYISRFQRLEGATTNLAFNIRKDWRTVPAWLSQSVNQDAMKIGKQEMTAVGRACVTRFLVV
EIFNRTFHPGLEADLSTNLKAVEHNIRRFSPAINNVEESDALTAKVVQWRLATLDGLKDVLHSPESEVYKKQFSRMATTNLTASLVNYLQEPVPAGI
EDSAHMIVELAVSIASNLPLESRDISISYPMPGDTIQPLTMKVEAQIPPLENPGAETADADSASTGSGEKEEREDKAEGRSRKEKTKSGMLSAMMGG
PSGAKKSGISASIAEASNDIKKLPAEDGAQKVRFAGFVAVEVRGRQVLVKAPVWAIN

>RCO7_09806 | related to Probable Xaa-Pro aminopeptidase SS1G_06948

MDKRPISRDSNWSFDVEEIGDVVSISRMRADIYPAKKHARSVAKHLSVKNGLIFLPGTPSQEYEDSDEPVAFRQRRYFYYLSGLGNPDCIVTFDISR
DQLCAWIPPTASGRSVIYNGSTPSREEIKAKNDFNHVDYIDRLDDYIKTFVHIERSPTVFLLHKYHEAFFSRISRPSVDSKKKIQFDSTRLILSMDA
SRVIKSSYEIKMIRKACSITAKAHINVLKHIKTFKNESEIEAIFTATCIANQAKQQAYGIIAGSGPNASTLHYNANNESLKGRELVCLDAGCEWQCY
ASDVTRTFPISGEWSVEARQIYDLVTSMQEKCIEMVKPDADYRNINARAHDIATRDYLGLETHDVGDGGILLLGKNLSIDKSTEQSIFSLTTETPAT
SSASILAPNMVITVEPGIYFNRYAMEEVWLQNERISKYINQDLLEKYYPVGGVRIEDDILVTEDGYENITRDIPKGDEALEIINKGLDEPVIVEKVL
VKDEQRRRWFR

>RCO7_09807 | related to Probable Xaa-Pro aminopeptidase SS1G_06948

MDKRPISRDSNWSFDVEEIGDVVSISRMRADIYPAKKHARSVAKHLSVKNGLIFLPGTPSQEYEDSDEPVAFRQRRYFYYLSGLGNPDCIVTFDISR
DQLCAWIPPTASGRSVIYNGSTPSREEIKAKNDFNHVDYIDRLDDYIKTFVHIERSPTVFLLHKYHEAFFSRISRPSVDSKKKIQFDSTRLILSMDA
SRVIKSSYEIKMIRKACSITAKAHINVLKHIKTFKNESEIEAIFTATCIANQAKQQAYGIIAGSGPNASTLHYNANNESLKGRELVCLDAGCEWQCY
ASDVTRTFPISGEWSVEARQIYDLVTSMQEKCIEMVKPDADYRNINARAHDIATRGLMELGLLQNGSYEEIRSAGASVAFLPHGLGHYLGLETHDVG
DGGILLLGKNLSIDKSTEQSIFSLTTETPATSSASILAPNMVITVEPGIYFNRYAMEEVWLQNERISKYINQDLLEKYYPVGGVRIEDDILVTEDGY

ENITRDIPKGDEALEIINKGLDEPVIVEKVLVKDEQRRRWFR
>RCO7_09808 | uncharacterized protein
MGHPHHDKSTPRTNRRFTLFPQLPMEIRFKIWKEAQPLPRGIGLTIPNRDPNDGFSNATQPILLSVCQESRSETLKIYKPVSQSMKSNGSSSRRPIY
IDPENELLHLADDRATFINQPDKAISLDAIIPWLNKDLYGSLRYLGIGLFLFDTWTVTPSTKAALLPLSELSALKGIFVVLSPESTQRQKNVDLVSP
YDFQLRKPPLVAPDEAVEDSLYFTYIPEHVRYVQQAALSDNPAFDELDELLTLPAGADRMAAIDEAIADLHYEVYRVGEECTEWKLPAVGIGSLRVS
PDQQGRETPKDEWNI
>RCO7_09809 | uncharacterized protein
MTSQQGSEDVNDFLLRIKELSDRRDSEDEERNRKLEEEILQGRAERQARRAERARSISPTKSSPAGTPIASRESAAPLTALSRTLSPKLEPKVDFEP
QREMGFDEAMDRLTGSTSPTKENNSPSDADRVVAETDTKRNISIKPSPSNAMPSRNSPLSWQRRPNSQSSDRVQSRPLSMVATENAARSPRAIPDPE
VSPTTEPTREQIAQSLAAKDPAWFRQTADRGLKSPAYRKNQIEDEDRSEHGSDSSRVQMPGMSRQSSEPDKVTDDGAVRPTSPSRSSASFGSGSRAS
HQSTHKLPGTSSPMPISTAQRLDPPTDSKSENRGLAMSPAQGRISPDKMDRPPSPTKGMGGFVQSAMMKRSDSVNKRWSVQSPPGLSRGNSVASNRN
SVVEPREFKSSTLSREPSPRPNSRPSSSHSIATLTQERPGTANSTKSIMTASTTNDGFVKPTIPASKTQTPLGVRTTQPDDSETPAYRLTTPPTSPS
KTMDSRRWSPTKSSWLESALNKPDSPKPKAAAPQQPAWMAEINKAKKKPSVDLGSNSSGPPKHEVNIGGLLRSPPPGGVTKALSTGGLPLGFSSGTL
SKSTAENVSSEAKDSPKPINSTGSATSISPANGKIKLETPPKKDFRASLKSRAPPTDTSGPSEPEFKNVFGQLRRTKTQNYVAPDELKANITRGKAA
LSLTGGPRKTERVDDFKDAILKKKDDFKKAQSEGKGVMRSASGGSQEAPLPEALAKRRALGRSDSIISETGTLESPSRSRAPSIPKPSLVKEESAQG
RPQSRETPASKLAGRMNPGLAGLLARGPPPLDNRSSSPAQSQRTTSMSTSTSEPAEPGPQLTHMTKDRARGPRRKAPTSTTEASDTTTNDAVGKPAL
EGKSPKPLPLQVNTTPKPKVLERIQSPSAITERPSSPTKSVDRVPSPTKILDRFPQSPTKVADSPASQPSSPRKLDMKRRSQFLQDAAAKEDLKAKL
QLDTPKPLSPKQANSLEIPMKPVLEPIIRDAPSPRSKPSTPTVSPSLSKHSVRSPAVSAIESPETAKLRPQPLSPRKTTPVEQSLGTPKALQPLSVS
ADKVDCEHTVSVKNATSMWGSSTTSTATPPCARSPIKLPTHEDEKAAMVVAGLRPVSPVKSNAPVGLGIQGPRARPLPTPPTKPLPQSANPGPRSLH
QSKKSLDVSVPQASEASQLLGDFFGEHRQHLEFNVDTAEILSSRPDMNQDIKTLRATLYQFSNDGKKQEVPSHQERILFEGNLYLCTHVFGNAAGRR
ITESYFWQGDDVSTSVADDIEMFAQREAKSVGGKLIKIRQGKETPEFFNALGGIIIIRRGPSNKYDSLAPHILCARKHFGQIAFDEVDFSPASLCSG
FPYLISTQSGKAFLWKGKGSGVDELSCARLIGMDFGLTGELEEVEDGSETASFLEIFGNGASIPASADHWRMKPNYNKYSGRLFVADSAARSQITEI
SPFCQSDLDASKIYVLDAFFEIYIIIGSRSQSQYPAFQNALNFGQEYGILAAGMEDRPFVPVTTVVLEGVPKDMKSVFRKWVDARSITFHKPVVGDL
RRKKSLRVVPLTAALEATRS
>RCO7_09810 | probable ADP-ribosylation factor-like 2
MLSILRKARLKDKEMRILMLGLDNAGKTTIVKRIMGEDVNTVSPTLGFIIKTIDYKGYKLNIWDVGGQKTLRSYWRNYFEKTDALIWVVDATDRLRV
EDCRQELHGLLQEERLSGASLLVFANKTDVNGCMVEDEIEEGLQLHGIKTHKWRIIRCSAITGENLQEGLEWVVEDAKARLFLY
>RCO7_09811 | uncharacterized protein
MPHSGRNRAETPPPKRKYMPLESERPKTQEELWEEEVAHKALAAMSSRGCALLCDSMWASPQYHARMAAATKPKRITGGANAFFRNASNSGIKVATS
PAPSPTPVPNAAVLATPPTTPTSTFTLNAKAADWFSGRSQTLAVGTARVATESPSAVSTYVPPHLWGIVAKSSPTSVPEPEPSQTASYVPPHLQKSA
SPPAQVLPPHLRGAPTQSVIMQNQAIHQNVPPHLRGITSNKTCPSDQTAPTATPSPNTTISSEVTGTAMASAFYPPARRMVPEKDDFVTWLERKSSA
KVVQTAEKTFQKVTEKTPQTIIIKSEETSLPVRSPQFSPSNLSAGSKLSEASLQQIQRNVDNIDPFLNYMETRPVSKKYGDWKPPRNAFDNPRWKLS
DDNVDKFEAYIKSGPPPSMAPLTAQNNTVYGSASVRAANVKAAQVIAAKPQTHHQKPTFVGVQKLGQNIMQNPENGRAQSSEPIKPAQAAMKAEIAG
YISNNTAPKQPVPNSNAIQTQETEWQVVPSMKSVAAMISADVKNIQPESSANSPPLTQDALVLQTGFKTVNQNKVSDDGISSTGLGDASSDYVHDPR
NIQGIDTTDQLADWDGTWAPAPVNWETERTLFDPAFIPEYIREWQKTIPANGSFIVDISSDKFTIPRESRPYSYTYPIANTIFVDKIDQGLDTIPDT
AENTPDQELKRKWQTAEIEANNYSVAVEKKQKSDKRALKASNMRFREIADQEPEKNPFSPAIDIYMRPAEEKDGADIAAIYNWYISNTYIPEDQVSI
DVEDAKWLIKQAKDDIMPFIVAVKGRQPASVDAQGRPSPSNKIIMPVVESVIGFCFPERFNYGFTSSWKGRSRATATLQLYVHHEHTRKGVGRNLLD
RLIHCLTPGYAYKNAASWINPSHDKVYETEGAGMFHQLLFQIPVESKHDPNIEWLTKFLFKFRFYENSFKESDRAHPKRLNSVVRSSTKGRTAHFLD
LAIFHFEARQAGEFDPYI
>RCO7_09812 | probable ATP-dependent RNA helicase drs1
MAPPNKRKAEEDFILTLSDNEDDLADEKEEVPASPPPSSKKRKLEAAAAASSKKSKKAKNKKAADDEDEEKDGQGVWGAKDEDDGAMDSDFEFQLED
GKEGAMEEFEGWGFESARKGLGLNGKGGDKRAVDIDEIIARRREMRGESKIVEDVEVDDKAAASGAEEDSAEELELDSDAQDEFMANDGFGMGVGSD
EEESGDEEEAEDFANKDEDDQDEDNSDVDSVASAVPHPDDIDSGGSSDEGEKDDDPEEAARREAFFAPEEKPAKGAKAAIYSSFQGMQLSRPILRGL
AAVGFSAPTPIQAKTIPVALLGKDVVGGAVTGSGKTAAFIVPVLERLLFRPKKVPTSRVAILMPTRELAIQCHAVATKLASHTDIKFCLAVGGLSLK
VQEAELRLRPDVIIATPGRFIDHMRNSASFTVDTLEILVLDEADRMLEAGFADELNEILTTIPKSRQTMLFSATMTSSVDNLIRVGLNRPVRLLVDA
QKQTVTTLVQEFIRLRPGRETKRMGYLLYLCANIYTDRVIVFFRQKKEAHRARVIFGLSGLKATELHGSMSQEQRITSVESFRDGKASFLLATDLAS
RGLDIKGVDTVINYEAPQSHEIYLHRVGRTARAGRQGRACTLAAEPDRKVVKAAVKSGRAQGAKIVSRVIESSEADEWAQKVEDFEDEIDEILKEEK
EDKQLAQVEMQVRKGENIMTHEDEIKGRPKRTWFESEQDKRSAKKIGRDALNGVESILKKKPGKLSNKDKKKLDDRESRTEGKVWKKGRAERDGKGA
LAPVKGKKKVQGGKPPSKMGAKGGKFGKKR
>RCO7_09813 | related to dopamine-responsive protein
MEDTIQPPVLSTEKGMATFKTLPITLLSGFLGSGKTTLLQYILNSPHHGLRIAVIVNDMAAVNVDANVIRSSTSSSNSSQKLVAMQNGCICCTLRGD
FVLELARLAKDGAYDYVLIESTGISEPQQVAESFTTEFSLAMVQAEGEDEAGMAWSEDEKKMLGELAENGGLNSIAKIDTTITVVDAFRFFEEFETI
ELLHERFASEVETPEDERTVTDLMIDQIEFADVIIVNKIDMVDDKVLARIRGLIKTLNPGCNVLETSLRPSKNSENPFGAIPLDLKEIIATGRYSEE
TSIKSSGWLKSVHEMSMIDNQGRKVLAPKPETEEYGINSFVYRARRPFEPKRLFELVYDKFVILEPQNPEDDEEGEDDEEQDEDNDNGSEHELDATS
DLSIEDSDSAHEESSASSPTGSGSPTLTTTSPGTSVAEDSHELTQYPEIPLLKRLANKKAHPLFRNLLRSKGFIWLATRPDQSGDWSQAGAMLTFSP
GLQWFATVPKNEWPVPEGEAGIVLQKMIEKDFDGEWGDRRQEVVLIGEGLNVKGLTECLNSCLLTDEELGEWESIMRLDVDKEKKEEMLSDLFEDGW
EEWDDPEPMGGSDEDGHVHGAACSL
>RCO7_09814 | uncharacterized protein
MTDLTPPSQAKRRRQCGPKTRTGCLTCKVRRIKCDEAKPNCQKCLSTGRKCDGYLPEFTLSNPHSTALIQRMPSLLPGSAQEKRGFQYFLTQTGGGL
SGFYSSDFWERYVLQASAAEPSLRHAIIAIGSIHEEFANRRLVYGRDEVSKGHAFAINQHMKAIGHLRKSLADGKQATLTALMSCILFVCFDSLRGH
FVSAMAHLKSGLKILRDLKVTSAEEEHAIETDISPLFLRLSIQAILFIDTRPNPERAEMVTELAHVSSRDRAIPEMFESLEEARNCMNQVASSLFRM
TYACDGDKSMIDQPMEAFDLFQRYTEENERWNTAFERFMRAKSAALNSRELRGAALLKIHHMTAHIMSKMTPVAADPRPLAQAMNDPLIFSKFNDEF
RTIVSLCRSLVATEEQDIKNGKTSATFSSDLGVIGPLYYVCIRCQDLAIKDLAIALLERCPRREGMWDSESGVRMVRQFWSIEQTHLLRDMNHERGK
SETVPMCDILEMEFGDGMKWSWKLKDAMGIMTPISMGESVAAITPDFVSQVYNPPLRCFLIGKSRASSAHLEPLASLNGREVRRVDHTDENARSYIQ

PISFGLSSNATRRGGIPVLSRLSVRNGSSGKTRFD
>RCO7_09815 | related to actin cytoskeleton organization and biogenesis
MSGSMPGYGSVEDGSEARDRGSRRKKLAGYLKAAKDIGQSYQQSYSERWGSANGEFGDDSNGIPGSFPDVAIVSHGDEQLILFPSYAKQHVKKQPPD
PATNPVRQDSSGSDMSGDGAGDAEYWAREWQKFEDDRAVVDVDVRGWIYSPHRGPMTRKNRLLIGLARQLSGIPAPKGQSRDNSPDAAPSLLARHQE
HEARRDQERIAQEADEIVRRGRGEEKAAAQGRYSEKSRADSDDESIYGHDFKSESPTPLGSAEPPGPGHLHKRQSWNQPSDMSASELLAANTHLMAR
LKPFLTNPIVSTPVTVFFYDEKTSVSRTVTTNDAGHFVMRAALDFVPTHVRVLASEHLSATEEVKITQPKGVSLISDVDDTIKHSSIGSGPREIFRN
AFIRDLADLTIDGVKEWYNTMYDMGVGVHYVSNSPWQLFPVLVSFFSKAGLPPGSYHLKQYSGMLQGIFEPVAERKKGTLERIMKDFPERKFILIGD
SGEADLEVYTDIALAHPGKILAIFIRDVTSPANQGFFDSSMGPLSGDRRRGREAPSRMESWDNRKTMSTISLDSSDKRPGLPPRFPTEIAPQTSDGP
AMGKLIDFDDEPQSDVHTSHRRIMPRSASDFESLESLRRKSAPDGTSARAPPPRPVKPAGLRGVSTTSSSSEPSLLKSKASPPPPPKPRRPTRSTEG
TQSHPLSQATSSSELKYPEEDSYLTSARNKVAAAYNSLPEVQSRVPGYSQGPLSESLSNASQEKPPPRRRGTGNIVPATAAMTKRMSWHSTDTSDDE
RPDHGVPVNKKLDLWRRRWKRAKDILDGKGVQLRAWRTGNDVCLEAVQMVEKAMRDMHVEGYGNSGKGKTGEGGGEMKTKDLKRS
>RCO7_09816 | probable PAP1 - poly(A) polymerase
MASQYVKAQGVTGPLSIAVPTAQELAANDDLVTELKRQNNYENPEETAKRSAVLHSLQSITEEFVRHVTRAQGKPDAIAKAAGGKIETFGSFKLGVI
GPGSDIDTLVVVPKHITKDEFFQTFPEILLKMAPEGSITEFMAKPDAYVPIMTFKYSGIDLDILFGRIAGLSQIPRDLKMVESDLLRGLEGEEARSL
NGVRVADEMLSLVPQPNVFRTALRTIKLWSARRAIAGNIYGFPGGVAWAILVARVCQLYPKATGSTIIMKFFKIVDKWPWPQPVLLKQIEAGKLNLQ
VWNPKNNPGDRRHIMPIITPAYPSMCTTHNVTRSTMAVLQKELKRGGEIADRVMGGKAKWKDLFEKHTFFTTAYKYYLCIITASTTKETQTMWSGWV
ESKVRLLVARLTDQTSVAIGHPFNKGFNRAHRCRSEEQIEAVKGGSLEYYAKDLGTATTGHGLAVGGMITDGTANDEEGSEGDDKFTMVYTTTHYIG
LELHEGAKTLDLSWQVEDFKHTCTVWDLYDKDVSALHIAHTKNYDLPDDLFEDGEVKPTKPQKKKQSNKRTSADESSQPVAKRQQKTVVAAG
>RCO7_09817 | related to putative trehalase
MSAKFEAKEELHDDPDQRVLLAALSSFYQYPKVSHYNTTHLRRQSFYALPRVHLELLTARPFSYLNVLDAVDDAIDSNAELSLAIFRSGVETFGSTN
PPSVSDAKSNEWRGKATSNDFEKARSTLRQFFRDWSTEGSAEREACYSPVIKALKKEQQAHPGSNLKVLVPGAGLGRLVFDLCCEGFDTEGNEISYH
QLIASSYILNHCPEAQKHTLFPWVHSFSNHKSRANHLKSVLVPDIHPAAVMGAVKKPGKMSMSASDFLLLYGDDDQKDSFDAVATVFFLDTAPNVIR
YIEVISNCLRTGGLLVNIGPLLWHFENNAPGAHGREKEANDDQGAKGIADPGSIELTDDEVVALIEKLGFDIEHRESGIAAPYIQDVESMVQNTYMA
SHWVARKR
>RCO7_09818 | probable NADPH-dependent beta-ketoacyl reductase (rhlG)
MSKYDTELHDFTSIFSLKGKVVVVTGGSRGLGLHAASGFLQAGASKVYITSRKADACEAAVKALNALPNLAPGAKAISVPADSAKFEGVEHLVREVA
KTTDHVDILFANAGATWGEEFDTHPDSAFGKVMDLNVKSVFNTIRLFAPMMQKKATILDPSRVIITASVAGIGIGSLGKNATYGYSASKAAAIHLAK
NLAVELGPRHILVNAIAPGFFPSKMASGLIGLSGGMEAAAARNPNKRLGKPEDIAGLVVFLSSRASSHINGAVITVDGGEVWARGGMNSGLEGAAKL
>RCO7_09819 | probable conserved protein/domain typically associated with flavoprotein
oxygenases, DIM6/NTAB family
MSRADAEKQIQRNPHPDFKKVEGERPAWDESAGWTLRKTLNPNWKYGDGANDGGASLKIPHVEIDPYEKDRPAVFNYKLLISGIIPRPIGFISTRSK
DGSTTNLAPFSYFSVINHDPPLFTIGFAGGFDNAKDTLKNLTETEECVINIISEHFLEAANATSVNAPYGESEWALSGLTPAPCSTVKASRIKEAIF
AIEGKLDFTKEYESKATPGKKTGVLAVIEGTRFWVREDALNADKNLVDPAVLKPISRMGGITYGRTTEGAEIPRPDYEESVTKNDEAKKFVKPKIDG
Q
>RCO7_09820 | probable homoserine acetyltransferase family protein
MAGVQKYRLGDWTLQSGQSIPDAEIAFKTFGNPKSPAIIYPSWYSGSIEDNEWLVGEDHVLNPKKYFIIITALFGNGQSTSPSISNIRPFPDVTFFD
NVRAQHTLVTEHLRIKRARAVLGWSMGAAQTFQWATSYPDFMDIIVPFCGSAKTSLHNQVFLEGVKSALLSAKKHSSAGSCRGFLLPEGEKYRIWTA
EEKEVGLKAFGRVYAGWGFSQAFYREKLYESVLGFKDLEDFMKNFWEAWALSKDPENLLVMLYTWQAGDCSKQEPYNGNFKAAMQAITAKALVLPGK
TDLYFPPEDSEIEVANMNEGVGIMIPFPSIWGHWAGGPGDSKEDVKWLDGMLSQVGLGESTDEVEWLAETFQKTCI
>RCO7_09821 | uncharacterized protein
MAIEAASVSGGSGKDIEKPVQLSFPLPKAPDTRIHIKLSIQTTSILLFLTTAMNGDTSTVPLGSFVYALPDRMNPGQTLSTPLYTYESSVEFTTRLA
KLLARKTKKAVYVGNSISFESAGLGGTVEEEMEGFKKVVEVVVEEVQKRAADLVRGS
>RCO7_09822 | related to importin beta-2 subunit (transportin)
MAWQPEQEPLRQLSGCLRDSLSGHNKTAQKQAEIMLAQAKSSPDINNYLTYLFSSPQAPPGLSYTPEEYHAVRSAAAVMLKNNIRTGYKSIPQDSLA
LVRSSVPLGLQDKNQSIRSYAGNVITEIVSRGGILGWPQLLPELLALIANDSGTVTAEAQEGAMAALAKVCEDNKKILDKEYGGQRPLAFIIPKLIS
FTTNEKPKIRSLALGSINVFIPQKPQALLVSLDALLNCLFQLANDPSSDVRRQVCRAFVQIVEIRPDKILPHIEGLVEYMIVQQRKIEDEELACDAA
EFWLTVGEHVELWKSLAPYLHKIIPVLLESMVYSEEDMAMLEGGANDADEEDRAEDIKPKFAKNKSARILGDEENGAEPNGNYQKLNDMDDELSDGE
IEEFDDDDDDANPEDRWNLRKCSAAALDVFASDFKAPVFETILPYLMTNLKHEEWQFREAAVLALGAVAEGCMDVVTPHLPELVPYLISLLNDPEPL
VRQITCWTLGRYSSWGASLNTPALRAQYFEPMMEGILTKMLDQNKRVQEAGASAFAHLEEKAGASITPYCEPILRQYVRCFEKYKDRNMFILYDCVQ
TLAEHVGHGLAQPQLIELLMPALIHRWHKVSDQSRELFPLLECLSYVASALAEAFAPFAQPVFARCILIIHQNLEEYLASVQNPILDMPDKDFLVTS
LDLLSSIIQALEGKQSSELVSNAQPRLFELLQFCMEDPENDVRQSSYALLGDCGKYVFPELKPFLGTLLPILIQQLDLDSILDEQIETGFSVINNAC
WSAGEISIQYGKGMEPYVPQLLTRYLSILGNPEVPKSVLENAAIALGRLGLENAAVMAPHLPTFSEPFLKCIHSVDYTLEKATAFKGFCLTIQQNPQ
AMEKDLGRFFTAVSRYKMEEAFKTPLTADLQQIFKNTLDFYKSLVPDFNAFLSSQMSAPDANNLRAIYNL
>RCO7_09823 | probable UPC2 Regulatory protein involved in control of sterol uptake
MAGPGGGPPRRSHTKSRKGCETCKRRHIRCDENFPQCRNCTKHNCRCPYMDMPAQEERATTPEKADLLWTPEIEADIERWQQSNSFPFQDLYIYPAP
APQFFSFEDLRLIHHVASVSSDLNAHDAGNFTIWTRQIPLCLKIGTDYSFVMHALLSLSASHLAWLTDCPLTGQLAYEHRGIAMKGLHEAIGEFSRQ
NSDAVLAASLLLSWQATEWRGWTQLMHGTSSVIDAMQPWKHESQFGDFISEQSTFPTAPPSPAPGHKKLSNPRKQDLDSLQQAYAQLQKVELHLKGN
GEDTKAIQQLMSFVRGVRKVSPSHTAAQRFEMLNPLRAWLFWLPVMFLQQTRGSPSALVILAHYYTVALVVEPLFPEVGAAYFGSLSLCPIEEIARR
LFSINVSQSADSGMQTPLHLMEYPIDMVSRFRNRMGWVQPERTASFPTFQGNVYSMGETYPSSISLSPYGNPAFAYSQEHLMTMPPDTMSASAISPL
ALDSFTNHYLGIPSPSGFGGYHSPATSNFGESNFGEGSIIYSDHGDDFALYDGQGGPGSNFGGTPPAFKIEPQRQIKFEHAQEQDIFQIPQQQFPHL
PSFPPRNPSRAPSPAGHSGKGKEREN
>RCO7_09824 | related to 26S proteasome-associated ubiquitin carboxyl-terminal hydrolase
MSAGWNTIESDAGVFTFLLDNLGVRDVQFEEMITLDADYLRELGPVYGVIFLFKYPTSEKANADGTPKDGQYDQSAAENLFFAAQTIQNACGTQALL
SVLLNKTGEIDVGTPLKDFKEFTAGFPAEFRGECLSNSELIRDVHNSFAKSSPFVDETQRTATDDDDVYHFIAYTPINGVLYELDGLQPAPIAHGAC

SSEQFPEKVIPVLQRRIDRYPTQEIRFNLLAMVRDLRIRAKEIGDQEMLYREEQKRSDWQFENALRRHNFVGFAGEVLKGVIADKLKEGPDAYTKWV
DDAKKKTKDRTEDRKRKKGGSGDDEDEEMAG
>RCO7_09825 | probable Protein ssh4
MEEDLRGTHTTLTTSHMAMATPVLRPSRAKMVGVEASKHIQELLTQQTMNYTPANSDARVQRNDSTINGVMIGLLSSFGSAIFIAIIFFIVYFFRYT
SSGRIFLDRIGRPGEYDDEQAYAREEAEALEEMDDLQRTEYFRAKAFIQANPPDSLPTDISLSQYLAIQEKGVSAWEFEPELEIANCFVEGRTEIEF
FDSECSTLTNLPIPKQNEVYYWESKIYDKPESTLISIGVATKPYPLFRLPGWHKYSVAYTSTGHRRYNQPFSGPSYGPQFVQGDVIGVGYRPRTGTI
FFTRNGKKLEDVAHGLKSQNLFPAVGANGPCTVHVNFGQAGFVFIEANVKKWGLAPMTGSLAPPPPYGSEQGSILLEAGREGAQSSQSHYPDTRHGR
TRSGNFRYGPPTSPGPVRSPTDISLAHLTHIPSNEEPGEPSTTAAPDELPTTASNVGLGVSEAPPEYTSPHQSTANSPRGGVDSERDPLMRRKSTPP
PIPSYNDTVAEDRARERAQCQSHRDRSNSHRGPNGRSGSRS
>RCO7_09826 | uncharacterized protein
MAQTRAMTAGRRSAASVPAAKTSKPAGITKKKKNAVATTKPKPKTAPVRTTTTTKRTGKRKASEIEDEAPAPVPRVKRAKATPVAAKPTNHRYGTRS
KAQTAAPPPPPPSPSSSPLSAVSALPPALLSPSPGREPGQVLSGSLLLSTFVAPFSSTLFSGARLSPLVVERGCPLSPPELSEEKKLRTLSGFRFLG
KQERGSLQPILEQEIGIGYLGGFPRVGDTEQDPRIIQARLEEAEEKAYWVRENKKSELSYRREQEAVRGYEVVWANRNQTKYRLNRRTLLKRWSTPW
KKQLIKVRRTELLRRAKSRQKWEMHRVHDHSPLAEDCSAALEEEARLLSVHEQRALARERFAAEVAAGDVDDADEYDDDYDPFEEDY
>RCO7_09827 | uncharacterized protein
MDIGYAELRESEVSNT
>RCO7_09828 | related to 3`,5`-cyclic-nucleotide phosphodiesterase
MGFISGEQHALQVIVLGAGGGPLEDNVTAFLVRASASGWKKGSVMAVDGGVGLAAISRILHGHKQNRPFTNKSAPSDGVDSPIALIDGPFEGLEIPS
VSSSANAKYIYRELIDTVLFTHPHLDHIMGAVINTATPAPTRQKRFAGLPNTIEALKLHIFNNAIWPNLTDENNGAGMISYIRLVEGGSPAAGQGYS
KGYVEVAPGLGVKAMSISHGTCIENHTHRGNTPLQTPSPFPGEGSRLGSPMANNYMQRSNSVTSSNLNTSVPMITGGTPSPAGECVYNSSVFFIRDS
ATGKEILIFGDIEPDPISLSPRNHLVWKEAAPKIASGKLTGIFIECSYANSRDNDQLFGHMKPTFLMQELKMLGDYVINSKNSGEKSNGDRDYSLIS
PKRKRDRAGSVASAAPDDRNSKTPRQQSPIEPENSDNQPSNQNFLVPRSPHNRRRGSSASANPSKNGPLPSYPEEKPEDRPFLPLKGLRVVIVHVKE
NLDDGIAAADIIRNELRELEGTAGLGCEFIISHSGLSLYF
>RCO7_09829 | probable acyl CoA ligase-like protein
MDGNNPELQARLEQLEHELEEGDITQKGYQKRRTLLLSQFLGNSAAAADLKGLRVPSAAETPHSTNDGSRNASLAALNANSNDFGDQYSSRPPIPPQ
SPARTNSLARLDTMASDYGSFATSREYQGGYTAPSKQLQLGIPPAAVQRISSYGNETFLPPNSMFGGNSPEPTMTMASSVSGANYAFNPAYQTGYVQ
QPNDYVSQAGTMMDSHGTMLGESQQGYFSDFAGQQGYEHGHTNSYGGGPHRYSSSDAFSPTAAMAPPMLTTSDLPPPAALEYQMPLEPRDVPFAVYD
PHDTNTPMSKFDNIGAVLRHRAKTNGKSPAYWVLDARGKEISSITWDKLTSRAEKVAQVIRDKSSLYRGDRVALIYRDTEIIDFAIALLGCFIAGVV
AVPINDLEDYAKLNVILTSTQAHLALTTDNNLKAFQRDITTQKLNWPRGVEWWKTNEFGSWHPKKKDETPALAVPDLAYIEFSRAPTGDLRGVVMSH
RTIMHQMACLSAIFSTVPTGAAGDTFHTGLRDKNGRLMAGSNNQSEILLSYLDPRQGIGMILGVLLTVYGGHTTVWMENKAVETPGLYAHLITKYKA
TLMLADYPGLKRAAYNYQQDPMTTRNFKKGIEPNFQHVKMCLIDTLSVDSEFHEVLADRWLRPMRNPRARELVAPMLCLPEHGGMVISMRDWLGGEE
RMGCPLKLDMGSDDDSIEEKVEDKEEEKPVPNGFGSLIGGSTTTKVQHIERTELSEVLLDREALKTNEVIVVAIGDEARKKAATEPGTVRVGAFGFP
IPDATLAVVDPETGLLASPHSVGEIWVDSPSLSGGFWALPKHTEQIFHARPYKFEQGDPTPMMVEPEFLRTGLLGTVIEGKVFVLGLYEDRIRQKVE
WVEHGHEVAEHRYFFVQHIIVTIMKNVPKIFDCSAFDVFVNDEHLPIVLLESQSASTAPVTSGGPPRQLDTALLDSLSERCMEVLMQEHHLRVYCVM
ITAPNTLPKVLKNGRREIGNMLCRREFDLGNLPCVHVKFGVERAVLNLPIGVDPTGGIWSPLASQTREDILSPGDKQYSGIDRREVVIDDRTSTPLN
NFSSIVDLLQWRVARQAEELSYCTIDGRGKEGKGITWKKFDAKVAGVAMYLKNKVKVRSGDHLILMYTHSEDFVYATHACFCLGATAIPMAPLDQNR
LNEDAPAFLHMVADYGVKAVLVNQDVDHLMKQKPVSQHVKQSAQALKVAVPNIYNTTKPPKQNNGCRDLGLTMQPAWVQSGYPVLVWTYWTPDQRRI
AVQIGHDTIMGMCKVQKETCQMTSSRPVLGCVRSTSGLGFIHTCLMGIFVGAPTYLVSPVEFAQNPISLFLTLSRYKIKDTYATPQMLDHAMAIMPG
KGFALHELKNMMISAEGRPRVDVFQKVRLHFAQTGLDRTAINTVYSHVLNPMVASRSYMCIEPIELWLDTQALRRGMIYPVDPETEPKALLLQDSGM
VPVSTQIAIVNPESRTLCHEGEYGEIWVESEACVKSFYGSKDPFDAERFDGRTTDGDPNVQYVRTGDLGFLHNVSRPIGPNGAQVDMQVLFVLGSIG
ETFEINGLSHFPMDIEYSIEKCHRNIVPGGSAVFQAGGLIVVLVEVGRKAYLASIVPVIVNTILNDHQIVVDIVAFVNKGDFPRSRLGEKQRGKILA
SWVQRKMRTMAQFGIRDADSGLADVTEALEPRSGVNSLRNGSVIASSLRHVEAAPQIVEQREYERQQMQTQNNYAPLPTGISEMPAQSYNDSPKGEN
GTSMKSDDTPTDTHQNHFELPAQINSSEKTSFLDGNDDFQIPGFESPEPSQLPPPRVGPKPEMSPQINLPAVEGREGDLWSLPSQKRTGGGLRIQNA
ASDDDDDEDWKKDAIMHMNLAGRS
>RCO7_09830 | uncharacterized protein
MAGSRDSQTAGQPSDRSFSFDLEALPAQGDQWYLENEQDYLDDPPPVSQEPQTINHDITEPYLRPWNDDYQQYPPFDQPVEPPIPANQGLSRFNNNA
TASSYWDSITFEALPPEELVLQTPIPADQGLSQVNNTATASSYWDSITFEALPPEASVLHTPIPVNHGSSSVPIVVTSPMITQWSPAAPEVLPPANR
YNPPIPESPSGAPVSRQGSRTPGGSFNNTILGLFTNPSTPLRVIDTYKYPFEHELQIALEAELERQDEIEKKQDKADSIQAELKRRRESDENLQAEY
DKLLQDLPVPATPAPTPAGDGSKTPRNRRHTNIESIDPNKWYSPLAIDPKTYSWGPINPDTLQPIYTYTEHGELDPQQVFSVQQMSEYISRGRARLW
IQCVPADSSKRYPTATSEKCRFACCPDSKRTIRKGDFRVAFDEHPSSPNKDPFHNAAYTHLFCLEKNLDFPQMCRDKFDIRPDTRVLKEGKNKMAIT
RDHKSMADIVTNFVQNPVPWTEFNEGQPRPDNYYEFTLCSRLTREHLAKQGKGVQAVRDDRGRGGNTLDKHQNNLDLYIANQKLKKTQPKVSRTEER
KTRKRKAKGANKGRGEDSDESGLDDDILQRGLLSPSLSSRMEKRRKLSETESLRQWSRSSAKRKSNFGTREVEEEEIEPSPKRIQSGRRIPSR
>RCO7_09831 | uncharacterized protein
MAESSEATQLDAQTKGDETPASLRFLLHVVSPSVGVSGPLIFPDLLATTTVKELKSRIRDVLPSKPPDENQRLIHRGRMLARETETMLEIFGQETLS
DAESQTLHLVLRPTGPEATFHPAISTPIPVPQQPTANPQMPSQFPSRPRSTPLNPSPGLQDNIHGMQAQQPLPGFQQQIQNQHQQLHQAQQVAHFQQ
GMVHRLGQLQQETQRLQQEIAIFERGARAATNAIQNGQPAPVGPGIPPQSIFRPAGPPPVMPPSVQNLINQQQRERAIEGRQGAQDTGGLPQFGQFP
QTASGRASPSTYRPDSSTTHTREGVGPNGTRWSVTVNETITTIPFTQTQPQHHSAPNLNPALDIQAVLRNADRLLAQNGQNNMQRAASNPVPTQPTS
GIHRPETPGQATPTTTSSSPSASTIPNPLLSVTLPVINAPAETTASGSSSSTPSQPTVRRLPATSVLGQAPGGAVAFPEYRNRPAAPQPVPNAPHGN
PPAAALGAQIGPMIWLLVRLGVFVWFFTSGDPSWTRWLIIAGLGVVVLIYNTGVLNGIGNEVFGPIRRYLDNLIPLAGPEAALIPAQNAAILPAPAR
DAAARGLTPQQRQRGELDPAEAADRIIEQRRQRLANGGWLIAQIRRVEHSLLLFLASLWPGVGERHIAAREAAANAAEAARRATVAAAEAAEQAANP
ATAEASRGGEAEGTEGTDERKEDDAHELQNNEPAVPAQPLVQM
>RCO7_09832 | related to phosphatidylserine decarboxylase
MASPSIARGASHTISAQLRTNRPSPACVSQSQSQCICRCQRPRPFSSSARFCRQKPHYKDSFGTRLRKALGDTKIKWYPIPVGLGIGFLGLGQLYRV
NEREKANSREEEWEDNGVVKTAGSKGEGEAGARPKRRERIRPTGPWQVQVMSTLPLKAMSRVWGKFNELEIPYYLRVPGFKLYSFIFGVNLSEVSEP

DLHVYPNLASFFYRTLKPGARPLDPRSNALVSPADGRVLQFGVIESGEVEQVKGMTYSLDALLGTKTPDTSPTQSRSGSIAQSKPDASTTSRQEGNE
EIIKQDEEFATVNGISYTLPNLFSGAKKQSDKKAQDASTSPTPGSEAEVRADLALGEKPWYSMITSEHRTSLFYVVIYLAPGDYHRFHSPCAWVAEK
RRHFAGELYSVSPYLQRTLPGLFTLNERVVLLGRWRWGFFSYTPVGATNVGSIKINFDRELRTNSLTTDTAADRAAEEAGKNGEPYSGFAEATYEGA
SSILRGHALKKGEEMGGFQLGSTVVLVFEAPKGQRPSLDEGWMGEKTKRKGGWNWSVEKGQKVKMGQAIGWVDES

>RCO7_09833 | uncharacterized protein

MSDFESHIHDVLIIGAGPCGLAVAARLRESTPSALFTESEHQKFHFMKASSSRQNPSSKPIRSSRRANTAPDRFLPGHDVSNHDLDIAVLDANGDKW
MSSWNEKFDDLGISHLRSPMFFHPDPRDRDGLLEFAVREGREAELKEITGVVGKELSKHQRKKKMKDGNKRPQETTYIDERDRHDYFRPSQALFKDY
CNSIVARYDLSNLIQKAEVKSISYSSTSSIFTLQTLTGIKKARIVVLAIGAAAKPSLPPDCPFCNLSPNESVAHVFSKNHHEGQNKDNFSTTSNLNS
TILPPSLLSKAKLGIPTSIAIIGGGLTSAQIAHLASQYGITKTHLLLRGPLKTKHFDIDLSWLAKFKNHNMSAFWKADSDGERVEMMKAARGGGSVN
PEYRGILKGLAERGGLYVREYTEVVGAVWDEGVEVWGLEVEEKGTGKKEQIVVDHVVYATGVVADINCLEAVKPLLASHPIETVGGMPCLTKELMWN
EEVPFFITGRLGGLRLGPAAPNLEGARLGAEFIAGKIASLVHKLDRAVVDEVSEEVDMRRLGLGRQNQFEVLELNGIDSDDELEISAARAML

>RCO7_09834 | related to TGF beta receptor associated protein 1

MDSSDPEETALTRRQSAAETGPFVLRALLEDLPLSADGDRDDIEINCVEFLEQNLYVGTSASEILHFVQIPPDPADPSGKPSYILASRLPPAFHEPP
NAARPGVQQILLLPKVSKACILCNWTVTFYSLPELSPVFGTTQIRPCNWIGGIDLNIDSSGSGQDVKAPSVTVLASLNKKIRVIKISEDPRGLRTID
FAGSVTSVRRDSFACVADSHSYALLDVDRLLKIPLFPISSLDVSQSGNVGGHVEDISGNTTGGISRSTSSAQGQPAVPTDKGHGRSTSLGTFMTGGA
RRAGQRAVSNDRSGRETPEGIFREASPTPTTARDPSPMNKPLPHPPPEAEATTESQQALPPPLAPVLLQPHVVSPTPQEFLLVTGTGPLDPGVGMFV
NLEGDPTRSTLEFDRYPDQVVVDGRGVGVDPTPTTMDDEEEGFVLASMSRELGEESRHGVEIQRWDLDPGEGDNEKYWLEAPSSSSLKDMSGLVRIG
LRSVVDPGDVYFEDVVDRLRLKRFQPFAERSMDAFIWSSYSVDSRTVMSPERVSGERELFESTDSIPEGWEDDRNKEEQQFAQRLGQTRTRLVAWSG
NTIWWTVRNPLALRLDASIADMTSSRIRDDKTYPSIDRRKLIEVVNSLRGREAKTETEFLSLGYIRQRAGLLLFMSGLDALAPPLSEPEYRICEDAL
LEGGLDPRVILAIVPCLRDEIVEGRKGIWIHGGVKYVADSFITNSIHENTESSQSSGVRSDHILNFLKRFLVAWRKKKGFGSIANENEVFRSVDAAL
LIILLQLDRSTPPGPPKGKSVRLDLYELVDKGVDCFERAISLLESHRRLYVLSRLYQSRKMAGEVLATWRRIVEGEPDDGGEFREGEQKVRDYLTKI
RNPVLVQEYGVWLAHRNPKLGVQVFAEDRSQVKFEPTQVVEILRTGAPGAVKDYLEYLVFSKNHAEYINELIAYYLDIVTSKLQESEEARTTLAQTY
ESYRALRPPKPTYRQFITDNTIDEEWWHSRLRLLQLLGGSQGSASQYDVAAILARIAPYTQELVPEVIILDGRQSHHEEALGLLTHGLGDYDTAINY
CLLGGSSIYHPVSGTVALESRPTREQQATLFGFLLSEFLRIEDISNRVEQTSNLLERFGGWFDVGHVLSLIPDNWSVDLVSGFLVSALRRIVRERSE
TMVTKALSGAENLKVTADLIQKIDIAGPSIEAEG

>RCO7_09835 | probable COY1 CASP Of Yeast

MADLADAALAESANPSPATGQHGAPGQDSDNKFQKAISAWRNINLTTMIPSLDNTASEIVQYQRDSTVQRKDLAQKTKNFRKLEDSAKLGEIKGLLK
AYQTFIDLLTNHSKSTNSAFLQVYSSLSEAPDPYPLLEASVDALLLSEDTLPKVTQENEHLQKSVSKLTSQLEETESRLEAERTTRKSIEEGLETKV
KEVETSWAAVLEEKKDNWEAKEKLLEEKVENQDRLLNEIKASYEVTQRLGQSESDDGGRGNVTSAELEMVNSDLERTSVRLAEVEARNEQLRIELA
QSASQVPTQPALNSEDDPSFMRMRSENSSLLRKLDAARVERDSRKRELDGKLRTLEREIGMLKGERDALVNKVKKWSDYEDIKQELEVLKSIEFSTG
DDDDPETPEVASHASQAGGDTGSGPKGKGDTLEQLLLARNKKLSDELTVLRVSHQDLQSRLQSMQENLSKTNAELEKAQHLNSTLENDLAEVHDSAN
AYPSGASVAGTYASRYPQSSANFGRKGRVSPTSSIISGFDPRSASLGTTSLEVLRSGEPVGGGSGILPMITAQRDRFKKRNTQLENELSETHRAVSS
LRQEIASLQKDNLNLYEKTRYVSTYNRAGPTASSASSYATNPHPSTIQMSSSTSSGLALDRYRSAYESNISPFAAFRGRESARAYKRMSLPERIVFS
ITRMVLATRTSRNLFAGYCVALHFMVFLSLYWLGTGDTGSNLGAATAAGAGSLLASSGEESQTHGEWKQAGFDGKVA

>RCO7_09836 | uncharacterized protein

MLSQIWIVSALCACAFAAPTHSSAGAVDFPADVKVLTEYFRLLGKKIQEGKNMAAAPVCDLSNAKMPESSPTLLPPVGEGLYLKHVAIGRGTQNYTC
DTQNATAIPVATGAVATLYNASCIAATYPEMLATLPDVALQFNLTNANQSTISPSNLVISGHHFFSNGTTPVFVLNPAGNDIGVAPCQKNSAVPAPA
GTTKGQGNQGFGTVAWLKLDTRHGATGGLQEVYRINTAGGSPPPTCMGMAASFQVQYAAEYWFYAV

>RCO7_09837 | probable MTW1 Determining metaphase spindle length

MSASIHSDVTLLTEHLTYRPAALIDDIVNSINVLAFKASEAVEKGLLAADPSALGFKIPPKTTPENTAAALAISEKAKHEIENGVHQLETLLEAKID
KNFDKLEIYALRNILSVPAEVRDWVRLSHYEGLSFVQDEQAPNTESVTLQRRKLRETQKLHALLRAESARNEATIRSLKALFLNQVEKKESGLEEAQ
TSAPFAFLQKRGELTGDVTHPVTTTTDFTISQLPALKSLLENLKPRLGELADGGGKEGLVGEEEKSWRRERLEFVEKETRRHLEHVRGLELGDMGEV
RDGEWQGEGRKLGKGEVEDLGRVVGMVDGGDPMDQDP

>RCO7_09838 | uncharacterized protein

MGGLCLKSRDSMDTGANITASRVMSSPHICLACRLTASKLRLAKSLQWSSRANFVSLSNNTRKAVDREPENGQSNTEEGSKVDYDDRSPRYPRRRPS
RARPSNPGDVLESLFEKTINPSAPKIEEHTEVQSALEPYQNVQELMRMMENKAPYPDQWAYFLEHFGPDAQRAGARNRISMPTYLRPTVHLMWKAIA
DAKEHDHPLPDSLPSATEISKVFMELGYLHANYWIDVADAETEERLIVDLTGAWNIACRDIGQLKSFHDMHSSSYWMTLPSISMVDAVHVHQKRGSN
KVFGLLVPQFEMVNLDDIPIIALATFGLLAERSETIESMNVNVTPLMTVLSRIISVPGLNYNDIYASMSLSNNAELSQYVKDNWSSIRERAATMSQF
HNPQVDKTKSERMSRASVQMSVMYINRRLHEALKKRNLSQVDGIWSDVSQWPVDTSGDERPSNEQGRLTLPIANYLILIYMSLRQPNRAIDVWNHMI
SNDLNPTLRTWDSMMAGCVATRDVKALQQVWARMINSKVEPDVICWATRVGGLIACRQNDAGVAALDEMGRKWMDAAKSKHPKMAQSELQLMTDVFG
PAKPSIEVINAAIAGLFRNNMASAAYKILAWGGKFGIAPNIDTYNILLRSLIRDNRPKEAMALLHRMQKTGVQPDSYTFTAILDETFRSMKGLTPDE
TGAIVKEVFSEMEAAGVRPTIQIYGKIIRHLLPDNGEPGDMATVNAVMQTMDQQGIDANAQIYTLLLGQHFAQKPTNMDAVRTTIERASSTQGGTDD
MFWDRAIEGYASNHETGPAMRILGKVQASKGKVGWTAMRMLLLALVENQEWELAKTLVNNAIEDHGAPVPVADQGYERQLSWEFWRMARNFGLVEQG
PELKAQYLKDKSDQA

>RCO7_09839 | related to lysophosphatidic acid phosphatase

MTSLQPRDPYTQEELQKLYPKDLELQLVQVLLRHGERSPVSARFRNAGLHAYWPYCSVARQMISQTHEVGEGKWTPMEWRKRIETFGPNDNPVIAAG
PGGDVDSICNLGELTDKGRETTWQLGRRLRHLYVDQLNYMPSMIHDADMIYLRASPIPRALESLQQAFWGMYPAETRAASFPPVTIITRAPADETLF
PNDSSCRRLAQLSRAFAQRTADRWNKSDDMEYLNKMISKWMPESSKRVAIDSHPRLSGIMDTINSTLAHGPETKLPNEFYDVRGRQIIDKISVEEWF
SGYTESREYRSLGIGSLMGDIVEQMVGSVEQNPNDQYREVGGKNGSLGEGRDGEKAIRLSLRGCHDTTLAGILASLGAFDGEAWPPYTSHIAFEVFK
KSGLQSQASIKAENKIAHSTSWFGSLFSSGSPKKISTGIARQRLETLGEPDRLKLNGYFVRIRYNDKVMSVPGCRPAGKHLDGDESFCTLEAFKRIV
DKYTPANWKEACRSNLDVPAFPEKLESSGY

>RCO7_09840 | related to transcription initiation factor

MSLEVIYVTRHGFRSNWVVDPKTGEYSTSIPSPTGIASDPELAGYGVAQSKELAKHLKTLSPPIERIYSSPFYRCIQTITPIVTALSSTSTSPETTK
IRGENGIGEWYGMARFDHPSPAEPTVLKKLFPHYDETYKPAIKPSVNGETIDELHDRAAYALHKIIEQCDSEGIKAVVLCTHAATLIAIGRALTGRM

PEDIAEEDFRPFTCGLSTFVRRGKENVEKGVKDWEGPEAFIPKLEWRGGRGVGGGWNLTSSGDCSFLSGGEERGWRFSGDESFDLTSGAAPSLDAGS
GLGVVVEGKKSPNIPLSPSRL
>RCO7_09841 | related to MSS51 protein
MRNSVSYTCHRCLTAIKSASRNPPRHPISSRLAWASRTISTSLQDGTNIHGKEDTTKKHFGRRSASSLGIQGQKDKNGAFDFQPPGGPQSNPPAQND
ARPLLMPNNLFHPFSSSPSPEIRRRAAFMKQNAYCPHPDHHQTRLPMNPDDPEARKSPKGPLPPAHVDFECPDCGIPVSCSEEHWADDYEAHLEICD
TLREINEDDHDLRSGRFFPEFEYPSDQIEEAMVNMTNWDTFLFSREFQAINNERSLRQATRLLTYPITLGSILHELSPYSIKKEGRLTVEGLKSLSA
LRYSLHPPRSGGGPDVKGIRPAPPPMRIFILGARAESSLPREVWVQLTHLFPRVAFHLVFIGPESMANRDAEFPLPERTPSNPYGAVVEDRITNSLK
ISTYVEYYHTLHEAGHFYPYDPYFDCFMLFHPGLGHAASSHEWEETIPQLLETKVPILVTGYTQYDMERDIDWVKQEVGGEMDMLMEPGENRFRSLR
WDLNDLDPQDISCGNWGVWAFRGKRYETTRKGAETES
>RCO7_09842 | related to splicing factor 3B subunit 3 (spliceosomal protein sap130)
MATTSSMFMYSLTVQPPTATTQAILGQFTGTKEQQIITASGSRLTLHRPDPSQGKIVTALSHDVFGIIRAIAAFRLAGSNKDYIIITSDSGRVTIVE
FLPAQNKFNRLHLETFGKSGVRRVIPGQYLAVDPKGRACLIASVEKNKLVYVLNRNAQAELTISSPLEAHKPQTLVFALCALDVGYANPVFAALEVD
YGDSDQDPTGQAFDDIEKSLVYYELDLGLNHVVRKWSDPVDRTASILFQVPGGTDGPSGVLVCGDDNITYRHSNQEAFRVAVPRRRGATEDPKRKRV
IVGGVMHKLKGAAGAFFFLLQTDDGDLFKVTIEMVENDDGEPTGEVKRLKIKYFDTVPIATSLCILKSGFLFVASEFGNHQFYQFEKLGDDDEEIEF
ISDNFPTDPTEPYTPTYFHPRPAENLSLVESIDSMNPLMDCKVANLTEEDAPQIYSICGTGARSTFRTLRHGLEVSEIVESELPGVPSAVWTTKLTR
NDTYDAYIILSFTNGTLVLSIGETVEEVTDTGFLSSAPTLAVQQLGEDGLIQVHPKGIRHIRADRRVNEWAAPQHRSIVAATTNERQVAVALSSGEI
VYFEMDSDGSLAEYDEKKEMSGTVTCLSLGEVPEGRVRSQFLAVGCDDSTVRILSLDPDSTLENKSVQALTSAPSALSIMAMTDSSSGGSTLYLHIG
LYSGVYLRTVLDEVTGELSDTRTRFLGPKPAKLFRVSVQGKTAVLALSSRPWLGYSDPVTKGFMLTPLNYPGLEWGWNFSSEQCTEGMVGIQGQNLR
IFSIDKLTDNLLQETIPLTYTPRRFVRHPEHPLFYTIESDNNILAPATKAKLLEDPSVVNGDAAVLPAEEFGYPRGKSHWASCISVIDPVTEKSVLQ
KIDLDENEAAVSMATVSFASQDDEVFLVVGTGKDMIVSPRSSTAGFIHVYRFHENGKEIEFIHKTKVEEPPMALLAFQGRLLVGIGKDLRIYDLGMR
QLLRKAQAEVVSNMIVGLQTQGSRIVVSDVQESVVMVVYKFQENKLIPFVDDTIARWTSCTTMVDYETVAGGDKFGNLWLLRCPTKASEEADEEGSG
SHLVHERSYLQGSPHRLTLMAHFFTQDIPMSIQKTNLVAGGRDCILWSGIQGTLGILIPFVSREDVDFFQTLEQHLRSEDAPLAGRDHLIYRSYYVP
VKGVIDGDLCERYTLLPTDKQQMIAGELDRSVREIERKISDIRTRSAY
>RCO7_09843 | uncharacterized protein
MEESCCTCATLLRNVLPEYDEKSEKPKAHDRRLECCGRIICGNCIAGNQRFATYCPFCQVSTKPSPLPQGLRDPPTYTPPSSISKSQEPPAYTDELP
SYSSLTNPQIASSEKGTSHTQPAEDVLHFLDHENDTLTSLSFRYGVPITALRKANKITSDHLLLARRTVVIPGEYYKAGVSLSPRPLEGEEEERRKG
IVRRWMVACKVSDVVPKYRYDIALVYLTQAEYDLDAAIEAYEEDERWEKEHPIEANVKGKGKMHDVGKRRFTGQK
>RCO7_09844 | related to Phosphoribosyltransferase, putative
MANAHFIETKTEYWQVILPGREAASASWQFSYPARLPDSRILKLPIRALAANEAVASLIINQAAIDVTAQLGAFLAAVVKPFAPDVIVGLPTPGLTL
APIIAQSLGHRRYVTLGYSRKFWYTNSLSTEVSSITSPTGEKKLYLDPNQVSLVKGRKVKIIDDAVSFGKTLKVSWDFSRALDLRSLAVEL
>RCO7_09845 | related to single-stranded DNA-binding protein
MSSFFTRRALRTATPLSRTFMSSAPRSSFAKMTIIGRLASTPELQATSTGKEILKYTVATSSGPRDSQKTNWFRVSSFLPEGPQRDFISALDKGTLV
YVEGDASQTVVEDTQSGKFITHLNIVQQKFEVLSKKPTQ
>RCO7_09846 | uncharacterized protein
MSNRFPGYEANTFSFTSRGPVSLTLPPLWTQTTASTSTRGRRVPLPPIRELLYFLGGTSDALASATPRGHRTLVEPQASAPTEALDRIPAPAPAPQA
AASSFSSSALKRMRDDDDDTPAKFATPPSGLRTGRRISLPNARARSSGHIVQQTNQNGFTAVNGKVPAISTNKMASGPSRSFNQGSQRRLSSFGLVS
GKYAHLKDISPPPGKVEYVGNRPQNDIIAPSTKWIFWALLVNEPHGAPMSKDELVHLAREWIPSLAIQSQTSRSALTGPPDGSGMFVAIGNGMHRLR
NSEEIVVKKPGGAKPRSKAQEPS
>RCO7_09847 | related to glutathione synthase
MAPSKAVADPHHYPPNLKPSESEHLLATIKDWSVAHGLAVRPPPSVVSAESDPHGILATTVPVTLFPSPFPRVCFEQARSIQKPYNELYACIAQDEE
FLNDIVQQIIEVDDFIAELWQVHLKVKEEGYTQNLSLGLFRSDYMVHQSTAEETPTIKQVEFNTIASSFGGLSSQTSKLHRHLSVSDYSFLEETLRT
SDLDLPDNESTKYLSLGLRAGFDIYTKSEIIHPCCILFLVQEPERNIFDQRHLEYELQQQKSPIPVFRLPFGQILSHTSIAETSKRELLYHLPSNPK
KKFEVAVVYFRAGYGPGDYPDASAWEARLHIERSNAIKCPTILTQLAGAKKVQQVLATPTSSTVSSTLHRLMKTEESSVKSLQATFTNIFPLDDTPA
GLEARKLAIDPEKCKGYVLKPQREGGGNNIYRTAIPPFLKSLPESHWKSFILMEIIIPPPVQNIILRNGALEQGGVICELGVYGTCLWDQATKEIMH
NEEAGYLLRTKGDKSEEGGVAAGFGSMDSCRLI
>RCO7_09848 | uncharacterized protein
MDDPWNWSADRISQELTTSQRSWQPDARASPDLQLLRQALEAGNITGQILLTAINHRDDLMELFQVYVVKHQNWLLDAIRQLRSRSPQYQSQLPAPV
SQGQAEQSRKQARKDARKQAKKKDEEQANLEVFRCVSNLLVACQGLAKVRTPRVHTSAHRFHARLRFALPSTTTTGTLTRSQSLPADPKPSELVAYC
AKSDSSQDTASVAAATCTDIEQVLVQSVTEESEVGDAKSTDELSIHIERTPSGPAASSNGNESTSQVIDGSNHEGVDINSSPHLTTSPMVSDDEVTF
PVSQVESDAQEALRQEVTPKQPKRLAFGMLTTISELDPNRNRDIPTYEDDILGLHLPDPTLAGRKIMPPQLIDRDTVLNSPRIISDDEDSIDFEAAT
QLQAGDVVQGCSSEAPVVSEVDTRSPRPRSRRIRPVRYLAKEKLSVDDIFYKGIAIGADLPVGSIEAEEKYFSHTTIDKVPTGQIRYANKMMRNFML
SKQNFDRTPSATGPNFSSELLSIDIQRDAHGDPLPEIFADPAIYRVEGDPFLEEAEEESLPQMASSVDIPEVSRVMLDRRAVAEPDEVVHEAKHSRS
VETHAGDHSDDDAAHTFFTAVRTYHEGNGSSGLMTWRTTPSFTLYYRDSTGNVRARREKLVDWPEILGGKDPKQYSALMPLELIGMRQNVDPEYYLR
WEHKPGAEEVDEIIDAKFGYSGSEGEYDTETWKEILSERGEYQRRRTRQKGSALTPAQIDSVLNQAIRTAKEKWTAHQLPKFQKTALRIYRKACRER
SRRVQICAIQNDLEALETRLAGIRTEFATIRWTSWSQALKGCRNLEPTVFDMAYLKWKWDLIESKTVPNMSDAPSKIALGTKTISAPAADDAGGDDD
AIAYQQEVDDADDDMADFIVNDGEADGESVGEEEQVVENMEDSDDEFQGDNRLMKGWASSDQPGGNGVKTPARKSGITKRPLEVIDLTDSPPLASTS
DISAAVIDLTTPAKKLTTFTGLKPESISPLASGSKPPLNNPSAIAEFPYAHWEKSIDRVRLLIKLFYELEGSRSRSLLHLFKRYSPDELWARTKTVV
IALQAEADHAIGMKTSTFDRLTEIVQLLLIFMECKYYNLDRHLTYDMLKVVIELERNWLYDFHGVCSRIDSYLHPQKPYEAPSPSPVGKIDQVNKRQ
FIEIIDDDEEEPTKRRRIRGSVDNDEDDEDDDDFEESMPSPSSTRKRPVIEDANARAARERNKQRLAEQEDRRAKLKAKLAESGNTFSQGTTKHMIN
DAADVDQGPVFVNEDIGRRIKKHQVEGVRFMWNQVVAVTDEHSMQGCLLAHTMGLGKTMQVITLLVAVAEASSSPDPSISSQVPTSLKGKLKSLVLC
PPGLVDNWMDELLFWTPGDVLGDLWKLSNLPDFEDRLQSISDWHENGGVLIIGYEMLRNLIQNKPTKKRDALSPEAFARLRKQLLDGPDIIIADEAH
KLKNSKANIAIVASQFRTKCRIALTGSPLANNVEEYYSMIEFIQPGYLGSAVEFRSKFKEPIEAGMFSDSDPSQIRQARKMLTVLNEELALKVQRAD
LSVLKNDLPLKKEFVISVPLTELQRKVYSLYVQSLKVLDHEVTKDGQVKQTTLWSWLAMLSLLCNHPFCFNTKIHEDKDAISKQSSPDSPTDDEVTL
NLIDISASKARLSTAFVEEVTRLFQVEDLTQVNLSNKVKVLCQILDAAKEAGDKTLVFSSSIPTLDFLESLFEVQGRSLVRLDGKTKMTTRQGLVKT

YNSGSTEVFLISTTAGGLGLNLQSANRVVIFDFKYNPIQEEQAVGRAYRIGQLKPTFVYRFVCGGTFEDNIHNKTLFKSQLATRVVDKKRVQAMAKK
KFGDFLFEPKELQQKDLSKFRGMDPAVLDKILALQAETATIMSIVQTDSFAVDEEYEIPPEDIMEVSRYRGEMKIQRQAGQAASQLPNGSLTEASPS
KVPQASGYGSVPVSNRSAKSVTPQTHITGPDTFRNAQTPNLPPRPRYPQGFSGARSSQAGQSPPVDSELNSSPRFDNRPIMGAGTRFEADRSSLEIC
NTKTQPRRVSDLGARLNSQGVVGQGAPEVSFSGQYQQDGSPKASQLWPALRNAWESNAEGDSHKPQIPVDFHLRTRDIARDIRVMVRDRTSDDLIRR
NVYMQKAFDTLSADTAKARQLINATLSIADFVEDLMQQTPSSDTNQVGISEVSPFLQKPPFIHEAPEVGVSQGFLTASTSSPISNIQGLSRHLNPGA
FYHHDAESYASNSDLSIIGARQGPKDRCRNEEQNPRAADDSSMYRTMSSQFSSTQHQGPKTPAMQACTATNRSHILRDEDAQIMADIDRKRKSKGDL
PLAKGPKLGNFRTS

>RCO7_09849 | uncharacterized protein

MLSNTNTRPGLNGPGSWRRMKVAPNPTATKVQTDQISPVSTAAKPKTAESKNVPAVVLDLTVPSKPTHLVSKPKATVKEPTVPMPTARPRVFTVMPV
VPRSFERAKPAVKSPPRVFTVMPVVPRSFERTQPAPAVQSPPLSEAQPQSSETTRGTEETKIEATATSAATPAPKKLSAEAAPFIPSGAFYTPVTFT
TSSTTVERFLPGEISPWLPEELVRQRLDHLDRTLYSIDLLILKLEIGVLGPVFRGYPAAFLDDRN

>RCO7_09850 | related to serine/threonine-protein kinase

MTEHEHGLGASGLRRIRQQPPTRAPTVPSSESSSRNTSVGPRSSSMTLTLPASRAGSMALASGPSSPTLNFTEDLSRFPSESLHSFSFAHQSEEFLH
NRQNVLKRSVEFMSQKMGWGTSHAGIASAQARVSGDQEMQGMLELLARAKLVGANNIPGFSSQTHLTGPLTGPAGAEDSGNPFEASFLPRSASPDTI
LEGPHTSSTGSRKPALRSPLFEEKSKQQSEVTEEPMTVLHLESEPSSRTPTNESHTTAQTSPPATRRQSLKRTYTDTAPLTLKNKLLDTLAQPFHAN
EIHDQLLSPTMPYSAIGSFAGTSHPLGPAVHGHSSRWAPAAQAIFTTSSTAPFTILAANDLACLVFGVTKAEVRKMGILEVVQQERRAWLEDKLGAP
GSCSLHDSDRTGPRSPPGSHSTRTSPNSSTSFLLGRAGGVTAALLSKPNSRQNPKPTRRAQTDDGFGSSLVGKSKNAKGGLYHPSNKSRGVLLCGDV
VPIQKRNGATGSASLWVKEKRGGLIWVLEEIHEDIAVLSLDEDAQITNITGAIGSIWGENITRVGMDIGKLLPRLPRQGLDSSTGEIDYAEVAKRRY
FSAHNSGRVNIPCIVDRVPGCTDLKVSSFPHIAGIMVLSAKTLAITSSNSVFSAALFGQEKPDGRLITELIPDFDRMLRILIEEDGVILKDGIVIPE
HSFRRARAFLALRDGKSDAASYFLRPDGLPAKHRDGSEIKIDAQLRVVKSESKPPMPAYDENVIEERSDEEDDQYSMKSESSTELVYALWITYSRHI
HASRQNLDASSPLLSGVATPLHQPSPGQTEVATPVEMESSDEETRTKPSHASLLTTQLKAVAKKTAAKLTGRDPPAPVEVKKEEIPANVEPEHKKTI
DDFVILEEMGQGAYGQVKLARYKKNGNRKMVLKYVTKRRILVDTWTRDRRLGTVPLEIHVLDYLRRDGLKHPNIVEMADFFEDDVNYYIEMIPHGLP
GMDLFDYIELRVNMEENECRSIFVQVARAIHHLHIKALVVHRDIKDENVVLDGEGNIKLIDFGSAAYTKNGPFDVFVGTIDYAAPEVLAGKPYRGKE
QDVWALGILLYTIVYKENPFYSIDEIMDRDLRVPYVMSEESIDLIRAMLDRDVDSRITIEKVLEHPWCLAIEDE

>RCO7_09851 | related to MSS51 protein

MSKLQPRQKAAATVSSQPISAADDLLSGPAKPGTRQNFRLPPADPVSDRATLFLIRRTLCSQLGEKGRNTPAPIDQLLPPLTSSNDVDLQLYALISI
IIREFVQTWYTKITPDQVFVEEVVKIIAHCTRALEQRLPYRASRDPLHPDPVESKPRYIYHSLWPFPALSPVPDGEQATVEQVENESAYRQLLVQGV
LAVLLPTEDLENDCLTTLVGQIFSEMILGGGIGGKASEPWLLWEGITKMAEVIQTKLPNNKAQNRVERSNSDLQDFVPPNMTGKKTRSWKCGHSLHK
TFWLVLQYGFVAFTAIRFLIVTLATATSLPSRIAPTTKITGSTLASDQIESSESIASDNSSAIRRISSKRPIVEMKIWSCASSLLELNARMPWLNAT
LSFLQWTSLAGPWEVGDTDGMVDK

>RCO7_09852 | uncharacterized protein

MDHDDHHIDHENSSYMGNDGWVMHQNYHSSSQQQSPVFEQNGFAFLQQPLHEGLSTTQPFPPQRMPLLQPSPAQPSIQQLQPLIMPGHSTWPSMMIT
NTVYPPPAVTVPGSEPALTRRNGKKGIRSRSTSLPRKTLTDSDRRRMCQFAVDNPSSKQTDIGKMFGVERSTVSKVLIKKEKYLGPENGSTSPTKRK
GSKSPDIDRTLAMWVKKMQAQGRPPSDDDIRAQANHFASSFRPNNEILQRIDSPDWLQQFKYRNGISQARLNRRASETNVPTGGSFDFGSAENSDSQ
TPNGISPTSQSGFLSPASLSRVKSEEDLKSDHLNGYFGHEGGEYRLLNSQSNTSLAGAFSGDNASTAFSTIPTSPSTPFAFSPDQSGSWLPSQQARL
PTPSNFQRPRSQTFPMLGIDPTFLASEGNDPLSPKYTLPSTAPSSALDAPMKEMLPPFAMDSVLGSPPLHSIHRSSSNGSMGRSSNGESSSGLQSPP
RASAPNSPTQDDARRALDTLLTFLKQSSNVQELVDREEYMAVVKLTEKLRLQSSEPLPGGLHRIVEQDCETPHKIEHA

>RCO7_09853 | uncharacterized protein

MTHAVSHWAAVRTRYVIIVARTGTGNGARPITQFACSMYVEHALKEAGNALLRAHAVMDAISSPGYALAETTITASLKSAEIPWR

>RCO7_09854 | probable developmentally regulated GTP-binding protein

MSTTVDKIKDIEAEMAKTQKNKATSFHLGMLKAKLAKLKRELLTPTTSGGGGGGAGFDVARTGVASVGFIGFPSVGKSTLMSRLTGQHSEAAAYEFT
TLTTVPGQVAYNGAKIQMLDLPGIIQGAKDGKGRGRQVIAVAKTCHLIFIVLDVNKPLTDKKIIEAELEGFGIRINKQPPNIVFKKKDAGGVSVTNT
VPLTHIDHDEIKAVMKEYKISSADIAIRCDATIDDLIDVLEANSRSYIPVIYALNKIDAISIEELDLLYRIPNACPISSEHGWNIDELLEQMWDKLN
LVRVYTKPKGKLPDYTQPVVLRSSKCTVEDFCNAIHKTIVEDFRVAVVYGKSVKHQPQRCGLSHELCDEDILTIVKK

>RCO7_09855 | related to DFG10 protein

MDPSLLCKTFFCFGTAVDLGGTLIPSFREQIMHYGSRGIRQSEPAANQSAKPWNLFEYVASIQVSHTWFTHYYVVSVALSIFWAFQFYTNGFALKFL
ASYAQPKDSMTTNQVFLAWLFMMVQGTRRLYESLTLTKPSKSKMWIGLWLIGIAYYVFMGVSVWIEGIATLSHNGLSSLEVGLPSIKTSIAASVFVS
ASIVQHECHKHLASLKKYSLPRQYWFQRVICPHYTSECAVYLAIALLAAPPGQLFNKTVLAGLGFVASNLGVTADSTRKWYVTKFGAEKLDGKWRMI
PYLY

>RCO7_09856 | uncharacterized protein

MDAQAMVDAVVKQPSADPDASVTQPDGIHNTTADTPNGIRSSPPIPSQNGAMRLDQPNFSADEAGGKSDSEAETIVLPGKDGHSPSKIRKSIKHEDK
SEDEEIQNTSGASNRLKRVAAGTSTDNAMVAPGETTATSMLGKRKRMRHGADDTNTTHMGNSSGLSSVPTSPVATTRSSLSKPAASDSEVSRSASPH
SRSRSIIRDKAKSVDRVVPGRRQYTSASGDEEIESRTSGKQRGSGADHKSKRPRGHNEINPRKRSRSISPQSSNHKRSISTQLPSKSSQGLSHKKKR
IPAPLQSTEYHSDESSGSGDSHPRSTRLRSLAAPITGESALSPAKMAPHKKNVNSSGQTLLSSACNRGKLDIVKQRYQERPDDLNFPDNALNTPLHT
ASLAGHVEVVKFLLETGKCELDCVNTERDTPLHDAVDNQNVEVVKLLLKAGANPGKSNNQGKEPLDLLDDMEGKAGDDAEDKQDRIEMREAILAAKV
KFARHRRGSDDHNVQDNGHGRLSHPRESPRQTPPANELQGPPNRIVRTARSSMKTKDSGLWAGHSMEDLQKAASEGDLEAVYRILNVTPDVDDPKSL
YNAARGGHDNVINLLFAIGSFTPDPSALDGVPSDQATPILAAIGKDNHIEVIKLFLGNSEFDPTRQVKGETYYELAKRRAGPHWQEEERLFKEAFNC
YKKSHKNFPGTSRSPGTRRDGRDSNTRKPSTEEQSSRSHKRSTSSPKTRDTEARKPSHRSTSSLGQSKDGQNIVKRGPGRPRKEESAVSVSISDREA
SPLGPPKQKKQTHRAESDVTLGSENEPAVKPRRKLVSGREMRGERELEKQRRTSVVSSASTTSAKEKRVSTDSNQDRSDGKPNLNVSRVPRTSSSTH
SDRDESADKNRAWPPKRDDSKDRLSAIRGESPLKRPRKSETPPLSGMQEMTAASDQNGPNQKKRKLDSDATSGHKTDSSSPEHRTAILKSGLSRGSM
VKSSSDIKTAHTRHLQKSSEIFEDRSGTNVEKTSHRVATSGRSAPTSPSENSKRFKLPKERVSKEIMDEPAPQVAKSEEDDSLKFAKLQKRQEAEAE
IARQKELEDHKSELARQNQLAREIAEREEEEKLLQEEAVRQEQQRVEAEHYHRKLLEEKEAKAKAVFQEQERVKKEDAERRRAVQEEAKRLEKARID
KERKDARLAKLPLLLRWFDLTFDQPNGHQSSEVVNLFKKIVGYRYDTIKPEVTGEAVGREQWMLNTHAAILLGEQDLHLSRFSAWDRIPLTHDQKRA
VWSTHNSQYLLYDGWTCLRKALPSIDESRDETIKNNRALFLDLDLFFVKVSEFMFIVPTIPHLRAVQLKVEYRELQEPRDPLDLGLPMNTQKWRSDP

ETAPGQKFMPEPKFYVNGEVFTQGVAATRILKYPPPLDRFPRREGVTRVQESDPDYEEQCRKQGLTGYHSSPVSSTNPQMNDLMHPEQINGITPPRS
DLSINGGSPHRSSGSGPESQVFHHLTNGISTSGSPPPSLG
>RCO7_09857 | uncharacterized protein
MSQPLSKLSGTNNAESTSGNQQDNRIASGNQANVSRNWPSWPPTYATRSAVAHGITKTPVIEPTPMQRWMNETLRQSPWNNVEGSSC
>RCO7_09858 | uncharacterized protein
MLQDALLKMEVSFGEKHGGTLSCRGVLAKSMISQRRFAEAVSLLKRLLVLAEGTLSPSHMIICQSSFDLGMAYAGQGRLYEALGMSRRATEGIARER
SDEHLSIMAWMSNVTHLEELVARGSQSLSAENLA
>RCO7_11655 | uncharacterized protein
MFVFRWHLLLWQATIVYFALPIDAIVFSNGSASLVGIKAGTQYNISWMDAESPVTLTLMNGEGDNLKTVSTMICTAGSYVWNIPSDLPVDYYAIQLS
DSKATPTYSVMFEVTGGPTLVDTPTQINSTSSSSPTSPPSSLASISIPPTSNNSSPSQTSTLPSNAKSTTPPESNQSGSRGGLSTGAKAGIGVSVSM
FISISILLGFWWGRRSAIRNKGPTNEQSNDNVTHEPSNGDAMGKAELGAEEKQKAELEEGGPSNGQLLGVGGRAELDGAEKAELDGKEKEELDSRRR
SAEPEGTEVIRPSNWWKNDRAELEGKRSAERHELG
>RCO7_09859 | related to DNA-dependent ATPase DOMINO B
MYRHEEGARREGEVNGNGSSGNRNNNYSAPSPTQPAFNRATPYSPPKLLHHQFNSPYQRPTPAPAPSALPAITSSHTPGPPASPRALMTPTSYQSDR
ERERDYQPVPRDTPTSNYYDPTSDSSERRPSASESVAWKEGQAQTPKTREQIYGHPTSVEPLDTYRANYTSPGAAYPPRSPVSHAHPRRSSILQSPR
MSTMASPTMRHNGVVMGAPVHEPSPVATTPNRPDPMSFSSILTNADPSPKSTPPPSISKPSRKPSRSVVDAAPPPVPRETSRQSSTAPAPPPVSRVP
TKRKANGEPKKASTKAKQLTKEQEKEIQAVMSRIEADADDMKMEDIETEKAVYKARSVKRKLEIEGAETSKTKQRRNVFGVKMVEKLGHHADFGEQR
YRDIHAYAAVTSVQEKEVQAEKERKKDMQRKRRREKTVATNIEQKEIAILKAQAAEDEHERQKFIKEAQRAEKKALQTSAILARGDKDFDLRAVSPL
EPNLLGGVMSTFTAADEPEQKQAEKDSAEAAQAAIDAGEELAPLPPNREEHPPKIKLKFLSREPKEIREESPAASFEPYVSKGYNQIYDQIWRDLAR
KDVNKTYKVAVESYSIRASNLKKTAILASKEAKRWQLRTNKGTKDLQARAKRVMREMMSFWKRNEREERDTRRAAERAEIENAKKADADREANRQKR
KLNFLISQTELYSHFIGKKIKTDEVERSTDHPDVAPTSKDPDTAKVDVPDHDGVTPAAKVTNFEDLDFDADDDSVLKAAAMANAQNAIQEAQNKARA
FNKPEDGPAMDEEGEMNFQNPAGMGDVDIEQPKMLNATLKEYQLKGLNWLVNLYEQGINGILADEMGLGKTVQSISVMAYLAEKHGIWGPFLVVAPA
STLHNWQQEITKFVPTLKVLPYWGTAADRKVLRKFWDRKHITYTQDAPFHVLITSYQLVVSDVAYFQKMKWQYMILDEAQAIKSSSSSRWKSLLGFH
CRNRLLLTGTPIQNNMQELWALLHFIMPSLFDSHDEFSEWFSKDIESHAQSNTKLNEDQLKRLHMILKPFMLRRVKKHVQKELGDKIELDIFCDLTY
RQRAYYGNLRNQISIMDLIEKATMGDDNDTGTLMNLVMQFRKVCNHPDLFQRAETSSPFAFGHFAETASFMREGPLINVAYSSRNLIEYELPRLIWR
QGGRLNMPGRDNDKAGFRGKYLDQLMNVFTPEHIRENSKGTDAFSFLRFADSSVEEASRASRKDVFSRAVDLAKQPRRLAPMSIIYDEEGQKGFTPA
QAMLQIVERNDRKPLAEVTHEGYLNKLFNVAKEAFADSGLSRVEQCGRPAVTAPPIQVYCASRGAVIEKENVLFNIPVRRALYGPSPVEEKALVLSK
VPISYWPTAQMLPAPTSEKQRFTNIRVPSMRRFVTDSGKLAKLDELLFKLKEGGHRVLLYFQMTRMIDLMEEYLTYRNYKYCRLDGSTKLEDRRDTV
HDFQTRPEIFIFLLSTRAGGLGINLTSADTVIFYDSDWNPTIDSQAMDRAHRLGQTRQVTVYRMITRGTIEERIRKRALQKEEVQKVVMTGGSGGGV
DFNTRSKENRTKDIAMWLVDDDEAAEIERKEAELAKLEAEAPPEKKGRKSKKRKAEASGSLEDLYHEGEGHFDDGANRPSGAATPIPGDSTPAGPKG
KKPRKPNAKKAKSAKQRLAMADGDVDVDMGG
>RCO7_09860 | probable iron inhibited ABC transporter 2
MVSASKAARDAKRAADGKPVKKTVAGRSKAGSKTASGASSVAGDDTPPLLDDEGNPLPDDHQPASKKNDEIRRLQDQMDKHGLSDRVTTGVLSSLKT
SRDVKITSVSLVFHGRVLLTDTTLELTYGRRYGLLGENGCGKSTLLKAIDKREFPVPDNVDIYLLNEGAPPSDLGALEWVVRQANNEMERLDKLAEQ
ILEDDGPESPLLMDLYERMETMDPSTFETRASQILTGLGFNKVTIKKKTKDMSGGWRMRVALAKALFVKPSLLLLDDPTAHLDLEACVWLEEYLKKW
DRTLVLVSHSMDFLNGVCSNMIDMRNRQLIYYGGNYDSYSKTRSEQEVNQMKAYTKQQDEIVHIKKFIASAGTYANLVRQAKSRQKILDKMESDGLI
QKVDEDRVFTFRFADVEKLPPPVLSFDDVTFSYSGNPKDDLYKNLDLGVDMDSRTALVGPNGVGKSTLLRLMTGKLSPTGGVVSRHTHLKMGVYSQH
SSEQLDLTKSALEFVRDKYADKSQDYQYWRQQLGKYGLSGESQTALMGTLSEGQKSRIVFALLAIDGPNMLLLDEPTNGLDIPTIDSLADAINAFTG
GVVVVSHDFRLLDKIAKDIMVCENQTIRKWPGSIGEYKGHLRKKMMAAGAV
>RCO7_09861 | uncharacterized protein
MDPAGGSSTELMRTAAQRVLSTPELLEIVLSHLSFHNLLVNASRVNHAFNGVIQGSPLIQKRLFFSPSFDQLLPQTCPALRYSSETRFVDRRSCKYD
TDATEQVKRIMRDEWPDVSGFKPYNRKTASDTRKEAVRRENASWRKMLLVQPPVKEGHVDCGQGWISSEDWLRMSDLQNQRDNDIVTCRHIAVNKDG
IGDFRVQLFPQK
>RCO7_09862 | related to pisatin demethylase cytochrome P450
MSPDRDSKRLRIISRKSGQKFYGYCAYRMDRSTILVTAAAVLAHSIVSPIHEVSTVKILVAYSTASAFLFGFLIVSSQQLTYSVACFSILNFDFLLV
TTLLTLIRRFYFSPLSHFPGSKLAALSNAYLANEFRTGRGSRTLVELHKKYKSDFIRIGPNQLSINKVEAVEAIFRGKYPRGSFYEVGALNGELNLN
SQRDYSVHTPWRRIWERAFASSEFQHYNPQVEYHVTDLVEVIKKANNEEVDCTRVMDNLAFDIMADLSFAYESKLQSGTGDNHYMHFIHKFMSAVGV
ISTFRNVCQLLIYLPETADVKEYRIRGESLLSGRQRLGNTRRDIFSHLLSTDNETSRNIKFAQAELNANAQLIIVAGFDTASTTLTQTFRILAKQSS
TLKKLQAEVDACASKGALTVAGTRNLPYLNAIINESLRLFNPVPMGAYAASPPLGVYVAETFIPGNVQINVPPGAVMTDPRYFEKPEEYIPERWEEW
SEGVKDRRAFFPFGYGVHSCVERQLALNELRMVLATVVQRWDVVLGEQYSEEKWKLDWKDHALLEIGELWVKFVPRISQVVNTVGLRQ
>RCO7_09863 | uncharacterized protein
MATQTTDDARKRSFRLQDSPRAVNEYRTTARSDTSSEDDEPPRRSSRYKNASTPMPGTVQPIAPQSVFTSGPFLTRVFGSIPTTPATTAAPSITLPA
SSTTMGPKAFKAGPEKNDSDEQRELSAHLAMLRSVSGHQEEQNELAGSPIFTMPVLQHSKASFSQYGFLAGNIDILDQISASVTDTTALPTNLDPRI
FFNIAAPSSAFICGSQGSGKSHTLSCLLENCLLSSSVNKLDSPLSGLVFHYDSFTSDFSGTPCEAAHLSSNFDMKVRIICSPSNIQTIKRTYLGLNV
EVEPLKISQNDLNTKRMLDLMAVNTEDGRMPLYLHEITRILRDMRVLQQQIGGSFNYAEFKRQIELSPMTPAQKAPLTQRLDTLESFMPRSQTGAKD
KQVMNHSNVDGNDWTIKAGYLTIVDLSCPCVTSEAACALFNMCLSLFLEQKTTIGRVIALDEAHKYMNAGSEASALTNTLLSSIRLQRHLGTRVFIS
TQEPSISPKLLDLCSFTIVHRFTSPDWLRCLRSHLAALDNEDGLTTNPKLKLNNVFNQIVQLKIGQALLFAPSAIVGVEKIIDKKSGKTSSEIKKLG
IEILKVKIRDRVTADGVAKKGASLFSGSASVAVVSGGFNSISPVTASMFGVPAKAFGGKHVSGRGLINRKNAQSASTTNSPSTPFGGAAAAN
>RCO7_09864 | uncharacterized protein
MFLKTIILASLTMGLTVQSVQTFSNTGTFPTGWSDFYVDGASGNAASSSTGSIAQVSNVFYDTAPAIKVTATYDPNHQGLYHAEVHRANAYSKGDTG
FYGFAFRLSQDWEFTPQSSFNIAQFIADFTDLPCDETYMPSSMIWISGNQLYSRVKTGNVCPVSEQQINPFNSLATVTAGAWHKVVIQAKWRSDTTG
YYKIWLDGVSVLNKTSPAIATTVTDGRPFQFRVGLYANGWKKPSEGGMKGTQPFRQIWFDKIATGTTFADVDPDQW
>RCO7_09865 | uncharacterized protein
MKINPSAPLPKPKPNFHLVKILVTAISPVDYKPTEIPYIGRLLVSYPATPRLDFAGRIVTPATGSNLKADDLVFGVAGTSPLAGGALAEYAFVNEKH

TLAIPEGVSILDATVLGVAGLTAYQSIVPHVKKGDRIFINGGSGSKSQKLLDRLGADVVIDYKKGSVLSALLATEQKFDHAVDNVGNIGDKELWWKW
DQYSNPGASYVLVAGELFVSSVIDMAKEAVLPKLLGGVKGKIDGFWPAPKPEDLGQVTQWIKELHR

>RCO7_09866 | related to cytochrome P450 3A7

MAFLLLIACIVLTLISLLTVKLARRYKQARLIGFPVVVDPIDQTGLIWKQLGDRIKPFLDYLPFRIGHYVEFRYFFRDRYSPHDRIGSVYSIAAPDG
IMIVVADADMADDILARRKDFIKSRTMFEALELFGPNVTTVDGEAWQKQRRLTTPPFNERNSSLVWREAIGQAKSMVKTWTSAGDEGVSKTINDTMT
LALHVLTAAGFGKPYEFEGGVTKLTGDHKLSYKDSLQPILHNFALAYLIETEQSTTSVTESKISEISTAIADFKLYMAEMIDEEKAKIGASLAKENL
MSALVHASESEARGNERGGLSREEMLGNLFIYNLAGHDTTANTIGYATYLMASKPEWQAWIREELDFVFGGEADGSEEDYGKASKLKRCLAVMYETL
RLYGPVVFIPKATGDTVTEIESEGRSYSIPPNTTILVNVTALNTDPQYWGSDSLTWKPDRWIHSPGKLVGIAGEEMIQPPKGRFLAWASGPRICPGK
KFSQVEFVAVMATLFRRLRVVPVKNQGENEDDVRRRIHDTVEDSELRMTLSMKHSERIKLVWEEG

>RCO7_09867 | uncharacterized protein

MAYTMRSKNLLLLLLCCCTSFCNAALLQHRQDGPTSSSNMESAVTTVSSNTPTQTESNGRDNTLTDRSRLTIATLSLTSNSTSTSASATPIAESTTA
VISNINGATPTSPINPSTFNSTLTPDQLPIKPEVTPAFGVAGVILMLTGIVYTLIGMKNTFLHVYLSAAYLTSLAVAVLILYVMNSPIGNAIQGAYL
VAVVMTGLILGGAAIVFTEMTEGLGSLLGGFCFSMWLLVLKPGGLLTATSSKAIFMAVFTSAAFATTFSHYTRPYGLIGGISFGGATVVVLGIDCFS
RAGLKEFWAYLWNLNNNLFPVGATIYPMTRGMKVEIAAIVIICLAGVVSQMKHWTVIKERREQRASERLQGEQAIECEEENVGRKIEHATAENRNQW
EAVYGNKEGANSASGSARDSGVGDMDSQNKGPMSEVTSVRKCDEEIDMSQLRSPKTAISAGIVTMSSGQESGPVTIRVARDMDIPLLLDDTGKPINM
DLNDRSFAAVPGSTQMSLESEKIWVIGTDGEARLESRTSKRDSKRESGSMAPEVIALPFKVPEGDVEDDYSSVATFADDDEAVGKRQSKHLSVGSML
VRKLSGRSAKSHRDSKNFTSGKGLSTDDLVIPRGIENELASSIAATIDGLSSDGAMSSLRSSLDHVPDTAESARPDDSAVPSPIEDQTMSKEPVFED
GQMLNKPGENDGTRPMSAATIGTDILEPANEQEASTSQQAETAAQKSSLTSNTDVETEPDGGSGAAKKTVPSVASTKESKQASITKDRLPPQQSRIV
MSYRTNEWAKHLSSADAPELDELRMAQYPIAAVTKPEIAAPVNVEELQQTAENATPLPASKSASQMSDHGPLAVARATSSLSKAPPQVGPPRDSLRA
SQLRDQGLARSGSQLSINSQVSPRGFRSSSSPYIPQQIVESPIEGEFSSTSPTTQSNSRFPNPNAAFRRSSTLIGQRESILRSKPSNLANQATRGST
FELSRSNSRATSDAGSLYQYPNTNAAVQEDDNMSLSARRELIRQSSFIQPDQAFNQPALYKSHQPKRQSSAPGPMEREQMLASWRASVQEDLKSTAT
PRNTIERSRSALWQERQAEEQKKTMEERRKGEQSRKFDDRMRRGDMLSAHREALRKMQASANKRA

>RCO7_09868 | uncharacterized protein

MAGCGFNKCTASARDREVFRYYLPCSTPISDGESNAPKKASSDPTLTAFAQLGCLRINCKRGGITLTTKDTEFVLAEATQELSLQKDDDERDNLWHG
EGALLPGDQGFGADIRKIFDGPDAPAIFFCGDLQDDDRFKDTDPVINPPHLRAFVCVPLVSPLHNIQVGFYFVVDDKPRETLSDAEQEFLLDMAATV
MDYLEAGRVKRQQYRAERMIKAIGLFIEGKSSLREWWLETGHKHQHASLKKRSKDTTPLDRQADIEFGIQETSDYFSRNGLGGLSNYRRALSKSPST
VSLSTTDQGERNLLGDGRPPIPRYDTVLSGSDMTPTSQASRRDTLAPTVATTPPTLISKSYQDRNSSVTTFDDTTTDPTPDPEKHNSVQFDLPPEPI
VTDESKDLQNAVLSSDVKGVFARASNLIREAIGVEGVIYYDASVGSFGGSSNKEAMSEKAPGQFHSDQLIDNTVTTSEDDYGRQSSGTDAELKTGTS
APDLPTEKFCNILGFSTRRRSTLKGHEIFEERKLMPEAVLRKLLKRYPHGKVFNFDEDGTYSCSESDHNPADNLKDAQGKPNRAHYLSDNASRRNRI
SKETEAAAILAVLPGARSVFWFPLWDTTRERWFSGSFVWSSSSTRTLCPVEDITYLAAFGNSTMAEIARLSAQVLSKMKTDFISSISHELRSPLHGV
LASVEFLQDTQMTEIQADMVSNIHASGKVLLDTINHVLDFSKVNRKAKNKKRMPKRKVRRLGRRESVDDGYEEKADICILSEEVIESIYAGQGVSKK
ALGLAGHRRHASPSNPESLVTVIVDIQWRPNWTFEIDAGAWRRIIMNLFSNSMKYTKAGFVNINIEIEEDISSHSKRSRANVVLRIKDSGKGISQEF
MKHQLYKPFAQEDTLATGAGLGLSIVKAIIQDLGGKIDFQSEPGCGTEVTVRIPLAERSPMPDSLKIVNEVKQHVQGLNFRLESFDRYPDITETPTG
ILSAEFQAAMMLKTTVPNTLVDWFGLEHASASTDEVPVADIVVVMESGMGEKSLDEILQAHYEAYPKGEGESVAIVLTSSYHSGPKVDSHNHFRIFY
LQQPYGPHKIGKILHQAFCMTSNGLPRETSIVSPSQIESITLTATSAPELPTITPLMSATQDFAHRPALKQVQVQVREHPAIGPDTPAPIKSSEQEN
FQHTPLTDGVPAEAETGLRVLLVEDNEINLKLLVATMRKLKLDHATAIDGLEAFNSYKDCDGKFDVIFMDISMPIMSGIESTRHIRRYEKENGLQPV
ALIALTGAANPSTRQEAFSSGVDLFLTKPVPMKTLRGMLDDLRREGRAVFAGT

>RCO7_09869 | uncharacterized protein

MIYVPSGTITRSSAKVLLQQQAASTDYANIIINTATSQTVTTIRRRQPSSHSRDKLADPSTAPRTTTPAIISNTPTNPRIPSPSFQPPYPSPSPIQP
SNPPEPQVRVTSPTRWSLRTALIGGGNPETTTFASPFRNRSGTGGSTIVRGRPRRPSTTRLWNPSNSTRGPPPLRQTQQSPGERVIAVPLQHPDLNS
PRQGAAAGVEYPLLTLPEQRQKRHSGSTRASLQVERSGSSTGTNRVSLPRSVSIEVSRNRSGDNSPTIDKGKGRAIEEERESTLQQLGSSGRRLSTS
IILTQEISGITFDQVKGKANMSGDTEQGPNVLGSYEPVGTSNLPHNGSHISFQSGIGAAMSDTSSIVGSEGPAINPGEEWGPQHPCYPHMNPHVPLS
SPLYQTTRIIRVRRDWMIEGDLAPTFSNLYPEILDPAGVSEQEFRTLVERVNNELIPAFSPWNFRNLVDGVLGLLTGWLWDDMGFTAVKSRLNNVER
YLEDWNVEMEARSKEGPGSAPRVVPLRRTGYMNLDIQVSDPEVSYPASTPGDDRTATGLSHVSQ

>RCO7_09870 | related to histone-lysine N-methyltransferase

MDFKLGDGDSLRVVAPFADMLNHSSEVKQCHIYDAVSGNLSVLAGRNYEPGDQVFINYGPVPNSRLLRLYGFVVSANPNDSYDLVLTTHHMAPFFEK
KYKLWVLAGLNSTSTVSLTQTDPLPNSVLQYLRIQRLNEFDLVSKVPYQKITASERISDSNEVEVLRFLIESISSLLDSFGIQLEKLVEQLAEGFYT
LGGNAWSAAHVSLGEQRVLRLTRKAAEDLLAAVETGSGNKRGPSSIPARCANCKKVSVQLMLCGRCNEVKYCGRDCQVAHFKEHKAFCRATMAKNSS
KKD

>RCO7_09871 | uncharacterized protein

MESWLNQAGASGLDSLQLADFSSTGRGVRTLRRFEEGEKILTIPYSVLWTVKHAHADPILGPALLSVWPPLTVDNTLAIYILFVRSHGSRYNGKGSH
VAALPAKYTSSIFFTEAELEICAGTSLYTTTKQLNRQIEDDFRELVARILGRHPELFPHDKFTIEDVGLRY

>RCO7_09872 | uncharacterized protein

MFRSKSPARGPSPRPTAQQDTKLLHALFMAEEHKQTERRLSASGRRPSASTPSQSEPVAHNTSTSASLSPEHAKTQQVSQDGNVHVVGQDQGRLQSG
TTSG

>RCO7_09873 | related to lysophosphatidic acid acyltransferase endophilin/SH3GL, involved in synaptic vesicle formation

MNINKKLDRVKQWAGEKMGQESKTGVSDEFKALEMEMALRHEGMEKLHKSMTVYVKSLSRRNEAEDKEKVLPVGYLGQTMIHHGEDFEPDSEFGNCL
ISLGRANERISRTQETYVANATTGWLESLERSLAMMKEYQAARKKLEQRRLAYDASLSKMQKAKREDFRVEEELRSQKAKYEESNEDVFRRMQDIKE
AEAESVADLGSFVDAELEYYDKCRDELLRLKRDWPAQQSSPRHDSRRPNPRSRSNTAHSYSDRYQEEAPPMPEIEVRPTIRSQGRVPSSSRLETRLD
THDEYPSPESPNRPNFGRASTFQGPISIHRESTPVSGIRKQQSVPQDPASLRAHLRPTSRVNTSGPDVFGDPSDDSTLNSPSPDRSYSARSVSPATS
HGSIGSRTASYSTLNNATNGRKAPPPPPSRAKKPPPPPPMKRAEISSGSINRY

>RCO7_09874 | related to multidrug resistant protein

MIQDHPGLGETMNEKHVNESETSSATKAENHASLTEKNEGIAPQKSNHARFGDNQVFMPPTNGSGEDDLPEARQVGTYDKVELTEDMCYDELGYSFS

ERKKWTILTIIFLVQVSMNFNTSLYSNAIPGITEQFNVSAQAARCGAMIFLVLYAFGCELWAPWSEELGRWPILQLSLLLVNIWQIPVAVAPNFATI
LIGRALGGISSAGGSVTLGMIADMWEADNQQYAVAFVVFSSVGGSILGPIVGGFSESFLGWRWSIWIQLIFGGFVQVLHFFLVPETRSTIMMDKIAK
KRRKDGIDNNIYGPNELVPFKDRFSAKEILATWIRPFKMFLTEPIVLTLSLLSGFSDALIFMFIQSFALVYEQWGFSTVALGLAFIPIGIGYIIAWI
SFIPVIKRNIRERQANPDDERAQYESRLWWLLYTAPCLPIGLIGFAWTSTGPPIHWIGTMVFAAIVGIANYSIYMATIDYMICAYGPYSASATGGNG
WSRDFLAGVLTIPATPFFQNIGGNPLAYASTILACISFLLVLAVYVIYWKGPALRARSKFAQQLSDARNDQETLGRRLSKVPSPNQRRASAVRAHSY
IRSQQDLRTRHALGSRQQSYAGQATQNRTPNRTPAASRRNSEVGEVKRTAASRNNSTAHGEL
>RCO7_09875 | related to bile acid transporter
MSRDKYKEDQKWDYQSAKGQQELAKRARKLHLGKAPSERDQNGGVDPINARFELCALPYISALPALLAICVLLSYILRYIPLPFHRLIPRWLKSFSQ
EPEIHSQRVYFIRKRFLTWKTIILFLFSAAGLAFQIWSVFWPRYSLEMVYPVAAWAVATLVVAVYRPAKTPKTLLCLYSSLAASQLIVLIDGSFSSL
SSIPIHDGPSILAIIAALGAILTILLMPLRHPQRENSDISPAFAKPAFELRSPEDNLSLWQFMTVSWMAPLIKMGNEGQLNDEDVWSLGYEFKHRGL
HDEFRELDGSVFRRLIQANGLDLFIISALSIIELIANFSAPVMLQKILQSMEDRRAPRQAALKYALISLIVRLVASQTGVFSLWYGRRAYERSRGEL
ITMLYEKTLSRKVVSISSKAIIEIDPETMANDGAKDPDRGQLRKVKDVLMAPFRWLGGRSKKVDKPKDLASMGKIMNLMRFDAYEVAQRFWEFNSLV
SQPLGLVFAVVLIWRLLGWACLIGVTSVFVAQAVNVLIAKVVLHYERQRRVATDTKLNRISQFVDAVRHLRYYGWQDVWLTRIMEARQHELKLRVVT
SIWRLLISFTTVFANGLFPVLAFWAYTVLTGKSLRVDVAFSALQLFGMLVDSLQSLPNLITVLLNARVSVGRLEEFMHEPDKEEATFTPSTKIEMKH
ASFAWPGAMEPVLFDINVTFSPGLTVICGEVGAGKTALLQALLGELDQLDGEYHRTNEMVGYCGQTPWLQSMSIRENILFSEHYEEARYKEVLEACA
LIPDMANFKHGDLSLIGENGIGLSGGQKARVSLARAVYSKANVLLLDDPLSALDHQTAEFIVRKCLAGPLLKGRTAILVTHRTELCLGMATQAIQIS
NGRSVLLDPENIPFEELHRVKTSDSANKDHGNEEQNQAAVPDKFIEDEYRAYGGVQASVYWEYIKAGKLPSWFILICILITGRVIKIAETWFLKQWG
EAYDDLVEQTSGPFGDLPSPETNIRPWLIGFFIIAVAQSLAFAATYGFMIVIIYKAGKDLFEKVMKKVTHATFRYYDITPAGRLMNRLTSDINTVDG
NISVQFQEVAFRAISWISSVIVIGSITPLFLVFAIALTIAFVIIFRHFLPTSQSLRRLEMVSLTPLISNFGALTDGLTTIRAYAASSRFQDRVFMVT
DSFQKMDHFYWSLQAWLMFRFDTLSAGSTFILTVLALYTGVSAGLTAFVLTAAATFVISTHSLCRQYGQLQMDFVSVERVVELLHLEQEAPGKVMPP
ASWPLYGSDIVFEDVTIQYAPHLDPALSNISLTIKGGSTTALIGRTGSGKSTLALSLLATTLPVTGRILIDGIDISTVNLQALRKRVTFLAQEPVLF
PGSMRQNLDPMEEYSDIECSTVLSKIASRHEWSLDTQIDTGGKNLSQGQRQLVGLARALLRRSPIVIMDEATASIDKETAMRIQRILREEMNESTVI
TIAHRVEAVSEAKHCIVLAKGRIVQDGPAESIIDAIE
>RCO7_09876 | related to acid phosphatase
MIPSNALGACIAFSQLIVAAQIPILPQSHTQGYEFDPLLHLPGISPYFDAVGFGLSHKAPRHCEVTAASYLIRHAAIYANDKDYEDYIEPFIAKLNS
TYDTTSSKRRKGWKGPLSFFNKWRNPIDDPDKQLEQITPQGIKDSKKVGKHLLSRYPTLVPTTKKIYADKKARTQDTAKAFVKVFPQEVEIEEILLN
RTGFHAQDPHKACDAFSKEPGDEELKAFMILYTKSIITRLQRHSPVELEETDIMGLQQMCGYESAITGKKSDICDVFTDDEWMAYEYAWDMKYSYMV
GHGNKLSPYLGFPWLNTTSHLMSKFHKPRHISTVVKPDPEVPDDDGQRFFLAFTHREVPPFIATALGLFNSSNSDAEEFPLDRINWNRSWKMAELIP
FLGHVGIEKLTCNAVWGDDPEDDHEFIRVIANSAPRPIPGCENGPGASCGFDQFVELIARGMEEYGDFDGICGNDRDEEGEEQGREEL
>RCO7_09877 | uncharacterized protein
MAPYIPHTPESLLQRSDSKNPDAHCRGLTTSGTPCRRAIGKSPQSSPSPSPRRKSSVGGPPSLDAFCWQHKNQAAGQPGASPQGIQSAAIRERTSVD
TLVDRLGLLEVEERKQERRRKPVARPELREEKPKIESPRPVRPKPRPKPASSLGFFCCIGTADEIKRAPRPASNKQGRRTTAPMPPKVVKASSSSQP
TNHRPFIHRDPSSRTGEFLSFIPISASPQVTAQLLAELAKPVSNLDNEGYIYMFWLTPESLPSAPSSETASTLLAPPSRPVPGQRRTSDVLNAFSTT
IPNFSNKKTILLKIGRAQNVYRRLNQWTKQCGYNLSLIRYYPYQASTLSDTNIDQLPRTPRKVPNAHKVERLIHIELNSQRVLGDGKCKACGREHRE
WFEVDASREGVKAVDEVIRRWVDWGERNA
>RCO7_09878 | related to monooxigenase
MGSVQPILELDALLVGAGFGSFTMLNKLRKQGLKVKIFEKGEASGGIWYWNCYPGARVDSDTPIYQLFDEELWKDFVFKERYAGGKELRRYFDHVEK
VWEVRKDTEFNKHVDSAHFDESTNRWTVECSDGTEVSCRWFIPCIGFASKKYTPPVKNLGEFKGQVYHTAVWPQHDVSMKGKRVAVIGTGASGIQVA
QEIGPKVKSLTCFIRTPNMCLPMRQHALDAEDEQSKKDNGYYEKMFESTRSTFSGFTYDFVKKDTFDDSPEERERFFEKLWEAGGFRYWLNTYQDML
FDQKANDEAYKFWQKKVRARISDPKKAEILAPPLEKAPHPWGTKRPSLEQKYYEVMDQENVKLVDVNKSPIIEVTETGLKHQDGFEEIDILVLATGF
DSVTGSLAQLDIRGTTGGTIADHWKDGTKTSMGIAIPTFPNMFFLYGPQAPTAFSNGPSCTQFQAEFVEKAIKIATEKGITRLDSTPETEADWCKRM
QEKWDVTLFPLAKSWYQGANIPGRKVEPLNWAGGMPEYRESLDKSLENNLQGWTYSTAKV
>RCO7_09879 | uncharacterized protein
MPTTRFTTVTPLPAGISRETVLETIHDHLEMIDLNPAHTERHRIKAPAEATPEEYHCAWYQITDMISYLPGYKGKVTFKACFHDLANGLQNHVYAPM
GLDIKEKWTLGGNMPGEPVMPAEIGIGAPISGLYLREDVEMKCNFLMTRFVRRTLKDALAALVARLLVKAQLQEAAELNKRLESGSLSANSPLTPPL
SSPTSPLSPPGMESRFPRFRPQRMSSQTAISEMEGNPKSPRILDVFPAELKSDPVRPLELP
>RCO7_09880 | uncharacterized protein
MPFQRIRSKLQLLAVSRTSSTVNNVHSDIGPEYQHHTSHIIDPPHDIQVASPEQEHDSSQVIDRNLSSLETTQRRGSRKSSSDQVEILNFQKSALLQ
TAIMFTPRPQNTDRDYGSNTPVCNHGHPGVQLLDDSQQHARALRDRPETGNFNRAISILYSFVNDVFKRILQRQPSLQLVIRSPAIT
>RCO7_09881 | uncharacterized protein
MPYNSFAVLQSYRKELTWRHRDPSSDKRSMYGDFLSEDDRRNLPNWAETSGPPEPPGTHFLNATPDNYALLYASGDGSAPMSAIGSAKTTPTGSIKL
ERFEDYGILSSNASRRTSVAKIEPTITTRSVASFSTDASLVRRMDFTLNGAVMGPARAPATMFDVAFVHSRDLQYYNHYRAVFVYNIQVHSRFPSEV
RPHCHAVYETQDPFERAAATFEPLYNAMLAVSALSMAHRERLDRIDALQYYQLAIEGLRQQTVLDSMNMLYTHYFLLLYEVAACENRASLELGHMEQ
LARLMHWYFTTSVTDPSKVFGDQACPECTKITMTCIPAIMLYCDMHNLYMRRHEFTIIPDVMVTGFFEGVKADSGYPNIEARFSDAELSRKVIELNV
LGGWATRVVRQTIEDFNRNDLTQLSELEPRFLELTAKIKVSNDWCARHAPQIPGDIYDPAYTSLPIYCQTTYDSSQYTIRQLQLYMHTSIFPKQRKQ
LTTRREEYIQFLAREILHLTRPRWGTVRPIAASNLVALFICGTVVTSPGEKEEVIRVIETMGAEASGRNFMRVVDALRALYMEQEKVKINNGDERDI
DWFVFLREKGLLDFSLFGI
>RCO7_09882 | uncharacterized protein
MRYLIPRTRKFAHAFAVPTFSRSIHSATARFTTISPHGTPVTRDIEVWLGEPAEAYVMFDPEISKDFQTSAIAQGGCSLTQDPELCPLNFHHDTRHF
SHESSSYPRLEIPQDLPRQSQANTSLSTLHGYGVTHAITLDRTSCAAFHHSMRETLQRLQPVLDQLKNM
>RCO7_09883 | related to transporter protein
MGRHEDDIRPIGIDEEASRRTYTSQEELAESPKTWKSFVWDTWELPKEERWLLFKVDAFVLTFASIGYFLKNLDQTNVNNAFLSGMKEDLDMYGNEL
VTSTSIWTVGYVIGQIPSNLLLTRISPRWVIPSLEIGWGIATICTARVENYKALYALRFLVGLFESGFYPGIHYLLGSWYTPREIGKRAMIFWLAGS
IGSMFSGFLQAAAYKNLNGVHGHEGWRWLFIIDGIITVPLALMGYAFFPNLPQDGVRTWWTTEKEHEISISRMKAIGRAGKEPWTKAKAKKILTSWH

TYFLPMLYVIWNNGGPQQAMGFWLKSFNAKNNPPVPGVTFSVEEINNLPLITVGIFIAMSLCWAWLSDGPFRGRRYPFIYLGAILNLAFSVLMRQLP
LYSNLYQRKMVYWFSQIGFGAGPLILTWVNEICSGDTEKRALLVAAGNDFAYVMQAVAPNFVWKTTEFPAARKGYMFCIVLQILLIGWTAAIQILLW
RDKKIAARAESEGSLADSQDSDGQGSSRKYFDEKRAVQTDILPST

>RCO7_09884 | uncharacterized protein
MVNKEKPQRIPSWDDSLRPKKPTPLNPAPKQTIGYRADNFNARHHPNDFQQQQGHTMTNNRGYQQRVFSFGQSPMQVMESNMQTIAYMLASANAATG
VVAPHIGRWEHVNPNFDFGGRQKGNDEDFEKVELLEGEVKDGNMMVSEVEEEAAIALPPQPPQLHGCRLTPDEDLRAWMSVKRPRTRQQNGATFAVA
CCPATSQQAPNFDEADQFLDTILSDTFGKNKTKVRELFPFPAPQENSIIQGQSLPLQNQKSTTTYSNQSPIPPGPRLNEPSQRRPPAAQNLMRLDDG
LDVSRNKTVLLRSYTSSPYSGRKESKHKGYHLEDREVISSSRHTARERSAQNHQEHRYSLLSRLPVRPTDAQHRHFAKKEARRMSESRNQDDGRRIS
REPPVNDFRRAGRENPRITIKELPRGVQVGLDGSDRKGKESRRSARNPKSHARELTWLDDNSIAQEWYEIAERQDKEWRQRKASKPLGESPILQSGM
HVDLQNKPGSGKIKMYCEEKEKKKRQSKYLDQDFHIAKTAAERAGQQSPPDHILKQNSALGVQQSRATLFLKANITKAEKQSVKEAVAEWHRAKILE
IHQKLVHDGYLHPKPSAGSLTRKRNDGNGNEDRVREKRVRLDEPAASGLAGYGFSEADPVERRFGGGVVARESDVMLEDGNEELNEVEIKNTDDVSH
VTHSAGILQTPRDMHPTQEHTAVQNEIRDFRLTLVDQATEKSRMSPPVPEGEWILDGLLDSLAAPAVHYEGPALAAAASSQNI

>RCO7_09885 | uncharacterized protein
MKYIFTTLVLTILAACKCIDDNCLRALRAIADPGHPGAAREFCATHTAGGAAPKATPPHALNACKDNAEIASACSCIGASSTSFAKARVGPAAYHST
TSASPTSSKTPTSTKTASLTSSSKPASATSAQACALVSSSSSAQRAANPAATPMVAAQLAHDCLNSVPLNKAAAIKLVDGIVPYIEWQSDAEFKKKP
PADYFYPPHDIFAAMASVKTNLQADKYANEYEFQEDLYQVFAKAHDGHFVFYPDALTKAFEWGRKRALVSISEDGTTLPVIKIYEDVIASPSTASVV
VKINGVEASKYVAEFAYTASFNQDADAAYNTMFAEIAFTATGAGTGHGFFSGGGRMRYIYSGPNTTFTFANGTTLVTENIAKVKGSFDAVTDGRSFY
AKFCKVPVLNSISQTSEAAEGNSEARASAANVITPGYPKPIIVTTDKVVSGHYLSGKGFEDVAVMSVLGFNPDDPAEFQSVVGDFFATAKRDGMTKL
VIDLSANGGGLLLLGYDLFRQLFPKIVQEGNSRFRERDTFLAIAEIYSANTANFNPATASPETILQYTSSYNYRNDLNLTNKPFVSFEDKFTGNVID
GVKYTDLMRFNLDNPLNTINDTYGIGIDVTGYGSRKNFAQPFAAENIVMLFDGYCASTCTTFAEFMRTQGGVKSIAMGGRPQPGKIQGVGGVKGSQT
RTYKGIYDDALAALKTASKAQAAILKRLTSYPIDRALDTGLNVRDNILPGNVKDGLPAQFVREEAECRLFYTQPMITDVTALWKAAAAAAFNGAKCA
AGSLPKRSVEVENSERRSAVTPTVKKPTKKISTKNKSPAWFERHGRKAIV

>RCO7_09886 | probable NAD-dependent aldehyde dehydrogenases
MSTPPSPHHSNWVDGSHSYSTSETIAIANPATEEVLATIDSTPLSDITSIIDSSLANFSSGVWSRTDASTKFSVLSKTAVLLRSRLPQFAVLETQQT
GRPIREMKAQLARIPEWLEYFASLARTHEGRVPPFKGPVINTLTRLPLGVVVQITPWNHPLLIATKKIAAALAAGNSVIVKPSEMAPLSVLKMGEMF
KEAGLPDGTLQIVCGYGRETGKFLCEDKRIAKIDLTGGLATYAAIAPNASKNLIPITAELGGKAPVCIFPSIGVEKAVRAALFASFIASGQTCVTGS
RLLIHTDIYDAFVELLVERTKALKIGDPMDEKTQIGAVISQASVDRCSNFVQQAVFEDGTVLCGGAPTLVEGKGHFFQPTLIATSPTSSLSTQEVFG
PVIALIRCSSEDEIIEIANGTSFALGASVWSDDFTQAHRVADKIDAGIVWVNGHHLNDPSSPWGGWKESGCGKENGVEAFEGYSRVKSTVFNYGIEP
TWFDGEEGARYG

>RCO7_09887 | uncharacterized protein
MRSSKSYTLVVLNLIVLLFTSLTTIALAAPTVSPITDFITRSATMIFNATTVLDNSSQNLNARDDLTIAVQQGDPDNGETIRPEPKVSFLTCKPRKD
TRYMCSLAGIQKSDTKEVSIIIYDHNCYRVGGSWKADRGPASLAYTNNGDKHGVDLFSSALIWNVLLYMEEEWAPYSWLNKEMRIQYGSYDNFPFQG
RSGDYPAKWRDMQRSQSKLFKDTYYDFFRVPFSCPGEFS

>RCO7_09888 | uncharacterized protein
MAYDYADTYPYRRINAIIISWFEDDLEIDSELDELQTTFQSLNFSSVGKFYIPSIRSFNALSEVLRIQKQKAAAEDALLVVYYGGHGRLGSNSISAS
LDWNSMQASLEYADIDVFLILDCCNASAAAASFEIDPEDYPDTTSRFEILAGYGYDAVTRGAGRYSFTAALTAELKKQCKREKVFSVAQLYQWLHAK
MLRQHPSNIPDSADEEYDKCFVAPTYIPRCMDHNHVSIPLRKMEEKSCGNDGSGTFDENTYFRHRLAAGANVGMSGAQLKR

>RCO7_09889 | uncharacterized protein
MREDTVDSMGRLQAADPVFNNGDWDGPEHLVTTTKPHDAYQLFAYGEINSSVTRIMASSVLGVTREFGAKVSVPEVMTDSSTCQQSEGYCRWYGHAP
SCGTSHFSWGEYDGDEKLIATTEYHNRHQLLYAKDINEDCFDKYGTGCWLGYKRLWYKKTPYTLAETAESGLQLTLSRP

>RCO7_09890 | uncharacterized protein
MDPVHIVDLPFEILTSICSYLPRRELKHARLTSKKLNQVASIFLFRILYLGAEERTFENTRGIANDPSLCHLVRILSHCPWRLKGHGSPLYKPLDIF
NIWKTNILEPRLRTVDLSDIQLRYLFSRWREHIGHDLLAVVKEFDALVDIMSKLPALHGLQHEFLTTGELHANSGDVKSLWELSTRAEAEASDYVNQ
EIRQGNEFCDFWTFLEAAHVAGRQNDVTKLKASGLELNLWIAKREESIYTHMALPRLTTVDLEFERCRSMSKPHLRDLLEGAPLLDHLALCFNSLDF
PNYRYCTNIRLSDITAKDHHWTSLRHLSLRHVATSDAEIRGFLKIHRNSLRSLELGDILLHPGDEELGMVEEPSTDFQELKSNEEVGSWLDMIEFLR
TSLSLSRMKFRGILGNGRNEAWKVSEEFPDVLGEKLYADYLKPRIERYICMRGENPIRHVPRDQATAETRPMISELDNRGLPIPSIFEDDTWQMAVL
ELPRRHELNMEVMQSLFW

>RCO7_09891 | uncharacterized protein
MVKPPADSSDQQSENDNYDTSSPNGAAKRRLNNANTPKRTINTPRKPFTPRTPLRKTPAQTTNNNGNAQKTPASAPARARRVNEPTLLGDFLLGRPS
PARQRMARRKSLDLVKKEMRAEVVAKVQPPGKVQERVKEWQKASAGAGRGQKAEEIVVEYETDSELEVVVVQEKEKLVRSTPKRPTPARRKERVREE
VDEEEDEFRCVRGRNNGDAERARAKSLAPKKRVISDGHWRTKSPPRKGNNIPKNFLQATAINPPVEKKIEDWVRRTEHVEPEIVLEKPKPRSRSRKA
QEWEQQEESPESRKPSRQTTESPRSTKVSKHEPFDDGIRVRPLRSTSGDDGIRIKPSKDRPKREDRKSSATMEGSSRVSNFYDDGIRVTASKMSPND
DGIRVRPSRDTSPQSELRVKAIRKDGGKRRPKSEGESSTIKLRRKSNSHVTPSSESDGKSRVTRATSHQDEEDDYSYVTPTRKGSRDQGRKSFTPPE
SMDEIPFGNSAFNSLELPVGAEAGTMRRPEPKRNPSFAAVPKVLKRVYTEGKKMMHDKAEPPRGGTNQPPSIDSWLNGTVDPFVDGPTPKVAGSEVT
ATPVSRVRTYKEEDRAEKGLERDVENTEARSPRRKRKSLEEEELLPEPLHIKHRNRDALPSMEISPPASPSALKRSAATRNISSSKSTWKLSLKEAV
IEAFKGESSMGKSAPSPFDFIGLREKDVNQAEEYRPRDLESVPEDPPPKENPRAQDKPVFEQTRSSRAPLSIPRRLAPTTGGHRLSTIASIDTFTTL
SSESSLTETSTGSEVSHTTVTQESVLTGTTGSSLSRHSKASTGSKDGLKRRLTKHSDLVSMLSLPDAELPGRGHSIKSARSIRTTRTNLDTATVRDL
MKELAEDETKYMRELNTLVDGVIPVLLTCVLSKSDSAVAAGLFDPSGTDISFTKPIVDMGVALERLKRLHKRIPLTSQDDFLRWAQSACKTYEDYLR
AWRSGFGDVVVNLAPASRTSSSVENHDPDKMRIDKHGDVLRDTGERADVGYMLKRPLVRIKGLAKAARGLEKILHTKASKDVMDAYEELEKYRRQRI
RAEVARKEDQRANNTDASRARDPKTMAHTKDVTINRDRQVYMKDIFSFEMIHSNGQHLECEVELTLRINESNSKDTGDVLICQTDGTKYFLLFPPVS
MNLISARKGDSDTELVLMIRGKDGTRSEWRESFMIDAKEVDVATEWLEKLGTTPVPPPIIHYKSKLDPELEMVLSEAGDDTRSIVGALKASKTDDDI
PLGERPRREAEEAISGGVPGLMHTVYQIFSEDKISELGEYSILDFKDLNDAMRKAGKKPLALHISRQTTPQRQRPSKYQGKNVEVCVIPCVMSGARN
EDDLVATTDWKDKENVGMILRDIPKLRSPRSEKTSTPLKEAMRPEPESMKRYHKVTPTRDEDTPPPPPAHRTPSPSLKITPPLDSPTPRGKNRRTSS
PLKHEYQPSDASGTSSSSEQSDSDSYSEDSEESADELDELLSDDETALINAATLPISRPESIYNQPNACPAPSNSVSQSPFIGRPTPPRPSTATNRI

AAMVSLWSDKKGKWEDIYSDPCSVVVGPGRVECFDLSSVHSSPTGPDVASPKKHSRSSDPLVGQDITPHVNLRQSTRIDIEITAPPSASSRMKGVAL
TLRYRTLSQQDCDALYAALHKARMENLKFKMMEQQRMFASYGQNSAYEKAVAGSRHGFLLKKQSFRRADGNAPPQSSTDSEQSSSLSSAISAVKRFG
IGGIFNISKSSIQQGCNGPMSNSSSDYSGNTPPHTRSPSLAASGSMFSNGVTVRDLGWQDLKIRLYIGLTCNKWDDRGGARLTVTAPPPGMRQASAL
DHGPEKRITVTIPNKNSDEGQAPPNVLLDCVLGAQCFSKLGQRGVVASIWEDIIDDDGIVGRVAARGGLSGRVRKVCFQMARQGDCEWVYMLCRSGM
A
>RCO7_09892 | related to emopamil-binding protein
MASAVASAMNASSPLTGFHPFYPLEVEIAAYLANESSTGWILSLFVAGILTIIGTTRFLVQKFRPNLHGKDKAAIWWYVISGLIHLCFEGYFSLNHT
RMAPAQDLFGQLWKEYALSDSRYLVSDPFVLCMESWTAWVWGPMCLFVAYFIISGNPLRHPLAIIVGVGQMYGLVLYYATALFDHYYNSAAYSRPEF
LYFWVYFFAVNFIWMIVPGLLLFDSVRTIARTFAAYEKLTSASKKGTNGNAKGSKKEL
>RCO7_09893 | related to WD-repeat protein 8
MSTKEPKIRFSRSLKSSTQSLPSPDGAYIATILPSKLSIRTTRSLEVTRVVSLPPELASSISWFLWSSSSSRILLASADFVRVFSATTQFSATISNP
TSGTTKIAHLAFGADHNEICIFSDFGLKLSICNLLTSRSVEINSPKFYTPGVAARGLSYRPGARNLALLTRSGGKDIISIHSCDSLEVKRSWCPDIA
DSQGMRWSPDGRWLAVWESAAQGHKLLVYTADGHLFKSWDGPTPVSEDDIDVTLGAGIKLLDWSSNGMHIAIGDYTDKVTVLSAPSFSESMGIVPTT
AVKTRESLQVWQEQISHSPTGAYIREFITASQSVCPPTSGAPTTSNTDPKMGTNFLSFDNSATLLATRIENLPTTIWIWDIGTRILRAVMIMHAPIA
KATWHPTLNEVLMIRCEGEESKGLVYLWEPSWDRPRILDFRAEIPGGKLLGKTVCRWLTTQSNNPAVFFSDSQDCILASIPCSDDEDVPWQEAEFQT
SQQAYNRRKESPLDLMPAAVEGKRGRVSIEDLMDDEEEGITGMSGESDDPEMEDTFHFKKFVEPTSRRQ
>RCO7_09894 | probable molybdenum cofactor biosynthesis protein 1 B
MSTFLKRSSNPAPLLRQLIHSPRGTVSAASAVPEYAHHELPPDALSQPRRESLKHAKPFSAFLTDTFQRQHDYLRISITEKCNLRCLYCMPEEGVPQ
SPSSHLLTTPEIYLLSSTFVSQGVTKIRLTGGEPTVRKDILPLMHQIGSLRSQGLKELCLTTNGISLHRKLDSMAEAGLTGVNLSLDTLDPWQFQIM
TRRKGFEAVMKSIDRLLEMNKSGAGIKLKINCVVMRGLNEKEIIPFVELGREQDLEVRFIEYMPFDGNKWSQGKMLSYKEMTDMIRTKYPSLRKVQD
HKNDTSKTYEIPGFAGRIGFITSMTHNFCGSCNRLRITSDGNLKVCLFGNDEVSLRDMVRKSNNGNPIDEAAFEAMKQIEMDRRQNLSTSQSPLGGT
QHERALLEVIGIAVKGKKEKHAGMGTLENMKNRPMILIGKSRPSRRTSISSQLLRTPATSCSLQPWTSLLLQPLSTSASPSSSHIRFYSSSSSSIPS
SPPKSSPKLTHLTPSGSAHMVPISHKSSTTRIATAVCTIHFSNPTALPLIQVNKMKKGDVLSVARIAGIMAAKRTSELVPLCHPIAITFVEVELYVM
EAKAARKVDEKDDGKVVSVPWKGTGQGDAYPFHVPSPSSSKPHIPDPDPKISSNKYGYIDITATVQCDGKTGVEMEALTAASVAALTVYDMCKAVDK
GMRIEGLRVVRKDGGKSGTWIEGENENEHAG
>RCO7_09895 | uncharacterized protein
MLFNTISIFGLVAIASAAPHTHTRSEKEVGAPAARGIHSRSIVARSNDNYIPNFASGFDSQIIIQQQTVTILNMVNTQQIVEAQRQAEFLFIQAIQQ
QLLAQQQLQFAIDNIRINTFLNVNPSVNTVAIIVTQIQSNLSTSQQIFVVVNESSQMNIGRSDQGPIPGFAGPQFASYTPGDNASFQASGINLFPFG
VASPQFANSRNFVDPALIIQPTQGLFVASQNQQQFNAIVVV
>RCO7_09896 | probable NOP1 Fibrillarin
MAYTPRGGARGGGDRGGRGGFGGGRGGFGGGGDRGGRGGGFSRGGRGDSRGGRGGGRGAPRGGRGAPRGRGGAGAKGGAKTIIEPHRHAGIFVARGK
EDMLVTKNLSPGESVYGEKRISVENSGPANPDGTPSVTKVEYRVWNPFRSKLAAGVLGGLDEIFIKPGAKVLYLGAASGTSVSHVADIVGPTGTVFA
VEFSHRSGRDLINMATHRTNVIPIIEDARHPLKYRMLVSMVDVIFADVAQPDQARIVGLNAHLFLKVGGGIVVSIKANCIDSTAAPEAVFAREVQKL
REERIKPLEQLTLEPFERDHCVVVGRYVRSTT
>RCO7_09897 | uncharacterized protein
MTTDANTSGTTSIPTRPATKFPYKNVLALLLCWEDERDGCWGEANKLKDLFEKRFNFSTELFRIPPQNPEARFLEKFEAIKDEAAKDGTLLIVYYSG
HGRMERDVEGRPSLSWAALGQSRSVWSSYVPPRPWIIRYVRRILTTVTSDDSNDEDCRGRRISCFRAKGHMSDLGWPVVEKALKTVQSDVLVIMDCC
DASAVVVGIEFDGSSRRMDFITACGSHRDGTILPSKATYGNRLGGTFTEILLHILEMKADVGEAFTAADLHASLVQRMMEVDLETHSAPPTPFHFSV
GAINRMSFPNVQLMALRPEGAGEAGWDSEVLALAAQFADLTSEEKEELSAKMNATIAGRGK
>RCO7_11699 | uncharacterized protein
MIFSAIIVIASKSGVRVELSRAWVLLLVPAGALSAAYRIYYLRYIRAFLKIKYNNTPILELLYLFDKLNSKLYKYYSALKSSYKYMSYLNINLPNYV
NAEYTILSGLLPSGEAKDAELNRGSIVATYKAINRICRLAKSAAPTTTLEITTTRSIEKVFKELEFIKAEFIKKAIFKATISDTRGKRNLPSSSEIV
SDLDTPGPSLKKKARGISYYTRSATRAILVELDKELNIVVPVLNIPELLEAPENLGEKASKVEVVKEVEF
>RCO7_11778 | uncharacterized protein
MLVLVRYYTELDTSYTGIPINLGPSIYPSSHMTFSTILVIASKSGKYTILSGLLPSSEAKDIELNRDGIEFTKKAIFKAIISNTKGKRNLLSSLEIV
SDLDTPGLSPKKKAYRISYYTRSTTKAILVNLSKKLDIIILILDIPDLLEALENLREKANKVEVIKEVEF
>RCO7_11415 | uncharacterized protein
MAGNTTDKKLEVFARNQQPDGSGLAIIHAYVYPGQTSTSGWVSVQGFQDFRKAVHHMNHSAMEDSPRASRTLQADGRNEEKPVMLGESFPATPSSPR
SNKQQIPSWQPQTLYTQSANPHDWHIDWPLQLTPVSCSTPMSSAFSDISYHQERSPHQIPLQNSGGFAPHYDYLRCAQPGIILSQISSPSSPNTPIP
QHVYIFPVAQQHKPMLQLFTPHPPHMVAINQPQSFMFPPPTSTCSSSRVTRPEARRIIITGLPPTSTEKDLQELIQSASSTVTPTLGTVPNPSQGLR
THDGPDGTRHYLQHLELVRHVNGTPKGHAFAVLESYATAKPTIDALNGISWRGRRLRARFAKEGVESRNRGVRQDRRSEAVFNRWQMEFEARASGAA
SDSGEKYDLRSMSQGPLYQYTGKDNATEYHYPVAQISNIQTDYRDDSASYSSSLASQSKREENMSSVSSLSFEGDEEILDIVTEDVRSPTPVVVDGS
SFGKMRR
>RCO7_11416 | uncharacterized protein
MISSRLDLSRQRQRCFLISLILTLFIISWSTVLFPAQTTKPIKHVIIPYAKSLLHGVTAEDDIPTQDLSHIAQHVGSPTFEYARRVIRTHCTPIGEA
RPSLTHKDEPLLAKFQLLNKDNLTQISLPSLPELKLNVPLSHQIDSSILSFGISTKLTRLHYALPQLQHWLANSNAQLHVSIPIDATLSPSDAIEEA
ESQFQSLNINLNIHTSPFPFAKSYFNLIRTLYETRTPSTKWLILVDDDTFIPSLPYLMHHLTTQYDSSTELLIAALSDSLTQIRELGLIPFGGGGIF
ISVPLAASLLVPEIWDACVALPNDQGDQIVNECLNAHSHVRPTFDNGLQQMDIRGDASGYFESGRRMLTVHHWRTWYEVNVPLASNVSRACGFECVF
QRWVFNDDFVLSNGFSVAEYTEGFDEVLDLEKVEKTWDGDARNFAHHVGPLRDPVKKGKKRSARLVEASVLDGLGVQQIYIERVKSGENGERVEGDV
DRVVELLWLF
>RCO7_11417 | uncharacterized protein
MMKTLLLLMVLLFTMATIVNSAPTAVGEITLDEILINSASDISGTSAILAPLNSTTTTWVPGEPQSIFIEMGARDIYYTFCVPKSDDRSMCIVTFLQ
SNDDGRGYMWVYDNMCREVGNKRVTRAEMADRYSMSSELPMFVDVNIDRKWSPYNKSGVKLWYGSHYNKNPLNKATQHWPAQTDSIVLQSNWPGRLW
SASEWSFDIYALAKLLVYGEGIASQFLPGIESLRYSGRSRRDPLGNCVDPPIQSMIYAKVCLPTIRVTQPPQT

>RCO7_11418 | uncharacterized protein
MDKGVEIWYHTYHTQPFIKMTYPWWSDRLWRGRLQSIADPGQVYDAFVVPFQCHGGPNEKDKDW
>RCO7_11419 | uncharacterized protein
MTIVADPTAPIVVKNDHTPMSPTAFLDISSEREEMDPTAAIPAVWLVRLLSRLPTVVASNELNMEMMERRNMLSSDGIDVVVVCISEVLISWL
>RCO7_11420 | uncharacterized protein
MSSSPPPKHKTTTAELALHFVENRTDPTSSSPSLMSQLAHRQELIAYWDVHPGSHVLEIGCGQGDTTIALADAVGENGTVVALDPGSPDYGSPQTLA
QAQAHILTTPLGQRIKFHFTPPIAYLNTYTGPPFTHIVLSHCIYYFASPLDFPLLLSAILPHFTASGQKLCIAEWSLHASTLNQVPHVLTALLWSTL
ETKRGEESSGNVRTVLSPQQIQAAVLTAKVDTRLQREGASELAFKLVKQATLPSNPGLQDPFWEVNYLLSTRDKEIAALRKREEGGFVSDAEIVVIE
AAYDTVTSLVDSLEDGFKGVKCMDYWVGVFESV
>RCO7_11421 | uncharacterized protein
MARAQASRLVETWARRTCDVFDLCSTVQGALIVRKFGADGGLVIEELGAGSSEKWADYTRTKSGKGNKAAREACGFGAIRLAGQYSTVIERGVTDDM
GLEVAMRAITGQGTTGQAMLQNAECRMQNAECKQASKQASSEAIRQAGRQAKREKEVRWRWNGMSESSGAAALRKVESNAATRRDATQRNATQRMYS
IVAVVLEMELRALRGLQVELQEGCTAHGTGLDWTGLDGTGLDWSGLVWGVRSM
>RCO7_11422 | related to PDE2 - high affinity 3`,5`-cyclic-nucleotide phosphodiesterase
MDYAACNVVYVDRSACEDGLVKREDATPTASTDDVHGYADGHAPVQIPNAVDLNLQSLLGTFSEVHVCTSGKACIAKLSELNQSSIVELIPTLVLID
IPYEDQLAERPSREVRTPSPGSQQQIDGIHEDSVDQEAYGLNLLQWIASEIQYQSLSRLVVPVAVVSIPEQTSLLEMSRGRANSRSEGQLSYTSFPS
KKRGGLVTPLDPTRTVKYLDSGAVDVLTSPLLKERLPSLAIHAYRAHKDASKEHRALMEMKRGRKRSWVGVDDQKPYAYLREAMVSGLMDGICKLGG
DEEPLAPIRISIALNRRERIAASIGSWHFSAHDFTDDELLHAALLMLQHALAMPELERWRISTDHLTAFLVASRSAYNAFVPYHNFRHVVDVLQACF
HFLVQLGRLPSYPNSSHSSDPPLSPIAALIRPFDALTLLITAIGHDVGHPGVNNAFLVTLNAPLAQLYNDRSVLESFHCAAYSQILRRYWPAAFQGT
EMRQLMISSILATDMGLHFEYMKKLGFLQEKLFENGGTDGWNGRLIEEQRTLACSLLIKCADISNVARKYEVAAQWTQILTNEFSRQASMETDLGIP
SALFATPTRAPIELGKSQIGFMNMFAIPLFQGVTDIMPEMAYCVEELHRNKAGWEQTIADEQERARKDSDDSTIKDGTFSPRTMSLANPSDASYQKV
GNVVHPDMDLRKALLNKNPFPLSGFAEESARHHASLPDISPGSTVPLVEESTEEEIPSPGDVVLGSSSRRSSKPSQLQLSFATTSAPGRLDHSSQDP
ALNRIVYPQSQANGVSVNHNSLVTDPVLMDTPTTQEPKAQESDKQRSSDGTEGSSSAAGDWTSQATSATTGKMPLSPSTQGTSIMSDSDSVEKGGNS
SQILTPTGTPSGNRHRQYYDGRSSSKDSTHRSKSEGSGEGEESKAAREVETKGVGEKAFGRLKKKPSRFRMNFWKRSKSSSPPLPGGGPGRNNGSMN
DNTSQSDCGVPPPEADGTKVEEELGEAEAEAEAEAEISCHSTVGSS
>RCO7_11423 | related to acetyltransferase
MATGLRQRNASPKTKAPTTEEKVDTEHPGGHIKHSGPVQVLRLLLVILYFFSSCCTIVATQFLGLPLYWINKDLYYAYMALTKQSFGIFVTTLTKWW
APTVVRISGDASVAGQLRMTADGRVECHFPDRIVMIANHQLYSDWLYLWWIAYTNRPHMHGHIYIILKESLKHVPVVGWGMRFYGFIFMSRKMSTDQ
PRLAHRLQQLKEVHAGPMSGTSGLDPMWLLLFPEGTNASDNGRIKSAAWAEKQGIRDMEHMLLPRSTGSFFCLNELKGSVDWVYDCTLAYEGVPRGE
FGQDLFTLRSMYLQGRAPPSVNMYWRRFAIKDMPLDNAEKFEAWLRERWYEKDSFIDHFLTTGRFPAAKEATNGVSVGKGNDEFIETEVKLKSVLEV
GNIFVVLAAFALVANIGAKIWNVVLYGRQY
>RCO7_11424 | related to NAD kinase
MILRRLPRSRACKRLFSSTSTRREILDVECLPDRIIPRYQESKTSDLLSLIWPSPPRNILIVKKQRSPEVTECSLEYAKHIHSNYSNVSFIFEPAVA
AQIHKQISFPIHTTSMAGDLAAKVDITTTLGGDGTILHASSLFSTERHVPPILSFSMGTLGFLGEWKFSEYKRAFREVYMSGAGAGSPLLQDQKHPH
LETGGNESGTGDVVTGWSSIRGKSMGPSRTSKILLRNRLKVGVFDASGNRVTRDLTTTSALGDIHAMNEVIIHRGKEAHLAIIEVFVGGRFLTEAVA
DGMIISTPTGSTAYSLSSGGSIIHPLVSSLMLTPICPRSLSFRPLVLPANTPITLRLSEKNRGRELEVSIDGQRRSVGVGVGMEVRVNGENILKGKE
WVGGVPCIMRGTKSGNDEDDGWVGGLNGLLKFNYPFGGDE
>RCO7_11425 | probable venom protein 2 precursor
MEYDTKTPLFSTSDKTSFAYISARDRWPVILTGGIDDVHKAVSETTDDAKRIEGKQIVEELAKLKYELQHDRKITPLAEDGQSDVKCYNKELEQLGN
PSWFNAPWLFAECYLYRRIATSFALSTYWKSYDIFAVQKMSTFRSSRPAVLELAGRYHELINQMKKKDYKSEEEKATAEKVLFMEMCEICLWGNATD
LSLLTSLTYEDIQKLQGSEARKASEKNILINDLEAAYDVLKKAQKEGKSFRQIDIVLDNAGFELYVDLILAGFLLSAGLATNVILHPKSIPWFVSDV
LPGDFAALLNALASPQSFYSTPSDDEKNAGKTPTPLTQTEIDELSFLFSEWSNFHAEGQLMLRSNRFWTEGGSFWRLPSSVPGLHRDLKESELVIFK
GDLNYRKLTGDAMWEPTTPFTQALGPLGPGSGVNVLALRTCKADVVVGLKQGQDEDLRAMEGGGGDSGARKWAWSGKWAVVSFSPGR
>RCO7_11426 | uncharacterized protein
MLPSILHSVNKPKIHLPVVCPSCSVRLNQPTVYPYTVATTAIQPVQPVRLITQPPPQVIHQAPPQVFYPIVPQVIYQQVQPEPYQQTPGSGSYGTPL
PVSSTVPRETRQELVGGRWHDIVHYGTPSPVASVRPANIPVDQGWSQVHGLDPGPPPPGPQPTGNEGDASFIARNGRGGDGSGLGNVPAPSADPEPP
SDTESGPPAYIILEAAAQASLTPGFEARNASAEPFLEMGGSVLGRLTPANITVNAICNGNVNLKENMSALEDSDGRRGDP
>RCO7_11427 | uncharacterized protein
MSITTTKSSIKPHILYAVPPREGHMRPALQIATHLISHSFSVTIISTPSWRIYIESIGAKYAPIIGRWNTLDDYRRWPKIAFAETGEERLRASLAGG
FVGLLVSGWMSVRGALEELRVRSGGDGEDVEQLGERMIVVLSDTCFSGTLALKLGADLPAGLEGGNGMQIKTLGVGVVPVYWADALRPPWGSGVEFD
GSEEGKLWNLAAHERVWDQQAEEMGREVLEMLSCTRTVDELYEKYRSDSYPDLRRPFWDATTVCHDATLQMCLPNLEYPAMNWPEHVTFAGPLPIKP
LPGDLVYPEWFEEVRRSGSEDSEQLPERRKVILVAQGTESLDYNDLVIPTIRSLANHPSVLVIAILCVKGAFLSPTHFAGNIIPSNARILDYFPYDA
VLAHADAFVSSSGYGGLTHAVGNGVPMVQAGKNFDKPDIGRRIERCGLGLFLPDMPLDDEELTAAVLGVLREERFRERALELKEEAGTYRALERVEK
EIMTLVEERNERRXMSITTTKSSIKPHILYAVPPREGHMRPALQIATHLISHSFSVTIISTPSWRIYIESIGAKYAPIIGRWNTLDDYRRWPKIAFA
ETGEERLRASLAGGFVGLLVSGWMSVRGALEELRVRSGGDGEDVEQLGERMIVVLSDTCFSGTLALKLGADLPAGLEGGNGMQIKTLGVGVVPVYWA
DALRPPWGSGVEFDGSEEGKLWNLAAHERVWDQQAEEMGREVLEMLSCTRTVDELYEKYRSDSYPDLRRPFWDATTVCHDATLQMCLPNLEYPAMNW
PEHVTFAGPLPIKPLPGDLVYPEWFEEVRRSGSEDSEQLPERRKVILVAQGTESLDYNDLVIPTIRSLANHPSVLVIAILCVKGAFLSPTHFAGNII
PSNARILDYFPYDAVLAHADAFVSSSGYGGLTHAVGNGVPMVQAGKNFDKPDIGRRIERCGLGLFLPDMPLDDEELTAAVLGVLREERFRERALELK
EEAGTYRALERVEKEIMTLVEERNERR
>RCO7_04033 | uncharacterized protein
MSHRQHGHPSSSRKASGKPASKSSGKRKSAKQHSNAHTHPKIEDDLPNPRQHTYFGRDLARTLRYNAEKDIETVLADHEINLLQDPIPEVSSTRESK
NLMNTYFLIFDQAFFCKLLGKDLKKRIVIYDDHQNDASLGYYKDGIIHINMTIQDRTGPLGEKQLAVLLHEMLHAFLDLYTCNCSKCEKRTADQGGF
GATGHGSTWANSMIYLQKSLARQVGWDVDCGVERGVYTEMNASGWQPRPEQFERWNIKSSHVPQVKKHHERGKHKKRPKGSACVVM
>RCO7_04034 | related to unknown, trichothecene gene cluster

MAKLSIVTALVALSPFVSAQCGAGTPDATVTGSDSSYTATKGSSSVYSGTNYLAAIQAALDAISSSERVSVIASGSIGAGTISITSGKIFEGCGTIN
AALRPGKGAIESFNTVDVKIPYLTMTGDPYFGLRFYGTKGLTLGQINMNLSGGLGVRFDRDGAANSNVKMDVIRVTGASSHAVETWNIDGLTINSVI
AKDCGECGLLLQTTTNARVGLVDGNNVGASTGVVSRGGGRGFFCVSESGGATITSLDLANNGNDAILIENCYGIIIKGGTVNGGRSVRLAARDEFPN
NRDHSITLKVDGTSVIESPCGENIKWTLTGTGPRNIC

>RCO7_04035 | related to putative arabinase

MYANFAFLASALLSLSTIASCLGPLPSRSSRLSSGDEPSLHHSKPRALEYEGYAFAYFTGNSIAGEKIYLSASKGNDALQWNELNNSQPILASTQGT
KGLRDPFLLRSHEGDTFYLLATDLSIGSGTDWGESIRTGSRYLEIWESKDLITWSEQRHVLVSPPTAGMTWAPEAHYDETIGSYVVFWASNLYEESD
TEHTGPSYQRMLISTTTDFITFSEPVVWQDAGTARIDSTILQEGNTYYRFTKDEGAVTGCVDIIQESSSVLLSNLTSWTTIASCIGRVAGTGGVEGP
TSFKANPNDISGQKYYLFLDEYNGRGYIPLETTNIASPNWKVSASYKLPAKPRHGSVVPITAAELSAINAYYGVVATSKSKERSTNFVKRNSPSIPD
LYADPNIAIFRDKFYVYATTDGLPGWGGQVFYSWSSPDLTSWTRSEQPFLALNGTSGNVPWAVGNAWAPTITEKNGTFYFYFSGHNPTYDRKTIGVA
IASSPEGPFAAEKTAMIINGGDEPLISGQAIDPDAFFDPVSGKHYFFWGNGKALMGELGDDMISMKWDTVKEITASLPNFREGLFVVYREGLYHLTY
SIDDTGSTNYSVGYASSPSVNGPWTYRGVVLKKREELGILATGHNSMVQVPGRDEWYMAYHRFQIPGGDGTHRETTIDKVEWDSETGLMKEVIPTLE
SVQPVKL

>RCO7_04036 | uncharacterized protein

MLINVFPDQFMPQPKRKPGPEYTPPKSSLPKKDYTPNQNPHPRKPIKISLAKLFVSQWCDLEAQKVKNEHKKNENQTRQMEIDRVMQDKLADYGRHA
NDQKHQRFMIVWCTVGLFAGSVIAIYLESFILGLAVASVFTLFYDAYNRNSATEVAD

>RCO7_04037 | uncharacterized protein

MCLVGVPSAQDFAATELQRLTIVSATRRGLSEFPTSGSIKAEKRRGSNTAQEALAPETSPS

>RCO7_04038 | uncharacterized protein

MAPTCTILEYLSRPNPRLQNRSSSSGTLTVNDKWIPIEGVQPWVDFAYDILCARYESSLRKTITRFDPCCLIANAHLDEVAGEDTIEALATVNNFMP
VSNALHATSKGYYGKGSKFFRQQSDGSSDWGLGDGASKNDGLTTFRNFCSGNIKSSSKWNSDDLWEVDWSIYLERRKFINQARPLEQAQHYGIQLGT
RYAWILTDKELVKIRITTSEDDVEDQPPRSSRGVQHRRLLSDTSNLSTALSAMSIDHSACSGQSGSSSGMNPAPLEIARIPWAAGSGKNNEMTINLG
LFFIAQLTFEERSISSSYPPLS

>RCO7_04039 | uncharacterized protein

MSGTGNGNGSQHPILPPFGTSANPNSVAPYKTPLEENGPVSHGARSQSAQNRDPADPMRAYRACLHCRNRKSKCDLEPNNGRPPCRRCQRENRECVL
GESHRGGRRVRKKPKLDEEADAASEGPVSVTASSRRGSPKSQPQTSPRFGMDANQSQQPSEPFHTRYDNRQTWQPTAAAGDGPSRYTEYPPILSPTI
NQSYRSRMESTVSIIGKPSHAGIATADLQNPSDALEILAQVADRADDSNSPRSDDPAGPSPKRVKQRPEVTFQPVETSWHYRPLQERLINQEQIYSL
FNSFEQFYHPFFPIVPRDTFNPQRLQWVSRYEPHLFSAILTVASKDDEALHQVCYDHMQQLISNIASGSDANVEAVEALLLLSQWVSHKPQVAVTVG
RGEEDRVAWMYIGTALRLAYFLEIDRTSFSSDTQEDPVKYNRKRLVWAACYICDRQVSVRVGKGFWARGPGPLSGLKADNFPTLQRVTDHDEDFATI
FQANLELTQIFSNVLDILYSSKGNAWKDMLEGRYAKYLDDFRYSIRTWRDNWGSLNCHPFIKVSLMITYDYLRLYVNAFAYQATISRALTDQRDSQH
SNGSIPLINSSAPDARFIYEAVSAAQSLLTRFNDSVSPETLRHMPSSYYLFVIYSAVFLYKARSTTSLQKDEREEVHKTIRQTIERLQASSIGGNQI
GNRYARLLELLWRKSPKRNGNKALHRMSVDNRMLAQQQQQALSQAQGQNLAGISNGNRNQNLGPGQNVSSDLNPNQIPGPDTNNQQQNFDPNLDPNI
YYKTNFPDPFANNMHRNQGQYPAPVPVPHFSWLDLSATSQYAQQNGPSSSGSGEAYEGIGELGSPWDAGGGGYEGSGSMDGVAQGFMDPGFLDGGVG
VAGGGDLIF

>RCO7_04040 | related to laccase precursor

MFCPKNLFAAALIFASSLSLTAAEVVCHDETFVPDAILRITEAPLAQSCLPSKPTVLVNGTSPGPALRLKEGTRYWIRVYNDMSDKNLTMHWHGLSM
ATSPFSDGTPLASQWPIPPSKFFDYEILPPTGMAGTYFYHSHVGFQAVSATGPLIVTETEPPYKYNAEKIVFLQDVFTKNDSTIEKGLVSSPLQWSG
ETSMILVNGKGAGSANGTSCNASLAGINVEPGKTYRLRFIGGTALSLVSLAIEGHNMTVIEADGSYTEPHNTSFLQIGSGQRYSVLLHTSPTPEKKV
YYMQLETRERPTLTRSFAVLNYGTPSPPTDFQLPNSATLPLTLPNITRGFLDYELSPHHANTHMATMPTADQVTRTIVLTVHQKVDGRTTWVQNSYP
WTEDVPKEPYLVSLYKNNATNFPSMERALANYGTDPETRTFPAQIGEVLEIVIQNTGADKGGLDGHPFHAHGAHYWDLGAGNGTYNATQNNEYWALN
STGQPIKRDTTMLYRYASTTQNGTAMGWRAWRIEVTQPGVWMVHCHILQHMIMGMQTVWVMGNASEVMMVDEPEVEGYLTYGGDVLGDENSWPSVVE
VMSGDDWTKGQ

>RCO7_04041 | uncharacterized protein

MAIETTPQVHGTNPRKIQQRCLCKSSSQVEAAGKSAEPQSISAAKNTHTAAQLTKMTDQTERPGRRRPFSTWMKKLTGFKGSSSTNAEPSQPASTKR
NTYQMKSNSKKQVLPKNHPYPQSGIPNGNSDSPNVHRSFSTVPTGDSVSTSSVDRRRSLRSSADGLHPPTIGNKSIAPTIATEGPHSDAAPSHAPSS
GQGTNATVGCGVSSGRGADSTFSSPAPSLRSLTTTLTTIHSAAPNATTNSHNNTNGNHAQVQFSHQFPTSPLPTAIPAHLVPVASGGHPSTYNTATA
NNLLTDNASILTLASSSKRRRRRSMDTDASVRALAPSSLFGGSRESLPLSVLSANIDASSGIASTPHPTRASVGGLNERASIYSATGVAPALPSERN
SYYAGKQSTTADGGSVKSGLLGHGRTDSISGSIGGIGATGSPLASPREISATTMGKLSRSNSAWGEGGEGVKVDQSDDEATETGKSTTDEKHRQEN

>RCO7_04042 | related to dna mismatch repair homologue (hpms2)

MSIQPLPLDVVAKIKSSITITSLNGVIGELIKNSLDADATKIDISVDYGRGSCSVEDNGLGILPSEFGVNGHLGKLHRQLNHVFSDFKTDEVVDTSK
LNAQTELHGGRGIFLASLSAMALVSITSRHNLHRSHNALTLHKSVVASRQAPAPPQQHLTSNHGTRVTVRDLFGNMPVRVKQRAIVAEKERGNSKDW
EVLKRDVIALLLPWNNMVAIALRDSQSAQKMNISPPSMPFQSGKLSVSSVCSILHQASFIDYREKISWISVNASTPSLEVSGAISLVPIATKNVQFM
SIGIQPLNPTHRKSIFQDEINRLFTISAFGIEEQPEEIDNAKLDRRAKDGRYKGEGYTGKELKAVKKGVDRWPMFFIKIQSSDLGKAKLEAEDAMDE
NSQDLLRIMEVLRAMILEFLTKNHFRPKSARCHGSRPELDAGLQKNAGSGPASMSSQPFRSTDTFRSKGNKSTLKNKSQLDLLGTNIRLPSFRQGVI
STDRTFDSWARVKSGTVSRSITLKPAIAVNEDHDNYRASTASHSLTNLLRDGHSSPRGVLSEPLLFRDGNIVRAPFGDVTARAKHLHPIATPQNPAV
SNSPAVSDQDMTLEHGDDVVAWVNPITKVRSLVNQRTGLTVKATNASTHPGPRPRLTTPYPSQTALPFVPSPWISDMLKTWDNPIFAPAEPSIPQVS
FDGPDATSRTILHGRHHHCSQIDIDRAFEQSTSGIHGSISKSALGNAEVISQVDQKFILVKLQSGDVLAGKNDGSMLVLIDQHAADERIRVEALMEE
LCGPHSGAGIESGVFTSSLAKPLRFDLSAMEVNLLDIHKTHFANWGILYNQLPTAVASVQRLIVHSLPPSILERCQSSPRLLIDLIRTELHVIQAKH
GTPLPPLPSNKNQKSDWIRRIHTCPQGLLDMINSRACRSAIMFNDVLTKGQCEVLVKRLATCIFPFQCAHGRPSLIPLVGLGCLRVGAWYGDGTGDG
FGCGGEEERGFRGSFAAWKEGMRRV

>RCO7_04043 | uncharacterized protein

MNSSRHANRAGRGEMSTRGRGQGRGNRQRGGLNDRPNFSPGPSNVPTTQHVIPGASVSIILKIDQPTGRQVQGTVAELLTRGNHPRGIKVRLQDGRV
GRVQKMASEEGARTGSAGMSGLGRNGEASERVESGGLQISNMGGQSGGLATGNYGDYRLHDPDQPPASELSLEDYVVTKGQKKNRRVKSTLDSEAME
QSQIPASETLESATTVCPVCGEFEGDEVAVAHHVTAHFD

>RCO7_04044 | uncharacterized protein
MRDFRLFNHFIQSAYPSHPIGNDAVWTHEIPSIAPDATLAAADISAKGDEQQLRVTAMAYRVKSIESLNRAIESGIQTFIQGNAMLATCFALLFQSV
FIQDGLGEYMSFIRGTLAIGTKMGYSQMKFLFVKAFGDEQLELIGPALSLTPLVHPDISRAACKSLEKFGFMCEKASEALLYGKLLCMARNLVTSSQ
DGTRKIIHPILSSCQCSGIDVFAAYMELRNYDGLFMFLSQEDFVNFIDPANIVGRLIQAHFVSVQLIMTPITNSELMPRQVVESEKEPNILGKPSPV
SPTAGWLRYLHSDIPSHMVEYFQWTLWVEQQSQLSTLHWVQSSFSSCKDSQTNLVHSGDLILRPTDTHLHNYFASAQPFQAYRFMVRKTSRAESFNT
KIPAGTQRSASVRWHKQRKRNTPPHLHIIGKRQA
>RCO7_04045 | uncharacterized protein
MSTTTSEIPLCRLSNKGYTSSLLSTNSSFSTSHVSSLAPTEQSLTSSRSVIFKPATSLQIQAAGKSVSSLPISMYELCIPIFTYEENGMAKRPKWLS
VRPKRKSGSCVLVDAEDESQTTIARTTYRFGPGRPPVVRIGRDEDRSEEDDETDLADYHDLDNKAASAQVFDSNISTNKSGVEEFPLKVKRILSRTT
HFTSHRYGRFEWHYCSRKEKASFTSKSTTVSSPPRNLLVLEKIFKNGHEREIGRLRVAQLIRGDGTRTPGTKYSTAGNGGRLEMCLERDGEEGMEVL
IDEVTVLSTVLIMLKKEIDDQG
>RCO7_04046 | uncharacterized protein
MAAIREVEVGVGCILYLKPLTSTEHLRCKKHQDCLLEQEAYGHPVVVIGTPSRNNSRDKLVHFLLMTSSAKHFETRTPVGHKQDEILIRSRYWLEGS
KWMAKPSHVKMEHVFALPLSRFSPYEQDSKKRKGSKAYNFRLDKASYITLMLRMCLKPQEYAATRDLKLVTTPASTSAETVTVYKAQLLDMQPARSG
SLIQMSTGGAAHHSSRYASGSQSSRSSEFINVGTSPASISQGILVFENYSNIAVEFLGAGKISDEYTMRITRPVESGFLKPNWLQRAPSGLTKLVPK
PGTPRLADKIGTQLLEPKVECP
>RCO7_04047 | probable maltose permease
MGAPSEIDVESTVRDVADEKSTDLTSVQARQATEVEHQMGFFEATKLYPGAVGWSIFFSLGIIMTAFDPQLLGGMYATPSFQKDFGYLFEGEYIISA
PWQTGLGMGNPIGQCVGALGAAYPMEWLGRKKTFGACVILTAGCVFIQFFARSLKVLLIGELLGGLILGTYATIAPAYASEVCPIALRGVLTAFINL
CFVIGQLLANGVIAGTSQLDTHWAYSAPFATQWLWPIIILIALPFAPESPWWLVRKGRLEDAEKSLRKLASKGLDMKPTLAMIVETDRFEMEMQTGT
TYADCFKQINWRRTEISIGVYTIQVFSGIYLVGYATYFFQLAGLPGSKAFEMSVGFLAVGFCGTVGSWFLMNKVGRRRIYCCGLATLTGLMFLIGIL
DCAPNYENRLGVIWAQSTIMVIWNGIYGLTIGPVCFVIICEVSATKVRARTIAIATAVQAVCGIVMTVAIPYMINPDQANIRGKLGFFFGGLSIVSF
AWAWFRVPETMGRTYEELDVMFEKKLKTRGFKNYKV
>RCO7_04048 | uncharacterized protein
MRFLIFGVSLMLLRSVSGLLVHQEENEDVFPVSFCDEVKWESNSTGLQAISCIERFEAPSDISNQPALNESCPVSDFQTNSTSSDEIIHSLGARSSP
KNNDAMQKARYACNNRELPYRSQILPTSDGNHKKWCFREGAIPKYSDVTKLCAQAGKGFDSTISLRRLFQIQRTKWASKIATQGTCFCILRRYGTAG
LKLCNCDRCDALTLDFGVEDMCLALWQGCIAEGFASGYQRTKYPNALYALYGHKDNKGGLEQQIELDPVLELDGVMNSSCNSGDESRRDQDYTGTVI
ACEMNSWSNRGCKPKYGKGSWWTFWRNFNPSQ
>RCO7_04049 | uncharacterized protein
MQISIQALSKLLVFLLTQPAFGALIPKPVTHPACTDLTWDENDSGFQARICTMPRPSSFRGATQSSLAKRTNEELDNKFASILSALTPNATESSLDI
CLPASNTPIASENNEDGAQQVDEESEHNDSDTNIERRNTCAGGATPSRLPYRTPLIEIEATASKSWCFRPGPSPNKDHIDSLCRSISQLHYPGGRTR
PNIPFQDDFIVQRARGPAISGNTTVENGGSCVCVAGRERTAGFKVCNCDRCDSLVINHGLGDMCKSLQNQCTGKGFSSGYIKSAFKGAMSNSIISLF
TFPDTKGGKNQHVELDPVLAEPGAVVSSCRSGDEGRKRQDYSGPVIDCRRAFIPKFAMGRYCRDMAAGGAKVWVKDKEDPFKVLRGKPKGGFSQFGE
K
>RCO7_04050 | uncharacterized protein
MVGKSTFEPGSSEITSASLENSSTAPTATPSNQPHQTSTSSHLPTSSAFDNRALANAPVGQIVFQDGYSAYFNAEFWPAFLTEVEDLRSLFDDPACG
NVNNDSSRWTSMSVLGMPYQFSATEFGLAHPTLHESKMLCKYFFESVNPFIRAIHSSLFARELSMYRRGTFHLPREFEALLFAIYTLTVNSLRPEIV
QGIFSTSKDETLSRLQLSTQVALTRINFYKTEKVHGLGALLHYLTFVFQQNLYKDGIPLLAVAVRIAQNMGIHRDSRHFPYSPWVTEIRARIWNHIC
NLDAQATSVFGAESCLPPTSDALPPKNADDREWHASRFANPSSVPANLLGFKDTSFALVHREISDTIRRLAAIDGNNFDERQRIINECETVISQKYL
AGIDRTNPSQTVITAFVEVRISTLRLSLRHRQIEKLKANPSDPYRQQVFLSAIQLLEAIMYHITIFSVMNWEFIFSTSVPWLASAIALIDSRHATRQ
SDKDRAQRQVEAVFKRFKDSPVATTKMWKILEQLRMNMMDETSQGLANGSELLAKTYDLGGSSMPGDAGGAAVSSIEFSDEMMFEFGGVEGDRGPGT
YDEMAMMGDLQDLPWYAWAGGGSNTQ
>RCO7_04051 | related to nucleoside-diphosphate-sugar epimerase
MTSSPRIFVTGVSGYVGGHTVVRLIEKHPEWNFVALVRNEEQNAIIRARWPMIETVIGDLGNKKLMILEGSKADVVLQTASADHIPGVQALIKGLSQ
RQPTPGYFIHVAGTGMLNEVPNGFGQPSTKVYSDITDLKEITSFPLENHVHRDVDMAILKAQKKFSVPTAIVSPPMIHGVGRGPLKTRSIQIPFLIE
STLKRGKGFQILEGQNIWDQTNIDDIASAFILLVEEAVKPNGGKADWGQNGYYFVAGAQFKWSDVSEAVAKIAFSQGLIPTAQVDKLSVADASALHP
WAPLIWGGNCRSRSDRIEKLGWKANGPNFQDSLSAMIAAEFKTLGTQSLKTTFNK
>RCO7_04052 | related to flavin oxidoreductase
MHKQANPLENVPAENITYFTPRQIIPAGTAIVHSDSKSPKPKVFQPLQLRGLTLQNRIIVSPMCQYSAEDGHHTMWQQTHLGGIIQRGPGLTIVEAT
AVTPEGRITPQDSGLWKDSQIEPLRKTVEFAHSQGQNIAIQLGHAGRKASTVAPWISRKAVATTDVGGWPDNVISASDVPFDAPHTCVPKCMTLDDI
LNFKESFIASVKRALVAGFDAIEIHAAHGYLLHSTLSAVTNTLPLPYSGSLENRMRLLLEVTSETRAILPSTMPLLVRIPGTDWMPAESNCWEINQA
IALSLALSRAGVDFLDVSTAALMSEQKVISGPGYQVPFAAAIKEALEKEGLGELTKVGTVGMITSGVQAEEILSAGKADAVLVARTFLKSPGMVLDW
AGELGVDVRMAEQFGWGYGQRGEGGVKPGVAAAARG
>RCO7_04053 | uncharacterized protein
MPKITINLRVNPQKDTIVQIPKVLTPQSTLLAKPDQHRASTFYTLSWTLADRANDDIQRGSFEVKWGLVTELMPGDWVVVKWVTSSNPVFTAEEIVY
MYNLMNEEEHDYEVGYEAMLMRTLHNIYLEYSVGYPDSRILATLVEYNVGNRLYRIQEDLETLD
>RCO7_04054 | uncharacterized protein
MHRLRIPRTPLEQIIEIFGLEQQEPRDVILVSLDLEVNKNRPSIDQWYAISQIGVSYFDTRCLLQPYPADHHHFATRHFIVGGQRRFDHIRKKYHFG
ISEHISSQDHVNDVLRNILLIPDEKTPGKFRDVILLAHGIASDLATCRKRILILADLANVVGLLDTTYLSMEVLGLYFSLRSLLSLLGLPVKEMHNA
GNDANYTLRALLLLCRYDLHPSLKKSVQTLEYFRSIAFEPLPDTTSRNALWRSVKIRRADKTLEALNLGGLTFFDDI
>RCO7_04055 | uncharacterized protein
MFRGQQPARGFQGRAGRGGRYAPPPRPPPRPPPGAFPGQIQGLAPPARQMPRPARRQNTRSPMSLNEKRTQILQLCMGAMLWLPYMEPSSASIFCVR
PGHCGAGLIRPEAFAHPVVVLGIRQRPGSTIWGDVLVRVCDVTTFQTTPLFGDRSHQANQHLIKFNESIPIQQHDSPWGYDPNWLQLGMGNIIGQSY
VRAQHVWEISIDVLWNYYWSNSTAWSVRLNEDSYYRLMAHLGLEPQPYESMTELPVLGPRRLNDFSLLYAPNPVYNQPGLGTNLGSVTIHKAPTMVA

ANKLMGSTEAD
>RCO7_04056 | probable IN2-2 protein
MAPQLPTRRLGKNGPQVPALGFGLMGLSAFYGNGGTDAERLKVLDRAHEIGETFWDSSDIYGDNEDLLGKWFAANPEKRKDIFLATKFAFSFEDGNM
VVSSKPEYVKKALEKSLKRLGVESVDLYYCHRVDKETPVEKTIEAMAELQKEGKIKYIGLSEVSSETLRRACKVAHVDALQIEYSPFCTEIEDPKTN
VLKTCRELGIATVAYSPLGRGMLTGAYKSPSDFEEGDFRLNSPRFSPENFKQNLKLVDGIGAVAKKKNCTPGQLTLAWLLAQGDDIIPIPGTKKIKY
LEENVKALDVKLSKEDVEEVRKLVEGAEVHGDRYPEAMAGHLFADTPALKV
>RCO7_04057 | related to glycerol-3-phosphate dehydrogenase precursor
MAFRQRLAKPLLYSTGAAALGGGILYYSYRPRNIPGSDPAVVSPPGYGEGGFRPPRFPKVKTREEQIADLKRSGASKGAVAGLLKSAEDATPQNEDD
VYDLLVIGAGATGAGIALDAATRGLKVAVVERDDFSSGTSSKSTKLVHGGVRYLEKAVWELDYNQYALVKEALRERKYFLETAPHLSAWLPIMLPLD
KWWKAPYYWAGTKCYDFLAGSEGIESSYFLTRSKALDAFPMLKKDNLVGALVYYDGAHNDSRMNVSLAMTAALYGSTVVNHIEVTGLEKDANGKLCG
ARVRDLVQDKNGKKADEFIIRAKGIINATGPFTDGIRKFDDATVKDIVAPSSGVHVILPGYYSPQNMGLIDPKTSDGRVIFFLPWQGNVIAGTTDSP
TEITHNPIAQEEEIDWILSEIRHYLSPDINVRRGDVLAAWSGIRPLVKDPNAKNTESLVRNHLINVSPSGLLTCAGGKWTTYRQMAEEAVDEAIKTF
SLETRAVTNAPDVSGTEQVDDGARLNGTCQTHQVKLVGAHGFSRTLFINLIQHFGVETDIAKHLTESYGDRAWTVAALSSPTEQRFPVRGERISPLY
PFIDGEVRYAVRHEYAQTAVDVLARRTRLAFLNAQAALEATPKVIDIMAQELKWDNKRKEVEWVDTVAFLESMGLPKSKLTATRKQVESGKMSFKDS
IEYKMYSRHDQPNDEMESDSKNSPVMKPDSAAEK
>RCO7_04058 | uncharacterized protein
MSASNTPDWRIIPGKYDSGRTKLALPGFQAILYHWDIAMKKAEIAHLEAVFSHIEAFYTIDFTDGSDAAANYNFLVQNIQLKIAALMVQYRKLQEKR
TIALLAFLTPLITLSPGTDATGALIKLYLPPYTINPTLPPWVLNMQRWYDVHRDANIWGIYGLNCELGELFAGTSSRRFYGEQEGVHIWHRFTDEYN
CLFGVAPGYTPKFGTASLGLDEGILRKVGLGGDGRVLGEEGWNAERVLVAWGIDRARLRKLLGVDRVVADDDGDVEMMEGGFAQDDKDWGDSLLPSD
DNDDDDNDDDLAPALAPAPPPPPAPPAPAPAVRARAAAPQMLVGSTEEMREGAREMKRLLKDDAFGDLPRGASLFNRASHPQYHPLRQNPRAPGNNF
RSPHFPAWRGNPPVGILAHDWDRLTNSAHSVIYHNKPKTPLNPDPNVGMARNAICTRAFPLGYIRDIALCLAIEKGLILHDFSPVHPTHTYDDSQYA
VHDARFN
>RCO7_04059 | uncharacterized protein
MVGKTDEVQSLLNVSGVFQFNQLEFFTKPMKFSQNSKHYWSIVRLRSVVREVASGISKVIGRTKLAYKYLEWTYQPLPYRNQHGQHFDIGLPPQLSN
LVPSHHLSTLLAEVAYGKATEHDQQQEEEVVSGVFQFNLAEPTRYGHGMENTRADRNEQEQQFVADTTEEEPNLTEESQDGGQSSLHRSIKVVGIAT
SRLEMDSA
>RCO7_04060 | uncharacterized protein
MMPAAVLQFRRSARDLKLAVAGPVARWVNAVIDTRPYTAIYARAACLLSDAPDAIPARASILIYHPLGRLGALFRHGRSLPYRPTGRSHLERRVGTV
TQKTKWEKIKGNPAAGIDLWVWDREFKNVRCWGKLKGDRKLADKWTKNGVVRDLVIDKLIERGLLAVDFQDINA
>RCO7_04061 | uncharacterized protein
MSPTTPLRARAASKASLSAHKTAATAVKKVTKGTAVKVEKTKTTAVKTPARNTAARNVAITEEFEDSSSDDDEIPAVAVHKAAVPKIAAPKAAVPKV
AVPKVAAPKAAVSKVAVPKVAVRKGVAQRVVANTTVANPLTTTAGFRHNHAPNSLVSRWGRPVKYTPTEQPGTVRVGEVTYKAKHRFYRGNPPASIS
AREWDLVYNRADSNAGKDYAGAKEYRLKLRQNGMTRDVAIDYLVKKKDLRKSFRDINP
>RCO7_04062 | 5-methyltetrahydropteroyltriglutamate-homocysteine methyltransferase
MVQSSILGFPRMGALRDLKKATEAYWGGKLSQEELLAEAKRLRLAHWKIQKDAGVDIIPSNDFALYDQVLHQIQDFGAVPPRYTKYKLNPVDEYFAM
GRGLQREGVDVPSLEMVKWFDSNYHYVKPTLQDNQEFKLTANPKAVADFLEAKEAGIITRPVLVGPVSFLQLGKADRDQTVDPIDLLEKLLPVYEDI
LTKLKSAGAETVQIDEPILVQDLPEKTKAAFKPTYEKLAALGDKIPKLVFATYFGDIVHNIDLVPTDIYAVHVDLVRNPEQLSTVISALGPKTILSA
GVVDGRNIWKSNLKNAIEKVETAIQKLGKERVIVATSSSLLHTPHTLASEKKLDPEIADWFSFAVEKASEVAIIAKAVTEGPAAVREQLEANAKSMQ
SRASSSRTNNAKVKERQSKITKEMYNRLSEFPTRIAAQQKSLGLPLFPTTTIGSFPQTKEIRIQRNKFTKGEITAEEYEKFIEKEIQEVVKVQEELD
LDVYVHGEPERNDMVQYFGERLDGYAFTTHAWVQSYGSRCVRPPIIVGDISRPAPMTVKESKYAVSISKKPMKGMLTGPITCLRWSFPRDDVHQSVQ
AEQLALALRDEVVDLEAAGVFVIQVDEPALREGLPLRRGKERDAYLDWAVQSFRLSVSGVQDSTQIHSHFCYSEFQDFFHAIAALDADVLSIENSKS
DAKLLKVFVDEAYPRHIGPGVYDIHSPRVPSEQEIKDRIDEMLQYLKPEQLWIDPDCGLKTRQWSETKAALTNMVNAAKFYRQKYATK
>RCO7_04063 | uncharacterized protein
MARNMEKIDSDIHKTSSSWTWRKTAVNIGKEWIPSGETDTSGSRILGAGCYTPTSSCDGSYSIYVLKLKRSEFVNGN
>RCO7_04064 | uncharacterized protein
MPTKAKNVIIVGGSLGGLMSGVMLKHLGAGIVFGPEAQEFFTKHVNIDRPLSVPSHHRQTLAKDGKVIDENDRRQEMKEEGEGEAKYLYARKVVGVK
DFGEGIEVEYEVNGSDGKQKEVADLVLAADGPSSTIRKLLLPDVEREYAGYVAWRGTVPENEASGLMKETFVDNFTFFHAPGCQILAKERLQFTRFQ
ANELGLVLQLSPRLTRISRPNERHLRPPTSLLHARRKNKTPSPVPDQWDSYLYTSARFLGARSQN
>RCO7_04065 | uncharacterized protein
MVRIIHTTGAKKGTYTDTTTGETFTTPRTIHRLPIRNRADYYPPSNITPDVVATPPPTTTSSDVAAPPSTSTSAVAETPSTSTPAVAATPSTSTPAV
VAPHPAPATPAVTAPPSTSTPAVAAPLSTSTLAVAAPLSTSTPAIAAPGPLTTSSAVPATLPATNTTVATTVAAAPATVQHPHAPNAVLNRHGRPAG
IYAPTRPQPSVINGSKAKWTLVRGNPPAGIDALKWDLAYNRADSNVGTLKNILRKALRENGMTRDVAIDYMIRDGDLTLGFVDSNP
>RCO7_04066 | uncharacterized protein
MKLLILSLLTSVAISAAIGGAGVEARAGPTACNCKISFPGRIAVYRDNIPALPGKTSLSATYDITTTDGHSNEFTDACFVTWDRGQKPTVCSTWKQT
AGPSGPKCPKSIQVYGKVKCEPAN
>RCO7_04067 | uncharacterized protein
MYSIAHARRWKRNLRYASGLRCINPRHPTSSSLTQACAFLHKPKFLLEYIRVRNANCKPISEGLLHTMIQNLLCNIWEPPARRHDEGWDIPISVVWY
GNEVYGTGDKLVTGIVLQEEGGVKDVVGNPTSEAEGEKGGY
>RCO7_04068 | related to Ras guanine-nucleotide exchange protein Cdc25p
MVKESQYSVRNSAQVAPLFSNKDSLRGSSVASRHSRNTSRSSNKTGDSGSQAQMTPPATPNGSQEDLNRHMEPVFHPFLRAFYPFHPTYAVSDTTVT
LPLNEGDVVLVHSIHTNGWADGTLLVSGARGWLPTNYCEAYDPDSLRNLLKALLNFWDLMRSGIISDSEVFGNQEFMRGIIAGVRYLLEKSNCLTRE
SQLVQNNEGLRRSRKALLSDLSALVKTAKQLQDYTAGVHPTQAEAEDVNNTIDEMVLKAFKIVTRGVRFLDVLEEELRSRQQPINRAIATVAEEAHN
PPTPPADSTSFESAQHGDPAYDAAPCRSSSRSSGSGLGSQRPEEQQTKRLSYKRISSNLSTGSAACSTSASNSQSLSIPRPSSLQVKRQSFSHRLSA
YIPEAQRQNLVSQRLNASHDTFLSYLGSFIGRLHLQSQSSADLISTVRQSVTAGRELLTVVEVICAHDKQSADALNASRNAMYDRVNKLVLAAREII

TMSGVEDEDVVMPQENGRLLMAATGCVKAAGECVAKTKFVIERIGDFEFESVNNGLGIDVASIGAAVEAKDPAPRQEVSPPAPASRPAPPPLIIPSY
EKPLPDVPPGSPGIQEPGPRSSPVNREPVAENETVESATTDSSMASSRKSFLPPLPKLTSLGLMQEDYSPSEHSSGHDAEFQSSFRIGSIAVSSSGT
SSTYLSSMRDSESSMISQTSTRATTPDNSVYAPRNRPLSSDVSMTESQSTLADDFEEGENKMLERTFAHELLHNKEGQITGGTLPALVERLTTHDST
PDSVFVSTFYLTFRLFVTPVELAKALVDRFDYVAESPHTAGPVRLRVYNVFKGWLESHWRDISDHDALEVIQPFASENLGKVLPAAGRRLLELSQKV
SSTEGPLVPRLVSSMGKTSTSIAQYIPADTPLPPVNLNKNQVAALRNWKMGGSNPSILEFDPLELARQLTIKEMNIFCSILPEELLGSEWTKRSGSN
AANVRAMSTLSTDLSNLVADTILQYDDVKKRAVIIKHWIKIAHKCLELNNYDSLIAIICSLNSSTIIRLKRTWDMVSLKRKDMLKALQAIVEPDKNS
AVLRRRLNDHVPPCLPFVGMYLTDLTFVDAGNSDTRQHPGLGEGEGTPVINFDKHARTAKIIGELQRFQIPYRLADVPEMQEWIQAQIVRVKSSSEN
ENVQQYYRKSLLLEPREAPLVKPSPIDGQNPWNIPGKEKFDLFAWTHSSRPNTLSQLI

>RCO7_04069 | related to 3-phytase precursor

MKHAPLFQDLIFVCAVLQSFIAGAAATDKLIDLPISARTSVVDSDNSAVYHSSSNPLLLGNDGSATGGFRIWSLDGSSPLREVSAKATGRSKLVTTV
YDIGKKDLIITISQPNSVLQVFDVNGFQEIKEAAKSALGDWSALCSWKSPKSGSQYFYLFGKKQVVQYLVRADERLEIFEVQTFNLPVEASSCAVSL
YNNRVYFTSDKSKTVYGFKTEESVTAPTITTFFEAADDVTGMAVYAGVKSDYLFVAQKDLVAVYTGRFRLVGTMKLSGGGDIELQGLAMLQAKTATY
PAGALTYAIEADAGKAFGVSSLESALKGLKIEVNTAFDLRAACKDCAAITCTECNSSGFCEKKRSGTTCACFAGFAGPKCQSFTCVENCSGHGTCVG
ANECRCEAGWGGVHCSFLLVEPKLETVAYGGDGDDPAIWISPLSADQSRIITTTKSEQGAGLGVFDLSGNLLQTLPAGEPNNVDMIYNFTLGSDRVV
DLAFAACREDNTLCLFEMSYNGTLSNIAGGSQPVVADYDVYGSCSYRSPKTGVQYLFVNSKTAEYLQYALTSAPDGSLNTTLVRQFTAGSGGQVEGC
VTDEANGFLFVGEEPVGVWSYDAEPTTSSPAGYRFASVTTYPDHKFGDLYADVEGVTLIPGKTASDGFILVSCQGVSGYNVYERAPPHKFVETFTIT
NSKDGKVDHVTNTDGIAAVGNRLNSMFPNGLVVVHDDANELPGGETSTEASFKFVSLADVLSEKLLEKVDVEWDPRA

>RCO7_04070 | probable protein kinase family protein

MEFFKSAVASAISKGPPFPYTFGDQVDVDTSIWTLYNGTKREDGSPCSIFSFDVIANKSRLPMAKNAVRKLRTLRHPGVIRVLDTVETETYIYIATE
RLVPLRWHIKRKSMSVETLKWGLFGVAQTVKFINDEAASVHGAIRVGSIYTSESGEWRVGGFEVLSSMKDDEAIIYNYGSLVPDSGRYTPPELAKSG
WETIKKNPLPATDAYNFGTLIFEVFNGDFMGGDQAGQTKNVPPSMHSTYRRLVNSNPKARVSVGSFLEQGRRSGGFFNTPLIKLTEGVDNLGMKNEE
EREEFLNDLDGLSDDFPEDYFKMKILPELLKSVEFGGGGPKVFGVVMKISRKLTDEEFESKVTPAVVRLFSSPDRAIRVSLLDNLPIMIDRLPQKVV
NDKIFPQMVTGFTDVAPVVREQTVKAVLTIINKLSDRTINGELLKYLAKTSNDEQPGIRTNTTICLGKIAKNLGVANRAKVLIAAFSRSLRDPFVHA
RNASLMALAVTSDSFSEDDCAGRILPALCPSLLDKEKIIRDQAVKTMDIYMQRIRKYALTMPDTVIPPPATGSPATNAPRMSTPQPSEAASWTGWAI
SSFTNKISAAAGEISSPASTSNGTTNPARPASAPTSEPRRLPGTASASALHRQAVASPPATSARTSTSSNPTFDYFPDADEEEDNDDAWGNMGEDSF
FDAPSAAPTSQAAAKPFDDDGEPDFAGWLAAQSGAKKLGAKPLPKGLAKPAAKATGRPAAVGRTATTGSIGVGTKKTGLAVKPKPVVAKKKLDTAPK
ETGEEDGWGDGW

>RCO7_04071 | uncharacterized protein

MASSPPPTILTSKRLESLSGKKIPLRKDLDDASSITSMSSFSRAIVCRICKGPERLTAPLIACIGCKSRYHMACPNPRIIDTLSDYTCTRCSEKAAS
KHNANRQKIKRTKELDDPARVRGESKVVRDILNEKSATKTDRFIMDNIKRTKELAGPTRTRGVSKAAQDNMNEKSVIKTDRSLIDNIKWTTEIVNFA
RNREPKAAQQATSLKTTVEPRGTTDIPNPTTTHSSSIVMCKGEDCPGRPAQSGNLGSLCFMCGVMERHKKVQKTAKPVPAVAPRITIKKNKLYPVRP
DDRPLVKKRKRISSSTGSASKLTRFDEECQNAGARKPVTDPDKKTTVTSSLVSDCAQLCVDEGSAMASLHRSRTQAQETFSGAASPRITFDIEPNKE
VLEAINVTEVKRNKNSDLGLEVETFLREEVAPKGTLTSVEGCLTPEISFRYPKKPSQDSQSDERLDEEKNNRLEDLPPLQEKLSFEVSSPESPFPVS
EASSEHVPSPMVLDFEVLGKYDHSYGNTTQVDESAEYQLKPYAPTSGFDETILDSFLRKQSHLMPTHQPTSKELLETQIWSAGDPRPFWPRRLSPAQ
KAEKMLEIEARGSRKSRIGKILHPQLLKEKADKGWDVHQTREKRDNPEALEMVQKMEELFGIREGTLRNCVPTTVDGQLAMQERREPQYENLPYSSP
AIFLI

>RCO7_04072 | uncharacterized protein

MSDFRLRVRRPLSQEIYSYWTSLHTILKSALWILLLIAIYDSLTRYFAQRRTANSERRRIEDERRICAEIARQQMLAELEELRLKREKERQEREKRK
KKEEAEEKEWQRHDTVVKNFLAGMGDEERRRFEAGLEAHKPKFEAGMERLRLLHEKERSEERKKKGKARDSSGA

>RCO7_04073 | uncharacterized protein

MAPTLLFLRGIPGLVTPPPGVKLPDSFANTSSTLTQPDHTSYFPSSISPNTTISVDDSPPQPHSGFDKYSLLGLMGLGYLISVFIAYILHRIKKKKD
RDAQDLAASNAALRPDTNSSLNSDTNTHIANDTNSNNGSDRALSPGFRLNGRDLTILRTERNDENGDPLPDLGRVRTAPPAYGPCGMSWTDQELTEG
LPGYSENRTGDETRGTVAL

>RCO7_04074 | uncharacterized protein

MAPVPDIGTVSHSVSSTPTQPDLPSSSSDSPDSTYYHPSGLTIFFVIELPLIVILIFSILVAVVVRRRKKRREEKAKELANANSGQSFGFTIGAIPS
SNI

>RCO7_04075 | probable pH-response regulator palA protein

MASNILSLPFRKTNSVSLSEAIKQYISSKYDQHPDMFKEDLEVIDALRRDAVFVREPHISGIKKISAYAGQLAWMGGKFPIDIGVDFTWYPALGYNT
ERPNSQNNLKFELANVLYNLAALYSQLAMSSNRGTTEGLRSACNYFCLAAGVISHIKNTVIPELRSTPPEDMDDSTLESLQQLSLAQGQECFWQKAV
MDGYKDASIAKLAAKVSDFYGAAGDWGVKSEAISSEWIHHTTAKHHHFAAAAQYRQACDCLEKRKYGEEVARLRDSISCVEEALKEAKYLNKVVLGD
LNGLKNRVTEDLKRAEKDNDLIYLSMKILSVLLTFANSADPVPPKSELKTLERAAMAVAKVPKEISDPASFIGDKGEFGPPLFAKLVPFAVHVAASI
YEERRDRVVNTNIVEELEILTTKIHDTLSSLNLPGSLQALEKPLGLPPTLTSHAEEIRQADALNRLQRSFSDTAKLKASDDAIFAEGRELLLAEKSE
NERLLMKYGSDRWTRLDSQSAATKLFDQIGEIDNYLKSANNSDQLVISKFRECEDMLRVLSSTDRDIGNFVPSSRRAAIPPKIEGEVSNLRNCLNEL
SRLEARRRRKIEALREKAKKDDINSSILAEAARLEREYPSQIVVPAHFEDFFEQRLTKYDADVDGLKTESDEQDRLIAQLEQANQEFVLARKGDTSS
REREQALQKLENAYFKYKEIVSNLEVGRKFYNDLAKIVGRFRDGVRSFVYERREEAIRMENDLSLPPLSSLTLRQQQEANPPVPRTYNAPSQPPPQR
TQSSNANENDIPAPVPQRARQSPPVVPATWNPEMGIKFGGAPAPAQDANANGQKEHQGWQPAGGQKTWDPNRGFKFG

>RCO7_04076 | uncharacterized protein

MADFNDSNMFDDLLGNSMDFNMYDYNDDVEMSAFFMDTPINNDQAWGDQTWDPIKAMSTVAMDAPVIVNQAWTPITDTTKPMPDQQPGEQSHSNEVM
AQSASLMDASANENQALVDQTRAPTTDTTNPMPEQESIIEQVHSDESIVSLLKQSIFSMDASINDNQGCVDQALPPASSDDSQGWFDQTGAAANSND
NQGWIGQPWAQITETAEPNPEQEFVEQGQSEEFMTSYLKQIQDDHEEALRVKQAEVDAANTRAGILAAQTKQSILKMQKMQAETKRMESNMKIMQTK
IRQMTSQMSGLQTQLNDSNQLCQAAHEMNIEFIDKANPDQLVEALKACTPQSPSSQNSQASYQTPSQSFTSTLPQQVYQPQIYRPSAPITPPPSKKR
KTSTASTASSSNSPAPAGHNFYQCLKIVKKVNTICGHINNHIMATSGGVRERCMNNSCRQYTDVKTRAWVSDETASSWGVGCQAPLNITIEGANLLS
ACARMNITPAMTPASAPATPVATPTPGPVVSYNSPYGYQQPAQPVPTPVQAPARAPAPVARPAPAYQARGGYGLTLPTPPTH

>RCO7_04077 | probable LST8 protein

MSVILCTAGYDHTIRFWEALSGICSRTIQHADSQVNRLCISPDKRFLAAAGHHTVKLYDIKSTNPNALLSFEGHTGNITGVAFHCEGKWMVTSSEDG
TVKIWETRSGSVQRSYSHGCPVNDVVIHPNQGEIISCDRGGSVRIWDLAENNCSHQLIPEEDVPVASVTVASDGSTLCAGTNSGNVYVWHLLQYREK
TTLVPITHFQAHSNYITRVLLSPDVKHLATCSADHTAKIWEVKDLESMLPLTQSPSQNQSQAINQGQTSQSQLQSQAQSSAEPKNPKPFKLESTLTG
HQRWVWDCAFSADSAYLVTACSDHYARLWELHSEQIIRQYNGHHRGLVCVALNDYSEAR

>RCO7_04078 | related to aconitate hydratase precursor

MRAGLLNSSRSAIRSSTTNILRQRCTRSLATVNSSSYHPDIESRTPPYSLLLSRLKIVRKVLSPDRKLTLAEKILYSHLANPAESLLSATDNGLNIR
GNANLKLKPDRVAMQDASAQMALLQFMTCNLPSTAVPASIHCDHMIVGERGADVDLPESIKGNKEVFDFLESAAKKYGIEFWPPGAGIIHQTVLENY
SAPGLMMLGTDSHTPNAGGLGAIAIGVGGADAVDALVDAPWELKAPKILGVRLEGQLSGWASPKDVILALAGKLTVRGGTGYILEYHGPGVDSLSCT
GMATICNMGAEVGATTSIFPFSSRHIPYLESTHRGSIASQAQAIADSPSHVNLLRADEGCHYDELITIDLSTLEPHVNGPNTPDLSTPLSVFAKAVK
TNKWPESVSAGLIGSCTNSSYEDMTRAEDLVKQATAAGLKPAIDFFITPGSEQIRATLDRDSTITTFEEAGGVVLANACGPCIGQWSRTDGVEKGDN
NAIFTSYNRNFRGRNDGNPETMNFLASPELVTAMAYSGSTSFNPLTDTLTTPSGALFRFSPPTGSELPSAGFETGNPAFLPTSGSPSPSTKVVVSPT
SDRLALLEPFAPFPSGDLKGLKVLYKVTGKCTTDTISAAGPWLKYKGHLPNISANTLIGATNSATGEVNVAYDFDGSTSSIPELAQKWKDQNIPWLV
VAEDNYGEGSAREHAALQPRYLGGLVILAKSFARIHETNLKKQGVVPLTFADAEDYAKVDACDEVDTVGLHEVLQNSGKGEVRLKVTKRSGEEIMIK
TKHTLSEDQCGFILAGSALNLLAKMHKS

>RCO7_04079 | uncharacterized protein

MASAPDLPPGTIPDEPQYTTEQLSRIHAAMMEELGLDRVANLHLADRGAPIESLQPLKQPKKKMKAEIAAWHTLHLDEGADPTKAPALDNIADGQLY
RLRRGGLSSGHRGNDTPRGGHFSNGNRGGGRENRGGAAGHGGRSHHHGQSGRQFMGPGHQDDRSYAMRTPGTFFNDARLSIHGSRHIDQVYDRLRGT
ISSVNVSLQHHSGQGPRNPLLDKRPKGKTHVQPPKAMHPQSSKFGKLADSDAFLGWAKFGGPSNPRPQPTPQPLTVAGLVSHPFQPICPSISVPSTP
VVTDSGLVVHPPSSLGSQGLSGSRWGPSPQQPVQSPAAPTPHQPLPNPSASLAPHDPPFICRNNVKFKMDNALSEMEGLATLRKNSNADELYTLELV
STSTNNILVNETVSYDAVFELEGYIVTYRAIQRATQMPPTWKIRFQLPLHAMIFATYVIRNRLNAGHVDRPVSNMEHPLSNYFLGSQTPSSSAPETV
VMFTNRNQETGHDSIDEDSETLITLGNDVDTYTLPTTIDFKIFELLDEADQINLTESLFEKLGGDLEFFNMLTREMVRRGSIQAEEVSLDEVISDPA
YILAVCDAVELFLSRSEAFSMLSNAYSKALVQHQGPKVLTFALSRRGLTFGPSFAVTENNDVFDSTLIEGKASLVPSTANSGRKAEISSQVQEVAED
SSSPDLEVQNDTRIKYSPDDLLGLRDHAVAIEISEQPPRDRRSSTVRNAVTPIKIAPPVTTTNGWQNFSISHSNSETPAPIITAPAALGAPLDGLQT
STHAPAYSTDTPLNPVTVRSLALATNSWQLNAANKQLRPAPVTPKVPDSRVNAKVEPHPAPKNAWEAYAAAEESQASPQGLDTVDNTRNTPTEVTKS
KLEVNSDFNPSVSPLSVAPVALSKRASSQKDQMTDDSGWAALLDITGTSKPVIKSESQVSKGNLRHHPSKSDINERLAKSFSDWSLSDRYTGAEPTT
PTVELSLAAPQTDFTFQSSPAPSVSSRGEAPPRSSTAAFTPAGQAMKEKITAALTSKQSLVASPFQSPRSSFARQSAVGSLLESSNPELKVVPTQVK
QEQSAPSPITVKAEIDLNSSHARGITTTSTFVTIEKLKAASTSKMMQPKALVQDYRNVEFGGPLPAIVQSSSVSHKVPPKPSAEHRGFEFSSTLPPV
AQISKPTFASGESVTQVLKSSAGLSASRWADAPEAPHFSGIGRHPPSPMGIQPAHRAGSFYPQGHQVVTPGFAPRRQTVLVEHSDGTFTSVTGLVMD
GSVPIPLVPHDPNPQLGYQAYAENTKPSSGGHMSPTYHPAEFEFPQRPTTYHQHNSSFGSDSKINPVASSFHPSPQYTKMPALAEKRPALSPRRVNI
QAQIQSRLNSSMTSPRNAYQGPEL

>RCO7_04080 | related to putative fatty acid desaturase (mld)

MSATTSTITNEPQTARLRTEKVQLEDKGVLKGKELIEIKEHDFFWTYTEEPHRTRRMAIIKAHPEVTKLCGPEPLTKYLVALVVSIQILAAYALQNT
PFLSWRFFLTAYVVGATANQNLFLAIHEISHNLAFREPWKNRALAIVANLPIGVPYSASFRPYHLTHHKSLGVDGLDTDLPTALEAVFLDSLLGKAF
FCTFQILFYAIRPIFIYAVPFTSIHFINIFIQLAFDTILCQTCSANSVYYLVLSSFLAGSLHPCAGHFIAEHYVFNPGKLPAGAKDPLTGTEVPETF
SYYGGLNWLTYNVGLHNEHHDFPAVPWSRLHELNRVANEFYKDLPRCESWVGTIWTFIGDRNVGMRCRVKRKEGGRKVGSAEIQTW

>RCO7_04081 | uncharacterized protein

MARGNQRDKAREANQKKLASQKNGNSMTGSEMQREKEAVAQKMREKQAAADAKKAAGGAVADTKKK

>RCO7_04082 | uncharacterized protein

MFSESKITGAGYITLNVIRALNIISLLLVVVASWIMLVMTVKTSNFFFFDGVSHFITSSIGLFLVVSEVNLFRSYFIGHWPMLSPEHGFVFLGLSMI
VLGFNILGNLNKAATSIENLGLPMWRIVISSGVLTAVIGFFNIIATYVFCDSKLNITGRQVRSHGASIPQEPMKKTFSLSSGSFHRSVSETLPSYHA
PPADRQKSRFSFRLPVRSSKLPISHPIIQDNEQFAKWDESRSSPVAPGLAVQRPPTALHPYHQGVPNPPPPPSSRYSVVSNMTRF

>RCO7_04083 | probable guanylate kinase

MAPVPSDLRPIIISGPSGVGKGTLYKLLLDRHPSIFATSISHTTRAPRPGETRDVDYYYTDNETFERMIEEGGFVEHAKFGGNRYGTSKKMIGEVTA
GGRVVVLDIEMEGVKQIKNSHLSARYIFIAPPSMAELERRLRNRGTEKEESIQKRLAQAENEMAYSRVEGVHDLIIVNEDLEEAYEKLERFIFEGAK
GDEQA

>RCO7_04084 | neuronal-specific septin-3

MATIQDRHAPQQSVYPRSHVGFDSITSQIERKLLKRGFQFNVICVGQTGLGKSTLINTIFASHLIDSKGRLTPDEPVRSTTEIQTVSHIIEENGVRL
RLNIVDTPGYGDQVNNDRCWDPIVKYIKDQHSAYLRKELTAQRERYIQDTRIHCCLFFIQPSGHALKPIDIVVLKKLSDVVNVVPVIAKSDSLTLEE
RQAFKERIKEEFAFHNLKMYPYENDEFDEEERALNAQIKSIIPFAVVGSEKSIIVGGKQVRGRQNRWGVINVEDETHCEFVYLRNFLTRTHLQDLIE
TTSQIHYETFRAKQLLALKENSAVGHAGSRPISPSADRELSRNSQRMTMNGY

>RCO7_04085 | related to GTP-binding protein beta subunit-like protein

MTTIHTTTSSILSSFLPRVSAASISNTSRFTTLYSRQLSLPIIPTLAFAIPSAIHLNVPGLLEGLWESVLRAVPKKKTSHMKKRTRQMAGKGLKDVT
ALNRCSACGALKRSHLLCPYCVQQVKVMLKETLNPTKNPNVSLPNPDLEAKQAAFAKARMARKEQRAELASTKSQGVRKGQRAELKRNTGMKDEAEP
ESTFQSNTSQPTQWTTASFSKSKLPLQASSQLTPHKAHITDIFSLAVTRTQIISASGASSIKIHSTQSPDIPIVQTLNGAHKLGCHHLVTSLDGSTL
ASAGFGGEVKLWTCTPSNASTDSPSGSTWVEAGTITDSNKAGEIWAISLSADGQFLASTTYDGRINVWDLKIDGRKKIREYETKGSFGLCVDISRDG
RFTASGHENGGVYVFNNDTGRMAFSLPGLVKPVRTLSFSPAGTRLAAAGDARVIALYDVSHGEQVANLTGHSAWIFSVDWSDTGEYLLSGSFDGKVK
VWSVDQRTCVATHSETEKTLWSVKWLPKTGRSEAFATAGANTSITFYREATGG

>RCO7_04086 | related to Double Strand Break repair protein mus-11

MPAPGDQHNATGKLAQNPFEAITPQVSSYTAQEIATLQSRLEKQLGPEYISSRSGPSNQKVHYLAAEKSIQLANEVFGFNGWSSQIMDVQVDFVDEN
PTTLKVSLGLSVIVRVTLRDGTFHEDIGYGHMENAKGKAAAFEKAKKEGTTDGLKRALKNFGNVLGNCLYDKDYVKNVTKMKVGSSKFEPDRLYRHA
TYAVQPKREVDVKPSPVLEEKSQVMAGNVNLLSEDTLDDEFGDFDEADFSVADPDCNPDEVIVPEPAVAASHHLNTRNGVAVSNDGRAFQSRPQLNP
PQSRPAPGRSTGPLTNNNPPQPQTPNSGFSRSSSGAAQHLRSAPEVNAQSRPMPPPNPIAGRVLNQPSRNGPPSAPPSPAHLNKSSSNESDIPSLPP
QGQGFFSARAATMLPEGSISTTESGGPPSAIPAHLPVFNPHAESPSIRKTPGVDHKSSKPLTRDLKHVPGSSQAVAAPGATAGGGAGGPRSNIMNPQ
LDNARRIGAPGSSSPMNHNRSSYKPPTFAGGKRPVDMRAPLVDLPPNGALTGEGGGDAKRQRLNG

>RCO7_04087 | related to Sts1 protein
MSSRKRKADDDGHDDSMSISPQASPAFAARPLARPSKKSRANDVAGRPLALPRLLETLDAESLRSVLQTICERHPQIGSEVVLSAPRPSVASTVEVL
SKYQENLRKAFPFGGKPGSDYAYDRVKQQLNELIDALTDFTPHYLPPNENQTTTSLNYLDHATKVIHQLPEWDSQSHKHHKDNAYDEISRAWALVIS
EASKRGGGFQLHSGGWDQVLAKHNEQSVGRMQVALNALGSNLDWMGGGMGSNDPNSIRNQLLNGTYGPSPGNTPVRVGMW
>RCO7_04088 | related to DUF895 domain membrane protein
MSGIDTPPNAKVHNDTSSEEAGAAMMHSGEPKRVWYRSVPFQIAVASGVSFTAPGMWDALGGLGAGGAAEPYAVSAANALVYGLFSIVCVLAGAINN
RIGLKYALALGAIGYPLYGAGLYTNNTNPSTGFLLFGSAMCGISAGFFWAAEAAVIIGYPSPHERAFYLAIWQTAKASGPIVGGAINLGLNANRSKA
GSVGSATYIVFIAIMCLGLPIALLLSPAEKVWRKDHSRVRIHRQPTYAAEFKAVWKQLTSRRILLLLPAFFISYFYNGYNSTFLTQHFTVRSRAFSS
FFTNFSGIFSSFLIAGLLDRQSIAIKTRAKIAFTTIITILVGTWIWASILQKQFTDAPERPVFDWFTGGFGKSYALVFFWAFGGQAFQQFLYWLVGQ
YAEDLSSLSHVTGILRGFEALGQTVAWAMQTAPNANGWASIGVNFGMTVLCVAPTWIVLSELEHSHEIQEDPVHAPVNKAVDDSH
>RCO7_04089 | related to chicken h-caldesmon, Uso1p and YKL201c
MAGDMVVLLDMGFDKERAELALKKTGSCKVPLFLYLNPALQWLEENQDKSWEEISAKVAADAEEEETNPSIEAAPLKEGEVAQSLVCDICGRKLRSV
AQAEAHGERTGHDKFSESTEEIAPLTEEEKKARLQELREKAAEKKAAKAILDREEAKANEKIRQKSTREVADAKENLAKQEQIKAAAKKRQEKVDDL
AAKRRIQEKIAADKEARRLKAEAQKAEREGRAPPPDPTLAAAASAQASSSGGSAPKKEATDARLRLQTATGVVTKTFPVDTTLFEVAQGLEAENGGV
PVESFTMTYPKKTFTGGVDFSKTLKEAGLAPSAVLIVK
>RCO7_04090 | related to (VAMP)-associated protein
MSVEIEPTELAFTRPFTSEVSQSLKIRNTNRTPIAFKVKTTAPKQYCVRPNSGRIEPGKEVEVTVLLQAMKQDPPLDIKCRDKFLVQSVAISADKEF
INIQSIWQHVDEAEKSSVQEKKIRVVYLSPGSGGVAATPLKNGINGSSNHSLETPEHTTPAYSNTQRSPSPEEAYTPETRRSTIGTKTDTETPTNRS
SASNLAASIPAAVSNATPMSYEEMKAKLAEAQATISSYANEGGLRMRKVAKGETNNETVNNIAHQVQATGNQGVPLQIVAALCLISFLLAFFFF
>RCO7_04091 | uncharacterized protein
MLKALGYKAQAFNRHYSTISQGDPDHVKEVCFDIQVSLVKFFTTAVNTIRNPESAIQLYKQETGNCLHGQEGPGSSFQSEFIIVTQSLSEVLARIDN
LIPHQSTLTEEINSLDVAAVTNQVPLLELPTKTYSNFFNRVETFDKIDQILSRDGSTTNLRSTALYGLGGVGKSSIAAGYMNRKIEEKKYDALFWVY
SEDTAALRQSFTDIAIRLKLPGAQPNLHDENLKLVQNWLRTTYDKVLLPYWPIASHGHALITTRDHNLVHKFATAGLEIASWDTETGSEFLLFLSKD
NISHDIQAEGISATDLAEKLGGHALGVEHMAGLIRSRSWSISEFTRIYLKDPRRVHKKELEALWDISFGTLEKDSRVFLGVVSILVSDHIAQTKLFS
ILSLTWDSGDNARIHASTDTDTIYESSVKIFLLHRIGREQIKWAEDLTSRLFPERQTSHPLYSISYRSALAIFCGRGK
>RCO7_04092 | probable Cyanate hydratase
MASQQIATLDESIIPRLPAVSPKLFAAKATKKLTFEALAKELDRSEVAVAALFYGQAQPNAADISKLAQVLELDEAELAAHYAGFPDRGRAGPMPPV
EPLIYRLYEIVQNYGYAYKAVMNEKFGDGIMSAIAFSTKVDKEVDDQGVTWVNINLRGKWYGINFIRCAFLVFLEGRRGAT
>RCO7_04093 | uncharacterized protein
MSSTGTSTITIEAYNNAKAIVAAKDKADGPFSLSSKGKSIFTRVSVLCAEPGCEAFATGHEVVSLHDKLTYDGVGSTIKNVFRKIQDGDAKVRANLR
HCLWSPQDHKIDSIKVNWNGAHNNGWTDNSETVLTTENYKEVLAMMADRAAVDTMTVTISPKI
>RCO7_04094 | related to recQ gene for DNA helicase
MPSLSRSNSCVDIDYTLRKKFMRGSFRPLQRDVIVEALNGADVFVQAATGFGKSLCFQLPAIIDQGITIVISPLLSLMTDQVNALRAVDIAAGSING
TTPYDERQRLLQDLETGHPLTRLLYVTPEQCSTETFRKRLRVVHEQKELARIAVDEAHCISEWGHDFRPSFKALSWFRENFPDVPIICLTATATSQV
RNDVIQTLGLAESNLKIFTMTTSRRNLHYEVRYKSDEQDHFTDFLAWLKAVHRRRKENLSRRAELELIKERPDNVSGIIYTLFRSDCDSLAARLRSC
GIGAKPYHAGLSTEEKNDTLKRWIDNVEGYDVIVATTAFGMGIDKEDVRFVVHWQLPKSFEGFYQEAGRAGRDGKASACIIYYSREDRDRAYNRMGK
DVKGSNLEARIKSLQKLVDYCENVETCRHQLITKYFGEKEVPDCNLACDWHRDAKELKKQKMINLQSEEWVSTQNELGRYNQGYEGYD
>RCO7_04095 | uncharacterized protein
MKEFNNGQLRYLWPRWLPTRAPLQSFLKPFHEDLVEELKTSPLLYSHSEELVAPKQLSYVPDEYIFEGAPLTISSSTSPRYLSGRYLNEYMKYLEVV
GVGRMTEATFYLELTAMLQSSAGEFRRNCDAWQSHLAGILTRMSPGFHFRLPGLAIVPLSDGTWTNAQGQFILFPASKDQFAVPGGLDLRFVDFNAA
ADPRRRNLFKLMGIGELEKAPVLQHVEDLHRFASVSRGHISSQALISQIEFLYAEQYQNPNCHRFWFTTESGKRLHGSQPYQHSTRPHSATEYFANS
KGKLQFLHKDYLAFGGQGINAWCSWLEDKMQVATIPRLVELTTDRGFKLSEDFEFIMKNYKSSEVLVLLQAHWTEYSKFFDPDQERKWSQDPSMKVY
DTSEYLRSVTKLRQKLGAMLVQCEDGQSRRLDKTYLPCRELRVASHKLPFLEVPDPDDHAWKSFEILGLSVKVDIHFYLRSLEELSQSKFDNAPELF
AKLIDTIQYRCFDDVEVTAVKKFFESADRVCIPAADGSSHEWVHITECRWKGPQLPAVRIQPSEKGTDINLIPQSSSYSPTYRHFRPVGELYPGNKQ
LFWQVLGVRNSNLRDLIDEATQFWAGDSLMHVSAIFKAISKLMEADESKCFQVYAKRDLEKVFPVSKNWKNDTDVVTEIKSMNESCEWFIADTAVLQ
TTFAGVVPLLDIKVDDLISMTTLLEELGLTSRFLRGQAKSVAKTNGNVQLNEQLTELFRTKVDFLIRLIPTAKQHRAKRKEVIKQLRNLEVYIVDEV
VQHCCVWYKKKWVYGPASSGQVALAGDSDSLKIYFTPKAGADPKRVPTQSGCRPESNAYRACGRDVQFLWYAAGPASTQRARTFSSKGIPNLESLEF
ANAEDVSRDESDPDETKTVGSKMKSGWKGWQGKIVEAERLPPTLTIASAGMKKPKRKFRSFGTDHSTSKAAGITVAAIVFSPILIPAGIVYGVSQAI
QDKILFDRNNDGGHAGYTADTAKEAKQRADMNSKASKPERFIDVEAGPGGMERFNKSVSEGVLRLQRVVFASACNEDVAYRGELAVHEALSETLGQS
HNATQHWTSKRRLRAGLPEFSSIGPDKQSTFRFSDSGGSFTKLLAQADYPEARNWTTRPPRYHIDVKSSTGDLRADFLVTPAEFQRARKFSVMVQQM
NGDDDNFPTDVYILVRVYDIDVKSKQATSPKGKAKACKTVFLVDPWEYYHADRLLLKHGGDLVGSVI
>RCO7_04096 | uncharacterized protein
MADFEVTSQAEAKAHIAKIRHDKGLLDGKPSGPNVSDLENALTTLSDQLYQSSTHFLLEIIQNADDNAYADGVHPSLQFTYYKKGALRIDCNEIGFS
PRNVEALCRVGQSTKKGEAKVNGYVGEKGIGFKSVFKAADVVWVSSGHYCFKFDRSQPLGMIAPIWEDVPAPVKSGITSMYLKLSDDYYAPRLLREL
RALDSRLLIFLRRLRSISVTIAESFTNFKSSFSRIDVKNDLIRLTENDMHCDYIIKRHRVLGMPEDKRREGISSSEIVLGFPINTDGKNYEPRRE
>RCO7_04097 | uncharacterized protein
MVDSAGKAAGRIIQTSDFLSGDKTATTIPFDPDCTKFPIRKDVPRREDAPEGAAWVWGQHDYQIGRINLLTPTRVQVASREIRSGEIVPLNLPLNVP
EVPAFGRERFQHEIKTLAEGAAYDDKYQLNTQSGTQWDGFRHFAHLPSRTFYNGTKGTDIQGGAADPQKCGIHHWAEHGIVGRGILIDYWTYANDNG
IVYDPYDYHTISYSELQACGKAQGLDIRPAAQGGDIHIGDMLFIRSGFVSKYYSKSPDARVAAALRPHAGGKDDGQRWAGVKQETAMLVAGDAPSFE
AWPSQEEYMLHEYILALWGMPLGEMFDLEKLSRTCKEKGRWTFFVTSAPNHCEGGVSSHGNALAVF
>RCO7_04098 | uncharacterized protein
MSSSEDDSSDTDLNPGTETSKRGRGRPASTVLEPYKDEIVKLFIAEDQPLVEIARRMNEVYGLGVSERTISRRLTQWKIPRKKNRTPVAVNMQERII
YHYNMNLNDDQIARALLAEGYEIKPRNLARLRHKLGMRRRAKYPEYREYSDMEEDEVPTGKAAQEGASSSPKGPPKKPRKRAKKVPPNAALIPKVTT
FVQEYMSQYDGSHDFNHIKRVVGLAHKIYAEIIKTEEESGLFDKESDLDLHVVTLAALLHDIGDKKYLLPGQNGETLVLATLLGFGAPEDLALKVQR

IVLAVSYSSEIKDRAHVETMISKYPELAIVQDADRLDAIGAVGIGRTFTFGGAKNAEDMGETLQHFDDKLVKIESMMKTAPGKRMARERTERLNVFK
SWWKEELADAEGTLRRK
>RCO7_04099 | uncharacterized protein
MNTLPTELLYQILSHIPRSSLPSVRLLNHTFEAIAFPLLFKNLLNWLDYKTSHAAITALAHDVYNRPSIMWSPWASEPDGPVEAVWLGIIWRLQMGK
HVPELERGMGMLGGEVQVLTSENYARLSRREEMCENRLRLAQNRYLTHRSYCDGAVRGELSEELVEGSLVWEENEL
>RCO7_04100 | uncharacterized protein
MKFTLTTLAVLVAAVSAQSISELQSQIPACAQTCLNTAISGAGCSASDTACTCGTNMAAITRAATPCVISGCSSADALKTQSITGQICALPREAASS
APASAASSAASSVSSGASSAVSSYSSAASSAVASVTSNASSAVASASSKASSAVSKASSAVAGGASPTSSSPVQASNAAGKKEVGSLMAGAAFIAAL
AL
>RCO7_04101 | uncharacterized protein
MASANRLPLKSIAFTSAIVVAAGASKVSFRNLLTSTFTGPGSYSRILAALIVLANIKNVPFAWHYRVFNAILKHCLFSLPNIPPPIAPSTLFLPVIT
SSHAPLTECDYNFHKSNSTYFSDLDVTRSHLVCALLQPGIKALQHNKQNKLVLDQQGKPVLGKWSIMLGGVMCSFKREIGMYQGFEMWSRMLCWDRK
WIYVVTHFVKKGTVKPRAYILTDGSWFRKGYKTVKGEAETQEVDEKAIFASAISKYVIKLGRLTTHPEISLEASGLLPPKPGGWAKMGPSGESTPET
LEEADASEAPESEASDEWDWKRVERENKRGLKFAEHFGALDGLHQEFTGSRQPALGRYRDFMT
>RCO7_04102 | related to multidrug resistant protein
MIEPSISPAATEVSLSIDDQVRQSGFEYAEGQELRWQENDPSHPRHWPLWTKVFNTAVIISLDFSTTAVSTSGSGATNQGSIQYGVSQIYAIFCFTS
IYLFGQALGGIIFSAISESFGRRNLYVTSMFLFSACCVIIGTVNDISAVLVGRLFSGLLSAIPTIVVAGSVEDMYDSEERVWMIFAWGVAANIGLVF
GPIYSAFITAALGWQWIFRISAIVTFGQAILTLFLKESRPSQILKGRLARLNKVTTSKQPFTIYNPDENNSYRDFVTVSLTRPTRFFFTEPIVFLVA
IMSSVAFGQIYLLTEALPAIYTQAPLSFTTEHASLSFISIGIGMSLNILPRFYDHFLLKRIKAQSKMIEPEHKIRAFAVAAPILAIGLWCFAWTIPP
AVPAPWPVSFLPLILVGFATNEFDCTLSGYLTDSYTIFSASAISSMAFLRAVLSGALPLFTRQMYEALGANKATTILAAVATAFCVTPFLFLKYGEK
LRERSAFARYSREAEKKISVSKAQEPVDDLRRYHVEVKLWCSNS
>RCO7_04103 | uncharacterized protein
MKSNMIIMLVAVLLGLSFGEIAKKLPGLPTNSLLTLHSSPVTNAALPTVYTTHTSTFRYTTTVSSVATPHSQLHAVISTSGSSDLGEYYYDFDVKCE
LCKDKTKMELRGLNGALSDGSVCPSDISGDYQFPHLIVPTSVGMPDASIGNQYMVYISPAATTLFNFDIPASYTGTCALLFLFPYISELDPSAGKYR
FSGMEQVEYQNGGLNFALLSGVADNSTTFNTTPPVAVNYGKTKIFPGHNYTVATFPCLAGENITIQASSANKTELDYFQNTASMPIGLFLVKCD
>RCO7_04104 | uncharacterized protein
MFGNYALTALAALTSGVLANTPIDNSVFVNDPLSAVKAAAPLWHFDAMTCFPTAATQADGKQPSTPFPTYYSIRKCDKDSSWRVVYDVFFQKDTGHP
YDWGSTYETAFGSSKMGTVHTYILGQNPKHLRLTDRAQNGNTNRNHPKAYFGKWKHHVDVHFNDKFENDCFGAVLNSTDYHSDDYAYYASDNLVLGS
AVPATYKYGKADSTPSSFEAGGAYDLCGSKFA
>RCO7_04105 | probable monosaccharide transporter
MGIALKKPEGVPGRSWPAIVIGLFVAFGGVLFGYDTGTISGILAMDYWRKEFTTGYINSDNEPDVSPSQTSLIVSILSAGTFFGALWAAPTADFLGR
RLGLIAACMVFNLGVIFQTASTALPMFIAGRFFAGFGVGMVSAMIPLYQSETAPKWIRGVIVGSYQFAITIGLLLAAIVDNATKDRTDTGSYRIPIA
VQFAWSLVLIIGMIILPETPRFLIKQGQHEKAAKSLAKIRRLPTDHAAIQDELGEIQANHEYELSLGKSSYIDCFRGKVLKRLLTGCLLQGLQQLTG
INFIFYYGTQFFKNTGITNPFVISMITSAVNVCSTIPGLYAIDKWGRRPLLFWGAIGMTVSQLLVAVLGTTSTGQNSETGAVFSTNLASQRASIAFV
CIYIFFFASTWGPIAWVVTGEIFPLKVRAKALSMTTATNWLLNWAIAYSTPYLVNWGPGNANLQAKIFFIWFGCCFLCITFVYFMIYETKGLTLEQV
DELYDEVHVARKSVNWQPTTTFRNIRASMADQGGVGGSGKGHGETMHEKIEGREYRAEHES
>RCO7_04106 | probable Autophagy protein 5
MAGVAAGTEMQSLIWSSTIPLHITHPSSTTPYLISVPRISYLPLLLPRLSSFFGPCSSFSYEDILLKNLPIGLLCELYRPELPWRLTLGDGPLFDIH
DTFINSVKEADFIRNGTAKGIMSMSKDNSTQLWNSVQDNDLTAHLQITSILLNPATPLRNIPLRIYIPSSPTDSSPLASIKIIQALIPPRTPSREVQ
TLGMALNSILPALFPSRRDAIVAEPVLHGAVVPFRAPLEDLMREAAYADGWVHLSVLLVDA
>RCO7_04107 | uncharacterized protein
MSRRVPQEAVAVYIVVLFYSTICLTLSTLLTSLLIQFGEAWSYVTIVSGFTCISTLASVGQQIHYAVSWEIIKIAQFEKAVESQFRKGTSIGGGAQI
VDQWLFFIQFYCYNVMSLSVFFWSVALFIGAWGIRSAWLGDWYDRIAPISKIFAVVFPAAVIGIMQIEALQRITGLFILVTYVSIFTSLSLGSILLA
LILYKYMKTRRLVAGPAARRGRWWASNGSKSRSNDDSGYAAGTVETGVSSGGGPDTRRSIYDRALVTRFSIGFVVLAVFEIVIIISSLFTSRSNAAL
AASGKPDFSIRSAITDITLFLPGATASLVSFLVFGTTKSWRQYRDLVIGGCGLTRRMIRKKQQRAEEATRTQGLEFERLPSLKKSASEEERKAVSES
ENRIRMFAREMGRDRDSIDGDFAGFTPENQPPPAIHLRTPSNSSRVPHFHRPMPSASSKYGKKSLNVIEIGISIDQTVHYETPSTSQNKKSQAQESS
GSDDAIEIDPVPPHGRRNLIWPENLHK
>RCO7_04108 | related to dityrosine transporter
MSPNRHEDVSVPQPDQSSQLSRHHDSESIHSLSTTDGNIDLSHTQTHISTHDTPIQHYSSFVEVPDEVYDRLSPSRKLVIVALLSYCSFLAPISSTT
ILAAVPEVAATYSSTGTVINLSNALYMLFMGVSPCFWGPLSQVYGRRWICLITAALFCGCSLGTALAPNLPAYFVFRILTAFEGTSFLTIGASCIGD
IYRPTERATAMGWFLSGTLIGPAFGPFIGGIIVTFKSWRVIFYLQTALAGVALVGAYFLLPETAHHMKSDDLVGLPLKTKARVLGGMLSPWRVLRLY
KYPNLIMVALASSSLVWNMYSLLTPIRYVLNPRFNLTSPIESGLFYLAPGCGYILGTFFGGRYADYITIKWKAKRGGTRIPEDRLRSAIPFMGVVIP
FCMLIYGWSIEKRFGGIALPVIMMFFQGVAQLFCFPSLNTYCLDVMQSSSAEVIAGNYVIRYLFAALGSATVLPAVEKIGVGWFSTISAAFLVASSL
ATFAAVKWGAGWRDNIDDKRRAKRREKLNGEEKIRKESAVGGGKEKSMV
>RCO7_04109 | related to putative multidrug transporter
MTIRSQEGAMGNVGEETPLLIEQTRSADRDDTSSETLTDAQRRGDDSDEEDLVDLDKANQQVGRLRGFLIVFSLWASNMSGITTTQSKIAEDLDAFA
EVVWFSSVYLIAMSSTSPLAARLAQIFSPRNCVFAASIFFAIGGVVTSQAKNLKTFLIGRVIQGVGGAGIMTVSFILVLELTGKKRRGLFIGLVNAA
FTTGVSFGAVVAGALLPVMGWRFLFWIQSPMSVGFGTGIFFSIPGSFTSGQAGSGEGSISHKLGRIDYLGASSLTTSLCLFLFGLSSPVIQWIPIVA
SAFILAAFVLIEIYVVFEPIIPITVLKSRGVLLSCLAQLGIMAARWMVLFYTPAYAIAVRGWSPASAGSILIPTNLGFAIGGIGVGGLHIRRAGSFW
LPSIISYFLFACTLITLSQIANPATPASLFLLNVFVNGICVGASLAYTLAHLLHLTPPSTQFISTSLLTTFRGFAGSFGSAIGGGLFVRVLKTTLEK
GFQENGGLAGREDLVRRLLGSPALAQTLKGVEKHIAVVGYVGGLKQLFVAGAALALLMVLVQAGVGWRGAEEAKIGDDPDRSTDGEDEEWEEGMEQG
V
>RCO7_04110 | related to acetate regulatory DNA binding protein FacB
MRVKAMMDIPPPESKRPRLAGPPPTSWQNAPDRQLPSLPATAQQPLPPPLYQQQHPGSSQTPFSRPPEQYPVVDHRRPVEHPPYDHQDPRRPGSGPM

HGYHNGLPGPLPPPLPPGVSGQHPQIPPYAGQRDPMVKRAPSDEPQQYRPSSTGADHNVIQSPHHEGPGRPYPAYDPARNAQYPAPPQPSNPYPPVQ
SPISATEPYGNNPYGHPSPSQNPDYRLVTYPSAGRQDVKKKAQRAAQACDSCRNLKAKCDEGRPLCSTCKEKGFPCHYRDPPPKQQDKASADIMDGL
ARLENMLGLVNSRIDRGNTKLEQLSGEVSEIKNSQKAGVMANNSSHEGLRLKNEMGEGVPGYRNDYPRPSIGSEALQLHSNESPYGSTPDQQRAPDG
LPNGGETSEEDEESGDPGPGKPSSIPVNHTTGAARLLSNTAIRLLCEGTSASSKITKNDKYPILREGRRGLLRLYGRGEGYEAPPGYERDPLVDHGP
DSTPSDSHSDVSSPAGEEWGQLGGLTPPSHQPELISRGGIGSNGMPDFSRETVLDLVKSYMEHINILHPILIKSRLDLLVEHFLRGIPDSQAKPKQV
SNLQAGHTSYAVGFLGSGNRNPESPGNKRKRSPVAGEYAEPHAMLDHKPGHPFRSIGSAIVLLVLALGKICQHKGKIPDAWQTDRDMDYSYGNSPTI
RNGQPPSPVQSSPGMSIVSIDGERGRPRSRRTSVDGAYPARIKTRNLDVIPGLAYHALATDILGNQIAGNSLQHVHANILAGLYHGQLARVMESHGY
IAAACRSLQVILRPKFERLKRAKHENAVILEKDNPLVIAFWSCLQLESDILAELPCPHSGILTYEEDMPYPHLQTAVDSYGLTTEVMESYMGQLFLR
KHLNQLHHMFYHPETADPNPAMMPKSKFKEHFPTIDAALANLRYIGVIAAKMQWDATKGESATNILEARLRAKYYGAEVITYRHFVLKLLGGEEIAP
GYLPKIEAPMVSSNIKRIEDIDEKVLQYAERGIRALIFSTRAFYGLGDPGKDRLIVTNIWGTAHAQWGNVVTLCAAYKNSILKQIILKFISEEGLRG
LIDTTLSFLHLIATPTSALSSDYRILKRAAFKAGLLGHMPSNGPTSGSSFSSSNTGDIEASGY

>RCO7_07433 | uncharacterized protein
MKGGSEVEEASRAKAMRGVEAIFERYLLIANSTHFTGFDRNLMENVRLVDASPEGTVTFEFLIGEGYGNVNGVMREGFGRGEGGGGIWDLETGNWDE
SFWVGAFGLGVVVGIGIVEREMIGRTDGLFRSSYLRCVLEFGFGFGFPVRRRNGGAAGVIFDMCTTTALGPLAKPGFWDFLGGVTRTLNISYLKAIP
VGTTIRIHARVMQVGKTMALIRGEMTSLDGKIVFCTCEHHKVGVPSQSAHLKHRVPWDEIWDAEGKPEGKGKEMGKGKEMGKGKGLWEKSAKL

>RCO7_07432 | uncharacterized protein
MSNNHDSRMSIDAILNVIPDLQSFRPRLPPFETLGRPSCPGVERHNVLVQGITPAVDVDTDMEFYAETTLPRINITQFEDEEMDSDEELQMMMDAQV
VDEEPEPTSSPQWVSVTKRTPLPSGRTMTTDDVAKAQKAKKKSFTCDVCTRIFCTKDGFRQHKQSKGSETHADDIVSDQDKRS

>RCO7_07431 | uncharacterized protein
MPSRSLRKKSLIKVLMKKKPIFKLFDLSFERKKTAFRRLTRLYSIWSKRLQSARLGDYAANGTRGELEDPWEWSTPLTRRPLDYVAAPLRALLPASP
IPQTAPLFPGISQTLPTAYFRRLRIFEDEDEDEADTKLKAKAKTKAPAKPTISNQCSYCLEVFIDLELRNNHMCGTPREYKCPYDCSRSGEWGFRTR
WEREAHLKKVHRE

>RCO7_07430 | uncharacterized protein
MPSMACPQEDCIVTFSTRKARENHVASGSHKSETTMWKCEICGKILSTKRNLTAHLNLHKVQKTTSGERKDDNTFQG

>RCO7_07429 | related to nasopharyngeal carcinoma susceptibility protein LZ16
MAPVPVTEDYYIVLEVGQTATPEEVIQSYKRLARKIHPDRNAKHDATEAFQRLGRAYETLKDESQRRNYDLIYPSITRTRPSPQATQTSRPPASTSQ
SVALSEAAQIAALRKAKQERGARWLTRRNFIDSSIFELQRDIRRLQQDIKSLDEIVASEIAEEAQKNSWGAWLLSPIYKRAEDSEEEKARLKKTDLK
KEEVSFRKATENVDAADLVDNGKIRVIEDEVRIRETRERQERERVEREKAARIWQEQQVEREKKDREAAEAIKKRRAEEWAAAEKKQEEQLRRWQNH
LDSQYPYTAEQSTFRASKIICNHNGWWPKVHGRTACPECHEIWTYLLQCPECKIKVCPKCQSTKRPGRNRRAPPRVRTSYEDNSYDDHSYDYF

>RCO7_07428 | uncharacterized protein
MSYSSGKLNKQTRPDYEADKNLYRCHLCGPTSCRYSTQKTLTEHIQIQHGDKTMFNVCHICGPGSYQYSSTQSLNDHIRVNHGIISADPDLYAPKQI
QRSSTHSFGNQTRTQNRRLANPDIHTQRSIQSLESQENTFQCSVCGSEQGSKDSLKKHERREHDNEQDRVARKTCESCNKIFSTESNLRKHVRDEIC
SRSRHAHNAPGSRFSLEPSRDQSDWPHSYNDYTPGAGTFDPKSERHQFRSSQSYNDFVSGAIASYSEPERFESRSSQSYNETRPAIDTFNTELEINQ
SRSSRSSSRLEPSGSNQRHEPDTRMSDEQFETYVNSFSDPYASGLGSESFDWNHSTETAAPPRLRRLSSTEHYKIHENY

>RCO7_07427 | related to alpha-amylase A precursor
MKFTSALLTLVTLSTSVSALTAAQWRGQSVYQVLTDRFARTDNSTSATCDAEFGLYCGGTWQGIINKLDYIQNMGFTAIWISPVVKQLEGNSADGSA
YHGYWAQDIYSLNSHFGTEADLLALSDALHKRKMYLMVDVVTNHMAYLGAGNSVDYSILKPFNKKSQYHDFCLIDYNNVASIKNCWMGDNVVSLPDL
RNEDSAILNIWTSWIANLVSKYKIDGIRLDSAQQLNNAFLAPFEKAAGVYVIGEVFNGNPSYTCAYQKDVSGLMNFPAYFWIRRAFESTSGSISELV
NGINTMKSTCADTTLLGSFMENHDVTRFASVQGDFSLAKNAIAFTMLADGIPIIYEGQEQHYSGGEVPYNRDAVWFSKYLTTSTLYTWISQINQIRN
QAIYKDPTYLTYKAYPTFSDANTIVMRKGFTNYQIIGVFSNLGANGGAYTINLNSAATGFTANQQVVEIGGCTTYTVDGSGNLAVKMASGLPRIFYP
RAPLVGSGVCRL

>RCO7_07426 | related to MUC1 Extracellular alpha-1,4-glucan glucosidase EC:3.2.1.3
MSGYPAGAGDGPGLDALLASLRFANPQSNRPLQPAQPQLEPSYSYYGNDNGNYFGQPGPAHQQHGYEQPSVSSPLPTPPVGGPQPHHASAVISPAET
PHQRVPAAAGTPSNADRTSSLLNLLKFSQASAGSPSQPAPIGTPLPPSRQSSSAYASPEFQAPASTSSHGRGGSDLLAALMGSAQPRPVQHVSPQFT
PSLQPHQSTFSPASPSADTQAYLLSLLNQPKPAQSSNTPQTKPAKVLTPPNKATSQEDDDELAQDYETSNLQSSMMGSAATEGLPSLVKENTRPEHV
PKAQSLFTYVNPFDQLSASSPRNRTPKMESAGPSTTGSPKIQILKRQEPADSKRKSESPHNKRMAVASSQASSGPPTPLPDGRTQVEALIGIGASGP
SDNKESVHAALSEVGSQADKQVKDAISRAETAESHAAIERDLRDLLAASTEKEFEVSAQHAAVSIKQELEKAENSGVLDSLPTPVAEEVKEIIDEAA
HGHIADSWESADAEESQSKKEENIVKVFNFPMKPWSLITIKESEETRPTFRDEAVMDIARLKKEFDQVDRTLVTASNNFIVYGMSKNGGIRIIRQDD
GKDARLFTETHDRIFSVVTSASSIEQKESIIGTGISGTVYWALVKDGEGDHLEESNIEMYGFALPPIHSSDTESPGGVLKTRARKSSGHPDFFAVGR
GKFIHVIWPSVITKQSLLKTGKDRIVDTDKYLSKHSVKINTGKAGKDFTFSEDDTIIVSLDKAGRVKFWDVRSLTSADIASNPSRIQQSEIKEPLIT
FTTTPASEKSWPTSVLFVDKLRPYQRGGALRYLIVGMKQNHILQLWDLALGKPVQEIHLPHSKESDAVCSVLYHAATGMIVVGHPTRNSIYFLHLSA
PKYNLSKTITQAEYIEKLVANDPSIPKPESTAVISGMREYSFANKGSLRSLDILQTPNSAINGSESATLFELYAMHSKGVTCLNIKQADLGWTSDNK
VMHPVDALPTGVISLETLKDIAPAATPEVVEPPAFSYSLTNRPAPRPTPKEAQIKDSPKKAQQGELSASASKGDPKSEKKEHGANGGPGPASVSEKA
ERKKRKKATAESSADLAPIGQSSKPIVLDPSSHARNGNLFKSTANTNIAEASGTTSAPQDFSEASLKNIETRLSAEVKKLFNDSLASLHNELKDDRR
TQAAVGEAKQDAMLRLVSSTLSDNMETTLTSKVSDGLKQSVIPSVIEACQKAVREQLGSALNAHLSQNLPKELQKSLPDAVGKALEQPQLLKLMSES
LAKSVAFRVEEHFAVLVQNVVTPSFHNLVAQSTQRIATEVHRQTSEQLNTIELQRRADTIKIEQLTQLVTGLTNTISSMAEAQTHFQAQFLKVQEQA
ADDRRQLAAQSSSQQEASHRGASQRSEGSVGTTRASASRPSTAQETVVEKTQLEKDYDLMLVKIEAAMAAGQYEFAVIQWLQTQQEQKFFRRYFVKY
NPDFVQDLSPLLLLSLGATISMELTDGLLPQRCTWLEAVILAFQALVSSSSLDEQVLELIPKIMGIYVSRIEHLFMHISQNMGTDPILKRLQGIVLL
TNRVMETSGHSLAASAA

>RCO7_07425 | uncharacterized protein
MDHPMPGTRDSDNNDSEPQDDTALRIEEFMASADGQEWAAQDQSQKVLENISEDQNMDWDASWYMQNADSHSGSAPDLDESWAGVDSANLAFENERR
QSASFSARQNSNGDSGDNFQTEHSPQDFSGFGDGQTSRDVNGDSSDNFQTEHSPQDFSGVGDGQDMIEARWGAIDSSQFLPNFGNEHDQSVTGEHHY
GSGMRAPSTGYEQYTFVSQNPSPRIPEPDLTASRSMTETRRPSQHFPNYKLGLSMNSNSNHAWNPQDPLHFHSSLSSLYSMIDDDGRNSYMQEPPPN
MFIGSERPRARLDASQYRQMIDQNRGYITAQQQPMNVNTSRDVVLHGTLQFPPKGLGESILNQKWVPPVPLEEAGYFEPSAETIEGADDGAFLGNWN

SDGMTWKTEAVSSKPWDHREPPAQWPVYRPDPRYHIAYTDSGRLARPHPRFSRPQVYNHDAMRWNEDEYTSRNNPLNKQGIFENLRGNQYPAHQQIH
RQDDSSSYFPSSTWRRSGADQQFNRQEDASSYFPSNTRKRSGEQMLHHPMPFRQFGIQQQHPRRQQTDFFTQPLQARHFPPASPPRQTYTGLPSPLP
FLRTPPPTRPRLTQNPQPSIPLSSLIFTGQLSGSCPHPCPDCFLSFPTRSTLKTHSLFHDPEKMFVCNIPNCNSRFKDSAKLIIHLRGHQGHICCGE
HGVGRGRGEGEGEEVGKKGCGRYFMNFQALRGHRGRECGK

>RCO7_07424 | related to acid phosphatase Pho610

MRFSAAFSVASLASVALAVPAPGASADTGGSDVYAAQSTALTLSPTSNVKGKSFDRYVSIWFENTDYGMAAGDPNFQWFAKKGITLTQNYAVTHPSE
PNYMAAVGGDYFGLNGDPFIAIPQNVSSVVDLLEDKGISWGLYQEDMPYSGYEGFAWVNQKNGANAYVRKHNPEILYNSVATKPERAAKIKNTTMFA
VDLENDQLPQWVFITPNMTSDGHDTSVTVAGEWLRNFLEPLLEDKRFMDNTLVLITFDENETYTIQNKVFSILLGDSVPQELVGTTDSNYYNHYSEI
STVEANWDLYTLGRWDVGANVFSHVAKTTGDRLRSWYPDNANGVPLSNYYFNVSYPGIFHSKKYAPQPVPDCHSRRMGRTTLPAIKKEWISQQDKNY
YNGQLEIPDGAHPPVYPYKY

>RCO7_07423 | probable iron transport multicopper oxidase fio1 precursor

MGSYEDDASSRDSNSLDGVEMQERDSSRDSRGGQEDRLLPSESSEEAGEVEYRVEWHLRTGWAIALSILAAGLAFVGLALFTKFFIIGSTHALEDIQ
RVVVGSGGFRRAASDYILDPSWIIDAEPTVRNYNWIITDIVANPDGVFRPMITINGKFPGPMIECNQGDTIVVDVDNQSVNATSLHWHGIYQNGTNH
MDGTSGVTQCPIASRRKFQYRFTITGQSGTYYYHGHQGIQMADGLYGPLVIHSRDEKQLQHIPYATDRVVMLQDYYHDISSGLLVSSLEPGNEDPPI
PDGALINGMNKRDCSELTERLCDNLTATLPAFDLKANAQHRLRFINAGAFAWFQVSVDEHQFAITEADGTDINPTHDSSMMIAPAQRYSMILNTNKT
GTELFWLRAKMVTHCWSEPDLPGPGADEVKAIINYSNDNKPHQSLISQPTSRAWSDGIEVQCKDMNTSSWVPAKFEPAPAVADYSYYLRANLEIGDW
RLQRGFFNASTFRPNLQNPTLHRTVEGLASQNETFTSMRNFDGVNNKGYDLKNDFTVQHAGIKIVDLIIQNFDEGSHPMHLHGHKFWVLGQGHGMFP
GYSTLGLQPEGQGTLENQEQVLDRLIRRDVATPEGFGWLALRFVTDNPGVWAFHCHMAWHSEAGLMMQFISRTDELAIWQIPEENRALCDASVEELE
KGAAPKDEQWFGFGLGD

>RCO7_07422 | related to salicylate 1-monooxygenase

MSPEKYKHEADEPQTFQVAIIGGGIIGLATACGLLHRGINVKLFEQAHGFGEIGAGIAFTTCAQRCMEQLDPAITQAFWGAGAVPLSSAAGSNDPND
YLRWVNGFNSHPGDESRQQEPLYELSAGVKGFVAVRRDEFASALLKLLPPSAFELQKRLKDIIDESETGRKLLVFADGTTATADVVIGCDGIKSRVR
ELMFGPDNPASYPTYTHVAAYRAVIPMDTAIRILGERKAKTFNNHVGPGANLLHYAVSNQTLVNIIAYVSDPDEWPDHYKLTSDDGSKAYLQQAFAR
FNQNIVDLISALPDTLPKWAIFDLAEYPLPTFHRSRVVLAGDAAHASAPQHGAGAGIGMEDALCLVTLLDHVQQGKVPPQQLYAAFEAAFASFDAVR
RTRCQWFVNSSRRVTDLHQQREWGDPTKSLKAQSCFEEIKDRTLKIWSFDYEDMLKQATRKYEELLSSRGTHCAT

>RCO7_07421 | related to transcription activator protein acu-15

MTPTPPSTTSSSGHSPDAQYRVVRKRNRVPLSCAPCRHRKLKCNRTNPCENCVRRGDASSCSYAAPGIRKKNQSQGATSPDDMQNRIDRLEGLVLSL
MTNGAQSAGPTAAADAISRSQSDSAASSFPTELDRDDDDMIKEEEEGGDSDVDGVTNSLGVLKVDADKGKSMYFGDSHWHLVLADIAEVKNYFTSHK
KEMESNYERIKNSKPSTARDGPAFLFSAHSDASDSDLRGEVPSKTAVDKLVTRYFNSYDPAVHILHSPTFHKQLQNHWQDPSRTSIVWLGLLYSILC
LAMQSYNKIGDEPLEWKGRTLEMAAEYRLRTVQCLVNSDYTVSSMYTIETLVLYLHGEYSSRWDAEVGIWVIVGIIVRLAMRMGYHRDPSKFPGVTP
FQGEMRRRAWSFVRQFDTMFSFQLALPSMIRSTDCDTALPRNIFEDEFGPDSKVLPPPRPMTEPTPISYLLTKAQISYEFGEIQEELNAVSGKHVSY
EDILRRDNRLRDLKKNMAPHLQLRPIEECTHDPATLLMQRFNIDIFWQKTMCVLHRKYIARARQNPRYAHSRRVSVDASMEILRHQAQLHNESEPGG
RLRTMKWFINSLTKHDFLLAACIVCLDLHYDFVSESLPEPPPNYEPHFWSPTQRSNMLAALETSHAMWKETAETSMEAYKASGILDVILSKLKMIGK
KERPTTSEVFAQTDEDSLRPEHSAAMTLGMLSGGLTPNSQAMFNAMAQSPGGTTYAGIDTNMGESSNNMGLTPNYGMDTSIPFGNLTNAASPLSVFG
NTGSGVGMMDVPGNLDWDAWDSYIQNGATMDSSFQFYPTNLDQTLDIDPQQNQGDTSGYGSNIFMGANTPGR

>RCO7_07420 | uncharacterized protein

MDPSPSDASQDSSSPSASSSAYSTSADPPSQALLTMGEHQDPIEMASTMDNSDSDSDSDISMSAETDDENNDGVPGPIAVPCSNSQDGITHQPMDQS
KKRKFSESTETGDNQVRSDLISVVRKRLRPDDKVPRYRDQAWNLQKDKSLLPAEIWQHIFTFCPARTLGCLMQVKKAFNSYLDPTAPRLPSAPLTVS
ALWPLSSDNIWRLSRQSTNPHGLPTPLHGTSELGMWKLACGSLCQFCRKPGRSNSLVDQWHPGPGEKGVSPIWSFGIRTCGPCLIQQSTKEIDLLLS
SAIPSPLMAALPFIFLTNEIHVISAAALQNGQRPPSLQITKHFFNAHVNGIKKEFEDVKAMGSATAEEWLKGLERRGKERRNDAARWERWQTSGGIE
RMLESGKLAQIPTYHSVAAIAVPSSTMLRPANSNLPPHPGHNPLFSTSQNLHLPHVPTQNKFATYPPPRFDPPAQNGFAQYPPRSQPQAKHERTKEE
VAELKAVRRAEIERRCLLLDPPITAEVLAHMPSFQAAIQIIQPLVDSSWEVLKPRLICQREEAEQRENDRLAQIRVAHERVDDRRYQDMQISSDSKD
LGEREWDDAQAPLRARIGGYADEIVRDGWNGGEKVTFETTPLFAAEVLIYVRKRFCAEVAKDEAAIRATGREPEMDPPHGPFTRRLTLENMKWVFDT
RIKLHTEQYRKELFLCNACEYANKYYGFEGVIQHFAAKHTSALSVGSVVVHWKSEWPEFPPFKPDPDNTVTPYYPTVSSATVSYPNSGPATQQNYGY
GGYPVPVSTPMSGPEPHLYQESPVPFFGQPHFGDQYSGHQNGPHAPPPYQDLSQGIHPQQYSAPSQAPSTIGYSDAAQDYPQNGYGVQYQPPQDMYT
SQGQQYPPPSSEMSGLQPSYNPQAPYGPSYNQPPSYSPNTVLQPAQKSERYIGQLRDLARNARDIWISIGSMKEVPGSVKVFTIIYHLLKRFRDTYQ
EDPPLSMMVDGLSSNKDMRPVRNVNGLLCKACTLGMAGSLQISQRKHFSFPQLVNHFHAVHDLGVSKNYGVPLDWTRDMIDLPDAAKLAAVINAPGM
DDRRLGILTEAIPEIIPAARPTSSGFRNEPQQLDRHVPQTVSAELPPSQDNHDKYYAVIDSGKTPRSATFEDGEYDPRHPGDLPVDLRLAPRSPPGE
QSYHLQNVVRDARPHHGYEERHENEVRRESYNDRLEHSHIAQRPSSSFRALPNAELAHVVARQQPTLDSGRRMVYQDDPGAQYRAQRDPATVYDPEM
LAPVEQYRSANSRSYYENGREPSSILTYENEPIHRTPTNDEITAQQSRVYEVVAQITKQAQQARERQPANQGLIDGGSEDGEVRADGGRPASSALPV
QAEEASNAAQHFLDTFRPGETPSKAEKSSVRYPKADYHDDDAKMYRIPSGTQRHIHYEEDGRPFLSTRRLLDHEVSDSFPHLHMIHERTPAPRSART
YAYEDRYVSSIPEQGLLRDRSPELVDRRYKLNNVVYRDERQDSQGTRRTPSRYARYESVRLENDRACSRSPTYVKMGTHSNPYRESSPGPHPAHSLR
QESIYRSRTPQQGAEERTYERAPRQEYYRVYANELRPREPQYAESFEFVRISDPAGDYMIRRPVRREIEPVYATYEDEVYTRQPVYETRTSVPRPAE
PTFYEEEYDPRHPEPPPPPPPARQIK

>RCO7_07419 | related to ABP1 - actin-binding protein

MASLNTSTNGPSIKSSYQGVVSSSAPSGPQASSPTYGQWAVFSVSAPLVNAFQQDSGGKESILKVQSTGEGELIDLIEDFSEGRVQFAFLKVKDPNT
TLPKYVLIGWCGEGVPERTKGYFTSHLAAVSKILHGYHVQITARSDRDLTPESIVQKVSDASGAKYGGGAAPATSSGPPPPMASKPVFNPTRSAGGS
GFNPLTGSRSRPGQSDSNVDSDGWGADAPPVTRSQLEKVQPAYKPTKVSMAELTQQNPDASRSGGGRADDEGDVVRGGYQPIGKVDIAAIRAQAQKK
GDDRPTTVKGAYEPVGKVDIAAIKARAQKPSDDGSSQISPAFTGASATSNTSDEPKSLADRSSAFSQSERLTTIPKPKVANRFGTSASNFTGTKAPL
PGVFGLQSAPSNAPAAPVGAASRTFADEGGKTPAQIWAEKKARQRGLSGAGDAPPPSAAPITSQASGGGEWKSGYAGKSWAPVAINQTGRSGTGSIG
QQRTGEDEHEQETPSSPAGGISAIRDRFKGGAPMGAPVIPRSATGDRDQSPPPPPVNNSTRPTGGVPMPGLPTRPRPDEDEEDHGVPNIPPPPRVQR
SPDPPTPEREESPVRLAMPVSRTKETELEAPAERNPPATIPTSMERGMKTDTQDGREPAGHDTARTAGVAVAAATFGAAAAVAVNQNSASSGKRALI
QYDYEKAEDNELELIEGEYVTNIEMVDEDWWMGTNGRGESGLFPSNYVELVEDDEEESQAQAPPPAALQAAPAPAAQSGDSGPTATAIYDYEAAEDN
ELSFEEGVTITGVEFPDEDWWFGHFGGNSGLFPANYVQLDE

>RCO7_07418 | uncharacterized protein
MKNTTNLYNTIEILLKKFRVEKEELEEEKATKEEKATKEEKATKELEEERESTII
>RCO7_07417 | uncharacterized protein
MSAQGYYNQGPPQQQQYPPQAYQQGGYPPQQGYPPQQGGYQQGPPMQQQQMQYQQAPPPKQKKGGACGGGCLGVCLATLCCCCVAEEGCEACADCAE
CCEGCC
>RCO7_07416 | probable glutaredoxin
MSSLIELKTEEEWNQHASSVPSTTLQVIYFKAEWAAPCKQMTTVLQTLASSYPITEPLSTSWVALDAEDVPDISDSFDVTAVPFLVLQRNKQVLETV
SGSDAMKVRAAIEKHANTPSSRTSTGTAAPVSPAINGTPAKNLSTYAPTPQDPATAPESTSTEAVEDKESLHKRLTSLVKAAPVMLFMKGTPSAPQC
GFSRQLVALLRENSVKYGFFNILADDEVRQGLKEFADWPTFPQLWVAGDLVGGLDIVKEEMSNDPEFLKAYSVAKPAPAASTQPATATA
>RCO7_07415 | related to transcription factor TFIIH chain p47
MSDSDDDYVADAPSDDEGANNVSRHGTRSTGPVRGNAGNKRGGDANTSNRRRAAWEDIQRSWDTVVEGADGSLNSTVEGLRDAGKRKRLLRDTTPLQ
RGIIRHMILVLDFSFAMVEKDLRPTRYLLTLRFASEFITEYFEQNPISQLGILGMRDGIAIRVSDISGNPSELIENLRKFREQQPQGNPSLQNALEM
ARAALFHAPSHGTREVLIIYGALLSSDPGDIHDTISSLVVDRIRVSVIGLAAQVKICSELCKITNAGSENNYHVALNESHFRELVMALTTPPVTRTK
KQSQSSLLMMGFPSRTSGAGKVMSFCACHSKLVRGGYLCSRCESKVCSLPAECPGCGLTLILSTHLARSYHHLFPLRNWVEVPWREAKRSRACYSCL
TPFPVVIGGEYGREAVKEGKDKSGTSESGRYACEVCGNHFCVDCDVHAHEVVHNCPGCQSDTRPHNQNFGIAHRIADTEKGDPMIEDTNGDPMAAYV
ASQTSRE
>RCO7_07414 | related to export control protein CHS7
MGSTQFGKFHDFCRDSTLPICNIFPGFSYKDPSNFNPQCYLTGISLNSGGTRHLGNLGVILLCGVAILISAYLLWRSERKQAAVGRREMQLFLLGYV
IIEICEIFTVGKIPGLSEHVRIGFTAVHLGMIVATLWILMLNAAVGYQILDDGTPLSVGLMVGSAIALFIGTGYITLDTGLNWTGYFEANRISADNK
STALYVLYQLVPLIFLFLFFALETVLVIRILGEKKPMMYLVAAALLFAIGQIFNYVVSIHICNGTNGKIDGSLFQTLFTLLSVVTIWIFWSSITEDD
WPSPVNNTYS
>RCO7_07413 | probable sugar transporter STL1
MSGGERQMRGLTGKSLVYFTSIFVSLGVFLFGYDQGVMSGIITGPYFKDYFNQPTKAEVGTMVAILEVGAFFSSLCVGRIGDIIGRRRTILYGSMIF
FVGGGLQTLANGMPMMLLGRIIAGVGVGMLSTIVPVYQSEISPPHNRGKLACIEFTGNIFGYATSVWVDYFCSYINSDYSWRIPLLMQCIMGALLGI
GSLVIVESPRWLLDNDHDEEGIVVIANLYGEGDIHNAKARDEYREIKMDVLLSRQEGEKSYADMFKRYRTRVFIAMSAQALAQLNGINVISYYAPLV
FESAGWIGRQAILMTGINSITYLMSSIPPWYLVDRWGRRFILLSGAIAMAISLSLISYFLFLDIATTPTLVVIFVMIYNAAFGFSWGPIPWLYPPEI
LPLSIRSKGTSLSTATNWAFNWLVGELTPVLQETIKWRLYLVHAFFCVTSFVVVYFIYPETAGIRLEDMDVLFGDATTAMPTPQARAESGLLMGGAS
SPVPSMDLRRGIMGGSGGQPPHLGASNAIPGLDIDPPHVRIENGKPIFGSADNGNGEGGEGVGGWISRMVKRAAGDGEGSSGGGSRGSSVKSGKYKA
LNDDELDD
>RCO7_07412 | uncharacterized protein
MVGNIGPIPGMYFDEEKGKYFKIQASGAGPASSAYSSNDVKRRELRAKKEGEAARVRERQRCRIKRSTILQKGLAGGLLQREYGRAGFEPGGVVARG
LVRAGHLTIGYDEADSVGTGVFTISHRPEIGPSTINIGYCSKVRSDFPYTFMDVRVDLEDDHPSSQNFFFRVKRISTEHIPCDPTNITSVSVHEPSQ
VRATTYLSQSELGAIRINAVSEVQTSGWFGDTHRQSITVAIDPGDSRGTGVSIFSSTPAPPVSDLLFAFGTSRGVSATSKARLDTCYVTARPPPGLR
DDLFAVEILSDSPNTLLSGGRRGILNLTDLRAAIPPWDNDTITHPSSITHIRQIDANRIIVCGLQSSLCQYDLRFRKEDSKPAKWSLHQAHARNRNP
SLSIVQYPDYHNTASHQAGFDIDLDSGIVAAAQEADDYHPSVQLFSLKTGHRFDSPHAFGFEFRDETDWLVKCLRFARDSDSGRKSLYVGQRRLIQR
YAWGDHDWKEESYGGDSRANAGESSSQK
>RCO7_07411 | uncharacterized protein
MVYTLTVHLYANEKPDSIERIKAKLIEAARIYRKDKETVDWLVMQDVHDPRAFTIVERFENESSQKYHLENPYWQTFDPYVIPLLDKKMDLRRHVEL
DTSKDVEVPA
>RCO7_07410 | uncharacterized protein
MAPINREVIDLTADSDDEDISWVLPVADRNNFLPSPAGMPSQTLTVNGLPDPTEFPDKVITEGRGGSFRTTTTTSKHGVALSGSTQVNSIKKRPLLP
TTKLPVAYKDENTGVGPSGSRATSAINLSLKRRKLDDGKSQPIPQNGRRISPGPILPPGYTRPQTTSAQKSSNMEVVLPANASGSPGTLSASRTPGS
SSNINPNRQTLSMSGVLSPAMEPEMKRVLEQQVLPHVHEAVGPYRVTLNYAERTEIGQSVASRLVTGTAFMAHYVKNNKTMTPAFESQIKLSAYNLV
NQAVANLVQKRLQEEGPGPATQAGGMSVLYNVLKSSVETSENGSSPPSEELEAPTFVNKKRRAISISTSTSFSTDAETGSQLGPLDGNQSSGAEGYR
SRRAAAILPQGAYQLFKRPRRSAAEMEQDAARSRAQANSEGRSKNTIKAGSSLAPRPVQPARFQQLEVDKPKRTRRTKAQMEEARRTEGRSTPAGTN
PYSRTQNEPLGSHPAPALAQGNVARPYMQQPVFQSSRHSGYGDIPIIDDPARQPYISSANRDRLQKYVANPAVVNLLSEEELNMLNSNSMHVPFSSD
EITLLLKIIVEQGGGPKKLLKGNPTAWILKIMKDNPTRIPKILQALQNPERDQKKKDLLRTRDVAAIEDFLQDAINSAIDVPFKLCVTTPHHGHLDP
LMTFLRERQRFGMTPCRSRRGRSTFTVLVNNHLEDALVRQSEWTDCSGDISSISWTGPDSFICGALAHSDAHNMQYNKPGNLLVGSTSLDVVKSYPD
HRVIRPLVANEGDKENANALESMRTTQSPWMYESVVSTAHCEANGFSFTASFDKTVKVWSISEAGSGMNLRGTWQHHEKVNFVTASSHHDRVATACA
TNGFAVRVYTLNQDAISLSPYQQYCGDKSDEGADEMGMHTEWSYQPATMQWGKSAGVTDFLLVGYSPRSITGNDNNVPELKRNTGEIALWNTSSGEQ
IFLTSPKTQNVFEVIWHPSQPIFLAATSPHGPCDPVTTRTQIRIFHQQENGHFKNMKNLDCPAIDINELTIKANSTIECFVTASCTDGFTYVWDTGR
GDQPTHALQHGETLDNPDPDLPLDVGDSGIKFAAWGRSLERFYTGGSDGVVKAWNLKASRGNVFIRNVLTISGGISTGIFNADCSKLLIGDATGKIY
LLSIDDSDIKEDSKPPGPVRSQALIVGSQLSRGIRRPKLVVPHCEPSPPSGYIIEEVEKSGVEISRELISSAQLLRIPKHRNLVFQGPNYWQTNLFR
REAHFDFDPYQPLFDDIWAMQQVMVNSHRDLPFHPKLQETIHSSSAAQHLKNINQNNANFRRKTGFEWDRSNISSELWTLLDNGRLLKLAEDIIHEL
PYEHGFEFSMFDDEKRISDPAARACKGLLTSTYPGGGFVEEEEEDDMQLD
>RCO7_07409 | related to RNA binding protein NRD1 protein
MSSAVADLEASLQAMLSLKPPGVSGTRISSITALCTANVQSESVLIQKLYTHFKKAPGSHKLGVLYVVDSVVRKWTEQAKSAGQPINNSAQDGTFGA
GVNRVKELLPMLMNDIIHSAPNDQKEKLRKLLDIWEKGQTFPLQMIASFKEQLSATNVTTTPPGSPPSDLQQSQPGQQPAPAPAAATRDTSSILAAL
SNIARLNAAAPANSNPVPPTMGSSYNVSNGHNNPAPQVPALNQLPYSSMPLPVNVPAPTATFAPQTQALNGTQAYASNNPYAGAPSVMPPAPLDPAV
QQQLMLIKALSDQGLSADKIAGIIAAMGSQAPPLPGAGGIPPPLPLAAQNQNAIAQNSWGGKPDQSRDYNGYNNESIRSPQSRFQRRSRSRSPKPEW
NARDSPASRRRDDQNFDYDRGSPGGNRGSDDRGRGGRAGGRGNGTGTGTGTGNGNEYRQRSPIRRGQSPSPPGSSNGPDKWVGHDSTIPRGSIKVLS
RTLFVGGVTSSEHELRNLFAQFGRVQTCIVNKDKRHAFVKMITRQDAIAAKDAMEKNRTPDSQLRTRWGVGFGPRECSDYQTGVSIIPINKLTDADR
KWMVSAEYGGSGGKPMESGMVVEEPDIEIGQGVSSKAISRRMGTDQGGHGGPKSNRGFDDEEKPRFRRGGDRDDHRNNDRKERYSNISGPTPMPPVP
AFGMPGGFPFAMPTLPNGMPMFPPGFTFPGQPAPSQPPPPGHRN

>RCO7_07408 | probable mitochondrial citrate synthase
MASALRLGQSALRSSFTVPAFNARTVAFSGMRFYSSSKTQTLKERFAEQLPEKIEQIKKLRKEHGSKVIGEVTLDQVYGGARGIKSLVWEGSVLDSE
EGIRFRGKTIPECQELLPKAPGGKEPLPEGLFWLLLTGEVPSEQQVRDLSADWAARAEVPKFVEELIDRCPNDLHPMAQLSIAVNALEHESAFAKAY
AKGMKKTEYWGHTFEDSMDLIAKLPTIAARIYQNVFKGGKVAAVQKDKDYSFNFANQLGFGDNHDFVELMRLYLTIHTDHEGGNVSAHTTHLVGSAL
SSPMLSLAAGLNGLAGPLHGLANQEVLNWLTKMKSAIGDDLSDKAITDYLWTTLKAGQVVPGYGHAVLRKTDPRYMAQRTFAESHLPNDPMFKLVSQ
VYKIAPGVLTEHGKTKNPYPNVDAHSGVLLQYYGLTEANYYTVLFGVSRAIGVLPQLIIDRAVGAPIERPKSFSTEKWAEIVGAKL
>RCO7_07407 | probable suppressor protein of mitochondrial histone mutant
MSVAVGQPLEKKPVKFSNLLLGAGLNMFEVTTLGQPLEVTKTTMAANRGDTFATALTRIWGRGGVLGFYQGLIPWAWIEASTKGAVLLFVASEGEYY
ARTFGAGDFTAGISGGILGGVAQAYATMGFCTCMKTVEITKTKLAAAGVKPQGTFATFMDIYRKEGIKGINKGVNAVAIRQMTNWGSRFGLSRLAEQ
GIRNVTGKAEGGKLSAWEKILASGLGGGLSAWNQPIEVIRVEMQSKTVDPNRPAKMTVGNTAKYIYSNNGLKGLYRGVVPRIGLGVWQTICMVAMGD
MAKQYVENLTGEKVTAKH
>RCO7_07406 | uncharacterized protein
MDTKEYWNEDEDQLDMRPEIQILKGDGKMTLERYPIWLLTGGHAALQAHSQTPIPEPTDSYLCYTGLKWDTDIENATVRMPNGIIKIVPTGVRLEDD
VLASLYLDIPMSLKDLAKLYPADTNESWMLEGGLRSMGTGMRFHQGAGC
>RCO7_07405 | probable 4-hydroxyphenylpyruvate dioxygenase
MAPSRLSPEPSQSILGPTSLTFPTTQNKSGAVDGTPNFHGYDHITWYVGNAKQAASFYTTRLGFYTIAYKGLETGSRYIASHVVANGNVRFVLTSPI
KSYSCLDGDEPISSEERSLLKEIYAHLEKHGDAVKDVAFEVDNVAAVYNQAVNADAVSVQAPKILSDENGSVTTAIIRTYGDTTHTLISRDSYDGIF
LPGYKSIPASKVDPLQHLLPVVKLEAIDHCVGNQDWGAMEAACEYYEKCLSFHRFWSVDDSQISTEFSALNSIVMASPNNVVKMPINEPAPGKKKSQ
IEEYVDFYGGAGVQHIALRTNDIISAVSNLRARGVEFINVPETYYTTMRQRLKSDKRSWKLQEDFDTIQKLNILIDFDEGGYLLQLFTKPLMDRPTV
FIEIIQRNEFDGFGAGNFKSLFEAIEREQAERGNL
>RCO7_07404 | uncharacterized protein
MASHLTQHDLSILEKIKDPESGPSAPLLVDSTLPRDPNITDQETYNAISLIERSIISSIQNIELQIAGLKPQISKASPLPQYLECVERLDELIKEHP
NYASARNNRAQALRRIYGDGLLVTNPISPTLPENVLDHSPTEDTLISASITILADLSTAISLLTPSTPFSAISPQTGKTLSQAYTQRGALYHFTAKA
LAVKGADLRISGSMKEAGWKTVDFEENASREFMVGGRFGNEIAKALAVAANPTAKLCGEMVKEAMRKEYFGGP
>RCO7_07403 | uncharacterized protein
MAPTTQRVQNGVSTRTSNESSSLSTTATVQATKNMANGEFHKITVLKDVVQQSFTTYYSELGSSTDDFFNSCTTVDQFFDYVASIRLCQIPHHSSRW
DQVLNWAESFAAQVHGYSVETEKFVVHNDRAASIIWACCRGLLELGRENIDILEKIFGSFYECGLSLGLFNRHHEHIHHTEELQIILGNCYVDLLRL
VTGIDLYYSRKQNNAVLCAQTFGQVFGNRIDSFSAYSDQFTAIVWKTRLESLSKPGDVSFELVHDFLTSHDRVTRLLTTTRMVQKSGADFTCEWFDL
HLAAFLRGHKEIMIVSGKPGTGKTFLSGWTVERLQTITGRHASDVISYSIDPDMKNELTSLSVVKGLLLQLLHFKVGDNELYKSLANAYEISNSGGS
DSQIEKCLWTALQIGFTGGRNHTIVIDGIDQVKGKDAEITRLLGHLGTITSKGKTKTLLFSRTLSTCIIQKYEHLAITSDHTRQDIQYFAESLLASS
VSPGVLTDDDKQKAILNLTETSDGSFEWVVQAVNIIKTETTSLSIMKKLKVLPKTLDAIIAQVVSSVDMTHRDTRSLLAWMLVSQRPLLLCEIRQLF
EIDCTKFIRAPRTTRVEDDVVSALGPLVTIRKGIVRFSNPMFKADLLDRANSVTDFKNTGTFPFHIHEAHYDMTVRCLAYVKMSLTRSSEPTLSHLS
AYELEQLFAQYDLLEYAARYWAWHFEASPMHEPTVQHKLTGGFKTIFPHTTMLAIIEGSCFQSQSSSQDAINHHLLTLSVRRTVLGEHSEAALQSLL
NLAVLKDITLHGNEVNEYYYEAWRTSQSLKLNVTASKCAQRYIEKTSTIRITSQSTVATRRAEMLEYVIKNYSEIRQSQTEILKYLEILVSLYVTIG
KTERVTSLRKQIYDINVQLYGRSAPQTTRSHDTMVTTVSNLNSSGSSEAIEKVTESRYQEASRTLAVSDPKRTELTCSMIDIYTRRNDSRRAEELLV
WLWQSWTHHGANNQDSKTYQQRTDVALRYVKYLKAHDRKAEAENILRGVVTDLEHTDCYEEEILKRRKFIGNELAALGSVATARAVFANLWEYYVEA
GKMECSEAKAISIHLEETTSRSLTECLKDTDTESQRQVFDSFMTQKTTTRVDTLMVQRSTRLVETYYHEHRWDQVISVSNITITRLWTGWTSSEIRT
PIPASYLEETVTVIRYLYASYLKTNQILKAEETVRKLFYGVLSTQETSDDLLISTSKELVGFYESRGMWETTIVVYKDLYAEVEKRKGKVDALTIKT
LYSIGDSGMRINDTKSAEFAYSTIYTNLGSDVCHRDAARAAHAVIVIYEQQHRHTEARKVYSSIWQMFLRYGKDYDLQPDWAADLYEKYVRNLKRDP
KVEYEIVRKLAIESREALVGFYGVKHESTVKATIELAQISEERVEHRLEAILMYEEADKQSREIPKGQLSRSTLDSVNYSRKRLPYLYSTSDLATSS
KAIPLYEAQWQTYAEKGHSHGDALKWLSLLVVAHAKQDSPDAKGKAICTLRASILNILKNERDSQKLWDSGVRLAGIYIEAGLKIEGNRLLQQLRGQ
IIFGNSPESKDLDFTAGKTPEPRTWVFVVTFQCTLRDKKHMYTATMADLINEMFLYESYRRLVSQKAAFLETLGYGARLLQFMRDIYDETSHARFEE
DFLDYFRTNLSATKFVNVSVLREFFEIVLLDLHRQDMDVKILNAGIKATAIHSEKGKHIEAHDMAFLTDRFQQFVGGYDSMEKLTVGLKLALLVGRY
NKTKVVDGKVRSAMTELSGSITKQLVKESRAERIVLIEIPLKDLGALTGLLGELGNLDDLEYMLNLLWESRTTRTSWPAATVVSLGRRLVEVKFTRG
QHASAIHLSEDMCYNVQRVWGALDATTLDMHILLAELFTSSNQHSKAMQVHENILRDAASYKGEEIDQAQAAAIAVRHLDLLKRTYQRLGKWDKQPQ
IYLDLYQQLAHVFGSEENWKNARIQPIEKWSAKGADNLGIWTKPNTFDWVESEEKRKHVNHLKRSLGRPGKSSFHSGRLTRSYSSRSEVAAN
>RCO7_07402 | uncharacterized protein
MEVATHMQNISEISDETLTSPNFTADKLAIMKLRNAEFFENRDYSSAPMMLNGERRRSSFSSKTHDHGRSSSQARSSRRISSSAHRSGSFRQVQSGH
KSSMELTRQAEGKFFALMDLVSSASREASSLKDIWSGLVSERESLTREREELLETINDVTESLERTESEYHHHGHEHEQRKKQVEKLLIELSLAMNT
ISENEKRNTSRDHDLLQTRNELHNLRSTLSSTTIAHDKFRSDYEASELKIRALEDERDHAKTNAEKYQEDWRALTREHTDVKSKLTDSTIKLETVRR
EVISITERLRISENDRDTHLHEKESLQELLRKANLKHEETSLELLNLTEQNEQNVREITKMKEIIRELESDVARHTNTVDNLRRELKTKTTSFNEAE
MRTQEMTLKFEHLRRESTITNDKLSNLEQERVEQSGIIDAIREELRVAIVEKDSIRDEGEIWKHRADDHQRLINRLQETLRRNVTSLVEVRSEVQTL
TSRLSDSELQRSSAHEQHTNHTNEIASLKEKLLILQAELRTTHEGRDRLQEELHESQRRYETVTETMTEFHNSSGSYESEIEHLRSTLHESREQKER
AIAARNTADRERDAADRERDDYIARYEEKCREMEGFVQSSSSGLITRMQSGSAGGGEVTRSSTRVVQRSGTMNTSGTVMHNSGEEHSHGHGHKHNNG
TEGDEHSEHSGSME
>RCO7_07401 | uncharacterized protein
MDALMTRFLRSPSLCKFPIPKPKTTELLVKVAFVSLNPTDYKHASVVLPPSKIVGCDFSGTIENLGSAVDASRFSKGDRIAGIIHGCKDSHTGAFAE
YLVADPNMCFKVPENVPLEKASTIGVGWISAMQALRKHLYSDNIDSNLAGETLLVYSAATNMGMHTVQQARIYYPKITIIALASARHHEYLRTLGAN
HVFDYNSATVVEDVQNLGLDIRSGIDCHSEGLSTQLAAQCMLPVSSNDNLIGNERRRIIRSLPPRLMKGEIPPSVRADEWILSYTALGKPFWIFFHH
YPAIPEDYKSSSDYFQALTPLLREKKAVPVKHRLMKGGLGQISEGFEEMRSGKVRGEKFVYRVGGE
>RCO7_07400 | uncharacterized protein
MQFSTLALSSIFVALAAAAPTATSNETVCIQNLSIRDNEGLQDTSFDLQPANVTCAASAPNLARYKVNLCGDSKYRFAINGNNSEYTVRIYKELGPA
YGLYGESDILPVYCHAGGNGINDFICSQVGNAEVLIDNGSLVDAPPS
>RCO7_07399 | uncharacterized protein

MPRISITIEQRRALRWVFRSWFTNVSDTTIYNCFRKSTLVAAPIALPISPQLADLAQLYQQASTVADIRDAMSLSNFLNPPEEAITDAIDIENEQTD
DALLQEIMEDHLQSETPDD
>RCO7_07397 | related to long-chain-fatty-acid--CoA ligase FAA2
MAPVLKDEALVKALRVPPPPGTPYSLPVPGSEKEGRTSVYRHWRFVDKPLLQTLDPQALTAHDIFEATLKKRANARCLGERPYDPVTKTHANKYDWV
TYAQVAERRKNFGAGLVELHKKAGVTEEKYGVGLWCQNRPEWQVSDLGCMSQSLFTVSIYETLGPETTEYIINHATLNCVITTLPHIPTLLKMASRI
PTLKLIVCLDPLDAGEQPGNSKAAILNSLAAESGIQIHYIKDVEALGAASGLPMKPPRPEDVITINYTSGTTGNPKGVVLTHANAAAASAIARVTSD
TQPSDVLISYLPLAHIYQRLAEHGALSAGAAIGYFRGDILGLVDDMKILRPTGFNSVPRLYNRFGAALRAATLEAPGLKGAMGRHVINTKLASMKLP
PGQATNKHMFWDRVFTPKIAGAFGFQRCRGMVSGSAPIDPSLQQFLRAAFGNDFIQGYGLTETYAVSLAQLEGDFSSGNCGAVAVGMEVCLQSVPDM
EYMVTDSPNPRGELLLRGNARFREYYRNEAETAKAIIEDGWFRTGDIAEIDSMGRVKIVDRVKNVLKLAQGEYVSPERIENVYLANTNILAQAFVHG
DSTQAFLVSVFGVDPVAFAPFASAVLKKTIKAEDLAAVKAAAKDKKVRKAVVKELDKIGKKNKFNSYERVRAVHLEVEPFTIDNELLTPTLKLKRPQ
TAKKFRAELDRMYEEALAEETPRARL
>RCO7_07396 | probable plasma membrane ATPase
MADKHAVTNKHSRNASSDKPNHLNTNIESGTFDEKTNSNDDLTSARKPAVAEKPHFDEEEDEDMDALIDELESQDGHAEDDEEENDATPGGGRVIPE
DQLQTDTRVGLTENEVQARRKKYGLNQMKEEKENMLLKFLGYFIGPIQFVMEAAAILAAGLRDWVDFGVICALLFLNASVGFIQEFQAGSIVDELKK
TLALKAVVLRDGKLIEIEAPEVVPGDILQIEEGTIIPADGRIVTEDAFLQIDQSAITGESLAVDKHKGDQCYASSGVKRGEAFMVITATGDNTFVGR
AAALVGQASGQTGHFTEVLNGIGTVLLVLVILTNLVVWVSSFYRNNSIVLILEYTLAITIIGVPVGLPAVVTTTMAVGAAYLAKKKAIVQKLSAIES
LAGVEILCSDKTGTLTKNKLSLAEPFTVPGVEPDDLMLTACLAASRKKKGIDAIDKAFLKALRFYPRAKSVLSKYKVIEFHPFDPVSKKVLAIVESP
QGERITCIKGAPLFVLKTVEEDHPVPDDIDIAYKNKVAEFATRGFRSLGVARKRGLGSWEILGIMPCADPPRHDTARTINEAKTLGLSIKMLTGDAV
GIARETSRQLGLGTNIYNAERLGLGGGGDMSGSDVYDFVEAADGFAEVFPQHKYNVVEILQQRGYLVAMTGDGVNDAPSLKKADTGIAVEGASDAAR
SAADIVFLAPGLGAIIDALKTSRQIFHRMYAYVVYRIALSIHLEIFLGLWIAILNRSLNIELVVFIAIFADVATLAIAYDNAPYSKVPVKWNLPKLW
GMSVLLGIVLAIGTWITLTTMIARGENHGIVQNFGNLDAVVFLEISLTENWLIFITRANGPFWSSLPSWQLAGAILLVDVLATLFTLFGWFLHGHTS
IVAVVRIWVFSFGVFCIMGGIYYLLHDSSGFDNLMHGKRTKSKTPKQRSLEDFVVSLQRVATQHEKSA
>RCO7_07395 | uncharacterized protein
MTLNTIPSISTKALSHELMLAVSESMRPWRWIILSNGKKHLLDFEKFDTACHIQQGSLKLLQKEAAQSDAALTSYN
>RCO7_07394 | uncharacterized protein
MASIPLRRSSNPMTVASTTRETPNGRTLRYDLTVIQQPERARACGSGAKSSADRRPVDPPPVVELRVFEKLVEKWEDITFAYGANFFLYATLEVARP
MAHGRVQQQAAPQCPVLTGMPVSGMAYLDRPKEAGYFIFPDLSVRHEGMYILSFNLYEETRPDSEMDLKAPKPMSGNVMSPDASFDWRLEIKSEMFQ
VYSAKKFPGLAESTSISRIVAEQGCRVRIRRDVRMRRRDGKPNGDEAQAENYQSSRPVHDERQGRSRANTYGSEDGNRSAHSSPERPIAQKPENGHL
GALLDRTAPQQFITPQYAPPQSQQAYAPPPAVYQQQGQQYSNYGYAQPPTIHPGYHGREFPASAVDNRSEREYETPEFRRASIGQPPYSYQHGPPPS
TANSNFRAIPFQEPSSRMPAQLPPLVEKRESLIASSPLAPINVAPLLHGPTNERSDRPYHQYAGPQLAPAPLTPSLPEERMRNGRKRTHDSVFVSSS
TSQPLYNGMRPGSSHGDKPVVDEEDEADENIDMVYKRANGVNYQRILPQLK
>RCO7_07393 | uncharacterized protein
MASAHHTRGRSRDRSGERTIIIKQAATRSVDSTPKAGSKRLFSNRESRQLTGEHGGSAHAEPNSATGGGERHSDKRHRSSDWPLPNPSPSSVPSVRH
HLHNRKTPNSPSSSSHRSRARSLVRSSKFLEGSMNDRVSQVPPVPYLEPEDELLSEYNTAGCGEGGRGRNRSRKFTHHSNTSVAESSANHSDASRSS
SLFRFGKSIAATFNPNNWKFWGKEYEQQQEEEDEEVTQLRVLQERQAKAERIYQELKESGHFRDSAVGPRLFTPASEKRPRKHDSGIEVGDLDLWSS
RGGSTSLEEKRKGRVFLEPPRLSQHGESPGSSHEASVTHSNASTPKKFNFKKPSLANLKKASLSNIKSTFAGDSSLSVNEHHQARRIPSRKDLHKQQ
KLVKRVSNLEERLKQARQQLSLALKEPMPSESPASQAGSRVLRSKFVPGALSSLPSERLLSGYVSSEADFSDEGMGNGIGQAVSTDLYMSGGVSEQS
KDVTTGSKYSQGNKNEESVMQSVEDGKPTRQESTLASIGNTSQADAADLTPTKPKDTEMADYEDEELTPKPKVEAVRSTKPSKSLSPLEATKKRKSI
FERIPDDGGDYNPSEAEEEEDDEDLESDIISEVSSITKLKTKSKSSSTSKISHPSSSRKGPTLLLQHPRKVQKTGQGPKNTKPAVSKSSAAKFSTSV
SSSIPPPTRTAPPPPPPSSNPSIKKLAPHQLKRKAALPPQTERQQSASPPPSSTSFTAPGSGLVYNKPTRTHKVTSGSASSKAGSVSSKKDENEKMN
DEVPPMPTMPKSVRLASGEVVKTEGMVSKVAAAISGDDGNGKRKKGGVSASASKQSFEWPDDVF
>RCO7_07392 | related to SPT23 - suppressor of TY retrotransposon
MPTTKEPVFSASSPPYIFDSEMIGPRDTDPQFDDFFDSSLEGVGSSPGFFLAEDIATDTSQFLSFGTPNPTNQKSHLLDHSSPLDRGAQPSLSAPST
ASPAGSYRDSSSESSGYKRKSSSDSSRSALTSGDVMMADTDMRDWKAEEPMLGNDMSNYGVFEGTSTINPAEMSNYEFSDKTMENDFDFESAASSPS
LFGLGPAGSPEMTIVKQDAPRKQSPMLKSKLLKHDKRNSQHSVTQSMNGLTTANSREASPLSAMVTSQESSPSAFFNNSPSPGSHVDFMNSRMLGGP
VQNPGWVAGFGGFPNNGLPIMPQGLPQQMPPRLIPQASFTHSGPPFKPAMTLHPTPLKSRVETQIPIKMTLFPMPVGITKLHLPTHTISKPKLLAKP
SPARSPDTLELYTSLVCTSAMQNPEARRRAFERAASGELLISDEASPGESGSDEDDENRPLNGGDVKICVGCITRERKRAARKKVKKVEEEESWHKD
EAKRVIVFNTHEVKEWQPPSSQPPSEATGDRPEPFVPDGAMQVDAPMRIACYCRHQNEKLGFQVIFTIKDFQDRLVAQEMTSSIMITDDHKTHNMPT
LTAQNSDGSERHMLSGPGAFTADPTFDMASVPPANLGAFRGSHSSSDLQGTQSQNTNMAFPPSQSATASSMVSQATSATTTPRNLSRQTSPSVQMGP
SSKKRKASGSSKVPSGLAMTRLETGDTLSLQGPPTGPLSASNSAVPSPFTRNLSAFAMPEQQFNPGPTTMPSIPQQYNTGPPTPNSNDQILFSNQNR
SQSMDNLALQQLYSAPASAHPSRVPSPNNGMRNNIPQAYQHPGHIAQAVANGLYGLPLNLNPHRQPTIHKMIPNEGPKAGGIEVTCLGSGFCQGLEV
MFGDSKATTTTYWGDTSLVCLLPPSAFAGTVAVTFKHQHQQQPMQPYPSPPVPKNQTFFKYVDDDEQQIIRTALSVLGHKMTGKMEDVRDLARRIVG
DGPSSWGGSAGPSPTGGNHNQNINGFNMATFGVDVEATLLKCLDLIDLDDSPRQARLNMRRASGQTMLHLACSMGLHRFVAGLLARGASPDPRDKGG
FTPMHFAALHNHPQIVRRLMLSGADPTIRSLKGYTPSDMATSEEVLHAARRIEHHTRNRSGSSLRSRTNSATSLRSLWEPYSSAAPADLDEDSDDDD
NEYEDEDADAAHDRAFWMKSRRPSAQKPSPHELPVINDPTMDMSGVVPGLASPTAAMAAFRDHIAAQVQQFQHTMHLNLPNLPQMPRFDMINLPHYQ
AYLQTTPMVRRISNLVGTNTSRPGSPKEQENRWWDLFSGTVPAAPPAYEDIFPQEEVDKKHALAIQTAAETVAANRSPEVVEQAESSTVAQSRIVKL
DTVRIGQKNIVTREQQDQLRAKHAETVKRLSRDRNLFFIWIPMLVLIVMAMLYDRLPQAWSGASQVIELIRNRHNLQRGRIVEEL
>RCO7_07391 | probable Na(+)/H(+) antiporter 1
MPTLAITNFNIVCSVLGGFITIFGLVSYLFKEKFYLSEALISLLAGVTFSPHAAGFIKPLDYAGSQANLNAITLYFSRLVLGVQLVLAGVQLPSRYL
QKEWKALALLLGPIMTCMWLVSSLIIWAMVPHLPFVHSLAIAACITPTDPVLSNSIVKGKFADKNVPKDLQKIIVAESGANDGLGYPFLFVALYFIK
YTGHEGLGQEGGAGKALGLWFGETWGYTILLSLVYGATVGWIAKELLHWAEEKKFVDRESFLVFAITLALFIVGTCGMIGSDDVLACFIAGNVFTWD
DWFRLETLDDSLQPTIDMLLNLSIFIWFGAICPWASFANNDIIPIYRLIFLGVLILLLRRLPIVFAVHKFIPQIEEKRQAIFVGFFGPIGVSAIFYL
YISLEFLETITVDGVQREDAERLGETIIVVVWFLAICSIVVHGLSIPLGKLGFFLPRTLSRAFTSQGNDDAGHFTIGNFSRSSSVGGVLRERRKRQP
EHSGQSTPTDGVAAAASSSTRPIFRIGGKVIAQNGSASGNGSAVAGSGLSVSGGAHIDRDGRPSTPPGITLNRTIRFPDDEERIQGSS

>RCO7_07390 | related to ribonuclease H1
MSSGSKKRKLGEDVQKFYAVKAGRTPGVYLSWKECQERTSGYAGAIYKSFVSRKEADDFVAGRNQSNPGQEKFYGVAVGHRPGVYTEWPEAQRQIDG
AKNPKYKKFETRREAEEFVMSGGKVSAEKKEKGNVKADAEVGGGVLEVVDGRERFEVEEDVEQPSSKRSRTSGSAEGKGKGKGKMLRIYTDGSALGN
GRTGAVAGVGVFFGVNDKRNVSESLDGDVQTNNRAELTGVLRALQIAPKERGVEIITDSNYSINCVTVWYDSWVRRNWIKSDKKAVENQDLIKGIKA
LMEERDELGAETKFTWIKGHNDDPGNTAADRLAVAGAHASR
>RCO7_07389 | probable 6-phosphofructo-2-kinase/fructose-2,6-biphosphatase 3
MAANSPLENITTSITLPHPSYNSPSLLAPPTICSLGRALQSLDMNSPTSQNGSSPGVDTPEASNPSTANGSPRLRPVRQNSGTVTPRIRPPATTLNI
PGMTRSRVSPDGKIAQRDVGAKLVVIMVGLPARGKSYITKKLHRYLSWQQYDCEIFNVGSRRRTAAGPQSPPQSPEKTSSICRTGSLAEVVDAPTQA
AHILLNGHYSGEDPNDLSKLPSADTMEQSAQFFDPKNAKASQLREQVALSTLDELLDFLLNEGGSVGILDATNSTIERRQILFKAIKEREPKLGILF
IESVCEDEKLLEANMHLKLKGPDYKDKDPESSLADFKKRVAAYESAYVPLGKFEEDNNMQYIKMIDVGRKVIHFRLQGFLAGGIASYLSTFNLSPRQ
IWITRHGQSQDNLAGKIGGDSELTDAGRNYATVLYNFVSKKRAEWEIDQKERALTEAALPMQAGDQTPPYPDILGELEEKNFCVWTSMLQRSIQTAE
CFQDDENYDVKNWEMLKELDAGSFEGMTYEDIQEKFPEQYAKRRADKLSYIYPGVGGEGYLQVISRLRDMVREIERIKDHVLIIGHRSVCRVLMAYF
MDLTRDDIADMDVPLGMLFAIEPKPYGIEFHAYKYNPNEYVFEELPNYKPQKAIGHTN
>RCO7_07388 | probable protein phosphatase 1K, mitochondrial precursor
MSGMKVGRQRPWCLGDTYDFISTFLHTSEVRPVYTSISSGSRRHRGTSRAHNAQLNRFRPHLLVSTPSHVHTSSRNKVGRRQFHDYFVTNLPSSSLH
PDSRSAPHHKLPRADSTPHTPGQGRSPAAAPPTVGLSRELTVVRIPLRSAKHHFGVSVSRGTRPYNEDTYQAGTLEIPAFAKRAPISLSRAGKTASA
TSADSASGDPQVFYFGVFDGHGGNECSDFLREELHRYLEETAKIFELASSLKTGKKKERNVGGPSARSDGDSELASRGKESLQRIEMRSKQGVERDS
NIPCKDENGRIEQPEASPAIESEKPVSVESNRPKANELQKSLVTQWRDTVGGYFRRFRPEHLSLMSSSGEDPAAEKPVSIETALMYAFLKADLDFIT
AQASKPDPDNNHSDKPLNADDILDRPSQLASQSPHQIGGPIRFVGGSTASIVLISTPTPTPFWHPASPSTIVVAHVGDTRILLCNTATGLAIPVTTN
HHPSSPVEGARLRRYAATFVTDSFGEERMSGLANTRAFGDMRSKRIGVSAEPEIRRVELAPAEYSFLVLVSDGVSGTLTDQEIVDVVKEAKTPEQGA
RDVVGFATEVSREGDNATCLVVRLGGWERRIEGGLGSMGTKEVRDFRKGDALDPRRGRT
>RCO7_07387 | probable iron transport multicopper oxidase FET3 precursor
MAISLSFFPMPSLLLLLLAVAVSAKTVVYDFDITWVTANPDGVFARPVIGINNAWPLPVMRATRGDQVIVNVNNQLGNQSTSLHFHGLFQNGTNAMD
GPSFVTQCPIPAGSSFTYNFTAAQSGTYWYHSHNMGQYPDGLRAPFIISDPEFPYKDKVDEEIVLSVSDWYHEQMATLKPKFLNKANPTGAEPVPQN
ALLNDTQNLTISIQPGKTYLFHVVNIGAFAGQYLWFEGHNMTIVEVDGVFTDPAEASMIYLSAAQRYSFLLTTKNDTSTNYAFMGSMDTDLFDTLPD
DLNWNSTGWLVYDDTKPKPDPTPVDALDAFDDFTLVPFDKQPLLPAADQTLTFDVIMDNLGDGRPYAFFNNITWVKPKVPTLYTVMSTGEAAVNSMV
YGEFSHSFVLDRHQIIDIVVNNYDSGKHPFHLHGHNFQAIARSADEAGVFDATNSSQTNYPAIPMRRDTVVLHPEGYMVLRFQANNPGVWLFHCHIE
WHMSQGLIATMVEAPLDVQKSQTIPQNHFDACKAGEMAYAGNAAGNTEDFLNLKGASQAPKPLPAGFTARGIVAMAFSVLAAVLGCTVIAWYGMADM
GAASMASEERRIADMSSAGHPTVVSDTPFK
>RCO7_07386 | related to high-affinity iron permease
MTVNVFAVPVFFIVFRETLETAIIVSVLLAFLKQTLDGPSRDVAVYKKLVKQVWYGTGAGLLICLIIGAGLIGAFYGAGKNAWAKSEYYWEGSFGIV
ASVVITIMGAALLRVAKMQEKWRVKLAKAMEDKAVTTEGKGGAWKRWAEKYAMFILPFITVLREGLEAVVFIAGVSFSAPARAVPLPVVMGLLAGGV
VGYLIYKGGATTKLQVFLIVSTCFLYLVAAGLFSKAVWFFQAQKWNDAVGGDAAEVGAGPGSYDIDQSVWHVNYGNPELNGGGGWGIFNAILGWQNS
ATYGSVISYNVYWIVVITGFLLMRYRETKGHLPFQKAKLDAGPGKQVRPGSASDGSSSIVHSADEKEAGKTVQATTTTASA
>RCO7_07385 | related to Dor1-like family protein
MADPLYELLVPYFDSPSPRPAPSSKDPTTNAYLNRLATLPLSSLTSNEPQSLAQTTHSLLLSLQGLSKRSHKAIIDSSTHLSTLSTTLPSLAQSTAS
LRDALPKLDDAAIHFSETYNTRSENALLDRRRKALLLSRNIDRLSDILDLPTLLSSAISTSNTACASTAPNATLNYASALDLNSHIRRLHGLYPDSA
LISSVEKQAEDAMQDMATNLIASLRTSSLKLASAMRTISWLRRVAPELDPTLTTSLSSHHASSTGAGGGPTSREGSLGSLFLVCRLANLQQTLSALE
PLRELADQETQRLKESPNSSNGTGAAKERKQSFAIISMYRSIFPAGNPAQEDAVLKGLGREKADTDSDPLQPLPSSLGTFPLQLVGMLEETLRRYLP
NVRDRSSRDSLLTQVLYCAGSLGRLGGDFSLLLAFLGGGGKDEDGDLDVNEEDRDEDEEWVEVIRKHRVLAGRLELMVGSRDA
>RCO7_07384 | related to cytosine deaminase
MSKPTTNGANGLGSAGPELSFKGVYIAGKPENTRWDISCKKGLIDSLDEHVPDPSTSSESKNGVQFLCPSLCHPHIHIDKCFLLSHPKYADLKIETG
DFAEALKLTSEAKSRFEHEDLMERGRALIEESINFGVTHLRAFVEVDLTVKYLCLEAGLALKKEFKQRCHIQICVFAQDPIVSYRDKGKAMKKLLDV
AVNRPGVAAFGSAPYVEQDGDRAKQLQNIEFAISTAIRYRVHLDFHIDYNLDPNTPSMIGDALALLHKLKWPSDWNHHLHRSVVFGHCTRLTLFSDK
EWLELQEKTRGLPVAFVGLPTSDLFMMGRPAKDDAGGQRVRGTLQVLDIIEKYGLNAAIGINNVGNAFTPQGSCDPLSLASLGVGVYQAATNRQTDL
LLQCVSNRAKLAMGIDLPISCEIDIDVGDPADFVVFGNDTASGSGAFRSRRTIQDLVNDPTHDRTTVLGGKVVSRQRRRQS
>RCO7_07383 | related to DUF887 domain protein
MHDPFPIPPLPWLSKAVQPFADYFHLTTLPLHIHEVLISFFGYTFINVWLGPQISKRIFPVKYAKLSPERRINWDVHVVSLVQSTTINLLALWVMFN
DEERKNMDWQQRIWGYTGAAGMVQGMATGYFLWDLMVTLQNVRLFGFGMLAHALSALVVFSFGFRPFVNFYGCTFILYELSSPFLNFHWFFDKLDMT
GSRAQLYNGIMLLVAFFCCRLVWGTYQSVRVYQDVWNALHHQPVTTSIDINALNDTAAAHGKSAAPIHDDIMRFAGEEFVPLWLAFTYLGSNVILNT
LNFYWFGKMVETVRKRFQPPKEVKQKEKAIATRSTGANGKSRIDIDETEVRRRHVAEDEPIDAIS
>RCO7_07382 | uncharacterized protein
MSDSNSGSSSEEGDAQDGSGPASGYVTGYGPEESPRDINQTLQLDLDRSQRNPHWMWLSHQRISAKRFPVLEPIENRPPLLPNFAQIWLEYTNTVLA
TLAIKNNVDLPASASFPRAMPLMGDGTPIDMATSFIVPGDFWIGMKGLYMRLQAGVFVVFRREGHPQKNAWWWEIVYANLDKRGRVL
>RCO7_07381 | related to putative tartrate transporter
MGGSKGAEPRIAPVRIALIEDALVHFKFPPVQVICPFHLLIKFNCSSISLKHSAMEGSTSQNPEVGHDIDNHQDSYSRSSTKSLLVMNSVADPMKTS
GISNGNGQYMDGNEHENGSISYHGDIEPSENDREVERRLVRKVDLRLCTIAGILCSLNLLDSGIISSASVTTIFEDLDLGVGNRYSVSILVYTVASV
TFQLPATLLVRFLGPRIVFSAITVGFGVVTLCTAFITTWRQMIGLRILLGIMQSAIFPGLSYLISTWYTRKEQQLRFAFLQSGEVTVVGLGGFLNFG
LNHLNGKGGLAGWRWMFLVQGIIAVVIGFVTYLWIVDFPENAHKSFRFLTRDERLTAERRISDDRGDVNPEAFSWRRCLVHFLDPKLYGFCMMFLLL
NLVSTSLSYFLPIILQSGMGFSTDQAILLSAPPYFYAVLPVIISSIVGDKYQLRGLVISFNCICTIVGFSMLGFANQVTVRYVGTYLATGAYVSNWA
AMNAYQASNIVGQWKRATFAASITACNGLGGIAGSFIVRQNEAPRYMTAIYISIGSHILIIGIVLLFSLYFWRVNKKQKEGTALLEETVGFRYTF
>RCO7_07379 | probable Actin cytoskeleton-regulatory complex protein sla1
MGFLGVYKAIYDYVPQGDSELAITEGDILYVLEKSDEDDWWKAKKKASGEDDDEPTGLVPSNYVKEAQPTHQARALYDYTRQTDEELSFTEDATLEV
FDTSDPDWILVGLDREYGFAPANYIEVQEETAQSTRSEAPPPSLPRRPPAAIEDDDSLGSPGSPQSPAHNPAAALAGIINQRKASAPVARGSPAQYT

PEASDDDEGPPPSMPARPASQARAPEPVYAREASPTSPGPTMSPPYNRASFNRNSDDEVASHAPGGFHMYNINEMVHVMGKRKKMPTTLGINIATGV
ILIAPEKSRDGPEQTWTADKMSHYSIEGKHVFLELVRPSKSVDFHAGAKDTAMEIVSALGELAGAVRAEGLREVIFAGTGEGGQKKGQVLYDFMAQG
DDEVTVAVGDEIIVINDTTSDEWWQVKRLKTGKEGVVPASYIEITGMISTPGSSALDQAKLTIEQNRLEEERRAKESLRAARMEEDSKGSQVIPERG
SSLSARDISNQDGKQRNRSEGGRDGQTRASKSKPDVSKVRTWTDRSKSFSVEAQFLALKDGKINLHKMNGVKIAVPVVKMSIEDLEYVERMTGVSLD
EDKPLSDIKKQQRARTANNTGGTGASIVPKSSKPEYDWFSFFLACEVPVGLCERYGQAFNRDSMDESVLADIDATVLRTLGIREGDIIKIMRYLDKK
YNRTGGKRNVSSGAEEDGEAGGLFSGPGGTLKNNTRKGRPAPAVQTNDIVDADAFKQGSNEKTIRPEGVATPLASMPTPAKKDQVRSGFDDDAWDVK
PSKQQPEARQIPQSAPVSAPAPAQHTLTGSMQDLSLLSAPLEPTRQQAPPQPQGATPSFFAGIGQQQTGLPQQQTGAPFNPQLNQLNIARARPAPPS
QLQSQGSLMIPAPPSRPLSAPQANQQSGFSLPPLQAQNTGFQNSSGFQNQIAPPGQSLNDIRMQQQYTGFNGSQNPTQNTGMMNQSQNFGQFNNGMQ
NSFQYPMQTGMQSGMPQQQNPMNNGGGPFADPRQQQFSPLQQQPTGFQSSFGPPQQQFPQPTGVNSFLPPPLQPQQTGMPQQQQQNGFSPFNPPPIP
PMPQQNTISPLVPQKTGPPPPVRFGVTGDAKKLMPQATGRRANLSQATPQNPFGF

>RCO7_07378 | uncharacterized protein

MHSQTIFTYALVAFAATVFAAPTEILERDAYQVPGLDFADKVETVEKKLVFLERRQAKASGAGAGAAKATGAAKASGATAPKASGAARAAKASGAAG
AAKASGATAPKASGAARAAANASGAAGAAKASGAKPAAAKASGAASGTKPAKASGAGDKAAAAASGGATKPKASLAGGAAAAKASGGAKAAKPKTTP
TPSQTTPAPATKTGDGDKEEYES

>RCO7_07377 | uncharacterized protein

MSSSKGKGRAERLKDDSKQESSIQDSSILSRVAASATGLTRNAFTTSNPSELNQQAAAALSSSNKTQSIPNPGTSSNTWAESSRSSQAQPNSQASSS
GLRTGHSEQHSQLSEAEFSSFLNGIDSFVPSESFGEIPASETSGIFDFQPWELSPDSRPLYQPANRTVKQQEQQDGSDVLAILSDPAPLDSLMEEPP
PLDEDDENYDWGLAPAQITKLRELTKELLPAPPQHAHASVNNPLNLISEYQGQESAREQYIEEWEGVLYRYADEVWGGLAPLVREAREEVKDAKSSL
DTEHRGREIKAVRRLESILGHLGQR

>RCO7_07376 | protein phosphatase 2A regulatory B subunit

MVDGEPNSPTWKFTQCFGDKGDVEDITEADIISTVEFDHTGNYLATGDKGGRVVLFERNETKKTCEYKFHTEFQSHEPEFDYLKSLEIEEKINKIKW
CKRQNASHYLLSTNDKTIKLWKVFEKSLKVVAENNLSQELTAGNSAGGGGAVRRRSNVHYTSAHDLKLPRLTHHDTVVAAVPRRTYANAHAYHINSI
SVNSDGETFISSDDLRINLWNLNIQDQSFNIVDIKPANMEELTEVITAAEFHPQSCNWFMYASSKGTIKLADMRESALCDQHAKQFEQEEDPSARSF
FSEIISSISDVRFSHDGRYILSRDYLTVKIWDVNMERQPVKTIPIHEHLRPRLCDTYENDSIFDKFEVVFSGDAKNVMTGSYNNNFMIYPSDPEKEV
EVVLQADKSAFKAKKVGVPTPINSSTSPTATNGGKKGGSRAGSPAAGATGQGGRMRKETDADQIDFNKKILHMSWHPFEDSIAIAATNNLFVFSAL

>RCO7_07375 | related to UDP N-ACETYLGLUCOSAMINE TRANSPORTER (MNN2)

MARKRRADSSSTQSSSMTGPRRRSTLRDLQASNATNTDGDIITPKIIDAAPSLEKAEMYGIDDPRPTSSRIMAMMGRIFIETIPAWLAVGGMLGLIF
GGCCSNVFALEAIVKVEPDSGTLLTFVQFLFVATTGYFSQFDRSRPPFFLKPNHVPIRRWMINILLFFTINVLNNHAFSYNISVPIHIILRSGGSIT
TIAAGFLWGKRFSRMQIFAVTLLTVGVVIAAWSDQQSKKGVESGEETQSLPPFSTGLAILFFAQILSAIMGLYTEETYKQYGPHWKENLFYSHLLAL
PLFMPFIPSMRKQFFKLAASAPLGLPAYNQITNLPVELRKGLETIYVPSQLAYLVMNVLTQYACIRGVNLLASAASALTVTIVLNVRKLVSLLLSIW
LFGNKLSPGTLLGASIVFFAGGMYGLEGSKKSGRSRHRASTVNGKVG

>RCO7_07374 | probable AMP deaminase

MEQESATAGSEQSWDSNEDKQSALLPSAALQPDDTPPQTSTPSDLDNDDDGILPRDVQRKTAYYDYAAEKTLSQADAKLFYQRSQLEAQKTGGSSRG
NGGSQQSPQGSPVLMPRSFSNVFESEHGMRRSGSAASTKSWQSSSKYRPAAPLGLADPNKAPEANVIQEPSSAAFAQSPVGIHRTESLLRADVAARD
HAVHPNIPHEPKPSLETEGLHGAGAGVGMGSGAGGFANSDDNITSELSTIYTNIQKILDIRHKYIRLSLQQDGSNPRDEPSWKIYPPPPEPAWYEAG
YEERDRNNTNGMNSQNNSMSNSMVLPDRSKAGDHSLHPSAGSQPKAPRKKRKPGQDIGEDFYLEDNLPVPGADEMSFRMDANGVYQVYENPEAVMHD
TPVINIPNIREYYMDLEDILNISSDGPSKSFAFRRLQYLEGKFNLYVLLNEYQEMADSKRVPHRDFYNVRKVDTHVHHSACMNQKHLLRFIKSKMKK
CPDEVVMFRDGKHLTLEEVFQSINLTAYDLSIDTLDMHAHTDSFHRFDKFNLKYNPIGESRLRTIFLKTDNFINGRYLAEITKEVISDLESSKYQMA
EWRISVYGRTIDEWDKLAAWVIDNKLFSHNVRWLIQVPRLFDVYKSTGLMTNFEQVIVNLFQPLFEVTKDPSSHPKLHIFLQRVIGFDCVDDESKPE
RRLYRKFPVPKVWDSKQNPPYSYWIYYLFSNMASLNVWRKQRGFNTFVLRPHAGEAGDTDHLAAAVLCCHSISHGLLLRKVPLLQYIFYLEQIGVAM
SPLSNNALFLAYERNPFLSYFKRGLNVSLSTDDPLQFAFTKEPLIEEYSVAAQIYKLSAVDMCELAKNSVKQSGFEHAVKQRWLGQDYHLPGVKGNT
MAKSNVPNIREGFRHETLQQELAMIARYTSLATPNTAISSKPDQFPTSYTPHQAPPSPTSSTKTNISSSTTIQADPTTPAYQQFPAQAARIPTSHSQ
IHLDSPQQHSQNQSQAQQNTTSSPLTRPNSNLTSPYMTGVNREGTWGLEASFTDLHLSAGEPRIFPGVVSRTQRRDSNVRKSSQSETDDGAGAGGGS
GSGISRRAGMRRAFDGSVEEEGEMYRAESDGSMEEAGGRDE

>RCO7_07373 | probable dynamin-related GTPase DNM1

MASLGEDLLGIVNKLQDLVFNTIGNDSLDLPQIVVVGSQSSGKSSVLENIVGRDFLPRGSGIVTRRPLILQLINIPSEDDDAPEEHTAAAVATQPEW
AEFHHIPNRRFTEFQDVKREIENETARIAGSNKGINRSPINLKIYSPHVLSLTLVDLPGLTKVPIGDQPTDIEKQTRNLISEYIAKPNSIILAVSPA
NVDIVNSEALKLARHVDPLGRRTIGVLTKVDLMDHGTNALDILSGRVYPLKLGFIGVVNRSQQDIQGNKSLAEALKSEADFFKHHPAYRNMAGRTGT
QFLAKSLNTTLMAHIRERLPDIKARLNTLMGQTQQELASYGDMHFSGREHRGSLVLQLMTRFASSFISSIDGTSTEISTKELCGGARIYYIFNSVFG
NSLETIDPTTNLSALDIRTAIRNSTGPRPSLFVPELAFDLLVKPQIKLLEIPSQRCVELVYEELIKICHTCGSTELTRFPRLQAKLIEVVSDLLRER
LGPASSYVESLISIQRAYINTNHPNFLGAAAAMSNVVTNKQDKERKRLLQEERERREKRRQKELGANGADTPEDDEEGEKVENLPTRTALQKGGRSM
SPAIRQNGTSGIAATMNGMNGQGAGGPRDSFLNYFFGKDGAMPGGAPGAGQGASSNPNLGRHVSQSTEPSFSQSIRRQEERQIHRTPAQQSREDDYE
LGRVQRDYDYNSPFGNNNEPALTDREAMETELIRALISSYFNIVRESIADQVPKAVMHLLVNHSKDAVQNRLVSELYRDDMFEELLYEDDAVKKERE
KCEKLLKTYREAAKIVGEVGI

>RCO7_07372 | probable translation elongation factor eEF-3

MPAVTDTSATASMASKENKESLKVLDELMAKLTISKAQEDINAATHNLAIFINSPIEENDAPTKTVESLKKQISNKKDGNVRERALNAIQAIAEHAE
TAPSVEPYLVVLLPSVLSAVGDKLVPVQNAAKVAALAIIKAVSANAVKAVLPHIINSILTAQKWQEKITGLTCIEALVVSAPTQLALRVPDLIPVVS
ESMWDTKPEVKKMAYGTMEKICGLIVNKDIDRFIPELIKCIAKPENVPETIHLLGATTFVTDVHEPTLAIMVPLLDRGLAERETAIKRKAAVIVDNM
CKLVEDPNIVAAFLPKLMPQLTKNYENLADPEAREKTKQGLDTLIRVGAVVDGKIPEASHAGDVSTVSAILKEIIESTKHKAVLTKFAPILDFASAL
AGQLIDEKDADTQSWTSSIKPYIASIIPEPDAQTIVDTLRKKASPLAEANDAEEADDEEGEDLCNCTFNLAYGAKILLNQTHLRLKRGQRYGLCGPN
GSGKSTLMRAINNEQVEGFPKKSEVKTVFVEHDLDAADTEQTTIDWTMKKLKEVGVETSREEVIKQLTEFGFNDAMINNLITALSGGWKMKLALARA
VFEAPDILLLDEPTNHLDVKNVKWLEDYLMASPCTSIIVSHDTGFLNNVCQHIINYERFKLKRYRGNVREFVKKCPSAKSYFELGASEMEFQFPEPG
FLEGVKTKAKAIVRVSKMSFQYEGTPKPQISDISFQCSLGSRIAVIGPNGAGKSTLINVLTGELIPTVGDVYTHENIRIAYIKQHAFAHIDHHLEKT
PSEYIQWRFQTGEDRETMDRANKIVTDEDEKAMDKIYKIEGSQRRVIGIHSRRKFKNSYEYECSFALGENVGMKNERWVPMMTADNAWIPRTEILAS

HQKMVAEVDQKEALASGQFRPLVRKEIEAHGANFGLDAELISHSRMLGLSGGQRVKVVLAACSWQRPHLIVLDEPTNYLDRDSLGALSKALKSFQGG
VIIITHSKEFTENLTEEVWAVVDGKMTPSGHNWVQGQGAGPRLKGDDDDEEEKFDAMGNKIVSTKKAKKLTSAELRKKKKDRMARRKRGEEVFSDED
DI
>RCO7_07371 | uncharacterized protein
MATQLADGGGATAATEPCSDSSTKSDDFTNRGCLLKIRQQRSLPPNAEGANKALAEAKEILFGHWRAAHKFSEEKIKAVQAAKFQVNVFWHLIEDDV
YRIAADPIKELEQIRIASPKTMEALRNHLEKLKISSTSQLEIEACILPLPLSVYQERPLAQNMHNAARRRVAKETLAFRKKGSKFKSWMTVIRAEDV
TQEASGWGWNDTTEVDTWQELSFEKEYKQISWGEQSYRETCLQQRSKVTMSTITGNGNKGRNPKAKITDSRVNDKPVATSSASQKDKKKFEADVKAR
MIERLHKGRSDPRVLRSITVARGCSSDGKGCAACRANTR
>RCO7_07370 | uncharacterized protein
MDTTTYNKENVAPVSCLPSPPTSFENKPQSIESENHDGFIEIPLTSDDDQINSNLKTNLSSANIQAAEKRDGELLSDDDEAAEKRKRVFLSNGDDHD
KEDTYGLRSMDSLTEFGDVEMEELLEIERSIPDNHEDLDLNLNRPDPPERPHTPFENQSPRFQSPLIEFQPLTILIPPFHSEAPRPQTRRSDEPSKE
QSQGLQSEQLKKLLCLDLSALPKPLNINKSSYFSQGDPTKTESKYDDVSDSDNDSDTDDWSEEEEEEEEEEEGKIVDDGIRREFVEISREEWNLRGH
PRFGKYRVKEISCLRVCATIRAGA
>RCO7_07369 | uncharacterized protein
MPKNTINLNALPLGDLPQGGLSTLPGDKVTIKDRIIIHESAENGLKVVKLYRQDNGPQMIQQLPVPALHFQQVAKRSASPLPENPAKRKKKGWIDPK
SQLTTDQDRRLREIAVERQLAAEELKACSAEKKQLEKLRAGMPTDPEVDRRVKANIVRKKEAERNSNRIGSTRRALMDGLNAKSGKPNDMTHHERSM
HHAEYEAGIQLLDKRLHLAQRFLRSHSMVKVEHNSNSNMLSYESFKPVGLDIVDPYRQSYTGAPGFQDHRQNLLQQLEDIPSYFDTSVSTFPDSKIH
PARLSLMNTTTAAMPELQSTEPQVLMKVTGENVVPLARSRMTGTTSVIMKHEDETMEAREILEYTSSDKDSHVKIWEKVGREIDQDKPEGHNRFYSP
ILLGEASKSKEAIAWLDANIPLNDYSGLSRRKLVDNEDRCDEVSGTYDVNQVGFQGPFSEPVQSNLVRLGLQHYQDDEEDSAVNVHQDHFASTSTNN
MPIQEDQPHDCFFAQHQEIDVIEREPRDRYAFTSDQGMNGLKKQVPNLDMSVAVQQRYNRITTVNHNEYSPASRESKDERLTMTTDEKQDKSKHVTS
ALSLYQEPMDLLHDLHTGKRPIFGERSINIGVGNEEHEETG
>RCO7_07368 | related to SEC7, component of non-clathrin vesicle coat
MSSIVFVVSALETIAASKEAQKNKPLSESVQKALKDIKEHAPQLPDPEVIFVPLQLATKTGSSIPLITAALDCIGKLISYSYFSVPSSPNADKEAAR
EPLIDRAINTICDCFQGETTAVEIQLQIVKSLLAAVLNDKIVVHGAGLLKAVRQVYNVFLLSKSSANQQVAQGTLTQMVGTVFERVKTRIHMKEARL
NLGKLEKSAANTSSYTVDAASPAANGDNIVEESVEESVASEIPSDGDGPKLTLKDLEHRKSFDDSQMGDGSTMVTQVKHAQPSPRYAEGETPPESTM
DEGMESEDTEDEVYIRDAYLVFRSFCNLSTKVLPLDQLYDLKGQAMRSKLISLHLIQTLLNNNLLVFTSPLCTITNSKSNEPTGFLQAIKFYLCLSI
TRNGASSVDRVFEVCCEIFWLMLKFMRAPFKKEIEVFLNEIYLALLERRNAPVSQKLYFMGILQRYCADPRALVETYLNYDCDRNVDNMFQTLIEDL
SKAASQAVMVSPLHQQQYEERVIKGGNGSGSDWQARDTLPPSLTTAHLTERHANVDDEIPKEYIIKRQALDCLVETLRSLINWSQQGIAEVTGGLEG
ETRQSEDFRQSLDPLHNDSSSRITNGDTPIAPSTPVVDDDPNQLEREKQRKTALSNAIKQFNFKPKRGIELLLREGFIPSNSAMDIARFLISEERLD
KAQIGEYLGEGDERNIAIMHEFVDTMDFTKRRFVDALRQFLQSFRLPGESQKIDRFMLKFANRYVTGNPNAFANADTAYVLAYSVIMLNTDAHSRQV
VKRMTKEDFIKNNRGINDNANLPDEYLNGIFDEIAQNEIVLKSEREAAAAMGLVPQQSGGIAAGLGQALATVGRDLQREAYLQQSEEISHRSEQLFK
NLFRNQRKNAAKSGGIKFIPATSFRHVGPMFDVTWMSFFSGLSGQMQRAHNIEIIKLCMEGMKLAIRIACLFDLETAREAFVSALKNATNLNTPTEM
QAKNVEALKVLIEIGQTEGNLLKGSWRDILMCISQLDRLQMISDGIDEGSIPDVSKARIVPASKTDAQSINSRKSSQSQRPVRPRPRSMTSSTSYST
EIAMESRSDEVIKGVDRIFTNSANLSGEAIVHFVRALTEVSWEEIKISGQTENPRTYCLQKLVEISYYNMTRVRFEWTNIWAVLGEHFNRVGCYNNT
RVVFFALDSLRQLSMRFMEIEELPGFKFQKDFLKPFEHVMANSSVVTVKDMTLRCLIQMIQARGSNIRSGWRTMFGVFTVAAREPYESIVNLAFENV
NQIYKTHFGMVISQGAFADLVVCLTEFSKNMRFQKKGLQAMDTLKSIIPRMLKTPECPLSNESEANSDGSIKNETSKQVSRTSQEEAFWFPVLFAFH
DVLMTGEDLEVRSNALNYLFESLINYGRNFPHDFWDMLWRQLLYPIFMVLKSKSEMSNVLTHEELSVWLSTTMIQALRSMISLFTYYFKSLEYMLDR
FLDLLTLCICQENDTIARIGSNCLQQLILQNVTKFQPAHWSKIVGAFVELFEKTTAYQLFSATTSAGSGMENGISPVDEPMADEKSLKITTVNGSVT
SDAESINDDEARTPTVAATDLEDYKPQSGLQQQPVVVTAARRRFFNKIITKCVLQLLMIETVNELFSNDAVYNQIPSPELLRLMGLLKKSFLFAKRF
NENKELRMRLWREGFMKQPPNLLKQESGSAATYVSILLRMYHDDSEERKNNRGDTEAALVPLCADIIRGYTLLEEESQQRNIIAWRPVVVDVLEGYT
NFPREDFEKYIETFYPLGVDLLNRDMGAEVRMALQGLLRRVGETKLGLPEHSEIPSSPTSAMTPARRRSSFR
>RCO7_07367 | probable dihydrolipoamide acetyltransferase component of pyruvate dehydrogenase complex, mitochondrial precursor
MPALSPTMTAGNIGTWQKKVGDSISPGDVLVEIETDKAQMDFEFQEDGVLAKILKASGEKDIAVGNPIAVMIGEGEDASAFESFSLEDAGGESAPAP
PPKEEASNASETADTQSGTAPPKAESTPAPEQPESSGGRLQPALERAPNASAAAVRLAIETGVKITGLKGTGTGGQITESDVKKASSGGSSSTPGGA
APVSSYTDTPLTSMRKTIANRLTESMNQNPHYFVAATVSVTKLMKLRAALNTSANGEYKLSVNDFLIKACGVACKKVPTVNSSWRDGFIRQFNNVDI
SVAVATPIGLMTPIVKNVEGLGLSSISAQVKDLGKRARDGKLKPEEYQGGTFTISNMGMNSAIDRFTAVINPPQAGILAVGTTKKVAIPVENEEGTS
IEWDDQIVVTGSFDHKVVDGAVGGEWIKEFKKVVENPLELLL
>RCO7_07366 | probable vacuolar segregation protein pep7
MSGRKLGGGRILGSGKSLAPPAPPAHQRTSSLISSPAASTVSSGDSTASPLATSPFPESNQDLKSIVSLQNGGPSTTSGSSRLLCPICNEEMMTLLQ
LNRHLDDNHQELPAVEQDEVKNWFDKQVIKAKKFQPLAVMNQKLKGLDVFESNDSPPLSISASSTLPGNRLSITEPARVDPDEVVTRAHWQRSGFND
LCTEPACGKRLGAVNGNVNCRKCGRLFCEDHTMYQMKLSRSAQHEPVRGLWCRTCETCFVSREGYNDHNGLIRDDSTDFIAMRRKKIDKEYLEISRL
EKRLTKLTQLLANPPEDLSGSSGGLLSLSGQKNQRKILEQSVVTWEEDTKVLKCPFCQQEFGSWSFRRHHCRLCGRVVCADPRTGCSTEIGLNVTAL
TDLQSEKNSTSEMSVDVRMCRDCKATVFSRKDFAAEANHQPADQRSYENLLQFERGIRSLLPNFQRLLMALQDPDHPPSQQTLTEASKVRKRLIDAF
GKYDLAARRIRDLPTTSIAQAKLQRAIYQQSANFLSIHMLPLKSLPKILKHASPHGSNPHSSNGLPSNGRSALANIKYNDIDSASQISSSSAVSAME
AEEKELRERLIVLEEQKFLVADMVADAKKARRFDEVAALTGNLSDLTREIDGVNGMIGQLDFEGVYAREMGGEGASGGPLGLGR
>RCO7_07365 | probable siroheme synthase
MDETNYPEVEGGGSLILAWQIRNKRVLVVGGGRILNVLNADAKVTVVCPREGLNAEVAYRIEQGQVEYFDRKFEPSDLDNVDMVLTAVDDPEASSQI
WKLCKERKIAANIADVPPECDFYFGSVHRDGPLQIMVSTNGKGPRFANIVRRSIAKQLPANTGEAITKIGKLRQMLRKVAPGIEEGPKRMAWMIKVS
DAYSLEDLCAMNEEDMQTLLRFYAPDKVPRFGCLKAMEGELDAFDGSFGFCVGWG
>RCO7_07364 | uncharacterized protein
MATKTQEHLTLEGAKIAVAAAEKKAKQIGVDMNIAVVDASTHLLHFSRMSNAKITSISIALDKAFTAAGHRVGTHTYKEAVWPGGPAFGLGNSNGGR
FTTFGGGLPIVNAKGEVIGGIGASTGTPAQDQQVVQAGVDALEDVLKGKLRAKL
>RCO7_07363 | related to Endo-beta-1,4-glucanase D

MKYSQVLIGAAAASLASAHATIYNVWVNDVDQGTGNSAAGYIRSPPNNSPIKDITSKDMTCNVNNVAAAKTINVAAGDKISLEWHHNNNSPADDIID
STHKGPVMVYIAPASSNGEGDVWVKLAEDGYDGSQWAVQKLIANKGKHDFILPSTLADNKYLIRGEIIALHEADSAYSANPGRGAQFYMECVQISVS
GGGSTVLPAGVSIPGAYSDTDPGVVFNLYGGFTSYKIPGPAVWNGGSSGTAPKPPTTTPAVPISGQAPGKAEDPKSTPIATPAPIATSAKSPCKPKT
STDAPKPTKTPCTGKTPTTMATVATPAVSGTSAASGATVALYGQCGGQNYQGPTTCASGSTCTNYNPWYSQCVAA

>RCO7_07362 | related to nicotinamide mononucleotide permease

MVTPLTVAADDQPAILMSRFTSTRYQRLESDVPERASGTRQSSTESFDNQDVNLLVQEADSGDSPNSPSDHPQSDEDESYDSSALLKSGKTLALGVP
GDERRFFFQRSKVVNNAEAIATQASVFDNPETLEEYRPGDDWENIHRFDPDERWTWGEEHRLIRKIDSRIMIFAAVMFMALELDRSNISQALTDNFL
EDLGMTTNDYNAGQTAFRLAFLCAELPSQLLAKWIGPDIWIPSQMVVWSIVASGQFFLVILYLSYFYKHHELSLRLGFFYTASALADVMGGFLAFGI
LHMRGFNGHAGWRWLFLIEALLTLIVGLLAFVLMPSSPTSTSSWFRGDKGWFTEREEKIMVNRIIREDPSKGLMHNREPLTLALLWQSMKDFDLWPI
YILGLNFQTPMTTPANYLTLSLKGLGFDTFKTNLLVIPNQVFHVVTMLALTYAAEVFGELTFTALIGQIWALPFLVFINIVDISQINKWLAWAIMTA
LLSFPNAHPIQVGWNSRNSNTIRSRTVSAALYNMCVQTSGIVAANIYREDDAPRYKRGNHILLSLVALNIFLYLGTKLYYVKRNAYRDKIWNGLSED
EKLSYISKTTDEGNKRLDFRFAH

>RCO7_07361 | related to NADH oxidase

MQLSEKIELPCGLVLPNRLAKAAMAESMAKDHTPGKEFVSAYGEWADGGWGMIITGNVIVNEAFHGSPGDVELSVSREQSPEEKAQWKNWAAVCQRS
GTPTVIQLCHPGRQSPYGAGSSGLFQKTVAPSAVKLNLGDSVIARTAVSLLFGTPRELTHEEITGPEGIIAQFVAASKQCYEAGFKGVELHASHGYL
LAQFMSPMTNLRTDDFGGTATKRVEIVLRIIREVRKQTSPEFCIGIKLNSVDAASSESLEEVMEQIRLINEAGVDFAEISGGTYENPRMMQDPHDAA
KAAEKEPKTKQSTLLREAFFLQFAQEVRASFPKLVLMVTGGLRTRLGMEAALKTGGCDLIGIARPAAVLPKLPKEIILNETISDEDASVVLAPIPVP
GWIKYVPVKALGAGLQSKYYAEQIRRMAKGLSPVDTRI

>RCO7_07360 | related to tyrosinase

MSCLTYATSLSKRGPDDILAAKALEKAYQVLNGTLSDGSARTTCTQDTLAIRKEYGDLTNYEKDDYVKAVLCLQSTPSKLSATQYPGAKSRYDDFVV
VHINMTHGVHDTASFLAWHRYYVWAYETALRSECGYKGYQPYWNWGKYPDPSLSPIFNGDAHSMGGNGEAVSHKGYNLGMANVMVPAGKGGGCVKTG
PFASMTVNLGPLAGAMDAALNIKKNPRSDGYGYKPRCLRRDVNDYFVSQYLRPQDIANQITSSKDIESFQKSLQYDTTSAFSLHTGGHFSIWGDPGG
DFYVSPGEPVFWLHHGQVDRQWWIWQNQDPANRVQQYKGGTIMMQSNSPPGKITDIQYLSVTAPKGYADIPSKDLVSTLAGPFCYIYQ

>RCO7_03643 | uncharacterized protein

MHETIMDLPTLRSKASNDQRQCTGHRLLRDSSATTHIQSPTDRQAAAYLSLLFAIEQAQVLMEPIRSGNDPSNRLKSLSEPIGTKRKATSAFKRWVS
LRRAA

>RCO7_03644 | uncharacterized protein

MPIFSPPRGATDNCDLSELETLIARPESLSGQKLALNFWRHSTQPN

>RCO7_03645 | related to endo-1,3-beta-glucanase

MASFILSTAMLMAVGAAASVPKIDGFTLTWSDDFSGPAKSLPDPKNWILDIGTSYPGGAQNWGTGETQTYTDSPDNIALSGDGKLIITPLRHGTGNT
TKWTSARIETQRKDFEPAPGGKLRIQGRIQMPDVSGEEAAGYWPAFWTLGGRFRGNFTNWPVVGEIDILENVNGIDKVWSTLHCDVAPGGKCNESSG
LGKTSPCGLGKPCQGYFHTYAVEIDRSTKPEQMTWEVDGTVYHTLNETALGEAVWLETVADGGHMLLLNVAMGGGFPDAFYKNSTVYTPIPETRPGV
PMIVDYVAVYNSIDSSYWHGK

>RCO7_03646 | uncharacterized protein

MKLTIVIHCLLGIANLTFAQESDLPGLLSEMMSSSSTLVEVTSTLATSTFISTTAVNDPAPLPTKEPAPAPELEPSSAPEEVIISIYSVHNPDQVTS
KFSEPETSQAPIPETRISMISGYSPDQISSYTPAPASTQNPFPETQISTISGAAKSQPPQSTVEPSTASTASVLSLTASSESMCLCPSAIFTSTSTS
FIVSDKTCQTTITSTATAPPNIITHTSTLIQPTTSILTINAAAICPTSIRDSSTKSAVVVNVTKTITSTATITKVRTVVTRIRTTLVVEVTRTKIEV
VWRTETATKVVTKTKH

>RCO7_03647 | uncharacterized protein

MDPDKPDRSGQSPLNYVAIHGNIQATRLLLDFKLGSVTVAIYLLKYGADQMATDLDGRTAEFLVEHSKNEDLIKVIIDHSGQRVKAPTCITTMTPAL
SELKEVIEKLDFVLDAAKHTQVTQNGNFS

>RCO7_03648 | related to mRNA capping enzyme beta subunit; polynucleotide 5`-triphosphatase

MDLRSIINTDGGDTNTSKQAAPTPVTPIQAHPQQSFRDYSHPPQASPGKHPSQDYGAPPSAGGGSGSISYASPTQYQQSYQGRPPQPPPIQTPSHND
LRSPARSFSAQSPYQHTPSSSINQYPFPQSHQTPQSPAQHHPFPPHLQQRESYPHPGQSPLLHHQTSFTQPSPAPQTPPVGLPGAPHPYLQQHHQQQ
SQQPPNQHQRSVSSHSSTPTSATSQHHHQFGQFQQDSPVSANQYPPSQIQHHRQASHQSQPGTPLGPPIQRQSSGAYPQPSSPYSQRGIPPSPFSQY
PNTSPKPPVAPSIQRQPSTPSGYDSQRTSISEQQQRRSQSERERSVSVSPKTRLHSQPPAQSPIQPPSQIPEKITTPQPERDYNSGKRKMDDREVSI
EPRRIEPTDSKPQENGNHRLPSASPQQPAKKRIRYTEPPIWARSIREKGARIQNSPRTNGPRQPLAVQPVHTPLKAETNGPTPVGRIPPTIDGKVHP
RALLGSWEESITGTKPVQQITKIVADFLFLNVVSRGDLGELASRGVEIEIEAKMGHIIDKDTHERYQLPVKTECVLLDNARVGFKSSMTEAQHRFLN
DFLNTQVRNAHAQNPDAIAKNRVEIKYKHSREVDSFYTLPSSQHDIIPPALREQLNPRHGVKVRVTHDSKSGEPLAKIIKARIIDLDIYSPLTPLDC
RISINFEMRFDGDVSELGEKSGVDRNKDRLSYTQSMYQIDLTQVSQQTTVNGVVQNTKEHELEIELLTAAVRDQGSKAASGQQNEYISLVEGFLDNM
RVLARNTPPA

>RCO7_03649 | probable RPN2 - 26S proteasome regulatory subunit

MPGLTSASGVLGFLSDEEPELKVFALQTLNDDIDTLWTEVAGSIGQIEALYEDESFPERQLASLVLAKVYYHLQFYNESMTYALGAGDLFKLDNQGE
FEEEIISRCVETYISITAAKHSAPQASAKSASLPTLATSFAVGGNDPSAAGLSSPTTPFSQATLPSKSLLSRAPTENLEPSGIDGADFVPDRQTQAA
LQKVIERLFESCMRDGRYRQVVGIAVEAQNLEVLGRVIKRASDDEKKSRGKQAEGVPGPTEELMEYVLDICMGVVQERSLRTEILKLILDLLSDIPT
PDYFSIAKCAVYLDQDEEVSAMLKKLVALDDQTSTVVAYQIAFDLYDNGTQEFLAKVIKTLPEQPAPESEIKEPTESDQLLGELNDRAGAPAPDSLN
VSVKEYETFDRIRKILDGSETIRLNLEFLYRNNHTDLSILNKVRDSLEGRNSIFHTAVTFCNAFMNQGTTNDKFFRDNLEWLGKAVNWSKFSATAAL
GVIHRGNLTQCRKLLEPYLPRPNAIGGSIFSQGGALYAYGLIYANHGAEALPYLQKQFTEATEEVVQHGGALGLGIAGMATGSEEIYDSLKDVLDTD
SALNGEAVGLSMGLIMLGTGNINALEVMITYAHDTQHEKIVRGLALGMALIMYGRQEGADELIEGLLNDPDPTLRYGGIMTVAMAYCGTGSNKAVRK
LLHVAVSDVNDDVRRIAVMSLGFILFRKPGSVPRMVELLSESYNPHVRYGAAMALGISCAGTGLAEAIDLLEPMVKDPTDFVRQGALISLAMIMVQQ
NEVMNPKVAEIRKTLKKIVGDRHEDAMTKFGCALALGIIDAGGRNCTIGLQTQTGNLNMAGIVGMAVFTQYWYWFPFTHFLSLSFTPTSMIGLNDNL
DMPAFEFHSATRPSLFDYPPEQEVKTDEAPTLIATAVLSTTAQAKRRAQKKERAQRRESMDIDQAPTTPKITAPAGDKMDVDGETKDKEDKSEEKKD
DSDKDASPAEILKKKLEKEKVGYELKNMSRVLPAQLKFISFPAGRYKPVKKPTGGVILMIDTTPDVEIELIEEKLKKATIEKAAAPTTLEDLRTESF
NLRRQAGEVGEASGAQAAAGVLTAVDEDEEGAEEAEVPNEFEYFTDAEEDL

>RCO7_03650 | probable mannan endo-1,6-alpha-mannosidase DCW1 precursor
MKWSAFFYTGSLCAVGVDAAITLDLKSRQSIVDAAGTVAYDLMTYYTGNRTGDTPGNLPDPYYWWEAGAMFGTMINYWYYTGDKTYNAVTMQGLLHQ
KGDENSFMPLNQTKTLGNDDQGFWGMAAMTAAETGFDDPPPGSPGWLALAQGVFNTQAERWDTSTCGGGLRWQIFTFNSGYTYKNSISNGCFFNLAA
RLALYTGNNTYAEWADKTWVWMNEIGLINEKFEIFDGTQNTDNCTSKDHNKWTYNTGIFLMGAATMYNHTNGSDIWRQRTDSLIKASKSFFINDVMY
EPCEPVGRCNVDQRSFKCYFTRELAATAELAPWTHDNIMKEIEVSAMAAVKTCTAGNSGTNCGLKWTTGTNDGSLGVGEQMAVLEIIQSNLVDQAPG
WKSDVKGTGRSKGDANAGQGSKTDSSQLAQVRITSADRVGAGILTAIVICGVIGGSATMILGV
>RCO7_03651 | uncharacterized protein
MTRITPRTCLWPLAGSLSLTFALSIGLTYRSNHHCYAGTCGEWLFPLQARLHVVVWYCWLGLSVTVLAIRAFHPMMQKSLRSPLVNKSIPFMAKKLS
VSGLLVLLWIISLYGIIIGIWWVRLDEYFTKRGMEGGVLSGNKRLAAIALTGHLCDVTMGMAILPISRHSALASFFKISVATTLIFHMITAYTLFTL
VLIHGFLYVSWIPVFEGLPTALRKVYPVLNPTYLYNETWPGNNSKLGIWRASLIFTGIVAAFIMLLIFITTLPSIRNKHFNLFYFTHLLGIVAVVII
CLHASTMLYCTAPGLAMWLLDWTMRVYELWAPLDGNITSLEKEWYCISVPLPRRRLDGCACSSPLAHFYIHHSDSSIRELHPFTTITHLASQSSVTS
SDLPTIDIQFLFRKRGIATPVKKPEAKRGFAPAMFRFVRRVRRRKSQAQWTNRLASLAMEESSSRGKEQRTSEGLELGTAGVPVSLRLEGPYFTPAD
PKKYRTVVCLVAGTGVSGALAIAGMFKEVERQDAMSEAESTSSPQKLESVESKTTRSTTTRLWTRCVVLWSVRSETFIELPGLKTTPDSALETRIHL
TGDGRPRLSVGDALDEILSEDEQRHPEANSGGKMWVYISGPNAFITNGESMCRERRRRGVEWYGAKWEI
>RCO7_03652 | uncharacterized protein
MDQSPPKRVTRARAAAKTTDTGMKTTRIATAASKAKVTRNVATTKRKTRADDNEDEEQQDPEPIIEPELEPKTTRGRAKKAVAQDPEPEQEMNEPPH
KPTRGRPKKVVAPVETPAPEPARATRGRAKKIEATEEAVVEEPTKRPTRARAPTVSKGVAPRKTVKFEEPDKENIMPVVINARSKAKAAEPATGLRA
KPVRKPAATTATRATRGRAKNVVEEKPSPLSPKKATQVATSKETVSEDELATTEKTPMKALMKSPVKPPGSVFGTAKKLNFSSSDPITVNRVGTQDL
AGSAIASPARRPPQSPFKETFKASAHKMTMGNSMLQSPFRPNLPAPKTTTENPSFKASLLQSPARRPQSPIKVGENGSPSRSANNASLFAGTPKAST
FKISRFATPRTITKSAVRTGRMLPPNVLRDAGSPVSKDDSDATMMGAGSSLSFSGRLSSIMPRDADPSFEASEAVVEGTETKIAAITETPQVEEPIA
PDTIVLEDPMDHNKTPPTSPPRDSTGFSAAFALREINNSPFNDSESEDELASDSPSYSPVPMPAFSCPLDFASSPETPIQFTALAKTPRAASSRKAF
ASARKSKIGFTPLAQQLNDWMAASPEKSYAGDSDEATSPTKLISRQDQDATPRPSPTKSSFFEDEMCVRDELAAEPEISDEEADLLDANFEVVELDD
EDMALAFEADEMSLLESEELETYVNEDVAQATEELEEAEGEVTQAPIEEFLVLEPTILDTSTELEFVEQKAQVSEPALASEILQVQSKAPATYHDVE
LVSEGNTFETSLPEVVQEEEQASPMVDTAAPKDIQDSEIDELSGEVDVPYSPEPALSEASQEYGDENAMPIDPRLMSAPTPRTPAQAFATPKPKRVL
GERICHTVSKVPLKAPAEDSAMRPSPKKRSASISRLPTQRPSSTLSRNNTVISYSPTKSTFETQSKKASAELVMQDAIATPSRDNAWSSIQTQARTP
RRDINTALLKGAVVFVDVHTSEGSDASALFTELLTQMGARCVKTWSWNGSSEDTAKIGITHVVYKDGGKRTLERVKETNGVVSCVGVSWVLDCEREN
KWLDESSYSVDTGMVPRGGHRRRKSMEPRALAKLNGELISSMTPNRNASPSKEFLHFPDTPVTTKSRRRESVQWVRSPASSSSTDYDDQTLILSPVP
ATPAPETISAYGEDGLYGEDTPVGQTPYFLHNEQLVQKTAPAGRRFVDTEQVDGQNRVSMGAGFLSEKKDETVMSRLMAARRKSMQFAPKIGSPLAR
GSLF
>RCO7_03653 | probable lysophospholipase (lpl)
MKLPKSLFASVATISLCEASLVLPREFSPEILGAEVFAVPEYGLKRALPNSPSGGYAPAVVDCPSERPKIRSATTISPSEVSWLELRRNHTIDPMIS
WLTRMNITDFDASSYINRNRNNASALPNIGIAVSGGGYRALMNGAGFIAAADDRTRNSTNTGHIGGLLQATTYLAGLSGGGWLVGSIYTNNFSSVQD
LRDGDKKSSVWRFDNSIFKGPNGNGIQLLSTADYYSTIKDEVETKKKAGYNTSITDYWGRALSYQLVNAKDGGPAYTFSSIAQTPNFQDGSIPFPFL
VADGRAPGTKIVSLNSTVFEFNPFEMGSWDPVVYGFAPTQYLGSNFSAGEVPTGGSCVRGFDQSGFVMGTSSSLFNQFILQINSTAIPSFLRTIFTN
ILTDIGEDNNDIAQWAPNPFYNYNNGSSISRSMELSLVDGGEDLQNIPLYPLIQPQRAVDVIFAIDSSADTTYSWPNGTALVATYERSRNATIENGT
TFPSIPSVNTFVNLGLNNRPTFFGCDSRNLTGPSPIVVYVPNAPYITLSNVSTFDPDYNNTQRNLIIQNGYEVATLANGTLDKQWPTCMACAVISRS
LERTNTPVPSVCTQCFQRYCWNGTTDDRMPAGNYTPMFKSKEIPFSGASDVTLPVTGLGLILGVWAAVYLL
>RCO7_03654 | uncharacterized protein
MGERAERLIYLGTLNGANGSIHITFAVFKCYKGKGGYELRIRVLRGGPCGNVFPHDILDTNGTLFAAGKLGKGKAASLMHLKSQWLLTNDDPSKKLN
DALKSPATRDENIIAAIKSTPRKKNALSSLFEDSESASNSDSDDDDFYDVIDRFFRGNPEARLLDLKDGVSSLEAIESAFLKQGYRIHGDDARTASR
NAKWKDARSVVESKNWTASSIYAVGEKDDTCIVRRLMSGEKIEDIQCQKRKAKHENVSKERLMAEAAKEARRLMETKKFEVGQSKIRQSKSEQPTIR
PLTFAEVKDEARRAISRDYTTNSESAEETRRLMNEKKFADMQSEISVKRADRVSREHKRAQLAVEDRPRKKSRLEDFMLGMREVENAERISRDRKTP
EAAKEAHGFVKMKTLEERVSELRKSRHEDSSSKRRKLSETARDAKFCDNFVACRCGFC
>RCO7_03655 | uncharacterized protein
MKFLAILSTVAVGTQAFAIPFVTRRSSGLTLRAEEATNAGPNVEATKKLGGAKSLVELVSAVAGPADGTSNAGPPAKGQAPQPAKGQAPQPPIGGPG
CLAPPPPPQNGQAPPTPPGNGTAPGLGAQGAKGPGKKGGKPGKDGGAPPGPNGTRPPPPPPCNGTSPTPPPPQQGGAPPAGDPTKTNPPNGATGPKG
GPAPNSAPNGRPGSTPAQPGSPGGGSTGSGSTGSGSTGSGSTGSGSSGSGSSGSGSSGTGSSGTGSTGNDNTADGSASNTSDNTDN
>RCO7_03656 | related to sugar transporter
MTLRGSKLSVAQLALVVAPSFILFGYNQAGVGGLLSLPDWVKTFPEIDTKNTTGAEKSHNATIQGTVVATFVLGALVGSLACMKIGNILGRRKSIFL
AAVLTLIGETLCTSSFGLAQFVVGRTIIGLGIGILSATVPVWQAECSSAANRGKHVVLDGLFMTLGFTLESWINLGASQIKTGPNISASWRMPLGIP
LALSLLLMATINFMPESPRWLISVNRVEEARTVLANLKDLSETDPVITAEVEGIQYSLEESTVKKASIADMFTMGPEKLFYRFCLCILLQFYQQMSG
SNLISVYAPIIFEQDLGLDGQTARILSGGTLTWKFLSSFVAFFTIDRFGRRALFMFSGVGMGSCMLALAIATSYPKSNKSSGIASVFFIFAFNFFVP
IGFLGANFLYCAEVAPVKLRVSMAAISTANHWLWNFVVVMATPVAIASIGNYYFVIFCVVSFCIPLSVYFFYPETMGQSLEQIDAVFRDNKTPLAIV
RASKLLAKGDVQAIYREKQDEKRVENVMAEESGKESV
>RCO7_03657 | uncharacterized protein
MTTPALVPDLTGKSIYTTPSSQSPTAHPIHDQFTNPKCRICEDAATKDEEFESSTTAIKSLSQIGSNGSPPANKSSPEEIAPIIPPRPFGRRTSIIS
VEDEKPEVPPRPVGREIPLVSKVEKEAPPLPIRPPNHSTRTAPEPIPDVPQRAAPTPFKQRNTLPPPTIPEETNEQIRDPPVKYSRQPDKLMAYLIP
LPNPNLKKRMGREDDLPQRYLLYTPPKPHCLKPDEGVKETKRHKGRRKLQEQVEKAKKYDGKTFSWRGLHSKTTKGVLWAVRRIRATDLVFLGRIKN
KEVDEIVLVYPDNITQTIPEVRNEFIAQVTRTKKRAAKESVISTLLLPVALVIDTIAVVIWPFGGLLEIDAVWCYAATKGWHTSRRITKRLGTRQSR
FNEYGGKERDLFLRYHQDADMEVLQRYVAEACHKMNPAMFDSVGVPPTETEVAKAIGWRPVLRGKTGELRKEGDGEGFMWADEEWQRAVFADDLKAV
AEKGARSWEGWGRRFEKKPDKALKK
>RCO7_03658 | uncharacterized protein
MSISSSKSLSKVKEMLRTVPDKKTRYFQDVPEVQKSEVPIASYKASDLTGELVPIAVVPEIKKGTSMFPSETVVYKESYRDMVVSNLYEENLLRPLP
LFFIAIGFTSVKISKGITKTGLSDAENSIIPLTLHYGPDKTGPILGFVESIERNTKATILNTVYDPTAEFKTTILDIGALLSLCSDRVLPDHDWCLL

GRENERGMCLFRIGSEKDVTTATNVEESKGKFWNFGKSKKPKVDDGEVLAVFVAGKSHSWKNPVKVAARIRWCDNEVWSEQLKLAAFLAIMTFGEKS
RRVGTGGGL
>RCO7_03659 | uncharacterized protein
MLTSQVVEAEMYGKSNDLPAISVSEDDESDVEQAHDTLLPEHETFEDDESFAQLRVQRTKWWKIYLVHFLFMWNSRTFEYVSIILVASAFPEGLTAT
SIRGMASTLSTILFASSVGSWIDKSLNRVAPLRTMIMINHASIVTIYLMWMLWPAVAEVDSKIMKNGLFALIILLDVVETLSTAGSLLSITRDWVPA
LVTSDIGSDYSLTHVNAVMTRVNLSCKVASPMLLPIIVSAFSRATWIMIVMLTTLSVWILEMYVLRDISKEHPSLVSPRNLEATPHDLVENFGAGST
RQMTTLDMAGRVLYHHPAHRLRQFFSIPLWPASLCMAFLYLSVLVYSAPLLTYLLQSGMSLRTVTNARVSGSLMGFAATFTTPLASEYLIKKIGGKG
KVPRILSSWGIVGRFISLVPVVLVLQRLSPSSAGMAAADSTKAVSQASLATILCLFGFLSLSRLFMWTYVLMMQELEQSEVPASHRSTFSGTGQAIS
SCFELLNWFATVAWGKPEQFKGLASASLCVVGASAVWFWIWARRS
>RCO7_03660 | uncharacterized protein
MAPTHFFAPDSNWVAAAVFLSGIIPVTVVAYISSPFVTYIHLRLPHYAQSSHSLLLRYSKNLPPTAELDITTMNFIGKPRVARMNIGDLKAKKARFG
FAGFERDTQELNGRRKWWMGKPVRLFGVTNEGSGLLEGEVWRNVERAIRRGWSVKAR
>RCO7_03661 | uncharacterized protein
MEDCDASAAATRNKRDPDCVSVASIAGGFRERPRLDVGVWKKRPRYKKPRLASVSPERQERILSPRHQPTEHLEHFDTGLNTDMFKAFKMSKSEPPK
GKLKLVEKLISALHSKKTKPMHEKEEPKTEKSEKQQQRHVRFEKVPSPRRRLRRCKSKVVVKRANAAESVNQTTTIIHQDRNERSSYTSADNASPSN
QDDQKLESWGSDTKSVLSSRVSEVNMGSIIVQPAPYSMDTISSPEVVPQMSSRHFSPSAPKAIPSWQSRTRSQSRASADLGPGTSASKISSTLTPSW
RSLGTLPPNLTPKFPLTDKLDEIKSNFDINRQRRKIERDINVPSPVSRKAVPPIRNEIDQRIAPPVVKDLRARRTERSRGSVAERYHRDERARLWSS
>RCO7_03662 | probable DNA mismatch repair protein
MAKVKEESGTPARAPPSLQKQNSSAGSQRTIQSFFGKKAASSTPTPTSSTTNGVLKVNDNSNSANAMAKTTLPPKKPAFRKPAVKNMTPVPSSDAVA
PSSSQENENGGIPKEVEDTCLLSPSTPAKRALQTNATSLVLGSSPSRKAKKVVSYAESDDEDDEDAYDPAGSNTRRRAAAPKAKIEEDDEDDDVFIG
GLDGAADDDDEDIDDFVVDDDSDALVKPSKKRKRPTSSANPRKRSGGKIASPTPASVEEEYDEDLDMEIPETSTAQQWKYDPENTALLLDKSASTIQ
TPVSNKKKQKEKACTRDPELRYPWLAKLQDIDRNPIGHPEYDPRTVYIPPGAWTKFSPFEQQYWEIKQKFWDTIVFFKKGKFYELYENDATIGHQLF
DLKLTDRVNMRMVGVPEMSLDHWANQFVAKGFKIARVDQCESALGKEMREAEGNSSGPKKAVKKADKIIRRELACVLTGGTLVEGSMLQDDMATFCV
AIKEQIIDDLPNYGVAFVDTATGQFFLSEFVDDVDLTKFETLIAQIRPQELLLEKSRLSTKALRILKNNTNPTTIWNHLKLGSEFWTADVTRRELGC
SGYFVSEEADGKEVWPEKLEAARNSEVLMSAMGALTQYLRTLKLERNLLSQGNFTQYSPIQKGTTLVLDGQTLINLEIFANSFDGSHDGTLFTLLNR
CVTPFGKRMFRQWVCHPLANADKINERLDAVDMLNKDRSLSDQFVASMTRMPDLERLISRIHAGSCRPDDFVRVIDGFEQIEYTMSLLQAFRGGDGI
VDRLIAAMPDLTEPLKFWKTAFDHVKAKESKLLVPERGVEEVFDNSQDNIEDIESQLEELLKRTRKDLGGNTAKINFKAIGKEIYQIEVPEKIKVPK
DWNMMSSASGLKRYYFPELKTLIRQLQEAQETHGQIVKQVAGRLYARFDEDYNLWLPAVKVVSQLDCLISLAAASAALGEPSCRPNFVDSERSVIDF
EELRHPCMLPNVTDFIPNDVKLGGDSANINLLTGANAAGKSTMLRMTCVAVIMAQIGCYVPCVSATMTPVDRIMSRLGANDNIFAAQSTFFVELSET
KKILSEATPRSLVILDELGRGTSSYDGVAVAQSVLHHVATHIGCTGFFATHYHSLATEFQSHPEIAPKRMQIHVDEDNRRVTFLYKLEDGVAEGSFG
MHCASMCGIPAKVVDRAEVAAREWEHTSRLKESLEKARSGCYIPLGVQSDVAWVLRKAMGGDVEDGVEGRGLEVLMKAIARL
>RCO7_03663 | related to seed imbibition protein Sip1
MTTFISAADGNEVFQAQYIPKQKTHPALDHPSMLAYISTYPALGQVTQIEKHVTKVFTALLEVDKSRASQSWQVSLWHSAGKEWQEVPMEPVIKAAA
FPSDLQASSTAPGTAKARLYFTTPLAIHLPTNFTIKFRSGPTESWKWVKDHQGMTDGVIMLKTMTSQDTISSDLGDYVTGLNQILKSKNHRSECPGT
TLWTVEAPVEGAVGEKSTIKDIKFGLPWGVGKFSRWFALIRIWSPWLAPRQGKSVFGLDKEAVMCSFLSNTGKHLVLLAITGVEDVMTMFTSDGDGN
VILHIRNDSADSKTATVLVGLGDDFETANAAVMYHARTIVSAAQATSGTWNALGQRLTEEKVLKAVTTLAENNINVTNFIIDDNWQSIDYLGHGQFQ
HGWNEFEAEREAFPKGLKHTVDLIRERHPSIQHIAVWHAILGYWGGLSPDGWIAQTYKTVDVVREDSQRRNLPLGGKVTVVAKEDVAKFYDDFYSFL
SSCGVDAVKTDAQFMLDTFTSAVARRDLIPAYLDAWNISTLRHFNVKAISCMSQTPQILFHSQMPTNRPPILVRNSDDFFPEIPTSHPWHIFVNAHN
ALFTQHLNLIPDWDMFQTVHEYSGFHAAARCVSGGPIYITDVPGEHDLDLIAQMSGPTPRGKTVIFRPSVVGKSLDQYNGYDDDHLLLVGTYHGAAS
TGTGIIGIFNVSQRLLTELLPLSKFPGVIEAQYYIIRAHSSGLITKPMQVVDTNSLVPVSLGVRGYEIMSAYPLRGFYDEGKKETMWIANLGLLGKM
AGAAAVVGNKIEKLENGKVVVDTNIKALGVLGIYISTLPTLSWKDNTLIAIQGKVIPLHTVTASEVDKHVLEIDIETAWEEMDVQAGWSNEVEVKIY
IN
>RCO7_03664 | related to tyrosine--trna ligase precursor, mitochondrial (cyt-18)
MASPSLYRRSARPDLYVCASCSLRASRSLSTTGRRWIGMKYLAKVANAEADWAVQAAEIRSGKRKSMLTILEERGLVNKITGDRDALDKYMTEKRVG
AYVGVDPTAASLHVGHLLPFMSIFWMYVHGYHTVSLLGGATAKIGDPTDRLTTREQEPGAVRTANMARMHFQLKNLWGNVEQYGRKYGYEWEWAWHR
ELINNNAWWNKLPMLEVLQVLGPGMRLGTMLSRETVKNKMSKGDGMSYSEFSYPLMQAWDWWYMFHTKGINMQIGGSDQFGNITAGLNAVKYIKANH
SNPVVREEAAAIGEPWGFTTPLLTTASGQKFGKSAGNAIWLDIEEMSAYDLYGFFLRTPDSDVSKYLKLFTFMPVEHIDNLVNEHMKSPSQRLAQHK
LAEEFLELVHGPQEAKQAHKQHLLLHVGSSSSKTANASANVSEDGAEGGIFKQRPRVNVILPRHVLYQKSIGKVLHAAGIAGSASQGHRLASAGGAY
IGGPPHNKKEAMNDGFVSWSPIKNWLPEDTRLYIIHGDLLLLRRGRSQIRIVQIVSDEEFVKSNRTYPGMDEDWRDGVLSSMAAKNEVSTLEKQHID
DIFGKDGILQSDKVEGVVSKAENGAHE
>RCO7_03665 | related to transcription activator amyR
MPPEPAARGSKKAQKIRQACDCCHARKIRCSGDTPCKNCVVTELQCTYLAVPKKKGPKGRRIHKDAKPLPLQTPKIFEQNDPSRTVPLQDSAHPPPG
TGTEPTGFSLFNILNPTPFVQSPNNEPSAASSSPVDDILSGFRASPLLTADLVKTCLDAFFTHKYPIMPIMDPDATYAMLPRLHESPEQYGLVAALC
ALIVFQPEIIDAPGSGMYWPSAQDLINEAVRARAFCDFVEQPSLVTIHTSFLLFAAMFCLQKDNSAWFYIRESMTCLQILRLHEETTYLGLDAEYSK
YCRRTFWLLFITERAYALQRHRPLTLQLTIDLPTVNPGPEATILAGFLDLVSLFQHFDESFMSVWNMAGSDSSPQALVQLQEALKTTSPATSDRTEI
QQADLQVSRQWLRVLVWQLCVSKGFLSSQFSTESMSFQYPISIARDVVLVARGLPLKAFEANGVGILEKVFDIGCSLSDVLLLNPHAINSSPMEIGP
QDYLLEMVRLLGTTPGGYKYLKMLTLKADGILKLKLWGSLSDTDTPDRIEEVFDDEQEVTPGPDDMQFLNADVAVANSDIAMEDQYVAEGFETPGYH
PTMVIGDQSLVLSMPRPGWEAFWPPKTPDFE
>RCO7_03666 | uncharacterized protein
MAFSRFRPTSHFIPPNSWSNDPCGAVYIPETKEYRICYQWNPGTTQGGNSAWGMARSKDLVTWQDCSPALRNGSTYDRLGVFSGSIVSRIIDGRRVL
FLFYTSVSAVPIHWSLPYLDGCESQSVALSADFGNSWQRYENNPLITIPPNMERTTGWRDPFVSKWEPVSRLLGVDLTTDYMMIASGEKGRGPQLLL
YQSNDLLDWQPTGTFLSMEANARFSPTSRQVCGMNFECASFFSIGTRHYIIVGIEEDKVSKKHDCHTLLWLSGILTLDKGKPRFNITSHGLLDNGIA
YAAHIFRDEAGRILQLGWANEATSRQTLEKQGWAGLLTHPKELFEIARPISQIEGDMDRWNVDEKSRTMTTLGMRPAPQVAALRREASSLSLENLQS
LRCTNFEIDATFRQLSGNERFIFNVRESPSSAEVTKIIFDLGNNRIAVDRSRSSIEKLGETDPDAGRFHILPGEDLEVRIFVDNSILEVFANDRFAL

TSRVYPILENSVGASCDFGDFDHENIEVQLWEGLRNAWPTRGGRKAYVGEVSSVAILGDEKLGCTASELELVYT
>RCO7_03667 | related to sugar transporter
MDQFEKTIGHLSSTVHGLTVSMILIPAAISSFFGGHLANSVGRPRGIAIGSAIFGIGASIEAASVRLGMLLAGRAIKGIGEGLFLSNLVVYITEISP
PQSRGTLASIPQFLTTVGVCGGYFICYGTVNIPSSASWRFPFAFQAGLAFAFTISTLFCLPESPRWLTARGRHEEALVIWDKLGIDSKEREKIEAAQ
DDALPSQVKMKDILAVFGKGARRQTGLGVFLMGAQQASGIDGVLYYAPLLFASAGLSSATASFLASGISALLILLVTFPAFLLADRWGRATSTIVGG
SIQACCMLVIGSLYASGSVHADKGTARWVVVVLIYVFAMVFSGTWGVCFRVYVSEIQSPETRAGASSLALSANWVVNWIIAFTTPIFLANSSFGVYF
LFGGATLLTVIVCIFWMPETRGKSLEDINSEFRGLHKHKEEQIEGGDGVTLHHSPGHTVAVKN
>RCO7_03668 | uncharacterized protein
MSFLRLASALKNITQKSSHPSDLIYNIQLARAKQQQLNRKELSDGKVGVVELAGPQELNDNHQAVQSQVIRNEVEAQGNRNKERLEEKPGTGDIGTR
PS
>RCO7_03669 | uncharacterized protein
MPLLGRIIAPATVRELNVSGPGRPLFVTFISSNHPETGKSWCPDVRTALPILNAAFASREAPEMVYIEVGQRPEWKAQNAFRTDWNLHNVPTLVKFE
RVDGEVKETARLEEEGIKDKQSLDHFVKS
>RCO7_03670 | uncharacterized protein
MRSIQEFRAAATAFGNVPLLLCSGGNVINLEQGYIPVHVDFTVEDKAAKGLRKRKDTDIVEPPVGSGKSTLAKHLPFKLATKPFDVGFDATPCYFDV
DGTEGLRNALRHEMPKLIKHFRATTFALMLIIDSIERSRYKDPSTWRFHHYDPLVSAIWNHPSQSSTTLINTEAARGTPSDKNDPSQDHVGLGTAAE
TPVNFALALQANSLGETNEDLLDAWLATVAPETDKAQKLAAWAFHVCSGNSADDTISTNIHLPQHSSSKAVQNLLDARYLVDVPLQVAIGLFHSTTT
KSESIVRSLIARLGNKSRMLLLQGLLSGSKTQVQLGALLAADFLADASDPRSNISNHMLDIVQEATLPIIYREKAGRILSGLGDPRDLAGLTSIPGG
EFQFGSDDHPNSEPVTTISVEGFRIGIYPVTNRDYSLFIKDTKRGWHSLDGFESETQSLPATDLSWHDARAYCEWLTRRWRSMGKINQEQHVRLPTE
PEWERAARGDERVGGHEQTIYPWGTEWKPDAANYEETAFNKRISVGLFPAGTSLYGCHDMTGQIWEWCSTLWGEDMAKPSFQYPWQSDDGRENMNAP
GSVRRVLRGGCFSSGKSKATCTYRGSLEPGGFWRGFGFRIVVAPIRS
>RCO7_03671 | uncharacterized protein
MAPNEFHLSLEKVDFRKPTQVTDDTSILTLKNLVFEPLLRWKPGGLVSPALFKSWEHSPDGRLWTFHVRDHARFHDGEECLASHIIDFIDAILGSRD
TFGMKWSYQRYLADTKIAARDSRTIEIWNPEPIAAILDIFTEFYVCRLAPNDEPIQGTGPHRVVEFDREAGRAVIERIEVEVEPKHIGLINHPQRII
ATAEPSAEKRLSQVLLGEVDASLNLERVGRALDFTPDVQWGKATNTLSIIFYLNCQRGVFVAPEARLAVNHAVDTEALAREVFHGLAVPATTIVSPD
HLGSQDAGLSPIPYDPAKARQLLSGFSTTEKTIVVRTPTYMPERAEAITAFVVASLEAVGFVVEVQVEPDRASYARQVGLDKNIGDMALFDSSPHST
FRVLDDKISSMTKAVWWQGYQDEETDTLIKLASNAIEECDRQRAYAQCLKQLQHNPPWLYLVHPTEVFAARTGIQGLNVDCKGVLNIG
>RCO7_03672 | related to transporter protein
MSRSKYIQTPSAGISKGSINHDLKQPEVISEDSSDHEPQTTSRWRRIVGYVWDSAEGTLRNRKYVQKSMLICWYFIKYLDQTNVSNAFVSGMKEDLR
LYGNERNWLNTWFSLGVMIGSLPAMLFQLSWARPSYLIPTCEVCWSVLVMCMAATNNIKVMYTLRFFIGLFEACAWPGYIALLGGWYGPKELTKRVA
ILLEIESIASMFSGYLQAGIYKSLNGRHGLPGWKWLFIMDGVISIPIAVWGYFGIPDLPHTTKAFYLSADDRQYGIERIEKVGRQPPVILTKKVMKD
VFLDWKIWSFVFPYVMLAACNTATSYFNLWLKAVGYHVYHVNTLPTAGNALAIVVTLIWGILND
>RCO7_03673 | uncharacterized protein
MLSNILLSVWDLPKAALLFAYYISYAGAATTPVLIVSDEKLLREIEMDSDIFVQAWGNELNAGDPNRRQLIVATSNIVSYAWVLWVPLFLFPTYDAP
KYKYGYQVLILFGGLAIMGTTLMPWVYRRSAKGGSTA
>RCO7_03674 | uncharacterized protein
MPSSTVEQPSAVAPTKTYGRVRANIDLIAWDPDSTEHVERLFQQRVACGWKSGDVEKWRGLQREGKMAIQWVVLSDNDPDKATKLNQHTTKYALEST
PIHDTARTLGAKPRQPTSRTFTPVGHISLDSESPNEDQADASKGLYCITTFYISRAIQSGGLGSAAMDKIESEAVKEPLNAKVLSLDTLANSSHSNT
ALWREMEMEDPAFSNQDWYERRGYKPWKFIDGHIKQMIGTKLWPLNAVFMKKTVA
>RCO7_03675 | probable class I alpha mannosidase
MSSFRPKQLSEKAILNIKTYYPRPLAIRPRSRHFLIAILLLCLYLYFPSYSTSSIPSTRLPKGPRPYKIQATFQKESADAKAIRVERQGQVKDAFRH
AWKGYNHYAWMHDEVMPVSGKTKDNFVGWAATLVDSLDSLYIMGLQEKFDEALEALKEIDFSKPKADKVPVFEVTIRYLGGLLGAYDVSKHKYPILL
QKATQLGDFLSKAFNTENGLPVPYYWWKNETSGVLPGQDNVIIAQIASLSMEFIRLSQVTGNKTYAAQIQVITEQLKTTQDKTALPGMWPLLADCSG
PQLSFSNEKFSLGVLADSAFEYLPKTHLLDYRTSDQYLKMYQSALATFSKRLFFRPSLPQNPDILMSGNIETSIDPNVIDGQFQHLACFVGGMVALG
SRISISAEELETAAKLTNGCVWGYDNTPSGIMPDFSHIKPCQDPAQCVWEGSGNGFVSVDDPSYQLRPEAIESVFIMYRLTADPIWMEKGWKMFQAV
QKHTKTSIANARVVDVMEKWPKHEDSMESYWLAETLKYFYLLFSKPDLVSLDEYVLNTEAHPFRWA
>RCO7_03676 | uncharacterized protein
MMTRDIKISGILKNEVMLLIESTWTPKYLGVYVLSIRRQHGKATQFLPTTSAISIASPVSISPRRSSYKSGAQLFDLGMMSGCESSAREQALDMAQA
DSSTNAAPRLLEASCCKLAYAIG
>RCO7_03677 | uncharacterized protein
MLELTTTGDDRLLDLMKHLATTSVWEHYDGGMVCAISEIGQYFPKRISVELRYSANILVNKAAAKGRNLATPPSYSRQRLRCDSVISHRYWLNIFTD
DGK
>RCO7_03678 | probable phospho-2-dehydro-3-deoxyheptonate aldolase
MAELNSRPTQSGAESIMTPPASSSSHSTWSPSSWTSKPIKQEAVYPDRALVEKSLSKLSRLPPIVTPHEIEKLKASLRDVALGKAFLLQGGDCAELF
DYCEENAIESKIKLLLQMSLVLIWGSNKPVVRIARMAGQYAKPRSSPTELVNGVQTPSFRGDILNGFEIGERALDPERLVSAYFHSASTLNFIRGSI
ASGIADLHRPLDWGLGHVQDPDMQAKYSNIVSSITDSLRFMRTVGADTAGQLQTVDLFTSHEGLLLDYEQRLTRLLKNPTKSTNSSRGPSTTADDGK
SYYNTSAHFLWVGDRTRQIDGAHIEYFRGISNPIGVKIGPTTSPYDLLALLRTLNPSVEVGKITLITRYGASKVRSLLPTHIKTVERSEYSRSVVWQ
CDPMHGNTRSTATGIKTRQFTDILSELQETLAIHKEEGSYLGGVHLELTGEAVTECTGGSEGLNEDDLSLNYTSFCDPRLNEKQALELAFLIAGHYR
GEEKQS
>RCO7_03679 | uncharacterized protein
MAEAQPPTIVEGATTGDVDDEIPVAAKSAEDRKAAAALSSLDTPRDDESAGKDVDQEAVRKAMERLGGSGATNGTVAKKDESKVMKKTVKVDPADVT
LLVEELELTKPKATDLLKLHDGNAEAALRAYIAPA
>RCO7_03680 | uncharacterized protein
MGVLRRINESVCSGFRSLMKPWKKLYFKTFVEYDAETWRALSIYISIMISCFILVGVYAEFVFSASEQPYDPKFTSPMLVTRVYESPSALEIMWNSV

GFGAAAVMAYIARMVNRGWVLKKFHFADYVMTFTMITFFCLFSLINIACNYRNNDFPAAEESNVMLHAAELAERVVGAKLMVGIQQSMLITLWGSKF
CVWLFLLRLYSSLSRYEIVLWVVFVYMWIGFFVCQVNFLFGPCTPTSHYWTIPVHHPQCASYQTYLMVMLVFNISSDAALIIMSMPLVCAAQLPFKR
KLLLALIYVLAGFKIVASIMNKRYLKLDSPQTTTTYRLWYLREAGPAVTIAAILCTWQLLQRLFRFTSFTNTSFSISDDGPLTDAHGFRQRILSIFS
RPSVHRVQNRGMDNFNAQVDQATFTTTDTELEERNKWENRDTRRDTGFSILSFGQDDVARPAIIYRSMHNIA

>RCO7_03681 | uncharacterized protein
MSIQQEPGNEGQDRSETTNIQ

>RCO7_03682 | related to Extracellular metalloprotease 1
MARFAFLALAASILSTVSAHPTNGPRDTKFGCGVVPTPEFIAAAQAIAAEEEAQKASLGASLVSDVSALATTTVNVYFHVVSKSNAVSGGYVSASQI
TQQLAVLNSNYAASGFAFVSKGVDYTINTSWASDGNEIAMKKALRKGTYKDLNIYYQYAIGGNLGYCYFPTTAAAGSNDFYLDGCSILYSTAPGGPL
ANYNLGKTATHEVGHWMGLFHTFQGSSCSGSGDSISDTPQQLSPSSGCPTGRDSCPNAAGLDPIHNYMDYSYDTCYESFTPNQATRMNSMWNTYRAK
F

>RCO7_03683 | uncharacterized protein
MAFNCSVIPSETATDAGVAGTGVLLSFIITAGISLIMSLTIVLHEFRRGSELKVIRKLLLSLSDQQVLTGIGIQSVALAKMKTMVPYHFFIVWMLSL
LSTATHVGTLLALVNDFKRDWVLRWLRQFFMFVNLVLSIVSGIFILMSVMRDVKPTLPIACVWEVESTGWPSNAGPSIAGTIGVMAGQVIFFVVGVW
YLHVKNRTWLRAVQLVGLLVLGVIGIGAAIRVILLSQAFGKPSVPLSDSGEKDWSFGQLLPLLLLLLPLVSAVEIRRGEMKVPSPIVDDHLAPLIGG
EKLPGDRTSFQPNPFWGTQKSHFSKW

>RCO7_03684 | uncharacterized protein
MQFSQLIVLLSLVSLVFSHMEVSIPAPFRSKNNPNSNKNTIDYSMTSPLQTSGGKLCKGYQTDFADASGVGKTTATYAQGSENSVTIIGGAAHDGGS
CQISLSPDGNSNFVVIKTVMGKCVGPDGFQIPFTIPGDAPLGRQILAWSWIPHSSGVPEFYHNCAAVEVTAGSGAKSTVAFSSRPAMFVANIGNGCT
TKGSTDPRYPNPGPDSIGTGDEGSVIGTCGGPLTGPSPPAGKSPEAPPSSVVIIPVSSPTVSSSVSSTSKFSFASTTAAPALPTLVTVTRSSSLSAT
PSSVAPIASGVSTRTSSSSIPLSTGALEVSTDGTCKTKKCPGTTCCSSASYCGSSPLHCGTGCQSAFGTCTGGNTTVKARGLSGRIQWN

>RCO7_03685 | uncharacterized protein
MRSSAILFSLIAGLCESTSAQAPSPSTKSICYTAKGIFPVISVKNYQQLATNTIKLVETTTYTPSVTTIAPPVTVTTTFTQPSTFTLSQITDTYTAT
EYTGTIVTVSSAVATSTEIVTSEVTSTTTVAVTELPTPDGFKPVQSTLPGAGKKRDLTPISRIKRAVSTPLKKRTFSICPALSKKGAKASSRFSFLH
PMSVTCYKVFTVYTVKYVTKTAKLSATVTLPPDVVIKAVTVIDTITTAVPNASFTTTVYLSSDVTITTFYTASTTTTTTVTATETRALTTAYAACRA
ENIAGGVNDEGIWEVHTSSGSAEPANIPYTNATTATDCCTSCFTNPDCASYVYQEVAPGGQQCLIVLLAPGTCKVPGSFGLGINTGGGYRPGEGYTV
GNGYCGAVTGLNDA

>RCO7_03686 | uncharacterized protein
MAPIKTFTVNLANKSHTKAILTPSESSTPVYELQLSWFTKEFFSSTQKPSIILRSTNSISPTACHRESGSTGPIIGSCIFPFISLADPIHICFGDPE
TKFAIWETLLCRKIFTSNVFELNIDLGGSIGKRTFDWKRTHEVGGLGAFKREFDFFHLKMVDRETGRIVARFNHHLWYGKKRGDLEIEEFDGGDRWE
LVVVLSGMAVLEYSRKIAGFSF

>RCO7_03687 | related to sensory transduction histidine kinase
MERSPSESASNNNRPQLDLFELLDIDDRPTLVFDLTNPHGIPTYHNASLEKIPLLGLKLGTGVLSKSASSKDQEYAAFIEWAAEPEGQLAQWSYCGL
LWSSHILRDHWKIVIGSEGHEHDYISARRRQSEAPKLGRARTSAIKRPSHSPSQSQIKSMSDGSLEAQIAALRLRDRRPLATPATDTSVISESIQNL
KVMKRLDFLGVFPAIASTPHHKFFMEFDWASTGLGPIDSWSINLRRAVYFLFSDPRPAALYWGGQRTMMYNESYMHLAGQKHPGIMGKTFSEAWGDV
ASDLDPAFKKAYSTGEATVHDDALFYIERNGYLEESYFSLAIIPFLGDKNTTGEQSFEKSEIAFYNPAFDTTRQVIAERRMTFLLLSSNLMSSSRNQ
REFWHQLIVALQPDHPDLKFAVIYSVNLDASESGSEASDLSHNRHWTLQGKIRFENSTPGIPIAATEQSMERFLPKFSDLVRSESPTLLRTEDGSLP
ESIARDKSAKNGELVQTAVFLPIRSTADTLLGFLIIGLNNRKNYDRDYQVFIELLTRQLATSLASAVLFEEELRQAARDHKLLTKKLAIQTHEALET
ETRFRRMADLAPVGIYHIEPSGLMLYCNENYYELTDHPRDKFAPMSWLNVLFEDDLPHMAQEWAKLLSGEPVNFEIRLRRPFIAEDIIDGEQVGGYT
WILAAAYPERSSDGIVLGILGCITDISRQKWMEGFQKRKMLEAVQLKRQQENFIDMTSHEMRNPLSAIVQCADWIGGSLDKFECDKNNVVIPRDVIE
GYVEATDTIVLCAQHQKRIIDDVLTLSKLDSDLLAVAPIDVQLAPTIRKSLKMFDVELQNNDISLRFEVDHTYSNLAVDWVKLDPSRLLQILINLVT
NAIKFTTTESTKNIVIKLAASLDPPDNSTIEYLPRINSARDLTNGSAWGTGEYIYFNIEVQDSGRGLDEVERTLLFKRFSQTSPRTHVQYGGSGLGL
FICRQLTELQGGQIGVSSSAGLGSTFAFYVRARRCESPQGATPTLPIDSLLIPWDVHPKLVAKSRTRPPQEMKLSVPRHVLIVEDNIVNQKVLSRQL
KSAGCIVSVANHGREALSYLEKSRFWKGLETAGNDLSVILMDLEMPIMDGLTCVKVIRQLQDEGEIVGHVPVIAVTANARSEQISNAKESGMDSVVT
KPFRIPDLLPEIDKQIGISSMRGLERSALSPA

>RCO7_03688 | uncharacterized protein
MSPRQVYRGRDPRRLNPDSAIITPQKLTFKRESHEIRTTPSAPKRRLARVEGTGSRYSVLRDSVLKGDSLRCPFRKPSVEVARKPRRLGTLGVLPYE
LILNIIRKLEEGAQELHYQRVQDFGLVCLALTSTDFYKICKYIHPLPLPTTRGDGIRDEKYNFWAWSLERHIGDFLGPMYQVRDRDPRYGFYTRIGS
PFLLKGADLDSKVSHDVDNILD

>RCO7_03689 | uncharacterized protein
MKLSNLSIALFGLPTARSVGIGAFQNVL

>RCO7_03690 | uncharacterized protein
MEVAKKTSIFGSWRGRSRPNQVPPLPLRDHSFPSSLKNSDTQYLSSTASIPERKNTLGLVLLNQSTPPTLASRTIRQYPIDIVAIHGIRGGNYSTWT
DKSNKESPYFWLQDSLPKEFPGARIYSFGYLADVFFTKNTGDFETFADDLLDQINNTRISHEEKRRPLIFVCHSMGGIIVKKALNTCKVDLRYRHIL
NAVPSILFLSTPHGGANPAEFAAMASRLLSLPIISRVKGPSHTDLIRSLTRNSKELHAISREFRLLTPYIQIFSFIEERITPPLKELLVDVVSGSLN
VPTETIIRMPGCDHRTICCFESDKSQGFRKVSSKLREVVVKATSSHTSLLWIKGNPGTGKSTLMAFLHNHLTAAHPRNIHLSFFFNANGTLLQRSEL
GMLRSLTHQLYRLSPAARHIIFRTFKEKTQEFGEYYQHWEWNTEDLRALLLDILCMKPIRGEEIVIFIDALDEADGQDDPLLAGRLVEYFHGLSDRM
LGTGSTTKMIISCRHYPVIATNIGMVINIEEGNTEDIAVYAEDQLRNGVQGWAQEQEIARKALEQAIVTKAEGVFLWVRLRLPKIIKSLNDGAWTLR
MAPQLLQAESNELFTQYEDILIQKIDISLRKKSLHFLQWICLAERPLSVSEIRFAMACDDESMELDVKRCQNTASFVDSDERMRLLIKSLSGGLVEF
RQHEHGTTVQPFHQTITSFLRLRGLQVLGNLLHPMSASESNNDTIGAAEQRLSTSCLNYLSSDEVRQAANGAINAIERRLIFINYASNHWLKHAARA
DRKNVQQNGTVNRLISQSGLFETWKLVHDETNPRELFRGCDLIHVMANSNILSGVTELLDKGVFIDKEDIRSNTALYHAAQNGHTEITELLLERGAK
IDQKSFFDGWTPLKIAAKKGHLSVVRLLLKYGADINENTGPAGNALQMAAEGGDLRLVTTLVECGADVNTCGGRFHTALQAAAFGGHEEVAQYLIDH
NADLNIQGGEAGSTLQAAVAGSAPEARRQSMVRLLLEYNADIELQGGQYGNSLQAAIAQENREMTELLLSCGANVKANVMMEGVKYGNALQAACHIR
DKELVERFLDLGADIHAAGGEYGSVIQAAAHVTDNEDIISLLLERGANVNQPGGRFGSALQAASVCPGALAVDMLVKNGADINAQGGIYGNVLQAAV

HGSNEDAARRFLAGGLDINGKGGKYGNILQASIESCKAEFISYLLDQGADINAQGGEYGNALRAAVFWKREHIIQLLLDRGARPDHQHMDTSFGSPL
RLAAGRGYLSIVKILLDHGAEVNWRREQSTPALAAAITGGRKDVVELLLEHGADPDLPDRCFQSLGMKFPIADGSQDMARLLEERRRKVIRLEVGYE
ALSLDRNNQRYVRRG

>RCO7_03691 | related to putative snare protein syn

MSQYGYGAKVANPYDQRGGQSQPYQQPAYGGAQSPKYGGQQYGAPAMGRDDYADQNVEMTPLAQNGQQFGRQADPNAILNACIEVNRGMQDIQQAMQ
LLSRDHASAIDNPGVETSRKLENANSQIVAMFRELTGKVKSIKMKPDSGTPRNSAQVGKVDRELKELRASYLVLDASFNKKVKEQAMRQYRIVRPDA
TEAEVQAAAEQDGQQMFAQAMMQSNRRGQAQSVLSEVKSRNEAIKKIESQMIELAEMFQDMDNLVVQQEAAVVNIEQKGEEVVDNMDKGNEQIGTAI
VSARNTRKWKWWCLGICVLIIIVIVVVILIYKFVIQNNNTGGANKTAATAKRFILSETIPLEKLRTSADRVIAGQPWSNDAVLSGKPYTPSDAVIPT
LKKFRRFAA

>RCO7_03692 | uncharacterized protein

MSPPAIPPPIPFGPSSSSTHTRSFSPSITGPSQSRDKIITQQPGKRDHSLGEIESQPQSYAEPPSQIRNKDQDQAEIKSGLDAQRDGSKEVERPPFE
PFFMLIDDLSNGKQSTHHPSRVHYIFADDDVSEVFTGCVGRAVEWQMQSGGREEGDVVEQTEGEEDEDSKEDGEEEEEGTKGIETGTNSSSDAPRPS
HPTLNTNPRSRNFQKRNTSQRTGTEDREPKSKIKGREKEKVNPLKSEPPTREERVLIIDINSTGDAVTKISSLSPQWQVVSAEISKAPMWDKEGGED
GESPAGLGAGMMLRVEGVGLDLDGHGELEGRGEDGGGKGKGKEREGESVTGEEEMQLLMEGFDRKMGILRRVVQRGSREDLGPVSIPTTVSIPGPVD
GNTDTADKPGD

>RCO7_03693 | related to acid proteinase PEPI precursor

MALLSTLALLLSLPLTLATVQFDIVRSPSVQTAQLQQRQAHLRARALGLDSHILTERADTVTADLTNARLQGLYFANVTVGTPGQQLALQIDTGSSD
VWVAAAEAALCGNAREGGCPNGQFDYKKSSTFLDVGKNDFNISYVDGSGAVGDYFQDTFTIGGATLSQFQMGIALDTTIGTGIMGIGYNTSEANIDT
GNGTVYPNLPLALVNQGLVKTTAYSLWLNDLESSTGSILFGGVDTAKYTGDLISVKVYPSSRRGRITSFTVAFTSMSATSPSGTDQLTPKDYAVAAI
LDSGTTITLLPDDVAAAVFEELGATVNNQVGAVIVPCDLAKVDGTLNYGFGGQGGPVIKVQVSDLVLPLIFANGRQPKYTNGQAACQLGIQAAGDLP
VLFGDTFLRSAYAVYDLANNQIALAQTDFNSTDSNVVSFASAGAAIPNAVQASGNAAVTQTATGAPRVSGGSATGTGNVAPTYNPQATGLNAASGFA
ATAKPSSTGKKNAGGAGPEPFARSRIVVGVVSLGMMGLGGGFFALL

>RCO7_03694 | uncharacterized protein

MSASSSAASSTLTRSRLAVFGFASVATAITAYWFYRSLVEEEENAQVSGLHRSNAVRRRRTGSVMNEIGAEVADLGRVIHDDGVVDMQSNMVPLALN
DGETVVDDQAFADEYGWTNMPQTYQRNGQNIVQLLFRVSEDATRRNAYVHRGCACNSCNMLPIRGIRYRCANCADYDLCEGCESQGLHIKTHIFYKI
KVPAPSFGPRHIQPVWYSGDPDNAMRVLSKETTTKLSRETGFERPELDAYWEQWTFMANTDWRDDPDDINLAMDRRTFDRCLVPTGGSRHSAPSLIF
DRMFAFYDTNKDDLIGFPEFLHGVSYRKKKDKWRKIFEGYDIDGDGYVDRKDFLRMFRSYYVLHRQIHRDMIEGAEEQQMSSTEAHRLISGRQPLSS
AFGQDGRYPRAPDPRTGEGKSAHTNGDLHIIDGKGIMNESGNDTGNREDIFRRDARPTYGNSWHGDLDRYNTTYWETIVDPPQTLGELPAVLQNLQR
VRGQVAEVLSGAPFESSIVVRQDDEDSISDSALSNPAADRNWPPSYVRVTDEDAEAIDGPGTTVENVRKESRQAVIAQATYREEAQENIRNRWQRRR
FYTDEEEGATPPADWNEEDDILAQSSKAGESSKAQSRPTIHSRSSSRVRFAEDMDDFDTQSNVSTSSRSVPERWGGMEIPDAERDAGKEILYQVTQQ
AFNELLDPLFKEKEDLAMEAASTKPEREKWNSLFMNPRFEQWALKKEAEENKPKKVNITRYPANGPLPATASLWPAFSEVEVEQVRERPLEELLAAT
GYEVDESLAQQNDEDNEGEAISDYESNHGTTRPTAVIREQLPREDSDLEEPAYNPAFYAPETSSTAGLLAGANGQEHGMRIDSAQHTSPEFSTPYRD
PTLPQFRPDTVEFPYRPTSSHLTADALHILQEEVRNQPIYDDHHDKSATAPPAPLSYKPNFEHNRPMPRPPRKPRLYELWKIERAEKKAESEGGFGR
LGFEEFEKKVKAAVGEGRGSQMDYLGSWIEFCIP

>RCO7_03695 | related to circumsporozoite protein precursor

MYTQALLISALAAIAEARFGQEQLPIQAISDLGAFGNSGEAGTLAGQSISFLLGAANPCGKLSQADKIVSTLGNDPAVIAAARGLVAAEQNFNPFAV
SIPAICSDASLPATEALRGVIPLVDPAVTGSDTENANSAASLTTPFDAAGLSVAEVMAAQGFTNFSTKGADGAAGAAPANNAGNNAGNNAGNNAGNN
AGNNAGNNAGNNAGNNAGNNAGNSTGNSDAVATPISSACVPSTTFVTVTAGAQNPVATGNNAENNGNANGNANDANSGGNTAVGNGVGAVSDPVTGS
FDGFVASSIAANDFGTCVPTIKFEAGLNGRKETELTFQAIDPVVNKGQQEALNPNIITNRICDQLGNSCGASAAGIAACEAAQAQIQALGTRDQSTA
DAWNTALGFAGAETNPDNAPQAGLVGHT

>RCO7_03696 | related to amine oxidase

MSEPSYDVIIVGAGLSGLQAAHDIQQAGLSFLVLEARDRVGGKTWSVPRADGKGHVDIGAAWINDTNQAFVYALTQRFRIELLEQNVDGDCIFQDKD
GATHAFPYGTSPKFSEAQVTDFERIRDTIHDLSVAYGSKASSVENYDQMSLEQFAISKDASEKTVDMIRIWTRVMLGIEASTISAQFFIEYTGKGGG
LKQLRSDQKHGGQYLRFRKGSQQMAIGLAAMLRPKTVHLSTPVASISDSGNIVTVTTATGKTFRSTKVILSIPTPLYNDITISPPLSGTKAVIASST
MHGYYSKMILCYDTPWWTKPTPASQKSCGLAISYQTPSAVIRDTSVSADNHYCLTCFVGGAPGLAWSKLPQHERRAQVLAQVSNIFGNKEEAYKPVE
IFEQEWSKEQYSKGAPCPVMGPGLLTSVGGSCALKEVVGNLHFVGTETSDVWSGYMEGAVRSGVRGAEEVRRSLKGEVISAKL

>RCO7_03697 | uncharacterized protein

MGSMEKPSLQYIHRDEEDKIIQAIVQDGGVIIKNFVSVEAVDRATADARPYLEKDKAWKGDLFPPETRRCCRLVGRSPTVREWLVDPLLTKLLDTFV
DKTTHNWYGKTKHTYTSKAIVNTGLTLQIGPGGKAQRLHRDDKNFHVDHQDQTKTGYRIGSDVELSLLIPGIATTVENGATQVIPGSHLWDGNRSPS
VDEICYAVMEKGDCLAFLGGLYHAGGHNSTTDQHRPVHDLSFVRGYLRQEENAYLAFSTEEVLSWPFEVQQRMGYTVSSPNLGFVDFIQPYKYIAGD
FDPNQPGDLDSSQESNQAAA

>RCO7_03698 | uncharacterized protein

MPELEFIDDLQVVLKDLLDRFSADVESALRRVKLGTQAGKIIETIDTTYERMRGHLYDRAERLIAIVGRRHTFLILNAGGSVLAGLIDQLTGQLYEV
ARCGEARYPYRPNPAYNKYRPAPSSPIFTYSRKKVVPVPAPVILGEGPGPKPIPVKAKVNLSKKWNDGVWDTENIWAASENWEDLMLHLAYKDRLDA
EKVQKAKEVAKGGAKGKGKA

>RCO7_03699 | uncharacterized protein

SAAMNRYLYQMLNERVDVPRQTSLYSIDDRFGPYETHSLPQLQQRNFRNGIHLAGGCLEIGIHLVIDKFSSLVKKLIGSVRCH

>RCO7_03700 | uncharacterized protein

MRGIRRAARLLLMSLRRSVIGSLRSISPFSNSNNNGIENNINNNIECISISTPRTTPILGDIDASPGQNVCPGFLKKPDTSSPAFEGTPSKMSSLRI
VPSNQEPFPKFADYERDIDLVATISSRELDAQDLVFERLVRIHPAVQELVHPLFRLPTSVRRRIYSFCFPYEERKVSLSPAFATKAVFPEYYFASPW
DILDHVAGGLGSFSMLRKELMVYFWTEYHFHIALNDFSGPRFSPLSHVWLIQYLSILQRITIEVDFTKFGCSQLKDAKMFGYRMSKTKHLLDSIVCG
LGERHAESSIAELHLMCRRYAGFRDMNDTWVDSSKDRYCPNDVLNLCDSLIHLRGMLQQCRISGFPDAYSRELLNSMFRYGNEAPEYEIPENNAWPF
APPLLTLSEPRSLEPCTSEPPTPISLVSTEFGQLQFQQTRSFFKEMEDQMSWYSTSPKSSNYTLSPRFDDPIIPTKDEEDAKVEDDTKADESTREDG
SVESEQHELHTEDHAQAYQALLPEMVFPELHLSEPSAIEVAFKRLEPPLNSTPESTTPAIPELFQPAKIGTTLRPCTPASASKSRIPRAFTQPSPST

PNKMNELNEQDPAFIRTVNAMRSLDGSSMLRHSMIASPKRPDSPGARNRTPPTKRKYMSFVNRLKGCVDGIMNDSTDVSR
>RCO7_03701 | probable DUF757 domain protein
MAAAAPSTFDPEKADNLEDIEKQFAVKVVQHMSTYWSILEKVRGSTLRLTKLDDEIYTQLKADFPEFDPAAPIDEDEMKSKTGKERWRKFMMAYEKK
VDDYNFGTMLRANAKGEYEEKETIFVPRMQFYAIEIARNRDGLNDWIFEKAQKEAGSSES
>RCO7_03702 | related to STE6 - `Full-size` ABC transporter responsible for export of the `a` factor mating pheromone
MAVLNNRSSLSTSNGHDTFVQMPPTAENLDDSAVDLQQLSAEDTTTGKPSLRSLFVFTTRKHSIAIIIAVFSSFLSALLKPASAIIFGKVFSIFTKF
GSGALNGRDALAAISQWCIALVGLGGSAWIIEATFLSSWMVFGELQAKSVREQLFVGMLDKEMACQVRELQMGVSQPMGFLVYELFGALAALGLAFY
YSWKLSLVIIATFPFAGLLFFLVSIELGSAIEAQKRELTKASKFANTAITAINTVKVYNGQNQEVWQYYDTIKKVAAAYLIQARCNAAQFGITKFLM
VGLFVQGFWFGLVLVKKGMDPGAILTTFYACLAAMQGLETVLPQWLVLKKGMSAGQTLKAIMMQVKKGRVMTSMMGSLRPDSCVGDIEIKGVSFAYP
SNVQQNVLNEADFFFPAGETTFIVGRSGSGKSTLSNLLMKYYEPTRGEILVDGNPISILDSTWLRKNITLVQQQSILFNETVLQNIEFGGSQPAARR
DILQATRTADLEQTLLELPEGLHTIVGSNGKSLSGGQQQRIAIARARLRDAPIVILDESTSALDQTSREKVSKTIREWRKRKTTIVITHDVTQIMDD
EYVYVLEHGVVVQEGYRKKLAEKKHGTFASFLPEAQTPDLGNPLSDTRRYSMPSSPSSLSSPIVLFDERLPQHEGLFSRFLGLQPTNPHGFVRTAAS
PAIALGDGFAQVNALRASRIWATPSAPTEDGIFPSFRSSEHQRPEGERKRESITLPGSTQKFSPGPQPDEWILLLPVLAVSRTKGLRIRPPAINTSV
PVRTVTHSPIALTIQPPQDSETSSKIPLERKPASLKGILGTIWPTLRWKGRCILCLGFATALIVAGGTPAFAYVFAKLLQVYYEPVNQDGQALKWAL
SLLAIAIVDGFATFCSHYALEYSGQAWVNTLRVEALKRIMAQPRSWFDKERNSTSRLNECLDRNAEEMRNLIGRFSGPIFTTFWMLTASIVWAFVIS
WKLTLVATACGPVIYVVTRTFNWVSSKWEDKSNHASDVTSSIFTETFANIRVVRALTLEDHFKKKHSKATADTYKTGMYRSLYSGTLFGLVDALTYL
ITALIFYYGAMIVTRGEIPVSSILEVANLLLFGIANAVSMLNLVPQINTSRTTATHMLYLANLPLNSSHETTGETRLASPFPIIFNNLSFTYPGRPK
TLSGISLSIEAGSCIALVGPSGSGKSSIASLLLGLYSPNPSRSDQAAPLTFNNIAMHECNMATLRSFIAFVPQHPLLFPASILSNIIYGLAEGSPFS
NSASASLAAEEAGIHEFVMSLPMGYATMIGDGGMGLSGGQAQRIAIARALVRRPKVLVLDEATSALDAVSAEAVRDTVRKLLERGRDAEEGGMAVLL
ISHGVEMMKIASEVVVIESGRVVERGGFEELKRKGGAFSRLIGVKVNPVEGDFMRDMTPVTGKGRNRESWAWLKRNSM
>RCO7_03703 | uncharacterized protein
MRSSSLVAIAAAALPCLAQATNQYWSHPINITNVEHVNQKTRIGELAYGATNLDFNYSAGCGINFGNGTVGGGFNAGIPGNSDGSLGGGWTVTADSI
NFGLGAVFNKVSVNVAIVVDKKNNKLSVKVNDKEVSL
>RCO7_03704 | related to nitrogen metabolic regulation protein nmr
MSKLVVIVGITGNQGGSVAEAFLADPAWRIRGTSRDPSKASSQALVAKGIEIVHGDVDDVESLTAAFIGANLIFGNTAFSNAFAFPTAADKEKPAPD
QTLREWAYELEVQQGKNVVDAAATAVDSLDLFIWSTLSHAKKWSKGKYSGVYHFDSKAVVTEYLNEKYPKLAEKTSLLQLGIFITNWKWGPGAVPWE
KRLDGSLLLAIPGNGDIPIPLIVPSDTGKFVKALSQVSPGKNLLAFGDLITWSEYVALWSKTTGYPAAFEKSTVAAMDKIAPGGYGEEIGEMLAYAQ
DFGYWAKEDTSVIFPKDLGIKVEATRIEDYIKNEDWSELINRPVTGS
>RCO7_03705 | uncharacterized protein
MGAGRFVCVALPFGLTLASLICILIVMLAGVTNRSLDMFEIQTANLSISSSSLANFADAVIKRNDDLSSLTIAGQAPNPPPPQRPDSFSSSTLTGQV
PNPPQRPDSFSSSTLAGLTPNLGDNITAAALGLADSYKVSLWNYCRTTGKDTTCTKAQFDWASTKLNTSTVEDSASSITGKKVRLPSELRRALKSFK
AVSKWTEVVYIIALIACVAELFMGLFGFCSRVGSCLTFVISGVSTVTIVLASVMASVQSSLVVGAVKASARSYGVQGSLNTSFLATTWLAAVFSIGA
GVFWMMTVCCCAASSGSSKRKSRGVDDAEKSMPTGAYQRVDDGQHNNQGYQGQQTGIYNAQQSTEYGVPMHNVKPVARGGNGAYEPYSHTAI
>RCO7_03706 | uncharacterized protein
MPVSKKMKVQREHRKAEANGTRAPVKANGLPVKAPKPTSICANCRKEIVNTNLTQLQVHAETHDQKLWPKEKCWPDIFKGDA
>RCO7_03707 | probable protein phosphatase-z-like serine/threonine protein phosphatase PZL-1
MGNQSSKGSGASTPRGNLSTTSLDKGAEDLKSYPSFSKADTKDSTRSFRGLGSKIRGSNKDSPRNSTSNLSTGDNLVDRSDGASMKSGKSSKSGLRG
TGRDPDSPVSPSSPSADSEDQQSPFEDPEPPPSPIQSASMRQGHHDVDAAQRSGEVDNVSDQPPSGQTNPHAHLQRAGASILVKRDGEINPIEPEAV
SAAAVGEDAAAGGAMAIGDIQDSDVDDYIKRLLDAGYAGKSTKGVVLRNAEITSICSRVREIFLAQPPLIELEAPVKIVGDIHGQYSDLIRMFEMCG
FPPSANFLFLGDYVDRGKHSLETILLLMCYKIKYPENFFLLRGNHECANVTRVYGFYDECKRRCNVKIWKTFVDTFNCLPIAAIVAGKIFCVHGGLS
PALSHMDDIRHIARPTDVPDFGLLNDLLWSDPADQEKDWESSERGVSYSFGKKVIVDFLARHDFDLVCRAHMVVEDGYEFFEDRILVTVFSAPNYCG
EFDNYGAVMSVSTELLCSFELLKPLDSSALKSQMKKSRNKRNSMLNSPPPSAFQPRSV
>RCO7_03708 | uncharacterized protein
MMSVYMDIISRRWEKSGGGEVGRGMEREEIDMIDNLMTCVYKSGETIPDGEIACMMISILMAGQHSSSSSSSWIMLHLASRPDLQEELYREQQDANP
YLAGNKGL
>RCO7_03709 | uncharacterized protein
MRSNSPNGESSGETSLPHHLTESLIELCSEIVLQMLEAYIPELPEGVDAAELRKSNLTIASTVREVGNRLANAKYHIEKPNPKSIVRLTAIEATAFF
ETICSQNQSLKTVQIDAAVQEGSSRCKLKVAGAKTFSVYGQLAEHPTLPQEDFALLQAKFETVTHKCELLQSRAKLIQAINTGALGYVDYLTNSIST
EMQGIPTLVDIYIFDVDKFLLEKERFAISDQYDLQIYRDSLESHLHLRTKRDWEFVELLWTTLKAKLGSEAAEKLIVSFFVPLDSFASFVAGFEPHL
LIEKLSVLKSETGETLREEMDSMPTRFAEGLKDLRLSAAFNGIFKIGDLL
>RCO7_03710 | uncharacterized protein
MLRRWINELFDLAFGLETSRTGFSLNEKIGRINARVTLLLANNAKHERCIATLQKEKKADKKALSLAMKPNTAPNLAIAPQLAQKSDANTISLDNSR
YEKLCEKLKATQLQLEAENAKEERAATTSRLEIEILRKA
>RCO7_03711 | uncharacterized protein
MKASFESQQAELELLRSDEKAEMDRRDAAISLSTMASKNAKLESNARALGGWKEEFTAMKQVQEELVVQLDTAKNDAAASEERRVIAEAKVSRMKEL
YARFSRDMVEASSR
>RCO7_03712 | uncharacterized protein
MNSKMKKAAEEEGLLSSYGKRRNFPA
>RCO7_03713 | uncharacterized protein
MPGDYWVMPHFSFWSWPLPFIGTMDEALAKISNVEKNTSWDKKIDKVVWRGTAWFNSISNTNLRPQLLKATKGKEWADVENLQWVSETKGANNSISI
EDFCKYKYIIYTEASILICVLYVSTDLVQGITYSGRLPFHQACKAVIITPPPSYLMHTTHLMRPLFSSNLPFSVSANSKTSAGPNTRWMESYAPSQA
NIVFVDPHWADLEQTVMWLRAHPSVAEGIAERQRELVESRGILSAAAETCYWRSLVRGWSEVAIPEASAWKDVGEGVRWETFSLSMRSGWE
>RCO7_03714 | probable transporter (major facilitator superfamily)

MAIMDKFKGRQAAGESQVTPNSSHDIETQATTDAITSDNKQAAADLSDYQTKEELPTEDAQAGVQQIEAVTLAWTKKSLAALLCFIWLLFLTNGMRL
SILASLLPYVTSDFKSHSLMTTIEIVSSAMAAATYIPVAKMLDVWGRAEGFAVLVVFSTIGLILMAVSQNLATFCAAQIFYSVGFSGLIYVVCVLAA
DSTNLRNRGLAFAFTSSPYMITAFAGSKAAEGFLKHVNWRWGFGCFAIILPVVTMPLFLILKLNLRKAVKRGLYEKKSSGRTIPQKIWWFIVQFDLP
GVFLLAGGITMFLLPFTLAYSAPQGWKTPYIIGMIVTGFVMLVIFGLHQAYLAPAPFMKHNFLTDRTVIAACLIDLTYQMSYSCWANYFTSFLQVVS
NISVSEAGYINSTFSIVSGVLLFFVGYLIRRTGRFKWLFFWAVPLYVFSLGLMIYFRKPNTKVGFLIMCEVFISIGGAVFILCMQLAVLAAVDHQHV
AAALAILFVAGTIGSAIGSAISGAIWTNTFARALGRYLPESALPNLMTIYADLPTQLSYPVGSPERLGIQQAYGYAQTRMLAAGTGIMCLSFIWMFM
LRNLKVSQMSQTKGVVF

>RCO7_03715 | related to GNAT family acetyltransferase

MSSKTVSPSKQKTLQSKRLTLVPLSLKNRDDLFTLDSDPLVMKHIESGIPLSASESEVGFRYMLVELAVAGLGTWAAYVGSEFVGWWVLAAGELADT
GTPPQPDTKNVVFGLRLLPKFWGQGLAKEGTREIFRHAFEDLGVEQISGDTMTINQGSRATMASCGMKHIRTYHNEYPTPPPGIEEGEVEYRITKDD
WLAQKEGAQ

>RCO7_03716 | related to multidrug resistance protein

MATKVENEAARSLSMPNEKSMDKSEKSEKPMDSDNRSPPTKNSARLSQSFKSYFTYLELLFAAQPTWVDVALIICGTLSAIGAGIPFPLMGVLFGQL
IDNFNSATCAAEANSAATADPFYYEATINRKVIQTAWIGAITLVLFYGHLTCWNIISQRLAQRLRTRYVSALLRQPPAFFDTRGAAGQVSSRLHGDI
TAVQAGTSEKVGNIITTISFFVTVFIIAFSQQPRLAGILLCMLPAFLISGILGGKYLGKYVVKQSGETSSASSIASEALTHIAVVQAFGAAPRLEAK
FASHMEKAKKFATTKAAIAAVQTGLLYFIAYSGNALAFWQGSIRIADSAAKQDGSASVGQIYAIVYLLVDACVMLGGIAPTLPFLGAAIAAYERLQE
DILAPSAIDGTSNEGLVLSPSTAKSLSFRDVSFEFPSRAGQPVLQQVNLEFPAGKYTAIVGLSGSGKSTLAALMARLHDPTEGYVELDGHDLRNLNV
RSLRSFISFVQQEPSLLDRCILENIALGLVNSSKPVHQHLKPFLNSPALAGLADKGKDALAATASLGPEFTEIAELVRRAAELADAASFIENLESGY
GTLAGPNGSRLSGGQRQRIALARALIRDPEILVLDEATAALDSASEKRIQNAVERAAADQRTIISIAHRLSTIRNADSIVVMQAGRVIEQGTYAELM
AQDQSEFARMARLQSLGTSSKAEAGSISGVSLDASTLKGGQSIELTQSKYVDEDQTEKKLDDATEKKKQNIQDRDLDGLKPFSSVMRGIGFFIRPSL
GVFTVAIIAAIFVGATFTGAGVLFGFTVGALNPCETTVEKIRSMGRFFAGLYFMLAGIELIANFLAWFGFGTVAERLLYNIRVLSFRSLLEQTMHWH
QSEGRDPTSLLGVITKDCVAVGAFSGSTFGTIFAVCMNILISIIVSHVFAWKIAVVCLTTVPILLGSGFLQLRMLARYEERHQKAFSTATSLATEAI
QSIKTVAVLSLEQEYMDSFERLLLPPKKQVVRASVVTNIFLAISYTAGIFVNALAYWWGSQLIMRGQYTQTDFLIILVAMLTSAQLWSSMFTLAPEF
SRARLALSRVMTVVSLGSSTHTGLQGRDPEKTGDDMESDIQRSSPPIQNSRGGSSVAFKNVSFAYPGRPEVKILDNISFTLPPNQFCGLVGPSGAGK
STIMNLVQRLYSPVEGAVFIDGQDISRLPAAFRETMAIVPQEPALFDGTVKFNVGLGAAPGHEATDAEIEEACRLANIHDVIISLPDGYDTECGASA
SSRLSGGQRQRLAIARALVRRPRLLLLDESTSALDAASEEALQRGLEKAAIGTTVLAITHRLHTVQRADVIFVVEGGQIADSGAHNELMERRESYRV
NAMSQLLQ

>RCO7_03717 | related to fluG protein

MSSPPLIAKVGSMTQRSGAFGNDTIKIQEAGYLASVYDNVYADIGEVFPLLSKEGQENAVREILELCPTEKIVWSTDGHWFSETYLLAIMQVREALE
IVLTDYVRTGSMTVPQAIRAVQDILFTTSNNLYGLGLDLTPLHSLTSTANVSTTKLALRTIPPPSLDVHTLHTFLAANTSVKFLRVQWLDYTSTVRV
RLIPVMRALAMLKTDPHLEIGIASAALGLLQNDTLISGLTPNGEYKLRAVMPTLKLGPCDGYASIQCEFLEKDNSPVVLCPRSILQHTLQSSNSLGL
EFLVGFEIEIVFMSRSHTDGTLSTLRNSGGHAWSSSRALHGRDITFVLEEIYDTLAAAGINLELFHPESCTGQYEFVLPALPTMEAVDSLIYAREII
MHVVSNHGMRATMYPKPFTHAAGTASHMHISISSSSGNDKEVYEPFYAGILKHLPAILAFTYSNPASYDRMQDGCWAGGTWVAWGTQNRETPLRKVE
DSHFEIKVIDGLANMYFATAAIIAAGTNGVKEKETMVLGDCLKDPALLIDEEREELGVNTRLPKTLVSALKTLLRDETLVQLLGAEFVERYVATKKG
ELGLFAGMEKEDLKTWTMERY

>RCO7_03718 | uncharacterized protein

MATVSSDVSGLAGNKSEKTSYDTIPYDAPLDNLNTILKKRGLSAETLPGWARKKSQAGNDSKNLTLPTVDLRGKRVILTGSNSGIGREAALQMAEWG
ANLVLGCRPNPPPHEMHPDAVVAECIQAAKKAGNVIEAEWWPIDHADLSTVDSFAQRWLATGHALDILCSNIGMGAKRPVPEEQAQKGEKYRKTVDG
FEEVHSVNFLGHVQLILSLLPALARASEPRVVCTTSCFHYLGKFDMQNWNGEKDDAGIGGVQFYQNSKLKYQIWLTELQRRLLLHPEYRHITVNGCH
PGFVNSGIWAMPGRGWIGWIQEKITRFAATNLGINSQQGSLAILHVATSPEAGPDPKTQGVGKESGGGGGRYFNRIWEDESMPHCEDADCRSRVWRK
VDDELKLSEKGLLDVLGVFGTV

>RCO7_03719 | uncharacterized protein

MAYPKSSSSSTKAHSGSHSGSSSHKSTSSQSHSLSRTSKHHSSSSSSSPKNSTSNSKSVSNPETLERFVRDERDHRSYAVEQYDAYQEAEKRKREER
LRDVVRKKY

>RCO7_03720 | related to aspartyl-tRNA synthetase

MGFLLAKTRQSLGLRFQHLLQSTPAGRCALLQRSVLFKKRCFHQGARPLAEQAATPEHLDIANSSFWKEYKNNSLSDSLVFGRIWSGAGAESEASIL
NIISRDPEKCAQLKSIRLHSPVNVTGCLGMKHVKKKDKDQALPSANFVGLHQIEMTVAEISCLNSIAVSHLKADHNYPPSSRHLQIRFGKELRQRLQ
FRAALAGYIRTTLTGFHEVETPILFKSTPEGAREFLVPTRKGGYAYALPQSPQQYKQLLMASGIHRYFQFAKCFRDEDLRADRQPEFTQIDIEMAFV
RGVDVMARVEKIIKRVYGFCSEKKLFATSPITVSKPFARMTYHTAMQRYGSDKPDLRIDALIYSILPAVSPQLQSMITSIPAPRVEAFKLRLDASPK
KVQKFIRKFMDSPDAEPFKNNVDGAPGICVFDSSQPIEGLQIFGFEGAEKLKAIWKQEINLPHLDYDDTGTRDSRRNFEDGDLIIMQARPNLLSLSG
GSTAIGRLRSAIYKAAIAEELIEPDLSHRYLWVTKFPMFTPNNASDPGQGGTAGFSATHHPFTAPASAKDVDLLLTDPLRAIADHYDLVVNGVELGG
GSRRIHNAEMQRFIMRDILKMSPERINDFSHLLTALESGCPPHAGFALGFDRLVAILTGRESIKDVIAFPKSSKGEDMMVRSPSKMTDKELATYHLA
LADAVTTTLIPDLDTAVPETPLEEAVNNEAGNDESNTINSGDDEAAIDESVIDLSIFDEIEDDDPTSDGSNAK

>RCO7_03721 | related to YAP1802 - Yeast Adaptor Protein, member of AP180 protein family

MSSFEKSVKGATKIKAAPPKSKYIEHILIATHSGEAGVAEVFRALQNRLRDATWTVVFKSLITVHLMIREGSPDVTLGYLARHRNMLAISSFSDVQT
QGRNIRHYTNYLSERARAFRETKTDFVRGAENRLEKMTVDKGLLRETETVQHQITSLLKCDVLDNEPENEITITVFRMLVLDLLAMFHVMNQAMINI
LGHFFEMSRPDAERSMEIYKNFTKQTDFVVQYLSTARQYEHQTRVEVPKLKHAPVNLGKQLEDYLMDPDFEVNRRQYIAEQELKSGRINSASKAFAA
PSKIDSESRSAAGKAFPDAQPAVSKPVQALKGPAPDLIDFFGSIEQNQQPMATQADLQQQQPQQFNNGVSYQVQQQPQQFQQNGFVQQQQTGFSGAN
PFGQPNQQQPFNTGFAGGQQLPQVQTNFTGAGFGGFSSQSSFQPGNLGSIPQDSPAPFQQQQQQQMLGSVQTAAQQTNPFRQSLMANPTGMPGPSFP
VSPPSTSPITHQSTNPFAKSKSPANQPFSPPPDQQFQQQHQQIQQQQPTTPLRPMATGTNPFAKNLAMNNNTAQRPQTSGGLVPQPTGSTNPFRQSQ
FVNTATGSGWQHNQQQIGGGLDGLESVPVFPRPAQQQAWQQ

>RCO7_03722 | probable RNA polymerase II transcription factor B subunit 3

MSSKPPPIDPSDDICPVCKSNRYLNPSLQFLINPECYHKMCSTCVDRIFTSGPASCPVPYCGKTLRKKGFHKAFFADLKIEREVDIRKRVGGVFNRR
QDEFESLRDWNNYLEEVETLIFDLVEGSKEDKSRAEERLRRYRESNRGDIEDNRKQGLEEMEMERRREIEEKERARERRARIKREEEDEKRDVESGR

REVLERLATSDESAREITERAKRIVLMKGGRRREVERSDVERGGNEGGLTLRGLKKKEAPVVEKPYDPFGGIDLTPSRYVLQDDYESEWLANVKLDQ
RQMAGGFSLQEYYARTMFEAFSGLGAFIEDEFSGNALPFAPSPVATMAAVQASGVQIKLESKMELDDIF
>RCO7_03723 | probable nudC protein
MADDKEPTKEQEAAAAAKQKEEQDALPYKWTQTIGDLDVSVEIPGNLKARDLNVEIKKKKLVLAIKGQEPLVSGDLAHEIHVDESTWTLITSPSGST
KILELHLDKVNKMQWWEHVVTTAPKIDVTKIQPENSKLGDLDGETRGMVEKMMFDQRQKEQGLPTSDESKKLDMLAQFQKQHPEMDFSNAKMT
>RCO7_03724 | related to oligosaccharyltransferase delta subunit (ribophorin II)
MRFIHSLIPSILLVGAGVAEAAKAATWGFDEAVISVTGKGGAGSAFKDKLSASTLLAKSVALGATDALKIILSATEDGKAKRPHQAFLLLKDQDTGL
EATFPLSMKENGKGKVDFTQKDLPFQLLTSTKPLHATLILASFGTAQGFSNHVFNLDVKLDANVPLPKYDAPLRYGQKEEINHIFKADPKSGPKIIS
LFFVLAVLATVPALFGAWAYLGANLSHLSKAIGAAPVSHSLFFGSILSMEGIFFLYYYNWNLFKTLPIAGVVSLVAFLSGSKALSEVQSRRLAGER
>RCO7_03725 | related to Putative dioxygenase C576.01c
MAVKTLEIRPIQEPNPTSSVDFGVEIYNADLENLSEEDFQTIRGALYTSHVVVLKNQSTLTAKAQYELTKRFDPASESYGHGKTLDAKRSILHPDLK
TVPRQPQVQVIGNGFFSEYEGLENIKLVHPHHKTFHKVPIPEEEDLDFTRFYRWHIDAALYSLNPPEVTSLIAIKVPAGRRQTLRYDDGTGQEMDVP
LGTTAFVSGQNMYNILSETDKEFVRTARVEYAPHPYIWMSPAKSRSDGLGLVSEGSELSLSELPTIEEDKIKILPMCWKNPVTGKLALQIHPSAVKA
IHLPNGEIMSDLKEVRELVHRLQRPGIEPKHVYPHDWEEGDCVLFNNRGVLHSVVGAFSPQEQRLFRQCNLAASEGVQGPDGKFY
>RCO7_03726 | probable TGL4 Triacylglycerol lipase involved in TAG mobilization
MVLLEYLQRPSPLCYNNGSPQKQLPSSAPVRGFLCNADPGSARRKSLPGAQWGILGPAARILKGSADLVNHTVLGLRDGLTEEERLARAKREERAQI
LGLRMKNAETMEQWKVAAKELDVLDDNEAWKADSTSADFDAELIEARLKQLDEARINCDVKAMLHLVRTALARDLGGMGNIKLYKHSHIGTKDLIER
YIDSTLDTIRSLVEKSKIALPDGLETKDILEEVVHARQAFGRSALLLSGGATFGMNHVGVLKALFEAKLLPRIISGASAGSIVCAVLCTRIDEEIPE
VLKAFPHGDLAVFEEDGNEDGILERVRRLLTQGAWIDIKHLMRVMQELLGDLTFQEAYNRTRRILNICVSSASVYELPRLLNYVTSPNVMIWSAVAA
SCSVPVLFSAAQLLVKNPITGENSPWNPTPQKWIDGSVDNDLPMTRLAEMFNVNHFIVSQVNPHVVPFLVKDDISITKNANSEDDAGPGWVYTLTNL
AKDEALHRMQVLAELGIFPNLVSKARSVLSQKYSGDITILPEIEYKDFPRMLKNPTAEFMVQACLCGERATWPKLSRIRNHCAIELELDAAVQRLRA
RVVFSPSQVDLRRMTTGSVRHSARRIGRKRGDSGSGAQAFGMTNDDVEDEDAKTRTSMSRPPLRTASSHWSVTRRYLPPLTTPMPRTAHGTPLPTPP
IFQPINKMLELRMPFPDISSAGETSHSPPSSDADIDSHTDESSPEPDVTDDTMPGFGLYFRIQNQNQNRSDRGDAADEVDFFSASQPITANTDHVLA
TSPLSSRANLMVSPLGVAKKGPERKAVPQPSSPELRYKRLFHGLLPKDEA
>RCO7_03727 | uncharacterized protein
MAHASFVFFPKLPYELQLYVWEMIDILGTVIRIRLPQEARSESFDYETQRFFSIKRKLPAIFHACHSSRKVALRSHPLRFGNGWPFGAQEAFPYNAK
KDLLLFNSMNSICKFALSWMVDFQYVQQLAFEPGSDDDYNTILKTLISTFGLGDQLRKIQILPSDDITTFLAALAEKDGSVDFQRIDLTLQHLYILR
IVILRLKGKISEERECDLLRRDFCVMSPAEFAAQLDCEGALKAEHDFQYGCRNLCRES
>RCO7_03728 | uncharacterized protein
MSSEVAKKRGRPKKVISDPVEVEVPEGLKNATTRAKSTSIVNKTTKSAPTTPAKTSATKKTASKTAVASATSKLAPKATVASIKPVATATEKPAPTK
STPPTPTTSKILEEVKDMERKKFSPPQGFANKIVVTGKSTIASAPESARKSERLGQEIALKKPADISKPEPVIAAEYDPVPQQQKPVLPPASSANPP
YSPVKSTPPPLPSAKPTTKSYVPISELNSAIVSKITTRAGARPNTASSQQLPKNYKGVARKVTTAIVALPIAIVTSYVLYQRLVMGEEKKMLVPPQK
PVDSEMKTDPPTALPTQ
>RCO7_03729 | related to aldehyde dehydrogenase (NAD+), mitochondrial
MDFTTFKHCVNGELVDTKQHRHGINPANLKNLPDVPVATEEDLDTAVAAARVAFESWSKVSWELRKKTLLEFIDALEAKKDEFTKLLTTEQGKPTFQ
AVREHSDSVSIGRSTANLTLPEEVIEDSEDRKITTRFTPLGVVAGIVPWNFPILLAMMKIAPAVLTGNVIIIKPSPFTPYGDLKLVELAQNFFPPGV
VQSLSGDDNLGPWITSHPGINKISFTGSTQTGKLVAASAAKTLKRVTLELGGNDAAIICADVNIEKVAPQVATFAFLNSGQICLCIKRIYIHKSIYR
PFLEALIRHAKTLQVGDGFAPDTFCGPIQNSMQYERVKGFFSEIEKEKWNVACGGKMEKTNGYFITPTIIDNPADDARIVTEEPFGPIVPTLSWESE
DEVIERANTTNMGLGASVWSSDFENAGKIARQLEAGTVWVNNHFDLSPMASFGGFKESGLGVEMGIGGLKAMCNSQTLMINKKA
>RCO7_03730 | related to Probable alpha/beta-glucosidase agdC
MLRQIVTGLAWANTVSGAAVSRRQATRDSCPGYTASDVEQTATGLTANLNLGGAACNIYGTDVPELKLTVNYDSESRLHVKIEDASKKAYQVPTSVF
PTPSSNASVSSDTSALAFSHETSPFSFKITRKSNGEVLFDTSAAPLIFEDQYLRLRTSLPEDPNLYGLGEHTDSLRLNTTDYTRTLWSRDSYGVPSG
QNLYGNHPIYFDHRGENGTHGVFMLSSAGMDVKINRTEEDGQYLEYNMMSGIIDLYFLDGPSPKEVAQHYSEVSRKSAMMPYWGFGFHQCRYGYRDF
YAIAEVISNYSTSGIPLETMWTDIDYMYERYIMTTDPDRFPIARVREFVDYLHANDQKYIVMVDPAMAFQEERENGLPYETFLRGRDQGILLQKNGS
IYQGVVWPGVTAFPDWFHPGTQEYWTNEFLEFFDADTGVDIDALWIDMNEAANFNYFGEDAQETAEERGFPPTRPSLRSAPRPIPGFPESFQPNSSS
PYPPDSLGYAPPWLSPPASPNTKRGVAVNPPLGKRQVQAQDLIGFPSRNFLEPPYQIDNANTVETYGGVSNFTLDTDIVHFDGHVELDVHNLYGAMM
SEYSANAMEARRPGKRPMVITRSTFAGSGHAVGKWLGDNLSTWALYRDSIQGMLDFAAIYQVPMVGSDVCGFGGNTTEILCARWATLGAFNPFYRNH
NGDSSNPQEFYLWDSVAEAAKNAIDIRYRLLDYIYTALHKQSVTGAPILNPMFFLYPEDTKTFAIELQFFYGDSLLVSPVTEENATSVEIHLPEDIF
YDFKTYAKIEGKSEKMKLTDIAFTEIPLHIRGGAILPIRNSSAYTTTEVRKQPFNFLVAPGKNGEASGELYLDDGESIVQEATSEITMSYQDKELIV
DGTFAYQAEENWVHEVIVLGVDAEPKGAYWSKGNKDGKTIWVTCPQDGRKYDAEKKALTIELGQKLDEKIRVKYE
>RCO7_03731 | uncharacterized protein
MITPRILCLSALALIPLAVAAPSPAPFTAANADQNWTPVDFKGHTIYINNAAIIGSAENRAIKAFRGVFGNVGPDSDTCQDSSFDPHPAPFANTADC
QIISDWAATVNTFWEVWGNTDDLHPIVRSGNCVFISGTKNVSGTWIGSTDIKEIISAALTKLQYNGNVAAQGEMPCDNGGLRVLGQSKVRWAIKQY
>RCO7_03732 | related to Drug resistance protein YOR378W
MEPQDIRSAKDSQEPRHEDSTSTRQGSERTATNENCGERKRMSVLHEGAFIITICMAQILALAGLGQGLAPLHIIGDSFGVNNEGELSWYLAAFSLT
VGTFILPAGRLGDLYGHKTIFLIGTVWYGVWSLISGFSEPALMVPNALAIAGRSFVGKKKNYVFACFGASAPAGAVLGGVFGAIFSQLVWWPWTFWV
MGMVLLTYTATSYLILPPDERDQSSETTKPTFDLAGTITGVTGLILFNFAWNQAAVVGWSKPYTYILLVVGTLFFGLFIYIETHFAKDPLIPIESLS
REALYALSIIACENLRHHSALSAAAQQSPVALSGLLASLTAGYLFSRFHVAYIMVGAMLCFVTGQILLATAAVSQTYWAQTFAAILVMPWGMYMSFP
AGTIILSNGMPRDHQGIAASLVNTVVNYSISLSLGIAGTIARQTDPRHDNTLLSYRNAWYFAIGLDGLGLVIALYFLWISVGRAKVSSQQFETRV
>RCO7_03733 | uncharacterized protein
MAQVHFAGSATHSLGAMRRTSAHHQQLRRRRLQKATLGCSFDASFSPGRTNGDSIITVQSCLKRALDDDCDRGQNNRKQDCICSKGQERVIDVLPQP
RVGSRHQSKKREFLNQPPSNFSNDSISIYSTHSSITINNMESEIQYRRRSKTPVYFVGQLERKSVICALGCDRAQLLAEEYKAILPLRLKTSFVNHQ
HDDNLVTAYLPPPRKRLRKIKCQPSLRDLVKQHSQCAPSPSTPGSDVETLVGSPLCSPFDEEFEKGTYAHRPLLSRRTRSHDSDDEQSLPSLNIDGN
TDIGLKICIELLTNALAAEILRHHATPNLTEAGTKDRATGLQILLMIEAYETVQQQVRRMLYDKHVTGKQFEHVRDAERILEHWLQALYTVYDREHV

DESARNRLEYEWPLRSLSNCERGSKR
>RCO7_03734 | related to negative acting factor
MVYCGKPSKACGECRLRRTKCDTKRPSCSQCVRAGRTCNGYRDPADMMFRDESEGLLSKRQRAKAQSQKQRPTVSLSLPAHTSQASIIAVPDDSQLS
LLIPDVHKLPLIFFNLETSTDGEATCFFFRNYVLQQDMFSQGSFRYLSDIYEIEEIGSALADSVASLGLVGLAHFWRASSILAKATAKYNWALKAIS
SHLTTVDGAKSDQTIIAIVLLGLYETNTCNSRISMETWERHITGASALLQLRGKEQLRTLIGYHLFIHLRTQVITNYIQRHAQVPDIISDWSQDLYF
ETVEQAAATTLSNLAIRYCNLRASMSSFRDYSDSERIIATACALDFEYEMWTKTCPLQYIYQTVNLNERSEDVFSDHYHVYSSVWVGALWNNYRSAR
ILVNELILDQLGYLYQNNPESCLLWHENCFYENQILASKSMLLQLCHDICASVPYFLGYKSGITGFMDQAPKSVNENLLLWPLYTAGVTGLVSDMMR
VGVAGRLQWIADVMGSRQAGPLAYSMLRRQDHLLWNPDLIENASLADVSELAYNY
>RCO7_03736 | uncharacterized protein
MTNQSKSYSSDKDGSLVKEPVKGDVKSMLAVVTNTSMDRVNAVSRDLRAGRSLLRAAEEGVKIGASYGGGDRFVLHGSIDTWAAIICCLLPSMRLAL
FWPLS
>RCO7_03737 | uncharacterized protein
MGPEVLYYQDCIRQSLRSFLFYSEDGEKEVVLCYAKDAHPRTHMAIHQHKTCVRTPKLEVNMGFDADRKIPIRYWSIESNNKRAAQGVLVRGTAARP
LDPNPAKAAQMAQAFHYDKSFGDHEIVISALSELEKNPQRAYAICNSYETARMSLAANEFVLFPFLPLELRRQIWKYASDHTRFIQIVHQSPPDAPV
SKILHKFYKVARPSCQPPPMLHASSESRREGLMYYKQFKLEFRFPDDPEKRVYFNPTVDILLFATGTCTGTLIQFCRIAFLRNQKFRRVAITSSRRF
ADCCDHYFCWRRRSSPGNPGLDFVSEPIDILRGINTSGNAAPPANWGRSMHVPRLRKDPSSMRFFPGISGLEEVIHVMDTYLDKPQQVDNTTTFRIA
DTSIVTDATEKKFLATTVELMRRYSSGEHAEWETPDTNTWLGSTLPEFSYINLTSIKPFENGNIIKEYELWDCHELERSAILRGDVRRVLESITGCH
IFFPTKVIGVDRDNNMERLEYGIGGPTNTAVQAGSIAVDIIADDKASWCPSFRRYLQDGCKDLIPSTINNQTLARLSIAAPRTKVPNRLIRRGRAAY
LNKSPLLVALEQIHSLEPLEARSSYDAKLVFPPNTDKIELHKWWLVDRYYRRVYVDWIERKVWDPDRDDSD
>RCO7_03738 | uncharacterized protein
MSPSTIFQYFQCFYKNLLTSFEDVEVVPQHSRTKLDDQNAKIFNRFKDLPFEIRVQIWREALDQNGRLIELERTDQGNPVWGWSRDTCEFWRVSPRC
GALPAVMQACAEALNEGKRYLEYRCFDSDNKRLPSDGPFEIYFNPRVDTIFFERERPEVHIPRVAFLCTPRMLYCCGHMRMSPLYGIDGGVNLIEAL
HGFSEDVTQHNFRYGGCTGLKEVHFIVKSKLWPEATASIDQGVGLRPATARGYTMEESLGNEPDMVPSKAEWRMKDKLESRIARVISDQSLPRVGEF
RWTGEKMPSFHFSSLCPAPKFGEVYDGLNVDNWDFWNLFEMNDDFMENHKARFGCTYLELVISTFGCEVLVPPNVNHGSRMREIGFCGSRADVEEAK
DWFKDMLEPKLMSLASRILSQILGLQPDRRTAGVRPSRLNRLAIL
>RCO7_03739 | uncharacterized protein
MHLNGLEARQTGGAGPTGLDRVASTIVASSTSSINLPVTTSASGTRTSAAGASASRTSTPSRPFRTSSPASTQNVTPGDSGPSALLVPVIAVTLGVL
GMLLGFYMLRRTRVHHKNPKYIPTPFLKKAWQKWNPSPSHYKLPNANESLEPVSARNARSSHPPNSFDAAAVATAGVDRNTSVRSVMTLPAYRPNAL
GNEQVLGREGDRGGIDVVIEFPENQDDEESRREEEMEALYQVRLARRRENEEREERRRLRREARERGDQVALRELSARARTASGASAGQTVEELRAE
HERIKKERQRAVSSVSYGDLGVARHDGTRLRANSQESERQGLLGDAASIAASSRYHHRERSTSSILSIDTQTSDLPSPGLTRSRAASNVESPRRGSH
QTDRRPSASNEGRAGSSPEMIEHEDIPPSSPPGYENISLDTANDEYHHAPLEPPPVYTSPTLARGEEHPTTDSSLPPATTSSTPVSPLSPELRPSSE
AISVDGQGSRRGSRTDQLRHSRTSSSSSSSTNRPRQEHRTTRGVGGVPQLPSLRLAGLPSIHVDPGTPRSGRQADDERENSRENS
>RCO7_03740 | related to GTP-binding protein
MGRAKKEASRKVREGKSSDGMANVKVKGENFYRTGKQAKVLKMFKDTGSGRHNAAGDVTQSAQFQSKQVPVARIEPNRKWFTNSRVIGQDALNSFRE
AMAERATDPYSVLLKSNKLPMSLIRDGEGKNGLKQHQAKMTVEASPFSDVFGPHAQRKRVKIGVSSLEDLAEQSVQNHDTYLDRLEQAQLLSGNSTA
DGEAIGEAAIPDHGYASSAREAIFNKGQSKRIWNELYKVIDSSDVVIHVLDARDPLGTRCRSVEKYIKDEAPHKHLIFVLNKCDLVPTGVAAAWVRN
LSKDYPTLAFHASITNSFGKGSLIQLLRQFSSLHSDRKQISVGFIGYPNTGKSSIINTLRKKKVCTVAPIPGETKVWQYITLMKRIYLIDCPGVVPP
STTDTPQDILLRGVVRVENVENPEQYIPAVLSKTKPQHIERTYQLKGYTNHIEFLELLARKGGRLLHGGEPDVDGVAKMVLNDFLRGKIPWFTPPPL
LEGSEQTTGVEGRAGRLGEMGKKRKRDDESVAGTSVADTSVADTSMADVEDDDDEFVGFGSDDEGVGLDDDVVDDVDQAFGLDSDDEDSEVDSNNEN
EGDDDAEAAQEQLQHELLDDADVSSTVARKPTKRKRQKT
>RCO7_03741 | uncharacterized protein
MPPSISRTSLNSLGRCICPAKSIPLRSFSTTPSLAGFGPEHPKFIEIPTPPQHQASPKLNIKGTLPPPRNIFPRRAGDKTSPEYLAAVTPEPSSQAE
PQNEFVAWKRRMAESRRTNLREGLVALHQRKMAQDMNATARSRNKSAKREKALHAPKREDERLTNPTVTELNRTLQSGAVPDPDRASRVAKKIARVE
AIALAKKETRRDALHTLYMNARSFITSEDELDAEIEKIFVDNPHPGRVGDDIWAAMGAPPAIQGMLSVVNNTQKTALDFHSPPALLTGRRMKKIAQE
LTGGTMDGGR
>RCO7_03742 | uncharacterized protein
MAQSKVSQKENTPLGGGHKKGKQAGGAQQKRFNSFASIADDDGNPKNAKEYDQQPHGEDELFFVVNEELEGDERKIAQDRVDLLNYIHDELYYKKVA
RVVPAPSESRVDDTEIYHQGDYNGRKIDVGVHFYQGNNGVWTARAFAKFADADLSEDEYGVTIWADHAANASEVRKDKGSKIVASLSKFYWAPRWNY
VLRYLRERMEAYNRDGSKATELAEPAAPGVSGIDGFEDDNDPTEIEEPMEFPSGCTGIIIGAKGASLNELKAKSGIKEIQMPEKTEPRPKARELVTL
TLKGRKSAVNKAREMIAAIVQEWRNAPRPDRNGGGDGGFQQSSEGFSQPGGFDQVQEGSGDNDADAGGDSWADSANANAAATADWSNGGGGKGW
>RCO7_03743 | uncharacterized protein
MNDRMQIEISDVIEPRAATTTSWLGTAHHRLIFDTTGSSTYYRSNSRHTVVAP
>RCO7_03744 | related to Probable endo-1,4-beta-xylanase B
MALLSTLTLALSAIGAFAAPGQELPNVARISTRDTPKGTGMNNGFFYSAWSDGGQWSYNNLQGGRYTVKWSPASQNVVVGKGWKTGGPKNVVYNGTW
TCPGNGYLSIYGWTINSLVEYYIVETYGSFNPSSAASKKGSVTTDGSTYDILQTTRTNQPSILGTSTFQQYWSVRRDKRVGGTINVGAHFDAWEKLG
MKLGTHDYMILATEGYQSTGSADIIVGEGGASSGGNSTGGSPNPGQDPNQGQAPNQGQAPNQGQAPNQGQAPNQGQNKNGQSKNGQNTNWQNSNWQT
KNGQNGQNGQSKNGQSKNGQNGQNGQSKNGQSKTGKSKTG
>RCO7_03745 | uncharacterized protein
MNAAPALTAEPLFPPPPGAMTPPPAPRKNRSSFRRSKKNSSEVENINFAAKYICSPSAPSTPCLEEWEDVEMEDGSNYSLL
>RCO7_03746 | uncharacterized protein
MATEALPGNAIPPPAAEAQAQHQALANFDDAQYPPTDNDPPPPYESQPLRRVSNWIINMAATAFAKCFDTFVNVWTSGDATIRGGMREGLAWFANTA
EKLLVSAIPVAMLFGTTLDWGFRLFAPTFDRILNLLATGLDRILSLVLIVFVITFAFIIWAFLYDPRVDELKVLGSISPPLTNSLNTQSISTRLVDH
QVLIAFRNDWIGMSGMGALASEAGLAGLSCWLSFGVSEWDGLGFFVIGGSALRGASCLGSWSFGIGIVFRMGWSFDIKDIVLQWIGVLVPFQGIWSS
AIGSIVLQWD

>RCO7_03747 | uncharacterized protein
MESHSPTVSYDAVLPHGLDDIDTQTLLAAVTERDDAQPYPDQEPETSRFSSDSSDSFGITTPLIPKSGRNSIFQLPSKRIFELLHDLSGSVQRKLNF
DQKSSRPRSTKGWQRLQELTDTSDEATSWEGDKQSNSSPVKRATSLNRSSSTSSSSSFSTNLWGRSFSLSRKSRVEPPSLLSMFTNKPTVARSSTLE
PASAVVKSSVATKGKNDGVWVCCLCKKWSRTSHPICGKVRATGDKKPEYWPCKHEKCNSCAEMTERSRKQYEEGGLGAGMVVGELLRSREKRQGMSS
GAGSFGNV
>RCO7_03748 | uncharacterized protein
MNVLRMRPRAVGDEPVDHVPAESGNDYFDNSLAADYINTRGLLLRISSSKDWSKLPLTSWLILIIYADSILFIFISTILQHGFGLNINMTICPSSIV
ICLACYMTTKIVCNTYSSWLTRLIRSLKLIYYFLVEKFSLSAASSIFDATVNLYLTLLFFIPLRSLYSYKNSPNSSLRTIALRSFVGSLATLTSSVV
NLTFLMVLKREQAWICLMLCNADILFSVIVLHWVTSKDSIEGGSTASNLTSREGLPIKRTLWRRWTEWNGVGNGDHTYLRRETDAGVEAWERSEEAM
PDAGNESAKILKKGKNLKKGKILKKSKSLKNSKSGNETHLLGTIQVQVGHAVETVSIRGKSVSDNECGLIPDFRFSGSNFVHQV
>RCO7_03749 | related to 3-OXOADIPATE ENOL-LACTONASE I
MATTTGILYVTMQPKPSLPISQFHDWYNNEHGPTRLRLPFVTNGFRYRANDAAPSEENPEWMAVYDITDMSELTRETYLRLRDQPVKSQREAETMKE
IKVDRKLYDHIQTWESKEFKVLGKVENEGEGNVMVAVFLTLYPGEEAVKEVEKWYQEEHVDLLSKVPGWLRTRRFVTSSIDPNAPIEYLALHEYKPE
NGLAGEEFKAATTTKWTQEIMEKSVKHKGRRVYDLYYTFGPAPRYLAPDLASWQSSDVKSSPTKTIPDSPGGAGAIESFVTTKDGLELPFRLEGSPD
PNAPLIVLSNSILVDYKIWDGFLAAFFSEPANKRYRVLRYLKRGRNASCGTQKITVDVLAADIITLLDALRVKKAAAVIGVSLGGCTTLNTALKYPE
RVSLFISCDTSSKSPAGNSKAWDERIALSEKEGASTLSGEKIVGQELAEITTRRWFVKESYDGGEMEKTCLQVKDMVKNNSLEGFKKSVEALFEYDL
KEEMKTATVKGAFVVGREDGVLPGTMKEMAASYGSSGAAYEVIDGAGHLPMVEKPQRFAEVVTKLLG
>RCO7_03750 | probable amino acid permease NAAP1
MSKEEYPVGTAPIKGSDSDASPTRGDTEKGHHVVSDPAIHGDLPSGREDDFMTRNGLNLKSFQKRTGADGQLADLDKSMKARHLHMIAIGGSIGAGF
FVGSGKSFTNGGPGSVLICFLIAGVMIFNVVYALGELAVMFPVSGGFYTYSIRFIDASWGFAMGWNYVIQWLIVLPLELTVVSFTVQYWDKETSVAV
WITVFWVFIIITNIFGTLGYAEEEFFAAIFKLSATVIFMFIALVLVLGGGPKSGRYSEYWGARLWYDPGAFQHGFRGFCSVFVVAAFAFSGTELVGL
AAAEAKNPAKALPGAIKQVFWRITLFYILGLTFVGLLVSSTDDRLLNAENPYADGVSPFVLAGKYAGLKGFDHFMNIVILVSVMSIGVSCVYGGSRT
LTALAQQGYAPKIFATIDRAGRPTWSVAINLLFGAIAYVTLASSGGVVFDWLLALSGLAALFTWGSICLAHIRFRSGWAHHGHTLDEIPFKAIGGVY
GSYLGLFLVLVCMAAQFFVAIAPIGGGLSDAEGFFKAYLALPVVIVFYIGGWIWKRKGWVSLANMDVDTGRREHDWETINAEREIDAARPAWRRFFN
AVF
>RCO7_03751 | probable pyruvate kinase
MEHLTAGSRVQWLSDLDTEFKPSKNYRRTSIICTIGPRTNNVEALNKLRTAGLNVARMNFSHGSYEYHQSVIDNVRAAEKVQKGRQVAIALDTKGPE
IRTGNTAGDIDIPIAAGAEINITTDEKYATACDEKNMFVDYKNITKVIEVGRIIYVDDGVLAFDVLEIVDEKTIRARARNNGKISSKKGVNLPNTDV
DLPALSEKDKADLRFGVKNNVDMVFASFIRRGEDITSIREVLGEDGKHIQIIAKIENRQGLNNFAEILKETDGVMVARGDLGIEIPAAEVFAAQKKM
IAMCNMSGKPVICATQMLESMIYNPRPTRAEISDVGNAVTDGADCVMLSGETAKGSYPNEAVTEMHETCLKAENTIAYVSHFEELCNLVQRPVSIVE
SCAMAAVRASLDMNAGAIIVLSTSGDSARLLSKYRPVCPIFMITRNASASRYAHLYRGVYPFHFSEEKPDFSKVNWQDDVDRRIRWGVSEALKLKVL
SQGETVVVVQGWKGGMGNTNTLRVIKAEPENLGLAKE
>RCO7_03752 | uncharacterized protein
MIGGSGGSSRQSLRQPTHRSPLFGLESRPGSRTYGIQFHYLQFSIFLTCKLAYQTWPDHLHIQLDRHLQTSVNLFANSNNARACLSPSSKTSCDIQR
RINRTSATIPRTTDRLRQNKTQLRISQYLEVENKQIRKYGSQFLNLLTFGLWGKLGRLTHYAFDAVLISAFLAGMRRSTGLTPSFKKESITENKDIN
VYIEKYLGHGGGNDCWSEGCTYLEYRSRGNIAKDLQLDQFRGKLGAGEHADLFSMSKIALCRQSTTGSGIVQALQSECVRCKPKQPLLRPCFPDPPD
RGPEQGPPEEVQDLKNSVQEWLQ
>RCO7_03753 | related to pantetheine-phosphate adenylyltransferase family protein
MPAPSNSLLLLPPPPSLISAASLSAAYRPSVTATISSLGRLSSSTQLLVVLPYPSLHGRLKLPRSQIYDDVQRLIGGMYSLVCVVCAKIGVDVDSGT
PGSIDARIIMIDYTPSLDSYNWAGSMDCMCGPITNLPTLAMTRRHWSKIFSVEGEEGQKLFARYSEAANWSSPPLVGQVELIGGGVSMVQKIPTYEH
DAGASAVHKVVAVGGTFDHLHAGHKLLLTATALLLQPSTAASPAKSRLVVGITGDELLKNKKYAEYLNSWKQRQEDVVEFLLSVLSFTNSSRGETLE
ITSFDEPIPNGRAVHTNIKACSITIECVEIQDPFGPTITDESLTALVISGETRSGGQAVNEKRLEKGWKALEIYEVDVLDAEDAESSPTKTDDFASK
ISSTAIRKRRAEVARTSSL
>RCO7_03754 | uncharacterized protein
MPQSVTPKDILEFFEDYPVPTWSITSERILKSILQHLVGTNRTTCSYVDAEFRTPEETRQTWPLYDRKNVVNFMHAHSSFARIGREHLKKLLYDSRV
EQRCTLLKLPVEVFSNICELLSPIQRDLLPLWKFRASLSVESFATIPPPPLPDLKDVQIFRLICQKFAHAGLVNQFRAIQVRFNSESFNRLQKLAMT
EHIAKVTTRIAYMVPRLYNKDRPQFEELLRICDEVPPITPRDGQTRLAIAAQPRIRERFRKHIFDAMQRADLQRKIIEDGLDKKSLLQALTKFRHLD
QLRIMRVEDSIDAGWVSFLWSSPSYAGDLIESEWNCASDHAKATILSALKQSNSPVHRLSSRFIDPSIVLVNLTLNENEDVSKWAAQLTSLELQLVQ
DSDPDTKILELSQRFRDLFSAAANLETFHVGSYHQISIPLDAIFHGLHIQNLQHLGLHLWLLDSEELLAFLQQHKSTLRSLRFRKVTLRKTEEIDLQ
WLKVLQYIRMNLTRLNWISLRDVNYEGAVPEVQQPNRFAPIYLSEEDSYEDSDGDSEDEEDDNDMETGQSSSHGQVLPTLQHDENLTHDTSSLPGEN
DDAEDEHENDEDTVEEEAFEEADAEEGEEDEPYSDLDDDPEHAHERERPHTTRCQCGNGFAWIDLVDNGTSVSRKQWKMWQIWTVNRCLMHDPSSNT
>RCO7_03755 | uncharacterized protein
MSRSSIFSRSSRDSSPLLGQHTNAVLLQNLAPSPHSPTSHQDRPSSPSPPPSFYADARPSPSPSPSRTKARRIQFAAPPPPIASSILLPSQQNSTYH
TASSSFVGSGAYDGTSGNGGRSVSPRLKRGGGGPGGVDPLLGLERRERAIQNDLQALLDAQSAGLVQGFGGDVGAGVDVCSDAGSSTPTSNGRSMYK
SESRRNSGGIVPVRQPKKKVVGLRGARRGLLRDMAELVSIKKEEVGILEGEVERRKVVLERVAGWEGRIEGVREQLAGYSDLQSMNADTGHEVGGAG
GEEAQEIAELRTEERAVDSEILEMEDRLAQMRARKQWLGERIKESVNRREARLSSYRGALREVESEVKDFLRRPPIPASIVMGDEEGFTALPAGRRT
LGMAKEWWNKEISHLKTRQEEVEKERDALEEGAKMWTDSVKVVVDFEDDLRKQMAGNDAQDPEMLRRQITKMGGVINTLSATLNIAEERGWNLLICA
VAAELEAFKEGEEILKGALGATMDDEAIGHEERSHDGDSTNGLEELNGESQRAAGLEREDSEDDGPNLAELLVDRGDHGG
>RCO7_03756 | related to WD-repeat protein An11 homolog
MPLHFPHLHSRSSSQQENATPSQSASSGILAATRNLGSFGAPTGNLNAEASNRTPAGSDRYLPPKEASINSNSNTGVHSSSKSSSSSPYGQRQSNSV
TPSVPSVGGVPSQNQNARYETPRRAQTDELHMNSNPNFTNTQRGQLSPGDYNSAGPRISLEQATPETSQYQNAGQLPGALQSGRPGPLSTNNSSTAI
PQAMSQDQYSTPSRSATHGLSHNYTRSSPAAGFEGQNQNYSAFSPSTPGGNESQFASPTNQKYTPQNNQRTVSNTPLGLADIRPRADSTLSEGIPGA
NPYSYDGANAVPTNSNYLAPWAIYAFDWCKWPAQNHDAGKVAVGSYLEDGHNFIQILDSHITPTPSESYTPGAPKYGLDFVKIAEATHSYPVTRLLW
EPPSSQKQSTDLLATSGDHLRLWSLPSETPISSPGNSISRPTNHGRDMPASKLTPLALLSNSKTPEHTAPLTSLDWNTVSPSLIITSSIDTTCTIWD

IPTLTAKTQLIAHDKEVFDVRFCANSVDVFVSCGADGSVRMFDLRSLEHSTIIYEPTAKDDKDGSPGGRISPTLAQQTMSYAPPLLRLAASPHDTHL
LATFSQDSNIIRILDVRQPGQALLELRGHGAAINCIEWSPSRRGTLASGADDSMVLIWDLLSQSTALAPPNPAINGAPAVDNARGPIASWQCDYEVG
NLSWAPHSALNNDGGDWLGVSGGRGIWGVKL

>RCO7_03757 | uncharacterized protein

MIPPPTLTFTIPSIQEDVSLDCRVYHPASLAPTSISHLAGWNKKAAIVAHPYAPLGGSMDDPVVRCIVNLLLKQNFVVGTFNFRGAGNSKGRTSWQA
KAEQKDYISFVGFMVFYMHLLSPEPIPFNIPRFTRSNPELHELSPVPSQAASPPHSGDPNNLFPTSSIELPTSSGKEGPPIVNTKPRLLLAGYSYGA
LITSLLPPSLNSMISPFQIPSAGSAYAEIRLRASSLALQQTHEINLQISALLKTYTQTHRRGRSLKADEILYSKSRKPSAVRMGGGEDLRRASHDSF
RSRGSFSLDAPELVRKSVDCVRSIGKHKRSSSKRHNTHESISSSTHSRPGSQHSLATTLSDEKAVIDDEPTEVGALPAAVDNLQIAYLLVSPLLGLI
NSLATLWTSKCWRERESISEHEMKFTIDPTIALFGDDDMFVSGKRLRAWAEKMRVTKAEGANFRFEYVEVHGAGHFWHERKAIEMMRETIARFVEVL

>RCO7_03758 | related to WD repeat protein WDR6

MALSHDHILNPVTALGYYLTDSGSPLILACEGSFLKVFDAASYKLLSSTEVFNGQTIHGIAVSEVASQENAKNATRVAIWGGSSLLLLDKDDLDRLI
DQYANCVTSAVLTVSDWILVAAIAPHDNSCVLITARNTLLQVFNAEGEQEIKVETLSSPSRSILYSADLVWESPSEILVAAGTVFGEIIMWKFSTTG
TSQVLHTFTGHEGSIFGVDISSPVLRPDGTVVRLLASCSDDRTIRVWELAESANPGPDSEILVRETGFGESELSNISEVTDMCIATVMGHASRIWSV
KFLIEDSELARISVLSMGEDTTAQHWSLDYENYHLDTTSSGSKPAVRQPNKSTGYSRLAHLNHVKTFSYHTGKHIWSTAVFRTANSDWTVVTGGADG
KISLFNLRTDKAISALPSKVNTEKPAVSASPTDQPPQSLMWDLENILSTLANYTSAVDVVTEEQKPHLAIPEDVISEAAVTGSKSPKIKKPKKPIKD
GFNKYAFISENQFLATTHFGRVLIGNIDSTVAWSEAVLPETEHYDLKNYAVIEGFPEIDTVLLAGSKGTILAYQTGKPLKAVGSVGSKVADMFKIYN
SRTSSYELLVTTLASPIATLFEVELSNNAAPHLISLASCSLPEKFVVTSAGIVDGLLILGSRSGLLAIYDVSKSADPIMLWTPAKNNISDAIATILP
LPVVGSTSIVLSHFITTERTGYYSIFSFKTSHGQSDVKAVSVSRVHHCKLSFGPLIESAWFHNEELFFYGFKSRSFVVWNESKHYEVSNIDCGGAHR
SYAYSPSNSSIGGHFIYTKASKLYLHKQHSPSHATLKQGGHGREIKASAVSPDGVTFATGAEDTAIRIWRHEEATSNLMPDFECLSIIEKHTTGIQH
LQWHGSNYLFSSGGNEEFFVWNIRAIPDFGIGVVCEASFLDRSADGDLRIMSYDVMDLPSECESADRLLVSFAFSDSTIRSYAYSKIRGFELLATGR
YTSTCLTQLCHIRLVDDRIFFLTAGTDGNITLWKGNISENTVLGTSISGKHVKISTKKIHQSTIKTLDMTFTPSHFIIATGGDDNALAISIYPFGCL
QDSNLSPKIFSLRSAHSAAITGLSIVPEASPTTFSIITSGNDQRVKRWRVRLDLETDSGADHELGLEIEQIGDVFTSVADVGDLSVLRVGEKKVAKA
LVVGNGMDVWNLGK

>RCO7_03759 | uncharacterized protein

MPRLHIRLIFLNAEPLQYKSSDKLPSIETTMIGTSRTEYIFIKFCILVLHYLAPICLAYCALIVALYGFKTAITSPVPLLIESVAVAESLFFLFVYL
PYRYHLQSEAVHPPAPTRNERRELFAQCNDNIADPEAYLSKWFLGADLKDIKRENVKEFLLWAFFNRGGPPGDDEEELEEYVDAMEVLVGKTIEAGR
GKAQCLRLTLDRVDMLHRSLVWYFCVGFVDFLTYMKLLYHGFHFHRTEFSRFFTLFPFRPQTILTKHRSPAKHTSYWHRPHTSKTKLPIVFIHGIGI
GLYPYTNFLNELNSVDGLEPNDADEEVGIIAIEVMPVSFRITHSALGRAEMCSELKQILTQHLLPNQKCVLVTHSYGSVLTTHLLKEPSTAALIGPV
ILIDPVSILLHLPDVAYNFTRRQPKRANEHQLYYFASMDMGVSHTLSRHFFWNENVLWKKDIEERRVTVSLGGKDLIVNTEAVGKYLSEQKQVTKSN
MNNSGEATGVLVDFEGRNDSNRSSASAEGTEAGDYSEAESDDTDIEEEEWKSRPWKGTDIDVLWFKDLDHAQVFDKPATRRRVIDVITKYSNDG

>RCO7_03760 | related to quinone reductase

MKAILIAKFVETVKEVKISEVPTPEPKDDEVLIRIAAAGVNFVDLLYARGKHQNNRSLITPPFILGLEFAGTVISSPCISGTPSSPSLKVGTRVFGG
SLGSYASHIICKPSSLLHIPEKWTFTQAASLAATAPVSYGALILRGRLQKGETVLIHAAAGGLGLMAVQIAKAVGARVIATASTTQKLEVARGLSEG
KGVHVVFDPVGLVGQSLNCLRQRGRILLVGFVGREGDLESVAMNRVLLRQAQIIGYRYDETDRIDPAETARIWQELKALWESGKLKPSVYKKEYRGL
ESVVHAMKDLESRKVWGKAVIVMEHEDRPKL

>RCO7_03761 | related to SPT5 - transcription elongation protein

MSLPTTNFEDSEDEDDFNPQQADISDNEDGGRSDHDDAAAGAQIRNEASRSSANADEGSGDEQPTVSRRKPSVDQDDAEEEDDEDAEGAGEDINAGG
DDDDEEDEEDEEEEITGHRRKRRRERRNQFLDVEAEVDEDEDENDDDEDELNEIKDNFIADTHPDDLADLPAGGVFDDKRHRELDRRREMEASLDAE
KQAEILRQRYANKNRSGRGAGDSAVVPRRLLLPSVDDPSIYAVRCKEGKEREAIFSIMKRVEERTGTRDELAITSAFERGGTHSTMKGFIYVEAQRQ
ADILTALDGVMNVYPRTKMMLVEIKEMPDLLRVIKTPSLEPGAYVRLRRPPKYAGDLAQVIDRTDTGLEIRVRYVPRLDYGLHEDANAPQDLGGKRK
RAPAGPRPPQRLFSEVEAKKRHAKYLQGRSDTKTWNYLGDDYVNGYCQKDVKVQTLITTDVNPTLEEVTRFASGAEDGTENLDLNALAASLKASTAN
ASYLPGDVIEVYEGEQKGVVGKAISVRGEIVTMAVSEGDLKGQTIEVPVKGLRKRFKEGDHVKVIGGSRFRDEVGMVVKISEDRVTLLTDQSNTEVT
VFSKDLREASDSGGGGSLGQFELWDLVQLDPSTVACVVKVDRESLVVLDQNNQNRTVLPSQISNKLEKRKHAVATDRNGSEIRADDGVKEYGGEGRS
GKIIHIHRSYLFLRNTAQSENAGVFVTRTTSVATVSAKGGRLVTSSATTDLNSMNPAMKRNPGGAGADMPPPKSFGRDRSIGQTVTIRKGPYKGLLG
IVKETTDTNARVELHTKSKTVNVPKDALGFKDRITGQSIDLNSRGGHGGNRGGFTPRGGSGRGGMGGATPGGWDGGRTPMAFSGSERTPAWGSARTP
AAANGGRTPAWKAGGDGGRTPAWADGSRTVNPYDGNRTAYGGGNRTPAWSSGAKTPAHNLQDAFSSGSKTPGYGGSGDAWGSKTPAYQPSTSNDSWS
NPPANNSWNSGVDAPTPGAHLTAPTPGAFNAPTPGAYSAPTPGPYNAPTPVPYSAPTPAAWGAPTPAMDAPTPAYYSAPTPGAHGMPETPAANWQDD
GPRYVD

>RCO7_03762 | uncharacterized protein

MPSQVHVTKSTELDIATGQTDGMVRKGAIVKKSDKVCASVMTASPHTSSAIHHHGEQDTIVYAASGHGAIISDNGKTRQELAPGDFALIPAWTEHQE
VNDGEEEVTWIITRSGSEPVVVNLKGWGEGTKD

>RCO7_03763 | uncharacterized protein

MRTTSISDTLASLALSTLLVSSSVFAVPINVDTGTAGVQLTLNINYGGQQALGAAAEGQQLFAFSSHQFIAANPENVVNGTEATGGLAGATGEFNFG
IHSALDMICYNITLHNFQGEFSSPANTATHIHEAALGASGPPRIAFPNPEPVNGDLAIRNSVGCLKGPFLTGVLVEGVDSGEGFHVDKIEANPSAFM
ADTHSSLALAGAVRGQLS

>RCO7_03764 | uncharacterized protein

MRTSIFFALSLLLPITIAQSCAKTNADRTVDCKDYDTCELIINSGIGSCNVGEKTNGCGLGRRGSQLYVSCNCCYGRPE

>RCO7_02140 | probable RIB4 - 6,7-dimethyl-8-ribityllumazine synthase

MASLKGPGSAQQHDGSGLRIGIVHARWNTTIIDPLLAGTKAKLLASGVKESNIVVQSVPGSWELPIACSKLFSASQIQSTTSSTLGAGDLLGSSTTD
LTALSLEAKTSSGPFDAIIAIGVLIKGETMHFEYIAEAVSHGLMRVQLDTGVPLIFGLLTVLDEEQAKARAGITSGSHNHGEDWGLAAVELGVKRRE
WAAGKIN

>RCO7_02141 | uncharacterized protein

MPKFPKGFGRRKSHGNELNIAQEASSSEPSFKVFERDDGAGQSFDGGKKFAKSPTLSLRPKISTLDDENMFESVYNRGASNTNTISTTDNSSRLSAA
STAPSSTDVPRRDEWKSPHDKPFTDIPLPPIPKSAATFSRKNAGRTLSWGRNSHKSQTPPLPTTKEPAFQSVDGDLSGRQRAVTASSYASTATPPRL

DDNDLGLSLGGDFSDMFNGIGKVRSAVLDAGTNRAASRSPDAGPSGPANRSLTAGRFNQPSPLNIDKNENIEPSPYSWSSQNSREGLISGASPIFAP
RKTPPPVPQHNTAPRTNNDNTASHSRTQVPGGQMSGLRRSSAVMEPKRQSNLDYGDTVDEDARLLRESVTASRRINDPGNASKIPDSWAFPSDSSFK
VDDATIASWGTGSVDATPKARKPGKKLSEDEDNMFDVQITAAANLAQQFNERPPSPKRQTATQNKVMTPAQFERYKHDQERLRNSGGPSKDEEEEDD
EPYDDDEDQAEKNKQLAKQRRKQEAHMAVYRQQMMKVTGEALPQARPNVFATQSSPNLANGINGDEGEEEDEEVPLAILQAHGFPNKGKQPMRNMSS
NPNFRSGAQSAAGGVVGADSRLPVFARNLPQDPYVGAGLVSPIHRESMAFAGGAGSVNGGAAPRGHPPGGLVGVIATEERSRAMRRGSPNQQGEYGA
PQGNGFNSLGMQQPAGGSMYNGTGLMNPMMMTPGDQAQMQMSQQMQQFMHMQMQFMQMMTAGGQGGQGQPPKGHMPSQSMDGSPKPGSAQKMRPGSS
NKFSTHQRAMTMLDPNAIPWMQGGGSMYSPSVLGHGGYTPSIAPSERSNVGLPGRYRPVSQAPPQAQDNKARASTMSALGWGNKNIPTIKTVNKTGN
ISDEDDEEGWEEMAKKRAKKKSLWRTKKDNDHNGLKEMMGYTQ

>RCO7_02142 | related to cation diffusion facilitator 10

MTDEYASSPPIYGRIARPRGFLSLSTDEAPNPMATHGHGTLASLIKSRSSSSLHTMPRRQSTIARSREPTEDEETAPRQSGEYDDGEDFKSLDERRL
SQILNGPQMRSQRLIGNSNPRYKWEKYWKTEDQLKTMKKPIREYYQRTNSLLQQYIYIDRLLDSSLPHDLLNEYNDTPGSHSVTVPPTISEEPATSD
SDDYAVNGTLSKKIKRTPRDLYKVASELTPLLGREDDEDDDLDEPKPEIPGMEDESVESGDRIVQIAIYVNLVANAILLAGKIAVIILTSSLSVLAS
LVDAALDFLSTGIVWTTTRLIESQDQYQYPVGRRRLEPIGVLVFSVIMITSFFQVGLECVSRLRSLDHSIIELTLPAIIIMSSTVLIKAMCWFYCRL
IKNSSVQALAQDAMTDVVFNIFSIIFPLIGFYAKLWWMDALGGLVLSLYVIFNWAGTSAGHIRNLSGAAATADERNVLLYLTMRFARTIKQIQGLQA
YHAGDKLNVEVDIVLDESMSLRDSHDLGESLQYVLESVPTVDRAFVHQDYASWNLPTHMQQQSD

>RCO7_02143 | uncharacterized protein

MPGQPFQPFFMFFYGSLMAPEVLQAILDLPELPTMQPAAISGFIIKMWGIYPALVPCSPGTGSVTGTVWKANSETHFDRLAAYETTAYRWNDCDAVL
EDGEVYLNCRTFCWAGERDSGSLKMVVLIWNAIRNISSLLLLDDVR

>RCO7_02144 | uncharacterized protein

MDVDFGDLSNQEAPAPPPPKAKRSLFSKKITVKVPAESEPVDFYSRARDLYPQRRAEEERRRQKKLEKIERKRSSTSVEVKEGSPSGEKRRKLLGQT
NGHSSDGIVQNHDDGSGEGHRDSTHSLNGKARNQNRGSPSSLSARYTKELGAHKSESPKQKAAGKGHVSLSDSEGQGASEDEVEKPPTKLPVRYPTR
QAITTLSDDDDEFTVAPRRVRPPPVELEAEKSDEEFPELVAAAKERARKLAEQKLAAAAAISTQNQDDVDGDDVFSTEAPTTKAEPVIDILITSLIK
GTKPLAVKRKLYGKLREVRWAWCDKQLIDGEKFTQQCKDSIFLTWKGNKLWDWSDCSGCMDRGGKLSMDSYDDGKVHLEAWTQEVFDEWKKNGEARQ
RRDEHSEEEEVKAAPVPRTKLFMKSRQFPDYRLIVKGSTTILKMIAAFRTEHDIAEEQEITLHFDGDKLDPDDKIEDTELEDMDAVEVQIQ

>RCO7_02145 | U6 snRNA-associated Sm-like protein LSm6

MENGAVTQGEGKDPSGFLSEIIGSSVTVKLNSGVVYKGELQSIDGYMNLALEKCEEHVDGVKRRSYGDAFVRGNNVMYISAD

>RCO7_02146 | uncharacterized protein

MTAPFTLESAASTGFSDATAYDSHRPSYPAEAVDKLLTHLGVAGVENAKVIDLACGTGKFTELLAARSEKFEIIGVEPHEEMREVLVKKGLGDRVRV
ENGDAGNMPAEGDWGDTCIAAQAFHWFATESSLKEINRVLRPGATFGLIWNIEDYNAQKDDPATTKWEQMMKEFVAHQKDGVYRFRDMKWKEAFDQQ
QDTNPLETLKDIVTQNLPSFSLPLGEEHIKWTVWLSDENVWARYCTLSQVANVSEEKKEAFRKELFAAMKEHGERNEKGEVALHGKTFLFWTSRV

>RCO7_02147 | related to phosphatidylinositol-4-kinase

MDTASRDIRRKALQKIAALSATSSTATFDNSDLERLSKGCPEKPIEQSNGAGKGICGSLAQSPINIREFEVLLALCKAAPLLETPQSAEKLAEQLSP
YILEAHTQAFVPSPFFRNIEPSPSEALTYNLTTALLSLGINHEFLQDLVSEKLWNYLRHCLDAAESASSHHVSGTGHGNTTEVEDAIHVAGLTVSIL
GFLDAAATYANFWTPSERLALIERVQRVLSEGFLVAVETAFSTIRNSNSQHVNVKEWKRHARHYAAIGRPLGAMLLQRSFMWLLVAGTSLLVADIEV
LRGSDILDLLMSETKLSRLKSPAGGASDLATIETMADIAADEMSLLEDGADYLRLGSTWQQRLAFSVKAGALTSYLNCALINEDAADPDILMTWLED
TLADPIQMGDEILASAVLRSMALISKLSPGFAPNVSRLLPRFIVQGGARGQTIAIASTCLAYVLQILSQDAIITTLYTLGNVLSSGVSNERALSGGI
NGDLNLDGSVNSTFYNGKEATGSAISLVISGDEDTSAVYGNVVQAICGVADCCNDPKITALAQSMLLQKIDKVSRSVDAKIISETTALALNGGQLEF
RSMLKLYARISHDGILQNKEALVNAVTRGRNYLSDRLRKESPLYEIYLEHLLESIISLGDVHQAQNSRETDVETAALEIAQLLQPLALLMSNNDLAT
DESLSEETLALIRDSWFNIVVHGFSTNTDRGQKYINELRLIAIHSKPLVAEQRGEQVESDIDLNTVLRRGGSSDHEAMQKKRLSALLPMKSSEIRGL
SYRKVIFLQAAYLVETLRADSGDCTKALTYFLEPSMRKGDMSSTMESVTSAVMDTYLKKTMTGHNPTFSAPYVANQLALIFSSCCYRIERVQQVAMT
CADRIIRDVPSALCQKSSLFALLELLSLMWTSCLEAETDEYEWKSAFISTRGKVTIALSDDFDLRRRTLNSLYKKARGWVTTVISIAPQDVKGLLQT
YLSEYDDEGAYGHVSLGRSFASEMGSIIPGSDQRLGAIDRHGDCNINTASDFIAQYTTRQEYRYAEALPDHDSEWLRFMRLDQRRDSGATKADKDFE
DASTILAHLEARTLQHKFIPVGELRDILRRAAALLCRTKKDECAIVHHLVGIPFGIFTKQSIKLGISLWLGVINENPRMEPRILMEVAQHWEATIYK
GLGIFNPLFLHPDPFYIKEEFAPSDRATLLKKQQIAHNLLAPHMRLLQFLGSHFNATRLGSPNTEKVFLRLLDITLNGLKHATGHPLAREIRFQIIL
FALKVLRHSTALTFSERCSLKDRILSAALTWFTFAPCWSFGGNRLQLKAEARLLADVSTALRNVQIIGEKATPVIKSLHAKENLLEALIESELLRLT
VWLNPLNETRDTHVPSPPPKGSTETILLSLVRTAWAESPSLAIQLVTRFPSPRLHKEVRWLLLNFPDKAVSEPEAVQILLGESLPSDVSFQLKHLLY
WSSVNPVSAATYFLPAYRNHPFVLQYAMRALESHSVDVTFFYVPQIVQALRYDALGYVERYIIETAKFSQLFAHQIIWNMQANAYKDEDSTIPDAVK
PTLDKVMSRMIDGFSGVDKSFYEREFTFFDEVTSISGKLKPFIKRPKPEKKQKIEEELRKIKVEIGVYLPSNPDGVVIGIDRKSGKPLQSHAKAPYM
ATFRIKKNKGDMEGTDELLEETNKTESVPTDNTIEVWQSAIFKVGDDCRQDVLALQMIAAFRGIFHDVGLDVYVFPYRVTATAPGCGVIDVLPNSIS
RDMVGREAVNGLYDYFVSKYGNEDSLRFQEARSNFVKSMAAYSLISFLLQFKDRHNGNIMIDDAGHILHIDFGFCFDIAPGGVKFERAPFKLTSEMM
AVMGGRTDHQAFMWFEELTVKAFLASRPYAERLSQLVLLMMDSGLPCFKPETIQNFKDRFVLEKSEREAADFMKSLIKKSYSSRSTGVYDQFQLMTN
GIPY

>RCO7_02148 | probable proteasome endopeptidase complex subunit PRE7

MSAMFSQNPLMNGPNYSFNQAPSTAGGNKQHGFYPYTDNGGSTLAISGADFTIMAGDTRSTSGYSINSRYAPKVFKIGGTTSSQEDATLVLSVVGFA
ADGEALKERLDAIVKMYRYQHGKPMSVKACAQRLSTILYGKRFFPYYVTAILGGLDEEGRGAVYSYDPVGSYEREQCRAAGAAASLIMPFLDNQVNF
KNQYIPGSGVGHALQEREKIPLARSEVEDLVKDAFDSAVERHIEVGDGLQMLIVTKNGIEEIYKPLKKD

>RCO7_02149 | uncharacterized protein

MDEIITDVEKEMQNPSPDPEATGKCMEADAPDLTG

>RCO7_02150 | uncharacterized protein

MSFSWGQFWGQLPIVYEGLMGDMSGTSPSRDYSSTAQGFRSNGVQNSGPGQYDSEYEKGYNGFSQFQNAQQFSQAQSESFGLTSLSNALPDAAYQNY
GNAATQRYVAGQSLSPLMYQYQNVPQFTNQQNTGHTFPSMPYNMAYQQQFQGMYGHGQTQRSQISQPMLSAGNQFYQGQGFVGQPHQMSPAFMVHNS
QYAQGQVYSMSSTSGPFSPRGVFNGDNRLPGQSRTGDHLNGSLVGGVPGKASSIASSSAQSSVVRGPPRKPRQSGHAIWIGNLPPQTDLMSLVLHVC
KETVGLESLFLISKSNCAFANFKDEAACAAAQVKIHESRFQTVRLVSRLRRNSVGTAAGVNVPTGLAALSPPSNPLVARSVTPDKDKKSHEEEGESE
SETKASAVDDASSSKEKFFIVKSLTVEDLELSVRNGIWATQSHNEDALNKAYQTAENVYLVFSANKSGEYFGYAKMVSPINNDPAAAIEFAPKAHTV

EDLELPKAIPTPASEFAPKGRIIDDSARGTIFWEAEGDEIDGVDEEDENQSTRSDEDPDSKSPSKAWGKPFQVEWVSTTRLPFYKTRGLRNPWNSNR
EVKIARDGTELEGGVGRRLLGLFHRLPSPVAPNMPIMGVYPQMRQF
>RCO7_02151 | related to endoglucanase I precursor
MILEWILDAVLLTLPIGTTIGTLRGIDLHRQANGQQPLFSPPGGKEHGSTGNNGEGNSSTIISGDNGITVTEYCGRETAITPSSVGAQYTFNPNQWG
WKEGDPGSLCMNITTFNNKTYATPTTAPEFSVIWQYPAGPKTQPVHAFPNTQLESTVMPIKIQDLQHINIEMQWTYGLGSEPAVLTNVSDLIRYDVN
TNVAIDMFLDDAQENSESSTQAKFEIMVWFASWGNNTFPIGFGNTTVSTYVLNGTTFNLYVGQNSNKQEVFTWLATNQTETFVGDITPLLSEITTMG
NTSYPTGSTYLGHLSLGSEAFSANTSVIFTVPTLSLDIQGQPK
>RCO7_02152 | probable glycosyl transferase
MSTHYGHGTDIVDGDISGMHQRTDDVELQERNVRESHTPDKSTDALLSEWSPRFRGSGIESPDTLVDSRSLAYRHSGIESIPDTLVESRSGTPLLVC
PFPVLYKHTRMFEESNIVEHYQNSFGYNSRQSLLTTHAATPSSPTSGTPPERPTPAIARLHERDDAEIWKGWRRWVFRFIPVLAFTNTSLYLSYLAL
RIYCVVSAQRTQKTTYPGAWVFLSLELAVAIPSQMHNVWTMLALKKRNRPKLRLEGEEAPTVDIFITCCGEDDEVVLDTLRAACVLNYPQDQLRVIV
LDDGGSESLKVSVGHIIAYHTNVYYMAREKIPGVPHHFKAGNLNYGLDQVHSLPGGAGEYMAALDADMIPEPDWLRAIIPHLILDPKMALACPPQLF
YNTPASDPLAQSLNFFVHVIEPIKDALGVAWCTGSGYVARREALDDIGNFPLGSLAEDVATSTLMLGKGWHTGYIHEPLQYGTVPEDFGGHLKQRTR
WVIGTIQTAFKLNFCLWGTNVKQMTVAQRFSGFLYATLSFLTILVSVALFAIPVVLLWGKPLIAYSTLTELKWLIRACFAATISSRLCEFVLFIPAG
YNVGQRDYRYQIWMSPYLAMCIIRAFFLPKWLGGQVVGFKPTGSLGSALNERDPKLRKNVFRRLWAILFNYLAIFHFGFVYLTLVAVLLTSYKCFYQ
YSTTKEILLCLIIHAFWPPLTFLFVCSSLWTPISYAINPPSMPDREALLERDSKTGVAHPTANSKKIAYGGQAAWFEMLYSIATVHTVLVFVYSFFM
>RCO7_02153 | related to heat shock protein 30
MSSLFQNGLFNSPSANNTSFHPLFRLLDDFEQHQRNTTDNEHPHRQHRVTMRSFTPKFDVKELPDAYELHGDLPGIEQKDVEIEFTDVQTITVRGRT
ERSYSSGSTPSGFIEGSATPTQAIEGSQNTSADQSHKPAAHKATVQDEDEDNTNTTVTTTSKNSDVTSNKQPEKTEPKAKYWVSERSVGEFSRSFTF
PVRVDQEKVTAGMKNGVLTITVPKAKKHEAKRIQISSL
>RCO7_02154 | probable PNO1 protein
MPAPTALLRKPEDQAEAASVPLPQEDDEDLLLDAPDAEITDSNAVQPVEGDTEMHIDEEGRPRFAPSKNVDSVNRVETRKVPIPPHRMTPLKAVWPK
MYPPLVEHLKLQVRMNIHSKSVELRSSKHTNDPGALQKGADFVQAFSLGFDIDDAIALLRLDDLYIQTFQIQDVKTLQGEHLGRAIGRIAGKDGKTK
FAIENASRTRIVLADSKIHLLGGFKNIQIAKTAVVSLILGSPPGKVYGNLRTVAARMKERF
>RCO7_02155 | probable MDM31 Mitochondrial Distribution and Morphology
MSQKVIFLESATSTAYHSKEIGFKKLCLLQLSLYRPQSFDYSHHLCTSSMYNDDRKISVLLDQGFPTRNYFFGTKIMEEKHTFNEQIARKHMQNGNN
SSKSTPITRKSQTPVPDSKPTTYLHMPQIHRPTKEELLAAATGFWSRLKVRFKWFSIRSSRPWNIDDWSAFVSWFVLGNIVWVLVGTTTFFSLVIFS
INTVVAQETLARWIGNYLTHSAGVKVVFESAIVPKWKDGVITFHNVFVSRRPGQGRTKVSKGSSLSAAAEAAAERQAELGGKKEEEEEDTNYTQFDL
TIGTVNVTLSFVKWWNGKGLLRDVEIKGVRGVVDRTSVHWGSEYIDPKTYRHEHHPGDFEIDSFKMEDLLVTIHQPKGFRPFSVSIFSCELPQLRKQ
WLFYDFLSANNISGAFDGSLFTIHPRQVHGFANVHHDDEPNSSPSPWKKQSRLRIDGLKIDHLNRGVEGPFGWIHEGNVDIVADVMFPTDADDSIAK
VMSDFYDRMEATVTSNRYVHILDNPSTADLNTPEERAAYQEKIALDDDKRYLVMDLRVHLNDVRAAVPLFTRDLSYINQALIRPIVAYINSKKTFIP
INCRIVKRAREFDGSWTIFDSGLMEDLSAETYEAFAKDVVDSQARLRRLKKVGFWSISLAIQALFMGMAGNVA
>RCO7_02156 | probable calcium/calmodulin-dependent protein kinase type II delta chain
MAPREKKSSQLKRGRGGASDDNNGDSSKKPRRSTRISESQTPVSQKQHLPSPVTHQESTSSTEAFKEGTATPPEGRPSQLQHRPIDQNFVDGMSSPP
QDTQAFSQFVYPTAALSEEVKDETEEGVWGYLLPLDAKYGKSLVLKKRNACPLPGKLEQFGKDRKSKKGKEKGKDFKKEEEVYEDTKQNGIASGGYL
IGRHPECDLIIDDPLISNRHCLLFTENKGGDTIAVVEDLSSNGTFVNEAVIGRNKRRELKDKEELSVLDKARFVFRYPKNRKTSAFLQQYTLLEKLG
KGHFAEVFLCVEKATGTRFAVKIFTKQPGIEERSKTEGLQQEIAVLMGVSHPNLLCLKDTFDEPNAVYLVLELAAEGELFNWIVMKQKLTEEETRKV
FIQLFQAIKYLHERGIVHRDIKPENILLTDKDLHVKVADFGLAKIIGEESFTTTLCGTPSYVAPEILEDSRHRRYTRAVDVWSLGVVLYICLCGFPP
FSDELNTRENPYSLTQQIKTGRFDYPSPYWDSVGDPALDLIDRMLTVDVEKRYTIDDCLEHPWTTKKSLNLNDSTDGLVGGIAGLDFSKRKLARERT
LLSSINDIKITKVIEIEPAKDPVRVYVKNPNAKNAQNRVNKTIAAKNANGAPKSIPGAPKQEETPSQARDPNEFMAAGGKGDVELFGNEESIYNEKD
SQVKSS
>RCO7_02157 | uncharacterized protein
MAGLVSYVSSDEEDHTDVDISKSNADKSSHLLRKQTDSHQSKTTSNGTVVKPALPRSEEPIVGPTLGPSLGLPGAQLLEDEDEEQTMAPQSPYSTNR
ALLRNLTLPSLPNYDIPPSPPASPSESTNAKFKQYLELKKSGLHYNDKLAQSSVFKNPTLPQTLMTFSNIDEAGQYATTLPKELWNPNGFPGYAFKE
ELAKSQQKILKKREEEKARGQRDSLDFVPATSSTEPVSRSGISSNGGRQFQKSAAERIMAGLDRGHSSLPQVQGTKRKTRFES
>RCO7_02158 | proteasome component PRE4
MNHLPQAWGRPRDDIYGAYDGSYLRSNGPNQYTQSPVVTGTSVLAIKFKDGVVIAADNLASYGSLARFTDVKRLRVFAETTVVGFGGDVSDMQYIDR
LLSSLDTEEAYGTAGHTLNASNLHTYLTKVFYKRRSDFNPLWNQVLVAGLDGEGKPFLASTDLLGTAFTSPSLATGYGAHLAQPLMRKIAPDEEAAS
QLSKEKAVEAIKESMKVLYYRDARSLDKYSIAVVTKDGIELKDNEKLENQSWAFADQIRGYGTQVN
>RCO7_02159 | related to serine/threonine-specific protein kinase
MSYWSTLQPSDGSGRFALTYYLREFSSKDLRSVGNYTLGRLIGKGSFGKVYLATHKLTNGSKVVLKSANKDDSNLAREIHHHRQFIHPHIARLYEVI
VTETLVWLVLEYCPGDELYNYLLNHGALPVEKVQKVFTQLAGAVTYVHNSQCVHRDLKLENILLDKNENVKLCDFGFTREYEGKASYLQTFCGTICY
SAPEMLKGEKYAGEKVDVWSLGVILYALLSGELPFDEDDDNLTRTKILTTEPKWPEHFTPDARSLIGLLLSKRPLLRPSLTDILAHPFLADNAPTQQ
VILKLQQAPPFTTALEKETLERMRSAGADIDQVIENVLARRCDPLAGWWTLLIEKELRKAARRERKRKEREAEIRITRRLSGASSRLERMAPTLTGV
DEEGQEIQLGDPPRSRGRKERRSAHYPDLVLTDLPGLPENAKLDSPDAPPPIEKDSLRSASSSRHRRPIPPPKEGMLRSARSRGSTLQLVTSNHDLL
TVPENGSSPSRPQRKKHQHPFINQLANWKHWLVESAKRAKSPGKRMTRSTPDLLQKPTNSSRAGGKEPSPRPATSKTPPAIRPALAPGFLSHPPAPR
IHTTPSTQRHSLSPSPLTPRSTFRRSSTGLRGRKSTSSSVSSIRSIHHHHHSHSKASSTSSNGSGSMSMGKVLPTRSPHHSVKVLPATPTTGSFPSN
IRVVRQTPMSTFNEGPWGNLNSMHGFGANNNTSNLVFAKRKKNLFKGPMLNTSSPGPAMSGSGHARTGSNSRSTSLVGKRSGEIIEEEDEDEIEEVE
AFSPTTGPGESEEVFPTGETPGSKEPLKLS
>RCO7_02160 | related to C2 domain protein
MSDEKEDTPLNRQLLGADSTQQNGKEGNAKDPEKQQDHQQKLKDKMSKKQEKVKAKANPPGGFDATPIPSAPDGYTIKFTFHRAKNLPVSDLNSRSS
DPYIHATLTSALAKRHKEDPDLAIRTPTVHKNTDPVWNTEWIVAGIPSSGFRLKCRLYDEDANDHDDRLGNVTIFVNHVGPDWQGIKDGSFDIKKRM
ASKRAYMIRSCAVLLSDVKMSGNLWISAELLGESEKPHGRMYTVGLTSWVKHYSPMIGRIAGTKAPGSSQGETEESSESKPKTEKYDFQANQYQLEG
PVPAELYHRFVEFKPFVKGMFSKAGIRGRVLNHALHHQHASVYNFSNTTEYGAVKPKSEDAALQFLKMVHFDEGGRIFTYVLTLDGLLRFTETGKEF

GIDLLSKHTMHSDVNIYIACSGEFFVRRLKHPKGSAESPSQETHPNTDLPGGPPNSAPPKDPQSYELVIDNDSGTYRPKGSLLPKLKEFLNANFPGL
HVLTKECTDDELTKMKDEQRERKKKEGKNIQLVQNSDDEISSSDEEELDRNGKRSRRQRALDAVEDPKKAAKEIIPGGKGRQGRKEREQRETEGDRP
ERVNGGGA

>RCO7_02161 | uncharacterized protein

MSPSNTSKISQAKATIQKVAPAPTEGQTDGRGVSGAEMKGQGGEKGEGEGGKKTLRQIAMGKLDENPSQLGDPISLKAETSDSEPTDQDRGARGGSG
KSKL

>RCO7_02162 | probable nucleolar protein 14

MPPSQLKRLKAILREQGITGPQQSKKQRKQNAQNGVNKEKKVGRNVTLNGIREQFNPFDFTTSKKPKFDVTTEHSHKPAIRRPGLQKSQDEEMRRQA
YIEEQQTRRKVGGILDKRFGENDPGMAPEEKMLERFTREKQLRHKNSSAFDLEDDEGGELTHMGQSLSLNGPTIKDDFEESDLELSDADDHPSDEER
QLKRRRADMDGEEDQEDDGDDRPARKKSKQEVMKELIAKSKLHKYERQAAKDDDEDVREELDKDMSSIHDLLRGIGRKSAPVLAAVIPGMNADRAAL
LTGTDKIKFNKEYDLRLRQLAQDERAKPTEKSKTEDEMIGERARKLQQLETKRLRRMQGEEVSDDEEKPADNEIPDNEDDEDDEFGFGAGIKVRPSM
ADLGVEDEDDFLIDDDLVASGSEQEGSDEDSEDETEEVAEEEDDEFVTGLLTEEEAKKPEFLTGANGPVRDIELPSQNGVNGNLAFKFPCPESHEKL
LEVTKEINIQDLPTVIQRIRALYHPKLHSENKSKLGNLAVALVDHISYLVNQEERPPFTVLETIIRHIHSLAKMFPIEIANAFRHSLEDWNISRALS
PTPGDLVILTAVGSIFPTSDHFHQVATPAILGIARYLGLKIPQTLADYVMGAYLCTLCLQYQDLSKRYIPEVMNFVENTLCVLAPSKLAKVPGNFPL
HEPKSSLRIRSATDTGRRLRFYDCVQKDLSDAEEEALKAALIDVNLSLIDAAATIWSEKSAFIEVFEPALTITYHLASKMCRSKLSSNCNKTLSTLS
QKLTVLLNSSRLARRPLELHHHKPLAIKTSIPKFEDNFNPERHYDPDRERNELAKLKNEHKRERKGAIRELRKDSRILASSSLKEKKERDQAYEKKQ
KRLLAEIQGEEGHEKKEYEREKAWRKKAKK

>RCO7_02163 | uncharacterized protein

MAGMTSSGNDRLLTLSLACAAGVVIWAMREMLIYYRDAAIIPPSENKPQYITQDVEDSLKLSTLNKLLDSPSYLVQETTAIIVCERALHDEVAINAL
LWHITRPDHTSREQGIRALTMMMNSSTVQKVNKDEAWAALVRSLEYSVTDYKHNLYEAEWDNWHLRDVVERGCLMVLAQMVDSFGPSGLVKSRFVER
WLAKEPWSEDEKDRMMNFQDSLQSKNRLSELTLPLFRDHAGRKQLAKAKLVPAELVVMPSAQDIKMINGESTAGEDLEGMFVDNRRRRDQNTEEDNV
RRRHREAMVLNDGTRPVERGDIIQRER

>RCO7_02164 | related to uncharacterized homolog of gamma-carboxymuconolactone decarboxylase subunit

MALPRNPAGESYGPNVGSPQLYPPGTEEFRPTNTDDNSVPLAKNNMDTSHHQALYEQGLEMRKKVVGEEYVAQSLEHGSSDFMRPLQQFATESAWGT
IWTRPGLTPRDRSLLNLVMLTAMSKWTELGTHVRGAVRNGCSEVEIREALLQASAYCGLPSGMESFRVADRVLNQMQENGEMVRG

>RCO7_02165 | probable ascorbate peroxidase

MASAARNVVRAALKAPSTSAFKTSSRNSAFTLPRQTFRQQSRRGYASSSPKSSSTGLFVGIGALAVTGGAAYFYTQGNGSLLSGSAGETKGIFTPKF
EDYQKVYNEVAARLEEKDDYDDGSYGPVLVRLAWHCSGTFDKETGTGGSNGATMRFAPESDHGANAGLKAARDFLEPVKQKFPWISYSDLWILAGVC
AIQEMQGPILPYRPGRSDKDLAACTPDGRLPDATQGNKHLRDIFGRMGFNDQEIVALSGAHALGRCHTDRSGFSGPWTFSPTVVTNDYYQLLLNEKW
QWKKWNGPKQMETQLEDKTTKSLMMLPTDIALVSDKAFKKWVEVYAKDNDRFFKDFSAVCVKLFELGVPFAENAEKYTFKPTNA

>RCO7_02166 | probable 60S ribosomal protein L36

MASTKTERSGIAVGPNKGHKTEQRVVKPRISRSKGKASKRTQFVREIVKEVSGLAPYERRVIELLRNSKDKRARKLAKKRLGTFGRAKAKVEELTNV
IAESRRAAH

>RCO7_02167 | related to UBX domain protein

MASNVVVLDSSLRRTVIKVNPGTYMNDVLEQACQKLKLKASNYGLKHNNKPVELSIPYRQTGLVPGAKLELVVASRSPSVVSVALQLPESLASSIPG
GRLIDKFPSDTTLWLILRKFESKEVSGQNLNFTARGVTHIENGGSTGAGRIFYEMPTLNLMGRDFSDFGGLQKNLKQLGFNQGSAAIRLGFKATGQP
LEDAMKEIGEYFKEDTASSGEVSQDPTTESNMFTDAMAKLTSNKSEDVDMANTSTQELPTNPAPTSEDTEPTLVTFSNLSAPSLTSPAVQDQLLGPN
QRPIQVFSAPSDSTPKAALLPLNEDDFEPSVYHAKLHQSRLLENSHNKRLPSDAEAERLEQEKAQKLAKKTQVTIKIRFPDQQSTISTFTAPETGNS
LYAFVTGLISAEDQGFKLVYKNPGPKAVPRSEKLLIKDLGFEERVLVDFIWEDEVGDEVRKEPVLKSQYVQASKEISVPEPPKDEPKEEASNGQVVD
KGKGKEVSTGGKSKGGVPKWFKGLGKK

>RCO7_02168 | probable 20S proteasome subunit beta3

MVGKDCVAIACDLRLGLQSLTVSNNFPKIFSYGDVYLGLTGLATDVSTVSDLFRYKVNMYRLREERNISPSTMANLVSSSLYEKRFGPYFVSPVVAG
IDQKSGKPFICGFDSIGCIDFAKDFIVSGTASDQLFGTCEGLWEPDLAPEDLFETISQALLNAVDRDALSGWGAHVYIIEKDKVTKRLLKGRQD

>RCO7_02169 | calcium-transporting ATPase sarcoplasmic/endoplasmic reticulum type

MENAYVKSTSEVLQHFSVSEVQGLSESQIQASREKYGRNSIEEEPPTPIWELILEQFKDQLVIILLGSAAISFALALLEEGGGWTAFVDPAVILTIL
ILNAVVGVSQESSAEKAIAALQEYSANEAKVVRDGKITRIRAEELVPGDIISIAVGDRVPADCRVLAIQSNSFNVDQAILTGESESVGKDTTTVADS
RAVKQDQINILFSGTTVVTGHATAIVVLTGSSTAIGDIHESITAQISEPTPLKQKLNDFGDTLAKVISVICIVVWLINIPHFNDPSHGSWAKGAIYY
LKIAVSLGVAAIPEGLAVVITTCLALGTRKMAAKNAVVRSLPSVETLGSCSVICSDKTGTLTTNQMSVNKIVYISEAGNDLEELDVQGTTFAPQGKI
TSRGSIVSNVAASSSTIFQMTEVAALCNDAQLSFDAKTGTYSNVGESTEGALRVLVEKIGTTDSAQNQKRSAAATQDCLHLSSSWYEARTPRLATYE
FSRDRKSMSVLVGSKTQQKLLVKGAPESIIDRCTHTLVGANGKRVPMTKALTDLLLKEVVDYGNRGLRVIALASVEDVASNPLLKNAKSTAQYSQLE
QKLTLLGLVGMLDPPRPEVAGSIRKCKEAGIRVIVITGDNRNTAETICRQIGVFGEYEDLTGKSYTGREFDNLSDSEQLEAAKRASLFSRVEPSHKS
KLVDLLQSAGEVVAMTGDGVNDAPALKKADIGVAMGSGTDVAKLASDMVLADDNFATIEVAIEEGRSIYNNTQQFIRYLISSNIGEVVSIFLTAAVG
MPEALIPVQLLWVNLVTDGLPATALSFNPPDHDIMRRAPRKRDERLIGGWLFFRYMVIGVYVGLATVAGYAWWFMYNSEGPQISFYQLSHFHKCSAQ
FSDIGCSMFSNDMAKSASTVSLSILVVIEMLNAMNALSSSESLLTLPLWENMMLVYAITLSMALHFALLYTPILQTLFSILPLNWNEWQAVLVISAP
VILIDEVLKLIERQLFIQTTEFATPRAKKE

>RCO7_02170 | 14-3-3 protein epsilon

MTTERESKTFLARLCEQAERYDEMVTYMKEVAKLGGELTVDERNLLSVAYKNVVGTRRASWRIISSIEQKEESKGTDKHVSTIRDYRQKIETELEKV
CQDVLDVLDESLIPKAESGESKVFYHKMKGDYHRYLAEFASGEKRKLAATAAHEAYKNATDVAQTELTPTHPIRLGLALNFSVFYYEILNSPDRACH
LAKQAFDDAIAELDSLSEESYRDSTLIMQLLRDNLTLWTSSDSGEPEAAPAESSKETDKTVESEETKAAEPKTDAAPATES

>RCO7_02171 | related to PRP39 - pre-mRNA splicing factor

MSDFNYGGTEEESAEIRKLDAEVLEDPDNFEHWEKLVRAAESLEGGLNRNSSPQAIATTRSAYDRFLAKFPLLFGYWKKYADLEFSIAGTEAAEMVF
ERGVASITTSVDLWTDYCSFKVETSHDPDVIRELFERGASCVGLDFLAHPFWDKYLEFEDRVEAQDKDYKIFSILSRVIKIPMHQYARYFEKFRQLA
HARPVVELVPAETLTQFRAEVESESGGFQGGPKGVSEMEIEREVRTKIDNFYLETFTSTQAETTKRWTYESEVKRPYFHVTELDYAQLTNWRKYLDF

EEAEGDYSRAVFLYERCLVTCAFYDEFWFRYLRWMSAQEGKQEEVRNIYQRASTVYVPISRPGIRLQYAYFEEMCDRSDLARDIHEAILDRMPGHVE
TVISWANLERRQHGLEAAIQVYKAQIDNAGVDLFAKAAFVVEWAILLWKIKGSVDEARQVFQKNQQWYLQSRHFWANYLEFELAQPTSAEKETGHYE
RIKEIHEDLLKTSGLSLSTRKELSNYYFTYLQQRGTKDAMKEFLQIDRELNGPLSVQADYAKPNTSGKGLENGHAPTIDEATLRKGEVRYSNYYAER
RDVPANAQGTASFA

>RCO7_02172 | related to BEM3 GTPase-activating protein for Cdc42p and Rho1p

MSQLLQQNNANANASANSDSQLQFFPQDSFIVGRSQVYSPNNSLTKSEPGRRSLRKAAPSPLQTSTTATASPSSVTSTRTVFSRAGTDNSSSSASIQ
HLIPHSSRSPKERLDELLASEQSFYRSKDSSVESELEESKARYQQKYPHASPLLMKGSRYPRPLHDTNGASRSVSDPVLVSKPSGGSNSGTQPAMAS
AHRAEMARGPPRASSRDSAISSLSDRTHSKKGSQDMKAGATPDVTNLIQSAGSPEAVIQHLLKEKASQTSQNAQLWRLVDKQRAMILGLNKDLERAL
QDKERYRKKLNESLAQMSNPSPVDSTQGLGSEFGSMSSDARINDVKATDVGSIVSAGLREPEQDEPPSPIDVALAPYPITPPAMMSIQTPVMSNMVE
AAHKMPSPTQHSFQHFNPDAPGPGFEAGQQQRKAVEVAREVPYNASLPPSRSQPSAPPRGPPPNVPPPKKPMSSQGPPVDLVETSPNPDEGLRSFPT
APRKAPPTPLNLEKQNVASSHLRQASGTGNETDSDYDDILEVDELPKFSTERGRRKTREEDDKEREVSALKDAEMRSASKKSGKCTPKSRPTTPKEG
SFAEMADPMPLGPRQTVQISPPGAHKHHLSSQDRNAGSLASILNEASGNVSSPVMSPGLPMSPRPVNRPTNSPMPRNPSNLSSKVNSPPMSPRGMGA
FPGTVPLSPRAPREPIPLPPSTPMSISSPGLPKDETLLLVSPKALETSKHSGDSDFRASPVQQSPDPNSIYRGLVTEEYPDLLLPPNALPSINVKVA
SSRLKPSRASMMFPRNFEEDPVFTLAVFARSDGRELWRVEKDSSSLTNLDQILKQSNTFTANAPDRSLFSGHAPAKVDARRIALDNYLDEILDTQMD
LGSALQICSYLSTNTMEPYADELAPGGDTASENPAKTGPGGRPLKNGYLTKRGKNFGGWKARYFVLDGPVFKYYESPGGPHLGAIKLQNAQIGKQQQ
QADNHSPARAEGDDAENQYRHAFLILEPKRKDSSSLVRHVLCAESDQERDQWVEALLLYVDFKDDEQDRPSSSRHQPTRTNSNNSLNTNGTRSKKKL
QSGQGRSQTMPDLTDDSLRCVSYETTKQGNVPAGSRLKNSDTPSPPTYDERDQVGQMPYSQSIKSISAPRNAQVIQDTSSWGNRQNTLAPAAVDDKI
KQKKRSFFGFGSKPRPSFETTESNDTNSNLSQMAVDQHGSIRPVFGLPLGEAVRYNHPVDVQIELPAVVYRCIEYLDAKNAAGEEGIFRLSGSNVVI
KQLRERFNLEGDVNLVTDDQYYDIHAVASLLKLYLRELPTTILTRELHLEFLAVTELNDVKEKISVLNGLVHRLPRANNALLRYLSGFLINIIKHAD
TNKMTVRNVGIVFSPTLNIPAPVFALFLQQYDVIFGEEPDEHDGPVEASVFATTLAAEDIHSPRRQKFQDLPTPSYDQQSSPRAPAPRHNQQHQRSN
YEPGFNSMQPSYEPLEGFPTMAGPEYGRNQQQTLAGPAYDQYPGGQGHRQQQQQYGSENPQGNSKSKRRESSMFGIGLGQRKPSGNKLRDDSRLVDE
QSFFD

>RCO7_02173 | uncharacterized protein

MLFSTTFIVLSFAAGSAIASPVDLSIEDALILPREKGQNHVVVVGSLQNAKATTFTPNNVKAAPGETVLFQFVSANHTATQSAGPQSACQPAPGGIN
SGSMPIKQGGGQARTFTMVVKDTQPIYMYCAAANHCQVGMVMTINGGAGANQAFKAAAANAKANVMAGGVVGGTIGTISTKQVAGGGGAAGGAAGGA
AGGAGAAKAAGAGGQVAKGAGGAGRAGGAGGGAGGRPGAGRAGGRP

>RCO7_02174 | uncharacterized protein

MKHSGLQRDVLSLYRKCLRVSRMKGEARVHFEKYARIEFEKAIAVDKKDFSAIEYLLRKGQRQIEMYSSPGIKDIRNSATTHSQQTKKQEETQKRPF
RIHFLRRRARDSRASSSVVRARRRASDRAKHNIEVFGWDTPDAELASKVTTPEIEVRNRVVNRRSGSGANLRPAPRSNSGIPSTDGAANSVSRRSNT
RKKSKKGYSLKYIAKVPVYWTADHPSARRASTFSPERLYSAQRLGPLQAASNRILGPRPTEVRRRNDTGIDPLNPIAGQRRNSPSQPHFKPNTFQRA
TSQVLPARKDTGLSSLEFWEAVKDYSRQSKTKGTSASSVRSIVQSLVSEAASRTPSQKKVLWRFTRGLELYLQAAKEHPSQSLISSPASDFSTSVSA
FTLHELKPYRSEFQSAGLAVTSAEQKGMANLREDSPPPPTPPKDQSYGKSRSLPRKKSTDTRKPTEKRKEPSYASGSTGTTVLGWTPPHEKSYGRPP
MVESRSSSASTEHTIIGFTPPHHMSASLSKPVREAPAPPQATTKKSLPWLRKAGPSPEASPTQKRSVISVKPEQQHRTSTPLTGWVSTVDVPEPLQS
IERNLEPEDNIRLGPPKGPTEKNREDFRYGTAKSTADNFISKMVTEMATRTGPSISIPLENLELIRPKVEYSDLATQTVELSPVVPRRPTKNDDYSE
HSSEINRAPIPSGRSKTFPSRANKCKGNCEQPPKNPHLLISQERLSRPSKVTWMGGADQEIQTVQMPVDSIDNIERADNQKTRNALDVPSFQSKAVP
GERTRTFPFANSPTKRIGPYQPPQISGSLIKGADEGRSTWIQNDREQEEEILNQSSRRALASSPQLSAPSLCVQCAGPLNPTPKPEPELEPTPEPSK
QPPAHACTARSSTQCQQCFPSRDSSIAISPRQVTSPAEMRGPVEFQYLPTRRSTRPLIHTGPVNYPEAEPGLGNTQKSYHSPERTRPQSKAEQLVEE
YLKSEPIADPMKRPPLPRIIPKPNIPDPPKHVHCYSTFSRPKTFPLTPKVPEIHTVALPAFASTISTDSCSLRSAGFDDKQVFKGLHVATAAACDED
VDKWIEEITGSSARKFLSALSVFNGLGSNTLAGVARRAAKQRRQKINAWETTRNMRVAEKARRPRCEDGEFVELEYVMGDQGVEIGYEYAKTSSEVQ
NYDDEYNLHDQGVKTERDGLTKSMFKGRAGKGSEGARE

>RCO7_02175 | related to bifunctional 4-hydroxyphenylacetate degradation enzyme

MTTFSRLVRFLAKDGRTYYGDAILPKGVTDIAKATQAKIIRGQIFGTHDVTDQVADIRLLLAPLALEDVKTVRCLGLNYEQHAKESNMPIPKYPILF
YKPITSLTGPTDPIPIHALAQKFAGLDYECELVAVIGKACSDVSESSALDYVLGYSIGNDVSHRDWQIKHGGGQWSLGKGFDGWAPYGPGIVSSKII
TDPQNLRISTKVNGKSVQDNNTGDMIFGVAKTIAFLSQGTTLLPGDLIFTGTPQGVGMGRKPQVWLKDGDVVEVGLEGVGTCVNRVEFAKEKSKL

>RCO7_02176 | uncharacterized protein

MPSQNLVRQSCGTSPLSVQMRHYSHQLSIQKFPREFLKRRFEGPPEVDRKLFYDEEVAFTGFKAHPDSEAGVGGRDVVLHGNNGGCGNMGLHVTR

>RCO7_02177 | related to Probable leucine aminopeptidase MCYG_04170

MYFKLCLSALVASSSLLVSALPSTDGLKINGGLRLIKTSEADPGRWVTEDQKIEEYTAKNIHFIDITDITDLSVLDSLSGVSEGTLVSRQAISYPTI
LTHVTEGNAFIAKINMTVPQTVLKTFTEFTTRYYRSATGTQASTWLFNQLTTIGSANSAITVTEFTHSFNMPSIIVKIPGTSPNIVIVGAHIDSVGS
TSTGRAPGADDDGSGTVTILEALRVLATQKFAPKNTLEFHFYAGEEGGLLGSAAIFANYKAAGKKVLAMLNQDMTGYSPGGKPVVFTDYTNAALNAY
LRVIVRQYTGITAGTSTCGYGCSDHASATSNGFPASFVHEDTMGGSSPYIHSPSDTYSTIMWDAVLRHTKLTIGFLVEASYL

>RCO7_02178 | uncharacterized protein

MASSVDAKLLKSTKFPPEFSKKVDMQKVNAEVMKKWIAGKISEILGSEDDVVIELCFNLIEGARYPDIKTMQIQLTGFLDKDTAVFCKELWNLCLSA
QSNPQGVPKELLEAKKLELIQEKLKRLQKNHVLVETRTNAENERQTTFATGNVAKEATVEREEREDAVGDGEIRGEEGGVIKVATETSIAEEAVGEV
LNDGVPLVRNLHDEDIRQSESRSGILLEPPTPTSQVGAEEDVTIVGVRLLPDRYLQHDQTNQDPVHLLEGGSAQIPDPALLAGVPGHLKGVATTVVE
GLGFVNRVEIVGAVVDHQVKTHLVLGLQDLLGAEGPHLLQHRHPPLQDLGTLVTIAILAHGHHLAHAQDQEALTSSRSVSPPRRRRSRSRSSSHGRR
DKKRRRSVQRYEPANKRRRNTSSDSDRNRKADTDEEKDKVSPPREASTSASAVQSSNEDVQAKDPKRQASELREKLLREKIKKMRILSTDSVDAQAN
AS

>RCO7_02179 | uncharacterized protein

MVAFRGLSWANKTPSNRLGRSDLSVTTPSSPAEIEVPSVQDLVGQLETKEDEYRRRSSVGDKPATTTFHAQPFRPLIPYSRTPSPRTLRKVETLSKG
LSAVPEEADRGLKSRSTSSDLEFKVVPLVFTTVEGEVVQHPYFLLATPSGASEESGSESNSYISSRPLDEVANQSNFDSENLPPLPESPFPFSPSTR
TGTGAPHYGTEELSPLASPFAPIKPVAPLSPLNLAVDSATDPTQNLLPESRPGVTDEQISETPSSFYYLDPSSAMTFDTSVRDLIQEAPDVPIGGKP
AGTMIDMDIKTRSPRSKSPKPKKKKRSLHSRSTNSDTLPGSSVKVQKSPLSPEPFANLENMAQLSPRPATPMSEASMKMVTAPGTPVFRRRDVSDMS
EIFDGPGSVTTIKDFGAKTETTDNAGDICSDSDHNIGNPVTIPLPSSSGASPSALPTPSISGQHPLASKSMLDGLPATGASPRTLPAFPVSSDGLPL

TEIAPDSVPTGDISAPGALPGSGLPDLGTQKFEVPSSKLSRGLAVPADITGKVDPPALPTPSVKRQALGKGKRKGQKVVRKGRSLILRKSVLSLVIG
RQLAGTTATALKLVSQGASVDPGALKDAGTAPLKAAPVPASPPPVPGAPLPA
>RCO7_02180 | uncharacterized protein
MSSTEGLQIAQVIADLQSLQNADHAAARSLLAPLKSTSPSSDCTNTAPNSSSRRTSSNPKFDKLGRRIVTVSRSLSNTAGTKPPAFTRAGSSFSINS
GISTPMRGMSYSNETIAEGGDEGGDEDLTRARTLLQLFEMRGKFRQMGDTGLSRAKERVDEVVARYAKEDLEEREKVARSRYLGV
>RCO7_02181 | probable fumarylacetoacetate hydrolase domain-containing protein 1
MSLFFRRGLATASIASLKKASKVVCIGRNYADHITELKSARPKQPFFFLKPASSILPPGAGPVIRPRGVDLHYEVELALVLGNTVKDLEANDMKGAL
DSIESYAMSIDMTARNVQNEAKKKGLPWSIAKGFDTFLPVSNLIPKSSIPDPHKVELYLTVNGESKQLDSTDLMLFQIPRILSDISKVMTLEKGDVV
LTGTPKGVGSVKPGDIIRAGLKVGGKEVDEGKIEVVVEESTSSYEFKET
>RCO7_02182 | related to Chromatin modification-related protein eaf-6
MAENPHPTKPPSATADVPGQPFYDKTRHHLRALLAKRREIEAKLQAQESEILRKETEYLEETPHGNIIIGFEGYTKGVSVVPGQRLRRPVVLEGNRV
FSRSSVSYGSGGGDSPTDTAQSTPAATAPTPLSATFLKGEGGSNHATPSSATSATKSGAGSRKNKKGTANGAGAQDDSDTDTRDSKKARTNFGAVGR
K
>RCO7_02183 | related to phosphatidylserine-specific receptor
MEVYPSGGVESLSMEEEEEESLQAIPPHPSGVKPAGNQYKATSIARNLIGSFQVFPDEILAIFLEYLDSQLLCALGSTCKFLYAFCRSDDLWKALFI
ESPICKSGNFTWRGTWRSTHLNLKPEQTSHIQCDNVFSDVLYRPFLCTHTSLLPYTTSIPSRNAIPRLANLTPSEFSSQWSCKPFILTEPVKLWPVY
QNWNTCTLLEKYGDVKFRAEAVDWTLSTYVDYMNNSTDESPLYLFDRNFFDKMCLNTTSTSTSTSSPTTNKATITTQEPAYVTPTCFGEDLFSVLGS
LRPAHQWLILGPSRSGSTYHKDPNSTSAWNAVLKGSKYWIMFPSITQPPGVFVSADDSEVTSPLSIAEWLLEFHAEARKTPGCIEGICFAGEILHVP
SGWWHLVVNIETSLALTQNFVPSGHLKEVLSFMRDKRDQVSGFAKEVEDSYELFLEGLRREYPDLLEVALRELELETERKKEGRKRKWDAVVAGKGG
EGNTEAESGKGGFSFGFGDDSDVEVP
>RCO7_02184 | ATP-dependent RNA helicase eIF4A
MASTDKGLEEIPEGQIESNYDETVDSFDAMELKPELLRGVYAYGFERPSAIQQRAILPVIGGRDVIAQAQSGTGKTATFSISVLQKLDPTIKQCQAL
ILAPTRELAQQIQKVVVAIGDFMNIECHACIGGTSVRDDMKALQDGPHIVVGTPGRVQDMIQRRYLKTDSMKMFVLDEADEMLSRGFTEQIYDIFQL
LPQSTQVVLLSATMPQDVLEVTTKFMRDPVRILVKKAELTLEGIKQFYIAVEKEDWKLDTLSDLYETVTITQAVIFCNTRRKVDWLTDKLTARDFTV
SAMHGDMDQGQRDLIMKEFRSGSSRVLIATDLLARGIDVQQVSLVINYDLPANRENYIHRIGRGGRFGRKGVAINFVTAEDVRMMREIEQFYSTQIE
EMPMNVADLI
>RCO7_02185 | uncharacterized protein
MARDTSVPNVAEWEDRLWARNIIHEHQQLSQQIQDIAAKRDEDIQKVTERCDTAYETSKEALGRLEELENEVKVRNQQVDEHTEELKNSLESIMEFL
RPRLTPEELSSVDLIRYTSSKVPPSGRTFNNEDQTRTLTESPVVSGHTRPPPRAAVRKSSYVVPQNPDNQYTSASKDQHVTKHPNSVLSSDERINKP
NDHVGTDIHGSTTNLRKRPTATRPTVADPPRSPPMRTRSRSRTESREERSAVQLPSAPESSSLQIPKLSQKRRPLIVYYEEATAIRETLGLEVGQPE
YDFALAFIDGISTKKIANQLFDSLANFCDSGTKVDGSKFVNCEWEEVLQGIKLGGLDVLETVQDKGKGWSGEPRVEFPGLMDFRAVESPILKGKQPA
TSGPNATEGREHHELLMDAEITGQSGGKSSPTSVVKANSGKVRFDPTVKKLAAAARASKSKGKTAARRSPVKKPATGSSKSTEKSSAKGGRVGQAAI
EKPGTSRGRAAKGLNNPGGDTAGAGTGAQAGPASALEGAGNATGNGRRRGPPRKANR
>RCO7_02186 | related to secreted dipeptidyl-peptidase V precursor
MTLSMKFTPKALISAPRRSAVQPNADGILGLYSTQSWSFETHTKSAHIGVRDFQSGQSKVLFDDKNCTDATWLGEGNLVLCLKQGKEKGTTDLVLAD
AGNVEHEPETLANFDGGFENLKVTALDSDTFALVVTGLATPTGEAYNPEKQKKPVSTGKVYTSLFVRHWDSYVGVNKSAIWYTTLKRRSGSGHQGFV
VRPLTNALAGHSFALESPLPPFGGKGDFDISKNGIVFVARDPKLIPAAYTKSNLYYIPLRTFEETQVPPPQLVKTGNLKGYSGSPVFSPDAKSVAFT
RMQNMQYESDKPRLLLWPDVTDLNNVQEFFETTEGEGQWDRRPEGITWSKDGKELYVTAEEHGRTKLFKIPASPRHAKDLPTAIVSEGSVTAVSVLS
NNKLLISSNSLVDSSVWSIVDPAEPDSKSIISSSLKGGKSFGISQSQVNEIWYEGSDKQKIHAWVIKPSNFDPKKKYPLAYLIHGGPQGAWNDSWSV
RWNPLVFAEQGYVVVTPNPTGSTGYGMSLQNNIKENWGGRPYIDLVKGFEYIESNLSYIDTSRAVALGASYGGFMINWIQGHPLGRKFKALVTHDGV
FCTLNQYASEELFFPLHDFGGTLWENRAGYEKWDPSAHTGNWETPHLIIHNELDYRLPIGEGLGPFNVLQTRGVESRFLTFPDENHWVLKPENSLVW
HTEVISWINKYSGITAEREAEGIGAVDDESASSRMIPLVK
>RCO7_02187 | uncharacterized protein
MFLPADLQESWPVEPRLGKGTTGTITPFWTAIAVDNEWVSHMRF
>RCO7_02188 | related to ornithine aminotransferase
MAPSAAINTPLGEVGPSATLKIMPQSSSQSLSKPAEPSLFHRTLLNKPHTVESATGIYLHLSDGRKILDGCGGAVVACIGHGNQEITAAVVSQMQKI
SYVHTQTYTTSAAEDLATFLLNDPSSTFSHGLQKAYFVGSGSEANDSAMKLARQYFYEKGELSRTIFVSRRQSYHGSTIGSMSISGHVARKIQFDGA
LTLPNVTYVAPAYAYQYMFADETETEYSARLVRELDKEFLRLGPQNVVAFFAETVVGATTGCVPPPKGYFAGVRAVCDKYGILLVLDEVMCGMGRTG
TTFAFEQEDIVPDMVIIGKGLGGGYAPIAGVLIGQVVVEVLRSGTAAFNHGHTYQAHPVSCAAALAVQTIIRRDNLVAQCQESGHALEKMLRSRLGS
CKYVGDIRGRGLLWGIEFVKDKESRKSFPRELRFGLRLQQQVFEMGVALYPGSATVDGIEGDHILISPPYNVPVSELGTIVDTLERAYLSLEKMVDG
REKSQF
>RCO7_02189 | uncharacterized protein
MPFMPISGLCSPTITVVTSSSQTTQRSKSQPPVPINTQIGPPNSTPAPVFTSVLETPILPITSTTKDQPPAPISTTVTSQSDDQGRISSQGSVNSTR
EVIKSALTDTPTPVAVVIGPQTMSQDTGAIILNPAPPKPTTTEIHLVPNSAVVTVDGTSLTGNTESGFIIGPHTPHMGSAITTGNQVVTLPSPAATQ
APSSTITQTPETVPVILIGNSTFTQNTASAIIIGSQTLSPGSAVTISGQVISLSPTGNALILHGATARQIPTTFSTEIQAPVTSLVVAGMTLTAGGI
VTVGGDVSSLIGGAITIIGTVTVAAEQAAPTAKPTGEKSLAGRRSKIKCIHDGEPPCRSCFKSKRPECILSGPFETGRRQSSGGKPRESAPPTSAKL
NVHRDSSVEPASPKPSINDIAAGMLTKDVVLGLSPQVLLVAVTTFTQKFPELAFNHAPTFSSHVKEDVTVWIKIAATLALCHRFLPVTVKDQIPSED
ELAACSRESLQSIQSVTPSISAVQSLLIMSMYEWGAGNGYGAWMHSGMATRMMQSLDVMKPDRGSEVIETEIHNRTFWACFVMGRFIFCGRSQPLAL
PLDTMTIQLPIGEEDFAFGGVSHAGRPMESTGPFTVDEYYTVLVKGFEIWSKVLDLIISGGRRTPGMSQPENCPWVTGSPWKKLLDSVEEWRSQHSD
RLSFPASGVAVHVSLGHGEKFAYVNLLYYVCILFLNREYIPFLPIQLPEPVGPIDPPLLEASAPPGWWHSRAKDLYNAAECITLIHQQLDELNAPLL
TPFTAFCSFCAGSMNGYVTSFPQMNLNRSPNSAAHEELNFLHLEKFTALWKMGRGWAQTLKRVQTLRFHVIRDRARFIGKTRSDFVALYESIHDYAG
VSPPVRAETELSANGASISQLFDGNQTNDSKENAQEMRHNPQPRSSILGELMPESNPEIFLTGDEIWNQAWPMWGDQQFGTFDEAELQFNYDQDLPT
L
>RCO7_02190 | uncharacterized protein

MFSAERSFKKPLAIFHTSNEMGHKWRERHPNNPSAISDKKATEITYGHHCSYLCMWSTLLHSIRQLCDHFTSPPSKAQSFETGYIQCEKDEPIIDKP
LPPNPASTASTFKSYLDARGSQRTSPESSVLLVRGTTLRLRAFQEPVDCSDTEEVHELPADEPVSGEVSGSPVEVKLQQTIDSILEQHNKERMEGRE
ITVGERGHKTIRHVGAAPPAV

>RCO7_02191 | uncharacterized protein

MQQYSNSYQGISTPYMSSPRALPGSSLTHQPPAHGNQIKILHPMDWISDPIDSLSYQQLPAYQRPRPRPAPNKNGPSNPLNAHPFLRNPQSHTPKSI
FHPQIEKRHQIRHPKTLFQAEQANFTAPTILA

>RCO7_02192 | uncharacterized protein

MPSALQNPTPAAEPPIPRPGSGGNNSGNLRLRLDLNLDVEIQLKASIRGDLTLALL

>RCO7_02193 | related to RNA and export factor binding protein

MDRALDEIVAERQRPGGGGRSRGGRRGGPRQGGRERERTEYPRDGLTQASSFAQSTREDNRNIDSEWVHDKFDNDSTESQYHPMKLALMDSLAGRRP
VRAERRFTPEAQYDAPSSKLRVENLHYDLTEEDLEDLFNRIGPVLKLSLTYDRAGRSEGVAYVTYESAQDAKAAVREFDGANAKGQPIRLISIPSGP
AVGRRGPPPSRSLFDRITPAHRSRSDSPIRHSDVTGPAPSNVDRYVPGGTRSRSRSPRPRRREGRRPGARREGGERRGGGEGRRGGGAGNGDRLARD
GRPRKTQEELDAEMEDYWGQKDGGAANGAEAPATEAAAINGDDIDMIE

>RCO7_02194 | uncharacterized protein

MNRIPRRLGTSSSAFFSRRLCHVHAFQRRVAFRCIHSRASVETRGSRSEDKNKNSVLENSPEIVGSHGGAPLAVKGKQSQGGTKGEIWRYTKAKSRH
RPHVLNPGRKPALKRHRKFNDPYALTSSEPPRQKPRTILGERRPRQISTETPPQISCTIVYDVPEQATKENFLGYLRDSSKMNYTTQWRTWPRNNRN
QALVILFTPGLAAFVENDPSFVPDVLKAMTRTSTVFYEHALEVDVVCGCVDGLAPLPSVLSKSRAERSREGFSILHGSRDSTLPLIWTNTEAPPSRS
PSMQATITLRKGDHGPPDLTLPLANTLFKNGRLSTLLVSNWHWRPSAKESWVLKKGPSERSNVNINVFGDATKRQPSLVLPAVRLTPARPIVSGLGN
IVRTIDFGAEDGIGPASRELEPTVTKYLQTMGHGNTTINVWALVVPPESVPMAAKSGTPMDPNTKGRYWLTDTSDTLQKNWLSSYNDDATTSRYIAA
LINTKNAKLCRVLSGGGGWGAKQGLLSLDPQITYDEIPEARFDFSGGSLEDQQTSALGNIAQAGAFVQFFVARREHLTRPVEPGGVYLNALRKSAVF
GAVPSTVDDVLVPSSETSRDSTGSRRAWKSDDTIHTHRGHFGFVSERGMFLRHGRNYNPERPNEPCNFTKIDLPHSYFYMDYRSWGEGKPGTPVGAR
SVNTEGNAVQNVENTDHQSEENTPAGSSSSRKVTGLRFRRFKSRLSTQEKQFLYHERTYRKWVTVKERKLAEHETIRGIEHFNIKRQAKKEEPSGKW
KDVYVSLPSEDV

>RCO7_02195 | uncharacterized protein

MPRAELTPQMRARIVELASFYYEGNKKIRKEEEER

>RCO7_02196 | uncharacterized protein

MAAAASPERMSFNGLDLDNGHFRTTPIDNVSPPPQSPRLDSPGPLPLPSFVFPARAPSPTSTSTRSAPSSFSRASGRRPLSAIEIRSHSNERTGNSE
RLPEFSFGGSPSLGSPSTVSPKTIPPRPSSMHQRNVSEFIGGDGKIGAGNGLMSTSPTKPEGALPPPPSNFGPPGGRRGHAHRRSAAISVSDLTFIL
KPNPNINRGGSAPTSPSAMHEQHPVVPSMDAILQPAKSMSDLADPEPSPRAFNKNTRVGFSDEISIIPRPLSVVSSDSASTVRPGHSVSNSMSSFVS
AGTSSPSSKETRNITSAHTMMNARPRTAEPFLDRTESATPENTPSRRGSLPLLNEVAAGSTPSTPRSAKKWSFFGHENHSGESSPKSRPTSAASSAK
ESKKVESVPHSPDLVAADLPIRSTEPSSRRSSISRKPSKNKKKVKSWAGSILGRKSRQRKPKLSRRSPTPPLRAYTPVDHTAGLNIIQAEQSGPTTP
DVQTDFTNWKPRKLPPQEESMSPIIDLDAALGPFNTPSSFGDDWDMSQQNSKRKRAMHSAAGLGGFTGPGMHYHRRAESAPEFENPRFGLHRLGSSS
TMGMEDVFEEDEDEEWEDSKASDKETSSKAGDVDDEDENGLGIDIKVVDSDGMDSDNPMDFDDAAFQRGIKRKGSGLSALSDGDRRQISSAKSAHST
TSLIDEPIEEESSPVEIADDSSLLRPDSRAQSSDSTVTPPFRPNPAKELAPVEIQPFSLQSPFLSPNSPRSASQSSFPVSPRSPFSYDTQRISTAPS
SITDENAFYSLLMGEPGPELRMSVDDVPSLTSSNSTMTRDNVGNQPQFRDGQRSASLSSTAITRKRGSMASLSRLISSSHGEKSKLSIESSAPSVND
IDRKEKTSKGKRISRLMQFWKPKESSSSTS

>RCO7_02197 | related to PEX4 - E2 ubiquitin-conjugating enzyme - peroxin

MSSTSKTSTSSSSRTPTKRVLTELSAFASAPPSPFILSLQPSPSSLLTLHAILSGSSLPVSTGYQHGRWLLKISIPSNYPNAPPTITFLTKICHANV
DFQTGEVCLDVLKENWTPVLGMVGALESVGRLLGEPGPESPLGVEVGALLRAGDHIGARGLVGFWCGEERWEGGLEGFGEEGNGAERERVRARR

>RCO7_02198 | probable protein MNN9

MARPLRRSPVTVVIGVVLLIFIFYFLLSPSPSSSDSASAQVRKASAASNPLSPPTLPFRKQNEKANGKRIPPPVVHYHMNNLTSSSDPIANKETILI
LTPLAKFYREYWDNLLRLDYPHELITLAFIIPKNREGNAATAALQEQIAITQKSSPITQRFASIIIERQDFEPPLQSQSEAERHKMENQKSRRAAMS
RARNSLLFTTLGPSTSWVLWLDADIIETPPSLIQDLAAHDKPIIVPNCFQRFIDPKTKKPAERPYDFNSWQDSDIARKLAETLGPDDILLEGYASMA
TYRTLMAYMAKDGADPKQEIPLDGVGGTALLVKAEVHRDGAMFPPFPFYHLIETEGFAKMAKRLGWASTGLPNYKVYHYNE

>RCO7_02199 | uncharacterized protein

MEPVPETERMEEFMTSPVPPLRLLETSESYKMEWEHRSKKPPTIRRSTDPIPSSPRSPISASPSLPYRPRNTSPFARGHMRSKSSTSTLAPSMSRTQ
SLPGFNAAGHLLSSPYTRPASPLGSPSRKRTPRKPVDDVFPGLAYRGSREALRDISETGDIMEEHTPGATERRSSSPILGLPHSATFRTRRSASPLR
YLSQQNTTSTATSTAPSTPSSINSPPSYTSYRFNDAFLGTGSYSSTLSYPGSYSSSSVPSTPTSARSRSPSISSLETIPDIPDAEEAALEAERIAKL
KADADAADGDDSKAKSDTPGSRGRSLVSTFGRDKRKRWSVCGAERRGDLNLDTIWED

>RCO7_02200 | uncharacterized protein

MQDLTILAAAAVANSVVAIYPPALQGLEKKSPGYRRNWWRRRHRHGLDDSEDEDEVIMVLTYNRDDLLTLSSVIDTGSSVTSTFFWIHRTELGTRFY
YLIYCLRDSKDQLTSQLVYHNKLLLS

>RCO7_02201 | uncharacterized protein

MADTRISSAQILKSRLDSHLNNNQFAFPSSMQQVILSHVGSYSENITNFQENALMSLDHWHDARLANVDAIISIFLDQCGRYTEAEVINRRLVDFSA
KNFGVKDKDTLRCMNNLAVTYSYQGKLKLAENLYRQVLEGFQALLGSDHADTPRSISALARILMDTGKVHEAEKYARLAAESQERILGIENKNTLSS
LHILAMILRYQKDYGEREKILERVLAVREKLLGPSHENTLFTVGELGMLWRDMGDLDGAEKMIRRSLKGVEISLGSDHRSTLGTVSPLGLVLQDIGR
LVEAENMMLRSIEGETKLSGRQHTTTLKSIWNWLVFSKTKGSYSNLTGMIAAETSSEITGPIEDDWETASASSESDSGVQTIIPNPAQ

>RCO7_02202 | uncharacterized protein

MQGVPQPHANCRSESDDASSFISQPPIFFSSSRMCECIITTPLALLTISGLEVLGAVSAATALAEQGGKVIKFACDVYSKYKHPEKTKKKLDEIQEL
VNICNTIERDQLPQNADLQPILSRCSKEIAKFKKKLEKTNSSRLEPRYRKLKKSIAAVLQENDVKAETMSVSMNDGFAGLHLRFDQQLVTVTQPFKI
TEERFYLVPKRPVDCFISRNHTLQKMKETEPCDVGPGVFVLRGLGGQGKTQIALEYCRQASERGILAIFWIDATSKGSVKESFQTMATKLKNTDTAS
AEDASPFMLEAFRVWPKVWVMVFDNYDDVKNFDSIRDYFPASKNGTIVVTSRNSASKDLTNHQPSHFFELGGLSDEESVTLLQKRSQLEMAKIDTIA
AKAIVNRLACHPLAIMQASSYISRKKIRLTNSWITMKRAGLRSSNIHPI

>RCO7_02203 | related to E3 ubiquitin ligase

MEAATGGNQNGGAGGGGGGPASGTAERPRGDGSRGGRGRGQSRGRGRGRGGNANGNSNGENGQQPQSQHQHQNYNGGGGRRGGRGAQTQNLAQGQRM
GPAISAAEANPIPSPMNAEELAARYKRPEGATEEKDDGEAAGDAEVCFICASDIEHESIAPCNHRTCHVCCLRMRALYKDKNCAHCRTPAPLVIFTD
DKRKKFEDFTKEDLFDTDPNIGIQYESFDIRRDTIFLLQYNCPEPTCDVSCISWPDLHRHVRVIHHKKICDLCSRHKKTFTHEHDLFTDAELSKHMK
KGDDNPGAVDQSGFKGHPLCSFCGTRFYGDDELYVHCRDSHEKCHICSETTGGAPQYFLNYDALFAHFTKDHWICREPSCLEKKLIVFATEMDLKAH
QLTEHGETLSKDIRRDMRTVNISTFDYRQPYVEERRGGGSQREQREGRGRGRGRDPNAEAIPASTAQPLRRDEQAFQRQMAIHSAQSVTGRTFGGQL
TAAPAASRNPTPMTISHPSSIVVQANQPPRVNTSEPSQANMSPQDQARALRHSAVVERATNMLKNDELKLSQFRSAISSFKKNAITAPALIDAFFAL
FSDTSSSALGTLVREVADLYEDGKQADSIRKAWNSWKAINEDYPSLPAASSSSSSSIPLNWAVTNNASSSSSASASAAKPKTSRVLKLKSSTAQSSR
SSVSQTRSWGTAPPSASPASVTSSNPFPGLPSSSSSANRATTQPYAPGTGKISTVSWAASSSASGSATNSAPVSRPASRNVVKGSGAGVGGAAFPAL
PPAKKPQSTIFGYGNRIVRRDGGVAPSLNPWAGGSSSGVDASGGNGGGEEAEDVEGSGKGKKKGNKGKKQVLMNWG

>RCO7_02204 | related to UAF30 - subunit of RNA polymerase I transcription factor
MSLLPVESAQYTAIIDGILRSSDLQTISAKKIRKELQAALDQDISDKKGPISDLIIERFNHFEAQAQPTKSVKQESTPASSSRNSADIKPSHSPSDS
DQDAPPKKKVKKEKGAVDDAKLAAMLQAQENRTGRATRGAGTKKGIIKKSVKAKRKAKSASKIKATDDSDVELGSDGEVKEKPKKGGFHKQYHLSAP
LADLVGEPTLSRPQVVKKIWEYIKARDLQDPSDKRQILCDDKLQLVFKVDKVHMFTMNKILSKQLYDVEEA

>RCO7_02205 | related to IRE1 - protein kinase
MPRRRPPRDGHVNNFILLAAILFLPWLVDAQQQHRPAVQRNESPHEGHNKIEVTTRPRTVETPATYGRRKNTLTPVQASINNDNINKKKTTNDASAI
ATLAPAESAVAAPPTRHPDHSTVGLGSPHIARSLEDWEVEDFVLLATVDGKLHARERKTGREKWQLSVELPMVKTEYHRKGRSTVDPDYDPLAIDEY
LWIVEPSRDGNLFMYVPNGPGRGLKATGLTLKKLVETAPFSDDPNGIVYIAEKKTSMVTVDANTGDVLSYFGSEGVMGNDRCKVPGGRVDSHSEECP
KVATLTLGRTEYKLTILGSEPQRLIATLTFSEWGPNNYDQDLQRQHSKSLDNKYIYTGHDGGIFGFDYDGKDPDEPGRMYNHKFSTPVARVFDIAKP
WGSDKRDPSLIMLPQPLPPSNEDIDSINKRASSVFLNHTEDGSWFAMSGRSYPLAVRGIRAAQCSQQSWLDHHSQWDVMDHPSLSEALVGLHSIEGV
LNNNVLTLPGYADDNSSELIFQEDNTPALHEPTFSQHIHQLPRQALNWLRELFTNPLLFLFIAVFLSIYQREIRTSIGIFSNRLFEPKAERHVVKVP
STKVEPLPKIEEDKVMEIPSLDGSAGVPSVEIKESISQDEQGEKLPSVTKLDISADPTAPVSPEKEKTKKAHRGRRGGVKHRKGRASSQGASEDGLS
TPKPLPTVEDAVRNAQKLGQQPQLEPDIRTIPSDPQEVSGPVIRIGALEVNTDKLIGTGSNGTLVFEGNFDGREVAVKRMLIQFFDIASQETKLLRE
SDDHPNVIRYYAQQSAGEFLYIALELCPASLADVIDKPFKNRDLAQAGERDLPNVLYQITNGLQHLHKLRIVHRDLKPQNILVAMGKDGKPRLLVSD
FGLCKKLEGEQSSFRATTAHAAGTSGWRAPELLLDDDAKDGRAHQAMVDASTEGYSGSILNPDLLPNRRATRAIDIFSLGLVFFYVLTKGSHPFDCG
DKFMREVNIRKGQHSLEPLEVLGDYAYEAKDLIGSMLKADPKQRPQARQVMAHPFFWSPKKRLNFLCDVSDHFEKEPRDPPSFALAELEKQASYVCR
QDFLKHLGKDFVESMGKQRKYTGTRLLDLLRALRNKKNHYEDMSDKLKKDVGPLPDGYLSFWTRKFPNLLIVCWELVYQVEWDETDRFKEYYLPAGL

>RCO7_02206 | probable CCT2 - chaperonin of the TCP1 ring complex, cytosolic
MASFNPTQIFDDGTTEEKGENARLSAFVGAIAVGDLVKSTLGPKGMDKILQSASTGTVLVTNDGATILKSIALDNAAAKVLVNISKVQDDEVGDGTT
SVTVLAAELLREAEKLVDKKIHPQTIIEGYRIASHAALAALEISAVDHSSNPEAFKKDLIAIARTTLSSKVLSQDRDHFAELACDAVLRMKGSSDLS
HIQIIKKAGGKLRDSYLDEGFILDKKIGVNQPKRLEKAKILIANTAMDTDKIKIFGARVKVTSTGKLAELEKAEKDKMKAKVDKIKAHGINCFINRQ
LIYNWPEQLFSDAGIMSIEHADFDGIERLALVTGGDITSTFDHPEQVKLGHCDVIEEVIIGEDTLIKFSGVAAGQACTIVLRGATEQLLDEAERSLH
DALAVLSQTVKEPRTTLGGGCAEMLMAKAVEGAALKVDGKKQIAVGAFAVALRQLPTILADNAGYDSSDLVAKLRTAIYDGMTTYGLDLLTPGGGIT
DMRELGVIESYKLKKAVVSSASEAAELLLRVDNIIRSAPRRRER

>RCO7_02207 | probable Eukaryotic translation initiation factor 3 subunit B
MAPSFDHLPDPDEEDYDEDEELDFSDLRERFEVQLEQGLDAFVVVDGLPEVTEETKPKLIKFLRRKLEPVGKIKEESIHMPLDSFGKSEKFAFVEYS
TPAEALAACKQLDGVPLDKKHILRVNKLTDIERFGREGRIDENYTAPKIEEFQEKEHLRSWLADPSGRGRDQFVMYKDDRVQVLWNNEKDAPESIVD
RQHWTESFVQWSPLGTYLTSMHQQGVQLWGGPSWIRQKRFPHPFVNLVDFSPGEKYITTWSNRPIVIGEEGHPALSVDDDGKNYVIWDIETGKPLRS
FANLDLPSNSVDEAGQPVKRKVVWPAFKWSADDRYVARLTQGASISVYELPRMGLLDKTSIKIDGVMEFDWAPATPRREGVKTYEQLFCFWTPEIGS
NPAKVGLMSIPSKEIVRTLNLFSVTDAKLHWQSNADYLCVKVDRHSKSKKSLATSLEIFRVREKGVPVEVVEGIKDTVINFAWEPKGDRFVIITTAE
VVAPSAVPPKTSVAFYCPEKVKGGAAVGNYKHIRTYDKKNSNAIYWSPKGRFVIVATVHSQQSFDMEFFDMDFEGEKPESDKDLTANLQLMNTADHY
GVTDIDWDPTGRFVATSASIWKHAMENGYHLYDFKGEQLREEPVEKFKQWLWRPRPASLLSKEEQKQIRKNLREYSKVFDEEDKDRFASADLAVVEH
RRRLLNEWLAWREHIQQDVAEEREARGLPADPVEGLIKKTDESEDQVIEEIVEEIVEETEEIMP

>RCO7_02208 | uncharacterized protein
MPPLATIGILSIGEMGMGIAKLLIAHNYRVVTNIEGRSADTQARVKSALIETLPNDSSLVTESDYIFSIVPPRDAVATAKRITSAFKSLSPSRSSPF
YYLDLNAISPNTARSIANLISTETPAIKFLDGGIIGGAPSRKDAAEESTTTSSVPSTSHTWNRPSIPVSGPHPLSKAPVSGDALEALLNIKHLSDEI
GPASGLKMCFATTTKGFTALVTQAFTIASRLGVLSELQTEMSERVPGLYKASNSVVNMPPKAYRWVEEMKEIGRTHGVDGGFDFEDRDAKDGIFDAV
AEVYRVVSEDTVLGEEKTERRKRGQTVEDVATAVGEGLAKKRKKDE

>RCO7_02209 | uncharacterized protein
MASGTWSGAKSTAWQGQGNLTSITDAFPQLTNLTLDPGTGRNPRMGGQNYTHCCLLAVNASLDIADGFIVQTPSSFIQTTVEDLLAATEGNQFPCTA
KYDGNHNGAPVVQVPYSWLSTTCPGWQLSRSKPESQWISPFVGFLLPAVVFCLMIPRRRKLAVWNKLFLQDLSQVMSWLIAPFAMLLAGICVTIDTI
MWLSICFAFGSPMLLSGFYEAYLDYIIIGFIQEKLQNNQLTIDMKARLLFVILCGNLDLDPEIRTLDEEMMHLPVSSDDARNSRWPDMTGNPSEQPR
NPNSPWTHVENLVHDIRSYSDVANNVGLPVGAPVVFFLGTFVFTIVTTLSNLGDNDTSLALAFGMWFMIIPHVSIVSGLLLAGNNPNTLEGVVAHEF
GDTDPPSTEKKHFGTRVFELAYDSRYRPQWLWFRGRSKRQWVEKVWKTYEYRHPFGQKGPMILDEDMSALRRATTLTAKSWGVILGMTFLLLAFYTP
QVGISCRTLIFTVYTISQLCQILLWLWAYAGAPEEGTCPALMGKGGILHQSGFYTPTDVTSLCSWHTIFTIRSLWPIIWFSLAIIFGLGGVLTAIGG
TVMQLMGVYRSNKCDINAEWWTRPHRDVTYVISSNSALAIYYANRYWLACGITATLFLAVVCFSGWWYQRRLRGLFRGLVSSLGDENKDREDIRAAV
VRN

>RCO7_02210 | uncharacterized protein
MSYHSALPALFAQIKSDGTITVAAFQKQIQDEHERVQQIETALEDDIHHYIVERNVWRDSDNFGNTIPRIPGIHPPELAAKSDPYQPMTWATKALGM
SSQTSNSFPARNVLGVPLRDHDELAPKKQLDRNKPPSNSDDVASCFMAFRHLFITPKRMETFDRRFRWHGEAHNDRDQSQSDSLESQFDHSKYTHNL
PTGYRPSQWEEWRGCPLGAVITKSNNAYAAINGMREPHLVLVNASIGCDMNNRSGKVLIRFLPDPYGPENKTTMLWTDVAEGQSWSSPLNQALIKWI
QGFIQKFARSNGQVNSINKVFDAWEKLNPPSQAVESYLQSKIDLRTRYTIDDIIELNFFTSRHDKSFVATRREELHRHNGRPDREFLPRHEGGSPRH
ERDVKRDRSASPSYGRLEGYSSNWDQRQGAIKEEKYNLQQSQYPRRRDNHHQ

>RCO7_02211 | uncharacterized protein
MKFSSIAAFGAVSFACGAIAKQVCVCKPRVAAPKIAALNSTAPSDIAVTTYAATTLASITTTTATSEPSSDVYQTSYANASHTTPTTSARTDFAVPT

KSAGTSTAIPDTTYLHMKNSCGFDVHYDQAWHMGHAHGFILPAGESVYMAMEGQSKVIKLHRGEGHDVGIVQYEWSRELMGMFQDVSHVDADGLGPF
RSVNVRLQPQGEGAGKGTCVEVFCKAHEECKGSYQYWNDHNTKFCGNDVTHYELEFCAQ
>RCO7_02212 | uncharacterized protein
MKFASLSVLAGATLLPGVLAHPAARQATEFVNHCGRPIVFHQAFPAPLGSNAGYNGETMTLPAHGGSKTLPMIVKPPGQSGGVSTKFRWEGDHHLNG
EFQFEYTLVAVADAAHQAGLTWDPSLVDAGGPGKGGRGPFGHVNVKITPSQTENPSRYWNCVPVTCKANQECVHAYKYYDNHNTRDHGRILCESIIF
KLRMEVSSI
>RCO7_02213 | uncharacterized protein
MDHSSPISSENTNTAFRGFSLTPSTDSKSQEDSEPEPISEPIPSPSHQPHTGLLSVSRSGDLLVADITKYLSTLPHPIEIVEELVAVSAVTSSLLLS
LHTSLSRFPHLNLSSAKSFINPLCHDILFAFRLLSDRVQEAKRMRVFEPNDVGLVRLPRAAWVLVLGSEAKVAALRSRLFVEKYRVRVLIEAVVWEG
LRQLGKEGRSRNEEDEWRSLKRMVPLVAERLVGVQRDYKPRLMRLAGLVVDEKLVLPEPVASGVVVKNVVVCEKAAATSEPVPVLAPAPVLETKAEV
TEKSFEEKSLLKKPSSTQSLASSITAIDAPDTDIVYETWILRTNQPRKDLASRVSVLGVPLISKHTYSKKTYFTRPISSSAAETSTMLTKCHGSESP
TKHMLTLRKKVWKLPEAAQREIQALAEARQAASSSGTVSRVWEVFGFMEKNRRDLAPRQRWWKKKNFVEWVLVLRGETRDFQERAVLGKNVNPWSKE
DEAREVRDEPVTPSEPVKPAVPVQVKMEKPAMPVQQTGIVLRHVENRRALSIEEAEIKMQEIISDLFIQNEDIEADSEDDDEEDNEENEAEYQNKKT
AVEET
>RCO7_02214 | related to phosphatidylinositol phosphate phosphatase
MSIRVLLREYPHRSIALVTPSHALIFRHSPTTNDAIANGSLLSVQGTGRTSLEGSNAPRCMVEFADVSSVDLSDYRTLSPLPIHGTLGLITINNDVF
LCVVTGATKVASVRPGETVEKIFGVEFYCLNNGDYDNTFGEHLDPYSVEGQDYSQNLSRRDPLEHPCVELQKLLGNGSFYYSTDFDVTNRLQDRSED
ASTFDRDNLDDSFLWNAYMISPLIKFRSRLLPQERDALDNSRILTSAIRGFVLTITIPHSSAPLRTARTGLPSSLTLISRLSCRRAGTRFNSRGIDD
DGNVANFVESETIYWSPTVVGQSDTNASEKPAGICFSYAQIRGSVPVFWEQAAGLLPGQQKITVTRSPEGTQPAFDKHFEELEQNYGSVHVVNLLSE
TKPGEAELTNLYQYGVRHCALNKTEGQNSQDHQLLRETEFDFHAETKGPNGYEAASMIRRLIENSADGFAYYLSEDIDDSAEDLQEKSTRRTVVVLQ
QEGVFRTNCLDCLDRTNLIQTIISQMAMESFLAHRGERAASDYWMRHSSLWADNGDALSRIYAGTGALKSSFTRHGKMSLAGAIADARKSATRLYIN
NFADKGRQNTIDVLLGRMMGQTPVHLFDPMNDYVTTELAKRSAEFSSTESINIWAGTFNLNGRTTGIDEDLSAWLCPKVAASQQNPEIVAVGFQEIV
ELSPQQIMNSDPTRKQAWERAVRKTLNRHARAAGSDHYVLLRSGQLVGAALCIFVRSSILRNIKNVEGSVKKTGMSGMAGNKGAVAIRMDYANTQLC
FVTAHLAAGFANYEERNRDYNTIHHGLRFQRNRGIDNHDSVIWIGDFNYRIGLNADKVKQLIKLGDLETLYENDQLNLQMVAGLTFPYYSEARITFS
PTYKYDLGNDNYDTSEKARIPAWTDRILRKGSNLRQINYNTASLRFSDHRPVYATFQCTVSIVDEARREALSRDLYGKRRDEVGGTTASNPNDESDD
EDLIGYDSIEPGLPPASSDSRKWWLDNGQPARSNVQPQRKGQVLNPNRPSNPYTPTDEPDWVTVPRVEKISRRSTSSNAPSPPNPRSSNPNNTNGTR
KLPPPFSSSNSVSGFTKSLTQVSISDTTSKPLPKQQSQPAASDRRLSSSTVSSASKKAPPPVARKPVHLVASPSLTSSPTISTVSVAAQSRPTYPSQ
SLRQTAVDHTGFAPPPRRTTGGIGSIVGASYGRKDIEDRRNVVRKSATPPPPPQPRRAVKKEQINGNHDDEEPRPSLPPRRPTVDLLGHDEGSAGIQ
GWETLKPS
>RCO7_02215 | related to histidine kinase tcsA protein
MHETLPEDTIETRPSGPRTFRPLRQRTRPRLEKDISSFIARHSGGGEMEKDLRERDAREPPVPTDNLIDRTSLCLPHYGNDAVLHQGDAGFTDALRQ
YFPSAESNALERLVDLKSKLRCASTHDFWSILMEEMCDITGSQCGFVAKRMLVDDQDSAVEMPELGDPGSCLMGVAFYINNGESPKQFHRDYRYHAF
GTPCGYMRHDKVFIIPERLAEFTPNGPNVIPGEKSEAFIGLPLFTEGKCFAHFGMVWSSEGGTSRKLSWSFIEMFMHSLEDMILQRILEGRGFVKET
APPDSVSSRIIPLAAITAAQSLKPYARGLSHELRTPMQGVVGMLDIMYSTVLDAIDNQQSDRVRSVFEDLKEHIEMVQESSRRAVEAADNVVHAYDL
NMQMPEMPLTANDLNSFQGTKSDPTLGHPHWPSVANSIPVAKKRKLSAELNFDAGPRSKRVFKLAEARVLNSYCASPATPVYEESLTSANSITETLS
TAASSVDLNIDRQWLYKKSISPAILSPSHRFIKTLDFMRNLIREVLRNGPPRKVTLQETESGEYLHVTSTGSDGMPQDRKIYLSIGSDVPETIITEQ
QHLKFALQKLIDNAIKFTEQGIIGINVNIAQNMQVVEIRVIDTGCGISEEWKSSLFKPHFQEDSSIRRSRDGLGLSLFNAKAHIRKNLGGDITLERS
CTHGLQQGSEFVIRLPISALETGRTDYPLIGTPPLSGLNSPRLSPLPEPLLDSLAISIESPCRPKPLRSKSSHKRITFNPQLATDYPLNILIAEDNA
INREVAMGSLKKLGYRKENITLAFDGAEAVRRYKASIDGPLAQRFSVILMDIWMPILDGYKATTQILDLAQQRGEATKIIAVTADITEDCVGRAKSA
GMQGFLAKPYKVFDIERLIVEHFETCC
>RCO7_02216 | related to triacylglycerol lipase
MLFPRITIIILSGFTPLISALPSALPSNPSTAFLPGSSLQTNISISLFAELEELSRIVDISYCVGLTGISKPFLCASRCNEFPDFELVDTFNTGPLM
SDSCGYIVLDHGNGGRSENSEWDGGMLSEEGVLGQRREGGRIIVAFRGTYSIANTIVDLSTVPQEYVPYPGEPDDATSEHQDLSLGKKRLPKHSSWR
DWVPRWRNHREDGEILQKEDKPKEEAKCTNCTVHTGFWTSWQNTRPLILPHIKTLHAQYPAYKVHLVGHSLGGAVAALAGLEMQSLGHEPIVTTFGE
PRVGNSGLRNYIDGVFGLSEEEKEKDLKSGRYRRVTHVDDPVPLLPLHEWGYRSHAGEHYISKPALQPTVSDIRLCAGDEDMECLAGAEIDQSWLGL
NQESFASAARFYDEHVKIEAGQMESEIMAGEAEEEGQRGAGIEKRWNFPIPARYKMWQLFFAHRDYFWRLGLCVPGGDPFDWGRDKYRYGNGDEYDN
DEKGEGSVDKEEL
>RCO7_02217 | uncharacterized protein
MAGPLSSARNSQKAEPQPPISSQVATRKTRSGFTIYIDDDDTPPPETGLGALEGASEAKEIKKEKVVIRIASSIDYWRSSDNEDLIAASQEVECQVM
PKGTSAKDTISLASSSSYGGSSDNEDFITASQEVERNYGGSSDNEDFIAASQELELMHSSQVKASKTVVNLASSSVYGSSSYNDDLVLANQQMELMR
SWVDAGIQMAIDEAALEARCGSADDGKEKDESSGAFGQGSRMSHTGGNTFP
>RCO7_02218 | uncharacterized protein
MTILGHQYTPTATGSLQSPGYYTPQHATYSSQSTNQNIQSHQPQGYYTTPPASHPPFLQSQAFSSSAPPQSSPTPGPYGMSAFHSGKISQSSGFIST
TPQPLAPASSNIPTPTKRIKAQVTGQPFILPPNQYLSWHELEQYYGPPRADHPTDTSHAVVRLAWLKTLKMNVPPFDRVWVAGYKKQEVEDTWAGLP
ASKRQIVEISALVYKYKTKVSVPCREVPVDVLPLSFKSLLDQYFFVPERNLSGFADTVHKKALWVTALGLMDCVYRGHSAKDQEVAMLYYSKLPVVR
RRAIEFKAKYLKVQHNPPYPTFKVFEARHCVHKKEDSTSKAVHESQRKTWLQEIGLYEEPFIWYPDTQSELGIAQQEETEVAWDDLGAKKRADIERR
AATCQETCSWGASWEYIEKDIGFTASDGERYTQWLGAVGMGRPLQAGETRDSIWIAKSNRDRAAIWKLAVRMKNEIQERWDVKERAIRRSKKRPRTT
PKVAKTSAKLVKTKRKPAYMPMTGYATAWEW
>RCO7_02219 | related to homocysteine S-methyltransferase
MPPPIILLDGGLGTTLADQHDCKFDHNTPLWSSHLLISDPSILSAVQTAFAEAGANVLLSATYQASFEGFKRTRIGSGDETGENEGIDEEEAGRFMR
NGISIAREAFCSASQNTDDGHGRGNGGVALSLGAYGATMIPSQEYTGKYDEARLSVNGLQAWHAKRLGAFTPIVGMGGGRGSDSLEDEEKRRCWQDV
DLVAFETLPLKEEITAVRRVMGQLSPTDGVDSKDFWISCVFPGERMCLPDGSKVGEIVRLMLEQGEGLSVPLAVGINCTKVGKLEGLVEEFEREVGR
LVEGGDVEWPALVVYPDGTDGEVYDTTRKEWVKSAGGSKSVMSWDETVFGIVNRAQKRGFWNSIIVGGCCKTTPEDISKLRRRIDQAS
>RCO7_02220 | uncharacterized protein

MSGNNNISDNSTTNEASSRARRGSFTTQAFSNIFGGTANRANSTSGPTPPFPGPITTAAAQDQRRRMSITTLGLSGTSPSQQSPFPFGARRGSVSTA
SSEANENAIEDDEGPGRSNPNTPFTRRMSFGAQALRTVRGGTSPGTASRAPSYTTAPLPSIPSGPRSAEALARSGSMSKNGAETPPKSQNQASTQSK
PRSGSDFPLSARPGDGGGFNWSEQLRTRAESSVSQSQRPSFSTSPSAKPMPMHERAKSISEMPAPPTAVAAAPAPRPERKKPDAFQERILKGDFYSK
WYLATNQFLLASASQLYPLNFPRYLLVLADSPAM

>RCO7_02221 | uncharacterized protein

MVITCAVNVAFATHQASISKFLRTPFPTPAEDEDIERASPRNGPSFLRENVIYLTVVFGDPSAVIAPRTVRFYFPIDWDLAFYHSWRIAEFYRSRNG
HSPNTTVPVPLKICFSATSHLLANWFFKQTIYPLPNFEGLPFEIKKPIPDEQTLLVDLWIVADDLEIFKLQNLALNELDLVRRRTSSLESESCNTFT
QTPQEVHNAEPANRAMADQKLYPPDFMIECTALITKIGIGEAVEFASTLDGFMVVERKVDWKA

>RCO7_02222 | uncharacterized protein

MASQAIFGAASFATAAPAISIEKPARPPAPAPKPKLKARLANQESLVTLIAGEGEMMKKFVMHKDFACHYSPVLKAAFNSSFLEGQTQVYKLPKTSE
RVVNLLVHWLYTQEFIVDSETKSTASSEMPNYCELWILADRLLIPRLQNAVVAEMIELQDAFGFTALNCLIYVYANTAAKSPLRTMLLHRCMCLNNP
EWFSSYPDGFPKEMLLEMAVVCCKTKSHALLIS

>RCO7_02223 | related to Protein pxr1

MGLAGEKKRMKLSHDPNNTRWTNDNSSFGLKIMTSQGWQPGEYLGAKDAAHAEFHTAANASHIRVSVKDDNLGLGAKIGAGVGHGECTGLDAFKNLL
GRLNGKDEDEIVKEQESRDDLRRAIYSERKWGTQRFVSGGFLIGDKIQILIDAEAERIRKLALGESRGSSSDTSSDDSEEEEVAPVEKTKKSKKRKL
EVLEETEPQVVAFKVKKSKQKSKKERKTQDIAEEESAPSEDEKAAKKSKKSKKDRRSKTEAGDPEEESDIKQRKKEKKDKKEKKRKEKAGSDDEETE
KQKKKREKKERRERKKKAAEEDSSDASEASSLSMKESTPIATPSSIKANPMLQGRHAVRSRYIAQKRLASMDAASLNQIFMIKSQ

>RCO7_02224 | uncharacterized protein

MTPHKSRQAQASTSEDENEQQSSQDDAMEMLNTAKDIFSKGNERRDKKRKVIEGEHDKRIRDSKVKMDTVFAARRSRVSKSHQAVWARLDTLDKKRQ
NIESLILASMKTIETQSSCLSDELVAMFGGRIEEMEEIRTHN

>RCO7_02225 | related to transmembrane protein Tex-261

MWILPLVGYMGLGLGFGFLTLAIASGLYYLSELVEEYTVVAKRLLTRLIYGIIGIHTLLTLVDGFPIMLSLLSIFSHIVYLGNMRRFPIVKLSDPLF
LLSCVLVLLNHYVWFNHFSFSSIVTKPASRYDPSNLPTFTEIASFFGLCVWLVPFSLFVSLSASDNVLPTMGSETPGMAGASGEGKGRRQGMFAVVV
DVVRDGLSELGKRAGWNRPDRGF

>RCO7_02226 | related to N-methyltransferases

MSRPEDTLPPDLHYNDNEARKYTTSSRIQNIQASMTNRALELLDLPAPAMILDVGCGSGLSGEILSSIDSSEGGPHIWVGMDISASMLDIALQRDVE
GDLMLADIGQGVPFRAGSFDAAISISAIQWLCNAESSEVSSEGRLSRFFNGLYASLKRGGRAVCQFYPKNEQQRTMISGAAIKAGFGAGILEDDPGT
KNAKLYLVLTVGGSSEEGNGGDITGVVKGMEGVDVFDARRKHKEKPRKIQKGSKAWIMSKKEQMERKGKVVKNSSKYTGRKRNIAF

>RCO7_02227 | uncharacterized protein

MRLPSPPLFLLAISPTLALGGPAAYGLCQAGCAAVVTACYAAGGATWGATLGASAPATIIGCNSAFGTCQAACAVVALLPTI

>RCO7_02228 | uncharacterized protein

MASDNTTCNDSSPENHSKIILPNKVTDTSPKTADLQVDTDDSFAGNRNSAAERKNIDESKPKSLEAQDEMLTAMHQVISSYLSGQNTPPQPPRLSGK
VKLHLVRHAEGPHNLRSIPEIERVAMLDPGLTRYGHSQSVLFSERFHAMDKITHILCSPLRRTVHTAMVGFKPAIQRGVQVMLLPDLREVGGGLCNA
GSRIEDLLRDVLKIDESIRKDFIDTSPCDPQWQIGTEIAETVVKKTKRIGRVKAMLYHLGQISAADSKEDVEIVVVTHSRVVLLLEGRYTRKDEQHS
LYNAQYRSYTITKDEKLTADNILLGYVEGVSPTCIIIEETGTVVSTWE

>RCO7_02229 | uncharacterized protein

MSTLHDVIRKRKHELNNKHLPGGYVTQYTVLTIVLDGRELDLSNESSTSSVAAPMNLRERVAAKQPRQVDAFTQTCATENMCDQTATSKDAMRKELE
EFKKELEKEAEERLQEQLKKHDQRHKKRLKDARANFRSILETSLQAIHVWIGNPPQPTTVRLPNKSAAEVLRYNTELRQEYLDLCTISLKNHRANLS
KQYQERLDNIEKECREWLQTSSGIDSGAIVGVNRSISLARSFEGRLPNIAHDHEHIQTMITPEQIEAAKLECFNQMWERTQMDIEDGGMFVKREVVH
LDPLFANGTEPRFSQTASMVEVPATLLPESQDRPRPKPSERQVLAALGIIERNNNSNNNRSPDTSPSGNASQAHDYVSQYYPTNQFTPINMPKTTPY
AAQPAQRSYPTGPTLVSSDIWYGVQDRHLADSTTAPSVHKNAVPSMTNSADRRKARRQANRGAFTNRKENHPITGSLAVHQHTPQRLVPTLVAKPRR
VDPYFKVEDETPNVRLPLDEISKLNITSGSRRSQNMVTNHSIHSNVNKSLHDADYDSNGDTEEDNDTVSFIPGEVKLQQQSATKKESVPEKSAIYHS
NDGISRGLSDADHDSNEEEDYVPPPASPPQEKGKVDLGLASGPVSGKLEDASAHTYIDRSLYDADYESNEEDDYVPPSAPPQQVQPRMQSDVQSRSQ
TQHLASNVAADRKPASFSLITSINSHSRKAGRSSFETWVEVPQYERQQKQNQKQQGSQTNPHNQSSSDLPVLSHLPSNPSSPWINETFPKSFDDGRG
AVVPENENEYVINEKRRDLENLGRNLILNLFSKYAADHENTGSLTALDLHYPDGGSRNANERLCATIKKRYAPVAEGKAGMRRDSSSKYYNSGRPEA
KFDSSSESRAPKQIFQGNRDGDRNGQKRHVSLDHPDLKFGTDRPPFDTETHIDPHLDDRQRQQNPQELKLQALEYANSFSAREKAAADAASATDAIL
PASSGAIVNGDAGGVNDAQKARCDKKFKGKTVRQIMAMLESEGKERGRERKRDDVKTEDESGVAGMEMDVDGDAKRESGGHDEGDDEGEDDGTNKDS
DDNSDGDGEAEVE

>RCO7_02230 | probable isocitrate dehydrogenase [NAD] subunit 1, mitochondrial precursor

MLSRSSARSAQSLLRTAQAPLRSSQPLRTFATVQSDIFKPTKYGGKYTVTLIPGDGIGAEVAESVKTIFKADNVPVEWEQVDVSGVETGGKLSEDLF
RESIASLKRNKLGLKGILHTPIERSGHQSFNVAMRQELDIYASIVLIKNIPGYKTRHENVDLCIIRENTEGEYSGLEHQSVPGVVESLKIITRAKSE
RIAKFAFSFALANNRKKVTCIHKANIMKLADGLFRNTFNAVAKEYPTLEVNDMIVDNASMQCVSRPQQFDVMVMPNLYGGILSNVGAALVGGPGVVP
GCNMGRDVAIFEPGCRHVGLDIKGRDQANPTAMILSGSMLLRHLGLDEHANRISKAVYDVIAEGQVRTRDMGGESSTHQFTRAVLDKMELAG

>RCO7_02231 | uncharacterized protein

MSPSSPSSVSKFCSTAPLTISAKAPPAQAVLMTLSPPKCTNICQKENCTIHVPKEVDDSGEMTEIMGCLSLGDISNKNSRSNNSHAPGQGVVGSIPR
PLSKPLVRKPKAIHNMASIIGARHLRDTCLTPHGKTQALSLQNTFPYPSSTPKVKYIFSSPLRRTINTAIYGFQAPTSRGIPITLWPDLREFGHWQC
NTGTRLFKLRQEIKDVEKRSAVLKIDTRLMYGGWEWNFEMGTARKMERVERVKRALKMLEEVVVQGGEWNGMKFEASHGEDVGIVIVSHGGFLRSLM
GYQSQRWYNAEIRTFKFPSPSKVATGHPPLSFLQTKASLANPHIPIPQTGPPFHMVIDNTTQERLAEIAEYKNHVEAMKRANWKGKARVFQHHVMKE
DEESDAFDALED

>RCO7_02232 | uncharacterized protein

MEAFTWFKNCLGYMPALRLREPRRREPSARTIPNIAITEPLLQRWSNSETSIPYHMITAPAVRRSNSAASYSSTASTIHESTASTLVVTHQPSPRAE
CMIVKRAPVTKKRDDFDSYGELGLRTVKLLAGKKSVGKVNASLLDFVELGRSSGKPTIIALHNVRYCDQRDEGRAFIHDPPLIPLGYKQCARLTLAT
PFDPSKITHVLSSPSRRCIQTVTQSLPKLNTLKELGAKPCNNGSSIAELKTEFANLDLRCELLDEGWEKDNLWDEGPDGTRIALRIRTDILALATSA
IEHNQVNAHGNVEILLFSHGGLQRTLAGGADESLLFSISAHHPPPSLTSTQDLIPIPDLKILPAIPISYIYRFDKEYLSELRASGWKEEELAIVTAL

ADSN
>RCO7_02233 | probable 20S proteasome subunit C1
MFLPHIELQLAASRRALHRAWSLTCGRGKTRKDIISRASSYFQSRTLLLHPNIWKSPPHIKHHGTGYDLTNSVFSPDGRNFQVEYAVKAVENGGTSI
GIRCKDGVILAVEKVITSKLLKAGANKRIATIDRHMGAVSSGLVPDGRHFVSRARDEAGSWRKTYKTPITTKDLASRMGGYLQAYTLYSSVRPFGVT
AIVAGWDSELELPVDGQVGNGPSIGSGGKVPGMTYGGPGLYMIEPSGQYWGYYGAATGKGRQTAKAEMEKLDLAAGKLSLLDGVKEAAKIIYIAHAD
NKDKEFELEMTWISNLDGPTKGRHQEVPKELLDEAERLAKKSLEDDDDEEETKDDDKPADEDKMEE
>RCO7_02234 | uncharacterized protein
MNNQEELAALFERNLSLQPIPPTYVAPPQEEPKPIEEPYVYSISQHYHHSSHIVAQQPSRPASEPPQTDQLTTEIILARHGIDVATLFPTQVDLFKT
AEASQQMRLIELWRICPPNYGGHALAQGLGDWPATSFQQEEAMAKLRYERQMLEERMARSGGDGQSMESAEDTMSDASTTAPLTPIQAGDGRWQTSE
NAEPYMQSGYESLAQREYEHSTSQTKNIYSHYGSAVGGYRQAIDPVYSNISDIQKYPNVGGDWTALLEQRQQAMENQYGAYDQQFHHNQGGVTVSGY
QGEDEEML
>RCO7_02235 | uncharacterized protein
MSLSSTLETEIPSSRRIFKAASKDLLTFRAAFDSSFIEGRTQKYELESVTLSAFALLAEWIYTQKIKRPPSMKCRKTTGDKSSHSIACSTSTDYVAL
WILAEVLLKPRLQNLAIDVIADIGTAVANKDGIILAYEETAHNSLLREILPTVLNLASDLRPLNRDAFEFSKVKSSFHHFFAIEIALSQGPAMAPIK
KQAVSPASSCPEKHTGKELRVDKTSDSCGMSNLVTFTIGPEKKKFLIHKNFACEASPIFKSAFNSSFVEGQSQEYVLEDTTEAAFTMFTEWVYTGRL
EINFTRYSAETVDRNGKCGLLQCNLMELWLLA
>RCO7_02236 | uncharacterized protein
MSYTPTAPRGTRGDYAGGRGGSGAGGDAEKDEAAEVQKLQSAGFSRGALYSKILSPLSESSIILYGHNSPGTVAQDFKEGRDKKAPYLSRLTHRIAP
DELVTFIVGEHKQRFTIHEEFVCYHSPVLSAAVNGCFMEGTTKTCTLDDIAPKNSDYSPNTSMPTKSRSRSMRQEPATGCKQDSMCYSFSEALLLCD
LTHPVKTMGYGWSGFGDPSPKSSYLHNGQD
>RCO7_02237 | uncharacterized protein
MSNWNSYLDSAQLGQRRNWEGDLSQDSAVSEQHPRQPASVLSDQKERNDSIPFSDPRSLVAFIIRPGPSPSKFMVHKEIICRHSEVLKAAFNGKFVE
GETQQYRLEDVSQDVFRLVVEWCYSRNLTLLQLANDHEYFDSSEEHAENLTLVKVWILADMFQMPQLQNEVITSMYTIASITATIPTTTFNYRYDKT
SADSLLRKYAVQVCAARAKKSFYEEFSGCFPQQMLIDIAETMVSMFEDLNDQKIITVSDFHVKSNTA
>RCO7_02238 | related to the plant PR-1 class of pathogen related proteins
MFPSSSSSSSSSLTSLALPLLPPLPRSKQTRPQNSLEQGFRSQRQNEHGVPDLSWNESSAELAGRWARGCRFVHSGGPTGENLAAGYPNATASVDAW
GLERKDYDFKKPGFGEKTGHFTQLVWGNSTSVGCAVKACGGENDTPGYFVVCEYYPPGNVVGSKNQAFKDNVPAQEKGKKTDTVESGIGAKSGAVRN
GLNAGGALVMGLMMAVGFGAWEL
>RCO7_02239 | related to alpha,alpha-trehalose-phosphate synthase (UDP-forming)
MTVFVVSLFLPNTINFTLPTNPSRGRPSPPRRTTTRIDTSGKPSLFAQQRDITPPQTPTVDVDNDGFFAPSENPDLRGHLPKQENRRSTIAPSDPHA
PAWGTGRLLTQPKSRASSPPPADILKHNKAITKASALGRAGVKQPQIGRSESHDHVFAHADWTVVPADQGNGGLRNAVQAAVRNGKLHDKIWVGTLG
MPTDALEDTQQKQDIEDRLATEHDSLTVFCKDSDFDGHYTHYCKQILWPVFHYQIPDNPKSKAYEDHSWIYYVAVNQAFADKIIKNWKRGDIIWVHD
YHLLLVPSMVRKKLPDAKIGFFLHVAFPSSEVFRCLAVRKELLEGMLGANLIGFQIHEYARHFLQTCSRLLCVEATNDGVQLEDRFVDVINLAIGID
PVALEMHRADPNVAEWLKTMQDRYRGKKLIVARDKLDHVRGVRQKLLAYELFLNKYPEWRDNVVMIQVATSTTEQAELDATVSDIVTRVNSSWANLA
YQPLVYLKQDISYPQYLALLTVADALMIASQREGMNLTCHEYLFCQDGKFEGHNKNGSLILSEFTGSASVFGGNELSVNPWDYRACADAIKQALEMG
DEEKKTRWDQLYEAVMHHTAEHWFTAFLTRLEKVYDEQHRRETTSVPRLSINQLGRQYQESGRRLFILDYEGTLASWGSPNDIILTSPQRTLDVLND
ILQDDRNTVYVMSGRQPEELDRLFKRVPNLGLIAENGCFLKEFGTSKWVEMADPEKMRAWKESVEGIMHYYQERTPGSWVEARHCSLIFHYKSCEDQ
ESASRQAGDCASHINDACEEQRVRAIPIEGAVIVEPIDWSKGTAAVQIFAGLKKNMASNVDHESPVDFLMVAGDGRDDEVIFRWANELERDGTVKHV
TTVSLGSRNTEAGSTLTQGVTGVLTVLQKLAMIA
>RCO7_02240 | uncharacterized protein
MTYGPTHILGRSFGGFFFGLSNLWIECSWTKVTGYEHYGGDMALGYVFTQS
>RCO7_11667 | uncharacterized protein
MKISFFVLSVLVHLGAAATPRIQAPLITAVSVLSVMVATLFASAPVLEQEKTCARKFAKIVYRDKRRGGVHLTRNYIYTYAWRGDPADVDIACTRAF
VQA
>RCO7_02242 | uncharacterized protein
MSFEPSSPLSSLPMDVGFANTPSPKSNPKRGTLFIEARLKDISFERGRIVPASCEKYAERFEAQLVKNDNTFDMLEDILADKDSAICKLGPVYDEAK
AMLHSLKVVEYVGPKTLEACFSSCSVEVKVNLFQLYIDTGYEDKENEDGQLGELICMPHARFEGVWDELVFDHEVKADLIWMMTNILRFSRAFAAHK
VRRKLNPLILLYGPPGSGKTSLCLGLAQKISIRLSGTYKATKLVQIKTAVLLSKWFSESAKHIDDIFNRISAMCEGDPEGFVCVLIDEVESIACSRE
YSTKEGESHDSLRATNALLTGLDRTATFPNVVFLFTSNMCEALEPAFLDRCGLKEFVGPPRAAAQYEILRSSLQKLISCEVIQSAVELPTYDGATVQ
ANLADDLPGPKLLDIIKLMHSSTADRKATQMSGRSLGQLPERALMRYLRKEDCDMDAALGFLKKCAMEVGNTAGVIAKLAPAKIMEAEMKDLIVAIE
KSEEISTSDSVTEEDRSIEEEVYKDGSTHPESLNDRETGLFLDEEFEMVVVKAPTSTPDPPRPDQRKRLVAQSREGFIESATAFCEEYDEGTYRGSH
KRTKI
>RCO7_02243 | related to A.thaliana hyp1 protein
MDPLNPLPLATALATALAAPKKCTVGDPTDPSNGQKQIWVQLVLSLALGLSAFIGFCFLRPRWKSLYAARKRQADAAADLPELPDSFFGWVPVLYKV
TEQDVLASAGLDAYVFLAFFKMSIKLFGTMLLFACVVLAPINYHFDYLPTPGNSDNPKQPSATFSTIFTTDNWNYDQDVFATGKRDKDKTTPLDTSY
LWAYLFFTYFFTALAIWFMTTETQKIIRIRQDYLGSQSTVTDRTIKLSGIPRELRSEAEIKDFLEKLEIGKVESVTLCRDWEELDKLVENRAYTLRK
LEEAWAVHLGRSRTKIIRAPEPIGSGNGDDDENDNDNEDGNLMGSSHITAHDKPRPTTRIWFGFLKMQSKKVDAIDYYEEQLRKLDDKITAGRKKEY
TPTPLAFVTMDSIPACQMAVQALLDPSPMQLLAKLAPAPTDVVWRNTYMPRSTRMIRSWIITAFIIVLTIFWLIPVVALAGLVDLCSIQQVWPQLAG
LLERHEIIKALVQTGLPTLVVSLLNIAVPFLYDYLANYQGMISQGDVELSVISKNFFFTFFNVFLVFTAFGTASKFWPMLQESLKDTTKIAYKLAGS
VQAFAIFYVNFILLQAVGLLPFRLLEFGSVALYPIMRMGSKTPRDFAELVEPPVFKYGFYLPTAILVYILCFVYSILPAGYMVLFFGLIYFVFGYYT
YKYQLLYAMDHPQHATGGAWPMICYRILLGLGVFQIIMAGIIALKSALTPAALVVPLIPFTIWYSYYFGRIYEPLMKFIALRSIRRESSAEVNIAGE
NIGINRPPGFARRESTTLDEEREKGLRFMNPSLSGPLGDLWLEYSEARPSIGNSSQAELAREDSARSSVSLGDAHIWRDNGDANV
>RCO7_02244 | uncharacterized protein
MSSQIVLSRGVADPDKSTASSSSESPTLVTSNFQSPSSHIMTLGDAIPHDVSGLDGVDSDTTAGRDAHKETKGTTRPQSDTYVHPMPIHKRKFVRSS

TLFDNPNDPYGAFDDNFLEPCPHGPPCNSVFEVLSGKSRKYAGVHSVIKKSLRSASYFNQIQPEDATSSGMCWPLFSSPTFPSDKKTRPNLILDRLE
CAAVKPSFAWTDVPHSTHNARPDAASQLPTEIMQQIYDRLAPHDFNSARHTCRSWFVSSLHRQLLGIMLRRMGYSDGIQDETSGQQKIQTLSPEWLM
SKRLARECALGPDVMQMAQSDSALYQICKFDFTEIEVHYPGPDLASTVFTISSCGQFLMAANGCLIYIYELNRSHKSTESTESPGLLRPVTSILCPR
RVLACSMDTSSQRHAVAILLDGRMGMVCEITVLEQSSMPSSSFRPPMEESRQYSHRYSDLSALYSSTHGNDSAWQDDFQGDMPSRLQFGQQHPEKTP
VHSNSKSFMPLENGPRTLYRNLCSEDDPPRSVAICPQRRCVAFGCSSGLELHWVDALTSQDLNRWFPLTAPSDFLFFLPPRKSVDSAKKLRLISSAG
RPSERTSMSSRAFGHRSLTSPFWERFGWDRSHVDDVDREEDAALGSFLGSAQGIFTRLRIDASRSSMIGRVDCSDHYRAVPLSDGYHILFTDPASGH
LCLGSDAPVGGPTKLLRKIWFHCPSSNFETGLSTAGTSTPVAYAAGSDLSHGVRVCVAFGTGPEQSIWLFSVPTDIFDASQTNKASSAANWLNAASQ
SEAKTHEEWINWWPDDGLQQYLGTVPDPAPGLLPRSVWPVKIRGQMIGTCKGLVDLVIDSGPNITVWAFSKAGVAKVWKIDDGKEKKMRRLMVVRDG
TIREVDGSESGGDVEMTDSPEPEQPNFQPGQFDGTDSSSGIQDPKRPVHYDSDGDVLMADLLPHPRGIRRQKTPEQETVEAVFMDPMGREVFYHTKT
WMRRSYRDFVEELTGVARIDLEIR

>RCO7_02245 | uncharacterized protein
MCLFSSRKPDWEEDVVFANRRRRHSHSHHRRSHNTRVISETIIHSRPTQQYISAPPTPPPVQQITTKSVSVHTPSPPPAPPSPPSPARVELVSVEED
IRRSSTPRTSVSVSTHKKSRHGGSSRGGEEVYIERERERVRLSPQPIMPSKEEFDTYRYVQGSGHMETMQMEQRDLDRRRRSITYSESGPRISGRVT
ERERVVIEGDGRRKEYYRRP

>RCO7_02246 | uncharacterized protein
MTSMTSVSADVAKSHQTWKYHQARKRRKTILPTYSDPKSLVTFLIGPGPNPVEFLIHKEIVCHNSGVLAVAFNGNFIEGRTQTYRIDDTTERAFKLF
MQWLYSKSFTLVELWVLADMLLMPSLQNAIIDVMMKIYYQDADFPAYICEYVYQHTEKDSALRRLLVKQCTLFGEDAETLEKLAIQLPKEMLVDVYV
SQILLVPGYMSSEIFLSKYYVSEESD

>RCO7_02247 | uncharacterized protein
MSSPKAGEAKVSRHDELPGKKFQPASASFSDPKSLVTFIFGPGDRTMELIVHKEVACHYFEVLNAAFNSSFIEGSTQTYRIKNFREVTFTFMDQWLY
SQRFNLLHHDPAFDCKISMDKDFSQFQELLSYLISLPNLGFQPPVATQLVQLWVLADLLAIPKLQNAAIDALQSVTEESDLGIEDLRSCCFRYIYKN
SMNESQLRKYILAPFVRRTVDPDTIKDDAKVYPHAMLVDVSEMYISMNVNKDGLEDMNATEFYVDVHDA

>RCO7_02248 | uncharacterized protein
MAPGEMVIFRVGPHGATRSEFIVSRRLLSTISYFKVYFDNLSFEKQREGESIELCMWDPELEDSSYFMWEPFFVWLHRGFFEVPSLPEITQEIIAHD
QPTINHEELECMILLSLLIAQGDDLFDLQNMVMDTLYDVGRLTKKYLGPAYMRHVLESSDVDSKFQTYCAISIAFIFKDYSYQFWDVDVFTDYEDLL
HDIPELATEVSYYEAIIAHLDDRIKDTTSQIHKYYGPCEFHEHPNNAKCYLEQGFRPFGDVDSDSEAGIVVGMEDEATETDRTESESLAYDVYLEDD
EWQPSIEVRKESQETQKFYSEPYTLDDEIMYDADFEDSEGEAEFMNEESKDEKDMDTATTTGNVCACTEDEKKYMLHPIRCAVYISRKRTKEEEEGE
EEGDLPSIEETDAEDDDMAPPARKRHKVCACTEEEKKHMLHSMKC

>RCO7_02249 | uncharacterized protein
MASPNVETRVYIHLIRHAQGKHNYNSRTTTPAVREALRAIHNPSLTERGEAEALDLRHRFPYMNELTHIICSPLLRTIQTAAIAFEPAIRAGIKPIL
IEDLRETGTGPTSTGTTLTKVLEELGELGKCFDVSNMYELWMVNSEVKYESEKRAKRFRMMLKQLTDVLNSHDPAIGLGPIKLHMWNGLTAAPLNNG
RDIHVAVVTHAEILMKIIDEVKGDPNGRGYFWNAEFRTYEFRGAGNCEHGGHKPWDLLEIEESLESVHPSTQEEYLAERAKARELEASGVEHSAISK
TSDAVLKENSVEKAKAGESKVSGVEIPAIANSVDVATEQNIVLPNGLSMAVLDPLLFERNPRI

>RCO7_02250 | related to MSH4 - meiosis-specific protein
MPHSPRPLTSRSSDSTSNQLTGTISLSQELYASSGTPHGTRPSIARPSSTYLSRPGTARPSSGRRSRSRASSTIGGGDQQQIVCAVSEARGISPTVG
LAFVNLTTGEAVLSQICDNQFYARTLNKLHVFDPTEILIVSTSGPPNTKSKMYSVMEENIVGSQIVTVDRKYWSEAAGLDYIEDLAFAEDVGAIKVA
IGGNYFATCCFAAALKYIYLKWSLSFAFRSLRVKFQPSEGTMMIDLATIQSLELIQNLQNAKSKACLYGIMNHTVTPMGARLLRSNILQPSTQEGVL
LQRYDAVEELSTKEDMFHQIREGSIRPIQDIEKLLSSLIIIPTVPDIQYSEQSINKVLMLKSFVYSISPIFEGLAGARSDLLCHIRDHFRPELLAPT
MDFIRNVINDDVTYQKTPLDLRNQRTYASGVSGLLDVARQTFKETTEDVHQHVREINRAYPDLLSDAKNTVTLLMKYTERFNMVVETRYDNARRYYL
RVSADDFEGRPVPDILINRSQNRSQKKGTIDCQTLDIVKFNHRIEGSHQEVVLMSDQTIQALIDDIRGEISVLFRVCESIAMLDMISSFVQLATTND
PQTEYKRPQITDCIAIAHCRHPIRERIHKEKFVPNDVYASELKRFQIITGCNMSGKSTYIRSIALLCVMAQVGSFVPAESAILPLISQLFGRVSMDD
SIEANVSTFASEMRETAFILRNIDKHSLAIIDELGRGTSSRDGLAISLSIAEALVASGAFVFFATHFRELAQILQHKEGVVNMRLEVDLSEKDSMKM
LYKIQNGYVQEQHYGLALARVVDLPPNVLEVAERVSGALEAQAAAKRQSSRSQALIKRRQLVRDLREQLQQAADGPLNDKALTSWLSRLQTEFIVRM
DALDNDAGSDGEDERSLINENGEVSGEVQNNDDSIKETSTERASSEQ

>RCO7_02251 | protein Mut11
MATILPPPSKRQRTDAAERAREQQDIVEVPSDAGSLRIQFFDETTGLAIGQGPVLVPVADATPKNLELLLNALLAHDSSDTIPYRFTLPVPDKKTLE
PITTAFPANVWKTLINPGLISTEQVQNISAAPQAVFRVQAVSRCASTIPGHGEAILATQFSPKSSSRMVSGSGDHTARIWDCDTGTPVHTLKGHTSW
VLAVSWSPDDSRIATGSMDNTVRMWDPKTGKQLGNPMKGHSKWITSLAWEPYHVQKVGEPRLASASKDATVRVWSTNQQTIELVLSGHKNSVTCVKW
GATGFIYTGSQDKTVKVWNAKDGTLAHSLDAHAHWVNHLALSTDFIIRTAYHDHTGKIPVTEEGKVAMAEERFLKAATIQGEVVERLVSASDDFTMY
LWEPAKGKKPVARMLGHQKQVNHVTFSPDGLLIASSSFDNHTKLWNARDGKFINTLRGHVAPVYQCAFSPDSRLLVTASKDTTLKVWDMRTQKLSAD
LPGHQDEVYAVDWSPDGQKVGSGGKDKAVRIWRH

>RCO7_02252 | uncharacterized protein
MKLSILSALFISGVLSAPTNDKAISGTGLKARSDVCRCSLSMYNGNHIEVTVPAGLGEVRVGNAHAYKGKDGPFLGVCTIVLHRGAECGASITQATP
SAAYHVSACQLEANHSEPNSEHTASTQRCQTTISAQQSFANCNKIRRNSVIPAISQAISSTSASTSDTSSDEADKSMLKERPEKQKMSKPDFSCVPT
SHCALRSSQMIGTLHGYTLKKFRCFNLSTTFAKDEESDHALQSVTAEDTHLVELWVLADKLADPELQNCAIDHKVQMGVVCEWPAHKNFNYKYENTA
TDSQLRLLAVQQCRNHKRGVFEKDGECFPKLLLLDMIITSPEIPIVNLSSEDFYVDVPNRRLRGQKSIAFCTYVWPYPWRY

>RCO7_02253 | uncharacterized protein
MDTIQEKQLLRYQGKSGRQPKMEEVIRKRASNKVKKTLKRATGRPQHSLITTGYQGRTLGGLRNQHIREKALNHQDNFQGNQQLVEGYLFKQKMEST
EQCLELAEKWKNSFDDLGNMFGGLKVENKDIVMNKGEKSMEVSEGEWGNVVDALQKWSTKL

>RCO7_02254 | uncharacterized protein
MSPFAPILKPGARLGEEVVLLKVGPRGTRFMIHKQLICASAPFFEKAFQPGAFKEGIEGTLHLPEDHPGALGIFIEWIYLAKIPNGHSQSYVDALYY
LWFFIQKLCMPTMTLKDTVMDKIQDIANIYSLEPNPAMMKLVFAQTPVDSALRLYCVEVIAHSVLVKSVIKRADEENQDFEAAERWRQALDKEVNLV
YEMVNGHQDIFRCLFYEAIGYANTSSLSDPRARYREGTQHMETRCRYHEHGAGVVCHLFDEKQPAFIRDV

>RCO7_02255 | uncharacterized protein

MITLRVGSAGKEFTIHKNLACCAVDFLKANFESGLTEAGSGIMHLPEDDQKVILLLVDWIYGRTIPTGYTNAPRIRSSTSTSSLTRFIESLSGDQGM
WSQEIQRNWLHKPDLKDTWDIVKGDSTLHFLLYSATPSHRRFAALFSDYPPSTYCSTTSLNFNCFPIPHFKAKESLATNKPVKFRNLHRSHHLKDSH
ISQQPSPKTFTMDPDANLASSSASTHRKLGKEIVSIYVGPKRKEFMIHKELIYESDFFRGAFSSSFAKAQEGTMCLSEDSPAAFDLYVEWPYRKQIP
AGHSEFYLHSLYDFDIMADKFCHTVLKDIVMNAIQELAKKHDLLDAMFARDQVLKVFSNTTDESDGLALFLIHLVYYAFISRMKNEKVGVGKGKATS
KFGAGDLDTTWDLGKDNKVIFMHIQDQVLASVRGPRNRAIIDPRQRNEQDSLSIAKPIAKLLGAPGWRLYDVTWKESLQMFYENYEFIFELPVGIIQ
IMVCSKGSNPRIVIRLASVQELGSKICVQSETV

>RCO7_02256 | related to cyclin like protein
MAEVISDFVSDSSRYHHGHKMVAGSGQQLSPAESPYRQRSRSRVEPPPSPRVQPAPAAAGTPPPSTSAKPLSQHLADSPSDRSVKNEPPSPPRSSSP
PRSHTKQRFTSQKDFPEASAPYSRSPSETKPKLEHSSPLSSSNSPVSVSRPVRSLDDVKKYGGNTIKVRDLAHIQSFATEEFLSYRGHSGRLRTADD
PTLKYEISGMPITDIIEMVAGLLTKITTTNDRQHDALNRPHLTSETVNLTGHSSSVLAFHGKNVPSITILSYLSRIHKYCPTTYEVFLSLLVYFDRM
TERVNAGPIQALNRHTVDQGDSPPSSNYSADGSDLADSPPPTVSRSVPEISSDIEKAQYSHAPPPEHSSVPAFPLSHFFVVDSFNIHRLVIAGVTCA
SKFFSDVFYTNSRYAKVGGLPLAELNHLELQFLLLNDFRLSVPVEELEAYGTMLVEFYAREIIAQRESQIPLDMSYPDDNSSAPASP

>RCO7_02257 | proteasome subunit beta type-9 precursor
MEFGTSGNLNEDGIHVDMDRLKKGEVNLGTSIMAINFKDGVILGADSRTTTGSYIANRVTDKLTQVHDTIWCCRSGSAADTQAVADIVHYQLGMYGV
QNGRQPTTQTAAAMFQELCYENKDRLSAGLIIAGWDERHGGQVYSIPLGGSLHKQAYAIGGSGSTYIYGYCDANWKEGMDEAAAVGFVKGALQEAMK
WDGSSGGVIRMVVLTAKGADRHLYLPDTQYAVRHQ

>RCO7_02258 | related to ERV1 protein, mitochondrial precursor
MPRRQHITLLMILGASAFFGIFFVTFFRGTPEGARSADFFLSREAPQSGHVDDNLLHTEAKAPKLENATLKAELGHAAWKVLHTMMAKFPDKPTEDD
SAALKSYLHLFARLYPCGECARHFQKILKKFPPQVASRSTAAAWACHVHNEVNKSLKKELFDCSNIGDFYDCGCAKDEEPGTEKVKDKGGFTKLQLE
KEGLTRGG

>RCO7_02259 | related to branched-chain amino acid aminotransferase
MPFPPPPVNTIDWSDIGFRVREVNGHIESHYSVKTGVWSKPSFVTDPFLRLHGMAPALNYGQQAYEGMKAFRSPTDQITIFRPNRNASRLAYSAQMV
SIPPVPEALFSECVHTAVSLNAAYVPPHETGAAMYIRPLLFGSSAQLGLNPPEEYTFCVYVLPVGVYHGVHPVKALILEDFDRAAPDGTGSAKVGGN
YAPVLKWSDKARSEGYGITLHLDSKTRSEIDEFSTSGFIGVKGTGDDITLITPDSKCVIASVTSDSCLEIARSFGWKTETRSIKYEELSSFSEVLAA
GTAAALVPIKSITRNSRSETSSYISSDSEEPGPVCIKLLTTLKGIQNGKIQDTFGWNSKVEAVDVKNYSTGEQTNGTNGKSVDKLP

>RCO7_02260 | uncharacterized protein
MAPSNPNTWPIRHNPCWSSGRSEEFAIHKKLFCEKVAFFNKAFTGGFKEYEGMMKLPDEKPEMFRLFIDWVYRSEVTIVKENKQYTHLCELYIFAEK
ICHKDLANNTMDSIRVSFYEYGSVISISLELAAFVYQHTEVGSKLRLYCVHEIAFRLWDGKESTWPSPIQLLDIHKAWRDHEDLFCDYFSYMRENPI
EQMSPWQDMEFMSQDPEETCTYHSHEAGKACKLSPDWARQRGRDENLAKFLS

>RCO7_02261 | uncharacterized protein
MVLPIHQRPRAAESGWESATSITPVTPTQSSQATSSSQMVLAYEQPLAKLSITRRLGYEILTLVVGQDPKTETLAVHTNVLRELGGYFSQMCNEPDA
SRIILTNEHPEVVKLLIEFAYSNELPEVSLYATNGEKASQLRYLVQFYAMVDKFGLEAEVRNKTMDKIQEGFYIVGKFPEGPLIHAVYEHSHSHSML
RKLCATSMIYQLHDEQYYDDGVISSFLNSNEELMADFLYAVRAYRVRQDPRIRHCRGDPACAECDEIDHLAGKDGVHPCCFHIHDQIKTEDGGLVDG
PCHLWKSG

>RCO7_02262 | uncharacterized protein
MYLPEDDADAFDSLVIYIFQNLLPAFPTEKHPAIKEGLAKLLYLYSDPSTYLTYYNRYSRY

>RCO7_02263 | uncharacterized protein
MAEVFGRCFTRAPQQLWFSANNHELNGFFCSNATSSSSSTTTIVSRTQPVCVTEKTYQSHRPRQDTNIRGEFGLQASLIEKGNRQLTATFNNKASLE
ETCYSGVP

>RCO7_02264 | probable GDP-mannose transporter
MPEIGLADFKSRSSPSSQHTFGALTSAQHPASSLSNMANNPSMSILAYCLASMSMTSLVCIITIAICKRVGVITNLAAFDTRKAKTWFPISLFLVGM
IYTATKALQFLSVPVYTIFKNLTIIVIAYGEVLWFGTNVTRPALLSFGLMVLSSVIAAWADIQYALYGSAEHQTAEAALAVSTLNAGYAWMGMNVFC
TASYVLMMRRVIKKMNFKDWDTMFYNNLLTVPVLFICSFLFESWTSENLQRNFPLESRNSLFFGMIYSGLGTIFISYCTAWCIRVTSSTTYSMVGAL
NKLPIAVSGFIFFSAPVTFGSVSAIIIGFISGIVYSWAKLRQAQMDKMFLPTAQTAVSNKT

>RCO7_03191 | uncharacterized protein
MTSHEEAVSAAEFLLRDPSCLHSIARADFLWMEIQHANIVLISHLAPYIHQLSLDMAGSSLLEYFLVFEAKNMLLSMMNHYRGGETSLQPREYVCIM
RGQRGRWMIGIVWESLVIVVVAPLHLVTSSGDSSLGRWRGHWGMNSTGANYTPLECLLLFQSLVVYGNEDQDFERISTLLANNDLVRSAETYDAQRL
SAEALRQLYLQLLRDELKAEEEVQDEQTSKKRKLPTPPLPSIKDAQEYKGKLPFLVDRLYARYREHTTKAIREDEERYEAIQKEIREIQRGEWDERV
LAERRASNGVAAEPQNGPQEGIAHGSRPESMKLPSNPNSPLPSPRPIPMAITNVSNNKDAAPKSPRMTDPARTQGYPPPPRPGSIGPHGPSPLQSYP
PQPSSGFGQGQPQYQQPPMPPAGYTSWDTLTQSSFQAPPNSQYNQYPPQNQSLPPYQPRPFSSPHGVPPPQPHVPSSPKQRPDQIILPPPNGTHRSP
NSPAMPLDALADAAGHRAHSGSPLMHPHGAPLMQYPHPHPHGSPMMQNSAQIYPGTPIMQGPPPGNQHAPHQRTPGNGPPFNPQYMPFQGPQNFQPP
PNNRTPFQQPNSTPQQGKAYSSPYHAGDRKDSFPQTPFPRGLPRNSTGGGTVWTPSASAATPKTLLPFEAPKMESLSPVLVPAKLPEKEKTPQKAES
AKAIQSVEQPKKSKTKVPRGSYRGRAGSTASSVLAGSHRSQSVMSHADELSLDNENINRVKQEVATPVGIDDTGDTTADELPPRHSRAEPSPAKSTK
RKRAPSIPFPPIEVKPSNPPTQVLWTRAFPKISSSALESIAGHKNASTFSFPVKERDAPGYKNLILRPQDLKSIRSAILAGQRTAAALILEDPSLNT
NPNASSIWLPISEDLIPPRGIINYAQLEKELMRIFANAIMFNADPDRGVGRRFTDNGGNKEDVLGYEFDVDGIVKDTRAMFADVEQVVGSLRSAERR
SEERRSEETMEEGAARGDEDDVDELAGDGESHVGNTGTAKRRRKG

>RCO7_03190 | uncharacterized protein
MTSISFMDWVSSVKGAPSHAVGSSPLERLPTELLNRILLYVAAPIPIKGWMPHILPGDNHSSPSSLLPCLLVSHRIHDIALFIMYRSPNIKTSKPSS
ITRFFDILQRNPGLKSLTRTFDITRCTPSNFSFTTNHLSHLPQLRDLRLSLSHIKDISILHELLFKLPDLESLTLDISRLHENVSMLRGAFDSTSLP
NTQYSTLNSLKLIDVSGTGGLQIPGVLESLLPRMSRLRILDVNRTCVTVSALSSLPPTAKLTHLNIWGCLDLDLDDLVNFLVSHPGVRNTLRVLKAG
SIADAAPLGERQINTLLASAPPTLRSLDLSLSNMGPSNIPHLQRLCRAQLSELSVGRNLSLCDIEDMLLRPHYEFRDLMIQEEEEEEEEEEEEDEEA
EATKEGDAQETMSEPMRNALAVCRLRRRLDSVVSRRGVQMSRSRPGSRLRYLNLSSMVVEEQGLIAQSVILGRESGVEVVDVSGFSWEDWGVLKRVC
RAVGWRERWEGRRVWVERL

>RCO7_03189 | related to 2,3-dihydroxybiphenyl-1,2-dioxygenase

MSPSASKQKINLVRLAHVYYTHKNLEAANKFLLDFGFSPCQKTSNQIYYRGYGNEPFTICASKEDEDKFGGAAFVVESMEDLELATSLPNATPIHDS
DAPGGGKRVTFYEPVDKCPWHLVYGQTPVEITETFPELAYNFPTHKNRPVNKTQRFKKGPAPIHKLGHFGLCVTDYNKAFEFYISTFNFKPTELVYS
PSTGEDITTFLHLDRGAEFVDHHCFFFFAGPRFHVHHSSFEIFDFDVQMLGHNWLKERGYENCWGVGRHVMGSQIFDYWFDPSGFILEHYVDGDLVN
GETEVSRTEAAPDNLHVWGPDVPPTFLQ

>RCO7_03188 | related to acetylornithine aminotransferase

MSFSDGMIIDSDNPLTRVDSTGGTSPEALLSSLVTVQQEYSLMNCKSLEAHDEACLDFPGGNTRTVLHTSPFPITFSRGEGAELTSLDGKVYVDFLG
EYTAGIYGHSNKKIKEAVREAMGIGWNFGGPNLYERELARKVTRRFAPSGIELVRFTNSGTESNTMALAAAVAFTKRKNILVLKNGYHGGTLSFPLS
LNAINTNLPHDFVLAPYNDIEGTKSALSFIPRGSSAAILVEGVQGSGGCVVGNPEFLHFLNTTAHELGALFIMDEVMTSRLAYHGFSASLGLKPDLI
TLGKWVGGGMTFGAFGGRRDVMSQFDPQIGVLGHSGTFNNNVVTMAAGCVGLDIYNEAEVERLNALGNELRHSIEDLLLEYEIRALRAGSKSISFTA
EKRELECPFYGIVPSGKRIPASQLQKNSMGVTGQGSMLAVHFYGPSEKILLSLFWHYMLSCGIYIAARGFITLNLELTKEHVVKFVESTRGFIIRYQ
DALK

>RCO7_03187 | uncharacterized protein

MADTPQIEAAQARIIKHMNADHADSLSLYLQHFHKLSPRTADGAGISSISLSSMTLRTTNGNSYKIPFNPAMRSFSEARQRSVELDREARNGLGLST
IQITEYEPPRQPAQVILFGVLSFTWLAIIFQRQIVPGSLAHDVVAAVFPGGAEMFVSIVRKLTVPFVGIHVVESVLFDRLKLSKHGVKRGSGLWWMW
IGSTLIEGFGCFKRINETIDRKMKELEKAKH

>RCO7_03186 | uncharacterized protein

MSHPHPPTSPLKKQWLNRQLHKLGSKMQKRHHESANDKSVALDAAGVSMGSDAPAGYGIGREKGREVGICAFSGEEQGVKEKRDGDAVGAKEGVKEK
GVREGVIEVSAPDILTKRSADGDAKTGEEVRVVDFGAGAGAGSGAGGGGGSDGSHGRTHGYVPYDGDSGNGNGNQNSGVQCAIGPHTALHSHPVRVP
LRGLD

>RCO7_03185 | related to 4-hydroxybenzoate transporter

MALSAIDTSPTTTVEDTTSEPKASDTIEKTAATDSGEYKEDGRPPSDIDDTAVLEKGSLDPVYEAKARVLNHAIQDIGMGWYQWQLFIVVGFGWAND
NLWPIVTSLILPAIVNEFHPAQKAYLPLAQNIGLLIGAMFWGFGCDVFGRRWAFNATLGITAVFGMIAAGSPNFAAVGCFVALWSFGVGGNLPVDSA
VFLEFLPGTHQYLLTILSVDWALAQVVATLIAWPLLGSLTCEVNEVCKRSNNMGWRYFVIAMGGISLIEFLIRFLCFTIFESPKYLMGKGLDEEAVK
VVHEVARRNGKTSNLTLADLKACEESTTVVQQTDAAAALKRKLEKLNFTHVRALFATKKLGISTSIIMTVWGFIGLAYPLYNAFLPYLQQIKGAEFG
DGSTYITYRNSLIIATIGVPGVLLGGILVQIPKFGRKGALALSTILTGVFLYCTTTAVTSNTLLGWNCGFNFCSNIMYAVLYGYTPEIFPTKDRGTG
NALTATANRIFGIMAPIIAMFANLETSAPVYTSGALFLFAGVLVIFLPFESQGKASL

>RCO7_03184 | related to multidrug transporter

MHRLVRKGGRMEGSCALGSHWDKQFSDDEDDDDDDHDDDDDDDDEDDDLMIRINTSIGNNPSEYAELPGRDGRQIKVIELQKQGISPDLAVSPALNC
LCFGLFLSLLDTTIVATAIYTIGVDLSALTTINWVALAYTLSYLGCAVIFARLADIIGRRNAYVSAFIMFVAFSVGCGFAQTLNQLIAMRVLQGIGG
SGLYSLTFVIMPEISPVKIQPLTGALAGAVVAMAGVLGPVLGGVITNYTTWRWVFWINAPIGIIPLVVFMIAWPSSDRMTPVHLRPLKELDLFGAII
VIAASVLLVFSFQQAGLNANSWSQAIFIAPFIIGILLWIVLFGWENLVAKKWEGSIATMFPLRLLKRRVFMGHFITTLLAGFPYFMVIFALPLRLQV
VNGKSQLVSGVALLPTLAAVAITSSIGGMMNSKRDLIWPTLLAGSLFMVIGCACLSTLDNVPQIQAKMYGFQVFVGLGFGLMVSTVSMGASLECELR
DRTVAQGIIAQARVLGGSIGIAASTAILSKMRHRYLSTILTTTQLSNLEASSRSLTPAQHLAVQTAYSTSFSESMKVCAAVSGACVLAALITFRRTP
MVIMERRDEQVREYTELLIREERERAEKTA

>RCO7_03183 | uncharacterized protein

MESRPHGDCHSRFIYQLDHSNSYTAMR

>RCO7_03182 | uncharacterized protein

MHPTLWARLIQSLKRQDVCSLQVLDMPSKTALVSAQLLESVG

>RCO7_03181 | probable Metacaspase-1A

MSGYPGQGYPGSGYGGDHQQQAYGYQQQGGYQQQQGGYDQGGYQQQGQYQGGYPQQPQYNREQQHGYGGQAPPPPQGMVSFGHGAPDSYAFQYSNCT
GRRKALLIGINYFGQSGELRGCVNDVGNVSRYLNENFGYAREDMVILTDDQQDPMGQPTKNNILRAMNWLVRGVQPNDSLFFHYSGHGGQTQDTSGD
EEDGNDEVIYPVDYKQAGHIVDDEMHSIMVSPLQPGVRLTAIFDSCHSGSALDLPYIYSTQGVLKEPNLAKEAGQGLLGVISSASQGDYGKVAGHLM
GFFKKATDGDEAYEKTVATKTSPADVVMWSGSKDDQTSADATIASQATGAMSWAFISAMKANPKQSYVQLLNSIREVLATKYTQKPQLSCSHPLDTN
LLFIM

>RCO7_03180 | uncharacterized protein

MKTLPLVASLCARVGYAAGNTSLTALSIPPSLYWDGDDGRWSTFQIQVGSPGQTVRLLPGTSASAGSAIWLVISQGCVDVNPTLATCADERGYLFQS
NLSTSWSTQGLQNGVDGAVYALNTYEESFLGRSGNGSYGYETINLGIPGAGLPTLQKQVVAGIWTNDYFLGNLGLSPVPFNFTNLNDPKTSMLSTLY
NQSLIPSRSWAYTAGAHYKNPPVFGSLTLGGYESTRRRPNNLNIAFGADFSRDLLVSLRSIRYDTAGSSPLLASSIDIFINSLVSEIWLPESVCEAF
AQTFNLTWNEQGQLYLVSSSAHAALVRQNPAFTFRIGQAGGAGESVDIVLPYAAFDLNLTAPIVGREARYFPLKRAGNATQYTLGRTFLQEAYVVAD
YERRNFSVSQALFPPTSLQANIVSIYAPESNAGKGTGREGNGKIHRGAGLSVGAIVGIAIGAGVILVIAVVAAMLGRRKKKRRHELADTGIPGPGEK
QLPNVVDVTTDVAKPELDGTGSRADVLNLPSPRSPELPAYEGRWGRHELVQEESIHELGDTVYEIDGSEIPPQKPRRFSWEN

>RCO7_03179 | uncharacterized protein

MAWWRILTVAAILILGNLCLLAQIVNAQQPRNTGRNGTIKATSTTKSSTSGSVTSFFSSITGPNIAVDSYTWSQYIIPITVGTVLVVVNKATNKTTS
TTVFHTDYVRNGSTALLTRTDTNSAGTVTQVKSADGQNRNITVTYPTNYFVPAPSLTWTAVLPTVVDNATCCFSLDTLSATPTHTPLVQIGPLDEED
DRGWLYTLMGFKSGDAHTVFNSTGVSSLFAGQKLDIEYDGCPHTYCHLVTSSVSPAEGVQARPGGILATSTTTIDIPDDETTSPEPTSISPTPTFTA
LPDQEPTRSPDTTPTDTPTPSMPSSSPFITQPRPATNPTSTPLNAQRESTKVSGAPPQNTEEKPTEISEAPGTETTESSPVQQTLPPKPSTASQASQ
VITIGSSTITANSASQYIIGSQTLAPGSSVTLGSGSSTTLIALQTIGSNTVLVIGDSSSTLSPATKSAGIGGIVCSVFGCDPTMTSSVEEVTGSAAP
ISVQASTAGILHPSGVLILVLFVICALLL

>RCO7_03178 | uncharacterized protein

MKLTLLSALFISSALSAAVNDAGPEARHDTAPKINDAGLETRENGQPFCHCIVGQVTNPSNPSYRPNYISDDVPNGSGFIKRYVNLRDPTGKVLEVC
WVGFTRASTCGAWKLVDPKAGPACKNLATISCYPGN

>RCO7_03177 | related to xylan 1,4-beta-xylosidase

MKLSYTFGLLCLAPQLIAALDFPDCVNGLLKTNKVCDHQASSGERVAALIAALTLEEKLGNIDTPSDGAPRIGLPPYNLWSEALHGVAISPSVVFST
NTSFTPASSFPMPLLMASAFDDDLIEKIATAIGIEARAFANNKHDGISFFTPNVNLYRDPRWGRGSETPGEDVLRVKNYAAAFIRGFEGNQKEKRVI

ATCKHYAGNDLEAWGNVNRHDFNAKITPQDLAEYYLQPFQTCARDSKVTSFMCAYNAVNGVPSCANEYLMQTILREHWKWSEPHQYIISDFQAVVDI
WQNYSYAATNAEGTALAFNAGMDTNCHYYTANTTGAWQIGKLNETTIDRSLRRMYEALIKVGYFDGANAEYASLGWSDVNTPETQKLVLQSTVDGIV
MLKNDGAYSGVAPYLRTPVDAAIAMGLKPFNTSGPILQGTNETDTWTADALDAASKAEYILYFGGLDRSAAEEGTDRTSLEWPGAQLALIAKLAALE
KPMVVVQLGHPADNTPLLENKGVNAILWASWPGQEGGTAVMEIIRGLKSPAGRMPVTHYPANYTALPLTDMNLRPSASSPGRTYRWYANAIQPFGFG
LHYTTFKASFSTKDIKLDIQELLKESQHKGVQNPDTYALQPLSITVTNNGNRTSDFVTLVFVTSEAGPKPHPLKTLASYGRLRDIAPKKTATIKLQW
TLGSLARHDEQGNTVLYPGKYTLLLDEPTQAVTHLTLTGHEAILDKWPQDPRSRK

>RCO7_03176 | uncharacterized protein

MLRSSFLLPDILRQLADVALPASTLASHTPVEPRRDVTGSSLTEPKNRLRWADQHRNLRTDSGSGLESSASSLFYPRSTYMKRLSGEFGKQNVRLLR
VLPGNLDDYISCDLEYASLVSNTPYEAVSYCWGNQLPTVEISCDGKPFMVTENLAAAIRTFRLETRTILLWADAICINQEDVDEKNCQVPLMRQIYE
RASAIRVWLGPDEETKPCDRAFSLLGILKIACLTLGWSFNLKQLAANPTLLGAYNMPDVDDPTWRAIGQLIQKPWFGRAWIIQEIAVSREAYLHCGS
ASIRWTDFYIGFLVGINSGLFTMRPDAFPNSLAYQQVIQLIMTCYCFNNPQIPPFDLPTLLESHRLAGAVDSKDKIYALLGLCDSVEGQKYCILPDY
SLPAPEVYTAVAKVLLEKSSTLDLLGIPKALMTPNIGRLPSWVPDWSTRDFASSLCFKTIHGRYHFSFDAAKTSEVPKHSVIQGNTLELSGQAFDQI
SKTGRVMDPFLANRGSDQFQLNPTFAVHILAIIHDWAVLAGSRGRRTYPTGEDIADVFARTLYLNDFSSEYTMEDVRDMFNTFSYRMIETAMSTLEG
IVTRKLLHWSESNGFLLARMTLKASGIDRGRVMIEDLFFRMIQRRMVVTEKGYIGIAPRLAKEGDCIVLVKGGRVPLILRPEEDQWELLGDCYVHGI
MRGDAFDESKCTAIRIV

>RCO7_03174 | related to hexose transporter protein

MVPLQRQTQRTYGSSVGLELLAALPQNPRPWYRTRHLIHLNLILLVLLFSSATVGFDSAMMNGLQALPQWKSYFNSPPPALLGIINAIYPIGKLIGL
YPATWLSDRYGRRAPMHFGFFLLILGAAIQGGAQNLSIFIVARVLLGLATAFISLPSPLLICELAYPTQRGKMTALYNTFFYLGSVFAAWSTYGSFR
LQSTWAWRIPSILQGAFPFMQLCCFYCVPESPRWLIAHGKHKEARQILTKYHSAGDKDSLLIDFELAEIETAIKREKTAISQNSYMDCVRTAPNRRL
TFIAVTLGFFAQWAGNGVVSYYLTLVLDTIGIKATASQALINGMLQLFNWIISVLAGALMVDRLGRRTLFLISAMGMLISYICWTVLNSIFARDSNQ
TAGYAVLAFIFIYYFFYDIAWTPLLWAYPAEIFPYTLRARGLTITLSSAYTGLILGQFLNPIAMTNLGWRYYIVFCCLLAALLGIVWFYYPETKGRT
LEEIADIFDGEVGEEKESRNVVTVKHGTDHRASKS

>RCO7_11647 | related to channel proteins

MSKFTPPSSPAISHDEFASHLNSPMKDAHYHDIVPSTSHSTHSHNHSDSILKDDREVQAYGEHGPGIDHQITQDGAVPARPDLWWSRMRHTFREPLS
EFFGVFILILFGDGVVAQVVLSNGEKGDYQSISWGWGIGVMLGVYASGISGAHINPAVTFANCVFRKFPWRKFPGYVLAQILGAFCASGVVYANYLS
AINQFEGSASTRTVSGPTSTAGIFCTYPAAFMTRTGMFFSEFIASTILMFCIYSLQDNGNLGAGNMTPLGLFFVIFGIGACFGWETGYAINLARDFG
PRLMSYFLGYGSEVWSAGNYYFWIPMVAPFFGCLFGGWLYDVFIFTGESPINTPWWGLKDLFGLSKKKKKNASHV

>RCO7_11646 | probable GUT1 - glycerol kinase

MAGDSPVLVSPHEQYIGSIDQGTTSTRFLIFNKDGEPVASHQVEFKQYYPHPGWHEHDPLEIITSIETCIEGAVKSFEDNGHSARSIKAVGITNQRE
TTVLWDNVTGEPLYNAIVWTDTRHQALVRRLKQRLGSDKLQDLCGLPLSTYPSVGKLLWLLENEPKVAAAYEKGTLAFGTIDAWVVYRLNGGPKKNV
FVTDPTNASRSMFMNIHTLQYDEQLLDFFRFDMAKLNLPKIVRSSDPEAFGTLTTGVLSGVPITGCLGDQSAALVGQKGFAPGMAKNTYGTGCFLLY
HVGEKPVISTHGLLSTVAYHFGGGEPQYALEGSIAVAGSSVKFLQNNFGFIKESREISTLAETVEDNGGVVFVTAFSGLFAPYWMDDARGTIFGITA
YTQKGHIARATLEATCFQTKAILNAMEKDSGHALSELAVDGGMTNSDLCMQTQADLTGIPVSRPRMLETTALGAAIAAGFAVGVWSSFEELQKINTE
GTKVFRPKISGEEREKKFGKWERAFQAISPIYTILKVFTLTITLTLILILVVKGLPEFANLEQALA

>RCO7_03173 | related to interferon-regulated resistance GTP-binding protein

MTKVPISVGAAVDAQDFAGEQQGLLDLIDKLQFAQLDNVKLPQIVVVGDQSAGKSSVLEAISGMPFPRESGACTRFATEIRLRRAKDQKFVIKIIPD
RTRPMTEQKRLLDFGNHVDDSVPFDVLMSHAVEQIAPKRIPGRFATRDILVVEKSGPTEPLLTLVDLPGLVRNANNDQSEDDIRAINDLTDKYMKSS
RTIILAVVGGNGDYVQAPVLNKARKFDPSGSRTIGVLTKPDLTESIGLEDKFIALVNNQDKHNDFKLGWYVLLNPGPRDVGQEWPSTEERKAKEDRF
FNNGKWAALSPHMCGVAALKQKLSEQLQRHIGKHVRTLRDEISKALEECEAELKSMGTGKDTIEEMRGELIALCSDSSDLVKPAVDGTFKNPPGKSF
FPRGVDARGTPAQKLRARVVDENRRFAARVRLIGHKHNFTPGVEEQQNPLTRVMKGTMTKAQFAKKEVEPLIQQNTGTEFPLDYNPRLVYSLFQEYS
ENWPRLAQQHKDNLGVICSEFLAEVIEDVWPQRMREPLRKEFLDSQMKEMLDKSRAEVVNLENDQHLEVQPYDLEYTERIKQWRAAAGPENPYTEAE
EVLEKMLIHYELSSRIFITNVITQVIERHLLQGLYSIFNSVKIYNLKDTQIEAIAAENKATRDKRMALKAKRTAIEEAGDICAKLSMRKELRSYEEE
DMDGTSSDDEDIPTPTSSEPSRTLRRPVKPVPETVQQQQPISPRAAPPVVDISTPITNYILEREPRGYASSSTPSHNTVSGDFSRTTPGGWNNSVNE
QYSAPNEPPQYPPPPPRRPDKQRIEDPFYPVSPPDSTSRRAFAGEDVNGNGHRSSGSGFEAPVRAPSQNSIPMQQHQSSNFEDSERVGPGKKTARWL
KGMKN

>RCO7_03172 | uncharacterized protein

MPSKTSPAEFFISPSMVETSSSKAPHRTRKRASTPRSKTGCVTCKIRRLKCGEEKPSCHRCVKSGWHCDGYDHVVSLPTATPLALAPIRPRSISTSS
SQSGSPTISLFAPSLSFDLYDEEQRYFQSFIDDVSTHLQGHDTFFWRGVALQESHTNFSVRHGLVAIGALARSTDKSLCGSYRMDTSHGTHREFALR
QYEKAIQGLRQSMDISRHGKCVRATVISCLVLAFFDNFIGNDGFALQHIRHARDIMSTANIVVPAIITTNNREEDHITAMFLRLDVQALCVTGIEDN
RTYIALEPCSPNFPLPTRFTSVEEARHTRDAVVEAGYNFFYHCTQYSSTSPSQIPPYILRTRDYLIQKIHHLHNLMDALMLEMEPDLICHPLSRPES
LKLTSTILLIRLTTSLGSPETSCDELAPYFEFLFDVSKDMLEYEAAGNSCAFEAELFTPDSRTITPLFLIATKCRSSPSLRRQAISLLLSSHRREWM
YDSLLAGRIGEWMLGIEEEGMDEFGRIPECARAWGETVTLDLQRRSARVRCRQHFLDREGEMAWRWRERDVCW

>RCO7_03171 | probable cell cycle protein

MAENIYDEIEIEDMTYDPAMEIYHYPCPCGDRFEIAIADLRDNEDIAVCPSCSLMIRVIYEVDNLPKPDEDKLPVVDNKTAQVPVTVTG

>RCO7_03170 | probable leucine--tRNA ligase, cytosolic

MATTVESTAKALETATISKTKELKGTEKRDTLIAIEKKYQRKWEEDGVFQPNAPTTSEIPLHSISAAEVRAQHPKFFGTMAYPYMNGTLHAGHSFSV
SKIEFTAGFARMQGKRTLFPMGFHCTGMPIKACADKLINEVKLFGKNFEGYTEEDAAEDEANAATQAPVASGKHEDVTKFTAKKGKAASKVVKKKYQ
FQIMQSLGIPKEEIHEFADPGHWLDYFPPLCRRDLTNFGARIDWRRSFVTTDANPYYDSFVRWQMNRLKELEKIKFGKRYTIYSPKDGQPCMDHDRA
DGEGVGPQEYTAMKLKVKEWAPDAEQALKGKLPEDSSVYFVPATLRPETMYGQTCCFVGPKITYGVFKLSEKEYYVITDRAARNMAYQGVFPQNGVF
EKVADVVGSAFVGTLVNAPLSVHKEIRILPMENVLPTKGTGVVTCVPSDSPDDFATVTELAKKADYYGIKKEWVELEILPLIDTPSYGNLTAPFLVK
KLKISSPKDTKQLEEAKELAYKEGFYQGIMCYGEFTGDKVEVAKPKVRQQLLDSGDGFAYSEPEKKVVSRSGDDCCVALMDQWYLDYGEASWRAQAL
EHVDNKDGKGLNTYTQETKNGFDGVLKWLNQWACARTYGLGSKLPWDPQFLVESLSDSTIYMAYYTIAHFLHADIFGKTQGLGGIKPEQMTDEVWDY
VFARRDLNDSIIDSKISKDILASMRREFEYWYPLDLRVSGKDLIPNHLTFFLYIHIAIFPPEYWPKSIRANGHLLLNGEKMSKSTGNFMTLEDLTKK
YGADASRIALADAGDGVADANFEEDVADTTVLRLFNLREWCEEQVKDQDSLRTGEKNDFLDALFENEMNGLVHEAKKHYEDTNYKLALKSAFYDFTT

ARDFYREASVAAGIKMHKDLVFQFIELQALLLAVLAPHWSEYIWLELLHKPTTIQNALFPDVPAPHAGFTAAREYVRATSSNITSAEAAQQKKKAKG
KDIGYDLKKSKKLTIFTAAKFPAWQEKYIDLVREAWDPITKSANDKELNGKISKMGEMKKAMPFVQALKKRLVTGESPDVVFSRQLAFDEVEILKNM
VPGLKKAAGLSVVDIILVEEGGKTGILNGERVDALPGNAESAVPGVPTFNFVNVDA
>RCO7_03169 | uncharacterized protein
MFSTTLRRLAAQPKGPIPIPLYSSPYKATRLWPPDFSKIDRKAQFRLERKYKRRAKLKWARPRWTKFVKIVQMSSIVFIAVYGVLFLDWNQQGNPDH
KPFEGIRTWFFGLTGNIWTKDQIRREPDSDEATPKPTGTSS
>RCO7_03168 | related to AP-3 complex subunit, sigma3 subunit
MINAVLVFNNAGQPRLTKFYTQLETSVQQRLISEIFTLVSHRPSGSCNFLPLPPLLASSSTSRTPSHTSTPHNDVPSLVTYRHYATLYFIIISTSTE
SPLALIDLIQVYVEALDRLFENVCELDLIFNFETLHAALAEMVVGGVVVETQLEKVVEGVKMGGRVAKRPVNESRGGGLGLGGGGFGGSGFGWAGR
>RCO7_03167 | related to regulator of mitochondrial iron homeostasis
MVRPNTILKLSKLVRPAVRTNNPLFASSITMTPINHSRQSLSIFPSQRPRAFSTSFPAFKGLSPESADPKPKESEPEAYEPSSASAPAEISNEEYHE
LSDKYLNGVIEKLEQLQEEREEVDVEYSAGVLTLAFPPNGTYVLNKQPPNKQIWLSSPLTGPKRYDYVMLSEGQDAKQGTGRGEWVYLRDGSSLTDL
LEKELGITVREVIGHE
>RCO7_03166 | uncharacterized protein
MNLTEGGAPEPQKTTYFSPDTNTRRQFGEGRAIGALQELN
>RCO7_11447 | uncharacterized protein
MKGSETCKSFIGVRVLNADNTTIYRGTWFKSANFNPRPDEEGSNKGSEADVRSLSDSSYDSGSPASKESEPLSREIAEMRVEPDASEATGIPEAELM
LLAEEEDLYLSKKKKDKKKSKV
>RCO7_03192 | probable fructose-2,6-bisphosphate 2-phosphatase
MELARPSRKTNGKGVQVEDTQICVVMVGLPARGKSLIAQKAQRYLRWLSIDARVFNVGNYRRHDAPQPSADFFDVNNLEGERMRRAAAEAAVTDMLK
WFKDGGIIAILDATNSTKKRRRWIKERCDQNGVETLFVESKCDDEELIMSNILEVKTTSPDYVGQDPEEAAQDFRNRIRNYEKVYQTIDEDESDLTY
LKIMNVGKRVIINAIQDYLQSRVVYYLMNLHIKQRSIWLSRHGESMWNVYGKIGGDAKLSERGEQYALKLPQLVKESFDGDDHPLTVWTSTLQRTIA
TATHLPKEWNQLQWKALDELDSGVCDNMTYAEIKEEYPEDFEARDQDKYNYRYRGGESYRDVVIRLEPIIMELERSENILIVTHQAILRCIYAYFMN
EDQEKSPWLNVPLHTLIKLTPRAYGTDRQVYKADIPAVSTWRGKGSVAKHEDPVDGTTSLDK
>RCO7_03193 | uncharacterized protein
MDQNRLAMASLITPPSENNEVFADMKQNKSAISAPMTPPAEDREDEEADDFEPMSFNFDGTQTDPENQNHALQEYFSPNARSQSVSSLQNESPEEPI
TFNFGPQPLPAPEADFIASFTAGGSKKNHMPLGIRELAASINNRRRAATNREFRGGASAYIDEDESGTYDPRKARRTPHSPARPTKRVKTSEGRTPR
SRKPAKQIGFRYSLVVKLQLNSKKGLKYLSSIPAGPSITTGAYHFHSSTPDEEYDSDDSSYVVKSKRKRAIKPPARLGAMYSRSDGLTIASLTPGHP
QRRGCNCCFEQDNDGCSLIEHPDEYPCESCDDAGTDCVFIIPPAYKKSCLRCKDKRRNCSYVLDGGKGVEKCDSCEEEAGVCCAEPMTEQNVIRRFA
KLPVRSKLKQAPEVQGKNPISGKDAVKERLYVSCSQCRDTGKRCTIRGKEDQGPCSGCSKSGHACEFIDKKTKKTYLGAVFTPRVRKSSTFSLSTYA
HSADEETDTIHDRLGTPHSPTTLTATLYSEIGRKNTRKAQKLIAQGKFLSPSHSLHSIQPRRKSSTTSRFNIISPKLLGRTLGLSHVIITTSFCHPI
TFNYIPDPMNTHPCSWCDNPFFGLWGLASEKLPRKVEGYFLPTSEGGGFEEIYGGWSDLGFQRSVMCVRCTYARVRITMCQSHRLRLLDVNKGEQDL
RIFDDKAWEEAAEALTRGDQEGGRLVSETKWCSICPSPAALKCCAPQLFDEDGEAVQQSGFGRGARDKGHGCGCGLLLCQECADLLGKVIKGGAWTG
AEQLDAIVREVKRNTWIYNEGARADAEFLTSGGELFRRMGGGIGAGDDGGEREVDRVNGAGRWTGKEPWDVTSGRRGEMKMKMENQGRGWMDDDDLG
MVKDRNGKGKVKFEVSEDDGLFSTFTSRDKEASRTSMAIDSKEKETMVPTSSRSGSRFKNFSSDKERQSTDESRFGSSSFSASASNSFSSTSSTSNS
RHNSDYHPNDRRASQPSNDIPQRPHHQKSNVKEESRSMAPPPASAHANSWNGVGGSSMYSSRGTERERGMKMDRGGANIFGGKMGEEFIDMSEE
>RCO7_03194 | related to alpha-ribazole-5`-phosphate phosphatase
MRLLLIRHGETVHNVTSVYAGITDSALTNHGVLQANRLASHLATTDFKISHIFSSDLQRAFKTAESIRVAQSPAPTETTKLEVLREQDFGFYEGKQF
FERPREGNKSGKEAHQDAHRDDPDFKDVESKESMKVRSDTFIDTHLAPLLRETPADNTVVVVAHGIILSHLWRALLKRFHPSKVSVGQGIDKPGNGF
SLEHLGGWSNTGYLDLEIKSIPTKDVPPIAQLSKPAAGSEDIQDTFNLRQKNLNSAADFERPEDKSNLPQKPSTLPPAVLDTPREPSRLLDLTVVVK
AVNNKAHLVGLKKTRGGLGSLKHDSSQKTVDSFFKKRRLE
>RCO7_03195 | uncharacterized protein
MPHPTTTLLLASVLFTSLNAQDSTTISISLPSLSTTLVLPAWPNPAPAPTPITTTIYPSSSLNTAAESSATESSAASTSTLTSGISTVTVAPTSLTS
YSAGPGVSTFLASLSSAQASIASSVAASASSADVSSVSSIAESASSAASSEISSATSALASVVASATSAAGSLVSSFSSAVATVTPTTLVIVGGGPT
STTLGGAANATSTAGGPEVTGAATKQRLDMGVLAMVVFVVAGVVL
>RCO7_03196 | uncharacterized protein
MISILTTINSRAIVVLLLSPSGRAIQNRNSGSLDPTSPPFWIASAPGYAGRRGGLCASAETAIQDGILTSIVSKARPAAPAFAIVVTPPSPPRRPIS
PPVDASLLAPPPRPDLIIFSLHSIEYDLISPPDNPIFTLAILGALVMSSSNTPHNAGISQSWISPAASNIAKYNRLQIAASYLGIYRSPFFPHSATE
WNKHNAEMKSVEAVKQRKVLEEKIRVLEVRRKDRNASGDRVGAEETKINECELAFRHKDETEIDEEVKNGEIGWSVGLSAVLGEKTAFWAGGEELLK
EGKVDEENGMRAFWPDMGELKYEGETRAKRTNIRRLPLPRLDLYSTGMLRHFIPPASPISQTEKGSLVDLLIDKKALADIAWFERQVVPFKYKLDQL
PCLDRLWEANERTNNGGPYFKPASEDDVKTPPVVNEVKEELDIVKGYEAGHDEGHEPGAASYEQNLNNNGKPPIQTAQSQNQDTKPDKSSNPEPTLF
DEFHTGFDSHAHPTQINTSSSTYGSQPPGNHVDANRPPGAGMYDDVGLPPNYSDGAEGAGNGKRCPAGGWMFDEGELRRSGDWAGLLDELDCVGDLE
V
>RCO7_03197 | uncharacterized protein
MPLLGEGIFTSTGAQSVHSQAAIAGLDIPAKVSIDGATFSHHFGAAKHLVDKRGALAKFYWLMPMKEMKIHCAEVNKVIDKMINDILEKKKNLLSMK
DKGSCKLVRLDELAEETQNPL
>RCO7_03198 | uncharacterized protein
MLFLQTLLATLIATTFAFPTPAEMKRELVNLAPNVSLDLLKDFCVGIAVCNPVTVNHKDIENC
>RCO7_03199 | related to isotrichodermin C-15 hydroxylase (cytochrome P-450 monooxygenase
CYP65A1)
MVTFQISLLQVVGASTIAAFLISKTSECSLVSVLPIVYLATIPFYIVVYQSYIYPFYISELRHIPTVPGFPLWGQFVEVITTECGVPQRKWHTDHGP
IIRYFFPFGAERLAVADDKAIHQMTIKNPYNYPKPVRAKLWMVRILGEGVLLAEGSEHVHQRKALAPGFSIASIRALYPVFWQKALLLSALWKEEMD
ESRVSTKCFEVLEWLNRTTLDIIGQAGFGTDINSLEHPETPIREAYRLVFAFDIGSRILHGLQAFIPSTKHIPAKMNRDMESARNIILNTATEIITE
KEGQAAAHSGHKDIIALISKDNLKQKEAGEEGLSFETMRDQVMTFLGAGHDTTATGVAWTLHLLSKYPSIQSRLRDEVKDHMPFLFDPATRYDAESL

AKADADLLPYLDNVCRESLRYIPPIPMTVRESIADDQLGDYHVPGGTVIYVLANAINRLPMYWGPTADDFNPDRWDKLPETYTTNAFMTFLQGPRGC
VGRKFAETEMKIILCCLLSMYDFEMDKSVADPESLKMWRLVLRPRDGVSLKVKSL
>RCO7_03200 | probable fatty acid elongase (FEN1)
MSYSNNMTSTHIPAVVPISLSPWANFNKVWTSIMGYPAEDFRFVPGKTSFSTLKETVFMIVLYVVVIFGGRELMRNREPFKLNGLFKVHNFFLTFVS
GSLLVLFAEQLLPSIWKGGLYENICGASGWTQPLVVLYYLNYLVKYIELIDTVFLMVKKKPLTFLHTYHHPATALLCYTQLIGHTSVSWVPITLNLM
VHVVMYWYYFQSARGIKVSWKKWITRLQITQFVIDLGFVYFASWDYFTSTYAPYLPHVGTCAGEPWAAVAGDVILSSYLVLFISFYIATYKKMSNKR
SAAKVAQRAEGKMEKADLPTIKETADKATHAVKAANGGNHNISPSGPFF
>RCO7_03201 | uncharacterized protein
MSNIRTFDLYQSPVLLNSTALNNLGNLSLAGSIASSILSQIWSFITIWKVLVVLLLLGNLKNIPLMWHLRIVNAFRFCLKTQRPKVPVTSAQLFQPL
ITTSHAPIMEIDFNLHKTNSSYFSDIDIARTHLVCTLFSTGIEEMRGGTAAITGSKKPLFGLALGAVSCSFKRELKPYEPYELWTRVLSWDEKWIYI
VTHFVRKGAVLPNKYTLYPQQNMSEEDIKRRGSAIKLDSVDGHEAVVATALSKCVFKSGRRTVSPAMMLLKSGLLPAECLDAALPRAPSPVSMVSCA
SSDSGIDLEEEKEERNLSEIEIIEQERQRGLRIAFTLAAQGQTALEKEFTAEGDALGRHTDGTGVTGVFSTLAQLAHLKKKQLL
>RCO7_03202 | related to major facilitator (MFS1) transporter
MLEKGNTQQDGDRPLPITTPSMAHINHPNLQNFINEAIVATNPAIRHLASQSSLESQPSGRRSRGSRGDSEARSAISKGIRRLSTNFEEQRHPGRSD
LGFASTTKPYEPEKETSRMKTIPEWKGHRVNTSSGLGNEAFGRDDTALIPEVPPSRQSYKSLVVRGDGEEPKTDEGDAVEAATLTGEKDDETKYPGP
LGLFILITGIALSVFLISLDRTIITTAIPYISDEFRSYADVGWYGSAYLLTASAFQPLYGRIFGLFNMKWAYLSSLSIFELGSLICAVAPNSVALIV
GRAIQGLGSAGILTGSFVVVSHAVPLEKRPLLTAVVGLMFGVGATAGPLLGGVFTDLVTWRWCFYVNLPVGSITFISMVFFFHPPNKHAFMGKSIWY
RALELDLTGNAILLGAAVMLFLALQYTEERVPWSDVRVIGLLTGSGCTFITFAVWQWWKADGALMPPRILKQRTVAASCAAAFFIYSAILIHTFYLP
MWFQAIKNYSAIRSGVNMIPYVLANAIFSVLAGIFVSKNGYFTVPAIVGMVIGTVGAGFLSTISHRTSSSMWMGYEILASAGIGMAIQQGFTAVQIV
LPLEEVAIGTAAVVAFQSLGGAIFVSVGNTILQNTLSSAHIPGVDIQAVIDAGAKNFRSVVPPEHLPQLLEVYNDALRKVFTAAIPLAGLAVVACCF
LEWRNVKDQSKKDLESLAKARGEREEIEKAIMEMHRYKNSVGDDTRGYSSGE
>RCO7_03203 | related to cytochrome P450 52E2
MPKNLGFENVKTLPAYLEKDYSDLGDYLKFHFDEVGYGVHTFRASALDYELLVTRDPENARAIFQTNSQDFEISPYQKDIWSPLLGDGIFTAQGDAW
KHSRQLLRPQFSRDQISDLDLEEEHVQSLLNLPHLKAHTDGWTNSLDLAPLFLNLTMDVATEFLYGRSVNSQALSNTADGVENQKHFAYHLEAGKSW
LYTKGLFGKWNRLIRSAGFTRHCNEVHRFVDELVKFRLNAPPSSKFESESSKPNRFFLLDELANYTQNPLELRNETLQLLNAGRDTTGALLGWVFYH
LARHNRVFTKLRSIILQDFGNDRTGEISFQKLKSCEYLNHVIQEVLRVAAVVPVNERFATSATMLPRGGGPDGSQPIFVPKGMRILMANYAMQQRED
LWGPDVKEFKPERWEEKNSGFEFLPFGAGRRKCIGQQFALTETAYVVVRFLQRFDGLESVDSEEVFFQYIFSNRSGRGVKVRLHEASVNNSV
>RCO7_03204 | related to trichothecene 3-O-acetyltransferase
MFWLKIGSNSIFPHQLSPVDYLSLRIHVPKLLYFASDTTPAEIEATFRDGLARSIAALPLLGGSVGILDNASQKGTLAVQAPEFTAAQILSVRDVRE
HYGFGDIKAKHFPPDAINIDEFMGIVAKEPQRVFHAQANLIRRGVVLVIAIHHCVVDETGIFDVVRLWAGCCNGSDESRIVKPEWTDRSLLMIGEGA
GKLEDHPEYTLLPAEKSATNDTKTAEYISKASDMGSLAILFFSYESRSRMKPPVSEEYMGNIVFVSKAFQTTDTLVATVNLSGIAATLRKSVQEIDD
QAIKDKIKAVASVNDIGGLTPVGYNSHGRHLGCTS
>RCO7_03205 | related to dock180 protein
MPWQPLPRIAFAVATYPFTAQEAADLPLELGDELYIIEQGGRNGDWFRGYLVAPPSLLAGLTSVKGQTLEARVFSGIFPRSCVEVREVLGEDEEEEE
SDTEEEVEVSIVDRKRGVSVDADGSPLASPTSIQPGKKPRVKSNGMTEKTTVRENTKMRLTNGSALFVDTPRDSSAPKPPAPVPMLKIGDETPTSAS
EPLVDEIACCLREWHSTNLHELLLSRQYPLLDKMTTLVQNLDLSRRQFLHNVLTAHEMSALREKTVWDLVKGNKIFNGEVIVRDPAVRGRVLTGDDS
AVEITKLQSMMSLLEERPQPVANESLTLHHLLLDVRTFVGASTESTTLVFFLASKTPGQSAFALSESYIVEVPPSGAMTSLAKAGQMRTLFTDLASS
DIGDVTTADSELYLVVKIQSTQQVIGGQPVSRGGLSSRDDSQTQSRDKRPSASGSKSGRRSLMWGQKAQRSFSRNSPISSKLNSLTEGHESREGPPN
TTDSYGPTERKSSAVSRVVSKTVGIGALRINSLMKQDDEIEQVVQFWAPATGFGQEKQFEEGFEEVIKDLMSSKSGNYAKSRRAERLQVHLKAFQSP
DADDLIKATPTLLSEVSQTSKMGFSGAPIKARSDIYVTIDEAFLPRHALISRAMGSATPLSSTILGSNLQITLQVCHATGERLENCIFPSSNSETPV
SSWESTAAEKGDAWNQTLRLAIPPIDVAGCHLVLTLADAPGSPFAICHLPLWDQSAFVRDGHHSLLLYRYDDQTNAAKGREGRLGYLNTPWNARGKD
DVSKDEAVTGPIATLRVQTFLCSTRFSQDKVLLGLLKWKEQPPGDVQELLKRLVFVPEIEIVKLLNDVFDAIFGILVEHTGNDDYEDLIFGALVTVL
GIVHDRRFNLGPLVDHYAENKFNYPFVTPCLVRSFTRLLSNPADPDTSRKLRATFKVVRHILKFITHARGQQIAKEAGIGITSTSPGFTRHLRSIFK
ALDGLMRSNAPILVGSQTLAVQHFHTWLPELSGLLSAEEILHVAIDFMDACSLVKGKLVLYKLVLIIYYSRLDIFANPEQLEALSANTVRWIAPHWG
KTAEVTEQWREQVRLCCSILSTQIENLATEIPDYIPKIVDSYLSIRAGPKPERSRLSLLFPLTYPFPAKAITGKVQFDEVLVELSAILSSISTTPAG
MQLDLGDDEMAALLEDILHVHLSILDCEAFPANWLSVHIFHHKSAMKTLEYVAGILLESFLPDPDDAESYNTEVWKAFFSVLLKLVGSDALALETFP
EQKRRAVWKIAGDVREHGAELLRRTWEAIGWETSSEERQRYGLANMGGYQVQYVPVLVGPIVELCLSVHEGLRRVAVEVLQTMIVSEWTLSEDLSVI
QTEMIDCLDRLFKSKPLTESILQKLFINELLGLFDPLAQSGDDSLYADLREFIATIDEFLDLLVAVHSADVTGEASHMIHRLRLMEFLRDMQKEEIF
IRYVHQLAQLQADARNSTEAGLALRLHADIYEWDPTKIVPPLTDPEFPAQSQFDRKERIYFEIIKYFEEGEAWSSALSLYQELQSQYQENVFDFPKL
ARTQRAIATIYETIAKADKIVPKYFRVTYRGMGFPPSLRDKEFVFEGSPTERTSAFTDRMQEQHPSAQIVSAGDVDDVEGQFLQISALTPHRDLEHH
VYQRARIPQVVRDYFLSAHPQVFSVTSKRNTAGPAQDHSAEKILYTTLEAFPTILRRSEIVAVDRVGLNALQTAVERIIRKTTEMTVVEKRLIDGEE
DMAPLLIDALQISVNPNSETTVAKYRALLPVASEEDDFEEPELDSLQNALKMALIDHAVMIRRCLAMLSKTPAIGSVERAAVVQNFEVTFAPELASF
AFPQKAKSPTPTSSWAIASPVLSDVSRRDSQTLSNRLSAMSMTPRLPNSSTNGTLVSSSSVDTNVLDTPGARAGRNRLSFLKRTQPAPRSPTQQPQV
QPEPMLNGLSLNGVGHKDFPVVPVASGRRASSTADGEDEEGISTSTRKSQGKDNKKENRRSFFGGSSGLSSIGRGRGRNGNEKEEENEWITQSDLAS
QYELGISGLNLNANANNTYTNGNFNGRENHEAESKGRRSTSSSRPMTGKSAGEGLRREGSVGRKVGNVRKRLSRLTLGKKSSKQTLMVGSVAEED
>RCO7_03206 | related to TSC13 - required for elongation of VLCFA moiety of sphingolipids
MAAPVTVKVSNRVAKKPIKKLPTSIEITDKTTLQDVKEQLASKAGGIDPERLGIYDAEKKKLLKDRKALVSSSEEVMSGKEILVKDLGPQLSWTTVF
IIEYLGPILIHLAIPLMRPVLYKNPTPLSSSQYLSMTMIILHFLKREYETIYVHKFSLATMPVMNIFKNSFHYWVLSGLNIAYWIYAPTSYTAKSGP
TIDLVNYVGLALYIYGEVSNFIAHQTLSNLRSPGGTERGIPKGYGFGLVTCPNYLFELIAWTGIALVSKSASTVIFSGIAWAQMHQWAVKKEKALRA
EFPGKYEKKKSVLLPSPGAVVKAITG
>RCO7_03207 | uncharacterized protein
MEKQVVVRARYVSRVKCDEGKPTCSRCEKFGIACDGYLHQSRTPSPRSRSEGPRLAPRIRTPSLPSVSRSPLESIFGTDDGEGYFSVFQNQTSFQMT
PFFDSESFRMFILQSCGVPSIRHLVMAIGALAKSCMTPHQHKSETSERINAAYKAHHGAAIQEYSKALNLMRQASSHGRQDLRTTLTGSLLIACFEG
AHGNFFLADAQIESGLNLLGSWRRAQTPVGYTCSSFSSPVTDEVDDILIQAFRGLEIQSSLFGTKYTTQQHRSMMYEGEDDVQDMPVLFTSYQMAQT

YLELIVRRLLHWMYSAELSGNQGTGIDIHITDDKCVQEQHTEDKSLYHFTVQCVEQHSNLQFEYIHYFSQLERWNTSFESFLRQSQTPGRKLTSNLL
YLGSKACVLLMNTVVGKINILPGQDRANIEDIVQLSRAVFEGLQVRSMTHFTVLHGSIDPSRLAEILHDPSRQSRMDAIGILLRWPREEGTSSSICM
GQAFKCAQLTKANKLSTPRTPDEMPQLRESATQETLGKDLYAMEVAYQGFLIPDEITMQQGRRTIS

>RCO7_03208 | uncharacterized protein
MLDSNGNSTVFGLTIRDHDSPTYPRKITIDDHEVDTEDDESNHGASTQLDEFPDHIDDISDRDAISDIDSILAGDLDDDQDDQEENYEEDNNEDTLD
RRIAANGALIRELEAQGAANDAALARAAAARDAIMIDLEDGYTFAEPQGMIDDERSHASDDTHNQNDLELYIPVYSEERGYTQDELRAIYRQDLSVE
HRVKIPSGIAECEICQEDFPLEDFLENITGHNHDDMLCCSGCIENAILYSIEDGRVDRVGCPICGTILNHEQVLKYSSAETRIRYNYLILSNTPGFI
MCLGPKCDHGQMHPENHRENPVMMCDSCNFLTCVVHKLPWHQGFSCEEFDGDESQIERLEADEATAKLLSENSKVCPTCKHGVTKTEGCDHLECRCG
EAWCWECLASWQNILRIGLTAHARHCSNHPEPTRLLSSEKDARARTMAELVHGGPVSEALAKARDARNEKLRVLLRPLALEAAEKRAMEEAGRKKEV
GESLSGGGNGSGPARKKVKLVQAWEER

>RCO7_03209 | related to adrenoleukodystrophy protein
MAAQSKLIPPDRTIRSIISKWTDTYLTHRTKISRTVYLTLFFALLNRIRSAISEQKAAAIRQAEKRVRGSIALGKGEAPKRQKVELNREFFKNLFRL
LRICIPGWKSKEFRLLISHSVFLVIRTLISLKVAAMDGALVSSLVRGRGKDFLIGILWWMVIAVPATFTNSMLSYHQCKLSLQYRTRLTKCIHDKYL
SNMTFYSLSALDDRIKNADQLITVDVSKFSNSLAELYGNLAKPTLDMLIYNYSLSKSVGGEGLFFMSLLVQLSANVMRALTPPFGKYVADEARLEGE
FRFEHSRLIDYSEEIALYNGHEAEKDTLDKGYFTLIKHVNYILRRRFTHGIMEDFIIKYVWGALGLVLCSVPVFFKIPGASAQTMGDRTESFVTNRR
LLLSSSDAFGRVMFSYKEVTELAGYTSRVATLLEVMDDIKAGRFEKTLVSDDNGGQQLELMRGRGMVIESEDIEFIDVPIITPGGSVLVRALSFSMK
RGDHVLVVGPNGCGKSSLFRILGGLWPVYGGTVRKPPLSQVFYVPQRPYLSAGSLRQQITYPDSLRAMHAKGITDADLLAILKILDLDHLVSSFPAG
WDAEAEWRDVLSGGLQQRVAMARLFYNRPKYAILDECTSSVTLEMEKIMYEEAKRLRITLMTVSHRRSLWNYHSRILQFDGQGGYVFTGLDPEKRLK
LEDEKDELEMKLRQVPEIERRIEELCAA

>RCO7_03210 | uncharacterized protein
MYTSTLLPLLLLLSSPTRIHAIPIPEPQPHPQPGIHTLESYLDFNRDVSISQIAANSLSQSLLQRKSQPQSQSQSQPESHKFPQLQLPPQPQIQPQP
NVLSSFPGVGVRVLVGGGGSKMTTHEYIPGDAVPADFDARM

>RCO7_03211 | uncharacterized protein
MVNIVDENRCPGNFILNIASTGLGVVASLSHFGYFYRIKCVANNISLSASILNEVGRGVNQHETLFKDNFEEKFSGALKKCKKEYEQVAAALDKIRS
YKKNEINEETEGMPKSPLKKLMWGLDMTLSELNKFENELDQSRKIAFTAQTIVQLVILQVNAQKRELSEYEQLSLRRVKKDMGDTLELLHRTGVGNV
MMFSLREPTQPANTTQVAQAADNEKTETRSIASLTIRNPTELSVPTMLNFMKPGNVPMPPPPPPGMQPFIPYKSPDIYELHRISADPRDRVSKETTF
RFLGIPLKINRKETQIVLACDKVSMSQDDIKKFMVEPKDDKAKQPVIDTLMRCPSSTSGAIYSYLSAKTDPRNYQTHTWTVECVVPTPTAGSEKRRF
WSKKVKPATSHMIVIKGEAIVRPRPPGFRPPGFRPVPIRQLVKQSSIASRKAPKPVAKFELSQQETEIIINDYLASFTILYDGVPVEERGAALKAIV
LPTKDDSDYDSASCSSGSSRSLVDD

>RCO7_03212 | uncharacterized protein
MRWQLLGSSSRPRYRSHSAGYQIASKILANTSILSGSLTFCSNRRGETVTGGLSVHLVGHIFNRIFTEMHLGGPRYFGVVWTQIFGTFSSGLNIAWI
SLACTDSGERALAMAMIIMAANIAGIYGAHILRADDAPRYRCDFGIDIAIIAFPVALASFRYPDDLRHRRRNSGQLTVEYSSDDIESNEDIKAARSS
DMQPVPVLVEGDLQSYVSKSLKLYYL

>RCO7_03213 | uncharacterized protein
MAPLHRLDLIMMPLLTLRFFCLQLDRGNIANAQTDNFFKDVGITQGQFNVGQQMLSLGIVLFESPSDMILYRVGPGKWLTFQLFLFGTVTTFQAFQN
NYGSFVASRFLLGVNGYGFIPGGLWTLSA

>RCO7_03214 | uncharacterized protein
MSVSSTKELGDLAIVEVTSAALSLTDSQNTPDVPSFPILPSELRTEIWKLALPGPREIMVNNHGAGRAEDKPVLGEGASAIPTPLLHTNQESRYIAR
KIYTAYTGFWEGPPIYFNPRIDVLHFDRFIFLSPYFIINPQLSRQILFHVQHIVVSGTRGDVASFSVPMVKYIGRDMQSLKTIRVSSSLALAITAVG
GQAATGMTLEDIRVAVRYEKQLLEAWTKENFGHLETLPVATIDAGEFGLI

>RCO7_03215 | 40S ribosomal protein S8
MGISRDSRHKRSASGAKRAYYRKKRAFEAGRQESNTRIGAKRIHLVRTRGGNRKFRALRLESGNFSWASEGIARKVRVIVVAFHPSNNELVRTNTLT
RSAVVQIDAAPFRQWYEAHYGQQLGRRRQKQAGAEVAEPDTKKSKSVEKKHHERFAAVGKVDAALEKQFEAGRLFAVISSRPGQSGRCDGYILEGEE
LAFYQRQLRK

>RCO7_03216 | uncharacterized protein
MSAHASSSATPPLPPPNHPPTSISPTVPSSSSSTHAPSIANMSMISPSLRSPETARQIAEARAALEASMSNIGSSLDRTLQSRAQDLHSNSRQLEKQ
QKEVEKATEGLRKEGDKLKKVADEGMKKVKELGNVQNWAEMLERDFLVLGETLRLARGESESGSFTRSESEWETGSEGSGMVDGGKPVGASDGSEGA
KNEGNHFVSKDSISGEAGQRAVDADGGTQMGGAANISADRGKGKAVEAFADAASMQSPITAAWGSSTATTTTGSTSDPSSSSAHTAASVASQLSVTA
GDTGPLM

>RCO7_03217 | uncharacterized protein
MLPSTLLWACICSSFSLAAVFKAGQKFQIILNAIPNLAASPNVIPGDAAVFDIDLFDTDAATIAGLQKQGKIVVCYFSAGTYGPWRPDAGNFTNEDK
GLSLAPEWPDEYWLRVNNMNVRRIMTNRIQLAAAKGCDGIDPDNTDGYQNPNAISLTRGALIEYMQWMASQASSLNLAIGLKNSMDILPDLSPVMQF
AVNEQCAAFGECASYSAFLAAGKPVFHIEYPPSVPNILPADRLKGCQNNGMNGMSTVFKNMDLNGWVGYCDGSSATTVTKPGGGINPWAPGVSGKPS
TTGRTTSRPVPTRPPSSSRTSTTRTTSTIRTSTRTTGTVGTSATSRTSTRTSSTARPTSSRPPGICVSKHWDQCGGNDWKGCTVCETGFTCRGVSPP
YYFQCL

>RCO7_03218 | uncharacterized protein
MDLRSVDFEWLADLQKSQCFTTYEVSNPAKSSDFGAEGHTASISDWHEVLQLTAPDDVCGLVFVRGQFPNTPDAILSRSQRRDDSGNKGTFGTRLHR
AENDSDLELGERLAQGWVNFRWPYTKYDLRARNDESDLSSGSYEQISFVRDGVLVQVIRLKSGHESSLSDYDSVDESERKIARVKVGGVVQFGCPCS
NRGPAEADTFHLSAGDGIKCVSDRYQMKLEMHLFIDGVRQELHGPLHGLDYDEVSGTEVDTSSVHGIEIRDGEPITIVSTCALRRVNSLSTGLDMAT
FTDIEEYLGTSKTSINMTDRLYTALCSENYEASEAVDFCVIGRGVEQILGVCSVPLVSKPGVSERDMETALICNVMTPQYINVQSSFFQIRLLVKAY
NFIGSRHVEPDLNERHQSLNDIRIAYLANMLQSIRSSVIWLINTDLKPRRLLLALRSDEPPPDMETHPSMRLEECERNRVKMHFDQSYNQACFATLA
VWYVMKHLPQAVSHDFKSRILLPKLRRAYDAVQKRASRDKEPTPKNDVLQWLHMSCLYLICNEQFGVDDHGKSVDGFTLSDLDRQEVLRSQQKFEKY
VSRLKTAQLVSYSVEHEELDRVLLLAEELGLDKIPTPSTASLASSRAVQTRHEIRKRQRTTRFNPGPKTWKGWRVTSNGPWELLCTNHQGYLRVTDY
ANIKAARDRLFEFLMSDYSFMTSWDRADSNIVGKWWDMEPTSVICATLLDLKVEGKLKSAISEATADELGHSMHDVAELPLPQRRNSDFVAEPTDED

SIRGILLQMKKLQEDSSKEHLLQLRQLLVQEDLTGNISVKAFDWVSCKPGKVYHPDWWIQSLQDTPDMYQAKQTKDVPLRKDIRRYLASRERMDIIM
DPNYTPENIKTKIPAAELQFLSVFDLYLTKNFTYKSRDITLLSVADNKRSQLSEIGKHSASEAPKTSKIVVVKQATDSYNHDQLDAYRKALFGRLND
SLVDVGAKYRILFAEKCTPALVGSFIYMFHPDGLDTFDTYFGIISRFTESREATMWTTSITISHWSIRPVSLSQGHIQMFKENRNNGDFPPVSIARL
GFGTSTTPKTSISSHRTDIVEERCSSLVITGDPSGYLWICSVWSSLTDAESLTPAIHSLPGVLQKFIHQQATGRCLVFLVLLGHLCEKLAGEYEFIL
ERLDIIVGLGEKVLLEGLEWGTSEAVNRLKKMLWGLEALRVFNDRLSASLSQIQKAQEAMERTVKQEAGQQHVDLLQEYNNVIEEFDKRYGMLSDVQ
IRTQLKISQVTGLRDGISTVTNVEDSQTALRDSKTTIKQGNNIRILTYITIAYLPLGFITAS
>RCO7_03219 | related to acid phosphatase Pho610
MRILFLLAGVTATTAAYVKGKAFDRFITIWLENQDFSKVSENADIVDLHKEGVSLTNYYGLTHPSQPNYIASICGDYFGLNHDELIKIPSNVTTVVD
LFEARNIEWKGYFESIPGPGYMGEWGTDKADGGWDYVRKHNPFVSFDRIRQNGTRLAQLQSFKSFQRDVAANKLPQYAHLSPNMLNDGHNTSLSFAT
TWTKSFLTPLLANPKFMENTLILLTYDESETYSKPNKIVSLLLGGAVPRKLKGTSDDTVYSHYSILSTLENNFELPTLGRYDAGANVFDLVAAKTGY
KNHPLPPPSSPNQPINNSLSYMGFLNNKPNGWLKLPPPNLQLKGAGSMGPERMTKILWITRDKETTPYDGSGILYDGGSGTEESEKAREPVYKAQAP
ELVPVKGR
>RCO7_03220 | probable DYNACTIN (150 KDA DYNEIN-ASSOCIATED POLYPEPTIDE) ro-3
MSELAVGQIVQLADGRTGIVRYVGQTEFAEGDWVGVELDSLDGKNDGSVQGQRYFDCEPSRGMFLRPAAAVVLQQAQAPATKANGSAAVKKPSRPSS
VGGPGLGRRLSTVADATAGKRMSINAASPSPVTRSRPSSMLRSPTKSPTKQLSAATSTTSTSRTGTPSHAQKPSVSISKPRPSIGGNRTSMGPPARP
ASQTRSSVTGAGSRPGVPPARTTSGRMSLAPKGRIQSGEGVRSIASQLSSAQASEGSGHDTGDEDRGASPIKSDDTVSPKPMSPVLSRTAATDRSRA
SPTSSRGTTSPVVQRVGGQSTAASREIEDLKTKLRLMDKKRMEDRDKLKALERIQSERDKFEGIIQKLQTKYQPQQQEITDLRKQLKEAQTRFEAIE
DIQAEHDVVLEMATLDREMAEETAEVLKTELEALKQKTEELELEVEVLREENAELGGEMSPEEKSSQGWLQMERNNERLREALIRLRDMTQQTESEL
RDEIKSLEEDIRELGPVKEHYEVAKEKLASSEAAIEDLRQQLDNALGAEDMIEELTERNMSMNEEIDELKATIEDLESLKELNDELEINHVETEKEM
QEDIDFKDSIIGEQARRAAQQEEAMEDLEYTLSRFRELVTNLQSDLEDMRASHAMTETESEQLNSRSRAMMDLNMKLQVSAAKTQVKTIDLELRRLD
AQEASEHLAIVQLFLPEAFHAERDSVLALLRFKRVEFKANLLHGFIKERVNGHPPAGHQDDLFAGCDVLDKLSWVSAMCDRFVNAISHCSTEQFAKF
AGALYELEPVERALNAWIDGLRRDELNEKKCASELQRTIALMSHLAEVHISPGLASYADEVHMRTLVMQSHLENAATAMLAARSMVQAIIPSQGDED
ELAQHFSRKTESVISHTRSAKVIIGKAVRALEDLKTRSLSLTPDTLQTFEQCETATEELAKFSRHIGEDLYTLLHEEGRAEPFTYLEVQSTVHRTTS
TLFSSSESDLFSTYSNKLRTLTASLIDLAALASDLEMTQEFERAVAPWVLRSGELKSSKTVHVDAEEEMRRLKDDNHERARLIAMKDQTLEEASVKI
ELLESRMRDANKKNEKISELEKKIEDAKKREAELTESIESQNKELTTIEADRENWKKIAEDAKALGVAAPGTKAGQEQAVATAREMDALKTEITSLQ
AAVRYLREDNRRARLTESQNMDWLEAPLIKPQSKEEQRKDLVLAEGQDVLNELLNLTSTAKVYDLSTMPKNRLAWRPAKATPQYHVAKQKENYEAWD
SWKDGVVKKARVLEERDINRGMERPKGKLAARIRLNLPEMEAKGVRPGGEVEIVDPENFEDFKGRLGFV
>RCO7_03221 | uncharacterized protein
MTGNTYTATHDFVIGNVSSRNVMETKHDMFCPGLSRDFNGRAILSSGDDARRVSIYEPGNGSWITAPQMNLWRGYQGPVRFRMGELAFVIGGSWLVD
PSTRGCPVDPTLMEDNNGIYREDSHDWVFSWSNSTVFQAGPSKSNELVFRTRQQLKLTSRHLRIQRLNVRHRSSRRRSSEKMFTAGGAQSYENAPAT
NSAHLIIIGSPGDRPSSARVPTIKQARSFANGVILPDGTVFIVGGQPYSVTFMDTDAVTTPELWDPVNQTFTILPVHQIPRPYHSIALFITRRNGLD
GCPGYLFKPDRSVAKRPVITDMPNSRVRVGGRLTIVADSPVMRFSLIRYGSVTHTVDTDQRRLAVPSDPGAALPGYWMSFAIDGKGVPSIARTVKIT
PGTPGNIHKQDRPPGLNVKSVL
>RCO7_03222 | related to 6-hydroxy-D-nicotine oxidase
MRLILPAVLLASVSAEAIEAIQIRTATLSPVCIQIAKGIKGKVYYNPGHSKTTTENPFTLAISHWMTSSTQTPLCVVEPDSAQDISVAIKIIGSTKT
PFAVKSAGYGTNPGFSSTTGVHISLEKFKMVNVSQDKQTAEVGLGNTFTAVYQALNGTGVNVVGARADGPGAGGVTLSGGYSWYTNQYGLGCDTVVS
YEVVLTDGRIVTASKTSEPDLFFALKGGVNRFGIVTKIVFKTVPQPGKIYGGIQFFSQEAVPALLKATQDFQLNSKDPKASVILTLGGGTLAGAILL
SFYDGPNRPADFNVYNGINDTLSTVATQDYSAMIAASPTSLAAGDRGVFASLSTTTLTIKFMEAVVNETVYWSKFSEDHSGTLMQYDVEPFHPYGKY
ATDSAYPHANSPLPLNIYFAWTDTKDDAFWNASIQKSLAQLRTVAKAEGILTEESVYPGYAYGTTTWDSLYGKANAQRLRTIRQKYDPQGVMLLAGG
FKS
>RCO7_03223 | uncharacterized protein
MSKVEVHPKPLTSYPHVPNPLPQLLQTPSGLALLEMQGTINLPSFDDEESISTESQSGIASQETPIGRLIFPDYDPAADKSDAAWMKRVYLYVGKHQ
RLTGEVKKLPKALAVIRKRNGGEEGEGQVDNDEDEERVEQLEVVEIVKYKILFSIRPEPVGTSGARDLLSHITPPKLETSKSSSTSLLFTKKTTHKD
NMASETSLPEQYSIRTSTSHVPNSPLPVLVYRAALPANPTPESTCARIEPNKWLKGGIFKHCGAHHFHSVTHECYAVFKGHSRLLLGRGPLDPEAKD
DVVVKLGMGDAIVLPAGVAHCSIESSQDYEYIGLYPEGSPRWDNNFCKADEDETSQKAANAWAVPIPDSDPIFGRGGPLIDIWRKALG
>RCO7_03224 | uncharacterized protein
MSYLSSPLPEIDPQQDFNVVLAGNEAEGRGGHIRDALIYSALLGKSIRIESTQADQSGTGGLRSEHIVTVETLAFLCDAMVIGNLQRSQVLHFCPYE
ADYKQNLSPYPGLTIDLKGAASIPLIALLPYILFSHLSPRTCAGYHIPKEGIILTIKAGTLTEKAPSFHYVAHVLLPTLKFIGLAGHIELDRVYKQG
WHTQSATCRGLLKAWVKPLSKPLPAFQLLQRGKLVKITAIATVPSPHLLMRGRTFGQILEEQFENVIPRRIKSSPRLPTVEITVNASNQPSQYHLFL
SAHTISPESHLGYEQVYPQPGVFPPELELEGEERRCYFFIRACIKGLRDELLKGSAVDEHMADILTPYRVLAAGFSTIGLHSEAGATYKNGNLLRAD
IDEEFELRTASFGRKTSRWLAEETTGAKFKDHHGSYETCYGIGLGHGE
>RCO7_03225 | probable GTPase-activating protein GYP5
MSEHENKEKEEPILVEVKEQTRRNSNADSSDRETDTFEDATDTTELEAPKRPSMERTRSLTKRPSFATSRSNSQEKSDKDQPPVTAVPTTESKEDMP
NENEDIKQPNSPLLTSHRVSTTSSLDNANLDTVSLESEELTPVKPVTSRESVKGPPLPSKNAKPALQGLSGALPSVPWSAPPPPAPVQSHAPPPAAP
PTRKLTSPFSWLSRNTSQKEAPPPLPSADRNGTRRNTASSIATISSNPEMMLSKLEEGDEGNVTGANGRPARNSLRDRFKLLRMREEAGITALPEDD
KSGGGFTGMLSRTATFSIGGLTSPAVDDHHATSPSSPHPPPSPNPTTVNPALAPGTASGVSAGPSAGGEDVDWDLWQAVVDEGPAAVARTSPEELNR
AITTGIPNAIRGVVWQILAQSKNEELESVYRDLVNRGTEKDKDRLSGSSASTSLNGRDDVVVSSASSIRSDHSTPGTTSTNGMRSPSPPKDPEMLAK
AHAVTLADKKKKAKEDAAALLKLDKAIKRDLGARTSFSKFAASSGLQEGLFGVCRAYALFDEGVGYAQGMNFLAMPLLFNMPEEEAFCLLVRLMNQY
HLRDLFKADMPGLHMHLYQFERLLEDFEPALYCHLHRRQVTPHLYATQWFLTLFAYRFPLQLVLRIYDLILSEGLEAIIKFGIVLMQKNAAALLGMT
DMVALTNFLKDKVFDVYIDQAPSAGSILESGFFGSSGASIDKEVYRADQLIQDACSVKITPEILKTYRQEWEEKTRLEKERETELDTLKSHNASLSQ
KVRRLEERVEEHDSEHAALATDLVKTMVENQELKDENESLKGQVVELRAVIEKQPEEVEQRLQSEMDRLMKRNQEVHEENSRLEEEMGEMEQTLVAT
KMQYAEINAAHETLTRKWTDLRKALGD
>RCO7_03226 | related to TOM1 protein
MVRITKTMQAKHVESMSPFVKEFRNAACTVPLPLLPQHLTTFPSRWPFPRGDLYHWIPLLNRFDDVLDKFCDTYKLEDPQTSDFGCEILQSGISETE

VTAPTGHDLKGLGFSTEGDRELVESILQFSKMLLQNCGNRSVYASSSHLSKFLNSTSLSLLEVTLELGSELAQRYQAALKRMNIPVRNVSNALLANH
YNINLDRVLQLALPFSKSVTSPAEAVQPVTPATPATPSAKGKEKAIFNMPAQKGATTTVYASELVSIVNGGSAVGSSPKSVRNGASSLPATETGWEE
WGDVKLLFYPKTNVEPDTSGNSSTPAPAPYTPSGMPATPTPSRRSNLGPGSTRSDRQSTSDESPSPLPRASTFPALNNEDTARPNFKVIQISSSKIK
SNGLHALLREHMSDLPVDQKYELLTKLRVANALKTSVETRRLMLAVRLLAITNLAYIHSEPVFLETVLKQDSEEPRRLQLIYQLAELIHPPTEGEVA
VPRGIQTLAFALLDAMASLQSKFSDVCAALNTNVNHGVLLYVVRKAVAEMSKDDDESQRTEDDVWRGYLFALVANLSVNPRTGSDLVTAGLIPILVE
VLALRTPIAKLYQPQILSFLDTIMYSAREAFTALVGADGLDAVSSLIVHEVGIASDSAAAGNGMPPQYRSSLVDYSIPFYDQQILKWLFKFIHHMMS
TAGGYGGNFDRLLRNLIDSSQLLGSLRQIIGNAHLYGSTVWTNAVSILNDFINNEPTSFAVIAEAGLSRGLLEAVTGTTIVMPVELKKSEHGAAASS
EESTTSTVAAAAGSPNSSSDEDEDEDELSEQPEYTVAPLTVAMLQKPREGQLARGILPNSETINIVPQAFSAICLNNAGMKMFQASKALEIFFEIFE
SPEHVKCMESNKDLPGNLGSSFDELVRHHPPLKDAILQSIVNMVARVDYLCKIKAESSKIGAKLWTTDISGKPVVADDQLSLSLVDRSIKGKGKAVD
DSGDVEMQDADSSSDAALLVQSSSPDINSTESMTPYITAVATFLSSMFGNTVARTEFCNKGGLEHILNLAHSPCLSYDFGDSSACRTFHHVISQLAD
AKPHLVMPSLLKRAHNAADDLQPFIANDRDTFFFAPFINEEARQAVGAETLSQGTKFAKALVNLHSLIPIINSCFQPPSYNHRVNTNFFVQVNVADY
YIRFVNTLGPLMGATFIEDMRLRKAVPESWQNSSRVKDSGFGESSADVSAASESSTETSAEALPPTSIVGASNGDLPESAEGKAPSTPDKSSKTVSE
TEQSSPSFKNYLTLRYLLGQMTRVITPFFQTLGKALVTKRTPDNFQKQGHLAMADALVQSILSQLSPSENECSEEKFTYWIGFLHCLRDMLIERKQA
SVIEQFRTDYRLDQRHGDRPIQILTIVLQAFKERGGMDTLNHMLDVLTSEIRKVPQQPQRPDLREKKTEDLLLYDLAIVGTTHILSLYREIVNGRNL
TESNQTMSMLARAERERRLDIPDVFSPPQLLVDLRMAVLPAVRKLWGSNELIEKGTSQISEKLIEVIRTIAVADHEANAHKRGDALTVPGKHVHKAF
KLNSEYQTALGADMIGAGNSDLADEALYRCNNNLTNAMEYCRMVATNSLQRHPVPVGDIVSRTLEANPASHPQTSDATGTATPEDQAMVGSVMDIVG
RLNDIVTPAAATPTSEAGSIDQALAQVVNNYANRAADSTATPSASTPTVSSASKPPPKVEALSKRVTVDDLNEERALIRDNLIDKCLDVINAHGDVT
HEISDLITTVVNKSEDPATQRKVVSETLVIALMSFAGEEDLRVTGKKVAAYANLLALMLRDKLFYAAAVEELKENLGTLLTFIKLSPNHSAEERSPW
VPQILLIVEMLLSEDARPQKTKWTLPKDENDIPEPPVLQVIEPSVGEEERAQLLEAVLDILIRVNKDEGLALAVLRILIILSRTRSIAQRIGEKKNI
QRLFVMAKQLAGASSTTIQGPLLIILRHIIEDAETIKQIMRAEIKTFMETNRQTRNIDEKTYLRGLSHTALRSPELFVEATNEMVKFSRWVYQPHDG
RLSSLVLKDRTTEPAPKDDSVQPTVQATEDLSIQDVKTSTEAVDTEMTDIVKPTTHEQKLPVVENPDGVIHFLLCELLNYRDVEDKDKESAPVATSI
ESSSSRNDDTTNLSTPSESGSASAKDKPKSSSKQDFKAEEHPIYIYRCFILQCLTELLSSYNRTKIEFINFKRSAPPQSMTPSKPRSSVVNYLLYDL
IPLGTLDHAENTTLRKKLVTSNWADSVLTALLCKTGEQPADKSREPYDSENEPDLLFVRRFVLENILKAYSQASASTETLDVKYARMLALADLMNHI
MSGKENVGPTDTSVANMSQKQLRRIMFEKGYVAALTASIADVDLNFPGAKRAVKYILRPLKTLTTTAVQLSDLALISATTGQGDEDEIESATSLSEP
EEDREETPDLFRNSTLGMLEYGREEDSSSESDDEDEEMYEGEYEDEMEYDDEHEPGDDEDNISDEDEEIEGMGPIEGVDGDHGLDVEVIMADDDDDE
DDSSSDNDDSEDNDGHADIIDEAGDIQQIAEDEMDEWESDDQDDDGEEEDYEGQAADAEEQQLHDMEMGGPIGHLVRALGGGDVDAAQIIERMEAEG
MDPEDDEDDERVPGEYVEDEDEEGDEDDEDEMDDEMLFDQYPLDGPGAASFGWQDEVEPPMIAHRRPRGVFSPFPLEAFAGGPRDPLGVSEYRPTYR
SHRPGAPAPRGPGDDGLNPLLQRSSAGGPSLHGSSRVPSMGSFIQAMSGAGGEILDIGGRPFGESPAAAALLDEVIRFLPPMPGHIARHGPGLQFHI
TAAPGQPLPPHLQAMFSMRPPRTDRHPHSTEPGGAAFFTPQSTTARWLEEARIVFGAATLECSADLASAILALLVPPAIDLDKAAKVAEAEKARKVA
EEIKKQLEEEKIAKEKKAEEERIEKEKKEAEEREEAERVAAEALAARGPEAEATDNQAPAETQDVDAMDGVESEVPAQAAPAEQAEDAPAADRPRIT
TMIRGNPYDITDLGVDAEFLAELPDDIREEVIMSAVAERRSTATAAGANPTDIDQDFLDALPDDIRDEIIQQERQDRRRREREERNRAAAAANGGAV
AGGDMDVATILATLPPALRNQVLMEQDDATLAQFPPEIAAQARSILRQQAAEQANRRGAAGHRGVPPPAESRQPNAERPQRRAIVQILDKSGIATLL
RLMFIFQHGSLRSTLNSVLQNISLNRHNRNEVISTLLHILQDGSVDMTAVERSFAHLSLRAKQPKDIQSKTPQSQSLKRALTNVGPITQTTFEASPL
MVVQQCLAALVSLNQVNPHIPAFFLTEHSTIDGLKRSLSRKGKGKENKAAKFALNSLLSLLGRNLIMESSSVMESLSTLLNMITSPLQGLQRKQKEA
EEAKKKVAEAAEAAEAAPSVASPENTTTTTEQTGEFQADVPISDVSTAVEVTQVQPEDGGASASTSPAAQEPKPDAAKQGEKTTEKKMTIFTPPVIP
EHNLKLVINIFVARECSSKTFRETLSTIKNLSTIPNAKAVFGRELISKAQGLGEIILVDLEELLPQIEKATTGTEIQGVALAKFSPGGSDQNKLLRV
LTALDHLFDPKRDKKDKPTDAEDEGESSQLVEKQDLLSSLYKNPTFGRMWERLSACLSAIRQREHMLNVATILLPLIEALMVVCKNTTLKDAPISRT
QHGKDMLLTSPPPESQMESLFYTFTEEHRKILNDLVRHTPKLMSGTFSLLVKNPKVLEFDNKRNYFSRSIHAKAPNARQSFAPLQLSVRRDQVFHDS
FKSLYFQTGDQMKYGKLSIRFHGEEGVDAGGVTREWFQVLSRQMFDPGYALFVPVSSDRTTFHPNHSSGINEEHLMFFKFIGRIIGKALYEGRVLDC
HFSRAVYKRILGKAVSVKDMESLDLDYYKSLIWMLENDITDIITETFSTEQERFGVTETVDFIPNGRNIPVTEENKQEYVRLMTEFRLTGSVKEQLD
EFLKGFHDIIPASLVAIFNEQELELLISGLPEIEVDDWKSNTEYHNYTASSPQIQWFWRAVRSYDKEERAKLLQFVTGTSKVPLNGFKELEGMNGFS
RFNIHRDYGSKERLPSSHTCFNQLDLPEYESYETLRKQVLTAITAGSEYFGFA

>RCO7_03227 | probable ribose-phosphate diphosphokinase catalytic chain I
MATNSIKLLTGNSHPQLAKLVAERLGIELAKTMSLNYSNQETSVTVGESVRDEDVFILQSTAPGDINDGLMELLIMINACKTASARRITAVIPNFPY
ARQDKKDKSRAPISAKLIANMLQTAGCNHVITMDLHASQIQGFFNVPVDNLYAEPSTLRWIRENLNISQCVVVSPDAGGAKRATSIADRLDLGFALI
HKERARPNEVSRMVLVGDVENKTCILVDDMADTCGTLAKAAETLMTHKAKEVVAIVTHGILSGNAIEILNKSKLSRIVVTNTVPLMDKETRCERLRV
MDISPTLAEAIRRTHNGESVSFLFTHAPTD

>RCO7_03228 | probable 40s ribosomal protein S6.e, cytosolic
MKLNISFPANGSQKLIEIEDERKLRVFMEKRMGQEVPGDSVGDEFKGYIFKITGGNDKQGFPMKQGVMHPTRVRLLLSEGHSCYRPRRTGERKRKSV
RGCIVAMDLSVLALSIVKQGENDIPGVTDTVHPKRLGPKRATKIRKFFGLTKEDDVRKFVIRREVQPKGEGKKPYTKAPKIQRLVTPQRLQHKRHRI
ALKRRNSERTKDAANEYAATLAKRVSEAKASRADLRKRRASSMRK

>RCO7_03229 | related to TGF beta induced protein ig-h3 precursor
MYFSSLICASALAASAAAQMQMSLMDLLMTNNKTLGTLTGLLEAHPSLMSGLTSAQNITILAPSNDAFSTYLNTPNGKLASSNPGQLTALLQYHVLM
GTYMSSSLNTSIYAKSMLTNATYANVTGGQVVKLSKTGDAVLALSGNREMSKSTTKDVAFQGGVVHVLDKVLTMPMMPSHSALDSNLTALAGALTAS
SLIAPLDAMKDLTIFAPSNAAFDRIGSALPMLAKDKSMLMNVLEYHVVNGTIGYAGTLGNMTLTAAQGGKIKVEVVNKKVFVNSAQVIISDVIIANG
VVHVIDNVLNPANPGATPNPTATTQTVAFTGVTMGPNPFTSGITPTATAPSASTSTAAADRDEGAMSSVAYSVLLLSLVFLRDIM

>RCO7_03230 | uncharacterized protein
MNITVPIISDRTDRELSVSSVPAKEGAKDDSTNQANVKGKDAEVSKKEKRREKKQRSQQRMMYEKVERERKKQQTKLRVKEKERLEQVAKQARLAAR
QAEILRNEETFP

>RCO7_03231 | related to 7alpha-cephem-methoxylase P8 chain
MTTGAFRYIDPASYTSSSGEHIKPWGKVDGPGTSFRLTPHSRPVQNIRGRESEFSTDTSGFAVYKSPSAGFNFDNDAEVRSGYYTEVENMLREKLPG
IKKVVIFDHTIRKRDKNAPRQPVQQVHVDQTVGAAEARVRRHLPEEEVDELLEGRYQIINVWRPIAHPATDFPLAVIDWRTTSPDDFIEVDLLYPKR
APLGDGSGNRGRIEDDDDRGKEVVPDPSSIESTENYEVKGETFAVRPNDKHKFFYMKDMTPEEAMFIKCFDSRGQGLPKGVEGLARCTPHTAFEDPG
TPESAPGRQSIEVRCLVFYE

>RCO7_03232 | related to lactonohydrolase
MASAFATHSPSFSTILGPSPTLKLLLSRKPHPFAHGAGVFFPDNNTLFITSSPYIEPLKNNTLCVQINKISLDGSGNGPTWEEIPSDDLPMASGGVN
YKDGILFCSQGSNCTIPIKEGEKGHIPSGLYHMQRHAPYTVTPILTSFHGRKFDSVSDVVVHPTDGSIWFTDPTHGQVQGLEEKLNFPSQVYRYDPM
TGNVRAMADGFATPNGICFGPGEEPKLVYVTVTKRDRVDEEIEGAGKASIYVFDIQYYSDQPFLVNRRLFAHAAEGFPNGIECDIDGNVYSVCGDGV
AVWCPGGVLLGVIKVNGGAANFCFGKEGAMCILNEKRLWMAQLSKDIKGALLGI
>RCO7_03233 | uncharacterized protein
MGTLHWRTPVFGASWFVRLVPILGILILYRLLNQEYYAMRTNPRTSFIAALAASLVRYGNAAGAVDLGWYAPNATEINDLTKVLTGEGVYGFIYNSS
TVPASEYGTYNWCNMPHVRATEYKKPSAEFKLQYVEVIQRHHKRTVYAANAFPVESYGWDCHDEGLFYYGEPKAGHRSAHTYWQGFRSAQNPFVPPG
FLGSCQFPQITKEGLDDSWQHGKDLYGVYHDMLGFLPETANEKITFRVTQNVITSEVAGMTLNGMFGIEGDHPLMINPSGYDSLEPTYSCPASSSLF
SAIRSSPNWTNHLTAASGVFSALDDISRVPINDSGFHASFDHYYDNLSARQCHAKPLPCKLVNGVNSTTCIDQNLADDVYRLGHFEYSQIYRGDPRS
LAASYTSQGVWIGELTAHIRELINGTSDVIYRHNVAHDGTMSRILSLLQLDVMVWPGMGSEVVFELYKKGNPATPTSATTTSTPTPTKECARDNCLR
QFIEESAKVSSFCPSYTASSAIATATLPTFVSQCGGSASRVSSACSCLVTPTSSSASSTPTPTAGGSASGYYMRVLWKGQPLRSSNPSLGLMDMVPL
ETVLAYFDGLVGVGASLIKGKCNGSIPV
>RCO7_03234 | related to geranylgeranyl transferase alpha chain
MASHGVSRTATTGLRTDEQRITEQKEILKYQELEELIRVKVAQRQYTLEVLELTSKLLKKNPEYYTIWNVRRRLLIYGLFSKSSDSSSHSTASPTTS
PNDTTKASSEMSSSSTFVLSMESTTTPQSPSSQNHGKNGTTLDLIKADLEFLFPIMMEYPKCYWLWNYRLWLLKEANRRLDPDVAKELWKRELILVG
KMLVRDSRNFHGWGYRRMVVAELESTRLGGKSMVDSEFEYTTKMIHAPKGLSNFSAWHRRSKLIPRLLDERNADDVTRKQFLDDEFDLVVSAMYTDS
FPYAQSAWFYYQFLMTTLTDHVGHATITPNFTNDDRLVYVERQLSILQDMLDGAEDCKWIYDALIEYTMALSLIKDREPQADEKANCKVWLEELRKL
DLFRSGRWDDLEKSLGKK
>RCO7_03235 | related to meiosis-specific APC/C activator protein AMA1
MTAPKGSITCRKRYSKSDLPSGLLDYWSGKSGADIRPFYDAVRHHFDIPYLGTSSTEFDSPEQAPSATRHFDLPYRSPSSVHLDQPKREPSVPSVTR
LRISSGISQFDGPSDSEKRALAIATLPRINPRTNTFRRRPSLKAFTSSGSSGSLRAPDRFLQRRQGLDSAVESFRASRDPRTLTTDEKLLRHKDASP
DAFNPRRRATTPIPNAIRPPTRRNFSGNRSGSGGGSVLTFQRDPAAPNGERQVSVGTIWRVGGLAPVSGVPDGRGGLIGSGTNAPLYTTSFTARPRA
QEDKERHENRLAEALDLDRVGRVFEFRDPTTSPLKLSAEDNGAYCGKESRTSWLGTEWVLGGPDRILDAPNLRDDFYCSVLAYSKTCHTLAVGLGSM
LYAWSEMQGVHLLNGGTTNGSWLTSLAFSSTQGKKSILAFGKSDGSLNLVSLYDSMLPRFEVQHPSPIACLTWRPQVTMRLSRCPLTPSISVQTEDL
LVGDEIGNVYYYSVEWPQSWEVTRNGWSGSMTLLVKISVHSQQICGLSFSCDGSLLATGGNDNLCCLFRTNDVLHKTREESQVLEETFTGGEGTRRI
HTLVARPDVKAIKLGAEKHRWVHGAAVKAIAFCPWRDGLVATGGGSNDKCIHFFHTTSGTCLATISVAAQVTSLIWSTTRREIVATFGYAQPEHPYR
IAVFSWPECKQVAAIPWEGEHRALYAIPYPGGPNESQSQTSREGVRGLSRTATEGCIVVASSDESVKFHEVWAAGQKATVGGEGLLGGSDILEGLEG
IDKEGDVIR
>RCO7_03236 | uncharacterized protein
MGYGITRNHTPHSLRKRLLPQHKLAAATYMTACGCQHQRLGKYRDALGGVYDFTLLRKLPSLERLVVMIKNQNLNWLPKLSEIEQRVRLAIMAAQAA
YPDIKTPELQLEYIDNWHTCGK
>RCO7_03237 | uncharacterized protein
MAIPQMPIILLLTPIFFVTFSPSVLPLPILRIVPLLSSTVSLIWAYDEYAFLTAWLLLPRTQHTQIQQLLPLWFAKWGPLGTKVLFSSFPLSVGAGV
ANIVSVSRTSGLGWEFFAYGLGTFFTLMHFIYGPKAMGLLKGIRTETKDGGDPLGQLEMWMRMHLQRCWVADGPATVAFGVAVILGMEG
>RCO7_03238 | uncharacterized protein
MAKEVKKLQDKIAVPMAAIARLLGQQIFRNTSQLPQDIQNGIAWTIDATELANGKVLEGVSRVESGD
>RCO7_03239 | uncharacterized protein
MLQDTAYQGPPLQYPSPEIPAAEHQDQASLQSIHPINTPISPSPKPSFPSFSLLPPEIRLQINTHHIQTTLLPPLRIKIRLPSYSTTSSRFPPPVTL
QPIIPALQHVNHELLSEYEKTSHGREGIAALKDVFETQGHYLFSERQVLFRKLAMVGKFCGVFGGEGELSEWGVRSVAVKCEMRGIKRGWLRNGGEG
LRAVVKMVRLFGGTVRSVWLVGELEREEREGVVREIYGRLEEWLRGLRGGKGEREDGGDREGLGLLVKVVEQRELEIRNCMWTVVNVR
>RCO7_03240 | probable battenin
MAYGTTTTMSRSPSSPGLLPLPGSPGSSWAVYKARLGTIFQGADTSVLIAFWLFGLINNVSYVIILSAALDLVGPSVPKGVVLLADVLPSFLTKLIA
PYFIHHIPYSFRIIAMCSLSALGMFLIALTPSVLTGGSISIKLFGVGMASLSSGVGELSMLGLTHYYGPFSLAAWGSGTGGAGLIGAGLYVLLTSTI
GLSVRNSLLACAFLPFIMPLAFFLILPQAPLRRASNENYTSIPRNSIDDSDITSLPTSSAAEALLAPGPSSVSEAYTSHSRPASPLSHSYPKGSKTT
FHQNLARTRALFIPYMAPLLLVYIAEYSINQGVSPTLLFPLPSTPFSAYRSFYPLYAFLYQLGVFISRSSTPFIRIHNLYLPSFLQCLNLALLSLHS
VYFFIPSVWVMFAVMFWEGLLGGAVYVNTFAEIMESVPPKEREFSLGATSVSDSAGICIASLIGMVIEGRLCDANVARGRPWCRDLDS
>RCO7_03241 | uncharacterized protein
MDPRQPQHPFSRNTASPYGRTPFPPSSNQAPFPPSSHPPSSLPPPAAPSYAEHQRRPSDPPFYNPPPPRGYGQDAPPMAGSGHTRHQSTSSIGHGTP
VNRNMPPPSSPQQQAPQAPAHHNYGPPPPPRAPPLSGGPPSMFAARDPRDSRDMPTLPPLSRPQSTGGSSMSISSMLGGPSRELPPSQFAAPSPTSG
PGISMHGPAYASPRMGTSGPDYAAFRRPQTPEHQRAYDPRDVRANSASAGSPTNVTNRYTPEGRKLGTPGQGYSQRVPVEERREPARIPNPNNPPPR
PNSQPTAFNHGSQRAPENPRSVRVEGPFVGRVDSASRAPEPHPRQEPAYGRPGFEERQGAFGFSERERQERELAMLRERDMLRERDMLRDRERLERE
RERERERHEREREVALQRERQQQYRAEQENAQYMNEVARRNAQQTAYSRQPEPARDPHMWNRGHHEPPRPEFEQGPPVERRYEFPGTSGPQFSGPAPA
YAPNETRYGPPPQPGSTSHQNQPTTHYEATASLQERLRIAQQQQQQQQQEAQQRLQYGGPPPPPQYQPIESPQRRPVEDALQLQQQQRNFLNVQESN
RRGRASPLPQAVQGVQGQLNGPGSEPSIKNEFGKMFSGIGSGVSAAMGVPSPVSAGSGGMPFSNAGQLRREDLEKQDSPTETGGHKITRTASRGGRR
RKLKEEESKGDDESSTGRRTPSGRGKRAKTHHHHHHHHHHRPDQADASSPSQSSLTPFKSAKGSAIPSPPGLDKATPNIHHHHAPRHHHHHVTPAKS
QPQANIIVPLPKTTIRSQAVLDSVAHLPRNNLGHGYYDSSIKPGRNSVKRHLTSSRGFASTPATLPLFSGNENSIYTVRIPRVYLSHISREEITSRK
ALWGTDIYTDDSDVIAACIHQGWFRGAWSEDVDVELLDLVIDVPGISAGKKPFDVNETLTAPPPTGPVEVPDDRDVHVTILVLPALQAYASTTRFGI
RSREWGFKRDGYQGIHDGLSFKIMSVKFVEGVDGQVGRKARKKSKMFDKQLDESELLAEREDADFLMGGLNGDGRFEESNLRGEESDPMNGFTGIGT
KSWWKESDRSTKETGKGKQKALGIAADAVPLVPAIRTPEKVRNAEAPVPEPITPILDTKEAPESDQQQQINRITERMVANANTASAPTTPDVPGFPG
AFKDAEGDEIVEKYRYVNGEQRPVVGGRDQTAAAILAFGLDGKEGSVGSIDI
>RCO7_03242 | uncharacterized protein
MTFPPWLGSFPYSSASSSSSSFSISTDPIIINTTQSVIKRRSPTSSFGYRSEASISKTYYCDSESGSLKYTHSSRKSHPNPKSNSDSGVLGEGKRVF
KEEWNFLKRGRFAQSRVAAIACPVAAVGSAMLVFLFLERREQRAIERQRSMEKDREDCGDGFYTMAALQAVLAGCALWTTFPHVYSRGEKKPADSR

>RCO7_03243 | probable FMP21 Found in Mitochondrial Proteome
MSRLITPRFLLPSRRFFTTSTLRPAFSTGPSPPRLPAKEQEEFERLQKSSTGAFSTPRTTVNPTAESTSTTSTSTDTAPQRSRPQINQSPASTPDVE
AEVVNARVAATGKGEELHPDIRRGAKPEFDGERNPKTGEVGGPKNEPLRWGSTGERGDWSYNGRVTDF
>RCO7_03244 | probable tryptophan synthase
MEGLKNKFAECKEEGRPALVTYVTAGYPTAGETVDVMLGMEAGGSDVIELGIPFTDPIADGVTIQKANTQALKNGVSVTSVLQMVRDARKKGLTVPV
LFMGYYNPMLSYGEERLLKDCREAGVNGFIVVDLPPEEAVTFRNFCTRGGLSYVPLIAPATSESRMKLLCKLADSFIYVVSRMGVTGATGSLSTGLP
DLLKKVKQYSGNKPAAVGFGVSTREHFLSVAEIADGVVIGSQIIITLAESKAGEGAKNVEEYCANVCGRRKKGNGNGKLTREVGIVEAVNGAKEPSG
ENVHVDAIIKEASGPNLVDQIEALNTDEPIDPASVPQRFGKFGGQYVPESLMDCLREVEEGFNKIKEDPTFWEEYRSHYDWMGRPGHLHLAERLTEH
AGGANIWLKREDLNHTGSHKINNALGQILLARRLGKTEIICETGAGQHGVATATVCAKFNMKCTVYMGAEDVRRQALNVFRIKLLGAHVVAVEAGSR
TLRDAVNEAMRAWVVKLDTTHYILGSAIGPHPFPTIVRTFQSVIGNETKTQMQEKRGKLPDAVVACVGGGSNAVGMFYPFSNDPSVKLLGVEAGGDG
IDTDRHSATLSGGTIGVLHGVRTYVLQDKNGQISDTHSISAGLDYPGVGPELASWKDNERAKFIAATDSEAFIGFRMISQLEGIIPALETAHAIFAA
VELAKTMEKGQDIVICLSGRGDKDVQSVADELPTLGPKIGWDLRF
>RCO7_03245 | uncharacterized protein
MVSQKSSDLPEGHPLTHGISVAECGPRIYVQLPPELRLHIWEQALPGPRIIAIRTSNQIGHNKCIAMDVSNSTLDILRRSCKASEFIVSVNYPLCFE
ANFDTAFRFCGEKDILHFHDRKALDKFFTASDEIVWKEIKAVRKIAINVEPFLNAPDLSSSSDLKPNGEIARACMRFGGVTEIILLQPESFGGRLSG
IVEKVSSMKITLDDITLSRDMYVQMRRATGLSPLDQTPDVKVTAEEFSTFQARAGSWTTQTFMQ
>RCO7_03246 | related to 2-polyprenyl-6-methoxyphenol hydroxylase and related FAD-dependent oxidoreductases
MVLKVLIVGGGVAGPSLAYWLSRLKADITIIERFPTIRAYGQQVDIRGQGVPIMKKMGIEAAIRAVVVHEPGTQLVDGKGKTTAFFPTTTTNTLRQS
FSSEFEIMRGDLINTLYDLTKNKTNVHHIFDTSIKHFTQDKYDITGGNVHVDFSDGRKEDFDLVIGADGTGSQVRKIMLGPDAKDPRYSLNAHIGFF
TTPSAPGDSKNWTICPLPGRRAIMSRQDNPDLLRVYMMIYGKQPVLEAAYKSGNIGYLKNTWAELFDGYGWEAKRFVDGLKNSSLSDDLYATRMEEI
RLPPGDWCRGRVILIGDAAHSQSINGQGVTLGMVGAYILAGEIAKLATKEGSALGEAVERGGKNYEERFRPMVAQTLGSSYVIGLFFPRTNFGIGVI
HKIAGWAATRGYGLSGGTGVDGSVTWTVPEYQELRNLGD
>RCO7_03247 | uncharacterized protein
MQRPRKFDPPWVDFYTRPCPWFVKQLTSFPQFSKLPREIQLTIWEHAQPRQQVVSINCREVDLRAVPDPDESPAMTLEYRRPSMIEACSDARAAGLR
CFTPALNLYLPSPIRFNFDHDVLELDMHMMEWIASVHEDGQLPIEDTTLVKNLAISHYRRFRAEDMILVCQYFSGLESLMINEPEIDDSFPSAGMPK
LLSPSEASFNSRYRWKGVEKMIKKKISNVRPKLDHWVPPLLLTGTDNQWASVAFRRRIHQLHVFPSARNSNLMDWLPSFNIPSLGYSQKFALASGQI
SSITYQRTDDGSWSLEGVSGLEMFNMVGWVFEDSNLHFYISDSDIAKGLDELDWGGRDDPEIRFVHWNHS
>RCO7_03248 | uncharacterized protein
MEYSMALLTLLDKFTVFPKLPLEIRRKIWRESAEERVVTVKDASTWVDIDGTQTWVYGVKGGAYTLPTMMLVSQESRAEGNTIYHWTFGQRLGRPAP
FNFSLDTLLIDGPDGASNFNTFIDSPNIKDHYLAHEELKLMQANLQTLIIAGDDMYLYTSADVAGFYNLRLICLPWKNDGNDNQLRAWMQGIWQRRL
LEAKAQLTAKLEVKQAAIEAAAEEEKATKADTVDDDDEEKREALRKAETKKHILAIEEGIELQRLRKAKTEVMFTNGLGVEAWLGEGIEITKAVVKT
FPTAKSRA
>RCO7_03249 | uncharacterized protein
MYAALKLPRPTSMPRRQPMPSTSSAPQTGRVLSNPSSNRLPLASSAPTSSASSDTDSASTIAMSAAPQTIAYTAPLNIVAPQPIRHGRVSVQNLERN
AKSSEGIVGPIQSRPGVVDNTTRHADTKDDQLHRPELRESIDQLYHYVERHNFKCWNDSPLGKSDLYRSIRSGFLDPNDVAKSPNRDLLEGSTPDRD
DSSSGLTLEIGRGFEVRRPGVIENSSNRDLLVGSTPYQSGQYRGIGLEHKGKWFGVLDPTVVQNSRNRELLQDSTPDSDESLSGSTRH
>RCO7_03250 | uncharacterized protein
MSAIGFSPNMPLEDASILPVEHWCPVEDKWMYGIQPRYRYLDMDEPSYRVTAAEATSTVTDSTISRSNTMDSTMTNTTIAGSTTKDSEMTDTTITES
RITGSVIIDFPKTKLHTCVFFTVFAELSKEIQLMIWNSAADLPRAVVIDYKEGHLYRLQNPSKVPAILHACADSRSVGLTYFDLSFKHEISGFPSYI
NWKVDTLVFPRAFTLFTLFANVKEEERFNFVIPLHSSAKKVPLEEKVKLMVLAVSDVFHLMTTKRLILGCKNLVSVKFYAALSGYHNQDQEMDWAIS
CVTRDLTQARKDKPMLDVKRITEQEFQRFMTIETV
>RCO7_03251 | uncharacterized protein
MLQPANGDLANLALAQRGALEAARRIAEDRFRRLRARWQIILITVPEVFHPATNATRELGPVTTFHPWSRMPMELQRLVCLQTLHICRVVKIFSDDF
MLAVMDHLTYECTYETVLCAEARIWTPHHITGFRLRYISLHFNFDKKTLFFEDAAALVSLLEPVGASEHRGRGNEENIVAAFNNNGPKNVVLAAPVQ
KYEDLYALIKAFAG
>RCO7_03252 | uncharacterized protein
MSSPAPETAITTEEPLLDFTIFPKLPKELRLQIIETAIDGTDQRTFVVYHAGQVIARSRKQHNPKYNSPVKFTRLPVPALLHVNTETRAAATNIYHL
SFSGPLNNMPVYFNYAKDGLFFYSLLAFQAMHANSRCSSWKKLEQQLRFMGIDEEFRVDFASLSIIAHFHELDTFAHRTNEASGRSWRDTGSDARLK
SLLEGNWSKSHEYEELMAATNREANLIPEPSIEKVYKLPRVDSLQLQQIESIVRPGKRGTGV
>RCO7_03253 | uncharacterized protein
MDSIVPTAGASDFQKFAELSLELKYEIFDLLLPGPRILEIVERRVAEAGSQTAANHLIMVRSSVGCFNAPLILLSISHESREFFLKKYHQVFENVLL
NPVYINFNIDVLAFLSVPVWMTFSTMARMTGDNQIEFDRIKSLVLPAPTPTYNSRALVNLAIQTNAEFTSLKQLFVAEPPMYWALVPSTAPVTLGKA
DIKDLVTLHRQIAFRGVDRGKKWEASEVEIVTEGALKLKYQG
>RCO7_03254 | uncharacterized protein
MLGSSTQLRLKFTDDFDDYPDTINNRPNESASTNAPSKPLSENLMIGRRARRQRQNQRRKAATAIALEKAAMPAEEPNTEAAPLGLQYGKNDPSGFE
SVADGYIPLENFPKFPKLPLEMRREVWHYILPEPQAIFVFNNGYIQSIVTGSITRKTFKYRAAASYKVPRLTQVNKETRNEVMIYHRPAFATNFGGI
PIYYNRKTDLLHFDSPETLLNFYGGSAPNHLPRSLTNGFRLNMREFHNTVSQLAIGNVRANEGMIGAILSQMKGLKVVLIEDKIMRPDGKDIIESFC
HGGKELVMGWDEYTVERPIESRVTLRYVDEPTFKQRIEGWTGRIISEEEEAAERAARVEAKLIAEAAAQRELDKLNRQNELVNEHGSKRKRQDSDVD
GPISKRAKA
>RCO7_03255 | uncharacterized protein
MVRPQYKLTHFSKFPKLPLELRLMCWEATLAYADAQIVMVKLGVIEKEGAVVTQLHVAYNIPPLLGVSKESRDIVLAAYHRFVDAPLMGRPVYINLS
KDALVFQNDEALAIFLDLPKDAEGRFTMASTGTSLPKGIQTIGLIDIEWDQYFPTLIRGDPRVLKRLGQPERISILRKRGKAGYRQRCLVWQIAQKW
HEVDRSAESPYEGPLVEANTFKSLRSKLNATDNLELARIREAKRAVAHSNPW

>RCO7_03256 | uncharacterized protein
MDDTAMVSIAANNLVISFNDVNDFTQENVFTIVSAETTLISSEKKDQCEGKWIPLTEFEPFPKLPLELRQMIWKSSLDDLETNSIFVSSRMGGILLN
YTPPALLHACLESRSVASTTYHAEFANNLGKNGLNKGPVYFNFSKDALEFATVDAMYDFFGSDFKREKPCKDTLSKAMKQNLKYLIVSIGLDYRFPI
LNPQSYKVLGQPKHLFFVRESGPTSKIERGYVKYLKAAKLTGSVDDYTSAVKVQSGGRGANEVPASGRRFKPTIQTLTQSELKRRLYFLEKGRNLPR
PKPVHEVTSSTRVLRPRKAQPGRV
>RCO7_03257 | uncharacterized protein
MEPFTPHEGLANDHCLVQQAHLHSAIGPTTPTSLPRRRGSLSVEQYHQIEQYHQMMAYNVSSRALVWGTLHQPQFQVRNHIESSDITATFNLYPPLV
HEQLLAKYAEVELRDRQDLETFQAKGHIDKRPFATFTKGPMVNSSHQRLKIKLTQAKFQRLSRKKLAVMKAEKTSAFDPFPRLPIELRCMIYALMIP
DRQVIEIKTRFPLPGGNREHEFAVSYDFPAICYISREARDLASRALNYKPAFGANLNGHELYYNPQRDSLLFHDLYVFEEFFNTGFGTGRVSRTKAI
DPSRAIEAPLYLAINHAWEIMMTKRSFQLLGQPKNIVLARRSARAGFWDNSAKLGIEESLSRPVAFTESNMAKEKIVLPKLISLWTFKVLRDTIERL
NRPPPVAVFAPGN
>RCO7_03258 | uncharacterized protein
MVPSRIIIIIIIIIIIIIIFFFFFFFFFSPARASSSPPPSSSITINFLTLEHQYIGYAASCAYFSPSHLKDTFAFTKYDPPKPTLPKDTLALIVVSTM
KLTILSPLFISGAFSAAINDASLKARIDSPENCQCTLIMYNGNLVVDTMPNLGDYIPRNAKVLSPKGVKLGYCTIEYNRNGPCAGWKLDNPPHGPHC
ADSAPKPICAPA
>RCO7_02963 | uncharacterized protein
METTFMTIHNLSPEANILFASDSIVDILGFQSEEVIGRSSFDYFHPDEVPMARTIHERGVLMDKAAVLHYARIRNRTGQWVGCECVFTIVYEVLVAC
TSIYRGDVNNERRALQAPAIRRLFASSPRDPRYHMLEHLSAKFRAPPQASLLEPRAALILNRFTRTLTVMYATNAVSSILGISPEELKDKSFYECMQ
ENCLAGAIRCLESAKANDSIAYLRFQYRNPRTEEDMDADMREASQSSDSEDGGVELHGHMDVDFSPVRESGISAGVATETPGNGESSNAPAPNHLSA
STRTSSGESTDLGQDSAHAIFDQARASRSSTSSSALVSPEARVQRRNARLPRSAAAPSPAPIEIEAVVSCTSDGLVVVLRRARPVIPSLQLPIQTVQ
APQYANGLFAAPWAANPIQTHMYQPDRRFPFQHGIGAAQLPPGGPPLAEFMNSIREVAVFAWSLTGINGNIASYSRGIPRGESQPPGGLPIWDPYGQ
PSIGYVPPENQAAKRWSRLDEKTSESGSVDQVFYQHSRQTQLLELQGYRHDYSMAPSHSGSMMGRPAPAYTYGPQPVHSPGHRNWGVGPSAAQQSHG
SQGPQQPTFENRNPWY
>RCO7_02962 | related to Yip1 domain protein
MASSSNPYEHYNQPHIEDDDLIDPDDANLDDLDDPLQPSQTHSSRAPLVSGNINSGSSSSAPLNESYLTSRIPGEDRRAPTNTIDESVWDTLSRDLL
AVWSKMREVLWPKYLFGGSMLEGTMSFRGAYENIRGAGISGARSEIMGLAGRALDPETLLAQGNMSEGLRDWDLWGPLVFCLLLSLFLSFSADKEQK
SLVFSGVFAMVWIGEAVVTMQIKLLGGNISFAQSVCIIGYTLFPLVIAALLSVFRLPTVARVPVYIVLVGWSLAAGVSILGGSGVVKNRVGIAVYPL
FVFYLMLGCLCFIS
>RCO7_02961 | Actin cytoskeleton-regulatory complex protein end3
MSNKRIEQSEIQKYWEIFASLSNGGTHLTGSQAAPVLKNSQLRDDQLERIWDLADVDNDGNLDFEEFCVAMRLIFDLVNGEYADVPPQLPDWLVPES
KAHLVQANRALTGKQVQFERIEDEDDSPGLKDGFDWYMSPSDKSKYDEIYSANRDGRGDITFESLDSLYSSLDVPDTDIRSAWNLINPSASSAINKD
ATLAFLHILNNRHEGFRIPRTVPPSLRSSFERNKIDYQIDNQRTSSPAQRWGSTGGEETSTGRKAKFGDTYLSRMGMGGKSSYKPAGTDFSTTKTTE
DWEEVRLKKQLSELEAKIEKVETASANRSGGRRDTKPALVKRELEQLLDYKRRELREMESGEGKSKVGASLKGVANEIATVKEQVDGLEAHLKSRQQ
VLAELQEEIENEKSSR
>RCO7_02960 | probable Putative ribose 5-phosphate isomerase
MAPTEPKPLRIVVGGDDAGFDYKSILSSDLSSSPHVSSVHDVGPLNSSDKTAYPHYAVAAAQLIAAGKADRALLICGTGLGVAIAANKVTGIRAVTA
HDSFSVERAILSNDAQVLCLGQRVIGLELARRLVREWLEYKFDEGSASAEKVKAINEYDRNN
>RCO7_02959 | related to triose-phosphate isomerase
MSASSSARKRTVGVSLKMYFSLEETAKYILACAPLGPRALALNVDIFIIPDFLSLTSASTALRLEAPTVRLGAQDCFWEDSGAFTGEVSPAVLKSIG
CSIVELGHAERRRLFGETDEQIAKKARAAERNGLMPLVCIGEKTRAGVDDAVGECRSQIESILEVTNEEIVFAYEPVWAIGQAEPADSEYVVGVVKE
LRKLCGERSVRFLYGGSAGPGTFEKMKDSVDGLFLGRFAHDPENFARVISEVGS
>RCO7_02958 | related to alpha/beta hydrolase
MASSTNSDSPAERPQQPMLASQRAKQANADPPKFGFFPLGYKAAVGQWWASMSPAVAEHNVMSFIPYLQKPPTHTQTGSAPVSAHHSSTSLNTDPVA
QAKPVRTNSINDPYGPRAWYSNLIPLSGKGRALNEFSVERVGEDVEENMVMLHGYGAGLGFFYKNFEGISRVKGWKIYALDMLGMGRSSRPPFKVLA
KDQAGKIAEAENWFIDALEEWRILKKIDKFTLLGHSMGGYMAVAYALKYPGHLNKLILASPVGIPEDPYAVQADMPEPEESAMANEFTQDQEDDIVN
TSGKLKTTGDNNNFLNAKSKADAAKNGDKKEPARRPIPKWLSVLWDANISPFSVVRWTGPLGPRFASGWTSRRFSHLPEQESAALHDYAYSLFRQRG
SGEYALAYILAPGAFARSPLIRRIHGVGRQPIPSPAQTSARTSSTSESNLKKLAKETGIPVVLMYGENDWMDIAGGYAAEQKMKEEKVRVMKKATSE
EKQNENGGAKVVIIQKAGHHLYLDGWEQFNEVMREEMEETKRHTKKFRDLLGKESSL
>RCO7_02957 | related to SPO7 protein
MSNLDQIVKGAPPPGKHYLEQATSGVQRPDASSPPLLADPLASLPSSPPQIYLNLLILEASLRAQWLQLRTRRRQHTFFLTLLGLWVIYFGYALYFA
PREDGSGVGGSVYWVVEMTERLCFMGGVVTGILVWGTGQWERGLRWPRRWVYTTNRGLRGFNCKLVVIKQPLWRDVLSTLSFLFSYGLFSSTSGSSY
RFVDQSLLRESEKVQSKGGHHALPNIHEDDESAGYEEDLSPGGDYIKLLLLPKPFSPGFRENWDIYRTEYWEKENERRAILRKKIREREKKVAKQEG
GWLWRARYWGWKRGKSSDIEKTHHALHKHNSLRGDDLKRNRSGSFRSGSHSRNSSRSTTPTVEMEDGQVGHGRRGSSASSARRKKTISGSRVQKLAP
GGSRSAMPDVPSPLVRENSFTSISSLGSERTPTPGAAEGEATSSAKGLRSSSKSDDSAGKKWSSGSSSKETKLIN
>RCO7_02956 | related to protein tyrosine phosphatase
MASPFTTTNLRHDLTDGPVRTPQPQRYIRELDNRPEANMSTISHLTGAQATNEYSWRAPSPPHIYVPQAREDQLLAQPSKFVALGYTEEERNILSVV
TSGNSWVSRSTQWKYSWRRDAQSILTFLQLGPSVASRNLDALRRDGVTMLLVIRNTATAAARLLSGDKAAQALGIESAAIDVGSNNELIAAFPRATR
IINNHLISKYRQHMAASGNAPHPCGKVLVFCESGNERSAAFVVAFIMNNYGLELVQAIQFVQSQRFCVAFDDDLKYMLDSYQGILQAQRSFADVPVA
PYVKPKRRRDEIEDEDGDFDMIGHGDDKERFGGRTSFVPFQ
>RCO7_02955 | uncharacterized protein
MRKSSGIILAQRSSSASAAALETRGTPTPDVKTASAPNINMGQYQSTTTVSAPISGPRRPPSVSRIIPVPASSSVPGSVNNIPPNQISTTVSTPVSR
PARPSKLPPITWRDIERYAPPNGIREVIIDDISYPFNDINVLRPGGIFILLKVLTIHFHLSETFELLHLKQHEIDDIEKLLWPELRIKLYDIEKMDV
RDAKRILMAHVREGDVLENCLTRLGMFEGRRLSLQDIESVSFVRRAKGA
>RCO7_02954 | uncharacterized protein

MDHNHNHLHRAHARQEAPAPAVQIVYVTAAKTFDGPVGGYSTVGIPISKSEAPKPKPQPTPSNSTPVAPKPKTFVEPAEPAETPPAVIKPSNRQTTL
QTQTSDLPTEITAPKTAIASSLPLLAATGHVSKTSSTHSAPTSSATAGSSSSSSDSNSNEGGGMSTGGKIGMAVGILLLLGGILAIILFCFKKRKAA
AKEVESHENEKYQVDRAASIRTTATAPRLSLRPITQFLPNLAEKRGSRGNPLAIHLAPVAEPGEKGAWDRQVTGQSNNQENPFGNHAETIPPQNPFS
NHANIDPVNASGPAVVEMPSEPMVIAAAATAPVGLKRGDSKRENTPAPMDFTKAGPYKGQLSPAATEFSMSSEAPGTPVQTSSGAAIAAAGGPVNSA
VHRVQLDFHPSMEDELDLKQGQLIRVLHEYDDGWALCIRLDRSKQGVVPRTCLSTRPVKPRPMQNGPRGPPPPGMRGPPQQQQQQRPMSPGMNAMNG
QRMAPNALQIRPSTPNGQHPRPASPAGSMQQRQPRPMVQGQEGGRARSNSAAQTQRPRIAPGPSQMNPMPQFDVAGSPPQGSVLSRKPVPGQAL
>RCO7_02953 | uncharacterized protein
MRDTRDDFVNLIWDAKNDEEWVKVQVELRADLKELQYRMQITAFSRVKEHAYL
>RCO7_02952 | related to potassium channel
MAAGSPEYLSNSGLGRGSPTKEDAATLEKSDTILTFGKFKLRGKNDELPQDWWFASTAIPLLAATIGPLANVLSIAALVSKWRVQLPNNGRLPEGLD
VLGTDIADPKWAIILNAISLGCGFFGNFCLLLNFTQRIRYIVALPATIISWYVATGILIAITAAMNQYVPPIRPGETYSQGFWHAIIAAVLYLIGSM
ILLVNMLGYFLGHYPQHFDLDDDQRTLILQTMMFFFWLAGGAAVFAKACGFSYADALYFCQVTVLTVGFGDVVANNTVGRGLMFPYSLIGIIFLGLM
INSIRKFASGISKDNVIKRHTLNERARTFSRTVTSEKELRDRLGLPPKQESDEFQRQTRSSLGLKPIRGTSLDQYGHFDVSGRNITFKEHKTKPTGQ
GGGRGGAGRKHKAKPPLSRDAKMQKRAAGKLPHVKLASRREKLIMLKEEKDRFDAMRNIQAHTKRFKQYYALGWSVFAFGILWCIGALGFMYAERRI
QNLSYFDALYFCYVSLLTIGYGDFSPRSNAGKPFFIVWSLVAVPTMTILVSDMGNTVVSAINRGTFTLADWTVMPKEGVWHDFVLKHPRLENWLEQR
AEKLEEKKRIEEGFTVQNPDDDEAQTGNVEEDIVKLPTLEKLAEESPAVTEHDLARKLAIAIKRTANDLRSETPKKYSYEEWVEFTRLMKFSNTKKT
EDIREEDEEDLVEWDWIGEDSPMLADVSESEWILDRLCESLNRYTRKQARDMTRHMLEHDQAFTIHSPEQLQLSKISSRKRQALHHDHHDDTYSAHP
QSRNPRFRQHAHEGGLKTPVLSRGSSGNEVMRVRPEIHLDGDEVENGGRRK
>RCO7_02951 | probable KRR1 protein, required for 40S ribosome biogenesis
MPSTHKKEKPWDTDDIDKWKLEEFKPDDNAGGTFAEESSFATLFPKYREIYLREAWPLITRSLEKYGIACTLDLVEGSMTVKTTRKTYDPAAVLNAR
DLIKLLARSVPAPQAVKILEDGMACDVIKIRNLVRSKEKFVKRRQRILGPNGSTLKALELLTECYLLVQGNTVASMGPYKGLKEVRRIIEDCMNNIH
PIYHIKELMIKRELAKDPELAGESWDRFLPHFKKRNLSKRRVPLKVTDKTKKTYTPFPPPQEKSKVDLQIESGEYFLGKQARERAQREERMGKQREK
KEEKLKEREKEFKAPKEDGEKKEKKKRKRDREEGEDGEVKKDKKKKKPKEVVEGEE
>RCO7_02950 | probable GATA type zinc finger protein Asd4
MASLMGMGTNEISQPPICGNCGTSTTPLWRRDEVGSVLCNACGLFLKLHGRPRPISLKTDVIKSRNRVKSSGAAQGVKKKNPFDPNGLEQVRSQAGT
PPLGSMGHRRTSQKSNGPSDGSRSPISRTGTPSMYTNHHLPQFNGQLDEHYNHGSPSLPPMHLRQPSPGRSTSPLNGNNGLEVPQTYEQLIASNSSL
KTRVSELEVINELFRGRVAQLEQDENNARRGEEMRHKSEQDLMRRLEESQRRENQLKHRLDDVEQQLIEANDGAPRAKKMRVADMVGDHNSESSTPQ
SIT
>RCO7_02949 | uncharacterized protein
MQAHLRSDSPTHWPPKTIPYVPPLDGNVFTVFVILRKKDKKEKIWVHLKFPLAAKSTKSIDDIAEKFQMSLNLYPGSNGILSASNQAVDSSRSIYPQ
FQFNPHTKQDKVEPGTVITLNLGIRDMGVDFDAGENISVREKFHHAITIQSSQQRSGSHGSKVNIQVLRTLKASQIQDQRES
>RCO7_02948 | related to beta-glucan synthesis-associated protein SKN1
MSRNGFSNSPVIPSLLNSSSSSPIRSTDDDVDGNAVATAANLRTSSDVSLNESSRVISSTRPLGSHDYSRYPSSTDVSLGSRTHLATTEVTRHFQDV
ENGIRSQRKSEKCGYPDDSLGASDPYSYYGGEKGFILYPNEIEEDDSLHLPADNDDITFKPKGYELSTKETIHFVTTANGYLQLRLERFPNHDLDFG
SGTLHSWSQLCFKGGTIEVSASMAGPARNLGCPGYLATTDGVWPYTYNSCDAGITPNQSSPDGMSMLPGQKFNSCTCKGSDHPNPGTGRGTPEIDTL
EGSIYGETGIVTQSYQLAPFDMFHRPNSDFVAIPDPYISQINSYYGGPFQQGISTITTLNNSWYNGLAYQKYAYKYIPGTTNSKIAWFVGDDPSFIM
DGRAVGPNGNIKARQVAKEPMSIDSESGDEQYMDQD
>RCO7_02947 | uncharacterized protein
MPPTDNRYTPTRRSVDIIKSEYHTHAYDAEADTSLQGRPALETQNPGSSSSSKPHSNYVSFLDKLKLLPEVRISIPWRPGQELPPEKAGDSTRVQQR
GAILLSTRGTAMADPCALCAGGYGRFAVCVTLERTEDGRALRYHADGSVSRSQNLEESSKKRKRTALPPKQTLPITQSTKYTSIYPQIQPPHPAPLD
LDMLLQASIASDQIDEPDSPDRIEVRPAPRLSHPEVARPSAGAFVPSPYQDHAKNRRSKAATLFPRDPGPVSQIGNGTLQPVAATWEHQMIKSKGPP
VPASNFFTKAKQREVYDIVSQCQGGIDELQRQLDTLKSVFGINDQALRD
>RCO7_02946 | uncharacterized protein
MRLSPEDDDEDEGQYPNNHQNIVKGDYRWQQQHKAISMSSPGMDLLAKINTPRNLESPEPFEENISATNYAHLNSQPLHTPQPTPKQRSRLVAPTME
DRLQQMPKLRELPWRDGVEDGADNETGGESRRKQIRFGCLLATRGEIQQVPCQSCANGRGKFNVCVALDGYFKGACASCQLSGRPNRCSIKKNEAGE
IAGSPSLNPPLTGDHSPLRNNDHQPPHIESPQHKRRKIENSVPEWESARPQWEQELGESARQQMNQIVERPWASVNPTATMSVTHPMMNRMNGAAPL
PQGGSNGHRNSLGWASVNQPMPMAGQPYGNGVDGNVPGYRINTEQDRREETMPNEDGSAALIDALPKNKQRQVYGLVSGLQGGIEHLQRELNCLKKA
LGINDED
>RCO7_02945 | uncharacterized protein
MRLYLLPISTRRTLIYCQKLNVVTSDKQSWLDKGTTKAANLWAGWEKKESGWQKKVVDYGNQALKRIPYEEWGLKSIPPLTKRKEEDELPGKGKIEL
SFPSTLIPEEKVAELLKTLGTERQSLHKSRMIYSFIGMPISAPFALVPIVPNLPFFYLVFRAWSHWRALSGAKHIGFLLDNKLIKATPSKILDDIYS
NGERPFDPALGKGGEKTSTVIDGIDLEERMVLHKSNGKRIAEAFDIPELDVELDRAVWQVEKALRETYELKEEQKSLKAVNSQQEEKL
>RCO7_02944 | uncharacterized protein
MASSDNASLTASAPWPQLDSQHILHYGPPLRTNRQTSDASSASSGEAAMRTKGILKNRAAAYSSSSQNTQASGSTHRKSVIAQRAVKSLPPWVASYE
EEDGDSPKASRQLLSAPPRAHAAQHHYAPNAPILATRMSHDGYVETIREGSAIKKTETGFFGGVKEPVRGRKWDHVRDAEPVIMQGGDVPTASPWIP
FIKSSMYAPTTNEDRKIVTPEFLQQQTPGYNRPWRGDLEQGEGSEKYSTHLHSKKKRKTFLVRSQRALISHALVPLGFRLTVLSTSIIALAISSSVH
HLSNVYTYAQNASTTMAIVVDVVAIPYILYITYDEYTGKPLGLRQPKAKIRLVLLDLFFIIFESANLALAFTALTDRDGACRVGPTTDTNSIVCGRV
MALCAILMIALIAWSLTFAVSIFRLVERVGGREEAD
>RCO7_02943 | probable SCF complex member Cullin 1
MSTRVVQTQTARTSSAVIMPPVPNREDLAATWRYLEAGVSKIMSNLQDGMDMQTYMGVYTAVHNFCTSQKAVGSTNSGMIGGTHRGAHLLGEDLYNN
LITFLTKYLEDLVEKSRTHTDEALLSFYIREWDRYTTAAKYINHLFKYLNRHWVKREMDEGKKNIYDVYTLHLVQWRVTLFAKVQEKVMEAVLKMVE
RQRHGETIEHNQIKSIVDSFVSLGLDEADPTKSTLDVYRYNFEKPFLEATKVFYQAESKQFVAENSIVEYMKKAEIRLDEEEERVNMYLHQDIILPL
KKCCNAALIADHSAILRDEFQILLDDDRYDDMKRMYNLLSRIPDGLDPLRARFEAHVRKAGLAAVAKVSVDAEKLEPKVYVDALLEIHTQYSGLVKQ
AFKDEPEFTRSLDNACREFVNRNQVCKSGSNKSPELLAKYADALLKKSASGAEESDLETSLTQIMTVFKYIEDKDVFQKFYSRMLARRLVHTSSSSD

DAETSMISKLKEACGYEYTNKLQRMFQDIQISKDLNTGFKEFEGKLQEPGDAKPVDATYSILGTGFWPLNPPQTDFSPPAEISKAYERFQTFYSQKH
NGRKLTWLWQLCKGEMKVNYPKNMKIPYTFLVSTYQMAILLLFNDSDKNSYDDIVKATQLQADALDPSLAIFLKAKVLTMSPDGDKPGPGKTFALNY
DFKSKKIRVNLNIAVKSEQKQEVDETHKTIEEDRKLLMQSAIVRIMKARKKMKHTNLVSECINQIKTRFVPKIPDIKKCIDILLEKEYLERLEDDEL
GYLA

>RCO7_02942 | probable G protein alpha subunit GNA-3

MGACMSSNADESEQKKRSQMIDKKLEEDSRRLRRECKILLLGSGESGKSTIVKQMKIIHQNGYTVDELALYRLTIYKNLIDCAKALIGAMQQFGIEP
TSPANVEYSDFLMDYQVVSDPHTPLSPKIGVAVISLWQDASIETLMERQSEFYLMDSAPYFFEEANRIAAPEYIPIEADVLRARTKTTGIYETRFTM
GSLSIHMFDVGGQRSERKKWIHCFENVTSIIFCVALSEYDQVLLEESNQNRMMESLVLFDSVVNSRWFMRTSIILFLNKVDLFRQKLERSPLSNYFP
DYSGGNDINRASKYLLWRFNQVNRAHLNLYPHLTQATDTSNIRLVFAAVKETILQNALKDSGIL

>RCO7_02941 | probable glycogen phosphorylase

MASAHPGTRERRPSTSAPISELQGPVGPGFSRPKHKRTFTGFGAGEIKNVEASIPEPQRAAWKKFAPSGFQTKEDFEKEVVRHVETTLARSMFNCDE
TAAYAAASLAFRDRLITEWNRTQQRQTFADSKRIYYLSLEFLMGRALDNAMLNVGLKNVAKDGLSDLGFRIEDIINQEHDAALGNGGLGRLAACFLD
SMASLNYPAWGYGLRYRYGIFKQEIVDGYQVEVPDYWLDFNPWEFPRHDIVVDIQFYGHVKKYQDEQGVNKVVWEGGEIVKAVAYDVPVPGFDTATT
NNLRLWSSKAASGEFDFQKFNSGDYESSVADQQRAETISAVLYPNDNLDRGKELRLKQQYFWVAASLYDIIRRFKKSKRAWTEFPDQVAIQLNDTHP
TLAIVELQRILIDQEGLDWDEAWTIVSSTFGYTNHTVLPEALEKWSVPLFQNLLPRHLQIIYEINLQFLQSVERKFPTERDLLARVSIIEESQPKMV
RMAFLAIVGSHKVNGVAELHSDLIKTTIFKDFVKVFGPDKFTNVTNGITPRRWLHQANPRLSELIASKTGGLGFLKDLNNLNELEKYVDDKEFKKEW
AEIKYANKVRLAKHIQTTTGVTVNPAALFDIQVKRIHEYKRQQMNIFGVIHRYLTIKKMTAEQRKKLAPRVSIFGGKAAPGYWMAKTIIHLINSVGS
VVNNDKDVGDLLKVIFLEDYNVSKAEIIIPASDISEHISTAGTEASGTSNMKFVLNGGLIIGTCDGANIEITREVGENNIFLFGNLAEDVEDLRHAH
NYGSHTLDPDLSAVFEAIKKNTFGDAGSFGALVGAIEEHGDYYLVSDDFHSYNQTQALVDEAYKNQDEWLTKCITSVARMGFFSSDRCINEYAESIW
NIEPLNPGKQDGSGMQKGEL

>RCO7_02940 | uncharacterized protein

MEMDNKDNKDNMESIDLNAPAPNPASTWEGNPIGDFAAPPTGSGLLSPIPTKETFGITTTVKNGTGGLCGFVPLVTVVGFHHARGPEVENWFGAPES
MDPAVDNEWPLLPFMALSDGAHASAEDFSYFTLLRPAHDNVPSTSLFGISCTRQMDAAALINRPADVTRSTVQKAVVVIADSPQFFGMLRERLGVVT
KAWFAQRDFTDTEILKRFQESLQDEKERGVGQADEDREEYLGMSLRELVREFKAQTLVLFKCCLLQPKMLFFGSRCERLCMMQFSLISLIPGLIRKL
QDCADPDLDAYERHLKKPTSLKTSDRSSLLSYMGLPLQIFGKGSLFGPYTPLQQLDILADYGTKSYIVGSTNSLLLQQRDRYSDILINLDDTTINIT
SSSLRTALSLSIADRRWIDFITQSVNDTWDDANPSRPKTMGYVGSEEFIRLQFEDYLLSLISSVKCHSYLKHHAHNPKAHLPQIEGDPSLDFGADWI
EAWSRSENYRIWDRNTDSHLFDIVEPKHPCAGGLTIEDVQRRIQEQVKEYKLDERFATSKEVLGRNLQAGREKASTAFNKLYADIEARRESQRQRYE
EQRREAEKNGTPLPTPGFQAPDLKAVQSVGSKAGAYLGSWGTWMGEKRKVGWGRATTASGTAVQGKEKERESTSVLPIRSMGGGDESPQATKIADDR
PKTTESYEESFFDAENPIASPPKRQVERTSMSYASPGTSTTTPQPQSYSHQPSRFHEESDEEVEPAKMPVHAVMAEEHQVWGEETRDKKLTDGQRRD
RSSAVAEAVVEATKTPMSP

>RCO7_02939 | Mitogen-activated protein kinase HOG1

MAEFVRAQIFGTTFEITSRYSDLQPVGMGAFGLVCSAKDNLTNQNVAVKKIMKPFSTPVLSKRTYRELKLLKHLKHENVISLSDIFISPLEDIYFVT
ELLGTDLHRLLTSRPLEKQFIQYFLYQILRGLKYVHSAGVVHRDLKPSNILVNENCDLKICDFGLARIQDPQMTGYVSTRYYRAPEIMLTWQKYDVE
VDIWSAGCIFAEMLEGKPLFPGKDHVNQFSIITELLGTPPDDVIHTIASENTLRFVQSLPKRERQPLKDKFRMADPLAIDLLEDMLVFDPRKRVKAS
EALGHEYLAPYHDPTDEPVAEEKFDWSFNDADLPVDTWKIMMYEQLYEYKEEQSQS

>RCO7_02938 | uncharacterized protein

MSSSPGLLSPTASSTLPRRRNGKPPSCEPCRRAKISCDHTLPVCERCRRRKVVAKCVYLTAPMTRPVPDGRGRRLVLMPTMTAGSGEGGLDRAVVKG
SERERESGSLSVREKERLSIDVSAAPRDLSHSTTGGLSVDAVSKPTPESGPFIKSGGFFGPTNFSAVFMENRENLGNDEIQISVDSDLHVPSYESLQ
SQTFLMLAGKQHCGSPRVALGIKVLNAMPDEHTCKFLLEWYFEKCHESSCPKHSVLALANSFWNSSFAGSFRKEPRVTDDLEHVSTLLCKNAESALQ
EFEDFDDWLASCSGQNFRWESLGSVYGALTTSILSLPERDAFFATQRGERRNRRDFAVEMKDCVQACITLSNYMDLINVPMVALLTKNFVLQTVLSG
DASLVVWRQLGDLVSSSTALGLHRQIDTGRPPSYISETKKRLFTSIFCFDKGSALLTGRPPALSYRYTRFELPLDLSEEVLIQGGEVLQEAVAKLDE
NGWNQEGQIYSTTATRAHGMFSQVLNEVLELSLGDKDICTAENINYLMGRIQTIYSSLPSFYAFKLSDLGSPNCTDRMFWRRLCLRLIMLEHRLLLE
RLAHKEGFLSGQSMVDCAREMLELTVLLWVQRDRFTEHHHDYDWMLMCWGVPSSGVLIVELLKQVKAPHSTKLVLPRSEIVQNLSLLIGFLEWIKPA
AGNYQLCGRMKLIIKKILDQILNPGPTPPLSSQGVTASSAMPSSQESRNASVNGMGGVGEFQNAGMGVGVNGSTVGFDNGSVGGRFEQQQQQVGFDN
GGIDDGFDWLNNVDWSRGPWFDLGQDFSAARWS

>RCO7_02937 | probable KH domain protein

MRNWGAGMGPNFGMGRPNMSMTPGQAQQQQHKMNGASPTLSPNQADTPIHYSFNVPFASDLAGPNIEDILYATKGAVERWTHPSDAPDDVPIHELPV
HAQNVTTLRKLCKDLTSGPLPIEAHVKSSEPKRVKGQVTNVCLSGSPELVHKSRETILNDTPLALRCAIIDIDGDLVLNDTKAALQVHVIDHLDTVA
VFCGVDIFLLGPKFVLADGQNASGEAGRDQRWRIAVYGDMESAEHAKTRILIFIDTLLGRVVDGTLLELSLHTVVCGRSRKNIKLIESSTNTAIYFP
PPFSMVYRYCPAGAERRNSEEIFITGDTAQNIAVAKQKIHELVTRTRLFMKDAIVAAPKLDSILLTRLDKIRKIMETNGTFIQFPALASQRNMIRIQ
GVEGLHVERTVREIMVLTGQFYSASWWIQQVEAMRMPLPTDIRTMLSDICANSDADVAFDKLTFTITGSDDSVKAALMVISDIKFVTRCAYQIRVKI
ELANEHKEFVSGKKNGKINKIMGQSSVQIIFDGFNEYNFNIDVCGNNYEAMRNGLMLVEQEMPASISFHVPDQYHKRIIGIGGQHIQRIMKKHSVFV
KFSNAMDRGGVGREEDDIKVDNVICRTPARNAQNLELVKSEILDMVDQVDSEFTTQVVSVDRLYHRQLIARLSQLEELEKKWNCKIIFPSTEQASDD
VTVSGPEWQVPQCVDAFLGLVPDNHDLILARTPELAEYLESKKFKSDLVSKLKSQYVVGVSASQDAAELTEDGKPTVTLHWTFTRNNAGGVRDAIDF
LNSSLASAGIETTVVKGAIPRPKSDSFEESLQYFDSRLLQHAPAPVSTDSPIKTSFGDDVARERSTIFDKLRKPGSMSSISSFLDRRKNSSQSPSTF
FMNGSNNVSKSSLISIESTRSFNADRNPWNDSGVNLGDDEGSTWPTRIHFPSGSNGSNGSNGSNEHKPSQLQHPGDVTPRHNMRGSTDSGRPSTSHS
TSGYPGPIGPPRS

>RCO7_02936 | uncharacterized protein

MAQGAVAVAPALTNGASLTAEELREILEYERIVQFRDAVMAGSHPRIKIPAHLTGKQNSRGLSSPISTTPRPNLTSPASRTFSGSRAGDSTNVLNKS
PNTTRLAGGGHSQMSSQSEINPILLEKSDDLIKAELQLQRQRLERGLRAQIETQRIATKAMLQTSESLPNFDISKVLSQALAIAHPSTAPEVEPSAA
ASDSFDENTFYSSQHDTPELPSPVVARKSTAESQLQGAPSFGQRPHKDQSSQNQVENSEVIMTGTSLHNDNNLAKQPLEQLQHSQPQNSTLQPKIQR
IELGNSESSSSSCEVISTHAQGTVNVSYPSNGFWPDYPQHLLHLEDSANLTRMQTTTRDLLKRAFDNTPASPLLRVHNLSPLAPQPARVSPLATARD
PPILRERAISDGIQPVQVSTLRNQATGISSTDSSPKGKKTSERRKEKKEKKRKRRGKETAGTPESPYIKPEPHSPSPYTAVAPLPRPPKRQRKSGQY
AAELNYDEPEDEQIEAVQERIPEQHYREVRAPRIVEREDARYEPDHRRIEPEYRRVEREPEVGYRRVADGQYERRPQSPIFALPYAPGEVRQVRAAS

HAIVERRAYDEPRYYREPVVRASVRPDVDRERSRSPVFRERRSPIPMAPPSQSMRIVIDEFGRKYYEPQPPASVRYREPEIIYERAPTRAVSSRNPA
EFEEDGVVYRRASPPVAVPRRVVTQPEYASGPQPDFRQYRQREYSVRPTPMGPPGEEYIQIRSRQLTPEIAPRREYIPRAASVFPEPVRYEIPREYA
RIQSVHPEGLPREYATGAQSEVRREMVPQSQREYSVRPMDTPLVGIPQAQRGYSVRPMSVRPMEPPLRREPAFLPEGARYYDEPISRQPAEVAFIER
PRARESSVMVYTDDARREVYR

>RCO7_02935 | probable pyrimidine 5`-nucleotidase
MAANRPVFFFDIDNCLYPKSKKVHDHMSRLIDEYFMKHLSLTQEDAYKLHQEYYKNYGLAIEGLTRHHKIDPLEYNRQVDDAIPLEDILTKDPALRK
LLQDIDTTKVKPWLFTNAYITHGKRVVRILGVDDLFEGITFCDYGMNPIICKPREEMYVKGMKEAGVADFKDCYFVDDSELNCREAERLGWSAVHLV
EAGDPLPAVKPCKNQIRSLEELKTVFPQFFKTS

>RCO7_02934 | related to component of RNA polymerase II holoenzyme
MTDRLTQLQDAVDQLANQFVASLFYVHKHHDYSTLGPNDTVRQEAKNAGDPVGNEADGSLPSLFQFSAIRLNPFSVNPYPADVFKAAQKELAQDLIL
KEQQIELLISLLPGLENSEKDQERMIRQLEKEIKEQDEIHKVALKENKETLERLEAVIRDVKRP

>RCO7_02933 | uncharacterized protein
MLAARTHQFIRSAQQHLCRNYTNAAAPTPDPTYSESQSPHHHDLLSFLEYASRTSMDAKSTTYVGTHYEYTTQIALERLGMSLKRIGGKSDYGIDLL
GTWSLPSVNEPLKVLIQCKAFARKIEPAQARELEGAFVGAPMGWRGAGVLGLLVSQKAATKGVREALGRSRWPMGYVLCTPEGKILQMVWNRKAEQE
GLAGVAVGLKYAGGDATQKEVVLTWKGEAING

>RCO7_02932 | uncharacterized protein
MCHQLIHMFKCAHQREPTIVRCKAPDSDCETPFLEPRMKSVKRSDVLKQQQRDELRKPRLNEPLELPRLLTKDTGLEFYEGSY

>RCO7_02931 | uncharacterized protein
MPFFRRVCAMLHLGKTEPAKFNFIENNKWLEKGVDGYITEGFVGHYNCPSCHAKINAYRSVLQTYTRTSDCLRFEQFIEGSSGRCVMQVPITFEKDF
VAMERGLLTPKALDSPCKCEIVKEEFFACCTCVNCGQNLSFWNQVKRCEVMGKLRWFLARKEDKALEEKLALAEEWALER

>RCO7_02930 | uncharacterized protein
MALAYVYHSSHEALKKSFHYCSDLKLPTLSRPTTCPLLSPTPLFSEDRTLNEKHIYNEARNEKYDDEKSLLQDRGNEVLSTQMKAVQHSVELAPMYE
YKIEMVEDIAREANHPSETEVRVGSVTVIDPSKEPIAGISLGTSKSEGKDNYCPTLRAARLCENRPVCPNEQCRNTPEIIQQALPGVGGRMGKEMVI
FRQEAKDGVWVDVAVDITPKIEDLRGKGYKRSAKGRSKDLDAYTPLDTYPLAWFDCTSCGKYKFRYQMDVLKGRDDGQAKEGKKDTACDKGELVFTL
HRLESIKNKKEKSLARILFGDL

>RCO7_02929 | uncharacterized protein
MTSGDTFEIEVSSHNHDALSTRAIGSKNNRRLLHKMMLQHHEDVFENSDDEVDKSRSTDQDDQDDEGGIPAWNSMRRSVNANKATSNDQKSSGPPSP
CVTAAISLHDGPSVRDDHNCKDKYPLTTVEVTECNSESSTDREEVTPTDSEFQPSSYQENVAPSITSYSAPTGVCGSSNISRRGSDDYVEYFSGGCK
VMQGGFKRIKEIPQPKALSEPFRTYPPLSNSGYILTSTAHDPKFELKEELANPTFVARSCIKALKDSLLKPKPTSTTQPQSLVPPLPTKEPGSEEHW
VDPYDVPSDCGSSANSKQQYSPDTTNMLCGKCGIHHIPSGWLCSLGERDLCGSYLPDWFPAERCENPWLTFTDFFNDIYRLESLERGHTLRFPKWNK
VYHTEHPVWKTLGLTRGGWWRCRSGPNAPRAEKDCYNCHDENPLGEARYAHNKYTNHETMEIAMETLNELRNFVDVHMHRVGQKDKAIALDMIRESI
TPKACTSQISLHSVGIGRASNGQKAHEIEEGKIPRNEERMILEAMWIHRGPMSTLDIPIRSAFSFEDFPDHDLDNDHRDDDDTGMMMMSTIRRHSRP
PPLSFHRQTSSFGSNFFSALLSHKAPSMISPSTISPSMPPTPEIPEEGVQASED

>RCO7_02928 | related to 51.5 kDa protein
MPPASRGWVRSLRKWSLCSKFIILRQISASTVKPASPPLKIRLREYQEECIQAVLAHLDLGHKRLGISLATGSGKTVIFTQLIDRVKPRNKADQTLI
LAHRQELVEQAARHCKNAYPTKRVEIEMGSMHASGTADITVASIQSIVSGSRISKFNPANFKLVLVDEAHHIVAPGYMRTLDHFGLSKAQPSSPALV
GVSATLSRFDGLRLGAAIDQIVYHKDYIDMIGEKWLSDVIFTTVQTKADISRVKKGVNGDFQSSELSRIVNTEQINDITVRSWMSKAEGRKSTLVFC
VDLDHVAGLTNAFRKHGFDARFVTGDTSKPERSARLDAFRNGEFPVLVNCGVFTEGTDIPNIDCVLLARPTKSRNLLVQMIGRGMRLHPGKKDCHVI
DMVASLETGIVTTPTLFGLDPEEMVDGADVDNMKSILDRKEAEEVREEVAYRTSTLKDGPTVPATVTFTDYDSVFDLIEDTSGEKHVNQLSPNSWVC
VAQDRYILTNSTGSYIKVDWTEDKTGEPQFVITETVALPRLAAGVKSQPFMKPRKIANALTLADAIHAADTFAQSKYPFQLINRHQAWRNDPSTEGQ
LAFLNKLRLKENKLTPETLTKGKAMDMITKVKHGARGRFASYEADKRRVERVKLKIELEKDLREREHVSVGPVTT

>RCO7_02927 | uncharacterized protein
MDLDERKYTRKALFPDESSDSAFEISENGQSHDDDDDAFSASRAGSGKARSNMTNRSGGTKTILSGSGLNQSSDLSPEKEVFEDAAQWAANFKAPKL
EEIKTPRRRSCGGKKRKAPKPPAETRVKRLKSFYSNDYRELLNTEIQEAASNIADNERLRWSQIGVSIWTAEEKAIVFVALARLGREDVRGIADLVA
TKSQHEVQEYINLLHQGAMEKRQNVYQLTTPADLPIAVEVSDECAAILERAGDALAAHQELAEEKVEKAKWGDSWLINQEVAVQMGKKRKQESGEEE
MQEVFPAANLLELSNWIELSERIFMNPGVSREEDNWQTIAEPEETPAVRATAFEDFHSLAYNLTKRLVSTALFCCMSRLRARGFNKGKHAEVNADDV
DAALKILRLKSDSHYYWCGVAKRSNLQVINDEYKDAVIMSHREVELVLQERHPKMRSRSASRVPSRVRSEQPEHSLHRPDQAEEIDSSPPDVNQVDS
DSNMESEYASLPNTDEEFMSSPPPSSPLSSSESRLSATGVASPDTQEVAEAAQDAHTEAYDMYASQKEEIRLWNLLKQAAPIEFSLNLVSEKAPKGV
RDNLAERENWRNHTEYVNEWEDVVIPVTQEAFARNRRRISRVAKRRDQRVEAGVNVDLDADNYDWEDEDGDEGDVQADEEEDLAATRNPEGPKDVTD
KGSDDEHLQVESPRQQSPGYRSKDH

>RCO7_02926 | related to nucleosome remodeling complex subunit RSC8
MDDDLVNFGSDNGGATPGSILAQPPLQREDTPGESAADVSMAELGAETESAVKAPVSDNPLDAPEAPRREGDEVKDEEMGEAGEEPKVQGSGAPGEE
GLGEKSTVEAIEKTKASIESAAREHLISQTHSIILPSYSTWFDMVKINNIERKALPEFFNNRNRSKTPAIYKDYRDFMINTYRLNPIEYLTVTACRR
NLAGDVCAIMRVHAFLEQWGLINYQVDADNRPSAVGPPFTGHFKVICDTPRGLQPWQPAADRLIIEGQKNADTDAKAAAPPIPKADLNLEVGRNIYE
PTAREGKLNSKSPDKQANGEAPTTNGTSDAVGKTIEDAVKPSITKVNCFTCGIDCTRVYYHNAHTDSGATNTNKVKADLCPNCKSEGRMPANHQSTN
YVKIENETYSTFPDRDAPWSDGEVLKLIEGLEKYDEDWAEIADYVGTRSKEECVVKFLQFEIEDKYLDAEPVNKAMGLNLLGSKTGMLPFSQADNPV
MSVIGFLAGLTEPSVTAAAAGKTVEVLKNGLRNSLERPPVSDKGKAVDNSDSMEIDVQQTTTTTTTTTSINALATVPLAAVAARAGGLASHEEREM
THLVSAAVNATLLKMDLKLKQFNEMEQIIQAERRELERGRQQLYLDRLTFKKRVKEAQEGLKLAASTGGDQGLKMAQDVMMGGAGEKLSFQSPAPGA
GSVQPLSAEGQIKSYDI

>RCO7_02925 | probable electron transfer flavoprotein subunit alpha, mitochondrial precursor
MRVAMLIRECDIPAAHQSTYTMISRSGISVLRQARTQLRTTGPHPVASLSALSRLLSSLAILEQKDGKLNHGSLGAITAAKKLGGSITGFVAGKNIK
SVAEEASKVAGIGKIISVDNPAYDKQLPENFAPLLVENIKKGGYTHIIMGHTAFGKSLMPRVAALLDVQQISDITAIEDEKTFVRPIYAGNAIATVE
SSDDIKVITIRGTAFAAAEAEGGSASIEDGVDSKAQSTTEWVSENLAKSDRPDLATAGKVVSGGRGLKSKEEFDKIMLPLADALGAAVGASRAAVDS
GYADNSLQVGQTGKVVAPQLYLCAGISGAIQHLAGMKDSKVIAAINKDADAPIFQVADVGLVGDLFDKVPELTEKLNK

>RCO7_02924 | related to NADPH:adrenodoxin oxidoreductase, mitochondrial precursor
MERIAKPWICTRCANLLTRFPVTVSYTTANLKQRRAYTAKVHTQDGRPFRMAVIGSGPAGFYTAYKVMSKIQNSVVDMYEQLPVPFGLVRFGVAPDH
PEVKNCQDKFGEVAESPRFNFVGNVSISDQAGALPLRFLLPHYDAILFAYGASRDRTLGIEGENTLKGIFSARAFVGWYNGLPEYSELAPDLTLGEE
AVVIGQGNVALDVARILLQDPEILKETDITTNAIQKLRKSRVQRVKVVGRRGPMQAAFTIKEVRELMKFSSVAFHPVDTSLIPEDITKLPRPTRRIM
EVLKKGSEASVSTAPKSWSLDFCLSPKSFIPNTESSGRLGSVSFEKTTLDPDPFVAGARAIGTNDIIEVPAALAFRSIGYKSEALSEFTKLGIPFND
RSGTIPNDHLGRVVDDTENWTDQKRAKHLPGMYCAGWVKRGPTGVIASTMDDAFSTADSIAMDWHGKVPFLNPEGGDGLGWDGVRYEAEKRGFRRVS
WEDWKKIDAAEKSNGQKSGKVREKFTNVADMLAVLD
>RCO7_02923 | uncharacterized protein
MGIQPPFLYDQIKTEGPRSPYREFDPRAVTRASNTPKPSRPIHDGPLVNFNQHPDSYLILPNGSTTAMPMNPNVKQWIKWMRIVQLILRCLELIAAL
GLLVLMILIKGVDPSTGWIMRIFPGVAILHIVYGIYHLGRKPSGRTPASSASYMLFASFFDVSIVPFYAFSALIAMTRQSNWKTIFADGSLITIFSQ
VVFYLAAIGGGLHLITLAISLYLAVTFRKITKLPPDMNPLEDNLTTRHKRNKSSVSIYSEKRISMPLESKRASGAAYEDLARPPTIPFFHTRTQSTT
SLSTYQSTAPGSRDSRLDLPSRQYQAVPSNRLSVHQDQIKRDSGYSFQTSYTKLHTPPSSPPKRERAPYTHEILQSDTSSLRSSATRPLGGGNASEP
WFGNDSISKARTRSSPAKKAQYQPLHQHHDSEEHISIDAATDYGSSYDHPNPLEANPLTPKHASFHTAREHTVSPLSEDSSSRYSRTENGTAESIFG
TGAESADIADITSPSLERAKERELAQEEIAFKAKFYGELKPGTPPIMIGGGPNRQVSSGNDFAGGNTGFRVMDRREVSGKIAEEGRGGNKNGKGWGA
RFRKGSGL
>RCO7_02922 | related to DNA mismatch repair protein PMS1
MATIKAIEGKTVHQIQSGQVIVDLCSVVKELVENSLDAGATNIDVRFKNQGLDAIEVQDNGDGISPHNYDTLALKHHTSKLSTYSDLTTLQTFGFRG
EALSSLCALSKFSVVTCMAIDAPRGTKLEFEVSGHLKGTSVVAAQRGTTVAVENLFNNLPVRRRELERNIRREWSRVVGVLGQYACIQTGIKFSVSQ
QAGKGKKATLFSTKGNQSTRENIVNVFGAKTLTALIALNLNLELEATSAPSQRWSIREDGGSKEIRIVGHISRPASGEGRQTPDRQMFFVNARPCGL
PQVAKAFNEVYKAYNGTQSPFIFANIELDTHLYDVNVSPDKRTILLHDQNRMLENLKEALTALFESQDYTIPISQLPAQKQPTYKQLTISRENTGAP
RTSQTTEELGEVDESENPRLVSRGPGGENDDKPSVEGSDSHTRRGAVSRDSISRDSGAVSLISKWAGRTAGDRIEQDRQDDSASKPAPKIPVGLSEE
KRRLVEKLRRESEEAQAAPYYSEEPEITRATSRSNDTPAASLRQPLAISGFDRQVSEAPTIGSERGSVDPELSIPALQPVPQSTPSIADKFSSTQRT
QRPAAEIATITIGDTTVTSSIGTPCHKRPRVNDPPSTFRDSRSASIPKSAFPTFGKSLSQMFAAPGSAQETISDDDIEDDTEDRSPPHLITSSSHGS
EQGDENEDNQVMSGEPQPEVVVEPDPVSYFISPDAEEDADYVDEAEKKALEEAKVQEMIVEAEEAPVLPSQENFQRAKSLLKGGSKKKDATVNLVKL
VNIDLSKITEQYQNLETALSAYQTAVTQKAEDEALDSDQAEEKLSLTISKADFAKMKIVGQFNLGFILATRASGSNSEEGAVTADDMFIIDQHASDE
KYNFERLQATTIVQSQRLVYPKTLDLTALEEEIVIENLAALETNGFIVTVDESGESQVGNRCQLVSLPLSRETAFSLTDLEELIALLAEHPPGTVPR
PAKVRKMFAMRACRSSIMIGKTLTHKQMGKVVTHLGELDKPWNCPHGRPTMRHLCGLGQWDSEGWKGDEREHGEGERSVETDWPAYIRESKGVSASP
ELEGDEANEEGGDEEEEEEADGPSDEEDGQEDLATEDQDGSVVEEKEGPEHPGAAD
>RCO7_02921 | related to sphingosine-1-phosphate lyase
MRRRSSGSAAEEEGDAVLSNAAIASVEGGDSSKLDGLIANNSSRNLQTTAAARRPDTKTNQSSHELDRRKSLDKKHTTARSRRPSSGTNWTPAQQRD
GDLDQSRSTEAPVLVVSLNGDGTSEKMPESRQIARRSRLRSPWSISLLTLVTTALALFSLASIIHSFGSRQLDTKGCRMSYMRPSFAKLSDFDTEHT
RFASKYSVFLYREGGVDEDTKVKGVPVLFIPGNAGSYKQVRPIAAEGATYFHDVLRHDQAGIKAGARNLDFFTVDFNEDITAFHGQTLLDQAEYLNE
AIAYILSLYHDPRRSERDPDLPDPTSVIILGHSMGGIVARTMLVMPNYQSNSINTIITMSAPHARPPVSFDAEIVRTYKKINDYWRQAYSQKWANNN
PLWHVTLISIAGGGLDSVVPSDYSSLESLVPDTHGFTVFTSTVPNVWTGMDHQAILWCDQFRKVVVRSLYDVVDVNRAAQTKPRADRMRVFKKWYLT
GMETVAEKTLSQKEPTTLLTLEDNSNSILAQGERLTLRKFGESRKPRAYLLPVPPQGTPFGKRFTLLTDQMLDKAGDSGKLEVLFCSVFPLHPGQSA
TLFSMNMDLSGDSSGSTRLACKNAASDTILLPASTRTSKRPFYLDGESEVLPFSYLQYDLEDILDHQFVAIVDKTADSTPGWVIAEFSDNVNSHRVR
SLGLRRLLTLGLKIKLPATRPMVAEVKIPSLHSSLLTYRLEMGNQVCGEEAELFTPLLRQYISEPYESKFFVNVKQANINLHGVSPYMPPALRQRTS
QDGLSLQFWMDPTCNSSVKISLKVDVPGSLGKLYMRYRTVFAAFPLLIVALVMRKQFRIYDESGIFMSFSESLDLCLRQSLPLVLLALTCLSVSLAQ
TSSAPPQPPSSHFWGWGNNATETQIDYTRNDLLVGSPDSFFWFMVPLIGLVCIGVCVMMNYATLLLTHILCVVYSFISIKPAWLRNEDKRRAVSPAF
APSTPRRRILTTAVLLFLVSTVIPYQFAYLVACLVQIATCTRALRFAREARSNTNFNFHNYAHSILILMLWILPINLPILVVWVHNLAVHWLTPFSS
HHNVLSIMPFILLVETLTSGKMVPRLTSRLRHFTSILFFGVAIYAAVYGVTYAYMLHYLVNFVAAWLVAVHSSTSSWSIQGLSTMFETEGIMNTRKR
GKTP
>RCO7_02920 | related to short-chain alcohol dehydrogenase
MSQESKVLGNRLQGKVAIVTGGGSGFGEAISKRFAEEGCKVIVADIDPVGGERVANLQPSSMCFIKTNVAQETDWENLIETTLSKWGRMDILVNNAG
TSYRNKLTIIKPTADVTEDDFDKVFAVNVKSIFFSARHFIPSLINQGEGGSIVNIASIGATRPRPGLVWYNASKAAVTNATKGLAAEYGEKQIRVNS
VCPLLSATGLFETFVGVPPTEENFQKFLHNVPLGRLTDPTDVANYCLYLASDEAKFITGTCLEVDGGRGI
>RCO7_02919 | related to TMS1 protein
MGALLSLPLLALPSMGTIFGFAASCCGAATCSAVCSACGKCGNSVATRIAYALILLINSILSWIMLTPWAIKKLQHLTLDYMEIVCPNGPCYGWVAV
HRINFALGIFHIIMGFMLLGVNSSKNPRAAIQNGFWGPKIIAWLALIVVSFLIPDSFFFVWGNYISLAAATGFLLLGLILLVDLAHSWAEYCLEQIE
AKDSRAWRGILIGSTLGMYAASLAMTIVQYIFFAKSGCTMNQTAITLNWILFLVVSAVSVHPAVQEYNPKAGLAQSAMVAVYCTYLTMSAVSMEPDD
RQCNPLIRAQGTRTTSIVIGAIVTMLTVAYTTTRAATQGIALGGKGKSIRLPEEDEHNLVTQQPDSRREMRAAALRQAVEEGSLPADALLDDDDDSE
NGVDTPKDDERTSTQYNYTLFHVIFFLATAWVATLLTMNIEESTKGGDDSFAPVGRTYWASWVKIISAWACYAIYTWTLVAPIVLPDRFDFSD
>RCO7_02918 | probable MCH1 Monocarboxylate Permease Homologue, not transporting monocarboxylate
MAEKSLHTARIVSSIAATAISLACGTNYVYSAWGPAFAEKLKLSSTEQNLIGLSGNLGMYSMGIPVGILVDTKGPRPAVAIGALLLAAGYFPLHQAY
DRGSGSLPLLCMFSYFSGLGGCAAFAAAIKTSALNWPHHRGTATGLNLAAFGLSAFFFSIFAQSIMPGSTGDFLMLLASGTFGIVFVGFFFLRVLPH
PHHTPHYAAVPTSASHTRADSNRLYLTKSEDAKYRAQQAHQEPGTPSSSVVPPGETEALKFHDGGEEVAEGVNTDTETSSLMSKSTFSSPGDDPEDV
NVKDHAHRTDIRGLKMLLMVEFWQLFMLMGILAGVGLMTINNIGNDANALWRHWDDSVSDDFINKRQAMHVSILSVCSFVGRLSSGVGSDFLNKVLH
ASRLWCLTIAAIIFLIAQILALSIENPHYLGLVSGLTGIAYGFLFGCFPSLVAEAFGVHGLSTNWGCMTLSTVIIGNVFNLFYGFVFDKHSIVKPGG
ERECTEGLACYRSAYVITVFACLAGLGVSLWSIWYTHYLREKEERDLLEREA
>RCO7_14057 | uncharacterized protein
MPIRRPASPSLHVLFTNPLSVSINLPHQAPILGQRVALAFSSYDKPHLA
>RCO7_02917 | uncharacterized protein
MAKNLGEEATIVDQALQKWTTDFLEEWADRRYTLLQTLQFLTKDFYSSPILDLISLEDYENNSRRSDYVAVINNMANDLASRIPFCRQIITVVDDTE
TEFVGKTVAISREELEEIHAGVTSVWPLSMATGLSRLGRVQVKQRSWFLAELARIGG

>RCO7_12019 | related to polyketide synthase
MVEPGEDACMPIAVIGMACRFPGDATSPDKLWEMLANGRNAWSEIPKDRINIDGFYHPSGNREGSICFKGGHFLKENVAAWDAPFFSTTAHEAAAMD
PQQRILLEVSYEAFENAGIPIETLPGTSTAVYCGSFVKDYEQICLRDPDFSPQYAATGNGIAIMSNRISWFYDLRGPSMTLDTGCSASLVGVHLACQ
SLRTGESTIAIAMGAGMILTPSTMLPMTALNFLSPDGKCFAFDERANGYGRGEGIGGIVLKPLADALRDNDTIRAVIRGSGVNQDGRTPGITMPSKE
AQALNIRAVYKTAGLGYNRTAYFEAHGTGTQAGDPTELGAISATFAETRDSKNPIYVGSVKTNIGHLEGCAGIAGIVKGVLMLEKGLIPPNLYFENV
NPKVDLDSWHIKIPQSVTPWPMEGLRRVSINCFGFGGTNAHIILDDASNYLSERGIEGNHNSVEMTDIASPYTTDSGVIIDTAPSALGESHPVTNAV
KAKLYILTCHEQSGIEKLSRGYSDYLAANDASIDSKAATQLATDLAYTLACRRTRLPWKAFIVSSSPDRLGNQLVEGISKPVRSSEAPTVAFIFSGQ
GAQWFAMGRELLQYEVFRHSLEEADTYLQSIGSKWSLMAEYLKDETESIINLPKISQPLCTALQIALVELLASWNVKPSAVLGHSSGEIAAAYALGA
LSKADSWKLAYHRGRLTSNIALLSPNNCGRMMAVGLSKEAAEVFIREIQNGVAIVACVNSPENVTISGDESAVLELEERLQKESVFARKLKIEIAYH
SAHMRVIEKPYSEAISDIQILEVPAGNTMFSSVTGASVQGEQLGPAYWVQNLVSPVQFSEAAQSLLRAKSVKADVLIEIGPHGVLQGPLKQIMDGER
KPKARPKYISMLTREKDAVATSLEMAGTLFTLGYLLDLGKVNTSISDTSPRVLSNLPTYPWNHTKTYWHESHIGAAHRFRKFGRMDLIGSPSADATP
FEPRWRGFIRVSENPWVLDHQVQNTIIYPAAGMISMALEAAQQIQEPDRKVDGYEIAKMNILKAMIIPETIHGLETAINVKINEPVSKDEVAWFEFV
IYSKLLGATWVKNADGVLCIRYKSRKTDVASNEDYRLVYEEAKATCNEVMSARQLYETLESIGMKYGPMFQNIVAISKKDKLSCTIVRIPDTKSRMP
AKYEYPHLVHPATLDAMFQTVFVAGAEPMVPSFLQSLFISADFPRGAGKYLRGYSSASREGLRDATGTIVMADASWRKPLIIVKNLHFMALSSNQED
FKESDFIPNHHKLCVELEWKYNVDTTAAGSLSEWIRLLTFKHPDLNILEICYDGEPLIESIFGVLSDNPSSTPRMSKYTLATNTSGISEDIQSRLGK
TSAYVVFKGLTGPGDLEKQVLKARTFDLVISNVKGPKFLPTLRGLLKSKGRLVLLQALENQTVSKDIVSYHATQYASIESCNLQSLIASSASGERGN
TNRAYILGNSSASSMTIMPREFLIIIPDKPSQDVQTLCSRLAEALLVLGAKATKSVLVHSPEQFSQKICISLLEIDAPSIFNWTNKEFDAFRSLVSL
SAGCLWVTKGGHVEVETPFMSPAATLLRTIRSEDPQKMLFSLDLDPHTGMDIESTGAAILNIISDSFDPTAVSQETEYAERDGKLLIPRAVLQEQLS
SKIERGNTQRPPITLPFLDVKRPLQIEVRSLGDLDSLCFVDDHVPTLELVPYGIEIKVKSVGVNTTDVETAMGQTSCEYFGSDVSGIVSQAGTATTR
FKVGDRVAAIAQGAFKTFVRCSESMVQHIPDDMTFEVAASLPSDLVAAYYAANVGRLQGGELVLIHAGASGFGQAFIQIAQHLGAEVYATIEALKER
KHLMLTYRIPEDHILDMNSVHFGKSIHQQTSGRGVDLIINTIGRRHLEETWKCMNDLGRFVDMRNSHTSHPTTLDSLSTLRNATYAAIDILHIFQTN
LATSARLFQSAFDLVRGKFVRESRPINVLPLSDISAAFQDTQKRTHGNVVVNISDSDLVRVVPRDSHPLQLSPDATYVLVGGLGGLGRSLAVFMVKH
GARHLAFLSRSGAVSERQKDFMARLAADDVDAKAYACDICDKSQLVEVLQRCALEMPKIRGVVQGAAVLRDAIFDNMTYEDWVAVTRPKMQGSWNLH
ESMPTDLDFFILLSSSAGAIGARGQANYNSGNAFQDALAHYRRNKGMAGVSLDLGPILGAGMVAEDESTLEMLRAAGFFGIREKDFHIIVSAAMTGY
TEDDHRTPAQLITGTGTGGGVKQNNVGDPYWYNEARFSIMAKVGLVPSSTDSDTLSMEELLSSSTSISEAASTILEGLITLFAKSMNMLPGDLDTRK
SASAYGVDSLVAVGTRNWIFRETGVDVSIFQILSENTIAEMADDIAKKSLRPLCSSTKLSAFFSTPPPSSIASTSSTEIFSSLKNFSHITRQISTTA
TARKMSDSNNNFRLSSVFNVKGRVALITGGGSGIGLMATQALAVNGAKVYIVGRTKDKLDSVVKNHGQGIEGQIIPIVADITSKDEIAKLVKEIESK
EKHLDILINNAGIAGNKQQSEAKTAEEMKKNLFDDESSTFDDWVNTYRTNVPQLFFTTMAFLPLLQKSTENQHGYSSTVINISSISGIVQSAQNHFG
YNASKAGAIQLTKMLASEIAENGIKIRVNSIAPGVFPSEMTAGESGSDQKSHIEKEKYEKVPAHRPGKDEDMAGAILFVATNQYLNGQTVAVDGGYI
LHAGA
>RCO7_02914 | uncharacterized protein
MSNSDLCSISLTRKTYTEETEARGAEPRKRWLRFVLRCSDRTWHLKLTFQGKLQSAKNSAFAQPTQRRKNLESLCLCIDFDLSQLLDDTVTELLLSR
KCETSCQPLHLKTPLHPESEYANIVDSLWFRVQEDPYRVRFPPFDVTSSSIPSRHLLDIKKIQELSMGVYRVHVDNIDHVYKEVDRPLYEPRDSDVL
EQELRNLERLRDSENVVKLIAAVVSDNPYRTTKATKGDTTASLQGILLEYLPNGTLQAALQTRKSDVPWLCLTLQMTRALYSLHQNGISHMDLKPEN
VVLNKDNDAVLNDSQEIEARKQNDIWALGQIFSVMSQVTYSAGEQEVLREISLLASADDAPHIVPINTSGVKAAIRAGT
>RCO7_02913 | uncharacterized protein
MSSTYHIALRSSQAVFSVVVLALSSYVAFLQTQTGYHSAVQINFLIFAPAFSIFSLLFLELAPRFSPKASNQYVALGLQGINSVLYFCGFIALSVFL
GRLMYCQGNVCTAAKADAVFGAFSSAVWIASTTIQGVQMSRFGRRYESNGESTEQVNDKAMVA
>RCO7_02912 | uncharacterized protein
MQFQLTTTAFLLSSLLTFAASVPAPSDNIRITVEQVPTNRWCDEDNDCPKEQFCTPYNSCVGYGNTIFDSKSALANKENRWCDEDDDCPSEQFCTSD
NSCVGYGNAIFNQKSAPSKVATTAKIVRAGSGALMTTSVKVIPAQSPGPNRAVTRRIADRLHTAIASTSSFFLSESDTSSVGEF
>RCO7_14055 | uncharacterized protein
MGRRHGGEHPSQYIRSIFTFFLSHFFQFAVHYRCTFPFYFTSIYLDFCLYTPPSRHFSNSFKKHFIFATIFIFVTTAAETASPITAPVTEGNYMEKR
ICGTLSGKAPEICQYGKLANFA
>RCO7_14058 | uncharacterized protein
MEAEKQSFEAQIHGFLQKSEPIHMGLQGVFGSDFWGSLCSYSPFKFIRSNHVSKNMEANHLEARSLRQFDALASSHKSSNKSSKFQFSCAPSFTTEP
IQEPDDPGRLSNQHVFADTDPSFVIDFMGPSHKLILKKYYILDHLNRSDFSAAWNVLTRLESRHMVINNCGVEAYKHLQVLLRPDKQDFELFPDALG
ILDETNEVRKLPFKHAVKKLPSKTDAERLVETYGELKWMLVIPRSCAREGKPSVNEASMADMIWVTKPEDVQVWTDRGPMELLCQFGVVEK
>RCO7_02911 | related to methionine transport protein, high affinity
MSSYWQNFRSEKAQLATHHSESSEEVVIRDGNLEFTREAGAGNNSKPSYQEASGAPVEKDSPLGYDVNWFTIIFLNVGQMIGTGVFSTPGSILKGLG
SVGLSLMFWVIGLLVAAAGMCTYLELASYFPNRSGAQVVYLEQGFPRPKYFFPTAYAMLNVLLAFSSSNAIVLATYTFRIAGHSSSEWEAKGVALAG
YTLATFVVILSNKWSLRFSNYVGVVKIGILIFISITGFVVLGGGIKSIPDPGKNFRNAFEGTTGDASGIVRALVRVNYAYEGYANAFNVVNEIKNPI
KTIRWAGPLSLLIVAILYIFVNIAYFAAVPKEGIIGSQTAAAAIFFEAVFGEGNAGRGLSFLILVSSFGNLVSNLIGAGRIIRECGRQGVLPYPAFW
ASTQPFGTPLGPYLLKYVLTVLMIVAPPFGDAFDFVVDLKSYPDAVFMLVMALGLFFIRRHRKHVNAGAPEFKAWDVIVIFWILIQVLLLVMPWVPP
AGGIYAGSVSFFYATYCFTGLGILGACAVYYWLWIHVLPKRGKYAIRQTVLVLDSGAQTHELVKVPLSELEEWDAKHDVVGKQVAGSGSSYEPKDGS
EDDGVVRERILVDDSKKVEL
>RCO7_02910 | uncharacterized protein
MTNDTSCSPNGDCPILVGTKTNGTFFVAQYDPRFTPTIWRQNMELVTICVCNSLTLILIVSRLIYRWRKIKKLRNDDMWMAVAGVFVMALFASQLGA
NFYGSGLWMRSVKKAWRPWHWRFSIGFSAYYIVVSCIKLSVCCCFLQILTYNLKSLRYCVFGLCAIIASLGAVCTFPWIFGCSPFLSNFYWSVPMDS
CTNYDIFRWLWISVSVPVDLVIMSVPLRILNRVRLRVHEKRILQMVFCATFLGTLACLVGIYGSFRTRTVESNELFYNEVTFIMMNDIETFCYALGA
SFPVLSRYIVAKTDPGPDPTHANFSSWARYIPDFFRDASLQNTRHSHRNSHRNTTRRTTLDVRNTSPELHTPIKCPDEHSLPSGSDHNLQIGSSDSL
YKSGSGSSVAEIDLEKSAAPGKARVVHVRTDVVIERRSGEQTLQEYLKTSQHGSSEGW
>RCO7_14059 | uncharacterized protein
MHRVRDAVRALSYIVCMHVFVNRSLAYLLEARAGVFAWHGMVTGRSKDESSTWGSRPGTLIKNYLVALSTSVSTSALSPFDISPDPYQDPYPRNNVE

GV
>RCO7_14068 | uncharacterized protein
MHRVRDAVRALSYIVGMHVFVNRSLAYLLEARAGVFAWHGMVTGRSKDESSTWGSRPGTLIKNYLVALSTSVSTSALSPFDISPDPYQDPYPRNNVE
GV
>RCO7_02909 | related to proline transport helper PTH1 C. albicans
MASRHLFTSLRPLGAANSGVLYQLNTTRPIRPAALAAGRYFASQPPKASSAESISGHASDSASSKAFSKASSEPSSSSPAPSPPSDWEDNPNYDISH
FSELPHTNFGVNQHIVINDEFKEALRQILWQFRAPIRYAFAYGSGVFPQSKQTESSSSTTTSIHSKAPPAVEKAQGGKPKMIDFIFGVSYTQHWHSL
NLQQHRNHYSALGSLGSGAVSAVQDKWGAGVYFNPFVTVNGTLIKYGVVNLDTLCTDLSEWDSLYLAGRLQKPVKILRDDPRVRLANQVNLLSALRT
ALLLLPPEFTEQELYAVIANISYMGDPRMAFPTEDKSKVANIVGNNLPHFRRLYSPLIENLPNVSFNDSKCSDPQWAADSTANVTLAQDMDPVKRGN
MVRRLPKAFRSKLYFQYQKKYQIPRLEFNQMLESASDEDATRINRRQGGGFERRIANEPPEDLRAEVRYVIKKTIGWPSTVQSLKGILTSGVARSWR
YLGEKIKKYKEGKRKDAEAARKIAEDTQAEKEKKP
>RCO7_02908 | related to spindle assembly checkpoint protein
MKASTPSGLKDSARRRSSVTGGQRASMGSSLPLGISRIAQARSKTTQPAYDFLAGGESTSRPTSRGAAFRQSLRAPSGENARPDVQTETEEEKEKRR
REMDELKMEVKTLKYIIDNHKQEEELAKLRFESEMRDARRKGEEDFKKMQAADGEKNKAVRQYESLLKEMTEIRDAASNEKAALERRVRDVEESKRV
LEEEVEDSRFEREEHMRSIERKTAELESRNETLQRTVEELQQDADQRQQLAEKVKAYGSLEADVLRLKAQTGDAETLGVIKRELGEQVAHIRKLEVL
NREQAAELKHYKRLHKSVEVVEEEKRSLQRRLDAMEGLENDLGEARIQRKRLEDERLAWTAYLQSQDDGNGQLEFDSPEALARALVEERLQTATLVE
RLGGVEPELSAKDNTIQALEFEKANLAEQIEKLKAAPAAGVSGPASSKVQLRLERQRALAVKEAEYLRAQLKTYDTEDTTFQPESVDAAKVQRIQDL
EDMLEKYRQEVEAVNAELATKEVPPPITSPTSTKRRREDSEESEHLGQLSRKNRKLQDELNTYQNKTKLLQIELSITKERVEALSKQSETRVLSLRS
NPTADFEAIKLSTLTTLRQENADLLTQLRTKQPSLKAVPQSTLEAAEQRIVAIEQALASEKTSSDRRMKVWSKKTIEFRQLVISLLGWDVVFMKDGK
MRVTSEFYPSVDDNENSIIFDGDKGTMKIGGGPDSAFAAKIAPQIAYWVRGKGSIPGFLAALTLEFYDEREKDGTLRVNV
>RCO7_02907 | uncharacterized protein
MAIGDVADQYFTYEARIASFQNAQQVAKRRASNASTKGGKSLRWPHKFLTGEELARAGFFFYPQQANPDNCVCFLCHRALDGWEENDDPLAEHLKHS
PDCGWAIVATIEKGDEVLSVEYPSSSAMIAARKATFSDKWPHEGKKGWKCKVKQMVDAGWKYTPTPEYDDMATCTYCNLALDGWENSDKPLDEHFKR
SSDCPFFVLINEHLKSPAPKKAKAKRDRVSKASRLSTQSAFTVASEPPEDLPAEEEDSILTTATNATTKRMGRAKKAPAAKTKKTRAKKSEPVEVIR
APEPEDDDFEVKVDLEMEEAPKSTRGRKRKSEEQPETAHTVDIAPPAKRRATRTRGSTAVNDSIMSVDEQPQEHAKPAGRKRRVSRKVSAASVASTR
APALDDDEIDKALEADLERPLTEDEDEHATILPPKRGTRASKIAKKDYHMFDAAPIEIDEAMIDAELEAMELGSKPLPKSKGAKGKQPRKVSVKQRA
AEKKAQAEEERLAEEEASQHVTEDLDHSTSLQHSSPSIQQKKQRAPARQPAKKAPGTGRATRGSVMSVIEPGVSVVEEALEERLDESGNETDASMAS
QSTVVRGGSTKRGSINKKVKGKDGKKGPSRDIEEIVQKAQEPDVATEEKAPIPSQEHKNTLHMEEVIITKETYYSPVRGTPKPVIEEEERVPQPAKS
RAAKPRGRPRKVSTPARPSEEAVPEEEEQQPVEAEVFAEPEKTPDKAVSPVRSITPSPKKLTPEPSPQSSDAENHPPLSKPSALAQKLATPTSSRQR
IPLSDATPTTSPSKKNVIAGLQSNQPWTSVDLDTIFMKSPRATGTIGDLYGGAAEKVKTGELTSPEKRMTVEEWIQYNAAMAEEKLRSECERMVSVF
ESEGSRAMQALEGVECLE
>RCO7_02906 | related to cyclin-supressing protein kinase
MENPTNWRSSLGATERYENIEKLKKSIEAKGLSSTGTAHKSAFAVESDAYNTSESREAYESVCNAVINESPTDLRDPEPEPSTPGIPIGKYQNCHHI
ASGFVAEVYQSKIVALKVITETHKIEPHNPEREVKILISHTHPHIINLIETFKDSEGRLVLVFPFVPLTLAKVIGSGEVPEEVTKSCFRDLFSALAY
LHGKGIIHRDIKPSNLLLASRTGPSYLSDFGTTWHPSFSINDEPSEHKVLEVGTTCYRAPETLFGNRAYDTSLDMWSAGTMLVECLRKPPTTLFKSR
ETSEDGNQLGLILSMFKTVGTPTEETWPEAKNFSTPPFKWYQEFPGKTWNELLPDANQNARDLCSRLVCFESGNRVTAAEALSHTYLNPK
>RCO7_02905 | related to SYP1 Protein with a potential role in actin cytoskeletal organization
MEALSRPDYPAALGRLAPGNANTRLAERVRKIGKINTEIAGWLQERRKVEEAYVAGLKKLATRPLADLEKDLGIFDAPWRKIVESTGEMAKSHYLLA
DRIEKDVEQPLRNFNSSNREMSAMTTTQGNLAAIAREVEEAQDKSDKLSKKGGKASAQKVDAAQSRLQTATAAWDAQAPFIFETLQTLDERRLNHLR
DVLTQYQTLEMDNINRSQKVVENTLELLLEIETAQEIQNWSQAAGIGGKPALERSSTARQSSTRQSSIAGSTGAANTSVPAPPNPASTHTDNQSEHS
EKREETKLKSRFGTMLGRRRQSIQGGFGRAPSPNKGFTPFGGRNTASRDGRPNPSPGASSNNLREPSAPDNRLSSLAESPPARSPISHTNGHTQDND
PNSINFIASNIHDAPPTPRATNGTAASNLPDLSDVQPPPGPPPSHIRATPEASKDAEGFSMPAPMNDPITQAQQAAALEGEQPQFKLDIRNEPIPEQ
DADAQAALSNVANTLRSSTIPGRKTGTVRGRRDVRNTMFVPTAPTENSLDVASSGIAYPPSPGNATGRAAALAALSSGEHAPGQNSSDTTSIRSGHS
LANHAVVKHAESNVPGLHASIIETVSVTFENGVVTTSKINGEIALFHNRDADDSSSSSDNNIIRINNFPTMESIGPNRTFVHPISEQKPDEFTVDLS
HLSSKPSVAFTYRVHADEATMATQGPLLMRQSWKLQGDRLGLVIEYSLNPTFSSEPVAFSNLFLVGIYQGARATACQTKPTGTHLKEKSLVYWRLGD
VTLSHDWHKIICRVSGTENAMPEPGHVEARWEIANFTGASTGSGISLSRSEQSKGKGKEENDDPFADATTPGIPTTPLGMWTDVETIKKLVSGKYEA
R
>RCO7_02904 | uncharacterized protein
MLAIVSILALLTAALAGPTPVANGPLLGVVIGSPAAAATSEAAVKPDPAKVTINSITYGGTGCPQGSVGSFISGDRSTFTLIFDSMVASIGTGVAVT
ENRKNCQLNINLQYPSGFQYSVLSTEFRGYADLQAGISGVQQATYYFSGSSAQASISTNFKGPTNGDYAISDAIPFTSTIWSPCGAALPLNINSQVR
LTSSKSGASGLLTQDSIDGKVSYVVGVQWQKCTPPKA
>RCO7_02903 | related to excitatory amino acid transporter
MEKTRRDDIQETRCQSPPVIADPTPLETPVKKPWWASIKEPGSAFQIVVAAIMAIAIGLTVTSQVDEVPDAARAILGIPGVLWLRSLRAVVLPLIVT
AMILAVQRLKEMTKGGPVLAKWTITYFLATTFIAIFHSALLTGLVWSKLMTIADEASLSTDGISSQSETISKIGGESTVHGVVVQMFESFIPQNVVF
ALANDSLLAIVITSIIVGYLLKPGSAILRVVQEIESIIVVVITFLIKLAPIGVFFLILPNLFRLNISDVGFNLAILIAGSLSMMALHTFIILPAIYL
FVVRKNPWSYWFKNSKAWITAWGTASSAATLPVTIKCCLDRGNPDTVVKFLVPLGTAIYFPIVVVFLAATQGHILSAVDYIIICLLSTLASIGVAPI
PSASLVLTVMIANSINVPVTGMFAVVVAIDWFLDRFRTALNVSGDLFAAAVVTKITGMKEIIEEDTSSESDYNRVDEPIARSPNQV
>RCO7_02902 | uncharacterized protein
MEYDAKGPLMKSLLLLGEQADANYAIRFPNGLLAIELALQTLHSAIPSADTIYISVCYEIQVEAIRFRVDNPGPLFPPHAHSDHDHHATWYPRLEII
FYNKTGSLNASSTSSAGLHVAHDIFPDVKWLVLGSGYPLLPPPAVQQLILEFEDPVTCFVREDVILEPWLVIWGCEALKVLKTAMGDEVLEVDVLKQ
VFEEVQGKQVKPLREERITKPRTKKDWDDAIQINREIRGVV
>RCO7_02901 | probable ubiquitin-conjugating enzyme E2
MAQSGAAGLLTRQLKYMESAKDLPGISCGLVNSNIFEWEVMLMISDDCKYYGGGNFRCHLTFPPEYPLLPPALVFKTPIPFHPNIYADGRLCISILH
PPEDDQYGYESASERWSPVQTPETILLSVISLLHSPNDESPANVEAARLWREEKTGNKEFKRRCRRGVRDTLGED

>RCO7_02900 | probable MFS monosaccharide transporter
MLGKSGTFFGLRGVRLQIAVGLLAGLDFLLFGYDQGVTGGLLTLDSFRSQFPGIDPLQSGISATESSNRSTYQGITVASYNVGCFLGAIMCIWISNP
LGRRKTIFLGTAIMVIGAILQASSYSIAQFIIGRIVTGIGNGLNTSTVPVWQSECSRSHRRGQLVMIEGALITGGIMIAYWLDFGFYFLDPNPVAWR
FPLAFQIVFCIPILAFVMTLPESPRWLVLRNKDEQAMHVLSALNDQPVDSDYVRSEFAAIKDTVLEMQKGTFKDLFTMGPDRHFHRTVLAYFNQVMQ
QVTGINLITYYIPNVLEQQVGLSPTLAKLIAACNGTEYFLASWVAVFTVERFGRRQLMLFGAAGMSLSMVALSICDAIGSAAGIGQTVFLFVFNTFF
AVGWLGMTWLYPAEIVPLKIRAPANALSTSGNWLFNFMVVMITPVAFSSIGYKTYVIFAVINAFIFPVVYFFYPETAYRSLEEMDSIFLKTKSIFST
VKTAKDEPRRFDKNGDLLINYEETEEHKRWNGEAKVENRETVVH
>RCO7_02899 | probable permeases of the major facilitator superfamily
MRFFPAATGSEPADPLAKGVIPTARQALGDLFKWKQRTVVVNDFGESSCEWQDPEPLTNPITLFRQLKARDWLFFICGFLAWTADAFDFHALSIQTV
KLAAYYKESNTNISTAITLTLLLRSVGAAGFGLAGDRFGRKYPMVFNMIILGLLQIATIYCKTFQQFLAVRSLFGLFMGGVYGNAISMALEHCPVNA
RGLMSGILQQGYSFGYVLAACANLGVGGSTESWKTVFWIAAGFSIAVGLARLCFPESQQFLEAKKNGHKDISAGAFWKETKTMLRQEWKMCVYCVIL
MTWFNFYSHTSQDSYTTFMRQAKGLKNAAASRASIWMKVGACVGGCIIGYFSQFIGRRRAMIFAAFMSACMIPAWILPSGEHTLSATGFLMQFFVQG
AWGVIPIHLNELSPPAFRSTFPGLTYQLGNMISSPSAQIVNALAEKIFVKDEGGPHVKAYGPVMGIATAIIAIGIALTVAVGPEKRGRKFEAAAIAG
ATGPLPSKDVEHGEMEKQVETETVETKAAL
>RCO7_02898 | uncharacterized protein
MYNGAETEEPSKPMSVYDHDVIRHSTKEQCKEQTVFHKTTSNCTTTPLALTVSISTVLVGRPRLQEEPTRLSSFTSKSSEIHDMIIRDKATSSLKEG
ASLTNTVSSLSVQVSLSILDHDDYSLAQKTDAKSEFTQFPPSASTINDLVAVSAWIEPFDLTPYTYIHALHDEEHGLCFDHMASSRTKSDNTALVRL
DTLDWVLFQGSGERYEVLTKTRHQGMAKVDCPCVLIHDRIGVDIGEFTRQWSGI
>RCO7_02897 | uncharacterized protein
MRIIPNILALAFHALGAVSQTITHITQISIFSDLPSCLTNAVGQVYEGLRTSECPQANPASAASCICLKTANSAGISFSMSILVPIWCAAGGGNEAG
LQENFSSGLAVFSEYCVEARAAGTAGPAATATNRKPADTAAGKTTTAPVSGSTSTNSNNQNNAPDPAPTPPSSSSSSPPGLSLGEKLAIGVTIPATL
AAIVGCYFAWRQHQRGKREAEMRKAAYQQAQFQPGPPSYALVQRHGQ
>RCO7_02896 | related to hydrolase
MKFFSPLLALLGAASCVTALVSKRVDSAGGLDFVYPYPVKSYRFVSQRKQLTMSYMDVSPVGAPKGNIVLLHGKNFCGATWDVTIKVLVRAGYRVIV
PDQIGFCKSTKPSEYQFTLFALAQNTNALLNSIGVTSAIIMGHSMGGMLSARYALMYPAQTSRLVMVDPLGLENWFELGVPYQAPDLAYTAELASTF
NSLKTYQQSTYYAGTWDPSYDVWINMLFSIYNGTLGDHFAWNMAMTTDMVFTQPVIEELPNLKMPSLLIVGDKDTTAIGSKWAPANIKPLLGHYDVL
GPKVAAQIPGCTYVHFPLLGHAPQIQDPVSFHKALLSWLP
>RCO7_02895 | uncharacterized protein
MVLAIDNSDLHHGDFEKRAVIIFLCLTPTFLFLRFVSRVTSKQLGKDDWAALAAFVFTTCCNIVTLAAFPHGWGRHKKNLHPRDLQICLILHWIFQI
TYKMSVACNKVSILLLYLRIMPQRLYRLAIFTLLTIVGLFALATTIAGVFQCIPVDKAWNKKKPGHCYNLVNAWYSNAVFSIVTDILILMLPMHMVY
KLQRDRREKFLLYSVFGLGIFVTFTSIMRFFALKSAKNPDTTYDITSGFWSVIEINVGVICICLPPLRSLLSRQFAFFNHSRTRITDSPPNPNSKSK
YPHDSSSSAPSELVTIGGTGGSRNRERERDLDNRRRRQELGAESSEEDLVFVRDGKEDVEHGPASGNSDRECGMGGGIVKKTEFDFEITERRVDGSD
AESGVEERERQRERERSGRTWERIFPYAS
>RCO7_02894 | related to DUF803 domain membrane protein
MDQTAHALLAANLIYSRAESNTTANGITKQSRPPVYKAIGIALAIGSGVFIGISFVLKKIGLLRANEKYAEVAGEGYGYLKNVFWWGGMTLMILGEV
MNAGAYAFVDAILVAPMGALSVVVTTILSAIFLKERLSLVGKIGCFLCILGSVVIAMNSPSESSVANIQEMQHFVIAPGFLSFAGVVLIGCAVLIFW
AGPRYGKKSMFVYLSICSLMGGLSVVATQGLGAAIVAQIGGKPQFNQWFIYVLLVFVVFTLVTEIIYLNKALNLFNAALVTPTYYVIFTSCTIITSV
ILFRGFKGTPTSIITVVLGFFTICAGVVLLQLSKSAKDVPDAAVFSGDLDQVRTIAEQEQSEMEPKADAIRGAAAIVRRFSQVRDKNELAEAKRLHE
EKQQDLEPIGENEHIEWDGLRRRRTTYGSNSVRSRHNTTPFPDFESHPQTPVQHPPLGMSRFPSESDLEDEERPNTGSSMSFFARARSIVGPRSRNS
THTQSHVQSPMHPVPLTEINLPGGNAYYGHPDQIDALTYGMPTGKTEYQGAGERHITIVEGHEPRLNSSGSLHPSVGPTPPPHSARRQFSFQNIFRK
GQSQAQQSTPEENQHQAQSRSPMVRQGLGSRRGSTPAGKGATEEERLGLVKGDTNSSTRLPGPGPVYDDEEEEDGSSSSGWGDDKARMRSDSEVSRD
LTSRAVRADKGLEAAGDVGGSQSRSRNEEESFYEEQRRKWAKGGGSTGRELPPPPPDEEDDMRGGLRSAGGRGRGGAFI
>RCO7_02893 | uncharacterized protein
MSGNISSTPVPPQQGGYGNPYVLLVGAILAGCLLVSWYTASAKDDSREPPVLRPKFPVIGHLLGIMQLQGDYLNKLGSNTKWPIFTLKILSTKIYVI
TSPELVQAVFRNAKTLSFDPITILSSKRIFQMTDRAVKLTYDTSGEYGEKSQALVHTVTKAMHAALQASPALFKTNSFALESFASGLDDVGSEGKSV
NLYDFIRHHFTIATAHALYGPVNPISEDKSLIQKLSDFDSQIGLLFMDILPWLTCRKGHRARSDFAKAYKRYYNQKNEIASSPLILVRYNSLIAGGY
TTDDLASFDIGIIMAATMNSNPGLFWLVSYIYSSPTLLAEIRAEIDAITMHTGPTSQNTSREAQIDVTLLHSACPLLVSSWQETLRMRAATIPSRIV
TADTLLSSTYLLKKGSVIQMPCQPMHTSTTTWGPSASTFSATRFLPDTVSMLNKDEKKKRKQAFSPFGGGSVLCPGRYFASSEIMGVLAFLVAGFEI
EDVRVLDAQLQVMSAQIKAPDGDVRVRIKRRKGWEGVRFKFESGSGEVGDALAFDQM
>RCO7_02892 | uncharacterized protein
MTGRTYDVDIELFDNSFEKEDDNYTTRVDSGCQSSDEDSLDDFQSCSQSLASRDSVDDDRPPIEQNERPENGRSVTPVQSGRRKSSSFSMDGSSIAT
FRESRLRSLSRSRSRSRSRDVNMRSGKLSDQNDQQEIRTRSRTPPTVASSNRPSVDENSNLKSQEIYRDFFPAGLKVIREIDSESARSPYFPSPTEA
NSASLDDTNNANALQNSGGHISLLDKFGRRVQLNFDQDGESCEVRVDEDGHHYIFGDEGLRVILKEGQIESDDDDSTAFCISGGKRVKINIIADRLR
TSALQDPRPTSDLNEEPITPRTEHFATNNSNSLPSPLRNVSQLPISSNTNNVHTSNRRVSRNPWAGIFTGVATKSREVTKSLTKGARSRKRSSSESG
MPDSSSAAHPDESRTSARKLSVAKSGLVTGETTNARQSLFGRSSERTSRRVSVSTFRSTILRRKG
>RCO7_02891 | uncharacterized protein
MLSTWQSFVSREVTPTTAAASIKKVRFEVAGRTSQPSNNINQRGLSVDKKIALPSTTKSEPKGILITSKSQAGFFDEIARLIDSSSTFLTLMVLLIA
TLQNAGFVQVYGTDNLLLRQRRNASRVLSVLSVTLAEIRSHNLTPGHVSRKISGYQSDVVTSLFTVGIYFAAGPANFSTATSGLYTKFR
>RCO7_02890 | probable beta-N-acetylhexosaminidase
MGFNYVAQLIAISVAVSAGSSNAVAVNPLPAPISITWGTSGPRAFNGRNLELKGSTNTIVSDAWDRAYEAIGLHWTPQATEAPAGTFAPFPTATAQK
RGSTTLNSVTVQIADTNALLQHGVDETYTLDITDSSQTVNIKAETIWGVLHAFTTLQQIVISDGNRGLMVEQPVSIKDGPLYPYRGIMIDSGRNFIS
LKKIFEQIDGMALSKLNVLHWHLVDSQSWAVQLTSMPSMTLDAYSQREIYSKNDIKDVIKYATARGVRVIPEIDMPGHSASGWKQIDPAIVACADSW
WSNDNWPSHTAVEPNPGQLEILNPNTYKAVAKVYTELSSMFSDNFFHVGGDEVQKGCYNLSITTTEWFAANKSRTYDDLLQHWVDNALPIFKAPAIK
NRRLVMWEDVAIGSPQAHTVPKDVIMQAWNNGIENIKKLTSTGYDVIVSSSDWFYLDCGNGGWVGNDPRYSVQSNPDVGTGTPNFNYGGGGGSWCAP

YKTWQRIYDYDFTANLTTAEAKHVIGVTAPLWAEQVDDQVISQKFWPRAAALGELAWSGNKNSKGQKRTTELTARILNFREYLVTLGVGAAPLMPKY
CLQHPHACDLFLDQTALYTI
>RCO7_02889 | related to glomerulosclerosis protein Mpv17
MALFTMRTAGRTLLRRPYLPPKQQSLSKRHNATNSTPTTDAPSPKQDHASGISIPVPNIVGPIPIWQRLGPVSRGFQAYGRSQKKRPLATQFVSSLV
IFLLGDISAQSISGDEYDYKRTLRALVISAGSSIPNYKWFMFLNSHFNYSSKALSLLTKVTVNQIVFAPSFNTYFFGMQSFLCGDTLPAVWERIKLT
VPTSVVNSCKVWPAVTAFSFTFIDPQYRSIFAGVIAIGWQTYLSFLNRAAERLAAGKKGEMQREIPANNTGKK
>RCO7_02888 | uncharacterized protein
MKLKTYDYWILQSQQMVAFNRPATRDYNSDERYVCDKKPLVDEEAAFIYRKDDLITLRDGREIAPLDSFTENMLHMFHCSLLQRLFCTKEDRARTTD
PNLHYYSQGRKNILITSILTLVLLCLLILPVFLLYRLAMDENHEATYTISIGILLVFTLVFSAILSLFTEAKPHEIFGAAAAYLLCCSGCFHQQHSR
IEMRRRYSTVASHLIEYKSRAYIFNLWAGDDFFRDW
>RCO7_02887 | uncharacterized protein
MSLSTVSQKVKDSPKIIVYGALLVALTSWLLVRTIQYLKRPKFSSRPSTPTIEKAARSFKAPERKPGVWTPMDFKRPTAPPAPNWNVHTTKPNPYRP
FRHGPYHITMGLRTMNWDEWIELDNHYLKFHADKAKRIEERGSKCSYTDPSAFSGAIELLEELTSYLPQRYPSLYKSTPVGMDNLLTGESFNIVERP
LIEDPMQMAARMTQDDLAIMFEKEDGQYYLLAGSILLAGFWKLEDKFGMALSEIHASADVPGYKTKLEKGMMNFFRRVQPNGPVLRNNYFIQVDDSL
PWSSSIGPEDGPEGTVGWFTAEKDKAIEHHYFRSERQSLRRLPKSGGVVFTIRTYFHPITEICEEPYVPGRLASAVRSWGDDVGKYKGRDRYGDVLL
EYLDGRHREQVEGGLVVEREEEEGRGYPY
>RCO7_02886 | uncharacterized protein
METKIQDHSVPAENATSHDTDTTMENAIETGTAEEPASPQLTHALEALLGGFDSPLHAVEAVSVVPQAQALHAAAEPEQLQISPLAAHAPVTHSLST
VQVPESSSVDQTDKSVAETVNAPIIEQISSTRNISTNQNIETEKAPVTTNQINTTSPSPYPAIPGLFLGNAVDPPVPPPVQNEASQAGVQNTENAGR
YIQMGNNVPVGEDTPMAGGAEVEGEHPEWEIDSSPIESSSDDSSSDDSSESESETGEHAYKLLSPEEQARILMEGDGGSDDEGGGKAKAGSQLRTKN
EVPDVVVPKPDVIITPEMPIMEVGNVEHIVENVLVIKARTSGENRALESGSVLCLEDRSVIGVVAEILGPVQKPLYSVMFTNAGEITEAGLTLGTKV
FYSEKHSTFIFTQALKAYKGSDASNLHDEEVGDEEMEFSDDEKEAEHKRRVKQKRIERRGGKVQNGGSGRGGHPLQQQQTPYDSNQPISYDDPEEDG
PYRPLARPVGFENSVGHGEAPQEGAYTGNFERPNREPHRGRGRGGDRGRGDRGRVRGDRGRGRGGYQDRRSGGGNGHSLPPRPQSHQQAPNTYPQSQ
YQQPAPGIFNQPPATSPSVPNFYMPPVAYSPQQPQMPWPQFPPQFQQAFQHGQNPWQPPPGNSGPPPPPGGAFINPAFLPGQWSNQNGQNGQNGQNG
GK
>RCO7_02885 | related to mannosyltransferase
MPPTAPKAANMRPENPEAAQKKKKKYDTIPKPCPQLLISVPNNKSSLPANSSPTRPATPFAVQPISAFYVFFVANILAALYAPIQDCDETFNYWEPT
HYLSHGYGLQTWEYSPDYAIRSWLYIILHALVGEFYFVRYFLAFGCALSQTILFRVVNNTLNPRIALFFLMAMVFSPGMFHASASFLPSSFAMYTTM
LGMAQFMNWRGGLKTAQGIFCFALGGILGWPFAMALSAPFLFEEVVFASLSSKDAFIETILRFIRGIVAGLLLLTFEFVVSGFFYKSLVLVPFNIVW
YNIFSQPGRGPEIYGTEPWHFYIRNLLLNFNIWFILALLSLPLFILQKLFSRSAQANTVTGLRSIIFMTPFYMWLAIFSLQLHKEERFMYPAYPCLA
LNGAMSLHILLAAFGQSDPKTLVGKIPAKLKLLIISTIMVSSVDLGLARIYGIYSAYSAPLKIYEPLQTIGNYGDSICFGKEWYRFPSSFHLPKDMR
AKFVKSEFSGLLPGEFSEAKTGFGYWSGAWLTPAGMNDMNIEDMGKYTGIRACDFLIDTHYPGSNSSALEPHYIKDAEHWEQVSCVPFLDAANTHAL
SRILWVPDLPIVPEKYRRRWGEHCLLKKRESK
>RCO7_02884 | uncharacterized protein
MWSLLVGLSVVTAATAQTAAWGRCGGKGYEGATTCVSGYSCVFSNDWYSQCQPVNAASSPSNPGNQGNPPSTPPVTPDPAPADPVPAPAATTKAPCK
PVNKPQKPHTTLATKTKKCSSVLPTSTGSAGSGAGTGSDSGTSPGTGSDTGTSPGTGAGADTSPGTGTSPGTGTDTGASPGTGADTGKSPGAGSDTG
KSPSTGTDTGVSTSSAGTGPGTTLLTGYFWIRAVAAPNFHKYLQTSPANTPGAAILSSGTTAGQFAIVDGQLTQLISTGSFLYANVIPATGTGANKL
AVEFKKEKSTYGTFVWSGDALQWSAVGLTRPSASAWLVCEKQGLFANLGAYGYMTPTGCSDQTIHSYNGKTADE
>RCO7_02883 | related to protoporphyrinogen oxidase
MPKTFLIVGATRGIGLEFTAQLLSQGNIVIATARSPTSSLLAPRSSTQPPSNASNLWALTGSPNGHNLTILECDVSDASSIKHFTDEVRKLGRRGGV
LEKGVLDVVMLNAGVLEYPGRISAITFSAFSHHLHTNTIGPLLTASHLLSLSTPPSLPTPAPSPSSLSNLSPSSSNYALPPPLSPLSTTYHHNPSPI
HIKTLVFISSDSGSTTNFRSFEDGFGAYAASKAALNQGLRHLAAEMHRKNTKSQFQAQISPLQDQSSKTIFLALHPGEVSTDMAANVSLDWDVEGII
SPEESIRCMLKVIAEKGFGGIDEGGVWSAKSEGRKREDGEATFWTWEGEQYPW
>RCO7_02882 | uncharacterized protein
MAGPATTVTDPSKIDDSDTDYGSDFSPEEEQIVERLISGTHLEDDNPIVNEIEHDEPRQTLRLPRVFGREERSPLFQAASAAERIAEQIAESVESGE
HANLADRMNNAPEKEISAEPAKQGLGGSALNGETPDLRSPLDRFRTPPNKSFSVTDLVSPAWCELQYWYTLTKHGRKKRTSAMKEGTRVHKVLEEQV
YTTVRVEVQTREDAWGLRIWNVIQGLRTLRETGQTRELEVWGTVDGLVVNGVIDELSYICPNPQLENSAAGEKSHTEAPSDQNTIEDFFKASGARSL
EYATKAPKTTLRAQTKKVYVCDVKTRGARNVPASTSFAPTKIQLMLYHRLLSTLATNMVDFSILATRYNLDTSKVFSDEFIAQIGSLNNEVFHNTQT
GLGSQDASQSWNQDSMSVLLAHNTLDLLWSLMISEFQITLPGGVDSLGRVLKAEYRSRDDGEIVGVKTVVMDDQALTTFIDHEMEWWKGQRQAEGVV
VEEAFKCKSCDFADECQWRLQKVEEARQRSRSSRRDVAVA
>RCO7_02881 | uncharacterized protein
MSPLPITLQWEGHEPSQFYLSNENAYRDEVASSPFDKRAWVVQEVWLASRNFYLTKNQLWWKCCEIEASEAYPECLPETISSRDPSPALKNSGTMQL
DYIIHGLDSLRHIQLAVYSTFNVYLAVMMSTPQDSVAPS
>RCO7_02880 | probable arsenite efflux transporter (ArsB)
MPSTNPHDSANMHLEKGRQTHNNTQPLHASPDLESLSDHPIANGRSSKKSAFKGLGWLDRFLALWIFLSMAIGIILGNFVPNTGPALQKGKFVGVSV
PIAIGLLVMMYPILCKVRYETLHHVFREREIWVQLGFSIIVNWIVAPLLMLGLAWAFLPDKENLREGLILVGLARCIAMVLIWTGLAGGDNEYCAIL
VAVNSVLQMVLFAPLAILFLKVFDDGDETVSYEVVAKSVAVFLGIPLAAAILTRFSLRKLFSPDWYERVFLRFAAPWSLIGLLFTIIVLFASQGKQV
VRQIVSVVRVSAPLVVYFAIIFFLTLLVCHKLGFGYKLAATQSFTAASNNFELAIAVAVATYGADSEQALAATVGPLIEVPVLLGLVYIVKEIGRRR
GWKD
>RCO7_02879 | probable DUF895 domain membrane protein
MADKQAEAGVTTAPTNTPPTANSDKEFEETHHDLDLPNGWMYRQRKLAMFNIPWFASPKVQLIMVSFVCFLCPGMFNALGGLGGGGRKDATLADNMN
IALYSTFAIFGFFGGTIVNKLGVKLTLAFGGIGYCIYAVSLLVSLHAHVDPFNIIAGALLGVCAGLLWTAQGTIMLSYPHENEKGRYFAWFWSIFNM
GAVLGSLIPLGQHIHTKGNVDVGTGTYVAFIVLMLCGAILALLLIDAKNVIRDDGTRVVLMKNPTWKSEFEGLWETLKFEPFVVLLFPMFWSSNWFI
TYQANGVNNAHFSTRTKSLNNCLYYAAQIFGALALGYLLDMSSIRRTVRAKACLAMLFVMTMAIWAGGYAWQKGYTRETVAAKDFVPTDWTTSGYVG

PMFLYIFYGFYDSLWQASVYWYMGALSNSGRRTANYVGFYKGIQSAGAAVMWALDSRKMPFMNELASNWGLLAGSLLCAAPVIFLKIKDTVTVEEDL
AGTDETLADVLPSGHPEKIVA

>RCO7_10541 | related to DAL5 - allantoate and ureidosuccinate permease

MAVPDLGKDSEEASSPTHPPSSDTISPALSSAYLDSNYEVYKTGKDTQANPEEIRRVLRKVDIRIIPILFVTYMLQYLDKNSINFASVYGLKKGTNL
TGQDYSWLGSIFYFGYLFAQFPAGYFLQRLRIGKVLSLTTIAWGIILITTPACKSFAGIATNRFLLGLLEAAINPGFVLIMSMWYTSAEQPLRLEIY
YCTNGIATMFGGLIGYAIGHITTGLPQWMYVFLIFGSISIAWGIISLIFLPDNISTARFLTPVERTIAVTRVAANRQGVKNSHFSVYQAKQTVTDPK
TWILFIMAVGAQVPNSALTSFASIIVQSFGFDVLGTQYLQIPGGAVQFLALITGGWVCTKWPANIRCPTMIFANSVCILGAGLLVDLPRDNKWGRLV
ALWLCYFQGLGFSLSLTMVSSNVAGYTKKQLTGAVLFTGYCVGNIIGPQTFIDTEKPGYHSAYIAMLVGYSVKLAAVIVLYIYMWKSNKSRDAEQAA
RGELSEEEEREAIERGMLDMTENDNKGFRYTL

>RCO7_12003 | uncharacterized protein

MKHLSIVLACVAATHAYQVVICTFDGGASIGDVEWAIQHRKDELGLGGKGFWNGRVNTCDGEQVVSLCRSDAFSRIRTTKLEGIKEVACYPSGAVGF
PVCNNVDCSKHN

>RCO7_10538 | uncharacterized protein

MVAIFYRGIYHMNHSHHPQHGPPQAAHHLQQSRPPSIVHGGHHQLPPHNPYQPAPPHNSAQYAPSAAGAGGHNPQELPYYNQTHASPYSTPGASGTY
SSAAEGTPDIMASAHIQTRPYPPIYNTPQSNSPASIASPSGHDQHQRMYGATPSQMQQNPQMYGYPGQQSQYPIPPQAAPQYAPHPQHPQQHQQQQP
QHQQQSMTSQPNLLMSQTPAQHMQSHPSQHPQGGMIGSPRTKMEPQAPQISRPAPTLGPPQHQQQQQQQQQQQQQQTAQHQANGPPMNQNSTPGS
AGGGVNPNAAPGPIPATTPLVVRQDNNGVQWIAFEYSRDRVKMEYTIRCDVESVTVDNLGPEFKTENCVYPRACCSKDQYRGNRLVYENECNTVGWA
LAELNPCLRGKRGLIQRAVDSWRNSNQDPRLRSRRVRRMAKINNRKAVQSSATQPPHMPGPGGPAGMPPSQHMGGPGGASSMGKPSIGGMGGGSHHH
QMNGSAGGEDVAWIASLALHHIAHHTNPFIAQSLLLVLYCRRTLVSSLPFTPCLLYDEYMEETSHTHHHNQPAAGGAPANPQDDVREAHAFQGYASS
SPYPANVSANSGPSQAPLMHGGSHPSQHSISARSQPSTSSHHKSSSGPTPMTESERLDLFGDIPEAKKRKFILVDDPGKGQRIRVRVTLDTVDTDEI
PDSFRKSNSVYPRSWFPIQMQDPPPSAGGSRFWVEGDWNDVDGGDEVDAGGRGARGRKMKCKVPLPSGEDGEVDAPVMRKSVRSKEVKLNDLGYRMT
WHQSRVFADKTVFLQKARKFNPSLLLPSLPTHHSPFWVKMPLSVLILMDSYRNKVRTTMEATGKDVATVAPHFETRVGKRQWNERGKRMRERSEE

>RCO7_10537 | related to carboxylesterase type B

MHVSPSILFLSILLHSPLASATQKCLQPKAAPVVKVLNGSYTGTRLESFKQEAFLGIPFAEPPVGDLRFANPKALERTRWKGVRSAGEYEKHCIGYG
TDQIGYEQSEDCLYLNVIRPRGYENKSLPVAIWIHGGGFAQGGAPDRRYNLSFIVSNSVKINKPMVAVSIAYRLGPFGFLNGKEISDAGAINVGLKD
QRLALHWVKENIGAFGGDSEKVTIWGESAGAASVGFHLTAFNGRDDKLFRAAIMESGGPVYYGELKQPREYQTQYDAVVSKVGCGNFTDSIKCLRSV
GIEKLNNVLNGTELSQASWNPAIDRDFVATYGSEQLKEGKFVHVPVIVGANSDEGAGFSDAGIDTKNDLINSINETGAWPAPILDSLISAYVDTNTS
DYLIPASSTLGGDITLPLPLGAFWRKSAAFSGDFNFIAARRLTCSTWAATGLDTYCYRFNTIPNGTRFPFGSTHFSEVAFVFDNLNGEGYAVNPFGG
KPEGYAKLATLMSKSWASFVSDLDPNSWHGREGLVEGEKEWPRYEVEGREAIVFEGNRTSYLECDNYREKGMRVLNENWAVIHR

>RCO7_10536 | uncharacterized protein

MSCSSLCLLSGKIYAISSTKPMSDTPPLTVFNIDIAGPFKIKGLKGERYFLTITYRGSRAIWVYALKYKAEAALKLDNTGEFKSNEKTIFYKDKGII
YKYTSPYSPEQNDKNIPLFLWPQIIQGIAHIKNRSYNSVIKKSPFEVLFGKKPTLNYIRVLGSLTYVLINKRTNKFKDKSDRGILIRYKSANNFLVY
IPEKRAIISSKNVLIKEDLTFKDEVISKEELESFNKILNDCETSNYSNRVISLLINTPKSDLSRAENSEKIDSKTANNLLNKEKVIEDIELDLFNNI
AKEIPIAEIPKRAFISSKSDEEIRLLPNPERILIKKDPEVVIYEPKSYKEAINSPYKDY

>RCO7_10535 | uncharacterized protein

MDLGLYGCGTTGGESGNEDKAKMRGFVLVLTFAK

>RCO7_10534 | related to glucan 1,3-beta-glucosidase precursor

MDRQHSFEPEHRYANYNYSDPQRRQRQPYDDDDTYDIRYHPPAPEYQPPPLSPGGNPSAHTDSTFNRLRAARRYSQEHSNQPPYLAEGYNQPPQNIL
PAPPAPPHRDAEGRVWGTELGYTSHGTASNITPGADNYGESAAGGIAGIAMGVADANARESGVEAMRYTPGYDPRMEMRGGSGYPQDGSDMYEDSPY
MRPQPRMEQSSSSLTPMGAAAFPPGMASPQARSIVTRSAHSSNQDPFNHEPYVDQPYERYSRNLDPSMVHFDPNTIEDDGDDGLDYRNGNNRSMLSL
GHDSDRTNAAGAAGVGAGAAGVGVMGGLLGRKAVSGGTGNGQQYDLVSNPSPPNNFELGQEKEAWAKKSAASRKKRKWMVVAGVVILILVIAGAVVG
GILGSQNGSSDSSKPQGTSASSDSASNGDLNKDSAEIKKLLGNTNLHKVFPGIDYTPMYTQYPDCVHYAPSQNNVTRDMAVLSQLTNVVRLYGTDCN
QTEMVIHSIEQLGLKGKVKVWMGVWQDKNATTNKRQLEQMYSIFDKYGADPFIGVIVGNEVLFREDMTPAELKTVLTGVKTNLTAAGISLPLASSDL
GDDWTAELANEVDYVMANIHPFFAGVDAQAAADWTWKFWQDHDVVLKADASKHIISETGWPSTGGTGCGGAATCVGGSVAGITQMNQFMESWVCEAL
ANGTNYFWFEAFDEPWKIKFNEKGKEWEDKWGLMDVNRNLKPGVMIPDCGGKTVS

>RCO7_10533 | uncharacterized protein

MPILKFYTNPGQLTSEEKQELAITLTSIYARIMPAFFVNIMFHELAPENFFVGGKPTNGTFVRFAAEHIAVNWNDDLERANQYLNFVGDLFTNNFEP
RGWTWEFSVTESRRELWRIQSLVPPPVGSEEMKTWDEAGKGVPWKGGKL

>RCO7_10532 | probable tripeptidyl-peptidase 1 precursor

MHFSVAFLLALATSASSSPTAENSASNVSFKSSVVESISSPPTGWIKDDGAKLDKDSHMVKLQIKLVHQDMNKFHDLAMKIATPGNEIYGSHLDQKV
IDDMIAPKDDSSKLVMEWLSSEGLSSHASLSQRSDAVVVDASVTQIEKLLKAKYMPFIHKETGESAVRTLEYSLPNVLKEHVEMVQPTTFFGLRAMR
STILEHHPLSEADFRTEAVQSGQAVQAVTGCTGTTITPKCLSNLYSYASASVYSNGLMGIAGFLKQWPIKTDLATFMKTYATQGNAAQSFTCTLING
GTCPQTSTPGIEANLDVQYARAITQSIPNVYYSVGGSPPWLGTGTNTNEPYLEFLNYLLGLDASALPNTISISYGDDEDTVPLSYATNVCNLFAQLG
ARGVSVLVASGDSGVGDTCKSGTAKTFTTSFPASCPWVTTVGGTTGNSPEGAWTGSGGGFSSRFGQPSYQTAAVNMWLTTDTTHVAVNQYFNKSGRA
YPDISAQSTNFAIVASGSTQGVSGTSAACPTFASIIQLLNSDRLLDGKKPLGFLNPWLYNSATPGLTDITKGKNTGCSGVISGAGFSAVPGWDPATG
LGTPIYTSLLAISKNT

>RCO7_10531 | related to adenine phosphoribosyltransferase

MATLDELKQQLRKMATATPRAFRQPLSDSQYSVGFDLLRSGSTEYEEFIIPQLSQLIGLLLKSRSHISVLEIGPGPESVLVHLPNEMRQKIKKYVAY
EPNSIFVPRLLESLSSTKEDEAPLPGLRSPPTIHEATFDLNQDGESNTTDNDRKYDLVILCHSMYGTKKKRQIIERSLGLLAEQPEGGLVVADDDET
LDKFASFVAGFTVQEVEQYGDLRTDWRETCRNIGYRNPSLSKFVSLSSPNIMVAFTRHAMALPELLAQVPMVSGDFTVKSREARTHRPACVMGPKDI
RQVQDCVQWAVKHKLGLSVIGGGHSGHCILPNIVCVDMSAFDKICIVEEPSENLACGSKNLAIVESGCQTGDIIRTTMEAGLTVPLGARPSVGAGLW
LQGGIGHLARFHGLACDSIIGAVVVSMSSGQIFCVGNVPKKHRPVGSIQPEKEEDLLWALKGAGTNFGIVISVTFKTYPARTYALRNWVTPLHNNEQ
AELKIAHFGKHVSESLPQNSSADAYLYWEADQLRLGITVFESCTVRSSPVTIEIDFEPGANSKTIDGVALFESEMYMSAMHGGHGGGKTSSFKRCLL
LKRIGDPKIAKILISAIKERPGPLCYLHLLHGGGAVSEISIDATAFGCRDWDFACVVTGTWPRDRDGTEVARAAVDWVYEVSRRLLPVCSGVYGADL

GPDPRDASLAALAFGSNRPRLARLKQIWDPHNVLAYACPIPNAPVEAKLIILVTGESCAGKDYCADAWTSLFVNHIPRTLKARSVSISDTTKRDYAT
VTGANFERLLTDRVYKEIHRPALTRYFSEQVKQRPHLLEEHFMKVVYENADVDVLLVTGMREYAPVAMLSHLVPDSRLLDVRVQASRDARVRRGGFD
SGGIEEDVGDTSTGLGYRPSFTFDNAEFGSNSAESFAEKRLLPALDNKLRRLSDMIQCTPDFPRPGIDFRHVLDICQQPTGLPLCTSLLENHFSRKW
KHVDNIVCCEAGGFVFASALAALTRIPLALIRVAGKLPPPTISVIKTPSHISSLVGGITKADRIEIGRDVVAPGATVVVVDDVLATGRTLVAVSKLL
VEAGVKIQDISIMVVAEFPMHEGRRHLYESGFGGVEVRSLLVFGGA

>RCO7_10530 | uncharacterized protein

MAAMICAIGGMITIGIEATLGLGRHQDLISKDDLQQFHMANFFFALISGILGLNLVKISVSFLLMRFVHHRWSRICLWAVIIFMSIYTIVSWGTVIF
LCQPISAFWDIDVLKLPSTKCYPLVVFNTLGLLNTGITIFTDLLLATIPIPILWTLQINPRQKVALIGVLSLGYAAVAVGIVKTSYQIPFLRNPDQT
YDQGIQTWGFVQLNISIIAACMPTLKPLFRFLADTITIHIRTGSKVAPDTGYFRQTGSRYTGICRDGRGQKEYDQNRLDMGSYLTADALLNPDSVGT
NTTLVTTANKKNSLISRFAQESQESILPIQGTNGIVMTTVYTVT

>RCO7_10529 | related to nonribosomal peptide synthetase MxcG

MEDTPGTNYFTCTLGEASQLQKHSSDFETVNKLITLQAERHPDYPAVAFPTLSKSKSHHQYEIFTFKDLHAGSLKAATSFYNSGDFGPEKRNIGCVA
LLCNSSIDFIFAWLGLIRAGFSVLLIAPQCGPSAIVSLCKACNVSRLYHDRAHFELASSAAAASDSYVKAVSLPLGDTRLLEIIGDNSEASPNTNWP
DHFSEDVAYIHHSSGTSSGIPKPIPQTHHGAVGVLPCLQGQHAATFTTTPLYHGGIADCFRAWTSNALIWLFPGGDAPITLDTILSCLSVSKGATKE
AGTPPVKYFSSVPYILQMLSETSEGLEALQEMDIVGVGGAALPESVGNRLVAENVNLVSRFGSAECGFVLSSHRTYAEDRFWQYLRVPESGSLLRFE
DGGSDSGLYELIVLSNWPHMAKRNRDDGSYATCDLFEPHPTIKNAWKYHSRSDSQITLLTGKKFDPAPLEEDIKSGSSLIDDIFIFGNDKHIPGALV
IPSASVDSSSQELRRDIWNTIQKFNLNQQPHARIAENMFRVLSGNPAPLERSSKGTLLRGQAEKLYASIIDDMYQSNNSADDYPTKSTKTLSGVELE
STIRNIVVEVLGDDVVLADDSDFFQHGIDSTKATHIRSLLQQKVAQDTLPFNVVYDCENIAGLIRYFTAARQHKTPGGDTDGRQIMIDLADKYSSFN
FAQGAQNGMIEGHPEERTVILTGATGGLGAHILDGLRRDVSVTKVFCLVRASDEVNARNRVSASLTQRRLLPLSPEDDKISCMPTQFGQGDLGLSTE
VRSSLENTVSHIIHAAWAVNFSLSLGSFVKEHISGLRNLINLASSCRHFEQFAFCSSTASVIGQALRNGVESSISEEICHEPPPDNSLGYSKSKWVA
ESICSKATELPRMKGRVKILRVGQLTGDTTNGIWNRSEAWPLMLSAARELGCLPELDESLGWLPVDTAARAVIDISLADRSTNKDGSCEVYHLVNND
QTSSWADLLRWINKSDNEVIEFVEPSAWLAKLESLDQHPAKRLLGLWRASFGNGADAKNSRTVLSFDTKNAESGSACMQVVEPVGEALVVKIWRSLQ
EGNEQETL

>RCO7_10528 | related to PENTAFUNCTIONAL AROM POLYPEPTIDE

MSDFTATVKETKSSTGHAGFHVVGYEKIEYGFTFIDGIFDPANTNLADCYKKWGRCLAVTDQNIYNVYGKQMEKYFQHHGLELKIHKTKIGEKVKTM
PTLLSIVDSMNEFGIYRKEPVLVVGGGLVTDVAGFACAAYKRNTNFIRIPTTVIGLIDASVSIKVAVNYGNYKNRLGAYHAPMHTFLDFTFLRTLST
AQIRNGFAELIKISTCSHLDTFNLLDKYCEDLIEQSFGRANGSSQELIDAADRINREGIHEMLRLETPNLHEIGLDRVIAYGHTWSPLHELVPETPL
RHGHAISIDMAYSATLANNRKLITDEEHRRLLNLFSRAGLSMDHHQFDEKVLADATTAILKTRDGLLRAAVPSPIGSCVFLNDVSAEEMNAALRRHK
ELMKEYPRNGEGLEAYVDASDTGYTENPQAEEERMVEAAAKKAGSLNGSNGKLNGTNGVNGTNGVTNGTNGVNGHAKTNGHTNGTHVSVMKA

>RCO7_10527 | probable catechol O-methyltransferase

MPSAFDDKKAYAPQEEVFFDDGREEELVEFITSKPDIRDSPARILEAVDEFARTQKYLMNVGEDKGRIVTEIIRDTKPKVMVELGGYCGYSTILFAD
AMRAVGGTKYFCLERSPKFAHNIEVLVEFAGLKNVVEVVVGPSNESIKSLHGAKKLSKIDMMFLDHYKPAYTTDLKLCESLGLIGKGTTLAADNVIK
PGNPPYLKYVRSSVQEKRMALTKAAAQDTENFPGKGATQYGGVEVLSTDVHGNPNLKYESKLVNSWEPSGVADAVEVTVCVGEEAS

>RCO7_10526 | uncharacterized protein

MPLTAKSPAYMHFLQNVLLISLAALWAPLCTLIGFSSWIISPYTKTAQKVDQQRQLRQSSASRSQRTVLVTGVGMSKGLFIARAFYQAGYTVVGADF
EPFFIPVCGRFSKALKIFHRLSKPSDAVGTAAYIDSLVNVIEKEKVDLWVSCSGVASALEDGKAAEAVEKLTSCRVVQFGVEMTGLLHEKHSFIDNT
AKIGLNTPDTQLITSVEEGLTLLHPKSEKSDKTFIMKSVGMDDSIRADMSLLPFSHVEKTRAHLSNIRPSKTRPFVLQQFINGPEYCTHSIVVRGRV
LAFTCCPSAELLMHYKALSPSDDMFKAMLKYTQIYAEKMGTQMTGHFSIDFLLDQDGNEEDLMKKIYPIECNPRAHTAVILFAEQSMEMADSYFEVA
KDETAWKTGSQLITTTSSTGYYWVGHDLVTRLLLPLVAFLTLRTQFSDLKRGWMEFFDHVLYWRDGTYEIWDPWPFWALYCIYWPCIFLARIYTGKK
WSRCNVSTTKVFDC

>RCO7_10525 | uncharacterized protein

MEESLGSRRARGLPRPDSSTSSHNTRMTPSSSNSSTAHLPQRVQDLTARGASGSLLQDRLRERKVESARQRRRSIDPAVERGVQSSPVKGSRDDRRP
SSSGIVAGKNMGVKQIEDAVSTLHKQNFDLKLELFHRRQRQETLEARLEAAERKLEEQAELAEINDDLLAELEKRDQAVEEAVGIIVQLEEKVDRLI
QEREDVKAFDAVYESGYFPPQDNDFSSSPPQFEKEAQSLPMPKKISRMPSFLSETTEGNEALRSLYLPHNGHSDSTLPKLPEEGFQDGMDSPRLSLL
SESSFISVYGAKLQPPSRDLDESEEPRRHRKSSSIEKWVDDRPSANTVVTPQKVIPSLRKSQFLSINDVLESPLQRLEKLKHTLEKTEKGLNSARDA
AIKDRRRSREVRPVHTDKKSFDRQHQHTLPPTPDTISTNTLRNFRSSTETLSQNHMNTTFLNSTSTFRDTAHHAFQSQLSIRPRSAGETVTSRREGH
GWDTPGDDTTTDAGSVDSTLSTTTFDAQFSHDGRKRVVAPDLFTFSGGDWGRGYEPSFPAHTTTSRSRYDALRRSSVIDDHPRSDDTVTNYSSHYNT
YDDDSSPPLQHPNQDYEYGISPISTTPKPDLPDRRSSLSAVMKLRKSNTNSTASQAPITQASDSPGSATREKKSRIPNLRLFGRGDSAPPPSSPTKV
PVSHALPRPRAGPTRSSGYFVDAHTGAYQGEEEEGARATPPPIMRQRGGRERPVSVVGVGGMVRRGSSFVDAQEQERVEYGSGNGRARQGSVNAVMS
GNLSAEMGTRDEEASKAKKWFGLQVGRAGSVRRN

>RCO7_10524 | related to cysteine dioxygenase type I

MPPLKPKTMLTLRSKIPFQTTPHNTAMHRTLTATAQNNTFLTPRKTSSQSSSSPLLHPNTTSTTTAFRTPLAPKTIIPTSPNPFDTLLNSLTLALTS
PSSQPSPSHPFSPSLPALHDLLRNYTSNPTHWAKYAHANPQKKYTRNLITEVPGIFNLLLLVWTPGMRSPVHDHAGSHCLMKVLSGRLSEVRWAMPE
SSTEELEGREGDREALKEIGRKEFKEGKVAYISDRLGLHEIINPSEGEYAVSLHLYTPPNAATYGCHIYDPTTGESKHVMQGSYDSVRGIVNSS

>RCO7_10523 | uncharacterized protein

MTSIKHQDSVEHCPCSYCIRLDSYIALLEAQLPPVSCPECKQSFSHKASLIAHQREKLHAFCNHCSILFPTRELHESHAQSHTPVPVRQPTPATQFR
CCDCKRNFRSEDALTNHLRCRGIHKPSKGGKNTKKQEQARSEQVTPQTRCEKCKKSFKNQDSLTQHLSSVRHHPLSNIKCLADAKCKKHFNCPSAQL
LHLESGKCTSGMTKTILNNAIASKDTARIITSRAVLPQRLLGNQSVSTSSTSQSRSPILTPTSTTFSGSYPSSVVLTPVSASSNTANFHSALTERLR
AQNGFHKCHLCPPSRKRQYTTSGLQSHLSSSVHAQVSVILPAPDDISFHCPRTLVRGGVQKKPVKHFATVSALAQHLESGACEGGIGTMRSVIKYVQ
EEMKGAGFGEMKLLS

>RCO7_10522 | related to mitochondrial electron transport proteins

MARISLSSISPSLAFSLAVILSANGNTVVAHGGEHEASKIVTGEWISNEPIDSILWIHILLMMLSFGIIFPTGMVLGITRNRWHVPVQILGTFIAVP
AYFLGHLHKGRAFKHNVHASFANWLMLMLITQIVFGVYLKFHFTGKINTQIRRVAVYGHGIVGKAMPVAAWVQMLFGGITALGFCRDDHLGQCLAHF
IMGSAFIGYGIILTLMMLVGQAWLKRTGRSQEFFDSALIAAWGCVNTFTEHKWGTAWVANDIQHTTMGVIWWCAGLTGVWLSRKKDGGPKRNFVPGF

VIFLTGWAMSGHPQHLPLSTMVHVVFGYTLMAAGLARIIEVAFILRDRAEMEDGETNSFQYVAPFLLYASGLLFMGATEEQMQLISDAGITHVAYVL
VLYSFAFLIFLFTNMLLHLYAVNSSPPVPPKDDESLAMNGGERMRRLPRINGHNPTDSRQIRDAEEFELEGLMSEDDDAILKEVDGDAGLESPSTLG
RNDALRV
>RCO7_10521 | related to dihydrodipicolinate synthase
MSTARPLVPGIYAPTMTFFTPNEDLDIPTIKKHAIRLAQAGLVGLVTMGSNGEAVHLSPAERIAVTTATREALDSANFAHVPIIVGASSGSVRGALE
LIQESKDAGGDAVLILPPSYFRGLMDEEAVYNYFIAVADQAALPIVLYNYPGAVAGIDMDSDLLIKLAQHPKIVGTKFTCGNTGKLTRVALAVDAKT
PFSEGSGYMAFGGVCDFTAQTLVSGGSGIIAGGANVMPKTCVKVWELYKEGKRDEAFAMQKILSKGDWVLTKAAIAGTKSAIQSYYGYGGLPRRPLK
PLDEVKVNAIKDGVAEVMKLEVTL
>RCO7_10520 | uncharacterized protein
MAFRQPTFQAPQRVYSAPQEVEPQTTTSQTKQHNIAESQEWILFSPSAASTTDRGYTNSTTRTRTAGHSRISDFGSLDTAARSYDYEEGSENAIDEE
DGELDSLDSHLHEFRAEPSVYRESQRGEASGTVLPTHDGLGSFRIDRTAMGNDVQEHLYAFERYNPRRVKRRRESLEVGILEEGERAAEAERTRRIE
MWRMEQSRLLVDEIQKETRRRKESMSSERRKPLEDKDEDAATLSHVDEGADEESDNFWSRITKSVIRDLMGIDDDLLAIIFGESLPGDDLSTTPLAS
HSIIQTKKYDESSWEHRLLQRVAQELGILVSQISDHPGAFSTYLHSQETPLPYAGFPVIPESQDHILESSTQTSPQFHPTIQTATSAIPIPTTSLAT
PSPILDSDATPRASNLLSPPMTREEWESDLDIKMVFRYLRSRFTSKFKTQSDAPTFSAQDFTTSSSGTAHLATASTADTAARAARVRQHHPLITRQT
SSTAERRRSIERRTWRASVPGGASPGAVGLSGGVGVRMGIRRGSSSCASERLSLNGRGVRSGSSRHYWDFGGQSVGSGSLLASTGGMGSWGEV
>RCO7_10519 | related to F1F0-ATP synthase subunit G
MSLPLTRSAVRSFGRQLRTPAARRFESSTATKASEATKETASKVSETANDAASKAGDKAQEFKSKATEGLSKVTSSAGSAAKGLGNALGKVGGRTGK
VVAFVERQIPHAIYYLKVGAELSKLVYNGRQMSPPSMSTFQTYFQQVLKNIRNPNGLLHTAENTAGKAVQKPTSVLESFRDRQKVINGAIIGAEVLG
FFTVGEMIGRMKIVGYRGDTASHH
>RCO7_10518 | related to UNR-interacting protein STRAP (serine-threonine kinase
receptor-associated protein)
MAGPETTKTAVAVPLTCHGHSRPVTHLSFSGFVGDEEYYMISACKDNNPMLRDGLTGDWIGTFFGHKGAVYQARLSPDAHTAATASADFTAKVWDTY
SGETLCTIQHNHIVRAVAFPPDSSLFLATGGMEKKLRIFDLSTVDAVSAPQANGTPVANGNGRTLLNADAGFEIGVGVHKGTIKSIVWTRDPNVLVT
AADDKTIRWWDLQTRTVIQEKVVTGDIGSCEFTNVKAEPGDIGGGLPVLTIAAGKTVYFYGGPDARELIKSIDLPYEVASVALNPVQRRFVTGGAKD
TWAKLYNYDNEQELDVHKGHHGPIWSISYSPDGKLYSTGSEDGTIKLWKNCEGGYGLWRANGAV
>RCO7_10517 | related to phospholipase a-2-activating protein
MAEYKISATLAEHEDDVRGVAFPSPKAVLSASRDGTVRLWKHLSANPPLFDGTISSHAGSWMNTVAFLPPSPDFPEGLIIASGKDVVIDVRQPTKAA
EEDAEALLLGHSRDVCALDVDPAGKYIVSGSWDHDARVFPVGKWECSAVLSGHEGTVWAVLAYDVDTIVTGCADQKIRIFTKAGKLLKVFQGGNSPV
RALCRLPQGHPSGGDFASADNDGAIRLWTVSGKNVGELLGHESFIYSLAALPSGELVSSGEDRTMRIWKGNQCIQTITHPAISVWAVAVCAENGDIV
SGASDRIVRVFTRDPARYANAENTALFEDAVKASSIPQQTLDVNKENMPGPEFLTQKSGTKDGQIVTIRELDGSVTAHSWSSGQGEWTLVGTVVDAV
GSSNKKTEYKGQEYDFVFDVDMEDGKPPLKLPYNVSQNPYDAATKFIQDNEAPITYLEQVANFIIQNTQGATIGQSQPQQTGAGSDPWGSENRYRPG
SDQPSAPTPNAPPKKSLPQKEYLSILNGRIPPIQKKLAELSQALVASGKKELGIFPNEISTLDALCKHLEAPGANTTSVSFEDSLELIVKLVTKWPY
TDRLPGLDLLRLMIVAPETAEFDHPGGNVVTLLLVGAFEAKPPAENHVMMATRAFANLFASPEGRALAGVEFDRIQAVLSIAVVSSKNRNLLVAVAT
VYINYAVLFLEDKDAANFEHALGIVDMLAQILTSHNDAEIVFRSLVAVGTVICLGEEIKSAAKDVYGIEKCIATAVSKAIDPRIKTAAKEVEELLK
>RCO7_10516 | uncharacterized protein
MSPPPRRMMVLGLLTTLMLALLLTAHLTRATESALAVKVGGKVSELLHAGLPDSATQGDEVEKSKESVVSGGIGKHFHVRPSASTPKTAAVAGCEYP
VVIHVTPDGHCTGVLALYGSIVRNVLMQPEPLKGKTCVHVTYMDPALTSIEEMYKWTARPNPFSTPEDCAKLDKMPALNDVVPIRFQALRGIEKPDF
MQALLAEWLVALNKVHSWAFDAYPRILLMDADSIQITNLHLIFDESNPRDTVTGAPDQFNDCGDRSRINGGMILLRPSRYFHVNALEMIYDQDSSCT
SQRWEQSEQELLNCLCGTQGPPNGLRPEFSCAIMPFYNSVWPRNYACSAVNVEPMRSIHFTAATKPWKVDPPKLSERFDYGFWGCVLNGTRGGSGEA
LKACEMAGMEESRKLDTLITPEPMGGE
>RCO7_10515 | uncharacterized protein
MSAISDQLKTASTSWVRLIPMTFIDDKTRSFTTAVFRSLAGNYTATGDVFNTGFFQHWLSASDVQGALTEGVKPNTAGTFSGLSASVSRVQSVTVGG
PSKLYFTKTAAKSFAELRESSFQRPLLSRAKTATEVQNLIDAGAVNAGKMKTSQFADGLVSLDNLMPLSPDMDIAGFLVRDPQPCSIDSWAYGQNCK
RRELYAPEAPTGFIIGRVSNIAGVPDVVFLLGQASYQSTLMLKTEFLPLTVDIMAAKGCDGRLLELAAALKKAGILKTPKTGSLALLKKGPGIIEFG
PDNRKKRANV
>RCO7_10514 | uncharacterized protein
MPFSTKESTSCDQPPTCAHRFHTQTHLSPLPPLYFTPPPSPSSSSSSPSSSNPPTILPPSTITALTQALTTLGTPHTHTPFINKDILALRKELEEGM
SSERRQLMQFYILGIKDVGKRRAAELYLARYRGFVMGVDGRLGFRLREGGEGGGKGFDGARGRRGGCGVM
>RCO7_10513 | uncharacterized protein
MAIMQRCTTLLVVLNVIVTLVSAQVELQLPKLPGNYPVGTIALELKTPSIPRDLMVSFFYPTDRSCTSFPLAPDLPPQSLAYTIAQAGLPPGFPISI
TTQAHLKATIASTDFPVLIFSTGYGVSRLLYTAAAEDLASLGYIVVVVDHPLDAPFIEYPDGRFIQVDAPNYEHVDAYIPYVDARVQDVRTVLDSLS
NATFISQIPGLKSRGKVQKLQTSKIGILGHSLGGATAASAMLADKRFVAGVNMDGSIIGNVTTTGLSKPFLIMETETHNRTFDQTWGEFWPHLRGFK
REIAVSKTQHGSYSDYLVLIDGLIAAGVPVPPELKAEFGAISGTRMLEIQTSYVGEFFGKFLMGKRGKLLDGPSKLFPEVTFFD
>RCO7_10512 | uncharacterized protein
MPSWCSDWSLKIPSNPKFPARFLYDPRLEIPIFWNAWPTGPDILQIRGVEIDQIKEVVDGYSWLWGETSKKSLADAADEVCQWFDVCENLTKKTITD
SQHHIDAFWQTMLLSDHVSQLSGDQVRLIKSPPQPASDQGTVLGKHTDFGSITILFNRLGDLQILLPPPLTPAVEDPQWTYVKPLPGHFIVTWRCEG
RIHQWSTQKQHPPGSDEVTEHQNQICLMGREKRREAVGRKWSRKMMTSWESRQAGLSVSLEKRSFIRASVHLKVEADITSSDLE
>RCO7_10511 | uncharacterized protein
MLRIISRSAAPRASIVRAVQIRGMADQRIEKAAEAAGKAKDSSPKDPSVISSAGAVGKQFNPDGAIGGIAQEIGGPFDKDGAIGKQFDAAKDGLAGQ
VEKAVDGPSRPASEKK
>RCO7_10510 | uncharacterized protein
MILLSLYFVLGVASASLVTRQTTSCTTPNGPGFCGNTATGCSGGTFYAGFCPGASNIQCCVRSCSTPSGAGFCQYTSSICSGTFVSGYCPGTADYKC
CVKSSSSATGLPGVDISGTPPASFWTCAAQTYKVVALRGYQQACGSGGQVASNFVANYKAAKAAGIPRVDAYMFPCTGTQPTGVACKSPATQLAEFL
KVIDDNSMTLGTLWFDIEPTSGTCNAWNLGATQNTALAKQWVALLQGSGRKWGIYANGNQWSGMFGSRSTDVASQLPLWAVQFDSKPGVNTVTTFMG

GWTSAVAKQYNLDTTACGFAVDLDSFL
>RCO7_10509 | uncharacterized protein
MEVEVCAQLATGGPVTSQWVVAGMLVKFSVDIRYPEPRGNEELSISKLEYWEALLLLRLLQIVLVGSG
>RCO7_10508 | related to DUF218 domain protein
MSLSVTDVNLLAAFLAHPQILPISTSDPVDCIVICASAVLHQATVLFQALESRPDLTRTLVLCGGIGHSTPLIYDAVSKHPVYHKLADDVLGKPEAR
VLETILRTHIDVNKITSRGCRILIEDQSTNCGANATRTMELLEKEGVTGLKMMYVVQDPTMSLRTVASFEKAFEKEVTEAGLVVKSAPIFVPRMKND
AGKMTWDVEEVEAEELWDVGRFYDLVNGEIPRLRDDRNGYGPNGKEFIVHVDVPAEIEDAWGRLKEEFGGSR
>RCO7_10507 | probable alpha-mannosidase
MAKTYPIKAVAPVGKKITSLYKKRLMNFLTPGQWEKLNLMSVMSYSKYTGSPHIKLSVWGAPGTTRPSFQEATSKSNTYRETHVGESFGPSWTTHWF
KCTLTVPKGICGQGHHVELHWDCNNEATVWTSQGEPLQGLTGRGERIEWIVPEAFKDGESHVVYLEMACNGMFGNGPGRPIFKNNAGGDSIQPPDQD
KYFKLTQAEIVDVNYQARMLYVDFTVIHDAATELAEDTWEQHEALNVASRIIDTFDVGDDTSILACRNIAAEYLGENINSAEVYQSKLDRKPTIYAI
GHCHIDTCWLWPWEETKRKVVRSWSNQCDLMDRYPELNFACSQAQQFKWLEEIYPYGWERVKTKVKSGQFHPIGGSWVEHDTNLPCGESLIRQFLYE
QRFFEAEFGFRSTTSWLPDTFGFSCQIPQICRLAGMTRFLTQKPCFNSVNDFPHTTFKWVALDGSQVICHMPPAKTYCAEGNYENITKSICCISNHK
SLDQDNIALLAFGKGDGGGGPTWKHMERLRRLRGLADTVGVIPRVHSGATVDQFFYSLESKASSLVTWYGELYFELHRGVYTTQARTKSHNRKSEIL
LHDIELLATIASIQDKEYKYPKKVLDEMWHGVMLCQFHDCLPGTAIEMCYDDSEKVYAGVAKTGHELLQQIFAVLGIASPGLATVLDLDKAVALNTL
PWRRRELVNVSETQTVIASGEGYALNIEPIHTDSDGPKAVAVEETSTGVFQLENDNLKVKIENGCITSVYDRQAKRKTLLERPIKVYHLETRKELPN
STTVFHEDKGHRASVVTETRISKKSSIKTTISLSAALDGQPSIVEFVADVDWHETMKFLKVEFPVQISNTEASYETQYGVIKRPTHYNTSWDMAKFE
FCCHKFADLSEYNYGVSIINDSKYGFATVGNVMRLSLLRSPKAPDGNADMGHHRIRWAMMPHRGSLGSQTVRAAFEFNNPLKLMSLAPPNRSPDQIS
GYLCGLPKLPISLIGDDNLVLDWVKRGEDDLDISLDDLPKWKERSIVVRIYDALGGMGRGTVVTKYELERVTKTNILEDGMREVPIVEKGKFDIVLG
PFEIATYKLVLKE
>RCO7_10506 | related to alpha-glucoside transport protein
MAVTDLRTTEEDVGKPKPQHVEHAVYTPNMELIEAAGAASDQEASLPRRELFSRYAPAVIFSMLLSLALVMEGYFISTAWQGGIGAANNCGSIIGLL
LNGYLQSRFGSRKVYMGTMLLMGCTIFILFFAVNIEMILIGNLICGIPWGVFQTLTTAYAAEICPPAMRGYLTAWVSMCWGFGSFLATGVLRGSLAL
KGDAGWRVPYGIQWFWIPPLFLVGYFAPESPWYLIRRGRQAEAEKSLNRLARKGFYTERTMAETLALMNHTNEMEKIEAKKGSFAECFTGTNRRRTG
IVMMAWVIQLLNGQSITQYAAILLRSVGMSSTNAFNYNMAIQSVNVFATSIAIALMGRIGRRVFYFFGTVGIGACMLIVGIVGFAAKEKDKTTVAYV
TAAFLIVVQCIFKVSLGPATYVVVGEMASNRVRAQTIVLGRAVYVCCGIVVQQINPRMLNTKKDGAWGLGAKTGIVYFGLCFVWSAYVWFCLPETKN
RSFADLDYLFQKKVDARKFTTTPVDLFEFSNAPATKELHDEEVVTQVHQASETYEKGV
>RCO7_10505 | uncharacterized protein
MSSTQHLILDPSQHVAPTRDKDVNTTATIELPDAKETKFHPTVPGGENASLYFVGTATTILEWAGIRLMTDPNFLHAGDHVHLGPGVTGTRVTDPAV
DLHDLPPIDVVLLSHYHADHFDEMVEESLRRDLPIITTPHAKSHLAHKAGKNEAFTAVYALDTFDSMIVDVKSATGDESPRTKALRVTAMPGKHVPP
GVLGTLNDLVGAVPPTNGWMLELGTSTSPTPSPSSFQSSYRIYISGDTLLVPELKSIPERYAGQDIDLMLIHLGGTTIPGPHAPLLMVTMDAKQGVE
LVRLIKPGVTIPVHYDDYDVFLSPLEDFKKEMKEAGLEDRVVYLDRGDEYKFAVKKDSSEE
>RCO7_10504 | uncharacterized protein
MDIFLTTSAYPKGQVGKESYIIGDKITFNEFIRIAESFSGTRFTIEHDSIDRLKTGQITELPCHPMFYPFFPKEILQGMFAGIGVMFETGVFDLTPS
HTLNEEFRSIKPKSVKELVSEFYRA
>RCO7_10503 | uncharacterized protein
MSIVAVAGGTGKLGRAVVDGIVADGKFEVVVLAREAEDAKSKEIGARIVAVSYTNPDAITSVLEQNRIAIVISTLSSQCPPEQELNLIKGAARSSTT
MRYIPSVWGVPGTEE
>RCO7_10502 | uncharacterized protein
MPPSKRSRVDKSESEENEIEASTIVISESNSEEESKSKEEEDNITQANEYLDQDLIELGPDRLDREETDESDIKKEVSEEFKTSKYFRQLIIDLEGN
LSLPSKEVNIMLTLLKTYLRTSTSSKIINSFFILRPSSFTPKLVLPLSDDSDNIFTDESSDESSDEEFDQIVEEELRAEDKSIKLDNLNNIEFIDNR
RSELLLDSLIGDLVTLEQNTTLRTYREVLTTVKEELSNKQVNLLPRIRFEYSLIQQYVQNLLKKSPRRGRIEASLLVAESNHPTGDSKTLTRKIR
>RCO7_10501 | related to Tripeptidyl-peptidase sed3
MKFSIVTLFIGTAAASLGSCRIFEQLDSAPEPWLLKDDTRANQDMSFKLRIHLKSRNLDELKKRIIKSSTPDDPSYGGHLSREEVNSMIAPSGDAFV
RVRDWLESYNLSSQATFENDWVLVDSTIGEIETLLDTKYHIFENTETGRKTARTLAYSLPAALHAYVDIVAPTIVFGGNTKPELSTFVKETETPKNL
KALRSTGSSQNSACNGTNTIDCLKTLYKFKNFRPSRHNGNEIAVAHFVEQYFRYSDLATFYSKYAPDAAVAFKEVLINGGLNPQNTTIDNITAANMD
TQLVGGLTYPTPSTYFSTGGRAPVRNGEQAENEPFLEFLTYLLAMEKIPQTISIGYADKEWTVPPSYAHTVCDLFAQVTARGVTILFPSGDSGSGRN
CSVINPNKLSYTPLFPASCPWVTTVGGTQAVGPEEASFTSGGGFSNYFPRPSWQDAAVSSWLSTKADPAFTQYYNTSGRAYPDVSAQGVEVPGIYLG
EELVNGGGGAATATFASVVALLNSDRISNGLPPFGFLNPWLYSVGKSGLNDILSGTSGGCKEIPGSGFTAVAGWDPITGLGTPDFENLRLASTGISS
>RCO7_10500 | uncharacterized protein
MSTAPAQSSSSFKATTNKTASASATMTNTKLPTSKNNEVKLWNVKAITDYGIVKGIEFLRIEWARKTKSGQKVYTLEPAEVMRGDLGRVEVNGYIHE
WLQSGLIPEASKNGTKMVHDEA
>RCO7_10499 | uncharacterized protein
MEKQLSDMFDFAVYTYTKQNICDNTLDDAQLETRCPLDNGRRRHLDASTPISISISIPTRCSVGQLDQLPVELLIQVLLQIDIPSLTRFRLVNRRAM
ELVESVPQYAALIQHCPNIIRAIVSIHADAFDCDTLYRTLRTHRCSTCTRFGDHLYLIDCRRVCYFCFTRRLEYLPLTVRQASSFFVLGADETQQRN
AISTRRRLHAAKLPSVLSLPGRYCTAWGSQGGNSARKRLRLFDHRAVVQSLATSSLTKLDKTTREPRRFMAIITAPYLLDAGRQADWGYFCLGCKEE
KQEDTRHFRIKYTRGDILEHFARHGKSR
>RCO7_10498 | uncharacterized protein
MVSDPHRELREQDDHASILPGIDVSSSPSLASSPAEYPKRFRKDRSSSSYWPSDESDQSSHDQQAKSGATTNACVYELLRCVAEISRNKNDPPFRME
WTITQDKVTVHAGAREYCTTNDGNFVHKTHRMGFWQRASNYS
>RCO7_10497 | uncharacterized protein
MSSTTGYQTALAVNRAQNSPDYTINIKDLPIIFKKGPRLVTIKCLYKGCSKVFKNQRVNHSTSNYITHYKTNHKAFNIQRVLMQLEPESNTSDFEEA
SSQGSSSTQATITQAFSSLRGTKRPSSPNKEPFNSKKYKGQASDKVQGVGAGYNKGVYANAGKTD
>RCO7_07488 | uncharacterized protein

MSNDCPAASFKFTSSRATPKDVRNVSQSDDQLRSPNRATSGRSEGEDRGYDSYRPGQSPSRAMFPAPVRSNSAQRPSPPNDSRRPTLVRLPSNPSPR
YLPKLLANTSTKSNAEATRNPEVGIRILGMAAQADKERKQREEDAKKYNAQHAQRNSEIMGNGKEYTPEEASTGLGWKDKAEATENFNPDTVSASAS
NDGPTVTVQLAKAIRTIIDEVSEVATLKIRKNTTRDKLDKAQSDLDRSKSHHAGFPSIKETLSQAKKAADQNYKKADEQLKLKDASLDELASRVAEQ
IIPSVIEGSLSTQQKEKEQKAEARMAALEARCQSYHDIFMDQKTFWDEHKKAKEKSDQEHKAIVEELRLLKAEVETEKPKIFKLFARQNEFTQHMNK
LATETAADLAANKESATEMLNTVSMKIPADLHQQLGRLKELDALRIKIDAWDTNANSIADLKTSVATLSDSLRSLKEKSEAYSTAAQTTSQEHTRLR
NDVTAVGERIEALVTRYSNAELDNQNLTRAETVAHAATKEAADLALITRMALVEQNMQSITSKSTIYETNASNLKTAVDNLHDRVQTDSARLDSLEE
NISHAETLEAGQKQILINDLIAIKSRLDRFESSPPSALVTSSAARNQQFAASKTENGVLESNLSSNDLYLAISSEVEQLKANLASQQGELEDLVGIT
GDTIKDIVGSEISQFTPRLDAVEAKSKTMETSLGNIGTSLTHVEDRVKDQDKEIIDAKKSMVGAAAGSAIDIIRSQNLFAPANLDEKFANALNGVNN
VLMEHVEGHSLAIGSLQARMDNLSTGDLHAAMVNQLNATYPSLRKSEMTFQVQGLQIVSLNTKLEAVQKMVEEVQARESKHASAPAPSPVPVPAQPK
QDDTLVKALSAKLDEIAQTVVKLQENLEQVETSLTAQEEQTTTELTEIKRQTSILSEEFATNIFGLKSNDEEINIKVSSIGEKVKEIDKRVDNMSVK
LHRATTPAPTPIGQISKNAFRGESRNPSSSTPQPLVHSRKNSLAGSDTSGNIKGHKKRLHGDSSNFSTKALVDMFLNSPRTTNGVKHSERSASLCSP
NPNPNPAKRVKTSGSRRKFGENEDSEDPDDDDAETNAGISADEDE

>RCO7_07489 | probable RUVB-like protein
MAAVIQTVSESKELRGLNLIAAHSHIRGLGVDPDTLEPRTSSQGLVGQEKARKAAAVILQMVKEGKIAGRAVLIAGPPSTGKTAIAMGMAQSLGSDV
PFTMLASSEIFSLEMSKTEALEQAFRKSIGVRIKEESEMIEGEVVEIQTDRSVTGGTKQGKLTIKTTDMESVYDMGSKMIDAMTKERVMAGDIISID
KSSGKISKLGRSFAKSRDYDAMGVDTKFLQCPDGDLQKRKEVVHTVSLHEIDVINSRTQGFLALFSGDTGEIRSEVRDQINTKVAEWKEEGKAEIVP
GVLFIDEVHMLDIECFSFINRALEDELAPIVIMASNRGNSRIRGTNYRSPHGLPLDFLDRVVIVSTHAYGKEEIQQILSIRAQEEEVDITPDALALL
TKIGQETGLRYASNLITTSQLIMAKRKAKSVGVEDVQRSFKLFFDSGRSVKFVAEFEKRLIGDAGNVNLHYMNGGADAMEIS

>RCO7_07490 | uncharacterized protein
MSHNKEVGDAALFVYNYLYTTNSRRPYLRRNVRKVLRALTMGSTLSSLRSSLGPETQNEITGMLDEEEEQYRPAKRRRLAPPSETASRCLDERDVLG
DREPLSQMSNGSRRGSNLFSATSNSIKPVIFQGDPQATKWTDDNCAKPSKPGRYIGKYLPQEPIYFAEAMRINVLEINAEYDEPQPMADWGEEAEVK
CRCSIAIYYAKNDKNPGDVKLQDFEELCKDNQFCTYRITIGDNGEVSRKIFLPEPFVFTPKHFHVLRQPVVQGVRKSGRFGLADKYQIKVFIQPTET
SHLWPAMRMVSASNVDEDVEFQCGEDVADEDVGFYAKTNPWFSSDRHKRCDLYARYKGKPQRIAFSLNLQIEWSMPNRLNEFALRSSDPIMAPILQP
PSSRRSSISPRKMEEHLPPESPGVGRAARRRSGVVTYNLKALSSMSQGRSPRKGSPKKVQRTHFEELIPEDRETTVKYCFGKAEAAETGIKRETTIP
GLKCPFCFSRNRTLDELRLHFSTDHSTYKFSLRRPNPPRVTFFIEMVKTRRAGPIANISRSIQMGQPMTLFDLDQHLHGKDSWMHARSGPVHNKWPT
HLLEKNLVYSSRSSSPHDSRRSSPNTPNESEDFMDIDEVDKHEATAATPQKQCRTHYVPDNIRHPLYDTVSKRLLSSNETLTTSDSDTDETWLHQAR
RDGINDFTDISPEEKEYINKFNPFVFSERLTSTKYFPNAMLKFARGNKDWLVEKVERRMEFSKHIESFVLRGEMDEETLERCVRILEAKGEDSRQGS
DGLGEERKGKEREKEYVDMKMEKVEQLLPTTGLFVVELNAPRGSTANPARYTSNDQLQDVGNAPSVTHERKEAGIRTLQYHSSTH

>RCO7_07491 | uncharacterized protein
MAPTAAPHRALRTPPRTTRTKAKISYAESSSDEDNDSDAESIQSTSGGESSHPTTRSRATKSHPTQDSSSRRTSSARGQKSLALETNHQQNSNTRRS
NRPRDTRSQNRRQKRSHPSNSRDAYKVENDNRSPKRRKLLERCSTVKNDIQDVVIIGSGIAPPWQTLPYHILVQIFQYATYPLYEEHTFQPLPSGRW
LLTVARLCRDFAEPSFTILYSSPPLVPMVQAHRLVDLLMADPLPLAFKYRQKVESLRIDVGQVVAYTLPGSGLLDLHGLIKELPRLADLEFYHQKDL
SPFRNLDDSIKWTYPESIFEALEYVNPAADPLRGDKTSVCKLRSWRWSSRLGGKKYSLEEIPAMHLKPSFASLQKVAFVNYQIPHQKKDEEDPEHEK
VLAKAINALPNLRHLILESSTLVNGKLLPLLPTGLRNLELINCWEVIAADLGPFLLTHGRQLRCLTLNHNQSLSLEFLPVLGSGCPNLQVLRMNLVY
FNLHVTYRDSEPLYEHLLMPDQKPEWPSTLKTLELIQLRKWENEAAEVFFQSLLDSAGNLLDLRRLSIQAILNIGWRDRASFRDKWIGSLNRVFKRS
SKPPRSIHSLPKATQPPTIQSADENEIGSEVATTLGAKRHSFGSSGSTPVVEITASKKPVKPTEEGEPPRPARRSARSATRKVETGKYVESSDSEPD
TTAQVKLSSQPRSRSSRLERELGILKATAGRDGDSSSLSSAAESSDDDSGDGEGEDGKGKGRQNEVIQGMCEIVEVRIDNLRPTETQVTEADFLDEE
ISGDDDWNGEDPVEDSYAW

>RCO7_07492 | uncharacterized protein
MSITTLSTEILQKIYDLSELQDLLAVSRTCKRTYRVFIGRKMHLLTRGLHNSYSPLPSLLKLTLANEPDKSRRPIGTEIRIDALLSRVTSVPPIENL
KLTLEQMKKMVYYGRIADRWTELYPRLRWRVGSDSRRLLHGHEKERLRRAIYHHWTYTSLFHSRTYTSYSPYPPSPASHDDPRHRLLRTYSTTEHIQ
LSELLVHLEQLVELDLYPSNSVIRSQDPYSESLPTKAIEKIAWGEGSAYRRLVRDIMKLSPADLLHLVENTSTKIERLDFLYKMEACFGDVPATMNY
ALSTVSTERFNVAWGMSVKEIGVVGPWVHFPSLRSRIGIPRGLHRGAVEIHGVEEDLADEGLRFGICDVVLREGERFDRDELGRWGLGIDFDGVETG
EWEGWRRLAGLKDGVAGEADGDGEHDD

>RCO7_07493 | related to histone deacetylase A
MLQSTYMDLTMDDDELSTTNNGKGSNGFMDPRILNQFNELDLPESTELESQDGSQQSSDDDKIPVDPRRAFLPTGVYYDVRMRLHANADFTESPHHP
EDPRRIEAIFNAFKEAGLIYAGPTVELHEKLKHSPYEWMWRISSRYATREEICTVHTASHWEWVMSLREMSSESLRQLTRDFDTGRKSLYVGNLTHE
AALISAGGAIETCKNVVAGKIKNGIAVIRPPGHHAEHNEALGFCIFNNVPIAAKVCMADYPKLCRKVLILDWDVHHGNGIQNMFYEDPNVLYISIHV
YKNGIFYPGQPEDPGVPDGGLENCGAGRGLGKNINIGWAEQGVGNGEYMAAFQRIVMPIAHEFDPDLVIVSAGFDAAAGDDLGGCYVTPACYSHMTH
MLMSLADGKVAVCLEGGYNLKAISMSALAVAKTLMGDPPDRMAIPPLNKTAQHTLANVKRIQSAYWECMRPGVVSLADLQERSTDRLSDMIRTAQKS
SLSERHGMFPLYVMRTKLSRSFENQVLVTPNIDKAKRILMVIHDPPEVLAQPDPYNNHVYAHNAFVTDGLMPYIDWAIKHGFGVMDINIPQHISDVK
DTDPWAEKASETKMAEQLRTLLCYLWDNYFELNPDASLTLMGIGDAYFGIKQLLISRPTTVNKVTGILCFVTGTLRPVKSETDPSLSKWYKANTLLY
VSPDHACFADEASARRVRKERFGRVVEADIVVGKGDGVGKMLRRHESDSQSWIKKQVKEWERLNVGSESESDGEGNKIEGVKHAEEMDRVMRDVPPK
PIGVI

>RCO7_07494 | glyceraldehyde 3-phosphate dehydrogenase
MAPTKVGINGFGRIGRIVFRNAIEHEDIDIVAVNDPFIEPHYAAYMLKYDSTHGQFKGTIEALEDGLKVNGKTVKFYSKKDPSEIPWSETGAYYIVE
ATGVFTTTEKAKAHLKGGAKKVVISAPSADAPMYVMGVNEKTYKSDVEVISNASCTTNCLAPLAKVINDEFGIVEGLMTTVHSYTATQKTVDGPSAK
DWRGGRTAAQNIIPSSTGAAKAVGKVIPELNGKLTGMSLRVPTANVSVVDLTVRLEKGASYDEIKAVIKKASEGPLKGILGYTEDDVVSTDLNGDTH
SSIFDAKAGISLNANFVKLVSWYDNEWGYSRRVLDLLSYIAKVDGGAK

>RCO7_07495 | probable cytochrome c oxidase subunit V
MLRQSAALRAIARPMGKGGYGNVAALGGYGGQKRAAHAISNPTLANIEKRWEGLPPQEQADLWMALRDRMKVNWAELTLQEKKAAYYIAFGAHGPRA
QDPPNEGWKVFGYVMAGIGATAVLFGTVRFFARGAPGTMNKEYQEATNEYLKAQNSNPISGISSEGYSGPGYVQSAPKKK

>RCO7_07496 | related to MCX1 protein
MPAITRKLKLTTLPKRSINSSLQANLILSPYRHPLSTSTSSNRDPYSNSYRTGFESQNAGFTNTYEPNRPTEGPLSKASTHGAPRLTPSLLKGHLDK

YVVGQDTAKKVTSVAIFNHYQRIREIRRLQEEEREKAEQEARREVRERERNSHPIENEYPGHIETVDLNNPLPYRNAPPTPPGTPLGHAPLTTSTQT
IIEKSNLLLLGPSGVGKTYILSTLARILEVPFATVDCSSLTQAGYIGTDIESSIERLLLASSHSISKCESGIIFFDEVDKLAKPAVMTHGRDVSGEG
VQQGLLKMIEGTTVTVSAKGEKNAKNEVAGGRLERGRDAVQQQAQMGKTEQYTIDTTNILFVFAGAFVGLEKIISKRLSSGSSLGFGAQIKSSPPSS
FSMSQPSSSSSSPTHPSSSLSITSPSHQKNHSPKPAPNILTSVLPSDLQTYGLIPELLGRIPITVSLSPLSLSQLTTILTSPKNSLVAQFTALFNTY
GIQLKFTTGALHAVAERALSPTGSAREGGDGNGGVGARALRSIMETILSEIMFHGPGSAIRYCLVDEAFVRSQSSNTSSNTAQASESEGEGEPAQMP
RCWSRGQNKAFEEACEGEEEEWNVKNGIVQGSNHQKGEQDQDGQDDEGSGFQRFRRVGSSGM
>RCO7_07497 | probable branching enzyme (be1)
MDATNQNSENSVQGNGAANGLPNDGTGVIKMDPWLSPFKEELKARYNTAQDWIKKIDQDEGGLEKFSRGFEKFGINVDSQNNITYREWAPNATQAFF
IGDFSDWSRESHPMKKDPFGVFEIVLPAVKGEPAIAHNSKVKISLVLPSGERIERIPAWITYVTQDLHVSPVYDARFWNPPKAERYVFKNKRPQKPE
SVRVYEAHIGISSPELRVTTYKEFRLNMLPRIKHLGYNVIQLMAIMEHAYYASFGYQINSFFAASSRYGSPEELKELIDTAHGMGIVILLDVVHSHA
SKNVLDGLNEFDGTDSCYFHGGPKGKHELWDSRLFNYGSHEVLRFLLSNLRFWMDEYMFDGFRFDGVTSMLYTHHGIGTGFSGGYHEYFGPGVDQEA
VAYLMIANELLHNLYPEMITIAEDVSGMPALCVNLSLGGIGFDYRLAMAIPDMWIKILKEVQDDNWDMANICFTLTNRRHGEKTIAYCESHDQALVG
DKSIMMHLCDAELYTNMSTLSTFTPVIERGMALHKMIRLITHALGGEGYLNFEGNEFGHPEWLDFPRQGNDNSFWYARRQFNLPDDGLLRYKFLYEF
DSGMQHAEQKYGWLHSDQAYISLKNESDKVIVFERAGLVFVFNFHPTKSYADYRIGIEQEGTYRVVLNTDTKQYGGFERIDSETRFFTTPFKWNERK
NFTQVYIPTRTAIVLALESTL
>RCO7_07498 | H+-transporting ATP synthase beta chain
MFRSTLQKSALRASQSALRASSINRNGLRVAGARFASSDNQLHGKIHQVIGAVVDVKFDTDKLPPILNALETMNGGQKLTLEVAQHLGENIVRTIAM
DGTEGLVRGHRASDTGNPIMVPVGPGTLGRIMNVTGDPIDERGPIKHTKKLPIHADAPPFTDQSTAAEVLVTGIKVVDLLAPYARGGKIGLFGGAGV
GKTVFIQELINNIAKAHGGYSVFTGVGERTREGNDLYHEMQETKVIDLEGESKVALVFGQMNEPPGARARVALTGLTVAEYFRDEEGQDVLLFIDNI
FRFTQAGSEVSALLGRIPSAVGYQPTLAVDMGLMQERITTTNKGSITSVQAVYVPADDLTDPAPATTFAHLDATTVLSRGISELGIYPAVDPLDSKS
RMLDPRVIGQDHYDTATKVQQMLQEYKSLQDIIAILGMDELSEADKLTVERARKMQKFLSQPFAVAQVFTGIEGVLVDLKDTIRSFKAIMNGEGDDL
PEASFYMVGDIDHARRKGEKILADLEKE
>RCO7_07499 | uncharacterized protein
MASSSNRPQAMVEDDDISLNSTASEAYDSDTEFTVDRILAESGEEASGKFYLISWEGYPEEKHTWEPKSNIGSDTLKEWHERRERERMGLDKPYDVA
RWKAIIKKLEDEKADRHQRRVIKRQKIKKAKLEALAERKRQRKDAARNSSDSSSEALEYLDEIENAPGMKLNSAKKHTTSVTKPVRRPIKAVGPIDD
NLSDLDAEIERKARRQVTAKPAQHSNKQTQKPSRSHSETSSDDMPLVTRKAFTNQQRPSSSNGTPVQQRKPAESVARPHQPLQPAGRVTDENLPPRP
RPSVRGGKGATRGGLNFGNVFRSKEPLRTRPTLLDTSTDPSKAPKPYSTMRLGYKAYVQGRAVADRAPDITKLPGGLMDPSKSVPRVDPSALRNARE
QAESEPPTSELFVPPRLSVAKAIPAPVYQQNQLKSGREVCFFWHRKQMNKHNPDCINPYTCERLHYYEPGAPISGPPLGWVEQGYSGPEVCFFWDRH
QKDHRRPQCGNGEECSRLHSYEDGAPISGPPPGWVEKDEKSLASPSSPVLAQEQAQQDSPMPMDYDDESHHDNPDILPPWQEPVAAKEPSSKSNSIP
FGRDSVGASEKRPVRATCYFWNRAQLSSANAPCRRGDDCHYLHRYEKGTSIASAPKGCLDYRGGSSWRPASPPVCNKSNMDAVQSRNQPFQSTKLPS
IPCIGSPSHVKSTQSRNGSSKDPLARPPWDPYNSEHAICHFWNSLGHCSKGHNCKYYHNSDPSLPIAPSPDIQREIRRETTCLDWANGNCHYLDCWF
MHRMSRTTVSDHPNHSPAGAPRRSISINDEPKTMRSDSKSFRDRYFEDLPQDDCSKPDDLLNSLIQPDSMSLNTRTSSVTLPPFRPTWDPRNPLNAI
CYFYSRDGFCYKRDDCIYLHSKDPNLPIAPDPRLPLSEKSRLLVEEDDRGFSAPTAPGRKRVRFANDDPANLSDEPKQGGWKSTKKVCRYWQQGYCQ
YGSDCFNLHESPLRSNTSRSDDVNLITDDAHDDGKASAPNSAPLPLNRMTRGDSSGYAAVSSPGADIDMLEPKVTQPDVGQQGSDSATRSNTVVRRK
RTLDEYKQDKSQKALKALGANAKDISFGSDRMQRALFDVGNIDQSDHTPWKQEFASTAEIVLDHICLAQDFQARQGYFQRRILHHGSLQPADPNDSK
LLKLIDHIVEEMVLRASGLMSIFTYFAILIFPGQKEEWGFLEQPANIKSRLRYFLFEHNLEPGNRHVPAEQVYAEPYRTLLAAKLHGLRLKNLLPPC
SEKENPYNFFLLFPISEKQMLKYFSAWILASHAESKVFDSLAEGAWDCFVKTYTTMKTPKAVIFVHESMAASLHQVPHLKHVIKQGGIIWWNVSDST
SLYPLFHSVYSGPQTNVGRLKFTRLFPHGCAILLTPSFLIAEPEHSSTILNWFLGPSKSKFAAAIPGTWKLVVCHNFTSYLLDLANSKAKEKEVFEK
QHRDSPAKDPILHEKKLSYGHCETRYKLLKTLLTWQQRHAYDLDSDSESDHNDDNESPLVQAPGGIDPDDEEGLINWFAGWSMLKLDSYRKFVVVGT
NSANAKLASRMKEAAAPECMEAAGDIKAQPTGEFECRAEDSDVSMDLGDTPTSGSPGHGISPSLPTEVLLLVAEFGLAIKDAQRILVKAKQDLVKAQ
QLCREEQWDAKIPDVLRGGPSLINPVKPLGVLPPLRVGDADLQRAKEVPVSAVSECRRSYTFSPQREDILSPQLDPSSRDASRRTSLIMSPDQMSVG
SADEPNYGNKVTFQHERHEGVQERTEHGNGGASESGIMIQTFEPTSQWYRRMMKDGKAWEHIIVCSQWDNEKSPGVSLPGVNFAKQIIGIP
>RCO7_07500 | probable GTP-binding protein Drab11
MANDEYDRCTVPVQGRFTVVLIGDSGVGKSNLLSRFTRNEFNLDSKSTIGVEFATRSIQVDAKTIKAQIWDTAGQERYRAITSAYYRGAVGALLVYD
ISKHQTYENVTRWLKELRDHADSNIVIMLVGNKSDLRHLRAVPTEEAKQFASENNLSFIETSALDASNVELAFQNILTEIYRIVSQKALDNGDSAQA
NIGAGTNISLSKTADESADKGGKCC
>RCO7_07501 | BRX1 Nucleolar protein involved in the assembly of the large ribosomal subunit
MASVYKSLSKTSGRKDEVTGPANGIKKNKQRVLILSSRGITYRHRHLLNDLASLLPHGRKDAKLDTKSKLYQLNELAELYNCNNVFFFEARKGKDLY
LWMSKAPNGPTVKMHMQNLHTMEELHFTGNCLKGSRPILSFDAHFDSEPHLRVLKELFLHIFGVPKGARKSKPFIDHVMGFTLADGKIWIRNYQISE
TETSKLPPSTTSDDTPAPRVKQKNTKGTETEVSLVEIGPRFVLTPIVIQEGSFGGPIIYENKEFVSPNQVRSEIRQKKAGRYTARAEQGVERLAKKG
ELGLRTSGGRKQKVDELDTKQLFA
>RCO7_07502 | uncharacterized protein
MSRAPENPNNPPSSPYDQPEYSSIDAENLVELQVSSIPIFEMGDNSTDEEDLSGQESGGSSRVSQGTRINIMEWAIGGSGENTPRAVAGAEILGDDD
SMGAGSFHSGSGVTLSSDDEAGDPADLTSRIIQSNRFAPGYVVEDQYAGEDISKEVLPGVFGEPINYRATRNTISPGTLDLLPGSPMQDDLDISVAS
DSSSVSHISESTLDNSDTPQHNTTDAMWMDSLLNFPWINKDLSMILDPASRKLVVMPQTELQLKKAVIDLYKSMLRGVWFIQLSARGLWLEQTFPDE
LWWDVFTDKESEELQRTLHKQIYEDIVTRAITVVEEWRLRSGFAKVPETERELEDAEEKVGERREMKQLILDEASKKSVDRWVRFLFGGVIDAEHLH
RILGCSLSGVRQCIITKVMLVTEWPFGECWTVKGSLQEPLHNRRKVNFIIDGQLDELVGYLNVRDE
>RCO7_07503 | related to regulatory protein involved in control of sterol uptake
MSSDFIPKRPHKKSRGGCGTCKSRKVKCNEAKPKCAFCEKRDLECVYIARSTKSSSIEMSQNSLSPTSSGSLGDDFLFDFDFNEDIEIINRDWEMAL
VTSSPPPEKLPSIGFLSSVDLRYMHQWSTSTWTTLAVGDWSNEVLRIEVPRLAFEFGFLQDCMLGLASLHQQQLLPDPQQAIRQTAIYRARALSSFR
TALADLQWGTRKYEAALITSLLLVLLCSKDYIMDEGELIAVNWLVLYRGLSTVISLKSYEDIQSLSVSPIFRREAAPLKELPVVPKILMRMVREIEP
TDPDFLILEHYCSALDALGMLYGQLRESGPGPDLSIRVVTWPSFINHAIASGAQQRRPRVLVILAYYMVFMRLVRDLWWVDGIAQQEFGTLIRLLDK
RWLPYVEIPIRAMMMSTDKEVTEFLLR
>RCO7_07504 | related to origin recognition complex subunit 5

MASLFSLPNEVMLSALSARFPCRDQQIRTLATLTSIQGARSRNIVLHGLEATGKSAIVKALLEQLSNPSKGQRNGTKHSNNLRYAVVKSAECISGRH
LLEQTVGAVAAAVEWKDNIGRCDNLARLVVELGGLVNSWTKSREEDGKFVLVFDGIDRQRDPPATLLQALARLGETIPNLTTIFIVTSPRPNFLHVP
GVPHISFPAYIKPELLQIIALTTPSPELPKETKETWSRLCSAVWDSLSKHSGRDILSFRSVCLDLWPRFVKPILDGQLDPSPFSKLLLANRSLFQSD
TALVHNILSDDSTAAAIQSINKSNEAKYTGIGAQLPYFSRLLLVAAYLASLNPAKTDITFFMKAAASKRRKKGGGTALTSRKPGVTKHRKIARKLLG
PQAFVLERMLAIFHAIKEDADAKSRGRGKVKVEGNADVMMAVSTLASLRLVVRVGSVSSVDVLDPTTKYRVAVGWEVIRGIARSVGVEAEDYLAD
>RCO7_07505 | uncharacterized protein
MRSELLSFALVALYTSSAIAGPIDPSPEDDSKQGVKNNLGPLMGLRRRQITTPVGSAPPANTCPCVGGGAEKTVTVTETYTATGCPQAVQTVTVPAP
GPPQTVTLTQTKASTITVPISAPGADQPGRVVTVTAGNDAIPTYPAQPVSEGPNVIPVTVDGVPGEATISQSLTRGPNLVTAGSGPQQTVVTVTVGP
PPGPPGVPGGPPSPGSGSSGSGSSGSGSSGSGSSGSGSSGSGSSGSSGSSGSSGSSGSSGSSGSSASSGSSDSSDSSGDSGGSSSGSSSDSSSGSSS
GSSSGSQSPQGPPGGGASGVFPPNSGFHPAPGQGYAISITVNVIIIQIVQAGKVVIVTAAGQNVTQVVTSPPVTVTSTITLPNGAPMTALPGVKNGT
VTVISNNTVVINPGLPKPNVTAPVHLNKTSCRAKFKAPALRNDTRPVALNESSILPNVTAKALNNVTLPVALNESSGLANVTAPSLKNVTLPVALNE
TTAALPPGLNLTTPPKAEALNNITLPVALNETTADLPPGLNFTAPPPKKEAKKITTTSSSAVSTSTKAASPKTTLHLTVNITSTITTESKKTEAPPA
PAKVTKSIHRASDLTTLAPSSTGTAKSTPTGKALKTTPVSKAKTSTSAPVEPVATPYATPYAVVDVEKAKGAEKFGPAPGHKNGTRAA
>RCO7_07506 | related to PIN4 FHA1 domain-interacting protein modulates DNA damage tolerance
and G(2)/M cell cycle progression
MTQQYGGDMYADYSQNQSRSPVSSRYGNGLTLNRQTSRQFEQYAPQPPQGLYQEDHSSQYDQASRFDRMPPSTMHATNYPYENQTWNYGGANASANM
MGGTGRVRAQAPRRAGLPSGWLDPQMHQVDNINNYQMNNQLMHQQQQQQRRPSPPQGDNDELIPTAIVIKNIPFAVKKEQLVACMTDLRLPLPYAFN
YHFDAGVFRGLAFANFTSADETQAVIAAMNHMELQGRKLRVEYKKMLPVQERERIERDKREKRGQLQEQHQPLAPGQAQNPLHTQSSMASLTSMNSI
NHPPATSPSPVSIRGNMVPADVDMNDPATLQFYSELMLFKNDKSRDALVFPPTVSPADRRTIHTLAHHMNLDHRSEGSGESRCVQILRRTAQISPPI
TQQNYYTESSRRGLNRAATIDLTEARENHGHYHSLNRQGSTLLDIPGSPGLSGFSAHNNLRAAKSFADLRSYTPSPVPSTASFPAGLTQNISRYATD
YSHGSAASGTPNLTPTSAGGGTNGREELVLNSFGNLGLYDRPSTNRPNASGRIGQERETHTPVTGAIGSQRVANGNYDDSSRSGAVVERQPRGPGAD
WGAGNGFSRPRQNGHVNRGSGEHDPAIFDNGWDDNTAQDSSDRTGVPTSRYI
>RCO7_07507 | related to peptidylprolyl isomerase (cyclophilin)-like protein
MSALYNLEPQPTASCILHTTSGDISLELWAQQIPLTCRNFLQHCLDGYYDNTIFHRLVPGFILQGGDPTGTGSGGESIYDGGAYSESREENGIWPME
DRKGANAGMQGVGFKDEFHSRIKFNRRGLLGMANEGSDTNGSQFFLTLGETPELQGKNTVFGRVEGETIYNLARMGEAEVGPNERPAYPTKITSVEV
LVNPFKDMVRRSRTAALTDQPKVEVKKKKRQAGKQLLSFGDEEGEGEAAPVVKKAKFDTRIVMDTQDTQADTIPKQEKSRKVERKAAKPVSIESSPG
STPPPNTLPNRAAKVEIRDISSSPEPVQKVSSLLERTNAQIAELKASMKRNVTVAPVEEKKKSALESMIPANSIRGRKRRPGENMPDQGTIDILKAF
QSKLQNAPPEKEVVKPENTDNKANGVEAEDDEEEAALCDLHFIAQCQSCKKWDEEDQDEVDDIDDAGWMSHALSFKEDKLGKDLSYRKKAEDELVVI
DPREKARTLKEDMKAKREARAGDSGRSWDMARNDNLSRASALAGRGAK
>RCO7_07508 | related to heat shock transcription factor
MAPTNTRKRAAPGSSQADQMPQSYTAPAQVSNADFLDWNQPENTNNSTRFNDQSDGYNMSNYSNSGGAGGMSQAPNTFDQAVPTASTQLARRPNSNR
QLVQTANRMAYDNQVDPWGQFGDDSILDTQDGSGVIEENDNIELLEERAAVAKRDAQSKRKQIPPFVQKLSSFLDESKNTELIRWSDRGDSFVVLDE
DEFAKTLIPELFKHNNYASFVRQLNMYGFHKRVGLSDNSMKASERKNKSPSEYYNPYFKRGHPNLLWLINKPKGGNAQKKKSSNSKVKNEEVGDGES
DDDGREIEEVYGNNVQQSRAISAAPEAGPLQRRDVAALQNQLAEIQKQQGNITSAIARLRKDHNQLYQQSVAFQSLHDRHENSISAILTFLATVYNR
SLDGQGPQNIAQMFASGINHNDPQPHGSVVDIGDVSNQQEQKTGSMSPHRRPQRLLMAPLGAGGGRAATASPSTTPTPQSHTYQKHNLNAPHAAMIE
ELFDAPTETPQEFQPDRTSQHQHQRTPSSQNQSQNQARIPQSNMMMNIIQDTNAQTLQNPNSVLQFPEMLSHYENSNGNSPLTNEQRNSMLNLMAHT
SSASNSNNALTSPTPPPQPSLEELGYTQGEIENLLNLQVEQTRNINEVKATIAPLSPSGSVPGLEGDTYFSGMDATHPSDGANLDLDQYLDTGAFYT
GSSPMAMAGNGDYGYDIGVDGGFGDGSGLGGMGGGMGLGESHFDMGMDGAADSPEIVAVKVESLNSSAAHTPEGGVETPEDLNGMSGGGDMGTSPSK
KRRKN
>RCO7_07509 | uncharacterized protein
MADTRHTPIQVLPPNRDHNGRSSSMERDDSGIRGINPNAENDSGNSGNSVAPGTLLNDSTYKDGDVVNTERDIVSNIPGRSMSPASQDTLNNFTLQT
TNAGNIYEDISHTNKNFMANASSNVPSQAGNGTGSSGDSNRAERSSPDPQASYVASEDEKKKLEAPHTPKAMWTAAILTDMQSWKAGNVANEDEIKR
LEAADTLLVNEAAKILCAMAAGSDKSNHEQYNPGTQSGNRDGNSNDESDAGNDGSGDKPDDEKSGDGNEPDEEAEDHYTQGPLNGSNNPHHTHAYRE
YLRLNNLTTTGNSAPSMTFNVAEGSRRKEPNNEADRATLHRRNATKSHRPKKRAPSDFGSPDNALNASSMAPPPAKKPYRKPQKTTQASQTSAPTEP
KRVSTQSGRLINPPKAFDEDTPSATAIKVGESKQERVISMGGQPNQVKERKVNDKTLEEQEIGLDDDELSMIKPLLHKVETDRAIEWDRQFDLIRKR
KDHRLRDEKEHFQGLSNFEESQRGLDGTRESHTQQIPDQEKIRLDPETGKKKRGRPRKIGSVDASPASKVPQSIATPIPKGPAVTERQLADDLDSFR
SRMEMDLIALEEAAAQAAKEQKAYSSTIAWDYDFISRGGLRD
>RCO7_07510 | probable DEOXYHYPUSINE SYNTHASE
MTNQTEKCGVPPSTVTDAVLVPSNEMPEGSQKVEELDFNKFLGRSITVDDLIGGMNHMGFQASSIGEARSWRSLESPDAKTTIFLGYTSNLISSGLR
GTLRYLAQHSHISAIVTTAGGIEEDLIKCLGDTYMGSFSTPGAELRSKGLNRIGNLIVPNNNYCLFEDWVVPILDKMLEEQEASKNNPRDDGENVRN
WTPSKIIARLGKEINNESSVLYWAYKNNIPVFCPALTDGSLGDMLYFHTFKASPLQLKIDIVEDIRKINTIAVRAERAGMIILGGGVVKHHIANACL
MRNGAESAVYINTAQEFDGSDAGARPDEAVSWGKIKVGADSVKVYVEATACFPLIVAATFAKDASHA
>RCO7_07511 | uncharacterized protein
MARLDCALHRQLLSSPFHNISFATVDGSTISNSRHIRSLLEATYWRQLQQAAATLGHCPAKMNGSYDAGESRRSPRDQSPGRYNDSRDEFRGGGARG
GERRRSIPDARMNHNSFASNRELFSANRDTSRDYNSSRDPPRGPKGFPDAPTGPRASSHSEFRGDFGSGYRGDFRGERGRGRGRGWRDDSRDRGRDD
REYRDRRDDRGPPPTFRDDRGRDRWGTRESFRGRRASSPQGRGRSPNYGPRDSRDGPPSIEIDRARRGSRDGPLSGGSPGSDSIPPFGRGYGRAPRG
GRGRGRGNYYEDGFHRPVGRSRSPEPIYRRTQPSATPPPQVPAFGSATAAASLPTAPNTSVSSTIPTDTAGPIPGVAVPTAPRSYGPTFQAKPAVLP
WVNTATNIKNTKSIKPSAPSLANSHLQGTLANEISATTDQPASYQSTTEARRTEDPDDVNKQIAALKSEVKLQPKEDMPSPPRKGLFGKRGPEASVQ
NPRDIASDSEFEDEEDEEDEVDDAYFEDEISKIEADIKRVDEENPQNPPPESPSAFMKPFRHHMIDRMVESRKTIAPEPCVAPEVKVEEVQSEAPKE
PVSAPIQEPVSQPILAPVAVTVPTPDSGVIPDLPATVSRTSRSRSSTPAILPPKSKASGRSRPSTPPLQSKKRQPADAIFNGRASPAQVHLPSARIP
LPSVERAESALRDPSPLRSIEHGPSSHQDILAPRPSFTSTAIGTGRKSVPMDVFPESEGEMTEAENEEILEAVRPRMKTPPIASLPNFGNKKWFEDA
EFMETLKPNPDVEARIRQKLIDDRDRTKREQEAARKEWGEKYYEYRRFTDFSDDLLAVRSREKFSKARAKAAAEAAAPHQSSVPSAGAKPEPGRRGR
WATEHDFERVLRESELEAKETKDTEDRAARAKTASAKEATIPDAAWDREEWRSMQHIDRTHLVPFERSFARLEFGEPIDNFTVEEAELFEKVFLEFP
KQWGKIAEALPRRDYKACIQHYYLVKHNLNLKEKLKKQPKKRKARQTKAKNPKPNAMVADPNRDEAEDAQDNDGGERRGRPRRAAAPTFNFEAAASE

SEVASPAPTPVRKQAATPKGEPGTEVPPPKRKTKAMKEKGTKQAKNSQLLAAAPPIPPTIAAPPPSVSPATPVQNTDWKNRINMPGGNALFSPLTQF
DSGPNQPTFAPPYAPIERPNPSMPINFDPLPQQFIHPPPPQPLPAPSVQPPMQEQLNSTPPTNFDGQQDRRATQQTSSYWSVPEQTDFPALLRHFGT
DWHGIAKWMTSKTHIMVYTTVFQQWLAVPSDSNKSRRVANIQTQVKNYYQRQVDLGKKEWEMIAKDADEKRERGETTGPLPTPTVIPKRRYDVTPGS
HPRAASGMDQNEEFMSPGPSSVMSKVAPPPPPSLSARFPALAQAGPVPQIQSGAATSTILNKHMPHQPIQQAPQQTQQQPRPSRGPVFGNFSNEPPS
RPIIANDAAVSQRSVMVAQEAQIERQSALRLEREQREQQRQRELQQSEQEQAMQMERDRHLSHQRELAIQHREQQALRDRQFQMKQENETPNPNQYE
PYSIPPAMAPGNQMHARPEPPKPLQQTETRRAAPLQHHMQQYQSRAPPNVRPPLGESAGSAQNLKSTPSPAVPRNPMSAPPANQEMYSAPSHAPPHQ
QSAQPLQAPPIAARQPEPTRRSNIMSLLNDDEPGPPVKRTSEVSNTPMLNTRTPPPQHPQHQLQHSRYSAHSQQSTPQPHPHMPQQMAAQPQPPPPP
PPPPAQSSYSQPMQPQHPLHQHSTSIGHARSYTPTSFDSRPAYVQPQIQQQQQQQHIYTQPRHSLTSQPSGLRREPSIGEMHGMTPSGGYARASGTS
SQPHSRLKESPYAAHSAPTPPPPQAQAIRQSMGSPHDLSLEQRDYYQRQQPPQGYFMQAQQQAQQQQAAASPQLGPSYNSPLQQHQQPPANHRQLAF
GGQNSPHIPSPPPAQFANHHSLHNSRHNSFDGREGRYTMGSSAPGPSPAPAPIYRPYPGQVLEVRTQRGGERDGQQMMDLRQRERELEARREAQRRG
EPDRREMDGFYQNHK

>RCO7_07512 | uncharacterized protein

MKFISLSIVLAVLLVLTLTSALGSGLEQRQGQVIDSAPTVEECANSLDCLSAAAWWSDCQRAHVIGQPFDPSSNVRSCLCPPGRAIPSHVDWSSKLH
NCIVCVEKATGKQAADTHLSLQIEQIIGSPSAKVGYCHGTLSTQELVKKTKDLARAKDFPLELPETILRLNSEKVTRIVTTKNLSDSIHSNIDSAVS
SVLAQSGFTQTEQSSTLTAVFSTQFSTFEAVPMETFLASIATAIPSAVSNNQFSTFEAVPMSSFLASFATAIPLPSPSFSDSLENPHGKIVPHPSGT
TVKTCSHDNCLRQAIRSEPAVASFCAAYTKSLKSAPSGIPNPLPACDDSPARMSSACSCLASRTSLSTSASSTSAQISTIKAPDPDMTAQTSTAPKL
PSLMSSSTAPISTLRSNLGRLRWASLPASSEVSDCRRSTECLGASDIFSTCAAEEHKLGGNVKSCFCTTNQASWTSSLSICAACIAKSLPDSPPSTA
PAGRDLMVQVVDMTASIYCEPDSQGSLKRLTKAGWIITAYLQSPVMLFDMSMEDIQ

>RCO7_07513 | uncharacterized protein

MSTSFFSRAALLLCALRLAAANIMSPKAGESVDLNNEYEVKWETQGLVEPLKMHLAPGGATDLSTIISMLSPSAPNSGSWKWKPSSSTPKHESFTII
IVDKGGHSVYGQPFKMYGWGQTPPPAHTVSPPPPPPVAHSLAPLPPPPTHNTIIITEIHSTATAAPVHMAPPPPHSMVEPSVHNTITSTEIHSAPPM
STSIVAPVVVPPPMVETPSRITLTEIHSTSTAAAVVTFAPVVSTVLLTSVHVSTGAPVLETIAAPVIVETAIIHTSIMVNTPPPVAETKFFNVTQTS
VAQHISQVVVTSVLAPIINTIQLAPLIQTHQVAPILSTEIIAPIIKTVPQAPIMTTEYQQPIVKTILVTETPAPIIKSISVPPLLVTETKAPVIMTL
TQAPVISTIVQAPQLVTSIPAPLLLTQQVTELMTTAVVSQKIEIIESHQNAISVTELITQHVKATVTTHSVITSTPAAMKNTIVVTEIHSSSIAVTA
PAGVVNTIISTEMHSSSVLRITSTEIHSSSTPAIATPPPFTNVTEVVASSLTTLATSTSSALAIPQSGFTSSFSLGSPSGTGVGALPTQFTGAANTR
NVISGGVWAAVGGAMVLII

>RCO7_07514 | uncharacterized protein

MEPYVSEEADEEARPEALASASEQASDRLYPPLPQPTPVSRREQTLPVRFASPIAILGEDSTRRRRPARQSSRDRSSERPGRGRSPFFGDRERQTSS
PSSIRQSYPEETGRLYERFRARSLEDDDSPRRPSSPTEVCPNRPSRARTRDSQGDFLSEGDTVYMPSYFVSSRVAGEASELPHYSDEYDRSLPIRRA
REDSYPESRYRNCGQPFARSSDSRAHSYVDDYEVEDWARPGRPEVGSGPRSQVEAVEPSYRLRPVPYQGAIRYDSDDEWDSKYRGPRDPHVKSNDRF
SRPSRHRPPNREVRRSSYLVPTISSYRPGGYISPPRRRTTTYDDEDFLDIRRRRDRSPKYSDYRRNPFSFEPNEYYRPGDHDYRSWVPPPPPPPIIL
KKPGYHDAAGGDWEMSSSRRQLRSRSCSPPSPSAATPAIISTRIYNDREPDNVTFERVSKDIPGIYPSMYAERYRDQSRSKFPSVRSVPIHSRVSNH
YYSEDYDPLPGDLSEPDLGYSQEAYRFTLSRHSKSLRGTDSLLSSASDISDPSEKDEPNSGSSPKSESQSGTTYHVFQSQYIGDGVIGGSHAVQLTL
NPDPSPKDSKGAASVFRWVHFEDQSMDFENFEHNALTIPKLTDNETTAIAKILRRAKKVYDKPLQTATKGRTRFMVPSFIQENLAEEKKSTSAKARS
ISWMCAPYFCLAKYGTILGLKPTSHPMRTLLQARFALVQKGRDMKQAVCYLQDTLPEHCFHIAQVWFLILDDSLVVSCARISMKAVQGDCISILPNP
DARPALACISILVSTKNSLLWALPLKECQSWFGFVSHFSEFWPLKVEVTYKEKPITASEWPRILTIAKKTTLRLLVDFQTPKQSEPAKGVLLYEESL
TDDAEGNLEVPEIGSSSTPEPLLRPTDQRRSSRSKKQSIDQSKEEFRVFTWINSRNASRDVGSPVTAVNVDYVLTGFESQGVDDDLAEIDTYLSSKT
DISHRLTYNRCQSTQSSERSELYVLLSGLKPDALSAEETVITTYENLVGVLNAAELLFRFFLPPGSQAPTTSKYWGALSMLLKSITDANPGRSRGTP
NRYTQADFTASALLNWLELLNKVTSPFKDYLDHVPLPDRSDIKMPEELTIAWLHLVLALTFSAEDTGLFETQMSICHDLVIRGTRKAISGLSKANLF
DYAVFQPFEFASLIAFQLSQEHKGSAADVSDTYLEYLKTLQSDIEGNPLDRNHQDRIVCLKQEIEVISETLDAQQYILRQAQRGFNTSRGNAREDLE
YPDAGYARRSAARTKGHIMHTDSAGVQSLIIQDNLALVENRIRGFREMREIASELGEWNIQKIDSNKDRQEAAIYAFTIVTIIFLPLGTVAGIMGMN
TSDVRDMPYAQWVYWATALPLTILVITLCLAWAGELNNFQEGFKNLWRRNPRNYVMVKDRYESAGTGRRDRYDEPVYNAPLRRSRTIYGSKESYV

>RCO7_07515 | uncharacterized protein

MQYFKLSAILSLLPVTLAQYGYGSDTKSSSTVAFASASTAAASSGPLHIVKVGESPLKFRPESMKANVGDTIEFHFYPATHSVAQSSFAAPCTPLNG
TSFFSGGIKTTSGMNEQVFSITVTDTKPIWYYCAFTGHCAGGMAGVINPPADKTIEQYVAAAKNVSATVAPSKVQGGTLGKVQTTGSPTTSTTPSSS
ASGSAAVEARGGVSWTIFGLTGFAAITFGGLII

>RCO7_07516 | uncharacterized protein

MSSEPGKLLDQPYRLNPTLPPKKNCKLHYRKIKNLEADLHHAKVEIGTRHEEGFRLKLDAELSSDRAEATAQTMKDLRARDAMPMGDWATETSETKN
LKDQIEGLDRKIDGYQEDIHDLIDTNCSLAWQQYRGRVRTLQVRHQQATKCTNSKERRQNLNVNYKP

>RCO7_07517 | related to hsp70 protein

MADNLFIMEPDDLSSAPSIYHSREQLVVALDFGTTYSGIAYAFANVPKPEVISIMDWPGLEGFAQPKVPTIICYNNDDNSDFTWGAQKHTNDVVQGV
KLLLDPDQTRPLYLPESTAKADLKRLGKPAVEVAADYMGAIFKHAMKKIETSIPSEYLQVCQKQFVLTVPAVWSDKAKDTTLKAAKRAGIHPVALIK
EPEAAAMYTLHMLQDKALNVGDAFVICDAGGGTVDLISYEITQLSPRLELKELVPGKGGMAGSLGLNKRFEQAVKDLVGEDQYFSLRKTKGFEQAVQ
QFDRSVKTAFRGDLDEDYYINFPMANLVDDPVNNLVSNCWNMKGNDVREIFDPLIADIERLVDEQVNLVLAIFLVGGFGSSEYLKACLETNHSHLQV
IQPYGAWAAIVKGAVLSQLPQETLIVSNQATRHYGVNALSAFEQFRDAGQVKIFDPILGRDRIHLMTWYILCGEDLLREQVIKFPFYRSLREGFANS
ELIFKDELIQSESKTPPVHPAASTTKVNCVLTADLSTVDRSHLQRVVGQDGNIYFNVHYDLLITIKPAMMKFSLEVKGKEMGTVMAKYD

>RCO7_07518 | uncharacterized protein

MSDIKDPHVLQQYILIQEQVQYLHTEFLQLGNHLSEQFNKLQDQIIKEGAEARMGATFSRAKTEPPLSDGRMIEDRLDGTRDEIRELKEAVEAAEKE
RKLEISERLRMQHEYEIKYNEWEGMKKNGNACIDELRVRNDQLEASVKDLDKNRGLAIEHLEKLVAQNQVLEGESAAMKDEMTTLQEQTIALRGMLT
KNGGHEGNQMDDNTIVRSFASIREQVQRIAHKFCPTKPFELTFSRSPTGQRLEFFKFWAAGNLPKRRNLMRAKIFEIIQDEILQRKNFGMDDFFEGS
GGNEKLDLERSLHRFETALMGLNPGSEAATADWRVRTLHCASLLKLANSRAKKTAALIQGYVDPLWSCSRPNEAEGASADVKHLAVLLERVCEEAFE
FAMLLRSSRDSYRCELPARRSPLGEDSEPQSREPSEGGSSTDQDIAYALAPALVKYPLTDPKKRLILEKAHVVVF

>RCO7_07519 | related to replication factor C chain Rfc3

MSDYEDDMDIDAPPARDTVLFGSDNTNSKGKRSAANLPVEAEDSLPWVEKYRPDTLEDVSGHQDILATINKFRLPHLLLYGPPGTGKTSTILALARK

IYGSKNMRQMVLELNASDDRGIDVVREQIKTFASTKQIFTMSTTSTSASMPTYKLIILDEADAMTATAQMALRRIMEKYTANTRFCIIANYTHKLSP
ALLSRCTRFRFSPLKERDIRVLVDKVIGEENVQINASATEALVKLSKGDMRRALNVLQACHASSTPLHIQNTPKMREKDIQRDLISETTIYECIASP
HPEDISKILHTLLRTPDVTTCLHMINSLKASQGLALADIITSLSEELMKLDVTPEVMITWLDGLAEVEYRLSGGGGEVVQTGAVIGVVRNGAELVGG
SV

>RCO7_07520 | uncharacterized protein
MSDTYKPTEHDGLKEDGTPDKRVGTGQFAQGKVDPSEAGAQGGKASGSSGSSESSGNSGSGDKKAFAGGKVDPVEAGRKGGKASGGSSDE

>RCO7_07521 | uncharacterized protein
MDLGQDVDRSAFFNARPSIDLSLGSRDGSMDLEAMMREEEGLILESRTNKRSRSIFASLEESKILQTLLSYPAPDSLVIKPTSWLDGVRGVAALEVF
IFHTISAWHTIFPAWHAEPDQTNLLQLPALRTFFDSGGAAVCVFFVLSGYVLTYKSLRWIRAGSKQLVYPSVASSMFRRGFRLYMPPVLLTFCEMIA
TRFGYAPPLNFDFVAESTTIAQFLDWIKETNYLINPFYNFNIAIQGFVVHPKYDPVIWTIPLEFYGSFICYFLLLALARVPSNATRMVLVAVFAVIC
MYLGAWNGFCFSSGMLLADFNLAQEESSTSPSFQASRYSILWKVIFGMAFYVAGFPTLSYKQAHTLPMPGYQFLLSSTPMSLNMEDHSRWWWSISGV
TMLFCISQLPSFKAFFEANICQYLGKIAFSLYLVHQFCVMLFGFWMQRLILGLFGINQSQGGFFYWVACVIWYVPFTGLVFGIASQVERLVDAPSVR
FARWLEERCYHVYNVMIS

>RCO7_07522 | uncharacterized protein
MSMFGILWTCLYWVLAVAVGLFSFFFVAGMALQWKEWRTGPQLRGTEAQDAEETIPAGSAYEIPTLNIFLAAATSGIMPDGNKTDLPLFPMEEMVIL
SKKYEDWAPDPFNKLPGPPGILGPSSPVSPAPLIRWMHILGGLDDILAMGFGSRTPPLSVERSFKAMKTRVWLGLVPITDARWKAKDLDATENIEEA
LAIIQQVVDVFKHLAKPAIQGDLRNINNKLWAEIDVFQDACNAVRTTKGEPIPDWNLTKMWEAFNKHHYNSIEQQARSWTFTHLKTLHNIWKHKFIA
TFQSGRELNDKQATVKIDHFDMMIMRKIQDLQFEADLCVRSRTDGFLTASREMHPLLGKINAPKEELDRGYESIEGSRMKAMRGAFEKKVQERTKHR
RSVAPVPAFLEAPSVNTDREFTHKEIQSEIETPLAMQVERWVAMQMAENVDRFGLVIYRLAYGPNEEEWKYSVRKLEAGIETGLEGLVGIEDVKLKM
TLHWIDGRDENIPEGDIDAARSHFKSTSTIPSGLATTALLAITPDTLKSLFSKVSSESIQDHKNEGDFRGFLYVIDADFDASKDEDENGKNGYKGSF
KIIDQLVWTDLFANFVTSHAQNLKEYWALAMGHPWGVYVGPTTAVRRRLWREMNGGLGMLLEASKNFSNEGSGGS

>RCO7_07523 | related to gibberellin 20-oxidase
MSVTTTHTETQQSNLVSKDSSKYSYASLSPYVHPPETSESLPWAELVTLDLSDYTTPGGKQRLASQLSHAVHNVGFFYVKNFGLTQQQIDNQFTLAK
NFFSLPISEKEKYEIDYGNADYNGWRRSGRGKISNAKDNYEIFNIPKFTDDFKGRYSLPDLLKEHIDEIEVFSKALHSNVVIPLLRLFAIILELPDE
EYLVKQHTYAKKSEDHFRYMIYHTRTPEEHEASGYGQSAGHTDLGTVTLLFRQPVAGLQILGDDGKWTYVSAQPGTITVNLADTISHLTGGWLKSSV
HRVVAPPRDQWAYGRTGLLYFARPHNDTVLNPILNSPVLEREGVKPRFEKPVTMEEWVKAKQTLQLNPEIARKKYAESGDGTVELIGGFRDRHYK

>RCO7_07524 | related to permease of the major facilitator superfamily
MATTNWDEKNVVSDRNNTQSSTYVSASEGKEVFNHGHLESAQSDLKGGSSGADSDDEILSRWSNEEQSRILRKVDVRLIPMCGVMYCVSLLDRTNLS
NAAIAGMNKELKIGKVNGVDRYSVISLMFFITYTIFQPPGTLLCRKIGPRVFLSTITLLWGAVMIGFGFVQDWTHLVGLRAVLGVLEAGFFPGVVYL
MSTWYKRYEMGRRYAGFYLIGCVASAFGGILAFGLMQMKGIGGLGGWRWIFIIEGILTCVVAGLGALFLLGFPDQAGARSLRFLTADEQKCIIMRVN
ADRGDANVTKFSWMKWAAAGTDWKIWAYALIFGSITTVSYALAYFLPIILNEGLGYDAGTAQCLIAPPYVFAGIMMALTGWAGDKYRMRGPALVFNA
MLAIIGLSLVGFHPNSKVRYFGVFLATAGANANVPVCMAYQANNIRGQWKRAFCSATLVGFGSLGGIVGSTVFRSQDKPGYRPGISVAIGSQALVCF
LVAILTLDFKRQNAKADRNEKVLEQGDASFRYTY

>RCO7_07525 | uncharacterized protein
MTEILSTTTQSFPSPVYAGVDFTPNRTQITTSTPEFDPDTHLVHNESVKTLMMDDIGLPMNNGISPVAISEPFPLFTPEAIDIMRSEIFTDEVMKNY
NETSDLIPFLVRGYIPKYAKFSAAAWKHPRTLALISRIAGVELVTAIDYEVASINVSLPPKATQGNDASSTGSKEPPVAGWHKDSYPFVCLLMMSDT
TGMIGGETALRTGTGEIKLVRGPCKGSAVVLQGRYIEHQALRAYGSKERITSITSYRPRDPLVRDDTRLTTVRPISDLVELYTQFEDYQLENLKAHI
DAELASMRRDKRGGKYDSARFKAFAKEAIRMLQHLDQEIVEESLVKHGSVVDIIKGELSVDEGSEDVA

>RCO7_07526 | probable high-affinity glucose transporter RGT2
MGEPAFVGTADTDRVEAPVTWKSYMMCVFAAFGGVFFGYDSGYISGVLAMDYFINMLTGKPIPGVDASAAELAAFVIPTSHKTLIVSILSAGTFFGA
IIAGDSADWIGRRLTVIAGCFIYGIGCILQTIATSLGLLVAGRLIAGFGVGFVSAIIILYMSEIAPKKVRGAIVSGYQFAITIGLLLASCVDYATQD
RTDSGSYRIPVGLQLAWALVLAGGLFWLPESPRFFVMKGRLDDAARVLERLRDQPAGSELVQAELTEIIANYEYEMSVIPQDGYFSSWANCFKGGLS
NPASNLRRTILGTSIQMMQQWTGVNFIFYYGTTFFTSLGTIKNPFFISLITTLVNVCSTPLSFYIIERLGRRTIMIWGAIGMVICQFIVAIIGVSTD
TTASVQAQIAFICIYISFFATTWGPGAWVVIGEIFPIPIRSRGVALSAASNWLWNCIIAIITPYLTSTDGGGVDLGSRIFFLWGSLCFLCVVYAYVL
IPETKGLTLEQVDRMLEETTPRTSAKWVPHSTYAAEMGMTEKKRETAKHVEKGTIVDQSSEKSAV

>RCO7_07527 | uncharacterized protein
MAGTKRKATIEAAEPTSSPSRRQSARAKKTQVVYAESDAEEADSEDEFKEAVKSESEAESEAIIDEPEEEEDEDSEVDTKSKKKGGLKGASKEGLNG
WRKVISSDGREQMVIDIPGKKDPGNTPYEDGRLHTNTLEFLEELKRNNRREWLKHHDLPFRQAEKDFQTFVAELSTLVYKTDPTIPELPVKDIIYRI
HRDMRFTSDPTPYKTYFSATWSRTGRKGPYAHYYVHIQPGEESFVGGGYFGCDNETLACLREDIDTQPHQFKSVLMGERVRKTFFARVKNDEGKVVK
AFCEMSKMNALKKKPKGFDADHKDIELLKLRNFILTKKISDGDVTSKDGLAIIADIIEAIEPFITYLNHTVMPDPEPASD

>RCO7_07528 | probable endoglucanase I precursor
MKTPSFLLAAFGAFTTISAQTLCAQFGYYSSSGYEFNNNMWGKSSGTGSQCTYVKSVNGNGASFQTQWNWAGGANNVKSYPYAGLIISAPKLVSQIG
SIPTSASWSISNSNVRADVAYDVFTARDPNHSKRGGDYELMIWLGRYGDINPIGSSVARVNVGGYAWNLWAGYNGSMRVYSFVAASPVTNFSSNLKQ
FFTYLASSQGFPASQQHLITLQFGTEPFTGGKTTFSVNHFSARVQ

>RCO7_07529 | related to glycerophosphoryl diester phosphodiesterase family protein
MHASVILYLLVVGFASAAPAEVDVARKHHDRDFQVQVGDRPYFLIDNMDDGPLKRKLESCKDQTSEISKFAIGHRGAPLMYPEHTVESYNAAARQGA
GTIECDVAFTKDKKLVCRHDHCDLHTTTNILTFPDLAAKCTTPFKPYDPVTGAPAFVKCCTTDITLKEFKSLCGKMDGFNPNGTSVASYMDGTPPYR
TDLYSTCGTLLTHKESIKLIDSYGRDFTPECKTPGVKMPFNGWTQEDFAQEILDEYKQAGIHHSRVWPQSFLPADVFYWIKAEPKFGRQAVYLDERV
DTPEGYANATASLPALAKAGVKIMAPAFFAMTKLDKNNKIVPSEYAIAAKKAGMDLIGWSFERSGFLKSGGGYYYGYVNKVINNDGDMYTVLDVLVK
DVKILKMFSDWPATVVYYANCMGLP

>RCO7_07530 | probable ABC1 transport protein
MASNGENHAFQLEQAQNILSGQRSPPGYPEDEFVVVDSPTIATDGESQHPGYTSDEIERPETYRNDSSTTDTDEKLERVQTTKSMRDRRQFEPLTTR
DRAELQRIASTFSGRGAITRTNTAAESPAERQDTLAGVNIGDPVLDPGSPEFDVYKWSRMLMSLMDQNNVVQRRAGIVWKSLRVCGSGSAINLQKNV
GSLLLAPLRAKEFFGKGPEKTILNDFEGCLKTGEMLVVLGRPGSGCSTLLKSLMGELTGLDMKEGSLVHYNGIPQNQMVKQFKGEIVYNQEVDKHFP

HLTVGETLEFAARVRTPQQRLVDGLDRETWAKHMAKVVMAIFGLSHTYNTKVGNDFVRGVSGGERKRVSIAEMALAGSPIASWDNSTRGLDAATALE
FTRSLRMSANLSGACHLVAIYQASQAIYDEFDKAVVLYEGRQIYFGPCDEAKQYFLDMGFECPPRQTTGDFLTSVTNPSERTARKGYENKVPRTPDE
FEKYWKQSQQCKNLKRETDEHEEEFPMGGATLDQFNASRKGMQANHVRPQSPYTVSIPMQVKYCTQRAYQRLWNDKTSTITTVVGQIVMALIIGSIF
YGTRNDTASFFQKGGVLFFAVLLNALIAISEINTLYAQRPIVEKQASYAFYHPFTEALAGIVADIPVKFMIATCFNIILYFLAGLRREPSQFFIFFM
FNFVAILTMSQIYRSIAASTKTVSQALAIAGVATLAIVIYTGFVIPRPLMHPWFKWISWINPVAYAFEGLFVNELHGQRFACSQIVPSGPGYPSVGN
EFVCAVAGAVAGQLTVSGDDYLDAQFQYSYSHIWRNLGFMFAFMIFFLFVYLLATEWNSATDSKAEVLVFRHGHVPKHLEVAEKAAKNDEEAPMPAS
GAGEQVKDTDMNEEQDDQVAALPPQTDVFTWKDVCYDIKIKGEPRRLLDNVSGWVKPGTLTALMGVSGAGKTTLLDVLAQRVSMGVVTGDMLVSGKP
LDESFQRKTGYVQQQDLHLETTTVREALRFSAMLRQPKTVTKQEKYDFVEDVIKMLNMQEFAEAVVGVPGQGLNVEQRKLLTIGVELAAKPALLLFL
DEPTSGLDSQSSWAIVAFLRKLADNGQAVLATIHQPSAILFQEFDRLLFLAKGGRTVYFGDIGQNSETLLNYFESNGADKCGEDDNPAEYMLTMVGA
GATGKSTKDWHEVWKGSNEAKEIQNELAKIKNDVGKETSSSDDNTSHSEFAMPFPNQLYEVTVRVFQQYWRTPEYIYAKILLGVASALFIGFSFFHI
DPSQQGLQNAIFSIFMITTIFTTLVQQIMPRFILQRDLYEVRERPSKAYSWKAFLIANIVVEIPYQILLGILVFASYFYPIYTRGGIPSGERQGLIL
LLLVQFFVFASTFAHMMIAALPDAETAGNIATLMFSMCLTFNGVFQPPFALPGFWIFMYRVSPLTYLVSAIASTGLSARPVRCSQIELAIMQPPPSQ
TCGSYLGPYASAAGGSIYNPSATSDCEYCTATIADQFLSSVAISYTTRWRDYGIGFAFIAFNVAAAVGLYYFFRVRKGSGRGVGERLKPVLKIFRKD
PEKENRGRDKKKAPMDQAEGENLS
>RCO7_07531 | probable histone H2A F/Z family member HTZ1
MAGGKGKSSGGKSSGGKSGHDNGKKQQSHSSKAGLQFPCGRVKRFLKNNTQNKMRVGAKAAVYVTAVLEYLTAEVLELAGNAAKDLKVKRITPRHLQ
LAIRGDEELDTLIRATIAFGGVLPHINRALLLKVEQKKKKSAIEA
>RCO7_07532 | uncharacterized protein
MHQSRGLKFIVLSAIVSLSSALQSCHRVDPKRVDICFAVSSYKNHTTDTKDVSIHFSARFEGRKGWAAVGIGGEMKGGLMVVMYPGVKDGDVTTSIR
TAPGHVPPEVMKTTSFPVIHVTRTWVSTNGIHNTQLLCYDCESWAGSELDVESSKQKWIWSANFMQETQSEDPELMLNIHTDRGIATLNMESSYEKN
PEGEVVAQVSEDRISTNDEPAEEKHHHKHKTFGLVSIHGILLTISFMSLSGGILAIRSGIINSFKMHWVVQSTAGGGIVVGCLMGIWMSFAHGGHFS
TFHQMIGLTILPGIIAQALLGYWHHINYVKLGRRTAISNYHVWVGRAVLAVGNINVGLGLNLAHASSLSFHLYFSALILQLAILLPMWYFWSRGLSI
TDVLEKRGQSGSKRVVGGGGRGEGGRGGEEYVSVEQDPFIIDEDDVLEDELDGDGERGKDLEMR
>RCO7_07533 | probable Arp2/3 complex subunit ARC18
MPAYNSIFNPDSSPPTSTNIGNFPLLPLRTRVRGPAYTLPLDASLPAHLSPEPDSESYDALDEVLSLFRANTFFRNFEIQGPADRLLIYGILWVSEC
LAKVRPSMSGREAQKEVQNIALDTNFSIPGDPGFPLNQMFNPPTSRQEAETLRQYLSQVRQEIAIRLLARIYEDGSDRPSKWWLSFAKRKFMGKSL
>RCO7_07534 | related to translation initiation factor 3 (eIF-3) zeta subunit
MHALVEPNAWVVLRLPSDTLKILQIAPNTIVSLGKYGTFSSNLLLGRPYNKTYELLDRTAGQKDSDLRIVPASELHADTIAEEVAAAKQASGIGKEG
EENVVIGGDGVEFQLVGENGEVIMRSNRETIDDAAQQTLTMTEIEELKREGTGAGKDLIAKLMASHLGIEQKTAFSLAKYKLTKTKKYLRRFTVLPV
DVPMLIRWVMEEKDAGRIMEMREEMCALVGSWANVHWAEAIDGISSGGRWLVIDETGGLLVAALAERMGILHPEYTTSAPNGTSSTNPAQSTEGEHP
EIEGESTKPAYTERALATSNTITLIHNNAQPNLSLLKYFSYDPTTSTPTNPDHPLSTHLHPISWLQLISPSEDTTYSTSIPPLSPSTLSTLKSGKRG
TYYRKQRRHNKIKQIVDSTLDGGFDGLVIASHMDPVSILRHTIPLLRGGATIAIYASTIEPLVTLSDAYSTSRRTAFIQAPPESFLSLPPESSIHWP
GDEDFPLNPTLLLNTAVQSARIREWQVLPGRTHPVMTGKGGAEGYLFTGVRVIPAQGRVEARGKFARKKNNTGTKGLSEENGEDASLSSTVQIEAVV
ANGEKRGLDESESESAVKASKRAKLDDELVI
>RCO7_07535 | uncharacterized protein
MVSRKPVPSADSSLAPSKIPPYPVTPISANEPLPFRIGDSRSQTQSDSPSESENTWGGEADNQKAATGLPESLRVGPPGYTPKTSQEMFRPGASSTN
PYLKKEATGCSNGNGNESSAEVWGASEERPGQQAAQTTVPTQQLEHLSVSEQSTNPWQPALDGKDAATKPLPSIAREDSGNQAWAANPPAGVAPTVS
SVDTSQPVLLDIDEPESPAWDEDEPSPVLHEMPVDNSKVAQQFKEDGHVWDEQGDPSRQHPVTAPLKPESSQQGEGWNVVDHEPTSFGAQESGTIGG
DGHIVVRNVEEQAPALPPRRSEEHPPPQPPRPLTTANTGQSSTSLSSPAAHKQKAETYEIKKISWYDVNAAQNPRVSPILVQNANGPCPLLALVNAL
TLSTPAGVETALIETLRSREQVSLGLLLDAVLDELMSGRRGDAAQGLPDVGDLYKFLLTLHTGMNVNPRFLPNPPTKSVNDPRNSMSHVHPSAREQV
LPGSFEDTREMKLYSTFSIPLIHGWLPGPDSAAFDALKRSANSYEDAQNLMFEEADLESKLSREGLSFEEQGRLEDIATIRAFFTSNATQLTSNGLA
TITISIPPGGVAILFRNDHFSTLYRHPATLQLLQLVTDMGYAGHQEVVWESLIDVNGEHAEFFSGDFRLVGGASQTPPTSSNQNDGWTTVTNGRHNQ
SQQQHQNQDNSQNRANSSSPPYQFQSEPPSQSPSNIEQEDHDLALALQLQEEEEERERIEFARRRRETQLSQQYIEQQGQQQTISGNNPNNDGNIHV
MQRGGGGFRGNTGRGRGNTSLRGRGSANATEARPTVPPRDNTNNANAGATTGQSNPADPDAGIDAPPPSYEHASTQAAYNPPVEHPSHPSSDPLGRR
TSAFPESTGGAQQGGGQRGRGGAASTGPRGRGGAGQRGGYPGRGGRGAGGMVPGQVQPDGRGREDKCAVM
>RCO7_07536 | uncharacterized protein
MFSTSTHEQDFPRMNSIAICCRQPDFGLFSIRTHFTHPLPIPDLRAGTITTQLLETPLQTVGGRGFQSTVVRIWRGVNLGRRALERQSEEFERGYGL
GLVVL
>RCO7_07537 | uncharacterized protein
MAHEKADSIRSKADRAIENGTCASLCTLVAASVAFSLSLVAILAVGGNGLQQYDLLTLNTSTLFQNAVKIYNTNPTQSRSLDLDDGRHGVVLPRVTE
RAFLPPPVEARQFPAPPDIVPFFSTLLPAAPSPTPYPGNNGGGNRGGGGGPGRGDGGNFLQNFEGLFNGLLGAATGAVGGEFIKVVNGLVSQVLDAL
GIDEYYSLYSNQFCSGYYTPNYASPDAKRSTKKCTRYDQVASNRTNSTLQLGTTVIDVSALNIPNKLADGSGMISNVFKALFAIQITGLVATGLLIL
LTPLNLCISFFKRSTFRSIITALAGLAAACFGVTAFIYTAIIVVTSTLVNTLGKGLGIESLKGGNFLALIWISAVFMSISLIVRYLKWHKQRYVKRS
KADFVSRPVAQSAKSEYQLGPEGRGGVGE
>RCO7_07538 | probable endoglucanase IV precursor
MFSKLSLLGLVSTVATHGTVSGIVADGIYYDGYNPAYQYKTPAPITAGWKTPGNLGNGFIAPDTFAKPDVICHIGATNAQTAASIKAGGKIQFQWTP
WPTSHKGPVIEYLANCNGPCETVDKTKLLWTKISAVGLLNPTSMTNGYWATDQLIANNNSWTSVIPPTIATGNYVLRHEIIGLHAAGQANGAQDYPQ
CFNLAITGTGTDKLTSGILATSFMKSTDAGILFDLYSKLTSYTIPGPALYSGAVTISQTLPAKPTATATGVYTV
>RCO7_07539 | uncharacterized protein
MSGTPGSGKSSMAKLLASAIDGIVIDHNILRSSFLDADIPFHQAAKHAYDLQWRLAEDFIKQGAAHSIIIDSTCNYLEVLNRGSFLAAQHNFTYWYI
ECKVDDIDLLDQWLRSRSSMKSQRTGVDCSPASAPSADRDSRAIFRKWMDHPCRPNDNNIILDTTSNLKTLRDDALKQILKSE
>RCO7_07540 | related to synaptic vesicle transporter SVOP and related transporters (major facilitator superfamily)
MDPTSELDGARARNFPLGEESNTTNSTLLCDEPKRTAQGPILFNNLEELGLKLEDDGVVQWKSDSPAHPRNWPLWRKSFDSGVILMLDLFTTAISTA

GPSVAEVAKEEYGLTRVTALVAFGSMYQFGQAFGGIIFPPYSEAFGRKAVYIAAAFTYSLCCLIVGLVPGVYGAVIGRFIAGFVSAVPSIIVSGSLE
DMFNMKYRVWTMYAWACATTGGLLVGPIYGSYIAATLGWRWVFHVAAITTGLFTFLLFFIKESRPSRLLSRRLAILRERTGISDLRINNPDHTPDLR
AFMKVAVRRPIRLFFTEPIVFVVSIMSGVGWALIYLFTEALPVIYGSFGFFRQQSSLMFLAIGVGIFLGVFPRLHDRKMLKRRKMKGEGLRPEEKLV
GFSYAAPSLAFGLWWLTLTIPPASNLPWYASIIGLIPIGFATNEFTCTLSGYLADTYTIYASSAFAAMSFLRAILGGIFPLIGEPMYVNLGSNWATV
VLACIATMFCATPILFLKYGRSIRQRSKFAKYSSQISNDTQVENDNMD

>RCO7_07541 | related to threonine aldolase

MKMLLAIMRTTLQDDVYREDATTSSLEKHVADLAGHEAGLFVISGTMANQLALRTHRNQPPQGLLCDARSHIVHWEAGGIANTGAMIQNARAANGEY
LTLEDIKAKAVLSDDVHKCPTSVISLENTIAGLVHPLSETRRICSWARENEIKLHVDGARLWEAVAAGTGTLKDHAECYDSVSVDFSKGLGAPMGAM
ILGNEKFISRARRIRKGIGGGMRQSGVLSAAAWAALDNIGNLPDVHRQAKIVADMWTRRGGKLRRRTETNLVWVDLEDEERFRQIGHRYGIQVDGCR
IALHYQISSEGVHRLGRVFDDILSSGDLERID

>RCO7_07542 | uncharacterized protein

MFTSILTLFIQFSLISLVMAEEMLTTTGHGNAWQFGAGGGIIGLIVLVLDVIAFLEILKSGRPALNKLLWCLLVFLFPIVGLIIYFFFGREAGGSGS
YEPIV

>RCO7_07543 | probable signal transduction scaffold protein, essential for virulence and fertility

MAWQSLSGMGAGSNGAGNGGIDGSQQANQPQGTEYTLQGVMRFLQTEWHRHERDRNGWEIERQEMKGRIARLEGSTRKSDAGNKSLKKYILMLERAL
KERDNQVKALKAGGELPASMKVSRDGQNNDNLSVKLERPAQMQPHNSFLDTEGEGEGEGEKGDEDPDRGSLKVFMDKTQGELTYLMVSPSNPLPPRE
PYPSEEMLLQQSYNQNQGQGQQSLEEIYQQARQKNMRESSLSRPSPTPNHHPPPVPTTNLPIRTQDIPVSRSLADQQPLPTATAQDWSSTFQLPEQP
GEEQVTKVNHTFDSYGREVNVEEVEKEPSTEADGWDFNETAQFPETQPQPSLQRPDTDLFPIAQESKSPSRGPGSHRRKGSMSRRKSVDHELSLNPA
QKVDGASFKVRFGLRGHLDAVRSVIFTGGGSPGEPEICTAGDDGTIKRWIIPARYENQGGMHHTANDLDIQSYFTHRGHTGTVMSLTAWAPSLNFSS
GGRAQGDGWIFSGGQDATVRVWERGRVDPKATLDGHTDAVWTICVLPGMTGSVFGATNSFGGADRILLATGSADGTVKVWSISSPPQLMSPSAQTGG
SGRRGGRVRGNSMSSGSAFPSSPQPSMASNSPFHYTLIHSISRENSTASPTCITPLSTSGDTFAVSYSDAAVLVYDTRTGEEVAAMASLETYDNTSA
TAVNAIVATTNGLESSLTFDSGRGLEEGEGIVGGATGSSRGVEGTIISGHEDRFIRFYDANSGQCTYNMLAHPASISSLALSPDGRELVSAGHDASL
RFWSLEKRSCIQEITSHRLMRGEGVCSVCWSKDGRWVVSAGGDGVVKVFAR

>RCO7_07544 | probable PHO88 (involved in phosphate transport)

MAAISPQISNLIIILVMMQVSKKIPMEDPNVLNMIRAGYIISNVIIISVYAYVHLQINKKKDMTTLKYVEQPQMGSTEEPKLVTTTVHAYDVAQMKA
LYKAQLMGVGMMCVMHLYFKYTNPLVIQSIIPLKGAFEGNMIKIHLFGQPAAGDLKRPFKAPAGIMSGLQGGAAQAQDKKSIAAAEKAGRGGVKDE

>RCO7_07545 | probable hexose transporter

MRFIPKGPSAKQDSALKPIRPPSGHFFFAGRTFERESIFLHIPIDGDNDFNAAITGIKWWKDRNLRTLYIYIVVLILTNTANGFDGSMMNGLQTLKY
WKEYFDYPDGSILGIYNSSMSLGSLIGLFFVPYVIDHWGRRWGIIIGCIIMLLAVGLQSGAKNFGMFVAARIILGFGDSIMLGAAPLLITEISHPQD
RAILVTLSGASYHTGSFIASWVTYGTLKIQSDWSWRLPSLLQSICSVLILVMMWWIPESPRWLINKDRSDEALKVLAHYHANDNDQDEFVQLEFNEI
RTAIELDKLADKNGWLDLVKAKGNRKRMGIITAIALFSQWSGNGLISYYLHQVMNNVGITDPQTQLGINGGMKTWSLIVNISMSFAVDRLGRRPIYL
ISTIGTFIAFTIWTIISARFVIAPVNGLGHAFVFMIFVYNTFYGFKSGLMPAYTAEILPYGIRAKGFTWMNFCVSAALFFNQYVNAIALKALAWKYY
LFYVVFLAFECLVIYYFVIETRYTPLEEIAKFFDGKDAVDLAELANSEMKDMRMKEGDVKETGVENKELR

>RCO7_07546 | probable alpha-glucosidase

MPQREFVPQKYTVLPEQGITEGSSSGQVSLESTDGDSPFQFTFQALRPGLFRTTFSSKTHPLPPHPSTPRPQPTIEGANVSSRSSSSNKTINVGGLT
ATVDWSGPPLVSLQLDGQSTPIHSDLDFRSYAVDATGIAHYTRYKGNTLHVGLGEKAAPMNLSNRNFLLSVTDCFGYDIYRTDPLYKHIPLLINATP
EGCVGIFSTSHSRGTYAVGSEIDGMWGHFKVYRQDYGGLEEYLMVGKTIQDVVRIYADLVGYPLLVPRWAFGYIAGGMKYSVLDEPRAADALMEFAA
KLKKHDIPCSAFQLSSGYMFAETEPKIRNVFTWNRHRFPDPEGFVEKYHHEGIRIIANVKPYVLAHHPEYQKLVDSGALFTDPRTKKSAIARLWSAG
GGESGEGGHIDFTSEAGFNWWYEGVKGLRKCGVEGIWNDNNEYTIPDDDWELALDARNADDGNKVGLWGRSLHTELMGKSSHDALVDLEPDVRPFVL
TRSATAGTMRYAASSWAGDNVTSWDSMKGANSLSLNAGVSLIQCYGHDIGGFEGPQPTPELLLRWIQLGIHSQRFAINCFKTDENDNTIGGVIEPWM
YPEITPLVRDAIKRRYELIPYLYSLMLESHLTALAPQRWIGWGYESDPEVWTPEVMAGETQYWLGSTLLVGGVYEPGKSTARMYLPKNNHGYLNLNA
PYQYLAGGQWVELESPWKESIPLLAKVGGGIAIGKDIQTRSPGDNRFPSPNAVEDDYRAVELFPASGASAEFVYTWYEDDGISAKPDITTFTLTYCS
TDEDISVGFTKDGKFVPVWEEVDIILPVGEKRVVVQAGSKCAKKGVSQGRAVFTLVL

>RCO7_07547 | probable dehydrogenases with different specificities (related to short-chain alcohol dehydrogenases)

MQSILHPLVGPKKEMHDLDGRVAIITGGALGIGYEIARAFVEAKARVIMINRKEEQGEDAIKTIKKEVGEHAQIEWLHCDLGSLKEVREVFTGLRER
ETRLDLLICDAGINVNQYGEDADGIDRHFGVNWLGHYYAVNLLYPLMRKTSQMPDTPAPRIIFESSEMHRTAPSNVHFASLEEINNPEVGNTELYGR
TKLAMILGVKYGLVEKVIKKNGDNIYALSVHPGAVNTDMQSQWEAAYPGLLGKMLKNVMLFGGRDPEQGSYSALYAATSPEIEEKGWNGHYFSDPGT
PGKESKQASDPQLGAALWELSERLVKEKVGKDALVDWSS

>RCO7_07548 | related to chitinase

MSWMDSWSRPSKSSTFPPPIYLTTVGPIPYCHTCGRVMSSKKEIKPAQSTPVKYCSSRCRGNKPGPVDRKIEDAFAALLNDDPRSFTTKYPGEEVRI
ENSGKVKKGKGDMRTIVWCSEVEELVFGSRYDAGKTAGRRKNRAPRGVPNEKVWKSVDMEDDADFSPRPMEPEDHEEEESYSDDSVHELEDIEVDVD
ADHVYFGAGKKRPEQSKANVNGSVGGEKGWAEKIEETPEMRQKRLDGQRRAEERELVRKAARRGVAFGFVTQKREAPTSRKGKRGGKRKEVDEEGQD
ESSKVEKRLCEAVITKAVIVVEPSFAKGDWGVRWRE

>RCO7_11435 | uncharacterized protein

MCAISGSLPYGDLDRAVLTAEGSIAALGRIEALAVAAAAPAGRGSIKRKVALAGSAPAARKSCHNVLEDKDDNNKNRGGSEGDPGEDLSPYIIRLQS
ESASIAFRYSVYRVRTPINLSYFCRGDNRSLSVT

>RCO7_11434 | uncharacterized protein

MDVDTTRPAYDHNNGNAGGDANGSGSDYQDTTAAIKAEVANRQRTRLQVNGHPKGRKRGPLLDIARHSHGYYSTSHALPLPSYNDKTKTRVVLSEGH
IASPKAIITPTTDSRCSYLSLSLRQARQEGLAASITKEMFSAKEQANFSLESASEHIEDELDLVALAEQSNHSYHTLNHAYAGTTALIASAVLHRNY
RVPRAGVRSSGSIRSSKGKDPEALQRRYYCKYLMLLNMAKMRRKGEYSGAALLALARRLYNVLYNEPDLQCRVPGQRNGVLAIKGPQPAEQVVLVIE
LARAKQWSSCLRLQLRIPGLQSRFFSNGSSALASLVIVSAEAAYTQGFLTYCYFQVRKQRLDRIVIDESHLTITASDYRPCMAQLGWSVRQVELDHA
RDLIIIYCRTREGLAQLADILKCPLYTSSTESEEEKAAVVFKWLVQADEPDKLIDFSQEARRAERDESKASSIKLMDTFP

>RCO7_11433 | uncharacterized protein
MSSIKPAFGHRESYHPRRRVEAGPDVRCAATRVAFWGPIYLMKEVALPSMTVLFVDPSNSP
>RCO7_14044 | uncharacterized protein
MKQAGGEDLSTTHLFLRLPKLILLIIIKEPSRDLFSNLDTQPNIFRLGYYSKVLDPPKEDPSILENYRTITIKCLYRYCNKTLRNLRVNELISNLFT
HYKHSHKAINLRFLSDNNIALEESFNREGSTTSTISQFTEENFKRLLLNFIILNNISFRAISSLSFNKLVNYLNNKTPPIYYQMLKNKIISYYNIRK
DLIKEELLENISSKGSHFINSDLDLKSYLLSIVPLESIYSSRYMNKVLINTLKDYDIEYNITSITRDNASSNNLLIDTFKEEEEESEEEDLPRNINY
SIWKHIRTIIISLKYNQENRRLFEGQLLAYKLESNRKPQLVKLYYFSKSKAFKNIKSLKSILYIIEEEEEESEEEDLPRNINYSIWKHIRTIIISLK
YNQENRRLFEGQLLAYKLESNRKPQLVPEVYIIYNRLDKFKEGSNISLYS
>RCO7_14045 | uncharacterized protein
MSFSLREELGVLRLKNSGIYRLFVFSRVPRAFLRVLLVSIRLLLLPYLYYPIINNLSKTSFLNYDYSDSVIKATEASCLIELNITDHFKLVNINYLK
SKKYSRQPYLLIRFDSSYSKEEIPSTSYRLLEPNYKSTAITPKSVRVKDRKRTNTKQSLLKDIKAKRALKKGSSDIGSESKVKILTIISIRPRPSLK
KRDRSNNISRASTISLISLSYKSYNYILY
>RCO7_14046 | uncharacterized protein
MTRNNTYYYAKSYLTKGNSSSEYYRYKKDKLDIRDVVINDRDAILIEYNKFKKRLLTTTAKYSNESAREETRYKLLHLATTKLLLS
>RCO7_14060 | uncharacterized protein
MISAFTQSDIDVNTLYICPPEGVDYYANKLLLLLKALYSLNPDISTIKSLIKELKYFFKLKDLGLIKDYLGIEINYNKDQGYMKLDQASYIEKVLAR
FDLSDYKPKNTPIDSKVKLEPNPNKATKEDIS
>RCO7_07140 | uncharacterized protein
MSCSSLCLLSKLDLYYKRLLYTNKEFIYKTIEGSKGLKIQKGLDLSDCSACNSGKIHAISSTKPISDTPPLTIFNIDIAGPFKIKEALELFRVLGSL
TYILINKRTNKFKDKSDRGILVGYKSANNFLVYIPEKRAIISSKNVLIKEDLTFKDEVISKEELKSFNKTLNDCETSDCSNRVISLPINTPKTDLSK
AKKSEKIDSETADNLLNKEKVIEDTELDLFNNIAEEVPIVEILKRAFISSKSDEEIRLSPDPERILIKKDPEVVIYEPKSYKEAINSPYKDY
>RCO7_14061 | uncharacterized protein
MSYIDGTETKPSRALYFKSEERINAQGEKRIDYTSYSPELAIKYYKRLADFERANKKALGAINLEEISRHINRIIDNTYSSYKNIDEYTSVIQASSV
YLKQLKCEIPKPILASLIFKGLPSSFDSFASRKYEEISNNLSSIDIEGLIRDLISEEARMNTSTDLQANKAFKGKNSKGKANCYIKHPELIPNKSTK
KKSKGKGAKESKEESTKALMSSFSSTSSSSSYSSTADQAYATIYNYRIVLDSGASEHYTPNKS
>RCO7_12024 | related to Lovastatin nonaketide synthase
MSGHKASSTGEPIAIIGSGCRFPGSVNTPSQLWELLKEPKDLLTKIPKDKFDVDAFYHPDGSYPGRGNATHAYMLKQDTRAFDSSFFGIQPREAEAI
DPQQRLLLETVYDSLCSAGLKMEDLQGSSTAVYVGCMTHDFVDGINLDLDTAPTYTATGSGMSILSNRVSYFFDWHGPSETIDTACSSSLVAVHNAI
QQLRNGSSKIAIASGSNLILGPWLYVVLSKLGMLSPTGRSRMWDASADGYARGEGVASIVLKTLSQALADGDRIECIIRETGVNQDGRTAGITMPSA
KAQKMLIREVYNRAGLDLSDPKQRCQYFEAHGTGTPAGDPQEAEAISSAFFGDRGGASEIDEVPLYVGSIKTVIGHTEGTAGIAGLLKASLAIQHGV
IPPNMLFEELSPRVAPFYTNLKIVSHAQPWPELAPGVPRRASVNSFGFGGTNAHAIVEQFQGTSESEPRPHDKSTSLSLPIAPMVLSASTEHALTTC
IDHLLQWLESNREVQMRDLVSTLWTKRSALPARRAIAAQTTSAAINALQRELAAPGPKEGALLSSDLKDETPALLGVFTGQGAQWPAMGKVLLSTVP
FARDVMTQLDRSLQTLPSQYRPTWCLEEQLCLEAGTSNVGDAVFSQPLCCAVQIMLVQLLAAAGIQFKAVVGHSSGEIACAYAAGFITAEQAIRIAY
LRGFVSTLAASPSGSGVPGAMLAAGTTYDDARELCDLVTSDGSSIRVAAINSAESVTLSGDADAIQTAQTALEDESKFARLLKVDKAYHSHHMLPCS
APYIQALRESGCAAIAGSNPNPHPPSSSIWISSVYEGKRMAQADVTAEYFSANLVSPVLFGPAVETVVFEYAPFHVAIEIGPHPALRGPCLDTIERC
AGKKIPYFGCMQRGTDDLDAFSRALGSLYEVFGSRIVDIEGLNEQLSPDTPLQSLAKELPPYAWDHARSYGHQSRIARAYLRGTAGQPPHLLLGKMS
PNSTAAHLEWHKYLRLRDMPWIEGHKLQGRIVFPGAGYIVMAMEAAMHVAGDREVQLLEVLNLTMDKALSFDDGDSVIEVNTTVWVVATPLDPYHIT
LDFCIASCLAKERDLSPSAKGQAVITLGPASPLALPAPDPEPPHTNKVSIDSLYQAIGDLGYGYTNEFRGITSMRRADRRAHGALALRRLQDGGHTL
LLHPATLDLAFQTFFGANSAPGEKYLRSLVIPTSIGRVALNPWLAQRANSNSAIEELGYHSSAVGDPIHMFTLEDRATVCQIEDIAFRPIAPASSKD
DHEVFAKWVWGPLAPTCDPAKYLVTEQDEAYAGMVERITYFYVRTFLATLSGEDRDHAEFHLQCYIHWCEEVVRGAKDGQHPWYEASWESDTNEAIH
QIIEDKAGNSPDSRLIRRVGENLSRIIHENENPFALMDHDGLLTEYYRVALGFGPLQLACKDIVGQIMHRHQHMDILEVGGGTGGATKFILGLDQFS
CKSYTFTDVSTAFFEHAQQEFARHEERMLFRALDISADPTIQGFHEHSYDLIVASNVLHATPKLEETMLNVRRLLKPGGQLVISEITQGQLQTRGSV
IFGLFPDWWASVDGRSQPFVTMEAWDALLRNTGFSGIECRIPYRDDRVAVCSTFSAHAVDEPTNQILEPLVFPPTEPFPPLVVVGGASERSANILHE
LKALLPNRPVSVARRIQDIGESEYQPLSTFVILSELDEELFSNLTREKFEALKSLFFYARNLLWLTEDAWCEHPYQATTIGFLRSIRAEYPDSNIQV
VNVDTVANLEPKVLVEQLLRLENSGLAHEAGVVWTTEPEIYLSKNNTLVPRLKPDVPRNHRLNSIRRSIMTEVNPETRPVSISHNGEEMYLELGDDY
EPCHATTSVLVHIRVRHALLQAVRIRGSGYFYVVQGVDARSNKPVVALSERNASLIAVPSSHVVASPTAQNLDASDLLSIAAQLMAQTILYDTVHGA
SVVVIEPPRFAAGAIERRAVESGVLVRYLSTKVESSSDTGPWFPVHVRDSSAILKSLLPANLSALYDFSLHDGVSSLGQRLRKCLPRSCVLYRGEHL
IQGSASPINTTGKQITKALAEAVERAGLADAVLDTTVVPASTLIAVSKGLREDISTVVNWMADQRLSARIRPIDGGNIFASNKTYVLVGLTGDLGRS
ICRYMISHGARHIVLSSRNPNLDKRWLESMMKLGGNMMVLPMDVVKEASVDAGLAKIRASMPPLGGVAFGPLVLQDSLFKHMDVEMMHMVLEPKVTG
VRLLHERLADICPPLDFFVMFSSFHMVCGNYGQSAYSAANAYKHGIVQQRRKAGLAGSTINIGALMSLGYIVKAAREEITLDDIGVKFEVVAEPELH
SLFAEAVVCGRPNSGIEDVELTTGMVYLDPAYREMVHFFDDPRFGYYKRAGQDSNAGKITSSAVSVKESLKLAVTMEEVRQIITDGLVQKLRVALQM
GTENIQSLLTVPLIDQGVDSRSAITIGNWFTTNLDLELPPLRILGGASVTDLVEEATGQLPPEAIPAIESKSAVSVPSAGYDLPISDSHYDSGTLTP
PSSFEAESKDQEDKSEVFFMLRKEPISLSQSHNWILHHQARDSKTLNATIGIYLQGFIDPTTLAKSVDRSLQRHEIFRTRFIDGDDVSTTPVQATMS
SPVVRLESIAVADRSAAEQGLRDLENHHYDIAAGETMRIVHLYWNLDNHLLAFGYTRLAFDRLTVEKLFVEISKLYDGIRLPRALQYADAGLQQRLA
HGIGAMEPHLSYWKSLYPTLPTTLPIMRLPQAQPRGPVSIAEHTLTVRLDAMNALRIGSLSRIHKLPNMPFYLVAYYVLLARLSESTDISIGVTDVN
RPSPDDSSTMGDFSNLLPLRFAYSTRDTFVEALAAAKEALSSASQHASVPYHLILERLGVDAQKYDTHAPLFQAVFDYKQGSMETAGIGKSKVVETT
PTRVRTPYDVTLEVWEDGTNRPLLTFKLQSSLYGEDDLKVLMNSYLITLSVFSRNPALRVEEGKLDPAVERC
>RCO7_14062 | uncharacterized protein
MYFPAITCSVSVFQNSLLSLRVLIPPKSNISLYISKTALSSKYIIKVPGA
>RCO7_11346 | uncharacterized protein
MEKSHLRPQDYSLEFGILMRTVPSYLNPRSTIPAEKHAEPWLIVETGDGYEISLQRGTIRICLDRPGGNPLTLSMMRDIAVRFKKFSTDPSVRRIIV
TGRGRYFCTGMDLKEDLLGSVAERKAALDDLFASIDNCPKLTIAVVNGPAIGGGVGIVSVCDVRLAVSSSYFCLGEVRLGLCPATISKYLVRELGPS
LARAAMMTGRRMPSQILYQSGFLHVLEHDMAALDKYKEEFLTDMRLPAPQASAWCKELVRAAISADDATANEIFTAMLGKDSESSHGVEQFRKGVKE
ITWEKLDR

>RCO7_11345 | uncharacterized protein
MLPNSQLRFLSVWDRMASSEYVYIVLSFPLENNSVRNATAHLEDCLAKLSEDCPELAGDLITRESWMSARCFWNGDWREKNNEAVRRAAKRGYPFPP
DTDPRCFAFIEDVPAPETDHQLILHQMKGQKIPFDVIHHEDDFGMTYEELKERGFPASAFAHPCFAFERAAGAEGMGKGIKPLRFVAVIINGGLLLS
IHIHHILMDGGCMGMMFEHLSAITRKEEPMKMPSSTLISLPNPGPEFMQRLEATDSVQGKIRLCPECKMLPERSSLLNNTARSNQTSEPSTVQVFSF
CNNQLSKLQDLMKSPCASKRPSKFACLSALIWAHTTKARLGAQRLSNSEGKESDREPAKLVFPVNWRKRAFQALTENYFGNACVLAESNIPLQHLLL
AADHNEELAKVVQQVGRSIDAVDDEFVARRSAMMESLPGRCLGFTVDPRKPHNLSCNIWRHFSTDTVWDIPGVGRQKFHAIRRGLGQSKMGNAVILP
GAAIADSQDVQISLPADAMDLLCRDEKWLQWVHSVIE
>RCO7_14047 | uncharacterized protein
MPRLSSDFVLLLKALPKRDRIRLLNNSSESVKLTNTRVIYLLYYKVYLILILNYKRNSNYRIYYFESISSIISRLELNYASLVLKFVNPKKLYTSFT
KVGSFYSRIAYTFLRFI
>RCO7_11344 | uncharacterized protein
MPVLVRYYTGSDTSSAGIPMNLGPIIYPSSYMIFSLFSLDYDIAPRLLNYINTEYTILSGLLPSGEAKDAELNRAETQALRRSIEKVFKELEFIKIK
ELNGIIREFAKKAIFKAIISNTKGKRNLPSSLEIASDLDTPGLSLKKKAYRISYYTRSATRATLADLSKELDIVVPVLDIPDLLEAPENLGEKAGEV
EVVEEVEF
>RCO7_11343 | related to MFS multidrug transporter
MPVSLERAVLDVNELDCEDGHDNSDVPYSVFTVRQKRTVMLLSSASAFLSPSSAAIYWPALNTIASDLDVTPANINWTITSYMIVQAIAPSFFAQLA
DRLGRRPCIIFCLVVYTLANVALSQQSSFVALLLLRCVQSIGASPMVTLGSAATADISTTAERGKYGAMALLGVALGPTVSPILGGILTQREGWHSI
FMFLAALSGSILLVTALFFPETARTIVGNGNLTRQGQTWNVPLWRLMQERCSRSRPRPCKATCAHLASSPVRSLERGGEVKGRPREPGPGPRPGPGP
GPAQSVATPIFISIRLLFSRQTGLIILFGSIGNAASYFVTSAIPAQFSRLYKLNDLQIGLCYLPGAVGSLLAVIVTGRLVDWNYRRLARLHKRPIVA
NQQLEIGNFPIEKARLQIALPMAYVACVAIAVYGWLLHLRVSIAGPFVFLFIIGFCNAGSLQVLPTLSMDLYPQSGAAVSATTNLSRCILGAVASGC
SLLAIDALGAGWANTAIALIWAVSSAFALLSMYFGPKWRQMEANVEANPSPRDTNERQTRTNFKLRLGDATFDRPFAPISVLGLTGSSMHTTDTNSS
PPCMQCSGYEQKFVPQPAYCKSEDRSAIG
>RCO7_11342 | related to citrate synthase
MGSTDSPNQTLSIIDNRTGQSYVLPIERNAVHAIDFRQIRGLTNGNNSSDLEDDGLRLFDPGYQNTACLKSEITLVEGAAGQISYRGIPVVELYRSG
RPFEHVAFLLIYGHLPNAHEATHFNRAIGTAELPPQSVFDMIQTLPTDAHPTTAIAAAFTTYITSTRSKIPAACGKNLYKGNLAAADEEIPQFLSTG
SVIAAAVLCHLQERKFQRPKPEYSYVENFLHMMSLLCPKTGRPYPHAVSILSRLWILTANHELNNSTAAFMHAASTLSDPYSCLAASVLSSTGILHG
GAGEVAYKQLEEVGDVSNVPALIRDVKAGQKRLFGYGHRMYKIADPRALPIQELIEEASMHHETLRTDRALLVAQEIDRIASQDQYFVSRQLAVNPE
LFISFVYKGIGIPATFSLVVTGTARAAGLAAHWREVMADPVPRLWRPLQIYTGNMARRNRGNNKDDVDGQKAIAHL
>RCO7_11341 | related to 2-methylcitrate dehydratase (PrpD)
MAAEAPASPPSDQVIVDIKDYVYHYQVTKSKTKTWARARECLLDSIGCAILAISTSEECRALVGPFVRDTTVQHGFCLPGTQFILDPVKGAFDFGAM
IRWQDFNDGLSGLDWGHPSDNLGAIVAVCDWLCRSGQSNITMRTLLEAMIKAYEVQGTFQLTNSFNTKGLDHTVLVKLASTAVVSWLIGLSEEQAMA
AISHVFMDGIPLRLFRAGSNCIPRKSWAAGDACMRAVQLALLAREGQPGAPSVLTMPRWGFYSTTWCGESFQLPRPYETYVMETVANKVYPCEGHAL
PAVEAMLEQCQRLKKRGLDALQDVAAIRVRATKSTVTILDKPWPLYNFADRDHCLRYILCLTLLKGGPPEVQDYRDDSPWALDRDGWMEATKQKIEL
LEDAGFTAEYRADGRGRPAPPVAGVTVVLRDGQILDEVVIRDGPGTPSHPKTTQAVHDKFRRNMKAGAFSELDTEKIIFMVQDDDLLVSEFVDALRG
RMGLSML
>RCO7_03630 | uncharacterized protein
MNSGPIIYPSSHMIFSTILVIASKSGDYDIALRLLNYINTEYTILSSLLPSGEAKEIELNRGSIIATYKAIN
>RCO7_08955 | uncharacterized protein
MVKNLALASAETRAEYDRLTEMTDEHFYSLDTTPVLRSVLYASSAAGPELRRSGSFPLNWDLDEGEINKPTTSDDELLPLTTKNMHKLGRLPSLSPD
FAEEEEDVVT
>RCO7_08956 | uncharacterized protein
MLKTLYYTRLTSYYNIKRPPLTRIEKSSDTIESVYRRIRGVEEEELEEEEATKEEKAPKEEEEEEEIATKELEEEREKEMKFKGDGDSFSSKVRIFY
NACLRAEIPPEEYSKAFLLILKGAAL
>RCO7_08957 | uncharacterized protein
MPPSKLKPSEIAAEAKKKFIPYILATMNDKWPATSYLCYSESIEAQPPKGNAQICRFAFYEMDPIDLALDWAEPGDAPIPVIMPANDKRPGGDWEAG
VMSPEECLCRRSNLIATLTTPGEGSCVPSNYPMPSSTGIYSGNVVVFRDGPEKYTPWPEYKSLPIISVCPVKRPKLNPEKTKYSFKDERELMRDKIR
TALRIAVYYKHINLVIGTFGLGPGFCNPTEEVALMWRDAFLKDPEFMGHFRDVVFAFEAPEGPGTPTSSSSKGSSSKSSSKSTSKSSSKSSSSSSKR
TDLDVFRHVFKPANVHNAFKTPMANSYEPSSSEVY
>RCO7_08958 | related to asparaginyl-tRNA synthetase (mitochondrial)
MAMVQPKCRAMRSCRVNLIQARCRRFHTRPAAQSPSIASLLDYGLEDPDKVVVNGLVQSVRKQKQVAFVSLRDGTTAESVQVVIKPKQFESLPDLTT
GTAARFTGAWTESKSKGQNHELLVKNVKILGPADSTFPLQKKWHTPEYARTIPHLRARTSANSTTLRFRSDAIAAVSGMFQQHGFTQTHTPIITSSD
CEGAGEVFHVGSSNKEKPGEGDDGTFFRAPKYLTVSSQLHLEALAQAVGKVWTLSPTFRAEKSDTARHLSEFYMLEAELNYTEDMEEVMDVVQNTVC
SITDDLLGGSRVATELLNSGLDKGEDATMNKELIRRWRGGSEEFHRITYTDAIKLLQSSLHQFEHEPKWGNGLQAEHERYVATTIGSTDEAVVPVFV
THYPKAIKPFYMLPSSHNEDGRETVDCFDLLVPEACEIAGGSMREYRLEPLMQAMQANKMIPSGPMTSDADLGDLKWYIDLRRWGSAPHGGFGLGFD
RLLGYLGNIPNIREVVTFPRWVGRCDC
>RCO7_08959 | related to cAMP-independent regulatory protein
MDTYYGHVRSPADAIKLFEACRLGLLPRVQRRLSEKERQSIKSGSVFVWDEREAGMRRWTDGKSWSASRVSGSFLTYREMEGKRGGGQFVPPPVRRS
NEKTPDSARGSDEDLDMDGDGPDGYRYKPDGLMKQSFSITTSSGQHLHLISYYSRPHPGAPDLPMPTTDPQLRHIIPIKGMYPESTVHEPQGPAVTR
APMQHSPYMNHQPMHSPHRGPPPPYGYQPNYSWPPSPAGTPPYSHYPGPMYSPLPPPGHSPFQHHNSHMIPNGMMSHQQSMYDRPPPPHSDPSLPPH
PHVSRGMSTATAANLIPSYAPNPSPRLAQARLIAEQQAQMAQRALQSPSMLDPRLSAPISLPPVQVRSPPRTSTPPQLTPKTTLSNPSTPPRTGAVS
PPYKDKEAPKANGQAQSIPSIVNLVHATNSVSVISDNKSNSSRTGSKSPKNVDGRVTAGIPHDKLAFPGGGADDQRAIRLLDKKFMI
>RCO7_08960 | uncharacterized protein
MYQQSGMGFPKNPNDWTADPVVQPSGGHMPPGANLENEASVENKGDRFRYQQQVRALKEQLRVLKALILKSGGSSTNSLGIINPSSSSKLEQTVLDR
GALSEVTFQRDGYFDRVQNLERRVGELLSSESSGGVHEPQDMLTQRDIATDERDRLSYETLRESGYLSPIQALRRQLEHSAAETEHVPRLYVSNAAA

EDRDKLLNENEFLKERLTAMFLEYEAVVEQRNRLKIQRDSIEAQLCVLPAQEIDSGRNRTVVEDYEAKLQLVRVERDSAIQQNEEARRNLATRTAER
NGAHQRMHILEAATKESHTIKEHLEAQLRLPSKNEHVQANTQTIETECDSERIQIAFLQSELEHAVAAAAEAQHQRDAARAQIEAVEIENSIAISAA
EMANDVVVELQSLLEATKHAALAEREKSEESRRIQNRLRIERETVRIEVAKLGRELSAAHQTSAGLVTQLDELRTRNTSSTQDDAALGELNPVIGQR
DQALIHVKKLEQLLRDLEDDYRKNLDQWERQTQKDEVEIHAAKSRLDESMETNESLSKQLDTANAGLEAAETKARMAEESSENANSRSEALQIQIQQ
VEQDLDHSNEDKDEVEGVRDRLRAECLRLGGLITNARNEVIRMGGDTIAPEGTVQSNQELPNGPARGDFDPSNIQRPLTARGEPISEPDDEHEFNAF
PYPAEVSSMAEPEVARNQSISSGSSLSSIDSSVDSVHGASSRRESNVSTPAQRPQHGSSSSASLLRTSPTISTQIDPRCTRNPAPDYGASSRSKSRK
RGAEPTGFEGQSEAKRRRLHE

>RCO7_08961 | uncharacterized protein

MPFFPQEFLPEAALMQLLAELDQSELSKAQPQVYPSLQNSQRQQHPCIRLVHRPAPQTFTPRFDVTETADSYELFGEFPGLENADLDIQFVDAQTIV
IKGKTDRSVSTSRSAPSESAKEVEQTQETATEPDENEKSSLAATVEDDYDEADIPLDTPSSAASTASLVAKGKQPEKTASSSSSTLNHETQTQSPRQ
AKYWVSERKVGNFARSFAFEQRIEQDFVTAGLKNGVLNVVVPKSVRTKKVVVSVL

>RCO7_08962 | probable high-affinity phosphate permease, phosphate-repressible

MSSAAMNKTDGGNNAFHNFNNDFAHIQDPNERRRLALAEIDKASFGWYHIFAINLVTSMLGIVYFNDKKSHGTIPPSSDTAIKVSTSGGTVIGQLGF
GYLADVVGRKRMYGLELIIIIFATLAQALTSNSRAISITGLIIFWRVLMGIGIGGDYPLSSVITSEFATTKWRGAMMNAVFAMQGIGQFTAAILALI
VTTGFKGSLESAANARACTAVCQLAVDKMWRIIIGFGAVPGCIALYYRLTIPETPRYTFDVARDVEKAGTDVKAYMNGKAEGHPDEIARVTAMAQTA
PALEIPKASFKDFCHHYGQWKHGKVLLGTAGSWFFLDVAFYGLGLNNSIILAAIGWTGGATQYEIFRKNAIGNLILVCAGAIPGYWVSVTTIDTLGR
KTIQIMGFIILTILFCIIGFAYHQLSGHALLALYVLAQFFFKFGPNSTTFIVPGECFPTRYRSTSHGFSAASGKVGAIIAQVVFGPLRTRGALPNAK
GRNASPWLNHIMQIFALFMLCGLFTSFLIPETKRKTLEELAGEVPGTPNFDPALIGGAHRAYSEEDSQGEKHRGVDSV

>RCO7_08963 | uncharacterized protein

MSSSSHHHPHLNYQASTPINIPITTPRFSRGLAGDQYFAHRGFETVVMSGYSNPNSNPGSSYPHHPHAQQAQQSPSLPHQQQQSQSHNGVRGPSPSG
GNGQGHISNSLSPHGHQGLPNQQSFQYDQGVQQQLQAYANGGHVEDIQQQQQRVQLPAPSPSSSNHGGEGKGHKGNRLRKACDSCSMRKVKCDESGP
PCRACAALDIPCTFERQSKRRGPPNRHAEAIKKKARESLAAGFSSPSSPSNVAATLASFSTHAVLNAESICPFSTLELLIDDFFTYIHPLCPFPHEP
SFRAAFNNREDLKNPSFLALMASMVGVLVASFPRKPRLHLKAQHREHLFPNSMSLVERCHKVAVAARGPGYLDKELSVYDAATSYFLGLAGAYTFRW
KQTRLYFGECLTIIRVLGAHKSNDASLAVGALPEAYGADSNSMQGVSEPVDYIRQEIGRRLFWVMFVGVISIQQLGASFGELLIPPPTTNNPYPPLP
MEIDDEYIFVDHIESQPPGVLSKITGFNINVRIYKTVTPLSTMELAYGIDEVFDWNRQKRVLEECLRNVKQVLEVVPQELMLSPGSSSGDFQHSIFQ
YYPPNADYPGIRSNGGDGNQWPIEKTEERRRLQFEIQKANIHGSQLGTRSSFVDKYCNLFDAYEKVKSSSGESLQLGSPGVMAVGLDGMLPKQSITS
HYDETNVAQERESIVKDLLKVLSCINQVNMEPNGGSFINKIRQIASTLIETPESRKGPMQVKSEEYLGRFLDVLMKLERISPGLRSESDNGDGVVDE
EEELRNWADLREYQLRFAQAGGFMAET

>RCO7_08964 | related to monocarboxylate transporter 4

MTIPQPRLDSSGVNRTAEDGGQSIRASASLSSSYEIAQNGDVVEDLERKLTDMEKRDGDGIYAPRGDGWDGNVDDRKGRKEGGKVTRILTKSSWKDL
GPPPDGGWFAWMQAAFGHLVIMNTWGFINSFGVFQTYYVTSLNRAPSDISWIGSIQIFFLFFVGTFTGRLTDAGYFRPVFLLGSVLAVFGTFMASLS
TSYWQLFLAQGVCCGLGNGCLFCPSLSLLSTYFSSKRGLALGIGAAGSATGGMVFPAMVSSLLPKIGFPWTMRALGFIQLGCLVICNIGIKPRMPPR
RTGALVDWKSFKEVTYVLFAIGMFFSFWAVYFAFYYVGSFARNVIGLPYKESVNLLIVMNGLGTIGRIVPGHVADRYWGPINTLTLFTFMTSILVLC
WIAVGSKGGLYGWAVVYGTTAAGIQSLFPVALSSLTTDLTMAGTRMGMVFTIVSFAVLTGPPICGQLIQRKNGEYEYAMIFAGSVLMVGGGFLSAAR
FARSRELRAKI

>RCO7_08965 | uncharacterized protein

MPDYFAMKLALVFANSACVYYSIYAYAEYFGVTKSRVTDKKDVVQVLRVLLAGHAEKNVAFEAEQAAIILPGSYVVHLVVQSEMQQEDIAIAAGKEK
PGEVAPAWEMETVQPARATKNVERKRLDDIYRISHIISRHS

>RCO7_08966 | uncharacterized protein

MISTLFAVAVAVALSFASLSSGSAILPTRQEDSDSGISGILRLPITATHATSRRQVTSNIESIQTGTRYLVDIAIGTPPQPQRLILDSGSSHSWVNP
QCSAAGPAINAALCATLPRYSPNASSSALDLQTSMELKYGKGSAQVKFFSDSFDLGGALVTGQQFGVATSSHDLPIGLLGIGPGIELTGYPILIDTL
KAQGITKSRAFSVDLRSWESADGAIIFGGIDTAKYSGSLEKLPIIPAALAPDFYPRYWVHLKSVGITKPGEVTSKLYAPTSSDPQGQPVYLDTGGTL
NLLPAALFNAIIQDFPSARPDGNSGLYLVDCSVSDEAGTVDFGFGNTVINVPFKEFIWHIEGLCYLGMAIENTAPVLGDSFLRAAYVVFDQDNQNIH
LANAKNCGTNLVAIGSGPDAVPSIVGACGPQAATGSVPSSMASSTIASSASVMSSSSAVSTSPSSASITSSNSAFPTISTESIGLYSISNHSSTAEP
TAYPTEYPTEYATTVQPTPYPTEYATSTLQSTSTYTITSCAPTITNCLIGKVTQTVVEYTTVCPASQAAITPAPFQTHAAENPVYATETYTISKCGP
EVKNCPYGSQTTAVVPVSTSVKPTGYAVVNIGGYRVAPYELVANPAPIAPVVPIQYPVPVLPAPIGVKPGTYQPGAPPAAAPYPISAASTYLTIPTG
APLPSGTGVPVIGAASSMKMGSTWAFAGMTLALLVL

>RCO7_11634 | uncharacterized protein

MGRGRDSKEQVEIGKRYVLNRFGDDTYYVATAERYSGWLDLKEGNIAQARKRNERAYQILTGLYKMHRTISATTYMLGSLELIDGTLRTRCSRDSER
EIYLAG

>RCO7_11635 | uncharacterized protein

MATLRSILDHDINDVRHRSLVAWGTGGIGKSQIALAYAYEKQAAGKTAVIWINSGMPIDLKNSFTDAAPAPSLPGAVRDDSTTNVFLVTSWLQAIES
PWLLIFDNAEDMSIIKDRWPIGDYGSVLITSRLEVIDPRLYSLEVPCFTKEEGSELILKTVGRFDYLPEELPLAENLSTKLGGLALALIITAMQVRR
NGMRFTEFLPFYERHRSKFHAKLDSDLRPFYKYNLKTAWIVAFQFQESMDAHITTMLIRRDAATNTVSVHRVTLQEWQNAMSATELRIAFTQQAKLL
YDGFPKLINGVSLRNSSTTCNRCISHVRVISEIFEELSYRSDYPGEFSELAEILAAGGWSAIPSIIKA

>RCO7_11636 | uncharacterized protein

MAVRREAHRLASEIPSLINLNIATASTLLEGRKTTAVALVQAHLTRIAEVNGYFNAVLETNPDAIAIAKALDDEQALSGRRSPIHGIPILTKDNLVT
LDSMEAAAGSTILLGAKLGVESGVARKLRAASAIILGKSNLSKFSGLRTPKGISGWSPRGGLTMGAYCENMKTSGSSSGSSVATALGLAVVSFGTET
DGSITSPAGREAVIGFKPTVGLVPMEGAIPVSVTQDSAGPIAKAVKDAAYVLNAIVEPSDSFPAVDYLLSYNANFEGTDEFDKMSGDDKLYAMAGSV
KRDISFYASTLVQNPRNISRLHNIMELCKKDVAEYYPTRDTRDWELAMSVGLRWQEVQRIT

>RCO7_11637 | uncharacterized protein

METTIPITSLDIVLDTHKPKAKSNILSTIIVILTILTFLGVIVLLALLALDIFTIPYLTPFARFLALLISPFVPLLFPLFLGVFLKICHHRTWPKKR
SWVLISGSWVLQHVQRAVTDLITLIGDRKGKGVGGLCGFHECEGKWVEWCLVCVVVGGQIAGFKWDAGYVDGWIESIVEEDRRKQMVINEEARKRGE
VPARLDLEKAEVFDQVLYFKSAEEEKSILVVGETLAQKKVLFVLDEEKT

>RCO7_11638 | related to glutathione S-transferase III
MADNTPTLHHLDNSQSLRILWLLEELSIPYNLEIHTRNPPNHPTAPFRSPLSLTSIGHGKAPTLVTGPADGSRIICESSAIATYLIRTFDTDDKFGL
KNGDWVRDETLCSLANTSLSRATFTLLLLDFGMLRNGTGPGGKNFDGPEIHNVLTALTRELKEGPKGGFFMGERPGRADVMLEFGLTSIKQRQSADL
EKDFPELDAWLKRVYEREAWKRAVGKAYGGVYDLTVFPTGPHL
>RCO7_11639 | related to hydroxyquinol-1,2-dioxygenase
MATNGVNGTNGTHSTNGTNGTHGPSSKKSDRFDPDFTRHVIELMAPETKPRDREILSSLIKHMHDFCREVELTQEEWVMGVNFVNSIGQAYKKNRNE
AWRVCDIFGIESLVDEINHKIVTEQGLSPTSSAILGPFWSPETPFRDLGASVVQDMPSNGELTFFHGVVKDAETDKGIPNAVFDMWQASTNGKYDVF
DPENQSRHNLRGKFRTDKDGRFHFYCLKPTEYAIDTSGPSGDLLKIMGRHANRPAHIHMMVTHDDYVGVTAQLYPNDDPWLETDTVCAVKDDLLLDF
KPAAKDDPKGAKLDVEYDVKLLSKKYAPDSSMLMANAAGDRKQVPLEKPLN
>RCO7_11640 | uncharacterized protein
MSLFRILSVAATVASLITAFDPQLGFNSFVEVETRSLDELHEAALKEGGLVTLWAGGDEKNKQDGLKTAFESRFPGMTLNVTVDVSKYHDGSLDQQI
ATDSVIVDNIVLQTLNDFPGWKIQGALLPYKPQGFDQVINDFKDVNGFYTAVAIYTWSNTFAPAYLKSSPPVEYTDFLKPEFKDKLVLTYPNDDDAI
LYQFALIMNQYGYGWFEALLTQNPRWVRGSSTPGNLISSSNRTYTATFGGSAAISPGSGLNISYPIQGQFVSWPQTGAILKNPPHPNSAKLLQNFYL
SAQRQNNTWSVRNDMAPPKGYPMIMDMPGTDPTKFSEWMADRAAVERLRFFF
>RCO7_11618 | uncharacterized protein
MASDPPSIQVSHLPSAASFYASLTQPLGLQYLSANPVSPACLHFGYILNSRAITVFTVSQAAHPRLSHITLSAPNPTSVKSFHSKSQVLIIDRSGRE
NTFKQEDEEDRAVTRDFDGNIIEAVYSPHSSVPRTTPSAMAPAGDGYDKEDTRVLRWQEDVARSISGSRAPSQPGPGTFRRADTAPAGFGRTRREREM
PTLVRRETITTEHYNISQAERDRLAGSNSGGGMSGKAIMGTLLGAAAGAAFAYAMTRSASPPPASATIRRSSAPQYTHEPIHMEDRERVMETRTIPA
RSHVSERERDRDSRPRYVQYTIAEPPPLTARPELKRIEEGSHVSTRSRRSSGKEKEGGSDTGKRTVLTIRPASSHKTRSPDRGSHVSHRSRKSGSGS
APATGSSLERRRGRDKEGNEDRASEYHSTRSHHSASTVKPPAVPQPPPASRAGSSRSKSTMRHVPDARDDQERKSHVSSRDRERRTSTVSAREPRSI
PLPPSTVMSARQVPLPRSVVSGFDGLEGLGSGNGYGYAASVAPSDSVSSVGIKRERERLRDRMGDGGGGGGGGVAVRERARGVLWGHG
>RCO7_11619 | probable nucleolar essential protein 1
MSGDEERKSMSSPESRSSKRRRTQSLPPPALPQLVAEQHVPIPATDKDTRRLIVVLSNASLETYKSSFGGNRPGAQREEKYSLLNSDEHIGVMRKMN
RDISDARPDITHQCLLTLLDSPINKAGQLQIYIHTAKGVLIEVSPTVRIPRTFKRFAGLMVQLLHRLSIRSVNSQEKLLKVIANPISDHLPPNCKKV
TLSFDSELVRVREYVEKLDDNQSICVFVGAMAKGSDNFADQFVDEKISISNYSLSASVACSKFCHAAEDVWDII
>RCO7_11620 | uncharacterized protein
MRFSHLLSATVLTAVVSAQDNGQNNGQNNGQNNGQNNGQNNGQNNGQNNGANNGGNNAGGDANGLTLLANAVQTGSQADGSVNGVQGDGQSASKTSN
NNFINICSGKTLTNGLQVEGGSCNGIPMGDIPAKGNMVSGVITFPETGGAAIEPDTDFDITVQINNLVAGSFTNAQETYYAGPQFLQGGNIVGHTHV
TVQDLGGSMNPKQALDATQFAFFKGINDAGNGNGALKATVTGGLPAGNYRVCTISSASNHQPVLMPVAQRGSQDDCTKFVVAAGGGNDNNGGNNAGN
NGQNNGQNNGQQANAGAGANANAGANANAGANANGGANANANAGQNAGQQNGGQQNGGQQNGGQQNAGQQNAGQQQGQQGQQQRRHIRSRRQYIH
>RCO7_11621 | related to AVO2 Component of a complex containing the Tor2p kinase and other proteins, which may have a role in regulation of cell growth
MRRACEAERWQAAECGNYAPTMIDPSLRLRRAIHASDTLLVKRILSSHPNLLQNPDSSPTGLSNSNLHLASSLGHTSIVSLLLSLYAPPSSPPTTNP
KDLPSLKTLPLNEEYQTPLHLAAASGHTEIVHLLCSSCPGCIKKGDLRGRDALMLASREGHDTVVQILLTFSPSGPAELLEASDIDGNTALHFASSN
GHLLVLRTLLAAGADAEKRNVWSWTPVAYSATVQAEVYFKGLVSEVERRNKVRRDVREKGTGGGVRIVNLGDGEEM
>RCO7_11622 | related to histidine kinase
MLPDPNTSSECPSIDLQLAVLRHLPTPVLVLSPHQTIVFANRKAEQVLGSRDPVRSSRKGILGQAPGDVGIKLLYNREWSVLLARIAAAHFHTSLEG
DNGPVHEIDAVVSTPNLSFAKRHFRILVSIVTVESGKHFMLSFEGSPHLDKRTILPVGDEVSHARMLSKPLGPDIQDENGGWKNILKIKRAVFDSWS
APGFVLTADEQFYVSNKKARETLGDLLGGEDGCNGSKLRAQLEVWDENFATKLEASEFPSVRLVRTREPFTKNRFGFIHAVTGDKLVVSIDGECLYD
DETGEFLGGICWCKDMQLYSDYVANQLQRRLESHETICNLLPHLVWTTTVDGTCDWFSNRWYEFTGLTKEKSVGRGFVSAVHPDDMPSLWENWKRHQ
ATGESSDIEIRYRRHDGAYRWMLARASALLDNNGNILKWYGTNTDIHDLVMARIAAARNKHEIRTVLAHTELNLFTINKERKITLAEGGMKWDTMTK
TYDIDNKSALIGQDAIVMSQNIQPGGLPEYEKNIIDILEGKVGVAQSEDVVRGRTYRTRVVADLEHNAIDGGQSPAVRGVIGLSVDVTDMKARLALE
VDNTRLVVEEQAAKDSNRLKSQFLANMSHEMRTPTAGVIGMVELLSDDQNLTTEQREYVSSIHLSAKALLTIVNDVLDFSKIESGRLDIEKVPFSPS
LVVGDLCKLLAMFASQKGLDFVYGTDLDEDLEVIGDPGRTRQVLSNLLTNALKFTKKGSVKLTVSSSLLGLDEFGQDRIIVQFLIEDTGIGIEKAVL
EKLFKPFSQGDSSTARLYGGTGLGLTISKNLAILMDGSIDLESQPDVGSKATFTIPFKVSAWHQAPQLGLPSPPADAGLRLAPLTKIPSWTTNLAHR
SMNQDLLNQQISSSVTTTYTPPSLSRHGSLEDPALLVDKLSAEQRARIHILVVEDNPINQTIAIKNIRKLGFPVTAVWNGQEALSYLLAPSTTQPRP
SIILMDVQMPVMDGYEATRLLRTSAEFMREEDEAVVFAAPEADSTPQRRSSWYKCGQKALHPVVEDEKDNMQQRQDEIDKGTRRANKGFLRDIPVIA
MTASAIQGDREKCHEAGMDDYLAKPVERQNLNDMLIKWAGRKREPMVQ
>RCO7_11623 | probable amino acid permease 2 (AAP-2)
MTSKDEKVAIPTSTPVVKRGQRKTPHMSAIEDDDERLLNQIGYNQDLNRHFTKWSTLSYAISVLGVLGSVPATFGSPLSLGGPASSVWAWFVGSIMA
WCISSSVAELVSAYPTAGGMYFVARNVVPPQHAAVWSWVIGWCNILGQTAGVASVGYTVSQMILAAASMNSAFDGESYAYSPTPLQIVLLSIGLLII
FGIICSLTTHALHKIVIWFAPINIIASTAICIALLILTPNKQSFSWVFGHFTNGSGWGTGFSFLLSFLSVAWTMTDYDGTTHMSEETHDAAIRGPMA
IRHAVTISGIVGWMLTITFCFCVPNVPDGLSNMISTPTGLPVAQIFLDAGGQTGGTVMWFFVILVQFFTGCSAMLADTRMAYAFARDGALPFSPFFA
KVNRATNTPINAVWLIVVSACCLNLIGIGSTQTIVAIFNITAPALDLSYAFVILARNYYASRITFVPGPFTLGAWQKPLNAVAVVWVFFISVVLMFP
TVRPVTSTNMNYAVVVGGFIALFSFGWWWAGARTSYTGPKTKDLLGEAESQEEEDGGGERDLVESE
>RCO7_11624 | uncharacterized protein
MKLNFLTLVCITSLASAESFCPSRAATNQEQIDIFYQFVRKYYIQKNVPLAFSDHFSSTYIEHNPAASSGWNETSITGLAAFIVAAKLEIIHAGFYN
NTGYVHFREDVEGAPPTAVVDILKFEGTCVVERWDVAQAKPVNPANPLALW
>RCO7_11625 | uncharacterized protein
MYHHQECPARPEDSPTSLLRTRSNPDLNRLLRKTRGTHSQSHASSRRSEDKLSENSQVLYMADTKNPSRSRGGRQSLSSIGNTIERRFDGSVEGKEN
TLGSEKLCWDVIDQEIYEWQYVCATGRPYWWSPESRYTRLKRYPARLPNEPPAPKLWLRELDDLPKTAIAETRRAVSDNYFCSPAQKNHDLAHLIAV
QLLGACFTLPPDHVLGIPTPSYTFDPASAMLPDPRMISSLRMHTHFKYSPSFGHQARNTSPIQAWPRAFTKSSPGFTSPVTGIRPSASGSRRTERRR
KLQLTDGSGCYGSVDSVIDQIARSCSSTDGLDPDLKRCQSRESPRADQSQLGMPDSSSYEIRRLRRYVGGPSGSKETRNSSEQTVQRTKYRLEPVIR
SEPHHVFIQPVRELVVKRWRNFKRRMSGSLHSAFQSGGSEDHGSASEIGSPMMSSDGKARRRRAQERGDIHSSEIESAPHFTTPVSGCLTPNAGLVP

SDQIDLVDKASARFANQNIAEAVLIEAESKQSSPQPLSSSRSSSQVPPADSARPAAGLRTPSGGPIPNSSRSGFPLYSPARLKPPAASNSFSSKRLN
KDTRKSTLSEMFTADDFLESQNEDLEVSSAPVTANVTPMEEKEQDFGHAASTSAIPTLRNHTAAVRPRFARTSTSGTQIFTPENDGIEVDGLPVGPS
EQAWIGPEGRERTYL

>RCO7_11626 | related to multi copy suppressor SYS1

MARRRRPPRPGALTELPPLRILTQILLLQTLWYIAGTVLILFTALVAGKHFSLDLLLSWRSLRGDTTVGWMLGLVWMLNSLIGVIGILILIHRSKLV
PDFAITLHFIHLLIVSFYSGSIPQNLLWWVLQIGSTAMMTALGVWACQWRELRPINFGGSAAAQTTAEVAVAEDGGDEEMGLGRGRGRGRGRDGAGE
YQMVALKGENGEAP

>RCO7_11627 | related to Cytochrome c oxidase subunit 6B-like protein YMR244C-A

MGLFSSSAPALPPPKLTTDGAPIAPDRTQRARCWEHRDAYFQCLDKNNVIDSLGADKSKAESACGKESNGFEANCASSWVTYFKKRRVMEWQREKTL
SKLREEGAVKMPGELAPPRAPGN

>RCO7_11628 | uncharacterized protein

MQLSTFSPKSAITASSLLLLPMSLLASYTSAADSKRGVSIISNLHLPDWSLIDKSAISWYWNWSPYPGSSSLVTNLTFVPQIHSLDDLEKNIAQAKS
LPTTSTHLMTFNEPDGTTSSGGTTISAEDAAKAYIDSILPLRKANGGQSLISHPATTGSSGGLNWLTDFNTSCYKHAPETGCPLDFVTAHWYGDFTG
LQSWVTQLDDFYNDGTNASIPIWVSELAIPKQDARATVQMMNESLAYLDDSDLISSYAWFGMFRTSGSNEWTGENVALFDKSGGLTQLGATYLNQEG
NTVFKKGQKGTGGAGSLGVERALGLTVFFGWLWMLIS

>RCO7_11629 | related to peroxisomal amine oxidase (copper-containing)

MLQEKILASLSLGGGKTITTEHPLGPLTAHEITESAKIIKSSWPKNTNVQFKVITLQEPNKADLVPFLAAERAGKSTSTIERRSFVVYYIRNTNKLH
EAVVNLSLGNVESNVRLGANVHSNADGDEIIQVEKIALEDEGVKAEIAKLNLPEGTVIISDPWIYGSDGINDGLFTDNERMFQCFLYIRDPKNSSEA
DSNHYAMPISISPVVSAETMKVTRIDFLPTGVDASTKAPGPYKVQPPNEYIPEGQEIRTDIKPLNVVQPEGTSFEVTKFSDQGHTIKWQRWDFKVGF
NQREGMVLYDVHYDGRPLFYRLSLSDMNIPYADPRHPFHKKAAFDLGDAGAGIMANNLQLGCDCLGSIYYLSSVLNDDKGEPLNMPNCVCVHEQDAG
IGWKHTNYRTGRAAVVRNRELVLQSIITVSNYEYILAFQFNQAGELMYEVRATGILSTQPIDEGISVPWGTVVHPGVLASHHQHIFSLRVDPMIDGP
LNRVVFDEAHPMPRSDFNPHGVGYTVNETPITTSGGYDLDFDVNRTFKIQNAGVKNPINGKAVAYKIMAPPFQKMLADKESFHHKRAEFADHNIYVT
SYAENELYAGGKYTNQSRGGTGVRSFADRKDNVLDDDIVVWVQFGINHVPRIEDFPVMPCEVLKVAFKPVNFFERNPAIDVPQSVQRVNKSELVEAV
VQKEGDVCCKKS

>RCO7_11630 | uncharacterized protein

MLSRPQLRLCSVVALLVAITNASWLDANINGRGYGLDARQQVSGSSSEGGLISGGGGGGGGGGNGGASITTTSSSTSLESPSTPTPTPTPSSSPSP
PPAPIVVASPTTTPPSIPTLATTISSPASPPSSASSTPSQTSTTSSSTTTKTIKTTPKVTPTPTTFVVVSTIVRTESGSTFMSLASATVTSDLPTST
AELNKDGKPTSDTGMSTKTRSTIIGVVVGIGGAIILAGLGFVAYRIWGRRKNADENDGLMFGNTGHEKTGSLSAAGATNASPFTSTLEDYHNPARNG
NVNASSNF

>RCO7_11631 | related to COG5 - conserved oligomeric golgi complex

MNSSADDDTYIDYEAFLSPSFSPALFANNLVISTNNPTDTPLDLSTPLSRVLFDSQEINTHIDTLTTNSALPLLKHTQEQTASSSRIVAGIDEQVKS
LNDGYKRLEKEVLERYETAEEVRLVAGRLWETVRLGRSVGRCLQLGRQLEIQLAEVVGTGNPVKTQGQGQKEDHRALVRCSNTLLSLRELFAKKGEG
EEGFGLEKVDIVRTLQTSIVNPAERSIITKCQQIIREFSMSTLSSSANTTTFAQTADTKSRTTSALLALYLLSPLPDTSKATGKKIDRWEPELLIIS
LQDYLRTSLTSSLASLARALATLPTLDRTLLEVSARCQNILGLESVLASTTPPSHPTLPTSATPPNFLQPLLTSLETGSLASYFWRTLAGGLSTKAM
EIVNKGGVSARTLKSNRISVKDAIRECVIRGSTPPAGVAGKGKGENVERAWEREIAVMVGSVAGALGR

>RCO7_11632 | uncharacterized protein

MGLVSFRSSRPSNGRKLILPSIIISFMFWVYISLDDPGRLSRSRWDKDHDASGPGPTSKNDKSSAQWLENQTDIFDAPLLDSQAIRDVCSKTKWNAS
VTFTCNNSGGGVGNQRNSILNCLRYAISAGASMTMPRMILRNPGDIADIWNRERTSFDYLFDEGHFVESMRLSCPQMRILNGTREGSEKSIFVNPEK
IAGDIGPEGLTKPEEWRERFYGWLSRNTSISTPVIDLDRSYLQYPIHSDAEAFALDFGKLLKFRRDTRMAATAALKNMVRKYNLTGDYKTEVWKGGF
FGVHLRTERDSQQGWPPTLYEYSKYATQSTSYLKQAAGTGMKVMYVASGNVEEIEKFAYDAKAYNMSVTTKHQLLEGEDKKKLEKFTFDQQALVDYL
VLLKSSDFAGVGHSSFAWNIALWRHQFAKQRDHLNGPQLMSDELSQVYGKVRQYPEYSCCLWP

>RCO7_11633 | related to Subtilisin-like protease

MFIRSLTSSLLVCGLFCSQSVTAQRKTYIVQLASGNGGATGGLVRRQNLQAELAIAPATVLYNYDTVMDGFAAKLTDEQASNLKTHPDVVSVVEDTV
LQLHTTHTPSFLGIAENNGILGQRDVEYAGMPLGKREVNAAEANIIVGVLDTGVWPENPSYSDHGLPAIPAHWKGNCDEGERWTKANCNKKLIGAAY
FYKGLIAAEMQQNATFNASSILKSARDDEGHGTHTSTTIAGSRTANVSLFGQAAGNARGMAPDARLAIYKVCWADGCVSSDLLAGIERAIADGVNVI
SASLGGGDDFGGDEIISRATFAAAQKGIFSTFSAGNDGPDAVTVSNSAPWILNVAASTLDREFPATVSLGNGVTSTGQTLYSNGSVSDIEPLSGNTV
LPLILGSAAAVPHGNVTAAQLCKPDTLDPARVAGKIVVCTRGDNGRVNKGAVVKKAGGRGMVLVNNAENGEGLVAEAHVLPAIALGVKAGAPVLEYA
KSSSATASLQFEGTKLGVPAPQMASFSSRGPSGAIPQILRPDITGPGVSILAGWTRETSPSGENDDTRRVDYNVISGTSMSCPHLSGIATHIMARRP
GWSPAAVRSAIMTTAYTHTKGASTPIIDTATSTAATPFAYGNGHVDPVAALNPGLIYNITTQDYQEFVCSVNNTNAFMQLVTGTHFACDKHKVYSPY
DLNYPSFSAVYDTHSTTGTYTATFHRTLTSVGGAGTYKASLTFDHEYINVVVKPEQLTFKAVGDTQTFEVVVTMKAPPSKGVVTDHGRLVWSDGTHT
VGSSLAFTWADLV

>RCO7_11765 | uncharacterized protein

MQSANNTTLLLLLAASNRISIIAKPESLADPALILLPALSKRDLIIAKPESSIEDTSILLLASGSKELIVVRPEPAIKAASILLLASGSRELIIAKP
ESPIIDTLILLLASGSRELIIAKPESPLIDALILLLASSSRELIVAKPESLIKDASLLLLAPNNSELIVVSLLLDRL

>RCO7_05910 | uncharacterized protein

MAAAIRQPPRTSVAIGDLIAEATGGRTVKSGHREVEPHRHGEEREETDSDGGRTVKPGHRERKPVHRNREKKERRKEEMDSDEDQSDGGVRLDGKKP
ITKARKERERSQSDEESDEKEVKRRPREKRQNMRTREKKETRREKSDRDEEEEDIPRSNTRAWVERYHRTGKTNKRKDETESDTD

>RCO7_05911 | related to SMP2 protein

MQYVRSISGSVSKTWNSINPATLSGAIDVIVVEHEDGTLACSPFHVRFGKFSLLRPYEKKVEFKVNDVKQDYAMKLAEGGEAFFVFETSDNIPEAMQ
TSPLVSPASSPPLVAEGAGAGLSEPDFLDLGVQEGKSRSGSLIVRPGVGVLSSSAPRRQSNLSNVTPMSGSPEYTNGRPVSEDWSGILSGRPHSEDI
LPSSARTHLTDSTERERQTRSMTPNIPILDGSDRSTSPPPLPTREAIERAVALSNRLSASNIPSQVTDTGDLMLDMTGYKSSDDDALRAEVIARKIL
SEELEGNYDIGALIGADEHGNLWIYSSEEAKVAASQRATLAGIPSDALSDPGYHSDGSETEKTNIIPVHRRTDSDVGLETPPHTPSGASGDPNRNYA
KTLRLTSDQLKALNLKPGPNPMSFTVNRATCQAYMYLWRHDVPIVISDIDGTITKSDALGHVFNMIGRDWTHIGVAKLYTDIVNNGYNIMYLTSRSV
GLADTTRAFLNSVSQEGYNLPQGPTLMSPDRTIAALRRELYIRKPEVFKMACLRDIKNLFGPDRTPFSAGFGNRLTDALSYRSVSIPSNRIFTINSY

AEISLDLLHLNKLRYSYVNMREVVDHYFPSVNTLVQGGGEEYTDFTYWREPVLDIDDFSDSESDERDDHGNESEDEEEEDDDEDGNEEMGDSYISRD
SIDDDNDEHGLDESILSGSADEDEAMTSSMLQAEEDEAGVSGRDDTVEIPVIPSRQSDESQRDLDAEVITGMKGLGLEREESNDKKV
>RCO7_05912 | probable Drug resistance protein YOR378W
MNSDVRETDTSIPGVTTKSPSSSSSMTNKSIFEHRKDQPEQTLKSSDSNLNTHHTTSPPDIENGDKQPTASNPAPCLHPIQSRIDHPLSLPRETAFV
GILCMAQLFTQASLGQAIAPLHLIGATFNVADSPGEMSWFPAAYSLTVGTFILIAGRLGDIYGHKRLFTLGWIWYGIWSLLAGFAVYVNHSPVFFDV
CRGMQGIGPAFLLPNALAILGRTYESGRRKEMVFSIFGATAPSGFILGALFASLFAEVAWWPWAFWTMGILCFVMGGAGYYAIPYTPAPVFEQLTGD
TKEISMWKRVDGWGCITGVSALVLINFAWNQGPVVGWGTPYTYSLLVLGFIFLALFIWVETRASHPLLPMEALSKDTAFVLGCMAAGWSSFGIWVFY
SWQFIEELRHISPLLASAQFIPCMFSGLAAALTTGHILHRVGPSIVMMVAMTAFTAGLVLITTAPVNQIYWAQTFISICIMPWGMDMSFPAATILLS
DRMPKEHQGVAASLVNTVINYSVSIGLGFAGTIESQVNKRGNELLNGYRAAWYMGIGLAGLGMCISVLFGGSQLRERRRVKVDK
>RCO7_05913 | related to RDR1 Transcriptional repressor (zinc cluster protein), Repressor of drug resistance
MSTPLHPLPVTTDPDEPTRKRQRARKACLPCRQRKRKCDNVLPCSMCTTYGYQCQFSQDDSPTAAFVEKVGSSGLSNGPRNSPVTMNMSYKQPYSHG
LGAGGARPIVTREADTSSSTARSSVAPPAVLVLLDPMRRRFMGLHSVTAFPRSLGLDFQSANPPRVHSFAYNCGIRLEEEGSAHADLRETISRQDFN
RYADVYFETVHPLFVAFDQQLFLQNVDVFWKQSGPASIFEAILAGVAALGSFFSARRGCTREAELVSHAKGILEDPTFQPTIDHVSAWILRTLYLRA
TTRPHLAWLASCTTIHLAEATGLHIEIDQIAMTEPDTGHSALNNQNLCELVRRIFWTAWRNNMMVSYEYGRSGISLSNVTCKIPRYPLDDIGLQLHA
IVELVPRDNADGQDPNLHGTLEKAKQIPDTHPFVSMSKADLCMSLYRHHRLLKLSTDKSDVSKILEIGNVAVNAALKLAEENKFWWNVLCTVFQYVC
VLLALDTADSLSNVSNAMSILEKIARLLGTHMAQEAVNTAKVLLRDSTRKKRLELDMLEVADVGEGQGDAPADLAGLDINWDMLLDPWYMSNFQGMA
GLGEVYPMGDFNSGGTMN
>RCO7_05914 | uncharacterized protein
MVVHEDVPGIHAKVMVGGKTLAEFPSVNDEIEGEDAGVIAHYNRCAITRYIASLEDDAFITILKVRPPYVLDCPNLSFMIYVDGQEVDSTLMNKEEY
GQLWKYVAKGPSLLDGSNCVQPMGWKAIKTTPEDLQNREYPENENPLDELGEIKVVVNGATKRRPMKGPQVLKGPMVNQKSVYNEKMCVKGNRTHAM
RWGKPKARGGREVFYTVDSFDDDDLPLVIMVFKFASPEILQSLLLVSRTPSPAPERPPSPELAAAPNPSIASNSNGISDKSRKRIEAAPVIKGERAS
ILAIKREHPGGHGSGGASKRPKKETNREIETIDLTADSENEE
>RCO7_05915 | uncharacterized protein
MAVIGTYEGLRVNVIVDGLELVEYDAPAESVPEDNSSKDEHIAKYQRSVTSIKYVEAISGKKFAISLQVEDPFDVTSDYLAFEILVDGKTVSSPLLA
KSGYIHHGLSWSKVIEGPYKRVDGTVVLKHMVFAELLTTSESEHVLKVILNEQKKSLVDIGEIVVIVTRRDRVVVPAPAVLPGSVAGDKTASGQDTT
GTTKYHTKLLAKEAQSHSTVLGNNVAVDSIKLKQIHTKLVDRPERFLAKFCFRYRSREKLQSLLVIDRNPSPEPEPVQVETEENPLKAHQTPSPPST
PTDAEKRLAKMKEDLQKKQEEIDRHMREFSIKAVDEAESVATIIDDPDAASMRLAVQLHNLPTTPRIKRKRGVDDGESAAASARATKKAKSKGKQKR
DRQYIEISSDSEDAIEVE
>RCO7_05916 | related to yeast endoplasmic reticulum 25 kDa transmembrane protein
MTAILLFRQLEIPCSRRLMTLRCEVKLPQPLRQQEARPPSCANTRPLSRKHNTSTTTGEYLESIICERPKQLTQLHPQIPRAEQSTHTIKQDDALLQ
SRKASNWYTVAERRNAVFLLLVAEMALFMLLIVPLPFTIRRKMFTFISESPIVAKLQYGMKITFIFILILFIDSVNRVYRVQLELAETNKTPGASVM
GHERMEVQARKFYSQRNMYLCGFTLFLSLILNRTYTMILDVLRLEEKVKKYEGDPKASGKQSDKLAQAGNAGEIGKLKNLLAEKERDLETLKKQSEG
LSREYNDLGDKYGAATNADATPKKSR
>RCO7_05917 | related to tRNA-dihydrouridine(47) synthase [NAD(P)(+)]
MADDQALQDLKRTLEDGSAPEYPPQTILPEDSTITKIEKADRNGSTDLDSSEQPAAKRVKIEQSGGERNGGDRSLPDSRDKVKGTAMVKPEYRIDAS
CKEGDSTNPPIDDDAAEGRLRADDRDNTVNGDKKNKKKKGKKEKGQNKGREFGSWYDAIRLCNTRANTNEFSPKQCDFGDSCKCTHDLRRYLKDGKR
EDLTTFGGKCPVWEIYGICHAGWKCRFVGSHSKEIDTEDGRKELVLLYRDGAAATEIEGEDRKGVFNTVSTKDKLDLARRRFSTSKAEEFVKWLDDD
QKEMEKFYHRKKQDPDTEAREENRAQFREPPLLPSEKRRIYFGPETPVLAPLTTQGNLPFRRMCVELGAQLTYSEMAMSTPLIQGQKSEWALMKAHE
SEILPPRYTPTSIVQGYDNTKDLKFATQISASKPWQAVKAAEIMSKLLPNIRLMDLNCGCPIEMVYQSGAGSGLLDSPSKLEKMIRGMNTVSGEIPV
TAKIRMGTRTDKPIAFKIIDRLAFGGLEARDRLGAPGCAAITLHGRSRQQRYTKSADWGYIAQCGALINDYNKQKGQLTDTIMEPDARTQANSKDGR
IFFIGNGDCYSHVDYLDHIQKAQVDSVMVARGALIKPWIFEEIEQGQYLDKTATQRLDYVQKFCKYGLEAWGSDEVGVGQTRRFLLEWLSFAHRYVP
VGILAHLPPSLQDRPPAYRSRDDMEALLASDNYLDWIKISEMYLGPAHKDFKFQPKHKSNSYEIEAEGHNYIRKYLEQNNPHIQSSKMTLYYSLVFL
LLVAEMALFMLLIVPLPFTIRRKMFTFISESPIVAKLQYGMKITFIFILILFIDSVNRVYRVQLELAETNKTPGASVMGHERMEVQARKFYSQRNMY
LCGFTLFLSLILNRTYTMILDVLRLEEKVKKYEGDPKASGKQSDKLAQAGNAGEIGKLKNLLAEKERDLETLKKQSEGLSREYNDLGDKYGAATNAD
ATPKKSR
>RCO7_05918 | probable tRNA-dihydrouridine(47) synthase [NAD(P)(+)]
MADDQALQDLKRTLEDGSAPEYPPQTILPEDSTITKIEKADRNGSTDLDSSEQPAAKRVKIEQSGGERNGGDRSLPDSRDKVKGTAMVKPEYRIDAS
CKEGDSTNPPIDDDAAEGRLRADDRDNTVNGDKKNKKKKGKKEKGQNKGREFGSWYDAIRLCNTRANTNEFSPKQCDFGDSCKCTHDLRRYLKDGKR
EDLTTFGGKCPVWEIYGICHAGWKCRFVGSHSKEIDTEDGRKELVLLYRDGAAATEIEGEDRKGVFNTVSTKDKLDLARRRFSTSKAEEFVKWLDDD
QKEMEKFYHRKKQDPDTEAREENRAQFREPPLLPSEKRRIYFGPETPVLAPLTTQGNLPFRRMCVELGAQLTYSEMAMSTPLIQGQKSEWALMKAHE
SEILPPRYTPTSIVQGYDNTKDLKFATQISASKPWQAVKAAEIMSKLLPNIRLMDLNCGCPIEMVYQSGAGSGLLDSPSKLEKMIRGMNTVSGEIPV
TAKIRMGTRTDKPIAFKIIDRLAFGGLEARDRLGAPGCAAITLHGRSRQQRYTKSADWGYIAQCGALINDYNKQKGQLTDTIMEPDARTQANSKDGR
IFFIGNGDCYSHVDYLDHIQKAQVDSVMVARGALIKPWIFEEIEQGQYLDKTATQRLDYVQKFCKYGLEAWGSDEVGVGQTRRFLLEWLSFAHRYVP
VGILAHLPPSLQDRPPAYRSRDDMEALLASDNYLDWIKISEMYLGPAHKDFKFQPKHKSNSYEIEAEG
>RCO7_05919 | probable host cell factor 2
MADSKSSDKAARPTVKPSKSTRSQKIIQLSPTSDTRPQDIPEDAEPPREAVAVPSRSHTPGHLPSKSQDRRKKASELALRQRSQSLSQKDVSSPPTS
KSASKPPSVHSQTSSLETPTSPPVSMIPALPVIPDPRRPLNLRSTSAIASKPRERGSSPAPSKVSTPAQRPPRGPHIPFPLLPDPETAPDVEPAPAS
GMYWSRAPVSGAPHTSLRAHTTTLIGSNVYVFGGCDAKSCFNELYVLDADAFYFSCPYVCGEIPVPLRAMTCTAVGKKLIVFGGGDGPAYYNDVYVL
DTVNFRWSKPKIGGDRQPSKRRAHTACLWRNGIYVFGGGDGVRALNDVWRLDVADTNKMSWKLISAPSSASSEDKTKPKARGYHTANMVGSKLIIFG
GSDGGECFRDVWVFDVDTLMFSPVQIPVSYPRLSHTATIVGSYLFVIGGHDGVEYSNEVLLLNLVTMAWDKRKVYGMPPKPRGYHGAILHDSRLIVV
GGFDGGEVFGDVQILELAVHAYYSQISHFTIDV
>RCO7_05920 | related to mitochondrial hypoxia responsive domain protein
MKILTKEEEAAHYNATLKGGAIGGGLGLLVGTAAVFGLSHRFPTFRSLTLPMKTFLVTSSGSFTAIIQADKASRSFETDRNPANHYKDQASTALAQL

KENETSFQRFKEWGRENRYPIVTASWVASMGIALGLVGRSPYLTRAQKLVQARVYAQGLTLAILIATAAFEVGDASKGKGRWETVKILDPNDPEHKH
FIEKRIHHEAYEGEDLWRDMVAAEERKIAARKEAASAEHEKHEKSSSKSDHSLKSASKPEPKSTKSKTDEKDVD

>RCO7_05921 | related to zinc finger protein SFP1

MGLNDWLAKYTSANKDAPEREAAPLAASPPTLEETRNSSNSNASSPFSNNQPATPENENLESDSFKMQTTSPIDIATPTRNASSSPSSQVKPTTNFP
DTDSRTSAMMSSNAFENGMGRGRQDSFAGAKPISMNNPNRNADGRPRRESLAGSLVQGMSWGGVSVGSWIRDDIIMAGTSPFPYQSPSYHSSSYLPK
LEANFMKDFACCGQTLPTLHDLLQHYEEAHAQQTPQSLRTASAAARARENSVPNSKAAIAAQAASAVQHQAQQQQSQTLQPPRAPGLQLPQGGLSVG
GIQLMRQQQQSQPSTPVQKSMQPTLEDLEGVEDMEMDDDMGPLDNAPDTPVQMYQQPHMAQQSLFGQQPRPTLNLNSNGMQHSGLRTSQPTTPATAG
FGFQNNPTVSSVNTPTLSALPTQQQSQQFSPDTSVPGTPAGEMEDSFANMPLNLNSMNLNMNMNMNMNMNMNMNMANMNYPFGMGSDALSVDLCIDE
PAKRLYSPNGHTQQRLQQQFAQFGLGQGRFGNNEELMRAYRNQQMMAVTNMPQSGMMMGEEHKPFRCPVIGCEKAYKNQNGLKYHKTHGHQTQQLHE
NGDGTFSIVNPETSAPYPGTLGMEKEKPYKCDVCGKRYKNLNGLKYHKQHSPPCNPDLKLNSHMAAAGLGPLGMNAPGLPGIGEEGMM

>RCO7_05922 | uncharacterized protein

MFFDDIDDASARLIVQLQLEDSEEITASVLNGQSGSGVQAGEQSGLLAALMLKEDMQRNEAFLQDRGTAITLGMETTSTSRTRLEDDGAPAQVRFLE
TETAAEPSATPAILSQPRIQLPVHPTSPLDRVPCTICQDEFPARDLAKLPCGDEYCFTCLVQTFTQSFRDEELYPPRCCQRTIPLRALRTRLTLDIT
ATFLAKEEEFGGKNRVYCSGRGCETFLTADMTVSPDISKCWTCQAETCVKCKTVAHAGDCPKDEAADQLRALAESEGWKSCPGYAPAKPSSVISVVL
IRGKLASARSGKRIYFSTAPTTSCRHKTERTASKDLQLLQMLYKWPTNSTLTTIAIIPAGKAYTEKMTAACVTKPCLSLSTDASSARF

>RCO7_05923 | uncharacterized protein

MDRYDRWTEDKLRQECIERKLRCDGVKSKLAKRIADHDEVTQYAEPHPVFDRDSDLKGTKEATYLDSQAEFDENYWNSVLGSELEFFETMVESKKTE
LADTLKNIEVEYDAAMNEKDARVASYEDASASSGQVAETSSRSASPNLSLEISSLMDESSAIVQSSPEPTHEVLTKKLSPTPCIHQPEITSIAKPQP
AGAAVSVLAPTSKKAYLPMPLAEYAFNKAPPSNGGRQAGAKKAIPSAAPKTAPTTGVTENGAIASVVKNVYLPMPKIESAFHKTPLPKDARKTQVKK
AAPGLVSKSALTKSTESGTVVPFTKKAYFPMPKIESAFHKISLPKAGRKAHTTKAPAKPEPKSLSKKTTTESGAAPAADKVYKSMSKIESAFHKTPP
PKSTRKGRAKKPVPEPEPKPEPRKFMTEAGIKYLKEHSIDSKKITEYEKLVEDPSNLKRPSSETEASKAKKLRLDPEEVIKPDRDHARVEEDSVQAC
LINVGYLYLPCEDEKKVRGDSLPYLSYQYRAFAITDFRADKNGYFMVFEKTIKGDRDLKKCLELIDMEIAEKTFFDKNVTDVKMSKRDDAEEELEAE
SESETEPEREEVDLGYTHVPYKNVPSQSRWGRRYGYQ

>RCO7_05924 | related to succinate dehydrogenase precursor

MASIVRPAIFQKTCLTAASKRAFSTKLTSSFPAINKQSSTISRKVVRNAFAKDIPALRVAAFHESGRRAILPPLPQVIQGTANDPAPVPAANPSHGS
YHWTFERSMAVALIPLTIAPFASGSLNPTMDAIFCATILLHSHIGFESCIIDYIPTRRLPKTRKLAWWALRAGTVLCGVGLYEFETNDVGVTEAIKR
IWAA

>RCO7_05925 | mitochondrial processing peptidase beta subunit

MASRRLALNLTQGLRSRAALNTVSPLRRGFATPVVKNGVKTESTTLSNGLTIATEHSPWAQTSTVGVWIDAGSRAETDKTNGTAHFLEHLAFKGTSN
RTQQQLELEIENMGGHLNAYTSRENTVYYAKAFNADVPATVNILSDILQNSKLETSAINRERDVILRESEEVDKQLEEVVFDHLHATAFQGQPLGRT
ILGPAENIQSIQRDDLVNYIKTNYTADRMVLVGAGGVPHEQLVELAEKHFSGLATEPHTGTASAIAAAQKRKPEFIGSEVRIRDDTIPTANIAIAVE
GVSWKDDDYFTALVTQAIVGNWDKAMGNAPHMGSKLSAFVHNNDLANSFMSFSTSYSDTGLWGIYLVTDKLTRIDDLVHFALREWSRLSYNVSEAEV
ERAKAQLKASILLSLDGTTAVAEDIGRQIITTGRRMGPEEIERVIGAITEKDVMSFAQRKLWDQDVAVSAVGSIEGLLDYNRIRNDMSRNA

>RCO7_05926 | uncharacterized protein

MSGTEPTPSSSPTSTFEPKTGLNIVSTKTAPPASPSATSNAAIKQNSIIGSLKDANVTADSSTGSQVIPSEFHPDSKCEPVQSTANSSPRIESKTEP
GNNPLEPKRVKSNLIAAVKEAVVTAAKVNSNSSHTVSINEHGKTLPHHFSDSKSPKVDVSFNPEKSSAANIPNVSKATPKIDEGVSPNTASFDNFKK
YSIIQTRKSPQSNPALSNNGGSSTKTLSELQADCRARNISTYGTLAELARRVSRSDQREVQFALDVAKQDREFAQDASEREKNQETATGNYEHENQQ
GKSAEEKAGVNVKAATSPNHFISSSSSYASDSRPPKNKPQLAPAIWEDKSAPRHLSDSGTKVRSSTIPHGISATVKPFTPQDITFQKNDIHKLSTTE
STRPFGPQESEFQKNSTRTKPENVKPTRTFASQDVRLDTNYMLSHGGSATIRKSSNIQGFGSRKITLPAAQQDEMIALASTPQVERRRQEHKPANAD
TTKIARASSAASLANVVIVKTDREMDKINFLHKHTWEVQQELGRRGIGTRCSRKTMITRFFDQHLKNLRAEFIQARDTYAKKSANDPDASLQKDILW
YRLERFEEHRRNQIGLAGEPHRQASYIAAKECKYASPRHAKIMGDKLAELLAQEKQLEKDKIKNEVKPVDVSKGTAVFIKKMGDGVKLEPRKW

>RCO7_05927 | uncharacterized protein

MHLPLFLIVTFVQLVLSQVQPFTVTGFLDSASSKSGTGINRGGAITVSGFNIVIPENLLVELPAAFVPFAEFADAGPSKRVGPNEVSVTGNIINNVI
IAGQFSVSQLDLAFASGSIEGLSADGAIKIKNGPTLRINDPRARYSAGYTNLPFFTADDENASIASFSGFPIPAGSSSFVVPNASQMVPIRVGDYIE
YSGVQVGGETIVYSMVVNINIQTSGTQACYIRVEDAIIGVQDASAAVEAARHRFVGYTSRSDLPLTIYAIDQDPCTGAETDRLVASTNVVASARNKW
EVRIPKGSNIGLFTRNYRVKCGDTIITTPDGFNAGSYVQPVSEWVFPELVTPGGTPPPLEFSNIGPMRNGFGVIDGQVFGQLNPWPGATAPTVVACA
PPPTTTTLVSAPTSTSDNSNTSSEGPVSSATPVPVAIAANAGVDRIVLAGTFVSLTAAQSPLNLLASDLTYAWSQISGSTVGVTLAKSLTSTPSFVA
PVVPVGVSQPREFRVIITHTPSGSKANDTIVVTSDRSSTSFDHPVIDTLTWASRQGGTVTASVRTELVDAAGSMRIVFGPVAGGVERLMTRGAEING
KVTYTFNARSIPSYTLATVRSYITVGSSAVLVPGPQVSSTTITPG

>RCO7_05928 | uncharacterized protein

MTRPARYVDLKVRALREKCEESGLDNAGLRRDLIERLERKDRLIEESARKEKVRESERLRSQEKNSVGGVYQGSSSRAPSRQGRSRDIQRAEGEDTV
GFEVTRSSFGFADDGRERPQMIFQNTARPRMASDPRADGQFDPLAPPPASSSNRDLPFRQRNEGPTHYRAERSITDLSEVELEDILFANYMPPQSEG
SRLQRRMKIKAEHDVGVDVARSRKEASMKRLVAKYDIEVDKLRIERDEKLVELDRELGPKQEKSRHWFPAFNRLRALREARDLQTHPRDFAPRPAPY
VIQPYRSAPAPQHPQLNARSFSPPRANFSSQPQPPVLKRKATSPLRSQYQAEGQNDHGRQPTTATFQANKRSCSDPARSHPSTLSHYPSTSSSTHSD
AENLAHILVENTLLAPKLTRLPYIFVPATSYASFTELKALLKACEHTSKTSTFALMNQELSFCLNVRLLETKARSGAIGRLTG

>RCO7_05929 | probable reductase RED1

MVQNKGVIFKKVPEGLPKAGEHLTIESREFDLEQAPPAGGITTKNFYASFDPYQRGRMRSPEKKSYSPPFALGEPINNSAVAKVIKSDNSKFAAGDL
VVGMIPTEEYSALPSQFADGLRKIDNPYNLDLTIFIGALGMPGLTAYSSFYEIGKPQKGETIFISAASGAVGQLVGQLAKHDGLKVIGSVGSDEKLD
FITKELGFDSGFNYKKEKPLEALQRLAPDGIDIYYENVGGEQLEAALEVMNDFGRVIGCGMVSEYNSAPDARYGIKNLMYLVSKRLTLRGFIVGDKD
MGPKYFEERNKNVEKWLHEGTFKAKTSVTDGIDNAAEGLIGMLQGKNFGKAVLKIADPEVSESKL

>RCO7_05930 | uncharacterized protein

MLPQKTSWRIKNFISPKNSSSKEKSGKLSDDSRKTESTISAPKRLSWLSQTSSSDSPPLRRATSNATRRSSPLTQLDSTAHSSSSSLCSCECEIHLA
PIDHALFRVEPPPPLPEILYLPPLSPEDASPDSKKWRLIFQEPLSRPLTPDELRIGTTTSLTPALGIFSTFDVIVNIPPTSMIDDDKTPTQSLRCTG
EFDMEDLSENVEQLIQDADRAFQAVGAAIADAKAATSEWYEHSRPVTQRPTSISRSILKGSSQLPLRSLSISKGKKRPVKKKMFSRSIPKSPPPPTD

TPERWTLTDVTANMAEVFSGKMFRREVDEMLTPNRIQQMKDDKAESARKTSLESIRSFETDGSTPTDPFHLESLSSRITTARQDSPPLSSPVLPPPA
TPQASPRNSLKIPPPRPPRPEDSLNLPLSKAGMVFNKLSFPAPPIPPRAVHRPSASRRASLLPTILEVSHLDLTPAQFSNFKSGSNHSSSRPAPTIF
PPPTQIFVPSTNFTLIAPLFRQGPIRLARIPRDRRGSSPEGEVLDWLAFQMAIAGTIELDEHFGDLRDDAQWESDEAETDDIVDWWASYGYRGYGRI
ENEADVRERDGLAPLISPAADIQLEGIAKDSSEYQQKRTWKTWIDTPPPPIPPARVYINVSPTKGLEHNVDMAEISEILPGPSKAPSLLLISSPPNK
STSPRRPSSAESVLSLPPSPMLDLVVSRKLGDGDEVSIPMGFNLGHDLGDFLNWETSHVQSLYSERWMA

>RCO7_05931 | uncharacterized protein

MPDKPVNMGLSLFPPPPKEQTNPSRKPSVRRHANLPQSPESSFERSNSPAFETDPRQPAVDGRQSALGGRETSPNGNGRQAPRFEQDSSITTPPQAH
FGPDMPRSHTSFSEAPTLVRSSSIASNTSNAKAAANGPPQRSEPPVMRSMFPRYNPQIALEHQAYFPTRGSPTHIPPTTINRRPYSPSISDRSLGGL
QSPMPVGIAPGKFPQGVLDETVLEPSTNDELKEFWKVVNGWRVSSSEGRRFCLKMTSEVDEPVHTLSSATQPFYTVRLIPTSTSAQMTMLRHDPNKT
PKGTGSPRLGSSSKPNQGNEVMSTTLEETARRLPPNDGLVALLYPRAASDMVIELTNKSTRADSELVIAAAERECGRLVWDEDSRKYYLVHPAIPTP
FVVSIHSSPAWSQVVYTLEHAELAHNMVRLVRDGSGCGFLEIDTAVASKIDCFYIVDVAICAIMLVAVTEEKTRNVERFEAPPSIAPILPMSPDRQS
SAWTIKGTGKGKEKKEKTSKKNVKVEEFELDLESQNSLKEKKKKQKEEKVPGCLGLIWMMMKCLVWGIMMFFKALAKIIIFLSRCLTRSKKSSI

>RCO7_05932 | related to cgi-94 protein

MSSMRNAVERRNHKERGQPEERKRWGLLEKHKDYSARARDFNDKKKKLKALKQKTLDKNPDEFYFGMMSRKGPATTGKNRTGTVNGDRGNEALSQEA
VRLFKTQDLGYVRTMRNKALKDVEKLERRTVGIKGTGTKVVFVDDEEEQRRRASEDMDVDDEEKEDTSDGEPESVDNVTKNFRSMQKKEAMKLEIQL
RKAREQLDVLTEAERALELQRARMAKSPMVGGVTKKGVKFKVKQRRNR

>RCO7_05933 | uncharacterized protein

MAPPGTHEEEVPRLPMPSRNPLPLSSGQEAQVRELYHARVRGYCATEIKLFAECALGRTFTAPFKCRPQNRAMNTCMVSHATQSEQDAAREEWFGLR
LKRQKDREAKEARKKEQEKFHREWWGLPQADRDGDKGREVMRKAERVGGFPKGDDNQLSKDRHR

>RCO7_05934 | uncharacterized protein

MAVTTADEAVKAPRPPTMPPKELPETIPSISPKSTFAFEHHVSAPPTPTPSCVIPSTLPAPVRDPDTVGNLIEVREAEYKGLGVFALCDIPPRTILL
CESPLVILQDNGARTDPLDASVNALSPERKKTFFSLHSYSRNKNESLSRSIIYSNGYSIMNDLATGLFETASRINHSCVPNSQYTWKDSIGRIVFWN
RFKVLAGEEVTVDYGHKKKYLKRIYGFDCMCGGCTDSGSDGKSDGKSSSGSDSGLTDDMGKIDDVLHRGDVV

>RCO7_05935 | related to alpha/beta hydrolase

MPNTKTVHVPHLGGIDAAYQMPKPYDSSKPTLVLVNSFTTSSELYQEQYANNELNDTMNIIAIELLGHGQTRSRSETFTYWDTAIMNLQVLDALGIK
KAFVLGTSQGGWITVRMALLGPDKIEGIIPLGTSLDYESERTRKHGCWNGPENLKASIQAWTTNENLTSFSPGEDYSNFLIDIGFGKDCDKSVRDYW
NKTINENYQGDNGRRRIRMAAINLAERDGLHSRLPDVRCPVLWLHGTADAVYSVANAREEIKLFTNARSAELQVVPDGQHFLSFSHPKEVDNALIKF
VEKWANKHI

>RCO7_05936 | related to SNG1 Probable transporter conferring resistance to nitrosoguanidine (MNNG) when overexpressed - unknown biological function

MWAKMIAIFCVLLVAIVMGILSIYWGADHSLQFNLPVFTVAVIDFDGGEVGPYLQQMAAAERSANPKMTLGYVSEPGSKYDLSNERVMHALKQEDFW
FGIVIQSNATTAMNYAYENGNTSYDPTGSVHLIYEEGRNALTINTLAYPTILSFMRDFVSKFAKQKQSSLRTANVGDTAAVERQIENPIPISFSVFN
TAPYVPSTAEAATEIGTIYLIIISFVSVLMFGSLSEMMMGKVSLVKYYTYRMTVLPILYFFLSLLYLALSCAWKIDFGKYYGASGYVIYWMLSWCAM
TAFGLVVENVHNVLGQPFTPVFFVFWVISNVATGFYPVELLSNFYRWGLAWPLRHDLIGAKAIIFGTKNLLGLNFGVLLAWVGISLVLQPFTIWVQL
KKNKKQVDAHRREVLERVYKRVPDREEQ

>RCO7_05682 | uncharacterized protein

MLGLSLVAIAALSPLAFAHPSPLNDRATSGACGEIRNRVKAAFAADPGARPRLPAQLGYDCLTSVPLHKAEALAFVDSYSQYIGWQSTLGDAKSPPS
NYGYAAIDVVQQVSQVRQKLQADQYHNEYSYMMDLYKIVASAHDGLFIFQPDILYSALTFIRPESLTLVSVSPGDGCDLPKIYLKDDLQANPKSSAV
SLINGLPAEKYIDTLITQASGYPDRDAAYNSQMWSIATDALGRTAGEFQGYGINTLIFAGPTTTIKFENGTSKTWENQARVKESFEGVTDGESFYQR
YCTSQELNYTSSILAPTNPPRRHAYPVQIGDSQGENSIAGYYLNTPGYTDIAVLSVLDFFSNSVTAFQSVAEEFIAKAKADKKKIIIDISSCEGGQY
FPAYDLFKQFFPHLNVLDYNRISETDTFNTMATIGSGPRFANYDPNNATGDEVAASESVFNYRSSVYEINVESKAFPSYQSKFGPITHNGNQYTNVM
RFNISNPRISSATDGLGLQITGLGPRSNFTQPFAASDIVLLLDGKCVSVCPIFATSMAQQGKVQTVVIGGRPAKAPMQSIGGSRGSESYDLGTILYY
AQLFTKFATQQQAAVLAKLNDKVFERLINGYISYRDVLVPGQLGTGAGKQIGANFVKEDADCRIFNTRDMVFDQTKVWEKVADVTWKGKQCVVGKH

>RCO7_05681 | uncharacterized protein

MKIYWRSQPGRSRTASQLSPHVRKDCSIIPFLAGILYLVQRVYLRSSRQLRILELELKAPLFSNFLSTYSGLTTIRAFSWMSNMESQNMTLLDISQR
PYYLLFCLQRWLTLVLDLCTAGLATLLMALAVILRDKMDPGYLGVALVGVMNFGQIVSALITNWTNLETSLGSVDRILHYLNDAPSEDTNRDDGFTS
QELQTNWISGGEVVMENVIAYHGNQLVLNDINLVFRAGTKTAICGRTGSGKSTLLGLILRISEYGSGVITIDGVDVSSISPDLVRNAVVGLPQDGLF
LDGTVRDNLDPFKEHLGDDQPLLVVLAKIGLTDLFESRGGLDAELDVDWLSAGQRQLFCLARAMLRKSKVLLMDESTSSLDQETEKLVNKLITNEFK
DWTVVAVTHRPESVAALGSGFDMVVVLEDGRAVEVDTPGRLLAKDNGTFCKLVKLRHAS

>RCO7_05680 | uncharacterized protein

MTQDSRRYITSKSGVLLLVPAGALSAAYYIYYLRYIRAFLKIKYNNTPVLELLYLFNKPNSKLYKYYLVLKSGYKYISYLNINLLNYINIEYIILSG
LLLSSEAKDAELNQEKVFKELEFIKVYLDLLIVDSAESKLIAEIVLNIIREFIKKAIFKATISNTKGKRNLPSSSEIASDLDTPGLSLKKKAYRISY
YTRSITRAILADLSKELDIVVLVLGILDLLETPENLEEKTGKVEVIKEVEF

>RCO7_05679 | uncharacterized protein

MFSGLDAMTATSCFDTLIEQWHSLADQIFVLDNAGRMKASERLESFKRSSPDNIEAVKVGTDFEERAEQDSQHGSGHGKIERAVKIPSKVISSEKPN
QLTFFHEEPGRNPQPGPLRYYMSLMGTVVLLVFGFLIVLHIGSNTIQRNFGGVHKICARIVYVNMCIL

>RCO7_05678 | uncharacterized protein

MSDWKTRMGRLSRNPKFSIFESLSSKIDGASEKKLDVWILFLIGEAVMSTIGLVAILALQFEPRVAALDYRKVDGLGLSDDDSK

>RCO7_12017 | related to lovastatin nonaketide synthase

MATPTPIAIIGMSFRGPGDAHDIEAFWEMIHDGRSAWSKVPAERWNADAFYHPDVDAVESSNTTSGYFVKEDMAGFDAGFFNIQASEAKAMDPQQRT
LLELAWEAFENTGMDINALKGSDTGVYMAQFTKDYENNIFKDTRNVPSYSMTGNGTAITANRISYVFDLKGPSFVLDTGCSGSMVALHQACNSLRSK
ESGMAIVGGTNLILSPDIFQPMSMNRVLNKDGKCYAFDHRGSGYGRGEGVGCVVLKRLNDALRDGDVVRSVILNTGSNQDGKTNGISLPNQFAQEDL
IKATYAAIGLDTKDTGYVEAHGTGTQAGDKIEIAAIANSFTKDKDRHQQLVVGSVKTNIGHLESASGIAGLIKTVLAMERGVIPQHLNFENEKKGLN
LAERNIKLPLSLIPFPETEEGIRRASVNSFGYGGTNAHAILELPRALSSEKCGPTNGHLNGTNRHLNGTNGHTNGNVTESSSRHQENVHGTGPSSED

RLYVLSARSQKSVSGLVENTKRWVEAHPENSKLGALSYTLMNRRSTFPWRTSIVASTGAELVAKLGKSVLATREASRIRVAMVFSGQGAQWYAMGRE
LISTQSKFRESILKSEELLNDLGAKWQLTKVLFQDEKESIIDRSDVSQPACTALQIALVDILESLDVKPQAVVGHSSGEMAAAYAAGALTHKSAITA
AYHRGFTTNAVKNILKAKGAMLAVGLGEAAVLPLLAQVTSGKAVVACVNSPQSVTISGDSQAIEELQLVLENQKESVFNRKLKVDTAYHSHHMAVVA
EEYLSSMAGLETCNSNPDVKFFSSVTGKLKSEDFGPQYWVDNLLGQVKFSESLGNLLSMQKDASSAPTHHLIIEVGPHAALSGPINQTITSRNFEGF
KHSYSTVLLRKKNAVSTMLELVGKLFEAGYNVNLNTAAHISSKPSSETVTDLAPYAWDHTTKYWSESRLSKEHRFRQHTNHDTLGLRVVHVSPLEPV
WRNELKMAALPWLKDHMVDGIIVFPGTGYICMAIEAMRQIGLDRQVQGTIASYRLREISFLKALVLTEDSSVEIQLTLKPAVNDRGSSKWEDFKVLS
RAENGVWSEHCRGSIKTEFETTTDEVEGSRESDTERQTYLDLLENVKAKATRQASSAEAYKLLKSRGNQYGPSFAALTDLYLGDMEGFAKIKVPDVA
AVMPSQWLSSDKIHAATFDSVCHLHLYLLFESTGIKGVMPTTISEVYLSNELVTAAGDELITLGSVRVDGARTANCDSYVYQGDKMLLSMLKAELKA
VGESQAANAPEQSSQQGCHEFVWEADVDFISKETIAGLSQVCQSTLSQDDKVRLLETIACHYVQDCLSQLEEANFTPTQKHHVALLDWMKRYQTSDD
YAKLSLGPSLDNCLEKLRDSGVEIELLTAVGPFLAQVVQGQREAIELMMEGDVLYRFYAENMWCKPGNEHIAAYLHAASFKNPQMKVLEVGAGTGGA
TISSLAAVTREHGVAIKHFTFTDISSGFFSRVQPMLEQWSDLVDYKVLDIEKDPVEQGFEVGTYDIVMASNVLHATSDITTTLKNVRKLLKPGGRIV
LMELTKVTAWINCIFGSTSGWWAGAHEGRVDSPLLTVEKWAAVMKTTGFGDLELATDILGYQSSVIVATARPSEITANGKVSRPLRIVTAPSASTKS
QYQNFSQELLEAFRNAGYTPEIGDLPFKTDPVVKYVVLEDGAEPFLVNPTEDVFRKIATLLTTADVLWVSGQVETEFVKNPTKGIFTGFQRVARAEI
GSKTVQYLDVQETISHGCEQLIGAIVSMVLASENDTPQIARGIEPEYIYRDGQLQIPRLLPLSTFNDFAANSKEHVEDSLFQQSQRPVKLQVDTPGL
LDSMVFVEDTIPSQPLGNEDIEVETRAFGVNFKDVYVALGQMKATDSMVGEFSGVVTRVGALCQSTFRVGDRVFGWGTSPFASCIRVHVSRVAQLPN
KLSFAEGASLSIVFMTAYYALIEKGNLQKGQSVLIHAASGGVGQAAIQIAKSVGAEIFVTVGSASKRELVKEVYGIAETHIFSSKLRTFKAGIQRLT
AGRGVDVVLNSLSGEVLLDSWACVANLGTFVEIGKSDIYQNTQLGMLPFSKSVTLVAFDLGFITTNRPAITENTLRQVAILLSQDVLKPVYPIIAMP
LTSIEDAFRLIQARKHTGKVVLEAGPDTTVPTRITSPPSSFQPDSTFVIAGGLGDIGREMCRFLASHGAKHVVTLSRRAADSDTLRAIREELSQFDT
EFHALQCDVTEKAQVEAAASYCSSLSPVKAVIQAAMVLNDMSLENMDIQNYHIALKPKVLGTQYLAEAFDKAESFILLSSVSGIIGNRGQANYAAGS
AFQDNFARNSNGKTHVVSLNLPLVFGSTALNEERRAHMARQGVIPMTLEELCLLLDYAMSADCREKGIKQFIAGVDGTAVKNAIAAMESANPMFCHV
TTTAKSSVIIPEDVNRSNAHLGITADLGPEEIHKRLCIAIASRISALAAIDYEEVALDVPILDFGLDSLVAIELKNWLTRTFSTTTIETSEMFGMPS
IDALADMVTQRSHLGAATTIAKKDEDVVVSVEEMEEVNDHIYVCCKRTKKLRKLPLLDLKTLFEYHLANHRAIWTEEEYVNTCKAAIEFQQPGGIGQ
KLYARLAERYSSEENWLTEITTRTIYLDRRYSLVKSNVGGSHRIIDTDLPHTQTERAAVIALAAFKFKLEYETGNMEPIVFQGNPLCMRGHEWLFHA
AREPRHGSDETRKFPSNNTIVVLHRGNVFKVDMIKNGELPTHEQLKATFQAVLDTPKEDSAITMVTSMERDEWADVYQRMKLDPINKASIETVERSA
FVIALEDTRPSTPRERMDSFLFGDGSNRWYDKSISFTICANGVSGFLNEHSQIDGATLALLTDPIIEAVRKHVPDALDAPLAMPLDFETCDFTLSPF
LIPVLSRARQAFLDTVSNIDFELATIPILGASFLTDQQLSAAHSWEIITQIASRLFFGRQLASWTAVLMDMYHLGRPDVVQVCTPVVVSFIDAAIKD
IPAGEEEATKKELKNLFQKSVKDLNSAVQKGQLGHVHDRTFTAMEWVLRPDEEAPTLFKSDPGYYNSRPRHIMAGINLGPRAFGEVGFVLMDPKSVW
MSYAIGDEGAEYSIVNAGGNARHFGDCIAQAAKIVHNFLT

>RCO7_05676 | uncharacterized protein

MLPLLTIDSRVKIVLITDEPKHKLFATLSSSVKLVTTPRSYTPKHAKYKARALEYFRTSSKLESTDWVLHLDEETVIDAHTIKACIKFIEEEKQYHL
GQGIILYNAHRFWEARLPTIADIPRARDDYGKFFIGPSWVHSPFLGLHGSFLLISGEVQNEIGWDTRSEAEDMWLGIEAWKKNYKIGWIPSIVREQS
PHSIVESWRQRSRWFGGMPKAKGLQARLNMTLWILETCGGPILIALWRHLTFPPWMYYLLIVTNVTDFWSMIYACLVQDVDSQLGLSTILFHAIFYA
PFALICKWFEGLVILYTILRPPQGFYIVAK

>RCO7_05675 | related to DHA14-like major facilitator, ABC transporter

MVIAELRESAGEPTVADFRDDSHGFIVEPDSGGNHSEKGTANRSASVATCEPREKVEVIYGGETTPKDVQKEAGVFHESSTDVPLQESEKVYPTGGP
FIILTAVLMATVFMTALDQNILSTATPKIATEFKILDDIAWYHASYGIGQMVAQPTLGKIYTYYNTKYLFLLSFLVFEVGSTLCAAAPNSVALIIGR
AIAGAGYGGLYTGVLLIIVDTVPLKRRPLYMSVVGSMSAVSAVAGPLLGGVFTDSAKLKWRFAFWINLPIGFLVTIAIWLVFHPTTPEHANLSFREK
LHRLDLVGAALLIPGIALLQVAIQRAGALYPWTSPNVWALLVVGGLLLVAFTWVQIRKGDRATIPPRILKNRNIYSIYLFGCSWAIVVPVHLLYLPF
YFQTIKNTSAMQSGIRILPYTISTTLGGAFAGVIITIFGQYVPFLFIGSTLAAVGSGFIYTLNGGSPLSEWFGYQAMTALGYGMSVQLPLLVIQNVL
DVGDIASATAVFIFFQNFVGAIVLTVAQNIFQQELKRRVGAIPGVDLKSVIEANPSEIRQHVPVELLTRVLEAFNMSLSKAFIMSIAGGSLGFLVSF
GVERRKLRDGKSSRDKTS

>RCO7_05674 | uncharacterized protein

MFFQKQQDNLPPGWSRRHLTFWDNNLFAVNDSPTIAWVYPAGSIDRKVVSEALKRAIKRRIPWLNACVALTQTGSPPYELHVPSPTCEIDAYSTSST
TITKKLDTITAWTPNDSEHGLVEVHDIYDSMPLNPRTAINDIQKYLQNKLPLLHLHFAFASDAILVSLSWSHAVMDAVSCAQLVAAWEQEIQHPDSC
DLCSDTDPSRIFDFTEDIEIPSEWHPQGWLPLTIWSFWPALQGFAWTFIERYRHPLLDGSIYIPSVMMRRWRKLAAAELENRDFVSSNDLVSAWVFK
YAWGGYYHGDLDWNTIFTAVCARGRHIALPLSLITNLAKSCVAPPIRTIDLREQSLAKIALRLRKSLEPFTDEHYVAKFVTQEYRRNKQHNGYVSAL
PEGYWGSRSFGITSWARQGLGNFTIGEVKPVSCLTYNAQRRVATIIDTSDDWRVDFKLSARQWNALKARMAQENESLRDQY

>RCO7_05673 | uncharacterized protein

MLFSNQLLKFLALGTLAVAAPMVEHSGSETLSGSAMITERQESLGTRCMVRTKQPRYITAEDPNPHQNFVFKQITPSQQCKGSPGNSASVTKGLSVG
WAFSIGAGVSANPAAGGPGASLDIGYSISRSVSTTTTLSFSCSTDSGKGKENPVCGFQRVQVTAYTQKEQICDSPPQGCPGKSTDCKDTGNTAVVFA
PNAEQGGTETSTGNCYYDNYQLGLPCVFAGNELRSNPSSIPGGPQYVSCTDPRSAPGQ

>RCO7_05672 | related to purine nucleoside permease

MATDAGLPTQAEKMCGSVGDDATKLITPRIFIITMFSQEATNWLVEDNAINFDKAIRVPGLSHGYEDVRFDAKKGVCLMTTGIALVNAALSISALTT
SPIFDLTKTYFILSGIAGVNPKVATIGSVALAKLAVQVDIQLEFDAREIPESWRTGYLPIGAPTHGSFPSTFTGSEVFELNDNLRRIALSFAKTATL
VDSEAAIANRVLYAGSVDGVFDAAASQKPCVVEGDVIASNMFWHGRHLAEGFEDLVNLYTNGHAKYCMTAMEDTAILAALLRAALQKRVDFSRIVLM
RAGSNFDRGPKKDDVVSLPFVIDHGGFQPACRNLYLAGVEVVSGILESWDVFAAGIEADNYTGDIFGSLGGKPGFGPDAVIQ

>RCO7_05671 | probable maltose permease

MDGERNVSIVSVVSRGDDVLRVLDTNVRKMSVINPDLAEQNKNARSATEREHNMTVKECLRLYPKAVAFSLIFSTAIIMEGYDTALLGSFWGFKPFR
NRFGDQIDISPNASPGDRVVSSKWQTSVGAATSCGQILGLYLNGWISDKIGYKKTMFGSLILMSAMIFIPFFSQNIETFLVGAIFQGIPWGVFQTLT
TTYASEVAPVKIRAYLTTYVNLCWVIGQLLAAGILKGFLARDDHWAYKIPFAIQWVWPPLILIGVIYAPESPWWLVRKGRLEDAEKSLLRLTSKGSG
VDFNVHDQVMMMKATNELEMAISSGTQYWDCFRGTDLRRTEIASVAWLAQAFCGAALIGFAVQVYQRAGLADSNAFSLNIGQSAMGAVGTILSWFLM
QYAGRRTIYLWGLGTMFVILVIIAGLGFAGENDAGASWGVGSLLMVYTFVYDLTVGPVCYCLVAEIPSTRLKIKTVVLARNFYNIGGIINSALVPAM
LGVHAWNWGPRSGLFWAGCCFLLWVWSYFRLPEPKGRTYGELDVLFEHKVSARKFASTKVDQFAGEHTNIFQIDSDDNSTKKYIGQYEEREKQGV

>RCO7_03581 | probable long-chain-fatty-acid-CoA ligase

MSFHILDLLEDAASRGPERGLYFYKAGSVSPPSFLSYQGLLAKAKSNAAILRRENIAHNGSIVLLHLDSQLEYVEWFWSIVAAGAIPAVSTPLASDL
AARERHLLHLEKILDSPNVLTAARIRGELSTVPTLNVTLIDALALADPVEISESAETNGYHGHPDAPAVLMLTSGSTGNAKAVELGHEQILASVKGK
SAALGTASQDVFLNWIGFDHVACVTEIHLHALLCGADQIHVPAVEFLRAPSMFFEVIGKHAVSRTFSPNFFIAAVNKAIKSQEPPKRYNLSSLLTVV
SGGEANVVSTGLEFTKIIASMGASPQSLQTAFGMTETSAASHYHQVYPVLEQHKHLEFFPVGHTTNAILQRITDDEGNVLPAGQSGNLELSGPAVFK
IYRKNPEATAESFSSDGWFKTGDKGYTDESGSLILNGRAKDSIIINGVKYFSHELESALEAAKIPGVTPSYTAAFSTWPKGADSEEVVIIFLLESRV
GDDDAALTATIDGISKLATLYCSKTPVDIIPLPLELLPKSALGKLSRPKSKIAYEAGKYDEYRFAARGRVSAYKKSTRIPPTTDIEKALVEVFAAEF
GLDKDEVGVEDSLTNMGVDSIQLIRFKALVQNHLKLEKEIPMISLLQNPSIKGLANVLIDMEKGLKPYDPLVQLQDGPSSSPPIFFFHPGLGEILVF
LNLSKFFYDRQVYAVRAPGFNPGEEMHKSIDDMTTTYLTAIRKKQQKGPYILIGYSFGAMIAFEIAKKIEASGDTVGFIGTLNLPPHIKFRMIELDW
TELLLNLVYLLGFITEDEAHAMSPAMHELPQEEVLSRIMKVAPKDRLAELDLNAAKLQHWAALSSKLQGLAHDYDPSGRVQRMDVFYAVPLIAVGRD
KGKWLEDHLLAWNDFVADVEFHDVPVSHYTMMNTENVFELQKSLKAAMTKRGVL

>RCO7_03580 | uncharacterized protein

MSEDLPLPRLTWNPSTETFSKDAPRKRVRSSPPVSSDPIFSGDEDPSADNYTQHDVRRKRKYRGPWYRQRPEPDSELNDSDQLPQRKKRPFERQFDS
GIFMGSDGTDIGEEMEDAGAGNGPALSLRLERDLKTEERLSPEDMARKQIELCLEEGNEIIDLSSSSLTSLSNATIRPLNAFTRVPTSSDAFFPLQP
KLKLFLYSNRLTSLPAELFNLERLTVLSLRDNEIHELPPSIGKLQRLRELNLSQNGLRYLPYEILDLLTQTSDLSSLILHPNKFHQAQVPESEEMEV
EELQYKIGLGNRTPKHPFKDAAISCMPSRAGPDWHPRWKVEFQARSEIRFLDIIGRLVKGPVFNFSIPVADLDDTPHAPTSHSVETSRSPSLFEVAL
TACSRSPQLPYLSDMLEKDSPDYLHRILTDAVVKRDSGGSKCTICERNYILPRTEWIEWWEIARNLHEAIPSAASPLRQRENDRDVMESMIPLIRRG
CSWKCVPEKMIKLDV

>RCO7_03579 | related to phosducin homolog, likely to be involved in regulation of pheromone response

MAAPKDERISVPIDDPNADTEWNDILRKHKIIPERPPSPTKFIEEAIIEGRRLAYENRLEGKDLDELDELEDLEDESFLEKYRQQRVQELSFIAKAA
VHGSVYPLSKPDYSREVTEASTSNPVLVNLTSGLGTNVESRVLTELWRQAAKEFGEIKFCEIRGDMAIEGYPDRNCPTILVYNKGDIVKQIVTLMTM
GGVRIGMKEIDQLLIDIGAVKDNDVRILRRRREKEDEEEEKREKGGIRSGVKQANIESDDDDWD

>RCO7_03578 | 40S ribosomal protein S27

MVLAVDLLNPTPAAEARKHKLKNLVPAPRSFFMDVKCPGCFTITTVFSHAQTVVICAGCSTVLCQPTGGKARLTEGCSFRRK

>RCO7_03577 | uncharacterized protein

MPRHQAKRPYAGTRSSSQSAITSYFSHASPSQETDINSKPAAYCLSSQPHTSYTPALPHSIQSNLLNVGMRVRKSVPEGYKTGSYSAFTLFADNTVP
SDSTSSMSAMSSSPCPPALKTRPRSGARELTPFCGILTVGGMAAQQWGTYNSSGSSGEMDEDSTEADDVPFLSSQGSTISSSSLQGEGTSAPGGNKR
RFFEDEDETSNLFSSSSTGLNPNTFMDASPVVGERILAVPRRKKSAGGKGPGHISSQVRIFGQENLQGRSNGNGNGDFEDAEFLDYGLAGEIEMSGC
N

>RCO7_03576 | related to YAP1 - transcriptional activator involved in oxidative stress response

MDYPYFTTTTAQPFQYLDLPPTPVHTGSSNSDHYSNSPPVRSQNQFHKVQPFSEPFLTPKQDAFEYQNFDTFNQHYDNGMQPIKPPTPVSQHKPSIS
NGVNPNYDMIIGGDLNDDANRRGSNSDDDDNMTPAQSRRKAQNRAAQRAFRERKERHVKDLEAKLATLEQNSANVVEENERLKLQLQKAATENEILK
ATSSRPRVGPEPLPNAGPMQYSPTDFYTEVLYAHDNKTPSHRIVTSDSGERLLAAGATWDYIIKHPLYIRGLVDIGDISDKLKKVAKCDGQGPVFEE
RAILDAIENSVASGSDELL

>RCO7_03575 | uncharacterized protein

MNLKKRRRRRRRRRRRRRRSRE

>RCO7_03574 | uncharacterized protein

MNHQLRLQGGVELVGWWVYIQSAAIPPKSTSKISKKALKGRKSTKPRTRLPSVLVQLAKITLKINTKSTATESTKPTIDLVAATVLAIVLVLVLVLA
IVLALAIAS

>RCO7_03573 | related to coatomer gamma-2 subunit

MSFDFVVLHTVKGSKFRRSAVSRSVIQSHLGFGYVATSRSHPDRISTPVPVFHEAEELPSLTMSYSKKDEDGDVAIMKVDRTSVFQEARLFNSSPIQ
PRKCRVLLTKIALLLYTGERFPTNEATTLFFGISKLFQNKDASLRQMVHLVIKELANSAEDIIMVTSTIMKDTGGGTDAIYRPNAIRALCRIIDAST
VQSIERVMKTAIVDKNPSVSSAALISSYHLLPIARDVVRRWQSETQEAASSTKSSGGFSLGFSTSSNQIPVNNSTMTQYHAIGLLYQMRMHDRMALV
KMVQQFGTAGAVKSPAATVMLVRLAAQLAEEDPQLRKPMIQLLDGWLRHKSEMVNFEAAKAICDLRDVTDAEVTQAIHVLQLFLTSPRAVTKFAAIR
ILHNFASFKPQAVHACNPDIELLISNTNRSIATFAITTLLKTGNEASVDRLMKQISGFMADITDEFKITIVEAIRTLCLKFPSKQAGMLVFLSGILR
DEGGYEFKRAVVESMFDLIKFVPDSKEDALAHLCEFIEDCEFTKLAVRILHLLGLEGPKTSQPTKYIRYIYNRVVLENAIVRAAAVTALAKFGVGQQ
DPEVKRSVTVLLTRCLDDVDDEVRDRAALNLRLMTEPDEMANRFVKNENTFALPYFEHQLVMYVTADDKSTFENPFDVAAIPVVTKEQADAEDRSKK
LTTATPTIKPPKTGPSKSTSTNTEAAATASATAQKYQQALLQIPEMKSYGSLLKSSPVVELTESETEYVVSVVKHVFKEHIVLQYDVKNTLPDTVLE
NVSILATPSEEEELEEDFIIQAAKLVTDEPGPIYVSFKKVGGEGAFSANTFTNVLKFTTKEIDPTTGEPEESGYDDEYQVEDLELTGSDYVVPAFAG
NFNHIWEQVGAAGEEAKETLQLEGIKSIADATEQLATTLSLQPLEGTDVPINTTTHTLKLFGKTVTGGRVVANIRMACSSKSGVTCQIIVRSEEEGV
AALVIGSVA

>RCO7_03572 | uncharacterized protein

MPPPLTMALMQSRPLLNPSPKTIVAALLISNPIYHKCRISDYLHLVFQWGIHTSVYLKKEICSFENVYTSAATIRQLRKHEGHPARAPDGTIMEIAG
EACPGDSGESVGPWDLENVHLCEGFGDWSAALSRTLQMAFAAGLNFDMVNEPKPSLNELDKANMVDAEWLNGKPLHPTTKKNLTLHRDGIRDKVDAF
LAFVDIQVKSQSRKELIFTTLGDALESALVGNAVSEFNGIFGGMVNKIVIRTEDFMRYLEEKIDSQEARQQRVDEVREFIDTALKGNEKRKREDREE
ENHHERKKVMTEDVRKAIEKHLTKELTLGAQLSKDEQEARLTRARKREERKQKEWEAEAEFDTHKDRRREKRESREKISSEAAPAFQSGVTQSRVEE
LKYAAQTIRATAKAKEIEAYADKGTSPKSPAYRRRPSLRRPASPPPPYTGSLFSTHSNAVSPAFLTPQTGSASSTPQQMPNTSVISRLTTPGPPEQL
KKQKPMSSAQRIMDQINNPGKRYKDSSVGGNSPRKRSESAAPFIVSTRPQRQPLSRLLSTFAASQTDKEVSPAYEEEEPRRVLSNELPDAAPKAAMP
SPFSQSLPQPSVSLSNKDHDIMNSSSAVMAEPEAKNEAPQEDESSLFLPLAQPTLAAAHSPPQAAFCATALAPPLTPPPPPPPLGPAPAASIGHGHG
PGPALARARAPSSAPPSIPERRPLPEQKAGAIRRPRSEPTSQPRSSTPQTQREPTPDTDSDSDLPPPPTKSHPTTPKPPIYIDLSDPLSYSSPQPSF
NDPLSPTVIKTEPSSSNCNYVIIKDENSDPASMRDIKPIMYARANVKGRIKTKVKKEEEDGDDDDVLMCDGEEWTKEVREKNRKALERVRGW

>RCO7_03571 | related to mfs-multidrug-resistance transporter

MDHIERFLSRPTAKPYRSDNLEKSGELHKNSDGLLDFSPGDIENPKNWSTGRRWYVTVVSVLLVVNATFASSGPSGTLEGIAEHFKVSSTAAGLVIT
LFLLGYCFGPLFWAPLSEFYGRRWIFYISFTLYLAFNFLCAFANNFAALLIGRFITGTMASAPLSNAPGVLADIWGPVERGNAMALFSMMTFVGPAL

GPVIGGFLDLKEDWRWIFYVMLWFAGITEVLMFTIPETLGPIVLLNKARRLRKLQVPGYENIQAPIEVTDRSLISIYKVALTRPWKILIDPISFAVA
IYLSVVYCLLYMLFSIYPIIFQQKRGWNSGVGELPLIGTAIGAVIGGSIIFAVSAHDRKKVEAGHKSVPEDRLPVAMVGGVLFPITMFWLAWSGNYN
SVHWIVPTIAGVFLATSILLIFVAYLNYLTDTYLMYAASALAANTVCRSAAGAAAPLFTRQMFTALGVGGGGSLIGGVAILLMPIPFIFYKYGGPIR
ERSKFAPTPAPTQGNHNDEGPGRQRSVASSASSSDVTVGEALSQRDRNNVGEKPEATRETTSGHASQPRSENSLKDLEKGL

>RCO7_03570 | related to ethanolaminephosphotransferase

MVYVRQEKLPNLKQYKYSGVDHSLLSRYVLKPFYTNVVIKCFPMWMAPNMITLSGFSFVIINILTLLWYNPTLDQDCPPWVYASWAAGLFLYQTFDA
VDGSQARRTHQSGPLGELFDHGVDAVNTSLEVLIFAASLNTGMGWKTVMMLFGALLTFYVQTWDEYHTKTLTLGLVSGPVEGIVIMVLVYSWTAIKG
GASYWQQSMFETIGIPNYAFIPDFIYQLAFNEWLMVQGGSILVLNTVQSSLNVIKARRNRGDKSRGALLGLVPFFVTWTLIPAYLWLNPEILHNHLV
PFVFFAGLVNAYSVGQMITAHLVKLDFPYYNVLVLPIAYGVFDSLGPFLRSTIGVGWPSALGSGGYQVAYVFCMLGMAIGVYGSFVVDVIVTICDYL
DIWCLTIKHPWDEEAEAKKAK

>RCO7_03569 | probable phosphomannomutase

MIHESLCSSDNPGWVIFVQCLDIIFQKADLGSHRLALSPIKTSVIRPPLARLQSVNPTWGITSVLLDLHIHLLLIQIQPNRKAVTEMPAQTDSLAAH
LAYKPVVLKFGTSGRRGEVVDLTQLEIYTNVVAEIEYLQSLPISEGGIKSGDNFYFAHDLRPSSTKLVENGRGGLCQAVTQALKDKEMKPINLGDIP
TPALTYWAITHGKGSIMVTGSHIPFSRNGYKLNTSKGELMKRDEQPINDRVAITREKLLNQPYSESLFDEQGVFRNVSQEVLPAIPEGRAAYIKRYV
DFFKGETLQGFKLLAYQHSAVGRDLLIEIFEALGATVTAAGRSDTFVPIDTEAIDQAQLDVVQKLYDDAGKGFNAVISTDGDSDRPLILAPESDVLR
FFGGDLLGMVVAEFLEVRAAVVPISTNDAIDRGPLAAVTEPKTKIGSPYVISGMEKAIAKGIPNVCGWEANGGFLTGSDITRNGNVLTALPTRDAFL
PILCALFAAHNRKTTLPALFDTLPPRFSRASLLRKFPRPTAMKIVARFSPPEANMQDVSFLADSITASDADQALVSVTESHTQQLNQIRKDIESVFS
ANAGFSPVSRILYTDGVRILFKNGDVAHVRPSGNADELRIYSVADTQERADDIANQGVAEPNGLLRTLEKLVSA

>RCO7_03568 | uncharacterized protein

MDFRIGVLASRLFLEIMVCFVAIEIRAVFFVWGFLYCPHGMNAVYDNQIFALVWAVWIQFGRDRTLASLPTTLKSCYFLGTQRRRRTKRSIKDNPAS
IPTIFIRSRPKLIIYLTIPLEIRFEIFSMIASRSHTITIAPGVCIASTDDSPDSEPAMPNPKQKSSNGEDEFHEAPPIAFRSGGRRSVPRPYGPKEA
QQKIVTLECWNRAMRKAMVACFTDTPALVRMSAALSGL

>RCO7_03567 | related to transmembrane protein 34

MGLLNLSNLNSTCNTTLDDLRIGSSEVPMIGTMTFHTIGLIIAAASAFIAILLSFYLIFMHAIHYTKPYEQRHIIRILFMIPAYAAASFLQFYYYWH
AVYFQVICDCYEAFAIASFFALLCNYVAPDLHEQKMYFRSIEPKPWVWPISWFTKCCCGQRGPWRTPRSGLTWFNIIWTGVYHYCFIRVSMTVTAVV
TQYFGKYCESSNSPVFAHIWILIIESVAVTIAMYCLIQFYVQLRQDLAAHNPFLKVLAIKLVIFLSFWQSFMISILTGSTLNIVVPTAKIAYPDLKV
GIPSLLLCIEMALFAILHLFAFSWKPYASSSSSSTYPMSNIKNTLGPKQGGFLGIKAFIDAMNPWDLVKAFARGMRWLFIGVKNREQDASYKFGNSF
DINNLRNNDDASPRTPPHLPIAEEFRRSKFGLPRFSAVGVKKSDDEVAGLIAHAQPNPLNGGEGGISGSGGSGYVPARQRYDNNGQDISSGGTVYTA
YNPQDPAGDIGMAVADPGPYQSHVTREFVPDRRREQRPSEGWANSRQSLADSVDDDKWPAVYNPLWPPGNQQQQSPKKKTYPQPMERVEKD

>RCO7_03566 | related to ATP-dependent DNA helicase II, 70 kDa subunit

MSESKPSWRSDEEEDEEDYDETNYISQKDAVLFAIDVSSSMLQSPPPSDDKKAGTDSPTLAAIKCAYEIMTQRIISSPKDMMGVLLFGTEKSKFQDE
DTSSRGSIAYPHCYLLCDLGVPSAADVKELKEIGKNETDAQDILVPSEEPASMSNMLFCANQIFTTRAPNFGSRRLFIITDRDDPHSSDKAARSQAT
VRAKDLYDLNVIIDLFPISHPDHEFDRSKFYDDIIYRDPAEGEDLAVVSSNLQSSGEGISLLTSLISDINSKQVAKRTLFSNLPFVLGPNLTISVKG
YNLLQRQTPARSCYIYEQGEKLQMAEGISIKFREEDNTKVDKMEIKKAYKFGGSQVLFTEEQQKKLKLWESPVLRIIGFKPQSMLPAWASVKKATFI
YPSEDGYIGSTRTFAALWQKLLKDKIMGLAWFIARANATPLIVAILPSAERFDDITGAQIIPPGLWLYPIPFADDVREPPQVPKPLVAPEELIDQMR
MVVRQLQLPKAMYDPIKFPNPALQWHYKVLQAMALEEEEPTPGEDKTIPKYRQINKRAGEYITKWGEILEEQSRAYTKSAYGDLKRGSDADEGPIKK
VKVEKAEKKGLENMTLVELKKVVANGWLAKYTVAELKEWLTEKGLNVTGKKGDLVDRVELWVEEN

>RCO7_03565 | probable ferrochelatase

MAFRTPISQLTKRASPSTISNLTSKPITSLWQRNGANQLRSFATPVPPVTQDATSSKGPTAMVFMNMGGPSTTDEVGDFLSRLFADADLIPLGRFQS
YLGPLISKRRTPKIQKQYAAIGGGSPIRKWSEYQAAEMCKILDKTSPETAPHQPYVAFRYANPLTEEMYERLLADGFGGGKGGRAVAFTQYPQYSCS
TTGSSINELWRIRQKLEGKSPNFSNDGSINWSVIDRWPVHPGLVDAIALNIEDQLASYPEDKRDGVVLLFSAHSLPMDVVNRGDPYPAEVAATVNAV
MARLNHSNPYRLVWQSQVGPKAWLGAQTSDTVENYIKKGQTNLILIPVAFTSDHIETLYELDEEVIGESGHKDTIKRSESLNGSPVFIQALADIAKK
HLDSGEVCSKQMGLRCPACTNAKCGASKEFFAGTGIGQTFATSV

>RCO7_03564 | related to tetracycline-efflux transporter

MNGDNGIDATGRDGHDGSTTGKECWGAKNSLRKNAGLDKIPEDSEFAPLLARGISASGSNDNGQNTGDAPLWEGHADFEGLEWRHRPSMYWLLPPFF
FFAIAFGGILVPKLNLLLSLVCRQYFLEKSSSDPNHTFLPVILGSSNPQCRIPEVQALATKFTLYITIVSGTLSAIMSPRIGAWSDRSGRLKVLTLT
SAGASIGEVITIIVATYPDRFNYKWLLVGSVFDGLCGSFTAGMALTHAYAADCTPPPKRAVAFGYFHACLFAGVAIGPIIAAVLVKLTKSIITPFYF
ALSVHACFITFILLMVPESLTKKRQEQARARHAAEAGGGFLNADGHVENYSNDFTQSGLSTFIRKANILEPLKILWPTGPGTSDKLRANLILMSAVD
TIVFGVAMGAMTVVVYYLGFQFGWDTPEISVFTSIVNIFRVSALVIVLPLLNYLVRTRRANRERKEHGFSAPVPNTGCDSLDLAMIRVAVFCEIIGF
AGYTIARTPALFVISGIVASFGGVGSPTLQSALTKHVPHDRIGQLLGATGLLHSLARVVCPLVFNLIYATTVGTFPQTVFVVLTGCFVVASVCTWFI
RPNVYLESPIRVNTQNPRVDLDPDILVDEEIINI

>RCO7_03563 | related to 4-coumarate--CoA ligase

MPIHSRWNLSIPNISLPQFLFTSPTAPLEHGQKPAYISVENPSIYLTQNSLRLYAQRFAAGLVRAGLQPGDRILLFSGNNIWFPVVFLGIQMAGGVF
TGANPGYVARELAYQLKDSEARFLICADASLELGIEAAESVGMGKERVFAFDDLLMSGGGKDRLGVRNWKILVESEKAGKDFKWVNPKDPKNDVCCL
NYSSGTTGVPKGVMITHYNYIANAIQYNHMPTLSADYEERTKTAAWLCFLPMYHAMAQALFITCGPKRGIPVYLMKKFDFVQMLDAVQEFKISNLIM
VPPIVVALAKSPITKNYDLSSVIDLGSGAAPLGGDVIREAEALWPEGDRKLKQGWGMTEATCSILGWDPRLEPHPSSVGELNANCSAKIVSTDSEDF
QEVPVGSRGEIWVQGPNIMKGYWRNERATSEIFVDGPDGRWMRTGDIAYVDDQGRFFVVDRMKELIKVKGNQVAPAEVEGLLLEHPELDDACVVGVT
INGEEMPRAYVVRRQGGEVSEEGVAKWMSEKVSRTKRLTGGVVFVDAVPKNPSGKILRKVLRERAKEEVGDKEIKARL

>RCO7_03562 | uncharacterized protein

MSTSANVEFRTPEPIFYHEEREDGIYHSEILPMTLAERRRRSQIVPTILKNRRHLTSAELLAADYVQMSDKPHYMEIKVSRRNVTIPYARYFSPTRM
QDIGVVEELAEIQRICFSQDFQPKLASISKAHCSGHEKLRGTTYDLGVTVQPGHGNDGVQLGGLAKANDEEIKRVSTLVSQVASRMIRSAFSTPSMD
VLERRWVVDAALTIGSEENHQVSSIQVNFSMLDQELVDAIKEVGKVHNDGKDDRARFTALLFLPYFPKDHFPGRFLITTSRLTCTAAPFSGLVFSGT
HAHFATAMGKYDADIGLGSPFRYTPPAGFIYPPLPTGTRYGRVAIVAYPKRFLMRLSPSAMRPAHLETDAALAHHGTWRNMQEFRLRVYVKRHHKFL
HATHTSARTLINDFSWLNEGGEREFPDLQLAVDALEWAGEEDWEWEELNAAVEKIGCGSKFPNVKGQTKKASTKCGEEEWIEVDAPGRDERDGIPGA

SM
>RCO7_03560 | related to acetylxylan esterase precursor
MQFFSPAFLLLPLSLASQINTLSSREESPCTSTHIFLAKGNNEPYPGRQGKLVNAICSGLASCDYEDILFYNTFEAPYCDSVFEGAANGISQITAYN
ERCPDSNLVVSGYSQGAHIVGDILGGGGGIFFEGCVQGDNAPLDVNSPAAKKVSAALIWASTRHTASQPYNVFTGANGNGLFPRPASQLAAMAQWTP
VLHDYCVSTDPICAGGKSGPTHLNYFDLYSEDAAQWVKKQLKSVTDPTTAAASSTATLATSVASTLLSATSLTGVSPIPTPSSSVEITVSAASVSLT
STADASPTSSETTTEASTSAAPTSVSPPSNTADDSPNAASPSSTSSSAGAASTNTLSLLGLAVVGSFAIYL
>RCO7_03559 | uncharacterized protein
MHLTLSSLVLAVISTLLLCSASVTATPARPKKTTTTKTAIATPAPMTLHPCGVVVQRWGLDSWETFDQYYESNGKEFFHQATIGSTTPGEELVPIQV
GSNILHIYNTANPFYDLPDGAHDPGKLSFVWGSTKFDSFSPGSPCTNNAFPAVNFTCSFQCDK
>RCO7_03558 | uncharacterized protein
MNQPWQPPSRTPGGNGEIGSVRAARERMAAGLPPVMPQPQPRRLYDPPQLAPQAAPVPIHPANRMRPPMPEAFSGPKNGQAPVGAATLRPTLEQQVP
QWPLAGSVEPGQQYQPPVNRGPPPQRPPRPSQVPTASGISRLKEGLRTAEYVQRQEQLDREYQYERERREEEEMISPDITSPLTMSSRQSSQSSAGS
IPDFPVPVLPPPPRSFGPPPSSRRGASSYYSQASFVSPIPEESPRSRQTHFSYASSAAIPTSWGSNSPRSQYFDDKYEDESIYDGEFDRSPMTEESR
EMRGFTDDNDDRELIRSASFGRRAKPSMITTRSSERLESRPAPMPQQRPIQMSKLEKMGVIPRPGNEESGASSRNRTGSEATDQHMQKGWPIIGDAT
SPLATGTGLIDKSTSSSEETVPTLARAITTNTATPAQIANLSNPNTKAMLEAYNSASSLRAPGTESSRTPSPSNGFDKSSAIRRPPRLDIDAVREAE
ARGSLTSLPDLIRRATRLASMIDRGKRPGSRLALNDFPSEDNFAREKEMGMSNGRQSGFSGMLASFPPPGDQTPVGTPTHPTSGWPTQMDTQAGDEK
KQQKPRRCCGLPCWGFMLMVLIILIIVAAAVVVPLEFLVLNKPNSTRKAVTAAQCQSNTVTACQNGGTALVESGSCACICTNGFTGSTCTSPNANGC
ATVTMSGSSFSNVTVGHSISRLIEAGPTNFSIPLSESIILARFNSANLSCATENALVTFQGRSERLGKADNLISFTTTSASAKAKNARRDESTSVTS
SLAPVATSHGIVYDGSRPVSSSPPKDTNPTSNTDGNSDPTSGFKITEEVLDFARIAILYVLQQDALEDATTAQSTLQTWFLKQGSTNQAAMNVSMGH
GNVVNLVAFQVDVGGTGFVGGRNSSLTVRDLDVRDLVLDLKGDKEFEER
>RCO7_03557 | related to cholinesterase
MYSCSYVLSLVAAFSVAVLGFPAATSDRPQIDLGYEIHQGQFNSTGQYYNFSNIRYAAPPIGNLRFAPPAAPSTAEKVFNDGSNLKICPNAIPAWSA
TATKWLTQGIGSINITAGYTIPNITTAPPAMPGTPTENEDCLFLDVLVPKGVYDSDMREKGVPVVVWIHGGGYTIGWKTQYGSGVGLINASRRDKQE
GIIYVALNYRLGLFGFLSGNTFKQQSGTPNAGLLDQRFALEWVQKNIAKFGGDPNRVTVLGESAGGGSIMHQITANGGTAKAPFQQAIIQSGAFLPV
PGMERQENLYEKFRNITKVQTLDQARKLTTEELQFANAKIVGESNYGDFSFNPAVDGTFATDLPGKLLLEGKFDKSVRVLVGHNADEGLFFTSPFVF
TDETFKKNVIDVSFPNADKNNVTSYILDTLYPNVLDGTYGYNNSIARATYILSEALFSCNAQYLSRAFGLNNDTDSSEDKDSDSSNDAYSYVFSVPP
ALHGEDVYYTFYEGPSPLVKNDTLALIMQSYFTNFIKGGDPNGEGLPNFRAYDEKTAKGEGVLMNLGQSSAVMIPDYLPRKRCGWWQQALYA
>RCO7_03556 | uncharacterized protein
MSDQFSRDNSPSCQPARDFHFEQSPQVNFNESFHDAPLPYQPYQQAASIPEQNKHLADRSNLMATSDNLEQVQTSAFPWTAPPTLPQGSATVGNSDS
PTYRPYAGSVNRVVQPGFSSAHNGSHGVARTKNFNYGQMPPPSPYQKQLFAPQAVPSTFPQQSPQAYQQTQSQQSAVVPLITSQQRPQVHRQIQPRP
STTVESTLSQMLQGSSQSQSPADYANSNELKQAATAKKTRGNRLSPVSHVRHNLKIVSTTVYASDTEKRLAALLVGNPMMDIAKVITKLAEFNENLA
DKIDDRDAAIKQLNAAKTQMSEEHEENIDEAIRQAREEFTRPITPPPKPTKQQDKDLAARDRKIVLMEEFIRDQTRRVEEAEAKRDAYHAQFRQEFD
EQIYHQRQQQILADYRQQSSQMSTFIPALGQMPGQELGQNSFSMERPLYTFVEVQAAGDMTGAEGVNHGQYNAARQDYTMNPSPQDQNWSISPPRFD
LNTQHQQQTFGAQNIMSGQQATMNQNKGMANLQGYGSDFNPVGGEKMVIHQQELGLHPYAPYQSQQGRQLAGQQSFSNEQLQAARNTNINTMVDPFY
TRPGPPAQFVLGNTHTPQRQQQNASSFNMQSPSPLPTSSRAPNTTPSSSKRRRSSKESKTESESGEKGNIPFAVHKENVRKQHELMKKQQKILEQER
EQREQQDGYKRSF
>RCO7_03555 | uncharacterized protein
MASKATNTTGNEAPFTCNILDKDGKDTEAELDEAFAASYRFKDDFIAPICVEARFLRKEFDLDRLHNIMQHLWMAGRPAPPRPLHHQILLRREVVIS
ERLDMHLVWGRGCLFLKPIPRFLLIPDFWKTSFETDHVGTNDRGDPTAGTHRNVRECALGFLLSYTALVAHESDFHIAQDKHLVPAEVTWQKWRLFV
REILTSSENLQWEVADRFMYGELRLTRLNLIYFFIGSFSRVYLPRWNSYGSFFKENTQFVIAATAYIVVILSALQVGLATQRLGENTLIQDLSYGFT
IFSIVAPAIFVPLVLLAFCAGFVINWVWTEKTQKERMSLLGRSWSIRGKIGSHTGIKRGQETPAV
>RCO7_03554 | uncharacterized protein
MPSTILSGALVHIAPSPEKELKEYTVDIIAVPGLGGDPAKSFIHEESEFDWLKDQKEGILSEFKSARILKFAYESRWLGDKALNQTLGNVAEQLLVA
LVEARKGYEIPRPIIFLAHSMGGLVVAKALTIASSFPEQIDRMRIYECFAGGIFFGTPFGGSEEAAKAVVLASFLQPTSKGLPSQMLYALDPRGELL
LELRNEFSQLVQKEPKAGIACITEQVATNYAKPLGSFLPKLAKLEKIVVTEASATLDGAKKAAFACDHRQLNRFINGKDPRFNVVKEMLGNIERDAH
RIVKRRLNASMRSVVDDATFSGLSDSLNIIQPQTRRRRLETESESSTWILKEAAFEDWLPWQFQDESNNFLWVSGDEGAGKSQAALAAVEELEKKEI
TERRNESESMVAYFFCDATADSQNAESMLSSLMWQLILKRRSLGQYVRSFAVPKSAKSASMHNSIGISKLWTGLQDMLRDDSAPTVYFVVNNLHYLA
EDNESTNEFWGKIKDLVTGETGPEDPIRKNVKWMFLSRPRENIRNVLEYANEGMVPCVDLKDGTRNQALRHELKKFTHKRVKILARIKKYSLALQYF
VTSVLLERAENNKLWVEVTLEALPKSVESLISRVWEQSLDPKTDTFLTTKEILRTLAVVFEYPTLDELRVLAELGDEFTPAQIEEQVNACGPLLRVY
EDGFEGGYPGDRRVTFIHDTAKDALMKESKSRTLIGFSDSADHTDQTKIKVQHGIVALRCFSYANQESEQDDAYLFQSHVDEVPEGEKIQDDAPELK
GLFPEVVIEEQEVDEEDDDDVETPLNYPVKYWLRHGYEATPDFVDTLDLKNTFWASESSARQRWWSSYARGDVAEGLKNLTSMHVAAYFGLVPLIDS
LLAEGHEGEIKVRDNWDNQPLHWAAARGHVAAMERLIDHGADINDGQQDHVWTPLHMAASEGRIKAMELLINGIHGKSANLDVIDKDIGTAVTLALA
YNQDNAVKLLLDSGASPTLTAEVGESPVAMAAYMGEEELIQVLLEKGGDSNLGSHRFGSGGALAAAASAGHINIVNILGPYSNEEACDGALKEATRR
GFHQIVELLLESVEHLVCDDDFRLAASMGHDLVLKALWNHNLNHSKSVISHSTVNDALYLAAEAEQETTVELLLETCEADPNAALGPQYGNAMTAAA
YDGNVKILSKLLDFGTDVNATSGHPLQLAASQGHLDAVKLLLNHHASLDTQHPVSPEFPDGTALQAACAARQTVIASELLRSGANPNLGSGSLTNPL
IAATTNGLGDLAVLLLQKGAHPNVPGGADGSLPLINAAATLSSNYLAEMIRLGASVNGVDPDGDTALIISAMYGDIDCVKILLENDANTNLCGDHFG
TALHVAAQDGYDEICLLLLEHGANPSIRGGPYDTVVQAAAYSGEQKCMKVLLDEKKAWSKTIDVNCQKGKCFTALHAAVVNREDGPLRLLLERKPNL
NMVPATSTTALYAAVFAGSQRNARLLLEAGANPNTDRGTRGTVLQAAALKCGPEMCSLLIEEYGAKDDWYGKYGSALVAATVRDFHEDETDVLEYLL
EQDLTTQAYQAALNTAFVLQRKDAFKLIYLSIKSKDQKKFGLNPRKLLAGFRVRAAKRNNKAVEQEKNNNDFSDDLEYYYQDIDDEEEIDNGDMYAD
REIDNPNVDATERQGNMYQTNDRSQNAGATGTLPRELPNRSRDTDARESTGTARPADNAGNSRNRNLGAEEARNDPRSVGNDNENQGYEPKTATRDV
NAGGAGGRETRDEYGRGGNTREVADEDGSRSTQTRDVGNSFAKNSAGEDDYTGNRDARNRQTGSGYQRSRNRNADNGYSRDGAEGDDYTEDGNARNM
PSENDNTRNRNSGARDPNAGYDEDEQAQGDFLQDDPEEDMPAAEDPEEERRKEEERLDEKRLEEERLEEERLEEERLEEESFEEERRAEEEDE
>RCO7_03553 | uncharacterized protein
MSCKSLKKPKLGAEIGTEMIQIEVGCDNKRQTFNVHKALLQKHTHPSTRAWPANPEIMAFFSRTRRTPISSA

>RCO7_03552 | uncharacterized protein
MRAICQSVLGMSVLGKNLLLAIFVGRCSPGENASSSPSSLPTNTTRIFQIQLTPIMKLSILSALFISGALSAAVNGADLEARSSPLCSCSLKMTNGN
EVLDQISNKDPGLTNVRSKVVNGSQKIIGYCNLIYNRVHDCTQWTDASRATGPLCSLRKEPLKCFPVSGDQ
>RCO7_03551 | uncharacterized protein
MLGEALSFWVLKAEMVVIGWDLQKMELSGLVVGDDNGWRIMSYHVKTVRHSVLIDGSWLSQFSSYLSTLGYGRSRSATAPRSKEKNGRLT
>RCO7_03550 | related to NIPSNAP protein
MFARRLVKSSSFTATSNFLRTFTSTSALSRSPALSDVDSNGAASFDAKQKQFREKLAELSKKESSSAQDEETTKKGKLSSLIYGTKEGQEMEREIEH
SFSQVLARGKYVHSIVMHQVKPDKVDEYVELVGNWYPKMAGMVENKVHLVGSWRTEVGDCDTFVHIWEYQRYHGYHDSLHSIASHPEFPAFDKKLKS
LITSKNTSLMQEFSFWPTTPPRSLGGVFELRSYTLHPGNLLEWETHWRRGLKARREVMEGVGAWFVQIGELNTVHHLWQFADLEERKVRREQSWNVE
GWGDTVHKTVPLIQSMKSRILIPMPWSPVS
>RCO7_03549 | probable mitochondrial F1F0 ATP synthase subunit Atp18
MPGLLGKKFNAPVLRPMAPFFAAGLVILYGVNAAQNAMMNSAEFKNDPRNPNAGKIQDPTK
>RCO7_03548 | probable Probable 1,4-beta-D-glucan cellobiohydrolase A
MYRSLAFAISLASVLVRGQQVGTNTAETHPTMTWQTCTAPGSCTTKNGKIVIDSNWRWVHDKTSGKYTNCYDGNTWDATLCPDNKKCAANCALEGAD
YGKTYGASSSGNALKLTFITKGEHSTNIGSRMYLMESDTKYQMFSLLNKEFTFDVDLSNLPCGLNGALYFVSMDADGGMAKYPNNKGGAKYGTGYCD
AQCPRDLKFINGEANVAGWKPSSNDPNAGVGDHGSCCSEMDIWEANSISAAYTPHSCLPIGQGICDGDACGGTYSADRYSGACDADGCDFNSYRMGD
TGFYGPGLTVDTKKKMTVVTQFIGDPLTEIKRFYVQDGKLIPNSHSTIPGVSGNSITTAFCDAQKAAFGDNYKFKTRGGLAGMGNALKAGMVLVMSI
WDDHYSNMLWLDSTYPTDSTKLGAARGSCDIGSGVPADVEAKSPASSVTYSNIKFGPINSTFAAK
>RCO7_03547 | probable Probable alpha-galactosidase B
MHFSLPLVALAALPTGYSLMLRENVGRLPALGWNSWNAYHCDVDEAKIMSAAQQVVKLGLRDVGYEYINIDDCWSIKTGRNTATKQLIPDPHKFPNG
IVGTADKIHALNLKIGIYSSAGTGTCAGYPASLGFEKVDAETWAAWGIDYLKYDNCGVPWDWNDQYSACMPEFSGGPFPNGTCPNISNPAPKGYDWA
TSNSTKRYSIMRDALLAQNRTIQYALCNWGLAGVDSWGNKTGSSWRSTGDIDQNWGRTVEILNLNSFALNSVDFWGHNDADMLEVGNGQLTDAESRS
HFAFWAAMKSPLIIGTDLAILKTSLVDVLKNKYLLAFNQDDIFGKPAMPYKWGTNPDWTFNATNPAEYWSGRSKDGTLVLAFNSLGDSATREIKWNE
VPELKGGDSWMVTDIWNGKSLGCVKGGIRDTVQSHDTVGYMIGEQCGTGFMRLGNRPTR
>RCO7_03546 | probable heat shock protein HSP70 (regulator protein involved in pleiotropic drug resistance)
MAAEGASTNGTMPGERHAIGISFGNSNSSIAFTTGEDKAEVIANEDGDRQIPSILSYVDGEEYNGQQAKAQLIRNGKNTVAYFRDYLGQDFKSIDPT
HSHASAHPLEHEDTIAFKIHDKEGDEESTVTVSEIATRLFRRLAQSASDYTGKTVNSAVITIPTNFSDKQKAALTKAATDAGLEVLQLIHEPIAALL
AYDARPESKVSDKIVVVADLGGTRSDVAVIASRGGMYTILATAHDFDTAGVHLDTVLQDHFSKEFIKWNTTDPRENGRSLAKLKQESEATKRALSIG
TNANFNVESLAEGADFSSTINRLRYETIARKVFEGFNRLIEGVVKKAGLDVLDIDEVILSGGTSHTPKIASNMANIFPSTTTILAPSTTSTAINPAE
LQARGAALQASLIQEFDKEDIEQSTHPAVTTVKHLSNAIGVLAITGDESKGVFTPIISAETAMPARRTIHINTPKEGGDVLVKIVEGGSSIKVSKAE
VKPKSSGEKNDSDDSDEDDSDDEPEEVREKVWKVGNVLAEAAIKGVKKGGKVEVTINVAADSSVTVTCREVGAKGGVRGTLSS
>RCO7_03545 | probable exosome complex exonuclease RRP40
MATEIFVLPGQNLDPDSLPSHPKLPLKLGPGLRLIPPSTITPTVAGQLCTDRRKNAVWVEFNGSRYTPTVGDLVIATIQKSSVDVYFASLSDHTPNA
SLPQLSFEGATKKTRPQLSFGSLVYARVTLANKHMDPELECVSSSTGKSEGLGPLTGGMLFPISLGMARRLMLSKPVEQGNLVVLEELGGAGVAFEI
AVGRNGKLWVDSKSVKTTLAIGKAIQETDEKGLDVDAQRKLSKRLAREL
>RCO7_03544 | uncharacterized protein
MSTAVWPFLPPAELKREEDASTQRELAWLLDSLQETLADLKSGLEDCYALLAPVEPGSTLVMSSPRSENVKGHVTRVGDAVVRGSLNLRLKTLPHID
LTLQPTNPLSLPILSQLRTLLNQSLDCIDITCWTGDRHSSSFMSSQLRLLHGIIREALALIRPAVVEIPDPGHGTVITTSNTSPDTGIIGTNQLDWA
HTPTSPLHFTPSLPPSLSLTLTPSSTSLLLTLRVLEPSSITTQFGSRFAHAIGAQRRLEHDEMDGVFMFRGEEVRVKEKVVVESSADPSLLSLGAKL
GALERGVGGMRVALRAVTGEPDG
>RCO7_03543 | related to POP7 Nuclear RNase P subunit EC:3.1.26.5
MAKESPNPAPGSSSTTTSKPHTKLPLLTKDQKISKRPLLHAPISSPRTSSSTQKIVYVSSSSPFISVVKRVRTYLDQIESRSAGKLSLDGGERRLLK
GIERGINSTAGEGKRDEEVVVKGTGKAIEKVVRLAAWWGAQSDVKVVVRTGSVGAVDDIVSKDEEGVAGAGGEESRIRRVSCLEVGIRLR
>RCO7_03542 | uncharacterized protein
MDASSTTPAFSLEKAERLSKQLFPAYDKASDLTLKIQSLQTRRVQLLDVDSSFVRVPTSMAYMMLVTNGLHKEVETFLFNIGAHVQLLIGEVKESDA
IVQEMERAKISEKVRIVQQGGMLPPDDQYGDWEYDDDDGVGRGFSNIVNIDAVINAEKAKGIELKEKINFNATVDKLLRGHMSEFAVKAKMTDVEFD
QWNRDSDLCLYTNTPLSTARPQMNAWFVKKFYEAVHEEEVEWNRVKDIIWEIEGKEAAALADLAIKEPYVATCFTCKKQGHVDRDCKQVDIVEENGL
NNEGKYAHLAHRGERLDRSKPKFCTTCSKAGHVEEYCPVTHREEAKENDCTYCRRDGHRADTCWRKHPELRREYLQKRKAFCDSCFKAGHYRDACTA
VRVTYKHGVRPLRA
>RCO7_03541 | related to AGA1 A-agglutinin anchor subunit
MLFQQVSIAILGLALATEAAIIPESNGLARRQNNRQNGGGGNNGGNNGGNNGGNNGGNNGGGGGNAGGNCLDASVIQANSNKNGQETPTAGQANSAT
DANNFINFCQGQTITNGLQVKEGSCNGIVMGKIPSTANMISGIITSPKPMEDLTPNQTFDVSVQTKGLAAGSFTNAQATYYSAPQNLDGSGKIIGHT
HLTIQDLGNSLAPTQPPDPVAFVFFKGVNDAGNNQGLLSATVTGGLPAGNYRVCSMTSSSNHQPVLMPVAQRGAQDDCQKFTVGAGGGGGNNGGNNG
GGNGSNNGGNNGGNAGGNGGNAGGNNGGGNGGGNGGGNGAGNGGANGGGNAAASSAAATPTQAAGNGGNNGGNQGNQGGNQGTQGGNQGGRGGNNGA
ASASVSATSTSSAVPAATTSATANAGGNGANNGGKNGGKNDAGGGGGGGNAGGAIGGAAPAVTQSGNKDRPFSVNGSTFVNESAAKQRACDVQNNA
CSDAINSGKAAGKTLADCTAQQTACNAK
>RCO7_03540 | uncharacterized protein
MSQTGKPVNTFGGSRSAEEKASRKAEKKKRKQERKQKRDIKRAAAHHSTPAQPTKELALSEEDDDKSVRPVVSNTGAVGNGGLKSARAHYSPIPARV
SSKELKIRGYIPDSENEGSGSDEGLSNHSFDPNSSPISLTKDVLAPTRSADERILNPLSSASKKSPSEYDNNFVINDNPLEPTAEYTLLPETSTADL
KRSRSNREFPSPGNMGTKLFPPPRKTREQLSKQATMTPLSNSASGNVFESHSSKPVSNTSMDDVDLEVTQEPSITDTSSPGTISNTKGNGAEVGNLQ
WPTLPDSDSDSDGSIEETIVFQSTKDTNTPGSSGRFDFSDSSDSTSDSITYGKEIIVTHGTKITADDVRIKEKIEHSRSGSDSEMDGSVEETIITQG
AKNVFSRTSEAFPESHLQAIGVGNSDDSEADEMSEDEEMSNEDEMSYDTSIRHRREPLKIMPAKHVGFPPPEELPSWFPTNIKQIYSVDRHGGALSF
EELNQITRYRAALEKIRRQKWKTYLEAGEARFKLQKILRRLRVRPLTKAFYQYRRKQYGFWKEEALKSWKRLEKTHVGIRILDETIDINVRQEGMIY

KNIEKNGLDGRV
>RCO7_03539 | uncharacterized protein
MLSAFERMLVYLMMLLTFVVPFVTGHPVSVNLTSSLHGSSQLVSRSMGELDCNRLRPVETSPNICYLGYQAARIDQPDLRLPPLVVDLSVWNQSCNR
IGYATFAPPGKTYNLYSELPYVVVAELPKVKSWFIPASLDYAGKHFDGGRDGKVSMRYSCYYPYENDLDYPPAFPKLLIFCFVPFKC
>RCO7_03538 | uncharacterized protein
MPLFTKKITGPPMTPEEARDAKEFEAYKLQQRTTAAREKYWGKQSSRGIMAWGPLEKVFSSLKN
>RCO7_03537 | probable C-8 sterol isomerase
MAPKNGNHRPLKRTPPAPSPNRTWTKTLILSSLTILLFSMIYQFLDSRLESFYIFSPAQLKDVSGRAIEKHGNDTSSVVKFIVDELSEKLPGGYVNL
DEEWIFNNAGGAMGAMYIIHASITEYLIIFGTAIGTEGHTGRHTADDYFHILSGTQLAYAPGPGSYLPEVYPQGSVHHLRRGTAKQYKMDEACFALE
YARGWIPPMLGFGYADAFTSTLDFPTLWRTTWVTGREMVMNLLRGKL
>RCO7_03536 | mitochondrial 40S ribosomal protein MRP2
MSMFRSKKLDLGCFINIKVIRDHTKRKIFAEHEPERQALRYIIRNLTLPARTRAQAQLQLSQMHCYTRPSQIRNRCIEGGKGRGILRDFKMSRYNFR
VNALAGLLPGVKKASW
>RCO7_03535 | uncharacterized protein
MFRRLSSGLPKDPVYPTDLKGLGYFINDEDEIRSIDNEKAYFKFFLTKNDRYNCVQRESMNEAIRNEVSSRLTSLGLDKIRLPLGASANEPHLPIFV
SKDLSTKKNIIILFYEHTQDLGIFAHRIIGGKGGINEGSAINLVGYIQSQAFSSENADCPGIILANMGQLRWWRRGGKAVTQATWLSLPQKSAVDPA
YRFDEEKNTIPGNRSTAEHVNTIFNSVIEELAHPEAKLSLIGVSDGAVQISLFLNDSTNFAKWGKRIDAFASFASYFHGHEITNPAFRAWMTKRGRA
YVQSEEPLGTFLAGPEGAKKVHAYGAQVFSSGEPYYSECMLHKAGKAVVDWFREVAADPGYENPELVRLDFGGEDDEAGPQTWDAEEGGRIVGEVVL
EDGEAGKDRKGGDGDESGEKDEGNVKTA
>RCO7_03534 | uncharacterized protein
MGDGLVRRTSSRKRSVHSMKSLMTLKLLSPTVPQSESWPSSACGGQRSTFGTISSETQTSETRGKLNNPLGLSILPARYSQRDTPIYTEVGSPLPGR
AYYTSDDLCFCSSPSTCNEGCVFHEPDRQEDRINDDAARLATLDLLESRPTSLVNDAPRSSGLSFQCLGENVLPRQAARSSITLPKTRRSQLVRSEC
NVESWLSDAASEADQDVLACATIVSPKKAHMIHVSTSHSSTFSSSAHPRNFSLDTPSSTTLPVGRRYSWASSDDSPPDSPDGEWEFDDNRDRVPCKE
PEWIFPLKRLDLAMNSPPMSPMSPKVFPDPPAASRFSFSAMSAGIEVDEDPNLFTRWSFDSTTLEEKTNIDIISDLEDIVSDFPRNMLLPNTPCIAE
IRLIRQKTTQRSIFSPTTNSLDESHTRFLRDSKTVANFSRPRPITYLSSSKSTPMVQTRAWRSSYISSASTIHAHHNVPAPDLEPLARIFPGSSDYT
RLGLYAHILAHMFTTSLSPKPFNAIPSPQDSDFPFRRRRDTPYWGSYKAAGHRSSHNIRSSDTIFQIRIQALKANLRTCIFRLINNMDSNIRQADVF
GGSELMLRAVEEVVRASEKARFSSP
>RCO7_03533 | related to WD-repeat protein CRB3
MLTEGFITSILAQPKTANTAISQDIGIYFHELHPIPVIKSSLKKSSTRVHSLAANSTHIFAAQADKAVVHVFSRESKGPQEALISFPERIHSLTLLG
DGVLVLGTAEGRAILWEVSTGRQVSTPTAHLQPISCLAGNNSHLITGSEDSNIHVWSVPRLLSMTATETSAEPLRTLSNHRAAITSLAMGHSASGTD
ICVSASQDNTVVVWGYHSGNLLRTFLLQSAPLCLALDPCDRAVYIGFGDGSIQAVEFSSRAKKHNELYDKSLQNTPVQISLPSWTPRDGADSALCLG
LSYDGTSLLSGHTSGKILEWNTSRRSCTTELADLNAPVTNLLMSSPFPSRKLTKSLTVVKPKLGKSSHIFTGKLLGSIGSTSRAIESNGFPSDLLER
AISSFSTTSLTSSPSGDEQLQEEIAELWELVNQQRALQRKTWSKYTTLKSGGTVL
>RCO7_03532 | uncharacterized protein
MQYSTLITLAFATLALAAPTPLKARAAVLGKKSYNDLSVSGGVAGNALSEVLAKLPIDTANLANVDKADIAFLGEVNNIANDAETEKFNPAIAAATG
DAKIALQNGKIKNKVLKLEATVLKLKAQAAQGKDTSVKLAAESKKLDNNIALDKAAAGQPSTAVTFDGTAGA
>RCO7_03531 | uncharacterized protein
MCPIFKARDATISRSEKCTAPSDSFDIKIRIHLSSLASPKMNLPSLVSITSVEKTQILVHSLARRLLFKGLFSCQTQSAPYLLSRAESSGVIEQHFD
SAWVTRKVAPEVFMRNSFGGVHQGAGAPHYFGGQWTRIVLGRVELIGMEVQTTICPRTTSLD
>RCO7_03530 | uncharacterized protein
MEVSPAVQQRISTALTQFRTQMLASNRRYITNLLFVANCLPSKRRMRNFAASIRYGGPFPTSFKTPEQVIADPPEAAKWKLEHDGTWPPKSDHEITQ
FLEALEEKIKATFEQDDEKKEDVHVPEEYRALLGMCDGIWDVDFRRSGCVGIQGTNCIGDGVVGKNEPFQQIDKSQEQDHGWEIATGWCLDGNETVS
HYYFCCQRTSEGRGGPVQESEKEWKWRLFYRDLDSSEDATFRVFHSIPEFLSWFGNWYARDVEGEGNEGGDGDMEPESPYEAGVDYEDEDDEENEAK
EMQEYYLQEAARQGHF
>RCO7_03529 | related to short-chain alcohol dehydrogenase
MPKDNSNVVEAIRQSPPLILGPYDPAGVRGKTIIITGGASGFGEGFSRHWAAHGANIVIADISNGNPLAEEIRKAGGNALYVRCDVTNWQQQVDMFR
AAVKFSPRGTIDAVVCNAGITDTGNQFFEPKGMNMEEPPKPNFKALDVNLTGVMYTTHLAMHWLPLNEKPKQSSGEKAGRYTPDRHILLIGSMASLL
PIPGLVQYAASKHAVLGLFRSLRSTSFVQGIRVNLLCPYFIDTPLIPPIARALLAGGAMGKPDDVVDAGTRLMADNSIHGRALVIGPSVKIDGEWKL
LPESTPDVENHAVWEVLGSDFIEVDAFTRRFVSVLNAVESVRGWYGWGYDLLKMVAYPITSRMAK
>RCO7_03528 | uncharacterized protein
MRQNTYDDPYMTPPDKSPPAPPPSGRFRWARPRRMSFFRYRQNKIIVALALVAILGMIRRLPSTAYPLTKLSDDIDIYNSTIIPYVAFQPPESGKYR
APDIVDTFQSYKFRNTCNVSSLDLHTPFSPLCKDQTSMLTAMSSGGRIGHDAPYMPRGCDMRWFNTDEICEILGRFDKVVLIGDSMLRHIIGSMNIL
IRKDLGYGAVTDWNFSLQEKKECFCNEQFDVKACSVQGIYKTQDVMSHDPESVSCSNTINVIMDQIVRYPVPQDELDRLQEDLVRQSKKRIAVILGH
GLWSNLDLQSSVNWLDGVLSTVRDTLGKDWTGLFITPNAAGKEKPDDWIVTQGNKALMLYEEAMGIIVKERGIDHLGTWNMSIQSNKFDGVHLDMKG
NLVKAMMVLNWLNLVEGV
>RCO7_03527 | uncharacterized protein
MATSFLRGGFEQEDILPFSAERLKRITWTSPPYPTPDLEARYRLSNGKVKPSNIHMLDALYDHHMDPSPLADIAEPADFLKYMKDHADPINDYDIET
LPSVSNVVVRAVKRILVVSPAVEILKDESVEPSSPEISLQEMPTAIGIPGPDVSDVQGRDEEGSSATSSLESSIQRLSVAIDMPVRDALKVRERDED
NSSATSSLTNSSLAASSLRSSVATTSYGSMEKTSHRFGLYSTGKGPIINVTSLDDSNTDPNLQGTLSDFDASELHEKGDGVAVPIRSIGMPRPDPTP
RNTLIGLANAERFPGHNSLILKWYPPFVAVLGPQEPLSMLRQNVEAKALKLFDAGSRFEKLSTSSGICIPRVLKLDIHNRVLAMSDIGDWPTMKDAL
QRLAVLDEERDKRERENTTREIEEQEQNRQEAMQHERRERLKGGRERGEEEKAERMKAVKEKAVKEWTERERAGRERETKEKAEREIRQQHGRDIWH
SFTKIGNSIGEFFAKLHAPSTINRIPSQELLEFENLNVKEFNYSYRIQDLKCILRGAGIRDYSALMKIIIKDWKEPAGVDCFAIGDLTTESFLLQDT
DSLSLIGWKPELLLADHTLGLIGWQFAGPGRGINGDMAKLFASIRILTADTVVGDAKHFAATALLKAIIKSYCRQSRKLSPPDGHLSVDGQLSWNGQ
EWDRASREFPQETMAILRSAFIVYGRSLIDAAWAEYELCKCDSGPHPYEELCGVRGSLLGDGVWHIRMAGIDVLEFENNWRMVMEDGTSPLLGFVFG

E

>RCO7_03526 | related to monosaccharide transporter
MKAAFKSSDLTVPAPKEIYNWRVYILAIVSSMGAFMFGYDLAFIGTSITLKPFLDDFGLEHASVKESDAFAANIVSLLQAGCFFGSLLAAPLGDKLG
RRITLMITGTVFVAGSLMQTLSFGNTAAMFVGRAIGGLGVGAASMLVPLYVAEISPPSIRGRLVGIYEMGVQIGTCIGFWINYGVKLHVAPTSVQWR
VPFAVQLIPGGLLVIGMFFLPESPRWTARFKGRKEAVTALAKLRNLPEDHEFITEEIYRVVDQIDQERLATHGKGLIAEFRELAMPGNRNRITIGCV
IFVFMQMAGSNAINYYSPRIFKSIGLTGANTGLISTGVYGIVRLIAITITMYWIVDRFGRTKLLIVGSALACIAMFSIGGIVKHNPITANPKPEISA
SGYGAAVMVYIFAVAFCISWAGIPWIYCSEIFPLRIRSICVAICTAVHWLMNFVIARSVPYMLTNIGYGTYFVFGTCMALAVPFVYFFVPETKGLSL
EDMDALFGVTGADRHLFPRVDEDVEKAAVVVEHKE

>RCO7_03525 | uncharacterized protein
MYSLPAISAVCLALTRAVASAHYPQANLPNWNVRNLKTIETIYHLTVYPNNVPIVNNGASAVPAGLFNVNATGRISPLGNFTGFDDSTEYFFGLAPI
PSKSAGVGIFKADVVSYTSGCPGVAASVVYLHTTKFTENGTIDATVKPTILSQVAFWRFDSSGAVLQYNAWLPELAMWTKLATGVDTSNSFVQTAVR
STLCTQIQENCSGPNLQYNSTAGCNAIMATKEFGSYDEVWGDNVVCRNIHVMLTHVRPEVHCPHVGPRGGSPPNNFKCVAPDYTVDYFDDTRLYGSP
ETFNCDADAWAVDNSTSCPS

>RCO7_03524 | uncharacterized protein
MTPARNLNNKDQSLLSTPQAPLCHIVTPIGMLGYGFDAQTIHQCLSELKTNFPDTPTALIVDSGSTGSGPSKLALGGMKCPRSAYERDIGQLMRLSH
QFSVPILISSAGGDGTDAHVDEFLAIIQEHCDKIENEAYRFKTLAIYSNISKHRVFRSLDSGSVTGCGSSVPSLTIADIDDALTIVAQMGPEPFLDA
VNEEPDFDIVIGGRAYDPVPYVVFSTFHARRELGMTLLTDFQIGGFTHMGKVMECGALCATPKAHASMATVYLDGSFDIKPLDFGARCTPASVAAHT
LYEKSRPDLLAGPGGSLDLTATRYTQLSDNIAVHVTGATFAWVHDSGAPYTVKLEAAKMKGHRTIVMGGVRDPILIGQIDSFLARIKDFVRSRSNDI
HGEWSIDFHVYGSNGIMGSLDPGNIAHEPREIFIVGEALAQTQAAANSIASTARVGLVHGPYPGQRGTGGNLAMGIGGKMEIEMGPCAEFCIYHLME
LTIGTEGARKITGSQNGLRGDCDGPVFSWRVMHIGKGLASTSKSAGCFDTFQPLVKDKGITSKSPSTDIRSPRAKLIVNASMTLADIAPVIRSKNSG
PYDITLDVVFANPTVYDILKKSDLLNRTTIARLYHLNEADLNWCGFFDQALAFKATIPRMRNGKPISSGAYMETDVHASQQYAGLLDLKLGDKICEE
LSKLDMEVLD

>RCO7_03523 | uncharacterized protein
MTMLGKDDPMPPVVPSKYLENASKDASLQPNSEGSTVSRKTEKRLVLKIDLFILPLLAMVYFFASMGRSDLANASVAGMKEELGLSAQDYSNAANMF
LVGYILFQLPGTLLVRKIGPPRQFAAAMVAWGVVTALTVKVQTSAQLLAMRFLVGMAEAFIQGAVFYLSFFYTYSELASRGAIFYSMATLAGAFNGI
IAYAITKDLNGVRGWLAWRWIFLSEGVLPIGTSIFVWLLLPASPKEARIGFSEADKNLAVARSQAAHNNLEEKLNLRQIHKPLLSLTFWGFMIISCC
AHFATGSFSNFLPLIVKLFTVIVYACAFVGLISFGFAADKTNKRGLTLAVANSFTILGYTLLISLGSRQRQFAATCITAFGAFPSIILQMSWMVMNV
VGYTNRGASLAYSNIFSQMFSICGNQAYTHQRVGNVASLGLTVLSLIIALSLSWYLRFQNNQKRAEQSDLPEIETVKMNDLPQGVKHPNLRGSSGRR
QISFMLCLSQKVHVSGLISDITNTYHPSK

>RCO7_11747 | uncharacterized protein
MDEEAQRELDGVLKHNRKYRENAATDEERREGFPEDVVFAEVAEV

>RCO7_11029 | uncharacterized protein
MAKAAKTLNRNSKRSPPSSDHSSALDGRHKRVWKACERCRMKKTKCDGESPCKRCKDDGLVCTAGSRKKTEYKQIPRGYAEVLENTQFALNATVQKL
YTMVRNNEPWTLGEPELNARGQPVIHDIATKLGCIRASPDLPYAIPEGEDGLAYLKAQLQSAELDIKVECDGDRKQSQDSSYSSDFQRNERASSSDS
DGSYMSKNYSQRTWSQPQSAAKIVPPVPSFYAEVPTYEEARAYMTHHDLDTNSATSSPNFSNFPMNSFDNSSPFNDWAGHDELLGQEHALAITSQLL
AQQAQVPQSSPLARPAGFNTYPLCESQMNDRTEFTGSTVSPGMLNLSQTSSFWQMN

>RCO7_11028 | uncharacterized protein
MVRPDNLMVRPRSKYHPKEICKRIKNVIMRYNPFKEEEDLGPPSAHRHTVCSNCNTSVSYDVWGVCPRTPVDGRYQRKETRRAGVCKHCKGSDEIAR
VYCDPLTCEGCWRENGEEAVLKRRDRDLLRRGFVKKKNDMWNWAAPRIGGGKDFAAPWDMVRCGPCEYVDPNWPTRARKEWFKEDFRRRHGAEGPAL
VA

>RCO7_11026 | uncharacterized protein
MPRTLPIFFAAKVVNHTIRGSCSQQFRTYVTRVEGSIDGSSTEGDLSEGAKARATFSSQINAAPQPENQSVKPDDDIAPQEASVETLRISRSSSNPR
PENQSANQDSNVVASKRGRKVRQKATPPAFKIRKLGGFSPPDSYSAVYNKRRDEVSEDEIAQGIRERVMSAGWKIRKDKAAVHPEEDTLDAVKAGMD
AQSPRWKAMELDRIWRIVETRNRKNESASRTDGHTAETMDPGRNGPLSKGDKIETPDRTGKYSHTPSPVSKETDLVRDIPARNEQQVMESPRFTITK
HTVLRPRSLRVEQGIPIKLPVEPRMYESMPLQYDRRSKMISRPATSHIITPNSSTSSQQSIPVVSMFHANKPEAELNQKPEQKANPKERTPPALPPA
EPSLYISLLLEDEGEGGNAVDRARKSLGYEFKGGQEIPAWSEHRIFRHQPLSSHEKYTKHLSEFAAANGPFSLELQPQVHNPARKNASKITIRFEIA
GAGLENLVANLNAVLRADVVESVDPSTRPLGIGTVLAKAGLKTEEEAERLLESWVKECVTMRGRGSVLVKGLSLGLEKRTAIPDLEKREILEKEDRL
LWPETKVFMFAGT

>RCO7_11025 | related to aquaporin-9
MSSDSTAYSPTASPRAKDWAESHHHNEGQYGSGPGLRDPDSTIQNSDRAYAKHLEKQADIVGPSPATRRPSSPSDSPRDGHFEHRDERGSPSLSPPP
PNNKTDLAYHPSAKTAVSTESRKTQHQVDREHTVSTIRTKIGLSADAPIVDDHNVHSHLRWSSVRVMMREPFAEFIGTFVMILFGNGSVAQVLLSTG
QTGAPGGSGFGSYQSISWGWGLGVMLGIYVAGDSGGFLNPAITFCFCLFRKLPWKRFPIYFIAQVLGAFCASGVVYANYIPAIDQLEGHGIRTVPPS
ETATAGIFCTYPQAFLTKASQIFSEFIASTILMLVIFALKDDSNPGAMGKTGAGQMFPLALFFLIFGLGACFGWETGYAINLARDFGPRLMSYAVGY
GNQVWSAGDYYFWIPMVIPFLGCIFGAFVYDAMVYTGPESPLNRPSMGLQDLAIWLRLRRGEKRRSEKYDV

>RCO7_11024 | related to null pigmentation protein NpgA
MASENPTDKAMEPQIVQWFVDTRPLWPVAKSNARDEVQQLKIVAAEALSLLTEAEQSSVLKYYHLKDAKMSLVSHLLKHLIIAKCGVPWSRTILSRN
EKKKPVFKPESVDSHVLLDFNVSHQAGIVSLIAAVGFNDVTVGTDIVCVNERIQQDSEHISKHGFGNWVDIHADVLADSEVAAIKLTPINEETRRSG
TVIEKQLRKFYAVWCLREAYVKMTGDALLAPWLKELEILLVNPPNAKEGLDATSLEQGDRIRQFANYFQKKVVMDVTMELTPIGKHYMIAGSIHVPE
ELKDERAKLGKWQQLDFEKDVLAFAVASS

>RCO7_11023 | probable aldehyde reductase
MADTKFKLNTGAEIPALGLGTWQSSPGEVKKAVSTALALGYKHIDCAYCYGNEDEVGEGLKEAFASGVKREDIFITTKLWSTYHSRVEENLDKSLKS
LGLDYVDLYLVHWPVAMNPNGNDEKFPKHPDGSRDLVTDWKHTQTWAAMEKLVATGKVKAIGVANYSVKYLEELLPQAKIIPAVNQIENHPSLPQQE
IVDFCKNKGIHITAYSPLGSSGSPMMKEKPILEVAEKRGITPASVLLSYHVARESSVLAKSVNPDRIKANMDLVKLDASDMQILNDYAEGLTKSGKV
VRYVYPAFGVDFGFPDKS

>RCO7_11022 | uncharacterized protein
MHSLSLPLLFLVLGTSLVQGIWIPWKASITSTSTSTCDDNNDGEPTPIPNQTHPHTHTHHPIPITTTQPPPHPSTTPYPISPSGWTYTFPIPIPISI
PSPSPPTTAPSPPPGPGPIYTPTPPYPTTSSSSSSSTPTIIAPYPYSYPTISISVSPPPIPTSSPSPSFPPPTTSVEYEQGHGHGYTNTTLPFPIPT
PLPPKSTLSVSVSMSVGNNATAKSAKPTSPPVAAGAAERIVKTKTKATVAALVGIAALMASL
>RCO7_11021 | uncharacterized protein
MPSSASSTGAAKLESPTIKGVQCSVCEKKFSRTDHLKRHQLRLTIFEIIIPHVLNGRTIKYLKLLEAVEGPMHCTSMKLGCDGSNPCKTCRHKQIDC
KYSRLQSKAGLVRSETPKSGAESSQSDRGSINFLLNSGTASFIESFRFPSSHEHRNLFSSRNTEKSSSSRDVIDNFGNRSENESVPADPLDEESIDW
SLFEEEDLLRFLSSPFDGVPVYGPERSITGWSHTGGWEPPSPQSAAIVDSILAKAASLHLSPPEQAHISQNLNFLFTPSRIDKFVGLYFEFWHPHCT
IVHQATFTVDAAPIPLLISVVVMGAIYSQVDTEANTAKLVLDLVELYLFSLEDLSDEYEIRHMLRVPMSSASDSIQLSVLALQHLQAAYLIVCVQFW
AGSMMARKRVSDNRFSVLVKQEDSALLKHGMVLYVSAHAQILHFPQSLSLQLSPDSSGSSTPLASPNTSPPTSNISLIKIALSHWRSLWITIRSSIP
STAWARLGFFRNGYHYWLITQLIISNKRSVDVLLGMEVGCEDTLQQLKQLLKDGGGVEGLGAGLGNGSGNGEGSRMDVTMRDEADLVTTPQPRKW
>RCO7_11020 | probable phenol monooxygenase
MPVFTEYSTTSRDLRVLPSFAAPLPRLTPSYDPVGDDEKYEVLIAGAGPAGLFLEVLLARYGLPDKSLLCIDSKPTALKSGQADGLQPRTLEVMKSL
GLADEILTEGCQMWEVAFWNPAQDDNGSIERTSIVPDVAVASRFPHEVTLHQGRIERILEDDLRRYSARGVQRSTRLTKVVLDEAGDAEFPVLVEME
GTEGKRNVRTKHLVGADGAHSLVRRSMNFKLEGETSDFIWGVIDFVADTDFPDIRRRSAIHSNNGSVMVIPRERIATGEYLTRLYVHVQDEIKPDGD
IAEEEGVKGASKAEAKARRDKITMESILAQAQEVFKPYYIKPRRADAVDWWAAYQIGQRVSENFVKQDSKGVNRVFIVGDACHTHSPKAGQGMNVSM
MDSYNLSWKLMHSLNGLSPNSQSRNTVLDTFETERLTIAKELIAFDKEFSSMFSGKIGTEGTEGLTHEQFLKVFSTGNGFTSGCGIEYPGNSLVQII
TPEGLVMGSDHLSGVLKPGRRLLNVKVKRHADGCRRDLQDDLPSTGRYRILLLTATDLLTPSSDSCTTLSLLPPLIHIFPPSLIELVVLHALPSNTF
VWRDIPAAVKDEAEMRFYNATELEDAYAVYGVDRKKGAMLVVRPDGYVGCVVDLKTGLGGVEQYLRGVLRVVCEGNGGGSGSV
>RCO7_11019 | uncharacterized protein
MYQSKLFDRKVVGITKNREGSHVGLVVHEGEIPTPTKDHDWLYNLSYKWFEEEFQDDENSENEDKRAILAHAASMQSIIMLHDIVGYFLKDIVYAIS
EVQVMPARGQRSVLVFDSNNELEVSSLEHFILVIALKNNSGTFILDLCGAQYGFYQPISRFDEYKARGRAVGPPALFNGPGSIRYRTEHIKDEKTRR
GALTRLNLEVSQKLFVGAVNWEHEYGTPIAKMLQASPTMFENRKEGLLHYVAYEVQECLDKMTGAKDPFRYMGIGAPGPT
>RCO7_11018 | uncharacterized protein
MASPYLRPICARCGRNADLACSGYKNAPPVDGDVKIVYYCSPKCQKEDWQHHKGLCKRLQTRKGLYRAGSVLQEIFYMYREKLYEKFYVKIDKSEGR
LVLYEGQYSLSTPFITAPTDCLIPFPDTLCQTAEDKKSILVHLSCDDASAWLHEVLKYILVDIAVSIEEVRCVPKNKKLVITHVHPDQTRQDPNFEH
EIIKVKLQNGGEEYALDFSGAQYGYFEPVIPWLKYVESRVAHFASRPGFDYFGGMFDILRSMSGRNNVVEILFALNVESSRALLHGTKSWEAESKIG
ICSMLKLPFPQFKIKEKLLVDHIASKIVWYHERQREKNKKARVKVGYGTPAWIARHSRKKK
>RCO7_11017 | uncharacterized protein
MDPDHHPPSESAPITSQRKLSRLADILQELYYKHRQKSFDAGLSKIRFVNGIMFTYDSSGKDDALSIAELLNLCDGTKNKRTLLARFGCMEAVTLMA
DILMYGLVGLDCDVEVIIAKMKEPHRKFIRVDLYSVQLDNPPWHKFYRITLRDGITTHVYALDLSSAQYGYYKPLVSFETYMVERVEEIRETSLDVA
KWNLLRIVERAREMLRYEWKRVCAEIIFQAVKDWEWRGHLKLRNTLCLPEKEFDEMKVKLIDYVEATLAKSNL
>RCO7_11016 | uncharacterized protein
MAPISLDKHSPFNLDSSIMDNPSIMSNATTFDQIRMQGGEPQKQDKQYNSLVWLEAIDTGPEFKPDIRPRPKRKAFLNAEKSMVYRVQKKRGLKKAD
ADGKKMALEEAVFWAVVEPEDTEITEDFIKATGKPFEERSIREHEVINVYWRSGYSMDPVLGFENSEVTQRHLESRMYGMTLWSGNITPLTKTKRRA
LHYADDKQSKSFMSLRRKMSLSDQEY
>RCO7_11015 | uncharacterized protein
MQYSMLSVFALVASVSANYPAEDPQPQVIETYPAELPVVQPTTSTQAPPVPTTTSCPPAALTTTSAPPLVTSTMYETKQYTITSCPPTVTDCPVGGL
TSTIVTKTTVCPADGTPVPASSTSTPAAPYETYPAAPVVGSTTTGNVVAPYETYPASPVETYPAQGPPAGIPVPPYPTYGASTLAPKPIGTGAPIPP
PGGNGTTPIPANGASSMRAGGLLMAVGLAAALL
>RCO7_11014 | uncharacterized protein
MPEFIPCIFPQYVDQSRESNSERASELQIPYEIVLNASEKLLGEEHRETLKEHCFCFFIDGLDELDDAEEEDYSLAVRLRDWTLRRPAIKICVSSRE
ENAFMRTFPSSQRLQLYLLTADNMRKTVENSLENHDSFHEFVLEERKRFVKQIVLRVRGVFLWVKLVLRMLREDLSANQSIEELYRTLKEVPTELGA
PYTKMLTTFECKDHQEVAWAIIAVLMAIDPNNLEGICIFQHSYVEDYLRNNRFSEEMATTSLVMSQILSRQNIHSTNQPAFERPRRHRQ
>RCO7_11013 | uncharacterized protein
MDEERSGSFAQGTSRLSDFGGKLEEVLKANAKQSQQLALLQEQAESSRQSHDLGIETLNQIWELLKLSETQLRTRSHNRVLNALRFDGMEARVDSVS
RSESDTFDWCLTDKQVPISHPEPAISFQEWLIRGNGVFHISGKLGSGKSTLMKYLVNHAVTKTNLEKWAGSRRLIFAQFFSGNLDAV
>RCO7_11012 | uncharacterized protein
MVLATDDTTTSDAIGAQLNDEISSLQAQISALQSQRKLQVSTILSSRHTKATLIRLRASQPPSKTQSQTPSQPSETDITPLLAAATAQRAHIQENLY
RTCAGITTFRVQDPDPNAVDGGNVLGIRIDASGGGKFVKPYYVMLNKPWAGSELLRVHRHTVPVGIPLAALAERYLPNGKGSAAIGSKEVGFHKQDL
RRFVRALRREIAGFHNRVSIVKSLRREFRLDETESRKGKSREKVIIDISAADAETKQMRIEWIDGRIGRVVVDEKGVVRQCIVTGEEGRDWEIERRV
VGVRMEDVGEKLREGIY
>RCO7_11011 | related to acetyl-CoA transporter
MPTPLGDTIPSISIHSPETHLHNNPGLPLHRDPQFPHAQELDNLSSRYTRKSLSLEDTPEDAHLLEGSADEDEVDEVDEDNPMAKSKRPRSKEPKGS
SSSTGGENGYTNGSMNNNVEYRRKNASMDSPEVTSNLMGRESFSLDDDVPKTPTINNHGFFELPMQDRRNFGLLVLLYFLQGVPMGLATGSVPFLLK
PYMSYSALGVFSLASYPYSLKLLWSPIVDACWSPKLGRRKSWIMPIQMLSGIGMIWLGARVKEMMVTAGADGGAGIWSFTGWWFFLVFMCATQDIAV
DGWALTLLTPGNISYASTAQTVGLTAGQFMSYTVFLAFNSPDFANKWFRATPLAEGVMTLGGYLTFWGWAYIIVTLGLAGLKREEKTKNEDGIWDVY
KVMWGVLQLKNIQTIIIIHLIAKIGFQANDAVTNLKLIDKGFSQEDLALTVLIDFPFEIGLGYYAGKWSTTYTPMRLWCWGFVGRLIAAVLAQITVV
IFPAKGVDTWYLLVVIAEHIFSTFTSTVMFVAVSAFHARIADPVIGGTYMTLLATVSNLGGTFPRFFVLKLVDGFTVASCIPPAASYVLDPKLRGPL
ITSTFSCALGAEKDRCIQGGGHCDITTDGYYVMNIVCVIIGVVTFWGYIKPAALRLQALPLRAWRISE
>RCO7_11010 | probable transporter (major facilitator superfamily)
MATSIPSASGTKPKKGVSLLFQSPYLLGVALFASLGGFLFGYDQGVVSGVLTMESFAAWCGSLINGPIADKYGRKADMMLAVAIFTVGSAIQAGAIN
IPMLFIGRSVAGLSVGMLTMVIPLYISEVSLPDIRGGLVVLQQLAITVGILASFWIDYGTHYIGGVRCAPDIPYTGGSSTDRTFNPYVDVGPDGCTG
QSDASWRIPLALQIIPALILGFGMVFYPDSPRWLLVKERDEEAFQTLSKLRRLAADHPEIVAEVLDIKAAIMLENSYVRDNYAGLSGFKLHAAQYMS

LLANKSRFRRLAIGCSIMFFQQFMGCNAMIYYAPTMFKSLGLNGNTTSLLATGVYGIVNCLSTVPAVLLIDRLGRRPLLMCGAAGTCISLVIVGAII
GAYGDTLADHKIAGWAGVAFIYIYDVNFSYSFAPIGWVLPSEIFTIAIRSKAISITTSTTWMCNFIIGLVTPDMLEKITWGTYIFFAAFCLLAFAFT
YFFVPETCGKTLEDMDLVFGDTTAHEEKQRLREIEAQLRGVQILGNEVEKGSEERVFRHAEDV
>RCO7_11009 | related to ariadne-2 protein
MAREVDTDTLRRIRIERLDGRHLSQTQPVGRDRERASISDLDNTGNMAMESHTTLRGSRREREKEGVSEGHRRRHRDEEKRPRRSKRDGERERDGEE
AQFVYGAPEKKEPIVRVSETRRLGRDGDSSEEETFTRSKTVREKPREKKVKVVYVTKEELKAEKQRPPKVKTVRDDKLRGDEDSVRRSREHHSRRTS
VVEAPLPPSPPRRHTSTRILHSEARPSLKRSNTTTSHVPSTKLNMPSAAPTSPTAKRSSFIGSFFGPVLQQQHHEPEKLVECLTCLSDDIPRSKSAK
LKCGHRMCHSCLKRIFRLSVNDPAHMPPKCCTADHIPLEHVDKLFNIDFKKNWNRKFQEFSTKNRIYCPARRCGEWIKPGNMHKDSNGRKYGKCGRC
KTKVCCLCNGKWHSGKDCPKDEETNRLLAQAKQAGWQRCYNCRTMVELKEGCNHMTCRCNAEFCMICGLKWKSCNCPWFNYEAVEEDRLAHMRIPGD
RPNYNPMQLPQQPPHMVRIHRGLHVNADFMAMPNEPLDPPIRPPPGLERERQHRRDEAIARRLQRSTLNPDRHGRRDNENRRRGHDRGGGGDDGEGY
EDYQGGIGDIHGVGNNAAHYMNQDYVRAAQNILTGTFDQANVAANYVLGVANARGSGRNRDTGPPPPPAPTLLRRHTMRERDYNDTLPRERAAERVV
PRRSRVDYVAEAAVHDPLGREPPPESREERVGEREGRDRQSRGERAERGQRDSVLAGLGGRGNRVSAWRSFVRPGVEPEEGVISVVS
>RCO7_11008 | uncharacterized protein
MASLCSLHLFGEPLDDIIPFQLFGDFTDDIKRHILTEMLVISPRTITNPWEQMSDVRRNNSRGKRHPRNTFFNINILATCKYFHEIGLKLLYEQNTF
LFTTYSEMSGRTDICSLDAFLGATLTVHRPGQPGCKVRRAAMIRKVVIQYSDIDCHLLARKGYARPMVIESNRYGRVFNDPYITFMTSVLRQIFRLK
CNFSNLTVIVDEDDPNVMASLYRWAAISGGRGKKGYMAYQTSTSASGEPIFERFPWYGHHMKIALLSVLGCISPIEDAQKTRHPSGARGAKAIENWI
SAHRIKPTRIQYTGPFKKRVLDELGNLPDAPSVWDFCREDRQAVVVRGWRRSQLPILMFLGISVGSVLLRLLDMWKGIAVGLIGATIIVHYRFHLQV
AS
>RCO7_11007 | uncharacterized protein
MFFSKTLIALTVGFVAFSTASPVVKRGIVQTDTGKANIKPAIVADKAVIDVNGSPRSSADVGGTMGDIVIKVIDLVQGLVDKDLERRRRFTQETTAA
IAATFPGKTVVMSNVGYSLSCTPEALTSTKYKAKVGSDVSYDVLIIGAACKFNLEGDGGFENWAYVPAGTCKGDGKAINC
>RCO7_11006 | uncharacterized protein
MHRQTDIQERIQDIKCPKGREIKETGWCRLKDLCGGECRLCDQLIASMPILPRNYPDIYAEWRKKCQGSIYDLGCLTFSTLEEAQPDRFPIEDLPTD
LWIQALRVMLVSDEPITNPHLQNENTLDHAELLNAESGPITEGVIVKYNCFKYLRPNLMATSKRYWSTGMQMLYGQNTFRFTRLIHQAGRMWLHLTP
HHSYHNPNALDRFLTFKHCPIYMPEQLLNPTAHVNRSFLLQKVIIEGSDLDNDFYAKRGVSQIMPRTPTVRKYAYLFHLMKRFMMFGGNLTDLTITI
DEEEPEVLEQIAQEEYLQSRPPKEPGVVMTTRDKYGIIYKEQGNVLETTDKHGARKVWNISSSYFPAALRLSVDYIHVRGTSVVAGGDVRFLCPGSN
LMSSKGIPVRVTGSYAPTSRVARALVSCIAGYKANNWLWGDPTVSFTGKFNQRRLRDDGTYVSDDKLEAWVAKNAQEALEQAEAEEVEGATEQDVAD
MLNLWPFVHIS
>RCO7_11005 | uncharacterized protein
MFSAKLIAAAAASLSLMSSVMADYNPASQANVALYYGQGPNQKPLAHYCDSSSVDIIPIGFINIFPNLANGLVAENFGNQCWDGNYTGPGYNNNVNP
KNDFLYRQCPQLQEDIYYCQTKTKKKILLSLGGDGGNYKLNGAADGKFLAEFLWGAYGPIDSRLGKLAKVRPLDRGYNNNNASMTVDVDGFDFDIER
ASTDNQAGYIATIKRLRELFAEYKIQNECSKTYLISGAPQCPLPEGNMGLTIANAQFDLLFIQFYNNGANGCTARNWITKGDSVDGFNYNKWVSTIA
TGASKNAKLYLGLLGSSTAGVAGDYLTAIEAQTLINAYHGKSQFGGVMLWEATYAENNFPSSFPGKNYYQIIKQLLTQYAPAITAPATVCSTTVSSS
SSSTAKVSSTSKPVSISSSFTSSKITSTSSSEISSSTIKLSSSSSVVATSSSAVSSSTIEPSSSSSVPVTSPSSQTLPATQSISITSSSASPTSTSI
PVCNVAGFAQVTAITTFFNNDGSFNFAQCRVQCLMFGTTGTFASGGTLCACYPGSVVDTVTPAPLSEYIFSDINCLGGPSISSSSSSSVQPTSSSSV
LTSSSSIEPASSSSVLTITSSVEPTSSSSVLTISSSVESTSSSSVLTSSSVVSSIPSLTAQPTSSSSGTPLGTQTVSTTIFSPTSTSTPVCNVAGFA
QATAITTFFNDDGSFTYVQCQAKCLSFGQTFATGKTLCACYPGSLIDTVFPVATSEILFSDINCAVGPPSSASSSLVSTSSIVSISISDSSSSASVT
LTSQSSSTAAPSITSSADETFITPSFSSTFSYDSTTLTSSKSQEVTPTPSSSSQSETSTLSSSSEVVTPTQSSSSQSETSTFLSSSEVVIPTPSSSS
QYEITTSSSVELTSSTSSGPVITTTPISSSASFTHFSNSSTSAGMTKISSTEVTSLPTTSSTTTYTTSTVCTTIVSTITACPPSVTNCGVGSVVTKT
IPLYTTVCPVTETKTPMGKPSMSAVPTYKPTGPITKYTTSTVYTTSIYTITSCAPSVTDCPSKLGHVTTEIIIDYTTICPVTENAKPTPSTHSPAVE
KPAFIGAAIPPKLVHEHEQPTTVLSSTTTRYRTIKMVKSTATIIPVQYPTAVPYPSGPVGHIVGYPVGSRTAKPTALAQVTSSAKGAEGTKTPIPVY
ATGSASNSRSAIGVIFAVVAGVAAFIL
>RCO7_11004 | related to acetate regulatory DNA binding protein FacB
MSSSSPDASPTSATGGRRTFSISRDKFNIDLPSPRLQLVTNGNGVNGNGILHSPNPLKSPSTRRVQNFSREGILGSAQKARNLSQSSGDRESMTNGV
QHRATSDDGINPLKRRSTDAGIDYPRRRATIACEICRSRKSRCDGTKPKCKLCTELGADCIYREPGIKLDAGDKLILEHLTRIEGLLQNNLIGQASN
MAISTGSPSINGATTISNEDILMQSTSNFVSMIPATGLGTWTTPTNISTMPKVHTNAALHLLQWPLIRDLVSRPYDPQILLHLEMAREPLVLSKTPC
LDLSNTSAYIEAFFSKVNVWYACVNPYNWTNHYRIALSNGFREGPESCIVLLVLALGQASCSSSISRVPPSEDPPGLPYFAAAWALLPGLMTRNSVL
SAQCTVLASAYLFYLVRPLEAWTLLSSTSTKLQLLLSAPGRVPPGQRELSERVYWNALLFESDLLAEMDLPHSGIVQYEELVGLPGGFEPEEEESVG
RDELWYFLAEIALRRLLNRVSQLIYSKDSMASTQSLEPVVAELDFQLAQWYESLPVALQFPYSRAMLADPVLTVLRLRYFACRTIIFRPYILAVLDN
EQAAMDPSVRENCRKCLEASIRQLEHITAHHAGHMPYLWQGALSIVSQTLLLMGATMSPSLSSIIATLVPHMDTVDQIINNVVMEIERYAHLAPSLS
LSAEIIREAEMRRRSYLGG
>RCO7_11003 | uncharacterized protein
MKRRSLLRFPQATHPSRYWGTQNDNGGVQGVM
>RCO7_11002 | uncharacterized protein
MPEAGQTDNGDYEMIDEEHTFDAVNFDRYMSWKAGDGYIRMSIRTIRTDTDGKNMKLEQGWNVVVMKTNFRLVDRV
>RCO7_11001 | uncharacterized protein
MSDIQILDSTEVGTSDIINALNLLDRVYAYSIAHQLPSDTLFDKNVRKRLQSLHSPKLPGSIHSLLDKLDGVTDEEKKTLSSYCYKIENLAGGSDEV
IGGLEAHCKLMQVRNTTSKGEVIDTIIRGSDHKTIENVAKILDVIGSLAFWHIREKEARALATKRKHTLVSQEDKSDAATEMWRHLSSYNSKADRAK
LDERIKAGNRWNRFLVGKDVGMVAAVYPLPRTFGIAGDTRPSEESHALRIGAPRFEAWAIDIT
>RCO7_11000 | uncharacterized protein
MTNTTTIPAQDSQALEITCNDAACANPEDEAPSEFTYEDGVLKWDSTEIRDDDVITVINTLGGTAEYTIFSLEPERTTEEKAAEVEDTGKGASQTAS
PFKLRTTNAMILPQAFLDKFQFQGLPPYLQAAKDVYVLISALAGTGLPIPFFSEILHPLLRATSFEDSRYTVIKTKSSESVKEFTKFHLVDGANEGK
EQVVMVLSGDGGVVDIINVLLQGKERSSTYKTPTLILLPLGTGNALFHSIHATSSLPSLYIEALRTILHGSPKPLPIFKATFSPGSRLLSNEGQTAT
PLQDNTIYGAVVASHGLHSTLVADSDTFEYRKHGAARFDMVARNLLKSPHAYQTDVTFYQGSKETVLERKEHGYVLATLVSNLEKTFLISPESKPFE

RALRVVHFGPLTGEETMGVMLAAYDKGRHLKDARVGYEKVDGIKIRFREEKEGDDEGRWRRCCIDGQIIRVEEGGWMDVRVLEEGKEAICVVAT
>RCO7_10999 | uncharacterized protein
MKINRRVPPEGYFAVGDESIVRVEGKGKVERTVVFKEPQVALGRGEEYRVSGRGMWMGVWVGEVGEGREMERLVMSEEGGMRTGEWESNEIVVRVDG
EREGELKD
>RCO7_10998 | related to Neutral protease 2 homolog SNOG_10522
MHFASAAVALAVLSAFGEAAVLENEKRELGLEVTLTPAGNAAEVIATVKNVGAQDLNLLTPGTFLDTAPVQKLSVVDEKNAPVAFTGILRRMESASL
APKYFKFLKAGEVFTTTINTAEVHDLQKSGTYSFSAEGAMRFAIGESTELSGEAVAFKSNTLKMPVDGAAAALIPRAIDTTLDKRTVLQSGCSAAQS
ASTRNALSSCASLARAAATAATSGSAAKFSEYFKSTAASVRSTVAARLSAVAAQCGSTTSGVTKYYCTDVYGYCESNVLAYTIPTQNVVVNCPIYYS
GLPALTGTCHRQDQATTTLHEMTHAPGVYSPGTLDNGYGYAAATALSSANAVANADSYALYANAIYVGC
>RCO7_10997 | uncharacterized protein
MKSISLGLLGLAIISCAGAFPTSGPETETVSSSTLSENSLPEADGLSPAPIFQLEDSPSLNITEKKGGGGGHGGGGHGGGHGSGGGKGGGVVVVPGG
GSGHGHHSLAGKLLVKESLSLAVIAAGLVLGSFL
>RCO7_10996 | uncharacterized protein
MPDSKSTPFLLLTILTSTALSLSIPAILPPIASLKHDKESNKLLGAEGITFGCAASLGIGALFASIFLVWFGLVIYHSAAALFVRSDDLEELEDGRE
RRRKENSGDKMGWTRSCTAGSVLGTIFGLIFAIWGALFVWNMFDAVGTLRDLAGLGA
>RCO7_10995 | related to sulfonate monooxygenase
MPAKRQRTSDGPANGNYTAAENGHGNSTRNVSQYTAASDINDDPARVKFAYWVPNVSGGLVVSKIPQRTGWDHVSNIRYAQTAENVGFEFALTMIRF
MAGYGAESQHEPVSLSQALAQATKKLNVIAALLPGPWNPALAAKQIASIDQYTNGRISINVVSGWFKAEFTSIGQWWLEHAERYRRSREFMECIRGI
WTNDKFTYKGDFYQFHDYSLSPKPVSYPGRPHPLIFQGGNSTDARENGAHACDYYFMNGNTLEGFQEQIADVRERSAKAGREGEVRFGVNGFVIVKD
TEEEAIQLLAEIQGKADKEAVEAFGDAIKQAGSSTNDKKGMWADSKFEDLVQYNDGFKTKLIGTKEQVADRILLLKSLGIDIMLLAFLHYEEDIENF
GKKVLPLVRRLEAEGRGKSEEEEIERTGDVYKARKTEKA
>RCO7_10994 | related to Y.lipolytica GPR1 protein and Fun34p
MASEGSVPRHIVRQSTLEEASRAYPTSILDSTGNGILTPNGKPYPFFVPCTVKSTLGSPTALAIGAFSTTLTTLSFALMEWRGLSTTNVFIGNFFFV
AGVGMVISAQWELILGNSFGYTALSAFGFFYGGFGAILTPFFGVTAAYGNDTAEYNNALGFFVLMWTVLNTFFLIGSLPINLVYIGIFFFVELAFGL
VSASYFARADGLTDTATALAKAAGAFAFMAGLLGYYTVAHLMCQTACQFSFPMGDTSRFFVGKNDPAKGVQEIENAKGLGTKGDE
>RCO7_10993 | probable thermophilic desulfurizing enzyme family protein
MAPSIAETQVVTEPASKKAKPNPTTDPLIYEIHHQKFISDGLPSTAEEWIERARQVSDILAQDAPSRDIENKSPVAEVALLKSAGLLKVLGPKKYGG
GGQDWAVGYKLIREVAKGDGSLGMLLGYHLLWSTTAAVVGTNEQKERIQKLIIENNYFVGGAVNPRDNDLSITQEGDHLVFNGFKNFNTGGVISDLT
VLEGVYEGTENHIFAFVPTAQPGMEFAHNWNNIGLRLTESGSVRINKIQVPWNDALGWDTKTKAPNPAYLSIPFATLLLPTIQLVFSNFYLGIAQGS
LAFAKKYTTTSTRAWPYGGDNKNSPAEEFYILERYGNFFAHLRAAEALADRAGQEIAAVYAKHGEERGVSERERGEAAEWVASTKIVTTDTALRVTA
GVFEVTGSRATGKKVGLDRFWRDVRTHTLHDPVAYKNREVGEFVLLDKVPEPTWYT
>RCO7_10992 | uncharacterized protein
MSTVPKQKHLKRVALILVVANPDKIDSLVAAFKHENIVNVVTDLSEPFATKGPEEAIKTDTKQGHQFRPRPLQLLQP
>RCO7_10991 | probable Catalase-peroxidase
MAECPMKKSNIGMGGQKNRDWWPNELRLNTLRQHTSVTNPNDKDFDYATAFKSLDYEGLKKDLTALMTDSQDWWPADFGHYGGLFVRLAWHSSGTYR
LADGRGGGGQGQQRFAPLNSWPDNVSLDKARRLLWPIKQKYGNKISWADLYLLAGNVAIESMGLKTFGFAGGRSDTWEADESVYWGGEDTWLGNEVR
YESGSEGLKGDGIVDGDQSKKNHSDIHSRELEEPLAAAHMGLIYVNPEGPDGIPDPVASARDIRTTFGRMAMNDEETVALIAGGHSFGKCHGAGPSD
NVGKEPQSADISSQGLGWENKFKSGKGPHTITSGLEVTWTSTPTKWSNKYLEYMFKYDWELTKSPAGAHQWVAKNSEEIIPDAHDPNKKHKPTMLTS
DLALRFDPAYEKIARRFSQDLPALEDAFTRAWFKLLHRDMGPRTRWVGPEIPSEVSIWEDPVPTVNHPVIDEKDIAALKKDILGAGIDNTKLISTAW
ASASTFRGGDKRGGANGARIRLAPQKDWKVNNPSQLKEVLGALENVQKKFNEASSGGKKVSLADLIVLGGVAALEKASGASVPFTPGRTDASEEETD
AHSFTHLEPRADGFRNYGKSNSRVTTEKYLVDRAHLLTLTAPELTVLVGGLRALNANYDGSSSGVFTKRPGQLSNDFFVNLLDLSTQWKSTDTDTYE
GIDRKTGEKKWTGTRADLVFGSHAELRAISEVYAASDAQEKFKRDFIAAWDKVMNLDRFDLKANKDRARL
>RCO7_10990 | related to Calmodulin
MSERYLSEEEISILKHEFDQYDTDKGGNITVEEFGRVMKASGQNPTAEELAQIIKEVDLDGDGTINFDEFIAMMTGRSRAPPIEVTSPAKEAATEED
VDSEADLKSAWAQFDPSLKGSITAAQFRQLLAGFGENVTDAEVDELMNSVDGEDKISYREFVEFAKRRQVNGTV
>RCO7_10989 | related to rhamnogalacturonate lyase precursor
MVSPYRSLNGTSLVTLLPISCLFLSYALAILNATESTTQLTLSNSRLTATVKKAGGYISILTLDGQDLIGPNVDFAGAGPYLDCYCTPPSKDTPAGF
YIPGYIAPKYQLIKGVDSTNTPYGGIVMSDVYPPTGQIMEQYWFLRENETGLHTFSRLAYYNKTTPFLRNVQELRVLFRPNTSLWTHLITNEKTHAP
LPSKDAFSKKVVAQDATWYLGNTPEDPYVQQMADYFTKYTFQDAWRDHDVHGVYSDGSTSKDGSTFGSWLVMNTKDTYFGGPIHSDLTVDGIVYNYL
VSNHHGEGTPNITDGFDRTFGPQYYHFNKGPSGTSMETLRQEAVKFASPTWNAAFYDSIAPHVPNYVPSSSRSTWKAHVDLPLNAKKPLAVLSQNGV
YFQDNSLDTKAYQYWAEIDPATGNVEIPSVKAGTYRMTLYAEGVFGQYVKDDIEVITGEVHTTHARWREETAGKELWRIGTPDLSAGEFKHGYARTN
KPLTPEQYRIYWATYDFPTEFPTGVTYTIGESDSATDFNYVHWSVFGGYGNYLRKEQVWENINNWTLLWDMQKEDFERKREATFTVQLAAAKTAAGN
TDIYKADETFANLPYTVVVNGHQLEPWVIPYYHSSSCAVRSAVSCYNLAKKFTFDPKFFVEGKNEIILSLPANATNRESAVLASSVYVQYDALRLEV
M
>RCO7_10988 | uncharacterized protein
MWVLPDGTIKTTVDRRSYNRSSRDYMIVLLPFCRLRNIPLVSIKAPADLSASEGKYFKCMEKVMQRTGRFGDVKGPPFGSGEGGVSYWDDNNIQQMC
DDKYIDLEDELDELHGKDANMMRLERFMYWYNEDGTSEYVSEWERMNREQYAKVDPDYAADIDDRHDWLLTLNPMSKAMQTMRLQLQVPPCYRQSSF
SLSACFDMNKCARYFEVLERIKAMKDIWSSEFELVTSNSVIDGLRTTWSQKAWLEYYPLGIEPLIIFTPPHKDYLKVHSGMDECEHHKEEVVLDGSL
DYEDILDRIPRGVDRVLEQKKHIDFEVGERTRLALESLIKNPAEAGTIWDPRMVTYGVAV
>RCO7_10987 | uncharacterized protein
MNSPSQNLGLLAVLPAEIRAEIWKGLRPTSNSSNTMQPDIKDGIGILRACRQLNQEIIPYLYDDVFEIHVDPIWSKYLKIENGQGATWDIDNTRDPL
YEAFCRPQLNPHTGIAKSPYTN
>RCO7_11720 | uncharacterized protein
MSYIDSTKTKPSRALYFKSEERINALEEISRHINRIIDNTYSSYKNIDEYTSVIQASSVYLKQLKCEIPKPILASLIFKGLPSSFDSFASRKYEEIS

NNLSSIDIEGLIRDLISEEARINTSTDLQANRAFKGKNSKGSKKYGHYNKTNYIEANCYIKHPELIPNKSTKKKSKEVDVNHKLLEPVSFKVDSNKT
SKLDLYYKRLLYTNKEFIYKTIEGSKGLKIQKWLDLSNYSAYNSSKIHAISSTKLISDTPPLTVFDIDIAGPFKIKVRVLSSLTYVLINKRTNKFKD
KSDRGILVGYKSVNNFLVYIPKKRAIISSKNVLIKENLTFKNEVISKEELESFNKTLDDYETSNRSNRVISSPINTPKLDLSRAENSEKIDSEIANN
LLNKEKVIEDIELNLFNNIAKESIVPNVTTRSHAKDPNIALAIQNNNSKSDEEIKLLPNPERILIKKDPEVYKIKELESEYYEFKARFVAKGFK

>RCO7_10181 | probable syntaxin, vesicular transport protein
MAVSSIQDRTNEFKSVLAQAQKRHASSKVGAQRQSLLTDSQKAAAHGSSDGKPRRSDFARRAAEIGRGISTTMGKLEKLAQLAKRKTLFDDRPIEIN
ELTSIIKQDLSSLNQQIGSLQTLTRSQHPKGADQEGEHNKNVVFLLQGKLTDVSVNFKDVLEVRTQNIQASRARTENFVSSVSANVAPSISQSASPL
YSTPNRGSPGPGQDLLSLNPVGDQQLLMMEEAQPQNTYIQQRGEAIEAIERTISELGGIFGQLASMVSEQSEMIQRIDANTEDVVDNVQGAQRELLK
YWSRVSGNRWLVAKMFGVLMIFFLLWVLIAG

>RCO7_10180 | uncharacterized protein
MARPFPNTFDKDSPMSPQSAVSYQTNVNRQKTKKWTEAKPVDYGGDDWGDDDDYDQPPPPISKPTGPRQRQGQAGGSSWRLDSPVVDNGRKYGDLPP
LPGASTSRPRANSFDADDEKRNFSNSLNQPPLASNAPATRFPQATGAVTPRNASSPPLSISTQPSAQPPVGLRQASQISPVPESPHPNILMPGPGVL
SNEESFVVSPMSEPRTSSSTGDFHANRDFSPSALPPPHTTRPSPAPQGASDQTPSQRFPARQSSLSQVSGPPSDVVMSAGSQNTTPKPWTGARPASP
GTGAKSPASPAKALPFIRPADIYRRAEEDRRQSIESGGRPSMDSLVGTRGAPDNSAAKRRASSETDDGSESGRRPGPILEPVKERKSEYGFEGFNVN
DRGPEQSQPHIQQEGLPKQNLGVEDIRRQSTSPKLPDLGRMSGFGMDFFSPTDVEAISEDSKTTPTTATLSSPEQDLKLRSQPSFGFKSVVNQAFDT
TDDHSLPDTPASRSGNGVNRTDSESTGTGGISPIMSRVASTALPETRNQDRSTPAIMEAMEPDSPGKARNDGHGHTSNAPQAPGFKPGHRRDISTPS
PGNSPARTPDLAKPQHQPGSQHAFVDESPNVTTPTIEEPLHAPRPFTEREASFRPSLPGGWTSYATTAQSEFPTPGATGIPLNEGATRDDSEHDLTP
TTTKRSLAQSVSGASVLGATLGSAARGRHDHTSPSGAAKTEGSRAAVGGSSLVSPDATTSSTGHMRPSQALEASYLPLVNAPAETQLRPDAVNRPVS
SQATPPPPPPKDTTTNDQSHSTSDYFPTIPMARTSQDLESRERSQSPVRPQIIPTLGRDSGDYCEENDKLQEEIVRSLTPTPSHANAHATGAVSNRM
NTGILGDNRESSYLPSEYDNYWATTNNDKEDLANADAHKDVAEVRPLTASTAKSGLESPVPAPLSPHRHDESLQPPRPALQSRFSWEQSSENVIAAI
NREQGFLATGTSTRSPLANGLPGSVVAVEEGKEIAPRSRPGTAGDTSTEHHEVRNTAVVAGGAASAAGAAPVSYSDRPEEKSRRLSLAEEKDPRVTS
HPVSPTPPEDEHPSRSPQHSFPASPEAYQHSPAPPSTVSPVASSVHPFAPTQAAGRLLAFREIVAMKSPQERIKTFDETRSRFATMDSGLNDWIDKL
QGQFPDDHGNVTGSWVNSRASMPAGSARGKFTKAPSVGPAPPSQQPYFQQHLNASSPPLPSTPINGASTSRPSPGMPSGSHHGPGGSAGSKMTTQQV
QAKGKELLHTAGIFGGKAGKAGKGLLAKGKNKLRAAGGGDKVD

>RCO7_10179 | uncharacterized protein
MPTERKSPAPQLPAVSTGYDLGRVMSGALGSEHPDTESAGQTQSQRSAADAPGISQLASNQSPNQAASDPTIQGSDPEARDRDDLAIPAPISKSAPS
WDPYDATPIAEEDDFQYDSAGAGRGRPKARQSLSNPSALSVPVDENGTKSDRSNSTDAPFFDAPEESEDVGNDWVMVSPGPTAQKQGATTPALKSDQ
GIEARRQSLSRPTTSTSILDRPRGSFSNTTLSQSPPQLQAELETRRSIDAGLKTTSILNRPRGSFSNDTPPPVSPSKGMNVVSPFASPPSINPAQSA
QTVQQAATPPAPVVAISISVPGQREPSPKKNSQTPEKPSSSSSFLPPIRRTSTFGIGFGKRTPKQRFPIEEDGEISPPRVPSQYVDEASRTPSQPTP
DASSHHAGDVLAGATAVGAAVAAGLASHENVNVNKNEEEAAKARRRSLVENQRPLSFIETSNRRPSSQGPPGFSAKSEDFGPTVDINTLGIRDVRAP
TISDSTNHENSSQIHELATRRDGSLNRGENQRPLSFVQTSNPGRSSQEIRGFSDSGPADDTNTWGERDELPRNVVHPPLSGSSGRGRQPSFPPPGFE
ADDKPFRDTVNPVQVREKEVFDDEPEHYNQKDDTSSWGVRQEPPRNMVPPPLSGVSAKSRQASLTRPGFAADPEAQGPENAILPLDSRSEGLKQLLT
VDTGSWDQQLQSSIPTQVFQAENQASGPIDTKQDVNLTEPAQRSPIRTRDNSREPVTRPLSFQRTPPEKNGHQRKSSLPLSFTGEPEEIVPRARNAP
EENSPLGSDSRRDETTARRDPEKDEFHGPEQSAQQLLHYEILSSPSKAIFPPPQSNNILKNPEAQRSQVEWRPNRPKAAPKPVQQPSYTSELYNKEV
GPFAARTNSWDAQPPPRGYSGSSSYTQRQDSQLSEKGGWASPKPFEQPPSSAQRYPELFKPGQSQSQVGADITTNQTEADLPAHYYQAPISRSQAFL
PRQQTNEYQLPGVGPPEAATINPSRRNSGFLRDIGGRISRTSSRERRASISRDQDRDRMIPDRVLDSRGGEYAESGVMSEDVLEQKKRRASFFGALS
RNSFSGQSPPRSRDSVIAHHADSRIDFAGTPQPAPAKRSFFGGTSYTEKRAPKKLVRQSTTGSMMDMPARKKKEKNRFSTLGGFFGKPSPSVSKTQL
QTPMAVQQEQQREPYPYSQAMREQDQHQPIGSPQPEQQQDPRTSNKYSTPDKAQARAASQARRDALAKISASVAPPGQKQNETERRRSKSRRPSAAG
LLSSFMGRKSHQKNGYSTSDSRSQGTAGSSQPQTLPQPLLCQTYSDLQDPAPPRQEQRQESPFQTDQQEQQHILDQVQAQQREILFQDPSMIDESRG
RRVSREPHYDSVPIPGGYSLVRGQGAMPVQSEYDPKGLNQNRTSLQEQRIQQQEINRQYAQTRSVSQTNMDRIQSQQMDPRYAHTRSPSQTHPHDSR
LSFSSQRDSVLNQASSPIQQQQLHTPQFPDQQYRQQQGQGGMGMAHPQPQLGALEAYGRYSSGMGMKRISHEDILARSPPKPLLDQQRPYQLSLPGG
GMVEEEDDENGTLKQMASMASRNWNQEQSQAQSTSIGTANLNSHSNTRTSRSPQDPIIRLQQPPTLRHPESPAGYPLPEDTVFSPINPSAVSFPPPP
LPKDGYPSYQAQNQNIYSQQDQQRLSYDDEDIYGHDGDLDRSNTRRTAVSAVSGVTASIQGSTGSHNPNGAQSGGGTFGGLNVPHPHAYQDQRASRS
ASASGAGLEGRGLSPSPTPPSPMEGDDGQGRIRKTVVNRASTEDMDLYNASPRDNRRYEDGYPPNTNARSTAQVNSQLYQPGSQEHEHQERQRPDER
GMATGKGYTEEKIYYKGGVAGEMGQENGPAELEDHETSMSATSYPGQEWNPYAAGSWDDGVDDIAVGSSYHR

>RCO7_10178 | uncharacterized protein
MGYLNRGNGPGLVACTVIPFALTWIFASIRIYIRRFVLKLWKLEDWLFLASQICFSFLALCAFLATFHGDGQHLRSVASRDLPTVMKYWYTSELIYI
ITSLLIRLSIGYFLLRICYLRAQLLIIRLTMIIMTLGSILYFSFMVFQCRPVAFFWLRFSSGQGRCFSGRTMADVTIVYSVSSAVVDLLFGILPMFV
VARLMMDVRAKCVVGGLLTLGILAALSVIVRIFYVNDLVDPQGDFTFLTFKVAIWSIIEPAIGIICMAITTYRPLFKSLHERISSDERSGARSPGIN
GPMNIRNSYTSSNPKTNTMTRNHSTTTRPLTSPSPTYSPSLLRNLSRKNSRKGMLTRTRSTASNDSRSFEDLLEKEGMQRQLSVTGGRHRSSRNKDW
EDGSMTKDGIMRSMTLTMEVHRLDEKEEDMTLRSLPD

>RCO7_10177 | related to NADPH-ferrihemoprotein reductase and mammalian nitric-oxide synthases
MVTSQITNGELNERYALILYGSETGNSQDVAERLGQITERLHFKTIVTEMDDFADVVEKKMKSGEVRKIPTVKTDVLRKATIIVLVTSTTGQGEFPK
NSRKLWTSLLKKNLSSTALEGLNFTTFGLGDSSYPKFNRSARLLHVRLQGLGAKEFFPRGEADDQHHDGFDGAYLPWATEFQSQLLISFPLPEGVDP
IPPDVLLPFKWTHQIVAPEEFTSIKTIQPARDIQNVTQEPSAVPTMDRKYIHPDDTGLPDAIECPQLKEPFPQEDLNVDPPFNRGLLAVPVIPRAHL
ATVISNKRLTPETHWQDVREIVLAIPGEEVYTPGDTVTIYPQNFPEDVQALIDLMDWNDVADVPLRFKVGGPAAFFDAFLIPPRPKGLWAVDGCTLR
DLLTINLDITAIPQRSVLDIFAHFTDDPTHKERLLEFSNPAFTDEFFDYATRPRRGILEVLQDFRSVKLPFNIVTSVFPIIRGRKYSISSGGIQKAY
EQWDTRIELLVAVVNYKTVLSKVRRGLCTRFLAALPHGAFMRIHIDHEPKFYEDIEKNIKIPLIMVCPGTGLAPCRSLIWERADYAVTPDQLGHTYL
FFGGRNREADYFYEEEWKDPGLQVRVAPAFSRDDPTGKKVYVQDRIRQFGDVVVKAVNRGAVIFVCGSSGNMPKAVRAAFVDVFATHMFVDGDDRKA
RAEAFVKRLEVANMYRQETW

>RCO7_10176 | related to single-stranded TG1-3 binding protein
MSTIVEKVSDAVNDVTAALTNTSISDKPAETTTSAADKSASNDAVLASASEGRRLYIGNLAYATTEGELQDFFKGYLIESTSIPKNPRTDRPVGYAF
VDLSTPSEAERAITELSGKEILERKVSVQLARKPEQNAEKGEGGAASGGEGASGGEGRRRQSGRGRGRGRGRGGRGGRNTGSARGEEGAELPASEVL
PLTETTNTAETKDKEVKDTKDKTEKAPRVPRERRERGPPADGIPSKNKVMVANLPYDLSEEKLKELFAAYEPSSAKIALRPIPRFMVKKLQARNEPR

KGRGFGFVTLASEEMQQKAVTEMNAKEIEGREIAVKVAIDSPDKTDDDANAPAAEAATEGTNGAAETTTAAA
>RCO7_10175 | related to ADP-ribosylation factor GTPase-activating protein
MASKAMWEVDPETRSKLLDIQKTNDNSRCADCGAPSPQWASPKFGVFICLSCAGVHRGLGVHISFVRSITMDAFKAVEIERMREGGNKTWRNFFDDA
DANKQSGVTWDDATIAERYSGDVGEEYKERLTAKVEDREYIPVVKAPPSKTATPRSQTPMGRTSSPSLSNPSLGPASKAKVDDKYFAKLGAANDSRS
ADLPPSQGGRYAGFGSAPIERPTQEAKLPGLEDLQRDPVAALTKGFGWFTTTVGKTAKTVNEGYIQPTAKNLADSDIAAQARIAAANVAKGAQTGAK
SAADNFNRFVEGNGGSGGGGSGAYRSMPLDESKKDFWDSFADAGNSRMAAQGGVGGSGGSAIGTGAVKKSSSSAPAAKPKGKLDEDNWDKW
>RCO7_10174 | uncharacterized protein
MAPIQFGVLMIPYQMLDVAGPLDILSSSSKALIEPYEAAGFPGMEGLGSKAIDVVFHHINTTMDPVTMTSGCQLVPTTTVDDCPPLDYLLIGGPDPM
TFKLNEKFANFLRKHVAAGKGIFATCTGALAICTSGVLDGRKATTNHMALDTAKQLRPQVNWVKDQWVEDGQFWTAGGACAGMDMFSHWVAKNYAAE
VAAIGLQGLDFEPRDIKGNRVLKAEQAT
>RCO7_10173 | uncharacterized protein
MAPLTFLWSLLTLALSTPAFATLVYDPSTAKQDLETIQTLKHHITVDPQGITKNWNGNNLCSYKGLFCDKGPDQKTLTLQTIDFNNYNLGGDQLTLS
GFLEKFLNLLVIHVANNRFIGQVPDLSAITYLCEIDFTMNKLSGLFPNSVLKLKYLTYLDLSSNMFHGPIPKEVFEYSYMQDLFLNNNEFTGVIPEE
IGSLQATYLALGANQFTGPIPRTIASAPKLQGIDLSENQLSGAIPKEIGSAKNFTYFDAGSNKLTGGIPEVVCQLKTLKMLNFTSNYLSTPLGPRCQ
ALQARGILDVTKNCIPGAHNQRPSAQCSGQH
>RCO7_10172 | uncharacterized protein
MFIFAGIASIQSLANAGMMLLGRMNVLLYLFITVLSGGPVHASVHEVPLLAKSTGTQAAPLPADTSCPASQNNYSNLLHAIQPEKGITCPVEYDFGY
SNGIPSIASSSSPQCIAVPGSSSSYCVFAFPEFAQGRGFVIIASPWIAPAIESAAATFRPSVKANDHEYFYEKPLPGRGIGLISNHTFRKGDLIMAA
TPLLLVQEHALSELPEAERHQIQQLAIAALPLQSSEKFLDLAGHFGGNRIEDILLTNAFSAKFGSNKEGFGIVVPEAARLNHDCRPNARFAFDTSTL
SHKVHAARDIMPGEELTFSYLDEKQTYSARQEQLEAHWGFKCGCKLCSASEDLRVLSDNRLRRISVLRKTLFSFTPENFETITPELVLELVSLYESE
GLHGAMAEAYMVTSFWYCIWGDILETKKWAALASKNWLVWHAAGEKNQQQMKSLTRRPEDHWCWEAKKKSEM
>RCO7_10171 | uncharacterized protein
MTSLGLTVADADGILDKVQIFDDGSRYERLRPITDFRKDIGVARILYLCRRDPNDLNSTEDEEAEKTLVMKVKVQVPCAEMKDPIDGPNTETAAELH
ALKTFALKEQKSVPQLVKCRFTDYRTLGHETLPSPVLHYSRQSLLKISWVNLSTIAGKKQSQGTHSLFPGGYLVITIMTLMPGKTLLDLGFWSLPLE
VQTLIRTAFLATLREIWSEGFAPYDRGLRNILWDEETGQCTGLGTDEREGEMELWGIMRRPALDWYSEWAVSAPPRKAR
>RCO7_10170 | related to YER185w, Rta1p
MGAIPADYNPNFICSLATCSVKFWGFVKYQPSLPGNVLFLVLIDLLGLAHLILGAWYHTGTVCVAMVLGLAAESTGYVARILLHFNPFYRIYFLIYL
IDLTTGPAFFAAAIYLTLGRIVVAYGENISRIKPRTYTIFFIGCDFISLSIQAVGGGIAASYPITKPKMIDLGTNILVAGLSFQVASLFAFMACAGE
FLWRVKKHPHLRNPEFAELVNSRKFKLFIGAILLATTTLFIRTIFRSVELSEGFGGKLANEEGTFMILDGVMVLIAVICMTIMHPGYAFGDRWNDVS
FAFWGPETSMTYEARSQMIADRANGRANKASRAEQAQSDLEARRAARRHSMMTGGRYGSNSEKTRPEVSVLAAPSAQ
>RCO7_10169 | related to sexual differentiation process protein isp4
MPMPLSDPRKPSSTTPHCSAHPHTSACIHPTPSNSGHTSHVSAASASTPDSSYVYIESRDIPLSTFYPTKSTSALESHRYDGPKDDEELDPESTSAI
LRQHIRDSADADDEAEVKQDLGLNPFHRLAGLMSKAPLLLRSAPGFGTGSYGAVPVGSSTETSDEEDMGMRKKETQRKGSRLRNAMSFGTLGSSKPG
NSRKRFSSARRRSSTDEDDVPLKSRLGKGGIPPPNSKQDPASSADFCEDPTNESPTTNEEDPPDNSPYAQVRASVSAIDNATLSINTPRMWVLSLLF
AILGSSTNLFFSLRYPSVSITPVIALLLVHPLGLLWDRAFKRRDDPAEEFLDGFKVASQPATGYEQMGKWRRSRIWLGQGRWNEKEHSCVYISSNVS
FGFAFATDVIVEQTHFYNQKVSITYQLLLILSTQILGYTFAGLTRRFLVRPGGMIWPGTLMSAAMFTTLHKEENTIANGWKISRWKFFFIVWAASFA
FYFLPGLLMPALSYFSVITWFFPKNVVVANLFGVASGLGLFPLTFDWAQIAYIGSPLLTPFWAAMNVVGGLVIVMWILAPIAYYKNLFFSSYMPILS
SAVFDNTGNVYEVSKILTDDFLFDSEAYHKYSRVYLPITYVLSYGLQFAALASLLTHTACWHGKDIWRQWSRSMKEVGGESKAAYQPLNGDGGRLRR
STSNMENIISQEDVHNRLMKRYKDAPMSWYLITFVSMTAVGMFVVEYYPVHLPWYGLLLALGICAILFIPIGIVMAITNQQSSIYLICQLVCGAVFP
GRPVANMVFVTYGYISSAQGIKFSADLKLGHYMKIPPRILFGVQMAATVVSSITQICVLNWMFNNVPKICTPDAVNGFVCPLARVHFNGSILWGVVG
PKEFFGPNATYHALVWCFPIGAITPIILWLYARNRKGHIIRKINLPVLFGSLSWIPPATGLNFSVWALVCYLFNYVIKRGAGAWWAKYTMTLSAALD
SGLAFGICTVFFGFVYPGFMDGFKWWGTEIYKRGCDWTACPYKVVPEGTHFGPDSW
>RCO7_10168 | uncharacterized protein
MCLFALLYNQGNLRPFPLHKAHPSMYWVAVFFNIFVLIQWIVILLYCLVLIPKRIIWLIREGERRRILSELAKTEHYKRSEKIMDMCFPWLSYEEFG
TDEFMSYLDRKFGMMEDAGMFGDNGAVLHELSWGHLEDDPFVGRMLESKKSRARYRKNLIVEELQDLFGKSRGPFVANEGYASTYRPRLEEWRKTQA
AAQDFVQRPWFDTSDVETPFPYGPSILSPPTTLGLVSLSITLPSLAVIVTDASLVKTYKTSVGIDDKQLALNHTKDNDLDVLSRG
>RCO7_10167 | uncharacterized protein
MSCSSLCLLRKLELYNKRLLNTNKEFIYKTIEGSKGLKIKKGLDLSNYSAYNSGKIHAISSTKTISDTPPLTVFDIDIAGPFKIKGLKGERFFLTIT
CRGSRAIWVYALKHKANAVLSSLTYVLINKRTNKFEDKSDRGILVGYKSVNNFLVYILEKRAIISSKNVLIKEYLTFKDEVISKEELESFNKTLNDY
ETSNYSNRVISSPINTPKSDLSKVENSEKIDSKTANNLLNKERVIKDIELDLFNDIAEEIPIVLNVTTRSHAKDPNITLAIQNNKRLIQEQKEAYSV
YKNVINLAC
>RCO7_10166 | related to G protein coupled receptor like protein
MGLHYEQIQTLIVIERTTASISVVATLSLMTTFIFIKGFRTLSNTLIFYASFANLFANVAALIGGSALRNTRGALCQFQAFLLQMFMQSDPLWSCAM
AVNVYLVFFRRYDAARLKKLYWYYGALCYGLPFIPAIFFVFYKNDDNGKMYGNATLWCWISNQWAPVRIYSYYAPIWAAILATFMIYVRVGVEIFQK
RSELYDAANDPNCASATMASSTDQDKTPIFLPPIPPFSGLRTTEIQVTNDPWTSQYDTTTPSFSRSGSEKPPSPQDLYSITIVSSPPPTKPPHTNHY
NLTRQYPAQIPSQGAVTKRPSSIDKIKWAYTRCALLFAISILITWVPASINRVHGVRYPGYPSFALNIGSAIVLPLQGFWNAVIYFATSKSVWGEWV
ERSLRKFRGSKANSWEGKSVHLGRRREGGEGGVGVGGGGALGGGRKGDSTLELSNRSSAGSMVHSL
>RCO7_10165 | uncharacterized protein
MAHISGFGAFFIIVLFVLVASCIGWVIYTHLRARRLGLPQPTISSYNPFQSSSSSGAFGSSQGSGGVVGWVKTKLGGLKKRNNRSAGGAYEEPLSSN
VRGRASNRGFGPLDPDDAWDARVGTEADAYGPGGYYEEQELGLHGPNERAGRGLAPTSAMAPPAYGDGGARGRSLSREPEPYIGGSQAGLDRRYDEE
MGRRPTQQSDPFDDAAEVPSGSLRGVSPRPIEADGKESKPKESLDSPTERRSMFRENV
>RCO7_10164 | probable ATP-binding cassette sub-family F member 3
MALTTEEAAITTLVSCKQTRFHIENPVYQELDIEGLNITVASSRQAATTARSKSRASAEVLEILSNATLKLKAGVHYALIGRNGTGKSTILKAVAEK
LIPGIPIQTRISILQQTSSDGSEDRTDITKSLRNIEVSEKSLSVLEAVIDRATSKSEIQREIDILSKAIDTPESAFSPLRALRRVLHDRLKKELFEH

DKDARLRSGTRGMAARKALIAFEKKVADVNQTDEEIDEKVVKEETQIASDLLVDLQSQMETGRIVDIEVKARKILFGLGFPKSHLMKPVSTLSGGWK
MRTNLACVLLQPTDILILDEPTNFLDLLGIIWLQKYLLQLRDSGPDPPSVVLVSHDREFINTVCQELIVLRDQDLTYFRGDLTAYDHSIRDKKLYLT
RMKEAQDKQKTHIQNTIAQNIKQGKAAGDENKLRQAKSRQKKLDNRMGMEKSATGGRFKLNRDLAGYHLTARAEFDIPLEDRGVSILLPPPPDLRFP
GPLISLENVTFSYPVLKNPEPKAPPVLQDINLTIHTSDRIAILGLNGSGKSTIIKLLAFTISTSPSTTKGNITRHPRLRLGYYSQHSVEDLQIIGRA
TPPLTALSLLNSDVKGELDEGEVRGLLGSLGLAGRTASEVPLMKLSGGQLVRLALARILWKSPQLLILDEITTHLDSHTVTALVDALSVWSGAVVVV
SHDRYLVRRVVMGERESEGSENEDEGEGEGKDEVARRRVVYLLKGGELKFLERGVGEFEESLERRVEKLLDSRSRI
>RCO7_10163 | uncharacterized protein
MPNSNLLGVNINYPSSYSALAVSAILTHYGHSDIPIGLRGPITNETFFDDYFYELGEFTSKVTYHWSNDSIPWNKLHDIWNPVSLYRKLLASQKDNS
VTIASIGFFENLSGLLNSTADEYSHLSGRDLITKKVSQLVVMGGRYPSGSEYNFFGDDPLATAHVINTWPSQVPIVFSGGEIGENVQSGGLLARDAP
EDDPVRAAYRWYVGYNQTRSSWDPLTVLYAVQGLGDVFEYGNTRGYNHVFANGSNEWVFDGKRRDQKWLRLKVDNVTAAARLDQLFLEGANIKSPRA
>RCO7_10162 | related to RPC31 DNA-directed RNA polymerase III, 31 KD subunit EC:2.7.7.6
MAGRGRGRGGFNPGQLKGATWEYDASAVLETKPSELFPPHPNLKKPAPLTEKELREINNYRTLQAKIHRGPLYTQSTKRNAEAPSKTFSEAQVNAQY
GGSAKAEMDPFTGVETYSMRYAPKKNTVPKLSDAPFDKSLFPEELWDTLDGKAGLEVKKQISRAMQKKALLLSGAGDNKEKTKLMLEKINDAVDGAD
DEDDEDEEEAVQDSEFEDDDGGDYDAEQYFDGGEDGDDDDDGEGGQEY
>RCO7_10161 | uncharacterized protein
MDDVPITGLEELESHLQHLIDSPETPLSAKLFDEVELQLTDYNIPPLIPRLLPNLAQILLTYAQDPSILASLAIKLLRPIQFTQALTLASEDALIQA
LRSPAPSANMLAITVIEKATRSPGDAAILSIMKSLVENFLQTWLSTPDVGVAEKASKTLGDLLEVDCDRNLSTRIDTKLGGLRLAPGQGLLWRRIFQ
DRDIYQLLFSLCSSTTTGVGEGQLDERQKSLAQARLLRILPRLATLDFQTITRSQFPEVEKSYEVEQPGILYFATVHMVNKEEDMLMHVTLIDFFTE
FLELMSTTEISQPIMDYLAALVKKVAKEDPIMYEQLQTIAMSEETAETSPELVDLLLKLNEYS
>RCO7_10160 | uncharacterized protein
MVRPTVSHLLLLVSTIEAARYPFPALRRAPAAIPALAPVTAPVLQRNVLVERVPEEVSVCSSVDLASSSSAMSASFASFTSSFEASVSSAMAESSSS
LSSAIESFSSSVEASASASASSEFPLSTSYVEASTTLSEEVTSTEAFSITSLEPSATESVTFTVPEPSSTVDESSTITSSSEASSTEASSDVLSSTF
LSISSSEPTSVEFQTEISSSTELPTSTELPSSTEIPLSTAEISSTEIISSTLSEVSTSEIPTSTAEPSSIEELTSVQVSTSTEGLVSTITSIEESST
TIPEASSSAFESSTSDVQASSTVTDFPSSTIVSETSDIASTSSAAEPTTTELVTSTTEDVRSSSLETSTLVTSVSASITLIDVVTTTIIDISSSTTE
LSTSLIETSTAVPASTSEPVSESPTTTLDAVSSTSQSDFPSTTEAATSTLESSSQIVSSTETEGKFSSNTEVSTANVASSTSVFAESTSEAMIGSTS
TAVESASSTIVPDETSTIEPSSTEIVPSSTTIPEDTSTFHASTSGVLPSFTTIPDESSTVETSTTDVTSSAVGLEATSTLLSTTDLVASSTQAPKAS
STSVVPETSSESYESTTSVVPDVSSTITPEISSSTVIQVATSSSLASPSSDVPGISSTAVPTTSSLVSSTHSTSTLIPVTSSSSVLISSSFRTSSTT
FSTSTRATSSALTSSSSAAPTAALLNGGWESGAFNKYWDQAPEPFKAASGPPKIKKSVDTGVSSYGAKYLETTVEDGHSAWITQIVYNILPLTEYKL
SGYGQLAVAPVKIKNGPTPPVCKLEICEGYTSKCSQLKSLNANSFVYAQTQFKSKKTQSLVVFQVKVTCPLITAGNVNTVYLDEFRFAKV
>RCO7_10159 | uncharacterized protein
MSKNATLPQKANNGFATTSSSIFQRSTTPFKQCATALQLSNSAMTDYNKLKVPELKAELKKRGLLQTGLKVALVERLVAAENEEGDESEATIQALDS
NSAATTSPEGVSPVLGSATDDLSDAPQSISEALEAQADTAEPVQVIDDSGGDLSILPPSQPASTIESSQPVETKDVHQSDLPSVEPTEAKEDRQKRK
RRSQSPPPSAAETARKRFRPNDENDAIEAATTQSDGGLVEQHAVDADDPKAGGHAFADESHNFTTEDTKMDEGEENHIDESQEPKADVNMNGITEPK
SEGESHESSNLQQEPKSEIPLHETSIAVSTTMNEIHESELEPERNISPAIHPATSALYIRDFMRPLNPTQLQAHLSHLATPPGQDHDEDVIIKFFID
PIRTHAFVSFTKVSAAARVRSALHDRIWPEEKTRKALWVDFIPEEKVEEWIEIEQDSKSGGRGGKKWEVSYNVEEDRHVTTTLHEVGAIPGSSQSVR
VPDLMVSSPSSMHPVRSINIPTGPAVLIATGTERLDVLFKCTTVKPALYWQPVSKEVANKRLDHLEEALSKDASAGRPISGDPHRYTFEDGEILVDR
GPEIFPGIRPPPGFRGPSGFSTRSIGGSQSRGSYSGPHKRGGEQGEGQLVVATEMEVIGVEGDIVILRIGIVIGDMIADLREITATLGDIDHTMREH
IIFAFTEFMAMFRATFATEVQWRDAYGLEAYIWIFGKWKAAFSLLVGTCTGRYP
>RCO7_10158 | uncharacterized protein
MPPRPEKRKRGRREPPKDEEALAPTSPPPVSRFSAINSSQATAATIPIPQPRFAQRPPPPPPAVPSASTPGPSVHGSMSFVVSSAPPGKVAIPALKS
SSRIHESSKAQKKGRTPHACDYCRKAKAGCTGGNPCARCLNANVACVYGDGKRDKDKKRLTKLSRESISLSRHNDDVIDALRRIRLDSKLSTEDIRS
ALDDVISMTPTPVSPGDDEENALRADRDSSEAEDDDDEAASGNEDQDMEVGSTGSLDVTNLDTDRDDTRAIGHIGKSSSVAWAKRTVNAATEREGGS
KKSQPGLIVGSYHTEDADIREIDTTHDNYLDWPIPEVADALIYTYFATVHPCFPIIDKTDFMSQYKQFDRASAEYSTEDCIWLGTLNVIFAISAVYA
HLVGSPSEGHQSDHLLYLARAKILCFNQTVLFEDARVHTASALGLLCLYFITTCRLNRAWTVCGLAIRHALTLGLHMRNRADELSDYDKECRVRVWW
SLYSLECLLNKLTGRPSCISDRDISTPLPLNIDEEELWPGNKLYASPEKDTLNSGPSSRNSPEDSRGSRDHRMHPSATYQMPVGSSQPLEYPFPVLT
LPTTTSSYFIYRTQLSIISHEITTQLYCAATIKESWVEVQETVKRIDKRLKAWRDHLPKEYMLDFDRYDEPDWNEPRVLPRMGLAMLFNSSRMLLFR
PCLCKFDGRMSAQSEKSMSFNREGVKMCIHAARTMINLIGWTARSVEKLYAVQPWWPTLHYLCEALSVLMLELAYQAQHLPHEAGDILDDAKRGIRW
LIMMSEESISARKAWEIFDSLVRIVAPRINWSVYDLPDSAPMPSSYARRGPSNVSGNSTFPTAQQMPRSDVFGFARFDQGMDLSQTHAPNPSTASWA
PDAFAFQPSHTFAPPIYGQELIGNPLDHHRAIEMFGSIGSLHGHYDDPWQHFFVGGVGVVGASGVAQGVHGRGLATGIPTTTRTVLPNEGLLGDQMS
GQGPGAGALGVGVGGGQNMVVDNVVSGVEFGSGFVGLGGMGGGGGGRGPGSGPGYL
>RCO7_10157 | uncharacterized protein
MHFTNIFTASAVFALAQAATLNKRSNLGASLLGKATFYGGNTQGGKCSFSTYTIPSNLFGTAIPGDDWDGSANCGRCVEITGPPDSAGKTSTVTAMA
VDVCPECVHYHLDLFSSCFSTLAEPSKGIIPISWKYVDCPITSPITVNNKEGVSPYWFSMQVLNANTKVQSLEVSTDGGNTWKPTVRQDYNFFEISS
GTGTSAVDVKVTSAGGDPIIIKNVQIAAGKATTASRNFNQASPPPPAASKSALAPVQTSTSEPAIPAPTYPAATDVSPVTTISSSETCTSTTTVHVA
EATQTTSQGIPTPSSSTCSTSSLPEATSTAAQEVIVPTTTCSTPTLPEATSTAAQEVIIPTTTCSTPIPSSVATQVSTYNAVVTSTSLADGQATSTC
STTPLPTSLYSVVPIPSKATTAGTIVSSVVAHNTSVPRPTGPPPIPSNDATSSIQSLACMGLVTFLATFLLI
>RCO7_10156 | related to RNAse III
MSRQVSIPVVEGIIEYIFNNKELLWSALHAAGSREGGNDGNKTLAMLGDAVLKVVVLDDLIITGASRGNPGIISQRTNNIVSNQNLAGICTTTGLAQ
YINGNPSQWGEEQTKTKTATIEAILGAVFLDSGKKIDCVRTAMAALGLDARVG
>RCO7_10155 | related to integral membrane protein PTH11
MALSLLAESWTWYALACLIVITRYVSRYYQLGSIKAAQADDYIMAFVFCFYTVVITGINILAHLDTNLMLPEEIPLLTPESIASRIRGSKLVVLVEQ
SMIMTQWGCKICLLLLYNKITMGLKAHFAVKVVAAYAITGWVIMEVLYFGVWCRPFDGSWAVPVKEAQCATGVHHMTTNAIFNISSDIMMLCIPLPL
LINSQLPKTNKLILCVLFSLGIFVILCAALNKYYSFAHPWSIMWTFWYVREASTAVFVANMPMCWSLMRRIFKLRAFNGLSSGAKPGRNGYAYDNRS
KTKSQPVATSYTNVGRSVAMASKAEGSRVDRSERQGGGVNWWEGKTDANGVKLGRSESEEYIIGNGGKSAVPLEIWESRDVTVDRGSVRDAPGVVAC

VTTPGLVRPKPSMNGDNIDRGMRTCMYDGTEKAFSNRTTVTSITGGHLPTGRKSESDSSRSGRLSR
>RCO7_10154 | probable carbamoyl-phosphate synthase small chain, arginine-specific
MFARILRPAAFKPAGGITKFTRSMATVEGSVGRAMPAVRPRATPISHDRATFTIRDGPVFHGKSFGAKSNISGEAVFTTSLVGYPESMTDPSYRGQI
LVFTQPLIGNYGVPSSARDEHGLLKYFESPNIQCVGVVVADYAEKYSHWTAVESLAEWCAREGVPAISGVDTRAIVTHLREVGSSLARITIGEEYDA
DQDEAFVDPEQINLVKKVSTKAPFHVSSHKGDMHVAVIDCGVKENILRSLVARGASATVFPYDYPIHKVAHHFDGVFISNGPGDPTHCQDTVYHLAR
LMETSQVPVMGICLGHQLLALAAGARTIKLKYGNRAHNIPALDLTTGQCHITSQNHGYAVDTPTLPAEFKEYFVNLNDGSNEGMIHKTRPIFSTQFH
PEAKGGPMDSSYLFDMYIENVQRYKNNQAVYPATGKDNRPSPLLVDILGKERVGVAPAQPAENLLQANEANMARQAAAA
>RCO7_10153 | related to cyclin
MAFLDTISNPLVTPSQITTSQSLSKLPIEIQDSIRFYTARLTQAAGRLLRLPQDITAKANVLLFRYWVIDGFGFGVSGGNEQGDWEFSDISAATLYL
TAKISSSPRSLRSITNIYAFLLSPTGSAYLSSSPSSSSDDKSNPETYYLSESAYISQRNHLMHLEGQILNALGFETKVVLPHALAITYLQTLDVFNT
PAKGKELGQQTIACLNTALLSPQMLYLTHQPTALATAAIYLAAREIGVKLPETEWWEVFDCEREELGFLVVAMGSLKGWVEMEMKTRSWGTSGMVRR
ADLEYLRTANGERGQEEDEEREMARMLDQRVQGEEVVA
>RCO7_10152 | uncharacterized protein
MIPQIKHPEHTSSLSADDFPHGPPSSPASNALSDLIDASGHTFEPLEDVDVNVTTSNKDIASPSTITWPLTPMFPFLFGQKTLPLARPSSSSQRTVI
IAISGCSSAGKSLLSKLLSKVFSDFKDIPARIIAQDDFFHPKYLQRMLSFTSTEADAKFVERSIRDDELGMYAISKSGVCASKSSNSLATCTAGRKI
PLYHVTGPNADCDEAVDFVGLVDVHENLKATGDVRQYGKRSPSDDSLDEFTGLIRKMKEKIGTDHPRGLNFVFVEGFMLLAPPPTYPFTSSADTTDN
LFNISDEITKIETLVKRLEDISVELIAKHDIDADLECEREAIEAQIWKVNLASKTHMQSIFDVKLFLVTSKDEAKRRRFKRPIYKAPRKARGCLDRC
GRVRDTLKRLSGKDMRRATAGCSTTRREEG
>RCO7_10151 | related to ariadne-2 protein
MSLLTRTRSADMQPALPSEYNDADYVTAVLQLEASQTEAIFDETLAKEAAGLGIIISRPATPLDGQNTYNSVCGSADTVLSHHRTASSVSHGSASTG
MTSRSSNEQLDGSIPTQHHARKRISGRRSLSFTEYEKYLTLQTSTIPLPPPLPAEPAPSLFSVSTRKSYVSIKNGIKSRFRLRRVKSAADDMNSCIC
CRDEFKKSSALQTLPCGHNYCDACLHVLITQAGNDESKMPPRCCTRAIPKIVIKTVLTKEEQNIFMKNVLQFSTPWESRIFCPNHTCGEFIPKRNRI
DPKHPFEIVCRNCRTKACSICKGSAHAFGQDCPSDWELDAVLQIGEKSGWRRCYKCRNLVELTQGCSHITCRCKAQFCYICGAVWDPVVGCPNYCNG
EEELERRRAEEEARMAEEEAEKAAKEEAEKLATAARLEAEQRTSQSPELKALRARQVDEQERFLAFERRMKWVMWTRHGQSKIDTLEKYDELLQKMK
ERHHRTSAHLEDRQVAAEMELRASLKQQERSVQIRLRHMEAYCDGLGLSASGGNPARVVTERDLRELGQQYNVRDDLDRLHQSKVNVMRDKQAKQME
QLLVRQEEELEKLGNKQRDELDALDSGFVGDEDVFLNVFEERRRRLRRRWTLAEEIERKRLGLMKNVSFAPMPEVEWPDVEPKQEQGLEAVNE
>RCO7_10150 | related to 4-coumarate-CoA ligase
MGREIPTIEIPKTDVWGALFERIDREFPDDQGVGNCVPFLALEALSSGNRPVWALEFCRRRLLDGKRKRKRKGKGKGRVVINGQSSVSLPYSQSDCS
SEFNWPSPASAITKMLLVFSPLYVSLSFDPFFNSSLTVIYLNPLTSRQYTYASLLFTTQSLGTYFLSSSSFRLQKGDVLALFAQNCIDTPAVTWAAH
YAGGIVSPANPAYTVRELVHHLRDSGAKFLFTQEHLLPVALEAARECGVPKGNVVCMGEGKEKPDPRSGVRWLQDLLGEAKKIVEENGIKERVKVDV
ENDLAFLVYSSGTTGLPKGVMLSHSNVVSNLFMLNSSEGEILHWKKDKVLSVLPYYHIYGLQTLIHLPAYAGFTTVVMSSFDLKLFCSIIQNHKITY
TYIAPPVVLHLAKNPIVNDYDLSSLRMMTSGAAPLTRELIYAVKERLGTEVKQAYGLSETSPATHIQKDYSNGLGSCGPALPNQVIKFMDSDGKEVE
AGKEGEVWVKGPNVFKGYHNNEKATRGCMTDDGFFMTGDIGYEDERGNMFITDRVKELIKYKGYQVAPAELEGLLNSHPQVVDVAVIGIHDASRESE
VPLACIVVKDGTPSTQAKQQEMEKEIVDWLASKVANHKQLRGGVWFVDEVPKSASGKILRRVLKDRAKDEGRDERGKKEKARL
>RCO7_10149 | related to poly(3-hydroxybutyrate) depolymerase
MALKSLLLLASLSLITALPSSSDSPTKSCGCGKALPVAQRPAGGDSHQVQFKQSDGTARTYLIHIPSNYDVNTAAPLIFSFHGRTKIASSQEELSQF
SNEEWNPNAFAVYPQGVDNQWQGDPASKGVDDIGFVSDMIKHFTQRYCIDTSRIYAAGKSNGGGFTNTLACDPQLSKQIAAFAPVSGAFYVPDSTST
SCSAQTISIPCNPGRHPLPMLEFHGSDDTTIPYSGGARRGVCLPTVPHWVREWSQREGYGLTNQTTGSYGGRVLKYEYGGAAGKLGIVTHYVVDGLG
HDWPSKGPNGDSDEGTYLDATPLIMDFFARYRL
>RCO7_10148 | related to GRAM domain-containing protein 2
MSFNLERSESPQRSGLAQLFSKNKKKKDRDSAGNSINSSHSALEDTIDRLKRPEVIEIDADPSKIKKLARGLGSKRRRRREEEQQVIEEVARGRQVA
DRGTLDDNADISPFTEDAPGGDGSSLISYDSEPESSLPTKPSLATHPSHAGYLTSSSPLIQTVTIPESALLTSQLDGTTLRAATFPDIETLAASAST
PSLLDSTLRAPKSGSEKRSPSPVGRLKQAFTPKRGSSPNTSPERQSGGGGLGTSKEKSAVDNRRGSVASRIGSIFPEKQAATQPTSVTNSPERPRTA
KLQTIDANAPPSTPPPGENPAPIIVNTPPTPTNSSSPRFGHSRERGSSDPIPPNANIVVSPTGNMISHRRIRSGSITLGPSKLSNITSAPLTPTFEI
GQNNPGTGQGNGFFSSVFSAAQNAANTLSNSIGNTTVPPGNRTKSGSHELKEPESPIVETFAGKEDLEAPTEEKELAVKTLGMGDLSLSALGISEPS
SDSNTPLGIRIPEQARGRSESVNDDRPVAASAANSEFAETTSTAGIDALQPLIRPRSMYEPGIGGDQTPPNGSVFEGKTNIHRSGSIRSAIGHRRTR
GSSAATGTTIGAAIAAANNSLSNPSAGAQKTTGFAVASKKRNRDFHQLFRSVPDDDYLIEDYSCALQREILAHGRLYVSEGHLCFSSNIFGWVTTLV
MSFDEIVSVEKRSTALLFKNGLMISTLHAKNVFASFTSRDSTYDLIVGIWKLGHPSLRSSLNGVTIEETGGGDKTEKDDGNHAPDSQSGSESGSEED
EDGDDIYDEDEGNEDGMSFIQAEGSVVGSDAEPKVVSRKPSAAVVTNNAPQEKKEEDPKSPGADFPGPVAHAATECTDQETHYAKVIGDEVIQAPLG
KIYSLMFGPASIAWMRHWLTIEQKCLELTMADESSKKPLSQENKVRHYSYIKPLNGAIGPRQTKCVCTETLDFLDLEKSMSVTISTQTPDVPSGNVF
STKTKYCLSWAEGNATRLQMNCAIEWTGKSWLKGPIEKGANDGQVLYARDIIASLKTAVSSRRGVLVPSSGNKKGKKGRKGQKLKDMSRTTDGAADS
KPAGTDDWGMLEPLHGILGPLASILKPLVTSNIMYGLLVGLLVASWFGFGLPGRKGGRHGGNQPMAYFGTPDRIAAYEEIWRREESELWQWLEDRVG
LDGLRDPGQMPIEARTMEGKLKDEKMEEREIEDAIRVTEEKLRVLKEVVGKKKAKVKISEQKADEMET
>RCO7_10147 | uncharacterized protein
MESSPLILAHDHARAASVATQSSDTTVAINEHALAAGEFAKAASGTGSAEALRTLHLLEQHHQRLSELLRYPSEHPPTTTTTEPEVRAVSEKPLSTS
AAVAELRASKSDLGPRSSSPLRNPPSLQHPRRLPPRDLSSSIASNLASARGIRANFTRQPLSPSVSTQQAAGGLEALPRKDGKRSKVSDSIPENSQP
SWVPPAVVSPKKAEQNAAESTTANDEGFSRFYNTFESILSKLSAPLAFAGLPLISEEQESAPEVAKGAKIRPTSKERATPEPDLTKFISRAALRASA
REGQSGNDSFYIVPTAGGTIPYAAIVSYSEKEKRRLAASMHSENNDLFATPNHNTSFDGDDDFVDARESFTPMPASPTLVRGSSRKISTRETEHKVE
ELDMENKSLKDCIDKLSKRLHAFEMSAQQNTTALQESIRLTRNMSPARDSSFSSPISGRNPNAAAENEDMKRRVLELEQHVALGGKEIERLGKDNEK
LKAIIARYRDRWEKLKEGAKTRRDGAGKEGKGEGQGRKDSPGLGMYVAG
>RCO7_10146 | uncharacterized protein
MAYHSFYKSLLFLCLAAVTFAGRRSYDEKAYRYHEPRGRNVSPMKHERSFDFLEAEPVVPRQNNIKNLDGLDGLSATDTFFYEGEHWTAYESLTSFD
GPLVLVSASGKRREFPRHVEATALESLNSTIEPLFGLNPESVYTAQNDVIAELLLKDGKGEPIEEHVRDITTMVFVQSWDTFLGNVQANDTFRINQQ
GETVNYRQSYDVPDGLDGTHSIKWWDSLFGWRPMSRKVFRSDNDPGDWIELLSFADVDSQDPKIVHVWFQTKYIKGGVVRQKNVALDYEEFLPLRRR

PTVTQFYTALMRWADYWESKLSDVIPLTLPDQTWADMAKHSFAIELVQRPSGVSSQYGAYDRFYAGSEYDGFQDIFTTSLTANLAWGRFAQAKAVFE
NYMDWYVYDNGDIKMRGPEVGQFGMSLSLIARYVHYTGDTALVEKNKGKILAWAKLLTDLHDEGLKLPRTDPAYGLLSGWSESDAGLEGNSYIWVRE
YWNNGAMAARGFKDLSKISLFADHAKDWTTRAALIINQTSVTINKWTEYNLKPPYVPIIANETIHAREALTADTNGTSPQRWAHRVYAELLQASVLS
SNQTNTVINSMQAYGITSFGGLANVDTWNNSTRNIIGFIGYGYALSLLLQDRTDEFVLYLFTNRYRIYNRGSWIATEVAGTGIDGGGSTYCQPAQFG
MPIVLRAALLFDHPDDEVLFVMKGVPRRWLSKGDVGIQNAPTKWGLVDFHTKMDVTAGRVTTDISFHRAPPAEVRVKFRVPQGKTLKAATIDGKAAT
IQGEEVIWKTSGAVARNVTIVGTF

>RCO7_10145 | uncharacterized protein

MASPWVQGGGSADKNFEGANYQTQEEYAPKRTFGQKAKRHCAKFWWLHLILFCLIFLIVALLVVYVGMPKIAQHDVDDSRLEFREAFFLNPTADSIQ
VTQKAVLRNPSTFTPTLDPFPAELFLVTHGTYAAVSMLTLPMPGIHAKKQTPTSIDNVVTKVNSIDALGDYAVAVMNNEHITTALVGRTKLHLGKLP
TQKVTFNSTSTYKGLNGLKGFNTTDVLINPGAAPGTPNLRGNAFIPNPSLMTIEMGNVSLSIAVPIKGVSTVVGNATILDFKIVPGDNRLPMFGIID
NAKILPALVDGKVNMTIVGQTAVRNGEHLIYYEKSLQSNVLVLEMNVQQVLADSAAAAKAAAGAGNSTTATNTPLLA

>RCO7_05568 | uncharacterized protein

MQDPNHDHHHHHHRHHQYPNPPEYSPPGQQIPPPLSQLALPEHSWSSLPPLAPRPQPYQEYNPQSFNSQHFPLEYSVREQQYSNSLPVAQSYQYPTP
QQSFAFTPPAQEYPDPINQTFDPRSASLTHCALPDEPLPPPTPSRSAASSLLSKFLPGVSTVHKMDQITRSPQKVSRIQPTYAEPATPYPPFNASPN
QKTPDYVDLSSGDNNDTIIVKQAEDEAKIEYAPAKSSRLRVRKPNMSLKALENIENKTPKRSRSTKGGRDPIADLAGVNLTPVVSKRSEIRQEIASK
TAAYRNRFLVENRDLFLPLLPAEHNYVGKLVEKHEQMTTEETALLPIITPYKEIDKQPRGIKATMKPYQLSGLSFMMYLHRNGLSGILGDEMGLGKT
LQTISLIQYLKENDPKTGTGRLQRPFLVVCPLSVLSSWMSEVKKWAPSLKAIRFHGPVAERQRLKKVVVGEIDMYGNLTAQAKQKMKGRKKVGKIIS
LDTDSEDENDIGVDVVVTTYDCFKAEQAWFKTAFVWRYVVLDEGHTVKNHASLTSKALHGIKAEFRLILTGTPLQNNLSELWSLLHWLYPEVFIDKT
NHLFDTSFNLSKGQYSNTVLDDSRRLLELIMLRRMKTSPGVELNLPPKTEVLLFVPLSPMQRFWYTRMITKADQGLLDELFKGAKTKEEETMQSLKM
VEEREAEIMKIEADALAVLENDALIGSDAWKETKAILEQTVQREQTEIQDEGKRSDWQKLMNLLMQLRKVCNHPYQITNAEPDPYETGDHVITASGK
FIVLEKLVNELVVKQKKKILIFSGFTKMLDLVDEMLLLRGGDGSSFRSMRIDGATARARRNLGIRQFNNMDSNYRVMLISTRAGGLGINLATASDVV
LLDQDWNPQITLQAEARAHRIGQKNPVTIYKLVSQGTVEEQMMGRIQKKLYLSAKVTEAMQDIHTKFGTGKKSKKGPAKDDDNMPQLNTNQLMTLVR
RGASAISRPEIDVNEMLSWDWATTVLKCKDQPADVNVKKDAIPDAKVDEEAERKWLTEMERVESSVFDGKKLSKGARHNTNKDIAQEFFKKEDRRIG
KNTTVMVDGFAISKESMNCAWGEAIPTMAGKDPRLAEPKRAKKAAVVPQEHCQICTDGGELHCCQLCPRAYHFDCLEKDFQVKAKGWQFNCPQHQCF
DCHQGTQDAGGMLYRCRWCERAFCEDCLDFEQTALIGDTLMEYELLGFPGQTQAYYIQCPPCTNHFKENPADLAVIDTLAEGIKSHYDHMFGDGSGG
QENSTRAGSLTDATTVETNGVNTPLVIEDDDHYDTNGSSKKRKIKLKIRDLKPAKKERLGP

>RCO7_05569 | uncharacterized protein

MLTTPNGKCGDAPLALPGGHCRGGRLVSSLLVSDPSTQTLLVAHATTRHATPRHTTSAPHPHHIRTTSAPESHNPFIPTTNVLVPVAVPVAVPVPVP
VAVPAPLLDSLDSTRLDSTQLDATRAPLHQSSAQAQPPAQTHAQVDIMSSTNTTPRRGANNTNNSSIPGTGSAAGLGSGGKACRFCGRQFAKTEHLI
RHERCHTKERPFQCSICGKNYSRNDTLIRHRRTHGSNTATVPQDVFNNNNASTTNDSSDVPPTTPTSSRMPSHRPMSSISSSIAASDFTGAGTDFNP
SPVDFNPIGGEMFGHQIYTNNPVDLLPPGGFPQMTSVGPAMPQIDPSLTGGRVNDLGAGANMDFSSTYLDPALQQYPPPSDMNGFPLGPMPYTTPEI
DQFQSWYFTSDFDVVAFNKQFKVPTAAEFFGLGRSIMLKSHDIPSPDTGGELSLNTAWEQDLVPSTDFMNLAIQFFLTRFNPIFPIFHGPTFRPADH
TSLLLLSIASIGSLLINNDQACLRGAKMFETVHKTISESWAIADSLPLNERNSFIQAALISQLFAYLCGSPRYLALVKSFHVNLVDLARRSGVLDIT
RTLPDVTGKAQEQLDAAWNSWAREEELSRTALGLYIHDAQFASTYHNAPILQHNALRLFVASTDELFAATTPTRWSHLLRLSPDVSKLSTHLHANQL
EHVDTAPLSKELSCRESRYSCYVILHSIGASIHASKIQGKLTPKQKHSYEEALICWYHAYEQTRTTQDPDPLCLMVLYHEIFMTLLVDFSQLETAIG
GSTNASGVDAIKYARTWSTSIEAKRCIIHASLIHRQCEGIPYHAEPALHVPRSMFLAARAWYCYIQFDPSNTSLPLTSSIPQQQQQQLTYEESFNIP
EVKMFNIDPMQYIPAVNGFGTGKPQLTEAATLCRLADLLDQIGRWGLARRFARILRGLIYGGEVTGGLGGGVGQAVVGI

>RCO7_05570 | related to f-box/wd-repeat protein pof10

MQPQSTESSTHTPELNAPQIPSNPQHGIHSLPEPPAVPPGSREEQLADNSADGITESAALEEQQDLQEQLRGLNVSNADEDRPKPTFQLISEYENAL
SPVPPRKLSDGPTFKVVKKKGQRDGGPQLENFPNEVLTHILSHLPAASLSAVSVVSRRFYNLVTTPHAWRTAFSRFFPGQDAIEEPATTNRRGSDLE
AREQLRSETRLFTRLTALASWRSEYILRTRLLRSLGRGKPAQIAPGHGPSSRSNSAANNANAVVTYNSQLFATINHIHAVFGSGKKSPRFIHGTDET
GTACTSDPNVGKIDNWGLSDPQALPQFSELFVGDLPYGEGDGCAGLPNSMDVSQPYGMVYGEGFPGGQSYFRSSEEMRGRFLSQPSDISVPEVGIPK
VPGLVEAISSVWIAKSSFVPLMTDGLVGVLTGSTLGVVTAYSLGADTTSGRRITKGQLTAKWVLSPGVPIISIKVDDSYNIKRKAAGRVWAVALNAL
GEVHYLADTPASALLDGKVEDVDSARHPWTAGRTAYWNLAEPSRRQAREDPYHEAEIHGSYSPRTSSKNQRLSRAQMIAETFEIEKFLSYRPAHFRK
LCEGWDMRRRLEVDFAGDDGNGAGEALFVIKCGLANGEAAEIRRYTRWKSEQASLDEYPLPKTPPMASRTATMASLFGGGTVISPPRNTSPDPSQKA
SIFGGITAITPARISSPEPKTPSSPARASTALVEEWRSSILSLKDYPSIEITTTTIDMSTIALLTVGEDPLRTVNGTSNFSSPLATPAHQDTSSSTH
IPGLRARFLAVGTKTGSVIMWNMRGPQSTNPGIVNELHPLRTIYTDSPEISCLAVSALYLVHGGNDGLVQTWDPLASTLQPIRTLNSRFSSRARRRL
VQAQASTFGVGINLYAAGAIAIDPDPTVLRGMVSLGTHLRYWSYSSSAADQYQSKKRRLRRGERGSNGTSDRFTNTGRGALMDYIATEQDELKKEKI
RRSREDARLQNRFGVGLGGLSEEEALRYAEMVSAEAFQKEEDERRSSDTGYFGDINESSTSASAWSSSATVTPASSPPRRKQPDSEFESDLEEAIRL
SLLDGVDESGRSPKASGAGEYEIPIMIKLGQAGKKARRSPSTSPSTSRNRKGYGRGVSNSPDRGLSLVGGRKSAVAADDLDFALQLSLAEERSRLDA
AAAAGASDVDVDDFPALEGPEVQGKGKGRAF

>RCO7_05571 | uncharacterized protein

MALYDTSLDSNGSPVMYTTWYSLPSDSSTSVEATTTTLATITTSEPIADSISSATKGTNASSTSYITGITTPPADISPSSVELPVRPKTVDIYTLPP
TTSNCSSLTPGETLTIWSIVPNTTVVTVTVTDSYSTTLLPTPEFTPPTYCPELPPLGAMPFIGTSNPNDATDSAVASSSTDTLKPLAPMPAPTSTRP
TITVITTSKNAVTITTKATLPTFPGRDPPEKQTVDPGMYTDSPQLDPLQPPPLTQNPPGDVTTIVNAGRDAKTRVTFVRDSMTLVVSPNQAVVGGQV
VDIGLPPKTITEGGDVFTIGPNMVEGPMLQILVPTYTGNGGVVEEPPKTTTVQGVPIQLKPSEVVIGGDGGGTTTIPLMPGARPTTLVVKEQTISIG
SGGIGFSGTTITPPPSMPTNVVVVGGQGFSAIGSSVAVIGGTTFVYGPGIEPKTVALKGEAITVGPQGVVFDGTTIGGPLHATGTQYAVAGGLTISE
IGSTLAVVNGMTLRLGPGATPMTQVIGGQTITAGPNGVVIDGATLTIPFNTATQAVTAGGITFTQVGGSLAVIGGKTYTFGPGAQQTSTVIDGQTIS
IGPGGVGFQTTTFTGTTATSTSTTSATETSAAKSTSKKKSGAERLDNGFGLWGIWTGICTSVVLSRFFWLG

>RCO7_05572 | uncharacterized protein

MESRWSRIRLVHVVLGFTAAFGTCVEGADAAETVRALSIPPSANWYGDDGTWSAISIRVGDPLQWVDVMVSTVSSETWVVGPGGCSVGDSECSFIRG
GIFDPSKSSTWQNQGFFELGVGKQLGNTGYAQYGLDNLTFGGTGVMIPSAIVGAFNGTGPISGTSYILGFFGLGVVQGGFNNTSPLSALSALVEQVG
IIPSHSWGYTAGAKYQQKGVVNSLTLGGYDSSRFIPHEVSFNLNPGKQLLTYVNSISVASSAASNNWTKPVQLLGPTDRVSAIIDSSTPYLWLPKAV
CERFAQSLGMTYDTLLNLYTFDANQTQHSTLGSSSLSFTFSLSDLSSTPATINITVPYAAFDLQLTYPAIPDTSFGAANSTKYYFPLRQATNEAQYT

IGRAFLQEAYVITDYERNTFSVHQAIHPMDSVGNTTIVSIRPPQDSTFSGVPIQSGSKLSGGAIAGVVIGAFLLVAISALLIFFLCRRKRQRKQNDT
DFEKPLAPAQNPRTLLCRLLNRNRPTRVGVHEASGSSTFPTEVGADASHERFELPAPLGPAELDSESATTTSLNGTTEHGSSTQDSANISAYERARR
KLERQQAAAFVLSSPPRETYPVEKSDADVSHVAHYRSPDSPRIHIDSASVSPIVDSNSHFGGSLNISGQNSPVSPGYVLPSTSPAAPPPTYRRFNLD
PANVVYAGRLPHNVQLPRVVPRIIGRDGRTIQSESTIATEPGASIGANSSLGSRYMEHEADDLYSSDSGNTNIVSPLPSGSGSGSGSGSQGSRDVNM
DLVSSPDNSTDGRTLQRGAGNVDEGEGEGEMGSALMSSKVSLPDPQGSGRRLDGEDLVHIPQPAEKRFSWEEERISGREDGKGS

>RCO7_05573 | uncharacterized protein
MAPSKDHTWFEWSVSDPSCESVALPIRLVDVGSDQIRPFLAETKGKRGSYLTLSHRWGKGCKTKTTVDNIDEFKQAVPVPQTFKDAIARDKEDWLQE
SANLGQIFQSSSFTLAVLHALDDESNDRGLFIPRPGLLAVTISSLWYEIMESEWYYQCFGTAQEQGNEQGDEQGLARIQDARPACINSKSMGATTAK
FFADVFARDYSTSKLSKRKVNRLAMPGVCSKFEEQYGQNFYAGILMMVQVKAYFGKCQRVACQNIGTSIPPWTWASRSSKPSYHFPEPSEMTSKNLS
SSISFQTQTDYEYNNRHGFCEDTCV

>RCO7_05574 | uncharacterized protein
MPSFKATPIVIGVGDIINRSLALSDALSPDQLMLQSIQLAIKDTGLPQSSCETLQANIDSIGVVNTWSWNYTDLPSLISENLGVKPKYKGLSHHGGD
SPAKFFDEAARRIARGESKVAVITGGEALASPGKSPPWIGANESARAVSVSDVSSMGETRGIGTLHSVGLPIHVYPLYENAFRAHRGQSIQDNNQES
AELYADFAKVAEQNPLAWNYGKPAATKEIISTVSKKNRMICFPCGSDPLLMNAFNNVNLSGSCILTSIEYAKELGISESRWVYPLGGAGSSDATNFW
QRPNFHSSPAISKSLDEGLRVSGVSKDEIDIFDFYSCFPIVPKLACQHLGLPLTRQSKPITLLGGLTSFGGAGNNYSMHALTEMTRKIRNGDAKKGL
VLANGGMVTYQYVVCLSSQPRESPYPERNPLPEVLTDEPVPEVDDQAEGEAIVETYTVQFERDGTPLLGHIVGRLKSNGHRFLANHGDDSTVKQLSS
SAKEPVGRNGWVSTGEEGRNLFIFFQREKL

>RCO7_05575 | uncharacterized protein
MGVTPLYTTNGPYLAVKILQGFFGAPVESLCEISMKDIWFSHERPLCLAVYGLRLAFASKFAPVLAAFINTNQGWEWTPSVTNYDRKLQVSPSSNEG
STDNISKAAETVLPSKKNSTENTKTGNTHPAAIEAGQVFYPRKTFWQKLSVIDKTHQSRVWEIMWFVIFPH

>RCO7_05576 | uncharacterized protein
MTTTKPLAIGLESLKPDRINDSDALIQVAAADSRHILAATVYYCTRHRLYTTVKPYLIDYEDLSDFPRTNIIPEPHTVSISDIRGLEAAFNFENNGF
AVVQMESAMQYQDFDDLEKIRNVYCAEIASCLLQYFEAQEVHIFDFAVRRRHPSYPFEVVGELPTLQPATQVHVDSSYENLISLIRNLSGDKADDVL
REYDCSYSNVWKPLQGPVKDWSLAICDAATVKSRDEFMATDVIGEKNLSEDLRVFHDDDHKWYYLSEQMPDELLMFRQADTDASKMVSHTLLFLTGT
LTNQRISGKVSKSEP

>RCO7_05577 | uncharacterized protein
MQSAKLRPWEEHDGLSSENKELVAGTQEAWQSAGREYRNGCSNSRKSVSLKFLKAVQGHSPTTFNNSTNLVFKSYNMTQDTKFVARTPV

>RCO7_05578 | uncharacterized protein
MTRPIIISRPGRMKTVATHSEVPRHHNTSPLDVVFIHGLCGNDGDSWSWADQPRQTIQAIAPPGARVLTFHHSMRLEESFSWELFLEKSSNLLNFLY
DSYLAVKDDPRPLILICQGLGVAVKTLWKARQQPHRLHGFIVSISGIVFLATPHIVTANTQAIHCISQILKADLKTVSSRTVSRKGVSHLAFAGMRF
DELGLQIPILSCFETHETRLRSTIFFTKREILVPHSLARTNANLERLVELDSDLNSIFGGHDESLIHRQMADFIFQVMQKAPENIENEFGTRIIAGI
PVSTIQSKLSIPSSLAISESESKAPRPVTTSVLGGGEYFQCFIPARSTTKMVL

>RCO7_05579 | uncharacterized protein
MAASPSSSYRTDMSYEMIQSSTTSTSLASVHFPCFGKLPSRNPNFCGRQEIMVAIDETLLPTADSQQNNNLNRLRTHSIHGLGGMGKTQIATEYAQS
RKNCFDAVFWINAASSEKLDVSFCQIASTLDLLENANSQDPVVCRALVKGWLVDPVKTLRSRHDLSNTESRGNANWFLIFDNADKPDILRDYWPQDG
QGSILVTSRDPVVSTGTYFGGSSTLLETFTVPEAVDLLSKLVPRNTAATSSQESYNVVTRLGCYPLAISSMAGVICRQSLTLQEFIHLYSKELLLGE
LHNVTYGISSGYDHNIGSTWALQNLQLSAGALLNVISLLDPDGIPEGILMQNPEVAVVIGFPQLPQTYFKQLVELTQSSVVERNSDTKELKMHRMVQ
EVARVKMTRTQNMLEQTFDAAVKLTSSVWPYVTVVAQHGYANYTRIDRWDQCSKMLPHILSLKYVFTTYDLVSSSKITCLRELLVLFSEVACPASSK
EMASFALEIIDQSTEDFREIAAALHGTCEHLAFETNDPVTCLFHAQQALTISENVANETGKTGKHATALGEMGKACNRNQLYLKALEYYSKSRSLRE
SQAGYHKLALFTCLIGSGHSLWLLNRLDEASASIEEALKDRAEAFGSDDREGFRTGLALYALGNVRLSQGFHNESFSLHQRALRQYKATIGSTHHLV
GDAYYKVGEHHMRFEEYDIAKLLFEKSLSVYNDQVYYLPEISRVNWHLSKTFRILGDIDAARKCRDKAEDLYKKVVTNDTGESSELTDYEFDFPICF
WSK

>RCO7_05580 | uncharacterized protein
MSELFVFVAASELTLLKFIAIKIDKAVKDASEVDQETAITPQADLVFYRRLLERRSREVKSTLSHICNRHTLIWPTATGDSAAQSKSSLAALRSEKD
FRYLIEVIEGLCGICDRELSVLVNAAGIAEAKRGIEQGKTLFGFTWLASIFVPLSFTTSLFGMNVREFEKAELPIWVWVVVTIPIFLFSVVFLFWGR
IRLKDLRDRLIRLVVI

>RCO7_05581 | uncharacterized protein
MSTRRTSQRLEDSEAQLLQISTNSPNLRRGSSNLLSGLTTSAEDYLSKIQSHAETSILDSLYPGGHFADISEFLKSRLTSQSRQFPTSLEGSAFLHK
IYSKTTASVTSLTTPVSLDEADAYLDIHTPHNSILFLCGYPSAEWIAHVGSRYRVDPEFWRRHAGYLNGNETSHLETRLVLPSACSSIIHLPLVSVA
SHKIVDGVASEDDVTRHRRNCTRDMGNYRYRLRIGLEWRAGDSIVSDFDVLDKDHFMIEQLASVYITARDEKKTSWIGKCLSSL

>RCO7_05582 | uncharacterized protein
MSPYISAFELLRVFEDSGIKELALFIGDSDKILIGAEETYTGGLHEIQIIGHIFDEARCNYQDVPTDRKAKGFDGGGSFPGLSGLDIWWRPVRPKLK
Y

>RCO7_11481 | uncharacterized protein
MNIIVLHKWPLPSRDRGSTTGARCIGGGSRGDRCNPDKAGSCNGGLRCAVDNAQAANICPPTKEIERAVSYGWV

>RCO7_11480 | uncharacterized protein
MRSSALLSVMVLGLSALTAALPGLEIRAGNNRVPECVELPLSMLNYQNHL

>RCO7_09898 | probable PMA1 - H+-transporting P-type ATPase
MAAHQDLGNGEAEKDLRLHAQPNEGNADLGEYGNLVKYISNYKDGRRASVAGSIYLDDEKPKKWYQFGKKSKVTPGSDGSFEAPPEWLETDWKRGLT
TDEVEKRRRKTGWNELTTEKENLFYKFLGFFTGPILYVMEIAVLLAAGLRQWIDLGVIIGILILNAVVGWYQEKQAADVVASLKGDIAMRTTVVRNG
VEEEIKARELVPGDIIIIEDGQVVPGDARIISAYDNPNGYVEYVRELEAQKGESAEEKAADEDDMGHKHGSGYALLAIDQSAMTGESLAVDKYVADV
IYYTTGCKRGKAYAVITHSAKTSFVGRTASLVTGAKDQGHFKAIMNSIGTSLLVLVVGWILAAWIGGFFRHLQIATPENSSVNLLHYALILLIVGVP
VGLPVVTTTTLAVGAAYLAKEKAIVQKLTAIESLAGVDVLCSDKTGTLTANQLSIREPFVADGVDVNWMMAVAALASSHNVKSLDPIDKVTILTLKR
YPRAKEILSQGWKTEKFTPFDPVSKRITAIVVKDGVRYTCAKGAPKAILNLSACSKEDSDMYKEKTTEFARRGFRSLGVAVQEGDGDWQLLGMLPMF

DPPREDTASTIAEAQVLGLSVKMLTGDAIAIAKETCKMLALGTKVYNSERLIHGGLSGTTQHDLVEKADGFAEVFPEHKYQVVEMLQQRGHLTAMTG
DGVNDAPSLKKSDCGIAVEGATEAAQAAADIVFLAPGLSTIVSAIKIARQIFQRMKAYIQYRIALCLHLEIYLVTSMIIINETIRAELIVFLALFAD
LATIAVAYDNAHFEQRPVEWQLPKIWIISVVLGILLALGTWVIRGALFLPNGGIINNFGSIQGILFLEVSLTENWLIFVTRGGETWPSWQLVGAIFG
VDVLSTLFTVFGWLCGEAGEPSSPVTKNKLLSANGHTSIVTVVIVWGYSIGVSIVIAIVYYLMNRMSWLNNLGRAKRSRADTQMENILSHLSKVAIA
HERDDLGNNRWHLAPKASEAEEDD

>RCO7_09899 | uncharacterized protein
MVRIGVSTKLVSQNYADLINYLVTVRDVETNTTNAIDSFRFVVDAIGGVNHVFEDGASEAIKAITLQTMFGFHWSQSGLWIDDTNEAIRNEEESASE
NEDDQSGSLSRENTSMSITAPLSSPFLGSNFDFTQSENTSSPWQTGFRSTPDSTSSNPAYIPAEPAFSHVIHHESLPTDIPSRGEVSTAAPRQAPPL
QTENSAWPIKDAAEARLFEHYVLDLARWLDLCDPQGHFQYEVPKRAAKCPVLLKAILALSARQLTLTKRETESNEIAANQHYGDCIQLLIPVITRAD
ENIFAALIILRVFEEIDVFESDGTQGLAHIAGIQSFVRGHGSNLMQGGLGEAAFWVGLRQEIYVATIMHRAVQIEIRHINRSVVPLSDFDWANRAVV
HLADVLNCCFGHGVDPEQCSRLQIESDRWQNDKPNSFSPYYYRGADRSKGEAFPEILHIHPCHIVGIQHHKLAQILLSIFSLRSPQSRNNSYEAENP
LLINIKQDLREICGIGLHNRATPPGMFTACMGIAMCGDRFDDRLEQEALLQLLIETENDHARPTAAIQKHMKLVWGWNQESIE

>RCO7_09900 | uncharacterized protein
MVLSLSSSSSLVAIFSFSSSSSLLLLLYSPYSSVYAFYSITALLYSGQRRSLYITIFLQ

>RCO7_09901 | related to sexual differentiation process protein isp4
MAFRLFRRFQSQNKQEKTENSDPITPVPLFEGDAVLFDQKANDAKHHGVETGDEKIVPGGSSGSAEDSSSIGDDDPTIRDIPINVRRIVSLEDDPTL
PTITFRYFVLCLLFIIPGAFLSQMSHYRTTYAPYSVFFVQIASNYVGIWLAKILPAWNVRVPFTSYGFNMNPGPFGVKEHVLVTISAASGATYNLAY
APVSIAELYFGEKIHPAIAVFFMYAVVITGYSFAAISRQFLLYDPQYPWFQALCQTALFETQKKQREQPSPASRKQMMTFWIVLLGITLWQFLPEFV
FPMLGSLAFLCWVAPRNATANFIGAGFGGMGFLNLSFDWSNVSSLGNSGSLFLTPFWTQVLIFLAFATNCWILIPAAKWGSLGGSYKHGLMSNHVLT
ANGTRYPLLKLLTPQATLNETAYEINGPLYLGAQVRWGMFFDYASYTSALVWMALFGFSQIKATIKKLRARNKSKSGESINFQYNDRLNIIQRSYPE
VPLWWYIVLFLVSFVAITAMVASGHLFIPWWTYLVALLTGALIVTPLGWLYAISNFQLAIGTTNELFYGLMINAVSGHKNPTGATVYSSIAGDAWYR
AQYMLQDQKIGHFMHIPPRATFFSQIFGATLGIPINYAVIRWVIDSKFDYLTGQKEDPSHQWTGQSLAGSLATSVQYVLVGPQKLFQEPLFKALPYG
FLAGVIAPMIIFALHKTFPNSKLKFRLWNTTIFFSCLSGFYGNISTGYTSQFIGSFIVMYWAFRYRYNLWAKYNYILAAAFDAGFNFNMLLIFLFFG
SGKVTTMPFWWGNREGSSERCFALDS

>RCO7_09902 | probable alpha-glucoside transport protein
MTVNDDTAEESKHTDAVDTTPSSALIENAAVGSDLEHELSPWAAMKAYPMAVFWCLMVSMCVVMEGYDLILIGNFYAYPAFAKKYGRFIPETGNYQL
TAQWQVALGNASGIGAFFGVLANGYLVDIFGKKKLLLYSLLVLSCFITMTFNADTKVILLLGEMLCGLPWGVFATTAPAYASEVLPLSLRVYMTSYT
NMCFIMGQLIAASVLSSLSTRDDQWAYRIPFALQWAWPAVLFPILLFAPESPWHLVRHGKLEEAEKSLCRLVRKSANIDPKKTLAYIVHTNNLEREI
QSGTSYLDCFKGVDLRRTEIACMAFAGQVLAGLLFAYNSTYFFQQIGLGTKATYHMNVGGTGMALAATLISWFAIMPYVGRRTNYLWGMGALTIILF
LIGFLNIKAGDHSIIITQAALTLIWTFIFQLSVGQLGWALPAEIGSTRLRQKTICLARDAYYIINFVAKTLEPYFLNPREWNLKGYTGFVWGGTALL
TLIWAYLRLPETKDRTFGEIDILFANKVPARKFAKFNTDLYNGNAPVVEENKVG

>RCO7_09903 | uncharacterized protein
MVFPSQVSQGTMIVRNLDGNTACIMFDQMFNCITERSGLGNDTRRRAESAEGESKRVLSQYRESIVDLTVIETKIEESESEGAESSSIPEFGSPLEQ
ISQDLPPGTQSLTCRTRSAGFDHDPLMFATPDTCGLQDEEPSDQDVVPTIPRGQHCSGSNKLEIKLHSDGVVSNPLELLPIASTRKNHQLFQFFVQI
LSPFISSIDGENPHGAFRSQWLSFMMQSPIAAHVAIVSATHYQAVVSNVDVDNSVDATSSKGTLITLINEHISGPGNGVSDDSIAAVMSLASNEVIN
LPDIPERKLIYSVDIFRPKKHNGSHARSSRHGQHEGRTQQYQFWAASENDFEIASTYECEVLLDSIGENESNPSVGSFPLELSSPILHALISFVDTI
SILHINVETAKILDDARSMTIAALALSSSTSSLTLKEEVLMDIHNIIQRLASLPTGNPTSPGDFLYQACRMTAMIYSSAIINRTPLSMACTPEILQE
LWAIMWQVPSLRWKQVPGIFLWILLVIGPFSRDKSQGKYIKALTQAAIMAITLVDEDTVTVTLRRFLAVQRWLGGSFRDMDLPIRESYA

>RCO7_09904 | related to MOSC domain protein
MGLVWAAAAIVLCLVSYFSLTNSKNARPSRAEEAKSIKEAFKSINGQDVSTKTTMVDKDTRHLKISQLWIYPIKSLRGCQVSNAVLTRQGFYLDRSF
MLLKDDEQWPPTLQNMHIASFPSMCLFHTSIKDNDTLTVTYRRPGATSDDKADILEIPLEPRSFEKEQVSVVMHNSPTKAYDMGEKYSNWFSERFGF
KVVFVYWGGNPRPVLGNLPGKPSNQGPKFSNVLIKVLSTFPGIGPMLRNDDDPVIAFNDCAPYLVINEDSVADASNRLPSDVDMDLEKFRANIVVSG
GTGAYSEDFWGELALGDAGLKITLTSNCGRCVSLNVDHKTGESGTGRDGQVLKLLSKDRRVDPGMKYSPIFGRYGFVARKDEGGILKVGDEVVVSKK
NKERTRFYWPGISTT

>RCO7_09905 | related to reductases
MAERYIEAHKPENRNGLGDARPTALQIISDYGLTGSMTDKVFIVTGASAGIGIETGRALAATGGKVLLTVRNLKKGEEACKSFLEPGRVELLEMDNN
SLASVRKAAKDFLRKSDRLNVLVNNAGIMAAPWARTEDGFESQFGTNHLAHFLFFNLLKDTLIASSTPEFNSRVVNVASMGHLHCDVFRGDYGFEKE
EYSPWKGYGQSKTANIHMANEIENRFGAKGLHGLSLHPGGIWTGLQIHVPEDQLEQWKNNPAFKNIMKSPEQGAATSVLAAVGKDFEGVGRVYMADC
AIEPAKADAKEGQDGYAAWAFNKESEAKLWEDSLQLVGLDR

>RCO7_09906 | uncharacterized protein
MSAPNSNNDSNAPSIISGHAQYAKGYVEETIGNVTGSKEWQESGKKDAEAGIGEMKAANQQRTSEPAASGIGGRVEELAGKAAGCEGMEKEGAERQS
KAA

>RCO7_09907 | uncharacterized protein
MKTFTLLAILFSTALAATIGDQSFPCTEPNFGGCCTEIDEFGGGHGCLEAAVVADGKGYICSEKTDHNLCCHRAPWVVHAAHPLVCS

>RCO7_09908 | uncharacterized protein
MGGVRIVPDSKKSEVTETTDEIDTDNKGYSDENETDDEDYMSAKSILSSDDTEPYNEEQMLAENSKEPSHKGISNFIPEEPDIEAQFITDDEDYMSA
ESTNVFNDTKPHDEKQLLAENNMEPLYKGKSNFIPEEPDIESRFIRSQEKDSRFHAVYVPRVSCSEEGVTESSRAIR

>RCO7_09909 | related to MUS-26 protein MUS-26, involved in DNA repair
MSSIAPPYHEPLQLTTPLSLHQTLTSFLTVAVHTILYTRALYPPTTFLTTRAYNFPVHQSRHPAVCEWINSAIASIAMLLQKGSVKRIVVPVFSEEG
EVMERFMFDVERFPVVGEKERWTEFEARDQAPNHDPAEKLRAGVRRADIEEQLRGTIRRLDYACSKLTPLPENCTYSIAVELRDEPEVEPPIGHPQP
WIPSEPSLQTGERGESESIGKDVGGVRSVPVRSVEAGEFVLEAWIEEGRAKFGED

>RCO7_09910 | uncharacterized protein
MATPRGVPVHFISSSAFAMLQKDTSELSEVLPSSFGPPAAAELLMKNAIGCAASKLKGEIPVERSAHVPGIVHRFPNIVEPDPPEEIPLIALDNLLH
ADASLPALDLKRWVGELDIMDIRDVVPDSLAKASVHDPGELIAVHNCCSENRCLLSDLVSMCETKLGGRIDALPTKEWMKMAIVLGTPRGVEASFTC

TEVFLSLVLRKGRVVMDRPSIRSA
>RCO7_09911 | uncharacterized protein
MPNEPIPQRIMPTGKLYSISDIHVDFPDNKVAWSRLTPHPGDGLILCGDVGHSAEHLRLAFSRATRCFDTVWWCPGNHELYTMPKKSGPTGVRGDKK
YQECVDVAREYNVLTPEDEFVVWEGEGGPVVIAPIFTLYDYSFRPDDVSLEGAVPWAREKDTEATDEFLLHPDPYPNRQAWCKVLVQKFETKLEAVR
TRFPLLPLVIANHWPLREDLVMLKFIPRFSLWCGTKLTDDWHRRFNAKVVISGHLHIRRTDWKDGCRFEEVSLGYPRQWKKCAEADMGVNELLREIL
PGPQIPKTEEIPTQWRFYG
>RCO7_09912 | uncharacterized protein
MPYRPKETVAEAEREKRLETMVDVYEQWFGAPPHDLPISPILRPSVGAMSILPTTTMEQSDPALIKNVNSTLALEACVQARSIIASVFDQEIVNFDA
EMPTEVSFAVAHIEAELSGRSFARLACFGMLRSTLFN
>RCO7_09913 | related to C6 finger domain protein
MNFDFSTDLWSDSTRLGSATKSAKPVRKKFAVPPVKLACLECRASRIRCDGKTQCSNCINRGKACVYTQSKRGGSRIRRRRASMTDDHESGERSPIL
NNNDLNPCALSTLPELEEGNLLFRSFNSAELGSNPDFQGTFAAPLSLVSPGGGLKQLDFSLDDTDFIFDSVFATQPENMDSGYETSEHAGTLSESGR
EVPVRVYSCDDDILSAYYTYIHPFFPILPPPEAGQVTDNPDLGVRRAPDAIFTSKFRPDFEPSSPISLAISANLALIPHPEDKDPSGTESLHLRREQ
AQAFAQSAFESIEIESELVDSVIQPGEALSSDPLPPNRKPFHPRNPLENESIIALIMLSTYEYAQRGNIAKMRNRAGQAVNAAINLGLHIKGDEDGY
YSEANRRVWWMAYITVCQGSILSNSTPPILLYDPRFTTSGPTFEGDLGAWPVFLQSQQAITSATQFVIDLDATLKQGSNATAIWDRMLELEAIIEPL
VVAADSWTLSSNPPLSLESSEMLVGQALRGIARIKLNSARIKLHRYCAFSDVPVFSKKHCDLAAVSSAQSNNNTSIPNAPNCACSSTFHNLPSYSDM
TIPSAASSTPLSFSQPSSNTSIGLGSSTGMNLNHNMVMNCNILPYTSHYSAKICLKSAFAIARSFAALPYPQPVRRSQHSQSSPQDAYSYFPTMSPP
TSSPYADPSLPSISGPGQNASTLMPPRMIPVFACCAMQSSYALIMLSYKTKAMGFAGHLNNNNETAPGSRGEGKENHAQKLLAQLSEALNMILSALR
NYSIAYEALGGMRDQIEVAAQSVVAAANAVGDARW
>RCO7_09914 | related to amino acid transporters
MSKVQIRDPCGQLEAKNLWVPRRADRNISIRPAARDRCLVECQQTVSGSNSEQFYNYAYQFNTTHFVELRPILTMGMKEKDVDQAVRPSSQSPVGDE
ESVYITSSTDLHRRLSNRQVQLIAIGGSIGTAIFVSIGGALLKAGPGSLLIAWLLYSVVIGLVNNCMAEMATYMPLSAAFIRHAGHWVDDAFGFMAG
WNFFFYEAILIPFEIVALNLVLTFWRDDIPVAAVCVACIVSYGLLNILAVKVYGEAEFWLSGGKVLLVAIVFSFTFVTMLGGNPQGDAYGFRNWNSP
EPFLEHLSTGSTGRFEGFLAALWQGAFTIVGPEYIAMVSGEVRNPRPVLKKAFKTVYIRFALFFIGSAVFVGIALPPNDPTLNRILNGGEGAGTGAA
SPYVIAMQNLGVDGLPHLVNALLITSIFSAGNTYVYCATRTLHGLALDGHAHHVLRKTTKNGVPIWCFAITMIFPFISLLQVSSDSAIVLTWLVNLV
TAGGLINFIVMSITYIFFYRACHAQGLDRRTLPYTGWFQPYSAYIAASTLILIVFTYGYSVFRKGGWDIGTFFTYYTMLIIAPINYFGWKLIKKTKL
IKASDESRLYPRDIPDTGRKSCAGDVPTDQGPMRIGFRAFRDLVPMRKTPHGGPMEDIHQRPISDVLYHAPFTEPCNFYHAMRPPV
>RCO7_09915 | uncharacterized protein
MSLAVAGSNVGFDNFFGPGVSARDVHAAMKSYPVIQARQNSTAPVSNDTVNMFIDSIDEDWGYAASVIEACGGQTVLALQCTSAQSFVGSQTCGPNG
EKAIVTVNPTTYHFSTAATTSSAGHNIKGTAIEACSLQGTTAAICSVTIGGTVDGKKTSVTSQTSVVSPTYYRYDVAITGGAEKTAGAAATCTSAPL
ANAAPMMNAKNMMVWALAGVAAGIISLL
>RCO7_09916 | uncharacterized protein
MPFLEYTMLDGSSTVPAKTTKSYFICSSQLAQLQLSIDSLAKQKAEVSSPKVNREIGNKKPNLSPVATLKSASEKNVVSSDDPPYLGESSFEVHSHE
TGQILDIALQDSPAGHGQDVTSSLKSLRGLHNDSTENYDVNFTTDLPMPPVQTVLKALRIIECAHRSMFSASFNGEECGVVPPGFMLCSPFGDVRRL
RETCQRIYFPVNGYSASDFIIANGGLVAILGLPNAGQLEAHGLDIATASEAVKMCSNNVSVTITKLSIFLEPKISNIESLLFGVECAMAESDHNKAW
YLISFAARLCLASGLNRLKDSAEDTEEITRRKLCFWLTFILDKALSLNFGRSPNFSDYDISVGYPQYPKIHGRDALYLWFDMARAQGSIYEKLYSAK
GQQDSAERRASSARLIASEFHQLRDRLKTILSKTTQAEREALTNTEITILANLTLIYRAIPSQKPAHPLRFSDECIAVARETLEVHEALCEKILSRS
ENQIRMYIDWNLSICPFTPFIVVLGTAILDTNEADMHLLDRVVDSLERASVLAPGAKKLLSICKILLQGAKSCVEHIMSSGPPAPHANFQRPETSTF
VPSGIQENAMPGMMDTDWSTTMPEDWSSLQLDNPDNMSLLFDNYLANSSGVIPMFETDMTKFDMV
>RCO7_09917 | related to multidrug resistance protein
MEEKTLVTPPSRDESPPSNIDSDETGAVAQEAGGSFKDFVRIFQYADRLSWFINIISFITSIGAGVALPLMSLVFGDAIGDFNNFADIDRQAFNSSV
LNSVKLFVYLFVGKLVLSYVSTITICISATRTTRDLRQDFLRHTLRKEIWHFDLQDASSVAVLVTTNGSRIHKGVADKLAVLIQYMAMFIAAFVVAL
AVQWKLALITMSVIPGMFVITFGILTFDAQIEARVMRTYSRGGSIAQEAISTIRTIHAFWAQSKLIAKYDRYLKDARIEGNKKSILYGILFSAEYFF
VYSGTALAFWQGYRMNKSGEIADVGTVFTVVFSVLIASTAVSAIAPQFQTFTNAAAAASQLFELIDSPSQLDPLSEDGLKPEVCEGRLEVRDLKFSY
PSRPGIQVVNGLNLSVPAGKTTALVGASGCGKSTLVGLLERWYERSSGEILLDGVDITNINTRWLRSQIGLVQQEPVLFQGTVFQNVANGFMDHQKL
LPREQQMKLIQEACQTSNAHDFISELPDAYDTEIGGAASLLSGGQKQRVAIARSIISNPKILLLDEATSALDPRAEGIVQAALDKVSADRTTLCIAH
KLSTIKNADNIAVISYGRVVEQGTHEQLIEADGHYARLVAAQDIGGGKDDSDKESSVDEKQGDSALEQQTSLYRTQTQASVAAMEEGSGTLNYSLLR
CIFIMFREQKALYPHLATSVVCALVAGGTYPGQAIIFSRILNVFNIKDAAKGQSEANFYALMFFVIALGNLVSYFIIGWLCNLIGQGVTYRYRKEMF
TDMLKQDMEFFNLPGNTTGALTSKLSSLPTQLQDLLSANILLIFIVFVNVVSSSILAIAYGWKLGLVLVFAGLPPLLISGYIRIRLETALERQNSEG
FAESAGLASEAVLAIKTVSSLTLESDILDRYNTMLSSIVAVSIKSLVWTIAWYALSQSLEFLVMALGFWYGAQLLLSGEYTLEQFYVIFVGVLFAGQ
AAAQFFSYTTSITQASGAANYILWLRSRKPIMQETAENLDKGPGGDGGEIALESMSFQYPGRTTRVLKDISMKIKHGEFAAFVGPSGCGKSTMVNLL
ERFYDPVSGEINFAGNAIKSYSPRLYRQNISLVQQEPTLYSGSVFENVSLGLEEVASEAQIVEACRQANALEFIESLPEGFQTACGNRGLQFSGGQK
QRIAIARALIRKPKLLLLDEATSALDTQSERIVQEALDHAKEGRTTIAVAHRLSTIKHADVIFVFGDGRVVESGTHAELLARKGRYFDMCLAQSLDK
QV
>RCO7_09918 | uncharacterized protein
MSISPHPSLPSSNPGMDLHLGPDPALYGHSVDTKTGYPIPSPVLEAINEMQKQGKGIVVMTCGIAGTLSPSLFLYLPLFKTTTTRSNPRNKKGSGKS
TLARNLETQHNFTRLSIDAYILQNHGTFSEDYPSGNLEQLQDEAEGFVKGEMERLLRHGNPLRALRECGNGVEEGGGGVGIEGDYGDQGEVVYLNIL
KAARGPGPLVRHYHEWAQTRAKNALVYLQLTAALALA
>RCO7_09919 | related to protein kinase
MSGIPLCHYQNLVFPCFLVGAYSCSCARQYGMDPGSSSATLFEEEAEASLEKFYPMTLGEVINQKYKVVAKLGFGSASTIWCCHDLVTSKYAALKIY
AHDLVSEDEFDNEAAIYKHLSTAGNPDHPGRIYVRTIQDSFFTRSRAGKLHQCLVHDLLSNDILSLRYARSDRKLPEAMLKQILIHLLLALDFLHSE
CHIIHTVDSSIVEQLDRKEIAASSLCKTVNGYNLYRSVNFGIPKTFGRPILCDFSLARNGQVEHCHDIQPDPYRAPEVILEMPWTYGVDKWNIGVMV
WDMFENRRLFDGLDPDTGKYGNRFHLASIVGLLGPPPLEFLQRSEYSSVYFDDQGKWKCLNPVPSVSWEESERNLESVNKKDFLDFVRKMVRWTPES
RATASELLEDPWLLGPFLEALGRPQIQSGGRGVSERDFRVDNEKLLFDAAP

>RCO7_09920 | related to Rho guanyl nucleotide exchange factor
MVRVTDELALSQDEVTLYYTTDTNLGHLPVLIFHGPSTTTNSTLNSSRIQVHVFTAAGFQSYPRITISPNSPFYQSVNYLPREKQGDETCRGIAFGL
LKYFKELPEVVKSGVIVQAASSRGKRPGSAPTLFAEQHAADLAASMVRVENIGEVLRDIEAALRPQNIHHVDVDLVLPPGSIAPFEEVDPEDQMDDD
ELLDPTLKQYGAYSQLVKLFGEVAFLPTSKLRRAPSKPTSLNRTKSFLKEQKMSLRREMGELVDTEERYVIKMHELVNHIADDFRDKAKNKAFGSFS
PTEQDLQKLFPTSLDRIFQINSAFLADIKKVMDDTEEGAMQDLEAPAIGSTGSRYGGNGRLKDPTGALAFAKVLLEWFPQFSDCYQDYIRASQEFPQ
IISMFVRQQSSFSQRVQQTGEQRLRSAVIEPVQRLPRYSLFIDNIVNYLPVLHPALQSMLKARDMITSICSLDPPTTDKSQIVNRLRNLVDAWPSSL
HPQGRLIAAVDFLELPAPFIALTTSYREGMFLLFADCVVVLKKAAQCSLSSRGLMAEVDKPSAASMMASITANAGGQKKIYELVFSGWQILGDTRFT
LSDDGRLVNMVSVHELKDAGTGRERNSPSANVRAFLLQGAYDGKALKFTEEITKARVEGRFSEKERDTDKWSLRSIKLQSAEITIHTAVFEEGIDTL
IEGRREPAPIRVVVDHAKGTKGAPVGHYGVDIVANVNALQGGLTYRLEIDGLHDRVFVDEVVAEHFLPTFAKRVNDLLRSQHHVSNPFLTVPFVSFH
SKILKSIAILAEGDKSKSYRPNSPVKLLNFLSSGFNSSTSSFHGGSSPPKHQRTPIMGNVPSIQAPSLQRTNSNKSTHSIQDVELRSSIRADEKPRN
PLVRLEETFTGYISALLVRKGNIVGRVLRNRGTADELAINAVYNTFIENPFDNRPASEASVDVLFVAFEKYLRMAWKDQMGQVMSSQTLDELQERAL
KMMPADFADYVRLVFGEMAPQNRRAFIAIIKLLADLLDGCGNDGDRGALTAAFAELLVIDGNPHDYINLLDRMVEDQERLFDDIGPGAIAAANVNSS
GFGSISGARSNHSANGSVASNASSFRRRFAETVLRQNSTKDSDRPSVWRTLSKSSRNTAVGEVLTTSSLSKGSVMRSKSIESAHRRPISRDRPTVLG
AFDERPSSSGTPSRLSIIGASPPPEEKQEMTKSQKKKRRSSLSDLKSLMAAATLGNSPMSIERKASKFNSSPRTPSPTKIPVAGGSGIMDRNRASMY
RTGSPNQKENSPLMLSRNIGSLTERPQNIQSPPDVVAKDLWSLNSPTCNKGHGKTPSLSHIPTLVGRAPSTSRLPTASTPGKTSPQKLRLQSPQKLR
ERLQNEAKAINEAEASLQSELSKIGAEMAKLNASSSHTSTSKTPSSSDIARLSSNISALESRIPSTMASLSSRNEAIKADLERSLVASEFKVKALDQ
LYKESSAENELLYEKFNGELGKIVKALRGKGEKEELMGKLKEASEEVARTKKENSRLRREVTTLRALLKAGEL
>RCO7_09921 | uncharacterized protein
MATQYTTDIPFSSSQTQQAFKLLELPSELLALLESENPPTFTIASSLSTLTAPGYALLCHGTKQYQMRQKNTSNPLLILQPSSTGSTVADDADTFIP
QPSVTAISKIEDTIELILKDEGEKKEVKVNKWHEKFAKTRGERK
>RCO7_09922 | related to fluconazole resistance protein
MVASTEPQSLDIDKEEGLQTSWDSISAPETAVNTAAPSRSPSVHNESTSSVQDVDLEAGQNEKPTPAPASGVDTATNIVNWDGPNDPENPMNFPRSK
KWTITLVTALMTFCVSFASSVFSTATEVTAKKWDVSLEVMILGVSLYVLGFACGPLAWGPLSEVYGRTQPLFLGFFLFTIFQIPVATAPNVATIMIS
RFLGGCFGAAPIAIVGGTYVDFWDTLDRGIATAAFAGATFIGPIAGPIVGEFITQSYLGWRWTAWITLIMSAFFGILGLFTVPETYAPILLKRKAER
MRHETGNWALHSLIDEQPVNAKALLEKYFMKPWVMLFREPILMAMTLYSSLVYSILYLIFFAYPYSFRVVRGWSPTIASLPFLGIFIGIVICCVYIA
IDTKTRFNKLLLASTKPFIPEARLPPMIIGSVMLPIGLFWFAWTSNPDLHWAPQVVSGIFIGCGIFLVFLPSQIYIVDTYLLNANSALAASSCVRAL
MAAGFPLFATYMYQDMGVDWATSLLGFLCLAMMPFPVLFWQYGEKLRMKGRFAFAL
>RCO7_09923 | related to nicotinamide mononucleotide permease
MGIFSKKRVEGASTTMDVAESGSASGSGGSPTRAGEDPEKYDGRNTITQQHKDAPPSACHYDAALEKRVVRKIDRNLVPLLAVLYLLAYLDRSNIGN
ARIAGMAVDLKLKPGQYEWFLTIFYIPYILFEPFGLMWKVVAPHKWAAFTVMGWAVCGTLQAATYSWSGMMAARFFLGVFEASFAPGIPFLLSFFYA
RNELGLRCGMFLSAAPLAICFAGALAYGITSGDPKGIASWRLLFLVEGLPCVVASVATWYLMPDTPEKARFLNEEEKACAKARSLKQVGSDGESRMG
KIIWKDVGATLMDIKPWITGLMYFSCNVSFASLPVFLPTILREMGFTKIHAQGLSAPPYFLAFLVVIATTYYADKTSQRGLTIMGLSLIGAIGYIML
ATASTTAIRYTGVYFAAAGIFPAIGNILPWVLNNQGSDTRRGTGIAMLNVIGQCGPLLGTRLYPLHEGPYYRKGMWVCASFMLFNGFLAFALRCLLQ
WENKKLDEKYGVVEDMGEDDGLGNENEGPRFRFIL
>RCO7_09924 | uncharacterized protein
MDQPALAGQPLPDPDSKKEPNPNRQKSRISRGCDECKAKHTKCNGQLPCEKCVKYSRVCKYEAPYTRGKKPPIVSAISSNAQSNSRPENREVQAEQV
TSVSSNSSSKESMVGQGWGKHQEKFAYCATNGGQRNFIETRPHKIQRTVLEDCAPRYDSSRLQDNHAQDGENIFQRTQNNMHNRTPYHQNPIFSFGD
PPVPELDTSFFSLPSYRLAQSMVTQYLEHDAAIHRFLHRRTVEDWMESLLSNPRLMHGRTADHSENSVVLMVFALAYESTSTKSEEGDEDMSFHYFQ
VAEAQLKKETGEVKLPTIQARLMQCIYLCSRSRIHQCWSIFTTTVGLVFSMGLQRHSRLSVTHDMVEAECQKRAFWFAYTMDKHLSSALGRPIMIRH
EDVDQDLPTIVEDKDLSKDCLVTMSDEVQCSMRATVFSIKLAQVLDDILRDLYNIRRPPIDDKIKSAKKLKVRLERWREDVNDFFELDPSILSPLFA
AQHMVLQLSYAHARILLHRPFLLLDMNSDVFGSSTGYKLRQECDYNTTDCVNAATDIVKLIDGLYQRDKSFSASWFSHYCGYSAVVVLYVRVIKLQS
EPAYNWISLFDAAATCQSQIKIAAEKESFASRCSEVLEELRFEAHGHMQKMGNGLETRQGSTDTDGSGLPQKEQGTASHFGGNWDDMNFDQSAPGGG
ILNSLFNTVEGITVRDASGSVVDRIDRWGFSSLTGY
>RCO7_09925 | uncharacterized protein
MKCVLAECTVHETFALLNATAVACKFPAESRQGGLKVVVLGCGITSTLVVLIRLILRLVAQRSYGVDDWLTLIALFPYFVMFYATYRITLEGLGKHL
WDVQESAAEHILLWFYIIRFLYVFCNGLIRLSILAFYLRVFVDKKFQLIVKLTIVCNVLFTLSIMCASLFECIPVSVAWQVSLKGGRCLDYSAASWA
YGSITVAVDILTLVLPLMQIWNLQMTLQKKISVCLVFTLGAFVCVASMIRLNSLHQFGRTSDPTWTNVPCTIWSAIELGVGLVCASIPAIYAGIRQI
YARHQGHPKTTNHSYGSGLSWKRRGDAIEIHRMSSRSRRDSGADLESTIPARAPYNKMDAASERSEDRDGNIGGIERTMSVTIQFSPRVYETLEGDS
SERLR
>RCO7_09926 | uncharacterized protein
MRPSSLLFGGSLISTSFALPTLPHPNEDLIKRDGPVFDGYIECSQKQTDTINQAFDDAIRLVALPSQLALNQQFSFFPNPCTGICSEGTLETRFWGK
DIGKRPDEYSLIQTVYHNIANLRSKSSKIRVSCVNQISPLPGTQNFCRDTPDLGAYAFGTSKEYHDNTIVFCVDGFFNPKMEPLGWREAELNRDTSS
RKDAARMYSKAAAMIHELSHLPAIQERDDTIIKDRRNDPVNDYGDKAYGVRLSEKLARRFPLYAAKNADNYAWYATELFFNNLYGIPDAQDAPRDDE
PAEVLPKSGRGLVVALYETVSPHFGGADIDHTWKFFTTPLGRGIDCSLGADPVVEINPEGPSDAKFGRNLNFSSKDNMPWPGGDFKVVIDGQECHYK
NDGSNAGRLFCPTREISCDADRARKENDDVQKCGGFNMLKPNVFCQF
>RCO7_09927 | uncharacterized protein
MNTPGSATGLVKVTKLPAIGPTDSFAKVVKTLSFYFVDELHVPSTFEQLRTTSAGHKIRVLVEHLVLNVTNPALINALLTLKWHFSTLEVDDRGVNE
SRANACEIVAWRFLTRISERDAVDFCLYELPEACIVEEEQQNSDPCGMEANEHSSLLPQFRARDLSVHATPTKPTSKRAEMLKSISHMGSMSIVPEV
NTEDEDDPTSSFTGLNALEIAAVADCKKFISQRIVQKIITGIWNGDITFWAKLSVQTKKKPQFYNKKRSDCFTRLRVPRYIKAFEVLFFATFLFLYY
AVMVERNQFEITFLEVMLYIWFAAFAYDELGEFIDAGSIFYAVDIWNGCDLIIIVIGMAFAITRILGLFKDTQEYQPITDTAFDILSLEALFMVPRI
CSLLSLHPYFGTLIPCLKEMAKDFVKFMVVVVVLYIGFLTTFTLLARDTFSLSEMSWILVKVFFGSSYLGFDIMSDINPKLGPPLMLIFVCMTNILL
ITSLISILSDSFSKVIAHAREEYLFVYSVYVLEASTSNRLTHFYPPLNLIPLVLIRPLRLFLSSDDLRRTRIVMLKVTHSPIVGAIWLFEKTHEKVY
GGASDFSSIGPGLARLTTDSTSSKKHQPFLASRSRKRNSEHFVNTPAEDGSHSPTHETSPKGKKEEESTLVVSNIMLEEQVQDLSQKIAELTALIMA
SQGSPHEEF

>RCO7_09928 | related to phenazine biosynthesis protein phzC
MAPGLDLHSSPAITPPTAVTTSRSYTSHTSHTKPGSIKPVIRRTPSHPLTLPFTTLDVFTSTVYTGNPLAIVRIPSPLRDSITQQQKQQIAAEFNLS
ETIFLHEQVDPSLPEWDVEIFTLDAELPFAGHPVIGTAAYVLGVLGAGGGKGKGRGRLGTRAGFVDIALVYDEERQEDDEEGVIEPNMSSRVSADLP
HHVHTHAHTIGDLERPIPGLSLLPSIRAAELAAPIVSFVKGMTFLLVRLSSLEQLADVQLVGEDVSFHGVLDEGWRMGFVAKYYYVVLENEDGKGTM
AIRSRMLEVAMEDPATGTAASALSCYLALHGAGSERMRRFEVTQGVEMGRKSVIGVEVFLAQGRGEEERVVEGVRISGNAVVVMEGNLRV
>RCO7_09929 | uncharacterized protein
MSLPSEIIATELASLPERKQGFVLQALLITLWHREAALVLLDLLGNPAELDHDQTKISAIHKVSESEAEGLFDILVEKEANINYSRDRNEPDFLTVA
IQYGHLSMAKGLGDCKGVSRLLDLGADIDNVSGSYGTPMTTAASTGKLEVGNLLVERRADVTKKNQTTQGNHQSAIDSSGIEPNITRLLLVGGADAN
GEPRTSRSEEYTTTPLQIAVSHGTSEIAQLLLLLEYGADVKLCNTGFTPIQLAVQRTTIACHRSHVAFAGGRKQFRSMLRAKTARE
>RCO7_09930 | related to PMU1 - high copy suppressor of ts tps2 mutant phenotype
MHLTIPILSSLSSLLTLAIAVPAPAPVKATHLVPRIRGSEWYNYTTIPGFFLQDDLSTNPSGFDYATTNLGLINRTYDTDDENRPDWTQWQKFEHYV
WRLNRGSGRNLQYKVLYLGRHGEGYHNVAENYYGTELWNCYWSLVDGNGTSVWADARVTPNGIAQAEKANAFWANSIKTTKIPLPESYYTSPLTRCL
QTANLTFASLPLPGGKPFNPTVKEFFREGISGHTCDRRSTKSYIQSSFPRYNIESSFTERDELFRPLFAEGSSNQDIRSKAVLDDVFDSDDSTFFSV
TIHSGAINSLLRVLGHRPFRLETGQIIPVLVKAEVVLKDEPVRVETPWSRIETCALLPGATEPIPGL
>RCO7_09931 | uncharacterized protein
MGSYTPTNASIDLPDSKSPSLILTNPTPDEKIETWNLNAVNWGTALPLPDYIEREQYLTTVPLAENGGVTHWVLVDRNLPPNKRPVLASCESLRKPI
LVAKGGVITEGITHGIGSVFSAPKFRGRGYASRMLKELAPVLKTWQVDPNTPERQSCPFSILYSDIGTKYYAKFGWDTYPSTHLAFPPAASSTSRTD
IRPLTSADIPALCAKDEEYLRKQLDIEAKDGKTHVALIPNHDSMQWHHKREEFVTSKIFKKSPTINGAITGEPGSQVWAVWTRAFYGPLDPKSGNTL
HILRLVIEDERDEEGNVEKLKGILQIAQAEAKEWQLNEVDVWNPSEYLKGLVEKTGVESRFVVRDAESIASLMWYGEGDKEDVRWVANEKFGWC
>RCO7_09932 | uncharacterized protein
MEDQDRAWPTRPLSFKSRAKQLLERNRADKSGHQAADVPSRADPSENAKPSRKPSFRSNLQKNFERIRRPNQPALQEQRDQQLHAAQSMQERLQPDR
PLPIPQQYTPVREPLRALPRNENMSLVDQPAARNNERPVRSQRSVIDLTADDEEEDAFFPGAQEMPHIKEERNAVVRREQERLARMGDAVPALAFAE
HAPYRPDPENAYVRPRDVWGDYDLDYDSDDAFQAADVEFAQGDAFLPPPAGHVRPVDRVPAPVPRAAPPIQDDLLVEIIESRMDCVDSILTVFPGIC
GEYVSELYESISQSSATLIAHILDKMDKGSAYPSAKEKQQKKRKREVDEDTEAARRYGALDRVIPNAPGGIRSFISKILSCEFPLTSMVFINATLEQ
TGYRLFSAHQVLEEDERTWTRENPSYQRLKKPRKDEGLYTDKVIADYLADPTINQQAAGIVDHEKTEVFQELQAARRIRSKADAQRVAELQAEIAEE
ENVAKAEAEGTMGECFSHDQRSQFLDDNTRVALERNEQEAMLRLAGIENLESCPFCPFAMEYPDVEIDREFRCQAPDCEKISCRLCRVESHIPKTCA
EHSKENGLSIRRLIEEAMSAAMIRKCNKCGTPFVKEEGCNKMTCTRNGCRNVQCYVCSKSCDYNHFNDTSRGGMEGNCPLFESVEERHDDEVKKAEK
EALEKVLADHPEYSEQDLKVKMSENVQKDDEARKSKDPRAMYEMAMRVGQENLELNRLAEAARLEAAAGRDVPAAPLEARIREHNRGLDFFQWHEAR
IPRPIPVLAPQRQPGGQVGHRNPANGLAQHPAELVVPLVDNLGAPAPGREPLGLVVARVGQRLRGLRNRGEVVQNRHQAELDAAEGQVDGLRDDAQR
EVNGMRDDAQRRNNPLRRRNGAREDARLVADKAVHANNRKVDDEVPRSRPGNPNADGQGAMMQGLAAPALAVERNPQDVRQAGRLSFRNLQIFQQLQ
MRAAREHQKAAAQAQAAPPAPLLVVPQNPHALLMAARRRRELVQQQQQERDPMLGNQRAMAANLAQAAIAQAPFAQAAFAQAPILPAPAAKQNPEDP
HAAAQRLNQEYQLFHRNMIRANQREYAVAQGNPLEHILPGNHYGPIENARRLQHQQQIMQPHQLIRALENGDPPVLGQNPYLAAQRAQQLRHMENQP
LQNRMPVDPEPDFRIRRKALPHQLPRQPPPPYAENDVVMQDAPPPPAYLPQGRQRSHSVPARENQAIANPAQPLNPGPGPDIDAHMAGVMRQLQAEI
QLRQEMAQRHMHEQMQMQLQAQRQVFYNQRLIADEQQEAELRQQAGLHRQIQAQMQEQRQRAYHAPMEARIRADIIAQQVRQYHARANGLPADGRLA
FAGRAGHRNGNANNVLGGFAVGLAGIGGGNRNGNAIGAAGGVENRAEALANGRGRHARAMQDIDQHQLRQEMRRVMHMEGWIRGEAGEPAVHIPEEV
EEEFESA
>RCO7_09933 | probable Glucoamylase P
MHFFHLPTALLSLSYNLTTSVPSSFSLAVPQKSLNMRISSLKILTSLLPFTASSSLESRDLNTFITAERARALQGVKDNIGPDGGKVPGAGAGFVVA
SPSRVDPPYFYTWTRDSALTMKMIVDEFIFGKTELQSYIEDYIHAQAVLQTVANPSGTFIPAGLGLGEPKYQVDGTRFNGAWGRPQRDGPALRAITL
IAYSNWLINNGQSKKAKEIIWPIISNDLSYVGQYWNSTGFDLWEEVQGSSFFTTQNQHRALTEGAQLAKSLRVTCTGCDEAPQVLCFLQSFWNGKFM
VSNINVNNGRTGLDGNSILGPIAVFDIDAYCDSPTFQPCNSKSLANFKALIDSFRKAYTINAGIPANKGVAVGRYTEDSYQGGHPWYLITTAAAEFL
YDAVAQWKARHVLYVDADSLSFFKDLYPDVASQQYKSGNANSPFSKIMDAVIAYADSFIEIAQKYTPADGSLAEQFNRDTGIPLSAEDLTWSYAAFV
SMAERREGQYPPTWNSRKIDPLPTSGTCKGTSTLGSYIPAVAAGAPNVTTPCQINVVFNVNASTYFGENVYVVGSSPDLGSWDLANAIPLSAGQYTA
DRPLWSVSSYLEAGTTVDYSFVREQNCGQAGVYESLNRTLVVPACGGEKVVQEDEWTGPVGTPGTC
>RCO7_14002 | uncharacterized protein
MPPQLLPASAAAFAPRATSVNVVLSSKVEPWLTQTLKRINRVKRPLNSVPQHQRCLTETLSSSTAIWTLTSLMVAKAPDAELRKDENPLIEALFNHQ
FLHIEAYIVHVDMVLRNEVAFKLTPDSIEALIEYHQDIHCVDISASTYNWSEKELQVKKMHEEFIQAINKFVYRTHVTALEGLEEDGAGELLCGKSE
EVKTSIMALFRPLLPPPPRIIDVVRQPPLLPSLAAGTSWWSQSNLSASIPAPVDSWRVIPSSPSTTSSMDSTSLWANMGIHEMQLPSPTPSYSQPYS
TAGLYYLSPMVSAPISPLPLPSMLAQQQCGISVGYGNFGHSWDRYQDYATSM
>RCO7_09934 | probable Ras-like protein
MASKFLREYKLVVVGGGGVGKSCLTIQLIQSHFVDEYDPTIEDSYRKQCVIDEEVALLDVLDTAGQEEYSAMREQYMRTGEGFLLVYSITSRQSYEE
ILVFQQQILRVKDKDYFPIIVVGNKCDLEGERQVSKQEGEALARSFGCKFIETSAKSRINVDNAFYDIVREIRRYNKEMAGYTAGGGSGSGSGGPTG
KLEVGESEAGRGCCAGCVIM
>RCO7_09935 | related to phosphatidylinositol/phosphatidylcholine transfer protein
MSIAGPAHRVQSAMVEYGFPSGHLGHLSPEEETAFQNFKTLCEEKGCYTPGESGTHDDATLLRFLRARRFSVADAFKQFQDTEEWRKANQLDTLYET
IDLQQFEETRSLYPQWTGRRDRRGIPVYVFEVKHLNAKTMSAYEKSAKSTSSQATTDGNTPAKLLRLFALYENLIRFVLPLCTALTDREHPRTPITQ
SNNIVDISGVGLKQFWNLRAHMQDASTLATAHYPETLDRIFIIGAPSFFPTVWGWIKKWFDPITTSKIFILSSADMKKTLESFIDPINIPVKYGGQL
KYTFGDPPVFDPAIEKIIKWEGERSEFPQGPMYWKSQQGKRLEGRLGEETNAMTAVAVGSVEGKQREEVIGTVTRTLEREPYVDGLTNGRSTAGNTL
TVPGSQQDLLQQQDLEKTQTATTTDGQEVRPSGILSPTKSQLEAPTVPSTPMHEVQDPVHEVQGGEVVPATRPEPNRFVTANEGIGALTSKVEGVVL
NEKSGNLNGGEVVGGATNGNGPHVTGTANRLDPNVKLMT
>RCO7_09936 | probable 3^-phosphoadenosine 5^-phosphosulfate sulfotransferase (PAPS reductase)/FAD synthetase and related enzymes
MTSSSGAAATADERNSRMIHTAACLIIGDEVLGGKTVDTNSAYMAKFCFQLGMALKRIEVIADDESEIIEAVKRMSTNYDFVVTSGGIGPTHDDITY
QSIAKAFSLPLILHDEAFAKMKKFSKPHPSQPNFSYDTPSPALTAKLRMIELPTDTSRPLSKQVLFPCPDLWVPVACINGNIHILPGVPRLFERLLD

GMKPLLVDRLEDPGKGTSRIMISTPMSESAVAGYLTELAGRVESKGVKVGSYPRWGKEHNTVTLVGKDREFLESLVAEVEKNVDGKRVQVEGEDEVD
SK
>RCO7_09937 | uncharacterized protein
MSFAGFGSSSGSGSGSGSGSGDQRNRKPNLPSNPGPKYYDSDGKDVTASATANLAARVAQIQANQNSGPGGQGNRVLAITWVDEPDGVRRFYDEEDR
DITTTIRLAGRLRATRALARPGPRAVQQGSGRNDNGPHMGHPVGGPGSGLDAQGNRLRRITFVDAAFGGRSYWDEEGNNITARVTDAEIARAISEGP
NRRLGNESYGPGPGPGGGPRDPNYPQGRMQPPPRPPGPALPTSFAPPSQPSGPGQNRLTPTGFNPGPPLRSSNRPAVAPGLPSPNQPRTPIIAAPDS
SGVRVRLNANTDPTMWWNQPGQERTIPNAGCCWQCREGKRLCDIGEKGYPCTRCEKKGIGESCRNGLPNIKWENNLIAILYGDEADKGKRRARRDEG
AGGGRSARPGRDDRPDRPRSASPDQGGGNGGGGGGGGGVGGGGGFGPSGSGANDGLYPNGPGPPPLNDLALLGMSAQGGGNPASGPRKSERRDTKR
SRERSASPARDAPDDDSEGLDDDDDDSHGGNGGQGSSKNPAPPKKKKPKRQHNTKAKPAKREPLKSTYTDGEFLKRFGQPKKCHECTWSRLRPCIGR
PCQLCLNAGRTCMDYDMVPYVANPPVAPQPDDRNGGVVANPSNGNAVLTLTGSAIARRPARTVAPQAQVQPQAQVQPQAQAQPQVQAPLPAVAPARA
RAFLRRRRRQPGEANPVDFLNGRANPFHHLRRDMEEEGFGVPIADRRGAALAVPVPVWWHQQRDQRIVQAQTTQYERNARALADLGPDLGYGGTPES
ANRPSWEAEMAANGWFIAPPIGNDGPPAPEAVRPFPVPYDAEMDVDPLPEFGRNVVDGDDILNARIPPPAAGYEIPWIATWNYDQQRVRGQGIRANV
ETRGPLGWPYPTVESLTPQHTRLNPISDEVPCCEYSNHFNIPQEDYGLYCNVVPSLQCEVLPNFDMEHTRSPWHICNECRNKQANVYYLKQERTLRR
QKLYLCRPCASRVRREGRSWPKECLCYASKVCRNICHMHRESIEDQADAPILYVEEYLIRQGILGEFGDKCINCNENDADPSTDVWSCKLCREWVQD
TRRATLDGSGPDNLSRLNADGSIGRDN
>RCO7_09938 | uncharacterized protein
MAFMFFPMAGISQPYNRSGQLCCKQHLRLRERNKEKDIDKDPSADPIDKAIKYTRARRIGARDSKKGYPRRVFEYSDLITALLLRVPIPVNANDVAV
MYPGGSKQNKNGPSSYSGVPARLYEDYNDEEEDDEDWHAEEEGYAFSRHHAPRPHRRRSSNQQNPNSNANANPYQSNNPQNPGGYAPGFGNTFADHS
SRPPSGSNRPSQGIYYSDELGAPLRPPRSPPTNPYHPDYVPPVAPSTSENPYHPNYVPPVAPPPSFQNQNQNQNQNAFAKQYGPNGLPRPRIPTMLL
VSQAPTNNRPGNIPGSSRADRRLFNRDATMWWNQAGQQQTDPSSDRCWQCNVARRAKYCSLITTGYPCTLCAAAGRGAECRNGLPSVDFERSLLENV
FNARLPTRQGGQSRLYISGGGPSGMGSGGNGNGGMGSGGMGNSGMGGNGGNGNNSSGVGYNTYVPDVSPYQPPAGNSTSGFGPSLGNPNTGFGPPPG
NSQGSMGSGPSGRPSTSPQSLNSSGGGPSRRHRPRRTPIAGSASSSRPSNRRQPVAGTPYGASRPGRRDEPEQDDYASPYMDVDPEEMQPRDATLGI
CVRCKRLNLICNPERPCQNCLKSFSVCRDNDLMRPFLPSRNGSGLGPDIGSPPRGDGNLYGPIPVSRSRSGNANSNDRALAWEDIYAANGADDSGNR
ESLEYNALPERGIEGQPIDASAQERRGNLDLSNIALAYNITPPLPGMADAEYEDSIDRIIETGVLAAQTWMGRGEPQLSMTEEERQLVDPALLESDM
IEAQERRTASDRLRAYQMYRADRPRAQPQSMETPNVFQGARQVVAMHLGGPLAPALALWQPRIPPPVSNRPLLNLPPFASWNWEGVEGDNSIRGPST
WPFTRISPQQPHGGRYSIYIDNRDENCMEAPRAVALPQRFADDYDENINGPKKKYKKGDLCGDKPSRPCECIDAARVEHRQNDFMTCVPCHEIRYNR
RGNQGVNLKRRKAYLCRQCADLAIAGNCTDMPIGLDCVCQTTMKETWLCHLHRDVVDQEFVAGVANAEAVLIAMGVEEKCISCGLNGPERNSEVFSS
FLRKPQQQQSSLSENMLPFIPSRKHPPANKDERDLVAINRLSLRSSALRIELRSSNFELLHSAQQNFSSFGSSSGSGSGSGSGSGDQRNRKPNLPSN
PGPKYYDSDGKDVTASATANLAARVAQIQANQNSGPGGQGNRVLAITWVDEPDGVRRFYDEEDRDITTTIRLAGRLRATRALARPGPRAVQQGSGRN
DNGPHMGHPVGGPGSGLDAQGNRLRRITFVDAAFGGRSYWDEEGNNITARVTDAEIARAISEGPNRRLGNESYGPGPGPGGGPRDPNYPQGRMQPPP
RPPGPALPTSFAPPSQPSGPGQNRLTPTGFNPGPPLRSSNRPAVAPGLPSPNQPRTPIIAAPDSSGVRVRLNANTDPTMWWNQPGQERTIPNAGCCW
QCREGKRLCDIGEKGYPCTRCEKKGIGESCRNGLPNIKWENNLIAILYGDEADKGKRRARRDEGAGGGRSARPGRDDRPDRPRSASPDQGGGNGGGG
GGGGGGVGGGGGFGPSGSGANDGLYPNGPGPPPLNDLALLGMSAQGGGNPASGPRKSERRDTKRSRERSASPARDAPDDDSEGLDDDDDDSHGGNGG
QGSSKNPAPPKKKKPKRQHNTKAKPAKREPLKSTYTDGEFLKRFGQPKKCHECTWSRLRPCIGRPCQLCLNAGRTCMDYDMVPYVANPPVAPQPDDR
NGGVVANPSNGNAVLTLTGSAIARRPARTVAPQAQVQPQAQVQPQAQAQPQVQAPLPAVAPARARAFLRRRRRQPGEANPVDFLNGRANPFHHLRRD
MEEEGFGVPIADRRGAALAVPVPVWWHQQRDQRIVQAQTTQYERNARALADLGPDLGYGGTPESANRPSWEAEMAANGWFIAPPIGNDGPPAPEAVR
PFPVPYDAEMDVDPLPEFGRNVVDGDDILNARIPPPAAGYEIPWIATWNYDQQRVRGQGIRANVETRGPLGWPYPTVESLTPQHTRLNPISDEVPCC
EYSNHFNIPQEDYGLYCNVVPSLQCEVLPNFDMEHTRSPWHICNECRNKQANVYYLKQERTLRRQKLYLCRPCASRVRREGRSWPKECLCYASKVCR
NICHMHRESIEDQADAPILYVEEYLIRQGILGEFGDKCINCNENDADPSTDVWSCKLCREWVQDTRRATLDGSGPDNLSRLNADGSIGRDN
>RCO7_09939 | uncharacterized protein
MAVPANFALLPTEVLLIIISHLPGTGDVNAVCKLTSRLHGLFLPELFDRHVAWAKTSVIPKKPLECLVTIFLHAVKFNSSTLIQELFCYSDIVDFRG
FIPGTPFSHHSITYLHFALTMDAPIIASQLMKHGSSSESTLESLSTTYPDLTPLYLSLARPNLLTERELNAALRIACSYALPRATSFLLARGADART
VSIYGISVLHATLARRARWKFFDEFYTFMTSTTPVEEVWEISILDTAKNLVIFGADPILETASSRVHSCDARCWKSINCDHSAQSPTHLAASSGLTR
VVRFLIKRTGLGVLDEKNGAGYTPLYSACVQGNEETALYILRKQCDITNPNPMVREIDGTTALHVACRFALETIVVYLLEHGAASDINREDVKGRTP
LHEVLSHEQFGREEEVIATLHSLAEFGADPDYGWNLTPSSSAFDVQQKRITRLQTPRHLAGKHPFLSVRDLLRVEKQNLYRDWCDEDKKETMRRIEN
AGLQIKEVAEVGDVAVKKVRRQTRKQKEKAAVREKEEAARKHEESFPALKTVDTQIGKSYGASTFSSTEMPNQTVASEVSGKGRGKAGVGKNKWKKV
EF
>RCO7_09940 | uncharacterized protein
MAANKTFDYGDLRVTLTNDYSWTYDTTGASMEIFNFMNLSTWQPQRQGEMKALGTFAEGKSGQSYHDINKKRASVLVGPNPNTRPSRPAVASPTDYT
LLWTDKGSQGEHDGSIWRPIAPAGYVSLGDVCVYKYNKPSVDLVWCVRDDFAGTTQFQARTPNIPVNADTFRAATGLGRPDPDLARILQLPLPRQYQ
KIDSSWPEISKNTMPSKGQLDSEKVQASVTLPFTCFFPPTDEDSLLKIRDPFCAITRSTAYFAEGVWVNDAEGSLKRSAKVTYGITKEKREEFTHTV
GVEISASGGIGLFESSVSLNYQFTYSNSSTFTEFTQTEITQEFDVGPFYAKVLFSKHVWIKGTRSSGSIVINATEITASDDYIIKGCSLK
>RCO7_09941 | NADP-dependent L-serine/L-allo-threonine dehydrogenase ydfG
MASSAMSKRLEDKTIVITGASSGIGRATAVEFARTAPKNLRLILTARRIDTLKEVKAEIEKDVGEGVKVLPFKLDVSNPEEVRNFVGSLPEEWREID
VLVNNAGLVKGVARAPDIAEDDINVVFATNVTGLINMTQAVLPIFKKRADGGAGDIINIGSIAGREPYQGGSIYCATKAAIRSFTDSLRRELVATRI
RIIEIDPGQVETEFSVVRFYGDKAKADAVYAGCEPLTPADIAEVIVFAAGRRENVVLADSLIFPNHQAAATVMHKKS
>RCO7_09942 | uncharacterized protein
MLYRWPFECEIQDANESSPKMMFQIYSFPDKDFLNTFVLDFLAIAFDDRCAIRDLSKKYPETPPRFETVKKARLRLYVIVRRVQQLYASISITKFFP
TFQLWIPTPTKTPKLGMDD
>RCO7_09943 | uncharacterized protein
MNLIQSHHWRNIQCLAVLFDTQQYSECAYGIRRYLTSRTTPGPNLAFNESPFIAEYYDGLYLILLAACCEAGEDKGRLLSFEARDTLRSALRRDPKS
SKAQELLETLIYIAILLSLHFGGPLRKLEQPMDKLQDETKKFLRGKSVKDLGLEALMVHYALSVELGKAVRERAMSDVSCTAVEIPYWVDTPMSPPE
ECVLQDYCDWTETARKRRSSDSDQPGSESPPKRQRYLLRPQMNASVEKQVSTGHESRFCLMDCSL
>RCO7_09944 | related to cell wall mannoprotein

MKYETATVLLAVFGLVSAAPAKLRREVPQELSHNKFLASVRKSLNLDNPDEIKDPVFGLLGNAAAAEGAGKITNLDCLHQATADRAFTNAKAAGDVQ
SQVDALIFAAIERNTGSVGLKSVLCTDAAVNPEIQALTQHQDPASENAAADNKALVLTLAKEIATLGGDPLDALLSGTFAPGKIGDPTAAGNTCDVA
DDAEGCIFTQKLLVNDATEAEIQAAVSGVTAGGNTAGNGTAVDAGNGTAVVDACPAQVTATVTVKPAAGATAPAKAKDAGQASDKATKDATKAAEKA
TKDAAKADKANAGANKGGNATANDNAADAGANANAGANKGGNANANDNAANAGANANAGAGGGNVQTFTGALGAAPIPVIETAGADRPFSVNGVTFV
NSGAALQRSCAVQNNACANAVNSGAIDGDVKQCNDQEKACNAAAR

>RCO7_09945 | probable ADP,ATP carrier protein
MPSALFKNASSAMLKDKDKSREISKEGDMYTGAEARKGALAICPTDDDTLAPKTKKPHKQSFDYIWRTGVAGGLAGSAAKTLVAPLDRVKILFQASN
PQFAKYTGSWFGVVTAMRDIYADEGPRGLFRGHSATILRIFPYAAIKFLAYEQIRSVVIHSAAQETPIRRLLSGSLAGVTSVFFTYPLEVIRVRLAF
ETKKDSRSSLSDICKRIYNEVPPPTKPVTPVPAAVMAVAPRAGLANFYRGFSATVLGMLPYAGMSFLTHDTAGDVLRYPMFAPYTTLPKPASSPPNK
PAPLRSWAELFAGGIAGLVSQTCAYPLEVIRRRMQVGGAVGNGRRLTIGETAKLILRERGVAGFWIGLSIGYVKVVPMVAVSFYVYERGKTWLGI

>RCO7_09946 | uncharacterized protein
MDNGILYENEDSTILLVDIPRSLEAAQFQSSSSSPNASSFSRRLISSEPPLRPYPSLEPKSVRAKAALKGPSLEQLLLRRHLEFALEKGRDEWKEKG
EWCLPRITESVTLKVEEDEDIDVDVDGPRKRMKLEEQEKKPGAKNELKAEENIKIEIEIEIDKIPCYSFPLSSHAHKPALDDISESGLFYSNPSSST
QSIQLTSSQSTYSIPRQSTFILGSIADTRHFFSPYTSSPSLSSPTPKFDIILLDPPWPNRSARRSKAYGTSSRNFQIRDLLSSIPIRDLLSEDGLVA
VWITNRESFREMVLGKEGLFEGWGMAICEEWCWLKVTSGGEPICALDGVWRKPWEGVLIGRRTGGSNDHGRGEREGEKEGVVKRRIVIGVPDLHSRK
PNLRHLFEKAMKKSSGEYQALEIFARYLTAGWWSWGNEVLKFQNDDCWADDPDL

>RCO7_09947 | related to ribosomal protein
MPPNTIAKVARGPIRTVGHHRLGNKQIFLPNFTLTLLNTPHLSPSFASFIVPLNINKLDLRDYLWHAYGVQVRGVRSYIQQQKVRQDKPGVTRVSPR
KWYRPRAIKKMLVEMEKPFVWPKTPENLEDWDKSAYDAAKKGQQAESETIQPDFREQPTRERDSIAKQARKLIKGKATWIPNNAGAIEWEDDGEAVE
VEQDFGPPDDGKKA

>RCO7_09948 | related to dienelactone hydrolase family protein
MASNPPSTCCTIGVKHEGNPTGTSTKIDNIEAYIAEPSGKTVHKDTAILFLPDVIGIWQNSKLMADQYATNGYYTLMPDLFNGDPLSLNRAADFDFM
AWLTKGTGGNNPHTYEAVDPIVEKSLKFLQDKGYKNIGAGAKYVARFMASGKGISVGFVAHPSFVEEDELRSITGPFSIAAAEKDQIFPTEKRHRSE
EILAETKQPYQINLYSGVVHGFSVRCDLSKKIEKYAKEQAFLQAVAWFDEHLI

>RCO7_09949 | uncharacterized protein
MSKEKATYITYNAGVDAKHLHLGNLVHDFKNPSFYEPHIEKAYPDIQDSPPDWAELTQLGNYALTLGTGSEQGHAANNPSSKSTDQSGQERYRVAAA
EKTTKISIKDPEEFFEEITLSSPSAKKWLASHLSAAESLSKGKSQSATKPEIWMLTGLILMQHATWTSLSSKDPGFIAGQKAPFDPSGVSNLRRLSI
SENVKPTIGFRASEGEEKKSVNGAIIHETGKYPGTRAWAAQWQKIEFQVGGNEKWKEGVKRLLKLKEGVAMVRVNEDVYAEDGEGKGNRVELNDAYW
EAFIDATDD

>RCO7_09950 | uncharacterized protein
MCLSSNRILERFVATKELSHTVIDQEMQAVSMHGLNPLFSTLNGAYIARIMGTFINASLEIPGRNTGGWVTAGPWANAMVLMGPGNSLSYTPHCIAT
DGGGRFNFGGAVEEMSEMYSSPVDPLFWVHHSMVHRMACPDNYFGHIPYKNITLKSPPVIGPLGAAVNIVQVMNTSCAPLGAYSYA

>RCO7_09951 | uncharacterized protein
MGCPTWLVVAVIFITTVLQSTSAFVCGNFSDLSLESQADIENKLAGCTTYQGQIKIGQFWVGAFVLPNLTSITSLNTASSPFDPTGPREHPSLTSIE
LPDLTTFHEMRLYNAPVLSLLSLPKVEELGRMIVQPDSSRELNPEVTLKVPLLFEASRMVFTGNFPRHTFYVSNSRLSEDYSDGFLPATASSPIAVD
MPVLRQANDMHISGSISKISLPSLEILELVDRHMYRDVYNGRLTIVADGDPLDVTLPSLRDVTDISLSGNFDRVSFPALFAMNGSLSLEAGKNMSYN
SAPLQRADQITLNGNITNFNVQSLELLNQLHILVERPVNCKPARAVWDKIHPDFNENTHGFDYYCYTEYTEKEKKKPFPKLAVGLSCGIGIPVWFFF
LFALWHSRKAKKDAEAVSKLPPPDYEAEMTARNTGGTELLPDYEPRRSPRGHPDPAIELLDMTRPSPHPPGYDVAVAGSRGVVPVEGCNAEQESGRG
GGGPATGNGSQTID

>RCO7_09952 | probable multispanning membrane protein
MSADFRLRLWRCLLFLATLSVSQAFYIPGWSIKSYKDNEAIPLMVNKVYSDNTQLQYAYYDLPFVCPPTGSNHAGSSLLSGQTISLNIGEVLRGDRI
AQSDIELVMGKDQECNFLCSKTVTRKDLKRAREMVKDGYVVEWIVDNLPGATSFVTVDKSKKYYAAGFKMGYKDISTVGKSRYYINNHFTIVMRYRK
ATGKDGERGGKVVVGFEVYTKSIGGQRNSCPADINNVEEPFELYLRPNTTKLAVQYPESSYHPPESALDMEDGATTEIPYSYSVYWREDDKIEWAHR
WDLYFVNQEEGSRIHWLAIVNSLIISGALSVIVAMILARTIRTDIKSYKDAVAEDGKMRAKRLGCSRQTSGTRTPKMSEKSGGLLEQVGDTDNDADV
SSDEETLEDVTGWKLLHGDVFRAPPYGYILAPLVGSGMQLVFMAVGLLILSSFGVLNPSFRGGFVSVGVGLFVSAGIFSGYFSGRVYKTFGGLNWRK
NTIITATLFPGLLFALMFILNLFVWAQASSTAIPFGTLVGIVMLWLCIQLPLVYVGSWYGYVRTGAWEHPTKTTTLPRQVPARAWYIRSPQSILLAG
LVPVDTHSPSQSPPRSIWKFAVIFIELLFVFQSIWQDKSGYYYVFGFLSIISLILIFTIAEVTIVTIYVSLCSEDYNWWWHSFFVGGGSAVWMWCYC
VWYYCVKLHIEGFVSGLLFFVYSAMACVVYGLLTGTVGFLTAYAFRHKSRLSTDRSTDDVNDSLSNL

>RCO7_09953 | uncharacterized protein
MASSSLTILVVKLAIVLLASSRLVSTQAIGSFFFTDSKSIAGTGVVVHNPRDDNFLYSINSTRGFGDMKAIDVDILPRNGTPVACTGYLAGDSVYGA
AFYQAESSGIVQLFFKCSYKAGTCVNYGNWFISNSVTIPVSPITQLTAAIFPSNMGYRVTYQDTQGALRQLAYANGTRGETTWADGNLTGNYTIPDG
YAFDTTTISPKNETGDRLRETIYAVGTGDIKVSDSTTHNTSGLITIDDLKTWSANTPIPDISLPHFNNSLSHIATVSYSNWDCIFYIDNERNLQFVR
STDGGMKYNQQPQMALDKWPQADSPNAPITASVSSNPRDKSAYVFYKSNGTYIQAKMKNSEWEDREIVQFVEGPPPIEPPKPSDTVPAKKSSNIALR
IKIGAGIGGAVSFLVILAILGFWYRRVQIARRKARGVQKEDSIYGQENGSSEYRFAGKAELSGHSVERAELDHDPDCLLLHQLQLRRLAELRGEIPG
ELDGGIAVHRGELDSGEVNNRGELAADIKRWELDPELCRCLLDGAREEIYELASPVSELETGERWEDGDRKMDAVIVENELSDEPEEVVVLETIVLL
GEASTHASTSRTQAGESGNDGDNDNDEKGKDR

>RCO7_09954 | uncharacterized protein
MSTPSMSSSIMSEQLKDASSPDASVDAKVKKTRASKPKVKTGCQTCKIRRVKCDETKPSCIRCVRFGHICDGYSNKSSSQPASNKNSRPLVPKSPSQ
SPTTLSGLSTDFSESPSPVASSSATSPIKIYPSPARLLFKTPYEYHAFQTFCSRTSYEISSAFSTDLWTRLMIQACETSSSIREAVISIGSSYPSPP
SPSPESSVDTSRHLFAFHKYSKALCLLRRDVMGGFCDLRTTLITCLLFYCFESYHVCHEVDVNQMYSGLKVIREWASSFCAPDQGGKPKRRLGSENP
MVVEDDILRAFEILEIHVMTYAHGQTRKAHEHHRRCGQVSIDKMPKLFTCMEEASTMLDLVIKRSMHWLRSMTHLQTFPKISTPTSSPIGETENNKF
LSLFFDVDPTFEERLETLKEYERWDDAFRPLLNHSRKGSAPHEEFLLASKLRLHWLAGYLSIASNDSHSSLANNGKFTTELEELLDIARILLANSGR
GNLENRATPCVFDMQIIVPLMTVGWIYRHRSLRREAIQLLLHSPWKEGLWDVMVIGKIMSWLAEIEEECLGDKNVDYIPEWAAVRCLTMDFDSVKRE
ASISCLQPIRGRHVEEERRRELLIPFL

>RCO7_09955 | uncharacterized protein
MSFHFLSSRSPISGHQRFPTSSTLPIECDDFTSSHLHGSISTHTERGNTYYPRDHVRPEAFLERKDRTLGGLSFEINSRSPSPNIHRPAKRRRTSVI
NLIGSSSDIDNQMDPESDTIIVEVPQLNPTPESKPAPQPGNNNITTRPRRKAALKSRYATIAQAKSVDRPLLQRSNRLTINQKTANGIQAKLENDGK
GKGKGKEKEKPSTKTKNLNKDNGQDRGKKESTKNTDEDEDDNYECPCGYGCSTISFCESRKKEITTRDVGMSVIISYKTSIAVLVGTPSHQETFVVH
KDLLALHSDYFASLFRQTQDVTPPSSTSIIQAKSASFDRNELSLDAPLQPRFFGAIKGNNLVMGIESTGSVARVEVKQGEDSDEDIEIISSDQYYAT
LPSKSNSLKLKLTPIKHRSILPGKATLSHPTLISFASTASASKTYPIPFQEKSIFELPTTILPLQFSLFISYIYIGSMAPTLLLATDDKDSCTWEAL
HHVGYTLRSAGFMNYCMEGLRELRSVRKGIWPSPTEAKLVWKMDLEMGGLNMAILDIAGLNNESSLGVGNADSDTRSSSDSDILSLDGKMSPLHEFV
VACIAYNSPMSSDQANTPNYRAWKRLLSSKETSLASLSIMVHAMNRKMFMGKEPWNDEFRGLWEIVEEDVSTRWREILEKRKGQSEGVRKETRDGIK
SVQELLERMALRGESGLTRIRRANTYIEEKTPKKYSQKLKLH
>RCO7_09956 | uncharacterized protein
MGSARLPSRNGTPEDDERILPEGLIEKVAAIRNLTLKKLWAIPYGQINNLETQDVSIYGKKSCHATLKSSLILKLTNCGLWPRQEPKSFNDSVATIA
GLIKNLQVQWLGNERNRQDSSVLDSGYSRRGYHYDCGVNYEREVEKILNAIQDPTLDRHV
>RCO7_09957 | related to Dicer-like protein 1
MPFPGYAHDLSQLIEDQDCLIPISPSKPSPPDLSPSAKDSPSSSDSISSIWDEFLLLNEAADRIVTAGQKEEIEVSTRAVHTFTPGSEEQTDDIWGL
PKTKLSPILTSPGNNGNSNNRTRSLGQQQLLGLFMDHLQTPASRPLPESSLTMTMVSMTSSSPPPPSHDLPSIESQNTESDASSISLNLPLTPISAM
AAVGINEICEEIDDNRVSVPTVPPVQLYDISKGLDTALPPSEMLKAALAAGCAPSSALNLTLSTTTLSTRTTEDVIADLKRARQHNLVSSEPKNPHE
SLTTAQKPSIPEHPTLRRIPVELAELTLAEPDGQEDVFNDDEDDDLDEGVLPVPKQRKITERKRKLNAVAEAHIQRKLLNLNKEAAKSRPQDQQSTR
WLVTQAGLERENILSNPREYQIELFNKAKEKNIIAVLATGSGKTNIALLLLEHTFSQELEDRKGSSMKRIALFLVDSVQLALQQHNVLEQELHGEPI
ALFCGELSQNLWNKAFWEKNIDENMAIVCTAEVLRHSLHHSFISMSQINLLIFDEAHHAKKDHSYARIIKDFYVPHNPTSRPKIFGMTASPVDSRTD
VKKAALELEAILHSEICTAIDTSLLQFETGGSRHEQIAKYDQLRPAHATPLYTQMEERFKTNSVLRKPLIFAHGATEHLGSWCADQIWLFCLEDEET
KKLQARTERTHRAKNVAGPLSLLEEQRSQIEEAKNIVNAHVFDPPDYDPATTLTASSNLSSKVVVLIRYLRERFERPTDDKCIVFVNQRYTARVLAK
LFTQPHIGTPYLKVGTLVGGKSGDSGDLSLSLRAQLLELTKFRHGQINCLFATSVAEEGLDIPDCNLIIRFDLYTTLIQYIQSRGRARHANSRYIHM
YEDGNAEHLQIILEVRKNEGILKRFCESLPEDRLLTGNDIAMDHFLAKEKSHRVYKTSTGAKLTYKMSLMVLANFVDSLEHGNYTNLQPEYIMTIQN
KHYVCEVILPENSPIRGSVGRPCTTKQVAKCSAAFETCLQLVEKKHLDEYLLPTYIKQLPAMRNALLAVDSKKREAYDMKTKPALWSVGGVPDEFFL
TVLKLANPEALERLSQPLILLTRSRLPHLPSFFLHFGGGRHSSVDLVSLSKSIQATPELVAKVNTFTLCIFHDVFSKEYATDIPTMPYFLSPASIVG
RISVNSDPNSVIAWDALQSVVDYQTEWAEKNPWENLAWKTQPDEFFKDKYILDPWDGSRKLWTLGVTSDHIPLGPVPPNSAPRTGTRKNNNNIMEYS
CSLWEKARKRRIFDPSQRVVEAEYISLRRNLLDEFDTPEAEVHKKCFVILEPLKISPLPSTVVASAYVFPAIIHRLESYLIALEACDLLHLKIKPDL
ALEACTKDSDNSEDHDAKQVNFQRGMGKNYERLEFLGDCFLKMATSISLFGIHPENDEYSYHVDRMLLICNKNLKTNAMKLKLYEYIRSQSFNRRAW
YPEGLVLVRGKTATAPNTHKLGDKSIADVCEAMIGAALLSYHDTKDMDTAVRAVTELVSSENHQVTCFADYYKLYKKPKYQLAPATESQKSLASKLE
LKHPYHFIYPRLARSAFTHPSYPYSYEKVPSYQRLEFLGDSLLDMVCINFLFHNYPTKDPQWLTEHKMAMVSNQFLGALCVALGFHIHLLLFNTSFK
RQISDYVTEISEARLQAENDAVRAGKRPQDCNPDYWVSVRQPPKCLPDIIEAYIGAIFVDSEYSYATTEDFFDRHIRWFFEDMSIYDSFANKHPTTF
LTKFLQISMGCADWSVMTREMPTLEVGSKPVIVAMVVVHGKVVADASAESSRYAKVAAAKKAMDILSGLPLQEFREEYACDCKSEDVDGEVAGVVDE
EVHGTAV
>RCO7_09958 | related to TAP42, component of the Tor signaling pathway
MAEQSIKSLYASAEKQRKDLEASWDSNTAAYQQNLAAAISTYDDCLKLADRLSLFSPNETLEDLTSGDLQYLLINYRLAELILRISSKDRKITLLKA
RAAFEKYLSLLDHYEILDTAQKKLYRDYCEYPTTFSTINNADPNLRRGAKIANFKLEKELKSKLEFLAKNPAYLQNDDDAIRELQLTNITLCTHHTF
QALESLNLESQILAMAPPPVPEGPESLERDYRERMGSRDKDDVSGDRLDRRDMLSTANKGPILSANGKPLRPFTLLDSRQTVKAGVFRSGHNLPTMT
IDEYLEEERRNGGIIEGGGAASGLSPEPDEDNYEKGDEETIKAREWDEFTEANPKGAGNTMNRG
>RCO7_09959 | uncharacterized protein
MASDSNNVAAMSNMSITIHTRTPNSVQSTKSFDGFFTSEGGDVEIRAIFQGHQVNGKVASQVMVLACPFWKKFIYPLWTTSDSVQPMTIDFTEDDGC
ALKILLRATHLQSNSVPVTPRVDTLFQLAMLYSAKWLYIAWAFGNAGLYMDITLKMAISYSDTIASSIDGSGIKVWGYMPDKSLDLMKQASNYTIKR
VLDVIYNEAKKYSDGYKSAVC
>RCO7_09960 | probable high-affinity glucose transporter ght1
MGIFHSKKAKAEPVFQEKKISTNTTPAVTPAAHTPETRSLNQVPVVEVNGNVLPAEEAFKELPVTWLAILLGSIASIGGFMFGYESGQISGFLLMDD
FLERFGDEGIFSSARQGTIVGLLCIGTLIGCLVSGWLCDRIGRRYTISSSAFFYIIGVVIEITSQNSWVQFAMGRFTAGLGIGALSTSVPMYQSESV
PKNIRGAMVSSYQLLITLGIWTAYMINWGTSAAFTNSAQWRIPNGISALWAIILGLAILAMPESPRFAYRIGHEEEARKTMGRLSGIDPYSPIVDHE
IAEIEEKLQAERAGGDHPLSEIFTGPRMLYRTLLGMTLQAGQQLTGANFFFYYGTTIFRSTGIDNSYITQIILGSVNVGATILGLWIVKNCGRRKSL
MYGAAAMFICFMVYAFLGRFSIGADPMDFPTQGKILIVFTCLFIVAFATTWGPLVWAVVGELYPARYRAPCMALATASNWLFNFLISFFTPFITAKI
GYLYGLVFGFCCFALFWIVYFFMIESKDRSLEEIDTMYVLHVNPRTSASWDPKSLGQDGLTGVGTDGMHLKAGGKDFKKTETGVAGLMVHDETRFPT
SASSSPNTAPVASAQNGAMMGAISAQQARRM
>RCO7_09961 | uncharacterized protein
MTSLPVPPRNLPSNPFILAAGTVKFLVTYKDQSLAGSGSGSADAIVVASQVAELVDRYDCIKTARPWLEEWMENETAESLIRRQEGWLFIEWVFGRE
AIFSDLAIRMANDSQLKKAFGGRIDILLMYGETLSEPMPPESSVATPTFIMR
>RCO7_09962 | probable MFS quinate transporter
MGLLNKIVKNDAMKTDPPEIYGWRVWVLAVAGGFGGMLFGWDVGAIGGIMVMPQFIKTFGLPHTESAADKKAVANTVSNVVSILQAGCFLGALAAFY
TADKWGRRPSLMCAATFAIIGIAVQAGSSGEIAALYVGRFIAGIGVGSASMLTPLYVSENAPRSIRGGMTGIYQLNVTLGIMLSFWVNYGSLEHSKG
DAIWQVPLALQMLPAACLLIGVALCNESPRFLAKQDNWERATAVLTTLRNLPADHPYLKMELDDMHEQLDTERRLIGGASFMDLQREMWLVPVNRKR
ALISIGLMICQQMTGTNAINYYAPQIFKNLGIVGPSTGLFATGIYGIVKVCACSVFLIFVADSLGRRYSLLWTSIAQSSCMFLIGTYVLTQPPKAGT
PISAYGYVSLVCIFLFAAIFQFGWGPVCWILVSEIPTARLRAMNVAIAAAVQWLFNFVVAQAVPRMLVNVGAHGFGTYYIFGSFCFSMFFFVWFFIP
ETKGVSLEKMDALFGAVESAKYDEEDTAPSTRDDKQQIHETTEDAFADHKQQSYFGPK
>RCO7_09963 | uncharacterized protein
MQGASHRLISLGLLFLGSKSKLC
>RCO7_09964 | uncharacterized protein
MERPFTAFSCIPAFQTPPAIDANGIDIDPAESQTEGINRCDPVPGVEPTLDQSMKLWKMHDAGLDATKTKYGMRKRHQPIVDHTTISKRTACDYSDV

VVSNIDEHSAREDEGETVFEAEKEYRKSIVWT
>RCO7_09965 | uncharacterized protein
MAVLNAIMIGITGIMTIPLPQRLLPSNDAHDYHCYLDTWTGEPQIFDEADQIGGHCPNIALFDANGFRIGFKSGERNGKLKSGKPSTIAVKPYDDGN
NKTSE
>RCO7_09966 | uncharacterized protein
MDQQYPSCEKYRMYLTPCAKPKRGRFNTRGGAARVLGFSVTRMMWDDKMLLVQPLNALSNESEILPDHVDTQSLMMIVLPPLPIVRMANMDNLGLGP
SFGFP
>RCO7_09967 | uncharacterized protein
MSLIIHYVAYALSGSDYIDQAVFPGFRAKTVGLRNSPQISYIAYSVWTRSADTDENEAHADLVKVLKAWKALKPLQSSSLLSAPLASEVTTSIVAVI
A
>RCO7_09968 | uncharacterized protein
MKATLIFLSALAALCHAAAVLQGTDIHERDGVFVRQVTIIVTQTTTRTSVAPVYTTSTKYTTLPTHVVTKTQTVTKPYTPPESTSTVVVTFTAKPTT
VTPPVVIVTVTAHTSTSAKPIVTVTVTYVPPEGTEESGYPGDPETQNNSWQITRTAPVLTFRKRAPSPAPEANPQRGQGRPTRGGGWGPGGQTIVET
ETIKQTVTYYPPISTGNTRTITVTPVVPDKPSTSIFYFTPTPISTKAPVIVTSTVTITPTITAAPSSITKTITPSPTAKSTVRSTVTIWDRTIPKRA
PQSFGVPTRTNGGIIPSETFTPEDPEEEYPYYPADEPTYVLGSPSRTVNVTPTPVKPVPTSTKKATTTKKPWWDQEPVTVTITKYTPSPTGTLIRNT
GALPVLTLRHAGKSATFAPGAPVRSSGVFVTLTVPAQQG
>RCO7_09969 | uncharacterized protein
MNLLLLTTLLLTSVVHAADVGTYSYTTSPTFTATQISQFNSSANSSSSYKVDSIIYDSPFNLTSLHPIYTLTLAISEPPIQDTQTRSLIFATPPTGK
EMGIKNGTDILSWDTCAIIFRRVTDAATKRGENEDGGCNPTLGKECIDAIFAHVQEKTTPQEPFQGCGRLVTEIPLECSDAIAGSISDVLTVDLNPR
SGNNAAASLPLLHTASETHALSNTSYFDEFSHRIWPVLMYQSAASTGEQGVKSAATKTMRCLRDKEATRSTTTTSSTPKPTSTNKSGAGFALRVPA
GGWAVVLGFLVGGLAMAF
>RCO7_09970 | uncharacterized protein
MQFHAAVPLALSMLLTSTYAAPFFWPVVHVDAVHDYVSHIKAGAKGVSTAGGIVDAVAKGLGAGKAGGIVQTVADGLKAGGKAAARSEPVGDDE
>RCO7_09971 | probable protein rds1
MLWKAGLAAGFIAAASALPQVGQLSDGQLQGPTSVPTPVSQMPDGQLQGPAATATSYPVVKSTPSPFGSYDYPQKPTVNSAAVSSVASYAGIPASEI
PGATNAVPPVVSSQVTGVTSHGPYSGLPTTTGALSNVPKGTAIPVLPPNPTATYSPDGTLHDQMPIPYTPAGGLGTNGTEPVYRVQSDFDYQSILLG
LYQEWIELDLFHHILATFSEEEFTAAGLTPSDRFLIEFMADQESGHATLLSNLLGGPGGATPQCTYNYPFQTVHEAFDFTQKLTRFGESGVWGFQAH
LDSREVAQLLDQSIATEARQQMIFRQFSGLFPMPVWFETGIPQSWAWTLLAPYISSCPANSKRLVWQNFPALTALNQPNSARRNATQTGFNETTGFG
PAAPSSDPPAGEGCVGNNQTGFDCSAAISQNRTIPLSYPGREVFLEWENPGQAVGPNNSYITATSAGAPEWVLWVSQLNITYSPLTNITVRGGKNYG
QTIQPDVSTYEGDPAINGTMFIALTDSNAPYTAFNLSMVNPHVAAGPFLYQAG
>RCO7_01308 | uncharacterized protein
MRPLLPPRIALSIILIAISASLLGLIGSSLSWKARHKHESATLTSGNGTESANLSIFPRYTQIGSYAILVAAGCGGLVDQLLYLLFTLVKRDIFGLR
IPNLMIAKALISLRVCIGIAALVFSFVQYYDSSEFGMSMAPLEGVYGAGHFTMEAWTCQTRMNVDGGYRRDFGRLCREGKTARWLLIPYVVLSILLL
GLEFWAGRSEVTVQGSEIEAEGSRVVENKV
>RCO7_01309 | related to anthranilate synthase component II
MATASFKGNVTGSSHPDRIRMLVLETDQTFESTSERKGTFGDIFHNLFTRAGKEHDPPLEIETAMKFIVEPEGGKIPDVKEVGSIDAVLITGSKYDA
HGDDEWILKLVEWIRSAWKEYPHMRFSGVCFGHQVLCRALGSEVSPSPGEEWELSHTQINLTKTGSALFRTKDSHKIHLHQMHMDHVVDVPTSVSSK
GLIKDDESVDVWGSSEMIPIQGVYIRERLFTSQGHLGYDEEMVKRHVDARWEKGLIKDEKQVEEAKEKAGFDHDGLLVAAAILRFFHGEDKDIN
>RCO7_01310 | related to coenzyme A transporter
MSSGSLKDLTRSITAAVPNLTLPLPSDLKQVIDAYLEKHSTYDDSDNQRLQEELLTIYQSSILDHPPRFAPFLALLRALQSNIRGSGRLLQWWDKLS
GPVIIHLGVEKGLAFEARDSLLGILIYDDEEEEEHLKDAKATSAALAEILMSTWLAKSKLALEELNDHARFVEGQTHSILLAFGTRRPSDLLTTINK
FVVQKNSRIPSLSLLCDFFRHQPPHLHLLLQTPLFDNLLRCLQIDTSTRAISLAMTSLIMFLPHIPITSSKHLPALFNIYSRMLFWDKERNKVDQPH
PHGDDEEALPQEGRWEKLSYLLESEDETVPELLHYFTFLYGLYPINFMSYIRKPQRYLRHANFPGADDLEIEPTEIRQRSEGYRQVHLMHPNFFMLT
LETELTDTQRWQKSSAADVVAECMALFVPDEENHQRHISRARGPMRRVDLERNADVPEQPLLDQDATSFQHRHAAWRDTRSTMVASPEGYRSISNSE
LNRKASQTSQSMPSGSVAESPSLQASERHDSPNLPPQHATTLSDMLSSQVSTRGSLHRVFTNDSEASFSLSHPNHTDAIHMGGLFSTLTGDAVPRSP
SLRPTTGTTGTSTRVAYLQREIQLLKNDLNFERYLKQQHLSHIGKIRRQQIREARVEAETQHLMNYNRGLKAKLVESQRVNTQIRKETEKSKLHSRK
WEADLTNKLRVLREEQKKWVAERDRLVADLATAQENNTKLMNITVEAESRALSASQTVESVKSNLEEFERLRKYVDEMNTKILKFEAGERSVDIARE
NETAALNRVYILEMELAARDNELAQAREAFDDALDDMRKLYRDRDDADSYKSGTDEEKMKFGHVFIDTALAASRHRINDLTLSHNHLLKRYTRLQNA
YIQLQEQVENLPDNEASLYGGNGLYNLSNSNSNSNRSPSSSNRWKHRAHARSDPESGTIFEGNVGGFNANASFPMRPTSRIDTSTPYRYGESVGGRS
PVSATGGGYPGSHFQTPQPYTTGPVMAPSMAGTGRSSESTGDGVPKVKPQSEVRVFGRGGVQNIGKEVKKKDKAKEKEAAKNDGAPVTPEQPAKEKK
EKIKMAGGMRGIRGFGNI
>RCO7_01311 | related to ubiquitin carboxyl-terminal hydrolase
MPIPIEFIDGKKTVTVLENNPQVMNALSARLGLSPTLQFYDVYSLDPCANDYLLPVHALLVILPLTPAWDASRSAEDAPLPEEYTGSGPSERVIWFK
QTIGHACGSIGLLHCLINGSALQYLTPGSLALKIREVAIPLKMDDRAKMLYDNTAFLDAHQSVAELGDTIAPDAATGDRLGQHFVSFVKGEDGNLWE
LEGSRKGPLNRGYLGEESLLSERGIGLGIGRVIEMERASGGGDLRFSCIALAGG
>RCO7_01312 | uncharacterized protein
MDSQIEPVEKERRHMTLRFILNEQDPVCENPVFKDAPLVQAAYTCQEKWIKIYLRRNMDLNQQDKAGRTALYVAAARGYNDIVNLLLESRPDVDRPA
KDGSTALMLAIINGHLEVAIRLYDYGAKATARFYDDKPCLSVDGQTPLSLVIKSSEISGFKDLAMKMYENTSLTEILELGIAGHITLFEAYVDVHDF
SQDYKYYARLSERIKVFDAEAHGANPDTNVLEKWNNCPLLPQLIAWLTSPIIQEGEEKISEIRRKNKIIPPIGLEFRKKYMLVKYLGNGSFSIAWKV
MDLSTGAYLAAKFPMRTTDEKDRRAAISEAKLMRFLNHPNVMQYLSFSSGDGYPIMVTELATGGDLCKYLNKHRDSMKESDAKKIFRQLAEGLAYMH
EKNVAHQDLKPGNILCFDDGNVKIADLGNSLQLQAPTHGISKLAGTYQYCPPEAVRARKQKSCFAPKPCDIWALGVILYELLVGRLPWDPQHLAEHP
DRKAYYKELNRLILDGDLHLDDSSWNGIEIEAIHLVNLLLEPDASGRPNAAAILRHPWMDEKSKGKYMLNLENLRVPRKKREVSSPGPDENLRAPKR
KRDSPSPGPDAKKRKGIKS
>RCO7_01313 | related to catecholamines up protein

MPLFHPRRLAVLLCVAAVCVYAEKHAASIATMSIPEIEDKLQECPLIQDLNNYKTATSRVTSTLTSRIFSFLFPSTPAINALLATLYISGPPNFLLA
LCPPNIDPASLSVMVAFAVGGLLGDTLFHLLPEIFLGEDAPEHVRFVLVEPNRNLLLGVAIMVGFVTFVAMDKGLRIATGGEGHSHDHGHGELEVVK
PVGKGSALEDSPAKSTRSRKSKGGNEIGNSGTELQVVKEQKEINASVKLAGYLNLIADFTHNITDGLAMASSFYASPTIGATTTVAVFFHEIPHEVG
DFALLIQSGFTKRQAMGAQFVTALGALLGTLIGIAVQEYGGSGGEGAGGRFDGLMGTSLSWGDMLLPFTAGTFLYVGTVAVIPELLETGKDRGVELK
KTAQQFAAMATGAGIMLLPGRGVHLDGGFDYGREMGLYNIERRSKGRADQEVIGPTKIKGRRRIRD

>RCO7_01314 | uncharacterized protein

MDALQSSRIKSPSNSNFSTLESIESSTDFNSSASSSVIPSMAQQPTEVVQSLSKPLQETDHLQQSPSIPIRNKEPLVSSQADDRPSTTQEGSSSISG
SSNWKIDPAPNRPPIKPSNFRVRDDNAILYTKSLLNQGDTLVIVRFPNNVPVYDTTGFQLSDTHRVNSHKLKAASPIFKKALEDDWQQHRFKRRNKL
LGCLPPGIVYVLDLTPPDEGDDALELTALLSCSLGIRRWFKSEFSGIAAAHGLVGGQDETTVHPDDLKAQEAPATEKEHDTNKADTYMKNDGIYGRA
FTDGNTDATLEQKIRESNARCTQPANQQSGNTQQESEYTKTHIDITKDLEILDYCPIRHRTGIERLLQIIEGKDPRLDSAPKVWTLAVLAAHFECAN
SVVDYIITWMIAEPNCKIFEILPEDCLRIGLMLQNEVATGYAFTILVSEEALRVGTVRSYPGNQPNANFAAGKQFTKFGRARESLDEDTLNLIQHAG
RNFHARIEEQITNLMSPNMNWLFDLPEFTKILKIRDFMEANAATCFRLRDIKNTKTLMNELVACVRGRLLWCFYQPLDASERHIWKEHRAQEQNLRG
QGVSISDDVHNELGEHEKILTRSFWSQLRMLKWVLGDQTCATNLIRDEVWPRSAANTVLDSRARAAADSQGIEKVFQKSLESSADAVNKIILRAIGD
ARFNEGRFPDECFLIEQVVSQTGEPGLWSAKGAKSYDMYEYQRAQKTDYWKVRAEANTLISTSSSASSVVPASLPFPLLECPEQRISEAKKLAFWQE
ALRATDEAIARASSEAEFSPEIKAEDSDNVSNSWEEEYLILDKDTWEPDSSYDKSQEGYSPSWAKLRGIWNEQQESKNLPTARALSDPLRNGQDHTR
NEDVFQSNHPSTSPSSTRNAILAHKVATSESTSFPHIPLSKNITPKSPFISLPQLFSQISNHIFVLTTRTLSRGSIQDVRPPTCDISDTLLCLSDEE
YKYLPLWAGGLNDGSGGVFEDPIPPAERGGAMGPGPVYRTGSTAANSLVSGESGFGFESVGGSERWGGSEDDSVMGGVNTSVGVEDGFSISHIDRRR
VVSEAEFLTPSSSETGSVVFVGGDEEEEDGDVEMEMDLPIRERGKGRAVDDDDDFVEMLTSDTKNQLRGFGEISVKEQELYTGKERAINNTDDAWDG
DNYLRSLGINHKEQKALLSMYTNTSNEGQGKAGRDIDEQMSDIQSINRVAGTGTSMGTSVGDEDDANFFNTAGDDDGDKEFEFESDDGEDTGTEEEF

>RCO7_01316 | uncharacterized protein

MLIRTLTIASLLALASSVAAQVIVTITSTVTIVTVTVTPQSTSTSTKFVTVSAPSPAPTTYTSTSIVTVTVGVTTPATVTCPIPVYDQCGGKDWTGC
TKCEATANCKSTNKWYNQCVPKTSRVVTVTSTIYR

>RCO7_01317 | related to endoglucanase c

MRSTSIYSAILALASIAVAQNCPIAFDGRIPAGSTPALFDTESSPFGTGYVKGKDLNFSQIIKLPSVPASLFDASGKSMALEVTLSDKSIFAPSATN
VQVGFRRAELQFDGNSGKDNLTLGVKTLHFSVQKDAARPLNTSHEYQLVFLEDSSYSTNQFVLKYGTIVGQAAGQNPDSLVLLGNVNASPVVSLFKT
SFTAGVFHNFAVTLNFDANTVTVLYSQGTKPLAVVNGPTKNDLSGQGQYHVGCLKKSTGQGIKDPSKEGFQPTGLNEGIIYGGIFMEDSTGGCVSKS
GSATGGTTAAAGTKPGAGAGGNKKDAEVAAADTCP

>RCO7_01318 | related to cellulose 1,4-beta-cellobiosidase II precursor

MLYSSFLAALGGISIATAYPSGLLSPDLSTGSSADVNPFVGKNYYANSIYAAKLDETIGAFTSKGDTLNAGRAKTVKSIGTFLWVASVADLTKMAST
IKEALAEQQRTKKKQIVQLVHYNLPDRDCSAGESSGEYTSANNGLALYKKNYVDPFAAAVKAAPELTFAVILEPDSLGNAVTNLALPFCAGAAPGYE
EGIAYAISKLQSPNVHLYMDAGHGGWLGWDNNLPLAAAEFAKVLKLAQKKQAGSKIRGFSTDVSNFNPYVANPRANYTQFSHSYDEKSYAESLAPFL
TNQSLPAHFIVDQGRSGLQNTRPTWGDWCNVKAGFGHTPTTVTNSSVVDSIVWVKPGGESDGACGPKINGQTAPKAGMWWNDYVMELVKNANPPLKP
SS

>RCO7_01319 | uncharacterized protein

MEKAKAAVGSFLNKDGKHDTTVHETVNPAVVNEHVTKTHHENVTTAIDREVHQDHYHTSVQPIKDREVLPEKHSHQVAGVETREVKHGNDDHVKQRL
AAEAAQFKNTREVGATQHTSTAAPTIAGEHVHHHVHETIQPVIQKETIQPSVVHTTVPIHEIHQNEAKHHTASTLPPVTMSEFKHQGGHLSGREERT
DAFAGEPRAVGGTLGGHGADGTTSLTEKDGHRSVGATGTHGTHNNSSTIGSTTHSSHNNGSAIGSTTTHGSHDSHDKHAKPSLMDKLNPMKDANGDG
KAGFMK

>RCO7_01320 | uncharacterized protein

MASILRNFFSSKSSTGTFNPHIKGLPYDSAIALDPPVKGSYPVTGNGPHVLEDIQRSRTQKVSSSARRPSGAAPPPNVPRYRDDTIPRPQTAPNDGG
LHNNRRSRGGSLSWVGRTSSGFSSKSPPSVFRSSSRYSRRNDSLRSNIEHPVPPLPSQYDTPTRKPGPGSEVPVEFTPPFTQHQRTGSNASHKSHVD
LLEAHSSIRPEISKHRAKASGVRNHGEDVADRNISRSKPANPKNAAPLDLDSPQFSYMKTVYAPEKEPAAADVAGASKTRPADPRISSALGHVLGED
GPSDDIRPRSHGQSPSIRSATLTPAARTYSFRAETTSSFHVVSSATVSEGRALDRDRPSSSSQASPSQDQRSVASIALSPLSHSNTSHSTPNRPIMR
ETLRKLLHPKQNPRQSLEEPETRTQTFGEKFLREPPPSEATISRPPHVLPRELPQDDTFATPASNSSVDHGVKRKPTLPVGDESSVHSPVSIKSPTS
SEHKKSKNGSVSYSTFPNTSNRPGNNYQTDRLDFAARSPSLSKTNNRQGMILENSSVPPNLDGIVDLTNTVDTEVITKTLPAVTHEHVTPVQHEIRQ
ERIFREIHTHEVRHHILPVIDTQILPSKHYIMSPDGKSLIEIPEPQVPAHKLTGRMNGNWSLSRTPLSGTRSDTQDAAYHQSMSPVEHESAPVIGLA
RGEPSQDKSRSRANFRTSNPTVKPARSSRNLFTEPILISKKEYMTPENFPRTEYLWRHPPVFEDALGRTQPIIMGAGFGDPNAPRDQFFEDRIMGVH
HERGAVRHQREEDDLMFRDSGYGSQGMLLGLSSMAPISSSLYSNASGSRHSNGHVEEIQAVGRAQTASHAERDARRGHGMNGIGGSHMQEREMIRGM
NGLSV

>RCO7_11602 | uncharacterized protein

MPRPVQSQGRRVSHGKAGARLAIGIEEFRRTEKHADPRIHRGSRERRGRFSQTNRTKGLLSRIPDRLSSDRPNTSPQRPHTAVRICSDSEDSGPEAD
AKEMSPTLQKFEKTYPRVIIDKSAARGASPWVAPRLKGIDEPSLVNPNCSLQDRKPSVDFDSNQSTASTRDRNEQITPSIERELPRKRKIQHHVDVP
DSSEDELAPTYKLPKITTQNRPQAKQTRVFDIGKPRKIAKRGTGTKKHRVLSIFPETHCWLQPQPLRYWHLNQNHANGVLVAHDEHGDPIQELVLTP
QVIQKIQRNPDSEKLVVHKHKDTTVKGSTKIYLELSTAADARQICEVLKEHDTTIGFSVLQGTQLDQKFLHNRKLAGLMHPKTPQLLLDLGTRTVEE
LSQQTESMQEQEREREGKSVKQGTFLDRRSKGDQMGSHGGLVLGKRKLQEDANPSATQTTVRVPRKLRASNSLDDNGMETSGEACHSIDPDSFYGKQ
DTLSSSGLVEMEPAPRQPSSQRSSSPLRWTEANQNWAQTWKGPIIYPRQREKKSRTQVEKDDVERLDDGQYLNDNLINFYLRWLEHRIEEEDPALAK
RVYFYNTFFYKSLTQGAKGRRGINYEAVERWTSKFDLMSFDYIIVPINEHTHWYVAIICNASKLQGQSEGIPTFQGKFAHLQGPLRRNQLPHPDSRS
TPTTVTNLLDDMTFGQKASVAEENNRDVEGSRDCVELEGQIQGRRADSQPTKKRAGKSHTHRKLDPTQPRIITLDSLGLKHSSTCTNLKNYLVSEIK
AKKGVDVPAPGSIGMTAVNIPQQANYVECGVFLLSYVEQFLRQPDKFVHNILQAQDLEIEFPTASFMRNHIRQILFKLQDE

>RCO7_01321 | protein pyrABCN

MPGVYNRPATAQLDGDSLMALELQDGSVYQGYSFGAQGKSIAGELVFQTGMVGYPESITDPSYRGQILVITFPLVGNYGVPARETMDELLKDLPAHF
EASQIHIAGLVCASYAGEDYSHYLATSSLGSWLKEEGVPAIYGVDTRALTKRIRQEGSMLGRLLAEKKGGHANGLTNGSSTAGNEDNWRGTFETVEW
VNPNSLNLVADVSIKQPKLYSPDPSTALKHPSGRPIRILCLDVGLKYNQLRCLLRRGVEVLVCPWDYDFPNLAGKDYDGLFISNGPGDPAMMAKTVK
HISTAIAENRTPIFGICLGHQLLARAAGASTLKMKFGNRGHNIPCTNMVTGKCHITSQNHGFAVDADTLPNDWSELFVNANDGSNEGIRHTSRPYFS

VQFHPESTPGPCDTEFLFDVFIQTVIGSLKDTQLLLEPVQFPGGDAEENARLNPKVDVKKVLVLGSGGLSIGQAGEFDYSGSQAIKALKEEGIYTVL
INPNIATIQTSKGLADKVYFLPVTAEFVRKVIVHERPDAIYVTFGGQTALQVGIQLRDEFEELGVKVLGTPIETIITTEDRELFARSMESIGEKCAK
SASANTTEEALRAVKDIGFPVIVRAAYALGGLGSGFADNEKELVALCNKAFAASPQVLIERSMKGWKEIEYEVVRDCRDNCITVCNMENFDPLGIHT
GDSIVVAPSQTLSDEDYNMLRTTAVNVIRHLGVVGECNIQYALNPFSKEYCIIEVNARLSRSSALASKATGYPLAFIAAKLGLGIPLNEISNSVTKV
TCACFEPSLDYVVVKMPRWDLKKFTRVSTQLGSSMKSVGEVMSIGRTFEEAIQKAIRAIDFHNLGFNDTKALMSIDDELQTPSDQRLFAIANAMHAG
YTVDKIWEMTKIDKWFLTRLKGLNDFGAKMRGYNAGNITMGLLRQAKQLGFCDRQLAKFWESNEMAVRRMRTEAGIIPVVKQIDTVAAEYPSVTNYL
YMTYNGSENDVDFNDHGVMVLGSGVYRIGSSVEFDWCSVRAIRTLRASGHKTVMVNYNPETVSTDYDEADRLYFENINLETILDIYQLESSSGVLIA
MGGQTPNNIALPLHRLNVKVLGTSPEMIDTAENRYKFSRMLDRIGVDQPTWKELTSFEEAKDFCNKVSYPVLVRPSYVLSGAAMNTVYSEADLEAYL
QQAAEVSREHPVVITKYIENAKEIEMDAVALNGKMVGHFISEHVENAGVHSGDATLILPPQDLELTTIRRIEEATRKIGDALNVTGPFNIQFIAKDN
DIKVIECNVRASRSFPFVSKVMGVDLIEMATRAIMGVTFQEYPPTTLPPNCVGVKVPQFSFSRLSGADPVLGVEMASTGEVACFGVDKYEAYIKALI
STGFKLPNRNILLSIGSYKDKKEMLPSVVNLQKMGYKLFATAGTADFLQEHDVPVQYLEILGEDEDDQKSEYSLTQHLANNMIDLYINLPSSNRYRR
PANYMSKGYRTRRMAVDYQTPLVTNVKNAKILIEAIARHFDMEISSIDAQTSHRTIVLPGLINIAAFVPGIATRGSHDFQTVTRASIAAGFTMIRIM
PLGLEGSVTDARALKTAQLNSKRGAGCDYNFSVAATSENADQISQVTGEVGSLFIPFNHLSDNISKVAAMTAHFETWPSFKPIITDAKMTDLASILL
LASLHSRKIHVTSVTTKDDIKLIALSKEKGLKVTCDVSVYSLFLSQADFPQAKFLPTAEDQKALWKHISIIDVFSIGSLPYQLAHAAQRTANAAIGI
ADTIPLLFSAVADGRLTVDDIKERLHDNPKEIFELHEQIGASVEVEIDRAYTIAESSVWSPFVGRSVRGSVQRVIFQEKTACLDGEPCHDGVDGKDM
SSHLIDAHLVVPPSPLVKAVGSPLVGPRPDSSLGRDGRTSSMVGAPAMRAANRARFLDGASAHSQSPPKGGSAISEDFGPTLYPQPTISPSLQSLLG
QSPFKNQHVLSVNQFSRQDLHLLFTVAQEMRLGVQREGVLSILKGRVLMTMFYEPSTRTSASFDAAMQRLGGRTVAITTSHSSTVKGESLADSVRTL
GCYGDAIVLRHPEESSAATAAKFSPVPIINGGNGSKEHPTQAFLDLFTIREELGTVTGLTITFTGDLKFGRTVHSLVKLLQHYDVNIQLVSPKALAI
PAEIRDLINRKPGQLIVESAELSPEIIARSDVLYCTRVQKERFEDLSEYEKLKDSFIVDNKTLKEAKSTMIVMHPLPRNNEIGEEVDFDGRAAYFRQ
MRYGLYTRMALLALVMAP

>RCO7_01322 | related to YVC1 - vacuolar cation channel
MLSSLLRPKKARRRVQESPLFSSPYAGHAAADFTEDDEEDDERSDDDRNNDDEEEEEEEDQENSGAEDEDQDQDEDDGEGEDEDGDSHTPLLPIFSA
AHLDALPVYNLTHAIRLIIVPRTETTLTWDQLRSPQVSSFLIKPMQQQIRTSHFSRASLYALMANCLQFQKESQANPGNAGNSRTRAMVCELIAVKL
LKEYNTRELIDALSYDFFPLQGLAIPGNTRLGQNAGPKPRPAAARISTLEVAIRASAKRFLAHPLVVQQLEAIWAGTIVFHSAADNLHRRRLSTSFQ
EQRRETDGRTPLMKTSNQQGGYGSMVSPNAPNKALLHHQEQAVQSRRTVTLYDPRDASLFKLSRLRVPRYQQFFSTGSLFILLCLFVAVLAQRSVEI
TTLEVVFWFWSAGFMLDEVVGFNEQGFGLYIMSFWNAFDLGILLLLSIYYCMRLYGVLLVGAGRHQWNSMAYDVLATNAILLFPRLFSVLDHYRYFS
QLLIAFRLMAVDLVAVFVLILIACSGFFVAFTLSFGEDHYDAAGVAYKIFQILMGFTPAAWEAWPTYNPLGKALLVLFLFICHFLVVTILITVLTNS
FMAIVSNADQEHQFVFAVNTISMVKNDALFSYVAPSNIFAWLLTPLRFVIPFRSFIKVNRTFIKATHFPLLFTIFAYEKVFLARTVFEPTDLVENPR
RGRKRLVSFQDAKMALFSPSIRLRQGSIARYQNENALDEVFRLAPPSETLRTGRKHFEETQTNSVVNNWMNEGTDASPPQEQDRSIVDRLEKRRKAR
KATLLRQRGISGTRSIASDPAEFMSRSGFHDDGTDTRNEDAQETEDDGDDEANTHDGEEAEKETAPSRSHGGRASYKQNDMEGYFAPQLQARMTAPP
LSSSAASVRRHVALPRTSPPQQRRAHHNRTMSTGTILFNPINDNESSASPPKSRPLTAKYRATTNTGTHTPAGLSGHQTPKQAIPKTKPRPILPARQ
NFKSVPNFNLDPQLAGNATRNRQIRHRRSSLDMGMSDMGLDNNQAGMLGAVPSSFATQMAMATGGLKAFQGSRSKEADTERMMGRLMLARMKTLEES
FADVVKEFRGMRTVDNSSIDNESVEQRRDKGKGREKEKSPSRKRKIVPKTTSQADNAIVQRGRSDERYDGPVQDADLRVSQEEETSRRYTAKGSSF

>RCO7_11547 | uncharacterized protein
MVTVDSDESDRLDVVHLDNASEVGYQLRVDLQEKFRSIEVCLCPEHGHKLNDRGSHDMKSDAFFDGGR

>RCO7_11546 | uncharacterized protein
MSSFKGDKLLNTASLYLEVNGYISYINSTKTKPSRALYFKSEERINAQGEKRIDYTSYSPELAIKYYKRLADFERVNKKALGAIKSIISLENLDRFK
DKTSAKDL

>RCO7_11376 | uncharacterized protein
MSFKVDSNKSSKLDLYYKYLLHINKEFIYKTIEGSKGLKIQKGLDLSDYSAYNSGKIHAISSTKPMSDTLSLTVFDIDIAGPFKIKGIAYIKNRSYN
SAIKKSPFEVLFGKKPTLNYIRVLGSLTYVLINKRTNKFEDKSDRGILIGYKSANNFLVYIPEKRAIISSKNVLIKEDLTFKDEVISKEELESFDKT
LNDCETSDCSNRVISSPINTPKLDLSRAENSEKIDSKTADNLLNKEKVIEDIELNLFNIIAEESIVEIPKRGIKRRRDYSN

>RCO7_11540 | uncharacterized protein
MGKVLNQVLRPCTDKVQGVYANAGKTDQGNGKLTKVLVTNPTNKYSILSILVRKYLQIPATSAPSERFFSLGALIINKLRNRLTKDTFEMISLLKSW
GFIIDIEEKDKITSEEVVNNTENFFIID

>RCO7_11539 | uncharacterized protein
MLLMWMALVILPLANAQDETVDFSSAVVQEASVRPELVLGNVPNPVPLPHNVEGIPNYESILRLAAAMPAIQVTTGEPSINDIKSDIIPPAKSNDAD
NEESSAKRQNVLRILVVGDSMTHCHEGDFTWRYRLLEWFNAQNISIRYVGPYNGTIAPPAPGPPEKPALYGSSPTATQANTDGGYNIAIEPETDLKH
FAISGRAAATDQFLIEQVAKDYPADLMLIKLGFNDLGWFYTDDKGLLNNMRNLVNNARLANPNMRFVVATVVHRTFLAGRQDLVTLTDSYNRMLKAQ
IGEWSTPSSPVTWAPVREEYDCGPQYSGNCPAAYDGLHPNELGDFQIARGFSRALVSALGIGKTPLEVPGNIPTRALPTPDNFRMSSSDLGVTATWD
KVYGAYSYDVEYKISGGAPNNNSPGSVESNRWDSKWAVDGWTYEIRVRASAGNRKGAWTAWYSATAHPHTATAPSNVSVHPTANGIDVSWTASTGSY
ANTVSQYNIYFWDQDEPCSFPQSGGFLPGKAASIVGLVPDHRYIIAIEAWNAAGAGFPLSARSAVPGQGQPSTVTGLQVGTLDPTNAHLTWTSLPGA
AGYRYWRRNFNQTSNQLESLGQLDETCIDVHLELPGTWNYEWAISAYNGEIEGPLSPAVKAPPQNSTNVAGTCPAPPALCPAGTTATGGAPSTDPIN
PNDPPPVGGGQPS

>RCO7_03892 | uncharacterized protein
MRVLLLGATGNVGSRLLPALIAHHHHVVVYVRNPAKLSLEAKSKCKAIVVGSATDSAAIKSAILTHKIDAVVNAAGVAAMTGFTAQGDFGAIFKNVV
RGVREAVEERGNGVPIRFWGMSGIAVLDHPRRPFMIGDYIPLFPAHKLNYQLIKSQPSEAIAWSLFCASTLNPKHDTPQFPPSPDCSSDKLIASVDA
PPSWTEKFRAVPLLGDYLNVMAQAGEYTAVLENCVDFIAADLERGLESGFVRKRVGVKEKGKTS

>RCO7_03891 | related to multidrug resistant protein
MATSSSTEAESRHDDEGTNGDAEQHKGPILTTNSEPPEIEKEPVASYAHHNADAPTGVPDVRADVKPKRPTVDANRKSSLRGSRGKENRSVNGASRD
VEKAKRKTSGAGRDPNIVWWDGPHDPTNPMNFSRWSKILNVTLVSAICFVTPLASSMFAPGVPELMHEFEQSKDVVLASFVVSVYVLGFAVGPLFFA
PLSELYGRLPIYHFCNFAFLAFNIACALATDLPMLIVFRFMAGVFGSAPLTNGGGTIADLVNAEGRGKAMSGFVMGPIIGPIIGPVAGGYLSQAKGW
RWVFWVLSMISGAFGVASLIVLRETYAATILRKKTMRLRKSTGNNLLRSRLDAGLSPKDLFVRAIIRPAKLLAFSPVVLVSAIYVGVVYGYLYLLFT
TFTPVFEEVYNFTTGSVGLAFLGLGIGSVIGVTFFAWSTDRMFKRRKAALEAASGDEGAAAIIPSEPEMRLQMVIPLYALIPVGLFIYGWTTHHKVH

WMVPILATVLIGIGNMAVFMGISLYLIEAFSVYAASALSANTVIRSIMGAVLPLAGQTMYERLGLGWGNSLLAFVALALIPVAWGLMKYGARLRKKF
EVKNL
>RCO7_03890 | uncharacterized protein
MSYPEVPRPRIACFHGGGSTASIFTEQSSQLISSLSPTFQFVFFDAPFECHAGPGILPAFAHEKYGPYRTWFASLERGDGRSVDGGGEGGVERVLRM
LADEEGEGEWGTRVVGGLLLDQQRRREMRLPKAEGDVDFKFGILCMGGGAPMISDIMHSSLSEDHKITIPTLHLHGTKDTNFENGKKQLTGFYNQSA
ARVWDIAYHHAMPWYKADVLKFVELITSLNEDTKERL
>RCO7_03889 | uncharacterized protein
MSGGVRNLRAMFENKDSSPPDRGRSPGESTTGATSTGGTSPRPLSKVRTSFVTVIGKDGRTGLSMERDTSGEPSMQKRRTSFSIDEEGETMAKLERK
PSERESRRAASAVGESIPENAQESDTKLEAGSDQTNGQVKPKAKVEEKKMTPTTNGHTNGTKPAGKPVEKSKPEERKTMSKPPPISTTKSSTAPKLS
PKKTKEPVPKTPTTPGTSRSKELPTRTPEKKQEKKVEKKSSRASLAPSQTAKPASKPTTSTSQGVAAKTRIPASPPQTGFVKPRPKSPTRPVRLPAS
LTAHTASSGSKTATGSGPPSRQSLSRASGNLNITNSLQAHHASTRSPSRASTSTTKSTLVRKPSTQKSGSSRPSLGPPPGTLKRKTSRQSLPSSAPA
DESFLARMMRPTTASASKTAEKPITPPKRSQSVKRPVTRDGPTKQTTSLGSPAPKKRDVEPVKQAARPVPKAKVEQNIEPKIPKSAPVKKEAEQEAK
EGPTEKPASVEKAVPAETKTLVEPTPDAEKPLEPATGELEEVATKPVEEVNPEAADKAPVAEEEATTEKEDPIDEAPAAIEEDKTEPEIKADKKDAP
ESAVVEKNDATVIEEPVQEPVEEAESKDEPNTTEPETAPLRDSETDTQTEEPTKVEKSATKIEQPVPTPIAAKEDNPLASPREDPADVAAREEMARM
NAEFMKAAGIVSK
>RCO7_03888 | 3-isopropylmalate dehydrogenase
MATRTLRIGLIPGDGIGKEVIPAGRRLLEALPASLKLKFEFIDLEAGFETFEKTGAALPDKTVEILKSSCDGALFGAVSSPSSAIKGYSSPIVALRK
KLDLYANVRPVKSVLSAKNPIDMVIVRENTEDLYVKEERTFEAADGSGKVAEAIKRISERASYRIATMAGEIAQRRQKIRDSGVASIHSAPLVTITH
KSNVLSQTDGLFRSTAREALAKFPGIGVEEQIVDSMVYKLFRQPETYDVIVAPNLYGDILSDGAAALVGSLGLVPSANVGEGFAIGEPCHGSAPDIA
GQNISNPIATLRSVALMLEFLNEEKAAAIIYQAVDANLTEGKYLSPDLGGKALTTEVVDDILRRL
>RCO7_03887 | related to MRPS8 - mitochondrial ribosomal protein, small subunit
MSLVHLANVCSHLQNASKARLGLTSVPSTNMILTLTLALQTSGFLSSVTRGGLTPPPLDSLSTYIPEPVTQSNISSRRLWLGMKYWNNEPVLSKLEM
VSKPTKRIWMDVEGLGRIVRGREAGFVKGITKPGECVFVSTDRGVLEARECVERKVGGMVLCRVL
>RCO7_03886 | uncharacterized protein
MPKDWKYHKAEVERLYTQEGKPLQEVRDILREEHGFNASLRAYQLRIDTWGLSQKNSLIRKPLRVSSEPPAKPDTIQLTSTIHRESPGSGQDLVPAR
QVEPLRDGRSSFDVVCAFETLLSRWQPKRESTLLCFQHPDFSEWVENSNSNHGPILFKLIEALVPKEEQFMLNKAFLEADLLSHSDPDYPFPAWRYA
WKMVLRCDDSEEENYECGTDYCSKDWERAKELLEEDEFISQVAGQAFLDCALVVLAERRLTICKMDPHHSNRRKYLYILKDFRYSGVDVDPIFYKHS
LQMIEVDDHKTSHESLRKRAELADEYRHRYLQLINRYALLKKRISHVASVTANGIGPLRRNSSDSTDGNQVSLSEIVAAEQYPSPDTAITASMSNGL
PSSPEGGVTVSDSTMPTTREVFDLLFNKWKTLNDFTEYAHSVITSDGWTISIFEPCPVGGDNLFDIIDTEVPEPERVPFITALLVAFSSVNITPLYS
PWFIHWWTSVYASPNWDRFLLRLDLPRTKSQLERIMSPEAAKTFVDSAFLLVGERILLGIKTKLVAARRREMNEAQQDTFQKLHKQYTGILREFHAR
GMKVDQTWTYYLMNIL
>RCO7_03885 | uncharacterized protein
MAPRNHNLEAWFQRETGQGKTPDSGSHSSRTPCVSLALSSPFILNLEPISSTVSDLSALIDASDVSRSIATDYHALTIEGLQQHNKSNYPLHRRFAD
IPTTPANNTSHISASFEKISVDMVTPFNSSAALGSIQITPLEYFEAYPSPLYLQLNNYQPLDVQSVSNVSGTPAEPDSDCTVIASFGDHELIDANLA
CWEKDREQPFCEGRYDRELTELGENLSGIGTQFDVHPSNSPI
>RCO7_03884 | uncharacterized protein
MNLERIIHELEIKHARQLAELRAKQEPEVARRNCEDDSRLRSVSIASRERKRRRESVVTEKRPEVSQQGVESTIKIEVADDDFIIVSSSKRFRSKCR
DSQIRIQSPIPSESEQPPPPPVEIEEPLIIPVTNNSDPRNSSVAYHDMSRIESPDDAIHQQQSLSPVQDLVKSESEDSGMPYLDIGNLQPGSFETFF
STHENQRYPACSVPAAPRLPDRHAISEKNSFKEPLCSIIDCLASPASKFLIVYCNFQPETVTVQSFQWRLDSKFVSASECWTKNRTDRVATAASSVG
VIPQNTEISAAKIPVSAVLESTVPVAAIPAPQTLEIPAIPMPPRLEKNSKKSSSLPKVVTATFFIIVAPITKENGSSRKVGSPLVPSVAQNHSDPTK
TPVPVRSRTPVLQSRPVLQTVAHTDQPVSRSLADTIDNAGRKAPITPMMTTPSTSRAGGIEKPPETTATEISNFTVHKLSIRGAANRIFAAARVASN
HQPVHPTTMKTPSIEGAPTGPRAMTQIQRVPKTIWNPNMIIIPPRDKSSSEAYESLTSLPPNATEVAIRIFPLPTLRPLRLNPKRTRGIPGNLEASL
GQLRGQIPFNGCRQCTRDKERMPFEKCIVVAGEFSGACCNCRFFDEGRDCSLRVASVTRDTPEND
>RCO7_03883 | related to FAT1 - very long-chain fatty acyl-CoA synthetase
MPVPLAIAAPAAIAGLSYINAKTSFSYDWRLLGSAVDAQIRGAIREKKDKLSTFYLLESHALGNRANHPLLIFEGRSYTYKEVYNTALKYGQWLKNV
HGIKPKEIVAMDFMNSDKFIFIWMGLWAIGAKPAFINYNLSGKALVHCIRVAKANLVLIDPQVSENVTQEVQNELDGIRFEVFTPKIEARILTMQPK
REPDEVRSDDKIQNMAIVIFTSGTTGLPKGAIVSWSKIIVGSGLVPGWMSFTKNDVFYTSMPLYHSSASVLGFCTTLTAGATYSLGKKFSTKTFWED
VRSTNATTIQYVGETCRYLLSAPSQFSSSGENLDRKNNVRLAFGNGLRPDIWNRFKERFGIEAIAEFYTATESTSANWNYSRNDFSKGAVGRIGTLG
SLLLGGTLCMVELDWDTEQPRRSPTTGLCIKVPKGSPGELLYQLDPLDIERKFQGYFGNKGSTEGKIMRDVLEKGDAWFRTGDMMMSDSEGRTFFSD
RIGDTFRWKSENVSTSEVSEAFGTHPLVAEANVYGVELPHHDGRAGCVALVLKDEPTEKSMRELANHVYRELPRFAVPVFLRLTKQMILTGTNKQQK
HVIRAQGVDPKMMGEDELWWARDGTYVRFSEKDWRELSGGKVRL
>RCO7_03882 | probable realted to GPI transamidase component S (phosphatidyl inositol glycan
class S)
MPHLSQPSGATQPEAGLGGQNGLTDSDHAPVTAVDIASKKEPPPESPASIGLRTWVILSFWATIIFVGLPIWWKTTTIHRETLPLDQMMDWADGRAC
RPVFPLRISIDAGTLQDHEAQHLLRTTQHALDDLNDFSAHHLRLQLSPPANTTVQTTVSLAAEEVALTIRLIPGATTEADLQSYAPILDIQYTPNQI
PSSSSSSTSLGNYIANTLRELFAEEQAMIAYLLSTSSAPPERSPKALAPEVAESLAKWTTRSMKYSRTYHLTFSLFTPTATPSSWAIEAALEEHMLP
LLSTLSSISNFTIDTQIQLYATPGVPGSVLKKEDLSGFINAAEWPLSPSIGGAPTVNFIIYIGDMEVEGGGKSWLIPQWGGVVIQSSIEDLRPAMLI
FSNQLMSLLGAPETGSLPLRLMTLVRVRSAGLLLKASGTMGSLARLTLALPSISIPRSVADGVYTTISHLRKACDGLGGKEGLENARIAEEAAEKAF
FEKSMVGQVYFPDEHKVAVYLPLLGPIAVPLVMSAVKEIKAWNKRRRGVR
>RCO7_03881 | uncharacterized protein
MLKYLDLRRLVTFISTIISTVTAAHSSNEVRLLENSQLGLRNSQTSLNGNLTFISTFTYKNSSWTVYEDLTLISGSLHFISSTGNHRTFDRYLEAGF
NEKTSVPFYLGLNRTEINTALPDILADALLANGEPSEPEVRNVVPQVLFEKHQTYIGNVQANDTMFVRSDSATRNHYPLRYVDITAAHKNYTYNGLL
NGWMPVVRRVFRLSEDADDWYETMLFGDVESTEPFIIPSWSRTTHIVDGQVQESLFSREYPASEPQRLDPTPSEFYRALLTFADYWGNQLEDVAPMT
LPDKSWVDISKHSFAVELITRYGGVYPKYGAYDRDYAGSEYDGFQDIFTSSVLANLLWGRFTQAKAVITNYFDMFVSPSGDINMRGPEIPQFGLSLS

LLATYFKYTNDIDLLSKYQSKIIAWTRILEELHDKSLTLSPIDLNYGLIAGWSESDSSIGAAYNPAFYIRPYWNNNAFAARGLKDIASVPLFSSYAA
KWTARASAMIAQTEKTLGSVIRYDMNPPYVPVLPNTTLTVRESMESEEPSPQMWSHRVFSELLQSSTLTPNLTHALQTSMRAYGSTSLGIVANVGAV
STTSRDILGFISYGHAISLLLANRVDEFILFLYAHRYHDYTRGDWIATEVAPTSGVQEDTNPFCVPAQLTMPIALRAALVLEHPDEEILYLGRGVPR
AWLATGDEISIKHAPTRWGKVDFSMRMDNRTQSVTASVTFAGTPPHEVYVKIGLPEGCVSKGIMVGNSSAEMVGEEARLVMDPKQKSVSIQGRFTLQ
M

>RCO7_03880 | uncharacterized protein

MATPDGTVHTNLDPLPLTIRDGMIAMGIVGVISSISTLTLLIFIAYRAIFWRRYYEYPIHANQIIVLIYNLLLADFQQALSFVFSFYWISQNKLVGP
SHACFAQGWLIQIGDVSSGLFVLAIAVHTFVNLVIQKPISHKIFATSVLAIWAFCLFLTMIGPILSKDDFFIPAGAWCWFNETHENERLYLHYLWIF
IAQGGALTIYISVFFYLRGQLAKSSKLQISSVTESVRNATGPYKGKGTTTTTIFGPSNANDSFAASRQRIMRTARYMVVYPFAYVCLTLPLATGRIS
SMAGRRPPLVFFPIAGTLMASCGIIDVVLYLTTRKALVRGSLGAKGSSSRRPRFGIGGLLRRGPRSQSIRLGGLRDEGEEDRIPVGVEAPLDGIIVV
SKSVFTTTDTFQSSAMSQRTDSLQSMSVGREEVPQSWNKL

>RCO7_03879 | uncharacterized protein

MDFPTSTGVTQRPDIDPFIHPSNFTGLLSGKVGILTGASKGIDRTFNLALAVSGASLALLARSAANPVSIVARIETELGLIDIVIKNSGKNHMILSS
AKEESIGLYNASRLSGYRYVFSWCFTGIRDAEVAGGVSGAFD

>RCO7_03878 | related to uracil permease

MSLRKRAVEFVTLSTNSGDEVSVWINDDIRPLPPHRRTWNTMAFISFWAINQIALGNWQLGSSLVAVGLSVWQTMIAVILGKFIVAAVALCNGAIGA
KWHIGFPVMSRGIWGIYGAYLIIIQRIILSLTWFAVQSWTGGLCVSAVLSAMFPSFMHLKNTLPESANTTTSRFLGWVVYNMITVPILYVKPEKTAK
LLFVMNGISLTTLVSMMIYLLAAARGGGPLLSAPATAQSSSALGWAITQGVTTVIGGIAVGLTNQSDYSRFARKPGDQVFGQWFSIITLGTILPLFG
CLSSSASLKLYGEAYWNPPDVLLRWLDDSYSSGTRAAVFFAGVGLVICQLAINTIDNSFSAGMDLAGLLPKYLNIRRGAYIALVLSIVMCPWQLLAS
AGTFISVMGAYSVFLGPMCGIQITDYFLIRQRKVKLSDMYSPSPSGIYYFWKGVNPRAFVAWCVGWAPQLPGFIANVNPDVDVPDVCMKMFYLAFPL
GLVISATVYHILCRFALPQGIGEIDNVDYFGTFNAEEAARLGISPISQLEGIDDRGEKDDVRLDNEEKFYRA

>RCO7_03877 | probable N-methylhydantoinase A/acetone carboxylase, beta subunit

MSSVQMERSLRIGVDVGGTNTDAVIMNMGGADGPDRGIMAFHKCPTTSPNVTDGIESAVRNVLEQAGDCRSDVHCLVIGTTHFLNAIIENDTRRLSK
VAVVRLSKSFTKEIPPFSDFPPRLKSILHGYTGYVDGGLSIDGAQEAPIVESQVISECQKIKALGLTSVVICGVFSPIDKHYRQEACVRDIMMRELP
GIDIVCSSEVSNIGFLERENAAILNASILNFARRTIRGFQTAMKRLGLSCALFISQNDGTVIDAANAARFPIKTFSSGPTNSMRGAAYLSLEHFGHK
SAKRTSAIVVDVGGTTTDVGILLPSGFPRQASAYSSVAGVTINFAMPHVESIGLGGGSLIRKSESGVTIGPDSVGHNLVREAMVYGGQILTATDIAV
ASGKLVGDPDLVSDLASDIVADSHSRIKDMLESVIDKVKSSPDPLPVLLVGGGSVICPLELNGVSEVILPNFFSVANAVGAAIARVGGTIDTIRNIS
DTSLAEILKQTDEAAVQEAITAGARADTVEIVERDTIPVPYVSGQIRVIARAVGDLSTAALIPCDFEETYAEEGLNSVLECPKSSQHLSVDKVEIDI
ATYRPKVTRNALTGVPEWFLSEIDIEFLRDGCYILGCAGGGSPKAEYIKLRDQIRDGKEIRVIDRSGLAEDARVYWGGNMGSPAVSVERLSGTEVLQ
AVEEMMEYLGHDTFDAVMGLEIGGANGLEPLLIGSSHSYDRPIVDADWMGRAYPTYWQTTLAVYESGQLIPCAIASGDGKTIFMTKSPNDEIVDRAL
RASCSEMGSRVGMAVKPTTKQRIVDYGVTNTLSLAWRIGRAVARSRQTCTTYTVVEQIIDEIGGPSSAKVLFRGKIIGVERRLYKGHSYGEVIIQQS
KESDEEAESTSPAVATGGIVKIPFKNENIYVEHVAEDGSTEYLATVPDLICVLDTQTGLSIGVPEFRYGLIVTVLGMACSPRWTDTERGLEYGGPKA
FGYDMPYNPLGTYVEPKSVVLEFLDKP

>RCO7_03876 | uncharacterized protein

MTTLHEDDSSSEISSPVTSHAPSGTLTRMSSFELHRPGIGPQLGDVLVVGGCGFLGHHLVKFLLVEPTCTSISVMCRSPFKNLHPGVTYHIGDITNL
EQVRHVMNQVRPKTIFNTASPHAYKDHEHVPDIFKVNINGNQNLLEAAVETGTVQAYIYTSSAPIVAGSGRGYDHADETTPTLAVPVFRKGDPYHLA
KSIGDKIVLEANGKHGIRTCTIRPTALYGEGDGQMIGPVIDALEAGQTRVWMGYNDIEMDVVYVGHVAITEILAAKGLLNEMDDPDAPRVAGEAFNI
TDDQPSPPLTFFRKYWALAGDRTPLSSVWYIAPGLVLFLAHIAEWIVWLTTWGKLRPKCLILERMEFILFTRTYSIKKARERLGFVPWAYQPYPNQE
EALKGAVDWFLQPENHGPVKTGNLPSWPETPFKLISTTGIHNILSIPQKHHCMANARFMAQTHNTIFRALNSIYQHSYHVLPGTDSATNLLSYCSIT
YDFMHHHQLIEESHYFPEIERVTGLKGLMSENLSQHKAMDKGMEAFRRYAETTSKEIFDGGHLRRVIDAFRKPYEQHQHEEIKTILELGNVIESKVL
KGIDMRMRAEAERQSDIFKAAAFVYTAQDASFQLDNFPSTGSSAYPPVSPLARPFIPYIISLIFSARHSSSWDFAPSTIHGKPKSLPTSSQIGKFGK
TGTFLDGEEIYNKGVSGAWMWWDTLLERIGGEEKARKIVLAVVVLVIARFWYS

>RCO7_03875 | related to cytochrome P450 3A7

MLFLYAIPPILLLLLFSNCRSLVKNIRVAQATGIKYVVVPWFIYHSLTSMLLSRTVLRFLNSILPPSSVDSWRQLVTSTWPLRLRHAPFTHLGSDTF
LTVSPGGIILNTADADLIVQITSRGTDFPKPTYIYRPISIYGQNVVSSEGAIWRHHRKMTSPAFSERNNQLVWKETLDLAQTMVASWVGTGKSNTTS
QVAPDTMRLSLEIIGRAGLGQQMVWDEVDDTQGLPIGHTMSFSSSFQFIASNILALVSIKALPPRLAKILPIHSVQNALQAYENWGKYMEEMIVSKR
RGIQDSTQRSTGDLIGQLLQGEPASKKIPLSDSEIMGNIFVFTVAGHETSASSLHMAIMLLALHPTVQKELQKDLDRIFSGRQPSEWSLEKDLPKLA
ESMLGAVWNEEMRLVTPVLTIPKIVCGRPQRVKIDGNQVDLPANMMIRLCIPSVHVNPNCWPSGPPSDLSNPIFALDNLDNDLEEFKPSRWILPSSF
KANTPLTTSRDTYLNVPIDEGYVSKPSTPTAPSPFPSLSTIYTPVPGSFIPFSLGPRACIGRRFAQIEILAALAVIFTKYSVELSVDNFATALEIDD
MSVIEKKEVWEKAATNARENWQKKLRCAITVQLSPEGRVGMRFVERGEERFFGV

>RCO7_03874 | probable ABC transporter

MPSIPSVNSDQGGFQNPFLGVPPDSPLDPHSPNFSAQAWFSNLAGFISKDPSNLLHRSAGVSFTDLNVSGFGSPTDYQKSVGNVLFGIVSLYRRMGG
EKKQQINILRDFDGLVESGEMLLVLGRPGSGCSTLLKTISGDTHGLFVNPGSKINYQGIPARQMHTQFRGEAIYMAEKDVHFPQLTVGETLLFAAKA
RAPRDGTFPGVTKEGFAEHMRDVIMATYGLMHTINTNVGNTLLPGVSGGERKRVSIAEAALCGSPLQCWDNSTRGLDSANALGFCRTIKLSTELTGA
TALISLYQGSQDAYEVFDKVTVLYEGRQIYFGLCNEAKGYFTEMGFDCAPRQTTADFLTSLTSPAERLIRPGHEIRVPRTSEEFALAWNNSNEYARL
MREIATYNQQYPLGGPSVASFTASRRAQQAVHQRVRSPYTLSLYQQVTICVERGFQRLRGDASVTISRIVANGVLALVVGSMFYNLSQTTSSFYGRS
VLIFLAILLNAFASALEILILYDQRPMVEKHDRYGLYHPFAEAVASSICDLPFKIGNSISFNLVLYFMANLRREPSAFFTFLLFSFSITVSLSMVFR
SIGASSRSLVQSLFPSSILILALMSYTGFVVPFRNMHPWFRWINYIDPISYAFESLMINEFSGRDFECGAYVPAGLQYANLGSTNHVCAVVGAVPGS
NLVSGTEYIRLTFNYVPSHLWRNFGIIIALTIFFTATYMVASEVVTAKKSTGEILLFQRGHQYQRDLRNDIEKPAQKAVSESAPSRPVSGLQKQTST
FQWRDVCFDIKIRKEDRRILNHVDGWVKPGTLTALMGPSGAGKTSLLDVLATRNNFGVVSGEALVDGHPRDISFQRKTGYGQQADIHLETMSVREAL
RFNAVLCQSSSLDRNEKLAYVEEVIQLLDMENYADAIIGVPGEGLNIEQRKKLTIAVELAARPQLLLFLDEPSSGLDSQTSWAVLDLLEKLNSHGQA
ILCTIHQPSAMLFQRFDRLLFLAPEGKPVYFGAIGYNSSIVVSYFERNGARPCPIAANPAEWIMEIIGCTPGSHSEIDWSDIWRSSPEYAQLHRELD
RMEQGLAQGAIQKVALDDDYQEFAAAFSVQLWECIKRVNQQYWRTPSYIYSKTAMCVGTALFLGFTFYKADKSLQGLQNQVFSIFMLLTQSSNLVPQ
MLPNFVVQRSLYEARERPAKTYSWQVFMLSNILVELPWMTLMAIFIFVGWYYPIGLYRNAELNGTGAESAGTVLLFMWVYMIFTSTFGHMVQAGVDL

AEMGGNYANLLFMLSLIFCGVLIGPDELPGFWIFMYRVSPFTYLVSGILSTSLTNVPVQCSPFEFLHLEPTSGQTCGSYLSDYIQTAGGDVANPDAT
SDCAFCPLANTDAFLKLVHSEYSERWRNFGILWIYVLVNIIGALFFYWLVRVPKKCKRGQVKAGKVAVATSTSLTATEQAAASIEKKTEEKGPDTTL
IPSESNKPSRGRSRVVKSKITN

>RCO7_03873 | uncharacterized protein

MAGHSDITKKANPLTYPKSSEEFSKDLFKNPTSEYRGCPLWAWNTKLDTKQLMRQIDHFAEMGMGGFHMHVRTGLDTEYLGPEFMDIVLSCIEYAES
KNMLACLYDDDRWPSGSAGGKVIKQNPEHKGKHVLFTNRPYGTVDLGEGDSPSSARASRSENGFLLATYDIILDANGCLESSRMLKKGETGKNVWYA
YMETNPSSAWFNDETYVDTLSHEAISSFIETTHEVYKDKIGDKFGTSVPCIFTDEPQFATKTQLSSPLGKNDCFLPWTGDLPVTFNERYGEDIVANL
PQIFWNLPRGSPSLIRHHFHDHVSERFVTAFMDHLSTWCRQNNLILNGHMMEEPTLYSQSTALGEAMRCYRNQEMPGMDLLVDWVEYNTAKQASSVS
RQNGTKGTMCELYGVTHWTFTFEGHKGCGDWQAALGITFRVHHLTWVSMAGEGKRDYPASIGYQSPWYKEYGYVEDHFARVCVAMTRGKAVTKVGVV
HPIESYWLAFGPNGSGDELSNRDQAFADLTRWLLHGLIDFDFVAESLLPGQVARKPSGNKLQVGQCEYDIVIVPNLRTIRSTTLKILQDFTKRGGKV
IIAGSAPEFVDAKAPLSGPGIEQSRNVFWSEQCILSALEPYREIRIVANQNVLTDKLLHQIRQDNDERFIFICNTDRQNPVDTTVSLKGYWKIEKLD
TFTGIEEFLPSQQVDGWTSFPHRFEGCASLLLHLIPSSTSALLPSIPPKSSSVTAIPPPTLKLQSITLSEPNVLLLDYASYKLNSDKSSTFSPTTEV
LRIDNQIRTKLNLPRKGMAWRQPWSIPEEERKSLTEVTMRFEFESSFDIVGATMLALENPETMSITLNDFKISSSSSRIDPTRGWWVDEAIRTLPIP
GNTIRRGTNTLTITFPFGILTNIERIYILGDFAVQLNRDDPGPSNKLLAPLDMSDLSWGDITTQGLPFYVGNLIYNYQFSLPRPPPSHLPLSAPSTK
EMKLTLRVHEFSSPVLVVHSSSSRAHKTKKLGCIAFQPHTLSLGTFSSGTHYISITAYGNRYNAFEHLHLTDGATDQCWPDIWRTEGVWWTDNYNVR
PIGILAPPTLSAIATSNTEIQIHTAPSSISSLSSSSSSSTSTTSTRKDSKRGSNEWIIIPPTPDANIQGSLDSL

>RCO7_03872 | uncharacterized protein

MTSREDRIQSRLRGAQRREIKDVEFGLTFTIPPADPSPLVEVSPHTLPPFELPPQRSSRRTPARPLPSVAAISQDVSRVSQSTNDANTSAKRKKLNT
DISQSSRSTRSQDQPRPDANEVPAEQDGEEEEDSSIIQPAAASVVSIPNIQNESQGPPEASLLTESDVSFELESTSVVQPGTASSPARPARTPSALQ
TFDEVTESPKNAPGSGRRQRVAIESTLQSSSQLHEVQTMASDTTPVTQRKRKREVSTLRGPSRIRQTQSSTVLDEIDELSPEQPIRPGRKPKIVKGT
SPDVDVTAQNVDEEEAEAIDDEEAASILKKNRGRRTSKRFAAASPDLDILIASSTVKRPSKRPIESPVKQRHPKNAASRPQVPKKIVKKAAKNSAKQ
QRVSISGPIPVTVHRLTLPPLYDERETDADILDAEMPHMKRSGVNAIDVLKQLCEEVISNQLRSLEQMGNSCEDTASRREYKTKWNAVEAFGSDLQL
RLLTQTVNLDNAYCLEHRVKDELRRKIILREELLQIRKEREQLALRMDEIRMKHEKEKTDAQSRDFLNTAVHDIEMAIEMGKSKQDSEELDRAPDMI
GTELLISRVAAEVSNKGDSGGFLRQIKEFNAFLERTALALETRKV

>RCO7_03765 | uncharacterized protein

MAKIFQLFTLAAAFAALFTGVNGGWDPRSSNMIAGYWGQNSMGTADGQQRLIHYCPSDKIDVILLSFLPSLRNMHSLNFANQEVGPLEHDIQDCQNN
HKKSILLSIGGETTSDIGWGTRDEAVKAARDLWAAYGPPIDPDIHRPLGNAIVEVVTAGRENPPPSSTLTTSAVVSTSTTQTSNEVERPTTTKAAKP
GRPAKLCVSRPPSSDKDAVPWTWNVPSSGLVRQWNQCGGQDWNGGNTCEKPYICKYFSNWYSQCE

>RCO7_03766 | uncharacterized protein

MATTIPLRSLKFSFFQMEMQKTIYGSGNEVPPTRKIPIANKDLVFVHLNEITGPTQDISARHKVRVHVMRDFQRKKHKESKPTKTNKRSSLPNHDVS
FKNLANDDIGVASSEKSAREQAILPDEIRRMTHLPDPTVIGMLEPFNILPITGSPRLQLLVHHYNTYLINTLIPVNPKDKWFNFAIIDAALFHGTMM
PAAMHHRLVNGGSDQGEQAQLKRDTIMLVNQRLEDPVLSRSDFTIGAVTCLVLLEASQVPNLARSKTDLDGWNQEGNMALSNIHLSGLKIMVDLRGG
IYELGLAGVLRRKILWYVCVTDPQQID

>RCO7_03871 | related to benzoate-para-hydroxylase (cytochrome P450)

MAHAFSERALKGVEEGFLQNIRTWCDRVGEVGKEGTIGLNMSEWCTFLTFDVMGSLAFGRSFNMSTSSQNHYVTDLLKKSGGFAHLNGNMLWAFRCG
FTPLFFPDLNSGREELRAYAKKEAQNRMKLGTEGTEVKDFCYYLIDAEDPETGEGFTIDELWGEALLLIIAGSDTTSTTLSGTLFYLTHNPKVLETV
KNEVRTIFEGCDVEEVVSGPKLNACIYLHACLEETLRMSPSVPGILPREVCSGGAEIDGEFIPEGVDVSVGIYSIHHNSNYFPEPYEFRPGRWIIQD
IQSAGDDKLLSIHDGIGVGKEEVELAQKAFCAFSLGPRGCIGKNMAYMEMMLAMARVLFLFDIEATGKLGEGQTRNGNVEYGLGDTFNAVKEGPTVR
FVPRKM

>RCO7_03870 | uncharacterized protein

MFPIVTEDPEPYLLQPAGLAEDFEKWMEVRKLWAWYRPREYKIIVKRVEGQGGPQKLPDSSARQKSSLRNEYLRNPPSLSPSSSNSSILSHRSDDTP
PSSSSTSLEAWSSPSFSAQTPLHRPLYSSSSSSPLIGVSSTAAPPIETTYSSPHSLFCTEYFEVRRSKKGGYGAFARKDIEKGTVVMTEKSLFRANF
LEVFFELEKLTKEQRREYRTLHGHMALSDSRELAIYKTNRFETSGSKGGIFIKSSRFNHACHPWATCSYRYDESIDTLIFTACNPIKRGEEITISYT
SNPSQLMDNYGFYCDCPKCPGPKIAANQAKRLRGPF

>RCO7_03869 | related to URE2 - nitrogen catabolite repression regulator

MASNFYHEDTPSEIKDAKGLHLITTSTPNGKKVQIMLEELREVYATEFTHTLISLPTNDQKKDWFLKLNPNGRIPVLVDNTKSPPFPVIETSAIMLY
LLKQFDSKDTFGFKDELERSQCLQWLLFWHGSGQPIEGQLNWFGKLAPEKDEFAINRFKKETLRIFGVLEIHLSGKYTNEPRQYLAGTGQGKYSIAD
MGAWPWVSGYDFSGQITEDEMKDFPHLLMWVKRIADRPAVKKGTAKSYQNW

>RCO7_03868 | uncharacterized protein

MAHKLTISPFSRALTITTLFSFHVLLLAILSISILAHHPLPSTGESISDIQTRPSTILKIDLPTSPESTYFTHAHNVRFDSCEMLGGEIMEPVKGLE
EEEVEGEDGMAGAAVGGIGGVREIGGMMGGEEEVCNETEIRIAGCGEVA

>RCO7_03867 | probable aspartate aminotransferase

MVKIEPFEVEQWMDKYETTPGVLNIAETCAASISIDDLVALCEDKNIPHPLNTSTKLTYGAIRGSQALRERLANLYSARVSNPLRTDNILITPGTIA
ANFLLFYTLIGPGDHVVCMHPTYQQLYDVPKSLGAEVSLWKLRKGKQYIPDLEDLKELVKENTKMIIINNPNNPTGSTTPKSVLQGLVDFAQEKGII
ILSDEVYRPLFHGISPGDPEFPPSIVSFGYAKTISTGSMSKAYSLAGIRCGWIACRDSEIIEAVATARDYTTISVSQLDDAVASYALSSSVLHALLG
RNIKLAKTNVTILEKFIDRWSDVCSWVKPTSGTTALVRFEKDGRPVDDVEFCVDVISETKVMFLPASKCFGEEFKGMVRIGFVCETGVLEEALKQLS
LYIRSNLL

>RCO7_03866 | related to ABC transporter protein

MGQLLKAAALAALSLSWTTLASRNDSSYSTVDMLRAELALLDGRQADCPPCFNCLLPAFTCGQYSDCNQFNGKCSCPAGFGGDDCLQPVCGALSDGE
DRPMRQGEYCECKDGWTGINCNVCTSNKACNAMMPTNDGGVCYQNGEVVHENYQQCDVTNKKIVQILDGKKPQVTFNCNANDTTCDFQFWVDQKESF
YCSLNTCVSSADNTYEQNSTNYKCDHIECSCIPDRMLCGENGSVDITDFLTEEIKGPATFSCKQEHGGINNCKFKENAMDELIQQMFGDDSITLTCR
AGECLYRTDVPGFVAPVKRINTPLIAGVIAGSSLFVVAVILTVWYLSRRKFNYGPIHLDESDDESTKLMTDHKPASLYFKNVCYNMNGKQILSGIQG
VAHPGEIMAIMGASGAGKTTFLDILARKNKRGAVSGDFYVNGEKVNDTDYKNVVGFVDQEDTMLPTLTVHETIMTSALLRLPRDMGKQAKEQRVYEV
EKQLGIFAIKDSLIGSEDGKGRGISGGEKRRVGIACELVTSPSILFLDEPTSGLDAFNAFNVIECLVTLAKTYKRTVIFTIHQPRSNIVALFDRLLL

LAKGKTVYSGAFSQCQDFFDNIGYTCPPGFNIADYLVDLTMHVGGPPTPVDENFSEQDGGSPGPSSTRAVKSIASVSGMSLDEPGAERDSMDETSLL
RPKGKRRDSVKAKQERELYTRKRTNLDTPGSPSADDAPYDPKATASQLWLRLQKQKSGNLHHHVSEDLDNLPPSVSGSSDLDILVAAYQRSEIAGNI
HDDICASVESAQTANGFANGHANGNGSANGGAMGRGYARVGFGRQFMILSQRTWRNLYRNPMLMLTHYAIAILLAVLSGFLFYGLTDDIPGFQNRLG
LFFFILALFGFSTLSSLTVFAAERMLFVRERANGYYHPITYFAAKVLFDIVPLRIIPPIIMGSIIYPMTGLVPDWSHFFKFILVLVLFNLAAAGICL
FIGIVCKDNGVASLIGSLVMLFSLLFAGLLLNHDAIPKSAIWLQDISIFHYGFESLIVNEVTYLSLKDKKLGLTIDVPGATILSSFGFNTQALWPDV
TKLAISASAFIVLAYVAMHVLLVERR

>RCO7_03865 | uncharacterized protein

MQFTTAISALVAVAGLASAATPSYGIEMVPVPEGYFESHLGETGVTLSPAVAVQRRLSSRAITHVYVCINSNFSGACQNVQVNTGGCYNFVGNYNDA
ISSIGPDQVMLDAVAAVLAGSSTPAFTISMTTTSMTLQALSGATSGLERD

>RCO7_03864 | uncharacterized protein

MAPKLKFDYPIVDVWANHPGLGSEEIPEAARLFEFSHSDPAITGQRQMSPEQVIARMDEAGITHVCMSAWSCPGQMIFFNEDVAVYTRAYPDRIFGL
AAVDLHKPVEAVKELEHYVKQEGFIGLRVVPWLWNLPPSDAHYWPLFVKCIDLDVPFFTQVGHTAPACLSDVGRPIPHIDSIALKFPELKIIMGHIG
YPWAAETAAVAWKHKNCYIDTSAWSPKYYDPAFVTFANTTGRSKVMFVTNWPQLGWKACVENVHDHLLTKGGLRKESLLPFFGGNAVRVLKLPDNLS
NIRSRL

>RCO7_03863 | related to campothecin resistance conferring protein

MWVFSCDGDVLKGKRLWIRPGKTVLIGRTAAEEGQFVVSDKTISRKHLTVKLANVKPSDYANANYRTKLTIQDGCGDPKGTKIGTLLNGAQIRGQTK
TLELDENTVVLGKYKHNFRFTWIPMALTFTFSTKERKANPYPALYDRLGPLDIRVLVDYEREHTTHVVARKRNTSKGLQALINGKYIVYHDTFIEAL
VVATTSEEIDCPAPLELDFDSHFPDPLQHLPPRGEEPTERGAEAYSPSPSRLDMFEGYTFVFYEKQQHENLLRPISEGGGKVSLREVVPDQTTVDEF
VIYVKGVAGEKGLGEFEDGSEGKGVVVVKYNPSKGAGTEWWAEFNRQIALVLDHRLIEQNEFLDAILGNDAGVLRRPLLNEDPGLVAPPPSFVTVAE
SQTNQNQEGESAPEPMAPPEPPTRRGRRRPAKAVVEFEDEFLGPINSSMPQPESMQVDQPVAEFEQSQGLFLTQDPDQILEVPKSPAQETSRKRIFS
PAFEEEEDIMEEAAPRAAALKRRRLANEAEKNLRRGATPSPRASATPAPEPVAVAKVEPTPKGRGKKIKKEKEVDIIEVRRQEREKAEAAARAERES
VPEDMSGIDLEQIRKLVIIETMPVRKPNSYIQRTERPEDSERWDEKWNARVNHKKFNRRPGAAAVRGLRKVIVPLEEAKKRDYGIGDTYWEDDSQHK
KKGKGKGKETQEFSQKDTQPKQRSGAAEAASRFLASEVEEHAGAESESDLEIVAPKGRTGRISDKLVDKTSASQNLKTNKRPAATTLTKAAPAKKAR
PAPARKPVVEPDSDEDSDDGLKFKFKKKA

>RCO7_03862 | related to cytochrome b-type NAD(P)H oxidoreductase

MVLLGFSILIASISFICYRHPPTSWACFEWLRPSIESGAKKSKNVLPAQIPEKVIQPEKKNDPIPISEKNDIQIPIITKPPPPPSSPNVKADLDRMA
MPPPPPPFRKQLPLRNPLASPPVPTFTLGDGSKDGQGDEEEEPSAPSFPAMNSAQRASGGTSGPPKLNAYPQASPGLMLTPSRSPLPNRGPPGGGGG
SSLLPPPTHTSIPSKPRRKVLLTPGHSPLDWARLSSDPSANLRGMPASTPFLRVPPSLLKQFTGRKGKDAWTVLGGKVYNISPYVDYHPGGGPELLK
AAGRDGSKLFGEVHPWVNWEGMLENCMVGIAVEEGDKRAESALEDMD

>RCO7_03861 | uncharacterized protein

MRASILGIAARSKNLQNTTTNTSDSSSNNTTAKAITSTNATPTQQRPTRPPLRTPLQSRDSNAMMRVPPVTKGNSSNMPPYDKHNAPRPPLKPTLSA
STKTVNRMPLTPRVAGSTPSNTGTSSSRRPARAEVSTTPVVKEDAVTPVSTFLSHNITPRSGPRRVRVESPNSTPTGTPTAAQALDDSTRGADTPPT
YGSGLGIAGIDKDLPKHPTVSFSPSPADLGQPKSQNGTGDSKFFFASEAKAAVQPTRPPLPSKSSSSFFYANGNNIPNKPQSSNASAVGSTVGEDRP
KFLHANGTPDLQATPYLPPPRPSSIVSHNSRMASPRLGTPTSSTTSPPQRPSSPSKLNQYASISSIGSTPALPSPVTPRPQVLGRGYSANGLVSARK
ASIEAGQRSSHGRSSSGSSAEGKLPPPLRNTSGGSYNSSVPGSPSNPIATSVPTYMPEEASEETPKDGGLAAGFRSPISSPVKTHSIDELNELAANA
RRERKVLDLEITNSSLAAINRTLEREMRKQTAELRRFRRLSRSGRLSIATSASVRTSSGSVSGFEGENLTDLSEEEEEEGETESEEETSDEGSLSPS
AMEESDLRHRKRDEKRLQLDLSKHQQLLIDSQKMNQSLKRCLGWTEELINEGKKALEYRVRISDVELGGRVLALDEVEGAEEPDNEGLSDIGARMLR
EARKAAANGMATHSTWASQKRDDRDSGIELDGGQREHIPISFAETSLEP

>RCO7_03860 | related to DnaJ-like protein

MVADTTYYDALGVKPDATELEIKKAYRKLAIITHPDKNPGDDTAHEKFQAIGEAYQVLSNTDLRKQYDKFGKDHAQPSEGFADPAEFFGTIFGGEAF
VDLIGEISLMKDLTKTMDITMQEGAEEEEEEEFPGEAEAKKQSIVDEKARAAASGGESSKTGVNIPAPSVSESTDPAFSSASTAVPSEKPSVSPAAS
GTSTPRRQQQGIPIRQAIMDKTEEEAQMSAAGLTEEEKELRKKEKKKAGLSKAQRDELAAYEKERARVRKERVDTLAKKLVDRISVWTETDKGPDVT
KAFQEKTRLEVENLKMESFGLDILHAIGATYLQKSTALLKSQKFLGIGGFFSRLKDKGTLAKETWNTISSAIDAQMTMEEMAKAEERGGEDWTEEKK
VEYERRVTGKILNAAWKGSKFEIQSVLRDVCDEVLNDKKVSMAKRLERAQALVIAGEIYQKAKRNPEEEGDYMAFEQLVAEAALKKEHKKKPKDEKP
KTKDAHGHTAAAEGVAADAPNVPKPAKE

>RCO7_03859 | uncharacterized protein

MSSENVFLIWGGEGWVAGHLKTLLESQGKKVFTTTVRMQNREAVIAEIEKYKPTHILNAAGSTGRPNVDWCEDHKEETIRNNVIGTINLADCAFEKG
IHVTVFATGCIYAYDDAHPIGGPGYLETDKANFAGSFYSETKAHVEEIMKHYSNVLILRLRMPVSDDLHSRNFVTKIAKYDRVVDIPNSNTILHDLL
PASILMAEHNDLGVYNFTNPGAISHNEVLSLFKEYVRPDFTWKNFTLEEQAKVIKAGRSNCELDTTKLVNKLAEYNYKVPEIHEAYKGCFQRMAKAG
VK

>RCO7_03858 | related to integral membrane protein

MPESTQENSIPLLDVEAQKDAGDKELEVVPPILPAAPVVTAGARRKFLTWTAINMLATIGIVFTNKAIFDDPDFKLMQTSFASFHFVCTGLTLWVVS
RKSIGAFVPKRAGIVEMLPLALSMCLNVVLPNLSLAFSTVTVYQLCRVLLTPMTAIINYTFYSATIPRSAALALIPVCLGVGVTSYYDTKPTSSDAV
QTTSTVGIVFALSGVLASSAYTVLIGAYHKKLQMSSSQLLLNQAPISSVMLMFAVPIVDQIPVLGDVPRYRWMMILMSGGFAALINISQFFIIAGSG
PVSSTVVGHLKTVSIVSIGWALSGRGLTDKSALGILMTVAGIIAYSNIMLSRSKK

>RCO7_03857 | related to triose phosphate/3-phosphoglycerate/phosphate translocator

MNKPKREAEDLEMSKTGLVDGEIHEDKDKLSADPPKPQSMKSKIVDMLCILLNIASTITLVFLNKWIFKDSQLKNMQITFAMWHFTCTTIVLYIASR
SPFNLFVPVRLPFLQMIPLCSFFAGFLILGNLSLAYNSIGFYQLAKIMTTPCVAVLQYFFMGKTVAGLTIVALAAVCIGVSLTNSNAAGTTTAGASI
AVAAFTVTAFYQVWIGKKIVDFKVSSPQLLLNQAPISVLLLLFVAPFSDTMADVSQIPNDTLVALFLSGLAAAALNLSQFLIIGRMSALTFNVASNV
KTIIILTYGWVSEGRVFTVKDGIGIILALGGATLYSQLSQK

>RCO7_03856 | probable squalene synthetase

MGLLAQFLYFSVHPNQLRSILQWKLWHDPVHLRNPDNESANLRECFKYLEMTSRSFSAVIQELNPELLVPVALFYLILRGLDTIEDDMTIPLETKEP
TLRNFQHILEEEGWTFTENGPDEKDRELLVHFDVIIAEFKLVKPAYRDIIKDITEKMGNGMADYANNAEHNIHGVSTIKDYELYCHYVAGLVGDGLT
RLFVESKLANPALIKRPELSESMGQFLQKTNIIRDIREDFDDKRRFWPKEIWSKHVSNFEDLFDPQNLDTALNCSSEMVLNSLRNADECLFYMAGIK

DQSVFNFVAIPQSMAIATLELVFRNPDIFQKNVKITKGDACKLMMESTQNLRSVCEIFKRYIARIHNKNTPKDPNYLEISIACAKVEQFIESIFPSQ
DPKALSLIHKGESEPVAAKTSAEAFEAKKDVFFLLLAVLGTLFVISGLMIGAAYLAGARFDIALRELSAGNLFPNSSVGEEAQALLTPDHVEL
>RCO7_03855 | uncharacterized protein
MARTRSQNLLGIQSPLQQLSNARVARPRQAPPSPQGPIYLPGIQFFYNPNVGRYDDDISLLSLNGSVRAPSDGSAGAGPPSVASDGVVYHENEEDDD
DIKIVREVVVISDDEENDNEMSELELGEEIVAAVPSSDADPDRTISLSPSSHPNTPSNHSSSKSDPDRTNSESASPPLHPAYEDEEDDGIVAFQQDD
LPLYNNPAPSHFERVYRGVRTIWSVDEWAEQGERVLAEEAAERARETLQGRRWANVGGRSRLSRRRA
>RCO7_03854 | related to SERINE-TYPE CARBOXYPEPTIDASE F PRECURSOR
MLYSNYLHVLAIVSLVGALQSPHQQAAKCLRKLVPPNPTKEAPRTPNGGLFLNTKSAKFAVKGSNLPEVDFNIGESYAGSLPIGPPYVANANNLWFW
FFPSTNPAAKKEIVIWLAGGPGCSSLQGVLQEHGPFLWQSGTNEPVSNPFSWNKLTNVIYIDQPVGTGFSQGSILVNNETDVANHFMGFWKNFVDTF
SIQGYKIFLTGESFAGQYIPYIAKSMLDTRDKTYFNVSVPAVPALEKYNNVIGLDSSTVANVKALADACGYTSYHAEHTSTFPPSGPIPDPPSSGTD
CITWNYIVGAAFAANPCFNVYHLTDSCPALWTELGVPTVPFAPSTPSTYFNRADVQRAIHAPRTDFLVCDKKDNVFPTGEDLSPPSGLGPLSSVIER
TKNVIIAHGLLDFLLFADGSLITIQNMTWDGLQGFRTPPSPTSNFFVPQSATAGSGLQGVTHTERGLTFVTVNLAGHYIAQHTPGVAYRQLEFLLGR
ISSLEQQGTFTTD
>RCO7_03853 | related to endo-1,4-beta-xylanase
MKCLLSLGLLLASIGQAVADNPIIQTIYTADPAPYVYNDTIWLFADHDEDAASSFFLMKEWRLYSSTDVANWQDWGTVASLSSTFKWATDRAWAPQT
IERNGVFYMYCPVQISSGAMAIGVATSKSITGPYVDALGKALVSNNNIDPTVFIDDDGQAYMYWANPGLYYVKLNKDMISYSGSIVSASKPNGLVEA
PWLHKRNGNYYLSYASNGIPESISYSTSTSPIGPWTGKGGTIMAAAGGSFTNHQGIIDYKNQSLFFYHDGSLPGGGGYHRSICIEDFKYGSDGSIPT
IKMTTTGSAQIGSLNAYVQTSATTIAFSSGVKTEKYSEGFMHVTKTNANGAYIKVKGVDFGSAGASLLSVRVASSKGGGKLIASLGSKTGTVISTCN
VPSTGGTQKWETVNCSVTGAKGKNDLYWTFSGDFGFAWWRFTAS
>RCO7_03852 | uncharacterized protein
MTSSPPVHRSTKTVYHDQYPSINVTRDSFSQEGKVILVTGASQGLGRKAFAGSFAKEGARPIIIIARNAAELEENN
>RCO7_03851 | uncharacterized protein
MHVGNVSRSDSLATLMTTASTPATPGPSTPTNVRSVPLNQLKVDEIENGIVPPARPKSTPFPHQDLMDGNIQSPQRLFDVDSPNPLQSTYGLYATQH
IQRATSVSPLKDLPVEIHECVLDYLFGVRASASSRTAAAGNTKVLRNWGTALRHSRRREVSILALVSKQWRVLVQDRLYRHLKIKGTRESVNLANLW
FTQHQHLCCYVKHIEIWFPVFQPKNPAFDRTLRIPSTTPDRSVVLRSLGSLVDTGFTITYQSPSNNCTLEEVFRFVGMTFGEACILTLEGGERKKPP
MVRHHKDPATSALPIIDTIRTLVCKGQWNLIRSDDDFQNIVAALPNLSEWHASYAKPKSKSYISMATILPKLPQNLTHLNVCLEADYRREAVSPAFS
RKAANVTHLCAEMAKAIPTLEHLSYTGRVCFSFFDQAAKLSDPRNSRLKSVDIVVKNVCRPAGVWNDGSGITDAAFIAAFERLVISGIKSLDKLAAL
QFLRIRFLDLDSQVPALNPYFQLLYRQCTGLWSDEIVEALKRARPATKFIEKPDDLCEFEFKDGQLRPPPTFSKTKPLSIKVSSYLTLSRNDGITIH
>RCO7_03850 | probable GPI mannosyltransferase 1
MSTLFSSPSLVFTAAILLRVVLFFYSLWQDANSPLKYTDIDYYVFTDAARFTAHGLSPYDRETYRYTPLLAWMLIPTSWSSTWFSFGKVLFAIGDIV
AGWLIVLVLRSSNKMSMERSLKFASIWLLNPMVATISTRGSSEGLLGVMVIALLWAITQKKIFLAGILLGFGVHFKIYPFIYAPSIIWWMDDEHIGS
SHPSKKTGKDTDLISLARRFCNGPRITLTITSLITFTSLNILMYSFYGWPFLQHTYFHHVTRIDHRHNFSPYNTLLYLSSSTPGTSSFRLESLAFAP
QLFLSAVAIPLLLAKKDLPSTMLAQTFAFVTFNKVCTSQYFLWYMVFLPFYLPNSSLLANKSLGISAAVLWVLTQALWLQKGFQLEFLGQSTFVPGL
WVASILFFLTNTWLLGIIVGDIGWTSRSPPKVHVKAR
>RCO7_03849 | related to translin-associated protein X
MPGPSSQPASDLVLRSTQKPMSIPDRQMPGVKRNHDGAEKAPEQDVKISPFMPMFEKFRDELDEHHDRRERIIKASRDITAASKKIIFALQRVRSLR
STIPPKIASEVQAKASAMQEQFLSIAPDLTGINAWRYQRQISGGIQEYMEAISFQHYLINQTLITLEEAAQSLPETITLTGDDYVLGIFDLVGELMR
FAITTMATTGSLPGSKGADSTTEDRDILIDLRSLRTSFQALDTTSCGGTGLGKDVEKKMEVMKTCVEKVETAVYGMIIRGRERPKGWVPDLADDRGG
AVESY
>RCO7_03848 | probable protein Mpv17
MFRWYQMKLATRPLLTQSVTTAVLFATGDTMAQQLVEKKGLEKHDLARTGRMALYGGAIFGPAATTWFKFLQNKVVLKNKNAEILARVACDQTMFAS
TNLFVFLSSMAIMEGTSPKDKLDQSYLTALKSNWMVWPFIQCVNFKFVPLHHRVLVVNVISLGWNCYLSFLNSQTPAKSI
>RCO7_03847 | probable eukaryotic translation initiation factor 4E-2
MAAVAPQTPIDSSTPVDLTTIPISPEGANRDENKKPGPSGEDEQITVFHDKDNFNVKHPLMHKWTLWFTKPPSGKGDNWNDLLKEVITFNSVEEFWG
VYNNIAPVSELALKSDYHLFKENVRPEWEDPQNKHGGKWSYQFKEKRNVPIDDLWLHVMLSAIGETLEDEEDGELMGVVVNVRKGFYRIGVWTRTIG
KSIPGGGDGDVAGGKGRSMEKGKEVLMNIGRKFKEVLKVPSTEAVEFSGHTDSAHSGSTRAKAKYTV
>RCO7_03846 | related to malonyl CoA synthetase
MASTSSLPRLPIFEAIANHDPQSTAVIHSASGRRFRYGELLKDVADGRDRLIKEAGGSSVEGERIAFLVENSYDYVGAQNILPELLDGRINRTTVTL
LSILGAHSIALPLSPAFPAIELQYILDQSQASMLLSSEKFGSKAEEVLKQDLEQKPKLVKLEKKLGGCASSEVTLEGTADGKGGMMLYTSGTTNRPK
GVLLPTSVLTAQANSLVTAWNYSPSDHLLHVLPLHHIHGTVNAILAPLFAGSSIEFLFPFNATSVWARFAAPFLPSSKPDSPSPVTFFTVVPTVYNR
LLATFKDLSPEQQTAAKKAISPENLRLNISGSAALPTPTKKAWSDLSSGNVLLERYGMTEVGMALSCGLSTTDRVDGSVGWPLPSVEVRLVDTETHS
VILPGEELDQDGKERDGEIQLRGPTIFKEYWRNEKATLAEHVEGEDGQGRWFKTGDVAVRRNVSSAGHSSQDWAHGPMYFIRGRKSADIIKSGGEKV
SALEVERELLSLPQVSEAAVVAVPSGKWGQKVGAVIILSEDAAGRNGAKWGPMDMRRALKERLAGYKIPQVMKVVDDIPKNAMGKINKKELVKKVFA
EEASGDEM
>RCO7_03845 | probable Putative DNA repair protein
MASKTPMEDAMRSKITEALQPSTLEIHNDSHLHSHHKAMAGSTSQETHFRVVITSEEFKSKMQPARHRMVYALLKEEMAQEGGIHALQLRTRTAEEE
RRQMENEKGEGKEGEVKNVGVD
>RCO7_03844 | uncharacterized protein
MASALQQPWISTLVESELKTALNSLKSYVSGQLELVKGNRHCRPGEVEIRFSKQRQVQVTEFPGGLRNPYDAVLSDGYHHIHAIFDIDAAQSFAEKT
HRNYQEIAGGIIVLNSYYLIVNSALAPTLLTLRILDFKLQGSEGSPLIGRPKDILMHGEVALSAGKLDRLCAPTQESTQAQLSSSTSQDKSSQLSGG
FATQMDHGTAGLILSPAVAQNRRTTNDDAFVARLAGLAKDDQAEIPNSTDELVRVPILGPISAGKADAMKSKLDKGANMRFSQASIPLISSGNVEKE
LGSKPADQALENHGHLYSRSKDAEKENSLEHVETQQSPPDQPVVHTVQLQSAPLFVDLLQRNDAFEGLKRVPRQFVRISEDQQNLLERNDCWYEPQV
GDRPRYANVPPKVMDDLTEFRIRQPTKPLAEVLRVIHSPQDSEDDSDDKSDDDSAYDDTAEQPISDYDEESLGASQKPVYHDNPELSSNDKPSPHSS
QIQKGRIPSSGPIIVDLRSGGDDDTDDEDRISWEPTPDSDDVAHHPSIDRTASQPQSISELPSTPSTPFAPSWEPQVKPHARAPVNIPSSSPTKEEE

LELAIPYAVGDIFDPEDVQEQGSANMSQELPSTAPPSSRYIQVKRTPYVKSRSFDEVSLRRTATGSNRTKDDGSSDPVIPATFNETSSSNMQVSSLV
DQAPTSVDRLSSTQMLPKEHMDTHAQTNATHDGVRVENNRLASKEIQAKEQTGDKTFALDDRESAESRISSARHQRLSQNSRVQRLGGDLDTTLSWV
SPSPKLNAGHLLNAVEPSTGIIHAQMGRNTVLASPQTHLSKRDRQMVFSDVKFDETTSEDKELAELLFEEKRRAQVAKRNFRAREKLTRLGPGATIE
PPILTSSPHLVVATNSRKPLIPEQHGPRVLLSSTPDPFQGNDQVLAGASDGWFPAQDRLDSEEGQSPSIEVSQDSSPIRPSSGAHEYRPVPNNEEEC
VTHVTPQPKPVEQSSHPNSLAPSSPSSALPEKDDRVDEYNDAHVDECIDEFSFHEASALGISAAESNQAGRCKDVTSTPRSAEREISAKPEGDDQDE
LVEKQSLGYEAVPAGDWVTPKQFQSEAQEQTLPHHISQSEGPSLRRQRQQNDSRSTGSSSLDDLTYDKFLFTYPEYTGDKKCFTRALVCLEWLRKKR
MPPWSICDDFVRAYVEYEPFLRNLVKENKSTMTAWEYYDSHVKAIVFERRFIDDEDKLASAISLLNPLLVQTLRRAYNTPSADTSRTKVLKRSISNP
VVPQITKPSVTTSPSIAPKTVRRLKASPELGLGNIQRRRHAREPFFETRSQLLSEKRTEEHAKSTRSVADDERSDKKKRKLPWNQKIENQPRISSAP
IESRHVPGRESPSVRSVEAQKRRHSDGHRRATLPPRLRSSVEKSPTATRIMHPPRPISRNKDVVEEARQTSESMDRGARASPELPDFTEKWVAQQQP
SGDFIIEEAKSSRVASLPPKQIVQESLGGRRKSELSSTTDSPTSTKKRPYKDFKEVARLYAERRRSGGLSSRASTPNSTPAKRFCTKPKTVTQAK
>RCO7_03843 | related to phosphatidylinositol 3-phosphate 5-kinase
MASYDSPRTSLGPPSLLPLGIRSRRGSLASISGSNPLDKEQLAQALDKIHSTASHSDTLTTFNEFASPPPSSSTHAESKGIAGDIMQNGLSGLYSRF
RGAVSGGKDNKPGPASTSKGDQENLDGASVHSQHTTGLASKGSITTTREDSVASASPIQLSTASSRLQSPTTSSFAGFPSESQPQAAKSSKVSLGST
PAATTPTISKAGPSSRPSITPMTKATTSSATVPTVAPVNVSAFKDGDKNRKSMDAQNTDGLHKGVGSKHESLTAFVFDPTKRGAKSTLDGSAASDDD
KGDGTQKPDKLPARGHIGGDGSLEVGKKPSDNPKTAAASALSSLRATDASRVNTSIRLHLPDDLKRPAAIERIAQTHLPGYHTSRASSTDRSIAETS
VINTSAHNSVRHESFSVDETPQHGYLGRLRIPGTTTNEGAPEAVNARLERMRKQVMSKEFWMADEICKECFLCGDAFSAFRRKHHCRTCGCIFDSKC
TCIISGQRFGVQGSLRVCKTCLDIINRRHDSSGSDDSEEDSALPNFFQTQQAKYDSSTRIETPEGPNHDGSKVANGHMSMPLATPMMAIPATRRIGD
STNRRSAILEIDAPQLSRPSSSRSLKALSAAGRPASSGHKRHHSKHNFLGRFKSTVEERAPFQRGTIDDLSKKSRLPAFHDDNIIDPDLAPYMSDEE
SSADEQMSIFATMNSATIASPSFENDRSGVGSLLSAGKKLRTRGDKSVSGISFTSRGLEDPTAGIPGGFSRPNRRRNLSTASNNLLLSRASPRQPVQ
GFGNLDEETASVENLLATVPGPSRMIRSASMRDSKAPAIELNNASLHHVRRLLYQLLEDANITNAASWQNALMPILLQCTDDVNPNVRLGDDIDVRH
YVKLKKIPGGKPGDTSYVSGVVFTKNVALKSMPRSISNPRIVIVSFPIEYQRHQHHFMSLEPVIAQEKEFLRNMVNRIASLRPQLLLVQKHISGLAL
QYLAEANITVAYNVKQSVIEAVSRCAQTEIISSIDMVALKPVHIGKSAGFDVKTYVHKDIPGKKKTYIYLSGCPKELGCTIALRGANMATLSKMKRI
TEFMVYVVYNLKLETCLMRDEFVLIPSVAENSGSLSPSRQQATSAMLSGGPDPAPERDLLAAANDKLRAVVNAGQMFKELSSSTEPAVSQPTTVVDI
DDVDDSQPPQSSRPDIAAEASKYVSAHESHAHGSHEEQLPEDIPMPTFYSDMVAKHRTKILSASPFVKFVQPYLLMRSREQERRLSYLKRLRDQDTF
EDQTDTEKLKPQKFQLIRPEMVHETVKRAPRQNMEVLHAVHDAEYDKALHNYQTQKRQWENYIQGNLDLFDPYAHQNITVLYTVVCTATTIPCAGPE
LLALSFYNEHAEFDPDCTLGQYVEDLCLSVNTICTSNGCERKMSEHHRTYVHGEARITVFVEKSPCKLKGLQDSILMWSYCKICQKETQVMPMSEST
WKYSLGKYLELSFWSSELRLRAGFCPHDIHRDHLRYFGFRNVAIRIHYDPIDLLEIIVPRTRITWKVDNDLRLKNDLFTKSEERWNRFMISVHSRIK
GINIDSVAPEKADACKAEVERLTKLAQEEHAALIRKLQENYMESKYYEIIPLNRAVRAMQEKVAEWDDAFADFDSNFFPSEKDIRRLAALQLKKMFI
DRDESSTSIATEAQDTASEIDEKSPHPSLELVRNPSDISIEERKEGLSSVVEENPALNDSQSRINQDTPATHPQDIDLDREGIDHLDLAVPKRSDIP
EESLPETPTSPSFPVTPLEDHENVGVEFSKPGLSRGSSEITLLGKVDKLRKAQQGGSGDSAAETPGASGIPRPTERGAARRSGLAVSPPMIRTQSQP
AGTLRRSQLTVRGQLKNVESRGAGDNPIPSFEPHKSSATETSKPADKKLSERLGLGTIKSHRKAGHSLIPRSVNSRRKESKVSTLAKHFEQLSREFE
KERLRDRKQRAAKITQSRAFPKASSKPIVEVYKDVHEAVEERDHSYEVLEDIEPTHPDAEATSVVGGLADFHTDDVSQEHPPDSPTGTAATADETAT
ETDDNQQNVSQAGSDDEGAGSDIDHSLLDDIIPGAAEIAESIGAGKQNSDAPLEIPKHEKSTLMKMLTNFWAERSASGWTPLDYPLNAGDHIFADVD
VIVREDEPSSLIAFALQTQDYKDKLANIRCQGEASSKKDDQKQPEKDGTPDVCEDGIDQAEVETSLLRATGTHLAYSFTDGSAKMQCKIFFAEQFDA
VRRKCGVSDRIVESLSRCLKWDSKGGKTKSVFLKTLDDRLVLKSLSPIETAAFLKFAPAYFNIMAEALFHDLPTVIAKMLGFYQIIIKNPVTGTEIK
WDVLVMENLFYDRSPTRIFDLKGSMRNRKIQSTGEQNEVLLDENMVEFIYESPLFAREHSKKLLRAAIFNDTLFLQRNDVMDYSLMVAVDEARKELV
VGIIDVVRTYTWDKKLESWIKDRGFAGGGRNRPTVTSPKEYKSRFREAMNRYILQAPNSWHQWQQMDTKPQKDPKSDAAAVNQGP
>RCO7_03842 | uncharacterized protein
MPPNSSHGAMNFSLPPDLQKYLCSIDDFIASEIAPLQASNDNERFFDHRREHARTDWDNQGLPREEWEDLLAEARKRADEAGFYRFCLPAEFRGSDG
GNLWMAVIRMHLARKGLGLFNDLQNEHSIVGNFPDVLMVREFGTREQKEKFVAERLQGKVGFTFGLTEPDHGSDATHMSTVAERCEQDGVDGWKING
RKMWISGIHKATHCLAFARTNGKAGDAIGITAFFVPKDAPGFKIESYEWTFNMPTDHATLSFTDVFVPDSAILGKVGLGLPIAQTFVHENRLRQAAS
SLGAAEYCIEESIKYARKRKPFGNELSTNQAIQFPIVELSTQAEMLKLLIFKTATEMDGMTQKQIERDLGDKVSMCNYWGNRLCTQAADRAIQIHGG
IGYSRHKAFEHIYRHHRRYRITEGSEEIQMRKVAAYLFGYVGPRKAELSKL
>RCO7_03841 | related to vacuolar Ca2+/H+ antiporter
MSHSNGHSRNRENSGSATETQALLANFLPQGIHPDGESGRRGFNPRHFFHVLWRSSNQVSMAVNLLWPFSLLAIILNFATPHLDLWVFAISYIGMIP
AANLLGFAGQEFARKMPKVSGILIETTFGSIVEIVLFLILIIKHKVGSDDHAAEHGNLIPIIQAAILGSILTNLLLCLGLCFVVGGIRQQVQTFHAA
VSEVGNGLLLIAGFGLLIPSAFYSALKGSAIPHAAPHPRHSFTDKKLEHDILGISRVTSILLIIAFGMYIWYNARTNHSIFDEVLEQDEHNDLDHHE
DVAKPKFTLTECAVAITGSVVLVTVLAVFLVNRIEDVVEAGIPDQFLGLILLPLVEKAAEHLTAIDEAWDGQMNFALYHCLGPSIQTALFNAPLVVL
VGWVIGKPMDLNFEIFMIVLLVLSIIVVGNFLRDGESNALEGGLLVIVYCIIGTTAWYYPDPDVATSNGLALASGLYK
>RCO7_03840 | uncharacterized protein
MAPNRCTMCSEPGTKRCGTCLSSFYCSSACQTQDYPLHKLLCKELPTFLANNPCPANINVAHRSDRSDYSPKLGFLFPVNGNKPRLIWVKFKIYRLD
NGKIEEVAPDLSEHLESQSSELRTYAEDRLDPVVDLYICKTSFLGREPNQCLHRLLKGYQWTDGDNPIFDTKWAGNVVALRSVLPKSNKDPDGEGER
DFEDVTLADLRHALIKLGDETILYESENENRFLPLDPKKWVRGVKISCDGDMMVWGKEKFRNIHVVREDFDPNAEMKAILQGSPEPEKKDISIISSH
MGIPLLVSKCKLDHEVVAAFQAGKISLYGNNFDTQALMTNANLAATMNEWGYPGIKWL
>RCO7_03839 | probable taurine catabolism dioxygenase
MPSILENKKRKLSDEHTSNIRGGHAGARTRCLKPLIKIGALDNYKYQDLTPVIGREYEGVQVKELLKADDSLIRDLAITISERGVVFLRNQDVTPEE
MKALCEKITQLAGCPESSGLHIHPLTEAGSELGDQISVISSEKQKKGGGLTHQLSDVSRYASTGWHADITFEPVPSDYAMLKIHTLPATGGDTLWAS
GYEIYDRLSPAMQGFLETLTAVHDAKFFLEEAARVGNPLREGIRGSPLNHGSSLQAIHPVIRTNPVTGWKSVFVNKGFTIRINGVSKDESDMLLGYL
FNLLTQNHDAQVRYKWRQNDLAIWDNRSNWHCATYDYEEARAGDRVCSLGEAPYLDLTSKGRREALSL
>RCO7_03838 | related to nicotinamide mononucleotide permease
MGANFDDAVVRAVADQPDKELGVRKSSSAGPSGSQISQVAVGRENIAEALPPHESYEGKHRWDSSATWTAQEEKIAVRKTDIYLLSWLCLMFFGLQL
DRGNLSNALADNLLKDLKLTSDDYNNGTTIQLLAFLTAEFPVQFLTKRYGFRRVLPILMMMWSTVSWGQAWMHDRTSFYITRALIGACEGGFIPGTI
LFATYFYTSRELSIRLAAFWSTLNIARVISALLAAGILTMRGVENKPGWFWLFLIEGLLTFVIGVISYFYLPASPTSTTSLLVRKPWYTEREEIIMT
NRILRDDPAKGITALKEPATWQDIKSAWSDSSMWGLYFIGLVAYIAASPVQGYLTLTIKRLGFTTLAANMLTVPSAVLQIFTMLILAFSSDYFQERT

LHCIFGEFWILPLLTAALSLPDGGNEWGRYSLITLISGYPYFHPIVSSWISENTFDVKKRAITAATYNVIVQVGSLISSQIYRKTDAPYYKTGNTVL
ISFCALSLVTFAAQRQWLIVLNKRKEKVWETMSADERFTYQNDIEARENDGNKRLDFRFKY
>RCO7_03837 | uncharacterized protein
MTPGASSPSSSSRATSATSVKRACDACKVRKVRCSRTPPCSNCIAIETSCTFNRLRGTRGPRKLRAKTLQQIAESQRLARDQAPSIEREEDAQWNPV
SPAGSNPEASFDPPTPRAPTMRDRQLQSQPPQLVVSPQAAVQSSMPLEHTPTPIATLILHLCVYRLRMFPLWPIVAVEDLMAALQKDSGNMEAYALA
NSIAAATIVQLKLDPLRNSAEIVTVENMEREVQRVISMGTVKLTLGRLRVAFFLHVYYENLEAGGSKSLLHLREAITMAHLMKLHKESSYQGLSLDE
QQFRKRVVWQLFVTERNVAVLHNLPVCLKFSVAFPLMEYDKEVSILPAFQKLVSLYWIFDRSGAIDLIQDSILDMSNSQAIDQDRLSLLQKELEEVS
IDPRATNDVQVADFFVARAWMCSLVWRISTRCGVEMQSSESLPFSSDIYPIHVAKELLAVMTHLPTAAIETLGSSMAFKIHDIASSVLDTISNCAGA
RSSGVVPNEVTPRQIIDQLLGSMSSCHGGNDMLIEKFRNRLSAIDSRPQTTSDGHRNVARTRPSATNGTQCSQLVGSIPITQIPRFEIPAMDGSSDM
PSPTGIDVPPDLSLEPRQHQPNMSFRWEDIAAGTQMEFGVDFNDDGQAATFDNFWRNSIGNNDRPSDQRLGKCPNGFEASEIHKRAKYYGHYV
>RCO7_03836 | probable alpha-glucosidase (maltase)
MSLPSPQHRAWWKESSVYQIYPSSFCTLTPTPAGTLHGILSKTDYIQTLGIDIVWLCPIFESPKEDMGYDISDYMKIDPIYGDIEDVDKLIMELHKR
DMKLLLDLVVNHTSDQHEWFKESRKGKDNKYRDWYIWREGKRVEGKRVPPNNWTAHFGGSAWQFDEASQEYYLHLYEPSQPDLNWANPAVRTAVHTI
MRFWLSRGVDGFRMDVINFISKPQDIPDGDPELAFHIGSEHYGVGPSLHEYLHELGDILREYDAFNVGEMPCVTDLSQIVKSVGYDRGELNMIFHFE
LHDIDHGPEGKFSPKSWKLTELKRIVERWQTFLYDNGGWNALYLENHDQPRSIDRFANASPAFAKQSAKMLATFIGCQAGTLFVYQGQELGMTNIPT
SWGMEDYKDVDCLNHWKALKKSTNTPATLTAAQVEYQKKSRDNARTPMPWSSRGEFSPPESPRPWMRMHPDYKYGVNAEDQLADPTSVFRYWASVLA
ARKKFKDVIIYGDFKLLDHDNQNLLAYERNFEEEKIVVVCNFSDKKHSYKLDTAGTAEIVLSSHLRKLQHFFEQEILLEPYEAWAIRL
>RCO7_03835 | related to nitrate reductase [NADPH]
MSCRRRFGQLFRVTTTRTYGKGTSLTTATQKSSISSFFTQAKSRRSPPKSRQRVVVAAFTSTSFLAYGLVTQRQPPEKEEISDTKSGPRKFRLAEIE
LHNGTSERPWVTRGISVYDITEWVAAHPGGDVILHAAGGSIDQYWSIFTIHKRQDVYDILEQYKIGEVEDADLVDGQVPTKSIKDPFMTDPVPDDRL
QILTARPCNAETPGEALSDFCTPNETFYVRNHMWVPAIDEHEHRLIVELSDGTEKSYTIQELKSRFKQHTVTATLQCAGNRRKDMTKHARQTNGLQW
SAGAISTAEWKGCKLRDVLADAGLNFDNLSSNDNHTQFLGSEAYGASIPLRKAIDPSGDVILAFEMNGVDLPPEHGFPLRVVVPGNVAARSVKWLRK
IVISDEESLTQWQRKDYKSFGPNVSKPNWETAKSIQEMPVTSAITSILKRPCVAPEGVKCKNAHMKVEGYAYSGGGRDIVRVDISADGGATWDQAEL
LDDVSSGSKTWCWKRWRYTLGEKGVGKTTLMVKATDEAYNTQPQSYESIYNARGNLATAWHRVDVEN
>RCO7_03834 | probable voltage-gated shaker-like K+ channel, subunit beta/KCNAB
MAWAEPRNTGMVYRRVGNSGLHVSVLGLGGWLTFGGHVENELTFACMKQAYDCGINFFDTAESYAGGQSEVMMGKAVKKYGWNRNDLVISTKINWGG
ANGEVLVNNHGLSRKHIIEGLKASLKRLDMDYVDIVYAHRPDRLTPMEETVRAFNYVINKGFAFYWGTSEWSSDEISEACGIAKQLGLIAPIVEQPL
YNILDRKKVEGEFQRLYQRCGLGLTTFSPMKMGLLSGKYNDAVNGPPEGSRFAESKDKFAQYMRDNYGNTEWQENVAKVAKLKPVAEKLGVSQSQLA
LAWCLKNPNVSSIITGASRPEQIVDNVRCLAILDDLTPEIMQQIDELVGSKPATDPARQD
>RCO7_03833 | related to shikimate 5-dehydrogenase
MPKIDHKPAGGSKKLYLAGFCSQRFPNVEDVLQRFRAPDFAGGVVTIPYKRIMIPLLDGSDELAQKLGACNNVYLTEDGKLRSANTDWICIKGFVQL
AVFGLLGELDCGEIYVVNRDAREVADLFEDTKTYGSSSSAKQPNLTPITIIREFEPRTEEGLIARSILEKFLAKTEKGVLLDMCFKPRNARTLKLGM
GAGWVVVDGTGVIGPQTKEQWRLWAHAGENGNPEVSEEEAWVVLRKAAGKSLLSISKTIPR
>RCO7_03832 | probable Probable endo-1,4-beta-xylanase C
MHLNHIAYLFALAPAAVFAGLDSEFKAKGKLYFGAEIDSYNLNNAPLINIVKKDFGQVTCENSMKWDATEPSRGNFNFGNADQVVNFAVANGKKIRG
HTLLWYSQLPTWVQQINDRNTLTAVIQNHVTTLVTRYKGKILQWDVVNEIFAENGNLRDSVFSRVLGEDFVGIAFRAARAADPNAKLYINDYNLDIA
GYSKVTTGMINHVNKWVAAGVPIDGIGTQTHLAAPGGWNPASGVPAALKALAGANVKEIAITELDIAGASANDYWTVVNGCLAVPKCVGITVWGVSD
KESWRAKDNPLLFNRDYTPKAAYNELIAKL
>RCO7_03831 | uncharacterized protein
MRSQILQSITACTGIHHANAAGFSGTNATSISIPSEFQYLLPDGYTGNLSQGFINTRLPDNTNSSLQNLFKSAAAAPFVSNSQDFDEIIGTSPDITL
LSDRPGASWYFECGAWVPERNDGWFTSSVLEGVTDVGVVNLDTGAVSQPAVESTPLANPNGGYYFNGSVYFGAIGNFNNSYGSGVFAIDTKTNQTRT
VLNTYLGLPFNGVDDITWATKRNADNTTSSYMFFTDVSFQSFAPIFKNRTPLLPNAVWRWDPQLDQVLPVISKNDIGLPNGIRVNAENDKLYVTDSG
STVIYGAGAETNSTSPAIYEFDLDDRMRPVNKRLFGIAREGLADGLKIDVSVQALCIPIRSSITGEHRSRKTAEAVKQE
>RCO7_03830 | related to sexual development protein (LsdA)
MLSHVLPASLLSLSYVVIASAAPFKFTGNPLGVNFTAPSQQQLADIQKQAHGTFNELFEVAFFSSLLSNISTNTSGYTFSSSSSRDTAVASLTAILA
QEELHVLNANGALSNFKTSPIQPCQYQFPTTTYEGAIELASTFTDLVMGTLQDVSFLLGTDGDSALIRTITSVVGQEGEQNGFFRTTNKKIPSALPF
LSGSAREFAFSALNQNFVVSGSCDGPNLATIDLPIYPPLGLVTQNITAKEQMLKFRLDFSNRAGAQGKNMKDQPGMQYKNLTMVYMNQQNLPVVQKI
QNLALTSEGLTFESMFPYKQGGFGNGLTIAVLTKEGGNLTSVEGVATSTVFGPALIEIG
>RCO7_03829 | related to endoglucanase B
MKLQSTLTTAVVISAASAHTIFVQLAAGGVTNPASYGVRTPTYDGPINDVLSNDVVCNGGPNPTKSSDKVIDVKAGETVKATWRHGSADVIDPSHKG
PVMAYMKKVTDATTDSGVGAGWFKISEAGLNTATGKWAVDDLIASNGIQSITIPTCIENGQYLLRAEIIALHNAGSTAGAQFYMECAQINVSGGTAS
SKPATVSLPGAYSPTDPGILINIYQTLTGYKIPGPAPFTCGAGGGGGGGGGSPTTQPPTTPTTMVTSKVATSTKASSTTPASPGGTVPLYGQCGGL
GWTGATVCASGTCKSNGAYYSQCAP
>RCO7_03828 | related to phosphoglycerate mutase family protein
MQLFRLIIPFLVATLGSAKTVYLIRHGEKPADGGNGLTIQGMQRAQCLRGVFGASSQYNIGYIIAQQPKASGKRTRPLMTVQPIANDLGLTVDTSCD
RDDADCVASLVDNYSGTGNILLCWEHDNLSLIAEAMGDKSPPTYPDDS
>RCO7_03827 | probable metal-dependent hydrolase with the TIM-barrel fold
MATIFQNGRFLQAHFADSSADADPTFAECMVVQDGIITYIGASRDAEVLKFQQEGAVVQDVGDKIVLPGFIDGHMHLLMMGQSLKKVDLEQCNTLKD
IRTTIKSYAASHPDVPRILCRGWMHFMTDGKALSSMLDDLDPRPIFIDSKDLHSSWCSSSALKEMGINERKDPKGGCIHRDIDGRATGLLDEAAAVT
IVWPHLASIAPMDQKLDAVREAFKAYNAAGYTGMVEMAMDENALEVLLELLKRDGNFPLRLAAHWIIAPSETEEENLQQVNRAVELRRQLNAETSPQ
LRIAGIKVICDGVIDACTAALCEPYSSNGVSCEPLWTREMLDPVVRTADAAGLQCALHAIGDAAIKLAADTLEANGTPGSRHRIEHLELASSEDAKR
LGRLGITASIQPVHADPAIFRAWPKLLGEHRCGRAFAYKEFEDGGATLAMGSDAPTAPHAPFANIYTATTRRSAREPASLEVVNMHFALSLASAISA
ATMGSAYSCFADTWAGTLEKGKKADFVVVDMNWDPEGLLAASVKETWFEGRKIFDSEA
>RCO7_03826 | related to RAD13

MGVTGLWPILAPSARPTPLPTLNKKRLAVDASIWIYQFLKAVRDKEGNALRNSHVVGFFRRICKLLFFGIKPVFVFDGGAPVLKRQTIQGRKSRREG
RREDAARTAGKLLAVQMKRRGEEEETRRKRDAKREREGRAAIQDEEEVIPDGAELVYVGEMGMSSAERNKNRTFRKTDAYHLPDLTNGIEGMGQPDD
PRIMSAEDLEEYARQFHNGEDVNLYDFSKIDFNGDFFLSLPPGDRYNILNAARLRSRLRMGHSKEQLDGMFPDRMAFSRFQIDRVRERNELTQRLMN
LNGMNDLPGVGGGRIAGEKGREYVLVKNDGVEGGYALGVVSTDKGVGGKDKPIDIDAMQPKVKVDSESEDDFEDVPVEGLNRLPKPNVRNKLNLTYD
EFQAQELADQRKKVYARKRGEPDPQTRESSEEVPLSQQKRGRPPSEDPDSLFVNQKSAAGPSHPSDLLFDEEEDDINKAIALSLQRDGIEAGSDEEN
HLNRAISMSLQKNHAPDSEADDDMDFEDVPMPEFQQKAAENAKPISSSSGGMIAHIVNNRANAAIPKRKVVAIESDSDSDMDMQAVLAKARREEAPD
RSKQPPPIALNHKNPFDGPLPFEKLGSIFTKKSKPVEQSDKAGSGDEDGENLAGGFEIEPEEEAARPLPPWLTGGDIRNQVDEQKERDRELNAEDKE
QADEEDRRYKQMHAPIQIDSSDEESDVEIVDAPQLKNVTPVVEAMEVLVDVEPKEPSPEIAEGGLDDLVQEQASVETFGEVAEDVRADPPVSSIPHN
RSTSVETESKEVEDEEVEWSESDYGDVSTAKVISADQPKKSNSAPPSKSSSPEFEDVEMPEPEAIPESGSPAPGSPSSIFEDVESPDVPPDQLLPED
SFAARERAEIDAEFDDFSDPEDEELLAQLAVEAETHAQFANTLNNRTELETEMTYDQELKALRNQQKKDRRDADEVTQVMITECQSLLRLFGIPYIT
APMEAEAQCAELVRLGLVDGVVTDDCDIFLFGGTRVYKNMFNSNKFVECYLSTDIEKELSLSRDQLIAIAHLLGSDYTEGLPGVGPVTAVEILSEFP
SSSGLQEFKDWWSSVQINGPPLDTEPTTFRKKFRRSQGTKLFLPPTFPSSAVTEAYLKPDVDSTPDAFQWGVPDLDQLREFLMATIGWTQERTDEVL
VPVIRDMNRREQEGTQANITRYFDGAVGVGANSAGSGKDRVTSQRMKDAVGKLRAKKKSGDNPLGKTIAEVGQEWAKKNDIGWTEREQAKLWGKGGK
RGQKKGSKGRKRTAIDIEEEEDDSEQGENANEITGEDENGSEDVSSDANGTTSSSGIRSKGKGKGKAKQRTAKGAGKGKRVKV

>RCO7_03825 | uncharacterized protein
MDKPSSENYLTSLLNKTLRVTTTDTRMFLGQFKCTDSDLNIILSQTHEYRLPPPPKPLFRPPTTPTTTSQPTPSQTTITPTPKPPIVQDLTSRYLGL
VVVPGEYITRIEVEEFESQMKGRGQNRLGSVVEDKVESASGSGSGDGGVDMQRGG

>RCO7_03824 | probable meiotic expression up-regulated protein 14
MHRTYSMRQSRAPTASQLQNPPPPSSSTKAGRLFGKGGLGHALRRNAAGFGGAELAKKLSTLVKMEKNVMRSMEQVGRERMEVAQQLSIWGEACDDD
VSDVTDKLGVLIYEIGELEDQYIDRYDQYRVTIKSIRNIEASVQPSRDRKQKITDQIAQLKYKEPNSPKIVVLEQELVRAEAESLVAEAQLSNITRE
KLKAAYTYQFDALREHCEKLAIIAGYGKHLLELVDDTPVTPGETRAAYDGYEASKAIIQDCEDALTNWVTANAKVSSTLSTRARTLSQRRRNNIQRN
GEGHDLTGQDAPLNDRESGLWVPASSHKGEEYDDEDDEEDEEIGAPSIQDSTINGENSRGRQESVVA

>RCO7_03823 | uncharacterized protein
MAATGSRNGDASYESYGIGGSTNEVIDGLF

>RCO7_03822 | uncharacterized protein
MSAFRLRPSGVSSGLFCSRNSYVLTSLKKLRDAALVFPNGGESLREDLAENTALPRNIEQGNSSFKVGNTTAIAQFRRLLFFERLVEPNLSSIKRAE
PPVLSIELIPTILPPVCDGISRPTPENQAILTESHPFPTWIK

>RCO7_03821 | uncharacterized protein
MDWIRLCDEGRCLRIGGCCVDPNRARMPPWEDRRTKGSPVTELPQPIQDTIQAARKLDQRYLCIDSTCINQDNHEDWNTGYKKMEAVFQDAYYTIAA
TSAEESTKGFPNRPLLAEDSNYVT

>RCO7_03820 | uncharacterized protein
MSLSNFLVASAVFVLGVQARNVVKDDLTTSSTPAPLEVAADIPVADYTLTLSKRTLTESLSNVRRSLHEESRRVRGLQPMFAPGRTANLSKLDLYSF
AADVTWGNQSITMFMDTGSADVWLAETGFVCYDYDSKKLAPDANCTFGDVYNRTETLRIIPDSKFNKQYGLNLTGEHLQGVMALETLTMVGLSVENQ
EFGLVNNASWRSSGYKSAGLIGLAYPSRTNALRKNATGQYVRETYDTFFSNLWKQAKIPYNLFSMILNRDDDKGNPAPVPGYLSFGGVPDVPFTQNF
TSTPIRLNKWFSNTTLTNYMILLDGVNMNGKRIPGSGGKEVSYIIDSGTPANWVPTVVLEQIAAAFSPQAKFELFDPQNPDGGGQYQAPCNASTPVI
EYAIEGTLFRLNKQDVLREVEGKCYLQFIDGGNATETFMIIGAPFLHNVVSVYDVGASMMRFAPWEC

>RCO7_03819 | uncharacterized protein
MASGRLSAGRRNYVDLTSDNDDPPPPKPKSRNKGKMPDIGLGTPPPKPSKISSLNFQPALIIGRPVKLSPPSAPRLSHSPDPPTNMQNFLTKSQDAV
RRAFEASKPTNAASPLEDIRDPSSPVSVLIQHTSPIRDRPKPAISIAINSSSSSKSPVPDPIHQADPKSEAPVGPRDDIRGEDKDEEDNNEDLDHRG
DNAEDQDAEIEDVYRSHSLATDVGIPARQSDHRDHGPDPDISSIGSTSPLLIRLRQQRVTKDVNQTEKLRLFDLEKRLRECLKDMRAQHALSTRYIL
EEAREAALASSNDLACDRNSPWASMKSVAFDPKVVVLLNPTIDIMHHHVTLKNGKISRGKSKVSVTKAYGNTPRVPRYNSHTSIRRNILKADDENLK
FIPFFGESRNENNHRKLLKELEQVYTPLSKETSRESEENSRIREFLPCWLAELQLACDTTTLKHYLLVQEKENGELGLSLRLRRLLLESFESPLTHE
KSEIARRFSEVFEKVFRVSLADVILPPGLLKEMIEVARNKAAKKEHGPSNRIATYTDLTCLICAAIDCPIHGDFIHERVDSSDLEDDEHSAEMKYEL
KGLVLPYEDTVRQYKNRVKENIKPLPPSEAQPCLQECYMVTDFSDLDYEFHEDHLSYLPQMISTYRHPNYRSCYIAFALNIPCWTVYAEIQRYESEV
HEEVAEYILPGRAKKPEWYDNKRKILKGDLNDLTSAHLHQERGQAVACGHAGPCIVRPGGDSCPCAATDILCESFCGCSDDCPRRFTGCSCLASGLA
CSTDSCICIQMNRECGPQCGTCGALERTNPVNRYDYDLFTTGCQNVYLQRDVAKATVMGESQLVGFGLYLAEPVKKGDYIDEYVGENISNEEAERRG
IVYERKQVSFLFDLNAERTIDAARLGNKTRFINHSSSSADGLNIEAKIVLVNGEHRIKFVALRDIAIGEELLFNYGKKFADKQGLNATLPKAQAGSK
RGVLEGEEALDALDGMDQRKKGSREKINAIRGGAKSGDKKSGSKMRKTAAPMAEVVREVPEDEADAEDDSVDRPRRRKIMRPTRYTR

>RCO7_03818 | related to alcohol oxidase
MKFTYVIPLLVFGVVASPLGKHARFVDSATASTTTYDFIIVGAGIGGLTVADRLTEDPNTSVLVIEYGSFDRGEDAVLVPGSYFPVPYFWPNIFSTP
QRGLNNGTYFVPMGRVVGGGSTINAMFFLRCPAVDYDSWEDLGNRGWDWAGLLPYFKKSETFGKPEASFAKQYNISWDDSAHGFQGPVQATYSPYDY
PSSANFWNAATAEGIAPRRDPNAGDATGLFWLLRALDPVKRVRSYARTVHYERVKSSRPNYHLLPEHAVSKVLFKDKKAIGVEYISPNTGQIQTAKA
TKEVVMAAGAVHSPQILQLSGVGPKSLLEGFGIKVVVDIPGVGSNFQDHLDLKVDYTFTSNLFPNADSLTTNPTYNTEQRSLYDTTQTGAYTLTRGT
GNNIALLPLKNTTSKWASIISLAKSQNPASLLPPNTHPSIIKGYTAQRQQLIKQYLSPSSAIGSLSWNTGTQTTVYTIKPLSRGSVTINSTSILDSP
LIDFGALSDPTDIELVLALFRKNRQIMSQPSMQALGPTEISPGADLVGDEELKAKFRTLINPSNAHECCTLPMMKLSMGGVVDEALRVYGVRGLSVA
DASFMPITPASAPSATIYAAGEKAADLIKKRHGLPPFDRSHPDDDAVEQ

>RCO7_03817 | probable peptidylprolyl isomerase
MRLVTLAALATVATSVCASKVQIEVTRAVECDRKTKRGDNISVHYKGTLQADGSEFDASYKRGQPLSFTVGQGQVIKGWDDNLLDMCIGEKRTLTIP
PEFGYGNSNMGPIPAGSTLIFETELMGIDGVKAPEKIVEKKVEAAKDTVESAADKATEGVKEAIKNKVADAAEAVKVVLADSDGDGQEHNEL

>RCO7_03816 | uncharacterized protein
MSNSSSRNLYTQKPPVGTQSQRYSSSDTSSSRSSTGTHNSTSRLTMSEGGAREEKLRTGDNDGHYIIVKKNNGVQVINHRVKTYDSLAPLASFASSE
DYNHTQGRERHREQERTRREKEQQRDRK

>RCO7_03815 | uncharacterized protein
MPSNLTTDLSPHLALVTGASGGIGKATCLALALLGCSVAVHYHSSEDKATTLVRELIDKGVRAGSFKADLTNYHEKITEISIEEFEHTWKANCGSAF

LLTQLFLPEMERQGWERVIFCSSMAGFNSGVVGPHYASSKSALHGLVHWLAGAYATSGVTIDGVAPALIQETTMLPGNNEELAKKIPIGRLGFPDEV
AETVLWMVKTGYVTNKVIAIDGGFFIQ
>RCO7_03814 | uncharacterized protein
MQISITFLSIVLSLSTISFGLPSNSTRFGLIGNELHEEEPKSDLQTLGVESSTQSPTRRRTTGSSSYTFTRVHTVVETIRTTFKITAATGDSSMCLH
THSMNGAEMIHTRPCALTGLPPAPPSTISAAAEVSMCVDTHTQNGTAFLTHTIPCSLTDRSYGHQVVTEKPFSHVLCRTCDTVTSTMTFVENDLTSL
ATTTLTINPDCPDCFLANMTYTDRGVDNTITYTTEQWQQSSVAWNPDALPVTTVAIPLPMLSKTVYITRRSEPTSSSESV
>RCO7_14048 | uncharacterized protein
MSLVPAILVLSNILVFRERQKKNGGYRPIWFYQNENVLCKLYIISGRLEQLPSTPHLPPPCIFTSLRSKDACKNQVDTLEI
>RCO7_03813 | uncharacterized protein
MNPSTSMDSSGTAILISLLGTLRDFSLLSPELPTTESIPEEIGTFTRFPKLPLELRREIWKLSLPEGSHVGITVGNICDGDTRVIGSPQEPPSTLRA
CKDSRVETLSCYTVIPVQRMTIQYPYGLPAPQTLYAFTFNPEADALYADSSLCFNLPDRSSLVRWLKNLNETNGSVISSITSPEIREVAYEKLWTYR
TTFNMFAEMQNTLLTFSGLRVVRFTSMFSNRQAHEREFHGLPDSYCFSIMEEREIRRKTYERCINFWLVRNSDKFATGKAPAVSAVWLLPLSTDPLL
LLDLVKGKSSVDAESSRVEQRIDILEYSSALMLISGK
>RCO7_03812 | related to FSH2 Serine hydrolase that localizes to both the nucleus and cytoplasm
MLMMFSAPFCKELSSDGTAEFFFTQGEIKCSPPLGFLDYFGPAPHYRFIEYDGIEQNDVLERVRDFPEGENPEDVLRELMPEGSDGIRSSVRSALDA
IYATIEKHGPFDGICAYSEGTVVASTLIMDERRRFEQEGRPRSIKNAVFFAGWPPLNLEKNEMLLADISEEVVDVPTLHCIGADDPYLHGAMALFNV
CDQDEAMLFDHGKGHTIPRDAQTLRELGEAVRELGKASY
>RCO7_12013 | related to polyketide synthase
MPIAIVGMGCRLPGDVSTPEEFWELCSRARSGWSPIPKSRFNHEAFHHPNPDKMGCYNPEGGHFLEEDVGLFDAPFFNITEKEAISMDPQQRLLLEC
TYEALENAGIPKRDLAGENVGVFVGGSFADYELRNCRDTDTAPVFQATGCAQSLLSNRLSYYFDFAGPSFTVDTACSSSLGAMHLACQSIRDGESSH
AIVASCHLNLLPDYFIIMSMSSLFSKEGKSFAFEARGNGFGRGEGVGCVILKPLDQALRDNDSIRAIVAGTGMNQDGRTKGITMPNGDAQVNLMKSV
YKKYGLDPKNTGYIEAHGTGTKVGDPIEATALHEVFGEGRSAKQPLFIGSVKSNIGHLEGASGVVSIIKTAMMLEKGFVLPNCNFQSGNPKIPFDEW
HLKVPTSQRPWPRGKKYASINNFGFGGTNAHTVLERAPVAQKTLLPGTNDTLATGTKAPSKRLYVLSANDKLSLEARMNDLTVYLEQRPEVFQKSLL
PSLVYTLGQRRSHLAYKVAIPARNSSELIPALAGNEITPSRSTKEPRIGFVYTGQGAQWHAMGRELLDAYPVFAATMEKLDRYLNEFGADFSLIEEL
SKDAEASRVSAAHISQPACTAVQLALTDLLSSWGIKPSAVAGHSSGEIGAAYAAGALSLKSCIAIAYFRGQSIVLLKDKYPELKGAMMAVGSSAEDM
QPLIKLLKDGRATVACINSPSSITASGDEAAINELQVAVEAKLMFNRKLRVDTAYHSHHMNLVAEEYRDAIKHVTSEETSTISFHSSLHGRQTGTGD
LGPSYWVQNLTCPVRFSEAVQSMCKPIGASSDPGVDVVVEIGPHAALEGPVKQILKSIGGSAIKIPYTSTLLRNKDAVDTAVQLAATMFMKGVDINF
GAINFPFPGTKAPSFLTNLPKYSWNHSNKYWHESRIAEKHVNRPFARNDLIGTLANYSNDLEPTWRNIIRADDMPWVRHHKMQNMSVYPMAGYIAMA
LEAASQRAVMRNVAFDKFELREVTVSRPLVIHEGSDVEANITLRAFTEGTRSSSDSWDEFRIFSWAKDRSWIEHCRGLISVVKSADGNVVDGAQQKL
NAKTSLISRMAAFTEACTSEVDTPLMYETLADAGAQYGQTFQGLENCRASDNHAVADLIIPDTAAIMPMGHEPDFIIHPAFLDQFIQIVWPIFGAGW
KGLDVLYMPSFIQSMSLSTGLTRKSGDRMKVFGNGNPTPANPAATKLSLFATSEHADEALIIMEDLVMTPIFDGSNASSSSANRELCYKLQWEPLHA
KQERSGFDSPISEFNGHNGIIAVNHAPTDGSNGTNGVLTPPTLECDFAIICNEENQDRLVSRVKDLIIDVTQRTPLVGSLGNIDTDGKVCIVLSELD
KSLISGLNATSFQAIQKMIAGAAGVFWAVRGAYTDSTNPDAEMVIGMARSIRSETLLKFVTLDFSTSPTLSSTGTAEKIIEVLKTSFSSDSPIVGAN
MEFQERNGDLLVPRVVEDSEMNKFVHQETQPVSTPDLQPFVQKGRPLKMAIETPGALDTLYFTDDLAVGSPLPDHEVEIEVKATSMNFKDIMISMGQ
LSSKYLGVECAGIISAVGSKVTDLQVGDRVCAMSEGAYSTYTRCLGTSAQKISETMSFEDASTIPVIYCTAYYSLFDLGRLTKGESVLIHAAAGGVG
QSAIILCQMIGAEIFATVGSVAKKEFLMSEYHIPEDHIFYSRNTSFAKAIRLATNGQGVDVVLNSLAGDALRETWDSLAHFGRFIEIGKKDIVSNSR
LEMARFEHNAMFASVDLTVVAAERPKIMKRLLADVFNLMGKGLVKPISPITVFPISKVESAFRTLQGGKIMGKIVIVPHPDDQVRAVPSKTPNNLLQ
ADATYVIIGGTGGLGRSMSRWMIEKGARNIVLLSRSGKTDGKVGELIKESAETGAKIVVKACDVSNKEAVQSLVSVDLSSLPPIKGLIHAAMVLDDV
LFEKMQFNQWQSVVEGKVSGAWNFHHALSNASLDFFIMLSSAAGAVGNRGQAAYSAANCFLNAFTQYRIAEGLPASSIDLTAVSDAGYLAEGSAERA
AQVAENLGSETISEKEVLALIAAAITGKMARECNSHCITGLKISADSKDTLFWVDDAKFAHLKAAAEEEAAVSATSSPNAAVSLSAALKVASSRQQA
IELICEGLMTKVSAVLMVPREEMDPSKAIVVYGLDSLVAIEIRNWITRELEASLQVLELLTSGSFWALSEAVLSKSKLGVRFVAEKEA
>RCO7_14052 | uncharacterized protein
MSTISVIGSNLMNMLKKSFGRVFRTKARCFQKSFQYNVERNTLTTTRHKNDGWIKRSNEEVRWQG
>RCO7_14063 | uncharacterized protein
MSSIEAQECGSKPAVQRDLAVPLFRPTSNYAPAGANVTSSSSDQQQ
>RCO7_03810 | related to dehydrogenase/reductase
MASTLKGSILVTGANGGLGSAFVAKFVSSPEAQQYRGLFTVRNNTTAHALKAIIDKAPVDIKIEVLQFDLGSLEAVRTVAADINERVANGTLEPIRV
LILNAAYQDASAAALKPGAFTKEGFEMAFGANYLANFVFVLDILQSMDKEHGRIVFVSSWTHDSYDPQNNTPPIYKGEEFKTMFTSAEALSRGIEYT
DDGWASGMRRYGASKLLGVMWMYELQRRLNSDTVLSNISTLSMDPGAMGGTGITKRSPLFIRFITGWLIPLFQHVAVWLSPNGFLRPTWKSAQDLML
ASFDENYLGKHPKAVYLNGSVNAESSAESRDEEKQKQLWTESVKLAMIRDGETALKNWK
>RCO7_03809 | uncharacterized protein
MSRRALGPELLPRQDAVVKTSETAREASCRLRNDKRWNFHKDEIRRIYIEEDRTLQVTMRIIEEKYGFKASPRKWKMKLKEWNFEKYFPATIMSFAV
AKTEKRKVEEGKDTVFFHGDSLIPSEKIEHFKRRKMSSKARKASPDPGTPRDIRYHTPDPERSPSPIPEDPADYRSISGNQRSVTPLIERSVTPILE
HSVTPRPAYSIPQMMEGDFSRMQPPPLKSEPEIQEMEEEQDGQEDEGEITAPPSYEDELPALSPLMPLSSPNSSSNLHDLSQNPQATSQEYVSLPQM
EYLTINPVFLDVNHVGDESNSSNGDHMAYQADMHDTGNSPDAHKREKEVLEAASGSLVHGVFIDFPRIASRLSGFEIAGQSSYLRGSDDMLPNQDNT
DEESIEGTMASVEQKIRVAKLYRESGSLKNAESAYLQALVEYSEVPSVDGKIAQHIPEFLLFFKLVNHTSPLHSLDQSVFICRWLLVICEKELSQGP
ETLRITHALADLLRQSGRPNDAEDLYAKSFAGFKDLGLIKERLECQRSLGTLLFGVGRLDKAMHMLVSTLCEYMTDDSLEDLGHGDEIGGVLTALSD
AFTKVKHDRHWDDMKASVSQLQVLLIRPSAVCRWSQNIQPKVFLEAMRLASHISEQDWYDTAEMLYLVTVPKIHALDNFIYGRKKADAFIAYCMQHQ
RRKQWRKCIRDILHAYKCLMAGDRESAVQEGPVDLLRETWSVIKKAAAEEPNITKDSSTRESIRKIDHADQKLLCWKKLQLSGLLDESEEEDWEKDT
TRSSKYGVTYSVSDVTGVSYSAYYRELH
>RCO7_14064 | uncharacterized protein
MAKDDEDVGFKRWVACDGNLSDSLDACTVIQRSLAPSFSNCSGTSCARSLLLFRSVEPIGSAIWSTAQGLGYKCDIQDLGRGAPPSYPKRPINKKCH
HEVAGAIAAQDQPLLSI
>RCO7_03808 | uncharacterized protein

MRLLSFAVLAFAACVLASDSPTSSDSCRSAPFNLIVLSSNSTLNGTHLFACHEGAAVKALCTNSSRYLRQGPNPPPLEPSIVRFFQNHTTKSLSEEA
NKTGYAFGELTWDFPNMPHSLGMKAGLQDKESNVLVPVFMPTNVHSNLIAFDKEDKLFVWTWSQTESVSENTAMNRKQKAFYDWYICMTDVGYKLET
VAWLEDGKSNNPSCQKVDIKKIPEGSLP

>RCO7_03807 | related to heatshock protein Hsp150

MHLSILTSCLALATGISAQYYNVTSKPFQLILQSSNRTLNGKGLFACHEGAGIEGLCVGTSGPSSTSDTYNFNTTYQQQANQGLPGQTGLVTWLLRG
GNFNVSSSLQLTPSPTSDVAVPLFFPGDQGFSGYGFDKKDKLFVAGYLDNTVSPPVYKAQAYYRWYACITNAGYTYQTLAWAVGSGKPENPSCEKVD
VKRVFI

>RCO7_03806 | uncharacterized protein

MAYIPIDDLSDTYPRIPGDTFSTSSQYSSPNTKDRRRTSTNDSKQCGHNHNNALAPKLEHSQELVRYALRLSPLHGEQTSRIFPQATPLRSNSLQVP
SSALQRACRETSKGTFFPKRETVTKQISKQTKAQKRQKKKAPASRRFL

>RCO7_03805 | related to zinc-containing long-chain alcohol dehydrogenase

MITEALVVHEPGAPFVYQSITVEDQLRDDEVLVRIRATGVCHTDLNFAKEESVPGLFPGVFGHEGAGVVVRIGAAVTNVSTGDHVLLTYSSCGNCKY
CKNHESSFCYDFEKANFGVGRSDGSKAYGTEDGSAITSHFFGQSSFSKHSIVMASSVVKIDRSLPLEDLAPLGCGIMTGAGAMINVVKPKSDDIVCV
VGAGAVGLAALMALNLCSSRPTKVIAVDVVPEKLELAKKYGATHVINSRELNDLKTALLESTDGRGIDGSIDTTGRPEIVGTLLKATAKKGMVVQVG
VGKLTAEVSTSVFDTVNTGRVYLGCAMGNCYPQEFIPMLVAAWKSGDFPFTELEVKYSAKDMDTAVKGILSGKVIKAIMIWD

>RCO7_03804 | uncharacterized protein

MNSWKGLGSVLQVADNLMDSTVERSEDLAASWNISQDFEEWYLPLWKLLTGKIWPGLKKSRLDGLLVCEAVLLDLLKRYAPTLRHLHLCDICLWQGS
YQKIMSSIRDNIALRSFELSGCSRAFHTFDELRILRPLANAHLSGMADYTRRGLRLFQQYLHFVRGAIGLALSNFVLRDGPWPMKGVNSWICPSTEL
LMKKHSPLCVDCLESSEESDAEWPLSKSNDLDEWEASQYAHLIPGVDLQPDDDVYEWFGDDG

>RCO7_03803 | related to monocarboxylate transporter 2

MSLKASPDNVLTTLHPTLGAQADQQATAFQQLEPTATSRSRLDYTFPEGGRKAWIVVSGSFCVIWATFGLISSIGLFQAYWISHQLSNYSDGVIGWI
PAVNVFFNMFLGVQIGPLFDRYGPKWLLLIGSTLYVTSLILVGECTRYWHFMLAYGVLNGFSGALLTTTALSVVAHWFERKRGMASGIAFVGSSIGG
ITFPLILKPVFQHLSWAWAMRIVALICLILTVIGNICIRGRLPPKRDGGAIDLRCFLDARFSWATAGVACFEFVLFGALGLIPTYSLAQGFSPQTGF
NIIAILNAGSALGRFSSGYLSDRIGRFNTMLLTLMWTLVVTLALWLPIGDNLVIFYVFAPLFGFGSGSIISMAPVCLGQLCQADQYGQYYGTSYSVV
SFATTVCIPIGGELLPRIGATGFVGFFGGILVLSTFSFVMARWASLGYHWNWTVHSRSLKLLCSGLRYVQLGPRVDERTPVASAVRKLLID

>RCO7_03802 | uncharacterized protein

MAFPQGSAVLAAGIAGVLPEGSWLGAPNNGPRYILCRQNLVNIRSHAVCINTGGAMMNNRQASVRNRSEWSRRSDRGVPGPGNPVRVRLAGLLLGVG
AIVDAAGDAAQKTPLPTHNIKILINVANFDPLARGNAAGTEEHLRTCIQAVLNHYMLLPPVVPPGGNPALAYQQRGAEIAFDLVGSGIVGYGAERAA
ENVLAAIQGWFNDPLTGAARRAAITTVFLSVPVTQAQDPQTIESAWWRAWYRYVRPDTGYVVGQRHLPWVDVMDDEENALHAANPGQITSLPGRDGR
LLQGPGVVAGAIGLTLV

>RCO7_03801 | related to kynurenine 3-monooxygenase

MASEKSEKTEKKKQKIVVVGAGPVGALAAIYAAQRGHDVEIYELRNDLRDPSTTPLNFSRSINLALSERGINAMRHSGRPDLVEKVLGETVPMRGRM
IHGKSSSGEFTEQPQDYDIHGGVLHAADRGGLNKTLLDELETMPNVKFFFSHKLTGADFKNHKAWFEISHSQTSLDSTGTRAREVEIDFDLMIGADG
AHSAARYHMMKYARLDYEQTYIDTLWVEFTIEAKYVRENQDPALRFAISPNHLHIWPGKEFMFIAIPSSDGSFTCTLFLPSSHVATLEADPSAIPTF
FDTNFPGVTSLISPSTLIHSFKTNPHLPLISIKCQPYHYGSSIVIIGDAAHAMVPFYGQGMNAGLEDVKVLFSILDDQTSTSSYLNAHARSRALATY
SKYREPDAHAINDLALQNYTEMRASVISPLYKARKYLEESLSVWLPSLGWRTKYSRVSFGNERYSEVVKGDEYQARLLMGMMAGMGVLGVGALGFGV
WALLGARRVRSVLDVRRVREVFGWLSG

>RCO7_03800 | probable methionine aminopeptidase 1A

MATEAPVRKCIGLDCENDAGTLQCPTCLKLAIKDSFFCSQDCFKRSWSTHKSLHKSKGNFLSHFITPKAVSEPDPATGTYDPFPTFPYTGPLRAVYP
LSERRKVPKTIPHPDYHKDGIPYSEQTYPGRTRIEILDKAGQEGMRKVCKLAREVLDIAAAAAVPGVTTDYIDEIVHNACLERNSYPSPLNYGHFPK
SVCTSLNEVICHGIPDQRVLVDGDILNIDVTLYHGGYHGDLNETYYIGDKAKADPDNVRVVEAARESLNEAIKAVKPGGLFREYGNIIEKHCKSKKC
SVIRTYCGHGINSLFHCSPNIPHYAKNKAVGAAKEGMCFTIEPMVALGTYRDKTWPDDWTSVTQDGKRTAQFEHTLLVTADGVEVLTARFPDSPGGP
ISMPVAEITNGEKAEVAK

>RCO7_03799 | ER-derived vesicles protein ERV15

MMSGEAWLYLLAVLINAVNLFLQVFFTIMYSDLECDYINPIDLCNRLNTYIIPEAAVHGFLTFLFLINGYWVALLLNLPLVAFNIKKIFDNAHLLDA
TEIFRKLNVHKKESFIKLGFHLVMFFFYLYSMIVALIRDESH

>RCO7_03798 | probable CDC40 - cell division control protein

MADFGAYPPNMAPQNALIVRQEAGQSHEVVQYTAEDLSQPTQGPANPFKDEVNSLKRKNVLTGFAEETYMSEHTFRSQHRAVQRGPGRDYTGGQAAK
IEAARIRSKRQKKGDATVAEGDNAYIGPWAKYKTVEYEDVEEGDELASDEEYEEVEEEDVIESGAVVPALPQAIAKRKEAEELGAETSRFEGSEQYD
YQGRTYMHVPQDLDIDLRKEQENLKNYVPKKLVHTWKSHTKPIAGLRFFPGSGHLLLSGSADTTVKIWDVYHQKELLRTYSGHTKALSDITFNASGT
QFLSASYDRMMKLWDTETGQCINRFTTGKTPHVVKFNPDPEHSNEFLAGMSDKKIIQFDIRTRDIVQEYDHHLAAVNTITFVDDNRRFMTTSDDKSL
RAWDYNIPVPIKYIAEPHMYAMTRASAHPSGKYVAYQSSDNNIFVYGATDKFRQNRKKVFKGHNNAGYAIDVSCSPDGQFVASGDSGGYVCFWDWKT
CKMWHKMQASDGAVTCVEWHPQESSKVVTAGLDGAIKYWD

>RCO7_03797 | uncharacterized protein

MTFILTLLYPKGSKDFDLDYYLNTHMPMVTRAWQNPSDGLRKWQVVKLDPSTGYVTKCILTWDKQESVGKAFGGEDGKKILDDIPNFSETQPERHAG
EVVGES

>RCO7_03796 | Elongation factor G, mitochondrial

MRAYRAVRAAAVAESSISSIRSCSYRPRFLCLNASSRNVGAGPAIGKGIGQRSFSESRIARAGAAEAVLKKAAENPASLTQETIIDNLDEVERGRLA
RIRNIGIAAHIDSGKTTATERVLFYTGRINAIHEVRGKDAVGAKMDSMELEREKGITIQSAATFCDWLKVENGKEEKYHINLIDTPGHIDFTIEVER
ALRVLDGAVMILCAVSGVQSQTITVDRQMRRYNVPRVSFINKMDRMGANPFKAVEQINQKLRIPAAALQVPIGGEDTFMGVVDLIRMKAIYNDGPKG
EIIRETDEIPESVQALAKEKRLVLIETLADVDDEIAELFLDEKTPTQEQLKAAIRRATIALKFTPVMMGSALGDKSVQPMLDAVCDYLPNPSEVENL
ALDKRREEAPVKLVSYNSLPFVGLAFKLEESNYGQLTYIRVYQGTMKKSMNIYNARTDKRVKIPRIVRMHSNDMEEVPEIGAGEICAVFGVDCASGD
TFTDGTLPYSMTSMYVPDPVISLSIKPKTSKDTSNFSKAMSRFQREDPTFRVHVDAESQETIISGMGELHLDIYVERMRREYKVEVETGRPQVAYRE
TITEPVKFDHTLKKQTGGAGDFARVVGYMEPLAVDENGSYMPSKFREEVTGGSINEKYLFACEKGFNASCEKGPLIGHPVLGTLMVVNDGATHMTDS

SEMAFKNSTQQAFRKAFKEAKPQVLEPLMKTTITAPNEFQGNIVGLLNKRNAIINDTEIGPEDFTLLADCSLNAMFGFSSQLRAATQGKGEFGMEFS
HYAPAPGQLQKELIAAHEKAQADRHKK
>RCO7_03795 | related to DNA polymerase IV, DNA-damage-inducibile protein dinP
MVAEPLVEPKLVKEHGTLKYSLLGPSLTKSGQDNVDQQKVSEIIYNASKGSKYFNNEEARDKNLTQKIERILEKKNQLEKLDLASDRRKADDYIAEL
ELSRDLSQVVVHIDCDAFYAAVEELDRPELKDLPFSVGKGVLTTCNYHARKFGCRSGMAGFVAKKLCPQLIQIPLNFDKYTSKAQEVREIIVDYDPR
FESASIDEAYLNITEYCEKNDISPEDAVQQLRREVHDKTKITISAGIAANAKLAKICSNMNKPNGQFQLPIDRNSILAFMRDLPTRKVNGIGRVFER
ELDAIGVKTCGDIYAYRQYLSKLFGEKAFAFLMQCYLGLGRTKIQPAEEYERKSVGTESTFGEMGSPVDLRSKLQATAEELEKDMLRTQFKGRTLCL
KVKLHSYEVFTRQVIPPKAVYLAEDLYRYSVPMLTKLEQEFPGMRLRLMGLRCTHLVSMKKPDTMAFFGFKKRSTDPSEGDSHVKRKADTIGDEPEQ
WEAWPDELLFEDAERQEREEEFEELETLSQEIDKRRHHGKEIIPNPKKEDTPEEQWWDCPICMRPQAASEKVFNEHIDLCLSRQTIRDAVQENSESQ
SRESTPASKKVKITEKGRSGSKPGDPKQMRLNFG
>RCO7_03794 | related to RPEL repeat protein
MAESDRSAVIDETSISPVRPGTHMRQNSLEKHLQHRPDSQELKDRHILLDTNAAPSLQSAAHDLERQRAIDSLKKGLEKRPQREDLVERNILPDSTA
APAIVGHQRELEKHMRADSLNEKILHRPKPEQLLKEGILTEDPTAVDEKTADRLYEENIEEEYAKREGGA
>RCO7_03793 | related to mysoin heavy chain proteins
MLRASLRSSKAFSYTSNVTNAGRQWAAIQPTRVRPGGVRGYADVQKASIADSKPIVLPGSRSDSTTEPLPPGPVPPTLYTPPAAPKSETPVGAAIAP
PNVPISSTSPLASTPPPPPPPPKRKFFRKFFTTIFLLSSVGFAGGVYYSRVNDNFHDFFTEYVPFGEEAVLYFEEREFRKRFPTIAGRASTPPRNTG
ESIKIPSQSGVSWKVAEDTKAPVGRHANATKDAPKPKEALQTPQETNPAEKVKAVEAAKKAADASAPDGTLPDNKSPEPQPPAKPGHPVTDASAPSK
SASPKAKGASFTPPEVDQPSKFPPELTRIDPLNVGDAQEPLVQDLVKIINDIITVVNADNADSKFSGAIGKAKIEISKVGNKIKALKDTAEKDAEAK
VQSEKADFERAAKELVRRVEAEMQAQQSQWQEEYQTEREKIQQNYEQKLKTEVQTANEVNEQRLNNRLLEQAVEMKRKFMEELKQRVEEERDGRLGK
LSDLTNTVNELEKLTTDWNSVVDANLKTQHLHVAVEAVRSNLEKSQVPRPFTKELAALKEIASDDPVVNAAIASINPTAYQKGVPSSAQLIDRFRRV
AGEVRKASLLPADAGVASHASSYVLSKLLFRKKGLATGNDVESILTRTETFLEEGDLDAAAREMNGLQGWAKTLSRDWLGEVRKVLEVQQALDVIAT
EARLQSLRVE
>RCO7_03792 | probable GTP-binding protein ypt5
MAARGPAGTRGGNNRFAQFKLVLLGESAVGKSSLVLRFVKDQFDDFRESTIGAAFLTQTISLDDNTTVKFEIWDTAGQERYKSLAPMYYRNANCAVV
VYDITQASSLDKAKQWVKELQRQANESIIIALAGNKLDLVTSQPDKRAITAADAEAYAKEAGLLFFETSAKTSENVRELFTSIAKKLPLDQAGPRNP
RSGGRGGVELRPENPSTQGQGPCAC
>RCO7_03791 | probable synaptojanin-1
MASMPFRDINVHASTSHYAFTSPSTPSAPTLVVDRPTGDLRLNDGALLGGKRVSSIAGILGMIKLRLDKYIIVITKAQPMGRLKGHMVYKVISTEFL
PLRERPLHDPEEDNYLSLLKTFIKSGPLYFSYSFDLTNTFQRQSQIDQSAPLWKRADDRFFWNKFIQSDLIDFRSMGTRNHQGQQPAVDPYILPVIF
GMMEITSTRIKSTPLTMVIITRRSRHRAGTRYFSRGIDEQGHVSNFNETEQIIILNDSTSGLGGFAGGTGMQNGKVGGSGGKEVQIMSYVQTRGSVP
VYWAEVNTLHYTPKLQIRGVETAIKSARLHFEEQIRLYGDNFLVNLVNQKGREQRVKEAYEQMVKLLVSAPSERTQADEVTTEKFHVVEPSGRRSEM
DRLHYVYFDFHNETKGLQWHRAQLLLDRLHDSLEKQQYFRGIDMPADTEGRLEVRNHQTSVVRTNCMDCLDRTNVVQSMLARFTLNRQLTDLGVLSP
GETFTTSDPDFEFLFRKLWADNADVVSRSYSGTGALKTDFTRTGNRTKAGALQDLRNSITRYAKNNFADGPKQDAFDLFLGNYLPDSSTNPVFVDQR
PLLIQSIPYILAFALFFVFVGTFTRSPVDAAVLPIRIFVIFWFVVAGWCLNFIYSNGMLYVNWPKLNPRPWATEGYNEAINAVRKDKVIGSFVARHE
RGLSTARYTNAEEGKKRIE
>RCO7_03790 | related to multidrug resistance protein fnx1
MAGQDRDVEQDEHLAVGRHHNLIKSGLNTRPTISTLTSDSSGYIGDRSGYEDEDDDEVLSVQAPGESVIAIVGLLMIGVFVSNADGSLVLASYETIS
SDFGALADASWLTTSYSLASCAVQPITGNLSDIYGRKGVLLVSYVLVAIGSVGSGIGQAMWQVILGRVVAGLGAAGMTVIVSILITVQVASWRSYVN
VVATLGRSIGGPLGGFLADSIGWRWSFMGQGPIIGLAIILVALRLPSQTYPLASLLLEGSEGQHNITSKPQISKIRRVDFVGAIFLALCIVSLLSAL
SLGGQNLPWSHPVVTGIGAGSIALGCAFVAWEKYGAFEPVFPPSLLIQRDVATSYAITALQAAAQLVMMFSNPLYFRATQNSSNTLAGTHLFPAVLG
NTLGGLLSGFYISRTGRYKPLSLLAALSSSLSYTLLILRWKGQCITWLDSFDIVPGGFGTGIAFSATFIALTASVKRRNIAVATSGLYLCSGLGFVL
GVAGASSVQITTLRTLLGRALEGVNGAREITEK
>RCO7_03789 | probable arylsulfatase
MKIYLGYILAIAGFTAAEESSQEREQAPLNAHRVQDSRPNIVVILTDDQDIHLQSLDYMPLLKKHILDEGTSYTRHYCTTAICCPSRVTLWTGKNAH
NTNVTDVFPPYGITHVFSLSSYPQKFNTSSKLTTHPGGYPKFISQGFNSNWLPIWLQQANYSTYYTGKLFNAHTITNYNSPHPAGWTSSDFLLDPHT
YQYLNATFQRNTNSPVSHPGEYSTDVLAEKAYGLLAEAIESKKPFFLTAAPIGPHADVAPYPEIPGKDHEVHMTAPIPAPRHAHLFPNVKVPRTANF
NPDTPSGASWVKHLAKLSPEVLAYNDAFYRARLQALQAVDELVEGLVQRLKKYGVLENTYIIFSSDNGYHISQHRLPPGKECGFEEDINVPFIIRGP
GVAAGKEVDVVTTHTDFVPTVLKLVGAKTGWEGLDGSSIPLFENEIEEAKEKRQEHVNVEFWGRSIPEGIYKFSLDDGKFVAYGLNNTYKALRVLGR
GYNLYYAVWCTNEHELYDLTTDPGQLKNLYPTTSSHPQQSIFNLPLFKVLPRLDALLMVTKSCKASTCIDPWSVIHPEGDVHTLGDALASKFDAFYG
SIAERVSFSKCELGYILESEGPQDAVVFRSSVDYENILGEDEL
>RCO7_03788 | uncharacterized protein
MLKFPSRSSGRSLAIRIVVGLAITYLAIIQLRITYSQFSRTQATNESVPLKALKEPLKEPLKEDSNDGNDSDGCGGGLIPFGSSLVVTVKTGATEAF
QKIPIQLETTLGCVPWENVLWFSDMAQNIGGHLLIDALDQIPASVKNSNSDFDLYTKQQELKDPVEISKLLKNMKSPEDDKQLAAWALDKYKNLHIV
EKAFAAKPDADWYMHIDADTYVLWPSLVAWIKKLDPSKKYYLGSMACLDTLPFAHGGSGILVSRAATRSLVVDGNGTAARWDSQIAGNCCGDGILAA
AFKEQDIHVKNANPSLMGESPSTIKFELYNWHEPLVTLHHVSAIDAVRLRSFEDKRQNKSAPVLYSELFTGLIWDMIPDSAEDWDNLSDGATVPNIY
FADECARSCKMDVHCLQSRFDGEICQLTKDKVSLGEKKYLGGDGKKWHSTWNKKRISAWVAKQKKNGAVKFPYEDGKTSKSSHHRCSGEVQAAPHLR
SQKYSTLLSYLLNELSFQYQPKPHVEAIEWLASLDTETIEPLVTFRSTPIEKNNKGQDDVFQDDEEGHRVMTGHEGMMEDNKASLHRSEGEITEELD
PSFVLESLLDINNLGLKEFLSEAPTMKVKKDELRDLLMSSPKQQNSQLVVSGQDTVSLLWIIWTSGLGIPPGTLTAKTSFSDWAEDLIFPRFAAVSY
EKLDRGLVQNI
>RCO7_03787 | related to putative tartrate transporter
MTTFAWYFEDHGDVKTGDVRYNEAATFSDANPPTKNDTVVGISSLSINSDESGDELKKNPILDPDCVMFFGLQVDRGNLVQAVSDNLLNDLNLTTND
YNFGNVIFLFSFLLAELPSQLVSKKIGPDRWIPMQITLWSTVAMRQCALSGKKSFYATRSMLGLLEGGFIPDIVLWLSYFYTSRELPTRLSFFWTTL
SATTIVTSLLAFALLHLRGVAGVLRDDPSKGDMHNRQAITPRRLWNAARDYDLWPLYAIGLVAYIPQAPPATYITLTLKSLGFSTFHTNLLTIPYSV
FHIITLLLLTALSERTNERTLVAMLQPLWTLPCIIALRFWPGALKEAWGTYALVAVLLSYPYCHAILVGWTSKNSNNVGARSVSAAFYNMAVQLGSV

CSNFMYRKDDKPLYHRGNRNLLIVNLLSIGVFLFTKAYYLYRNKQRDRVWNAMSAQEQSDYKRDTTFSGSRRLDFRFAH
>RCO7_03786 | related to cyanovirin-N family protein
MSFHAGANNVRVEDNHILKATIPNEAGEMVEAELDLNSCIGNHNGSFQWEGQGYADSGGAFSFSFEGGGIPVLRAELKNVDGEGVPSDINIAERISN
QNGRLVFDPIQWIRRC
>RCO7_03785 | uncharacterized protein
MANENRQILLIDADLDRLRTSQKKMLDAVESWFEEFRRTNRRHPRKKDYPAHVLGPGLGDIQNLRLASHMHFIDSALVLTALSVSFFKQQHTIRPRR
DHLLKSVTESNPDLLDIVKTLVFEIGRINSRYAVEKNSLLFKECGSYVRDDMIRRYGGYNLKHYREDEDMARIVTALSHHRKLEGIKIQYYEDGYEW
RKLANVFHGRWPYDARSESFQMNAEFLTILQAMAIHNASGRPTIKHLSHESLSPSFFVHLFSHNPIELRDLTLPFQHLETLHLNFKGVFKAPLKSFW
KGLATALRNATGLKSLSFGFDPVVTERHQTSDWTKPTLPADKEAWYLPLHLVNFGACASLRTLRLNGLSTCERGLQFLLGNYPALRELQLCQISLRE
GSFSSLVNFVRSELSLTKFELCGWLSSEQGYWLISPDNITDGMNAADRRFPAGDYTRYTFDGRTAEDMLWETHDTDALLSEWDPSNHKNWRKYDSIT
EFQREPDFVSKWSPVEIVPYFDKQGRDPNGLHYTDLLSWVTALRERRLPQGQLYGIVLLERASLKTEISQLLTRDSLLAETNQLHIQEDGAEVLYCW
DSRSEEPIAGDLHQQIVARGNKCRENWVIFDYLYDVSEEQPVLSQPLVYW
>RCO7_03784 | related to alpha-L-rhamnosidase A
MKSETERRKHFLRHPTDRWSAVNAAGCWRNTACTGPKIAAFPGDWDKYNYAPSSRVVSPISYFAPAGGVSTHYPAAVSLNGNNNQLIFDFGKLVGGI
VTVSYSATGAGNLGMAFTEAKNWTGEASDSSNGSFNPDGAVITTVSTTAGANFTMPDAKLRGGFRYMTLFTQTSSQVNVNIHDITVEIGFQPTWSNL
RAYQGYFSCSDPLLNKIWYAGAYTLQTNAIPPKTGREFPILGSSWSNDYDLSLGTSGGTIYVDGSKRDRTVWPGDLAIAVPSILVSTGDWEGVANTL
EVLYNDQTSAGELPFAGPGINIYGSDTYHMATLIGTYDYYLWTANQGWLNMMYPKYQRAMAFITAKIDSTGMLSVTGTNDWGRVSQGGHNTEANMLM
YKVLTSASQLATWAGDSSSSGTWSNMAATLKTAVNKLNFDSAAGAFKDSDTDASVYPQDGNALALLYSIPPSNLMSSVSTALTKNWINIGSLAPELP
NNLVGFGQSFEVKGHFTAHQTNRALDLIRRAWGWYLNSPYGTGSSCIEGYLSDGSFGYRSHYGYANDYSYTSHAHGWSTGPTDALTSYVVGLTITKP
GGKEWSLMPQFGDLQNAEGGFTTPLGKFTAKWVLANGGYTLSWGAPAGTKGLVVLPGSAGKQPTSATVDGNERIMEARMVNNRNGAVRIVVEGGSHS
LVVQY
>RCO7_03783 | uncharacterized protein
MAILNTSRASLLYVHPSKQTARISLTETITIPYLPTGPNVFLKATTVPSQIPPTSSTPPSKRCNSTQCPAVSYSIVNTVGSTNLSLSEKENEPLYAL
VSKSTTAKPFFWYKFSGNVTLGLTCLNMGENVAGYYSFTPFLLCADDVLAGCKNSPVEDGTAIKICGSNTFDNGQPQPNGDLRFLKTGTYDFAFLAA
EFFKRCVEMTL
>RCO7_03782 | uncharacterized protein
MKKKNNVIHKAPKEFVAVRVMKPKAPKAPIYQSQPAWVPQLLLPAPVTAPCPSAAPALITGPALASPTLVPSPYQISPETSSKYPAGPLKPLLELGH
MYTSYAPSAKILAQAGNFRPAG
>RCO7_03781 | related to monophenol monooxygenase (tyrosinase)
MRSLFVTITIVISLVRSSVYASTDFEAELNGILNKASADVLQQLEVKEQALNKRGLKASCNIRNIAIRREFGDLSKKERKAYTDAVQCLTNKPARTP
TSLFPGVRSRFDDFVATHLNSTLFIHFSGTFLSWHRSFTWEYEQALRNECGYNGYQPYWDWSKWAAAPQDSPLFDGSAYSLGGNGAPIPHDGLVLPP
PLGSGPPTVLPPGLGGGCVQKGPFANLTVNLGPLGLFTGAPGPDGGRGYNPRCLKRDIGPYPSLTYCNYKRIFNLMTQRKTILDFQNDLEGDGTGDL
APHGGGHFTIGGDPGGDFFTSPGDPSFYLHHAQVDRMWTLWQAQDPATRQYALHGTNTFLNLPPSANTTLDDIVDLGYSAQPTYKIRDLMNTVKGPF
CYIYL
>RCO7_03780 | uncharacterized protein
MAQQHHQNPSIPLARLSQRLPPLPLYIPMTEEPILLPHLSISTQIPYHDDPAEDEHTSSQPPGYEPMYDYLRSHQRISEVPTNRQCPNTPYLSIPEE
QYRDESFVVTIIDGDSGQQPPSYNELYRQNEQERDRLMREFEIEGTPSEQLEEMVKWVVSMLLICFTVAFAGTAFNWGRPS
>RCO7_03779 | uncharacterized protein
MAATVTTGSRAAWQEVAADGRRHWDTTIAAIEPPSPEINAILPNPNTIPLAKKYLTVEEIATTESCAEDLVVQLSDGKLSSTTAMKGFLCPAALARK
ATTCITEFHPSRTPERAGFLDVYLTKHK
>RCO7_03778 | uncharacterized protein
MILLEKSFLYFCDGAEEEEAATTVSSEPLRTSFKAYPPRKSNTSNIIQFPPLGGLPNVETSAEPINNDIWNETATSVGSNGDFENIVDVMLSPVGPS
AAPKIDTAKWSGYSSQWILSDYPALVLPVDKVDVDKDGEKVIYKPRDEKDLYNWSLWERYGPEGYKDAPNSVQLIGRRYEDERVIQALEIV
>RCO7_03777 | uncharacterized protein
MADITETQVPSSESFSEREAALDARSKALDEREASLDTREATLVEREAALSPAASDEVKEEAAVESAPVEETKEEETKQEEVKEEAAVESAPVEATK
EEETKQEELKEEVKEEEVKEDEVKEEKIEETAPAVEEAAKVEEPAAIEEVKSEEKTEESVPAEEEKTEESAPVEAEKEIEAAPEVSEPEKQAESKEV
SESIPAEETIAAHVEEPTSNVDETPAVAEPAQEESFAPADEFPTPAPVTDIETPAAIEEEPVFAPVESVNEEEVKEEGVKETPAEESKPVESETSEH
APAAEKSAPVEAESVVQAPVADEETSAPAVEIPAKTSENTSASEVEETQAPVVVEEETTLAEAEYQEEEPKKEENSTSATENPVNEQTVDIPVASHA
APQPIVV
>RCO7_03776 | uncharacterized protein
MGSVSLDQGSIGVGFLISHYNNSATYKMVSFCRIAVLFACVLPSIFSAPLPLAGPGNSLGIAGVSTFKPTRHHKREPTPEAEPGNSLGIGGVSTFKP
TRHHKREADAELQTESGEESETIIETREPGNNLGIGGVSTFKPTRHHKREADAELEAESEAIIETREPGNSLGIGGVSTFKPTRHQKREAEADIKIE
D
>RCO7_03775 | related to glycosyl hydrolase family 43 protein
MVGSSTFTVTIALLVGLVSASVQIIPGATITAKGKNQHIQAHGGGIIEVNNVFYLIGENKLNGSAFQSLNCYSSTDLVTWTFVNEVLSLQSSGDLGP
NRVVERPHVLYNDQTKKYVMWMHIDSSNYGEAKAGWAVSDTVCGNYKYLGSVQPLGFQSRDLNVFKDTDGTGYLLTEDRVNGLRIDKLSADYLTVLS
PVFLWPEKYSYEASALYKNGNMYFMFASDQSGWDPNDNIYCTSTSLTGPWSAWKNFATPGSKTYSSQTAAIVGINGVVMYMGDRWKKANLMASTYVW
LPLTLSGTTAKMDNRVNWSLDIAAGTWAPGPAETTPEAESSTNILSGGTKSLDCSSCSGGKSVGYVGGSAGGSLTFTNVTSTVDTTSTLRIVYTNGD
STQRYANVVVNGVGNVVAFVPTAGGIPLTSTLTVALKKGVNTVKFEGVNGGYAPDIDRIMVPIL
>RCO7_03774 | uncharacterized protein
MSTADRDSRQRRSRIISDMARKIKLDNCSINRHDRSFASSTGSKHGSVASSISRHGSSQHGTVSRDSTRSTDFDPERDEALVSTQRMDFDVSISQKL
PQLRETARKYGQWQPRKAEDFKINTSAIGRAFPDFTQGDTELSLSIEQPRARLSNTDHQKSLDASPLATRVNGARLRGSPRGPRPQSPILEALSRQE
DKENVAPRSHKSAGSAYVSQASHTTNINAYRDPSDSINIDNDTFSTLPLPSPLPKEFQARVDSDMSMSSFADSSLAPFPSKPNISQPMVPRSSPLKM
TTQAPDSDIFTSTSQKSQASSSFDVGKPSSSIKPPTLAQPTSTDQEASRPGIASSSTAQVSVAVQLAQGKQLMTTKPTTKVGQAAKPTSTAQPTQSS

FVITAPAVTEKVPAIIVKPFTQQGKILTRRSRQRPVDGFEQDCTEENIYDMIDMLQDKVAELEMVNKSHLETITGFQKDNEQLLSEKMRIEAADTET
QNIINELQKRETENQNKIKELKAAEKETQNIIKELQKKDTEKQNIIRDLQRKDTEKHTIIKKAQNTIKELQMKAANYENNTRELRKKAADYDLVHNI
NSQANRHITNLKKEIGDHEAINIESQQTIATLQQTIQALTEEKEIIVKEHAQAMEENEQVDAENKRVGKEFEKLAKEYHEVVTEHHKTVKESRWATR
KIQQLSEENATLSASNSEAHNTITSLKNNLTQQDNMFTEKVTIMDKNLEDFKRETRSMGRRRIPSDDADATMRPAQDPREALDEVIDRAEQKMAKLK
QILMELEAAFRAHDPAMGKRARKALREQIDSTVKQIDEKGDRIYQLYDIKEGLAY

>RCO7_03773 | uncharacterized protein

MAQVVKDSFLDLERHRQLLEENIEKLRKSLLHWQTWEAEYEGLKEEILAAKSTPNREELLAIGRDYEGELVTQKELEEILGTKESRTAGQVVNVLDR
RLDYVEQNVRTMQKQLETAERKLMNASIISTPEVRNEDGLPLTEIMEELDEEGNVISSHLSTPGSMKPQLLEALGKAGMKDLIPEKAARSDDHKQVQ
LEPEEDTPKPVKKSPKPTKKGVKFAEDTKPGPEPEKSKAAKRIEGIMKIAKEQEMPASEAPIIPVDEDPEDAALRREMLQYGMSEIGAVVAELDLEE
GSDWSDDEYGDASDSDNEDTFGRSTGKLVDDELRQQMIELEERLGVRVMHNVGKDSAEYDVVREGIGRIRINGSEDVTASRDLPDTIPLPDDDPKST
STSAKKSVRFSEELDISPAPSVPPPQPKKTGTVAPVGDIVERKAPTTPVAHAPQKKASRFKTSRAASPNVLNGPLSSANVSTNTSLPLHPAKPSTPK
PFSSSIQFSPVEDASRTVPTGPEGQILAPTIIEREIAPNTSPAEPDEFDPHLLHQEVATEYHKMRNRMIQKQGGFMKEDESEIVPFDEEEGGPKKVS
RFKAARLGLS

>RCO7_03772 | related to MFS multidrug transporter

MAAPEIDLLSDDDLGRNGRNTTIFGNKEDSDELKNRNYTKDSSSASITKDPTPNVLDKDSPIIYHYLTCDTVLPLPSNGFSAAGQAAPPQPDLVKYT
SPFDWPNSRKNFMIWLSCVATAITAYTAGSYAPASRQMAAEWNVSEVAVVVGITTFCTGFAIAPMVLAPFSEINGRYPVFVGAGIVYLICQICCAVT
PTYTGMLVARFWVGAGSSVFSTMVGGVVSDLYHAEGRNTPMALFSGAALFGTGLGPLVSGFVAQNTSWRWVFWVQVITCGCLITAVTLFFKETRGSI
ILSRKAVCLNKWYEEREAAGYIGFEMTTGSEKTESQRLRWKVKSDEERESIAKMIGISVYRPFHLLLTEPVVFFFSLWVAFAWAVLYLTFGSIPLVF
GTSHGFNTQQSDAVFAAMCIGAILATIISIYQDRILAQYLVSSGKNIEHPSRIRRVIDLSSPEGRLYFACIESALLPIGLFWFGWSHFSSIPWIVPT
MGIGCATMGIYSIYLATFNYLADTYHRYASSALAAQSFCRNMLGGIFPLVTVQMFKGLTFQGAASLLGGIAALLTVVPWVLVFYGPRIRARSKFVSD
SM

>RCO7_03771 | related to regulatory protein ral2

MEDKLTLGPSGAFESRFSSPDNSAEDEPGKNIFLRGVRRGIRKKLGSISGPHNRPGNIQLGERFSPASTPVTPSPIPSSTTQYNRPPRHTPNNSDSI
LEKPLPRTPSALPVDDPSREWPQQTSYFPEFTKPAVSMSRQAVNGSRTSTMDSAISGPGQAQMHANGSKHPSSSFQSDMGGTQGNISRQEVNRPEPE
DESRDILTPRSTGPASAGPSPAQPRPSGNMVGTPGGSSQHLSGLMCNVHRTTGQEPHPLVGATTTILGDKLYVFGGRVLSRSRPVLTSDLYELDLIR
RHWTKIDASGEIPPPRYFHSVCALGETKFVCYGGMSPAPSPGQAQAVNSAQDSQPEVVVMSDIYIYDAPSKTWTFIPTQDTPQGRYAHCATILPSSA
TFTSINAASSAIQHNLPGSNPNSGTLGVKLDGSGGAEMVVVGGQDSANHYIEQISVFNLRSLKWTSTQQLGKSCGAYRSVVAPLPANVTSQLGKTSP
TKPDSGNITQDSREPGSSMLIYSNYNFLDVKLELQIRSADGTLSEKPMQGAFSPPGLRFPNGGVIDTNFVVSGTYLTSSKQEYALWALDMKTLTWNR
IDAGGSVFSQGSWNRGVLWNRRNTFVILGNRKRSLVEDYNHRRINFSNVCMVELEAFGLYDNPRRAAPMSGFVSASSPFNIPSLSRSTRAGWTGGGR
SLSKAAEELGQAALGMRELADMDILCVGGERIPVNSRVVARRWGPYFVQLLREGAATQDGNDAATLRPEVMLRQNPSRNSSVTITPSIGAHSSNMST
SSTLNNPSVAPGNRGSVDSTSLSMPPDAGSLTPASRPRTLYLPHTQLTLKALLHFIYTSALPPSSSPHCTPQILCSLLQIARPYKVDGLLEAVVERL
HEVLDSRNAAAVFNASAMAAGGGRSTSSTAGLGENWLATDLKDIPGSNPNASPQILNVGGSNSELSSRTQQSLRINTSVGGGRKSEEDDAASASGSV
ASDVSESDMSSSVSTSDAGQRSTHGREVWRGDVSAVIGLQKRGLRGLMEGRRLRERGASVVQMPNRVGLGIGGT

>RCO7_03770 | uncharacterized protein

MAHNYVLQVTTGSEYDIKTHKIVPVNQSSPITIDTEHITVDLNVRVQSYRGLPHSSPSTSPYFSLPPHSKDKDQYSIAFRFTPKTSINGNDLVFGND
FDHPIRDRLPPGFNTAFRIVKWVVDPGLDGDVYADKPYLYGPAASSVTRLHVGPKVGVTGGDAKIGDHEAGLVFEEGGDQEGLGVRREKGVPESEAA
RKKHFLVEENRKEWEWEEGRVYGCDFYNPYLDFNDFALRLPGFTLPIMNYWDGQGLSEAKANPSFTSTRKVQKRSHSLRYTLKNRATDHVLFVVLFT
LYLKEDVDEDGNVKDGVEGGKPFKGKAKGIDGRDEEGKKEEIKDGQKLPDTSADDVD

>RCO7_03769 | uncharacterized protein

MASSTPTPTPTPQTSYPMENSYNYQHGGINPGVEENFDLVQSIPAGRTLQDQGLRERNQLTSLSGDETVPGTRKCEAPQTDTSVSLPSKAFCFILDL
PSELIDYIFSCLGPLDLVAVSATCHRLSDHAKHDVSWQRHVQENVPGNRITSPYPCRSFRELYIAHDPHWFLTKYKIWFNDYFLTGKLIIARYDQSK
GVIQGYRLVAQREAPTFEPWEVDDNVLIHSFEPTCRLDLGQPILQLDALSLESLMSLSSSRTDPAHRFSAEIPMRIEERSHRGLFSNFSLARPVEEP
AGRKIWPPQTIPARHRVQSITGSSEAFLGQGQKPQKRSQVSNQTFRIRRWMQMMAGTNIPGYHLGEELHTYATLDPKLYTPTEEKPYRGIWVGDYSG
HGCEFLLMHQPDNEEPFDEATVVQREDETPEEWECRKKAARINRGSLEAIKLTGDPNIPRGEDTFIADDISDTNCVRIATEDKFKGARIVNSRGHIA
ARGFRNDKYIESQLIMISYNKLAQYWVGFGHISFYQRVDIDSFLSATAE

>RCO7_03768 | uncharacterized protein

MSAKNNAPSNPEISFSTLTTIVRGEGYSSSDEGENLLDIVVDYHTSI

>RCO7_08709 | uncharacterized protein

MQMSELEDAVRASQVDNQRMLVRSYKIWSSYSKDTNFHDGLQPYHLQLRNILGRVPAYLASDVIENRGPLQLRLEQRGVKGSELYISGHSTWRTTQE
FCGLKNKIIPYQLLLGIQRSTPCYFTNDSRFTNWPGLHGEGNAVSGNFLAILAFAWAYILSARWLEMQQSDAAVHCVPHEGCIFYFAAAADWIYERA
EISPDELHINLGNVDDDAARWWAAILAPGEGWRAEITRNDTVYRSPWSICITATQLFSIRRSGHHETSYRGPFVPPGFKG

>RCO7_08708 | uncharacterized protein

MSVFYKDAQVVGDSDDKIYFFNLTTSTFIKREKPLGERNISRKTGKAIENLLFKERFRNEAAALQLLRRHTKIPVPGLRSWGEDSEGLLFLETDLVP
GVQLGMAGDKCRMPILHSLNEEKVDEKCDRCAHLAQKFFRRFVEEKLLPELRNLKSSTTGLDGLVIPPKWMILGAVDRATCETKTSDKEEYVMTHGD
LGPHNVLMDVETLEVISIIDWEYSGYFPPEFQKWGATRGEHFAHFKDEDLARKLAATIGL

>RCO7_08707 | uncharacterized protein

MLQSRRCHNGPGKVPTVVLSLTLNYRWQ

>RCO7_08706 | related to glucan 1,3-beta-glucosidase

MFSAASSTERLDATGVNSEKNYGVRKKPRALWLWTAGVVAVLAIAAIVVGALIGTNVIDLHSKSTATSADTAQDPGSSSTTSTSASGKSGSSTSTSL
TSSKTAPTPMVTPAPPVKCTKPGDIPTKAKGTWLDPTSWLDMTGFNCTFTDATVGGLPIVGLNSTWDNSKLANPNVPPLSQPWGSYKDKPFRGVSIG
GWLALEPFITPSLFEDDSTLKDEYRLSAKLGPQKAAAVLEKHYATFITEDDFKAIAAAGLDHVRIPFSYWAVKTYEGDPYVSRVSWRYLLRGIEWAR
KYGLRVKIDLHGVPGSQNGWNHSGHDGKVNWITGPDGALNAQRTLDIHDQLSKFFAQDRYKNIVAFYGLVNEPAMTIPMDDLIAWTQKAYKIVHDNG
VDAVQVFSESMRGLEPWAGKLTGFGDSLALDVHEYTIFDNALLQFSHTKRIEFACGGWVDQLKGGLNPSTGFGPTMVGEWSQADTDCAKYLNGVNNG
ARWVGKFMKGSPACPTQDGQCSCDMANAPSSTFSKEYKVFLQTWAEAQMSTFELSWGWFYWTWKTESTPLWDYQAGLKGGYMPAVAYQRSWNCSQPV

PNLGNLPEFY
>RCO7_08705 | probable cysteinyl-tRNA synthetase
MEQLKIHNSLKPGAPVPFISKEEGKVSWYACGPTVYDHSHLGHARNYVSTDIIRRIMRDYFGYEVKFVMNITDVDDKIILKARRQRLLELEKAKTYS
ESDLSKLAATAFRSYAEGNLPELLKDGELSPSNYTERRDAAYGKVLAGGSLTGEKPGDAEAKMKMHLANLTAASTAIRENKVFGGADEVLLPYLDSL
YKESIDGKDHTIFTDVTKYWEDQFMGDMDALNVLRPEVITRVTTYVPQIADFVEKIIQKGFAYETEGSVYFDIAAFEKAGNPYARLRPDSKNDKALQ
EEGEGSLSKNVGGKRGAGDFALWKKSKAGEPVWPSPWGDGRPGWHIECSVMAADILGSEMDIHSGGIDLAFPHHDNELAQSEAYFCEHGNGPHNWVR
YFMHMGHLSISGSKMSKSLKNFQTIRDALKDYTPRGMRVVFLMGRWNDGVEISTDMRTMAEVWESTVNNFFITVKSLIAEAGGPADALKSLSLNSTG
EGFAPNVEKAQSDMKSALSDSFDTPRAMRIISELVKDVNIHIGTHKSDIDIKGLEDAARWVTKMVGIFGLDSNASPPYNGLGWVNTAASNSSPKETV
APYAKVYQFVKAEVQRLSLHSETLDQLATADIDSEFTSLESTGNTDPEVLAMPYLRAVSRMRDELRKLAPTSSSKKEILVLSDQIRDNDLTNLGVYL
DDRTDGQSALIKFIPASELLLQKEEKASKERERLAQKEKAKLERERIEAEKAEKAKITPQEMFRGVEFKEKYSEWDADGVPAKTKDGEDVPKSAVKK
LRKEWERQKKVHEEWKAKQA
>RCO7_08704 | related to vacuolar aspartyl aminopeptidase Lap4
MVRNGTNSLRGSVSTLSLRPKAETDNERAGRERIAELEVQLAAAESKITRPVLNAPAVNQQTGHGRVVKTLNMNPPRLDSYGIPTPAFLPYTAGDAP
IGETMEEMIHRYRRSCEDSMQQMRQESNALEDTFQGKSRCKSLFEKFNESRQFPRASLISNGLKREGSTLKAPEAYCQPFCDFLSGNPTVFHAVDYF
ESKLEKAGFTKLSERKAWTEGLKVGGKYFTTRNGSSLIAFTVGGGYNSGNGVAMVAGHVDALTARLKPVSTKKTTAGYVQLGVSPYAGGLNTTWWDR
DLGIGGRVLVKDPDTGNIVTKLVKLGWPIAKIPTLAPHFGVGMLGTNNPETEAVPIIGLDDDHSSSTEEFKNQTLGGVGSFTATQPPKLVRAIAGEL
SIQDYSSIVNWELELYDIQPAQCGGLEKEFIFGGRIDDKICSWAAIEGLLATETTSDKDGLIKLVGVFDDEEIGSQLRQGAKSNFLPSVVERIAEAF
SKSGSSANILSQTYANSFLISADVTHAVNPNFLGRYLENHAPRLNVGMAIAADSNGHMTTDSVSTALLTRVAEKCGSKLQIFQIRNDSRSGGTVGPM
LSSAMGVRAIDAGIAQLSMHSIRATVGSKDPGLGVKLFKGYFDHFESVDTEFE
>RCO7_08703 | uncharacterized protein
MLWEYRYHHVQYMYGSFRRSGNSTSPFPSRSASAFPDPAPSNHEHESEYTPTSTSSCHYTTSYSIDQHPNTTNTHNLGHVHSSYSGGTLTAATQAST
QARFMKMMDVPGDSKSGSSSGILQGNVKLPGAQGSGSGSTSTGNTKRLLKADAAKPKPLPNLTGSRFQCPKCPKTFSRIENLTRHQANLHPDEDVGK
FPCVICKKRFTRSDLLNRHRRIHGPPGQADSKSHSQSLVTNDYVSSSPDQRAFGDLVHRDDRSSASRDGSSSLGTASPAIGYQHMPQQAYQQPIQTV
YQHILQPGPELHHQATTQGLTSLMEAALAPQDSIAFTPAENINPTLWDGFMRLGENANMYMGSYDADMSWTLDYLPSENSPSYLYDHDMLTGFEDFA
ENPYQYQSMQYEQQASAVDDTEDAEGEDEDTTDWPDKIEKPEAPLRFAPRVVPIQNRPFSWQVVVDEARSSGLSAATIRPMHSINDGLRDLLRDTLN
ADNIRNEFSRREILDSEFPPAEVLDYFLRLYVRYIQPRYPVLHLPTFDIYASPSLMLIAMMFLGSSHSSNDRGRFSRMFHEHLRIACMRKQELEKKW
LRNIDNILTYFLLCLAGTWSGSKHSYEFAEGGRGILVTACRRARLLDCRPISRVEIDLYQRPGRPQLEAVWLAWVETEKRKRLGLSIYIFDCQYPAL
FNNQPYVSKADTTNCVFSCSEDLWKAHNPEAWKMIVGPLGQPPLTYYLHALNSCLLRKWINPSPPIVQVGEFGKTVLMYALHTHIFEWRQSTSMLNP
TGLMGLGNSAHDMGNGLRERRKWLVDGLDSFAECYKAPSTSVAAQLLHHLGYVSLDVNLSDMHLVAGRSANQNDGKFAEENLKFWANSEIGHGTMRH
VWNMLALCHHCVESGSAADSSYEIAICLFTGGMVCWAFAKLRGGGRVDGMAQHVDQVRKASRALRGMGCWRMCSMFGRILQGFEKESGP
>RCO7_11752 | uncharacterized protein
MLVLVRYYTESDTSSTGILMNLGPSIYPSSYITFSTILVVASKSGNCDIVPRLTLLLLKNFYICLISLTLSFIKYTILSGLLPSSEAKDAELNRDSI
IATYKAINRIYYLAKSITLTTTATLADLSKELDIVVLVLDIPDLLEAPENLGEKAGKVEIVEEVEF
>RCO7_08702 | phosphoprotein phosphatase 3-alpha catalytic chain
MDEDQKDQLPAGLDPAHLDNAVRAMQTKKPAPTIDFTLHTMEDGTQVNTQERVCKDVQAPAMHPPTNEQFFSPQDPTKPNLAFLKQHFYREGRLTEE
QALYILEEGGKVLKQEPNLLEMDAPITVCGDVHGQYYDLMKLFEVGGDPAETRYLFLGDYVDRGYFSIECVLYLWSLKIWYPNSLWLLRGNHECRHL
TDYFTFKLECKHKYSEKIYEACMDSFCSLPLAAVMNKQFLCIHGGLSPELHTLDDLKSIDRFREPPTHGLMCDILWADPLEEFGQEKTSEYFIHNHV
RGCSYFFSYPAACNFLEKNNLLSVIRAHEAQDAGYRMYRKTRTTGFPSVMTIFSAPNYLDVYNNKAAVLKYENNVMNIRQFNCTPHPYWLPNFMDVF
TWSLPFVGEKITDMLIAILSTCSDDELKEDATPSTMSPGPVSPPINANLDPDSIEYKRRAIKNKILAIGRLSRVFQVLREESERVTELKTASGGRLP
AGTLMLGAEGIKNAISSFEDARKVDLQNERLPPSHEEVARQSEEGRAQALERAKDAADNDKGLQALSRRLSTDRKR
>RCO7_08701 | uncharacterized protein
MHDNRTHPLLAQVPLTVSPFVSLPAATTLPYTYKTLPSTLPPSSTGAPPLSGDEKTKYVMSSSGHAAHPDDIIASCKALSAYIQKLQDDADREMEAW
EEHRAARDLAEKRRVAPGWLDSEARILEPEKKAEGGEQEKGTGTGKGKGKKSVDLMDVDVSSAEASGLEKVEVVQKNGEGDELDRAFGGMRLQK
>RCO7_08700 | uncharacterized protein
MPPRLPRAAIAQSRSIRLASSPKRPQICLICSASRSSRLTKRPQLQHSRAQTRLSSSIPSPSTINSTSPIHSRGSRAELRDALLNIQRHAASYVNIS
RLQLALRGLEQTPGDETIRIAFLGLADGGVSLRKAKELLRLLLADPLKTEEEWERILLSAQEGGKPILLRIGEDGNGEQGNRLVQEIHVSSPTLNGH
KLEILVLEMDPPARDSGVDGFEEAVLVPTMEIPTSNTGRYTPVTTPVHKTLIVSEGILGAAAMFNFPKDIDRDVISTAVDIQTSDAFLPFQVVDSAL
AAEAIKLFRDRVDNALVYERDWFASGMSEVLGWIRAGTSPTDGQMKAPLRKLVESIVQSASAAIETEESRQKSLALSRTVPSADLIALRRSLEVWAE
TAHTELRDDLDIAFNGQRWRKLGWWKLFWRVDDVSHIASDILGRRFLTNAEKEIIYLAGAIAQAGVGKTFEVSPKNWAYKPTSEKVVEAKLSSEPPP
PTFRNAVGTPKDLISARIKPRPWPLQVPVTRAYLAQETVPALQALAQKLVFQTLSTSSFASAFAGLIYFSSITTTLYEAGGVAAFGIVWSLRRMQGK
WEAARTYWEGEVREEGRKAVRAVEGVVGKVLEEKKPAVVDDVQLEQAKTAIARAENALQATYRQSAPGDVYCNVRLLALLISLQTYTPTGKASFSFV
RSSKLLAGWFYNSMASPRSQGEVENRPATAILNDDATPDRTEADGEQEQEQEQEQEQEYENGKQEADGDIEDGEASEGEVDDEQTPSDPKPATGPPL
PNEDFPPLPSEPPPGARATEEDDGWAPVWEETAQAFYFYNRFTGATQWSNPRVPEVSVAQPGPPGVDNPLPAESTLDSAPPGLAIGGYNPALHGDYD
PTAWYAQPAALEPIPGQVADPAAQYAASAAFNRFTGRYQAADITPENFNDENKSKRQMNAFFDVDAAANSHDGRSLKAERSGKKITKTELKQFKEKR
KNKKEEKRRAWLRD
>RCO7_08699 | probable low-affinity methionine permease
MVGKMDFLMKGGAVPAASNTVNGTKDEETIAVAVDGQTEAYMTSPERRQLGITSAIFLVFNRMVGTGIFATPSEIVRLSGSVGLSLVMWVVGVGIAC
AGAAVYLEFGTGLPRNGGEKNYLEYVFRRPKFLATAMYASWVMLLGWAGANSVMFGEYILHAADVEVNRWNQRAIGMGCITTAFLIHGLALNWGVRL
QNALGIIKLAILVLIVISGFVALGGHVKLDQKPDNFTSAFQGTTASAYGIVTALYNVIWSLMGYNNANYALAETKNPVRTLKIALPAALGLVSILYI
LVNVAYFAAVPKEEIVTSGRILAASFFRNVVGRQAERALSVFVALSAFGNVLGVIFSNGRLVQEIGREGILPFSRFWSSNKPCNAPFVGLFEHWLVS
VIVMLGPPPGDAYNFILNLISYPMSIVNVFVSIALIHLYFNPFSIERDPPRWAPPFRATLPVAIFFLLANLFLVIAPYVPPDAGQEVYAHLPYYLHC
LVGVGIFVVGLVYWTFWARILPKIGKYDLVRENAIGHDGWTHNIFVKRPKVE
>RCO7_08698 | related to sexual differentiation process protein isp4
MPYFPEGLGRTEVIDDISSKNNTDIYSISDASEKNAFSLDEPIATTLGPEFDEKEAKKDDDKPMPDYKSEEIGEDLGPDDAAIQNLPWHVRRIVSLH

DDTTLPTITFRYFLLVLLFVPPGAFLQQMNMFRTTSAPYSIFFVQIAASYVGDWMGKTMPAWEVKVPFTRWKFNTNPGPFSVKEHVLVVIAAASGAT
YNLAWGPLSLSELYFKDKIHPAIWIAFMLAIVWTGYSYAAIARQFLVYDPTQPWFDALCQTALFETQTRQREFPSPVSRRQMKVFFCSLLAVAVWQI
LPEYAFPMLSSLAVLCWIAPNNAAANFVGAGLGGMGFLNLSLNWSNVGNLGAMGSLFLTPWYTQVVVFSAFVVNCWFLLPLAKWGRLGIWDHGLMSN
RLFMENGTKYPVLELITPQVTLNETAYAQYGPLYVGAQQLWGTFFDYASYTSVLVWMGLFGYPHLKTTFGKYLERRRHFKNGKRLTVNEQYSDQLNV
LMRSYEEVPPSWFLILFLVSFVIIVSIVGTGYLYIPLWTYFIALATGAVVVIPLGWLYSLSNFQLPIGTTNELLYGLMVNAIPGYKNPVGATVYGAI
AGNAWYRAQNLLQDQKLGHYMHVPPRAVFFSQIFGSFVGVPINYAVIRWVLDKKGDYLVAEKKDPTNQWTGQTLTLQLTVATQYVLIGPKRLFATQI
YRPLPYGFILGALVPLFLYLLHRRFPRAKFNLWNCTIFFCTLATFWGNISTGWLSGIIGGFVVMYWAYRHHYELWARYNYILAAAFDSGYNVNALVV
FLCLSVGKRVLMPHWWGNDERSVERCFALDG

>RCO7_08697 | probable ABC transporter

MSLIGSFGFPNDDKIAARQGVANSGQQTLQHEQPDDCSSRFDNEKGHNNTAGDSDGTTLTRIPTTDEIEEQSRRDQEVHNLARKFTQQSHQSIYNEN
PFESPEDSKLNPKSENFSPRAFAKSLLNLTARDPEKWKQRTAGFAFRDLSVYGFGSETDYQKSVGNAILEVVRAAKKLIGSEKSRKIDILQNLDGVV
HSGEMLVVLGPPGSGCSTFLKTVAGETNGFFVDNNSNINYQGITPAQMHKDFRGEAIYTAEVDVHFPMLTVGQTLEFAAQARAPRHIPGGISRQEFA
RYLRDVIMAVFGISHTINTRVGNDFLRGVSGGERKRVSIAEAALSGAPLQCWDNSTRGLDSANAIEFCKTLRSSTDLLGSTACVAIYQAPQSAFDIF
DKVLLLYEGRQIYFGRCTDARAYFENLGFDCPDRQTTADFLTSMTSSLERVARKGWESRVPRSADDFARVWKNSPERAALLNEVDGYNQQYQINGQH
LQDFKDSRRTQQSKHQRVTSPYTLSYAGQVALCLRRGFWRLKGDPSLTLTQLFGNFIMALIISSIFYNLPPTTDSFFSRSALVFFAILMNAFGSALE
ILTLYAQRPIVEKHSRYALYHPSCEAIASMLMDMPYKLLNSICFNTTLYFMSNLNRQAGNFFFFVLISFMLTLVMSMLFRTIASLSRTLSQAMAPSA
IMILALIIYTGFALPVPHMRGWARWLNYVDPLAYGFESLMINEFAGNTYRCLPTSFIPSGTGYENVAPLSQVCSALGAVPGSQVVDGAKYIADSFQY
YEKNKWRNFGILWVFTIGLCAIYILATEYITEKKSKGEVLLFRRGHKPAVLSKSKSSSDEEFGAGEATGVEKTSTNVDVSTILEKQTAVFHWEDVCY
DIKIKGEERRILDHVDGWVKPGTLTALMGVSGAGKTTLLDVLATRTTMGVITGSMFVDGRERDDSFQRKTGYVQQQDLHLSTSTVREALNFSALLRQ
PAKISRKEKLEYVNEVIRLLDMEEYADAVVGVPGEGLNVEQRKRLTIGVELAAKPELLLFLDEPTSGLDSQTSWAICDLMEKLTKNGQAVLCTIHQP
SAMLFQRFDRLLFLAKGGRTVYFGEVGEGSHILTKYFERISGISCPPSANPAEWMLEVIGAAPGSHTDIDWYDAWRSSPEYQEVHRELDRLKAELPQ
KTQPSTNSDDQASFREFAAPFALQQWEVQKRVFQQYWRTPSYIYSKISLCIAAALFIGFSFYNAGTSQQELQNQMFAVFMLFTIFGNLVQQIMPHFV
TQRALYEARERPSKTYSWKAFMISNIVVELPWNSLMAVLIFFCWYYPIGFYKNAIPTDAVTERGLLMFLLIWTFLLFTSTFTNMVIAAIETAEEGGN
LANLMFCLTLIFCGVLASPNVFPRFWIFMYRLSPFTYLVDAMLSVGLADTNVVCSSTELRSFVAPAGQTCGEYMNAWISTQGKGGYLQDANAIGNCS
YCALDSTNQFLNLLGSSYDHRWRNFGFMWIYIVFNACAALALYWLFRVPKKAKKAKKE

>RCO7_08696 | uncharacterized protein

MVAVFTFIIIFTSALVALRLASKIIVKKKLSPEDYIVCLAQCLSIVSNTFAIRMSILGFGKHLYSQKAGAMKAIFFRFYIGENIYVAVLGLVKISIL
VFYLRVFQLQTSFRIAVWMTIVFVALGTSFISFLTIFQCAPIAFFWDLDLKGKCLNINALAYANSGLSIVQDLVIVLLPIRVVWQLNMEGRKKLSVA
FMFALGGFGCIVSMIRLQSLLVFGKTVDPSWDYVAVTIWTVLELAVAIICSCLPALRTLIIHIYPRFATSLSTSSSLSNHTINYRSKVLPKYALDIR
RQSSTGHHLMGDVHIECGRLDIKWDSATQAVEDCTTPISRRGSWF

>RCO7_08695 | uncharacterized protein

MQFNLITALLFTMAAGVMAAPAEPAGDALVARGGKQCSALEIKQCGADKCSCKDEGFGYVCSCD

>RCO7_08694 | uncharacterized protein

MQEPTSDPSPADGPKSQFTHRDLTRLGKYSQHFPLRVIALVDYDAFYAQCQTVRLKLPASQPLAVQQWHAIIALNYPARGHGFSRGASVEEVKKLCP
NIVLQHVATWREGESSWAYREDASDPEKMKKDKAALDPYRIESRRSLNVITNHLPPAPLQRIEKLASQEDPEKCLPLPSQDHRHKMLSTGRQIIFWH
FPMKTKKLGSLAGTTSR

>RCO7_08693 | probable SFA1 Long-chain alcohol dehydrogenase EC:1.2.1.1

MPEINVARLVELGKPLVIGKAEKPVTGLKDVLVKVEACCLVPNSKNLVSSEHDGFALPKLPCVFGLDAAGVVEGVGDRVMGIKPGDRVYVDPLLTCG
TCHHCRRGRKDLCSNSCLRAYFAQSPGGEKLLTHYPLGALSEYLLSPDVNVALLPPSIDFATASRFGYIGTSYGGLKKAEMGPGKVLLINGVTGTLG
YAAVAIALGFGCTKILGIGRNKERLAELEKLSPTGRVQTVSSEDGKDIAAWLEEQTNGLGPDALYDCLGNGGNANLTSEWIGTVKRGGRAILAAGGA
EGEIAQGYLETMSRDIAVLGTFWFTSGEVDELIALIDAGVIDLSFLRHEFFPLAKANDAIKMVGDRPGGAVNVVVEPSK

>RCO7_08692 | uncharacterized protein

MLSKSILGMAVLARFAAAQEASVHGAGALGTVMGPVAFLWPADRAWDGAHDNTGPCGSNAAIINRTLFPIGSMGSIETTIAADASKMAIRIAYGNNP
TSQTEFQDTQGNVTELEPGHQCYPIKTNAEKVTPGSNATIQIEYQGNDSGAQETFFACADISATFDAKNAVCFNVSESEFVPAGTKPATTPVSSGTA
ASSPPTVPVAEKSDSGLSVGAKAGIAVGAILGAALIAGLALFALSRKRSVPKDAEAQPPMGKVVSRAASIGSALTAH

>RCO7_08691 | uncharacterized protein

MIGMRSFAALVAVLRVVYGSGLPAPEDDWHLTLLKRQAPGTPQYACHFACGTAITLSRGASPCTNDAFLTDYADCLACAGPADMNIWKYYGGTLTTV
GTTCGLSTTPGAGPPKVSDSSSTIAPSPTNSTSSEIPSLTAYPTASLPGPSRNTTIATTHTPSSPAKTTTSPGSPTTTSAPVTGGAKSANGHVAGAL
AIGAGILFAIVL

>RCO7_08690 | uncharacterized protein

MNVEVWGPSPTISSITTRSSDADFLAGDIDLRRWESPEWKAPPVSFKCTDDVLSLEQERKNPRSTKSFNVSVNKRIRNIKWCNGWHLGAVYCCVFVA
ASLFLNLTVTIWASKKFGLSAGIGTIHRDACPVIKKIGLWVHIAINILSTILLGASNYCMQCLCSPTRKEVDKAHACNTWLDIGIQSFRNLRKVRRS
RAILWLLLAVSSIPLHLMFNSAIFVSLTANEYIVAAVTEDFVNGANWTLDGSNDFHHLAVSQMQHNISSYDRLEPEDCIRAYGVDYVSSRRHTLVIV
SGQNPDPLLGILDWLYDDSQNSWVCGTTQGLNNTLQTIPIDDFDCSIKIALYENEAFLMADRKVEYCLSQKVEDQCRLQFAVPIMIAVLTCNFVKLL
CMVVTIWICREPTLVTLGDALSSFLEIPDQNTAGMCIATKKDFEHGWPDAEPKQWHVKKHFRYEAVGFYRWIGSNIMCAIALVALCLALKYAIHYTT
TASDVKTLWGLGFGTITSSSLIRWSTPIRGSSGLMKNTLLANSPQLILSLLYIIYNRMYTCISFSTEWHDLAHRQIPLRVTSPRGSQRSTYFLSLPY
RYLVPISLVSITTHWILSESLFLVSIDVYDEHGIRDCSQSILTCGFSCIALILLVGIGWLVLIVGLGMGLRRYDGGMPLAGSCSAALSASCHALEDE
WEIALVPLKWGVVNSHQGLGHCALSGRYVSTQAISRWYR

>RCO7_08689 | related to phospholipase D

MSFFGSAKNAFDSFSSHVKDEIDKIQGDGQSSAQTQSNTSNTSNVGQSQSAGGNRFDSFAPPRAGNEAKWYVDGCGYMWAVSVAIEEARESIWILDW
WLSGELYLRRPPTENENYRVDRMLLAAAERGVKVNVIIYKEVSQILTLCSDHTKKALQLHPNIAVFRHPDHTPSGPVIQSELLASIQNFSLKSLQLA
DIPADAFKALYGVNKDVVLYWAHHEKLCLVDGDIAFMGGLDLCFGRWDTNSHPLADAHPTNINKALFPGQDFNNARVFDFEDVTNWEKNKLDRTKNS
RMGWSDISICLRGPVVQDLKAHFVQRWDFIYEEKYRVRKDPRFESLRFDANGVPGGYYRENGSNSISVSAPRSLQIEGISDSVERGFGQQGGQHEHR
FHLPGGHGSIFDRLRGTDVDNTGRSYSDTVSSGISIQLVRSCTQWSNGVAKEHSIANAYIDIIRNSEHFVYIENQFFITATGDKQRPVKNQIGAAIV

ERIVRAYREGQRYKVIVCMPAVPAFAGDLHADDSLGTRAIMEYQYHSICRGGHSIMEEIEKAGVPDSKQYIRFYNLRNYDRINAGSAMARVYDASGI
EYEDARREHDDIVGAGYNGRGEGTGAYYGRSNPAYEQYQEAGALVNDDSKYDSVAACSMDYGPSIKDIPWSGSEEAEFNAYVSEELYIHSKVLIADD
KIVICGSANLNDRSQLGDHDSEIAVVIQDPTPVDSEMNHAPYQASRFASSLRRQLFRKHLGLLPHQDPTRPDENFLPISHAPNTYDWGSPADILVRD
VLSDEFNELWTRTAAVNTEIFTRAFHVVPADNVRNWEDYKEFFSKHFMSPSKEEDKVKLPSRYEYGHVVKEEFPGGVAELKDNLNRVRGSLVEMPLL
FMDGVDFAKEGLTLNALTDEVYT

>RCO7_08688 | related to Putative rhamnogalacturonase

MKSFCSVLLAALSLPTAVWAAWGYVDNGSSYVIDTGSLLVFAVSKSNGDITSMKYRGRETNGYQGKNSHVESGLGASVVTIKQYSTPANIIQVTVTY
RSLVQTYIARYGNNNIYMLTNKGDASVAASRYIVRLVPGLLPKAITESDYYDPSTRNVEASDVTVSSATGYTKSKHYQGSNYGRTIDYDYVGKASST
LGIWLVRSNREKASGGPFFRSLVRGCSNIAEDLYEILFYSMGHTDPQRWGLQGPYVLSFTDGGPPNSALFSRNVDWSWMDTLGIKGWVPTAGRGTVA
GVGIKNMKAGYTYVAALSNTNAQYWATASQGTGSFNIQKILPGTYKLTVYKDEIEVYTSTVAVTAGGRVALNSIQPNDPSDTPAIWRIGEWDGSPKG
FANFDKTPMLPTYMHPSDKRMGTWTPANYIVGTSSSGSLPGYMWKDVNNGHLIYFRLSAAQTAAAHTVRIGITEAFIGGRPSITINKWSSKIPAATD
QASTRSLTVGTYRGNNVMLTYDVPASAFNAAGQFNIMSINVVSGSTGTGFLSPGISLDAIDFI

>RCO7_08687 | uncharacterized protein

MPSASPPLLRVAIIGGGPGGLGSAIALSALPNVEVTVYEQAKELREIGAGIQIGFNCWKVLELLGAADRVNGHSTTEVIHLNGVTGDVLKTTGSQKP
LEKYQPQRVRRTRLQAALKSTVPEGILKLNKRLSSLENLDVGVKIKFDDRSETIADLVIGADGIRSVVREHLFPRTTIFRALIPASSVSHIPGIHGI
NTWWHGHAGHFYGCPVDDPAEIAEEDRNFEIAARSVIDPAKAIGKRFSWGVPATKERVESFFTDYYPSVRETLSKVPEGQWKEFSAFAGPRLEKLTG
WDGKIVLIGDASHPLSGAFGSGAAFALQDGWVLAKAIEHTRLDGGLSAALKIFDSIRSPYYLRMYEHLDEQKQRIQSLKTENPSQSLNDSLKARVAS
FGGVGLSWIHGSDIEEVWKNYLRNQEA

>RCO7_08686 | uncharacterized protein

MKSNIPVAITIALLSSLAFAATLPAPAVCIPGTETISTKAFDGKDLIESRCQMVETYLTSRNTAVEASKKLKARNRNLCGAPCTIYCNSGNGGPNPN
DCSSLASSVQNDGGLNLAAGWTYYYNWGSCQAYIVNTSSESQYECMDQVSFGGVVNYLAWNCQGNSNGGSYLGGSCHWYDKPASDGSKSKLLREKHD
STDCTSGDSLPMFPVSKYTFSCFKLYREAKREAEAEDIQVKSPIYLAVNGVDWLQGPHIYSIYADQKVFGEGRVAAFLMTGVLSAAVAAAVARKLAD
NYGRRLAYITLHVTYSISFLFILTDDIGILFIGRILGGTATTLLCTVFESWMVAEFIKVFPAEPETTARIIKDENYGQRSMELSPVHDVEKSSAPKL
PRNSLRALLQGNLYDLRDFKDPATC

>RCO7_08685 | uncharacterized protein

MAPDIVEPGAIQPEDIEIVKTKGPLLSFLEIATKHGTDKVSPHHYNHMYEKYLDPVRDRPLKMLEIALGCNMAYGPGKSYYTWLEFLPRVDLYYIEY
DGACVEKWSKDMTNVKVFTGDQADARFLETFISASGGGFDIIIDDGGHFMNQQLTSLNKLFPIVKPGGIYFIEDLATSYQEGYGATEGKPTMIGMVK
ELLDDLNRNVGGPGLKDGNNVGKEMSSIECGEEICAFFKKDLGITEIRS

>RCO7_08684 | uncharacterized protein

MPSINSVFTFALFAPLILAAPLSGPTLNERAGTAVTGGNNGGATTGGATGGAKGANGGGNAAKGANGATNGAATGGATGGATGGATGGATGAATGGA
GGACSANVNKLVAGINANIALQKQEQSQLAVVQKIVDGGNTDPQAFGTAKNKFINIVNSGITQRQNNQALAGNNSPAAAGLATVANAQAAELKAVSG
LTGDKATDDATFASLAPMFSGGIGQNQKNAKAAANGCTATGGTGATGGAAAGGNGATGGNGGAGGKGGANGANAASAGGNGAKKAASAASNASDASD
ASDSSDASDSSDASDSSDASDASKASKGNGAKKNNGANGANAATGAGGAGKKSQ

>RCO7_08683 | probable sorbitol utilization protein SOU2

MDGAITATGSFAQNNTTAPVSDRVLPLFSLKGRTAIVSGAGAGIGLAVAHALAEAGANVAIWYNSNKKAIAEAESIEKTYGVKAKAYQVDVTSYEAV
TAAIESAIREFNGRLDIFIANSGIPWTQGAAIEGELEHYRKVVTTDLDGTFYCARVAAIHWRRQKKEQTTIDGKPLEVPFREGSFVATASMSGHIVN
IPQLQATYNAAKAGIIHLCKSLAVEWVGFARSNTISPGYIATEISDFVPKETKKIWREKIPMGREGEASELKGAFLYLASDAASYTTGTDIIVDGGY
CLP

>RCO7_08682 | uncharacterized protein

MLTMGGSAMAEARTVRRDLSTEYPIGATTLPLGVILGIAIGGALLLFTILVTIGIVHVKRKHRRQQNETEEATEDGNVDIDLKTALRSTRPPNVSIV
QRSSFNPFLPLSEQQLRDEWDRYDALQKAYLERSKSPGGFYRNSSLSLRDSWPLMSNNSEGHSPEQTKVVLSPVAPPGYVVPDPRWPTRGSSLMKRK
NSQDRSKSASPTKDPYPMDIMPYRKIHRRSTSENQLSTILRSTSQRLKATQRQSMNRTLTTLGRSPGLPPTERLPTPPMRKTPGNRETLVDEENVGS
VGSSIGSIFDIYAQTPSPKKKHLRKFSKQSPVGLLSPPESVDSPDSLCISKSPDVVLPAPLTSRSRSPSRSARNVLTNQPGSDARDNPPQIYEDLDL
TFFARDPEESKEDIKILSSPHCASLSGDPFYSSVKSSKPMTPSPRSQVSRPMHSRKATFGQEATPDRPASFYSPLRTVSGNVQSPSKRELPELPTTT
EPNPFQWQPSEANQTRATPSNPKTMSNRRKGHKRSNVIRMSGFSRPTSTVEIVPEEAAEASTVEFNVPRHSPSLRAEVPQEFSPTRLLSSRKTTQRP
PSTATFNPNLIIPAISSWSEDDSPTLGADTPRETGYSPTLSICNYYAVKDFNPEEDFLKPGISRSFQPSPSVIKSRRHGRNYSADIAFFPTPQFQQF
LQERLLSFPPRPTEASPANVAPTAILTSTPTSQALSNTTSTMSGFHSSAATPALPILTVPSHLTGPRSEPPKHTTATLSPPPCTESMLSTISMLRRM
NSQVSTLSSTSHANMDSSTQLAESSRSPAPKDISRGLDVNIIEENDKEFDPLNQEIDASPEERGRSRGSQHYLSLGQVSPSKSALYRAREKSTVRNS
KNTRPRPERIDSHRIHKERKKRRTEEMNGGGMIDELEIVQESPGSSPPTGANKVLVVGNGSGNGNGSIGNNGLKFPTLSSEGSVGATPPRDGARLSA
LRLVTPDSQDTSLLNTNTNTNLKTTTTSSNSIFLQTITSDDPHFLASPKDTLTLTTNILNSKTDNSKTNSSTPPRWSDAMTKATMTSTRHESKMEHP
SPLTPPKWTPSSNGAATSGLGVAGVRLLDKDGLVDRGCRLSLGFYDQDGFLKASPERERLLAERMKEERRREGNVRGGREERFSAFVM

>RCO7_08681 | uncharacterized protein

MDNDFPRGLEFVPMLWSDGEDNTRDWFGDIENALSRSTGHILAFNGPNACDGGQACMSSQHAVDAYRKYIMPFVGRAALGAPAVTNGPGGLDWLR

>RCO7_08680 | related to SYG1 protein

MKFAKELEQDLVSEWSIKYLDYKAGKKHVKAVARAQTRMNATPRTPAQPNLGPRTSSLYGAISPVVSRSRPSPAVERYDGTNKTSTEAQQSAPAILE
ADSGAPSDSSDEGPLAHTKKTPPMPIPARNDGSADDGNYGSFILTPPARPRPNFELPDPALEPPQSPRDTSALRGILNRSPSGRAASVTVPENAYEV
GRTLSPSHRNTLANLKNRMPRSGSVRPFMRRVFSVGGAPLSPAQSRKLDVDMMAIDQVNKKQKDFFKFMDKELEKVETFYRAKEDEAGARLKVLREQ
LHEMRNRRLEELAAAQHAKEYHRRQDNRIFDFQGGRSNGQSKKDDDYRPNSRDRLTAWLDPFEKAYGTAKAAVISPRIGGNSKALQNMARSPNLRAR
AQADQNRQMDEGRDYVRRPHYHDDVPYRSAKRKLKLALQEFYRGMELLKSYALLNRTAFRKINKKYDKAVDAHPPLRYMSEKVNKAWFVNSDVLDSH
IHAVEDLYARYFERGNHKIAVGKLRSSSGKRRDQSASAFRNGVLIGIGAVFSIQGTIYGSDLLQDPDPVIRVQTSYLLQIYGGYFLALYLFSWFCLD
CSIWTRNKINYQFVFEFDTRHNLDWRQLSEFPSFLILVWGLFVWLNFSRYGAPEMFIYYPVILIFATVALIFFPGPYIFHRSRRWFVYSHWRLLLAG
IYPVEFRDFFLGDMYCSLTYFMSNIELFFCLYANYWNNPAQCNSTHSRLLGFFSALPGVWRALQCLRRYYDTRNVFPHLVNCGKYAMTIIYYITLSI
YRIDHGKGHLEVFVTFATINAIYCSIWDLLMDWSLLQPHASKRFLREVRGYKNPYYYYAAMIIDPIFRFNWIFYAIYTHNLQHSTIVSFLVAFSEVT
RRGVWVLFRVENEHCSNVARNKASRDVPLPYALSDSEEDPVQPEESTTNQAPSIQGHRSRTLSRRRSRPGTAPSALEEAEIGGSSLSGRPTMARSFT

RIVADAHTQDFEKKRKPGAGDGDNLVNRQRDGDEEDDGGREGEYGSSEDDDEDDAQDIVDAEALLRSRRKSEGGAGPP
>RCO7_08679 | uncharacterized protein
MPPRYSSPSGSSSSDSTISNSSTILIFVDDDPKALADLKVDLDLDEKPMLDDMDEDVLPPPFPGFDRRDEKGKGVDKGNGGGVKIVLNTHPRRQQFV
SPTPSPPNMPSLHRQSPITNRFLLTSPSHRRLPTRQNLKSKSKSPSNSRLFPLPPPKYNNLHPILCCDLARPRYKPNPSSSNIDSLTHLINLITTPL
ISHFLDFGKETGYGREFGTTSTLGSGRGSGEQKFVVVLQRVHYVKDERHYVSEKCRWFVPVMSGDNTTTSMKINRDAIMDSEEDCDTDTDTDMEMNA
IHSKRIATQRTIKAMAKPMEEEKTSHVRENTEGLLPVSHSINAHLAAMEEKLTGKLMELEEGLDEEVDGLSRLQRALMPKFARTDLDQADEGEEWQD
GQLGFKEWFPSGEREMVKGEGEGDAVDVLNDYLPVEGRAGKMEVRCWECERDWVLTIREKVMML
>RCO7_08678 | uncharacterized protein
MLRICYYITGHGFGHATRSSQVISALLSASPTTHVTIIATAPKHLFPDSPRLTLIPYEVDSEIVQPQPYTIDPEASLSRLATFLAKAETPEWQSKMD
KILDDTNCNLVVSDASYGVAWKGAKERGIKRILASNFSFDAIFEKLLTLLSEQTTRTEREEKEELINKVTKMYAEFDHVIRFPGHIPLPFVNRYWSA
EQQKTKISDAPLVYRPSRTSREEVLKGLEVPEEMMGCKVLLVQFGGLVLQKTGATSIPNLPEGWICLFSEAVDDKRFFRFPKDVYAPDLVSAADMVL
GKIGYGTVSECVGMNTALVYVSRPQFEEEHGLVSYMQKMGICREIPVAAFESGEWVSAIELLHKYRESRTSSDIEEGSSQVAKMIEELASGP
>RCO7_08677 | uncharacterized protein
MNSESSSAGGLLFRPEANTNKQAKNAKNDPPSHPRQYTACQACKKSKVKCDFTQKNPCTKCEKTGRDCIPFQPGNQIPAPTKPNANQLASGPNLGSF
ALPASRAFAPQKQFSSGLTLGQFALPNPQPSFTPYQPPPPPKMSGAPRRTPAEQAIFDDRNRFDNSDSSDDERPAPSEHSIELSLRGDRAAEEMRVE
LSSVVLPDSTGGPDAPVIPSTSTLLTDVQLAAQGAPGGSKKKRRRPKKKTSKAAGTTDEPSAPTPSSSVPSTSASSFQAVTIEDEDEDITTPAPTPP
HDSELDIEKHYQDQPFLLCCPYISITSPLHNTSEEDLLSLSQRIAGMIPDHLIIGPKNAYGVVWCDFPIIFGLAYIHKPTKTRGINWYGTTSWLSGE
INEILVQGPAVETCRAAPSIEKECLIRQPACVDFACSQHLDHTFSLYEVQWQAQGEGRRREAIRKICKATGEDFASFLRADRIEKQHMHL
>RCO7_08676 | related to ion channel
MSRPRIRLEDSEDSGLLQHAGEEVMERGKKMWTGFTDWALQDNILEVAVGLIIAAAFTSVVTSFVSDILLPPLSLLPFINRNLDEKFAILRRGPGYN
QTDGIGYNTLQQAAEDGAVVLAYGAFFNKMLNLFGVGMALYIIATIYDSMSTESIIKTTVKCRYCKKRISGKAQRCINCTSWQDGREDKIGDRNGDR
MGDAM
>RCO7_08675 | related to ankyrin repeat-containing YAR1
MAPTLSEDEIDDLLYFARVGEKGDFDSLKEELCRREKVDIGELVKSARDTESGNGVLHMAAANGHHTILLELCKALSGSSPQNPNMLSILNAQNAAG
NTALHWAALNGHLEAVKVLLDEGSDPTITNQKGHDAVYEAELNDKKEVVEWVLKEGGEGLEAGLAGGAGEGSADAEEEVSDGNGEGSSEAVDERGLA
VGLKELVMKDEEGNK
>RCO7_08674 | uncharacterized protein
MAPQPIGSNAQKQRLTTALKNICRDYPAGGTVIRELLQNADDAAGAIQGPALLSFNNAVFKDKDFMSLSQLGDSLKLNDGATTGRFGRGFNSVYNWT
DSPSIISRERLLILDPHQDWSDGGPMYDRPLDGTVIRIPLRNASQTLKNDISTLLTTPTEIQEVLRNFSAEFGTYGLLYMRNVTKLAIESAEMSLTI
KMIADGDIQTHKATIIDAVNRALNDPKYDFHYNFQAGIRYTHDGISTTTSFMIQHSILNTLGISLRPWSQEQQYIPWVAIAAQLPSSQMNSTQCSLF
TVLPLPVRTTQPVHIHALFSLTPDRANLHRMHDQSAQNQDPAKWNEWLLREGASVAWVKLLSALAQLYPLQSAFDQWPRAVDNNRDPLSGAVDRIVA
IIQQDHLALWPTEIGYVRAETGFLALGSESPGLKEALRDANVPVTYVPIQLWDHAKKLFGPRLLSSANVCAYLNSKPAVVRGLRDRVKIALLEFLVS
APAVIDYGRLELFPFEDGEFRSLDGVNAFVHRDSAEKDLFSRQPELNLALGRLPEQTQRIFVDGCESRTLHPSIRFRSVDSFRDYCSRTFFAGFDKA
LEAHALDTDGAGFVTSAWSWILDRKISIKDENLSALWLLPMSDGQYRQLRYKQIVIYVAPPGLSGDIMRRMDAEFLASSRPLLLTGKASLGRRSSAV
VTTLLQAKCIGVFDALNLLVLIEQMNIQDLTAVKACIRGLPIFKKLTWVSKGLKMNPLHAWTTLNRCKRSIGILDQNTKFPGIHDLQFLVATSGSHQ
QRILDAWKLADCVQPADVIQDYIIPAWQNGLSDNWGDSCKENIAAYMLGMFSSLDRDSQAALRILPIIPVMRLNGDATSSFACASDLIDSDVTELAA
LCFEDEEVVPGDNFLRNFNIALKDCGMKTSIDEAVVRHRIKCYASGNYPLVDVQVRAKLLLRSSCKWQSVKEADDSGLRCLAWLPVTQAGFASLKDA
SQCRGFRDRSLVGSQLPILTTSISEEWESRLGWNATIATSILMAQLQHGISQNSRMVVDAVLSYIDAHRLLDELAPELNILRCVAVSSGLFVEPAHA
FCPSQNLRRGCYLLEPYLANVDSSVWRYNEKLLRNFGAKEKLEDRDIGVAVELLNFAAKFSRNSLLGLKILGASGRFHNIEDICYNDSAALHSRHNS
NLTQPKIPLATILGLNIDFLSAQRVKGILEIEDEDEEEFDQQENPITRISDTLDRYPVETTFREYLANADDSRGALEISWLLDDRRHPCAELISPEM
EVLQGPSLLCFNNGTFTEKDFNGLKNVGEGSKMLNKRSIGQFGRGSQTMFHFTDYPMILSGEYLLILDPQQEVLPMNAKKGKRKPGVKLKLAKVREA
CPDQLTPFDGLFGYTIDQDRFPGTIFRFPLVTPSSQGNLRISKRELNSAEVHKLMDAYFDEARISLLFLRRINTI
>RCO7_08673 | uncharacterized protein
MADGSLGTLMVAEPRLTDYYVATADEVELFKFAAWKLIKAATGSKLEAVIAMGTFNVLPLKTCHFEHLLKLRLSVSTFSPEAETWLTTFWKEWNARS
VGVQNDEVMKFTSHLYRATRNGVVHYLVPQEFDRLPVVVSSSVLVHRQLCEAIPGIYHVSPEFLPKYLAVNEINLFCEMSFCRFMRTLGNLGVQGSV
GSNIDDSRRQTLRILVIYHVTRNILRLESQFPGLKVQIQNLPIWPGFTTASTLPLICARGAYIADDSSMLVSWIPQSGFFIDPKFLIDVGYPNSALC
LGRLGACKLSADALLQLHILPLPQDVGKACLEEYNALVDTLAKTPLASYDTLKTNLIAIVGNMKLRLVSQLFDHDNPIFKAAFVLENSTRFVHLDLR
IHREFWLRCGLHTDVLNMVDSARYLECIQIMAFRAKNSRAQDHTYYRDMKVVLEPLTELNHRLNRLSPTVWATIGDVKVFQSRTVFNDEYGHQREIM
AGVAKEKPMQSLSELISRAYIPICWSQVPFAIHEPSSHVFNQMSKKGKPHVSLVWKHLQTLKFISLQLKPYHVKDSLGDLRKTYQHLQDHLEESTGT
FILNDNEVWLNMSEWNHLTVLMEDLRSSWQSLDKLVLSSSVDSGSVQAVRPGLMVFEKLLRRLGCKAIMYPTMEKLPEVEGFSLVAALRQLRKDRKL
LDVTYSSEGRTIEAHTVVLASISKYCRIHYANWTRPPVISFDRTVDKDFFLTFRTLEILIDYAYEEPIDWKKMLVLETDDHFEIAHKRDMLLNICKG
ADYWGIPSLLALAEHQLLHAGKQMINLDNVYEVKRIAEDSRASLFLKLCQDFIDGNLDAVVRAHSQRSG
>RCO7_08672 | uncharacterized protein
MATQTQTQQATAASPYDDEQDQQVVAQRSQAAATAQAVQQPQYGAASRQAMLPPRGEGYRPAAIRESRIRDRPYKPVGDSSLSIKIELDLEVEVDLY
ARVKGDVTIGLM
>RCO7_08671 | uncharacterized protein
MASDTLDLRELYNEGEREAFFRDLAPKSPDSDINDFKNGLGYTMQNMELLEELITTSFERSGLSEFDSLSDPVALIRLNTAILEPVEWLKEHSPQVP
DWFTTRWCENIIERLWKKRLVDLAEKRAKIREGKKPQTARSVASTKTLPDEDIPLRTSSRQGLASLGYMTLQMTVLDSKRDANTDRIYLFPIHRCLL
PKRPAIEFASYSYTIFITEMEKAVNHGSTTEFINLRSGTVGYFNQDNFFKSIVRSQSFEVALESLYNGRGECNTLEFFFRKESTAERNLRIDATMSG
SASPISPFQASFSERDPNKVLGRSSRLRSPPPAPTPTGPLPPLPTGPSARQLAGMNSRRLQQEQKNKLVSDAAAAAQAKADAITVIDRDPTSSTPNV
IKLTYTGKKTRASLAGSTVSDTNKPLPQVPGGKPRFSDRALAVLHDPLHATPRRAPNAEQPQKPNTFLSRPSTGAPAIKALKVSSSTPEAIARKPFL
TKGGGLSRPTGASPAGSKAQKPKPPRIHAPPPVSRQAQRAWGIGNKSNATPSRLPVKGQSSRTPNSLLRPRIVDIKRGGTSRTGPKVPAEIGGVKAK
INRLITPGPILRDRAAKKHAEAVIRNKERFERSSSWATPKDPDSLTDPEDNRSPPRIQPKQPKKPTILGVAYDMTKKRMSTLLSPKRPDSQDTNGDV
QEIIDQTPEPGEAPTPPGTGDAETPKKSSFNLMRITSALRDTQIVIDPATKKTLGLVKISTPRIISMMDRFENQDRRYPKLYTEYHRRTYNRGGDEY

VEAQSNSDREKDDITGEEEEIDKGESDDEDEPKKPGEYMVEQFQKMQNMPELTQMYDHGGTSTPLGSGPWEACCELFQIDPLNTSVDARVTIAGIKT
PLYQYQAFGVYWQMRNSRIIGGGFVADEMGLGKTLSFLAYIVAERQLAFLWDEVWASQVKGSSKEGTHLQPGEAIPGATCPGKDKYGPGWIACPCAS
SITASLDAKPGVRLAIVPPSLVPTWVEQWDTHVDVTDKFLHMSLVIAHDGSIPPNLDGKVDIRDGRHPAVKRRVMANKSSYSSKYAQEKTHFYPDSA
SSGQERVLVITTQDHYKKTWATKFEYMAKQLPEDQDDSKYLFMGKSPGIVYGIAMIDECHEDWQKNKGRSALVASLPKAGRPFVWGYSGTPLTTTPR
SIEGVLWAIESLWPKHDRADKTMTGLEQEQESDLWKFCWKKLNILCREFENEVKKGTDDQIIFQDFYLRFKPFLTALMLRRTTDTPWFGQPLIKLKP
HIHQDVTLSHNPEFDPKIDQFRWLIDEEIANKMTALRNTWDEATIKPTANIPEKFSFNTEMRLRYKQRLFTTFPYLAVLGAAHHPDHLDLSVEELKK
FRGVDWNRNPYYKHLRMITEKSPKTMWLYSFISELDKTKDVNGEEQKIVILTEFNQVAFILKLWIEKFIKNKSGRVGIIFAGQKPRDRKAIIEAFTD
VKDQHKQRKQKANYQFLVGTTRIIGSGLQLTRSCNVVLMEPDYEFHRELQGYARVHRIGQKNPISYSYRLIDALDELEQGLVKRQKARGELPGRLER
SDDSDEEVRGAEEMEQLKHPYADAKEIFGRYEEEALERLDSGARAILDQFPEPGVGGKRVVSEAPAVSKEEEIPKEDLYRVR

>RCO7_08670 | related to UBA domain-containing protein 7

MDDLSGLAWSASSNTKPNKAPQGTGNYYPSLRPTPPPQFSGRNTPLSAQGSGSFKAPPKPFAAPKSSTPDSFSNLVSFGSSKTNTLTLQQQQEKLQA
EKRKAEEEKRRQYDAQFGAGQAWDRLGAGTPPIASTSRSTTPALQPLPSSFARASSPAAESIQSIGSGGDDDLFAAFNADAPVDKSSYYPPPSIPNS
GRSTPAFVAKNQLDLTQPNAWGQPGVLGDDDDPFGLGIKPMNVPAPVPTLEEDDDFLGDLGKPVEEVRRTNPPKSITPEPEPESESEDPWDKAVAEL
VDMGFSAEQSRRALTESGSGLDIQAAVGWILNDAHRQAKQKQHGGRDQNGFSSRDRREPSQDTGRREESPWSREENRDASRSRRQDNRSPNGDGDIT
KAAAAMGNNLFKTANSLWKTSHKKVVKAMHEFQQEADPSQPKWMREAAEREQAERRAAAEGRGRKPQPIPDVTDEALMLEGGGRPPRQSKAPEPRVQ
SSSNNSRDQSPAMPRPPPERTVPRWQQSAPVSDPRSRITKQAIEEQSAQAYVSPSRRKKTTPQPPPEPEVDIFSTHLPSKQSQPAQQARTSQRLPHV
PSKPSTPIPTRPKAPTRQIPSLSPTALANSNQHRLAGTAHFKRGDYASAHQSYTSSLSVLPQSHPITIILLCNRALTSLKTGVPKSAVEDSDTALAL
IGLSRGDGEIVDLGPGEGNGQKDMKEFYGKALMRKAEALEQMERWKDAGEVWKMCVEHGVGAATAIQGRTRCEKALTPKPPPSRTATSKPAPKPMSR
PSALSNGGDSAAVKRLREANANAEKADDEKFALSDQVEARINTWKGGKEDNLRALIGSLENVMWEGSGWKKIGLHELVLNNKVKIHYMKAIGKTHPD
KLPQNATTEVKMIAALIFAALNESWDSFKKQNGM

>RCO7_08669 | uncharacterized protein

MDTTFRDRLIKRVPLFLQDPSIWVPLIVGFYVLILGLCLTGALKRQKVSIRELRREQKNNQCSLPSSSNSDDGSPVNPANVSQGKKRTGKKRGDI

>RCO7_08668 | uncharacterized protein

MTPPQPSLHPPMVLPSLPKATDLKLAAKPVSDSLSFTVAGPRDAPVILFVVPVLGLVSWYVMRVRSQKREKNEKSERSFESIGRQWTKQKMRAD

>RCO7_08667 | uncharacterized protein

MRSRANNTRDVYDDGYVAAKPSLLDRLLRLFQFLTSLTSLILFSIRLRKIINLAGRASRSNGAVEGILAAAVLYTLIAMALKFAIRGSGSNILRMMF
IVLDLLFVGAFIAVAVLTSPKRHGSSAPCRLTRSTRFNVKVPSKVNCNLPWGTFILAIVSTLLHAATAAYHIIKDKRRAKVHSNVPVKEINNNGVHP
EGPGHTTGNAHHGHTQV

>RCO7_08666 | probable Methionine aminopeptidase 2 homolog NFIA_034070

MNSTWDQRLQKTNTSDSGAFKPANANPNVPKNGSSSADLDQGFITADDDEDDDAKGEAEMSISANAATELKQSNPPRILLSTLFPVECPTGELIPYE
NISRETNEETRYNSKLWDVGFLNDYRQAAEIHRQVRYYAQRELIKPGGSLLSIAEGIEDSVRALSGHSGLEPGDGLISSMGFPSGLCRNNETAHYTP
NPGDKEVLTDENDVLKVDFGVHINGRIVDSAFTIAFDHKYDNLLAAVKAATNTGIEHAGVDARMKDIGAAIQEVMESYEVELDGKLYPVKAIRSLTG
HNILRYHIHGDEQVPFVKNDSSQIMEEGDIFAIETFGSTGKGYTRDDGTAVYGYGRDEYASTANLRSSSAKSLLKIIDANFGTIVFNRRYLERLGVN
HYHLGLRELVNQCIVETCGQLADVNSSYTAQFEHTILLQSGGKEVISRGDDY

>RCO7_08665 | uncharacterized protein

MAGSSIVLYNEFQHIPPTWDDFQKLIIGCMLGFPLILCYILIATLTLLSENLTGLLYRFGPYTTRDFPMKRTTIHDLPREILLMIFTSTQGEWYYDA
SSVCLALTCRSFYRVLKTRYPGPIGLALGTGIRIEGSEEEDRRKPCCAEITLADLLRFSSFIGIEFRLAHLDFGTVFLAKALYGVPGSLEERKLEER
HADYRSVVYMDVKTGAFDNLFPNPWELAADDWYHKVDCILQRRERGVGPRQDLKITNELGEFAKPVLASHGWRIWLGWVFGSGLRWWV

>RCO7_08664 | related to chitinase

MPPLPTPTPSTPRIVIYYQTQHHPDGTPCSILPIITQPNIAVTHVNVAAIHLNDPPGNIHLNDHVPSDPRYITLWAELRILQASGIKVLGMLGGAAK
GSFTRLDLDDTTFEAYYLPLRDLIRERSLDGLDLDVEEPMTLAGIIRLIDRLKSDFGDAFIITLAPVAAALMSDRPEHNLSGFSYEALEVMRGKQVG
WYNTQFYCGWGDLSKTDGYDFMVARGFPADKIVIGMVTNPGNGSGWVPFELLQEVLITLKVRYPGFGGVMGWEYFNSLPGDRARPWEWAAFMTRHIR
NGLPQAAPMPIAPPMAAKQNPFMMVDEEPKVKEDAPVPKEFEYFSDGNIDE

>RCO7_08663 | uncharacterized protein

MLSSYRNILFLATLILSSFSTSILASPTYGTNSTVVCSPTTSILKPSPTATFGGVPSNVTSTYISSPTGISNGTAGPNSSVTGRPLSPTNPPVPASA
AGSLREFGYSSAGLAVAIAFAVASL

>RCO7_08662 | related to DNA repair exonuclease SIA1

MYLPDVVSRWLTATSLFTSRDSSKQSHQSLLRLNDQHEFRITIFADLHYGEEESGWGIDQDIKSTRVINAILDSEKSDFVVLNGDLITGEDTLLENS
TKYLDVVVAPLVERKIRWASTYGNHDSKFNLSRSALFKEEDKYALSYTESSPSGVSGVTNYHIPIFAPEKDSDDTPLAILWIFDSQGGAPFQAESGS
VVNWVDSSIVSWFTKERELLKKKYSRDIPSLAFVHIPPSAFLTVQNELLPNVGDESAHFPGLNDDVPLAVQGDGEQDVPFMQALVDTPGLHSVYSGH
DHGDSWCANWPKGKGTVKGVSKPHLCFCKHSGYGGYGNWNRGARVVKLRFGGKGGKEMDVESWVRMENGSLIQRVGLNETYGVDVYPPDNGEIETNE

>RCO7_08661 | uncharacterized protein

MPERLGGDEKAMLNIRPKPEPRTKQLWIDTETPTSKPSVMDPSNITSVQAHKLRAQGLLDRSKKSFLTTASLSRYSVSAQSGRIIIAGTQSLRQGSF
DTIQQPETRPISQEQLVAQVKDIYAGLVMVEARCVEVNKKQAILAQADPTSHPNLNKEQWQALIALHRTLLHEHHDFFSASQYSSASLALRRLASKY
AMPAKMWRHGIHSFLELLRHRLPASLHHMLAFIYLAYSMMALLYETVPAFEDTWLEFLDDLGRFRMALEDDDIRDSMFWTRVAQGWYDIARTFSRTP
TTGRLYHHLAILTRSNALEQLFYDSKSPCVVVPLTSARESTLTLVEQVYDSPDRRYRLPPLGIAFVKAHGFCFTNRNIEKFELNVEKFSGSLDHQIG
RITTKSIGFASKTHPSCERMDDEIIKNSFLFSIKWLRHLKNQTLEIGLKRIGDPNGLPFVHGTVVFLWYLSKNIAETYLLDISFPWRPASSILNKFP
RSYRRYDRRGHTPRRPIKGNSRLPQDFSIQGLLWTETYYPDVWFTIKRAEEEEMYSAVITMSPNRRRWMSWPAHRIASIAKRMAKVITAALRNKSFG
HATFVIHILNLFPTTLASVINKIDLTTTEANAQPGRNGDGPSQYFKHLWLLLRDENLGPIMENTIMAAILSSSYFVITYLNHGSRARTPVLPLAGAS
ASRQWLEDDLLPIATTLISIYTLYLGNGELDSDWQLAMLATHNVCLSIKVMQQELSKFPRTQRPAEFIMASTSLFWSGLLTKFFVFDEGRYRNPLIQ
AAMLLPLMNLYLTILWIRLFRNSGISQALEEGELIAAIRTSWATWSFPIMAILLMLLLLAKF

>RCO7_08660 | uncharacterized protein

MLEEQVRNYRAERSAILTFSMEGSYCRLRLSRKEEQASIYLERCFLYIRSTDILQVPVFPTDMEKTDLGAEVRADINSRCMEVAGRTISKENPFWKC
TEWAKTITATEGCFDACLDKCEAGAGDSGITFGLCASINCRKDCDKGPPVNEFKKIDWAIEVRGGDAAKQISYGTCNYWFNWEAGKCQKGSESSHDG

FWFRIDPGYGKCS
>RCO7_08659 | related to lanosterol synthase
MTSGRGAVKAVNGHAKATITATATATAREKRSIESVEDEVIPAKRPKLSDRTDYTKWRMLDEAGRQTWHYLNDKEAENWPQTTADKWYLGLPLDLPE
LPAAKTPLDSVKNGLEFYQNLQLEPGNWACEYGGPMFLLPGLVIAWHVTETEIPDHIATEMKNYLFARAHPEDGGWGLHIEGESTVFGTALNYTVLR
ILGVSEEESHMIKARGTLHKLGGAKAGPHWAKFWLSVLGVTRWEIVNPVPPEFWLLPDWVPFAPWRWWIHMRMVFLAMSFVWSRRWTCPETDLIRSL
RQELFLEPYESINWAEHRNTIAETDNYHPKSWLLKTVFWAIEKIHVPFTRTNWLKQRAEDWVWKLVQMEDKNTDYADLAPVNAAMNLVVCFIKEGPN
SYSVARHRDRMADNLWVKAEGMLVNGTNGVQCWDTAFSIQAVMDAGLAEDPKWRPMLTRALEFLDDQQIRENVDDQAICYRQQRKGGWAFSNKYQGY
AVSDCISEALKAVLLLQRTPGYPTLLDDQRIYDAIDTLLTYQNASGGCASYEPTRGSEALEILNAAEVFGRIMIEYDYPECTTAVVTALSLFTKHYP
DYRTQDIKVFKDRAVQYIKDAQYPDGSWYGSWGICFTYAGMFALESLASLGEYYENSKFSKAGCDFLISKQREDGGWSESYKSCETNAYHEHPTGSQ
VVMTAWSVIGLLEARYPDRAPIEKGLKLIMSRQQPNGEWLQEAIEGVFNKSCMISYPNYKFIFPLKALGMYSKRFGDSALL
>RCO7_08658 | related to MEIOTIC RECOMBINATION PROTEIN REC12
MDHLDLPSAYLQAGPSAEELNRTLLSNLPQSTLIQADITSEDKSSTEPVRVTRKGNSNQAGAVISKIEDIFESFADCILEQRKELVIELKSRSKPRV
KLDHEEAEKAKAEEDEEVQMGRRTTRITFPSRNQREAWKFTALLRILELSHEALVTGIVTTKRSDIYYREPEIFMKQAVVDRYVDDIAYTFGVGRDA
LNIVAAAKGLVAGSLLLTRKDTSFINFTLEAQGILIPNPNDIETIQFLDVKWILVIEKEATFRTLASNQYWNYSQAGRGILITAKGYPDIQTRQFLH
LLSVHHPTIPVHALVDFDPDGIGIFSTYKHGSASLSHENDLAVPSMKWLGVRSCDFLRNEIDGRGLLRLSERDRRIAVRMLEREGEEAQRRELQVML
LLGVKAEIQILGNGERLGEWLDGRLIG
>RCO7_08657 | uncharacterized protein
MPPQLPRLRTSLPINPARLPRQFPLRNSISPRTTRNSSSSSSSPPHSKIDRLLNRLPKFLHPYTRALRTAPVSHLTSFLILHEITAIIPLLSLAAGF
HYLGLGEAWVAEGRLGGDGRFARGVNEGVERFGRYFGRKGWFGFEKVERTVGEGGCVDAVVPAVVMDSSAAAASQPKQTSQANEAQVSASIENRFHP
GERGTRILIEVATAYAITKVLLPARILVSVWAAPWFARVVLRNSGRIAGMMRGRGSSARVGMSGAAGTGATGGGVGSWSRIGGGKGS
>RCO7_08656 | probable nucleoside-diphosphate kinase
MATEQTFIAIKPDGVQRGLIGPIISRFEARGYKLAGIKLMTASKEHLEKHYEDLSSKSFFPGLIKYMGSGPICAMVWEGRDAVKTGRVLLGATNPLA
SAPGTIRGDYAIDVGRNVCHGSDSVENAKKEIALWFKEGEVQSWKSASHDWVYEG
>RCO7_08655 | related to glucosidase II, alpha subunit
MRSSTGLSQNWTALLVLTSAFSYFTPAASVKHDNFKTCDQSGFCKRNRQYADKAAGLGTQWEAPYKINPQSISWKDGQLQGSVLKTINVNGETVRLP
LTISFLESGSARVTVDEEKRQKGEITLRHDSKARKERYNEAESWAIVGGLDLSKTAKIDTFDNRAVVTYGPDNKFEAIITYSPFGIDFKRDEATQVK
FNDRGLFSMEHWRPKVDNPAPEVKEGEEAPVAVAPAGSEDESTWWDESFGGNTDTKPRGPESVGLDITFPGYDHVYGIPEHAGQLSLKETRGGSGNH
EDPYRLYNADVFEYIMDSPMTLYGAIPFMHAHKKDSTVGVFWLNAAETWVDIIKEKEAHNPLSLGIGSKTDTKTHWFSESGLIDVFVFLGPTARDVT
KAYGELTGFTQLPQEFSLAYHQCRWNYNSDEDVKEVDRKMSKYQIPYDIIWLDIEYADDKQYFTWDPLTFPNPLGMLKQLDESKRKLVAIIDPHIKN
KDGYHVVEELKKKDLAVHNKDGNIYDGWCWPGSSHWVDCFNPAAIKWWIGLFKYDSFKGSADNLFIWNDMNEPSVFNGPETTMPKDNLHHGDWEHRD
VHNINGMTFHNATYQALLERKKGEIRRPFVLTRSFYAGSQRLGAMWTGDNQASWEHLAAAFPMIINNGIAGFPFAGADVGGFFGNPDKDLLTRWYQS
GAFYPFFRGHAHIDTRRREPYLAGEPYTGIITQALRLRYALLPAWYTAFHEASVNGTPILRPNYFEYPSDESGFAIDDQFFVGETGLLAKPVVTKDA
SSVEIYLADNEVYYDYFTYRTYTGQGKHSVPAPLETIPLLMQGGHIIPRKDRPRRSSGLMKWDPYTLVIVLNTAGTAQGTLYVDDGETFDFQNGAYI
HREFSFAANVLESKNIGKKGKLTDKYIKSMKSVGVERIVVVGAPAEWASKISVRVGKEESVLEYHGAEGGSASWAVVKSPKVVIGEDWKIEF
>RCO7_08654 | uncharacterized protein
MDQGLLIRNPGLTPEEFSKHWYTVHAPLVVPMFLYLGVRNYEQIHAPFDLPSSSSTLNTSTFDGVVALPPPPLSGILPEGIPRWVQAYYDEVVKVDE
KRFLVSEALKHIVRVTPGSVGGDVRVVIGEGKVLVDVPERVWQVWRGYEEQSGKEEEDEEGNAVVSKEA
>RCO7_08653 | related to isotrichodermin C-15 hydroxylase (cytochrome P-450 monooxygenase
CYP65A1)
MPSTTTALTLGLPLLIVYGVYRNRGTYFADTSLLYLGGSVYISILLLIALFKVCIYPFYFSPLKDLPEPKGAGWLWAHASQMRINHNGEPYRRWISE
VPNRGLIRFRVLFNQERLFLTSIEALREVLVTNSYDFIKPEQASFTFRKVLGDGVLIANGAAHKRQRKILMPAFAFRHVKDLYPVFWEKATKSTDVL
AAALTAPSLPGQKPSNVQNCYDWASRVTLDIIGVAGMDFDFNATSDPNGPLYAAYHAIFMTEPPLFRWLNIGVMLPYKYIFPLVKLAFPALKGSIVT
IRGIAYDLIRQKRKAAAAGKASGVDILSVAMESGDLDDDELANQVMTFLAAGHETTASALTWTTYLLSTHPEVQKKLRDEIRASLCENGSLNTEIDA
VQIDHLPYLNAVCNEVLRIMPSVPMTIRVPIHDTTIQGQRVPKGTFIHIAAWGVNVAKEFWGEDGGTFNPDRWLKEGNSKTGGAESNFANLTFLHGP
RGCIGKEFAKSELLCLVAAWFGRFEVELEHEGLEKDMIGWVTLRPRHGLPVRFKEIVE
>RCO7_08652 | probable cytochrome P450 67
MLLFGNESGLFGFLAKLSGWIFLSLTAYLLLLTIYRLTFHPLAKYPGPFLAKITDWYSVYHAYKGDRHLEFWRCHETYGPVVRFGPNSLSINTNTAL
KAIYGHRANVKKSQFYSVFPPTKDTFNTHSSIDKASHARKRRVLSHAFSDSAIKNMEKYILGNVRTFCSKLGAKPALVEKSGAKDQWSVAQNMADWA
NYLTFDVMGDLCFGKAFEMLEHEENRHVIDLIGNAAHMHLILGTNPSIKTLGLNKVLFSKIYNMRMQYMAYSKVQAAERSKVGLDTDRKDFFYYLLN
ARDPETGKGFTGPELWGESNLLIIAGSDTTSTALASAFFYLVHNPATLETLYEEVRSTFSDLEEIHSGPTLNSCTYLRAVIDEAMRLSPPVGGVLPR
EVLPGGLDVDGMHIPAGVVVGTPHYALHHNPAFYPAPFTFNPSRWIADSSPSVTKDNVSVAQSAFCPFSVGPRGCIGKGLAYAELMTSLARTVFMYD
MKLAEGTSVGEGRPELEWGRQRKEEYQLKDCFTSMKQGPYVQFRERQ
>RCO7_08651 | related to isoflavone reductase family protein
MAPSKENLLILGGTGYIGSYILDQIVKAKDSFGNIAIFTSPKTAETKSDLLDSLRAKGVGVIVGNVQKPEDLLKAFQGVDTVISAVGRMAIGEQVEW
IKLAEQAPTVKRFFPSEYGTDIEYGPESANEPPHQQKLKVRAALKETSGLEYTYVVTGPYADVGGYLGAAPQAPQIGSFNVKEKKAVLIGDGNGKIS
LTTPDDVGKLVVKALLHPEAARNRALKVNSFTTTPAEIVAEFEKQTGDKWSVSYTTLEMVRELEEEAYANKNPASTVFTLKRIWGEGGTLYEKRDNH
LIDAEDTETLADAVKKTIATQLAA
>RCO7_08650 | related to SGT1 protein
MSTEAGKGQDAIKVSDYPAAIKHLTAALRTCPPARPSPLWLIQRSIAYQRTSQHELALIDADNALLASIDRGKRDLIATSHFRRAVALHGLGRFGDA
RLCLNWCNKKNDKEKGLTIWMAKVKADYENAGGDEAECNKTTVKEVPDKPEEVIGELASKEEKGTPVATKKVPVVTGAPVAQAPTPKEKVRTEWYQS
TATVTIEIFAKGVPKENATVKITEESVDVSFPVAISNSNYDYTLEPLFSKVDASKSTFRITPHKIEIILHKSLPGLKWSSLEGTEPIHLTTSEEEPA
TKIPDAVLQVDKAPSYPTSSKNGPTNWDTVLSDENDEEDGEEVDHFFKKLYKDADPDTKRAMMKSYQESNGTSLSTVWSDVGSKTFETMPPDGMEAK
KWGA
>RCO7_08649 | uncharacterized protein

MKEQHLKIDIGTLSAYPNSAPPSPTSGVPKFSNTTSLTIQAAKSKDDKGSALYAEAVQPAIRPKFGTIVVVKPKLESSKSTSSEADAKYLARIISFS
YFRTSYKVEIMATGERKSVRVKMLFLSSGSKNEDCGPAGSRQRDDSTVLKSKAFKRTSSPPPGQDNRIGSYETQDTIPEPTSEKKVPSGSAVDDFED
DGWLDSLDFLASSSNVTSLFECCMYS

>RCO7_11388 | uncharacterized protein

MTSRTCTTSTSKARNPPETTITQEITVTYSTIENNIETVNDTFGITHVVEGWPGQARPHAIDFGLSSKKCERETTEGLKEEVTSFNGPLYCYLWELD
TESWTYKLSASNWSESVYHLTYLRADGTASECEVLAEALTESLSEHDLEATVDLDFAVSG

>RCO7_11387 | uncharacterized protein

MQPTTFNYSMPYSEDQRNLAIANTVAQSASGESSSAVAPTLPSLEEVEEVYSDNSNSIEDSLEESLPPQTSRTVLNTRTRTAVKVDDSEIVASRGAE
FSALAPEATTQVPRTQNIPDLPPADAKSTSQDHPEDPEDPESEPITATTPEPYKRKKMSSSTSLNLADGYKLKGGENYTEWRDKVLNNAKTNGISKF
LNVKSRDHVPKEVDEWDDDVDDKALKKWQDWESGESQMKLAITLNCKAGPLAHTTENTDKKKTSSGKKKEKDDDSDEKSIFGAALLPCFPTITASTA
MFSHHNKSRWLFDTGATEHISNDLSKFTSYTLRDDLQCMLTVNGPLRPTGIGSCTIKALKTDGTVRTLECYDTLYIPQSPVCLYSGSKLNKLGGYLR
SSVLYTSKEKEICTIDKNLFIIEEETSCAGYASLPGLSLPAAVEQATVDIELWHKQLKTGRTRLYAPYEKGRPIRKVNKVSARARPARSIDEIHVDV
VHLKPKGLNGHSYASIFSCAYSTGKWAFTYAKKSDAYLANQKLIKLAETQYQRKIKVWRCDGGKEYSLSQMKELADHLGMLLEESTPYTPEQDERAE
RSIRTIIEKVRTVMVDQNIPDYMWPEILLACIHIANLTSTSRVEGKTPFECFWDGIEPGVNHTPSVKHLRALGCPVFILIDKEKRVQSHKVAPRAEK
GILVGFEGHNIYRCLINGKVVRTSHLRFDEDGLVTEPHEEDAMMVPQNRGDIESTDTLSQNQAAEVTGTTPDTGITSQDEDSESEVDSTVDAESTVA
DEVPAPEVDIPEQITIQKKRGRPPGSKNHVPEYVPRATRSGRNAPNSTPEATPEPNNGYSHAASPMEGNHSSTGEYRFAFHTAQEESPFLDDPTTLD
QAMKRPDWPEWKKAIIKEYRSLEEKSTWKTMNLKDVPKGCRVLGSRLVFKTKRDMSDLHEV

>RCO7_11386 | uncharacterized protein

MVVDFILSSTFEEIDLDENPCIVPSCGHILTLESMDGHMSMSDFYSTNGEGSIVDLKNSAEPFSASGMKSCPTCRGPLRNLNRYSRIVRRALIDEAT
KKFIVWANMEFIPLVTKMQAIEAELREAARCSLTASDKISLEPPLSGSLQLKGSRDHQISQIGTLTRKDNRYKRIIGLRRQINKFLQQVNEKEQPFG
RIYDLVQDARRHRGINIDLHSKVDVLQVRNRLLATALLIRCDYTILLTFLNDRKGETSASSSRIQVDLSINRKECENLMVESESRTQPGNYVEGLLY
WARFLALERSLAEPGSELTQLLDKAREYLQLAHEICDEYPGQTAGMGNEVEEVEKMLRDSTFYMPVSNEEKAAVYAAMAHDFRGTGHWYYCENGHPF
TIGECGMPMETSQCPQCGSPVGGHDHRAIGGVRPATDLERQFGGVRI

>RCO7_11385 | related to helicases

MAWNLIESEDAGIRQYVITRLGAETGLAIIKTLTDIMDAGQRDEITLSIFRDRTLPFYKIISHPDVLSSLILETPVDTIYTFLFGPSGRRGLRVFRS
TATALSGMILGPSPSDEDASTIAVSSSLAVLDRLIEINQSAQVIEGFTTIVETISACIPENFIIPNVQQSLTRIRRRLNIGSSLPLALAQSTPQNLL
SAAFELSQDLPGNLSNNGARHDNDHAGIADIQILPTAQEIASSRQEYLPLIDSTQYHLSGLAGLLDRQFRLLREDTVGQLRDAVREEVTRLKHPNRN
VPTHQGQQGVRKLIYHNVRFSRMRVDRRKGLQVIADFDQPPQINNKSMKQREDWWKGSKLLQADSLVCFVSANGKIMFLSVCDPTLPFHGRKDSNSD
DKRRSDDIPSLFREANRASVLLGLAEYKVEDAIWISSHIALSKTRQSLVEFPGVLLPSFQPTLQAIQKMSQKLSLPFAEVVAPDSQTSTAIIKPPAY
ATKRGFSFNLDVLAGVPLTLKPGQSFDYAKLDGGSTLDEAQQFAVIQALSTGLALIQGPPGTGKSYTGVAIIKALLHNRKAADLGPIICVCYTNHAL
DQLLEHLVKDGVRQVIRLGSRSKSDLLQNLTLHHVREGVVPTKTEKHDKWEHNRDIGETLREIEDILSGLNNPNSWTNIQAHLMRTHNQHFKELFGK
GVDEEGFQEVKGKKFRVVESWLRGAPKRLASNRPTTQLSAISLREMSTSERGALHKHWIEQRSAQLTNDLTHALHSYYGSKSALDKCHSELDLRCLR
EAHIIGVTTSGLARNIELLQRVRAKVMLCEEAGEVLEAHTLTAFLPGVEHAILIGDHEQLRPQINNYELQHDNPQGKRYSLDISLFERLVRPQMGNL
QVPLSTLKTQRRMHPSISELVRVPLYPDLQDHTSVLEYPEVDGMRDRLYWLDHQEKEDPRPAQAVSLSRTNTFEVDMIATLVSHLVRQGTYGSEDIA
VITPYLGQLQKIKKRLANSFEIVVGDRDQEELEAQGLQDDPETSADGQVQVQKTTLLNALRIATVDNFQGEEAKVIVVSLVRSNDKRKCGFLKTSNR
INVLLSRARHGMYIIGNSDTSRPVPMWAESQCRTISLGSLLKAVVLRDALRDSSVGILVLICAILHLCTMQFVALNAAQEQRKVASMSVRDLAEIYA
SQNAKSYYSTSLYHVDTSPGS

>RCO7_11384 | uncharacterized protein

MTLIPDSGYNKWEATADNKMTEKPDLPQVTGQDGREESISLPLERAPASRSKRSKEAAGLRVSDKKDLLLAQITVVARLLISKDSISYFRDNCRLIY
EGWISFSAEALADNIDGEQSLITAMDIVQDLIQRNLIRRLLLRFAYMHLAITILKYKTVPATDRARMQLLLGIEKLIRGRVNH

>RCO7_11383 | uncharacterized protein

MALNSAPNYYLLHKTKSDYDRAFLQARQEALDDPGEKPAFYASIYFIKEDALRKSVYRAKKVKTRNQQGSYNTYGGNNKILSTYQEEAIRSYCYEQW
EAGNGATKWTLLCPRRLGASLPYGLRSIPNSILSILSQLRLRKVIEELEINSGKKLLNMDESGARVGCPTGERVIVPFEVKELYTASPENRKSVTII
ETVRGDGRKTLPPYIIAPGKKIMDNWIASELVGDEQLDCSPTGYINNSIMMDYGDHLIKYSHAGSDKPWKLLLLDGHEAHKFDPFVLKLAEAHIKCY
WFPSHLTHILQPLDVGIFRPWKHFHNACIRAALRSTEFEYTITSFFRDLTQIRKDALKVYTIKGAFKEAGIWPVSEKAAIKKMRSYGRKKRTIQDSL
DEEIQPDLPVLPPNRPEEQWKTVSRIQSYIDQDPTKFSDTSREVFKKTMINTAIDLHKAHLTTVEHATLQEKIKADNNRKKTSRRSIHKGGGSASVA
DLRERMRMRDEKERTAALRKARKALQAAINRSSQALKAAGVQARKENKEKKKRVLNAPDNLPAPEDLIPLREPDKEPTIAEKASLSQEGYHEYLHAV
LQLERELNGELVGEIDFSDVEERDLEIRLGNHHPEAGLGVKYIESSPPLPVYIESSEVESDAGSIDSITRNTDFIPF

>RCO7_11382 | probable sodium transport ATPase 5

MAGNGKGREKGDGATIHVSGQANEPLSGLPHTLTADQLASETGADLLNGLTETEAKARFEIYGPNELDDGPGVNPVKILLRQVANAMTLVLILAMAV
SFGIGSYIEGGVITAVIVLNITVGFFQEYSAEKTMDSLRSLSSPTANAIREGKNVVVPTAQLVFGDLVEVKVGDTVPADVRLVEAMNFETDEALLTG
ESLPVQKEAAATFDADTGPGDRLNVIYSSSTVTKGRGRGIVFATGMTTEIGSIAAALRGGNSKRRPVKRKADGTAKPHRYVQAWGLTAGDFVGRFLG
VNVGTPLQRKLSKLALLLLGIAVICALIVLGANKFSNNTEVIIYAVATGLSMIPASLIVVLTITMAAGTKRMIKRNVVVRSLESLEALGGVTDICSD
KTGTLTQGKMVVKKAWIPSKGTYSVGTSDNPIDPTLGDIFVSEIEPRKEGEDEKQDPAGTPFEKLLKDNNDLEAFLTIAALANLANVHNTDGEWKAR
GDPTDIAIQVFAARFNWNRSRWTSDCHDATWKQRAEYPFDSTIKKMSVIFESNDKSMVFTKGAVERIFESCSSIILPGGETALSEDIQSQILENMEA
LASQGLRVLALASKQLPGPVDELKVPERSTVECELVFRGLVGLYDPPRPETTGAVSECHASGIAVHMLTGDHPSTARAIALQVGILPSDMAAISADK
AAAMVMTAGQFDKLSEEEIDALPLLPLVIARCSPTTKVNMIEALHRRGKFAAMTGDGVNDSPSLKRANVGIAMGLAGSDVAKDASDIVLTDDNFASI
LNAVEEGRRMFDNIQKFVLHLLAENIAQACTLLIGLAFKDQSELSVFPLAPVEILWVIMITSGMPDMGLGFEAPAPDIMSRPPHPIEVGVFTWEVMI
DMLVYGLWMAALCLSAFSLVLFGFGDGNLGNGCNDQYSEECDTVFRARATTFVCLTWFALFLAWEMVNMRRSFFRMQPKSTRYFTQWAIDVWRNKFL
FWAVIAGFVTIFPTLYIPVINHKVFKHTGISWEWGIVFTEAILFFVGVEAWKWAKRVYFRRQDHKKGGKHIDLEKKTFAAYFDEKSD

>RCO7_11381 | uncharacterized protein

MDSVRKAQTSFDYWLIDEMNHSDEVNWVEAAWRLEDVPQDGVEDWMDCAGCVEVNLEVHESLSDPAESAPEILPKGDKKQDNLVATQGELLCLGTQL
YRAQNCCQSTSYKDGIIVEERADIRSLVSGKSYKCSLGCNTPAFNWPKDLRRHIKDIHETTARYRMCGSRLRMRRLHSLFSYQAQRQFPSAPPEQTQ
LSEY

>RCO7_11380 | uncharacterized protein
MSGAVQHPDCCCFSSCFVNTTTDNRMNKASQTLVQGVPPDVPNSYRALADHSHVARSTLHHRACGRRSIEEKTKSQQYPTPWEEDVVVKFMRQMAVL
GQPMGLDIYAFESAPPMGDQRSSGRRRGLFIKASILMRACVSLS
>RCO7_11379 | uncharacterized protein
MTDAQGERIQGNCKIIWGDGDYDLDLETEDWVAFACVVKRDHGTSFGPPLAMTGLCDSAEQAWSELNRTLGVWAKQIQSGRPMTKAQSLEIFAGPKG
RCKPVLEKLFDLMERKGIDS
>RCO7_11378 | uncharacterized protein
MGNDIEARVEQASTGTSSTWSLVMADTIRDREEALLLDEHLNLLRKSPREHTLPELRATPIFVMPILRYAETLLAPSDLQPFPQHGLLGGLANVLKV
QEETGRKLYTDSTSKAAMTKRSLSVRRII
>RCO7_11377 | uncharacterized protein
MSPCSDLEYIITHVFLPPKLPQKDDSNPDRDLALTEILKAALDSFQAQLPARERPRWLRRYNSTILVVASKSGDCDIVPRLLNYINIEYTILSNLLP
SSKAKDTELNQRFRSSDNRFGEI
>RCO7_07487 | uncharacterized protein
MGRDRDERARRKSMVRRQLIPARPFTDPHFPPSGPPRAYLDLSRADQTSFLAFFFDSALSLEDRFRYMHEWRFRWARLGVPEDQIPPRPWPITLRFG
PLLFAYFIEARTLDNGRLFPFLLNSMVHAFWLECIDERDSEVTQMGRGESYRPNTNARPRSPIRPDLFRDRSPRRERARTPPIDSYHPGRERSPRRR
SRSRTPPRRERSPMRDNWRARPRTPLRARSPLRARSPLRNRSRPRTRSPIRARSPPRRFSPRRDDRRARSPPRRDERRRSRSPFERDRPLQRPRSPF
RRSPPAGPRGGFRGRSRSIDRRDERAPTGPNAANWRRRSPSPRSGITSGNTSRRSSPQIHPERLRLTQSAARDPRPRSPLIRDRSPAIQIPFRERELR
ARDSRDSAKSTPQERSPVRPVLPRSPPRGPAVGLRSPPRGPAGYLPRTGPASVQRIFTAPVQSTMSNHPSNHSAPVAPPAGPRGYVPPARGSYRGNR
GSFGNDRNTRPDVSSWGAAPPQRGPPAELTTRAPTPVSHSRPIQTPSPVPSAIPSPAPSIPTGPAVIPTGPRAGVPNRPPNLQHSSSVYGRSPSISI
SNNGPRAHPALNNMPIINPGGRIDPTATGMTPDLTNHMKKLEEEEEGLRVRLYSKEETLRQSLKQWDRLERESKAMSLRSELSERHVRQLAGEGVGG
AAF
>RCO7_07486 | related to SPLICEOSOME ASSOCIATED PROTEIN 145
MAPKLTKNAMRRMKKKEQKKAQVSETPETEKKPEEVPDAIPETDAAPVNIEDDNEDVLQPDVSILDISEDDPNFEMFKDIIEKFRANTEDGEAGKQA
DAGDKGEVFYDDDDEIPDEDEDADKETKLSKKKRKERDKLSVAELKALVPKPELVEWTDTSASDPRLLVQIKSYRNIVPVPTHWSLKREYLSSKRGV
EKPPFALPKFIQDTGIAEMRDAVLEKQNEASLKQKQRERVQPKMGKLDIDYQKLYEAFFRFQTKPELTRYGEVYYEGKEYETNLRHLRPGELSEELK
EALNIPPGAPPPWLINQQRFGPPPSYPSLKIPGLNAPPPPGGAWGFHPGGYGKPPVDEFNRPLYGGDIFGVLQPQVNNQAGEPVERTLWGELQAPED
ESEDEESDEEEEEGDDDDTAAGLQTPSGTETPGGLESAVPSEYPGDMSVGGDFDVRKSKRGTETEESSAPRSAYTIIPERQIRAEGFFGGERAYDVR
GAQNAHIPILGQEDDSRKRKKPGDVDVALDPDSLLTEDGISKDEVRKRFEASKKEEKGAWAYDEDLSDMIAQESRKKQKRDDEKKSEKRERSYRF
>RCO7_07485 | related to SLY41 protein
MPSSMEKFPDHVEPMDGTSPYASSPTRANGFINGSASADRWQPRKDSGLRSSAWNGPASTGGRHSRQKSLGDAFRTMRTRKGSVSANVQEVAEALKA
PVSPKLVGLCVIWYTSSALNNTSSKSILNVFPKPATLTLIQFGFVAFLCLFFSYLATVFPTLQNRIPALRYRVRYPTREVVMTTLPLAAFQIGGHLL
SSSATMRIPVSLVHTIKGLSPLFTVFAYRLIFDIRYPMATYLSLIPLTLGVMLACSSSLKGNFFGILYALIAAIIFVTQNIFSKRLFNAAKEADPTG
AQNNKLDKLNLLCYSSGLAFILTSPIWFYSEGLTLLRDFFHDGSLDLSEGNGKLIPLDHGRLALEFIFNGFFHFGQNIIAFVLLSMVSPVTYSVASL
IKRVFIVVVAIIWFRSPTNKIQALGIALTFFGLYLYDRTSHSSKADKKAKMMDIKEETILPMSNIPGSGTGSTLTPDTPVRGYTNGYAINTSSDPRK
SDDFGRAGRVRGGSSVAWLPPGTRQEETWGRGHSPHLAVS
>RCO7_07484 | probable ubiquitin fusion-degradation protein
MSFGNYYEGEDPLAMYQMLQRGGMRGPPKRFDEYYRCYPTVMLPGPEREELNYGGKIIMPPSALEKLTRLHISYPMLFELTNGQLDRTTHCGVLEFI
AEEGKLYLPNWMMQALLLDTGDLIQIRSTDLSLASLVKLQPQDVNFLEISDPKAVLENAFRNFSTVTKGDIFSFKYNDTIYDVAVLEVKPESEKHGV
CVMETDVEVDFAPPVGYVEPTRSSGTSTPRSGNGAGSLPVGGMLHNQGTMAQAINYNAISASSTAAVAGAKAASSNFLLGGQKLSAKKSSKNPTPKA
STPVAGTSTNASAPVETTVRITNGPQPLRLGPNKLFFGYDIKPLKTQADKDKENADAQQPHFAGQGFTLKGGVKKDVKEEVKEVKEIKKEPGVGRRL
DGRKV
>RCO7_07483 | uncharacterized protein
MSSRYAAARPKRAGEQFARTHHAEDGPSNKKPKFDIRNPSALAPDAPEEDAVLDADVIGASGAGMKRGAVNIDGYDSDSENEGFDARAEERAKAKGK
KGKGKGGNVNLAEAFEYGKDGNGGIGANVGKEDDEDEDMFGDLEEDDEEEKEESAIGSKAREKAVKFLEADEIEGQVDSSRSGGHISGNFALDPKGK
LSTHAMDDALSSDDEEDAALAAEEEDVDAEVGAGGLKRNAPKVDAFNMKAEQEEGRFDAAGNFVRKANDPDAKHDMWLEGVSKKEMKKAAEAHEKRE
VELRQKRLEDDAMLLPNILRVLILDMEKGETVLEALARLGKGQTKTKKVPKWKLKKMGVDCMDVDPKKADEDPAQVKIKEAVERITGAADQLLTRGQ
TEIYEQEREMLIRQYRREAGEDWIEPPKADAGDDLNDVRPVKMWEYRWIDGRDGASKQGPYDGTTMAAWQDAGYFGEGVEFRIAGDQGAWERVVDFV
>RCO7_07482 | uncharacterized protein
MSYQNDEAVPLVYLSIETLVDIFDNPNLTFGIEMELDFSIARHLHFDWLATNPDIPPFSQPTNLDDLPSRRTEHRTSNRELFESGVTRGNFPKESAL
VPLRKDSFSTNSIQSANLRQNLMFYFLAFLNRELPSSDRRKGNLLIGEVKWGGAPKTAEANTWTLVHDDSLGPSRDSFAQAWPRKQSYDTMRHLFRC
VGAELVSKVYLYSELAEKFFPALEELREHLEFSTNSNRHGAWFTSQEHLHVHFGIKDKDISVGIAQNLCALFGLFKHQIEKWFHRRQRNNYWCKDLR
EGMKTRKMVLIDPTATGDVDLEYLPERRYTPMGYCEGIYECKTLEELKTWCCGYSRGEVTDNLLKDRNGNISPPDTGCLWRSYTAVHISLARGNKPT
TFEFRQHHGTTNAVEIKYWVELCGHLLRFACFLDEAGIQLRDPKRGSLEGSNTPTFLETFVEQDLLEIIGMTEEAKAHFKAQEERFFDQPHDDKRFA
EAKLIEERIARVKAGEETGIAMDSKILASESYISHLEIRGLKPLPPIVYTASEITTISGLLDVFDVLKYDVVRIHNEIVNDTVLTLPRPRRGNRLSR
KEIADFGIIEETGQIKAWLRYSDWINAEDKRRDANRGSRYWPLATLLSFISARGGSAGYSRGKKRSRDIDC
>RCO7_07481 | uncharacterized protein
MNRYKLSDLHRLSESKASLQAPGSSPRFVVIPSKASPQILKRKMTVEEYMDSRESVQMPRPESVQETSARSATDIADVVNDEFLIHELIKLGKMVKV
YVGPEKHCWEIHEDAICHQSPYFEKAFRGGFKESAQKSINLEDEDSDVFGLFVHWIYTSSLRCNKCTNPSRMIDPEEHFMQYLRLETFADKYLISGL
SRFVIAQWIKCHRVAIYRPFKKEIDYIYENFPVKSLFRAEVVAQVLLHYLTVVDDSVHIYMGFLLAANRSFAEVFSSQLRSHLIKKAEDCEIEYCCA
HKVLCT
>RCO7_07480 | related to major facilitator MirA
MGVQKPVISPSFDSIKNKVASTSSEYTPLLSDEESANDLNKHDRDGRNSDTPDSVPIVEEIGTLMSQKSLNLTYFFILLIIALNALQSQITSNLMAY
VVSDFSAHSLIPVIGIVSGIMSGILKLPIAKSLDLWGRAEGFALMTLIGSIGLLLMAVCKNVETYAVSQVFHAVGIGGMDYVLQVVITDISSLKNRA
LAMSLAATPYLATTFAGPKIAEVMFNTIGFRGTFAAFAVITPLVAAPCYWILIANQSKRKETGVLAGRNWKESLVHHTRDFDVYGMLLLSAGLILFL

LPFSLTGYKSNSWTSPSILTMISLGIILLLIFVIYERFYAPRPFIPYALLLNRTVLGGCLLCSSRFIAFFCYDGYYTSYLQVVNGLSISQAGYINNI
FSIVATLIGLVVGYLIRVTGRFKWVAWIAVPLELVGGLTMAYFRRPYQPIIYVVLAQIFIAVAGGAIVICEQMAVMAVVSRDQLPSALALLSLFASV
GGALGSAVSGAIWTNTLPRALRLYLPDYAKPDAERIYEDLALQLSYERGSEVRDAIIAAYGMAQLRMCVAATAVLAWGFVWVGMWRDVRVDGKAKR

>RCO7_07479 | uncharacterized protein

MPGSTWTGDADRDMLLTIIEEGGSGKSIPWPEVARNLQTKGYTFSHEACRQHFQKIKRVAKQGSTLDPTSPADNNGGKSPFIQRKLATPRKRSSVKK
EAGLGTPTRRLFTPIGPAQGFADMEDDDDDDELPPRSGRPGQPGAKRQRIVKQEEAGYDGDESRAYQFKTEQLGGPEHPEHGAIDLERNE

>RCO7_07478 | uncharacterized protein

MQNDNPITRLLYAILSQKCLKDNNNSYSAICTMLFIFMNPELIPSHLQINWDKVASHPLLEPEDDKEKKINGHAARMRYSRFKKQMDAACGDIPPPT
PRKPRKSRVEKTKSPKKEKRAPDEIKREYESQRERNGEGRVKSEFVDGREGTGESLDMGSINSSAVELAQRDLASGLGLDRGMSHTGQNVRHPNTLH
FPDLDPIQIKRERKPSTNTLQSGGLSAHSQPQSHSYSNSPLRGFHPDFHSASHVTSSVSNSTLPNTPRMCIEEQEYSPAHSPSSHYAHPSHIHTHPG
PSHRNTYDLRTEENFTEDMEVDLDEMMHSFEMPSQNGHDGHELYTSMMNDSAFAFGMGGPGLGLGMGMGGDSFDEFWSQDNGHGEGGGVRDEVVETV
SVKKEARWEEGDRRV

>RCO7_07477 | uncharacterized protein

MHFLSTVAGVVNLAICVCATPATEKRQLGTATVSLGQTSGAPSQLASGFIYGIPDNGSSVSTQIPDHFFTDIKFNYCRAGGAQLPEPSRGWIFGPEE
FDNRFVSALSNYRTSRKFGARFILLVHDLWGADSLQSSDTVFPGDNNDFTNYNAFLTRLISSLKANDMIEGLDLDIWNEPDVSNFWARSPEQWVQMW
GNAYHRFRKELPGTIITGPSVATPPDRNMTWWDAFGSFITSNDSVPDIYTWHNLETSYDPVKTLPVLTQWREKYGLPDKPKAINEYAGPAEQIPSTG
AWFISRLERYNIQGLRANWASAYELHDYLGNMLGKPGAGNATYEPSGTGYWSVGEWQVYKYYASSMTGERVATSGSADGIFDVYATRGGAANTVKIL
AGTRGTTGLYDITVTGLSAVGVSSRSVNIRTRRFDNNGKYGQAGAPVDLGVYGHIIENDQITFHVQPETASTAYAFDPDFLRHLPERTNDNRSPRLH
KNYQRTLVCLGVDQFNSTVKPPSTAIMDLFDLPIDDSAAEKSKMPSREHVVEVKGVGSLTRSTGMVTTHVGPEKVAWLLHEAVLCNASKFFKDAFQG
GFSETLTKTTHLVEDDPAVFEKFVDYVYANFPSSNYASGSSFAHSLEPEWEVPEEHLTTWYGLEIFAEKLGMSELKDLALESWRNYEENCKMDISLT
YDLSSEEVKFIFENGDPDSEFRSHIVDVAVNRFMTWDFEDFESWGKLMGSNSLFAELVSRDIKDHIKQRPENSCGMLSCSAHGSKPVSVEGDVGESI
DDDSDRSRLVM

>RCO7_07476 | probable maltose permease (MalP)

MDEKQILEQKEEIAGVQHEEHVPKTNALAQQAAIDEHDLGVREAIRRYPRAIMWSVLVSTAIVMEGYDIVLIGSFFGLPSFTKKYGQFVDEASGYQI
SAPWQAGLSNGTSIGTLIGSMANGYFVFKYGYRKTLLVSLCLIVAFIFIPFFAPSLPVLLLGQILCGIPWGVFATMAPAYASEVCPMALRGYLTVYV
NLCWAFGQLIAAGVLSGFSEGTSQWSYRIPFAIQWAWPLPLFAILFFAPESPYHHVRRGETEKAEASVRRLGSASHPSQTVALMIHTNELEKEIDAG
TSYLDCFKGIDLRRTEIVCMAFIAQPFCGSAMGGTPTYFFLQAGLPTSISFKMSVGGLGLASVGTLISWKLLHAFGRRTLYLGGLAGLTAILWTVGF
ISVGAGKSTAGYYAQATMMLLWLFIYYLTVGPICYAIIGEISSTRLRNKSISLSRSAYYIGQIICNVINPYMLNPTEGDWKGKTGFFWGGWAFAFFI
WTWFRLPESKDRSFEELDLLFASNIKAKDFSKAVVDPYAEDADARVTFV

>RCO7_07475 | probable alpha-glucosidase 2

MFYKEGNRLVYRYDAEELWIEPWGDNAFRIRATKEHRYPDENEGWALREVETKAAEITLGEKEASIANGKIKATISKNGKVQIFNSAGKLLLEEYMR
NRSDLLDAKCSSLEVEARELKPIPGGDYHLTLRFESLDKNEKIFGMGQYQQPYLDLKGLDFELAHRNSQASVPFALSSRGYGFLWNNPAIGRAVLGK
NIMSFEAYSTKFLDYWVTAGDTPAEIVEGYASVTGTVPMMPEYGLGFWQCKLRYQTQEELLKVAREYKSRNLPIDLIVIDFFHWPKQGDWRFDANFW
PDPDEMVRQLDEMKIKLMVSIWPTVDKQSENYQEMKEKGYLIRVDRGIRTAMDFEGDSVHFDATNPKAREYLWQKAKKNYYQKGIEVFWLDEAEPEY
NVYDFDNYRYWRGTNLAIGNIYPVEYARTFYEGMEGAGQKNIVNLIRCAWAGSQKYGALVWSGDIASSWGSFRNQLSAGLNMGIAGLPWWTTDIGGF
HGGDPNDHHFRELFVRWFQWGTFCPVMRLHGDREPRQPQVGEGGGATCTSGADNEVWSYGEHVYEICKKYMNIREEMREYTRTLMADAHERGTPIMR
PCFYEFPGDATCWDVETQYMYGPKYLCCPVLKPNQRRISAYLPAGAKWTLDGKDFEGGQTVEVDCPIETMPVFVRERGKALEDKA

>RCO7_07474 | uncharacterized protein

MTSHKRKSLDAAFANLNVARTRSKSPSKSLKMSITSTLRRSIRSTGFPAWKTLRGLSSPNPEQCNFTLKMDENYRKYRRGQEKVDVVFERSAAVIEE
LKANFQNDDYGMHLESYIEFTADSMAHLVFGSNMQERAGMGLDETIKLCREVFEGKNIDPTEISPRSPEYAAQLEFLVTQGFEENPDAYHVIRSRRE
VIQHAQALKHILDAALNRDEPLTEELIRETHRILCQGIDLDTKTSLRNVQYAGLYRDTMAMAGATVFTAPEKVPAAMQRLISDFNEDIENREKHQEM
DPFYLAADICQDFVMIHPFKDGNGRMCRLIANAFLMKYSGIVISIGEHDHDRKAYLEIAELAGDGETEEQARGTLAGFFLEKADRTLSKLKGKLAAV
KNKQ

>RCO7_07473 | uncharacterized protein

MQPITALVPSTSGPGQIFEHRCSAKTIECCYPDSGRPRQQPPAAEGQEVDMIGLMDSGPSPSVVDGTPFVTTRLQDSHSGDSIQPTPFLAPAAVQTD
QTTSQHANLLDDNRQNLPAQSLGYCGYSAINWLSPKDLGYSEFNYQAQYFDVDNFNLWTEPVDQSIMPQTHGAGEIITITQSNSHVSDECQGNKVPM
NTDSVQQMLSLPVSTPSIDCSMKCSIPSKSSNFYLNGAGGREPRYGRLRRHRVDWEGKENTPLAELETESSNENHMSFPSSMENCLKGSDADSTTGI
SQRNHEKISHEFHTAQSGSNHASDREPLYFPSMGIFNMTRQLYFESFHPIFPLLHESSPSVSTESWLVELAIAAIGVGYLGTRASQQCSEAFIDLLI
NCLERTGTSENYHSIGSELRPGSLDIIQAQILCCVTMYHSSSLELVEKSVSMRSQKESTDPYHQRDDTWREFILKESKTRAGYCIFSDFRPQMQLED
ARAPLPCSENIWEACDESSWQQARSQRPGESPSLLVALESLYKKKTVDPDVSEFGKIMLIHGLYHRTWEVARYHKDTLSNWIPSVPGTRAASPTTQD
PITEWLPRNPIFSKWRNSACDCLDVLHWSANSYVAQRAGIEHPTILHLHLARLLLLTPVSTIQSLSSLVLQNSRSNSVSQETLQAQYHEDRSEVLRW
FIQDQYKARLALVHAGAIFWHVRRYSHDSMLEPFAVLLSTLVVWAYATSSQAIDQQQRQGLAKTGNSRQDHGNLDLSRSQQSSKDSEDDLVDLPFIN
LDRLCDDELIQIYVLHGSRMKGFMAGIGDICKEGAVVKILREGAKIIACNGTHRGRFLQAGGEQSSSSMAVLPTWGIGVRHALFLRELADASIIKAF
LRDFPVTSTVHLLKRPGCSISAPTVNHSHSRTHREAKAVESTDII

>RCO7_07472 | uncharacterized protein

MSKPAPTQLSFFQAIFANMKEAPDVDWDAVAAQAGYNSGGTARTRFGQIRRELLKGGGTMAVKAPGKPRVKKTPAETAAARSGMNTTASKVTKSKPV
RGGKKAAAGSGTASAKLEKDEEMEGDEENEEDDDVDDEMEA

>RCO7_07471 | uncharacterized protein

MGSNCTKPDLSRHSIFLTLIIYAALLVSTAVGQVAPVKAETGVSAYAFDLNEVTLDSGRWRENEVRTTNYLKFVNIDRLLYVFRVNHKLSTNNAQSN
HGWDAPTFPFRSHIQGHILSAWSQCFAQQGDALCASQAKKFVVELQKCQNNNRAAGFTAGYLSGYPEADFVNLEAGKLTGGNVPYYTIHKTMAGLLD
TWRLIGDTNAKAVLLSLAGWVDARTSKLSLQQMQNVLNTEFGGMNAVLADLYYMTGDTKWITVAKRFDHNSVFGPLANNQDRLSGLHANTNIAKWIG
AAREFKATGNATYQNIARNAWSITVNAHTYAIGANSQAEHFKGANVIAGSLTNDNAEACNSYNMLKLTRELWVMNPSSTAYFDFYERTLINHLIGQQ
NPADSHGHITYFTPLKAGTKRGVGPAWGGGTWSTDYSTFWCCQGTGVETNTKLADSIYFHDATSLYVNLFAPSTLNWKARSTIIKQTTTYPVTDTTT
LKVTGSGSWTMKIRIPAWSSGVTIAVNGVSAGITITPGTYAAITRSWATGDTVTVRIPLSFRLVPTPDNSALAAIAYGPTVLSGNYGSTALTSNPSL

TLSTLKRTSPNTLSFTATANGQTVNLGPFYDAQGFNYVVYWAVSGSLPAKTAHKATV
>RCO7_07470 | uncharacterized protein
MTTRAPTPREAFFFLTIMQCMKNKPDVDWHLVATRAGYSNANSAKVRFGQIKKAIGATENGGPASSTPTKGSAKKDSTIGSGTNTTPSKVTKPRTPR
KPKAAKVKPEPEPEAEAEAEEQDYEIVKDEIDELAEGGDDDAYEFESPLHEKLFKNYQMGQYDDDEVEVEDESK
>RCO7_07469 | uncharacterized protein
MSDVDITAAAGKAEAMSQADTDFILVCIKNAIGGVLTVDGNKIAAELNYTNPRSVTNKISAIKKKYGLPISTASASKTSADFASAPLRKVKKTPGAP
KTPNGKITKRKATPKKTSAKKAAVKTAVKVESESESEQADAEMEDAKEEIDEEA
>RCO7_07468 | uncharacterized protein
MAPKKAALAAAPVGNTTLTPGDTKMLAVICALMGDVAPVNYDQVAKIYGMKKGKSARQACRNLFEKIKAFHPELAAQLIDGNASGSGEKGSDNTSEE
NAVEATVAEVEVLAAPRSKRAKAADKPATKVTVGKNTAPKKAVAEKKVPVAKKAAAKAETNAEDAGEKLEEAKPMEKVVTGGKIPIAHVDDSLPSVS
SSREATLAEDLIPELDQSVAETFSSSPAASTAGHSVTEKSLVVAAVETHESISEASDDVSMLNELAATTSSADAEAAILAHKEEELTVATSVAVSAL
SYFASEQLSMTINGVDHSYDNQDIINAQIHGITLEYYILWKFDNGIDRATVEGR
>RCO7_11645 | uncharacterized protein
MAPASNEEQFKFLISCIRYSNNGKVDFSQVAKECKIVSKGAAAKRYERMMRAHGIASNAATGKPGPIRSLKAQRSEPLASSSSLPPISKKRKADPSL
DEVNAGDDDEGFSTVKREPAASSKEHFVVKEEEQHRQLPGQLSLEDAADLMQYYDTPTGYAGIGVGMGIGIDDGYDGYDGYDGHDGYNGEYSPAPSY
GSGMPASSMGGGLSVGAMYGMGSQQPYGLPLHPSYGSAGMKGMQSSELPRMSYRPLIQGSSDDQGRADSPVIVE
>RCO7_11644 | uncharacterized protein
MPNRSLHPPFSETYVLPRTKYGLPVTLDMFEDNSFVNDNEDHKSRWWEKVWAEEEARQRRELQERQARGLSLEIDRAQQYHATTDEELKGYIIWQQE
SDALEREQALERRLQRAAREAESIMEAPKRKRGERIIVKMELSPKRGTEERKRVTPWEFEDEVLEEVEDGIVTVMELDTNEHKYSAGDQDKMGTVAG
MGDQEHRLMEWFKTVRK
>RCO7_11643 | uncharacterized protein
MAGAAGSQKDSIVLNRWTLLDGMKEYELPKVFKENHILSLSQTPSLQATLVYQSRIRFKPRGDLGT
>RCO7_11642 | uncharacterized protein
MPGKSNTKDGRPVDSRPLPSTLDPSETGGEIPTPSTKKRNVPAIFKSASAKVTPNKIAKPASMTTPFRHKWMKKFNSKGVPFADAGMTSGSPANTSE
DDQKTTNSAKGKSKAVGYSPSSSFNGSPGPSTFGDMGPPITPRKDEDDDECDWEAQDIDSDGDQEVAFMDNEGKIGQYTKVPSALNNIDKARRKIKA
EEGVIDPNGRQIGRQLVLWHRPRMIEKLILHVQYECHKAGVQIPWDHVVHRLQPGSSGPSALQMMNKLRDVLVTEGHMIPPVLGKRTAPVDPTLRGY
KRDLTSDIPTTTKKVAKIDRVHVPEDKDTMSAGQRRNRKPASVNKWAADQRALKGSARKIKIEEGTGTGSSRKRRNNELEEDSDSEIDPAELDSDGD
FVPGRKKSSSRRKRANTAWSSPNNLASPTPKTRKRSSKGAVESDVEYDEEENENSLIVQLAVPSEGLVKFDPGFSGKKPKHVKYFHPPKRLFQEKLV
ESGYQAETMDGGDLDVDTSYQGPELHGPLELYMRAMEDGTDPNLNRLGFETAEAIYEKCKDNPAARARLNSEEAEAMRAFEELVRASQVPANSIEVD
QHDQYAVIGSQVSNNEVYGLFGLHDQQYAFDSIHGSYSPEGSYTQGSYLQGSYAQVSNAQDFGSQGSSAQVSNAQDFGSQGSSAQVSYAQVPNQHEQ
DQYQLQNNFIHQRQTLAEQASRFENQAGFKKVGNGAQDFPTLAGGSSILEYSHADQSHGYAMNTAQSIAPASFDDYESPIIQPRQLPLRTNSPEPIN
RSQPERRPSSQALYGGIIYPDYDEEYGFESLDHELLLRDPNVVRKNGNGDREEADSFTN
>RCO7_11641 | uncharacterized protein
MSSDVPTTTKAVRWSGSGGLKSNQPVQRAPNPNVAERMVPLQVVMGIPPVKLCPQPVRPVARQGLLTITSAARIAHGDAVKFGGNSSTSPFPRMSTR
>RCO7_07467 | probable heat-shock protein hsp60
MQRALTSRASVLGRSSTSKLRPVSSAGFNAQQLRFAHKELKFGVEARASLLAGVETLAKAVATTLGPKGRNVLIESSYGSPKITKDGVTVARAITLK
DKFENLGARLIQDVASKTNETAGDGTTTATVLARAIFSETVKNVAAGCNPMDLRRGTQAAVEAVVEFLQKNKRDITTSEEIQQVATISANGDVHVGK
LIAKAMEKVGKEGVITVKEGKTMEDELEVTEGMRFDRGFVSPYFITDTKSQKVEFEKPLILLSEKKISAVQDIIPALEASTQLRRPLVIIAEDIDGE
ALAVCILNKLRGQLQVVAVKAPGFGDNRKSILGDLGVLTNATVFTDELDIKLEKATPDMFGTTGSITITKEDTIILNGEGSKDAISQRCEQIRGVMN
DPTTSDYEKEKLQERLAKLSGGVAVIKVGGSSEVEVGEKKDRYVDALNATRAAVEEGILPGGGTALLKAASQALGGLKPANFDQQLGVSIIKSAITK
PARMIVENAGNEGSVVVGKLMDDFGSDFNKGYDSSKGEYVDMISAGIVDPFKVVRTALIDASGVASLLGTTEVAIVEAPEEKGPPGGGPGGMGG
>RCO7_07466 | related to cofilin
MSQSGVQVSTECVNVFNDLKLAKKIKFIIYKMSDDYKEIVVEEASENGDWDVFREKLVNAQSKNKAGKLGKGPRYAVYDFNYELSSGEGQRSKITFI
AWSPDDAGIQPKMIYASSKDALKRALNGIATEFQANDEDDIEYQSVLAKVSKGLA
>RCO7_07465 | uncharacterized protein
MTELSFAKSFLTTLDSRPTKITADHVEDAKSYPAHSAYILPKMPKPLAKRQKLTPGAERSISVNMKSLRNPPLDITLSSLPLSTSILALKESLSTKT
SIPVPRIRLLFNKKPAPDSKVLKDLVEDEDTNAEFSVMVIGGAAALKRTESEEVEPKVAQMGEGKEELKTEEFWNDLKGFLTQRLKDEAEGEKIWGV
FRKAVEGGR
>RCO7_07464 | related to nucleolar protein
MGVGRRMKKQGMPDQLDEAHFTNLKRKAGMSVTESRAESLQYVSSKKRRKSSSGDAGNKIESSGKKSKTGKETPKKSASGVGLPSQESALKKAKKAE
EVPLPQSDEDMGNEDSDEAMGDEFDDLDAEGGLGDDFLDSESEVYDSGDDHQTRAMFSEDEDESDAEEKLTAANIAGLTRKLDDQMAEEAADAQAEL
EEAALQTNIAGDRPHILDDPDSDEEGVKKNDLLAPDLQLLRTRINDTVRVLDDFSNLSEEGRSRAEYTAQLIKDICAYYGYSEYLAEKLFNLFPPKE
AFAFFEANETHRPVVIRTNTLRTHRRDLAQALINRGVVLEPVGKWSKIGLQIFESAVPLGATPEYLAGHYILQAASSFLPVMALAPQEHERVLDMAA
APGGKTTHIAALMKNTGCIFANDSNKSRAKGLIGNIHRLGAKNTIVCNYDAREFPKVIGGFDRVLLDAPCSGTGVIAKDASVKTNKTEKDFLMLPHL
QKQLLLAAIDSVDHASKSGGYIVYSTCSVTVEENEQVVQYALSRRPNVKLVETNLVFGKEGFTSYMGKNFHTSMKLTRRYYPHAYNVDGFFVSKFKK
FGPSPKGGVDAFGNIGSGGKGDEDEEIVDKRPVPENDEEAKEQAFGGWDDSEDEQYMERAKKSGLRRKGVDPKATRGDKSKKGEKKAVVSEPEAGED
TEMSGSEPVNAKNERKNTKQNGKREKKPAVAEIVDTEMSEPEPTVAKGSIELKKGKQKGKKEKKPAEIPEVSQDVEMSEPVVAKDEVELKKTRQNGK
KEKKGKKSNEA
>RCO7_07463 | uncharacterized protein
MRCSAVFLYLYGLTASFASASNSTSWAGSNSYYLHALHPEEQAAYIKSLKSFGTKVVRLWVTGGSDDCTKSSSTHPVPVYETTIGQYNTGTLDALDS
VLSQLHAVGIKAIISPHDANLLPPSGSNTGYNGIDIYGSTYNSSDDFYASSTAKQQYDNRLASILNYKSPAFGKQWKDLSEVILAFDLQNEPLIASP
GKASNNDPDDWLCERASNMKKLIGSSGVKIATGGIGGSEYSGHELNIIDKALNCSAIDILAVHGYMTKASQWAAYIPKLADQGAAQGKLVMVEEWGV
GNDSSYDSIAKQAAIFNDAGVPWLYWMIIPGKSIDESCSEATAPACCHKGLSTNANEAFEVGVTSPRADFETLIGNANAATGRQDWSGYVC
>RCO7_07462 | uncharacterized protein

MARPDRLTDLTGLVVRYDDLDAVWRLQLNEHSMIVAISGSVKREPTSSLYRSALAVYFGQDSTRNIFTFIPDETVQEQEAADLYTAIMALEIIQSSS
LATDLKLLVVKTSSSFIPAAMSKRCWALEDGTKQRSTSKRSVKRARFDGWMIELHEVCKELEAAGVEVQFWQVGRKLNIVARNLSKASLK
>RCO7_07461 | uncharacterized protein
MAHQLNLDGRVPCHAEQTTDFAEIFAAIQALEVVNNLMITGQYISHVVMKTTSKFLVTAMTKLVWIWVERKINQGQPLVNGPPVAHLHERASALEQN
HVKISFCQVNSEYNELAIMLAQEAARKRV
>RCO7_07460 | uncharacterized protein
MDDHDRVFNSARHGSIWYDSHPSTRRHLASDPYSLLIFIDRDIRHRYHLTPVHHQASWAVLCQTTSRFNRAHFLPRDHVQSIEVAELFALAQGLEVA
LEMVRAGSEVSRVVFCTHSQLLMDRICTEAWIIDQASWPPRVAGELVEWIHVLHDCHLMIQALIYGRGVAVDFWHAPISDLVETHGLLEHFL
>RCO7_07459 | uncharacterized protein
MRQFYPLMCVNDVSIARRSVTERYRDVHDVAGILHMPCHFNFPQPYGLSTPPESVNTNTNEVSSNAVSVLQSHERNLLPELLDGFSFIAPQSAFQTS
SGEYTILSLDEQLTTHCWSIVNRNGGKDGVLSACGIYLNFVHPWLPILSKETLFDHILSQHSAPKGDTAILVVTIHLLSQLYQTMPTKRNKVDQLYH
TTKGFYGFWLSTGRLSIELIQAGILLAIYEHSQALHDATYLTLAACARMGYILGFDKTLSHDFQPNAGEEATMSQQRQVWWSIIILERISMLEYVPK
KLPFAISDLDWSDILPSGDALRLPISYGLVQHGDTTSPIPVDFSVPTRIAQGAYLLGHVIDRVQSSNTDSSSCSAAKIDGTLRAYAMDLLQPSEHGH
LCWPFAISLSAILMLNAFEISMEPKPTEAHEKVMFQGRAILGLKSALRMILESTESSSNAPDTEVIKLPIWVLHRAQYAAILSLDFGIVDDDVEWWM
TYIQTVKRMLRVMQVRSRLAGMVSSFTKIAIYNEF
>RCO7_07458 | related to flavoprotein
MPLTPAANKIGIIIGSTRPNRIGDKVAALIKSILTESNSDPTLSFHLVDIADFNLPIFNEAIMPAMVPTKGKFVHAHSKAWSAEIAQYAGYVFVTAE
WNFGLPGGTKNAIDYLYHAWIGKPVVIVSYGIMGGMSANESLKKTLEGMHLQVVDTRVSLTFPDADPANHNMSPGLLGAIEGKLIEPVVEKWKVEAK
DDLLKAFGELKEKLA
>RCO7_07457 | related to cytokinesis inhibitor byr4
MEQLTLKPRKALVEEPMECWDDDDLDIGGDDFTFRSASLATTATSHHRDSVSSRMSARSDFDSNHGDEEKYIQMAGDDEKSTFDAVASAARAGIPIP
QNVPASALKGGTIKRLGGRKIKKIIQDDWDDGDLELPGEGGLTFKRQDASNFPDALRQVSGGSTQGSPVKALQPAPKFNLSPRPDIKPKAASANIML
ERFRDEEDDDFFGDGGDTIKVSKSRQVPKLIPLITPPTPQKEDSHAEGDGDFDKDFKLPQDNEPLRLSTRRDIPKTPISLQDDADEWGEGGSLGTRH
GGKRDRNSNRSSSATALSPSVSSSLTMESEDEGLDGLIIPSGPLHFDDILKRRQQDRSPDHGSRDKQAAQRVEAKDDFLTGLEIGDGDVFDSSKLTL
NRNIKMKSARLTSPTRPKTAVSLIFGNQQREKEKPAPITTTSRLPRPLGGHERHPSSLEPVSESGGPILRSSRRSQSRMGGHSSHSSVTSIATPTTP
VSVHSLAPSTPCRRDLGSKPSITALRNEPTTTNAQLLKLKRSMPTMRSFPQSPAKPMRSHYERPPSRTDGNRTNTRPKTPVERDRSGAESSMSHARK
NPLPFLPAGTSSAQSHHVTIKTSRHFRRHDSESSNTSIELRPSSRAVSRATMRSPSPRRPRGADVLARGAAPKHTLTKPIRRKHFGDGFELDGFDDL
PTSKDTEQRFVKEPIGRGPPKLSHLRNKVSQDASLSRTTTPAPLTPYSPARTRDDLPRFARDTNASRMAREHVIAQRAPSAQGAPLAALTNQWKAKV
SATTGLSNVHAQSVKPKKIRGPPQKPQLIKPLGNLNNPKSIKGMYYNPYTYRWEGNENDLTSFDPPASSPSTASIPSHMFREKENQVYREKENTTPR
PALIQNITSSQNVQVVGGMVFDPQRMCWLKMPSQQANSKSDAGDTMDGFDAFDEEEDVFKDVPDLEDNATKESDEVSGRKSDGASTLKDDWLVGEEF
DVGPEFVKRQREEEDRWRRKCEKWVGANLDRGGDDWKWSIRDVVNE
>RCO7_07456 | uncharacterized protein
MDPILIKVPRPDHGADSDFVLLHVASAGGKLLDLNLIGTENDNIYTFSCKRPQIGRRGPALGLDLPRGALIRKLIKFRDVLVKQNQTHKLKDKKVTQ
EEWETTLSAFLLGTDPQGEPVDAPEGLEAVASLQPGPGDVPKSITVQKLGSIVLPTDPDGDGDLYEWCSENVVANRKLTQKLQASKAKLLDKDAQIK
RLEESLAELVKAKNDNDTQLLEKFSLLLNEKKLKIRDQQRLLQSSNVDPAQLKELEEAGTRSRSRSAGPSRTGKRKVIEVEEEDFKDGVDKMDVDDE
ATAKDSDQEPARDSGEETADERTASEASEDEEPPVPLSKRKTEAKTKQEPSSSQASSSRTLQDQPEPPQKRELPFSKKSPAKTAAPADEGSATESDD
EL
>RCO7_07455 | probable WSS1 Protein involved in sister chromatid separation and segregation
MATDASETGPTDNQDLVSITLTFHGASHTYNFPSDATILDLSDEIADTLSIPSSNQKFMVSKLGLLKPPFKDPNLLLTALTNHKITLLGSTAQEASS
ISLAREEASRRVNRRNARPAQKVKAYKTHDWKKEQEENQYTFTTLRPLLYLPNPNKSLKFLQRLKDDIGIKAAMRRHKFIVPLLTEMNPVEHTQSNY
EGTTRTLGLNRNAGEVIELRLRTDAYDGYRDYKTIRKTLCHELAHNVHGSHDRKFWDLCKLIEKEVEKADYTKSGFMVGEGAAYAEGSGEDEEVDDH
GGWTGGEFVLGASRGGGAESVGTRGSGEGISRREILAKAAEERMKRMREQQSGESENAGSEFR
>RCO7_07454 | related to dis1-suppressing protein kinase dsk1
MFKQLGRMVKPCRKSLPFVLSKQIKTLCPEPRILPSDVLVEEERVPGYRPEFFYPADPGRVLNNRYKILTKIGWGTSSTVWLAEDLERTTIPYVTLK
ITTSNPDFEDMVLHELDINKRLTKDPSPPGFAFVRAAIDDFIATGPTGVTHLCLVYEAMREPLSQFQHRLVGEKIPPQLLKVYVDFLLEGLEYLHSD
CHIIHTDLKADNILMSFEDLDVIEEYVKAQGDHPMPRKTVSDRNIYLSHNDFGTLKSYWMLPKIVDFGLAHRVDGAEPLRHPIQPPLYHAPEVLLGV
PWSYSADIWNLGVLLFEPLENKELFTHLKSQNGVYTAQAHLAEMIALLGPPPQKLIDQEKHRRGIPWKRYFNHPETIPKGVKLDDCITCMSGEEKAL
FLSFVRKMLHWLPEDRKTAKELREDPWLQSGLD
>RCO7_07453 | probable ERD2 - ER lumen protein-retaining receptor
MNLFRILGDLSHLVSILILLHKMQQTNSCSGISFKSQALYLMVYVTRYIDLFWTFTDSAYNTIFKLLFLCSSGYTIYLMTTAYKPTHDPNIDTFRVQ
YLLGGSLVLAVIFPYKYTPSEILWAFSIWLESVAILPQLFLLQRTGEAETITTHYLFALGSYRALYIPNWIYRYVMEGHWDGISVMAGLVQTVLYSD
FFWIYYTKVLKGKKFALPV
>RCO7_07452 | NADH dehydrogenase (ubiquinone) 78K chain precursor
MLRSSLARSALRTSKQSSNAARTFATTSRRQAEVSLTIDGKQVSIEAGSALIQACEKAGVTVPRYCYHEKLMIAGNCRMCLVEVERAPKPVASCAWP
VQPGMVVKTNSPLAHKAREGVMEFLLANHPLDCPICDQGGECDLQDQSMRYGADRGRFHEIGGKRATEDKNIGPLIKTSMNRCIHCTRCIRFANDVA
GAPELGSTGRGNDMQIGTYLEKNLDSEMSGNVIDLCPVGALTSKPYAFRARPWELKHTESIDVLDGLGSNIRVDSRGLEVMRILPRLNDDVNEEWIN
DKTRFACDGLKTQRLTIPLIRKDNKFLPASWEQALVEIGAAFKDFAPKGNEFKAIAGDLAEVESLVALKDLANKLGSENLALDQPSGSQPIAHGVDV
RSNYLFNSKIWGVEEADAILIVGSNPRHEAAGLNARIRKQWMRSDLEIGVVGESWESTFEFEHLGSNAVALKKALAGPFGKKLQAAKRPMIIIGSGV
TDHADAKAIYEMVGNFVEKNAANFLTEEWNGYNVLQRSASRAGAYEVGFTTPSTVVANTKPKFVWLLGADEFNAADIPKDAFVVYQGHHGDRGAQVA
DVVLPGAAYTEKSGTYVNTEGRVQMTRAATSLPGAARTDWKIIRAASEFMGAALPYDDVAQLRDRMVQISPALASYDIVESVSLKQLSKVQLVDQNK
GSKPTGAPFKKVIENFYFTDVISRSSPTMARCSAAKEQNNPETNFMAPGYSSEHPHGQVAYGS
>RCO7_07451 | uncharacterized protein
MATEVAVDDMSIYEHMRKYDWDSDQVYQGGLKAILGPDPSPASDLILHAQCFYFSRKNNTKVDFNGYKEYLDSHSSQNTFSNPTSSNSAPISDSPST
ATQIAREPSGQPHHQPRDPMPPDMAVSSTHTNPALTPESGEQDGAQDGAPYPRSFAEIVALIQSGAPIPGIKEIDDTPRGLAASSPSVMPKRRKPWE

KDVPEEVIQGRGPGTFGDSRDRIIEQEYPDA
>RCO7_07450 | related to SCD6 - suppressor of clathrin deficiency
MANSNVCARYRSRISLVSKSDIRYVGTLHEINSENATVALENVTSFGTENRKVNQEDYIPPSDSIYEYIVFRGSDVKDLRIEQPAAAKENNPPALND
PAILGSGSRPAPSNQAQAQAAQPPRQSSQGSSQQAQGPPQGQGPPQGGPPQFPHHPQYPPFYPPPTGWGRAGPPPPGPGGFPPMPYGAPPPGWYPGP
QGFPPGPFPPYGYPPGPPGQFQPPPPQNQGPKPAPIGPGANKQPSPPASNPADKLVEPKSLVKPAAEMAAAAVQKTPSPPTATKPSPNEVQAAIDHP
SSAQIAGGKATGKAAPSGLKNNNRVAPAVPLQGPAATKAPLQQQTNNAQAPAARTTGPAAGQSDAIRAATAAVAAAMATVPGQMNGNGTDLLANRVN
DMRINDPVRAPRIPGAAGAGFAANRGRGGGRGGPRNVEKKVEVPDSDFDFETANAKFNKQDLVKEAIAGSPLGENPPVSSPTEAEVPVSTYNKSTSF
FDNISSESKDRLEAAGQKAGGREWRGEEQKKNVETFGQGSVDNGYRGGFRGRGRGRGGFRGGRGYSGNGQPSRGRGSYRGQGDAQAAV
>RCO7_07449 | uncharacterized protein
MSLSQMAFAEIHLDGLEEVDGCEVILKHIYHQRVSERKIADREVAKKIFREVGGLPILVSQFAGFASHSHCSLMELLNLLQEPSSFQVIWNYDSRDS
STFQYGAPMSKVWGLALQELSPEASQTLRLLTMLSPDGVPEAMLIGDWTEPDLAYLRPERRFGFFGVRQSLSTRHLAEINNSTGIFTSLSMHRSLRS
YLVQLMSESIGSVLLQQNFDTAAVIVRRSFPPQTVTQTPSNHNWNISKEYLPQILSLQSFYSSWKLRVQPSRTFASLLADAGMYLWEIGLRSGSITT
LEWGEQNQNDEAVATAKRAYTLIENAYGPDAQATLKGSFVYGCNLLAVGDLEAAKKIHKNTLARRRRLLGEKSFITKDSIYVLGEIHRLSGRMEKAE
NMFPEMLDGAHEAGCGKEAMARAQYYLLIVLRSKTGEESTSDGISNEALLLYQQVQHYKQSLAKELTTEQLQEDDIHSLDFVSSIRSGRPNLTGSYL
FPRDPNMTNIGELEPISHD
>RCO7_07448 | uncharacterized protein
MAKVQEHLAALQTTIELILKISGSAGASVGVISNGEPHDSHYGFMDHRLTRRPDVDTLYGIGSLSKSMLAQTFANLVAKKVVSWNDTVHSILPEFDN
KDKNLTDNCSILDLLSMRSGLPTFNNLWYQGNSSPLVSRSSLMSMVNGMQTRFPLRSDWRYTNWGYAVAARACSNHWEWFAQLWLQNGERTGMLLRG
SWDYRSMLPITSQKIDSATIMGAAGGVCSSTRELLLHYGGLVAALKQEIDGTKTDSPVFNGLATLYQGQIAAGQKVETSTQYTLGWVKGCLPGRVGL
LSENAGLLEEAPLLGKDTKPQVLFTHTGSLAGFTTTAILLPEMRSAIVVLVNTKASCDSSDFIASAVLEKLVGGTGDHDFVQMASTTKIQHIFSQSH
ISPASSMDGPNHGEAATTDSVCDTRHYDTRHQPWIAILNKLKGDKAAPTESDDKMETFTDVEAPEMFTYEERVYYNHSS
>RCO7_07447 | uncharacterized protein
MPLSAGYLAPLHLVMLDKAGWRLCKSKFTLDQNGFQIFDLPTTLKHWHDRKAVQSSYMKECAEVLRKNLDGVDWIYFYSWRLRDSQTGEMDQKRKVD
LNSPTDALNPSMYPHIGQHKLKVVLIYWAMADNTHTDESDVGSVLRAKHYLKDNADDLLRGRLRVIKKSNLEHYYPLALAESNSFTKANLVASDNIR
SNFQGETFFGMYTPDYRWYYLSNQQPNEIYMFKIHDSKEEVQAKRTLHAAFKFKSPHPDAKPRRSIELRALVFSNPPGLGNLSLLPNSQLLYGTAWK
DERTTDFTLKAIEHGYRAIDTACQPRSYREDLVGKAIQMAFTCGILKRREDIWIQSKFTTPGGHDDDAAPYDLATSISEQVHISVALSLTNLAHRET
LDPLTDVGVHIDSVLLHSPYPEFKDTLVAWETLSTYVPHKIRNIGVSNMPLHILRQLYTVADIKPATVQNRFMAENKYDIPLRRFCHTRGISFQVFS
ILKDKSDLLDSVLIEKVAASIVPRISKGFALHLLVLGLGSYTRIVNGATTEEHMEENSKGLARFKVWLDDHDNRKSWEENISQFRDLIGESWSVKS
>RCO7_07446 | probable FMP40 Found in Mitochondrial Proteome
MSAHLSSYSSYGGSSLADLPKSWTFTSSLPPDPKFPTPNASHKTPRDDIEPRQVKGALFTWVRPEEATDPELLSVSPAAMRDLGIQEGDKKTDEFRQ
TLAGNRLLGWDAEKGKGGYPWAQCYGGWQFGSWAGQLGDGRAISLFETTNPSSKKRYELQLKGAGITPYSRFADGKAVLRSSIREFIVSEALNALRI
PATRALSLTLLPHQKVRRETMEPGAIVARFAESWIRVGTFDILRARGDRDLIRQLSTYIAENVFDGWESLPSRNPSENGSDGTSLLPTGISKDTIEG
PSGLEENRFTRLYREIVRRNARTVAAWQAYAFTNGVLNTDNTSIFGLSVDFGPFAFLDNFDPNYTPNHDDHMLRYSYRAQPSIIWWNLVRLGESLGE
LIGVGAGVDEPEFVEKGVRQENADELVSRAEALITRAGEEYKAVFLQEYKSLMTARLGLKECKATDFDDLFSELLDTMEALELDFNQFFRKLSAFDV
EDLETEEQRVQKAGVFFHHEGVTGVGNTDESARKRIAAWLLRWRTRIVEDWGSESANEEERKTEMKKVNPKFIAKSWVLDEVIKRVEKGGEREILDR
VMKMALAPFEESWGGDKEEEERFCGDVPRVNRAMQCSCSS
>RCO7_07445 | uncharacterized protein
MIKLDGLNERIFHPERYFIGPGRIEALEQPSDIIHHILHRDRATGLSRLVINNLKVKRKIDRTLTIDTETIVVAIDGAVHTRPDRPSPPFRDGNDEV
KTPISGVIEILPKVDAEGRIFNTSTRAGYKIFFGPKSLHNQSGLVQHEGEGIVSKMVPTRETAVLVGCTVLQHYVLTTLAPSSHGLQPPTFPLQTTA
GIHPLQQVVILTSSPYVIKCMTSYVQVWEENGYVDSRGMFVENARELRDLEYVVGRCERRGVRVRFWCVKGGEKGIGDLEDLGEARGMAEQVWEDGE
TREGNGEKVIERQGGGDMGVEGKREDRDEEDRQGNRGSEMEVSLENWDSSGIAIRILPTGNIDEREEPGDERGVLARTEDMDDMEALELELEKGFVS
F
>RCO7_07444 | related to RNA-binding protein pumilio
MSATASTGSPTLRRVGSRAGSSQENISSAEEALARMDPSVGSLKKSATALSSSKLSNQAGPKKMKINHDASSSNEVNPMDKLLAKLSEQQATINMQN
EALKSTDDTVRYRTVEYVSATNSVPITPATDAYNFSTAPTTSPPSVFGDDVPVQSASELAALKAELEAAKGKIARMDQELAQTRITKHTLDQVVGNA
SETDYPMQSPAEERLNHLPPLVRPQFTRDSSWAQDDARSDTSDALSASGFNRARAIWNNGGKPNFTAPTPPYAGVLGPLPGFQPPEGSNSAPWIQRG
YGQPFVDSMPCGPVPPFRGDRMLQDPDMLMAPTLGRRNQPGGGRYNNRSSASSFPYASSNSSFDGFTPSSTPGPYGSVGNMPSGMPSMGGMGMTNMY
TGYQPQPIGTPLSPHAPEFTVSNAGWKGDNQAMEGQTYLPTTEPLNYRRLLDRTVNCNWKYIVDKIVCNNDQQASIFLQQKLKVGTIEQKYEIVEAI
VAQAYPLMVNRFGNFLVQRCFEHGTPEQVIKIAEAIRGNTLNLSMDAFGCHVVQKAFDSVPEDYKAIMVHELLRRIPETVIHRYACHVWQKLFELRW
TESPPQIMKYVNDALHGMWHEVALGETGSLVVQNIFENCLEEDKRPCIEEVLGSIDIVAHGQFGNWCIQHICEHGAPADRSRAIDHVIRYASEYSMD
QFASKVVEKCLKIGGPDFLSRYLDRVCEGRHDRPRIPLIDIASDQYGNYLIQYILTHSNPQHRELVASHIRKHMVSLRGSKFGSRVGMLCTNPAIQT
RPGPGVGPPVGVPPRMAPAPSSRYGGTYR
>RCO7_07443 | probable RSM27 Mitochondrial ribosomal protein, small subunit
MAVPRSRILDLMRAQCKIFSTTFNPEGLRLGNQVLRQRLRGPALAAYYPRKVATIKDLQKLYPDWETWDDAEEDRLEHIKIVKQRGKGAPKKKRTLE
DSKKFKGKKR
>RCO7_07442 | related to Ribonuclease III
MQELYDRTKRKFDGVSSSSGSQHKQQKHNGSHREDAKIPSSMERTRLDPRTSVSNSISPAQSRKIANLLKALDEALEVDGMGQTLDFIGDVAYSRCV
DLRTSLSSARSKLDDGEIISAASHQQISHDFFNVPKTISPNAITPWKSSTIPLTLPPLPEVLNPTLKASAFVHTGCTNGNPYDLSYERLEWIGDAYI
ELIATLLISQTFPLDLPGRCSHYRETLVKNLTLADFACKYGFDKRLVLPDPKVFSVKPKDRTKILGDVFEAYVAAVILSDPVDGLIRASQWLKDLWS
MTLAKEIVAEEHEQTKRKGVSPIWNTQGAGPVPDIKSKVPMTVGPKETLGHMICMGGVDVKYEDAGPERRENKLVLFTVGAYLYGYGEKRLLLGTGQ
GKSKKEAGARAAEMALKNEKLIKPFANKKKLLMAQRQLEQEAVDGQKGS
>RCO7_07441 | related to endozepine
MADSVGAYLSPLPCPTMNLSSSSQANIFLIDRVFVHALNTVKKIPKTGASRPPPADRLRLYGLYKQAMEGDVDGVMERPVSADGGEEEPDETRKDRD
KYDAWDAQKGISRTEAKRRYIEALIETMHRYASTTADARALVDELEFVWDQIKNNSASSSNSSPGRGVPSYTTQPRQFQQPLSGNDGPMRVLSPMSQ

DDEAERRSGFNDVYDQDEDDEEDGFGATEKKDAKTSRWRRSVEHAFTKMTAEIAALREQISTGREWQGKKRRSVKSWVAWVLWLAIRHMLVDVMLLS
ILLLWMRKKKDRRIEDLVREGLRIGREYVRNILPAR
>RCO7_07440 | related to DUF636 domain protein
MPAGGCFCNKIRVNFDGEPNAHLLCHCLDCRKIGGASYSNNLVVPEDTFKVEGKPKEISKQADSGKKITSHFCPDCGTTLFRTGESFPGAVIIKTGI
FDDPKWADNNPPKGELYVKERVQWVPALDGAAQIEGMPS
>RCO7_07439 | uncharacterized protein
MAKQNQDASTDLSRAVLLPFSGFRPPPLSSETPLSQVQRIQKVIENVEHHQTLVRENSVALAEEKAANMIEKSEQDLIDMGEVDMEDNQQVVEDRRQ
RRREVDAQMKFMQKPTRKGATPEDYTQMVRAGMGRMIAQSSGQSRKRLASGELKISAADLDTKAKPRLPHTIRRDVSTNLQALVNDSTEQLEAYDKL
SSSTLNHYKQALARRNSRPDPLPAPMADRSVFDTIKPTPQPSMENTRQPSNLQARADPSSPSPVRKGSILKNTTISPQRPKHVPIASMDSPSTPKKV
RFAPESESDSIDWTTPPPRAITAAVTSASASSGSIDWTTPSPRAATAPGTSAYISPLPKEKKSLSPKPSKSPKSPKSPRDGGLRRTSTGMPIAGSST
SKPARKLETFEQSARR
>RCO7_07438 | uncharacterized protein
MEQKFPRFSDLPVEIRLLIWEETIEPKIVHLRQQRISECYHAVESVSSNHHVDDRCCGKISGHYHGRKKKFDRIDRIRGRPWNHYAMGFDTDRPIPA
LFLACQESYQVASKVYSRSFSALGSIAQTYFNFRSDTLYLDKRTEAPTAESIVQDVLPYMCQDELARVEKLALNSNLLTEAIGSYENYLACILYFFK
NVKTVYLVSEPELVEWERRMGAEAGRKRLSQDLIMYETIETAEHTNSRLCAECCLKLDLCGIAPLFPMEISEERVQLEGKSICGGRGQVWCQPTLIY
NQTITTPEMKARVDELWREWRDDRECQCIDIGDDYFDVLS
>RCO7_07437 | uncharacterized protein
MFSLRFIFISTILALSVAANAIDCLEGIVTATGKFTFNATDDYYNNLCHGEFFLTSVYAAAKVYCTPEEIVAGSAAIGKTCSEYGFTVLTPYAEFAP
ILTDAFISSLPVVNFEDIVVEPTRNTSVIVSESLYKTGKNTYAVFVQSLALDSRYGWGVYGFWCGILLIGIVTRFVKFLAHKMQQNHPVDVTALESC
SYPAVYTTAQKIRGWSQAKIILPPLIGTHHRRLLGGFTIPTRIQSFVVLAYWAWSIIICAVSYNIFSPNIYYTTEVQAWRYISDRTAVMSYANLPVM
WMFSGRNNVFLWATGWEFSTFNLFHRHVARIATLRIMTDTEALNLDCDSQ
>RCO7_07436 | uncharacterized protein
MSFFFRNSFVVIVFTLLVHSASASSQSLQDQVSQLPDCSKNCISLAAANAGCVAGDYACQCKAAGGQNFLGGIISNVLGSVTGQNTCLLDACGAANA
ANTQMIFKQICDIVRPTVSPTSIAPAEITPPPLPVDEPIFTEYSTAPVAEPTSTEQISPPFLSTSSSESVMQSSTAISSPVVQSTPIPAFAPPPRAT
TSIPSPSQSSTLSTSFPQTTLTTVNSVPASSTLAATRSSEPPSSASAIQASSTSQVSPTIATTSNTPTLFPTTSTSASTPLSESANTSPTRQFPSNT
PSPASYQAAADQINSSVRGTQKSIRPRLSQAAVVGIVLGFLALTILTTGIYLLFRRRQQAIKRRKQLAKMSTMTAMSRKSGEITVYLDLGLGDDARP
TLPDVGRGSAYRSGSRGGLNSHPSATDIR
>RCO7_07435 | uncharacterized protein
MKLKSISKLVKKLWYSKFFKSEDCKNKQVGSFAATRPLNIFKKLHPELIIYLADFLPLSSSAILALSCRTAYEILGTRFWARLRADDEQLQCFEFLS
LLSRDMSRDDYVPCYHCHVLHVCEILPGVLQLPPLPYYQYHRTLCKRAEVLGKVAKYMHSGFQFRTVQMAMKMYRLHLDYQPWLEALCRNSKASMVQ
GEFPLKFKNSVRIINGFLLFCSQRIILLPPGLTAADLNRCGFDICPHIMLTAHRVAPNLPETSECAIDHDHAIERCIRSSAITSCTSCPTEYQLRME
DCENFGTAVVITKWMDLGKGETVADPKWWSHLSNEYMAPNSGVLLEGQVRSDLISIRDAFRQLDSSELDRILPLSVVKRLFHFSKRART
>RCO7_07434 | related to mannosylphosphorylation protein MNN4
MKIQHLLTKSLLLISTLALPAPNADRLQRISNSDIQRRHNEATPPPDGKYFHEPGGGDDLGHYDIRYFNGKPVSYEERGETLYHLIRSYLSIFRERN
IETWIAHGTLLGWWWNGKIMPWDWDLDTQVSGSTLAWLGQNMNMTMHNFTMSEPDGTPMFREYLLDVNPYSAERVRGDGQNVIDARWIDVRNGLFID
ITGLSETNPSAQPGVWSCKNYHRYRTRDLYPLRETVYEGVPALVPYSFDRILTEEYSARALTKTKHEGHLWVPEQKDWIRQDVLQQNSDVHGRDVPH
IPRSLQADEKPRAGLGNLLRIL
>RCO7_11403 | uncharacterized protein
MHTTLPLLAALGLMTPSLSAPTSHTIEIIITTDSSVPVHHTLYAGPHVSKQAEHADMEEQCLEMHFPHPIDCEEEISKGWYFAHGQCCEGTDEQEFM
LPKHNTGTIIKVDMPTGFSAESKTGANMPTGFNVNSKIEDEMPTGFNINLKIENDMPTGFGMNGKKGSQSVVPVHMPNGFNVLSDEKEPASQGDMPT
GFGSKLSEHTQTIVEGEMPTGFGIKSQTVHEEMPTGFESKGRVVSDVNVIHTEML
>RCO7_11402 | uncharacterized protein
MKSAILLSAVLGLATAQNFAGQPPCAVPCLKTAIEKAGCALSDEGCQCGSGKAAIAAAVGGCLVAACKIDELLVAQKAGNDACLAYSATGPTPNNGT
AASNTTATSTTATSYAATTGTHGGSHGGSANLTDSTNTTGHASPASPSPATTSPPSRTASTSASGRTPSAGAATSTAGAVQGVAGVGMGGFAGLLLG
LLAAL
>RCO7_11401 | uncharacterized protein
MRRRIGTGAQVHRHPGTTGGRLGTVSDQYRHISRSYKIALGLPTCFIPARIPP
>RCO7_11399 | uncharacterized protein
MSPPLSCTLCTLCNRKPIGHAGHKKCNGCRSAVCCSLDYQKKDWRLHKLVCNQLKSFGTQNPRPSAAHKIAIFLPADQDTPKLLWVKVVEANGDIDL
EAPSLPRSKYGHQIYNFDHTTVMYVRCNKDADGSAPNQSIVGMMKGVYQQENHWKGLIVIVSRPGTLINPRVYKDVTATTFRVTIDFFKAINSGLDS
PGLKVPTTEAATDHLVPHSNMVQGVEIASKGDAFLHGKMRYTEVQVSFDNPIFTISPTQISEHMGFPLQVRNAGDFRRRDVEKGDKMGFNTFKNRSA
LFLNMEADIQGHNWGWADIFVWDQDIGTVLVVRQDKRLLTSPQVEALAK
>RCO7_11398 | uncharacterized protein
MEPLTCALCDSEDAVLCTLCKDAAFCARGCNVTGKRIHKLLCPEIERWGQSIARPAEDSYIGILFPEHGTGPELYWSQGRYKLHTNEITGLVERTDL
LSVNGEKVTSGDIEITSNLATKNEVPIPFIFSMRDRRVSDESSVNLSILEMTRGDQRGVWAGPAVIYCRNENVSLTDLTYFITFLKSYRDKAGSLKH
AIRVGELSHVESGRPQLFNAVRQFVQVRKEARKVVAAPVSVKRVRFDLTNIEDG
>RCO7_11397 | uncharacterized protein
MGRTIGIIAFFQENVTPRIDEQREGPSKLSDEQPMIEKDLHMAKLVCNGGKIASGDRSWANEVAPYEDAETENASEDIVAQLLGGLSVTEAWAKRIG
>RCO7_11396 | related to annexin XIV
MSLDPRDDRRRGRSKSPGRRDERERSRSRVDEYARVEPARAPSPPRGYEESRGYQGEGRGGGYDGRPAVVTAEPRGDPRDPRSSYGSVGQYRDRDSS
PSRSAVGGAYAIPGAFEEERETKRYESGRGGREKDHYPDKGYVDGRGTGEYGAPVAPPSKYDVDARKYVQPGGEYDARRYEERGGGRERGASFNASI
GHHSIAAQAGISHGASQYIQPPSPSGFQPTAGGQYARPTSPSGYQPPGGIPPQYPYPEAPVGRQYAEPKQWEYAKPEETISYSKRTETSYNSSGGYG
RPASPPHQDYRHGSSVSIPSGSRSRHGSEAQYLNDPARTSQSKIVTVEPGSRRRDASPNPASLGPRMHSLSVSTGHHGGAAFTGGAALSLAAAPGSP
LLEAYHGTYQSISPMPSPLMIASHAHGDINLFEPLSPSSSDDDRRTGIKKSRRTARFHDPVEEATILAKALKGEKRGPDTLPLIEILPGLTHDQILD

LRVEYKKIVKTGSEKKGVNIAKHIKLRLKEEDPNLLKACYACALGKWESEAYWANFWYQGEKSRRELLIESLMGRTNREIREIKDGFADKKYSDSLT
KCMRTELKEDKFKKAVLLVLEGRKMEERPGHGLDRGLLEDDVRELHRAVRSEKGGESAIIGIVCVRSDAHLREVLRAYEGTYRANFAREMLKKSGNL
VGELLAHILNGVINKPVRDALLVHHALSLSKSDSLRTELLISRLVRYHWDRPHMEAVKKEYRTRYGVDMQAAVREGTRGEWGAFCEQLCVRRMGNEV
REVGRR

>RCO7_11395 | related to glyoxal oxidase precursor

MAVYAVNIVPRLESVFLETIEILPITCHSALRFMACNPEMLPTQRMASAVLHTEIRSVIQTARCILAYAARNTALVEIPLVIAVLAVYLVVLLLQQV
LVRDQDLTDNVVLKLAAQSVIRRGRLEVVALSTVSNNCQNGCTDNTPKPPTTQSNPSPTGAAPRSDGQCGYKFGGSTCEPQGPFCGKTDGHCLVSNG
CQNGCRDGNPAAPIVPTSLTTQSSTSGEPVIGQVKTSMAAEATATARVTTDGTCGGSKGNTVCGNWVNGNCCSMYGFCGKTSAHCGAGCQSGNCLSS
PAVPVAGPRPAPAAPNGGTFRVVGQAGVPAMHAGLMPNGRVIFLDKVENYTQLRLVDGHYAMSAEYDPVANTAVPLEYSTNAFCSGGTFLADGRMIS
VGGNADLPFIDSNIGNGLNAIRYIGRSSIDAGQNGKSWSEPGNKLASARWYATAQTMPDGTVFVASGSLNGLDPTVTANNNPTYEILNPDGSTRGTN
VELGILKKNQPYYMYPFVHLLSDGTLFLFTSKASQVFNVGSNTVAKDLPDLPGDYRTYPNTGGSVLLPLSSKNNWAPDIVICGGGAYQDLTSPTDPS
CGRIQPLTANAQWEMDYMPEGRGMVEGTLLPDGTVIWMNGGSRGAQGFGLMDAPATEALLYDPAKPVGQRFSTLARSDVPRLYHSVCLLLLDGTVMV
AGSNPVEMPILQPDAAHPYVTEWRVENYVPPYLQGDKANQRPTNIVIESKTVRADGSQMIITLIPPHTSDNVKVVLYHGGFVTHSVHMGHRMLNLDI
VRSTRGGPVQTLYVTGPPSRNLAPPGPYVLYVLVDGVPGVGQFVQVV

>RCO7_11394 | uncharacterized protein

MIQHDNSRSVGILTPSSPIPIANEPAASYANDDFDDVFGSAPSSPSHHHHDEGIRSGNLEPSDIPRLREKHGTEGYRDGVTEGKGESVQAGFDEGYG
LGAVLGLKIGWILGVLEGVRRGLDGDGEGFSEQRERVGKLLEGARRELDTVSVFGKDFWGEDGIWKFEVGDGQGEVLFPDVAAAHPLVKKWHGVVEG
EVRRWGLDLGIMDGEDGREEVDESGGKGAHERDARKGELESEPVAEGMAKALGVTKKDLSW

>RCO7_11393 | uncharacterized protein

MSIPLPLRLLSRTGEKFEVIDCRGSRSPAIDHFDIITYTWGKKEDSYNCRIPGVNWNVKLAKQKLEDIKRLMIQDNIQYLWVDCICLAQDDEREMSS
EIPKMYQYYKVARKCYILMDMEEVWNPQDIVDNLKFVDHILANMGGASMASEAFLTGKLTDILSQWATANWKFPLDYSTVRSAGIDLGVLNCYSTCI
NRVRSLFSNSYFTRVWTFQEMLLGKNITMYGVNKDQISCIGELDTWMDLATDSKDKAYKLHAWISTSRVLRTASVNAILRVLDEDCLVLDALQTQVR
GVSSARTDIINGGPSWWHENHKGVCNIFSAISITPRECEMRRDIFRGLLGVFSGLFTAEEVERDLNGDDIERISFAFFKQLSIKTGLAWTKLAISSG
ERGECNWIPVVANHNNPMTTDCFAAVVNLGRLKPKGLAKAFAVTGLLGTPKKYMRIVLNNSDRGFNFIFRGCNAGKKVKTGMFSSETIPVNDQPREV
AADETGGILVQCATMLGSIIDPGGDVVQYRRRLLHKLQPYWNISDPNAKPTGWEDRCVSGTGWENPHPHDFRVHNRSMNFRMSSITDCGSRLENEST
EKISCEVRVNCGCVITAPFSLIFEAITAGSGCSLGGTSATLEQDRIVLRDGLGLVQVGDIGKAFSLVAYGGNTDSHRVYANSCRSTRIHRSVVPKLW
WPTGRALVREEFTHGITDSLRDYGYVQTGGSGNLLICQNRPLGHYKIIGGYFQVVPGVKPDDWPQNMKTVLWQDDGNDETSSQSQLPDFYRR

>RCO7_11392 | uncharacterized protein

MTFQNPSAKEPSPAHLTDDKPLTSEDHPRNPKSRHDLNRFKKLATNTTDNQSFIDSSSRNLMPNNLSSSDTSQNSNEPAKFQIQRQVNTDDSGGRAY
LGYTEVRCGNLRPWVTAEELKKHFAPCAGLKDAHIPLETNGDVKNYGVATFYNTQDARVALESLNGTLLRGIALKLTPARPISLAEIKFSMSTNPVG
MSESNQDMVANSFLRAKLVKRMRIIAGKDRPLKRQITKERWESRQQPRLQILADLIGGDNAHESAKNLDVIIDGIDETYYHESELSRNLRIWDMQFD
FFDKIAAWILKEREAFRDKEMFKPSPDHEDTTIRDRIVLFDQDCRQTVYPLNITISLIS

>RCO7_11391 | uncharacterized protein

MKPTSPLSLVLFLQLVSATPLPETLFPSDCLRTSCAGFRSSLLSAGKPNTPPTRLTNPHLPTHQLSSPDTLDQETFNNRPLTPAKYTPPSIALTSQR
PLSSSYLRSLGNPASSPAIQKPPHATNSQDIHPLSRPTSALPHLRKEDAKRYWASLRPARGGGSRNEAVETGGPRNTVHLCGASAFLAENYVSFHGM
RLARDYSDLIVVGIVLLFFIAVIALELVQRVQNASLFGQRRLRRGAIYLEEDETVAFIVKKPIATQAHPVHYQISNPGQYQDEKETFRYDSDASGNL

>RCO7_11390 | related to pig-c protein

MVPNQASPPPAPNKVPLPPLTRSTTLPAYNPQSIATDRSRLAPEDAIYQGSPPRRQSTAVSKLKDLRMTNGSIGDLRPSRRGRDGTRPRSASRRKKG
TWKKLLWVKQSYPDNYTDQDTFLEHLQRNPRLQPYDFWPLVADSTVIVQHVCSVIIFIACFVGIYTERVSPGSVVGWASICTFLGWLLWDWWIGQEE
PQQPSPPIFTQEASASSSVSNLNSNPASLSTSNLHKTSNLARHPHSASASSIQSVASSPQIPTPRFIPNYPSPGSPPPLSPRTSLRLSTAKSALLIY
FTLLGLSPILKSLTVPTSEDSIWAMSFLLFTINIFFFDYSIPDETSIGSGVKNIPASLSTNAALMASTVLASRLEGTGDVFSLTLFSIEVFGLFPVF
RRYAKQKSWRGHMALTTLLVVGAGGGVGLILGRGGDGEGVLDFPWKSGLVGVLIGVFATGLAMGGCSWWLIGLQKYKNEIHGPWDPARPVIRRHYDY

>RCO7_11511 | uncharacterized protein

MLSLSTLHLGGTTLGKKYFCASCDLTFWSPQTSGYENEQALRRKCSIDTALFIQIFELIIFQQHRIPNVQFFDITLWHSDTVTSPTQPLGPISSYPN
MSESGNIKNHSRAHDPIKYLRATTSPLRADGATVRITVLNRDPVTKAKVSFVSRRVTFISRMVLVLAAIQSGILVCTCLVAGDADITQWLIVHWFDC
TYGGSGLDEESHDSFGEETADLHLDVSDDYAPDDVIYEDVDRRVRPNMQLDTARGSKISSLSNTPQHLSFAMNLCTSSLDRQVKSSICLQLVGFELS
KCLSGPGNPYLAMRAIPEKVPDGFEVFMASGWKFRSRGIIGRYLQALHSPKNLDLPSVSGPALQLWSVCSNLSTKDLRGIFGNKWHLISTHGGSDPP
RRKVDGTLEIAWHKGTTQRTILDGIKLSGKTFCVLSQTCVKLVGAVYIIIALIYISPVYS

>RCO7_11456 | uncharacterized protein

MSLVSNYRAAGRNVTHSRDGCLGCKARRRRCSEERPACTRCLTEGRTCTYLRKLHWEDESAGRGIKHGRRVLPNTGYVDPKPPSGLLECSGWRDPRN
CEYFVNTDATDLEAKPFQPLLPIDDQVRRLSLHPQPQYALQMRDLSASDGLLLQYYNSKVCHQLTLVDDISNGFRQVVLPMSELVDSVRDCVLAVGA
LYLSLDQPKATTEYYAIALKHKQRALNSLRSELSSVDEISTETANLICKGDLRSREPAIVSFVSRFFAIRDVMGRSACGAKPKFRNIEWHDPQEIDK
SVGCSYELMNVISNITDLSRQPNISGAEQTFNMAACQLRIEDRLDSLAQNLPLSLDPSSAEAQLLISTSTLVHTAAKIYFYTALHNALPSTHIVSVM
VSEQVHLIKEMNLLRSAHLWSLFVTALYAANDEQRIFFLGQFDKLGSASASAASTDAARTIVETVWKRRDLEADVVGSQVVMNDWERIVRPMSEGLS
LA

>RCO7_11457 | related to fructosyl amino acid oxidase

MSEIKLDSSILIIGREAFPLHIFGTFGISTAYHLAIRGYTNITCIDKHPYPSLDSAGYDLNKIIRTEYDEPLYAKMAVEAIEAWRQPLWDGIFHETG
WLVTTCGSEKATRHLRQSYENLVSNGNASGIEFVETPEDLIRYVPQLKHARDISNWKGLWNKHAGWAHAANASRKLADEAKKLGVRFVSGSEGTMTC
LEIVDGKLSGVKVASGNTLTAKQYILCTGAASPALLPELSSQLWSKCWTLAHIELTEAEVAEYKNMPVVDNHELGFFFEPDPVTRLIKICNATQGYQ
SATASTLDGGACYSVPRYASDHPKDGIPDEARDEINRFIDNLLPQFSGRPWKGARICWCTDTPDQHFLITPHAKYPELLLATGDSGHGFKFLPIIGS
YISDALESKERGVKAEWGWRNMKWKEVSTRPGDVVKDLRDVGIGSQTFQSGKL

>RCO7_11458 | probable isp4 protein

MAKIPALTETSSEEVQVDAESSNSQNVDLGKPKFEPKSHDAQLTVDEAREIAIGSVDEVFTIDSDNSVYPEVRANVPNVDDFELPINTVRMWFLGIL
FTIVGSGINQFFSMRYPSVTITSLVAQLLSYPLGCLLANALPIKSFRILGRWTFVLNPDHHFNIKEHAVITIMSNLSFGASWATDIIQAQKVFYGLE

TPVPYQILLALTMQLFGLGLAGLAYKYIVEPPQMIWPATLANAALFETLHSRVNPEADGWKISRYRFFLYIFCGGFVWYWFPGFIFTALSTFAFICW
AAPNNIVVNNLFGMSTGLGLMPITFDWSQIAYNGSPLVVPFWAQANVFAGWAFFFALVTPILYYTNTWNTSYLPLSGSNSYDNTGSVYNVSLIVDAH
GNFLPEAYEQYSTIFMPATFALGYGISFAVMTCLPMHVYLYHWEDIKSAFMNTNKKDIHARLMSRYKDIPWWWFGSMTAFVVSMAIMVQYVWHTEMP
FWGIFIAFAMATVYVIPVGTVYAVANLNSNVLTVLGEIISGYLLPGKPIVMLIFKFYAYTGLSQAMNYASDQKLGLYMKIPRRTLFTAQLVACIIGS
LTQNGVLLWMLGHIKGICDIDQPNGYTSIGPSRLYSVGKQYSGLLHLFWIGATLPVITFYLKKRFPSNKFLRSIHWPLFFAGTGNLPPATGINYTTA
FAVSFIFNKIIKSRYKAWWSKYNYILSASLDSGVAVSAIVIFFTVIFPGASLSWWGNDVGSTTADGKGTPWKAIPASGKFGPETW

>RCO7_11459 | related to U3 snoRNP protein

MPSTLIERGQDGPVAKRQRLNGADAPRTTKRESKLFSPFRTIGLVSSTPVPFTSIALGQKTFQITTSVGRCLQTYDLKRGLGLLFLTRPQTPADITA
TLASKDVVFAAFGGGDSTPGFWVFKRGKKIAELDVPADLEEPIKQIMTFGTWIIGCSSTRIEVWKSATYEHYTTLYPTAAPKGGNVLTGGITHMPTY
LNKIFAGRKDGGVEIWNVSSGKLIFTIMPPAANCGSVTVLQPTPALSLLAIAYSEGPLIIHDIRADKTVIHLDGGTCSITSITFRTDDMGAGEDGRK
AGVMATAGPDTGDVTFWDLNNGGRVMGILRGAHNPPLDVGATVGGGVNKVEFLWGQQVVVTSGLDNSLKTWIFDESPFSPIPRILHSRSGHAAPVTN
LLFLPSDSDGADSGGKWLLSAGKDRSLWGWSLRKDAQSTELSQGNIRKKAKKLGLLASTLANQSSGLEDLKAPEIICVAMSLNRDGGFGANAGSGAI
WQKGINRDKKPTDATLSGTTGWESVVTGHREDSAARTWFWGRKKAGRWALETGDGGYVSSVAMSPCGTFAIIGSESGGIDTFNLQSGQHRQRYPCKL
TKIQAKKVKHQLQLAAEGTAPPPKAGTFPLGLGKHRKSVTGLVVDSLNKNVISCSLDGKIKFWDFGSGKLVDEVDWYPQVGLTGMKYHSPNDLIAVS
CTDLSIRVVDLATKRTIRELRGCQGPINDFCFSNIGRWIVAASADCIIRVWDLPTGHLIDAIRTETACTALSFSATGEFLATTCEGEIGVNIWNNIT
LFKHVPTRHISDSEIASLSNPTASGENGQSLLSGAFEDDTPEVDDSTPVQSLDQLSEDIMSLSLVPKSNWMTLLHLDQIKERNRPKEAPKLPEKAPF
FLPALDNAMPVRRADEDNKANEEAERSRIMKMGRQTTEGGFTITLRAGAESGDYSPFLAHLKTLSPSAADLEIRSLSPADNELVSFVSALTSRLKQN
QDFDVIQAWMNVFLRLHIENLSLDEELREKVREWKTVAEGVKVGGLAGYAGGVIGFLRMAR

>RCO7_11460 | related to S. pombe protein Asp1p

MEPSLTAASGMHLSSTKHPSPPALPLPLPAVDTTTTSLQRSVSNLEQPNQQATSTSPSPSHPPRTKPPTLKSRTASHNLSSAAGLNPPTRKGRYAEP
GTTDTNSERASISMPPPPNRRPSLAKSRTSSTYSQQVIVAELKAAIAGASRSTGRDDCAVEDSDTPKLSPGIMSDETPKMPPLPDPALRQRPSVPES
EQKRMSVSSIYSLSSARAGGAPSSIASANGSEPAGTSTSTPIGSRTPSASISTSSKGTQAEPGTSAVSVTTSSSSQFSTQGHAGHQLTPRETPQAAN
EIAKRNAVQRGEGAPRSQPLGRSRSRAKRRFSGSTGISSHSPSSERGMHSKKDKDEEKATPIGIIGVCALDVKARSKPSRNILNRMISKGEFEVVVF
GDKVILDEEVENWPVCDFLISFYSDGFPLDKAIAYVKARKPFCVNDVPMQKMLWDRRICLMILDKINVPTPKRIEVNRDGGPSILTPDMARHLQDTT
GVVLEGPEDGTGGQCIAPRKVELLDDGDTLSVDGQLLAKPFVEKPISGEDHNICIYFPKSMGGGARKLFRKIGNKSSEWVEDMNIPRAILEPESSYL
YEKFMKVDNSEDVKAYTVGPTYCHAETRKSPVVDGLVRRNTHGKEVRYITSLSKDEAAIASRIATSFGQRVCGFDLLRAEGKSFVIDVNGWSFVKDN
EEYYDQCARILKDMFIKDKQRQIGLMSGLSSGMTSPLPDGAVSPTSRGDTLPRDGHRSTLSQILAKSPSMSKLREHAHHHKNKTSLGSSPEVSSTPT
PGTSPPGADRGISPPSVPSQPLLPPPALTRPTSAQSTAPSTVPSTPTPAASAAAGEMLPPPPPAPKHTWKLKGMVSVIRHADRTPKQKYKFTFHTRP
FIELLKGHQEEVLLTGEAALDSVAVAVDEALQEGVEDREKLRTLRNVLAKKGGWAGTKVQIKPMFRKRKPEELLVTTLGSLDEAGLTDVSEALKNVK
EPENGSEEVQDDEPTNRSPVRQDSLSGVTLSRITAAENSLILDKLQLIVKWGGEPTHSARYQSQELGENMRNDLQLMNKEVLDEVHVFSSSERRVTT
SAQIWASAFTDQKELPTDFITVRKDLLDDSNAAKDEMDKVKKKLKGLLRQGNEAPPQFAWPANMPEPSIVQRYVVQLMKFHRRVMRANYSKLYGGAS
SSLNAIANPGDKEKPEASTNGGSLSQATATSNIQSRWCCGEDAELFKERWEKLFGEFCDGEKVDPSKISELYDTMKFDALHNRQFLEWVFTPSKTIL
AEEEEAIAAESQGIEKQKEQPREHEREEKDVESQTVPMEKSETNKSLHRRMFRRRSLMVGAKGAEESPEQYFRLFTGSSETKAKTDARLEKLRELYK
MAKVLFDYICPQEYGMTDAEKLEIGLLTSLPLLKEIVQDLEEMQASDDAKSFIYFTKESHIYTLLNCILEGGITTKIKRSAIPELDYLSHICFELYE
SENKTPPGVEDVAKYAYSIRITISPGCHTFDPLDVQLDSKHCISCAPRRSLTSHMDWKEVIDSLRAKFHQVKLPKSFLAVNLSESHTFHKREDEHDH
ANPTSHTEQSQHLGPTDIPTTVSTPATAGVINAEDPHETMQSLAALQEAIAPSEDFYRRPSSLDTPPGPNTAAAQTQNQMQPPS

>RCO7_11461 | uncharacterized protein

MFVIFEDTMKAIEPRVEEMVLDQHSKQPAEAWVYIHSSATLSVHILSFSGTGKEEETISRPMDQKPDKFNLLNGRSNHKLGPGEGRSVIQEVLSSGR
EPSRGESK

>RCO7_11462 | uncharacterized protein

MSVKDPDPDPAIRKIVRELSSLPDELLIAILSSLPLQADLASCCLVSRRLNSIADPVLYKSILFDQPKHHLLFSESLVTRPRRGSLIQNVRVDFPSA
EMADILTLTDTPHPIDRFSHTISTMSNLEDLVISVPESLSHGIGNLFNGPFDLACLKTCSLFYQRDDGGYWDLQENIHIFGHPTLEHLRIHHAKLDE
RGFESLEKPWYTGLKTLSLLQCDIHDDALADLLVLPEALESITITQLPDPEPALEESPEYMEDYILSCKSAQHSLQKIVIDFPTLAGKNPLKFRDFE
RLTEVSVGVNQMFGMKTPRLRSVALPPNLERLEFSGSVGGDEEVTELLCYAVENKNIFARKWGSLVVHGEVPERLRIVCKAYEGFLQIK

>RCO7_11463 | probable protein yhhW

MKLLFISSSIFVLSISIFYSSQLKDLFYSFTSLYNTTDIYSSSTIQNPTITTTAAETPMSSLNSIKSTMSKALSHAKIVPRRSEDRGHANHGWLNTY
HSFSFANYYDPQFQHFGSLRVLNEDRVDGNSGFPTHPHRDAEIFSYILSGELTHRDSMIKKGAEGKQGDDFYRMKRGDVQFTTGGSGIAHSEQNEAD
KQVHFLQIWALPWARGLTPRYHTKTFSEESKRLAFLPILSPLVGGKGATPAQEKAAEATLPDTIPIHADLVMAAGIIPVDKRFKWSIGADAVTKKEH
RNVYIHLPMTKNGSAKIRIDGREQVVLSEGDGAMITGVSAGDVLGIESVGEAEAEVIVLDSD

>RCO7_11488 | uncharacterized protein

MNLGPIIYPSSHMIFSTILIIASKSGDYDIAPRLLNYINTKYTILSGLFPISEAKDTELNQGEKVFKELEFIKEFIKKAIFKAIISNTKGKRNLLSS
LEIALDLDTLRPSLKKKPRRISYYTRSTTKAILVDLSKELNIVVLILDILELLRALENLREKANKVEVVKEVEF

>RCO7_07987 | uncharacterized protein

MLPPDSFPLKGTNMRIPSRGLGTFQADPKLYPEGSVKASVLRAIKHGYRHIDAAYGYGSGFVGKEVGAAIAECGVPREELFVVTKLHHCFHAPDDVE
VNMDMSLKNLKLDYNQHD

>RCO7_07986 | uncharacterized protein

MSSHPDTSLITSALGILSFLRNFKNLKRNRESVLQSSEPSPASADAFLKLQDQEEERRRASEPTIATNSPLSQQEVAPIAPLLQHQITPGSSFSRVR
PRLYSLSTSRPQVEDPDGLSLVHDCDAPLADLIFVHGLGGSSRKTWSFERDIKNFWPPWLGTERGFLNTRIFLFGYNAHFVRKYQFKHPRLRKGPSV
SSTHHPMIFVVHSMGGLVLKKAYIIGKTDEQFAGMMKQTYGIVFLGTPHRGSNLAVTLNNILRASPALSAKIYINEIDKDSTTISDINEQFRNICGG
LNLVSFHETLETSIGLTKAMVVERDSAILGYPGEISAPLRADHHGLTKFKDRADVDYRDVRNVLRSFLRKIQNPETPPGAASPVTCAVSLDQLLGIK
IISDDLDAIKQRRSPHSCQWILRKPSFRDWAEELYEEGPKLYWITGPPTVGKLLYQALSSIAIQVAEVHEGFKAALVTAFLKNGMSFVSQKYQVIWE
KIFEGILFCIKFDEPLFWVLDGVDEAESPGTICDLMININSATPIKILLVSRPTRDLTSALSTCKYLHHEPIHTKDTADDIQAHVHKRVARIIPEDI
KDQRAQVIESILSKANGSFLWVELALERVDDNWYTPDDIHRALDGIPTGMDKIYSRMAESVASQDTDELPIALDAEFNFGNTRNLEEAIVDVCGNFV
VVKHSKVALIHQTARAFLVEERAQTSISIDRHKCHEYMAIVCMNFLSNASKWKEKFSFAQDAISTSGQQSPSHVLLLEPFLWYATTYWASHVSCAPA

NLAESKDLELAVFEFLDKHALLWINAIALGGNLR
>RCO7_07985 | uncharacterized protein
MRRSQKIETWRISHGSQSQQDDQPSRNRGLTKTNQGRLMSMAFITNDTELLIAYDDCTIVCVDLESAKGKWQFRAEDPSDLEHSCPRFMSFSQDAKR
VAIAYRGRPVFVWRVDPQLQGQKPLRCIRREDKIKKPEDVWNAPEVVLWQPESPNVLILYQDTKLVDWNLDSCQQIQHDHLKAREMAVSSDGNLLLT
SDNNGSLSVWTTGKFCLVYELTHDEFVRDIAFSPDAQRVYDIRDGICNVWEPDALIRSDDAGREDISTHDSNLYTLPVVSTDDNSRVQISALIIGKH
EDFFCTGKDDGSVNILEMVNSTQHRKLYAHANSVSVIEMAWSSSEKYFASVDDSGRLIAKRLEKPISRQAKWKVVYQDDGYSTPLNLLICVKHDSQE
SYHWDSLEPVDQEETAAGTSLERNQRELEGLRIHEMSSRPEISTRSTSSAENSCRIENVYKLQDRYLIVECVPGSNRGHALESIPPASSRHIDLIDV
GHPVPTRTAPRKSLPRLTNAVNCVLGVTKGQLIFLDQQYWVCTWDVAKGDDGECVKHFFLPKDWLSPDARRLIKLNDYGTLLCPKNGEVAIVRDGIR
I
>RCO7_07984 | probable dipeptidase 1 precursor
MSYSSKEQDSLLPDKRQSAEVQGSRLQRITDEYSKQAPPHNTQPKKSIWSHYVPMIKGLCIVVSVVVVFMSFEIPGNEGTCSKTIEQRVNRILEDTP
LIDGHNDLAIIIRAYYNNHIYGENFTSRFEEGGMEAHVDIPRLREGKNGGAFWSAFVPCPENGSDFSNGNYAGAVAFTYNQIDVLKRLQAAYPSTFS
PPPPTAKVVLSYFQSGRLISPLGIEGLHQIGNSLSNLRNFYALGARYITLTHNCHNAYADAAMLELPNGDVEISRPKWNGVSPAGRDLIREMNRLGM
IVDLSHVSQDTMRDVLGGSKDWDGSAAPVIFSHSSAYAICPHPRNVPDSILNLVNKRNSIVMVNFSPDFVSCFANSSSLTGSTYYPKNSTLEHVVDH
IVYIGEKIGFEHVGLGSDFDGIEATPRGLEDVSKFPDLVAELLRRGISDKDAGKVVGGNILRVWKDVDEVAAKMQKAGVKPLEDVQLPPW
>RCO7_07983 | related to GTPase activating protein
MPGFSDSFWSGDYAGGLGVLFGKLQQGVQENQQMLTIARMRAEAEDVYGMKLGEIGAATDRVGGGFSRDDGASVKKAYDGVRTEMEAAAKNHRKIAS
SIRDLVVLPFTRWCDAHESRVQNSQDDLQARIKLHDKQAETVKKLRSHYFNKCRLVEDIEEENKLAFQDPELSPKPNIPEIKVQDKEEEDDDETVEI
GDEVYQPEQVKKILSHVLNTVRLGETKVPILGTYQNTSSGAEIVEYLQKSMGATSVSHAERIGQDLITNGFLRLIGNVGSIFANSSKMFYQWKPKAF
QWSGVPEKKVPVSRTFSMASASEYAESPVVGTVTDYLAGWNPLNAQHPNETPGDRLRREAAEADEIYKAGVKKLDLLRCQLEEAIIEHLRYLERCEL
DRLKAIKTIILDFSGTISNVIPSLQSTVDNMMLYQETVQPIGDLRYLLENYRTGGFAPKVVVYENYYNSADEQTFGVDLEARARADRKRVPVLITSI
LTFLDNRYPDLEGDKARRSVWLVEVPLHQTHRIRAALNTGKPFGVESLEPFDIPIIASVLKLYLLELPDSLVSSHVYEIMKTIYSTPASESTDSTRI
SVLQNTLSQLRLANIATLDALMTHFTRLIELTSADESYISSLATILAPCILRPRTETSMTMEEKYSYRLIRDLFSHKDAIFSELKRASSLSHSISVD
TRPRSSSGVSTDESNRKANMEARARAIIEKSGNSHRGRDKSPAPSPRGHRRDRSSGGPETRFPIQTSPPANVNAHPRGGPGVRASLEVPGESAPVVP
SEPLSNGTTDPHSKTITNENSVGGISVEQISNTSATYIPSMGDGIDDIGVEKRNSLGRSAPATSGSGRFAKRKSVGLARMSQDQGLGKRDSVGSLSG
VQGGDEEGANGRRGVSLTDKPMDD
>RCO7_07982 | uncharacterized protein
MDFGDDADFHDEDSGGGYVGLESLGFDLSVGGIHIPFRAISQIEFLHQPVSPASSIMDSDANQLGSLNSHTPADYTATLSAVPSAPPRARSESADSI
SSGSFHTSISDNEEDDPQNKSQDAGQSKEVDSDSDEARGPDQKRGKGKGKGKQVDAEDEDEEGEQVDGATGQGGVKQVQHKNRYERDFGLRRPHISE
AKISFIRDGWSTSRATEASFQPGGGAWIGTTKRGDGAVSITAEEDIFRVGLEWALGKPRPSMVARNDQYRDVRTEARRERDHEGRVRLDVLLVQGKL
DPAQMKTNRDARLAAVTALLPPADSKRKASDAEAQQMIDAIAGKHIDLAAFKDLIKDTAAQYGPLPASMQVDPVRLQPGPATDALIKKMKEFYDKEK
RDLDRKRRKLRKELLRKGLDE
>RCO7_07981 | uncharacterized protein
MAEPRNATLVEVLRNIDVAVLKHQPAFQIPDFQMTASEPEILQAFIQIAFNQGWKRFMRNIEAQEERTNNLETESLSATSSQNQQPPTIRPGHPNFS
SLRPVTPREYKSDGIAYDRDVEEVRSKGFTNATGQKRRRAGEKSVWPTKNGGTASYVVLKDSPVKKEAGAKIEPA
>RCO7_10951 | uncharacterized protein
MEDNLFICMYEKQRILLSRLFEVAAVPYRVTTVDESQSKEANICVVDLVPPADTWKDIGFLTKKDGLNLAMSRARDGRIVVGSAKMADIKLIGAKGS
RGGRIPKDFAIKHQNGRTVQGDGVIHRGEFL
>RCO7_10952 | uncharacterized protein
MPPKPGSRSGGKDDKSNGKQRNQGSGNNKSADSAQDESPRVEAAERKRKKDAQPKDDEDDEPIFKKPKFDYSDPKWMSKHRKEKAALRAKMGLGPIV
KTKDKKNNESPNVAVSSSKPDPHQYEGTRNHGHFIQQENKQETGGAIGSAYHQVSGAVGVRNLQELKISIETTKSLLGQFIKPAIALLEEAERLVRA
GKGNEALLHLAHLRSTLELGLPDREDSLARSSAYTSDVLH
>RCO7_10953 | uncharacterized protein
MDRYNNKNLSIDDFKDLDADIRRRRAEMPESTQGSELGEDLSLRSQSLSYRLAQTYTDWSWSDKDKQVEFKYGSRTTKDVLSPDYIVRNWTRSARSD
IISQRNALENESSKATKQRALLEKALGQLKEEIIANQARSRRLDREADLYVFMQTQARAPNYKDAINIAAKKRNRQQRLEASNRIEEQRHVKKVRAT
IREITVFQQLILGELTRNAAIHQILTWVDDRLEIGGRLKFDLFPSDILQDMVSSAMFHDSKRPQMEALRLFFNGDGAVTGYLRDQILTLIEQHYQQS
EAQKLLQNLAQAAGFQPRNLRKICAVFQADAREFKRMYLEAREIVATGMIDEDTPPQPEDIMSPLNAEDLIRPKVSLFRTGMSAEVEKVLISRVYRS
KREVAVPELETMSRAQTYNEVLTDFFTSPDVFPFFKDTTMSWSLKQFTTEVNLRIMIPVSEELLEAFTGFCHRTGELFYITSVTRQIKPHVLGWETC
EDKPIGGPQRKLAFSAAKRPGGIDRVERQLRDCAEDEFPPVLTAGQFQAKMLNLKRPIFGGLIPRSTIGPNDLGLYIDYWSKTGKFFVSASPGRRFD
GSNVLDQKIIRVRNGWAPGQDPDFKAKPLLPQSRREEGLLRRIEADVTIVYNQDRELSSLGYYYAPLSTADP
>RCO7_10954 | probable glutamine-tRNA ligase
MADAIAGNVAKLQLDEETGEMVSKGELKKRLAKRSKKAATAKAKADGPIEATPTAPKVATKKDEELKVEPTNMFAQGWLDEVYKERPVNPVTTRFPP
EPNGYLHIGHAKAIAVNFGFARYHGGECYLRFDDTNPEAEEEKYFTAIKEIVGWLGFTPKEITYSSDNFDKLYEKAEELIKLDKAYVCHCRDVEIKA
QRGGEERGPRFRCEHANRSVQTNLEEFRAMRDGKYKPREAFLRMKQNIEDGNPQMWDLAAYRVLDAEHHRTGPKWKIYPTYDFTHCLCDSFEKISHS
LCTTEFIQSRVSYEWLNTSLGVYEPMQREYGRLSITGTVLSKRKIMKLVTGGYVRGWDDPRLYTLIAIRRRGVPPGAILEFVNELGVTTAPSTIQLA
RFDQTIRRYLERTVPRLMLVLDPVPVVIEDAEELELELPFSPKIPEMGSHKVKFTKTVYIDRSDFREVDSKEYFRLAPGKSVGLLQVPYPIKAVSFT
KEGDKVTEIRAVYDKEGKKPKTYIHWVSEGSRKVEVRIHNALFKSEKPDNAPGGFLEDINPNSEEIWPSAMIESGFDEVKRRAPWPEAAGESELGKG
GFESVRFQAMRVAYMAMDSDSTDDKIVLNRIVSLKGDAGK
>RCO7_10955 | probable MACRO domain-containing protein 2
MTIVPVADIPTVALLYHLKKLAPAAFKIETEAPKPSQSFNDRIGLIRGDITKLQVGAIVNAANNSLLGGGGVDGAIHRAAGPDLLEECRRLDGCDTG
SAKITDAYELPCQKVIHAVGPVYSSRFKEESEEDLAGCYTTSLKLAVASECKSIAFSALSTGVYGYPSHDAAHVAIKAVRDFLESGSGDTLEKVIFC
TFVQKDVDAYNYWLPRFFPSIAEPDNDDWEEVEAGETAENGPVAKTKNVSDVGEVKADLSDVPKAEPLEDEPAPKKEKSNDDDEKL
>RCO7_10956 | related to DUF890 domain protein
MSNIATFYRDEIDFTTLALQEPDFARALKPNGQLDFSNPESVQQLTKSLLKRDFGLQITLPPDRLCPPVPNRLNYILWIQRLLDSTSDSYSDSYDVE

REVLGLDIGTGASCIYPLLGCARRPKWRFAGTDIDEKSFQFAKQNVQDNGLQNRIKLLQTHPEDPLLSLDKMGFESIDFTMCNPPFYTSAAELLTSA
SLKQRPPFTACTGSTSEMVTPGGEISFISRMIDESLLLKDRVQWYTSMLGKFSSIEPLVKKLKSNGVGNYALMEFVQGSKTRRWGIAWSFADLRPPV
EVARGVASLQKVLLPFPGQYVVASDKNHVEIGEHVNKTLSELPLKWMWKPKISTGIGFCDRAVWSRAARRHVPKDKGELMGDEDEDDLAFVFKIVVE
PNQGGLGGSRTTIRWLKGHDSVLYESFCGMLKRKVEEAAR

>RCO7_10957 | uncharacterized protein

MSQKEELQGSQDDTISSAGPITCEPAMSEATNCEPIMTKPIKSIPRSISISPNKFVRTCHKITHALRKPTTFPKFGELPMEIRLSIWELTMLPRIHE
LHPCSKLYNERMTFRSNSSKAPMIFHINAESRSVAFKNYQLFDYRPAGLATGKGILRFYFSPKMDTLLLNSLMGLFIMFMLLDDDNGQYQEVLGMGG
LGVMKGWQYVAFDAQRAGLISLLSGVAGNAPQPRFKALFPALKELVIAFDYNSKGKTRFRTSVWPGENGTRLLDITVPPTTTLEASDLDDLIFHPMR
DYLENDYKTPTGAGVPDITIAKVKRKKFIRGDLRYAFRKTCSFVGLKPRGVFRRL

>RCO7_10958 | probable het-c2 protein

MAAKTAYPPGGTFLDTFKISFTDVPVDKEKDNAVSTTEFLDAAESLTTLFDVLGSRAFTPVKSDMLGNVKKIRDRQLLAPGESATLQDLVINELKTK
KHVATEGLVWLVRALDFTCIALSQNLALPSEELATSFRNAYGNTLKPHHSFLVKPIFSAAMSACPYRKDFYLCLGEDPEKVAVELRAWLTALENVIA
ILKGFLDRKEAKW

>RCO7_10959 | uncharacterized protein

MASLFDTTRNFSFYTIPAAWVIAFFPHPYAVSLSKSFSNISPRTYVNGLKDDQTIDQATKDRIIRAEGAQTNGFENLGLFATAVVAGNLAGLPSATL
NTLSAGYLASRILYNYIYITNTTNAAANMRSAAFLSGIGMIFTLFIKSGNILRERTANLL

>RCO7_10960 | related to rhizopuspepsin-2 precursor

MLFTTLAVVAIALSSASASPTEHENKRSAVLPLRRNINISSIKNLVQSGRDRIAARHGLRSSDVKRANSGAIKNEDLWYTVPVDIGGTIWNLVLDTG
IYAQWGGPDLQGMEYTDNVSFGGLTIKSQSLGSASNSTGMYGADGILGLGPVGLTHTTVQGLKTVPTFMNNLKSQGSISTEVFGVSFRPEIGGHNND
VNGELTLGGLDTSKFTGSLTYFPTLKTGVNAKFWGVSISKFTYGSTTLSLSATAMVDTAFTVTTIPHPAYEAFLAASGAKNDNFTDLPSWTTKPTSN
FGITFGSTTYELTPDQYLIPAEQYPLFGIPKGKYYAWIQDGGHSRDSALIGQKFLEFYYSVFDTTNSRIGFAANS

>RCO7_10961 | related to phospholipase D

MTSAAPQDGGSSSEEHLKDKLKHPFNDMREKFRDSSLYDLKVGFIHKKHINPNHRHDEEHEKATDDKRTRIAESHRFGSFAPERPGNNIKWYVDGRD
YYWAVSIALEAAKETIYIEDWWLSPELFMRRPAYYNQEWRLDQILKRKAEAGVKIFVIVYREVEAALTCNSSHTKHALQALCPKGTPGHGNIVVMRH
PDHNVLENAADMTFYWAHHEKFIVIDFNTAFIGGLDLCFGRWDNHQHPLADVHPAGVAGEIWPGQDFNNNRVMDFQSVDDWKTNELSKAEYGRMPWH
DVAMGVIGDCVYDIAEHFVLRWNFVKRDKYKRDGRYDWLTLEGREGDDEDLIGVQRPKHPVGDYIHHPATPLSGKTLGDQQGTVHAQIVRSSADWSS
GILTEHSIQNAYCELIRNAQHYVYIENQFFITATGDQQAPIKNLIGKAIVDAVVRAGKEGRKFRVIAVIPSVPGFAGDLREAAAMGTRAIMDYQYKS
ICRGDHSIFEQIKAQGFDPTQYIYFFNLRSYDRLNVTPSVKKQEEESGVKYQDVQRAEAKEIMDSSVHGSKDQDEGGDRHMGVRNALDPRDDSGDED
TEAKTDAKRKFEAKSNASGEDGKTKTTDSVAKNAMIDQPNLVDEKWEGSLEGEVDNWIQEELYIHGKCLIVDDKTVIVGSSNLNDRSQLGIHDSELS
IVMTDTKVLKTTMGGEPYEAGHHAATLRRYLWREHLGLLPPQDLDGSDDPNCQPPDVLNDPQTGETFDFVADPLSDEMWEMWTSRASKNTEIFRQLF
HADPDDYVKNFDDYDKFLPPKGTKAGHIYDKMIPPNEIRAKLDQIKGHLVWMPLEFLKDAAMAETGLQVNSWTESIYT

>RCO7_10962 | uncharacterized protein

MHFNPLLLTTLLTLSTLAARVTDEQLFARDDHSPEDLLPIVKGTGTSMIIKDGKSEGTKDIGTVNAANLQVPLKRKRGCKPVPAVQASKPLTGGVLG
GIPGGRSGAGSSRGSGGKPKGGTNGGSKGMVNPSGPKINGISKVKSSPKSGPGLGSRPGSGRKVKFPKPASPPKGHGKREIGLRDVLPLLERLVSSQ
SHKDSASNSGPGDSKKNGTENADPSKPKEPKELKVPKASKEPKEPKKPKEPKASKPKEDGRGIGHSDPGGSKKNTTSTSKQPKAPEPTKPATLSDSR
HSTDPTSPSQNTPKNNPAKTTSSGGGGELRAGAVPTDAPTIPIPKGGKGFPLIPTQKASRKATSTTSGNLEERYMPMTFKVKVRARDGGRD

>RCO7_10963 | probable calcium-transporting ATPase (P-type ATPase)

MARLVDNPLIASATLHNPLPFYLHTYIWPFAIIWPIFFRYYLSDELYSKHIGAQEWTFVWCGTIITAQSLVWLCTHWNVNLRSLFTSTPASKVQDAK
LIKVIPTANAGQPDICDITRDNAGGKSNVSFLFQKRRHLYDVTTGSFSPIEYAIDAEPKPLLDHFQKSRGISTATELTRIQQHYGDNTFDIPVPSFT
ELFKEHAVAPFFVFQIFCVGLWMLDEYWYFSLFTLFMLVVFESTVVWQRQRTLNEFRGMAIKPYDLWVYRLNNWEETQSDKLLPGDLVSVGRTKDDS
GVACDMLLVEGSAIVNEAMLSGESTPLLKDSVQLRPSDANLEPEGLDKNSFLYGGTKVLQITHGNSDEERPKLVSGVPAPPDNGAMAIVVKTGFETS
QGSLVRTMIYSTERVSANNAEALLFILFLLVFAIAASWYVWDEGVKKDRKRSKLLLDCVLIVTSVVPPELPMELSLAVNTSLAALSKYAIYCTEPFR
IPFAGRVDVACFDKTGTLTGEDLVVEGIAGLGLGQSGTSTPQEKDGAHSHITPVLEAGIETTLVLATAHALVKLDEGDIVGDPMEKATLSSLGWTLG
KNDILTSKHMTAAKGASQATATNSVQIKRRFQFSSALKRQSSVATITAQHPETGKKIKSTFIGVKGAPETIMKMLVTVPKDYEETFKYFTRKGSRVL
ALAYKHLSTESEIGSGKINELKREKVEADLHFAGFLVLHCPLKDDAKLSVQMLNESSHRVVMITGDNPLTACHVAHEVEIVDRDVLILDAPEHDDSG
ENLVWRSIDDSISIPVDPSKPIDPKVIANNDLCVTGYALAKFKGQAALPTIYRYAWVYARVSPKQKEEILMGLKDLGYHTLMAGDGTNDVGALKQAH
IGVALLNGSQDDLNRIAEHYRNTKMKELYEKQVSMMKRFNQPNPPVPILIAHLYPPGPTNPHHDAAVKRESEKKGTAIAINETAASSAVETITSPAA
QTILDGQKQTPNQKKASSLADKFTQSMMDAEMDDDEPPTIKLGDASVAAPFTSKLSNVIAIPNIIRQGRCTLVATIQMYKILALNCLISAYSLSVLY
LEGIKFGDGQVTISGMLMSVCFLSISRAKSVEGLSKERPQPNIFNFYIIGSILGQFAIHIVTLIYIARFCDRLAPRDSNIDLEGEFTPSLLNSAVYL
LQLIQQISTFAINYQGRPFREALSENRGMYWGIIGVSAIAFSCSTEFIPEINEKMKLVPFTSEFKFTMTSVMIADYLGCWVVEKALKMLFSDYKPKD
IAIRRPDQLAREQKRIEDAKLEQMRLEEEKAAKLIEELEKQIAA

>RCO7_10964 | related to YVC1 - vacuolar cation channel

MVQWKKLFALTSICGEMKLVASPVLPSYHEDSIPSAIAAPEVTKVALRLRYLIEECIPCELEEDKITESHSRIITHKVIDAARKAGRVGDEDHGGCV
VYALLVNKRWFKKQAMLELWDADLHNVRAVACEVIAKQLIETEENQEYLLQDILLKRYSIMIDGEQTSPANVIERAVDLHALRVTGSSGYQKCVNYL
WRGWLIQDENDPSRFVEYKQKSDTRYWTHVDPDRMRAPVYQNATQVVFSVIYLCLYTGAINTVNPTGDLDVVEVILYIFTFGFLCDEFSKFWKVGRF
YIGFWNVFNLILYALLTTSLVTRFIALSHPLQEDGKRGGREDFNELSYNFLAFSAPMFWMRLLLYLDSIRFFGAMLVVIKVMMKESLIFFALLIVII
IGFLQAFVGMDNADNNKDATSFILQAMANAVMQSPDFSGFDNFAPPFGLILYYIFAFLIMVVLLNILIALYNSAYEDITDNAIDEYMALFSQKTMQF
VRAPDENVFIAPLNLVEIFCLVLPFEWWMPRKQYAKLNDWVMALLYSPLLMIAAWFETRSANRVRSNRTRGEEDDDTVEEWEQLAGELDMEAEGWSK
KVEMVKPNIEEDQATVEVKALRGEVQELKELLLQLVNKSGGEKNGNGS

>RCO7_10965 | uncharacterized protein

MILPFFLLGYAVIVQSAEYNRMEVFKNVEGCVDQDKFVECYTGNGGVGRKNGVHMCRYFEKDINCFATYCWNKVNTCQYQQIAINYHNWCSKRIEIP
YFPSPLNATNDCSCNFGMVVNAWDEAKKHAKACRDAAKKKKTMTGVAEYYRCKCCQVSESYAVVDAICPKADPYWIGRDYLWETTRKLGFDSLGCDD
FILGGHCVEIKFPLSIDKVNKPLTYLAGDYSKVFSQEWKTGTTALITNNPGTLLTPPTSTNVISWWGSRYTHRFDGKVDHEHYTITAASATVALLPE
ITKAKDSTPTPTTTATFNLSMSHRPDCHTAEGFGSIIS

>RCO7_10966 | uncharacterized protein
MPPPPKPFSPLPPAPPPVLTPFAHKYGISPTRALFNGLLNPAFPTIQKSLYTPILPLHPNANANEKYRAEKTLNLQRYRLKGLTTLTLIDNEIISEK
AMKKATLSCPVHPLLARRRWRTVLAGHIQYPLIDGNGVTRGTWDLEKNDLAWQAMLPSIRLASMVLNHLHTHPWLDTLLLGNEEPLDPFRFPAYDLQ
NPTASTAQHHKVMRVRVPGPRNASECASAFSELQKWRSLHDLTLGMVSSDKGPDGVLHRDNALVNGFASWADSPTGERCAIYISYERAALLLSRQGI
KMSESDRLCLQLLIANTIVHEVMHAIGNAKRHREQVMAGGVDGYPFLMEPYFEDEVVAELGSSMDDAVWGGSLIGVADSEVDEIVPIGYGVLKGPQP
ILSSAPTLLSPPLPKLDVYRPIQVTYYEMIQQFDFWNSNVRNFAHFRPGPIVLNGTSANLISTRDRGPSGLWQVVKNMPDYNDAMIPPNKATYMINK
ILVMTGADRVNYVANQKKKEVLMMYKKLLMFRIEQTEGIWDQVEMLTRGDITRGGFSVAQGIGSTMGAISEVLETETKLLLALSAFDKASETHIRGI
KDAQSFNRGLRSLLGDIAEASTVLMVPELAEMANMLSEIVENARVILTVSPNLPNGISIEDDIILAQQDEANCIQRIEDARLLLGQGDHETSNKICE
EVSTSMSSTLLTKCAARILMCYSHRKDYNVRLNVVSRAIQTLQRTPAPNGREVEQARVLGLALQLQARLVNGDLSQQSNSTGVFMP
>RCO7_10967 | uncharacterized protein
MVKEKRPSRGKKSPHRSPKLLPGPARLVSRPLNVIRSDSNRERSEYSSGGEDIRPEDDSDIDEEGFSRTELAMAMAGDLIFEHESAIHSTLADGLSG
TKHTGSEQNIPNHLLSSRWITPPTSPTFSLSPLVPVSPKFDAQRINYLKRSLKNLDVAQLMDYDKKFHNLMWDLKGITEWWTANRKEWIKNRDKLHV
SQTTLNSLVTQAKAAESSSSWDQHLRLKNACIEQRKQIKHNESWFPENKYLMKLVMMQFKRIQKQARNLDEIISHRVVGRKWVAPDGFSFGESPPDD
FAIYKTQWWARQGFRWWLVMAAGHLKHCVEERTLQREPEQEAYDSVKDEIRQLKTSLALLKNDEQYDADYTRQVDDSMPKFEDPSSLDWKSQLRDLG
HVEDPKALLERKNAVGMRAALKQLSLDRHELAFSVYRANTLIERDSAILDLVRNVLKATEDNRDSLLLSSMDFSNGLYYICSVQGLGMQIMAEIEEI
FTDEILQATDRLAIISSFELDVDAKESRGYNELLVETLKNAIPFQSDLKDAKDGILYQFNVLNGTLDLAESLHYDRRIGRNLSRQTYPGRDLGRLKN
PDQSIPLLVELIHPKFLSQANGDKQASRWGQIKSLEHAKLILSRGNQDPNQDPGWWLRNFFVSPDIAPHFRRIEKITKDKFFELTNSFLQEDFFVDE
TDAFLTWCTWVGDLFTVSGDLVSTYRQGWERIDEMPIDENCLRAAEFKKPPGLDDIKSWLIRNQDNFDLVGAERDTTEAQMLSLIQRNYPRGESTFT
WSKLRAILNWLDKSGLLYRYTSRKNRRGEIMIRRIDNGWGPTHKDKPYDAIFDLDKPEPYFQPLKSIIRREDVQTVLREANEAGPIGIEWSLYNVLQ
PYLQIKRVPGRPNTIITRHRFHLYLRWCDQTGDGIDFRRDGRVFGGSR
>RCO7_10968 | related to Acetolactate synthase
MKPARIVVESLINAGVKMVFGIPGAKIDALFNELLDHSEIKLVVCRHEQNAAFIAAAIGRLTGSPGVCVATSGPGGTNLVTALATANTEGDPVVALV
GSVPRNMSAAKTHQSMHLMEVIAPIAKKTQSVDHQDQVADIVLDAFRTAASYPQGVSAIALPLDIMSTFPSSFKAFPSKAFRPPVYGAAPSELVAKL
ATMVNVAKLPVLLLGMRASDPATVGVIHKLLEKHPIPVLETFQAAGCVSRDLEHLFFGRLGLFRNQPGDKLLAKSDLVLTVGYDPTEYDPFSWNVNC
NLKIVHLDVKGCDYTHHYQPEIELIGGIGLTLESLTSQLEERKEIASPDVCSEIARDFRSWNDTCYTVNAPDIKVVQPLHFISTFQRLVSDTTVVCC
DVGTVYIYMSRYFFCYLPRHFLVSNGQQTLGVALPWAIAASLVQSPNDPSKREKVISISGDGGFMFTSQELSTAVQQECDITHFIWNDGTYNMVSFQ
EEAKYGRSSGVNLGGVDFVKFAESFGAKGFRVEKAQDLESVIEEALAYKGVSIVDIPIDYSHVSELMGNIIGKEFN
>RCO7_10969 | related to Golgi apparatus membrane protein TVP38
MGFMGRSKKMNDDGMEMSILQKEETKLKVEEMEYVYRDFKWKDPFTKRKYIPWWIIGIIVTLGVTYVTIKHDMIVEKLRPLSIKIKDIPGGFLIPIV
VLVILSFPPLFGHEIIGILVGAVWGLWVGFAIVAAGTFIGEIGTWYAFKYAFRRKAVKLEKTNLNYGALARLTRDGGFWIILLIRFSIIPSHLSTAV
FSTCDVKFWHFAVATFLTLPKQIIIVYFGVLLTQEKKKDNLVNGIVLVFTFMITIFVGIYIYMKMRKLKAVLMNEQIARLEEKMRTAEQPEAAFIHD
APGRSRL
>RCO7_10970 | related to cupin domain protein
MSFRTVQENLSSVIADQADESMLVTFPPNCSTPPHTHPTAFVAVSVLSGHVFNKMNDNPMTIFGPGEVFFEGIGCRHRISDNASETEEAKIVATMVL
DTKVLEEKGIQGILNVDEEWREIFMSEIVKRNRAA
>RCO7_10972 | uncharacterized protein
MQLHAILLLLVTGLLDAAPVAQAYPPPSLSLSAVVPKPTNTVKLEPSLSRSTIILPSAPANWTLPPKPTWTDSVKPTGPTYTLPPKPTGTDIPTKPT
STFPPKPTVTVIPTKPAYTLPPKPTVTVTPPKPASTTAPPQPTRVTSKKPVPTYTHEEDEYKDDE
>RCO7_10973 | related to sulphate transporter proteins
MPSRRPPSPLAGTSANSSRNSSINQHQQHAPNTPSGLRASVTLARSPEDRADQQSTTTGRRTAASSSEPSPKTYATHLLSDPDTEQHSLDGFTQEPS
EIEPGETTALLRKPFEFAVGTPAHTGPCNHGTLSPRLESRTDSIRSGYSGYGFGGSPPRRTDSGEARGGMFGNTFGSGRPQKKMSTTSYLVERHGIT
NKRMMYLTYYIPFLAWIPQYRWVHLQGDLIAALTMASFYLPMALSYASNLAHVPPINGLYSFVFNPLIYAILGSCPQMVVGPEAAGSLLVGTVVRSS
VDSGKSPEYDDAIHGRIAGVVTGMAGAAIFIAGITRLGFLDSVLSRPFLRGFISAIGFVIVVDQLIPELGLAELAEAHGGVSHGSSVEKLQFLFENV
QHSSKITALVAGVSFLIIMICRETKKHLQPRYPRVAYIPERFLVVVLSAILTWQLRWDLSGLEILGEVKSRTGNPFPFHWPFRAGQMKHIQEAMGTS
FLIALLGFFESSVAAKSLGGSDGKDGIQGIALSPNRELVALGVANLVGGCFGALPAFGGYGRSKVNASTGGKTPMSSIFLSFITVICVLFLLPAFHY
LPKAVLSSMITVVAWSLIEEAPHDILFFIQIRGYTELGLMTIIFAATIFYSLTLGIAIGVGLSLLSVIKHSTRPRIQILGRIAGTNRFENAEDNLEE
NMEFIDGCLIVKIPEPLTFANTGDLKNRLRRLELYGTTSAHPALPRVRSPEHNKNIIFDIHGVTGLDGSGTQVLEEIVRKYRDRGVRVFFTRGPAEG
TPIYELFRRSGILEICGGKDHFVADVGDALRLTELEIGEYGYIPFAGEAGS
>RCO7_10974 | uncharacterized protein
MENPVVDHKYLSEDLDILVLSEACKFANEIITQGKATKSIFHGSWPADLTHHKHTRREDWEPYVRDNATTCYHPGGTCKMGTNDDPMAVLDAELRVR
GVKGLRVADTSVMPLLNQGHTQMPAYAIGEKAADLIKGSFLTLNEDIPAGVKMTMGSGSQSVNGNGILVLT
>RCO7_10975 | uncharacterized protein
MSFDYTVEEREKAKEKFKAKNSSKFKKYESTEDEYIATAFTSCEAGSDIDYDSDAQPEALFMTSIGPILVAAA
>RCO7_10976 | probable glucose dehydrogenase precursor short protein]
MTTSITIEPEVENATYDYIVCGGGTSGSVLAARLAEDPSTSVLVIEAGQHNELLENTIMVGGWSQNFDTAADWNIVTEPNPGANGRQVKVSRGKFLG
GSSGVNGTLCIRGTPQDYDDWNMPGWSGKEVFRYMRKAENFHSKKWFKADENAHGHEGLLDTEPHDLAPISNMILESMQDKGLALQDDMFTTGDNPH
GCGHAPRTVYKGDRTTAANYFVNKGPNLSIKTDTTVDRIILEGEGANLRASAVKIVEKDGSTRTIKAKKEIIVSGGAYCSPTVLMRSGIGSKHELAQ
HNIDCKVDLPGVGKNLMDHLIVFIFYETKQQNITNDHLLYKPDALGEAYRQWKEEKRGPLSTFPFGAFGYARLDERLKSEPLWQSAPRKEGRDPMGL
TSAQPNIEFFSTECYGGPKQYDKFPNGEDTHAFSLIAELFAPKSRGNVSLKLLVHMLVHSHVLVEYLHRGLAGQIYLPYGVSTT
>RCO7_10977 | uncharacterized protein
MSKYVRQEKSQRKHPVASSASSLIKAPAVPAAPKQRPGFKGPGFLKKTVKQARQPQQSKASRVDPAYQEQLIPNADQQLLLNILRTTFPVCLEYETL
KPILQGIRVALSKGNSENAFSRLDWMQAYAVRWSSTRALCCATILLSIADELGEETHIHDFLNGTCADDSLWRIVCFGGGPTEVLAFAAALRHNQPL
GNEQLPDKMPLATEDPSVASVSPSRTVNLYLVDKADWAPVVSNLELGLVTPPVLSKYASQSAHNNNLPFLHSSTLRAAFIRKDILTASQEELISIIG
PAPSLITFFFTLHNLYNTSSARAAALILKTTLLAPKDSLLLIVDLAEPASETAVGTDGAGVEKGRFRMGTWLDMVLSGQLGPEDVAQKSPWKELIKD

EYRVFKLAEGLKFPVSLDHVTFQVYLFKKG
>RCO7_10978 | uncharacterized protein
MSTSKAEIQQVDPESSIPSDRTSISSKITSDDDDDEWWDEEENTRPSQRRSAEIQVSAWPKPPQGTGLGVSFSRKPDKRYSVQKPTRDKSKGRQRKQ
NAKAGIKVLTNFSRHQPAASPVQLQHSRGVVQTGCFVDLAALQALDGGNSQLSGGFWKTNKNKELVRTANTMPSLLDSAQATAGVQKVEAQGPHALH
RRPANNLHASLPMPSEDLSPNDRPIVIGISIPTADVTNRMLSPQTAASETTNIVRSYQHRPPMTETPNTPTIIITPARQGSIWSPLDGAGIDTYQPF
SSNVYLESQVTPVLHIRSSYLENERQQVAAQRSYFSPDSEVATTWDDEDDISRSRVTSSCTMFEEDESPILVRASRAISITDGSKLDRHASTSTHAT
NRHSKGWWNYITTPFLSRSNTFATRDAGLESPPALPCLTLAAKKAEDAERDDKLWEKQFSPLTPETTTSISSNQHWNADSKHRRFSEQSPILKETRH
KAQTSTRTLPLVLSETAGFGSATISSIASQVSNQLTRKNTSTSLQSGQNHLSSEASVPNLNGASVSRSLQSNNPLIQPRLSSSNPRGLSNASQPGIS
RPTEGAISLNNPQPINSPSAGPPPPYSPSPARLRYRAVLPPGHAVGTQYPSSSGPLSPGLQQAMTAGSAIPMSSVPLKPPARRPINLNSGYSEHSLG
QSSIHPVGEHYGISSLKPTKAEAKRKRYEIEDSIAHRAGGWWRGRGCIPSSGCYGRNGPEGRKRRRWSLGLVIMLVSVIIIVVALATTLHWKPNTII
EPSQWLNLTGFPPIFLGISTITAPINIRTNTGCVFPATKWSCDLPKELQPLVAPSLSNQPNFLLHIQWDNSSSTDATFANVTGSSKLFIRHAAFNPV
TARQLVRRLILNVRQIVTFVPSPTPPSTAEGIFLGNATDGVVSERKAGEPTPFYISFLSSVGSISKRQLLGNSGKVFPDITSIIPPPSLRSDGTAAS
ANLLPFPSQQPVRLYDRGLPTEHYGFYTYFDRSIFLKSIERLNSSNLDDGEVPADRNGGAQETEAAFRCTWSQTRFLVQMWTRMNASTQLLNSTQHV
PSRNPAVDLKQPGSFPYPTSITTDRHGGDPSLKMVYCYEMNSRQGLVAGSGKINAENRAFGGTAFNPAPSFFSNTSDPSLGGFDGGTGGCSCQWSNF
RSITRA
>RCO7_10979 | probable MNN10 - subunit of mannosyltransferase complex
MSLSRSPSPRPGGGWSSPGLANVSGRNSPTKSYRGVNGGPSSVTWESAKAKSEGVNGYPSFSTQNNGFFNRHLRTISSSLPSFNKRPEKSYAEKEKL
GRGRWIDGSRLASVRNYARRMNRQVKLRLLMAMALVFMIILFYMTPLHYYWRRAKFLGGGKKHVIILAANQGGGVMEWKGPREWAIERDSVRNKKKY
ANKWGYDLEIVDMSTKKRYAHEWRESWEKVDTIRNCLRKYPDAEWFWWLDLNTFIMEPTYSLQSHVFNDLPANTYRDINEYNPLNITHPFVAPHLDK
EALSPVGDGKASSINLVVPQDCSGFNLGSFFIRRSAWTDRLLDVWWDPVGYEQKHMEWEHKEQDALEFLYINQPWIRPHTAFIPQRKINSFPQGACS
DKGNDTRIHYDKKDRDFVVNMAGCEWGRDCWGEMYNFRELSNYLNRNPWERFKEDLVAVIWFKITGKKVKL
>RCO7_10980 | related to mixed-linked glucanase precursor MLG1
MRTSILLFRFGVTLLCAGTANAGYIIEDTFNTDNFFTEFDFFADKDPTEGFVKYLAPAAANISSLAGYVNDAIFLGVDHTTVNPPQGRSSVRVSSKK
AYTHGLIIADISHMPDSQCGSWPAFWTVGKDWPKNGEIDILEGVNDDTTNHITLHTSPGCNLNSTGALPSSTLSTPNCNAGGAGEGCSLKTTNKQAY
GTAFNAAGGGVYAMEWTSAAIKVFFFARNSIPADIISGNPDPSTWGAPVGSFSGSGCSIDSHFKDHQIVFNTSLCGVWAGKVWKDGSCAALAPTCEA
YVAANPQAFAQAYWLIKSVKVYKANMAAGKRHIPFSA
>RCO7_10981 | related to U4/U6 small nuclear ribonucleoprotein
MHPSRMAYVEEAEPEDTGIDLANVPLDNDYDMPSVGPGLAPERASAFQSQMDRRKKAAAIAVPTDDKRVRERLRQLGEPVTEFGEGPGDRRDRLREI
LADLARDDAGQDGEGDAPMLDAADDDAPDEEFYTKGIPELLEARRAIARYSLPRAKSRLASQKSESTIPRMMHVKFRNEIKAKLEGFELQGSQTAGD
RPVSMTRFAPNGEIIAAGNWGGGIKLLSVPDLKEIRTLRGHTDRIGGISWFPDATLPGTTVSEDSVNLASGGAEGKIHLWSMTHDTPVSTLEGHNQR
VCRVEFHPSGKYLASASEDTTWRLWDVETTTELLLQEGHSRGVFALAFNMDGSLLASAGTDSTGRIWDLRTGRTVMILEGHIKPIYALDWGVDGHRV
LSGSEDGWIKCWDVRKVQPSGGIGAHRMVSDLRWYKEMDDPARGYVPKVDGQGARKPKKSGTFVVSSGFDKTVKIFSADDWSLVQSLTGHTGNVHSV
DVTRNAKWIVSGGYDRTVKLWGRNDGQGI
>RCO7_10982 | related to negative regulator of glucose-repressible genes
MAVVLSSEENDYFSSSLRRSHSQPKFVTQQSSFSRSPSRSKSKSNFNTVISPTSSASSSAPSSPQTLTADSVAPSYPSTPASSLSLDNNCDDQEDED
QILFPSYDDVGYYDHQVEAEDLEPPASPHTGDSYTVSPTSNSTSTNVSRPESPEQFEHAEDDTAVRIQPTRHVDYLSHNWKEEDIWSSWKHIVSKRK
AYGNSARLENASWRTWTKSKNKLKTVSPETLNWLKDCDVTWLYGPLQTGSDKALHLPSSSPMNSSRISKNNSFLHKKPILKKRSVSEIMLQRSLSSS
SLLKQAAAAVQAQQYGNSGAIRPAMGRRTSEYAYPFSSRRLSRENTSMLSSISSSGVPSPGSGEKKHIHFNEQVEQCIALDMKGDDDEESGSYAVHD
YDSDSDDGAIMMKRSNSRHRLPPLHHKRTTPRQSFTTDSKTIAMLPSTTLKYRADTPEPPETAMKHSSGIWNGTKLSPSPSQETLRPSKPSTRMLLG
DDEEDDDMDWQPANSFANRKDSVSVTQERFHGLQTSGSSSSLNGEPSGMRRTPSGMFMPYEEDEDDVVSEGLFGKVVDTVNTAKDIAHVIWNVGWRR
>RCO7_10983 | related to DNA-directed RNA polymerase III chain RPC82
MSRSKAAVELCALLIDETYGELTSRIFTMLLRRGRLTVRDLLKHTRLIPRNVKCGLAVLIQQGLVFHNRDSEGTTFYEANHDAAYGLARTGKIMEAV
ESRFGTFARDVMQNLFMLGHTSISDLAAVFESGSQLQTKPKVNGHATTNGVNGHDKEHRTTGPLHTMLAHMLQAGMVEVVVESMLRSPTDLYSKIEK
EVEETFYQGGTKGLKQKEEMKLKIQARMNSARIEGQSLWQIKGKKRMASGDLNGINGNHKRRRLSNGNCDNAYGDHLYEDDGTRLDPNLVLRINYEK
CTVVLRNQVLVTFARDRIGETTSLIYAAGLKLLEDKIPRCRTNSNLEEAPDGPSFTTMQLTASLDKYINTGAGIGKAPAGKTTDGKLAKQIAGDGDV
SMDDPDSDEETIANGALHTAGTVDDGDPFSDAATKPAKRPKVTFQDRLEPVVADRSENRMQQVKNHLQLLESDDCKFLRKCGSSGQGEWTVDFERII
EHMQQTELDTMMLENFGVFGHRLARMLKKFGKLDEKQLPNLALMKQKDVRTKLAEMQMAGVVDIQEVPRDAGRQNPNRIIFLWFFDDNRVATMILEN
TYKMMSRCLQRLDFERRNLADIIALTLRTDMLEQDPATYLDASQLNRYQAWRTKEESLLGQILRLDQLVGIFRDF
>RCO7_10984 | probable cytochrome b-c1 complex subunit 2, mitochondrial precursor
MISRSAIGPKAQLALRRQCCAQPTNRRGLAASISGSTSFSYETADVNGVKVASRDVAGPTTKLAVVAKAGTRYQTLPGLTCGLEQFAFKNTHKRSAL
RITRESELLGGQLTAYHTREALVIEAKFLREDLPYFTELLGEVVSQTKYTAHEYHEEIEPIIKLAQKKLLGNVSELAINSAHGVAFHRGLGTPLYPS
SSTPLSKYLSEESIADFSESAYAKSNFAVVANGAGQNDLTKWVGEFFKQSKSSASALSGDVTKYYGGEERIAHNSGNSYVIAFPGSSSFTAGGSYKP
EIAVLAALLGGKSSIKWSPGFSLLSKAVSSFPGASVATSHLAYSDAGLLTIQFSGSASAIRGASAEAVKAIKSIAEGSVSKEDFTKAVALAKYRALE
EGQNIEAGLVVTGAGLVHGGKAFQIDEVGKSVESVTADKLKSAAKALLEGKATVSAVGDLYVLPYAEELGLKV
>RCO7_10985 | mitochondrial ATP synthase epsilon chain domain-containing protein
MAFAWKASGLTYNKYLSVAARVVRRSLKDDKRLQAERRGEMELKFSKWNNGKQGESKSVADANAASMAEAGASS
>RCO7_10986 | probable MAK10 Glucose-repressible protein EC:2.3.1.1
MSELSQAAANLSLDDLAARPVNPFAAYDEEPPPAPKLRSKGVVATDITKQFTHAAQQLGIGQLVKDPFFTLFESVGALEIMDRKMDSGYLEPGETME
DDFDFSQDLLPEEIIGIIDQLLCHEMAWHMGHPLAQTIFTSLYIDKILSSCPLDIDHTFFDCGESYTEETYSMQVLRAYCLGLIKTCLFVNNRVKSE
HTYEEEDFVTHTFNRSLLEGIDYEIIVAFLNETIIMLGEIQYIDPKIKKALEYRLKFRLQFLRAVECADSRTSDDTKKNWLDLLAYVPDLKSSLSAG
KPFPSSFSAKLQRKLASTVPPRPIIQVSQEDAFQHLEKLCLDASVAIEVLTYYDSHSLLTFVSLFQSRKPQPSVYVRTLLQHYIFADMIILGTMSIR
QVLDDDLATVVLPSHKLLDRFNDEIELPHDPRHNMAARMEIFRSRAAGSYLDVIRTLCQNRCRIRRSFRHAIIDWDNLQMDAEELDVELREFTNEEP
IVDSEISSESIYSFPLSSWSYLYKLRIMEWLVQMGFELETYQPDEVAGMYWYLQYLAKTRSNHLDRIRGFVVRELRASLQNPQTAAAKHPEFMNALS
FLNLSSLEATATCGFSDALSCLFTVLSRLSLIPSPARPYSDDTMRYEVRMKPFHSIGLPELIPFEEYTRLVTQPEASNLELLDFATESALGAKKGFE

ALSKLTAKEAFCQGSHEAWVSNVKACLKAAIFTSITIATVKKAVGKVGEGPRVKLKVEIPLAGKGYHDWWVVPKVMPIP
>RCO7_11299 | uncharacterized protein
MSYYYATRQARARTPPFGDLVSSRRLLLLGNIEDYRATYSWTTTTTR
>RCO7_11298 | uncharacterized protein
MYLLQILPFASLFTLSIGGTPSPPPSVHFKCEYPARIGGWNNCAGSDAQWCTDGWCSTHPHCGLGSKAEGVGAGNGFCDCYCA
>RCO7_11297 | uncharacterized protein
MSGTSADAPGVKHTNGCNPSQVASREISFRYYIESDTSYTGIPIDLGPSIYPSSYMIFSTILVIASKSGDNDIVPRSTIILYINRPNQLSLIIKYTI
LSSLLPSSEAKDAELNRGEKVFKELEFIKEFIKKAIFKAIISNTREKRNLPSSSEIASDLDTPGPSLKKKARRISYYTRSTARATLVNLDKELDIVI
PIPDIPDLLEAPETLGEKASKVEVVEEVEF
>RCO7_11759 | uncharacterized protein
MSSFSSTSSSSSYSSIADQAYATIYNYRIVLDSGASEHYTPIKADYKPVSKKSITIANSDILPIIGRGDIPIITREGDRVLIKDVNYVPSLKTTLLS
SKKLTNKDWKVTFNKKEVDVNHKLLEPVSFKVDSNKSSKLDLYYKRLLHTNKEFIYKTIEGSKGLKIQKGLDSSDCSACNSGKIHAISSTKPMSDTP
PLTVFDIDIAGPFKIKGLKGERYFLTITCRGSRAIWVYALKHKADAYNTLIEWYNMITTQFKALKLDNAGEFKSNKWTIFCKDKGIICEYTSPYSPE
QNAHIKNRSYNSVIKKSPFEVLFGKKLTLDYIRVLGSLTYVLINKRTNKFEDKSDRGILVGYESVNNFLVYIPEKRAIISSKNVLIKEYLTFKDEVI
SKEELESFDETLDDCETSDRSNRVISSLINTPKSDLSRAENSEKIDGETADNLLNEERVIEDTELDLFNDIAEEIPIVEIPKREVTLKTLVKIEGGN
RPKNSIEEDTYTVESYYVSSTVQAIDKVQGVGARYNKGMYANAGKTDQGTGKLTKVLVTNPTRPLNQSLIVSFKTELYKVITKEI
>RCO7_11135 | uncharacterized protein
MNKTTNTSQTGVNAEGLTEPSQLQEIVNGFSNFLSVPTSFKITEVDGLTSPRPNIKGDANNDLEYSATLSVTAGHDLHSDPPQPRPDPGELNILAKL
KGDFHGAGLNMIFRPSYGNIRRNNVLEYNVTEETTQFLEDIGDVHNRGLGRQPDIILKAVPYMQTVKDMLDADTGRADRADGGIPIHFESGMFLRTP
PTVVRPGVPKGTISRLASIPHGTVINCQGFEPDMKTPKPGSPEIRPISVLPFPMGSPEDLVTFADFFPQLNFSRSYELRIPREIKSGGVLNEPLMLD
PNRMLEEFNKNSTKKTIKEHHYFFIHSDPSVSGIPGGGTANIAFLAGSGELDGPNGRQQNPGPNANGVRVGCEYWISTVEYDVLLPEGDFSGDKKSK
VILESEARKEEKAAGKIVVSPSFILELDMKIPPSKIVKLEATQIQYSQNVTLDFDEMGWPHISVATLSPLHPVQVPDFKLIL
>RCO7_11134 | related to galactose oxidase precursor
MSDERKVRGQWADKFDLWNVAIHVHLLPTGEVLYWGRRAQPGAEEYTSLNEHKTHAYILDLETCVSRCTATDPKTEDDLTVNLFCSGHTFQPDGTLL
VVGGHVLDGFGEDQTCIYDPFQDTWTAKPLMVQGRWYPTAITLSDGRGLVVSGSSQDVVNPVINLVPQVWDAPTDTWSRVQSPLVDIFALYPRLYHC
PDGRVFMAGPLARSRFLDMNADGGRGEWSSNDKSPIREACQREYAASTMYDSGKIIYIGGGGGDEIPPTNAAEIIDLNIPTPVWRATADIGKGRRHS
FATTLPDGTVIVTGGTCGEGFNDLREGMPVHEPELWDPATGEWTVMAPEEDDRCYHHTALLLPDGRVLSAGSGEYDPGNQKVPNPPVDSKITAQIFS
PPYLFKGRRPTVSKSPSEIEYDQQFSVTIGQDDEIAKVSWTRIGSVTHSHNMNQSFQFLKFTKSGTVVTIDAPKNHYLAPPGHYMLFLVSKEGVPAV
APIVLLKLDSLIPQLPQVPPVELPSRTYLGENVGVSVNMRNRKAISEQDGPPVVVGLTATCPYGLGPCWGGAYEALNNIKDIKTVLPRPNQINSIAF
VYLHEDILPNIDVWRKELRELDGGTYTMRGIEMTLTGVVTEKDRKLILAGTSTRSDVILNPFKTDSKLEWNNVAKVPQPLAPGEAIAYSQLYKKVVS
HPEGLMMKVTGRLQMDDNKVHTLDVKSFAEPSDS
>RCO7_11133 | related to extracellular dioxygenase
MYFSELAAATFGLFVTVSNAHPGADHRHEAREYMAAIQAANLPNDLSHCSEILRREGHERRTVERRIEVLRSEREIKGLPTDGRILKPRGSLIGRDA
PTVLKTDHRSKTKFGPESKHTEIFANSSCVLTPHITEGPYWVIGEVVHEDLREKDKGQKGVDVILDVQVIDITTCKPLPSIYVEFWHANATGIYSGI
IASANGGTADKSLSSSTFARGIQPTSADGVARFTTFYAGHYGGRSTHYHIATHLTGSLLPNNTFTGTTVSHVGQIFFDQSLTTEIEKTAAYRSNTFP
VTTNAADFIFAQAATISDPVMRYSLLGDKVEDGLFGWLTLGVDSKKSAKNMSPVGRYGPDGTTLINCGGDPKGMFTPCKNG
>RCO7_11132 | uncharacterized protein
MVSFKQILVIALGTLQLVEALAPPKPCASNCTKISKRREWIKMPDADKKAYIAAEQCLFKTPQKLNRLPGAKTRWDEFASLHQIMALQIHSVGTFLP
FHRYFLHVHEALLAECGYTGGLAWWDESKDAGKFSKAKILDKTLGFGGSGTAANPCVPDGPYAGLTVNIGKGFLTQPRCINRVITDSFSAQCDAASV
TKAISGKSYAESWLGIYLGPHLYGHIALAMMDGDSITSAGDPLFQMHHGFVDKMWWDWQKKDLTNRLTDMSGPNAMDPAVGFIEFGGGVEEQSKMWG
KPTAAMLALTPDPAQGDNGSKNTTLNHVLSSFGIIPDTTVKEIMDIQGGYLCYEYV
>RCO7_11131 | related to vegetatible incompatibility protein HET-E-1
MPSIKDFEASRLENINRNGALLETLGVNQQAKSIREGAEITPPAKKRRKIEKTNLTPRPSRSSARIASAPSQPIYDENKLERLPVKETKSRTNVGKG
GRPALRKEEEEEEEGHKPTVPIQNLEELQESWTAWQPVAPAPSRDEAGVFRFESHRDFTPNKSPEEMLREGCFGGSYFRPLYSKHLGITIQDDYREL
PASWIDGLNIDTYLTSPIYDPDINKYKVACGQTIEQWEQAGWINHNYDVRGWFQWYCRFYMGRRCPDDDRQVSRWKKCVGATGRWRRMLLKKYVFAG
VRDVFDDGEEEDQMEVSPVMHQTCHHWAFCVTQEVLDEYWRTGK
>RCO7_11130 | probable succinate dehydrogenase iron-sulphur protein
MAALRTTSRLFAAASRPAFRAPASIRGMASVAAPSVTSPSQTSTIKEPSIDPEAKTKTFHIYRWNPDEPTSKPRMQSYTLDLNKTGPMMLDALIRIK
NEVDPTLTFRRSCREGICGSCAMNIDGVNTLACLCRIPTDTKQETKIYPLPHTYVVKDIVPDLTLFYKQYKSIKPYLQHEGKGPNGKEYIQTKEERK
KLDGLYECILCACCSTSCPSYWWNSEEYLGPAVLMQSYRWLADSRDQKKEERKAALDNSMSVYRCHTILNCSRTCPKGLNPGLAIAEIKKELAF
>RCO7_11129 | uncharacterized protein
MSTPIPQTDLEMGDVNHVDVPVGDLALPTNVPDEVGVVEPAPETVPVALQEGIAAPAPAPAAAATNPRLTLEEYRKRIKDSELAKKWIFERPFSDVV
HGLHLDNIERAMREILKHDTIRKVATNAANSPGLKPLQELYRPALETLERSHIATALRHYDEFQKSEDKSRPFPCFAVIPGVYSTEESILGAILEAG
QHGDLWDEAEVLQLDAQIKASSDAYGAEQYFDYQIWNKLIAYDVEKTKAKEDFRTRLYMAVFGGLALVAPMLIMTLHEGKTTSLVTTSVFVFVVAII
LAWRMKDAQAKDIIGATAAYPAVLVVFVGTGTNTTGETPASS
>RCO7_11128 | related to S.pombe Bem46 protein
MSSQEHSGNYLQQASGVAGSVYSYMRLPVLVSSGIAAALSSLLYFKQKALIYPSHVPNDARTEVPRPSQFGITDFEDLMIPTPDGENLSAFYIRPPQ
TSMRKKNLTVLMFHGNAGNIGHRVPIARMLVHQIGCSVLMLEYRGYGLSTGSPDETGLMIDAQTGFDYLRQRSETRDNDIVIYGQSLGGAVSIQLVK
KNQNDKRLVGLILENTFLSMRKLIPSIIPPAKYLTLLCHQIWASDTYLPSITEVPILFLSGLQDEIVPPSHMRRLFEICQTPTKVWKPLPGGDHNSS
VVEEGYFESIQDFIANLDTTSE
>RCO7_11126 | related to cysteine-rich protein NFX-1
MATTAAPPAPAGASGRPRQRRGPRRGRGGVTGDTAQVPNAALALRPASVAPLATPAPTSTPTAPRGNGNGRRGGYRGRGRGGQLMVNGQRAFGGQLT
TATPSEGSLAGDAPEFVPGQVHAPRSRGPPLRNMPRRMSKSQAPDIATRTHEDITNGQYECVICTNEVLPNSKVWSCKTCWSVLHLSCVKRWSKNEV
STHQQRAVENGELPPPRQWRCPGCNLPKSDLPNNYSCWCEKEIEPRSIAGLPPHSCGQSCSKRRLGSCPHPCELMCHAGPCPPCGHMGPSMSCFCGK

EMTSRRCVETNYEKGWTCGQICGEDLPCGEHACERECHEGLCGSCDVEVESRCYCGREKLGLKCSEREDEMESQSTEEKWIGSFNCGVECRRSFDCG
NPNHFCEKACHALDAKQAHCPLSPDVVTHCPCGKTRVKDLLPEPRLDCSAPIPHCQEKCQKLLGCGHLCEQKCHAGGCRPCIQTVLISCHCGRTTSD
SLCHQGMEKPPQCPRICRSNLNCCRHECGERCCPGEKKASERQASKRKHRALNAPANGEEFEPEHICLRVCGRALKCGNHNCASLCHKGPCASCLEA
VFEDISCACGRTVLQPPQPCGTTPPECRFDCTRRRTCGHPQIKHQCHEDTEDCPKCPFLVEKPCICGKKTLKNQPCWFTEVRCGLPCNKKLRCGNHF
CQKMCHRNGQCEDAASSCTQACGCKKTVCEHTCLDPCHAPYPCKETTPCLAKTFITCECQNQKQAIRCLASKSSPGNSEKTLDCNEECLRLQRNAKL
AAALKIDPATHTDDHIPYDSKTLSFFSANQKFAQQYEREFRVFATDEKEKRLRFKPMQPYQRAFIHGLAEDFGLDSESQDPEPHRHVCIFKTPKFVS
APTKTLGQCVKIRAVGQQEASISKPLVSSAEPWNAFLLSNPKFGITIDELYTDLKPEFATAGIDFEISFIPSGDVVLKALSTTSWLIKLDKELAAIK
APVAKKVISLGLASSTTLCAVDSSLNVLRREDENAASGGWSQVAKGGALLRSIVQPTVGAKSSFTVLGSKRVKDMENKKKVEDAVDDWEVEADAT

>RCO7_11125 | related to putative tartrate transporter
MADGKKSTEVPTLRIERLETQPIKDEELKGGGGNRDYAGAAAKTDPAEIALVRKLDMRILPTLFVMYFLNYVDRNAIAQARLNGLEKELGMDPKSSQ
FNTTVSILFVGYVLMQVPSNMLITKLRPSLYISSWMAVWAVVSACTALVQNYAGLVVCRFLLGVTEAPFYPGATYMLSIFYTRKEIASRIAVLYLAQ
ITATGFSSLIAAGIFEGLDGVEGISGWRWLFILEGVITFVVALAGFVLLPDTPSTTRWLSPGERELAHGRMVRDNINHSDEIVPAMQGLKQACRDYK
TWIFVLMQCFHLSACSFNSFFPTVIKTLGYNTTLTLVMTCPPFLLAGAGGLVMGWSSGKLHERTWHITGGLTLSIIGFAIAAARLDTAGRYAACFIF
PLGAYSVNSVIIGWASSTLSQTKEKKAVVLAMTNVGGQIGYIYGAYLWPGSDAPRYTTGFSASAAFALGSVACAWWMKVCLKRENRKIMSNTVDEGV
NLYAY

>RCO7_11124 | uncharacterized protein
MKRNVKYKAQAEDLVMHLIWAHSSLRNTCEKLLSRLQLSDEDVICLLQNLNGLAWSSPDLEQRIQRILKSDYKACQVLLLRIFAKLDQIRERLGLPK
DYATREDYTAKPAWFKIRGMFQTIRDYTEGLEKTLRDSIELESGRRKRGNRRKAKA

>RCO7_11123 | uncharacterized protein
MRPRFKPLWALSNAAINIGTISSLAPKNSRGQLAHLKRYQISLTLAYAVLQFYGTPWLQEIWSKKEIYFIGSNQYLVDSLYLIQHPIPKQNARELTG
LPELRPWANPTTYALGIVLLELAFGFPMEAIHPDASDLGPGGLPDALTELRKARRLALMIEERDGEGLATTIIKCMRYDAFEPEDSRFQECFYNDVI
VPLEICLGYMQ

>RCO7_11122 | uncharacterized protein
MEERRKSKTRCLRNVAEDLRCKKCVQAGAECIVPDYRVGRKKGIKNKRDGLEKAVHRIEQEIKRTRTEEPKEDQSTQHLQSLLSEAQGLLPMSNLSP
HGLSLSRAQSQIQRSNAEGAHDAYRLQPASQYHENSRRNLAQNSHTYALRPSGVPNECHNSRRGFSSNPVDGNFAVDDAENPLQLLARASDLSAPTT
SYLSPPRIPGAVGDQQLLDFFGPFRPSLDVGVDIDPIELGLVTEEEAAVLFSYFHENLAHTRWGLDPILHTPQFVRKQSAFLFTSIMAASALFMPNA
SAVSRRLSVHCNLLAQKLRTRRNRSPEIVLGFMVNIPWMAPGEHWSDDGTCSYMASALTIAMDISLNKLIVPSPSDSLIGINEGKPLSDCITARKAL
ELDGFPDVDVNSEYGRRLLRRRERIWLALFVLDRGVCLARGRSFTVPLTTIIEHCDSWHKSSIADIWDGSIISSTVLRRDLRSIRHFVDGNRLQEMV
EGFFNNXANHTDHSIPPYVEILVTHGRLSIYSSVINHPTAPVEVKRYFRAAGLSSALNVLRAAVQGENRLKSMPNNTSIMISFAACFAFYLSTSSTG
SMSLASSIRRLIEESADVLERLGSNPPHRNGTAALYGRHLRQVIGISVTGAGNDYAQAPISYSVPPSGQQLVQVRQSQQGLSQLDMSVLPNFSSMSD
DQINQAINDAGNELNMYVPNLQMEDQSGLEWLDWFNMDMNANR

>RCO7_11121 | related to 3-oxoacid CoA-transferase
MASRRITSVCLASSTRNALFRTGRAHPTSRFQSPRQLHTTATRYEQKANVGSKRDSAPTAVRGASKVYKNADAAVADLKSGSIILSAGFGLCGTAET
IIAAIEKRGKNGLGGLTAVSNNAGSGNGGGLSPLVESGQIERLILSFLGANKTLEKKYLSGEIAIELCPQGTIAERIRAGGAGIPAFYTPTGVNTLL
QSGDIPVRLGPVDKATGKTTILEAGKPRETRIFDGKIYNMENAIKGDVAILRAYKVDEAGNCQFRYTTKTFGQIMAKAAKITIVEAENIVKLGEIHP
DHVHIPGIYVDRIVPATVEKRIEVKYLRNEEGKGDGKKSESQIRRERIARRTAKELKQGYYVNLGVGIPTLAPSFLSPETKVWIQSENGLLGMGPYP
TEEELDADVINAGKETVTLVPGASTFDSAESFAMIRGGHIDVSVLGALEVSANGDLANFMIPGKVFKGMGGAMDLVGNPDQTKIVVATDHVAKDGSP
KIVENCALPLTGAKVISTIITDLCVFEVDRVKGGLTLTELAPGVDVDEVRSKTGAKFKVADDVKSME

>RCO7_11120 | probable conserved mitochondrial protein
MSKLSPSLKALIGASFARPNTLPAPPSIRSVYQNILRGEASKHVGKSAWLTLSTAAIMTMNSPESLTELFNLATKDSKSKTESVETAELMREVGLKC
IGFNGVPRTINCLGAFRASLPSEIVSSLSTTPTRTTSHENIEDIVKRGNSLWSSIYKPFDAKLYSKLAESHPDLPVFILNHEYGALFADPPTLGHES
GAKVGRVLTSIVAVACLRAQTGVGPQVTSHVFGLRKAYNDESFRAEGEFKVDGGEWLASDEGNIWLLKSVDAIVEALGNGSGTSFAPGMIKSKL

>RCO7_11119 | related to allantoate permease
MAFPDFPRTSATSSPSPSSSSVASQQFSKQNPGHLIGDEKDEKASQDENMETVKLSVQNAQISDSPALTRKLLLKLDLRILPILALLFLCSFLDRTN
VGNAKTYKLEHNLGMTDHQYDTGLAVFYATYIASEIPSNLVLKKVSPRVWLPALAIMWGIVTMSLGFVKNYHEFVAVRAILGVCEGGLLPGMVLYLS
GMYTRGEMALRLGLFYTAASLSGAFGGLLARGISAIGDRHGLYKWSWIFIIEGLLTVAVGFVTYFILPNNVETASFLTEDERLLASARLHKDLPSRL
AQDGSEHQHEAFQWSEVRRGVFNISTWLSALAYFGILAGLYSFGLFLPTIIVELGYTANQAQLWSVIPYAVASVVTVGIAFVSDRMKLRGTIMLFVL
IPAIIGYAVIANISVAHPKVKYGMTFMMATGMYASVPCVLVWNSNNSAGHYKRATTTALQLMIANSGGFVATFIYPSKDKPQFRKGHTTVLGLLVFA
WFMVLFNVLYCRKVNQDKKAGRYDKFIGSGDDRDPDFLLVL

>RCO7_11118 | related to metalloproteinase penicillolysin
MFQNIALPALALVGVATAACPFSIEITGAENHVAQVAVTNTGAETVTVFKGNTVFSEHATKDLLVTADGVALPFEGIDVNYRKSGLTPEMFQVIAPG
ETITASVNAAKTYKLGAVSEAEITAIQGFEYVFGSVAPTTLADMLFCDSVASAPLAITVDQKVAAADHVLKRDSELQKSPSSRIKKRAVTYSGCTAA
QTSSLKTTVSDAIAMSKAASIAAGTGAAFFTAWFKSTSVAPKVQSIYNSVAGVQTTSPKISCKDIYDACSNGMALLYAIPSDKVIVPCPNNGYWEFP
EFASTCAKDDYDRAGAILHEATHLYGTEDWAYGSTAARALSATKASQNADTYEMYAGSVRLGGCSA

>RCO7_11117 | uncharacterized protein
MVLSLSSSSSLVAISFSSSSSSSLGAFSSLVASSSSSSSSSTPLRGGLFILLYFFGRISVLL

>RCO7_11154 | uncharacterized protein
MLPKDPREAFIAFILAATLIVIWLSLFAIRGPGIFYEPQPALQLLAGEDATFLRHAMSVEFPSPMDYTPIQEVCTADVGEGDNRRFRPGLVFSCEEQ
HGGVGMVRNQILKCVRFAIQAGAALVIPGMAKRNEKDISDIETSNTVPLEYLFDREMFVKQLTESCPGMRLYNSVEDFPGYEDRVKTEQGKEKELEL
VGDQFEPDRPREGISHPEDWREEFDAWLKEKDVQYTEKKLVHVKIGQAYLEYNVHSDSPEFVSEFGKLLSFRADTRALAARVLLQMKSQYGIDAEPM
KPAHMDGKGFLGAHLRLEKDAIEAWTVAEGWVFSERDKQFGGVWDEARRMKSSVIYVATGEEDVVDAFKELADGELAAEVEEGEVLERRNVSIVTKH
SLLSASPHDLARLKAMTFDQQALVDFLIMFKSTFFVGIASSSFPWTVALRRHEMSMYRGADGMGYANEGSDILRDELSVILGERKEYPYVDPFEWGL
WP

>RCO7_11153 | uncharacterized protein

MASHELFRPTRIPLMGTPLKQSSSETKSVLELSSRGAFGHIHQNSKDTSTNNDDEGTPDLSFDDRTSRPRFERHEETTNIELFYDLFFVANLTTFSS
VHEINDRKTLSSYIGFFCVLWFTWCQVTLFDVRFVAESIVDRAAKAAHLGVMVGLAVVGPNFNPTDYEQDVMRTMSLILMVSRFILAIQYLLVLIQV
WKYKQTKTPLALVAGSNFAAACIYLGITFSFHDDRSYGYRAFYAIPIVEIAFNIAISSNWKVLSFKGTHLVQRMSLLTLIILGEGVIVVCKNISKIV
KNKNAWDGPTIGTIVAAIAIVYFLYMLYFDTLPSHHFGSIRQQIWAFLHFPFHLTLVLTMEGMAQFVLWHKMVAVSRSFNRTVQGAQIRDIYNNNPT
AIPAALKPMIEELFQSYPPANPKTFTEVESGLGILGMGYDSNNATSVNDYQTIFGDVVSAVVHSVFTSYGFETPEAKPGQEASRTGTEELNRDDEVI
GLVFVYFFVAAGITLMLMGFLNFLTLPREQFTRSGLKHPAILGRFGTYIYIGLGLALLSIAISYDAGSTLASSAWLLPLVCFCILVVQGVQYVRWPS
WLKKR

>RCO7_11152 | related to actin-like protein
MAPARVDANPSSSTAPSRTLVVDNGAYTLKAGFSSPSIEDPTYSIIPNCLAKDRDRKVYIGSQVSSCSDFSEMQFRRPVEKGYIVSWEAEKEIWEHE
FFDSKAKLHCDPKETGLILTEAPNALPVLQNHCDQIVFEEFGFKRYLRTTGPALNAYNDIQASFKAPPRPTDTGSSIPAEILMLIDSGYSHTTITPL
LLGRPLHKSVRRLDVGGKLLTNYLNRQICVRQYDLANETYLVNEIKEATIYVSRDFNGDMEKTWKGPRGDRRADFATGGGIAKDYVLPDYHGKVKGF
ARDHDPQAATKLKELTKGKAIGASEDVVTLRNERFTVPELLFNPTNIGLRQSGIAQQVLDSLSSLPPGLWPGFLANVFVVGGNANIEGFVPRLQMEI
RALAPAECIVRVAKPADPIISTWQGGANLAKDEETLRKLSVTKEEYEEYGAAWTARKFGGR

>RCO7_11151 | uncharacterized protein
MAKSGDSKAEADLEILKSTVHTALALLTQLQQQQPAASAPALTTSAYAPRAEVDALDLAHDAASLIRAHSTKLSLLIINKPFTASAITTVLRELVRG
PLPGLASAVELCDATQYTKVMNAELGYEVGRVFVECAGLVKAIPLDGKILSDDAKNGTGATKGRGSLALTGTVWQACDAVIGLKKMGIAGLVVKKAE
QYRATLKDALEELQEWAEEEEDEEEEEHEGDAGSGDEEGDAQKEVDDMFGNQKHIPSDDPEKIRPKLEASLKRLRLLGMMYQAVVKRRFKSLPSLPL
PKTTSGPVEEGSGKADVVATVDDVLEMMKKIPDAVDELASAYYELYVKHIDDQMEKCFLGGFSELALLKWNWKGEDDEFTVWLQKFQLAMKMDAIK

>RCO7_11150 | uncharacterized protein
MKLLLLLNALLIGGAVSAAVPDTLDSRAGYVRKAGWPATCGCILKTKSNLLTHYVDAGWGMISVAMDVGYGGEHCQVVLDRRRTSDCTGWTQYQGPT
GPACKSIRGQLTCTPSMVWQ

>RCO7_11149 | related to chitin binding protein
MYTSYSIFTIAMLVTTVLSHGRITKPAAREPGTGMEAVCGKNATAIAKADNTTHIEGLPEAAAKDSKYDPKKCNFYFCKGYQFDDNKDHVQKYTAGQ
VVNMRAQLRILHEGKMNVSVINTATNKAIGSPLISFAQYGEKKLPKVPANNTNFDVKIPGDLKGACSKAGACVLQWYWKTDDDSYESCVDFTVS

>RCO7_11148 | uncharacterized protein
MAAANAWANASTENPAVGPFLGKKGPTAGNASAVFYGAYVFFEEVTVRDGKPKSKHRLEMEKAHGAKGMDRERRSDRVWSMAGRSRIWINWDRFISM
ESSEGTALSMSRRSFLLTGSISRSMRRKFCFTFSWFGRVWVGFFCF

>RCO7_11147 | uncharacterized protein
MDETFRSDTSNFSNPSLPTSLLQLLSNSLVLHQTTPYLPPSSLLTLGATSKSLQTLFRETPTVYRYLDLTKVRSAQFEIAAIDHGGEVWRNVQLDEN
VTEDDFYGGPLRGIFNKIRRQRILQHVQTLILDGLSVTSDILSDIITQDHFNVRILSLRGVQNLNERKLQQALLYAVRSSRAEGTPKLRAIYIFGPK
DPPAPPRQYHSTGSIHQDFSPSDAWSSDGGVVHGLGAQIGAQIGSQWNQKSSSTLTHELACGADKWYQAGGKVLIHTPTLEWANTMLACQDVISFDA
VLCNGPRHSPAVLGDGKPVSPWYQSSGAHLSSRVATHSVGGCFSCKRAPEDIAKFKREPLERFPLLAPPPLHSSTVKAAKTPFPGFGDELLLRCTDC
LRSRFCENCHKWWCEDCYEIADGGGFFVPGSATHALEDEVNTPVFAGGSDGVNRNAKVYMGLCVEDCLVTEMMAGAGSNGMWG

>RCO7_11146 | related to PRLI-interacting factor K
MATPLDITLSWSSTFAVAPKSIKILPGDKILLPQSALEALLSASTVSVPSSNRLNAPTFDPFNPYSLAAARAEQSQWQDRQQQLPHPLTFRLVNSAN
GNVVFAGIREFSAEEGEVGLSPFLLEALGVVQPTERRKAKPISLDEDNEGTPEVPIDLTDDDVYEEPPRITVHAKQLPKGTYVRLRPLEAGYNPEDW
KSLLEKHLRENFTTLTNGEILTVRGSKSEEFRFLIDKFAPEGDGICVVDTDLEVDIEALNEEQARETMKQIMAKAQKAPGTTEGSSIGGDLSIWKPS
SGQVLSGDYVDYTLPSWDRTQGINISLTSEVEGLELFVSPFSPRQRARPREDEHVFGDFSAEPEKSIKISATNIELENAEALNISIYARPAGDPSDT
TPREFAVAYEAISKISLNGSSSRNPFILDSSDTEMEQHSADEEQCKNCTQWIPKRSMMLHENFCLRNNILCPHCTQVFQKKSDDWANHWHCDQDSSH
GNTASSRTTHDFIFHTSRPCPNCPYEGSNLRDLASHRTSSCPGKIILCQFCHLEVPQEGDPFSPSAEALISGLTAHELADGARTTDCHLCGKIIRLR
DMSTHLKHHELEKVSRAKPEICRNINCGRTLHGVGKNGEIGAGSRMGQGPGNELGLCSICYGPLYVSMHDPEGRAMRRRIERRYISQLISGCGKAWC
RNVYCKTAKSKDGNGDALTTQLALPMVRPLMEAIPDKTKPCHFCVDEGSQKRRVLAEMLGAEGVYELEWCVAGLEAEGGGLDNGRVWLGNWAPKKL

>RCO7_11145 | uncharacterized protein
MSILSVEQRSQARLMEYEKTRACWSVPRLNFHRNRQFSSILRCGAKPSYRWMSSEQFSQCTTVARASQALASLNLDRDRFKSLDYLLIPYRNDVRTH
DPVLLSVLCTADTPKIEDHALLGFAPRQKFAFIVDSVGTRDGKTVIELAASIHKALLMRILFSQFAENETWPLFSQWSQQSADGGEGVAEQEVIDLE
EDTNREDTVGGLTSDAASHGLRDTAGTTSDDVVRPGATFIDLTSDTAVPIDLAETFRMTDAMDWMSDSAKSAIEDATTSPYSSSPLSASSQPDDLPS
RLRRLVWDAGGEYVRESETDRRAFPPQFNAKYFQKQGFLYGSAIQNSPRESMSEFTVEERKAVYTQSGIEGVHECRAEHPDSIDRWARNKMLAFAAN
YWGETVEPDECLLSGYEVWHKTHFSERER

>RCO7_11144 | uncharacterized protein
MASNGPDKGHRKTKSSRTRSRSPPADLLGVARTTLITLFEDKAADFTASNKDQLRSNSDPVMQSNNIQSEFNSTRSPTRVDIFKDYGLGYIDVNYHE
KYMVKSEDIDRFQAHVRGIEKRFIDLGDLNSETDQARASRMAEMYLYPVKNTSPGPSHGADYMEKHLATRRLAATWEEEENRLAALRFVEIQNGKQR
EDKPRYKYT

>RCO7_11143 | uncharacterized protein
MNQRLLFSLCFLVLVDQGNGAWLGSRPSATPTINKHAGQQIHAIIPTTKGQIGISPVQSDLGDAGSYWGDIDSTDTQYITTDETKTKWIGINTEYFS
MDGTSTVQVLFATATAAANGHNVEDISVILPEGLANTLTKSIKTAIDTCGTLATTKFQGKIEIRDILPRQVEQALSCVFEYTKIDIKSGGTFDAYIT
ANKWLEAGVSLAQDAAPALVKFISVLGKEEAAKGIVWLAFYTILLDMGLNALIAGGDQSLPVLAKVNIPASGFASKLKDKGCKGDEPVTKYSVGPAI
PPPFPLKLTRSSSQPLCRQSNCQGVTLGLCTIAPRRNCPCIPTIPRGIGRQPWDQIWTDFQQQWLSDVFDDQSGGSNGGQQLALASYTNPVADADAW
RRMISYDSKKLSILVANVLNGPDYVVDKSWNSVVQQAAKLGSGDLASWASQIEQDVDKWYELYNDIGGIFFDEGWPECGPNNLYSDLYAHINAYTKR
KHPGAYTVLNPGSTIAQFHEDTMDTLLTFESSYEFYTNGSYTPNSWVPKDDRKIWHIVYRVPQDKVAEVLAISAKRHVEYLHLTDDDNPNPYDNVPN
DAYMKGAMNGFSGGVVRKDAATTLGGSYIAGIPSDASVIASDYTSVTISWSAVPGALGYGVYLKGALVLEMPPSLTKAVVGMLKPGTSGLSFEVRTI
ISSGSGGRSKLLQASTNSLPAEGSITNVNFKKEGDMIIYNADILVPYAFIRLFIGGPHEAVGASKGWPIDAGKSTGSYTEYKLVNYMVEGNDFRSDL
YKYTGAYVEGSKDNADWGWTPQAVMSQTQSGYTNTWRVPLGSTDALPDQYVVQGQGYAPIQNVMGGFLRSYKCGGKPCDDDPAYDCLGSSLCATPDF
LKWCDLAVNSLVRTDDLTYGTGDGKPHGNCFGDSIRSCGVFLQKGDCAMSGNDMWHTYQNLRNLGGCEKCGSYKLANGCLFTVNYVYACKSADPGAA
GGGGSPYDPPLFSQLLVEEVPSELPDKLEFPASPMTSIRPSRRGWA

>RCO7_11142 | uncharacterized protein
MVFVLRDWLRSLITPEYCGTQTRRDCCDFDLPAPRLLPDRLLITRPSTPGSLAAPELCSAVPCLDHLSATGTSTESLLLELLPHEMRQKIWSLVIGG
QTYQLGVLPYRWRSNRLSSSRCLCADPDKCDEGCSRDDHNEMRHVDMYNQPPFKMGDSLCLLTVCRQIYFEAISILYSSNTFFIDHAKAMEFLPLTI
LPQRMNTIRNLRFIWDFSGPLPVKVYDYIWAKGTRYEEILHIRQEKWQKIWNILSEMTGLRQLYVKLRVGGEWETFSRVSAEVLLGPVKQVTRAVMF
LLALPFPAMHQGISPSRLPWGPINGWEGSDPWDDLPNCKIQRITRDEL
>RCO7_11141 | uncharacterized protein
MLSSLKTSMLYMCATQVLLFGFCSAASWMVDLESCDVGKL
>RCO7_11139 | uncharacterized protein
MVLGYQHCIGIIYYKNHIHSVRATDRYIRIIKFWQSALLGLLQSVPPAAINRRQQQGDEPIRRISVTWEIYLLVLSINSHLRLPSFQSRQGHSFKIV
RIKNQLVI
>RCO7_11138 | probable ubiquitin-conjugating enzyme
MASRAANNRLTREYKTISANPPPFIVAHPSEANILEWHYILTGPPDTPYHNGQYWGTLIFPTNYPFAPPAIRMHTPSGRFQPSTRLCLSISDFHPKS
FNPAWEVSTILIGLLSFMTSEEMTTGSVSGTEAERKWAAQRSRWWNSTGGGSHKDITGKSSQKGNVKAGDGGQKFRAEWPELDEENWKWMKENRVDI
TTGVQAKDPNVKEGEKSCGPGGLTRPSGSTPVVGALAEGGRAVGEEGRSWVARNKLLAAGGVIFTYVLIARLLGTGPGN
>RCO7_11137 | probable SAM50 Sorting and Assembly Machinery (SAM) complex subunit
MANPVESGDDLFESLLKQDPKAEEKAKLVAEREAAQAAKAQQRLMELIGSNSSLPVTVSSIRVVGADYTRRSFLDTIFNPLLSANKDAPYTLGEALQ
EVGSAADKLRQFEIFHPSLHTFIDRPSPTDPSSTPTDIDIYLLAKERSRISLRTGTDLGNVEGSAYGNLTWRNVFGGAESLTLNASAGTRTRSAYQA
TFSTPLFSHPDKTLTVDALQSSTLKPWCSHDEALKGGSLKYNWASPSGTRHQVGYAGVWRQVTGLAANASPTIRSDAGDSVKSSISHTWLSDKRNHP
FLPNKGYLLKTVSEIAGWGPLQGDVAFWKTELDSSLAFAVPIPGIKGNSGVSFTAGFRAGMLYPLAVGFGGKTQQSRINDRFQLGGPTDVRGFKISG
LGPRDGPDAVGGDVYAAGSTNLLIPFPRVGKDSPLRLQLFANAGRLLALRGVGKGSESVSKNVYGTVEQLADGMPSLAAGVGVVYAHPVARFEMNFS
LPLVVRRGEEGRKGLQFGVGINFL
>RCO7_11136 | uncharacterized protein
MVLCGLRSWLLSFIDFNPCGTKPPRDCCDYDLPPSRLIQDRLPITRPSTPYSRPAVKQRSVVSFPEHFPAARISVKTPLLELVPLEIRRKIWTLVAG
GQTHQLGDLRAGLRGLGWSSLRCQDDITEWYLNNNRSRRPPLTRHTRNHMCLLKLCRQVYTEAICIIYSTNTFEITHAQQMEYLPLSILPQRMNTIR
TLRLTCDFSGTPPIRAEMYSQYYKILHDRYKKWQNIWRILSEMASLRRLHFNLNVDWDWDTFNRESAAELLEPVKKVTRPDLFILAIPIPAMYEGMK
IYPRGFWAAHDGWEGSDPWDDLPNCKIRRITSEKMWSENFF
>RCO7_11493 | uncharacterized protein
MEVGGKLWKHLSNWASPAPTTAQFFVVHIWDETSEKTSPFKADFAGLAEVHEISVPAALMIFRDSAPRRFPTGLVKGSGDAHTGAIGL
>RCO7_11492 | uncharacterized protein
MNLGLIIYSSSYMIFSTILVVASKSGIPTSTLSAAYYIYYLRYIRAFLKIKYNNTPVLELLYSFNKPNSKLYKYYSVLKSSYKPIGYLNLNLLNYVN
TEYTILSELLPSSKAKDAELNQGEKVFKELEFIKVIKELNSIIREFVKKAIFKAIISNTKRKRNLPSSLEIASDLDTPGPSLKKKPHRISYYTRFTT
RATLVDLGKKLDIVVPVLDILELLRAPENLREKANKVEVVKEVEL
>RCO7_02276 | related to endo-1,6-alpha-D-mannanase
MLFSSLRSMFLLCSAVQLSNAAANDYRNNAEAALSTLQKWYDTNTGLWNSTGWWNSANCLTTIGDLAAFDPKVRPTAEKVFSNTFEQAQKTNLQQTK
VITSNFMMQTFDGPSVPTKLLSVLSTVMGQLSVSAPRNPKGFLNAYYDDEGWWALGWIQAFDVTGNRDYLNAAIDIFTDMKNGTDTICGGGIWWNIA
RTYKNAITNELYLSVASHLANRVPDKKQEYLDIATKQWDWFQKSGMINSQNLVNDGINDKCTNNNGTIQSYNQGVILGGLVELNKAAPNTTYLAKAN
DIAKAAIKALSVDGVLHESCEPNCGADGAQFKGIFMRNLQILQSASPDKVYMDFLTTNAAGIWNKDRSEKGDELAADWDGPFMPPVSAATQSSALDA
LVGAAAFQKEMKEMKNGISS
>RCO7_02277 | uncharacterized protein
MVHPSQVPKHHLNPISTHWRNRSLSSLSAISDAPTFHSAHANLSSMELRQMPFPHQLLALTSPPPSNPKQPLPSSELSSLKMDRQDSGYAERERNPN
SKSTAELPICNSATDSRRTSTSSSIKRLSSPSAQISNTARPKHRTTNSSSSSSTTRPTKRTSRTSTTTGHRSSNSTTRPSLPSRHTVPYTQQIQQSQ
QPYEFFQFPALGDSSPPRSRNAAIPHQDPAPDTLSSPPPPPTVQYWTSDSTRRLEYAAIDAASKGVRGFFIKLLPDCILPPSTRRTKFHNVNDGDAE
SDAGSVRRYRLVLPEEKGCCASVGDTVPGRGNGGSVRGRGVLRRWTSFGRRKDAME
>RCO7_02278 | uncharacterized protein
MAEPPHTHSPDDWELEGMSFDFASHAWVRADAEFDLVRDVSDDHLIGLQFNAVNSAPVPVYNYLDSPGLPSNFPTRLAEEIARINARMIDLRENLHR
RWFLDGMIDARVSNMRPAVTNAEARSAPVGRATASTAAFGSFFQRAAYRPRSQLLSPVLSPIISEGSIPEELPAVEGATRSSATAGNQERRFSNSVL
ELPRSLRADNNLIGTEVGGNNDTFFSQDVLEFMAARRANTGIFRLPPSIDLADGDDDDNYEYYDGDDADGFEEEYDEIEDTFLDQEQHNNSYQPASV
PQSSESGQPSTECIYQQFGAGPPLRLYDILFDEQLAVIAADPDLENRSMATDLAFLFTEAEIPHMSEYRYRLLPDGSVGVSAPMSALPRYSRSNNSR
ARFFLTARPGGGVMPRQSDL
>RCO7_02279 | uncharacterized protein
MGCPLFVTPKEPKEEKKEEIVPAQAQSVANSIAAVQPQAIAAGLYTRSIQVAGVTDQFSRMLDIGIGTRDFTPRPIMHTRIGALTTADVLPEDQEIP
NRLDYDSQSNAHPPRRRQQVRTTFEPLVSASIPSRPTPAATEGQPSNVSGRTLMTSLPDIEALRRQLEVLREQVDIFMDGRIVPIRVEQGGEDPVVQ
LNNINASGNSRRQSGTQSRLANYVSLQSVHPYYGWMVSETSDNDSRFNDPTFPDFPHLRPEMLFMDLDRGLGTAHANNVGRSPSPPIRSAAPSPPLS
RHVRSRHGADIHQHHPNCPCVDCWHT
>RCO7_02280 | related to O-methyltransferase B
MPVPKAVLIAAADDFAAAVKDFNGDPVKQRQLLKEADRLRMLLETPMDVLTKQWEMSQCIAAMNLLVELDVLEAIPKQGSISSKDLAEIVKVDESAI
ARALKLVVINGICTEPTPNSFALNANAFVFLRGAAREFFQFMIDQTGPFYKLPDYFRTHNQEDLYDLKKSPYAWAVGMEGHDYYEAISSDPKKLHNF
NFTMATSESVTPILGMFPWASVKDQVEADPSRAFIVDIGGGRGQVLTAIQKEAPNGFGSKMILQDRPDVLASVTDEDLPGVEKMPYDFFTPQPVGNA
HFYIMRRILHDFYIPVCKDLVKNIANAMGPTSRFIIADMIMPEKVEMGTEITPYWMDFNLMMLNGTEKSKAQFEEILDAAGLEIVKIYPFAFGCHAN
IECRLKSVSSV
>RCO7_02281 | related to methyltransferase
MNTEQSIEHPPDFIEAYDEDFSDEGADTGGESSLASLSSSIVQGVEENGRTYASYGKEEYGAPMDEQEMDRIDMAHAKYFILLDKKRWIAPISANPQ
KVLDLACGTGIWSIDFADDHPSADVTGVDIAPIQPKWTSPNCHFEIDDIEQQWTWQPDSYDYIFSRDLLLCIRDFPRLIKQCFKHLKPGGFLEFQNI
NGTLGCDDGSVPEDSPFKEYDRLLRAAATAFGTPLEDPIHYAKWFKEAGFENVTETIFKMPTNPWAKEPRLRLVGAFEQENLTSNLEGISTRVFQKG

LGWSAEESTVFFSGVRKDIKNRRQHSYYPYVVVYGQKPTSEKE
>RCO7_02282 | probable glucan 1,3-beta-glucosidase precursor
MKSTSLTLALSAVLSTANAYWSGFNVQATLGNGACKSQADWERDFNTMKSLPGAFTSMRVYASSDCDTLANAVPAAIKTGGTILVGVWTENAAHFAA
EKGALLKAVQQYGFGWIVAVSVGSEVLYRGEASASTLAHQIYDVRGMLSTVPGYTTAVGVGHVDTWTAWVDSANTAVITACDFIGTDGYPYFENTKE
NGVDQGYNLFWDSVQKVRDAVSKTGSGAWVWVAESGWPTVGPTENKAIPSVANAQQYWSTVACSAFKSGHTFWYSLQDFAANPSFGVVDANYKPIYN
LAC
>RCO7_02283 | uncharacterized protein
MMISFGIFTLHLCLAGSSLAKIHHLFVGNLNLPASIHTLEFDDQTLTLVNTRKTTADSSHAWIAFDHKKENIYGASLTVKRISSYSIQPNFTLRLDE
SLPATGACFNKTSAFILPSSHPPHFVYSGSWGGPDGCGMAISTHENGTLSNVTQSWKYVSESAIHGLIFGLGDKILYSADLSADKIWIHARKGVGTE
PLEKRSYIIEKV
>RCO7_02284 | uncharacterized protein
MLWVTIGGHLTAHPSGNYLYVLMEHENTIVEYSLDAKTGVPLNISETYSLLPQGKNSSGYWSAEVTLSSSKRLLWASARAKTDADYVGYISCFSLDK
SGKIGELLFIEPTTTTGGIANQISPAPFIDEWIALSDFPRGYVDIWQVKNISAVGRVTARPVAKVEIADGGCCANSIWYD
>RCO7_02285 | uncharacterized protein
MAHISTRKFIKWGDKPAGENTDTLVLTTAGKHFVDLRIYLPTTETEPSIPSLAPLPITRLEWGFAGTSSPTPAVYSSVPGHETEIIKPSHTVWTHWV
DNKTTDEVQDEGDMYPQPDGTTMEYGAMVNPESGEVEKYEECWVDFEVGKVDGEEEFRSWVLRTEDEEGGVRGVLARVGVFVQGVLRKGEEISVGRW
MWDSERGWQPIVEIGKAFIPRGIFTDDQVVLEQNLVASDGLKWTCVESFSWK
>RCO7_02286 | probable cytochrome c heme lyase
MPTENNAVPPPSCPMHKSSAAVAKAPLPSTESACPYTPPDSSLETQAPSKFAKYNPLNYMFSDLSQDRAKDQKVALPTEREPSTIPKGTGDGNWEYP
SPQQMYNALLRKGYTDTDATAIESMVAVHNFLNEGAWAEIVEWERRFGGGLKRGWEMCKRGEQGSMAGANHEEGANFDGVAQPSLMRFMGRPKEMTP
KAAMIQVMGWIYPSAFATEPPFDRHDWFVQREIAGQKKEVRYIIDYYSGPDDPTGEPVFYLDVRPALTPTAAVERAMRWGGDVWYRASGARLREKAT
N
>RCO7_02287 | uncharacterized protein
MARRHSSVGDYESAGIEPPESVWSTVWRENRGALYIILAQVFGSSMDAIVRFLQQGGNRMHPFQIIVGRMGITFVLSSLYMWWTKVPNFPLGDPKVR
LWLFLRAFFGFGGMYCLVYSVHYLPLAEATVLRFLVPLFTAWACSVFLGQTFFRKDIIAGLVAMIGVIFIAHPASIFGKVDDMYKVTDADEADHVTS
NQRLIAIAVSLLGVLGAVGAYTMIRVVGDRAHALISVNYFAFFSTASSAIALLVIPGIGFTMTHDARQWILLALVGIFGFILQFLLTAGLQLDRSSK
ATSMLYTQVLFALSFDWAIWGVIPGGWSLFGGAIVIGSTLWSALQKPQKEATDLAKSPVLDEESPLLGAEARNTDADRRRESSST
>RCO7_02288 | uncharacterized protein
MVSFRNIVAMMALAAPVMAQTTPAQVVTNIKLITQKSQALQAPAEKISLLNGPLIIIGLGPFPQIITGFVDIVTTTTVALTQMNGMRPVPAGADSDA
IFNAFREFVRVHQVLLNILIGKAGLFNTVPLIGTPIAAVLRQIEKIVDSVAFALIDAVQSRATDIQTQAKSLTGTVTSAIDAFDGLSLSKRDAQALP
ISRVRRAEIAV
>RCO7_02289 | related to oxidoreductase
MTQKHVLVTGSSGHLGCALMHLLPNLGYTPIGLDIRPSETTTTVGSITDASILELLFTKYEFHSIIHAATLHKPHIESHTKSDFINVNVTGTTLLLD
LAAAASDPKPSFIFISSTSAFGNALSPSPGNPASWIDESVVPKPKNIYGVTKICAEDICALVSEESGLNVAVLRIARFFPEDDDVKERRERWTPANL
KVNELCYRRLDLEDVVAACVAAMRTLGISSTDGSMNEGEREGKGKGRFGMYIISAPSPFSNDAQTLALLDSDPSIPLQNTVPSYEPVFGKLGWRFLD
RIDRVYDSSKARRELGWEPVYTFERALKKLRKGEEWRSEISLKVGRRGYHEKPTGVYTLAIGSEGSVVV
>RCO7_02290 | related to bovine rhodopsin kinase and to YGR052w
MFSSALKSFSSNINSNYSIAATPSSTSGPWKIYDAKKKSTGKAVSVFVFDRRSLDSHGGSLGRSSAASLKRATEEVVERLKKEASSLARLRHPNILE
LVEPVEDTRNGGLQFATETVTASLSGILQEKDDQERAGGVGGVGGRSSRFVTEDAEGGRRRRELEIDELEIQKGLEQISKALEFLHDNAGLVHGNLT
PDAVFSDWKISGLSFCSPPDGSTKASSVIPINLSETLNLDHRLPRSVQMNLDYSSPDFVLDSNLNTSADMFSLGLLIIALYNSPHTSPLQTNSSAST
YKRLFASSSSIPSASNGFLSSRAIPKDLTTSVLPRLITRRPAQRMTAKEFQQSAYFDNILISTIRFLDSLPAKTPNEKAQFMRGLSRVLPSFPKSVL
EKKVLPALLEEMKDRELLSLILKNVFTIVELLPSGQKPFTEKIIPRLNEIFVPLGNGRDRAPPERDSAKEAGLMVVLEHVGALSKNCSGKEFKDNIL
PIIHLAIESPTHTLVDAALRSLPIILPVLDFSTIKNELFPVIASVFTKTSSLGIKVRGLEAFTILCGGSNDPASSNDGLDGIHNSSAAKKSSSTALD
KYTMQEKILPLIKGIKTKEPAVGIAALNVLRQVGGVADADFVAMDILPVLWNMSFGPLLDLKQFEQFMDLIKSLSSRVEIEQTKKLQELGGINGGQV
KANDDFMSFGVSNAFSSATNGGESDDPEIDFERLLKGNAGSNPMSPTNPSNGSGGDWDTGPTQPQTQIQRHVSNTSSTPSFSWSTPSSAATGTGGGS
GGSMTVPMRPQQPSSRTVTPDLSRFETLSPTSTQYSHALQPQPPSGFSTPLQPQTPQYQQQQPALNWNTTPSSNPWASNSNKSNSTPVSGMSNSSSL
SSMMGQQRPMASNSMSAFSLPPPGQAQAHAGGMGMPRPQMGGANSFSLPPPPAGGMAAFKPPIQAQVGTFGAPQHQQNQGQKKSGLDAWESLL
>RCO7_02291 | probable branched-chain amino acid transaminase
MLSLEWTTSTGWLPPKITPYQNLSLDPASCVFHYAFECFEGMKAYKDCQNQVRLFRPQNNMARMNRSSARIALPTFDPAAMIELISKFAQLEERFIP
AQKGYSLYLRPTMIGTQRTLGVGPPGSALLYVIASPVGPYYPTGFKAISLEATDYAVRAWPGGVGDKKLGANYAPCILPQMEAASRGFHQNLWLFGK
EEYVTEVGTMNMFVVLVNKATGKKELVTAPLDGTILEGVTRDSVLSLAKEKLVPEGWEVVERKYTMPELAEAASEGRLLEAFGAGTAAIVSPVRNIS
WRGNLVDCGLKQEEEAGEIALKMKEWIERRQYGDEEHEWSYVVRS
>RCO7_02292 | uncharacterized protein
MPPLAPLRASLRTLKPSTKTASTPRITSTRAFSATTTTRAADHAHEDHYDPPSGWLFGVKPGEKPEKEGWENAFVYGFFGSLALGVVGYAFKPDTSI
QTWALEEARRRLEVEGILKEPEDK
>RCO7_06353 | uncharacterized protein
MKFKGDRDSFSSKVRIFYNAYLRAEIPSEEYI
>RCO7_10446 | uncharacterized protein
MPMDTSPSRSERFMFDLELELVMGQRKTTRVLGAYRNTDYERRGFVSARKPDGELFGREGMIALTLRI
>RCO7_10447 | uncharacterized protein
MATHCVDRSKRSSNATSLSGDDYLQTILEPEDEDESYFSLDNGPSSGATTPRQHTMKEVQVPQHPVPSMQAAFAESMLESSTASTPTIPKNRIADAA
ARRKSLIDQDVDDDTHAARWKQKPGQQHHELWKLMAQISFGVYLLINGIAKDDGQVMSILQGHVDEVDEFLETTLEDFNLAQEDIEERLKFLKLPLE
NIIIFDAMLEDRDFRLQIVNGNERIEHVIIRTAKAMNDALKDVRQGLDACKEFTIYLAEEQENFEQLSHKPDTQKVFLAMKGNVEGWFNAHVSLQTK
GADLGVALVQLGSIVAEMDRRAGEVSRRTIYRSASSPEPLTINSPPDSPESKLMRQSMYKDLPSDPDMITPAIRATLPAFRLVQDRQQTPEPEPESY

SEEEKDSEDEHEAEEPAFTLKPTTYTPVPSPLPSPRPPLGPVQAPPSPPPEIQRPSPENQQAPEVKKRSSLRKRFSLGKKKEKPQESMLQAPPPIDT
YWAARQRVTSSQPTPRARQSSVLIEQNSVPRPSEGQDVIPSDTQNSFPTAVTRERQASFPQEREKRLSLFSKRQKSNPNLGERQKSVSSEIQVSIPN
LRERRISIPHGRGHQTLITTSPSRGLDSAYCSDFDQKKSPQDQNIIQPHFAPLTQTTSHQSGNTNDSQSNIRPQFARDLSSPRSDQQFFRPVQASPH
SPLQRPWTAGPSNPLHMHSNSSNSNLSFHTSYTSQTSRDFHHSRVPSQLAHTGSYTGSGAYGGVYGGNRRGSPSTMGGQSVKSEMTTMTEIDGNGER
KKVKKKRSAFGWLKKAFSLSEEERAEFERKRMRDEAERREYYAGSSQGQGGGQRARWVDGRRVG

>RCO7_10448 | uncharacterized protein

MMKIPSHNYNLFGLGTTRKTLQRNGLGHHHRQVSRRSMTATAMPLLRRQKHDGTEEDISEEEFYRYTRYRWLSNESENLAMRYRKFNIPALVDAAVR
AAGNGAGSCVKLLKCIEGQYNKAFLMSMDNGAEVLVKLPNPNAGPAFYTTASEVATRQFLRTVLNLPVPRIHAYSLDSDNPVGAEYIIEEKARGKPL
GNLWHHWDKESQVSLVTQLVDFETKLASVSFRRHGCIYYRNDLAKKGLTAYDLEAKSLSTDGTPVQLESISTEEFAIGPLTEARLWEGERATMELDR
GPWSTPLSYMAAMAINEIKWAAAYAKPQMNAYRSMETPDSPDDYVSLLKRYLQIAPYLSPGPSRTSLSHPDLHLDNIFVHPDTKKITCIIDWQSASA
SEPFLQHGVPRMLIPVDCSSPGKELDPVSEGSDTGDSRMPNDLLSYYHKISKAKNEIRWAAINICNRQLLTEPTSLLCGAWIARWEEIAPSAQPCPI
QFTQHELELHNAEMELVEGLGEVLHQLQNDNLIPLGGMVLREKYKQASQINNSVKKMFVDMAESESQKVLYSRIWPYQDQDL

>RCO7_10449 | uncharacterized protein

MSAVLAEIRTLISTFHHIFLGIIENGAVVAGTLSQVVNFTSDGASSSISTLSSKTSLPSTAPSPTSSSLLTNLPAASIATTATSTMSAPTTSLTSES
KYCHPLRKSALGFGIGVGVLALAAGFGFGYWFFGRKKSAAQQISQEQEQMNINIPPSSTQLRRNFSVCEVAPSDTKRHGKSGLP

>RCO7_10450 | uncharacterized protein

MLSLTPKTSFRSTGVRLLIGVAILYLGTTQFALSSQRWRLDEGLLKITTKIGNENNICSNLTDSIRVAITVKTGATEAAEKVPVQVRTSLRCVPIAN
IMWFSDMDQDIADHRLHDALDTIDASVTDGNPDFDIYRKQKELQDPLLIASQLRGMKDPSDSSALAAWKLDKYKNIHIVEKSWALKSGMDWYFHIDA
DTYVIWSSLLYFLATLDPSKKSYTGSEVLDSGASFAHGGSGILLSNAASFDLVVVHNGTASRWDSQMANIFYGDSLLAKALKEYGVEVSNAFPMFNG
ETPSTLWFHKGVWCMPIVTLHHVTAEESEQLKVFEEERSDRNAPLLYSELFKNWVFDAIPDHDLEDWDNRSEGTKVPDISSIEDCKRACQDQPECMQ
ILFKENTCFLGKDDEIVFGKKNTVQGGEAKWQSSWNKTRISEWVSRQSKCQTIKWPKP

>RCO7_10451 | uncharacterized protein

METSLPALGKSQTSTRVPPLVTIEDQRTPRSQIIDFPVSDPSVSFEEAVREYSQTCPSPEDQRNEDGETSELDSGFVVTSVDDVCKLPATEEEDSKL
SGYLPSKIVFETRNKSRDAIRLGSTEDSLEALESGLQTLRKQAGKRSDCWALGEAEILLDLGRKEEAKKALAHCATEPITRGKSTPLRRPILRKSGS
VVDAQFAADMLKFNKQSQQQNQEELLQLSLRAEDWDKARETAESLHRIDSSYFDIKKPMDRFQKCRQMLNLGILAETEDRRSADQFQRHSLAKALRL
YNHGCFATELFHKHFDPPQAQVNGLDHRDCANLFFSAARVCVKFHQHGYYDEHRNHLSPGKFTERYKKDAIPCSPPLAEKDWKHQALHFMEQGRSRA
LLESILRGDPEEPLVTNMQRRHLMAHVALAARETTRIKKKRDSFLLGVDPRSSPSLAPDVFQDDSLRGLTDSPSQTPTFSRSKPDVTEVAMMREPRL
LALGPLLDTAGTDDYKYADVLPASPSSFGGSDLGGELRERNLARLNAQMRWRKAFLYALAMSNPTLNAALPSSTFVKDASSIRSKIPADTVVIEYAL
VTAPPEGLITLIITSDGIEECTWQRVDTLPKDIADLLSSMHSWSWGGKTREMSPLSPRSKTPINVQGICSNLSRILIQPIQRFLISKKKLIIIPSGE
LAHVPWAMFLHIPVAVVPSLSIWDHLQTHSREITTPSKVSVVGNPPRNEDDTLRDGDIPFSHMEAFYIARINQDLPFLAGENNRKQFQEWVALTRVL
HLCAHSTFDEKDPSRSGIQLFRAPLTIHDWRDLAIKADLVVFSSCLSGISKAFHSGSAFGFAHTLLGTGTRAFIGSLWPVDDQATLLLMMIFYDQLR
KFSPAEALHRAQMAMQHLSHQDVWGLVERLKIEVRHSRVDKFVDNPTFWIRRLDNLRDDELQDLRDPRSWAAFVLTGYGFQNI

>RCO7_10452 | uncharacterized protein

MAPQQKRSFLPYERGINLEDLRLGSLYLNPLDPDDGLERKRFEYQEDLEQEEYEAHIQKYIRREQKDEKGCSIDFVISKDSSLGVKFSDLIKAEGSA
NSTITATLEGKSGRRLKIKKPEEFLRDEVMIQEGVQEWLRTQASISFKGHFGMHRFKAPEIWMVTGVQLVTDGIVHVGSSRSVSGTVGASGDVGASF
GAPPGVAAIGAEAHHGRSSASNSSYGYGGERVWAAQFMEVKIEYGSEEDKTIKSKDNGFLPATITTFQLEDIADLRARGIRASQNLRAEANGHKCVK
PPKPIARIVVCAENVDEEDEEEDGDGVQFSDHLYTEALKATDWDMYSECSQYLVDAKTRRRSRTPEEVRKM

>RCO7_10453 | uncharacterized protein

MWTPSNKFKEEKENVKPSSSLPVATSSKSVTTSALCKPIIPISVFDSLVNSGPVTPPSTQSTTESSPPTSPAPPPNSPAAFEGATLWQPPAVGELYL
SKPPVNTPFNDHPELAPRPRLPLKKPYSACLNSDTMGTATERRFYEEHLTPKKDDDDEDIPELWEMGPNGRAVRVQNGYSGPGYFGEGPVGYPPVSD
KTS

>RCO7_10454 | uncharacterized protein

MYTFQAALSFLLLAATTLAQPISTEVVQENAWKYGTGGGIVGFIVLILDIMVFLEVLKSNREVLPKLLWCVLVFVFPIGGLIIYYLFSNRAEHNTTG
GYETLPQ

>RCO7_10455 | uncharacterized protein

MSLQRDEPQDGAASSPFMHSSGSAFLFPAEAIGDLVSRANDLIAGHQEWLSKLPVQKQEVKRQVEAVPQAIPPPSPISSPNEQNPALLPPIDPAGIG
NLLPSIFVSVRLGPAPKPTSSTITSSSTSKSRARATTTRRTSRSTTEATTTPLTTTSTSSADSRTSQVTSTSTADSTTTRQTSTSTAGAITTPPPRG
PPSQGPDGAAASISSLQSALNSANDALASARQSASLALANASASLQAALNSASIQSQSALAAASSASLAIASAQASANATVASATNALASAQSSASA
ALRNATSMAGGAQASATSAAGQAQATLSAVASQASSAIAASRISAMRTTTFVLALTFSILGSSIITALLIFLILSCIRKRRAKRQDELKSSIHRKRH
ESDESEPPSLSEFPLPSNRTRWSRGVSERGSWRNRGVGDAGYWPAGNERVSASDREREAWMRSRESLRERDVRLPPQASRTTWANGPALAGREGPRG
MDGPRASEPYMQKNTSVGSLLRQTWSVNDEPPRSQDATLVSTPGFAPGRNDLSRDGLMHQRSNAAGTPGFAQNRSNLTHDANSFPVATTPVFAPGMT
ILPPLRVQNPSQNDQLSSRDNTPLPVFAPRKSSPTLPPGESRDGSVMVRKNTLTYDSEHPDEPPKFTTWLEQSYRSVSPLTPRTPAPEMKSVQPEVS
VAPVKRQSVSLFSPKTTAPQLKIVQPEASTEPVKRQSLSLFPPLSAVKTSAPGMPEVSGAQLGRQSGRFDNERRTPFEQSRDSDGSAIIGAAM

>RCO7_10456 | related to large-conductance mechanosensitive channel

MSFLDKLSLKGSSKVGNDNYQAPEPVLPEYTGLISNGSNEGGVPPSYDHLPSSAAHPPSYAAVKNSANGYDDELDGGFSSLTIAENAPAFPEADQCL
AHLKLLSALHVLKEDIGYVDGLFGLFDAKCDMATNRDASLVKMREKRWSLYVARAADRFQDWWLKVLCKMEPSVRLEGNDMASGAANFTQFTKAGKA
RQWTARMLPPLDVLMVWHSFMLNPRAYLEDCIKFGLKDLWATGIPWSVVTAAIDVRFKYEAPEEAKTNFATTGHAWDNQMDEMKKTISCARCSQGLE
VQWTTCCSGEKTSPRELLDMSGYGYGDRQFAHACQNCGAIMNHDFLRIARLKEDVENLVLKDWPLSGTILSPNTGIPDVASEDEKKIAFNTFPNRLF
RLALKDSILELVGTDAPSIENVKVLVERAIADKATVKGINSKTVFESGVLQRYERLATRKMMTCYWENSSIFAIELGSAVVRQGVFVDKMYSIDWIH
SPAARETMERLLIKYSRFIKMMATFPLRIAVPTLDVDLGWHTHQLSSKSYYEYTISKAKRFINHDDKIDEDSLSKHFQWTSKEYENEYSELYSECTC
WYSIRAQTRPGKIFGVSKQEKAQNRFHDSGAAKLCPPDKSAHISAHSSVTMVENPLREAIVRIARKHHDRELEEAYMKASKRAKAKGRPAPERSEYY
QGAWGYPMLMYGPYMSVGLLGGIYYAGDPCVGSFGAGSPGNCATGTCGSGVLPVGSSGGMDIAYATGGYGGGTGGACGGGGGGACGGGGS

>RCO7_10457 | related to endochitinase

MISAVSSFRRLALFGLLTLTSLTRAAPIYNTSSIEENRLEIRSGVTSTGYRHVSYFVNWGVYGRNYHPAQLPYMQLTHVAHAFAKLSPDGTVLLSDE

GADLKRRYPNDNDYDNGHNAYGVAKQLYLLKKKNRNLKTLLSIGGHSSSANFAVVASNAESREKFAATAVNLMQDLGQDGLDVDWEFPQDSNEASNY
VLLLAAVRAALDAYSVTHANGHHFSLTVASPAGPQKYGMLQMAAMDKYLDAWHLMTYDYAGQWDVEGGFSGHAANLYPSLENPKSTPFSTDRAVSDY
LKMGVTANKIVVGIPLYGRGFQNTDGLGMPFSGTVAGSWDNDVWDYKELPKPGATMMVDAKSGAAYSYDAAKKELVSFDTPEMARTKAQYTKDHGLA
GIMYWENSGDKCDADSIVGTVRDALGELEQSMNCLSYPNSQYANMAAGMPGE

>RCO7_10458 | uncharacterized protein
MVAVGKTKFPVPLFKDCKYGDPGAVIPMSSSPAPAKAKSASADYNRFVDSTGATLNSESMKKLLTFFGKAVSFQLLIQQTICTITDKGMNNRIYTID
DGDGRVDGQDMLDKGREVTVGSYSLSAGRRGAWMEM

>RCO7_10459 | related to H. sapiens F-box protein
MEDINPELEQFRQQWRAEVSAKTQVDGNRDPKSTKIPRRPPPSNNYTSSRNLKPSQDDEDAEPPILHSLDGSPEETYNGESSKAAVKEPQSALEHYE
KAVEREATGKLGESMDDRVDQKYKSKHFPPSYFASKPSNPNPSNASSTVPNPAHHSLDGPPKTIKQLIVAFSGLVIEPAPPAIEGTPAPPCPIATLP
EEILVHIFTDIAILDVSSFARLAQVCKRMAYLVATEEQIWKRVCLGVEVGFGGMHYQWQREVLGGPLKEEEDESNFSDSNSEEVTVPPLDNATITDM
LYRDAYSSSYQQMFRLRPRIRFNGCYISTVNYQRAGQASQSQVTWHSPVHIVTYYRYLRFFRDGTVISLLTTSEPNDVVHHLSKELQDYHRGGHATH
LPSIVMQHALRGRWRLSTTTDNPDGDIKDAEGDVFIETEGVSKKYMYRMRLALRSAGKGGRNNKLVWHGFWNYNVLTGDDGEFTLRNDKAFFWSRVR
SYGEGA

>RCO7_10460 | probable solute carrier family 25 member 39
MSVDNEEFDIGITAGQKMLSAMSGSLLTSLLVTPLDVVRVRLQSQPTSPSPLTQISKLSASSSRSFNTLPPNLGVTACCREVFFATNNAEYCMAAPR
IGEVGAECAIEETQKRSYNSTLDGLRKIARNEGVTSLWRGLSPTLVMTIPANIIYFTGYDWLRFNNKSPINKYLSDTYAPLTSGATARIVAAIAVGP
VEMFRTRLQANRSTGGSHFAETLQGMGEMIKAHGYTSLWRGFTLTMWRDVPFSGLYWLGYESIRGVLTEAREKGRGRNLSVDGSQTRGQARSRSQSR
ENQYNTFLDSFVAGASSGAVASILTMPFDVGKTRRQVIEPGNSSAGNVLAPEERSMPRFLWHIFKEEGMAGLWRGWIPRTLKIAPSCAIMISCYEVG
KRAFRSVNERAERKGAAV

>RCO7_10461 | probable uracil-DNA glycosylase
MSLKRKAGDTPTSSDSKKPKVDASITSFFGAPKPKPCNGTSSTSRPSPPPVSFDKEKWVASLNEETKELLRLEIETLHESWLKELKDEVTSKSFLDL
KRFLKRERESGKKIFPKEEDVYSWSRHTPFTSVRAVILGQDPYHNDNQAHGLSFSVQAPTPAPPSLKNIYKALAIDYPSFVPPSGNSGLLTPWAQRG
VLLLNTCLTVRAHEANSHSNRGWEKFTQRVIDLVAEKRRKGVVFLAWGAPAAKRVKMVDKVRHLVLLSVHPSPLSASRGWFQCGHFRKTNDWLVNKG
QGKIDWSLGPKSLFEGETKLDAGEELQVKEKMEEKVVQKVVEKKVEKGVEDEFEDEEAEAAMNEAFEAEQKEVESVKVEEIKPAEEA

>RCO7_10462 | uncharacterized protein
MVKDNETVIKEFNELVNMTALELEKWLKSEDSTGAGWSKDDGSGETIGHDSGRKIVEILKKNPERDPEGYDEEDYDHMRKVVAYCKRHLAQEEKAKQ
DTESKSYKSLKNWGHDAQKS

>RCO7_10463 | uncharacterized protein
MGVVYSTARSTIIFLGPSSPESDLVMEIISRGKGPPHILNPANGEDTVATSDTFAYSNMFEEHIMGATWFTRVWVLQELILSVNPLVQFGTRRMSWA
DFYTHAHNHRRTSRPELDSFNQIEIIKTKYYADSTNADLRASAIWLLDILDRRRGAGVSDPRDMIYAHLSLCNIALRNYVPVDHSISYEDLYTDLAC
KYS

>RCO7_10464 | uncharacterized protein
MTELQNANPIASPQAEENPDRLDEQHIHTTATLGFLIHPNIGPIPSISKIADIGTGTGIWLLDVAKTLPPACQLTGFDVSASAFPRSESLPQNISFR
IQDFTLPFPASDIGTYDIVAVRFVSVATPREEWARSIRNLVTLLKPGGWLQWIDSCNFRLYNSAPGTSRAACMEIYDGLDSWRTGEDVVIGMMMREA
GNLGREDVFRQCGLVGVHEDVFSTDRLQDPGLRLREKGTRNALDCFTQCLESLIQVEGSGWSLERLERVRREAAKEVDEGAYHLLDHVCIVGRKP

>RCO7_10465 | uncharacterized protein
MADQQPYPANRYPYKPLPPFYIRILEVHPGSSNEPLKCNIRAQHIDSDQHYEAFSYVWGDPTPAAQIRCIDETDEGDIGIGKGLSKALLAFRFLDKT
RHIWVDALCINQRDVAERQSQVRLMGAVYTNAKHVLCWLGTLSGAEAESTAVLAIDFLRTFNSSPHEHLQKARQHLHSGDDANMTVEDADLLKSWLA
VKTLFDVEYFHRAWIIQEVGLAQDARFFWGTQDLWMEWGEVARFCRFLDDNGASVINHLGMKSWVCNHINLVWVTDSSGKPEHSFIEVLHWARVHRS
TDPRDFVYALLSHPTAKVYGKLLVEPDYTITTAQAYTQLALRVIETMDTLEILAFVDHHEEPGILDIPSWVPDWHALNLTAPLRCPTKAANEKSDKS
VRILESESGKILRCRGVFVDTLRAFSDMIEPSGLIVTTLEKEKQKKIPFLIDHIWRETVIKPEIPLASIGELIVALGLVLTGGYWNTEDSTVGERQE
QQSYDLAALILEYERVRTDRDLDGLFVSLSTEEQELVRSMAIQGSADQFVQDMTWTSMCRRVFRTAKGHFGLGPRTMKEGDMIVVVQGSKYPLILRR
CGLYFRLVGPALVNGFMNGEASLRCGGGVIFEQNYDII

>RCO7_10466 | related to morphogenesis-related protein MSB1
MPSFFSRLKGKDGPSKVKQGAQQSTQNDLPAKPRWEDAWMRTSVDPEEVQELLRGCTLELKSRALDTPFLLLPFRPTSDPSAARSFVRNFFDRGLKG
EMLAQELRLTEPMVLCSVVKWCWSRLPGGVVGWEVYELFKVGESDSNMARDSFATFIPLSVESDARSKIIFDFFDLLAAIAAHAKTNGLGGRKLSRL
AGWWGFGHHDGGKGFEGGYKGWVAAADAASHLFFAYLRSLTPSSVKGLNGISTLPMSLQKLVQETEYPPERPSLLQSRTMKVVMIVDAVSPTPFSLL
RRANHFQYRDDDRALQAFSEYEDPVKALTDECRRVLKSISSANQSQVSTSKESTGLTDASWSRFEDIGFSGAFEEEDDDDESNFAKKRPQQGLRTKP
QTKTINGGRPQTPSWADFLSSGFVDEAANGPAALLLPPDKVLPPLDIRGKSSQSHRPRLEQNSLEPGELASITRFDLDDSFWWVWISSLAGEETGER
KAAFGRCALIETVIRGGRWLVMEEMVKGAAPAPEEGAYIAEKKSFWGRSKKNKGGVTRRKSTGKQPLESTTSLRPGLNSTQSMGASKTSIGPDQHAR
IQAAAIQLQQRQRQEESIQATARRGRNDTDGYSTKTSSVFTLQPVIMNEASPAMQWANKYDKDAIRDAYLADNATGRGLGEATMQTNGNAKSQDTLR
PASQPRENSRERDLPALPSPGPTQSRTPPPAPMPPTPGFDADEENHRHLSEKAAEVSLPGDAHPSDRGAAPSRLEAPTPEPRASVDQSGLSPESRAK
HNKLKKKDQSAPPSSGGFRKMFGRNKSSKSAAQGPPQVINNGNGLQPGGASLGRRFSGFRRNKSPMASPSSESPSLTKQMTRQSMTQSISQSISNNN
RNSEDSHQRRTPIASPAKPYDRSYDPSIQDDLSRVDTNDADEANQAFSSFDQGPLEDVPAFVPEDSPRQSPRRSLEEDEAVPPPISRVKSNGEEPTA
SPAQDRWAQIRKNAAERAAHRQSEEQSRGTGWSGKTDGDDAETSGEETIESRVARIKARVAELTGNMETGGDSPVSSTRPPRRPIN

>RCO7_10467 | uncharacterized protein
MDEISSVSATQCCTNSNPGFQSEETEDTTSPALQCVRPVVQLRRRARHIASVNGEREAQEYLGNQIHRRERYGERSGEMPQRNAVRTREDPGETGRS
PSLQESTPEPSGSIMSSIPRRPTVEDYNSDEEYLTEEVAVASQRIGPDSTPNLFGRVLSLSNQSSEQDTPVMTPQNSARSAERHDTSNENPPTIYNE
QIISETGGPVRHLNLLGHIPSVTSQSSREDTPIRTPQYIFVSATVNNISNGNPPTTYGERSTGETSRPRRDFHNRSLMEEYLAQSEEQQKVTHRTFM
MMQQSEDRIITMLDERCPGWSQRNWEHLRRLPPLMDFEPPSRRWGPLYPSEIWSSHM

>RCO7_10468 | related to cell division control protein/predicted DNA repair exonuclease
MFFLSVLRYTLLAIIPPCSILTTYLYLYPVFHLCAFPSPEHNPRSEYINTLRHHAPYSSQNGSKVAPFRLLALGDPQLEGDSSIEYVDAASFPHLTK
FWKDVFLRNGTKNNPLQRLRQSLHDLVDFYLDDVPKALEVWRKRLDHVGNDYYLGHIYRTMHWWTAPTHVTVLGDLVGSQWIDDDEFEARGWRYWNR

VFKGGVKVSDEIASQPSEEFNNTLVLGEDAPAWKKRIINVAGNHDVGYAGDLSPERVTRFEKVFGKANYELRFQLPLESANIIVEGGITRPIPELRI
VVFNDMNLDTPVGSQEMQDETYGFLNRVITTSHDVTREALFTLLLTHIPMYKEAGICVDGPFFDFFKGNFGNGVKEQNHLSMDASKGFLEGIYGKNA
NPDVPGGGFGRNGVILTGHDHEGCNVYHYVNHSDPMRQWEATTWPKAIAADIVDQPGMPGLREITVQSMMGGFAGNAGLMSLWFDESIWEWQFEFTN
CGLGTQHIWWLIHILDLIALGIGLVYGCIVLYQHVTRPEIHAKSGMMGNGNAKKPQERKTVQNGDAFQNKPILDIATNPGVHVTGNRSLRTELSMMS
LDTGSRL

>RCO7_10469 | uncharacterized protein
MPHASTGTQHACPGASGPVTLRNKNVIPAGNCNIVTTDGYRWCRRHENLCKKHDWVYSKKDECQMCQEEKAAKKKKKEEDDQKRKRDKDDGGKKTPN
EASGRKNGKNVSLKKPITPSTRKTRSTTAAEGAVAAGIPTQADHWHFWMSGKKIIDLDKLLNDTIAQPDDQLSACVNDPHCALNKLTQQHADILAAI
RPHLCDLPDLPEST

>RCO7_10470 | uncharacterized protein
MPGPNSPHEKYPGYKTSKETEQSFAANQRETARPGPMKSQMPRDVAKFLTDHSSNISRNDGQVNQPAHYGSNFDSQSRSQTPTEYGRTIIGQTSGLS
FRFPVGSHMYHRFEPIAEEQRLEDQKMRSQR

>RCO7_10471 | uncharacterized protein
MIEVGNILAYEKASTRLCLAPMFCQAHANLIGTGLSAQAPLSLIPRLYQIDDVEPSIGLHPYNEKINHQLYDDFHNMADRNSYLSYKRDTRYLLYWM
IHNSNSILSRFPIPDDTDPDIPSIKPNTTGALSVSSVVPVCRLIAKHGKPTPPIIFRLFQSVIASRKTFYTAFQQIVSKKPDPEIKKSNDGHRRFIE
VLTEAFEALGGSKWASSKDSRSDISAGEPIDDDLFRNQFSSLDLGGSKDEDEDAEEELDPTAVSVGATRASGRSKAKGKKNGKGGKAKKKLQPAAPQ
QTLKDVPLESYRIIEGEHGLRTEYLMAVNSVLEEWIKLRHYVQSLWRDVAYSKLNSAVAGTMSNIAIAMVKQTESAVFLEFPGHESYQVIMNTITRG
NPDVAQGMFHISLMRMSPLGEVETGFESDINVREQFFIHAYTDLVDFVKDFQKTRTGKPTDTMISTIYKSWDPKLNLQTASEKQRLKWRRTYTIYWL
YDLINVFSAIGPWSKHRRLFGLNEFAGEITTLAMQKHGGDIEQRIRPHHVFQLQCIVDSMTVSRGWSINYIRGHVLNSPAIDFRPRRDVDLFLDREN
KHIGRGFLQSVDIITQVLEKDAMLYGDPDRVKSESEVLTIMKEDFIDWLGDSKYRHGLTNIPPSLFSSTNANGLHEYSPFSCGVGLAEGLDLAYALG
NNLWDRLPEPMCVIHLHNMMVELGLIRETGLLSSLAQLFADSFFHEGKAPKEDFIGALNSVCASSTSRQATFQRKALQRSISRTVVDIHDVLNSNVN
TIFRQKSWLQLYREADWLPERINETDIFPVSSLASLRITQAKISRDPLTGKESIERTPLIARMEAAGILNEKLVYMSQTQRSLREGLEEKEIPEELL
AAAKAATPEGYEFGRTPKFENQDRVGKDIVSGRDLLEVLKMDIAGDVSGRRPLSSFNYIAATFMIIVVFNQLEAELKKRRNPLYIQAYEENPTMMKE
KRLSLTVLILSSIDEECLQVLAKVFEEMRSGFMEHVYWDKLDVDDDGKPEYLKTSSDDEMVPSCAIM

>RCO7_10472 | uncharacterized protein
MLYQATVSDMDGNDQAQEYTVDQQVFKKIMGFIHARFKLSFWKAKTFSQKVRMYKEGKEIVPKIDVLKARFILKNTRPGSEEARTAIEFLSALWEIA
TVNGQYITYTHDDQAFHFLLKIHDVNYAADIFLEIGMPLNEAFKNVKALVARHEEKARLAEQIRMVEEAHMVQEMNEKDSIDTDSIDTVENFEMQQS
IATVSRWMEKIDLWALSEWDSHDRETNWRYDEEGDIQSKETARINAGNGFLGNVTGKSS

>RCO7_10473 | probable NAD-dependent malic enzyme
MSSHHKKTKPHLPHPQFSHLPLSTSGPLDCALTGSALLNTPYFNKGAGFPPKERDSFKLTGLLPQHISNLDTQVKRAYQQYSSRQDDLAKNTFMTSL
AEQNQVLYFRLIQDHLKEMFSIIYTPTEGDAIQNYSRLFRRPDGCFLNINDVERVHEDLSQWGGPEDIDYIVVTDGEEILGIGDQGVGGILISVAKL
VLTTLCAGIHPNRTLPVVLDCGTDNEELLNDDLYLGLRQPRVRGEKYDDFVDRFVQSARKLYPKAYIHFEDFGLPNARRILDKYRPSIPCFNDDVQG
TGCVTLAGIMAGLHISDLKLSDMRMVVFGSGTAGTGIADQVRDAIAADSGKSKEEAASQIWCVDKPGLLLKSHRDKLTSAQIPYARDDEDWKGKGHS
DLLAVIKEVKPHVLIGTSTVPKSFTEEIVKEMASHVDRPIIFPLSNPTRLHEASPEDINKWSSGKALIATGSPFPPVEYEGEEYEVAECNNSTCFPG
IGLGCVLSRSSLLSDKMLVAAVKALAAQSPALKDPKKGLLPDVVDVREISVRIAKAVIRQAVEEGLATEDGIPEDDEDGDKVLEEWVREQVWDPVYR
PLRFVEKSQASKMALGEAGLAG

>RCO7_10474 | related to zinc finger protein
MVAKKKRGHPDVEEVLSRPWCYYCERDFDDLKILISHQKAKHFKCERCGRRLNTAGGLSVHMNQVHKETLTTVDNSLPNRQGLEVEIFGMEGIPDDV
AQAHNQRIIAGFYQAQADRQAATGNPGPGAQNGGQAKKPKLESPADLKKRLAEHKARKAEQAANGDSGNNTPMVDAAQNSPLGHSPGSFNASPFPPP
QANYGATQGAGYGSYSQEPYAQPSVAYQQPPYQTPFSGPPGQPQYQPAYSPPQQYASSQSFPPYQQSPYPGPPPGSFGGYQVPPSHTPPQLGGLPNR
PPSLPPAPGLPQRPSFATPALPVHQMQQMHQGPPPSGSWGANGWKAPEQNTAMSSAYPHPAGFPGTYATNAPDDLTSGTVREADDIDELIRMAEAGI
KPPKKGELPAPPQQFQAPEVVSTPPAVPDVKPEVVDKPEQSEKKSKKEKPIKMLYSDNEWSPEERMAKMPRYAFVPAGKTEPSPIETAAVSGTAVSV
DA

>RCO7_10475 | uncharacterized protein
MDRPTDSDSPSTSTEKLTSFFFPGRTVQEYYPATPPPPVHLRSAAGPSPRARLAIATIIVVVVVPMRSDNCMQAARLTWSQPPPLLGLRERGSRGGK
LQQGRNVERERERERDTRPWGAPFNRISSIWWQVRQATNQPTNQPVGCSQPHVPSLARVRYGKYKRTPVDLGGGQRLDIQGETGTVRDFSESLNEPYP
SAVTNLQGVFIGNQ

>RCO7_10476 | uncharacterized protein
MKKLSLSLLLRASLFSSSVSALGQASPVTTESSPSLLNLSGGQILLSRDEWWGVLRAAQDLAGDFGKVTGKNLTLGNWEGGGKGNLTTRNVQGRQVV
KAGNASSWESAHRSPPASGKHEYVDEKEEGTTVYYKFQPVTSHVNYTLGPEKNFTGPTLLSRSSSKTVIIAGTVGKSSLIDSLIASGKLDPAAIKGK
WEAFISEVVISPLPGVARALVIAGSDARGTIFGLYDVSEGMGVSPWYWWADVPVRKAKGVWAKGARKVQGSPSVKYRGIFINDEQPGLTNWVKYDAP
PSANQTSLLLPPWPISKSVFDNYEKGQYGPGFNHYYHPRVFELLLRLRANYFWPAMWGSMFNVDDTANQPLADAFGIVMGSSHTEPMMRATNEWNNF
GKQYGGSGVWAYDTNNASIKPFFKYGAQRAAPYAASSLYTMAMRGSHDTSIELVDSEAVKVLENVVKFQREVLTEVFPNTNVSDIPQMWCLYKEVQS
YYEQLGLDVPEDITLLWTDDNYGNIRRLPIGNETSRSGGAGVYYHVDYVGDPRSYKWINTIQLSKTVEQMQLAYARQADRIWILNVGDLKALEIPVN
HFLDLAYDTPRWGYDSTPTWIKFWATREFGAEHSDTISSILDRYGMYAARRKYEMLDPSHYSVLNYNEADAVLAQWESLADDAQGVYDKLDRSAKPA
FYELILQPVLGGQTVNQIYIWAAKNAHWTIQKRNSANDAATDVLKAFNKDAKLTQRYHDLLDGKWNHILDQTHLGYTGYWQQPMRNTAPPLSFVQEL
ETSLAGNLGVGVEASNATVAGDDYYHANSGGTLVLPSMDPYGPTRWIDIFARGTAGCQWTLSPWEPYIILSQKTGYTGGNNGTDTRVYVSIDWANAP
PAPNTTVVNINVTSSCGSRWGSYGAPRVQVPVSNVAVPTDFTGFVESDKHISIEASHASRNTSVGGVSYLTLPSHGRTLAGVTLMPVLAATQKAGTG
PVLEYDIFTFTNSSVANVSLYLSPSLNQNGAFRPLKYGIAFDADPPKIVQFVGNWTGGGSPPGWLGAVSDSVWGMSTSGNTTTTKHNLSKVGKHTLK
IWAVEPGVVFQKIIVDFGGVRRSYLGPPESFRAGIDRVGGYTGENFAGVGVRDVVSTG

>RCO7_10477 | uncharacterized protein
MVPLASPRLAKSDSPIHPAEPENNPRMTGRKETHRRNSSVWGYLSWILGKRGRRKKKKKEKKKRKKEKEKKEKKKKEKKKKKKKRNSGRMVQSRS

>RCO7_10478 | related to pectate lyase 1
MKLLTSLVALSTIACASAQVCNSDNCLRGLQSSERIAEARAFCGTFTTAPITAEASIPTFAAQACPGNVVSRVSSACRCIATSTATPTTSVCGPDAS

YPAIALPTGAFDLEGYAKDNPIGPVSGGAGGPTTTISAGSTAASSALIAAVSGRNPLTIIVEGEFALPARLRVNGANKSIIGGKNGTIARNGITLVN
ATNIIVQNLRFTGVLDNDCMTIQNTTRVWIDHNDLSSSPNIIKNGPDLYDGLLDVIRASDWLTISWNYFHDHYKASLVGNDDKFRALDSGHLHLTYH
HNYWRNLGTRGNAGRFGHQHLYNNYYKDFHFQVIHSRSDNQVLVEGNVFAGDTREALSTYGLVIPEDSPNTSPLGDYEIDGFANLGALNDFGGSEVN
ITQVGNFTEAPYKYKLSPLADVPALVVRYSGLGKL

>RCO7_10479 | related to DHA14-like major facilitator efflux transporter (MFS transporter)

MRNQSKTKAETEVGGKDDTTQTSDHHSEEHDQTSISSKKLQDTSSSNGSQDIAVDPESIPISDNALPTPPSTNPEDARTRLETTIIVASLCASVFLA
ALDTSIITTALPTISEYFHSNAGYTWIGSAYLLACAASVPSWGKFSDIWGRKPILLVASFVFFVGSLLAAVSVSIGMLIAARAIQGIGGGGLIILVN
ICITDLFSMRNRGAYYGVIGMVWAFASAVGPVLGGVFTEKVSWRWCFYINLPITGTVSVLLYFFLHLHNPRTPVWEGLKAVDWLGSLTVIGGTLMLL
FGLEFGGITHPWGSATVICLIVFGVVAGGLFVLNEWKFARYPVMPLRIFRHRSNIASLGVCFCHGTVFIAGTYYAPLYFQAVLGATPLLSGVYLLPF
VMSLSITSGVTGIYIKKSGKYLPPIWFGMSVMLLGFGLYINLPAGRNWPKIVLYQIVAGIGVGPNFQAPLLALQTMIAPKDIAAATATYGFIRNLAT
SISVVIGGVVFQNEMQKQYPALLAALGPERAAALSGGSAGASVGVVAQLPPEQREVARQAFHESLKIMWIMYVAFAALGLVCTAFVGNNVLSKEHET
VKTGLAEEERHRKEAKENAKAGRVTGTVAQDVEKAGHGKG

>RCO7_10480 | uncharacterized protein

MSLTRIPLQQVFRNQRAKSPPSVSSRASTITISSNSSVSRIDIEEGEKKTSPVVDLFAIPSKGAPVAAPRKSRTSIIITFARFSGGLGIMSNLAPTM
RGTRTPQMLEYERQAEERASQLAQIEEDRAMMNEEMEKMTRETERIAQEEHEMRQYYEAEALRHAEEMRLHQEVEVRRHQARVREHERRVRDHEASS
EAFAKVIVMPAKGARQISFMAPRAINGSGNGPPNGSNGSKG

>RCO7_10481 | uncharacterized protein

MSPLINVTCMPDHIKPVSDDDIEAHSMMKQTAYLLKKPGLRQGFEYKENQPPPTIWLIFLHAEQTTLEKTFNWSPQISPKMLLSNLHLALMALATVV
QADFQWRGYNEYACNHYSSYPTIPALQSGPEYGVTGACYSFSDFQARRVEFDRSVRATFYCEKYCGMRDKKYTADGGTCFAAPSGCAIGSFVVF

>RCO7_10482 | uncharacterized protein

MLSITRNVCQRLPGCFIAASNFSRIAFKAPAIAQARTITLVALHDTLHPTEKPDIVMLQTSKKTQDTGKAPNVKPKSTGTTSTISDIRKKTADAEFE
NKVKKAQRTLSPEDLANAYDL

>RCO7_10483 | uncharacterized protein

MPQTTSSALMSNSKEQYQEFPQLQEATKHIIAITLDSLTVEHLAHCPGIAINLDRFDSDEEKADVRRAFLRAFQGFKCLESINVDLDNFQEVLPIST
ICLAGATLEKLHATWLHRRGNDTVSLDDLKMLHEQCPLLEDVDIDLPMYPYHDVSGYPKRDGFEADEFVTLLSKFQNLNKIHLHAERSLGCADPVDS
HLTDPDYEDAVKLSKRMISSKQGAPFETVTITLEGAYRPENWRKAPGGNPNSMEAKYHWWVRRQWQATVRDGITSFEVLQGSPFVGKAPEETEVERV
QANQEWLAHLELHGDGMLKHIRPRFSPGMRVLVYLPEHSPRINGKIGQESATNQGTPGKGQYEQEASRHDETQAEKDENGDNGKRNSPVVE

>RCO7_10484 | uncharacterized protein

MSSPLPFGADLAWPLWDNEPLEGAFTLQAQDEQTHLNGVVKEVHRPWLFCYKASKPNGRAVLVLGGGGYVELMVGREGVKVARWLTTLGFTAFVLIH
RFPTSKTGAQAPIDDAHHALHLITNSGLSPNGLGICGLSSGGHLAASLLSNYPASWTSPTPSEPTPIPKISFAIIGYAPISTNAKGRTIIPDKAPLA
PKEKQELYDTVQPDVQLISPAPPTFIVYSGSDPVVPVVNAYRLAEGVMKAGGKVEVHVFAEAPHGFGIDTLGMPVEKWPGMCEEWLKQNSLIES

>RCO7_10485 | related to ABC transporter

MGILKQTWTLTRKNLLIAFNRHVFSTSIRAFILPVAFMIFLSYARNIFVPPSNYGIGSPSPIRTLAEAIQAAGAGRETLAFVNNGLSGGDIDRVIDT
LSASATAAGAKVARLSTNAELLDTCRSSLRGATTCYGAVVFQSSPTQGPGGRWNYTMRADGGFGERIYVGRTTNDAQIYLLPLQRAVDYAIASLDAT
TDQASLPQTVLEYPYTSISQKQRETDIRVNYQSAIINILGVAFLIGMVGIAYHLTGFIATERELGMSQLIEAMMPNLRRWQPQVARILSYHLAFDII
YLPGWVIMAIVLAVGIFAKTSIAIVIIYHVLAGLSLASWSILGASFFKKAQLSGISMALITLLLGVLVQVLKFESSGAVAILGLLFVPCNYIFFLTF
MARYERREMATNLLKAAPRNPWALPGIALWVFLVVQIFAYPILGAMVERFLYGTASKGRSVTRGLGNDGTSASETVQLDNFTKHYQPNWFRRKFAGF
TKTPSANVLAVDKLTLNARKGQICVLLGANGSGKSTTLDAIAGLNKVTSGTIRVDGTGGLGIAPQKNVLWDLLTVEEHIRIFNRLKSTGKKDSKESL
RTFIEAIDLDRKINAKAKTLSGGQKRKLQLGMMFTGGSSVCCVDEVSSGLDPLSRRKIWDILLAERGARTIILTTHFLDEADLLADQIAILSKGTLR
AQGSSVELKNRLGGGYRIHLQTGPGHEKAPEIEGVQSHRTFGQTMYTASTSSRAAQIIKRLESGGLSDYQLSGPTIEDVFLALADEIKSKSSSSIDR
QVSPRPISNEKKFHTTTLPESGHNLDLHTGKTIGFFRQAWVLFRKRYTILRRNYLPYVAALLLPIIAAGLVTLFLKGFTAVGCSPEQTVSLSFVENL
YTQDRYDIVVGPSSRFSNAALTSLYGPLLPFVPPQDLIDRNLHKVDSLAEFNSYIDQNYANVTPAGFFIGSGSSQTTLAYKGNGNIYTAIFGQNIMD
VALTNISIGTQYASFDIPWAPRTGKTLQLVVYFGLAMAAYPGFFSLYPTIERTRNIRGLEYSNGVRSLPLWLAYLTFDFLIVLVSSALSVVIFAATS
SAWYHIEYLFLIFMLYGLASILLSYVVSLFARTQLAAYAFAAAGQAVFFLLYLVAYLCTLTYAPVNQIDHYLLVVHFVVSLVTPMGSLIRTLFLALN
IFSTTCDGKQIAANPGGILRYGGPILYLIIQVFVLFGILLWYDSGSVLAWYRRLRKAPAPQASNIVTDEKVAEELARVSSSNDGLRVLNLTKSFGPV
TAVDNLTFGIRRGEVFALLGPNGAGKSTTISLVRGDIQPSKNGGNLFVENIEINEHRAQARSHLGVCPQYDAMDQMTVIEHLQFYARVRGVPDVDHN
VREVIRAVGLEYFSSRMAAKLSGGNKRKLSLGIALIGNPTVLLLDEPSSGMDAAAKRVMWKTLAAVVPGRSLLLTTHSMEEADALADRAGIMAKRML
AMGTTDGLRQRHGDAYYVHLVMRSAPHTSSAEIDTVKTWILKQFPGADIEDQTYHGQIRFSVPKLQTKSESEEAVHGDEETIKAEQDGVGSLIMVLE
EHSEALGLEHYSVSPTTLDQVFLGIVQKHNVEEEGYSKLTKSIWFGLLGKKK

>RCO7_10486 | uncharacterized protein

MATTNIFHEMLSRTWSSQSHFKGASGSFKIDDFFAEYKVAIMWATNYWRSQRKESKEWHVWIIYHADWTLWKYGTKLGQWPWELEKPRDPRQIRPPT
ESAPQVSGVDCDFYEATFVRVHIRGDLILDGSTSLARPNVSVQSTAQTNIDLAIPSAIHPPHERQPQPLGNTVSQQASAQGLQASATFSSATPPSPF
TAITSTPENFPYP

>RCO7_10487 | uncharacterized protein

MSVAKFLVCMIMLSYSGATACPTKMVDQNTNLVSRALAPVNSKDPKRGHSFHDSSYLQKWGGAGSQLSWAYNWDSTMPVDFPKNMEYIPMLWSTGAD
HVKQWTTNVNAAIARGTYHLLSFNEPDICYGGGSCMSAKDAAAAYKTYMSPFAGRAYLGAPAVTNGPSGMKWLKEFMGLCTGCQIDFVPIHWYDSAT
NVAYFKNYITDAHAIAGKNLWITEFNGSGTAAQKESFLRTVIPWMDSQSYILRYSWFWCDAKSTSGAIVDTKGNPTSLGKVYGFMARTG

>RCO7_10488 | uncharacterized protein

MSDFQQRMAKKETAEAIASFRERWRREQRADIQISSSTEGQVQAPGGYTQAPRIAAAGLRSKLHGENLSAPRRASAPTNASPGPRPKTQAHGKSTPA
PRNVTTIPRPKSPAPITAPTGPRLKPQAPGENTAAPRNVQLPVNVPTESRWQGSPCPNCEGPHKLKFCPGPPDEHGYVTGCGRCNTQDHNLPECRMP
RSASRYHSWKSLIIKSRDGRPPMIWKRDLLDPSFRECLEPYRPWTRKFAREYTARPEVTWAYVKINDPTWQLEDFDIERLGPQIHPSMELQEGNFRY
NSKLSDQPASNNNSQDQVLSMQSGEIHESPSPLAAYQTMHPGMGPAPSIPDIQIPLPNHETEAHPLPRRVNRTTGRRLNRAQRDAGEKKIEIALREA
RQGVKNTISGSHASEVPRSHHQSQTASPHRRSPYISRREYDMDYGEIPKTPQYSPYEYNADSEELPKTPHYHSREYDVGHAESSGTSNRTPKRRTVR
SRSLSRNSRLRHPPRSYGDRIPTPDRHLPDIHQPQIPNEDQPDLSRCRSADLELSEMVVQTQPPDEDSSDFDQSLSPASLD

>RCO7_10489 | related to protein disulfide isomerase-related protein A
MVHTPAIAIAATALLAALPVNAGLYPKTSKVLQVDSKSFDRLIAQSNYTSIVEFYAPWCGHCKNLQPAYEKAAISLQGLAKVAAIDCDVETNKAFCG
SMGVQGFPTLKIVKPGKTPGIPVVDPYDGPRTAKGIVDAVIDKIPNLVKRVDDKTLEAWLAESNDTAKAILFSDKGKTSALLKAIAIDFKGSINVAQ
IRNTDKEKASLELFGVDKFPTLLLLPGGKEAEGIVYGGELKKEPMVKFLTEASKVEPNQDPAPAKVKVKSSKKDKPKKDDKPKKEDKKAKEKSEAPL
ESQASAEGETDGPAATEETLVNDASESPSPEVEAEKPIVLPPRPIPMLTTDAELEAECLGPRTGTCILAIVPSKPDEIAAAAVDSLSNIAHRHKKLA
RKLLPLYALSETTPGYHKIKKSLGLGEDTQVIAINGRRGWWKKLPSGDSVTLEDVIEEKVENWVGAIQLGEGAKTKLPAGLIPEEVEEPAAVVEETP
LDDGDVKTETAEGEAKPDIVEEVKVEEETVAPAGDEHDEL
>RCO7_10490 | related to 3`->5` exoribonuclease required for 3` end formation of 5.8S rRNA
MPLDTSTYSLALLRLDGRRWNELRHLTAQMRTQAAADGSSYLEMGNTKVICTVSGPSEGKTGGAGGGQRDKANIECTINVAGFSGVDRKRSGRGDKR
LSEMQTTISSAFTHTLLTHLYPHSTISVSLHVLSQDGSLLAGCINAATLALIDAGIPMRDYICACTAGSTSSYSSNDEKADPLLDLNGMEEQELPFL
TVATTDGGGEGGGDDVVVLVMETRVQQGRLEGMLAVGVDGCKQVREILDGVVRERGARMVEGARI
>RCO7_10491 | uncharacterized protein
MMHGPGSAMINTGSEPNLAYKYLDRVLAGKRNHARFDSGSRGKQETIFRETKRSFPDDLAHENTLAQMSLTKEYPSKDQVASSASQGSSQGVVSYIF
NPPRAPALAIELIVPV
>RCO7_10492 | uncharacterized protein
MLSEPLSLVAALFGGILLLQAQLAAAVTPLTPPICSVNCTITTLSAAGCTLTNVQNCLCTNMTLQLQLANCVYKSCNFTEQQTAAHILQDQLCLGVP
PLESRETEIIRGQYLLAAFTFPIVILRMISRIWVARRVWWDDWMVVIAATFMIPNTVIPIWTAYHGFGLHIWNVHPEKIIILTKLYYVATIFYAIIQ
NLAKFSILFLYLRIFPAQGFRLLVKISMIFMLCHTIAFTLSVIFQCTPIKAMWTSPIAGKCMDMHALGVAGAALSILEDLVIITLPVTQLMALHLSK
KKRVALFLMFALGSLACVASMVRLKVIIDFNPNPGVDSTWTTIDPTIWSDIETYMAINCSCLMCLRPLISKCFPKVFGSTNATDNTASDANVSFDDK
MKPYSNCKRDTGTPSKLWADRWGSSTFGTRSSRSDDDIIIIQQRNAEELELREMPTSPSTRNGCGTPGSEEIESFHHGV
>RCO7_10493 | uncharacterized protein
MAGPMDWSVGGRATRDGSARMGAKIHLSAPVTKRFCLILALIYSHARAQRI
>RCO7_10494 | uncharacterized protein
MITKVILKEKPAGFNDIFPPLEDDKRVRSGSRLLDAKLVIVVELEPGFELKIVSAAGDNTEEFDLVVVNCLVDGALREVVLKLLLSLEETKLEKIKL
EATSLAEAESKEAELDIAATKP
>RCO7_10495 | uncharacterized protein
MIHNFKKSINSTGRSIEIKPEGTPYEIMDDLISQPYFMSQGLRPGTLHLAIYQIYQKANESETIPLPTLPDPNWRQFYIVPQETTSSSTMKLISMIQ
LALASSALAEISPAFSPGTGPYPAVHQPSSNYPDLLNHTIFAPISPPPGKLPVLLWGQTRCTENRYSLDVSYFPRVITYHATFLLEIASHGIMIIAD
GDPDGAENPMGMDYVYWPSPKGLVEAAAWIIKNAGTGKYHNVDATRLAAGGHSCGAIQAYFAYAQTDEIKYLGIFDSGVRRDSVVSKGLVDIVKKIS
KPIFYFLGGPKDTAGDNGVIDYSILPASTPRWLGRYLDSTHWGTFLDPHGGEFGVAASKWAQWVLRGNATSAKYFISTVNVTGTAQWAGWNVTHAKL
DQLKVNPI
>RCO7_10496 | uncharacterized protein
MISAISASVSRVAQEEERRRQQQQQQQYQE
>RCO7_09036 | uncharacterized protein
MTVAATLGMEDATIPALKLCALPHLLPSPPVLAHAGLPSPKTSQTSENVKSSRPEAPLALRKSVACLFRDLRRFLRERFEIFGLSRLYIDVKGSYDQ
QEASSKSFASVAHAILAVNLAAEIINLAGFNGEVRIMTFYRHALRIIRRCINDLHHPVEVKDRIIVQMWLHAKDKRRADGSEHASGIGKSVTWLKKV
HAWSAAKDSVYGYEADNYKRCSRCGLPDHIGLNCPAVLFPNHCGRTGHLHGSPYCPSAEFNKCRECGMKHDPKKVCPADVNDPLKLSSLRGVVHQPK
NDDAVDENSDEDTALPPTQVTTDDVGNTTQASGGGWDTSGTSGGNGDGGKCQ
>RCO7_09037 | related to pheromone processing carboxypeptidase (Sxa2)
MAARVLRLSLALLAVSTLVPTVFGDVGNNRFIEINRQLRKTKNDAKLASQRLSLEESAVASSTKQQYRFLNNDTKKYLVNSLPLVKSDIGEMYSGNI
PIDTKDPSRTLFFIFQPTVGPKVDEVTIWLNGGPGCSSLIGFFQENGKFLYAPGMYEPILNEYSYVNLTNVLWVEQPVGTGYSTGNVTARNEADVGR
DFADFFLNFQKTFGIKKFKIYFTGESYAGMYIPHIANEFLDRNDTDHFDVGGALIIDPCIGDCDYSQVLVPAVPYIQKNNLVFGLNDTYLAQLVAQD
QKCGFADYRKKYLVFPPSGRQPPTPKDFDSDACDLWSASVEEILRVNPCASVYNILEQCPYKSDIMADPYPDNPIYFARADVKKALHAPEQDWSECA
PGGVFVDGDHSLPPNQKVLPRLIEHTNRVVVTNGDLDYRIFNDGVLLAIQNMTWNGKMGFQAEPSQPVVLNLPLLQWADWDAANGNSELTDGPQGTM
GTQHYERGLLWVRVNAAGHEQPLYQPRMSYRQLQYVLGRIDKL
>RCO7_09038 | uncharacterized protein
MHFSSSLALTAALLASNVGAQFCDSAIKLCYDPPYELPQNVTVEDVQAVATYLRNYGLETKEGRQYTMTAEAAPACAEWTLYNSGTVIALAQHINTT
ADSSVLYADIANTIDGGASPTQEQREASLMGCRTSGGAVGVKYDAANPAYHTAAYLAKGYTPGGISIKIVSSQ
>RCO7_09039 | uncharacterized protein
MTASMCLLDLVKALCWRLGCRVTCIQGNKESSTYLIPSQRGSPRVQQPLILSHGLSYVSNFPTTPTLLILEYVMIKSFVTKFKGRRKSTFPDLSDDP
ERRESVDTEFMRPLLPVELYNKNLVLKVERLSQEDYVEHTVPLATMIEVNKDPNISLNYSFAVFKQEFEMEMNVWTGDNMGAADADETDLSENMEYG
KLWYEYKGDKVYIADRKTFAVALNRILEVSRASGNEMALFYRVEYLEEKRHREAKEADRRLVEAIFSRSRPTSLHLPGERKDTNEDESRPGTATSSQ
QSPRTANPRRMGSFPTREGANSPELNLPLSPNQRSITDASGARESVKAILRKAIPKGPESKAEERERFKTLYGEKTRASYKRGGNDKEISEDDIRRM
SDADNDLEEGEADVPETIEDDEEDNVDNADKIVAKLQNLTKLKELAQLAAPGDAPDSTARWNECCLMFRVDPKNTGIENKVKIAGLKTSIYQYQALG
VYWQMVTARQFGGGFLADDMGLGKTLSFLAYFVVERQLAVLHRNVAKSRLSNDSKHLTEGQDGECPNPPAAGWIACPCSSTSPTSKMALQPGLRMAC
VPAPVVRQWWKQWTQHVDTTESTLGLRLVVDHPAVFKDHALTIAEVNLSAGAAQSKSRMEPRKAARDRKENDEPKESNDSILLLTTQEGFPKLVKEF
SQTAGWTRDPKDNNLWIKNTRQNRCSLIFGIAMIDECHENYFRNAGRGKVLADIPRFNSNVRPFLFGYSGTPISQTPRGIEGVLWAIEKHANVVDES
VSWRKLDQICKTFDEQVKSDVQDTPAVDACLTDFKGYLTKFMIRRTAETLWFGHTLVEMKPHIHTDVTLEADASIAEDIRDFEKQFDAERDTLLATL
QTTWDNTAPELRRSNIRPTKLAFNARARAHWRSRVLATFPHLLKLASPEVENQLDLTIAETQVFLKAKPAEPNPYKKNLKAIVENSPKCLWLYDFIH
KLKAERDLEGNEQKLVIITSFPQVVYILSLFIQRYFPEYKDLLGVVAGKMKPSEKVKIINAFTDTAEDTKAKSYKKEVRILIGLTRSIGVGLQLQKA
CHIVLMEPDCVFVDELQAYGRVHRIGQRNPLSRSFRLIDDGSDIEKLILKRQEDRKEVAGTKIGELEVEETEKRAVTDKA
>RCO7_09040 | related to AVT3 - involved in amino acid efflux from the vacuole
MERDDEEERRAAEIVARHLDPSYTAEFDAQPQVQGSTITPNPSSEDQYESSLKLQGGDIHRDIYKISARATPIQRAQTFSHPGRSGPAEIGAVEQRE
PGGFRRHYVQQQMKKRSTNFASPITNNFVSFLELYGSFAGEDLEESDDETAVESDEEDQLLSGGAGRQGNGERRPLLGRRKTTRGSKQGDASMTRTF

FLLIKSFIGTGVLFLPKAFKNGGLVFSLVTLVMISLISCVAFHLLLKCRAKYGGGYGDIAEAIGGKRMRSITLASITLSQLGFVCAGIIFAAENLYS
FLEAVIKSGVSPLSITALIGLQLIVLVPLALIRDISKLGGAALLADVFILHGLGYIYAYDISTLATKGMSPSVEMFNPQDFTLTIGSAIFTFEGIGL
ILPIQSSMKEPQKFEGLLYTVMFIITIIFASVGALSYATFGDKTTVEIISNFPQDSKLVNAVQFLYSLAVLAGDPVQLFPAMRILEGSIFGHRSGKQ
DVKTKWKKNAFRTLLVCGCGLISILGATNLDKFVALIGSFACVPLVYIYPAYLHWKGIAENKYVKAGDVLLMGVGLVAMVYTTAVTISRWGSS

>RCO7_09041 | probable MFS transporter
MSLAQHVSSIEGVDRQELLIEPSHTVRRVLSYDAFPPPVEDLPDHIPAYVVPSLQRTIQVAITVLLCWLASGIVFGFAALKPVLISEGVYRELCTVE
ELQQDVELCVEQDIRLNLFFTIASITSNVSALPVGTILDRYGPRVCGILASIFLAIGTILMSYAFSIPEFDGYLVANFFLALGGTFIFIPSFQMANA
FPKYSGTIVALITGSFDASAAVFLFYRLAYAGSNHKFTPDKFFMYYTAVPVLIFLSRVTILPAKPYDTVPQLEKKIEKAQDAGRDIHSSDDDLSSDG
ELYRVRSLRSGKRKNKIKKLAGLLGSEAERQERADREEDRLVKSAVWGALHGLPAHKQMLTPWFVLITLLTVLQMLRMNYFIATIRSQYEYMLGSED
LAITINHFFDIALPVGGVACTPVIGLFLDNLSVPMALSVIVTLSTAIGILNSLPFLWSAYTTVILFVVLRPLYYSAMSDYATKVFGFKTFGQVYGMI
ICLSGLVNLSQYGIDALTLEKFHGDPTPVNIALAALGFVVGVVLVTFVSRKVKVVGVKEYGGYLDPERQPLIEEVEEEG

>RCO7_09042 | related to glycerophosphoryl diester phosphodiesterase family protein
MRSDIFNLAVAAVLAQSASTLPTERQRHYEDHHYDHDHERPMSNDYRVSYDPRPFYIIDNMTDSPLKAKLQSCENGPFSVTSFSIGHRGGATLQFPE
ETCTVPFTAANATSPANALCCTSDITTAEYMSLCGKQDGFNASATNVEDYQHGTPTWRTDLYSTCGTVQSLDSYITLVESLPGHRNYTPELKTPPAQ
VPMPFNGYTQTHFARALINSFIARNISASRVWAQSFHPPDIYQWIAEFPSFGRQAVYLDEDGDTPATLANASSLARLAAIKARGVNIIAPPFGYLLT
TTVDNKTIIPSTYAHSAKAAGLEIIPWTFERSGPLATVKARNEYYYGFFAQGVRSDGQLYEILDVLARQVGIQAIFSDWASTVSYYANCFGLEYGGF
CERDE

>RCO7_09043 | related to glucose/galactose transporter
MAGGAMISTGGTIEGGFLRGKQLAYPLFLITLLFFLWGFSYGLLDVLNSHFQAVLSITKLQSTGLQVMYFGGGYFFFSPIAAEVLKRRGYKTAILMG
LTLYSLGAVFFWPTAHFTTADNKLASYGGFLACTFVIACGLATLETSANSYAVIIGDPASASIRLQFCQSWNGVASFIGPLIASKFFFSGKNADNLT
NVQYVYLAVACLGVAVAVLFTFTKLPEVSEATLAENANIEILAVDELGNPIGQGPLWKQYNMILAFVAQFCYVGAQVTIGAFFINYVVENGGYTKPQ
ASNFLSYALIIFTVGRFVAVGIAFFLAPAFIMVVYSILVIAMTAAACGLEGSAGVGTLMVTYFLMAPMYPTIFTMGTANLGIHTRRGAGILVMGVAG
GAVFPPIQGAIADSASTRISMVVPLVGFFFVFGYCFYHWFTHGKNIIRVKDIVVAADTAGRRGSAWGGAVGGAVNYVHYTTEKEDVSVDGGRRASVI
TGGRRQSVAVSVKRPSVSHAEGSLVLQEQKGNPILL

>RCO7_09044 | related to alcohol oxidase
MPISNTLPDGLEEFDIIVAGGGTAGCIVASRLAAADPGLLILVVEYGQNNYQLPEIVHPALFPVNVMPGSTAAIFWQTEESEALAGRKLVVPSGGIL
GGGSSLETYHGPGSSKTHGSDGPIHVSSGGFRSQGPEEDFITAAAKVGFPEITDSQDLESTNGMCRWLRYVSPEGTRQDSAHAYLHPLLVDGKHPNL
HVLVETQITRVLFHDDGEEKRASGVEICANPMFPSSSMGLRVLKARRLVVVSAGTFGSPLILERSGIGSSEILERAGVTVIADVPGVGHDYQDHNEI
LCAYKTSLGIEETQNALLGGLQTLADAAEKGDPRLGWNTVDVAGKIRPSLSEVAALGPDFDVAWEKDFKHEPAKPLGLIALIAGYLGDRSLVQGGEF
VQVVSYSAYPYSRGSIHITGPEMTDKPRFVNGYLTDANDFDLKAHVWQYKKQREIMRRTRMYRGEVAAHHPVFPLGSKAACLSLEILQSTDTTTIED
VVYTVEDDKAIEDFVRENLTTTWHALGTVKMAPREDMGVVDRSMNVYGVRGLKVVDLSIVPENVGANTNNTAMMIGEKGAVIIAEELGLGRVYK

>RCO7_09045 | uncharacterized protein
MPVRPKDREPSTSTSTSLKGDDNRLRRNTYTTTNTNTNTNKKNNNNSSSSSTPTTLTFTVRLTSPRLPSKPAAMKAMKSMGMNRMLGSIRRKSNNEP
PVDTSPEIQLDTPEANAIRNVRLFCESGGPNGSGEEVLYLPTVVESCESSPAAAKEASYIIRKFLSKDNFAKPYVQYNAIMLVRILSDNPGKTFTRN
VDAKFVQVVKELLRMGRDPSVKQILMETLDTFVREKGNDVELALLNDMWAKEHQKMVRLHGPAAAPRILNAPPFQTNDANYFSRSHTSRHLPAPREL
SSRIEEAKTSAGLLSQVVQSTPPSEVIQNELVREFADRCQSASRSIQAYMIAENPSPDNDTMETLIETNEQLNKAMNQHQRAVLAARKASGMGSGEP
TPPPRQDYGNGFVPPPGPPPGRTGSGFAPPPGPPPSQLAARKAVKQQPPIPPPGDYAPTGSDDENPFSDPRLPSKRPGPSTTATHNPPFPSDKPSVS
TGQFNDRLGIEPYHPGFRETPSYVGRQDSAVGKTTMHAAIPETPDDDDDNRRRYGGQVAGKEPVYRY

>RCO7_09046 | uncharacterized protein
MVIGPLDKRAIRTRCQACSRRRIKCEGGSPCSYCLKKKVTCIPPPAPKIAGVVFVNDNCSTSSSSKLPSEASEQAVIISKSMPQPESTNFISYFFTV
FIVRNDFSGGRLDRDGIVANFQSSPSLYHAAMAVGALNASKDKFAPARESRAATVAALSSYKTSLVSFQDEIRDRDIGTNDAALWTTLFLGLFELMH
DMSGEGWVKHILFGTSRMLQLRGPEAHLAGRGRSFFLTVRIFEISRAIALDEPTFLNEKPWVELMGKMWLEDISDWHPKEKMYDLMLEIHALGEKVW
EVVRDDIEIAPDLLTEAIIALGREGLVLRLAINDWHNSFILCSRSVETDSWSLLAMIYYHAISIYLTGLFDYRPQFNAIPYPTLSRGTMQSHASSII
SFTKLALTTTNLAGVLLVFPLRIAGARAVSQGQKREIMWMLNEISTRSFVVAEPFKIDLKNLWESEGSESLHLNDVHPPGSTDGSIQPLNKSAEVYV
ACHRSSSQPPTIPPVSTSRLISSLIAPSTPLLSPRCIPLGSYPNLILALSILQLILLSKLFTSYVLTLALFWPILNKK

>RCO7_09047 | related to PAF acetylhydrolase family protein
MVSFSPKAILILAPIIQATAIILPAPSGPYSTTLTSLKLTDRKRLDPYAPMQTPRALMISVFNPMPASQCSKTLTPYMDPITAEFKDSAYADLGIPA
GTFGSINYQTCKSSSRNAKAYPIVIFSPGGGNSRLTNGIMAQQVASAGYAVITVDHPYDADIVTFPDNSTILGIDVEHDLDFLVDTRAKDVSFVLDQ
LTVPSISDKIFPGIGCELDVSQVTMFGHSLGGATAAQVMLKDKRVIGGINMDGSFFGTVVQSGLKKPFMIFSHEGKNLTTDASWGATWSVLSGWKRQ
FELKGSAHGTFTDFPALVHALGFEGMLGDAGVELVGTIGGVRSLEIITAYVEAFVGFILKGGQSALLDGKVGTYPEVNMDASS

>RCO7_09048 | related to alcohol oxidase
MFSSLVNLGLATVLYGCTASAESDAYDYIIVGGGTAGLALSTRLSQGLPNSKILVIEAGPSALDELNINVPGKKGSTLGSKYDWNFTTTPQEGLKNR
ILAQNRGKVLGGSSALNLLTYDRASEHEYNGWEEVGNPGWGWETFLKMMDRSMNFTSANTEWYDEDASTKGPIRGTINRLIPAQQNGFIPALNSLGV
ETNKEYIDGNPLGVSYSSSSSIDPRHWNRSYSANGYLPLAGPKHTVLTNTRVARINLKKFKQMYTATGVTLTDGTVITAKREVILSAGSFQSPGLLEV
SGIGKKSVLDAAGITQLINLPSVGENLQDHIRIQSSYQLKDNFTSIDVFRYNTTVAAEQLQLWIEGKFSLYDYTGSAYTFQTWKQAGEDNSKFTKLA
KDAIGNSTHPADEKMLQWLSDRTVPQLEVIGSDGYTGVTGYPAVGTPLYGKNFWSFIAIVMHPLSRGSVHINATDPLGKPIIDPNYLSNEYDIQAAI
AAVKKCRQIALTPQMRDVWVNEYEPGLERVNTDAEWRDFVLNTTLSIYHPVGTCSMLPRKDGGVVDSSLKVYGTTNLRIVDASIMPVLISAHLQTAV
YGIAEMAADIILRSV

>RCO7_09049 | uncharacterized protein
MFLANSQTRERIPWVAAICALFLIWSFFTLRVNTKPFTVARNEPPPDPIQPLNHNAGPIPKINATRPRYTPFADQALHEKDPKPYVSERPLILYAFF
DTKLARENLRFYIKHALHDAADFLFIFNGDTNAEHLLPVAGNIRWLKRENKCFDLGAFAEVLLENGLYLKYKKYITMNASIRGPFLPHWSTGCWSDM
YLSKVTNETKLVGMTMNCHIRPHIQSMIWAYDRTTIDFLLFPSAELVTKYQEILHPYIPDPYTPVPNMTAPGINSCPDKYWDAVAIEVYAAGLVKAA
GYKVDAMMMAYHAGEVQRGDYTNGQECFKNADTLGSGRYYGIDIHPFDTVFAKTNRGIAPKVLERMTEWTDASGYSSYDHCSI

>RCO7_09050 | uncharacterized protein

MAVPSFSFLKSSKGKGEKPPIQAAAPPPPPPHPPPPPHPHLRDSGVQLSNDSTEKVQQRQSKRDYFRGLLKISNLSLEARANRRKTGQFAVAPSAGT
PQLLSPSVSRTPDPPVSPMNKPLPPPPPPQLTTTPPHHPQPKSPVKLERIISPVLVPDLHKIFSGAPQFFARSEGHNTGAPHPSVCFPWDDSLNIRD
SADHWKIHDEAWGCVTAWPHITVPGLRRPSAAEDHHERKKACFLPRCRERPNMLSMQGLERGTMGFQAALEMGVADALEISDEHLNTSPEHVSEQRR
IFLNGKDGLRPVTDSILVDQLLDIGELYHEDPSKHHRQSVELYTQLFTMILFPPTRVTEHDDPYSLKVQIEALVQVLAAPTVWFDFSLVEWRIRLGQ
ILWGASTDLDSEDGISINNQSTQDPGTERYWLLVQILLACELLIRLDAISANMDHGLEAILPNEIHKFDQMASSSVKWSLLLARAWLENINIERPRP
GSKKEKEKKSTGWFTTSSTTSGPPPTDGVQALKFHGRHQSRQLSGLLHFARNIQWPDMDALTAKAASNGITVSDSVQSTPIGTPLSISTNRSSSYFA
RRPAMNRAMSLHRHVSTITHPAGWLSNSYLSGLILSGEGLSHFLISTLLENDTDAVSRLGEEANLYGGFVYRERSFWSKACIIGRVLAAGKGATECM
GWVASDVVPKGMREGWVDVDVELELEAPIDPAQKSSKPRLYQKQNIEHDGHLLGGADYESVLPGDFTLPSDDMNPSQLSIEVDFESLDLFESANETP
TGDDWDDHNHEHPTPLSDISGMSGEGMIRTYSAMMRFTITLTRTEDISSQTKNQREQEGELKLVKDIEEKEMNVALNHDVHFVTAHPCFPSPGVEIL
TSAMSTVMGKEGCEGFVGHPLHKGFTYTTIPLSTLVYTPISTPFEELLSLPTTPDANSPTDPLASVRMLSQSSTHTTSSTIPKVLIIDCTSPPPPPH
TALTNSSSATHLTPSSLWTQEQIAQNAVDGCITPISGSPVPPGHAGSSEKKGSGKDYGRDEDILARALCAERGWNAVVSRRGRGCLACAVRECGSLG
GEWRVVLRV

>RCO7_09051 | uncharacterized protein
MALPSSTTSVSETMARLSSKSGVIATLAIERTTSTVLQHTGTLGAMFSSTTSSSLSASTNTVTSPAEREAPVVMTAEATEEQAFSDFAKMVWNYVNA
TGELVGNMDAEDELKLLRLRTKKHELVIVPDAKFLFVVVHDVPSA

>RCO7_09052 | related to fruit fly brahma transcriptional activator
MGSSTRKKNEKKKDFLKPKLRVGKTRAKADNFTDTSFKAKRIALNKQSLTEVAPTTTTQLTHYLSLASSSKSDAQRKDALSYLVTRLSNAPSESPGL
PASILLPKLLPLISDGSTGVRSQLLKLFKTLPPQDVEDRAESVILYTRAGMTHLSTEIRDDTLNILEWLLDTTGDACVKCPGGWIKTLNSFMSMMGW
VRDLSTTSKWSSESKVTISNKRNKSFSKQLDLLAKFLKIGLADPVPVGPPRNLNDIKFDPATYAIPTVNDPFGYLNLFGRPRDEDGTAYMDSDSRRR
VFEKRFRKDVERGSEDARKAGGETGRAGAGLVKVIKEGMAGFESVE

>RCO7_09053 | uncharacterized protein
MATMPESSEVPDSDDTKMTSIEPEVKDDPDDLIITHTNNLRRRPRPERVKPEPAEYVKIDLTLLDNEDDMFGDVDAEIDENGDEIVDLTYEGIAHLN
GVRHFVCEGFKIRQIPEPFIVKRSLHDIFRCIESKSIILDPDYQRELVWDEGRAALLVTSILMGYFIPPIIFNVQRSVHQLSGRKEERFTRTCVDGK
QRLTSIYKFMSGTIGFFDTNVPSKKWYFCHPKVDGRIQISNRNILPNAVKTHFENQFFCCYEYEELTPDSEETMFQLVQRGIALTPAEKMRAMSTEW
ATFTRQYEDDYQLIVNLSKQNRASGFRLILTIFTMIQDTHSPSRRQKYIDNNTAPPLTASPQALLRILDSKTVISSSMKSKFRDVFTRYEKLIKLSS
TQITTTRWKINSNSVFDPSPEFLKRQGGVGNVRTFSPVELVVTAILVAVHLDRTDEELLEDVKAMRIFLRRKHKDLRVNSLCWGTGWGFITREMDIR
RKSSDRVRLSIERRLPGRGHSRMRDYSAGDTDEEERGSSSLSEPPSSDTEDEAVPVPAIKKKKLPKKFKFITKPKINGNQMTSSSLALNSKTKAKSK
SKKRKPLPGKGKISKSTSSSTSSKKRSRPAERPQPKKKAKRVEVEVRFDGLKR

>RCO7_09054 | uncharacterized protein
MFSPLTLLTLATTLPLVSANALEQPQYIFSNPSASSETTQRIPTSYESAVLARRILHLTGIGTLATVFPTTSQSVNEEEGKDGQRINENRPEGLGGV
PIGLMDYIADCEPSTGNPTILEISIATSFKNVRAGSNISLALTWVPPHTSSSTYYSAANLPRFSLLGYLEPIPTSSSSSPSVPKKDDLAKCFVDVHP
DARYWLPGNRIHHSDWVRLVVTQVYWIGGFGDRAYIGWIPVEEWRNVTMEEVEGVRLPGEKEVKKGWFSGWEL

>RCO7_09055 | probable 40S ribosomal protein S30.e, cytosolic
MGKVHGSLARAGKVKAQTPKVEPQEKKKPPKGRAKKRITYTRRFVNVTLTGGKRKMNPNPTT

>RCO7_09056 | uncharacterized protein
MTSRLPSTNQPRLSTATSSIKPRQLSHLHAQLAQLSANLADLENLLRMTSVQAESVRGLGAWHGGLFMAASKVLGEETIAGSSGTQGQGGQQKGHEG
SQGGAGGGGGEMEAMEEGSVSTVAEKVPSIGRQSTN

>RCO7_09057 | uncharacterized protein
MISFSFFTPGIFVYLALQICAQNVLFIQSNVSTAIGGSVATSLLPEVIPVPTSTNPRISIFDIEIPTFRIASTFGPSLPLPISPVPPILQITTLIVT
PSISSPSSSPQAPSISILEIEVPNIATRTFLDSSTSTPTPSSSPLSIFEIEIPTPLTTPTLPSSTSTSSTSTSTSTPSTTPTLSPGNDIYVSIGCFS
QPLTTSSSQALGAPGGYLSPIFASQDSLTVPLCLEACGIALAPDGSGPYTYAGLENSRGCYCGLTLSPLSEAALETQCSSPCAADPATFCGGYGYLS
LYQRRSTLNSTTTSFPPTTEPTTSSTSAIPSTSSHPSPASKTNQKALIIGLTTGLSLLFFSILLLCSIYILRRRKTQRNNALLDASLKSPTKPSFVG
GFALLHPSQSRPQLYPPGKAVHTSDGRRSDTVIDDIKLGAETYIIPLAKGDEESETKKTRHVSAFEEWKSGVIGMKPVPRFPPDTPEAATKSVELDS
LVSPVTAVSHTEPVSPKFNFGFKVEDQREGYETPMAELPDWLRPPPATVEVHGGER

>RCO7_09058 | probable nitrogen regulatory protein areA
MSGAAQYEERGGLLQRAHPPPSSDAIMMANFRSNVNGDTQSHPISSTATSIAEHDFRFPRRPVGSSSDEAFTSNTSPSTANSSATPQSGVTSYNNTL
DSGASESDKLDFSAGSSARKELLRESFFPTWKDDAADSSLDSPDEMQRKDPLATQIWRLYSKTKKQLPNSERMENLTWRMMAMNLRKQRAEETERTL
KLQVPSRPSGIAQLRKCSDQTLDQQQDLMNLDDFIFEENMSTPAGFGMSPSPEMYRKEPEKTNDRSNVVASAIPIKMRKESAQFAIPQSVPVPHHNP
GHSEEFNYVQRHVRKTSIDERRPARKRPADFSPHVPAINSIMIPNEPNHEEELHEYSLNQTHPPGLNHQNHQGLPFHVDTFSMDHDPIITSAGPFQS
NFPFSPGQSPLVQNGPFSAMYNNTSNGASSLNSNDYYSPPGSAYPSAVSTPQAIPENEQMYFPQHGMDMGHHRPHAFSHGPSSLSNSMAPQYMYNGS
GSSMFTQVSSAGPSNSFTSPTSFGMSQHIDPSQVFQPEQPARSPHNQIGHENMFSFGGDSDNEDDEGAAFADRTLMMQHDFSQSPLDDLNMEMGPGG
LQWDATLPGQFNTQAARYPGGPPRKQVTIGGTAEISSPLDWDGSGGSLGRTHVSAQSVSDNRVRNDRRQKIPRTASTPNTASLGQRNGIFEQPMAQS
NPNSPPEGIMSGFSSAHPSRPSSPGGSKHGSWTNLAGAGAPGENGLPTSCTNCFTQTTPLWRRNPEGHPLCNACGLFLKLHGVVRPLSLKTDVIKKR
NRGSGATLPVGGSSGAATRASKKMGVSSTSGANSRKNSLVPITTTVTAPVTQATTPTSVRARSVNESQSPPSASGSTASTPTSYHGSAGSSVGTTGI
SGGKGVVPIAAAPPKPTPGPGAAASSMPRSNVAMAPKRQRRHSKSANAMENMDIDSPENSTGSNEAAKSLGMGMMNSGSMTNTGLAGGFGLTRPSGS
GMGMPLMNGMGGPPPGMVMGQNGVGSTGAGPQEWEWLTMSL

>RCO7_09059 | uncharacterized protein
MAGKRGIGTRHGRDAKTKQGESHDLRQDLEAGNGYWNGNRNGNGNGYENADGNGAKRRPPRDRMYRFRDNGSLDHDDQRRVEFKKRLLAAIDEDKME
NFRKPEDEASQKLICIKKFKSKGVRTFYTTQNDRLDDWLEVNAIVKALSDDILESFDPRDDNGDGVAEGGGGLQDTGGAIEPFLPEDEREKRRNAAK
KAAWAININVVANVALLIAKGVAALSSSSLSLIASLVDSALDLLCTGIVFTTSKLVQWKITRLKRKFPVGRRRLEPLGILVFSILMVISFLKILEES
IGKLTAPGPHKASALPAVAIGAQVATIVVKGIIGIGCSRIKTSTQVQALYQDCKTDVVFNTLSLIFPAVGYATNTWWLDPAGAGLLSLFIIYDWAST
CFENVSRLSGAAVEDRVMEKLMFLAWRFSPLVEGYKSITAYHAGDGIWVEIDILLDEKTSLEVCHDVAETLQYCAEGMPEVDRAFVTCDYASQGPTG
HADA

>RCO7_09060 | uncharacterized protein

MSSLLTLCYVLLASSLTVMSSSSIYSRLRARLSSSQTPQLLEAPKSDSQQTEDCEAVQKAISEAVAAALNNEEFIKAVASHLAVQLQPTLKSALDIT
TVESKLLASNEELSQRLNDSNTQTLSKISELSTLLNTSNTTTTDRLSALDGAVTNVSQGLVELGTNIKAVELQVGSPDTSLLTSHGQKLDTISAGLQ
SLPSQLEKLDSISAELVTLKENAETAASLKNISSELTSIKTNIETSTSTGFSELNSQVGTILTALHSQDSTLTEIKAADFTPVIASLESQIAAISTS
ISALKTSDVTPDILAAVQLSNESHASHAKALVDIPNSISEIKTVVTNPAAPPEKADLSSLETSIQKLTTSVSEINTAVNTPAPAVEKTDLTPLQNSV
DKLSATLAEVKTAVEKEVPAVEKVDLAPLTSTLDVHTTHLSEIKSVISAQPAVEKTDLTPLQSSVDKLSATLAEIKTVVEKEVPTAEKVDLAPLTST
LDTHTTHLSEIKTAISTPPAVAEKTDLSSLESSVEKLAASLADIKAAVEKETPAVEKVDFSPLVSTLDTHTTHLNEIKGLVAAPAPAPIIDKAIDLS
KLESSIEKLSTTLDSHTGHLSDIKGVVATPAPASKEVDVSGIEGSIQKLQALVKAIPTSIKDDEILASVASLKSTVEAIPVPVAGQAVKDDEILSSC
ATIKTLIEGLPIPPVAVVGKDDEILVSVQAVKALVEGLPKPAAQIPGKDDEILSSIASVESLVKAFPAPVTQKDTKDEEILASIASISTLVKAIPTT
LSVDKSEDILSEVKSVKAISEETKKEAAALTTIVSSSLDKEILSEVKIVKGLVEKQNSAVDVKNVGSSDKGIAVKENGNGVKVDAVEIEPVA

>RCO7_09061 | uncharacterized protein

MATEPTSRITLRDNPTETSDHSTDGQSSFTLDHPPSWTPALHLGSPMSSICGGRKKQPVFIDISENLRSSEQARIHFIRLACLQCTAKVATCDFDYP
NCGSCAAYGLNCVYGPTWELTWKKLRAQQIKDESSEEVSENLERSAKSPYPGSTSCITFSGLDDPPRIVDDWISQRPSEQSTSDPTCVEPGIGVKSP
VFAPKINADECGNRSDQFKISEVYDFPSKSTKFDSRLTSKRMNGYTKRSNQSVLLAPRPFPISKDIKETLHEAFPTFKKPAKRTKSKVSYPKRNIES
DEDEHGGWESPELSASSSDSPDSDYVPASEAQIKGPARKKPKININ

>RCO7_09062 | related to lipase

MEQGEDGSEGREIELKASSTIAETSTLLPAHVANVVSLVTRSSSLYLRLGTFIGGLALDGARVTTLTGLELSRAVIEGILHRAGRDVSVRSTGELGK
AEADSILERSIATLHTTMTSISFAASTGFYISSVALHGAGDLSQQLLATLDSILGSTDSSRAIASIVTLIRREFQNPATGREGEKVGVADLLVGICG
LALLQKWCKKITDAEGSAVVVVWDVVVLDDGRRADVISKDEPNAEKRLIRAGSMSFVTPGDDQVVQTIERDGIIEDESDDAFPEISLKQQIMDSLPA
DASVSIITKTTTTKTITVEISGAHPPDLSPPLGFEILEENAHHIGETDLGGEVLTNKQKVDLMVPIYRVVYRISRNKLQGANVVSNGEFDAEHAIED
SDEEGMGEDPTAIEVAPLISSPLFSLPPPPSARKDARKVSVDNASPGSPPSTTSGDERLLGISSIPISKPSDPVANQKRSRKPMSSASSVSDVSPSK
KMVTKHPISKRPRPELSPAKANEKKGSFRNALRKGSGTTLSNVWSKDLPDPPAFKPSTQKPARAGLGHSATITSHLPVPQRNTRIVPARHAPRAPQR
GSPNSFSSRDLGLMHQPTRRSPSRAGFYSIHERRRNSIVSQTDTYSIHPAETRPGSPTAFRTHLRAQSDLVRARSEKNIVSQPISITTNHRRSRSVV
PSIYTLNTNDSATSLVIANKPRRSAFEDAQTIEALMHTGFVDGLFPQHHLIRNITRFVRFASASYGASFLRVMGIVTSKGPSTKEIETSHHHEHHSF
STHTQLPPATILLSSFVDPQGGTDSTGNTNTGVPMVHFVSLDHESRAVVLTCRGTLGFEDVLTDMTCDYDELIYRGKAYKVHKGIHASARRLLDGGG
GRVMATIATALEEFPEYGLVMCGHSLGGGVTALLAILISEPSADPSSTAFFTASDYSSPQSLLTASQGESSTAPSRIRLPAGRPIHVYAYGPPATVS
PSLRLATRGLITTIVNGQDLVPYLSLGVLHDLQAVALAFKTDNSGAKGEVRKRIWQGITGTFLDKWYANRPPGMNTEEDDQWAYSALKALRASMLSA
KLLPPGEVFLAETMPVLQRDAFLARNDEGKGLGRPATRSVLKYVKDVEKRFGEVKFGGSMLLDHSPGRYETSLGALGKGILG

>RCO7_09063 | related to acyl-CoA synthetase

MDLVSWTFANPPLDEDKPLYIDPSNLTRSLSFAQNHTLVRKLIAGFNAHAFGTDGCVCVVSLNDINYTPIYLSIIGSGLRFTGANPGYTARELAHHL
RITGAQHILTSLKSLSVSLRAAEECSIPISRIFILNFESEDIPPARQSWEKLLCHGEMDWTQDSSEDIEAAYVSTSGTSGLPKAAVISHGYLVSQGK
IVEDLVRAQVKAQNGGGGRVDNDMRSLIALPPFHVFTIPLQHAVPLRTGCPAYIMPRFEENLFVNTIKKVGITHTIVVPPIMMTLAKHDKGELDSLK
RVFVGGSCASDGMQSKLYGVLSEEARIVQVYGMTETGWATCWSKGDKDGSGSVGQAVDGSRLRAVDASGTIVQKDGSTGEIQIQTAHAMKGYLSNTF
ATIEARTADGWIRTGDIGYAQNGNWYVIDRTKDLIKVRGWQVSPAEIEAALLEYPGIQDAGVIASPAADGCGEVPLAFVVKNPDAKIDEISVKDFLG
TRLARYKNVAEVVFIDLIPRNPTGKILRRVLRDVRAEKSKTKDQVAAIEYKSALRDLVAYQRSIMSACEETTTVKGKTEEIVTELLVEDPVSKKRKR
NCCPATKFKDWRKLRCISRTRGTVVIGSNP

>RCO7_09064 | related to integral membrane protein TmpA

MLTKVYEYGGVHSGAAVSSVVWFALFTGFLTNQFVKSAAIRGPAVLTTTYILLILLICIVVTAYPRFRFSSHNTFENLHRWGGWFSFAIFWVELVLF
VHAQTPRIGPAIVRQPAFYFLLVSSLHTILPWLRLHKLYITPEKLSNHAIRLHFTESVPLFVGLRISDAPLKEWHSFACIPARSGPGGSVLISDAGD
WTKKTIQDPKPYYWVKGVPVTGVLCMARIFRKVVVVTTGSGIGPCLAVIQDIPIRGTSCRVIWSTPSPLETYGTEICNAVKMVDKEAIIIDTRKDGR
RPNLVAIAWELYCREEAEAVFVISNPMLTKKVVYALEARGIPTFGPIWDS

>RCO7_09065 | related to Endo-1,4-beta-xylanase C

MRISIVSALFFSQIVLGSPLVAVRDIDWEKELLGRSDDANLEARQARPEQSLDAIFKKLGKLYFGTCADSNLLNNAQNAAILKADFGQLTPENSGKW
DAVESSRGNFNFGGLDTLVNWAVTNNKIVRGHTTVWHSQLPSWVSQINDKATLTSVIQNHVTQEIGRYKGKILQWDVVNEMFEENGNLRSSVFANVL
GEDFVRIAFEAARKADPACKLYINDYNTVEKGSNYAKTTGMIRYVKKWIAAGWPIDGIGAQAHLSAGESRNVAASFAALCAAAPECALTEIDIVNAS
PSEYVETVKACVDIKNCVGVTVWGVRDPDSWRASSNPLLFNSNYQAKPAYSSLVATLGALPAASTRPASTSTTLIVTTSSAPVTTSSVAPPTTTSMI
PPTSTLSVPEGVCTG

>RCO7_09066 | related to protein yneE

MSDDAPAPADQVANLFHANDYTYGAHDKRQFRTQSKLSTFDTRVISMAAASRRVFEDSLDFDAYFIGPRDLEKHSRLPYFMRIYGSVLPRMILPVLA
VGAWATCITCISEFVYPLAVQNILLTVLGFVVALSLSFRSSTAYDRYSEARKAWCTLLIHCRNLSRCVWIHISEREGEQGTDDLLQKVTVMNLILAY
AVALKHRLRFEPYAHYPDLAGLIPHLDTYAQAAHKEEHWRRKHRSVWKSIGQDLGLPFALSDPRKEIKRSDKPLGNLPMEIMAYLSAYVETIQNNGQ
IKTVIFVSALAGMTETAGNAERILNTPLPVGFNILISQVVLLYVYLLPFQLYSALKWMTIPGTIAAAYIILGIDIIGDQLDNPFGNDVNDLPLDSYC
AELSRDLDTLMSTPAVRYDEFLRQSGGVNRPLWPLSGGILEDWREKGNDEIRSALRAKVLASNRPRYDHDRRRARQ

>RCO7_09067 | related to snRNP protein

MSERGQHRGGRGGGGGGRGEHRGGRGGGGGRGAHAAGGERERPKKENILDLGKYMDKKITVKFTGGREVTGTLKGYDALMNLVLDDVDEVLRDDEGN
TSTRALGLVVARGTLLVLVSPVDGSEEIANPFVQAEE

>RCO7_09068 | related to BNR/Asp-box repeat domain protein

MFCERVFVAFVALAASISPVLSAPALDLAIEQRAITYKPVSFKTIYVPPRNYNKPKTLYGRTVQLADGTLLATWENYSVEKPLVYFPVHRSTDGGNT
WSPFSNITDTVNNWGLRYQPFLYLLPQALGSLPAGTILAAGVSIPTDLSKTKIDIYSSTNGGLNWKFLSTVVSGGKAVPDNGETPVWEPFLMVYNNQ
LVIYYSSQTDLAHGQKLCHQVSSNGLSWGPIVNDVAYPAYARRPGMATIAQLPNGKYILTYENVGISSPSGSGNPVYYRLSSNPLLFDSAPEFIVGA
NGVYPSSSPFVVWTPAGGANGTIVVSANSHTDIFINTKLGDAGSWTKVATPQSGAYSREIRVLSDPNWLHIISAGFLGGDNYVTNSVFKVPGV

>RCO7_09069 | related to poly(A)-specific ribonuclease

MLEDNLHEKKSLNVESPAFTPSVLPVVGKNSTISSHAANAAPFTPRFGGTTTPNPSSDAEPATFNPAAIKEFTPQNYDLSHSLLANGATPDAQTTYD
PFSMQTMNQAMPTTPYNPYLEENNVQTNPAGYFQNQTAFASPAQPLQYHLYAPIGAHRQDLLAYQRHAHDFFMPNDLREDLQKKSEAARQIMPSFRL
SNANAVQAAKNWKRVDSASVVSVIDAFTTRAFGDSSLIFVYNYYPLSKTIVEAHFTNTNRYGNRIAIAVVSEQILWGYVVQIANAIKSIHAANLAVR

CMDPSKVLVTDKNRIRLNACSILDVVQFEADRPIAELQQEDFILFGKLILAIATNNLNLASTNTSLKGSLESLKRNYSVEFRDTVEWLLTPAAAPEA
KDLSEFIRGISGQIMTSYDNSLHANDTSTSTLSSELENGRLFRLIAKLGTINERPEYEGDLKWSEVGERYILKLFRDYVFHQVNAEGKPVVDLGHVL
ECMNKLDAGSGEKIKLVSRDDQDCMIVTYKELKKQIDGAFGELLKPSGKRY

>RCO7_09070 | related to UBX3 UBX (ubiquitin regulatory X) domain-containing protein
MATPATDISELSESQQLALEQYTAVTDQDVAAAIPLLQRSQWNVQIAIAKFFDGEGPDPVEEARAAQNAPPPRAPRQENLQQSLLQGSSRALRSDPQ
NDAAPRVVPQLDDDAIQRPNLILSLLFTPFSILYKVFFSPSFGIFSFLFPFLPRALRPNPTTGTTRRANTGGRRALKPRDSVARLKREFEEEYGNNT
LPFYEGGYAQALDLANKELKFLIILLISTEHDDTSSFVRETLLTSEVQAFLNEPSNNVILWTGDVRDSEAYQVSTALHCNKFPFTAVIAHAPKKSTS
MSVISRIVGPMDASTYLAQVRSAISSHEEELATVRASRSAQNFERNLRQEQDSAYERSLAQDRERARLKKEAEAAAAAEELRKQEAEKVANQLAANK
LQWRKWRASLISPEPDTDEKDIVRIALKMPEAARVMRRFRPDDELEELYAFVDCYEFVKAGPATESVDRPQGYKHVFDFRLVQTLPRVVYGVEDGGT
VGERVGRSGNLIVEPIKDDEEDDE

>RCO7_09071 | uncharacterized protein
MNSPSAPAVRLSCEECKRRKTKCNKQVPCTACKSAGIKCNTVQRARKPRGRIAQNKSSHGEIDTRVARLEDLVRQLKSQVQSGKGSENEQQDFNSPS
SGNSLFKESNALQKYVASDFWEALSLEANGIREILEGGEDIDSLSEPAAESPVAFTDHTSSSGNVLFGYGTPSSVHDLTQLVTSETRRILLSAYQSR
VDCIVKFLHWPSVLTAIVIKDAGQSGNESSRAQALESAICYTAVCIMTDEEAETSLGCKKALLRDQLRMSVEMSFSNAKLLEQPDLMVLQAFLIYLL
GLKCSTTHASAWTLFSIAVRLAKALQLGSEDPSKYSALDMEIRRRVWSSIGVLDAQLALDRGAPAMLSSQDMQKSPLTINDSDLYPGCPTPIEPAGF
TDMSFASMTHRASICQKAVEGIPSDTDDSWSRWKEAVATCDAYEEYARVYFANVDFSSPPLQQFAQAVADASLANIKLMLRRPPHRNQRRKIPPWDD
FDVMKSATHILERALLKHASSTFNTWAWFSWVKWYVLAVLLAELCGPVKGSAADDAYVVAQKTFVRYARVVADSESGMLWRPIVKLMRRVQELRGGT
MEGMSNPVPSPASASKEVASDNPEFVPHQFADLDINQQPLLQNVGIPFDQSFQNSNTMSYLVSGAQALESCANVQLDTLPDYNVPWTNWDNFLEDVD
NTSNVDWSMDWQNFT

>RCO7_09072 | related to glutamate decarboxylase
MSLARHVDPDSIIESLRSLHVREASKKHPHTNGGTSHITPYSTRYASRQEISKFEIPKHGAPADAVHQMLKDELDLDGRPNLNLASFVGTYMETHAE
QLMFENISKNMSDADEYPAMMAMHTRCISIIANMWGASKDEKAIGSATTGSSEAIHLGGLAMKRRWQEKRKAEGKSTENPNIIMGANAQVALEKFAR
YFEVEARILPVTDASNYRLDPKLVKENIDENTIGVFVILGSTYTGHYEPVEEISSILDEYEKNTGVDIPIHVDAASGGFVAPFTHAGAGKKGKTKWN
FELPRVKSINTSGHKFGLVYAGVGWIIWRDEQYLPKHLVFELHYLGGTEESYTLNFSRPGAQIIAQYYNLIHLGFSGYQSIMESCMANARLLSKSLE
ATGWYICVSDIHRKEGVHSLAKGEVNVAGKEEDTSADYNAGLPVVAFRFSDEFKKEFPHIKQENISNLLRAKQYIIPNYPLPPKEDKTEILRVVVRE
SMSFDLLDRLISDICVVTQNLIESDTQDLSVLGGKNNSVEIEHGTVGTQHNKGQGKGGKRPMSEGVHRTVC

>RCO7_09073 | related to Fasciclin domain family protein
MKFTTTLLPLAALSTAFVIPDEAITNQIVESQKEPQSFLDRIHGNIDSVWAGVEETFKDSVAFSSNAIDNAINAASEVTQNAKSTLECHTSMTKFDA
QAWIDSAVSTVEDVDIFDHPHHKPPHHDDPHHDRPHHPKHPHHAPNETVYELIASSKYTTKLAKLINEYPDLVEILNGTAANYTVFAPTDKAFDKLP
KGHQKPSKELIKKVLSYHVSPDFYPASRVLVTHTIPTALGEDSLGGYPQRLRLGLSVLKGLNVNFYSRIVAINIFGTNGVIHGVDSLILPPPPALKI
LELLPSEFSTLELALIKTGLDKTLAEAPHAGGTLFAPSNWAFTKLGPRVNAFLFSKYGEKYLAALLKYHVVANQTLYSDALYKEKSGGDKDGEEEKD
IPKGYFHIDLPTLLEDKSLSIDVARYGGLITIKINGFSSVDVQDGVAKDGVVHVVSSVLIPPKNPGEEKGMVAEEIEVEDLKERLLPYVQEEL

>RCO7_09074 | related to thioesterase family protein
MIIQLPLRSGARSAIRTAKSLPTQQCPHNLPRRTLSRPPLLQFRQYSTPPPPSHLRAQFEASTILPSHPSPSLQPTPKRSFRPYIYATLFLILGLTT
GQYARYVLAPPPLPPAGSKEDDQMIAYLHTQASKIPLVKSLSSDPAWISHDAYTTMSDAERGSRLTTDALAGARALGGYQRIFQNTSTGETITVIWF
GGVLAGWPGVTHGGVLATVMDESLGRCAIRQLEGNTGVTANLELNYLKPAVTNGFYVVRATPLQEGRTERKCWVSGRLESVDGRVCVEARALFVVPR
KYATRSLKQF

>RCO7_09075 | uncharacterized protein
MILRPAKGSHICLRCQRGLAKHANASLTQRGSQSTDSKSQKYSGQRTANSSFHADNADDLLGGIGNALDRKEFRNGVARGGLYGHRGLQVQETREQL
NNTTLGDPANVIVLRDSKLTLYAADRLRKMKAIEPEHIDILNQLEEERGLVGQKEVDGNIDELRPTIKRQSWEQMNELVKLLQEGFTILQLQRYIHS
FEGRKDLEPPEQDWVPDTAKTSKILRVTPWLPGVSETKDYFNDDPLRGYFLSSHTTKQRIALQLLRECWMLEMPELVDGVGQFELQVRKEDLELLLT
GDPSVLDQIHSEHLSQENERLEAFRKRSVIRVTAPHVKKRLIVHEVEAALKRVRRTTIPLVNLISNPNPSHNTQRSAVRWANKIYDLATIKELARLT
NTSIFEQQDNTLVVSCIDTDEQALVSSVDVARRLLLTSSNLPDRVKYQLIKDKTKLKEGVFLKHEVGNTLPWRDRLRSWARWTAPTTKTLGKPLEPV
IAEKIFDSKPEPQHEVEVMEVETDDASISRQRHWNSKYFTETSAVLGKVLHESSEGSNSSLVSLESNDRMHTFSEQAPSLTRIISKSRVEDHGEKID
KLVLRFLPDPFAKHFYPTKETQRKGTRPDGRPIRNQALGCQALVAFPAIEMHFRVDRRTKHASLRTISAIVEESKTDVLLPQFNTDVRFRQRTTSRL
LPGAIEPFRRYLANSDLSLIGSSILQTPPSIRIPIDKHLCRGEGLSILGKIDAQGNQIPDTNAREVDYLFAGLEVRTSVSFEYRSCRLIYTSIEAGK
AGGQRSELKLRPVLGADMSNLHNFFDMAYKLAGEVSDQDTESLVPTGLAKPRRVGTQSDPKVVRYCRTLEGIEPRTPPSDTYARRVPLGRDTFGDVL
KEQQTDDEGVGRNEERSSKAGEEAVDEKKVSRESDKAKEVEKEELDGVIRRQPS

>RCO7_09076 | uncharacterized protein
MPPNARRRSNVREESSEEETRRQTQRGRKRPAESEDESEEEADDGNDTMVVDADLDESQDQVVKKMVRYALACEFQRKSIKRQDISEKVIGKQRGAF
KKVFEMAQNQLRTNFGMEMVELPAKEKHTAKEKRAALKTKGTSKPTASYILTTILPSEYRSPEIMPASTIGSQHSEASYIGLCTTIISIIALSPNDT
IPDHKLYQYLERLNLDKQTGLGTTDALLTRMMKEQYIYKTIEKTADDETMDWRVGPRGKMEIGNKGIQGLVNEVYAENTPDDLEKRLHRSLGLEAIR
INGNGETEHEVDEEEEVSMNGDPGLSRTSNRRQSRR

>RCO7_09077 | uncharacterized protein
MEDIDLQIRAQQLLQKGRIAYPYSHDRRLQSGDQFRESKEQLEGSLAEIDRFYASSEAGPHDGPPNCQRCNKKKNDISRAFYNYYLSNDPRAWYAEN
LRYKQEMRRRFENPDTYTLDDNHSFFRSVLRDHLKQDLCTVLPTDDANIASFKYKTSDFFNEGRSTEEILDAYLGHVSTIAPSPEAAAFNSALQDST
TRDERAQLYVKYYCSSSWNDSPAVKAIKRKHSRMFEALLPHDHVLALWRKDARDSQSTKLAELQGKLSDIKMAHSAYLKNKKKKAEKAEKDQRMADR
EPARIEQCTLGGCPIEINLVTEEVIECAVCEWMDRKGGERGRAVYCSVEHANEDFEEHDRHDHRCMAERCIYHPKLGPPGNFTDALCFCQCCLEEDL
VSMYCSQECYEENLADHQDQAYQRRGHHNHYEELEFFRPAEEMEIVS

>RCO7_09078 | related to Probable beta-galactosidase B
MKFSNLVFGFVGIAQLVIAQTQLPIHNNTLNSVVEWDHYSYIIKGQRLFIWSGEVNIFTHDTFSGIHQLTRPQIHYWRIPVPELWRDILEKVKAAGF
NAVSFYGHWGYHSAADGVVDFENGAHNFEILLEITKEIGLYVLFRPGPYVNAETNAGGFPGWLTTGAYGTLRNNDSRYTDAWNPYFTKYSEIVAKHQ
ITRGGSVFIYQIENEYGNQWLDRTARKPNLPAVAYMEALEKCARDAGIDVPLVHNNPNMNTKSWSKDYGAGFGGNVDNYGLDHYPSCWSCDLAECTG
TNGKVPEFTVYNYYDNFQEVAPTQPSFLMEFQGGSYNPWGGPEGGCVNTTGPDWVNVYYRHNIGQKVSAMNVYMLFGGTNWGEYRNAFGLALMLTGI

RCSTIPHGESRVIGPKYQETKLFAQFLRVARDLTKVDLISNGTSIASTQAIFTSELRNPDTNAGFYVTIHTSSPSRELTSFKLHVSTSVGNLTIPQN
TTDIVLKGRESKIIVTDFALGKERLVYSTAEVLTFSTQDNKPVLFLWLPVEESGEFLLSGAKSASLEEKSGCSETHHHETSNGLIISYKQLQGKCVV
QFDNGYRVVLLDRSTAYETWFPSTSSDPYTPENSTIIVQGPYLVRSASVLEKTLTLRGDWSSSNSLEIFAPSTISNVIFNDKNIKVSKTRYGSLVGA
LAASKHSVKSIRGGLPGLTAWKVAEGLPERETEYDDSNWTIANHNSTQNPTKPATYPVLWADDYGYHSGHSIYRGRFLSSNLTASGVNITIIGGLSS
GWSAFLNGAFIGSWIGSKSETRSSLVLSFANATLEAENFLTVIMDNMGHDQTSGATNPRGIYNATLIGGGDFTEWRIAGTAGGQKNIDPIRGPYNEG
GLHGERLGWHLPGFSDASWSSSTPSIGLTEAGAKWYRTVVPLKIPSGLDVNLGFRISSPSGSILRAMIYVNGYQFGKYIPHIGNQVVFPVFPGILNY
NGENTIAISVWAMSSKGASVGIEWEVIGVVESGFKMADTKYLRPTWVDRSDYY

>RCO7_09079 | probable HOL1 - Putative substrate-H+ antiporter - unknown biological function
MDNQVEILPGTSRLFESDAQAASSHLKRHGNIVLSPQPTESPNDPLNWSSPRKYLHAILLIFITGFTAATANDAGSAQDGMHEEYGISYAAMNTGAG
VLFVGIGYWTFLISPAAALYGRRVPYLMGITWGLIGALWFSHVKGTRDSVWNQLFVGASESAAEANVQLSLSEISFEHQRGSVIGIYVLATSVGTYL
GPLIGGFVSDRLGWRWIAWLSVIVSSCLLLVLFFGLEETMFDRAAQSGTMIQGLQHSVDPSSDNEKSGELKKTPSHTASDAPRGKDEKPKTYFQRIQ
FITPAPNLKGTGFKQYISRLFHTLRIFGFPAVIYSGIQWGAQDAWLTFYLTLEETSWYEEPWNYNDAQVGIMNVPCIIGAIIGCFWGGYMSDRFVFW
MAKRRNGIREAEDRLWMMFPCAICSPAGMLLFGIGTSYSWDWPVPYVGLGLIGFGWGCAGDLSMAYLMDAYPEMVLEGMVGVAVINNTIGCIFTFTA
STWLDNSGVRDCFIALSVLDFFFIMLTIPMMIYGKTCRRWTLTRYRNFVKIRDSI

>RCO7_09080 | uncharacterized protein
MPRAWTARDSKIGRTRKKLQGRPEYQTAEAADQKLMVKFVYDQIRQHPIYAGERSHMQRKPDARRLTKLVIDAAITTILGPKATAGASIGALGSDSA
VGDGLGGGDLGTRAIPGTGSFMAKPAPCIASHSPLLPSGRPSLSSKFYHFNSRLLPRRHGETKASYTPARQAEIEEFNERMMINLENTTDSTGEVI

>RCO7_09081 | uncharacterized protein
MLFSISVILKPWHRALRLTRQSPASWHVTRLAEEKEEVRAAITFIEKLSEESDVFFTISRAAFDGYSIATQPHFTASKRNMLIYAYMVGKFSSRCAF
YQTAAILCRAERWKQVREVINPGKDAKLRVVAERYNICPDKFEKVCKGLRRVWPLLP

>RCO7_09082 | related to 2-3-cyclic-nucleotide 3-phosphodiesterase
MAPKNTWRDRERARAEAAEEERMVEASKRKERSEEARQADTMQRDMVFPIPGLLRALKKYETEQEDNKLTEAEDNTREPVPSAGVSHDDSEIQRLPD
GEGEPRNEDTMRTAIREEKERSGMNAIASAHGDREAYGPMPVSNGELYRHLILGTLKTPQSLSTVMVGDLSASQLRDENSAPKHFASSSEAELAMNT
SAFTKSKAAAPIHSMSSPEVEVEVTTSDVPFTKRDIKPSILGIYGISGCGKSHLIKKLKDLLGEEDYAFHDGSGMIDAVVAGGLETFKTLPGEEQDR
YRIQAIRRICDECAESGRVGVVAGHYMFWKSQYGLDDDDESGGEQVVWTLGDAECFTDIMYLTVQSQIVVEQCENDKTRKRFSLTRFELDLWTAAER
RELEKECGECGIGFALIGRDDLQVVADMLKEMRKRPELLNLARTKKALDSIMAERDARLETMIVLDADRTLCAVDTGNLFWETFAANEKLRNPSQEP
FKDPLKTIFSGPFGYSFNAFTQADLLYGTVCSVDEFERICMIVAKKVIIHPEFKKLLRRVEEDSRIGAIIVTCGIRRVWEFVIELNGFSESVQVIGA
GGHGSDYVVTAEVKAALVQKLQEEYGTHVWAFGDSPLDLPMLKQADEAIVVVVGEKAKRSRTMDKELKSAIEDEGLVARQLLLPGHATPRLDSARLP
IFDIRQPHEMDSIFIRRVPLQIRHASPNSAELLQTPMRDGRISGVAPQEVHKKVGWFLATELVTEVLPLDEYDIEHVQGGIAIGHRLKNEDKTLIIA
LMRGGEPMAKGVHEAFPLATFLHAHDPHDVAYYHLDGMENVLLVDSVINNGTTVVQFVKRIKELNAKTKIVVVAGVVQKASVAENGPLARVGRDGLT
VIVLRLSENKYTGKRGTDTGNRLFNTCRLD

>RCO7_09083 | uncharacterized protein
MPSPDEIFANWCGPVDGNFSQTINTTFGLANQDEYAYRAEAFAMTLSQIQEQIDSGKLKYKYQSHGKQIQVSPVDITAYTSIYSPSTDTTKAHTAFL
SNAKKGSPRETVAKYLHSQRICPLKIPKSKQHVNPYYDMWVLSCQETAFLGPLPDPSYASPANAKHTHPILPVFYHHFGCVVPSYEALEIISQLVKS
ENAKGVIDMASGNGYWTYMLRRLKLDVKAVDNMASEYRTIWIDDTIKTDGVEYLRKNHGGKGRLLMMVYMVTAGNFTKQVLRGYKGDVIIVVGTMNA
NRYTDFRDETAEQYFGREMKGWGLFCRISMPSFAGKDEGMLVWKRRS

>RCO7_09084 | related to deoxyribodipyrimidine photo-lyase
MSDSKVLIYLMRRDLRVSDNPVLNSLVTSKKHGFTHLLPLYVLSAQQLETSGFIADSNTKSPYREARSKVGGFWRTGPHRVTFLAECIYDLKEGLEK
VGSGLCLRVGTVGDVVDDMLRKFKEKGGLKAGAVWMIGEEGVEEAGEESQVKKACREADVEFKLWNDEKYLIDDRDVPFDNIDELSDVFTTYRKTVE
PLRESPRKVLPTPTKGSLPPFPPTSSTPEQRSPFTIPNSLETLQSSLLKPLQAQDLVKNPPSYPKETKSAHPFLGGETQAHDRLNYLIKSGNVTNYK
DTRNGLLGHDFSTKFSAYLALGCITARQIHSNLLAFEDGTNDTFKGGNGYGKGENAGTKSIRFELLWRDYMRLCTRKFGPKLFRLSGFKAEGEEKWS
TPAKPAPGVSSQQVRDQIERFLNGTTGMGLIDASMREMYHTGYTSNRARQNVASFLTKHLKIDWRIGAEWYESMLVDYDLSSNWGNWQYVAGVGNDP
RGDNRIFNPVKQAFDYDPEGDYIKAWVPELQKLTEPAEVFQAWTVREDVRKEKGLQGLNWVENPLLRINFTVNKRGRNGGKRGGGGGGSGRGEYGHG
HGGGRFNEQDGRRYYANNNRNGGGESGRGGGGYGGGGGYAGRGYGSSRGHLKGNGYGSGRGGGGREFRTGMMDKVTEYEQSTQ

>RCO7_09085 | uncharacterized protein
MASQDLNHETASNDEIAAYCSNADHASLSEACYDIHVVKLSEDAVVKFGLNVKEEEATSLRRAYELVDQDIVRIQIAYRFFIKAQQGYIVMEHMHGR
VLQPVEEPVVVRRIADILAYLTTICGSVPGPLGGGVSCGILWSEHSEEPLLHSFEEMEDWFNRRLRKQDHRLRFGESVLVLCHLDLAPRNFLLLEDG
SVCLLDWASAGFCPRVFEECAIRVARGLKDSFDEDALKPKDLSEKEEVQISSMMQAYYNSVRYHS

>RCO7_09086 | uncharacterized protein
MAGFQNGLDKIIAKRHPHPLPRAMTYLAYMLLWFGLPISLPSYKKHDFIAKAIARHSGMRDLSEITVLGEKVLSAIEKDSKQGKIVCTIQQTMLHQT
PECNVCWRRCQRR

>RCO7_09087 | uncharacterized protein
MPLSRLTLSCSIFEYINDLARWELEYRKKTNSETFLGTSSHLTRPKKVLIEASAFLFSFGKALASGAGGPTATVEVVKKLVGGGGVGDKGDVSSGVL
KRLVCSLTNCLACSSLSGKVLKSVKMSTMEKKEKMLAGVLCVGIPRRSRCFTWTRQTPTSLLLKRWTMLLLKAESVIDEGNIFSSCWNMGGGGNARE
GSSRSKKVSRSFSYLPVTLPEEHDECLWVEQPLENAAISTTEKKEKLEAHRFADWLSWRKKHLRNKHMLRLIPPEFEKYTR

>RCO7_09088 | uncharacterized protein
MVTIGEHTRTPRAASSWGVSVSPVHLSLCISPWIASNLSGSFTCSSHIDNSANSVVDEGNISLAKPISDPGDQFFGTGSADMCQKGSKKMGGNACCQ
GVKSVKYMSAGKYCGVYKEVVGIDQYKQQEAKAIQWWTRSVRRRAQLSVHLEVPVVA

>RCO7_09089 | related to oxysterol-binding protein
MSEAGDNHKRNKSSALSLLRHKKDTKDTKDDENSEDGSSNMPMKSPSTTSLTHHSSQRHQAQKQSTGTTGLMRTASSVQMHRAIPPPANQPQEKIVS
IESSVRKFRIFEALRSGDTAAIAKAIRESDGTRKSTSSLTGGSAALEDTTILHLAIQCAEVPVVEYVLSDGAGTIDINARDKEGNTALHLAASQGRG
NIVRLLLDQPGINDSVANYQGKLPLDMARTPDIFQQLQLSRSIFADGKIRQVQALVAQGDYKRLGEVLEEPRVKTVLDINGGEFASDIGIVQAGGTL
LHEAAKKKNMELIQVLLLHGADPFRRDRKGKLPQDVTKDDNTRAMLKRSPAAVAAQRGIQEKAVLGSSPQPGGSGSSPGDTLAGKDGREMKGYLKKW
TNYRKGYQLRWFVLEDGVMSYYKHQDDSGSACRGAINMKIARLNMDPTEKTKFDIIGKSSVKYNLKANHEVEAKRWFWALNNSIQWTKDQAKEEEKQ

NQRSAELLRQAKAEHSGSSGKETLNEPNETLGAIDIRRNSTQTNRLLPQTSASKLAGHRVTFTGGTSVADDDEVTNYGSYEPSYMGDMGKVPSNTGP
SGDDGYDEDEYGDGSSDREAPASKDAFEITAQSAKMQLEMLGQVNAAFQAEQVRNPNLLLSDPVAMQASQAYDSSIRTLSGLLGSLLKISKDRDAYW
QYRLDREADMRRMWEESMAQVAREQEVLEARVGESEEKRKLTKRALREVIESGGSVAITSRPASRGEPLKGEEAAEALDEVPLDEEGKALRRPSTAN
SSLRHKSILEAVGPLSDSEEEADDEFFDAVDAGEVEVAPMLPLPPPNPPVHDESEKGEAITADAIDLSSSFKGYENGIRKRLKLDADDRPKISLWGI
LKSMIGKDMTKITLPVSFNEPTSMLQRSAEDMEYADLLDMAAARMDSTERMVYVAAFGASIYSSTIGRVAKPFNPLLGETFEYVRPDKNYRYLIEQV
SHHPPVGAIWAESPKWTYWGEAGALSKFYGKSFDVQHLGTWFLKLRAADGTEDFYSWRKVTTSVTGIITGSPTVDNYGPMEIKNWTTGDTCLVDFKA
RGWKASSAYHITGRVNDAKGQTRFSLGGRWNNKIYARFTPGYEATVEEPKSGGHHRSSASDPNQAFTVWEVHPRPGGPFNLTSFGVTLNDINEQLRP
WLPPTDTRLRPDQRAMEDGEYDLAAEEKTRVEEKQRATRRKREQTGEEYKPRWFEKSKCPITGEDFWQFSGEYWKERENAGKGEAWRMVEEIF
>RCO7_09090 | related to F1F0-ATPase complex assembly protein (ATP12 protein)
MKRITQSHLPSLYRHPRPLVSLSRTLHTSPPTPATVQPLTASGPPPKVPVPSAEHVDSRVARRRKQADLLKRGLDMRAIAKGSGGGSAKTKRFWREV
HVVHAEDGLQIHLDTRPLRRPSKQILTIPPSKPHLATAIALEWDLLTNAQQAFQHHLIPLTSLVSRALDIADEDALPSSAETVSGHGPIRTGIADTL
MRYLDTDSLLCWAEEAQPDPPGYEVHESRKAEGLRSIQKRTAVPIISFLTERVWPGVEIVEVLDEGSIFPKSQPKMTRDVIMGWVMGLPAFELAGLE
RGVLAGKGLLGAARLVVEWSEEMGELRREGERAFGVEEAAVAASLEVDWQTRMWGQVEDTHDVEREDVRRQLGSVVLLVSGEKA
>RCO7_09091 | uncharacterized protein
MYTGRQNFDNVAWDKNDDAEEESQMRLRRKDTCRQVESLVEQKCGKTATLVSPLVIGGLNIHYRIHLEGEDSSSDVMVRLPWPSAACFPSEKVVYEA
ATAEYLRLNTHILNSQVLYYGRNSNVGPFLILRRIEHRGDMTDALAVPGLDPNLTPVLNLELPESKLRSLWGSIASCLLEIVKPTFPLIGSLIEVDG
SFSIAARPLTQNMSSMTQLAYIPPSILPPEHETYATADEWYVALANMHLAQLIFQHNDLVSSEDDCRNKYVARQLFRRLAKQGRLSTFGFVQDDWSA
YVKTMHPKCPAPDKSGPFRLWCDDFRPANVLLGPDDDVAAVIDWEFTYAAPMQFSLDPPWWLLFETPEMWPSGIEEWSRAYEPQLKIWLEAMEEEEK
GAEFLHALPLSVYMQESWKMGRFWLNYAARKSWAFDAVFWTYLDERFFGERDKEVLDKDLWKTRLHLLREEERQTMEPFVQQKMEESQERNLVEWDP
ADAKHRLSGLLFD
>RCO7_09092 | uncharacterized protein
MKWNSAATSTTKGAEMACPVDFAVAVGSRFARFAKLPVELQMMVWELAIEKLPARVVVVTTRFRERHMQCSSRTPLAGLLRACKAARKMALKLYSAK
IELENRTIRLDGDKDILLLVYPEGGLTRVGALGTAHNAQQEMASFYDFLYLQAHDDRFREDPKFVVKGVKRLAICERDDVLLEKAAIDQLGGRKDRF
LFKAFPDLQECFEVRDSRVPLEETMQLLQYTDQDVLLRPRWIRIQNSSIPKVLKEDDVTFWKAEVLRPYVSPWFPLGLPPF
>RCO7_09093 | probable NADH2 dehydrogenase (ubiquinone) 10.5K chain
MSAKYAFSQTLKEVRFLFCQTGEHSGATRSFLARAYPTMKKNNPHTPIMLREAAEFGQEKSESLAGLSDKEIEEKVTGLVKTGI
>RCO7_09094 | related to FMP43 Found in Mitochondrial Proteome
MSAPSTLMRAARPAFRSQFFNSQTTGAFRASRNSKFGGYGRTGKRWQSTAAPEAAAQSWFRRMWDSPIGLKTVHFWAPVMKWSIVLAGISDMYKPVE
NLSLTQNAALTATGLIWTRWCLIIKPRNILLATVNFFLGMVGIIQVGRITMHNYSKGKSAGDQIEEAKESVKDTAAGLKEDVKETAIGLKQEAKKVV
KS
>RCO7_09095 | probable Assembly factor cbp4
MPPKPKPTNWAMWGKMLAAGGICCIGGPALVIWVSPTEEELFLKYNPELQKRSLENRVQKQEDFDHFAMKLREYSKSDRPIWVAAEQDERKNRDGKI
AEQAKLVEEMRKRKEEMRNDGIKPVPGGSL
>RCO7_09096 | related to protoplast regeneration and killer toxin resistance protein
MAYDQRQYQPPQRPYNGRAAQRPGPPQGYSQPPAPAQQYAPQQYDQYQQDGYGYDDYNNEYAQDGGYQDMNGGRGNGYPPQQEHYRNGRGGGMQPPR
GGARGPPPMQRPPTADPARGQMQRPPTSDGVRGGYDPRGGQGRGYPNGGPVGRGGGQRPPMDRSGNSDPGLRGPPGQGMPVRKPLKTPPMSPEETAW
DNPFPSFPGAKKKTSVSEERDILQKMQAMDMGNPQPQGRPRGNGSQGSQRGAPIDDYGRSSLDNQRRPPPNEYGRTSADSSRSGQGRGYPPPGPPQQ
GYPQDRRGAPAPNPGYGAPRQNGYGEPGFNDGYGPTSPVRDYGGPSRSMTMPNEAPAPMGRQGPMPMNGSGPNAPYNGPAGRGVPRPSTAGSNRPPP
QRMYPDQASSVDPHANGGSNQAYDKQGRESVSDFYDSYFDETPSSEMSHFDVAPGPGNHRRGTSIDGHIQNPMPQRAFQQGKPMQLPPDGRHRAQSQ
AAVFEMAGDAPAIPSNGYPQGHFDDGYGHGYNQPPQPRYGGYDNPVQQNGFTPPPRSQSAAPGPGRGGPPRPMGGPPLGPRPGFDGFPVGPAPGGMV
RTQTMPTDGLPSHPPPVRAGLMPNSVANQANNKPPPVRNYNNNSPAQQAPPPQSNGPPPTGAPGDAPPVTMAELEQLRVTIKNNPADQKAAMLLVRR
LVEASDILTPLIPDQRLRNKARDKYIMDAHKLLKKLVTQQNPEAMFYLADCYGRGALGLETDNKEAFTLYQSAAKAGHAAAAYRTAVCCELGNEEGG
GTRKDPLKAIQWYKRAAMLGDTPAMYKMGMIQLKGLLGQPKNPREAVGWLKRAAERADAENPHALHELGLLYEAPQTMDNSVVRDEAYSFSLFQQSA
DLGYKFSQFRLGAAYEYGLFNCPIDPRLSITWYSKAAAQEEHQSELALSGWYLTGSEGVLQQSDTEAYLWARKAAMAGLAKAEYAMGYFTEVGIGSP
ANLEDAKRWYWRAAAQNFPKARERLEDLKRGGGKAGMKARERISRSKVGKHNEGECSVM
>RCO7_09097 | related to purine-cytosine permease
MSNIQPTSEERTDSLDLEKNTKPKIVNANDSDLPVTFKQKITCWSKLMSMGIEERGIVPVPVEERTSDRFVDIFSIWFTMSVTPLAIVTGILGTFIF
GLSLRDASLITIFFGIICTAPVAYLSTLGPKTGMRQLIQARYSFGLYGSSLLVLLNLATITGFVIISSVIGGTTLAAINPDSISTPASIAILSIIAL
FISFCGMKVLHQYERYAWFPAVVAMIIATGCGGKTLMQQAKKEEASTAMIFSYAGVIAGYLIPWAALASDFGIYIRPDAPSKRIFAYTYFGLLIPTV
LLIILGAAIGGAIPNNAEWDAGYTAYSVGGVLVAMLSSAGGFGKFVAVILAFSVLGNMSASIYSISLNYQILHPLFQRVPRPLFAILTVAVTIPVSI
AAASSFFAALENFIYLIAYWSASFVGIVIIEHVVFRKRDSKNYKHSIYDSRKDLPTGLAALGAAVLTFGLVIPCMSQVWWTGPVAKVTGDIGFEVAL
VLSAVLYVPLRKAEIRIRGRL
>RCO7_09098 | uncharacterized protein
MSSARKPILISGAGLSSLLLGQALLQAKIPFQIYERDASISFRAQGYRLRLSKEGLNAIESVLGPEKWKVFWDTCGKTGGGGFVHLDGTTGEIVSDE
PIPEKQEEGNGKARIEKESLVSRDGRIVGISRGDMRKIFMSDCEPFVKWSHKITGYETTPTGVIAIFADGSRSEEGEMLIGGDGIYSKVARQVSKGA
LKVYDTGARGIHGEAPTSAFKGLGEGVWRMTDNSSPRGKVFCITNVRSGDMDNPDLNFGWTLGGEPGVVDAPNDSYSIIGETAANIAKDLTKNWHPR
LKPLFDQMISHEAAFWKITCSTPTGVPEWENEPRVTVIGDAAHSMTPAGGIGANTAVQDSALLGRLLDEAGGFKEGITKAYEREMRVYASAAVHKSY
TMATQAFGVHIDENSKTV
>RCO7_09099 | related to phospholipid-translocating ATPase
MSSTADCKAISLDCPVEATIYGYYPNLGGNIIMVAIFGICALAQIFLGIKYRLRAFPIVVSLGCLGETVGYVGRVLMHSNPWDSGPFIIQILLLIVS
PSLLAAGLYLTLKHLVIHYGPQYSRLTPKLYTWIFVTCDAIGFLTQCIGGGIQASADNTDKKMLDMGNNIMVAGVTFQAVVMVVCAGLAIDFAFSLY
RHRGERKEIVREPSKRGPRAFQFYMSSFIIAFLAILTRCIYRIPEMAGGWKNHLMRDEIGFMILDGAMIAIACILMTVAFPGIYFPGMAGQSKAKKE
KKNTNGDEPSSDELSVLKPAGYSNI
>RCO7_09100 | uncharacterized protein

MPSRRAHKKSRLGCLECKKRKVKCTEVRPSCSYCIRSNCLCVYPDPTTKAVVPKTPPDSTSGLSPQTLQSSEEAVDTFDMLDLTLMHHFTAVTALCL
FSGEQQTFVWQTDIHLKARTNPILMHGILSVAAIHLAFLEPSNALRYRVRAFHHHDIGIRLFNQQLSDITSTSAHILFHFAIMVVVWAYASPIIAED
ELMLDDIFSQLELARGCKTIFMLHWDSIRHTLIGSITSLTPRPTPYEVLLPPAASRAFEHLRVKVTDPIYEPVIVRLEHMFMKAYGEPDDVRTAFAW
PCLIDEEVWSRFRAHETAALFLLAHYAMLLERNEGSWWWISGWSRRILSAVERVLSVSDKEALGWDIFLVHVEENRREFLGASAAGV

>RCO7_09101 | uncharacterized protein

MESLMTPNTELFYAFVNLEDTPVPCDVPEEDVFARAFRQATVAKPQSKENGFGQYSEQHSAQNSPQDVVFDDFLTKDFDGQGDTSPSSVSSSSTKRF
RTPKYNTTFATQQADRGNQQNFPKIVPAKEIIYQAPQQIIDANQNETSALSQPFSAPATNSTSHPPPNAFHDQPKQPRRRNTKRKLRTEEEEASRRT
AFLERNRQAAQKCRSRKKRQTNTLEDDLAVQEEINARLKGQAEELIAELRHLKEVYMQCEQECQHAKVGGEAEKKIEQGDARVCVKKGDEKCAGEEV
RESTVSQEPQKELVEAMDVS

>RCO7_09102 | uncharacterized protein

MSTPSCSSKIYTNPRTAIYTSTLSPSLLSNTILDFHTSLPIYTGPSPLIPLPKLSSSTHIKTLYLKDESQRLTLPSFQPLGLSWAIHNGILAELSES
LPSPLSPETSLQDLATRAKEAQIKVIAASDGSLGPSVARLSKVFGVEGINTRIFIPGDAREEVGEEVRREGAEAIIVDGDIEDAVREAWLHSVATDG
VMVGMEDEENYEDIPRWIVEGYSTIFKELDTQLDGRIPDWVVVPVGSGGLAQAAVTHYKAPRLAESKKTTRILTVEPSAAAALYTSLQRGEITTVDV
RETIFKEMGNGYVAQAAWDILKDGLDGSVVVEDEDVTRAKASLRGDGVEAGLCTAAVLAGFQNFLTDEERRKELALDEDSIVILIGTESLVET

>RCO7_09103 | probable peroxisomal membrane protein

MSADLKLGDSLPIGTTFSYVPYTPENGDITSCGIPVTYDASKEWADKKVVVFSVPGAFTPGCSAKHLPGYIENLSALKGKGVDIVATIAYNDAFVMS
AWGKANGIKNDDILFLSDVDATFSKKLGWTMGERTARYALVIDHGKIVYAEKEPGREVSVSSAEAVLAKL

>RCO7_09104 | uncharacterized protein

MSSSTASSSASTTRPPLPPFTAATAHIKVKAAQDLWNTKDPSLVKNGYTADSVWRNRDVFLQGTDEIVKFLTQKWSVENGYLLRKELFAFTDDKIAV
QFWYEWHDKSNQWWRTYGLEDWTFSADGRMKKRQMSGNDVKIDEGERWFKDGVDVNSVNISEKH

>RCO7_09105 | uncharacterized protein

MELQERSQASKRHTRQISALDTNLEPYDKISMLNTLKNVFMLREPGYIPSPAALKDFQDEMKRRLKLKSGEGDGTGRTENRYRMISIHPSCIPEDIS
FDRMMAGATFPPINMAGFKAFLTNIDYNVENMDFLLYVQHYAKLFQAVAEEERSALSPEWTRRDEELAKRAIININSTDKESHVATVSVPQAQLSLP
TPPSCSDGETSMPETESKEQHSTPPATSKEDKHLSIGKSFRSFSPPATAEETKHLSIGKSFRSFSDADIDAIAPFAKVESNIMPVIDDTDPDAEQIG
AELPVSVMNLWKESERIAKAFILTDGPKQLNLSSRERELVLYAIANNNHPSSFAVALRAADNVLRNDSYPKFLQLATPNMNRIRQKFAYCMGYVCIT
LGLVYAASMCLTSARREWRLFAVPLIVIGVATLSAARHGMCLVLHSFGHYQVKPWEVYDPEQAERAHANPEVFLGGKYNSESKDWVQRYNRRYAMRK
IFDKEAPVEDPRIRDAQNIIFGQGLFIGFMASLIAMGIFVSLPPTNFI

>RCO7_09106 | uncharacterized protein

MADNQQATIPTSPTHNAEDTPHPPKQQHVLQLGPAPVNTAPWRYFFAFSLLALIDLAFNVSAGAAAAHLGAKLNHVSPTPKILQIGAQTGAIKSAIT
TFRDVVLMTKVNLVLRMLMLLLFSSFGICLVVVAQVCNQVLHDTPKEYLIAALVASIPLIFESVRTLIPQPERKDDGSEDLEPYVRPILSICLIGTD
ALGAYVFARMCSNQGRPISNYHAAASAGALFGTLTFLARLITGIVAFRYRPASGRASTIFGKYEMIYPEPIIMTEEEWEAKNRLQDGAFDWLENGPK
PMLRLAARLLWFVPMNRQRNRKWRENLRRRAEKGRKSETAMDIREMMSYARSEDGIEMRNRSQALV

>RCO7_09107 | uncharacterized protein

MNTTCEIEANSDVTGTGIRASIYTLCLASGILKTIIKHYTSPSSYSDFTRSLDSALQLQGLALLFTAIYQTFRQQLTLFHAICVLHILSLLGFGLTS
KGEYGTKGRIRRIVLLVSQYLIAGAFLAFAAYIWITAPTFGSQPLCNASTIYVVFGVSINATEAVFRYVFLGLMSATIIGAAIAMTCFGTIAACLCG
VHRRDRTISSQDIASAGNVLARVQFLQGNGKSANLQAEVIAVGIRTGVNLYAIVTLEQTIGRNHVGKEERDWSFGQVLAIFMLVGVAVEVVSIFLAR
MDEKRKLAKGGDAEMAGQLKTNNQAGIDETEMLHPMAGGR

>RCO7_09108 | uncharacterized protein

MSPKTIPETAPKNSTPLSEACKAINKQKTNAATKTTTPASHAPLSPLSQTSAPLNPPPPPQKSRTRHRKPKRLLRSRSPSPPSPSTISTYRHGESAG
RELESGARFSYTEKEGQRFNAWDNRPRERDLLLGGESAVGLERTGNGDWEKGRDGREKVSVVDSYANIVMAMDRNVISEGEGKESGRRDKGWGEGEV
GGGREEERAVDGKEDEGEGNLVVDGKDDGEDDIELKRKRRRTRTRAERREVLRLRWAREFKEVKEETEGREDGTDEVKGNDDGNVETGL

>RCO7_09109 | related to translation elongation factor eEF3

MISKAAGPAPTQAEVDGVLDSIFTAATSDASVSAAYALCDLFLNSVGFRGMTQYGVLAAIKKAATDKKSVAKRECAQNLLGALFERLPPQQRISEVV
LMIQDGGMVACALDALADKSSVVRESAQYGLDELFKNLSPEALVVGLLPALSTYLSKATGKWQGSVGGYKLLQKMADKAKLEVGSSKEEANDKDILR
ESMGTKLGGLIPIVEAGMHDLKAEVEKQAVATMTSLTTLLSNDDVAPRIPLIIATMQNPSTETLQKAIHALSQTTFVAIVTAPVLALLTPMLERSLN
TPSTAQEVLRQTVVVVENLTKLVHDPIEARTFLPKLSPGVKSVKDRASLPEVRDLATRALAVIHKAMGDDDGSANSVVIERTSAEDVAKVVEAEIKK
AGGLGDLDSFKIVRTYIGAMVAEDVNHREVKRVAAVVAPYIAHIMKEDGAAEKVGNAVQEYYIAEDERKFGKVVREDDGEIEIVNADFSLAYGGMLL
LSHTNLRLLKGHRYGLCGRNGAGKSTLMRSIATGKLEGFPPQDVLRTCFVEHNQGEDADISILQFVAKDPAVADQGLERISEVLTEVGFTPGPEGRQ
SEKVGSLSGGWKMKLALARAMLMRADVLLLDEPTNHLDVANVKWLQNYLKAHTEITSLIVSHDSGFLDEVCTDIYHYEPGKKLACYKGNLAAFVEQK
PEAKSYYTLSASNAQFKFPPPGILTGVKSNTRSILRMTNCSYTYPGASKPSLHEVSCQLSLSSRTAIIGGNGAGKSTLIKMLTGETVPTTGRVEKHP
NLRIGYIKQHALEHVEMHLEKTPNQYLQWRYANGDDREVHMKQTRVLSDEDKAQMAKLVNLGDGFGGGRQIEAIMGRQKWKKSYQYEVKWLNMLPKN
NTQISRETLIELGFDKLIQEFDDHEASREGLGFRELSPKVISKHFQDLGLDPEIADHNEIGGLSGGQKVKVVLAGAMWNNPHLLVLDEPTNFLDRDS
LGGLAVAIRDYKGGVIMISHNEEFVGALCPEQWHVADGRVTHKGNLAVAADRFEDSSRPGSAFNSSVASSAMSSAVSSAAASAANSGAEDNGDMSFR
AKKKKKMTKKELKEREVRKRLRHIEWLNSPKGTPHPVDTDDES

>RCO7_09110 | uncharacterized protein

MNIPVAGGDEAGEQQVSDNDVTRMSMINANWWTVGDENALPSPTLPPSRRSSTLSTLTDWPSGSETDPLEDVDIEHLTAPEAAYLARNGLIDPDEYA
VEHLEVALLGPVNVEGFEHQSVDGVSAPFIVVSLN

>RCO7_07706 | related to NAD dependent epimerase/dehydratase family protein

MSSMKLLLTGASGYVGGTVLSRLRTSLATELKQITISVLVRRPEHVEAYLAKDIQPVLFNDLEDIEFLRQVAADYDYVIHTADSTNSMAVEALIQGL
ADRAKRTGRTADFFHLSGTSSLGDQPVTKRLCEGREFSDDEDVYGYMQYREGINSYSQRVTDIKTIQIGVQVGVRTYIIKAPRIFGRGAGFFNQKSA
HIPWLMSGALAAGQAEYIGDGAAVWDDVHVGDLADLFEMLLVKVLRAEGIPSGTQGIYFAAALRHSWMRLAENIATAGVTLGYLASSNLKQLSLQEA
AQKYTRGDVLTAEVGLASNSRTIATRALKMGWRPKATEVDFQRSILEDFKLVYDLENVSVQGI

>RCO7_07705 | related to NmrA-like family protein

MATVIVFGPTGNNGSVAAQTAHQHGAKVWLAMRDPEKAIPGLTPEAEKAGNYSRVQADLSKPDTVAAAVKTSGATRAFIYVAQGTKDHMKATAEALK

ASGIEFVVLLSSYTVGDTPPAEVQPSEIIPYAHARLEVTLDEVFGPDGYVAVRPGAFATNLLRQKAGIIAGDVKMYGAGFKIDCITPTDMGAVIGTI
LAKGPQDGQRKVFLYGPQILSQKQALEIICDVLGKEIKISSVDADAALADYLSKGAPKPMAEFFIRALGDTDPALEDASWLVNFKEGQDNIVKYTGR
PATTFREWVEANKKLFT

>RCO7_07704 | related to benzoate 4-monooxygenase cytochrome P450

MFEAALVFLSLAVASSIYYRLRIHPLAHVPGPPFAAISSLFLYAICCVGIEGTVIRRYHEKYKSKVIRIGPNAISVANSDAVRDIYVAGGGFLKDDR
YKNFNLGPVVSIFSSIDTAYRDVRAKAVAPLFSPARLREESSSQGSIGRHVADFLSQLCAFRQARVKTDILDLCAKLSIDVVSDYVLGQPYGGLAEH
AHLALAERQKPNAKLSANGFIHAIVGFSRFSLLPNHLFKLVYSVSQRLGASEEVGKSFGRIQEFMDRVMNGTKEGKTTEYYQDRLLAAGISFSETTL
QGKAILFAGGDSTAVILSTILFHLTRNKEARTRLLHDIRATTPKADDSKQKPDIPFLRACIKEGLRLGMANPTRLTRVVPPGKTLTVDGISIPTGAV
VGCAAYVLHHDPTVFPDPFAFRPERWMDDERNRGLYRQNMDRSLIAFGAGLRACLGKNLAMQQILETVEAVVESEVLEGARTSQEQIEVIQWFNGDI
KGHQIDIEW

>RCO7_07703 | uncharacterized protein

MAATLSTLLSPIMGGQLANLANTYPERFGNNSFLKKFPYEPPALVNASMLFMTFLAIFFFLEETHPQKKSGRDIGLVISRKLVSCFKRRQEGSSYKS
LDDEDSTEMEDVPFIKSEDADVEDSDNSGDEYDERKEGKKENRSISPIPQKNTAPPILPLRRIFTQRFVLMLMVSAIHDCHIGAYTILWTNFLSDPP
AKGTHDSLPFRFSGGPGMTPSEIGLTLSIIGVCGLPIQFLVYPKVIHKLGALRAWRLFMRGLPIIYSVAPFVALVSKLTKSNTSEHGQPPAVWLLIA
VIQVTLIFCAVFVTPTAIMLVRLACPHPSALARTNSISYVASGAFRATGASIGALIYSYGTSHSMTGLAFWVAAAVAVCVCCLAMACKEGDGHEIWL
DGDEE

>RCO7_07702 | uncharacterized protein

MPYETRPDQPPPQQDETCNYYETSSKFCLNMFPFEKFLSRRTSDPDGAAYESVALRADENGEPTPENALRMELAKVQKKLKFFRTAFYLAHVFQALF
FFYFMFGKSDSSHPVTKYRDLEWSGLLGEDWNGLIPNGIGYPLKPIFWGEDHPYYMPENMFDDFDKSMAKISHWKYMHNSSSIFIGKDKPRVKRIKP
DGGVEELPPFWPWEPLEDGRELYAIRGFHQMHCIFVLSEEFTYHYADTNDSLWPAGHVAHCINTLRDAIMCMADAQPLSYVNGYKNGHATDGQAMMC
RDWEELHKFVTAPERGLRIKNVAPPGSKMEKMAPIVPYPDLTEEELRGVA

>RCO7_07701 | uncharacterized protein

MGSIAVETTQFEGGIVEQSKLPTSFVEIDQSKLDDDALYWWRTSGLDLARMMEEAEFPGKTKNQFLTFYSSVICPLLKGKPVRGSMPTAVGWDGNPF
EYSWEFKGSTKKSSVRFVLDLSEVRPPNKSSPMSVDTVEEVLKILKHKSPLYDEHWHRALERWLVYSNASTEKQELLISKAGHRTPTILGFDINPKI
TEKAPDLLPVMIKSYFPPCFVAADRGFTRFQALSLGVRQLPDIGSHPNILLGLKMIEDFMADHPQYESQGRGLSTDFVPAGQARLKVYLRYVGDDFE
EMWDFYTLGGRIPIPDLDADKEKLRDIIQLSHGLHYPAHKIREESEADKKRRAILGTKPSSLYFSLTPDRPYPIPKLYFYPGFQAPNDEAVAQGLDQ
WLEKYGWADGGATVEDRTRRTFTYRGLDEKPGIFTFIGIGRKEGLDDRALSLQVYVTPELYENPRF

>RCO7_07700 | uncharacterized protein

MPTTLPAPSKPLTDGLDFSSHVYLPDEESIEVFNRDSAERFSGIQSLARLSLCRGSQKAAPIFIDARETEVKLLDEAPKDAEPDVIANIAPHYVLDA
ITGRLLTQNMFGKHSVPPCPGAFASCFAPLGLPGPMTPASELDHDSLPKPTEDPEQIKRDMKKWGYGLLANAITPEQVAILRKAVLEQGAGERKNGV
AHMQGPNQRIWNLPNKGGEFLDMFNHPLLETFVPWFLGEGFQIYNMSANIALRGEEAIHMHRDQSSMPPDQIRHSYMMNAIWYLTDLTPEKGATLVY
PGSHVQNVAPLGHMGDKGGSIPACAPAGTILLLDSRAWHSTGQNQTDEPRPLVVMTFVRYYIQKMENYPLLLEERVKAKLSDRQKVILGFPIEGAHG
SGYNAYKRLGEESGEIRAEVDGTNLAPKV

>RCO7_07699 | related to choline dehydrogenase

MHFSLLPSHSVLLSTLLLLLQSGTHVVLADTSLRTFDYVIVGGGTAGLVLASRLTEDANIKVAVIEAGTRPEVAVGNLSQVPGDAGALYVAAESLNI
DWGFKVTPQKALANRAPSYTRGKALGGSSVLNFMSYGFASKGSHQKWADDVADQSYTYESMLQYYHKAMKFTAPKAGARSANATPSIAAANVATSGL
LPVTFGAYVQSWSTWVALGLKAIGIPQVPAFVDGNNLGWSWHLYTIKSPEATRATSETAYLDPVLSRPNLAVFDNTFVQRIIFDDNKTATGVTVKST
NKNDGSFTISAVKEVILSAGVFQSPHLLQVSGVGPKAVLARYNINLIADRPGVGQNMQDQNSIPVMYKVALTTNTRLSTDPAYAAEVLQEYKVNRTG
PMSASGGDLFGQEKIPNEFRTGFSADTKAYLASLPTDWPEIGYVVFPNGAGVPQDGSNFAIMQALLQAPRSRGSVTIQSADMAVAPIIDPNWLGSQT
DVEVLIAGLKRVRQALKSSAMAPIMIGDELLPGPTVQTDAQLAAYVAQRASTLYHAAATNKMGKTTDPDAVVDNRGRVIGVNRLRVIDGSSLPFLLP
GPSPQTQVYVLAEKLADDIKRTVY

>RCO7_07698 | uncharacterized protein

MSTSTSSKLPPPLANINIPESSSTVDLLTYRNTTVHLNPELFWRPKVDGFTGLHAPIYCFLVSNKRTGENVLFDLGTRPDWRNYAPKTVSLISATTI
VTPGTDVSTMLDEAVERGQSNVRSNDISAVIWSHNHFDHIGDVTRFPRTTALVIGPNVRDATWPGWPTRADAMVLDADIEGREAREIAFDSGLKVGR
FDAFDYFGDGSFYLLDGPGHAIGHLCALARTTGAHEDGGSSFIFMGADACHHVGVLRPSAYHALPSSEKLQHLLGENSGLCPGLLLDSCLSSKSDPF
FTVAAPSPLFPDKDASFDTVSKIQELDGLESVFVVMAHDSSIRETIPLFPKKINSWKMSGVKGDTRWAFCRDLHNPQT

>RCO7_07697 | uncharacterized protein

MAVSSVLHDNWGKLSFGLLGLYILSFVYKFIKHRRLYSKLPTPPHSMLWGNLKTMTEAKKRYPADAHPQIMFTEMAFENKLKGLFYVDLYPFAEPML
FMTDPAVSLQTQTTTNFVRHPLVKASLGPIVGSNSVFSSEGAEWARQRKWFTPAFSMSHMLSLIPSMIEETMVFCDKLTQNAASGTVFSMNDATTKL
AIDFIGRTVGDIRLKSQTGHSSVLSSFSSATSWTASFSSPLWKRILSKIMMRYHTRNLDNELRNVIREKYRQKKDDGIDKSILDLALKGYRKEHGST
VRAHQDERFLDMALNNAKTFFLAGHDTTASLMTYMFYYLSINPDFLARVRQEHDSVFGTSLEATVNSLGKNPSLVNQLSLTSALIKEVLRLHPAGFT
IRKGTPGATLEYDGRKYPADTQIVCNLAAAMHYDSHTWQRPHEFDPDRFLQPETHSMDSWQIFGKGLRSCIGQQLVTIEARVLAAMTVRFFTFEAVF
KEHGLNIPGFGGRAYQQVILSAKPKVRWASNASLRER

>RCO7_07696 | related to O-methyltransferase

MTLPTNGQGSEELLKTLKGINAESFGNDADRSRAIVEVYALLSRLETPWESIARLCMGQPALGAALKIGKDLQLYEKWHERGDEAMTSEQLAKIVPC
DLSLLVRLLRHLAANHMLEEVSIGVFKPTKFTLALLQPAFGEWINHLYDATIPCFFKLPEYLAETGYKNPVDPNNGVFQYTKGWKGDMFHYYEAHPR
EGESFNHVMGGVMANQAGWLEIFPHETLLNTDADVPLLVDVGGNIGHDIERFRQAHPETAARLYLQDRPEVVKLAKCPESVNRVGYDFFTPQPIKGA
RAYYLHGVLHDWSDEPALKILQMQKDAMKPGYSRLLIHDHIAPESLAHPHTTAYDLTMMVMVAGEERTEAHWRELLRTAGYRVVKIWSSPLTVQGII
EAELAN

>RCO7_07695 | related to pisatin demethylase / cytochrome P450 monooxygenase

MSSSFHLTQFLDSPNLSPNLLSFSISLATFATVYGVYYGLFHPLHKFPGPFLAKFCDLWRFRSAATGTSHLKAIELHQKYGPIVRIGPTTLSFAAPS
YIPKIYGPGRGFHKSAFYNPFQGKVQNTIGYNLFTSRDHQFHVSIKQPVAAAYGRANMIEYEPIVDSCIVKFVQRLIEEFDTKERVPCDLGSWFQYF
AFDAIAEMTMGQSLGFLDQGIDVNNMIHTLDARLDRIAPRSQMPWVDWLFEKNPLVSLFKPKSSGFFIFASRLVKERADELKILEKEGKRSGASLFI
DRFLEAKKKYPDTVDDRTVGIYTTSNIMAGSDTIAIVLRTIVYMVLRHPDVQKKLLEELDSSELSSPVTWEESQKLPYTAAVVQEALRIHPPVGFGI

ERDVPPSGLLLDDGTIIPQGVQVSMNAWVLHQDPIFEADPTAFKPERWLKRDDESESDHKERIAAMERAWLPFGYGSRACMGKHISYLEMNKLVPTM
FRELEFELCGGVDKEWKTRNSWFVRQWDMDCYIKKR
>RCO7_07694 | uncharacterized protein
MARTRRNWTLAEDELLRTAVKNASAQNRPLLWRELAKSVPGRSNKDCRRRWWNSLADGPAKGPWSENEDERLIEAVQKHGTNWSQVSLAVGSRNSDQ
CLSHWNHVLDPDINHRDWTAKEDELLLRAVLSNGTNWTTIASMHPQKRTTLALKNRYSALRLRNENSKKVHNNTCGKMLKSPPATEGSPRTTRSQEQ
GSNQKTPDMGYWDFRRGANAEEEDENEYGWDDEDEGGEDDDEDYAPPDLSRIPDRRVEANRGVVAPPDTQLRDRFGPSPPPEPVINFGTGTSNDYGL
VCPDTSHHDLAHLCTGGWMHDTFYLTPCESTYFDHNSLGLPSEFNENSPMQSRGSMNMSEDIMDCGLVEYNPVPKPIAGLPACGDNTIETERGYSNS
PTSLSSFSKDGHHTQGPGHALPTYEVTVYVECTVSELEKLMAGLATTGTPYTVNMKPKKL
>RCO7_14065 | uncharacterized protein
MSLSTSLTGTPRTALSGRIPWTRLATTRWHSHWYDSAQPSDLRFYSHARQARSDFIHPRCARLRPVDQVPVFPRSLLDDLAAGQPSDSPLSNSYLSP
PNGALAGQKDLAMDKAQNNMDTSHVVPRHSNHFITRRMIDPLLRKYGRYVDYNGVLHEDSVVTCWKPFKLFLGVSEAANGSQGSGICSPRPLSQCSF
GGDDWLKSPLVDWLQGTIQKQDSINSDIRISRIDLKVSAMHTSPGSW
>RCO7_07693 | related to gibberellin cluster - GA14-synthase
MSRVFRIETESGPHVYLSHEFAQEIRDDERLSLSKYLVQELLVNIPGLEPFREGTVIDGVMQDAVRIRLTQTLGKLAEPLAEEADVAFQRIWGESPE
WREVVLKKTMVDLIAQLSTRVFLAEMCRNEEWLQLSANYASNAFRAITQLRVWPISLRPFVHWFMPSFKRVRADVKHSRQMIRPVLAARKVEKEQAI
KDGKQPRKYNDACEWMEEVAKGRPYDPSVVQLTFSFSAIHTTGDLITQLLIDLCTHPEYLEPLRQEIRSVVGKHGWTKTTIYNLALMDSFIKESQRL
KPPAMVTMNRTASADIQLSEGTKLPKGSRIAVSAVNMWDPKIYPDPSKFDGYRFLNMRKNSENGNAAHFVTIGPNHLAFGLGKHACPGRFFVGTEVK
VALCFLLLRYDMELSDAENSKPIINGRTMAANVFARIRIRRREEDVPLIPVGPF
>RCO7_14066 | uncharacterized protein
MTFSFVPILQASAGARELFSDYQVTFPVMNREKRNH
>RCO7_12015 | related to polyketide synthase
MPSTALQQEPRVALFGPQVLRWSRESLLSLQNTIQQESRLNFITTTLIQLPALWPALVQNCDISDIGFGGGEKLKELEDFAAGRSIPDPQKLTNIQL
APLTVISQIAEFIQLSSDPDSSKSLSSFVAAQGFCIGFLSAAAVSSSSNYAELERSVSNSVRLAACIGGLLDSQDASNPSSECATAISLRWNTPSDR
AYIDTCLDLFPDAYISCVTDDGTLTIGIPKSDQTSFCSRLDEMKISTIDIGLDGWFHHPRNADIAKSLKKFCSGNKELELPDALRLHLPLRSTADAA
IITTGPLHEIAIDLVLCKRAHWFQTVQQTVAHFQSKVKLTPMGSQPCIPRSLLPSKLNVKNGIPPHANVTELASGSEEIAVVGMACRFPEADSIEEF
WQLLASGKSCIGTIPTGRFDPGDVTREPKLGNYWGNFMSRPDVFDHRFFGFSGREAKSMDPQQRLALQVAYEALESSGYFALSEAEQETEIGCYMGV
GAVEYEENIASEDANAFSATGTLRAFISGRISHFFGWTGPSITLDTACSSSSVAIHTACKALLAGECSMALAGGVNVITGPNLYQNLSGASFLNANG
SSRAFDAGGNGYCRGEGAGMLILKPLSKALSDCDTILGVISGSAVNQGSNCSSITVPDSQSQSLLYKKALSIARIEPTEVTYVEAHGTGTPVGDPIE
YESVRSALTGPLRNQSLFLGSVKDNIGHLEAASGVAGVIKTLLMMQYRTIPKQANFTTLNPSIKALPEEQLEISTSTQQWIAQRHVALVNNYGAAGS
NAAIVLREHSNVSQNPRDAIERLQKLPSSTLYPVFLSSKSAGNLQSYINAMKLYLPSTQTSMKDIAYNIARRQNSSFEYRTAFTVKDKEDLISKFSR
LTTASIGAEVRTKKHPVIFCFGGQVGSTVTISKGLFDSCDVLRKHLTECNTACEELGLRSIFPDVFLGAPIDDLVTLHCMLLSLQVSFARSWLDCGL
QIDSLIGHSFGQLSTLCIAGSISLKDAMRLISGRARLIRDSWGSERGVMISVECERKEIEAVVTLVNSTADFRVDIACYNGPRSYVIAGNTSSMARV
EEECRHFKTTRLSNTHGYHSYLADGILQDYRKIAESVTIQPPRIPIETCSAEESWPQYTVEQLVQHTRQPVHFEDAVERIASRLPSAVWLEAGSASP
IIAMLRRILCKPGRLDTFIPVNLGDTDARENLANATCQLWKSGSNVQYWPFHRSSGNLYTNINLPPYQFEQTRHWIDYKSPSARSPAAAPNSGVTNQ
GLNLVSLIKQSDSKGDYLFLVDTSNVVFDLAGRGHAVASYGICPASMYVELAARCAIAIPNSDPGSETVPHVEAVTMSSPLGLGGDSQVFLRLRNTA
QNTWGFTLFSSPGLHVDVEDSGALEHASGRIDLVPVFNVDKSIQLLNKFAGISYADRISKSPLATGISGPMVYDLFSNVVDYADYYRGVRSLYALEN
EAVGFVTLPADRPFSRHPTVCDPIPMDNFLQVAGIHVNCLSPRKEDEIFMCTAVEEVIFSASFMRDKSNSREWTVYSRFELVSKSHITNDIFVYDAS
SQTLVVAIMGATFKGVSRKSLMRNLGRLNLPRSDSRNPNDNRNSQVINLPRSSSRSSSDGKSDQDSGYHTPEDTLPVEYQNKDLAKYDLSITQSSNE
TSSRSPHIEEPLQEPDTSNGLDQQLCQMFSDIMEIPLVEIEPTTSLVDIGIDSLLVTEVIAEIQKRFRFGFTQAQFMECTDVCSLGRRIQPHKNVES
SQGSSLTKTPSASSSQEIHDHDTAYQKPAGEGLAVVCQDRFAQVKDSYDQHARTTGFTGFCSEVFPLQSRLVVQYVVEAFDSLGCSLQALDCGDKIP
TFQYNPQHTKVVRQLHKILEEAGLIKKEGTDQFRRTATPISKVSASTLHSEILAKFPKHASETKLLHSTATRLADCLTGAADPIALLFGNAETRAVL
GDVYANAPMFKTGSLLLVQYLASALEHVIGDQEVRILELGAGTGGTTSPLVEQLAGLHGKTKFSYTFTDLSPSLVAAARRKFAKYPFMQYTVLNVEE
DPESRFLGAYDIILSTNCIHATKDLVQSTTNIRRMLRANGVLCLVELTRNLFWFDLVFGLLEGWWLSNDGREHALANEQTWKKSLQSAGFNWVDWSQ
SASMESNILKVITASPAQPAASGSSVASDDEIRDTRQTMVFKSVDGLDLLADIYYPTDAVDSLRKLPVALMIHGGGHIMLSRKDVRAEQTQMLLERG
FLPISVDYRLCPETTLLEGPMTDVVDALTWIRTVLPNVPLARRDVRVDGERVVSVGWSTGGHLAMTLAWTSISRGIRAPEAILAFYCPTDYEDVFWT
KPNMLVGARDTSTGSLSSDPNSNSNSIYDLDDTIWEAVNDHPITAYNIPPTKPSVGGWLAPTDPRSRLALYMNTHGRALHVLLNGLDKSTRSEPSSP
ASADIIAVSPLAHVRNGSYSTPTFIIHPREDDLIPWQQAQRTWEAMTGCGIDAELRIVEQVPHLFDLYREYRKNKALVGTVTEGYDFLSRYI
>RCO7_07691 | related to cytochrome P450 CYP4/CYP19/CYP26 subfamilies
MVSFSNPELIATVYPTREGFPKSDFYATLRPYTRGGGALQAVFNITDEKLHKKLKSPIAPIFSSASATSFEHLVDDTLQCLLKQLDTRFAVNREVLD
LGKWVQFFAFDVMGTMTFSKRYGFLDNGRDTGGMLGSIVAFMRNAAPFTQVPRLDWIMRKNLIADAILQFFNQRASLSILGFVGGAIKEKREELAKG
AAKVGDEASTRKDFLSRYIELQENNPEIPPWAPTAWTFSNVIAGSDSVGSLMRTIMFCLLSYPNTLDRLYNELLSANLSRPFPGYKEVRNLPYLDAC
VQEGARIHPPFALPFERVVPEGGVTILGHFLPAGTVIGGSPYVVNRHKPFFGEDAEFWRPERWLERDDAHKRKLEQGVLTYGAGRRVCLGKHIGILE
IKKLISFLVLNYDIRIVDREKFKVENSWFLFQTGLYAQIQKRSDPVVIIQS
>RCO7_07690 | related to 3-ketoacyl-acyl carrier protein reductase
MVRVYLSPVDKVNKPSLRYLQVQDFFVLGSGIPWTFAYILYARQANIDKSYGMPLIPLCANIAWEFIYGVIHPNSLGQVISFVPWLIADVPIVYWTL
KHGPSKWEQAPLVADNLGLILAVGIAMMLAMHLAFRRSCKNIEDGPFWSAWVCQLLISCGSVMHLMCRNETSGHSWGIW
>RCO7_07689 | uncharacterized protein
MSTLKTEDFKRGGVAYPPDWHFDADLPEDRTYVEKTFKVLKEYSGIPADKVEEHVFDIREKAWKVFPYPCIGSWRFLADYLVEFPEYPEILARIKAG
DIFLDAGCCFGQVLRHLMLDGAPAANLKGTDLYPKFIEQGYDLFKDEDKCGLEFITGDMLNHSDPSLDVLNGKMDIIHGTFLFHLFNRPDQIKLATR
LVKFFKPDAKNALIVGRHTGQAEPLDPFETWTLDKLDRFLHTPSTWQALWDEVGELTGTKWVTTAEVVFLKHLDIDDNYWAKRKEITGDPNPPKTLR
FCQYRYSVRKV
>RCO7_07688 | uncharacterized protein
MLREERDRHKQKGLCEYLVGLRNERNRILLKELLADEQPEEEDEDCNADAIEEPYSNYNFNESEEEDEDTHQEAEEENRRVGTEMENYSSLVQHLFG
KYSTAIWHTPDESV

>RCO7_07687 | uncharacterized protein
MQTFHLENFIYYAGDDFEKDKNIRIFLRCFGACFEIQYLSDNLSTSPSLLRQYEKSLHIVRASWDSTQTADKAIEEIKLLKTPFEALMTELAPVSYP
SVFTLWDFLYVPPLILEARADPEDTVIRPRLKGILPRQALVPPGEALYGGDWPQSIKSFTSRQISLVPTSTDSKYHPYLRGPAKVLVSDGTICHFKA
DSFKPGLVRRVIRGEGKPWIYQQIDTAIKAKLLCPDIRICRLVGVVIDKGCDVLSHYVRVSKEEIMKWYEKIDPEWVESEEIPDSERIVGILLTYID
NKGTLYQLAPSSNYSNEQRNRWAAELEDLVKELHAAGLVWGDAKPDNVLVDRMDRLWLIDFEGSYTEGWVDKDNMETQHGDLQAVKRTQGWLLKWSE
KTPGRVVRQVMAPT
>RCO7_07686 | uncharacterized protein
MSNEYMQHSQCQTCFVDYSINHESMQNIDTYRSEERLLVARLERCRLLLACIGYADDRIRDSEDDNPEPIARLQCPDLLCKRLEKYTTRSNLMFGVM
KCAPSVRKYLHELIDLLIHSNARVTEELNGLLSPLSQLKRPAQGKIGIGAQEIFNMRYANTSRQTLFSVAGSLASEGGLISLSEPLKVKAASNIDDP
FVEAVIRPTTYTFQPEKSTDMLANDSRWTSTESAPLMPSDEIQWLPRKRPLRCLRATLGGHPMSQRC
>RCO7_07685 | uncharacterized protein
MARHHKKRRQVRHLPTIITSNQQSTRPHSYLPVQAVRKLLRSLHRGRVNNEELGNLHITVSDISSPPLAITSATTSETMTAFFQSKEYQLEMRLLDL
VRFDKKPEKAKSCGAWISALLSCWTDDLARTAGRKARSLRDHRLHIATDSYTRGIRSTLTIVSNTDTLQRSRLSIIPRQYPIGKGFTNIELYALLAI
ALKGYHGKQTIEEITIFSTYSHWVQRITATIPSSYMRSVLEETQQLEGVVEIRLGPCVSFLEEAGQRQILQTIFECCNVEDTIPKVIVQPPSSSNDP
RKRKSITDDVEKERKRQKASDIADELLIHDE
>RCO7_07684 | uncharacterized protein
MSKSIPSRSRAAGASSHTRPAIKKAGLAWNITPPPDGSPPEDAHALDFTSRCLLEVHEQVNIVRQDLRNLQDRQRYGDDIATSPVSQVSLDGRLYDI
EERTGALEAQSKVDDELRELLIDTKDVLKDKIGTLGLALSDLDGKVENLGVELSDLHGKVDTLGVELSDLDVDRLVQLLTFYSIDFHNWYHTYPDTD
SDDDSTDLDHPQPEPSSIREAAKLRPKRAVMALFGHLGLPYHVLEDQTKREQVMFTERKRRKDDEALEMKGRKSKQQYVASGRGLGFGPNAES
>RCO7_07683 | uncharacterized protein
MGDARANLDNLAWDKNDEAWEITQKRLRRRDTCELAASLVWQKFGAKATFKPPLIIGGYNILYRVQVEGRASDVYVRLPCPDWVQFPIEKTLQEGVT
ARYVEQQTQIPVPKVLYYGEESDLGPFMILQHVENAGLMADRIKQPNPDPDVTSVLDPNISESVLSNFYEKAARCLLQLSRLSFNRIGSLSEDDSHT
FSVTGRPLSKNMNDMLQLANIPRCVLPLENKTLETTDEWYVALAEMHMAQLIFQHNDLVTTEDDCRNKYVARQLFRRLAKDNRLSSFGFADDSWSAQ
SKSWSSQLSPAPSNLGSFRLWADDFRPGNILVDDSDDIVAVIDWELTYAAPTQFILDCPWWLLLEVPESWKPDIDDWTKIFDIRLQTWLSAIENAEE
DIGSEAFPFVLSTHMRESWETGRFWLNYAAKNSWAFDTVFWKYLDEKFFGIREDDLPKDELWRTRVDLLSEKERAAMEPFVKWKMEDQKERILVDWD
PEEARQRLSEVLFD
>RCO7_07682 | uncharacterized protein
MKDQDGVKEEAFLLEEYSDSDVALNHPESEEPSGEIVLPNTESKHSAWRRPFDHMHGAIVLPPTASQETAGRYGSAPQSFYIRSMNVAKSVLVFFIP
SFVVARYTDKTLDPPAKIQPTAYLNGLRGIAAFCVWSQHFMTEYYSSKFQWGYQSRPEDVWFLQWPFVRVLHSGLFMVTIFFILSGFVLSLRPLQLA
REREDQQLLKSLASSVFRRAPRLFLPIVSPLFVAAICVHYQVFYQGNHSLEGLKMAATGGSLWAELRTAFWSWNIVINPLSQKQSPYFPPTDAPLWT
LSFEFEGSIVIFLLVLCFAKIRSSLRLLSFGGISLYCLFHSRWPLASFINGAILAELRLIREEKKIPEEETFKPSTSKSLLKVFMRFFWTIIFIASI
YIGSLPVFGAISTPGYMTMVATTPQQYYASAEAMAAYWGGIASVMLLLALENCESLQRPFASAFARYLGDISFSLYVIHVPMLLTMGRPIAVGFIHL
TGNYAVGLCLTYTVLVPILVCLSDVQWRLFDENSVKFARWLALKMAA
>RCO7_07681 | related to peptide transporter
MSADKIQPDGNNPIEGKITTIPSHVEIAVKMQSSVAGEKGDIDVAIDPLPGYSSETGKDSDTDDDAIIVTGEDASKYLLPLRDDFEPALTFRSMFLC
SGLCIFQAVMFQIYQFKPTNTSIQGTFTVLIAYFIGNAWAKFLPRGDKFEARWRAKGNTGKVPTWIAVISFFNHGEWNLKEHAICAITSTSASNAAP
TMQVFAAQDIFYDMKLNAATVVLSTLSIGLFGYGVAGLLRSTCVWHVEAVFWGTLPTVKTLQGLHWQEIKSNKPIRYFWYAFSSMFAYEFFPAYIFP
WLNSVSIPCLAAMKATGSKGDLLRNLFGGSNNNEGLGLFSLSFDWQYIASSQTSLPLSLQTNMAFGTFICLIAMLAIYYGNAFGSRSLPFMSTRLLT
QEGKSYPSAKAFVGGVLDKGAVAKYGIPRLTGTFAYSMFMANAAIGALIAHVALFYNGDIKTAIKSSRSDGVTGDRHHQHMAKHYKETPWYWFFAVL
VFAFILGLVVVIKENITLPAWAYVFSLLLGSFIAPFSTLLYSRYGTGIATNNLSKMIAGLMLPERPVGNMYFATWSHNVISNVVSLCSDLKQGEYLK
IPPRVMFLAQIYGTILGGFINYLVMIYILTGNRDLLRDTDGNSSWSGATIQSYNTNASSWALAKYLYKSGGTYSFVPYGLLVGAGFVALHRVVVHFY
PKRIIGAFSLADMNFPLLIYYAGYIPSDASQTCVLFSQLIGGFFVQFYLRNYRPRIFRDYSYLVTGAWDGASLTVLFILSFAVFGAGGPAIPFPKWW
GNNSPDYGGNYDFCPVKGA
>RCO7_07680 | uncharacterized protein
MKFRHLPNLPLCQLSENSPSLEDQSMISYSAAQTPVVIAIWEQIRENMVSPTTRGFICARISCLLRNISTESNKKFLAKNGFFFRWYMLG
>RCO7_07679 | uncharacterized protein
MAKRSINLMMRHFLSSYSPTRLLL
>RCO7_07678 | uncharacterized protein
MAASPTAMPGTFDFHSRRATRDTAPPRLSGAKSHIFQPPRTPNGGASASSSLILTRSRSSTSIMSISSTREKLGPRKRTREDYHERSVETPRKGNNM
DYGTEDWSAIDTGDDRDRRTPGSPKPFVNTRYQLAGGMDTPSLLASQRTEMRNQYGDEGYRKSLADTKRPSTRDLWGDQEQVDGGDYFGRECNGRGR
YSSSFNQTQHSLGGGASGGEGWSKTAIQVAGAVVGKAWEFCKTGAAVFRGFQAGGGTRYQINLSGIDESFEPVGKNIWEEKNEYEDRELTPLPGQYP
TELDFVHDYMDRPPPLPTSEYTPPRPSKRRQISANQIETAQEELAKNWVVVPPQTTNTSTPSKPPAPAPRYSRFSQQTTSSSSRRSVVNANTYNRPA
SRAGLGTPIVARRPALSTQTSRISHAGSPALNRSQGASYASPRSPANSGSKIPRATGSPLRPAYQHAQRIESPAAKEAKRWATMKKREEREADESIR
RLDAQLKAMIKEGKEALGTKIEVDMEDDLDVGLGLGLGSPRSRSRLGNSNSSKKWAF
>RCO7_07677 | related to HD family hydrolase
MTTSSEIKTEGDTAPTANAQDATPWTVEAVVATLPGGPPTTDSTSPVPFFHLLERLKTTKREGWRRFGISQGESISDHMYRMSIITMLAPPSLSSKL
NIPHCTKMALVHDMAEALVGDITPVDGVSKPEKNRRESTTMDYLTKSLLGKVHGAVNGQEIQAVWQEYEDSVTPEAMFVHDVDKIELILQMVEYERV
NERRLDLGEFSWVATRIVMPEVKEWSDELLKEREDFWAGKEHTTWSDAGVEVKKGSLEYYSKPGEKMMAQLDRGLEDIYDG
>RCO7_07676 | uncharacterized protein
MSHLCPKEDMNHAGQPHHMPVYPFFHHDDDDDDDDFHDNKTRILISILSTFRTTSLLPLTRISHQFYSLILRILHHRLLETAQLKDHTLILECFHPS
TKLSTPYLFCSYIGTNALSTSPSAPDISEDHETLGSLAELKTLYSYFLPLKPTTDRSILRPHPAGGSFSLPNGLVDSPDSDFVCQNIHLESHELFSQ
LQTITSLVKVGPKRGLFLSSVNIGDSILRIWREWLGVRAVADKGEGGAGEVLWADNNQIVGLRLRVMERDREGETPVLVREGEDLPVSYTLQFEELV
IKTTQLLLLVEQSIDQEVKHSGKAVVIGSWDR
>RCO7_07675 | related to cholinesterase precursor

MADSTRSLMADSSTSSLKDTLTSSCKGPLIQSPRKRPRLFWYAVGGLTFLIVLIPVLTCGLYFGLRKSNDEGNTIPLVVDLGYSKYQGSHVENGVTQ
WLGIRYAAPPVGDLRFRAPRDPLHNDTLQIANKHGAACLSSPSMTLDHAKSEDCLFLDVYAPTSSSDSPHPVYVFFQGGGFNSNANPVMNANKLING
GDHNMVVVTLNYRVGPWGFLSSKEVMADGNLNNGLRDQRKVLEWVQTNIEHFNGNPSHVTIGGSSAGGASVDLQMTAYGGRDDNLFHAVAAESQSFG
SQRSIASSQYQYDGLVSRVNCSSSSNTLQCLRETPIEILATHNIDIAPAGKRKGVFMWSPVIDGNFTTDQTYNLFAQGKFVKVPAIFGGSTNEGTVF
TPKGINSTADMRGFLKENFAKLSEEQLAKIEELYPKAEQYPGKGEYWKTASNVYGDMRYTCPGIYISERITQAGAQSWNYRWNVLSSANAISGLGVT
HAVATPSIWGVSPAPDNALTPTIQAYWTSFIRSKDPNTYRLKGAPRWETFAAENGRRVVFQNEVRAVGMEDVPGEEEVRCAFLSGIGPGIDQ
>RCO7_07674 | uncharacterized protein
MPVITAPQTAPGAPIACPTQTIVAATLHKLEAYQTRWGHCLIQQSFSPTGENYVPPPPEPTYSSTTSSSSYTYKQGKPDIIVIVIPIAIVFGFPVLF
ILVEIFIAIVNKIRKSCVRCRAARRASAARRLAASRSRSLPQAPRQSRLKDIKTWLNGKFSRRSPDRNLENALQLTPVERLSNRVRALSKRYSNNPL
PLERQQSNLVGPGPIPAPASVHNTQDLQNGNGLATPDHPPAYRNPPAYQSADDLRFVVVAAPLTVPELAYRGDLAQPPQSHAQASAQPESQSHLQSQ
EESEPPPPQYEHRHNDPLYESESNDDTASETSISPRERAYMAARQGYGNGDGDVDPARGLQSRYERNIQRQLERRIFVAGLSAANEHDWIAVVEDEL
LDDPWRGASSNGNSSGS
>RCO7_07673 | uncharacterized protein
MDANASVTDTLMPSRQLGIAERLIIRLVQLSHHLVVRYKHTKTTALRPSYCKVYPSCPWLEHRVFLPPSDINNAGNTEKRHPLMIDIHGGGFILGAP
SVDDPYCRSMADNCSMIVISIDYRKAPDFQFPTAHDDCLASALAILNDPDLLIDRNNLFIGGQSAGGNLALSISRNEQLRGKFKGLVIWYPVVDWTT
SMKTRAEFCGKTHVSFSMQRAWEYCKALYIPAGVDLASPVLSPIHATSESFPRASFFICGSDDLLGYDTLMMADKLAGSESKVHNSTRLVESWRAGD
VVWAQVHGHKHAFNEMPLRNKKEEVRRQDTLRDLFGRILLWLEEQIAAPAQHV
>RCO7_07672 | probable Putative protein-tyrosin-phosphatase EC:3.1.3.48
MPAPSIATLPRLSSTDLSKIILSQASSNVDASTPPSNIAIIDVRDDDHIGGHIKHSIHAPSQTLDIKMPELVRKLKDKETVVFHCALSQQRGPSAAL
KYIRERDRLLGLSAELQSGSGVGQVLKKNKEEEVVKEGEGKDTRDDEWQDLEEKKDQKVYILDRGFVGWQEVYGEDPRLTEGYRREIWKEGYWM
>RCO7_07671 | uncharacterized protein
MSNLNHHRRPSPLFISSTPSTREINALEIDRRIDRLNPSPLYPASLYDRIDMGLMPNGTPTVPFSLPTLLLQPVPEVVPFSLPAFLKRVYLVEVDST
PSPLNPDNETMDDAELDAQLDARKQEGLDAVTVYLESLPEALATELTSSSDLRRVLSSVSGKSLFRSHTAASTFASHNVVSEVEEESAQFDHKKKFR
EIERYEQVVSEDALNGHLNKILGDWMGDSSAVPLGSNSTGLDDGGDRDLAGASRSIEDTEQEVQGNILALHLDPIIKYLKKTLFEDENDADDEDTVD
TEEDIYDEDMYDEDVHEEDMDLENSQTIPNVSKKSSIKDLFRRNWRNKSRAVIGNTEVQADKKARSSKENKARRVGKLDRFVSWIGKKCKGKGKMDV
>RCO7_07670 | related to pisatin demethylase (cytochrome P450)
MASFVMSLDFAIRHWILVSFLALAIWHSMRVFRSWYRLRKFKGPNIAALTRFWLASKLSAGNIHRDLHAVNDKYGSLARIGPNDLVAGDPAMVRRMM
AVRSPYTRSDWYHGVRFDPSKDNIASERDEKIHGELRNMMAPGYSGKENEDLEGCIDRNIQVLVNLIRTKYLSTEQESRPMDFGRKAQYLTLDVISD
AAYREAFGYLRTDSDLYDFIATVENVFSSALMITIFPWLNWVLRLRIMKAAMPTDKDPLGMGAILGITNGVVAKRFGPNKIVEKDMLGSFIAHGLTQ
DQAESETVLQILAGSDTTATAIRSIMSYLVMSPRIISKLRAEISSHNISTPITDAQARKMPYLQAIIKEGLRIFPPVTGLMSKQTPPEGDTIDGVFI
PGGTKIGYGMLGIFHDRNLWGEDPAVYRPERWLGVGVEKEREMDGTLELIFGYGKWKCLGSNVAWMELNKVFVELFQQFDFNVVNPLRPMRSICYGL
HFQSEFWLTAYERA
>RCO7_07669 | related to methyltransferase
MVESDPVQCEESGPIHNEASNTIYEEQEPVQSDHTSYDDFNDYDSTLGEEEADLSSTTSVGSSILRYRQENGRTYHAYKDGKYLLPNDEGENDRLDL
QHHMYYLTLKGKLYMAPIPKEQKLHRVLDLGTGTGIWAIDFADEHPETQVLGVDLSPIQPAFVPPNCHFEIDDIEEPWSYSYKFDFINMRMMVGCVS
DWPKCFSQCLEFLNPGGWLEVKDIKFPIEDNGDSFGEECAVKRWSDLILEGTVNLGRPCDSAKDYKRQLEEAGFEDVVEVRYTWPQNRWPKDRKMKE
LGMWMHENFSTGLAGLSMAVFTRGLGWSQEELQVFLTDVRKSMKDPSVHGYYPIYAVYGRKPL
>RCO7_07668 | uncharacterized protein
MSFQSLAISRQNASKELAQLAEEHMKHDLQQFDRDALNSAARKFSTFTTVGSLAGLGLGALLAFRVRSARLKYFTAFRAMEKPTHVQFAGGRTEPIP
DLTPMLKPSTFGDVAAYLLFATGGIFLGGELGLLTGSIAAKRSITSDPESKARIEKAFRAFKVDVLKREVASLEGQSSSSGNVDMFL
>RCO7_07667 | uncharacterized protein
MAVLQANALRADERTPLISQSPPEPVKYGKSVLYRALLCGFVISLSFGVTQVPLLYVFRLMTCEAYYTDHQEPSRGDRCNNHAIEAGTARAFSLLGA
STTLFGVANLFLTSWAIKKLGVRAALLNSVFWPAVRLAIQNFGVMTGGADGMIIIQASQIICIIGGPAGYLLALNSYVAEILEPSERTGALGKLQGC
SFLGTALAFLLGGVLSDVFGILAPFQVTLALFTLSSIYVLVALPWIPPDKTVNLAPTTKLTKFFGPLKVFTPQKWITPNGQIRTQYGTILLGIGVFL
GVLATGFIPVLLQMYATDVYGFGTTENGYLISLNSFVRGIFLTSIFPHIISYGRARFSNAKYVNDSEATSVQEEELPNEPNDMVGEVGDHDEEPVHF
PHLKNEHETFDFDLQYSRYSLLADCILTGCATFVTQGWQLYLVAVLLPFASGTGSSAKGTIIQMCSPSERTDALSAITLVEMVATLTTISVFGFVFA
AFAEAGKINLVFICNAAVALIGFFVLLFAYFPPSGSKRIGEHHEEEESRLLE
>RCO7_07666 | uncharacterized protein
MSGRHHKKESGTPKCADCVTLNTHRARPLPTLHCANHACPAIEPSGNVCGKKKSKDDYGCTFRQWTILTVTKINVHILVASNLRMPQATRTSVIVTN
AVFSNARAYGKGIELIMTSNWPSSVSYTSARPTDVKNQKYPVDTVAPVSRKND
>RCO7_07665 | related to pisatin demethylase cytochrome P450
MEEATPSTHIMLATAALLGVVAHLLLFNRIEVDTHPLLLLTTFCLSPVALQYTLSTTRLLSVLLTTIFTATLFISIAIYRQFFHPLRSFPGRRLAKL
TQLHSLTLTARSGLKWHQVVQSLHSQYGDYVRTGPRELSIADPAAMRYILGYGAKPGKGPVYDSMEESVNTTRDRDFHTRRRKVWDSSLKTLVSTYK
PQIEGFTSTFLTRIRSSLNSPFTINDVTIYYSYDVTTQLAFGQAGGFMSGTQSDTAKSVMAGLKEATFALGLLYHVPWIMTLLTTFAFLPGPLKVWN
DWSEKMLQERKNRGTEKPDLMQYLIANTPDTKKGNNLLFADSRVIVAAGSDTTATALTTIFTILASSPTLVSQLRAEIDLRLTSNPSMFSCATSSPV
LDSIINETLRLYPPTLFASQRTNLDIPLLIPSRLHTKSLSQEGTYIPRDTILSMPTYTLHRDARNFSRPTEFIPERWTTRPDLVLNRQAFIPFSTGM
TNCPGKNLAMMELRDVVARTISEFDICLAESVVRDFDMEIFMKGTRDCFMATVPNIDVVFSARVHSSE
>RCO7_07664 | uncharacterized protein
MSSQSEKGSLRNTSPEPGLPLRSKLSFGNSSVESFDSMLKYQDDRSSVPRKPKTEGQPALKLFESTLMHERKKSTPITSPKQPEFITISGPTSLAMP
SIFDAQPEKITDRIEDEQMRETPEFKRYEDATNIELFYDLFFVANLTTFTEVHEINAVAALKAYAGFFCILWFLWVQVGLFDVRFVQDSILERIGKV
CQFGVMIGLAIVGPAFNPEDQDRSTFQSLAIILMISRLVLALQYAAVAYDVWYYLNTRKPLCLVVGANVIAALIYFATFFGFKEDKSHSRTFIVWYI
TAVIETTANIVISSRWDVLTFKGTHLIKRMSLLTLIILGEGIIAIAKSIAKITEKEDTWNGSLLLTTSTAVVIVYFIYMIYFDWMNREHFGSLREGL
WSFLHFPFHLSLVLLVQGAAQFIVWRKVIEVVRFTNERFITAETGFVGRDSLQFAGLLSNVTDGIYAKFSPVSTHTLKETNKAILFIGNAEFNSSEQ
LQEMGTLFAVIQDSIFDNFGIEPPAIENINPDPNEEFNKNQASFRLIFVYFFVAAGVTLILMDALSFLSRPKPTRGDYSRMLINLLVGVTLAFIATI

VNTTEGFKFAQSPWILPTVALAFVLVMVSTYHKVLKK
>RCO7_07663 | uncharacterized protein
MSPEQKDNSPSISSMDEFPELPRRQSGDAAKGTSASDRKGEGGSAEAIEFGALGPPAPDTKGENA
>RCO7_11554 | uncharacterized protein
MASSNHNHAKFQFRLDFINKLLLDYLMLSPEVVKDTKITPIQYEPDFPFKYNNFVYHISLPDPPPETSVSFSKTHMTSPGCVPIPSGTISFILRLSN
LDAEGLYQATRVDNEVGILNLASTALAHTKPGIVPRVFGWEANTGSEKIGWILQECMSGEPLSEFSEWSLAQKIEILGQVAEILKSLQDFRIPQSVE
GWGGVMFDDSGVLVGAPMTVVGAGPWNSLAESFEGRFKEALNMADSNAQLRGWRSNGVRERIDRFVEYGLAPLIAQFESKNDRCIVHGDFTTDNLLY
DPKTGRITALLDYDFSCIQHPAYEFFCSFGTWDGQVTGWSSDPLAASFQLAKLTGRFPSRLVAQDDPDIDWEVAEAWEVELQKLDVTRPSSLQGIDK
IAVVETLLGSLLPWKLTNEDALKKNPDEEKRKMVRQHGEREIDGILKHLGF
>RCO7_11693 | uncharacterized protein
MQGTGCGQDTGCRCQGVYADADKTD
>RCO7_11749 | related to copper amine oxidase
MLTIAARFFTISTLTSIILFIVHYQLSLTTTKLAFIRHFESGAQSNNSYTNIWKDLSNEEVAHVLNLLHSPSAGLNLTAVKEATFSDNFVFVTELLR
PNKTNAVAYLDQHGPIPQRYARATIKRNSLEQARIEEYIVGPLPVGPDTYIERLSFTYNSGRSETNNFGADVKVLEDWMEAVTSGMEEVILDLLLHG
YEHAEQLTLKDFVAASNDQVWFENGRTMRWVSFSQISDANTLLPQGLYFKADTTGRDPRQWRVVMWLYNDNVYSSSEEFREAWGTPSFKKLPGNLDG
RWTQIEPDPMLLEHFRASGPSLCQSGEGRVRVNKDESFVSWMGFTFYMAFSQVNAISLYDIKLDGERVMYELGLQEAVAHYAGNDPVQSGTSFLDSL
FGLGGDMTELIPGFDCPSYAIFLDTTHHRMEKTYSYKNTVCVFEAPSDHPIQRHSRGSWVTSFTNSLLIVRYITVVGNYDYLIDYIFYLDGSIEVKA
RASGYIQGAYRNNNERYGYHVHDFLSSSIHDHIINFKADLDIAGPNNTMAVVTIADSEVAYPWSTESRHTMSLEKSSILNENEASINWPANGRSMYI
VMNHQQKNAFGESRGYRIMPGTGMGSPVHLTVKNSSNLLNSAKWTEHDFYITKQKDTEPRSASPLNALTPDDPLIRFDKFLNGESLVEEDLVIWFNL
GTHHIPHSGDIPNTLMTTSASSVMFSPHNYHTRDRSRALTNGVKIEVQEAGESKIQFYGSTEVSPEVNAKLVGFRGRVHPMRKFPTSDFELGL
>RCO7_11740 | uncharacterized protein
MDDFRDFSGGSALVRSSLEQESTANPLLEEQLECQTFLSKTTNIMRVPMKRTRQQLVLCSFDSFSRLLPWLLLLALLIWNMGYYQRSELRKPMYPQL
TYSPVQHLLEYEERVFQLGFAPDTTEYQGQPSPELDEKWLELYRMGISRVPLETAKHLINKTVLFPHDEEKNYVIELDVFHQLHCLNMIRKALHPDY
YKPHMIAADGEDELLGFHHIDHCVDTIRQSLMCSVDVSVLTWEWNEERQQNLEKGAIVHTCRNFDKVRDWAKTHAIDQWFDLWHHEINDPLDTSTWE
ESYTGE
>RCO7_11739 | uncharacterized protein
MAGRYMKAPSVSGFPSFHTILLVSLQLVRFVWLRISARESYGKTSKLVFGEYWPDKRGSLEAWPALAPRLTWQGSEAYLTMVSKSSIGYAALAEDEE
GGISTKNLSVSAISRSSWGNISFGLLLISNLILFGVSLSNFYRTTDCDSALSGFGGHQKTHSMNDDLKRTSSYSPLLDIIDMSPKELIFNGKLSDNT
SIYRMPPSPEVDEAWNYISTEGLEVITVPSYAIEKSKKDPDLSVKAPSSWNRGSDAFLVQIDVFHQIHCLNELRKELYYDQYYNAPPDALHRDHKNH
CIHMLLQNIMCHADVEIISHNWVHNDHIPDPKERPFPDFNVVKQCRDFGKLLDWARENGIRQLAEKWNALRIPLGGKIVSVFPSIQILAQTPLYRCL
WSFLPFHGPHFQPARQS
>RCO7_11469 | uncharacterized protein
MQKQQIARQPSQRSISSTSSEVLPMADEPLAPGATIQGYSGRIYTIGESIVERRDPLLCVYRASVEGKKFILKNMIPGEYEYQKDLQESVSYCPHLR
TIVDGVPGPDLFIYPFLETNLLQFSQNKLLDTTRKFILKNALVGLATLHEKNIIHDIKPDNILLDYEVKDTAFHVKRVQIADLEDSVILPDGKHLEN
TMCGNQLWRSPESWARAAQGISSDIFSFGIVSIYVMLNDMVLRASKDELAANDAWRWVLGRQISFFAKEEEFKGLLKWIGEENPFYERLITLADSFD
YSASPRKPFEYWEFVDASFRDLIGKMTALDPAKRITAKNALMHPWFSAN
>RCO7_11468 | uncharacterized protein
MSFFIVHHHDNTSQFSEAEKLAAAVRGREDSKSYGSGLLEGAQQLLWRPGIRPLAFGMASRDISECAG
>RCO7_11467 | uncharacterized protein
MFFSRSLALTAAVLASHAIAQECESAKKLCYNAPDSTPQNVTVEDIKSVAQYLRSYGLETKAGRQFTMTAEAAPDCSEWTLFNNGTVIALAQHINSK
VDSSVFYTDIANTIDGGFEATQEKQKASLLGCGTTGGSMGVVYNASAEQYHTTAYFATGYTPAGIMIKIVHS
>RCO7_11466 | uncharacterized protein
MSWQSSARSLLYDLSRSKSSKSSTPTDLQLERLYIEAADESEDSEREGVWNDMYPIADMIGGEKGRKRTFFMNLILRDAVSSRYCSEYVSSVLVDWM
RVLSQQTAREIHVKQNRKVHLKNDTYTPGISAELIMSYPSQNTCTNLPHKPHRSVPFALVMIRDRCRPDPSLTTAELYLVLAMAAKHRRMLDVKSMK
LRLSIVYSHWVQIVNVATTVSYITSIVDWHADIAGKMIIRRSAWFNFMGPSGQFHVLLSAFEGIELEFEPGLTGDTTTKVLLQERSTNATIEA
>RCO7_11563 | uncharacterized protein
MLINSSRSYCICSPWTLLVIANYTGAFFASEKEVAFFFFLEGVVVAEDISFGRPEEGLEGLDSSREKLDSFISGLYLAWISANFFSRELSKRSLKEG
LEGGGLVVVKSD
>RCO7_11501 | uncharacterized protein
MSHVLTTSAIFYYYPDRLLEAFLDNIILSSIGIIALTGAPISEIQ
>RCO7_11502 | uncharacterized protein
MLLNKILLFSGATPSSSVSEGSVDNRVKSLVDRLFPLLTTKASPLSYNTLTKKGSGFIPAVAKSKGKRAAEDEIVVLVSKKVKAKQKGKAKANVKK
>RCO7_11538 | uncharacterized protein
MLILLLTLSRRDLIIAKPESSIKDTLILLLVSGSKELIVVKPELTIEAASILLLASGSRELIIAKPESPLIDALILLLASGSRESIIAKPESPIENA
SLLLLAPNNKYPIYLSLFSVGVTIESKIRAA
>RCO7_03980 | uncharacterized protein
MVDWQRGLATNLQPAVLIVDPLLSPAHDILNDSSWKYAILGLCSVTPSLFPGEAWLAAFWKYPCCTPKRFGVAVHHGGANSWFKTNWCGIPQVILAQ
WYDTYDHASTASYLAIGVYGNELVALMVNANKFGKTLIMAAGDESLRERLELWANCAKHRKYRTVIRSSFDDGQQGRVGPMMHWNLWKDAHENKDYY
ECRRQLPGLNYVEDTQVIEDGDERARANLDTQNACIDQFSDLWRRDPVFALKKFKIRFSEVGVLQGRCAERRLFTDVLHVNKTVAKLKQQ
>RCO7_03981 | probable Alpha-L-arabinofuranosidase precursor
MKYLAAGLALFCPLVSALPALDHALAQTAPVSERQTCNLPTTYRWSSTGPLAQPKNGWSNLKDFTVAPYNGQNLVYASYYAGSAYGSMSFGLFSDWN
QMGSVSQTGMTQGATVAPTLFYFAPKSIWVLSYQWGGGAKFFYKTSTNPTNPNGWSAAKPLFTGEITGSSTGPIDQTLIADSTTMYLFFCGDNGKIY
RSSMPIGNFPASFGSTYQTILTDTTQKLFEAVQVYTLKGQQKYLMIVEAQGSKGRYFRSFTATSLGGAWTLNAGLESAPFAGIANAGSGASWTTDIS
HGELIRDSADQTFTINPCKLQFLYQGKAPVTGVDYNKLPYRPALLTLQ

>RCO7_03982 | uncharacterized protein
MPDIPIQVEVETSSSAIE
>RCO7_03983 | uncharacterized protein
MPSNAKDLSVVLQAQQARDLAPNLTEQVVGEMKSSLIFQFSWEELLQSAPTAINCMGACLAASSSPKAVVTLTPPKDTGFKYLQYTSIQANLVECNN
MGRYAFLEAENGMGVIMHLSKTVDSKINQIIDIIGHPNDAKKMLKPQLNTLKDAAQQCLETSQAMDKKFEDWLYYVCEMHAACVEEENTTRDQLLSN
EVCLAAEQTRLEYQKEAVDEARKASEKMGEQIKLASEAFKKASDSFPSGWDLMGQQIVGDLAGALTTALNAAIPALLDNLNPMAKIKTGAGIVGSFV
HPSKETGTPTANGNGTSPTAPVTQPQTLIPQATDPAYSHVIKINTFLSTMHVILNGKDGNINWDMAAQGNESKEGARSSIKFLQTMFDDHKKLFNTI
ATAEEPSQTLRTILEVSARVAAEIQGEVEKSKSPSYTFPTKESEAVKKWQSGFAAQYQKANTLMAVSRSLPGAAANGVPLRAPLDPAVQTAQINAKT
AQAQAVLEAAKNRLSTTQDMLSTTQSNYGKASEVLVSQQNKLGSVQAELTRLTSSNLTLTEVKSILIQCIKLIINLKEQITKLVRFFEAIAAVIGIS
IKYQVDPFLETIKAIVAADGTDPNKDIKIGDYTLTDFQASQVYSAAVTIRSYFGVFGDIASMWCELSMSSIMPGLKLCDEISVTADEKDPGQMRKKV
KNLEAWSKDASARVYKLAHEKQQQVLESMSDRIDEIKQTTTRIEAPPEPTRKAITQGTETTKKAALEYIKKKEKAAPLNRFEVIEDDEEEDNGHNIG
MTGISGLLASHFSRV
>RCO7_03984 | uncharacterized protein
MEKYQQIMEMWLPGFQQRYSLKLEATDVQMQLTTLGRRLNEISTGLNDAVVSSSRETIDKLEIAMSKVYKIAVFLRGDYDARDVDDEHKKARGKKDV
IDPTVLAFAEMQARAEEGLRQIGNFHSQVMEIQNTGIAPLKQKITQMIEQNITELESIQNQINTAESSCQNMQQSLKTQTDAVQSLEKKIAESETAA
TFSDIGFSILTFGIGNLINHGPLDPFNLHGELDDARRRYSDAVSSLKTAKGRLTELCQSKAALESSRATHSQLQVEMPSLQTEATITESRCIMLQNQ
FSVLKDTSTKLDLKVRKVQGDALVTRSTAYSKDEFVAGLFEICTDALIHSRLMDEVQMIKGEIFAEYGGPIPDEIAEAGYAVEEKLKMRNTLPSIKA
RL
>RCO7_03985 | uncharacterized protein
MQFNFSTALLLTMALGAIAHPANVTQPIETAPADFMERFEAAKIRLGLHPVAAREADPNFWSKVKHWFVHHNPAVTGCPGQGTGRGCHAPHDYCSCT
YITTYQVLHLRLNGVATVRSAFSEVFQTDSKCYDLSPGTRTPLPRFSVWG
>RCO7_03986 | uncharacterized protein
MRSQSVLSIALVAFTSTLHAAPIQMTDGVKAAMGTTGDEVHILNSRTNLVSRIAASLSRSLKSEAAALQAQSDAVHADTAEGLSAAEQQALEDAQEE
AAITDNTKRDRIDQLTPEEKDALEAAQEEAAITDNTKRDRLDQLTPEEKDALEAAQEEAAITDNTKRDSLDKLTPEELAAYEDAQEEAAISDNTKRG
NFDLTADEAAAIDAEEFEKKRALSKQEQQEIDAETAEEDAFKRDLEATAAKLQAQSDAVHADTASDLTAEEKSEIDTEDAYKRDLQAQAASLQAQID
AAKAGSAESLTGLTPAEQADIDAHDAEKRDYKSTSAKLSAQEESEIDAEEYE
>RCO7_03987 | related to benzoate 4-monooxygenase cytochrome P450
MASYASLVLWLVAAELLRRVVLALKLAFTGPLSKIPGPILNAITPLPWMIEQITGNAMNSLPGMFERYGDVVRTGPRDVVFRDRNAVQQILVEDDLV
KAPIYKSIRLHPDVTSLITETDKVKYKQKRRLLSPGFSISYLNSLEPLVKECVQVFAHWLDEECSGGNGYCVVDMSNMMGNLSFDIMSASSFGGSFN
LVSSNDKRLKNMFHHRLKRAAIDAQFPFLKYLPFVPPIESEDFKSMIDGIIAKRRSEIGPPKKDLVQIFVETNDADPIAFSHLHIHEEMALFMVAGS
DTSAVTLTHTYLLLLNNPATMEKLVAEIISAFPSKHDSITFANTQELPYLNACINESMRLRPILVTGLARWTQETTTIGGYEIPPNVIVSPGIGAVM
KDPRIWPDADSYVPERWLGIYKGKEVDRKAFVPFSAGSRNCPGQQFALKEMRIILSTIVRRYEMTLIEGQSHEQKVHTVPWFVQGFYKVGLKPREK
>RCO7_03988 | uncharacterized protein
MKAIIGLLLLFVSLSLQQKDPSKDFCRRFGHQTAVIDRRLYIDGGLVNWNPISQNRNNYTNTWLVFQDLNSSPPGIEVPKLYSNLTKNASMPSVSGA
ALWQDDVNKKFYLFGGDYYNISPNTPNLLAYDTLLDDWQQVGPPNKPIQSVSYGGWVAISKLGQGFILGGWLSSNSVPGWPGTPLATNSLIKYNMDT
NDWTNSTGPADSIPRAEGVMLYVPASDDGLLVYFGGLTAPLNNGTTLAAPMSMIHIYDIRSSKWYTQTAGGDVPSSRRKFCAGAVWAPDQSSYNIYL
YGGMGFGANSSGFDDVYILTMPSFKWIKWWESSAGGKPHHSLSCNVVGGQMLIIGGTFPLGDDCDSPSVWGTHNLDLGKNSGKMWKGYSLNITSYVV
PPEIISVVGGSSLGGATATAPSAGFDNGDLGVYFAQKASVAVRSPTRSLVHVTSAPPNPESPHLLSTGAIVGIAIGGLILLLALLLAGCCLIHRHRK
KHADPGDPLPAEIATNPAPTYSHLPLRNPTTPYSDQGEHQQSYQLATNAPPVELSVNNYEMQMQKVNPDAITIHQMLDNNPPSPHHISPSLSPHPSY
NNVQADDVSPHGYGGQVSPAPTYSSLGKGGRKLVATNQTFYSP
>RCO7_03989 | uncharacterized protein
MHSAPFFFCLFALEPFGRSEDVSTIFSSSSTAFLIMTSSGVKKDWARFTYTFLSESSFTRRPFGGEWSKLEVVVWNGTYSGSICDFFASSFPEGLWL
AAFDTFDFVDRAEPRIKHYLVAARRISLPV
>RCO7_03990 | probable chorismate synthase/flavin reductase, NADPH-dependent
MSSFGQYFKVTTYGESHCRSVGCIVDGVPPGMELTEDDIQPQMTRRRPGQSALTTPRNEQDVVEIQSGTEFGITLGTPIAMVVRNKDQRPKDYGNST
MDLYPRPSHADWTYLEKYGIKASSGGGRSSARETIGRVAASAIAEKYLKLAHGIEIVAFVTSVGAKHMFPATVEHPTPSTNPAFLSLIETITREKVD
EHVPVRCPDEKAAKVMADHIAEFRDREDSIGGTVTCVIRNVPSGLGEPCFDKMEAMLAHAMLSIPASKGFEIGSGFGGCEVPGSIHNDAFVVAPVVP
PMETGASKNGVPRPRLTTKTNNSGGIQGGITNGAPIYFRVGFKPAATIGKAQNTATYDGDEGGVLEAKGRHDPCVVPRAVPIVEAMASLVIIDSLMA
QQSRQVTRNLLPPLKQNKLATKPVVGGEEQAEK
>RCO7_03991 | related to lipoyltransferase
MAPSRAFQGFNCLLLTRIQPFYNRKDARHFSDFARAVADPSNKCQVYTSRSPNPYLNLSIEHYILQKSPADSTILFLYTNRPSVVIGRNQNPWTECN
LGVLRNQRGPSVGLQDEKHKVQLVRRRSGGGTVYHDAGNVNYSVIMPTSEFDRDKHAEMVGRALRELGVEKVRVNERHDIVVDRKPESEKEDRPFKI
SGSAYKLTRVRSLHHGTCLLKGSNIGIMSELLHAPAKPFITAKGVESVRSSVTQVDVKNEQFEAAVRHEFWKMYSHSKAMMVGRAEGEIPEIKKGVE
ELMSEDWTYGQTPPFEFSINESYDSAFSESSKWNFPQSFELKFSARNGVINELSIYKKGVGNMITSSIKGKKLHEIRDWNLVLAAPFKKSYPEKSRD
LVRAEMGRSLNRLFGNGDLMVDEYTTRR
>RCO7_03992 | ribonucleoside-diphosphate reductase large chain
MFVFKRDGRKERVQFDKITARVSRLCYGLDAEHVDAAAITQKVISGVYQGVTTVELDNLAAETAAYMTVTHPDYAILAARIAVSNLHKQTKKQFSTV
ISDLYHYVNPRNKRASPMISQATYECVMKHEAELNSAIVYDRDFNYQYFGFKTLERSYLLRLEGKIAERPQHMIMRVAVGIHGDDIESAIETYNLMS
SKYFTHASPTLFAAGTPQAQLSSCFLIDMKEDSIDGIYDTLKTCAMISKNAGGIGLNVHRIRATGAYIAGTNGNSNGIVPMLRVFNNTARYVDQGGN
KRPGAFAIYLEPWHADVFEFLDLRKNHGKEEVRARDLFYALWIPDLFMKRVEKNGTWTLMCPNECPGLADVYGDEFEALYEKYEAEGKGRKTIKAQK
LWYSILEAQTETGNPFMLYKDACNRKSNQKNLGTIRSSNLCTEIVEYCAPDEVAVCNLASLALPTYVNQNDGSYDFQKLHDVCQVVVKNLNKIIDIN
YYPVPEARKSNFRHRPIAVGVQGLADVFLALRLPFESPEAKHLNIQIFETIYHAALTSSVELAKQHGTYETYEGSPASQGELQYDMWKVTPTDLWDW
ATLKQQIKQHGLRNSLLVAPMPTASTSQILGFNECFEPYTSNIYSRRVLAGEFQVVNPWLLKDLVDMGLWSDNMKNRIIADGGSIQNVPNIPADIKA
LYKTVWEISQRTIVQMAADRGAFIDQSQSMNIHMKDPTMGKITSMHFAGWKLGLKTGMYYLRTMAASAPIQFTVDQEALLVADTNIARERIVKKRPA

AGFITQTPGPQPMYRKTTSPNTNSAVLNGVPTPTATPPPMSENKKFTPAAVIKTPAFKADVPEGESPKALATEPATAPPKEEQLPEPANPVKSQEED
FKDESDDRENDIYAEAALACSIENREACEMCSG
>RCO7_03993 | related to COX18 Protein required for activity of mitochondrial cytochrome oxidase
MSVLRPSSSILLLSHSKSRLTPLLALPPHLRTRAFSSTPRPQNILLSTITASHDALTAVHSLTGLPWAYSIPLFAVMLRTTLVLPLAIYTRRSLITK
VQISPILQAYKTILIRQTMRENLHVGPVKVQGEVLRKVKAKREELYKRYGCGNWKTYLGLLQLPIFLSVMEALRKMCASNQGVLGMLLGSDETVVQN
AETGAESTLASLSPESGTFESLLSSIPLESSFATEGMLWFPDLLLPDPYYVLPFVLSGTILLSIFGGSTSHAVIVTTWQKRVKSSMGTVALCIGPLM
LNVPSALMIYWITSSTTAYLQALLLDKFMPLPKPIPTLEPKGRWMVALGQKPDGYVNPLLTMKDGEALFEKGSIQVENGIVGRGSKPVVVEDNKPVG
KAGSMSGV
>RCO7_03994 | related to ALG11 protein
MAESCSAPSGSKFGITPGQSIFIVSVLGFLPLLVYLLGPKLVFRVGGSLGYYLRKKTAGRRAQILELVQKDQKEWEQKIASGIERRDSDGWETVDSY
AVGTAKNGQKIPHDADWDGIVGFFHPFCNAGGGGERVLWAAIRATQKRWPKAKCIVYTGDHDVDKAAIIDRVKNRFNIALHPPTVTFLYLTTRSWVL
ASSWPHFTLAGQSIGSLVLAWDAFTLLTPDIFVDTMGYAFSLAFSKILFHDVPTGAYVHYPTISTDMLSSLDPTSTLGVNAGKGRGAAGAGKKIYWE
LFAKLYSMVGTSIDEVMTNSSWTLGHINSLWGSWRREYHKSSPRVVYPPVAVEELEKEVEVSEASEKKRENVLLYIAQFRPEKNHHLIVDAFAKFLA
TKSPTTNDAKLVLVGSVRDDSDSKRVYELRLLANELKIKDSVEFHLDASWPEILEWLRRATVGVNGMWNEHFGIGVVEYQAAGLISVVHDSGGPKGD
IVTEIEGEPTGFHATTADEFAAAFEQALSLSLKEKMSMRLRARESAKRFTEEEFVKGWIEGMERLVDLRIRLVNGSGK
>RCO7_03995 | uncharacterized protein
MKSASMIAVGAFAISAAAQATLSSLPTCGQTCISNMLALAPSLGCQSADAGCLCRNANFGYGIRDCSNAACGPAAAAPVIEFGKSYCAAAGVTDTPF
NGGAGSGGSGAGSGSGSGSGSGSGSGSGSGSGSGSGSGGSGGEGAGNGTTGGAGGAGGSGTSPTPITTIGSSTIYSSPTPTGDSAGGAGAGAGGVVG
GSGSGAGGAGNGASPSTTTHSAGSPHHTGSSSVSSADSSTSTPATGGSDSTTGGAGSGSSSGAGGAGSSGSGGATSTSTAGGARQTAMAGIAGLAGL
AAFIL
>RCO7_11575 | related to protein kinase PAK1
MDSSYATAKTAASTPASSPGLFSPSPNTIKQHHLALSDGTPHPSPYLHPLQMHKVRETHKAQVDQDFLTGRKLINQYEIINEIGRGVHGKVKLARSL
ETGGYVAIKIIQRFSKKRKLGKLTVSPEDKTKKEIAILKKIRHPNVVGLLEVIDDPELKKIYMVLEHVELGEIVWRKKGDKSICLYERRRIEREQRG
ERDSAEEEKYFKIMERKRQRKDAQRAKLSSLLQNPDPWSLEHGDDEEEDDLSRQTTHDSMLSMRIARNLKSNPGSRVHSRANSRAPSRTSSRAHTPL
PTEFSLGALDSDNEGDEPGPLPSIGSYHGSASALEGTYYGSYPDDPPNRGRSPSMADSIISHMSSTDGFEHDAFDDDFSYVPCFTLDQARSAFRDTV
LGLEYLHYEGIVHRDIKPANLLWTKDHRVKISDFGVSYFGRPVRDGETEENISEADATDFDNDLELAKTVGTPAFFAPELCYTDLEVEQPKVSEQID
VWSLGITLYCMIYARIPFLADDEYQLFKAIAKEDVYIPKKRLKAVNPDATTPQIGTAKRTGPSNGPYREEGELEFEEIDIELYDLLKRMLVKDPADR
IKLREVKRHPWTTRGIGHVLGWVDDTDPSRKTDGQRIQVDKKELESAVVPITFLERARSAVKKAVGKVIGVTRSETRNEGSRRRAVSNATSSGAETQ
HNSPMTLTPALRDTRRASLRGDESYFASLSEFQDQPHREPTEHPLAQSLCASPEFRQGEDPFVFDLAQPFVPVGATHIRERKASNVAKPDFRPGPPD
RTVSAAASIQTVVHRDHSHSRSMNSPSLSIHDELPSPGPFTDHMGGAIFCGHLWNGRGNMADIDEDVPFRARSVDRNLFESENKHGEPVVGTSTATA
PGYFQSSTIHHPRPISLSNDISPTTPNHPLASPLFFQPYMFQTHQAQSASTPNVPNIGFAASNLDERPSTANKTPEGKTPVPRIYGASTPESYQRAQ
ETLLRRRRLEEYADQKRREWTTDTPEKVPVCPPSPDDEIFAQKQEATQRAQSCSSVNSSYMASAMTSPPSNVTSNVTSPLSSVNMGSQDQFYPSVPS
LPALISGSSSVSADPEGEMLQHPGTVQQYPEYGITGDDTPEARTPPSLSKQITPDADAEIPTRAHEDAIFLSPTHEDDGFNVDGDITFTVDSDNEED
DDSDSDEGLTMMQSKPKTKTMQSAASTSNTSSAKGLPSLERRKVERRGTGGSVGSTETAKKVVLDD
>RCO7_03996 | related to A.thaliana hyp1 protein
MAHQSSGGAGSANGSDKNSSSLSAFLSTLIPVGALALLFVGIFLILRTKQKRVYRPRTYLETLYEGEKSKDPPPGTFSWIAPFRGLDDEYVLNHQSL
DGYLYMRFIKMLMVICFIGSCITMPVLFPVNATAGGPGQEFDLLSFSNIPENQHNRYYAHVFVAWIFFSFVMYVITRETIYFINIRHSYLLSPFNAA
RISSRTVLFTDVPVEYQNQDRLSALFGGALRRSWLAPDCKDLTDQVEERDKDALKLETAEIKLSQIANKRRLKWVKKNDSRKDAATRADGADAEVAL
PGSQFMKEKDRPTHKLGKIPLIGKKVDTIEWSRSELRRLIPEVEKEQALKQRFDGKLLPAVFVEFQTQQAAEAAYRRMTPRKDPKLNPRAISATPKE
IIWSNLKISKTQRKLRKIATTTFIVLMIIFWAIPVAVVGAISNVNYLTDKLPWLSFINSIPDPILGVVTGLLPSVMLAVLMALVPIICRLMAKLSGE
VTRPAVELKCQTWYMAFQVIQVFLVMTFASGAASVVTNIINDPSSATTLLAESLPKASNFFISYIIVLGLGIAAGDLLNIGALAMLTIVGKFLDKSP
RKIFNRYITLAGLGWGSLYPKFGNMGVIAIAYSIIQPLVMGFATVGFGLVYLAVRYNSFYVLTNNVDTKGAAYAHALQQLMVGVYLGEVCLLGLFAI
AKSWPHLALMIFFLVCTAIYHSCMRHALKPLTMYLPENFESDQVSLFTTADHKSYDYKKAGVPPTEAQLGPTSKFGAMKANMFSKLWDPKKFKSHAR
VQSLVPNYPPPQYTAEEEALAYYDPALTSEVPRLWIVRDDMGISRREVAESRKGGLEMSDEFASFNEKNKVVWEYAKQGRIEDVPIWEKRVDY
>RCO7_03997 | related to nitrilases, putative pseudogene
MAQTLRLSGSQSHTLSTTPLTLQALEQTVLRAKSQSVDLILFPEAYLGGYPRTATFGAAVGARRPEGREQFLHYFKDAVDLGDTPEGAGKRWVDREL
ELPRDGVGGGEDGGGKGRRGDGTREELERIARETGVFIVTGCVERCGGTLYCAVLYVCPREGVLGKRRKVMPTGSERLIWGQGQPSSLRAVTTMIKG
VKLTLASAICWENYMPLLRQSLYSQNVNLYLAPTADARDTWVPLMRTVACEGRCVVLSANQCMTKGNLPEWIKEYDGEEKDPNGHGSNGAGPRRKST
YTEEGNEIVLPGVRGTDGVDSSPSNGSRPAPSQRRKSTYTEEGNEIALPGSNGTDSSQPPAKPEMADYVCRGGSCIVSPLGEVIAGPLWDEENGLLT
VDVDFEDCLRGRLDLDVGGSYSRNDSFKLTVEGLDLSPPP
>RCO7_03998 | uncharacterized protein
MGRDASLINFVASPVFRVREISQTSSSLRIPTKLSNMSSRVIDLTSDASDDEPEAAIPQPIKTSVAAQNGSAISHPIVSAALRKAITIVDPTHQYHM
DSNPENHVSNEAYTDEEVDYNGMPDNIIQTRKLGIRERMPISIGNKEFTPRKGTFFDDDVWADHDDDCHGDPNSFDEDPDFADGFRWSCYETPGDNE
GCMNTRHKAAVNVVQLTRPSKRKAEEEVPNMRM
>RCO7_03999 | related to gamma-glutamyltransferase
MLGLLRNRLRNVLAILLLNQRTSSASILASESLGAVSSESKICSEIGIGLLARGGNAADAMVGTTLCVGVIGMQHSGIGGGGFMLVRGSDGIYESID
FRETAPAAAFRDMYKDNEIGSVVSGLASGVPGDLRGLEYLHNKYGVLPWRAVCNPAIHVARYGFPVTEDLVRYMHDATENGNTFLTDDPQFAIDFAP
NGTLLGLGDILTRKRYANTLETVAKHGVKAFYSGDIAKHTIKALRAANGTMTLSDLSSYRVSIRPTLNITYKGYNIYSSSVPSGGSVALSTLKIIEG
YSSKDPRLSTHRLDEAMRFSYAARGELGDPDFFKNMTAFEADLLKPKKVEKIRERINDDSTKNVTDYNPKGYAMPENHGTSHIVTSDRSGLSITLTS
TVNLLFGSQLVVPETGVIMNNEMNDFSIPGIPNAFGFVPSSINYIAPLKRPLSSITPIVVTHPNGTLYLTIGAAGGSRIITSTVLAIWHVLDHNMTL
PEALVELRFHDQLIPATTFFEDGFDSDVVDSMRGRGHNVTWVKLGLSSVQGVRRLWNGTFEAASEPRQINSAGLAV
>RCO7_04000 | related to xylosidase/arabinosidase
MKLSSLFSLVLIGCSQASSVSERAGTNSTYYNPVLPGWHSDPSCTQVNGTFYCVTSTFILFPGLPIYASKDLINWKLVSHVWNRESQLPGYSQGTGG
QQQGMYAATVRYNQGTFYVICEYLGTSAGLTGVLFKSKNIFSSSAWSDPVIFHPSKIDPDILWDNGKVYMATQSVKLEELDINTGALSQPSALWNGT

GGTWPEGPHLYKKDGYYYLMIAEGGTAQNHAVTIARSKTITGPYEGYAQNPILTNRGTNEYFQTVGHADLFQDAQGNWWGICLATRIGTNANVYPMG
RETSLFPVTWREGEWPILQPVRGKMSGWQLPPTSRDLPGDGPFNGDPDAYDFTKGSHIPPHFSYWRVPRAGIFNTTDNGLQIVPSRNNLTGIPNSDK
FPELTGQKGLSFIGRLQTDTTFSFSVDLTFDPKAVNQEAGITVFLTQYNHIDLGVVLLAGTSNSSPKLSLRYRAIGTIDAGLPRVIAVPTSWVGKAI
RLTINATNSNTYTLAAASVADPTTQISLGTAPAELVSGGFGHFTGSLVGAYATCNGEGSVGSMDCPAGGNAAFQRWRYLGLTQQFSRTESIPSSGK
>RCO7_04001 | related to enoyl-CoA hydratase/isomerase
MLYGAIPRNIVSFNTETDIPDLNGKIILITGGNVGLGKQTILQLSKHNPKRIYLAARTASKAEAAIQEIQSLVPSAPITYINCDLTSLESVQQCARD
FTTKEERLDLLVLNAGIMASPAGTTKEGYEIQFGTNHVGHALLTKLLLPTLVKTAAEPGADVRVISLSSLGHLGAPSSGIAFPDLQTEMKSYSTWTR
YGQSKLANILYAKALQKRYGVKGIKAVAVHPGVVDTDLYKSTLGGFMGLGPLLNRVKRFLVTGVEKGALNQLWAAVGKRDEVVGGEYYTPVGVIGQG
SKASSDEVLADNLWEWTEKALAGYSI
>RCO7_04002 | uncharacterized protein
MPFKKDAAILGSSEATCSAQRWVEYWYSSVNKLTGKVKDNANLALPRLQDDIRRTTEALGRMSVQDPRSYGGNYNKSESHHIEFPEFVTNKPPDVDA
DTVIVAVCGITQAEAPPSRDGWMLSDFVALWHLFGGKTSDQTWLHCLDIENLLGEYDRYVHGTPYKTRKIVLDAKIHNHMKGSSSPLTSVPVKKLHK
KFRETLVAKIRVGRKEKNPKPLLIIMCCHGSGDIADVLGDQNFTRSEMITLMENNDGKVPISITLINTACYSERWLGNQATRKGNKKTGEAGLTGIA
AASTSLASRSWTRSASGKQLGGGMSISAIVQSLVQKSGRDTDQPLDVYDSDAGYPEKTLETYTSLAWKVAHRLSSELDRSASRYQIRFSATNDAYGD
PWVERTGFPLKELEKAWMKLEDYPKDPWLHPGCWLNPDPTVTQSDREEWEDYVTKYESYLKQFPQSDEMKNPNKEKMDGTGAVLLSRKRTFGSAQGE
DFQSLKESVARLREIYEQGHTDGETSGQNTYLYGLLTEFDFGMIGSEAQSLKNLKEVYAILEYRLESLNCADRYVEALGVSMPPGMQSSVWKGPGNT
LKDDEKDARHEEIQDLCEPYRKVLFSFPVGLAIHNSFGKGFKYMVYCLTMSTLSLRDIEARVRHLAADEQRVVNDWRMMVKDDPESPKAEPLRIRAL
SEVKTPRLSSPLSGNTPPIGSPSKSERSGNMSGPRTPAMHAPNTAGGFSSSPLSGGLSDRVPPPRMGDPHRRVVSQGNLPMQGNTNISTLQRQSSGG
QTQNTARGGGSSGGSGQHGMSQGGGQDNTGMGSMGSPLPGRGRGRGRGRGNGQQ
>RCO7_04003 | uncharacterized protein
MSSVQPTDPGSPAESSSTEGSQYPNYISMQALIEERCENLNISPNNIPDTMQWTSTKRTDGPCAAAIAQTLVMKSGYDRPLKLSGGEACGCFDYICD
VCNLGSTICYCDECGCHSFVCDVCRREDVDVGEIFEEIARAVAQKISFELDRYASRYQIPAISDDIETPWGFGPGFPWDDFKRRWWEIDTDERNPCL
HPGRWSVYDPSVSQAARDEWVGFVAEHEGYLERFPCSEEKTQMDKLQGDLSYGAMRAKYHRSMTNETISLRDRWEKGRTGDDTSAKNIALFTLLYEF
EEGKLSAGEKAYEDLRYLYTTLQYRVESCDRADRYVNLLGVAGSKKCADWDIDELTKTESPILHELEELREEFSDKAYHVLFPFPVGFPLWGKLTKG
YDYMLVCLIKSGLSKEQIELQVESLVQRERREIESLRELVKNDPEVRKAREKMKDVLGSRMRDLSPERAGEADTNDELETDMSDILVPWKRTYGTMP
EEDTKSLGKKIVDLRRKWERGRTGGEDTPINVELFEMLQDLDKGLLTTCEEPSEDLRRLFATLQYRIECCDRADRYVNELDIAGSNLENCSTWGDLI
ELSLKERSIFAEIKPHFIDAYETLFPYPVDLPPWERFAKGFYYVIFRMMKAELSHAQMDERMKWLVAKEQRNTQQVREVVKKDPNVPEARKNEKTGS
IAGLSQSPRRKTLSEVVTPRLSSPLSGPNSPIGSPLKPGYGGNMSGSRSPVHRHVWVIPIDELYRKMVSLRKKMQAFKLLNDNSVAQVVKDNIQRVA
EEAQEDLVKVLGEVLVKFLVSVTSFRVMVKRILLREARKVLCVLVVEAAEEMAAEVKETTTVSDERFSRVCAGDFELSDMVLRLAFALHGIHLVKSS
RWIFGYGYASGIYLTYTSS
>RCO7_04004 | related to deoxyribonuclease
MATAEPPSTIIIPNNTEIGNGNTADAIDKQTSVQPQKLEWKPRFVDIGINLTDPVYNGIYFDKPRHEDDLSAVVQRAIDIGCEKLIVTGSDLEHSET
AVKLAEKYPNTCYATIGIHPCNAQSLTPETFISLKTLAEKSMEDNIAVAFGEIGLDYDRLELCPKETQLTAFSQQLSLAVDLQLPLFLHSRAAHADF
LSLLSEHVDRLPKRGVVHSFTGSLEEMRELVARGWHIGVNGCSMKTEENCAVVKEIPLDRLHLETDGPWCEIRPSHTSSAILGKMREDLGFAPKLSG
KGKGKGGKSGEEEEDTSMGWGGWKSVKKEKWVEGVVVKGRNESCFIGRVAWAVAGIKGVSVKDVAEAAWRNSVHMFGLGIDL
>RCO7_04005 | related to trfA protein
MTSISIPTSAAFHPTQLIPATHPAVFKTLYRLSRPSLLSLVLDWLDERNEGTSAVYLVSSSEDPDIQSSYSPAHSLSELREVYEDLQAKKGSKRDVV
DRIIEGDWRNGISLYQLAMADMQYLYDHPASQKWTALKIVRLSPSTDKKPPSIPRFHPATFLQNLQREVLPDVKAHYNFDRHVTLPLTILRIFILES
PYNTTLALQGKQKVLDSTKTFYVAFPDSSPYIYVSLAAPTIRGSTSDNKSLRKLMLEGIPKAFSKPRERYKLESTSLSARNLDALIEQRGGGRTNSA
GGGWSVYVSGSKSTDTPLNIQRPTPETDQLVPPEESEDSTAQGMKRKHIFNASTQKRRKLLAASRFGNTGLLDDEKGIERLDIQIQDTFPSTVQVED
EDIWDPDPSLTSYQQKRGRRSTTNFEVGNEDEEVQAEGWRPDVRITFQGQHVFAGIRKLVEEGIVDGQMMPGWMTGEDGVSLGIVKEGRIKVFKGSG
I
>RCO7_04006 | related to pyrroline-5-carboxylate reductase
MTTNGSKVKTGQTLAVIGCGNMAGAILSGIMASCAKTLSSGAEPRFSHFIATVNSEESAKRLRSRFSHYDDCLHIIKGENVTAMDTADIVLLGFKPY
MIDNVLAVHGVREALLGKLVISVLAGSPVEKLKGAIYGDRPHDSWSTPVKEKNIYIKRAMMNIAAEYGESMTVLETNPDIPKAYEELTEWMFSQLGK
TAPVAPENYDIAGVMAGASGALLSIAFDGMLDGAVSQGMKRADANKILTQSLISLATLLQNEHPAVLREKISSPKGTTIAGLLSLEEDRARYAFSKA
TIAASERSKQIGKQA
>RCO7_04007 | related to endo-1,6-alpha-D-mannanase
MLPSNLFVLLSSAATFTLSTAFPAPQSPQPLPKPHYAQIGERRRESQRLSPRATKTQYVTYAVAGINQMMVWYNAATGLWQEAWWPSANVITMLANF
HEYFPDMAKGITDRVFETTFAVAEKTFPGFINGFYDDELWWAIAWIEVYDTTKDEKYLNKAAAIFEDSKAAWGASPCGGLWWDKAHTQIGAVENELY
LSAAAKLANRRPHYPSEHYYYDEAIKAYDWFIQSGLINSDNVINNGLNIKTCKNDGNYVFSYNQGIILGGLAELSWATNDMRYNELANTIALAAMRN
LTNANGILTDPCDRGCNSDTEQFKGVFGRNIQFLINRATGLPDATRRIYTDFLRKNADSIWAYDQVDNQMGLVWSGPKGKSSIQTQSSALDAIVGAA
CVS
>RCO7_04008 | uncharacterized protein
MSEYDKSYWIDQVVQDEQLHPSGLLIPFMVLRAPKSSYDSVCTLKDPAFSHAAHASGLSDPAPEYSSQFQNCLANPGFPNDSAAANIGLEFLSDMAT
NSCRPQPVLNLSLSLSVSPDPGYALDHDSEDLQVMEDFEMVFYAESTLPDTYQTFAPAAVSAYSQTSVPLPPGPIHVQGQNTCAYCSKNFMRDSGRR
RHNPESTVLTDPCKFAKFQAVTKDSVRALRGILVKTSLSNICTSSMQIWDMLKGFERFLWCENSVENDEFEFLGLVLRVWFWNDSDGM
>RCO7_04009 | uncharacterized protein
MSAYCNQCDLANEMEEEMEQHAFSGLSNPTLGFEDAEEQLLAHSTYAIGWSDSSLPDLLQKDCSAFALSDHGLADLYTTLNGFGNPSSAFYGLSDSL
ELPPPEEPCADFCLDVELGVTLQPSVPPFNLQQGNQGPAIDYGHPALPNNGMNVDLGFDLGRFTDLPPSPDVSNGYNGCAIDQGYKGLQGNYPDLNV
DVGLGQTVQSAVSPHLPYHVSRDSAIEYGLQGHQALEMHDMSFNRGYEPPSFGAPDLEDFRQQLQSSFFPLAGLALPNEPISGEDVSTFSHAAPIQM
LPVQVSGHFSCTQCMTTFKRDSDRIRHESSIHGTNRLLIICHIQGCNKSQGWGYTRQDKLVEHLWKKHANLGYLKRT
>RCO7_04010 | related to C4-dicarboxylate transport protein mae1
MSTSTPLPRRLNEDVPENGYRTPRSLEDAKSLEARGLRSLDDGSLVLRHFNREREGRRRVAYNGMDESADGDELSSGAKPSPQTSNGTDEEETVNGK

KPGSGGMGKVGLRDRIACYTWTWFTMNMASGGIANVLDSIPYESEWLRIVGVILFLSNIVLFLMNCVLISLRFKFRPGSFKGSFTSPSESLFVPASV
VSLGTILINLCQYGIPHTGVWFQTVMQVCFWAYVSLSVIASAGIYLIIWSTQSFPINQMTPVWIFPAYPLLLVAPFAANLITALPDAAAASRINSIA
IAFGAVCLQGTGFLVSLMIYSAFIYRLMTQKLPRETTRPGMFVSVGPSGFTVAGLVLLGNSGMSKIMPNDHFGNDNAEFIIELISLLVGLWLWGLCL
WFFLVSVGAHWQIVKPDPRQKHIIHFDMTWFSFIFPNTALVTATFAIANALHSRALRIFGTVLAGLLVLAWMYVFGRMIRAVWLRRILWPEQVDGAE
RIRRRWLRNRNGKEKQNGKQNGDGKKGDGSKKLESGSGEDR

>RCO7_04011 | uncharacterized protein

MTSRTLELGSFNLVHSAESLKLIVTASAHFQGPKSITNLDEDAFAQALESRKLWVTRGRGCRIDVEVLQDGKPLARTSSRKLEVLGCQIRDAQAWNQ
LILSPSLKLPPEDPSDLSSHFSVYIKNSIKPPQNSDGLAAWIGDIDVTPPPAVLCLELEKIQMQFDFRPIHPPFIVEVIEEIDITEETPTEFEAFDD
MLLESPLRSPHLSSADTKLSAKAEAQSLEKAVEGLKGLAKQVEGLFGTLRSSTFEMHSPSRLASRARKTECKPENDAISADIPAPGMSTDGDPKKKA
TIFEHAVGVLDSWFCAHGNNLYPTMEEKTELMVETGLSRAQLNALLYRRRQKFRKGLLNENRADSKEENQDGMMLDDSVTEIELPPVAWYEDEMMLC
YGSDSDRFIEELGGDDSISSQSLNLTSTIFHSQSSIPSTISSKYSTVAESQSFLKESLSRQSLLLDYPESMLLADTAFRTLMGAAVSRSYAKRQDIA
FKRLPQLCMSTLIPSMFCPGFKNLMAVNSRFLAIISHAVSVSMPRNVQTPSLRRKLQQISNMELSPLLTTNSGTGQPGTRERISSVVQSCLWEMMQR
KLFDRSAGRRLWRPEVTGGANSDEEFEDMLEIFDDNELDTEFESRRENLDSEEMLFWDDEDEKLLLDNDEDSYDVDWEQHAIEEVTDEMLLGDEWSC
NRHHDEGSMLLDRSDTDLSVHSEGKSSMMLSVENEEPMLI

>RCO7_04012 | related to Leucine aminopeptidase 2

MKFQLLAASLAAVSSVVSAEEFLEPRALPPVQSNQLRRALLRSELLAKAKTLEGFAYSTPQRNRQIFTPGHKATYEWLYESIKKLSDYYTVEYHEFL
TQSATASLTVDGKNVVAEPLTFTPNGQPTGAIVAVPNLGCDAADYAGVDLTGKVALISRGTCNFAVKTLFASSAGATAAIIYNNAESALGGTLGAAD
PKYVPTIMISRTEGLALVASTTPKTAALNVLVTELPTYNVIAQTKGGDQNNVLLAGAHSDSVKAGPGINDNGSGSIALLEIAQQLTKFSTKNAIRFG
WWSAEEVGLVGSTKYVASLSAEELEKITLYLNFDMLASPNYVLAIYDGDGSAFNISGPPGSAAAEKLFEDYFTQDAGLNHVPTAFNSRSDYAAFAAA
GVPVGGLFTGAEVLKTPAEAQLFGGQAGVAYDVNYHAAGDNVANCNLGAWIQNTKAIAHAVATYGESFESLGLGKRDERVSKRSGWKQEIPREEDHS
SHHVGGGCSHSVELM

>RCO7_04013 | related to Y.lipolytica GPR1 protein and Fun34p

MSSKGTTNKNDEVNHTREHDLESPSSGINISRVQTSGGMTISPELFEKLYLTPKTRSTGDFRTRFANPTPLGLMGFVISSLTYAAVMMGWGGATTLT
GVAGIFWFTGPVCLLLALIFEWIMGNFFSMLVMGMFGVYWLSFAVLQTPSWAIAASYSATGDAAEGAASKGYNAAIALYLMVWGFWLFTTFIFTLKT
NVVFASIFFCAFISNFIFAGAYWKVSTGEYDSALKLQKAGGAIFFVLGLLGYYVTVVMIAAEMRMTTRLPVGDLSHYWPKTEELADMEKNE

>RCO7_04014 | uncharacterized protein

MKASTALLALFLALATAAPRKQSANFRTTLHFAACGSGDSEDCSTDNDCDAGCKCFPISKTCYIPTAHKEASVVQSSHHRITLEWALCGGVCSSDDH
CGEGCKCFIEGATCYVPSSTDHLTIAEPEPRRGNSGHRLALRDAIPEAEPRCGHPGQPCG

>RCO7_04015 | uncharacterized protein

MPFWFQRPIFKWLHLCGLSWTVHVLDTVFGSLNNALRLTNPSVSGLPETALAMKVIGDGGEETKGYKKNLTKTQALDVLWDEEKEGKDVKPGTFADL
LGYGSVHLEQTRDSISFIKGMRPELVIKKGLLELYSKDHSLGTGILCDSITAAKPLQVAPLMSQYSLCSTD

>RCO7_04016 | uncharacterized protein

MDPAAFSNAMFLVQVFPLAAAMLLCEKNLNEDITTVVKNRAEIHFTMFVGQSRTQIQALVERHEWETLKALSPSNQVPTTPRAYNTIHGGSNLPLSP
SLSSSASGPARSHRQQSIDRIMVLHSGGESPLLASSSGCAEYLIGIDKLQRFSGVTRESISSPYTIEFGGKGIEVNERIRLTWKRQDDTITDSSYFY
IVRPEHIQFADVLLGNSMQRSRGARMEGPSDSPYHIALDRMDSWTQQPPVPTPPAAAQAEYGHPFSTNSIHTRQDHPHDTSGHPPQSDSGQTAYQRP
LSSVRTATSVAESRPYHDASSTVPPPSTSSSNPATSTQIGSLSRENTVVIQLSFGGQGKKIVPLDLTKSGDQIFPWLEPHVLRLTGNVHLDKAIHEL
KVVPLQGSNREAETTALSDLDYCWDTIQYFIQQNRANEKHRRAEFCFDIV

>RCO7_04017 | uncharacterized protein

MAEVIGVAASVAQLLEVAFRLITRAKKAYDRHNNLNAILHRHLEEIESVVTMVEIIREEYALQTALVALELENIEGVTRMLVQYLRDLNPGSKGHMR
QIAHHFIHGTKEEEKLAVIMSDFSRTKFNLSLRVQLANVGLTQMVQNTVIANVEVVNRIDRRLGEVAGGTHGLKLACLVKDGQPNGPNLVTINKFDI
ASMGLEGMEEFDNEITFDNEGFDRIIAGNTAKDTAIQLLGPIGKDLWEDMRVRIENNRASGFAAQFAYPTDFATFKCLLDHQERMANRHSER

>RCO7_04018 | uncharacterized protein

MGVNTDLSPPRPKQFAQALSKFTGNVALLSSSISDNIAKDYAVQFCGPVACQIRNEYSLNFHYHASEPASGGRLQGGMVPNARASVSDTVLRPRAAE
KTVKTPETYPIMVSCNRHVSDVQVSRHHTINLRNSKNNVFPVIATVEPNIAGNWIACRIVKRLDFQHEEAAERKCVPVINGIPFRDTRIYVDLAFGG
SISGQYCLHRFYVVNNCTAFDVIFGNERHAD

>RCO7_04019 | uncharacterized protein

MITASLQLGNDSSISATYGLPCPSLPTGSLLDNKYLSTTPLLQIIDSNIGELSNKDMMEVLRATIEAANALNTASELIPAAMSLNSSVKTELQSYEI
EVDRSKRLIDVIRSQISLQTSGVVAGIRMIQSHGMLLGEDLMRIKQKDGAYLKKTLEMLRTQRMAVTQQVRLATVGLSKSDGTIRVQTRIVESTNKA
VKTALGNENGLVFATFLAKLKKAPDTTGEIRLTNREYEKLKALQFKTTHPEMDIVSTDVKTRIICNCLAKDQAIQILGFVASDLWAEIAFVKIEGLI
ATDQAIQIAQPVSMEVFLEVLDRQEKRIAIGRVKELN

>RCO7_04020 | non-specific lipid-transfer protein

MVIKRNEPCYVLGVGMTKFIKPRGKVDYTELGFEAGIKALLDAQISYDDVDQGVACYCYGDSTCGQRVFYQFGMTQIPIYNVNNNCSTGSTGIHLAR
NVISHGGADCIMVVGFEKMNPGSLQSFWNDRSNPTGTSGDMMKETRGITNAPGAAQMFGNAGREYKEKYGATNADFAEIARVNHEHSQRNPYSQFQD
VYTLEQIMNAPMIHEPLTKLQCCPTSDGGAAAILVSQDFLDQRPHLKEQAVLIAGQCLATDSPSLFSRSAIDLMGFDMTKYAVKVAMEEAKVTPDDV
KVCELHDCFSANEMIVIDALGLSAPGKAHELVRSGGITYGGKVVINPSGGLISKGHPLGASGIAQCAELVWHLRGWANNRLVDDTRVALQHNLGLGG
AVVVTVYKRADGKTNTRVDSAEVGKRNKLGYNPAVEAKGFTEAQATSVRSKTKSSAWALQDVAKKVEARF

>RCO7_04021 | related to proteins containing the FAD binding domain

MSHITRARTLRNIAACVKTPTTKRCKSTFESKPYKSSSSKSSSNSSVGSGFQGRGPLTGLAFGAGFGLAWVTGRAYQKAQQLNIDYARDDKFKVPRY
GNVKDMEKAINEISEALGTESISTDAEDLRFHGFSEWSPSNIDSLPIAVVYPKSTAEVSTLATICHKYKVPMTAFSGGSSLEGNFSAPHGGLSIDFK
HMNKIVAFHEDDMDIVVQPSCNWVDLNTQIKDSKLFFPVDPSPSAQIGGMVGTNCSGTNAVRYGTMKDWVLNMTVVLADGQIIKTKGRGRSRKSAAG
YNLNSLFVGSEGTLGLVTEITLKLAAVPKEFNVGVVTFPSVRDAAATATAVMRAGVPVAALEFLDEKMMEVLNEQGHTAPKVWEKAPTLFFKFSGTK
GSIADNIKEIQAISKRNNGSGFQFAKDQKEQDLIWSGRKQALWSLLAARPEGTSLWTTDIAVPVKESEKGRRELGLFSSVVGHLGDGNFHEAIMFHS
EDAQETAAVDTHVKNMITKALEMEGTSSGEHSIGLFRKAELLQEVGSDTLGVMKSIKQALDPHWLMNPGKIFDTPVQHGRVWKWQK

>RCO7_04022 | related to Type 2C Protein Phosphatase

MYTRRFTVALVSSLVGYGAWYTYKLQAGDQSSAQTQQSRDFTTSSTLYAPAAASTEDWGRKAVIVGADNLYTGSITGNEPISKDTDESGRKVLEMLN
PDQATQKLRRNEESYFVGRGKGVLRYDVVQIPSNDPIEDDHVEKIIELPQALATATAAENESSDWMFWGVFDGHSGWTTSAKLRQVLISFVARELNS
TYKATLSDPAVDSPSIDAIQAAMKTGFNRLDHEIVHESVQKVLKSNSKPIAAELLAPALSGSCALLSFYDTNTKLLHVACTGDSRAVLGRRGDSGKW
VATPLSVDQTGSNPDEEARMRKEHPGEPNVIRNGRVLGGLEPSRAFGDATYKWSREVSERLKQSFFGRTPSQLLRTPPYVTAEPVVTSTKIEPSKGD
FVVLATDGLWEMLTNEEVVGLVGQWIEKQSNDSNGGGSSWAKMFSTQQKGLPVEYTKDGKEQKREGMNEEGQKTPVRQRQWGVTAKETERFVVQDKN
VATHLVRNALGGKDKDMVCALLTLPAPYSRRYRDDLTVEVIFFGNGDKSGDVVVNKEASASAVEPKAKL

>RCO7_04023 | related to transcription factor 25

MSSRQLRKLQQQRELKQAQLQIHVEGGDSEDEPVAPTKAKPSLFANLAALEDDNENDEDEEEDEREDIPEPVETITPPSTATKAKKSKKKKKKAKKA
KDEPAEKEDVDDIDAALRDLALKKPAGGEQVERRLTVDPEYERVCTLLGINTQHLKVANEMRNLFGKAAIEVVDEPGGRAGRRARPRGQNQQVDLET
ALKGQHQPGKGLSELTLRRNLFIQGKDDWPKATTGGLTMAVVDDKTDDGTVEFRYVHDKAYQALQQTFQGFVEMGDPQNLIGLLTRSPYHISLLIQV
SKIAKDQSDHALSADLLERALFSFGRAATTLFHAKLAQGKARLDFARPENRELWLAAYQYIKSLLQKGTYRTALEWAKLILSLDPEEDPYCMRLLIH
QLALKAREFNWLLDVSESEIPEIWAPSHLGKCHAASHTTPSLAFAALQLKESVQCRKLLTDSMQNLPWLFTHLFKELDLDAPPSIWGIMPRTDAESL
FTELYVVQTKDLWNTPEATALLMEIAHTIPKVNADSIPKLENAEMTLDVVRFVYLDNTPAIMALAPSQLLHRSNNSDADPLPPDVNVYSYESQRSTI
EGRSHTRGSEGLGGDFFNPLAALRAMIPGFPRGSDDDDHDVNIEDFPEAMRMEIEAAIANGVIPPEGVPFPIRGGVPRELRRLQDGYVSGESTEEDY
DDQDEASDAEPADSIGGDYSHVEVSYARRLLNMLWGGGGNAANAANGAGAEENENTDTDEDMPPLGEVNRVGMVGSLGSVHPDTLPAELRPESSDDE
DEELPDLV

>RCO7_04024 | probable iron/copper transporter Atx1

MSAEQDHTYKFGVSMSCGGCSGAVTRVLGKLDGVKSFDVSLDTQTATVVTDSSLSYDKVLATIAKTGKKVNTGEADGEVKSVEVAAAA

>RCO7_04025 | uncharacterized protein

MTPNPRQELLQFPLPATIASTAQPHALDKALPQPYTLHPAPLTLQSAAMTSKTNNNYEDEGNRKRKRRSESEEGAKSFETVATNEAGKSTISQMTAR
TTTASTKTPSKTTEPSHEKQIEATNVGEVYSSTAIISKGEPIIFKWHNALDGDLLSHHFVANPIVGLGGIKIHVEEYESDLDINLLTVKWLQGRALF
AFTPLFRTVLQNLAAGFRPFLEIMFMAYKIGGGGNWKNFVLDDSSLDRAVRFIVSGKEWELWVGFEVIPISEGSKESQQPVQRKHEELKMPVQKNNE
ESKKPVQKKNNIDQTPNPPNAISSGIAFNVHWLPSWNGPSLKDYLKTHTLTGFEPGVKHIGIFHLHCATKDITMPRLGGGLLYAFSSQLDKLQDQNT
RKRIRPQSLGLVYEDGTGAVERIHFSSAGNMARAMAIVEGSMDWHLEVGFELDAPVVDKTGGHSQVVIQR

>RCO7_04026 | uncharacterized protein

MSASNLDLLRKITPNAILDQEIASTIPAIGTGNKFTDRQSMLLLRLSLKERNKRAREIWDDKGRARKVRTSWYKGLSEQQLGTVGLSLGLASDTKSR
SRRYGDAKISASNDKHSDDVDPDGTEDGGKDANNRAEDDALNEKAGKKRKYTEMAKNCVSKEVKGSSKAISTLLASRFATQVDQSGTLKMSVGWLHD
MDGPTSKIHAGKITYCNCRPAGNNMDSESEVDHFVDILLDMKTLTLGRLLSQLDDALIHSIPDAKWGNLTLCAIEISRWIGSDSFKATLQERFGAKM
TEEQVEKASANLGFMQAFVGYEYVSKGIAQATRLSLRAE

>RCO7_04027 | uncharacterized protein

MILKQGFNITGDLGSGFSEDHLFRPSPDYAGPNTMMWFAINVFYETRFSLQLVPEI

>RCO7_04028 | related to class V chitinase

MKYSLASSLTLGLSALQVVNARYVMYVDQFHLTDLPNKTVAAGIDTVIMAFANSSLFVSPAGNYTPFEPVSKMRSRFDEGTKILIALGGWGDTDGFS
AGAATEESRADFAKNVANMVNSLGFDGADMDFEYPGGNGADYKQKPNSSKVSQIETWPLLLAAIRAALGKDKLLSIAAPALQRDMIAYTPEKAAAIF
EPVDFVNIMTYDLITRRDNMTKHHTDVAGSLAAVEYYLDVLHLPPVKANLGFAFYAKYFSTDPAAPCETGLGCETVLLEDENGKDTGKSGALTFEIA
NLAPPPTNLTVSPDGSCGAAAGHFCPTGECCSAYGFCGTTAGHCSSCLADYGKCDTVSISTLFKQALGNGTTDEVAGGEYHFDKANNQFWTWDTPDL
IHRKFEQIVKAKNLGGVMAWSAGEDSYDWSRILALQAGVAAMKNSNCP

>RCO7_04029 | uncharacterized protein

MAEECVHFVKFSDYDWTFDRVGWLPWNPAAFCLIAAVCAIAYWMSIEVLVLVYVTFKRHAGIYFWSIIFTTIGIILQTTGYILLSFENTWPVILVVV
ICKIGWIMNVTGFSIVLWSRLHLVVRSQRILKWLLVIILIDGLVCHTPIAVFEFGLMTRNHNTYYRPMQIMERIQQTVFTIQETIMSCLYIYHTRKF
LKIGYPMQTRKVVGLLLLVQLLVIALDVILTLFDYTDKFTLKCTVHPLVYAIKLKLEFIVLNQLQSLVKRGLTPGLGAAPSLEDAKSSENRPSLSPT
QSPFPSARVPVPRELARQAPRFEAGFASKAGPVVSELDKSSPGESMTDSLSNEGAMLGRGKHDSNQTLTENDEYDLRVLVGRADDVVEKPDDMERQY
LGSWGGARK

>RCO7_04030 | uncharacterized protein

MSKYGKPSAVVLKAHWRIEDWPVGSKEANVQISQNPNEIASTTERSPGHNDPSTSHIRSPKLITDDKEYGSYTEDDEEFLALAARMDRGG

>RCO7_04031 | probable glyoxylate/hydroxypyruvate reductase (D-isomer-specific 2-hydroxy acid dehydrogenase superfamily)

MGKQALLLIGDLAHTQKEWSEFSSFAELKEFSQTRADFLKELESGSYDDVVALYRSNESTKFTGEFDQELVSKLPASLKYICHNGAGYDNIDIAACT
NKGIQVSSTPVAVNSATADIAIFLMLGALRRIHNPYTAVRSSQWRGPSFELGRDPQNKVLGILGMGGIGREVAVRGRAFGMKIQYHNRTRLSSSIEQ
SLGATYVSFEDLLKNADVLSLNCSLRKETVGIIGKKEFGMMKKGVVLVNTARGKLIDEAALVQALEDGSVWSAGLDVYEEEPKINEGLLKNPNVVLL
PHIGTGTVETQRNMELLVLENIESAVKKGTLITQVSEQENKSRL

>RCO7_04032 | uncharacterized protein

MAHHKSNRPPNHHGKGKPPRRKPSNHQRAESKHPQIENNLQNPGGKLYEQKELSLALQVHARTFETDIESRLSHADISVLRADIPDLTLKSDIAELA
NTWLRLLDKALFFDLVRRGMREHDQIVIYAEEDDLEGFCSVLDEGTFISLNMQHATSGRHRSFTQTMLGTLAHEMLHAFFHLYSCDTCSHCKKRQGA
RKGGDGHSGHGPNWCNAIVKVQKAIQHQVAWNVNTSTAASVALEMRTSGWVPRADQIQRWELTSVDLHAMARNMEPVNSRRIEQIDTEETEETEDDM
PQLVCLCTLM

>RCO7_10934 | uncharacterized protein

MRVSLWSQTLMAGSCLAQGNLVDLLQSQNDLSTLLELVAILPGLAETLSSSTNITILAPTNEAFAKIPRDIPEGQAVELRNDTIAVSALLANHVFKG
VYPSSLITDIPIFGQTLLNGSYISAQQPFSNFTGGAYNELVKNGNDVCIISGEQTISTVVKADIKLGEGIIIHVIDEVLSFGAPFQLFTARAGYTTF
NSALEAANLGFSFGETEEGAGLNISDFTVFVPTNEAFEPIGSVVAGADQETLQSVLKYHFIPNNVIFSPNLGNVTVQSFQGENLTFTVLPDASIWVN
NARIVFPNTILFNGVAHVIDAVLGPGPFDRASLTPAAPASQRLAFPGASSVPTLPFTSTAAFGDDEMKFTTTPVLLQTVAAIAVPTANASPISGGTV
SASMTGSPAATVTGAGSVVSPGSAVALLAVVFAGLL

>RCO7_10933 | uncharacterized protein

MPIVSQVIFNLSQRRNMPEDKAYINHPGNRNVDEHHEPAPRRAASRRNTTLHSSNISIYLPLEALNMSITGVRTSGAGSRDSHRQATPVIPATPAPG

SLRAILLKNCTTRLFVHQLEWTADHIEALDVDLVTSAGKEEERITDETKRQVDERIHLLEAILDLEHTWASSRDAQIREIFPYIADAANITQQDISE
SILYFEYDKFSVARLPPVILACYQSTTNPIWAYTDRMWTSAARRKRKQELAIDPIYIAMLITMAQLKKRHGPQESKIHSVTLFVPEHEYIPRPTNES
EPDTTIKLPKYMRSSKPMMTKLVQYTANITSDYLRKFEEPYKFYNAGLQIEKRTLPLRELALILTAMKTAFHGINGCGESPLLALSPKRKPLEELDP
NTEDEDSDIKRRKV

>RCO7_10932 | uncharacterized protein

MTQKQAMMSPDKYFYTAAHTQEHEISEGETNKTVRKNVFIKAFVILELIHIIIFLAFYSSSHAFWQPAKSENNLEKYFDLYEYNSVREFFGDWKKMR
LNDESEKLLGQIEETDGVVAIDTQWALSHGYATTFIHPYDNSKGIYQIDMFHSMHCIHRIRNKLTSDASLQEWPRNDEHTLHCLDYLREQLMCNADL
TLEGTDDLLHFNKTSGHICRDKDAIMLWAKVHHWEGHHFAYNPLHVRSWSAALATGIIVACKQSIGDSDAIDSSRSWAAEPPSRTTLSCLNRSTRMI
PPGASIVPRMDKDTKIPTRTRVIGHDFADQIVGETKVPT

>RCO7_10931 | uncharacterized protein

MYKATALFFLLAVFHGNGVAAAPITTRAEDLKIVAAKVTERSDDPGAMMQWGGFDKAPSAEGVGSTSTFVVDKAERAEDPGAMMQWGGFDTAPSDKY
TVTVPASIIDRVK

>RCO7_10930 | related to 3-ketosphinganine reductase

MALELGTWTILSIVIGLLVITPSIMGFFGGNKFDVKGKTVLLTGASEGMGRSVAIKLSKKGANVIIVSRNVSKLEEALVAVKAAATHSSQRSHYISA
DLAVENENERVIDEAIAWNKGQPLDVVWCIAGASYPSIFLETPRHIKRWQMDVNYWSAADMAQAILSKWLALDAVTTGPSKHLIFTSSVAAFYPIAG
YASYGPTKAAMRCLCDSLAQEILLYGDHVKLHTVFPGTIDSPGLINENKTKPDVTHILEESDEGFSPDAMAAGAIKGLENGEYSVCVGLLGQIMRAA
SWGCSPRNNWLWDTLLAWILAIAWYFVPMDMDGKVRAYGKKYGHPSTYPKKV

>RCO7_10929 | uncharacterized protein

MLDHIPNISQLRFYLSSLIKHPLPYLYLYAHTDEPQTPRISDLKALSLTSRAISVIATQRLYDSIILLSGVRKLAIRIPIWELTWRAKRSSFLESPR
TLFKASHQTGTCLPEHILRPEGPPATLQRNIEILHLATDSLFTKLKSLTWRGLCNPTYFEALASLLQSTACAGRLETLELDFVNWKDAERNWRHHEA
RYRTFKSNFFPEHILGKGKVVLKSLKNLSLTDVSFGGAEEELIKQLNFRSLGRFKLVICPFTLDMFDVIIERFDLSFKRLELIVDSETRFSNGDDAA
DVDYNQYANTLSTMIRSCVDLDDLFIVITELDEDKQMLYALEHQQDSLKRLLLCAYNEYSTEALLGRRVKQSSWGAIKHFKKSGSIVSVWGSEEEEE
EEEEEEDTDDIPEEVISGFYILLIAYLYSADLRLHIRERGHILDYRMHQMCHVNPVTPLAELESHFRPLKRASDGSVIYKPGAKTTKFYEKLPSFRG
LDAPSENNCRSRYVARRDPFNVPSSRFLEYTSELFSLGKRGQQGSRVVAYGIFAEWDLVGENMDFLGSCPSTKILDTVGIDDDWTESEYDEEEEGND
GADGQNHGEETGGSDKADDEKLEIGGKDGNENN

>RCO7_10928 | uncharacterized protein

MSYVSVGLLALARDAIYFNTLSATNISAPAISLLSYSSDFQSILGEHATARKLADLPWEAFHEGGMYNKKDNSLYITSNYQSLEDNINITVVSLDDY
SITSTQFPDLWEANGGTTWYPPGADQTQTPPQQVYCDEGDFEHYSSLVAVDPNTNTSTILLTSFMGRNFSSLNDVRQHPVTGDLWFTDADYGFYQNF
RLQPTQPKQVYRFEPSTGVVQVVADGFSQPNGLEFSPDLKTLYVTDTAAQEFNYNGTRPATIYAFDVVGDKRLANRRIFAFPDAGIPDGVHCDTEGN
VWAGAGGGVHVWDPEGALLGKIFVGETSNNFAFAPGKVFVFSNSRLWVVENVRAQGREVCKDFGVGCER

>RCO7_10927 | related to cholesterol oxidase precursor

MDERPATADTLISERDETSSDQESNHSDSSISPELEEFDRWQATIGLKTFGEKLNAAAKAVFPTEIRSRYAMVNVLLAFWAEEDANSPAPIEISKLY
NVFKDTFHFNVQTFRIPGESSNIAVSEKMSDFVNLGGNSEDDLKIVYYAGSSRVLKDKSLVWTSGRRGQKSFVEWSSVQTLLKQAQSDTLIFLDCAH
AKTPCGNWNSDLTELVAARSFNVASKLAEPYSFTKDLIVELQDLSTLPSFSVGNLYHNLFCRAQSRISEQSGNDRAPIHIPLAQKKFRSIRLAVQTS
GQNGCIKTSFKVQHLNSAGTNGFTQTPSFLHSSAVSLGESSRMAFAIRVKDNFNVRDLSSDFFLQWLGNLPGTVAEVKIEAGFHSFSSLLIVSIPIC
MSIYMPQDSAVISLGPITSFNQVLNRIPGIMPNDLPTPKPDVWEFQNLPSPMNGATQNVNQDLNRSLRPSEIRFQKHTDTIGGKENRRPSLTGGFSS
DVSIDGSFIEPLLPNGLRHGHTLSGELPPSLEKSHPIAAPGPHTSEPNGPQSHAHAKIRSYTDDPDTQKFPRISRPVELLRNSYDCIVIGSGYGGGV
AASRMARAGQSVCLLERGKERWPGEYPSGFIDAFKNLHVSGEFAPGFLKGAMVESGDPTGLYHLICGKGQNAFVGNGLGGTSLLNANVFLETDSKTM
KMPCWPKELRKADSLREYYDRAADILEPETYPQDWPELPKLTMLERQAKALGLGDKFKRVPQTTRFKGGPNSTGVEMYPSALTGMDCTGVNDGSKSS
TLVNYLSDAWNWGAGMFCECEVRYIKKHPDPEEEGYLVFFAWHGSCRGAFQERLYEDLMWVHAKKCVFLGAGSIGTTEILLRSKKLGLSMSDKVGTG
MSGNGDILAFGYNTDTEVNAIGRQYPSPYKPVGPTISGIIDCRDDHDNPLDGFVIQEGAIPKALAPLFQTMLEMMPGNQIPIGQTLLEKVKHSIAQQ
GSRFLGPYYSKGSIERTQVYLVMSHDSNQAILTLKDDKPVLEFLGVGRSDHVQYLNDILRQATQAVGGTFVNSPFYAALGQQEITVHPIGGACMSKS
EFGEHGVTNHWGEVFTGDGKDTHHGLVVTDGAVIPTALGVNPFATITALAERSVEHAAELRIKRKIDFETKNDMLDLFAEPHQYAGGKKTLQRNDTT
GLRDATSLVKATREAKANGFGFSEVMSGYIHVGEGIEGDKIEDFETAAKTAKGLCEEARFFLSVKAWDTETIVNRADHRAMLTGTFTCAGLPGSPFM
VQRGSFHLFSVDQEAPGTRNLTYDFDMTSTDGRAFHFHGQKIVDSSVALGPWRFWKATSTLYVTISESYGRKQVLGRGMMHIKPSDFLSEIFTLKSS
GKSLFAKMHSTMSFMGFFARQSMGLFLAPFTWQQYPSVTYTGYINDTSPEHTIQIVASDGVRSLLHVWEPRNPNLKPINLFMIPGASVDQQIFSLPT
IEVNAVNYFTRAGYRVFVSVHRICQLMVAENDWTTYDARLDIRACFEWIRKEHGHAPIYTISHCMGAVAYSSGLLDGTIPAKWVKGISSSQVLMNPI
WSTLNMAKVLAGPIPFDKLYTWLGGKWFSCSSTRDDSYFQQFVNQILRFYPDSREEMCNNVSCHRCSLIFGRLWNHRNLNEATHRQINRFFGGVNMT
LLHLLMQMGYRGFVTTNGPLFNDLTTEHNLRRLKNIPIMLFSGSDNKVLTPESTDKSYSLMRDLFGTKHYSRHVIQGYGHLDCWMGRRAYKDVFPIV
REEVDRVCRGEEYRYQEPDWEDDWMGWKDLPKSG

>RCO7_10926 | uncharacterized protein

MRFSSFIGVLALAASACGRELAKDEARAAELYDSGLIHQQIFDAKIAFFEAEQAKGSYDTSIYPRLNYTKCVNGFAEAIPGDKLHKFKCKNMDLYDF
INHAALGSPLFNTQYNQTGSSVWGWTDPKSGREFIAAGLFQGTSMIEVLPIGRMVYLGMLPSFSKLGSSALWREVRGYKNFVLIASELAGHGIQIFD
MSKLLTIDHSKTPVMFDNIVGSGLAGHFNDVPLGRVHNVVINEELEYGVAVGAMPRTGPCKAGLIFFDLKNVSNPVTLGCDGQDGYVHDAQCLVYHG
PDTKYEGRDICYGYNEDTLTIYDVTDKKASKVISRTSYEGAAYTHQGWVLDTKWQEWLVMDDEYDEEEFVGPAADGYAVTYIWDIRSLEAPKQTGLY
KAAVKGIDHNQYVIDGLSYQSSYGAGFRVYDVSSIPSDPTGNSVCEVAFMDIYPEDDEVEGGGVIDYFGTWGSYAYFKSGFIFVNTQERGGFLMKMT
KKEACKPKTCNADNCLRAMRSTSVKGRLEESQAFCGTFTKTFVADVSVVQDYAKSACAGNLISRVSSACRCLPTASTIASAV

>RCO7_10925 | related to GPI anchored cell wall protein

MKTFISLTLIASTNAIVTRWAPCCFHLSSTGAVTGTVGQLDDGQNRVGGPLSPAQYCIADGAITDAHGRGCVVTPGVTQYQCDSGAAPASGFSVGCD
GTISYNGDTTFWECQTGDQGEANIYAHPSGTQCGQINLKADSCLSSCAPPPSPPLPLPSPTPTSPKSCPTNLNGEWEFPHLIIPIDSANPNTAYGTS
YFGEVSSTISSIFNFDIPSTDSGKTCTLIFLFPLASQLQTSSFTFSGNGAISFSQLDGVANNATTYANAPGEKRFIGTGVVSPGNAYRIDTFACPAG
EALSFEFRAVGDTYLRGFQDWNPEPLGVYISKC

>RCO7_10924 | related to RNA export mediator GLE1

MAASSPAASSSLDGDSTNSYMNNVELPNLEKMSFLDCPNTEEYHKAALAYSKQLHDSVRERAILVLRTKEDEDEAERLRLQANKLEQLVEAEERKAA

EAVRIREAENRRKQIPQPPPKVPTPPPQVTTRAPTPPAPRQPSPVQQAPGKAESPFSPAVVTPTPPPQIQAPRVPPPQFSLQPPAVQPTPPTKPQPS
TFQQGQKSSPPAVQPPSQPNPPAPQSQDNAQQILPDAERLGTIHSNLKKLRTFILTQETPISREQVRQRDGSMKVKDITVRSIAGEMRRNLTRTMGQ
LTDVAGSNSKQIVTIRELLEKSLTIQSAPMEPQHFMLTPPQSPVEGAQHNNGDMMPSLFLYLLNIFTKAIVNQLSSEASTNPKIAEPIGIVAHTIIS
HPKFLWRGHSFVGIIMAKFRKSLPVVFGVRGSETTEQGRARLGWRRGDNGWLSDQEHQDRMRGLGAGYAALCLRNYSKSARVNPWPPSHYWNAMALL
VDTPPSERTTTQVIVLTSMLDGYERKFLEFYGDMARCAMRAAIVEFPRSCGEKNSAVQGLSVLGDKIKRDLGITL

>RCO7_10923 | uncharacterized protein

MYQTITRACFEGIAESLGRKTSQGPVYEILIDASVSIAPSDLVTVLHCVAYFGNHRAAMVLLDRGADCDAVTIHVSSRGAVGNQIYTAGLEIPLVMA
VRKKHVKVVEVFLQWGASIGDRALSWLSKTTSRKQSFPTVLPLKIEL

>RCO7_10922 | related to SSD1 protein

MDQQQNQQNQQQQQQQPPPAQGGLGVPGLTGRRLHIAHRRSPSELTPLMSMFSSPGIEQLAIQQQIELLQQQQQQIQATHQQYVNMGMIPPTQHLAT
GGYNPLQQQMPNMAPNNFQFPNQMQQQQMAAPMGAPTQPLSHRRNQSALPNMGMGPPPAPSSGAAGPGFGDFGGQNRENNNAGRGGRGGGPPGGGHQ
RRHSLALPEAKKAAELAQQKRTTSGFQFPIPGSAGTETTDRANSPPAEGQAQAPAQTGTGQSGRGRGGGHGRSQSMAVNGRGGAAMRGGGSFQFPPM
QATPDAGASGQGNQFDRRGSSSGHNRQGSRNFEGNWRNQPQGQAPAQDQPGAMGNFQGQQQQQQGNFQPGHRNRGSMNQSINSMNSFQYPGQPQLVQ
MPGQMMVPQQMFPGQQLNPLQISQLQALQVAQMGGQVGIQGNHHGGPQLNSQQQQQQRKTLFTPYLPQATLPALLGDGQLVSGILRVNKKNRSDAYV
TTQDGLLDADIFICGSKDRNRALEGDLVAVELLDVDEVWGQKREKEEKKKRKDITDTRGGSNHNNNNDRSHRDNSTNGEEQPSTGEGGGLRRRGSLR
QRPTQKKNDDVEVEGQSLLLVEEEEVNDEQKPLYAGHIVAVVERVAGQMFSGTLGLLRPSSQATKEKQEAERQARDGNSGRHQEQRQQDKPKIVWFK
PTDKRVPLIAIPTEQAPRDFVEKHQDYADRIFVACIKRWPITSLHPFGTLVEQLGKMGELKVETDALLRDNNFASDEFSDAVTRSVESLDEWSIEKE
DEADIAARRDFRDEKTFTIDPNGANELEDAIHVKTEADGKIEIGIHIADVAHFIKANSLVDREAKKRSTAVFLMNRSCAMLPPKIASEVCSLAPGKD
RLTVSVVFKVNAHTGMVSDEDTWIGKSIIKSGGKLTYKDVDAVLSGHLDTKLDGADVKEIQILHAVSQKWRERRLGSEGETIAPLRLIYQLDDENVP
VEQNIFNSTPSHELIEELMHKANAYVAQKILKGLPEKALLRRQGPPNPRRLQTFVDRMNKIGYEIDTTSSGTLQNSLFKVDDTDIRKGMETLLVKAM
HRAKYYIAGKTPTQLYPHYALNLPLYTHFTNPSRRYADLVVHRQLEAVLSEGKIEYNEDIESLIKMTEACNIKKDSSQNAQEQSVHIESCRIMDRKR
EEVGGELISEGIVLAVYDSAFDILIPEYGFEKRVHCDQLPLKKAEFRKNDRILELYWEKGVPSSAFIPEDERPRAGTSQRMTNAAAAAKQAAVAERA
KKEHEEAQRKQMETGTISTDDVDALFDDEDDNSDDLAESVAGVSLGERPTQSVPPSPTKNPLTSTGSLHRTRSDSKVNAIEQAEAKLSPKEKYLKFF
TLREENGEYIQDVKEMTRVPVILKTDLTKSPPCLTIRSLNPYAL

>RCO7_10921 | related to stress response protein rds1p

MPSIRNILSAVVVGLVTSVTALPAAQKLSVYEARAFEFGQLARKHMLEERQNPTTGLPDGLTDIDVLEFALTLENLETAFYQQGFAKFSDSDFAALG
LAPAEITNLKSIQGTEATHVTTLTSAIAGAGTVPVAPCQYNFAFTDAKAMVATAAVLENVGVSAYLAAAPLIKTPGILTVAGSILTVEARHQTFIRT
ASRVAAIPSAFDTPLGIRAVFTLAAGFITSCPSGSNLAITPFPTVTMAGGAPASAAAGSTVQLQSTATGATGCAFVNGGLPGGAAFTAFSNGACTVP
PNLAGITYVHLTSATPKDNTLTDAITVAGPMVMTIS

>RCO7_10920 | related to dihydroorotate dehydrogenase A

MISKQPQLSDFISTSSSLPELSISPPLLNSANPWATTEEDLVALYNCPYTGAVTVRTSLFQAFSQNASTHQYTFFSSSLGHATTKINVDGGEGRGEI
VPGETSSLNTLGYSPIAFERYILMLVRLSRTPEFHSMTKQRDGKLKPFIVSVTGSAEEVGRCCEHLLEVLNEPEKSYPAATEFQSQSSRSGGGLDLM
MEINLSCPNIPDKPPPAYDGASLSEYITAVGEAKARVPKTYSRGLHVGVKTPPYTYQGQFQILIDALERSSGLENGCPISFISATNTLGSCLVLDEK
NDAALGSVNGSGIGGLAGHALHPIALGNVKTIRGLLDASKYEDVRKIKIIGIGGVSDAAGYKRMMKVGASAVGVGTALGREGVAVFAKIARG

>RCO7_10919 | related to sterol glucosyltransferase

MHTSSSKNDLDIVDESQVTAAASGDFLSKSLMNETANITDNGRINVNLDSRLSRALSRLIPAPAYESAVPSTPPPQYEEIYGTVTKLNIVIQVVGSR
GDVQPFIALGNELQKHGHRVRIATHDVFEDFVRKAGIEFYPIGGDPADLMAYMVKNPGLMPSVSSLRAGDVQSKRKMITMMLDGCWRSCIEADSLTR
IPFTADAIIANPPSFAHVHCAQALGCPVHIMFTMPWSCTRDFPHPLANLKSTNEGKEVQSGRSNYLSYMIVEWMTWQGLGDVINKWRKSIDLEPIPE
TEGPLLVETLKIPFTYCWSPALVAKPQDWPSHVDVCGFFFRDAPDFTPDAELERFLHSGPSAVYIGFGSIVIDDPNEMTAMLLEAVRSTGVRALISR
GWSKLGAGRENDSQIHFLGDCPHEWLFQHVAAVVHHGGAGTTACGLLNGRPTTIVPFFGDQPFWGHMVAAAGAGPRPLAYKELTSQKIADAIQFCLK
PEALTAAAGIALKMRKESGVKTAVESFHRGLPAKKMQCEVVKGQPAVWIYKSGKRRIQLSRIGAQILSDHLRLDLKKLQFYEAAPQVIEIRRWDPVT
GAASAAIGMPMTFLKETTGIITKPFAEYQKAREQNLLTANAIAHRNLDSRKSSSDTLAGLQHSRASNSTSPETAGKMTGGQIAGAMIGASVKSLGNA
VGKPWKGFFVDVPLAVADGLHAIPRMYDEEVTEREKITDIKSGVVVAGKSFFNGIAGGLAGIVIEPYKGAKKEGVLGVAKGLGKGSLGLFTKAGSAG
IGLVAYPGQGICKSVYTTWHAKTRKLVVAKRIEEGEFMWQNATSSMYDVPAILERFRNPRNGINKDYI

>RCO7_10918 | uncharacterized protein

MPSLSDDIPVAVAADCLSSISESSLTSSTMRSAADADAVAGAGQGTHVLSIQDLSAHDPPDPHHEPDQKRRKLADPENTSIAGSLDLPLALIENIGR
TLAIGGTGMVLRYTSGLVLKVAIKFLEKHLEQLTSINTDSPEKPQILNQELLYPILRATKALPHPASDLILKTLLPHLCPTPSIDLIDLILSIFSRI
CILKPARLQINKWLHNFTTTSPAPLSDPADYREILICLYLYKAEVVSRGNYPTRLAVTTLGLALDTMKECAAVPGGDLRLLDTARQLSLLLLGEKRE
EAWKLWNDCISTLERDEGGTESGEGEVGAVMKEDEKKERRVEKERRSGSGDYKNASAEACTLLRRWRRDLGKR

>RCO7_10917 | uncharacterized protein

MKDLTLAVEKECPFRKTFGVSGVGEGIVCKAAPPLGEDARFWVKTKGPLHNVSKKEKMDKVPSNMDAREKAKAFAEAAVTELRLRQGWDYLVEMGMR
GIRKLNRRS

>RCO7_10916 | uncharacterized protein

MANPSQYLIPAGIHAIPSGELDLRPDPEIDDDILHPKLISGSKNIFFFWHSGYETMHPYTQRTVRAWHRRFSKAGWTIYVIDKQPGSSRNIERFLDI
HNPTLFPDAFAKETLTGTYALQHTSDLVRLPLLLTYGGVYTDVGFMQIGDLDALWNQTVGDPSSGYEILSYHSGKPDEYGLTNYFLCCEKNNPLFKR
AHRLLLKLWEGKTSTEGMHANHLLKGVPLMGGSFAIDDEQGKHDEVETSKMLTDYIIQGQVFSLVMGLVDEEGGWNGPEYIRDRVYAIDFINGAQLI
NAHTDWNGQKAFDLLSLPIAGANETEDQVKAREIVNSCLTNSFGFKLAHGMILRVFSETLGSLWRKNPGSDIVPGTYAHLLRYAMVYWCPEKLPERE
QFTVAKPIKVGPLLRES

>RCO7_10915 | uncharacterized protein

MYVCTADCPSGPITPRPPPPPPPPPTARITIGQTASRMRLSFFNTTKKKWIVLGLCWSLWAILVINHILGETNLYTGSPSFFIGFFHLFVLVILWAP
ISLVLISSLFTASTASSLNALHLSTDHGQMNPGKRLLRAFLKTLLFCAFLFIWLAPFLVFFAGPGLAWKLMMKDSCRGLDTRFTMDQTIGVPTTKFI
ETSKAFRKHVPEEVHEWYLGQHVKPTSQPSYDAFQYYTRLSGRIHGRNLVVDVDIGSNMWRLMNLSSTDSVNEWMGYHSKKLLHQEIGTISNITVPQ
ETLIANGTFTLPKSSDPQYKEWKTLYIPELEIFVTDMKKFLTEYKYEPFLRVFSQQNFNTSKSAKQQGEKSMPENWTEEPHDREIMRMAAFGAGRGK
LTMCVREYEHYMGDEAASYVFGGISQTELVPFAIIAALRQRYTETQKRGT

>RCO7_10914 | related to SAS10 protein, involved in silencing
MPKKRKAAGRFDAASKAENGFEAKGGKMGPITSYEDVADSEDEFHINRDKVLLDEGPDAKRRRKYQEEDADLEPSDEEILGYSSESEDDEVEEPKQA
RRSGKGELSDDEEPQDEEEEEEGWGTSRKDYYNNDEIQTEADALEEEAEAKRLQQKKLQKMSEADFGFDESEWLDAGEGDEDGDVVTEVLKDVEITS
EMGPQERLRILQTRYPEFEFLANDFLQLQPVLEDLQNQVAEETSSKSSSTSSTVVKARALAAYLASLTMYFAILTSPAKGGNTEGKALDPVELRDHA
VMDSLLQCRELWIKVKTLQAPSHIEGDSEVDLVGEFEAPTSSHQEDRPSKRSKKERTRFAAAEEAAALRARRLADAESELADLSSMIPRSRKSSKKS
KAVVVADDDSDFGEEETMDAKSAEQKAAKKKSLRFYTSQITQKSNKRADAGRDAGGDADLPHRERLRDRQARLNAEAEKRGKKLDEYGRGTAGADLG
GDSDSGDENVAEQVRGEEDEYYDMVAQVSKDKKLSKEQKMAAIAQAKAEGGLVRVVEGEVGEDGKRAIGYVIEKNKGLAPKRKKDVRNPRVKKRKKY
EEKKKKLASTRAVYKGGEERGGYGGEKTGIKPGLVKSIKLG
>RCO7_10913 | uncharacterized protein
MPNCKVRGFFSTSLYPELHGIYYLTSSSGFISEITFSGEGLFSGVRNSFEAKMYRAGDGKKKPLYIARGQWNDKFIITNSRGIKDPTTCEPCKTPAS
KVQMKPLEEQDSWETRKAWQHVLAALRDNNMQNIVKEKTKVEEAQRAMRKEESANGKVWEPMFFTASEDSNLFRKLAEGTPWKLSERTKGVWTFDPA
KAKAAVKPYHGDLTPLGLLVGGDTTKQELSEIASIQQAKT
>RCO7_10912 | uncharacterized protein
MTHHSHIRDFITFLKSVSGDIANVTAPPYFLAPVSVVEVGSCWTEKPSIFLSATLESDPEARALKVLQWILCSLRSQFYIGEGDKAGLKKPLNAFLG
EIYEGQWTDKNFNAKLIAEQVSHHPPITACYMWDDEHQIRGEGYTRVDMSFSGNLNIKQTGQQ
>RCO7_10911 | uncharacterized protein
MAKLAGSINPINEGPSISSGGSYWSILVRKARWSAFTIYAPEAVTMIAACQRSSAKRSMEKMQAIGARHWTVLRKRIFKITASQIDSFAKIVAIVQG
TYMIAQTIARAIQHMEISSLELTTVAFVLCTTVTFIFWIDKTQGVERAFDLETQTPFRTILAEAGQIARAPYADTPMDFVEQPGWSQWRRRPIFSHV
GIPVRPLQRIPNDYAVAPQILRLPVPLWFLTVAHASCHILARNFPFPTNWERWLWRGSSVTISSVMLIWGFAEVMSVKPGFDLTMTLLGIWEKRASK
NTRFRNWAADGPGTMSTILYGLARTFLIIETFASLRSMEPSVYYSVDWAQFIPHF
>RCO7_10910 | uncharacterized protein
MASRDSTSSRAILALSLIGAFGVNSMYGLAWRNGYIPSLLRLRDHGPYIFPGSNIPILTRFTGINILDKALTLAGVMFATVTDGSAPASSLYGCETK
QQGKYYVLVSLEKTMTMEMLILRRAVLWGCASQGVGYGFTMPIYSIVHLFCSPSAADRSPTMAQGVRLSSTKSVETIIPSLILGYVVPSVLMAILLF
SPTFHQWLGGLWQGYPVWVTLIQYGIECVRSMRSDAEDKPKATTSNTLVEPSRVGEKRILHRAYLFAFAFSATTNVVTYGVLASVKFFPSLFSDHIL
LVSLCRSSRDSGREIYLAG
>RCO7_11660 | uncharacterized protein
MDQHIQTALTFQNVFIPPPFWSREPMANMAVGNQTFFQYDQYVGSTAAIVWATTLWIKARKQNMTLNNWLWLAGEIFGISIVAGPGAAWVSLIWNRD
ELILNDDELFSNVDVQGRTDNVIDTSGEAEHIMEGQDLVEHNE
>RCO7_10909 | related to Probable alpha-galactosidase B
MTCGRYPGSLGYEAIDAQTFAEWGVDYLKYDNCFPAPEWIDDCFACNGDPNFDRIGKVNGSCTAATPVTGYYSWNNTSPFCAYEFPVDGIDYSAKKT
ALKFQIMERELLAQNRTILYSLCEWGVDQVWTWGNATGNSWRMSNDIGFGTASWGRILEILNVNSFLLDWTDFWGRNDPDMLEVGNGLAIEQERTHF
ALWAIMKGPLLLGTDLTKLRPEQIALLQNKYLLAFNQDPIIGKPARPYKWGVNPDYTFNSSVPAMYWSGASSNGTIVALMNPLNQSKTMEAVFSEVP
QLKDGGTYQVTSVWDGADLGCQEGRVNVTLNALDTAVYLFGAEC
>RCO7_10908 | related to Ca2+ transporting ATPase
MVITLTTPIDGHAQPVAAIEAQDGQDPDEPPIRLPSPPVETENPNKEKPSIPGSRDDDTATNSLVEIGGKDGSLTSDSAWDGNPDTAHVSDGAVVAA
HLGVHPQYGLTLPSNTRFSLTQRNRLGLSSTEAVSRLERDGPNKIDGSGKVSIGEVLLRQVSNSLTIVLLIAMALSYGTLDFIEGAVISAVIVLNIV
LGFVQDFRAEKTMQSLLSLAAPSSQVIRNGKIEIVRADTLVVGDVVKLATGVVVPADLRLLESANLEIDEALLTGESLPASKHADTLSNGGGDTSIG
DRINMVYSATTVTRGRATGTVVATGMQTQVGSVASLLRGEDAKATSSSAFGRFFQKLSRGFKSVLGLVGTPMQVKLSKFAILLFGLAVLLAIIVFSA
NKWQLHNEVVLYGICVAVAVIPESLIAVMTITIAVGVKAMARGNVVIRRMAALEAIGGVTNICSDKTGTLTQGKMIAHKVWVPELGMLSVKDATNIL
DPDDGKLAINDQPLDKLDFTSQSKLALLRPVLDAVALCNFATVFRSNSSSGDSVDEKSLDANPGEWTAIGDPTEIALQVLAMRFGRGKETQLRDGQM
VAAIEHQFDSSLKRMSVAFKNEQTGSIEVFAKGASESILPVLDITKEEEGLINPILELLASEGLRVLCIATKTLDADEEDSLNDRSFMESKLKLQGL
VGLYDPPRVETLDAVKKCHGAGIVVHMLTGDHLSTATAIAQKVGILDPSSQTHHSVMKAQDFDKFSDAEIDSLPSLPLVLARCSPTTKVRMVDALSR
RQAFCVMTGDGVNDAPALKRAHVGIAMGINGTDVAKDAADMVLTDDNFASIVKAVEEGRRLFDNIQKFLMHLLISNISQVILLLIALAFKDSEGNSV
FPLSPLEILWVNMITSSFLALGLGMEEAQADIMIRCPRDLRVGVFTWELICDKMLYGTWAGILCLVSFIIIVFGKGGGNLGTDCNEGYNETCDVVFE
GRATVFAVLSFLLLVTAWEVKHFSRSLFNLDPKRFKGPFSIFKALVYNRFLLWAVVAGFVITFPVIYIPVVNKTVFKHKSITWEWGVVFGALICYVA
FVETWKAIKRRFGIWSGKGQALNTELIKAV
>RCO7_10907 | uncharacterized protein
MPTQLHITQRKEGILADVEGDFPLDLAVFNAFDYLLVFPIGSRILNAESYGDSEWNQTGRVTVELPDGDVKRFFLKLAIDENGRQLCRGEFTAISVI
NALIPGLVPRAVAWGQYTFSPPVTFFFIEDFHDLVMGLPNPKQMAQRVVQLHSLVSPNAKFGFEVPTFDGIAPHPAGWETSWRAYFIKEGSNAIKPR
LIHGDLWGGNIGTDKETGEIVFLDVGSFYGHNELDLGMWRRYGAQNLGQLYLDEYKRIFPPSEPQDGFDDRNRLYSMKFDLNASAGKPATKSRNTAL
NNMLFLIEKHIKTDIDFGLPKYDPHKDPSARSGPEDGLEQHAISH
>RCO7_10906 | uncharacterized protein
MAADAGNLMRVPKLVGLVRAPSNNLNDQVVGIIEEFIQSRPGSSTLRSINGQNVSESQKAKWIDQVRQTVEGLHRIEVIWGDGKADNVLMDADDDAW
LIDFGGGWTKGWVDENLAGTLEGDMQAVGKIEDFLGVRNDRYRLNHIRLSI
>RCO7_10905 | probable carboxypeptidase
MKFASVTLLSFAAVVSSAKVSYNGAKAFRIPVGEDVAPLMEVIHKLDLPIWKGAPGGVPIANSHVDLVVPAKDVKNFQKMTSSMVTEVMHEDLGASI
DAEGSAAANSTAAANLSWFDAYHEYADHITFLNELVALNSTQSEIVIIGTSSEGRPITGIHFWGASGKGIKPAIILHGTVHAREWITTMTTEYLAYY
LLQNYGSSAEIKFFVDKYDFYIFPVVNPDGFVYTQTTNRLWRKSRQVVPYSTCLNNSTCGANSTCVGRDINRNWPFQWDVPGGASSDPCSDVFKGFA
AGDATENKILVAHTNMIKATQGLQLYIDIHSYSQLFMTPYGYSCTAVANNSESLNSLAAGASAAIHSIYGTNFTSGPICSTIYQATGTSVDYINDVT
KSNYTFVMELRDTGTYGFVLPADQILPTSVETYAGLRHLLLNMV
>RCO7_10904 | uncharacterized protein
MPTHIELLLTAENLHDSFSLSSATSLYKTFQTLFLVECPADDPNILQNIQLNAAFLEYLSTQRVTRIRELLRTWHVQSMEAENHKDKLEAELEHEKH
VNKEKDAVGVTVICSDEEILKKIVKQIRDGVDVVCVYFEGQEVDAIDKLEEVKKKVVDILYQNTTWKSPKFVCQPMEAF
>RCO7_10903 | uncharacterized protein

MSQYPPQQYGGQDQYGPSQPYGAPPPQHGYGYTPQQQPMYQQAPPPQQAPPEKDRGCLVGW
>RCO7_10902 | related to Endoglucanase 1
MPSLLALIPAFLALASALTPGPNPEVHPKLTTWKCTKAGGCKEQTSLLVLDQLAHPVYQVNNPSLGCGAKGPPPNVSVCPDEATCAKNCIVDGIPDY
EKYGVKTSGDLLTMHQLDKEGVKVTPRVYLLNEEGDKYDMLKLSGNELSFDVDSSKLPCGMNSALYLSEMDEQGGKSELNPTGARYGGGYCDAQCYT
TPFVNGVGNIKGKGVCCNEMDIWEANAVATAFAPHACNQTGLYQCTGAECADDGVCDKDGCSYNTYVQGNKDFYGRGLTVDTNRPFTVVTQFPEVDG
VMTEIRRLYIQDGKVIQNAAIKTTANVTGNNFLNDKDFCGKPGAAERYMDLGGTPVMGKALERGMVLIFSIWWDPTGFMNWLDSGNAGPCNATEGDP
KQIIKVVSSPVVTWSKVKWGEIGSTYKGSA
>RCO7_10901 | probable ribosomal processing
MGKRQRNPEEGSPEVEDMTNVTTQDPPTKKPRKETNASAQRTLFVRSLPAIATSDALTSLFSESYPIKHATVVLDPETKQSKGYGFVTLADAEDAQR
ALDEFNGKAFMGRKMKIEIAQPRSREMSKGGGDAADGIVRRKSTISAEAAAIKKARLDQMAEDKKPPKLIIRNLPWSVNTPEKLADMFKGFGKVKFS
VLPKNKDTQAGFGFITMRGKKNAEKALATVNGTLVDGRMVAVDWAVDKTVWETQNKSSKEEGSGDEDDGGVELAEKKKKPAKKAVQKKPAEEYEGED
DVANFFKNFGDQLESEDEDDEEPEQISDDDRDNSGSDTDVKTEDEVETWEDSAEDEFEEEVIEDRRKKVLITDNSTTLFVRNLPFTTLDADLKEHFT
QFGPVRYARVVMDRQTDRPKGTGFVCFYNIHDADSCFRNAPKHQVTGANSLPTKTTHSVLQNESADTSGLYTIDGRTLQVSKAVEKETAVKLTENGT
TFRDERDKDKRKLYLLSEGTVASGTPLYAALAPSEIKMREDSAMQRKKLIQNNPTLHLSLTRLSLRNLPKNMTSKDLKALAREAVVGFATDVKEGRR
SQLSKEEEARGGDEMRDAEKQRKAKGKGIVRQAKIVFEGREGAKVAEESGAGKSRGYGFVEYSSHRWALMGLRWLNGHAVESKETGKKQRLIVEFAI
ENAQVVQRRKEKEEKARMRSKEIVELRAKGEAPEKEKKQLKKGEVMKKTRVGQKGKPGRPGFGKKGKEDDGTKGKSFEKVDVGAGKRKRDDDGSADG
AKKKGKGEPVEKKFKPGFPPGEEGRLQRREQIIQKKRMMRRKRKGGA
>RCO7_10900 | related to Mediator of RNA polymerase II transcription subunit 19
MTSNLPRTPETPTQTTPSSAEFPNKFVTSPIDTYSMPTPARSVNGSMSSNPTEMSFETGFHEDSSLKRKREVDDQGEQEQKKKVHVEEPESLHSLTI
NDLHLDVGEKYYLCKTPHPAQGIRHDSGIVRAPLREDLFERYDLYPIAKTVARTNPDGTKGVKLRKTYKNHIKDHGLVGTFDAVKKENGAPGTLYEL
MWNVKYQDEAWIANWTTGKEIEKGIPESLLPAGNKVFAMAKGPIPKDKFNPSILGEGGNPTVPVDTAKAVQNGSRTPIPQNLAAARIAKAEAPRPKR
TTNKRTYGESSYEGYGEGFVDDDTQDAGYSTGDGDAGKQRKRPKKNSQGHGFQSGPMRQASYGPGMVGA
>RCO7_10899 | uncharacterized protein
MIYNYGRPRLSAVLHFCYLLLMIVGLNVAPATAQSHTFSSRLISTFAGNGQTTTQIIFWRTLEPGESATSLTTSFSSIDDGSTTRERDTATIPTSPS
ASLLASPELTLGGSTRTDVLTRTVSKSQERVLTSPPASLTGSSQISSSDIFTTTDSSYVTTTETSEEIQSISASSSPYSRTSQTGIYFETSVFASYR
SSLDVTSTSTTQQSSTLSIKESLTLEAPPNTTEVQSTASLISSKPTSDSVSAQSSTSLSILGQSINDSETKSGSFVLAESSTDQSPGSSTDVLTTPT
ISGFLTKTSTFIPPGITSKDPVFPESTTVVDEPSTSAEPSPTLGPKDISTTTAPPGTTTIVSARTETWWNPVEPSSTMSDYSSQSSVYSSIMSSISS
VSVSISMSMAQNSTDISSRMLPTSSESSAFQTLSESESRSATLPLETSSFSVSESGSGTSSLPYFTTSGVSTSEESSSATKSVPESESISQSELSSY
TSSTLVSESSTITTSPVQSTFSFSSGSISLINSGSGFSTSYYRSSRQAESTSPASSSLPSLTTYITELTSKTISSFLSTSSGYSSSFASESLSSSLA
SESLSILASSSSKAESLSSLASSMASAGISSTVLSETSTLAASSGVGSSTVLESSSYSDVYSTSTILDPGSSTEHSSSHIGGTSTEVESTTIPESTT
EVVYISTTVVINTPGLTTPTVIEASTNPGSSSSIELPPQSTTVEDPAITTTEKSTPVFSSTRVQISTPDPFETPQSAELRTFWEVIMPSSTVSEYSS
SSSVYSSVMSSITASISARYSSESASSESESASLSYSSSISISASMSLSSSMSEVLSTLSALESSQSSYSSLLSSITAPLRSALPSSTASSISSLES
ASSSLERISSSISAQESSLVEASTTSDSESSSQVTTAYPVSTSVSELPSLLSTPSSSQSESSFRLQSLTASYSSSYPSSIVSSISSLEPVSSSLSSN
SISLSASLSSSIEITSMLSSSVDRVSSSLSELSSSQSEYSSSLMSVTASYYSSLSSSIASILSSLESVSSSLSSESVSLSASLTSSYQSQVTTMPSN
SISEVSSWLSELSSSQSEYYSQLSILTASYSYTSSFPSSIISSISSLESLSSSLSMESMSLSTSVSPQAESSSAISSSLATSSSIASLSSSRHSSSL
ASLTTTISSLPTSFSSIVSSLLSASSYASLEPSSLSEFTSAQSSLASISSEMSSSLETLSTSQSEYKSDSQSLTVSVSSTPSSVASTLSSLLSAGSS
VEELSSSLLSSQSQRSTTAFATTDPGSSSDQVSSTISTLASSASSYSSALESFSSSFSSALPSGLLSSISSIESASSSLSEVTSSLSASASSASVRQ
EESSSSIIESMTESLQKSSTVISVTIVESYSTTIISVTQTLSLSSSSPASATATLSAPGSSSEPSNSSGQESTFTFRSSGFTTIPRSTSLVSSGESS
SIESSSESVLMSTSELLIGTSSYASASSSSSFFRSGISSVYATTWITTTKQPLSTFESQPGTGSPSTGSASFGGTTTQISSGLESTNTGRNTILDES
TSASGGQMGSTTMTSPSKTRITTAYISSTNAESEIPQVSISSNVQRFGPYNSQTSSSGQSTSVLPTSSEILTSSAIDDMSSTGLSSSGKENSWTTIS
MPSAGTDSSFITLTSMSVSSSLITSRLSITTSLPSYLSLASYPSASLEISTTYLQSPALEPPSSSQPSVPTTTDISINSPSSDNSLPPPSSRTFSVL
ESLVSSQTSSSETQTSTLLYSSSIQSTAKSLYVSQTLSSATSILALETSSSQVSSQSQSTSYSIQSTSTDAQPSSLDLISSMTSSQVSESSFASTLE
QSTTEMFPITSTQSSSLYEISTFASTSALLSSSGPVTTTTSSDLATYTLSLTTQVFGSVTFAISGPPSRISSLSSEDPSTTQLPSIETSVMVSLSTI
PSPSSKLPLPKTSDITSQTSSTGSFSDAGSPSDLYLTTSSKLPEATSESVTFDATDPSSGPSTTVLSYSQSPTVQSLSSSQYISGSQTKMESTSILH
TDISTASLVSFGISSTTIPRPSLTSTQSEISGTPSAIAFFLTFNRNDNPLRKRAMEKVYLVLDVNGTVSITDQCSEAVIFTIGTDKRLRVGGVTAYA
TPSDIALGNSPFRFGPSDSANVEQDFTYPNSFLSWDNNSFPGDHHAVFGFPSSGQGIVVAAYDGTVPPGYTEEMFKAVTSDDPAFVCEGSSSISTDL
PSTSMSPIISQLATTSASIRMPSITTSQSSAEDTTTSELPSAILTSRSVITILSPTSSDIVFFTQLSEMKSSTVLTESSSSSSLDRSPSTTQQETGF
SDLTSSLIGMTSPFATSSTLSPDLSMSSESATLSEFSLSSFPTTLAVPTSTTVDSSSQTAVLTSVTTLPSITSISTDLPSTSTEESTSNSNINSNIE
TDVFTVELSEATSLPLTTTSGFSVPFTLLVETTSSLVTPSSSTNNSVTSSAGPTSSILATSAFSSSLDPSSSAHIKQIITSENVVSTSVASIISTTN
EDTTSGQSFLSPSPGIEQSTSAEGGSSFATESLSSHLTTVSSEFEQTTTESAYPGASMTETGPASTSILVSRLPSSTQSTIITESTTGASLQSYSSG
TPLPNSSTEFQITSTLSSLPGYFVETSSLVSNTDEITEVFTIDSSVVLETTTRPLKQTSSLLIETTSEMQVTLNSRDPSTAMIAQSISSTFGTISSS
INSGVAVSEPTDILFTSITTRTILSDSVILPSGASSGSTMLISTTDSHSKSSSGQDISSSNIAEASTSVVMVIIPVEPVSVSHSKDSISFSSTGGFT
GPYSSGSAFLTSGQLASSSSSQEVILPSPASSSISLILPTTTLSFTSSGAASSTISNRGATEITTSPFGVPATTQRPILPSTDLYETETYSDPGVIT
EVYTLESSEIEPPVESTSITLVQILSEFHSTLEVTIASTDHSSSTPDILATPGTSLGPGDIYSRSVIGSLTLDTVSPTSVLGFETTEIGEAFTSPSE
PATTIMNSKSLPASVPFLSELGSTSSSILQPSPLPGSASNSYHVPSTVPPAEPTPSYLAPSKSAPVISTSKIITTSSIITSCDPAIATCKIGEFITK
IITLYTTVCPITTEAQPEPTIAPSPEWITSTVQTTVTYTVTACHPTRTGCSLGHVATNTIDIYTTICPAISAPTEPAKAIGVLVTIVIDITVVIHVN
DGVTDTSYYTKILTRDSNKLYDQATADQPCYACQITSAGYACPSSDITVTRTLVRSSPSDAPPAVTPLVFQTCSTCSATTLTNSNIVAIPTLLVNGT
ETHNGSNYSAPGGPIMQVPSSAFGPKMQSIGSLFLFLGIIVALLL
>RCO7_10898 | related to Mediator of RNA polymerase II transcription subunit 5
MSASLVAWQTFLARCIKSRLDPETFTTYLEVLENQAPLPAPRIVNLFLAPREGSDFVPDPLVLQYVQILLSSGKVNVPTLLRGLWKVSSFRDLVDGG
DEAQKEGAEEAVEKKATGRWKSSYTTEETLFYRITKNISTGTAPRDLQETVELISICIQWMDTVLAASQTAHTMLNLSQAHAAEMNAQHMALGTLVI
AVVENARVVHALGRRAVPRPARKKLGKALEGFVPLLLQSNGPAAARLEVFRADTLVALEPIEIKEPKAGAEKDIEDILADGLQLGVDSMVVEEMPVI
NTRAGLYVYFNSLLVARPLIDDNAIFAYLHNRYQGDIRSTMIGIILAAFDILANAQFRNERASTSILRSFLINKIPLLLSSLSSSLFPPLTPEYCIT
EALSHVDTNAFPTISNMFDETPSSNIFSDSVRTDFCFACCLHGLIEESNIVELLGDEPMQSLPAGGRYVKDDLIQQCLSDPERAERLIDELQLMDGN

VGAASQAIVEVIARLCSNKETMSLKGLCSKLVRIPSSLDVILLFDKPASFLQPICDLLDNWSYDEDQGEYQPVYEEFGSILLLVLSFANRYNLSTVD
IGIRNQDSFVARLLNQGHLSRKMEILPETEQTHLDGWIKGLFDNESGGLGDELMSSCPPQDFYLLVPTLFHEIVLGVSTKNLSEEALKGGLEYLVDT
FLLPALVPGITWLAAHLWESRESSKAVLQILSALITSSTSISNNTEASQMLNSILNIVAKKLEHSLRWLQRAEPSRQDIEPLSKIVRDNLNWERTGA
AGHTELESWTAQASGGLAVSVKTTLAGLVLWGVNPTLNSSPANYTHRQILAAVKMLTAQRVLGALIEELKAQTATGNGSVALDAACAIVCAPEAASW
ETGMQTDIMGASTITPLQRRMTLREALKIAADGTPKMHKTDPFTAETIVRLYRKVEAQMIMPMPQHDALGALGLSTSIEEAVDAMANDALHGDRLGD
GMGGGTDLDLGLGMGDANGDLMQGLMGGSGDLGDDLLGFGGSDGMGF

>RCO7_10897 | related to fluconazole resistance protein (FLU1)
MGNLNGEADSVQIMKWASGDPENPYNWSTASQAFIKDKQTILLTLQQARKLIITFIGILVTINSTLGSSLPANEISYIADTFGITDKNIEILPMSVY
LIGYIFGPIVFAPLSELYGRRWITIATFSLFTLSTMAAALAPNWNSLLIFRLLAGIGASAPISVVGGIYADIYESPIARGRSVAVFFTTIGFGPLMS
PIIAGCSAPTIGWRWSFWIALIIAGGSFVGLIFLPETYGPKLLGDRAKKLRKSGTSTCVYGPLEINSRGWRDLLHLRTLLPLRMLFTEPIVTVVCLY
LAILYGMFYMYFGAYPIIFEGVYKMSACKSGAMFLPMGAGDLVAIALGALYDNYIERTRVSKPPSHRAEELFRLPPACVGGPITVLSIFWLGWTART
EVPWAVPFTSGIVYGIGSQLIFIGLLNYLADAYTIYAASAFAASSCSRSIFGALLPLAVTKMYDTLGVAWATSTLGFSVVIMSIVPFALIKYGPYLR
SRSSLCSQLRKDREERESES

>RCO7_03642 | uncharacterized protein
MNQSIRFLKADGTSCKALYAQSFDPIEWTEVIPPSRKKTLQSLILDHRCWEALRKGELNELFIMLPSLRELILPIYDWGDLGQLIMFNFEFDVFPSV
DNMREVDTYIGAVQCTKLNKDRVVYISGALHIPTLDKNEYRNWTEMKTDLESEGEEIITPGMLEKEITEIVKVALVSTDVEMGGNLIDMDPREVKIT
DSEDDSNPCVVKRVSRSGNIWNQSREDVDHVAS

>RCO7_03641 | uncharacterized protein
MICHNKLAGPRNGRGLQILPAGLLKLSAQLRVQEPRIDLGAAGPYGILGRLSVTNTRSTIINGDLGTGGTSITGFPPGIVSGNISRGDTTITAFSDA
NAAYVTVAASSSSLDLSGINLGGLKLPPGSYKFASSAELTGTLTLDRNGDLDGEWYFDIVTALTTATASSVVFADGGSACNVYWTVGSSATLGIGTS
FMGTIIARASVTFNTGAVLLGRAFALSATVTLDSNVVIVPDCLASIPTSSPGGEFPAPTFTFINPASLATTSTTISILATIPATIVVSASATTSASI
TSSTSSFVAEPLGISSSLPFQAPVIKTSLPTSDSSILSDVSTGLQDIVTTGVFDLVTTSTENFPRTELTIDVLPSTILATLSRETSSIATSSTSTSA
LSTSSFVNPRPLTGTYVTASAPVTSSYNSAELPTTTTSLDNAIVTIVITTISTLTSCPSKYLCTGQILSWTGTSGPLSCSAQKTCTCVLPGGIHSAT
SSPQSPSYTCHTTYWTGTDGPTACTGQNVSGNNVIGTYRCGINDSTDS

>RCO7_03640 | uncharacterized protein
MASSTSSGPATSIPGSAVTSAWPTNTTYYQLPFGPIGPQNGNTGITLTQFHHFKKCPAEVRNMIYKQLIVCKKTIQICSPLKRHRRRYHSERLNFAA
IMLVDKDIHEEVRGLYYTLNTFAVGNNLWGSTSFANLHGLNAFMKLAPKQHLAQIQNIEINLCAELVPHWARPELFYCHDELDGKRLMSNCRILLKH
FRGLRHVVIKACEMDMKPVTSGKDKRMRPIVQQGDWENAGKALRLLLDGNRKGSRGLLGLNIQRFRWYANQNIQWSRVPDCAPGAKTRPSFAGFVEQ
GRPELLNEEGVWDPMGITDKTMDQVRSKELKNARAGIV

>RCO7_03639 | related to quinate transport protein
MVAAAGPAGIYDAALLRRQALMGASGPAALLKNRKVFMIAMFACIGGLLYGYNQGVFSGILVMNSFKKHMGVYASELPQHQSKKGWLTSILELGAWL
GALLSGFMAEACSRKYGILIATGVFIIGVVVQATSISAGHNAILGGRFITGMGVGSLSMIVPMYNAEVAPPEVRGSLIALQQLAICFGIMISFWINY
GTNYIGGTGDSQGDAAWLVPICLQLAPAAVLFGGVLFMPFSPRWLVHHNREDEARKVLASLRDLSPDHELVELEFLEIKAQSLFEKRTVAEHWPQLR
ELTTLNTFKLQFVAIGSLFKTKAMFKRVIVATVTMFFQQWTGINAILYYAPTIFKSLGLTGNTISLLATGVVGVVMFFATIPTVLYIDRVGRKPILT
IGAIGMALCHIIIAAIVATYKDSWPEHKAAGWAAVVMVWLFIVHFGYSWGPCAWIIVAEIWPLSNRPYGIALGASSNWMNNFIVGQVTPDMIAGIGY
GTYLLFGFLTLIGAAFIWFFVPETSRLTLEEMDVIFGSQGTAQADFERMAEINREIGLDDILRASAGGSGSGEHGVRAETPDEKEKIVQTEEKKAI

>RCO7_03638 | related to DRPLA protein
MPRGHRSVRSQGYYRLSPVSTPSTLSSQYAPISSRQNIPNTYYNAPSLNTQNTMSQQQQNYNQSSLAPTYTNGGPVQLPNNLSQAYTHPRNQHQMQQ
PISIRASSGAWTPQDDQTLMAARSSGMNWAPIQQSYFPSKTPNACRKRHERLMERRSADDWDGLKLEGLAKTYMDMRKEIWGPLAAQTGEKWNVVEA
KCMSQGLKNLQTAARSFVRRERMLDPTNTNNNTSSSTTNPNHHHHSNSISQTHSQQGSYTDFANGAHNDGDSGYADEHDDLEDQYNDADEASDRSTA
TYDHNNNQILGGQNHRQNPDYQNYSHRNDGSIGSNVSGDGSLRGLNGMGGMGGLNGLGGGVGAVNSMSAYGMRLPSMDMGIDAIINRGPGGQ

>RCO7_03637 | related to protoheme IX farnesyltransferase, mitochondrial precursor
MIIRSPPASAFRFNGLSTVYLSCFLSTSKPAGQSLLRNTHRHFSQKSNVKAALAAAGTTTRLRAGYFSGNTILEKARLSTKRGALTASIAETRTIAG
EENEAANPKSPPPIPTPESIQDLPHRRRAAARKAAKEKASESDLVLPPNSSSNLSTTAAAAPSNSLRRLLPVLLSLSKPRLSVLVVLTACASYSLYP
VPELLLPSATETPSLSPLTLLFLTTGTTLCAASANAFNMLYEPKWDALMSRTRNRPLVRGLISPRGAAIFAILAGIGGTTVLYFGVNPTVSFLGGLN
IALYAGVYTPLKRISVINTWIGAIVGGIPPLMGWAAAAGQSATHGDWRELLFGEQNIGGWLLAALLVAWQFPHFMSLSWSIREEYKSAGYRMLCWVN
PARNGRVALRYSLLFFPICIGLCYFNVTEWSFAVASAPVNVYLLREAVRFWRYEGQKGSARGLFWASVWHLPVVMILAMVEKKGMWGRVRRAVSGEP
DEDEDEDDDEEEEDDGRSAAQVSGRLEARKAIALPGR

>RCO7_03636 | related to TPO4 - Proposed vacuolar polyamine transporter
MANNMAEKDLEQAVQPQPSTSSNLASKEGAIPESSGSSSNIEADMFISELDWESPSDIGNPQNWSLPKKVLHTAIPALYGFAITVATSAYTPAIPLI
MKEFHVKREVAILPLSMYTFGFVLGPLVAAPMSEIYGRRIVYWTTLPLLILFIGVSGAANNITLLIVMRLLAGLGGSGALAIGAGTISDIWPRKYAG
KAALGFVMAPFLGPALGPLIGAYIIDEYNSNWRYSQWFVLLLAGPIFLISLGMQETMKSRILYLRVKKIKGKSPNRDGDTPLFLRKLGAGLIRPFHM
MFVEPLVAFLSIYTGFSFAMMFSFFSSYNYVFQSIYHFSQKQIGLAFLGILVGFLFAVVTFAVFDATLYICASNKANGDPAPEHRLYAAMLGSVLMP
IGLFWFAWAPAEDVHWIVPVLAGVPFGWGSLSIFISATTYLVDVYQAANGASAVAANGILRYLFGAVFPLFTIQMYQGLGVHWAGTVFAAVGTVLLP
VPWVFFWYGKGLRGRSHYFEYFHDLSIVVALKKSTQTSTTSPAASINFVRNSTQHDLQLNQTQSSNPPHLVLAIHLASNSSYLLPLIQHLNARFSAC
LLFLAASTVTTIAPFESDEDMSLASHRNIFARQPIKWYPFKNGVCYWYGTYNLYHKGTYCTCAELEGSAPLQSRACCNKA

>RCO7_03635 | probable interferon-induced
MSLSLVPYSSRDSREIVLRHNDAIVIRDPVSRQLIIRGATPSPSFSSDCPTCHRPFRSSSPERNTSPHRSSPFISPEYFRMLQSAHNGTEEHEPPSS
PIRRLVQTPFPSASNSTGGSVSDVEFVTSTPAPQTGHSIKKEAFSPNYFQQFFTEEKELGRGGKGVVLLVRHELDGVSLGQFACKRVPVGDDHAWLE
KVLIEVQLLQGLSHPNLVSYRHVWLEDVRLHRFGPSVPCAFILQQYCNSGDLLHYIIGPAPEVRSVKEQLKEQMRRRSRGHSERPDLRYSQRKLSFE
EIYSFFKDITSGLAHLHASNYIHRDLKPSNCLLHKDGNDFKCLISDFGEVQAENVARKSTGSTGTISYCAPEVLKKDELGRYGNFTTKSDIFSLGMI
LYFMCFGRLPYKSADSIQEEFEDIDSLRAEISGWSGFVDERRERPELPNQLYEFLKRLLALDPNERPSASDLLTAIRTEKGLEAPSRTRNGSNAGLG
GRIIQSFDSPMPPGTPVNGIFLPFEFKFPFSWQKIEPSKRVRSGAYIEDAIEPSFPQPTPSSQLVLESKSRSPSRTPSPHRNDPPSLIPRTPLLMPP
PSTLLSRLTHKVSIYRHYAGTWARLNRQPLHLFLRLAIFTVKVASVTRPCAPLVTKDIVMWPLVTLAAIELAIGTSLAWSVVVMSLVAHFVVLAVTV

RFGGGLCIRDMNWGWTE
>RCO7_03634 | related to purine nucleoside permease
MRSGILANFLVGAAVSTAAAIDRRVSKSSFSRDITVIYKNADFSPEADIWYSNAKTPGSIGDLFAKNITIPGLSPLFPDVHCLKDGSVCQLTTGESE
INAATSITALMLTPLFDLKKTYFLIGGIAGINPKYGTLADVAFSKYAVQVALQYEFDAREIPENFTNGYVPQGSTAPDMYPQTIYGTEVFELNEALR
DIAAGFASTAKLNDTLDAVAYRSNYVSKTSREKNVYASALRKPRVIKCDTTTSDVYYSGTLLGEAFENTTHLWTNGSGIYCMTAQEDNATLEAMIRF
AVHKTIDFARVIIMRTASDFDRPYPGSSPQFNLFYSTQGAFEPAVANIYLAGTEVVRGILSGWKKTFDKGVKPMNYVGDILGTLGGTPDFGPGIAGD
VKVGFGKRGVEETEERPKTRGDMYMRGRVGMKGRLGAEVARRTNGVL
>RCO7_03633 | uncharacterized protein
MASNRPRNESRDGSTRRKKRMMSNEGEKQGSAKKPAKKSSWFGSSTAAVYNSSEDEGEATPSPEPPTAQQREEYHRRIARIVDENYEVLNAKRLLAE
MDETNDPFDPDISPNHLKWIAKRTEVVTLLQDPLQSINLVLKTFDIDENNFKALLLFPPRTDDIVLAIQKEHTELYYAAMGPGGAFEGVNDNLATKI
TMLYFGLPIEPLTYHNVINCELDQNDSPDDEPEAPRVQRIIYSEKALEFLDSYHERSFGFPMLRRPKPIMHIAGQPVPVGPEPDSGGDDSDESNETD
EIDDTDKGDHLLRGLKPLRPMGDALGIRGGGGIPSDRFLYTHYGANIRLNAIDGTVSADEFKAAVLKALDLDPNSDWFIVVDQYDNSDRAKDNPLKT
FVASFNMTSSEFDAKYERVLKARISNPLQNWALSVDYLRTKAFKAPMHFSIPPRKSDGRDTIDLTQLPQGRPPKYTAKRLPRGNRLFPTPVEKGTRN
LYTLPSASSLPIKDDIDSFIMAIQKLSLSFVARNVSISMYFLELDDPPKDPISRLDHTILFPSTGDVSKHRVIRDMVFGPEPWTAVMHETLVMPPVL
WPPFSTMAQVQSPPPKQILTTAPLYRHGRGVYVNPTASDFKKQVLALLGSQSPEKYDFIVDLYHNQPDRKRGPSRFLDFSNNLRFTPESLPRRFSKN
IQPLLFRGEADWTLVVRLASEEELEVFDPSSIVLSTVPSAPVGTPPATKYTSSAQPRNTTTTIPPANPDFGPDEYYIYGYAGQVKVDRTLESFQAGA
LALLGLTNSSDWTFTVDLHNSRPVKSINVSADTIAAQFQMIKDVPSNHGKYYVPGYPPLPWPVFVRKSTRVSTRNLTPPRSGQNYVKLGGPVITSYW
KLPTPVDGRYGINQIQDSFYSAMLVHYPLGTLRPAQDINLMTGLGFGGIELNEEFWTSIVKSVQAAPGGVIGISDVPEGSKSLEKEIGVRIAGSPRY
QTFERKDFESLARAIRQLSEVEVSHKPQNLTSTAPTSFKAWFQPEDRENASNGCEFYYDDYDNTTASGKNLTESLRNWFRMEEEGKYTNCIWFRPEW
KKFTIIDNTPTDDGGMQIERANEEWDVVSHSKTLESFRAMLGILWDDDTPGLTDNFEIHVPQGDQRFVIDDQTTEDQWRKHVFDYFHDNTLIVQPNN
GIPCVRDISDPWGIVDMPLIEKKVTFAPETYSPTQPRPTSVERDHGNSHHYHQDGMFHHHEEPFDKTESRQQRITNKGHPPHVTQPSHQPRRIPGAK
APTFKTSDVPKWDKWMLNHTAQNNLQQRSWAQDQSVIEPGYAPAAPLYGDNLELAISVGPSMPTVFVQHLTPTDIIELRKENRKLLNHALEREIGCP
ICNMTFKAYDNDAKSAHYQTHMEQINSAGNCPICNENWALFTWSQKRDHLHADFAKKGSQDIRQFWDDIKCPICNLDFAGKTAESVTTHMASHVPGA
LKFCDRCGLDLLRCSPIERDHHDQVCTRDTPVRPAGASDSILCQFCGRERTPESEKNREHTICGNGQHCIRCGLNLSLLGGPQEQHSHSTRCRVPGG
TTGKYCRRCGKNLQSLTFLDKTAHHDDCYRREPGSVAADGSPEIGYPQNVTSQRVQIDRERED LRNRQNELKAQETSILAREQDILRRERGHSRSDS
SSQFSHGLTGTATCPICLGDLSTCHRGEIVDHFQQHAETNGDDVKTSTVSQNYHSDALNASLAEFRRRLPDFRAASDQLQQFVEKTTVSATQVSNLA
SSIAAEEKNRNEPERLAIVKDERRLGAKKALEENFAKRSQEAIRSRDSEIFELRVQLAVAKKTHPIITGGKISEIVIEAQRKLSAGEADLARVKELE
KERAARWAIELGRMGAEIAARKIKIGFVPDPANDPPVNSGTDGGNDSGGGPSGSGGGGSGGQPSGGGGGGGGGDNPDDDVDQTGFMPSPDRQSFKK
LPSLRRTRSVKGRAPTTGSKRKKAAMDDSEDTMSGGFSNLVRSPSKRETKKMRTGMVGSSPRLMRRRMVIAEEGEGDEEISEFISEETGTELGSVSR
RATRAMGGTPSVGVGMSAAPMARRVGRQRNVVQEENIDDDGFEDVEEGDEEDGDEMVQKGTSKRARK
>RCO7_03632 | related to diphthamide synthesis protein DPH2
MAVQATQAPVLSTPESHIFEDPTPASFSTSSFTQIYTDNAFKEVFEIERAVKEVRRGGYRRVALQFPDRMLGLAARVVSELERGCEAWVEEGNQTSE
RNGVRIPGQMEDTTTEKLETDFNALSTNTTDGNIEAIKSNGNTQLAGRVSEQRIRFYILADTSYGSCCVDEIAAEHVSADVVIHYGRSCLSPTTRLP
VIYIYTSQLLSLPSAISSFTQTFPDLEAKVLVMADITYQIHVPILVAALRENGYSNLTAPEVIRDPGSVVPNRLVDEDVKENLADYGLWHISEPPKA
LLLTLASRVKEMYIYPTTSSQIPNQITNRPSTQAILANTSLLLRRRYALLTTLSTAPILGILINTLSISDHLSALSSLRDLISRAGKKSYTFVVGKV
NAAKLANFGEIGGWVVVGCWESSLIEGGDFYKGVVTPFELSVALAGQGRGWDGSWRGDFGGLIGDANGQGDEHVSKEGETRKENGNGAQHIDVSGGH
DEDSDSESEPPVYDLRTGRYISTSRPMRTSTRQITTTPPSSETPISQPQSKSLTQRARGDLATINGTVSPGAEFLRTQRTWTGLGSDFATSEDIDEE
KAANVEEGRSGVARGYVIGDDKEKR
>RCO7_03631 | uncharacterized protein
MSGRSAYVRKEKTKIKSEKEAIVFSNDGESDKQPSNKALSIDDLPMPQGRQPQYTTDVPFRNQTQPQYQGQYQNQNQYQNWDRERDRDQNNEIVTIR
TNVSGGSDDLAYARVRKPQVPVIDVSGIEKSSFRTKMDKQSEKIRGVLTFGGGKKKKAEEDFKPATDGANRQDIPELDADEFIAPAFPRSHSRAQG
FGEEGGCVRPAPPTGRLPAISQGPQLRRWMGSGRPSMAWNKLRKDPELWDPNGDTLIYFGHDTHHASRPPPSFRLSSHVIEQTESRHLITLLREGSI
DEGNNFSMPPSLINSPNMRNPHMNQGRQRHPTPPTSDGSASGGFDGQISYEIYFPPPMSQSKTDTIRHQVATRNVFALLYQTSLVGLNLYQALTDLY
DRLEVYMPDDVDAAGMIIDYLVIKGIDDVRDNPSNAVSLLAWSETSSIRWEEGWKEAYVHCSGMYLRLQNAPEYKYVTPITRALLERASYEVTARIT
ACEERFVDFNFDDMWPEMSTNSPPARAAFERLRKFFLSHYQNMYEVWPPVSPDGDEQWLTRGLAKKLQKDFGSLYDYLVNRDVAWDGSVERNGRKWN
IVDPRNRGFNADTDDCPFTEIIVAFDNTHRFPHIPHPYPLVPESLPVRNDSRNNQFKTSKKAPTKQDSKMAERRAALAYTESTNIYLLGSDFTNNDL
VDSYVRFEKSDQAGDVDPYAARRGRWILIYGVLQILASVSVDTPNLRYIKDVSYHLNPRLRGTPPWKGANPEFMAGEASHNRSYCWTVRDTWRPEAP
VVISRRGGPGMHGSVRSSAPGSVTSSDAGSMNMRSPTLFNDSVSGSVSGRSSSAGGRRGYVTAGGGRKEESSCSGYAPGIEKVEEYWPIREEGREYM
DRDRAVERERSIDMGPRKEVQRRRMREEGQDYVHRGPRGGNGGAGTKSDFGLPIQTQKAGYNIKDFDEDSFRDMI
>RCO7_03629 | probable anhydro-N-acetylmuramic acid kinase
MARTMNGLIPAPKGRVRTAVGHKYLEALQSKANADSDSASSPSPPAEVKGPGLSLLVLGITSGTTMHDIDFALCRFTQASPEAALCLDIVQYDSVVM
PSKIRAEILSMLQEDSAPPSILSQMDAEMGHTFANAIHIFAHKNGISVDDIDLIGSGGQLITLTGSPPKGQHRSNMCLGEGAVISAKTGVTTVSDYR
TAEQAVGRQGAPLFAYLLGLLLHHPTRMQICITIGGISSVCFIPPDNKGGIDAMYDWDTGPGLQMIDTAFRRFGLDPSIDHSSLLHGEICHKVIKDL
LENDEYLSTRPPKTTAREIYGDAMANRIIDQCLSHGCTPADTIATLTRFTSASIAHQMLQYGPSRSAINNSDITVDGRGMFNTQLILDLQNEFPGAK
FGSFEVTGVPSNAKKAVGFAMQAMECLLGRALPVPMNADVRRPNTITGKIAPGLRWREVIEKSVVFGGQGRGWEGLPEVRELIVRRKGEMDVTV
>RCO7_03628 | uncharacterized protein
MVIYATDMTPPPSPSFSRDSSPTRSPSSKRRSPFALSLLSSSSSSSTKHPEPTVPAPTTFPLFTLLPLELRLQIYQESVQQHPRVLSITSTSTSTIY
CTSPHPALLSLNREARLECLKKYYMIKDLEGERGFYYDPFLDTIHLTSNTKFQQSELGTSSTSSPSSSEYLTHLSIITSSLPTHLGIFSLALRGVST
LPPSSTFLASGGNKVREIFMLVGPGAHRRGASSYCGVNVGFMRKMMCREMESALEKMDEAGGFGREGGGAGRVPRCIPLVGGAEGEVQERVLGERGG
GRLVL
>RCO7_03627 | uncharacterized protein
MGMLAYFVHIYDRANALTPDDILVLFIVSVLALAWAIATLFTYHRSANNSRFVGLVDLLFVGAFIGGVYTLRYITSQNCSDVSASSRNHYISFGDFG
GVNFRGLDFSADKQCAMKKACFAFGIMNVIFFFVTSILAVFHGNGEGKRREKSYVRETTHVRSRRSGSHRSHRSSHSGRRHAYV
>RCO7_03626 | probable actin regulatory proteins (gelsolin/villin family)

MPPNHGLTHLKEYDITDSNIEFIGSSVDHNVKYNSALTEPAWNNNRVGKIAGLYIWRIESFEVIPWPSHKTGQFHEGDSYVILHSYQVGEQEGKEKL
VHEIFFWLGRRTTQDEAGTAAYKTVELDEFLHGEATQLREVQGNPSEAFVALFPRMRILSGGVKSGFTHVEEDAQPAEITTLLRVFKLGNGKPDSLV
VLEVEPTWRSLDDGDVFILDKGDKIWVWQGKKCSPMEKAKGAQVVHDLTLAKHVDVEVLSQTDSRSGIFVNMLGGEGVTQREFEAPRPMGRPAKNTS
EGTKKLFRLSDKQGELKFDLVKEGRNLRRDDFDGNDVFLLDIGSAIWVWRGLGASKGEKGSWLDVAQWYIRQLGERSGNSDANSIPMASVLEGNENQ
AFMRAIEV

>RCO7_03625 | uncharacterized protein

MVTGVEFEDPPEVFAEAKPASLIISTTATISSLAKECLKRYDGLYDTLRQMTPDAAVANGFVGDNVLIRVQDARPRFKAWATNIAALHEGHMKSSLE
FRLREATEIRSRVLKILRPLKESLVEAEFIVTGVRGNTTWKVGAMSDSSFTSEEGSEYSSDESGSGSMNEKLETSELDELLSAIETANTSLMEISIV
IRNTPTRDDYVKAAARFSLDSHWDISHVDAKFGAARRIVKPVIVLKEDEDEDEQAPQTLALTKATTYVEALPTALNDGSEVGSFRTETSYQQTMAGE
IEEHLLTVPPPPSEAFEGVPFEFGHPFQCPYCWTEQTVKGRNAWKKHVFRDLRPYVCTFKECNLRMFRSRNEWFAHELQAHRREWTCATCSKLCSSK
SNFKSHILSHNSNLAGSELDAVILQSEEPMDRFPASACSFCNEWEVQITDSRQIEKRTFLNDGKDVTPYGTKTQLRRHLGRHMEQLALFALPRENVD
NVEDESVKDIRGEVDNDDSDDSTGTTVSEYLPEEANAIDTLQNETLEIQDELSGFTSRISMSPWGKDSRLVPITFNVFFRGGNLDLSAAKFEVSSEN
DNEPLSMEVKSTLQREVQNQVDVTTGTRKSCLRGILKYLSGRPKSGFNIKVPEKVDRILDHGGAGLEHTEPILVSQVKRLKLNKEDFSKNLIRAADG
SDDDTSVRNVAVSLDEQLRLNAALREAAAQPESQTNIVAEQYLIAARRGQWLQIPKAQHNIVRQHLAENKYRTEDAQIGSSHTRDPEDQHIAQLQGE
NEGTSPEAMESVTVIGSQVASSGSREIATNPEELKYLIDGHTAQEWEALKDPFLKLYLGTGRTPFEVRTILEETHQFRTTDEILTKRFNMNDGKLSL
QSRQALQTLHSTADDEIPKGDVKIQANIVEETNSDHRSKGFAKQSAETQATTATSGIEDEAEWEIELNKLKISWFANFDKEILDARESTAPEMRRLF
QLPWTENVDRTIRRAWDEKASKFRQGFHGKYSLLHNSALEASKNTSLSDSDKGSWRMKLHVGGEQIQADLIGSLPALRRDVERPWQLPETAEDSPVR
IAWRTELEELRASDFWRQRLSKTGTRERIHLKMALKALKVRTVEIARQKEIVEDTEQEKEQVTNYQPETNQMSKSQGMSYQDSSKVKGPAPTTTNET
FSNYPPCDTLAVTNLPFNISEHDAMMIFSKQPGFRRMILRHMENIKEPICLVQFYNRPFAARARYDLDGMDSGSSNGVIRIEYAKNALPGRSDRDEA
GIQEPEAPSSPMAALPDEAGMVEVPWKGAEDALLKAMTSTGNTYKQISEVLYPAEFAEDDASRPGQVSSDMLVAYMKTTIDDLYSIHPDTLTISNVC
SRVEVKLGLEAGFLSVEPWKERSQQIFSHHAKKKLDEARNDANRSSRTDHVDIRLETPTDSGRKESKSSTLADHFEQLGREFERERLQDRKRLGALS
LSDDEIIAGLYATIDDLYTSDPEHVTIFNVRTRAEAELALEPGSLSGEPWNEKSQKIIRDFSDDASKRFDVWAREDLEQFPISLLRIRKQPVATSRR
YTPRIQPRSFCTWHGCGQSFGTGEELYQHMKAESHQSLQAIPQTTPDLILESQHSLPVKVPRSVPGLRCGTCDDNGQEVWVIPGRMCPVCGSPYELK
VNLPNKTHDRIPALPFGAEDSTAPEDDDDDGDDNDDSEDEFDEGVEAEGGGEIDG

>RCO7_03624 | uncharacterized protein

MHRPSQHHRTSPPEGSDPKEDKSLKLKPEYPLNEPGYYDTAISPSLQAVRDEYEKTFADIDYTSVEAATQCRTLKKKMAVEYLDMITTAIETFHART
RCTRCKQTPISLQYWEMNHSLPRGAWYQWKDLNTKMMEQRPELLEEADWIEFIGKMRWIEMWYLEDNTASVECGINSWNGTMAPVSLPGPDESADQT
AVTVPKLYRPLPYCRIHRPYGKSI

>RCO7_03623 | related to Phytanoyl-CoA dioxygenase

MGQTLCCLRPRGRATNKIDPPAFPENIDWSSVISDVTEKNQDVSFGGISRAGTLIDGSSSTSLATGRTVMPYLLSKAQLAFYEEMGYLIIKDGISDA
EINDLRAWVQEVHDLPRTMDCLYIPYEELNASGDRVLCRTENFANTHTDFGSLLRGPKLLGIMKQLTGSQMLLFKEKINYKLSGSGGFKPHVDRTGY
GIFKRLQHLAVLIAADDATSLNGCLEVVNGSHKMAVPIGSDNCIVPQWIESHEWVSVEMKAGEMLIFGSSLAHRSGPNKSTKDRKAVYATYNSESEG
DLHDAYYERRAKLWPATHKRIEGVDYSSGAQNYAYGTPMRTIEKTHGGN

>RCO7_03622 | related to phytochrome

MRSVRGLLKRKKSSLKFEQELATSKSQTSLPSMDVSTGDRVFPIRNLKSNIDLYREAAIASNRIEEGVVDTSQPRDDSLQTEHRRITSSVSEDFRNP
RQSMIGEPNVGSPKVSARSQFISSGSGPPGVFQGIDPDMEQFNNLPGYRQCEDEPIHAPGAIQSFGALIGLRYNDFGDLQVRIASENTRKILGCGPE
QLFALTSFLDVLKDNVRDEMVARVNHTLNAGSTAETETRLDVFKIILSFPYEPEIRLWCAIHLAPHPDGLVICEFEEYQDAFFLKDIRATQTLPESP
ISSMVVTPEELKRSTTSKSKPLPVIDVARQRKNQEFSSLDLFNALSQAQKQIASCPTIESVEEVVVGIVAEITGFHRVMFYRFDSQKNGRVDAELLN
PKASTDVWLASGNNWLGLNYPASDIPKQARELYKINRIRILNDRDAETSRLVCRDAVDSESPLDLTHSYLRAMSPIHNKYLANMGVRSTMSISVVIN
DDLWGLIACHGYGDIGIRVSLPIRELCRNIGEFVAARVQQLLMQKRIAARRAPTATPSSQNNAGFIAASSSDLLKLVDADFALLSIDDEARAIGRLD
PYPEAIAIASYLQTCKFTEIKASENINVDFPQLVTRHEIKEIAGLLLIPLNFGGGNDFLVFFRKGQMKQVKWAGNPHEKIYKAGSEYLEPRASFQRW
VETTSGTSEEWTDEQLDTASMLGLLYGRFIEVLRQKASAKQSGQLTQIRTSSRELRTPLNAIVNYLEMALENQVDDKTRDILDRAQEASTSLVSVME
DLLRLTKPENSSTRVLDETFNLNLTIARAMKGLQKDASRKGLELHVAVNDQLPNMVKGDPDRLKDAMLHLTSYAFKESGRVDVQINLIRTKRDISTV
GITIRDNGPGKSDAELDDTFQEFDASHDDDDWLFATVENGNPSPPEGRSTKADLALVARYLRDVNGQIRLHSELGKGTIFSVEIPFRHAKSSDTSRS
RKLRNMFSPTLATHMGSSPPSPPPSAKWPKPSGPVSEIGMMNGSRNGNGISPTNSNGMAASMTRNSPITSQFPVPPGHSGISPKRISSQHPDKQSNR
HVSSRSSVSAHHRFSALYTDTDPEILNSGLRLNVLVAEDNLLSQTMLEKRFVMRGHEITITSDGQECHDRFAVSGAKVDVIIMDLKMPSVDGALATR
MIRFFEKECNYRFGQQPLTKRVPILAMSTTLVEENRFEYIQAGFDGWIMKPIDFQRLDLILQGVKNPESKQDTLYRPGQWEKGGWFFP

>RCO7_03621 | related to rhamnogalacturonan acetylesterase precursor

MKYSLFSLPALLALASAAPSEEIEMGTTPTIYLAGDSTMALGGGPRGTEGWGVFLPFSVKDAKVVNAAIGGRSARSYFNEGRFTRIADKVVPGDYVV
FGFGHNDGGSLEPDNGRTDCLGSGNETCITSAGLIVQTYVTYLTQAAKAIVAKGAKVIISSPTPNNICEGTGCAYTAPRYTAYCRQVVSNVGSNLSF
IDLGQYLANEYIRLGKATVDSFYPIDHTHTSPAGANVVAQSFVKAVLCGNGVLAPYIKNGTSDVAGNCA

>RCO7_03620 | related to Vault poly[ADP-ribose] polymerase

MNHICGCWYHPAPQNGRMCYEYNAEQYLPLLRSEVHSTILSTTSRTTLKQTFKNPSATEAINECTYAFPLYDGVSVVSFTCRVGKKILRGLVKEKFK
AKAIFDSAVARGETAGFLEQSPEASDMFSTKLGNIPAGESVVTEIIYIGELKHHDVDGIRFTIPTKIAPRYGLGPDYGRSSSSGIAGQDGIRILVDI
NMPEGSFIKGVQSPSHPVAVSMGTLSTVSTADQTMSKASATLSLGSAELEKDFVLIIHSKDIGNPKAILETHPSIPNHRALMVSLVPKVSLPPSRPE
IVIVADRSGSMENNIPMLISAMNVLLRSMPTGVKFNICSFGSTSSFLWEKSQCYTKETLDHASRHVKIFSANFGGTETFGAIKATIKRRWSDLPLES
MLVTDGNIQDQTHLFQYINQQVEASKGNIRVFPLGIGNGVSSALIEGLARAGNGFSQSVQEGERLDGCVVRMLRGALTPHTTDCTLEVKYDQDDDDF
EAIEKVTDGLRVLLSDSEKANSPYISNISKLLFDASADPEKDGVKGNDDTNDYLPKVPTPKLLQAPHKIPSLYSFSRTSVYLFMSPETMQRNPTSVT
LRATSAHGPFRLEIPIELLASPAETIHQLGAKKAVQDLEEGRGWIFDAKNQDEQLVKDTYPSCFDDLVKREAVRLGEKFQIVGKWCSFVAVAANDEE
TAEESQAGIDGTAGTDDVVIVDDKAGVASSSDGIADEYEMIDEPRALPKRNAFAGRALHRSAPATEGRQPWQPWQSDESLLDRSSEPTSLLTIDASP
ALEKEFPFGDMEPQSCSNTSQPVPMDIFHFPSSYVSPQLNRSLSQPGNALGPERQQMELSQDRSVMCSPITSSGSGYFGGVVPAAAPVQKPDQASGL
FRRSEVMPTASKAFTTRRVPEVQAQMRKGDSRTSTFSSGFSPAPPSYFPPSPYHVFPSYSPTSPISTAPLGSPPLAIPASGPDKVLLLINLQHFDGF
WAAEIEKSITLIMDITDSSIPKDVNANIWLTILVIKFLREKCAAEQGTWELIVEKAQAWLDGCSLINVEELEKEASLLLA

>RCO7_03619 | probable endoglucanase 1 precursor

MLFNAFATASLFAAQAAATIWYAGVAISGGEFGVYSATATKGTGIPGRLGAEYQFINKAAIDVYVDQNKVNLFRVAFLLERMCPLAYGLGSKFNETY
FQEFADAINYITVTKGAYCILDPHNYMRYNDPSQQPMTGSVIGNTSDVTAATTAQFGAFWGELAGRFKNNEKAIFGLMNEPHDMETNLVLKNDQAAI
DAIRATGAKQLILAPGNGWTGGHAWTGAYAGNSPSSSEVMFQITDPMNNTAFDIHEYLDEDFSGTHALCSQPAASNLAGVTSWLQKYGYKAMITEFG
ASNGTQCATYLTDMVKYMASNDVYIGWTAWAAGPLWGTYSPCCADSRLWGSLEPGSVASDGSPGLYQTVWQKLIQPLLPTTLQKTGISNVKGPGGIV
GPIATSKSSSTKTATSTSSGTKTTSSPTKPTSTSSTKPTSSSAPLYGQCGGTGSSGPWTAPCAAGTCKFVNEYYSQCV

>RCO7_03618 | probable CYB2 - lactate dehydrogenase cytochrome b2

MHSFLTVLPLVATALAARPYLNEPDTGIEDVLGSTAKGELPPLASMIGLPDFEWAARKYMNTTAYTYYRNGAAGEWSYRNNLEIFSRYRFRPRVLGA
DVTGIESTLPTTLLGYNFSMPIFISPAARGAYANVKGEEGLVKAAGEAGILYMASGFSSLTMEQISAMKVNNGTHGPQTLFQQIYLSENITKNEADF
KRAQATGAKAIVMTVDSAGDGDRHRAARYGVGSADSAYTYQTWDYFKQLQALTPLPIIMKGIMTVEDAKIAYENGVKAIILSNHGARQLDGAPSSLE
TALEIYAEAPELFKKMEIYADGGVRYGSDVLKLLALGVKAVGLGRSFMYANCYGTEGVAKAISILRREISIDAANLGVPDLKKIDPSYVKWQNNNWW
S

>RCO7_03617 | probable mannose-P-dolichol utilization defect 1 protein

MDTLRSALQPITHNLPAPIHDLGVSILGETCYKSLIHDIDISSSECLKLAISKGLGVGIIGASSIVKVPQILKLIKSRSASGISFLSYLLETSAYLI
SLAYNVRQEFPFSTYGETGLIMVQNVVIAVLVLHYSGKASAAGLFVAALATGAFTLFSKGIVDMRTLGYLQAGAGALGVAAKLPQILAVWQEGGTGQ
LSAFAVFNYLLGSLSRIFTTIQEVDDKLILYGFIAGFALNAVLAAQMVYYWNAPAKKSTQTKRKEKIPLAATSGASTSTPKGKSPTTRRRG

>RCO7_03616 | uncharacterized protein

MVHDLQQMRYSYKIDWVEKVIGSISNVIACLCLFAVQYLLLKTDRLRKVLPPETIPTNAEVWFGIAAFWICHCILFALGEVVMRTLEGMAFVLMVRR
VEQNAVPFVVSNAVRSLMDSMAVSWLLHHALLVLLDIIIPFGRNPRRDSHGELTKIHSRTCRLLAFLYNIGNSSPSTTLQIPIKILVQNTDTQSITQ
TVRLQRVQTNHPNGGQRILAWNLEIEKEALDEMKQTLGPPGGFGELGFNVCKDGIRFEAMGVGTSFALDFEVLAASKRRGVTMRRKTK

>RCO7_03615 | uncharacterized protein

MGTRIQEHWRPRSYPTQTYDPKTRNTSLSTMQTSVEDSVHDVLPKSIRAVRDSNAAYPRVRTLVICLDGTGDKFDNDNSNVVNFVACLKKDDPSQVT
YYQSGIGTYDGHGLKGGVSAAVDMAVGSGLGIHIKDAYMFIMQNYREGDKICLLGFSRGSYTVRCLSGMLHKVGLLPKHNRAQVSFAYNFYKDDSKA
GWEMSAQFKKTFCINVNVYFVGVWDCVSSVGFFPRKLPFGKSPTNSIVWFRHAMALDEHRAKFKLCQYEHQDPAARQKGMMNCNEPPPGKEKVASLA
KLKRMAGRCFGVKPTPGVDDDGSDTDSNDEQEKRAAKFEKADHSADNHFHTDVLEVWFAGCHADIGGGAVANGERHMLSRIPLRWMLRQCFECNTGI
LFGTAALAETGIDVKTVWPVYKQPTKPVVGPSPGTVEKYEAKDLPPLRRRSTALGVDEGKDIQEDKIESNPSRRGNSRSLSAFDLLPEHVEDHFDAI
APLNDQLELAKGWWALEFWPVKVRVQDKATEEWKKVVRMNMGRFRAVRELEPNLHWSVEKRIGEGHYKIRNVVDKNANWRVTV

>RCO7_03614 | related to Psi-producing oxygenase A

MAPSGLKTIIGSLRRKPTQAPDGKTDAQASPTQKSEKTSIGHDILSMGAKNAATVAQAITTLASGDPMDDKELLLENGVAMLQSLPLNSGLSEKISN
DFIAMLWHDLPHPAYAQAGPTARYRKNDGSGNNPWIPEMGKAGAPYCRTVPPLKNQGPNLPDPELVYDQLLKRNGAFRPHPSGLNRLFFSFATIVIH
EIFQTNRENPWINETSGYVDLSTLYGNTGDKQERVRTYENGTIFPDSIASDRIMMMPPGVVAVLLMFSRNHNHIAANMLTVNEDGKYKPWETLDEEQ
KKWQDEDIFQISRNINVGYFATVVLKDYVAAILNTPRSNSTWSLDLGKEIKQSGKRVERGSGNVVSVEFAVLYHWHAALSAADDKWMEDILRSGIPD
LKSIDDMTTDMFKKVMMKKGHEMKDIPAREWTFNGLKRGPDGSFSDHDIAELLKDCIEEPAHAFGAHGTPASLKIVDIMGQLQARDVFNVCTMNEFR
KYLNLKEYETFEDWNPEKETARAAELLYGHIDNLELYPGLMAECTKPAMPGSGVCPGQTTGRGILDDAVALIRGDRFLSYDFNSSTLTNWGFAKLGQ
TVPGACGGVLPYLLFNGLPGAWTGNSSYVMLPFYSVTAAKEILKKNKVMEKYDFARPSSDMEVIGIHTHEGCKKVFEDRESFRTMYQKAIRNCTDGH
DFMIGWDDTKRHDERSTILHKVMFDDKFEVNMSSFFQTNVARLIKDASLKYSNSTRRSIDIVRDVTNVVPILWLAERFAIPLKTAKNPRGLVSIPEA
FMAYLVLFMYQSFNIIPANEFGLRDGGIKAGEALRKIFEAHLKTQQGFKEGVVDWLAKGSAFEVGPEADRLYHALNDSKLPIGDLVGDCIGMGAPVA
GNLTQQASLLIDLYLSKGYEKYKARIVELAHMNTEAAERELQGFVFEGMRHAGVVPGLPRVASKDLTFIDGARGPINIKAGHTILVATSKAAMDPLQ
FPNPEKLNPHRPFKDYILLGHGLHFCYGARMVGCSLAATLREVFKLRNVRRAPGRQGHFTIVEHEFAGVKMRKYLDANAVESPIPTTLTLEYDE

>RCO7_03613 | uncharacterized protein

MVESVAKSNTPPPLEINARPPTPPRNSSHKELKLGKSNRTKAGGVGGLTRFLKVDAKNKRVSAPASTSTAVDTLGNTPGSGGSRKKKVVWAESSDYN
EPPTASFDGQKIRRTVQPLAPSSERKPTKSILKISTNEENVQESNNGTNTKLLPPHHHASFATMLDSIVQQLGGKDRSSKMDAYLMFSSLLKASDNV
PDMKALKSKMSILCQFIIHDLSEKLENGKSDTSLVVNALVLLSSFLQKPAITDMFPADFSLQIVEHSIKTFEDASTSKEIIRHLMFIIAQQTFSAKV
LTQERVGRLIQALHGIENHIKGKSIATSRIDILRSLLRSSRSHMLANTVWFEDMFNDMLSSLKEIRALAISFGFEAAITLGAESSATRTVSNLFKLE
NGEKCFAEFYTDRLKVMVKNKQDWDSTAVPQIWSVVMLFLRSKTQALLQWQYLSSFLEVIQLGFNASDSATRIETNLAWNRLIYAMQLNERTPAKFR
SILCVALTTQLKARKPSASRSSCLNSIYILLYYALKPQSTSAQLDIYWDEFVTPIIEACSISAKGRADPKAARKDALEACAILQSLFDSKTPRKWDE
TRAIDSLQHTPMVSSELPALDSKWLRKNSKRVFKVLHPLMEMLYWDLGNISEISILWKTYISSIGSPAVGEIIVSPDTMSSIASMFGMLHRFWLTGC
ERIAALALSETLSAVQRSTAFTRSFENIILTAACPEGLCLLPFTDKLLAIAQNTFIAVATPSQAFKHHRVETKSPLYHLILLLVTLSPGLEYDRQFF
RMADRILSPFIIARAGKAQLDFIYSLVHLLPSESNEASRIVWQVLSEFATTSVDTRNSYENIGDEAIGTKYLNVVTILEKGVDQFPYAPLPAWRHLF
DALVNSSTLDAGDAGRAIGVIEPIAKIFIPQVPSVPLSSKRLYYLGLVLGKANYPKDRQALVLAHRKLGTAISNQKSCDPYFHLYRYTSATLKASYE
AFSVDKVDEYSHNITAVTGLLGRCPIPHLLSILTKIQHGIDLWIKDPNQLLKSGLDLSKDITTLWIMVKKLIPRIVEQYDHTTVLRDLETLICAGLN
SKHGTIVNGTITFWNAVFGSCEESFEYPENLQEALFRLRLVADVQVPHLPESLASESSADQRQHMDFIDTQDDSYNLSSLPNESIMRIMRQTTPQVI
IESRRSMSLKRSRDNTPESSRRKSRKRDITPRLRHDDSQIQFEAVESSPMADRVMDSQLLTDKQKETKERQQAEHAMFPDLGSTPNPTEKSARNPTD
SELELPTRSSSQLRTKSVEKRQTTPTLPVPSDDDGYVASSPTPTRSVREETAAIPDADPPSSPPVASFQEAIYIESESPSREHTPELALETAPEFAE
PNEDDGDNPSPPEITPEPADIMNVQEEQADREQLETTDHHDRMDLDPIVVNDEDQADKTCSIEKGPELTNETASVGPSAQVESLINLTMSTFDFSPE
GHPSPPVDSDSSAQARCTQERDLQSSIEEEVKENQIREPCLATTKDEPEGELYHESQQLVKGPMLEPLPPGTPVRHLAGSESVHRSRQAGQVSSPTS
SDREDVFEDAVSTPRPTKRKEIVSAPNPATPDFYGTADNSSFLRAVNQNQYDKPVQPEASSLVDATSSSSFKRETRLSASKTVFQSPINSSPARKLT
FRKTLTLHPHDKESVSSTAGTKSSSIPSLIPETPFNRPAERIGEQIVDDDGHAMDPESTIIVDISSLQSLRHTVKGKKRGKKRKSEDRGDSSEIPDS
QDAMAPRSDTSSPKKRSPSKRSPAKKRPRGRPSRASQVSQESSDHESSSRLRSQSLSLSVDLDAPRQGMEIDGTTMSFSSHVEDQEEVEPAKERERE
IEQSLEESTAGEGDGRAGTEIEQSIAKHAEDIEMENTTSAGEATSPDVEILEEAKIDETTIDDFDVTKSGPDEQQEGDIVEEVISRPSPLPIAEAAR
AEVVELVQPDIPVIVGPEPEEVTGTTMISKLTSLVSDLQTAALSRMDVNTLEDLFYEAKMLLYRAGNRRTAGPGRGVH

>RCO7_03612 | related to protein tyrosine phosphatase-like protein PTPLA (contains Pro instead of catalytic Arg)

MSLKNIYLLAYNIVSFLLWFSLTLLTITTLYRSLIIEPSPSQLLSIYYYLLPLLTATQSLAVLEVYHATCGLVRASPLTTAIQVGGKNLVVWTVMRK
FPLLVANLENGGIWGFVGCVLAWGLSEMVRYGFFVVAIARGEAPAWLKWLRYSAFVVFYPPGFLSEAWLVYICLTKAVNIGAVYRTYLGLGLMSYLP

LGYILYTHMLIQRRKVLNPRTKST
>RCO7_03611 | uncharacterized protein
MGPISDLAINEFGSTIFVELGLHAGFSAAMSSIHGDPSLVASLGRYLAVEKGWFSPYLFASARRPVIPRTMKPDVVFCHGPFLPGDYAVGKTLVEQS
ATVLHLCKKPAEEDVVTEEKVSMSERTKLQVARMNEKIIGLIHRSKSTTGILKSAPESLPPVLQEVFQLPRRLAVVLLGLKPHRLGMWTSSTRPSES
VLKYILLDGAPTILLPALPVAPLLAWDTLTLKQMQAKQGKYEGVVKIMYEYLSLCVDWERVIVGEREEGKKRAVRDAVELIVAAAVASGDSKAVLKD
VDLDRAGIVIFRIPRWIRLI
>RCO7_03610 | uncharacterized protein
MPSSTSPRASVSSVDLTLTGPAKLAEVTKLMDTLAADLEKIALLPHQRDAILEQVKIFGRDPSNSDPIFTNEASHFSSLYIYRTDDSQGIETLTRHA
FNSPSLTTSRNALRCLANALLLKPETRQILVDLDYSQKACLKLKNDSRDDEFLVSRIIFLTTYNTNLNLEKLVDQYHLAEYICQNLGRHAKQYTTKH
GNKKPAQDNPMEDMALIETAKLMFNTTHHCPQRIGAFSPALQPILILLTKREVSSTKPLEPPIGSLINALLNVTLDEKDNIALLFPKSSSNINVDRF
VEILEKGVNFYEDDELEHNVSPILQLLRKIYEFAPKDVQIHLQNALLPTEEDRKQILGRTETLSSKLLRFTSNPTTPQVRESISTLFFDLSSKDPKI
FVQNVGYGFASGFLFQHNVPIPENALEAWSTGSESSKERASQDSINLAGRINPVTGQFLDMEEKHEEVEMTLEEKEREAEKLFVLFERLKKTGVMNV
QNPVEKAFHEGRFEELPDDHE
>RCO7_03609 | related to Integral membrane protein
MERDDMFGCGIKKDGDWPVIMTGAIATILLSAGVLRHYWDVYIHLTVRGISFIFVGIDAAGDVFSLVSIFFQPKLDFLGMVIYTTEFVLWCGVFASC
EYFNLRPWIRQRLRARKEGEGGLSDQNGEESNNGVSYDAQLRQVPSSTSVFRTSISVVGSGSN
>RCO7_03608 | uncharacterized protein
MAYQPSLVQVEPLQIQPHSRPIFEFPPAPRVKFPQIESRRIDRSQDEKTPASMKRKRELSESLSRSGLKIRTYPQSHTNPLKDPGHASQQADSSTTT
SKSTATLQPSTPPLNTNRDQEAPASNTLLPTSPRAESLKHLREAEPYRADAAYREISEASDDEEESGHGKSPKFNPGLPRKRVCYGKGLGEGGRYSG
L
>RCO7_03607 | uncharacterized protein
MLPRVYPDNVSFISDNMIQIATASIAQVGYRDDLGFAVQIYPRASFWVILANGSTVEVGNMISVFAIGVIVDATINNPYTDNVGTAPMRGIYLSAVV
AVLTNRVMVRPDGHLSMSLLLSPTADALNGVGGGKENKAFRDAKRNKTVLYEKYRDKKILDGYERSLM
>RCO7_03606 | related to serine/threonine protein kinase
MSSLFRLGQVLRGKLGKYTITKEIQDTVWFAKSPWASTSENERDILKRFQDRTPYLRPVIDEIEEPSDPPTIVLKYLHDHLLNASIEKTLNRQELKF
ISRRILEALKVLHDETYVHTDVKLDNVLVNYRDGDIRFSDVQLGDLGGAYPADSKFAQEGTPVGAPMWTSPEVIMETPWNTATDIWSFGTVLISLIY
GGNFNLFRPRTVSVDHEEYGLEVLKQQFRYFGPFPAKYEEIASPQTIAAILYLMEEIPQSKTTPFHRTTAKEVCTEDKEFIGKIMMLDWRDRPTAAE
LLKDEWFKEDSKEE
>RCO7_03605 | uncharacterized protein
MTSIHERIQAASAQNTNLLKTISETEYSVAAHQQATQHINALREDIADHEDKLKEMNRHVDKEYADHKKFRDSHMKRLAFKLGGKKEKFQADASREE
KEWLDAVATQLKTKQGLEHLNVNLADATKMSSEFRGVIELHNHAKSELDALYKSLFNGPTPDILEEDEREEDVARAENNYHTVALRLSTEKHTRNIL
TEAEKFLAKALGDISDAESHATMDMWGVGGTFAEMAEHSALSQCQQHVSQVEQLISQAQRVQPAVQQIGDMRIAQMNFMSNVVFDNIFSDMHMRERI
QESGKQLMAARTALQRELGASDRRRDDVRKELNALQGVLDKKRVELQDCRKAAFERAACLPGYTNEPPRYS
>RCO7_03604 | related to alpha-L-rhamnosidase A
MLSWTRVFTLLIISPTLADYHYQTQLNRQDDWQKYIRSPPNELVRPVRVLGNYTRGNVTNPDGLVTGKELTILTRRATAQSDITPVIVVDFGQNIAG
LLSINFGGAYSTSRGLPGIRLAFSETLQFLSNVSDFSRSNNGETITPGSDQIAVRRDSYTWTAKRGCEFPDKVCNDGLHGFRYVKIYLDALPEDAPY
TSSQGQVSIDSMSLEFTGFLGTADTFTGFFESSDDQLNQWWYDGVYTNDMCTDTFRLEDTDPRRAGSPSLVGKLVLHDGAKRDRDPYVGDLAVASRT
SYVSHDTSEATKNVLADIAEHQRADGWLPPASIVNYTLPLFDYPLWWVTCSYDLFMYTGDFEYIIKYYPNLQRVLDNFYPTTTDPSTGLLNKLFGVA
HGYGDYAFLPRTGPVTYYNALYVIALNNAALIARYLDHQNDASRWSARARKVSAAMNGLFDNSAGAFYDGSCGSKLCKTHAQDGNSLSILSGAADST
RAKSILSYLSTHHARPYGNSFYDNDVIGPFSQRVYAFISYFEIEARFKTGLADSALEEIRRLYGWMSTHDPGITTWEGIGANGKPYEDGFTSMAHGW
GTGVTPALTNYVLGIMPTGPGFSTWSVKPIPGDVQWAKGRIATPSGPIDVSWTRDLNGFYLAVTSPTGTRGVVSLPAENGTVSHDSMIVDGMMDGGY
MNMPVDGGSTHTFAVKYDF
>RCO7_03603 | related to deacetylase
MRFSLLFLASVVAASPQITPRAGPAAGTIITKCTEPNTIALTFDDGPWTYHSSIVKALNDAGAKATFFVTGTLYNCIYSQASILNATFAAGHQIGSH
TWDHKALNTLSAADITTQMSKLETALSNILGVKPTYMRPPGGATGGQTINVLKGLGYRIVTWDTDSGDWNKETPASSEKKLTVGPHVVLMHETIPST
ANTLAPWTIDWAKKNGLKMVTVAECLGDKDGAYTTAVAKTGAKSC
>RCO7_10358 | uncharacterized protein
MAIHALAQSEDAWHLVSHHPIHSVLILFAFVSLSYRIWTSSKYSYSQEQDVTKEPPMLPHWVPWIGHGFSYIFDNAGLFTGARDKSKDGAFAIKLVG
YKHYQVLMPSLVKQVFAQRATVLSNKPLIHWLAKHGFGDEGTTAKVPELYSHISSNLNILMTEAAITDASDRTARAVGETISSFAVEQIPWENGSIP
TVVGEKGEESEVDFFRLVTRWAYFCSAPAFFGKALIEKCPQLMDDVFVFDSQFPLLITGLPPFTSKIRNARDALNRSKKAMEMWYEAYKAIEDNHTP
LPGWEDMSDVSELAKMQHRTWRTGGKEAEKAAIANILSLFWGLHTNANIITFWTLVHIYSCADLLSDIRAEVAPHVKTLPTGQVSIDHAALSRQCPL
TKSTWLETMRQDIVGVEQKYIEEDFTITESPSDAALLRGQGATPRSYELKAGNVVCVHNGAAHTDPRLWENPKEFNSRRFIITDPRHENREKAESPR
HLYAFGGGYSMCKGRLFAEREVLTFVAAVVTFWDIDFLGPKKSNGEWIIKKGMEAGAPHPAGDVKVRAKKRNSAKR
>RCO7_10359 | uncharacterized protein
MDTSLLLLLTIASPFLLTWLFTTLSAHRALKLADRTPPGLKRPPTLPYLVPILGHAFEFMKDGHNFMSKTSQYIDRAIPVRIVLPIFSNYVVSGPEN
VLAYFRESRSLSTTSRSVIIMKNAFGCPAHLVHQFEPREIPLGTKPEDNMEHQILRALNTGLSGTHLEGLAARFQDSLGEKIEKAFSDGDFATKWKE
FPDLSKFVESHVFEAAVQAMFGTHMLALNPTFTEDFLKFNSNIGTLFMGLPRFMNPSACKTREKMVENIKRWLNFTSENCPIESLDDIDWEPFYGSK
FTRERQVLLTRRGIVDETARAAENFAFMWAYIATANTMPAATWCLIEALHDPTLKQRLQHILPAAIQSESTTSGKLPKFDILKLCEEPLFSSVYAET
LRLRVAVIIVRQPSIDNFSFRGWHIKKDEVLSLSTRTEAMNEDVWNSSTHPLTEFYSDRFIVDPNDPDSGPFKGNKVKNKDRKPYFALDGSSNGAWI
PYGGGNHLCPGRHFAKREIITTVALLLSAYDMELIDEEKGKPTVDMKCFGFGTMPPNRPVPFRFRRR
>RCO7_10360 | uncharacterized protein
MVTQVSAGLVALQLTLMILVLGFTAPNSVFRPAGLPLISVCTYLELPFVRKISNNLLRAFVGAAGVYVNILYIDTVLLNKWSFENKGPASALGGLEP
VPKSRRRQKSNAHSPHESNAERLLFGAEISLQSRFPTTKWPIKNIPPFRTQDPAYKPTKSEFLQGSLIKLALYVFLLDLTSLAPKSDNAVNFGDSRI
PFFSRASIITRDELITRIAGILGYWTVQYIIIQTIYASFAIVAVTFDITAAASWPPVFGSVSDSYSIRRFWG

>RCO7_10361 | related to squalene cyclase
MPHAVLEDNARKALDDAIRFSFDDQKEDGHWAAEVSADVTFTSEYVMFKYAMRLDLEADREDLKKWLLQDQKDDGSWALSPDLPGNNSTTTEAYLAL
KILGVPRTHPQMLKTQNFMKSHGGVEKVRFFTRFFLSTFGLFPYSAIPQLPAELILMPSSSPLNIYTFSSWARSTLIPILVVRHHEPIYALPNGRSD
DNDYLDEIWCNPANKNIPYAPPLSKMFWGAECIEFGFTAIDKLLGQMTFLKHSPLRDLSRRKCVEWLLKHQEKGGDWAGFFPPMHGSLWALILEGFP
LDHKAVLLGLEAMERLTVSDDRGKRVPPTVSPVWDTALMMNALCDAGLASDPRVSKAVSWVKDRQLVNDHGDWRVYSENQIPGGWSFEYNNTFYPDV
DDTAVVVMSLLKYDPYCISSSSVLNATEWMLGMQNPDGGWGAFDTKNDKLWLHKIPFSDMDSLCDPSSADITGRLLECFGMLLNHHKGSLNNALRQR
LVASSGRGIMWLEKDQHSCGGWWGRWGNNFTYGTGNVMRGLVYFSASSLKVREMVRKATRWFESCQNPDGGWGEHLRSYNEPEWIGKGPSTSAQTAW
ALLSLQPYRPQSDPYLEKGIRWLISNQNVRSKTGSSWPTNVYTATGFPNVLYLGYPYYHHFFSIMALKKYLDGKEQPSYRSIELSNPISRSINQPNI
LLMVIGSRGDIQVFLNIAKALTKSHGYRVRVATHSCHQNFVESNGIEFYATGGDPSAFAKAFTENPNILYSAVKGEYQILYRSFTLMLQRFWKASID
NEYLQSSEKLPARPFIADGIVSSLSSLTHVHCAEKLQVPLVLASLQPLLTTSEFPNVLTMSKPKFSAGRKFNSYSYFILDLINWLVFGSYLQNLRVN
TYGMATVSWTWATYDFWKMSIPHVCLWSPHILPKPVEWDSSTIMAGYSFTEDLEFTPPTDLERFLLVKSPIMLFSFGSASLANPQRLLSMIFEATAK
LGFKAVICRSSSDIDNSLFIPDHVYITEEIPHSWILPRVNGFIHHGGAGHTAVGVKNGVPQLIMPFYLDQNFWAVKIKQLRLGPPPLDRRILTTERL
QSSLEDLLSRKYKASCDNMASRVSEEKDGACVAAETISRVQRCTETAAGCSIIPSLRAQWKHTASGITLSGAAAACLVSEEVIYWSDLESKRTYNWS
DQQAVAQPALLRLMGKFIALICVLLSAILQILRFSTHLGFDKLRTVRIADEFCDPVRQAKIDQGVHDLKYIKQETREQVDITRRVVENWSILHTEAF
HRKIGLHLQTNIGKQVGR
>RCO7_10362 | uncharacterized protein
MSSAEIRKERHAVRYLHKGVEFDSTSFFLGRVAGDSLNRKLDMIQSPMYEELSRKIDEVFGVSEDEWKTINVYNSMQEIIVPAMSRVFFGLPLGLDP
GFLVIFQRYVLAMGVGTIVIGELPRVLKGLLVPIFNIPLRYYRSKVMRALVPEVESRLKRLGDAADQKDGENGYDFITQSAKVSAKMSKTAKIPKSN
TLAEWIMLMGFAALSSTIIQASNLILDVICCPPEMEAWSALRDEAANSIKEARDWNDSSIFKRMPLLDSTIRESLRYHPILIKGLTKEVVHPEGLVL
PDGTQVPRGSWLGVPVLGLHMDDRFYPNAQTYDPFRFARLKAERAKEEKDIRIRLDSYGPDRPQTASSKTRSYADELSAGQPTATYLGFGYGRHACP
GRWFAVQLLKIMMVYIILNYDIEHDNPRPQTRVIGDAALPPISATIRVRRRRRTERT
>RCO7_10363 | uncharacterized protein
MIVTSVFTVRNPVLFATNFGIPILSNNESVSGRRTKSRTLSSSPIRQVDAGVGWLTIFAGRECAIGVAVLALLWMDELRALSAVVTAIGFVAAGDTL
ATYRYGKEGSFKKHLYPGIAFLGVGPLGLLLFGSK
>RCO7_10364 | uncharacterized protein
MHLSHLSYFALPLLVASTPTGTNPNPFFYKSLTLTFSGGPASYTLTFPADGSTYSTNNNLSINRIASSDFNIFYNCNFYFADDGGKAVVTKPGADNT
EIQVGSPRAVTGPTASGAVVKMVRVDAIL
>RCO7_10365 | uncharacterized protein
MRFTPSVVGVLALASGAVAVEMAVDEALAESFYDSGLAMDQMMSAKLAHWEMEEKMGIMAQGFPAWSKKVTCANGIANAMPGVPGHQFKCRNMDLYS
FVPMADLGCPNAMGSGSWGWTDEKSGREFVAAGCYYGTSFLEILPTGQLVKLGFLTSYAAFGSGSRWKELRGYKNYMVIGSELNDHGVQIFDMTKLL
TVNPASPVIFDGTNATTSDLTSHVQPSIFGRSHNVHVHNSLPYFVTVGMGPRLQNETNCFSGIIFWDVTDISNPKHVGCAGEDGYVHDIQCLIYKGP
DTKYVGTDVCYGYNEDSLTIYNVTDKANAKIISRTSYTGASYTHQGEVLDKEWQQYLILDDETDEVNSRGPAADKYPVTYVWDISSLEAPKQTGLYK
GTTTTIDHNQYVIGDHVYQSNYGSGLRVYDISSIPSNSKGTDVCEVAYIDILPEDDNLPGGGNVTYSGTWSHYPYFKSGFVFIHTIERGAFVAKASQ
AFPKCQKSCSADNCLRGLRSADKLAESQAFCGEFTKTVSVNVTAVAAKAPYVAAACAGNVISRVSSACACLPTA
>RCO7_11718 | uncharacterized protein
MNSGPIIYPSSYMIFSFQIRRLLSLDYDIALILPNYVNIKYIILSGLLLSGETKDTELNRSSIDLDLLIVDSAESKLIAEIVLKQIKELNSIIREFT
KKAIFKATISNTKGKRNLSSSSEIALDLDTPGPSLKKKARRISYYTRSTTRAILADLSKELDIVVLVLDIPDLLEAPEDLGEKANKVEVVKEVEF
>RCO7_11479 | uncharacterized protein
MKLLLLAFLAATTNAFTVVVCSPKDGATVEAAKEATVNQRAALGLTGPGYWNGSIQNCLNSLGDRRETLIGLHATSNVKEVFGNTPHVTTLENW
>RCO7_11478 | related to carboxypeptidase A
MKFLSLSCIACIVVSIQACLLPEEIEGKPRKINRRQTSNGVPIGSGDRYAGGTIAPRGVGTQSTTFTSILSTAEIASGLKGLATVYGINAFSTPYPT
YQGRTISGGRVGGSGTCTNAFRIFLEAGIHARERGGPDGLLFFIGDLLYANRTGTGLTFGSRTYTNAQVKTALSAGIVFLPLVNPDGVAYDQSSNSC
WRKNRNPASSTGSAASIGIDLNRNLDFLWNFPKYFARRVRTDSLASNSPEDETFHGTAAFSEPETKSIKWILDTYAKVRWFLDLHSFAGDVLYSWGD
DQSQTTTTAQSFNNSAFDSIRGITTDTAYKEYVKPAEFSAIQAVASRVGQASSAAAGRTYAVMQSSELYPTSGSTTDYVYGRHLVNSALNIVRGFTI
EFGFGNEASSCPFYPTQSQHTANLKEIEAGFMEFVLAAVANGLGDATVC
>RCO7_11477 | related to Maltose permease
MSTSNAQTANAREHEMTVNQAVRLYWKALLWSALLSTALVMEGSDGKILGALYAQPAFQKAYGRRSAKGTYEIPAPWQAGHNQGSGVGGIAGLYSAG
WLCERFGFRKTVIAGMVMTIAFICIQFFSNSLQVLLVGQILLGFPLGMFQAVTTVYAVEVTPTCLRGYMTTYVNACWLIAAGVMRGMLNVSAPWSYR
VPFAVQLFWPIPLIIGLYFAPESPWWLIRQNRSDEAKLALSRLTTPQSDIEFSLDESIALMTFITDHERSVESCTTYRACFRGVNLRSTIIVMGCYA
AQLLDGNSLRADSTYLFREAGLPTTWSFNMTIINYSLALVGQIVSWFIICAVGRRTIYIWGLSWIALLFLIIGAIGIPLNGEKNSSLSWAVGGILIM
STFVHNCSIGPVAFSLVSELPSSLLRSKSVAVARLFYNILGVPIGVIIPYMISSTAWGWGALAGFFWGGTCLLMLTFTYFCIPEPKDRTVAELDYLF
ESNISARKFATTEVTISEILNDRHHV
>RCO7_11476 | uncharacterized protein
MPYPLTSPLIPGLKNTYERLRSHPTFSSRIHLLPPESWHMTIFDGVRETECEPGMWPEGKEKQPLSETTAIFAERLKELDLEKEDLGPPYRMRVRSF
DGCIVGVCLEIEGATVEEEKRMRRLRDRLADTLGFRAPNHEIYQFHISIAYLLRHIDGADRKDFENVIAELLSGLQHEFELGPVEFCTFENMHAYPR
LFYLGEQED
>RCO7_11475 | uncharacterized protein
MEGFTTQEPRAKPSHGYRGRVRSGCLTCRSRKIKCDESLPICINCAKYQKRDCVYKLQSLKRREPPNVSRPESSNRNEAVAVLQPQLDSVSRFVSAT
SPNSLSEDNNYQGDAHQQDDENGLARNALHIGLVSPGSSFVEDREISKASPQQNDALSIIAEDPEFDNSPTSNLISRDIKLTTTMDLLTAGEVPFQL
SFAFFLDTVDCPAITPFDSVNWRHMKLHVIELGMSNAAISSAIIAISALYKAQMYSLPDSKALSLYQSSLESYEKLLHHPINNPDMIIVTVFLHCIF
QYVHCETVPLLRDPSESLLASLRIWSTYDILPDHKNASTHIKQPANQVPNPSSQLLQILGTSIFDFYFNLQIISGEIARLTHYHRSRTTGADQEEVT
QEVISIKSRLFGLWENRSATQTQTSNDLRSHLAPEISNPLISMIGLCSAAYHVEFVELGRLMGDPLSESTDSKQALRQIRETIDSDSTFHHGEKLNP
GYLRPLFLNTIECMDRNETKWAVEKMKQIRRPIARSDFFASFGRALSDAQMMKDRRVTSKYFCIWYFGAAPPYL
>RCO7_11474 | related to quinic acid utilisation protein QUTG (inositol-1(or 4)-monophosphatase)

MSNATIDLQGICAELIDVAKEAGSIILEARPTSHSTSTKKNTADIVTETDQAVETFIRNRLGKLHSTFAFIGEETHHDGTAMIISNEPTFIVDPIDG
TSNFVHGFPAVCVSIGLVVQKQPTVGVVYNPFLRELWFAVNGHGAFTQYNDGERQRLPLTKSSLRGLGPACIARTAASGGQFVNSLRCTGSAAIAIC
RTAARQQDAFWECGCWAWDVAAAWCILSEAGGLMVDGHPGEWEPPVNNRRYFAVRPATEGQHEFVDAFWSVIGDGRSIYGP

>RCO7_11473 | uncharacterized protein

MANSNLALLIDGDNASSKIIAGLLVEIANYGTTSVRRIYGDWTSPNMNSWKKCLLDHSITPIQQFAYTSGKNATDGAMIIDAMDLLYTGRFSSFCIV
SSDSDFTRLASRIREQGVTVYGFGERRTPSPFVSACDKFIYVDVLRAAPVDMAEPSVPGELSKPIDSDARANIVLAIRNSREYENGWVNLAEVGGLL
NKLAPNLNARNYGYERLREFIEASGIVDVMFKPMGDKPPIALVCLKEDVTRILM

>RCO7_11472 | uncharacterized protein

MSTLKTRSEQELSRSTSNSILPPNVQIFSPLDPQAAEALLNSCIFTRLSISAQTDPIKLSEALSSIGPFEQFCLRHRNNLLIFGGRKAQDDLKNDFT
DAHHEQFRLIALAIKHFDIGLDVAGCVFDASDVIEAGFQLDKLGNGAVMVIDLMEVEDDEDSDDDVSDDENDEILAKKSPLSDEGNRTELEL

>RCO7_11471 | uncharacterized protein

MSSKRAKFSSSANEYSKLSSGSSVDSIFDRRRRESSGHIGEKLERDNDDASSGEAPAASSIRATGLLFIPEASDLVLFSTLNAKRTVDEIYTVKVEE
RESRRRKTLSGGTDARPVSTGSVSIIPSAESGLPVAMGAPLFLVKHLTFSAESTYWHIHISRLVPFDGEAMQKRVSETKRRQKSSAEKELVENKREE
KQYTHEVLICGLGAVVGKLEFLARFTTRIESITKFLLKS

>RCO7_11470 | uncharacterized protein

MANVSDQNIISLGAPPEASDPIASLTIGLVDTSGAIAILVEALAELPPIPPSLFLDLEGANLSRHGSLSILQIHVSPAGQTFLIDVHTLGNEAFTTP
GTSGQTLKTILESTSIPKVFFDVRNDSDALFSHYGINLACIHDLQLMELASRNFGRKFVSGLAKCIDRDLPLTARERKTCKETKEKGLNLFAPERGG
SYEVFNLRPLPEAVSLYCIQDVYFMPRLWKLYNSKLTATWKAKVLQAGKDRVASSKTKMYVGHGQHKALAPAGWK

>RCO7_11731 | uncharacterized protein

MNTSTDLQANKAFKGKNSKGSKKCGYYNKINHIEANYYIKHSELIPNKSTKKKSKGKGAKESKEESTKALISSFSSTSSSSSYSSTADQAYATIYNY
RIVLDSGASEHYTPNKSLLLDYKPVSKKSITIANSDILTIIGRGDIPIITRKGDRVLIKDVNYVPSLKTTLLSSKELTNKDWKVTFNKKEGSKGLKI
QKVLDLSDCSAYNSGKIHAISSTKPISDTPPLTVFNIDIAGPFRIKGLKGERYFLTITYRGSRAIWVYALKHKADAYDTLIEWYNMITTQFKGILVR
YKSVNNFLVYIPKKRAIISSKNVLIKEDLTFKDEVISKEELESFNKTLNDCETSYCSNRVISLPINIPKSDLSRAENSERIDGETADNSLNKEKVIE
DTELDLFNDIAEEVPIVEIPKRAFYAFISSKSDEEIRLSPDPERILIKKDLEVVIYELKSYKEAMNSPYKDY

>RCO7_07139 | uncharacterized protein

MNDIGIFKFLQHDRFSIRNARNGNDAIAGAGNRAEGGATGDGSTMSLKEGHGHCSNAGMAQDLITAAPVERLADLIMMPKDL

>RCO7_07138 | related to short chain dehydrogenase

MSSKTIVLVTGGNNGIGLAACQLFASQPNYHCIMGSRSLEKGQKVLELIQSFNGAYSISMVQLDIDSDSSIAAAVKEVKTEHGHLDILINNAGICPM
TFTRPDLRSCLETNAISPAMVTESFFPLLLKSSKPRIIYVSSVLGSVQSRCDANNIAYSESYKAYRISKAALNMVVACDTWEYKDKAKVFAFCPGYV
ITDLAGQREMKEEAGFAKSPDGSARCLLAIAERKRDGESGMFVHGEEVGGVPW

>RCO7_07137 | probable carnitine transporter

MEFKKDDPVVYEQKSGDESPMGRISSGEGDNESISHLHRSLNNRQVQWIAIGGSIGTALFVSIAWGLTAGGPGSLFLAFLFYSCVIGSINSGIAEMT
VFMPVSGSFLRYAGVWVDEAFGFMAGWNFFLYEAILIPFEISALCLVLQFWRDDVPVWAVCIGCIVLYGLINAFAVGWYGEAEFWLSSGKVILILIL
FSFTFITMVGGNPKHDAYGFRYWKTPGAFAESVTTGSLGKFEGFLGSLWVAAWTVCGPEYIAMISAEAVYPRVTIKQAFKTVYWRFGFFFILGALCV
GILIPYNDPTLLKVLDTQGTSTGAASPYIIAMQNLGVGGLPHLVNALLVTSIFSAGNTYCYMATRSLYSLSLQGQAPKFLRKTSKSGIPWLCFAVVM
IFPFLSFLQVSANSAQAIKWLINLVTASQVLNYVIMGTTYVFFYRALKAQGIDRKTLPYRGWCQPYVNYFGLFFVSIIVVVQGYSVFLPGKWDVGSF
FTYYTMIFVCIALFGFWKIFKKTRFVKPEEADLVWEKPSIDAYEASIDPPLGLWEDLWQSTLELSRIRQGKNVNSV

>RCO7_07136 | uncharacterized protein

MSAIRHFDSDEEKAGVAHHSPTKDNGFLTENPNGLTHAQTTTSTIQNKRTIGFIMTMLGFSISFVVAEVIPLFLITLFTVIAYDLDSGDKAIWLIVA
QFIAVGSTVPFVGPLVDLLGRKLTTLTSLLLTIVSMILLGTTPNIAGAIAAMAISGAAIGIQLLTSIAAVTELVPISQRGITIGYIVLGFMPFAPAS
LYGQLIAERSWRYVPAVIGALATIGFVVISIWYKPPPRINSLGLTKSQVLKRIDFVGAFLSIAGVTLFLVGLNWGKQPYPWNSVHVIACLCIGLGLL
VVFVIYEKFVAKYPLFPGELVQHKRLFFVICFLCLTSGVNFIPVVVFWVIQVYTVYGASFREAGIWLLPIGFCIAGGAIISAGLMTVFRTKIQWILL
GFCIMQTAGLGCMAAIDPENVNTAFAPLVIGLIGVGGVLLPSQVVFSIISPETLIGTSIALSIVIRAFGQVIGVSMFYNLFHTHIEERATSNLTIFT
LPAILNGFNVGLDPVASTSKLITTLTAGPFSEYASQFNITDPLAIANIQHAGHELYKTAFPEIYLVSIAFGGAAVVSCFFLHGIGDFINENVAVHL

>RCO7_07135 | uncharacterized protein

MIAVWKANLDQAGADFKESMLAGKSELADLHIGITESVRRNNASEKQITAAVDKTTEEILEAIDSRLSRWKDELSSDLDERFSAIHDRIFELECTVA
QKADSLTINENAAGISSESKPSPRRTY

>RCO7_07134 | uncharacterized protein

MRIKRDAQDDLLLPLYYSVIEGRYGHMMKYWDIFVVWHSLDIEQLFDDMTTGVRYMEVCDVINLLTHPDSLTFLYKYEAAVLYVTTGKEDLLILRSP
EVLGERWEYVWSRSNGSVEMYLGGLSLKFIKESDVSVLGFIRPNSSREKNEGWFLLDGEELEAYVEKFYSFEISGGGPSGRWYRRPEGSA

>RCO7_07133 | uncharacterized protein

MPYLSLLVCASNTYALDSDTNLAAPRSVVVAREDALKAEASVQLSKLQTVRSETVKLEKDTMTIVKAFTVADERLDNLSEVTRQEVKETLQELESLV
RTKLFLGRIGELYDFHATSPSDRSQRTTFTIPQVLVEACKCLPGGAELEEWSIENTTALVNKTHTTAMNKGMYSQGHQKSHSGSVQG

>RCO7_07132 | uncharacterized protein

MLTTGSTRKILALSFIRSLHFDISPNQYATTYNLHNLQTHVNTFISTSREKKQRRYHRIIKYILVHCFDTPKFCKSNENQIKKNKNKQIRNQTRKGK
HKMGLFGSRSGKLKGTSRAMSVGATGKRQSPDARAEREQRQQHDNESFSNLSTTSTLQSPPAKERRQSRSTRRTSYEEFMRQSEAAERERKLGKVCG
FLERRIWTTSEQDAGRRNAA

>RCO7_07131 | related to acriflavine sensitivity control protein ACR-2

METVTIPSPTALLASPDLKPAPEPPPPPKRKPPSTKRSTPAAKNQGGIVKPKQSKSRNGCITCKSKRLKCDETKPTCEQCKKRNVTCGGYKKDFKWR
PFEETAFNARPAVPKPKRDSIVLNKPPELVPSPSDGSTISTPGAEPEQEMSIPDSFFHVMVPTPSSSSYTPPQFENSNFHPPMFDMSTPPYMRALPR
PRFEADSVTRSLSSLFDDTTPPTTSRPSLSGQSPSLIDLLLPGSELNARPGTVTMPPLVENMMPSMDMSPMMDDSFLPMEMNEDPAMEDGIEEVIRR
PQMSDADLWMSIRNPTHSRSSTTSPTSLRDDPVSIVYRQPEVQAGSQEMLMLRFDKQTCGILSVKDGPTENPWRTLIWPLARNSTPLYHAIASLTAF
HTSKEKPSLRVDGMEHMRKSIRALATGIENMNMRTDEALATTLVLAFSESWDQHISTGIEHLRGAKILVNQALVSHKKRNLSGDDLARLKFLCNTWV
YMNVLARLTSMDDDESNDFEAVLDPLSTTFDTNCVEIDPLMGCAASLFPLIGRVANLCRKVRKVHKNSIAIISQAMELKEAIVQWSPPPLLTIERPE

DPTSEIQHAVQTAEAYRYATLLHLHQAVPEIPSWTSEKLADKVLEKIVTVPLSSRFVIVQIYPLLAAGCESLTAEDRATIEDRWASMASRMWIGNID
RCWEVTREVWARRDAAEAARSAAERGKMKPGMSMMVHSESSKRKFEEEMAMDDSLSFSDMLHGSSSSKRHRHSRSLSGTLSPMGRLERKRVHEPMDE
EMDPELTIRGRMHWVGVMKDWEWEILLG

>RCO7_09278 | related to BNR/Asp-box repeat domain protein
MQLLALATLLFSYQTVADTCVPSVQPFGYFNNNTIYQTTGKEAITYPRFIELDDGTVVATASLQGSKGLSYFPIFESKDGGAHWEYISDLRDQVNGW
GFSAQPALTQLTEDLGDYKAGTIVAAGNSWSNNGTRIDLYASTDGARSWEFVSHIAQGGPPNTTNGATPIWEPYLLPYKGELVAYYSDQRDRLHGQK
LAHQTSSDLKTWGPIVNDVAYQQYIARPGMTVVAYIPPLDQWILVHELPIGNSSSYGVNYPVYYVMAKSPLEFGKSVGRPIVLNGTSAPNASPYVVW
SSLGGPNGTIIVSDADRPQVYTNSFGGALDKWEEHGTPAGAVYSRAIQIFKKYPNRLLIYGGETYDNFRAGLHTPFSATVVSLHETLSRSI

>RCO7_09279 | probable class I alpha mannosidase
MLAIRRWRAFALAIVFAMISLYYLTHERNVWNYGYTPYIPAPKSPSTKNSNIHFKKLPDRHPVKSLMRLPTGSPVKIPQIQASAPVEDAKAKEVRLQ
RRAAVKESFVHSWTGYKKHAWLRDEVAPLSGAYKDTFGGWAATLVDSLDTLWIMGMKEDFEVAVKAVKEIDFSTTETESINVFETTIRYLGGFLAAY
DISGGKYKVLLSKAVEVGELLMGCFDTENRMPISRWDWKSYTQGASQQAPNSMLVSEIGSLSLEFTRLSQLTGDLKYYDAVQRISNEFEKSQNRTKL
PGLWPVSINAEKLLFDEDNTFTLGGMSDSLYEYFPKQYLILGGLLSQPKTLYENFINVAKKQVFFRAYNPKNEKLTFSGDVRMHDSEATLTPRSQHL
SCFTGGMVGLAAKIFSRPDDLSIAEELTHGCMWAYDSSINGIMPELFNVLPCAPGSNSPCKWNESIYHEALNKNSPPPSTSHGPPSEAELLLNAQTI
IKEKRLTLGFTQIDDRRYILRPEAIESVFLLYRMTGKKEYEDAAWRMFLAVEKISRTKIAAAAIGDVTIPFKGTGKGGEGEVEKGEKMDSMESFWLA
ETLKYFYLCFEEWDVVSLDTWVLNTEAHPLKRPS

>RCO7_09280 | Calmodulin
MADSLTEEQVSEFKEAFSLFDKDGDGQITTKELGTVMRSLGQNPSESELQDMINEVDADNNGTIDFPEFLTMMARKMKDTDSEEEIREAFKVFDRDN
NGFISAAELRHVMTSIGEKLTDDEVDEMIREADQDGDGRIDYNEFVQLMMQK

>RCO7_09281 | related to the member of the syntaxin family of t-SNAREs TLG2
MWRDRTNLYISYRQSYAHHPAKKTKYSSSSNGFSSSIPSGSSERQGLMSAGAFEDDGDAVIEMDLLPPRWADISDEVTEYLTDIASKSLKLEKLHQK
HVLPGFDDEDVKRNEEGDIERLTQDITRGFHNCQKAIQRVEMMVRENKQQGGISKGEETMARNIQISLAGRVQEASAGFRKKQSAYLKKLRGLSGMN
PSIERTSTPQYNNFTDPSLLETETDKSYSQSTLTQTQTQKHLTSNDAAITQREREITDIAQGIIELADIFKELQTMIIDQGTMLDRIDYNVERMAVD
VKAADKELNVASGYQKKGTKRRIIFLLILLVVGMFILLMVKPKRHSDGAVEKPPEQVGPGESATS

>RCO7_09282 | uncharacterized protein
MVTTRSHTTKPAPPPLIAFPVFPSLPIEIRSKIWKHALPRPRVIEIDWQQPIGRWVCRHESQAQPSGLLRACRESREVFERELQRFLEVTGKVEERV
DGQGQDDDDDNENDDENDDENDDEIEDASEQQEVEDEDGKGDDFLNELNEDENEKDIAEEEAAAAEAEYWAENPRFDPETGEPYLPAPIPGSVTYIN
PLIDTLYICANGQSEISIRPQSMNSLASMECLATLKRLACVATEVCFGVVDGGPQDDSMTTFLPGLTSIVVTMGDICWNEMEHELDERSMCEVEFTE
TGMCVIKEADRERRIDGACKLFVQSDRWHEVVCSMKRVLRGVKMMEYLDQ

>RCO7_09283 | related to integral membrane protein
MDGSDNYSGVTRGAQVTGVAVCSLGLAWISFTLRFYVRIAVLKFLGRDDWLTIAAMIVFTIFCSLCLRVTYYGLGAHMYNIEDESLQTGFKIVFICE
LLYVVTTTVTKVAVAAYFLRLASKRYQRVVVYYTLSTVMVFSTLYFFFLIFQCSPMNYLWTKYGDDGAGRCLKSTTLSAITYAHCAMSAITDWSFGI
LPIFFVRKMQMDPRTKFSVILILSLGFFASSATIVRIVYIKALTDTEDYSWEGINLVKWSMVEPAIAITAMNIATLRPLFTRFLSHASKQFDSSTQS
EDQTRSSGESRHNFTGRDSISAALYSTEFAELLGLSRVGVTTQITAGGNEKRDHMRKRWRLHRSIHSLSGQKQKDEKWRTYNESQTELSTVPSTADT
SDIEHVGAVDWAAGITTTTVITYQRS

>RCO7_09284 | uncharacterized protein
MSSSERPSLVAKRTHVRAAKHSAITPPDLPTPPRTLDRVIVGLGYAGLATYLFTSHRKFIPWELAGLGLGSLGVGYGLFDLGRRTGIIQGASFAVRS
SEEKRESLMNDEDWKEEYQGMEFDTLQKADQIAWLRKEEKRIHEVQAAEQAECGLAYIEKEEAYRDYEKKGGYGGETWKRYSTADDLCQEIYKKWEL
QQQRLRQIRKEINALSEGI

>RCO7_09285 | uncharacterized protein
MCWETNILHACGCTEAIEIRLCEHAVFPWLHNVAHPIGLPMNPTIRVEPSPGYCIDCIKEKGMFVTAPGTGVFGLGVGHAGYEGNGSESGYEVVEEG
MGDELSKRWEEYEARKGAELRGASGGFGGTAVFGQPSAAPGGSTSAGLEVVLEDKNEDEGGGDEDEDENEDEGEDEDEGEDDYDDYDDDEEDAAAHL
ELAAPMVDELME

>RCO7_09286 | probable choline transport protein
MEHEKQEGIVSSAKASDRASPPPSPEHSREILINPSGHKQELERNFSLLSLCAVAITTGNTWVAIGGSVIVAIYNGGPPGVLYEFIAVSVCYWLIAA
SIAELASAMPSSSGVYHWASVTAGRYGRPVGYFAGWWNFLAWVFGAASISSILANQTVSMYAMFHPDYISKPWHTFVSYVVCTWLCCFIVLFGNRSL
PLVGNIGGFLIIAGVFTCIVVCATMPTVNGVGHASNDFVWKEWRNLAGYSDGFTFVAGMLNGAFAVGTPDCVSHLAEEIPNPSRNIPKAMLFQYAIG
FITAFTYLISLFYSIQDLDAIFKQASIFPLAYIYRQATGTNAGAVGLLLVTFLPTFVTCVGCYITAGRTFWTLSRDHATPFAPFFAQISPSFHNPFN
ATVLCGVICTVMGCIYVGSTVAFAAFVGSFIILSTLSYLCAIVPHLLSGRKLQPGYFWMHGAIGYIVNAISCIYMIAFIVIFCFPSSSPFSIAVMNW
SSLIVGGMTLFVAGFWFWRQSDYEGPKLVSLDEAALAKDAA

>RCO7_09287 | uncharacterized protein
MAETAEAFARETWTLYGVSCCLVVLRYTARIRRFGIMNLQFDDYMMLNGMIWYTVMCVAFNKVQSGGGSNYMTDDQVLALTPEIIIERIRGSKWVFV
TEHSMLLAIWSMKACMLHLYASITQGLPQRRYVNYVAFYTAISFVGCEIALFTACTPIYQYWAVPPANSQCATYQFFEIIQGSLNIPGDIAMLAIGI
PILASIRLPIQQKAILLMIFGMGFFIIISAILTKIYCLVPGLISYIYMNWYFREASVAVYVTNLPTIWPLLREVFPAMQSWGSSKTKVTSNPMTGSK
GWGGTGKGSRARINSVDGFQLSGLNKGGVKAESQERINDSDSAECQEGRIKIQKDVTFEVKTERVTPDDEEQGRNGWKTNDIQTSVRGVN

>RCO7_09288 | uncharacterized protein
MACFSTLRRSPLPLIRDPKFSNYYLPCFLYQSPSLLGSFQDQFLLAVRRPGLAVVQTFSKFNVDPDMPDSKGSIAIIELVQPGDSIIVNLLCQYKYS
LKCTPFGMPLSIAAATEDIQIAEALDRHGAEVSMLPSKLKKLQS

>RCO7_09289 | uncharacterized protein
MAATDSVPIIKVLFTLHPGMDAMDFVGPLEVLTHARHNANDETTKAFAASFVSSEEHTVSAQGASFRAHMDFKEAYTRLSEFDILVIPGGGTDAVLK
SKSAEPLGLIKAFSDLQKKHPDKERTVFSVCTGSLFLAQAGILSGLSATTHPDFYAKFEKICSEVSQRDLAERCDVVEERYVVNNLRFDLGDPDENP
YVRRKSDARRPSTGRKGSNAWKESNTRRESNARRAALRLGGLRVITSGGITCGLDASLYLVSIMVSEDAANAVEKEMQYEWKKGIVVDGIDV

>RCO7_09290 | probable general amino acid permease
MDPEKITKAPSTRSVSNENIPVYEDGPIDPVFGQTKRGLSGRHVQLMALGGSIGTGLFVGIGGSLKSSGPLSVVLGYIAYCIFFIWPCNLTVGEMAT

YLPIRGSIFEFAKRYVDEAFGFALGWTYFYTAAMLLCAELSAVATVISFWDEDTNPAAWVAIALFCMIAANVFAVQWYGESEFIMASTKILLIVGLI
LLTFITMVGGNPKHDAYGFRNWKGGNFIHAYWTTGSLGEFLGWWKVVLYAAFSVAGPDLLALAAGEISNPRRQIPRVARRAFYRISGFYVVGVFAVG
ILCSSRDKRLLDALDAGASDGTASPWVIGIQNLGISGLPSLINFLILLSAWSCGNAYLYAASRTLYSLALDGQAPQIFKKCSKAGVPLYTVAVPALI
GCMAFMVASSSSITVFGWFVNLATIGFVLSYTGYMVTFIGWYRALKAQGISRDSLPWKAPFQPYSAYFAIGFGCVIIFFSGWNTFKPFDVEGFVTSY
FGVAFSAFMFILWKGLKKTSFVRPAEADLLSGKAEVDAECACWDDEPEKERAQMTRMEKVWDSCW

>RCO7_09291 | uncharacterized protein

MSLKGSPRNWWKDKRQSSHPVIPNASRPQTAFPWTEDRDRDLSQIVEKAVLAAFESTAFKIAVASQVDPAFSRHQEKLSQIKTANLNLESVLQAHVE
DLPVVLKGIEDHVTGLKIPDYGTEFADLVKRNEELERRIDEIKIPDLTEQLNAIVSNQGKFPDHTEQLNTIIVNQTKYVKAIEGRFTALETRIEDLD
RKTSDLSEEVTNADLRSAIRFGEISNELQDRNTTLNNSIWEVQRELGKKTDALQRRVVGACEEMSKVVRASSEVLESLKTKVEEDDVFSAVEKLGSK
AEFSEKATRRTLASISEKVAVLDTSTLSAQTSKLETIERGIGEFRKEAEAARNLASVSSKFLSANTTKIDTMASAVTKMSLLVESTNELCQEVSESQ
ESNAESVKEDVEAVRMHVRSLDNMAVAHKRRLSEVGEMVKRTEGAIGKVDERFGGVEDHLRVLPECKDKLDSVEGSIVGLAKDAKPQKKVLDDLTAA
IEEMRGNVDTALSSHTESLGAIQQTVSSTASRDGLSTALSDLQSKIEDKLSSHHETTSRATTEAVSEMRGNIEKSLLTHVDSLDAIHKTLSSAASQD
VLSAALSNLQSSIENKISSSHEATTSEMGNLSSNLEKRFLTQNHELSSQTSKLQTPMDEILTELKSTKTLLDTHHNSRMDESTTVLTAIESSRTSHQ
ETSTAIKSLIQEIQESSKDDEILLQIESWAQNGIAKQDAGIAGLRDMLGLSQARDEDLRDSLTGLNEVMRGAEETLSSMQVSVHDSRNDTTKNEERT
RNTTSEVQSKIDDLATNIKDFSNNIENQLQLNATALSNLDEFCTDNADALSKGILDIRKDVSPMIELVGGVAEIKALCRDLPKLEDIGKLNGAMMEM
GNETRDVVLAKAEHLTSDIGKLASALAKIIERLQTAEKAHAEILTTVNATSTNVIGVQDVLKSVEDGHSTSFDGLKTDISAFSAEFRKENAELETGL
KTELQALRQDVEDVMTAVSEASAQSIKTHTTALDRLAADTKVMRDGIITQCEETGTVILGSLEKAREAILEEVGGSKTVVEKAMLETTSNVKDVLQA
VSKSESENLKMHQLISRAVAAESTIIQEKIVTAADQSRESLSAKMESNQERSTSDLSNATDELRKDVAAMQTTIAESREVLNSLQSVETNLTKQIDN
VSANVNKASKGLSLDIKTGLSTLVEKHELISGTIKEDSKNLSELIVKGSMEMGGAIIAAKDATTSEIRGSNASLDEKLTSNEKNLSLGLSGLGREVT
KGFADAVSMTESHRKTVLEALETSSLTIREATEESNADGVERLSKDIGARFEKVSTDHKATLEALQSERQSITAYIDRATELNKSATDALLHPIQEN
QQSLEALHKLACETTTSFNLVADDRKKTDGLVEMVIKAVEQQEKTITASVEKVQDAVVGSVRDMGLSLEKSITKEGEVNKESGETRSAILKGLMVDV
IGAVKEEAQTTRKSTETIKTGIEESKSTLEKRIDTGFSNQSTENKASFKVLDTHISTLSSAIKNEAETTKARIETLETRILEEVQKTDTALQSSLST
LRTVLNQAQQTTSETHTSILSDIHTLSTSLSLLNTTITNLPPSLKAIDAAVRVNSAAIARVDKAVLESSSQVKSEIHTSLSSLSSQLDDDLQETARR
VRGIAEYEIPRLEALAKRQRDALEVIGGRVIGTSKKFGEMVANVGKGSGGGGGLNGGLDKSEILGLSMSGRLRGGSNASSTRSKDSGYRMGAFESG
GRM

>RCO7_09292 | uncharacterized protein

MSMSVFNPRFESGSVYASIMKRTVFVPKKGFIKLTLPEAKTGDHVATPTGSQVSFILRTEDDVGRYSFFDEFHTRAVLISEMIKNIEKGIHEMVKVC
LMAESWEVSLQPRRFFKFLFTVLFLNK

>RCO7_09293 | mitochondrial phosphate carrier protein

MSTIDKALSKPKIELYSGKYFLACGMGGIIACGPTHTAVTPLDLVKCRRQVSSTLYKSNLSAWSTIYKAEGLRGVFFGWSPTFVGYCLQGGGKYGFY
EVFKYTYGERLFPDMNQTAVFLAASASAEFIADVALCPFESIKVRMQTSLPPFANSLREGMGKVVKEEGYAGLYKGLYPLWGRQIPYTMVKFATFET
TVNKIYAYLGKPKSSYNGLQQTGVSFLGGYIAGIGCAVISHPADVMVSKLNSDRKKGESAGKAMGRIYGNIGFKGLWNGLPVRILMIGTLTAFQWLI
YDSFKVGLGLPTTGGH

>RCO7_09294 | uncharacterized protein

MKNFVSVIILGLSAISVDAAAGRQYAGLNAYLGFAGGNDCPKATDKCCIGSGEERDSCLVGKSDSCKSPKVCKSQPGKGKQGICG

>RCO7_09295 | probable nitroreductase family protein

MSSKAFLETIKARRTYYALKKESPITDAQIQEIIKEAVLHVPSSFNSQSTRVVLLVKEEHDKLWEITKEVLKAIVTPEQWQGTEQKLNGFKAGYGTI
LFYESRSVVSGMQDKFAAYADKFPSWATQSDAMHQYTIWTALEAEGLGANLQHYNPLIDQKVAATWSIDEDWVLNAQLVFGKPVGEAGEKSFLPVED
RFKSFGV

>RCO7_09296 | uncharacterized protein

MQRKPLPPYAHATEDVPNNSISPEIDISSYHSLHNPEIEDNRCPNKECLHVTSTFLTEVSTTHGQKTAKWGIPWLGEPLQIPLFTFLGIALAVAHHL
VYLKLDGQTVGESKFGQQAVKQIGNVFVFLALASLKVAIDESYNQYIWYALRRKSFAIGTLDKLFTLPFRITAIFSLRLLGGAKIAALLGLLTWLLF
LGGLTPAATLSVVPALLNSTSMHMVPVLDFNTSSWWQIQTVNTDPTIDPTAIHLKTATSAAVGGGIIFPTPPSANSSFSVQFHGPSIKCEAPDEGQK
AAFNWYANQSAYDQSIVTAGSAPRLLSVYDRTARGFLLMSAFSPTQNGVDEPYRREDRLKVYNNWPAELGENYSDYRSDVHKKKSQIWVQTGDHDIV
CSLINASFNVGFSYFNGAGTVTHQHIVVLPPSGRSNTSALSMGWSDAASGDDNSTEIERWQNSAYYATFLALGNNIFGNVSLENTTTKLAGKFISVS
QASSRILQTDLAGCEEFTNSYWAQNLDFNTADIFPRHAGSCRNKTLDRAIEDLANNITISMLSVPGMTSLVSLPVRVSITSNVYAYEQLDLLVSYGA
TIAVALFCVMIGVICLVSNGVYHTTNFSAVMATTRNPDFDNLAEGACLGKDKGMMDRKIMFGVVTGSEFARNGRNEMGSREGELKHAAFGLSGTVMR
IKKGTVCA

>RCO7_09297 | uncharacterized protein

MSGNSSNTQDSFAKKNKKKIGRLGARLAAQMLMQDPSLNINAVTCAPATTPASQVTKTEECVDSIAVSGFLTSGEKERASKDEKDTAGGPTLSSVPS
LAASIHNPASVKNVSYSDNSAPFTSTYAGSEAANGGYGTAERASAAPLPAHLEMSWEQNSLDYDKNNSTSRPHSASSMSGSKISWTKDDVKKDESVA
QEAIINARPKLALPRSRPAQPSQRRIPPISVQVLPKEAPVSVPAARSRFTFMNFRDTQEVDEPVTTNTIIPYSTPILTFSAVPTGGMATWAGGAPSP
KTAVPVFPTPSTAPVKIIASSTNQTQIEVVADYSQKGQSEREKATGRKKPQLITSSGAPNLAVLAEAGAKISGAELPQIEHVTDTPLGSALVNIRTV
VEFVETTPEYTSPKDIPSTDLALQAVAIDEVSDIEKSSPVADSSPPGSNLPHVTPNLETDYFFTQDTLLLRTKEEKAVDILMKEVEANRDRVAELEE
MFLAARDEKIIEIMGGEIFLTEIKPLTVECFENNYLAANTLREELAARPTQDDFDAMVAKVEKLETKISDVRSEHAEKLETETSDLISEYTFALKSE
ADKLQLANKKIEDLSAELEETKPKIKKSENQLEMSLYRLTL

>RCO7_09277 | uncharacterized protein

MSTDEGWTTCSESEPEGEPVGRNEMQELLDKFRKKVSSRKPSRSGTSATKASIANKDTSRSEATAPGPKAPKKKYSKHQGKRPESTTQTESIVVSDI
PTVQSSKPQAELPKSDRFNGGLSASAFNTGVIPTVQSSKPQAELPKSDRFNGGLSASAFNTGATSAASSSTIDIQQLKSTVAVKQIPELPRELEAAY
QHTINSQAAQLQECGQHHDHPLLSGTYKRKIREVTNELQKTRIKLDILQKNTKYIRETQEEIYASVDLVHRMLPNVGLPASTVGLIKHLGLQVKHFS
SEVKRVMIEKHEAHLAYERNLPAESNAPGVRAEMNMLTAALERSEAQTKDLRETMLAHLRTFQETDLERFVNIISLENEITNLKAQVEQKDSCIKKK
AAETADQAAQILLLTSDSEIARQNAAHQIVVATVASEKVESLSRVQRWMSTVARLIFLILPWGLTLVPLSQAAGPPATEMSQTQEIFTGTVMTWTYL
ILKFFANNVLRLDDELSATDINSPSNVSSTPSTNLHAGMPSITDPTISAVLAITSTTVTILPASESSNPSSSHTIVPTTNPTASANILAGAPSIAHS
SFSTAPTTISTPSAILPCKTGSTCSSATSIVPTAISASSMNLPGGAPSTGSSGITVMPSVSSTPSTNLPASTSSAQSMPLTSIPTVIAQRTKPTRAQ

DTQIRNKGKLVNKLEVSYGFSDHLPVDSSPVLQILRILSPAGISSVLQALFVFMVSISMLFIFTYSGLSNLHQATQLSVINQHSATTLLTPTFWAVT
SGGPLTIIDLGDPDLWLKPRVVEDHTFEELEDEPEITILPFAAVEVPNGSNERMPVSNEPEPSTDIKVTWFKVLSKAAHVGVLGVALWRDLHYGARR
>RCO7_09276 | uncharacterized protein
MSARKFFRDMCRPWTWTWASNCQPLKVLTATARDIQEELTARRITSVEVVDKYLDQISQHNCYLDTVIATCPSARQQAETLDRARQNGKIRGPLHDV
PVLLKDNIATHPDFGMDTTAGSLALAGSRPRKNADVVEKLILAGAIILGKTQLSCAKWLN
>RCO7_11579 | uncharacterized protein
MFTPWMMKGCRWNENCTTTQTMKALSGLYFGRIHRRKQSMDFGFQCYSKALRLLSKDLVSTRAWELPSLTNVLSLSVFEIMASPSGQGFLQHEGGVA
RLIQSSNPERFQSQDELAVFEYARLAVAFGCADLRIRCFLAEPEWMTIPWLKHPEAKDLKSLIYDSFCDFPGILQDLEAIRTGQQTDPNAATYLYEK
VCKQLRKLYQWRAQWETQNAGCCITKPSQDPKSPFPTAFHFQNLPQAAGLAHYNTVLLVLLRAGRILKGLCFSSTICSETIPVTRTNSGLLLPQDVK
TLHGVAGEILRSVEYCISEPHTSGGYFQMLFPLRAAIEVYKDGCKERKYLYKIFNEIADNGGFEMSRGLTRAGLCGRMIEDEESVTDVGKADVTEGH
LLRSGGEKPPEAAHAANPMTATYLNFSSRFMQKRPNGSYAH
>RCO7_11578 | uncharacterized protein
MRRAPANLSKDENAWMISWLRESNKSNSNACDSATRSSASADWTRLLRSHQKLDPMISSSLHTFTEEFDTQLAGMSSPTKKTYVGTERCGLCRSQLP
WNGESDLDLWALDFRAALCLEPNNEDTIAITKIANLSDIYDQQIDVGLTDNHQNQSITICHYEQRFYVNRTHPTAYCFHAWCYEILIQKAERCTESK
IYKLSQILSLGSEVWENRHLHRQQTENTSAEVLRELGDRHQPVSKLLRLPAELRTMVWNYIGLEAAFSANVLVAEETTRLLCSRISIKMLTVFGTPY
IQSLADGCFSAAIPGAVHYLKFAMVYGGICAIQLYGSDWNTSWLRVVPKSGGTCSDDQILWDQPDIPDTLCDPDKELFDFKRDISPSYERPKRRQLS
YFGYLPLFSDNEYVTGLTVYVSGNGIIGIESHFTKRSRLIGDRNGCPKYFPFHSGEQIAFTWICIINSDSYAFAAPTVTIQTTFGRIHTFGPYILPQ
YVMNNKYKWILLDRPGSITGFYFEWQKSPVIMRVGVTRESNSAVTGNPNLEFTACNAPYLPRVGPNAGLFMSVASLSNLRKVEFCRVGTRCTGLKLH
YLQAPTAVLGQWQTAAFSQHVSMSHTNGLDTMGIRFKFSKSGDHQVATDISFGADTTDDCNSTYSHLGETITWWFSRFDDVVRLWDGQFLPVPKGSI
INLK
>RCO7_11576 | related to Rossmann fold nucleotide-binding protein
MAQAIVCVFCGSSPGKSPAFMEAAKALGVYFHENKINLVYGGGTTGLMGEVARTLVALSGPESVQGIIPAPLMQQEQRTNEITKATYEGREYSIPDE
NIYGRTMIVKDMHSRKQEMAKRVIEGGPGSGFVALPGGYGTWEELMEVVTWNQLGIHDKPVVILNVKGYYSGLLAQMRSGVEAGFVSAGQADIAIEA
KTAEECGLALKNYLISDGRLNLEWTSN
>RCO7_11577 | uncharacterized protein
MGASRKSALETQRFEDNISHLFKAFSRDLEKEANDPLHCQAAWVVQKRARRVTTTIHALFFNLTERWKDSEDSRKTRIEEMLQHQRVSASAYAQPAS
VGQGSDAQ
>RCO7_01789 | related to nicotinamide mononucleotide permease
METRTHLYHPPTRTSDTEGSQDSSAMTRLTPDSESEDSELDMDMGMGEEGESFKLQRRGTDAEKGGVQDNEGLLDEDEDDEEEDEYPTPGRRRGTSV
STIQSYQLYTPDEERAVVRKFDRKLVLFLALLYMLSFLDRSNIGNAKIAGLDIDLDLDSAKYEWVITAFYLAYISFEWMSLLWKIVPAHIYVTLIVL
SWGIIASLQSVATSFVGLLVLRTLLGIGEAGFTGIPFYLSFFFKREELALRNGYFVSAAPLATSFASTLAWVIIKLGSNGPIAPWRLLFLLEGFPSV
LVAVIAWHTIPDSPESAQYLTRREKKVARLRLRKDKDPSSAPGKKGLNVREMLSTIVDPKTYLTAFMFFFTNMAFSSLPVFLPTIIHEMGHTVLISQ
ALSAPPYLMSFFIVILTAYLSDRLQNRSYFVIFHALLSASGYALMALSSHYNLGTWWRYAAIYPAAIGFFSVITIIVTWAINNQESESKQGTGFAML
QLIGQCGPLVGTRLYPEEEAPYYVRGMTVCACAMGVVAVLSIVLRLYLGALNERGKREEGFVGEAGEGLVGRRAGKRGGKHRKPFVYML
>RCO7_01790 | probable Putative mitochondrial repair protein
MRKSPIQFRHAGNCQRYLRRERRGYKSEAVAASSSVIRITSGTFYRHHPNSHHAAIQSNPPLFPGLQFNLPAYHNASDPKYWAIIGPSSSGKTTFLQ
ILKGKHISIPAAARSWPFLESDDAAQKKSPSAAIKLVGFDGEQGLGHQAPQSAYLSARYESRREDTDLSVLDYLHGYTEVNSLPQKFERGHADLLER
VIKDLRMEDLLHMPVSNLSNGQTRRARIASALMSSPEVLLLDEPFMGLDPPTLLSLSPMLFRLAQMNNPRLILSLRPQDPIPVWITHLVSLKGNCEV
AEYGQRDEVLRQMRRRAESSKIGSIKDHGSVPHSMNEVGRVLTEDGIVEFEEAGNAHGKAVLGPRQESQEDEDLLLSRDGFPLHDTVKPVIGEPLIE
MDGVKVQYGSKFVLGNWKQITSSFTESSPQEGLHWTVSRGQRWGIFGPNGSGKTTLLSLICSDHPQTYSLPIKLFGRSRIPEVGQLGISIFDLQARI
GHSSPEMHSHIPKSLSLRQVLENAWADTFRGVPRLDEDAKGKVDACLKWFEKDLRGEEGRIVTETEDGSGELRWADEVLFGFMPFSSQRVALFLRAV
IKNPDLVILDEAFSGMDDGVRDRCLLFLAHGETKEFSSSSTTSSTTSSTSKLNPEAETSPTSSHQPRIIESQVSKLKQVKVYGLNERQALLCISHVR
EEIPGSVREWICLPEANTGKPARFGRLDGPIEGDYKRWNEIWGMGS
>RCO7_01791 | related to 20S proteasome maturation factor
MRIAPDSSHASTHSHLTSKTPGAPSAPGIHDTLRAGVGPSLLSTPLSTSSSTSHIPSSSHPLEARLKKWEETQLSLKMEGLRRTFGIAEPIRRGMEL
KVVREGEWRPACLGGGSDRGVHEDILRGMDCDVSWEDVFKGDEMGRMEFHDEVERKVLKTETLCGQDESINGCFDLVAAVTIGP
>RCO7_01792 | uncharacterized protein
METSGAGHALPSAPLSATITNTDQTSSHIPVEMSNLDSSKRSAAESGAGAGLQGVLNDVSIPSSSPIGTSLPTTSSSKSAPVDENSRPEPVGESSQS
ITAPQPKLTKERTTTEAGESGSPPAIQRLDSVAIGPSVDGIAAPVPAVAEAGTSLTITLLLGTGARHPYRIDEKYLTKRNVAVPGVTEGGRKDPFSI
SVYTLKELILREWREEWESQPSSPSSIRLIYFGRLLDDKTPLRDCKFNVETANVVHMTVRPQDIVDEEDASKSKALSREREGGEATAGCRCVVQ
>RCO7_01793 | uncharacterized protein
MCPLPSPLPPILITTPSHAFLATLSPLAPLTVSTFLSLLPYTQKVIHVRWSGEGLWIPLGTRNALFASLPYENNTAYPAPGEVLLYPGGASETEFIV
AYGSCQFASKMGVLAGNHFLTITEGLEELRMLGESVLWEGAKEVRFEVASEEM
>RCO7_01794 | uncharacterized protein
MASEERLKSAKATQDELAISFNRIAMAMAKREALVKSWTASASSSKPEKTQEELEAEDAAMFRNEPPHLGVGAEIPAHFLVTESERGNKALRAKMFT
TKGLKASKARDAEEKAASAKRRMREESSEEEGGRSSLGRAKKFKGRQNTAPVPELQGEDESNSEVEEDTKHMFISKRREIEEKPIFAAKAAHKADLS
KEDVTKINKALLALLKNDQDKLEMSEETADGKLVPSVGRKKNAAKIKTPKPVVEPSGVEKNSTTSVKKDDGMDAAERRRQKKKEKKKLKKLRDAEQT
GEA
>RCO7_01795 | ATP-specific succinyl-CoA synthetase beta subunit
MFKLARSRPFAAALKPSKVFSSSRLAGVAQQKRALSIHEYLSADLLRQYGIGVPQGSVAKSAAEAEAIAKKIGGDDMVIKAQVLAGGRGKGTFDNGL
KGGVRVIYSPTEAKMFANQMIGHKLVTKQTGAAGLICNSVYICERKFARREFYLAILMDRGSQGPVIVSSPQGGMDIETVAKENPEAITTTYIDIHT
GVTDEIARKISVDLGFSEQCIEDAKDTIQKLYKIFMEKDATQIEINPLSETSDHQVLAMDAKLGFDDNADFRQKEIFSLRDTTQEDADEVKAAESGL
NFIKLGGDIGCLVNGAGLAMATMDIIKLNGGEPANFLDVGGGATPQAIHEAFTLITSDPKVTAIFVNIFGGIVRCDAIAQGLISVVESMNLSIPIIA
RLQGTNMEAAQKLIQDAGLKIFAIDDLQNAAEKAVQFSKVVKMARDIDVGVEFSLGI

>RCO7_01796 | uncharacterized protein
MPWNLSYNPFNPLLHLHYQPSPPPASYRPRYTSENPSPYYLEQAAFYLPPTRSDPFALPPPPLPSIFTGFHLEILTISLYILKFLLAFLFALLGYVL
GMLELGAEVFNVAYEAFTSQEMAAFALAWWLVERLPGWKKSVLEEMAARRGLGLDEPVYTVFLAGREALGTGSVRWE
>RCO7_01797 | related to NAD(P)H-dependent oxidoreductase
MASGAANNSDLKSTKLFDVSNFSAVVTGGGSGIGLMITQTLVANGAKVYITGRREEALNTVVEKYNSGPGKIIALPGDITKKDEIVRLVKEVESKEH
NGIHLLVNNAGIARDDNTKYSNGKPDFKSAQSISDHLMKSDPSAWASTFETNVTSQFFVAAGFLPLLSKSLSSTPGFSPSIVNITSISGVMKGSSNG
QFAYASSKAAFLHLTRMMATTFVEAKVRVNSIAPGVFPSEMTAGESDEHQKSQLDSEASNPAGRYGHDTDMGACILFLAGPGGVFLNGQVVYPDGGN
ILTVPACT
>RCO7_01798 | related to peroxisomal NUDIX hydrolase
MPETKTKTQNLITPFHETLNGLVENPCPHVSNPEGCKKRASVTLILRVRPNYDHWPETRSGGGEAETGNEAAIQSYSTHETLDRFFAQDWVQHGDPE
AVFIKRAARVGDRWTSHVALPGGKRDPEDEDDKAVAIRETVEEIGLDLTSPHALFVGNLPERVVSTTWGKVPIMVLCPFVFLWTGPELPPLRLQPAE
VASIHWVPLRVLLSPSSRTYEYVDVSDRFARQGGPLARCITRSILGKMRFSAIRLVPSESIFCSSIAEFFPPELLEIEAATTTSVGKKLYNWYLGDH
AGSSDKARPLLLWGLTLGMLADFLDQMPPHNAVKLWSYPTFTSIDVQFLINILTAPLKRRNRQRLQQGGVHNQTAMDSETEAVAIGDNPWCIGGLSN
GMKAPSKGVNQTRVYAVGVMLEGYYVMARRGVWIAASFRLAATMALAIQIVRRYKSFGRG
>RCO7_01799 | probable Probable alpha-L-arabinofuranosidase axhA
MFHNLATALLLVLPVVSSAALGAPTHNKSCPIPTTYKWTSSNQLATPKNGWIALKDFSTTFYKGNHIVYASNHRSKSQGGGYGSMAFAPFKEWADMG
SAAQIATPFTAVAPTIFYFSLASKWVLTYQWGQGTFTYRTSNDPSNVNGWGPANVLLSGQLTGGDKAIDQTVIGDDKNMYIFFAGDNGYIYRASMPI
GKFPGNFGNSFTVVMRDTKANLFEAVQVYTVAGQKKYLMIVECMGSRGRYFRSFTATSLDGQWTKNAATENNPFAGKANSGTTSTNDVSHGDLVRHN
PDQTMTIDFCNLQFLIQGHNPSASANTYDNLPYVPYLLTLQH
>RCO7_01800 | uncharacterized protein
MCPAGGKVRLPYYSPFGRATRRGRSTQTSQRRQHHSASFSQHHQSAHSVFIPPRASCLDTRYIIVKAAKAHSILPILAHLQSTLVTPSSNHALYLSL
HHASLSSNSYSILCPAIRSLQVSLRHWLRPRFSTTPQVSPSATLHPIIRVSKKPNFHGFPRRIQQNITRASSTVIVSSPLPLDQANTAAAQSSMEDL
VSRKLFQTSHALLFNANNYPAGSHPGDLEMVPSAEFLPHPTSPVTQSYVPSNKCTPATPISASSPSGVAGTAALAENVPPPVYAGQTSQHSRAPRSS
NLHLPDLDGEMALTITAATGSPLLSIPSPTFRRKPRPQGIYGGLVIKRNIVDHFNGSGNPFRNEYGHVRQDVTAGEFQTLAEIYGESRIWTFNVEDI
YCQTCVEECEANDEAEYRTQVEEFLESSPEVLKAYLILRGRHYPRRCCHRGGIAELMNAISLAHSQRIHNILLTTSSPNTFHSPSVVWSAISMLVEC
LPNIQHATVRLHSSSLAGPSAIKCQPALLANGVALHLAKALRVLEKHLPEEEGLKIEGLEQQPVLLGMWTEEKKKWWVRSGRWGRKVLRR
>RCO7_01801 | related to transcription factor medusa
MSAYGKSLPPQLHGFDGGRTYPENAFPYAAPSYASQPPGPATTTAPVYQTAPQLTPMTYTPNQVRAPYDEQSGPYLNVGTTIPEITSFAPNRGICGT
KITVYITSLYELLTDSAPVFSLMFGSRKCSASLQKVGQQGAVCSYTVVAEAPSFNVTGWHSPMVPLCMLMESGDGDAIEKVDAGQFTFIDGQNENST
SQETARKRKMSADSADMRSPMKRSSSQHLRSKDEYSTYGYSQSEGASTFSPYLQPSNNYNNLVPQYNRSVSGYQGQQARNFGYYATSTVSPPAIKAH
SPQSANWSYQSASLARSSGIQTSLGLQRPGLVSLPASSANPPLIRTSTLQQNSPSPATTPHGGHPAHFNAYALYSNKAKLEVAGDLEEMPVHWSSEE
FDSRRRLVHFRRSQSGSTITASFNAVSQEERPQNSVCISCIYWEEKQECFVTSVDTIYLLEHLVAGRFTVEEKNRIRRNLEGFHPVTVSKGKPDSEE
FFKIIMAFPAPKPRNIEKDVKVFKWKDLTAALKKIISKYSASPSSTLPPAPTLLTPVSSSGDYVTEGSNAAISSYTNDHHGGVSPRSISGSTTSTYT
NNMPARGLSTHDQKSMALQGGPPDHRMPQHPHEGSSYWQGGQHHMQGSHQYQSLGNHSNRGTWDMLGQTGPTTAGGTSAPLQSLNLNYSNHRNNPAD
SAAATGADNRIVRTISAQQQQRT
>RCO7_01802 | uncharacterized protein
MFFRFGLLAIGAQTALAAITVDVGTTFQKMDGFGISQAFGRAYDLFNLPVPQRTYGLDLLFSPTKGAGFTILRNRIGSGPKKGDSILPVSPGSPEQI
PNYVWDGIDNRQVWVSQQAKAYGVTRFYANAWSAPGFMKTNGVDTDGGYLCGVGEHTCASGDWKAAYAHLLIQYVKFYKAEGIDYSYLGFVNEPDYT
TAYSSMLASGNHAAEFIKVLHPALVAAGLESVGITCCDMVGWNDMIPATAQLIAAGVENQIARITGHGYSSDATIPLKTSRPTWLTEKETTDAWNGH
WYSTGSVSDGYTWANHIYNAIVKGGVSAYFYWEGIEKTTVNAGLIKIEGMTLFPSARLWAYAHFSRAARPDAVRVATSGAPLGVNTVAFQNTDGTVS
VIMINTNSVPTTVQVGTAGFNAQSVTGFVTSQANITMGVLDASVDGGLVGATIPEHGIVSFILSGKPGNNKEPIAPTTSKSTPTLKPTTSSTPTPTP
KHTTTSCKPTPTFKTTTSAKPTTSAKPTTSAKPTTSAKPTPTPKHTTTCKPAPIPRHTTLAKVPKPHKTKPNPHSPTNKHRA
>RCO7_01803 | related to acetylesterase
MRASFLWQLGLAGIAISSPVQPAKKGLKTPAFFLAGDSTTASGGGWGNGFLTTLVGGANGTNFGHNGATTESFRAGGDWANVTGAVKRASATHSPYV
TIQFGHNDQKPIKNITVAEFKVNMKKFAQEVIAAGGTPILVTSLSRRRYVNGSIDLDLVEQVKATLAVASDLKAAVIDLNAASMKYLNAIGETKART
YDKVLDDSTHLNPNAGLVFGNMVAGLILESSVGHLVKPYVKEDASIKAAIAAGKYILPSN
>RCO7_01804 | uncharacterized protein
MSASVFNMNNYARATTERYSDVLDSRRSALRHYRTSADFWNPHTDEAMALRNQKFKVYNHQAQKAAASAPSLREHYEDHLIAGSRQPRIPSARVKTQ
MGYHLQPDPLEIRVPDIPLWVWILVLLILVAWM
>RCO7_01805 | uncharacterized protein
MCHIYNFPVCGHIDIDTSSCTNSDRLRFPCKPLFTNVRLVGECSRCRESFLRTVAKRSSVVTREATCAALSSFETPPTLFAWPEKSARRQTKQPRSG
PLRDGHLEGIPESPTIVKEERNRNVGFEKPLPRLPTPTDTVRNFSPAAFAYRASAQAHPATHPRPRVVLTAHQITTMPDSLTTTILQNTVSLLPRQV
ITTQQQSPRAHPANHCPPPAPAARLQPGLDRKGHRLKGRDFSARLRDVYKATEEFHPPAGVPPSVSSKTQCPYPAWTTLPSQIEERTREAGQVWRKT
QTEWDQREPRHTPSKELFLTTPAEEEISIHLDQGEFPSCLQPANHSQAHDLSRLSANFNLYTETGGESSIERETRDPVTTASRTYTTYSGVPAVQES
ASEIPLRSYAAHAARKAEAVEFETRRATATPTPTTYIAYNPIFTMKDISQFSARMPIEFETVASSRDRALDSEKSLSELSAIFNMTSGQERKSIELV
NANSHRDPYSAYDPTAALNQVKNLSELSAVFDLEAQIELESHSRLTTPIPTQHNRLPAQVSTVGEYECYNPQTVTLTAEPSSELPETPIKASKLSYK
LQNLKRHSAMKLDGNGLEGVFQTWA
>RCO7_01806 | probable Probable dipeptidyl-aminopeptidase B
MARRNDDTDLMSLELSRKSEDSVSTASTTSLVFERLGHRVEAEDEKKTMVTPKFPPPTSESRGYVDNEHAISSHDEEEKDDYDLETGPFLNNAATGR
TVDTKFRRLLWIVGGLFIGVWLLALVLFLGNQSYRHVSSKPHDPSATSTTGTGKKVTLDQVMGGTWRAKKKGMRWINGANGEDGLLLEQNNAGKDYL
VVEDIRGASAEASALETKTLMKNGRFSVGGQSHVPDGVFPSKDLKKVLIATESKSNWRHSSYAKYWIFDVETQSAEALDPANPKGRIQLASWSPQSD
AVVFTRDNNLFLRKLSATKVVQITKDGGVNLFYGVPDWVYEEEVFAGSSATWWAEDGKYVAFLRTNETEVPEYPVQYFVSRPSGVQPAPGEENYPEV
REIKYPKAGAPNPTVDLQFYDIAKGDVFDVKIAGSFAPDNLLITEVVWAGSTGKVLIRETNRESDILRVVLVDVATRTGKTVRTEDVQKLDGGWFEV
SQKTKYVPADPENGRPLDGYIDTVIHENYDHLGYFTPLDNPNPVLLTTGNWEVVDAPSAVDLKKNLVYFVATKESPIQRHVYSVFLNGTDLKPLTDT

SKEGHYGVSFSSGASLALLDYDGPDIPWQRVISTPSSSDHYMQVIEENVELADLAKKYELPHKIFSTVNIDGFELQVVERRPPHFNEKKKYPVLFYL
YGGPGSQTVTKRFSVSFQSYVAANLGYIVVTVDGRGTGYIGRKARTIVRGNLGYYEAHDQIETAKIWAKKKYVDASRMAIWGWSFGGFMTLKTLEQD
AGQTFSYGMAVAPVTDWRFYDSIYTERYMHTPQNNPGGYDNATISNMTALHQNVRFLVMHGIADDNVHMQNTLTLLDKLDVAGVENYDVHVFPDSDH
GIYFHNANRIVYDKLSNWLINAFNGEWLRTSDAVPLQIAAAAEKE

>RCO7_01807 | probable carnitine acetyl transferase FacC
MSKSLNESLAQPGDPQLAKDSGRSHDGAKKAADEFTKDQKNPLASDQPRLKAGITFAAQEKLPKLPIPDLESSTSKYLAALKPLQSPRDHAETQQAV
EEFLKAEGPELQERLKKYATGKTSYIEQFWYDSYLNFDNPVVLNLNPFFLLEDDPTPARNNQVTRAASLVVSALSFVRAVRKEELPPDTIRGQPLCM
YQYSKLFGTARVPTENGCHIGQDPDAKHVVVLCHGQFYWFDVLDDNSDLIMTEKDVSINLQTIVDDAQQTPIQEAAKGALGVLSTENRKVWSGLREV
MTREEGSNNADCLGIVDSALFILCLDYTEPTSGAELCGNMLCGTSQVEKGVQIGTCTNRWYDKLQIIVCQNGSAGINFEHTGVDGHTVLRFASDLYT
DTILRFARTINGQAPSLWASTSPDPSKRDPDSFGDVSTTPHKLEWDMIPELSIALRFAETRLADLIQQNEFATLDFAAYGKNFITGMGFSPDAFVQM
AFQAAYFGLYGRVECTYEPAMTKVYLHGRTEAVRSVTPESVDFVQSFWAENPAQQKVDKLRKACQQHTANTRVCAQAQGCDRHLYALFSVWQKALDG
DGAEAASSNGYSSPIEGSSGRDPTSECGSPGRSSLMSVDGDESSVQSSANRARGNSSPTRGQHHSMPLLFSDSGWDKLNNTIISTSNCGNPSLRHFG
FGPTSGDGFGIGYIIKDEGISICASSKHRQTKRFVDALESYLMEIRRVLRMTQRRGTSPKASRAREASATRPKTGSRLKSRGRVIRANQPGMKTPGT
MTPADESTAGSDDEGLGGYGFFDAGMLLQALKARGEGLDDGPKPSERATVNARRREIGKKLRLSEY

>RCO7_01808 | related to TIR2 Cold shock induced protein
MRTSFSTLAVMVTSLLVKEAFGAPALRRDYYLDTDSVVVTEEIWVNQLPDGSYSTGLPTAVVTSTIDGNPVLVTEPVPSPTNPPPAPIFDAPAIAEV
AVPDSTTSTSPIPEPTLPSVPDAVFIEQKPPSTSVEPTTYPTPTTSVTPTVVPTTLESVAIPTPSVPAAPVAPIVPPISSSGKRGLAYNAANLLSAF
TSASNVTWAYNWGSSTVAIPSNLEYVPMLWGLRQSETSNWHESADKALAAGSTHLLAFNEPDLGAQANLGYAEAAAGYLTYMQPYASKAKLVSPAVT
NGGGEMGLTWLSNFLRACSSCTIDKVALHWYNGGDAAAFKEYMAKAYTAGGNRPLWITEFEASGSDEEQAAFLTEVMAWMDKTDYIERYAYFMVSDG
NLVDGTTLSKLGSAYASS

>RCO7_04287 | related to aspartic proteinase, pepstatin-sensitive
MAMRYLGPSILAAATLARAVVIDLPIISQNTYTSVEVEIGTPPKTYRLLLDTGSATSWVTSAACENTTACPNLSHYTRVGYEKTSTAKDLNAYSFIG
FIDGDGISGHATQDVFTIPGSTTPVTWNQTFISANTSSWRFITADGFLGLGFASIAEKNTSTLVETLMQDDLLDEPRFAIFYGTTDINEDTGANPDG
RLTIGGSHENIYVEGSMNYAPLRQESPFQLWRTPLRSIIVNTGKTPGNGTNTSSTTEKNVTLNPTRNGRAVFDTGAGRISLPSEIAGGIYSQLGWSL
PGLLQGSASWTCDAFNSTWGITFVLGDGAVSDDVHLEIRGDELLNSVCQPPFDDSGVQGFALLGRQLLGRYYTVYDFGGSNVDIYKPKIGFGRLKKE
FDYLHV

>RCO7_04286 | uncharacterized protein
MASPPILLPMTAADIPDMAKATAEAFLVDRQTIMKGYGGDKYDMKQETYNSAPGYITNWKVVYMKAVHSETGETMGTCAWGFRGLQPEEVPHLPGTE
ASKIGPEVMKKLADEKKAHAPVEEEQKPTEEQKVKDGVARLNNESGEDLNDWMEKMMPDGTRCMYIVGLTVVPKFQRQGVSKALLKWGTDTADGLGL
WIWVHSSEGARTAYEAAGFKPIGVWSVDLDEYAPVSVPPEHDHDKSGKWGRYTITYLSYGKGRWVPE

>RCO7_04285 | uncharacterized protein
MRTSNSALLPLIAGTLQVLAQDSFSQINNIVQSANFNLLLVSPNATLNNRPLGALHNGAAHEQLAIFDFAHNATDNFVNFQLNYTQTVCTVTNTTGT
FTVPCQNAPAHPERGPGLITWFEQYSDQNGPAEASQAMALGFLPWTNVAIAQVSFAGETGIRSQVAFDDDCLMYINQYSDDTLEPAYEYLNTPVRLY
RWYLCDTYYSGYTYPSLTWVVGKAEPQNPTCQAVNVTRVFT

>RCO7_04284 | related to N-terminal acetyltransferase complex subunit ARD1
MDIRLLRSSDIPHVQHANITNLPENYFMKYYLYHALSWPQLSFVAVDVSRPQKSPYDYPRIVGYVLAKMEEDPPNGIQHGHITSLSVMRTHRRLGIA
EKLMRQSQRAMVETFQAQYVSLHVRVSNKAALLLYRDTLSFKMEKTEAKYYADGEDAYSMKLDLGTIREEFNDEMDRELDEGEPVGEMGKEGDKVDL
AEKEEKGEKKRKVRVGRGLGVGDLVERDESHK

>RCO7_04283 | probable 3-oxoacyl-[acyl-carrier-protein] reductase
MSAARPTHERTRSTNLGGVRPRILDGKLAIVTGASRGIGEAIAHNLASKGANLILNYTSDSSSKATADLSALLTDEYGVTCLVVQADMGLPTGPAHI
ISTAKNHFSHPKTGKFQIDILVNNAGVSTNLTIAECTIDDFNRQYKINVLGPLLLIQAVLPYLPTDRSGRIVNLSSVSSTQGFIGQSVYGGTKAALE
AMTRTWARELADRATVNAINPGPVKTDMWAGTTPGFKKNLRPFIEQTPGSKIRPEIDDKDLVEDAENAGGRPAYVGEIAGVVGMLCTPDSLWCTGQV
VCANGGMRMAM

>RCO7_04282 | probable MES1 Methionyl-tRNA synthetase EC:6.1.1.10
MADTKIILPEEGKNNILITSALPYVNNIPHLGNVIGSVLSADVYSRFSKLRDRPTLFICGTDEYGTATEARARETGQTPKELCDEFHVKHKAIYDWF
EIGFDYFGRTTTEQQTAIAQDIFLKLHKNGYLEERTTLQPYCEHHHSFLADRFVEGTCPKCQYDDARGDQCDKCGSLLDALELINPRCKVDGTTPVP
KDTTHIFMRLDKVQEDVDKFVARSSVEGGWSSNGIAITKSWLDKGLEGRSITRDLKWGTPVPLPGYEDKVLYVWFDACIGYPSITANYTKDWELWWR
NPEQVKLYQFMGKDNVPFHTVIFPGSQLGTKDKWTMLHNISVTEYLNYEQGKFSKSRGIGVFGDGAKETGVPPSVWRYYLLSNRPETGDSQFEWKAF
IAGNNSELLANLGNFVNRLVKFVNAKLGGVIPEFDASYTDESYDFTGFINDVNVLLAEYVTEMEAVHLRSGLKKLMEISAKGNLILAGRLDTANLTN
STERTNAIIGLALNLAYLLASLSSPFMPATAVSITEQLKAPLLSIPDKWSPGALPGGHKIGKAAYLFTRIPDEKEEEWRGKYGGTQASRQAEEEAKA
KKAADKLRDKERKKAKKEAADAAKATGSSTETKPKKETGESKKTETEQSITTDTAKKTTTDKKTENAKEGEVELPLRGVTAEEQAPPPSAAP

>RCO7_04281 | uncharacterized protein
MASSTFDEVLGLEEQFYLDGFNQGREDGVKAGRIEGRTFGLEKGFEKYIESGRLYGKSIVWANRMPHIPKLATNPDQESHAPESQISGTSSDSSAQA
LQPSRLTILPDNQRLAKHLRFLHALAESESLSTENSEEAVSDFDDRLKRAQGKAKIIERIVGEHHEDGAIESQATGGKIAKGL

>RCO7_04280 | uncharacterized protein
MDPHSVRLEGIDFGRCSSDETPTAKRHQQFEPSSYGLLIAQQEHKKLRDEIKTEFLDEEGRKFHRSMTAAYKKTARREAILDLQEDNRKELVRLKMK
LEAELLGKRNQQVEALREKLREKDTKIKELEVEASEDGNEIRRLQGVVALMMAQVNRLKNNERSGDETIKEN

>RCO7_04279 | uncharacterized protein
MGSNHSKDTDRSVSSKKKSKDGDNDNDKRIRHRIRGISICRSSLNPIPETDKITESSTQEDKSVLGSAVFRDETDVTNAKTSKTPTHDNVRRTGSSS
RKDSAFLNSAFFRDPENGPMRTKPRLKSAYTSPKDIQMASKQTSIRILSRAERDEQERWAQEKLTTHGDCTAGYAWWEYNLGVDTKGKKA

>RCO7_04278 | related to septation (sepH) gene
MGSHPPPASSADRQMNGRSGANGHGKPEKTPATPRKDGGVVKDRAVQDPGLKDYRLGECLGKGAFGSVYKAFNWGTGEAVAVKQIKLGDLPKSELRM
IEAEIDLLKNLHHDNIVKYLGFVKSSDCLNIILEYCENGSLHSICKSYGKFPENLVGVYMTQILLGLQYLHDQGVIHRDIKGANILTTKDGKVKLAD
FGVSTSTLTGADKEAQVVGTPYWMAPEIIQLSGATPASDIWSLGCTVIELLDGKPPYHKLAPMPALFAIVNDDHPPLPEGVSPAARDFLMQCFQKDP

NLRVSARKLLKHAWIVGSRRSDAPIAKPPANYDEAVEEVKQWNEALKSPTNAGSLRASTRTNVASPIPTRRDPPLRNIHNDQQVAGLITPAKGPLSL
AKPKTHAEAFRSPETTADDNWDDDFATSISPSALHLPQFKPHDNFGGMFSSDRLKSFASFEMPDENDNWDNNFEGDLVTIKAPRKIIEPDSHELETI
RPYRIKPTVVTQDIKPAVVLKPTSRKTSRSEPPRPKSLVKAQAEHKFALPAKPAAIYREQSVEDFSDLFIDNDSVFDRRLSIIKDDALSPKLFHPSD
LTSLPRSAQSPVTNINGSIRRKPAPRGEEQAMRRTRSSVAIQRYAEEDDEDFSDIFGKEGVTVEKDESERGSENGVGALTLHSKLSNNSWLGDEDDE
DDPFASLEQGFDEMDLQANIARDKHARLCTLVEGLVSSLKVTEEHDTIADVSEQLLDVLYESDDAKAMIIGAHGMLPILEILEPCTVKTRQSMILRL
LKVVNTIILNDVEIQENLCFVGGIPIITKFAARQYSNEIRLEAAAFVRQMYQTSTLTLQMFVSAGGLNVLVEFLDEDYDEARDLVLIGVNGIWNVFE
LQGPTPKNDFCRIFSRSKILSPLALVLDRVLDEDDELSELVEGRIVNIFYLFSQAENYVKEVVADRVVLKRVLKDLRRMTPVHQITMLKFIKNLSML
STTLDSLHSANAIELLIDLLGSSMKKDTAHFREISNQVLNTMYNLCRLSKVRQEDAAINNIIPLLLKIMKTPRPPKEFALPILCDMAHSGKVGRKYL
WQNKGLQFYVSLLDDQYWQVTALDAIFIWQAITTLSWKPVLINNRLQEETAKVEKYLLEGNFTEAIVQCFNAPRASAFDYNLLEPLQKLLRLSSPVA
ASLARTDMFSGILQKLNHKKAVVRLNLLRIVRSICDLSDEQGQNLQSHALFEAIQRLAESDNAVLVRNMASELVKANFDKDSESGSGGRPRPGQMKR
TFTPPSLYLNQSMPITPTHASRPSQSSFVEGNITPRRTAPSGSSGSSNDSILYRPGSRDGPKIARRTSAEIASSKSRLPRTSMLRGSRSSLATVSVG
DESASAPTSSRRENGVRLTRDQSRSSTAAVLPASAGGMGGTAPQLHSKRRARQPSGDIKWS

>RCO7_04277 | uncharacterized protein

MGLPLFITPVEPEVAFKASEKIASQSRSSIRRHRTLRGPHARLTAEARRRRIHGLLPEAEQYVSYQDEVLEGQRANGPTLVEVPSLSSLQARSLRLE
RMRMRDPLSYERHRASNPEIDGPLMPPVPESRDYSEAEVLQRHREAQSLRLERDQLAREGESRDRSREIDAQIWASAWQQAEINANTDYAAMEEAQR
HREAQISQLQGEQQAREARDHSLAREAQRHSEAQITQLERESRDRSLTGSEQRHREETLRREANNLRLIRADFRRLRRRHPAPTPPYFENDLPYVAP
AARIDFPRLSSSLSPVLSPARQVSTAMVSSPRRRLEEADFNFTTRGPLTEGSATSRPLHSQTATHIMRLRQLNGQARLDGLGDRDRSLSPEGGAASW
DTLLTSITPDPQHPSAGSSFASTSAAAAAASSSSGSGPSSGAVSASTSMTSPDRLAEHVCDISDAGSNTDDEEEGLFDISQFAGTRGRGVSFWRTYA
DVVTARAERATEEPGLGEMRRILSRLAWTEENERLREEEAELNRTPSQERSRRDADGSY

>RCO7_04276 | related to tetrahydrofolylpolyglutamate synthase

MIELGLARISTLLKDTPQRWKAIHVAGTNGKGSICAYLSAMLHASGVRCGRFTSPHLIDRQDCININQKTVKDWIFERAEKSVLERNKTEGLKASEF
ELLTATAFAAFAIQKIEMGVIEVGLGGRLDATNAMKKKAVTVISKIGLDHQSFLGNTIEEIAREKAGIMRPGVPCVVDSTNPPSVLQVVQNYAREIG
TDVVLSSTESSLFDELSQDDFEPHQWQNLACAYTAFNLAYTKLESPLHRLLPAIQNMKLPGRLQSINLSSLTGWKGTTILDGAHNVQSAEALGAYVD
AKLREYHDGKERKGSSTRKITWVIAASQGKELKGILKPLLGRGDVVVAVQFGPVDGMPWVQPMPTNEIIETAFDMNVRQLQDSGSDVLGALRLAARK
AGPGPVVVAGSLYLVSDVLRLLREVERRKLGQDWIKSA

>RCO7_04275 | uncharacterized protein

MAKCHSCSGVTELPRAAPAQTPVTTKAAQAFDFIPIPVRTRSQSPSKRKTDDVGEFSRAKRSKSDAVYQSSGTVINTAEQVPTPTHIPGIEKLNVTR
TSHDSPGSNVCADGYKGQADHEEEIRFLNATSETLRYLRKASEQESSGGDELSRCTHEVAQCMGECIAGSPSKDRAVDQPEISQSPVLTPWSKEVAR
ELVRRLKSSYGYAEVLNPNLEIEQSINLWYLQKLREDAQNVPYDATPAMFFILPTLREERENAHYAFITHPYITHKTASSAKGMERELKQHVVSFFD
KCLTYQVAAVYDVQVRLNGPLLRIGGDDLFKSIDGLDTGGEDWPELEKHNHRVWQELVLRDTQLPTRDNGKYTRAKRDRAHSSMGSLGLTGLFFNDK
KDDEYEGDDEATEEPIFFPGNTHHRRDSHINIGDLLYSGSEVEIEEEPHKSPPVDVERVLDTRSLSSSSDRRTNSNSNEQLIVGAKRFYGEEDYIDL
VSEITDETDVSRQSLTASRCSRGRGSLQERHDH

>RCO7_04274 | related to kinase-related protein

MDGFHHPLKHLNSLLDPLHALARRGAPFTFNSSAYLSIVQSLRSPPTTNPSQTSIPTISAPSFSHTTKDPLPNTIPIPSTSHILIFEGNYLSLCTIP
IPSSPPGTEPDPNWEKAGDLMDEHWFVEVDEEVAAKRLVARHVKSGVAPTEEEAWKRVKENDLLNGRDIVRGRRKGIDEIVVSKEDDGWRADGEE

>RCO7_04273 | uncharacterized protein

MFPLHPTPIVQSTTLCTQKVEFVPEFNRLLYELPRTAINLSSKSLSPYNPTVSEKMDEEDDNGGLFNIEVNSEDERAADEREKKVPRDFQSEEDFQK
QLKEWKPKVETGDLYKTLTLPISHPSKPVSQTILHAIEELYFYRRFEEARRVTVGALSAEGLIVEFRKTLEGYLERCDAKLAAWKLDTKNVTV

>RCO7_04272 | uncharacterized protein

MKQKMCLYIKLDNVFVNWYVDKGDQFQLEKRSPEGQLGKGVGKPSEVFSFALLCLYVITGAQCFHPDFETLEVEPNLVILFKLLSTFGPLPDALVAH
IDASEAEVLLKALWQAIAEDESNEAFEQWSQDIYPNLEHDAKRLILRMTNLDPAKGASMSDIVMDPYWD

>RCO7_04271 | related to disrupter of telomere silencing protein Dot5

MPRELRKRKAPATEPTPAPPAKKKGVVAKAIAKVKMAVAPEAAQTTEKNGSTSASASKVKVAVGDTITIEGFGGEVETNEGVKTTLKKLLEDSKGGV
VLFTYPKASTPGCTTQVCLFRDQYTPLTATGFSIYGLSKDSPKANTTFKTKQNLPYPLLCDPSATLIAAIGLKKATGTTRGVFVVDKSGKVLAAEAG
GPAATVEVVKKLVQGGGAVGGGDAPASVAAPAVAEPKPEVGAPAAPELKPEVAATNGVNGSAPVTSEDKAQPVVADEDATSAAKLDDGEVKPVAA

>RCO7_04270 | probable NADH dehydrogenase (ubiquinone) 29/21K chain precursor

MSSTTVAKVVSGAQRVMPVSSKYTVQSTGIWERIRRALSIAPERSNGVPLKQYRNPPPGSNEPFSFEDPVTLPAGDIAGNPYWKRDSRRSYPQLSFV
TQGDVVGLLSLGSKSAPKKELIGEEGSKQLVSVKEVGEKGLASYFETSGKEATLAQLGRDGLPPLPSGMSLKKGQDKYSLTAENAYPAEYPCRTFQ

>RCO7_04269 | uncharacterized protein

MTSMTAKDQDILINATLVNHSWKDATDSLPIQRALFFAPRSSNQGLKADFNPLLVEKFPSWFKSTEPKNAGYNKRGWEFKDLEWGINDKKCAAYKRK
EASWRIMLPVQPSATVFVVREAKHYPGCSYLKVGEVTIKEGVRMGTIYDWAQKTARMPIYSFQMKWHMVHPDEDMEIDFSMPPDDLQILEENEKRRR
GEGPPRVTMRTSYTMQCSIGIDLDVGPEFVSDGYEDLELAWVEMIDLP

>RCO7_04268 | related to ribosomal protein of the large subunit, mitochondrial

MPLIAPCHPSLTHLRSFTSSARTLAMSTKQRLEWEHKDIPPYPYGPSMIYKQSNFGLYGTQKIRFGNMVSERNEIKTRRHWRPNVQNKRLWSDAMQS
YIKLRITTRVLRTVDKVGGLDEYLLGDRAGRIKELGMGGWKLRWRIMQTDRVKERFRRERELMGLPPKKDEPVNSDGKLATMADVMKDIQAFDANLE
KGRNVDIGENLEAGEAEPGFMHEEPATVKQEKVLL

>RCO7_04267 | uncharacterized protein

MDKHRSHIHIRDYNLHKGLAEIFTPDRHRATHLAEKVIRFSRFRGEELGRLQKLAIHRFHEDAVFDIRSETIDVPDEAVMTAYFPFFDELFFFGSLG
GSRRFLLNVDLSRSEDQEPPFVFSQRPVLNVQDGIQSQIYELLIVRQRGETRYDRLRAALSLLLQGMCHAFLKLWHCKWDQCDEMWSEQGTGRAWQD
MALAIEDATYDRQFLNLNMSLERLKTLAGALKVNPAKLKKEQLRKWRFEPKRLERELAIYTDKRKA

>RCO7_04266 | related to TPR domain protein

MDLQDVSHDERYATILETYKSRLEAARAREGEVPNDRPARSELEREHMAQYESEVGKPGAKGMRAAVVGESYLPSVSPLLELKKTMISNLALETHHR
GFYLILRFFVPPIRVMSIISLVEDEAGNALTFSLYQQECKDLKTAGDILKKGSVILLKEPYFKCVGDGGYGIRVDHPTDIIWLANDDPRIPSAWKMC
EKDNMKSVEEWKQEGNIHVNEGRFREAIQSYTAALASSPPADEAETIHNNRALAYLRLKMYDSALQDTIFVDDLQARSEKALYRGALALYSLGRYCE

ALEALQVLTGKFPTSKAGASELLRVQARISEQDRGAYNFKKMHKASRLRPPNIDCATHIGPVKVKNIPGKDRGLVTSRGVKAGDLLMCEKAFAYAHA
DQSTDPEDKMATDTGLLVNVNTKRVTIGTHVSQLAGIYQNLANNPSVAPEFLDLYSGSYARTNESSLDGAAIVDSFLIEKIVSLNAFGSPVNSKDIN
VTSAMLSKNHNELFDASGVWIKAAYINHSCMKNCARTFIGDMMIVRATKDMPANTELGWCYSDPMDQEKMQQLLSESWGFTCNCERCQDYNKIPKEL
KAERKNLMSRMKNNDPAKIASEMEKTYLSPARDIPRLEVSQIYLTLSYLHKQNSNLIDAGIYAFKALDALGFVITGVNKQTCKSSGKGGLMVKQWGY
AAEQLAECWETLWTVWSLISPDLTEKAREYWKLAYIMVRAGDGDSFEQSYRLKISKAPNPTGGFANGTLADKLENLKITR

>RCO7_04265 | uncharacterized protein

MSARIKLSEIGVLVKLAWKTVEEARKLAGEYDELTNEVEAAYLTLDHLKSMIVDQKSVINKAKGGRRKDLENHIRGCRRHLRRINSVLITFGATQYG
IVERRHRVPFGNGAVRDFSKNRLKLSKYVSVINMTLHLLSLGHQGSMERELSHQRGEAKRLRASINLLLAKRTALARADRRDESVSSNSYDDKEHWR
TFMRELVDQGFGSGLINGNKSLIKAYVKELEQRGVITEVVLGAQPPMNSFPCTEQAGSDRSGSTSTHNSSILDDFDALSIAEDNDSKSQHDSTPHKN
NEVDQQQRALQQDSNRFEDSSIVDEKVSPDASYVPTRASVSEIEAMRCQETSRRAKRSITPSPPPPPKRRSPLSALLFPTKQKSKRASQAAKPSRES
RKRQKRVPLPPRPSSPTPPPPAWWLEERLRRRPPGYERGRSPPPTPLPSPSRYAICAEYSRTIYAYPENNYQWQTAY

>RCO7_04264 | related to GNT1 alphaN-acetylglucosamine transferase K. lactis

MMKRKGPQQPLLDLPDFLHDSPLLPDFDARAEDEWKKNRQPKPTYRQILNSKPVRTVLGILLGLVVLIHLRRVSRERHIWARLTGPSCYYKEPVIVP
TSVPGIRVNWSKVAYVQYATDLEYLCNAVMIFETLHSLESKPDRLLLYPSRYSLDASSETTETRLLLKARDEFNVTLKAIRVQHESSAAYSGPNWAD
SYTKLLAFDQTQYTRLLVLDSDATILQPLDDLFLLPPTAAVMPRAWWLDYPFLSSHFMLITPSAKEYWRVQKEMEKARLGYYDMEIINKLYGKACSV
LPHQSYALLTGEFRAESHGKWLNGGKQAVWHPERVKKEAKVVHFSDDPLPKPWLATKKQMEKHQPKCVDGGGFDEDCRARDIWVDLYADFRSRRKAV
CGM

>RCO7_04263 | related to U4/U6.U5 snRNP associated protein

MADAISIEETNRLRVSLGMKPLPVPGAGPVFKDATGPVEEVGSTLESRQEEGYDNYRKLKEAEEAKKKRDEKNAAIRRARDAAKRFTKLEGKGLGDA
DEGEDLGAKAWLMKQKKRQKEIDKARKREQELADAEAAAEYTAKDLAGVKVGHELDTFQEGEYQVLTLKDTTIDENEEEGDELENLDLREREKLKDK
LDLKKKKPVYNPHDVDENGDTGILAKYDEDIDGKKRSRFTLDGMGSTTEASLQGTSTTKLKSKAISLDLFIDEPKSDYLDISEIKIKKPKKKKAKST
RQKAADKDDVFPLLEVTETPATNGESMEVDQLAQPKKRTYEDMSFVDDEDLQASLAAQRRNALKKRQKFKPEEIAQQLKEEASATLTETEVEGEGGL
VIDETSEFVANLQKPTAPEPKRRSASRQADAVTSMGDESDDEDDVNMDRSYANVEDEEDLLARLKREESITEDMTTTGLEEEATLNRGLGSTLKLLK
ERGIIKTAESGDLNAIFRQKQIFLAEKQRREADAEKKARSQRERDRANGRLDKMSAREKEEYARSQNNFRDQVESRQLAEHFNKEYKPNVELKYIDD
HGRSMNAKEAFKHMSHQFHGKGSGKQKTEKLLKKIEDEKRREAQSSLDGGSGGMSGATAQQRKKRGQAGVRLA

>RCO7_04262 | related to aspartic proteinase precursor

MLFTIPFVFVAAFTLVSASPIEVETEKVAVIPLTRKTGTSSHKSSVQAGKHRLAAINGLKSFDASLVGSSATIANVDVHYTALVNIGGENWELVLDT
GSANIWCGAAEPYVKTATGTATGRLIHITYGLTSDASFSGTEYKEKVSFGGFTVAHQLIAAASSTQGLGGVPGVFGLGPVGSTAHSVASGTVPTFMN
NLKAQGSIKTEVFALYFRPLIGSNVIEANGEMTIGGVDTTKYKGPLTYFPKVTGGAIANYWGVHVNKITYGSTTLSLSSNAIVDAGTTLTWIPSSAF
NAFLLATHGKVDEQSGLPSFTTKPTANLGFTIGSITYTLTPAQYLVPQAQFANFGMATGKYYAMLGSAGNSDINIILGQKFLEYYYSVYDQTNSRIG
FAANA

>RCO7_04261 | related to M.pneumoniae uridine kinase udk

MSNPRKAVVVGISGCSSSGKTTLARLLRDIFPNSFILHEDDFYRPETELPIKHGLLDWDCVESLSIPDMVKSLEHIHSEGTFPPTLDSKEDQNSIGR
CPVSDTTIADLKARVKTWTEIGNPGYGILTDAENAVRLCVFDGFLLYSKALAPIQPQMDIKLFLRVSYAKAKARREARSGYVTLEGFWEDPPGYVDK
IVWPNYVEDHEWMFEDGNVEGKLKKEVMDEMGILSQEGEVDRDMETTLKWAVEILLKRLPIAIRST

>RCO7_04260 | uncharacterized protein

MTILSSKSITDPGRASCEEVSSFNGFYRPVPPCYLSWCPHDCMPGQLCPARLTELTKSQMDLQCELDFHNGQQSQAHANLEKYVHEVEVNLHLQLKE
HQAQQSMAYEAYREKEQSLTIQRITCTSYLGTLEVSLQQQRAIHASPEVITGFQDKIQKEPDRKIRLKEQEQSLIVSRVGALEAEDVAWKKLYEQAA
QLTRVLVRDATLKYEREITPMRRRALEIQRELEILKSRINDEYLWFEESDVNNRAQHRARREEQGFRVEK

>RCO7_04259 | uncharacterized protein

MNHQNSPRENSPREELPPPPLQNPKRRPTTSKHRASKSHKNSKTSPARAKALPCRDSSSSSSSSGAHWVDKQISLRRVSDSIMSGVRSVSGSVRSLS
RRLITPPVERRIISAGQPPPSREPPLPAPYSDLDHGLNIRAPNFAIRNQMTPVLVEYMTHRNGPAQRRSHKQSSGGVVYLSTDPLVTLESFVDGARS
VAFGEEGLYDVDIGARDEFADLWACWNQGSPEDRVDSRVIGDEEFKRVVELMAARGWKDKFLMCYRSTR

>RCO7_04258 | uncharacterized protein

MRRNILVTGATGKQGLALIKALLPTTETSSSVGEIQAEQHMYHIYALTRNITSPAAQHLSSSSQNLTVVEGNLDQPDSIRKLFNDAKGDGGIWGVFA
VLAFPGLGAEADGEERQGKMLADIALEFNVGCFVYSSAGRSGPEYEDRLTLSRLAKRNVERYCVELGERGLKWTILRPGFFVENFGGFIGRITASVL
KSGLDADTTVGLIATEDIGNVAASVFRDHEKYRSKFLLVIAEFVTMDQMYASYQRAKGKPMPSIPWVFGKLLLKFNKATQELMEDIKGSHHARTSGQ
YPSSVAERELALEAYKMKSYEEWLAAGKDGKENQPGWNQVSLAKLFTGKH

>RCO7_04257 | related to aldehyde reductase (GliO)

MSQAPAVVFGAAGVANFSTEQFTEILDILDKHNVKQIDTARLYGLSEGVLQKAGVPKRFTISTKARGFSPGSMSKQSVLESIDESFKELQVEQVDIF
YLHSPDPSTPIEETLAGIQEAYSAGKFKRFGLSNFRPADVQKIYDIQAAAKSVLPSVFQGNYNAVSRHIESDLFPVLHKLKMSFYAYSPIAGGFLVK
DSKSLRDQTVGGRWAKDGPIGDMYINMYTKDSLLDALDEWEVIAKDAGIPKASLAYRWIAYHSALKASNGDAIIVGASRPSQVEETCSYIEQGPLDD
KIADRATSLWKRIEKDAPIDNWNSHAALQK

>RCO7_04256 | uncharacterized protein

MAPLTPHWTQPSHPEIQEVILPSNPEDFTTKSRSKINVPPGAVYAKFDFPPCTKAERATYATVQMGKNEHLNLNSDLVYINHSCEPSVLFDLTPGVL
SIRAGPKGLSPDDELTFFYPSTEWDMAQGFDCFCGTRSCRGFISGAKNMSGAQLDGMWLNEHIKTLLAERDAPKSQVGSGTYLSNDPSSISKSKTSF
SNSTSPTTLSKSTSTDLTNSGPDSMTHGSVRQDGFNGGERRGVTSRELSGEMGGDTKRA

>RCO7_04255 | uncharacterized protein

MPVQRTFMGRPIRPMAPRRMALLLGTIATFAVITLVITVPNSMSASHKMSLPKIPKKLSPSILNPFRPAAHAPPVQKNSTSGEASWYTNWNWLSPFS
SSVTLDENRSLLPPLQDRPPIYTYYDHTTKKDEEVKKAENAILVTWRRAWWAQGFKPIILSPAEAMSNPMYAELQMKSLEESLKTEISRWLAWENMG
TGLLCNYLLLPMAAHEDSLLVYLRRGKYPRLTRFDNLGSGMFAGSKADITAAVKEALANKELKTAKNFIDAVKSDTFDIEPKHEALAYYDAKIISDK
YPKIANDIVGQGAGGMLILDQLIISHLHGTWQNNFSKGIAVLKPYPDHMSYLVEPALKLAKFLAQCPESPMPSSCPPNLPRCKPCVASTPVKITTPE
HYINTTDLYTIGTVPHPFTTAILTAFRSDIDIRWIRRNSTRDPWLTKLTQRLLGSGVSGAPRVIKFKEAVASRFGTSHSLWITAEKDMPGDLDWHFG
FTIPRNATDTGKSETPVPGPERRPKPVVDPKDGPVPSEEDVGKEKDLLKRAKEFGNARSADEDKLRGAIEAWNLADTEAWRFARAFLARSSVERLKW

EEEEKKFAGGAGAERGISQGWGRWMGERER

>RCO7_04254 | probable alpha-aminoadipate reductase large subunit

MATKPDIPDPTADLHWSAYRGAIQDIFSANAETHPDRLCVVETASGSSPRREFTYRQINEASNILAHHLVKSGVQRGEVVMSYSHRGVDLVVTVMGI
LKAGATFSVIDPSYPPDRQNIYLDVARPRALVVIDKATREAGELTDKVRSFIKENLQLRTEIPGLELKDDGTLVGGDINGKDVFTDQVSLKYKSPGV
VVGPDSTPTLSFTSGSEGRPKGVRGRHYSLAYYFDWMAERFHLTKDDKFTMLSGIAHDPIQRDIFTPLFLGAQLLVPSKDDIQHERLAEWMREHGAT
VTHLTPAMGQILVGGASAEFPALHHSFFVGDILIKRDCRSLQKLAPNVFIVNMYGTTETQRAVSYFEIPSRAADPKYLESMGNVIPAGKGMKDVQLL
IVDRENRNRICDVGEIGEIYVRAAGLAEGYLGSDELSKTKFIDSWFVDNSKWIGEDTKSAKTLTEEPWREFYKGPRDRMYRSGDLGRYMPTGDAECV
GRADDQVKIRGFRIELGEIDKYLSDHVMVLDNVTLVRRNKDEEQTLVSYIVPDMQKWSRWLEQKGLEDDTSGEGIQGRLRRFWPLGDDIKQFLKEKL
PSYAIPEVIIPLEKFPLNPNGKKDKPALPFPDAAQFAAARPHGKLVDLSETEKEIASIWGSLIPTVDERTISPDDSFFDIGGHSILAQQMLFEVNRK
WSGIKVNMSVIFQNPTLKTFSAQIERRASSSGEETQIDAVVDYAADAKTLLQCLPTSFPSADSPITSTTPLTVFLTGATGFLGAYLLRDLLTRTSPP
IKVIAHVRALDAAAALDRVTQTCQAYGVWKASWAKRITCVVGDLGAPRLGLPEGVFHNIAQEANVIIHNGALVHWVYPYSNLRPANVQGTLDILALC
ATGVPKHLAFVSSTSVLDTENYVKQSSSGTPISEEDDLSCSATGLGTGYGQSKWVSEYLVRAAGSRGLRGTIIRPGYVTGDPHSGVTNTDDFLIRMA
KGCVQLSCRPKISNTVNQVPVSHVARVVVAAALSPPKRELAVAQVTSHPRLTFSQYLATLETYGYDIPEVEYAVWKSKLEDYAASEGKEQHALMPLY
HFATTDLPGDTIAPEMADANATASLKSDIQFTQQDVSAGGFVDEEIMGHYLAYLIGIGFVAKPTKEGKKTLPDVNIGEEQKAALLRVGGRGALV

>RCO7_04253 | uncharacterized protein

MRFSAITALCATPLALAGSLHADLVPRRAVDSDLSVRTNHGEAQAAPAKVEAPKQIVHEGGSAGGKAQVTEVIIIWINAGNNAQTQTVTSTMALAPP
AAVATHTVVAAIGDMVIFEFHSQNHTATQSAFTTPCDPLAGGMDTGFMANANNTISPAPQVAMQVTVSTPLWFYCRQGNHCGKGMTFSINPTANKTQ
AMFQQMAVAQKGAGATAVIVGGQPVATTPAAPPAPPAAAPPPPPPAPAANKNSPSMVSGTGQMNNGACACSCLCGVAAFPNAAQGVGAFGGMAGAMP
MSALEA

>RCO7_04252 | uncharacterized protein

MASDSNASHAQIWDDSSLQNSWNDALGEYKKYHSIQARGEDTADIAESDESDNGQTGKNVHSKSDEDDPRAKKKATGGTADTDITSHDENDPVERQR
EGSNGSPALPQHLIGQVHDEGLKNLLMSWYYAGYYTGLHEGKQIAAQGNKVAK

>RCO7_04251 | uncharacterized protein

MFNPDVDIPDLPGRVILVTDGSLASVNKAAKQTVSSTDRLDLLFCNAGILGAPPGSDAYEVHFGVNHLRHGLLIKHHLSTLLNTATYQTDVRVVIAS
SDEYRFHASEGIILRDLRTTQLNLSIFSSLGGKDSWRRYARSKLANLLYTVELALRFPTIKFVAVLPGVCDTPMTPGWIKATAISRKPLAPGGLKTP
KEGSLSQLWPGTANEVASGD

>RCO7_04250 | uncharacterized protein

MAKDTQTKKRKASVSEVEAEKVKKVENVVAPPSTEAAPAKKRKATEDAAPVKVKKTKIPKDVDEVKTSSAPKKASKTTTSAATTPKDAGKSETELST
AVKKPIVPKSKTSSAASKKEKVAKAPKPEIKVDEEIDSGLEDEDKEMDEDSESELDEKAVDILKGFESDGDDEEIADGLPEGAEVPLRKQLSKSQEK
KLKKIKEAAVVSDKPGVVYVGRIPHGFYENEMKAYFKQFGNILKLRLSRNKKSGASKHFAWIQFESADVADIVAKTMDNYMMFSHLLKVKLIPDDQV
NPDWFKGANKRFKRVPWNKMEGRKLEQPKSEGDWNAKNDLENKKREKKAAKLKEIGYEFTAPKLKSATGVAKPKAPEELANGEGEVKPVDATPATEK
VTKSKKQGKKGKNIEHPAAKDLVSQADNKAKNASVTLPPSKEDVEESIDALIEEVAVKPKKGKKAKTVKEVEVVEAVEKTAAVIEEAKPVKEKKVKK
TKVVETSEDPITETTVPAPEKKLKTKKSKTSLVETVTPVVAPEEAVAVAKAKNSKKRKASS

>RCO7_04249 | related to YBL089w

MAKAESNTTRKNGDTAAVPSHDEDRGLLTGNSSDEDEDLVVHPGRNSSPDAEPRTPRTPNRVRFDLPEATDTDTHSNGAPPPYNDSPRSGRRDPRPQ
VFVPLLTDIEAPSVTLAASPWGDDEDVHEWAERERLRPKSGLRSAFMNMANSIIGAGIIGQPYAFKQAGLLTGVVLLIGLTITVDWTIRLIVINSKL
SGSNSFQGTVEHCFGKTGLIAISVAQWAFAFGGMVAFGIIVGDSIPHVLAAVFPGLRDIPVLGLLTDRRAVIVIFILGISYPLSLYRDIAKLAKAST
LALISMIVILVTVVTQGFMVPNESRGTFSTPLLTINSGVFQAIGVISFAFVCHHNSLLIYGSLKTPTIDRFARVTHYSTSISMVACLLMALAGFLTF
GSLTQGNVLNNFPSDNIMVNIARLCFGLNMLTTLPLEAFVCREVMFNYWFPGEPFNMNLHLMFSSSLVELEDGAGGCLCGFRSAGHVYLVGAGGYED
YQE

>RCO7_04248 | related to aspartic proteinase, pepstatin-sensitive

MLITKTLATAVVLASSSTAFFPWFPDYLCVEDHSCVAGRSVVDQEPAEASLKLVQRVPKSDLPHEVQILRLAERLTRKYQRGTAVQPIEIKERDVVA
KRTNAYKIMPAAPPTQPMSAPIDQDGTDFSYFTEVVLGSSKTLVYMLLDTGAATTWVMGKSCASGPCKVHNTFDPASSTSFKDAGKAFNISYGSGQV
GGSLGTDMISFAGMSFAMTLGIAESTSDDFNSFPIDGILGLSQSKGAYPIFLETLVESKSLKSNVFGVSLNRASDGTNSGEINFGEPNTSKYSGSLN
YNDVSKDAGGDWAIPLSNVGVGTTQANIKSRLAFVDTGTSFIFCPPEDARLLYALVPGAETTNNVTYNIPCTTSTSLTFTFGSTTYNVDPKDWVSPM
ANGVCTGNIYGQAVTPGNWLLGDTFLKNVYSVFDADKDRIGFAQNNPGAAAVSSTLTVSSSSASSTGMATSFTGSGSTSATMTPSYSNGTPAGMAPS
PVSGSSTAGVPTTTTTGPGSSSTSSGAPGPVSPGLGGHETSETDLAAQTQPSTTSPTSSPKSKSGARRLLSTFLPATFVLILVTLIT

>RCO7_04247 | uncharacterized protein

MSSRRSARLSAASLNGQEDVPAQKEPTPPKVANISKKRKNPVVEAVPTLNNDEASPSTPKRKRVTKPLPPVTPTPSAIGLIAAPVGFGDMAPPPINR
LTIPNAINATLVTPENHRVFANKPIDQVSPSKVCSVMTTSNNILEEAVAHLIKVEPKLQPLIEKHPCHMFSPEGFAEEIDPFMSLVSGIISQQVSGA
AAKSIKAKFVALFNLEEPDVALHKFPKPSQVCSSKLETLRTAGLSQRKAEYVMGLAEKFHKGELTTSMLFNSSYEEVLEELIKVRGLGKWSVEMFAC
FGLKRMDVFSTGDLGVQRGMAVLAGKDVNKLKASKGGKWKYMSEKEMEEMAEKFRPYRTSTPFHALNPIIALDGVSLNYGCLRTWQRLDDSTKLPQN
GVSPILALRVMTLCSLSSTTVYDCTNLYPNCTNKAGFQFASLWIITKAIYDACPNDTRLFKDTEALTQEACEVFAGSSWTVYPKGDIWARLATWKFP
LLQLVAVFPRPPLNLRMELFVLAHLMGDPISTVSNLLLKMASCQSRALFWKNRFARVEYQELIVVDDPYGNDIQAEVALVWKGLAAIIDSYDEWGQE
VGDKAREFIDKTLICPSITLRDRRKFLKICRLTGNALAADRSTKFLPIAVAEGFFIGSIAVAYGRTRQSATGANPQTFINIEAFSVAFSALYFWIIP
AVFLASVIGVSQTENAVPRILKRFRKDVQRRFPGWAVQLPTKVADRMTTTVREQCGGIYSWAPAETRRSVKANILPDTEHQNDALTRWESIRHTILS
VLSLQPGSLRLPFFAVSGSAFTGLLISYLVPPVGFECRHFGEFFMYLAWVVSAALNFVPFRSTQHTMRANFILGKDIVATLATVTGIIVTQVGVFNR
CSCYTRWGRVGLALPEWSPVSHVLFGRIGTAYPAIAFTCIGIMLFLIPLLIARHYELAVRVFLQRDDGVSNLDWLHDVVRLPENIGRVIRNLSGKVK
KLCLRMVWGRQVDHYELPAAQQPQG

>RCO7_04246 | related to bacterial aminoglycoside acetyltransferase regulators

MKSFNVATSLARWTDAGGTSNGLTAWTCRRCLSQNKSARVGNQFRGYAKKSHSPNTGSDKAYTNNGRIRRKGKVLAVVAFGGVGLTTLGFADQVGHA
YGAVERSGRVASTLAVCINDYRVTLNQNEKTDNEDERNTSLKACHQRCADRTLKVLEKNGSIFIKLGQHLSAMNYLLPVEWTTTFIPLQDKCPVSSI
ESIEAMFERDTGEKLSDYFSEFDPVPIGAASLAQVHLATVKETRQKVAVKVQHPALAEWANLDLALTRFTFSTLKKFFPEYDLEWLSSEMEYSLPQE
LDFQLEGQNALRTKEYFSHKPELPLVIPDVLWGKKRILVMENVSGHRPDDLAFLDANGIDRDEVSAALARIFNEMIFGDNAPLHCDPHGGNIAIRKN

TSRRGANFDVILYDHGLYRDIPLTLRRSYAKLWLAVIDANEPLMRKYSKEVAGITDEQFPLFASAITGRDYRVLTKDVSMARSEEEKKSINDALGEG
MLQQLVEMLGQVPRIILLILKTNDLTRSLDENLQTRQGPVRTFLILARYCSRTVFEEKVEMLRERGSLLWPSNLFGLLRAWLGYSRVEMKLISFETW
LAVKRGLGAVVG
>RCO7_04245 | uncharacterized protein
MPNTTPKKWKINGKSLTAPLAAFTMATLLFIYARTSIQAAKRNAQRTREADGGQINWHNETLRRHGKLDVPGEGSTVGELVSQLKGGKEGLSGGGDV
GEKGETMEEKMVRERRRAG
>RCO7_04244 | related to folate transporter/carrier (mitochondrial)
MSHERSTPSSSTSEDFPSVPPPPAAQEFARTSPGSQIENGLTTYERWARGRSDDSFRALAGAAGGFTSGIVTCPLDVIKTKLQAQGGFRPRTTGGGP
AHVVYSGLIGTGKVIWREEGLRGMYRGLGPIILGYLPTWAVYFTVYGRSKGFFANYIENTYGVNFCSSLVAGASSTMVTNPIWVIKTRLMSQVSRKA
TSNEARPPWHYRSTLDAARKMYKTEGFLSFYSGLTPALLGLTHVAVQFPAYEYLKTKFTGQGMGKSVEAGDSAHWIGVFSASVLSKVMASSATYPHE
VIRTRLQTQQRTMPSSTSEYVAFRGGLEASEGHSPAAVVTKAAGRRYEGLVMTFKTILREEGWRAFYAGMGTNMMRAVPAATTTMLTYEFVMQNLNH
ARAEGIQKSKSW
>RCO7_04243 | probable ubiquinol--cytochrome-c reductase
MSQPSLASYILKKPWLKKMMMPLSNWYCNAAGYRKLGLRADDLIPEESEAVLLALKRLPQKEAYDRVFRLRRAFQASLAHQLLPVAQQTKPEEDIAY
LSPIIKEIEAEAQERADLETLSINKK
>RCO7_04242 | probable ANP1 protein
MLLPKGGVTWKSAKAQLPPTRAIWVFLTRTRFLLCVALAGIILLLWRGVRTSASEMQRFYCWGPSKPPMQMTANEAVDWNAHLQTPVIFNHHEPLVI
NSTTINRVDLNPIKSTPRGATNGERVLILTPLRDAAPYLEKYFDLLTDLTYPHHLIDLGFLVGDSSDDTLAILAAELARIQKTEGTLTKPFNNVLIV
EKDFGIITAQTVEERHGYLAQGPRRKNMARARNYLLSAALKPEHSWVYWRDVDIVDSPKKILEDFMAHDKDIIVPNVWFHRYKDGKDIEGRFDYNSW
IDSDKAIKLASTLPKDTIIVEGYKEFDTGRTYMAKMGDWRLDKDVEIQLDGIGGVNIVVKADVHRSGINFPAYAFENQAETEGFAKMAKRAGYEVVG
LPNYVVWHIDTDEKPGNA
>RCO7_04241 | uncharacterized protein
MCVETTTVYGNCRAVRVHLSLCAAHIEHTRLQLDMSPCPFFQKNSIYGGITSRCDCKYSPFINAGEIVCQRALSKGYGENGFTWSFEKGPSVVMKGK
KDTARQKAKKEKMEKMEKMEMEREKEKEKEKEKEKKLARAKMEEGDEEQAWKASGWGGFDGFPSQNPENDPSSDSYLQKPKKVKIEKNHNQVKLEPL
DEDVEM
>RCO7_04240 | uncharacterized protein
MCFQVVTEYNCACSTIEEEICPAFKIYLDTHPRDRNCPVKAGRFVYEGGPRCLPRSECQGVQLVEEVYPSEEEMREWVLEEEKSEEERRRQREEEGR
VARGRGVGGGRGDRRRGSGRRERRSGPVEVVVWEDREDREDMEDRQGEDGGAVGGVGVAGPSREALAELNWSGDDQENGLPTPPVETPISNEMWEDG
M
>RCO7_04239 | GTP-binding protein rhoA
MAEIRRKLVIVGDGACGKTCLLIVFSKGTFPEVYVPTVFENYVADVEVDGKHVELALWDTAGQEDYDRLRPLSYPDSHVILICFAVDSPDSLDNVQE
KWISEVLHFCSGLPIILVGCKKDLRYDQKTIEELHKTSQKPVTPEQGEEIRKKIGAYKYLECSAKTNEGVREVFEHATRAALLTKKKKKDKCIVL
>RCO7_04238 | related to ribosomal protein YmL40, mitochondrial
MQKVFRHTVLAEKQAARRSARRLDKDLRLKWKNRREQNNYHRKDETKQIKEARFARREDYELGPLAPRRDVGDKTDTYGAVSLNRMQGRTLHGKEKD
EILKFWGGKHLTIVKNDRVVILEGRDKGKIGVVKTIDKARAECTVIGLNLMDVQVPKYMISKDEADQRPVRTIEQPVSLKSVRLVVPIKDSKTGPRR
DVIVKVIRRTPPFKYRNGTITYERYIPGMRQRHQIPWPEVEEEVFQDYPTDTLRMDVETKTFVPSLLTPPMPSSVIDELRNKYSIFRTRHEAEYLEA
KQKEEDEKLAKKKSLAKKMRTPLNEANRKARKGRKKLGKVELTPDMLEKIGQVIADSKNLCV
>RCO7_04237 | related to killer toxin insensitive protein 3
MRNLRITRCDQWAPPTQFKGKALTAATWDLANDSVVCAFGPTENDPLIELVRLVTKEDSYEHTIITCWDAPCPNPDLVCDEILSLHYFGDSLTACLV
LAGGDITVVREDPQAGEDRIEIVGSVDEGITAARWSPDEELLAITTKADTLVFMSRSFEGVTDVMMTAEDLKASSHVSVGWGKKETQFKGKGAKAMR
DPTMPEKIDEGILSPNDDFRASISWRGDGAYLAVSTIRAGIRRVIRVYSREGVLDSVSEPLDGLEGALSWRPTGNLIAGIQRLDDRADVVFFERNGL
RHGQFSLRLTDAQLHQPEEHIKLYWNSDSTVLAVIMASCTELWTMGNYHWYLKQIINTENLIPASPLLWHAEKPLRLLTSSPENLGLHDYIFTTARS
TAAPPHDHGIVAAIDGLSVKITPLRAANVPPPMALHEIEVSSIAIDVAFNADASLIAVLHQEGVSMFEWKSVAASSSPPGLTGRVTFPEAEFSKSAY
QQITFGGTNEVLVLQKDDMGTNINRYGFDDDTGRMEILKASINPASAIFTLSCFFKDGVAHPFYQGRRGDIHSLATEAHNLAHCSFPMYLPWVEISS
DEDEISFGMSSHGHLYANSRLLVKNCTSFLVTSAHLIFTTTTHLLKFVHITAVNDLEIPADDPENDERCRSIERGARLVTAMPTALSLVLQMPRGNL
ETIFPRAMVVAGIRKLIEEKDYKRAYTNCRTQRVDMNILYDHAPEQFLSSVPLFIEQVKKITYIDLFLSSLREEDVTQTMYKETKVIQPVHNDHPVT
NGTNAVVTLESTFEKKSKVNKVCDAFLEVLKTKAATNLQNIITANVCKSPPALEDGLLVVAQLMQEDSGMADKAVEHICFLADVNRLYDNALGLYNL
NLTLLVAQQSQKDPREYLPFMQNLQEMTDLRRRFSIDDYLKRHEKALKHLHALDSFAELQTYTQKHALYQATLSLYRYNPDQYAALTLLYASYLETK
SSFKEAALAYESLHNYEKATSCYLSSGPSSWRETLFCALSQTPPLSGPSLTDLATSLYDALLESKDYLAASTIQLEYLYSIPSACRAYCKGYFFSEA
LHLIAQKQQPSLLEEVIDPGLGDAFASSTELLAECKAQLLAQVPRIRELRAKALADPLAFYEGERGGDGDLPDDVSVAASSRVSTNRSLFTRYTGKG
SQGQSVGTAGTGVSRATSKNRRREERKRARGKKGSVYEEEYLVASVGRLVERVESVRGEVGRLVTGLVRRAMWERARAVEAALAEVVGMCKACVPEV
FATGEEPTVLVADENGYRPIGGDAVFQESMEAAGKPKKPPVIAAFEKLSLLGN
>RCO7_04236 | uncharacterized protein
MDVAYNQHSPYSRHHSHSYTNLGQLTLAPLTSRLPLSDPDALPESNHVSYVEGRSAPTTPSILSRSSSRVSLRKSMNLALPRSNSSAHLVNGRKQPR
SGATTPGGTRLKNELNLSTISSSDRNDSDWLLRAGAAISSSTRESKGQAWLVSRASSTSLTGQGNEDDEELELELAKERERASRYTSRRGSTVTFDG
DDELSPVTTRRSLSFGPATGAESRPTSRMGSRANSRRGSKAHLFTPIDGERDGYFDQGDYVHQDFVTEPDFVDAEDEEIYENENEAKKDDAEVRNLA
RSSNLGLGRWVEKMFGWSLFAVEEDGEDDEIMDEKAEDSEITVRSRRTLDSVADPVTEEVPPPLRDGDVGGWQDAAWLLTVATKVLL
>RCO7_04235 | uncharacterized protein
MEPSSPNPLVGNAGDFVHRSPDGRYEIRKAIMVNFPAAAIVNATTLSMACNTASIPGAKFQISQGGGPEMMAWLCERYPVGLPVGDAVASPNFELSN
CYHVIHTNAPNYKGRTKGTVPLLRQQLVDCYRRCLEEAYKVGAKSIAFPCLGTGLVLGWRRKDASRIGLNTVRLWFKHPLHGAARRARIPGPIYFLA
DPVGLYAHQVETWLIAFNGQWPLQEETMLPWNEEGPKTPTMTIRTKKRRHTHNSARRGGAKRGHVTRIHVQTCFNDEETQSQKPEQQLHNDKTLDGE
QDQPVVVEPQTENEASKKIPAKRRRIGRRELNSLQEGSTTDDGPEGRSRDRKAPHRYGFDAV
>RCO7_04234 | related to ketopantoate reductase
MSAKSHILLVGSGGLGTMAAYNLEVGGLATITAVLRSNYKAVADNGFTLTSVDHGNIKGWKPTNIVDAIPTAGKDKLPFDFIVVTTKNVADISPTVA

ELIAPAVTEGHTTIALLQNGLNIEKPIIAAFPKNPVISGVSLIGATETAHSHVLHDDPDELIISPFDNPNIPQYISIAAAKKFAELYSASGKVVCEY
NENVGFVRWRKLVYNACYNSACAVVRMDTSRMRMYKFPIEDVVRPLMVEIIAIAKAAGHDLPDGIADKMINADSEFTFFRPSMLQDVEKGNFIEFEN
IVGEPLREAEKLGVPAPNLKLIYGMLKILQWKTMETKGLVKLPVAPPMA

>RCO7_04233 | uncharacterized protein
MFAIQALRTSRLRSAKSQFLKSALRNLDLSSTPATSTTSSNNTAPKLNRTSTQSQSSRTQSQTLPPDLLELLLLLSFYLNSPAGMLTSQQLTLLLNT
PTWTCLPCHLPKISALISTHLHTHMLALCRILTPATNPSFLHRTIPKLLPTISSLQTSNLQQKAELAERRIKLATHTTTLLTLHHLATHLLIRILEQ
TSHGLLARHIKARSEYLALRAGQLATEVRGLKKKGERIVYSEEVKGALETYVGELRGGRERGRERRTQAERVLWGYGVGREDRGEKDRVMREIAKVY
GELVREVEEVGQDVERLRGR

>RCO7_04232 | aspartate aminotransferase
MLSSVRVASRQAVSRGVTTKSSVAVASRQASTWANVPQGPPDVSITEAFKKDSFKEKINLGVGAYRDDQGKPYVLPSVRTAEDKVVSAQLNKEYAGI
TGVPEFTKAAALLAYGPGSSALDRVVITQSISGTGALRIGGAFLQRHYPGAKKVYIPNPSWANHGAVFKDSGLEVEKYRYYNKDTIGLDFEGMVADI
KGAPEGSIFLLHACAHNPTGVDPTPEQWKEISDAVKAGNHYAFFDMAYQGFASGDTDKDAFPIRHFIAEGHNICLAQSFAKNMGLYGERVGAFSIVC
ADAAEAKRIDSQIKILVRPLYSNPPVHGARIASEILNDKALNKQWLGEVKGMADRIITMRALLKKELENLGSKHDWSHITSQIGMFAYTGLTPEQMD
KLATEHSVYATKDGRISVAGITSANVKRLAAAIHAVKP

>RCO7_04231 | related to CYC8 - general repressor of transcription
MMTSLQSYSPHPGAMQQQHPGMAQGHPMAVAHSQGQQGQPGPNMQQQMQMGVSGPGPQVSQGGAMMGGMPPGAGGPSQHALHHLNPGQAQQAQLYQQ
QQQQQAMFAGNPQLQLQQQQMIQQRQAQHAQRQAMLAQQYSGIPMNMQNGAMNQMTPAQFHAMRGNPMARPVNLPQHLQAQQQQVDAHSLQQQQQQA
QAQHHHQQQQLILAQQMAMQQAGNGQGQPGQMNAQQVQSAQAQNAMMQQQAHQQQLAQAAAAAQQNQAQTQAQNQGQPQQPQQPPQAQAQQPAQVSQ
PQQASIQQQQQQQQQQQQQQQQQQQQAAAAAMLQQQQQRQGEKMKGQCLMKLMQFGDHLSNFGVSSKSLSSYMANGTQRLAAQGSKQRDDLQYWLTFV
DRFFSPKGVLRHSVWLVDETSNKQYEITFPALARYFHTHFESGIKNMQMIMERGTEKELPNSGHYIESQKSSFVYWFDNGSQLVASGTLKAHFDADQ
KIELLEFVTSSHEEYLPRTQIITAARPLHEWQKEWHKVNSPPDGKQSPEMNKKKAKAMKSPPQPPPEIDLPQSKVKPSMGITPAVFRYLELAEVLGM
MNPLFNYSHQNSTLDPYGALDQYVTNVAATNAANNPGAQQNPVGPRTPSMANFGASPAASHLVLPDGSPRPQGSPAQAPGMQLQHSQHGTSSSGPSA
NTSPNASNKRRRPSTVKAEEENQQQVNGTSKTAVKPSPRIGGKRQKGNPA

>RCO7_04230 | uncharacterized protein
MSCSSLCLLSKLDLYYKRLLHTNKEFIYKTIEGSKGLKIQKGLDLSDYSTYNSGKIYAISSTKPISDTFPLTVFDIDIAGPFKIKGLKGERYFLTIT
YRSSRAIWVYALKHKAKAVLGSLTYVLINKRTNKFKAKSDRGILVGYKSANNFLVYIPEKRAIISSKNVLIKEDLTFKDEVISKEELESFNKTLNDC
ETSNRSNRVISSPINTPKSDLSRAENSEKIDSEIADNSLKEKVIEDTELDLFNDIAEETPIVEIPKRAFISSKSDEEIKLSPDPERILIKKDPEVVF
YEPKSYKEAINSPYKDY

>RCO7_11568 | uncharacterized protein
MDRASQVLAQGVPTGVPASYRAPADHHGNVSHSTLHHRARGRPSKEKKAQG

>RCO7_04229 | uncharacterized protein
MTLEHAPASLGCKSATPTPSLLLNQQPWTATALALPVASEPVISKGDFATQLELARCLTKREAAPEPEPQSAVVNYYTDCSAGCVKAENVRGGICDA
AGACTCYE

>RCO7_04228 | uncharacterized protein
MADMPAMSSPVNSATGITPQPDRQNSKSSNTMVFDITQKIKAISEQHIQNMDGKPEKADSEEQHENIVLKTHTQEDDDVTKCKTLDQLRSTNQGMVP
TTDKEQAGKRGKATSTQSSAVVSANEIEAIMTTGRPANTTFRTAQRASNGSDRITPCSTQPIASPEETVLKRKKEQQKQQDPPNRNATSYMTTPDSH
PLQGLRCTSHPSAHTAVVTEAPKATEGMVYSRPASVDVDGTPEFHPGMDHSHRPPQRMYQRVVYQSCASSAAGLDMN

>RCO7_04227 | uncharacterized protein
MPQSIRETAECGFEGNSDTYGLGVRLGIYLSWLSIIIAAAWFPKIIGSLTDGLLVFLVAFLAATILVSTQNQKTYAVEIVVMAYLYFGGLVTCSLSI
LAAGVRRPAEKHPVSLWRGTIMYITAIAMGLYHLWFYWGPERFMDTPCGTWLFPFGNVETENFRHSWVLIYAIVSIVVGVSWPLTAVAALILFIPDM
VTILARLFPKLLGKWTSDGSLYGKSVANLGKGVKIRYLRSRQVARRRADRSKRITRHLILAACVLVLVWSITGVELMLYKNSIASINTLAATGQLIP
FIIGVATVTKLAFNAMSEDYEPPRLTWGFFFYEEQKVLTESERQSVNLLQRG

>RCO7_04226 | related to CYC8 General repressor of transcription
MSQPNRTGTPLQRAPGSFSPMVQPTNSRPALRRVESSDEEDEPLTINRSRAAAPPPQNVPTPAPLPPRPLYSSSPASSSTSNLQNFSRPTLNTALSS
QTARNASPLSVAPKSESFHRGHGRKHSQTQGSFEPTLPTAVNSNLGSMANVNAGLSASQIAAQAAMQHQTHNRQRSQTVPTPMNDGSQSRRPSRGGP
ISPPMLSLTEASGPRDHSFGGQVYQNGLLGGSHGNAAQTAANIVFPKSPSTSPALLPADQESVYRMQPDKPLKTEKSKVKLFSRPAKIGVNKDKDKD
TRPGALPSPSKTASYTLGSLQRGNFSTNSLADSMSSAASMYSMANSSSATIRAVDSQQPEKDKEKHKHHFLSRQKAKLSSKDDHHLPLSSAASNSRP
VDPSAPSSLYNFNLPPSPGPTSTSFAKSMSGLDLRHGGRALREKKKEEKSDALRESELSYQNSNEWPGPSSLGSVGGIPYQGSAGGSYGYTPSLHGG
DPESTKYVLNNLGPDDAWPFLKAKLLIIFEGEDLRLPVEDFNRLVTYGFPLSLNFVTNDISVNIQRCIQKRAPNLIVEDLQDLLATGFSSLDQTLRR
TPDERLIPHLVEMWLFTFTSVLPYMQAVFLPLDLEFSGHGPLMTPEQARDFWGALPTSFQDPNGNSPASPALEVRRIVLTAYRDIVILPRFDTLKTI
FSRLSLESIALSIPATDIISTSPDSFSGGRPSTAMSLDPSHASYGSQTTTLLNGGSSGDGSGNRSRAISNVSYGSEPSGLGIANLPPPPARPFTPSS
THPLHPLNRGQRDKTVEDSSKQLTEMVGRMLQCMSVLASVRVGGGGDEDSQKKMEELTRGLKLNWLGRGRMGRDRRGLVGARVPGGNSMPGRGDAVS
VI

>RCO7_04225 | uncharacterized protein
MAKAGSTTISVNPELQTVEQESIAQNPSEKRKHGKADITKSQCPRSKPEHPRSSHGTREEPFFPSPAASPSSAASLSPQPAVRRKSLYDVPEFVPPA
RAPVLAIDSQSQQAASSVPQANLQGYVPNIEYGNYLSQAQVQQVLGPPALTNPQGYVQYIQITGGPMNMALLNRPRNVQAQQIQAPPPHTNPQRHAP
FIPAPNGLHNNRFQQVVVPAPEKNYHVPVQHLRKQGLLAPNVPVDNTLNALYHFLISVECTVVLVDGSTIKTDQVYKDRYGMYAVYQFQHREKCDNE
MKIVQLKLTSRTQELEDAFWGSIPYRDRYTVDRDLSHCLPIQQNFWKTVTVWSGVGSGTPCTLIPPGDDSCLYKALDLIRSRGFRDHLRRSCHLMLL

>RCO7_04224 | uncharacterized protein
MSPKLKPLLLPQLVEERRKRESMLENEMELASSSFYTQNSSASDIPSPVTPTFSTRGHMRYSSSTSSVESSYLNSTAESPTSPTFNGTRTSKRSLPD
VQEEPQERDDDFDMFDEEDLYDCLCDNHQCAHQPGNMSSVQLSTKKEFDYDLAVDFFSDGDYSTTSPRSKKRRAEESPLSGFATKIGTRFPSFSRKW
RTRKGSSAASIYSEAQRDNIVSRGASSRSSSISNSARQTNDKTFEAHMPPTPTKSIFDGHDEMPMFTAAPIDIERANRLSPDHEEGFATTPLLPPLM
MDASANTKQIFLQSPLQSPSVADTHSNAHDPLSGSNTPIDAIATPQLPGMPSPPLSTRPSVSSFHRSTTSRPGHLVPSSEIPPIVIADPNDEWSNKL
GHANFTIYPEPYVPASFDLEACRQLRANWDLARCNYTKHLVRTGEHYGVTSKTYKLTEEKWAATDAIWRANNEKTITHTVESGSEAFATLKHTTFAD

GSSTNIMTKIPSLNDPRSEGKFPQLGDEDIVGPMVQVAAQLRRSPSKKAKLFKFFAEKFPVGLGRS
>RCO7_04223 | related to bifunctional polynucleotide phosphatase/kinase
MASSPKPSKRKLDHKAPISPPPLRRKLQSNTTQTAVASFFTPSSQKPPEKITWHERAPHDDAPDSLIVGRYEPAKTSTQEKNLTSEEIKRYKVAAFD
FDSTLIQTSSGKKFASDAKDWKWWHSSVPATLRKLYLKDGFRVVILSNQAGISLKPDTKAPKASMSKLVSFKTKVSAVLGQLDVPISIYAATEKDMY
RKPRTGMWTELLEDFGIRPDGLDLGNSIFVGDAGGRDASKGQPKDFSCSDRNFADNVGIKFYTPEEYFLGEAPRPFTRTFDPNEYLKVSADEVIEPY
EKKNPCDVVLFCGSPAAGKSTFYWRNLEPLGYTRINQDILKTREKCLKVAGECLSEGKAVAIDNTNADSDIRKKWVELAARHSVPIRCVLFTAGSQI
CEHNDVVRALNITMNPEKRSILPGMAFRSFATRYKRPEMDEGFQDITEVGFKFLGNKVEQQTWSRHWT
>RCO7_04222 | related to nuclear envelope protein Cut11p
MAPRIRPYKDFLTPALHKWFSLASAIVFALCYVESFLIGEKKSFFWSWFPIGRAGIRALLLFIPGFMIFIPRIAQLHVGLRTSYSPWDTFRKYATTF
QVPQITGWYCLSAWFFSEVYVWSASRDQDLNRIKLMPKTERTILNEKPIYLTSFLLFLGVVQAGFHLFYDYDRIDMPAIKTKPIGATKESRAIFVPP
AERIQTQIPSIAMSALKRAVIAAAAFPVIYILDLGIFPSIRSMAWGFTRQWATIFWTLSKSSTVPSVKPFHWGVLKNSVTSGFLLVMLWEVTNAAFS
VYVAQEPLKGGRPITHESRDPNGSLLAGLTGKKLQTRAFAFWELVYIGERFEGRRRIIFTDIDRPGGSAWSQLLAVCLDLINGIQVRIAEYERPSTA
ASDATKTPEAPIQGLPRMAQPIQQADIFTKPKKRSTREQIADVAKSRGVSPPGPVSPRAKKLLERAENMLSPKEQDDRSFTALFKEWALKALKSQVG
WPFRQDYRRRITAIVLGQPYGDVGVLVDAVNAITRFSVCSLTEDEYGHVQRDVKLIIQTLTTNVVRLEALKANLGFHWTDVERKRECPEVDMVLEVM
KNGLNELVNAFGDYSEDLRLSQSEMREARMAATPAKRPEMTQAS
>RCO7_04221 | related to syntaxin 12
MSFDQLSSMESQPTTMRRQDDPQYADDPEFQKLSQDLMTKLFTLTGNISRLSNEVNLLGTKRDTERVRERVHDLLEENKETFKEVGEGVKTIQSWED
VSPSQKYTQQKLAREFQNNLSEFQSVQRQALEKQRSTATAARTALEDGQSPSAEGVQQFGQQQQQSQQELRLASQDEVDFQDSLIVEREAEIRNIEQ
GVTELNELFRDVAHIVNEQGELLDNIHENVENTRADTRGADLELRGAARYQRNARSKACCLLLILAVILTIVILAATLG
>RCO7_11762 | uncharacterized protein
MSSFKGDKLEAIIATYGSTSLEEISRHINRIIDNTYSSYKNIDEYTSVIQASSVYLKQLKYEIPKPILASLIFKGLLSSFDSFTSRKYEEISNNLSS
INIEGLIRDLISEEARINTSTDLQANKAFKGKNSKGSKKYSHYNKTNYIEANCYIKHPELIPNKSTNNKKKSKGKGAKESKEESTKALMSSFSSTSS
SSNSIADQAYATIYNYRIVLDSGASEYYIPNKSWLLDYKPVSKKSITIANILVRYYTESDTNSAGIPMNLGPSIYPSSYIIFSTILVIASKLGILLL
VPTSTLSVVYRIYYLRYIRAFLKIKYNNTPILELLYSFNKLNSKLYNIRDYYYIISKDLSFKDLDLLIEFVKKAIFKAIISNTKGKRNLLSSSEIST
TRAILVDLSKELDIVVLILDILDLLEAPENLKKKANKIEVVKKVEF
>RCO7_06352 | uncharacterized protein
MNLGPSIYPSSYVIFSTILVIASKSGVGVEFNLLSLDYDIAPILPNYINIKYTILSGLLLSSEAKDAELNRSSIEFAKKAIFKATISNTRGKRNLPS
SSEIALDLDTLGPSLKKKARRISYYTRFTTRATLVDLSKELDIIVPVLDILDLLEAPENLGEKASRVEVVKEVEF
>RCO7_06351 | uncharacterized protein
MNLKEKEKEEEEEEEEEEEEEE
>RCO7_06350 | probable ankyrin repeat and BTB/POZ domain-containing protein 1
MSQPNIILRKDELEVALKDEHQLIRDGVLKDDSPLDVSIDFQKLCNACRRGDLKGCQEAVASGVNINARDVFDYTPLILASLCGHYEVVQFLLEAGA
LCERDTFQGERCLYNALNNRIRNLLLEYDYSKSSDPLQPLASHIITLLTRQTPNTSDICLTAGSEKWNLHKFVLSARSPYFSKKLASAPETAIWKLA
SSIPPEAFHIALRYLYLGDVPADLGLSNRSFVTEEEVLKGIDKVSKQLEIESLWEGLLAGSDRRIARQRHQDEVSRGREQIERWYRQNILKHKISLE
SSKANDVKWTRDNSIFADVLLRADEDGPDASTFGQETPKERNTLGPLNGIPVGPSASSRSPSITRKSRQSVLFPCHRAMLARSEYFQTMFTSSFKEA
QVTDYLQIIQVDCKPEVLEVVLNFIYTEQTYIPLDLALDVLFVADMLFIEKLKAKAATVISTVGMGSGGLTDRRHTEGGQDQETEVEPINVYDVIRA
AWDLKVQRLEEFSARYLAFRLEDYIDEQEFEDLIKESASRIQNRQETDTIELLDDIRHYLSDRFRLRFEDSGLEDMMEENEKAQHADVSSDDLPKPD
EAIDMSAPSDKALDPASNPFMNGEIRTLDGEVAGDEFVADAINYQVLLDKIDGLLEKLKLDA
>RCO7_06349 | probable NIMA-like protein kinase
MSEGEKYDVLEKIGHGSFGVIRKVRRKQDGQILCRKEINYVRMSQKEREQLHAEFAILSSLRHPNIVGYYHREHLKASQDLHLYMEYCGNGDLGRVI
KGLQLKKQLAEEGFVWSMFSQLVTALYRCHYGVDPPEVGSNVMGLGNSANPKQPASGVMILHRDLKPENVFLGEDNSVKLGDFGLSKLMASHDFAST
YVGTPFYMSPEICAAERYTLKSDIWSLGCIIYELCSREPPFNAKSHFQLVQKIKEGKVAPLPAVYSPELNAVIKDCLRVNPDRRPDTASLLNLPVVK
LMRKEKEVVELGRILKNKEETAARKLQDAENRLRNVEADKAQMRQEIESTVRREWEVKAQLEINRLVQVEIERLQKKFDHEVQEKVEHEVSKRSSTQ
SHTSTKEFRGSGSMGANDMLRSSVDSMGDDFPNSTELTDLSVDSPEPVKALKKSTRTPFGRAQTMFAGTPMDVEMAEPSPISIASLSLSPRRGGATK
APSTGRNIFAAAAGAEARWQPTLLTSDESDDDDLPPLPSPTRQQKSSKNPFKSAGARPPLISQRTAPIQKQVSQPSIFAAGKAITAPSLPTLSSAPD
LRPQSSQAALRERSNSPNRRLSKIPSSTNLLSHENAPTSPQRKTSLTKKASGTDDLTKLAVKNNMAIKASSVANLAPKGRTLVELAQARAGGRPLSD
IPDGNRSPEPKGRAFAARMADRGGEPTVWDPERDEMPSPFLVRNRQPIRRL
>RCO7_06348 | related to rab geranylgeranyl transferase component A
MESISDTKWDLVISGTGLQHSLLALALSRSDKKVLHVDQNEYYGGAEAAFSLQEVDEWVEKVNGDAFKTFRNASLWKTTGEPSQETRQLSFSRAYTL
TLSAQIIYTKSKLLSQLVSSKVYRQLEFQAVGNWWILDGEAGSALKRLPSGREDIFQDKSIDNRAKRSLMKFLKFVVDYENQPETWQSYSDSGLAGF
LSSQFQFPQSLQTVIAALTLSLNPPDKTKVQWALPRIARHLTSLGVFGPGFGAVVPKWGGGAEISQVACRAGAVGGGVYVLGTGVKTVVAGTEDTED
IKQRTQVHLTNGEVVTTQHLIETDDVAVSDARQVSKAIAIVSSPLSYLFKSTVEGSPLAAVSVMVIPPHTLTIASMPQLNPIYIMVHSSETGECPSG
QCILYATTLYSDISKELIGKALSTFLQTAQEDAELLYSLYYEQRQSSKITTTASEPLYASLDLAFNDGILDEVEAQWRKVVGDVEEATFMRFEDREG
MNAYDDDEPTEDF
>RCO7_06347 | related to Fre1p and Fre2p
MFDSGYVPAARAGSRTLAGLAKRISIPLTPTSPLGLIEANTVDPWKQSGKYALGWTYFCATLVVLVGITRCYHLWTDKIRQAMHKHEVQQHMVTYSP
DSDYAMGNIESGGTAQQLFPRGTDEKSFVLTRGQSHWSSFGVVNDTLALFRWIFYRPVPDIKWRKRTILSFPSLAVIGILVIATAFVTLYCFLPQPL
FWQSIRFGSPPLAIRAGMIAIAMTPWIVATSMKANLITMITGIGHERLGVFHRWGGYLCLFLSLVHAIPFYVQPVWKDGGMEVYDKMFPAGSGVIYG
SGIACLVPLGWLCIASLPFLRSLAYELFVVLHTPVAVAYVALLFWHCKNYITSWDYLYATVTIWALSYFVRVFNLNWMKPWRNAWLIGDEAAVTLMA
ENAIKVTIPTQMTWRPGQYVYLRMPGISVFENHPFTISSLCSEDFPSEYGDLYRDCTLVFRPFEGFTRRVLETAIEKGPFKTYRAYLEGPYGGMQRE
LAAFDTVILFAGGSGITAIVSQLLNLIKRMRDGKAVTKKIEVVWALKRLEAMDWFREELRICREYAPPDTVTCQFYVTAAKRQSRVGMSERAPRPIS
TIFHDKLDGFVAGIASKRNSQFIRDEAQGDEERERELRHEDEDAITSLPQQKHLQHKVFPPPPTTFFPPPPKQALRENALKKLEGKEKRASMISSPA
SEVDSHEATHKYLSPSLRPGDFHFPAPSPRLDAPHFQFAPPSPSRLSNSTYNPQNYPSPPPGPTPPNSYRPASYMSADSRPASYLPTESFPPAQSAF
APPPNNYAPSTSAVPTHPEPAHTRQRSSDLQIQIPTKPASSTFDFGFPTTPTEFQKNLMRFAFVGAKKKEGWSTEYGRPDLGYMLKEMATGGADGKG

IFGRRTCVFVCGPPSMRVDVANTVARLQADIWGDDSKDEIFLHTENYAI
>RCO7_06346 | related to exosome complex exonuclease
MAAVGPPSTLSFPRETFSKLSPHPYLLAHLQPSSSSIPSTRANGRTPTQFRTPHINNGSLTHAEGSAVVRIGDTTVVCGIRGEILLASNVAGYRVDK
LSSAPSARPGYKEAKELDLLVPNIELATGCSPAFMPGQPPSTLAQSLSTRIYSLLHSSRLIDGEDLRIWYQPPDLSEQDRMEEDEPEDLEPEVKAFW
TLYIDILFISLDGNPFDAAWAAVVSALKDVRLPKAYWDADREMILCEDAVADSKKLQLRGLPIAVTTLVFRSKEQTQGRNKKHWILVDPDTFEEGLC
DETVTVVVDCGEKKKTKLLGVSKSGGTVICRDEMSELVSLAEKRWTELNKLLGR
>RCO7_06345 | related to putative C2H2 zinc finger protein flbC
MASSLVANHYTAQPLNQNQTYSYATAPQPPPSPPVDEVTKCSLPSISSLLGLADGSSPQEQQSQQQIQPQAQQPKSEYRAESGHQHYGPSPVMASRG
ALPPTPPMHSDSGFDGRQSPSGGSNSGYSVASAPGYYFAPPSASAITHVEPHAQRQQIPQPQRRISMPAAVMAYAQSPYNNSQYSVSPQQSMSSYYT
SNMQATTPPNAQVSGLYYQRPLPQQFPPSLMPVSVTLTTSSGANPWQHHHYISPSSAAAFPQSQDRYICQTCNKAFSRPSSLRIHSHSHTGEKPFKC
PHQGCGKAFSVRSNMKRHERGCHSFEGGAIV
>RCO7_06344 | uncharacterized protein
MNPRAHLAMLAAHVLANFLSMPATALKFETSNSPTPTAAVASVADQKTTDDSSPTAEPHKGMSTGHLVGVALGVAGGISIIALMILWEIVRKKNIRL
RKEEEERLAAEAAAAALLEETPRSVRTNRGSMLLWHELTTGAVRDHPSNTDIRDFATSEKSQMLPDDVFGIPGSPAELPVHFALARPRSRIYEVV
>RCO7_06343 | uncharacterized protein
MASSANTVPDTQLGLTNDEIALLRHHQQAAASTAGGSSSRAASRASSQGLLILDGTSLAALVRHFDRLMQQISERLDYLSQQSATVAQQQYDRAGNA
IAIADAEIARFHDILRQIDELELDFDRIRHIRDIVRGFRQRVEEMEQRVEQSSSSGRHRSRHRGESSGSSSRRHHRR
>RCO7_06342 | related to SPP1 Subunit of the COMPASS complex, which methylates histone H3 on
lysine 4 EC:2.1.1.43
MPSPMDLALADLGPTIELSSISSWNYCDPKSKSVPGNMSSDGEDYEMSEAPPADPSSDVTDTAQASSSPSANNTPSNPAPSKPNTTAGNANTKVGSL
GVTDPEDPFFVHSCNSASFKYKYPQAKPTPDGEDDTVWNRIYTAADSRMYNKHHKSANESRKYRDTGETRTLALRMLVENKEKHYKAVAAALAGGHA
YTPKAAQKAKPPAMKTELVGIKKERYEESFDMVPGTVPMSISEKIKSEGRKRKTASDTPSSQQGTPGPTNTQKLSSPAPKCNSPAPTKMDKPPIPKK
KGTAAPVKRPTPKRPKSEAEKMDKSGTPSSSVRQSPVGSPESDDGGEYCLCRGPDDHRMMVFCDGGCEDWYHCSCVNVDEDDARELLDRYICPKCTT
SDLKTTWKRICRYINCDNGCRKGARVNEGSKYCSEEHLNMFFEWCYTKLRGDDQPSMGGALNRQEVADLLTSISTVEELHDLGKKPRLTIEGVEAEG
PVGLRYILPEDKILIEEIQQKKKILEAQIEGYKNQKRLLKMINERAKVASQQPSVDVKAICGYDDRLAMNEAEFNAWLESEEGQKAFESDVLGPRTE
DTRGIGAHILYPGQVIPATAKIADALDNICLKPPKKCKHQNWREIHNGDFIAMQLILTEQLNRLTENEKEIIDDAETREATKDYYAENVTIQLF
>RCO7_06341 | uncharacterized protein
MRHDVVIVSEPSARPSIYLQGSPKPTYGTRNRRFLLGSLPRFPTREVTQSPPAKLLSTERSGAWAELKVLQERIKESMDIALVGAGAVGVQLATDIK
SFYPEKKVTLIHSRAQILSSFGVRLHDYVMEKLGKLGVEVVLEELPTLPKTTTWEPAEIVFKDGRKRRYDLVIPCIGQTLNSSILKSFSSASISPLT
GHTRVNKKLQIKDEIKEDTIFNKIFALGDVAETGGRKFARAGSAQAEIVQENISL
>RCO7_06340 | uncharacterized protein
MSRRGGTLPTGQGGAPSNVPQFLSIPTNISTDSTDSQSSIRTQVPGNFHQPAGRGEHEQQYYGQIANGALPFATPDLTSTSTFSSVTPVQALRGLNP
NSMPFAPPGGELGGSQFVVGSPSMGFATPRLTGYPPINNGYATQLKSAGYDNSNVGYGMPQQNMMTDYGVSTNNGNGAYGGRGSMGGYQQQNAQNMG
GYPAPNAYGQGMVAGQYPAPNHYGQNQNVGPPPPAYNNAPITNSYGQYGQGAAMGGYGYQGPSQGQGGNGYGNTGHYAVAGPNQPYQNNQYGPGNGN
GYQPQGQQWGGNYQAQSQFAVEAPYINPANANRGKSIYSNLKPITPGAPYNPSNLPTAPVVNYNQGRHPGHELYGVQNSGSVQAPSRVNSTSPAQSK
SSNANSSVEQSSSNHYIPGGEQTAGLSSPTPLSRLPQEFSSEPRNSRTPTLRSRPGQNVVPSTDPTVKQGLVNWLENVQPTPPPKMLSLDTSKSNLS
GGDILAQVQKAGTMPSMHGGVRHEADPFTVARTPMKPATNFFGPTPHHLDPFVGGGMLPKPTTSPELRRLTANGKPSISEALESGNLPFVEYCRQSR
EDTWGVIKIKNIPYSVNRPEVLAFLGRNARIINEQDFEPVHIVMERVTSKTLDCYVEFINFTEAVNAVNRFETNRTGGRGGRLGQRHVEVELSSQEQ
LMHDLFPKAKNVTWAGSRPLIKPRDLNDRFNSGFQGFLSKEELVMLVKHVEAPQRSPFSKDCPQRPFECLISTLLKYPWYMVEHITIEDRNELHKVT
LHLIDLLMERIDSEHEDINLTPMLLKRVWRAALKCPGFSPPMKDDIVWKCGIDEQMALEMGVPAYASFWKDLWTIGPKPGAPTDIILYYAAIIRETV
SPKTELTLAQKAAKGYQSEQAALFGELVKLVDVPKDEKVFRTLSLSQVATAEWAAIEQALRRALTPALTAGPNA
>RCO7_06339 | related to ferric reductase
MASHHAHQLLHQGAQLVTRTNGSNTPPPPQGTIEPYAKLLNGVDQSMNDMYRISSWWSLGVLAMLILAIRLSQRLHAHIRHITAMGKAIQTYWARNS
SSLWKFKKYLLYAPLINKRHNREFRLSAAMNMGTLPSRFHSILIFMYLASNIGYTLHLSWWEANHYKVVAELRGRSGMLSVINMIPLIIFAGRNNPL
IPILQISFDTYNLMHRWLGRMVIFLALIHTWCWAYVKYKAFGWSGLFRQLADDPFATWGMVAIAAMIIIFITAFSPVRHAFYETFLDIHIIMAAFAL
GGTWLHCSIAHLPVVPYIQAPCILWAVERFYRLVVIFRANYTSKGWTYATVEALPGDTCRVTMHLPKKMRITPGCHAYLRFLKINPLECHPFSIAWV
EDQPANGHVSLPTSEKNNEITLPDKDLVTNVSFIIGAQTGFTRKLFNKASACSPRFLTLKAAMEGPYAGHHSLDSYGHVVLVAGATGITHQIGFTKH
LINGFNNGSIATRKITLIWIVREADHLEWVRPWMDQILRLPGRRDCLTIKLFVTRPKNPREIISPSNTVQMFPGRPNIKLLMESEVKEQFGAMAVTV
CGPGGLADNVREAVLGVQELGVVDFIEESFTW
>RCO7_06338 | probable 2-isopropylmalalate synthase
MLVELGYKEIEVSFPSASQTDFDFTRRLVETPGAVPDDVWLQVLSPCREELIKRTVESLKGAKKALLHIYLATSECFQRIVFGMTEDEGLDLAVKCT
EYARSITKDDPSQEGTEWAFEFSPETFSDSRPEFVIKICEAVKKAWGPSVENPIIFNLPATVEMSTPNVYADQIEYFCRNMTEREKFCVSLHPHNDR
GCAVAAAELAQMAGADRVEGCLFGNGERTGNVDLVTLALNLYTQGIHPNIDFSDLNRVIDIVEVSNKIPVHPRAPYGGSLVVCAFSGSHQDAIKKGF
QVRKKESATDETRWQVPYLPLDPQDIGRTYEAIIRVNSQSGKGGAAWIILRNLDLDLPRGLQVAFSKVVQKRADAVGRELLSNEIQELFEKTYFLKE
NPRFTLLDYSISTDRSTSPAPPVPGKTQDTKNMKRQFEGVISFDGQEHQLKGMGNGPISSLANALSSIGIDLDVADYKEHAIGGGKSVKAASYIECT
ASGSNLKVWGVGVHEDVVQSSLIALLSAASNVSPVDAGVIEWFTNVE
>RCO7_06337 | importin subunit beta-1
MDVNSVLLNTFSADASTRGAAEAQLTQAAETNFAGYLVTLVQELANEEAQGPVRAAAGIALKNAFTGREFARLGELQDKWLKLDTDTKKRVKDLTLQ
ALSSNNAQAGAAAAQVVASIAAIELPRDQWPELMPTLVRNVGEGSDHLKQTSLTTIGFICESQDSDLRSSLVQHSNAILTAVVQGARKEEANPEVRL
AAIFALGDSLEFVDSNFKNEGERNYIMQVICEATQAPDNRIQQGAFGCLNRIMGLYYELMRFYMEKALFGLTIMGMKSEEEDVAKLAVEFWSTVAEE
EIAIEDDNAQFESVDQMREIFHFCSVATNEVVPVLLQLLTKQDEDAADDEYNISRAAYQCLQLYAQAVGGTVVQPVLAFVEANLRHEDWHHRDAAVS
AFGAIMEGPEEKVIAPIVKQALPVIIKMMEDPVIHVKDSTAYALGRITEACSEAIDPVQHLPLLIKSLFEGLISSPKMAGSCCWALMNLAERFSGEI
GCQQNALTPHFNESISRLLQVTERPDADNQLRTAAYEVLNTFVQNAANEGLPAVASLSEIIIKRLEDTIPLQSQVVSVEDKITLEEMQTSLCTVLLA
IIQRLEKEVAPQGDRIMAVLLQILTTAGPKSSVPDAVFATVSGLANALEEDFSKYMEHFSPFLYNALGNQEEPALCAMAIGLVSDITRSMGAPSQPY

CDTFMNYLLNNLRSTALANQFKPAILQCFGDIAGAIGGHFETYLSVVAQVLQQAANVQASADGSYEMFDYVISLREGIMDAWGGIIGSMKASGKTPL
LQTYIESIFGLLNIVYLDANKSDALMRSSMGVIGDLAEAFPNGEFSNFYRAEWLTQMIKDTRQNRDFQTRTIDTARWAREQVKRQIGGTQGLQQT
>RCO7_06336 | uncharacterized protein
MCGSFGCGILDMTKCWDMGTYPADLGTIQARIFGKLTLNRNPQNHFSEIEQAAFSPSQLFPGIEPSEDPMLQARVFAYPDAQSYKLGSNYRQTSQQV
DRSE
>RCO7_06335 | related to nuclear WD protein PRL1
MSSASYPMTRLGGKAFNHSSSGDAEAEYDRLRDLARQEAGKRSSCFDKAHQAYERGDGAGAHQLSEEGKGHAAKMDQFNKQASDFIFRENNAPGRVA
DDTIDLHGQFVEEAEDILEQRIRYAQQNGQTHLHVIVGKGNHSVNHVQKIKPRVEQVCRELGLQYETEENAGRMYINLSGGPATMPPANSYQQGQQH
GGFHGQQPQGGHQQGGYPGGQNHGQQQHGNQQNGQNDEMEKLAKKLLPKLLKKLDGCCVVM
>RCO7_06334 | probable amino acid transport protein GAP1
MDDRSIKMENPKTYTASTSTVTPLLITRPKGVKSFPTTKAFDSFRSGPSHGYAPAIGENGRSYNPRAAACNTANTILVRRLRGRHLQMIAIGGSIGT
GLFIGTGSALATGGPASLLLAFIMIGAVLFCTVQALGEMAVTFPVAGSFSAFATRFIDPAWGFASGWNYAMQWAITMPLEVMAAAITLEYWKLDLPS
WAGITIFLALIIGINLCGVKVYGEAEYTFSILKVTAVIGFIILGVVINCGGTQDSGYIGGKYWSNPGAFHNGFKGFCNILVTAAFSFSGTELVGLAA
AETHNPSKALPTAIKQVFWRIALFYIASITIVGLLVPYTDERLIGRNNVDSKASPFIIAIQSAGIQGLDSVMNAVVMIAVLSVANSSMYGATRTLQA
LGEQGQAPRIFAYVDRKGRPLVAIGICSAIGLLSYLYVTSVQGEAFTWLLALSGLSSIFTWCSICYAHIQFRKAWKEQGNLLTDLVYQSPIGIIGSW
IGFLALLAILAAQFWVAISPSGVGSHRSAGEQAVNFFEAYLAMPVVLLFYGFYKIWYRTAWVRVKDIDLQTGRNEFETAHVRRGWKDDESEWPRWKI
IYKTLC
>RCO7_06333 | related to integral membrane protein PTH11
MDIFRRLAVEAPDIQTFRDSKPTLLVSWWCTAYALAVIFLRFCGRYVRAEKVFLEDGVMVMAIAPLLVRMAFAHAVLVYGTNNTKTDGLLEKSIQNR
KIGSQLVLVSRVFYAAYLWAIKYSTSVFLRTLTDGIWQRSHQRLLRYLHTFLIITFIATVVSNLSACHPFHHYWQVIPDPGPQCRQGYAHLITTGAL
NIITNLAIIIFPIPMILNSRLPRAQKISIMLRLSLPILSIALTLYQIPRVIEHRGEQSFRSLVASFDILLATFTSNAIVLVSLLQDRGYKKSKYKVQ
PSTYENRDLLMKVPTGRGGRRPSRWGSDEDLISVGKASTGAIAMEVFSSSSSRGKAGAELGIESGRSRSRARSRSSAVLEEPAKAILQEIRVEETWQ
ITVEGNVKDSGVTLHRD
>RCO7_06332 | related to nitrate assimilation regulatory protein nirA
MADTVTPTHRRRGAGYVTQNACNECKKKKAKCDGNNPCARCEHNGVTTCHYDTSVKVRKEDLRTTIRELQNYRQMSEDIFACLASEEHRGLILQELK
NGNTLGSIWGMVSKSNTHMQSQLPLEKNEDEMEWAGDVVENTREEPKQDTDEEQDAEPWSKVISSEVHIEHLFSLYFCWEYPIFATLSRQHFLSDYQ
ERRHRYCSSLLVNAILAIGSSFSDMSGINAGIGTTSEISGQDLFSEAERLLAKENDIPQLTTVQALGLMSIFEISRGNQNQSIFYSGESVRMAVEMG
LHLHPSNPQLPQIELEVRSATIWGAFALDNAWCIIKGCLPHISRRGVLIPKGAFPEAEEQTTSLPYVGDDLPLEPSELQTSHVRSVHIVTCELFEVV
HEALYILYLPGLPLIGKHILQIYHRYLAWYDSVPVTFRLGVNYTPAVIFMHIYYQFAVLTLFGPFIRLRLRGTPFRPREICFQATETIKALLASYRR
LYSLRRTPSFLSIITLASNLFHALEEKSPGDSVPNHGVDELQEMGYSHEAAVHGAQVLASLQAQMPISPAKKATLTGNIEDVCKHICVAIEVFGLDR
ERCCFAGQSFVLNSLFSPFPFQVLPALEFKNELHLAGFGLIVEEDSTE
>RCO7_01612 | uncharacterized protein
MIKQDPIIAQGTNRSQTLGRGSIVNVCSAASIRGPPGSVEYNASKFAATGITNTAHTFRHACFCRQRVRACQVILTFFTTANEYGASQIRINAVCPR
PIETPLLERSIAAILVPNIRTATADLTSLNRVGDVDEVADTILFSSQSSWKLCT
>RCO7_01611 | uncharacterized protein
MAKFDPDEEWKNVPSGTQWINSTAADFSPGFKSLPEQQITGGRSEMAELHPEEWKNASHGSQWINSSAKDFSSSQGLPLSDIARVKQERPNHMKHDH
QDPKTVFKPKTSDPQEHLRTLRNPTKAYASRGTPAVAPALGHASDAFERHLAHQYRNAMIYIENYKIHSYVKKFPADKRGHQEARINHYKRAFGEGV
RLGNNYTSGILQSEGLQLGLIKRLQQTRDFYREFRTGKGTEMIEVELDGENGKEVDEVQVISRWDKILGRALEKRLGWEGRTLEDLRGLQENVGAGE
YALRKKLRKKWKAQKQRDIMRRDGEGRKGKKRLRFEEPGEGNMGEDHKRLRPASAENTDASENSPMFEIVLASPSMPEVEDSVEEDPGRLKIGEDAT
LPFNQARAALTAFLADLNKHLKVCKKDISKQIMEVLAARDEKNIQEKIVLASAKRKYPTLFWSSIMLLRLRMANDCLKSDDTGLKYTASGPNISGPG
AVTFVGPIATLITQDKGTLDHAIRIASQKRVVQLYGQNNHFGRCWFAHKAEFWEVWRKRVAGFRDGEFKRWQNEAERARKDSDREYRAVMKLFSAAL
NQATELVKKDYLQNMVMLMITLESSKGGGRGRLIEKRGRGTRTPEKKREFETDRKIKKSKKTS
>RCO7_01610 | probable DNA-directed RNA polymerase II chain Rpb7
MFFLYNLERQVTLHPSYFGRNMHELVTGKLLKDVEGTCTGRYFIITIMDTFNISEGRILPGSGLAEFTVGYRAVVWRPFKGETVDAIVTSVNQVGFF
AEAGPLPLFVSAHLIPSDIKFDPNATPPQFTNNEDSVIEVGTHVRVKIIGTRAEVGEMYAIASIKEDFLGIMSSQHELWHVIIAALQPACGQVELYG
A
>RCO7_01609 | related to DUF962 domain protein
MSLNLEKQLAFYGAYHHNPTNIGIHMTCVPLILAASLLLATNSPTLIPLPTWLTIPNLPLNAGTICATLYSGFYILLEPVAGSILLPVIIGWTAFSN
YLTSSASSALVNQAGIAVFIISWIAQFVGHGVFEGRAPALLDNLVQALVLAPFFVFMEGLFMFGYRPELQKRVGEQVDKEIKKFRAEKAAKAAQNGN
GAVKNGKAN
>RCO7_01608 | uncharacterized protein
MCHILTSYQCNHTYLDTRPLCTPHKIRLVTHLNLQRKRNLNRTPGLFSCFYISSSRHVPTPVCKLPPGKQEILDYCPECKEDIRKESRRLLVERRKA
LQKRGVIPGDVRSEDSGSRLKLPDPPVSQNTARRAVPEQRGEGLKPTPSTQHARQDASRAAESYGWNRSPATQTDKPLPQKPLPLTPVSFPPNLPYA
ERMALVQAAHRQQDSPSQGTRDSAPLPPALVSSYVSPSNADSQAPGPAPPLTTQQPLHQEPGIDWDRWDQAKQGNHGRMPPMPELPTPIRPLNIKTP
TPTKGRGMTRVERKPVPPRKEIALAGLPLSAGARLPKGAKKPVSFPLQNREGGDVSPLTSPVRERSGERAEDVMNVLDSCLKQALGEWQPEQTLAAP
APVFRQTKW
>RCO7_01607 | uncharacterized protein
MKYLALTLSTVLTLATALSLHGKKYDFNCVCRGGECVNGLCGWDYAPDLNCWVWAGRTDGNCPTAGKNGLTECDFCTR
>RCO7_01606 | uncharacterized protein
MTIITVYRYWFQYHCLNKCDRTITTRYQRSTPTKIPLSKDPNPPQHACTCIIPAAGFERPLSSSNEDPNNTGRWFFCCKCGNGWFEDRISDYEGPLQ
SCRRCYPNGMWSLEDCNRTKEFLEYHSSEEGKNSADESATSNSRAGPDSDRGEISDSDEDTSIDQVPDNSHWASEVLSRRKHFLSGLSVESPPIQQV
ASSDIPSSLLDIPAPTYRVGLLVPNFEQDDEDDDMEETRGISSDNTDASIIEELQTFASMEHADEDVNAMMLDIEEFDLETLEEIETLFPETSSDIT
FESQSNNPGESIIEEEPQSSSSPFYEPVPPSDPPVTLTENGRRIQEIRDFFSIPATVPTRQIPSLFRNHQRVTASLGGGSILTRSGIIAGYPHVEVR
SGNRDRMNEIYNLLLVIDWQEDLAQEVSYFSDSSSSSSDNIPAGKTNQVEEDWESPPAANLDIIHLDDGDEKLFWQAVEASQEECFNLVPETQQPRI

QTDPASPHRVSDSSGLRIELAVRLKGAEGGGSEQ
>RCO7_01605 | uncharacterized protein
MSQITRTRPSGPDSYWAHPFECVRCGFILFGIGTPIDHEVVASQLQKSLDLQLDNHIHTPCTKCFPDGPWQFCQDRSIIVTPDATTMISRDTGEELS
MQDSKRSYEYSCSENHHLWYTNYRQVHNGPWITADPQPPRHCCKECFPNGMGILGEKFQIEGHQTLPDYGKMSPVSVHEIFPGWESYQPLPCKSPSK
AWFMSPRRNSENLPPWWWKDPKIYEPLASSPSSAHSSVQVSPRNSSHRISTQSNDFEDLRGWRKNWSWKFWKNSSYDRRPQSPLQQTPEGSTAPTFG
RSPDEPASVPGLEIKVVESASETNSRTQALSARLDALSTLTTKVHDSVPVPDQSSPKRKDWQTYNEWAERGLEMDNEN
>RCO7_01604 | uncharacterized protein
MLTPIWICRHCEAPMPPSLPQGFSIPCPTCFSTGLWVLTSGNPMIIVQEDKTSYVFEYSCIGCRNVRYSPYWSWITRRFRMKTDTGFAPMIEDLDPP
KRTCEKCSPWESRMWILRRIEKVGFEDKSPGPGESPPPTPSFFTPPS
>RCO7_01603 | uncharacterized protein
MSLQAVYQQFLSAPKESALASDASLHYITTLVTLNGSSAIIKHLNAQTQDLKKKEEKLLDVVESADAIAAEVHTTVEFVIGGGSYLPGLDDNFLADR
VVTFPIIHIVSFNPSGKIQQIRQSWDQGSLLKLIDVIGKSGRNWPIRDGMDQIKLIASSVKSTGKSDSKDGQETRSRTNSTNVTRDPHASLSLFQPR
EKTNNESLPAFVPPRSSAKPAPRNYHDLFVGQESNDNSPALATRSELSREPADSSSIAPKGGAGKNYHASRLFDLQDEDFASPDKKSNPAKYEHFNL
GEVSEEHAEKRPPLKEVKSGKHSSQWNFDDFNTPQRVVPTKVLRKNEVRHWGNSDDEVTDSPVKIKKVDKPRKDAETHFEFEDDGTPDGPRLIGRPR
GAGTNDGSMGIYKNNMFDDSDESTAEPEHVKPTIANVKERSKDFNPQFAMTDDSPAGKQGPQRISEDRAKVIKNQGANWDTYDQSPNQKENGSKSHS
GVRSNSSKGPLSENTNSSANSREIQNKGITIAGDGMGGRKGADRLDNNSKGINIACDGMGGRKGAGRLDSSSKGITVGGDGMGGKKGAGRQWGFGDE
SDGEEVGGANTGSKYRTGKTASKAQQATGGDFWDF
>RCO7_01602 | uncharacterized protein
MQETWIICRQSKKDPQHCEITGFAAGVYLVDTDRREADSRDWEVKSSSLLDDISSPDSSSTATHTVEFSFSLKLLRGLGPTRALLKTWRPFHAREDI
ADPDNEYVHLCNEKYDVCCCAIVKEFVPGLRLLSGGSFSKDDGTAATHKGSKDVEPELAWSDWSEESVDFSELGESGEE
>RCO7_01601 | uncharacterized protein
MLSSSRCCPKSTVSLKRKRDNTDERSESCKRRCMEQNNSRCDSIETLIHCPLVLETEAPKTSKRKGEDHEADSLAPKKQWVDSNHAIIRKSLQSVRS
SESSRSKASGRKLKVCEEENITNTAPALEQLVDTITHIPRLSTLLVFQDQGTLLSHLRPDLGSKTPSQEQFTPSNLSVCPGVSEYSKVRQASDSDSI
LLVTESPIFNPRTLFIQHWQTLGSDVGVDHSIGQSHEWPNSTPLTYNSPNFYEYPSQEPLAFNDRRRGFLTLSGEQHGAGPGTDDSYSGYPTPNSYD
NSMIDPMLLCVHKPSDVFSKPLLPAAPRLNDNSLSSSTHSMTIPKSKITKNPGTSPGLPPFCQFFDPVPANSKLWHWGKPKLPYALKKQVSLLAPIQ
DRSRKSLIDTHYDDDDFRISRAGLSSGEIRLRYDKVLGKYQVHSEKIYDASSCLRNCVTIIQDEEEKFRTELERDLQLAIEEE
>RCO7_01600 | uncharacterized protein
MSACGLRDGANSLTDEDGRTVAVTRSAQPDFKFSVGTECPVRYPAQKFTPTNHAKGDEFRAGLSSSISPDVKNTKSTDTNGFEERSNFRRQKLHIRK
HRPHIAKKYVRLCNYILQQGSADLFASGYNHEIFLKSKYLMHDQQMEKYFDFEGYFTQNSSPKVINKSSAEQNHSCSATGRGQLDRNLELEIDLYIN
SITESSQAFEHGNTFREVHEWRS
>RCO7_01599 | uncharacterized protein
MEKFCAQYHGVGLEDDRIFIMFFIHLLFTAPNKNHPHYFKEGILEAYCKVTGHHKGGYLDGFKKELRKHLVMDEDKVYATPESRYSKRESLEDDARG
RIKNPLEDELSKVTAGGCHLLYTSIASHTSTISSPRHRQPPIPFRLQLHGKRSVPSNIDAGGYFKVLVQRCIRDAFNTLCNHLHKLWSGCQLPSFPM
VVPAKNLLLRHSRILVLLYSGIIADYRLTVSSIPSITRQQPAIHAVIYIMVNRSPCRARAATRTTSFLNFQSSDLLAGSAFDRRLGYGGTGRTNHW
>RCO7_01598 | uncharacterized protein
MTTVNASDPRFDGRILTYDPESIRTSLLSYFTALSKLPYVDESDIVYPPPGGWSNITKRNFAPLGKNDAVIDLLKFLPYLRNPGKEKGYAISFGTFP
LDYSSTPFTPPLDVNETKELSPDRYCEEEKIKNWVVPLTVSEDRIWGDWWLLDTTDGTVTAWAHNDSMEPDADYDDEDPRAWRNTCGETRLLEELLT
EWREKFESLHWIAFTDPTGREKVWNDEDVVRDRDTEQCEELQKIIRSHGWPNEFRRQECKEALEAWDEEHQDDI
>RCO7_01597 | uncharacterized protein
MHHTKILIALSAWFCCSIADFNLYPPVDSALLAKAYNLTQGCIQALNGTLNGCDPTLFQMSVSFDNYYWEDENITDVCDGNCTLQARDWDLSVSLAC
SDQWISAYGKLIPADSISGRFVDGLKTVCLGSTTDDRWCLGASQNWTGADIIQPDCNINPSDPSCSSNVTLPEYTRMANLYSNDVLCDNCFVQMLYA
RITSPFLADSDQSDFLVSQLQDIGDVCNITVPEIVVRALPGYVKAPPVTSTHFGGTTTTSTTSSPATSTTCAGQLIASGSGCAALSTKYGIATGDLQ
KISGSDTCVISSSTCFPAACTLQTLPTGATCDSFAAGLSGNITTVQLLLWNRNIQGLCDSLTAGQSVCVSAPGVTGSYTLAPPPLGTGADAGNQQRG
GPGGRVTPCLKYTNVPSATSAPGPTQTGIVSNCNAYAMADLGIGCFDFATQNCINTIQLWGWNGVLGKNGENCQTLFWAKEYYCVNTYAVSTASPTT
TSSTTKVTSSSTRVTAPGPTQTGIVSNCNKFATPLNGIGCFDFATQQGITQAQLYTWNPVLGTNGANCGTSFWAQEYYCVGVSS
>RCO7_01596 | uncharacterized protein
MKLSNCFFLLEAFAFSTAHFTSILGSSEDLNHDSLLAIRDLPTGTCNANTPCVNAACCGTNGLCGYSPTECGSGNCTSNCQAKAECGQYGIVGKQNC
PLSVCCSKFGFCGSTDEFCNSGCQAGFGGCGPPKRPSCGGGNSAGKQSIGYYESWSNTRQCQSVAPEDLNLSGFTHINFAFAFFDPTSFAMAPMDGK
TGALYSRFTALKSQGVQAWISVGGWSFTDPGPTRTAFSTMSSTSANRKAFVNGLIKFMDTYGFDGVDLDWEYPQSDDRGGATADTANYVALVKDMRA
AFGPKYGITVTLPTSYWYLQHFDLVGMQSSVDWFNLMSYDLHGVWDAESKNIGPYIAPHTNITEIDLGLDLLWRAGITPDKVVLGQGWYGRSFTLKD
SSCNIPNGKCQFSGGANPGKCSNAAGILDLQEIKDIVSSNSLTPTWDKTAGVKWITWGGNQWVSYDDDDTFKQKRDFANSRCLGGLMVWAMDQVDQK
AGNQNSAHLDVTKEQQADAKQKADDLLAGISCYTTDCDTKCKKGTNQVAQMNGQPGSLSTNDRCGKGKYRNLCCDDGTKMGTCQWRGYRGVGLSCIS
GCAGGETEIVQDTNHKEKKNDQTCSGGIQSYCCSGFQPAPNGPDLVKDAKDLAKNAAESLAAEVALDIAAKAFCRVAVPALLLPLELLEDLIPIIGE
ILDIAEIAATPAIIQACVKGIEKEGKAEFKVFGKKHTLSMDKPTKSVQSRPPTSTHSPAKTSSSCPRIPKRDLDKRAPGPACNKNKYVTVTTKISDE
AGVAAKFVCTYQGGNVAGGQACLHYSSVIASKGRAYETFTCKYSATKKTNRPGVQTYSVDRPLVRTTTKVPTVLGWFNAIGGNACERDEWPPAAFLL
SNDGYIGLEGANHARGAADVQQFIRYLDQKENNLAGKAWNGICAKSPPVRLTSMNEITDRPDAQGTTTITRQVEAVFKRQTFSYSFEAMPNPMLADW
GLADNRCQPRKAGRDDRGFALLNIDPWFDSNPTAKNQQGDYKLQFSAVTKRSLLEGLDLLAVNGSSNATSPDLTEGAEEEVQLSREGILEGIGLRKC
KEKTCKEELELLGLESIRIAYADPMTQPAVNIATATSPQSHTTPTSPPEPELKRNVLSRSLATPSLPRITSSP
>RCO7_01595 | uncharacterized protein
MAHSIRRCKTDISERFASHSDESQDSPSTTPTSFHSSPSPSTRRTTDYDSKQPEYTLSPITTFCARSSTETYSSTVESLSELYSEPTTYSESLDYEL
PEYRDPVDHDIRPSNPSDFAAYFPTMNRLCIRHDDTTYDGNMNLRVDIERKSGTVQLFHLKMNDLKKREFSLRRYERGSGREVCHSARKFSSPEEKS
PAVMARSVSNALASIVKPDFKRASSGTSAHSTAANKRNNTRKDSGYQSDSDSFDDAATYTSSSSQGSKTKSNTSIQIPTNTTKLEFSNYAQVQIKRR
GAKSSKRYEFEYWGHKYTWKRVVKKDGEGKEISYHLYQSEIGGKGNGRAVAHIVPELMTRAQEAAEERMGGWVRPCSLWISDERVMGAVTDVADVIV
ATGLIALVDDSIKSRFHSQTSNSRTYTSSSNPSFNNSNDNPRPGMLPRTMTLPIPKFNMDMEFVSPRVLVEHMFKRRDSAGSENKGRGRPSPLRAET

VVGY
>RCO7_01594 | uncharacterized protein
MRTNEQEPPTVCMNGSNKAAPSALCKVTSGERKGALATPEEKGREVASPGPILRHS
>RCO7_01593 | uncharacterized protein
MSGLESPAPNLDMDSSRKSTNPIAKAAEAPLHEPRVWNTKNLGLRLATDFVCGTGAAYMVAPLITVIDKGIMQNASGQASLKTSLKDSFKTFLLRPQ
NLIFSKPFALICMLYGGTYVTANTLDTLTSTAQNKPASHVTSGTAKFAASSTANVGLCLIKDSVFAKMFGSGGPPRPVPLPSYALFAFRDCLTIFAS
FNIPPLLDPIISRNMNKELEKSISGHTIAQFVAPAGIQIISTPMHLLGLDLYNRGGNVSWGDRWQIVKKNWAVSAAARMCRIVPAFGVGGVVNRKLR
KNIMEKLE
>RCO7_14003 | uncharacterized protein
MQSSEGVCTFYIYKEDKGSPSSLKESK
>RCO7_05268 | uncharacterized protein
MAANKTLDTSTCTSASEAFKYPLPQVRQFHRSLTIELDEKNARLRTLVGGSYRQLLGTAETILQMRENIGHAEEKLGRVGKGCGRGVVAGKASGLAK
LAAGGRGGRRGDDLAWTARTKVLEMCAVTVGRLLKKGGNSDTGDKSEKGRNLVLAAKVLILSRLLVKSVGESAEKRGFEDRTSVDELKKKLGTLRRR
LLRAVEKTIETVHGDREDLVQALSAHSLATSSGAKDVIRHFLHVRGEIMALAFDDEEQKSDSPGVVRALELYTRTLLDVQALVPRRLSEALAGLKTR
PLLKDNSLINIEGLRLDVCEKWFGDEIRFFTPYIRHDDLESSQAVEMLNGWAKRASEVMLEGLAKSLAYMVEFKTVVTIRTRILEIWTKEGGKARGF
DPSILLDELRKVINERLIALVDSRVSKLHLVSTEIEGTLGAWREGVTDHHESLWDTSLLEMEINNGASLFKQTVLARTHGRTDAVSRVFRGYQAWRH
LVDEISVVIAQLKKQRWDDDLEDIEDDLSVESRNTLLSTEDPDMLQERLNSSLEEAYQLLHEKIAALLTTYEDSKQIGQISVYLLRIIRDIRTELPA
SLQSFGMPLVKPLHERLTSEVSAKPVNDFNKTGSRKKVAGRGLWEGTPELPVQPSPGTFKLLHNLALAMAKVGGDLWSPLAVAILKHSLRDAVAEKW
REAVLNKANIEAKSEIDGTVDKDEAQAVEEPVNGEETWEKQKAAAEETSNDVLIQTLFDILLLQSAFDVPETEGDRFFELSGNVEERIELDAAAKKR
IHSAAKEYWKRTALLFGLLA
>RCO7_05269 | uncharacterized protein
MHTPIELGGSKAAEEPSTMRAFCNHLRQTEPVYARLMELKDKGWANPKGNEHFEKRRQRADDATGQQGIKFYRMMQEIGDEMQKETSAFTQVHRNGD
DFRILGLCMAPGGYTYSALKYNPGAEASGITLPPSQGGHEVFLLSSKSTVIYKDITIFSKEFGVEVVPLTHPEYASFSAERPFNDQNFDLVICDGQV
LRTPNRPEYREATEATRLTISQLILGMQRIRKGGTMIMLLHRIEGTESMKLLYTFSRFSDIEVFKPVKKHAIKSTFYLIAKNVNPDAEAAKMAVEAW
KKVWWNATFGGEDGTGAARIKTDDEQIQGIIDSFGVDFVSLAKPIWDIQADGLRRSDFAQ
>RCO7_05270 | related to oxidoreductase, short chain dehydrogenase/reductase family
MPPSGLAIIIGAGPNTGTGIARILSHPKHGNLAVALLARRQGNLNSVRSNLKETSPGSVVETFPTDTSPSNLKAAFQSIKSHQSFKDLKLKVAVYSV
KHSSKKPFMDETYEEFTQSLEQYVGGAFTFSQEALKLFFEHHGEAPLSETGEKKGTLIFTGTLGALRCNAEYAAYGAGRSSVRQLAQTLAREMSAKG
VHVVHTIANGSIEDKNGEDQRIGKKMSADAVGKTYLWLSQQEPELWCHELDMRPAAEKF
>RCO7_05271 | uncharacterized protein
MKLFNVLLVLLAALWLATAQDLLPNAQPLQLAESADVILVTVTTVASVTRSYETSVVVFVTSDASGIVTLTTITKDPGPPDTFVNTFITISTREKTV
RVSGSLQPTKGASPSFTSGESPATPNTSTTTKPGASVPPTSTSNAQPTGPSNDPSKILIILCAVIAPIAGVITWFGVHRMSAHRAQDEADRRSAAAY
RRSLWNPARPAVSSPLRQVNVTEMDVMTAPQPNIESPSNMAPKIPARPASISGSLLESMRTTPSASMRLPRSARPGSGTPAMMSGALPLSPGPLSIV
KKDLNRPDTRSSTTGQFDDARTHSSTDVDSAQLDALQAIEDELSAIEIEHRHAEAEGSIAPLLLKSSNPIAEDDTNDTHSATAAIGLDPTHTAARIV
PRLTDPDDSSEEIRLARRTSAERKLNGESIRADSTSPRVFDPIAARAQRLRIANEQRKIAERQKKEAGGSGNVTVFSAGPMPAHPPPPTPGLPPPNH
F
>RCO7_05272 | uncharacterized protein
MCSGEKNDISDTAICTSCFFPGDFSNNWTVVLHLRAQNGTCKCVPIFANAQLEESIDGMTIYNTRKDFNLNGSKKIISSPLGLRMTVETVAILPKHV
>RCO7_05273 | uncharacterized protein
MLFGPEQRIRFVLEAHSRKFVRIEIPKHIKGTIVWQNRFIATEFGLEAWDNHTIGRLGGFDRLSQDTIGFSMPKKAGGDTTWNAPKLMRQGRIAVMI
LTHMTMPEANVPRTTAH
>RCO7_05274 | probable amino acid transport protein GAP1
MSSPQNMMDVEKGHVPGNQSSWSSDHTPRDTAMSTVADERKAPWKTRFVDSFRRDPNAAVTKTPLGNHKGEYDHEAAAQATANTTLSRQLKGRHMQM
IAIGGSIGTGLFVTSGAALSTGGPASLIIAFGIIGIMIFCTVQALGEMAVVFPVAGSFSAYSTRFLDPAWGFAMGWNYAVQWLVVLPLEIVAASITL
QYWPGASDTNAAAWVTIFLVVIVAINFFGVRGYGEAEFVFAIIKITAVIGFIILGIILNCGGGPNGGYLGGRFWDSNSVPADYAGYVKNGQPAGSIA
SGAFNHGFKGLCSVFVTAAFSFAGTELVGLAAAEAENPRKVLPTAIKQVFWRICLFYMVSLTIVSVLVPYGDARLLGADGGGAKASPFVIAINNAGI
SGLPSVMNVVILIAVLSVGNSSIYGSSRTLCALAEQGQAPKIFAYIDRKGRPLVAICAASALGLLCYVVAGGAETANTALNWLYSLSGLSSIFTWGS
ICLAHIRFRAAWKKQGHTLDELAFTSQAGVIGSWIGFVLNCLVLIAQFWTAIWPVGYASLSPTGVAKNFFLAYLAAPVVIVFYVPYKIYYRTPFMRS
ATIDLKTGRRELDTPLLIQQEREELARLPKWKRIYKIFC
>RCO7_05275 | uncharacterized protein
MKPHQRKNTRGHPGSSSSEIAEERDLPVFFFLPNDHPNSLFCQWHSSSFTVPRETLEWLRTAHPAHAESHAESSPPPKPINTDAAPTDIKFNCAEQF
LMFCKALYFHDKVSANLIMATNDPSLQKKYGRAVADFTDFLWRQSCERVAFEGNWMICEAASMDRRWGIGYKENHALKYRGNWGENLLGKAIMQVRK
KIWDRLKEMEKLKEEDIEMYERVADHWDCRAARCGL
>RCO7_05276 | uncharacterized protein
MTWHSDLETGNELPARPIPAVLATGSQSDESKSDLFMRSRREAFHSPMRLQLLGRAEQFFEYIRETMGSNTSREYCLFICWENSFDDQRALLLLVDD
IDDEMKIYQELVSLWYDRHGWWRKYIPFYKVQMVEEVEFSFEGKQEEDFSVVSKRLDIPKIKTRLVSELENVTADLLRIMDPDEHGTGNCEEEERSG
IWDHKNVHCSMNEDFVNHASRCFFMDHRYLKRKLHRLELQYLPLRFFHKPEKAVTQGTLRGLAQGSCIYRTSELKSKGFFREAVAEAEFRALMIHTG
FSTMRPLDVRTVAMAIVVLWKASGGTWEAAFASGGFWIMLFSLSPRTKVWSLKRTISSTFVSDSRMVDRFELAILTEQ
>RCO7_05277 | uncharacterized protein
MSKSSSIAASIPKTAITIGGVNYDVNVTKIPYLSSFVNFQGIAQPQSKELVHESIPLFDIALKGVESGYRHCFRALPTELSQYHTLCDTYHFLHVDV
LGGQAMNEILSDLKSGFSDYDEDRYTVKGIKAKPRDSAFKLLYLIVLGEFVDEVKDSAKIFDAVLYLVSHPATFKWRARTVVRAAYEERFVVSAKQR
IALDKWERTDLDKLATEDSEDVTTEEEDSDFYYDSD
>RCO7_05278 | probable peroxiredoxin-5, mitochondrial precursor
MVKVGDSIPSINLVEGAPDATVDLSQELASGSGIIIGVPAAFSPTCSDSHIPEFLAHPKLKSAGKVFVVSVNDAFVMKAWGKSLDKDASSGVRFLGD

PAGKFTRALDLEFEAAPLLGTNRSKRYAIVVEGGKVKSINVEPDNIGTAVSTAEKVLG
>RCO7_05279 | uncharacterized protein
MVNLSTILASNQQISSALPAGLVAIFIGGTSGIGEITVNKFARYTLRPRAYIIGRSQSAAERIISECRILNPEGEYTFIAADIKTSEGLLLLSALML
YSRARFIQNLLPIIKTAPALRRIITVAGGGREGRVYQDDYPARHLSLIKMRAHSIAVITLSIEALAKMAPEVSFIHDYPGTVRTPLIDHDLGIIGVV
LRAWLFFFGWWICIPLEECGERHLFMATSARYAPKLSGKGADGVRVEEGEIAEGSNGKLGSGVYSLSSDCESGSAASRKYLAEYRARGLVEDVWKQI
DGEIRRIARNREEDA
>RCO7_05280 | related to serum paraoxonase/arylesterase
MTSGRLISRASIVGVVFIAILYQFVLKSLIFGALGYSRKLQFLKDFPNIQCEKIDNLGLEGCEDMWLHDKTGFLYMACSSSQSRVDWLPAVGHLNAT
GRGLTDRMAVLDTRGPGSLASRLKWLSTENFSGINGDGTLNLHGFDIRADEQTDILHVLLINHRPPFDPMTGKPLDASKVGANSTFEQFQTKPGTDT
MRHVRTYANDVIKTPNRVAWVTEDTFVFTNYLSAKAGLRSKLDPLIGGGNVAYCHHDRCKNASPGINMAMPNGLVRGPEGVIYVPSTINGSVSVYTL
TADHNLQVIHTIKTGIPIDNLSVDRNGDIIAAAIPQAYRWIETSKAPFDKIAPSTVLRIRRISKNRGNSEESKSSSSSGLDYEVGKIMEDDGSTLPG
STVAVHDVETGRYFMGGAMSPYITICESR
>RCO7_05281 | uncharacterized protein
MGASGAGKSTFLNVLMGKQSNTGGVTKVNGVAGNIAKYKKIIEYVPEDGIVLPELTFRENIQHSARIQLPCTWSDKEIKNHVDILINYLQLSHVQDS
LVGGTAAPVISGGKRVRIGMELAAAPMALFLDEPTSRLDARAAASIMSTLKALSRLGMTILTIIHLPRQGIFEFLDSLVLLGSGRMIYCGAQIDMQP
HF
>RCO7_05282 | uncharacterized protein
MAVADPIQAEDPLREHKAILSLTHKFLPGISLKDPALMHSFIFSTGHALLIRTATTYAASPEDTKNHESSPTRRYLHLPLPQIISRIPFDSSFMIEE
NIVLKEWEEGDDGDKYKGRKTKVRVYDDIGFAWTPFETRFTGVVQTVVVIVMTFVRRLEEHGGEEWEWAIHMWVIRVGKSDLAG
>RCO7_05283 | related to cel1 protein precursor
MFISKVLSITALLVGQSSAHGAVTSYQIGNTVFPGYQGYSPSSSPKSIQRQWTDGYNPITSVTSEKMLCNGGTSAALAADIVAGETITAKWSQWTHS
QGPVMVWMYKCAGEHSSCDGKSKGWFKIDQLGMTAAPLSGTAWGNDIVLKKLAWTSTIPKSLAPGNYLIRHELLALHQANSPQFYPECAQLKVSGSG
TATPAASFLTSIPGYATASDPGVMVDTYMSKATTYTPPGPAVWTG
>RCO7_05284 | related to CYB2 - L-lactate dehydrogenase (cytochrome b2)
MAAANYEAAISLIDEAHAQDPNITTVDGKEVPYELHYTQQMSRYLNLRAPDASPILKVAIRAQHFRRWEITRDSYPMTKAGYLNWRSFLKKRQADLA
AAICIGCNFTKEEAEEVAKLIRKEDLKKNEETQILEDVACLVFLDDQFDAFEKGHDEEKIINILRKTWGKMSDTGHQLALQIPMSESSKDLIGKALE
G
>RCO7_05285 | uncharacterized protein
MRLSILSALAVLSTAVFTHPTAEANHLQARTNGWAIKNFTRSSTGPNAPVTYTFIIDTYGTFSNCTIVDSTNPAWYHAWYDLPCKDAPFHVSWGWDY
PGDFTVMTVESFPASGPRQKVYFGYEHPNSGLPGTVYYPDKGYNTPQ
>RCO7_05286 | related to SREBP cleavage activating protein
MIWYLLYPFRGTTEPPQLDNKHPLRAAFTRYGNYSARHPVITLLISVATAAILIYPFPFLYTNNFTSGASNLPHHVWTSAQPFEGLSATRPDVVMRS
IWVHGSYMKALEPEVLLRALEIQDELLGQTINFDPRKAPEERATVNLSISLTPHMRDIFHAANGLSDSSWFFHSPLQYWSGDGEKILQDKDIVATVN
ERSRQSTYVNVTLRHSIVFSGKRFEDHRLVAADALVITLIHMMDSPVGRHWEQRAEALAQKKSAQWRLYPEDGRSLTNTLYEFRFQPLSFQDDLFLG
VIYSFIVLYFFISLSKLRALKSRLGLIVAVMAQIAVSIMSSFTICAIFKIDLSKIPREAYPLVILTIGLENIFRLINAVIVTSSSYATAFRIGEALG
QTGHIALAGVSQNLAILWILSKYVSPQVKAFCTFAAIALTFDFFYLLTFFAAVLSVDVRRTELSDSLDRAATLSRPSSPEQQPKQTWIDAMWKGESA
FSTRIAGTIVMTGLILIAQWHFFDNESLGQTGRRVMHLLKSQPQPPRSPQASFLSVDINQARSPTAWLRLQDHETAREVIKVVKPNSNSYIARVYDP
LVFVLNGSDRTPTQFGVRPFLPAAYDFARNQLSVFVITVMVTLAAVSILMNYLLWDESTENEGDNRPHDQPLLSVKTLSNGHSLDVILLSASRDGII
ASVGLDRLIRIWDVRRGIMSYIVQDFEANVNPFPVIAIAIDSDSNWLALLSGHDRVYLWNIPERRWGPSMSVSVKGRKPVAFCFGYDGSEFIDPLLV
VRYNGKMTELRVESNQSVEVNICHGPLVSVRQHFEKPLASSPNPPTRVVTSSKKGCVHIATQSEKGWVSYPVDIACPTEDPAITSVLPLPALSSFLA
VRTRSVELVDIVTHKITYSFPTHAMKPGSLRCFHSTRRRPQCGSVGLASLAIAYTNADTGNVVLQSYLPKRAGDTICFRDPNKPGSKTCCLWRETVE
QRYEIDNPGDWEALKVGYLVGVRKRDTAMENNSLSTVNSGLRRRGSPLPHKFLTGKQPSESDDDIWEVWSISTRGEMTSTPLCGYAERDNLLISELG
PLHHMGRSSIVLGSGNVIKVITVGNENFDGGESSTDDALFVGMAAALSRRKKASVGSRKTH
>RCO7_05287 | related to phospholipid-translocating ATPase
MDNCTDIGPGCSVEDTIYGYYPNLGSSVFFIAIFALIALIQLGLGFKKRTYFYSIAIALGCIGEAIGYGGRLMMHDNPYSDIGFKIQISCLIVAPAF
VAAGIYLTLKHLILAFGQERSYFQARFYTWIFITCDFISLTLQGIGGGFAGGAGDDEKLRDLGTNLMISGIVQQVATLIAFAYLVTDYAVRTRFAWE
AVDPEAKALLAQRKFKGFLAAVMIAYWTVFFRCVYRIAEMVGGWANPIMRDEISFIIMEGVMIVVAVLVMTLFHPGYCFPRKASLVKTGSIEYTGSD
REAQHGQEKISSSAM
>RCO7_05288 | uncharacterized protein
MSSRKPCSSATLESNGRFISKPPWPNCSYPAAFGRRNQHLLMPVTKSVARTFFLAGLQLDSEKSVQTFRTKHFQDEIFLDQLPNMVNEIRGSYDDDR
SEEGDTRKSSLQITQTLLHTPVTETVIKRALGHDTTVGRTDFASFRPTLPHLTITSVLKALGISKTWVDFFRRTLEAPVNFMEDGPNATVKIRKRGT
PPSSPMSDFMAEAILFCMGLSFNQKTNGARMYRMHDDIWLGFGEELHHSGDIIWGFLALDTTTGRFLVDQVLINKHVEELRTQLEACKSVIEYLTRF
GVDVPEGYVYFPTDMGGLDLKNAFITLGLILNSTIKDPDAFTKAQEKLSKEELAKDKISGEPFMPWAEICLHREQTSGLLYRVYKTLMREPVEQEIS
ATPAVKEALIRRTWNNYTRYQQRLIKLHADDIMPRFSGPDIVQEGWLPTGMISMFSESRFQWKD
>RCO7_05289 | uncharacterized protein
MFLVQAKHDPSVSRKLLQGWQAKLVNDLNVDSLKVEYASLHGRLLEKCLSTTLLRFKGTLKADFGFQTSTETELLDQRMKWETPAFNPYATDTVALE
RYLNQLFSQSPITAKAYHRLQASTAAFEQKLAGGKHSDEATVKVGDQSFAVSSPYRGKARCVEGVEGVSRKQGSPVGDRRCSQHEDDAHR
>RCO7_05290 | probable beta-glucosidase precursor
MAVLASFWAKASFSLAVLATTAQGQNITSDSHFYGQSPPVYPSPGMPGTLSWQTAHAKAVALVLRMTIEERANLTVGFGTQGTLCAGVTGAVPRIGL
KGLCLADAGQGLRNTDHVNAYPAGISVGASWNRALTHQRGSHMAAEFKKKGVNVLLGPVVGGMGRVARGGRNWEAFSNDPYLCGKLGYDTISGIQSA
GVVASVKHYIVNEQEDHRNPLIGGDATGGGAVGGVATSGGTADVGNPNNFTVESLSSNVDDKTMHELYLWPFAEAVHAGVGSVMCSYQRINNSYACH
NSKAQNGLLKGELGFEGFIVTDWRALHTGVAAIEGGLDMAMPDGSIYWGRSGENVVKMVQNGSVEESRVTDMATRIVASWYQMGQDTSYPEIGLPAN
YVSPHKSVYARDPSSQPIVFQGAVEGHVLVKNVNKTLPLKKPRIVSVFGYDSMTPPVTSLVAAGSRFILGFMSNLNWDWLRSIRYPFEAPGQIAPNG
TLIVGGGSGGTSPPYISAPWDALTERAYKDGTQIYGDALSTNPNVHYNSDACLVFINAFATEGADRPGLHDDYSDSIILNVASKCSNTIVVIHNAGV

RLVDQWIDHPNITALIFAHLPGQDSGRALVSLLYGDESPSGKLPYTVAKNESDYNVDVKHPEGEFYRFPQDDFTEGVYIDYRDFDKKNITPRYEFGF
GLTYTTFSFSALTTSFVFGANTSYNAPDSPIVEGGQQSLWDTIATVSAVITNTGDVIAKEVAQLYIHIPGGPVKQLRGFEKVEIAPGKSARVKFALQ
RRDLSEWSVVEQAWVLQSGSYEVWVGSSSRDLPLAGELTVDN
>RCO7_05291 | probable 1,2-dihydroxy-3-keto-5-methylthiopentene dioxygenase
MRAYWYDNSAADQREPHDSGKAVTVDYLSKLGVLYYNLPNEQDVDELAKERSYKNRDVITVSPEKMGDVYEDKVKSFFHEHLHEDEEIRYIRDGAGF
FDVRSEGDDWVRIQLEKDDLIILPAGIYHRFTTDSNNYIMAMRLFKEEPKWTPLNRGPEVDVNPYRKEYLGIRTQSAHA
>RCO7_05292 | uncharacterized protein
MSHTITDTTTLLASSRPYTRSGIGGASNTRQITCSSRAPSIPRKISPLNGTFLIGIGGAGNSRSYSERASISFEDALSHNSMHKQSVAGSYHHGMGG
IGNRSKPSADAGSSASGSVDRTF
>RCO7_05293 | probable thioredoxin domain-containing protein
MAKIDAQVAAILDAGSTSDDEDALIASLEDSPALDAFREQRIQQLHSEFSRAKAQKSDGFGHYTEIKEEKALMDLTTSVKFAVVHFAKDDFARCGVM
DGHLEALAAKHTDTRFLKMRVDNAPFLVVKLKVQVLPCVLAFANGVSVDRIVGFEGLGYTEDTFTTKDLETRLLQAGVLQRARAVGEASVTWGVKAP
KKVADDDEEWD
>RCO7_05294 | probable GDP-mannose transporter
MDNKKNEDYAINMPDRDNDFNGKSSPSSRDPFIIPTRSPRHPPAAPLSSITNSPPLSILAYCLASISMTVTNKYCVSGANWNLNFFYLAIQSLVCIT
AIIICKQAGLITTLAPFDSKKAKTWFPISLLLVGMIYTSTKALQFLSVPVYTIFKNLAIIVTAYGEVLWFGGSVTASALFAFGLMVLSSVVAAWADI
QHALYGSAEIQSAEAAMAISTLNAGYAWMAINVFCTSAYVLSMRKVIKKMNFKDWDTMFYNNLLTIPVLFLCSFIFENWSSVNLEKNFPIESRKNLM
AGMVYSGLATIFISYCSAWCIRVTSSTTYSMVGSLNKLPIAISGLIFFSAPVTFGSVSAIIIGFVSGIVYTWAKLRQTQANKMSLPSQNQQVMSASS
QSDRDASK
>RCO7_05295 | probable Maintenance of mitochondrial morphology protein 1
MSSIDPPRVESSLSFTQGLLLGQLSVVILLGAFIKFFIFGDPPSPDITAAVRATERRSRTLAHKRSLLSLRTTTSSRTSLPPTHHQTLNKKRSSVLR
NPPPLTTNTILSKTYYNVDSHQPESLDWFNVLIAQTIAQFRSDAQFDDAILTSLTKALNGTSRPDFLDEIKVTELSLGEDFPIFSNCRVIPVDEDGL
SLGVPVRGEAAGREHGRLQARMDVDLSDFITLAVETKLLLNYPKPLVAILPVALAVSVVRFSGTLSISFIPGSPTNATMLAFSFLDDYRLDFSVRSL
VGSRSRLQDVPKIASLVEARLHTWFDERAVEPRFQQIELPSLWPRKKNTRGGEEGTGSSSGGVGMGGGLGSEPGSVSRAKGKELERDLRDEARREIE
AEARAREKDVEQEGLRWRRRARGEEYAMPGSWIFPTMASRGSLGPRLGKVGESEI
>RCO7_05296 | probable CSH1 Probable catalytic subunit of a mannosylinositol phosphorylceramide
(MIPC) synthase EC:2.4.1.80
MRRGTLIFLLINLFTIGFLVNAFSTLIALLFTTGEADAIHRAEIPAPGSDMIETRTQLIPKIIHQTYINESIPDRWLAGQKSCKDLHEDYEYILWTD
AKSREFIAAEYPWALSNFDSYSFPIQRADAIRYFILAHYGGIYIDLDDGCNRRLDPLLSYPAWARRTLPTGISNDALGSVPQHPFFLRTIESLAGYN
RNWFMPYVTVMYSTGPLFLSVLWVQYMRDKRPLSEHVRILLPEEYKGFTWSFFNVTKGNSWHGKDAETIFWMGKHWFFLTVTGFAVAGVVGSVMWWA
WNVWIVRGKRVNGGKNRSGLGLLRRISGKERYELVDRLA
>RCO7_05297 | uncharacterized protein
MSTSGDGSIENPPQSDTTNITTTIRQMNGPPLTCSQALNTDFNFILEAGYVPETEAFYNKLWAERDVMRVVVKHHLGLSDKSICTIADQHDWMRGFF
NVCIPVEVQSPDSFHKQKLILRCAMPHKLAEAYNPGSVDEKMGCEVGAYAWIQERCPEIRIPHLYGFAFSNQRHFTHEAHLPLHTRAASYLRRKLHK
LLKHPLLLSRYTKNPSGHRLSSAYMLLENVRTEDSHTLASNWERHQEDPIRRYNLSRSIARIMLSLARFPQSKIGSFQFHPNGTVTLTNRPLICTAM
IHENEGAPMSMQRETTYTSTEPFVADMFHFHDKRFSGHPNVIDDAEDCREEMAIRLLNRMVAHHYIRQDHRNGPYFLQLNDFHASNVFVDSDWNITS
LIDLEWICALPVELLEVPYWLSGCEIDEPRKERWEDFNVVRKEFLKIFEAEACVVRAEHGISLAKIMRESWESGGVWFWHGITSQNAMTLLFKQHIQ
PRFLGKSLAGSEEEMLSSFWSEDSGKVVQRKVEELEKYKGEVESLFSNGVKGGSDGVNGSKGLE
>RCO7_05298 | probable bifunctional purine biosynthetic protein
MDSIRILLVGNGGREHALAWKLSQSTRVESIIVVPGNGGTATCPKTTNDISVKADDYSGLVALAQKNRINLVVPGPEAPLVDGIEGYFRDVGIRCYG
PSKLAARMEGSKTFSKDFMKRHNIATAAYENFSDYESARKYLDGINHNVVLKASGLAAGKGVIMPTTKEEAQAALKEIMLDKEFGSAGDEVVIEEFL
EGDELSILSFSDGHTIRSLPPAQDHKRIFDGDQGPNTGGMGCYAPTKIASKEFIAEVERTILQPTIDGMRKERFKFVGTLFTGLMITKNGPKVLEYN
VRFGDPETQTLLPLMSKDTDLAEIMIACVDGDLDAVDVKVEDKFSATVVVAAGGYPGTYAKGTPMIVNDPPAETNIFHAGTTIKDGQLQSSGGRVIA
AQAVAETLEQAVQNAYTGIESITFDKMFYRKDIAHRAFKPTAQTKEALTYASAGVSIEGGNEFVERIKAAVASTKRPGADAEIGGFGGEVDLDKAGY
AGAPVLVGAIDGVGTKLMIAQAMHKHDTVGIDLVAMNVNDLVVQGAEPLMFLDYYGCSKLNAEHAAAFVEGVAEGCRQSNCALVGGETAEMPGMYKE
EDYDAAGAAIGTMRKELALPLKEDMVEGDVLIGLASNGVHSNGFSLVRKIVSRAKLSYNDPAPWDQSTSAGLSLLTPTRIYVLPLLKITQKRLLKGL
SHITGGGLTENVPRMLPSHLAAEVDVSIWELPAVFKWLKKEGNVTAAEMGRTFNTGVGMVAVVSKENVDVVVKELKDAGETVYTIGHLVKRDGEGCV
LKGLDSWA
>RCO7_05299 | uncharacterized protein
MGRLLSFDSVFKRSRRPQSSQTCASEKNTTPELIELPVGEALPVPLDVASSSCESTLPDLVPLYSSSQNLCAQCLSFDIPALFRRKIVNRSTTGDLV
AKLNMSASELILSTCSLCQLFGSACVPCDARIHHELRAIPADRAFIKLDMGIAFDCIVLSVWVDASSDSFSSSSPDTLGNSNHFLGLAVASDPGQVL
EPCFGVQILDRVYFNVAITKHWLEFCRSNHFDDCHPTALVGLSSFRVIDCSTRTITNVPQDCQYIALSYVWGQGQPTDQNDNTGDPSIQSAPKVITD
SIEVATLLGFRYIWVDRYCINQSDAEEKHNQIKRMDLIYASAQLTIIAVAGDNPSVGLPGVNGTLRNFQPSCQVGKHRLVSSLITASDSLHGTAWNG
RAWTYQEGLLSKRRLIFSADQVYFECNGMNCAEVVHLPLETILDQKTGKAKAEFPAGAFVEKAIKSVGHSTEDNEYALRMMEYVSRFTQRKLSYESD
ALNAIQGIFRVFEKLQYPTYQLMGIPIEPLSDFSILGWRSPELEFMVGLMWHHKYIQPGTSHRRPDFPSWSWAGWEGCAESYLESHAGPATPNLWSK
VSIELKDRSLLPFPQDYTLLSPFIHQVQDTRFIHITAKTAPCEIVRSDRNYDSEVDRTPYLALIVGELQAICLAFLPGDILHGKDFSKTPLEEMKFT
AIIYAPVTKGSVSYDWRVSVLMVEEKGDFAERVGICLPRQPDTRIMNTKHDVIPNCFDTSASVPAYHPSRHGHQRVSMDERHANRMTFKKWIAELPT
RTIRLG
>RCO7_05300 | probable histone 3
MSTKQRMRLDPGEASTPGSAAKKRGRPPGSGAGKTTPGSMAPKRAKKRASAGVEPGDPLPLRKKRRYKPGTKALLEIRKYQKSTDLLMLKLPFSRLV
REIALTLRPQGLGMRWQSQAIQALQEASEAFLVHLFEDTNLCAIHAKRVTIMQKDIQLARRIRGAWGGLG
>RCO7_05301 | related to Rho-associated protein kinase
MELSSAVAWLESLGYAHTDIRRENLILDGEDHLKLTDFDTMEKIGTRALGCSPPWARCLGPEAGNQQRSFGDYGARYESFAIGSVLYFMTRGHEPYD
DGVFGPEVGGAQVALLQFMLFPSLGTDPLDNIIRKCWYGKYQRLENLAEESKRLAGCSIRPRATCLDPETYKQAQEECQRLVLSGFLEVET

>RCO7_05267 | uncharacterized protein
MLLQGNSKNTQRGSGKLDSDLEPKKQKRRAQVRKAQIEHRQRKENHGKHLEQQIIILREKIAQTETQVVLFKHENIAIKASLQGNSFPLPLNFPFSN
PASHINTNVDIDMLISNYIAPTSLSWTQNTTLVRTIFDPFLDEECLQISHAGSFPLTVESHSSFGAYAAPDLSVLDTSISLPSPDIFNSKNWKPAVL
AQQEREKVYHQQRIEKEGGRGGNTAGAESLGEQMETLAINFILALEHPCRKHFSPPSTDPWDPEGRPSGHELMASTHLFSHPSSFVLAQPHQHPHPH
RDTYQHIISHSPSNPPFPLHNTLPPPITSTLLPPNPTLKTNTTKTLHKPPRTPVPPPNISFTHHPTIGASPGSTWLIPPPTLQNLHAMSESMVKEDW
EMTPVQAWFLLEGRYGWERLLNQTTPGSVDVDVDAIRGGIDERMEGARGGCEAGEAGGEGILDSLKRRLAKLVTCQDFGSVIDENGFWGVVRSVLGE
DGGGKWV
>RCO7_05266 | uncharacterized protein
MSTTRLTFLYPALLRNWCPRIRTKSSQLSRKAYANLCCSEQRGSQARSRCLHSRNLVRSRPRSAFCTDPNSSSGTNSNSCYQSRKPISGTRRSFSTT
SRKRERLLQRHGKAVEPFLHGEETVDAVKLFMPEDKGERDRRLEGEKKAAGKEGEDAKEKEDTNEVLKSKTKEQGTVVKGEPSSTAPLSEETQRAAY
IPGDEGSGSENPTKVKETAADGKVETSQNPLSANTTSTSTSPSAPPPPIETVLHMPPPETADEENASKPPHLQTPPYVHHFDTYTLVQQVEAGGFTG
EQAITSMKAVRGLLALNLEVARKGLVSKSDVENETYLFRAACSELRTEIQNTRKKNEEAMRRERTLLQHEVDILNQKLSQELLTLKDDLKGMFDDRK
MSVRMEQRTMESKIQELNYKITVLLNSDSKSEIEGLRWVLTRRSVMGILFMAFMVLTSLRFASYKSHEDEMRAKKAEELAKSELSFGGNGHGNGGGF
GGGGGSGLSKGDLGTAEILAAS
>RCO7_05265 | related to kynureninase
MSGHDGEGRHVYGREYAVSLDSQDTLRQTRDQFLIPSKAQLKSKSLSEVARDASSDASIYLCGNSLGLQPRLVSTRMEQYFTTWRTQGVFGHFKPLD
ESPLPTWLDADAKASECIAPIVGASASEVAVMETLTANLHLLLSAFYKPDINGRHKIIIESQAFPSDHFAAESQILHHSLSPETSLITIEAPSQSQP
PLSTSQIVSIIKEHGSTTAILLLPGIQFYTGQFLDIPTITSAAHEAGIFVIWDLAHAVGNVPLQLHDWNVDAAVWCSYKYLNAGPGAIGGLFVHENN
GQVATRGSGKKTFANRLSGWWGSDKSSRFAMDNKFIPMSGAAGFQLSNPSILDITSLNASLEVFALAGGMGPLRAKSLKLTAHLEKILSDSSAHTNK
YFEIITPKEPEARGAQLSLKLQPGLLDRVMKGLEERSVVVDERRPDVIRVAPAPLYNTFTDCWDFVDAFGKALDEAVEESGCERM
>RCO7_05264 | probable NAD-specific glutamate dehydrogenase
MSKTLTIITTDFGGITQFPEYFEPITTDIDLESDNMALPDRTPNNKVVDEILSSPNRRPSPQPTHFPMHRTGSNGNGNGHRVLRSATVGYVAPEFEG
KQEQMVHVKDKLQESTWIPASLVDEQIAWFYNELGIDDVYFQMETVDAIVSNIVSLYAAKIAAFAREDRRQEIRLDMEATDHAIYIDTSEPGITNLN
GPRYEHRLENKYLDSSSDSIYRVETFRSPSNLSGTGPAKTTLRCYFVYQCQFVDSNPSPQETRLEVISDRLFLAKATKNTKQIYQEVIELAVARTGP
VIEVFDIEDSKEKRLVVAFRRRTAAGMFSALSDLYHYYGVTSSRKYVEQFSNGITVICLYLKPAVNLENNSRFPPLDASIHQITKEISLLYCIPQNK
FQPLFASGRLSLQETMYGHCLMVFVQHFLNRLGSEYNSLVSALDAKNTAHIELLSMIKKRLRSQTFTADYIHEIISTYPELIRSLYAAFANNHLALG
PGYSEEFIPSTPSAEVLSDNQLKDMISKTVSNEHEEVVMTAFRVFNNACLKTNFYTPTKVALSFRLNPAFLPAIEYPQPLYGMFLVVSSESRGFHLR
FRDIARGGIRIVKSRNKEAYSINARSMFDENYGLANTQQRKNKDIPEGGSKGVILLDAAHQDKGSVAFEKYIDSIMDLLLKPETPGIKNPIVDLYGK
QEILFMGPDENTADLVDWATEHARKRGAPWWKSFFTGKSPKLGGIPHDAYGMTTLSVREFVKGIYRKLELDPSKVRKMQTGGPDGDLGSNEILLSNE
KYTSIVDGSGVLVDPNGIDHEELIRLAKKRVMISQFDISKLSKAGYRVLVDETNVKLPTGEVVDNGNTFRNTFHLRDTGMTDSFVPCGGRPESIDLA
SVGKLIKKGKCTIPFIVEGANLFITQDAKLRLEEAGCILFKDASANKGGVTSSSLEVLASLSFDDEGFVKNMCVGSDGTVPEFYQAYVKEVQAKIKD
NARLEFEAIWREHKQTKIPRSTLSDTLSIAITKLDEELQKTELWKDEKLRNSVLEDALPNLLLKKIGLSTIIERVPDNYLRAIFGSYLASRFVYEFG
SSPSQFAFFDFMSKRMQKVQAE
>RCO7_05263 | related to alkaline dihydroceramidase Ydc1
MSFLPSIPYPPASGGDGDGNGYWSPVTSTLNWCEEDYYLTTYAAEVVNSCTNLIFVFLAYKGIASCVRYGHDGVFLLGFMSYLVIGLGSIAFHMTLK
YPMQLLDELSMIYTTSIMFYAIFSHNRSPLACTLLLTLTVSIAAFITLYYHYLQDPLFHQNMFALLTVIVVLQSMFVMERTLRPRFKPLLYTHIHSQ
SQPIAHSRSNGNEDVSLSVAEKKEEAWKEARDLAVLGMMWKMIACGLTSVACGFLIWNLDNAYCSTLRRWRREVGLPWGVLLEGHGWWHIMTGIAAY
FNLTWAVWLRYCMDGRQDEVELEWPSLWGSVPVVVGRGDGDGNAMEKMRRIE
>RCO7_05262 | uncharacterized protein
MLSSFIKLACPVVLLLTLTIPIVAVSTSGSALENVWDIINSTGRVLPAPHIIPRSPIGHINRRDVQLGTHSINLEPGVDFQDCVAAPKCKGMCTFSF
IEHSSWWSHAVMHIYDESCNMIGENTHVPRDWMADPRGWGMPSKLPFYLVLHIPRTWNQDQPADVKWDYGNYRNMGAFANNMFGGAYASTFRVPSVY
MTGAREGSYTVGRAGFQCGYN
>RCO7_05261 | uncharacterized protein
MQPTFLTVLALSLACIGQASAGDSLNKRAVTVAPPACAMTCLGTLIPQHCSSLADTTCICTNPELAAVLLPCAVAACNVTDSLQLARYQAETCEIPN
DMSRYWLQIHTYAVLLPLTTLFVALRIFARKRLNVGLGSDDWVLLVAYAFYITMTSTAWIIAVTGFGQHTFWLLTRQVQKALKFFYISELLYLSSIT
FTKLSLLLFFRRIFPDSRFRMATLLVGAFIVTSNIALFMALALQCMPVHGIWTNWMFKVPPVKCINVFAAVYAAAGMSITHDVIILVMPIPTLLGLN
LGIKKKANLMVMFGVGSFVIVASVIRLPSLMKMGTSSDPSFDQAPVAFWTGLEVSVGIICACLPACRSLIGYYFPRLQMSLNNTSGNGRKTPGYDSP
SSGTKEYFNKKRAARDSFLELDDHSKSSSQEELKSKKSQPKMHTNIDLSRKSSDHRTKDGDSDSILYIQQNSPEPIEENFVPADRKGFGHMVSVAVG
RGGRTGSADGEKDRTARDIVMTKTLDLSTTSRL
>RCO7_05260 | uncharacterized protein
MAEEKTPERLRVIIVGASVSGLTLAHCLELNPHVDYVLLEGRDEIHPEVGASIVILPNGSRIFDQLGFLDDVLEAQESLVQTMTWSENGDLLATSDA
PALMKKRTGYAMAFLTRRNLLKILYSNIKEKAKVLTSKRVKNVEVSSTGVTAICGDGSTYDGDLIVGADGIHSAVRGKMQDYIDILQPGAAEKDRNS
ISAEYTCIFGLGTQPKGSVLTVGDSHRTYGKNHSTLSFVGSGGVLYWFLFSKLDKRYHGKDIPRYGKEHMEEGVKPFKNILMAPGVPYGKVWECRTF
ANMSCLEESQNQHWVSDRMVCIGDAAHKMTPNMGAGGNAAVESAAALANQIAKLPLKPSQVEIRECLDAFYTKRNMRANLICDAANGLTRIEALNTM
SDKIVALHVLPKLGDALWDLTCETIMGAECIESLPLPTRSQESTMAWDPESGIGKKESPLIRALWALPLLSITYICQETMWQTVGNLTFLASKAGSL
NLGNGVVIPTVSRFVGFSAIDNVLAKFVALFTPAITGLDPIGKMQGIAFLADMISVQTIWLIESIRRGNLTTTSYLMHTLLSVAFQVKGLGFIAPIY
YFLHYVQSPLSMYAAPDNRLTNIASAKVIVPTIAISYIIPSVAMFAAPGIANKQLINGLFFQPFPLYAALVHRLLTKTVKDTTQKDRIENVTADMMW
LRLAYGFATATAAAAYLYVSLTSPVPLSEVFFKGISNPSEALPLITGAAKVFRYDQITAFTAGALWVLLSFKDLKKAKKIQTGWLGVVGVFAGTTLF
AGPGAGMTVMWAWREECLAKGKNQGMLAQKGDDC
>RCO7_05259 | related to spherulin 1A precursor
MQLTSIMASAVLACVVVAAPTSSPAAATSTAVAPPPAPPTPAGPSLTSQLFIADTAADRFGLLPKDDQFKFSFGDPAKKGKGGLGGDLIAANRKAFP
ALVGTGSGMAVGFLKGCGFNTPHLHPRATELQIVTQGTLEVEMVPENGVFNIPGDAKSGRRVIKNTVAPFEMTPFYQGSVHTQFNPNCEDAVFIASF
NSEDFGAGQIADELFSLSPNVVSAAFGDAINGADVEKFKGTIPVAIAQGVELCLKKCGIAKR
>RCO7_05258 | uncharacterized protein

MEPYKLPPTTSYLSLLVLSLFFAYPGHCATTASGPTAAISIKSAPPFATLRPCAATCLVYQGSFACGVNNGYYDLAIELSCGCNPQNFCFCDSKAGT
SASSFISSCVSKGCGADFPGEVANARDIYNGYCATANVAAAVQTSTSGVTASASATSTPKIPISNPNATTEPRSKNSVPTTGARTTVETSVPGGATA
ASEKKGLAQSDVIALAVGLGVGVPSLLLAVATFCMQRKKRERQHRASPEVHYVNM

>RCO7_05257 | related to extracellular chitinase

MLCSFLIYVLVMASLTNHNNVPKPDMVSNITHVAIAFMQSATFNEENPTQWPFFTTVEEVRSKFARGTTIMVAIGGWSDPGFSKAAKTESSRRLFAR
NVKAMVDFTGADGVDMDWEYPGGNGEDYKQVPNSKKEWEITAYPLLLAEIRAALGPSKVISAAVPGLRRDMLAFTKTTVPLISNSVDFLNIMTYDLM
NRRDTVTKHHTGIELSLDAINAYLENGLAPEKANLGFAFYIKWFKTDPNGNCSANVPVCKTVLMEDPKTGADLGQAGAFSWIDDVPAEFQNSFSKVL
RDGTYDEAHGGHYYWDENENIWWTWDTPDAILKKFPAIVDKKKLGGVFAWGLGEDSKDWSHLKALTAGVKKSLSDIPLYRDEL

>RCO7_05256 | replication factor C subunit 4

MAITKGEEKGESSTSAAKKVLTANTNGVANYELPWVEKYRPVFLDDVVGNTETIERLKIIAKDGNMPHVIISGMPGIGKTTSVLCLARQLLGDAYKE
AVLELNASDERGIDVVRNRIKGFAQKKVTLPQGRQKLVILDEADSMTSGAQQALRRTMEIYSSTTRFAFACNQSNKIIEPLQSRCAILRYSRLTDAQ
VVKRLLQIIDAEKVEYSEDGLAALVFSAEGDMRQAINNLQSTWAGFGFVSGDNVFKVVDSPHPIKVQAMLKACYEGKVDAALETLKELWDLGYSSHD
IISTMFRVTKTIPTLSEHSKLEFIKEIGFTHMKILEGVQTLLQLSGCVARLAKLNMDSKKFIAAK

>RCO7_05255 | uncharacterized protein

MPSTARFNSEEASHAAWEGGRGAVAGAAKWGFFAAILGGAGYRMSPIYRGLTIQFKVFLQMSGMILGACLEADSRVREYEAKIRMERRMLRDRAVWE
SYEKEFEDEDPTEKSR

>RCO7_05254 | related to P.glauca late embryogenesis abundant protein and YBR177c and YPL095c

MEWLGHASISFTNCATPLALAKKDGTATDLLSICEESTPRCQLNPLLFNGHVQTMWTAIKNDGPPIYYKRKLFENEDPAYNGSFAVDFVVPDNTEVD
NTLPIRTTYFSEEDFKGIESLDNRPVLVVLHGLSGGSYEIYLKHVLAPLVAAQGERQWAACVINSRGCAMHKITSSILYNARATWDCRQTVKWLRKT
FPNRPLFGAGFSLGANILTNYIGEEGAACELKAAVICSNPWNLDAGSLALQRTWLGREIYSKTMGSNMKRLIELHHDEAAKNPALDFEKIRNVKYLH
EFDREVQGPTWGYPTEGAYYRDASSTDSLFAIRIPLFAINAKDDPIAVDEALPYLEVKQTPYAILCTTSLGGHLSWFEIGGHRWHARPCVNFLNKMA
FEINVDNIVDCAKDLPSKDHFSHSRFRPMHRKWANE

>RCO7_05253 | related to CYC8 - general repressor of transcription

MSYQGGPAPGNGNGYWAGHGPPNTHNTHDPRPQQTATNGSQSQHAASFNQTHGYQAGQRQHWNQHGQEQYSNPNYLNNNTSYATNNNASYAPPAVQQ
QYQTASQFISPAQLLQQQPPAQTRLPQPYQRDLTPSMGRSILNRVYADSPRPTAPADPSHNMAMLLVSLAEEYFESAHSLAPSVLSSMTDGDVHAYE
KLVATGLGCLETALKNLKLPPRLEANIRLRYAGVLFEETENHMEGETALSQGIALCERNHYYDLKYAMQFLLAKFMAKKNPKASMKALEGHISESEV
YQHYPWVYAFRLLRASHSLVSGIATENHAAIVNLNAVTDLAEQLGDYAVHLTASLMKAITYMKRSGTEAMDNIQASIAAAWRYQTEPSCRIPQLVAL
THILAVACSIRQGNSKAMVEDLKKMQMMMDDALKNGNWSTTSDTMSIPIQRTLKSSQIVSSDTRTVLGIGGDGGDNLMICFLNKKDTYAITYLLSGV
VLLHKNSADQKGLKFLKAGLDLLEADTKSSKKLPGLLPELITQRRWRGQLLCYLRVYMAFCSAGLADWSETKRQIDALMATSRSFDIAPTGPLEILA
MYLTGVYHQGIGDLDRALNIFQDAKFALPTAKNLITTSMDQLYRDISLLAALNTLWILQENDRQDVNQNTALIEKLRPFCEHHPSVDLQTAFNLVWA
TVPTNPPVQMYQVKNYLRAALNGASATANTQFLCITLNVMCSRFFSNVVGDQAEKSAMAASTQATNSGNVLWRSVADGMLAQCYEVQGKKDMAKETL
QQAQYFARKAALGSGPS

>RCO7_05252 | uncharacterized protein

MFSTISRGISRVRKAYTCSSCRCNIQANGYPQQAPQQRLNRATRAALNGFSTSSQIFEDGDVKNNDEGNKSLKGKKDDLEPATGDDLTPKLKDEPKG
QERGRTGVDKLTPLSRSMTTLRALRDSLLSEPMSRWSEKAPIDASAVAVRPGLATLRRKRKRDAASLRNRAEGSKSADMAKDTQKVDGSGGLPSDQT
LKDKLPPGKSRGQITRKQKASPKAKASSSSTVSKSREDRSLNPPVVDGKGRKSIAPKGPLDDVQQFLNENPSLRNKVKIMNKQGPKLPIQQRIEKLL
EDDSLSEAERLQTLRTVVNFRQTETWPRLVSTRSKVPRSIANGKGLVRRINSTEDEVAERPGVSVKAQPGTTAHEIKTVDADSLQLVPLDTGPLKVP
QLSYGLERVLFNPGVYQLQDPRSRVFNFDPYLQTIMPVSEFDFNALKQYVTSSRDKVLISKAIEEKKKYTGSTSSTTSALAHFHFLLSQWREITTSN
LSKMFPVEFRTFTAIQRTPTSIFLRWRDGAYAIDADKQYDTANILMSLGKSMEKLLTLPTDEFERYRKSNPEGISEEERNAAEEFHYTGMGDFLLRS
QLDAHDSRLPGTGMFDLKTRAVVSVRMDADDYVEGQGYEIRGRHGEWESFEREYYDMIRSAFLKYSLQVRMGRMDGIFVAFHNTERIFGFQYISLPE
MDFALHGTTDTTLGDQEFKLSLDLLNRVLDRATAKYPKQSIRLLIETRPAQTPFTYIFAEPFTEAAIEKVQETNKANIEKFEKAVLGVVNRGYSEED
QQKEWDKIRAAVDESVEHDEAGREASGGDLDTSDLDSDLDNGEDNEDLAENEDDSEEDDLLEEDELADAVSTGESQEFADGDEVVDEDAEGDDQETD
LQESEAEEQEIEDLETAQGEGAEMTDIVQPEDVQDLADLDDSVEVDQENEDKEVEAQEPFETAKQEADSSEEKDVSNLRMNTGPAITEDESIDMNRK
PGNMMAMTLTIKNKVNGRYVERPKNLTSDDKWSVEYALSEIKNQESVARLYEMAKKRREAANVKTIDMSKDSFNNEFLQRIKAMNEKGREWRKKQSE
IDQQTPTKTLNVKDGEKVTSKDHGLWTEDGNDGGEDKA

>RCO7_05251 | related to DUF410 domain protein

MSSKIEKIIVRLQGKITEGAYYEAQQQTRVVAARYVKSASWDAAIDILFNVSQSLLKAGQGGSGGDLGLFLVDVYKQAELKPDSTSKGKLLTLLRAF
DSEEPTRKKFIGEMIGWSAKCGEYPAGEPELHHVAGSLYAEEHEAYEAERHLTLGTKDSPEVFVKMEYEWYTQDDSHTAALYAARVVFPYLLVGNVR
DATRSLRLFTSRLTEANKGLSVQDVSSNSLDMRIYPSLPLLNFLGLLLLAVQKGSAGLFTQLRSKYAAHIQEVGIWDEALTTVAEMYFGISRPRQGN
PLFDMMGSMFGGGGGAAANVKPQPKRVGGTSAPAAEGLD

>RCO7_05250 | uncharacterized protein

MPERRQGTSSSSTHRSTNVRRNLFQQHLTRRPTTSSTSTSAETLRLDVDPESDSSDIVIRDKNGEFEIEDLPVQPFDEQDEGAHGEEKEDEKERQRL
ADAVKHHQRDRNRAPSEPAELLEAVRASLRAKVNALAEDNWMYEAEDEAALR

>RCO7_05249 | probable Protein RAI1

MSSTFEIQPIGRFVGQSAAIKRPKEIACFSYDDKHQFRLDDSSIRYYYPPAIGADLSRGFDTFEKLDDEADDHLDSLLKAIMALEQETGKRVETDLI
TWRGMMTKIMGAIFSDRDGFLEENHEYKRQSQARQSRQVSQPGRPSQDMMSFWGYKFETLCLLPKTWDETPRDYIENRENEIVNNHAQYCSVVKTGI
GRTTMVLGGEVDALWDSKPKDGGPINWVELKTSAEIRHDGDLMNLERKLMKFWIQSFLLGVPKIIVGFRTQDGFLKRVEEMDTASIPSTVKRRGKGT
WDGNMCINFASGLLDFLKATIQGDGVWRIRRKERSPTIEVFRIEEAGHGDIISDEFINWRIKLALSDPLPAVPDPNLAPAPAPASERVSSPVFIPAT
PVAPAAAPGGYVLGL

>RCO7_05248 | related to malate dehydrogenase (oxaloacetate-decarboxylating) (NADP+)

MPGSPATTRLSSSVATTAAIKMSPDQSIQNESSNPPMENNSPSKQRANIHPDTSYSIELRKSFGVHGLTPPNVESHTLQLTRCLKQLASKTTPIEKY
TYLSNLRNSNVHLFYRLVLTNFTTIAPLIYTPVVGEACLKWHEIYQQPEGLYISYKDRGHIYEVLQNWQQPNVEITVVTDGSRILGLGDLGINGMGI
PVGKLALYTGCAGIRPEATLPLCLDLGTSNKELLASPLYMGAKMPKVSEQEEADFLDELMVALNKKWPGIVVQFEDFKNPFPALERYQHKYSMFNDD
IQGTGAVILAGIINALKKSGVPVKEQRAVFMGAGSAGVGVAKQIVECFIKEGLTEDEARRCFWFVDTKGLITDDRGDRLAQHKVYFSRDDNKGLQFK

TLPEVVDFVKPTILMGLSTMRGIFDEHILKTMAKLNPNPIIFPLSNPSSNSECTFEEAIKHTNGTAIFASGSPFQPYLYKDKIMIPSQGNNMYVFPG
IGLAAILCKSVHISNSMIYASAVALSNAITPAELTDGRLYPELDRIREVSVVVAREVIREAQRQGLDREPSIRDLGDRELDRWIRERMYDPTKGDVL
RANL

>RCO7_05247 | related to lactose permease

MADISEKHVDHHVAEHDEHDHSLDKGQVVASKVLIGDETFNSAMLKEPPHPRNWIAIQLYLISVVGFCCSTSNGFDSSLFGNLLSQDNFKEFFSVGS
VGIGAGIVSSMTQIGGVAALPFIGPAIDTFGRRVGMFIGASIIIIGVIIQGTVVNTNNTSQFMGGRFFMGMGVSIIASAGPCYVVEISHPAYRGIVT
GFYNVFWPVGALVASSACRGCLSLSGHASWIVPIWLQAMFPGVVFLSAWFLPESPRWLYTNGKQEQAKAFLTKYHGNGNPESEWVKLQMWEYEAHLE
LDGADKRWWDYRALFKNRTSRYRLACNCVVSLFGQWAGNGVVSYFLSGVLGTAGITDTTTQNNLFVAMNAVQCIVSFTGSMFVDKIGRRPLLIWVNV
ACSICWIGVTAAASIVAPEVAARAAAKEAKVVYDASGDNKAASVATVAMIYIFQAVYSFGWTPLQALYPVEVLSFEMRAKGMAFSNLFVTCGTLVNQ
FGFPVALDKIQWKTYIVFLVWCLVQAAIIWYFIPETKNRTLEELDEIFSAKNPRKASTAKKQIHLDEHNNVVGVEDSNLNAL

>RCO7_05246 | related to myosin light chain kinase 2

MFRSPLGHLSEDYDEQQHIGALRWEDEEGRTIDTLIAHGDELIIGRDPFVMPWPRSGTCKTIPIPIAVDANCPFVSKLHFRIYSVIFDKTDPSVQPL
IYCEDLESRNGTYVNGLCIGMIGRERLAYLLSHGDVIEVRPNWRFKFHQPSLSSPGNCRGNPDDIECFQDLYTIKKDRVLGTGQYGTVYLATDVATS
KQIACKIVDFSKVADHPYDTSIVASAEERVKLQREILILSRLNHPHIINMKRAFFSETSMYTFTDLAPGGDLYSYIDRNDGPLSDCHARIVARQLLE
ALKYLHSQGIVHRDIKPENILIMHTNLGGRVVLADFGFAIDARPKGGRMLSRLGTSGYIAPEVNLVETSNVGYTSAADMFSLGASIALLLTNHSIAP
RSQGTQVSQIQLEELFRDLEKDAAWQDLTSRALRFLRRLIAADPELRMTAEEALEHSWMTKPPTEAAAIEQCCRKMVQYWKRRDTDEVVIELPQRQA
KELQEKSRRSKSKIPDASSSPYFSLERHLHRRKASQRRTVLEGLSKTHSQFVTTNDVSKPTRLRIVSTHGSDIFGKSPERPVKGQLSGDEEGLLISN
TQYITSSTAEENSRERAADSQIEADRQSMSSRCNTQNTSQKRTRTVSEDPKEKNLRDEVAKNGPKWQSAKELKIAIMRRRVEVQRHDQAREPGPPST
LTIRSAG

>RCO7_05245 | uncharacterized protein

MRAKWRKKRVRRLKRKRRKTRARS

>RCO7_05244 | related to DNA-directed RNA polymerase A (I) chain

MSGNVEKVKKRKRRTDGSSKPSKRVAIEDDKQIRVSFSETGTWAPVIASTPGLAVPTSIHLKPYTKARKNVPSKSSSIIAKELILHSSEHPKLDYTA
HEEESGGTDSLLKHYVGVYDPETGKMEVMEARKMVIRGSVRAQQVAAEDELSRDMRERRDILGQTFGTKKAKKAITSNTENAISPNKSARNKNNPAK
FDPATAAILSGISETTKGMATRDELAQRAEDAKPRPKPNRDATQPQDVYTTDDLIGKDVMKAIPVKVWQDTVKANKELPVLSRFAAGRLRGVIMNVE
KLKILRYMVLLMRVLGSTRLTRGVRMLPKRDELKQFLEDIPETVLESIKRKFTDAGTITSFQVDLIRTHLCALACIVDNFEVQTFDLMEDLKLDTKE
MSQYFSEIGAKIVVLGESERRKQGLDKASAAQRRVAKLKIPLEFPKASFGRRK

>RCO7_05243 | uncharacterized protein

MPSQETQQPQAQQMELPTTGQVNSEQPRPTEQMTAEPMSMRGGGGGGLCCGL

>RCO7_03414 | uncharacterized protein

MPYSEDQRNLAIISLYTSITCPSSSASIQIDNPAFNTHTDIVGGVKELQLDPRITREEFLSVKLSQGNVSVRDKDDATRTIVRVALMLDCSMKDKYS
EGFEISGYTPARWEPDEPFDSSLQRAVPKTFKPYNRASEFEVFKKELKAWKLKKRHNLRFRPTDNIMEHLLYDPQSRTVKVFHHTSYLKAHLARSAQ
QPIDMDAHSSLKLGTLPPQLLLETLDSFHYILFPVSLDRSGKSQKLLNKLISEYDFDPNSKWDEGHIRPLPEDFAYHYWGDRLAQLHAIVKNPPPNK
WRDVLV

>RCO7_03413 | actin-71

MADLLHNAPIVLDNGSGTIRAGFAGDDLPKCYFPSFVGRPKHLRVLAGALEGDVFIGQRAQELRGLLKIKYPLEHGIVTDWDDMERIWEWVYGEGLK
TLSEEHPVLLTEPPLNPRSNRDTAAQILFETFNVPALYTSIQAVLSLYASGRTTGIVLDAGDGVSHAVPVYEGFAMPSSIRRIDVAGRDVTEYMQLL
LRKSGYVFHTSAEKEVVRMIKEKVSYVAADPKKEEKEWAALSGKMGSDSRVVEYALPDGNKIKIGQERFRAPEILFDPEIIGLEYPGIHQIVVDAIN
RTDLDLRKSLFGNIVLSGGSTLTKGFGDRLLHEVQRLAVKDMRIKIFAPPERKYSTWIGGSILAGLSTFRKMWVSIDDWHENPDIIHTKFT

>RCO7_03412 | related to IQ calmodulin-binding motif domain protein

MHRASETLSDPDHNMTDPTGPSDIPEDIPEDLDLINEESNDHRIHTPPPRIAARFYRPTTNRRKSSAASSRRNSISSAHSHQSQISSRHGESQSNHV
AQHLRRASIIEDRKARLADRAAHAEKVRLRAAVAKAAPRSTTNSEERALAAQQAREKNLAEIVASCAEEVKRAKGIAESMKEKREAEGKKLRREMEE
KLAEAERRRDEILSRNSSSKRGRSLSQLRKSSSPLPSVRESISEEIAAMRIQQKWRIYRRARALKNFASLGLTIDSVRETSFEDVVDLLAQEKVLVA
TAQILRICGLKEGETGSVTEMTAVRTFLSAFLILGHPAQVLSGKIDIQEQEQVGVLPMRRDDLANPQLQDLVAKARDLLISFENVLSRLNSANGYTP
PIAQLTSLSEVYATFFNAFIAWKARDSTTLIDMMVLQFVELDSIWQSVKDSTEEAVTDSYRDGIRENQLKLMVRIKRLAGAQQGKRLITNAMREARK
TRTVKKPVGDSRPRAAESLEVEQPMLVDLAASEKAVDSQLQTLTPPATPQRKQKSQADELRIVRSILPSNRVVTHEIAMNREYRMDEDALEERNTIM
QAVFERMRQAIASGNSDMWVLAMAENIRGRLQQLLKEGNSIYQMIAEALDHEKVARELQAGSFSYEKFFSFMASLLPKLCAPVRDADIKDIVDNQMQ
NGDVVERLQALMRGIDLMQLDYANYMLQQAAPHLIKNSIEYETLMFGSMVEEKSSNLPRTEYAWREARSKVVAEHSRRDPEMVNLARARPTPEKMYA
QMIVDVFTSLDSSVSSIPETLALDSKRIARIRADILRIVTCGAIILQCKNLLKRDVRSQWKAEATRIFSVLENAKTPEQASQGIQAALESSRSMPVA
TKNHIKDLVLRIVTTSAAASSVGEPRELSDPVTRLLMTRLRGHLLNCLSATTEKEKVKIASTASEKLASLGLPEFVHRIGAIVDEMAKVGALDKESH
GIWYEEIAKRVEAEVSGAAA

>RCO7_03411 | uncharacterized protein

MQLIVASIGLFAAVAAASNNTPKHFHARRAYNESIPLTTLTYVATEVETITSCAPSVTNCPVRQSTKTSAYTTVCAKSAASSASSALSSQACASSTA
RAPIGTGVSTKSDSGYPTGPIGPLSTGASTKGNDVYPTANPSGSVVLTYTIGHGTSTAVITTTIQHTQTATAYEPYPTAPESVSTNNGVPTTAPEPT
TTLTGTSTMTRYITVVPAPSSATGVQSVASACVPVTVTVATTITVTAPGTCPVTSTDAGIISAKSAGELTTSAPGVEPYPTETPNSQIVSLSTATVI
PVPYPTAAPYGNATQTNPTSTKTKKKCSSIFPSGATHPSGAAHPSGVAHPSGGRPVNVASSSTANGAVNTPPVYWVTPKNPVYWVTPTPKSQGPVAT
QTVYPVKPEAVTSSSTADAAVATPYEAENPYPRK

>RCO7_03410 | uncharacterized protein

MGEITPPKAVPGLAEQISEKTSGFIHSRKHRDLLDIVDALRSNGVSHYVNLPQIISCGSQSSGKSSTLESFSGIAFPTAEGLCTRFATEVILRRSEK
SETKVQIQLSASRSEEERVKLLKFHEKETDQKYFAKIIEAAKIEMGLTGTGPDAKVFSIDILRIESTSPTAPNLTLVDLPGLFSASDKNQHAFANQP
VTKFAREIDPSGIRTLGLITKPDKIDRGSDTEKLDALDPAQLGVSALRDRLREVLWKQIEGAMPGVKYDVQLGIKDCAFKLNQLGKSRSTSKEKHRY
LHQISGNVSTIIQTAIDGVYADPFFVSYPGQQDAFDRRLRANIQRILTIYAGKMVLHGHALEIVEDDLTPIRRTNSSYIMRSSYLEIVKELLAESRG
RELPGTFNPLVIGDLFSRQCKPWEYITQNLAEQGQRYKALTRAFEVIAEAACGFMTKSAPDTLDDTEDNFDINLRRLLQKLQDRTRPEWRNTPFLWL
PMWPQLTTRFLSRDSSIMSALMPWKRVSSSNYQKCKFSPDVAWELSDEQVELLGSEDDRTVTERAELQKKKAILTKALIYLDAVTARCGARGYKACF

LAFFTPRTNSLGEQRELFGSLFGLDTSHVMLFSAHWIATLRFEVNIWLQDRMRLTDVYGKTIGDWIRMMPILADLVQVGPEL
>RCO7_03409 | related to cytidylyltransferase family protein
MSKSASSDPDPMLTHFRQALQSFRTSKAPFRILSSIPKPLNSTSLPPNPPPKTIYILDSSFNPPTLAHARIILSALQSSTSTSIPHRVLLLLAIQNA
DKAPKPASFEERLAMMEIFAGDLLAKFKSSAASQPEQNEVGIDIGVTTLPYFADKYPHISPSEAYPLPETEQVHLIGYDTLVRLLDTKYYPPSHTLK
PIQPFLKKHRVRVSYRADDEWGDREAQGSYLNAFKEGQREDIGGLREWVTEKRIEMVEGRKEGEDVISSTKVRKAIADGDQEALAKLVTMGVKDWIL
RKRLYTD
>RCO7_03408 | probable steroid 5 alpha-reductase
MAIIEKWMPPSRENWELIVNVFKFFPLVTIFQWIQPWYGAGKTSTKSRFNIPGKIAWMTMETPGVITLLYVMNTLPAQVGMSQIPWENKVMGGLFTI
HYLYRAIICPIIAPSMSPIHPLVWIMALGFQITNGLCIGSWLGGHGPTTRLDWQSYGNTYIAGGRIELGLFIWAFGLMGNMFHDDELREIRRAALRN
QEYEAQEVEKSTGKGKAAKKGVDKVYMIPENGLFRWIFYPHYLCEWFEWAGFWMVGGWGCVPARTFLINEIAAMLPRALQGKKWYEERFGIEKTEGR
KAIIPGIL
>RCO7_03407 | related to aquaporin
MEGELIKRPASPPVPPVSPMRTYQQQAQRGYSPERPAIEGPFSSEDLRGGLRRRPSNQAPLRRHSGGEYDRELPGFSQDGGSRRALRSRDDGYYRED
ERGYPRREEHHPDSIERSRPPRTYRNMDAWERTPGSASKPFFEESRVDRDLEAGHGWHQDRKRVSDEESIDGYNYDAHKHTRPSLNFKSLSAEEKAE
VMRLPWTQWMNSNFKNHFVATIGEFVGTTMFLFFAFAGTQVANIQSEAATDSSSTTNTTSGGATGFNVSVYLYISVIFGFSLMVNVWIFFRISGGLF
NPAVTLGMVMVGAVPIVRAICLFFAQIAGGICASAMVLGLFPTKLNVRTTLAGGASLVQGVFIEAILTAELVFTIFMLAKEKHKATFIAPVGIGLAL
FIAEMVGVYYTGGSLNPARSFGPCVVTGTFDKEHWIYWIGPMVGTFIAVFFYKFIKMLEYEMANPGQDGDADNDPTQNEEKKAEIMQRRDTKKYARS
H
>RCO7_03406 | uncharacterized protein
MSTSVLKSSCCTSRTPPSPDAVPSRPAIPAVKPKNRVSKDHVPSWISADTKELRAMFEEADVTDPCSAKHISRKDSAKFREILEGDKFITDSDFEEV
KTKKSSSTLQAVTQKLKRHLSKDEGLSKRHSRNSVGTSEEEIERRAELRRIRERRIREELSNEGIYDDDAKSVPSPPDTPLKNDRKSSWIPGNYVPL
PVLFPVSLPLPELDPFEKAHELLLDTESPFKKSPRCQSNTFTPSTTKVNSTASISRRHSSPALSIWDLEHDPGQEGLVYIPSRKRSSIPEIPAAPMI
RAQRLPSLTDPAISAWRLSFSVDKRGQHLRKLSQGYAVPVTLDTELLREASPPVERWLHGPGMRSPSPSTSYGKGKDVTAQNCSAQHVGDCTKQDFG
GVDGAKEASSPIHLQEMEISRRLASGGLQSSASTPQLSSWGSHQRGVSSISNFSQAATDERDRNSGCISDSARLSDHIPHSWGAVVEHPSSSVYPSS
GNSMQPSRESSLLNILSLFPGPKGRRSQATTEATASESLCNLAKSPTADLSSASLAAPLRRCPRPSPDDSSLVASETESFRLREVELSNVETRFASS
DLVRGRNTPVSSKFKEEFDVESERPGIQPRKPSVFNRLAKLAVKSYDGSSRVEELLDVPMPSFDAEKLRTPNTPGRNASFSSTKLVGPLAKLDDTAH
IWGIAIKKDGRAEQVADKLHIPGREKTDVRKKSAVEDEIPKSAFETLIGFRKGKKKKSDAHETKSSAEEYNERLQERLAVKELVMDSWEDEMAATAA
KAKAKSRTIVKKAKPTMPDRRYPSTWARFNSEDREKRCISAGAPDHIDIKDFAALGRKDDGEILWCLEHDDDGHHTEIAGHEKGIRDKIGDRIKQRA
YEFDTGDGQFLQTGGRRGSLTVAGELEYPELEVLPITLRTTEEIEAEIRAELEAKALKEKKEAEAKKPNFPKLLFRRWANDGSHEVDGQGASDCESE
ISIADPRFYDDCVIYPVEMTPWEPSLVRSQTVRVTGTQKKNKYRTWHGKDREGYLATFGSADVNRRGRNATMGNMVMRKSTDDYFTEVERMERLEKE
RVLSVVEGAWGDEQRLLD
>RCO7_03405 | related to a-agglutinin core protein AGA1
MRRSKSRKPPSLHLKIEPSREALPRCSSVLSDCDADDEGFMSSGDFLPSRPLSLAIPSGPYCPRRPTLQEVLSNNAPPPWTLTAFMQYLSQNHCLET
LEFTMDAKRYAKHYRDMSDKDPHTPVSPQSPECEYVRMLWQKLLDAYITPNGPREVNLPSNIRDHLLSQACEHSPPDPAVLDSAVKIIYELMDESVL
VPFLNSVAPSRGPETHSSPWTSDESMADAYMSGSLNERSMSPAKSRSRREGSPPTGSDVIAHTHNGPSPRHSHQSHLTAALVGRAGVARLSTYLSGS
SGTSSTESPDHMTDDSTDSPSHYTSALEPMTPPNTPPTSNAGFDVSPGASPRIGKESSSWKKMGAKLGWKKSRSGHSSGSSSSRYPMARDSDGGSGG
L
>RCO7_03404 | uncharacterized protein
MEHPVAGYSNHREIRKKASVVRGETSPRLSEGSQSPGLEAHPGSPIDLTGRRPSLTAAMAVQRLYNGSEDFSKFETWPKLEGRIEKGIMRSGVAAKL
HLNEVDGGVRDVLKIPKRRGTGLQQPFYIPAKVPEQDEILHVTIPSDSKMVLDTSVETSSMDIDFEQDNGTWISAHPIGHESKTSLATTTTAASTLV
EDRFSNGALTLDTSIASSAASMMSSRGSIQSATTTTSSDIYGWEEELDRKASNEGRHDWERELAQRLQTGGRNFGPRYRDRGVGSSGGGGGFYAAGK
RKSLLYRVLNLSSSRERRSLAENTAEHPTGIVMSPASEYPTSAI
>RCO7_03403 | probable Probable cytosolic iron-sulfur protein assembly protein 1
MASQTNVRIHAIAEFKPISASRAWVSIPNPNGLPLIATATSDKTVRVYSLKNFTLHSTLEGGHSRSVRSVAWKPATKNTGTLCLATGSFDATMGIWR
RSEESFVAREEEKQVHTAAPEDDDAFEVEITSDGAKKPVARLIQGDESENDDDWEFAIVLEGHDSEVKTVAYSPSGQWLASCSRDKSIWVWEEIGEE
GEDEFETVAVLQEHTADVKYVCWRKDDGNGEVLASASYDDTIRFWRGDDEGEWSCVAVLEGHTGTVWSMDWEPEVSHKKFASESPQPADDYSPRIPR
LISASADCTIRIWTQAPTPPPPNKPSYFNTGIPSTMRPPPSDEVWECTATLPKIHTLPIYAVNWSTKTGRVVSTGGDGKIAIYEERTMGRTSVGGAI
QREWVVLSLLEGGHGPYEINHVAWCQRFDSGRSQVDEEMVISSGDDGVVRAWALDDVYMSEPVAVTV
>RCO7_03402 | uncharacterized protein
MEDVLGNTPTYRPTGNTRARALLHGFALGLDQENTDGGTLHEGMNPMIDEDGRLGRLIGDLYEPDLSTLSSILPDPSDGEQRRIAFDAALDAYTAHI
FVLNSRLTDTRTSANFNRTTGDPAYEFAPSTPEAEEAEQHTSEAITSPSPDPSNESSSDSTEVHTGTIMEDRCEAHAAEMRRLYYETDYEVPAEYGI
ADGPAQGYPQLQVAPQPDYDPREPPEDRFLSSRT
>RCO7_03401 | uncharacterized protein
MPGKGPMPEEIMALQGEIVSKTYKAGYVFLSYSVSCLGAFTTLEIMKRRAASNGSYNNLLLLAASLSMGGITTWCMHFIGDCAIVLGKGQPEIQWTI
APGLTIVSFFVPVIIQLIAILVAGSNEGSIPCTFLGGILAGLGAGGMHYLGQYSLLNYDCTFDVGLMVGATILAIVASVVALLAFFMLRAAWHTSWW
KRALCAVVLASGISGMHWIMSIGTSYRLNGWDPDISDNFSKSTVVTVIIVMSLDDVFGVGHPVFQWLFRASRNWRAISHLFPGMRRHLIRTGIRARM
GSLDDAALFKESGTPINDYSIVFRELFCLAVTELGADLHQPIERLGVLYDEVITTGLGVTVSEKGQKSIATMASSLLDLERDGNDGSSLGKGQLLFL
VSRAERFQVERLEAIGFRFAHPSSVNIILSNSLKVGSRVLARHLEVMRTYYTDHHILEPGIHLGCFAIRASIAVGRRGFDILVRRDAKNQLPTMQAP
FDLLEPWHIEYLNSMDAKTVSVLGKQLHKDSKPSNKDAKRRKFAKDFLRTLEALKEEIEDPLFSDSMLISRPFEIPCRGKDKDSPPGVALMIAFRII
LPLHCRAPGRKLTFTPLDLFKTQQRVYENSRDHVWFAKSIYREFVPLLEVERSYTEDYDDKNTSARPSSIRSSTATKHSRNNVSMGEYVDMYGNQLP
EQFSKPYCGASKVRFWDRPRSVSKRRSENLSEQSLPKPDPEHATNLTAPEQQMKGGNKSLWQAHSSAGSSIHSPTRLLTLVGKNGYISPITTPLATP
AVELLNLDLPEIKPRLSWNVPEDSEGESPLYVDSLFALTVAKRKF
>RCO7_03400 | uncharacterized protein
MATQVPTIQVLSRQNYEDQHIVPLPNAYPLAPLSSSSIRVKPTIISLTTNNLTYARFGHMLGWWDIHPLPTSIPSQYADPAKFGRISCWGYGEVIES

NVSSIETGTQVFGYLPIGNLPVDMKVKMNDKVNHQFFEVSKHRAHVLTIYNRYYTSPPFKNGQERSQALEEQGLESNYFLFATAYCMNRFLFPWNSA
ELATPSGAPGDSWNLQKGSLDSNTVVLVFSGSGKTALSFAYGLKHGRPADKTPQSIIAIGSVASKSFTEGTGLYDQVFTYDADSGDLISELGLHEGS
KIVICDFGARGGASDRWATKLLQTHKDVVQLGIGGEVVAVTPEQATAAFIARHKASGDAKPTINASAVTDQAMDLVGEQSYFDDYQKAYAAFKKQGS
VKGLRLVWGNGMSDVGKGWERLYKGEVGPDEGLVFDLRG

>RCO7_09803 | uncharacterized protein

MVIHLESWVTQQYKEVGFGKDGKGPFIGKSALKNRLISGYPEHKTKIRQLVNSIKHQDAAPRSVQTAKSITTPPKMDTTPTYGEPKMHPQNPISLQP
KQISPTKKPRIRIISDQNSDSGFASCSEDDNIPNAPGTRITQTTNLENYSSDDGGASLDVLLPAIPSARKTAKTSSVGTITKITTNLKMIKLNEFVS
QAQDLDLAPQDEAEGGPSTLDLQLSLLNCSSTPDSSAEKGSIGGIKNAVLFSADMLGSPDADQLLQYGLLGNLESVSSTANTHSRIFLNTNVPFSAF
VCGVQGSGKSHTTACMIENCLIPSSVLGVLQKPLSALVLNFAEYTSSSSFRPCELAFLATPSPKLPTRIGTKRINVLVSPSNFLSMKALYTLIPGVN
VKPFKLQPKDLNISTMLTLMSVNKNDAAPLYMGIVTKVLRDMASKTAEGFDYLEFRRQLDNAGLDRKQTDFLAQRLDLLESFLDLDGSAQSLDFTAG
EITIIDLSCPFMDASTACVLFKVGMGFYLGSDPTVGKIIVLDEAHKYMTDTPASTALTESLLGVIRQQRHYGARVIISTQEPNISPKLIDLCSITVI
HRFSSPEWLDVLKRHLPIFDRDGEKSNRADLQKTILRLKTGEALIFAPSAILGASDVAGERKIDTNKLFSMRMRKRVTWDGGKSILCVE

>RCO7_12004 | uncharacterized protein

MKFLPVFLGCIAVTHAASFAIVCVPQTPAKAGDAQWAAQHMKKELALNPLGWWNGKQRSCTSYSTYQQVDVFTFCRSATYGKHTAHTGYGDVTCQLL
ATSGLDCSNDC

>RCO7_09801 | uncharacterized protein

MTSESDQYDTGATGGTIPASVLFGKVEHAAEVEDTDTPRYSNGVEKEKPMEGSIVKPTGGLYSSWEGLQPREDAHGSGSGSGIGSEIGIARKPLPSE
SAIVLESIPTNIQNPSSSHDTDFATSQPLPSTPAASTTNLTSSPTAPLNAPIQQDFSSSGPPSSSLTSPSPSPSANLTSNNDIPQRKEVPQSSGRAQ
KVEPTQYGQAYSARNPPPTVEGFRKSEKQRQAQSKQYFAEGTTNDKGQEAGRTAADTTGHESTKNEEDGARAGATEDVPIGAEKSNVLFQPTPNVDL
SQAFKAIHKDARQVSFVICVAVVLLDWLFIGGGWKGLLKSLIPAAGVAGGIYFILVSVGASAGTQKMEQAEAKVEKLRYVPESVEWMNSLVGTLWHT
LQQEFFDGIATQVNDTIKPLIPKGVPVAVKIAKIGHGAVPVRVLSMRSLPDSEFGDLVPSHGDARDASPADKARRDKQIETEQGGVFYNLEIAVAYH
EAPLRPRTDTMHVDIVAMLGPVPLPIFVQVKEFVATVRVRLQMHPDLPFLKNMTFALTENPKVNTAVSIGAPWAFDILNLPLIDTTLVSQINAAAQD
FVQPKSMSLDMTTYVGGSDQKEDTESIGVLFVKIHRARNLARQDTRGAGADPYLTIAFSKYEKPMYATRIIKGDRNPVWEETAIILIKAEHVKRNEN
VLLRLWDSDTTGSDDVSGVCEFPLQELVLKANEMQKREDQLQGDVSGTDAEGILEWEIGYFPRAGYHKALRTDARDPRDHRGEKVEVAEKEKVQDAT
NTVPDPNLPSGILALTIHQCINVEVKHPSKKSMGYVEVQNQDDDGEDAGDVENVSIDYIPSLYVSADINDELVYRTRVKHISSTPTYNSSTEAYVRD
WRLATLNLSVWDTRKKSDDCLVGVAAVKLSDIFHESSSVVKFYDLKGGEGTGRIRVSMIFRSMMMKLEESLLGYSVGSFVFTSPIIATGDMNTSRIN
LRASGSKRTIKASKDSDNRGRTWELEKPKNIIPVSHRYLSPLVIEFVGSGLTESKLAGPLGKSKHYALVWLHTLIDNKPQTFTLPIYRTSNPDRLLQ
NVVDSSDDDMSLEKIGTVQFEARFKAGIDEAHEEFLEDHNQWCTFKAWKAARDSGQREDQANRSTSGLVDELAKGIDRSMSIKV

>RCO7_09800 | related to meiotically up-regulated gene 190 protein

MKPYSARNKVPTIQKLGEELAERLNLQNADASKAAAGKDSEKVAKAKAASRRRVIDPTTKNEVVIQDVDGDFADSIRHPKITVPKAAVNSDRAPRPK
DLPGIPKPYLPQGDGEDYRAVLDDLAPPEANPDKTSDLLHHSKNHEVIYHPLPIADLAQSFYALEGTIMYTTIAATVGLGVLNWLFLGGGIKGLIGS
LFAGVILSSGIHLWLRGIQESANAVNWDAERKRATAATESLVPESVEWMNSLIGVVWGLINPEMFAAMADTLEDVMQASVPPALIQNVKVSSIGLGD
QPFKILSLRSLPSADEEEGHGKQMASGEGLSEEEIKKKREERELEGEDDPSMKYYNLEASFAYSAIPAKGVIGKAKNLHLEVIFYLGVQGLFGVPLP
IFVELNGIIGTIRLRFQLTPNPPFLRNLTFTFMGLPKIDASAVPLTSKGINVLDLPLISGFINSSIAAALDIYVAPKSLIMDMSKILQGDAVKKETD
AIGLIYVKLKRAEGIPAQDKSGKSDPFITLAFSEFGKPVYCTRIIEQELNPSWNEQTCLLVYQDQLTSGERLSVELWDSDTVGSDDKVGNIEFDLRD
LIKDYANNIVERRDELKDDKGKTLSGHLYWDIGYFPRSNFKDSMKTDGKDDSVPAEIRDRPEFQDDKGTVTTAQEVGVTTTPPDPTLPSGICSILIH
QIENLEVERPSGSFGSYKPWTPAQITGENTDEEGDELPSSYCTILQGDELVFRTRTKVHASNPIFNAQTERFVRDWRNEVFTITCRNSLNREHDPIL
GCITIKLSEVLHTASQCTKIFALDGGMGYGRIMVSVLFRSVGLQLPRNMLGWDLGSFEVLGDKVQVDNDTTGILSKSRIEVHTDVGKSAISRSWIEQ
ESSGTSWNLQRVKEAHRDMQKHRIIAPVRRRYQSPVRLEFFKKGSRKAIAYAIYWLCDLVDNKETALHIPVYKTPMPKQMTQNYITNIEMDKIKAER
IGTIRMTVRFKMGMDDTHLQWLKNNNQRETYESWLCTVAEGYRTRVVKRETPETVKQLVKEGKVFSPGTSMKDDMKSEFGTIRSRNSNETESRTIRN
GDGHRSSDSDSDAEDEPDPVKVPREAPGYEQEVQNYHQTSTDQQWDSFGAELSAYTSVPSSIVSDDRSSLNIQEDFTDSEIEDEDLKKRRQKQDKVH
SKYELERKQRGKMNLKVVRHLAFLKDEMKVAGHRLKGRFSMKGKEPGIETEM

>RCO7_09799 | uncharacterized protein

MDPKQRSRRLDQIAKEAGVILEIDLTTLTPQKTPSFKVSDDEGKADEILGQLKIEDSVGTPQSKGLRRFSGRISKSLYTYDELYSALSRVVSDNGSA
GVVEVLLGRFNAVEGNINLSRRASISVIKRIRNTDSAEQRGRLIHTATEIGRIDLLQLLAPHADQSSLDQALKIAIEKRDLESVETLLRYGANSALY
DETFISAAQDGDAELLSLLLRASMRVSEDCMTWSLLSATTCGSLDAVLLLTRAGANADYDNAAALMCAVEMNRLDLAMAIITSPNAPSGENLDSILG
NMFTTITSPATKILLVEVLLCGGPTGNATSEALFKATLLANVEMIQLLLAYQADVNLEGASALAHAIQRNRGDLVSVLLQGQTLMPEYASELVQHIP
RGCESKDRIAILSMLLEHGASGTFCNELLIVVAEHNDLDTAELLVSYGRDQSESVCSVDYNAARCLQVAISNNHLEMVKVLALKGKPTRFSLANSFS
YIPPNICKDDYFLLVQTLLRGGAQGVEVNEALHDAATGNHKSSRMVELLVQFGAEVSDETLFACISNGAIDILAFLTKGNIKSTSCAEAITIAIKAH
SNGIRFQLVRLLLGPATSAGPDVPQIASAVITVLQNTPEDIKLLDLLCREGKANINHDHGLAVVLAAKHMNPMTLEIILQDEGCLPNLQTIERGLRC
ALDLPLTDVDRRNKIDVLLRRGKPQDAMDQALINEIESSLATKDFSVIESLLTAGADINAYGGRALCLATSRKSIADLIVASRPNQQTLSAGLASAM
SLQEPARHAMCEQLLAAGASGEEIHRSLCIAAMEGPTALPLIRLLLPHADVNFNDGEVFRVVIREVFSEALDLLLSLHPIMPSPMTKAIAFHEAMEI
KDREGRLKLVGRLLKSRIPEPVIADGLIVAVSFGEIELVNVLLQAGASIDFKLGAAIHSAVSSGNNAILKLLVAKKPTLATLSSAFEGASAIKSQPE
VYFLILETLLGAGLHGPSIDAALLDAVRGGDQEMKISELLFRGGASLEWRDGEALAIATQLGSMEMVQLLLERPAPQHVLARSWDIATQLPKDHRYR
VVELLLQAGKAVDQHVSNALTAATKEIPSDRNLIKILLNAGAFDQGESMVYAAMSRDLRTLTLLSNSPKATETISSTFQKATSTGTLWQSATGLAIV
ELMLKKGACGDSVGEALCQAMERFETGSDVLAAEFVEVFLRYGADVNYKRGLVLQRAARQINTDVIEKLLPFANVESKAMSMPYLFRSGNDKTSVQQ
ALEAFKESLSGEDQDAIVMFRHPDPELQPILFQALEKYPRDTTILRTLLDIGYSPNQWQMGGDELNPERWPILCWALDQLEKKISTAVIEMLIDEGA
SINHRFMTGVTPLTLAIQKQRADVVLKLLNKGANVTQPDAEGITPLNLAGSFTNTDIMGYILQAGAETDDGSLHDVSRQLRCDAMRTLIKNGHEVDF
PSDRHEGRSALAELCLRAMDDSPSPAKLEGAIQCLIVNDANIREASYSGKTIFHYALDSSDPSTMLAVLLKLMWKFINEDAFLFTDKKYTYSLTKYV
EKGLFAGPQKQKEELLQLLRNKRAKDRFWANSIDEVQPEDYCDGPPHIEAEVRLQKTRLKRLAEQKEDMQRAIELKRAAVAGEVEFMHLMTEAELAR
ERQKGQVERELLTEKAATALQLEKFADAQRDTMLTQKHTREEGHRRQLRDIQIATQQAIIAEEFEKERTSSMMQIEFLERRTQIEEASIRERVDIEN
NGIRMRLAIEAGGYEEQEKFHAKQYEREMARIKMQKQLVAGQTTLAGTLQGGRLNQRQIGFITEP

>RCO7_09798 | related to laccase precursor

MLLGVLFSSVLVIKLGFASVIPEKIVRERGQFTAPGSGHGWTKETGWGQHKNKNYHEGKDGGWGQTNCENGPQSRSCWMGDFTVETDSEERWPVTGK

TVHYDLNISNMTLSPDGVPRQGLYINGQYPGPLLTANWGDMLEIDVTNSMQDNGTSIHWHGFTQVGSGTEDGVNGITECPVAPGSTRRYSFRATQHG
TTWYHSHFSHQYGDGIVGTMQINGPATADYDIDLGPIAITDWYYESMYKLGRVADGSTPIPGKRGPPSASNGLIDGQNMNVAKNAGHYFNTTLISGK
KYRLRLVNTAVDNAFMVSLDSHEFTVIQADFVPIVPYATDWLFLAIGQRYDVVFTAEEEPDNYWFRAEVQKGCGTNDNNGQILGIFNYNEVSLALPT
SKPVATYTEGCADEVDLEPVLKKSVPEGEFRKVYGFNESSTLTVGLKQNEKKVFFWTINGNAINVNWDKPTLQSVSENDHTFLSNKELGIIEIPHAN
IYTFWVIQNSGSVAHPIHLHGHDMFILGINDPEDILPPSVNGTSKPTYFTSDNIADLNFDSPTRRDVAMLPGNGWLVIAFRTDNPGAWLMHCHIAWH
VSEGLAVQFLEREKDIPEAMDLGNVGDDCKAWDKWYNGRPPTKSDSGL
>RCO7_09797 | related to lysine permease
MADFSKYGPDIINSSDNDNDADIEGKNAHIHHAGPPIVADKLARKLSARQVQMIAIGGTIGTGLFLGTGKSLATGGPASMLIAYSIVGAIVFLTMLS
LGEMAAYIPIAGSFCTFSGRFVDDSLGFALTWNYWFNDAVSTAADLVALQIVFQYWDTSLPGWGLSLIFWVFLILANIITVRAYGELEYWLSLLKVV
TIVIFIILGIAVNCGGNTEHRYLGAHNWYIGDAPFVGGIGGFASVFVTASFAYGGTESIAITAGETKNPTKNLPRVVKNVFWRILIFYILSVLVIGL
NVPYTYPKLATKTSSTSPFTIVFQMAGSKAAGSFINAVIMTSVISAGNHALFAGTRLMYSLSVDNHAPMIFAKLNRNKVPWIAVLATSLISGLCFGA
SYIGAGQLWTWLQNLVGVSNQIAWTAIAFTSIRFRGAMEAQGRTHLLPFKNITYPYGPWICLVLNIVIILVQGWSSFSPKFAAVDFVSYYIEIPVML
VMYFGWKFWKRTRIVGLMEMDLETDVYVPNEHDLAQTEKEKSARGKVEGVLRWIF
>RCO7_09796 | uncharacterized protein
MSVHETYKIAHTARCKLQLAADRPDRNLRFILGHAFTLDKLRLRIAEIEVSGSSDSDSEAEDDGLENPTCSGYGAPARPSDTAGIGANGRRVSFQTG
KSDVRSEKDRRRSPPPPPPQPPMLEEDTESEEDDIEEDDEEEGDLGLVRFGSAAAQPPRILDEEDVVGEANRGEEIEVTDPKNYSEEELKKLCEGKS
SEELRDAYFGVAGCPCHGKHLDGPKVENFWELPQADGAVGPRLAIMQVA
>RCO7_09795 | uncharacterized protein
MADSSLIRAGEGGSGAGFEQQGSVDWVALSGSMLTFSIEILSRFWNARVEMVTIVMGQALFSKSNFKSDGHRRFTEAISKLKAVSSYDNLLWFGFGV
KHVIRTLAETEQGIACAGICARLSVSYDSFNGSKVLKAMADIQKAPKTMTPPLSQWSSLLGTCAGGVNFPHLVNGISRFLSPSQEARECFLSSPTTP
EALAGVLVELARVSDGTLHNVTLVGGIDGSRIAAVAQWLLSLRVQIADSKGTIVYKSQGTSGDQFPQVTIFRQSGIDRLGTSIMSRSLLVPQGVCYF
HLGHPDQKDRLQQHILSSERSPWSEILQDSFGETFNKLLSPCNITIFARFLFLSLDLPSEKDEDKNVSNMNPWQCYSTNLIARRRSWLDFTAWRLPD
LARLSREAYFDMSVIDSKVPVEDLHLEMLSICLCGSCRNCPPSGSWRKPTTMCSLRLGMAISQFIYTLSWSDMDDALKPSSDGLRTTYLNRGQSLAY
PNSYVNGVQNMSKSIRESRRSLWPRPIASAIFPLFTGLNFSS
>RCO7_09794 | probable ATP-binding cassette multidrug transport protein
MASHEPEGFEPIVREKTNMSTNKSIKMTRSHTNNSYYSRRRSNRARDDSDDENENEPISSDWSMMPEIEAFKAQGEKDAVKGRKLGVTWKNLVVKGI
GADAAISENVGSQFNTLRAIKEGRQKAPLKTIIEGSSGCVKPGEMLLVLGRPGAGCTSLLKMLANKRLGYAEVEGDIHWGDMDHKQAEQFRGQIVIN
TEEELFFPSLTVGETIDFATRMKVPFNLPSDTSNPKKFQEDSRKFLLKSLGISHTNDTKVGDEYVRGVSGGERKRVSIIETLATRASVFCWDNSTRG
LDASTALEYTKAIRAITDIFGLASIITLYQAGNGIYSQFDKVLVLDEGKQIYYGPRQEAKPFMENLGFICADGANVADFLTGVTVPAERRIKPDHEK
SFPRTANDIKQAYAKSSIRESMEAEFSYPTSDEAKTNTEDFRIGVSHAKHKSLPKKSPLTVSFVTQVRAAVIRQYQILKGDKASFIIKQASTVIQAL
IAGSLFYNAPNNSAGIFVKSGALFFALLFNSLLAMSEVTDSFSGRPVLAKHKSFALYHPAAFCIAQIAADIPVLLCQVSVFTIILYFMVGLKASAGA
YFTFWAIVFSTSMTMIALFRAIGAGFSTFDAASKVSGFMIAALIMYTGYMIKKPQMHPWFVWIYWIDPIAYGFSAILSNEFKDTVIPCVANNLVPNG
PGYTDSAFQACSGVDGAVPGATSLTGEQYIASLSYSADDIWRNVGILWALWALMVFITIIATNGWKSSSGNSGFLLIPREKAKKAKHLMADEETQIV
PAPAANTNESSGSSETRVEDELIQNTSVFTWKNLTYTVKTPSGDRVLLDDVQGWVKPGMLGALMGSSGAGKTTLLDVLAQRKTDGTIKGSILVDGRP
LSISFQRSAGYCEQLDVHEPLATVREALEFSALLRQSRDTPREKKLEYVDTIIDLLEMHDIENTLIGTTGAGLSVEQRKRLTIGVELVSKPSILIFL
DEPTSGLDGQAAFNTVRFLRKLADVGQAVLVTIHQPSAQLFLQFDSLLLLAKGGKTVYFGDIGKDASTIKEYFARHDAPCPQDANPAEHMIDVVSGA
LSHGKDWNKVWLDSPEYEHTVKELDSIISEAAAKEPGVKEDGFEFAMPLWQQIRLVCGRANLSMWRNTDYVNNKIALHIGSALFNGFTFWQIGNAVA
DLQLRLFTVFNFIFVAPGVIAQLQPLFIDRRDIYETREKKSKMYSWIAFVTGLIVSELPYLVICAVLYFVCWYYTVGFENDSGKAASVLFVMVMYEF
VYTGIGQFVAAYAPNAVFASLVNPVIIGTLVSFCGVLVPYSQIQPFWRYWIYYLNPFNYLMGSLLVFTTYSVPVVCTEQEFAVFDTPVPGQTCGQYL
EGYMQGMGAMSNLTNPEATSGCKVCVYRTGADYLATINLPEYYYGWRDAAIVALFAISSYAMVYLLMKLRTKATKTAS
>RCO7_09793 | related to SPO76 protein
MAPRRAAEAVSEEPEEDLVSLTFNEPLSWRAGKPIATGELLKRLDTLANELRDMGELAIDKDSFGKVAKELAGQNLLGHKDKGVRAYVACCLVDILK
LCAPSAPFTPSQTKDIFTFFITSILPALSDPSHAYNAQHKYVLESLVEVKSIVLLCDIPNSEALILHLFSSFFDMISGSTKASTGESIAKNVEYHMT
QMMVTLVDEAQSLPANVVDIIVAQFLRAATPGSGKALKEVDGKQTTLLPKELPEAYNMAKTICNSCKEKMARYVSQYFNEVILEVSAAAPTKSNGHS
KNDGESEDEDAHTGPTESDLQELAKAHRLLRELWRAAPAVLQNVIPQLEAELSADNVQLRTLATETLGDIISGIGAAGPPPPPAMDPAAYPPMKLED
CPQSPISDSILTTPISAQSFAQAHPAVYHSFMGRKNDKSSVIRSGWTTAVGRILTTSAGGIGLSRDEELALVQGLCEKLNDSDEKVRLAGVRAVSRF
SFYDIISKLAPNGSVNKSGSVLCSLADRARDRKPAVRTEAMTVLARIWGVAAGEIAADNEAVKEALGGIPTKIFDSFYVNDLEVNVLLDHVMFEQLI
PLSYPPAKKAKAANGDSQTQINGDAPYDPDKIRTERILLLVKSLDQKAKKAFYAMQSRRTTYSQVVHAFLQRCEEFNGGVIEGDAKAVKNKLDSTIN
WLANLLPDPMRTTQELHKYAKLHDRRSYQLLRFAIAPETEFGIVYKAIKEFQKRINAAPNAPAGLLDTLTPIIYRSASLIYNRSHQPVILNYGRTEE
NGLAATARSVMKEISDKHPEIFKASVKELCKSLEEQTPTKSRANDAGSVDTLKALASFAKESREDGKSEIDPSPKFAKTLISFALYGTPAKVAKYAV
TILHSINPARKEMHMKDLLDNALSGWTFGEDHFVTRLAAISHLHLLDPKLMEDMNDEIIEITTQQILLKTRTSKSEDDPQWQSEEEMDDECQAKCWA
IKVLVNRLRTTDDPETAKTIAVPVYKLLNRLITKGGELSKQNDTPSHHRSRLRLLAAQQMLKLCKIKTFDELLSPAEFNQLALIAQDSLANVRSGFV
EKLQKYIVKGKYPPRFTTIMFLTAFEPSTSFKNSIMTWIRSRVKLCRDTKSTIFEQLFPRLLHLLAHHPDFSTELEELADIGKYIIYYLSTVVSEET
LALTYKYAERVKQARDLLAKDEDNIYILSDLAQTLIKKWEEKKGWSMQTYPGKVGIPAGLFGALPSHAVAQEIAEKNYLPEDMDSLLDVLVRKADQK
KQKRKSDDHDGRPAKKVKSEPKSRPVKIPAPKKEKVIREKKTPKPKKASTRQFSTPDPSSTDRRKSGRASSAKKNYADRDDSDDDKEMWDGVTKWEY
FEKDGLTRVAPPEAASDAEEGEDAEDAMDVDEDAESAVDEPEEERNEEPEEHPREEPEEQVEEEKTDTPVPEAEEEDSALSAEAVEEPEEEQEKSTP
VTNKRSLPSRTSSRRKAAPPASSPAAPTPAKTTKAKVAPKKTLKENVPEVKTAAKATPKSATKSKAKEPIAKGKRATRGKGAKAKDVFDMDESD
>RCO7_09792 | uncharacterized protein
MKLPSKILWLAAHLGHVSGSIPLQAHDAAFKTHTTRASHIFASSHSVAQRQPTAKPALSHRYALSHTFALRQDTAALVLHINVSPVPTVVHGSMAML
PASIIITSTPGNSPTALFRHAAGILQEARITTVTSVLRPANITTSKPTDIESTYLPVLSMTSIVDELVTVTTIPLITSSIPVPQSQVQGSTTTEPSF
VLAPLTTATSILTPTSTFTSTSAIPLIVPSSGSYSYLGCFREGLTTRALGEAFFPNDLNTIEKCAAACFPYVYAGVEFSRECWCGNIMEEAVPKISD
EFCNMPCAGDEKELCGGIVALGIYIRGKLASSDPNPTLKSTSRLAQTSIATSRPIMSSTAASSAASTGPASTPSLFSLSKTSLSRSDPEIPTASSSS
PQIFSPTPIFSSPSISTAPVQNMKIMITEHMTETKIITISSTGCRTRNSTSIASLPSPKMPSPPSGSTFTTFSSVATFQTPVIPTSAARVPYSFQAL
PSQHAPTTKHALTSTIKLNPRPLSGIKKELVPGISTTSQRPSHTALPALDMPISTFSFSLLSTPNSISRKIYGTSTHAQSTTHTSFSTQAGFVFTSD

TSSSQRTGVGITGIWFGLWVLLFIF
>RCO7_09791 | probable mRNA-capping enzyme subunit alpha
MTGPVGSLTAPGIKAEGELLFRMRSEVAHLLDRKNTSFPGAQPVSFARRHLEALTKQDYYVCEKSDGMRYLLYLTEDDKGGEIHYLIDRKNDYWFIP
TGALHFPIPNDQQGFHTRTLIDGELVLDEVHGGPKQPKYLVFDCMVLDGNSLMERTLDKRLAYFTERIFKPYQDLLKEYPEERQYQHFIMELKAMQF
SYAVEMMFRQILPTLPHGNDGLIFTCRMSDYKHGTDQNILKWKPELENSIDFRLQLEFPLVQPDAQDRAEGINEPWRDYDAVPTCNLLVYAGDGRED
PYYNNLHLDKDEWESLKARNEPLNDRIVECFMDTQKRWRFMRFRDDKTNANHTTTVDSVIESITDRVTEKDLIAAAKEIRDAWKRRGAEEASREKKE
IERKRVASMGVSNGPPKRKAEEQGPSRPSPGPPGKG
>RCO7_09790 | uncharacterized protein
MSTDQKDTAAFLEMQLAASSDGPSSSFITDEKDILELLAVLPDVFQLLFLQLGEDLNRFDFFKKLPMELRLMVWRLSFPRDRLVDMNEIVHVDMDHF
WRGLPEPDCEISRGTERNCPFPATLHINQESRKETLNHYCVVLRPEGYSQKLETLCYNPGLDTLFFSLKETPELRKWIELLQEASPRLFSLIEKVEI
RNQRPCLAFFETPGFGNAKGMELLRRSLVVLSKFSGLKYLKYVKYPFANGYPIWPAAVIKDQEDKIISAFIPAESNGFLMIFVDLAIKESQNGRLPL
FSIVQGSGGTYLGLA
>RCO7_09789 | uncharacterized protein
MSHHTMNDRTTALDPLAIKLSSEGVNTNQPFSSIPESLSITVVPDASYSLENPVEFPDFLQRLCLQLSDDPKEFTCSSKPPVGFRRLA
>RCO7_00661 | uncharacterized protein
MSLIIHCVACALSGSDCVDQASNRSRSCVRCKDRKKNCENLPQISHVAYSVWTRSADADENEAHADLVKVLKAWKALKPLQSSGLLSAPLASEVTTS
VVAVVAQQGQTAGGVPPALVLGLRRAS
>RCO7_00660 | related to phosphoprotein phosphatase 2C
MFGNSGSPPKELGGVPATQAETVVPITMDPANISAQNTGEENPVGEKRGGNGSPPGRQTADTGATVEKKRRSSGVGGKASSLLASAKNSLHFDKSPN
SAGFMRSQEPNTQTPLQKLGKQDPALSVPQGQHNNSAGESVPGPRSTFLVGVWEDKNKKCRRTMEDTHAFLYNFLHTPAPALGTNAPGTKSKSNDDL
VQNESSSSLVTNSSAEMMETDNGYFAIFDGHAGTFAADWCGKKLHIILEETIRKNPNTPIPELLDQTFTTVDAQLEKLPLKNSGCTAVTAVLRWEDR
IPNSQSATGSSAIAPAAAAAVQAQNDASKGDEKAADSGVDMSKSPPQASNIIPPTANTEATHARLRTTASRQRVLYTANVGDARIVLCRNGKALRLS
YDHKGSDENEGKRVANAGGLILNNRVNGVLAVTRALGDSYMKDLVTGHPYTTETVIQPDLDEFIILACDGLWDVCSDQEAVDLVRGQQDPVAAAKQL
VDHALARFSTDNLSCMIVRLNKSALLTTTKEPSSAIGVEGDPNCGTGTISESEKIVGEARRKVQEDGVPGIGISGSNSGKGHDPVAIPDSDETAKRI
NMEKVIEEEPSLVEGDTPEIDLQGAEAASPETKMKLQLPEGALK
>RCO7_00659 | probable class E vacuolar-protein sorting and endocytosis factor
MNIVEWAFGKRMTPAERLRKHQRSLEKTQRELDRERVKLENQEKKLIQEIKKSAKAGQMGACKIQAKDLVRTRRYIEKFYSMRTQLQAISLRIQTVR
TNEQMMQAMKGATGVLGNMNRSMNLPALQRIAMEFEKENDIMDQRQEMMDDAIDDVTGLEDEAEGEEVVEQVLEEIGIDLKNAMGETPSGLQSQIVP
EGRVAQAIGGGPSGGGGGGDPGDNDLQARLDSLRR
>RCO7_00658 | related to GTP-binding protein FZO1, required for biogenesis of mitochondria
MSQNYKNGKGKTNPQEESSSSNDRRQSSNRPQYMTVGSGSTSESAARLQALLDNDSGYGGSMAGDTINGAPIWNPTLAEDSPMHSPALRGEGPDADR
RVQANAIHQLWYNQHRGTLARSINNVVHTLESLQKMNASWPATYPSVQRAQAAQPRREDPRPGLVHTQTTGPGSKEITSPPRPGLARRSQTFGADPS
IVESSKEAEQRAVPEPRLITPQIAQEFSILKLDLKLGALHQAELVHSLEKTSIASLLDGKISSSIKHLLNLRERIEDTSSKVLVTGDLNAGKSTFCN
ALLRRKILPEDQQPCTSIFCEVLDARENGGVEEVHAIHKEVIYDRHDESTYDVFTLLDLEKIVVDHETYTQCKVYVKDVRSIDESLLNNGVVDISII
DAPGLNLDTTQTTAVFARQEEIDVVVFVVSAANHFTMTAREFIWAAAAEKAYIFIVVNGYDNIKDKNRCQKMILEQVQGLSPRTHKEASELVHFVSS
NAIPTAPPPPGGNGGSGSSSGGGDGPDFDDSDLKGKGKDKEKIQDFEALEQSLRRFVLEKRARSKLAPAKTYLLNVLGDVQTLATVNQEVAQSEFDR
VTKELNELEPLLEASKKAKAEVSDDIDRTIEATCQDIYDHTRSTLTASISQAADEELGVPYPGLLSVFEYAEDIKEAILSQISASVTICEEHARQKT
VEGVSSIKQLGLLHLGDEYTDLSFRSDVMFRRKRDVLARQVEIETELWDFFDWHTILQRQEKMAGTGMALTVATALGSRMVGGFGWVDGALGAAKVV
GNDSLRKLILPGIVATAVAATYYILLQIPHSLPQRLSSKISTQLADIDYVHSNSTRITSSVRKVLRFPADNLRVGLQRSVEQLGSKREETRKIRSES
EVARKYFGNLVNETGRIRNTVDAVDLEGPAPGVAAGFDP
>RCO7_00657 | related to TBP (TATA-binding protein) -interacting protein TIP120
MSSTQVNQNPTSQTVAQLLPKLHDADPDFRFMSLNDLCQVLTIGKPDLLHNDYNTAARAVDGILKTLDDQNGEVQNLAIKCLGPLVTKIPLSILPPL
IEKLSNLSTENSVDNSIPAMALRTVVTTLPRPMSGIVPTKEVTESYQAVSRVLIPRLIGRVVVKSSSSKPIKLPAAPAGMLDLESNKDIDPESVDLL
IEVVRCYGPMLQEVEVEALQSLLVSILEVEKASSVVKKRTVVAVSIMAIYLTDEGLSSFLSRLIESLRNPHLTLVQRRLYITILGSMARSISSRFGP
YLKTLAPFVLSALSQQELDEQKENSAEDGEPDPETDDVREAALIALDGFLSSCGGEMRAYTEETISALLRFLKYDPNYNDDDDEEMGGTQQDEDDMD
EFDDDDDFEADAGFDDDDDDASWKVRRCAAKALYTLISTRASGDLLEDGTLYSQVAPVLVQRFNEREENVRLEIISTLGSLIRKTGEGALVSFSADE
GADYVGHPPQGRKRRRASSAAFDTKSTLSMSAGLISPTIEPVPVSGPRADLARLSPVLIKATTKLLKGNSIPTKQALIKLLDDVVSVQKGGLSEYFG
QIVDPMISAVKTTSGSTSSSNMISSGGVASATSNTLRIAALRLIGDIASTHSSSLLHPYLSKIISGVVSAVNDKYYKISSEAIATVEQLIKALTPPR
SKLAQEKPDLQELFEVIVNRVSANDADLEVRQRAIKALGMLLARTTSPEGAVLLSADDRNSALDLLNERLKNETTRLAAVHAIDTVAALTSSKDQLQ
AKWIREVSLELSAQLRKANRSLRGASLAALKNLVYAPASRNAFDAATTQGLVGALLPLLTSADLHLLGPALLVLSALVADNPQLVATDQLNSGLCDL
LTAPLGGAVLEALLTLVTNIGQKGAGQKLMAGLLQNVSVNGDPAVVGKVIGTLLVHGSPSLGVTIDNFLSEAKNINSDDARRCLALAVLGEAGLRLG
AKSPLQPSTFTDQFGSTSDKVPLAAAVALGRAGAGNPTVYMPEILKLMASGGNAQYLLLHSIKEILQQAGQNSIDISSQTNAIWGHLLKASQPEDNK
AVGAECIGRVAIIDPKTYMPELKTYLGNPAPSVRAMAIQAIRYTLAENDDAFDAVLHSVLIEMLDVMLKDTELENRRLALTTLNSASHNKPELINPN
LVALMPRVLHETHINTALIREVSMGPFKHKIDDGLEVRKTAYETLYSLMETAFSRLNIVDFYDRIIAGLQDEHDIRSLCNLMLAKLIVLDPEETANR
LDAIATCFRQIFSVKLKDNAVKQELEKQEEAVKSCLRVSLLLHASIPGASSSATVQTNPHQTWRTYWDWIEKDYEFQLKSLRDDGKENLH
>RCO7_00656 | related to cylicin I
MAFSRAAALRSCIRAARPATTRPQLVRQIARRGYASGGHGSAKSGGDAIWALGAVGVTAPACYYILSNAPDTSHGHGDHGAHGDEHDEEHKEESEES
DEESKDESKDEPEAKAEEKSDDAEEKSEEKSIDKEEESEKSVESDSEDDKKDADTPETSDDEGEDTADGKNTKTVKPDAKGGNKKRLESKQGKKAGE
SDSSDDGDAAPSKPVGDKNSQTAKQEGLTNTDTKHSTDISNDPEKSKKAEGGPDTAKVKGTIDPNRKQGTYREGSHPPFSQ
>RCO7_00655 | uncharacterized protein
MKRMNATGSCESPLLLRPPPDFFSFNNIGIVYAIIGITVSLRRITLLIYYHCVSYSIAASQSVSMAQTYVRQAHFAIDQPKAYANGRTAIPTHRDSV
VSTELTQAKSRRASLSMAQQGHVMSAYNAALPSSSQRQPEIHNEGPVYNDWMSRFCIEPQHDVDTCCLGFWVPCALYGKTYWRTKRIDEGNDASNST
WHSKDGCNTACWGWCGIASCLGVPCAGLLSGIQRSQIRGTYGIKGNCASDIALGLCCPCCTQVQNDREVRAREGDLKLRYNPNYLKVAEEIPLVTNQ
PRPSQPMSHIQPMTYGPPQPVHHSPERKQQPKLSEKPNKLQKKNNSVADSNTARHNPTAESEGRPTAHDIEAQRQARKKALVQSAPKILVTEYEEKT

PSTEKSSPKSRKSSERKVGIFSKFSSNRQQTISEESVQETTEPSSAQPILVDCDVVEIEDPKSNRKVQITHTLVECATVESPPLELTKSTGPQEHMI
IECTTIQEDLLDTTKYPGATEHLIGDCERVVDETAEPVPALEQHALDACDTVSVSEDGPPAQELSYVHDFTDCPVDKAILEYYEKEENKAQQSQLTD
RIRTSLPAELLKVNRPISPHTLAECSDNESAPPSSPPSNQHSTGYTMQRANKTPSRPRQHRLLSCPIPTVQSHHVAENALANVSEDSEATQRPIYKD
KLHAEELGNSADGVSSGSGSGSGSGSGEKDSSGSTEDPTNTNDGVVRRKHRRRYKKQTKVITKFPGF

>RCO7_00654 | probable septum-promoting GTP-binding protein 1

MEAEGAYDPRAEGQDETMGGTVGGTGNEESHTPTRRHIQSQSADFPSSHQQQTYSGPPTPDVDPTGNGRYPTPPTSFAPSNSRPGSGLSGGGYSNMQ
SSYSDQNARGTSTDQSRNKNSVVIKVGMVGDAQIGKTSLMVKYVEGSWDEDYIQTLGVNFMEKTISIRNTEITFSIWDLGGQREFVNMLPLVCNDAV
AILFMFDLTRKSTLNSIKEWYRQGRGFNKTAIPFLVGTKYDHFVNFPREDQEEISNQARRFAKAMRASLIFSSTSHSINVQKIFKIVLSKAFDLKCT
IPEIENVGEPLLLYQQV

>RCO7_00653 | probable glycine cleavage system H protein, mitochondrial precursor

MASIARTLRPVASRISARPCRSAAPWRSSQFQSQARAFSASPVSPAKRYTKDHEWVELSEDGKTGVIGISDYAAHALGDVVYVELPTTPMEVEAGDA
IGAVESVKSASDINAPITCKITAVNDLLEEKPGTINKGPEDEGSSGGWVAKIEVGEAGVKDLDDLMDAKAYKEFTEDA

>RCO7_00652 | probable porphobilinogen deaminase

MATHEQLPSTSSRAPLDPTITNATIRIGTRRSALAMVQAEMVVASLKKAHPENNYEIHAMATMGDKNQVTALHEFGAKSLWTHELEAQLLDGDLDII
VHCLKDMPTQLPQKCIIGCIMEREDPRDCVIMKKGLEYKTLLELPEGAVVGTSSVRRSAQIKKAYPHLKFKDVRGNLGTRLGKLDAEDGEYSCLILA
VAGVVRMGWTERITQYLDSKTPGGGMLHAVGQGALAIEVREGDEKVMKVLEVLSDEASTLSGLAERSLMRTLEGGCSVPIGVETTWIEKGKLLMKAV
VVSLDGQESVAAERLEEILNAGDADEFGWKLAQELVEKGAGRILEAINLNRPIIKEAGGA

>RCO7_00651 | uncharacterized protein

MARTSPPYLKVPNELWDVVFSYDFRGKDFLVLSIINKFFNLAVEPSLYSNFTWLPKLCTALPVLRELKDRDLRTHTRGRRRNHIELPREYFSHQTPY
LLLQAILDSPRRAGYLKTVKILAPTSEVGVFWDSYHAREYGFSEAHFETCKKTIDQLPPAYHSYWIDGLYKGKLEVILGVLLLRLTGLENIEIRLRD
VPATRSAVIYALSCPLASRPHHYRYPNVKTFKLTTDYVHGLPLNAMLAHKEEDIFQTYQPVPSIFNYKKLKNLSMTHCSPGNYLEGRLNSAMNLTKL
TLRDSCINENQLATFLAATPHLEDLDVELFYDDTIPQYLDCVKLKSALLLVHKTLKRLVLDITVHFDLLNWSLPWAVQGPMGDMKAFTALRYLDIPL
KLYATEIYQASQSASLESWSEQRIDYLGQRMPDGLEWFGIRVCGKDSMSYEPHYHVQWCVEAYLRNSGVKRIVYVEDPWGEDYDTDGN

>RCO7_00650 | related to glucan 1,3-beta-glucosidase

MKESVWLTMLQAAAVVAAPPHRNLHRRQLGNFESTTTITDFVTETATITVTVTVLPQTENSAPSIILTPGNPSPPASETLVLVPITRTPTEGVFLSS
ICTSTVTADVSVITTSSSSGTAQVLPTLSTTNPNTSGTVMTSLRTSGYPSSAPIISTSISAPSTTISPTVPVTLPPSPVEASMPSQNIFQPVATEAP
PPVIGRRTDHPVPRLGIKPQSSPVGTNKFYENFFLGSQSSATWTHPYSVAWVRGNGASKSWGMSITHLDYDQKVYGPDPDANPVKYFANPVGIQSLV
LSALELGESTTLSTDSLTAFSVKVNLSPSAGAAPAISFPLVQGMGFITGIFTGGTPILQTGVFFRSITKATSDPKRGITKYTIHLEDGKTWLLYAYS
ADGSSLEFTVVNSGLAQATSNFNGIIQIAKNPGNAEAIYDAACGAYATTTVVSGSTTGSAASYTLSFSKGGLADTTLVMFALPHLTQSFSSRTASAM
TDLDMATTTKGFATAVVADSWTMEETLPTSMGFAPWSPQTGSSEAKFSSSAAAAIQAIAASEVSQDMSTQTNLDSMYFGKALAKFAGIVYTIHDLLG
DQALAQAGLNKLKQAFARFTQNSQTFPLVYETAWGGIVSSASYETGNAGADFGNTYYNDHHFHYGYFVYTASVIGYLDPSWLPENKPWVNALVRDYA
NPSSADPYFPVYRNFDWYHGHSWAHGLYESADGLDQESSSEDSMSAYALKMWGRTIGDANLEARGNLQLAITARSLQNYYLYTSDNNVQPQNFIENK
VAGILFENKVDHTTFFGTKIEFIQGIHMLPLLPSSALTRTSTFVQEEWDTYFSDGRADAAEGGWKSVLYSNLALSDPKASWRFFTQPNFDASWLDGG
ASRTWYMAIAAGLGGA

>RCO7_00649 | uncharacterized protein

MVSLSTESVQKLALLRFRATGTGFKIVAFSQSYAYNPNDPLEPCRFEALCRLKSIAEFSSSLPEYVAPSPDGKDLATTLELLNDWLLVSSDILDEIQ
NLNAEDLSPVGARMVDFLSEVMQPHTSIDAIRPSKINRPAPTAAQNQRAKVQTVLDWFEDCNAWILDIKHDLEQSWLQEGSQTDIRLPDIYTPLNTF
LFAPAIHFIQWLLYYWRRHATKSHALPFEQTAIAPYTPNYLIPFRQHFYHDSDQDSTSIPSIYALRFFKASRYPVRGSWGSKEIHDVVCGLLDENMQ
IAHRRTFNQAVMINAQLSRQHLASSINGSSTSLEPGTPRTQAPLLPTRDSSQSQEEQSPSPSSIEVETETATYTCTSCITPTCFTLAKDLKRHVDSI
HSRPKFYCEMRACSRSEGKGRPFNRMDNLVRHVRSRHGKNVYKV

>RCO7_00648 | uncharacterized protein

MSLNGLDDLKIKEAHDAAVAELGGWFLLKYASRDEIELLGRGNGGIVEIRNAIAQFEENSPLYGFLRYRRRNVVIKYLPEECSRLVQARVTVHFNAV
TERFSPHDTVFPITTAKELRDTALSAACSLHTASGSASSSTSSLRRRRLMEIAEDAEEETRATRQSTVPEERPPTAKTSTSLSGLPLPLPDPAEIPD
GLQPSTSFNSVVSETGLYTSSLNESEINDSRPYSPTERRKSSQSTRPDLYSYSSYNSNTGRPKVKLGPRPSLDVGGRPHTSGAYYRPVSTLPAGLKL
FSKGSTKEKSRPKPDDPSEPPPTMKISPPSTSDSTLLPIVSVQTRPHTSGGRPNTSSELLVLPPLNSPTPSTGPKQSIMTPEKARLMKAMQLRNKKR
MEAVKPADPAPESQSDALVNSAILHDELPTGDLRESEDTRSKLTILAKAEDTGIAFDVNSALRTGESDATRSSSYPVSPVGPSEKAQSTRASSISDC
NDGTVLNSHKQSVKQEPHVRDETEDVSLDNEETTSAANKSNIPVIPLEHAEEQLERLPPTVYNPSDIGKEPTQIVPTVNEEKEIEEQPAPEAQFMQR
TPVNEILQTEVEATALSTPGIEISSPLGLPKEQSNSQNSKIESEFVPDEQELLSQSKSVKVITSSFNVQGSEEEPDESIRDLPANEIEPEISLEKSP
VDSTFSTGDDSQDVFGPRLHRRKALDPIRTDTDVIGCIRTNSVATFSSDDDYMDELSSAVVQEAQPVSVSKSPIGPVSTSPKKRNEEMSRFSRVLST
SLRKEKPDTLLPPSNERPPSRSVSAGAAYLDRISQQPSKPLAKKVNLGSGISQRIKALEKLQSLAPGANPTGTTGPPPGSSPAFFSVRKGTGRGKSP
SVAERANSITRNSPSNSPESSPDTTKHRDRSGSVRSRLDAFKSEGIPTTSPARSRPESISVTARIIRDPLQPFPSKSELGKDPSEYAPLDLKQSPLV
IDHQKAIVQSPKETIHERRHSKERRMSSSSRATTSKERRSSITMIRDMISDRKASFSERRRSMTIEAAAPSPSLKPSSRPPSVHASPARQRPMSISS
RHSTSSRDPAKSRSPPPTAGSLSSTGEEKSDKKSNRASRMMQRMSSGISMSRKTLAHVISPTVREESEPFHNSDTQSMASSYPSNNSMSSNSVDIGD
VNVQFPDSLLWKRRAMLLDSQGFLIISPALTAHGNGRDKAGGATRRFHLGEFRTPSVPDVDMQELPNSVLLDFIEGGALQVACEDRAGQGRLLDILQ
DAHRIWAAYGQ

>RCO7_00647 | uncharacterized protein

MSAPAGKTVHLTILMNKLETLTHQAFHTYWTHEHPKVWFEMAIVKKHVLKYTQFHVDEKVSEGLRAAGLPIAEYDGGVQIWGRSVEDLMAVFQDPEY
LAKVVPDEQKFLKRSEAKMMIGWDEVLWSCEERSNSA

>RCO7_00646 | uncharacterized protein

MGDLHPIVIPAIEGTYKSIKFTCSGEGLYKDGYLYDAHAEKLIPPKNPKAGTEPKEKKPVAYWKAQCAFRGLNQTGAMADLQLRLREAKQKILPEIK
AMENELNKAFKKKNKASRDNSWTSLKSAEQKAKMNPKRYLTETFPKGGSGRPANMDIVVLKLESEKRLEVANIAEAMKLEAVSVDAPWTCNKKPVPD
RWLIIGRTRDVVWSQMKEVEREAGRSKQTYAAEKTKPKPTKQAKSVAKDKTSISRVKSGDQNTKSSSEVVHRARSPLRIGPMPRPVGEQRLQTARKS
AFPERASKEEDQKISTKATDSSWDITGQYAINCPEIEDQWPGDYGDDSLTLDLHLETKNGKRQLFGAFDFRIIDGIMRFEKPVPVAKIEKDGECLKK
RKRDDLDDDRDASIERYPDFTSTEGPSVYSESVFHLGAKDRPTARRPIWRFRWRGKETGEGEIQLYSDRAVQSITFSDKGRKISGSFFCDIVEGCQF

TGTKVSSSTSDRGLDPQREWEKHSSAAHEEAKNSRWY
>RCO7_00645 | probable mitochondrial receptor complex chain MOM22
MVELVEVEDESFETKQTGPSDEDDYYTDTDSEISSDDEENVADEETFADRLLALRDIVPPTTRSYIAAKVETATSWVKSGLSFSGKGLWVISTSALL
LGVPFALAYAEEQQFIEMEKEMKMREAGEGLLSGNAAANLNAQLGAPQSQQAL
>RCO7_00644 | uncharacterized protein
MAVAILFPVFVHSILAAFVVYVNQHITSDFNLPSSIVPSLSIVVGLMLVFRNQTAYSRFWGGRSHLATVTTSIRCLSRQNTQLTLKVLVLVPPPSTF
GLSLRSVASTDSFLPKGYSGRPSLPTFPDKLSQSLLQSKSTLGVETSEAAPDTVPALGKADEFKTIETVKILIAMLYTIKNHLRAEWGVALSPGTML
GPDGQESTSDEYKDLLPPGFKGYEHRGLGLTLELATFVEKFVAMGVQKQWFHNAASASMLSSLNALTSAYGDMEVIRLVPIPVAHLIHHKQTLALFC
GILPFAMASEMDWWAVPLVAFVAFTLYGIEGIAQTYEDPFGVEKIDINMDDIVEDARKEVEVMLTAWQTQGPTTTSSFTSQTPNSYNGSIFRPRIAG
VLDTPRSVEEPYDDGMGGARDSFYASGDYEQGRKSQVRFVVHPSTSTVTGGSSTRREDSGFSGYTEDDGHMEIKTRSPGASRLSHSTAVSPESETPK
PEGDGYFRR
>RCO7_00643 | probable translation elongation factor EF-Tu precursor, mitochondrial
MPAFARTITPFLRTARSALQQGNSVSPLQHALRRQDGGAAVLNTARSYATAFQRTKPHVNIGTIGHVDHGKTTLTAAITKRQAEKGLASFLDYGSID
KAPEERKRGITISTAHIEYSTDARHYSHVDCPGHADYIKNMITGAANMDGAVIVVAASDGQMPQTREHLLLARQVGVQKIVVFVNKVDALEDPEMLE
LVEMEMRELLTTYGFEGDDTPIILGSALCALDGRRPDIGEQKIDELLEAVDSWIPTPVRDLDKPFLMSVEDVFSIPGRGTVASGRVERGTLKRDQEV
ELVGKGENPIKTKVTDIETFKKSCEESRAGDNSGLLLRGVKREDVRRGMVIVQPGTTKPHTQFLVSMYVLTKEEGGRHTGFHQNYRPQIFLRTADEA
AALFWPEGTADADSKMVMPGDNVEMRCEIHQPVAVEVGQRFNVREGGRTVATGLVTRIIK
>RCO7_00642 | uncharacterized protein
MSVNRPTNVKVKEEDVNRKLQFYGIATAFQNGKVPSNEQIDIALNSFLKSRPIANPSKKLSAEGQALVADFRDVVSQAKYMLLAKNEGNVLQEFIWE
SQKISGGDASVPGAPVDKNTAKQHGNEALEGLRTLGTLIISNGQFRKLLNDATILIRDIAGDAASKAANKINPNERDLAQIDKPADDNTWHDVPDMS
TGNIKSQIKSTYQKNTPLHQEDLKAAAGDASQAANPDGSRDPADAASRVQRDQQQGTNSDVDARAGAQNAASTLKQRASENIPEETKDKGRKTREQT
KNYLDKKMPEERREQTIWRLKKLVVEIQGHPDYMQAINTLLNLAETYAGHANTLGNHATGTVKGAHSDDSLKKAEAHLLLLIQRWANGTSTDDLFDS
INAIYRDADQDPELKSWFKNINTYIRKCLKEQGYMLEDAATEEWNALYDRGNFLLRDRYRNHTDRVVDEVKFLADQFDKDPVNKRFAESVQKLFNDL
GNDKNGKPTFKPHLVKDLTEVILPGIFVSLRYVPIPRFEYSDPAMDAVVENLVIESDNLMPNVFEIANDNYLRWGRKGAANKSAHSIMVSVAGVQMD
LRDVSFHIKKKQGFPSITDTGVADIFLGGTGLSFKMKMSTADKKDRQNFFKVDKVDVDVKNFNIKLKQSKHKVLFAIGKPMMLKVMRPALQKALEKI
IKDKFNEFDAMAYKVKLEADRAIEEAKENPENAPNIYQRYVNALQKQLLQGKQKAEAVVSDKKVNVAMTQHDSIFPDLKLPGGISSKATEYKELGMK
GETWHSAIFKLGSASASTDVPSAPTISRKEHSVTTGGVRGPQNIGNTQSATNQLRDPSAQAAAGSSNTGSSFGNQTNTASSFGNQTNTASSFGNQVD
QALNGNGHTGSNGNGYNSGKVGNGHTTLGSGNPVLTGNV
>RCO7_00641 | uncharacterized protein
MTAKYGSKATKLSKFEGRASALLANHTQALFLASLFVWMEILFKLGNSPELQKRLEASVRVELERLRVLQEEKKEMVKKKRLSDAREGEGI
>RCO7_00640 | uncharacterized protein
MPPNIKRKASRRQQQTRLTFAPLGSSSPAPMSPAHVRYELPGQRSTPTSSLQKFTNERSDDSDNETAGSAGNKEGGLVVDSTALGQSQGRKNIAKTL
FKTMPVPKKSSKVRLEDSADSSSGSAAEEAHTTPTKINKRIGHSRSTPKTQEREVITLDSDSEPGLQQPKAAQSRGQVAAGEITKKVTRSTPKGLAA
PKRVTRANPIELVESEDELQLPNLRNGKGKIKEKSSPTKSGKKGKSVILNIENDIEDEDDDDDDPIVSSPKRSQRPLHKPKEPDTDSEEDVRSSPLK
RRTAFTFPQDTEDEDEAVPVRSPLKRVRQDTESDDSYAVAASPMKRLRPAASPDSDSDLPSVNKLSQNANKAGKGKERARSISDPPETPMRTRQTTA
RRHRTAKEKTLELLKRRRAGENIEELTESDTDESDGNEDEFQKLDEFDDEEESPEQMKKTSKLQVRRQRGDSSDEEAGESDFVITDDEAPLGVPEYA
QLMPLQFTQAAHKPLKEHFRDVVEWMVQNKLNPGFTWDDPVYNQAFQKLDNEYHGFADSKFVSTQWTADFTRSVYSRPQILITKLAPGEGLSVLGES
KCEPCNHRNHHPSFAIQFTGKAYHKATLEEIEEDSDDEDAEGSEDSDKASLNSKGQPLPSVDKVWMSGSVCKQNAEQAHTLIHWRWHLNDWVVSKLE
EQGYFKPASLATRAKLKANKLMKLANAVVDDWEKDKIIKTLYHDFKIQLDTARELKAQVRGRWK
>RCO7_00639 | uncharacterized protein
MNSHKYQDVYFSEKTGFLHDEAGHASPINGPRKALSARTIWGVLKTVACVALSIVVWRSYGSFRKLSDDTIVITAERHMNFDSIIPSEKLEWVSCFF
EDMLCARLTVPMDYNRPLNASADNPKVNLAMLLVPGKHKGSRKASISPMLLNPGGPGGSGVAFALRAGSMLQKIVGEDQDMIGFDPRGIGATTPRAD
CFAYPIPGTSGDPSEASSEDYIRGNFHRSMWQTAGTDVGNVNSSADALQKLDIRARAIAKLCGEKDAVYGDNSILRYVHTPSVSHDMLSIIDAWDEW
RERIGDSDDLIIDDDQNTDRPTASLQTKGKLTLLGATFAAMFPDRVGRVILDGVVDADLYVSPVWKDSLEDADQISSSFSYYCHKATEKCALYRPGD
KVADIEDRFQATMDRIMENPITIIHPWSKQPVVITDSYVRGIMFSVLYAPNAGFNFVAWIFDELSRGKDDVLGQIVPIQEPEQLCTANLTAEILPNE
AHIAIMCSDKRYPLNETLLELQMTFDKLASGSSWADVWMTAMISCDAYPVKAVDPPMRWDDHPSHKADPIKTAFPLLFVSNTADPVTPLAAGVKMAR
KFTDAGLIEQHSMGHCSIAAVSKCTIGKIREYLKEGKVPPHPVKGGKGRELLDGQWTKCDADEYPFHPYEGDIAAAGLSPEAVLEIESMNAMKEVQK
VFSKMKAWGQEKALDLDSMMPRRCGDRSYKSI
>RCO7_00638 | related to triacylglycerol lipase
MAAQQNSSGLKIYDQKPFFQRFEYILRTHILKTVIGLYFRILSLPFFRDTSILPTYTKVYPCRPTLTNRIFIPKSYKPDDALLPLFLDIHGGGFCMM
SPSCDDKFCSEFANTNKVLVVSIDYPKSPAHPYPAAVKAVTDIVNAILADKSLPFDKNKVAIGGFSAGGNLALAVSQDDSLQGKLGGVVAYYPPTNW
TTTLEEKLATKPKDSPPDRLEANAPAFDWAYIPPGTDLEDPQLSVAFAPRDELPPKIYIIGCELDLLCGDSEVMARNLANIGHGQRVGTEHVWEQNG
VKWEKILGEEHGFDATPATGAKQIRVTERRDQMHADVFQWLSKEVYI
>RCO7_00637 | uncharacterized protein
MVSMGPGYTELRKQLETLVLANNILHYHNVVDAYGHVSLRHPEKPDVFIMSGDKAPALVSSQTDLIPYYVSDASPVDQSSKKGYQERFIHSEIYKRY
PEINSVVHSHSDAVIPYTMCGVPMKPTFHIAGFLGTHVPTFDITPLYTPGQQQDMLVNSQPFGASLASKFSKEGSTSQDHTVVLMTSHGFTAVGTSI
KQAVYRAIYTHVNAGIQTNALLIRNASSTMNFSLAESPSSTLEEMKCLTEEQVAGSLKMNDASQDRPWALWVKQVEACPLYSKTGKALVVEKKFL
>RCO7_00636 | related to ribonucleases
MSFSNYVLSLLALPAVLALGTPKSCPNPVLSCGTTSSSDLCCFNSPGGQMLQTQFWDTNPATGPSDHWTVHGLWPDHCDGTFDANCDSSRAYTGVTA
ALQSFGKTELLSYMQTYWKDEKGDDETFWEHEWGKHGTCISTLKPSCYSGYTAKQELVDYFQKAVDLFKTLDSYAFLKKANIVPSTTATYTSSAINA
ALKAGHGYDVTIQCASGALNEIWYSYDVRGSVQTGEFVAATPVGQSGDCPSTGIKYLPKGGSATPTTTGSGSSPTGGSFSGNGYLNAVTSGAAKGCI
ISAGTWYASGTCATITATPSGSGFTLKSSKGNCGIVSSSLTCASGVTATVFTSSGGKMAYNGATTFYAAAVPSGSAQQTVFTTSKAVSVSFQWASS
>RCO7_00635 | uncharacterized protein
MPRKSKNEDLQEDSEEEEEEEEEEEEEEELERPDDKPPTIEPYTVLGIEKSATADEIRSAYRKAALKHHPDKAAPHLKDEAHTKFQEIAFAYAVLSDP

IRRKRYDKTGSTSESVGVDGDFSWTEFYSEQYRDVVTEDAIDRFAASYKNSDEERDDVVKAYEKWKGNWGGIYGSVMLSKPSEDEERFRGYIDAAIE
SGDVESYKVYAEETERAKQKRLKRVRKEEEQEAEEAEVESKKLQGKKKAKKDDGLADLAALIQKRQSSAGTSFLDNLEKKARAQDKENREKGQRGKK
AKKRVQDEDQDGDEPSEEAFQAAAKKLKTGNGGIEGRKTSSPAAQYPRTDIQYSMTSVPNNIYPDYCHRLSPTIGKWCPLQATDVHRLKTVGVFSDE
RALYHLDNHPVKWVRITGVVVAVDEFRGKRVFTVDDSSGMCIECSAITPPPPPVPDKTTLPAHLNQIASIMHVQITTKKTTDNETKQDAKIEGKDKA
KVVPSVASPIVPWEEVDVGTVVKVKGRVNNYWDTIQVEVIKIEVLRCTDQEVRCWNEVAAFKKEVLSGPWVVSEEEEERCRKMRERELRHARKGRTG
KDGRLVRKGGEINSVADAEGRRRRRRDAEEREMEKKEEDGNRRNVIEQEGIKALAKAKRYPSMATIKAAKGKYDALGI
>RCO7_00634 | probable calcium/proton exchanger
MTNQRNGNATENTGLMSGRDNGDRRKSSMTRFFEFFASKNHTAGLESENKFVRIPAQVVQATKVTLYSNYVNILLVFVPVGIVAGAMGWDPTVVFIL
NFFAIVPLAAVLSFATEEISMKLGQTMGGLLNATFGNAVELIVSIVALKDGQIRIVQSSMLGSILSNMLLVLGCCFLAGGIHNTRTGTAQGIEQDFN
STVASTMSSLMTVAAASLIIPATLYAAMAGSKESAEQNIIILSHGTAIILLILYVLYLFFQLRTHATLFDAEAPADEEEEEEPQLSPWAAGGVLLVV
TIAVAVCAEYLVGSIDSLVATAHISKTFIGLILLPIVGNAAEHVTAIVVALKDKMDLAMGVAIGSSMQIALLVTPALVLLGWAIGQPMTLHFETFET
VVFFLSVLVVTYVIQDGKSNYLEGAMLLGLYIIIALAFLVYPDDATGNNPNAGEPGDKANLVARSFWAAAGAAGF
>RCO7_11274 | related to putative tartrate transporter
MASTTPDVVHRNSNTSISDAELALDEKHNARHVEQGSTPQIVYEIDDAAQKKVIRKVDIRLLPILAIMYSTAVVDRKNLGLALVAGMQQDLGLAIGS
RYTITVMVFFLTYVLFEIPSNLMLPKAGPANWLAFLGIGFGSVLMGMAFVKTWGVMAFCRALLGVFEAGYLPGCAYLITCWYTRFEVGKRLAGFWIF
AVLMGGFSAIFAYLLTLLKGLQGLNGWQWIFIIEGAVTIFICVIGWFIIVPFPSEAHSFLSPPEQKFMIDRINNDRGDAVQDKITLRVILHHLSDWR
LYFWSFNFMASTLPGHAYAYFLPVILKQGMGYTTQQSQLLSAPPYVFAAIMTFVSGYLGDKYHIRGPIIAVHQLLTAIGMLITAFGSSHGVRYFGAF
LGIGFLEYCIPGVLTLQANNITSQSKRGVAAATCMMGGGLGGIFASVAFKQTESPKYTTGVFVTLAASITSIILIGIMDFHFWRCNKKARAGTSKNE
GMAGFLYTY
>RCO7_11275 | uncharacterized protein
MDTQTSGSGGAASSPTVQSSKGKTLTINPAAATRNDVATSPPYVLSDNLSNFQKLSMEVQLMIWKFSIGPRKIEMRFYNNFNSTQFDIVADIPAVLH
INQEVRAEFLKFYKLLFTHEKGRAPAYFDNKIDILHIRHTVRGNAGYWQEVDLRQMFRTIRSLPDKSEIRHLSTGWTFWCLGSMYLQFSNLETASVV
INNSQTNPCDHASPDTLQIQPDSAHIIPLQHPLDCLQTLTHKNISFMVRKSLAKIGRLEDAGDIPLWKRPVFSYNTLCLESIRQKKMFCPGFSRSRA
RKTKSKVLANTHAAVLRSQGRGSKGMTCKGVPMVKKLAGC
>RCO7_11276 | related to O-methyltransferase
MGIQPTSQVIPSTNKLVEESYDKIASQYLDWTLSTPSPRLSYLSLLLKELPSPSSAKVLELGCGAGVPGTQFLAKSCAHVTGVDISSAQITLANQHV
KSTYSNTEFIQSDMLALDIEQGSFDAVVGLYSILHLTRSDQVVAMELIRGLLKPGGVFVGNFSLEGTAKTGTWIGGEKMFWAGWEKEDWLGKLEEGG
FEVLKADVVVDVEDRREVRFLWIVAKIKS
>RCO7_11277 | uncharacterized protein
MPLPNIGFRHYGAYSSTSAEVGPCAPFWRKPSNTTTVATTIATTAHLPTLNDNVINPNNPENLFTKFPKLPLEIRRQCFREMVSPRIIEVLFSKNPN
ALKYEFLAEIPVILHICKDSRVEGLITYRLSFANKYALAPVFFCTKLDTISFRGPRLDGQLTNFLKTVPDKSLIRKMSLTYSTFWSQVFRHDIASAL
PLFTSLTEISFFKYLTVDRSCSGFTKHEGTCQVCSRTPNDRTVFLTQEEIEAHAPLLSYPLAYIKMSIAEAAGRHRYRSVPITHYLTPAQISLFGGP
DEANFVHKGALIHKIDRDFLYARPMGRKVLATRSRSSREDKSKKRRVEEVAVDENSGQEKTRLKKTRRY
>RCO7_11278 | related to arylamine N-acetyltransferase
MASAYSPSQLAAYEEHISLPSRFRQSSSPPLDIKYLTALHVHQISTSPYENLQLHYSKTHTVSLDPQALFKKIVTDKRGRGGYCMENSIFFNHVLRG
LGWKVYTAGVRVRARVGDVPRGKYQGWFHIVNIVTLPTGENYMVDVGFGGDGATKPLPMISGHISTNLGSQEVRLLHSTIPEQVEQSKPLWIYQYRN
GRDREWNSFYAFPEVEFTEADFEVVNFYTSGWVGEGNFQTRTVLGIRFLRGRVGEEGEEEEEEGIVGKVMLVDEVVKRNDGGKTSVVKVCGSEDERV
EALREYLGIVLTDEEREGVRGRNVELGVGRPAA
>RCO7_11279 | uncharacterized protein
MPISKKASLQIDTTLPKFFPKATTTTTITNNNKPTTPPSPLSSPSEDEIYSVAQIAHTKLVTEGSLKDQNLRRLVGHANLYDKLLDQYNNCCSSSDS
DSESESESDTDVEEEIEDFASHAFATPQGHGLKSKRKTNSSPETLIHEDAMYVYHDQHPAGGEFGDVLVLDEESVDEAVLCKVSSHADSGLGVGVGL
NLNMQGFGGRYAEVEVKELGLDGDFDE
>RCO7_11280 | uncharacterized protein
MAPTATVRANSPIRSSDDTHEELTTSKNLWEIVDIPGKGKGIIVTQATTPGTLLLSEAPLLTTDVVSSIATAEADLETALSKLSLSEQENFRTLHTN
FPENDDEKLIGIIRSNAYPLGSDTDVGGLFPEIARINHSCLPNSVQYWNELLGKQTIYAVRPMAKGEEITTCYQHGGTSKQRKEVLKEYFRFDCMCE
LCSLPADELQASDERMSQAEKLDQTIGNSKKVHFEPDEVMKCARQMFDIYQTEDIKDGRLSRLYYDLFQMCNMHSDLARARCFAKYYTDAKKMAEGG
DSLNVLEMKAFMKNPSKHESFGSTEKWATKASDVPKGLNPGAFKKWLWREDV
>RCO7_11281 | related to SMC3 - required for structural maintenance of chromosomes
MYIKQIIIQGFKSYKEQTVIEPFSPKTNVIVGRNGSGKSNFFAAIRFVLSDAYSQMGREERQALLHEGSGSAVMSAYVEIIFDNSDDRFPTGKEELI
LRRTIGLKKDEYSLDRKNATKTDVMNLLESAGFSRSNPYYIVPQGRVTALTNMKDPERLNLLKEVAGTQVYEARRTESLKIMTETNNKRAKIDELLD
YIKERLAELEEEKEELRGYQEKDKDRRCLEYAFYHREQTALAQALEEIEEARQGGMEGSDEQREAFIAGEKMILELDAESKQLTRQMDLLKLERRQL
DEDRRETSKAQAKIELKVKTLSDGQSATEKARAQQQQELKAVKQDIVVKEAELAKILPDYTVRKAKETEVRKNLDAAEASRTRLYNKQGRTARFKNK
AERDAWLRDEIQTLSTALGEQKANRTNAQEEVKNVQTEIKSLEGEIAGLRKRFEGWGGSRQALHEEVTTAKDGLERLQDERKVLRREDDKLESMIED
ARQERNRAENELSHSMDNATSRGLAAIRRLKQEHNITGAYGTIAELLEVSDVYRMAAEQTAGNSLFHYVVDNEKTATFFADALYKQRAGRVTIIPME
QLRTRPTKLPNASDAIPLIGKLTYEKKYEKAMNHVFGKTVICPSLAVAAQYARSHGCNAITTDGDTANRKGAMTGGYIDPRKSRLEAVRAVSKWVNE
YESLRSRSDEIRKEVEQKDNEITEAIGDLHKLEQNLTRMDDSLEPLKRELRGKSTQLEKLRDSLDAITRQKEIVDGMIRDHGESISSYENDLAADFK
KALTSQEERQLEQLNDTVQELQQEWNELSTARRDLEGRKQLLEVDVRENLRMKLDQLNSQEIDAITGGGSGNLKEAQRELKRVQKAAAAVASKLEDV
EGQIEEHESKISNLVKERASQVEQQSEIAKTIEKAQKRMEKSVAKRALLTSSAADCAKNIRDLGVLPDEAFEKYSDKDSKYITSKLKKVNDALKKYK
GVNKKAFEQYNNFTTQRDSLTKRRKELDDGLTSIQDLVEVLDQRKDEAIERTFKQVSKEFASIFERLVPAGRGRLVIQRKTDQRVQNDEDSEEEPRE
SVENYTGVGISVSFNSKHDEQQRIQQLSGGQKSLCALALVFAIQQCDPAPFYLFDEIDANLDAQYRTAVAQMLEEISAQQSSQNSDNGAGGMSGQFI
CTTFRPEMLLVADKCYGVTFHNKTSGIDAVSREEALRFVDGEAPK
>RCO7_11282 | probable extragenic suppressor of the bimD6 mutation
MPDSKDSAPAAAHDPTHTYVPNHGYATSTTSTCQDVPQTPTGGYAADNEDEVYDDLFEEEDEEFFDDIEYDPTSGDLTKSYNRQRKLNDPNATTPRA
NVQKPVANTRASVDDQITSLSKHAGKISLEGGGGGEKNKTHGKDKSDRATNEQVLDPRTRMILLQMINRGIVSEVNGCLSTGKEANVYGAVSIPTSE

GGVDVQSIHRAIKVYKTSILVFKDRDRYVTGEHRFRSGYNKGNNRAMVKVWAEKEFRNLKRLYLAGIPCPEPVYLRLHVLVMGFLGDKKGWAAPRLR
DAELQGEDADEQWRLLYVQMIGLMRRMYQTCKLVHADLSEYNVLYHQKKLFIIDVSQSVEHDHPRSLEFLRMDIKNVSDFFRRKNVEVLSEQTIFGF
ITTHDGPTQEPGLSEALEKLIANRPAEEEGEQAAADQEVDNEVFRHQYIPQTLDQVYDIERDAEKIGKGQREDLVYRNLLADKIPMSSGNEADGEDT
QDNSSPQSDAASGSEDSDDESKFDKGTPRGKRFEDKDTKKEHKKAVKEEKREKRKDKIPKHLKKKLVTSSAKHKH

>RCO7_11283 | uncharacterized protein

MQMPPLSEIASWPPANYDNPVTTGAANVVITCLFYPLIPTTAFMICALIGEWRCKWNRHIWDVKLDTVISGLKLVVTSEILFSLSTTLTKLSMLVLV
YRIVKEGTKTFHRVVIGVMIFLILECLAFIITVLFQCGSPSAYWTITFEPQHCISEAKNTLAAGINNTIGDVAVVLLPIPLIWRLKLPFQQQIIIFV
LFGAGFLVTVASIMRTYYLYKVNTTWDKTWVAMPAWISSSVELYLGIICASIPATKKFFSRISPKIFGATAFSQYGTKSRTTDRHSVAAPQNVELGD
YAGYASTEDKEDKFDDPSPASPSSLHPAESRPQTSMSSASAAWSGTDDVTRVDCDDKIVDRYVAASGF

>RCO7_11284 | uncharacterized protein

MAKDISIQGGHRLDDVEASSDGLVDDHHADMRRQLLPVQREQSQTRQSTYMHDPREEMATQCLEQPDTALHINTPSRHPSVIPGQVKQSNNTGSSPV
VIDDSPNHAPRSQLRAHKRPSSFSLTPNGPSKRQQTRHNTPMKISPSRAPSHGPVNSLFSADMDIDEQQGYLGDRERSDIEDKYAEGHVHRSRTRAE
HERAQSRRNSVSLPNSARYTPSHERVSPARPTLPRDHRSSSHHSRSNEYSTQLHLTHSSQRRNSPRDSYLPKDFSRYQSGERMAKHSSRQSRDMSPS
SRQDHQKFQDELSSEDNNMEEDGFTIVRDPLAYQASLMRKAVRSQSLPPQQGFTVPPESLREQAQYEHIGNRNGGRPVSNTSPKHKNPNQNEKSRGI
CTHHIEHEQHVSRSASRQQSLRPGNPPKKYVLDDLEASSEESSDEDDIKKLLASSRRHRTEQNSLQQSYHHPDRSPLQFNRTAISELFQSVNHRNRP
KTPTPQCQSSSSQYFVKSLHLDSPIWGPGAGQRVITSISRPLTPQRHDNGIIHGFPDEKRGRSRSRTLRRPGNETVNGFRNEQRSRSRSNAPRTPHR
RPDGSSGEDLIEQRGRGRSGAPRTPAFDRVRGQSQRRTPNQSIRAISQAYEFNRAQSLQCKSQNPQDQNCPSFANNRRDSLAEGEVIETPQAGQRFT
TPRVIDKKPHSKVVLNNNSEDEFYIPMDKLIRNKQQEAINSFSIQNAQTNPQKVSGVLPSGSAFDKVKSKPQKMLKPEPATPKSGRGLGEVIDLCTP
ETVCRSVPMNKRLPPTAKQLPLKKTAAQLIAHVKPVKIAAQLKRTPKEKAAPVDPNEIRQKRAAEMIIDREQKSDQYTLDLALFGEIVRDQAAEDKR
AEDARAKGQREREAKMAAILAKEETALRANEAEQKLKQDEAERRKREKEAEEEQKKAKREADRNRQQAHDKRERELLRQASMELIKAERDKRAKEDE
RREFEKQKAKELAESIQANAEDLAKLKAKQEQAKLQAASLISAKKIAAAPSLKSIEEVDELFDEDEDTLFVPEVPLAVPDKSDTGEQPTAKYSSSHI
SAIQGSSLNAIRAEMEHEGTLKKLESARKIQAILAARYNKGPSATASITASFPNPRPQQAAPRPKPANKPVPDAEKPVNTLVPKPAIVKPAPLTAPA
PKQNPLEPASKSQPLKQQKITRDMMSDSSRSQSSSTSRESAPPLTYLQQQVAKPMFPGMPSSYSECARNQAKVDGDKPREYKHKVKLISDIERERLE
KAHIKKRFRVRDNRKSTEQQKQKAAEKRTELAKTKKIEQIREAAEKKGEAISEEDIDLQVKAFLEKRAQDLQKRSETIARRAQDPGHSFGRNPLSAE
NIPTAAQQLLCDSDQNDGLDQQLGQQQRDNQAARRARGTIRNNAFDKAAARKSVNDLTDSEESEEDPDPEPEVEGKAEGENSQQQKSILNGEAECLS
DVESSSESESEDDSESMTSFEMSASFMSIAAENDLRVRKKRIDALGLGSLVPKEGSYHERMTMIYEVWKLEITNANDQVEETKREEHVVAKFATLEE
ANACAIDAVRDLLGKCEYAKFVSSYKDGKYSAAAALDANHECQIYIVEEPVGPSELSPEFIATIPKRKPECFWDVFQYTTLRDVKEVNEETGETIIH
KSSPEPARYGQFAVLDMANHEACEKLISLFRPVGANMDHIARYKEVMAMAREARDSLNADGICFDVEVEEDSISTWMPYKHVQLVVERVELKGPLN

>RCO7_11285 | probable ATP dependent RNA helicase

MKRKLDINDVPAPAAEVEGQKPDASFAGLGLDSRLLQGITKQNFQNPTLVQSKAIPLALEGRDILARAKTGSGKTAAYLLPILHSILKRKQALTAQC
TSALILVPTRELADQVLKVVESFSAFCTKEIRAVNLTQKVSDAVQRSLLADSPDIVIATPARASINLNTASFSLENLAHLVIDEADLVLSYGYDEDL
QNVAKIMPKGVQTILMSATLTSEVETLKGLFCRDPVVLKLEEAEVEGEGVSQFVVKCAEDEKFLLCYVIFKLKLIKGKCIIFVGDIDRCYRLKLFLE
QFGTRSCILNSELPVNSRIHVVEEFNKNVYDIIIASDEHEVLGDEDESKEDVEAEPESIDGKAVEKAAKTEVGAQPSKKKRKTAKKDREYGISRGID
FKNVACVLNFDLPTSSKSYTHRIGRTARAGQTGMALSFVVPAELYKKHKPTSIESAKNDEKVMAKIIKHQTKKGKEVKPYNFDMKQVEAFRYRMGDA
LRAVTGIAVREARTRELRQELIKSEKLKRHFEENPEDLHHLRHDGELRPARVQSHMKHVPEYLLPAEGRKALTAGVGFVGIRKTSENRIRKARAINR
VKGKGKKAGARKVDPLKTFKGKARK

>RCO7_11286 | probable SYF2 Synthetic lethal with CDC40

MPPAKRQRKARPAAELAMEIGSSSRALEADKASEEAVTAPQEASVAPPPSASSLAAPSADAAAKAKERTERFKALQARAKTGAQRNMKEATLESQRL
ATDPNLLTSLNRKSAIASHNLLKADTELSGGDFERKRAWDWTIEESERWDKRIKKKDAHRDDQAFQDYRQDSRKVYKRQIRDLKVDMEYYEKQKNEA
IEKAAASGGLEIVETEDGELVAVDKDGTFYSTADSTGFVEHKPPKDAVDRLVKDLTQAEEARLKKRRAKMSEGEDGDITYINDKNKQFNQKLNRFYN
KYTAEIRDSFERGTMI

>RCO7_11287 | probable oxidoreductase

MSASKKLVVCGGNGFLGSRICKSAVARGWDVTSISRSGEPTWSSVTSSATAPPWAHKVTWERADILKPKTYAPLLKNADYVVHSMGILLETDYKGVV
SGKESPISGLKRAFSSTKAGSQNPLTRSSPDEDLKPQEHDGQLTYELMNRDSAITLAQEADREKVPAFAYISAAGGAPVLPARYINTKREAESTISS
EFPRMRSIFIRPGFLYDSSRSFTMPLAAMTGLGAAFNGLTGGIFGGIMGAAGVKPLKADLVADAVVEALSDDATRGPVETKEIEELAQKAWRKGML

>RCO7_11288 | related to human AF-9 protein

MTPYGPAQERRSSRSIKASQKQLDNDSTTNTSKGTIPKNMAPPNTQKRVKGVQIYRPFIYGTTARKFSDENPKPPGTPADHTHSWTVFVKGVDDTDI
TYWCKKVQFKLHESIPNPLRMVDDVQPGDPFEVHETGWGEFEITIKLYYTPESLEKPQTLYHHLALHPYGDEAEKEQMRIAPQITSWQYEEQLFNEP
YENFYDILTSPMERVKGGGGKGTKVMKGGMVGSVGDRTATIPLTIRPEQPYSRETEKLELKKLEAALVKVGELTEEMKKEILEKQKELESFQKGG

>RCO7_11289 | uncharacterized protein

MTIIKVPHKSNPPNARLPNTGKKPENSKENKQKVETIPLLPIISICSVVTAWCLALLLNSFGFVGNDDWFDRSSQEVRIHPQHGTPRYRGHSEAPNG
KYNHKIDGYEPFIAIEYGAFGSRVGASVEGVMEIFPVNGRLETPNSVAYSNEGVLVGQDEMDLPLVNPKNIVYGMRSIMGRRFSTDQTLHRDTEYLP
YEVINKEDKPFIRVMVNHEDIILSPEQVQAEIFRQLKLAAQDYYGEEITHTIMTVPAYFTDDQRQAVKDSARLAGLEVLRLVNEPTAAAIGYNAQNQ
EYLNARDESFVLTGCSEYSPQHAANLLSTPQILHRAKVSTIAMTSLLNNTKTASINTLPSN

>RCO7_11290 | uncharacterized protein

MTGDESAIHKIQPFLETFFDGKTCLSGVSPDTAVLRGAVYQAEILSGDLDGDWVGAFDITSLTRGIETAGGLFQAIIPRNTLVPTRKFLNVTTIHDK
QTNMMFNIYVGERAFVKDNTLLGSFELDYLEEGPAGQVVVEVVCELDTNARLEIRATALGGGNMAVWNAGEGFDERHMTEDLKKMLVDAERYREEEE
VERWRYDGKVADGDEFGIVVVPRKEEVEQKRR

>RCO7_11291 | uncharacterized protein

MQGPGLVIFFAIGAVIAGLVFLSGIISLVQLRRLRRQQAWIERYGPRPAISGRLRQTRAKGLALAVLENIPIVKFGSRPKYPDSSLKDVELEEGYAN
ADRETATIADNSKNALAKEISVASVVETILDLKMVAERVLSNEEECSICISDFVNDEEARLLPCSHRFHPACIDPWLLNVSGTCPICRYDLETNAPT
TPRTVQLPPQSYFRSELSPIPYIRAQALLQIAMHARVESSNQSPVPLIIPLPAIVHGDRRSIGA

>RCO7_11292 | related to VPS62 Vacuolar Protein Sorting

MSDLSDHDEVELGDLENDAFLPSEGNTKRPPFRQHGILTRWIPHRIWRFIEILSRLSSMFLILILFVLAVSFAAYRHKDLITASEINPKSLALRKEL

AKSLNGTSIPDFVLEYAPYVYLHKDDVYLPSDLAKHLENTHPTVDFKDVKGGPDVWTLDNLNSLNDLGGHGGKNVFLSSKEDLTTRPDFLHGQAPDP
LTYRTDNATSCVVIVVDKGDGVIDAFYMYWYIFNDGPAALGHQVGNHLGDWEHNMIRFQNGTPTAVWYSQHEFGLALTYPAVEKIGKRPVSYSAKGS
HANYAVPDGLIPAHIVYDRTSRGKLWDPSLSAYYYTYSVPNKTFTAAINDTPVNYLYYQGRWGDDQLPLEQHGQEDFHKFMKWVAGPLGPWFKDLNR
RDVCLSGKECVVEDSL

>RCO7_11293 | uncharacterized protein

MPISLYSISIPVFLKHLHTLQKLLAKGVAHAEDAGNELTKEKLVGAKLIEDMGDLVYQVQRVSDTAKGFAVRVAKIEAVALADDEKTLEDLQKRIAK
TIEILERVKEEDVDDKEDAEVVFQTRQGDLKFTGQSYTTTFALPNFYFHFVTAYALLRKEGVDVGKNDYLGRN

>RCO7_11294 | probable Mitochondrial distribution and morphology protein 34

MAFNFNWSPLTADANFYKMAQEMLTTALNKSPKPPIIVDDILVNELNLGSVPPELEILEIGDLAEDRFRGIFKMCYSGDAFLTLKTRVQANPLNTYL
YSKPSFTSPQPLAASSGLTIPLQITLSEIKLSAFIILVFSRQKGLTLVFRNDPLESLKVSSTFDSIPFVRDYLQKEIEKQLRNLMMDELPAIIHKLS
LRLWCTEYKAKEEEELAQAEKFDQEEVVDPFASPPQDAVDSRGNVLDASEISSLSLDGGSEIHSLFSQKNLLRLAALTDSHRTLSLFTPSIRDAVFR
AWAGPSERSESAGTVTPQTPGLMRSLSYLGNTSTTYSFNNRGSDDGSGLPSRPSLVSMQSATTGLALGAGRHSRSHLRKKKNRVVNLRKPKTTDDIS
ECGTSETASTVAESKPAIPTDVPQEPEDIIIDPPHSPPRTVRFRTNSIDLGDSPRKTRMSHPRPSLVGTFPEQVVVDLPAQDMAEPTAPVFSRQHRP
SMNRSSFAPYPVEKAPQPQPVSLRQLPFMSEPPSGAGGIVEQAWVLKMAAEMARHAHDAKASSEGFWSQSQTQTERENSPPPAYEAKAQ

>RCO7_11295 | uncharacterized protein

MHCHSPLSAPLRVNDEGLFPILAIDSFTGGDGLLSSNMTGNTVDPTLPINSLEYWTHWNPIVSSEFDGVQSLDFRSEDHDSGLVSSSSDGQRSHHTF
PASSPASTSGHSTNFVHKVAGMYEDQENSKEFVGHEIWEKGLPPAVTEIAADHYYDSKHITADMSNHHHGDVNIRHLLDLTQSLYLQQTNFEATPWH
HCLSSLTFTAGPKLSPLSAEEAAASKPIGDILRNSERFLMIMKSFLASAQNSSQPVPRRRTSDTRICSNLPLNDVKVRDFSVASAVNPSQISHPPQP
QIHADAESTTPPKPGNIDTATILLILTCYIRILRIYTTLFTRINEYLSFSSSSARPDGHGANKDLEALYIDGFSLRGYGEIQLKILVEVCVHFIMNI
EKTLGVPQKYTLMSDGTDDEILFGDISSSGGGLLMKPQMNILMDVVIKNVESDNHEGGSIREWGTHALRRAFEGAKKHFNPGFLQNDTPS

>RCO7_09310 | uncharacterized protein

MAASVIATPPDAIKDSIARGVEARKEGINCDRLADLLCVPHSLKNAIVTIIPTVALFATAETPSGLVHAVRLSNKGLFHAPGQISMRVRFYKTGGSE
SSVLLEGLRWA

>RCO7_09309 | uncharacterized protein

MKYFYSILFSAATVAAFPSYWAEQLNRAQPGVFESEHFKRAIENLRENRAVEETNCGPVPCAVFNAKEQLVSIEGEHAFVAPVKGKDLRGPCPGLNA
AANHGYIPHNGVLDSQQTINGLANAYGMGPDLALGLAAVAVLFDGDITKLEWSIGGPQNVGLLQAGVFGRPRGLSFSHNNYEGDASIGRPDYFLNNG
NAYSLDINRFKKAYEKGMADDRYTIDKFRDLFVENINYSIQNNPHYFSSQFAGLIVVPAAYNFVINFMSNHTAEEPSGYLNGAIFKEFFSVTGDYPN
FNWIPGHEKIPANWYRRTSTNPYSLPAALLDVAGGWVRDPSAFRLGGNVNGVNTYTGVSLGDLSGGLYNAGDLAKGNNLGCFAFQLQTMYLETNLGL
SGLLPNGILGVQQFIAKAVTPLLKKLSCPEVANKQFDFTIFDRFPGAKDVVKM

>RCO7_09308 | uncharacterized protein

MSLPKHSCTVGLPAFFRNRRSVRVAAVTICITYILFTIWPRRQLQESAKLFAHDLCQNNQLANDIVVGVHTGASEASERIPVLMETSLRCAKNVFIF
SDLEQDIGRYHLYDALVDISPEVRKLDPIFEFYRLQQEAWERDGNVNSTKGMKNVDDPDTSAAWTLDKYKFAHILEKLWEHAPEKEWYVLIDADTYV
VWPNLLSWLPSLDSAKKMFLGSVAFLGPNPFAHGGSGTVFSKALMYDYAVVHNGTAARLDPEVHKSCCGDAVIGDVLKEYGNSLINMQPEITGHTPS
SIPWRANYWCQPVLTMHHLKERDMRAFYEFETGRGNKTTHITWAEVFGALVKEQVQSMPDMQEDWDNYSNVADLWSGIPSDGANKNSTQEFEECAKI
CEADANCFQYSWDGQDCFRGQSIRLGERTKPGGKKWRSGWHQPRIEEWISKQPPCNDANVADGSKRVHY

>RCO7_09307 | uncharacterized protein

MGQYQSQAQSVELPSSYSVKFETPSSSSNVNINTGRKMGHQNSINLEKVSAIANIDNMNHNVATKRKTFETATPAPSSKKATSASTISQKSTNKQPP
RSKTPRAKTPRAPRTPAVKRTATPFSVPKSLGRSAIARLTEKASNDQSRDLQPIRRPLPAEDREWNSEVGSDIEIDINSSSSSSQASESEDDHPYHS
NARSLTPTFNQDLSDSDMSTGISENENGIPRAYDPRAPNPDPLHPFSKSAKYRVMPPRGIVRNADGSTVDFDSCMTFPDAADMMAAKKKLQMESKGE
RMEKKAPGDGKQVLLSFSDNIATPEMNWILRKNNALVANTPSSTTVKDSFIGEFLDSGLDLGLGMPRTRATTVKFMDGEEKGRGKGKGAQVEGVLKK
KVARQPKYQKRTYKWKDVSRKNKGRLYDEKKMVFGEGGGGVGGGDGGEGVGERGGVGGGEERIEGEKMR

>RCO7_09306 | related to intracellular membrane protein involved in nucleoside transport

MGEDTTAIDRLRTLFKASNNGQDYEPVDSDYDGNEDVRRPVLIAPEADGGQEFSWFEYSIFLLLGIAMLWAWNMFLAAAPYFQTRFANNKNILDHFQ
PAITSVGCVTNLVSILVLGQMQAKASYPKRILCALVLNCIVFTLLSISVTYFRSISATGYFVFTLFMVFSTSLATGLCQNGAFAFASSFGRPEYIQA
IMTGQAVAGVLPSVAQILSVLAVPVPDNSKEETAGIDHTNTTSATVYFSTATVISFLTLFAVLPLIRKHNRLLESQMMTSITSIEEAERANRKVVSM
LTLYKKLHWLAASVFICFAVTMFFPVFTQKIVSNVPQDKAPRIFQPSAFIPLGFLFWNVGDLTGRLITLGPLNMGNRPVFLFVAAIVRAGFLPVYLL
CNIVGKGAVIKSDLFYLIAVQFLFGVSNGWLGSCCMMGAGDYVDEGEREAAGGFMAINLVGGLTFGSLLSFAAAGVK

>RCO7_09305 | uncharacterized protein

MVCSTNSKEGLAANTTIPPRDAEGVEVIQPGEAEKIKEVSDQFKRFQMMNFNEHHHCLRGTHLKTQGCVMGKFKVKDNLPAHLAQGIFAKSGEYDVI
MRYSSLTPKLVPDNVPAPRGIGMKIFGIEGEKIWGEDKKTQDFTFNNYPVLELRDPKTTNEIADSLERNWNQLDKFGAECAERPDAELACMGGNLPN
QYMVAMPEYSQSAYRFGDYVAKFGVFPLSDEQKALSKESIPADAPINILSQHTREFHSTHRVTYSFRAQLLQNLSEQPVDDIGILWDETKYPFEEIA
TVEFEPQDSWLPEFRVWWDDRITVNGWHGLKTLQPLGSTNRMRRVVYAESRKLRLRVNGWRDYVEPEGIKDVPAPVVVPLLDGLKV

>RCO7_09304 | uncharacterized protein

MGRPVRTYGTQRRHYTPGSSQVFGVSPETIAVSSSTRSAVRLSPDALESWPEVLETLDEIRQELTRPEKAKTQAEESEDETEADSSESEEEQESTGS
SESEDDEDSNGSEDEEPSSESRDDVGTFDSSERAGGTETESESDHDTSYGEPAPNHLAVLADAYELDRGTPLFMSTWPEILPSSAEVWKIAEASFAE
VYRVTTDAGSSIIKVLQLKIPTDPASSDIGTAINAADLVSEIRIMNVLTEVPGFVGFKDAHLIKGRFAPSLEEAFYEYIADDGEYEPRETHFPDPEI
FTEESMFLVLELADAGDVLEDVAIENIDQVWDVFLGVCMALSRAEYLCEFEHRDLHENNVCVRHTNPTRKSKTRDGVLKFGFSDYGITIIDYGLSRA
KLENGDIVYQDLENDLEVFQSSGTGLPGMQFDNYRRMRNYLLTGTRTMQPASFHTIPITSLPSSETHNHTWKDHIPYSNVLWIRYILSFLTKQLKKH
SPGSKIKKDLVTFEAEIKDMKRRLDVRTKVENGAFESACQVLDYVFLKGWVSEEQLGGAGLDSTILSQ

>RCO7_09303 | uncharacterized protein

MAGIVQAIFGGSKPSSPPIPAGDSDFADFAGAPEPAPASFSATSSPASFMGSGASPTGAPVAYTKWYNVHERHSLSEFKQEAVILALIGIIVTVHLL
GTAANRKRAKSWISAHAAVLQKEFALVGFGGRKASAEEAAGETLELPEDLLKEKSPNQFSTYATGRQNIAFVDVNLTLYKRYSPITMLFEFVFSLFF
ETMEAPGEKMDAILYPFDGREALTVPGQVPGAQELRKDTKSSYDGFVWAVVNKETMKGLRESRYDVSITTTKDSPKLPSWATVMSESAEITDFLLTP
ELIKAVEDAGELLNHLIITDQPIDQPLTLDDTTPKKRIYLSLRTPASGDYSSVLPIFQYFIRVADLLVQSAHFRPEVLRKVRTTREDTIRKLQKAGE

DEKAEERTVEREKAKKLKRDLELKALDAKGQKKYLEKEREKEMRRNQKKQTQKA
>RCO7_09302 | uncharacterized protein
MAASRGLSTVVDQFAPEVEGSSTRTEKQGHQPASHREILGISPTGTHSLAFDAPGKNFTAISSAVPARSLPKSSKNHPGNFPKLNHMLPHSSAHDED
TDTPFLTRSDSLVDQYESGRRSSLFSRVGYGTADHVATLEPLLNSQYPGGVNPSSRGENLATDPLSEFCPVEYSKHVVKGTSASEATELLDRNYAKR
KMDYKKFFRQGRVFCTLSTEPLDDPLQRDDQFNTIVTYKVRFGQKVHSAIRRFLVVETDGRSCTCLPVISNGGKEYKKRDINLSHHGLIYSSRETPP
RVDGITKQPLRLTLSPGADELPNPLYIHYGRVYTVETNVKVRDIGTLDDESKTLLKGYYREVQMDSFLDDEKHALPISPFHPQQRTFEAYDDAPGYH
PNIGQHRFGDLPQKDSPQHNSPTISGYHTWGTYGSPTGYGSPQQQSERNPAKLPVEASNVFKATSSYPQYVSNFSHRPFDYEYQYYPLKSSLCRPGF
QDDLQSNYRPGDEGKTHPNYRESTESSPFYTAAAELSPRLSIPDYCIEKGIKMSLDFQSDHIDIQAQVIGLSTEKASRSSSPNGMPMEVANGSTSRI
TTWLMDTEAVKNEASSRITVVSGPENLSAPGSPVSASSVESLASLVFSSIGSVSSKSSRFSQQDGAERFIALLSKDEQLQKLYKEASQKVVPEKFSA
NFKRCLVQCSVHLKAESEQEGFPNRQNSLQCAKAVRLYAEEAATAIGTIVRDGGHMAEAQNDGNLNNMMSYDSDSDDSLEALQNSKLPIESNVGDAS
GSLTLETTLESSVAFQLLKENLTLFLNPEPVKKALFKSWPVLHSRSLPLMIQYRISWLLPSFLRSHYDQNQSLRDILTITGQAQNSEAQSCGDYLIN
LWPEVGTLLLDTVQSLINGDPCKERKNEHLVLSLKLIDEIDELSTVAVAITAIHKIHVKAASAMSWLCAALRSSSSAKVNYSSTLIDATKSPESEPM
IHIRLKHTEDLGDKQCCWYPLFPHTVVAKGFPVRARVAGKGLDISFGNMAMMGQSLNLVEHDGGFILEGLRTFLIPTALLFDGSVQWHLEPKRSGHS
RKARKLFQVLRQEHLVNRYRNLDINDLIQRRCFLGWADEAQVIVATKTYSTREIGCSAMDVISRKARLKSHAITTGTEGMGFFGLTVNRTWLPVAVT
SRLTLPQNKEILDTLYDEIDARVMVYDSGTKTAHILPQADMILLLAHQILEGRHQSLSDVQGEEIALRFASADVTAFEILQGSLGLQIFRGASIRNE
AERCFGDLVKEIWNTLDMVENALVSNEGEWLAINRGAPKFLHGVEYVDIKGMKSSMSISQAEPNMPWVHLATTEPTLPVIFCRGLEQPIVPTRPDSL
CDAWTQVPQGRNYLVATCATIYPWLDRQETSNGSRLSERIEWQIGPRATREGLITSHNDNKTSFVYHEQQLVIAKKASMNPRICDLVMGIQKGALIF
GSSLIRKGCSKKLSRSVNMPNGNERLQICLRPLSHPSVLIDQQASEVPEGNSDTSAEVETSSSIDSPSITTSLSSSQTLRQTRDPGGVAEHSSAGPS
TEASQCQSEYMVESRLQSSSSSDTRDRETIRGPRCIKRMGKSNCLRGIRDSRV
>RCO7_09301 | uncharacterized protein
MVHSPMNTSQGKASVGESPQRRPREVTYDVSSNSPRSTQYQSRQDSAYFSQRGSREDARHEAKSVLKEKQLRAREKVTLLRRNLLEMRLSKRRKRVK
LRKLRDNFQASLDSLTQNINVLVALNKIPAEIGPLHDRLRAAQDELGPVEFDYEEMEGSLELAEDDLEYEEEMLDNLYEDDEDESDISDQYSRVNVA
TSPPTKPPNISEVSSQSLDSDENLLQRYLSLMDQAHEARDQLFELEDEYVATSEDAKVRQRNGVPLTEEMAAILSDYLECRREILDDISRFDDQILN
LREECLKRDFFDDDQYRYVPHDALRDELVEFVKETLGRSPLHSAALHAKYFELTKDFSSKKDSVNTWLLEWVQESTLDMMMLRSWIYTFCPGISANP
EKTLVQIGDDRWTEFSTSHWYTDTAGIDTDANFNDSRLDLIAGDAKNWNGSNINWSLSTYSSLNVGLHYHPFVDSIVINSGTGSYAFQKQDEGPPLT
KPRLENDTTFFTALGVDKGAITEQDQDPGPTALAAESEPKSQIHTRSVEIIPPITTGSVQEPTFVTDISAHLPEPSKSITTTAARSQSYNRDASAYT
AKISLPHAGHPTSSDNFMQPWNHEAAGAPNIKLPFPDTSIPTLSRPRSLITLRNPEEDDLDKTVLRSSTHPTRKSSSFTSD
>RCO7_09300 | uncharacterized protein
MPIDVSVVYDRQSESVCLATVMPDRKGKKRSEPAYEETGRDRRSESGRRESTSHREHSRRDAPRSDPPIPESLQETSPPTTYGATSSIYSTNERPRR
DSESRSARPHLVEDHERRYEPVSTRHGDSKRYYSSGGITKGPRPENSQASVDGHDGSKPASARRPSHSSKSPPPRDWASGTSSSPVHESIGRMTINE
TLEGNFALHSQPDISAREAYEDDNIMTNELALSRSKYDTQAGSFQDKGKGIASDFSRPSMDLPESSKILIRGTRGGADSEKLDKNYTKRKSDFKKFF
RTGRVFSTLWTEPFDDTMQSENDQFNTIVTYQVKFGQKVYSKIRRFVVVRKDERSCTCLPVTTYGGKGYKKRGLKLDNHGLIYSSSRPPRSVPGITK
EPLRIILSKGAEKLNDPSYLHYTRVYTVETNVKVRDVGQLDAESQKLLKRYYRAAQLEGFSDDDEIAPTGRLNIPGRSNGPASFGPAAPGGNSFTGR
KQDPGNDGRGNYEGSSGRYNQQSAWDNRGVAGQSNPAQPFYSGHATSSSVSTAPSYEYADVSQSVWSQQDSQISPAGRRSSQHSYQQPDFRYNPNFS
ATGRFASTQSMAPGYPGITFADETWSEGQSAQSSFHPDSARFGSSDLNPSQGGSYQAAGNPRYSIAASADPYYDPHTNQGGAGQHDPYPATGGSSHR
PNLDDGEIHLAHGGRSSE
>RCO7_09299 | uncharacterized protein
MWTSTRDATITNFKNKPIQCKRMEMYQKTSRVNLLSHFASPSRDVSQSLVFGARPAAKTWPVDAGRTTSAGSHKPRNTYRSFYESMVYMDGNLMELL
FYCMYQSCWWKMESWSQNSTSPLLDNFVSFSIFTSHSGIKSISLIILRRHLLLGRPDKVFSERQNATSGQELIVAVVNARSKINSPKCVFCFSPFEI
SSFLPARAQPCLKSSVEQQFPESKCSSNPTLECLCSATTPTGVKLGTLSGACIYIGIRDGLCTGADAIPTARQNAFKVCSAVQSGLPVATPSMGRPT
GLVTQTQIQTLSTTPSPVSLASQALSPSSTSTSKPLGSDITSSQPSLHTSPTPISTSTLDKVLLKKEFLSARNSQSYTPKTSVRRDKVLELDGTTTI
AELGPDMAHEIDGTNLERKSKRKSRTWSMWIRGMEDGYPTFLS
>RCO7_10379 | uncharacterized protein
MDRFLSSTLEFLEWLVSLPKQGYVNLTRNAVHMWDDMSMLNYIRMIAIVGGYLFIRPYLQRYGERQQAKQLAKLEAERKGPKSKAKISPNALRDGGG
KGKSVKFADERAEGSSEDREKGGKGEVEEWGKKAKKRQKKVQDLLAKEGQRLEDLDDKEDLDIMEYLVDYEEGKDGW
>RCO7_10378 | related to apoptosis-inducing TAF9-like domain 1 family protein, putative
MSQQSQDGNDTREKLKASLWFSVGKLVDEEAASLNTTATPQFIGSMSEMVWAQLETVAIDLESFSRHANRTTITTDDVLLMTRKNDALLGMMKDFVD
AEKAKTSAASTRKGVNKGKGRPKK
>RCO7_10377 | uncharacterized protein
MPKLLTTKERTNRDANLRHNPMLKPKSKVAASNDQPPFPSSSSSPSAKQNSPTKKLDATEAGLVKFEKDDNPTNVGGRQIKRRAAQACDGCRARKVR
CDVLKRWKEKGATCTNCEHDGAICTVRESARGKYKGDHIRDIQVYNRDGGDESDSSSQSTPKWTMPNAFSNAIIPKDLESGWASVLGKLDNDKPHES
HLLYQAAAQRIAHFPVGPPPSPQHDPKYNLPTSASMIGDSRQIIVADGHLDRAATLPFDRFMGPLPVYLNRFPARMTPVNIQYLYAKGALAIPEDPF
RNALLQAYCEWVYPYMPCLELHFVLAAINDPTGSSGTISLLLFQAIMFAGIAFVEKEYLVQAGYSTRKAARKAFFQKAKIIYDLNYETDHVSVVQSL
LLMTYWYVAPNDQKDTWHLMGNAVRLGYTIGLHRNHAKSNMDPAKMKLWKRIWWCCFMRDHLVALGMRRPTQIEEASFDVPILEEEDFEIGVLASNN
TIISPDCTLMREIHIQRDLAQMCIAKAKLCLCISHILTAQYSTLDKHLGMQRKGGTTQSALLLVPKRSFPGEVSKCDRELKRWLDDRPPACLDSNGF
TQGNAGRTIFIQRALLHLLYHTAVSALHRPQFSSCTAASNHEIQEASRRKVYIASKGTTAIAQTIRLHQLERYLPSTAVTVLTPAIVTHMQYLISQD
DETEETAADGFHSCMAVLQCLRETYVTADDAMMFLMNALSRVGGTRILTASNGAESNPSNPWKLLPNGKGIGKGNLESMVKSVERMKEWMKERQLYS
PEEEEMETSTKEMEKMDDDRTDFLALFLDLTAFY
>RCO7_10376 | probable alcohol dehydrogenase (NADP+)
MAAPEQFEGFMIHDTKNWDKFSKEKFTPKNFEDYDVDIENECCGVCGSDVHTITGGWGELATAPICVGHEIIGKVLRVGSQVKEFKAGDRVGVGAQV
QSCMRCQQCKSDNENYCPNMVDTYMAPYNLNGGNPNKDAGGPMKDSKGNQIFSQGGYSSHSRVHEKFVFKIPDNITSEEAGPMMCAGLTVYSPLKRA
GTGPGKKVAILGIGGLGHFALIWARAMGAEVWALSHTPSKEAEAKKLGAHHFVSTGEKEWFKPLAFTFDFILNAADMTHEFNLTDYMSTLAVNGEFH
NVGLPDKPLPQLMAQDFASNGAKITGSHIGSKKEAMEMLKLASEKNLHPMIETIDISEKGCGEAVRKVKTNDVRYRVTLTGFHKAFGTGKN
>RCO7_10375 | uncharacterized protein

MAVGRLALKSVSMFFRIIEFCCAAVIIGIFSYYLATLASNDLAINVHIKAVEGISGAAVLYTAVAILLVCCLGGIAFFSFIGMLLDFCFCGAFAYVA
WVNRNATKGSCDGDFVRTPYGSGNPDLTVVVVGAKDDGIIRLPSLRNACRLQKAAFAVAIIGCVFFFISIFLEFLLIRLRKKEKAYGPSPNNGYTAG
PPKRKFWQRKPKQNKHAYADENGDALPAHATPGDMRQSYATDATAVGANEPVITKYGNTTYANGAGGSPTGTANGTHVNGYQTTTTTHVPAVGHQQD
GYVRNHQPYVQNPTATY

>RCO7_10374 | uncharacterized protein

MLKQPADRRSLLTPQTSELSDTPSIPSTPSPDLRGTFNSAETMSGDFTDPSPRYTSPPIPTIHEFEPLDTHVRGLGISDRRQSIQRVAVGSRKSMSP
SGPNTPSTNARNFPNVQYSISPMTSAPGSANPLISPAWPVRDGYNGESDDTRGRNMFVDDVDEYGHMGQSRGPGSLNDDTTRLFAPVGCAARGELHS
KRRSWISVSILSLSVYSTVLSGIYLGLAIVQPRYGRAIHSGGQMTPETASILFAGLAKTIELSFVTVFVTFLGQVLSRRSLVKSSRGVTIAEMTMRT
WVVQPGFMITHWQALKHVGFTILGCITLTAAFMAMFYTTASDALVSPHLKFGKWEDKEMFGLVKASYGNAPYVSMNCKTPSAKVDPIYAGETCLSVQ
YAGQAYHNSIGFLDTWATINDGGTGVSPNITGRPPAPAIIHDNTTVVGSWVATEYSDMKASYATYGRFVNNVTLSMPHAGIVDAARASINGILQPEE
LAGVGEYVIEASVVSPSLNVLCVNLNRTELSPLVFTKYPLAKPKNATEGQAYAEYPKDVHPVSGEELLNSTVVDDIFRWGATHGRQPPVFPMYPIDF
NSVTNTSVPGSDSIYMLMKGSELLTSDYTICQMRSYLSPDCSTFYNVSGISGGRLYSRCESGSRMAYSRHVAVPPGGWSNFSKDWRDIGSLWMSALS
LNTGISNANSSTSRLLAQMIPSVPSWAEKSKITLNPLTPSISETLAVMAGSTLLLSSTDASFWHFWNYTAPVLKPGTFERFNASITSQQYTSGVTQR
WQGIFYIVLGLVFVINVFCLGYFIVRNGFVNDFTELQNLFALAVNSPPSSRLHGSCGGGPQGDQLNVDFHTLVDEQNGHFYMKEGMDVRGGREKAYE
MRRRNDGSEASSRHLKSMTSYSKLSSPRGSWL

>RCO7_10373 | uncharacterized protein

MAPSRSPSREIGRQSELSTSFSALSFFPQSKKTPCEGFLTNYQDIAFHFQNEAEPGINYICARGGYVPLLSLQSLKSDRTVIETAVWNDVTQKMDFT
MGGARVHNIVRCFVA

>RCO7_10372 | uncharacterized protein

MAHASSRDILVQHYDSDTATLDVSGSEYEDLEMGLPSRSRGFFFMVTLAMGFGGLQLVFAVQWSYGSAYLTSLGLSKMMLGVAWIGGPLSGVFIQPL
IGAASDRCRSPWGRRKPFIAAGGAIVTLSLLCLAWCRELLQGSIGIFLQHPSADFVDNITVPVAIFLFYLLNFGIQPLQSGLRALVVDSCPIHLQEK
STAYAGLSTSIGSIVGYIAGFIDLPQYLPLFDPLSDYADASRYPSFVLLLYAATSFISGLILYRLVQHYGLQSGFGDESKFFRLRLSLKGIWLVSNV
FCAACMLSTPFLITTRGVTIVVCLLGIPWSITIWVPFALIGIETSRLRQTAALGLDTCSAHDRTGTILAVHSAAIALPQIIATMGASLIFWVMGDQG
VTWVIACGGLAALVAAWMTLGVSESRGELREEAYHLGVL

>RCO7_10371 | uncharacterized protein

MDAFADSKVESIPFLRNEIPQRTDPFHGSHLLTKRHRGRSTRRSTRTTDSSWSRAAWWGFLVLLLLSNAGLILERYKYPQHTHDCGGDSTGYAPWFP
QEVKSFTDDFRYTTDHFNPPHKSEKTAKARAAWQSLFPPGEGLIRIDDQQDVEKYGLPPTRAPRYPINSTIDALETSMGHELHCLWEIQRHFGMAIR
GEHIKSFEHVDHCVNFIAQAIVCAGDLALEGYAPAGSPPLPPTLHVCKKYDAVMDWFDDLKVVEPEDAWANSDPLED

>RCO7_10370 | uncharacterized protein

MPPYNDIEKDLSEKDSFLNGSKHIVSESDSDNSSDTTTQNSQGLLSNRKCRGRSRENIRGRFMGVLKIFSHCTGWLIVLVIQIGMFLALYQRLPVKQ
TNFLNGDISHIVPEFSTELVRFKAEYDLYAPNYQSDENMKMVHANMASLVPKGSAMIPVDNWQDYPSLGEPMLDPWEGSRPLYKASFTHQLHCLTLL
MESYDRLLRYGPDGTEKITPPGHDAPHTTHCWDYLRQSIMCCGDTSLEGRSPTSKNQTSGFGNVHVCKNYREVYAWIEATRVDDEQYV

>RCO7_10369 | uncharacterized protein

MSKSDQYSVIEDASNFIFGPSSQEKKHSKSGKIWQGTSFVLAFSLSLLVLMLVTSTAFLLRPQDPKIDAKDAFKADFSLFPNCGSSVAEAKSGGCEF
DPMVNGWTPQECFNRELSEEFMALPNYTWYYDADHAKPISADDLYSGELAITYPEPFHHDRHCLYTWRKLHLATMLGTMVDSDTFWYNHSAHCTSYL
LRLIPLQKAAESHRAFLTCLPLGLNQVQ

>RCO7_10368 | uncharacterized protein

MPSDERYEPVEESDIENSKEPSTQPSRHHRFRHKSRFGWARYKVSKIYRSSWWFLFDGFITLAFLWLLFDKQLPACIKKQGTQIQASSDLPSVDIAG
DLTHFAPSFHKRVTVFSQQPYFVPNHTRAASLDHAKGHWASLIPAGGGLVGVGQQAKDKFKHISLIDGDKAGVSAVHSLQCLFSIMVRYGQLVRRES
VSVPDPHMDYCFDHLRQQITCHGDTALLGEDEIRNTHEVTESKVQHVCKDWNEVYNWMEKNRASDELIWGESDDD

>RCO7_10367 | uncharacterized protein

MSKELAAQACDQCYRCNGSACTWSMGKWLGKPQGTKRKVSDGKEHAETRGQQECRSPGKEPTASRNSSQSRDELFMSEAGRSNSNSDVENPPPAAEN
KIEENYANTLDCPSDYLQISGESLSSEEDSFLLWPLLDMPPEKLSTPIVDKQPFRPATCTLVSPTTLQHSNNPPDRHPTISSQQARSERAGRQDEEE
SFTAKSLYSYNGELASTSPRRRKCSDPLRADHTIDLISPPDSSYSWERQDHPEAPETCSESYRSHINKLQGASYNPTNSSRRFFSPLPLLRTENSLG
EQSRMFHLEDLRTVQEQMSRSRDRYRGGSQMENDISLVGHPHALIKPLYSRSLQSPQPSCRCLLRILESLGHSDPLLLAWKLLSACEASTRCKSCYN
DELALLQRLMGLQKVYTCLNLLQKGCERSSRTRSPKAGLRDGHGDKQAGQASSMEEYSGRGDVELEDRQISPGEEVWDCTLDNAEDVRMLLIRAVTL
VSHEEMLSITRRPRVGEVHSVADSILSFGSQFSILLKKFRALLGLESA

>RCO7_10366 | uncharacterized protein

MRSYYSGSFETFLEQASQVEEEELEKEEATKEEKAPKEKEEEEEEIATKELEEEREKEIKFKGDRDSFSSKVRIFYDACLRAEILLEEYI

>RCO7_11717 | uncharacterized protein

MTVFVDIRVIGASRSLVVLLNQALLYLLSLDYDIAPILLNYVNIEYTILSSLLLSSKAKDAELNRSSIIATYKAINQIYYLAKSATPITTRSIEKVF
KELEFIKEFAKKAIFKATISNTKGKRNLPSSLEIVSDLDTLRLSLKKKARRISYYTQSITRATLVDLSKKLNIVVLVPDIPDLLEAPENLREKASKV
EVVKEVEF

>RCO7_10610 | uncharacterized protein

MKFLVLFAALFQVAFAVTYTGQTIHKQGNDAMCDTPQGQWLCRNKSFAVGKPCTVGKDNVYANDC

>RCO7_10609 | related to glyoxalase family protein

MALISGIAHVNLTVPPGTLDHAAEFYGKTLGLRQTPVPQTQRDRLAWFNISQSGQQIHIAFGHPDPTPSSRHPCFKIDSPENLLELRKRVYEHFDRG
GDAAPKEADKPGKEDSGEKGAEYPTRFFARDYAGNRLEFSL

>RCO7_10608 | uncharacterized protein

MEAMALPSMASAVESTYIFFSPFVDFAGKARFNFTSVFSKTYEYLSGFPFIALHWLAFLSWSLISSIIIWLSQGRVQKQRFLTCLFFAISAITTTGL
APANVSSLNTFQQILLCINFILGSQPFTGIVILTVRKTAMEDAFGELIEKSRDQTFRVASLITQTVIESSNSPDEKKAVRTENPASKFWTDVEPLTT
TPLVSSTVRKTTLATNLLLYWNNFLNAATVGRNSDFYGLTKSERETVVCVEYRAIKLLRLVVTMYIVLHQFLGAISLALHFNLKRSNVIGRDDLSAS
LTLFRPSTNNAGMSLMNDSMIPFKIDAFPVFIMSYLMLAGNTGFPIFLRLILWVMLKSLPHSPRFLQTRATLEYTLKYPRRVYTHLFPKRETLFLLL
ILMCMNAVDLIAFEFSARHLPEVQSLSEGYRVLDGMFQTLSVRCSGFNIVSISALPCALLMLYIGMMYVSAFPVTITIRTSNVYEERSLGVYTASSA

FQADDESTLSFTHLTGHRSRLFFMKQQLSSQISYDAWSIMLALVIIGFVQGGEHSSSTFPIFPVIFEVLSAYANIGLSMGVNDKSYALCGSWKWPSQ
AFLMFLMLRGRHRSLPVSIDRAIQLPDRKLGSREEADEREREHELVREMVLAAELKVD
>RCO7_10607 | uncharacterized protein
MSTTTTSLPPSRTLSSRDELYRNVALGAVIVCPIIILIPPRKVDIYTVALTAGFFAGGNHLSAHYTGASIVQRFASRVESLGSQSLPPKAVETQRRL
KEERERRDAGTLEGRIGVGKIEGAGREKVDGVLAELRAKEAENKERGLLEKVWMGGEGKDWKAKRDAKEKEALDEGRGYGGLIMDQFWEVWSWGKDK
VEEVKEIDEKVVEERKEGKK
>RCO7_10606 | uncharacterized protein
MGKGKGKAGRKEAKLIVKKLNQEPKIPGLPKPARPEKKAKKIPSREKKSAMHSNPPGPANFPLPMGRPKPFTKSPQHAKWPAMFKKHLGVIEAHIRS
LDRVMQSMKSEMTDLPEKERLEFELGERGNWRVICGMMDRAREVLTSARIAARGIVPSRHLQDKKGLGVLGTNFEPLGPKLEQKAAEIGFDPVGKGK
LGRNPEDVDEDGDSEMTDDSDDSEAEGSDKDGVADNSDFVKLDVGSKIPRFESLANDNEAAVQDTTSTVESNPYFVVDVEPTPVNIGGPEPEKKSRK
QQKAEALEARKAARLAKKLAHEAAKLAPPKEPTPQPEAAPEPQPEPQPEPDFDYAELEANLQAEIAAGTKAQEEAEEKKSKKKRRRSSGVDEDVVEK
KAKVEKKEKKRKAEAEENGDSVDAADVKKVKKEKKEKKEKKRKAEESADAEEAEERTKKKRRHKDHA
>RCO7_10605 | uncharacterized protein
MRSTELEIIHRRRPQKTTAMVLPIRSDFRTVHVGTHRESHTEHTRSLLTCSPELHRPITHPDIHHRIPVSSCLESLLGSRQRYREPFRPAASLESLG
ERDEDWVGGTGSACHVIDAGDRYCEF
>RCO7_10604 | uncharacterized protein
MSSSNKKTILERAFDDMHQLRKLAETSPELVARTHDRFKTTWISFNDPAAVAFQNVVDQGPEKVRAKLRELQLLEGTLSFINQVSDEYERLKHTDDQ
DTNTGVGIAEGDWDRATRGEKLRYLARPLHPFGDHQQRVRFVIQELTGATEAEAENEPEQDEEFSNAVAKCNNLSQKEGMTITGMLALLENDVTVLD
AMKGFSRELEKLVREECKAGWDWAASLNKQKHLRKTIDETWGKCSKYFWIVVLDELENRGGSEDVKKLVEQKMRGN
>RCO7_10603 | probable DNA-directed DNA polymerase III
MAPSRVPQKRILGDTANSRKNIASSPSSAKKRKLEPVEPASSPAARFKSSQNGPKGKFGSSQPSHFESEVLEKMTQDMAGLKKNNSEKDQQWARPSL
DDFREGKDNLIFQQIECEEGTLHGGNATVKLFGTGHSAMLHVTDFLHYLYVAAPVNFTSRECDGFKAFLDSQLSTHQPAIHSVQIVLRENLYGFQGN
QQNPYIKITVNDPKFINKVRSTIENGTANYKGMWKGSGDGGILTFDSIAYVLRFMIDCKIAGMSWVEVPAEQYTIIPKHERHSNCQIEAWVSYRDLI
AHKPEGVWAKMAPLRILSFDIECAGRKGIFPEANQDPVIQIANVVTRYGEKKPFVRNVFCLDNTSPIVNTQLFEFDKEEQMLSKWRDFMEEVDPDII
IGYNICNFDFPYLLDRARHLKVRDFDAWTRLKGVRSASKDTNFSSKQMGNRDTKATNTNGRLQLDLLQLVQRDHQLRSYTLNSVCAQFLGEQKEDVH
HTMITALFNGDPETRRRLAVYCLKDAYLPQRLMDKLSCLENYTEMARVTGVPFNYLLARGQQVKFVSQLFRKALEQKLVIPNLRTDATDEQYEGATV
IEPTRGYYDVPIATLDFASLYPSIIQAHNLCYTTLLNKNAIDKLNLVKDEDYIVTPNGDMFCTIKQRKGLLAQILEELLTARKQAKRELAVETDPFK
KAVLNGRQLALKISANSVYGLTGATVGKLPCLAIASSTTGYGRQMIEKTKDEVEKKYTIANGYTHDAQVIYGDTDSVMVKFGCKDLPTAMKLGEEAA
AYVSSKFVKPIKLEFEKIYFPYLLINKKRYAGLYWTSPDKYDKMDTKGIETVRRDNCRLVQNVIETVLRMILIDRDVQGAQDYVKDTISDLLQNKID
MSKLVITKALAKADYTAKQAHVELAERMKKRDAGSAPTLGDRVAYVIIKGSAGAKNFERSEDPEFVLEHNIPIDTKYYLDNQLSKPLGRIFEPILGE
TKANSLLAGDHTRAISVAAPSIGGLMKFAKKTFTCMGCKKPLVGKEESGGAVCSNCAERVGELYQKTLSKVSDLEVRFGRLWTQCQRCQGSMHCEVI
CSSKDCPIFYMRMKAKKDVEDAGRELVRFDRDAAAW
>RCO7_10602 | uncharacterized protein
MAPAIQTHLDLFLVIFDIERRYAAILSYLHWIKQDVAIAEKLVQAIPPLLESLSSRQLNGNGTSQASYCLQGPVIQIFKSLCNFYEVLWLLTSSFED
NFESPIMASAAPWKQLGSTSNSRIKLSYCKYRLRVSLSLQSKRYGTPRVIYLAHDYPPSYTGQTQPRYYGGGSSSVFLKRLKALAAPYRTARDQALR
VSLAANTWRVQNDRVFDLSKAVSQSADFWTKPTDVTNAEATQMQANVRNAKANILFSIGKACLLPGFEVHATCLKCCVIYDLPFVGDGIFHRPEDCA
EDAMARKVRGRVACLAVARAEGQ
>RCO7_10601 | uncharacterized protein
MLFTSSTLSGSAGDGSPPASSEPHLSRSSVSNPSTKEPPASPESILSTSSVSSLSMDKSFNHPSQWSANNRPSRSVLLENIRAVCHYPSDFSVSDRV
ANELKSVSSIKVMDSSDDSRAGNKNKSKFNSGKSQLLSLPQSLYKPFVGHLDTLSQTISLYNFYHSGFDYLLILSAGPVCGLSVEPIHPESLKGSTL
KPELLLNSEFADINIRSEKQFESGSGKESPDIERQTTLSLTTVYLGRIHENKKPTFWIIVMEVEYGGLYAFRSDHVDDAERVEIENPIDDLGQDELE
EPALAVYLGNTTIWDKGYGDKGETYQKLDVGRWESCILE
>RCO7_11512 | uncharacterized protein
MVAIVVVDCLRRERREKVKSYMEELPSAMPRIPALLTTKKNQNKRHLRPGS
>RCO7_10829 | uncharacterized protein
MTSSRRAHHDRPSSSETSPLGTTTCSKGHVHPPWSTTGVLRIAKCESVCGFCQKETKTAANLRKHVAIHIKNEGLKLSIAEGSSGRGRLEMPTTAPL
DHRPSRSTSSYFSSQTDDSDSNSMDTDPTSMSSYKRSFNPPPNSSSNQNPQQQQQDFFSPSAVLMSMASKPHASYPPYNMSASTSPFQGYNTHGQTY
SHSPSPSLTPQPYPSTSSYPSSSTNTPSHHTQLSQNSPHRPSSTSASSDPFRALREHRITTKQAWTAIPSSEGFRILDLCKSLSVTQNNENHIPCYN
RETIFDEEWQAHMKDVHGVFLLWPETWMRRVEVLDLDAFGGDIGVCNEVIMDS
>RCO7_10830 | uncharacterized protein
MEKPQAKDDTVKKQRRASKPKVKTGCNNCKVRRVKCDETRPQCAKCVRSNRQCEGYPAHKRTVESVIPIAPRPEILPKGASITPSSAIPSSKSSSPP
TAKSLPRRHRVIRVPPVKKRVIGIQDSPVVKYTSPHHTPELPSPTIYRPGGFAFDSQEGQYFQVFRTHTASELSGFFNSDFWQRSVLQESHSEAAIR
HAVIALGALYKTLEKVSESPPGSPESNNAAIDTAPSHYDFAFQQYGKALTRLRESLENRETRSARTILISIVLFTCFQSFTGDHKAAIKQIQIGLGV
LEERRQDSRQPLMQRKEDTVEDELVQMFTRLAIQAKSYDMAFHFPHPYVIRLSSQRQPDPTSPQSQTSPTDSLSTSPDSSIPAAFLTSQEARTALDA
LQERIMRFQELLSSYHRGPNNILPKSVMVLGMGFRMQLKQWSIAFTPLLESRRNRGVTNTERAGINVLKMLQVMTDVLYQMGFSTSEMEFDNFTPLF
REIVELAKEVVVDEELSLAMLRCGSIPTCRHNQNPQYNFPGMVAYQQGIWREVEHYSHIKPSFALDLGIVPPLFVVATKCRDRKLRREAIRLLTASP
RREGMWDSILSGRVGTWIMQIEEEGLTFFDGRGRGEGEEVEDERRVMVKEILFDMQRREAILRCGTRGAREGERDERARETRIVW
>RCO7_10831 | uncharacterized protein
MSSSRNDSGRDPKKPNNRKEESIRLDSVCLRDRSRASPNGKSGADTKRRDVLESKFFKDGRRSIPNGKSAFPNKGGVVLESVYFRDPNGLGKKIKEE
EETFSDDPDFTNFPTQYGVPAKNPSVKKVVSDLPIAASPRTQAPKLQREASSPESESSPPEKSRASNTSADDRRIRRDVETRRRELRVERERVREAE
ETEEWERAGRESPKKSSSGDSSTSNNRIRREIEKIKRELLVERRERDDLKVTEEWAKSDGEPSTSQKSESSGSSTSDRRIRRQIEKRKEQRRNEITR
IDETEDREEWVKNRDETSSPEKQRSSSQSSSDSSTSYRKGREGLMEKRQLRIDRLTEKEVWEQDEWAVKRLKASGMCPQKWKWRRYTEPKRGEQEEL
AGYRCYGGISTHFVTHKMIAKGRGEVLSLTSEAKRWARDRGGTADWNSLRGFRGLRWADRGERGRSCVRKMRGGRENHRKERRGPRGYKNPPGWPGD
FPSFDSAGSSDCSGCSGC

>RCO7_10832 | uncharacterized protein
MPHSYNSRQPCPYRCAGQCPDCRRLLSPSTREQVTTLNCDDCNHDFKVYGPVSLIRGPQYHPGCPERERVWRLFYQREQKEREKKEREKKEREKRES
ERRERAIKEERAKADRERRDEEREKEDRENKRREEETRKREQMERRSERRR
>RCO7_10833 | uncharacterized protein
MSDNLEPVIEWVLGELRKAAGEGISIQELSRRFDEHESFFNDNDTKNAAWKGLTAREDVCFVDESKTPFKALSLTDLLLVGQGDVRIRLVEQHGVQV
TAPGASLLTSIESDTQATVSQKQISFGNKSSEKTKQQPESPPKPAPKRRGRPPKKKRTVAKPTVSPTQGQSAVSSTQVATPLQSQPQAQAALPADQT
TSQPEATAEPETVVVDPTLQDAETSTTQERGSRPGSVVPIGTEDVLATTPPSLESRLPTVSQTSKEAVEGHTQDEPLAETAVSQSPRESPQPQPIDT
SVQTIRPTTPPPRSSAQPHSPHSPDDHVESADANTQRRSSSRVAGADLLPESTFSSQTDMDWEAGKDGVYINPKGVKMKKRVGVKKRKYSKILVFRM
TKLKDPERLAHGRDSWRERIMPAVAQARVADAEVAAAAGLIPRSNRKRRAGTQPDSTDSPKATEEMSGGKGRATSLLNQTWDEEHPEASHDSDKVDA
SNFEADIGAGAENSEWSSNWTRDAAKELQANVDMQSSIVTDRASSLVPSVSQIPLELPPPPHSSNTTNSSTVGGITGAENEKTIATLQPSSTMELTQ
VYPVESRTVASHDPLTPAKNHIINHPMFHAPPANTYRSPYAPASTASKTSAHLAPSSNQDSGETQSQPPLVPPVAKSAGLDAMTCMNPAHNLQSPSG
STRNAPISNLLQPSLGVRSYTSPYTSRPPVPESEVVTPSVKKRRGKVSKKPVPIPASEDTATSLVPEDPTALYVDTLVPGDFRDQVQQEPSQIEEPT
LPTDKTPRQFFNGKGGSPTQIDDFLEIMDESPATPTNDLAIPSAGSQGRGRGRPPGRGRGRGRGRGRGNLARGGPRGGRARGGARGGKQDGAQSTKS
LPDESFQKETGAEEPIYPPAMELMPEDIRSLVSPEAAAGSNDMALADLQSQAPQDATNLTRSMSTIHTAASNGPYSATLSSFFPGHAAADQALLDVL
MPDVEDPAILIPGTLPITKDQELEDSIVANGTDDMLQVVPVLESEAATNIDPSELNTPQQTPSKPSAKGAGRGRREKGTAKAPTTPKSASTSKPGRV
KTDPEDRLRARIAEAELTSVTEGAARFSCMHKELVGNMILSRDQSMLEFFALSQHPPQTAMVSMKIRKMIGNPIMSTKGSFPMELHVKSSNDENKKK
GYRFTYAASGSGFEAAQEMRNKIVTAIIASEFTAGEFASVAEAQAAKVRPYLCELCGERFKNPNGLEYHQTKAKTRCNPNWIPDLNTGRRVYRKKVH
KGDGATSAKGTPRKKSSTAVVTNDPVSEDEEFAGSTTSEDEPVPLPRTQKKGTVDGLHDSNESEPPHSGLPARKAQPVEDDVMDGDGDSDDSIFEWA
RNNSTAGYHKSRRSETPRPPRSVKKPKPKRVAQPESDEDSDASLVAWFEKNGRIGSMGPEAPTPAKTYKALSREAEVAEQIVKDFADRIRDGEQEIF
GVAITPNSQLTTAKYIAAIMTCKELSSDWYEEVVVNLVQKNEGMFPAERSVWLASVAIWLKQNPLTTVLPESKHCAKAVDDLVESKKFARVIFEFKD
RNRKPRAIIRSILTMNVLDMKTDRADLIKELIQETHPKAYVPSQLAPPPSALDKLQAVVARLLPSLAVNTGQEEDEEEEELPPTPTLNFSDDSESDV
FIADEQALDVEDEESDSDKNLDEEDDISAPKASKKRNRTSTGVHKRKRHAGHNSKIAEGVRRRFDAIRAGGENPYPWDFKIKRPQGKKRFAHVVPFT
SQLCWGQAPAFMPNTETGAWDQRPASMPRDSVSGQAITSVTDYKPKMKLQYFKRPVLPEPVTFMQAPDGAWSVRPFGHGVKPIFSRPSRRADGNPNA
SLYLDRVENGHRPIIYPPVGNRIYLPAIPSVRLLKAMNSGKRDATNKRKASTVSVEDDFEPHSKRNRRGTSDRFGSPDESDPPVRISKATGKPARNY
SRNFQKQVFVLDVNDPIESAERSWNILTSRNAAKKARFSEVDLLNFYEPKKLTEGAPRNPGLSTLPAEYGLHAPNGIGNASYSPNFNNVAFISSAPV
DEDHEPGLSSWTVTRLDTYRPADYETRWDNATAFTVENIPYSRLRDDDQGGYPGRGEAKVLQAGSDEEEPKPKKRRSQKSKTGRQDKYSYTRQHTAL
PQDFEDILTDPITAGKFFGVEIGTPNEQTIKRSRNFGSNVMLAETEGRFTVTCMILRTLTGGLDLQVDWVLVADMFPEYSLNFLKKVWTAVMARKKV
AIAKLEADFREKFLVAYQEGEIPRLDYDHLAEYPWNDLVDWAMSNTEASLSSKTIILPATREDVAEEYEVREAKEDGFPWRDNYFSTTTAVYKRIMA
TAIVPHSIPIDSRKRRASAAELDEFAVAKSWIRVAAITPDSEWDFTSAKAKMSSFHKSLLTEALDTLVSEKVVKKRAINKTKNGRIYEMNDTWSHSL
KKHIKDEMYVQAVRYKRWMDGQFRSGVPCVKADYFANEGTTMCITSLQAHGRVRFHGVDVPMQRFGLGDGGYETKKIPKERLRFDIDIYPTETYIYD
DANPVLSNIMFRDPPRGGDDGEIPIWYGVTEKPIFSVWYRLLAAIGQVVALRAGTTVDGLKESFRNTLETWEWALLLEWGREVWLWHGLGEGLGMSE
GWTVGEWWWVVIGSGLLESGVATGEEETVGVGRGMNI
>RCO7_11773 | uncharacterized protein
MRCHTYPRAILIFTLLNSTRELSVLDRLGFPTNKKKSESALVEKNVRNTIKNKIIKEEEDDLESNSNSNNDFENATKIPIPYPELLKLIINTTTAVT
VMALI
>RCO7_10834 | uncharacterized protein
MSDSVFSATGKYCDTLLMEWLNQDELTAEQECSECILGISQTQLNSPFGYDEELAADFRYDTSSCGAKGYDFTVPGTYSSTSSPTVTATATATSAIS
TCTNSYTVQAGDSCDAISLARNVSTFSIINPNGINRDCTNLQVGASICLSSPCDLYRVQSLDTCNGIIAAQGDTITGSQLLAWNPNLNALCGNIDDL
VSSFICVGPPGGSIGVVVPTITLAISTPTKAVPKPTNAYDESTADCGKWYEVQEGDNCDKLPVQFGISNKDLLFLNPEINVECNNLNLGISYCIQAV
GDISTYNRYSTSRFFTLTTGSYTTATTTTFTEFPVSTVTSQPQLPLASGSLTNCSRYRNFEEPLMVQDQSQSKSQVVMTGVANRCYFIASSFGVAFA
DFLAWNPSLSGIAENCTINSGFSYCALLDATKLSDVVTANYCEVVDSTVIHENTISTCSCFITIQAYDDSESYPCAAVADDYSISVEDLTTWNPWLG
SDCDTGLYAGIIDDQANAVCIGVNETAQTATATSGPSVSTTISSGPIGPTQPGIIASCTKFYTTVDNDSCAAIQAKFAITFAQFYAWNPAVGSNCEN
IWLQEAYCVSAPASTSTSAPTPTSTSHDPIRPGTPDNCTTYYNVASGDSCNKIINLFGISFATLYEWNPSLGDDCQNLWPDYAVCVAGGI
>RCO7_10835 | uncharacterized protein
MAPSDLPLEALTHLNYAFAYIDPTTFTLVTMDQQTPKELFQEVVDVKQYKSDLQVWISVGGWTFSDNGTATQPVFGNIAGSAANRQAFADNVVAFLT
HYGFDGIDLDWEYPGAPDRGGIPDDTKNYVALLETLRSTFDRAPRTLGITFTAPSSYCDLHGVWDRNNPIGSIIQGHTNLTEIKLAAELLWRVNIPA
SKVVMAFGFYGRSFQLSDLSCSTPGCQFSGGGSAGPCSATSGILYYYEIQALLKQHTDLKPIWDKDAAVKYVVYDKNQWISYDDPDTFKQKVEWANS
VGLGGSLIWASDTDDAEYTAHSGLIGKAVGTLEHADITLSQHAIAEDAGAIAQNLIGQNGQSCTIQDTCRYQDEFPRLGLCPGGQTFVGGNQSVVQA
PQHQNHAFGEVGAAKRMIAMGNAMLGRRQSSGLPGVVFPQRQTRRSVDEDTKCFVVKQEIGVTLHLGVIGLSVEVHAQIPRSRSVPEQKNRARFSIL
LENIAAQSQLCSMTALGSRKKTNCCKVRSRPPAALTCDVSICDADPPLCRDTASVGLMKKRDFFTLDNGLSVAEPLYTDDLEPEDEGDEYSILEKRK
KISVTFELLGRAAIIVFARPHPSRAQLFASALRLRTVIRQFFHLEHTQCDDTAITGVDLPTPNQASTLPRTGETEHPIDLSIHKRFVRCAERGILPD
GSATENSGLGAAFFADQYLAENMLRQGLPLVTPNSAQYRSTYMRVWEAFGSTTNAAQFVLTDKEINGPKGRVMNLGVVTGIPQFEIWVNQGTAGNGT
ATESFLQSLRTAIGVFKYLQNTDVAARFQNTRDLIREQLEIIEAELPGATGLVALWDECFEAILREIERTAQEWLLARVNQARQIYTQVGPTPRNRA
SVFTTLTSLERQIMSVYIPGSR
>RCO7_10836 | uncharacterized protein
MASNLADQLRKHLQAENYSKWGFIIYRCTYESDDDWARFMENLNARAQDHLRIYEGLDLLDSLELTVPDDRKTFDGATIQKCRDHFVDWVSSAEGRN
SEQPNTPAIPTGWDGQPRYTFFIHVDKDSLESVVRRAPQPPADDMEGTGYVNMMDSKWAPSSDEETEIDLDGNVVTIGQGEEGQDWQRVAIWGLIPG
IYMALLGGDLWYAEFQKPPHVWVES
>RCO7_10837 | uncharacterized protein
MKFHIITFMFLGLAATSVMALATINQARDNDIGIDGTKSKYERSPVLDIDDVKAKYERNVIWTKVYGAPLTANVPADMRHPENGAFQAQANPVQRFS
IPSVQYADLVVTAAYGGTSVLSYSGEVLLLPYPHSKVALPTV
>RCO7_10838 | related to thermophilic desulfurizing enzyme
MSTPKKQLILNAFAMQAPGHLNPGLWKYPADTSTKYASIKHWISLAQKLEAAKFHAIFFADVLGGYDVYNGPANLDATIAAATQFPINDPLYSIPAL
AAATESIGFGVTASTTYESPYMLARKFSTVDHLSEGRVAWNIVTSYLDSAARNFGLDTQIEHDVRYAIANEYMEVAYKLWEGSWRDDAVSAAPTRAY

ADPKGVRQINHKGKHFDIPGPHICEPSKQRTPFLFQAGTSSAGKTPSVDSIRKQAAEFGRDPKSIKIVAGLLLIVGETDEKAQENFEELARYGDREG
ALALFGGWSGYDLGKYSDDQDFRFLESAPPAVRSMVNHWAKSSPEGTKWNKKTIAEHLIIGGNGAKVIGSAKTVADELERWAEVADVDGFNLSYAAV
PETFDDIIEHLLPELRRRGLFWDDYAVPGGTLRENYLGLKGHTRLDETHTGAKYFWKAGEDVPAYAKEGTNGVKVVNGGEKKLPADNPAKRQRVV
>RCO7_10839 | related to monooxigenase
MAPSLEIESSQQASVPLLSKEKPEVSVEAVSSPEVLPIEVKTDHNSFSSAEERLPAYTKDATPFELEDHPIDAPTSIRVAVIGAGLAGITAGVFLPV
KVPGINLTIFDKNGDVGGTWYENIYPGVRCDIPANVYQSTFSPKTNWTEEYAQGPEILNYWQSLARKYNVYQYLKLQHKVAGANWDQDTGKWTLRVE
NLASRETYVTEFDVVITAIGRFNDWKLPNYPGIKDFKGHLRHSSNWDPSFDPKDKTVAVIGNGASGIQIVPKLQPLVKHMDHYARSPTWIAGSFGGE
GAGRRLEPNYYPKELLDSFEDPETYYKFRKELESTFYKRFGTLFKGSETNAELREEFIKLMAERLKNKPELLQHIVPDFSPNCRRLTPGPGYLEALT
QDNVSFIRTPISHFTSDSIVTTDGQERKIDAIICSTGANVNLLPPFPITAFSQNLQSAWSPDPLTYIGVATPRFPNLLHIQGPNGAGHSGTVPSQVE
TQLTYLCRLLRKVSTQGIKTFVPSQAATDDFTAYCDAFFPKTVWSERCSSWANGGRPGGRIHGHWPGSASHVNFMRRDPRWEDWEWTYKTQTGNRFA
WMGNGWTVKEEREEGDLTGYLKIPGDIDLRSYHESWFEGMDG
>RCO7_10840 | uncharacterized protein
MPNWNIIVLDHGDGRTYGWKSLPGIVARRTALWHHDERAFEDVMRDWKGLRGGSACDEWGGGKQGWFVPRYCYVETSKELFEGEEEIKQGSWDEQAD
GMSLLTLGRRCRKPERGGEKGGDEISYGEWEVSSISMVLGVVDETT
>RCO7_10841 | uncharacterized protein
MASTAEFWCKICRLPFATDGAFRKHKVNSARHICCDVCGADFNTEEGKKRHRAAHHAAEQDLTCKFCGRNYPRVGSLINHYEESQCKNISKETFKEA
IKNTMGHQQAMRNAHNYKDIRRSGEMIAGAEEPLPPLRQASDFPQISDGGMAGAGWTGVQADGGQYSGAQQGGWSPGGQDEDLYDGGWPSAAPTDYG
IETPLVNVLPDNPIGEDEDLIDLDPASEILNSSWSIPAAEVLKNTLRAKNFPALSKNVVNRGKGQKTAPGAGRIAGWVAGQNAGQKASLGVVSQGST
NRGPPHTWAETIATSSPNAAKSNTTVPPHLRGKMGAATTPSGNFQTGGPKQQEQKANTVWSNPSVVVADPAARTINNAPSFLNTSIETCLPSQALST
QLTQASSFTSQPPSNPWGSKNLFPDAPPAIAPPVDLLSSLAITPAPVTVYRRFDPSDPNFKASRYYVEVLRKWKCPHPSCNNSAKTAQGLINHLNSP
AHLDEKFQCMRCYRYYNSATALAQHAESQGVRCNVRETDDFELVVRGITANTATTNGRLADDTIRYEINPNAVLGRAQMAENLRAAQKLEDDKRANY
WKNNKPNW
>RCO7_10842 | uncharacterized protein
MSSYSLEGTYLQDIENDWPQNSQTKALLFFIPRRKMYQIDREKKKKKKKKKKKKKKKKKKKKKKKKKKKKEEAQVQTRGKRQRNAMQMK
>RCO7_10843 | related to non-canonical ubiquitin conjugating enzyme 1
MATPKFNSKSPTIKRILREAQELANSPSPDFHAAPASDSDLFDWHFTLRGPPSSPFSAGIYHGRIVLPPTYPLRPPSFRFLTPSGRFEVNREICLSI
SGHHEETWMPAWGVRTALVALRSFMETDVKGQLGGMECSAKEREAIAGQSPGWKCGVCAKSNGEIMKEAEDAAKAEGEVEEVEVPKELSMAFKDEMG
KSAGKAKEKEEEAQSQTPPLEHDGSDEAELAEGFVQTGLDGTSDSHPPKSTSTATPTSTQTQSTYPPARPAQTAPQPTGASIPNAPRAAVANAYPIQ
QMAQRVSNDGVPVWVDRAIGAVIFCLVALFMKVLFGF
>RCO7_10844 | uncharacterized protein
MADYTIKAITESLPPITDPITYLTILETHMSPEILPTLNDILQDAELSQNIGWDLIHLLLPVPGSQTCLDTIARLGNPREVILKVTESLQMLDLDED
EDEAEQSRSEEKRHSESVEPSSTDKFCTLVHLLAILHPRIKTKNPSRFLSTSLMAILSSFRPSDEATLAVISFVHTISGKKRPSLPGRKSSLNIPST
ASSSSGPSAPDPEAQEEEPAEAAIQAKLLQSFVTHILEEYLNANTLDWAARLQEHFTPKMVVPNKKSLGESFKDDPVLVTRTDIVGQLVALTRDLGL
HNFVILFDALYNTESQHSEHETEHPTSPSDIPLSATGSLFLITSLVFSSVLFGSKIAPPKLAIFPDHAKLVQHFIGTSGPASIGSENTGVIDAILAL
GLWLENDTKFVAGPLEDEDFLQHLQSISLLSANTPSSSLRYAAHVLTSSILHAHPVDRLRLTFISDTLEHCPYESLKGSAVSWLKEEIITAHTRKSE
NLFATTMALNAVQPYLFPDTSALAEASDEELLQELEQSFPFHMAVVNFLYFIGGSTYSHLVPAGMFGVVEEIYLGPLRTAQEKGLRVLNPSPEALAH
VGGSKMDLQLLGDRIAMCTKQMDEK
>RCO7_10845 | uncharacterized protein
MATIHEPTEEEAYTLFEAVEAKFPHKTVGEDAWYLVVLSALVGAEPAHAFHLYNYMISKPQFSTPESRQTLVRRMREVLVKVTSILGVCKPLEALSS
IVKVERPEDKDYSFSREHWQTGPETLERGNNWLNKLYQANLSTPATLFAAHKDFDYISRQITYGFYLSDHTILGPIETELVTLAGIMIQNLPVQTAW
HLRGTRRLGISPEDVEIVQQCVEMVAKYGGTRTDRLPRVADIEHEV
>RCO7_10846 | related to carboxypeptidase A
MPVRRQTTNTGIAIGTGDRFQNGTVAPRGLGTQPAGTDLGTLLSVKEIESAFKGLARVYNLDTFETPFKTFENATIFGGKIGGKFNGQCDNSFRVFL
NAAIHARERGSSDNLLYFLGDLLYAYKKKVGLTYGGRTFTFEDVRKAYSVGIVFLPLSNPDGVAWDQATHSCWRKNRNPASAIPGYPNSIGIDLNRN
FDFLWDFPKLFTPTVAPNVASNNPAAQTFHGLGPQSEPETKSIVWVMDKFNALRWFMDIHSFAGVVLYNWGSDDSQSSNPGMNFMNATYNEERGLMP
DSPADGLKYSEYVPSNDWRDKVYAAMRMGNAMDASTGRHYEVEQSAYLYPTSGASDDYAYSRHFVDESKSKIHGFTVEFGFGNDEASCAFYPTAAQY
HQNMLETSAGFMEFLLSAEMIGLGDRGSCPGF
>RCO7_11027 | uncharacterized protein
MQYRASQSLNKSRRGRFNSLRGTKRPASPIKEPFSTKKYKSLLIRFIIENNLSFRSISSTSFRELTLYLNEQSPLLYNKILHDYLNKKGYFSLTLDA
WTTINQDSYLGVTIYYIDSSFKLKSHAINNIISITRDNASSNDTLINAFKKDYDIKGFKFQGDIVCLAHILNLIVQDILKNIIKDAYSELDNRGDIA
NIENDRERDLSNSLKHSGANNRSLKQYIEILGIKNPRFPQLVATSESKSFKKYRSILLLSEGELDYIRKCLRIFDIFVKTTTKLQAEKYPTIYYLLP
SVYQIYTKLERIRDELREEPFTSAINKGIAKLQKYYPKTGITEANKALYISLVFDPRIKLDGLSLLGLSNRIISDIKRKIQAEYNSLKIQANIDLPI
PERERIDIEDEDLDIYMNEEEEEFDELDYYLEERRANISATNRDKYSILSLLVRKYLQIPATSAPSERFFSQGALIINKLRNRLTRDTFETISLLKS
WGFIFEENEEVEEASIIEDFFTID
>RCO7_10847 | uncharacterized protein
MELAVFLLSCDAITNEKEVSRLEGLQEHREDINNMRGFGRWIPHDDKSTSMTFSDFTSAIGGLNKKYGTWLYLETVYIDWLYLLTQVLFEMKSTSTI
RNGGNG
>RCO7_10848 | uncharacterized protein
MVLENEPLMQHHQYSSDTSAPISTHEDVYNDNDDISSSLSPPRNPITSVETDDELNDDFLDLENGYSITKGDRDWTRENWWGVKDIMTIRSRERRKG
SPDSIRSAHGDEGRQLLEGKHIPPSRRRTWTWLNYCIFRGISGLAITAILLTINLLLLSATFYWNTDPDEIFRSWGGVGSGTEGLNWYPTDFTRDIQ
PIACHSHNDYWRRVPLFSALRHGCIGVEADVWLYNDDLLVGHNTASLQRSRTFRSLYIDPLVKILENANQKTDFHNGTSNGVFDVDPEQSLTLLIDV
KTDGKETWGWVLKQLEPLRERGWLTFVEGDVVHKRSVTVVGTGNARFDVLTENETYRDAFFDAPLDTMWEPASSSSDSAAAPSLSPSELGSKTATNN
PSLHPNPDSHDQGQGLSGTTASTDFNAENSYYASVSLGKAIGHIWFGELSSAQLEIIRGQVRGAHSRGLKARYWDLPAWPRGLRNHVWKVLVDEGVD
ILNVDDLMGVKRELW

>RCO7_10849 | uncharacterized protein
MPHKHTRKGPADKSTVDLPPSTIAQPLSVSKSSSSNGIFTSDPSNTRRGQTTSKKRKRKDTDDDTPKAFQRLMAFAQGKKLPKGLDDGVRLTKTEEK
KRRKIAKAAEAGKENGEVEVELKVEVKEKPAQSNTPTIRPGERMSDFSARVDAALPVAGLINKSVRNGKDPLGLKVGRTKTEKRMHRMYDEWRAEEA
RIQEKREEARELAEEDQEEEDENGQVRWKQLPDNTSASSSKKKKKGKGKKKVIGELDDGEDDPWAQIGRKRGEVKAGLNDVVLAPPTFTKPPKEKFK
TRGARVEVDDVPKASGSLRRREELGSERKSVVDGYRAMMANKGKEGKEE
>RCO7_10850 | uncharacterized protein
MSPTPECLKGTVGLRNQFGPGLRFVVYPVLRNTTSWAITSCSDVQELETWKALEPTALISLKHALLAQFEGWDEPVRNLVGNAERIIRYGLFDRPAF
DREFWVNKQGRSVFIGDAAHPTSPHFWQGANQAAEDAWWLAELLLDFTRGSEENEERLDEVVSRKAFEKFVKQRSERTSTLVRSAKWLGRVGLYVRR
SVWSE
>RCO7_10851 | uncharacterized protein
MPNLTNLAIDGGDPRMGEKNAGQYSLDNGHEAGLAKGFTIQAALVHNNPNILLEEYLHYAEVTRAEERAYEGTTISRKEPFSLGGLIKSRFSKGHQH
EINATVEGNQITTTHNDWSTVTDLEWRQASRATRTASWGSIFFLITTDILGPAGAPWGFANTGYGPGVALYTVFGLMASVSGWYVVSSLLLYTATLV
SKSFITTYSWRFFHFPALTAKRGKIAWVFVVPVYWSIAYVIATAVPNIGDISSLVGAFCIGNFTYTSPALLKLGFDIQKGAMLPEEHFVAVTKKHTR
VDEGAKRWMRGYKKTFWMSTWDFIYFLGYW
>RCO7_10852 | uncharacterized protein
MSQDVAEQLLNLMTADEIEEKLDRIEEQLQILTTINESHETQEELAKIARSIQYLGAKMEMTNVGLDIKTDLETSVSDLIVVACNMLVGREEDVLKW
INDTVEGWTEIKKKWDELLRENQHNPSDTTDDMCDASRGKINIRILRAQASPTLPQRPVIPIPRRPISPDVHSPPLRCQDYTSTLPRIGEQDEGDED
FVNSADESRGRSINRQAVNSHYESTILSPKRPNTTGSDRSSQAEKTRIDGMWL
>RCO7_10853 | uncharacterized protein
MVFSGYQWTYFTSLAPGSFRTRAELFLTAVDWPSLLKYVAEKRCGIDCMLLPDIGLGYNHMVRILEFADNVRWVARLRMPPLGKSEYDQSALKIAMG
CEINASSLVQRKTSIPIPQIHAFEVSSDCSVKAPFMVMDCLEGNVGMDLDMKIPTEYKEDFFKNLAKVHVQLSGVQLPRIGTFLSINEDGTYLQGPI
PGLGGPFDTACQFFEAWATNIEFGSPEDKIRAASGQYADELLPSISSFKEAIHRLAGRLSIRNHGPFPLCHGDFGHNNIIVDDQYHILGVIDWETAY
AGPWEIFADFPLTLSAVPRAMDAPWNYDEDGTPKNASTLRQFADRRDYVAFVRQAEEDSGGNGHTLSEVLENPEKQQLITAMRLYQEGKAGWYGKLI
DEVLTDGL
>RCO7_10854 | uncharacterized protein
MSYTVSIQALVNIVVASATGLVLNTKSIYTICCMLGCGKEVKRGDPEIFSVRLEVCGTLCRLSLPQVLRHLCSEDYQGL
>RCO7_10855 | related to O-methyltransferase
MRSLLELVQQVQVAAENVAAGNGGPENMELMRTIRNLTRVAEPPAEKLKRLYYQPAQNAMLRLAVELGLPHALVEAKTMNAEELAVKSGADKLFIVR
IMRLLIAIDIVDETGEEQYSATPITEALASETWTSAARFTNDTLVPTYAKILEYYRDTGFRSSEKTAIEYAVGADFWIWVKGHPSLHKDFHLYMRGR
KDGSRRWLDYFPVATQVGDLSTAKDSVTLVDVGGNFGHDLKLFRESFPNLPGRLVLIDLPEVLQANPDPLEGIEKVDYDFFTPQPINGAKFYIFRSI
CHDWPDKDCVKFLTNTIRAMKPGYSRLLINERVLPNVGAELQSTVMDIAMMTYYHAMERSERQWRTLLANVGLEIVKIWSLESGDCEAVIETVLKE
>RCO7_10856 | probable Endoglucanase 3
MRLSHTILSGLLASGAQAQLAGFAQCGGPNWTGGTTCVTGFYCLYQSQWYSQCVPGIASTTAKATTTLVTSTTTKAAMSSSASRTSSAAPPTSTGRG
KFTWFGVNESGAEFGQATLPGVWGTHFTFPANSALDTLISSGYNIFRVPFAMERLAPSGISAAFGPAYLANLTATVNYITSKGAYAVLDPHNYGRYN
GAIITDVSSFKTFWKNLASSFKGNGKVIFDTNNEYHDMDQTLVLNLNQGAIEAIRAAGAISQYIFVEGNSYSGAWTWTTVNDNLKALTDPQNKIIYE
MHQYLDSDGSGTSTACVSSTIGAERITAATKWLKDNKKMGIIGEFAGGANNQCASAVKGMLDYMKTNTDVWTGAMWWGGGPWWGDYIYGFEPPTSIG
YDYYDKSLRAYAPGL
>RCO7_11408 | related to DUF636 domain protein
MVVNTVKATTGGCHCGQVRYKLDAGSEPMFGLICHCSNCKKLSGSQMMCASVYSKSHFTVNKGEPAQYADTQTDSGKPATRYFCPKCGSQLYCTMAF
NEKLVIVFSGSLDEEFSRKWKPNKEQYLCRKTDSLPDFRIVEKAGLPMKHRKGPFGF
>RCO7_11409 | related to FMN-dependent 2-nitropropane dioxygenase
MPFNTKLTSALGIKVPVVQGGMQWVGYAELASAVSNAGGLGILTALTQPTPEDLRKEIRKCKNMTNKPFGVNITLLPSMQAPDYSAYTQVSIDEGIK
IVETAGNNPGSIIKKLKAAGIIVLHKCTTIRHAQSAAKLGVDFLSIDGFECAGHVGETDITNFILLSRARQSLKVPFIASGGFADGQGLAAALSLGA
EGINMGTRFMCTIEAPIHLRIKEEIVKAQETDTELVLRRWKNTSRLYKNKVTAAAIVIERESVTGDFEEIAPYLSGKRGREVFINGDPDYGVWTAGQ
VIGLIHDIPSCDVLVKRIECEAEDTLNKASALIVPASHGIVDNVIHSSTVTYAT
>RCO7_11410 | related to acyl-CoA dehydrogenase
MAEFFGSTTPFAEPLWYSRPGSSNYGDSHRRLRDEVRRYVNNEIKPFYSQWEAMGSIPVLKRHSKLGYTAILLGPSAVSMYHDADFMLPGNIPPQEW
DSFHNLIATDEIARCGSLGVIWALGCGNMIGCTPIVYHGNEEQKSKWLPSVLRHEISFCQGITEPCAGSDVASISMKAERRGEVFVINGIKDWVTNG
MDADFCTAAVRTDDGGAAGISVIVIPLNVHGVSRTDIPRSGVALGGVATLTFKDVEVPVSNIIGVLNEGFKLIMAGFNQQRLWIAGNCLRLARVCLE
DAYKYALTRQTFGRPLIERQTIKLKFSNIGMQIVSTYALLESVMQIRKSAAIAAANGNCNGSNIGGLCALTKVSAARATELSVRECQQIMGAAGYAK
HGPGARIEQISRDVRVLVIGGGSDEILSEMSLSQERKDLEKISSLHFHI
>RCO7_11411 | uncharacterized protein
MKIYKKHPNILEEALITPEAFPELLVQVHEAEAGAKFKVDNDKEVQFRFRDHYIEVVREFSRGTLAFPDYKERVDIPARSIVIAYGLLEPFLGLIPY
DIVQKISDISDRCDA
>RCO7_11412 | related to taurine catabolism dioxygenase
MASTLEWVLPASTPSAVPKPVKASPLTRDANLPDHCFVDAALLTGHKEPLKYSGSLDDFRSFDTTPNIGREFPDANLASWLRAPDSDRLLRDLAITV
SRRGVVFFRSQNDMTIELQKELGQRMGLLSGKPATSGLHVFPLRQPGKELEDPEVTVITHFEPDKSLPAAQKVAHQRARLQDPRATLMHRMWHSDTT
FEHVTSDYAVLRMVEKPRTGGDTLWASGYELYDRLSPPLHAFFKTLTFTGGQPKYNQAAELTGIPWYEDPRGAPENTGRRLRAVHPVVRTNPVTGWN
SIYALGHHVEFINGVSPDESKRLLDWLNDLVSLNHDIQVRYRWENVNDMAIWDNRCVVHTATPDYLGKGLGNRLGYRVASIGERPYLDPEAIGRADA
EAKEEQAVLV
>RCO7_11413 | related to toxD gene
MNDSAAVSREMFALPSTQRAVVVKADGQVTVQDDYPVRALEPDEFCVKTEALAVNPSDLKLTQADFSLPSGVLGGDYAGTVIAVGSDVKGIELGDRV
CGGQNPMHAKMPDMGAFKEYNVNNGRIWLKLPSWIDTEAGASMGVSVGTAGHAIIAAGLPLPDVPAEKPFTVLVWGGATSTGTIAIQLLKLANLTPI
ATCSPKNFDLVESYGAAEVFDYKDPEVAGKIRTYTGNRLAYALDCVSTVPTTKACYAAIGRAGGKYVALNAYPEHTASRKLVSGDWVLAPTLSGHGS

TWPAPYGRPASEELRKAGFHFYEVAQKLLDEGKLRPHPIRVLDGGLEAVAEGLELVKSGTLSAQKVVIRMHHV
>RCO7_11414 | uncharacterized protein
MTPATGHRVSHKPAILCLHSVGSSGAILRAQLSRFQLALAEEFELVFLDASFPSPAGPGILPLYRHMAPFYSWIDMSGTTTPDSQIDTAEATVRNTV
QEWNSMGGQAEYKIVGVLGFSLGAMLAVHLLWQQQMGRLPWLPTLRFGILICPYFPEHMSARMHADAREHNCDRAVINSVPTVHLLGNRDIFLRRGR
NLVTEHFTPALTDVMEFHGGHECPRASAICEEAAKRILSISHTQSLPPRQKGAE
>RCO7_11743 | uncharacterized protein
MSSFKGDKLVGRSNYIEWLNAASLYLEVNGYMSYIDGTETKPSRALYFKSEERINAQGEKRIDYTSYSPELAIKYYKRLADFERANKKALGAIKSII
SLENLDRFKDKTSAKDLWEAIIATYGSTSLEEIRKHINRIIDNTYSSYKNIDEYTSVIQASSVYLKQLKYEIPKPILASLIFKGLPSSFDSFASRKY
EEISNNLSSINIEGLIRDLISEEARINTSTDLQANKAFKGKNSKGSKKYSYCNKTNYIEANCYIKHSELIPNKSTKKKSKGKGAKESKEESTKALMS
SFSSTSSSSSADQAYATIYNYRIVLDSGASEHYTPNKS
>RCO7_11751 | uncharacterized protein
MIFSSSILYSIKSKLYLSLIVLASNYSSYYSKVLDIPDLDTSYIIIEYLDTINNTPRDYDLLAKVVKFNIDILIRYYTGSDTSSTGILINLGPIIYP
SSYIIFSTILVIASKSGGKRYLLYLFIVGVEFNLFSLDCDIAPRVVLLLVPAGALSAAYPLKQTKELNSIIQEFTKKAIFKAIISDTKGKRNLPSSS
EIALDLDTPGLSLKRKPRRISYYTRSTTKATLVDLDKELDIIILILDILELLRALENLGEKAKEVEVVKEVEF
>RCO7_08420 | related to allantoate transport protein
MARDPTPHDEKSSPTPPIESTDLENATPHDVQDKDIAIAIVGERGQDVDPAMEARVVRKIDLHLVPAMFCGYGLVYYDKAILGSAVLFGMTKDLHLT
QVDTSTTPPTSDTSRLSWATSMFYFGMLAGLYPMTFALQRFSMGRILGSVVCFWAMICMLTAAVTSWEGLYVQRFFLGFVESIIPTGFMCIISSFYT
QREQSLRQSWWFSATGLFTIIGGGLNYGFGHITGGALKRWQYIYLLAGSLTFLFGIVCFFIPDSPVSAWFLTQDERVVATERLRHGQTGVRCTKFKI
SQIKECFLDIKFWLVALMMASAYTVNGAVSGFGPLIVSTFGYSVLDSILFQFPLGGICLIFILLTGYLSSRIPNIRIIMLVLCCFPVIGGCAMIWKC
DWYHRAAAPVVGYSIIGFFGPVVSLIITIGMANVAGQTKKCFMAATIFVAYCVGNIVGPQLIKSQTKSRHYPELWLGLMICYCVTIVSALVLYFVLD
RENKRREALELNDLDRDKMAFQDLTDMENPYFKYML
>RCO7_08419 | probable zinc-binding alcohol dehydrogenase domain-containing protein 1
MSQSTYTSVVLASRPKALIVPGETFNIKENPMVSEKDLQDGQIMIQTLYLSLDPAMRGWLNDTRSYIPPVQIGEVMRGAVIGKVIASKSSKFTLGNY
VTASPGWSELAIVAEKDASVLDVPDNGKVTDALGVLGMTGLTAYFGITDIGKVKAGDFVVVSGAAGATGSVACQIAKLLGAKVLGLAGSDDKVQWLK
DLGCDEALNYKNADFAKEFKEKTKDLIDVFFDNVGGEILELALSRAKAHARFVMCGAISQYNSAKPVGPKNISMVIAMRIKLEGFIVFDYQSQYGPA
RTELSRWLSEGKIQRKETIIKGGLKAAEQALLDLYNGINTGKLLVEVKAEDAEGAVGSRL
>RCO7_08418 | uncharacterized protein
MTIISALILAGTKEVACALPKLRDDISFGTVPITSHVEFQELGTLQTMLEEIEEASADVTLPLPMKRGENAIREIAAHVETSILPVKNEIGERSRES
QQTTSIAGDDVRTIDSHLDRTIDSIISTKEETLRSLRYILREREVDSRSSPMIVLLQQRRSSIFEAVRYLSKKLSSFNICDISQKSMTTSML
>RCO7_08417 | uncharacterized protein
MLFNSVTAIVVALSFAFAAEPVTVPAMITANTNVNLDLSLEISRGTGVHLDSYAVYLVIRPDKSVNQQDEKFITSRYGSCYLISSSPISTVKQTVQI
PAPVGPSEIQKAYWINIVFFNESQFAVDKATGYRVFNSTLNRVNLSIDQVTEGPGFSLQGGKGQWSHDEIHGIGLNTLAQQDNVQCSAYDCARNCTA
THYQHPLVDDPDLKNGKWPSFVEETYRCIQRCPGVTYIDIEDTAKRRGNRSHVGDDSLVYDDVITSTVLGPLSTIRTETVFLTSSVSFQSVSLAGSA
MPISFPNRTLIAGSAFLSSTWSRASRPTIATTPSPTNDESRCRLIRVWSLVGSSFAMLVLLGL
>RCO7_08416 | uncharacterized protein
MGKRPFQQIARQATVAKMCFEWGSVQTHKSNVLKTEDLPNVQANKGAKDPAIKELLRKGNTGAHKTTHKNIASIRYSQTYYDNDALQRAIEAAKHAD
GTSITIEVAGSAECRSGSGSGHGGGGESSSSISPGQVVGAWEYDHDQRMQRYWDGHNWVYYDEIEKREKYWDGAAWQWKP
>RCO7_08415 | uncharacterized protein
MDLAVEDIPEAEVFRYTRHRWVIQPLAKVSQIRSQELVRVAVKATSANRCTEVLKCKESMNNKAFLLTMDNGSVVFAKLPHACAGPAYYTTASEVAT
RTFLREVLDIPNPPIIAWCSQKSNPVGAEYILEERVEGQPLSSLWQDWKKLSSEDRFSIIRQVVQMERKLTDASFKQCGCIYFKEDFPHGSHITMAG
RESASTLERFRMGPLVTEDQWQGQKTSMDLNRGPFQGALDFIRQRAINEKYYIEQHAKPRLNYARSTTELEQPEEMLGLIDKYLKLTSAMLPPPTPD
HIDASTLWHPDLHLDNLFIDPSTLKITSFIDWQSTLPTPLYYQCGVPKMVCHRVKVSLDLSTFPKLPDNFNDLDEDEKEYAQNMHRSEHLHQYYLRI
TKRDNPRHWTALQLHDDVRIQPVRIVQQVWDDNTVFFLRRALLRIIAKWESLCPDAGPCPVSPEEDASAFDSEIENREFVSDVLNLMQKNYRLHPDG
TVLPGKYDEVQTELERLRAVGLEAAEDEEERLCIEKLWPYQDSVDKAAT
>RCO7_08414 | uncharacterized protein
MTTAETLRSREVYRYYQPKGIANANDIPEPSSIKPDSGLGPQFLPQVTNFNTQQSFSDTALTAFAQLIALRLNAQRAIVSLIDHENEYFLAESTSTL
SISDDDGAQNAWLSISGARVPRSDSLCEQTLRLVPNQNTTEEMTPWYLVPDLLLDEGMRNLNCVKGMPYLRFYCGVPLTNLKGVNIGCVYVVDDRPR
TEISLEQAQFLTKMAATVMDHLEGIRAKEDIVRVTMMSQALHAFIEGDGTMDGDWQRLKRYNLPSGAGVGFQWETNRDDGFGSYRKGKKQLGSYRSQ
PAIDFESTPLQSPLQHGGANADARFNYNNSPWSSSSKTSQVPALKSVFDVADDPVQGLQPGGRDDEYANTGFTTRLHETFSRASNLVREGMEVDGAV
FFDAPFRFYAGRSTLELDTRKSTEGSDTADSTSSSEDDIDLSEVRPGPSPHVMPHSRHHSASHSNTSRTQSSDVSAVPIMDIKSEILGFSTNSVSSW
KNTKCTPPRTFTAIDQSLLTALVRRYPQGELFVFDADGPIASELFPTPKSREASVATIVDAITEEKRARRAKRKRAEILRLLVAFPGARQIFFVPLY
DSTSGCFIGSFAWSTSATRIFTAENHLSYLIAFGHSVMSEVSRLNTLSADRAKGDFISNVSHELRSPLHGILASVEFLADTTLDGFQRNLVDTVDIC
GRTLLDTIEHVLDFSKIKKFGQAKMQPMGVVADLDVSAVIEEVLEGVYAGFEFNGLSSEGLADTTQSRPKDSGSDQKVRTPTEEYGVSKDSLTVIID
IDFKDQWKFPTVPGTWRRLTMNIFGNALKYTYAGYIEIKLGAEPIVPEPGTKSGATRRTMVTLTVSDSGKGMTPEFMEKKLFMPFSQEDVTAPGTGL
GMSIVKQIVDLSGGTIDIKSDLNIGTTTKLSLPLANCPPPPKSAVPKSDTLQENEDPVESVRRRAGGRTVSILGFDDHSSKSKLQVDAIAALKASMA
KYSSEWFGLKIVASGETADIAIADESAYLDQAVSETKYTMLLILCSNGARRDIFPSRLHTGQIVEFVSKPCGPHRLAKALLNCLDTEDSRPHSSIEE
RVSEKAPLMEAKIVVPEKVLVTAGTSGSRLIGDLQSSIGFSPTVLNLLRKPSLGSKPSSSSTTEPDISTPLACHRTAIPAASNTKTDSSRKDALSPT
SAVSQIAEASMGDLEDFDSQTPIATKLPPKKPVMLLVEDNPVNMMLLATYMKKNGWEFEKASNGLLALEAFRERPGSFDVIFMDVSMPVMTGYESTK
HIRMIETERRLAYEHQNLIQTQSPFSLSSAQTSSFPFGLPSPSISSHSSNISPTNCSLSSTNPPFPSALSSQSPNPSAFSPSNLAARLKLPKLQLNS
PALIIALTGFSSQKDQEMAFEAGVDIFMTKPVRFREVGKILEGWMKSREQGGDGLVDVVKLVKGDGDGKTGI
>RCO7_08412 | related to polygalacturonase precursor
MHSILSSALFLSVVPSVFAVKSCVFTKHEQIASGLSKCKNIRLQGIVAPTNNSIDLSNLQDNSVVTFAGKTSFAPTKFKSFRPIVFRGKNVTITMAP
GGVIDGGGQVYWDGLGSNGGGPKPNTFFNVTMTGGSVIENLNIINLPVHGFSIENSSDLTIRNVTIDNRAGEAPNAISNGKAAAHNTDGFGVRSSKN
IKIEHCTVHNQDDCVAVTSGNNITVTGVICTGSHGMSIGSVGGKADNEVANVLFKDSSLTKSSNGLRIKSNFNTTGHIANITFQNIVMSYVSSYGIV

IQQDYLNGGPTGHPSNGVLIENILFKNITGTQGDPLSVNYYVLCGEGSCKNFKFENVKITGGNNVSTCNFPETGCPK
>RCO7_11665 | uncharacterized protein
MPKSWSARVASQASKVIIPCTLYLDPRIVSQMHALNKLFSVRYCFDRAPARVYPILNCATAHSTSVTDQEKLLRLRANDRFVSAATQSLTHLDHLDQ
VIAAQNTKNTRENPKLRKQLNKMIQLIQNGAVQSRFQSSISDRLAAADLSAADLEPPFFQDALAATRLRYPQADEEHVK
>RCO7_11666 | uncharacterized protein
MGGEVGEEKEEEEEKEEKEKGGGRREIARGEGRGRARREMRRRWRTSIQGNMAWADLNRMERSKNR
>RCO7_11532 | uncharacterized protein
MCPPRNPFVPEGRRQGEAGPSSGALITGKRRAETIYTPVRRGWQNTSRPDPPSSISRVLEVSNGQNNSLPEQEEQPDFSAFGFPSSQSRSPRVHSMV
SEISPFQSVANLSLKSFDYDWSSSVASSDVGIEERHDDHSSQEIDISSTYEYITIALEASHSKIQHRLESVPMISATETIHQHLELATPPNSPSLAL
QSPRSPDTQVFLRNLQDQTLQDLIQSDKQLHEHVKEITSIREWWTANKIIWRQQKAKLDDIQSSIDVLEDRQFKLTLFQSTRNDIASNDNTFAYLPQ
IEEQIKAKNPLLAWFRANDLQMKQVYAQYKALTTQINNLSPASKSPKELPIYTVQSRPDRRLSFVYSDRTQKVESLPWYQARRLVNWAVPAKRDNAV
HLQKMVVFADEVRAEMNRLVKRIEKLELKMRQQDRENNKRNKQAEERVYNLDILIDSGSRDISSTDRDAVLNKRQNELLREMAELQDNRAKGKILLK
RKDTVAFMKDLMEIEAERASTVGHILSYIIRRETETQGKGASELDNMNLVNDMYAICWLHSQRRIPRHELLSYLQDDTRFLGENRVEILNIAKTLYT
KHGSARRQLDRITNAGGLGPDSIRNIRRIYEDENIDYNNMMEDIQSVHQKRDFVKAPQTRNAPILPNADYLIRPKLSLLGTGLSTSAATAILAEEYL
FERQPQKQDKSSRWDGIVCNHDVLTRFFTSPDIFPIFRNENSSWTFEGFVAVVNSLVATPFTSEVLGAFLHYSHRFRQLFRITYLTNRIKISQSRVT
GWEICEELPVDGPIRTVRAAESLKKPTGLENIEALLLENVEEFRREPREEIPGNLFDRIKRWPPKRKLKFFRADKTIKDEKFRRYLMYWSITGTYFV
YENPFQVNDQNYLEQRIIRVDNGWPVAWDTEYEIPSPLPILSIMTSQFKDIEKNIYDAYSTNVETYNMIQAMQTDIGAEFQWVLYNQIFNQGAPTAF
LSQRVSRQTFHLFLRNCREKNMMFT
>RCO7_11533 | uncharacterized protein
MQFSAITQFLVLALSASMPIAQAAPVDAQSDVALVARHHKPAGAAAGGAAGAGAIPGLPGAGGAGGAGAIPGLPGAGGAGGGAGGAGGLAALFGGGA
AKAAAAKKPAAK
>RCO7_11534 | uncharacterized protein
MKTIAHEYDKVSSDGTCSTYADDEEETSNLMPTHEKALQRNHMKRLTIANVCLFVVSVVFFSATHIRSTPTTAQFVERFSSYSPARVAVKYVSGTFN
ASQGEETGYVGTSDETNEMWDWVTSSIGDQMITLEELKLVEKPETSVKVTDPRTGKEGYRIGIEVFHQLHCLNLIRQSTYPEVYGGKGDFAPKFKDK
IRGHLDHCLEMIRMNIMCEVNIGVITFHDRPGKPGDPWPDFSTNHVCRDFDAVRDWAIENTVANDDIF
>RCO7_11535 | uncharacterized protein
MPSQPKYETVQMDDQDDSSTTEVDESLMGDDKHLVAEEFRERYSRRSKTTTYLSILKEARWFLDIGLLLVIIGILLRNQSQNRIPKTSEHEVMGDIT
GIGAHLGTQITTFHVNQTFAPYNTTEFWREEVLVAWNELMPHGMGFQMINDTSPYHDLPTPIRWGTNQTVFTTSMTHQLHCLFAVVETYSGLTSNNT
HLLPDDYHWHMIHCFDYMRQAIMCAADMALEGLETTFPDHNGGSDGWDSKHVCKDYSQVMTYLESVRAYDDQKIS
>RCO7_11536 | related to glutaminyl-peptide cyclotransferase
MKIILPSISNNVTTVVLVLQTLFSITHAYMTLSDDFLRNISTSGPDFEPESGALLSPLLVPRIPGSSGHAAVQQHFVDFFRTQIPKWNLDWYNSTAT
KKDGTAVPISNLVFSREPPWTKVGQTNWLIIAAHYDSKSMPEGQIDATSAVPCAIMMQVARSIDGYMTQMHDEMDALGEGGTIAMDMGIKLVFLDGK
ESLDGGAPALYGSRDMSHKLERRVNPVGSGYPNALSQIRNFVLLDNLGSAHPMVPSYCLVTSWVYEKIANLEARMREIGLLEATEVTSFLFERNSTI
VQSGTTADHVPFMEAGTPFMNIQPSSLASSQNVFSDSPSLDLPTVRDWVKIVTGFTLEWLDMMEVWPE
>RCO7_11774 | uncharacterized protein
MSFKANSNKSSKLDLYYKRLLYINKEFIYKTIEGSKGLKIQKGLDLSDCSAYNSGKIHAISSTKPISDIPPLTIFDIDIAGPFKIKDKGIICEYTIP
YSPEQNTLNDLRNSSYKESLYKSAIKKSPFEVLFSKKLTLNYIRVLGSLTYILINKKTNKLKDKSDRGILVGYKSANNFLVYIPEKRAIISSKNILI
KEDLTFKDKVISKEELESFNKILNNYETSNRLNRVISSPINTPKSDLSRAKSSEKIDSKTPNNSLNKEKVIEDIELDLFNDIAKETPIVEIPKRGIK
RK
>RCO7_00662 | uncharacterized protein
MLLEHDLYDGEEDEFECGRAYCGSRLSVGSGAKYWPGFDKEEGAWMAWDSLEEGNTPHHKALKVYTPPTAPKALTLLHIVRLARTASHELGHCFGIA
DCTYYVCIMRGSASLAADAGHPRYLCPVDEAKVARATGKGAASEKRMKAWRRERLVTIRGFFRGVMEDWGGMRGEGVCLSVLKRGSVGCLRRRMG
>RCO7_00663 | related to MRPL27 - mitochondrial ribosomal protein, large subunit
MKPTQALAKRLRRLALTTKQTNKGYYKGTGSGSMGSHTKHGGYLMDWEKVRTYVVPENLSSFKLTPFITKNMAARPSRFQGDPKGAFSGEAYLQKWK
DENGEE
>RCO7_00664 | related to large nucleolar U3 ribonucleoprotein
MPGRKSHGRAPEKKPAGKSAKKSNKRSLDAFAIASHENPDRVKVRQSRLGAQEGGSSRPNKNKRRRDEDDDEDEEDEEEEASAKKQKVKKGRFDELD
VDEGSDSEGNEWKLGQVDSEDDSDLDSDEAFGESDEERFEGFAFGGGSDKKKQKSRKDRDVNLDEEDQEDSDSELDEGDMGDDAVDMATYLDMVDAE
DAEEKASKGKGQERKKDDDEDMFSSEPDDDDSSDESEDASSESSSDEDDDAFNPEKIAALDQMIESIPLDGDYREAAAKRRNDYNINTNEISMSGLP
SSKKRKSQDEDVAGADPTLKESKSSKKKLAPSKVPLERRQQDRLDRSAAYDKSKETLDRWTDTVKHNRRADHLMFPLHDNEAASAHANKSLMPANLS
KPFNELEATIQSILEESGLATADGKDDEDKIREFEELETKKMSIEEVRERRDQLRMARELMFREEAKSKRIKKIKSKSYRKVHRKQREKQERLEKEA
LLEGGFEPSEDEMEKQDRRRAEERMGAKHRESKWAKAMKGTGRAAWDEDARSGITEMARREEELRKRVEGRAVRKEFENDSDESLSDSDDDSNEEDD
SGTRNRLLQSLKGLNDSDMMDESLPGAKLANMDFMRKADASRRKQNDVAAEELRRKLAGEETPSEEEDGDIGRRIFGPGSHSASQKKASKLAEFEER
LGSDDEEGPELTIRGTDNGPKKATSSAIKPSKSPLIQPQPMSKPERHTEGGAWSKVTSKSAVVSEAEAKRRRHKKNDAIDVEELDLSKAAVIANKPK
AKSTKKKGGKKSGILNDAISGSESDSENEHDSGPYLPFALRDQDLIKRAFAGADVVGEFEAEKNQIIEDEDEKVVDNTLPGWGSWVGDGVSKKENKK
NSGRFLTKVDGIKADKRKDAKLEKVIINEKRIKKNSKYLATTLPHTFETQKQYERALRLPIGPQWSTKETFQDATKPRVLVKQGIIAPMAKPLF
>RCO7_00665 | uncharacterized protein
MDIVRTVSGVMDPLGTLLLNLMYDTNSTGSDDDAIQARLFKFVNRRLRKARY
>RCO7_00666 | uncharacterized protein
MAGQTASTSRSFALYADGTDIDRESCDRVVPMKVLVLGLCRTGTLSLRSALKGLGYIDTYHMRSASTETPRDNEMWMRAIEAKFDGKGHFGKAGWDK
LLGNCQAVCDFPGAAFGPELIAAYPDAKVIMTLRDADSWHLSTAKTVWKVIQDPTFRSLTFFNPTLRKYRLMISTLLDRFFQGNFLQNGKSSVKITT
KKFVGSFPQRDNWNFGWKMAGNHSASFSGTKFQIKRFQMEILYKTLRKAKQSENQRPRDALCSTL
>RCO7_00667 | uncharacterized protein
MVSFPPPEPATYSDEKIVMLESVRYDIQVAGPNRRPSQAPEVVLATLPSPPPVPPLPIPFVSTLVPSGCAKMELPPRPREIPFWKRHILWIAAAVGF

GVLLIGVVVGVIGHTDFKSTKTSNATNTTTSAFLAVANNTRNSVASSGSFQSDKKTWNTHVLWQASTGGINLQVSLDGSTFQPEQQINLSIPPRIGS
PISATTEIDPRNGVAMLNVFYLSGVNNITMSVITCVPNTDKCNTVANRYLPTQVAPSNFTGLAAINVDEAQDWRVYYHDKDGKICELVGNNSGFDLG
TPIGGQGLNASSITAVNINSTTNNVWVFYVDGLTQALFKTQFTAGDWTKPSIVSAALIDNWNPKSGLSAAYTKDQDQLHVYYTGLDGGIYEFLGFNA
SKATNAKWAALPGRNHLWHTADHIGAPITAIGWNDQARFYQVKEGDLAEGHLDGQIWTEAFIDKDGTIS
>RCO7_00668 | related to trans-aconitate 3-methyltransferase
MTTPQPFTSSEKTFTSYTKEQGKTYAQARPTYNPKLYELVLEHHTTTGALPDTLLDVGCGPGITARALAPSFAHLIGLDPSEGMIAEARSLSGKTAA
GENIRYEISTAEDLGWHLDQPVEDGSVDLITASTAAHWFDMAAFWPRAARVLKPGGTVAIWGSGQIGIHHSVPNSEALNAALMDFEEKDLLPFFEPG
NWLTRNLYVGLPLPWTLTTPVVEFDEESFLRMEWGTGERNSEEFFTGGALTMNLDVMEKIIGTASPVQRWREANPETNGTEKDVVRRVRREIERLMG
EVGVGKGKEIIKGSPKGVLLIVKKKKA
>RCO7_00669 | related to methyltransferase
MSEPTPTPSPTTTLPTNPNPNPNDHDDDADSSLGDSFDDDLSSTASINSSILAHRHENGRRYHAYKDGKYLSPNDDSEQERLDLQHHLFMLTFSKKL
HLCPLPEKLHRVLDVGTGTGIWAIDFADEHPETEVLGVDLSPIQPTFVPPNVSFQVDDLEEEWTFKEDQRFDFIFSRMMTASFADWPRFFEQSFKHM
SPGGYIELADICFPVEFVDDSAPADSALKKWAGLILDGTKTAGRPIDSAKMYKEELGKAGFVNIVEQKFMWPQNRWPKDKKMKELGAWSLENMAPSL
EGFSMALFTRVFKWTKEEVEVFLVDVRKEMSDPQIHAHWPIYSVYAQKPST
>RCO7_00670 | probable Na(+)/H(+) antiporter 1
MAWDHLSINRPHLVYVILGGFTSLFMLCSSFIKERLYIGEATVATICGIIFGPHAANLIDPGTWGNTDQITLEFSRIVLVVQCFAVGVELPKYYMEK
HWRSVVFLLLPVMTFGWLITSLFIWWLVLPLTWLEALVCSACVTATDPVLASSVVGKGKFAKRVPKHLRDLLSAESGCNDGMAFPFVYLALYLVQYK
PDANAVAFHWIVLTILYECVFGAFYGFMVGYIGRHGIKYAERKDLVDRESFLVFYFVLALFCAGSGSILGVDDLLVGFAAGVGFSNDGWFTQKTEES
HVSNVIDLLINLAYFVYLGTIIPWEQYNNAALGLSPWRLVVIALFVLFFRRIPIMMALKPFIPDIKTWREALFAGHFGPIGVGAIFIAILARAELET
ETTTPLGSYTDHNAPNYTVVAIIWPITTFLVITSIIVHGSSIAVFTLGKHINTLHLTMSYTTDVDGPGWLNRLPRIATTSRSQAKSTVSETDGDEMK
MDQFPTGALPPIGMPREFLRRQKEEDNPSRGNSRASSLIPRRRKKKWDDGLGPGGPISQSAIYPARRSQSEHKSEDTSDTLTPGGNSPDTEMDLENE
KNERDIGEVQHDPEMEEIMHRNSGDKREDHRSDAERHPNGREIYSEGDDVIIEDEDGEVVDSKIDSNTKKERERKNSPEKATKETKEDVETGGLGYK
NLRKKLGVWRHRDEPEDEAGGPKGAKAPPKKRGPALAYQFGNTIIVEDEDGEVVKTYEIPSSKPKTGAEGEGGGAGGAIRKELNRMGTWTGITNKPG
EPSKAGESSTSRPGLKQGESMLGKLTNWGFKGPNAEEEGKRPDSKNEEEDDRHIRFTIGGAGRRLTKDDFLNEIRSLDPKARAAIVETSDAPPAMKD
LARKDASAESPGSNRLFGAKSTQMASGSGAAKAVGAEMARRRGADIDERDESQDSGSESDSDRQKRERQRERERTKSTSEQAGKSKSSSSSGGANVP
KSTRRGSHAGEQSNTTADMGETQAERRRRELALKGVGSVTPAQRGRSREIEEDDAEDDEDADAGNDQETPAERRRRVAALGLDRGGAGREEEDSDDD
DTPRVPPPVAKSRGIRFAQSPVRGEKK
>RCO7_00671 | uncharacterized protein
MKTSIILLALMSLASSELVVRQDTTSTSITSAPATTPATDNSPIAMCLSACNPTDVNCRAQCVGAAHPNSVQVNQTNSCIIGCPVGDGSLAQTNEYN
NCVQGCITSHYLMGQTSRPVSVGTETSVSASTTSSGSSASQVTSASQATSASVSHSSSSTSARTTSSGTKTSGSATSATISAASAPSANAAAGGYMF
VSAGGIAGLFLAFFAL
>RCO7_00672 | related to POL12 (DNA-directed DNA polymerase alpha)
MAETTNAEIQERFESAGGKLEDDVLAELQSIMRLHTIDVEELWYKWESYSMKMGSDDMKLNIETARALKKDVQDALERDSRSKQHLQSNKRAVATPR
SAAHNGDVFGILDGMVPNTPRSGTNRASGNAKRKFETPSMSRVKAEPASSPPEFKTPYKPGEHSGAAVPFHDRKNAGQAVEVLNDHLKVPEPPMAPF
SEPRIKLTANSDMKKLSYKPMAMKSSEASEILDDKIDEFMQLIQTHHKLDDSEFGSAASQSTNEIVAVGRIASDSLVGKLNASSLVLETSRRMGAGL
RIPLKVDALPGFQFFPGQIVALKGINASGENFAVSQILEAPLLPGAASTPAGLEAHIQRLRGGPDAMHSDEEPSPLTILLGAGPYTADDNLDFEPLH
ALCSQAADSYADALILTGPFLDIDHPLIASGDFDLPEEAMAEPDAATMTTVFKYLISPAFIQLVAANPHITILLIPSVKDVINKHVSWPQEPFPKAG
LGLPKSVKIIGNPMTLSLNEIALGISSQDILTELRSSEVIGGRPKEPSVLARLPTYLIEQRNFFPLFPPVDRESLPKTGTASGVPTGAMLDTSYLKL
GEMFNVRPDVLIVPSALPPFAKVVEGVLVINPGYLSKRKAAGTYTKMTIMPASLADEDRGSSVLAHKVFERARVDIIRI
>RCO7_00673 | related to microfibril-associated protein
MPPIRMTANPVQAPRHRPGKVVEEADSSDSDASDDETSTAAAPSKISVPPKVSTAGGITSNLSKVDLNERRKIAAAKEAARIEEEKALKAKEEEGFV
TEEEEDDSEEGSEEESGSEEEESSEDEAPRRVLMRPTFIKKDKRNAIQGNKPEDTRTEDEIAAEEEKRKKEAADEIVEEQIRKDIAARAAGKKNWDD
EEALDEVDDEDGVDPDAEYAAWKLRELKRIKREREAIEQREKELEEVERRKNLTEEERKREDDEFIAKQKQERDGKGKMEFMQKYYHKGAFYQDDAE
AQGLGQRDIMGSRFADDVDRELLPQALQMRDMTKLGKKGATKYKDLKSEDTGKWGQFDDRPRDGGMGFNTDERFMSDRDRDRAGAGASGANSMPVAD
RKKVTGAPEGPKSMRDEGARERPRDVDTYRPGRDRSGSPSRSRPPRRDGEERYRRKRSTSRDGDRYESDKRRRVDSR
>RCO7_00674 | uncharacterized protein
MAKTAPIKGKKGATSVHSRAAKRASSPSIDTDKSLKDIKPPTTTKNQRASVLAIHQGAGISKKSKNGRKSVLSAKAKRRQEKGLDRAEAVIDKKEIR
IEKSRDRARTVQERAKAWEEQNKKIIAQKERDAALALEKEKAKEDEDWQDAEEMEEDLQVEGPAKATTDEVDMEDVEAAKSVPLPADEDEIL
>RCO7_00675 | related to ubiquitin-specific proteinase UBP1
MSPSDSLKDLFDGDPDLYEDYHQDFSQGIIKPSNWLGIVVALIIFGIPIVYQILHVLDYDVLPLLELLWNALVYITPSQLLDAVEYHQNPLRLTNPS
LKNTRTHAEKSEVMRRVLGMDIPGGIIESVTQAGRRRLSILPGLNLTTQGDGRPAGLGNWDNSCYQNSVLQGLASLDSLPEYLTSSTVDDSVEVDDE
DVDKPDMKMAEALRGLIATLKDPANNGRRIWTPATLKNMSSWQQQDAQEYFSKVLDEIDKEVGTSARSSRSSRGFESEGSSEPSSQRQEAPSLSSFR
NPLEGLIAQRVGCMQCGYSEGLSMIPFNCLTVPLTRSWECNVSECLDEYTKLELIEGVECGKCTLLKYRRLLTLLVDKEKSSESSEGALKKVVDRLI
AIETALEEDDYEERTLANELTIPSKNRTSSTKSRQAVIARPPKSLVVHFNRSLFDEMTGELKKNLSHVRFPRVLDLGPWCLGSSGSTEDVMTEEWLL
NPDKPMIASTRRTSRLHGPMYELRAVVTHYGRHENGHYVCYKKSYVSEPEDASDSKETQRKDQWWKLSDDEVTKASEDNVLGQGGVFMLFYDCIEPG
TINTPEPEKPEVSHTTSLEEEVSITTPSSQITEDLILPDLILAASTPLPDTDDDDLSESDDQKSICEDYQPAKAIMVTPYVHKAGKDSTKNGGQKLM
SPDGSLVMV
>RCO7_00676 | uncharacterized protein
MGIRYGNRALLHACLLSIFAIQKSAAALAFTNPSLAGLTAGVPYNLSWSGAAGTTTLTLQTGTGNSFDDVEIIASGIQQSFLVWTLPSTIPTGQYII
QLKDNLSAETINSGAFQVQAPTETSKVVTANDPLPPLESQDAEPHPHRPAPSHPNISLTAKIGVAVGSVTLTLLVIGIVVFYRRRHRDPVERMSRSL
SSDPFLNDGVKTPSEMGMFEPRRPEPVELERGRRDRSGERIIERWS
>RCO7_00677 | uncharacterized protein
MIDETIAHLLPQNKLLAGEMSNTIFWILAILLALLLLTTCASCTIKELLADHISSFARNRNSECEQSSETTREDGEKGAGEEGVVVLKTFRDVYGRC
GVKDVDDVLVLEPQSESECEGDVDEQEALERQVEWKRAYAGYMKPTCETDEEGGGK

>RCO7_00678 | uncharacterized protein
MSESTVARYTPLISTSTKMSKSRGKKRFRELVQKLIKRFKDSPYNLIQRKRDSILAYHAVRIDNVDGYLANPRRCSRWGTLIPQEIAEVLQIPRDST
RGDLLTLPGRRGAISGPRGARFTEVFSPSASLRERSEPPPDDFVRKPQSSYGTAGLQVALSAARPLTEPRENENGGDDDDLYSMLMAHVNTPTDEHE
PLLPKSQSSPRPRRLNRNSGTGQWRAVGDSATMFVRDGTRSLLTPITPESTPADFLFDASRTSIPSSMKRKDHVSDLRREYSGPDTPQETQHDSNAK
EGRPGWM
>RCO7_00679 | uncharacterized protein
MSSRSVDLGLDHYGDDEYGIAHARRSRSKIGKKGGLILENPGFVLVLYNFLLALPLAYTLTILAQHFINVLGYTNVTSLVSRSVFIALNMWFIIGWG
LQLEKEARIRKMNRVKSIAEEIEWWKGEVDRLEGLLGLVRQREVEDQLLRESPPSGYQGTDRSTVLYGSGHSPRKASVVTSLGSAKDMSRENDEDDD
FEYEDEDDEDDGGVEIGEDEINDSESEGNGSG
>RCO7_00680 | uncharacterized protein
MSDTSTAGETRAAAAPTNVASHGHEPTFIAQPSTFLLPRGQKRAMQDKPVTAVDQDQFKGLNAIRDFLKIRTSYDVLPLSFRLIILNTDLLVKKSLT
ILLQNGIVSAPLWDSHTSTFAGLLTTSDYINVVQYYWQNPDALSQIDQFRLSSLRDIERAIGVLPLETLSVHPAKPLYEACREMLNTRARRIPLVDI
DDETGREMVVSVITQYRLLKFIAVNVVETEYLKKSVSEIGLGTYGDLQTATMDTSVIDVIHMMVKYSISSVPIVDEDRRVLNVFEAVDVITIVKGGA
YDELTTSIGEALLKRADDFAGIYTCSEDDRLDSIFDTIRKSRVHRLVVLDDENRLKGVISLSDIFNAASSYGIMHSNNAGSISRSSSATLSMAQQPT
IFDDMNIAVGLLSEPKDPRHRASFTGVSFIGHDGSEPPPQQIDPQPGGNQEGRLRRAVHTSNTWTSSSGDVLSDHDDIDDRTFFVQEYNRLARKHGV
RQVDTDELGTFNDDLINISAKSGNWFSRNILRKTSSSQSVKLKSERHLKHRRSISDLSIRLKGKRDKLKDKDLQDLVRLCGSSLLYLPTEYAAGSLA
VPTCFRATAQHLVQHAPSTRGIFRVPGSQAAVAALYNHYGNMDEEGQVISGTVRCPTLPDHIRCDVHDVASAFKKFISGLPGGILGSLHLFNVLVSI
QTQLRGDPEVTRTKQSKVRARLISLAIATPRSQFRRELICAVFGLLSMIGRAAEIAPREDERGRPLPTSDLMGYGPLGVVFGPLLLGDLLDDYTMRI
ANPQGGLVLLPISPPKSRRDRHKKSKTGDEGTAFNTHIDKIKVANSITEMLITHWRDVVRHMRNLSALKTVASTKSVAVRVPRQPILRPSASESFAL
RKPPDWDQFRSPLRRLDRSISPTPAQRTHDHTHIEAEDSASRHGGMLVVKKQRSKSKPLSSQRLSGGPAEERFTEELEESSAAISPPCEDPLCTSAS
LSRAANPLKAGFHSPSSSSEDVTFPHGMMPLPDHREEPTSPESLDIENHNPRPALAETEISKILNPFEHDSKQPLHFMSTPTFSKASPSKSLRKKVR
HSKESSSSTGKSKNIRTHGSPSKLQKKSSASVERGKSKDLRRFEHSGDHPMMERLEPRDFNAELGQFAAEWSALDLRRKVLLTAKSKKDMQNFKAIL
DTEQALLEARYSSILADRAVFEKKIPHVVEPRSQAMKAENTEDENMPSSFRPGRGCGDGVALKSGPESLEHALEAIDRQRKILHISRLDLESDWETF
ANKWEQTNGQTEGGIAIMDAAHAALRNRDTNLEAVEDEIVVKVDIKQPQNLPSQGQQTNQYRAQGASHIAEQKIRVDENERKPALQSHTFDAELHEE
ELPLNRSVPKPLFDIMTDNSKTVRPELTIFISDVAVWKSKWKSYNQGKQTISSSEKKVHDDEKAALDTRWNEMKARIDAQSDAGEPKGPSKSSSLPF
EHLSEKPKQILSVLLPLKPGIKLSRASSRGSEENNARSPRRVGGSDPGLQPRARSYSPRRVSKSLYEDPKREKKVFDLSKISRDPLLRISREEDDAS
LAILAQALDEPIQQQDSDVGNGALNNILRPNASRNDTSHDNSNQLAQPVSQKENSSRINHLYQDQQINKIGNKAGAFCANSRSPKHLKSMESGKVTE
RIAERPPEVQIIQGQKAMSSDSKISASISRRLKPTEPPSEVTISVLPMQVPAQKVAQATRGSIAPSVPTNETGTVYNTGCKAAGSPNKISALVAHFN
QAKQQSTSVSPPRMFPDRSPAKTLTRTLPDSHSNLGSKVVSPYTTNPSSPTKSQKSEKTPQSARTTGGEVRSLLDPKSSPVRRQSPKRVLRDSLYDS
SPLRPGSQDSDSKSSRFLSSPTKNSNIHAVSLRSVQKTADGSPSRITSRPTDAAHDTREVDKKEVPKSSMSKEKGELIAIPPLRFSLDSFTQAETHI
KESSTSSSETMLSIHEPAKGLTSGATKVYLEPIRVHCSPPGGPRVLQAPEDSPAFDGPPGAANIGRVLPRPDPMPVAHHLYLSRPPAASPANSSDPA
ETESGPAIENASHLPGRNNSILYKQVLNLQRQLFEKTEEVQHLKQFLNARDNLDVGTLSEELRQTKRDLEIWKKRAEAAEKQLEITAKLPSRKNSFK
HTNSTSSRGADHQHRSSTDSRQEEGTMAERIRKALHGQLGIDGADSPRRFSSEESTETVVRDYRDVVSRVEYSIWQEHTTNGNGRGESE
>RCO7_00681 | probable VAC8 protein
MGACGSSCCGGKSRDGLYEPVLAESEREAVADLLQYLENRGETDFFSGEPLRALSTLVFSDNVDLQRSASLTFAEITERDVREVDRDTLEPILFLLQ
SPDIEVQRAASAALGNLAVNTENKVAIVLLGGLTPLIRQMMSPNVEVQCNAVGCITNLATHEDNKAKIARSGALGPLTRLAKSKDMRVQRNATGALL
NMTHSDENRQQLVNAGAIPVLVQLLSSTDVDVQYYCTTALSNIAVDANNRKKLAQNENRLVQSLVNLMDSSSPKVQCQAALALRNLASDEKYQLEIV
RARGLAPLLRLLQSSYLPLILSAVACIRNISIHPLNESPIIDAGFLKPLVDLLGSTDNEEIQCHAISTLRNLAASSDRNKALVLEAGAVQKCKQLVL
DVPLSVQSEMTAAIAVLALSDELKTHLLNLGVFDVLIPLTDSQSIEVQGNSAAALGNLSSKVGDYSIFIQDWTEPNGGIHGYLKRFLASGDATFQHI
AIWTLLQLLESEDKKLINLIGKSEEIVQMIKTIADTQIESDDEAEEDGEGEVVQLAQRSLQLLGQNKPSHIEG
>RCO7_00682 | related to IMP1 Protease, mitochondrial EC:3.4.99.-
MSSLIRHAGHPLRTAAAFIQLIAGLHLFTSYIYDIVPTAGPSMLPTILVLGDWMLVDKRFRRGRGVEVGDIVSSYSVVEPGEQIIKRVIGMEGDYVL
RNTPGEGGEGMLMVPKGHCWVVGDNFPYSRDSRHFGPLPMALIRGKVVAKVFPWRERRWIEDGLEAVQ
>RCO7_00683 | uncharacterized protein
MRSSKCVFSSATALHRIFVAPIELQTRVQFRGLSAATLQLRSRPHTLSNARISSGSQRRHVSLHRAEKARLPRDDEIEAWSVTLVDAEGKLTEPQPT
RQILDSMDRKISTLVMVVPGEAGVPPICKIRDKKQMREAEKAKVKAARGSGTTQKTMELNWAIGKNDLGHRMDKLKGWLEKGWKVEVVLAGKRKGKK
ATEEEAEALVAHIRGIMNEVGGRENKVVEGKILGQMTLYLEGKKGGKTANKTVDGNGAENTAEATTAADAQNDAGNEESASSIVDDGSQNGTVGTGS
EKDVKSEKEDETEEGFKEGEEEDGIESGDKTEAEKLAELRERRRRRNSGWEMPQREG
>RCO7_10226 | uncharacterized protein
MIKYLYTYTEKVLRTSLKTSLYAIELGLLPLANLLKLRAKSIITSINKTRIPQGLELDNDYININLDNKKELREAINRLDVKNLGPGSNIPFKYSSD
RLEITFKENIRLLIAISKKSIRKAHAEAKEIFENSIIEVIKKLLLYNNIRLEAI
>RCO7_11428 | uncharacterized protein
MPIRNHIFLQGRLAILRLSLAELSTSTDFEYANKKALGAIKSIISLENLDSIEEISRNIKRIIDNTYSSYKNIDKYTSVIQASSVYLKQLKYKILKP
ILASLIFKGLPSSFNSFASRKYEEISNNLSSIDIEGLIRDLISEEARINTSTDLQANKAFKGKNSKGSKKYSYYNKTNYIEANYYIKHPELIPNKST
NNKKKSKGKSAKELKEESTKALISSFSSSSTSSSSTADQAYATIYNYRIVLDSSASNDILPIIGRGDISIITREGGRYYNTYYLEVDVNHELLEPVS
FKVDSNKSSKLDLYHKRLLHTNKEFIYKTIEGSKGLKIQKGLDLSDYSAYNSGKIYAISSIKPISDTLPLTIFDIDIAGPFKIKSLKGERYFLTITL
RVLGSLTYVLINKRTNKFKDKSDRGILVGYKSANNFLVYIPEKRAIISSKNVLIKEDLTFKDKVISKEELESFDKILNDCETSDRSNRVISSPINTP
KSDLSRAENSEKIDGETADNSLNKEKVIEDIELDLFNDIAEELIVEIPKRAFISSKSDEEIRLSLDPERILIKKDPELKAMNKEIASLENHNTWKVV
DSNTKTIKLLKTRWVYKIKELESEYYEFKARFVAKGFE
>RCO7_11429 | uncharacterized protein
MPVLVRYYTESDISSTGIPVNLGPGIYPSSHVTFSEAFRSRDDLVIVGAKVAPKSRTRDCGGKQVIRGKQDIRAR
>RCO7_11430 | uncharacterized protein
MAHVGALPGAEIHGYDLNRKLDEAQLASWPVREWEVPAEYKPRQFPYMTSEAYDRFHNPFVYDNVQVERIARVAMWHTMDCQVFNLVSVTRKKITDK
IFELTIAIICHFIDTDDFVADGLDISTQLLGDTFYIVMFNRWPMLVAMIQCIAHNVTDPRQKFFMHGEAFNNQVIGQNNVSGAGFLPLADIPVLMAW

PKKHESPWPMKFMGRSLVLSSVEHALLVAMYEKSPPFVVARSQPSPDGSMQQQTLQLQQKCDRLSQQLQVQDQRSLQPAILPLPPLEPSAPPSPEKS
PAPVKRVANKKTSAKKTPTKRARAQASSPRVDRPSKKRQ
>RCO7_11431 | related to BNR/Asp-box repeat domain protein
MLLLILASLLVSSQAVASVQPFGYFNNNTIYTPKPPSEAITYPRYVELTDGTIILTALFNSNNGTGANSQFFAPMFESKDGGAHWEHISDLRDELVG
AGTIGQTCLVKLTEDIGDYQAGTILASGSQWSDNGTRIDLYASRDRARSWEWIGMVAEGVPDKHLFEPYLLQYRGQLVAYYSDERDELHSQKLAHQV
TSDLKTWGPVVPDVVSSPYRNRPGMTVIAYIPPIDQWILVYEIENFSNSTTAGNLPVYYRLAESPLEFDNSVGIPIAVKDRSEPNSSPYVIWSPYGG
VNGTIVVSAASRSSVFTNSFGGAVDKWEEHSTPASASYARSLQISMSDPNRLLIYGGDSYNKFLAAPGAGNHSALSVTAVSLKDTLSNPA
>RCO7_11710 | uncharacterized protein
MKVLDRVLLLSSTKAKILFRGTYIYYRLSLEARPRYVLNAASLYLEVNGYISYIDSTKTKPSRALYFKLEERINAQGEKRIDYTSYSPELAIKYYKR
LADFKREAIIATYGSTSLEEISLLSSFDSFASRKYEEISNNLSSIDIESLIRDLISEEARINTSTDLQANRAFEGKNSKGSKKYGYYNKTNYIEANC
YIKHPELIPNKSTNNKKKSKGKGAKESKEESTKALMSSFSSTSSSSSCSSTADQAYATIYNYRIVLDSSASEYYIPNKSWLLDYKPVSKKSITIANS
DILPIISRGAIPIITREGDSILIKDVNYKVTFNKKGANISNSSINIEARYKLDLYHKRLLHTNKEFIYKTIEGSKGLKIQKGLDLSDYSACNSGKIH
AISSTKPMSDTPPLTIFDIDIAGPFKIKGILKIVAKIRGFKLDNAGEFKSNKWTIFCKDKDKNILLFLWPQIIQGIAHIKNRSYNSVIKKTPFEVLF
SKKPTLNYIRVLSSLTYVLINKRTNKFEDKSDRGILVGYKSANNFLVYIPEKRAIISSKNVLIKEYLIFKDEVISKEELESFNKTLDDCETSDYSNR
VISLPINTPKSDLSRVKNSEKIDGETADNLLNEERVIEDIELNLFNDIAEETPIVEIPKRAFISSKSDEEIRLLPDPERILIKKDPELKAINKEITS
LENHNTWKVVDSNTKTIKLLKTRWVYKIKELESEYYEFKARFVAKGFK
>RCO7_11711 | uncharacterized protein
MRRHITPFQDKGSPSSLEESNKGNKIISSAEGNAISGDIATIRAKLRFQRESDIFIK
>RCO7_11513 | uncharacterized protein
MSDEEMDREWKPSNRPQSTMAKSFSLALNDLFKMDNSIADLDAAVSEKKKAVDTQTSELEALEARLKATEERLKLATGSSPSSRISGRSSPRPRVPL
GDTFKDNPATPLSPDFKKEGGGAYIKPVGGDLPPTPGPSEGDYDSEYVFVERRRSADRREDGDVPQQQK
>RCO7_11514 | probable yellowish-green 1 protein
MMGLWNGLGLGKSSFFGAQKNEQAEKPRLWQMGDAFEKKMPHHEGIKQLWETKWKFPCSINVYPFHDGKMEDFEPVFLDLIKRNINDGTSPEYTRAF
FPTAAKLITQADAEPNPKLSSDLYLRAACLYRIARFPYITSFPFVNDSTKWEAWTLQKKVYLKAASKWEVPMTEIMIPHVQKSDEDRPDIPAYVRVS
ISTDEAKSPAVILMTGLDGYRPDNTARSEEFLSRGWASVIVEIPGTADCPADPKDPAGSERLWSSVLDWMEKDGRFDMQKIIAWGLSSGGYHAVRIA
HTHRERLRGVVAQGAGVHYFFDRDWIEKADGHEYPFKLSPAMALKHGYKTVEEYKNGAQKKFSLLESGLLDKPSTRLILINGTRDGLMPIEDSMLLF
EHGTPKEARFFDKALHMGYPMANSAVYPWMESVMA
>RCO7_11515 | uncharacterized protein
MSSSPPPPAAMYSIFNNTKGKGAGKLGPHLDAFDRDVAPTLQEARYSREFIECQVAYKNVEKRFLGLDLNTSEASLQDDPKTNPRALIPEMERRKQM
IVDSGKLEKSCQTYLKALRIYSSKLDEASTTKRRAISEKILSLFPGVQAELVRIDEKITHEITRLRAENHDLMSKQVAGQTVADLGAKLQEFADQLT
QADASGKLGEHVKKVTDGFADIKSAMNFGAQFKDLKDYLSTLSDPEAANQISGFKESVEKMMASHETLHKQELAIAKFKEEKKAWVEMKTTLTSDKN
NLQSTADHLRQEHNNDVKSTGDLRNENNILKNELHQAQLGRNMAEHTLTMRNNRIAELDRDSTTQATNLANEKKRADDLQKVLNAAEEKVRSETRRA
DGLQTSFDNETVNAGDATKRVYDLQIELDSEKYELETALEAIKSLETRLEEENGNVRSQTDLITGLRSELETARSELRTTNSALETADSKLQGVTAE
LTDLQDEKRVLEHTIKSLQDQAIADLTSHTQTADTLKKILRARIIKVKTLQEQLEEARVTMESHDEMAKYLEELRRRERLLCDQLNLAFEWHKGSLQ
SQEHSARTHAEEVTELKRQICIWEATMEHGRSLIAQKEAWGLERRDLKRQLRSAEQDSNNSKAAIDQIRKEREAWLKEKADFQAYKRSGSNFQNQLD
ILKTTHDGCKKVIENLQQTHSGCADTIQRLTNDHSGCARKIKDIQEAHSGCSATIKSLTNDYCNRENAITEREADILELKYDLSAYEADVLGLEKDH
GGCGQEFKDLNSEIRDLKEELFAYEQRVADLVDTLSERDTEIQKLQEANSAYQLETEDLDEIIDDRDNKLAECKQTIENLQECLSEYEVEIRELKDK
HSGYGHKIEKLEADHFVCARDLGSLTEAHLRCKSTIRRLEEVHSGCHQTLMEARNAHFNCSSTIKELEIHNKKLHKEHEGCARAIDDAGIQAVMENF
LSGKVARDTLKVLQPLYDNLVKEHRGCATKVSEVDHDAIVSENYTLRDNWEFLNDVHGHCADKVDRDVHQRLVDAHELCAGKVDAAVYNHLQDAHDL
CAGKVDAAVYNQLADAHAVCSDNVSKADFEILLAEKNTLFQAHEHCANNVSREQYDIILAAKDALARAHEHCAGKVSKADYDILVREKEEITRRQQR
THNDLETLFNEHALCVTPAANPGMPPPPPPPGKTPGRTSTTSARGQDIPILPQASAATGHSSTNTTPTMNSPRRRSSSVASGSSQGSLSGSRQRGTG
YTFLINGELADGPRVTFQNVNNDVVTLVEEQITRWTSAPEKAKVWTRGADAHKRCSETRWSRLNASRNRPASENPNAVCGRCLGKGVPCVLVGPNGP
VVVPVPESRRDSTLTPMDEEYWVLMGDE
>RCO7_11517 | uncharacterized protein
MNNEAFNAAKAPPKGRHAGFKPKALDFGREFANLIRPRPSPFINPASEASTPSSPKSEKPKAKPKCLVDAPPPSNPWKKEPKKAKTPPPPVNPWKAT
AIMPSSSSTLAYQDWPAPSLAKPSVTIGTSSASTSEASSSKDKKRRNKTWIPLDLDL
>RCO7_07118 | uncharacterized protein
MKHLSILLACVTAAHAYQAVVCTTFEAPASVDDAEWALVHRRQDLALEGKGLWGVRRTTCGKGINVVPVVTFCRSDPYPDIKYTNFFPYGGSIQCFP
TSGKGSRFMADCAFSC
>RCO7_07119 | uncharacterized protein
MASRIPTSTTVLESAVISANFSDVWHKIKLENFADFWSALEKSETVKGASPDTDVVKWTFKDGQVLEVKQEEHSTIDHYITYSVITAQPQLTYSSVL
STIRCFPVTSGQHEGQTFVQWNGHFSSDADAGVIEDAKFKRREALADLATAVKGATK
>RCO7_07120 | uncharacterized protein
MEKKDFLAAFAPINVVTVGGYLAVTYFGNREATGDLDYMIEPQWANDDEIKSPLKEAIILVAEEEKFEYDWMNDDLAIWATAEASKSLFERAYEQNI
LLFDGQCLKVWAAPLEWALERKLRRIAFAERGDKTVDLDDALTLFKYFRDSKKGPLDMEYFRNLNMNGFDLNPRVKDMEKVAAEYRQLYGEDLFSAS
AAA
>RCO7_07121 | uncharacterized protein
MGVRHFELHEKLGATKSGRGGNKTQAVVLSLLDRLLLPTEGFGYHVFLDNLFMSTKFALYARTRSFGVTGTCRTNAGVLKDLLALKKHDDEDVIPWG
TVYCYTTTDGLVSQVRWKDQAFVIMMSTLFSGREAKTKRLRKRPKETSSKAKTSRVPFKGQPELRTRDYGMSKEVAIKLLNIGN
>RCO7_07122 | uncharacterized protein
MPLPDQPRIKITWWMRLRSKLRYLHSPLRLRGSIRRLRHDHNNPYYALMMLFIGHLQVPSRNWTYNFPPPALLAPKDIAGNEALFDHHHPFIFNLRY
IPIWTIRDTPLHAIYRLYEIYMTREFVLVRLECEYMWRQLGPKWSLYSIPDPCDPDPVRYAMLASIVEELVRAFNFRLQHGQRRNGRNVRRSIANPW
PEYEPEVTPTWTAHVRPIQSDDLRELPPDMVQDGKLVLADGGSAVHPETILFEKRIEDAFYPEKFARFAVDAPFLLWSILADPKGARWFLSALLGCV
ISSSPNMSLLALPPGGMLLWIHLGFLRQVNLYVDIELDTRLFHETHTAIARFALLLGGVCYVSKSCEEFRYHEPGFLSAHDRSPP

>RCO7_07123 | uncharacterized protein
MTDLTAFTRFPSLPVELQLKIFRTASNSSPQVLDIWSDFQKRKIGDQDFYVQHYASNLCPTSRTPPVLLSVSRAARSECLQCYSEEFVCEMTISSAG
AWSTDLYRREDVEISSTADIWINFAVDILVPRGFWNIESFRDFTSRVQGRATCVALDVSGSFWKQNLKDYCRMHDWALNGVSEVLLYDSFSSSSSED
EIWRRSDHLDQLWRSGVGKRELRFEPLAIREEDESESREEIKKKNEELERVRDVKVLLMELFDVIEGVRRVEEDDDSDDSDDFDDFRDVRKAELVGM
KQTAKEEFKRPVIRFVKLVTGVPGTGMSGVSS
>RCO7_07124 | probable ethanolamine utilization protein (EutQ)
MAPLAFKHLPGIQTSYKPPLIANENAFLGDVATSTDATAPISAGFYRLEKGTPLVYEYTYDEMKIIVDGEFDISDETGQKVHAVKGDVFYFPKGSKI
TFTTDTFGLGFFVGQRKEGAA
>RCO7_07125 | related to A.thaliana hyp1 protein
MNGSQNTAVEAYTYSDARLAMTAEHVVGGVVRILQRELGLNVTDTRQGSGRDGANSTSGKKFVEPTNTASIAALFATLIPVLVYAVICLSIFVVGRK
FFPRVYYPRTFLSSIAPHERSKPLPEGWFNWIVPFWTTPDIEILNHASLDGFLFLRYIKMLVIICLVGCCCTFPVLVPIHIYGGGGSKELDMLTFGN
VKDVKWLWAHAMLAWVYFGFILYLVARESVYFINIRQAYLLSPHYANRLSSRTVLFTCVPNQILDERKIRRIFGDSVKNVWIPRETDDLDDLVKERE
QTSDRLERAEIQLIKKATIAYKQAVKNGHPSIDFRSQTPSPRDSAEKTESKSVDVTVRSASPTTTSQHQDAITSPRSTTAFATKSNCTIYEPPPDIN
GSVAAQWIPASQRPTHRPIANYGRSVDTIKWTRNQLKKMAPEISKLRRDYRKGKPRPIPAAFVEFQTQSDAQMAYQTLAHHRANHMKAEIVGIVPEE
IVWNSMYFPWWQRIIRRFLIQAVVVFMVIFWALPAAAVGVISNITYLTKTIPFLGFINSLPSVILGLITGLLPAVALATLMAIVPMIMRACARQAGV
ATQSRIELFVQNSYFLFQVIQVFLITTFSSSISSAAQALIKNPMGIRDLLSSALPKASNFYISYFILQGLALSASRIVHLGGLVRHQLLRWAGGRPR
IISRRYHRLRKIHWGSIFPMFTNMGVIAISYSLIAPLILGVAALCLSLVYLTYKYNLLYVYSSSPDSRGIFYPRALKQTLTGVYIAEICMIGLFGLK
GAYGPLVMTFGLVIFTTLIHVSLNQALSPLLFNLPRTLAIEEELRRAGNPPFLAANLMDMNEGDLTNTAAGNLDDGELNIGYDSDFDPSTNSPDVDH
GMQNSRSLAPEGTDRIVKMSVQTIRKYLSKQYASSPLPSLLSSLDFWSYWITPSLIQNPNFILKFLHPEVFADYHVLRDMIPDEVRDVDVTSAYEES
VLRDAYSPPSMRSRAPRLWIPRDGLGVSAQEVRHCAAVGVEISDAEAWVNERGQTRVDLEGEVENWVTPRWERVRF
>RCO7_07126 | uncharacterized protein
MLFKSLRSRSKSSSKSTKPSTLTRMLSSASSHHPAQIPEVVISSPSLSPNSVTDVFKTKTQLRHAVTERKSSEDGSKDYNEFLEKARKEAEKEKKEE
EKKAKKAREVNMSPWASRMNC
>RCO7_07127 | uncharacterized protein
MLSFRNLLLVIASFFLLVSAQTEPSSTVAQSSVEPTPPPPSTSSQASSSRPSGGSSSSRTITSATSVSTRPSQTGHTAPDVHLNVPELSVKRIELIV
ENLSADINLNAQVANLVTINAGVAVSVQKINITIADVEVKLELIVRLGHLVDIVDRVFKSLDLNPLLIDVLSDVTNIVTGVIGAVDGLLGSITGPGG
LVNFLIDNLGNIVQSAVGTAGTAVDQIVGNYKQNMTETGEVTQLGNGQVKKQFLFGALGTLVDIVFNSAGQILQASAVKNSTSGGNGGGSTSTSRPI
SRATPITITSVSATASVTPSATA
>RCO7_07128 | uncharacterized protein
MAPLMRTLALFLTFLTLTITQSISTAASDGYTGCNLTLSQDEESATYDTTSTPANVSLTFPEPDVYLNASVFIGEISILVANLTAKINLDAQVLSLL
KFNAGVDLHIDKVSLIIQNISAKVVLEARLENLVIMIDDILASLDLNPILATLGQSLNEITDSVTDVVGGVVGDVTGIVGGVAGGTPTNTGNATASA
RKRSAGIDPLEFPYNYEIAHNILYTINDYTGHSHTNRVLAQSGAIVDQSLDDFGSVTSEKEVGTYDKDMRFNGDNITVIHEGKEVSQLEYVYEPFRG
LFVMSYIYVDQGGRVVGTQVASEAYAGGSSTIGDN
>RCO7_07129 | related to P-type ATPase
MGPSAGKPVFSASSDGQDNVSDDIIEAPRDEEDPRMSDTPGVAGGIPLTSSPLSPQPSTSASSRGGPLPVPVTRNRGFSLRRAAFALNVSRNDQQAP
GPIPQQRSPFVDKVPEEESESKRDVHNTIKSSSEPESSNTSKISSLVPGVERKEPWWSNKHAAKFTSTFTQVVKTITRTKDIPPSKDGRHIELKPSG
VGESIDERTGKPYIGNTITSSRYNFYNFLPRQLIFQFSRVSNFYFLCIAVLQLTGFSTTGTYSTLVPLMAFVSIAMAKEGFDDWRRHVLDRVENRNT
VEVLRRGLPGEEEWLEVRWLGVQVGDIVKLRRDDAVPADLVLIFADGPNGMAYIDTAALDGESNLKSKQASPLLRKLCHDEKDLSKCQAHIVVEDPN
IDLYNFDGRITVGSETLPLTGNEVIYRGSVLRNTTCAFGMVINSGEECKIRMNAMKNPKAKAPSMQHIVNQVVVIIASFVLILTGLNNAAYGIWKLK
KEKNATYLMGASVGRGELFASSFVMFSTMIPLSLYISLEIVKVGQMYIMGDVEMYDAESDTPFEPRTNTINEELGQISHVFSDKTGTLTENVMRFRK
MSVAGMAWLHDLDLKKDDAVEKVETGQSKMPVEKTRVSGHAKQISDLGPLYSPQTRDSAVGGRSRQLSPAVTRTFTSRYELPSKRESTTEELVAYLQ
RRTDSPFVKRARFFLLAIALCHTALPETQESGERDYQSMSPDELALVRAARDLGFIVVDRPSQSITIASKDGERQTRETYEVLDVVEFSSKRKRMSI
IIRFPDGQICLFTKGADSAIIPRLKATTGAVQKDAEIRKSMTAKRRSEAKEELRRQSEDKPRTSLSRPSFSRSRSQVGRPSFVSRRSGADGRTSIEF
LGRVLHDSPRPSMVSRRSSNFGQLNIDHSVASDESATLEATLKHIHDFATEGLRTLMYGHRILGGEEYQTWKKRFHEASTSLVNRQELIDQASETLE
RDLDLTGATAIEDELQKGVPETIEKLRRAGMKVWMLTGDKRETAINIGHSCKLITNISEVIVLDYEKNNVAETIASALHDINQGDVAHCVVVVDGQT
LTDIETNPDLATPFFELVIAANSVICCRASPTQKAFLVKTIRTKVKKSVTLAIGDSANDIAMIQEAHVGIGISGKEGMQAARTSDYSIGQFRFLQRL
LLVHGRWNYVRTGKYILGTFWKEMMFFITQAIYQGYNGFTGTSLYEYWSGSVINVIFCALCIIFLGMFEQDLQASTLLAVPELYRRGQHNGAFNLWK
YAWWNFMALTDAVIIYYFVVLAYGMAKFNDVFVDSSDIFAFGQLSFAICVVVINTKLLILEMHNRTVITAIGWFCGIGGWWLWNLIINQVYDPNTSF
YGVQHGFVDRFGKSSLWWLTLILGAAAVLLWEVTVSSMRIAWWPDEVDVFQELERDPVWKSRFEGIARGERQVEEDED
>RCO7_07130 | uncharacterized protein
MGNEQSVPARRRGQNKLSKPRTNNNSSANLLSTKSAPQTRRNSVASISASPTKGRYSLLPVPVFVPEDNQKRDEKPKKRLSLFRSKSAQPKGHNQDA
EFKVEDFSSDAATCDPRRWSKGFRGRESMIFESGEEVVESPLEMRPPPPRKRMSMSRPYENTNPRLSLVSELQSPGLIQVNTMHRPSEYEYEYEDEG
IGQRLSRTPSEAEMYMPIRRRSLLQHGIATRTSYVEETQTCVPSSPVRNEEEFQNYYYNPTKPTSSPLAELAALERPPEFLPGPRVETPTEVDYGHI
GAFKLGSLRITNGAASPVPSVERSLRRAATMGQEEDHITAGDAWNCHRHGLGQRSNTISAPAENQRVPWAVRAESPLRKDNTDTEKDSSQSKIRETH
LEWNGKDYSPMPTKCAFSPLTLNVPDPGLALFNFNAAETLSRPTHSPTKSLELAHDYQQDILLSPFSFDNSPPVSPSLQVMSKQTAVDDDLFAPEPS
TPEHSERFSRSFDSACEGCPPARTVKGPRDLTPKPLAKADSGYSSNVSLRSFKKEPTVPKKEAPPTPPKDTPRVASSTYTGDWSSRVSSSNCSIPPA
HSEPTLGRAQTSRVPSSTYSTASTSPETSLRAQRSLPALPIEEPAVHGHPLRQSPPDSRKKTLNNEFPQASRNPNLSYQSTVSPHIAVPSLQSKRRS
EPPKVTLRKESPASEVSPPSSRWSKRKSKRTQTIQTEPVYTVQAFRSPSEQLRIPKPSIEARRNLDKRVDQFPVASIADNYANQMPNTYVNQLGMRR
SSSKETLGTIFSVGSVEVREELSFARLQSSLPAVPTQPTILEDVITVPVLKEIFSSKKACQRSYNNALPRLPPSGQSVPISSLAVDSDFNRKNTYQA
PLPALPIADERTRMSMQPRTRERSVSIPRTQAEFETEITSFDGVSNSLGRSPYDVASTPRMDQRTKSITSQFVAEAAHRYARQRSVSDESNYSVIRP
RMSYESISTGNPFLEHSESRAERNRGRPPQAHAKFNALKRQSSPTLRSSYSTGWREPSPANSHIGQQFGGWNEGLEEEGQVRSSLSQKTNSQDPVSM
NTQRNLTPTSPGAHEVFLSYRKGSNPSHAQNRTTQVPAKFTYRQEARCPEWSQPADLWAERGESAGDAPKVHPRKSLEMRRPDHTPELRYRKSMDAY
TYRHQLATQQQQAATHDLRARKSMDVQTYQQNMNGYGNWNGNEKAQRRSLGSSYRSFDNSQGNNTSGNGNGNGDGRKGWNVGVGYENFANSPGAQNQ
LSWVDETVRTIGSYQAQEYDHTYGTSSHHNKENFQHQQEYYDQQSSYSHSEDNTTYLPETIHRRNSCTSEMLVLDRFAGELDYEY

>RCO7_09111 | uncharacterized protein
MALQVTGKTGLVTGGGWPLYAASKAGISSFVHSLGPLEAQCNIRFVAVAPAIVNTPIWAERRGWVDKKVDAWISPSRIAEVMLDVVQGHKIGRS
>RCO7_09112 | uncharacterized protein
MCHNIQIHYYACEHSGVSKIIPCDTPSTCGDPILEVHNTPHAFPDFRPDCFLGGNLFVTEVSEDERAEILTSRVYKEFTSKSVLCLAESMLRRAESN
LAKEDELYSFENQVTPEEVSASIHRLQNYALNLLGALFWHQVIEEKEAPDKFFRLLIIQVKNYMFALWHQVTVNKLTVRKKARTGRPSYLEAKVLFP
SITSLEADERDCAICGDQIGIANADGVTEYLVKTSCGHVFGVQCLSQWILDNESCPYCRGSLLTFDESEVNLKKEANNVRRNTLPPAWLMTLFGITS
RSMKRDMVLSRSRGAETLALSKECFP
>RCO7_09113 | uncharacterized protein
MSWDQFLGCTGLKLRRSQVLDLRGHFLHDIECCLSFAFQHFYMRRRFVVGK
>RCO7_09114 | probable methylcitrate synthase
MAVNTRAGSSALRAFRPIAVRPAIVPANRSYATSSEPDLKTTFKEVLPAKRELLKKVKALGGKVIGDVKVENTIGGMRGLKAMVWEGSVLDANEGIR
FHGRTIKDCQKELPKGTTGTEMLPEAMFWLLLTGQVPSTNQVRGFSRELAEKSELPDFVNKMLDNFPKDLHPMTQFAISVSALSHTSQFAKAYEAGI
NKADYWEPTFDDSISLLAKLPTIAAKIYQNSYQGGGALPAKVDLEQDWSYNFAAMLGKGGKENENFQDLLRLYLALHGDHEGGNVSAHATHLVGSAL
SDPFLSYSAGLQGLAGPLHGLAAQEVLRWILQMQEHVGTKFSDKDVSDYLWSTLKSGRVVPGYGHAVLRKPDPRFEALMDYASSRPEIAKDPVFQLV
KKNSEIAPEVLKEHGKTKNPYPNVDSSSGVLFHHYGFHETLYYTATFGVSRGLGPLAQLIWDRALGLPIERPKSINLEGLLKIAESA
>RCO7_09115 | isocitrate lyase 2
MSALKPLENSISAALPSDSFQLLPESQKAGAAEDALYEQQLKDVEAWWASPRYEGIKRPYSAEAVVSKRGSQLQSYPSSVMARKLFNLIREREAKGE
PIHTMGAIDPVQMTQQAPNQEVLYISGWACSSVLTTTNEVSPDFGDYPYNTVPNQVQRLAKAQSMHDRKHWDARRKLSPEERAKTPYVDYLRPIIAD
GDTGHGGLSAVLKLAKLFAENGAAAVHFEDQMHGGKKCGHLAGKVLVPVGEHINRLVAARFQWDVMGSENLVIARTDSESGKLLSSAIDVRDHEFIL
GVAEEGIEPLAETLQGMELKGASGAEIDTFEANWVKNTKLLSCDEAVVKQLEANGVSKEDINTYLKTTANNRDTSISKRLQLASKFTDKPVYFNIDI
PRTREGFYHYRAGMTAATKRAIEYAPYADLLWVETGDPSVKNAAQFSGEIRAKHPGKGLVYNLSPSFNWMGHGFSDETLKSFIWDIAKHGFVLQLIS
LAGLHSTATISNELSKSFKDDGMLAYVNLVQKREKELGVDVLTHQKWSGASYIDGILGAIQSGSSSSKSMGDGNTEGQF
>RCO7_09116 | uncharacterized protein
MTISSYPTCLIELIILLMGNSNPISISVCPATPLELPILSRLDIAANSSHPLISQSFQYPFQALKLWLAHLQFCYERPKEYMILVAKLSSGKSKREQ
DLKVEIEVEVAEGEKLELERSASIDSGVDVSLGSLMSKCGDEEDTDEQKDDGEGEIVGFMMWRVCKSQEEREESVGRDDEWDWISQLPKGTDLKQWK
RYVEVMSSESGIGDGDVEILKLVVLPRYQGRGIGTRLLQFFFSNLSSPFSSALDKPTLSHPTKIRVRASRSAKTLYEKFGWTVAKEYTLDLRAGGRG
RAYVDFEMLRVV
>RCO7_09117 | uncharacterized protein
MPKLFSNDSMTPDLCISSALVRRFASPATSLLYVGLEYGRECYAATQAPKPQPVSLVGSKACNMACKGDPKVSCGGGNMFNLYAATSVTVTGTVTDQ
WTSAGPISTVV
>RCO7_09118 | uncharacterized protein
MVELAIVDSVEVWLMVVGGDVVDGAVVATDIVGSNVEEEEMAITEEDVLVVGGISGSKIEGIELEDESTDGETTSEDVKLEDGNSGVIGEFVEDNNE
TEFDVDDWVELDELEEIAAGPDKRLDELAVVLVDTTVDEMEGLEEAITRLDNSMLVAVEDNTSMLEKLLDELKISIDELEDPLDRLDVTLATTFIDR
ELLMLEKDVPEDDVPELCETFDEDEDDIEEETGGAPGILSGPGVYRVWS
>RCO7_09119 | related to beta-1,3 exoglucanase precursor
MWMKLFSFLAFVPVVVRSLASTDEIQDADPSQSGYLDNHNMHPNTVGSAIFGMLWKNTYGKKERWYAKPLVYTPPGASQLVFIASAQNVIRTLDAVN
GTLLNSRTLQPPFLQADIGCTDIPDYIGIIGTPIIDPSTNTAYFFSKGYKNGAASGGLANGEFLDKPVFLKMPGFPVLIDGHSADNDATRYFVGGAV
LQRPSLAMVNGIVLGGFGGHCDLFNYTGMVVAVSTTPGVGITSMFAMESSPGASPVQNDLLVEKGGKAGIWQGGMGLAVDGNRFFLTTGNGQGHANG
DVGASGRTPLSTLDEIVGSFSVSPQGKISLNDYFEPYEYISMDAADRDLGSSGVTLLDPAVFKGTGVSRMAVTLGKNMKAYVMNANNLGGFKQGPGG
TDNVIQTISAGGTVFAGVGSYPLEGGFIYFTPTGGATACYKMGLDSNGAPSFTFVGRTNGPAAGRVGIGIPTTTTYKGQIGTGILWISDPNLGLQAY
NAVPVNGILQPIPLPATGGLNKFQRPAFGDGRLYTSDSNGNIMCLGSPVALPLNCTDPISFGDLTIGTTATRTVNCKALIPISKVNGCTTGNANWKC
DNFTLPQGALVQGATFSFPVTWDLRLATLQDVPQASFGKVIPGVESSSLNILTTNGVPKYSTVLPISLTGRVVSQNAFMTITPNEIDLGGIVLGSAG
APSGQTASFILSNVGAQSLTVLGTAWSNEIVGNVQWTNITNGVLGNGFTSAQFPKTGDIVASGGSLTVAVKFLASVTGTYHSFVEIWTTGGAEYIII
SGSASTSPLANISVSTLEGGWDFTEPLIMDFGNVVDGTTRSKNIRLCNKGGSALAITKSKPPVGTELLAPNSFTDLHEGQFIDVNACVLGQVSIVAA
PIGVNRPDHKVSDVWILNTDDVTFGVHDVAITANIITQQVGPLLANGTSQYMYLGCYWDGGGRLFSKGQNSASNENGWCQKQCLTGGYRFAGTEYHT
ECWCGNTPPTYLR
>RCO7_09120 | related to Zn(II)2Cys6 transcriptional activator
MATPENRGKRPKSTSHSDDNSGYITFSLADKGKREWQGGDFISCVTCQARKVKCDRVRPNCGWCEKNGRQCSYSKKQRPGPKPGSSQDLADKVFRLE
NVVQLLSKQLENHICVQKSIETSSDASHSPHGQESSTSSGPVAPRSSAAEDENRIPWLSQVTLSEQTLPNQVVRDTTPKYRNETYVRAFTPVTPLVT
PSLSTTVGWPSETVEPELPPPEQLYVLVDLYFKHINTWVPMLDRLTTFDILSQTWIPNESDRVLLHAIVLVSLRFSQDPGHTAEVRSMYRIQLKRRV
QLFGLEHSNIRTIQSMVLLTVDMLGTSHSPETSNMVALITQSILNFRLGFEVGHSVGASSQAPSTAIRSRLLNPPISWIENEERRRLFWVVYSMDRY
TTLGTHSRFAIDEKTARRRLPCRYDLFSEDRHVETRWPRWDDSHDHVEEDTVQNAANLGSYSYHCELLKIMSQTHEFLEVPLNIDSQHDINNWRSRY
SELDQNLSIWLRSLPGEYSEISQFCHSDTKSKISNWIILQTAFVVAVIHLHAPVAYPSESSALFRPSYDAMQKCLGAVASLKELTLDVVNTDMLDLL
GPGFALAMWIAIRLLLIHASVESHILDSNIFFFMDTLRQLGKYWPVATRYWELLDPLIRETNPAVATRVSEMRRSAYSLQWSLYEDGNARGSVSSRG
ELTSDELLSLDIFGTFNYPYVQSRRPALSLQSLPRIEAFDRSDPRHDWSPR
>RCO7_09121 | related to glomerulosclerosis protein Mpv17
MPSPIINTTIQSCILNATSNLIAQFLTAYRSSSSYTINWLPVFQFTLFNAINCPPNFLWQSFLESTFPSHYLVPSDSAIKAAASNDDKELDREEKTH
TLLESKLSIKNTLIKFMLDQTIGATINTLLFSMVFAGFRGAGYTEAVQVAKEEFWPLVKAGWTLWPAVSFCNYALIKSVEGRALVGSLAGMGWGIYL
SLMQS
>RCO7_09122 | uncharacterized protein
MSSTTSLLSTQDISNMSYHAKISHLLQRLEQDVAELEAQFRNGPPKATPITQPGNKQAYTPTAPRLPSLAEFPAMPMDRPLSPPMYTPSMPSMPSMY
IPSFPLRAELYRGVMEYPKPVESANHNLRRDLGLGYAHERAPEHGEAMGDGREEEEVYDPANPIVESGSHASRPYDFERSLRKRPEDSTVVVEMVTV
DQSQLRGKEMEIDEDEIDYEEHEFEGEEEEEIPDKRTEEIQPLALKKPQQETIHPETDGQRDTIETDSPSNLTSEKFWAQLFSEKSKMELGGPQGER
GEEPVSKNTYYSPFERSPAPEIPSPSVEKMTGRSDGLDKQWKQRDVNVTSGGYCSAPPQVDVEEDEGGDGGKEGKEDYFIDEEHDKREVVHPRPDGE

GFWNGSLDALDVAKDTVMRDAEDDEYEYDFDCVGEEEEGEGEQEYAEGDWQDVDGERSDDEVDYEEEEFMDSE
>RCO7_09023 | uncharacterized protein
MNPDFTQGNNYKKRRNWLRRYAFLQHCIDRWPEYLRKQPGDSGDHLKAKTQETVQAFFATYSLPNGGDYVFWVGCLIPDMPFDKIVNTRPLYVSTMK
PRVDPGDYPSTKSVP
>RCO7_09022 | uncharacterized protein
MFEKHGTDPVRGDLKKWLGAPDPLTNHVTNRKETSTLEGDLASKQQAI
>RCO7_09021 | related to translation initiation factor 4e
MDLWTRRSNTSKLSLSTSEKPSTNGARPPNESNKSYSGSIGRRAGESSSHSTKNPFSTMSPSTTSIISPTSGAAGAFGFGTGAFSKFTTTPKTPKAT
NGLDYISAIGAKTPTAEKQKELGSKASKTSLPGSKAPTPPPFHGLRHGWALWFRPPISKSNGFVEYEKTLHPMAQFETIEEFFTVYSHLNRPSTLPL
VSDYHIFKKGIRPVWEDDENKKGGKWIVRLKKGVADRYWEDLLFALIGDQFAEASEEVCGAVLSVRNGEDILSIWARNDGGRVLKIRETMKRVLNFP
PDTKLEWKSHDSSIQQRTAIDDARKEKSNNHHTTPGRNGHRDVDNTPSSDKK
>RCO7_09020 | related to Delta(12) fatty acid desaturase
MPNMGQAADRADSQGPDVPASSSKAAFVPPTYTMKEIYDAIPSHCLHPNTLLSLFYVLRDFCYVATLMCLATQIHHLPNANLQTAAWATYAFLQGLV
FTGLWELAHECGHGALSKYKLFNNVTGLIIHSLLFVPFHSWRFTHATHHKSTNNLDRDIAFVPDLKEAYEEAHASHSKLRDYVEDMPIVAMTHLFFH
QLIAFPTYLTINNFALARMNVFPWWTRSHFYLGDDGPNFKKAHKMDILISDICIAVAGLGMWGLVRCFGAWNMMLIYGFPYLVTNHWILTITFLQHT
DGSIPYYQNSTWTFLRGAASTVDRNFGWIGRNIFHGALETHVMHHHVSRIPFYYATEATLAVKKVMGEHYQSDFKTPYLWSFWKNYRTCRFVEETKK
GSSIYFFAKNK
>RCO7_09019 | related to flavin-containing monooxygenase
MGSITRPVVAFNVKRIAIIGAGPAGLAATKYLLAEKSFDTIDVYEQQAEVGGVWNYTPSLNERVPVPQTTPWAPTEKPSWPKGALAPIFSNPMYDKL
NTNIPKPLMKYSDLDFPDDALLYPTRQDVQAYLVKYSQDVRQLISFSTQVEDVTLSEVNGQDRWTLIAKSTITGKQSTKQYDAIVVANGHYSVPWIP
AVLGIEAFNAAYPSIISHSKIYRSPASFKDKKVIVVGNAASGLDIGNQIAEVCRKPLLNSINGGSHFQLPVDGVTKEEVAKIVEYIVEGRAVRFGDG
RVEKDIDAVVYATGYLYSFPFLKSLDPPLVTTGRRTIGLWQQVFHIGHPTLAVLALGQKVIPFPLSEAQSAAVAKVWSNNLALPKVDEMEAWESSRV
EELGEGTAYHVLGFPKDAAYINYLHDWVTEARNGFSKEPPFWDERLCWLRDIYVDIKNRFADTGMKATSLEELEFDHDKRDAES
>RCO7_09018 | uncharacterized protein
MAGETGALALENTEHIPIAQLNPEVTAPATRSIRAVVTLTWPYSSATGSVAFLLSEPDFRLRRAKGQVRVRFSGSSAKAVRASGIASGDEIVLSLDG
VEWVSNDATVVTPGRGIEYELGFSERLLLEFRAEDSQEVKRIDLDHPAPADPTAAPAQPPSPEPEEPLRPLETPIVNRTAFGINIGDEWSSPAFLKR
ARLSYGSLYESDYDIFAEEDGSIPGKGRKKTRLSSSWRYKSRSPTPEAEEPEVESLATSPEALPAPKAVPMMADEGCQTVDFGNSDATEDVAQALAD
FSRQAINVGSAAYPVFNGSASFPTPQVVDASSINDTNAVKLPTIRTETFAREGEVPEVEPPNLPGFQLEPSEALSLLSQPVSKRGTTFSNGDLPMGN
TDHSFNHRSTSPTDRLLSPGHLSSQQLLGNRPGETHGNGDAVADEDEEDIYTASPAGRRQQEPGSGFSDLLEQDVTHDGMEVPIFDNQFISENQYGD
WLSAGAQLSNTASPRNEPSMESSHGSRVHDDTEELLEVEEQLGSVVELPHSEYPELADELSGHITSNWGASSVVYPELPGYGDQASPLAHQPPGSPT
MSRSQSAQSDVVDLTDSDEDLEAVVQHSGDESLGSVEIKSEEEGALQGREDGVGQPVDLSDDGDFEEENFDDRDPTARQINHYEHTDSEADGEEEGD
YEQDEEEEEVVAKIPSSFGSELDDYEQMEDDDQDEEGNYDNEEGSYDEEDLNEEELTPISRPQPEVIDLLSSDDEDDMLAKPSIPTAGSQGPSLKKN
LEYPAMPEDSSVDSNDDAELEAEESLQYAEMSEIKTSIPGPQPDYPSPLEEAEDDDMSGDELPANTALLRGGSDGENEDSGDSTQEYLAQGAEIESE
DAVNEELSAAVSQELLARVEEVIEDPKSRLDALTVEEDNNVDFRQQIEVPQDSKPGRMDVESPARLVATAPPPLTAPPEKRSLFNSVFGLDGAHDEP
RFGASYRTMSKEDGTQPSSVLLRRVFGASSNSSSKEENMQLPTPEDTQVSRKTVSIENSFSSVNEANQHSDVLADVKDVDQVDASRNTGVDEIEVER
SSSEALSPITNIQTISKTVTVTVEVPVEIGMMDTGGYEVETRTEDIRHTSEVIQTINNIPSNDIHESVRSLNTAQEESVGDQDEPTEADEAIEEDES
IEDDNPAKEDVSYEFDQPVEEHKLLENDLLEEDKEFHGSEHEAENAIMMESIARALVAEQQSDIGLSSLRSHDGDGDSRTRPQSAHRVIATEEQRGI
GLGSLRSHDSDVDSRSRPQSSHGAAASEKQSSIGLSSLRSHDGEENSQSRPQSSHGAAATEEPESQTENPRRSARRTNQAPKAAVNQKEIMRPVTPD
KATSANMKEKLKSTTSLKNATPLATKAAENMGPVTPLKSRGAAASSSPESDESPLVVFKNLETPKGHDASIDLALEASDASSPPQHNLRKPQVADFK
LRLKRALRTELSEFTSLKVLRYHLTKKLDFLAVATTTPPEPQRAKNGPRQYQITFNITDPSIAPSGVTEVQVFRPYKDALPIIKAGDGILLRNFLVM
SVQQSRNGGPAFALRSTQEDASSWAVFKDDNEVEIRGPPVEYGNAEKNHVMQLKTWYANLDDLEMAKIARANGDKGATAGIASAKKRDKA
>RCO7_09017 | related to flavonol reductase/cinnamoyl-CoA reductase
MPNTLVTGANGFLAAHIIDQLISAGHKVTGSVRSVSKGERILATHSEYEGKLNFVVVSEYAKQGTWDEAFKEGEFDFVVHTAAPLLDDPGNTNFERD
FLNPSVGGALELLKSASKYGKKIKAISVTGSVNSMTTGMDIADRSFNSSEWLPVSVDDAIKANHSYISYCVAKAESEKAIWKYVEEQKPTYTVSVLL
PALIFGPPIQPVASLKKINYSTDVLYSLFNGTYETVPDTSFPSYIDVRDLAAAHILALTLPTVANKRFLVGGNKYSSQIAVDALKTLPELKDRLPKD
GNEAEKPLRMDDVLRWNEKLGLKPRTALQTFGDAARRLLELEKSLK
>RCO7_09016 | uncharacterized protein
MYRRDVLSRRIGEASRTPKRRRSKSPDSSNTTPSSSARPSAGKKAHVKQKVVEEASQEYFSARSILEEETRKGKVYYLIDWEDSKVTGIPYEPTWEP
FNFATPSLIAEWQNRNLGDLGDQRQKRAAAAVEVESPRGRGRPAKRRRLIRKADISEERSRVATGESETDQEDSRTATQGSGLKRLKREIPDSYEEE
VGHPNSSNVEVAVEQARIEIVLPRDFDSGEYIAYNISSSREASSEPQESHHLDLVSSDSFKSSEPSQNYELSKVTSASSKPAQSLQFSSAPETQPRQ
LSQTNFIWDEDIAEDSSTERPKSQTPTLDTGGISSDPIESSAPAAQTSQPYIWDSDVDDEEFENENHDNDPTAFLEIPDSQGPDSSSYKPTATIASK
TTSSTNSTALHNSQNNTESSLEAIEFLNTHLVSSSSNQQESGSTESQFAQPASILEQESPIEPPAPTFAQVASTQFSEAHSSIPHIINSSAAQRFFS
GPPDARVRASPSGWPVFRSQDSLTTARLESAQRFGQRLDQASEESSGFQTQLPRFSSEEKSSSELSGSAAETDERGEEDDIEVHIELGLEIGALEQP
PVEAEESEEEPQPNYNSKLQILAPAAPVVSINNIEDQIDSNKEVISSALVPREGQDHDSEAQLDFSLEVQLSISPADKVQDHNIEDQLDTSAAVSPS
ELTTEELDSDIERLDPNLEIYFSTSLAKKLPSAKASSEQNSEPRSLSNFTDWQASRILSRNQIRTQVTQSIQSSPSQSQSHIKGTQEDSIQLDSLHR
SSPEPATGEVINTQVSFSSKGSGFSEASSHLPSPPIEDSELQPTIEGAGPLDSRLPSEPLRPSNRRRKRTLSSSMEPPNEPIASAPGMDPTALLKAK
MAARKAERERERASSIFSKSPTPALQITNVDAMASNATVIMPNSVVPLQPQVPGIPTSGSSAIAGPIINVPIPQPLDPMHSVPPITSTRAASVNTGP
VEAPAPSPQFIEDTGPYEEDEDEDEEEEGSTSIKPLPLSREIYEVPLSMTSYTRSVYVARIKIYKAQLQSFLRNEVPDERLVTEVRSLLETLQTVCI
DPGILDEDPTQQDDHEMQAKWAENVSTKFIFLAEFLELMKATGDHIILVAQPGQVIDELESLLIYHHIDYSRADRRRRPLVAGQFRVTIYPVGAQRY
DVDPTSLVIGFDSSYHLVPYLEEIRTRSTSPGLLAPLISLPVTNSVEHIERCFDSNLEDSRRLIKVASCVQQLMEKVGTWQQEGYYDPPDAAAITAQ
YMRTRPRDRTWPILPLPAIDGLDLGLLSSQGYSEAQTQPPTQPGKRQLDVDKPLDPEVLKRPRLTSFDAVSNGQADSSASAPEVSGGLVDSSVFEAT
PVSPQQRIAELESRLLEREATETTLREINNDLESRCKSFEDSIATIQPKYQEALNDRGKYEYDNVNLLKREAELNSKCDSKDVAIKKLREKLATVEA
ELFAAQSALATSSIPEIAKFESLREELANSKLEIEREKKRHANTNRDLDYLRETYQTSSSSAAEHQRIVQALEAEVLVFREKATQDVVRVHEIQKLD
ENAELRRENINLKARLKDMARDLEKKQEELQAAATNGRRSMRGASMPRSPRIGAGHQGSSSGRPSGKSVYGAGSRGTSPAPKDGRAGNAAAHAANAN

VGADQFAGGTFGDALFSNPVPQKERWGDHLQ
>RCO7_09015 | probable ribosomal protein RPL4A
MASRPTVTILSADGSASGATHPLPKVFNSPIRPDIVQNVHTGIAKNKRQPYAVSEKAGHQTSAESWGTGRAVARIPRVSGGGTHRAGQAAFGNMCRS
GRMFAPTKVWRKWHQKINLGQKRYAVASALAASSVPALLLARGHQVSTVPEVPLVINSEVFAAGAIARTSSAVGLLKSIGASADVSKVKNSRKLRAG
KGKLRGRRHRQRRGPLVVYDPEVDGKELSLAFRNISGVETSSVFALNLLQLAPGGHLGRFIIWTSAAFKALDTIYGSTTVPSDLKKDFLLPSPVVQQ
ADIGRLINSSELQSVIRQAIGQARTKRSGVQKKNPLHNRQVLLRLNPYAAGYSKDKIGTKGLEAGKPERATGTQFAAVIKED
>RCO7_09014 | uncharacterized protein
MDNLALDQSTPTAHATPTRSGSQVSQQDIMGQWEHDRFGVGASSISTVREDHQLGRSTVFDWQAFGQSHTSRPLPLLASRVRITGHPTEGSCRNENR
RAGRNQGIELIGPTLPIRPNRNKVVELIGSTLPKHSGRNKGVELIGPILLPLPTVPQTPSDQLQAPGRTPHIPITPRSSAHDLFLPELIAQDQALRK
RKSEQCLVQNDDSPTEEPQPKRASPDRPSPLSAAYHDGNNGSSGVIGTAKSFPHARKLSFERWKEVQTRPRLVAPNGTTIVPFRTNLGRKSTLKVQT
SSTDPQVMPQHVPGLAPAVLSVHSCRPKTLSTGRPQHSSLPAKSTLSTGPNCNSTSIMTQPGQSGLPPKPTSSINPSTSVLIAPESRIPSPPRSRPP
TDDSVIRRILSAGIGIRLPKRTEEETKMRLNDQEKRRTQREERERVNESMMRWRSVPHRKVEIKPTAKPVVKELTQSKSGPAREYELMEFNGKKIHW
>RCO7_09013 | uncharacterized protein
MSLISEMPRDRNTSGTNVDTSSFLHARRAQGVIVRIEQDQDKEEDHLHREFEQEADFKEFSQDACLDRNMEGSILHRPRPRKVVKAPVLPQRSEKRI
SMILDKAMLEMQNIGGSQTGEDDVSRLDQEDPHQLYLSSEEDASLSDDYDDSDSLLDFEEIHSGEENESSAARPSSRRSKEITAKAVSFMVVKPQII
EIHIPSSHTVTITPAEATRDLLDDASPTSTTKAAPLPTSTRSTMRRPPPLNLTDARPMSMATTSSYISSYNTPPPSSNSSMMNLSTTGFNPTRKTSR
LASLVTSTKASLSGRSSSLSATSLSSTHSFLDSDPFAQSANSPNPPLTPTHPSAPSTPKTPSSQSSAWKKSLSKTLSKANRKPSLHQINASYNSSLS
LSNTQRTSTSSSISISALSRLESNAESHVLEFRPGSEGATHEIECGDRIDKEPFRRAETMPLTPSPREAPVSYSELMHNRIPPPIPDNAPKHVPREG
RKSLSLGMGLGRKKSMKRL
>RCO7_11496 | uncharacterized protein
MNLGPIIYPSSYMIFSTILIVASKSGDYDTALIELLYLFNKLNSKLYKYYLLLNYINIEYTILSGLLSSSEAKDAELNREKVFKELEFIKVDLDLLI
VNSVESKLIAEIVLKATLVDLGKELDIVVPVLDIPDLLKAPEDLEEKASKVEIVKEVEF
>RCO7_11556 | uncharacterized protein
MMLGSSLLLLACWISLGLGLGQKQIISFTSGPLQLAGGSSVSSIFLSTSDFPGVIRAGQDLSADFGRITTKNLTVVIKDQKHDDSSPTAGPAIIVGT
IGKSTIIDSLIAAGKIDISGIKGEWEAFQTQIVANPMPGLASALVIAGSDKRGTIYGIYDVSEQIGVSPWYWFADVAPTPRGQIFALAGPKIQGSPS
VKYRGIFLNDEAPALTNWVREKYGSHGYVSGFYVRVFELLLRLRANYLWPAMWDSMFNLDDVKNQMLADEYGIVMGTSHTEPMMRATKEQWIFLKGA
WDWSSNKANIVQFLADGVKRAKPYESLYTMGMRGSGDTASSTLNVNSLADVVASQQQVLGSILGGNVSDIPQMWCIYKEVAGYYQDGLRVPSDITLL
WTDDNVGNIQRLPVSSELGRPAGAGVYYHFDYVGGPRNYKWINTISLQKTWEQLQLAYAREARQIWIVNVGDLKLLEIPINFYLDMAYDMSLFQTPD
SVKAWETRWAEREFGAALSLSIASIIDRYGHYAARRKWEVLDASTFSIMNYNEGDTVLKEWNALVADAQGIYDSLPAAAQPGFFELVLHPCKAGLIM
YQLYISTAKNNLYATQGRVSAATYGTASVSAYAEDSVLATRYHKLLDGKWNHMLDQIHIGYTDWKEPASNIMPIQKYPAAGVGIPPGVYIDGGSSMY
ALPGMDRYGPSRWIDIYSKSNTTSTFTVSSDPWIVLEPSSGHLTPPGLTSDQRIMVSVDWSKAPIGDSTSKIIVTTGETSTTVVVAPLRNSMVTAGF
KGFVESDKTISIEPEHYSAITNSSSASYGIIPGYGRTLSGVSLFPSSIGSQSPPSSPRLSYNIFLFTATVASINVYLGPSLNTDPSRPLAYAISLDD
SAPIKSQYIPVTKLGTQPGSWGAAVLSNGFQATNTLAVTSGTHVLHLWALEPGVVFQKIVIDLGGVRTSYLGPPESARV
>RCO7_11555 | uncharacterized protein
MKDHAVIKEVDYKRLDGTSTGLIHWRPDDVPVPPGGTTTGRTVTELRHNAINDNASANAAAAAGTPLPPEHKIAMLKFVADYIKIGALKDHIPLTRP
HLRIYFSNF
>RCO7_11691 | uncharacterized protein
MVRNSEWYYTSTCRESLRALQDGLAQLA
>RCO7_11489 | probable N2,N2-dimethylguanosine tRNA methyltransferase
MASSSLPDLSTTPAVGQHLLHEEKEYTTVQEGLAHILVPASGPAVPQATPKGENSPQMVFYNPIQQFNRDLSVLAIKAYGEEVLEMKQKAVENHKLK
LEAKSKEKKRKREEEGLGDFSRKAGKIEGNGTPVEEAPKENGDSVMKDEEAPPVETESHGPLTTSATVPEANASSIASTTPREPVPTKPDPPLTTDD
TSEQQPKFTFTILDALSATGLRALRYSHEIPFVTSVTANDLLPEATKTIKMNIEHNQLENKIKATTSNAMAHMYSLIGQDCKNEKGRSQPSMKYNVI
DLDPYGTAAPFLDAAVQAVRDDGGLLCVTCTDAGVWASNGYPEKAFSLYGGTTIKGPQSHEGGLRLILHAIATSASRYGMAMEPLLSLSIDFYARVF
VRIYKSPADVKFLAGKTMVVYNCDSGCGAWTTQTVGKNKLIEGKKGGYHWKHVYGQGPSVGENCKHCGYRTHFAGPMYAGPIHDPVFIKRILDGLPN
ASKDIYQTKSRIEGMLNVAMEECIFIEEDPNSPTSSSKTGKWDPAALDPAPFLFVPSVLSKVIHCVTPIENSIRGALRGLGFLVTRSHTKPGSIKTN
APWEVIWEVMREWTRQKEPIKEGANRAKTAGYTIMGLGKPKDAEQADGVVTEEKIKVVFDEKLGAEKDKRKLVRYQLNPRENWGPMARAKGHA
>RCO7_11567 | uncharacterized protein
MDFSENSDRPAFSTKRKRVVVGQETARDPSVLTGTYGSTEDRCWYGKQSTHCIRRGNNA
>RCO7_11566 | uncharacterized protein
MRFVSFLSLLALAVEPFGSLAAPADTAALISESSQHDFVQKRTPRDTAVHEPASGDLRNEVAVATHHALEKRVQFAVSKVAKLRLVIASNAVISAVN
WAFLFYMTEDSDGSVDIKYASIDKYSTPGSRIETQWKDTYNTPTEVFQRVVTFTFHGFYAGKSMVCTLTAAMRGSSDFCKVAYMVHEPTLTIDGQTK
RVSSWTFDPLEV
>RCO7_12002 | uncharacterized protein
MKYLSILTACVAVTHAYYVVVCVPRDGAEIGDVEWAIQNRRHDLALGGKGFWRGHSTSCHRNANAVVDVVALCRSDPYIGAHPTVLKYGASVLCQAS
GAPDWPTCTVNC
>RCO7_06471 | related to meiotic expression up-regulated protein 14
MPFTLRREKSQFSLRRANSQTKDTKDTKGKTPLKHLNRALSIRSNKNSGSSTTAASGRHGFSFSSLRGVAQPELSKKLYKLIKSENRLIQSYEVAGK
ERLSIAGQLSDWGEATTDDSVSDISDKIGVLLSELGEQEDLYAHNLDDSRGILKTIRNTEKSVQPSRDNKAKIADEIAKLKIKEPESAKLVTLEQEL
VRAEAENLVAEAQLTNVTRQKMKEAYAAEFAATIERAEKQIILARHGRRLLNLLDDTPVIPGDVRPAYEHANQARQILNDAEDDLKDWQPELEEVPS
YAGNLDNSLMPRSASQHGRSDVADSVVGDESVVHHETEQGTTAGIDGSRVSSGTGTSVTTGPVHGYAPSEAETSQVA
>RCO7_06470 | uncharacterized protein
MAAKTDLQRLHEAAQPSMIRHGYKFPAIKDIQFTDIGMEHTPTGPIWHMGLSAAMYTTGNESKDNPLQYKDITLLHSGRSKKVIKQELAKWMLALIR
ERQAAEDKVLRVRVSKGQFNPVPNYFGAPRRVSMTAGGKMCRDLRTMLDHGNIDVREHLEYMKEHFDMNVF
>RCO7_06469 | uncharacterized protein

MYSPTSLSELYEMAQDLLNPFIQNIEFTDRGGRGRPKWWMMDLKADLLVLDEQSNNGSRKYETITLSARERSKKELKQLLAWEMLRLIQERNETARE
NKTGGNLEVTAKNALAEETQIDQTNSEQKSSAIEETVKHQTVTKALNKLDFELGISSRDHVSELYKESQRRGRRVIKEVIFSDLSANTNFYSLQLSA
SLLVSPDILVDDYETITFLRSGESKKDIKQLLAGDMLEIVRERKEKGEEWILELWKKLPTNQRYPRPFHEETQEHQTLSDDEIDLIDFEEPACDTTI
ALNNATTMLKTLEPFLEDGWEAQEQCLDMYEPYMKENFDSSLI

>RCO7_06468 | uncharacterized protein

MPHITTSMQMSARRSIGELLFDSLLGKRVDIAGKVSGVKDSFSSWDKCMQASYCKWPVIAAIVVVSLTVISVLTCIGRKSKPMKNEDGQFQGSQSQG
YQGYQRQPPMMGGALHAAGQPMNVAAPQAAAPQYAQFEVGRNGLYVEPKVVPLHEDALPPMPSWDTAQKKHIVQDEEKNGVELGELDPTTGQKMPLM
AGAAGAGTSHPPSPDVGRGASPFGARPGAGNGYMGVAGDNQNQNNGISRHGSPAPGQDRGGYGARSPGGYDGPGRGQNAYDAPGTGGAYGGRQPQGQ
YSADGRPFPPQNRQYSSDVSRPVGPGRQYTDPSYASDNMAPRGPSRGPGPNGPPRGPSRGPGPNDPYGPPRGGPGGPLRTGSPALNNNAGFDFGRGG
GNLSPSYQSRPSPPQQQQGYGRPPPQSNNSGYFDGASIAPSYSTTPREQSHLGYKTYQPGNGDRGGYSQDGREREPQRWDPVHQ

>RCO7_06467 | uncharacterized protein

MSQIPNYDSIPIILKAAISFPPVSLSSRALHWKTKYLIPDDDDVFRLVYTSVSSCDVSQ

>RCO7_06466 | uncharacterized protein

MGDPPNRQHSSTNFTADSTAIVRCIIRLGDHRFMDTDAVARGTFYESVPASRLRKIKPGDPPDVVLKVVLGTFLWFYRQSHIYDMFAARQWKCIICQ
KPATAVCGKTLLMLSAARFKVPRIMDIISPICSGGSTCNAPLVKMISDTIITRYRFNLEKGTYLTGSCAECASSANLTACTGCSRTTYCSPRCETNA
YKKHRSECLQTRGEQKMAMAAATANRDAMPVLATQNQWAVSYDTDIPCATCDSKPSPWRFTALKNAG

>RCO7_06465 | uncharacterized protein

MAPTTSHSLLARASCYDDDDCYYSTWDNWGRWIALVLIILFFIFLITGFTSRRRRRRGQPPMYGTGWMGGKPPTAAEQHGLWASQQHHQGGGPPGYQ
APPPPYMGTQATGTTFNPEHGYYGQQQQQGNGNAGGHVYGNAGGIELQAPGASYQGGGLRGDAGGSGYAPPPGPPPGKEGAVVR

>RCO7_06464 | ADP-ribosylation factor 3

MAGLFKRVYDWLLRLFWATEMDITMIGLQNAGKTSLLRVLAGGEFTLDSIPTVGFNMKRVQKGHVTLKCWDLGGQPRFRSMWERYCRGVNAIVFIVD
SADTAALPVAKDELHLLLEKPVLEGIPLLVLGNKSDLEEKLSVDELIEALDLKSISHREVSCYGISAKEETNLDAVLQWLVARASK

>RCO7_06463 | DNA-directed RNA polymerase I polypeptide 2

MPHPTSSQAPTDTKWSYEYDTLRRENLFRNPPKDHSAYPALKAAIAPHIESYNALFGEDGTIAQGLLDIGEKVYLDGDDRTGPEGKNILRIKVKEVF
VEKSVLPASNKFSTRNREILPAECRERHVTYRGRMSAKFEFRINNGDPKEFVRDLGQLPLMLMSNRCHLENNSPAQLVQNKEEAEELGGFFVVNGIE
KIIRLLVVNRRNFPMAIERPSFEGRGPAYSKYGMLMRSVRPDQTSQTNVLHYLKDGNVTFRFSWRKAEYLVPVMMVMKALVETNDREIFEGLVGSAE
SEGAKNTFLTDRVELLLRTYKAYGLYTKSKTRAYLGEKFRIVLGVPDTMSNYDCGTEFLRKIVLVHLGNVNVTEAKDNDKFKMLIFMTRKLYALVAR
DCAVDNPDAVQNQEILLGGFLYGMIIKERLDDWLSTQLRMSVREYLRKSPEHAFNTPEFLKEFPVKICGRTNENVGGALEYFMSTGNLVSPTGLDLQ
QTSGFTVVAEKINFLRFISHFRMVHRGSFFAQLKTTTVRKLLPESWGFLCPVHTPDGSPCGLLNHLSHKCRILTKASDVSAIPKLVAGLGVVSTGSS
STQESVVVTLDGKILGWCSPKQSVTIADTLRFWKVEGSHNVPKELEICWVPNSTGGQYPGIYMSAAPSRMVRPVKYLPLDKEDLVGPQEQPFMSIAV
TEPEIVSGESTHVEFDPTNILSILANMTPFSDFNQSPRNMYQCQMGKQSMGTPGTAHRYRSDNKTYRLQTGQTPVVRAPLHNEYGFDNFPNGMNSVV
AVISYTGYDMDDAMIINKSSHERGFGHGTIYKVKKVDLEEGSNRSRSSKNIKKLFGFAPGSEVKAEIKAMIDEDGLPHIGRLVGEGDKICAWHTVSQ
DQYGNLVNKDGITHFEKYKDSEIAFIDEVRLIGNENGVEPAQAISIKFRIPRSPVIGDKFSSRHGQKGVCSQKWPSVDMPFTESGIQPDTIINPHAF
PSRMTIGMFVESLAGKAGSLHGLAQDSTPFRFDEENTAGDYFGHQLMKAGYNYYGNEPMYSGITGEELHVDIFIGVVYYQRLRHMVNDKFQVRTTGP
VTQLTGQPIKGRKKGGGIRVGEMERDSLLAHGTAFLLQDRLLNCSDYSRSWICKQCGTFLSTQPTVSAFASRKRGTGVVRCRKCAYRAEDFVDGKGE
IWEDGEGQRWVGGEDTTIVAVPGVLKYLDVELAAMGIKLKYNVGP

>RCO7_06462 | related to tyrosinase precursor (monophenol monooxygenase)

MLIPTPWNIFFIGAFLRLSSNAASSSKHPYSSYDYGADPPRLPRRQNSESFLITGVHTGNGTNGSLPLRIEVRDLEKDPVAWNLFILGLDMLQYTPQ
ADTLSWYQIAGIHGRPFVPFDNVQPKPGNENNGYCNHVSILFPTWHRPYLALYEQAIHEKVQMIAQQYPAGQVRDQYVAAAANFRIPYWDWAMSDGG
GGSILPDSVMSPTVVVNGPAGAQTIANPLYSYRFQPLDPAQLPDYPFNEFVETVRYPATQNSTAASQNTLIARQLDNSGASFRNRLYLLLTMYDDYT
TFSNEAWVPSDKPAAYDSLESLHDQIHGLTGSGGHMTYIHYSGFDPLFWLHHAMIDRIFAMWQVIHPHSYVVPEPAIFNTFTTSAGDIQDINSPLTP
FRKDAFGGFWTSESARKTEVFGYQYPETVSHTGSDVRTQVISAVNQLYGSKLANLSFKQKRSSTPNLKNDIEWIANIRVKKYALNVPFYIHIFIGPF
SRDPYSWSFESNLVGTHSIFVKSIGPNETCNCDTEQLVTATIPLTEKLAEDLESGRLRSLGEEDVTLYLARTFAYRVSMANDTKVENVEVPSLKVSI
VSIDVERGKSDELPVWGKMRGHMDVSAGS

>RCO7_01240 | related to QDE3 protein (involved in gene silencing)

MVSRADDEDFGLSSGDDADILALADRVETGKRKRSDATLPPAKRVAIQRSALDALRKHFGMKEFRLKQGEVISRILGGDSAAVVFPTGGGKSLCYQI
PSLVFSEEDKVAGIRGKGESGITLVVSPLIALMKDQVDALIRRGIKAASMDSSKSREEYIEICEMLRNGQLKILYCAPERLNNEGFIEQMRHVRGGI
RLLAVDEAHCISEWGHAFRPDYLKISRFVQEIKAERVICLTATATPRVADDICKAFNIDKSGLFRTSTYRSNLQLLAESGKTKQELFPRLFQLLRDN
TGPTIVYVTLQKQTEELARDLRSQGFNAKAFHAGMDTAVKGKLQDEFLDSTDLIMVATIAFGMGIDKSDIRNVVHFNIPSSLESYSQEIGRAGRDGK
PSTCMFYVCGEDLHLRDMFARGDLPSLESIRRLLEEIFDPKNNLAVGDDLKVSHYSQERDYDIRSTTLKSIYAQLELTHDLIRATTPIYTKYQFQAG
SSYESTIRNDQSPAGNAVRNIAKKAAKFHHLDVDTAAFKYGIPRTDVIRKLNDLNESRAIALKPSGVLNVYRVLQKLPSTPKETNKLAQEIYIVMQK
REEEALLRTEEMLALITSPACFSKSLAQHFGDDLPGGKKECGSCGWCKTHSAVVQKPPPPVPLNKTALAAVLAKVPVRDDARLLARIAFGISSPRVT
TLKLSRDPVFGSMADHEFTVRTPLPLQSSRSQFLQTLLNAFEAECPTAK

>RCO7_01241 | uncharacterized protein

MLFTPFFFSALPLLAAVSSAFPNAGKAVKETRQFKCSLSVKTLSTDTCDIVVVRFGITKANFVAWNPSVGSGCTGFVGGTSYCIRGSGTGSPVTSAP
TSSATVSPSSTSSSVAPVSTLSKDGSCGGTAGLSCKGTSFVQMDFVAQLQGIVKLVVSNSLAPAQPTLGTSQSMDHAEHRIKKRVQEVLSAETTAAR
LPHTVRLDANPALAPVMQVRVPYQQMAVVVETERKLALEAHLGQDTAVPRQTIVKLVVSLPLENARQILSQLMDSVVPTAKLVLEVLLAVCFLPIST
FQSLDFRLTLSPTACCSAGGWCGSTAGHCAVDAKCQANFGICTSTNLSSDDCCSASGYCGTGVNFCAQGCQKGSSSACTTTNIPSLTGECGKNNLVC
AGGPFAGTCCSTSGFCGKGTGFPC

>RCO7_01242 | uncharacterized protein

MIYLWAVLVTTLVGLTRAVPCWEIATSTLQSLDAPGYSYTHTIKYNNALDPDGPWDIVRAQDCYVRFQEPRDGGDGRITKTVFEATPSQVLTTMMNY
FNGGSNIALWLPMNSRAFEYGMIINLARAGGNHEAFDGQGSLGGDALVMSIILPSGASKLKRVNPPSGECTYEQKVNVAAAQSGGIVGLEGNIDSAD
WAYSNSRAARMAMQTLRHRQSRNRNNALNVPSWLLATKTDVFTWIL

>RCO7_01243 | uncharacterized protein

MVQHALLKLLCVVSTVTASNFTNGPGGRLSNGGHTPGYEPIIELSEVLIASEIGENSTALHPHTSPNNLTARSDPSSLFKRQDNRPDGALKCSSTEK
CIDGSCCGAGGTCGYKDLHCGAGCQSNCGAKAMCGIDSKDGAETCGLQLCCSYYGWCGTRDVHCIDPEPLIGKTPCQQGFGGCTIKPSPECSPDKAG
DSGWRRIAYYAGWNSRDRKCDRVYPQNINTTGLTHLMYSFIGFDPVTFRIVADPGDVSLFRSFTSLGSSTLKTWVAVGGWSFNDPGDTATAYSDMVS
TYENRAAFISSLIEFMDKYGFTGADIDWEYPSNPERGGRKEDKENLVELMKDMKAAFGFRYGVSVVLAPDYWYLQGFSPAAMEQYVDHLGFMAYDLH
GSWDSENALGSLMRPHTDIRDIDNGLTPLWFDGVDPKKVVMGIAYYGRTFTAASTDCGVMGCGFSGPGDAYGCTNYKGVLSNMEIRKIIKETGAEPF
LLEGAMVKELVYNVDQWVAYDDYETIALKERFARKRCLGGTMIWSIDYDSPTSDNGALPSEDGDKSCTLCSKFEPEKWDSWDPADLSSIKKLAAIGD
SYSAGIGAGDRLGSIYDALKGGTGQGCSRYQMAHPAMVSRDSRLGKPAFQFKSCSGAVAADIVKNQIPELETNQDAILLSVGGNDVELVELLNQCIY
QLSVLNSEQVELAKIMAELDGDYAWAKGYDFDALGRGCEGQIARTQSIAQSKTFRDSLDQVVSDAKKKLSSGGKIYWTGYGKFFSTESTDCDKVTWT
TWLYKGTNAGEPAAYLTKSRRQAMNNLVDIVNNQIREAVIRAGNSVRYVDWDSELQARHGRFCESGVDEATKESNSRVGLMFYELNSFDTLGNSPWK
RESAEELEGTFMADLSIMGQIQLFVDPNVTPNHAYQTSSSVALASTKSGDARAGIFAPIVDGMVVDRLIDNGYEKYKFDEKACEKPSTTPSNPAPST
PKNALNIILDMRIYERQDIAWTESRYKWLFYSVPYGTGSECSSDPGPIAQAPGGTGTRPKWPAGTYNIQTQDGVCQYKNDGNDNPGAVWCGSTAHSC
KAHAHKDQPIYADMTCGKNFPLGDNEKLVTHRAVVACEW

>RCO7_01244 | uncharacterized protein

MLGLPLIVLAGALGIPLANAHPSALTERRQTTPCGEIRNKVKAAFQADPGARPLLPAQLGYDCLMSVPLHKENAIAFIDSYIPYVEWQSTLADLKSP
PSSYSYAAVDVLQELAQIRQKLQNDKYTSEYSYMTDFYKVIGSAHDAFLTAIPDILGNAITFYRPQHLALVSYVEEGCQLPKIYIRDEVKTNPKSSA
VKVINGMPAAAYIDKLVAKSSGYPDHDAGYNSYMYSVAGEASGNNLGEFQGLGAGAMIFEGPTTTLTFENGTTRTYDNYARIRDSFAGVTDGQSFYN
RFCTGKEVNETASIHAVDIPRRHAYPKQMTDTSEDSIVGYYMDAPGYTNIAVLSVLDWYPNEVKAFQAIAEKFLARAKADKKKIIVDLSSSTDGSYF
LAYDLFKQFFPPLSILDYNRIRENEGFNTMTQIGSGPHFAHYNAKTATPDEVAIAESVYNYQHFEINIKNQNFPSYQAKYGPILHKGDNFTDIMRFN
LSNPRISSATDGFGLQITGLGSRSNFKIPPFAASDIVLLHDGMCSSPCPIFATNMAQQAKVKTVVIGGRPTLTSMQGIGGTTGPEGTDIGTILSYAQ
TIMQFATTKEQRASLKKFTQTALDRLPSNRFSSRDVIKPSQLGTGPDKGVGSNFVREEADCRLFYTKAMTYDPREAWKAAADVAWNGKKCAVGK

>RCO7_00684 | uncharacterized protein

MRQWTLEETSTIINFDLAPAHVSVASTITSPKGPKHHLHISAQQQPYFFRMSSGRESDIARLEQLLREADQRVEWERRRAEEAEARAQLEEEKTKPT
TFEEYLYAYHKFLSKPLYIQTDKSLSTQGSITSPKNKLCPTFDNNEEVQQSLQDLRILSKGLDPRSNPKPRNADQICLKEDELYTLYYHLAEPNIEA
EAQDESQDEADILLCRTARNHALETSSRAVINHEAILRQIPAEEKAMTPPSSVFHARIHAFKRSPIILRARKPRTARNSCGSADVTIHGDPQSPSGS
SDEASNFDTPSKPWGRTHQSGNGQLRSSKSSQVVKEGDVRHQRYCTRIYPDSGCEPLRKQGARGTLFRLTLKSHGYTFVAKGTMTAFEAKLKHEGLV
YRHLDKVQGELVPVYLGNISLGGEQARKDLVLAMGRDIAMETSEAVTKLLNCGMEHHDIRPPNVLWNPETRNVVLVDFERSEIIKQDSVLQETSPNR
KRKHLHVAPRVSYRGLSDGLFIDPSKCLDWGEPMFKCR

>RCO7_07662 | related to Y.lipolytica GPR1 protein and Fun34p

MATSTHNGQAPLEKDFSNNGHANGNGSNSNSYHLNDTNMDNDTALRRIRTAGSISISPELFEKIYLSPQNAVKGDLRKTFGNPTPLALVGFLLCLSP
LSCILMGWRGAGGNGASGIGSYFFFGGLLMLVGGFLEFILGNTFPFVVFMSFGAFWLTFAATLQPFYAAFGSYAPAGEPEAAGIATVGFTASFAFFL
VFMGLLCFIYLICALRTNVVFVIIFATLVPSFGLLAGAYWHNALAISTGLASHAETAHKCQVAAGAFTFVTSMAGWWIFFAIMLAALDFPFQLPVGD
LSTLIKGASEKVKTQESMV

>RCO7_06461 | probable beta-glucosidase

MNRQRDAGQSREGLLRSYNDGDKIPMRNSLEDAYRSESDSELDATEYLERDDSISKPPPKSASAYAPGAHFTNLKPTCGRRSKCILIVVAVLVLFWS
MVAGGGFFLYKKTPLEGKSPPWYPTPAGGTVSQWAESYKKAEALVKKMTLPEKVNITTGTGWSMGLAVGNTGPAVNVGFPGLALQDGPLGLRFADNA
TAFPAGITVGATWNKELMYLRGKAHGKEARLKGINVLLGPCVGPLGRMPAGGRNWEGFGVDPVLQGTAASQTIKGIQEEGVIATIKHFIGNEQEHFR
QSWEWGLPNAMSSNIDDRTLHEMYGWPFADAVKAGVGSVMCSYQMLNNSYSCGNSKLMNSYLKDELGFQGFVQSDWLAQRSGVASALSGLDMSMPGD
GLRWADGSSLWGGELSKAVLNGSLPVSRLNDMVTRVVAAWYQLGQDDKTKFDGKGPNFSSWTNDEMGLINAGSPDDKDEKVVNKFINVQGTGNDSHS
IIARQIATEGTVLVKNTDNMLPLSKDGWQDESHEINMRIGIFGEDSGAGKGPNACPDRGCNQGTLGSGWGSGAVDFPYLITPAAALKDAFNKDRVYV
TEFPTNTPPFKATPEILKDQDICLVFVNSDSGEGYMANDGIKGDRNDLFLQKGGDALVKAVADGCGDGKGNTVVVIHSVGPVVVSKWIDHPSIKAVI
MANLPGQESGNAIADILTGAVNPSGKLPYTVGKSLEDYGPGAKVLYVPNGVVPQQDFDEGLYIDYRHFDKAGNVPTFPFGFGLSYTTFEYSKLVVTK
VREKSILPSPRPAGIDPPKFDDKIPEAKEALFPSGFRKLSKFVYPYITKVSEIKTGEYPYPVGYDVLQQPSQAGGDEGGNPDLWNTYANVSVDITNT
GKIAGKEVVQLYISFDDVILGKGAKVEFPVKVLRGFEKVLLEKGETQTVHFNLTRRDMSYWDVYRQNWVMPSEGTITIGVGASSRDMRLTGSY

>RCO7_06460 | related to very long-chain fatty acyl-CoA synthetase FAT1

MASIVAGAAGTVLGGMYLDGKLGLARDIREIRKARALRRLYAEAALYYLFEHSVLTKPNEECIWSREGCFTWKETSDRVHQYAQLHYRCQPQIPSLF
LFSADSQQWFLSKGVKTRDYVNFYMSNSPEFLFAWLGLWAIGAAPAMINYHLTGKALIHCLRVSGAKLMLVDDEPGFRERIESERLVLEGELGLEIC
VMDGGMVSDIHGSKAQRPQDSYRDAIKGEWPMAMFYTSGTTGFPKGVPFKVDRGFYLGAVKSAGFRRTIDGDRWYDCMPFYHATGGVQAVTMLMSGI
TLCVGKKFSTSKFWSEVHDSRATWITYVGETARYLLAAPPSPLDKDHNVRAMYGNGLRPDVWFKFRERFAVPEVLEFFSSSEGVFGLVNHSRGDYLA
TAVGTHGAIFRYLTRNTIVPVLVDQASGDIVRDPQTGFAHREPYEKGGEIIVQLTDPKDFAGYYNNPGATQKKFERDVFKKGDIWFRTGDALRRTSD
GRWFFLDRLGDTFRWKGENVSTAEVAEVLGSYPGVVEANVYGVSLPSHDGRAGCAAIYIDPNFVKGFDFAGLLKHSRTHLPKYAVPVFIRVVKEMTP
IHNNKQNKVPLREEGVDPDKVKADDKVFWIDGLGRGNSYVEFKKDHWEDLQLGKAQL

>RCO7_05100 | uncharacterized protein

MTPAIGTSVHRLTPDRWILGSSTVCERSKTTNPIRAIVTWRDGEDTFCLRKLPKRDHPLPNHKLEAGLIHESGTSAAVWSLGSNTFCKVKAWCEELE
AESDTISFVKNIAPSIPLPDVVYSWIDHDWNRSFLILKRVEGETLQDAWSQLSVAQKSGIASQIATYCSTPSWITSPSFESATHRGVLEPFLALDAE
SNHPSWKPRPLGPFSVADFTSYISQLPSTRCLDIGTRFHFYHADLGPGNIMVRDNKVVGILDWESAGFYPRCWIALKPTLSAGFFLRPTVQTEKVAW
RNLLGKMLEKEGF

>RCO7_05099 | uncharacterized protein

MAQASAIVPVNQETCPNESCKFSNISGAKTCEKCGKEPTGGTQCEVFSRKTCEIGIWGVLCVLALKLENVFRLSLLCFGEICMDLAN

>RCO7_11704 | uncharacterized protein

MQSANDTALLLLLATSSRVSIIAKPESLADLTLILLPALNKRDLIVAKPESSIKDTSTLLLASGSKELIVVRPELAIKAASILLLASGSRELIVAKP
ESLIIDALILLLASSSRELIVAKPESPLIDALILLLASGSRELIVAKPESPIKDASSLLLAPNNSELIVVSLSLD

>RCO7_11769 | uncharacterized protein

MYADLGGPFYLRDSLTYLSLIATTLPARGLKNRNATFISNRVLIIAKPESLADPVLILLLTLSRRDLIVAKPESSIEDTSMLLLASGSKELIVIRPE
PAIKAISILLLASGSRELIVAKPESLIIDALILLLASGSRELIIAKPESPIIDALILLLASGSRELIVAKPESPLIDALILLLASGSRELIVAKPES

PIKDAFLLLLAPDNSELIVYPIYSSLSSVGVAIKGYTCVY
>RCO7_02139 | uncharacterized protein
MNLKKRRRRRRKRRRRRRRRRRSRDVMGT
>RCO7_11715 | uncharacterized protein
MSPTLIEDREEYAGYSSRRSRLSDKLTTINLLLSGARRSEKASLIGDSGLAMINSLLLEARSSIKASISGDSGLATINSLLPDARSSIKAFIIGDSG
LAMINSLLPDTRSSIEAASIVGSGLTTINSLLPDARSSVEVSLIEDSGFATIRSLLLRVGSNVNAGLARDLGFAIIDTLLLVARSSSKAVLFADYIS
TLKRLEQPVDYNLTIASLLLSLNSEYFTTR
>RCO7_11562 | uncharacterized protein
MISLKTSFPMLKKFDELTLSAEGFHLFLLTKTSISIDGLQQVTTWLTVIDAKWATKVTKSSRENSIFFHHEPVPLPNRLMANECSGFQTTNAPKSAS
TFSLLSSIFALAAFIP
>RCO7_11561 | uncharacterized protein
MPFLTSVIKESLRLYPLVPLNNRTIIKTTTLPTSSGPDRESPVLVRKGELVVFSSYIHSRRRNLFGMDTDDFRPER
>RCO7_11676 | uncharacterized protein
MSFITTNTESIIYKDLLYNSEFKILICLTCKTTLGNIESVIKHYINKHLDTYNKEEIFTTLKLAIKDLIIIENKDLVLPEPYKYYFSYLNSYQGIIC
LKCDYKTIHIKALKQHLNIEHNIKDIYKENNNYLSIYSKSDINLQSFFTNRKYLKYFITSKNQDPNNNIGDYITIYNNKLKDLLNNRLLDNKPFISK
ETTSFLENSKFLVYLQNKTKEQILKELNLIESPLINKELSIYKLVYNITLSLISKLESKIPILSRHYQQLINTENLDESRKEMRNYKALNNKEYSKT
FPLIISYILKLFLDPKYQEDYNNIQPNISQYISLIEIIIKDLNILYNLNLNKEINNNLVLKIEDNIIKLLFNLLNQDIKQKDLSKNYNFNSPIITWL
LLSSLKPNITFKELGIISNLCSRIIYNSRLFFIGYINIINKSEAILISDLFELYYKDLLSNKAHKYFEEITQIRGYTRYIIKNTPTTPRINIIISPN
IISIDETIINISLLAPFFKDILIRLEDILYNKLFKFNKDLINIDYNNIKDDINNTNPNEYFINITNNKQNLSLYNSFLINKALNQESSLSKYLELIY
NPQYKNYNYNKLNLETYLKDRIEFLDLLLLAIYLTSGSPIRGTEILTITYKNTINKDIRNLLIDNLSNLIRIETTYHKGLNITRLESHNIRFLCPKL
SNILKAYLLIYIPFYNWINIELLNKPSIIYNPYLFQDNNFILNEHKLSNILKKESLIYLKESITINPYRQLIIYIIKNNIKLNYNLESDTEDQIEDL
QANHSTKTTNMLYGRANNINSNSTLSLEQRSLEFNIEFFKYFNLIDSNYNPYKNIAKKHRRQKSSISSSPISKRPNLNTSDLNSFNIYNSIQEESEN
NITLLKGLNIQNKIEKEINNKLLNPKNLVLTPDIIFKKLKELFKDSNSSYRSIQQEEVINKILLTDIPYITYISGTNSGKSLLFFLPAYINPNIKHF
VISPRISLLKDLITRAKELGLKAEIFSSYNIINSNLIFLTIEDLINKEFQTLLLTLKSNNESFIIYLDEAHLLILEEDFRYHLKYISSIINYTSRLI
FITATLPNDLLFLLEDKFNISKNYIIRASTTRSNISYNIIKTKANQTELEVFTDLYYNILENLNINEQIIIFTNTKNNCELLSDLLQVSCYYSTKDN
KETILDNYNNNTINSLISTIALSVGNHNPNIRYLLYYSTINSLVSLDQMIGRIGRDNKPSKAYIVINPFKKLNNKDLSIYDNKLSLEGFQALDYNYL
LDFIYNTKCLRIPLESYFNNNYITQCDSSYSLCYLCQDNLDIINNSKDLYYNKSIITTSQADIIINKLILLKSFCFNYLINPTISWDNITSHNIKYC
NSNNNNKQFINKFYQLERYIKKAKLLPSGYAYFQCFLPSKLCLNRDIYNEKCEYEYIILQGLLSIYYLIKESIIKDNILNSYSKYNPSIYNSIEDFA
KFITERTIYNKNEAILGFKIICEFDLDIIKAFKTNSSSTSNITIINKNNIKPNSSYSSGLANVNIPKNNNQILSKDIIFNTKSSPANTIINSSFNIN
QLKSPKDSIYIQSSNTNINISDIDNDIKSEYGSELDFNTLKELEENIKTQEANKAKAIANYKLNSSFTKYNIKLAIILDKYKDICLFCTYNKKRVID
NHNSQECFNNSINYNNIKVFNNKANKYLNKYNSDIYNKNKPRIKSLNSDNYCPECLLYFTACFTIRSKYHTKLYRCELKYITSIIAFIIYENKLFSS
LIPYTCYLDSNKPNINPNDLNILDYWNIISNYIIYKEVETLTIIRLLDDFILYFNNLVGFDIN

				Kulturüberstand	
Accession	Description	Σ# Unique Peptides	Σ# PSMs	Score Oxidation	Coverage Oxidation
RCO709371	uncharacterized protein	5	65		
RCO711171	uncharacterized protein	2	17		
RCO700318	probable TPI1 - triose-phosphate isomera	19	372	838,72	78,95
RCO703156	probable HYP2 - translation initiation facto	15	216		
RCO704976	uncharacterized protein	7	102		
RCO704599	related to ribosomal protein P2	9	184		
RCO703350	Cytochrome c	10	117	372,72	56,48
RCO708877	Superoxide dismutase [Cu-Zn]	10	108	37,94	13,64
RCO702125	related to mutanase	20	566	3766,20	85,55
RCO702967	probable acyl-coenzyme A-binding protein	9	147	289,97	70,71
RCO700286	Heat shock 70 kDa protein	47	906		
RCO701760	probable thioredoxin	8	123	267,86	83,96
RCO706966	uncharacterized protein	16	174		
RCO701062	guanine nucleotide-binding protein beta s	20	271		
RCO704288	related to UPF0591 membrane protein C1	5	106		
RCO707498	H+-transporting ATP synthase beta chain	32	784		
RCO704847	alcohol dehydrogenase 1	19	179		
RCO706434	uncharacterized protein	5	57		
RCO706479	probable phosphogluconate dehydrogenas	30	546		
RCO703371	proteasome subunit alpha type-6	16	113		
RCO700685	uncharacterized protein	8	209	694,77	81,45
RCO701317	related to endoglucanase c	19	1110	7344,73	81,29
RCO708516	related to adenosine kinase	16	144		
RCO709508	40S ribosomal protein S3	23	308		
RCO707124	probable ethanolamine utilization protein	5	34		
RCO704342	beta-Ala-His dipeptidase	25	258		
RCO708656	probable nucleoside-diphosphate kinase	13	147		
RCO705722	probable adenine phosphoribosyltransfera	12	171		
RCO705224	uncharacterized protein	15	190	88,29	8,56
RCO701215	related to acetylxylan esterase (subclass c	13	161	1335,66	79,05
RCO700733	related to hexamer-binding protein HEXBP	12	134	139,93	20,50
RCO708730	probable Superoxide dismutase [Mn], mito	11	107	92,47	20,56
RCO704845	aldehyde dehydrogenase	27	343		
RCO704162	related to cell wall mannoprotein	33	464	535,36	28,94
RCO705022	related to CAP20 - virulence factor	11	215		
RCO707699	related to choline dehydrogenase	32	2725	35952,24	78,71
RCO701330	probable glyoxylate reductase	19	172		
RCO711023	probable aldehyde reductase	22	238		
RCO700070	probable PRX1 - mitochondrial isoform of	13	162		
RCO701319	uncharacterized protein	15	299		
RCO709140	related to stress response protein rds1p	15	758	7022,41	77,12
RCO702184	ATP-dependent RNA helicase eIF4A	22	301		
RCO701781	probable malate dehydrogenase	18	300		
RCO706635	probable inorganic pyrophosphatase	18	219		
RCO707467	probable heat-shock protein hsp60	40	546		
RCO707842	probable glutaredoxin	5	65		
RCO701336	aldehyde reductase 1	17	109		
RCO705168	probable malate dehydrogenase	14	245		
RCO706112	enolase	26	489		
RCO709872	uncharacterized protein	5	44		
RCO706060	probable protein disulfide-isomerase precu	31	422		
RCO707494	glyceraldehyde 3-phosphate dehydrogena	20	418		

RCO700370	probable Fructose-1,6-bisphosphatase	18	207		
RCO708777	uncharacterized protein	8	219	944,78	75,00
RCO705107	probable translation elongation factor eEF	25	324		
RCO709972	probable brt1 protein	7	108	660,75	74,80
RCO707372	probable translation elongation factor eEF	56	548		
RCO704239	GTP-binding protein rhoA	11	94		
RCO709015	probable ribosomal protein RPL4A	22	274		
RCO708564	probable SKP1 - kinetochore protein comp	8	69		
RCO703425	probable 60S acidic ribosomal protein P1	5	55		
RCO709495	succinyl-CoA ligase subunit alpha	14	115		
RCO705153	Actin	21	331		
RCO708296	uncharacterized protein	6	76	151,58	24,53
RCO709437	ATP synthase delta chain precursor, mitoc	5	65		
RCO708235	probable glycine hydroxymethyltransferas	23	180		
RCO710176	related to single-stranded TG1-3 binding p	20	278	91,78	4,96
RCO709394	probable ATP citrate lyase subunit 1	35	337		
RCO706863	probable FBA1 - fructose-bisphosphate al	22	285		
RCO705636	probable D-xylose reductase	20	212		
RCO701244	uncharacterized protein	32	1040	6511,18	70,71
RCO706896	probable ribosomal protein L9.e.c14	13	177		
RCO704506	H+-transporting ATP synthase	32	423	77,97	2,16
RCO700301	probable ran-specific GTPase-activating p	11	154		
RCO703273	probable H+-exporting ATPase 57K chain,	27	317		
RCO700329	probable subunit IV of cytochrome c oxida	8	59		
RCO704339	ketol-acid reductoisomerase, mitochondria	21	260		
RCO708595	probable phosphoglycerate kinase	30	293		
RCO702852	related to BLI-3 blue-light-inducible Bli-3 p	14	114		
RCO709280	Calmodulin	11	82		
RCO704695	related to F1F0-ATP synthase subunit E	6	46		
RCO708116	uncharacterized protein	12	139	1522,73	64,97
RCO704857	probable actin-capping protein alpha-2 ch	11	105		
RCO703319	uncharacterized protein	8	113	695,96	70,69
RCO706765	S-adenosylmethionine synthetase	19	194		
RCO707705	related to NmrA-like family protein	13	80		
RCO706775	probable translation elongation factor eEF	13	161		
RCO701770	40S ribosomal protein S17	9	94		
RCO704062	5-methyltetrahydropteroyltriglutamate-ho	37	467		
RCO710984	probable cytochrome b-c1 complex subun	21	246		
RCO706392	ATP-dependent RNA helicase SUB2	22	201		
RCO705232	probable CRP-2 40S ribosomal protein S1	11	146		
RCO706689	probable PGM2 - phosphoglucomutase, m	24	237		
RCO706816	Tubulin beta chain	18	204		
RCO711365	probable parvulin (peptidylprolyl isomeras	7	66		
RCO705600	uncharacterized protein	6	61	140,55	35,71
RCO700207	probable formate dehydrogenase	20	301		
RCO702387	probable ADP-ribosylation factor	9	103		
RCO710800	related to NonF protein, involved in nonac	8	95	97,10	13,42
RCO704391	related to phosphomevalonate kinase	21	254		
RCO711134	related to galactose oxidase precursor	36	331		
RCO710990	related to Calmodulin	10	68	32,28	8,77
RCO703751	probable pyruvate kinase	27	287		
RCO700477	polyubiquitin	1	304	414,01	54,83
RCO704024	probable iron/copper transporter Atx1	5	45		
RCO706899	probable aldo/keto reductase family prote	19	156		
RCO701755	probable peptidylprolyl isomerase (FK506	8	99		

RCO700333	probable transitional endoplasmic reticulu	46	451		
RCO704138	uncharacterized protein	5	36		
RCO701860	Eukaryotic translation initiation factor 3 su	10	69		
RCO701867	probable dihydrolipoamide dehydrogenase	29	247		
RCO711084	related to Het-c protein	46	503	554,96	12,99
RCO701539	related to proteinase inhibitor PBI2	3	41		
RCO706156	probable glucose-6-phosphate 1-dehydrog	27	242		
RCO704729	related to UDP-glucose 4-epimerase	20	214		
RCO705057	probable phosphoenolpyruvate carboxykin	29	322		
RCO707772	probable EB1-like protein	12	83		
RCO704028	related to class V chitinase	20	608	4705,43	62,16
RCO703832	probable Probable endo-1,4-beta-xylanase	16	156	1289,18	66,36
RCO707580	secretory pathway Rab GDP dissociation i	22	247		
RCO704168	prohibitin	14	144		
RCO705682	uncharacterized protein	35	531	5091,02	64,45
RCO702941	probable glycogen phosphorylase	42	353		
RCO709551	probable ubiquitin-conjugating enzyme E2	6	55		
RCO709321	uncharacterized protein	6	42		
RCO703512	probable TRANSKETOLASE	38	450		
RCO710412	probable glucose-repressible protein grg-1	4	176	135,18	33,80
RCO700272	40S ribosomal protein S5	14	139		
RCO701453	uncharacterized protein	18	297	762,65	64,27
RCO711565	RcNIP2.1UK7	6	54	424,25	66,06
RCO701006	20S proteasome subunit Y7	10	100		
RCO702140	probable RIB4 - 6,7-dimethyl-8-ribityllumaz	7	129	540,80	65,67
RCO705756	probable heat shock protein 70	29	488		
RCO700459	probable Snz-type pyridoxine vitamin B6 b	15	149		
RCO702153	related to heat shock protein 30	10	133		
RCO704170	uncharacterized protein	5	39		
RCO711178	related to amidases related to nicotinamic	7	106	195,12	23,56
RCO706080	probable ATP synthase gamma chain, mit	12	111		
RCO703060	elongation factor 2	44	899		
RCO705855	related to fumarate reductase	31	255		
RCO704084	neuronal-specific septin-3	16	155		
RCO711135	uncharacterized protein	17	191		
RCO707106	probable Acetylxylan esterase 2	9	70	614,40	64,81
RCO703824	probable meiotic expression up-regulated	18	188		
RCO709451	related to Ras-GTPase-activating protein b	21	263		
RCO711309	probable aconitase	35	349		
RCO706729	probable acetate kinase	18	114		
RCO705340	40S ribosomal protein S1	20	183		
RCO711066	uncharacterized protein	17	299	1657,44	64,30
RCO710348	probable U6 snRNA-associated Sm-like pr	4	29		
RCO711598	40S ribosomal protein S13	10	81		
RCO704243	probable ubiquinol--cytochrome-c reducta	5	72		
RCO711156	glutathione reductase	21	184	1263,58	64,18
RCO707427	related to alpha-amylase A precursor	23	310	2219,13	62,58
RCO709614	probable TPM2 - tropomyosin, isoform 2	14	144		
RCO700811	related to cytoplasmic dynein light chain	6	60		
RCO706381	Elongation factor 1-alpha	21	767		
RCO706446	probable F1Fo-ATP synthase subunit 7, m	10	93		
RCO703133	probable heat shock protein Hsp88	40	424		
RCO709783	related to chitosanase precursor	12	83	975,48	63,66
RCO702170	14-3-3 protein epsilon	15	196		
RCO701658	alpha-tubulin B	16	197		

RCO705004	uncharacterized protein	3	26	175,03	48,24
RCO705929	probable reductase RED1	15	138		
RCO707627	related to FMN-dependent 2-nitropropane	14	125		
RCO708271	pathogenicity MAP kinase 1	13	88		
RCO705128	dTDP-D-glucose 4,6-dehydratase	21	205		
RCO706693	probable adenosylhomocysteinase (S-ade	28	361	792,77	53,01
RCO704161	probable cAMP-dependent protein kinase	18	178		
RCO703471	probable homocitrate synthase, mitochon	19	151		
RCO702645	glucose-regulated protein 78 of hsp70 fan	43	598	34,25	1,79
RCO700192	related to protoporphyrinogen oxidase	13	91		
RCO705736	uncharacterized protein	23	193	20,61	2,50
RCO700349	related to stress-regulated co-chaperone	14	123		
RCO706164	bifunctional purine biosynthesis protein AI	27	212		
RCO703546	probable heat shock protein HSP70 (regul	21	147		
RCO701707	Adenylate kinase 1	13	132		
RCO706037	related to dienelactone hydrolase family p	10	76		
RCO700642	uncharacterized protein	46	517	130,37	4,06
RCO707998	NADP-specific glutamate dehydrogenase	21	121	62,11	10,02
RCO706580	probable 14-3-3-like protein	14	242		
RCO705925	mitochondrial processing peptidase beta s	22	235		
RCO706171	PYC2 Pyruvate carboxylase 2 EC:6.4.1.1	57	626		
RCO708213	related to RNA binding protein	6	78		
RCO700455	probable 2-dehydro-3-deoxyphosphohept	14	135		
RCO710561	3-isopropylmalate dehydrogenase beta	16	210	776,63	54,20
RCO707656	related to calmodulin	8	55		
RCO704856	probable cytochrome b5	6	67		
RCO709435	probable GTP-binding protein SAR1	9	86		
RCO701795	ATP-specific succinyl-CoA synthetase beta	20	135		
RCO710232	40S ribosomal protein S12	11	125		
RCO703419	probable mitochondrial porin	15	299		
RCO707560	probable BAR domain protein	14	152		
RCO707766	40S ribosomal protein CRPS-7	10	157		
RCO709289	uncharacterized protein	11	142		
RCO702257	proteasome subunit beta type-9 precurso	10	81		
RCO707041	probable Catalase-peroxidase 2	35	552	4010,10	61,03
RCO712001	RcNIP1UK7	3	64	276,65	60,98
RCO709476	probable ATP-dependent molecular chape	54	842		
RCO705489	probable sulfate adenylyltransferase	26	228		
RCO711638	related to glutathione S-transferase III	10	63		
RCO706110	probable glutamine-fructose-6-phosphate	35	293		
RCO705827	probable acetoacetyl-CoA thiolase	17	165		
RCO706874	probable 3-deoxy-D-arabino-heptulosonat	15	148		
RCO705516	eukaryotic translation initiation factor 2 su	15	148		
RCO707191	probable Probable 1,4-beta-D-glucan cellc	15	83	979,90	53,35
RCO701026	probable rhodocoxin reductase	25	253		
RCO704582	probable O-acetylhomoserine (thiol)-lyase	16	126		
RCO701211	probable 60S RIBOSOMAL PROTEIN L5	18	239		
RCO710991	probable Catalase-peroxidase	34	367	142,62	1,60
RCO709767	related to 442K curved dna-binding protei	24	210		
RCO704972	uncharacterized protein	8	79	528,12	59,75
RCO701842	probable NADH2 dehydrogenase (ubiquin	6	31		
RCO703983	uncharacterized protein	38	305		
RCO704918	related to alpha-N-arabinofuranosidase / a	21	113	662,01	59,63
RCO701685	heat shock protein, mitochondrial	8	48		
RCO704323	Eukaryotic translation initiation factor 3 su	17	110		

RCO710511	uncharacterized protein	7	60	35,13	11,50
RCO709146	related to amine oxidase, flavin-containing	17	564	3116,39	59,27
RCO711093	probable 20S proteasome subunit (alpha4	10	93		
RCO704232	aspartate aminotransferase	19	172		
RCO707119	uncharacterized protein	6	71		
RCO709260	probable pyruvate dehydrogenase (lipoam	19	181		
RCO706445	probable Nascent polypeptide-associated	6	76		
RCO708871	probable transaldolase	19	443	1857,83	56,48
RCO706617	probable 60S acidic ribosomal protein P0	12	164		
RCO702341	related to actin cytoskeleton protein (VIP1	16	240	214,67	19,16
RCO700051	uncharacterized protein	12	103		
RCO704717	probable succinate dehydrogenase (ubiqu	25	327		
RCO710195	uncharacterized protein	5	69	69,67	36,96
RCO704763	related to mannose-1-phosphate guanylyl	18	126		
RCO700195	probable homoserine dehydrogenase	17	138		
RCO702042	probable SIK1 - involved in pre-rRNA proc	21	177		
RCO703315	probable MVD1 - mevalonate pyrophosph	13	95		
RCO711293	uncharacterized protein	9	137		
RCO707408	probable mitochondrial citrate synthase	23	237		
RCO710593	related to poly(rC)-binding protein 3	15	137		
RCO706519	prohibitin	13	128		
RCO705781	probable peptidyl-prolyl cis-trans isomeras	8	349		
RCO701299	probable DAP1 Damage response protein,	6	52	44,28	14,05
RCO703461	L-threonine 3-dehydrogenase	15	264		
RCO702511	hypoxanthine guanine phosphoribosyltran	8	36		
RCO706411	probable FUM1 - fumarate hydratase	19	144		
RCO702380	probable hydroxymethylglutaryl-CoA synth	17	114		
RCO710563	40S ribosomal protein S18	11	96		
RCO705793	uncharacterized protein	5	40		
RCO700713	60S ribosomal protein L30	6	86		
RCO702701	probable PRE9 - 20S proteasome subunit	9	118		
RCO703082	probable isocitrate dehydrogenase (NAD)	18	235		
RCO702148	probable proteasome endopeptidase com	11	114		
RCO707879	probable H+-transporting ATPase, vacuol	30	284		
RCO707584	heat shock protein, mitochondrial precurs	31	275		
RCO704954	probable SOD2 - superoxide dismutase (M	7	69	83,06	9,17
RCO702291	probable branched-chain amino acid trans	13	120		
RCO706168	probable ribosomal protein L11.e.A, cytos	8	113		
RCO711633	related to Subtilisin-like protease	27	848	5198,96	57,03
RCO709010	probable cytochrome-c oxidase chain VI p	9	81		
RCO707520	uncharacterized protein	6	41	87,92	33,33
RCO700472	probable mannose-1-phosphate guanylylt	12	106		
RCO703442	probable ACETOLACTATE SYNTHASE SMA	12	107		
RCO706815	probable ribosomal protein L6.e.B, cytoso	12	146		
RCO708719	related to putative arabinase	15	106	585,01	56,51
RCO702896	related to hydrolase	12	56	628,20	47,43
RCO701730	probable rho GDP dissociation inhibitor	9	83		
RCO706753	related to brefeldin A resistance protein	30	245		
RCO700084	saccharopine reductase	21	237		
RCO708503	probable 60S ribosomal protein L7	12	142		
RCO704698	probable NADPH dehydrogenase	16	92	463,14	43,54
RCO707262	probable Endo-1,4-beta-xylanase 2	8	85	521,09	43,86
RCO701946	ubiquitin (UbiC)	3	323	414,01	30,32
RCO702282	probable glucan 1,3-beta-glucosidase pre	9	94	702,99	46,60
RCO701548	probable POT1 - acetyl-CoA C-acyltransfe	15	189		

RCO710085	catalase-1	32	351	1262,04	49,53
RCO709430	related to P.ciliare possible apospory-asso	12	128	342,07	46,15
RCO700861	probable peptidyl-prolyl cis-trans isomeras	17	131		
RCO711315	related to human MOG1 protein	5	42		
RCO703091	multifunctional beta-oxidation protein	39	311		
RCO701588	related to 6-HYDROXY-D-NICOTINE OXID	18	113	786,01	55,49
RCO709759	probable RPL43B - 60S large subunit ribos	6	35		
RCO706243	probable u6 snrna-associated sm-like prot	2	4		
RCO709161	40S ribosomal protein S4	15	141		
RCO701617	probable GTP-binding protein ypt1	10	65		
RCO708216	GTP-binding nuclear protein Ran	9	56		
RCO705120	probable nucleosome assembly protein	18	196		
RCO706739	related to Sm-like protein LSm8	3	12		
RCO700686	uncharacterized protein	5	25	244,68	54,92
RCO703909	uncharacterized protein	14	207	545,35	31,69
RCO705590	probable xylitol dehydrogenase	11	103		
RCO709474	related to lysophospholipase L1 and relate	13	82	922,46	45,76
RCO702661	uncharacterized protein	8	886	6119,89	54,74
RCO705869	UDP-N-acetylglucosamine pyrophosphoryl	18	112		
RCO701318	related to cellulose 1,4-beta-cellobiosidase	15	105	586,40	54,62
RCO710231	40S ribosomal protein S22	6	62		
RCO703764	uncharacterized protein	4	38	273,14	48,10
RCO708325	probable APE3 - vacuolar aminopeptidase	20	252	934,45	42,86
RCO703057	20S proteasome alpha subunit E	11	114		
RCO703244	probable tryptophan synthase	25	209		
RCO711522	uncharacterized protein	10	105	31,36	10,59
RCO704134	probable glutaredoxin	6	23		
RCO705945	probable hexokinase	20	207		
RCO703905	40S ribosomal protein S11	10	70		
RCO706859	uncharacterized protein	5	99	579,99	54,03
RCO703618	probable CYB2 - lactate dehydrogenase cy	17	111	1059,04	51,93
RCO703977	uncharacterized protein	16	77	632,73	46,94
RCO708515	probable 60S ribosomal protein L8.e	10	131		
RCO702168	probable 20S proteasome subunit beta3	6	109		
RCO702463	probable L-alanine-DL-glutamate epimera	17	134		
RCO700230	probable phosphate transport protein MIR	13	121		
RCO705230	probable RPS16B - ribosomal protein S16.	8	61		
RCO707968	probable ATP-dependent RNA helicase de	28	264		0,00
RCO705666	probable EXG1 Exo-beta-1,3-glucanase (I	15	155	1121,61	47,03
RCO704600	probable ribosomal protein S12, cytosolic	6	140		
RCO702478	related to stomatin family, may link integr	15	110		
RCO701272	related to dnase1 protein	4	1112	8992,53	53,41
RCO700303	probable Acetyl-CoA acyltransferase	17	139		
RCO704795	ALT1 Putative alanine transaminase (gluta	18	129		
RCO704489	related to tRNA binding protein ARC1	15	99		
RCO706821	related to cell wall protein (putative glycos	13	93	821,59	36,87
RCO700168	probable 2-methylcitrate dehydratase	22	193		
RCO702588	uncharacterized protein	4	56		
RCO701638	uncharacterized protein	4	10		
RCO704522	probable aspartate aminotransferase, cyto	15	111		
RCO703509	probable alcohol dehydrogenase (FDH1)	12	88		
RCO705887	probable NADH-cytochrome b5 reductase	13	111		
RCO703591	uncharacterized protein	7	2743	20637,32	52,55
RCO707257	Histone H4	7	76		
RCO707826	related to URE2 - nitrogen catabolite repr	10	81		

RCO701853	probable pyruvate decarboxylase	17	90		
RCO703859	uncharacterized protein	14	128		
RCO703268	probable acetylornithine aminotransferase	16	73		
RCO704828	actin-1	12	112		
RCO700643	probable translation elongation factor EF-	19	180		
RCO711589	related to ubiquitin-like protein modifier	4	13		
RCO702230	probable isocitrate dehydrogenase [NAD]	17	148		
RCO709347	related to protein wos2	8	93		
RCO701137	probable RNA helicase DBP5	14	90		
RCO703015	probable septin-7	21	171		
RCO707737	uncharacterized protein	20	150		
RCO709224	probable fatty-acyl-CoA synthase, beta su	66	490		
RCO706009	uncharacterized protein	9	46		
RCO703158	probable ubiquitin fusion protein (ubiquiti	2	302	414,01	34,56
RCO710528	related to PENTAFUNCTIONAL AROM POL	17	93		
RCO704334	uncharacterized protein	9	60		
RCO704455	uncharacterized protein	5	36		
RCO700996	60S ribosomal protein L3	20	199		
RCO703486	probable ribosomal protein L22	6	56		
RCO704893	probable 40S ribosomal protein S0	10	143		
RCO701809	Histone H2A	3	66		
RCO708912	uncharacterized protein	29	197		
RCO704658	probable snRNA-associated protein LSM2	3	20		
RCO710553	60S ribosomal protein L12	6	69	60,76	9,09
RCO704083	probable guanylate kinase	8	54		
RCO702939	Mitogen-activated protein kinase HOG1	10	106		
RCO710958	probable het-c2 protein	7	83		
RCO702480	ubiquitin-conjugating enzyme E2	4	23		
RCO700572	probable protein disulfide-isomerase precu	15	212	294,18	27,37
RCO710779	related to glucan 1,3-beta-glucosidase	15	333	2503,76	39,74
RCO700382	probable ribosomal protein L7a.e.B, cytos	16	176		
RCO704706	T-complex protein 1 subunit delta	15	116		
RCO707463	uncharacterized protein	11	155	1318,03	50,52
RCO707575	probable 3-isopropylmalate dehydratase	28	192		
RCO706609	probable UMP-CMP kinase	11	84		
RCO703797	uncharacterized protein	4	38		
RCO701073	probable potassium channel beta subunit	12	112		
RCO703222	related to 6-hydroxy-D-nicotine oxidase	16	159	1281,30	42,42
RCO701297	isocitrate lyase	20	153		
RCO700972	probable exoglucanase-6A precursor	12	81	591,81	45,92
RCO705178	probable aldehyde dehydrogenase	14	170		
RCO700960	probable Polygalacturonase	12	86	898,29	50,00
RCO704734	related to pectate lyase	9	74	517,80	50,00
RCO700794	probable eukaryotic translation initiation f	13	105		
RCO706444	probable 60S ribosomal protein L14	10	68		
RCO706610	probable eukaryotic translation initiation f	10	96		
RCO709659	related to CipC-like antibiotic response pr	4	52		
RCO701049	uncharacterized protein	13	84	797,99	49,76
RCO707009	pyruvate dehydrogenase E1 component b	15	124		
RCO703723	probable nudC protein	8	81		
RCO709860	probable iron inhibited ABC transporter 2	23	197		
RCO704320	uncharacterized protein	3	16		
RCO707466	related to cofilin	4	54	193,56	21,71
RCO700356	uncharacterized protein	10	64		
RCO702354	probable ribosomal protein L13B	13	136		

RCO704919	related to subunit of the Arp2/3 complex	6	59		
RCO702390	related to URE2 - nitrogen catabolite repr	11	71		
RCO700265	ADP/ATP carrier protein	15	272		
RCO705278	probable peroxiredoxin-5, mitochondrial p	7	70		
RCO705070	probable nucleolar rRNA processing prote	23	213		
RCO701706	probable 26S proteasome regulatory subu	11	106		
RCO700141	probable Formyltetrahydrofolate deformyl	7	57		
RCO705703	60S ribosomal protein L23	6	66		
RCO702843	related to theta class glutathione S-transf	9	66		
RCO709007	probable glycogen synthase	22	198		
RCO709415	uncharacterized protein	6	132	165,77	27,05
RCO707474	uncharacterized protein	16	61		
RCO706049	probable YDJ1 - mitochondrial and ER im	14	183		
RCO706003	related to hydrolases or acyltransferases (	14	109		
RCO710035	probable 40S ribosomal protein S21	6	67		
RCO706645	probable carbamoyl-phosphate synthase (	39	307		
RCO702206	probable CCT2 - chaperonin of the TCP1 r	15	85		
RCO705784	probable stress-induced protein STI1	20	175		
RCO707452	NADH dehydrogenase (ubiquinone) 78K c	22	217		
RCO704456	probable ubiquinol-cytochrome-c reductas	9	73		
RCO708242	probable 26S proteasome regulatory parti	13	124		
RCO707187	probable acetyl-CoA carboxylase	71	404		
RCO700820	probable mitochondrial precursor protein	23	174		
RCO700077	probable phosphoribosylaminoimidazole-s	11	47		
RCO707367	probable dihydrolipoamide acetyltransfera	16	175	93,74	6,98
RCO705847	uncharacterized protein	7	86		
RCO700377	related to ubiquinol-cytochrome c reducta	5	51		
RCO703479	uncharacterized protein	9	65		
RCO710552	probable SEC23	21	147		
RCO711359	uncharacterized protein	9	103		
RCO703215	40S ribosomal protein S8	8	103		
RCO701821	probable phosphatidylinositol/phosphatidy	14	122	48,41	2,59
RCO704353	acetyl-CoA synthetase	21	177		
RCO705059	related to protein carrier KAP123	32	170		
RCO700358	NADH-ubiquinone oxidoreductase subuni	16	128		
RCO711521	uncharacterized protein	9	104		
RCO701812	probable HTB1 - histone H2B	7	88		
RCO700227	probable Ni-binding urease accessory pro	8	63		
RCO706720	probable 26S proteasome regulatory parti	14	96		
RCO701446	probable GTP-binding protein	25	218		
RCO706111	probable 26S proteasome AAA-ATPase su	13	90		
RCO700284	probable ribosomal protein S19.e, cytosol	10	124		
RCO708162	related to trypsin precursor	7	81	902,76	47,66
RCO705344	probable uracil phosphoribosyltransferase	8	30		
RCO703807	related to heatshock protein Hsp150	5	648	4284,19	44,50
RCO703043	related to brefeldin A resistance protein B	22	158	192,48	4,44
RCO706030	probable SnodProt1 PRECURSOR	3	36	327,01	47,41
RCO700203	probable aspartate-semialdehyde dehydro	12	100		
RCO701363	probable phosphoacetylglucosamine muta	21	188	89,55	3,71
RCO706948	septin-9	13	97		
RCO702994	probable NADH-ubiquinone oxidoreductas	6	68		
RCO700865	probable isocitrate dehydrogenase [NADP	20	144		
RCO710289	related to beta-xylosidase	28	220	1658,49	46,72
RCO700110	probable electron transfer flavoprotein be	9	52		
RCO707700	uncharacterized protein	13	80		

RCO703515	probable 50S ribosomal protein L7Ae	2	32		
RCO707212	ARG1 Argininosuccinate synthetase EC:6.1	15	143		
RCO706035	coatomer zeta subunit	4	43		
RCO710088	related to translation initiation factor eIF-4	18	137	197,36	6,39
RCO703794	related to RPEL repeat protein	5	56		
RCO704705	26S protease regulatory subunit 7	20	128		
RCO707788	probable ubiquitin carboxyl-terminal hydro	7	37		
RCO703049	related to cell wall protein cwl1	17	108		
RCO702308	related to aryl-alcohol dehydrogenases	12	95		
RCO705944	probable oligosaccharyltransferase alpha s	13	79		
RCO711276	related to O-methyltransferase	7	38		
RCO710357	uncharacterized protein	3	105	413,96	46,61
RCO705163	probable glycogen synthase kinase 3 alph	16	88		
RCO703228	probable 40s ribosomal protein S6.e, cyto	11	134		
RCO700714	60S ribosomal L10 protein	8	105		
RCO707755	related to translation initiation factor eIF-1	33	252		
RCO707988	uncharacterized protein	9	61		
RCO708006	spermidine synthase	11	74		
RCO706163	related to thioredoxin-like protein	9	84		
RCO704214	probable ribosomal protein S28	6	74		
RCO704432	related to isopenicillin N epimerase	14	120		
RCO706808	uncharacterized protein	6	76	367,95	46,11
RCO706845	uncharacterized protein	13	110	444,87	46,11
RCO709200	ribosomal protein S4	12	107		
RCO710556	related to telomeric DNA binding activity	12	132		
RCO707239	probable CCT8 - component of chaperonin	19	129		
RCO705877	probable 60S ribosomal protein L31e	9	49		
RCO700614	related to 2-amino-3-carboxylmuconate-6	11	82		
RCO705328	probable NAD binding Rossmann fold oxid	11	111		
RCO711543	related to cutinase 1 precursor	7	26	460,36	45,96
RCO704199	probable oligomycin sensitivity conferring	9	98		
RCO709505	protein phosphatase PP2A regulatory subu	17	165		
RCO701756	probable ubiquitin-protein ligase (E1-like (	31	256		
RCO707216	related to maltose O-acetyltransferase	7	29		
RCO703645	related to endo-1,3-beta-glucanase	8	46	361,96	42,95
RCO709664	related to aspartic proteinase OPSB	15	127	1417,00	45,72
RCO710655	probable protoporphyrinogen oxidase	17	109		
RCO710660	probable chaperonin of the TCP1 ring con	17	96		
RCO701451	related to polysaccharide deacetylase	9	53		
RCO706021	related to beta-hexosaminidase precursor	21	228	1160,12	45,58
RCO711168	related to mitochondrial acidic matrix prot	7	135		
RCO710489	related to protein disulfide isomerase-rela	20	177	55,90	4,76
RCO700518	uncharacterized protein	22	255		
RCO707169	related to NADH2 dehydrogenase (ubiquin	5	45		
RCO705473	related to hydrolases or acyltransferases (	15	175	1284,35	44,89
RCO705227	probable ATP-dependent RNA helicase DE	17	132		
RCO700086	probable homoserine kinase	9	86		
RCO708475	probable carbonic anhydrase family protei	8	46	62,65	7,76
RCO700096	probable SER33 - 3-phosphoglycerate deh	15	126		
RCO709896	probable NOP1 Fibrillarin	11	110		
RCO707274	probable NADH-cytochrome b5 reductase	8	33		
RCO709779	probable asparaginyl-tRNA-synthetase	17	141		
RCO708117	probable chaperonin	30	269		
RCO707364	uncharacterized protein	4	36		
RCO705630	probable 60S large subunit ribosomal prot	9	79		

RCO706677	probable MET14 - ATP adenosine-5`-phos	6	57		
RCO701030	plastin-3	20	152		
RCO708285	uncharacterized protein	5	24		
RCO705588	related to nitrogen metabolic regulation p	11	67		
RCO701013	related to multistep phosphorelay regulato	5	60		
RCO709468	uncharacterized protein	16	85		
RCO703990	probable chorismate synthase/flavin reduc	12	88		
RCO706660	related to actin-related protein 2-3 comple	12	73		
RCO709941	NADP-dependent L-serine/L-allo-threonine	8	68		
RCO705892	probable gamma-glutamyltranspeptidase	20	123	1119,26	44,64
RCO710610	uncharacterized protein	2	11	160,09	44,62
RCO704849	60S ribosomal protein L26	9	82		
RCO706191	probable UTP-glucose-1-phosphate uridyly	26	235		
RCO711264	vesicular-fusion protein SEC17	8	72		
RCO706572	probable calcium-binding protein precursc	23	239		
RCO701803	related to acetylesterase	8	56	473,18	44,49
RCO711130	probable succinate dehydrogenase iron-su	12	104		
RCO704896	related to Nucleolar protein 58	21	142		
RCO708369	probable RPL28 - 60S large subunit ribosc	8	83		
RCO701945	related to DNA damage-responsive protei	6	64		
RCO700300	related to transcription initiation factor IIF	7	46		
RCO708426	probable PROTEASOME COMPONENT C2	10	68		
RCO704457	T-complex protein 1 subunit alpha	15	84		
RCO700925	related to several transaminases	10	118	89,60	13,51
RCO708878	probable 100 kda protein P100	30	211		
RCO706752	uncharacterized protein	6	57	29,52	6,93
RCO703847	probable eukaryotic translation initiation f	6	37		
RCO709093	probable NADH2 dehydrogenase (ubiquin	3	16		
RCO709936	probable 3^-phosphoadenosine 5^-phosp	10	72		
RCO708079	related to nucleotide excision repair prote	11	100		
RCO704596	related to Putative sterigmatocystin biosyn	9	47		
RCO711157	uncharacterized protein	21	209		
RCO700800	probable protein phosphatase 2C	13	89		
RCO704788	uncharacterized protein	4	29	115,94	43,78
RCO704322	C-1-tetrahydrofolate synthase	30	209		
RCO709211	probable profilin	3	39		
RCO700019	probable adenylosuccinate lyase	13	85		
RCO706400	related to HSP12 Heat shock protein	4	16		
RCO703569	probable phosphomannomutase	15	95		
RCO702828	related to DUF1014 domain protein	7	34		
RCO707572	V-type proton ATPase subunit F	5	17		
RCO711306	probable NADH-ubiquinone oxidoreductas	11	81		
RCO703462	probable 40s ribosomal protein s10-b	8	75	34,85	6,81
RCO700213	probable HAD superfamily hydrolase	9	77		
RCO709978	probable mitochondrial import inner mem	3	29		
RCO701265	uncharacterized protein	5	55		
RCO701567	related to aminopeptidase	13	77		
RCO702572	probable xylosidase/glycosyl hydrolase	15	77	1236,36	43,39
RCO707376	protein phosphatase 2A regulatory B subu	13	85		
RCO706850	related to Meiotically up-regulated gene 1	16	105	714,63	43,33
RCO703701	probable DUF757 domain protein	5	20		
RCO701542	related to carboxypeptidase A	12	63	588,97	37,10
RCO706373	probable ARP2/3 complex 20 kDa subunit	4	23		
RCO705494	uncharacterized protein	4	50		
RCO711218	uncharacterized protein	5	46		

RCO705771	related to Allergen Asp f 4	9	48	369,43	32,34
RCO700595	probable guanine nucleotide-binding prote	12	86		
RCO702378	related to class I alpha-mannosidase 1B	14	72	438,54	37,52
RCO705062	related to DOS1 protein	10	45		
RCO706004	related to hnRNP protein E2	12	128		
RCO710823	probable threonine synthase	14	112		
RCO708323	probable ubiquitin conjugating enzyme ub	4	24		
RCO702181	probable fumarylacetoacetate hydrolase d	8	59	218,82	42,80
RCO706137	uncharacterized protein	7	52		
RCO703368	related to stress protein p66	17	157		
RCO706523	probable beta-1,3 exoglucanase precurso	22	150	1276,40	41,12
RCO709511	probable coatomer subunit delta	17	143		
RCO708047	26S protease regulatory subunit 6B	13	114		
RCO711185	probable GEL1 protein	14	143	940,46	40,35
RCO706169	uncharacterized protein	3	14		
RCO704917	uncharacterized protein	6	141	1141,91	42,54
RCO707533	probable Arp2/3 complex subunit ARC18	4	40		
RCO706298	anthranilate synthase component 2	19	97		
RCO709548	probable Nascent polypeptide-associated	7	112		
RCO701987	uncharacterized protein	6	37		
RCO705029	related to glucosamine-phosphate N-acety	6	54		
RCO708758	related to glutathione S-transferase	5	40		
RCO700741	probable mismatched base pair and crucif	6	56	170,36	25,29
RCO711076	probable cell division control protein CDC1	12	94		
RCO707899	uncharacterized protein	4	67	304,66	42,19
RCO701027	related to arabinan endo-1,5-alpha-L-arab	7	37	320,03	30,46
RCO704470	probable Protein BCP1	5	18		
RCO703498	probable peroxisomal protein POX18	3	36		
RCO706943	sorbose reductase SOU1	9	62		
RCO709530	probable Translationally-controlled tumor	8	98		
RCO706201	related to glycine-rich RNA-binding protei	4	179		
RCO702599	probable t-complex-type molecular chape	15	101		
RCO701130	probable 40S ribosomal protein S24	8	100		
RCO701888	uncharacterized protein	7	43		
RCO704778	probable NADH2 dehydrogenase (ubiquin	8	62		
RCO708077	probable TIF6 - translation initiation facto	6	56		
RCO710519	related to F1F0-ATP synthase subunit G	6	51		
RCO700653	probable glycine cleavage system H prote	6	38	134,54	36,57
RCO708620	probable UDP-glucose 4-epimerase	10	82		
RCO700492	probable small nuclear ribonucleoprotein	3	16		
RCO702384	probable pre-mRNA splicing factor srp2	10	62		
RCO708201	probable ATP phosphoribosyltransferase	7	78		
RCO709103	probable peroxisomal membrane protein	5	40		
RCO706416	probable vacuolar ATP synthase subunit E	10	73		
RCO710539	RcNIP2.2UK7	3	26	188,45	41,28
RCO710565	Carboxypeptidase Y homolog A	12	194	254,44	19,53
RCO710057	probable peptide methionine sulphoxide r	5	28		
RCO701633	26S protease regulatory subunit 8	13	92		
RCO702438	nuclear transport factor 2	5	66		
RCO711436	related to glucan 1,3-beta-glucosidase	10	114	644,29	41,06
RCO706613	eukaryotic translation initiation factor 2 su	16	139		
RCO706161	related to cystathionine beta-synthase	4	20		
RCO707416	probable glutaredoxin	8	50		
RCO708873	uncharacterized protein	5	36		
RCO705030	probable alpha-galactosidase 5 precursor	14	68		

RCO707419	related to ABP1 - actin-binding protein	22	192		
RCO705169	related to 60S ribosomal protein L28	5	45		
RCO701845	probable phosphoglyceromutase	16	115		
RCO700974	glutamine synthetase	11	122		
RCO708385	probable COP1 - coatomer complex alpha	33	245		
RCO703400	uncharacterized protein	9	88		
RCO710095	probable importin alpha SRP1	14	109		
RCO702073	uncharacterized protein	6	38		
RCO702161	uncharacterized protein	3	12		
RCO706962	probable subtilisin-like serine protease	15	261	565,98	26,10
RCO700452	probable 4-aminobutyrate transaminase	12	64		
RCO705165	probable mitochondrial import receptor M	11	79		
RCO704092	probable Cyanate hydratase	5	35	155,44	32,02
RCO710264	probable acyl-CoA dehydrogenase	14	81		
RCO707266	probable Hsp90 co-chaperone Cdc37	13	97		
RCO711078	related to Phosphatidylinositol transfer pr	8	52		
RCO709186	translation initiation factor 1 (eIF-1/SUI1)	5	40		
RCO700760	related to aflatoxin B1-aldehyde reductase	13	107		
RCO703621	related to rhamnogalacturonan acetyleste	6	50	322,71	40,30
RCO706485	proteasome subunit beta type-5 precurso	8	45		
RCO707332	probable endo-1,4-beta-xylanase	13	80	711,41	40,26
RCO702145	U6 snRNA-associated Sm-like protein LSm	3	21		
RCO711280	uncharacterized protein	7	33		
RCO701928	probable CCT7 - component of chaperoni	15	72		
RCO707411	uncharacterized protein	3	12		
RCO704430	related to ThiJ/PfpI family protein	6	202	1479,72	40,16
RCO706104	related to diaminopropionate ammonia-ly	10	65		
RCO708384	related to RPN12 - 26S proteasome regul	7	49		
RCO706678	probable H+-ATPase V1 subunit c, vacuol	13	86		
RCO709201	60S ribosomal protein L21	7	45		
RCO710955	probable MACRO domain-containing prote	7	44		
RCO702749	uncharacterized protein	17	97		
RCO702207	probable Eukaryotic translation initiation f	25	178		
RCO709944	related to cell wall mannoprotein	8	65	690,96	39,95
RCO707707	uncharacterized protein	6	86	510,97	39,91
RCO700506	related to stress protein ORP150	28	162		
RCO700206	related to ochre suppressor tyr-tRNA	6	44		
RCO704642	probable cystathionine gamma-lyase	10	87		
RCO707752	Serine/threonine-protein phosphatase PP1	8	85		
RCO705291	probable 1,2-dihydroxy-3-keto-5-methylth	5	44		
RCO701955	T-complex protein 1 subunit zeta	14	68		
RCO709845	related to single-stranded DNA-binding pr	5	56		
RCO702960	probable Putative ribose 5-phosphate isor	4	24		
RCO700052	probable multicopy suppressor of los1-1	7	48		
RCO706337	importin subunit beta-1	19	224		
RCO705081	related to 20beta-hydroxysteroid dehydro	6	64		
RCO705218	probable eukaryotic release factor 1	12	98		
RCO705403	probable casein kinase-1 hhp1	11	84		
RCO701303	probable glucanase	16	93		
RCO705498	Sorting nexin-3	4	30		
RCO711554	uncharacterized protein	11	71		
RCO710521	related to dihydrodipicolinate synthase	10	86		
RCO702798	related to glutathione S-transferase	9	64		
RCO709073	related to Fasciclin domain family protein	14	167		
RCO704865	probable MET22 - protein ser/thr phospha	9	57		

RCO703792	probable GTP-binding protein ypt5	6	44		
RCO700101	related to 3-phosphoserine aminotransfer	11	88		
RCO708932	uncharacterized protein	5	29		
RCO710387	probable choline dehydrogenase	18	183	1201,52	39,17
RCO709984	probable BRT1 protein, down-regulated b	4	53	865,65	39,06
RCO705409	related to aspartate--tRNA ligase	16	110		
RCO700938	probable myo-inositol 1-phosphate syntha	13	80		
RCO704146	related to regulator of ATP-sensitive K+ c	7	77		
RCO705012	probable oxoglutarate dehydrogenase pre	30	211		
RCO710527	probable catechol O-methyltransferase	8	29		
RCO706589	probable proliferating cell nuclear antigen	8	91		
RCO706172	probable clathrin heavy chain	42	380		
RCO705126	probable serine-tRNA ligase, cytosolic	19	160		
RCO705686	probable Glucan 1,3-beta-glucosidase	13	54	349,90	37,09
RCO706694	Eukaryotic translation initiation factor 3 su	10	76		
RCO702113	probable alcohol dehydrogenase 2	11	45		
RCO708938	probable bleomycin hydrolase	15	106		
RCO700563	probable PAB1 - mRNA polyadenylate-bin	24	223		
RCO704995	related to gluconate 5-dehydrogenase	7	41		
RCO710015	probable IMP dehydrogenase	14	94		
RCO705194	Arginine biosynthesis bifunctional protein	14	97		
RCO703955	related to thiosulfate sulfurtransferases	7	41		
RCO703095	probable long-chain-fatty-acid-CoA ligase	19	173		
RCO709395	probable ATP citrate lyase subunit 2	19	184		
RCO707646	coatomer subunit beta'	20	141		
RCO705298	probable bifunctional purine biosynthetic p	21	144	288,61	13,01
RCO706646	probable phenylalanine-tRNA ligase beta	12	83		
RCO702002	probable ATP-dependent RNA helicase DH	14	102		
RCO701799	probable Probable alpha-L-arabinofuranos	10	51	475,65	38,14
RCO708507	probable mitochondrial import inner mem	3	24		
RCO703817	probable peptidylprolyl isomerase	7	61		
RCO707489	probable RUVB-like protein	14	74		
RCO707689	uncharacterized protein	7	42		
RCO704547	uncharacterized protein	4	39		
RCO706436	probable eukaryotic translation initiation f	6	56		
RCO703097	related to DCW1 - glycosylphosphatidylinc	15	217	1917,36	37,99
RCO703446	uncharacterized protein	5	21		
RCO710566	probable ribosomal protein L17.e.A (cytos	6	68		
RCO709037	related to pheromone processing carboxy	16	158	1480,43	37,88
RCO704311	probable glycine hydroxymethyltransferas	12	93		
RCO700656	related to cylicin I	8	98	227,11	22,91
RCO706069	uncharacterized protein	2	32		
RCO703578	40S ribosomal protein S27	3	36		
RCO710021	probable endopeptidase K	6	25		
RCO702166	probable 60S ribosomal protein L36	5	44		
RCO703952	probable 40S ribosomal protein S2/30S rib	8	116		
RCO711307	related to 26S proteasome regulatory part	11	53		
RCO706895	probable dipeptidylpeptidase III	17	146		
RCO706157	60S ribosomal protein L33	4	32		
RCO702334	uncharacterized protein	5	93	454,34	33,70
RCO704707	probable alpha-tubulin B	8	68		
RCO704000	related to xylosidase/arabinosidase	15	82	781,09	37,52
RCO701471	probable acetolactate synthase	18	153		
RCO708231	related to cell cycle regulation and aging p	11	94	658,19	37,50
RCO701741	serine/threonine protein phosphatase PP2	6	58		

RCO700719	uncharacterized protein	8	52	71,14	15,58
RCO710154	probable carbamoyl-phosphate synthase s	10	89		
RCO706457	protein ARG5,6, mitochondrial precursor	21	112		
RCO703334	related to thioredoxin-like protein	5	33	146,26	20,72
RCO700164	probable riboflavin synthase alpha chain	5	45		
RCO707801	succinate-semialdehyde dehydrogenase	14	91		
RCO706166	probable FMP37 Found in Mitochondrial P	2	13		
RCO704195	related to dihydrodipicolinate synthase	7	52		
RCO702817	related to dead-box protein precursor CYT	19	102		
RCO701083	uncharacterized protein	2	3		
RCO701886	probable ASF1 - anti-silencing protein	5	36		
RCO709223	probable fatty acid synthase, alpha subun	46	245		0,00
RCO707710	probable VPS21 - GTP-binding protein	5	34		
RCO700579	probable uracil phosphoribosyltransferase	4	47		
RCO708838	probable cytosceletal binding protein	8	44		
RCO700152	probable cysteine synthase	8	38		
RCO704730	related to extracellular serine-rich protein	12	74	218,07	16,26
RCO709788	probable hydrolases or acyltransferases (a	5	29		
RCO710140	probable CDC11 - septin	8	61		
RCO701667	related to gamma-butyrobetaine dioxyger	10	87		
RCO707860	probable glutamate--tRNA ligase	17	131		
RCO702747	related to rhizopuspepsin-2 precursor	8	41	100,44	9,25
RCO701034	related to mRNA splicing factor	9	70		
RCO711254	probable heat shock protein MGE1 precur	9	62		
RCO702591	related to SCP160 protein	40	281		
RCO702097	probable aminopeptidase 2	26	133		
RCO703450	related to NFU-1 protein (iron homeostasi	5	29		
RCO711095	probable D-lactate dehydrogenase 2, mitc	12	82		
RCO708068	probable beta-glucosidase	10	58		
RCO707400	uncharacterized protein	5	75	250,63	36,81
RCO709722	related to small nuclear ribonucleoprotein	5	72		
RCO705746	uncharacterized protein	4	65	133,15	24,64
RCO701114	uncharacterized protein	6	36		
RCO700249	related to membrane protein, peroxisoma	6	36		
RCO704946	related to transcription factor Ask10p	10	74		
RCO704691	related to heterogeneous nuclear ribonucl	10	126		
RCO700036	related to signal sequence receptor alpha	7	69		
RCO701703	probable autophagy protein AUT7	4	36		
RCO702474	uncharacterized protein	4	13	68,11	24,82
RCO709934	probable Ras-like protein	5	32		
RCO704532	related to NADPH2:quinone reductase	8	71		
RCO700344	probable small nuclear ribonucleoprotein S	3	31		
RCO709898	probable PMA1 - H+-transporting P-type A	28	199		
RCO710922	related to SSD1 protein	30	202		
RCO702265	probable cytochrome c1 haem protein	7	88		
RCO702259	related to branched-chain amino acid ami	9	61	34,87	6,37
RCO702675	probable lysine-tRNA ligase	17	147		
RCO710510	uncharacterized protein	6	35	474,89	25,47
RCO706625	probable F-actin capping protein beta sub	7	57		
RCO704959	uncharacterized protein	8	43	412,83	36,13
RCO710627	related to Tripeptidyl-peptidase sed1	14	141	1067,59	36,12
RCO707267	probable CLC1 Clathrin light chain	5	28		
RCO700510	related to alpha-galactosidase precursor	11	83	59,05	8,38
RCO706077	NADH dehydrogenase (ubiquinone) 49K c	11	76		
RCO703396	related to tRNA 2`-phosphotransferase	8	32		

RCO704329	probable NADPH quinone oxidoreductase	7	49		
RCO704546	related to rabbit histidine-rich calcium-bin	6	40		
RCO701641	probable glutamate synthase (NADPH)	51	367		
RCO702997	carnitine O-acetyltransferase	18	132		
RCO702040	aspartic proteinase, pepstatin-sensitive	15	250	640,15	30,42
RCO710942	related to feruloyl esterase B precursor (s	8	42	510,82	35,91
RCO702028	probable Eukaryotic translation initiation f	14	101		
RCO707180	probable arginyl-tRNA synthetase, cytosol	17	132		
RCO701414	uncharacterized protein	3	11		
RCO700571	uncharacterized protein	1	4		
RCO707731	probable esterase D	7	55		
RCO709769	uncharacterized protein	5	25	106,76	27,91
RCO709506	phenylalanyl-tRNA synthetase beta chain	16	123		
RCO702186	related to secreted dipeptidyl-peptidase V	15	163	313,88	7,93
RCO704282	probable MES1 Methionyl-tRNA synthetas	19	106		
RCO703066	probable orotate phosphoribosyltransferas	7	63		
RCO708570	probable delta-1-pyrroline-5-carboxylate d	17	146		
RCO707068	related to amidase	13	96	523,15	35,53
RCO707585	Eukaryotic translation initiation factor 3 su	6	43		
RCO706283	probable Mitochondrial inner membrane o	3	16		
RCO704533	probable UDP-glucose 4-epimerase Gal10	7	38		
RCO707373	probable dynamin-related GTPase DNM1	17	99		
RCO706233	probable ribosomal protein L38	3	36		
RCO701441	uncharacterized protein	3	16		
RCO700059	probable 3-hydroxyanthranilic acid dioxyg	4	28		
RCO705208	retinol dehydrogenase 8	6	30		
RCO704031	probable glyoxylate/hydroxypyruvate redu	7	64		
RCO707343	probable dihydroxy-acid dehydratase	13	82		
RCO709060	uncharacterized protein	18	93		
RCO702126	probable alpha-mannosidase	28	173		
RCO710190	related to formaldehyde dehydrogenase	10	42		
RCO709824	related to 26S proteasome-associated ubi	5	32		
RCO711439	probable multiprotein bridging factor MBF	5	49		
RCO705235	probable Eukaryotic translation initiation f	22	149		
RCO706774	probable chaperonin ClpB	17	142		0,00
RCO705834	probable alanine--tRNA ligase, cytosolic	25	187		
RCO701374	uncharacterized protein	3	24		
RCO710229	uncharacterized protein	3	7	126,98	34,86
RCO700113	acetyl-CoA acetyltransferase, mitochondri	9	85		
RCO708085	uncharacterized protein	3	22		
RCO705117	probable inosine triphosphate pyrophosph	4	22		
RCO709721	probable vacuolar ATP synthase subunit D	5	42		
RCO702292	uncharacterized protein	2	12		
RCO705314	related to galactose oxidase precursor	12	63	439,86	34,67
RCO701341	related to ankyrins	6	36		
RCO709813	related to dopamine-responsive protein	16	83		
RCO704850	probable MEU1 - multiple enhancer of UA	9	57	71,43	14,15
RCO706671	related to small nuclear ribonucleoprotein	3	24		
RCO704661	probable H+-transporting two-sector ATP	7	93		
RCO705601	uncharacterized protein	5	32	287,04	34,52
RCO700423	related to signal recognition particle prote	5	32		
RCO706167	related to small nuclear ribonucleoprotein	5	35		
RCO705642	related to beta-glucosidase	15	84	787,39	33,03
RCO707227	related to BDH1 - stereospecific (2R, 3R)-	7	36		
RCO705016	uncharacterized protein	5	22	175,51	20,95

RCO700816	probable tryptophan--tRNA ligase	10	64		
RCO701948	related to calmodulin	4	20		
RCO707874	uncharacterized protein	3	20		
RCO703420	asparagine synthetase	14	120		
RCO710026	related to Het-c protein	20	167		
RCO709635	probable peptidyl-prolyl cis-trans isomeras	6	101		
RCO703002	related to adenylate cyclase-associated pr	10	70		
RCO700799	probable NADH-ubiquinone oxidoreductas	6	40		
RCO703573	related to coatomer gamma-2 subunit	23	198		
RCO700074	probable imidazoleglycerol-phosphate deh	5	31		
RCO705264	probable NAD-specific glutamate dehydro	24	152		
RCO710431	uncharacterized protein	9	37	327,54	33,94
RCO700436	related to 3-hydroxyisobutyrate dehydrog	9	52		
RCO701676	probable TFIIA subunit [transcription initi	3	13		
RCO710688	Histone H3	3	72		
RCO701420	related to 3-oxoacyl-(acyl carrier protein)	8	33		
RCO710985	mitochondrial ATP synthase epsilon chain	2	12		
RCO700849	uncharacterized protein	8	50	306,63	33,74
RCO708215	related to NAS2 - ubiquitin-dependent pro	7	35		
RCO703888	3-isopropylmalate dehydrogenase	9	52		
RCO706581	related to H+-transporting ATP synthase i	4	40		
RCO711321	related to glucanase	7	46		
RCO708109	related to oxidoreductase	8	42		
RCO706428	related to alcohol/sorbitol dehydrogenase	5	27		
RCO705198	related to DNAJ-like protein homolog	10	51		
RCO708395	probable 26S proteasome non-ATPase reg	14	84		
RCO707307	uncharacterized protein	14	87	937,97	33,50
RCO708541	probable enoyl-CoA hydratase, mitochond	8	58		
RCO709265	probable coronin	15	101		
RCO704397	related to aldehyde dehydrogenase	10	72		
RCO710632	uncharacterized protein	15	104	987,91	33,37
RCO703547	probable Probable alpha-galactosidase B	10	44	340,53	29,08
RCO710216	related to GAL10 - UDP-glucose 4-epimera	7	66		
RCO704909	26S proteasome non-ATPase regulatory s	10	55		
RCO711355	related to epoxide hydrolase	7	44		
RCO704169	probable ubiquinol-cytochrome c reductas	3	28		
RCO701465	related to UPF0613 protein PB24D3.06c	6	42		
RCO708069	uncharacterized protein	6	31		
RCO701695	probable ran GTPase activating protein 1	9	64		
RCO705907	uncharacterized protein	8	77	139,01	19,34
RCO710939	uncharacterized protein	8	35	233,60	33,13
RCO704283	probable 3-oxoacyl-[acyl-carrier-protein] r	7	114		
RCO700906	related to SCJ1 protein	8	34		
RCO701369	uncharacterized protein	3	56	274,61	33,07
RCO709949	uncharacterized protein	8	40		
RCO707818	related to TATA-binding protein associate	8	55		
RCO708351	probable mitochondrial import inner mem	2	12		
RCO707255	related to serine protease	11	67	470,97	32,97
RCO704020	non-specific lipid-transfer protein	8	35		
RCO701254	probable cytochrome b5	3	20	55,75	32,94
RCO705830	probable small nuclear ribonucleoprotein	3	4		
RCO700818	mitogen-activated protein kinase 13	8	64		
RCO707798	arginase	7	55		
RCO700165	translation machinery-associated protein 7	4	28		
RCO706195	related to FK506-binding protein 4	12	105		

RCO709109	related to translation elongation factor eE	22	134		
RCO706086	probable HTS1 - histidine--tRNA ligase, m	14	90		
RCO708557	probable ribosomal protein L10a.e, cytosc	7	103		
RCO706331	uncharacterized protein	6	32		
RCO700495	related to single-stranded DNA binding pr	3	16		
RCO710214	acyl-CoA dehydrogenase	11	78		
RCO705505	related to DUF718 domain protein	3	28		
RCO705559	probable YKT6 - SNARE protein for Endop	4	34		
RCO706132	probable sorbitol dehydrogenase	7	45		
RCO700567	related to FMN-dependent 2-nitropropane	7	52		
RCO708114	uncharacterized protein	42	1633	11288,25	30,30
RCO704797	26S proteasome regulatory subunit RPN7	8	51		
RCO711431	related to BNR/Asp-box repeat domain pr	8	37	167,61	32,55
RCO709068	related to BNR/Asp-box repeat domain pr	7	34	202,50	32,55
RCO705701	probable multidrug resistance protein	8	57		
RCO701743	probable mitochondrial import receptor su	4	16		
RCO703793	related to mysoin heavy chain proteins	14	111		
RCO707770	probable cinnamyl alcohol dehydrogenase	8	38		
RCO700582	probable 60S ribosomal protein L32	5	48		
RCO700493	probable 3-hydroxyisobutyryl-CoA hydrola	12	55		
RCO704129	related to p24 protein, involved in membr	5	36		
RCO707954	related to endoglucanase I precursor	6	44	361,44	32,40
RCO707531	probable histone H2A F/Z family member	2	40		
RCO701871	related to Gbp2p	15	112		
RCO705997	probable tyrosyl-tRNA synthetase	10	87		
RCO701200	uncharacterized protein	5	31		
RCO701054	probable component of translocase of the	1	12		
RCO702925	probable electron transfer flavoprotein sul	7	58		
RCO708875	uncharacterized protein	17	103	1435,85	32,24
RCO707844	60S ribosomal protein L13	8	50		
RCO706148	uncharacterized protein	3	20		
RCO711675	related to D.melanogaster troponin T and	10	82		
RCO711313	related to protein kinase C inhibitor-I	5	29		
RCO706458	2,5-dichloro-2,5-cyclohexadiene-1,4-diol c	6	31		
RCO706628	uncharacterized protein	5	30		
RCO700278	uncharacterized protein	5	93	534,26	31,97
RCO707957	related to CTA1 - catalase A, peroxisomal	12	74		
RCO703981	probable Alpha-L-arabinofuranosidase pre	10	58	579,97	31,86
RCO704613	related to dehydrogenases and related pr	9	43		
RCO702108	uncharacterized protein	4	57	261,58	26,01
RCO705147	probable 3-hydroxybutyryl-CoA dehydroge	6	42		
RCO710185	uncharacterized protein	11	70	443,68	31,68
RCO705833	saccharopine dehydrogenase	9	46		
RCO704581	probable transcription regulator (RTG2)	14	122		
RCO700103	probable ornithine aminotransferase	9	40		
RCO707497	probable branching enzyme (be1)	15	137		
RCO706862	probable KES1 - involved in ergosterol bio	7	38		
RCO711566	uncharacterized protein	7	55	395,79	31,55
RCO702613	probable CDC28 - cyclin-dependent protei	8	45		
RCO701036	60S ribosomal protein L18	5	60		
RCO704310	probable 60S ribosomal protein L19	9	82		
RCO704271	related to disrupter of telomere silencing p	7	37		
RCO709153	BfCon[1562] membrane component of ER	2	12		
RCO700724	related to FK506-binding protein 2 precur	5	146	697,88	31,39
RCO709587	related to cyclopropane-fatty-acyl-phosph	12	71		

RCO703440	probable ornithine carbamoyltransferase p	7	47	135,94	27,32
RCO710046	related to RNA-binding protein Y14	3	21		
RCO701362	uncharacterized protein	5	46		
RCO700463	probable glucan 1,4-alpha-maltohexaosida	12	76		
RCO707500	probable GTP-binding protein Drab11	4	17		
RCO704862	probable sulfite reductase flavoprotein co	20	108		
RCO700271	probable 40S ribosomal protein S25	5	44		
RCO705349	probable glycine--tRNA ligase GRS1	15	128		
RCO704550	probable aspergillopepsin A precursor	9	39	495,80	25,71
RCO700177	probable carnitine/acyl carnitine carrier	9	51		
RCO702100	related to putative alpha-L-fucosidase pre	15	114	1005,41	28,65
RCO705467	related to RPN5 - subunit of the regulator	10	89		
RCO711478	related to carboxypeptidase A	7	31		0,00
RCO709133	probable alpha-1,2-mannosidase family p	18	160	640,25	30,65
RCO709493	related to endoglucanase	17	92	660,18	30,62
RCO703541	related to AGA1 A-agglutinin anchor subu	7	33	374,10	30,60
RCO704639	uncharacterized protein	1	2		
RCO705065	probable argininosuccinate lyase	12	72		
RCO707185	related to isoamyl alcohol oxidase	15	66	634,51	30,52
RCO702662	uncharacterized protein	3	20	128,67	25,50
RCO706584	probable negative growth regulatory prot	8	60	54,85	3,13
RCO701810	related to NADH2 dehydrogenase (ubiquin	2	20		
RCO700694	related to Cupin domain protein	5	17		
RCO701109	probable VACUOLAR ATP SYNTHASE SUB	3	17		
RCO700827	related to lincomycin-condensing protein l	12	101		
RCO700805	uncharacterized protein	3	16	105,53	30,17
RCO710127	related to cellobiose dehydrogenase	20	101	729,21	28,09
RCO703603	related to deacetylase	5	26	220,50	30,13
RCO706885	probable aminomethyltransferase, mitoch	8	36		
RCO700053	related to aerobactin siderophore biosynth	10	48		
RCO708981	related to Glc8 protein	6	29		
RCO706374	related to ubiquitin-specific protease 7	12	62		
RCO711240	uncharacterized protein	15	66		
RCO704221	related to syntaxin 12	5	40		
RCO700903	probable NADH dehydrogenase flavoprote	7	40	107,18	5,05
RCO701180	related to coatomer epsilon subunit	8	64		
RCO705414	related to laccase precursor	11	51	234,14	29,88
RCO702614	related to FMN1 - Riboflavin kinase	6	19		
RCO702307	related to CPS1 - gly-X carboxypeptidase	13	72		
RCO711454	related to actin cytoskeleton organization	8	41		
RCO701235	actin-6	7	67		
RCO701832	probable NADH-ubiquinone oxidoreductas	4	24		
RCO710679	related to Probable exopolygalacturonase	8	65	566,69	25,97
RCO702165	probable ascorbate peroxidase	9	48		
RCO704747	probable 26S proteasome regulatory subu	7	64		
RCO709317	probable ribosomal protein L24.e.A, cytos	7	48		
RCO703715	related to GNAT family acetyltransferase	3	11		
RCO700869	uncharacterized protein	9	66		
RCO704040	related to laccase precursor	11	71	591,25	29,51
RCO701947	40S ribosomal protein S26E	3	42		
RCO706560	probable Arp2/3 protein complex subunit	8	56		
RCO708528	related to Endo-1,4-beta-xylanase C	10	50	394,46	29,46
RCO706823	probable SEC13 - protein transport protei	5	39		
RCO707748	related to pyruvate dehydrogenase compl	9	51		
RCO705710	related to serine/threonine-protein kinase	11	115		

RCO702557	related to cell wall protein PhiA	5	115	707,36	29,41
RCO709038	uncharacterized protein	5	39	249,03	29,41
RCO706209	probable 3-oxoacyl CoA thiolase	7	71		
RCO707028	probable DELTA(24)-STEROL C-METHYLT	8	41		
RCO702823	related to aminopeptidase	6	49		
RCO703468	related to SEC31 protein	24	195		
RCO708332	probable trehalose-6-phosphate phosphat	15	84		
RCO710782	related to putative protein	7	52	420,38	29,33
RCO703501	related to ACYL-COA DEHYDROGENASE, I	11	73		
RCO704145	probable DUF431 domain protein	5	31		
RCO705360	Eukaryotic translation initiation factor 3 su	9	64		
RCO705687	related to aldehyde dehydrogenase	8	29		
RCO701124	related to hexamer-binding protein HEXBP	6	57		
RCO708837	uncharacterized protein	7	45		
RCO703812	related to FSH2 Serine hydrolase that loca	5	29		
RCO701511	probable ubiquitin-protein ligase	2	8		
RCO709541	probable aspartyl aminopeptidase	8	48		
RCO704078	related to aconitate hydratase precursor	12	58		
RCO711166	uncharacterized protein	3	28		
RCO703935	related to Y.lipolytica glyoxylate pathway	4	17		
RCO704715	related to endoglucanase	7	44	394,04	28,85
RCO701094	uncharacterized protein	4	28	237,17	28,83
RCO707170	probable mRNA cleavage factor I subunit	5	52		
RCO710592	related to coactosin	3	25		
RCO703505	probable translin	3	16		
RCO705110	calcineurin regulatory subunit B	3	16		
RCO704471	probable GMP synthase	12	59		
RCO706054	probable proteasome endopeptidase com	6	60		
RCO710814	related to aspartate aminotransferase	12	76		
RCO706884	related to vacuolar ATP synthase subunit	12	61		
RCO701361	histone-arginine methyltransferase CARM1	9	44		
RCO701449	related to mitochondrial import protein MI	11	39		
RCO708805	uncharacterized protein	7	52		
RCO709365	probable translation release factor erf3	15	89		
RCO707884	probable VpsA protein	13	92		
RCO702794	neuronal calcium sensor	4	42		
RCO710775	probable Leukotriene A-4 hydrolase homo	13	80	44,27	2,11
RCO710025	related to ATP synthase subunit 9, mitoch	1	67		
RCO707295	uncharacterized protein	3	12		
RCO707654	related to metalloproteinase	16	103		
RCO706356	probable glucokinase GLK1	10	61		
RCO707495	probable cytochrome c oxidase subunit V	3	41		
RCO703455	probable 60S ribosomal protein L15	8	84		
RCO707079	related to oligosaccharyltransferase 48K s	10	56		
RCO710644	related to endothelin-converting enzyme 1	17	106	185,56	17,88
RCO706442	probable amidophosphoribosyltransferase	9	45		
RCO701861	related to interferon-induced double-stran	11	54		
RCO707080	related to NADH2 dehydrogenase (ubiquin	3	18		
RCO708621	related to extracellular serine-rich protein	12	103	390,90	19,71
RCO700576	related to serine protease	9	85	226,64	15,98
RCO710008	uncharacterized protein	2	5	123,21	27,88
RCO704647	related to NADH dehydrogenase 17.8K ch	4	37		
RCO707402	uncharacterized protein	16	71		
RCO703937	probable NRPS-like enzyme	24	140		
RCO708535	related to Ypt-interacting protein YIP2	4	24		

RCO710268	probable Centromere/microtubule-binding	11	82		
RCO707159	related to TWF1 - twinfilin, an actin mono	5	31	20,47	5,78
RCO708929	related to GPI anchored cell wall protein	6	18	171,65	14,69
RCO700986	probable translation initiation factor eIF-2	8	68		
RCO705089	isoleucyl-tRNA synthetase	19	89		
RCO709349	related to RNA annealing protein	7	60		
RCO700013	uncharacterized protein	2	10		
RCO711007	uncharacterized protein	4	17	109,21	27,68
RCO708785	probable Adenylosuccinate synthetase	8	52		
RCO709999	probable protein kinase ck2 catalytic subu	6	50		
RCO711287	probable oxidoreductase	5	25		
RCO705623	probable histidine biosynthesis trifunctiona	16	113		
RCO704999	probable TIM17 - mitochondrial inner mer	2	16		
RCO706418	malate synthase	12	58		
RCO702060	related to peroxiredoxin 5, mitochondrial p	3	12		
RCO711413	related to toxD gene	7	36		
RCO705735	thioredoxin reductase	5	44		
RCO703489	uncharacterized protein	3	16		
RCO707342	uncharacterized protein	4	28	56,60	27,42
RCO709819	probable conserved protein/domain typica	5	19		
RCO704337	related to glutamate-5-semialdehyde dehy	7	37		
RCO700948	related to beta-glucosidase	17	116		
RCO703634	related to purine nucleoside permease	6	21	271,61	17,70
RCO709836	uncharacterized protein	5	35	296,91	27,31
RCO702158	proteasome component PRE4	5	67		
RCO705592	probable glyoxylate reductase	6	33		
RCO700089	related to CUE5 Protein containing a CUE	10	84		
RCO705251	related to DUF410 domain protein	6	44		
RCO710146	uncharacterized protein	18	123	843,41	27,25
RCO703181	probable Metacaspase-1A	5	50		
RCO704460	probable acyl-CoA dehydrogenase short-b	8	62		
RCO701999	probable beta karyopherin	17	140		
RCO703113	related to signal recognition particle 68 kD	11	80		
RCO702233	probable 20S proteasome subunit C1	8	73		
RCO700522	alcohol dehydrogenase	10	72		
RCO704160	related to BCAS2 family protein	2	10		
RCO702342	uncharacterized protein	2	28	38,62	11,02
RCO705327	probable HYR1 - glutathione peroxidase	6	49		
RCO706036	uncharacterized protein	7	39	164,88	27,07
RCO700950	probable retinol dehydrogenase 14	6	45		
RCO704789	uncharacterized protein	3	34	212,60	26,97
RCO704312	related to carboxypeptidase	8	86	300,41	20,52
RCO703151	probable eukaryotic translation initiation f	20	128		
RCO704163	uncharacterized protein	10	81	351,37	23,33
RCO710665	related to 60S ribosomal protein L27	8	86		
RCO703828	related to phosphoglycerate mutase famil	2	23	318,77	26,90
RCO704619	Eukaryotic translation initiation factor 3 su	11	73		
RCO708734	uncharacterized protein	2	14	47,94	5,09
RCO707597	related to zinc finger protein GLO3	10	62		
RCO708508	probable ribosomal protein L23a, cytosolic	6	61		
RCO706904	60S ribosomal protein L35	5	38		
RCO711648	probable threonine-tRNA ligase, cytosolic	19	137		
RCO705439	related to cat eye syndrome critical regior	9	42		
RCO706717	related to multifunctional beta-oxidation p	7	68		
RCO706084	probable Ca2+/calmodulin-dependent kin	7	48		

RCO707771	probable glucan 1,3-beta-glucosidase	13	126	1021,35	23,95
RCO709089	related to oxysterol-binding protein	24	124		
RCO702211	uncharacterized protein	5	32	64,27	18,18
RCO710878	probable mitochondrial carrier protein AR/	13	79		
RCO708580	probable RNase L inhibitor	12	97		
RCO700491	probable dihydroxyacetone kinase	9	55		
RCO705069	probable COQ5 - ubiquinone biosynthesis,	4	24		
RCO711259	probable RUVB-like protein	9	56		
RCO709758	uncharacterized protein	6	36		
RCO704574	probable Deoxyhypusine hydroxylase	6	25		
RCO700932	probable VPS29 - involved in vacuolar pro	3	25		
RCO703399	related to dehydrogenases and related pr	5	37		
RCO708435	related to ER glucosidase I	14	88		
RCO702020	related to NADH-ubiquinone oxidoreducta	2	24		
RCO703348	related to rRNA processing protein	3	14		
RCO709906	uncharacterized protein	2	12		
RCO706652	related to endoplasmic reticulum translocı	5	48		
RCO710613	related to endoglucanase I precursor	5	23	236,98	25,93
RCO706757	uncharacterized protein	3	72	258,71	25,93
RCO701531	uncharacterized protein	3	70	677,61	25,93
RCO703365	related to histone H1-binding protein	9	36		
RCO700057	probable ATPase get3	8	88		
RCO702417	succinate-semialdehyde dehydrogenase	9	57		
RCO708111	related to carboxypeptidase	10	36	239,58	20,84
RCO708083	probable aldo/keto reductase family prote	6	44		
RCO709605	probable Ribosome biogenesis protein ytn	8	44		
RCO708985	uncharacterized protein	8	56		
RCO710728	probable homoserine O-acetyltransferase	7	49		
RCO704117	uncharacterized protein	6	44		
RCO700847	related to ZZ type zinc finger domain prot	13	86		
RCO702860	probable histidinol-phosphate transaminas	7	55		
RCO710439	related to S.fumigata Asp FII	7	119		
RCO706090	methylmalonate-semialdehyde dehydroge	11	69		
RCO701637	uncharacterized protein	3	24	263,94	25,39
RCO704419	26S proteasome regulatory subunit RPN1	14	124		
RCO708917	uncharacterized protein	6	35		
RCO710338	uncharacterized protein	4	40	241,64	25,29
RCO704394	related to aldehyde reductase II	7	35		
RCO708529	probable importin-alpha export receptor	16	92		
RCO704742	related to mitochondrial ribosomal protein	3	16		
RCO700353	related to DSBA-like thioredoxin domain p	5	25		
RCO710269	related to translation initiation factor eIF-	26	182	61,98	2,94
RCO704012	related to Leucine aminopeptidase 2	8	40		
RCO703038	related to aldose 1-epimerase	6	41	565,30	25,19
RCO702037	uncharacterized protein	6	23		
RCO706915	uncharacterized protein	13	111		
RCO708855	probable nadh-ubiquinone oxidoreductase	4	24		
RCO700896	uncharacterized protein	2	82		
RCO711120	probable conserved mitochondrial protein	4	24		
RCO701700	uncharacterized protein	1	4		
RCO706615	probable flavoprotein wrbA	3	48		
RCO704056	probable IN2-2 protein	7	43		
RCO706363	uncharacterized protein	8	38	416,96	24,84
RCO708258	probable TPS1 - alpha,alpha-trehalose-ph	10	82		
RCO706438	related to chitin biosynthesis protein CHS	6	31		

RCO708943	uncharacterized protein	2	8	55,99	24,71
RCO700952	uncharacterized protein	5	64		
RCO700041	probable lactoylglutathione lyase	7	50		
RCO704453	related to U2 snRNP protein A`	3	20		
RCO711323	related to acetylxylan esterase precursor	6	99	672,84	24,60
RCO701445	related to protein phosphatases	7	66		
RCO701936	uncharacterized protein	9	59		
RCO708427	related to Rossmann fold nucleotide-bindi	4	26		
RCO702784	related to PDC1 - Pyruvate decarboxylase	12	71		
RCO704738	uncharacterized protein	3	20		
RCO707031	uncharacterized protein	1	4		
RCO701470	probable N-acetylgalactosamine kinase	8	62		
RCO709503	probable beta-glucosidase 1 precursor	15	138	582,61	15,18
RCO706767	uncharacterized protein	5	26	199,35	24,38
RCO700336	probable alternative NADH-dehydrogenas	9	56		
RCO705725	probable glutaminase GtaA	12	94	791,76	24,27
RCO702772	uncharacterized protein	4	28	203,16	20,43
RCO709472	related to translation initiation factor 4e	3	37		
RCO700368	related to pectinesterase precursor	5	27	347,31	24,21
RCO710165	uncharacterized protein	3	13		
RCO701939	40S ribosomal protein S20	3	18		
RCO702926	related to nucleosome remodeling comple	12	68		
RCO711646	probable GUT1 - glycerol kinase	9	54		
RCO709168	uncharacterized protein	4	20		
RCO709172	probable GTP-binding protein rac1	4	32		
RCO701321	protein pyrABCN	37	185		
RCO700991	probable EMI5 Protein required for transc	5	26		
RCO707645	related to gibberellin 20-oxidase	8	36		
RCO707706	related to NAD dependent epimerase/deh	5	32		
RCO706923	probable coatomer complex beta chain	18	133		
RCO707407	probable suppressor protein of mitochond	5	44		
RCO708704	related to vacuolar aspartyl aminopeptida	10	68		
RCO704284	related to N-terminal acetyltransferase co	4	23		
RCO707797	uncharacterized protein	6	29	172,97	23,87
RCO704895	vacuolar ATP synthase subunit d 1	6	25		
RCO704270	probable NADH dehydrogenase (ubiquino	4	28		
RCO703167	related to regulator of mitochondrial iron	3	17		
RCO710926	uncharacterized protein	7	33		
RCO703331	probable Mitotic-spindle organizing protei	1	4		
RCO709740	related to epoxide hydrolase	5	29		
RCO705885	probable competence/damage-inducible p	3	28		
RCO707397	related to long-chain-fatty-acid--CoA ligas	10	79		
RCO701907	probable L-xylulose reductase	3	12		
RCO707763	related to SUC2 - invertase (sucrose hydr	10	92	468,47	22,17
RCO702061	related to BNR/Asp-box repeat domain pr	5	17	277,96	15,97
RCO701274	probable serine/threonine protein kinase	6	33		
RCO706707	probable IN2-2 protein	7	33		
RCO705358	uncharacterized protein	3	9	95,19	14,20
RCO704943	related to ADH4 - alcohol dehydrogenase	6	21		
RCO704147	related to MYG1 protein	6	45		
RCO700819	uncharacterized protein	4	57	396,49	23,38
RCO710670	allantoicase	7	37		
RCO701811	probable dihydrolipoamide S-succinyltrans	7	67		
RCO706955	probable methylcrotonoyl-CoA carboxylas	9	52		
RCO701199	uncharacterized protein	3	41	199,05	23,34

RCO707065	uncharacterized protein	7	36	254,10	23,33
RCO704741	probable NADH-ubiquinone oxidoreductas	2	12		
RCO700229	probable glutamate decarboxylase	10	66	74,14	4,84
RCO711065	related to Probable tripeptidyl-peptidase S	9	62	433,44	17,63
RCO708266	probable COPII coated vesicle component	15	92		
RCO710277	related to PRO3 - delta 1-pyrroline-5-carb	4	37		
RCO702348	related to alpha glucosidase II beta subur	13	63		
RCO709410	uncharacterized protein	4	16	204,97	23,16
RCO702268	probable glycogen debranching enzyme	25	165		
RCO707615	related to 2-haloalkanoic acid dehalogena	3	13		
RCO704528	probable Ras-related protein Rab-6A	4	42		
RCO701241	uncharacterized protein	5	85	1054,62	23,06
RCO707823	probable acetyl xylan esterase (Axe1)	4	48	225,06	23,03
RCO703476	related to AraC-like ligand binding domain	3	20		
RCO700970	probable cellulase precursor	5	25	186,03	23,01
RCO700023	related to translocation protein	3	24		
RCO700940	related to Cyclohexadienyl dehydratase	5	21	135,75	22,97
RCO705176	related to senescence marker protein 30	5	36		
RCO701331	probable anthranilate phosphoribosyltrans	6	43		
RCO704512	isopentenyl-diphosphate Delta-isomerase	3	32		
RCO709126	probable hydrolase related to dienelacton	4	23		
RCO705465	uncharacterized protein	5	32		
RCO703588	probable thioredoxin	4	29	96,06	16,20
RCO706213	probable CTP synthase	7	42		
RCO704143	probable mRNA export protein (contains \	6	44		
RCO707780	probable gamma-adaptin precursor	10	68		
RCO704416	NADPH-cytochrome P450 reductase	10	41		
RCO703602	related to hydrolase (HAD superfamily)	3	12		
RCO703697	uncharacterized protein	5	25		
RCO705236	probable urate oxidase (uricase)	4	14		
RCO706740	probable PEP8 - vacuolar protein sorting/t	4	30		
RCO711159	probable homogentisate 1,2-dioxygenase	6	24		
RCO701772	uncharacterized protein	2	12	59,07	22,35
RCO710080	probable GTPase Rab7	4	22		
RCO709702	uncharacterized protein	2	17		
RCO707544	probable PHO88 (involved in phosphate tr	3	19		
RCO703417	probable Methionine aminopeptidase 2 ho	6	40		
RCO708646	related to potential regulatory subunit for	6	48		
RCO704335	probable single-stranded DNA-binding pro	7	29		
RCO704448	related to nucleoside-diphosphate-sugar e	5	32		
RCO701243	uncharacterized protein	20	89	29,39	2,98
RCO710138	related to stress response protein rds1p	3	17	37,96	9,65
RCO700066	imidazole glycerol phosphate synthase his	8	41		
RCO709303	uncharacterized protein	5	33		
RCO702119	probable valine--tRNA ligase	15	104		
RCO709931	uncharacterized protein	6	36		
RCO711649	uncharacterized protein	4	16		
RCO711582	related to glutamyl-tRNA(Gln) amidotrans	6	31		
RCO709641	probable NADH-ubiquinone oxidoreductas	3	24		
RCO705342	related to GTP cyclohydrolase II	9	52		
RCO711585	related to protein kinase 1	19	183		
RCO710735	related to vacuolar protein sorting-associa	8	50		
RCO702442	related to alpha-galactosidase precursor	6	22	390,26	21,84
RCO702193	related to RNA and export factor binding p	5	36		
RCO702596	related to chromatin-associated swi6 prot	4	29		

RCO708771	probable Yippee-type zinc-binding protein	2	8		
RCO709218	related to nucleoside-diphosphate-sugar e	4	28		
RCO705174	probable transcriptional repressor rco-1	9	54		
RCO707912	probable HAT2 - subunit of the major yea	7	44		
RCO701632	related to D-ribulokinase	8	54		
RCO700807	related to polyadenylate-binding protein 2	3	21		
RCO703811	related to polyketide synthase	32	162		
RCO707141	related to threonine aldolase	7	28		
RCO702448	uncharacterized protein	2	8		
RCO706902	uncharacterized protein	2	8		
RCO701603	uncharacterized protein	8	39		
RCO703984	uncharacterized protein	5	30		
RCO703272	related to aldose 1-epimerase	5	42	117,42	13,48
RCO700762	related to putative snare protein syn	5	44		
RCO709771	uncharacterized protein	3	13		
RCO702175	related to bifunctional 4-hydroxyphenylac	3	25		
RCO707878	probable opsin-1	3	37		
RCO709735	probable glutaminase A	11	45	286,00	21,33
RCO707696	related to O-methyltransferase	7	31		
RCO705712	uncharacterized protein	1	4	67,77	21,31
RCO703078	probable small nuclear ribonucleoprotein I	3	24		
RCO711369	probable biotin synthase	5	30		
RCO709776	cell division control protein 42 precursor	3	20		
RCO701579	related to IAH1 Isoamyl acetate hydrolytic	4	24		
RCO703649	probable RPN2 - 26S proteasome regulato	17	126		
RCO704316	probable NADPH-dependent beta-ketoacy	4	32		
RCO708386	probable UDP-glucose:glycoprotein glucos	19	103		
RCO708341	uncharacterized protein	4	33		
RCO704458	probable proline-tRNA ligase	8	57		
RCO702437	related to MUC1 Extracellular alpha-1,4-gl	12	95		
RCO710989	related to rhamnogalacturonate lyase pre	11	50	378,47	17,65
RCO705160	related to TOM complex component Tom7	1	12		
RCO703796	Elongation factor G, mitochondrial	10	55		
RCO703170	probable leucine--tRNA ligase, cytosolic	14	118		
RCO705317	related to iron/ascorbate family oxidoredu	6	43		
RCO701225	probable Putative mitochodrial aminopept	7	37		
RCO710582	related to tetratricopeptide repeat protein	10	51		
RCO701717	related to dimeric dihydrodiol dehydrogen	5	31		
RCO711402	uncharacterized protein	3	29	185,87	20,60
RCO706737	uncharacterized protein	8	61		
RCO708728	related to PHO11 - secreted acid phospha	8	39	264,87	20,57
RCO703266	related to pectinesterase precursor	5	39	297,01	20,57
RCO707779	uncharacterized protein	10	57		
RCO704197	probable cat eye syndrome critical region	6	29		
RCO700652	probable porphobilinogen deaminase	4	18		
RCO708016	uncharacterized protein	4	22		
RCO704882	probable NsfA protein	13	90		
RCO702518	uncharacterized protein	7	49		
RCO710097	related to MKT1 protein	13	86		
RCO703160	related to D.melanogaster heat shock pro	1	2		
RCO702197	related to PEX4 - E2 ubiquitin-conjugating	2	8		
RCO704429	related to lipase/esterase	4	13		
RCO709443	uncharacterized protein	2	20		
RCO703565	probable ferrochelatase	6	32		
RCO707235	related to fructose-bisphosphate aldolase	3	21		

RCO703997	related to nitrilases, putative pseudogene	5	21		
RCO704304	probable vacuolar-sorting protein SNF7	4	15		
RCO708774	related to translation initiation factor CluA	17	74		
RCO707914	related to centractin (ARP1)	9	64		
RCO707465	uncharacterized protein	3	22		
RCO700814	probable carboxypeptidase Y precursor	6	35	516,30	20,18
RCO704174	related to inhibitor of calcineurin	3	22		
RCO709067	related to snRNP protein	1	24		
RCO705639	related to cytidine deaminase	1	5		
RCO709854	probable developmentally regulated GTP-l	4	20		
RCO704765	related to flavin oxidoreductase	7	31		0,00
RCO700529	related to non-snRNP spliceosome compo	6	35		
RCO706113	probable HCR1 Component of translation	5	48		
RCO700759	probable methionine synthase II (cobalam	5	32		
RCO703432	2-succinylbenzoate-CoA ligase	8	52		
RCO705792	uncharacterized protein	5	25		
RCO711074	related to ERP2 - p24 protein involved in	3	12		
RCO707936	related to nicotianamine synthase	3	12		
RCO704530	probable sulfite reductase hemoprotein be	16	76		
RCO703525	uncharacterized protein	3	13	185,53	19,94
RCO701848	probable Metacaspase-1	5	27		
RCO703970	probable ILV1 - anabolic serine and threo	8	52		
RCO702507	probable peroxisomal amine oxidase (cop	8	36		
RCO703770	uncharacterized protein	3	13		
RCO711597	probable splicing factor U2AF subunit	6	42		
RCO701668	uncharacterized protein	4	15		
RCO700927	probable nuclear export factor CRM1	17	126		
RCO711349	probable Probable Xaa-Pro aminopeptidas	8	44		
RCO708120	uncharacterized protein	2	9	88,09	19,69
RCO700447	related to phosphoserine phosphatase	3	16		
RCO702850	related to Protease prtS	8	57		
RCO702276	related to endo-1,6-alpha-D-mannanase	5	18	238,99	19,61
RCO703693	related to acid proteinase PEPI precursor	7	68	62,33	5,65
RCO707030	probable glycine decarboxylase P subunit	14	68		
RCO711316	probable GAS1 Glycophospholipid-anchore	10	110	637,28	19,49
RCO708548	probable matrix AAA protease MAP-1 (mit	13	61		
RCO704090	related to (VAMP)-associated protein	4	40		
RCO706964	uncharacterized protein	5	37		
RCO705714	probable suppressor of mrs2-1 mutation	6	24		
RCO700175	related to glycinamide ribonucleotide tran	3	11		
RCO700855	uncharacterized protein	3	12		
RCO706338	probable 2-isopropylmalalate synthase	6	29		
RCO701980	related to eukaryotic translation initiation	8	49		
RCO704490	uncharacterized protein	4	32		
RCO703784	related to alpha-L-rhamnosidase A	9	35	161,49	13,89
RCO709253	related to extracellular cellulase CelA/aller	2	16		
RCO704679	probable RPE1 - D-ribulose-5-phosphate 3	2	26		
RCO711167	related to syntaxin 8	3	6		
RCO704576	uncharacterized protein	8	67		
RCO702901	probable ubiquitin-conjugating enzyme E2	1	7		
RCO700546	related to PDR16 protein	5	17		
RCO703860	related to DnaJ-like protein	6	48		
RCO701104	probable BNA3 - Arylformamidase	5	22		
RCO702129	uncharacterized protein	5	22		
RCO701287	probable 3-ketoacyl-CoA thiolase B	4	33		

RCO708202	related to 40S ribosomal protein S28	3	36		
RCO703142	related to thioesterase family protein	3	12		
RCO703104	related to pathogenesis-related protein Nt	3	16		
RCO707800	uncharacterized protein	7	26		
RCO704173	probable DNA-directed RNA polymerase I	3	13		
RCO702659	related to acetylcholinesterase precursor	5	45	235,81	13,48
RCO708796	uncharacterized protein	1	4		
RCO705720	probable xylulose-5-phosphate phosphoke	12	76		
RCO701326	related to DNA-directed RNA polymerase	1	8		
RCO703820	uncharacterized protein	6	91	419,28	18,90
RCO707571	related to phosphatidylglycerol/phosphati	3	16	59,75	18,86
RCO708334	uncharacterized protein	2	8	117,34	18,86
RCO709653	related to cylicin I	3	20		
RCO703352	probable TRP2 Anthranilate synthase com	5	48		
RCO703025	related to uncharacterized integral membr	4	44		
RCO709256	probable 54S ribosomal protein L12, mito	2	40		
RCO709693	probable ribose-5-phosphate isomerase	4	17		
RCO704409	related to nuclease S1 precursor	3	17		
RCO706155	related to ERV46 - component of copii ves	6	48		
RCO711184	related to 4-carboxymuconolactone decar	3	16	35,40	10,94
RCO704493	related to NUP49 Nuclear pore protein	4	21		
RCO708651	related to isoflavone reductase family prot	4	24		
RCO707222	related to translation initiation factor eIF5	7	34		
RCO700179	uncharacterized protein	6	28		
RCO710902	related to Endoglucanase 1	5	21	169,96	18,66
RCO701574	uncharacterized protein	5	25	101,78	18,62
RCO709775	related to agmatinase	6	44		
RCO700100	uncharacterized protein	4	18		
RCO704343	related to ubiquitin thiolesterase	11	52		
RCO706643	probable mitochondrial integral membran	8	44		
RCO705822	uncharacterized protein	3	12		
RCO709114	probable methylcitrate synthase	8	58		
RCO708525	related to DNA-directed RNA polymerase	2	8		
RCO708419	probable zinc-binding alcohol dehydrogen	5	36		
RCO702065	probable succinyl-CoA:3-ketoacid-coenzyr	5	28		
RCO707450	related to SCD6 - suppressor of clathrin d	7	32		
RCO704004	related to deoxyribonuclease	4	16		
RCO702642	related to bifunctional 4-hydroxyphenylac	3	30		
RCO703845	probable Putative DNA repair protein	2	6		
RCO704977	uncharacterized protein	15	96		
RCO704961	related to beta (1-3) glucanosyltransferas	4	41	295,53	18,48
RCO706517	related to secreted dipeptidyl-peptidase V	11	40	664,21	18,46
RCO703219	related to acid phosphatase Pho610	5	24	182,78	18,43
RCO702805	related to tRNA (cytosine-5-)-methyltrans	12	76		
RCO706861	related to dihydrodipicolinate synthetase	3	36		
RCO700657	related to TBP (TATA-binding protein) -int	16	94		
RCO702999	related to RNA-binding protein La1	6	53	33,81	3,16
RCO701644	related to aldehyde reductase II	6	44		
RCO707484	probable ubiquitin fusion-degradation prot	4	21		
RCO709342	probable zinc finger protein ZPR1	6	35		
RCO706176	uncharacterized protein	3	46	174,01	18,29
RCO700749	probable starvation sensing protein rspA	4	35		
RCO710886	related to Extracellular metalloproteinase	9	44	208,31	16,27
RCO701230	probable 12-oxophytodienoate reductase	5	29		
RCO704980	related to levodione reductase	4	28		

RCO707356	related to RNA helicase MSS116	6	31		
RCO703077	related to importin MTR10	10	67		
RCO708119	uncharacterized protein	5	24		
RCO708479	uncharacterized protein	1	1		
RCO706805	related to oocyte membrane protein	5	35	83,92	4,15
RCO711452	related to Endo-1,4-beta-xylanase A	2	5	44,42	18,10
RCO706603	related to cytochrome b2, mitochondrial	6	26		
RCO703362	related to peroxisomal phytanoyl-CoA hyd	3	25		
RCO703027	uncharacterized protein	1	23		
RCO709318	related to lysophospholipase	3	20		
RCO711678	uncharacterized protein	9	57		
RCO703044	probable DNA-directed RNA polymerases	3	20		
RCO706471	related to meiotic expression up-regulatec	3	16		
RCO703960	probable NMT1 - N-myristoyltransferase	7	51		
RCO707581	related to 54S ribosomal protein L4, mitoc	4	25		
RCO706070	related to apoptotic cell death regulator D	1	4		
RCO700046	probable protein tag-253	4	28		
RCO707672	probable Putative protein-tyrosin-phospha	2	12		
RCO702171	related to PRP39 - pre-mRNA splicing fact	10	42		
RCO709055	probable 40S ribosomal protein S30.e, cyt	2	16		
RCO704198	probable glucosidase I	13	114		
RCO707025	related to zuotin	12	111		
RCO706914	related to surfeit locus protein 4	3	48		
RCO706526	related to beta-tubulin binding protein	1	4		
RCO706632	uncharacterized protein	2	9	46,08	17,65
RCO702877	uncharacterized protein	3	12		
RCO707863	related to ribonucleases	5	22	206,16	17,59
RCO711412	related to taurine catabolism dioxygenase	5	24		
RCO703192	probable fructose-2,6-bisphosphate 2-phc	5	36		
RCO700106	related to endo alpha-1,4 polygalactosam	3	22		
RCO705490	probable ISD11 Iron-Sulfur protein bioger	2	9		
RCO704740	related to cutinase negative acting protein	7	50		
RCO706637	related to copper transport protein	3	15		
RCO709396	probable beta (1-3) glucanosyltransferase	7	72	257,21	17,46
RCO703283	uncharacterized protein	2	8	45,94	17,46
RCO707827	related to branch point bridging protein (M	7	50		
RCO709782	uncharacterized protein	7	50		
RCO706750	related to haloacetate dehalogenase H-1	3	20		
RCO702920	related to short-chain alcohol dehydrogen	3	16		
RCO700234	probable alcohol oxidase	6	23		
RCO701924	probable CBS and PB1 domain protein	6	40		
RCO708049	related to zinc alcohol dehydrogenase	4	16		
RCO700427	related to pectate lyase 1	4	17	159,00	17,39
RCO708249	related to ribosomal protein	2	12		
RCO706241	uncharacterized protein	2	12		
RCO706459	probable glutamine synthetase	7	42		
RCO708322	glutaryl-CoA dehydrogenase, mitochondria	4	12		
RCO706979	probable cholinesterase	6	29	275,26	17,18
RCO710518	related to UNR-interacting protein STRAP	4	20		
RCO700136	probable homoaconitase, mitochondrial pr	8	43		
RCO707250	nuclear cap binding protein subunit 2	3	16		
RCO702491	related to endoglucanase I precursor	2	12	94,03	17,05
RCO704879	related to 3-hydroxyisobutyrate dehydrog	5	56		
RCO708891	probable 6-phosphofructokinase	11	75		
RCO706313	related to stomatin	5	25		

RCO707002	probable TATA-binding protein-associated	2	2		
RCO709549	uncharacterized protein	2	11		
RCO711118	related to metalloproteinase penicillolysin	4	27	453,09	16,81
RCO706059	uncharacterized protein	1	1		
RCO702528	related to Psi-producing oxygenase A	11	123		
RCO710157	uncharacterized protein	6	28	166,74	16,74
RCO706041	related to RSM26 - mitochondrial ribosom	3	12		
RCO706047	probable uroporphyrinogen decarboxylase	5	33	95,82	16,71
RCO706937	related to importin beta homolog Kap119p	11	69		
RCO709864	uncharacterized protein	3	12	52,28	16,67
RCO700688	uncharacterized protein	4	13	147,65	16,67
RCO705524	related to calcium-binding protein caleosin	3	10		
RCO710812	probable AAA protease IAP-1 (mitochondr	7	34		
RCO703887	related to MRPS8 - mitochondrial ribosom	2	2		
RCO707983	related to GTPase activating protein	10	52		
RCO704137	related to cis-1,2-dihydro-1,2-dihydroxyna	2	6		
RCO700270	related to DAP1 Damage response protein	3	12		
RCO706226	uncharacterized protein	4	30		
RCO700627	related to general amidase	7	29		
RCO706170	uncharacterized protein	1	8		
RCO700159	probable 4-nitrophenylphosphatase	2	9		
RCO707324	mitochondrial import inner membrane tran	2	6		
RCO706456	uncharacterized protein	2	3		
RCO710733	related to cop9 (constitutive photomorpho	3	10		
RCO702590	probable 3-alpha-(or 20-beta)-hydroxyste	4	14		
RCO702768	uncharacterized protein	2	5		
RCO705102	phosphoprotein phosphatase (serine/threo	6	21		
RCO704366	probable mannosyltransferase involved in	4	24		
RCO701584	uncharacterized protein	4	16	161,48	12,01
RCO711442	related to transthyretin-like protein pucM	1	9		
RCO705270	related to oxidoreductase, short chain deh	3	12		
RCO700201	probable ADE2 Phosphoribosylaminoimida	6	44		
RCO700535	related to 40S ribosomal protein S29	3	24		
RCO711495	related to human corticosteroid 11-beta-d	3	28		
RCO704473	related to Phosphoserine phosphatase	3	16		
RCO706940	isovaleryl-CoA dehydrogenase, mitochond	5	28		
RCO700787	related to aldehyde dehydrogenase [NAD(	4	25		
RCO701830	related to trans-Golgi protein GMx33	3	16		
RCO703938	uncharacterized protein	4	33	179,97	9,43
RCO700316	related to U1 small nuclear ribonucleoprot	5	32		
RCO709196	probable cytoskeleton assembly control pr	11	92		
RCO706793	probable casein kinase II subunit beta	3	34		
RCO706098	probable 2,4-dienoyl-CoA reductase, mito	3	24		
RCO706294	related to translocase of inner membrane	1	2		
RCO706918	uncharacterized protein	3	31	39,65	3,69
RCO708702	phosphoprotein phosphatase 3-alpha cata	6	39		
RCO707824	related to endo-1,4-beta-xylanase B precu	3	11	128,09	10,98
RCO710629	related to aspartate-tRNA ligase, cytosolic	9	46		
RCO702345	uncharacterized protein	1	8		
RCO704802	peroxisomal membrane protein PMP27	3	20		
RCO710650	related to MNN4 - regulates the mannosyl	4	19		
RCO709048	related to alcohol oxidase	6	18	90,68	13,40
RCO702676	related to 4-aminobutyrate aminotransfera	4	24		
RCO700281	probable dihydroxy-acid dehydratase	6	27		
RCO703481	probable tubulin gamma chain	6	66	157,47	4,26

RCO710435	related to actin-like protein	6	34		
RCO707426	related to MUC1 Extracellular alpha-1,4-gl	14	78		
RCO710954	probable glutamine-tRNA ligase	7	64		
RCO705096	probable Pentafunctional AROM polypepti	16	105		
RCO705790	RNA polymerase II subunit A C-terminal d	3	14		
RCO700867	related to S.pombe Rnp24p, Nsr1p and hu	4	13		
RCO708352	related to vesicular integral-membrane pr	3	32		
RCO708979	uncharacterized protein	4	29		
RCO708281	probable prenylated rab acceptor 1	2	20		
RCO711079	related to human ubiquitin-specific protea	12	86		
RCO707791	probable YJU3 Serine protease, localizes t	3	28		
RCO704100	uncharacterized protein	2	20	123,63	15,31
RCO706846	related to alpha-galactosidase precursor	6	21	204,72	15,31
RCO708675	related to ankyrin repeat-containing YAR1	2	20		
RCO703227	probable ribose-phosphate diphosphokina	4	13		
RCO706758	related to DPB4 DNA polymerase II (epsil	2	21		
RCO709115	isocitrate lyase 2	5	32		
RCO705561	uncharacterized protein	6	40		
RCO703318	related to mitochondrial ribosomal protein	1	8		
RCO701329	related to acetyltransferase (nodulation pr	6	44		
RCO707424	related to acid phosphatase Pho610	4	24	99,35	15,20
RCO707701	uncharacterized protein	4	17		
RCO702271	probable glycerol-3-phosphate dehydroge	5	36		
RCO704150	probable branched-chain-amino-acid amir	6	25	162,27	15,11
RCO702961	Actin cytoskeleton-regulatory complex prc	5	28		
RCO701659	related to EDE1 protein	13	84		
RCO701426	probable dolichyl-phosphate beta-D-mann	2	5		
RCO710009	related to glutamate carboxypeptidase II	8	35		
RCO711357	related to SIGNAL RECOGNITION PARTIC	9	49		
RCO704944	related to protein HSE1	4	28		
RCO709569	related to Probable dipeptidyl peptidase 4	9	47		
RCO701431	uncharacterized protein	1	4	59,81	15,00
RCO707952	uncharacterized protein	7	88	353,02	8,09
RCO701052	probable RVS167 protein	4	28		
RCO703703	uncharacterized protein	3	67	631,04	14,93
RCO700242	60S ribosomal protein L34	2	16		
RCO702934	related to component of RNA polymerase	1	8		
RCO708846	uncharacterized protein	4	16		
RCO700092	related to serine protease	5	11	73,97	8,01
RCO700573	related to GPI anchored dioxygenase	4	21	194,69	14,89
RCO701233	probable NADH-ubiquinone oxidoreductas	1	8		
RCO704149	uncharacterized protein	2	9		
RCO711056	related to phosphoribosylformylglycinamic	13	65		
RCO709385	related to DUF866 domain protein	3	7		
RCO705961	predicted RNA-binding protein (RRM supe	1	4		
RCO701259	uncharacterized protein	5	32	218,95	13,64
RCO702496	probable mitochondrial genome maintena	3	9		
RCO700378	uncharacterized protein	3	16		
RCO701053	probable Cysteine desulfurase, mitochond	7	29		
RCO702377	probable flavoprotein-ubiquinone oxidorec	6	52		
RCO702132	probable Alternative oxidase, mitochondri	5	22		
RCO708787	probable PHO85 - cyclin-dependent prote	3	21		
RCO700243	probable repressible alkaline phosphatase	5	23		
RCO704545	related to THI80 - thiamin pyrophosphoki	2	12		
RCO707931	probable beta-D-glucoside glucohydrolase	8	33	203,70	14,59

RCO701792	uncharacterized protein	2	16		
RCO704483	probable alcohol dehydrogenase	3	28		
RCO701463	probable GTP-binding protein rho2	1	4		
RCO700095	related to choline-phosphate cytidylyltrans	3	27		
RCO700829	related to SLY1 protein	7	58		
RCO707190	related to insulysin precursor (metalloend	10	75		
RCO707549	probable cystathionine beta-lyase	4	17		
RCO708521	related to multiple myeloma protein 2	1	6		
RCO708524	probable NADH2 dehydrogenase (ubiquin	2	8		
RCO706733	uncharacterized protein	8	51		
RCO707648	uncharacterized protein	3	15		
RCO706792	uncharacterized protein	2	8		
RCO700774	probable dihydroorotase	3	16		
RCO704206	related to IFRD domain protein	4	24		
RCO708412	related to polygalacturonase precursor	5	27	163,26	14,40
RCO709072	related to glutamate decarboxylase	4	26		
RCO700583	probable chaperone protein dnaJ	4	21		
RCO711608	related to ribosomal protein YmL35 of the	3	17		
RCO702362	ATP-dependent RNA helicase fal1	5	48		
RCO705777	uncharacterized protein	2	21		
RCO708469	related to cytochrome-c oxidase assembly	1	8		
RCO703004	probable DNA replication licensing factor I	7	36		
RCO708337	related to TGF beta induced protein ig-h3	3	48	205,23	14,24
RCO706561	related to small nuclear ribonucleoprotein	2	16		
RCO704001	related to enoyl-CoA hydratase/isomerase	3	12		
RCO701699	probable YHM1 (mitochondrial carrier)	4	16		
RCO710282	probable vacuolar protein sorting protein	5	35		
RCO707821	uncharacterized protein	2	8	65,42	14,10
RCO708576	related to NHP6B - nonhistone chromosor	4	44		
RCO705312	related to ribosomal protein S10	3	12		
RCO701950	probable FMP25 Found in Mitochondrial P	6	21		
RCO711553	related to rhizopuspepsin-2 precursor	5	17	139,51	14,06
RCO702992	related to toxD protein	4	24		
RCO703750	probable amino acid permease NAAP1	8	49		
RCO706919	uncharacterized protein	8	60		
RCO703243	probable FMP21 Found in Mitochondrial P	1	16		
RCO702432	related to chloroperoxidase	3	12	59,39	13,92
RCO704022	related to Type 2C Protein Phosphatase	4	19		
RCO703024	related to CIC1 Adaptor protein specificall	4	20		
RCO705316	related to iron/ascorbate family oxidoredu	4	13		
RCO708233	related to 2-haloalkanoic acid dehalogena	3	12		
RCO700099	related to septum formation maf	3	20		
RCO711351	probable cystathionine beta synthase	5	21		
RCO708966	uncharacterized protein	6	45	195,12	11,61
RCO704718	probable cellobiose dehydrogenase	11	41	178,25	13,71
RCO701941	probable formamidase	4	16		
RCO706746	probable GIR2 Highly acidic protein with a	2	16		
RCO705903	probable translocon subunit	1	2		
RCO708596	probable SEM1 Regulator of exocytosis ar	1	1		
RCO700548	probable mitochondrial-processing peptida	5	28		
RCO702027	related to mitochondrial 60s ribosomal pr	1	5		
RCO709027	probable NOP10 - nucleolar rRNA process	1	4		
RCO707204	related to cell cycle control protein Cwf15	2	8		
RCO702054	uncharacterized protein	3	10		
RCO707202	probable cytochrome-c peroxidase precur	2	5		

RCO704254	probable alpha-aminoadipate reductase la	11	71		
RCO711559	uncharacterized protein	7	22		
RCO700790	uncharacterized protein	2	5		
RCO707658	uncharacterized protein	2	16		
RCO701766	uncharacterized protein	3	28		
RCO708007	probable nicotinate-nucleotide pyrophospl	3	16		
RCO705080	related to SWI/SNF complex 60 KDa subu	4	16		
RCO709780	related to RNA binding protein Nrd1	7	38		
RCO708523	probable G10 protein	1	8		
RCO701757	related to ECM4 protein (involved in cell w	5	32		
RCO700424	uncharacterized protein	3	20		
RCO709030	probable clathrin assembly protein AP47	5	14		
RCO709119	related to beta-1,3 exoglucanase precurso	9	37	240,70	11,29
RCO704668	probable COP9 signalosome complex subu	3	28		
RCO706607	probable UBX5 UBX (ubiquitin regulatory	5	25		
RCO710621	related to methyltransferase	2	9		
RCO704367	related to topoisomerase II-associated pro	6	33		
RCO708278	probable SIS1 Heat shock protein	1	2		
RCO709709	related to DNA-directed RNA polymerase	2	12		
RCO708260	related to beta-adaptin	7	46		
RCO705284	related to CYB2 - L-lactate dehydrogenase	1	8		
RCO711364	related to DNA-directed RNA polymerase	1	8		
RCO702104	probable putative oxysterol-binding protei	5	18		
RCO701122	probable U5 snRNP-specific 40 kD protein	3	13		
RCO707440	related to DUF636 domain protein	1	8		
RCO706538	related to a retinal short-chain dehydroge	3	24		
RCO704459	probable calcium-independent protein kina	9	53		0,00
RCO703121	probable Lon proteinase, mitochondrial pr	9	62	156,14	1,91
RCO706690	probable REX2 - putative 3`-5` exonuclea	2	16		
RCO706911	related to zinc-binding protein	3	9		
RCO704077	probable LST8 protein	3	22		
RCO701873	related to transcription factor Ask10p	8	32		
RCO704526	related to cytidine deaminase	2	3	87,29	13,10
RCO700705	related to circumsporozoite protein precur	4	15	262,08	11,16
RCO702587	probable YSC84 Protein involved in the or	5	35		
RCO706364	uncharacterized protein	1	4	73,71	13,04
RCO701729	related to APSES transcription factor	4	28		
RCO704274	related to kinase-related protein	1	4		
RCO710354	related to metallophosphoesterase domain	3	6		
RCO706644	probable nuclear protein localization facto	4	15		
RCO704703	uncharacterized protein	8	42		
RCO706270	uncharacterized protein	4	38	118,48	12,95
RCO701486	uncharacterized protein	4	59	65,17	9,59
RCO706882	related to mitochondrial ribosomal protein	2	9		
RCO701822	related to prefoldin subunit 3	2	2		
RCO709565	uncharacterized protein	1	4		
RCO703619	probable endoglucanase 1 precursor	5	14	94,88	12,88
RCO705664	uncharacterized protein	1	1		
RCO709226	related to actin-related protein	7	42		
RCO707720	related to glycogenin-2 beta	4	17		
RCO704749	related to density-regulated protein, trans	3	24	72,14	12,76
RCO704057	related to glycerol-3-phosphate dehydrog	6	33		
RCO705463	probable Putative 4-hydroxy-2-oxoglutara	3	12		
RCO707819	related to glutaminase A	7	37		
RCO702538	uncharacterized protein	4	29		

RCO707964	related to GEL1 protein	4	15	22,04	5,36
RCO705535	related to CYB2 - lactate dehydrogenase (	3	12		
RCO700126	probable WD repeat-containing protein jip	2	8		
RCO701491	related to BUD7 protein	7	40		
RCO706585	nik-1 protein (Os-1p protein)	10	50		
RCO703563	related to 4-coumarate--CoA ligase	4	28		
RCO711486	related to L-ornithine N5-oxygenase SidA	5	24		
RCO704486	uncharacterized protein	2	3	51,07	12,57
RCO710760	uncharacterized protein	2	13	254,38	12,56
RCO702077	related to carrier protein YMC1, mitochon	2	24		
RCO711680	related to RNA binding protein	8	39		
RCO700200	uncharacterized protein	1	4	48,12	12,50
RCO705995	related to mitochondrial protein	1	2		
RCO702382	related to PEROXISOMAL MEMBRANE PR(	4	20		
RCO702750	related to endo-1,4-beta-xylanase B precu	3	16	65,57	12,45
RCO703610	uncharacterized protein	4	24		
RCO708655	related to glucosidase II, alpha subunit	8	50		
RCO700992	probable alpha-N-arabinofuranosidase	5	28	96,58	12,43
RCO706075	probable NEDD8-activating enzyme E1 ca	2	16		
RCO701970	related to NmrA-like family protein	2	12		
RCO701704	probable coproporphyrinogen III oxidase	3	10		
RCO709487	related to VACUOLAR PROTEIN SORTING	6	28		
RCO702585	related to zinc finger protein Gcs1p	4	20		
RCO707008	probable Autophagy-related protein 3	3	25		
RCO707816	uncharacterized protein	1	4		
RCO708126	related to translocation protein SEC63	7	30		
RCO701298	probable tyrosine decarboxylase 1	4	36		
RCO703762	uncharacterized protein	1	1		
RCO701342	related to tRNA ligase	6	29		
RCO705511	related to 60S ribosomal protein L37	3	24		
RCO704860	uncharacterized protein	1	12		
RCO710998	related to Neutral protease 2 homolog SN	3	32	253,96	12,22
RCO708718	uncharacterized protein	2	8	78,33	12,19
RCO700806	probable ubiquitin-protein ligase	8	53		
RCO705424	related to quinic acid utilisation protein QU	2	12		
RCO702470	related to Cu-binding metallothionein	2	24	48,87	12,15
RCO704688	uncharacterized protein	1	12	89,75	12,15
RCO705019	probable CTT1 - catalase T, cytosolic	4	20		
RCO709216	uncharacterized protein	2	8		
RCO709452	probable POB3 protein, that binds to DNA	3	28		
RCO709742	related to chicken lim-3 protein	1	8		
RCO703730	related to Probable alpha/beta-glucosidas	10	72	244,84	10,76
RCO703614	related to Psi-producing oxygenase A	9	50		
RCO706262	related to glyoxal oxidase precursor	4	10	209,12	9,74
RCO709388	probable NEDD8-activating enzyme E1 ca	4	21		
RCO702099	uncharacterized protein	5	24	119,86	11,96
RCO711620	uncharacterized protein	3	9	89,23	11,92
RCO707355	uncharacterized protein	13	86	561,80	8,55
RCO700071	probable 3,4-dihydroxy-2-butanone 4-phc	2	8		
RCO706649	related to SRP40 - suppressor of mutant A	6	42		
RCO704213	related to peptide-n4-(n-acetyl-beta-d-glu	6	34	213,78	11,84
RCO703550	related to NIPSNAP protein	3	20		
RCO709839	related to lysophosphatidic acid phosphat	2	4		
RCO707922	farnesyl pyrophosphate synthetase	2	15		
RCO700172	uncharacterized protein	2	12		

RCO707773	related to syntaxin	3	16		
RCO701343	related to GATA transcription factor	3	21		
RCO709832	related to phosphatidylserine decarboxyla	5	24		
RCO703827	probable metal-dependent hydrolase with	5	25		
RCO706236	related to nuclear transport factor 2 doma	2	5		
RCO708716	probable CBF1 - centromere binding facto	3	20		
RCO706864	uncharacterized protein	3	9		
RCO710065	probable epsin-1	4	41	54,31	1,95
RCO705748	uncharacterized protein	2	32	140,43	11,68
RCO700404	uncharacterized protein	4	17	107,62	11,65
RCO701490	uncharacterized protein	3	9	71,30	5,97
RCO704502	probable monosaccharide transporter	5	20		
RCO702286	probable cytochrome c heme lyase	1	8		
RCO700107	uncharacterized protein	2	16		
RCO700067	probable hydroxymethylglutaryl-CoA lyase	3	16		
RCO700785	related to 3`->5` exoribonuclease	2	10		
RCO704818	related to LSB5 - possible role in the regu	3	19		
RCO703068	related to SNARE binding protein	4	41		
RCO707547	probable dehydrogenases with different s	2	13		
RCO706308	uncharacterized protein	1	4		
RCO710160	uncharacterized protein	9	52	62,89	3,70
RCO704496	related to Golgi SNAP receptor complex m	2	5		
RCO706941	propionyl-CoA carboxylase beta chain, mit	4	32		
RCO709417	uncharacterized protein	3	14		
RCO705595	probable 3-hydroxyacyl-CoA dehydrogena	2	8		
RCO704629	probable methylenetetrahydrofolate dehy	2	16		
RCO707300	uncharacterized protein	2	8	43,82	11,34
RCO708907	related to berberine bridge enzyme	3	12	156,45	11,31
RCO706583	uncharacterized protein	4	24		
RCO707296	uncharacterized protein	1	8		
RCO700091	uncharacterized protein	2	32	103,06	11,27
RCO708179	probable 3-dehydroshikimate dehydratase	2	9		
RCO702103	probable transmembrane protein	11	68		
RCO701540	related to branched-chain alpha-ketoacid	2	8		
RCO710175	related to ADP-ribosylation factor GTPase	3	9		
RCO704089	related to chicken h-caldesmon, Uso1p an	2	12		
RCO702707	uncharacterized protein	3	24		
RCO709185	uncharacterized protein	3	12		
RCO702878	probable beta-glucosidase-related glycosi	6	29		
RCO711043	probable methylenetetrahydrofolate reduc	5	36		
RCO708349	probable cAMP-dependent protein kinase	3	20		
RCO710564	probable SDO1 Protein required for cell vi	3	16		
RCO708180	probable PAM17 Presequence translocase	2	5		
RCO704554	related to aflatoxin biosynthesis ketoredu	2	8		
RCO702981	related to nucleoporin	5	18		
RCO707318	related to peroxisomal ATP carrier	4	28		
RCO707989	uncharacterized protein	2	8		
RCO704855	uncharacterized protein	2	8		
RCO709648	related to LisH motif-containing protein	1	12		
RCO701088	related to PBP1 - Pab1p interacting protei	6	46		
RCO704435	uncharacterized protein	9	42		
RCO706922	probable mago nashi protein	1	4		
RCO711654	uncharacterized protein	2	16	146,77	11,01
RCO708738	uncharacterized protein	8	20	188,14	10,08
RCO704338	related to threonine dehydratase	3	25		

RCO706335	related to nuclear WD protein PRL1	2	24		
RCO702606	related to YBR267w	4	21		
RCO704257	related to aldehyde reductase (GliO)	3	24		
RCO704680	probable alpha-N-arabinofuranosidase / a	3	12		
RCO711282	probable extragenic suppressor of the bin	3	20		
RCO709054	uncharacterized protein	3	24	60,42	10,86
RCO700015	uncharacterized protein	2	13		
RCO705755	related to RRF1 Mitochondrial ribosome re	1	4		
RCO703457	related to ribosomal protein MRP49	2	8		
RCO701968	related to oxysterol binding protein	3	12		
RCO703799	ER-derived vesicles protein ERV15	1	8		
RCO706518	related to cleavage stimulation factor 64K	2	5		
RCO702943	probable SCF complex member Cullin 1	6	37		
RCO709151	uncharacterized protein	2	12		
RCO708373	related to erv1 protein, mitochondrial pre	1	4		
RCO700332	uncharacterized protein	1	4		
RCO700660	related to phosphoprotein phosphatase 2	5	36		
RCO702584	related to M.capricolum transcription repr	2	8		
RCO705355	probable MAP kinase kinase MKK2/SSP33	2	16		
RCO706348	related to rab geranylgeranyl transferase	3	16		
RCO701724	related to N-carbamoyl-D-amino acid hyd	2	12		
RCO707856	probable nitrogen metabolic regulation pr	3	13		
RCO700997	uncharacterized protein	2	24	42,23	3,89
RCO705217	related to lactonohydrolase	3	21	153,06	7,71
RCO700293	probable RNA splicing factor Pad-1	5	28		
RCO708403	uncharacterized protein	3	16		
RCO706738	related to inosine-uridine preferring nucle	3	17		
RCO702105	splicing factor U2af subunit	1	2		
RCO706255	related to L-serine dehydratase	2	8		
RCO705698	related to mitochondrial translocase prote	5	24		
RCO705193	probable endoplasmic reticulum insertion	4	35		
RCO706285	probable G protein alpha chain	3	10		
RCO708706	related to glucan 1,3-beta-glucosidase	4	10	56,99	5,57
RCO702239	related to alpha,alpha-trehalose-phosphat	6	41		
RCO706667	probable protein transport protein SEC9	3	21		
RCO710517	related to phospholipase a-2-activating pr	5	36		
RCO701537	related to alcohol dehydrogenase	2	20		
RCO709586	probable Actin cytoskeleton-regulatory co	11	71		
RCO703433	related to sporulation-specific protein 2 pr	3	87	617,89	10,42
RCO707464	related to nucleolar protein	4	20		
RCO707072	related to nonribosomal peptide synthetas	5	25		
RCO701242	uncharacterized protein	2	12		
RCO704610	related to C-3 sterol dehydrogenase (C-4	2	8		
RCO709618	uncharacterized protein	1	5		
RCO705078	related to protein arginine N-methyltransf	3	16		
RCO700288	related to EMI1 Protein required for trans	1	12		
RCO707319	related to Cvt pathway protein CVT20	6	39		
RCO704345	probable ATP-dependent RNA helicase db	4	28		
RCO702540	probable signal recognition particle subun	5	28		
RCO700117	probable fumarylacetoacetate hydrolase	2	17		
RCO700863	related to general negative regulator of tr	4	33		
RCO708744	uncharacterized protein	6	25		
RCO703316	related to CYT2 - holocytochrome-c1 synt	2	14		
RCO700167	probable vacuolar protein sorting protein	2	12		
RCO700431	probable Gim complex component GIM3	1	4		

RCO704745	related to DNA-directed RNA polymerase	1	4		
RCO704445	related to alcohol oxidase	4	24		
RCO706999	uncharacterized protein	2	8		
RCO704988	related to triacylglycerol lipase V precurso	5	24	108,23	10,21
RCO705780	related to cytoskeletal adaptor	4	28		
RCO706541	related to carbohydrate kinase, contains F	6	25		
RCO705077	related to flavin-nucleotide-binding protei	2	9		
RCO708684	uncharacterized protein	2	6	45,98	3,48
RCO706813	probable cyanide hydratase	3	13		
RCO701231	uncharacterized protein	1	4	47,97	10,12
RCO703919	uncharacterized protein	1	4	50,05	10,10
RCO706246	related to metalloprotease 1	6	30		
RCO704250	uncharacterized protein	3	16		
RCO706359	related to Drosophila ANK protein	2	8		
RCO705917	related to tRNA-dihydrouridine(47) syntha	8	35		
RCO708831	5-aminolevulinate synthase, mitochondria	3	7		
RCO702173	uncharacterized protein	1	8	211,33	10,00
RCO700788	related to RSM24 - mitochondrial ribosom	3	16		
RCO708914	probable vacuolar protein-sorting-associat	3	12		
RCO705485	uncharacterized protein	2	5		
RCO701238	probable mannose-6-phosphate isomeras	3	16		
RCO708282	probable ERJ5 Endoplasmic Reticulum loc	2	3		
RCO704248	related to aspartic proteinase, pepstatin-s	4	20	161,68	9,97
RCO700872	probable dehydrogenases with different s	3	9		
RCO701071	probable Delta(3,5)-Delta(2,4)-dienoyl-Co	3	12		
RCO702974	uncharacterized protein	2	16	136,06	9,92
RCO709876	related to acid phosphatase	2	2		
RCO707153	related to DFR1 - dihydrofolate reductase	1	12		
RCO705566	related to acetylxylan esterase precursor	2	8	83,67	9,82
RCO706002	probable beta-glucosidase	6	21	200,16	9,82
RCO703995	uncharacterized protein	2	125	402,03	9,80
RCO705371	probable protein kinase CHM1	6	48		
RCO710758	related to ubiquitin carboxyl-terminal hydr	7	40		
RCO706900	uncharacterized protein	3	17		
RCO705904	related to plasma membrane phosphatase	4	29		
RCO703065	probable GTP-binding protein	3	16		
RCO702935	probable pyrimidine 5`-nucleotidase	2	16		
RCO704848	probable short chain dehydrogenase	2	5		
RCO704220	acetyl-CoA hydrolase	3	20		
RCO704287	related to aspartic proteinase, pepstatin-s	3	8	45,64	9,64
RCO705599	related to transcription factor TFIIA-L	3	6		
RCO704694	probable oligosaccharyltransferase	4	4		
RCO709362	uncharacterized protein	1	4		
RCO706721	related to F1F0-ATPase complex, subunit	1	8		
RCO710741	probable ribose-phosphate pyrophosphoki	3	16		
RCO700257	related to PUB1 - major polyadenylated R	4	28		
RCO704344	probable iron sulfur cluster assembly prot	1	8		
RCO701958	related to Altered inheritance of mitochon	3	16		
RCO707955	uncharacterized protein	2	64	211,76	9,54
RCO700132	probable GTP-binding protein GTR1	2	8		
RCO705200	probable ubiquitin-conjugating enzyme E2	1	8		
RCO704123	delta-aminolevulinic acid dehydratase	2	8		
RCO703992	ribonucleoside-diphosphate reductase larg	5	25		
RCO707519	related to replication factor C chain Rfc3	3	10		
RCO704585	uncharacterized protein	2	23		

RCO709806	related to Probable Xaa-Pro aminopeptida	3	12		
RCO709796	uncharacterized protein	1	17		
RCO709250	probable RTT103 Regulator of Ty1 Transp	3	20		
RCO701115	related to Som1 protein	5	23		
RCO704620	related to transcription factor pap1	3	28		
RCO704165	related to H/ACA ribonucleoprotein compl	2	9		
RCO710258	uncharacterized protein	2	6		
RCO703598	probable COP9 signalosome subunit 2 (Cs	3	20		
RCO703678	probable phospho-2-dehydro-3-deoxyhept	4	36		
RCO701998	related to CBS-domain protein Sds23p	3	10		
RCO705557	probable L-lactate dehydrogenase (cytoch	3	12		
RCO700859	uncharacterized protein	2	12		
RCO700645	probable mitochondrial receptor complex	1	4		
RCO707746	related to CRH1 - family of putative glyco	4	14	109,12	9,28
RCO705731	probable chitinase 1 precursor	2	5		
RCO702251	protein Mut11	3	3		
RCO704836	pre-mRNA-splicing factor ATP-dependent	5	21		
RCO702945	uncharacterized protein	2	8		
RCO703707	probable protein phosphatase-z-like serin	2	20		
RCO700142	probable protein urg3	3	12		
RCO706800	related to glutaredoxin	2	4		
RCO709426	uncharacterized protein	6	36		
RCO703791	probable synaptojanin-1	4	10		
RCO700001	uncharacterized protein	1	1		
RCO705711	uncharacterized protein	2	9		
RCO706250	related to FMN-dependent 2-nitropropane	2	8		
RCO703695	related to circumsporozoite protein precu	4	17	131,57	9,13
RCO704449	uncharacterized protein	2	8	32,57	9,13
RCO705108	related to 40S ribosomal protein S9, mito	1	8		
RCO701497	related to beta (1-3) glucanosyltransferas	4	17	214,56	9,03
RCO706817	ATP-binding cassette sub-family F membe	5	23		
RCO711630	uncharacterized protein	1	4		
RCO707240	uncharacterized protein	2	5		
RCO708294	uncharacterized protein	1	20		
RCO704128	probable casein kinase I cki2	3	10		
RCO702651	uncharacterized protein	1	4	34,06	8,90
RCO707164	related to MICROSOMAL GLUTATHIONE S	1	4		
RCO704125	uncharacterized protein	1	4		
RCO710059	related to translation initiation factor eIF2	3	12		
RCO705310	probable CCAAT-binding transcription fact	2	16		
RCO701002	probable sphingosine-1-phosphate lyase	3	20		
RCO706448	uncharacterized protein	3	12	36,68	8,81
RCO708531	uncharacterized protein	1	1		
RCO706968	uncharacterized protein	1	4		
RCO708293	related to COPII coated vesicle componen	5	44		
RCO710643	uncharacterized protein	2	12		
RCO705826	probable ribosomal elongation factor EF-2	6	26		
RCO710827	probable cell wall protein UTR2	4	24	69,41	8,77
RCO704785	probable 3-oxoacyl-[acyl-carrier-protein] r	1	4		
RCO707118	RcNIP2.6UK7	2	8	35,00	8,74
RCO709969	uncharacterized protein	3	16		
RCO708011	uncharacterized protein	1	4	60,89	8,73
RCO708894	uncharacterized protein	5	33	298,58	8,73
RCO710813	probable vacuolar ATP synthase 98 kDa s	7	25		
RCO704404	related to GS1 protein	2	12		

RCO703055	uncharacterized protein	2	16		
RCO708118	uncharacterized protein	3	16		
RCO708705	probable cysteinyl-tRNA synthetase	5	32		
RCO700935	uncharacterized protein	1	4	39,12	8,64
RCO702905	related to SYP1 Protein with a potential rc	5	29		
RCO700124	related to growth hormone inducible trans	2	12		
RCO701069	related to protein-arginine deiminase type	4	16		
RCO710905	probable carboxypeptidase	2	8	57,34	8,56
RCO700049	related to ammecr1 protein	1	2		
RCO701092	related to pectinesterase precursor	2	8		
RCO702523	probable Probable 1,4-beta-D-glucan cellc	3	24	200,07	8,53
RCO706052	related to salicylate 1-monooxygenase	1	4		
RCO700040	uncharacterized protein	1	20		
RCO707776	probable CDC21 - thymidylate synthase	1	2		
RCO706601	related to cytosolic Cu/Zn superoxide disn	1	16	131,27	8,49
RCO708124	related to UTP10 - U3 snoRNP protein	6	35		
RCO700786	related to ADH7 - NADP(H)-dependent alc	2	8		
RCO708305	uncharacterized protein	1	4	37,02	8,45
RCO700920	acyl-coenzyme A oxidase 1	4	34		
RCO702130	related to a putative low-affinity copper tr	1	5		
RCO707451	uncharacterized protein	1	4		
RCO702704	related to beta-galactosidase	7	28		
RCO707422	related to salicylate 1-monooxygenase	2	20		
RCO707617	related to CHIP protein (carboxyl terminus	2	16		
RCO704971	uncharacterized protein	3	12	77,56	8,37
RCO706571	probable Methylthioribose-1-phosphate isc	2	8		
RCO708574	probable mitotic control protein dis3+	4	32		
RCO704468	related to CAF4 protein	2	8		
RCO702705	probable U1 snRNP protein	2	8		
RCO704140	related to phosphoethanolamine cytidylylt	2	16		
RCO700984	related to NCE102 Protein involved in non	1	5		
RCO706699	probable NMDA receptor-regulated protei	5	24		
RCO707857	related to phosphatase 2a inhibitor	2	12		
RCO704034	related to unknown, trichothecene gene c	1	10	36,24	8,23
RCO708000	uncharacterized protein	2	8		
RCO700606	uncharacterized protein	1	8	62,80	8,22
RCO707805	related to CCR4 protein	3	25		
RCO707230	uncharacterized protein	1	1		
RCO701409	related to annexin XIV	2	8		
RCO711639	related to hydroxyquinol-1,2-dioxygenase	2	12		
RCO702499	probable PaaIthioesterase family protein	1	4		
RCO708683	probable sorbitol utilization protein SOU2	2	8	105,40	8,16
RCO708650	related to SGT1 protein	2	20		
RCO701698	related to transcriptional activator HAP2	1	21		
RCO711061	related to myo-inositol transport protein I	4	16		
RCO701510	probable signal peptidase (endopeptidase	1	4		
RCO711592	uncharacterized protein	2	12		
RCO702285	uncharacterized protein	1	4	27,67	8,13
RCO711068	related to alkaline phosphatase family pro	3	20		
RCO710184	uncharacterized protein	1	8	29,21	8,09
RCO701768	related to myosin tail region-interacting p	6	40		
RCO705313	related to mitochondrial tryptophanyl-tRN	2	8		
RCO711726	uncharacterized protein	1	2		
RCO700327	probable translation elongation factor eEF	4	17		
RCO705115	related to SIP2 - dominant suppressor of	2	4		

RCO706422	probable transcription factor of the MADS	1	20		
RCO709971	probable protein rds1	3	20	114,07	7,99
RCO708547	related to DNA-directed RNA polymerase	2	16		
RCO706909	probable 2-dehydro-3-deoxyglucarate ald	1	4		
RCO710609	related to glyoxalase family protein	1	4		
RCO703007	related to U6 snRNA-associated Sm-like p	2	12		
RCO708092	probable AOS1 - forms together with Uba	1	4		
RCO709699	related to enoyl-CoA hydratase	2	16		
RCO708129	uncharacterized protein	1	4		
RCO702759	related to C.jejuni serine protease	6	24		
RCO705219	probable P-protein	1	4		
RCO711449	related to FMP45 Cell cortex protein involv	2	5		
RCO709191	probable cytochrome c oxidase subunit VI	1	4		
RCO700558	probable hydroxyacylglutathione hydrolas	2	3		
RCO707692	related to polyketide synthase	7	32		
RCO702845	related to alpha/beta hydrolase	1	4		
RCO702110	probable 3-phytase A precursor	4	20	86,85	7,85
RCO708217	related to carboxypeptidase	3	14	85,01	4,19
RCO701783	related to TOB3 (member of AAA-ATPase	4	24		
RCO704139	probable Fe-S cluster assembly protein dr	1	4		
RCO700949	probable xanthine dehydrogenase	7	25		
RCO705259	related to spherulin 1A precursor	2	8	78,45	7,81
RCO704852	probable ROD1 - O-dinitrobenzene,calciur	3	12		
RCO703123	related to heat shock protein MDJ1	4	24		
RCO701000	related to pyruvate dehydrogenase kinase	3	15		
RCO707796	related to triacylglycerol lipase I precurso	3	10		
RCO708090	uncharacterized protein	1	4		
RCO705842	related to quinone reductase	2	16		
RCO708762	probable VTS1 Protein involved in vacular	3	20		
RCO703592	probable rho3 protein	1	12		
RCO701031	related to thioesterase superfamily memb	1	8		
RCO706482	uncharacterized protein	4	7		
RCO700384	related to aryl-alcohol dehydrogenases	2	8		
RCO701779	related to L-2.3-butanediol dehydrogenas	2	8		
RCO704951	probable serine/threonine-protein phosph	2	5		
RCO706139	related to diacylglycerol acyltransferase ty	3	16		
RCO705552	related to pterin-4-alpha-carbinolamine de	1	8		
RCO703345	related to diadenosine hexaphosphate hyd	1	4		
RCO706071	related to GRH1 - Yeast (GR)ASP65 (H)or	2	16		
RCO706357	related to hsp70 protein	4	28		
RCO711361	related to endo-1,3-beta-glucanase	2	12	20,99	7,60
RCO702121	related to cystathionine gamma-synthases	1	8		
RCO705514	related to guanine deaminase	2	5	44,62	7,59
RCO702647	related to vacuolar protein sorting-associa	4	16		
RCO703867	probable aspartate aminotransferase	1	8		
RCO708357	uncharacterized protein	1	1		
RCO710163	uncharacterized protein	2	5	114,76	7,56
RCO705066	uncharacterized protein	3	18		
RCO704569	related to glia maturation factor beta	1	4		
RCO700791	uncharacterized protein	2	8		
RCO711627	related to Cytochrome c oxidase subunit 6	1	4		
RCO702501	related to component of actin cortical pat	3	16		
RCO707969	probable multicatalytic endopeptidase con	2	12		
RCO705196	related to nadh-ubiquinone oxidoreductas	1	8		
RCO705652	probable urease	4	28		

RCO709786	probable non-ribosomal peptide synthetas	9	41		
RCO707843	uncharacterized protein	2	8		
RCO709561	probable cyclophilin E	1	4		
RCO706997	related to 5^ nucleotidase	3	21		
RCO703800	probable methionine aminopeptidase 1A	1	8		
RCO705766	uncharacterized protein	2	8		
RCO700163	related to DUF788 domain protein	1	4		
RCO710418	uncharacterized protein	1	8		
RCO710466	related to morphogenesis-related protein	3	25		
RCO704424	probable nuclear export sequence-contain	2	9		
RCO706020	related to nuclear poly(A)-binding protein	2	5		
RCO704687	uncharacterized protein	1	12	49,88	7,27
RCO700006	related to monooxygenase	3	13		
RCO700217	probable nitrilase (NIT3)	1	8		
RCO703724	related to oligosaccharyltransferase delta	2	8		
RCO707205	probable rRNA processing protein	2	8		
RCO710346	uncharacterized protein	1	4		
RCO707269	uncharacterized protein	1	8	34,59	7,19
RCO706818	probable general stress response protein	2	22		
RCO702991	related to pectate lyase	2	8	85,77	7,18
RCO703136	related to cell division control protein CDC	2	6		
RCO704433	uncharacterized protein	1	4		
RCO704309	probable translation activator GCN1	11	56		
RCO700355	related to nucleoprotein TPR	11	38		
RCO705469	probable lipoic acid synthase precursor	1	1		
RCO709755	related to EMP47 Golgi membrane protein	2	8		
RCO705665	uncharacterized protein	2	24		
RCO704256	uncharacterized protein	1	8		
RCO701682	probable SVF1 Protein with a potential rol	2	16		
RCO711305	related to NADH2 dehydrogenase (ubiquin	1	4		
RCO705067	related to nodulin	3	24		
RCO702472	uncharacterized protein	1	4		
RCO705668	uncharacterized protein	1	8		
RCO703443	related to branch point bridging protein (M	3	12		
RCO702294	related to RCC1 domain	3	10		
RCO709578	related to MAK11 protein (maintenance of	3	20		
RCO708986	related to ribosomal protein L19, mitochon	1	4		
RCO708745	related to pH-response transcription facto	3	16		
RCO700469	related to gEgh 16 protein	2	8	82,90	7,02
RCO705418	related to RSM22 - mitochondrial ribosom	3	20		
RCO707529	related to glycerophosphoryl diester phosp	2	5		
RCO703378	probable ATH1 Acid trehalase, vacuolar E	6	44	121,73	5,51
RCO706730	related to xylulose-5-phosphate/fructose-(	4	16		
RCO707760	related to SMC1 protein	6	29		
RCO705386	related to oxidoreductase, 2OG-Fe(II) oxy	2	8		
RCO711425	probable venom protein 2 precursor	4	32		
RCO706552	uncharacterized protein	1	4		
RCO701620	related to Drosophila pumilio protein and	4	17		
RCO708009	uncharacterized protein	2	7		
RCO707995	related to cell surface spherulin 4-like prot	1	4		
RCO704578	related to (AAP1) - alanine/arginine amino	2	15		
RCO708005	related to nicotinate phosphoribosyltransf	3	12		
RCO704466	IN2-2 protein	3	10		
RCO706393	probable meiotically up-regulated gene 72	2	16		
RCO702388	related to EMP24 protein precursor	2	7		

RCO704540	probable SNA2 Integral mebrane protein	1	4		
RCO709822	related to importin beta-2 subunit (transp	5	17		
RCO700425	related to eukaryotic translation initiation	3	24		
RCO704390	related to PPR repeat	5	12		
RCO705543	probable septin aspE	1	5		
RCO706906	probable mitochondrial ATPase complex s	1	1		
RCO702449	probable mitochondrial 2-oxodicarboxylate	1	1		
RCO705225	related to RNA-binding protein pumilio	5	20		
RCO709841	related to MSS51 protein	2	12		
RCO701345	uncharacterized protein	5	29		
RCO704296	probable spindle assembly checkpoint pro	1	8		
RCO704901	related to ubiquitin-like protein (HubA)	1	4		
RCO707090	uncharacterized protein	1	4		
RCO704017	uncharacterized protein	1	1		
RCO706179	related to calcium-related spray protein	2	16	59,33	6,59
RCO705622	related to TFIID and SAGA subunit	1	4		
RCO706703	related to splicing factor 3A subunit 2	1	4		
RCO701978	uncharacterized protein	3	20		
RCO707735	related to tpa inducible protein	6	35		
RCO703226	related to TOM1 protein	14	87		
RCO707885	related to ribokinase	2	16		
RCO701957	related to acyl-CoA transferases/carnitine	3	12		
RCO705430	probable Sco1 protein	1	8		
RCO701344	related to SFT2 - suppressor of sed5 ts m	1	4		
RCO704048	uncharacterized protein	2	8	56,87	6,50
RCO709159	related to small unique nuclear receptor c	1	4		
RCO702839	probable , mitochondrial	1	12		
RCO705119	probable myosin MYO2	7	40		
RCO707506	related to PIN4 FHA1 domain-interacting	3	16		
RCO702397	related to host-specific AK-toxin Akt2	1	3		
RCO707158	probable succinate-fumarate transporter	2	2		
RCO707179	uncharacterized protein	1	4	27,39	6,45
RCO709357	related to secretory protein SSP120	1	4		
RCO706573	probable Methylthioribulose-1-phosphate	1	12		
RCO701831	probable NADH2 dehydrogenase (ubiquin	1	4		
RCO709090	related to F1F0-ATPase complex assembly	1	8		
RCO701388	uncharacterized protein	1	8		
RCO704285	uncharacterized protein	1	4	58,30	6,38
RCO707691	related to cytochrome P450 CYP4/CYP19/	1	4		
RCO703424	related to UPF0662 protein C30C2.08	3	6		
RCO702425	related to fructosyl amino acid oxidase	3	24		
RCO707061	uncharacterized protein	2	8		
RCO700565	related to 30S ribosomal protein S7	1	12		
RCO704898	probable PRS5 - ribose-phosphate pyroph	2	8		
RCO706648	related to ATP dependent RNA helicase	8	48		
RCO701923	related to MRP4 - mitochondrial ribosoma	2	16		
RCO708520	related to PEX3 - peroxisomal assembly p	1	9		
RCO706140	probable cytochrome P450 51 (eburicol 1	1	8		
RCO710719	related to BENZOYLFORMATE DECARBOX	3	13		
RCO702025	uncharacterized protein	1	8		
RCO700005	related to P.aeruginosa anthranilate synth	1	4		
RCO702913	uncharacterized protein	1	2		
RCO700389	related to Mms19p	8	40		
RCO705051	related to E.coli X-Pro aminopeptidase II	1	2		
RCO708549	uncharacterized protein	1	8	40,16	6,21

RCO702169	calcium-transporting ATPase sarcoplasmic	5	26		
RCO703053	probable MET13 - putative methylene tetr	3	12		
RCO711175	related to hydroxyproline-rich glycoprotein	1	1		
RCO710066	related to spindle pole body component, c	1	4		
RCO703653	probable lysophospholipase (lpl)	3	24	50,00	6,13
RCO710265	related to putative human GTP-binding pr	3	12		
RCO709183	related to GTPase-activating protein beta-	3	9		
RCO704286	uncharacterized protein	1	4		
RCO708581	related to U1 snRNP protein	2	12		
RCO701148	related to monooxigenase	3	12		
RCO709209	related to opsin-1	3	12		
RCO704480	related to myb-related protein cdc5	2	13		
RCO707446	probable FMP40 Found in Mitochondrial P	3	16		
RCO700778	probable dual specificity mitogen-activate	1	4		
RCO708008	related to orotate reductase (NADH2)	1	1		
RCO707714	related to nasopharyngeal carcinoma susc	3	12		
RCO701177	related to phosphatidylserine decarboxyla	6	44		
RCO700980	probable ATP-dependent RNA helicase HA	3	12		
RCO710751	related to bystin	2	12		
RCO700523	aldehyde dehydrogenase A	1	4		
RCO701357	related to alpha-methylacyl-coa racemase	2	12		
RCO708561	probable acyl-CoA dehydrogenase	1	12		
RCO702151	related to endoglucanase I precursor	1	2	33,30	5,99
RCO705554	related to Heterokaryon incompatibility pr	1	12		
RCO711669	uncharacterized protein	2	5		
RCO705305	probable aminopeptidase P, cytoplasmic	2	9		
RCO708565	probable ARL1 - ADP-ribosylation factor	1	8		
RCO711379	uncharacterized protein	1	4		
RCO706708	uncharacterized protein	1	4		
RCO709141	uncharacterized protein	1	9		
RCO701661	probable Protein sey1	3	10		
RCO702295	related to 3-isopropylmalate dehydrogena	1	5		
RCO705669	uncharacterized protein	1	4		
RCO700204	related to RNA-binding protein	1	2	26,52	5,93
RCO701279	related to 28 kDa heat- and acid-stable ph	2	12		
RCO707236	uncharacterized protein	1	4		
RCO704437	related to L-ornithine N5-hydroxylase	2	8		
RCO706272	related to hydrolases of the alpha/beta su	1	4		
RCO711073	probable SNW domain-containing protein	2	3		
RCO710438	related to Fe2+/Zn2+ regulated transport	1	9		
RCO701454	uncharacterized protein	2	9		
RCO708897	related to dihydroxyacetone kinase	1	4		
RCO703499	related to cecr1 protein	3	24		
RCO710117	uncharacterized protein	1	4		
RCO710577	probable xylulose kinase	3	12		
RCO710763	probable FACT complex subunit SPT16	2	14		
RCO709847	related to glutathione synthase	2	6		
RCO707200	related to Similarity to mucins, glucan 1,4	4	14		
RCO701906	probable ADP-ribosylation factor-binding p	3	14		
RCO702093	related to monooxygenase	1	4		
RCO708254	related to C.cardunculus cypro4 protein	3	12		
RCO708402	uncharacterized protein	2	12		
RCO708870	related to pre-mRNA splicing factor	1	4		
RCO707251	uncharacterized protein	4	20		
RCO705776	probable transcriptional regulator	1	8		

RCO700702	related to APG7 (component of the autopl	3	12		
RCO708310	probable prenyl transferase	1	1		
RCO706870	uncharacterized protein	2	12		
RCO703305	probable ubiquitin fusion degradation prot	4	32		
RCO702568	probable endonuclease/exonuclease/phos	1	3		
RCO700815	probable UPS1 Mitochondrial intermembra	2	12		
RCO704238	related to ribosomal protein YmL40, mitoc	2	7		
RCO700943	related to metaphase-anaphase transition	2	20		
RCO708295	related to formaldehyde dehydrogenase	2	8		
RCO707208	probable endonuclease G, mitochondrial p	1	12		
RCO707725	related to NNT1 Putative nicotinamide N-r	1	8		
RCO701485	related to alcohol oxidase	2	8	34,04	5,63
RCO705464	related to cell surface protein	1	8		
RCO709597	related to metalloprotease 1	4	20		
RCO700021	related to endoplasmic reticulum retentior	1	4		
RCO703604	related to alpha-L-rhamnosidase A	3	10	25,96	3,30
RCO702776	probable kinesin heavy chain	3	18		
RCO705754	uncharacterized protein	1	5		
RCO707161	related to tRNA-pseudouridine synthase I	3	12		
RCO702146	uncharacterized protein	1	4		
RCO707384	related to cytosine deaminase	1	4		
RCO704155	related to translation initiation factor GCD	2	8		
RCO710049	related to Protein cgi121	1	1		
RCO703444	uncharacterized protein	1	4		
RCO702038	related to tpa inducible protein	3	6		
RCO705223	related to putative transcriptional regulatc	1	12		
RCO710430	related to 6-hydroxy-D-nicotine oxidase	2	12	93,17	5,44
RCO702407	related to 26s proteasome subunit p28	1	4		
RCO708858	related to vesicular transport protein	5	23		
RCO703749	related to 3-OXOADIPATE ENOL-LACTON/	2	16		
RCO706770	related to MOB2 protein, required for mai	1	16		
RCO709429	probable ubiquitin-conjugating enzyme ub	1	4		
RCO702160	related to C2 domain protein	2	5		
RCO701349	uncharacterized protein	3	7		
RCO706873	related to Pseudomonas L-fucose dehydrc	1	4		
RCO710262	probable GTP-binding protein	1	8		
RCO702536	related to proteins containing regions of lc	3	12		
RCO702963	uncharacterized protein	1	1		
RCO701327	related to XPA binding protein	1	12		
RCO704997	related to reductase RED1	2	8		
RCO707649	uncharacterized protein	2	12		
RCO704302	uncharacterized protein	1	1		
RCO700224	probable mitochondrial dicarboxylate tran	2	8		
RCO700534	related to MVP1 protein	2	12		
RCO702219	related to homocysteine S-methyltransfera	1	4		
RCO702167	related to UBX domain protein	2	5		
RCO704464	uncharacterized protein	1	5		
RCO702868	related to leucine carboxyl methyltransfer	1	4		
RCO711529	uncharacterized protein	2	8		
RCO700295	related to heterokaryon incompatibility He	3	24		
RCO706053	related to nucleoporin	4	10		
RCO700851	probable neutral trehalase (alpha,alpha-tr	3	20		
RCO703511	related to USO1 - intracellular protein trar	2	20		
RCO701221	DNA-binding protein SMUBP-2	4	11		
RCO711489	probable N2,N2-dimethylguanosine tRNA	2	8		

RCO703890	uncharacterized protein	1	4		
RCO706702	probable serine/threonine-protein kinase	3	12		
RCO703234	related to geranylgeranyl transferase alph	1	4		
RCO709818	probable NADPH-dependent beta-ketoacy	1	1		
RCO704796	related to RNA (guanine-N7-) methyltrans	2	8		
RCO702790	uncharacterized protein	2	16		
RCO704325	probable RAS-2 protein	1	8		
RCO711491	probable gram-negative bacteria-binding	2	12	25,47	2,13
RCO708205	related to RRP46 protein, involved in rRN	1	8		
RCO705958	probable dehydrogenases with different s	1	4		
RCO710844	uncharacterized protein	1	5		
RCO709094	related to FMP43 Found in Mitochondrial	1	4		
RCO707379	probable Actin cytoskeleton-regulatory co	4	20		
RCO710257	related to ser/thr protein kinase	3	13		
RCO702545	related to RNase III domain protein	1	4		
RCO707815	related to protein transport protein Sec39	2	5		
RCO700837	related to Pol II transcription elongation f	2	12		
RCO703663	related to seed imbibition protein Sip1	4	7		
RCO703943	related to endoglucanase	1	8	45,06	5,01
RCO702418	related to estradiol 17-beta-dehydrogenas	1	20		
RCO711350	related to KRE9 Cell wall synthesis protein	1	4	48,70	4,98
RCO700411	probable Putative unspecific racemase EC	1	4		
RCO705726	related to beta-1,3-glucanase	2	8	57,53	4,96
RCO709205	related to spliceosome-associated-protein	1	9		
RCO705379	uncharacterized protein	1	4		
RCO701048	uncharacterized protein	4	16	125,62	4,92
RCO703846	related to malonyl CoA synthetase	1	12		
RCO700747	uncharacterized protein	2	8	83,99	4,91
RCO710068	uncharacterized protein	1	4		
RCO707928	probable serine/threonine protein phosph	2	12		
RCO701875	related to GCD6 - translation initiation fac	3	12		
RCO711312	related to CSR1 - phosphatidylinositol tra	3	20		
RCO704930	related to extragenic suppressor of kineto	4	20		
RCO700750	related to short-chain alcohol dehydrogen	1	8		
RCO702358	probable ACC deaminase	1	4		
RCO706229	related to endo alpha-1,4 polygalactosam	1	12	73,09	4,88
RCO701713	probable Alp11 homologue of tubulin-fold	1	8		
RCO708843	related to long-chain fatty-acid-CoA ligase	1	1		
RCO704268	related to ribosomal protein of the large s	1	4		
RCO701011	uncharacterized protein	1	4		
RCO709281	related to the member of the syntaxin fan	1	4		
RCO711089	probable NADH pyrophosphatase	1	4		
RCO711629	related to peroxisomal amine oxidase (co	2	12		
RCO705436	uncharacterized protein	1	4		
RCO703177	related to xylan 1,4-beta-xylosidase	2	9	51,62	4,77
RCO704374	probable replication licensing factor	3	16		
RCO704721	uncharacterized protein	1	12		
RCO705493	related to dolichyl-phosphate-mannose-p	3	24		
RCO710762	related to ketoreductase	2	8		
RCO706093	related to conserved coiled/coiled coil pro	1	4		
RCO704678	cytochrome P450 67	1	12		
RCO709643	related to PAN1 - actin-cytoskeleton asse	4	32		
RCO711137	probable SAM50 Sorting and Assembly M	2	8		
RCO702684	uncharacterized protein	2	12		
RCO703766	uncharacterized protein	1	12		

RCO704780	probable cholesterol homeostasis protein	5	17		
RCO703335	probable JLP2 DnaJ-Like Protein 2	1	4		
RCO706394	uncharacterized protein	1	4		
RCO700531	probable RRB1 - involved in the regulatior	1	12		
RCO708482	uncharacterized protein	2	9		
RCO707749	uncharacterized protein	1	4		
RCO710242	related to endoglucanase IV	1	8	85,41	4,66
RCO703741	uncharacterized protein	1	1		
RCO711258	related to P element somatic inhibitor	2	22		
RCO702561	related to TAM domain methyltransferase	1	4		
RCO709981	uncharacterized protein	1	8		
RCO708172	DNA replication licensing factor CDC47	2	9		
RCO700995	related to TPR-containing protein Mql1	1	28		
RCO708614	related to hydrolase of the alpha/beta sup	1	4		
RCO711707	uncharacterized protein	1	4		
RCO704115	probable 60S ribosomal protein L44	1	4		
RCO700456	probable L-arabinitol 4-dehydrogenase	2	8		
RCO701656	probable glutathione transferase omega-1	1	4		
RCO705663	related to WD40 repeat protein	1	4		
RCO707970	related to a component of the yeast U3 sr	1	1		
RCO702439	uncharacterized protein	2	12		
RCO702959	related to triose-phosphate isomerase	1	4		
RCO707904	related to SPC3 - signal peptidase subunit	1	8		
RCO700709	uncharacterized protein	1	1		
RCO707515	uncharacterized protein	1	4	49,98	4,41
RCO700779	probable transcription elongation factor sp	4	16		
RCO701304	uncharacterized protein	1	4		
RCO705290	probable beta-glucosidase precursor	2	4		
RCO704253	uncharacterized protein	1	2	115,71	4,38
RCO709926	uncharacterized protein	2	12	38,14	4,37
RCO707841	related to FMP22 Found in Mitochondrial F	1	4		
RCO705579	uncharacterized protein	1	1		
RCO702968	related to protein-tyrosine phosphatase	2	12		
RCO702311	related to phospholipase C	1	4		
RCO702043	probable vacuolar sorting protein VPS4	1	2		
RCO701797	related to NAD(P)H-dependent oxidoredu	1	4		
RCO710027	related to high mobility group protein	1	4		
RCO702393	probable tRNA (guanine-N(7)-)-methyltra	1	4		
RCO710347	probable GTP-binding protein 1; G-protein	2	8		
RCO709711	related to thiamin pyrophosphokinase	1	4		
RCO702252	uncharacterized protein	2	8	29,46	4,30
RCO707787	probable pyridoxamine 5'-phosphate oxida	1	4		
RCO706379	catechol 1,2-dioxygenase	1	12		
RCO708464	related to NADPH quinone oxidoreductase	1	4		
RCO704631	related to signal peptidase 18 KD subunit	1	4		
RCO706435	related to component of actin cortical pat	2	8		
RCO707171	probable protein yjbQ	1	1	32,05	4,23
RCO706591	probable dUTP pyrophosphatase	1	8		
RCO701648	related to nucleoporin-interacting protein	3	16		
RCO709905	related to reductases	1	1		
RCO708451	uncharacterized protein	1	1		
RCO700483	uncharacterized protein	1	11		
RCO706271	uncharacterized protein	1	8		
RCO704251	uncharacterized protein	1	1		
RCO709935	related to phosphatidylinositol/phosphatid	1	8		

RCO701555	uncharacterized protein	1	1		
RCO703148	related to developmental regulator flbA	2	9		
RCO707662	related to Y.lipolytica GPR1 protein and Fu	1	1		
RCO701748	uncharacterized protein	3	25	394,94	4,18
RCO703327	related to human RANBPM NP005484.1	2	8		
RCO703363	related to heterogeneous nuclear ribonucl	2	8		
RCO701677	uncharacterized protein	1	4		
RCO704376	uncharacterized protein	1	4		
RCO703883	related to FAT1 - very long-chain fatty acy	2	12		
RCO711467	uncharacterized protein	1	4	20,64	4,14
RCO706618	related to tRNA (guanine-N(7)-)-methyltra	2	8		
RCO710768	uncharacterized protein	1	4		
RCO709995	probable transcription elongation factor S-	1	1		
RCO710940	probable Ras-like G protein RagC	1	4		
RCO704565	probable general amidase	1	8		
RCO709646	related to translation initiation factor eIF-2	1	10		
RCO710274	uncharacterized protein	1	4		
RCO707925	related to signal peptide protein	1	4		
RCO710792	related to gibberellin 20-oxidase	1	1		
RCO705794	related to flavonol synthase-like protein	1	8		
RCO711174	agmatinase	1	8		
RCO701194	probable agmatinase	1	4		
RCO708370	uncharacterized protein	1	4		
RCO706719	probable transcription initiation factor IIB	1	8		
RCO711463	probable protein yhhW	1	4		
RCO708226	uncharacterized protein	1	4		
RCO710084	related to ribosomal RNA processing prote	4	12		
RCO701112	related to alcohol dehydrogenase, class C	1	4		
RCO701097	related to bromodomain protein BDF1	3	12		
RCO700672	related to POL12 (DNA-directed DNA poly	1	2		
RCO706907	related to branched-chain alpha-keto acid	2	2		
RCO703101	related to heterokaryon incompatibility pr	2	11		
RCO709691	uncharacterized protein	1	8		
RCO703336	related to ribosomal protein L3 precursor,	1	4		
RCO707909	probable cell division control protein nda4	1	7		
RCO711281	related to SMC3 - required for structural r	3	12		
RCO709761	related to mitochondrial ribosomal protein	1	8		
RCO710745	probable inositol monophosphatase 3 (Inc	1	4		
RCO700002	probable GTP cyclohydrolase II	1	8		
RCO705166	related to 6-phosphofructo-2-kinase/fruct	2	3		
RCO708945	uncharacterized protein	2	42	131,28	3,82
RCO707265	probable multidrug resistance protein 2	1	7		
RCO704714	probable membrane coat complex Retrom	2	12		
RCO702018	uncharacterized protein	3	13		
RCO701255	uncharacterized protein	1	4		
RCO705963	uncharacterized protein	1	1		
RCO703829	related to endoglucanase B	1	4	61,84	3,80
RCO707157	related to CBP3 - required for assembly o	1	4		
RCO704766	related to rat ubiquitin ligase Nedd4	3	15		
RCO710087	related to phospholipase	1	4		
RCO707033	related to nuclear pore protein NUP57	1	16		
RCO706199	related to programmed cell death protein	1	4		
RCO707625	uncharacterized protein	1	4	26,86	3,73
RCO704924	related to alpha-adaptin C	1	8		
RCO702786	related to endosomal protein EMP70 prec	2	8		

RCO706449	probable signal recognition particle recept	1	4		
RCO703834	probable voltage-gated shaker-like K+ cha	1	12		
RCO705145	related to alpha-actinin	1	1		
RCO706216	uncharacterized protein	2	13	77,22	3,69
RCO701727	related to GLE2 - required for nuclear por	1	4		
RCO702057	probable calmodulin-dependent protein ki	1	8		
RCO700928	uncharacterized protein	1	4	24,87	3,68
RCO705702	probable histone deacetylase RpdA	2	3		
RCO703141	delta-9 fatty acid desaturase	1	4		
RCO708636	uncharacterized protein	1	4		
RCO708678	uncharacterized protein	1	12		
RCO711653	related to DUF255 domain protein	2	8		
RCO704097	uncharacterized protein	1	8		
RCO708607	related to tRNA-splicing endonuclease bet	2	8		
RCO708048	probable Probable beta-galactosidase C	3	9	69,49	3,57
RCO707015	uncharacterized protein	1	4		
RCO708239	related to tRNA (guanine-N(1)-)-methyltra	1	4		
RCO705042	related to cell-cycle protein PELOTA	1	4		
RCO705486	related to 3-isopropylmalate dehydrogena	1	8		
RCO708645	uncharacterized protein	1	4		
RCO708459	related to cecr1 protein	2	8		
RCO700169	uncharacterized protein	1	4		
RCO705441	related to acetoacetyl-CoA synthetase	2	5		
RCO711225	related to serine/threonine protein kinase	1	4		
RCO709154	related to heterogeneous nuclear ribonucl	1	4		
RCO708725	related to lipase 2	1	4		
RCO703881	uncharacterized protein	1	3		
RCO700451	related to cold sensitive U2 snRNA supres	1	4		
RCO702909	related to proline transport helper PTH1 C	1	4		
RCO703725	related to Putative dioxygenase C576.01c	1	4		
RCO704324	probable Chitin Synthase 1 (chs-1)	2	8		
RCO711530	uncharacterized protein	1	4	60,74	3,44
RCO710067	related to Nup98-Nup96 precursor	4	28		
RCO701807	probable carnitine acetyl transferase FacC	2	5		
RCO709269	uncharacterized protein	1	1		
RCO706475	related to retrograde regulation protein R	1	14		
RCO703521	uncharacterized protein	1	4		
RCO706992	probable dis1-suppressing protein kinase	1	4		
RCO701852	related to P.falciparum dihydropteroate sy	1	4		
RCO702906	related to cyclin-supressing protein kinase	1	4		
RCO701132	G protein alpha chain	1	4		
RCO710600	related to tetratricopeptide repeat protein	2	2		
RCO704635	probable RNA binding protein Rpf2 involve	1	4		
RCO710180	uncharacterized protein	2	8		
RCO705537	related to IST2 protein	2	16		
RCO709676	probable Probable beta-glucosidase H	2	17		
RCO711046	alpha-1	1	8		
RCO706162	probable phosphate transport protein, mit	1	8		
RCO701734	uncharacterized protein	1	1		
RCO708970	related to thymidylate kinase	1	4		
RCO706772	probable lipase 5	1	4		
RCO706883	probable G2/mitotic-specific cyclin-B1	1	4		
RCO705729	uncharacterized protein	1	4		
RCO708776	related to forkhead protein	1	4		
RCO711453	related to O-succinylhomoserine (thiol)-lya	1	4		

RCO708804	related to CCR4-NOT transcription comple	1	8		
RCO705591	related to beta-mannosidase	1	4		
RCO706661	probable 146D nuclear protein	3	20		
RCO706238	probable zinc metallo-protease	1	8		
RCO705199	uncharacterized protein	2	8		
RCO701022	uncharacterized protein	1	8	41,22	3,23
RCO711446	probable Methionine synthase, vitamin-B1	1	4		
RCO708794	probable oxalate decarboxylase	1	4		
RCO706027	probable DNA replication licensing factor	3	12		
RCO700482	related to SEC3 - component of exocyst c	1	1		
RCO702336	uncharacterized protein	2	8		
RCO702385	probable FMP30 Found in Mitochondrial P	1	4		
RCO708573	probable nucleolar GTP-binding protein 2	1	4		
RCO704726	probable ENA5 - Plasma membrane P-typ	2	3		
RCO701623	uncharacterized protein	1	8		
RCO700161	related to KTI12 (TOT4) protein	1	2		
RCO707876	related to general amidase	1	4		
RCO705974	related to AP endonuclease	1	4		
RCO707075	related to RVS167 protein (reduced viabili	1	12		
RCO708601	probable platelet-activating factor acetylh	1	4		
RCO710376	probable alcohol dehydrogenase (NADP+)	1	1		
RCO702619	probable glutamyl-tRNA(Gln) amidotransf	1	4		
RCO700090	uncharacterized protein	1	1		
RCO705870	uncharacterized protein	1	4		
RCO704171	probable phenylalanyl-tRNA synthetase, n	1	4		
RCO703908	uncharacterized protein	1	4		
RCO703650	probable mannan endo-1,6-alpha-mannos	1	4		
RCO709221	related to histone-lysine N-methyltransfer	1	4		
RCO709382	related to SHK1 KINASE-BINDING protein	1	1		
RCO704469	probable chorismate mutase	1	4		
RCO708722	related to BNI4 Bud neck involved	2	8		
RCO707109	related to aminopeptidase Y precursor, va	1	4		
RCO704871	uncharacterized protein	1	4		
RCO705899	uncharacterized protein	1	12		
RCO703626	probable actin regulatory proteins (gelsoli	1	4		
RCO705765	probable Probable lysosomal cobalamin tr	1	8		
RCO708591	related to VPS9	1	1		
RCO700260	uncharacterized protein	1	4		
RCO705828	related to A.ambisexualis antheridiol sterc	2	5		
RCO704779	related to MOT2 - transcriptional represso	2	12		
RCO701050	related to nuclear associated protein	1	5		
RCO701801	related to transcription factor medusa	1	1		
RCO703122	related to protein BRO1, required for norr	2	8		
RCO706547	related to double-strand-break repair prot	1	1		
RCO700153	uncharacterized protein	1	1		
RCO710619	related to nuclear protein SA-1	2	20		
RCO707828	uncharacterized protein	2	8		
RCO705635	probable regulatory subunit of protein phc	1	4		
RCO709842	related to splicing factor 3B subunit 3 (spl	3	16		
RCO701898	uncharacterized protein	1	4	41,39	2,88
RCO702867	related to Uth1p, Nca3p, YIL123w and Su	1	1		
RCO705617	probable DNA-directed RNA polymerase I	3	12		
RCO708466	probable Cell division cycle protein 123	1	4		
RCO703464	related to n-carbamoyl-l-amino acid hydrc	1	4		
RCO706083	uncharacterized protein	1	4		

RCO702343	uncharacterized protein	1	4		
RCO707861	probable 50S ribosomal protein L1	1	4		
RCO704773	related to ribosomal protein S5 (mitochon	1	4		
RCO709162	probable D-lactate dehydrogenase (cytoch	1	4		
RCO702531	uncharacterized protein	1	2		
RCO707849	uncharacterized protein	1	12	115,70	2,80
RCO701849	related to myosin heavy chain	1	1		
RCO705136	probable elongator complex protein 2	1	4		
RCO710219	related to VPS41 - required for the vacuol	1	1		
RCO700550	related to vacuolar protein sorting VACUO	1	9		
RCO705897	uncharacterized protein	2	8		
RCO705265	related to kynureninase	1	4		
RCO705095	related to 26S proteasome subunit RPN4	1	2		
RCO702851	uncharacterized protein	1	5	28,20	2,73
RCO709856	uncharacterized protein	1	1		
RCO711603	related to regulatory protein amdA	2	8		
RCO704611	related to ubiquitin-conjugating enzyme	1	4		
RCO700813	related to aldehyde-alcohol dehydrogenas	1	8		
RCO711385	related to helicases	1	2		
RCO701111	DNA-dependent RNA polymerase II RPB1	2	5		
RCO708345	uncharacterized protein	1	4		
RCO711539	uncharacterized protein	1	4	64,29	2,60
RCO700710	pre-mRNA-splicing factor prp1	1	9		
RCO710476	uncharacterized protein	2	13		
RCO702360	uncharacterized protein	1	8		
RCO707361	related to NADH oxidase	1	4		
RCO701896	related to translation initiation factor IF-2,	2	2		
RCO707087	related to triacylglycerol lipase	1	4		
RCO702713	related to CTI6 Cyc8-Tup1 Interacting pro	2	8		
RCO710243	uncharacterized protein	1	4	31,65	2,56
RCO700081	related to D-arabinono-1,4-lactone oxidas	1	4		
RCO706551	uncharacterized protein	1	4		
RCO706781	probable ethanolamine kinase 1	1	4		
RCO710681	probable Autophagy-related protein 18	1	4		
RCO708644	related to glyoxal oxidase precursor	1	4		
RCO700241	probable splicing factor PRP8 (U5 snRNP)	3	21		
RCO708396	related to general RNA polymerase II tran	1	4		
RCO708905	uncharacterized protein	1	4		
RCO701100	uncharacterized protein	1	4		
RCO701197	related to SKI2 - antiviral protein and puta	4	16		
RCO709043	related to glucose/galactose transporter	1	4		
RCO703685	uncharacterized protein	1	4	36,81	2,49
RCO707000	probable enoyl-[acyl-carrier-protein] redu	1	4		
RCO706901	probable Pre-mRNA-processing ATP-depe	2	9		
RCO709550	related to Sec27p, YMR131c and human r	1	1	0,00	2,47
RCO709414	uncharacterized protein	1	8		
RCO706723	related to serine/threonine-protein kinase	2	8		
RCO700304	probable glycerol kinase (ATP:glycerol 3-p	1	4		
RCO704085	related to GTP-binding protein beta subur	1	4		
RCO707189	related to ubiquitin C-terminal hydrolase	2	5		
RCO705370	uncharacterized protein	1	8		
RCO700871	related to Pwp2p	1	4		
RCO708969	related to TATA-binding protein-associate	1	4		
RCO711437	probable DFG5 protein	1	8	49,04	2,38
RCO705968	related to DNA polymerase V	1	4		

RCO709003	related to F-box domain protein	1	12		
RCO702051	related to transcription regulator SPT7	1	2		
RCO711121	related to 3-oxoacid CoA-transferase	1	4		
RCO709130	related to monooxigenase	1	4		
RCO705715	related to sorting nexin 4	1	4		
RCO703761	related to SPT5 - transcription elongation	2	20		
RCO704231	related to CYC8 - general repressor of tra	1	4		
RCO702765	uncharacterized protein	1	4		
RCO706346	related to exosome complex exonuclease	1	4		
RCO708941	related to RNA-binding protein homologou	2	8		
RCO709041	probable MFS transporter	1	4		
RCO707711	related to KRI1 KRRI-Interacting protein 1	1	4		
RCO711594	related to Pst1p	2	12	104,35	2,28
RCO711005	uncharacterized protein	2	16	42,73	1,09
RCO702431	related to CDC39 protein	4	24		
RCO703795	related to DNA polymerase IV, DNA-dama	1	2		
RCO703458	uncharacterized protein	1	4		
RCO702006	uncharacterized protein	1	4		
RCO701666	probable threonine aldolase	1	4		
RCO707195	probable glutamate 5-kinase	1	4		
RCO711341	related to 2-methylcitrate dehydratase (Pr	1	4		
RCO700780	probable oxysterol-binding protein 1	2	12		
RCO701673	probable gephyrin	1	4		
RCO706582	uncharacterized protein	1	4		
RCO703877	probable N-methylhydantoinase A/aceton	1	4		
RCO708250	probable SAP1 - member of the AAA-prot	1	4		
RCO706461	probable beta-glucosidase	2	8	26,40	2,17
RCO701684	related to protein kinase NPR1	1	4		
RCO706317	related to mitochondrial serine--tRNA liga	1	4		
RCO705789	related to Nap1p-binding protein	1	4		
RCO704210	related to BSC1 Transcript encoded by thi	1	4	48,46	2,15
RCO700148	probable D-lactate dehydrogenase (cytoch	1	4		
RCO705075	related to PEP5 protein	2	8		
RCO701885	related to mRNA 3'-end-processing protei	1	5		
RCO702521	related to class I alpha-mannosidase	1	8		
RCO701039	related to OST3 - oligosaccharyltransferas	1	4		
RCO710889	related to helicases	1	2		
RCO710537	related to carboxylesterase type B	1	4	34,52	2,11
RCO702092	related to ATP-dependent DNA helicase m	1	4	20,09	2,11
RCO707223	probable hydroxyethylthiazole kinase	1	1		
RCO703798	probable CDC40 - cell division control prot	1	4		
RCO703431	related to DNA-damage repair protein DR	1	4		
RCO700609	related to decapping enzyme	1	4		
RCO707483	uncharacterized protein	1	8		
RCO700781	probable oxalate decarboxylase oxdD	1	4		
RCO705407	related to cell polarity protein tea1p	2	5		
RCO707724	uncharacterized protein	1	4		
RCO704262	related to aspartic proteinase precursor	1	8	44,36	2,04
RCO709805	uncharacterized protein	1	4		
RCO701879	related to nucleolar 100K polymyositis-scl	1	4		
RCO703959	uncharacterized protein	1	1		
RCO710112	related to pseudouridine synthase	1	4		
RCO705294	probable GDP-mannose transporter	1	4		
RCO709502	probable c-14 sterol reductase ERG-3	1	4		
RCO709206	probable phytoene dehydrogenase AL-1 (	1	4		

RCO707960	related to UTP13 - U3 snoRNP protein	1	4		
RCO702447	related to pig tubulin-tyrosine ligase	1	8		
RCO709644	related to aminotransferase	1	4		
RCO706277	probable Serine/threonine-protein kinase	1	8		
RCO705690	related to cactin	1	4		
RCO707145	uncharacterized protein	1	4		
RCO700776	probable ATPase component of chromatin	2	8		
RCO701547	related to pre-rRNA-processing protein ES	1	4		
RCO706210	probable bifunctional fatty acid transporte	1	4		
RCO710685	probable DNA-directed RNA polymerase I	2	2		
RCO703006	uncharacterized protein	1	4		
RCO706019	related to HEM14 - protoporphyrinogen o	1	4		
RCO707389	probable 6-phosphofructo-2-kinase/fructo	1	4		
RCO704696	probable cytoplasmic dynein intermediate	1	8		
RCO705079	conidiophore development protein hymA	1	4		
RCO708099	related to multidrug resistance protein	1	4		
RCO708066	related to spindle pole body protein NUF1	1	4		
RCO705909	uncharacterized protein	1	4		
RCO710538	uncharacterized protein	1	4		
RCO700478	related to cytoplasmic Zn-finger protein B	1	4		
RCO708906	uncharacterized protein	1	1		
RCO709077	uncharacterized protein	1	1		
RCO704831	probable cro1 protein	1	5		
RCO704127	related to NUP133 Nuclear pore protein	1	4		
RCO703648	related to mRNA capping enzyme beta su	1	4		
RCO706320	related to calponin	1	4		
RCO701586	related to monooxygenase	1	4		
RCO702965	related to thioredoxin domain containing	1	4		
RCO701175	related to beta-fructofuranosidase	1	4	34,23	1,73
RCO709175	related to UBX7 UBX (ubiquitin regulatory	1	4		
RCO704472	related to SH3 domain protein	1	4	65,27	1,70
RCO709933	probable Glucoamylase P	1	4	26,39	1,70
RCO705162	related to cap binding protein 80 (Cbp80)	1	4		
RCO701615	uncharacterized protein	1	4		
RCO707802	related to NNF2 Protein with role in chron	1	4		
RCO709793	related to SPO76 protein	1	2		
RCO706741	uncharacterized protein	1	8		
RCO707409	related to RNA binding protein NRD1 prot	1	4		
RCO705853	related to transcription regulatory protein	2	8		
RCO704542	related to UV-damaged DNA-binding prot	1	16		
RCO700942	probable DNA replication licensing factor	1	4		
RCO703441	uncharacterized protein	1	1		
RCO702156	probable calcium/calmodulin-dependent p	1	8		
RCO701694	probable dolichyl-phosphate-mannose--pr	1	8		
RCO700183	probable sphingomyelin phosphodiesteras	1	4	26,62	1,59
RCO709809	uncharacterized protein	1	1		
RCO701320	uncharacterized protein	1	4		
RCO704317	related to acetyl coenzyme A synthetase	1	4		
RCO700951	probable ribosomal RNA-processing prote	1	8		
RCO705799	probable nucleolar complex protein 2	1	4		
RCO701635	related to armadillo repeat protein	1	4		
RCO703343	related to nuclear VCP-like protein	1	1		
RCO707074	uncharacterized protein	1	4		
RCO702995	uncharacterized protein	1	3		
RCO702047	related to RNA-binding protein	1	4		

RCO710417	related to SEC16 Multidomain vesicle coat	2	3		
RCO711652	uncharacterized protein	1	8		
RCO707605	related to cytochrome P450 CYP3/CYP5/C	1	1	24,73	1,54
RCO704690	probable peroxisomal targeting signal rec	1	4		
RCO705056	uncharacterized protein	1	1		
RCO703771	related to regulatory protein ral2	1	4		
RCO702532	uncharacterized protein	1	4	25,09	1,52
RCO702576	related to Los1p	1	4		
RCO704598	probable QNS1 Glutamine-dependent NAD	1	4		
RCO701818	related to nuclear pore membrane protein	1	2		
RCO706087	probable vacuolar sorting protein	1	4		
RCO702812	uncharacterized protein	1	4		
RCO709829	probable acyl CoA ligase-like protein	2	8		
RCO700556	related to KINESIN-LIKE PROTEIN KIF1C	1	4		
RCO710963	probable calcium-transporting ATPase (P-	1	16		
RCO711336	probable polyketide synthase	2	2		
RCO710961	related to phospholipase D	1	8		
RCO712019	related to polyketide synthase	3	17		
RCO701745	related to beta-adaptin	1	1		
RCO709145	probable laccase 2	1	4	24,39	1,38
RCO700700	related to complex I intermediate-associat	1	4		
RCO708449	related to endonuclease/exonuclease/pho	1	4	40,60	1,37
RCO701019	related to cholinesterase	1	1	21,69	1,35
RCO702907	uncharacterized protein	1	3		
RCO700664	related to large nucleolar U3 ribonucleopr	1	4		
RCO705693	uncharacterized protein	1	1		
RCO703241	uncharacterized protein	1	4		
RCO705844	probable Myosin-1	1	3		
RCO704570	related to IQ calmodulin-binding motif pro	1	4		
RCO711262	related to MSP1 protein	1	4		
RCO704237	related to killer toxin insensitive protein 3	1	4		
RCO703964	related to multidrug transporter (yeast bil	1	4		
RCO709658	probable ATP dependent RNA helicase	1	4		
RCO705814	related to small nucleolar ribonucleoprote	1	4		
RCO710649	related to vacuolar protein sorting-associa	2	20		
RCO706081	probable DNA topoisomerase 1	1	4		
RCO708267	related to MSN5 protein (multicopy supres	1	4		
RCO710608	uncharacterized protein	1	1		
RCO703554	uncharacterized protein	1	12		
RCO700874	related to pre-mRNA splicing factor	1	5		
RCO701033	uncharacterized protein	1	4		
RCO710599	probable SNF2 family ATP-dependent chro	1	4		
RCO710179	uncharacterized protein	1	8		
RCO711396	related to annexin XIV	1	4		
RCO709078	related to Probable beta-galactosidase B	1	4	24,43	0,98
RCO711045	related to GCP3 (gamma-tubulin complex	1	1		
RCO706608	related to ECM29 protein	1	4		
RCO710083	related to Rotein of unknown function	1	4		
RCO710896	uncharacterized protein	1	1		
RCO707368	related to SEC7, component of non-clathr	1	2		
RCO703502	probable Autophagy-related protein 2	1	1		
RCO705086	related to RAV1 - similarity to Drosophila	1	4		
RCO706205	related to ADP-ribosylation factor (ARF) G	1	1		
RCO702346	related to 1-phosphatidylinositol 3-kinase	1	4		
RCO710148	related to GRAM domain-containing prote	1	4		

RCO707640	related to NUP170 - nuclear pore protein	1	1		
RCO710795	related to Scd1 protein	1	4		
RCO710143	related to DNA-binding protein	1	1		
RCO712010	related to non-ribosomal peptide syntheta	2	2		
RCO702021	related to phosphoserine phosphatase fcp	1	4	0,00	0,84
RCO704804	probable ABC1 transport protein	1	1		
RCO702244	uncharacterized protein	1	1		
RCO706933	related to AMI1 protein	1	4		
RCO701310	related to coenzyme A transporter	1	4	20,42	0,74
RCO706761	related to MAP kinase kinase kinase Wis4	1	4		
RCO709291	uncharacterized protein	1	4		
RCO709376	uncharacterized protein	1	2		
RCO706254	related to na+/k+/2cl- cotransporter	1	4		
RCO709800	related to meiotically up-regulated gene 1	1	4		
RCO708173	uncharacterized protein	1	16	41,46	0,65
RCO707834	probable MOT1 - transcriptional accessory	1	4		
RCO710261	probable DNA polymerase alpha catalytic	1	1		
RCO701208	related to putative dual specificity protein	1	4		
RCO704536	probable chitin synthase	1	4		
RCO710259	uncharacterized protein	1	4		
RCO700362	related to ATP-dependent DNA helicase	1	8		
RCO707913	probable KEM1 - multifunctional nuclease	1	1		
RCO710133	related to phosphotidylinositol kinase	2	2		
RCO706258	uncharacterized protein	1	1		
RCO712020	related to polyketide synthase	1	4		
RCO706181	uncharacterized protein	1	4		
RCO707304	related to stage V sporulation protein K	1	4		
RCO711347	related to Lovastatin nonaketide synthase	1	8		
RCO710833	uncharacterized protein	1	1		
RCO705677	related to lovastatin nonaketide synthase	1	1		

# Peptides Oxidation	# PSM Oxidation	Score AcetylProtNterm	verage AcetylProtNte	eptides AcetylProtNt
15	30	800,93	74,90	13
8	12	374,20	56,48	8
1	1	37,94	13,64	1
20	127	3525,12	71,56	18
8	11	324,03	70,71	8
8	15	247,14	83,96	8
8	30	699,97	81,45	8
19	283	6199,17	81,29	19
1	1	88,29	8,56	1
13	58	730,80	76,35	12
3	3	108,52	14,50	2
4	4	93,28	20,56	4
12	20	541,97	28,94	12
32	890	23628,70	77,23	29
14	169	3033,57	77,12	14

8	41	882,49	75,00	8
7	15	577,87	74,80	7
3	6	173,71	37,74	4
1	1	91,78	4,96	1
30	273	5642,17	51,92	26
1	1	77,97	2,16	1
11	43	843,02	42,52	8
8	22	288,68	52,87	4
5	7	141,83	35,71	5
2	2	97,10	13,42	2
1	1	32,28	8,77	1
5	19	419,08	54,83	5

8	10	554,96	12,99	8
19	157	3699,15	51,83	17
15	38	1140,54	66,36	15
34	143	3775,01	63,27	32
2	4	135,18	33,80	2
16	33	731,22	64,27	16
6	12	431,32	66,06	6
7	13	503,34	56,22	6
3	5	197,35	23,56	3
10	17	597,64	60,94	9
17	74	1358,90	54,14	15
21	38	994,24	60,55	19
22	58	1563,41	62,58	21
12	23	659,51	54,37	10

2	2	116,92	22,35	1
21	32	555,82	49,00	17
1	1	34,25	1,79	1
1	1	20,61	2,50	1
2	3	131,29	4,06	2
3	4	54,92	8,24	2
14	27	531,11	48,51	12
35	123	3371,38	58,06	34
3	9	276,65	60,98	3
15	23	852,43	45,31	12
1	9	145,54	1,60	1
8	19	539,34	59,75	8
21	35	576,40	55,28	20

1	1	35,13	11,50	1
17	158	2205,39	52,59	15
18	66	1666,17	58,95	19
6	6	216,60	19,16	6
1	1	69,67	36,96	1
2	2	45,23	14,05	2
2	2	82,93	9,17	2
27	231	3700,76	57,03	27
3	3	90,95	33,33	3
15	27	486,03	47,34	13
11	24	199,09	29,00	8
13	19	419,17	39,31	12
7	17	532,50	35,09	6
5	19	419,08	30,32	5
7	20	689,95	46,60	7

28	47	1263,48	41,57	25
10	11	309,23	42,77	9
18	34	669,30	55,49	18
5	9	82,70	31,15	4
10	17	334,65	20,77	7
12	25	610,51	43,19	11
8	172	6168,07	54,74	8
15	24	525,90	42,56	13
3	8	273,53	48,10	3
16	34	668,93	42,86	15
2	3	31,36	10,59	2
5	13	591,09	54,03	5
16	28	749,74	37,79	13
15	21	586,43	44,02	14
			0,00	
13	30	1144,06	47,03	13
4	214	9090,00	53,41	4
11	31	431,70	31,31	10
		41,04	12,50	1
6	662	21479,41	52,55	6

5	19	419,08	34,56	5
		56,45	15,38	1
1	1	60,76	9,09	1
8	11	223,67	20,87	6
13	66	2215,19	41,67	14
11	35	1316,21	45,81	10
15	45	1110,68	42,42	15
10	19	500,73	45,92	10
12	23	770,53	50,00	12
9	19	446,74	39,43	8
13	25	518,15	41,19	11
		40,92	8,95	1
2	3	195,73	21,71	2

3	7	167,20	27,05	3
2	3	95,22	6,98	2
1	1	48,41	2,59	1
7	25	679,88	41,02	6
4	135	4325,40	44,50	4
1	3	196,95	4,44	1
3	8	178,56	47,41	3
2	2	89,58	3,71	2
27	58	1521,57	42,17	25

2	3	197,70	6,39	2
3	13	415,05	46,61	3
6	18	374,41	46,11	6
13	24	424,11	39,72	12
7	11	210,39	22,98	4
7	12	324,62	35,26	6
15	37	1079,99	45,23	14
21	44	933,69	38,10	19
2	2	55,90	4,76	2
14	43	1187,51	34,33	12
1	1			

20	39	779,16	36,07	17
2	5	37,13	18,46	1
8	18	313,53	44,49	8
4	5	76,42	10,39	3
1	1	29,52	6,93	1
4	8	98,01	21,08	3
1	1	34,85	6,81	1
15	26	671,01	35,99	13
16	26	515,89	38,24	13
11	16	554,34	31,67	10

7	10	167,26	12,28	3
13	18	405,48	35,05	12
8	11	171,27	37,04	7
21	42	1103,96	36,65	19
13	28	436,49	35,25	12
6	34	615,25	28,57	5
3	3	171,92	25,29	3
4	6	305,73	42,19	4
6	9	328,72	30,46	6
5	6	123,65	31,43	4
3	5	189,33	41,28	3
6	7	173,73	16,97	6
10	17	649,10	41,06	10

12	19	470,93	23,81	11
4	5	175,60	33,15	4
6	12	329,79	40,30	6
13	25	453,08	40,26	13
6	51	1438,32	40,16	6
8	16	697,49	39,95	8
6	16	520,36	39,91	6

18	40	951,50	39,17	17
4	21	85,78	23,44	3
12	17	235,90	30,99	10
8	10	166,40	9,69	5
10	14	333,60	26,13	7
15	54	1474,77	37,99	15
16	42	1320,25	37,88	15
4	6	227,49	22,91	4
4	15	443,99	16,57	3
15	25	539,48	33,56	14
11	21	639,60	34,21	10

3	4	71,14	11,58	2
3	4	142,22	9,01	2
			0,00	
5	9	56,08	2,88	1
3	3	101,07	9,25	3
5	10	255,86	36,81	5
3	4	134,50	24,64	3
3	3	69,58	24,82	3
		44,81	1,31	1
2	2	34,87	6,37	2
5	9	364,25	25,47	5
8	12	370,73	27,52	7
14	33	1093,37	35,10	13
3	4	56,57	6,63	2

10	17	630,41	30,42	10
8	21	112,52	21,48	5
4	5	108,77	27,91	4
5	8	283,66	6,26	4
13	23	473,48	35,53	13
			0,00	
3	4	48,24	9,17	1
12	18	396,92	28,93	10
3	3	36,85	9,75	2
5	7	289,60	34,52	5
14	27	594,66	23,85	10
4	5	176,60	20,95	4

9	11	242,10	27,68	7
8	12	310,43	33,74	8
14	33	678,95	28,74	12
15	48	400,83	25,45	12
9	12	303,05	26,85	8
5	5	139,43	19,34	5
8	10	193,88	20,63	6
3	7	279,45	33,07	3
11	15	475,38	32,97	11
3	3	52,59	32,94	3

40	347	10752,05	30,30	40
8	10	133,93	29,66	7
7	9	171,34	28,91	6
6	14	289,42	32,40	6
17	39	977,54	25,38	13
5	18	543,70	31,97	5
10	17	410,48	31,86	10
3	5	263,87	26,01	3
11	18	326,06	16,67	8
7	15	246,68	31,55	6
5	42	615,69	31,39	5

6	7	139,20	27,32	6
8	11	348,68	17,96	6
14	31	860,08	28,65	14
			0,00	
18	22	615,42	27,28	17
17	22	666,33	27,95	16
7	11	278,20	26,71	6
15	20	534,89	29,17	13
2	4	130,17	25,50	2
1	1	54,85	3,13	1
3	3	105,53	30,17	3
19	27	629,19	28,09	19
5	8	194,97	30,13	5
1	2	107,51	5,05	1
11	18	170,36	19,35	7
7	16	574,35	25,97	7
11	25	483,59	16,53	8
10	13	364,19	29,46	10

5	25	585,96	29,41	5
5	10	223,30	29,41	5
7	15	361,91	29,33	7
7	11	397,26	28,85	7
4	6	237,22	28,83	4
1	1			
11	12	189,28	15,50	9
9	11	352,68	14,88	7
7	8	90,65	8,27	4
2	2	53,28	10,58	1

1	1			
3	5	79,39	14,69	3
4	5	50,35	19,21	3
4	5	56,75	27,42	4
5	6	204,80	10,80	4
5	11	210,28	27,31	5
18	36	630,98	24,25	15
1	1	38,62	11,02	1
7	10	167,52	27,07	7
3	10	192,46	26,97	3
6	10	103,00	13,08	4
9	12	354,84	23,33	9
2	7	278,85	26,90	2
1	1	47,94	5,09	1

12	23	990,81	22,56	11
4	4	65,67	18,18	4
4	7	227,43	17,59	3
3	5	259,22	25,93	3
3	15	689,66	25,93	3
9	9	201,39	18,39	8
3	5	265,40	25,39	3
4	7	245,95	25,29	4
2	2	62,84	1,88	1
6	13	344,57	22,08	5
8	11	369,78	21,20	7

2	2	55,99	24,71	2
6	18	514,67	24,60	6
10	15	545,68	13,81	9
5	8	195,08	19,21	4
12	28	687,77	20,93	11
3	4	204,96	20,43	3
6	9	234,70	16,14	5
6	6	177,20	23,87	6
9	15	475,60	22,17	9
4	7	82,01	10,99	3
2	2	96,16	14,20	2
4	12	397,86	23,38	4
3	6	203,52	23,34	3

7	9	254,61	23,33	7
2	4	64,37	2,91	1
8	13	431,29	14,83	7
4	7	104,76	13,60	3
5	21	1060,09	23,06	5
5	8	195,64	23,03	5
5	6	188,48	23,01	5
5	6	114,20	13,78	4
3	3	96,06	16,20	3
2	2	59,81	22,35	2
2	2	29,39	2,98	2
1	1	37,96	9,65	1
6	10	155,15	12,41	4

4	7	124,96	19,39	5
11	12	266,13	19,35	10
1	1	67,77	21,31	1
10	13	341,91	17,65	10
3	5	185,98	20,60	3
8	9	241,63	20,57	8
6	12	272,58	20,57	6

6	17	346,84	10,63	4
3	4	187,14	13,18	2
2	2	89,96	19,69	2
5	6	97,27	15,44	4
2	2	62,33	5,65	2
10	17	614,62	16,91	9
8	9	114,18	10,38	6

4	8	237,12	13,48	4
6	21	355,59	18,90	6
3	3	29,72	4,57	1
2	2	118,68	18,86	2
2	2	35,40	10,94	2
5	6	166,78	15,55	4
5	6	102,79	18,62	5
4	7	297,52	15,01	3
11	18	128,13	7,68	6
5	6	183,42	18,43	5
1	1	33,81	3,16	1
3	6	176,86	18,29	3
8	9	213,04	16,27	8

1	1	83,92	4,15	1
2	2	29,02	7,69	1
2	2	46,25	17,65	2
5	7	125,50	17,59	5
6	7	262,54	17,46	6
2	2	46,44	17,46	2
4	5	146,94	12,42	3
6	8	267,23	12,20	5
2	3	95,38	17,05	2

4	9	282,33	16,81	4
6	7	168,67	16,74	6
5	5	75,29	14,25	4
3	3	53,19	16,67	3
4	4	110,37	16,20	3
3	3	162,44	12,01	3
3	6	180,78	9,43	3
1	1	39,65	3,69	1
2	2	128,09	10,98	2
5	5	89,05	11,89	4
2	2	159,16	4,26	2

2	2	124,41	15,31	2
6	6	132,43	12,55	5
4	5	100,16	15,20	4
6	7	114,02	12,23	5
1	1	59,81	15,00	1
4	8	138,10	5,34	3
3	17	630,05	14,93	3
4	4	33,27	4,28	2
4	6	148,98	11,17	3
4	7	221,48	13,64	4
8	9	196,07	13,65	7

5	6	169,01	14,40	5
3	6	205,60	14,24	3
2	2	65,42	14,10	2
5	5	141,40	11,72	4
3	3	59,79	13,92	3
5	9	179,35	11,61	5
11	11	156,22	12,33	10

8	9	242,57	11,29	8
			0,00	
2	2	157,25	1,91	2
2	3			
3	5	138,73	6,89	2
1	1	73,71	13,04	1
4	5	119,24	12,95	4
2	2	65,17	9,59	2
5	5	79,75	6,01	3
3	3	72,14	12,76	3

2	2	22,04	2,15	1
2	2			
2	4	183,25	12,56	2
1	1	48,12	12,50	1
3	4	67,47	12,45	3
5	5	96,76	12,43	5
3	4	257,36	12,22	3
2	2	78,33	12,19	2
2	2	49,02	12,15	2
1	2	89,75	12,15	1
9	11	250,18	10,76	9
3	6	21,16	1,39	1
5	6	120,64	11,96	5
3	3	56,46	6,74	2
11	14	418,61	7,79	10
6	8	219,17	11,84	6

1	1	54,31	1,95	1
2	3	140,43	11,68	2
4	5	94,15	9,71	3
2	2	71,40	5,97	2
3	3	63,23	3,70	3
2	2	45,01	11,34	2
3	3	157,84	11,31	3
2	3	107,04	11,27	2
2	4	148,16	11,01	2
7	7	157,80	5,84	4

3	4	61,20	10,86	3
1	1	42,23	3,89	1
2	3	140,69	4,34	1
3	3	55,24	3,72	2
3	10	635,88	10,42	3

5	6	109,56	10,21	5
1	1	45,98	3,48	1
1	1	47,97	10,12	1
1	1	50,05	10,10	1
1	2	212,96	10,00	1
4	5	162,68	9,97	4
2	3	137,70	9,92	2
2	2	84,49	9,82	2
6	6	170,58	8,64	5
2	18	426,64	9,80	2
3	4	26,14	4,06	2
2	3	211,76	9,54	2

4	5	74,58	6,96	3
4	4	131,57	9,13	4
2	2	32,57	9,13	2
4	5	189,58	7,04	3
1	1	34,06	8,90	1
3	3	36,68	8,81	3
4	4	70,92	8,77	4
2	2	33,97	8,74	2
1	1	60,89	8,73	1
5	7	301,84	8,73	5

1	1	39,12	8,64	1
2	2	60,25	8,56	2
4	6	201,08	8,53	4
1	4	131,27	8,49	1
1	1	37,02	8,45	1
3	3	79,02	8,37	3
1	2	36,24	8,23	1
1	1	62,80	8,22	1
2	2	105,65	8,16	2
1	1	27,67	8,13	1
1	1	29,21	8,09	1

3	4	114,07	7,99	3
4	4	86,64	7,85	4
2	2	62,74	2,27	1
2	2	78,64	7,81	2
2	2	20,99	7,60	2
2	2	23,84	3,69	1
2	2	75,16	4,12	1

1	1	49,88	7,27	1
1	1	34,59	7,19	1
2	2	85,77	7,18	2
2	2	82,90	7,02	2
5	6	123,01	5,51	5

2	3	59,76	6,59	2
2	2	57,74	6,50	2
1	1	27,39	6,45	1
1	1	58,30	6,38	1
1	1	40,16	6,21	1

3	5	52,53	6,13	3
1	1			
1	1	26,52	5,93	1

2	2	34,04	5,63	2
2	2	26,77	3,30	2
2	3	94,22	5,44	2

1	1	25,47	2,13	1
1	2	45,06	5,01	1
1	1	48,70	4,98	1
2	2	57,53	4,96	2
4	4	127,34	4,92	4
2	2	84,13	4,91	2
1	2	73,09	4,88	1
2	2	51,62	4,77	2

1	2	86,65	4,66	1
1	1	49,98	4,41	1
1	2			
2	3	38,14	4,37	2
2	2	29,46	4,30	2
1	1			

3	10	187,98	4,18	3
1	1	20,64	4,14	1
2	6	131,62	3,82	2
1	1	61,84	3,80	1
1	1	26,86	3,73	1

2	4	33,37	2,16	1
1	1	24,87	3,68	1
3	3	50,97	2,34	2
1	1	60,74	3,44	1

1	1	41,22	3,23	1
1	1	41,39	2,88	1

1	2	115,70	2,80	1
1	1			
1	1	64,29	2,60	1
1	1	31,65	2,56	1
1	1	36,81	2,49	1
1	1			
1	2	49,52	2,38	1

2	2	105,21	2,28	2
1	1	42,73	1,09	1
2	2	26,40	2,17	2
1	1	48,46	2,15	1
1	1	34,52	2,11	1
1	1	20,09	2,11	1
1	2	47,77	2,04	1

1	1	34,23	1,73	1
1	1	65,27	1,70	1
1	1	26,39	1,70	1
1	1	26,62	1,59	1

1	1			
1	1	25,09	1,52	1
1	1	24,39	1,38	1
1	1	40,60	1,37	1
1	1			
1	1	24,43	0,98	1

1	1	0,00	0,84	1
1	1	27,66	0,74	1
1	1	41,46	0,65	1

PSM AcetylProtNterr	Score Phospho	Coverage Phospho	# Peptides Phospho	# PSM Phospho
28	778,12	74,90	13	28
12	348,33	56,48	8	12
1	37,94	13,64	1	1
115	3306,49	71,56	18	113
12	286,79	70,71	8	11
12	231,00	75,47	7	11
30	628,14	81,45	8	29
233	5696,62	81,29	19	230
1	88,29	8,56	1	1
30	660,24	76,35	12	30
2	105,02	14,50	2	2
4	89,10	20,56	4	4
20	540,37	28,94	12	21
531	23141,30	77,23	29	532
79	2889,84	77,12	14	78
		0,00		

38	753,66	75,00	8	38
12	562,31	74,80	7	12
7	150,53	24,53	3	6
1	91,78	4,96	1	1
231	5244,41	51,92	26	231
1	77,97	2,16	1	1
22	801,46	42,52	8	22
12	276,00	52,87	4	12
7	136,68	69,05	6	8
2	95,43	13,42	2	2
1	32,28	8,77	1	1
19	396,32	54,83	5	19

10	513,03	12,99	8	10
122	3518,05	51,83	17	122
32	1097,23	66,36	15	32
109	3640,98	63,27	32	108
4	123,31	33,80	2	4
30	665,50	64,27	16	30
12	412,07	66,06	6	12
11	492,88	56,22	6	11
5	189,12	23,56	3	5
16	581,04	60,94	9	16
63	1279,52	54,14	15	62
31	953,30	60,55	19	31
41	1493,54	62,58	21	41
17	592,19	54,37	10	17

1	116,92	22,35	1	1
22	540,89	49,00	17	21
1	34,25	1,79	1	1
1	20,61	2,50	1	1
		0,00		
3	117,67	4,06	2	3
3	54,92	8,24	2	3
18	473,34	43,36	11	17
100	3221,28	58,06	34	100
9	248,19	60,98	3	9
		0,00		
17	809,86	45,31	12	17
9	121,59	1,60	1	9
19	484,53	59,75	8	19
26	529,56	55,28	20	26

1	35,13	11,50	1	1
115	2025,08	52,59	15	114
58	1542,77	56,48	18	56
6	202,66	19,16	6	6
1	69,67	36,96	1	1
2	44,42	14,05	2	2
2	80,42	9,17	2	2
188	3396,26	57,03	27	187
3	88,89	33,33	3	3
25	459,40	47,34	13	25
10	187,83	29,00	8	10
17	398,91	39,31	12	17
15	496,69	35,09	6	15
19	396,32	30,32	5	19
19	635,57	46,60	7	19

44	1191,39	41,57	25	43
9	293,08	42,77	9	9
26	647,15	55,49	18	27
5	73,91	31,15	4	5
10	326,61	20,77	7	10
17	591,65	43,19	11	17
172	6107,58	54,74	8	172
21	490,23	42,56	13	21
8	249,76	48,10	3	8
23	617,09	42,86	15	23
3	31,36	10,59	2	3
13	564,97	54,03	5	13
19	706,74	37,79	13	19
19	560,14	51,02	15	19
		0,00		
30	1062,61	47,03	13	30
214	8859,56	53,41	4	214
19	368,32	31,31	10	19
1				
662	20135,11	52,55	6	659

19	398,24	44,12	6	20
1				
1	60,76	9,09	1	1
9	205,42	20,87	6	9
54	2109,50	41,67	14	54
34	1258,69	45,81	10	34
37	1039,97	42,42	15	37
16	453,64	45,92	10	16
20	757,71	50,00	12	20
17	424,18	39,43	8	17
19	508,11	41,19	11	19
2				
3	184,54	21,71	2	3

7	162,96	27,05	3	7
3	93,74	6,98	2	3
1	48,41	2,59	1	1
19	650,95	41,02	6	19
135	4151,52	44,50	4	134
3	188,71	4,44	1	3
4	175,42	47,41	3	4
2	88,40	3,71	2	2
51	1428,91	42,17	25	51

3	185,39	6,39	2	3
13	377,83	46,61	3	13
18	358,87	46,11	6	18
23	354,26	39,72	12	21
5	210,16	22,98	4	5
11	302,15	35,26	6	11
28	1047,34	45,23	14	28
32	903,46	38,10	19	32
2	55,90	4,76	2	2
39	1117,60	34,33	12	39

28	724,37	36,07	17	28
2	37,13	18,46	1	2
12	303,08	44,49	8	12
3	76,42	10,39	3	3
1	29,52	6,93	1	1
7	86,98	21,08	3	7
1	34,85	6,81	1	1
16	658,31	35,99	13	16
20	476,76	38,24	13	20
15	531,98	31,67	10	15

3	160,74	12,28	3	3
16	379,50	35,05	12	16
10	169,28	37,04	7	10
35	1066,61	36,65	19	35
17	405,86	35,25	12	17
18	592,07	28,57	5	18
3	166,71	25,29	3	3
6	298,84	42,19	4	6
9	297,23	30,46	6	9
5	115,40	31,43	4	5
5	178,23	41,28	3	5
7	168,72	15,69	5	6
17	606,83	41,06	10	17

17	445,36	23,81	11	17
6	130,19	24,72	3	4
12	309,71	40,30	6	11
17	429,97	40,26	13	17
49	1417,84	40,16	6	49
16	641,19	39,95	8	16
16	498,41	39,91	6	16

32	918,39	39,17	17	32
4	84,38	23,44	3	4
11	209,95	30,99	10	11
7	160,85	9,69	5	7
11	329,01	26,13	7	11
43	1404,37	37,99	15	43
37	1229,99	37,88	15	37
6	201,66	22,91	4	6
14	426,72	16,57	3	14
18	499,94	33,56	14	18
20	608,81	34,21	10	20

3	70,32	11,58	2	3
3	140,54	9,01	2	3
		0,00		
1	56,08	2,88	1	1
3	100,31	9,25	3	3
10	238,85	36,81	5	10
4	131,04	24,64	3	4
3	68,77	24,82	3	3
1				
2	34,87	6,37	2	2
7	351,74	25,47	5	7
10	358,53	27,52	7	10
32	1019,22	35,10	13	32
3	53,70	6,63	2	3

16	598,67	30,42	10	16
7	99,07	21,48	5	7
5	102,93	27,91	4	5
6	281,81	6,26	4	6
19	447,13	35,53	13	19
		0,00		
1	48,24	9,17	1	1
15	384,71	28,93	10	15
2	33,98	9,75	2	2
7	274,24	34,52	5	7
18	578,63	23,85	10	18
5	163,97	20,95	4	5

8	224,21	27,68	7	8
12	306,76	33,74	8	12
18	646,95	28,74	12	18
19	383,79	25,33	11	18
10	290,96	26,85	8	10
5	134,21	19,34	5	5
8	186,71	20,63	6	8
7	262,55	33,07	3	7
15	453,52	32,97	11	15
3	55,75	32,94	3	3

318	10228,76	30,30	40	317
9	119,80	29,66	7	9
8	166,07	28,91	6	8
10	272,42	32,40	6	10
21	948,19	25,38	13	21
18	499,14	31,97	5	18
13	396,52	31,86	10	13
5	249,62	26,01	3	5
10	310,16	16,67	8	10
9	225,75	31,55	6	9
35	551,21	31,39	5	34

7	127,91	27,32	6	7
8	342,45	17,96	6	8
		0,00		
24	814,51	28,65	14	24
		0,00		
20	590,02	27,28	17	20
20	648,05	27,95	16	20
7	262,22	26,71	6	7
15	495,41	29,17	13	15
4	127,11	25,50	2	4
1	54,85	3,13	1	1
3	101,66	30,17	3	3
23	610,89	28,09	19	23
6	190,93	30,13	5	6
2	102,64	5,05	1	2
7	147,88	19,35	7	7
16	561,75	25,97	7	16
14	479,44	16,53	8	14
12	339,77	29,46	10	12

22	554,03	29,41	5	21
8	213,51	29,41	5	8
11	354,05	29,33	7	11
11	382,39	28,85	7	11
6	234,94	28,83	4	6
	40,46	8,39	1	3
10	170,99	15,50	9	10
9	338,60	14,88	7	9
4	90,44	8,27	4	4
1	53,28	10,58	1	1

3	72,73	14,69	3	3
4	50,23	19,21	3	4
5	53,00	27,42	4	5
4	203,88	10,80	4	4
8	195,57	27,31	5	8
27	594,85	24,25	15	27
1	38,62	11,02	1	1
10	158,57	23,57	6	9
8	185,87	26,97	3	8
5	96,57	13,08	4	5
12	347,09	26,94	10	13
5	272,68	26,90	2	5
1	47,94	5,09	1	1

22	919,02	22,56	11	22
4	55,02	18,18	4	4
5	213,11	17,59	3	5
5	240,08	25,93	3	5
15	658,35	25,93	3	15
8	190,88	18,39	8	8
5	259,68	25,39	3	5
7	240,42	25,29	4	7
1	62,84	1,88	1	1
9	328,88	22,08	5	9
9	352,00	21,20	7	9

2	53,20	24,71	2	2
14	471,08	24,60	6	14
14	513,68	13,81	9	14
6	185,96	19,21	4	6
22	663,53	20,93	11	22
4	204,22	20,43	3	4
6	229,38	16,14	5	6
6	169,88	23,87	6	6
15	458,47	22,17	9	15
3	76,67	10,99	3	3
2	95,24	14,20	2	2
12	389,22	23,38	4	12
6	183,35	23,34	3	6

9	247,50	23,33	7	9
2	62,37	2,91	1	2
12	408,16	14,83	7	12
	31,53	0,83	1	1
3	103,76	13,60	3	3
21	1003,34	23,06	5	21
7	189,64	23,03	5	7
6	170,92	23,01	5	6
5	113,81	13,78	4	5
3	94,72	16,20	3	3
2	55,62	22,35	2	2
2	28,39	2,98	2	2
1	37,96	9,65	1	1
		0,00		
4	155,15	12,41	4	4

8	117,24	13,48	4	7
11	252,98	19,35	10	11
1	67,77	21,31	1	1
12	323,15	17,65	10	12
5	180,38	20,60	3	5
8	228,62	16,19	6	6
9	259,97	20,57	6	9

6	340,23	10,63	4	6
3	180,86	13,18	2	3
2	87,96	19,69	2	2
4	93,21	15,44	4	4
2	61,83	5,65	2	2
16	598,89	16,91	9	16
		0,00		
6	111,16	10,38	6	6

8	232,59	13,48	4	8
17	351,71	18,90	6	17
1	29,72	4,57	1	1
2	115,28	18,86	2	2
2	35,40	10,94	2	2
5	164,69	15,55	4	5
6	95,90	18,62	5	6
6	293,00	15,01	3	6
6	122,60	7,68	6	6
6	172,86	18,43	5	6
1	33,81	3,16	1	1
6	171,63	18,29	3	6
9	202,43	16,27	8	9

1	83,92	4,15	1	1
1	29,02	7,69	1	1
2	42,34	17,65	2	2
5	115,56	17,59	5	5
7	248,47	17,46	6	7
2	45,94	17,46	2	2
4	139,89	12,42	3	4
7	263,37	12,20	5	7
3	94,03	17,05	2	3

6	274,06	16,81	4	6
7	162,88	16,74	6	7
4	75,29	14,25	4	4
3	48,20	16,67	3	3
3	107,86	16,20	3	3
3	151,14	12,01	3	3
6	169,12	9,43	3	6
1	39,65	3,69	1	1
2	128,09	7,93	1	1
4	86,94	11,89	4	4
2	155,43	4,26	2	2

	20,45	1,53	1	1
2	123,63	15,31	2	2
5	121,08	12,55	5	5
5	96,24	15,20	4	5
6	106,80	12,23	5	6
1	59,81	15,00	1	1
3	130,69	5,34	3	3
18	631,63	8,96	2	16
2	33,27	4,28	2	2
5	134,20	11,17	3	5
		0,00		
7	199,55	13,64	4	7
8	187,83	13,65	7	8

6	161,77	14,40	5	6
6	204,74	14,24	3	6
2	63,42	14,10	2	2
4	138,99	11,72	4	4
3	58,05	13,92	3	3
8	172,93	11,61	5	8
10	151,74	12,33	10	10

9	233,71	11,29	8	9
		0,00		
2	149,26	1,91	2	2
3	134,98	6,89	2	3
1	73,71	13,04	1	1
5	112,88	12,95	4	5
2	65,17	9,59	2	2
3	78,44	6,01	3	3
3	68,81	12,76	3	3

1	22,04	2,15	1	1
3	175,91	12,56	2	3
1	48,12	12,50	1	1
4	61,70	12,45	3	4
5	90,80	12,43	5	5
4	250,84	12,22	3	4
2	78,33	12,19	2	2
2	47,33	12,15	2	2
2	89,75	12,15	1	2
11	235,61	10,76	9	11
1	21,16	1,39	1	1
6	118,40	11,96	5	6
2	56,46	6,74	2	2
12	387,88	7,79	10	12
8	217,21	11,84	6	8

1	54,31	1,95	1	1
3	130,68	11,68	2	3
4	92,83	9,71	3	4
2	71,30	5,97	2	2
3	59,68	3,70	3	3
2	43,82	11,34	2	2
3	156,23	11,31	3	3
3	104,32	11,27	2	3
4	146,94	11,01	2	4
4	147,42	5,84	4	4

4	59,82	10,86	3	4
1	42,23	3,89	1	1
2	139,91	4,34	1	2
2	54,55	3,72	2	2
10	601,33	10,42	3	10

6	104,11	10,21	5	6
1	45,98	3,48	1	1
1	47,97	10,12	1	1
1	50,05	10,10	1	1
2	209,01	10,00	1	2
5	143,85	9,97	4	5
3	135,35	9,92	2	3
2	84,03	9,82	2	2
5	170,17	8,64	5	5
18	359,64	9,80	2	18
2	26,14	2,28	1	1
3	203,21	9,54	2	3

	21,50	6,35	1	2
3	71,78	6,96	3	3
4	129,32	9,13	4	4
2	32,57	9,13	2	2
4	179,75	7,04	3	4
1	34,06	8,90	1	1
3	35,75	8,81	3	3
4	61,19	8,77	4	4
2	35,03	8,74	2	2
1	60,89	8,73	1	1
7	281,60	8,73	5	7

1	39,12	8,64	1	1
2	58,12	8,56	2	2
6	193,53	8,53	4	6
4	124,52	8,49	1	4
1	37,02	8,45	1	1
3	76,22	8,37	3	3
2	36,24	8,23	1	2
1	62,80	8,22	1	1
	25,09	8,20	1	1
2	104,74	8,16	2	2
1	27,67	8,13	1	1
1	29,21	8,09	1	1

4	112,59	7,99	3	4
4	83,85	7,85	4	4
1	62,74	2,27	1	1
2	78,45	7,81	2	2
2	20,99	7,60	2	2
1	23,84	3,69	1	1
	21,90	7,57	1	1
1	75,16	4,12	1	1

1	49,88	7,27	1	1
1	34,59	7,19	1	1
2	83,25	7,18	2	2
2	77,88	7,02	2	2
6	121,79	5,51	5	6

3	50,91	6,59	2	3
2	54,64	6,50	2	2
1	27,39	6,45	1	1
1	58,30	6,38	1	1
	21,42	6,25	1	2
1	40,16	6,21	1	1

5	42,39	6,13	3	5
1		0,00		
		0,00		
		0,00		

2	34,04	5,63	2	2
2	23,60	5,59	3	4
3	90,50	5,44	2	3

1	25,47	2,13	1	1
2	43,56	5,01	1	2
1	48,70	4,98	1	1
2	56,53	4,96	2	2
4	125,45	4,92	4	4
2	83,93	4,91	2	2
2	67,09	4,88	1	2
2	51,62	4,77	2	3

2	80,58	4,66	1	2
1	49,98	4,41	1	1
3	35,18	4,37	2	3
2	29,46	4,30	2	2

5	187,81	4,18	3	5
1	20,64	4,14	1	1
6	131,65	3,82	2	6
		0,00		
1	61,84	3,80	1	1
		0,00		
1	26,86	3,73	1	1

3	28,18	2,16	1	3
1	24,87	3,68	1	1
2	47,84	2,34	2	2
1	60,74	3,44	1	1

1	41,22	3,23	1	1
1	41,39	2,88	1	1

2	115,70	2,80	1	2
	0,00	2,68	1	1
1	64,29	2,60	1	1
1	31,65	2,56	1	1
1	36,81	2,49	1	1
		0,00		
2	46,27	2,38	1	2

2	99,22	2,28	2	2
1	42,73	1,09	1	1
2	26,40	2,17	2	2
1	48,46	2,15	1	1
1	34,52	2,11	1	1
1	20,09	2,11	1	1
2	47,77	2,04	1	2
	0,00	2,02	1	1

1	34,23	1,73	1	1
1	65,27	1,70	1	1
1	26,39	1,70	1	1
1	26,62	1,59	1	1

	22,79	1,53	1	1
1	25,09	1,52	1	1
1	24,39	1,38	1	1
1	40,60	1,37	1	1
	20,92	1,33	1	1
1	24,43	0,98	1	1
		0,00		

1	0,00	0,84	1	1
	17,78	0,81	1	1
1	27,66	0,74	1	1
1	41,46	0,65	1	1
		0,00		

				Mycel
Score Deamid	Coverage Deamid	# Peptides Deamid	# PSM Deamid	Score Oxidation
				398,93
1099,06	74,90	13	43	684,78
				864,01
90,48	31,72	1	3	243,75
				736,20
388,54	56,48	8	15	261,09
37,94	13,64	1	1	
4708,09	75,69	19	187	185,15
280,11	70,71	8	11	249,92
				4247,65
233,54	83,96	8	12	284,35
				1724,21
				1102,35
				386,49
				5029,71
				380,73
				156,31
				3170,82
				413,08
1306,64	81,45	8	83	284,39
6979,94	81,29	19	305	520,93
				603,77
				1460,70
				1252,76
				554,09
				785,51
88,29	8,56	1	1	637,19
860,48	76,35	12	43	
108,52	14,50	2	2	550,55
90,33	20,56	4	4	742,58
				1497,23
526,32	27,79	11	19	2033,60
				908,51
24518,36	77,06	29	619	1142,94
				627,62
				836,19
				615,70
26,05	15,15	1	4	508,38
4456,12	77,12	14	153	1365,85
				1685,19
				1713,20
				989,73
				2790,24
				246,37
				686,86
				857,83
				2377,71
				134,63
				2082,16
				2612,85

				858,31
1304,49	75,00	8	73	144,84
				2025,84
562,97	74,80	7	12	248,10
				2742,35
				318,47
				1022,60
				447,56
				170,35
				658,70
				2135,67
140,84	24,53	3	6	370,87
				365,77
				693,58
91,78	4,96	1	1	931,82
				2648,82
				1603,38
				1160,09
5751,52	55,18	29	261	343,17
				768,60
77,97	2,16	1	1	2084,67
				814,40
				1218,59
				218,82
				1250,81
				1101,61
				252,03
				364,08
				136,93
1480,39	48,64	9	44	42,73
				599,71
404,70	52,87	4	25	225,89
				1442,79
				704,29
				994,15
				353,67
				2063,77
				839,22
				886,26
				411,69
				1086,65
				1200,77
				150,57
137,73	35,71	5	7	80,20
				1139,41
				606,73
97,10	13,42	2	2	486,86
				781,36
				1796,13
32,28	8,77	1	1	122,63
				1257,33
408,17	54,83	5	19	786,44
				378,28
				827,55
				385,90

				2693,87
				150,87
				247,01
				1231,91
553,20	12,99	8	10	1577,11
				122,19
				797,64
				932,00
				1828,17
				244,48
3847,97	56,42	18	138	681,66
1709,73	66,67	16	54	
				1250,58
				731,05
4163,47	65,34	33	134	206,87
				1542,25
				58,69
				111,20
				1818,17
144,66	33,80	2	5	519,73
				684,52
804,32	64,50	17	42	687,65
451,93	66,06	6	14	29,55
				528,85
493,43	56,22	6	11	701,11
				2567,07
				895,81
				232,94
				47,25
191,35	23,56	3	5	280,91
				505,92
				3776,20
				872,23
				542,06
				824,68
772,57	60,94	9	21	
				705,20
				1108,47
				1426,77
				647,37
				610,03
1799,93	54,14	15	84	77,09
				65,10
				200,72
				241,30
943,01	60,55	19	32	146,54
1907,14	63,98	22	63	992,12
				314,40
				380,95
				3895,84
				241,07
				2590,30
969,12	54,37	10	26	
				897,65
				1237,81

116,92	22,35	1	1	123,62
				1030,69
				277,70
				453,38
				821,62
592,01	47,22	16	22	1632,00
				940,83
				1192,00
34,25	1,79	1	1	2672,45
				411,53
20,61	2,50	1	1	756,53
				511,19
				1701,15
				650,39
				524,02
				119,27
127,89	4,06	2	3	1527,60
53,42	8,24	2	3	35,08
				1119,52
				1086,05
				2304,28
				283,17
				370,18
506,58	43,36	11	19	456,08
				255,84
				237,28
				397,76
				500,61
				431,10
				1235,82
				1004,71
				555,83
				740,52
				495,47
4015,62	56,77	33	123	566,24
743,02	60,98	3	19	83,77
				3451,51
				948,22
				173,08
				1959,53
				985,08
				587,03
				970,38
1027,56	52,23	13	26	
				1088,50
				586,38
				1548,50
144,40	3,60	2	10	1117,21
				986,50
547,75	59,75	8	22	
				125,77
				1131,40
540,58	55,28	20	26	
				130,17
				571,86

35,13	11,50	1	1	70,05
2484,60	52,59	15	137	294,27
				348,26
				1018,70
				303,50
				783,14
				385,73
1650,55	56,48	18	63	830,72
				909,02
210,59	19,16	6	6	480,69
				166,41
				1457,33
69,67	36,96	1	1	223,58
				733,87
				596,76
				1132,14
				353,82
				399,87
				1099,09
				473,02
				737,88
				1400,47
43,75	14,05	2	2	247,15
				1458,25
				169,75
				734,05
				638,13
				289,29
				51,99
				233,68
				376,55
				1671,81
				494,66
				1317,93
				1366,97
81,19	9,17	2	2	197,38
				571,44
				193,78
3875,52	57,03	27	211	79,11
				237,31
89,48	33,33	3	3	57,14
				532,09
				430,73
				772,72
506,78	47,34	13	29	
214,72	38,07	9	12	
				232,83
				987,01
				818,36
				550,45
518,50	47,49	13	19	
796,98	47,37	7	38	
408,17	30,32	5	19	815,80
731,58	54,08	8	23	88,98
				1090,74

1204,01	41,57	25	44	865,84
301,06	42,77	9	9	295,19
				778,94
				207,54
				1124,24
640,18	55,49	18	26	
				201,65
				36,62
				528,94
				327,79
				169,93
				825,28
101,87	54,92	5	6	
323,99	20,77	7	10	425,76
				433,90
690,67	52,19	12	23	
6627,85	54,74	8	235	1126,34
				529,13
804,82	51,03	14	39	
				355,59
305,60	54,43	4	10	49,68
812,46	52,64	17	32	244,24
				565,57
				803,62
29,36	10,59	2	3	334,15
				158,01
				1151,31
				180,33
1559,97	54,03	5	60	
795,65	39,85	14	23	71,36
565,48	44,02	14	18	
				489,78
				772,04
				928,72
				756,04
				299,58
	0,00			1085,37
1570,24	53,68	15	61	23,73
				865,25
				820,90
12431,74	53,41	4	439	207,38
				418,30
				802,96
				464,74
462,46	47,47	12	24	
				773,90
				90,27
				182,68
				317,53
				313,99
				513,25
21321,62	52,55	7	717	180,43
				264,63
				254,33

				641,19
				322,84
				376,66
				355,93
				1302,56
				37,85
				845,98
				425,16
				344,08
				806,09
				327,57
				2241,93
				130,16
408,17	34,56	5	19	786,44
				495,61
				125,42
				116,11
				766,27
				131,04
				346,93
				261,27
				436,03
				42,48
60,76	9,09	1	1	247,99
				292,97
				485,71
				383,50
				73,81
231,72	20,87	6	11	862,22
2791,73	50,64	15	74	476,35
				624,32
				800,01
1482,42	45,81	10	44	37,86
				1027,36
				341,16
				100,56
				412,29
1159,44	50,41	16	40	
				359,24
993,40	50,21	12	30	
				565,29
865,71	50,00	12	23	
497,94	39,43	8	21	
				619,19
				183,31
				587,31
				263,57
610,29	41,19	11	21	
				504,78
				249,17
				1446,32
190,80	21,71	2	3	206,82
				268,35
				440,08

				224,73
				261,88
				1884,78
				293,11
				522,64
				466,75
				176,25
				658,98
				87,83
				619,81
164,05	27,05	3	8	633,12
				376,39
				544,91
				189,20
				428,35
				1278,17
				704,33
				625,59
				1469,79
				179,97
				649,66
				2298,66
				965,66
				190,17
93,74	6,98	2	3	1028,78
				308,55
				226,93
				283,20
				659,82
				392,43
				478,79
48,41	2,59	1	1	352,15
				650,07
				754,12
				428,53
				356,90
				327,78
				227,48
				525,51
				875,96
				556,96
				305,14
672,39	41,02	6	18	
				144,02
6682,48	47,50	5	212	286,81
189,20	4,44	1	3	335,66
479,16	47,41	3	10	43,31
				275,83
88,11	3,71	2	2	995,46
				219,29
				251,64
				738,51
1590,21	42,55	26	60	
				353,93
				510,01

				68,31
				527,08
				319,54
192,40	6,39	2	3	576,20
				149,94
				566,40
				135,98
				268,22
				358,56
				339,16
				123,41
574,48	46,61	3	56	58,18
				251,92
				552,29
				488,80
				963,07
				121,29
				236,09
				236,16
				132,20
				268,62
389,08	46,11	6	20	
387,14	39,72	12	22	
				157,42
				504,78
				706,93
				83,95
				268,75
				600,58
205,65	22,98	4	5	
				424,36
				739,63
				947,86
322,79	38,14	7	12	
1070,11	45,23	14	30	22,50
				457,74
				359,51
1100,75	38,10	19	35	156,43
				1185,96
55,90	4,76	2	2	717,15
				627,45
				114,62
1329,42	34,86	13	54	
				619,73
				135,59
				126,35
				483,37
				556,05
				168,66
				453,48
				608,33
				68,04
				399,42

				180,33
				639,20
				31,03
				145,91
				67,10
				428,56
				299,80
				249,02
745,21	36,07	17	28	
37,13	18,46	1	2	
				204,81
				1088,18
				298,21
				1130,42
327,51	44,49	8	14	
				344,84
				868,21
				138,10
				138,14
				74,97
				305,95
				538,98
75,08	10,39	3	3	419,48
				1094,36
29,52	6,93	1	1	135,02
				54,14
				196,98
				451,61
				1046,18
				521,82
93,61	21,08	3	7	
				1023,75
				233,72
				276,79
				662,25
				89,34
				540,62
34,85	6,81	1	1	153,23
				445,07
				85,04
				119,48
698,15	35,99	13	19	
				312,12
658,49	38,24	13	27	77,70
				161,73
569,23	37,78	11	17	
				31,91
				79,03
				174,02

162,95	12,28	3	3	262,76
				227,74
459,76	40,57	13	18	
				336,67
				486,13
				350,24
				145,14
237,27	37,04	7	12	30,55
				83,48
				571,02
1114,53	38,19	20	38	
				581,32
				651,54
469,87	35,25	12	20	664,12
861,83	28,57	5	28	153,81
				62,36
				675,69
				526,56
				215,25
				227,35
				87,55
169,10	25,29	3	3	217,75
				681,54
304,59	42,19	4	6	67,29
358,65	42,15	7	10	
				206,55
				112,10
				326,08
				457,34
				559,37
				755,96
				388,55
				280,80
				406,34
				185,71
				306,64
119,57	31,43	4	5	114,25
				280,74
				83,30
				218,00
				311,14
				233,54
				208,00
231,24	41,28	3	7	56,39
286,40	26,46	8	10	896,58
				128,08
				333,70
				524,92
691,38	41,06	10	19	198,35
				472,17
				101,56
				172,48
				64,85
				76,69

				653,44
				63,13
				450,24
				409,73
				836,19
				337,48
				772,46
				90,58
643,66	35,81	13	26	870,51
				237,97
				572,85
131,15	24,72	3	4	57,34
				190,18
				323,08
				279,97
				93,46
				293,97
383,91	40,30	6	15	
				117,06
546,71	40,26	13	21	
				128,22
				145,56
				754,38
1485,94	40,16	6	53	
				65,61
				223,10
				291,25
				107,78
				140,44
				209,77
				786,84
727,25	39,95	8	17	
537,81	39,91	6	18	136,72
				644,91
				297,75
				332,33
				457,16
				219,59
				492,27
				114,54
				105,29
				133,05
				620,48
				435,77
				404,09
				256,30
				394,76
				78,23
				567,26
				568,39
				95,69
				322,50
				425,47

				232,31
				458,99
982,85	39,17	17	35	115,25
82,96	23,44	3	4	318,15
31,15	6,19	1	2	566,22
				554,81
				193,00
				880,87
				133,11
				436,06
				1654,40
				768,60
283,85	32,63	11	15	
				277,94
				971,12
				650,04
				547,56
				374,07
				189,19
				690,21
				865,72
				636,75
151,36	9,69	5	7	443,06
				398,63
				186,68
392,28	26,13	7	15	
				107,85
				260,49
				359,94
				302,20
				96,57
				137,00
1917,31	37,99	15	52	260,05
				208,71
1382,33	37,88	15	42	
				426,93
221,30	22,91	4	6	312,02
				131,77
				104,65
				164,03
				540,94
				222,65
				761,14
				117,57
1016,33	16,57	3	30	157,82
				429,15
687,39	33,56	14	21	
				777,85
817,08	34,21	10	24	88,42
				201,92

106,16	11,58	2	5	263,33
				459,57
				802,59
141,83	9,01	2	3	74,41
				195,26
				230,29
				50,49
				216,86
				667,09
				142,82
	0,00			1668,71
				87,83
				86,36
				96,08
				173,47
56,08	2,88	1	1	379,33
				195,79
				148,99
				372,94
				711,57
100,18	9,25	3	3	321,94
				276,55
				208,75
				1159,25
				527,53
				181,33
				381,69
				553,13
791,90	36,81	5	34	61,98
				296,62
122,42	24,64	3	4	112,26
				129,96
				184,71
				394,88
				842,73
				389,05
				205,67
99,87	36,50	4	4	
				213,98
				247,05
				99,67
				861,43
				670,36
				293,94
34,87	6,37	2	2	300,27
				725,27
351,81	36,16	6	8	
				137,68
451,03	29,20	7	11	
1342,64	35,10	13	44	
				120,07
56,57	6,63	2	3	67,35
				336,57
				241,45

				230,62
				131,44
				1339,87
				228,88
726,58	30,67	11	19	746,24
105,93	21,48	5	7	
				249,12
				534,11
				50,49
				222,89
103,74	35,66	5	6	20,08
				420,22
277,55	11,13	5	7	400,17
				244,46
				286,49
				513,80
447,06	35,53	13	19	
				336,04
				60,38
				91,49
				405,82
				105,35
				57,49
				289,66
				539,01
				458,39
				667,91
				257,04
				59,56
				137,65
				144,17
				890,46
	0,00			577,59
				620,61
				52,31
48,24	9,17	1	1	
				492,49
				48,97
				49,10
				236,30
				30,29
369,04	28,93	10	15	
				227,83
				697,12
33,95	9,75	2	2	105,42
				34,54
				677,95
285,07	34,52	5	7	41,72
				59,84
				41,55
603,15	25,29	11	21	
173,86	34,46	5	7	

				383,43
				67,20
				153,29
				443,78
				830,67
				535,77
				450,72
				216,57
				1190,57
				79,27
				558,02
257,84	30,81	8	10	
				225,64
				95,44
				342,08
				30,74
344,54	33,74	8	14	
				269,36
				242,54
				101,00
				201,65
				117,35
				342,82
				311,81
644,69	28,74	12	18	
				87,56
				334,34
				219,39
379,05	25,45	12	19	
297,97	31,10	9	12	
				152,14
				254,39
				245,53
				129,01
				154,23
				38,92
				256,88
163,12	19,34	5	6	274,90
186,55	20,63	6	9	
				341,46
				123,59
597,21	33,07	3	19	
				89,96
				228,78
				63,69
565,40	32,97	11	18	
				44,42
50,18	32,94	3	3	
				121,42
				144,74
				121,13
				496,58

				728,86
				552,01
				619,58
				65,04
				56,79
				136,16
				138,74
				206,13
				147,29
15445,96	32,58	42	555	643,67
				139,19
122,97	29,66	7	9	
183,87	28,91	6	9	
				268,07
				81,61
				570,23
				72,57
				185,99
				370,90
				145,86
272,91	32,40	6	10	
				131,67
				561,99
				348,41
				240,06
				208,27
				151,41
966,36	25,38	13	22	
				108,26
				59,93
				231,50
				54,11
				74,27
				102,77
535,14	31,97	5	19	269,89
				250,60
405,32	31,86	10	15	
				44,51
270,21	26,01	3	6	195,35
				232,89
365,53	16,67	8	12	
				138,16
				433,70
				275,95
				402,28
				87,87
228,57	31,55	6	9	75,49
				167,26
				349,99
				264,23
				52,75
				21,71
595,45	31,39	5	35	
				473,08

170,69	27,32	6	9	68,28
				177,41
				147,68
				298,95
				53,13
				711,30
				122,91
				647,85
473,72	23,06	7	12	
				159,73
916,96	28,65	14	27	64,54
				380,00
	0,00			94,32
676,52	27,28	17	24	
975,55	27,95	16	30	
274,98	26,71	6	8	
				522,00
523,02	29,17	13	16	
122,67	25,50	2	4	
54,85	3,13	1	1	195,32
				41,92
				36,12
				357,21
102,64	30,17	3	3	30,74
600,78	28,09	19	23	83,72
190,28	30,13	5	6	
				148,82
				97,30
				42,48
				740,21
				484,80
				129,32
107,18	5,05	1	2	130,48
				495,35
215,11	19,35	7	9	
				101,58
				311,83
				67,14
614,19	29,61	8	17	
				402,77
				179,22
				135,24
				70,56
				293,85
469,19	16,53	8	14	22,80
				103,13
				170,15
383,83	29,46	10	13	
				70,93
				231,51
				452,36

846,93	29,41	5	31	92,83
233,94	29,41	5	9	60,21
				410,20
				196,59
				226,89
				911,84
				351,81
349,79	29,33	7	11	30,44
				242,98
				52,42
				360,19
				97,23
				35,41
				164,50
				44,52
				119,17
				254,88
				111,29
				78,33
388,07	28,85	7	11	
366,65	28,83	4	10	
				131,30
				40,14
				77,13
				42,22
				370,11
				132,82
				277,75
				88,65
				261,68
				317,79
				217,88
				378,83
				422,38
				50,70
				346,97
				307,10
				113,93
				349,36
				302,86
				233,51
				201,25
				291,90
196,64	17,50	10	14	123,50
				254,65
				135,98
				54,65
349,19	14,88	7	9	269,43
127,72	13,72	5	6	588,72
53,28	10,58	1	1	
				55,87
				858,89
				99,37

				293,11
				109,96
277,35	27,74	6	7	
				289,65
				210,57
				182,62
				65,71
49,50	19,21	3	4	
				314,15
				96,95
				147,88
				276,82
				134,90
				51,15
				249,08
				326,23
52,74	27,42	4	5	37,77
				51,73
				192,12
				449,74
234,81	20,46	5	7	
205,89	27,31	5	8	
				236,59
				87,36
				459,15
				362,77
614,02	24,25	15	29	41,59
				277,60
				135,79
				721,15
				201,67
				175,66
				258,19
38,62	11,02	1	1	121,26
				93,97
165,35	27,07	7	10	
				365,08
185,11	26,97	3	8	
117,45	17,91	5	7	230,35
				647,12
426,30	23,33	9	24	30,19
				199,68
309,65	26,90	2	6	
				385,17
47,94	5,09	1	1	52,33
				348,13
				160,95
				43,76
				366,12
				275,50
				437,81
				199,60

1040,27	22,56	11	25	47,02
				536,11
62,02	18,18	4	4	49,64
				399,23
				323,65
				85,92
				163,62
				352,58
				166,98
				65,25
				42,69
				76,43
				255,81
				86,92
				131,48
				20,24
				138,20
237,69	17,59	4	6	
335,49	25,93	3	13	67,47
683,66	25,93	3	17	91,86
				181,07
				305,29
				171,52
245,13	23,29	9	11	
				328,23
				255,14
				311,45
				312,87
				23,75
				129,89
				306,07
				949,98
				237,78
254,82	25,39	3	5	39,64
				774,67
				132,33
369,37	25,29	4	15	33,92
				369,65
				113,67
62,84	1,88	1	1	1101,15
366,63	22,08	5	10	
				147,92
				568,89
				37,90
				316,56
				95,28
				40,61
				281,91
				64,92
360,23	21,20	7	9	
				241,31
				94,88

55,25	24,71	2	2	
				240,41
				23,76
				191,87
525,66	24,60	6	16	89,56
				483,48
				118,46
				139,09
				81,61
				30,63
				205,55
521,31	13,81	9	14	311,08
192,56	19,21	4	6	
				221,08
661,24	20,93	11	22	
198,97	20,43	3	4	
				159,49
230,19	16,14	5	6	
				76,01
				312,70
				37,19
				1060,06
				256,96
				169,30
				55,90
				627,93
				193,16
				255,04
				168,18
213,59	23,87	6	7	33,96
				28,47
				109,10
				138,24
				236,57
				92,37
				78,48
				75,59
501,55	22,17	9	18	96,09
92,61	18,59	4	4	
				212,06
				95,05
97,15	23,46	3	3	
				148,44
532,41	23,38	4	17	46,81
				91,52
				277,37
				139,89
504,06	23,34	3	15	84,00

247,39	23,33	7	9	
				23,27
61,37	2,91	1	2	364,83
669,40	20,43	8	21	31,74
				296,78
				205,99
				272,59
100,92	13,60	3	3	
				414,41
				141,48
1075,31	23,06	5	22	
578,94	23,03	5	26	
				43,64
232,95	23,01	5	7	
				178,23
112,08	13,78	4	5	
				146,59
				201,26
				81,92
				95,62
96,06	16,20	3	3	205,16
				179,52
				157,50
				244,13
				155,45
				171,58
				182,16
				89,38
				42,51
58,64	22,35	2	2	34,25
				73,11
				59,02
				122,88
				55,01
				140,01
				293,11
				128,24
29,39	2,98	2	2	640,64
40,41	9,65	1	2	
				289,22
				80,71
				249,82
				169,28
				67,12
				31,37
				131,05
				99,93
				672,42
15,51	5,64	1	1	271,39
155,15	12,41	4	4	
				169,40
				69,67

				148,97
				119,61
				268,79
				527,76
				65,42
				1161,37
				21,15
				211,17
121,24	19,39	5	8	
				112,56
				152,01
				170,98
				78,89
257,68	19,35	10	11	
				175,44
67,77	21,31	1	1	
				48,39
				240,75
				70,91
				77,32
				656,56
				27,95
				468,63
				209,22
				273,38
384,01	20,74	11	13	
				52,77
				442,25
				537,74
				135,88
				259,01
				209,42
242,61	20,60	3	6	91,95
				186,68
231,97	20,57	8	8	
261,16	20,57	6	9	
				433,85
				148,59
				48,15
				137,65
				483,17
				345,47
				265,77
				70,61
				42,49
				141,38
				58,36

				35,82
				344,81
				169,05
				65,05
344,26	10,63	4	6	
				109,38
				247,15
				174,31
				28,70
				140,27
				404,83
				31,80
				215,47
				117,05
				56,45
				65,91
				300,09
183,25	13,18	2	3	
				27,53
				414,29
				129,89
				82,77
				52,12
				532,89
				231,32
93,14	19,69	2	3	
				67,10
94,39	15,44	4	4	
245,68	13,94	4	11	159,21
				260,71
597,94	16,91	9	16	201,27
				208,09
				198,86
				271,14
				166,77
				24,35
				97,47
				253,22
				98,76
164,21	15,79	7	14	
				60,10
				212,57
				253,85
				20,33
				120,62
				271,97
				61,13
				27,86
				105,74

				222,59
				20,27
				64,97
				97,18
				26,13
228,15	13,48	4	8	
				20,33
				322,30
362,85	18,90	6	20	75,96
29,72	4,57	1	1	30,27
116,39	18,86	2	2	
				112,66
				137,72
				174,81
				335,53
				43,13
				135,63
33,90	10,94	2	2	
				79,94
				341,90
				124,31
165,36	15,55	4	5	
119,89	18,62	5	7	
				151,48
				70,61
				220,39
				54,37
				143,60
				23,41
				116,57
				91,88
				25,60
				39,61
				123,14
				471,62
287,98	15,01	3	6	135,40
124,43	7,68	6	6	
176,79	18,43	5	6	
				216,21
				83,25
				307,83
33,81	3,16	1	1	170,81
				48,95
				150,77
				146,53
193,76	18,29	3	8	111,55
				79,87
195,87	16,27	8	9	37,12
				52,26
				34,08

				120,28
				233,40
				179,18
83,92	4,15	1	1	108,62
29,02	7,69	1	1	
				87,19
				80,52
				33,89
				63,68
				151,35
				86,75
				63,45
				291,73
				88,19
				34,62
				85,07
				68,76
				230,53
				58,16
				408,79
				483,12
				338,13
61,88	17,65	2	3	
116,93	17,59	5	5	
				57,09
				343,13
				110,08
				125,52
				193,35
				105,84
248,93	17,46	6	7	297,37
45,44	17,46	2	2	
				117,76
				183,14
				91,80
				53,48
				234,72
				97,97
140,94	12,42	3	4	
				74,26
				53,36
				125,30
260,89	12,20	5	7	
				102,43
				227,12
				34,58
94,03	17,05	2	3	
				182,32
				381,18

				29,62
273,40	16,81	4	6	
				324,17
160,19	16,74	6	7	
				105,25
75,29	14,25	4	4	70,19
				255,58
49,07	16,67	3	3	
109,49	16,20	3	3	
				63,04
				155,38
				303,81
				148,70
				30,94
				32,12
				48,80
				55,15
				117,40
				119,05
				110,17
159,72	12,01	3	3	32,92
				51,21
				278,43
				43,90
				52,79
				159,69
				85,39
				228,04
				163,51
227,36	16,05	4	11	38,71
				163,65
				199,28
				121,42
				232,94
				33,86
39,65	3,69	1	1	71,78
				269,08
128,09	10,98	2	2	108,57
				186,58
				26,79
				26,87
				62,16
113,21	14,24	5	5	
				96,81
				23,63
156,03	4,26	2	2	261,08

				101,03
				290,27
				125,30
				433,93
				26,67
				118,05
				134,98
				131,68
				64,98
				408,76
				108,02
123,13	15,31	2	2	104,72
127,40	12,55	5	5	
				186,75
				78,93
				85,58
				115,40
				110,21
				37,41
				142,37
94,82	15,20	4	5	31,32
				89,75
				173,30
109,50	12,23	5	6	
				86,88
				136,98
				81,02
				110,97
				37,09
59,81	15,00	1	1	
135,16	5,34	3	3	378,28
				84,86
605,77	8,96	2	16	
				34,78
				49,00
49,80	11,17	3	3	
143,05	11,17	3	5	
				41,62
				517,26
				36,63
214,68	13,64	4	7	26,62
				25,42
				22,68
				213,18
				239,41
				94,24
				92,90
185,21	13,65	7	8	

				97,06
				111,24
				39,40
				131,38
				390,40
				279,97
				198,82
				68,25
				26,36
				97,14
258,11	14,40	5	9	
				48,68
				90,11
				58,38
				202,62
				74,10
				81,33
204,13	14,24	3	6	70,00
				100,45
				76,90
				49,97
				214,75
64,92	14,10	2	2	
				163,09
				39,52
				89,78
138,80	11,72	4	4	
				149,93
				101,11
56,72	13,92	3	3	
				134,25
				144,22
				86,13
				98,23
				104,71
175,00	11,61	5	8	62,55
143,49	12,33	10	10	
				87,00
				63,41
				221,80
				19,46
				86,47
				26,57

				291,44
				132,67
				34,88
				281,96
				430,45
				79,66
				40,87
				212,15
				39,03
				34,01
				69,74
				73,68
252,37	13,43	9	10	
				240,66
				172,96
				64,01
				124,87
				39,74
				166,24
				46,15
				133,03
				49,81
				127,71
	0,00			317,04
154,83	1,91	2	2	251,18
				148,31
				84,66
				66,26
				46,44
156,28	8,79	3	4	
				264,30
73,71	13,04	1	1	
				72,32
				79,46
				277,76
137,76	12,95	4	7	31,56
65,17	6,24	1	1	56,10
				62,27
78,40	6,01	3	3	
				96,27
				105,08
65,05	12,76	3	3	72,16
				208,36
				34,03
				95,31

22,04	2,15	1	1	
				68,99
				43,32
				184,65
				203,41
				141,47
176,06	12,56	2	3	
				146,80
				118,65
48,12	12,50	1	1	
				27,41
				33,71
62,22	12,45	3	4	
				40,99
				197,56
95,56	12,43	5	5	
				93,66
				28,52
				102,23
				168,58
				31,24
				119,71
				25,87
				123,44
				437,28
				146,45
				76,79
252,41	12,22	3	4	
77,76	12,19	2	2	
				253,83
				47,90
45,84	12,15	2	2	57,45
107,53	12,15	1	6	
				111,04
				33,27
				140,13
				32,57
227,70	10,76	9	11	33,54
				233,94
25,06	3,65	2	2	
				199,61
115,71	11,96	5	6	
56,46	6,74	2	2	
444,92	10,48	11	15	295,22
				143,62
228,43	11,84	6	10	
				39,82
				39,95
				54,40

				87,37
				50,06
				169,68
				28,29
				70,74
				94,00
54,31	1,95	1	1	51,02
137,39	11,68	2	3	139,63
91,36	9,71	3	4	
67,57	5,97	2	2	
				40,75
				97,35
				41,44
				156,37
				84,30
				39,64
				221,59
62,52	3,70	3	3	
				130,55
				137,88
				152,37
43,32	11,34	2	2	
153,95	11,31	3	3	
				98,58
				23,48
104,41	11,27	2	3	153,89
				64,13
				134,46
				27,95
				79,77
				191,40
				89,48
				52,03
				156,00
				125,39
				84,55
				29,66
				24,29
				81,84
				45,83
				134,23
				97,99
				45,72
145,53	11,01	2	4	
152,02	5,84	4	4	
				85,05

				149,14
				217,31
				83,90
				79,74
58,88	10,86	3	4	
				204,17
				35,73
				68,44
				53,53
				33,34
				25,35
				177,99
				73,74
				113,53
				96,35
				44,99
20,54	1,91	1	1	104,14
42,23	3,89	1	1	157,86
138,68	4,34	1	2	
				134,61
				98,21
				55,93
				36,98
				59,44
				54,22
71,90	8,61	3	3	
				248,26
				82,02
				270,12
				31,83
				105,79
622,64	10,42	3	12	357,97
				110,01
				101,83
				73,67
				35,57
				197,36
				88,89
				89,51
				193,52
				93,91
				102,82
				185,49
				105,51
				98,92
				45,11

				80,29
103,84	10,21	5	6	
				170,63
				146,28
				46,88
250,53	10,14	2	3	
47,97	10,12	1	1	
50,05	10,10	1	1	
				135,89
				113,39
40,88	1,23	1	1	193,91
				29,59
208,90	10,00	1	2	
				38,15
				149,40
158,82	9,97	4	5	
134,02	9,92	2	3	51,30
				73,47
82,58	9,82	2	2	
168,90	8,64	5	5	
651,98	9,80	2	27	167,14
				327,28
				148,53
				33,34
				59,04
				72,14
				66,69
				79,30
26,14	2,28	1	1	
				38,44
				55,32
				47,36
				117,88
				185,45
				154,23
				121,52
211,09	9,54	2	3	290,48
				36,82
				28,60
				83,90
				64,01
				104,31

				52,97
				79,07
				169,71
				88,74
				89,29
				182,86
				145,38
				61,11
				36,52
				29,08
72,03	6,96	3	3	
				26,54
				66,15
				97,82
				43,90
				83,44
				75,89
				79,97
				51,10
				55,49
64,12	9,15	1	1	
				85,73
133,72	9,13	4	5	
30,57	9,13	2	2	
				20,69
184,79	7,04	3	4	
				241,53
				141,23
				110,84
				33,22
34,06	8,90	1	1	
				21,06
				61,42
				156,41
36,68	8,81	3	3	
				216,08
				83,34
				77,77
63,64	8,77	4	4	
32,71	8,74	2	2	
60,89	8,73	1	1	
573,56	8,73	5	12	
				57,24
				59,04

				51,20
				69,07
				129,64
39,12	8,64	1	1	
				150,43
				66,06
56,41	8,56	2	2	
				105,11
192,41	8,53	4	6	
				53,16
131,27	8,49	1	4	
				85,22
				89,84
37,02	8,45	1	1	
				30,36
				73,19
				31,60
				59,90
				112,63
73,50	8,37	3	3	
				118,90
				145,34
				41,90
				34,40
				41,37
				81,34
				64,40
48,89	8,23	1	4	
62,80	8,22	1	1	61,28
				85,40
				26,47
103,02	8,16	2	2	
				103,45
				35,45
				47,41
				63,11
27,67	8,13	1	1	
				130,17
29,21	8,09	1	1	25,89
				153,83
				27,53
				79,27

				63,38
108,56	7,99	3	4	
				48,91
				22,21
				30,06
				33,70
				36,10
				76,68
				41,55
				25,36
				189,59
78,34	7,85	4	4	41,34
62,74	2,27	1	1	
				65,83
				24,38
				136,53
78,45	7,81	2	2	
				55,58
				130,18
				88,88
				43,08
				77,72
				39,13
				89,60
				48,87
				34,04
				50,11
				195,04
				74,08
20,99	7,60	2	2	
				51,47
23,84	3,69	1	1	
22,62	2,71	1	4	51,55
				50,81
75,16	4,12	1	1	
				62,76
				45,72
				81,67
				21,95
				42,94
				45,17
				48,74
				86,62

				219,91
				37,70
				47,46
				32,67
				81,46
				47,93
49,88	7,27	1	1	
				57,99
				65,86
				21,33
				98,74
34,59	7,19	1	1	
				99,24
85,77	7,18	2	2	
				314,35
				153,60
				98,11
				77,53
				117,02
				23,32
				101,07
				41,72
				37,16
				23,14
				170,61
				29,16
				25,69
82,90	7,02	2	2	
				83,46
121,07	5,51	5	6	
				103,53
				32,11
				23,67
				87,34
				58,41
				39,16
				35,73
				45,95
				92,58
				28,45
				21,27
				226,65
				49,92

				90,51
				112,79
				56,18
				47,80
				21,97
				56,95
				37,64
				100,01
				90,92
				37,67
57,82	6,59	2	3	
				37,30
				51,14
				46,63
				34,51
				255,49
				48,92
				78,69
56,11	6,50	2	2	
				20,05
				23,97
				165,87
				29,07
27,39	6,45	1	1	
				55,02
				56,75
				23,94
58,30	6,38	1	1	
				28,42
				20,20
				61,73
				58,40
				44,66
				43,94
				293,92
				29,89
				45,36
				106,29
				169,06
40,16	6,21	1	1	20,07

				151,07
				89,92
49,67	6,13	3	5	
				34,11
				27,84
				40,52
				41,41
				124,13
				103,56
				35,10
				181,87
				48,89
				32,77
				39,40
				20,18
				20,97
20,81	5,99	1	1	
				20,28
				65,05
				37,34
				39,64
				78,33
				49,70
				28,12
	0,00			
				24,16
				25,62
				37,76
				43,53
				74,21
				34,80
				100,41
				56,74
				44,21
				32,84
				23,35
				73,95
				35,96
				97,92
				30,82
				20,93
				146,38
				76,27

				33,38
				48,42
				108,20
				107,04
58,56	5,69	1	3	
				45,33
				28,11
				67,70
				30,98
				59,29
33,50	5,63	2	2	
				37,60
				27,51
24,28	3,30	2	2	
				120,81
				35,51
				75,81
				21,10
				23,55
				27,43
				47,73
				95,80
				48,48
90,50	5,44	2	3	
				59,94
				70,12
				70,63
				76,39
				27,37
				38,30
				20,35
				34,91
				31,36
				27,29
				84,65
				83,40
				24,91
				47,45
				30,79
				90,63
				60,67
				27,69
				98,13
				75,08

				89,13
				20,95
				16,33
				30,68
				92,03
				88,81
25,47	2,13	1	1	50,21
				55,93
				30,06
				50,46
				82,99
				25,11
				36,33
				32,91
				56,89
45,06	5,01	1	2	
				190,21
48,70	4,98	1	1	
57,53	4,96	2	2	
				26,62
				23,53
124,38	4,92	4	4	
				60,34
83,52	4,91	2	2	
				140,99
				43,91
				39,85
				131,17
				70,76
73,09	4,88	1	2	28,91
				25,05
				30,18
49,62	4,77	2	2	
				125,62
				28,57
				46,83
				35,80
				58,53
				100,47
				32,25

				20,67
				42,84
				20,63
				26,07
82,27	4,66	1	2	
				44,52
				112,61
				37,77
				27,87
				27,45
				20,57
				68,03
				36,04
				46,72
				28,91
49,98	4,41	1	1	
				111,84
				76,58
38,14	4,37	2	3	
				21,91
				43,97
				44,61
29,46	4,30	2	2	
				39,14
				49,64
				39,29
				60,80
				73,41
				33,45

				60,69
186,42	4,18	3	5	
				72,09
				86,77
				110,28
20,64	4,14	1	1	
				59,61
				26,81
				51,14
				30,41
				45,95
				22,72
				44,98
				31,92
				87,77
				44,72
				50,81
				42,80
				39,19
				47,32
				54,44
335,58	3,82	2	13	51,12
				63,51
				61,47
				28,56
61,84	3,80	1	1	
				40,75
				22,75
				191,69
26,86	3,73	1	1	
				43,30

				25,19
				94,10
33,37	2,16	1	3	
				22,31
				84,47
24,87	3,68	1	1	
				32,41
				34,10
				199,76
				43,41
				73,74
49,44	2,34	2	2	
				28,03
				20,89
				68,08
				30,57
				30,30
				38,88
				59,88
				44,89
				77,13
				41,57
60,74	3,44	1	1	
				49,54
				23,78
				52,01
				34,00
				43,68
				27,45
				49,39
				53,43
				105,74
				104,93
				51,30
21,77	3,33	1	1	
				46,72
				80,03
				40,29
				24,78
				73,06

				34,73
				127,44
				28,47
				29,17
41,22	3,23	1	1	47,71
				77,33
				58,70
				45,56
				37,33
				105,93
				25,12
				68,34
				35,06
				72,83
				38,09
				51,52
				42,92
				62,36
				35,09
				52,37
				30,16
				24,07
				66,99
41,39	2,88	1	1	
32,11	2,88	1	1	
				36,58
				29,27

				20,45
				59,67
				56,90
115,70	2,80	1	2	41,64
				29,44
				46,54
				34,65
				23,98
				31,36
				32,24
0,00	2,62	1	2	
				76,67
64,29	2,60	1	1	
				51,39
58,93	0,98	1	1	
				134,61
				27,84
				29,18
31,65	2,56	1	1	
				67,88
				29,12
				27,16
				65,52
				191,91
				22,30
				39,27
36,81	2,49	1	1	
				51,02
				39,72
				28,17
				69,83
				26,50
				44,22
				50,68
				65,15
				35,61
				63,77
47,75	2,38	1	2	
				29,92

				34,36
				26,61
				45,96
				23,38
				80,55
				24,45
				26,45
				30,77
				20,91
				42,97
103,52	2,28	2	2	33,84
42,73	1,09	1	1	154,22
				55,67
				22,36
				24,14
				23,15
				21,63
				26,86
				36,93
26,40	2,17	2	2	
				22,02
				32,47
48,46	2,15	1	1	
				44,74
				50,55
				43,57
				23,67
34,52	2,11	1	1	
20,09	2,11	1	1	
				40,90
				27,14
				34,24
				51,20
				72,47
45,77	2,04	1	2	
				77,46
				30,34
				36,26
				24,18
				20,39
				40,79

				22,55
				29,92
				21,66
				88,79
				20,98
				78,87
				34,12
				61,64
				15,92
				39,15
				117,89
				27,44
				37,75
				22,91
				34,04
				33,90
				25,93
				52,19
				22,37
				24,99
				35,45
				43,15
34,23	1,73	1	1	
				20,77
65,27	1,70	1	1	
26,39	1,70	1	1	
				56,51
				75,84
				52,52
				61,80
				87,17
				22,04
				61,83
26,62	1,59	1	1	
				37,99
				95,89
				48,39
				35,59
				25,85

				28,70
				25,52
				29,67
				31,72
25,09	1,52	1	1	
				23,80
				55,96
				35,39
				53,69
				32,12
				25,95
				41,79
				26,55
				32,91
24,39	1,38	1	1	
				25,23
40,60	1,37	1	1	
23,66	1,35	1	3	
				21,82
				23,18
				40,11
				50,50
				24,40
				39,57
				30,71
				91,04
				40,76
				46,98
				71,87
				25,34
				21,92
				21,83
24,43	0,98	1	1	
				24,67
				13,06
				0,00
20,54	0,94	1	1	
				39,97
				34,94

				53,84
				27,40
0,00	0,84	1	1	
				32,75
27,66	0,74	1	1	
				32,93
				39,87
	0,00			
				26,64
41,46	0,65	1	1	27,40
				64,64
				36,19
				31,21
25,87	0,51	1	1	
				38,99
				35,50
				25,03
16,21	0,22	1	1	

Coverage Oxidation	# Peptides Oxidation	# PSM Oxidation	Score AcetylProtNtern	verage AcetylProtNte
74,75	4	9	407,32	74,75
85,43	16	33	692,21	85,43
81,33	13	42	493,96	83,73
55,86	5	9	244,79	55,86
86,61	9	24	755,71	86,61
70,37	8	10	262,34	70,37
17,43	5	6	187,61	17,43
84,85	8	11	271,30	84,85
69,21	41	144	3128,74	69,21
76,42	7	12	258,28	76,42
83,91	16	48	1338,97	83,91
81,01	18	45	1105,41	83,54
58,00	4	15	605,85	83,33
80,31	31	145	3656,03	80,31
67,33	13	17	387,03	67,33
61,90	3	6	157,02	61,90
72,32	27	106	2073,03	79,39
66,54	12	16	340,30	55,12
78,23	5	7	285,07	78,23
49,69	9	13	526,73	49,69
69,55	14	24	528,57	60,00
76,34	20	49	1440,83	80,92
79,87	25	49	913,76	66,25
68,42	11	19	594,56	78,95
79,43	12	20	835,64	79,43
71,62	13	23	486,84	75,23
68,50	10	16	407,82	55,50
44,39	9	26	661,14	57,94
66,94	23	44	1228,04	69,35
67,58	26	57	1493,65	64,40
75,53	9	22	917,20	75,53
34,82	11	42	1002,64	34,82
70,27	18	28	548,04	64,86
78,64	20	39	573,01	76,38
74,24	12	26	627,92	78,60
74,41	14	25	520,55	74,41
68,63	11	40	734,62	68,63
76,63	22	57	1127,22	76,13
77,71	20	56	1361,77	77,71
70,34	15	35	958,26	72,76
76,51	39	92	2331,26	76,51
77,45	5	8	248,15	77,45
75,17	16	25	695,09	75,17
76,60	17	33	830,01	71,73
76,48	25	75	2366,98	76,48
47,52	2	3	136,98	47,52
72,39	29	78	1942,68	72,39
74,34	19	82	1785,20	74,34

72,22	17	34	715,48	68,42
73,08	5	8	108,29	63,46
75,00	25	56	1774,00	75,00
51,97	3	4	251,53	51,97
72,31	53	116	1892,88	59,78
74,48	11	15	320,51	74,48
62,20	19	37	1178,33	68,63
73,94	8	13	252,50	58,18
42,34	2	4	490,68	70,27
61,40	12	25	492,28	58,36
68,80	20	65	1335,84	73,33
54,72	4	7	391,53	67,92
73,33	5	10	360,22	73,33
66,81	22	33	683,83	62,84
66,94	16	30	860,13	63,09
67,22	33	73	2000,65	64,81
68,89	19	48	1374,53	68,61
72,10	20	39	1161,39	72,10
17,16	8	11	347,57	17,16
72,02	12	27	716,28	72,02
71,89	32	79	1146,73	66,13
71,83	11	30	673,21	71,83
62,69	23	40	992,45	62,69
71,72	8	10	167,21	71,72
57,00	18	42	950,76	57,00
69,34	28	45	1020,79	66,04
50,48	10	14	230,06	51,92
53,69	8	14	253,45	48,99
61,11	5	5	167,59	71,11
5,10	1	2	42,73	5,10
60,95	10	19	650,92	70,80
69,54	6	11	190,04	69,54
70,66	19	43	952,04	70,66
62,01	12	21	659,67	70,45
70,43	13	27	705,25	70,00
70,07	8	13	324,09	63,27
69,88	37	75	1978,54	65,71
66,16	19	32	851,38	66,16
67,81	22	39	865,77	58,68
58,67	10	23	352,69	58,67
69,31	24	39	1001,19	63,90
59,28	17	46	672,92	57,27
56,35	5	8	123,12	62,98
34,92	4	4	81,32	34,92
68,85	20	43	874,64	68,85
68,85	9	18	369,54	68,85
68,83	8	14	468,79	68,83
57,59	16	31	827,38	61,16
66,76	34	70	1493,77	66,62
30,41	4	4	123,72	30,41
66,67	26	51	919,38	61,88
54,83	5	24	789,13	54,83
57,95	4	7	341,34	68,18
68,17	19	38	527,21	66,88
68,14	8	12	366,54	59,29

66,91	45	86	1817,02	65,09
39,73	3	3	154,97	39,73
67,76	9	12	236,61	67,76
62,35	26	44	965,29	53,14
54,09	34	56	1536,79	54,09
58,11	2	4	122,83	58,11
61,96	25	38	782,60	65,49
63,86	19	38	935,81	67,05
64,52	28	68	1270,80	61,55
58,68	9	11	248,40	58,68
40,37	11	20	514,29	40,37
66,67	22	43	1125,92	64,53
63,31	13	26	658,77	66,55
13,42	7	10	183,38	11,95
57,33	37	54	1453,79	56,10
66,44	6	7	57,70	66,44
35,00	5	5	111,36	35,00
63,94	36	78	1656,82	56,64
66,20	4	11	529,05	66,20
54,63	12	23	562,01	66,20
66,13	18	33	664,53	66,13
11,93	1	1	29,55	11,93
40,45	7	13	506,28	40,45
55,22	6	17	667,04	55,22
64,17	28	85	1922,73	64,17
65,59	15	29	468,18	45,66
43,53	7	11	236,94	43,53
30,99	2	3	47,40	30,99
50,79	5	8	282,89	50,79
65,44	12	21	326,90	65,10
65,40	43	177	3114,96	62,91
43,67	22	30	716,12	42,25
62,68	15	23	538,43	62,68
63,40	16	32	604,97	63,40
53,35	15	22	710,55	53,35
63,71	20	43	1118,17	63,71
62,30	33	61	1043,16	55,89
60,67	17	27	487,26	60,67
64,45	20	30	593,56	64,06
11,82	4	4	77,98	11,82
57,14	3	4	67,48	57,14
56,29	9	12	178,26	49,01
55,28	4	9	244,77	64,23
29,64	6	8	132,97	24,73
60,56	16	31	738,63	56,54
60,87	10	13	315,94	60,87
63,86	6	10	382,95	63,86
63,80	21	212	2185,89	63,80
55,75	9	14	248,84	55,75
58,96	37	81	1523,58	55,18
63,64	16	29	835,36	63,64
61,56	18	42	939,04	50,22

22,35	1	1	123,62	22,35
60,39	14	29	634,47	60,39
34,37	8	11	283,24	34,37
45,35	8	16	237,04	45,35
59,71	19	38	685,05	56,83
61,92	27	55	1177,16	61,92
48,78	13	23	962,49	48,78
63,01	18	33	859,66	56,91
58,27	41	85	2287,34	58,12
32,07	5	8	397,46	32,07
48,56	19	29	896,98	52,98
54,35	12	17	496,25	58,39
62,69	26	48	1348,09	62,52
60,04	20	25	616,80	59,86
62,68	13	27	430,35	58,70
42,59	6	7	122,06	51,11
45,50	30	47	1485,24	44,19
2,45	1	1	35,08	2,45
62,26	16	37	968,92	62,26
56,58	19	37	976,20	56,58
59,26	54	86	2144,02	55,49
60,18	5	8	285,64	60,18
48,40	11	19	323,61	53,74
58,81	14	17	447,92	52,03
51,35	7	9	278,66	54,05
61,48	6	10	234,07	61,48
55,56	8	14	397,70	51,32
48,76	17	26	347,49	46,52
61,33	10	18	387,95	61,33
58,20	13	55	1252,73	61,30
55,31	12	25	908,56	55,31
61,19	10	22	560,97	61,19
56,64	10	30	471,58	56,64
61,14	10	16	264,50	51,97
31,23	17	26	558,98	31,23
60,98	3	4	83,77	60,98
59,74	51	135	2796,63	59,74
59,51	25	37	966,90	59,51
39,24	6	7	191,86	46,41
60,63	35	70	1308,60	57,06
51,88	15	30	798,67	46,12
53,99	14	22	498,10	38,57
57,42	13	27	731,88	57,42
57,69	23	37	973,30	49,82
54,73	15	19	624,05	60,22
60,20	17	40	987,00	59,87
55,54	32	46	1044,49	52,07
59,57	23	39	881,61	54,07
46,60	5	6	104,14	29,84
38,43	25	34	819,30	37,04
50,46	7	7	130,30	50,46
49,12	13	20	483,41	40,00

46,02	3	3	71,17	46,02
15,95	4	9	299,98	15,95
59,18	10	11	351,92	59,18
59,15	19	33	858,59	59,15
59,09	6	9	303,27	59,09
59,07	19	35	515,55	54,41
58,96	6	12	344,04	58,96
52,78	15	28	802,77	51,54
58,92	12	25	658,06	58,92
38,85	11	18	484,51	38,85
26,55	5	6	158,77	20,90
57,34	24	51	1314,87	57,34
58,70	4	9	227,68	58,70
51,14	17	24	714,48	51,14
58,52	17	20	565,33	58,52
56,84	20	33	1077,50	56,84
52,17	12	16	352,13	49,36
50,59	7	12	406,34	50,59
57,81	22	48	902,63	57,81
55,41	14	24	322,99	46,49
57,76	12	19	664,48	54,46
58,06	8	70	1282,11	58,06
42,15	4	8	250,74	42,15
57,76	14	38	1133,10	57,76
33,80	6	7	160,05	27,70
49,68	17	31	657,73	46,50
55,53	16	28	574,48	51,41
57,05	10	12	266,51	57,05
42,31	3	3	51,99	42,31
57,66	6	12	159,21	57,66
57,59	9	14	386,89	57,59
54,43	17	46	1024,30	54,43
47,91	9	16	492,45	42,21
50,30	27	52	825,52	48,07
55,16	30	59	983,52	51,33
32,75	4	8	197,51	32,75
57,14	13	22	570,38	57,14
57,14	8	25	193,47	44,57
10,65	7	8	80,82	10,65
46,11	6	8	241,53	46,11
20,00	2	2	110,30	43,33
56,59	12	18	540,59	46,15
52,19	11	19	436,01	56,56
47,83	10	19	802,78	52,66
43,00	7	10	215,62	45,00
51,91	26	35	1009,20	53,47
51,23	17	36	696,96	49,22
56,22	12	20	559,39	56,22
50,32	7	28	819,75	50,32
17,35	3	4	90,24	11,90
51,44	16	28	823,94	51,44

41,70	23	32	875,13	41,57
39,38	8	12	281,14	36,00
52,43	15	21	746,24	52,43
35,05	4	6	208,57	35,05
41,55	26	38	1049,86	40,55
46,74	4	6	124,77	46,74
40,96	1	1	34,06	14,46
49,62	14	23	445,17	49,62
42,48	8	9	333,18	42,48
46,54	8	8	181,26	46,54
55,16	18	28	830,23	52,39
51,61	12	16	415,05	51,61
47,19	10	19	406,29	43,82
43,10	7	32	1138,32	43,10
44,53	15	21	495,70	41,99
51,54	5	12	264,27	51,54
20,25	1	1	49,68	20,25
25,05	8	13	151,90	20,74
54,29	11	19	482,40	48,98
44,06	20	31	743,62	44,06
45,49	8	11	404,76	50,98
54,09	6	7	136,10	33,96
50,81	19	35	1148,07	50,81
41,61	7	8	212,20	47,83
5,91	2	2	63,90	3,60
50,00	8	19	419,29	50,00
53,93	6	17	623,45	53,93
48,55	15	31	546,32	41,65
50,15	12	20	766,16	50,15
37,76	6	8	330,56	37,76
53,68	29	42	862,61	51,80
7,13	1	1	23,73	7,13
53,57	6	31	517,04	53,57
53,55	15	29	424,37	44,08
39,20	3	7	210,65	39,20
44,03	13	17	305,63	32,79
53,29	18	27	783,32	50,21
51,90	14	19	400,51	45,24
46,28	18	26	773,43	42,29
29,45	3	5	90,27	29,45
33,04	2	3		
46,15	13	16	308,63	41,83
34,74	8	9	297,45	25,53
52,60	13	20	410,81	52,60
48,47	4	9	194,55	48,47
51,46	6	11	223,64	51,46
39,76	8	12	257,95	47,64

52,26	17	24	634,40	50,17
49,83	13	20	279,73	49,83
49,39	15	21	257,18	46,93
37,50	9	16	370,54	32,95
52,01	19	44	969,99	52,01
8,00	1	1	45,89	26,00
51,96	17	30	538,41	51,96
45,79	7	18	370,14	34,58
35,41	10	14	276,29	33,40
47,58	19	32	627,08	45,26
41,90	15	17	334,36	41,90
50,65	65	105	1868,76	47,87
4,01	1	2	132,21	4,01
34,56	5	24	789,13	34,56
46,67	15	24	439,63	46,67
37,00	6	8	112,16	26,30
23,08	3	4	236,84	38,46
51,22	20	33	637,75	33,88
40,00	4	7	136,14	40,00
51,18	10	21	322,53	51,18
44,36	3	8	262,86	44,36
18,41	10	14	440,77	18,41
19,39	1	1	42,48	19,39
35,76	4	8	250,95	41,21
49,25	7	10	184,06	43,22
42,36	8	18	316,58	42,36
50,72	7	10	389,67	46,86
37,14	3	3	73,81	37,14
50,68	14	25	788,72	50,68
35,47	10	17	420,37	32,26
50,19	15	27	618,90	46,42
50,56	15	26	762,53	42,48
9,95	1	2	38,36	9,95
42,76	25	35	719,37	36,82
50,50	11	16	209,02	34,45
50,49	4	5	102,09	50,49
46,40	11	21	333,84	40,92
18,68	7	12	287,12	18,68
34,66	11	20	567,28	34,66
47,01	12	20	196,18	44,29
43,84	8	10	184,11	43,84
34,74	8	16	573,00	34,74
50,00	4	7	264,92	50,00
49,73	14	20	454,44	48,67
49,47	8	11	259,44	49,47
47,71	22	41	1257,72	45,97
36,84	3	8	280,68	49,34
41,70	9	12	225,92	37,67
49,30	13	20	371,91	49,30

28,29	4	7	126,06	20,49
34,69	8	11	278,39	39,11
49,04	15	78	720,94	49,04
49,03	7	11	250,81	49,03
47,88	22	28	536,29	47,88
49,01	11	18	442,44	37,39
33,56	6	7	177,65	33,56
48,92	6	17	250,70	42,45
32,13	6	9	109,55	39,82
39,66	18	26	577,65	36,97
48,79	5	14	640,06	48,79
48,21	15	17	313,77	41,58
48,69	14	26	503,23	46,79
28,09	7	9	160,44	28,09
35,14	4	9	482,09	48,65
42,76	36	49	1174,88	41,90
48,58	15	21	618,75	40,45
40,89	16	27	518,36	35,60
44,61	21	39	1198,86	40,97
48,51	9	11	181,60	48,51
46,27	12	20	646,84	36,32
47,13	69	105	1876,56	44,15
48,48	23	33	894,36	48,48
40,26	9	10	209,54	41,56
46,51	15	37	710,23	41,63
48,37	6	8	309,38	48,37
48,18	5	9	159,08	48,18
38,68	7	8	289,28	38,68
48,06	21	28	660,26	40,18
48,04	9	13	349,15	48,04
48,04	8	14	483,85	48,04
42,24	12	19	297,48	37,93
42,24	19	29	633,31	43,58
44,50	31	42	665,20	41,69
44,51	14	21	373,79	44,51
22,71	6	12	345,15	22,71
38,24	6	12	244,10	38,24
47,78	8	12	227,58	41,85
42,76	12	18	417,20	34,77
47,69	25	33	888,46	47,69
43,85	13	19	305,28	40,77
47,02	8	15	289,80	47,02
39,34	7	8	135,03	33,61
25,00	3	6	289,92	25,00
32,43	17	21	311,24	35,71
25,19	1	3	31,71	25,19
47,12	11	15	279,32	47,12
42,30	18	28	840,51	42,30
45,17	13	14	224,45	44,91
42,74	5	10	253,14	42,74
44,93	19	27	560,20	42,51
39,00	7	12	271,91	28,96
47,00	13	23	426,36	41,49

21,88	1	5	97,92	46,88
46,84	16	25	528,95	46,84
26,13	3	8	214,00	30,15
37,83	15	18	572,07	35,88
46,71	5	7	151,22	46,71
45,10	19	27	450,90	39,86
23,53	5	6	171,08	23,53
38,46	11	13	301,91	40,20
27,37	7	14	348,36	30,73
38,34	11	14	327,23	36,71
46,64	7	10	106,08	46,64
29,66	2	2	58,18	29,66
24,37	9	14	239,20	21,83
46,44	11	20	455,44	46,44
42,73	7	16	388,91	42,73
38,97	26	41	789,44	36,73
36,73	7	10	112,63	36,73
43,15	10	11	242,39	41,44
44,11	8	11	239,41	44,11
46,21	6	8	133,68	46,21
38,06	12	17	253,26	36,26
46,11	12	14	153,58	46,11
35,45	11	16	512,28	35,45
46,07	19	27	674,34	40,77
34,13	6	6	84,23	34,13
31,23	7	10	270,24	31,23
35,31	9	15	602,22	43,13
42,13	8	13	411,04	42,13
39,48	14	26	690,69	42,88
34,77	23	40	863,26	35,65
4,40	1	1	22,50	4,40
35,80	14	19	404,14	31,04
39,74	16	18	345,59	34,38
12,07	6	6	160,60	12,07
45,58	7	37	836,62	45,58
42,48	19	26	724,68	42,48
40,94	20	38	643,93	40,94
41,15	4	6	116,97	41,15
45,39	18	27	471,20	34,93
35,82	8	9	136,59	35,82
28,88	4	5	84,15	9,48
34,38	11	18	465,76	34,58
45,20	11	21	361,36	42,41
45,13	8	9	170,77	38,96
38,46	15	22	400,98	34,87
31,69	20	27	564,52	31,69
31,13	2	3	68,04	31,13
44,92	9	16	184,95	44,92

39,02	5	9	200,89	44,88
40,68	17	26	630,22	40,68
6,32	1	1	31,03	6,32
44,72	5	7	147,96	44,72
8,65	3	3	67,10	8,65
33,49	10	17	426,80	31,12
32,39	9	11	305,30	32,39
35,42	6	9	251,38	35,42
44,60	8	11	196,46	44,60
44,54	26	40	966,25	42,88
39,38	7	11	253,23	35,27
44,50	23	45	1051,04	44,50
40,63	11	17	257,77	40,63
44,43	21	31	729,74	43,24
38,93	7	10	138,90	38,93
44,26	6	7	143,60	44,26
22,98	4	4	71,85	17,02
41,15	9	10	304,91	38,46
38,91	14	19	477,64	32,92
44,16	10	19	359,92	41,04
41,52	28	44	1010,61	40,27
31,68	4	5	138,69	31,68
21,07	3	5	80,42	29,89
31,06	6	7	201,03	31,06
40,25	10	15	353,19	34,75
43,90	21	39	658,28	43,90
38,75	11	15	352,60	33,64
43,02	29	41	929,62	40,36
35,16	2	4	238,58	35,16
38,56	11	17	288,87	41,24
32,77	12	19	552,09	32,77
14,67	3	4	66,24	9,33
36,72	9	14	508,78	36,72
42,41	7	9	156,19	42,41
43,44	9	13	398,38	38,52
43,43	3	4	85,03	26,26
43,42	5	6	106,93	43,42
39,26	12	16	319,64	39,26
10,98	3	3	78,09	10,98
29,94	4	6	133,85	24,20
18,34	2	2	24,92	6,51
43,18	3	6	80,10	43,18
25,00	3	7	134,62	25,00

23,05	5	8	236,22	19,46
36,06	8	9	143,98	32,39
34,47	8	9	379,73	40,34
40,46	11	18	422,47	33,75
24,91	8	14	357,09	24,91
42,86	4	6	58,65	38,10
9,88	2	2	30,55	9,88
27,97	4	5	83,48	27,97
34,75	13	20	586,99	34,75
41,28	16	24	461,41	40,89
37,85	11	18	624,72	35,27
33,26	9	19	377,53	33,26
			20,12	12,87
22,54	4	5	93,16	11,75
18,65	1	2	64,20	18,65
42,46	19	25	614,87	39,32
42,41	7	17	239,32	42,41
21,85	3	5	24,95	11,92
36,16	5	9	222,44	27,68
37,79	4	5	122,84	42,37
25,29	3	4	220,62	25,29
40,26	11	21	508,23	36,36
28,13	3	3	67,29	28,13
42,07	5	6	170,91	21,38
18,25	1	2	112,10	18,25
42,02	9	13	252,31	33,89
37,87	7	16	449,01	33,14
42,01	4	34	563,37	42,01
41,97	15	27	518,40	40,51
39,71	7	13	404,94	41,91
41,89	7	13	250,01	41,89
36,82	7	10	394,70	36,82
38,62	5	8	187,81	38,62
41,74	6	13	221,04	41,74
28,00	4	4	99,09	22,86
22,69	6	9	282,64	22,69
24,58	1	1	83,30	24,58
41,47	10	11	217,31	36,45
41,33	7	14	304,53	41,33
41,32	5	6	235,52	41,32
26,09	5	7	253,38	33,04
12,84	1	1	56,39	12,84
35,04	11	26	777,13	35,04
41,21	5	7	133,75	41,21
31,88	10	13	362,15	34,19
41,13	5	11	479,63	41,13
16,06	5	5	197,78	16,06
35,26	13	19	411,66	32,18
40,99	4	5	103,97	40,99
38,52	7	9	162,67	40,99
27,87	3	3	65,14	27,87
2,90	1	1	76,69	2,90

34,64	17	23	612,43	36,23
25,16	4	5	121,45	40,88
33,01	13	19	435,95	30,13
36,19	10	15	420,00	36,19
31,89	28	38	771,18	30,66
28,81	5	9	269,08	21,08
40,69	14	24	676,84	39,60
12,75	2	3	52,74	12,75
38,86	13	25	823,94	36,57
36,81	11	12	236,17	28,54
31,28	8	14	597,05	33,52
12,36	1	2	57,34	12,36
17,86	6	7	175,95	17,63
32,94	12	16	328,96	32,94
29,40	7	10	283,33	29,40
40,35	5	5	93,46	40,35
28,36	9	13	294,77	28,36
21,55	5	6	123,16	21,55
40,24	3	4	128,22	40,24
31,49	6	8	137,24	27,11
32,50	13	18	639,58	24,06
10,03	3	4	70,84	10,03
29,78	6	8	228,77	29,78
34,51	11	14	265,94	31,49
35,63	6	6	111,43	35,63
33,57	6	7	143,27	33,57
21,29	6	7	212,45	21,29
38,09	24	33	727,06	34,86
19,30	2	5	139,61	19,30
36,49	26	32	589,19	32,78
33,71	5	7	302,31	33,71
34,60	8	12	253,71	34,36
35,49	8	15	427,85	33,95
39,77	5	10	221,77	39,77
36,97	13	19	449,07	29,21
39,71	5	7	115,32	39,71
9,43	1	1	105,29	9,43
35,77	6	7	135,65	35,77
35,94	18	30	628,24	35,94
39,59	6	12	389,63	39,59
36,32	11	15	365,91	36,32
32,37	9	10	260,07	32,37
39,45	16	18	311,05	32,70
28,17	3	3	25,77	20,42
39,41	11	20	472,53	39,41
36,19	9	18	435,59	33,65
11,72	2	2	96,26	11,72
28,07	10	15	322,86	28,07
36,16	8	10	432,47	36,16

24,20	4	6	235,40	24,20
39,26	11	15	462,88	39,26
8,51	4	7	116,43	8,51
23,44	2	6	106,25	23,44
32,82	16	20	496,08	32,82
31,72	12	26	338,21	26,49
34,42	5	7	195,71	34,42
38,95	30	41	827,10	38,95
38,93	8	8	137,02	35,71
38,89	8	18	320,83	38,89
33,53	37	56	1666,00	33,53
35,70	17	23	728,94	30,30
38,69	10	13	219,22	38,69
38,49	15	26	888,72	35,91
33,76	22	27	664,82	33,76
38,42	14	21	476,36	31,62
35,86	13	17	340,40	35,86
38,39	7	7	183,02	30,32
31,61	15	25	577,72	31,61
38,34	19	35	698,95	33,61
36,05	19	28	565,76	31,44
28,19	16	26	369,38	27,04
26,60	10	14	395,55	30,68
27,75	9	9	190,21	27,75
38,14	3	3	107,85	38,14
38,10	7	9	208,71	30,69
35,53	13	15	295,41	29,57
38,08	7	12	280,73	25,83
38,07	3	6	99,39	38,07
30,32	4	6	137,88	30,32
17,90	6	6	262,37	17,90
37,89	6	9	161,90	37,89
35,52	13	17	432,97	35,52
35,64	7	9	314,22	35,64
37,80	2	4	132,57	37,80
37,80	3	5	105,51	37,80
31,13	4	5	164,18	31,13
37,69	8	18	495,97	37,69
35,00	10	10	223,36	31,84
34,09	15	25	763,58	34,09
31,19	3	4	118,53	31,19
19,34	3	3	158,68	19,34
33,69	9	14	375,30	31,76
36,38	17	29	608,13	30,67
7,02	2	2	89,78	7,02
26,22	5	7	158,14	26,22

24,63	5	9	265,52	24,63
37,47	10	20	346,99	37,47
32,51	20	27	601,43	29,71
31,53	4	4	74,87	31,53
29,13	4	5	198,69	29,13
29,32	10	11	231,00	29,32
37,32	2	2	50,48	37,32
29,05	5	7	219,63	29,05
37,29	19	30	575,42	34,46
31,56	4	8	253,01	37,23
34,99	43	63	1223,43	32,24
18,18	3	4	102,86	23,55
27,78	3	8	76,57	27,78
28,35	6	6	96,08	28,35
37,14	8	11	161,61	34,22
23,60	9	19	233,92	18,13
37,11	5	8	200,24	27,20
34,47	9	11	146,17	32,37
30,88	9	13	374,36	30,88
37,06	17	25	601,50	34,35
20,31	5	6	322,94	20,31
32,81	7	12	250,68	32,29
36,97	9	12	213,32	29,83
32,20	36	50	1157,39	32,20
27,88	20	24	411,21	26,54
24,45	4	6	182,65	24,45
34,12	11	15	355,63	34,12
31,38	9	13	500,77	31,38
6,94	2	2	63,23	6,94
30,83	4	12	217,61	30,83
36,71	4	5	112,48	36,71
32,22	5	5	130,71	32,22
33,47	5	9	87,67	25,10
30,39	8	12	403,75	30,39
36,55	10	27	636,53	34,01
32,98	6	10	391,00	32,98
20,63	2	4	210,09	20,63
36,45	5	6	218,08	36,45
27,71	6	8	251,75	27,71
36,44	3	5	96,94	36,44
31,79	23	33	836,60	31,49
28,46	25	28	657,73	28,39
36,36	7	14	159,10	29,47
32,63	8	10	283,78	27,59
33,68	16	29	525,81	30,99
31,23	6	10	201,03	36,14
19,92	3	3	112,01	11,62
14,04	4	4	53,29	9,16
33,75	10	14	345,09	33,75
31,85	7	10	170,54	31,85

22,02	5	6	232,49	22,02
25,08	4	6	123,50	22,77
26,88	39	52	1288,54	26,09
23,13	11	14	230,08	23,13
33,92	15	24	745,91	33,92
30,85	11	15	253,18	30,85
35,75	17	24	536,10	35,75
34,29	2	2	50,49	34,29
35,69	7	9	197,90	35,69
6,98	1	1	20,08	6,98
33,11	16	21	366,48	28,93
25,73	10	14	400,04	25,73
20,03	10	10	249,29	20,03
35,59	7	13	273,07	35,59
31,61	15	23	524,60	31,61
32,08	5	10	232,50	32,08
23,66	2	2	60,48	23,66
22,52	5	5	92,22	22,52
30,24	14	17	449,81	31,87
35,37	3	5	108,50	35,37
30,39	3	4	59,70	30,39
35,36	6	9	221,96	30,36
29,55	7	11	542,88	29,55
31,40	12	19	269,26	23,42
35,14	18	23	675,43	35,14
11,94	8	10	260,28	10,47
7,30	2	2	60,53	7,30
24,22	4	5	138,88	24,22
28,57	3	5	145,94	28,57
34,03	21	26	864,86	32,30
27,00	12	14	584,80	27,00
30,57	21	27	612,51	29,52
34,93	2	2	52,31	34,93
33,03	8	15	481,98	33,03
21,43	2	2	49,57	21,43
13,04	1	1	49,10	13,04
28,68	4	6	210,62	24,91
34,71	2	2	30,29	34,71
34,67	6	8	228,53	34,67
32,29	15	24	485,57	30,15
30,19	8	10	107,71	30,19
26,32	2	2	34,54	26,32
34,55	7	17	558,42	34,55
8,12	1	1	41,72	8,12
20,07	3	4	60,30	20,07
25,00	4	4	30,09	21,00

16,49	6	8	256,22	13,32
18,54	2	2	68,50	18,54
34,40	3	4	155,77	34,40
26,24	11	25	237,83	21,96
29,93	18	26	803,62	26,93
34,25	6	16	463,13	34,25
29,89	8	12	458,32	29,89
34,18	6	9	136,45	29,96
29,93	21	37	1179,84	27,78
28,02	4	6	79,27	28,02
29,57	22	28	546,19	27,18
30,70	8	8	228,51	30,70
18,26	2	3	51,88	10,43
33,82	3	9	350,39	33,82
10,81	1	1	30,74	10,81
33,73	7	9	272,03	33,73
33,71	9	10	243,98	33,71
32,61	3	4	102,02	32,61
24,94	6	8	177,19	24,94
18,89	4	5	106,05	15,56
27,25	4	8	289,33	19,58
24,57	10	13	315,15	24,57
25,26	6	9	73,79	22,18
31,67	14	17	345,31	31,67
29,34	9	10	300,80	33,40
19,05	3	5	154,73	19,05
31,44	9	11	215,87	28,84
33,33	7	11	247,92	33,33
33,33	3	4	130,24	33,33
33,22	6	9	113,56	28,34
4,31	1	1	38,92	4,31
30,31	8	10	259,45	30,31
33,15	8	13	285,45	33,15
30,46	6	14	344,21	30,46
25,77	7	7	92,27	20,33
8,33	2	2	90,15	8,33
24,75	6	8	188,69	24,75
32,98	2	3	38,17	32,98
8,73	2	3	38,79	6,11
23,73	5	6	115,64	23,73
12,20	4	6	148,19	12,20
32,84	4	5	122,88	32,84
29,15	9	18	462,42	26,92

23,96	18	24	539,06	20,63
31,40	13	21	545,78	32,76
32,72	7	18	459,67	32,72
32,71	3	3	65,04	32,71
9,44	5	5	56,79	9,44
32,67	3	6	47,20	15,33
32,66	4	8	102,34	32,66
18,51	4	6	207,13	18,51
19,34	5	5	149,35	19,34
13,33	16	21	570,31	11,63
25,36	6	9	105,79	25,36
28,08	7	13	186,68	28,08
32,53	4	4	82,92	32,53
27,43	12	22	577,43	27,43
3,06	1	1	72,57	3,06
27,50	4	9	116,44	27,50
32,43	12	16	299,94	28,08
32,43	5	7	151,66	32,43
32,39	3	4	132,62	32,39
29,69	14	21	496,17	28,49
28,95	9	12	349,34	29,67
32,30	5	7	217,00	32,30
32,26	1	3	210,52	32,26
25,75	5	8	153,86	25,75
26,24	7	8	110,82	32,18
14,60	1	1	59,93	14,60
21,15	7	9	237,06	21,15
6,52	1	1	54,11	6,52
22,01	4	5	71,08	22,01
26,75	4	5	88,41	26,75
12,30	2	5	272,32	12,30
16,13	7	9	253,93	14,60
8,29	3	3	44,51	8,29
31,79	4	5	198,44	31,79
31,76	6	6	235,99	31,76
29,46	8	8	172,14	31,62
21,07	9	13	436,33	21,07
31,58	9	12	243,38	28,21
30,00	14	19	411,68	30,00
23,48	6	7	87,87	23,48
20,39	3	4	57,23	20,39
31,55	9	10	153,73	28,87
31,52	5	9	351,13	31,52
31,14	8	10	266,85	31,14
9,69	2	2	53,44	9,69
20,00	1	1	21,71	20,00
28,11	11	17	417,22	26,77

21,86	4	4	69,61	21,86
31,13	3	7	102,77	31,13
31,10	5	7	142,12	19,14
12,70	6	9	228,40	10,35
15,53	3	3	54,46	15,53
29,11	19	26	717,50	29,11
30,93	4	5	125,67	30,93
28,04	13	22	656,42	28,04
16,28	4	6	112,07	10,76
3,61	2	2	65,53	3,61
26,02	9	13	388,53	26,02
24,03	6	7	94,32	24,03
			44,32	30,58
30,57	12	15	501,01	28,17
23,13	7	12	150,93	18,55
15,15	1	2	42,01	15,15
16,81	2	2	39,60	30,25
23,53	9	15	354,05	20,42
6,15	1	1	30,74	6,15
3,99	2	2	53,98	1,93
18,16	6	7	133,76	15,60
30,11	10	12	105,34	30,11
4,46	1	1	42,48	4,46
30,09	12	19	489,58	21,88
30,09	15	17	436,28	30,09
9,16	2	4	130,77	9,16
26,94	6	6	109,30	16,84
29,92	8	13	503,27	29,92
13,45	3	3	132,68	18,91
16,41	5	10	228,68	16,41
6,99	2	3	50,13	6,99
29,60	9	15	286,77	25,60
29,59	7	9	179,22	29,59
29,56	6	6	135,42	29,56
29,56	3	4	32,06	18,23
27,31	8	10	266,26	24,89
3,54	1	1	22,80	3,54
29,51	3	6	96,86	29,51
26,45	7	9	170,97	26,45
21,74	4	7	59,00	21,74
27,82	8	11	174,14	25,06
25,88	10	16	443,69	23,95

14,97	2	2	93,93	14,97
9,41	1	1	60,21	9,41
28,44	7	11	361,35	28,44
29,37	8	9	199,79	26,98
26,33	6	7	232,24	26,33
28,72	23	31	882,77	28,72
24,13	13	19	297,65	26,28
4,89	1	1	30,44	4,89
17,97	6	8	246,92	17,97
9,27	1	2	54,38	9,27
22,74	8	12	239,64	22,74
16,97	3	5	98,72	16,97
7,95	2	2	35,41	7,95
29,18	5	5	166,72	24,46
29,03	2	2	45,13	29,03
9,22	3	4	121,81	9,22
20,02	10	12	256,49	20,02
28,92	2	4	112,74	28,92
15,44	2	3	93,76	19,46
17,05	3	4	131,81	17,05
15,07	2	2	40,87	15,07
28,75	3	4	78,01	28,75
28,74	3	3	42,22	28,74
28,73	12	16	282,72	23,20
28,73	6	7	136,96	28,73
28,49	11	15	279,70	28,49
12,18	4	4	88,79	12,18
28,57	9	12	184,87	25,60
25,75	10	11	318,22	21,83
28,52	7	8	219,01	28,52
22,13	12	16	383,81	22,13
27,04	13	18	400,45	23,75
17,89	2	3	53,68	17,89
24,84	10	14	336,39	24,84
20,00	1	11	307,10	20,00
28,37	3	3	113,93	28,37
24,82	14	16	358,24	24,82
17,97	6	7	329,45	20,69
28,25	3	5	237,76	28,25
25,44	7	10	201,61	25,44
28,21	10	11	294,61	28,21
16,38	8	8	125,68	16,38
24,07	8	10	258,39	24,07
22,18	9	10	129,50	22,18
28,03	3	4	56,30	28,03
12,47	7	9	274,18	12,47
28,01	9	19	369,27	26,32
22,89	3	4	40,72	22,89
27,82	24	31	870,84	27,07
20,12	3	3	100,91	20,12

27,78	11	15	297,76	27,78
21,97	4	4	111,42	21,97
27,74	8	10	291,94	27,74
26,40	18	18	199,56	24,22
19,14	5	9	182,95	19,14
27,72	2	3	42,22	11,88
27,66	8	9	320,25	27,66
13,65	4	4	78,84	10,39
23,10	4	6	148,72	23,10
19,75	13	19	239,19	18,37
27,50	2	4	134,90	27,50
9,34	1	1	51,15	9,34
27,47	7	9	253,47	27,47
27,46	5	9	331,95	27,46
5,91	1	1	37,77	5,91
8,22	2	2	51,73	8,22
24,94	6	7	194,83	24,94
20,77	14	18	435,16	19,57
27,31	5	8	237,33	27,31
11,08	3	3	87,51	11,08
27,29	10	13	450,34	27,29
27,27	6	9	366,89	27,27
1,38	1	1	41,59	1,38
27,23	5	7	279,78	27,23
23,11	6	6	136,79	23,11
22,99	14	27	776,98	25,36
23,14	9	12	204,68	23,14
27,17	8	9	120,53	27,17
24,82	9	9	263,15	24,82
27,12	2	3	121,66	27,12
22,08	5	7	93,30	17,92
21,55	5	9	370,03	21,55
26,96	8	11	156,91	21,53
23,85	18	25	630,63	20,85
2,35	1	1	30,19	2,35
26,92	8	11	192,86	26,92
21,14	9	15	242,53	21,14
5,09	1	1	52,33	5,09
24,85	9	12	352,05	24,85
26,82	6	9	138,42	26,82
26,77	5	5	43,63	26,77
21,07	14	20	349,13	20,03
26,58	9	10	277,22	26,58
26,58	7	11	441,51	26,58
17,52	4	6	199,60	17,52

2,03	1	1	47,02	2,03
24,42	21	24	494,02	22,20
18,58	3	4	51,65	18,58
21,53	11	13	398,79	20,56
21,88	10	14	310,62	20,45
17,94	6	7	80,15	16,24
26,21	4	6	165,67	26,21
23,80	8	9	353,98	23,80
12,96	3	5	167,71	12,96
26,15	6	7	67,02	26,15
10,05	1	1	42,69	10,05
23,17	4	5	76,98	23,17
23,76	13	15	261,82	22,32
26,05	2	4	87,83	26,05
16,34	2	3	133,02	16,34
12,00	1	1	20,24	12,00
25,96	5	8	139,84	25,96
25,93	3	3	67,47	25,93
10,05	1	2	92,73	10,05
21,40	7	7	151,17	14,83
25,79	8	12	314,67	25,79
12,07	5	9	149,20	9,86
25,70	6	10	329,96	25,70
25,66	8	10	260,10	25,66
25,65	8	11	312,66	25,65
25,59	7	12	317,53	25,59
5,52	1	1	23,75	5,52
4,50	3	4	234,64	6,86
25,52	7	10	307,70	25,52
25,41	7	30	893,80	25,41
15,52	7	8	180,19	13,05
6,74	1	1	39,64	6,74
22,53	12	28	698,13	21,43
18,38	5	8	94,44	18,38
8,24	1	1	33,92	8,24
23,39	15	19	422,69	25,26
12,62	2	2	113,71	12,62
21,45	22	35	777,90	18,70
10,20	2	3	63,23	4,76
21,78	10	14	565,95	17,97
18,58	3	3	35,95	20,22
25,00	2	13	136,23	25,00
25,00	4	6	98,30	25,00
25,00	1	1	40,61	25,00
8,17	1	6	283,45	8,17
16,37	4	4	65,29	16,37
24,81	10	13	251,20	23,06
22,19	5	6	94,92	22,19

24,71	5	8	242,42	24,71
3,40	1	1	23,76	3,40
24,69	3	4	194,61	24,69
24,34	5	5	90,14	24,34
24,59	7	13	243,10	20,72
19,31	6	6	97,77	17,02
0,00				0,00
11,40	5	5	139,38	11,40
9,27	1	2		
24,49	1	1	30,63	24,49
20,97	7	9	210,15	20,97
11,07	7	9	278,36	9,70
24,30	9	11	222,97	24,30
19,57	2	5	161,26	19,57
24,14	3	3	67,99	17,24
21,98	11	13	294,36	20,11
15,08	2	4	37,19	15,08
23,65	38	48	986,33	22,99
24,05	5	8	209,31	18,35
24,03	8	9	171,45	24,03
4,80	1	1	55,90	4,80
21,58	17	23	450,57	17,31
20,71	4	8	194,27	23,95
15,91	5	7	257,23	15,91
23,89	4	5	90,71	14,16
4,83	1	1	33,96	4,83
3,84	1	1	28,47	3,84
18,65	3	4	107,58	18,65
23,81	3	4	126,06	17,14
23,71	5	8	125,94	12,46
17,92	2	3	92,79	17,92
15,18	6	8	78,49	15,18
12,41	2	2	53,90	4,14
3,50	2	3	97,47	3,50
15,50	4	4	212,85	15,50
18,29	5	5	96,90	18,29
21,14	5	6	151,34	21,14
6,49	1	1	46,81	6,49
7,04	2	3	83,04	7,04
23,36	7	10	227,21	23,36
16,67	7	7	140,89	16,67
14,98	2	2	84,57	14,98

11,65	1	1	23,27	11,65
23,26	10	14	337,29	23,26
2,31	1	1	31,74	2,31
17,69	11	14	250,58	17,69
23,18	4	6	207,87	23,18
21,75	12	15	184,45	17,29
13,16	14	18	418,43	13,16
16,83	4	5	178,41	23,08
5,45	1	1	43,64	5,45
23,00	3	4	178,99	23,00
11,14	3	3	147,90	11,14
19,14	5	9	274,17	22,85
22,83	3	5	81,92	22,83
12,74	2	2	114,17	12,36
12,04	2	3	144,75	12,04
19,76	6	7	182,07	14,65
14,48	4	4	158,46	14,48
22,56	10	11	246,13	22,56
22,54	10	11	137,20	19,36
22,51	5	6	137,59	18,01
22,44	4	5	123,55	16,50
18,38	3	4	90,19	18,38
5,75	2	3	35,90	3,49
9,41	1	1	34,25	9,41
12,12	3	3	70,98	12,12
22,30	2	2	59,52	22,30
17,62	2	4	58,27	7,25
20,04	5	6	55,01	20,04
15,64	4	4	142,03	15,64
14,73	5	8	232,38	11,62
18,31	4	4	128,24	18,31
22,24	20	25	584,73	18,81
17,56	7	9	250,67	17,56
22,17	5	5	81,74	22,17
17,45	12	17	248,72	16,73
17,66	5	6	171,29	17,66
22,07	4	4	66,64	22,07
20,03	5	6		
21,96	3	3	132,18	21,96
14,92	7	8	104,32	14,92
21,34	18	30	627,96	21,34
18,24	6	10	277,10	18,24
21,83	5	7	174,09	21,83
17,06	3	4	70,08	17,06

10,56	2	3	151,23	10,56
17,42	7	8	106,42	14,07
21,77	7	8	270,19	21,77
21,73	8	15	417,63	21,73
21,72	3	3	65,42	21,72
19,98	30	41	1073,48	19,44
7,20	1	1	21,15	7,20
15,24	6	7	207,16	13,13
21,49	5	6	114,04	21,49
21,46	3	4	96,98	21,46
21,45	4	6	146,46	15,92
10,20	2	4	80,02	10,20
17,77	6	8	146,11	17,77
21,28	3	3	48,33	21,28
21,16	5	9	197,24	18,14
15,46	2	2	70,91	15,46
12,41	2	3	77,32	12,41
20,30	16	22	619,00	18,07
9,16	2	2	27,95	9,16
18,80	16	20	473,41	18,80
18,36	7	9	145,37	11,59
12,90	7	11	281,02	12,90
20,69	1	2	53,44	20,69
20,67	10	17	432,37	15,69
19,06	12	21	457,29	17,72
20,64	6	7	137,43	20,64
18,13	9	9	199,78	13,30
20,61	5	6	129,65	13,99
8,04	1	1	91,95	8,04
18,29	7	9	185,75	18,29
20,55	10	14	443,37	20,55
13,62	5	7	151,06	13,62
3,70	1	1	64,46	12,25
17,67	3	4	75,31	12,62
15,66	10	15	437,31	13,86
20,48	7	10	241,25	17,55
14,27	9	11	268,72	14,27
20,42	2	2	70,68	20,42
			229,99	13,17
14,81	1	2	42,53	14,81
18,06	5	6	145,75	18,06
12,98	2	3	58,36	12,98

20,26	4	4	27,91	16,74
16,28	15	15	349,09	16,28
9,81	5	7	182,77	11,87
10,34	1	2	65,05	10,34
5,58	1	2	109,49	5,58
20,15	1	4	116,63	20,15
9,51	2	3	175,31	9,51
2,74	1	1	28,70	2,74
16,28	5	6	192,29	20,08
20,07	5	8	404,83	20,07
4,01	1	1	31,80	4,01
20,00	8	10	217,57	20,00
13,12	3	3	118,14	13,12
20,00	3	3	56,72	20,00
16,71	3	3	187,23	16,44
17,18	14	15	304,08	17,18
6,55	1	1	27,53	6,55
19,86	8	14	296,40	16,70
19,83	3	3	129,90	19,83
12,58	4	6	84,52	12,58
15,48	3	5	29,26	10,95
18,18	15	23	537,60	18,18
19,74	8	10	231,83	19,74
19,66	3	4	70,86	19,66
10,92	4	4	159,37	10,92
19,55	14	16	265,72	19,55
11,76	5	6	201,40	11,76
16,11	12	16	190,06	13,98
19,44	4	6	200,55	19,44
19,44	5	10	248,59	19,44
19,42	6	6	153,92	16,52
14,66	2	2	62,68	19,40
11,47	4	4	98,73	11,47
16,08	7	9	255,16	16,08
7,93	2	2	98,76	7,93
19,30	2	4	62,47	19,30
19,29	2	8	196,45	19,29
			63,86	4,90
19,21	8	10	249,38	19,21
19,19	1	1	20,33	19,19
19,18	5	5	120,77	14,58
19,10	6	9	232,74	19,10
16,75	4	4	29,63	12,03
10,49	2	3	103,73	15,36
11,93	4	5	85,11	9,55

19,08	3	7	159,13	19,08
19,02	3	3	20,27	19,02
15,08	2	2	65,56	15,08
15,21	4	4	84,56	13,12
16,33	2	2		
18,94	1	1	20,33	18,94
18,94	12	19	291,58	18,94
9,67	2	4	77,00	9,67
10,29	2	3		
4,49	1	2	219,45	14,97
18,83	5	7	138,16	18,83
18,82	4	6	176,45	18,82
18,82	2	9	323,75	18,82
4,85	1	1	46,31	13,03
18,78	6	9	137,53	18,78
13,02	3	3	80,08	13,02
18,72	7	10	238,19	18,72
18,70	6	7	126,01	18,70
14,56	4	5	152,07	14,56
6,47	2	2	70,92	6,47
8,28	5	6	221,19	8,28
5,11	2	2	54,37	2,27
13,26	6	6	117,84	11,37
9,26	1	1	23,41	9,26
15,67	4	5	117,31	15,67
18,50	5	5	45,92	15,41
2,44	1	1	25,60	2,44
10,62	2	2	39,61	10,62
18,49	2	4		
16,61	13	16	480,09	16,61
10,39	2	3	138,21	10,39
14,77	10	11	223,98	14,77
18,37	3	5	83,65	18,37
15,54	14	16	282,98	13,32
13,92	5	10	124,09	10,97
18,34	6	6	49,02	18,34
18,32	4	4	152,61	18,32
18,31	6	6	130,60	13,58
18,29	3	4	113,11	18,29
3,96	1	2	80,14	3,96
3,39	2	2	37,95	3,39
12,61	3	4	52,26	12,61
10,75	2	3	20,74	6,51

16,56	5	9	99,83	12,21
15,31	9	12	225,95	13,24
18,18	5	6	179,19	18,18
15,80	4	5	120,34	11,14
18,09	6	6	91,42	18,09
18,06	3	4	83,52	18,06
18,03	1	2	34,62	18,03
17,95	3	3	63,68	17,95
15,84	8	10	154,15	15,84
17,95	3	4	88,19	17,95
13,32	2	3	63,45	13,32
14,31	5	7	294,61	14,31
17,83	4	7	79,90	17,83
17,83	1	1	34,62	17,83
17,82	4	4	85,99	17,82
9,95	1	1	68,76	9,95
11,74	7	8	226,81	10,23
17,74	2	2	59,02	17,74
11,15	8	12	406,79	9,78
12,05	9	14	451,54	12,05
17,70	3	7	343,64	17,70
17,59	5	6	57,09	17,59
17,56	5	9	346,14	17,56
17,54	3	7	92,93	17,54
17,54	2	3	120,75	10,53
12,57	5	7	158,05	12,57
17,49	3	3	108,91	17,49
14,76	5	8	303,44	14,76
9,73	4	5	118,79	9,73
14,77	6	7	188,05	14,77
13,76	2	2	92,16	13,76
9,85	2	2	53,48	9,85
17,41	6	8	206,10	14,58
15,04	3	3	98,29	15,04
17,39	2	2	74,26	17,39
17,34	2	3	56,02	17,34
14,78	6	6	139,74	17,25
17,18	4	4	103,07	17,18
17,14	8	9	228,27	17,14
12,15	2	3	35,60	12,15
17,04	5	7	181,94	17,04
17,02	11	17	321,87	17,02

7,14	1	1		
14,96	9	13	328,41	14,96
16,73	3	3	106,14	16,73
5,48	1	2	70,19	5,48
16,70	11	15	256,90	16,70
10,71	2	2	63,04	10,71
9,73	5	7	155,85	9,73
			33,02	16,67
16,61	10	16	256,82	15,50
16,53	4	5	131,37	13,87
16,47	1	1	30,94	16,47
4,93	1	1	32,12	4,93
4,57	1	1	48,80	4,57
16,35	3	3	27,27	7,45
16,33	4	5	48,97	11,66
11,42	4	4	102,60	8,88
16,26	4	5	114,22	16,26
4,22	1	1	32,92	4,22
16,23	1	1	51,21	16,23
16,19	6	10	282,67	16,19
16,16	3	3	47,05	16,16
12,71	2	3	53,08	12,71
16,10	3	4	161,85	16,10
7,46	2	3	86,19	7,46
10,84	2	3	229,86	10,84
16,06	3	3	163,51	16,06
3,24	1	1	38,71	3,24
16,02	5	5	165,95	16,02
12,61	9	11	201,15	12,61
11,21	2	5	103,49	11,21
15,91	3	4	233,41	15,91
15,89	1	1		
12,18	2	5	71,78	12,18
6,60	3	5	271,95	6,60
4,88	1	1	108,57	4,88
13,53	9	11	180,66	11,90
15,83	1	2	26,79	15,83
5,56	1	1	26,87	5,56
11,23	3	3	58,99	8,02
13,93	3	4	98,41	13,93
4,36	2	2	23,63	8,48
10,48	4	6	266,40	10,48

11,13	4	4	90,07	9,21
10,77	11	14	299,16	10,77
13,50	6	9	128,63	13,50
15,58	16	20	428,48	14,50
4,28	1	1	26,67	4,28
15,53	4	4	114,82	13,24
12,12	2	5	136,17	12,12
12,55	3	4	132,98	12,55
15,34	2	3	68,39	15,34
13,21	11	15	417,64	13,21
11,00	2	3	108,24	11,00
8,67	1	2	106,44	8,67
15,31	2	3	187,75	15,31
15,26	4	4	60,40	11,21
15,25	2	3	86,91	15,25
11,35	4	6	79,14	8,87
12,27	4	5	110,96	12,27
15,22	1	1	37,41	15,22
10,41	4	6	145,28	10,41
3,19	1	1	31,32	3,19
9,69	3	4	89,75	9,69
15,13	5	5	173,79	15,13
11,63	4	4	88,63	11,63
4,20	4	5	137,00	4,20
3,27	1	2	81,11	3,27
11,83	7	7	111,16	11,83
1,69	1	2	37,09	1,69
12,21	6	8	213,97	9,47
12,64	3	3	86,20	12,64
14,91	2	2	35,27	14,91
14,91	1	1	49,00	14,91
14,89	1	1	41,62	14,89
14,87	13	16	525,36	14,87
8,99	2	2	21,21	3,70
1,12	1	1	26,62	1,12
8,22	2	2	25,42	8,22
5,38	1	1	22,68	5,38
14,70	7	8	209,84	13,15
12,44	5	8	239,99	12,44
14,64	5	7	65,77	12,43
12,20	3	3	93,42	12,20

14,58	2	2	97,71	14,58
10,29	2	3	111,24	10,29
14,57	1	1	39,40	14,57
14,54	3	4	132,77	14,54
12,85	6	9	315,74	12,85
12,76	9	12	284,52	12,76
14,51	4	4	138,96	10,77
4,11	2	4	69,63	4,11
14,45	3	3	26,57	14,45
14,44	3	3	97,58	14,44
12,41	3	3	48,68	12,41
14,35	4	4	90,24	14,35
7,51	2	4	58,38	7,51
12,28	5	6	204,49	12,28
14,29	2	4	59,63	14,29
14,25	7	9	85,55	14,25
7,72	1	2	70,00	7,72
14,22	2	3	100,45	14,22
14,20	3	3	78,17	14,20
14,19	4	4	51,30	14,19
11,97	4	5	217,45	11,97
13,64	3	5	104,71	13,64
14,08	3	3	39,52	14,08
10,98	5	5	93,84	10,98
6,81	3	4	152,37	6,81
13,94	1	2	101,39	13,94
13,90	4	5	111,60	11,55
13,90	4	5	145,72	13,90
13,85	4	4	71,38	8,72
13,77	3	4	99,23	13,77
13,75	5	6	68,63	8,74
4,20	2	3	62,55	4,20
13,68	2	3	89,92	13,68
13,68	1	1		
13,67	5	7	223,12	13,67
13,66	2	2	20,47	8,07
13,62	3	4	60,88	8,26
5,57	1	1	26,57	5,57

12,92	10	14	290,14	11,89
9,54	6	6	115,81	7,12
13,61	2	2	24,73	6,51
13,59	2	4	283,92	13,59
13,59	3	7	437,98	13,59
7,62	1	2	81,01	7,62
8,48	3	3	40,87	8,48
13,52	7	9	215,38	13,52
13,51	1	2	39,03	13,51
8,73	3	3	39,67	8,73
13,46	3	5	70,47	13,46
9,42	3	3	97,54	7,62
13,43	3	5	243,02	13,43
11,21	4	5	174,15	11,21
4,01	1	2	64,01	4,01
10,83	5	5	126,75	10,83
13,33	2	2	39,74	13,33
11,29	6	6	169,27	11,29
13,33	1	2	46,94	13,33
13,27	1	2	133,03	13,27
6,25	2	2	44,51	2,02
13,24	3	4	55,27	13,24
11,47	8	11	245,09	8,39
13,16	8	11	259,37	12,25
13,16	2	4	151,74	13,16
13,15	3	3	84,97	10,09
6,00	2	3	66,45	6,00
5,18	2	2	46,77	3,91
11,32	4	7	268,06	11,32
13,04	4	4	73,38	13,04
4,22	2	2	80,18	4,22
12,96	8	11	230,68	11,69
2,88	1	1	31,56	2,88
6,24	1	2	56,10	6,24
5,39	2	2	62,75	5,39
12,86	7	8	93,95	12,86
12,83	4	5	103,24	11,21
7,65	1	2	73,04	7,65
11,78	5	7	208,66	11,78
9,87	2	2	34,03	9,87
12,72	4	4	96,06	12,72

12,66	3	3	68,99	12,66
12,65	2	2	43,32	12,65
9,63	5	5	184,65	9,63
9,44	8	11	224,27	10,59
12,58	5	6	142,91	12,58
12,54	2	4	147,59	12,54
10,98	7	7	107,29	9,98
12,50	1	2		
4,71	2	2	34,08	4,71
9,09	3	3	40,99	9,09
12,44	8	10	198,47	12,44
12,42	2	3	96,92	12,42
7,38	1	1	28,52	7,38
12,41	3	3	75,47	9,79
10,14	5	6	72,52	7,87
4,68	2	2	31,24	4,68
12,40	3	4	120,42	12,40
12,40	1	1	25,87	12,40
7,40	4	4	123,44	7,40
12,31	4	9	442,02	12,31
12,27	6	7	148,98	12,27
6,38	1	2	76,79	6,38
9,47	6	7	258,19	9,47
5,07	1	1	81,43	12,16
12,15	2	2	58,16	12,15
12,13	4	5	113,62	12,13
12,13	2	2	33,27	12,13
12,08	3	5	142,02	12,08
12,04	1	1	32,57	12,04
2,64	2	2	33,54	2,64
9,12	7	12	194,89	8,08
9,50	3	5	203,75	9,50
8,96	8	9	240,67	8,20
8,93	5	5	144,32	8,93
6,54	2	2	40,22	6,54
11,82	2	3	41,95	11,82
6,30	1	1	54,40	6,30

8,58	2	2	87,91	8,58
4,85	1	2	75,69	9,19
11,79	5	6	174,06	11,79
5,88	1	1	40,78	11,76
11,74	3	3	70,99	11,74
11,74	3	3	67,25	8,39
6,03	2	3	53,71	6,03
11,68	2	3	139,63	11,68
3,09	2	2		
11,64	1	2	98,77	11,64
4,39	1	1	41,44	4,39
11,61	3	3	157,48	11,61
11,57	2	2	85,24	11,57
7,93	2	2	39,77	7,93
8,87	3	7	136,61	8,87
9,67	3	4	130,98	9,67
9,26	2	3	71,71	4,01
11,37	2	4	152,37	11,37
11,31	3	3	99,14	11,31
11,29	1	1	23,48	11,29
11,27	2	4	159,77	11,27
5,63	1	1	64,13	5,63
3,91	4	4	134,41	3,91
11,26	2	2	27,95	11,26
6,81	2	2	80,24	6,81
11,25	2	3	193,68	11,25
9,00	2	2	90,69	9,00
11,25	3	3	52,13	11,25
9,57	4	5	156,00	9,57
11,18	3	3	125,38	11,18
11,16	2	2	24,58	3,31
11,15	2	2	29,66	11,15
4,39	2	3		
11,11	2	2	81,85	11,11
11,06	1	1	45,83	11,06
9,33	5	6	137,17	9,33
7,18	7	8	98,14	7,18
11,04	1	1	45,72	11,04
8,75	2	2	85,55	8,75

10,98	2	4	152,02	10,98
5,45	2	3	218,11	5,45
10,90	3	4	83,90	10,90
10,89	3	4	82,80	10,89
10,86	2	5	107,43	10,86
10,86	1	1	35,73	10,86
10,84	2	2	68,44	10,84
10,81	3	3	53,53	10,81
10,79	1	1	33,34	10,79
5,39	1	1	25,35	5,39
8,85	5	6	179,18	8,85
10,73	1	1	73,74	10,73
8,79	4	5	113,53	8,79
5,61	2	2	96,35	5,61
10,64	3	4	45,31	10,64
8,70	2	3	105,32	8,70
10,60	2	3	158,91	10,60
10,60	5	7	137,81	10,60
10,57	3	4	98,21	10,57
10,53	3	3	39,58	6,58
			40,45	10,53
10,50	6	6	39,08	10,50
10,48	4	5	55,60	10,48
3,40	1	1		
10,47	6	7	235,10	7,83
5,79	2	2	80,99	5,79
10,45	5	8	273,01	10,45
6,40	1	2	31,83	6,40
4,80	5	7	108,18	4,80
10,42	3	6	367,63	10,42
10,42	4	5	112,02	10,42
10,42	5	6	102,96	10,42
10,42	2	3	73,67	10,42
10,40	2	2	35,87	10,40
10,39	3	4	197,84	10,39
10,37	1	3	90,48	10,37
6,33	3	4	73,03	6,33
10,34	4	7	200,67	10,34
8,43	4	4	93,91	8,43
10,32	2	4	102,82	10,32
8,47	3	5	187,66	8,47
7,30	4	5	105,51	7,30
10,29	2	5	96,35	6,25
10,29	2	3	45,11	10,29

10,27	1	1	80,29	10,27
10,17	4	4	172,17	10,17
10,16	6	7	145,55	8,59
10,15	2	3	46,06	10,15
10,09	6	7	137,91	10,09
10,07	3	4	113,39	10,07
6,55	5	6	109,45	4,20
10,02	3	4		
10,00	3	4	40,13	10,00
9,98	3	4	150,80	9,98
6,52	1	1	51,30	6,52
9,85	1	2	73,57	9,85
9,80	2	5	171,59	9,80
9,76	6	10	329,16	9,76
7,11	5	6	151,08	7,11
3,24	1	2	33,34	3,24
9,73	4	4	48,18	7,85
9,69	3	4	72,14	9,69
9,69	2	2	66,69	9,69
9,66	3	3	79,30	9,66
4,93	2	2	49,78	7,40
9,62	1	1	55,32	9,62
9,60	1	1	47,36	9,60
9,59	3	4	118,40	9,59
9,56	4	4	185,45	9,56
9,55	1	2	155,88	9,55
9,55	3	4	121,52	9,55
9,54	2	5	290,48	9,54
9,52	1	2	37,83	9,52
9,51	2	2	28,60	9,51
9,49	5	7	82,42	8,50
9,49	3	3	54,19	4,36
6,86	1	3	68,62	6,86

9,47	1	2	53,28	9,47
6,68	2	3	79,07	6,68
6,29	4	5	158,45	4,78
9,42	3	3	88,84	9,42
9,41	2	2	85,46	4,71
9,39	3	5	183,04	9,39
7,54	3	5	145,97	7,54
5,61	2	2	61,11	5,61
9,35	3	3	37,80	9,35
3,89	1	1	29,08	3,89
2,65	1	1	26,54	2,65
9,25	3	3		
6,76	4	5	98,05	6,76
9,22	2	2	43,82	9,22
6,45	2	2	84,72	6,45
6,60	2	2	77,48	6,60
4,95	1	1		
1,70	1	1	51,10	1,70
1,43	1	1	55,49	1,43
5,74	2	2	84,93	5,74
9,09	1	2	20,69	9,09
9,03	5	6	193,44	7,44
5,51	1	1		
8,97	1	4	81,01	8,97
6,22	2	2	83,75	8,92
1,89	1	1	21,06	1,89
8,83	2	2	62,53	8,83
8,82	3	4	157,16	8,82
8,80	5	7	217,15	8,80
8,79	2	2	83,85	8,79
8,78	6	7	62,50	7,47
2,44	2	2	58,41	1,40
8,73	2	2	59,10	8,73

8,71	2	2	51,54	8,71
8,71	3	4	71,26	8,71
5,53	3	5	129,93	5,53
2,97	2	3	151,12	2,97
8,58	2	3	68,69	8,58
			44,18	8,55
8,54	2	2	105,11	8,54
8,52	1	2	53,16	8,52
5,27	4	8	89,15	5,27
8,48	2	2	89,97	8,48
6,72	3	4	30,36	6,72
8,44	1	2	27,62	8,44
1,12	1	1	31,60	1,12
8,42	2	3	59,90	8,42
8,42	2	3	114,54	8,42
8,37	2	2	120,06	8,37
8,35	4	6	148,81	8,35
8,33	2	2	42,78	8,33
8,30	2	2	34,40	8,30
8,28	2	3	41,37	8,28
6,77	4	4	82,05	6,77
8,25	2	3	64,30	8,25
8,22	1	1	61,28	8,22
8,22	3	4	85,66	8,22
4,97	1	1	26,47	4,97
8,16	2	2	103,65	8,16
8,16	1	1	35,45	8,16
8,14	1	1	47,41	8,14
8,14	2	2	63,11	8,14
8,10	3	5	95,61	8,10
8,09	1	1	25,89	8,09
6,15	5	6	155,01	6,15
8,05	2	2	27,53	8,05
5,13	3	4	79,78	5,13

8,00	1	2	63,38	8,00
7,99	2	3	49,91	7,99
7,97	1	1	22,21	7,97
6,25	1	1	30,06	6,25
7,95	1	1	33,70	7,95
4,69	1	1	36,10	4,69
7,93	6	6	79,19	7,93
7,93	1	1	41,55	7,93
7,91	1	1	25,36	7,91
6,40	6	7	194,27	6,40
1,17	1	1	41,34	1,17
5,24	3	3	65,83	5,24
7,83	1	1	24,38	7,83
7,83	7	7	140,34	7,10
7,81	3	3	55,58	7,81
7,79	4	4	132,37	7,79
5,25	2	4	21,03	2,31
7,75	1	1	43,08	7,75
7,74	2	2	77,72	7,74
6,06	2	4	39,13	6,06
7,73	1	2	89,60	7,73
5,88	3	3		
1,87	1	1	34,04	1,87
7,64	1	2	50,11	7,64
7,63	2	4	196,59	7,63
5,99	3	4	74,08	5,99
7,60	1	1	51,47	7,60
4,88	3	3	53,49	4,88
7,58	1	1	50,81	7,58
5,03	2	2	24,72	2,32
7,53	1	1	45,72	7,53
7,52	2	2	81,67	7,52
7,50	1	1	21,95	7,50
4,01	2	2	42,94	4,01
7,49	2	2	45,17	7,49
7,44	1	1	48,74	7,44
6,11	3	4	87,27	6,11

5,76	8	10	220,10	5,76
7,40	3	4	37,70	7,40
7,39	1	2	47,46	7,39
7,35	1	1	32,67	7,35
3,79	3	4	81,88	7,29
7,28	2	2	47,93	7,28
3,23	1	1	57,99	3,23
7,24	1	1	65,86	7,24
7,24	2	2	21,33	7,24
7,21	2	2	98,91	7,21
4,38	1	4	47,38	4,38
6,75	10	12	318,62	6,75
4,60	7	7	135,76	4,01
7,12	2	4	98,11	7,12
7,11	1	2	77,92	7,11
7,11	2	3	117,02	7,11
7,11	1	1	23,32	7,11
7,10	3	3	103,19	7,10
7,07	1	1	41,72	7,07
2,82	1	1	37,16	2,82
2,35	1	1	23,14	2,35
7,05	3	5	170,61	7,05
7,05	1	1	29,16	7,05
2,41	1	1	25,69	2,41
7,02	3	5	85,04	7,02
6,99	4	4	104,69	6,99
3,85	3	3	32,11	3,85
6,96	2	2	23,67	6,96
6,95	4	4	88,62	6,95
6,94	1	1	58,41	6,94
6,93	4	5	36,69	5,52
3,36	1	1	34,82	3,36
6,92	1	1	45,95	6,92
5,90	2	2	97,52	6,92
2,38	1	1	28,45	2,38
2,39	1	1		
6,85	2	4	230,58	6,85
2,46	1	1	49,92	2,46

6,79	5	5	92,59	5,73
6,79	3	4	112,88	6,79
4,89	4	4	22,03	1,97
5,29	1	1	47,80	5,29
0,00				0,00
6,73	1	1		
6,72	5	5	56,95	6,72
6,70	2	3	37,75	6,70
6,68	5	7	60,76	5,53
6,67	1	2	90,92	6,67
6,64	1	1	37,67	6,64
6,59	1	1	37,30	6,59
6,56	1	1	51,14	6,56
4,80	2	2	46,63	4,80
1,02	1	2	34,51	1,02
4,85	11	15	258,93	4,85
2,97	1	1	48,92	2,97
6,52	1	2	78,90	6,52
6,49	1	1	20,05	6,49
6,49	1	1	23,97	6,49
6,02	7	8	165,65	6,02
3,79	2	2	29,17	3,79
6,42	1	2	56,47	6,42
6,40	1	2	56,84	6,40
6,40	1	1	23,94	6,40
6,38	1	1	28,42	6,38
2,73	1	1	20,20	2,73
4,31	2	3	61,87	4,31
6,35	2	2	58,40	6,35
6,34	1	1	44,66	6,34
6,33	2	2	43,95	6,33
6,30	8	10	298,13	6,30
6,28	2	4	29,89	6,28
6,27	1	1	45,36	6,27
6,27	1	2	107,94	6,27
4,15	5	5	151,02	3,54
6,21	1	1	20,07	6,21

6,20	5	5	111,07	4,90
6,20	3	3	89,92	6,20
			38,77	6,18
6,13	3	3	34,48	6,13
3,48	2	2	27,84	3,48
6,12	2	3	42,45	6,12
6,11	3	3	41,94	6,11
6,11	2	3	127,01	6,11
6,11	3	4	103,58	6,11
6,10	1	1	35,10	6,10
4,89	5	6	184,61	4,89
6,04	3	3	49,00	6,04
6,02	2	3	32,77	6,02
6,02	1	1	39,40	6,02
6,01	2	3	20,18	6,01
2,00	1	1	20,97	2,00
5,99	1	1	20,28	5,99
5,98	2	2	58,81	3,35
2,58	1	1	37,34	2,58
5,98	1	1	39,64	5,98
5,97	1	2	78,43	5,97
3,49	2	2	49,70	3,49
5,94	1	1	28,12	5,94
5,93	2	2	24,16	5,93
5,92	1	1	25,62	5,92
5,92	2	2	37,76	5,92
5,91	2	3		
5,89	1	2	74,21	5,89
5,85	1	1	34,80	5,85
5,83	3	4	100,74	5,83
4,57	2	2	57,53	4,57
1,06	1	1	44,21	1,06
5,79	2	2	22,62	2,51
1,40	1	1	23,35	1,40
3,65	2	4	33,49	3,65
5,77	1	1	35,96	5,77
5,75	3	3	97,92	5,75
2,98	1	1	30,82	2,98
5,74	1	1	20,93	5,74
4,61	3	3	147,25	4,61
5,73	1	2	77,38	5,73

4,28	2	2	33,39	4,28
5,70	1	1		
5,70	2	2	109,38	5,70
5,70	4	6	107,97	5,70
5,69	2	2	45,06	5,69
5,67	2	2	28,12	5,67
5,66	2	3	67,70	5,66
5,65	1	1	30,98	5,65
5,65	1	2	59,29	5,65
5,62	1	1	37,60	5,62
3,52	2	2	27,52	3,52
4,29	2	4	70,79	4,29
5,57	1	2	25,28	5,57
5,56	3	3	75,81	5,56
5,54	1	1	21,10	5,54
5,54	1	1	23,55	5,54
2,25	1	1	27,43	2,25
5,53	1	1		
2,63	2	2	52,85	1,32
5,48	1	1	48,48	5,48
5,44	1	1	59,94	5,44
2,85	3	3	70,12	2,85
3,26	1	2	70,63	3,26
5,43	1	2	77,19	5,43
5,42	1	1	27,37	5,42
3,56	1	1	46,01	5,42
3,35	2	2	20,35	3,35
5,40	1	1	34,91	5,40
5,39	1	1	31,36	5,39
3,36	2	2	27,29	3,36
5,34	1	2	86,14	5,34
5,30	2	3	83,40	5,30
1,53	1	1	24,91	1,53
5,25	2	2	47,45	5,25
0,93	1	1	30,79	0,93
3,32	3	3	65,47	1,59
5,24	3	5	61,72	5,24
5,23	3	3	28,37	5,23
5,19	4	4	40,87	2,91
5,19	2	2	75,19	5,19

5,18	3	3	89,61	5,18
5,17	1	1	20,95	5,17
5,15	1	1		
2,77	1	1	30,68	2,77
5,13	2	2	92,59	5,13
5,13	1	2	91,37	5,13
2,99	1	2	50,47	2,99
5,12	1	1	55,93	5,12
5,11	1	1	30,06	5,11
5,10	1	1	50,46	5,10
2,94	2	2	83,53	2,94
5,06	1	1	25,11	5,06
2,43	1	1	36,33	2,43
5,04	2	3	32,91	5,04
1,49	1	1	56,89	1,49
4,99	1	3	191,72	4,99
4,96	1	2	26,62	4,96
4,94	1	1	23,53	4,94
4,92	1	3	60,40	4,92
2,82	1	2		
3,40	2	3		
3,76	2	3	40,24	3,76
4,90	4	5	131,60	4,90
4,89	1	1	70,76	4,89
4,88	1	1	28,91	4,88
4,80	1	1	25,05	4,80
4,78	1	1	30,18	4,78
4,77	3	4	127,93	4,77
4,76	1	1	28,57	4,76
4,75	3	4	47,85	4,75
4,74	1	1	35,80	4,74
2,67	2	2	59,81	2,67
4,72	2	2	101,02	4,72
3,15	1	1	32,25	3,15

4,69	1	1	20,67	4,69
4,68	1	3	42,84	4,68
4,68	2	2	20,63	2,56
4,67	1	1	26,07	4,67
4,65	1	1		
4,64	2	3	85,35	2,50
4,63	1	1	37,77	4,63
4,63	2	2	27,87	4,63
4,61	1	1	27,45	4,61
4,57	1	1	20,57	4,57
4,50	1	1	68,03	4,50
2,57	1	1	36,04	2,57
4,42	1	1	46,72	4,42
4,42	1	1		
3,42	3	3	111,84	3,42
4,41	1	1	76,58	4,41
4,36	1	1	21,91	4,36
0,00			20,56	4,36
2,35	1	1	43,97	2,35
1,85	1	1	44,61	1,85
4,24	1	1	39,14	4,24
1,97	1	1	49,64	1,97
4,23	1	1	39,29	4,23
4,23	3	3	61,54	4,23
4,21	2	2	73,41	4,21
4,20	1	1	33,45	4,20

2,43	1	2	60,99	2,43
4,18	2	2	72,48	4,18
4,17	2	2	86,92	4,17
4,15	2	3	112,47	4,15
4,12	2	2	60,26	4,12
4,10	1	1		
4,02	1	3	41,28	4,02
4,02	1	1	30,41	4,02
4,01	1	1	45,95	4,01
3,97	1	1	22,72	3,97
3,97	1	1	44,98	3,97
3,96	1	1	31,92	3,96
2,17	3	3	87,77	2,17
3,93	3	3	44,72	3,93
			38,89	2,02
3,90	1	1	50,81	3,90
3,90	2	2	42,80	3,90
3,89	3	3	39,19	3,89
3,88	1	2	47,32	3,88
3,83	2	3		
3,18	1	1	51,12	3,18
3,82	1	1	63,51	3,82
3,82	2	3	61,47	3,82
1,23	1	1	28,56	1,23
1,72	2	2	41,00	1,72
3,77	1	1	22,75	3,77
3,74	1	3	194,10	3,74
3,73	2	2	43,30	3,73

3,72	1	1	25,19	3,72
3,70	1	2	95,61	3,70
3,69	1	1	22,31	3,69
3,69	1	1	84,47	3,69
1,76	1	1		
3,67	1	1	34,10	3,67
3,66	1	3	202,80	3,66
3,64	1	1	43,41	3,64
3,59	2	2	74,30	3,59
3,56	1	1	28,03	3,56
3,56	1	1	20,89	3,56
3,53	1	1	68,08	3,53
3,51	1	1	30,57	3,51
3,51	1	1	30,30	3,51
3,49	1	1	38,88	3,49
3,49	2	2	59,88	1,74
3,48	1	1	44,89	3,48
3,47	1	1	77,13	3,47
3,46	1	1	41,57	3,46
2,05	2	3	49,54	2,05
3,42	1	1	23,78	3,42
3,42	1	1	52,01	3,42
3,42	1	1	34,00	3,42
3,40	1	1	43,68	3,40
3,38	1	1	27,45	3,38
3,37	2	2	50,40	3,37
3,36	2	3	54,66	3,36
3,36	3	4	105,74	2,52
3,35	1	2	106,07	3,35
3,35	1	1	51,30	3,35
3,33	1	1	46,72	3,33
3,31	1	1	80,03	3,31
3,31	1	1	40,29	3,31
3,30	1	1	24,78	3,30
3,30	1	1	73,06	3,30

3,28	1	1	34,73	3,28
2,37	2	4	127,87	2,37
3,25	1	1	28,47	3,25
3,24	2	2	29,17	3,24
3,23	1	1	47,71	3,23
3,20	3	3	78,37	3,20
3,19	2	2	58,70	3,19
3,19	1	1	45,56	3,19
3,17	1	1	37,33	3,17
3,16	1	2	107,15	3,16
3,15	1	1	25,12	3,15
3,15	1	1	68,34	3,15
3,11	1	1	35,06	3,11
3,06	2	2	73,72	3,06
3,05	1	1	38,09	3,05
3,04	1	1	51,52	3,04
3,00	2	2	33,71	2,16
2,99	2	2	62,36	2,99
2,99	1	1	35,09	2,99
2,94	1	1		
1,90	1	1	30,16	1,90
2,92	1	1	24,07	2,92
2,89	3	4	67,74	2,89
2,88	3	3	36,58	2,88
2,87	1	1	29,27	2,87

2,85	1	1	20,45	2,85
2,82	1	1	59,67	2,82
2,81	1	1	56,90	2,81
			25,00	2,81
2,80	1	1	41,64	2,80
0,00				0,00
2,78	1	1	29,44	2,78
2,77	1	1	46,54	2,77
2,76	2	2	34,65	2,76
2,68	2	2	23,98	2,68
2,68	1	1	31,36	2,68
2,64	1	1	32,24	2,64
2,61	2	2	69,88	1,50
2,60	1	2	51,70	2,60
2,58	1	2	135,27	2,58
2,58	1	1	27,84	2,58
2,57	2	2	29,18	2,57
2,56	1	1	67,88	2,56
2,56	1	1	29,12	2,56
2,56	1	1	27,16	2,56
2,52	1	1	65,52	2,52
2,51	3	6	163,54	2,51
2,50	1	1	22,30	2,50
2,50	4	4	39,81	2,50
2,49	1	1	51,02	2,49
1,41	1	2	39,72	1,41
2,47	1	2	28,17	2,47
2,46	2	2	69,88	2,46
2,45	1	1	26,50	2,45
2,42	1	1	44,22	2,42
0,72	1	1	50,68	0,72
2,41	1	2	65,49	2,41
2,41	1	1	35,61	2,41
2,39	1	1	63,77	2,39
2,38	1	1	29,92	2,38

2,38	1	2	34,36	2,38
2,36	1	1	26,61	2,36
2,35	1	1	45,96	2,35
2,35	1	1	23,38	2,35
2,33	2	3	80,55	2,33
2,33	1	1	24,45	2,33
2,32	1	1	26,45	2,32
2,32	1	1	30,77	2,32
2,30	1	1	20,91	2,30
2,29	1	1	42,97	2,29
1,38	1	1	33,84	1,38
1,18	1	2	155,21	1,18
1,62	3	3	55,67	1,62
2,27	1	1	22,36	2,27
2,26	1	1	24,14	2,26
2,25	1	1	23,15	2,25
2,24	1	1	21,63	2,24
2,24	1	1	26,86	2,24
1,11	1	1	36,93	1,11
2,17	1	1	22,02	2,17
2,17	1	1	32,47	2,17
2,15	1	1	44,74	2,15
1,07	1	1	50,55	1,07
2,14	1	1	43,57	2,14
2,13	1	1	23,67	2,13
2,10	1	1	40,90	2,10
2,09	1	1	27,14	2,09
2,07	1	1	34,24	2,07
2,06	1	1	51,20	2,06
1,12	1	2		
2,04	1	1	77,46	2,04
2,04	1	1	30,34	2,04
2,02	1	1	36,26	2,02
2,02	1	1	24,18	2,02
2,01	1	1	20,39	2,01
2,01	1	1	40,79	2,01

2,01	1	1	22,55	2,01
2,00	1	1	29,92	2,00
1,98	1	1	21,66	1,98
1,96	1	1	88,79	1,96
1,96	1	1	20,98	1,96
1,95	2	2	78,87	1,95
1,94	1	1	34,12	1,94
1,93	1	1	61,64	1,93
1,88	1	1	15,92	1,88
1,88	1	1	39,15	1,88
1,85	1	2	117,89	1,85
1,85	1	1	27,44	1,85
1,85	1	1	37,75	1,85
1,85	1	1	22,91	1,85
1,84	1	1	34,04	1,84
1,84	1	1	33,90	1,84
1,84	1	1	25,93	1,84
1,82	1	1	52,19	1,82
1,82	1	1	22,37	1,82
1,75	1	1	24,99	1,75
1,75	1	1	35,45	1,75
1,74	1	1	43,15	1,74
1,71	1	1	20,77	1,71
1,70	1	1	56,51	1,70
1,68	1	1	75,84	1,68
1,67	1	1	52,52	1,67
1,66	1	1	61,80	1,66
1,64	1	2	87,53	1,64
1,63	1	1	22,04	1,63
1,61	1	1	61,83	1,61
1,58	1	1	37,99	1,58
1,57	1	2	95,89	1,57
1,57	1	1	48,39	1,57
1,57	1	1	35,59	1,57
1,56	1	1	25,85	1,56

1,55	2	2		
1,55	1	1	25,52	1,55
1,54	1	1	29,67	1,54
1,53	1	1	31,72	1,53
1,52	1	1	23,80	1,52
1,52	1	1	55,96	1,52
0,96	1	1		
1,50	1	1	53,69	1,50
1,50	2	2	32,31	1,50
1,49	1	1	25,95	1,49
1,46	2	2	41,79	1,46
1,41	1	1	26,55	1,41
0,70	1	2	32,91	0,70
1,38	1	1	25,23	1,38
1,34	1	1	21,82	1,34
1,32	1	1	23,18	1,32
1,22	1	1	40,11	1,22
1,22	1	1	50,50	1,22
1,21	1	1	24,40	1,21
1,17	1	1	39,57	1,17
1,15	1	1	30,71	1,15
1,15	2	2	92,73	1,15
1,12	1	1	40,76	1,12
1,12	1	1	46,98	1,12
1,08	1	3	71,88	1,08
1,06	1	1	25,34	1,06
1,06	1	1	21,92	1,06
0,00				
1,04	1	1	21,83	1,04
0,98	1	1		0,00
0,98	1	1	13,06	0,98
0,97	1	1	0,00	0,97
			139,13	0,94
0,92	1	1	39,97	0,92
0,90	1	1		

0,88	1	1		
0,88	1	1	27,40	0,88
0,80	1	1		
0,74	1	1	32,93	0,74
0,74	1	1	39,87	0,74
0,66	1	1	26,64	0,66
0,65	1	1	27,40	0,65
0,63	1	1	64,64	0,63
0,61	1	1	36,19	0,61
0,57	1	1	31,21	0,57
0,36	1	1	38,99	0,36
0,35	1	1	35,50	0,35
0,34	1	2	25,03	0,34

eptides AcetylProtNte	PSM AcetylProtNterr	Score Phospho	Coverage Phospho	# Peptides Phospho
4	9	361,63	74,75	4
16	33	664,46	85,43	16
14	27	397,62	81,33	13
5	9	243,75	55,86	5
9	24	715,05	86,61	9
8	10	239,99	70,37	8
5	6	182,57	17,43	5
8	12	247,79	84,85	8
40	102	2994,31	69,21	40
7	10	246,19	76,42	7
16	37	1301,07	83,91	16
20	46	1008,48	81,01	18
5	21	381,95	58,00	4
30	103	3518,82	80,31	30
13	17	363,77	67,33	13
3	6	143,89	61,90	3
28	67	1937,04	79,39	28
11	14	330,62	55,12	11
5	7	264,03	78,23	5
9	13	509,80	49,69	9
13	18	499,17	68,66	14
21	47	1345,51	76,34	20
21	39	857,69	66,25	21
12	21	361,36	68,42	11
12	21	770,78	79,43	12
13	20	394,07	70,72	12
9	12	366,75	55,50	9
10	21	638,08	57,94	10
24	35	1149,54	66,94	23
25	46	1427,06	64,40	26
9	22	888,11	75,53	9
11	37	973,60	34,82	11
17	27	485,78	60,06	15
19	31	548,21	76,38	19
13	25	588,50	74,24	12
14	25	494,83	59,26	13
11	22	699,61	68,63	11
22	41	1021,01	74,87	21
20	49	1298,93	77,71	20
16	30	886,95	70,34	15
39	76	2240,31	76,51	39
5	8	237,39	77,45	5
16	23	650,36	75,17	16
16	32	808,10	71,73	16
25	71	2264,68	76,48	25
2	3	157,52	47,52	2
29	70	1792,64	72,39	29
19	57	1669,93	74,34	19

16	27	656,17	68,42	16
4	7	100,29	63,46	4
25	51	1693,14	75,00	24
3	4	244,61	51,97	3
43	82	1794,88	59,78	43
11	15	311,04	74,48	11
20	40	1003,62	62,20	19
7	9	232,11	58,18	7
4	13	168,85	42,34	2
11	18	465,27	58,36	11
20	39	1207,59	68,53	19
5	8	352,20	54,72	4
5	8	353,53	73,33	5
22	28	590,26	59,08	20
15	27	812,32	62,53	14
32	58	1947,88	66,47	33
18	39	1340,87	68,61	18
20	38	1093,82	72,10	20
8	11	341,20	17,16	8
12	23	691,02	72,02	12
30	55	1097,91	66,13	30
11	23	575,77	71,83	11
23	34	949,80	62,69	23
7	7	156,78	71,72	7
18	33	908,39	57,00	18
27	40	974,10	66,04	27
10	12	213,18	47,12	9
7	9	231,24	48,99	7
6	6	137,89	61,11	5
1	2	40,73	5,10	1
11	21	579,74	70,80	11
6	9	182,27	69,54	6
19	34	920,73	70,66	19
13	21	631,67	62,01	12
11	19	676,74	70,00	11
7	11	304,97	63,27	7
35	68	1887,38	65,71	35
19	32	829,44	66,16	19
20	34	810,33	58,68	20
10	19	332,09	58,67	10
23	35	967,85	63,90	23
16	27	626,50	57,27	16
6	7	114,40	56,35	5
4	4	75,37	34,92	4
20	32	804,01	68,85	20
9	12	360,29	68,85	9
8	13	432,54	68,83	8
17	33	759,93	57,59	16
33	53	1438,46	66,62	33
4	4	117,50	30,41	4
25	39	857,88	61,88	25
5	24	779,80	54,83	5
5	7	300,44	57,95	4
17	25	471,21	66,88	17
7	11	348,13	59,29	7

40	59	1726,92	65,09	40
3	3	142,48	39,73	3
9	10	225,49	67,76	9
24	36	929,29	53,14	24
34	51	1387,40	54,09	34
2	3	114,98	58,11	2
26	35	717,27	61,96	25
20	36	848,84	63,86	19
27	54	1164,97	61,55	27
9	11	239,29	58,68	10
11	15	491,56	40,37	11
21	36	1052,58	64,53	21
14	21	595,01	63,31	13
6	9	178,85	11,95	6
36	50	1374,63	56,10	36
6	6	54,78	66,44	6
5	5	108,91	35,00	5
34	64	1582,93	56,64	34
4	11	508,79	66,20	4
13	19	539,65	54,63	12
18	31	609,32	66,13	18
1	1	29,55	11,93	1
7	12	494,33	40,45	7
6	14	655,13	55,22	6
28	62	1829,10	64,17	28
11	18	408,65	45,66	11
7	11	213,43	43,53	7
2	3	41,40	30,99	2
5	8	273,62	50,79	5
11	15	304,60	65,10	11
41	141	2932,49	62,91	41
21	27	677,01	42,25	21
15	22	508,47	62,68	15
16	22	573,79	63,40	16
15	22	693,32	53,35	15
20	42	1052,88	63,71	20
31	45	951,79	55,89	31
17	22	455,94	60,67	17
19	28	554,15	61,33	18
4	4	77,08	11,82	4
3	4	53,31	57,14	3
8	10	177,56	49,01	8
5	10	226,86	55,28	4
5	6	112,96	24,73	5
15	24	685,88	56,54	15
10	13	312,84	60,87	10
6	10	372,58	63,86	6
21	119	1986,26	63,58	20
9	14	227,25	55,75	9
35	55	1408,98	55,18	35
16	26	784,51	63,64	16
15	28	896,43	50,22	15

1	1	123,62	22,35	1
14	21	606,14	60,39	14
8	11	265,83	34,37	8
8	11	216,79	45,35	8
18	31	599,02	53,48	17
27	42	1116,47	61,92	27
13	23	947,26	54,57	14
16	23	795,83	56,91	16
40	74	2133,67	58,12	40
5	7	379,36	32,07	5
20	33	779,43	49,52	20
13	16	460,46	54,35	12
25	40	1292,44	62,52	25
20	25	561,67	57,22	19
12	20	408,34	58,70	12
7	8	115,18	42,59	6
29	45	1398,97	44,19	29
1	1	35,08	2,45	1
16	30	918,06	62,26	16
19	32	934,03	56,58	19
51	76	1854,44	53,95	49
5	8	274,98	60,18	5
12	16	306,19	48,40	11
12	16	397,36	52,03	12
7	9	212,33	43,92	6
6	9	212,32	61,48	6
7	13	381,42	51,32	7
16	20	337,30	46,52	16
10	16	356,90	61,33	10
14	55	1143,78	58,20	13
12	23	862,52	55,31	12
10	22	558,06	61,19	10
10	19	456,86	56,64	10
8	10	252,44	51,97	8
17	25	541,35	31,23	17
3	4	78,44	60,98	3
51	110	2537,57	59,74	51
25	37	943,34	59,51	25
7	8	171,41	39,24	6
33	46	1251,23	57,06	33
14	22	745,14	43,11	13
10	17	461,68	38,57	10
13	22	712,89	55,16	12
20	30	955,39	49,82	20
16	20	576,90	54,73	15
17	30	888,53	59,87	17
31	42	979,71	52,07	31
22	34	845,58	54,07	22
4	4	99,08	29,84	4
24	28	782,06	37,04	24
7	7	126,88	50,46	7
11	18	438,82	40,00	11

3	3	66,54	46,02	3
4	9	282,51	15,95	4
10	11	343,67	59,18	10
19	29	816,29	59,15	19
6	9	290,89	59,09	6
17	25	523,06	54,41	17
6	10	312,13	58,96	6
15	26	751,93	49,07	14
12	18	621,94	58,92	12
11	18	453,86	38,85	11
4	5	175,56	20,90	4
24	43	1255,65	57,34	24
4	9	191,52	58,70	4
17	23	717,09	51,14	17
17	19	550,54	58,52	17
20	32	962,48	56,84	20
11	15	330,55	49,36	11
7	13	390,66	50,59	7
22	38	816,74	57,81	22
12	12	296,35	46,49	12
11	17	635,90	54,46	11
8	66	1205,08	58,06	8
4	8	235,75	42,15	4
14	30	1099,95	57,76	14
4	5	153,07	27,70	4
16	25	636,24	46,50	16
16	24	528,56	49,24	15
10	11	253,97	57,05	10
3	3	49,49	42,31	3
6	9	153,82	57,66	6
9	14	366,99	57,59	9
17	32	997,49	54,43	17
8	14	469,32	42,21	8
25	32	795,00	48,07	25
29	41	915,54	51,33	29
4	8	187,92	32,75	4
13	21	555,38	57,14	13
7	23	192,03	44,57	7
7	8	74,78	10,65	7
6	8	228,26	46,11	6
5	6	56,62	20,00	2
11	17	512,98	46,15	11
12	19	401,43	52,19	11
11	20	756,91	47,83	10
7	9	174,63	28,00	5
27	36	939,47	51,91	26
16	28	674,99	49,22	16
12	19	555,57	56,22	12
7	26	808,49	50,32	7
2	3	87,32	11,90	2
16	23	793,89	51,44	16

23	31	825,26	40,08	22
7	10	259,85	36,00	7
15	18	696,21	52,43	15
4	6	202,51	55,67	5
25	33	1006,17	40,55	25
4	4	123,73	46,74	4
1	1			
14	20	429,49	49,62	14
8	9	317,83	42,48	8
8	9	165,78	46,54	8
17	26	747,16	52,39	17
12	15	387,04	51,61	12
9	16	383,41	43,82	9
7	32	1114,80	43,10	7
14	20	475,45	41,99	14
5	7	253,30	51,54	5
1	1	49,68	20,25	1
7	8	144,82	20,74	7
10	17	452,84	48,98	10
20	29	722,55	44,06	20
9	13	325,37	45,49	8
4	4	133,70	33,96	4
19	33	1095,53	50,81	19
8	9	176,79	41,61	7
1	1	63,90	3,60	1
8	15	393,71	50,00	8
6	14	609,96	53,93	6
13	20	529,16	41,65	13
12	20	741,31	47,69	11
6	9	297,12	37,76	6
28	34	832,01	51,80	28
1	1	23,73	7,13	1
6	16	508,65	53,57	6
13	19	407,47	44,08	13
3	7	190,52	39,20	3
10	12	287,25	32,79	10
17	26	755,87	50,21	17
12	16	388,97	45,24	12
17	25	743,64	42,29	17
3	5	90,27	29,45	3
11	14	296,02	41,83	11
5	6	281,72	25,53	5
13	17	381,79	52,60	13
4	9	178,25	48,47	4
6	9	222,87	51,46	6
9	13	246,87	39,76	8

16	22	599,46	50,17	16
13	18	261,46	49,83	13
14	15	221,60	46,93	14
9	14	337,72	29,09	8
19	33	922,60	52,01	19
1	1	34,39	26,00	1
17	23	516,75	51,96	17
7	17	332,23	28,50	6
10	11	253,40	30,78	9
18	24	573,75	45,26	18
15	17	317,31	41,90	15
62	91	1760,18	47,87	62
1	2	128,21	4,01	1
5	24	779,80	34,56	5
15	21	421,21	46,67	15
5	6	99,33	26,30	5
4	6	111,03	23,08	3
16	24	597,26	33,88	16
4	7	134,67	40,00	4
10	18	303,21	51,18	10
3	8	257,80	44,36	3
10	14	435,11	17,74	9
1	1	42,48	19,39	1
5	9	249,09	35,76	4
6	6	174,32	43,22	6
8	12	282,75	42,36	8
6	9	379,02	46,86	6
3	3	73,81	37,14	3
14	23	770,70	50,68	14
9	12	401,27	32,26	9
14	25	608,84	46,42	14
13	22	735,52	42,48	13
1	2	38,36	9,95	1
22	26	751,88	41,34	23
8	11	190,32	34,45	8
4	5	92,77	50,49	4
9	14	320,71	40,92	9
7	9	277,30	18,68	7
11	20	556,54	34,66	11
11	13	181,17	44,29	11
8	10	175,35	43,84	8
8	14	551,06	34,74	8
4	7	258,07	50,00	4
13	18	441,86	48,67	13
8	12	239,89	49,47	8
21	34	1181,68	45,97	21
4	8	132,00	36,84	3
8	10	209,55	37,67	8
13	18	351,55	49,30	13

3	5	125,08	20,49	3
9	12	252,10	34,69	8
15	30	686,56	49,04	15
7	10	248,34	49,03	7
22	28	572,91	47,88	22
9	16	435,34	37,39	9
6	7	168,01	33,56	6
5	7	240,61	42,45	5
7	8	77,56	32,13	6
17	22	535,07	36,97	17
5	14	621,96	48,79	5
13	14	307,46	42,09	14
13	21	457,08	46,79	13
7	8	135,95	28,09	7
5	10	383,59	35,14	4
35	44	1114,86	41,90	35
13	18	603,60	40,45	13
15	21	472,09	35,60	15
20	32	1130,35	40,97	20
9	10	159,91	38,30	8
11	19	635,83	36,32	11
65	84	1766,80	44,15	65
23	30	840,85	48,48	23
9	10	172,02	36,36	8
14	24	670,98	41,63	14
6	7	287,39	48,37	6
5	7	139,16	48,18	5
7	8	269,27	38,68	7
19	23	617,83	40,18	19
9	12	330,98	48,04	9
8	14	452,35	48,04	8
11	14	258,61	37,93	11
19	28	538,16	39,55	18
30	38	627,12	41,69	30
14	17	350,51	44,51	14
6	11	335,50	22,71	6
6	10	236,68	38,24	6
7	11	216,88	41,85	7
11	14	399,28	34,77	11
25	33	856,91	47,69	25
12	13	276,25	40,77	12
8	14	261,26	47,02	8
6	8	98,42	25,41	5
3	6	276,30	25,00	3
17	21	285,52	30,31	16
1	1	31,71	25,19	1
11	14	270,39	47,12	11
18	24	818,51	42,30	18
12	13	200,33	44,91	12
5	10	238,17	42,74	5
17	21	537,50	42,51	17
5	7	262,94	28,96	5
11	18	410,40	41,49	11

2	8	68,31	21,88	1
16	24	483,11	46,84	16
4	7	201,97	26,13	3
14	17	527,90	35,88	14
5	7	135,33	46,71	5
17	21	425,15	39,86	17
5	7	131,90	23,53	5
12	14	270,77	41,94	13
8	13	322,62	27,37	7
10	13	319,79	36,71	10
7	9	99,99	46,64	7
2	2	58,18	29,66	2
8	11	324,53	25,63	9
11	17	428,27	46,44	11
7	13	357,92	42,73	7
25	34	774,01	39,63	27
7	9	104,01	36,73	7
10	11	197,87	38,36	9
8	11	226,72	44,11	8
6	8	128,77	46,21	6
11	15	232,77	36,26	11
12	13	145,48	46,11	12
11	16	502,18	42,07	12
18	24	640,01	40,77	18
6	6	84,46	34,13	6
7	10	256,58	31,23	7
10	15	527,20	32,46	8
8	12	398,33	42,13	8
15	23	588,07	39,48	14
24	38	809,33	35,65	24
1	1	22,50	4,40	1
12	16	380,48	31,04	12
14	16	335,71	34,38	14
6	6	156,35	12,07	6
7	24	774,72	45,58	7
19	26	705,81	42,48	19
20	38	503,83	40,94	20
4	6	110,03	41,15	4
15	19	447,76	34,93	15
8	9	127,27	35,82	8
2	3	80,15	9,48	2
11	18	430,42	31,87	10
10	15	344,47	42,41	10
7	8	159,05	38,96	7
14	19	365,23	34,87	14
20	25	535,68	31,69	20
2	3	65,87	31,13	2
9	11	177,95	44,92	9

6	10	172,37	39,02	5
17	24	602,83	40,68	17
1	1	31,03	6,32	1
5	7	138,71	44,72	5
3	3	67,10	8,65	3
9	16	401,57	31,12	9
9	11	292,82	32,39	9
6	9	243,62	35,42	6
8	10	191,86	44,60	8
25	35	898,42	42,88	25
6	9	231,49	35,27	6
23	42	980,93	44,16	22
11	14	237,86	40,63	11
18	25	709,78	43,24	18
7	10	136,30	30,20	6
6	7	137,79	44,26	6
3	3	67,71	17,02	3
8	9	297,23	38,46	8
11	15	454,19	32,92	11
9	14	340,10	41,04	9
27	40	964,49	40,27	27
4	5	125,14	31,68	4
3	5	52,81	17,24	2
6	7	183,61	31,06	6
8	12	341,06	34,75	8
21	32	621,50	43,90	21
10	12	323,11	33,64	10
27	37	890,24	40,36	27
2	4	236,02	35,16	2
12	17	245,29	38,56	11
12	16	524,04	32,77	12
2	3	62,74	9,33	2
9	12	477,90	36,72	9
7	9	148,84	42,41	7
7	10	375,08	38,52	7
2	3	84,94	26,26	2
5	5	102,56	43,42	5
12	16	282,12	39,26	12
3	3	73,70	10,98	3
3	4	45,46	10,83	2
1	1	24,92	6,51	1
3	6	76,65	43,18	3
3	6	128,22	25,00	3

4	7	231,94	19,46	4
7	7	133,89	32,39	7
9	10	329,56	34,47	8
10	15	408,30	33,75	10
8	14	349,16	24,91	8
3	3	56,65	38,10	3
2	2	28,36	9,88	2
4	5	73,88	27,97	4
13	20	543,63	34,75	13
15	19	448,33	40,89	15
10	15	591,35	35,27	10
9	14	340,50	33,26	9
1	1			
2	3	91,16	11,75	2
1	2	58,75	18,65	1
17	20	601,11	39,32	17
7	9	229,80	42,41	7
1	1	24,95	11,92	1
4	7	213,12	27,68	4
5	6	81,51	37,79	4
3	4	209,29	25,29	3
10	14	481,01	36,36	10
3	3	63,95	28,13	3
3	4	166,65	21,38	3
1	2	102,98	18,25	1
8	11	236,89	33,89	8
6	15	418,85	33,14	6
4	34	524,23	42,01	4
14	20	475,37	40,51	14
8	14	383,69	39,71	7
7	10	247,10	41,89	7
7	8	377,42	36,82	7
5	8	178,17	38,62	5
6	9	215,89	41,74	6
3	3	97,76	22,86	3
6	9	260,30	22,69	6
1	1	83,30	24,58	1
9	10	203,61	36,45	9
7	13	296,14	41,33	7
5	6	229,53	41,32	5
6	8	208,12	26,09	5
1	1	56,39	12,84	1
11	23	725,54	35,04	11
5	7	117,23	41,21	5
11	14	324,72	31,88	10
5	10	455,42	41,13	5
5	5	187,09	16,06	5
12	17	393,89	32,18	12
4	5	96,81	40,99	4
8	9	140,60	38,52	7
3	3	64,85	27,87	3
1	1	76,69	2,90	1

18	23	566,60	33,41	16
5	6	64,37	25,16	4
11	16	422,95	30,13	11
10	15	383,00	36,19	10
27	36	727,93	30,66	27
4	7	249,83	21,08	4
13	21	647,71	39,60	13
2	2	50,07	12,75	2
12	23	758,46	36,57	12
9	10	227,17	28,54	9
10	16	501,31	31,28	8
1	2	56,34	12,36	1
6	8	166,64	15,18	5
12	16	296,18	32,94	12
7	10	272,73	29,40	7
5	5	85,96	40,35	5
9	12	285,12	28,36	9
5	6	113,82	21,55	5
3	4	127,47	40,24	3
5	7	124,05	27,11	5
10	15	613,24	21,72	9
3	4	60,02	10,03	3
6	8	220,08	29,78	6
10	12	251,53	31,49	10
6	6	108,14	35,63	6
6	7	137,78	33,57	6
6	7	206,23	21,29	6
22	28	690,07	34,86	22
2	5	135,86	19,30	2
24	28	558,19	32,78	24
5	7	283,56	33,71	5
8	11	219,27	31,99	7
8	14	387,24	29,63	7
5	10	215,55	39,77	5
11	15	420,84	29,21	11
5	7	107,19	39,71	5
1	1	105,29	9,43	1
6	7	122,07	35,77	6
18	30	593,23	35,94	18
6	10	383,65	39,59	6
11	14	343,34	36,32	11
9	10	245,89	32,37	9
13	14	285,41	32,70	13
2	2	25,77	20,42	2
11	17	458,62	39,41	11
7	13	423,92	33,65	7
2	2	94,77	11,72	2
10	15	317,29	28,07	10
8	10	424,17	36,16	8

4	6	228,64	24,20	4
11	15	444,69	39,26	11
4	7	112,68	8,51	4
2	3	99,86	23,44	2
15	16	487,98	32,82	15
11	15	321,25	26,49	11
5	7	181,01	34,42	5
30	38	760,95	38,95	30
7	7	125,24	35,71	7
8	11	308,18	38,89	8
37	55	1604,33	33,53	37
15	21	698,88	30,30	15
10	10	208,98	38,69	10
14	22	849,47	35,91	14
22	26	614,84	33,76	22
11	18	462,56	31,62	11
13	16	333,37	35,86	13
6	6	176,14	30,32	6
15	23	551,75	31,61	15
17	26	681,99	33,61	17
17	23	531,18	31,44	17
14	23	354,06	27,04	14
11	14	372,01	26,60	10
9	9	175,46	27,75	9
3	3	104,30	38,14	3
6	8	194,15	30,69	6
11	13	282,76	29,57	11
5	10	257,18	25,83	5
3	6	94,15	38,07	3
4	6	126,66	30,32	4
6	6	252,39	17,90	6
6	7	155,11	37,89	6
13	15	408,60	35,52	13
7	9	282,64	35,64	7
2	4	129,92	37,80	2
3	5	102,49	37,80	3
4	5	163,92	31,13	4
8	17	485,39	37,69	8
9	9	214,05	31,84	9
15	24	717,56	34,09	15
3	4	113,67	31,19	3
3	3	151,87	19,34	3
8	12	354,45	31,76	8
14	22	583,70	28,96	13
2	2	87,91	7,02	2
5	5	154,31	26,22	5

5	9	260,72	24,63	5
10	17	313,55	37,47	10
18	21	576,13	29,71	18
4	4	73,37	31,53	4
4	5	191,73	29,13	4
10	11	225,22	29,32	10
2	2	46,99	37,32	2
5	7	211,55	29,05	5
18	24	563,91	34,46	18
5	10	141,11	31,56	4
39	46	1158,85	32,24	39
4	5	86,33	18,18	3
3	6	76,57	27,78	3
6	6	96,08	28,35	6
7	9	152,65	34,22	7
7	10	220,47	18,13	7
4	7	173,64	27,20	4
8	10	142,95	32,37	8
9	13	351,09	30,88	9
15	20	561,43	34,35	15
5	6	321,11	20,31	5
6	9	230,59	32,29	6
8	11	206,43	29,83	8
36	49	1083,66	31,75	35
19	20	392,69	26,54	19
4	6	180,08	24,45	4
11	14	338,03	34,12	11
9	12	474,59	31,38	9
2	2	60,74	6,94	2
4	10	203,29	30,83	4
4	5	112,26	36,71	4
5	5	129,27	32,22	5
4	5	87,67	25,10	4
8	12	387,29	30,39	8
9	20	594,07	34,01	9
6	10	387,10	32,98	6
2	4	208,92	20,63	2
5	6	206,53	36,45	5
6	8	236,88	27,71	6
3	4	94,13	36,44	3
23	31	781,50	30,38	21
25	27	593,55	25,96	24
6	10	157,00	29,47	6
7	9	275,83	27,59	7
14	19	500,86	30,99	14
7	11	129,32	31,23	6
2	2	108,51	11,62	2
3	3	49,29	9,16	3
10	14	317,81	33,75	10
7	8	152,78	27,68	6

5	6	231,50	22,02	5
3	4	112,55	22,77	3
38	48	1229,51	26,04	37
11	14	208,33	23,13	11
15	23	715,29	33,92	15
11	14	231,88	30,85	11
17	24	529,23	35,75	17
2	2	50,49	34,29	2
7	8	184,08	35,69	7
1	1	20,08	6,98	1
14	19	345,88	28,93	14
10	13	370,45	25,73	10
10	10	246,52	20,03	10
7	11	267,80	35,59	7
15	22	492,25	31,61	15
5	7	213,55	32,08	5
2	2	60,38	23,66	2
5	5	88,23	22,52	5
15	18	386,47	30,24	14
3	5	101,70	35,37	3
3	4	56,51	30,39	3
5	7	219,38	30,36	5
7	11	534,02	29,55	7
10	12	259,81	23,42	10
18	23	651,87	35,14	18
7	9	245,56	10,47	7
2	2	56,90	7,30	2
4	5	132,48	24,22	4
3	5	140,71	28,57	3
20	25	829,73	32,30	20
12	14	562,09	27,00	12
20	26	596,73	29,52	20
2	2	48,40	34,93	2
8	14	465,91	33,03	8
2	2	46,97	21,43	2
1	1	49,10	13,04	1
3	5	200,69	24,91	3
2	2	30,29	34,71	2
6	8	215,36	34,67	6
14	19	467,13	30,15	14
8	10	98,42	30,19	8
2	2	33,22	26,32	2
7	14	541,37	34,55	7
1	1	41,72	8,12	1
3	4	59,84	20,07	3
3	3	30,09	21,00	3

5	6	248,95	13,32	5
2	2	67,16	18,54	2
3	4	150,67	34,40	3
9	13	211,88	21,96	9
17	24	741,53	26,93	17
6	14	447,28	34,25	6
8	12	437,71	29,89	8
5	6	134,53	29,96	5
19	32	1139,61	27,78	19
4	6	75,12	28,02	4
21	25	527,91	27,18	21
8	8	222,27	30,70	8
1	1	51,88	10,43	1
3	9	328,30	33,82	3
1	1	30,74	10,81	1
7	9	261,56	33,73	7
9	10	240,49	33,71	9
3	4	99,18	32,61	3
6	7	162,62	24,94	6
3	4	99,30	15,56	3
3	6	289,33	19,58	3
10	13	311,59	24,57	10
5	8	72,66	22,18	5
14	17	320,08	31,67	14
10	13	208,52	29,34	9
3	5	148,46	19,05	3
8	10	210,59	28,84	8
7	11	237,58	33,33	7
3	4	127,83	33,33	3
5	8	99,61	28,34	5
1	1	38,92	4,31	1
8	10	254,73	30,31	8
8	13	261,25	33,15	8
6	14	336,75	30,46	6
6	6	81,15	20,33	6
2	2	85,07	8,33	2
6	7	184,08	24,75	6
2	2	34,17	32,98	2
1	1	38,79	6,11	1
5	5	105,39	23,73	5
4	6	147,24	12,20	4
4	5	116,97	32,84	4
8	16	533,90	26,92	8

16	19	517,17	20,63	16
14	21	517,53	31,40	13
7	14	439,75	32,72	7
3	3	64,38	32,71	3
5	5	55,97	9,44	5
1	2	44,91	15,33	1
4	7	94,93	32,66	4
4	6	206,13	18,51	4
5	5	145,58	19,34	5
14	18	536,65	11,63	14
6	7	92,89	25,36	6
7	10	180,01	28,08	7
4	4	75,72	32,53	4
12	22	562,63	27,43	12
1	1	72,57	3,06	1
4	5	110,77	27,50	4
11	13	290,35	28,08	11
5	7	137,34	32,43	5
3	4	130,38	32,39	3
13	16	475,85	31,18	14
9	12	331,20	26,32	8
5	6	207,99	32,30	5
1	3	204,75	32,26	1
5	6	143,93	25,75	5
8	9	105,00	26,24	7
1	1	59,93	14,60	1
7	9	216,90	21,15	7
1	1	54,11	6,52	1
4	4	71,36	22,01	4
4	4	88,41	26,75	4
2	5	260,45	12,30	2
6	8	247,38	14,60	6
3	3	44,51	8,29	3
4	5	188,69	31,79	4
6	6	232,82	31,76	6
9	9	134,39	29,46	8
9	13	428,79	21,07	9
8	10	234,94	26,53	7
14	19	392,14	30,00	14
6	7	84,60	23,48	6
3	3	53,57	20,39	3
8	9	141,94	28,87	8
5	9	350,40	31,52	5
8	10	254,49	31,14	8
2	2	51,75	9,69	2
1	1	21,71	20,00	1
10	14	402,67	26,77	10

4	4	61,13	21,86	4
3	4	98,32	31,13	3
4	5	142,23	19,14	4
5	7	199,43	10,35	5
3	3	53,79	15,53	3
19	26	697,85	28,37	18
4	5	120,49	30,93	4
13	22	630,28	28,04	13
3	4	102,33	10,76	3
2	2	64,54	3,61	2
9	13	362,54	26,02	9
6	7	82,46	24,03	6
1	2			
10	12	484,71	28,17	10
6	7	137,85	18,55	6
1	2	41,62	15,15	1
3	3	36,16	16,81	2
8	14	344,18	20,42	8
1	1	30,74	6,15	1
1	1	53,98	1,93	1
5	6	131,39	15,60	5
10	12	100,50	30,11	10
1	1	47,39	8,18	2
10	13	451,16	21,88	10
15	16	414,80	30,09	15
2	4	126,59	9,16	2
3	3	106,50	16,84	3
8	13	480,02	29,92	8
4	4	100,08	13,45	3
5	8	213,43	16,41	5
2	2	48,32	6,99	2
8	11	263,98	25,60	8
7	9	177,14	29,59	7
6	6	133,91	29,56	6
2	2	32,06	18,23	2
7	9	259,09	24,89	7
1	1	22,80	3,54	1
3	5	95,18	29,51	3
7	9	166,38	26,45	7
4	6	48,34	21,74	4
7	8	164,51	25,06	7
9	15	420,86	23,95	9

2	2	92,83	14,97	2
1	1	60,21	9,41	1
7	9	352,74	28,44	7
7	8	190,53	26,98	7
6	7	224,37	26,33	6
23	30	831,84	28,72	23
14	18	256,90	24,13	13
1	1	30,44	4,89	1
6	8	236,57	17,97	6
1	2	51,88	9,27	1
8	9	234,77	22,74	8
3	5	83,84	16,97	3
2	2	35,41	7,95	2
4	4	163,01	24,46	4
2	2	44,02	29,03	2
3	4	117,25	9,22	3
10	12	248,07	19,40	9
2	4	101,10	28,92	2
3	4	72,47	15,44	2
3	4	123,80	17,05	3
2	2	39,95	15,07	2
3	4	76,19	28,75	3
3	3	42,22	28,74	3
10	14	272,23	23,20	10
6	7	121,92	28,73	6
11	15	293,02	28,69	12
4	4	88,04	12,18	4
8	8	181,76	25,60	8
8	9	311,09	21,83	8
7	8	214,06	28,52	7
12	16	382,42	24,90	13
11	14	388,61	22,60	10
2	3	47,68	17,89	2
10	13	323,36	24,84	10
1	11	307,10	20,00	1
3	3	113,93	28,37	3
14	15	338,58	24,82	14
7	8	310,47	20,69	7
3	5	229,66	28,25	3
7	10	195,82	25,44	7
10	11	291,71	28,21	10
8	8	117,00	16,38	8
8	10	247,48	24,07	8
9	9	111,38	22,18	9
3	3	53,45	28,03	3
7	9	264,75	12,47	7
8	12	328,06	26,32	8
3	3	37,78	22,89	3
23	30	838,33	27,07	23
3	3	98,92	20,12	3

11	14	277,06	27,78	11
4	4	102,13	21,97	4
8	10	266,46	27,74	8
17	17	192,25	24,22	17
5	9	178,72	19,14	5
1	1	42,22	11,88	1
8	9	299,59	27,66	8
3	3	78,84	10,39	3
4	6	147,73	23,10	4
12	17	209,09	18,37	12
2	4	133,40	27,50	2
1	1	51,15	9,34	1
7	9	245,66	27,47	7
5	9	321,05	27,46	5
1	1	37,77	5,91	1
2	2	51,73	8,22	2
6	7	185,70	24,94	6
13	17	414,33	19,57	13
5	8	229,06	27,31	5
3	3	87,36	11,08	3
10	12	419,82	27,29	10
6	9	358,44	27,27	6
1	1	41,59	1,38	1
5	7	268,18	27,23	5
6	6	135,62	23,11	6
15	27	677,04	22,99	14
9	12	196,56	23,14	9
8	8	114,20	27,17	8
9	9	244,45	24,82	9
2	3	118,36	27,12	2
4	6	91,36	17,92	4
5	9	360,93	21,55	5
7	8	147,75	21,53	7
16	21	603,04	20,85	16
1	1	30,19	2,35	1
8	10	192,56	26,92	8
9	9	224,44	21,14	9
1	1	52,33	5,09	1
9	12	360,55	23,05	8
6	7	133,52	26,82	6
5	5	43,76	21,26	4
13	18	324,53	20,03	13
9	10	272,71	26,58	9
7	11	431,30	26,58	7
4	6	190,45	17,52	4

1	1	47,02	2,03	1
19	22	475,58	22,20	19
3	4	47,12	18,58	3
10	12	395,37	20,56	10
9	12	293,60	20,45	9
5	6	77,65	16,24	5
4	6	154,22	26,21	4
8	9	349,07	23,80	8
3	5	165,38	12,96	3
6	6	63,24	26,15	6
1	1	42,69	10,05	1
4	5	76,38	23,17	4
12	14	246,95	22,32	12
2	4	86,92	26,05	2
2	3	130,93	26,04	3
1	1	20,24	12,00	1
5	8	131,04	25,96	5
3	3	64,97	25,93	3
1	2	91,12	10,05	1
5	5	139,79	14,83	5
8	12	309,08	25,79	8
4	7	138,57	9,86	4
6	10	308,37	25,70	6
8	10	246,90	25,66	8
8	11	306,58	25,65	8
7	12	275,18	25,59	7
1	1	23,75	5,52	1
4	6	82,17	4,50	3
7	10	294,53	25,52	7
7	28	855,05	25,41	7
6	7	174,15	13,05	6
1	1	39,64	6,74	1
11	25	666,86	21,43	11
5	7	87,89	18,38	5
1	1	33,92	8,24	1
16	21	370,77	23,39	15
2	2	110,17	12,62	2
19	25	746,59	18,70	19
1	1	63,23	4,76	1
9	13	562,48	19,24	10
3	3	25,97	13,66	2
2	6	104,36	25,00	2
4	6	91,57	25,00	4
1	1	40,61	25,00	1
1	6	280,17	8,17	1
4	4	60,85	13,16	3
9	12	247,53	23,06	9
5	6	94,92	22,19	5

5	8	237,78	24,71	5
1	1	23,76	3,40	1
3	4	189,84	24,69	3
5	5	78,69	24,34	5
5	8	239,98	20,72	5
5	5	88,70	17,02	5
			0,00	
5	5	139,15	11,40	5
1	1	30,63	24,49	1
7	9	202,28	20,97	7
6	8	260,60	9,70	6
9	11	199,12	24,30	9
2	5	158,17	19,57	2
2	2	67,42	17,24	2
10	12	278,98	20,11	10
2	4	37,19	15,08	2
37	44	951,79	22,99	37
4	6	204,53	18,35	4
8	9	155,10	24,03	8
1	1	55,90	4,80	1
13	18	438,37	17,31	13
5	6	170,47	20,71	4
5	7	237,09	15,91	5
3	3	89,52	14,16	3
1	1	33,96	4,83	1
1	1	28,47	3,84	1
3	4	105,35	18,65	3
2	3	117,43	17,14	2
3	3	125,31	12,46	3
2	3	92,12	17,92	2
6	8	73,23	15,18	6
1	1	53,90	4,14	1
2	3	94,81	3,50	2
4	4	200,23	15,50	4
5	5	95,88	18,29	5
5	6	139,93	21,14	5
1	1	46,81	6,49	1
2	2	82,97	7,04	2
7	9	214,44	23,36	7
7	7	137,06	16,67	7
2	2	82,07	14,98	2

1	1	23,27	11,65	1
10	11	317,02	23,26	10
1	1	31,74	2,31	1
11	12	247,62	17,69	11
4	6	201,77	23,18	4
9	10	172,20	17,29	9
14	18	391,62	13,16	14
5	6	134,22	16,83	4
1	1	43,64	5,45	1
3	4	177,45	23,00	3
3	3	138,56	11,14	3
6	10	194,59	19,14	5
3	5	73,72	22,83	3
2	2	97,00	5,41	1
2	2	141,81	12,04	2
5	6	177,63	14,65	5
4	4	150,77	14,48	4
10	11	241,82	22,56	10
9	10	136,03	19,36	9
4	5	130,62	18,01	4
3	3	117,55	16,50	3
3	4	86,69	18,38	3
1	2	35,90	3,49	1
1	1	34,25	9,41	1
3	3	71,85	12,12	3
2	2	58,41	22,30	2
1	1	58,27	7,25	1
5	6	50,24	20,04	5
4	4	138,41	15,64	4
4	6	223,26	11,62	4
4	4	127,57	18,31	4
17	19	548,06	18,81	16
7	8	248,16	17,56	7
5	5	78,89	22,17	5
11	14	166,74	14,09	10
5	6	163,76	17,66	5
4	4	67,12	22,07	4
3	3	127,58	21,96	3
7	8	99,28	14,92	7
18	25	591,72	21,34	18
6	10	250,01	18,24	6
5	7	165,18	21,83	5
3	4	67,41	17,06	3

2	3	146,96	10,56	2
6	7	106,42	14,07	6
7	8	254,56	21,77	7
8	13	404,87	21,73	8
3	3	65,42	21,72	3
29	36	1017,43	19,44	29
1	1	21,15	7,20	1
5	6	199,47	13,13	5
5	6	107,15	21,49	5
3	3	92,98	21,46	3
3	5	146,01	15,92	3
2	4	74,79	10,20	2
6	7	138,93	17,77	6
3	3	48,39	21,28	3
4	7	184,16	18,14	4
2	2	68,51	15,46	2
2	3	72,65	12,41	2
14	20	581,97	18,07	14
2	2	24,88	9,16	2
16	20	459,62	18,80	16
5	5	144,62	11,59	5
7	11	248,12	15,03	8
1	2	53,04	20,69	1
8	13	419,78	15,57	7
11	17	429,16	17,72	11
6	7	133,99	20,64	6
7	7	190,75	13,30	7
3	4	123,05	13,99	3
1	1	91,95	8,04	1
7	9	180,80	18,29	7
10	14	404,25	20,55	10
5	7	134,49	13,62	5
3	3	48,15	8,83	2
2	3	72,64	12,62	2
9	13	430,09	13,86	9
6	8	231,64	17,55	6
9	11	264,01	14,27	9
2	2	70,02	20,42	2
3	7			
1	2	42,49	14,81	1
5	6	138,21	18,06	5
2	3	58,36	12,98	2

3	3	26,41	16,74	3
15	15	336,36	16,28	15
6	7	142,11	9,81	5
1	2	65,05	10,34	1
1	2	109,03	5,58	1
1	2	113,62	20,15	1
2	3	173,46	9,51	2
1	1	28,70	2,74	1
6	7	139,17	16,28	5
5	8	404,83	20,07	5
1	1	31,80	4,01	1
8	10	211,09	20,00	8
3	3	115,14	13,12	3
3	3	54,80	20,00	3
3	5	53,92	13,15	2
14	15	291,09	17,18	14
1	1	27,53	6,55	1
7	12	283,43	16,70	7
3	3	123,90	19,83	3
4	6	113,29	15,44	5
2	3	29,26	10,95	2
15	23	514,73	18,18	15
8	10	231,40	19,74	8
3	4	62,29	19,66	3
4	4	156,21	10,92	4
14	16	262,49	19,55	14
5	6	200,14	11,76	5
10	14	183,12	13,98	10
4	6	195,64	19,44	4
5	9	230,38	19,44	5
5	5	141,38	16,52	5
3	3	23,85	14,66	2
4	4	96,72	11,47	4
7	9	242,54	16,08	7
2	2	95,76	7,93	2
2	4	56,14	19,30	2
2	6	193,86	19,29	2
1	1			
8	9	244,63	19,21	8
1	1	20,33	19,19	1
4	4	116,75	14,58	4
6	7	227,17	19,10	6
3	3	29,64	12,03	3
4	5	27,86	10,49	2
3	4	82,48	9,55	3

3	5	151,47	19,08	3
3	3	20,27	19,02	3
2	2	66,54	15,08	2
3	3	82,56	13,12	3
1	1	20,33	18,94	1
12	17	284,43	18,94	12
2	4	75,96	9,67	2
2	4	111,90	4,49	1
5	7	126,28	18,83	5
4	6	175,52	18,82	4
2	8	316,21	18,82	2
2	2	43,13	4,85	1
6	9	111,31	18,78	6
3	3	77,94	13,02	3
7	8	236,13	18,72	7
6	7	119,31	18,70	6
4	5	151,48	14,56	4
2	2	66,92	6,47	2
5	6	213,78	8,28	5
1	1	54,37	2,27	1
5	5	116,71	11,37	5
1	1	23,41	9,26	1
4	5	110,89	15,67	4
4	4	45,25	15,41	4
1	1	25,60	2,44	1
2	2	38,61	10,62	2
13	16	449,83	16,61	13
2	3	130,31	10,39	2
10	11	208,79	14,77	10
3	5	76,36	18,37	3
13	15	274,18	13,32	13
4	7	104,19	10,97	4
6	6	49,16	18,34	6
4	4	151,44	18,32	4
5	5	120,77	13,58	5
3	4	110,33	18,29	3
1	2	79,87	3,96	1
2	2	35,54	3,39	2
3	4	51,00	12,61	3
1	2	20,74	6,51	1

4	7	92,07	12,21	4
7	10	221,39	13,24	7
5	6	167,27	18,18	5
4	5	81,17	8,81	3
6	6	90,57	18,09	6
3	4	80,52	18,06	3
1	2	32,47	18,03	1
3	3	60,35	17,95	3
8	10	144,42	15,84	8
3	4	84,44	17,95	3
2	3	56,78	13,32	2
5	7	282,27	14,31	5
4	6	68,75	17,83	4
1	1	34,62	17,83	1
4	4	83,74	17,82	4
1	1	68,76	9,95	1
6	7	215,01	10,23	6
2	2	59,02	17,74	2
7	11	399,17	9,78	7
9	13	436,62	14,21	10
3	7	329,49	17,70	3
5	6	55,50	17,59	5
5	9	320,98	17,56	5
3	5	80,47	17,54	3
1	2	118,73	10,53	1
5	6	154,85	12,57	5
3	3	103,37	17,49	3
5	8	292,62	14,76	5
4	5	110,98	12,25	5
6	7	176,59	14,77	6
2	2	90,42	13,76	2
2	2	50,98	9,85	2
5	6	202,25	14,58	5
3	3	98,10	15,04	3
2	2	70,85	17,39	2
2	3	50,02	17,34	2
7	7	117,32	14,78	6
4	4	99,56	17,18	4
8	9	223,97	17,14	8
2	3	28,99	12,15	2
5	7	174,85	17,04	5
11	14	309,23	17,02	11

9	13	310,36	14,96	9
3	3	104,51	16,73	3
1	2	70,19	5,48	1
11	15	246,82	16,70	11
2	2	59,02	10,71	2
5	7	137,83	9,73	5
2	2			
9	12	250,13	15,50	9
3	4	130,48	13,87	3
1	1	30,94	16,47	1
1	1	32,12	4,93	1
1	1	48,80	4,57	1
2	2	27,27	7,45	2
3	3	48,97	11,66	3
3	3	101,29	8,88	3
4	5	102,85	16,26	4
1	1	32,92	4,22	1
1	1	51,21	16,23	1
6	10	269,60	16,19	6
3	3	43,59	16,16	3
2	3	52,93	12,71	2
3	4	155,16	16,10	3
2	3	84,39	7,46	2
2	3	224,93	10,84	2
3	3	160,01	16,06	3
1	1	38,71	3,24	1
5	5	162,70	16,02	5
9	11	192,12	12,61	9
2	4	96,74	11,21	2
3	4	232,31	15,91	3
2	5	76,67	12,18	2
3	5	270,03	6,60	3
1	1	108,57	4,88	1
8	10	168,31	11,90	8
1	2	26,79	15,83	1
1	1	26,87	5,56	1
2	2	56,73	8,02	2
3	4	96,91	13,93	3
3	3	23,63	4,36	2
4	6	250,59	10,48	4

3	3	88,07	9,21	3
11	14	283,17	10,77	11
6	9	120,20	13,50	6
15	19	417,06	14,50	15
1	1	26,67	4,28	1
3	3	109,28	13,24	3
2	5	127,29	12,12	2
3	4	123,84	12,55	3
2	3	64,21	15,34	2
11	15	393,30	13,21	11
2	3	104,87	11,00	2
1	2	101,45	8,67	1
2	3	185,69	15,31	2
3	3	58,40	11,21	3
2	3	78,27	15,25	2
3	4	77,54	8,87	3
4	5	100,75	12,27	4
1	1	37,41	15,22	1
4	6	137,68	10,41	4
1	1	31,32	3,19	1
3	4	83,95	9,69	3
5	5	173,44	15,13	5
4	4	82,99	11,63	4
4	5	136,98	4,20	4
1	2	81,02	3,27	1
7	7	110,97	11,83	7
1	2	37,09	1,69	1
5	6	194,37	9,47	5
3	3	80,86	12,64	3
2	2	35,38	14,91	2
1	1	49,00	14,91	1
1	1	41,62	14,89	1
13	16	497,37	14,87	13
1	1	21,21	3,70	1
1	1	26,62	1,12	1
2	2	25,42	8,22	2
1	1	22,68	5,38	1
6	7	202,75	13,15	6
5	8	234,17	12,44	5
4	5	61,20	12,43	4
3	3	93,23	12,20	3

2	2	95,51	14,58	2
2	3	108,58	10,29	2
1	1	39,40	14,57	1
3	4	124,33	14,54	3
6	7	303,54	12,85	6
9	12	278,88	12,76	9
3	3	135,63	10,77	3
2	4	66,68	4,11	2
3	3	26,07	7,81	2
3	3	96,79	14,44	3
3	3	47,35	12,41	3
4	4	88,11	14,35	4
2	4	51,91	7,51	2
5	6	200,00	12,28	5
2	3	55,12	14,29	2
7	9	78,35	14,25	7
1	2	70,00	7,72	1
2	3	100,45	14,22	2
3	3	78,17	14,20	3
4	4	49,97	14,19	4
4	5	214,23	11,97	4
3	3	102,26	13,64	3
3	3	39,52	14,08	3
5	5	89,51	10,98	5
3	4	146,42	6,81	3
1	2	101,11	13,94	1
3	3	106,29	11,55	3
4	5	141,22	13,90	4
3	3	67,67	8,72	3
3	4	98,05	13,77	3
4	5	68,13	8,74	4
2	3	62,55	4,20	2
2	3	85,79	13,68	2
5	7	218,46	13,67	5
1	1	20,47	8,07	1
2	2	59,28	8,26	2
1	1	26,57	5,57	1

9	13	268,28	11,89	9
5	5	115,10	7,12	5
1	1	24,73	6,51	1
2	4	277,40	13,59	2
3	7	415,19	13,59	3
1	2	79,66	7,62	1
3	3	40,87	8,48	3
7	9	207,77	13,52	7
1	2	39,03	13,51	1
3	3	31,05	8,73	3
3	5	70,17	13,46	3
3	3	50,03	5,38	2
3	5	235,35	13,43	3
4	5	168,18	11,21	4
1	2	58,51	4,01	1
5	5	120,90	10,83	5
2	2	37,35	13,33	2
6	6	165,68	11,29	6
1	2	42,65	13,33	1
1	2	128,53	13,27	1
1	1	44,51	2,02	1
3	3	52,17	13,24	3
6	8	229,97	8,39	6
7	10	241,44	12,25	7
2	4	145,08	13,16	2
2	2	83,37	10,09	2
2	3	65,60	6,00	2
1	1	46,77	3,91	1
4	7	258,06	11,32	4
4	4	69,59	13,04	4
2	2	77,49	4,22	2
7	9	203,81	11,69	7
1	1	31,56	2,88	1
1	2	54,60	6,24	1
2	2	62,30	12,94	3
7	7	81,85	12,86	7
3	4	98,64	11,21	3
1	2	67,82	7,65	1
5	6	195,74	11,78	5
2	2	34,03	9,87	2
4	4	92,31	12,72	4

3	3	68,06	12,66	3
2	2	43,32	12,65	2
5	5	176,45	9,63	5
9	12	195,89	9,44	8
5	6	142,49	12,58	5
2	4	146,22	12,54	2
6	6	101,70	9,98	6
2	2	34,08	4,71	2
3	3	40,99	9,09	3
8	10	186,11	12,44	8
2	3	90,29	12,42	2
1	1	28,52	7,38	1
2	2	73,97	9,79	2
4	4	70,39	7,87	4
2	2	31,24	4,68	2
3	4	118,55	12,40	3
1	1	25,87	12,40	1
4	4	121,43	7,40	4
4	9	428,49	12,31	4
6	7	143,85	12,27	6
1	2	73,09	6,38	1
6	7	236,28	9,47	6
2	3	47,90	5,07	1
2	2	57,19	12,15	2
4	5	104,64	12,13	4
2	2	33,27	12,13	2
3	5	130,46	12,08	3
1	1	32,57	12,04	1
2	2	33,54	2,64	2
6	9	193,48	8,08	6
3	5	197,35	9,50	3
7	8	216,78	8,20	7
5	5	138,72	8,93	5
2	2	40,16	6,54	2
2	3	33,92	11,82	2
1	1	54,40	6,30	1

2	2	85,37	8,58	2
2	3	48,06	4,85	1
5	6	160,58	11,79	5
2	2	28,29	5,88	1
3	3	70,99	11,74	3
2	2	67,16	8,39	2
2	3	51,56	6,03	2
2	3	130,61	11,68	2
1	2	95,21	11,64	1
1	1	41,44	4,39	1
3	3	155,32	11,61	3
2	2	82,25	11,57	2
2	2	36,98	7,93	2
3	4	124,51	8,87	3
3	4	128,27	9,67	3
1	1	71,71	4,01	1
2	4	150,12	11,37	2
3	3	94,48	11,31	3
1	1	23,48	11,29	1
2	4	156,02	11,27	2
1	1	64,13	5,63	1
4	4	127,03	3,91	4
2	2	27,95	11,26	2
2	2	78,83	6,81	2
2	3	190,19	11,25	2
2	2	87,93	9,00	2
3	3	51,03	11,25	3
4	5	152,00	9,57	4
3	3	125,01	11,18	3
1	1	24,58	3,31	1
2	2	29,66	11,15	2
2	2	79,85	11,11	2
1	1	45,83	11,06	1
5	6	122,85	9,33	5
7	8	86,41	7,18	7
1	1	45,72	11,04	1
2	2	85,05	8,75	2

2	4	144,14	10,98	2
2	3	215,70	8,73	3
3	4	83,90	10,90	3
3	4	74,71	10,89	3
2	2	104,59	10,86	2
1	1	35,73	10,86	1
2	2	68,44	10,84	2
3	3	53,53	10,81	3
1	1	33,34	10,79	1
1	1	25,35	5,39	1
5	6	177,42	8,85	5
1	1	73,74	10,73	1
4	5	108,28	8,79	4
2	2	96,35	5,61	2
3	4	40,12	10,64	3
2	3	103,63	8,70	2
2	3	149,72	10,60	2
5	7	121,86	10,60	5
3	4	96,71	10,57	3
2	2	39,74	6,58	2
1	2			
6	6	39,08	10,50	6
4	4	53,35	10,48	4
5	6	223,69	7,83	5
2	2	81,02	5,79	2
5	8	252,28	10,45	5
1	2	31,83	6,40	1
5	7	93,01	4,80	5
3	6	349,20	10,42	3
4	5	108,16	10,42	4
5	6	99,86	10,42	5
2	3	66,36	10,42	2
2	2	35,79	10,40	2
		20,60	10,40	1
3	4	190,34	10,39	3
1	3	74,77	10,37	1
3	3	65,99	6,33	3
4	7	192,57	10,34	4
4	4	90,76	8,43	4
2	4	102,07	10,32	2
3	5	182,74	8,47	3
4	5	102,34	7,30	4
1	3	89,47	6,25	1
2	3	44,44	10,29	2

1	1	80,29	10,27	1
4	4	168,37	10,17	4
5	6	145,55	8,59	5
2	2	46,06	10,15	2
6	7	137,84	10,09	6
3	4	108,14	10,07	3
3	3	104,99	4,20	3
		18,49	7,22	2
3	4	40,13	10,00	3
3	4	143,56	9,98	3
1	1	51,30	6,52	1
1	2	73,47	9,85	1
2	5	157,44	9,80	2
6	10	316,17	9,76	6
5	6	146,18	7,11	5
1	2	32,84	3,24	1
3	3	42,02	7,85	3
3	4	62,88	9,69	3
2	2	66,69	9,69	2
3	3	79,30	9,66	3
2	2	31,98	2,69	1
1	1	55,32	9,62	1
1	1	47,36	9,60	1
3	4	115,40	9,59	3
4	4	179,77	9,56	4
1	2	154,01	9,55	1
3	4	121,52	9,55	3
2	5	272,21	9,54	2
1	2	36,04	9,52	1
2	2	28,60	9,51	2
4	6	80,92	8,50	4
2	2	54,27	4,36	2
1	2	63,12	6,86	1

1	2	46,70	9,47	1
2	3	79,07	6,68	2
3	4	156,34	4,78	3
3	3	82,91	9,42	3
1	1	85,46	4,71	1
3	5	179,84	9,39	3
3	5	145,83	7,54	3
2	2	61,11	5,61	2
3	3	35,53	9,35	3
1	1	29,08	3,89	1
1	1	26,54	2,65	1
4	5	97,13	6,76	4
2	2	43,06	9,22	2
2	2	80,72	6,45	2
2	2	77,44	6,60	2
1	1	51,10	1,70	1
1	1	55,49	1,43	1
2	2	82,62	5,74	2
1	2	20,69	9,09	1
4	5	189,15	7,44	4
1	2	81,01	8,97	1
3	3	33,38	6,22	2
1	1	21,06	1,89	1
2	2	56,82	8,83	2
3	4	154,91	8,82	3
		44,86	8,81	1
5	7	214,83	8,80	5
2	2	82,60	8,79	2
5	6	60,45	7,47	5
1	1	58,41	1,40	1
2	2	59,17	8,73	2

2	2	47,98	8,71	2
3	4	62,42	8,71	3
3	5	127,65	5,53	3
2	3	145,79	2,97	2
2	3	64,72	8,58	2
1	2			
2	2	104,61	8,54	2
1	2	47,66	8,52	1
4	8	79,15	6,99	5
2	2	89,72	8,48	2
3	4	30,36	6,72	3
1	1	27,62	8,44	1
1	1	31,60	1,12	1
2	3	56,26	8,42	2
2	3	107,65	8,42	2
2	2	119,29	8,37	2
4	6	143,68	8,35	4
2	2	41,86	8,33	2
2	2	29,56	8,30	2
2	3	36,55	8,28	2
4	4	77,65	6,77	4
2	3	64,41	8,25	2
1	1	61,28	8,22	1
3	4	79,41	8,22	3
1	1	26,47	4,97	1
2	2	101,55	8,16	2
1	1	35,45	8,16	1
1	1	47,41	8,14	1
2	2	63,11	8,14	2
3	3	91,32	8,10	3
1	1	25,89	8,09	1
5	6	146,64	6,15	5
2	2	27,53	8,05	2
3	4	78,52	5,13	3

1	2	59,29	8,00	1
2	3	48,91	7,99	2
1	1	22,21	7,97	1
1	1	30,06	6,25	1
1	1	33,70	7,95	1
1	1	36,10	4,69	1
6	6	77,56	7,93	6
1	1	41,55	7,93	1
1	1	25,36	7,91	1
6	7	180,57	6,40	6
1	1	41,34	1,17	1
3	3	65,83	5,24	3
1	1	24,38	7,83	1
6	6	137,84	7,10	6
3	3	55,58	7,81	3
4	4	128,36	7,79	4
1	1	21,03	2,31	1
1	1	43,08	7,75	1
2	2	77,72	7,74	2
2	4	39,13	6,06	2
1	2	84,10	7,73	1
1	1	34,04	1,87	1
1	2	48,61	7,64	1
2	4	189,29	7,63	2
3	4	71,02	5,99	3
1	1	51,47	7,60	1
3	3	52,30	4,88	3
1	1	50,81	7,58	1
1	1	24,72	2,32	1
1	1	45,72	7,53	1
2	2	81,17	7,52	2
1	1	21,95	7,50	1
2	2	42,44	4,01	2
2	2	44,17	7,49	2
1	1	48,74	7,44	1
3	4	85,94	6,11	3

8	10	207,97	5,76	8
3	4	33,20	7,40	3
1	2	44,71	7,39	1
1	1	32,67	7,35	1
4	5	78,21	3,79	3
2	2	47,03	7,28	2
1	1	57,99	3,23	1
1	1	65,86	7,24	1
2	2	21,33	7,24	2
2	2	98,59	7,21	2
1	3	47,38	4,38	1
10	12	312,15	6,75	10
6	6	130,57	4,01	6
2	4	87,79	7,12	2
1	2	75,53	7,11	1
2	3	114,59	7,11	2
1	1	23,32	7,11	1
3	3	98,95	7,10	3
1	1	41,72	7,07	1
1	1	37,16	2,82	1
1	1	23,14	2,35	1
3	5	164,62	7,05	3
1	1	29,16	7,05	1
1	1	25,69	2,41	1
3	5	81,86	7,02	3
4	4	103,22	6,99	4
3	3	32,11	3,85	3
2	2	23,67	6,96	2
4	4	86,10	6,95	4
1	1	58,41	6,94	1
3	4	34,69	5,52	3
1	2	35,73	3,36	1
1	1	45,95	6,92	1
3	3	93,80	6,92	3
1	1	28,45	2,38	1
2	4	227,15	6,85	2
1	1	49,92	2,46	1

4	4	91,37	5,73	4
3	4	112,95	6,79	3
2	2	22,03	1,97	2
1	1	47,80	5,29	1
		0,00	6,74	1
5	5	54,95	6,72	5
2	3	37,14	6,70	2
4	6	52,65	5,53	4
1	2	89,92	6,67	1
1	1	37,67	6,64	1
1	1	37,30	6,59	1
1	1	51,14	6,56	1
2	2	44,78	4,80	2
1	2	33,51	1,02	1
11	15	248,71	4,85	11
1	1	48,92	2,97	1
1	2	76,40	6,52	1
1	1	20,05	6,49	1
1	1	23,97	6,49	1
7	8	165,76	6,02	7
2	2	29,22	3,79	2
1	2	52,98	6,42	1
1	2	52,21	6,40	1
1	1	23,94	6,40	1
1	1	28,42	6,38	1
1	1	0,00	2,73	1
2	3	55,40	4,31	2
2	2	58,40	6,35	2
1	1	44,66	6,34	1
2	2	43,49	6,33	2
8	10	289,30	6,30	8
2	4	29,89	6,28	2
1	1	45,36	6,27	1
1	2	105,06	6,27	1
4	4	149,26	3,54	4
1	1	20,07	6,21	1

4	4	108,00	4,90	4
3	3	85,25	6,20	3
1	1			
3	3	33,54	6,13	3
2	2	27,84	3,48	2
2	3	36,77	6,12	2
3	3	41,41	6,11	3
2	3	122,80	6,11	2
3	4	101,12	6,11	3
1	1	35,10	6,10	1
5	6	172,34	4,89	5
3	3	49,00	6,04	3
2	3	32,77	6,02	2
1	1	39,40	6,02	1
2	3	20,18	6,01	2
1	1	20,97	2,00	1
1	1	20,28	5,99	1
1	1	58,81	3,35	1
1	1	37,34	2,58	1
1	1	39,64	5,98	1
1	2	78,33	5,97	1
2	2	49,20	3,49	2
1	1	28,12	5,94	1
2	2	24,56	5,93	2
1	1	25,62	5,92	1
2	2	37,76	5,92	2
1	2	67,45	5,89	1
1	1	34,80	5,85	1
3	4	96,06	5,83	3
2	2	57,49	4,57	2
1	1	44,21	1,06	1
1	1	22,62	2,51	1
1	1	23,35	1,40	1
2	2	33,49	3,65	2
1	1	35,96	5,77	1
3	3	97,92	5,75	3
1	1	30,82	2,98	1
1	1	20,93	5,74	1
3	3	140,73	4,61	3
1	2	74,77	5,73	1

2	2	32,89	4,28	2
2	2	103,73	5,70	2
4	6	106,30	5,70	4
2	2	45,06	5,69	2
2	2	23,52	3,12	1
2	3	61,04	5,66	2
1	1	30,98	5,65	1
1	2	59,29	5,65	1
1	1	37,60	5,62	1
2	2	27,51	3,52	2
2	3	67,97	4,29	2
1	1	25,28	5,57	1
3	3	72,81	5,56	3
1	1	21,10	5,54	1
1	1	23,55	5,54	1
1	1	27,43	2,25	1
1	1	52,85	1,32	1
1	1	48,48	5,48	1
1	1	59,94	5,44	1
3	3	67,62	2,85	3
1	2	70,63	3,26	1
1	2	72,69	5,43	1
1	1	27,37	5,42	1
2	2	38,30	3,56	1
2	2	20,35	1,29	1
1	1	34,91	5,40	1
1	1	31,36	5,39	1
2	2	27,29	3,36	2
1	2	80,06	5,34	1
2	3	81,02	5,30	2
1	1	24,91	1,53	1
2	2	47,45	5,25	2
1	1	30,79	0,93	1
1	1	65,47	1,59	1
3	5	57,51	5,24	3
3	3	27,45	5,23	3
2	2	40,87	2,91	2
2	2	74,69	5,19	2

3	3	84,40	5,18	3
1	1	20,95	5,17	1
1	1	30,68	2,77	1
2	2	85,93	5,13	2
1	2	88,13	5,13	1
1	2	50,27	2,99	1
1	1	55,93	5,12	1
1	1	30,06	5,11	1
1	1	50,46	5,10	1
2	2	82,80	2,94	2
1	1	25,11	5,06	1
1	1	36,33	2,43	1
2	3	31,41	5,04	2
1	1	56,89	1,49	1
1	3	187,96	4,99	1
1	2	26,68	4,96	1
1	1	23,53	4,94	1
1	3	60,34	4,92	1
2	3	31,84	3,76	2
4	5	127,67	4,90	4
1	1	70,76	4,89	1
1	1	28,91	4,88	1
1	1	25,05	4,80	1
1	1	30,18	4,78	1
3	4	121,86	4,77	3
1	1	28,57	4,76	1
3	4	44,85	4,75	3
1	1	35,80	4,74	1
2	2	59,03	2,67	2
2	2	100,96	4,72	2
1	1	32,25	3,15	1

1	1	20,67	4,69	1
1	3	42,84	4,68	1
1	1	20,63	2,56	1
1	1	26,07	4,67	1
1	2	85,35	2,50	1
1	1	37,77	4,63	1
2	2	27,87	4,63	2
1	1	27,45	4,61	1
1	1	20,57	4,57	1
1	1	68,03	4,50	1
1	1	36,04	2,57	1
1	1	46,72	4,42	1
3	3	111,18	3,42	3
1	1	76,58	4,41	1
1	1	21,91	4,36	1
1	1		0,00	
1	1	43,97	2,35	1
1	1	44,61	1,85	1
1	1	39,14	4,24	1
1	1	49,64	1,97	1
1	1	39,29	4,23	1
3	3	59,39	4,23	3
2	2	73,41	4,21	2
1	1	33,45	4,20	1

1	2	59,73	2,43	1
2	2	69,57	4,18	2
2	2	84,91	4,17	2
2	3	109,68	4,15	2
2	2	58,43	4,12	2
1	1	41,28	4,02	1
1	1	30,41	4,02	1
1	1	45,95	4,01	1
1	1	22,72	3,97	1
1	1	44,98	3,97	1
1	1	31,92	3,96	1
3	3	84,77	1,45	2
3	3	36,52	3,93	3
1	2			
1	1	50,81	3,90	1
2	2	42,80	3,90	2
3	3	35,85	3,89	3
1	2	44,82	3,88	1
1	1	51,12	3,18	1
1	1	63,51	3,82	1
2	3	61,47	3,82	2
1	1	28,56	1,23	1
2	2	40,19	1,72	2
1	1	22,75	3,77	1
1	3	187,38	3,74	1
2	2	43,30	3,73	2

1	1	25,19	3,72	1
1	2	90,72	3,70	1
1	1	22,31	3,69	1
1	1	84,47	3,69	1
1	1	34,10	3,67	1
1	3	192,71	3,66	1
1	1	43,41	3,64	1
2	2	73,74	3,59	2
1	1	28,03	3,56	1
1	1	20,89	3,56	1
1	1	68,08	3,53	1
1	1	30,57	3,51	1
1	1	30,30	3,51	1
1	1	38,88	3,49	1
1	1	59,88	1,74	1
1	1	44,89	3,48	1
1	1	77,13	3,47	1
1	1	41,57	3,46	1
2	3	49,54	2,05	2
1	1	23,78	3,42	1
1	1	52,01	3,42	1
1	1	34,00	3,42	1
1	1	43,68	3,40	1
1	1	27,45	3,38	1
2	2	47,42	3,37	2
2	3	47,19	3,36	2
2	3	99,74	2,52	2
1	2	102,63	3,35	1
1	1	51,30	3,35	1
1	1	46,72	3,33	1
1	1	80,03	3,31	1
1	1	40,29	3,31	1
1	1	24,78	3,30	1
1	1	73,06	3,30	1

1	1	34,73	3,28	1
2	4	127,55	2,37	2
1	1	28,47	3,25	1
2	2	26,67	3,24	2
1	1	47,71	3,23	1
3	3	73,55	3,20	3
2	2	57,20	3,19	2
1	1	45,56	3,19	1
1	1	37,33	3,17	1
1	2	104,03	3,16	1
1	1	25,12	3,15	1
1	1	68,34	3,15	1
1	1	35,06	3,11	1
2	2	72,83	3,06	2
1	1	38,09	3,05	1
1	1	51,52	3,04	1
1	1	33,71	2,16	1
2	2	58,86	2,99	2
1	1	35,09	2,99	1
1	1	30,16	1,90	1
1	1	24,07	2,92	1
3	4	66,62	2,89	3
3	3	36,58	2,88	3
1	1	29,27	2,87	1

1	1	20,45	2,85	1
1	1	59,67	2,82	1
1	1	56,90	2,81	1
1	2			
1	1	41,64	2,80	1
			0,00	
1	1	29,44	2,78	1
		24,61	2,78	1
1	1	46,54	2,77	1
2	2	34,65	2,76	2
2	2	24,79	2,68	2
1	1	31,36	2,68	1
1	1	32,24	2,64	1
1	1	69,88	1,50	1
1	2	50,34	2,60	1
1	2	132,12	2,58	1
1	1	27,84	2,58	1
2	2	29,18	2,57	2
1	1	67,88	2,56	1
1	1	29,12	2,56	1
1	1	27,16	2,56	1
1	1	65,52	2,52	1
3	5	162,73	2,51	3
1	1	22,30	2,50	1
4	4	40,55	2,50	4
1	1	51,02	2,49	1
1	2	39,72	1,41	1
1	2	27,67	2,47	1
2	2	68,83	2,46	2
1	1	26,50	2,45	1
1	1	44,22	2,42	1
1	1	50,68	0,72	1
1	2	65,15	2,41	1
1	1	35,61	2,41	1
1	1	63,77	2,39	1
1	1	29,92	2,38	1

1	2	34,36	2,38	1
1	1	26,61	2,36	1
1	1	45,96	2,35	1
1	1	23,38	2,35	1
2	3	75,88	2,33	2
1	1	24,45	2,33	1
1	1	26,45	2,32	1
1	1	30,77	2,32	1
1	1	20,91	2,30	1
1	1	42,97	2,29	1
1	1	33,84	1,38	1
1	2	152,63	1,18	1
3	3	53,17	1,62	3
1	1		0,00	
1	1	24,14	2,26	1
1	1	23,15	2,25	1
1	1	21,63	2,24	1
1	1	26,86	2,24	1
1	1	36,93	1,11	1
1	1	22,02	2,17	1
1	1	32,47	2,17	1
1	1	44,74	2,15	1
1	1	50,55	1,07	1
1	1	43,57	2,14	1
1	1	23,67	2,13	1
1	1	40,90	2,10	1
1	1	27,14	2,09	1
1	1	34,24	2,07	1
1	1	51,20	2,06	1
1	1	77,46	2,04	1
1	1	30,34	2,04	1
1	1	36,26	2,02	1
1	1	24,18	2,02	1
1	1	20,39	2,01	1
1	1	40,79	2,01	1

1	1	22,55	2,01	1
1	1	29,92	2,00	1
1	1	21,66	1,98	1
1	1	88,79	1,96	1
1	1	20,98	1,96	1
2	2	77,37	1,95	2
1	1	34,12	1,94	1
1	1	61,64	1,93	1
		20,34	1,93	2
1	1	15,92	1,88	1
1	1	39,15	1,88	1
1	2	114,39	1,85	1
1	1	27,44	1,85	1
1	1	37,75	1,85	1
1	1	22,91	1,85	1
1	1	34,04	1,84	1
1	1	33,90	1,84	1
1	1	25,93	1,84	1
1	1	52,19	1,82	1
1	1	22,37	1,82	1
1	1	24,99	1,75	1
1	1	35,45	1,75	1
1	1	43,15	1,74	1
1	1	20,77	1,71	1
1	1	56,51	1,70	1
1	1	75,84	1,68	1
1	1	52,52	1,67	1
1	1	61,80	1,66	1
1	2	86,99	1,64	1
1	1	22,04	1,63	1
		0,00	1,63	1
1	1	61,83	1,61	1
1	1	37,99	1,58	1
1	2	95,89	1,57	1
1	1	48,39	1,57	1
1	1	35,59	1,57	1
1	1	25,85	1,56	1
		0,00	1,56	1

1	1	25,52	1,55	1
1	1	29,67	1,54	1
1	1	31,72	1,53	1
1	1	23,80	1,52	1
1	1	55,96	1,52	1
1	1	53,69	1,50	1
2	2	32,12	1,50	2
1	1	25,95	1,49	1
2	2	41,79	1,46	2
		19,66	1,46	2
1	1	26,55	1,41	1
1	2	32,91	0,70	1
1	1	25,23	1,38	1
1	1	21,82	1,34	1
1	1	23,18	1,32	1
1	1	40,11	1,22	1
1	1	50,50	1,22	1
1	1	24,40	1,21	1
1	1	39,57	1,17	1
1	1	30,71	1,15	1
2	2	85,59	1,15	2
1	1	40,76	1,12	1
1	1	46,98	1,12	1
1	3	71,88	1,08	1
1	1	25,34	1,06	1
1	1	21,92	1,06	1
1	1	21,83	1,04	1
			0,00	
1	1	13,06	0,98	1
1	1	0,00	0,97	1
1	2			
		13,73	0,92	1
1	1	39,97	0,92	1

1	1	27,40	0,88	1
			0,00	
1	1	32,93	0,74	1
1	1	39,87	0,74	1
1	1	26,64	0,66	1
1	1	27,40	0,65	1
1	1	64,64	0,63	1
		0,00	0,62	1
1	1	36,19	0,61	1
1	1	31,21	0,57	1
1	1	38,99	0,36	1
1	1	35,50	0,35	1
1	2	22,42	0,34	1

# PSM Phospho	Score Deamid	Coverage Deamid	# Peptides Deamid	# PSM Deamid
9	388,70	74,75	4	9
33	810,52	85,43	16	45
25	447,84	81,33	13	26
9	324,81	87,59	6	12
24	717,63	86,61	9	24
10	262,78	70,37	8	11
6	182,48	17,43	5	6
11	244,37	84,85	8	11
102	3330,34	70,92	42	117
10	245,40	76,42	7	10
37	1417,17	83,91	16	52
44	1076,54	81,01	18	46
15	382,39	58,00	4	15
103	3999,07	80,31	31	128
17	404,99	67,33	13	18
6	145,24	61,90	3	6
71	2116,57	72,32	27	76
14	327,57	55,12	11	14
7	490,02	78,23	5	16
13	621,57	49,69	9	20
19	560,90	60,00	13	19
46	1463,80	76,34	20	50
39	966,95	73,38	22	42
15	441,60	69,08	12	19
20	867,01	79,43	12	26
19	518,29	70,72	12	27
12	401,40	55,50	9	12
22	661,13	65,42	10	22
34	1425,88	73,99	24	38
47	1556,17	64,40	26	54
22	1171,93	75,53	9	39
37	983,85	34,82	11	37
24	536,59	60,06	15	27
31	580,05	76,38	19	35
24	620,00	74,24	12	26
24	691,66	74,41	14	56
22	800,13	68,63	11	27
40	1081,86	74,87	21	45
49	1441,27	77,71	20	58
29	889,95	70,34	15	29
76	2275,51	77,55	40	96
8	309,29	77,45	5	10
23	670,04	74,16	16	24
32	904,89	71,73	16	34
71	2459,88	76,48	25	87
5	130,01	47,52	2	3
69	1950,35	72,39	29	72
57	2612,41	75,52	20	93

27	700,09	68,42	16	29
7	105,52	63,46	4	7
50	2064,01	75,00	24	63
4	244,63	51,97	3	4
82	1883,09	63,14	45	88
15	312,07	74,48	11	15
37	1062,38	62,20	19	40
9	247,07	58,18	7	10
4	170,35	42,34	2	4
18	468,95	70,52	12	19
38	1348,87	68,53	19	42
7	357,40	54,72	4	7
8	351,70	73,33	5	8
25	596,39	59,08	20	25
27	927,76	63,09	15	31
60	2068,39	68,72	33	64
39	1389,35	70,28	19	42
38	1433,20	72,10	20	45
11	336,43	17,16	8	11
23	760,40	72,02	12	28
55	1364,91	66,13	30	64
22	669,12	71,83	11	25
34	1216,38	66,35	24	45
7	161,31	71,72	7	7
32	949,62	69,25	20	36
40	1261,69	66,04	27	52
11	207,01	47,12	9	11
9	248,13	51,68	8	11
5	135,54	61,11	5	5
2	42,73	5,10	1	2
20	584,59	60,95	10	19
9	194,22	69,54	6	13
34	1212,65	70,66	19	50
19	617,22	62,01	12	19
19	786,56	70,43	13	23
11	420,53	63,27	8	14
68	1915,28	65,71	35	73
32	1100,17	66,16	19	39
34	806,88	58,68	20	34
19	435,24	58,67	10	25
36	1154,71	63,90	23	39
27	730,34	67,11	17	34
6	162,37	56,35	5	8
4	77,53	34,92	4	4
32	960,36	68,85	20	37
12	370,47	68,85	9	13
13	485,12	68,83	8	14
31	777,15	57,59	16	32
53	1488,55	66,76	34	57
4	120,17	30,41	4	4
38	995,87	61,88	25	41
24	782,36	54,83	5	24
6	306,90	57,95	4	6
24	623,15	66,88	17	27
11	349,17	59,29	7	11

59	1740,36	64,97	39	60
3	147,58	39,73	3	3
10	228,19	67,76	9	10
36	928,42	53,14	24	37
51	1583,20	54,09	34	53
3	402,43	58,11	2	11
34	752,62	61,96	25	40
34	1114,15	63,86	19	39
54	1318,32	64,03	28	56
12	298,25	63,64	10	14
15	613,91	40,37	11	19
36	1083,38	64,53	21	36
19	588,61	63,31	13	20
9	180,29	11,95	6	9
50	1425,30	62,49	38	54
6	52,58	66,44	6	6
5	100,38	35,00	5	5
64	1911,31	55,62	33	75
11	895,19	66,20	4	21
18	644,70	54,63	12	24
31	712,43	66,13	18	43
1	29,55	11,93	1	1
12	520,71	61,05	9	15
14	652,89	55,22	6	14
62	2062,46	64,17	28	75
17	480,83	45,66	11	18
12	240,01	43,53	7	14
3	44,07	30,99	2	4
8	278,70	50,79	5	8
15	361,32	65,10	11	16
141	3113,23	62,91	41	160
27	865,76	46,84	22	34
22	532,75	62,68	15	23
24	877,04	63,40	16	42
22	783,49	53,35	15	24
42	1136,14	63,71	20	44
45	1490,91	62,83	33	64
22	470,34	60,67	17	22
27	591,33	64,06	19	29
4	75,52	11,82	4	4
4	65,53	57,14	3	4
10	174,56	49,01	8	11
9	228,03	55,28	4	9
6	130,79	24,73	5	7
24	752,77	60,56	16	28
13	303,01	60,87	10	13
10	374,11	63,86	6	10
117	2227,58	63,80	21	144
14	228,83	55,75	9	14
55	1543,87	55,18	35	57
26	797,27	63,64	16	26
28	944,53	54,22	16	31

1	123,62	22,35	1	1
21	605,93	60,39	14	21
11	338,29	34,37	8	12
11	233,49	54,93	9	13
30	729,32	54,68	18	37
42	1176,40	61,92	26	47
25	964,13	48,78	13	28
23	982,33	56,91	17	27
74	2385,38	61,25	41	91
7	380,79	32,07	5	7
34	751,56	57,39	21	34
17	515,51	54,35	12	17
40	1363,11	62,52	26	42
24	731,48	57,22	19	27
20	410,92	58,70	12	20
7	132,64	42,59	6	9
45	1789,37	47,70	31	55
1	35,08	2,45	1	1
30	979,45	62,26	16	33
32	970,31	60,54	21	34
71	2270,68	58,15	51	83
8	275,27	60,18	5	8
15	306,12	48,40	11	15
15	398,30	52,03	12	15
8	208,03	43,92	6	8
9	226,81	61,48	6	9
13	384,86	51,32	7	13
20	430,30	51,69	17	24
16	372,76	61,33	10	16
54	1223,95	58,20	13	69
23	924,42	59,06	13	27
22	551,79	61,19	10	23
19	464,88	56,64	10	19
10	302,53	51,97	8	11
25	570,27	34,84	18	26
4	131,93	60,98	3	6
109	2794,01	59,74	51	116
37	935,00	59,51	25	37
7	168,90	39,24	6	7
46	1353,76	57,06	33	48
21	766,97	48,62	14	22
17	522,68	38,57	10	19
21	719,32	55,16	12	22
30	971,47	49,82	20	31
19	572,61	54,73	15	19
30	967,50	59,87	16	31
42	992,18	52,07	31	42
34	848,10	54,07	22	34
4	119,54	42,93	5	5
28	858,39	41,85	25	35
7	119,64	50,46	7	7
18	516,91	40,29	12	19

3	67,88	46,02	3	3
9	283,92	15,95	4	9
11	334,78	59,18	10	12
29	827,67	59,15	19	29
9	341,72	59,09	6	11
29	850,07	54,41	17	35
10	340,24	58,96	6	12
25	772,89	49,07	14	25
18	713,55	58,92	12	20
18	465,97	38,85	11	18
6	156,77	20,90	4	5
43	1317,88	57,34	24	47
9	249,63	58,70	4	15
25	693,54	58,64	18	25
19	564,66	58,52	17	20
30	996,60	56,84	20	31
15	379,88	49,36	11	17
12	383,41	50,59	7	12
38	1027,14	58,23	23	44
12	451,58	46,49	12	19
17	627,45	54,46	11	17
66	1559,51	58,06	8	81
8	243,66	42,15	4	8
30	1108,65	57,76	14	30
5	204,02	46,48	5	7
24	670,97	52,65	17	25
23	657,83	49,24	15	33
11	291,97	57,05	10	14
3	48,71	42,31	3	3
9	168,17	57,66	6	11
14	393,58	57,59	9	16
32	1000,12	54,43	17	32
14	519,86	42,21	8	15
32	805,08	48,07	25	32
41	1160,05	51,33	29	49
8	248,70	42,79	5	11
21	545,60	57,14	13	21
23	185,66	44,57	7	26
8	72,93	10,52	6	7
8	232,62	50,90	7	9
2	56,33	20,00	2	2
17	518,42	56,59	12	18
18	404,51	52,19	11	18
19	768,81	47,83	10	19
7	187,41	28,00	5	7
35	974,23	51,91	27	38
28	728,70	49,22	16	31
19	590,55	56,22	12	22
26	811,06	50,32	7	26
3	87,92	11,90	2	3
23	797,37	51,44	16	23

30	827,73	40,08	22	30
10	274,45	36,00	7	10
18	730,77	52,43	15	20
8	203,73	35,05	4	6
33	1043,77	44,53	27	35
4	123,78	46,74	4	4
	31,05	40,96	1	1
20	441,68	49,62	14	21
9	322,92	51,77	9	10
8	327,53	55,30	9	10
26	961,44	52,39	17	36
15	622,79	51,61	12	23
16	419,63	51,40	10	18
32	1132,76	54,74	8	39
20	553,18	49,61	16	25
7	285,75	51,54	5	9
1	49,68	20,25	1	1
8	145,06	20,74	7	9
17	457,86	48,98	10	17
29	784,92	45,86	21	30
11	317,80	45,49	8	11
4	137,29	46,54	5	6
33	1135,40	54,07	20	38
8	177,09	41,61	7	8
1	63,90	3,60	1	1
15	421,16	50,00	8	16
14	608,23	53,93	6	14
20	515,66	41,65	13	20
19	807,25	50,15	12	22
8	310,85	48,25	7	10
34	835,88	51,80	28	37
1	23,73	7,13	1	1
16	508,44	53,57	6	17
19	436,85	44,08	13	20
7	230,46	39,20	3	10
12	291,06	32,79	10	12
26	755,72	50,21	17	26
16	527,26	45,24	12	18
25	797,01	42,29	17	26
5	82,19	29,45	3	5
14	293,78	41,83	11	14
6	285,42	25,53	5	6
17	388,58	52,60	13	17
9	223,31	48,47	4	12
9	218,11	51,46	6	9
12	250,86	39,76	8	12

22	608,62	50,17	16	22
18	259,22	47,10	12	17
15	285,29	49,59	15	17
13	332,01	29,09	8	13
33	920,53	52,01	19	34
1				
23	507,55	51,96	17	23
16	335,35	28,50	6	16
10	265,53	36,82	10	11
24	621,76	45,26	18	27
17	316,18	41,90	15	17
90	1869,69	47,87	62	105
2	177,17	14,61	2	3
24	782,36	34,56	5	24
21	523,21	51,46	17	27
6	141,48	33,64	7	9
4	115,78	23,08	3	4
24	641,07	33,88	16	25
7	129,11	40,00	4	7
18	345,38	51,18	10	24
8	265,15	44,36	3	9
13	438,01	21,91	10	14
1	42,48	19,39	1	1
8	245,76	35,76	4	8
6	183,66	44,72	7	7
12	301,34	42,36	8	12
9	378,94	46,86	6	9
3	73,81	37,14	3	3
23	884,98	50,68	14	26
12	439,75	35,04	10	14
25	633,89	46,42	14	27
22	736,40	42,48	13	22
2	34,86	9,95	1	2
28	713,35	41,34	23	28
11	185,04	34,45	8	11
5	98,77	50,49	4	5
14	316,43	40,92	9	14
9	280,94	18,68	7	9
19	550,64	34,66	11	20
13	279,66	44,29	11	17
10	177,15	43,84	8	10
14	632,38	50,00	10	16
7	315,92	50,00	4	12
18	515,57	49,73	14	21
11	241,08	49,47	8	11
34	1243,18	47,71	22	37
5	143,11	36,84	3	5
10	230,90	40,81	8	11
18	362,32	49,30	13	18

5	121,02	20,49	3	5
11	424,47	40,22	9	16
30	752,03	49,04	15	34
10	237,74	49,03	7	10
30	652,32	47,88	22	33
16	428,36	37,39	9	16
7	169,34	33,56	6	7
7	243,96	42,45	5	7
6	86,87	28,96	5	7
22	556,11	36,97	17	22
14	795,84	48,79	6	24
15	334,95	41,58	13	15
21	671,07	46,79	13	25
8	169,77	28,33	8	10
8	388,84	35,14	4	8
44	1202,72	45,67	37	50
18	617,06	45,94	14	19
22	546,02	35,60	15	27
32	1182,39	44,88	21	36
9	228,17	48,51	9	11
19	632,98	36,32	11	19
84	1870,29	46,60	67	91
30	931,01	48,48	23	32
9	180,03	39,29	9	10
24	758,41	41,63	14	26
7	372,92	48,37	7	11
7	155,15	48,18	5	7
8	276,58	38,68	7	8
23	718,29	40,18	19	31
12	339,56	48,04	9	12
14	456,85	48,04	8	14
14	324,63	37,93	11	19
24	534,16	39,55	18	24
38	658,71	45,05	31	40
17	369,44	44,51	14	18
11	355,02	31,19	7	12
10	264,25	38,24	6	12
11	223,69	41,85	7	11
14	384,64	34,77	11	14
33	852,78	47,69	25	33
13	290,04	36,41	11	12
14	266,90	47,02	8	14
6	96,94	25,41	5	6
6	282,13	25,00	3	6
19	292,80	34,75	17	20
1	73,32	25,19	1	2
14	317,18	47,12	11	15
24	910,86	45,08	19	27
13	244,77	44,91	12	15
10	246,41	42,74	5	10
21	538,42	42,51	17	21
7	258,74	28,96	5	7
18	434,79	41,49	11	21

5	68,31	21,88	1	5
24	543,20	46,84	16	26
6	249,05	42,71	4	8
17	618,55	41,21	15	18
7	143,44	35,33	4	6
21	430,20	39,86	17	21
6	158,21	46,67	7	9
14	257,70	38,46	11	23
12	386,08	33,52	8	13
13	339,00	45,03	12	15
9	100,08	46,64	7	10
2	59,01	29,66	2	4
13	234,42	21,83	8	11
17	451,97	46,44	11	20
13	370,66	42,73	7	14
36	793,64	36,73	25	37
9	168,32	43,20	8	12
10	210,35	38,36	9	10
11	230,84	44,11	8	11
8	154,73	46,21	6	11
15	245,78	36,26	11	16
	26,01	22,16	2	2
13	149,68	46,11	12	13
17	490,33	35,45	11	16
24	696,67	40,77	18	25
6	77,55	34,13	6	6
10	264,33	31,23	7	10
13	640,76	35,31	9	16
12	399,06	42,13	8	12
21	629,30	39,48	14	24
38	844,89	36,96	25	40
1	22,50	4,40	1	1
16	531,09	41,45	15	22
16	371,80	40,30	15	18
6	155,39	12,07	6	6
24	864,07	45,58	7	29
26	776,06	45,52	20	27
38	635,78	44,73	21	42
6	135,38	41,15	4	7
19	513,07	34,93	15	20
9	139,36	35,82	8	10
3	84,15	9,48	2	3
17	429,51	31,87	10	18
15	344,70	42,41	10	15
8	168,48	38,96	7	8
19	389,09	32,48	13	18
25	545,34	31,69	20	25
3	68,04	31,13	2	3
11	191,54	44,92	9	12

9	173,14	39,02	5	9
24	623,86	42,53	18	25
1	31,03	6,32	1	1
7	144,62	44,72	5	7
3	67,10	8,65	3	3
16	460,72	35,87	10	17
11	295,01	32,39	9	11
9	241,68	35,42	6	9
10	186,71	44,60	8	10
35	971,09	42,88	25	39
9	239,26	35,27	6	9
41	1124,47	44,50	23	46
14	251,31	40,63	11	14
25	747,93	43,24	18	27
9	135,79	38,93	7	10
7	131,28	44,26	6	7
3	82,41	26,38	4	4
9	299,60	38,46	8	9
15	556,77	38,20	12	18
14	359,29	41,04	9	16
40	984,79	40,27	27	41
5	130,79	31,68	4	6
4	53,47	17,24	2	4
7	251,35	31,06	6	8
12	377,60	34,75	8	13
32	663,88	43,90	21	33
12	431,07	35,73	11	15
37	893,30	40,36	27	37
4	322,23	35,16	2	7
16	274,96	38,56	11	17
16	577,25	41,77	14	19
3	63,27	9,33	2	3
12	473,77	36,72	9	13
9	146,88	42,41	7	11
10	382,35	38,52	7	10
3	83,99	26,26	2	3
5	100,95	43,42	5	5
16	353,63	43,39	13	19
3	75,04	10,98	3	3
2	44,67	10,83	2	2
1	24,92	6,51	1	1
6	87,96	43,18	3	8
6	130,73	25,00	3	6

7	231,00	19,46	4	7
7	170,54	32,39	7	10
9	323,97	34,47	8	9
17	427,98	33,75	10	16
14	393,61	30,92	9	17
3	72,30	38,10	3	4
2	29,55	9,88	2	2
5	80,69	27,97	4	5
20	554,92	34,75	13	21
19	512,77	40,89	15	21
15	602,79	35,27	10	15
14	368,81	33,26	9	14
3	114,42	11,75	2	4
2	58,75	18,65	1	2
20	704,47	39,32	17	22
9	291,01	42,41	7	14
1	24,95	11,92	1	1
7	207,66	27,68	4	7
5	108,72	37,79	4	6
4	212,63	25,29	3	4
14	490,13	36,36	10	14
3	272,63	42,19	4	6
4	165,60	21,38	3	4
2	108,60	18,25	1	2
11	271,63	33,89	8	15
15	432,89	33,14	6	15
34	567,98	42,01	4	37
20	505,66	40,51	14	21
13	382,52	39,71	7	13
10	242,84	41,89	7	10
8	379,58	36,82	7	8
8	172,07	38,62	5	8
9	269,08	41,74	6	10
3	94,80	22,86	3	3
9	308,77	33,56	8	12
1	83,30	24,58	1	1
10	209,24	36,45	9	10
13	294,90	41,33	7	14
6	227,71	41,32	5	6
7	207,93	26,09	5	7
1	56,39	12,84	1	1
23	945,92	41,24	12	30
7	116,37	41,21	5	7
13	336,91	32,65	11	15
10	459,21	41,13	5	10
5	198,35	16,06	5	5
17	395,07	32,18	12	17
5	93,14	40,99	4	5
8	178,35	38,52	7	11
3	64,85	27,87	3	3
1	76,69	2,90	1	1

21	619,36	31,95	15	25
5	62,64	25,16	4	5
16	412,57	32,82	12	17
15	398,29	36,19	10	15
36	765,76	35,25	29	42
7	287,41	28,81	5	8
21	654,26	39,60	13	21
2	50,60	12,75	2	2
23	1175,12	38,86	13	36
10	256,21	32,28	10	12
13	504,81	31,28	8	13
2	57,34	12,36	1	2
6	167,85	15,18	5	6
16	361,27	40,39	13	21
10	305,05	40,38	8	14
5	93,46	40,35	5	5
12	333,15	28,36	9	13
6	116,92	21,55	5	6
4	128,22	40,24	3	4
7	142,10	35,86	7	11
13	608,98	21,72	9	13
4	70,67	10,03	3	4
8	255,81	40,07	7	9
12	254,57	31,49	10	12
6	107,77	35,63	6	6
7	135,90	33,57	6	7
7	201,71	21,29	6	7
28	697,68	34,86	22	28
5	138,86	19,30	2	5
28	572,57	36,20	26	30
7	290,96	33,71	5	7
10	221,21	31,99	7	10
12	398,43	29,63	7	12
10	211,74	39,77	5	10
15	429,79	29,21	11	15
7	108,50	39,71	5	7
1	105,29	9,43	1	1
7	127,65	35,77	6	7
30	703,93	39,61	19	33
10	396,56	39,59	6	11
14	349,21	36,32	11	14
10	247,02	32,37	9	10
14	299,51	32,70	13	14
2	25,77	20,42	2	2
17	458,51	39,41	11	17
13	518,61	33,65	7	15
2	94,95	11,72	2	2
15	413,17	31,19	11	20
10	415,04	36,16	8	10

6	229,81	24,20	4	6
15	457,38	39,26	11	15
7	115,25	8,51	4	7
3	101,86	23,44	2	3
16	479,47	32,82	15	16
15	438,35	38,99	13	24
7	186,68	34,42	5	7
38	778,71	38,95	30	38
7	134,07	35,71	7	7
11	396,61	38,89	8	13
55	1659,74	33,53	37	57
21	720,88	33,85	16	22
10	258,51	38,69	10	12
22	875,25	35,91	14	24
26	643,02	33,76	22	26
18	521,47	31,62	11	21
16	329,49	35,86	13	16
6	173,82	30,32	6	6
23	564,92	35,49	17	25
26	739,59	33,61	17	28
23	562,90	33,69	18	25
23	375,72	29,34	15	25
13	389,77	34,17	11	14
9	218,66	27,75	9	10
3	107,85	38,14	3	3
8	194,41	30,69	6	8
13	277,17	29,57	11	13
10	271,77	25,83	5	10
6	186,96	38,07	4	10
6	132,88	30,32	4	6
6	292,47	20,96	7	7
7	181,49	37,89	6	10
15	414,90	35,52	13	16
9	302,91	35,64	7	9
4	129,92	37,80	2	4
5	100,28	37,80	3	5
5	162,73	31,13	4	5
16	469,10	37,69	8	16
9	217,71	31,84	9	9
24	731,99	36,35	16	25
4	116,67	31,19	3	4
3	332,27	19,34	3	7
12	474,84	31,76	8	14
21	583,23	30,67	14	22
2	149,49	7,02	2	3
5	263,11	37,50	6	9

9	278,67	29,89	6	10
17	350,34	37,47	10	19
21	592,62	34,64	19	22
4	73,37	31,53	4	4
5	242,82	37,39	5	6
11	227,04	29,32	10	13
2	50,49	37,32	2	3
7	205,51	29,05	5	7
24	562,39	34,46	18	24
8	139,66	31,56	4	8
46	1269,94	31,81	38	52
4	87,83	18,18	3	4
6	75,89	27,78	3	6
6	95,33	28,35	6	6
9	159,19	34,22	7	9
10	297,85	31,65	10	23
7	187,83	27,20	4	7
10	143,47	32,37	8	10
13	375,18	37,10	10	15
20	575,42	34,35	15	20
6	425,31	34,45	7	11
9	258,79	32,29	6	10
11	201,15	29,83	8	11
48	1209,70	33,71	37	50
20	394,05	29,12	20	21
6	180,88	36,86	5	7
14	351,13	36,86	12	15
12	486,08	36,82	10	13
2	111,55	15,97	3	5
10	246,13	30,83	4	11
5	210,36	36,71	4	12
5	126,28	32,22	5	5
5	85,82	25,10	4	5
12	391,01	32,85	9	14
20	675,84	34,01	9	23
10	388,34	32,98	6	11
4	201,77	20,63	2	4
6	212,01	36,45	5	6
8	279,73	33,43	7	10
4	96,94	36,44	3	4
29	825,39	31,19	22	31
26	989,21	31,38	27	42
10	158,23	29,47	6	10
9	397,75	31,30	8	12
19	490,75	33,53	15	20
9	125,41	31,23	6	9
2	173,10	11,62	2	4
3	53,29	9,16	3	3
14	331,73	33,75	10	14
7	155,72	27,68	6	7

6	248,97	32,74	6	7
4	146,36	22,77	3	6
47	1274,95	27,58	39	51
14	218,33	23,13	11	14
23	860,82	33,67	14	28
14	237,47	30,85	11	14
24	519,03	35,75	17	24
2	50,49	34,29	2	2
8	192,87	35,69	7	9
1	20,08	6,98	1	1
19	350,48	31,44	15	23
13	408,13	25,73	10	15
10	243,93	21,07	11	11
11	269,41	35,59	7	11
22	493,17	31,61	15	22
7	237,12	35,49	6	8
2	57,12	23,66	2	2
5	96,24	32,17	6	7
17	418,13	30,24	14	18
5	105,63	35,37	3	5
4	54,12	30,39	3	4
7	216,71	30,36	5	7
11	529,37	29,55	7	11
12	254,26	23,42	10	12
23	661,68	35,14	18	24
9	250,52	11,74	8	10
2	59,52	7,30	2	2
5	153,61	35,09	5	11
5	142,51	28,57	3	5
25	826,86	32,30	20	25
14	567,93	29,91	13	15
26	590,45	29,52	20	26
2	52,31	34,93	2	2
14	465,01	33,03	8	14
2	65,23	21,43	2	4
1	53,34	24,46	2	3
5	204,54	24,91	3	5
2	30,29	34,71	2	2
8	223,27	34,67	6	8
19	519,89	32,45	15	21
10	100,70	30,19	8	10
2	32,54	26,32	2	2
14	542,97	34,55	7	14
1	41,72	8,12	1	1
4	58,08	20,07	3	4
3	30,09	21,00	3	3

6	281,69	26,85	7	8
2	67,16	18,54	2	2
4	151,68	34,40	3	4
13	227,76	21,96	9	14
23	780,70	26,93	17	23
14	547,33	34,25	6	16
12	442,62	29,89	8	13
6	133,35	29,96	5	6
32	1233,52	30,75	20	36
6	100,77	34,05	5	9
25	574,75	30,58	22	31
8	218,84	30,70	8	8
1	51,88	10,43	1	1
9	447,81	33,82	3	16
1	30,74	10,81	1	1
9	260,32	29,76	6	8
10	239,83	33,71	9	10
4	97,33	32,61	3	4
7	178,96	33,66	7	8
4	105,41	15,56	3	4
6	306,73	25,93	4	7
13	368,51	30,41	12	17
8	69,92	22,18	5	8
17	331,85	31,67	14	17
10	213,65	29,34	9	10
5	258,84	19,05	3	10
10	261,60	28,84	8	11
11	235,70	33,33	7	11
4	119,91	33,33	3	4
8	102,22	28,34	5	8
1	38,92	4,31	1	1
10	251,53	30,31	8	10
13	277,27	33,15	8	13
14	358,04	30,46	6	16
6	116,08	27,66	7	9
2	89,06	8,33	2	2
7	184,68	24,75	6	7
2	56,89	32,98	2	3
1	53,34	12,66	2	8
	30,35	10,59	1	1
5	160,49	28,57	6	6
6	134,52	26,52	5	7
5	119,44	32,84	4	5
18	507,53	28,14	10	23

19	518,98	27,21	18	22
20	527,36	31,40	13	20
14	442,66	32,72	7	14
3	64,38	32,71	3	3
5	54,88	12,16	6	6
2	44,14	15,33	1	2
7	89,21	32,66	4	7
6	215,78	26,48	5	7
5	216,87	29,31	6	6
18	657,57	11,63	14	27
7	120,97	31,13	7	10
10	174,98	28,08	7	10
4	80,32	32,53	4	4
22	591,39	32,51	14	25
1	72,57	3,06	1	1
5	119,50	32,50	5	6
13	277,10	28,08	11	13
7	144,47	32,43	5	7
4	128,67	32,39	3	4
17	619,49	28,49	13	25
11	370,90	26,32	8	14
6	325,86	32,30	5	8
3	202,59	32,26	1	3
6	143,96	25,75	5	6
8	103,55	26,24	7	8
1	59,93	14,60	1	1
9	249,93	29,13	8	11
1	81,61	14,67	2	4
4	69,37	22,01	4	4
4	110,07	32,02	5	5
5	262,50	12,30	2	5
8	238,71	14,60	6	8
3	44,51	8,29	3	3
5	192,55	31,79	4	5
6	230,20	31,76	6	6
8	133,28	29,46	8	8
13	423,05	21,07	9	13
9	236,37	26,53	7	9
19	393,80	30,00	14	19
7	124,77	31,57	7	9
3	53,72	20,39	3	3
9	144,67	28,87	8	9
9	345,05	31,52	5	9
10	255,73	31,14	8	10
2	52,75	9,69	2	2
1	21,71	20,00	1	1
14	498,99	29,83	11	18

4	65,59	21,86	4	5
4	99,67	31,13	3	4
5	139,04	19,14	4	5
7	317,52	21,88	7	10
3	54,46	31,05	4	4
25	864,03	30,21	19	31
5	118,85	30,93	4	5
22	631,62	28,04	13	22
4	111,32	10,76	3	4
2	62,81	3,61	2	2
13	383,04	30,69	10	14
7	202,97	30,66	7	10
12	479,31	28,17	10	12
7	144,44	25,78	7	8
2	41,43	15,15	1	2
2	34,72	16,81	2	2
14	344,81	24,02	9	16
1	30,74	6,15	1	1
1	53,98	1,93	1	1
6	130,43	15,60	5	6
12	102,19	30,11	10	12
2	42,48	4,46	1	1
13	479,14	21,88	10	13
16	464,50	30,09	15	17
4	123,63	9,16	2	4
3	104,50	16,84	3	3
13	479,54	29,92	8	13
3	98,82	13,45	3	3
8	287,19	25,64	6	10
2	70,42	19,65	3	4
11	272,14	25,60	8	11
9	178,51	29,59	7	9
6	132,81	29,56	6	6
2	32,68	18,23	2	3
9	259,70	24,89	7	9
1	22,80	3,54	1	1
5	95,18	29,51	3	5
9	166,27	26,45	7	9
6	54,77	21,74	4	6
8	166,34	25,06	7	8
15	443,51	23,95	9	16

2	92,83	14,97	2	2
1	60,21	9,41	1	1
9	348,09	28,44	7	9
8	187,94	26,98	7	8
7	217,94	26,33	6	7
30	848,76	28,72	23	30
17	332,55	27,21	14	21
1	30,44	4,89	1	1
8	237,98	17,97	6	8
2	54,38	9,27	1	2
9	250,92	29,26	9	12
5	132,12	21,66	4	7
2	35,41	7,95	2	2
4	163,76	24,46	4	4
2	43,37	29,03	2	2
4	118,22	9,22	3	5
11	251,59	28,36	11	14
4	105,83	28,92	2	4
3	115,78	24,83	3	7
4	131,30	17,05	3	4
2	39,71	15,07	2	2
4	76,94	28,75	3	4
3	42,22	28,74	3	3
14	281,66	23,20	10	15
7	128,12	28,73	6	7
18	273,27	28,49	11	15
4	83,12	12,18	4	4
8	174,43	25,60	8	8
9	311,09	24,63	9	10
8	214,12	28,52	7	8
17	370,46	22,13	12	16
13	439,98	23,75	11	15
3	52,35	17,89	2	3
13	353,49	24,84	10	14
11	307,10	20,00	1	11
3	113,93	28,37	3	3
15	360,10	24,82	14	17
8	332,08	20,69	7	10
5	263,21	28,25	3	6
10	198,62	25,44	7	10
11	284,04	28,21	10	11
8	116,96	16,38	8	8
10	266,41	28,11	9	11
9	126,44	22,18	9	9
3	54,47	28,03	3	3
9	270,92	17,83	8	10
12	425,98	26,32	8	20
3	40,23	22,89	3	3
30	866,23	27,07	23	33
3	98,17	20,12	3	3

14	321,06	27,78	11	15
4	124,01	21,97	4	5
10	274,96	27,74	8	10
17	186,25	24,22	17	18
9	180,87	19,14	5	9
1	42,22	11,88	1	1
9	304,17	27,66	8	9
3	74,74	10,39	3	3
6	167,91	27,59	5	7
17	283,57	24,68	14	20
4	131,90	27,50	2	4
1	51,15	9,34	1	1
9	243,78	27,47	7	9
9	324,28	27,46	5	9
1	37,77	5,91	1	1
2	81,25	20,21	3	4
7	184,19	24,94	6	8
17	445,90	22,09	14	18
7	227,25	27,31	5	8
3	86,86	11,08	3	3
12	491,57	27,29	10	14
9	360,65	27,27	6	9
1	41,59	1,38	1	1
7	297,88	27,23	5	9
6	128,38	23,11	6	6
25	684,77	22,99	14	26
12	210,41	23,14	9	16
8	199,91	27,17	8	10
9	255,71	24,82	9	9
3	121,26	27,12	2	3
6	87,07	17,92	4	6
9	424,35	27,01	6	10
8	153,33	21,53	7	8
21	606,84	22,35	17	23
1	30,19	2,35	1	1
10	188,95	26,92	8	10
9	289,45	21,14	9	10
1	67,13	26,85	2	3
13	336,78	23,05	8	11
7	136,13	26,82	6	7
4	40,37	21,26	4	4
18	330,84	20,03	13	18
10	263,09	26,58	9	10
11	432,33	26,58	7	11
6	197,59	17,52	4	6

1	47,02	2,03	1	1
22	536,36	22,20	19	24
4	49,37	18,58	3	4
12	464,73	20,56	10	14
12	292,00	20,45	9	12
6	79,32	16,24	5	6
6	163,30	26,21	4	6
9	344,71	23,80	8	9
5	166,98	12,96	3	5
6	57,85	26,15	6	6
1	42,69	10,05	1	1
5	87,56	23,17	4	6
14	317,76	24,61	13	16
4	85,58	26,05	2	4
4	130,89	16,34	2	3
1	20,24	12,00	1	1
8	137,63	25,96	5	8
3	96,03	25,93	3	9
2	91,09	10,05	1	2
5	161,18	19,28	7	7
12	310,02	25,79	8	12
7	170,32	15,90	5	8
10	317,01	25,70	6	10
10	248,71	25,66	8	10
11	295,19	25,65	8	11
12	305,32	25,59	7	12
1	23,75	5,52	1	1
3	87,57	4,50	3	3
10	325,81	25,52	7	13
28	915,15	25,41	7	29
7	172,64	13,05	6	7
1	39,64	6,74	1	1
25	684,10	21,43	11	25
7	142,71	25,30	6	8
1	33,92	8,24	1	1
19	360,81	23,39	15	19
2	113,67	12,62	2	2
25	765,46	18,70	19	25
1	63,23	4,76	1	1
14	662,80	21,78	10	17
2	25,97	13,66	2	2
6	393,54	25,00	2	21
6	94,68	25,00	4	6
1	40,61	25,00	1	1
6	281,84	8,17	1	6
3	63,63	16,37	4	4
12	267,79	23,06	9	13
6	125,41	22,19	5	8

8	231,56	24,71	5	8
1	23,76	3,40	1	1
4	187,83	24,69	3	4
5	117,89	24,34	5	6
8	240,06	20,72	5	9
5	118,18	17,02	5	6
		0,00		
5	133,18	14,68	6	6
1	30,63	24,49	1	1
9	196,43	20,97	7	9
8	266,93	9,70	6	8
11	213,18	24,30	9	11
5	217,72	19,57	2	6
2	66,58	17,24	2	2
12	337,40	20,11	10	14
4	37,19	15,08	2	4
44	953,80	22,99	37	45
6	204,28	18,35	4	6
9	168,22	24,03	8	9
1	55,90	4,80	1	1
18	514,95	19,71	14	21
5	170,36	20,71	4	5
7	242,63	15,91	5	7
3	100,88	23,89	4	4
1	33,96	4,83	1	1
1	28,47	3,84	1	1
4	106,61	18,65	3	4
3	125,95	17,14	2	3
3	123,59	12,46	3	3
3	89,99	17,92	2	3
8	70,82	15,18	6	8
1	90,08	15,41	2	4
3	95,16	3,50	2	3
4	210,76	21,55	5	5
5	95,38	18,29	5	5
6	166,73	21,14	5	7
1	46,81	6,49	1	1
2	82,56	7,04	2	2
9	268,23	23,36	7	11
7	150,98	16,67	7	8
2	82,95	14,98	2	2

1	23,27	11,65	1	1
11	322,06	23,26	10	11
1	31,74	2,31	1	1
12	242,48	17,69	11	12
6	203,23	23,18	4	6
10	176,32	17,29	9	10
18	470,03	15,23	15	21
5	132,85	16,83	4	5
1	43,64	5,45	1	1
4	175,47	23,00	3	4
3	140,78	11,14	3	3
9	205,49	19,14	5	10
5	80,32	22,83	3	5
1	97,00	5,41	1	1
2	143,79	12,04	2	2
6	179,92	17,55	6	7
4	154,22	14,48	4	4
11	236,45	22,56	10	11
10	130,71	19,36	9	10
5	129,77	18,01	4	5
3	120,80	16,50	3	3
4	95,12	18,38	3	6
2	33,90	3,49	1	2
1	34,25	9,41	1	1
3	131,21	22,35	4	5
2	57,36	22,30	2	2
1	58,27	7,25	1	1
6	49,92	20,04	5	6
4	138,40	15,64	4	4
6	257,99	19,15	6	9
4	126,24	18,31	4	4
18	561,11	18,81	17	19
8	237,59	17,56	7	8
5	77,74	22,17	5	5
13	174,83	14,09	10	13
6	164,80	17,66	5	6
4	67,12	22,07	4	4
3	130,32	21,96	3	3
8	101,25	14,92	7	8
25	647,64	21,34	18	26
10	255,22	18,24	6	10
7	166,66	21,83	5	7
4	79,76	21,83	4	5

3	146,96	10,56	2	3
7	104,02	14,07	6	7
8	264,76	21,77	7	8
13	401,87	21,73	8	13
3	63,42	21,72	3	3
36	1174,50	21,11	31	45
1	21,15	7,20	1	1
6	208,40	17,50	6	7
6	110,21	21,49	5	6
3	92,31	21,46	3	3
5	146,01	15,92	3	5
4	85,90	21,38	3	5
7	137,66	21,32	7	9
3	48,18	21,28	3	3
7	172,98	18,14	4	7
2	70,91	15,46	2	2
3	77,32	12,41	2	3
20	599,15	18,07	14	20
2	27,45	9,16	2	2
20	467,22	19,80	17	21
5	144,18	11,59	5	5
12	259,25	12,90	7	11
2	52,16	20,69	1	2
12	412,24	15,69	8	13
17	443,92	17,72	11	17
7	132,24	20,64	6	7
7	194,30	13,30	7	7
4	125,94	13,99	3	4
1	91,95	8,04	1	1
9	185,41	18,29	7	11
14	454,56	20,55	10	15
7	155,00	20,53	6	8
2	48,15	8,83	2	2
3	72,64	12,62	2	3
13	511,09	17,59	11	15
8	294,41	17,55	6	10
11	302,01	16,97	10	15
	184,60	20,45	1	2
2	70,14	20,42	2	2
	24,76	13,79	3	4
2	40,46	14,81	1	2
6	140,05	18,06	5	6
3	56,06	12,98	2	3

3	25,72	16,74	3	3
15	333,58	20,25	17	17
6	149,64	11,71	6	8
2	65,05	10,34	1	2
2	107,88	5,58	1	2
2	157,09	20,15	1	3
3	173,07	9,51	2	3
1	56,33	8,90	2	3
6	139,17	16,28	5	7
8	404,83	20,07	5	8
1	31,80	4,01	1	1
10	202,51	20,00	8	10
3	125,57	13,12	3	4
3	56,15	20,00	3	3
2	55,59	13,15	2	2
15	371,89	18,80	15	22
1	47,06	6,55	1	2
12	293,39	16,70	7	12
3	138,98	19,83	3	4
7	81,36	16,95	5	7
3	69,32	15,24	3	4
23	520,36	18,18	15	23
10	225,86	19,74	8	10
4	65,88	19,66	3	4
4	155,87	10,92	4	4
16	261,39	19,55	14	16
6	199,14	11,76	5	6
14	231,16	17,34	11	17
6	195,39	19,44	4	6
9	240,31	19,44	5	9
5	195,97	16,52	5	8
2	24,35	14,66	2	2
4	140,95	16,92	5	5
9	261,16	19,35	8	10
2	98,45	7,93	2	2
4	56,30	19,30	2	4
6	195,74	19,29	2	6
9	239,05	19,21	8	9
1	93,99	19,19	1	3
4	119,00	14,58	4	4
7	223,17	19,10	6	7
3	61,47	16,75	4	4
3	27,86	10,49	2	3
4	81,72	9,55	3	4

5	154,23	19,08	3	5
3	20,27	19,02	3	3
2	66,54	15,08	2	2
3	84,56	13,12	3	3
1	20,33	18,94	1	1
17	284,79	18,94	12	19
4	75,21	9,67	2	4
2	113,40	4,49	1	2
7	135,88	18,83	5	7
6	163,89	18,82	4	6
8	388,12	18,82	2	10
1	43,13	4,85	1	1
9	131,01	18,78	6	9
3	75,85	13,02	3	3
8	230,73	18,72	7	8
7	109,20	18,70	6	7
5	147,18	14,56	4	5
2	68,65	6,47	2	2
6	218,77	11,34	6	7
1	54,37	2,27	1	1
5	112,74	11,37	5	5
1	23,41	9,26	1	1
5	110,44	15,67	4	5
4	46,45	15,41	4	6
1	25,60	2,44	1	1
2	37,61	10,62	2	2
16	458,01	16,61	13	16
3	132,00	10,39	2	3
11	212,92	14,77	10	11
5	148,13	18,37	3	10
15	301,90	15,32	14	16
7	142,94	15,40	5	8
6	44,98	18,34	6	6
4	151,44	18,32	4	5
5	140,12	13,58	5	6
4	109,58	18,29	3	4
2	79,54	3,96	1	2
2	36,63	3,39	2	2
4	50,73	12,61	3	4
2	20,74	6,51	1	2

7	89,07	13,88	5	8
10	223,97	16,13	8	11
6	175,84	18,18	5	6
4	83,23	8,81	3	4
6	115,94	18,09	6	8
4	75,62	18,06	3	4
2	33,89	18,03	1	2
3	61,68	17,95	3	3
10	151,07	17,95	9	11
4	84,86	17,95	3	4
3	59,05	13,32	2	3
7	327,82	14,31	5	8
6	75,64	17,83	4	6
1	34,62	17,83	1	1
4	81,83	17,82	4	4
1	68,76	9,95	1	1
7	214,31	10,23	6	7
2	59,02	17,74	2	2
11	400,08	9,78	7	11
14	466,54	14,62	10	16
7	327,89	17,70	3	7
6	55,80	17,59	5	6
9	336,69	17,56	5	9
5	92,47	17,54	3	5
2	120,75	10,53	1	2
6	155,07	12,57	5	6
3	114,23	17,49	3	6
8	286,96	14,76	5	8
6	121,77	13,42	5	7
8	174,45	14,77	6	7
2	89,67	13,76	2	2
2	53,48	9,85	2	2
6	298,64	14,58	5	8
3	96,64	15,04	3	3
2	73,45	17,39	2	2
3	48,76	17,34	2	3
6	178,53	14,78	6	8
	47,71	9,53	2	4
4	101,31	17,18	4	4
9	254,83	17,14	8	12
3	31,20	12,15	2	3
7	181,52	17,04	5	7
14	314,42	17,02	11	14

13	396,69	14,96	9	16
3	105,18	16,73	3	3
2	68,19	5,48	1	2
15	271,35	16,70	11	16
2	74,94	16,67	3	3
7	211,34	16,67	7	13
12	235,47	15,50	9	12
4	129,96	13,87	3	4
1	30,94	16,47	1	1
1	32,12	4,93	1	1
1	58,27	16,44	2	3
2	28,54	7,45	2	3
3	48,97	11,66	3	3
3	100,66	8,88	3	3
5	106,74	16,26	4	5
1	32,92	4,22	1	1
1	57,91	16,23	1	2
10	263,90	16,19	6	10
3	40,11	16,16	3	3
3	51,71	12,71	2	3
4	157,88	16,10	3	4
3	85,39	7,46	2	3
3	227,60	10,84	2	3
3	163,51	16,06	3	3
1	38,71	3,24	1	1
5	161,03	16,02	5	5
11	195,38	12,61	9	11
4	120,62	11,21	2	5
4	232,31	15,91	3	4
	38,73	15,89	1	1
6	64,01	12,18	2	5
5	265,15	11,41	4	7
1	108,57	4,88	1	1
10	193,94	14,20	9	11
2	26,79	15,83	1	2
1	26,87	5,56	1	1
2	56,02	8,02	2	2
4	98,40	13,93	3	4
2	23,63	4,36	2	2
6	273,30	14,21	5	8

3	88,07	9,21	3	3
14	278,66	10,77	11	14
9	119,38	13,50	6	9
19	506,90	14,50	15	22
1	34,31	4,28	1	2
3	112,29	13,24	3	3
5	128,52	12,12	2	5
4	128,50	12,55	3	4
3	65,72	15,34	2	3
14	425,34	13,21	11	18
3	102,90	11,00	2	3
2	103,32	8,67	1	2
3	180,66	15,31	2	3
3	60,40	11,21	3	3
3	86,91	15,25	2	3
4	76,49	8,87	3	4
5	118,50	12,27	4	7
1	37,41	15,22	1	1
6	137,92	10,41	4	6
1	31,32	3,19	1	1
4	89,75	15,20	4	5
5	171,17	15,13	5	5
4	86,27	11,63	4	4
5	177,88	7,58	6	11
	43,11	15,10	2	3
2	81,02	4,65	2	3
7	103,96	11,83	7	7
2	38,34	8,14	2	3
6	210,50	9,47	5	6
3	80,86	12,64	3	3
2	34,78	14,91	2	2
1	49,00	14,91	1	1
1	41,62	14,89	1	1
16	560,96	14,87	13	17
1	21,21	3,70	1	1
1	26,62	1,12	1	1
2	67,10	14,73	3	3
1	22,68	5,38	1	1
7	204,37	13,15	6	7
8	228,67	12,44	5	8
5	63,89	12,43	4	5
3	92,77	12,20	3	3

2	95,79	14,58	2	2
3	109,24	10,29	2	3
1	39,40	14,57	1	1
4	169,33	14,54	3	6
7	305,31	12,85	6	7
12	312,57	14,51	10	14
3	136,73	10,77	3	3
4	68,93	4,11	2	4
2	25,92	14,45	3	3
3	95,50	14,44	3	3
3	48,68	12,41	3	3
4	143,85	14,35	4	5
4	58,38	14,32	3	5
6	191,42	12,28	5	6
3	58,91	14,29	2	3
9	82,25	14,25	7	9
2	70,00	7,72	1	2
3	99,78	14,22	2	3
3	76,84	14,20	3	3
4	51,30	14,19	4	4
5	211,60	11,97	4	4
3	102,93	13,64	3	3
3	39,02	14,08	3	3
5	137,14	14,07	6	6
4	148,87	6,81	3	4
2	101,11	13,94	1	2
3	121,51	11,55	3	4
5	143,31	13,90	4	5
3	69,59	8,72	3	3
4	95,22	13,77	3	4
5	65,95	8,74	4	5
3	62,55	4,20	2	3
3	86,95	13,68	2	3
7	215,17	13,67	5	7
1	20,47	8,07	1	1
2	58,78	8,26	2	2
1	41,13	13,62	2	2

13	288,95	11,89	9	14
5	125,43	11,20	6	6
1	24,73	6,51	1	1
4	278,15	13,59	2	4
7	417,81	13,59	3	7
2	79,66	7,62	1	2
3	38,74	8,48	3	3
9	240,71	13,52	7	11
2	39,03	13,51	1	2
3	35,45	8,73	3	3
5	66,97	13,46	3	5
2	50,03	5,38	2	2
5	237,17	13,43	3	5
5	162,72	11,21	4	5
2	63,35	13,37	2	3
5	116,19	13,36	6	6
2	39,25	13,33	2	2
6	201,55	11,29	6	8
2	46,15	13,33	1	2
2	133,03	13,27	1	2
1	51,38	6,07	2	2
3	54,77	13,24	3	3
8	237,97	8,39	6	8
10	247,67	12,25	7	11
4	148,42	13,16	2	4
2	83,87	10,09	2	2
3	73,12	13,14	3	5
1	95,00	3,91	1	2
6	258,01	11,32	4	7
4	70,73	13,04	4	4
2	89,83	12,97	4	5
9	216,31	11,69	7	9
1	31,56	2,88	1	1
2	56,10	6,24	1	2
3	62,43	5,39	2	2
	41,09	12,87	1	1
7	86,60	12,86	7	7
4	99,91	11,21	3	4
2	68,13	7,65	1	2
6	202,24	11,78	5	6
2	33,82	9,87	2	2
4	137,46	12,72	4	5

3	66,15	12,66	3	3
2	42,82	12,65	2	2
5	183,08	9,63	5	5
11	200,47	11,50	9	12
6	129,68	12,58	5	6
4	145,08	12,54	2	4
6	157,16	11,52	7	11
2	33,85	4,71	2	2
3	40,99	9,09	3	3
10	226,21	12,44	8	11
3	91,27	12,42	2	3
1	28,52	7,38	1	1
2	74,47	9,79	2	2
4	68,27	7,87	4	4
2	31,24	4,68	2	2
4	117,45	12,40	3	4
1	25,87	12,40	1	1
4	123,44	7,40	4	4
9	426,66	12,31	4	9
7	158,64	12,27	6	8
2	76,79	11,17	2	3
7	250,03	9,47	6	7
1	47,90	5,07	1	1
2	55,31	12,15	2	2
5	103,84	12,13	4	5
2	33,27	12,13	2	2
5	129,28	12,08	3	5
1	32,57	12,04	1	1
2	33,04	2,64	2	2
9	251,22	11,00	8	11
5	211,26	11,99	4	6
8	232,53	8,20	7	8
5	295,51	11,85	6	8
2	38,88	6,54	2	2
	61,55	11,84	2	4
3	40,61	11,82	2	3
1	54,40	6,30	1	1

2	85,65	8,58	2	2
2	50,06	4,85	1	2
6	166,34	11,79	5	6
1	28,29	5,88	1	1
3	68,76	11,74	3	3
2	65,71	8,39	2	2
3	52,23	9,75	3	4
3	136,96	11,68	2	3
		0,00		
2	96,19	11,64	1	2
1	41,44	4,39	1	1
3	154,67	11,61	3	3
2	84,30	11,57	2	2
2	63,19	7,93	2	5
4	129,56	8,87	3	4
4	127,92	9,67	3	4
1	71,71	4,01	1	1
4	150,12	11,37	2	4
3	95,81	11,31	3	3
1	23,48	11,29	1	1
4	156,77	11,27	2	4
1	64,13	11,27	2	2
4	143,29	5,44	5	7
2	27,95	11,26	2	2
2	78,93	6,81	2	2
3	187,53	11,25	2	3
2	88,93	9,00	2	2
3	51,03	11,25	3	3
5	156,00	9,57	4	5
3	122,84	11,18	3	3
1	24,58	3,31	1	1
2	29,66	11,15	2	2
2	81,11	11,11	2	2
1	45,83	11,06	1	1
6	142,34	9,33	5	8
8	126,19	9,39	8	10
1	45,72	11,04	1	1
	22,83	0,92	1	1
2	84,05	8,75	2	2

4	146,57	10,98	2	4
4	212,52	5,45	2	3
4	83,90	10,90	3	4
4	78,46	10,89	3	4
2	142,40	10,86	2	4
1	35,73	10,86	1	1
2	68,44	10,84	2	2
3	53,53	10,81	3	3
1	33,34	10,79	1	1
1	25,35	5,39	1	1
6	170,11	8,85	5	6
1	73,74	10,73	1	1
5	111,28	8,79	4	5
2	84,20	7,35	2	2
4	43,86	10,64	3	4
3	103,63	8,70	2	3
3	153,00	10,60	2	3
7	129,01	10,60	5	7
4	96,38	10,57	3	4
2	38,62	6,58	2	2
6	37,51	10,50	6	6
4	55,03	10,48	4	4
6	226,92	7,83	5	6
2	81,45	5,79	2	2
8	257,22	10,45	5	8
2	31,83	6,40	1	2
7	103,10	4,80	5	7
6	350,29	10,42	3	6
5	107,36	10,42	4	5
6	112,42	10,42	5	7
3	70,59	10,42	2	3
2	35,50	10,40	2	2
5				
4	189,02	10,39	3	4
3	88,89	10,37	1	3
3	66,74	6,33	3	3
7	197,17	10,34	4	7
4	88,00	8,43	4	4
4	119,59	10,32	2	5
5	239,92	8,47	3	7
5	104,89	9,13	5	6
3	94,31	6,25	1	3
3	40,99	10,29	2	3

1	80,29	10,27	1	1
4	169,60	10,17	4	4
6	144,75	8,59	5	6
2	46,06	10,15	2	2
7	167,01	10,09	6	9
4	113,39	10,07	3	4
3	104,99	5,42	4	4
3				
4	38,02	10,00	3	4
4	144,62	9,98	3	4
	71,54	9,98	2	3
1	51,30	6,52	1	1
2	73,47	9,85	1	2
5	338,49	9,80	2	10
10	317,47	9,76	6	10
6	144,16	7,11	5	6
2	47,31	6,78	2	3
3	47,68	7,85	3	3
4	72,14	9,69	3	4
2	66,69	9,69	2	2
3	75,69	9,66	3	3
1	31,98	2,69	1	1
	46,72	8,30	3	3
1	55,32	9,62	1	1
1	47,36	9,60	1	1
4	115,45	9,59	3	4
4	180,77	9,56	4	4
2	154,01	9,55	1	2
4	119,96	9,55	3	4
5	290,48	9,54	2	5
2	36,04	9,52	1	2
2	28,60	9,51	2	2
6	76,42	8,50	4	6
2	106,79	9,49	3	3
2	66,62	6,86	1	2

2	52,97	9,47	1	2
3	70,04	6,68	2	3
4	155,69	4,78	3	4
3	86,71	9,42	3	3
1	85,46	4,71	1	1
5	176,60	9,39	3	5
5	137,29	7,54	3	5
2	74,74	9,36	3	4
3	34,03	9,35	3	3
1	29,08	3,89	1	1
1	47,92	9,26	2	2
5	95,91	9,23	5	6
2	41,75	9,22	2	2
2	82,72	6,45	2	2
2	77,39	6,60	2	2
1	51,10	1,70	1	1
1	55,49	1,43	1	1
2	83,32	9,14	3	3
2	20,69	9,09	1	2
5	188,35	7,44	4	5
2	77,86	8,97	1	2
2	33,38	6,22	2	2
1	21,06	1,89	1	1
2	60,17	8,83	2	2
4	150,93	8,82	3	4
1				
7	212,95	8,80	5	7
2	83,34	8,79	2	2
6	60,45	7,47	5	6
1	58,41	1,40	1	1
2	58,09	8,73	2	2

2	49,30	8,71	2	2
4	64,71	8,71	3	4
5	126,55	5,53	3	5
3	149,70	2,97	2	3
3	64,72	8,58	2	3
2	105,11	8,54	2	2
2	51,66	8,52	1	2
	24,40	8,52	1	2
9	81,13	6,77	5	10
2	89,49	8,48	2	2
4	30,36	6,72	3	4
1	27,62	8,44	1	1
1	31,60	1,12	1	1
3	59,90	8,42	2	3
3	111,90	8,42	2	3
2	117,31	8,37	2	2
6	142,84	8,35	4	6
2	41,86	8,33	2	2
2	33,24	8,30	2	2
3	41,37	8,28	2	3
4	80,63	6,77	4	4
3	63,92	8,25	2	3
1	61,28	8,22	1	1
4	98,78	8,22	3	5
1	26,47	4,97	1	1
2	103,65	8,16	2	2
1	40,49	8,16	1	2
1	47,41	8,14	1	1
2	60,11	8,14	2	2
3	113,60	8,10	3	4
1	25,89	8,09	1	1
6	147,62	6,15	5	6
2	27,53	8,05	2	2
4	100,25	8,02	4	5
	57,80	6,17	1	2

2	63,38	8,00	1	2
3	47,91	7,99	2	3
1	22,21	7,97	1	1
1	30,06	6,25	1	1
1	33,70	7,95	1	1
1	36,10	4,69	1	1
6	76,78	7,93	6	6
1	41,55	7,93	1	1
1	25,36	7,91	1	1
7	292,44	7,87	7	11
1	41,34	1,17	1	1
3	65,83	5,24	3	3
1	24,38	7,83	1	1
6	140,34	7,10	6	6
3	55,58	7,81	3	3
4	124,75	7,79	4	4
1	21,03	2,31	1	1
1	43,08	7,75	1	1
2	75,42	7,74	2	2
4	39,13	6,06	2	4
2	87,76	7,73	1	2
1	47,94	7,68	2	2
2	50,11	7,64	1	2
4	187,45	7,63	2	4
4	72,79	5,99	3	4
1	51,47	7,60	1	1
3	50,75	4,88	3	3
1	50,81	7,58	1	1
1	24,72	2,32	1	1
1	45,72	7,53	1	1
2	81,67	7,52	2	2
1	21,95	7,50	1	1
2	42,89	4,01	2	2
2	42,41	7,49	2	2
1	48,74	7,44	1	1
4	85,29	6,11	3	4

10	216,27	7,41	9	11
4	60,35	7,40	3	5
2	45,46	7,39	1	2
1	32,67	7,35	1	1
4	80,38	3,79	3	4
2	54,50	7,28	2	3
	56,85	5,31	1	1
1	57,99	3,23	1	1
1	65,86	7,24	1	1
2	21,33	7,24	2	2
2	97,71	7,21	2	2
3	47,38	4,38	1	3
12	304,61	6,75	10	12
6	159,47	5,77	9	11
	22,77	7,14	1	1
4	92,38	7,12	2	4
2	76,37	7,11	1	2
3	112,88	7,11	2	3
1	23,32	7,11	1	1
3	98,42	7,10	3	3
1	41,72	7,07	1	1
1	37,16	2,82	1	1
1	23,14	2,35	1	1
5	163,41	7,05	3	5
1	29,16	7,05	1	1
1	25,69	2,41	1	1
5	80,24	7,02	3	5
4	101,31	6,99	4	4
3	47,92	3,85	3	4
2	23,67	6,96	2	2
4	82,87	6,95	4	4
1	58,41	6,94	1	1
4	36,69	5,52	3	4
1	35,73	3,36	1	1
1	45,95	6,92	1	1
3	93,86	6,92	3	3
1	28,45	2,38	1	1
4	225,62	6,85	2	4
1	97,06	6,83	2	3

4	89,43	5,73	4	4
4	110,92	6,79	3	4
2	40,75	6,01	4	4
1	47,80	5,29	1	1
1		0,00		
5	51,23	6,72	5	5
3	36,76	6,70	2	3
6	53,64	5,53	4	6
2	90,42	6,67	1	2
1	37,67	6,64	1	1
	43,50	6,59	2	4
1	37,30	6,59	1	1
1	51,14	6,56	1	1
2	44,78	4,80	2	2
2	34,51	1,02	1	2
15	367,33	5,67	12	17
1	48,92	2,97	1	1
2	75,63	6,52	1	2
1	20,05	6,49	1	1
1	23,97	6,49	1	1
8	160,33	6,02	7	8
2	27,98	3,79	2	2
	53,33	6,46	1	3
2	54,98	6,42	1	2
2	56,75	6,40	1	2
1	23,94	6,40	1	1
1	28,42	6,38	1	1
1	20,20	2,73	1	1
3	61,07	4,31	2	3
2	58,40	6,35	2	2
1	44,66	6,34	1	1
2	41,62	6,33	2	2
10	288,11	6,30	8	10
4	29,34	6,28	2	4
1	45,36	6,27	1	2
2	105,37	6,27	1	2
4	149,79	3,54	4	4
	34,10	6,25	1	2
1	20,07	6,21	1	1

4	110,25	4,90	4	4
3	88,59	6,20	3	3
3	33,28	6,13	3	3
2	27,84	3,48	2	2
3	40,45	6,12	2	3
3	40,87	6,11	3	3
3	190,22	6,11	2	4
4	103,56	6,11	3	4
1	35,10	6,10	1	1
	33,37	6,07	1	1
6	177,60	4,89	5	6
3	48,51	6,04	3	3
3	32,77	6,02	2	3
1	39,40	6,02	1	1
3	20,18	6,01	2	3
1	20,97	2,00	1	1
1	20,28	5,99	1	1
1	58,81	3,35	1	1
1	37,34	2,58	1	1
1	39,64	5,98	1	1
2	90,65	5,97	1	3
2	49,70	5,97	3	4
1	28,12	5,94	1	1
2	24,56	5,93	2	2
1	25,62	5,92	1	1
2	35,76	5,92	2	2
2	96,63	5,89	1	3
1	34,80	5,85	1	1
4	99,98	5,83	3	4
2	57,04	4,57	2	2
1	103,49	5,80	3	3
1	22,62	2,51	1	1
1	23,35	1,40	1	1
2	33,49	3,65	2	2
1	35,96	5,77	1	1
3	95,32	5,75	3	3
1	30,82	2,98	1	1
1	20,93	5,74	1	1
3	143,89	4,61	3	3
2	76,27	5,73	1	2

2	32,89	4,28	2	2
2	107,05	5,70	2	2
6	103,78	5,70	4	6
2	45,33	5,69	2	2
1	28,11	5,67	2	2
3	67,70	5,66	2	3
1	30,98	5,65	1	1
2	59,29	5,65	1	2
1	37,60	5,62	1	1
2	27,51	3,52	2	2
3	68,63	4,29	2	3
1	25,28	5,57	1	1
3	74,41	5,56	3	3
1	21,10	5,54	1	1
1	23,55	5,54	1	1
1	27,43	2,25	1	1
1	57,11	4,17	2	2
1	48,48	5,48	1	1
1	59,94	5,44	1	1
3	67,62	1,96	2	2
2	70,62	3,26	1	2
2	75,19	5,43	1	2
1	27,37	5,42	1	1
1	38,30	3,56	1	1
1	20,35	1,29	1	1
1	34,91	5,40	1	1
1	31,36	5,39	1	1
2	27,29	3,36	2	2
	48,50	5,35	1	1
2	84,06	5,34	1	2
3	81,52	5,30	2	3
1	24,91	1,53	1	1
	21,20	2,93	1	1
		0,00		
2	47,45	5,25	2	2
1	30,79	0,93	1	1
1	65,47	3,51	2	3
5	60,90	5,24	3	5
3	25,95	5,23	3	3
2	40,87	2,91	2	2
2	73,57	5,19	2	2

3	88,88	5,18	3	3
1	20,95	5,17	1	1
1	30,68	2,77	1	1
2	90,40	5,13	2	2
2	89,94	5,13	1	2
2	49,22	2,99	1	2
1	55,93	5,12	1	1
1	30,06	5,11	1	1
1	50,46	5,10	1	1
2	82,02	2,94	2	2
1	25,11	5,06	1	1
1	43,77	5,06	2	2
3	32,91	5,04	2	3
1	56,89	1,49	1	1
3	185,53	4,99	1	3
2	29,58	4,96	1	3
1	23,53	4,94	1	1
3	60,34	4,92	1	3
3	36,52	3,76	2	3
5	130,50	4,90	4	5
1	70,76	4,89	1	1
1	28,91	4,88	1	1
1	25,05	4,80	1	1
1	30,18	4,78	1	1
		0,00		
4	120,85	4,77	3	4
1	28,57	4,76	1	1
4	44,21	4,75	3	4
1	35,80	4,74	1	1
2	59,03	2,67	2	2
2	100,48	4,72	2	2
1	32,25	3,15	1	1
	30,06	4,72	1	5

1	20,67	4,69	1	1
3	40,36	4,68	1	3
1	20,63	2,56	1	1
1	26,07	4,67	1	1
2	84,35	2,50	1	2
1	37,77	4,63	1	1
2	51,67	4,63	2	3
	29,71	4,63	1	18
1	27,45	4,61	1	1
1	20,57	4,57	1	1
1	68,03	4,50	1	1
	57,46	4,47	1	1
1	36,04	2,57	1	1
1	46,72	4,42	1	1
3	111,84	3,42	3	3
1	76,58	4,41	1	1
1	21,91	4,36	1	1
		0,00		
1	43,97	2,35	1	1
	37,65	4,35	1	1
1	44,61	1,85	1	1
1	39,14	4,24	1	1
1	49,64	1,97	1	1
1	39,29	4,23	1	1
3	59,69	4,23	3	3
2	73,41	2,68	1	1
1	33,45	4,20	1	1

2	59,58	2,43	1	2
2	70,37	4,18	2	2
2	86,19	4,17	2	2
3	110,18	4,15	2	3
2	59,43	4,12	2	2
1	41,28	4,02	1	1
1	30,41	4,02	1	1
1	45,95	4,01	1	1
1	22,72	3,97	1	1
1	44,98	3,97	1	1
1	31,92	3,96	1	1
2	96,78	3,22	3	4
3	44,72	3,93	3	3
	64,91	3,93	1	2
1	50,81	3,90	1	1
2	42,80	2,09	1	1
3	39,19	3,89	3	3
2	47,32	3,88	1	2
1	83,31	3,18	1	3
1	89,47	3,82	1	2
3	61,47	3,82	2	3
1	28,56	1,23	1	1
2	107,72	3,77	3	5
1	22,75	3,77	1	1
3	187,38	3,74	1	3
2	42,30	3,73	2	2

1	25,19	3,72	1	1
2	92,36	3,70	1	2
	39,50	3,70	1	1
1	22,31	3,69	1	1
1	84,47	3,69	1	1
1	34,10	3,67	1	1
3	194,44	3,66	1	3
1	43,41	3,64	1	1
2	71,73	3,59	2	2
1	28,03	3,56	1	1
1	20,89	3,56	1	1
1	68,08	3,53	1	1
1	30,57	3,51	1	1
1	30,30	3,51	1	1
1	38,88	3,49	1	1
1	59,88	1,74	1	1
1	44,89	3,48	1	1
1	77,13	3,47	1	1
1	41,57	3,46	1	1
3	49,54	2,05	2	3
	33,43	3,43	1	1
1	23,78	3,42	1	1
1	52,01	3,42	1	1
1	34,00	3,42	1	1
1	43,68	3,40	1	1
1	27,45	3,38	1	1
2	50,39	3,37	2	2
3	51,06	3,36	2	3
3	105,74	2,52	2	3
2	103,46	3,35	1	2
1	51,30	3,35	1	1
1	46,72	3,33	1	1
1	80,03	3,31	1	1
1	40,29	3,31	1	1
1	24,78	3,30	1	1
1	73,06	3,30	1	1

1	34,73	3,28	1	1
4	120,02	2,37	2	4
1	28,47	3,25	1	1
2	29,17	3,24	2	2
1	47,71	3,23	1	1
3	75,80	3,20	3	3
2	58,20	3,19	2	2
1	45,56	3,19	1	1
1	37,33	3,17	1	1
2	104,35	3,16	1	2
	23,57	3,16	1	1
1	25,12	3,15	1	1
1	68,34	3,15	1	1
1	35,06	3,11	1	1
2	72,83	3,06	2	2
1	38,09	3,05	1	1
1	51,52	3,04	1	1
	26,29	3,01	1	1
1	33,71	2,16	1	1
2	120,27	2,99	2	6
1	35,09	2,99	1	1
	33,95	2,95	1	1
1	30,16	1,90	1	1
1	24,07	2,92	1	1
4	62,07	2,89	3	4
3	36,58	2,88	3	3
1	29,27	2,87	1	1

1	20,45	2,85	1	1
1	59,67	2,82	1	1
1	56,90	2,81	1	1
1	41,64	2,80	1	1
		0,00		
1	29,44	2,78	1	1
1				
1	64,77	2,77	1	2
2	34,65	2,76	2	2
2	22,74	2,68	2	2
1	31,36	2,68	1	1
1	32,24	2,64	1	1
1	69,88	1,50	1	1
2	49,85	2,60	1	2
2	132,54	2,58	1	2
1	27,84	2,58	1	1
	27,57	2,58	2	2
2	29,18	2,57	2	2
1	67,88	2,56	1	1
1	29,12	2,56	1	1
1	27,16	2,56	1	1
1	65,52	2,52	1	1
5	160,76	2,51	3	5
1	22,30	2,50	1	1
4	40,55	2,50	4	4
1	51,02	2,49	1	1
2	39,72	1,41	1	2
2	28,17	2,47	1	2
2	69,83	2,46	2	2
1	26,50	2,45	1	1
1	44,22	2,42	1	1
1	50,68	2,41	2	2
2	65,15	2,41	1	2
1	35,61	2,41	1	1
1	63,77	2,39	1	1
1	29,92	2,38	1	1

2	34,36	2,38	1	2
	28,12	2,38	1	2
1	26,61	2,36	1	1
1	45,96	2,35	1	1
1	23,38	2,35	1	1
3	79,88	2,33	2	3
1	24,45	2,33	1	1
1	26,45	2,32	1	1
1	30,77	2,32	1	1
1	20,91	2,30	1	1
1	42,97	2,29	1	1
1	33,84	1,38	1	1
2	151,64	1,18	1	2
3	55,10	1,62	3	3
		0,00		
1	24,14	2,26	1	1
1	23,15	2,25	1	1
1	21,63	2,24	1	1
1	26,86	2,24	1	1
1	36,93	1,11	1	1
1	22,02	2,17	1	1
1	32,47	2,17	1	1
1	44,74	2,15	1	1
1	50,55	1,07	1	1
1	43,57	2,14	1	1
1	23,67	2,13	1	1
	22,92	2,12	1	2
1	40,90	2,10	1	1
1	27,14	2,09	1	1
1	34,24	2,07	1	1
1	51,20	2,06	1	1
	26,06	0,93	1	3
1	77,46	2,04	1	1
1	30,34	2,04	1	1
1	36,26	2,02	1	1
1	24,18	2,02	1	1
1	20,39	2,01	1	1
1	40,79	2,01	1	1

1	22,55	2,01	1	1
1	29,92	2,00	1	1
1	21,66	1,98	1	1
1	88,79	1,96	1	1
1	20,98	1,96	1	1
2	77,24	1,95	2	2
1	34,12	1,94	1	1
1	61,64	1,93	1	1
2				
1	0,00	1,88	1	1
1	39,15	1,88	1	1
2	117,89	1,85	1	2
1	27,44	1,85	1	1
1	37,75	1,85	1	1
1	22,91	1,85	1	1
1	34,04	1,84	1	1
1	33,90	1,84	1	1
1	25,93	1,84	1	1
	21,87	1,84	1	1
	20,34	1,84	1	1
1	52,19	1,82	1	1
1	22,37	1,82	1	1
1	24,99	1,75	1	1
1	35,45	1,75	1	1
1	43,15	1,74	1	1
1	20,77	1,71	1	1
1	56,51	1,70	1	1
1	75,84	1,68	1	1
	38,75	1,68	1	2
1	52,52	1,67	1	1
1	61,80	1,66	1	1
2	86,09	1,64	1	2
1	22,04	1,63	1	1
1				
1	61,83	1,61	1	1
		0,00		
1	37,99	1,58	1	1
2	95,89	1,57	1	2
1	48,39	1,57	1	1
1	35,59	1,57	1	1
1	25,85	1,56	1	1
3				

1	25,52	1,55	1	1
1	29,67	1,54	1	1
1	31,72	1,53	1	1
1	23,80	1,52	1	1
1	55,96	1,52	1	1
	25,56	0,56	1	1
1	53,69	1,50	1	1
2	30,27	1,50	2	2
1	25,95	1,49	1	1
2	41,79	1,46	2	2
2				
1	26,55	1,41	1	1
2	33,76	1,10	2	3
1	25,23	1,38	1	1
1	21,82	1,34	1	1
1	23,18	1,32	1	1
	47,50	1,30	1	1
1	40,11	1,22	1	1
1	50,50	1,22	1	1
1	24,40	1,21	1	1
1	39,57	1,17	1	1
1	30,71	1,15	1	1
2	89,02	1,15	2	2
1	40,76	1,12	1	1
1	46,98	1,12	1	1
3	70,04	1,08	1	3
1	29,77	1,06	1	2
1	21,92	1,06	1	1
1	21,83	1,04	1	1
		0,00		
1	13,06	0,98	1	1
1	0,00	0,97	1	1
1				
1	39,97	0,92	1	1

1	27,40	0,88	1	1
	0,00	0,86	1	1
	51,99	0,66	1	1
1	32,93	0,74	1	1
1	39,87	0,74	1	1
	31,08	0,71	1	2
1	26,64	0,66	1	1
1	27,40	0,65	1	1
1	64,64	0,63	1	1
1				
1	36,19	0,61	1	1
1	31,21	0,57	1	1
	21,13	0,57	1	1
		0,00		
1	38,99	0,36	1	1
1	35,50	0,35	1	1
2	25,03	0,34	1	2

Sporen				
Score Oxidation	Coverage Oxidation	# Peptides Oxidation	# PSM Oxidation	Score AcetylProtNterm
291,74	74,75	3	7	305,77
200,16	96,15	2	4	200,16
585,19	79,35	16	25	578,61
707,67	80,72	12	30	512,63
454,44	87,59	7	14	458,37
724,46	86,61	9	22	743,03
195,12	62,96	7	7	191,37
637,00	85,71	10	22	629,98
364,95	61,62	7	14	407,72
3911,48	74,34	44	143	2704,39
200,81	59,43	6	9	180,62
450,68	53,48	13	22	487,62
230,28	58,00	4	9	440,70
2922,13	83,04	31	92	2137,11
764,65	79,83	18	31	697,67
235,59	82,14	5	8	236,31
2184,76	74,75	28	69	1479,96
311,99	66,14	14	16	226,48
411,49	53,73	11	16	421,80
841,85	71,76	19	30	774,40
440,96	80,51	5	10	372,55
606,80	44,65	14	25	451,29
630,15	62,50	10	19	590,99
777,42	59,81	9	20	835,72
787,75	74,77	14	26	689,38
579,07	73,50	11	21	462,29
1630,34	73,39	26	52	1364,29
1837,10	64,40	25	49	1421,72
881,71	78,72	11	23	890,27
550,60	52,55	12	17	503,75
681,34	64,72	18	29	537,18
399,40	73,36	11	16	409,18
687,87	74,41	14	30	718,52
1746,22	70,59	13	47	1318,76
1213,49	57,79	18	37	887,86
889,74	70,38	18	25	695,71
669,89	60,34	14	27	645,26
2334,47	58,89	29	61	1771,09
192,57	77,45	5	7	194,17
107,28	7,38	2	3	107,65
967,99	76,60	17	29	943,26
1414,78	73,29	23	47	1392,32
172,69	63,37	4	6	176,73
841,61	54,83	22	34	846,31
1303,80	62,83	15	41	901,84

649,87	47,37	13	25	590,04
954,60	47,84	17	27	911,92
456,02	74,80	7	11	431,98
1654,14	47,33	32	54	1235,57
169,34	41,15	6	8	170,30
738,11	65,15	19	30	867,36
308,28	34,55	5	7	312,55
233,09	45,95	3	5	588,93
333,92	41,03	8	13	161,74
1481,16	65,87	19	52	1020,19
136,88	30,19	4	5	138,51
296,81	51,52	4	9	269,17
381,93	36,12	15	19	442,96
1499,55	60,33	17	39	1392,56
625,44	35,79	15	23	423,15
949,63	63,89	17	34	739,28
447,08	43,89	10	13	450,02
543,62	59,59	11	20	531,43
1491,42	58,38	28	48	1070,02
388,21	53,97	8	15	332,36
1457,47	65,19	24	42	1262,25
336,08	57,07	6	10	172,41
891,90	44,00	13	32	725,07
664,88	63,68	23	30	603,22
411,19	66,35	13	20	322,70
494,18	59,73	9	16	276,02
169,30	61,11	5	6	204,07
178,60	34,67	5	6	201,79
277,50	22,96	5	8	280,33
508,77	60,87	9	22	411,78
333,37	67,35	7	11	321,52
1185,67	57,89	34	48	1106,24
824,68	61,61	18	27	836,85
348,91	39,27	12	14	350,97
467,28	69,33	11	18	310,07
568,77	45,85	15	22	521,98
963,78	49,66	14	29	483,96
326,93	62,43	6	11	306,09
90,13	34,92	4	4	91,08
1506,07	61,59	19	48	1176,06
478,68	54,10	7	14	287,60
379,38	50,65	6	9	363,12
770,05	65,18	19	31	812,73
783,36	33,24	17	28	680,67
266,28	68,42	9	12	269,85
727,27	57,47	23	35	551,74
804,00	68,28	6	33	806,80
258,48	31,82	3	6	148,42
178,76	31,19	7	13	174,00
386,68	68,14	8	15	357,87

1546,86	57,33	36	57	1236,70
274,00	67,81	5	6	281,23
33,47	34,69	5	6	33,48
448,31	48,82	21	28	402,79
1850,51	63,50	44	67	1793,21
207,36	67,57	3	6	111,78
554,54	43,33	19	27	535,69
331,91	36,59	10	17	354,77
342,09	33,66	13	24	305,07
124,30	34,71	6	8	128,89
482,27	43,80	15	25	464,72
462,33	40,29	8	15	446,40
880,51	42,78	28	35	810,09
80,52	56,38	5	8	71,96
121,90	35,00	5	5	122,53
1009,15	50,07	28	46	953,21
955,42	66,20	4	24	980,71
438,56	50,46	10	14	427,40
93,88	18,33	4	6	93,81
353,62	31,46	7	12	356,42
214,70	25,37	3	6	218,16
2089,38	59,93	27	61	1637,14
524,87	46,62	13	21	318,90
326,42	55,17	9	16	499,72
123,77	57,04	4	6	122,71
499,57	65,45	7	13	507,60
341,11	55,70	9	13	284,83
2363,31	59,24	39	89	1920,49
1284,36	51,27	27	42	833,14
565,89	58,89	13	18	450,04
368,68	44,68	13	20	301,44
679,88	62,01	17	23	685,63
579,41	52,27	16	23	594,54
954,01	43,98	24	37	759,52
150,27	19,66	6	6	117,76
392,38	51,95	14	18	376,41
65,12	30,61	3	3	65,30
148,39	43,05	7	10	132,89
132,64	55,28	4	8	138,43
110,05	21,11	5	6	111,87
679,38	63,98	14	23	687,31
220,90	55,42	5	5	223,01
1163,40	54,30	16	54	725,23
213,88	44,25	7	9	218,50
1974,18	50,28	29	60	1182,11
857,01	55,27	16	26	759,82
555,04	40,67	13	22	433,93

197,47	63,53	3	5	195,77
412,19	48,60	10	13	311,28
446,11	63,38	13	26	347,50
239,52	25,63	7	9	238,42
368,27	41,01	12	20	332,15
555,95	51,45	19	24	393,67
811,34	49,44	13	19	823,54
381,92	35,37	10	12	288,77
2212,50	57,68	39	74	1923,45
560,72	62,87	13	23	343,32
363,84	27,45	11	14	390,23
441,49	44,10	10	13	415,52
405,45	20,67	9	11	354,90
195,98	27,82	9	12	201,85
233,90	45,65	9	15	195,61
316,06	48,52	8	11	322,22
2408,77	60,31	44	87	2243,59
1049,17	59,24	20	31	840,31
1101,48	52,45	15	34	875,49
765,34	51,98	18	28	710,01
2472,35	52,23	48	89	2025,70
401,63	61,95	6	13	396,10
414,37	37,43	10	21	431,54
534,68	44,99	11	19	539,32
213,09	29,73	4	6	193,21
226,84	61,48	6	9	204,68
146,91	46,03	7	9	152,61
372,17	36,85	12	14	243,74
307,24	61,33	11	16	272,55
405,65	38,39	12	17	375,76
464,10	38,13	8	13	469,16
438,76	61,19	10	17	444,14
355,00	57,69	9	18	310,10
280,09	50,22	8	10	188,20
22,70	1,55	1	1	22,70
2705,56	55,53	48	103	2133,55
421,33	30,72	15	20	432,01
189,56	35,44	6	9	209,13
703,80	32,95	16	25	536,90
784,03	37,84	9	19	752,71
486,12	51,79	14	21	416,99
477,94	43,87	12	15	377,94
1073,64	50,55	21	34	932,74
390,35	33,41	10	12	411,46
1161,48	58,53	14	32	797,51
867,65	52,60	30	39	882,25
396,91	42,34	15	18	396,50
54,75	24,61	3	3	55,09
1561,26	54,87	37	54	1074,61
130,36	44,95	5	5	131,62
191,01	23,82	7	9	189,11

250,50	59,29	7	11	251,89
20,37	3,23	1	1	20,37
310,87	56,18	9	12	314,06
261,55	25,82	9	13	264,81
232,78	59,09	6	8	234,15
471,07	34,80	12	18	309,74
269,60	53,30	5	7	271,79
646,86	52,47	15	25	620,66
761,71	58,60	11	25	625,01
1009,62	53,81	15	34	1024,08
371,25	56,50	9	15	331,23
1124,40	54,40	22	41	1014,33
134,58	57,61	3	4	136,15
192,16	21,82	7	7	194,55
443,82	40,11	13	15	445,68
237,66	30,66	11	13	348,14
168,05	35,81	7	8	172,08
644,31	58,24	9	22	603,88
352,81	40,08	13	19	315,92
510,49	54,59	14	19	473,99
534,19	47,85	12	16	485,54
568,09	42,40	7	19	487,12
81,00	32,23	3	3	81,00
1542,49	57,76	15	40	1163,85
88,28	14,08	3	3	89,41
160,70	27,60	9	10	164,83
26,76	7,59	2	2	26,76
264,27	57,69	11	12	253,79
153,41	57,69	5	7	153,60
432,62	57,66	6	14	280,49
305,24	57,59	9	15	312,25
1002,94	45,31	12	31	559,46
485,67	43,73	7	15	457,60
1231,03	43,32	25	51	701,01
700,21	38,05	20	22	577,24
91,01	33,62	5	5	92,52
247,64	31,25	7	10	194,05
89,10	20,00	4	4	88,96
356,15	52,10	8	12	363,88
98,54	33,33	3	3	194,25
226,11	32,97	8	9	231,69
187,62	40,00	8	9	186,05
769,47	40,58	9	17	797,22
377,08	47,50	8	15	292,80
577,49	38,54	20	25	593,25
975,82	48,10	16	32	825,89
397,34	47,21	10	16	381,85
40,80	13,98	5	5	41,36
869,70	56,13	8	36	872,39
1244,23	52,64	15	29	802,57

379,89	18,62	10	13	371,08
250,08	45,23	9	12	252,77
541,06	42,97	11	14	531,75
156,50	22,68	2	4	157,24
1441,59	50,39	35	50	1183,74
208,57	38,04	4	5	142,32
				22,84
496,77	51,53	12	18	385,93
150,03	27,43	6	7	150,52
86,05	25,81	5	5	89,30
549,13	45,34	14	21	559,51
28,88	55,10	3	3	29,81
681,20	46,68	12	24	641,76
250,92	33,43	7	10	237,11
204,10	14,06	5	7	180,89
270,53	44,62	4	7	271,12
736,66	45,99	16	30	542,76
451,90	53,88	10	14	290,11
611,65	37,29	17	24	592,91
328,10	41,18	7	11	382,20
25,09	15,09	2	2	
471,41	38,01	13	17	487,22
144,07	47,83	8	9	169,15
173,85	19,79	5	5	109,97
484,39	53,94	10	20	418,81
801,78	43,98	5	14	666,91
206,71	28,95	10	13	107,53
425,13	39,38	9	10	431,92
155,70	34,97	5	6	190,87
932,26	43,43	22	34	751,39
773,77	53,57	6	21	479,66
267,14	26,54	6	8	117,89
631,68	47,78	16	26	482,41
228,86	14,20	4	6	231,28
269,11	26,90	7	8	251,78
476,69	41,92	16	24	469,67
240,33	52,74	4	9	240,66
21,46	7,14	1	1	60,84
246,78	31,73	10	14	252,58
421,28	45,26	11	18	387,84
204,49	30,92	7	10	206,35
30,02	11,22	1	1	30,02
325,89	44,66	6	11	259,67
183,06	24,80	5	8	185,55

325,05	45,73	12	15	280,58
29,12	5,53	2	2	29,12
297,84	48,18	11	16	305,86
91,46	22,77	9	9	97,12
34,65	18,00	2	2	34,65
339,27	30,29	9	15	253,10
238,90	30,84	4	7	237,54
313,99	29,58	9	12	249,85
506,31	33,99	14	18	408,59
489,64	42,89	16	22	443,27
405,04	16,72	20	26	333,62
298,64	29,80	5	8	342,03
804,00	34,56	5	32	806,80
155,54	46,18	7	9	143,42
82,88	35,90	4	4	180,04
662,80	33,88	16	29	542,80
151,79	51,20	4	7	152,16
305,81	39,39	7	15	306,38
103,51	29,32	3	7	103,51
1280,64	46,91	26	35	1260,07
44,60	51,02	3	4	47,49
284,74	45,45	5	8	290,68
212,00	36,18	5	7	170,75
314,93	36,89	7	16	244,77
322,30	36,23	5	12	323,18
31,64	18,57	3	3	31,71
692,60	50,68	14	19	659,65
167,68	21,15	7	7	175,16
420,32	46,42	14	18	426,72
349,60	13,16	4	6	352,35
674,98	29,46	17	20	608,71
236,02	45,15	9	11	150,88
159,72	40,78	3	5	171,50
266,63	31,41	7	16	224,88
889,87	50,37	20	36	650,43
856,62	47,21	14	25	739,97
237,16	34,51	10	11	176,81
155,26	36,99	7	7	155,26
213,17	22,30	6	8	214,07
92,99	33,02	2	4	95,31
301,70	31,38	10	12	251,47
129,03	39,47	7	8	192,97
378,81	27,80	13	15	294,37
65,11	49,41	3	4	67,14
66,93	36,84	3	3	160,10
178,44	22,87	5	6	161,79
440,23	48,84	11	17	398,91

287,80	49,27	6	10	250,17
110,33	18,82	5	5	121,02
885,21	42,63	12	44	430,80
237,34	49,03	7	8	208,70
503,36	33,43	14	22	510,31
391,05	26,63	6	10	393,97
161,76	33,56	6	7	163,47
364,45	48,92	6	13	107,55
162,49	41,18	8	10	168,97
636,90	41,22	19	28	563,17
286,55	29,95	3	7	289,57
694,17	46,79	11	26	618,94
371,26	48,67	13	20	323,17
334,26	44,14	5	8	373,44
785,50	27,34	22	30	762,78
59,54	4,91	2	2	60,62
489,84	40,03	15	21	404,56
846,03	33,29	15	23	625,51
148,81	28,51	5	8	153,23
348,41	25,37	8	12	350,60
370,92	4,08	7	10	373,92
295,60	22,95	9	12	298,53
44,17	5,84	2	2	44,17
514,45	33,72	13	18	273,39
587,33	48,37	6	14	566,06
72,66	48,18	5	6	64,41
319,62	42,45	7	9	278,86
350,62	14,47	7	11	353,59
551,84	38,43	8	15	450,44
355,70	40,69	7	12	361,20
209,65	37,07	9	15	179,44
397,91	31,79	14	17	442,30
97,85	3,36	2	3	101,55
230,61	34,51	11	16	226,71
573,18	47,80	9	16	410,31
343,52	38,24	6	12	240,90
90,37	22,96	4	4	90,55
271,12	26,35	8	11	208,92
517,78	34,53	16	21	523,59
259,68	26,92	9	12	151,54
375,97	47,68	10	17	382,55
60,30	7,38	2	2	
34,03	9,50	1	2	34,03
269,70	24,52	14	16	260,88
296,54	35,89	9	10	300,55
474,96	34,32	14	22	375,14
187,53	34,73	10	11	174,20
304,04	34,27	5	7	306,46
294,86	32,82	11	15	209,84
198,01	23,55	5	7	173,02

35,77	21,88	1	2	49,51
226,80	23,06	8	11	230,20
42,04	17,59	2	3	42,15
402,82	39,25	13	15	363,47
139,28	46,71	5	8	126,89
232,69	20,27	10	11	201,00
64,08	9,41	2	2	97,14
260,89	27,05	9	10	269,48
319,95	37,15	10	12	289,80
110,10	19,07	4	6	111,69
144,58	21,32	9	9	156,51
485,83	43,10	9	16	435,09
422,51	46,36	8	14	311,99
869,79	30,56	23	31	701,42
74,99	26,19	5	6	70,34
144,49	25,00	6	8	166,78
159,56	31,42	7	10	162,75
174,87	46,21	6	9	179,80
229,20	42,34	12	14	234,63
106,12	13,33	4	5	108,34
192,83	40,41	11	15	169,39
443,92	37,18	11	16	450,63
158,51	13,35	5	7	161,95
56,43	37,30	7	7	53,90
314,40	39,45	9	12	283,04
516,34	31,04	8	12	623,81
480,16	41,28	8	13	470,05
361,88	34,47	12	19	385,09
754,45	26,78	17	26	625,72
106,56	40,77	6	7	164,71
195,23	22,40	7	9	200,85
98,04	13,31	5	7	98,26
431,49	45,60	9	20	226,99
409,69	32,99	15	17	374,06
264,04	34,28	5	8	132,75
312,51	39,81	15	15	316,17
474,19	29,57	14	25	483,90
95,48	45,45	5	5	98,24
347,96	28,55	12	14	272,31
152,13	40,11	7	12	153,08
211,02	45,26	8	10	120,54
295,57	33,33	12	14	301,02
223,35	42,41	10	11	227,74
471,09	33,33	13	18	417,19
1141,04	41,35	28	46	994,45
99,43	45,03	4	5	100,79
339,68	35,29	6	11	99,75

174,19	26,83	4	5	175,01
402,84	21,42	10	14	406,21
154,83	38,51	4	5	137,83
629,40	44,78	11	21	514,11
256,06	44,72	5	8	258,46
824,11	40,38	14	22	648,02
159,59	21,85	6	7	146,44
190,07	33,02	7	8	172,03
286,63	34,69	6	8	290,16
158,13	30,94	6	11	154,64
646,90	29,32	17	25	437,98
302,52	39,04	7	10	246,51
333,52	25,77	13	16	323,70
207,48	34,72	9	12	177,97
153,93	14,71	7	8	156,32
123,48	38,26	7	11	124,28
237,79	44,26	6	9	246,12
165,69	33,19	5	7	168,26
168,33	35,00	8	8	166,03
57,33	11,62	5	5	55,45
307,56	24,16	7	12	272,43
331,50	18,11	13	15	236,67
198,90	44,06	6	8	202,97
62,62	31,42	5	6	58,88
100,45	44,05	3	4	102,03
315,95	44,03	10	12	274,83
436,91	39,50	10	15	287,66
514,98	43,93	9	14	474,69
723,15	32,36	14	22	500,24
274,32	22,51	7	10	231,48
239,75	18,53	13	15	240,77
185,64	43,75	3	5	187,65
82,59	14,85	5	6	72,40
101,13	43,69	4	4	104,88
170,60	14,79	7	7	139,46
110,12	39,56	5	6	97,06
70,02	35,48	4	4	94,78
259,00	26,04	7	9	193,68
92,80	39,27	7	9	96,08
301,34	37,70	7	10	282,00
119,97	26,26	2	4	121,54
193,80	43,42	4	9	179,37
616,98	43,41	13	22	570,86
70,02	10,54	4	5	71,05
120,66	11,46	1	3	53,89
121,26	43,20	4	6	111,87
85,84	24,24	3	6	85,84
144,14	43,18	5	6	99,60

392,24	38,59	9	13	289,75
72,50	2,86	1	1	72,50
43,97	4,89	2	2	43,97
330,64	41,30	11	17	327,11
326,70	25,97	10	13	330,22
89,82	30,61	2	4	
44,20	10,70	2	2	44,20
177,76	37,71	6	8	153,96
494,95	34,59	14	19	505,31
445,93	22,67	9	18	363,37
365,35	29,46	9	14	335,71
122,32	29,70	2	3	159,36
340,73	28,57	5	8	220,47
126,60	42,49	4	8	130,16
72,15	9,70	4	4	47,74
630,05	42,41	7	21	442,63
373,05	42,38	6	11	178,85
203,05	33,90	5	6	204,29
77,43	18,70	2	4	113,60
287,68	42,35	6	7	291,72
284,18	28,83	8	10	168,58
265,51	42,19	4	6	266,01
246,40	42,06	3	7	246,74
56,82	10,08	2	3	56,82
201,13	42,01	8	10	178,08
640,66	42,01	4	11	458,46
115,80	8,76	2	3	118,88
329,60	39,71	7	13	332,81
212,37	31,76	6	7	216,45
86,61	28,46	4	6	86,61
64,72	21,56	3	3	62,06
31,46	5,14	1	1	31,46
300,80	33,56	8	11	300,02
114,62	41,53	3	3	114,62
164,47	22,07	6	6	162,54
171,56	19,08	4	6	175,63
135,35	31,14	4	4	136,10
397,38	33,91	8	11	509,86
569,84	27,92	9	18	367,05
250,15	22,62	7	9	271,87
328,87	41,13	4	7	268,77
225,96	16,06	5	6	226,03
504,19	30,83	12	18	462,62
109,56	22,97	3	4	77,44
100,34	40,98	5	6	101,16
581,11	40,98	14	22	335,60

589,69	32,80	16	26	556,98
83,52	25,16	4	6	83,90
362,14	23,42	9	13	318,86
575,54	40,88	11	17	421,29
541,40	22,79	17	25	400,76
773,92	40,75	9	16	660,82
269,65	16,09	6	7	222,43
150,12	40,64	6	8	152,53
74,19	40,59	3	3	74,19
501,65	34,10	13	19	441,69
185,42	9,06	4	5	186,10
162,85	22,91	5	6	126,84
36,50	12,36	1	2	36,50
319,13	37,95	13	19	243,42
128,76	10,39	4	6	130,37
118,15	11,81	2	2	118,87
111,86	40,35	5	5	111,86
386,77	40,34	12	14	394,78
132,08	30,39	6	6	119,49
79,88	29,27	2	2	37,30
59,53	11,49	3	3	60,19
47,66	40,19	3	3	47,98
298,61	32,08	9	12	307,82
85,94	14,34	3	4	87,25
273,60	24,69	9	9	276,84
112,18	30,00	6	6	104,03
111,86	23,57	4	4	113,76
227,70	40,00	17	18	236,76
344,17	23,55	15	16	349,20
357,94	18,73	12	12	339,31
148,97	23,03	3	4	150,51
295,30	37,44	9	13	173,17
357,46	28,40	6	10	260,32
30,81	10,80	1	1	30,81
39,26	2,77	1	1	39,26
101,46	39,71	5	7	101,46
166,57	39,62	4	5	169,67
142,80	24,62	4	5	143,10
477,61	31,69	14	24	480,41
190,34	18,43	3	6	178,74
199,93	26,44	9	11	179,32
347,31	33,68	9	11	354,10
222,06	19,62	9	12	144,38
143,64	39,44	4	6	91,09
242,86	36,83	8	9	148,46
298,34	39,33	9	14	305,65
606,81	39,29	14	25	611,61
164,99	14,97	4	4	165,33

162,57	28,77	5	5	164,52
171,79	16,40	5	7	176,21
163,84	25,00	4	7	164,77
51,98	6,26	3	4	51,98
90,41	23,44	2	2	59,23
286,87	16,67	8	10	288,74
405,56	38,96	7	12	411,27
259,23	16,29	12	14	266,78
327,71	27,78	5	10	284,02
976,27	27,54	30	40	971,99
664,53	29,73	13	20	591,86
217,64	24,25	7	10	165,16
484,85	38,59	11	15	284,36
105,72	3,77	1	3	109,15
793,06	37,20	23	31	761,94
530,20	38,44	7	11	533,60
114,24	7,17	3	4	114,24
229,70	16,03	6	8	235,48
111,66	15,16	2	4	113,66
557,78	24,14	12	20	447,87
411,71	26,35	12	21	359,21
219,41	19,27	10	12	190,71
61,60	7,53	3	4	51,17
209,66	16,70	6	7	211,33
462,12	36,69	13	17	443,55
102,64	38,14	3	3	102,64
318,83	38,10	6	9	199,40
114,32	12,77	5	5	115,14
44,74	26,61	3	3	46,08
140,24	38,06	6	8	142,96
136,43	32,76	4	5	139,95
283,63	33,16	5	10	232,11
239,97	22,20	7	9	215,44
341,28	35,64	7	9	343,98
98,02	37,80	2	4	98,80
101,11	37,80	3	4	101,37
256,79	27,46	5	6	145,01
198,84	37,74	5	6	199,05
458,94	26,49	5	13	432,76
97,39	12,37	4	4	98,79
460,68	18,39	9	12	436,93
107,53	30,28	3	4	108,54
58,40	6,08	1	1	58,40
66,12	8,80	4	4	66,15
372,39	25,25	11	17	352,26
242,35	26,22	5	8	244,48

44,71	9,21	3	4	44,93
242,76	9,53	6	9	134,62
40,17	8,56	1	1	40,17
220,73	16,52	3	6	222,49
323,08	27,91	10	12	293,12
35,33	14,79	1	1	35,33
145,63	33,94	6	6	146,52
				76,33
				116,58
210,07	8,09	11	13	102,61
93,93	27,27	4	4	111,24
88,92	30,77	3	6	70,26
99,23	21,84	4	5	99,23
152,17	12,37	4	5	154,77
185,99	19,59	6	8	185,99
207,54	20,45	8	12	198,47
98,44	23,44	6	8	87,41
33,24	20,17	4	5	33,17
486,57	20,33	20	22	484,33
268,44	15,79	11	12	245,71
23,32	8,39	1	1	23,32
200,54	13,87	4	6	201,05
141,14	4,18	1	2	141,82
319,76	24,51	4	8	293,03
99,72	24,64	3	4	99,86
94,85	22,22	4	4	95,53
126,97	27,89	5	6	32,62
114,36	17,66	6	6	115,85
293,07	26,14	8	9	296,96
234,15	30,50	5	7	235,54
165,52	36,51	4	5	168,16
181,72	9,81	1	2	181,72
185,98	32,23	7	9	193,10
156,68	36,44	3	5	95,96
587,07	24,14	16	22	540,77
416,50	18,26	14	22	353,04
317,76	26,96	5	14	235,99
119,87	16,45	4	4	113,51
327,15	20,51	10	18	301,67
57,78	3,46	1	1	57,78
59,44	24,56	4	5	79,56
198,69	14,52	3	4	288,69
353,25	36,06	11	17	235,21
64,37	8,60	4	5	64,37

194,53	33,33	6	6	195,84
104,53	33,66	5	5	105,33
1346,86	22,77	33	43	1349,04
402,90	34,53	17	20	345,57
656,73	33,17	12	20	655,91
266,20	24,51	9	11	269,48
250,33	14,33	6	9	252,00
44,85	35,71	3	3	
26,14	35,71	1	1	26,14
142,74	19,43	4	5	146,03
114,25	18,56	9	11	89,78
525,88	33,24	13	22	461,55
314,37	22,40	13	16	317,05
114,53	22,88	3	5	107,17
286,01	26,77	12	15	287,31
104,28	5,86	3	4	104,28
203,88	18,43	3	4	93,34
46,90	26,88	2	2	46,90
75,48	15,55	4	4	75,48
164,35	8,53	6	7	189,40
97,93	26,83	2	4	98,89
66,69	35,37	3	4	66,94
76,81	23,20	3	3	77,61
239,08	19,70	4	5	239,98
76,67	20,27	6	7	75,23
1142,75	35,13	28	38	1091,39
244,71	35,11	10	10	187,78
62,39	4,04	1	1	62,39
153,12	35,06	5	7	155,64
265,46	16,03	12	12	270,18
959,26	27,38	13	21	936,78
484,53	23,32	18	22	483,01
126,33	34,93	3	4	127,44
150,45	16,51	5	7	150,88
116,68	34,82	3	3	119,00
76,99	17,93	2	3	78,17
167,28	34,72	5	6	136,67
29,62	11,57	1	1	29,62
23,01	3,56	1	1	23,01
41,54	9,43	2	2	42,37
58,13	34,59	3	4	58,53
465,35	31,30	6	10	394,62
136,37	25,00	4	4	137,35
144,87	34,50	5	7	97,20
192,49	34,47	7	9	195,29

359,67	17,76	7	9	366,54
90,30	26,49	2	3	90,93
31,35	15,20	1	1	31,35
330,39	34,31	13	16	210,74
537,37	24,87	16	19	538,14
381,64	34,25	6	11	267,07
111,13	12,78	4	5	111,74
92,30	20,68	4	4	92,30
546,06	17,98	12	18	504,15
30,91	7,76	1	1	30,91
221,38	12,95	9	10	220,50
172,66	16,67	5	5	172,85
158,83	33,91	3	4	53,40
261,14	33,82	3	6	269,37
113,59	33,80	8	9	74,76
45,08	33,78	2	2	45,26
73,33	13,20	3	3	73,93
130,26	33,70	4	6	133,98
154,09	10,41	2	4	154,09
132,08	20,56	5	7	121,96
227,10	33,60	10	15	225,01
140,34	9,28	5	7	141,01
122,40	23,55	5	7	107,45
244,46	16,40	5	8	247,65
107,08	15,85	4	6	119,12
331,85	28,29	6	10	337,84
107,22	13,00	3	3	109,09
106,06	20,00	2	3	106,51
22,06	12,70	2	2	22,06
150,54	26,72	5	8	153,21
280,95	12,89	4	6	284,00
23,67	2,76	1	1	23,67
332,96	25,50	5	14	332,96
50,96	4,49	1	1	50,96
179,42	25,98	2	4	182,23
188,74	33,00	8	8	192,41
152,41	25,41	7	8	101,03
48,67	24,47	1	2	
27,49	4,66	1	1	27,49
108,75	14,41	5	8	83,94
28,07	22,35	2	2	30,57
80,65	22,35	2	2	
234,96	32,93	8	11	229,42
137,27	18,60	6	9	131,33
96,74	12,44	2	2	97,57
171,84	24,29	8	9	118,86

392,73	12,25	9	14	267,64
82,92	7,51	2	2	84,27
532,37	31,34	6	13	396,98
134,11	32,72	6	8	136,18
23,52	14,02	1	1	23,52
202,12	32,67	12	15	178,03
93,48	15,33	1	4	99,53
58,42	18,59	2	2	21,14
155,98	15,17	4	5	156,23
267,26	19,94	5	8	263,50
59,23	2,06	3	3	59,17
76,11	18,76	4	6	61,63
43,50	23,63	5	5	45,61
153,90	10,60	5	5	154,84
171,91	29,44	7	9	168,68
223,99	27,50	4	9	119,36
46,20	13,51	2	2	46,20
125,09	32,39	3	6	125,61
415,51	14,99	7	10	267,96
338,05	20,57	6	9	341,55
66,93	7,52	1	1	66,93
250,06	32,25	7	8	255,96
59,14	14,36	4	4	82,96
123,39	32,12	3	4	123,97
411,47	21,52	8	11	419,84
96,41	32,07	5	5	102,77
117,60	15,86	4	5	76,32
59,53	13,60	2	3	61,14
292,26	26,15	9	11	298,02
169,71	29,41	8	8	131,41
148,39	31,79	4	4	151,38
163,57	13,21	3	4	166,14
116,01	9,90	5	5	119,18
79,69	10,27	3	3	100,72
402,87	22,58	10	17	404,45
375,91	27,00	13	15	378,21
60,35	6,57	2	2	60,50
51,35	6,85	2	2	51,73
212,72	26,09	4	6	212,89
339,23	31,50	9	12	306,12
226,81	31,49	7	8	219,80
49,65	31,43	2	2	49,66
30,02	5,16	1	2	30,02

50,88	9,27	1	2	
170,14	19,14	4	6	177,59
319,45	16,21	9	13	227,50
30,11	4,11	1	1	30,11
162,36	30,93	5	6	164,85
253,39	15,44	8	10	257,67
222,31	30,81	9	9	187,87
155,76	15,65	6	9	158,89
528,53	26,20	16	19	511,29
99,96	11,14	5	6	94,50
20,94	5,00	1	1	20,94
184,19	18,80	6	10	120,11
54,07	30,30	2	3	55,21
110,11	22,73	4	4	126,98
53,55	16,81	2	2	53,49
200,65	18,95	8	11	190,29
66,94	5,98	2	2	67,37
182,27	19,70	4	5	140,45
74,55	3,08	1	1	74,55
304,43	26,01	4	6	311,56
134,68	23,23	5	5	124,82
80,18	9,06	3	3	80,94
34,56	8,15	2	2	34,56
22,32	10,92	2	2	46,64
426,68	29,76	13	18	430,31
237,15	29,76	8	10	237,91
243,39	23,59	5	8	176,60
106,81	17,03	3	4	77,71
115,98	27,21	6	7	117,57
149,90	28,93	6	6	150,08
148,35	17,84	6	8	126,97
136,90	29,51	3	6	120,52
96,49	16,53	5	5	97,24
81,02	10,37	3	3	162,47
59,07	7,36	3	4	60,38
350,35	25,08	9	14	337,34

78,07	14,97	2	2	78,86
229,72	24,88	7	9	215,95
27,95	7,67	2	2	27,95
200,97	21,27	4	5	204,08
559,68	19,71	16	20	476,87
83,87	5,03	3	3	48,18
359,87	21,48	8	10	365,81
242,55	29,27	5	8	213,99
241,42	17,89	5	7	204,48
249,08	16,63	6	8	207,19
168,22	29,24	6	8	171,20
213,06	23,33	6	9	231,89
109,61	12,88	2	3	110,65
122,42	22,94	7	8	123,67
35,89	2,61	1	2	36,89
131,41	28,92	3	3	132,23
251,13	28,79	5	9	251,61
112,77	28,77	3	4	114,24
44,76	5,75	1	1	44,76
186,96	25,45	5	8	188,78
106,30	5,38	2	3	107,75
294,10	28,57	12	12	296,18
24,88	7,44	2	2	23,39
102,50	20,00	5	5	102,45
163,02	11,34	6	6	137,36
151,31	9,59	5	8	151,31
251,79	28,42	4	8	254,02
111,04	9,42	6	7	93,76
156,85	20,00	1	5	156,85
171,99	13,96	9	10	181,89
210,73	19,78	7	7	212,95
229,10	20,90	2	5	233,57
295,87	25,78	7	11	298,38
77,78	7,58	3	3	77,78
133,84	7,25	6	7	134,76
89,73	2,53	1	1	89,73
41,56	10,71	4	5	42,64
34,29	21,21	2	2	36,09
221,82	12,06	6	7	222,10
162,91	22,39	3	6	164,95
463,60	27,85	16	20	335,73
97,78	3,43	3	4	101,25
83,68	22,49	3	3	84,10

118,61	17,49	6	6	122,30
38,48	11,56	2	3	38,98
232,89	22,26	6	7	234,35
48,39	5,22	5	5	160,02
73,58	23,44	5	6	73,70
34,06	11,88	1	1	34,06
113,49	8,27	3	4	114,33
391,30	27,60	6	10	359,58
304,75	12,74	9	12	190,70
310,29	27,49	12	16	247,69
36,65	18,13	2	2	36,65
62,49	8,96	2	2	62,49
111,63	27,43	3	4	112,64
25,46	5,91	1	1	25,46
81,24	11,64	3	3	63,67
52,16	6,01	2	2	52,16
338,99	19,09	13	13	282,95
339,29	27,31	5	9	341,47
186,91	24,05	5	6	174,34
307,63	19,72	8	9	256,03
80,51	8,48	2	2	81,26
198,67	14,76	3	5	201,24
175,37	24,03	7	9	177,96
115,95	9,03	6	8	238,54
212,48	12,30	6	7	213,86
223,40	27,17	8	9	224,73
299,49	18,12	7	9	300,95
45,42	7,62	1	2	45,42
144,06	27,12	2	3	144,45
119,92	19,17	4	6	125,31
77,12	4,31	1	2	78,62
123,32	21,73	5	6	78,64
199,82	14,27	9	11	201,37
45,87	7,59	3	4	45,87
213,29	26,92	8	12	206,07
249,50	22,36	8	12	111,54
33,21	5,09	1	1	33,21
97,99	9,02	3	3	102,04
219,22	26,26	4	9	203,02
67,73	26,77	5	5	67,74
265,97	21,46	15	17	240,05
239,26	19,30	4	6	241,05
200,63	23,11	6	6	201,65

234,96	13,81	7	7	240,70
267,71	9,55	9	11	229,53
113,67	11,11	5	7	114,03
210,51	19,49	9	11	217,95
134,44	18,44	7	9	131,69
167,75	14,41	5	5	168,10
52,72	15,65	4	4	52,72
114,00	26,13	3	5	116,05
109,68	18,77	4	4	110,32
134,70	9,05	5	7	136,05
75,74	26,05	2	2	75,83
109,57	26,00	2	2	109,97
74,12	19,57	4	4	74,21
211,83	21,69	2	5	211,83
103,22	9,53	3	3	103,78
256,23	19,71	6	10	260,85
265,03	20,12	7	8	224,72
25,24	3,87	1	1	25,24
39,28	4,28	1	1	39,28
60,78	6,48	2	3	61,18
213,92	25,58	6	10	213,92
651,20	23,20	12	19	619,47
91,73	8,12	3	3	95,50
33,60	6,84	1	1	33,60
317,00	25,04	10	12	159,97
61,58	9,67	6	6	62,27
93,55	6,44	2	2	51,65
111,09	25,29	7	10	111,19
30,22	5,09	3	3	67,57
72,50	17,76	2	2	72,96
215,21	25,23	5	7	214,72
520,17	14,88	15	18	479,89
261,18	25,20	8	10	264,19
143,88	20,41	5	5	68,89
498,41	20,82	10	14	385,70
47,27	18,58	3	4	37,51
484,69	25,00	2	14	259,05
218,68	24,90	3	6	219,41
144,08	21,64	6	7	144,43
203,36	18,80	7	8	205,08
29,35	2,61	1	1	29,35

201,92	24,71	5	8	204,14
251,77	24,69	7	11	255,81
26,18	3,70	1	1	26,18
124,86	10,85	3	4	124,97
365,40	24,59	7	10	198,60
293,79	17,84	7	11	234,52
154,90	24,54	4	8	137,75
216,23	24,53	12	13	203,12
255,94	24,50	3	6	185,65
181,92	14,95	5	7	106,51
477,52	14,95	10	13	419,50
96,42	7,92	2	3	96,42
84,77	17,45	3	3	85,33
70,51	24,26	3	4	71,93
67,05	24,21	3	4	55,25
70,60	24,14	3	3	61,40
97,85	10,49	5	5	93,34
480,23	24,14	9	16	392,22
113,13	24,14	4	5	113,75
60,15	19,10	3	4	61,45
50,29	0,53	1	1	50,29
133,15	24,01	5	7	136,80
342,35	18,04	11	14	299,56
106,10	20,71	4	5	107,70
311,87	22,68	9	10	307,75
41,78	8,85	2	2	41,68
181,59	23,84	6	6	182,68
70,89	18,13	3	3	70,86
54,90	13,81	1	1	54,90
246,71	23,81	8	9	232,67
21,81	23,75	1	1	21,81
103,48	12,46	3	3	105,08
169,98	23,70	3	4	171,41
454,31	19,43	8	14	327,55
37,01	4,14	1	1	37,01
107,57	9,67	5	5	109,61
252,90	10,41	3	4	254,80
93,72	15,55	4	4	91,84
54,23	17,64	5	5	56,73
105,28	12,86	3	5	107,19
129,94	23,38	7	7	133,51
262,23	21,26	5	9	178,86
177,55	11,54	5	6	138,53

40,52	23,30	2	2	40,52
131,07	6,98	3	3	125,62
319,07	12,49	9	11	289,31
120,46	14,53	3	4	112,01
70,05	9,45	6	6	58,67
677,35	16,77	20	24	651,06
75,49	14,74	2	3	78,44
83,30	16,35	3	5	111,27
69,91	23,03	3	4	70,38
117,74	9,50	1	2	117,74
332,39	22,87	5	6	337,50
35,93	3,91	1	1	35,93
64,53	9,45	1	3	64,53
124,46	15,83	3	4	153,02
69,45	22,78	5	8	71,77
87,29	12,04	2	2	88,39
56,96	9,20	3	4	56,96
162,52	22,56	6	7	167,16
102,15	7,60	4	6	102,22
115,42	22,52	3	3	115,42
42,47	3,22	1	1	42,47
100,40	7,48	2	3	99,07
109,57	11,50	4	4	105,16
41,64	7,20	2	2	41,77
72,71	22,30	2	3	45,23
123,35	22,28	3	6	56,44
48,99	12,25	4	4	48,99
208,19	22,27	6	8	210,31
148,67	16,62	4	4	148,67
88,32	22,19	3	3	89,77
46,30	6,84	2	2	46,30
141,48	11,31	2	3	142,90
298,95	15,55	11	15	332,20
76,00	13,51	3	3	76,00
45,11	22,02	6	7	28,01
113,37	15,89	2	3	113,37
142,37	10,13	4	5	142,51
409,95	15,36	14	20	403,04
44,91	3,65	2	2	44,91
37,76	4,13	1	2	37,76
72,06	17,06	3	3	72,06

66,01	21,82	2	2	67,51
128,13	16,17	3	4	130,26
119,67	12,73	6	8	110,17
35,75	6,12	3	3	36,34
76,63	21,72	3	3	46,97
40,69	0,59	1	1	40,69
138,47	21,65	7	7	139,27
40,30	21,62	2	2	41,83
92,26	14,40	1	1	92,26
116,78	7,94	4	4	112,32
233,18	21,54	5	9	176,70
61,49	8,27	3	3	63,27
120,52	12,24	3	5	124,48
26,22	4,15	1	1	26,22
189,29	10,20	2	5	193,70
31,31	21,28	3	3	31,31
79,05	21,13	3	3	79,50
57,57	21,05	4	4	57,57
168,05	12,16	10	11	171,88
189,34	20,99	4	6	190,73
115,12	5,82	5	6	116,19
141,72	20,89	5	8	146,24
324,59	18,72	7	12	197,81
301,14	14,74	9	12	306,50
36,45	20,69	1	1	36,45
205,80	15,49	11	12	175,08
48,09	9,38	2	3	54,52
208,01	16,38	6	11	177,67
217,42	11,40	6	6	168,05
147,82	17,05	4	4	120,63
75,82	8,04	1	1	75,82
104,83	9,03	5	6	102,61
54,01	5,03	2	2	53,98
37,85	8,26	2	2	67,05
133,34	13,56	3	3	77,06
260,65	10,36	7	10	206,68
136,83	8,96	3	4	94,81
157,03	9,33	7	9	160,13
				93,47
70,98	20,37	2	3	71,14
68,14	5,09	2	2	68,44
74,64	20,35	3	3	74,64

137,61	15,65	4	5	138,66
29,57	8,81	2	2	
43,88	1,87	2	3	44,45
143,49	16,30	7	8	226,90
75,23	15,27	2	3	76,16
101,19	11,16	2	3	101,33
303,60	20,15	1	4	235,91
72,16	20,12	1	1	72,16
22,20	10,60	2	2	22,20
192,39	18,04	6	6	203,37
62,85	5,71	2	2	62,85
165,03	15,69	4	4	165,03
178,92	20,05	5	7	183,31
44,47	9,13	3	3	44,47
98,53	10,11	3	3	99,87
111,53	0,85	1	2	116,36
35,18	15,05	4	5	35,18
180,08	19,86	8	9	182,33
45,90	7,89	3	4	45,90
209,75	7,88	6	9	205,27
30,82	1,93	1	1	30,82
343,20	19,62	8	15	353,06
157,63	14,31	6	8	157,81
45,60	0,93	1	1	45,60
145,81	9,19	4	5	147,72
168,41	19,44	4	4	170,30
				50,76
65,64	19,39	3	4	54,97
75,29	9,77	3	3	75,29
65,89	3,13	2	3	66,04
194,22	19,31	4	6	194,73
48,64	5,59	1	1	48,64
225,90	17,00	7	9	215,65
128,55	12,09	4	5	113,83
57,28	4,95	2	2	58,22
20,31	10,86	2	2	20,31
104,86	13,60	3	4	105,70

128,43	19,08	2	5	64,14
96,87	13,11	2	2	97,60
67,26	10,08	4	4	61,92
54,51	11,66	2	3	39,92
75,83	9,56	2	3	75,83
29,74	1,35	1	1	29,74
46,77	18,92	1	2	46,77
85,61	14,29	2	4	35,95
88,75	8,38	2	2	195,64
82,01	15,82	4	5	82,01
101,26	18,82	4	5	101,26
45,15	12,90	1	1	45,15
55,23	10,61	3	3	70,16
44,93	18,79	3	4	44,94
55,55	10,86	3	3	55,80
30,51	13,54	2	2	30,51
124,61	18,74	4	5	126,99
100,15	15,56	3	3	101,31
174,90	18,62	6	6	176,27
85,99	15,63	3	4	85,12
156,78	10,83	7	9	92,91
261,35	18,56	8	12	206,16
24,97	18,55	3	3	24,97
178,75	16,00	7	10	173,52
59,37	9,26	1	1	59,37
66,31	12,54	4	4	66,73
72,76	7,13	3	3	26,06
210,61	18,50	7	7	212,75
49,51	18,50	4	4	51,06
259,07	13,36	2	7	149,13
21,29	18,49	2	2	
173,69	9,87	8	8	176,19
80,00	7,16	1	1	80,00
38,46	1,21	1	1	38,46
138,34	9,67	7	8	141,26
50,37	12,34	2	2	50,73
258,99	6,81	6	8	261,37
83,36	13,92	5	5	61,25
82,16	15,09	5	5	82,16
48,41	3,82	1	1	48,41
48,26	4,92	2	3	50,31
29,94	12,45	1	1	29,94
222,04	8,59	3	7	215,21
39,29	5,63	2	3	40,44
135,34	18,24	4	7	106,59

113,67	6,93	4	6	115,77
21,14	18,18	1	1	
81,97	8,81	3	3	101,00
84,64	12,26	2	2	85,08
71,85	18,03	1	3	74,92
54,89	6,84	1	2	54,89
68,59	6,18	4	4	70,35
23,61	3,85	1	1	23,61
26,94	4,62	1	1	26,94
148,79	10,07	3	6	148,69
135,16	7,85	2	3	135,35
51,52	7,85	1	2	51,52
117,85	5,87	3	3	116,41
68,04	17,74	2	2	68,90
465,63	14,87	11	18	430,77
413,36	12,98	10	14	404,61
256,32	17,70	3	5	258,69
80,07	17,70	1	1	80,07
45,51	17,65	3	3	46,18
195,14	12,18	5	7	167,65
136,35	6,24	2	3	137,39
126,84	14,93	6	7	135,04
239,99	9,66	3	5	244,31
88,48	17,45	3	3	92,29
110,27	12,50	2	2	110,86
151,98	15,17	5	7	93,51
59,80	5,06	2	3	60,26
43,79	2,36	1	1	43,79
58,34	8,70	1	1	58,34
80,45	6,78	3	3	91,99
155,11	7,67	2	2	156,19
81,30	4,23	1	1	81,30
26,89	1,61	1	1	26,89
21,11	4,97	1	1	21,11
198,44	17,04	5	7	199,54
132,59	4,67	3	4	132,59
108,51	17,02	5	7	88,18

27,21	16,99	2	2	
178,41	16,84	2	4	94,50
29,35	16,81	1	1	
454,33	16,14	10	18	402,60
50,17	9,59	2	2	50,17
34,19	3,72	2	2	35,16
114,68	13,83	2	2	103,10
82,84	16,60	3	3	83,61
88,85	13,87	3	3	88,85
148,06	16,52	7	7	149,53
57,92	16,47	1	1	57,92
41,89	4,93	1	1	41,89
				50,65
83,99	16,33	2	2	25,65
64,42	4,86	2	2	65,24
23,16	1,94	1	1	23,16
20,95	16,23	1	1	20,95
116,16	16,21	3	3	116,60
62,99	2,53	1	1	62,99
65,64	16,16	3	3	68,79
83,66	16,15	3	4	84,30
111,82	8,62	3	4	112,33
162,94	16,07	4	4	159,98
91,56	3,66	1	1	91,56
50,02	5,58	2	3	51,07
175,13	12,42	8	12	178,25
146,05	15,93	3	4	147,33
119,91	11,04	2	2	120,67
30,60	4,80	1	1	30,60
118,19	11,05	5	5	117,16
48,12	0,96	1	1	48,12
60,25	15,81	3	4	60,25
61,45	15,78	4	4	40,85
34,27	5,48	2	2	34,67
26,18	10,06	4	4	26,84
337,30	11,90	5	8	345,88

113,16	15,63	6	6	111,27
119,10	6,69	6	6	118,66
91,39	11,41	5	7	91,70
108,10	5,51	7	7	105,45
50,28	15,56	3	3	45,66
26,77	10,61	2	3	26,77
125,71	12,55	3	3	126,44
51,31	7,95	1	2	52,17
77,13	6,89	5	6	76,61
97,61	15,33	3	4	97,90
77,71	8,67	1	1	77,71
163,77	15,31	2	2	164,36
125,38	6,78	1	2	125,38
202,01	13,48	4	5	135,32
125,36	5,20	3	5	127,98
41,49	15,22	1	1	41,49
245,64	9,75	4	5	248,35
115,57	12,06	4	4	115,57
45,82	9,41	3	3	46,49
348,35	12,22	11	15	347,74
96,84	15,08	7	7	97,24
105,98	10,60	6	6	88,00
40,71	3,53	2	3	40,71
388,39	15,05	9	14	300,73
711,18	14,96	7	15	443,60
126,93	9,20	3	4	126,93
50,12	14,91	2	2	50,61
47,63	14,91	1	1	47,63
53,05	14,91	4	4	53,34
30,26	14,89	1	1	30,26
41,61	14,88	2	3	30,93
37,85	11,11	2	2	
74,97	14,78	1	1	74,97
114,54	14,70	3	3	115,34
127,96	9,41	4	5	128,83
31,92	9,76	3	3	32,09
105,28	14,63	5	6	102,09
27,86	14,62	2	3	28,86

30,43	9,03	1	2	30,43
130,97	14,57	3	4	135,83
147,08	3,96	1	2	147,08
237,49	10,61	5	7	238,48
241,28	5,34	4	7	201,30
59,56	4,40	1	1	59,56
60,85	14,51	1	1	60,85
31,04	14,49	2	2	31,04
148,45	14,45	8	10	146,27
39,22	3,13	1	1	39,22
25,52	14,45	2	2	27,52
26,60	2,78	1	1	26,60
163,40	14,42	4	6	166,53
45,66	9,71	3	3	45,66
49,95	2,55	1	1	49,95
144,95	14,04	6	6	144,95
61,73	7,69	1	2	62,14
84,75	14,29	1	2	84,75
126,55	10,98	2	4	126,63
45,88	6,64	1	1	45,88
137,69	6,91	3	4	138,00
262,48	14,09	4	9	238,45
	0,00			
228,44	14,06	4	6	231,59
194,85	13,68	7	12	203,54
221,76	14,00	8	11	224,10
106,00	13,94	1	2	106,00
82,33	2,71	1	1	82,33
30,43	13,83	3	3	31,21
37,38	5,07	1	1	37,38
40,55	13,70	4	4	41,57
47,19	5,13	1	1	47,19
66,28	13,68	1	1	
				26,69
39,96	13,64	1	1	39,96
104,22	13,64	2	2	105,14

66,74	5,00	5	5	63,82
40,31	5,96	2	2	40,31
20,38	5,05	1	1	20,38
109,21	13,49	5	5	112,48
75,49	5,83	2	3	51,67
45,52	9,35	2	2	45,52
45,39	4,34	2	2	31,62
88,75	3,13	2	3	89,48
25,98	7,33	1	1	25,98
117,28	7,48	3	5	117,98
38,97	4,96	3	3	38,88
55,93	13,24	1	2	55,93
210,21	13,23	3	6	210,96
99,54	4,62	4	5	50,69
128,88	1,91	2	3	131,13
41,71	3,14	1	2	42,05
146,50	11,85	7	7	129,88
99,49	4,41	2	2	100,15
28,76	10,39	3	3	28,91
25,76	13,02	1	1	25,76
27,33	7,79	2	2	27,33
39,55	1,88	1	1	39,55
22,47	1,27	1	1	22,47
58,25	6,47	3	3	58,25
324,46	12,95	3	11	328,26
35,69	12,94	2	2	
84,60	5,75	3	4	37,92
38,49	7,65	1	1	38,49
25,28	2,24	2	2	25,50
21,78	2,87	1	1	21,78
243,17	12,73	7	10	209,84
83,84	7,60	2	3	83,84

164,88	9,44	3	4	40,49
146,53	7,04	4	5	147,13
40,98	0,76	1	1	40,98
149,37	12,61	5	7	152,13
24,65	5,76	1	1	
121,43	7,59	1	2	121,98
38,20	2,72	2	2	38,20
43,76	7,76	2	3	44,57
52,93	9,88	3	3	52,93
42,30	4,15	2	2	42,30
81,41	4,02	2	2	81,41
31,74	5,76	1	1	31,74
33,94	12,42	2	2	33,94
26,71	2,63	1	1	
160,43	6,12	3	4	77,23
121,05	9,53	3	3	123,18
132,66	12,40	3	3	101,25
60,33	6,83	4	4	62,74
69,62	12,31	1	1	
95,16	11,17	2	3	97,36
105,63	12,23	1	3	105,63
219,53	12,22	3	4	220,40
280,23	7,75	5	7	227,78
39,02	5,07	1	1	81,30
87,35	12,15	2	2	88,10
49,04	4,03	1	2	49,04
53,01	12,04	1	1	53,01
115,48	5,06	4	5	118,52
89,69	2,26	2	3	82,14
47,50	11,86	2	2	47,50
162,42	11,53	4	4	164,27
39,64	11,84	3	3	40,13
89,92	11,81	2	2	90,33

50,53	8,04	2	2	50,64
97,49	7,45	2	3	97,49
89,79	11,79	5	6	89,79
73,76	8,33	2	2	73,76
71,01	11,70	4	6	75,24
108,44	11,68	2	2	108,44
49,01	5,66	1	1	
104,41	11,27	4	4	81,80
102,56	11,63	2	3	103,16
53,07	3,17	1	1	53,07
51,19	8,89	2	2	51,19
337,59	11,53	4	8	161,93
116,43	11,52	2	4	95,59
27,38	11,45	1	1	27,38
334,98	11,43	8	10	340,01
80,69	11,43	2	2	36,17
198,22	11,42	4	4	199,46
44,73	6,17	2	2	45,30
76,36	11,41	2	2	76,86
117,71	7,30	3	3	118,62
40,15	11,29	1	1	40,15
39,71	4,00	1	1	39,71
36,47	5,63	1	1	36,47
187,96	9,68	10	12	189,72
156,80	11,25	3	4	160,14
214,85	9,38	5	7	219,09
41,40	4,19	2	4	41,40
54,76	11,20	3	5	55,10
91,72	4,28	1	1	91,72
86,25	11,15	5	7	25,87
131,65	11,13	4	7	134,15
56,64	11,11	2	2	57,22
61,79	11,06	1	2	62,60
91,80	5,47	3	5	91,97
52,29	2,62	2	2	52,29
98,32	11,00	3	4	99,55

90,60	10,98	2	2	92,06
30,61	4,73	2	2	30,61
40,22	7,17	2	2	40,45
118,53	10,90	3	3	118,57
70,01	4,64	1	1	70,01
50,08	8,24	2	2	50,55
34,91	10,79	1	1	34,91
78,25	5,77	3	4	78,03
108,06	10,77	2	3	109,95
104,49	10,71	1	1	104,49
95,24	8,79	4	4	95,47
23,34	10,68	2	2	23,34
135,22	2,32	1	2	135,22
56,68	10,63	2	3	57,47
100,90	6,71	1	2	101,44
116,72	10,60	3	3	117,39
26,18	4,17	1	2	26,18
83,32	10,51	2	2	83,76
137,86	10,48	4	6	73,57
44,73	10,48	3	3	26,64
102,97	6,50	4	4	102,97
100,50	5,79	2	3	99,84
56,67	1,94	1	1	56,67
83,54	10,45	2	3	84,19
106,59	8,98	9	11	108,95
273,04	10,42	3	5	280,72
162,20	10,34	6	8	106,91
91,29	7,09	3	3	91,96
51,79	3,70	2	2	52,67
21,13	1,17	1	1	21,13
63,76	10,29	1	1	63,76

137,69	10,25	4	6	140,61
72,65	10,23	2	2	73,01
145,80	8,06	3	3	147,19
65,57	10,14	3	4	64,77
29,31	10,04	2	2	29,80
159,38	4,71	4	5	118,01
46,68	10,00	3	3	46,68
73,92	10,00	2	2	59,82
36,87	9,96	3	3	33,96
29,47	9,93	3	3	29,98
24,68	3,15	1	1	
65,43	9,85	1	1	65,43
186,69	9,80	2	4	190,56
57,01	1,28	1	2	57,01
117,11	5,96	4	4	117,53
38,27	6,19	2	2	38,27
74,04	7,85	3	4	76,46
55,92	9,69	2	2	55,92
57,23	9,68	2	2	32,66
83,70	5,11	1	2	83,70
77,73	9,60	1	1	77,73
128,10	6,97	3	3	128,10
533,19	9,54	2	8	533,19
26,22	9,54	2	2	26,22
243,70	9,48	2	5	145,56

87,42	9,48	3	3	88,75
58,60	9,47	1	2	59,93
85,42	6,22	2	2	86,51
71,01	3,14	2	2	69,65
126,13	9,42	3	4	126,31
71,61	4,71	1	1	71,61
25,25	3,04	1	1	25,25
107,18	6,92	3	4	107,33
41,85	9,33	2	2	41,96
28,34	9,33	1	1	28,34
72,03	4,79	2	2	72,37
42,57	2,60	1	1	42,57
50,32	9,19	2	3	
188,59	9,18	6	8	190,13
30,74	2,87	2	2	20,06
86,82	9,14	2	2	86,90
59,41	3,32	2	2	
22,96	9,03	1	1	22,96
53,63	3,48	1	1	53,63
118,42	8,97	1	4	67,78
				74,31
55,01	8,90	1	1	55,01
67,62	8,89	1	1	67,62
30,98	6,95	2	2	30,98
56,49	8,83	2	2	56,80
74,15	3,17	1	1	74,15
20,88	8,81	1	1	20,88
99,32	6,06	3	4	99,85
46,05	5,15	1	1	46,05
48,47	1,31	1	1	
27,49	4,39	2	2	27,49
33,91	8,77	1	1	33,91
140,88	8,74	3	4	141,16
97,06	6,29	5	5	97,22
40,68	4,73	1	1	40,68

29,56	8,71	2	2	29,56
84,91	5,40	3	3	85,74
146,22	8,58	5	5	121,24
137,35	8,58	4	4	136,54
32,25	8,53	1	1	32,25
47,04	8,52	1	3	47,04
103,57	8,44	4	6	45,51
20,52	8,44	1	1	20,52
114,53	7,30	6	6	116,20
67,71	4,54	1	2	67,71
63,74	4,71	1	1	63,74
50,35	4,73	2	2	51,74
31,14	4,25	1	1	31,14
48,63	8,28	1	1	48,63
22,68	2,84	2	2	22,86
35,02	8,23	2	2	35,71
56,16	2,95	1	2	56,17
56,07	8,20	2	2	56,07
47,09	8,19	2	2	47,09
36,06	8,18	1	1	36,06
138,46	8,16	2	3	138,73
115,67	8,16	1	4	119,89
88,00	8,16	4	4	89,96
47,49	4,36	1	1	47,49
52,03	5,40	2	2	36,12
119,27	4,50	2	4	120,80
28,88	8,03	2	2	

94,40	8,00	1	3	94,40
94,31	2,79	1	1	94,31
43,37	4,75	1	1	43,37
39,81	7,97	1	1	39,81
23,36	7,95	2	2	23,36
68,03	7,94	2	3	68,73
64,80	7,94	1	1	64,80
34,04	7,92	2	2	36,07
24,66	7,90	2	3	
37,71	7,87	1	1	37,71
	0,00			
52,56	5,58	2	3	39,88
83,99	5,13	2	3	83,99
90,96	2,97	1	2	92,72
48,85	4,83	2	2	48,85
105,45	7,76	3	4	50,67
83,21	7,74	2	2	83,72
31,41	1,68	1	1	31,41
78,09	7,73	1	1	78,09
43,68	7,73	1	2	43,68
45,43	1,83	1	1	45,43
82,64	7,71	2	2	82,64
44,98	7,69	2	2	44,96
65,38	7,66	3	4	66,82
32,11	7,64	1	1	32,11
67,42	4,63	3	3	67,42
21,76	4,39	1	1	21,76
44,69	7,60	1	1	44,69
62,84	7,58	1	1	62,84
165,61	7,54	3	4	132,78
53,86	5,76	2	2	53,86
29,35	3,96	1	1	29,35
32,48	7,44	1	1	32,48
69,45	2,75	2	3	69,44

41,74	7,41	2	2	43,12
20,71	7,41	1	1	20,71
32,12	3,62	1	1	32,12
30,69	7,37	2	2	31,83
31,61	7,36	1	1	31,61
57,53	7,35	1	1	57,53
143,36	1,33	1	2	143,74
36,60	1,97	1	1	36,60
123,29	7,27	1	2	123,29
82,76	7,26	3	3	80,55
33,11	7,24	1	1	33,11
95,79	7,21	1	1	95,79
21,58	7,19	1	1	21,58
110,90	7,19	2	3	76,73
37,62	2,08	1	1	37,62
71,98	7,17	1	1	71,98
36,16	1,34	2	2	36,16
48,77	1,27	2	2	48,88
28,90	7,13	2	2	28,91
47,69	4,11	1	2	47,69
69,96	3,95	1	1	69,96
112,30	7,10	3	3	114,09
54,62	7,07	1	2	57,87
65,55	4,23	2	2	65,49
146,53	4,71	2	3	27,57
37,95	7,04	3	3	38,23
36,79	7,02	2	2	31,91
200,69	3,50	2	5	201,41
74,14	3,13	3	4	75,17
135,91	5,05	2	4	136,64
41,85	3,55	1	2	
75,56	1,47	1	1	75,56
34,45	4,54	2	2	34,64
35,84	6,90	3	3	23,72

41,45	6,80	1	1	41,45
78,03	5,14	2	2	78,03
25,24	1,52	1	1	25,24
22,44	6,67	1	1	22,44
				29,93
122,27	3,84	2	3	122,27
191,61	6,54	6	9	152,63
97,43	1,57	4	6	97,37
86,85	6,53	2	3	86,76
91,13	6,53	3	3	91,13
46,54	6,51	1	1	46,54
46,64	6,49	1	2	47,17
57,16	1,40	2	2	57,37
48,64	4,26	2	2	50,31
47,66	6,46	2	2	
39,58	6,45	1	1	39,58
36,36	6,42	1	1	36,36
21,51	6,41	1	1	21,51
27,52	6,40	1	1	27,52
21,05	3,64	2	2	
34,29	4,76	2	3	34,58
69,32	6,34	1	2	69,32
116,25	1,03	1	2	117,26
35,71	6,27	1	1	35,71
62,53	6,27	3	4	56,64
37,05	6,27	1	2	37,05
21,18	6,27	1	1	21,18
46,47	3,64	5	6	41,72

96,23	4,00	3	3	59,05
27,20	6,14	1	1	27,20
21,50	1,07	1	1	21,50
20,94	6,13	1	1	20,94
68,06	6,12	3	3	68,06
118,50	6,07	3	3	120,15
206,95	4,36	4	5	210,04
35,78	6,01	2	2	35,78
37,25	5,99	1	2	37,15
20,92	2,58	1	1	20,92
54,26	5,98	1	1	54,26
33,05	5,98	1	1	33,05
33,85	5,98	1	1	33,85
29,83	5,97	1	1	29,83
28,19	5,53	1	1	28,19
24,67	5,92	1	1	24,67
45,48	5,87	2	2	46,53
70,35	4,46	2	2	70,35
24,20	5,83	1	1	24,20
23,71	1,23	1	1	23,71
69,02	4,55	2	2	72,37
28,98	3,28	1	1	
47,19	1,66	2	2	47,99
40,76	5,78	3	4	
33,58	5,74	2	2	33,58
61,36	2,58	2	2	62,42

30,15	1,43	1	1	30,15
21,93	3,33	1	1	21,93
49,08	3,03	2	2	49,12
61,71	5,69	1	1	61,71
40,58	3,47	1	2	40,58
46,89	5,66	2	2	46,89
61,07	5,65	1	2	61,07
22,29	5,62	1	1	22,29
31,63	2,95	3	3	32,96
37,79	5,60	1	1	37,79
67,15	2,68	2	2	22,32
68,18	3,28	1	1	68,18
41,11	5,52	1	1	41,11
72,51	5,48	1	2	73,31
85,97	3,65	3	3	86,08
49,59	5,43	2	2	49,86
55,95	5,43	1	2	56,65
32,18	5,39	1	1	32,18
86,27	2,02	1	1	86,27
55,08	5,34	1	1	55,08
27,57	5,31	2	2	28,07
31,15	5,29	2	2	33,15
38,03	5,28	2	2	38,03
81,64	5,28	1	1	81,64
32,94	2,34	1	1	32,94
43,72	5,26	1	1	43,72
26,26	5,26	1	1	26,26
186,84	5,25	4	5	187,78
33,46	0,93	1	2	
43,09	4,01	2	2	43,07
38,91	1,00	1	1	

44,06	5,19	1	1	44,06
28,38	2,37	1	1	28,38
71,33	2,71	1	2	72,40
60,09	5,12	1	1	60,09
32,88	5,12	1	1	32,88
57,51	3,48	3	3	57,37
124,61	3,35	2	3	124,39
48,18	3,54	3	3	
100,40	4,99	1	2	100,40
24,55	4,98	1	1	24,55
45,83	4,91	1	1	45,83
251,13	4,90	2	4	80,53
36,55	4,90	3	3	24,86
44,55	2,94	2	2	44,59
67,11	4,89	1	1	67,11
41,92	4,89	1	1	41,92
20,32	4,88	1	2	20,33
0,00	4,81	1	1	
30,29	4,78	1	1	30,29
26,89	4,78	1	1	26,89
71,17	4,78	2	3	73,17
37,32	4,78	1	1	37,32
56,90	4,76	1	2	56,90
24,25	2,64	2	2	24,25
40,57	4,75	2	2	41,43
89,28	4,74	1	3	89,78
149,27	4,73	4	6	151,06
33,43	4,72	2	2	34,43

68,72	4,71	5	5	69,61
42,48	4,69	1	1	42,48
29,97	2,56	1	1	29,97
186,62	4,64	2	4	144,37
39,00	4,64	1	1	39,00
40,08	4,63	1	1	40,08
24,66	4,57	1	1	24,66
56,86	4,55	2	2	57,26
70,83	4,53	1	1	70,83
70,71	1,88	1	2	72,40
30,57	4,44	1	1	30,57
27,99	4,42	1	1	27,99
22,24	1,00	1	1	22,24
39,74	4,36	2	2	39,74
70,22	4,36	1	1	70,22
73,41	4,35	1	1	73,41
81,46	4,35	1	1	81,46
36,81	4,35	1	1	36,81
27,23	2,47	1	1	27,23
38,48	4,31	1	1	38,48
25,76	4,27	1	1	25,76
69,94	4,26	1	3	71,14
83,36	4,25	1	1	83,36
28,56	2,27	1	1	28,56
53,11	4,23	1	1	53,11
26,12	1,06	1	1	26,12
72,70	2,68	1	1	72,70
118,73	4,21	1	2	119,40
	0,00			24,13
25,71	4,20	1	1	25,71

27,92	4,20	1	1	
42,15	1,76	1	1	
				44,43
28,29	4,17	1	1	28,29
68,99	4,16	1	1	68,99
27,91	4,11	1	1	27,91
26,68	4,06	1	1	26,68
36,70	4,03	1	2	36,70
69,12	4,02	1	1	69,12
23,75	4,02	1	1	23,75
68,27	4,02	1	1	
55,09	4,01	1	1	55,09
52,61	4,01	1	2	52,61
48,98	3,99	1	1	48,98
52,47	3,97	1	1	52,47
46,18	3,97	1	1	46,18
23,41	3,94	1	1	23,41
29,86	3,92	2	2	
61,10	1,89	1	2	95,22
87,79	3,91	1	2	87,79
51,57	3,87	1	1	51,57
55,65	3,85	1	2	55,65
54,58	3,18	1	1	54,58
70,39	3,81	3	3	47,23
32,06	3,81	1	1	32,06
44,04	3,79	1	1	44,04
36,23	1,02	1	1	36,23
91,71	3,74	1	1	91,71
43,26	3,74	1	1	43,26
51,92	3,73	2	2	52,07

47,83	3,70	1	1	47,83
80,84	3,69	1	1	80,84
31,22	3,68	2	2	
24,99	3,67	1	1	24,99
129,40	3,65	2	2	129,40
46,14	3,64	1	1	46,14
34,65	3,51	1	1	34,65
31,74	3,51	2	2	31,74
23,35	3,47	1	1	23,35
20,56	3,46	1	1	20,56
35,46	3,46	1	1	35,46
38,49	3,46	2	2	38,49
29,20	3,44	4	5	29,20
66,16	1,54	1	1	66,16
31,18	3,41	1	1	31,18
43,14	1,75	1	1	43,14
45,65	1,32	1	1	45,65
51,20	3,35	1	1	51,20
33,60	3,33	1	1	33,60

27,54	3,28	1	1	27,54
39,88	3,27	1	1	39,88
27,30	0,90	1	1	27,30
23,27	3,25	1	1	23,27
20,28	3,23	1	1	20,28
36,59	3,22	1	1	36,59
42,66	3,16	1	1	42,66
118,21	3,15	1	2	119,67
27,61	3,15	1	1	27,61
36,16	3,14	1	1	
62,17	3,14	1	1	62,17
21,15	3,13	1	1	
36,49	3,13	1	1	36,49
52,78	3,11	1	1	52,78
48,91	3,10	1	1	48,91
27,36	3,09	1	1	27,36
47,06	3,08	1	1	
27,51	3,07	1	1	27,51
41,10	3,06	1	1	41,10
71,16	3,04	1	2	71,16
34,27	3,03	1	1	34,27
62,31	3,02	1	2	63,81
49,97	3,01	1	1	49,97
74,72	2,97	2	2	75,60
79,98	2,94	2	4	81,07
122,09	2,93	2	2	123,23
31,49	2,87	1	1	31,49
69,54	2,87	1	1	69,54

75,24	2,86	1	1	75,24
	0,00			
31,75	2,77	1	1	31,75
23,92	2,75	1	1	23,92
166,75	2,74	1	2	
33,50	2,73	1	1	33,50
41,54	2,64	1	1	41,54
37,32	2,61	1	1	37,32
67,58	2,58	2	3	67,58
33,89	2,58	1	1	33,89
33,25	2,56	1	1	33,25
46,16	2,51	1	1	46,16
40,00	2,51	1	1	40,00
24,08	2,50	1	1	24,08
31,20	1,06	1	1	

31,17	2,38	1	1	31,17
33,48	2,33	2	2	36,23
25,99	2,31	2	2	25,99
87,88	1,18	1	1	87,88
85,45	1,34	2	3	85,45
22,37	2,26	1	1	22,37
49,92	2,23	2	2	49,92
20,29	2,23	1	1	20,29
53,59	2,21	1	1	53,59
22,79	2,21	1	1	22,79
41,01	2,18	1	1	41,01
22,68	2,16	1	1	22,68
34,01	2,15	2	2	34,01
	0,00			
52,99	2,14	1	1	52,99
51,72	2,06	1	1	51,72
41,06	2,06	1	1	41,06
30,15	2,05	1	1	30,15

34,53	2,00	1	1	34,53
28,84	1,96	1	1	28,84
33,59	1,96	1	1	33,59
	0,00			
41,48	1,90	1	1	41,48
60,59	1,82	1	1	
34,40	1,78	1	1	34,40
81,13	1,70	1	1	81,13
51,73	1,67	1	1	51,73
20,75	1,65	2	2	20,75
48,09	1,64	1	2	49,63
61,37	1,61	1	1	61,37
26,44	1,61	1	2	26,44
22,94	1,59	1	1	22,94
42,25	1,56	1	1	42,25

20,73	1,02	1	1	
21,65	1,55	1	1	21,65
34,55	1,51	1	1	34,55
32,65	1,46	2	2	32,59
27,40	1,41	1	1	27,40
33,16	0,99	2	2	33,88
	0,00			26,75
26,74	1,26	1	1	26,74
93,97	1,15	2	3	96,16
25,13	1,05	1	1	25,13
25,44	1,04	1	1	25,44
21,29	1,02	1	1	21,29
23,73	0,90	1	1	23,73
27,14	0,89	1	1	27,14

24,98	0,77	1	1	24,98
	0,00			
30,03	0,66	1	1	30,03
60,69	0,65	1	2	60,69
27,38	0,62	1	1	27,38
30,52	0,60	1	1	30,52
30,93	0,57	1	1	30,93
36,92	0,50	1	1	36,92

verage AcetylProtNte	eptides AcetylProtNte	PSM AcetylProtNterr	Score Phospho	Coverage Phospho
96,97	4	8	263,64	74,75
96,15	2	4	193,46	96,15
75,71	14	23	553,19	75,71
83,13	13	22	395,55	80,72
87,59	7	14	452,15	87,59
86,61	9	22	693,31	86,61
55,56	6	6	182,24	55,56
85,71	10	21	582,28	85,71
72,73	8	15	357,69	61,62
67,50	43	92	2568,77	67,50
59,43	6	8	170,61	50,94
55,70	14	23	440,97	53,48
83,33	5	15	193,73	58,00
79,34	30	66	2054,38	79,34
77,27	17	26	670,64	74,15
82,14	5	8	209,73	82,14
77,37	28	52	1331,35	77,37
61,42	13	13	215,33	61,42
53,73	11	16	388,79	53,73
71,76	19	27	722,80	71,76
80,51	5	8	353,49	80,51
44,65	14	21	419,29	44,65
73,03	11	19	444,98	62,50
59,81	9	22	756,82	59,81
73,87	13	23	608,97	73,87
79,00	12	18	409,27	73,50
75,81	27	43	1288,95	73,39
64,40	25	41	1435,34	64,40
78,72	11	23	849,71	78,72
57,36	13	16	465,71	52,55
64,72	18	25	505,34	64,72
64,63	10	15	393,93	64,63
74,41	14	30	649,52	74,41
69,28	12	35	1246,14	69,28
52,76	16	27	859,33	52,76
70,38	18	21	676,00	70,38
60,34	14	23	598,00	60,34
58,89	29	48	1703,37	58,89
77,45	5	7	187,23	77,45
7,38	2	3	104,93	7,38
71,73	16	28	919,04	71,73
69,18	22	43	1293,63	69,18
63,37	4	6	208,80	76,24
47,30	21	33	793,24	47,30
62,83	15	24	861,17	62,83

47,37	13	21	538,33	47,37
47,84	17	25	881,13	47,84
74,80	7	10	419,08	74,80
42,19	27	40	1169,64	42,19
41,15	6	8	165,84	41,15
71,58	20	32	704,04	65,15
34,55	5	7	288,27	34,55
73,87	5	14	230,34	45,95
40,73	7	7	152,03	40,73
61,87	17	32	878,86	57,07
30,19	4	5	136,37	30,19
51,52	4	7	266,25	51,52
32,15	15	20	362,52	28,39
56,47	16	36	1381,53	56,47
31,28	13	19	410,50	31,28
58,89	16	26	711,52	58,89
43,89	10	13	435,22	43,89
59,59	11	18	515,53	59,59
52,61	26	37	1024,29	52,61
53,97	8	12	286,68	53,97
65,19	24	36	1215,01	65,19
43,43	5	6	167,27	43,43
44,00	13	28	705,75	44,00
58,49	22	27	581,79	58,49
59,62	13	16	289,51	54,81
44,30	6	7	236,81	35,57
71,11	6	7	170,26	61,11
44,53	6	8	164,99	34,67
22,96	5	8	267,38	22,96
60,87	9	17	381,35	60,87
60,54	6	10	301,47	60,54
53,59	31	44	1038,94	53,59
61,61	18	27	809,16	61,61
39,27	12	14	327,96	39,27
69,33	10	14	296,14	69,33
45,85	15	20	562,89	45,85
32,89	8	13	460,86	32,89
54,14	5	9	273,06	48,07
34,92	4	4	87,56	34,92
56,44	18	36	1081,02	56,44
54,10	7	10	279,38	54,10
50,65	6	8	347,55	50,65
68,75	20	32	740,67	65,18
33,24	17	23	665,30	33,24
68,42	9	12	252,55	68,42
55,75	22	28	509,98	52,11
68,28	6	33	788,06	68,28
42,05	4	5	122,94	31,82
32,80	7	10	138,18	28,94
59,29	7	13	340,13	59,29

47,39	31	42	1177,49	47,39
67,81	5	6	258,67	67,81
34,69	5	6	33,47	34,69
42,75	18	22	382,10	42,75
60,94	42	60	1613,20	59,71
67,57	3	4	100,08	67,57
46,86	20	23	491,60	43,33
39,77	11	18	312,03	36,59
31,52	12	21	292,26	31,52
34,71	6	8	120,75	34,71
43,80	15	23	427,23	43,80
43,53	9	15	420,53	40,29
41,43	27	32	806,99	44,01
43,62	4	7	67,51	43,62
35,00	5	5	119,59	35,00
50,07	28	41	915,09	50,07
66,20	4	24	907,14	66,20
45,83	9	13	412,88	45,83
18,33	4	6	92,22	18,33
31,46	7	12	349,75	31,46
25,37	3	6	213,66	25,37
54,40	26	47	1544,49	54,40
37,62	11	15	300,18	37,62
65,52	10	21	293,96	55,17
57,04	4	5	129,49	65,49
65,45	7	13	490,31	65,45
55,70	9	10	261,10	55,70
55,92	37	63	1831,65	55,92
46,99	25	29	777,08	46,99
58,89	13	15	425,28	58,89
37,02	10	14	253,06	37,02
62,01	17	23	654,25	62,01
50,69	15	22	594,15	53,06
42,15	23	31	705,02	42,15
16,31	5	5	114,73	16,31
49,22	13	17	354,38	49,22
30,61	3	3	61,90	30,61
43,05	7	9	130,57	43,05
64,23	5	9	128,78	55,28
21,11	5	6	100,72	21,11
63,98	14	23	649,31	63,98
55,42	5	5	216,59	55,42
54,30	16	38	674,94	54,30
44,25	7	9	210,76	44,25
47,06	26	38	1115,22	48,18
55,27	16	21	728,09	55,27
34,67	11	15	410,20	34,67

63,53	3	4	184,86	63,53
48,60	10	11	294,22	48,60
54,93	11	18	321,53	54,93
25,63	7	8	229,00	25,63
29,98	11	16	279,35	26,62
39,87	15	18	379,77	39,87
49,44	13	19	824,79	55,23
31,10	9	10	268,49	31,10
57,23	37	62	1789,39	57,23
54,01	11	13	325,73	54,01
31,86	12	15	354,50	27,45
44,10	10	12	396,04	44,10
16,64	7	9	340,05	16,64
22,54	8	11	197,26	22,54
41,67	8	10	188,06	41,67
57,04	9	12	309,28	48,52
56,03	43	74	2109,14	55,04
60,80	20	25	797,22	57,68
52,45	15	25	831,10	52,45
50,31	17	23	667,75	50,31
51,11	47	74	1843,75	49,57
60,18	5	11	374,22	60,18
39,57	11	18	348,78	34,22
43,36	11	17	493,34	38,21
29,73	4	5	187,48	29,73
54,81	5	7	184,04	54,81
41,80	6	8	137,40	41,80
26,52	10	10	236,95	26,52
61,33	11	14	253,88	61,33
38,39	12	16	362,50	38,39
38,13	8	13	448,69	38,13
61,19	10	17	437,00	61,19
48,95	8	12	281,26	48,95
38,43	7	8	183,67	38,43
1,55	1	1	22,70	1,55
54,08	47	86	1945,87	54,08
30,72	15	20	418,16	30,72
37,97	6	9	188,32	30,80
26,96	13	18	521,65	26,96
40,85	10	16	705,58	37,84
42,98	11	17	403,80	42,98
38,71	11	14	373,72	38,71
49,08	20	30	912,31	49,08
38,90	11	13	394,53	33,41
58,86	15	26	713,00	58,53
52,60	30	39	817,45	52,60
38,52	14	17	383,56	38,52
24,61	3	3	54,33	24,61
42,86	31	38	1032,07	42,86
44,95	5	5	127,28	44,95
23,82	7	8	177,59	23,82

59,29	7	11	245,64	59,29
3,23	1	1	20,37	3,23
56,18	9	12	305,42	56,18
25,82	9	13	260,06	25,82
59,09	6	8	225,83	59,09
26,23	10	11	300,92	26,23
53,30	5	7	254,63	53,30
51,23	15	24	560,03	48,77
58,60	11	19	596,06	58,60
55,91	16	35	939,08	53,81
54,24	8	13	571,74	56,50
53,01	21	34	969,57	53,01
57,61	3	4	122,80	57,61
21,82	7	7	179,64	21,82
40,11	13	15	439,75	40,11
32,62	11	14	210,98	26,95
35,81	7	8	153,01	35,81
58,24	9	22	566,69	58,24
40,08	13	16	293,27	40,08
40,00	12	15	450,53	40,00
44,55	11	14	472,66	44,55
42,40	7	15	451,40	42,40
32,23	3	3	81,00	32,23
57,76	15	31	1123,63	57,76
14,08	3	3	85,88	14,08
27,60	9	10	154,41	26,11
2,39	1	1	26,76	2,39
57,69	11	11	242,41	57,69
57,69	5	7	151,88	57,69
38,74	5	9	275,94	38,74
57,59	9	15	297,15	57,59
45,31	12	20	552,37	45,31
43,73	7	13	444,59	43,73
36,94	21	28	675,42	36,94
32,30	18	19	562,05	32,30
33,62	5	5	87,91	33,62
23,21	6	8	193,68	23,21
20,00	4	4	89,19	20,00
52,10	8	12	344,11	52,10
56,67	5	8	95,84	33,33
32,97	8	9	221,84	32,97
40,00	8	8	179,10	40,00
45,41	10	18	755,71	40,58
56,50	8	13	233,61	47,50
38,54	20	25	560,45	38,54
47,87	16	27	816,22	47,87
47,21	10	15	374,21	47,21
13,98	5	5	38,80	13,98
56,13	8	35	850,64	56,13
52,64	15	21	784,36	52,64

18,49	10	13	360,62	17,00
45,23	9	12	237,69	45,23
42,97	11	13	501,46	42,97
22,68	2	4	154,47	22,68
48,07	33	40	1141,66	48,07
38,04	4	4	138,04	38,04
14,46	1	1		
51,53	12	13	378,62	51,53
27,43	6	7	145,79	27,43
30,88	6	6	80,47	25,81
42,57	13	19	517,22	42,57
55,10	3	3	29,81	55,10
49,68	13	22	557,46	46,68
26,69	6	8	231,56	26,69
11,52	4	6	176,72	11,52
29,23	3	6	257,30	39,23
45,99	16	24	476,10	45,79
48,57	9	10	276,87	48,57
36,19	16	22	575,04	32,32
46,67	8	12	322,71	41,18
38,01	13	17	472,56	38,01
54,04	9	10	138,82	47,83
13,62	3	3	109,75	13,62
53,94	10	16	399,31	50,79
43,98	5	12	651,34	43,98
24,72	9	10	95,24	24,72
39,38	9	10	421,95	39,38
42,66	6	7	153,35	34,97
40,55	21	28	711,89	40,40
37,50	5	13	471,85	37,50
17,06	4	5	109,63	17,06
39,34	14	20	456,40	39,34
14,20	4	6	223,45	14,20
24,29	6	7	236,13	24,29
40,47	15	22	440,87	40,47
52,74	4	9	234,11	52,74
19,64	2	2	21,46	19,64
31,73	10	13	243,69	31,73
42,11	10	14	370,27	42,11
30,92	7	10	193,42	30,92
11,22	1	1	30,02	11,22
44,66	6	9	257,90	44,66
24,80	5	8	183,14	24,80

45,73	12	13	265,38	45,73
4,10	1	1	29,12	4,10
43,64	11	14	265,24	39,77
22,77	9	9	86,51	22,77
18,00	2	2	52,55	44,00
27,42	8	11	236,19	27,42
19,63	4	7	191,48	13,55
27,57	9	11	237,72	24,95
30,41	12	14	381,74	30,41
40,40	15	20	416,86	40,40
16,15	19	24	316,43	16,15
34,10	6	9	337,33	34,96
34,56	5	32	788,06	34,56
35,47	6	7	137,88	35,47
51,28	5	5	77,54	35,90
31,71	14	21	503,36	31,71
51,20	4	7	145,04	51,20
39,39	7	15	295,83	39,39
29,32	3	7	103,57	29,32
45,03	25	34	1206,97	45,03
51,02	3	4	47,49	51,02
45,45	5	8	285,98	45,45
36,18	5	6	160,98	36,18
36,89	7	12	217,50	36,89
32,37	4	11	309,40	32,37
18,57	3	3	31,18	18,57
50,68	14	18	631,24	50,68
21,15	7	7	162,11	21,15
46,42	14	18	423,58	46,42
13,16	4	6	338,42	13,16
26,10	15	17	616,20	28,29
29,10	6	8	146,82	29,10
40,78	3	5	149,57	40,78
27,38	6	11	216,98	27,38
45,79	19	26	617,68	45,79
43,23	13	22	720,74	43,23
31,79	9	9	172,17	31,79
36,99	7	7	155,26	36,99
22,30	6	8	209,65	22,30
33,02	2	4	92,31	33,02
27,93	9	11	248,61	27,93
39,47	7	10	128,52	39,47
22,43	10	11	279,36	22,43
49,41	3	4	58,87	49,41
49,34	4	7	58,33	36,84
19,28	4	5	153,79	19,28
48,84	10	15	390,66	48,84

41,46	5	9	226,98	41,46
23,25	6	6	109,58	18,82
38,78	10	18	406,38	38,78
49,03	7	7	206,34	49,03
33,43	14	21	500,02	38,67
26,63	6	10	386,47	26,63
33,56	6	7	154,75	33,56
36,69	4	5	102,14	36,69
45,25	8	9	144,14	37,56
35,13	17	22	645,69	38,53
29,95	3	7	282,20	29,95
46,79	11	20	559,35	46,79
48,67	13	18	281,94	48,67
48,65	6	10	287,24	44,14
27,34	22	29	730,27	27,34
4,91	2	2	60,62	4,91
34,75	14	18	383,02	36,29
27,09	13	18	593,91	27,09
28,51	5	8	150,87	28,51
25,37	8	12	347,83	23,13
4,08	7	10	362,36	4,08
22,95	9	12	275,00	22,95
5,84	2	2	44,17	5,84
28,14	11	11	260,15	28,14
48,37	6	13	511,09	48,37
48,18	5	5	58,39	48,18
42,45	7	8	264,47	42,45
14,47	7	10	341,94	14,47
38,43	8	13	426,04	38,43
40,69	7	12	344,82	40,69
37,07	9	12	160,46	37,07
29,55	13	20	340,63	25,52
3,36	2	3	96,29	3,36
28,04	9	13	212,40	28,04
47,80	9	13	393,70	47,80
38,24	6	10	233,47	38,24
22,96	4	4	90,11	22,96
23,76	7	9	188,96	21,38
34,53	16	21	505,66	34,53
18,21	7	7	141,04	18,21
47,68	10	17	347,02	47,68
9,50	1	2	34,03	9,50
27,80	14	17	270,64	22,39
35,89	9	10	291,17	35,89
34,32	14	17	365,84	34,32
31,85	9	10	165,45	31,85
34,27	5	7	300,78	34,27
29,74	10	13	202,04	29,74
16,22	3	4	167,83	16,22

46,88	2	3	35,77	21,88
23,06	8	11	215,11	23,06
17,59	2	3	38,97	17,59
33,93	12	13	334,88	35,70
46,71	5	7	120,49	46,71
18,68	9	9	191,59	18,68
14,51	3	3	63,98	9,41
27,05	9	10	268,34	30,02
37,15	10	10	274,91	37,15
19,07	4	6	106,49	19,07
21,83	9	9	236,79	22,59
43,10	9	14	411,61	43,10
46,36	8	11	295,92	46,36
28,50	21	24	665,86	28,50
12,59	4	5	66,59	12,59
28,08	7	8	133,20	25,00
31,42	7	10	154,12	31,42
46,21	6	9	166,30	46,21
42,34	12	14	213,23	42,34
13,33	4	5	98,11	13,33
40,41	11	13	161,67	40,41
37,18	11	16	453,06	39,77
13,35	5	7	153,37	13,35
31,75	6	6	54,11	31,75
34,25	8	10	267,26	34,25
35,78	8	13	469,64	25,59
41,28	8	12	457,74	41,28
37,86	13	18	296,15	34,47
25,81	16	23	600,19	25,81
45,92	7	8	106,12	40,77
22,40	7	9	180,76	22,40
13,31	5	7	92,32	13,31
39,74	8	11	216,81	39,74
28,06	13	14	358,68	28,06
18,73	3	3	128,85	18,73
39,81	15	16	298,09	39,81
29,57	14	24	408,52	29,57
45,45	5	5	97,32	45,45
21,99	9	11	268,55	21,99
40,11	7	12	144,42	40,11
40,52	7	7	117,13	40,52
36,04	13	14	246,54	33,33
42,41	10	11	218,44	42,41
29,74	12	15	385,90	29,74
38,02	26	40	935,31	38,02
45,03	4	5	99,98	45,03
27,81	5	6	99,33	27,81

26,83	4	5	171,62	26,83
21,42	10	13	401,55	21,42
33,91	3	4	169,84	40,23
44,78	10	15	474,18	44,78
44,72	5	8	243,70	44,72
39,42	14	18	616,58	35,34
13,06	4	5	135,94	13,06
26,10	6	7	167,42	26,10
34,69	6	8	277,64	34,69
30,94	6	10	149,77	30,94
27,25	16	19	411,07	27,25
34,93	6	8	236,96	34,93
25,77	13	15	304,57	25,77
34,72	9	11	170,41	34,72
14,71	7	8	153,53	14,71
38,26	7	11	121,68	38,26
44,26	6	9	234,57	44,26
33,19	5	7	154,66	33,19
32,31	7	7	158,62	32,31
9,86	4	4	52,13	9,86
21,04	6	9	265,78	21,04
13,42	10	10	220,21	13,42
44,06	6	8	181,92	44,06
27,59	4	5	50,92	22,22
44,05	3	4	99,64	44,05
40,27	9	11	228,89	40,27
36,00	9	11	277,94	36,00
41,74	8	11	458,40	41,74
31,22	13	17	472,19	31,22
22,51	7	8	222,51	22,51
16,72	12	14	227,90	16,72
43,75	3	5	179,29	43,75
10,93	4	4	62,76	10,93
43,69	4	4	104,13	43,69
12,04	6	6	130,04	12,04
33,33	4	5	86,01	33,33
43,55	5	5	66,96	35,48
20,57	6	7	186,03	20,57
39,27	7	8	91,12	39,27
32,79	6	8	269,99	32,79
26,26	2	4	118,94	26,26
43,42	4	8	165,30	43,42
35,14	11	18	541,71	35,14
10,54	4	5	66,78	10,54
11,46	1	1	53,89	11,46
31,36	3	4	111,26	31,36
24,24	3	6	85,04	24,24
43,18	5	5	93,65	43,18

34,93	8	11	271,79	34,93
2,86	1	1	72,50	2,86
4,89	2	2	43,97	4,89
34,59	10	15	315,96	34,59
28,62	11	14	318,34	25,97
10,70	2	2	42,47	10,70
37,71	6	7	144,67	37,71
34,59	14	19	471,61	34,59
22,67	9	14	343,12	22,67
26,88	8	12	322,84	26,88
42,57	3	4	120,91	29,70
17,78	3	5	215,22	17,78
42,49	4	8	113,80	42,49
4,33	2	2	47,64	4,33
42,41	7	14	434,65	42,41
41,06	5	6	176,56	41,06
33,90	5	6	196,07	33,90
23,28	3	6	74,70	18,70
42,35	6	7	272,98	42,35
23,90	7	7	166,30	23,90
42,19	4	6	258,56	42,19
42,06	3	7	214,91	42,06
10,08	2	3	53,49	10,08
42,01	8	9	165,92	42,01
42,01	4	9	441,19	42,01
8,76	2	3	112,88	8,76
41,91	8	12	307,60	39,71
31,76	6	7	211,24	31,76
28,46	4	6	83,27	28,46
12,84	2	2	62,06	12,84
5,14	1	1	31,46	5,14
30,79	7	10	282,92	30,79
41,53	3	3	109,32	41,53
17,06	5	5	157,03	17,06
19,08	4	6	175,29	19,08
31,14	4	4	134,65	31,14
41,30	10	13	346,78	33,91
26,46	8	14	344,59	26,46
24,94	8	10	243,50	22,62
41,13	4	6	256,69	41,13
16,06	5	6	212,70	16,06
30,83	12	17	449,97	30,83
22,97	3	3	76,79	22,97
40,98	5	6	96,04	40,98
31,18	12	14	302,62	31,18

34,39	17	25	515,62	32,80
25,16	4	6	82,43	25,16
21,11	8	11	310,73	21,11
36,19	10	14	385,60	36,19
18,52	14	21	367,61	18,52
33,02	8	13	628,42	33,02
10,13	4	5	221,47	10,13
40,64	6	7	142,90	40,64
40,59	3	3	67,30	40,59
31,81	12	17	416,13	30,29
9,06	4	5	183,82	9,06
18,44	4	5	126,10	25,42
12,36	1	2	36,50	12,36
28,57	10	12	224,15	28,35
10,39	4	6	126,70	10,39
11,81	2	2	116,59	11,81
40,35	5	5	103,86	40,35
40,34	12	14	370,03	40,34
25,09	5	5	117,09	25,09
9,76	1	1	37,30	9,76
11,49	3	3	57,53	11,49
40,19	3	3	48,03	40,19
32,08	9	12	290,02	32,08
14,34	3	4	85,49	14,34
24,69	9	9	270,82	24,69
25,62	5	5	101,64	25,62
23,57	4	4	109,93	23,57
38,06	16	17	222,23	38,06
23,55	15	15	327,61	23,55
15,02	10	10	332,54	15,02
23,03	3	4	137,54	23,03
37,20	9	11	148,35	34,83
26,85	6	8	253,83	22,53
10,80	1	1	30,81	10,80
2,77	1	1	39,26	2,77
39,71	5	7	95,83	39,71
39,62	4	5	166,57	39,62
24,62	4	5	134,91	24,62
31,69	14	24	448,52	31,69
18,43	3	5	171,17	18,43
23,45	8	10	153,09	23,45
33,68	9	11	334,04	33,68
15,40	7	7	141,22	15,40
39,44	4	5	88,84	39,44
25,71	6	6	148,60	25,71
39,33	9	14	289,81	39,33
39,29	14	25	597,13	39,29
14,97	4	4	165,05	14,97

28,77	5	5	157,75	28,77
16,40	5	7	168,64	16,40
25,00	4	7	193,88	39,23
6,26	3	4	49,73	6,26
7,81	1	1	59,23	7,81
16,67	8	10	284,38	16,67
38,96	7	12	423,98	38,96
16,29	12	14	244,58	16,29
21,30	5	9	278,93	18,83
27,54	30	39	925,38	27,54
28,31	12	17	564,45	28,31
20,71	6	7	159,16	20,71
34,78	10	10	279,19	34,78
3,77	1	3	104,92	3,77
34,14	22	29	707,60	34,14
36,05	6	10	529,46	36,05
7,17	3	4	112,74	7,17
16,03	6	8	230,75	16,03
15,16	2	4	109,30	15,16
24,14	12	18	433,33	24,14
20,27	9	16	341,21	20,27
15,37	8	9	185,08	15,37
6,12	2	3	50,50	6,12
16,70	6	7	208,98	16,70
36,69	13	16	422,13	36,69
38,14	3	3	100,64	38,14
30,69	5	7	173,99	25,40
12,77	5	5	113,20	12,77
26,61	3	3	42,08	26,61
38,06	6	8	132,96	38,06
32,76	4	5	127,70	32,76
33,16	5	8	223,32	33,16
22,20	7	7	208,02	22,20
35,64	7	9	309,91	35,64
37,80	2	4	97,27	37,80
37,80	3	4	97,56	37,80
22,42	4	5	144,26	22,42
37,74	5	6	198,40	37,74
26,49	5	12	423,08	26,49
12,37	4	4	95,32	12,37
18,39	9	11	423,74	18,39
30,28	3	4	103,68	30,28
6,08	1	1	58,40	6,08
8,80	4	4	62,56	8,80
20,97	9	14	343,14	20,97
26,22	5	8	236,88	26,22

9,21	3	4	42,13	9,21
6,73	4	4	133,74	6,73
8,56	1	1	40,17	8,56
16,52	3	6	215,91	16,52
25,30	9	11	286,43	25,30
14,79	1	1	35,33	14,79
33,94	6	6	142,20	33,94
37,27	2	3		
5,67	1	2		
6,25	8	9	94,23	4,53
32,64	5	5	91,68	27,27
30,77	3	5	68,36	30,77
21,84	4	5	84,30	21,84
12,37	4	5	151,71	12,37
19,59	6	8	177,19	19,59
20,45	8	11	181,41	20,45
16,15	4	6	80,70	16,15
13,03	3	4	32,67	13,03
19,43	19	21	458,83	19,43
15,68	11	12	237,59	15,68
8,39	1	1	23,32	8,39
13,87	4	6	200,64	13,87
4,18	1	2	140,77	4,18
18,58	3	7	286,06	18,58
24,64	3	4	98,22	24,64
22,22	4	4	94,81	22,22
6,37	2	2	31,62	6,37
17,66	6	6	113,63	17,66
26,14	8	9	279,72	26,14
30,50	5	7	232,95	30,50
36,51	4	5	163,04	36,51
9,81	1	2	176,22	9,81
32,23	7	9	193,10	32,23
36,44	3	3	91,26	36,44
24,25	16	18	472,99	22,64
15,76	13	18	317,13	15,76
26,96	5	10	226,87	26,96
11,41	3	3	106,84	11,41
19,16	9	14	280,78	19,16
3,46	1	1	57,78	3,46
26,67	4	5	54,53	21,75
27,80	4	5	189,69	14,52
33,33	10	13	217,90	33,33
8,60	4	5	58,48	8,60

33,33	6	6	191,77	33,33
33,66	5	5	90,98	33,66
21,32	31	41	1306,57	21,32
32,50	16	19	321,58	32,50
35,16	13	20	607,11	33,17
24,51	9	11	254,84	24,51
14,33	6	9	251,06	14,33
35,71	1	1	26,14	35,71
19,43	4	5	141,16	19,43
16,56	8	10	86,52	16,56
33,24	13	19	422,53	33,24
22,40	13	16	306,54	22,40
14,41	2	4	107,05	14,41
24,53	11	14	272,46	24,53
5,86	3	4	104,28	5,86
13,65	2	2	87,54	13,65
26,88	2	2	46,40	26,88
15,55	4	4	72,42	15,55
10,16	7	8	157,49	8,53
26,83	2	4	95,20	26,83
35,37	3	4	62,77	35,37
23,20	3	3	76,31	23,20
19,70	4	5	235,40	19,70
15,12	5	7	71,94	15,12
31,02	25	32	1025,44	31,02
30,34	8	8	183,97	30,34
4,04	1	1	62,39	4,04
35,06	5	7	144,73	35,06
16,03	12	12	257,08	16,03
27,38	13	20	903,72	27,38
20,80	16	20	474,44	20,80
34,93	3	4	112,47	34,93
16,51	5	7	153,61	16,51
34,82	3	3	113,35	34,82
23,37	3	4	74,33	23,37
30,94	4	5	125,25	30,94
11,57	1	1	29,62	11,57
3,56	1	1	23,01	3,56
9,43	2	2	40,40	9,43
34,59	3	4	56,63	34,59
31,30	6	8	387,45	31,30
25,00	4	4	132,17	25,00
34,50	5	5	94,01	34,50
34,47	7	9	186,89	34,47

17,76	7	9	360,96	17,76
26,49	2	3	84,85	26,49
15,20	1	1	31,35	15,20
32,08	12	12	200,81	32,08
21,88	15	18	486,89	21,88
34,25	6	9	240,73	34,25
12,78	4	5	111,43	12,78
16,46	3	3	92,12	16,46
14,61	9	14	479,67	14,61
7,76	1	1	30,91	7,76
10,65	8	9	209,37	10,65
16,67	5	5	166,06	16,67
10,43	1	1	53,40	10,43
33,82	3	6	256,39	33,82
28,57	7	8	73,90	28,57
33,78	2	2	44,07	33,78
13,20	3	3	71,83	13,20
33,70	4	6	128,07	33,70
10,41	2	4	146,59	10,41
16,94	4	6	121,21	16,94
30,11	8	12	214,88	30,11
9,28	5	7	139,87	9,28
23,55	5	6	106,64	23,55
16,40	5	8	242,68	16,40
19,91	5	8	108,13	15,85
33,33	7	11	323,54	28,29
13,00	3	3	103,29	13,00
20,00	2	3	104,76	20,00
12,70	2	2	22,40	12,70
33,19	6	7	112,15	26,72
12,89	4	6	275,98	12,89
2,76	1	1	23,67	2,76
25,50	5	14	329,24	25,50
4,49	1	1	50,96	4,49
25,98	2	4	170,98	25,98
33,00	8	8	168,52	33,00
22,11	6	6	85,33	22,11
4,66	1	1	27,49	4,66
8,95	3	4	73,70	8,95
22,35	2	2	30,57	22,35
32,93	8	10	210,97	32,93
18,60	6	7	128,56	18,60
12,44	2	2	92,74	12,44
17,21	6	6	106,96	17,21

10,81	8	12	260,54	10,81
7,51	2	2	80,55	7,51
31,34	5	10	384,83	31,34
32,72	6	8	128,61	32,72
14,02	1	1	23,52	14,02
29,58	11	12	162,35	29,58
15,33	1	4	79,20	15,33
12,56	1	1	21,14	12,56
15,17	4	5	153,37	15,17
19,94	5	7	255,61	19,94
2,06	3	3	58,39	2,06
18,76	4	4	57,97	18,76
10,27	3	3	45,61	10,27
10,60	5	5	152,60	10,60
29,44	7	8	150,23	29,44
18,75	3	4	116,05	18,75
13,51	2	2	42,97	13,51
32,39	3	6	123,60	32,39
14,99	7	7	248,52	17,69
20,57	6	9	330,05	20,57
7,52	1	1	66,93	7,52
32,25	7	8	246,45	32,25
20,30	5	5	55,90	14,36
32,12	3	4	116,18	32,12
21,52	8	11	391,73	21,52
32,07	5	6	95,61	32,07
10,36	3	3	75,81	10,36
13,60	2	3	55,50	13,60
21,56	8	10	272,81	21,56
22,19	7	7	131,49	22,19
31,79	4	4	139,92	31,79
13,21	3	4	162,05	13,21
9,90	5	5	107,71	9,90
12,43	4	4	79,84	10,27
22,58	10	17	398,73	22,58
27,00	13	15	359,99	27,00
6,57	2	2	57,92	6,57
6,85	2	2	51,18	6,85
26,09	4	6	212,89	26,09
31,14	8	10	291,30	31,14
26,99	6	7	214,32	26,99
31,43	2	2	49,66	31,43
5,16	1	2	30,02	5,16

19,14	4	6	177,59	19,14
13,87	8	10	209,69	13,87
4,11	1	1	30,11	4,11
30,93	5	6	158,26	30,93
15,44	8	10	248,39	15,44
25,29	8	8	184,66	25,29
15,65	6	9	146,59	15,65
26,20	16	18	482,79	26,20
8,73	4	5	92,59	8,73
5,00	1	1	20,94	5,00
11,57	4	4	107,96	11,57
30,30	2	3	54,07	30,30
30,30	5	5	109,88	22,73
16,81	2	2	53,59	16,81
15,85	7	10	176,57	15,85
5,98	2	2	66,66	5,98
15,61	3	4	158,72	22,30
3,08	1	1	74,55	3,08
26,01	4	6	287,89	26,01
19,87	4	4	119,83	19,87
9,06	3	3	80,18	9,06
8,15	2	2	34,40	8,15
11,76	2	2	20,55	6,30
29,76	13	18	414,39	29,76
29,76	8	10	228,87	29,76
27,69	6	7	158,52	23,59
17,03	3	3	71,09	17,03
27,21	6	7	109,70	27,21
28,93	6	6	148,55	28,93
15,42	5	7	124,32	15,42
29,51	3	5	120,52	29,51
16,53	5	5	93,04	16,53
18,06	4	5	77,03	10,37
7,36	3	4	60,42	7,36
23,15	8	13	305,78	23,15

14,97	2	2	78,07	14,97
24,88	7	8	208,55	24,88
7,67	2	2	25,52	7,67
21,27	4	5	200,17	21,27
18,50	15	18	442,21	18,50
3,49	2	2	44,01	3,49
21,48	8	10	354,67	21,48
24,88	3	5	206,26	24,88
11,37	4	5	200,32	11,37
20,00	6	8	161,08	13,26
29,24	6	8	154,67	29,24
29,23	7	10	208,70	23,33
12,88	2	3	109,21	12,88
20,78	6	7	121,50	17,25
2,61	1	2	32,89	2,61
28,92	3	3	125,57	28,92
28,79	5	9	237,95	28,79
28,77	3	4	104,95	28,77
5,75	1	1	44,76	5,75
25,45	5	8	177,66	25,45
5,38	2	3	114,01	8,96
26,89	11	11	292,56	26,89
7,44	2	2	24,88	7,44
20,00	5	5	102,49	20,00
9,96	6	6	129,47	9,96
9,59	5	8	147,36	9,59
23,68	3	7	243,66	23,68
9,42	6	6	86,73	9,42
20,00	1	5	156,85	20,00
13,96	9	10	168,55	13,96
19,78	7	7	200,47	19,78
20,90	2	5	223,46	20,90
25,78	7	11	287,89	25,78
7,58	3	3	76,88	7,58
7,25	6	7	127,59	7,25
2,53	1	1	89,73	2,53
8,60	3	4	39,19	8,60
5,30	1	1	36,09	5,30
12,06	6	7	213,36	12,06
22,39	3	6	163,24	22,39
25,54	15	17	321,42	25,54
3,43	3	4	97,50	3,43
22,49	3	3	82,78	22,49

17,49	6	6	112,81	17,49
11,56	2	3	37,98	11,56
22,26	6	7	211,01	22,26
5,60	5	6	50,72	4,27
23,44	5	6	68,14	23,44
11,88	1	1	34,06	11,88
8,27	3	4	112,36	8,27
24,33	5	9	355,16	24,33
11,37	8	9	170,86	11,37
27,49	12	14	241,18	27,49
18,13	2	2	36,65	18,13
8,96	2	2	61,49	8,96
27,43	3	4	105,19	27,43
5,91	1	1	25,46	5,91
8,90	2	2	63,67	8,90
6,01	2	2	52,16	6,01
16,21	11	11	272,03	16,21
27,31	5	9	333,43	27,31
20,81	4	5	174,33	20,81
16,28	7	8	238,61	16,28
8,48	2	2	79,79	8,48
14,76	3	5	196,97	14,76
24,03	7	9	174,68	24,03
11,41	7	11	115,30	9,03
12,30	6	7	210,54	12,30
27,17	8	9	211,83	27,17
18,12	7	9	290,75	18,12
7,62	1	2	40,42	7,62
27,12	2	3	140,06	27,12
19,17	4	6	123,00	19,17
4,31	1	2	78,12	4,31
16,30	4	4	73,99	16,30
9,86	7	9	189,89	9,86
7,59	3	4	45,87	7,59
26,92	8	11	203,58	26,92
12,31	6	6	103,28	12,31
5,09	1	1	33,21	5,09
9,02	3	3	108,68	9,02
26,82	5	8	199,74	26,26
26,77	5	5	67,74	26,77
20,03	14	15	232,08	20,03
19,30	4	6	239,23	19,30
23,11	6	6	190,62	23,11

13,81	7	7	232,16	13,81
6,68	6	7	220,23	6,68
11,11	5	7	111,01	11,11
19,49	9	11	195,56	19,49
11,68	5	7	131,88	11,68
14,41	5	5	163,73	14,41
15,65	4	4	47,54	15,65
26,13	3	5	106,20	26,13
18,77	4	4	105,02	18,77
9,05	5	7	130,71	9,05
26,05	2	2	75,74	26,05
26,00	2	2	109,19	26,00
19,57	4	4	70,04	19,57
21,69	2	5	195,85	21,69
9,53	3	3	95,25	9,53
19,71	6	10	257,25	19,71
11,87	5	6	221,67	11,87
3,87	1	1	25,24	3,87
4,28	1	1	39,28	4,28
6,48	2	3	59,32	6,48
25,58	6	10	211,10	25,58
20,83	10	18	475,71	18,46
8,12	3	3	95,34	8,12
6,84	1	1	33,60	6,84
17,81	8	9	151,59	17,81
8,68	5	5	61,04	8,68
3,58	1	1	51,65	3,58
20,69	5	8	108,55	20,69
6,96	4	5	30,42	5,09
17,76	2	2	72,28	17,76
22,07	4	6	211,91	22,07
13,57	14	16	462,97	13,57
25,20	8	10	247,76	25,20
14,97	4	4	68,89	14,97
22,09	11	12	374,81	22,09
20,22	3	4	23,75	13,66
25,00	2	7	219,14	25,00
24,90	3	6	214,71	24,90
21,64	6	7	133,19	21,64
18,80	7	8	203,36	18,80
2,61	1	1	29,35	2,61

24,71	5	8	198,86	24,71
24,69	7	11	220,91	24,69
3,70	1	1	26,18	3,70
10,85	3	4	122,44	10,85
20,72	5	6	194,27	20,72
15,55	6	9	220,56	15,55
24,54	4	6	130,55	24,54
24,53	12	12	197,93	23,32
24,50	3	4	174,38	24,50
11,84	4	6	99,01	11,84
13,58	9	11	410,04	13,58
7,92	2	3	96,42	7,92
17,45	3	3	84,35	17,45
24,26	3	4	70,55	24,26
16,67	2	3	48,59	16,67
17,24	2	2	61,33	17,24
7,90	4	4	90,34	7,90
22,69	8	12	443,99	22,69
24,14	4	5	106,51	24,14
19,10	3	4	59,60	19,10
0,53	1	1	50,29	0,53
24,01	5	7	122,91	24,01
18,04	11	13	288,92	18,04
20,71	4	5	105,64	20,71
20,31	8	9	293,88	20,31
8,85	2	2	40,79	8,85
20,82	5	5	180,39	20,82
18,13	3	3	68,89	18,13
13,81	1	1	54,90	13,81
20,11	7	8	224,83	20,11
23,75	1	1	21,81	23,75
12,46	3	3	105,08	12,46
23,70	3	4	169,16	23,70
17,73	7	11	317,67	17,73
4,14	1	1	37,01	4,14
8,17	4	4	106,51	8,17
10,41	3	4	241,61	10,41
10,67	3	3	91,07	10,67
17,64	5	5	56,61	17,64
12,86	3	5	102,63	12,86
23,38	7	7	126,58	23,38
21,26	5	6	171,42	21,26
9,83	4	5	136,51	9,83

23,30	2	2	40,52	23,30
5,04	2	2	122,62	5,04
11,34	8	10	281,14	11,34
14,53	3	3	109,17	14,53
7,13	4	4	58,67	7,13
15,29	18	22	625,50	15,29
14,74	2	3	68,13	14,74
22,60	4	6	73,57	16,35
23,03	3	4	65,83	23,03
9,50	1	2	117,84	9,50
22,87	5	6	317,62	22,87
3,91	1	1	35,93	3,91
9,45	1	3	64,53	9,45
22,78	4	5	121,13	15,83
22,78	5	8	70,10	22,78
12,04	2	2	85,99	12,04
9,20	3	4	49,33	9,20
22,56	6	7	155,10	22,56
7,60	4	6	99,85	7,60
22,52	3	3	115,42	22,52
3,22	1	1	42,47	3,22
				0,00
7,48	2	3	99,63	7,48
9,24	3	3	105,02	9,24
7,20	2	2	41,82	7,20
22,30	2	2	45,23	22,30
17,62	2	2	54,18	17,62
12,25	4	4	44,49	12,25
22,27	6	8	204,14	22,27
16,62	4	4	147,92	16,62
22,19	3	3	88,26	22,19
6,84	2	2	46,30	6,84
11,31	2	3	140,81	11,31
13,64	9	12	195,80	11,00
13,51	3	3	74,00	13,51
18,71	5	6	24,43	18,71
15,89	2	3	110,70	15,89
10,13	4	5	140,63	10,13
12,93	13	19	373,29	12,93
3,65	2	2	44,91	3,65
4,13	1	2	37,76	4,13
17,06	3	3	68,31	17,06

21,82	2	2	64,97	21,82
16,17	3	4	124,07	16,17
12,73	6	6	106,84	12,73
6,12	3	3	35,86	6,12
16,16	2	2	46,97	16,16
0,59	1	1	40,69	0,59
21,65	7	7	133,32	21,65
21,62	2	2	38,70	21,62
14,40	1	1	92,26	14,40
5,83	3	3	110,24	5,83
21,54	5	7	174,41	21,54
8,27	3	3	59,97	8,27
12,24	3	5	116,39	12,24
4,15	1	1	26,22	4,15
10,20	2	5	184,60	10,20
21,28	3	3	31,31	21,28
21,13	3	3	78,42	21,13
15,41	3	3	54,90	15,41
12,16	10	11	163,07	12,16
20,99	4	6	185,41	20,99
4,21	4	5	113,45	4,21
20,89	5	8	142,87	20,89
11,94	5	7	191,19	11,94
14,74	9	12	302,04	16,88
20,69	1	1	36,45	20,69
14,16	10	11	168,08	14,16
9,38	2	4	48,55	9,38
13,40	5	8	177,67	13,40
9,36	5	5	161,90	9,36
13,99	3	3	113,30	13,99
8,04	1	1	75,82	8,04
9,03	5	6	100,99	9,03
5,03	2	2	54,01	5,03
11,68	3	4	37,25	8,26
8,52	2	2	75,06	8,52
10,36	7	8	202,26	10,36
6,03	2	3	91,44	6,03
9,33	7	9	158,20	9,33
6,58	1	2		
20,37	2	3	70,98	20,37
5,09	2	2	67,41	5,09
12,98	2	2	74,64	12,98

15,65	4	5	137,55	15,65
1,87	2	3	41,21	1,87
18,35	8	10	140,53	16,30
15,27	2	3	79,95	20,20
11,16	2	3	151,30	20,17
20,15	1	3	219,80	20,15
20,12	1	1	72,16	20,12
10,60	2	2	22,20	10,60
20,09	7	7	187,14	18,04
5,71	2	2	61,35	5,71
15,69	4	4	163,91	15,69
20,05	5	7	172,04	20,05
9,13	3	3	44,47	9,13
10,11	3	3	96,53	10,11
2,02	2	3	111,83	0,85
15,05	4	5	32,64	15,05
19,86	8	9	154,15	19,86
7,89	3	4	43,07	7,89
7,14	5	8	198,20	7,14
1,93	1	1	30,82	1,93
19,62	8	14	334,39	19,62
14,31	6	8	151,63	14,31
0,93	1	1	45,60	0,93
9,19	4	5	145,42	9,19
19,44	4	4	164,60	19,44
4,74	1	2		
19,39	3	3	51,64	19,39
9,77	3	3	74,62	9,77
3,13	2	3	64,25	3,13
19,31	4	6	184,32	19,31
5,59	1	1	48,64	5,59
17,00	7	7	212,25	17,00
12,09	4	4	107,87	12,09
4,95	2	2	56,16	4,95
10,86	2	2	20,31	10,86
13,60	3	4	102,22	13,60

19,08	2	3	60,01	19,08
13,11	2	2	94,09	13,11
7,98	3	3	58,27	7,98
11,66	2	2	39,42	11,66
9,56	2	3	75,83	15,02
1,35	1	1	29,74	1,35
18,92	1	2	46,77	18,92
8,57	1	1	35,95	8,57
18,86	3	4	89,18	8,38
15,82	4	5	76,41	15,82
18,82	4	5	100,07	18,82
12,90	1	1	45,15	12,90
18,79	4	4	53,84	10,61
18,79	3	4	42,69	18,79
10,86	3	3	50,21	10,86
13,54	2	2	30,51	13,54
18,74	4	5	121,41	18,74
15,56	3	3	97,45	15,56
18,62	6	6	171,98	18,62
6,74	2	2	80,73	6,74
8,15	5	6	87,08	8,15
18,56	8	9	198,71	18,56
18,55	3	3	24,47	18,55
16,00	7	9	173,02	16,00
9,26	1	1	59,37	9,26
12,54	4	4	60,40	12,54
4,05	2	2	26,06	4,05
18,50	7	7	203,06	18,50
18,50	4	4	50,85	18,50
13,36	2	5	147,37	13,36
9,87	8	8	162,37	9,87
7,16	1	1	80,00	7,16
1,21	1	1	38,46	1,21
9,67	7	8	125,54	9,67
12,34	2	2	49,49	12,34
6,81	6	8	254,23	6,81
10,97	4	4	56,72	10,97
15,09	5	5	82,16	15,09
3,82	1	1	48,41	3,82
4,92	2	3	50,31	4,92
12,45	1	1	29,94	12,45
6,17	2	6	213,05	6,17
5,63	2	3	38,81	5,63
14,01	3	4	104,91	14,01

6,93	4	6	114,45	6,93
11,14	4	4	75,23	8,81
12,26	2	2	84,99	12,26
18,03	1	3	63,66	18,03
6,84	1	2	53,39	6,84
6,18	4	4	66,60	6,18
3,85	1	1	23,61	3,85
4,62	1	1	26,94	4,62
7,42	2	5	145,99	7,42
7,85	2	3	135,16	7,85
7,85	1	2	47,52	7,85
5,87	3	3	115,84	5,87
17,74	2	2	68,90	17,74
13,70	10	17	417,86	13,70
12,98	10	13	377,19	15,14
17,70	3	5	249,61	17,70
17,70	1	1	80,07	17,70
17,65	3	3	39,81	17,65
12,18	5	6	159,58	12,18
6,24	2	3	134,17	6,24
14,93	6	7	111,75	16,11
9,66	3	5	252,16	11,54
17,45	3	3	91,47	17,45
12,50	2	2	109,89	12,50
9,01	3	5	87,20	9,01
5,06	2	3	59,62	5,06
2,36	1	1	43,79	2,36
8,70	1	1	58,34	8,70
9,24	4	4	77,95	6,78
7,67	2	2	154,42	7,67
4,23	1	1	81,30	4,23
1,61	1	1	26,89	1,61
4,97	1	1	21,11	4,97
17,04	5	7	193,03	17,04
4,67	3	4	128,54	4,67
11,44	4	6	81,84	11,44

9,69	1	2	89,22	9,69
15,14	9	16	388,33	15,14
9,59	2	2	50,17	9,59
3,72	2	2	32,55	3,72
9,88	2	2	102,58	7,11
16,60	3	3	80,88	16,60
13,87	3	3	88,85	13,87
16,52	7	7	144,53	16,52
16,47	1	1	57,92	16,47
4,93	1	1	41,89	4,93
16,39	2	3		
9,69	1	1	25,65	9,69
4,86	2	2	65,24	4,86
1,94	1	1	23,16	1,94
16,23	1	1	20,95	16,23
16,21	3	3	114,16	16,21
2,53	1	1	62,99	2,53
16,16	3	3	65,32	16,16
16,15	3	4	83,00	16,15
8,62	3	4	111,82	8,62
12,71	3	3	152,80	12,71
3,66	1	1	91,56	3,66
5,58	2	3	49,52	5,58
12,42	8	12	163,79	12,42
15,93	3	4	140,52	15,93
11,04	2	2	118,09	11,04
4,80	1	1	119,96	12,18
8,56	4	4	116,56	8,56
0,96	1	1	48,12	0,96
15,81	3	4	56,50	15,81
8,02	2	2	39,85	8,02
5,48	2	2	34,61	5,48
10,06	4	4	24,18	10,06
11,90	5	8	318,89	11,90

13,70	5	5	108,75	13,70
5,35	5	5	112,26	5,35
11,41	5	7	82,20	11,41
4,43	6	6	102,28	4,43
10,51	2	2	42,32	10,51
10,61	2	3	26,77	10,61
12,55	3	3	119,10	12,55
7,95	1	2	51,25	7,95
6,89	5	6	71,77	6,89
15,33	3	4	96,28	15,33
8,67	1	1	77,71	8,67
15,31	2	2	162,29	15,31
6,78	1	2	117,52	6,78
10,99	3	3	131,27	10,99
5,20	3	5	120,50	2,97
15,22	1	1	41,49	15,22
9,75	4	5	238,00	9,75
12,06	4	4	115,63	12,06
9,41	3	3	38,49	9,41
10,60	10	14	343,86	10,60
11,93	6	6	91,32	11,93
8,60	5	5	88,00	8,60
3,53	2	3	39,35	3,53
15,05	9	11	291,73	15,05
12,21	6	10	405,31	12,21
9,20	3	4	123,18	9,20
14,91	2	2	50,66	14,91
14,91	1	1	47,63	14,91
14,91	4	4	47,64	14,91
14,89	1	1	30,26	14,89
14,88	2	2	30,93	14,88
14,78	1	1	74,97	14,78
14,70	3	3	113,33	14,70
9,41	4	5	127,46	9,41
7,32	2	2	34,81	7,32
10,67	4	5	101,34	10,67
14,62	2	3	28,35	14,62

9,03	1	2	29,93	9,03
14,57	3	4	124,53	14,57
3,96	1	2	140,74	3,96
10,61	5	7	220,30	10,61
5,34	4	6	198,85	5,34
4,40	1	1	59,56	4,40
14,51	1	1	60,85	14,51
14,49	2	2	31,04	14,49
11,40	6	8	133,47	11,40
3,13	1	1	39,22	3,13
14,45	2	2	27,52	14,45
2,78	1	1	26,60	2,78
14,42	4	6	153,41	14,42
9,71	3	3	45,00	9,71
2,55	1	1	49,95	2,55
14,04	6	6	141,68	14,04
7,69	1	2	61,23	7,69
14,29	1	2	81,37	14,29
10,98	2	4	126,44	10,98
6,64	1	1	45,88	6,64
6,91	3	4	136,41	6,91
14,09	4	7	219,23	14,09
0,00				0,00
14,06	4	6	226,49	14,06
14,02	8	13	179,29	13,68
14,00	8	11	212,13	14,00
13,94	1	2	106,00	13,94
2,71	1	1	82,33	2,71
13,83	3	3	28,86	13,83
5,07	1	1	37,38	5,07
13,70	4	4	38,50	13,70
5,13	1	1	47,19	5,13
13,68	1	1		
13,64	1	1	39,96	13,64
13,64	2	2	103,21	13,64

3,96	4	4	61,86	3,96
5,96	2	2	40,31	5,96
5,05	1	1	20,38	5,05
13,49	5	5	105,03	13,49
2,24	1	1		
9,35	2	2	45,52	9,35
2,17	1	1	31,62	2,17
3,13	2	3	86,34	3,13
			29,05	13,36
7,33	1	1	25,98	7,33
7,48	3	5	113,53	7,48
4,96	3	3	38,97	4,96
13,24	1	2	54,93	13,24
13,23	3	6	209,65	13,23
3,68	3	4	46,24	5,39
1,91	2	3	125,55	1,91
3,14	1	2	41,71	3,14
10,36	6	6	116,23	10,36
4,41	2	2	99,49	4,41
10,39	3	3	26,59	10,39
13,02	1	1	25,76	13,02
4,22	1	1	62,90	9,42
1,88	1	1	39,55	1,88
1,27	1	1	22,47	1,27
6,47	3	3	54,25	6,47
12,95	3	11	318,06	12,95
3,78	2	3	28,56	3,78
7,65	1	1	38,49	7,65
2,24	2	2	21,18	2,24
2,87	1	1	21,78	2,87
12,73	7	9	204,98	12,73
7,60	2	3	81,12	7,60

5,58	2	2	38,65	5,58
7,04	4	5	134,23	7,04
0,76	1	1	40,98	0,76
12,61	5	7	145,27	12,61
7,59	1	2	121,05	7,59
2,72	2	2	38,20	2,72
7,76	2	3	44,04	7,76
9,88	3	3	52,93	9,88
4,15	2	2	42,30	4,15
4,02	2	2	81,41	4,02
5,76	1	1	31,74	5,76
12,42	2	2	33,94	12,42
3,85	2	2	75,39	3,85
9,53	3	3	119,85	9,53
5,79	2	2	100,85	5,79
6,83	4	4	62,08	5,55
11,17	2	3	92,69	11,17
12,23	1	3	101,63	12,23
12,22	3	4	214,52	12,22
7,75	5	6	214,30	7,75
12,16	2	3	39,02	5,07
12,15	2	2	83,53	12,15
4,03	1	2	44,12	4,03
12,04	1	1	53,01	12,04
5,06	4	5	117,60	5,06
2,26	2	2	81,80	2,26
11,86	2	2	47,00	11,86
11,53	4	4	161,25	11,53
11,84	3	3	36,81	11,84
11,81	2	2	88,42	11,81

8,04	2	2	47,27	8,04
7,45	2	3	93,49	7,45
11,79	5	6	87,39	11,79
8,33	2	2	73,76	8,33
11,70	4	6	68,57	11,70
11,68	2	2	102,57	11,68
9,82	3	3	79,13	9,82
11,63	2	3	99,70	11,63
3,17	1	1	53,07	3,17
8,89	2	2	49,99	8,89
9,09	3	4	146,86	9,09
11,52	2	3	87,02	11,52
11,45	1	1	27,38	11,45
11,43	8	10	326,47	11,43
4,90	1	1	36,17	4,90
11,42	4	4	190,09	11,42
6,17	2	2	41,71	6,17
11,41	2	2	76,86	11,41
7,30	3	3	108,62	7,30
11,29	1	1	40,15	11,29
4,00	1	1	39,71	4,00
5,63	1	1	36,47	5,63
9,68	10	12	177,39	9,68
11,25	3	4	151,69	11,25
9,38	5	7	213,45	9,38
4,19	2	4	41,40	4,19
11,20	3	5	53,15	11,20
4,28	1	1	91,72	4,28
5,67	3	3	25,83	3,29
11,13	4	7	122,43	11,13
11,11	2	2	55,69	11,11
11,06	1	2	59,43	11,06
5,47	3	5	85,38	5,47
2,62	2	2	52,29	2,62
11,00	3	4	99,55	11,00

10,98	2	2	90,39	10,98
4,73	2	2	30,61	4,73
7,17	2	2	40,27	7,17
10,90	3	3	115,03	10,90
4,64	1	1	70,01	4,64
8,24	2	2	49,86	8,24
10,79	1	1	34,91	10,79
3,85	2	3	74,94	3,85
10,77	2	3	103,93	10,77
10,71	1	1	104,49	10,71
8,79	4	4	94,27	8,79
10,68	2	2	22,84	10,68
2,32	1	2	135,22	2,32
10,63	2	3	56,43	10,63
6,71	1	2	100,90	6,71
10,60	3	3	116,72	10,60
4,17	1	2	26,18	4,17
10,51	2	2	83,04	10,51
10,48	4	4	67,71	10,48
6,23	2	2	26,64	6,23
6,50	4	4	102,09	6,50
5,79	2	3	99,17	5,79
1,94	1	1	56,67	1,94
10,45	2	3	83,00	10,45
8,98	9	11	96,68	8,49
10,42	3	5	267,74	10,42
10,34	6	6	101,85	10,34
7,09	3	3	91,29	7,09
3,70	2	2	52,41	3,70
1,17	1	1	21,13	1,17
10,29	1	1	63,76	10,29

10,25	4	6	133,30	10,25
10,23	2	2	72,92	10,23
8,06	3	3	141,40	8,06
10,14	3	3	60,73	10,14
10,04	2	2	29,30	10,04
4,71	4	4	115,01	4,71
10,00	3	3	45,18	10,00
6,55	1	1	59,82	6,55
7,12	2	2	33,46	7,12
9,93	3	3	28,97	9,93
9,85	1	1	65,43	9,85
9,80	2	4	179,78	9,80
1,28	1	2	56,51	1,28
5,96	4	4	110,67	5,96
6,19	2	2	38,27	6,19
7,85	3	4	64,29	7,85
9,69	2	2	55,92	9,69
4,84	1	1	32,66	4,84
5,11	1	2	83,70	5,11
9,60	1	1	77,73	9,60
6,97	3	3	123,34	6,97
9,54	2	8	491,12	9,54
9,54	2	2	26,22	9,54
9,48	2	3	134,42	9,48

9,48	3	3	85,42	9,48
9,47	1	2	53,21	9,47
6,22	2	2	85,32	6,22
1,64	1	1	71,97	4,78
9,42	3	4	117,09	9,42
4,71	1	1	71,61	4,71
3,04	1	1	25,25	3,04
6,92	3	4	107,33	6,92
9,33	2	2	40,83	9,33
9,33	1	1	28,34	9,33
4,79	2	2	72,03	4,79
2,60	1	1	42,57	2,60
9,18	6	8	186,99	9,18
1,29	1	1	20,06	1,29
9,14	2	2	84,94	9,14
9,03	1	1	22,96	9,03
3,48	1	1	53,63	3,48
8,97	1	2	63,11	8,97
2,70	1	1		
8,90	1	1	55,01	8,90
8,89	1	1	67,62	8,89
6,95	2	2	30,98	6,95
8,83	2	2	53,30	8,83
3,17	1	1	74,15	3,17
8,81	1	1	20,88	8,81
6,06	3	4	99,29	6,06
5,15	1	1	46,05	5,15
4,39	2	2	27,49	4,39
8,77	1	1	33,91	8,77
8,74	3	4	130,88	8,74
6,29	5	5	95,46	6,29
4,73	1	1	40,68	4,73

8,71	2	2	29,56	8,71
5,40	3	3	84,91	5,40
7,44	4	4	116,79	7,44
8,58	4	4	131,72	8,58
8,53	1	1	32,25	8,53
8,52	1	3	40,78	8,52
8,44	4	4	45,51	8,44
8,44	1	1	20,52	8,44
7,30	6	6	110,88	7,30
4,54	1	2	66,71	4,54
4,71	1	1	63,74	4,71
4,73	2	2	50,35	4,73
4,25	1	1	31,14	4,25
8,28	1	1	48,63	8,28
2,84	2	2	21,45	2,84
8,23	2	2	35,05	8,23
2,95	1	2	54,17	2,95
8,20	2	2	56,07	8,20
8,19	2	2	44,09	8,19
8,18	1	1	36,06	8,18
8,16	2	3	134,07	8,16
8,16	1	4	108,09	8,16
8,16	4	4	85,03	8,16
4,36	1	1	47,49	4,36
2,06	1	1	36,12	2,06
4,50	2	4	117,90	4,50

8,00	1	3	87,07	8,00
2,79	1	1	94,31	2,79
4,75	1	1	43,37	4,75
7,97	1	1	39,81	7,97
7,95	2	2	23,36	7,95
7,94	2	3	68,38	7,94
7,94	1	1	64,80	7,94
3,77	1	1	36,07	3,77
7,87	1	1	37,71	7,87
0,00				0,00
5,58	2	2	38,38	5,58
5,13	2	3	80,74	5,13
2,97	1	2	90,34	2,97
4,83	2	2	46,85	4,83
3,54	1	2	50,67	3,54
7,74	2	2	83,12	7,74
1,68	1	1	31,41	1,68
7,73	1	1	78,09	7,73
7,73	1	2	43,68	7,73
1,83	1	1	45,43	1,83
7,71	2	2	80,36	7,71
7,69	2	2	44,98	7,69
7,66	3	4	62,58	7,66
7,64	1	1	32,11	7,64
4,63	3	3	67,42	4,63
4,39	1	1	21,76	4,39
7,60	1	1	44,69	7,60
7,58	1	1	62,84	7,58
4,84	2	3	129,34	4,84
5,76	2	2	53,86	5,76
3,96	1	1	29,35	3,96
7,44	1	1	32,48	7,44
2,75	2	3	69,45	2,75

7,41	2	2	39,61	7,41
7,41	1	1	20,71	7,41
3,62	1	1	32,12	3,62
7,37	2	2	27,41	7,37
7,36	1	1	31,61	7,36
7,35	1	1	57,53	7,35
1,33	1	2	143,36	1,33
1,97	1	1	36,60	1,97
7,27	1	2	123,29	7,27
5,04	2	2	80,55	5,04
7,24	1	1	33,11	7,24
7,21	1	1	95,79	7,21
7,19	1	1	21,58	7,19
7,19	2	2	76,07	7,19
2,08	1	1	37,62	2,08
7,17	1	1	71,98	7,17
1,34	2	2	36,16	1,34
1,27	2	2	48,77	1,27
7,13	2	2	25,46	7,13
4,11	1	2	46,69	4,11
3,95	1	1	69,96	3,95
7,10	3	3	109,67	7,10
7,07	1	2	57,87	7,07
4,23	2	2	64,55	4,23
2,50	1	1	27,57	2,50
7,04	3	3	34,10	7,04
3,39	1	1	31,91	3,39
3,50	2	5	199,11	3,50
3,13	3	4	63,66	3,13
5,05	2	4	135,02	5,05
1,47	1	1	75,56	1,47
4,54	2	2	34,34	4,54
4,51	2	2	23,72	4,51

6,80	1	1	41,45	6,80
5,14	2	2	78,03	5,14
1,52	1	1	25,24	1,52
6,67	1	1	22,44	6,67
6,64	1	1		
3,84	2	3	121,60	3,84
4,83	4	6	138,80	4,83
1,91	5	7	96,60	1,57
6,53	2	3	85,34	6,53
6,53	3	3	91,13	6,53
6,51	1	1	46,54	6,51
6,49	1	2	45,43	6,49
1,40	2	2	57,55	1,40
4,26	2	2	49,81	4,26
6,45	1	1	39,58	6,45
6,42	1	1	36,36	6,42
6,41	1	1	21,51	6,41
6,40	1	1	27,52	6,40
4,76	2	3	31,88	4,76
6,34	1	2	69,32	6,34
1,03	1	2	115,82	1,03
6,27	1	1	35,71	6,27
4,18	2	3	56,64	4,18
6,27	1	2	31,55	6,27
6,27	1	1	21,18	6,27
3,02	4	5	40,97	3,02

2,70	2	2	55,33	2,70
6,14	1	1	27,20	6,14
1,07	1	1	21,50	1,07
6,13	1	1	20,94	6,13
6,12	3	3	63,00	6,12
6,07	3	3	113,12	6,07
4,36	4	5	201,30	4,36
6,01	2	2	33,28	6,01
5,99	1	2	36,97	5,99
2,58	1	1	20,92	2,58
5,98	1	1	54,26	5,98
5,98	1	1	33,05	5,98
5,98	1	1	33,85	5,98
5,97	1	1	29,83	5,97
5,53	1	1	28,19	5,53
5,92	1	1	24,67	5,92
5,87	2	2	43,48	5,87
4,46	2	2	67,92	4,46
5,83	1	1	24,20	5,83
1,23	1	1	23,71	1,23
4,55	2	2	67,87	4,55
1,66	2	2	45,40	4,39
5,74	2	2	33,58	5,74
2,58	2	2	61,03	2,58

1,43	1	1	30,15	1,43
3,33	1	1	21,93	3,33
3,03	2	2	49,08	3,03
5,69	1	1	61,71	5,69
3,47	1	2	36,58	3,47
5,66	2	2	46,89	5,66
5,65	1	2	60,57	5,65
5,62	1	1	22,29	5,62
2,95	3	3	30,96	2,95
5,60	1	1	37,79	5,60
1,29	1	1	22,32	1,29
3,28	1	1	68,18	3,28
5,52	1	1	41,11	5,52
5,48	1	2	68,81	5,48
3,65	3	3	85,08	3,65
5,43	2	2	49,59	5,43
5,43	1	2	55,15	5,43
			23,71	2,06
5,39	1	1	32,18	5,39
2,02	1	1	86,27	2,02
5,34	1	1	55,08	5,34
5,31	2	2	28,07	5,31
5,29	2	2	33,15	5,29
5,28	2	2	37,53	5,28
5,28	1	1	81,64	5,28
2,34	1	1	32,94	2,34
5,26	1	1	43,72	5,26
5,26	1	1	26,26	5,26
5,25	4	5	183,41	5,25
4,01	2	2	41,59	4,01

5,19	1	1	44,06	5,19
2,37	1	1	28,38	2,37
2,71	1	2	66,46	2,71
5,12	1	1	60,09	5,12
5,12	1	1	32,88	5,12
3,48	3	3	57,25	3,48
3,35	2	3	122,61	3,35
4,99	1	2	99,90	4,99
4,98	1	1	24,55	4,98
4,91	1	1	45,83	4,91
4,90	2	2	78,54	4,90
3,40	2	2	24,24	3,40
2,94	2	2	40,48	2,94
4,89	1	1	67,11	4,89
4,89	1	1	41,92	4,89
4,88	1	2	19,32	4,88
4,78	1	1	30,29	4,78
4,78	1	1	26,89	4,78
4,78	2	3	73,17	4,78
4,78	1	1	37,32	4,78
4,76	1	2	55,08	4,76
2,64	2	2	24,25	2,64
4,75	2	2	40,89	4,75
4,74	1	3	89,28	4,74
4,73	4	6	141,79	4,73
4,72	2	2	33,93	4,72

3,92	4	4	65,72	3,92
4,69	1	1	42,48	4,69
2,56	1	1	29,97	2,56
4,64	2	3	138,19	4,64
4,64	1	1	39,00	4,64
4,63	1	1	40,08	4,63
4,57	1	1	24,66	4,57
4,55	2	2	57,31	4,55
4,53	1	1	70,83	4,53
1,88	1	2	69,79	1,88
4,44	1	1	30,57	4,44
4,42	1	1	27,99	4,42
1,00	1	1	22,24	1,00
4,36	2	2	36,21	4,36
4,36	1	1	70,22	4,36
4,35	1	1	73,41	4,35
4,35	1	1	81,46	4,35
4,35	1	1	36,81	4,35
2,47	1	1	27,23	2,47
4,31	1	1	38,48	4,31
4,27	1	1	25,76	4,27
4,26	1	3	65,72	4,26
4,25	1	1	83,36	4,25
2,27	1	1	28,56	2,27
4,23	1	1	53,11	4,23
1,06	1	1	26,12	1,06
			16,48	4,22
			29,54	4,22
2,68	1	1	72,70	2,68
4,21	1	2	115,31	4,21
4,21	1	1		0,00
4,20	1	1	25,71	4,20

4,19	1	1		
4,17	1	1	28,29	4,17
4,16	1	1	68,99	4,16
4,11	1	1	27,91	4,11
4,06	1	1	26,68	4,06
4,03	1	2	36,70	4,03
4,02	1	1	69,12	4,02
4,02	1	1	23,75	4,02
4,01	1	1	55,09	4,01
4,01	1	2	52,61	4,01
3,99	1	1	48,98	3,99
3,97	1	1	52,47	3,97
3,97	1	1	46,18	3,97
3,94	1	1	23,41	3,94
3,91	2	3	61,10	1,89
3,91	1	2	87,29	3,91
3,87	1	1	51,57	3,87
3,85	1	2	50,15	3,85
3,18	1	1	54,58	3,18
2,59	2	2	47,23	2,59
3,81	1	1	32,06	3,81
3,79	1	1	44,04	3,79
1,02	1	1	36,23	1,02
3,74	1	1	91,71	3,74
3,74	1	1	43,26	3,74
3,73	2	2	51,07	3,73

3,70	1	1	47,83	3,70
3,69	1	1	80,84	3,69
3,67	1	1	24,99	3,67
3,65	2	2	127,40	3,65
3,64	1	1	46,14	3,64
3,51	1	1	34,65	3,51
3,51	2	2	31,74	3,51
3,47	1	1	23,35	3,47
			0,00	3,47
3,46	1	1	20,56	3,46
3,46	1	1	35,46	3,46
3,46	2	2	36,99	3,46
3,44	4	5	28,70	3,08
1,54	1	1	66,16	1,54
			23,81	3,43
3,41	1	1	31,18	3,41
1,75	1	1	43,14	1,75
1,32	1	1	45,65	1,32
3,35	1	1	51,20	3,35
3,33	1	1	33,60	3,33

3,28	1	1	27,54	3,28
3,27	1	1	39,88	3,27
0,90	1	1	27,30	0,90
3,25	1	1	23,27	3,25
3,23	1	1	20,28	3,23
3,22	1	1	36,59	3,22
			19,60	3,20
3,16	1	1	42,66	3,16
3,15	1	2	114,91	3,15
3,15	1	1	27,61	3,15
3,14	1	1	62,17	3,14
3,13	1	1	36,49	3,13
3,11	1	1	52,78	3,11
3,10	1	1	48,91	3,10
3,09	1	1	27,36	3,09
3,07	1	1	27,51	3,07
3,06	1	1	41,10	3,06
3,04	1	2	69,16	3,04
3,03	1	1	34,27	3,03
3,02	1	2	63,81	3,02
3,01	1	1	49,97	3,01
			16,08	2,99
2,97	2	2	73,61	2,97
2,94	2	4	74,75	2,94
2,93	2	2	119,96	2,93
2,87	1	1	31,49	2,87
2,87	1	1	69,54	2,87

2,86	1	1	75,24	2,86
0,00				0,00
2,77	1	1	31,75	2,77
2,75	1	1	23,92	2,75
2,73	1	1	33,50	2,73
2,64	1	1	41,54	2,64
2,61	1	1	37,32	2,61
2,58	2	3	67,58	2,58
2,58	1	1	33,89	2,58
2,56	1	1	33,25	2,56
2,51	1	1	46,16	2,51
2,51	1	1	40,00	2,51
2,50	1	1	24,08	2,50

2,38	1	1	31,17	2,38
2,33	2	2	36,23	2,33
2,31	2	2	25,37	2,31
1,18	1	1	87,88	1,18
1,34	2	3	85,45	1,34
2,26	1	1	22,37	2,26
2,23	2	2	49,42	2,23
2,23	1	1	0,00	2,23
2,21	1	1	53,59	2,21
2,21	1	1	22,79	2,21
2,18	1	1	41,01	2,18
2,16	1	1	22,68	2,16
2,15	2	2	34,01	2,15
0,00			0,00	1,07
2,14	1	1	52,99	2,14
2,06	1	1	51,72	2,06
2,06	1	1	41,06	2,06
2,05	1	1	30,15	2,05

2,00	1	1	34,53	2,00
1,96	1	1	28,84	1,96
1,96	1	1	33,59	1,96
0,00				0,00
1,90	1	1	41,48	1,90
1,78	1	1	34,40	1,78
1,70	1	1	81,13	1,70
1,67	1	1	51,73	1,67
1,65	2	2	20,75	1,65
1,64	1	2	49,59	1,64
1,61	1	1	61,37	1,61
1,61	1	2	24,94	1,61
1,59	1	1	22,94	1,59
1,56	1	1	42,25	1,56

1,55	1	1	21,65	1,55
1,51	1	1	34,55	1,51
1,46	2	2	32,66	1,46
1,41	1	1	27,40	1,41
0,99	2	2	33,88	0,99
1,39	1	1		0,00
1,26	1	1	26,74	1,26
1,15	2	3	87,26	1,15
1,05	1	1	25,13	1,05
1,04	1	1	25,44	1,04
1,02	1	1	21,29	1,02
0,90	1	1	23,73	0,90
0,89	1	1	27,14	0,89

			20,37	0,19
0,77	1	1	24,98	0,77
0,00				0,00
0,66	1	1	30,03	0,66
0,65	1	2	59,69	0,65
0,62	1	1	27,38	0,62
0,60	1	1	30,52	0,60
0,57	1	1	30,93	0,57
0,50	1	1	36,92	0,50

# Peptides Phospho	# PSM Phospho	Score Deamid	Coverage Deamid	# Peptides Deamid
3	7	280,62	74,75	3
2	4	238,39	96,15	2
14	23	622,32	75,71	14
12	20	480,53	85,54	13
7	14	592,51	87,59	7
9	22	700,17	86,61	9
6	6	180,15	55,56	6
10	21	880,88	85,71	10
7	14	351,07	61,62	7
43	92	3072,00	72,94	45
5	7	173,25	50,94	5
13	22	438,43	62,34	14
4	8	194,29	58,00	4
30	66	2452,15	79,34	30
16	25	702,16	77,27	17
5	8	222,35	82,14	5
28	53	1387,15	70,30	27
13	13	208,76	61,42	13
11	16	390,50	53,73	11
19	27	857,33	71,76	19
5	8	352,58	80,51	5
14	21	450,09	49,90	15
10	15	528,72	62,50	10
9	20	798,90	59,81	9
13	23	639,86	73,87	13
11	17	451,58	73,50	11
26	42	1776,95	73,39	26
25	43	1491,67	71,06	26
11	23	1156,39	78,72	11
12	15	474,41	52,55	12
17	24	526,18	64,72	17
10	15	376,02	64,63	10
14	30	1040,12	78,45	15
12	35	1801,41	77,12	13
16	27	862,29	52,76	16
18	21	677,53	70,38	18
14	23	611,40	60,34	14
29	48	1711,89	58,89	29
5	7	263,00	77,45	5
2	3	143,20	16,78	3
16	28	983,69	71,73	16
22	43	1401,32	69,18	22
5	11	200,50	63,37	4
21	33	837,42	52,51	21
15	24	1065,29	66,37	17

13	21	607,72	47,37	13
17	25	979,68	47,84	17
7	10	423,61	74,80	7
27	40	1259,58	46,30	29
6	8	179,89	56,77	7
19	29	695,25	65,15	19
5	7	300,56	34,55	5
3	5	345,89	45,95	3
7	7	182,57	40,73	7
16	30	923,20	57,07	16
4	5	231,22	60,38	5
4	7	313,59	51,52	4
13	15	366,80	28,39	13
16	40	1637,43	66,39	17
13	19	450,48	35,19	14
16	26	805,93	60,56	17
10	13	437,96	43,89	10
11	18	613,46	59,59	11
26	37	1113,27	52,61	26
8	12	356,47	53,97	8
24	36	1497,50	65,19	24
5	6	166,45	43,43	5
13	28	716,41	43,75	13
22	27	646,00	58,49	22
12	15	286,57	54,81	12
5	6	290,79	38,26	6
5	6	171,80	61,11	5
5	6	173,40	34,67	5
5	8	301,42	22,96	5
9	17	398,16	60,87	9
6	10	379,50	63,27	7
31	44	1082,83	57,50	32
18	27	948,31	61,61	18
12	14	344,60	39,27	12
10	14	296,69	69,33	10
15	22	599,17	52,53	16
8	13	500,87	32,89	8
4	8	307,47	48,07	4
4	4	88,34	34,92	4
18	36	1138,49	56,44	18
7	10	277,02	54,10	7
6	8	345,73	50,65	6
19	31	789,93	65,18	19
17	23	659,08	33,24	18
9	12	262,97	68,42	9
21	27	516,99	55,75	22
6	33	797,22	68,28	6
3	4	122,50	31,82	3
6	9	148,45	28,94	6
7	13	339,74	59,29	7

31	42	1323,91	51,64	32
5	6	270,69	67,81	5
5	6	73,02	34,69	5
18	22	380,08	42,75	18
41	59	1894,34	62,58	43
3	4	148,42	67,57	3
19	22	521,89	43,33	19
10	16	307,79	36,59	10
12	21	311,26	37,79	13
6	8	149,40	34,71	6
15	23	460,57	43,80	15
8	14	411,69	40,29	8
28	35	935,56	50,95	30
4	7	74,39	43,62	4
5	5	117,94	66,43	6
28	41	916,19	50,07	28
4	24	1315,69	66,20	4
9	13	459,25	50,46	10
4	6	90,36	18,33	4
7	12	352,27	31,46	7
3	6	211,22	25,37	3
26	47	1706,08	54,40	26
11	15	327,39	37,62	11
9	21	382,21	55,17	9
5	6	217,59	57,04	4
7	13	490,71	65,45	7
9	10	278,05	55,70	9
37	63	1851,21	55,92	37
25	29	959,80	50,47	26
13	15	455,03	58,89	13
10	14	420,68	37,02	10
17	23	849,32	62,01	17
16	25	567,24	50,69	15
23	31	883,75	42,15	23
5	5	112,48	16,31	5
13	17	352,97	49,22	13
3	3	66,81	64,29	4
7	9	139,29	43,05	7
4	8	145,11	55,28	4
5	6	109,06	23,67	6
14	23	656,40	63,98	14
5	5	219,79	55,42	5
16	38	746,59	54,30	16
7	9	255,61	44,25	7
27	39	1152,74	48,18	27
16	21	735,07	55,27	16
11	15	430,39	38,67	12

3	4	188,49	63,53	3
10	11	303,19	48,60	10
11	18	331,65	54,93	11
7	8	287,65	36,34	9
10	15	326,26	34,77	11
15	18	379,86	39,87	15
14	20	807,34	49,44	13
9	10	306,21	35,57	10
37	62	2068,27	57,23	37
11	13	317,13	54,01	11
11	15	353,81	34,93	12
10	16	499,77	44,10	11
7	9	393,87	22,86	9
8	11	257,99	22,54	8
8	10	187,27	41,67	8
8	11	311,50	48,52	8
42	73	2365,71	55,04	42
19	24	805,79	57,68	19
15	25	889,49	52,45	15
17	23	763,68	50,31	17
46	71	2009,03	49,57	46
5	11	382,52	60,18	5
9	15	416,39	39,04	10
10	15	500,17	38,21	10
4	5	182,16	29,73	4
5	7	195,16	54,81	5
6	8	142,84	41,80	6
10	10	265,88	33,93	11
11	14	261,96	61,33	11
12	16	343,16	46,75	13
8	13	486,88	38,13	8
10	17	422,90	61,19	10
8	12	307,98	48,95	8
7	8	174,04	38,43	7
1	1	22,70	1,55	1
47	86	2270,95	58,03	48
15	20	416,96	30,72	15
5	8	183,19	30,80	5
13	18	593,98	26,96	13
9	15	774,70	46,62	10
11	17	448,31	39,12	10
11	14	370,83	36,13	10
20	30	942,05	49,08	20
10	12	387,94	33,41	10
14	25	762,69	58,53	14
30	39	867,59	52,60	30
14	17	381,46	38,52	14
3	3	53,60	24,61	3
31	38	1300,84	51,58	33
5	5	125,87	44,95	5
7	8	208,95	28,82	8

7	11	243,03	59,29	7
1	1	20,37	3,23	1
9	12	303,97	56,18	9
9	13	253,69	25,82	9
6	8	274,96	59,09	6
10	12	511,49	32,11	11
5	7	322,87	53,30	5
14	23	584,78	48,77	14
11	19	624,91	58,60	11
15	34	1072,36	56,69	16
11	40	316,38	54,24	8
21	33	1012,49	53,01	21
3	4	150,29	57,61	4
7	7	242,56	21,82	7
13	15	434,20	40,11	13
10	12	203,18	26,95	10
7	8	160,85	35,81	7
9	21	620,47	58,24	9
13	16	340,60	40,08	13
12	15	656,04	48,11	13
11	14	462,25	44,55	11
7	15	549,28	42,40	7
3	3	81,00	32,23	3
15	31	1226,37	57,76	15
3	3	87,15	14,08	3
8	9	159,33	27,60	9
1	1	26,76	6,51	2
11	11	290,21	57,69	11
5	7	151,88	57,69	5
5	9	308,19	38,74	5
9	15	292,89	57,59	9
12	20	595,67	45,31	12
7	13	443,19	47,91	8
21	28	716,54	42,58	22
18	19	687,53	38,20	20
5	5	186,31	33,62	5
6	8	204,24	29,17	7
4	4	87,93	20,00	4
8	12	349,16	52,10	8
3	3	95,47	33,33	3
8	9	228,02	32,97	8
8	8	175,10	40,00	8
9	17	765,73	40,58	9
7	11	239,71	47,50	7
20	25	560,73	38,54	20
16	27	811,36	47,87	16
10	15	392,23	51,93	11
5	5	40,52	13,98	5
8	35	857,70	56,13	8
15	21	779,75	52,64	15

9	12	366,44	17,00	9
9	12	238,79	45,23	9
11	13	543,50	45,68	12
2	4	153,01	22,68	2
33	40	1168,75	49,28	34
4	4	139,05	38,04	4
12	13	374,28	51,53	12
6	7	149,16	27,43	6
5	5	81,61	25,81	5
13	19	581,95	49,37	14
3	3	29,31	55,10	3
12	19	782,70	46,68	12
6	8	230,70	26,69	6
4	6	240,93	17,97	5
4	7	281,98	29,23	3
15	23	531,54	45,79	15
9	10	278,31	48,57	9
15	21	651,66	37,98	17
7	11	382,73	41,18	7
13	17	478,25	38,01	13
8	9	134,57	47,83	8
3	3	111,58	17,74	5
9	15	404,32	50,79	9
5	12	654,17	43,98	5
9	10	98,64	24,72	9
9	10	417,86	39,38	9
5	6	151,69	45,45	6
20	27	710,26	40,40	20
5	13	461,60	37,50	5
4	5	111,79	17,06	4
14	20	459,19	39,34	14
4	6	225,96	14,20	4
6	7	244,14	24,29	6
15	22	510,64	43,38	16
4	9	218,15	52,74	4
2	2	21,46	7,14	1
10	13	247,41	31,73	10
10	14	400,91	47,11	10
7	10	198,67	30,92	7
1	1	30,02	11,22	1
6	9	254,35	44,66	6
5	8	181,45	24,80	5

12	13	264,14	45,73	12
1	1	29,12	4,10	1
10	13	265,18	39,77	10
9	9	89,37	22,77	9
3	4	34,65	18,00	2
8	11	282,11	32,90	9
3	5	194,61	30,84	4
8	10	225,01	30,99	9
12	14	405,60	35,24	13
15	20	415,97	40,40	15
19	24	317,39	17,44	20
7	11	292,28	42,12	6
5	32	797,22	41,91	6
6	7	160,02	46,18	7
4	4	83,00	35,90	4
14	21	548,54	31,71	14
4	7	149,41	51,20	4
7	15	344,10	39,39	7
3	7	155,29	51,13	4
25	34	1304,52	45,03	25
3	4	47,49	51,02	3
5	8	282,62	45,45	5
5	6	165,16	36,18	5
7	12	234,72	36,89	7
4	11	322,52	32,37	4
3	3	30,37	11,43	2
14	18	692,04	50,68	14
7	7	244,69	21,15	7
14	18	414,69	46,42	14
4	6	344,20	13,16	4
16	20	677,51	30,62	16
6	8	139,10	29,10	6
3	4	149,16	40,78	3
6	11	217,47	27,38	6
19	26	614,45	45,79	19
13	22	720,23	43,23	13
9	9	209,37	31,79	9
7	7	149,49	36,99	7
6	8	279,89	31,46	7
2	4	115,00	33,02	2
9	11	252,13	35,90	10
7	8	120,85	39,47	7
10	11	379,26	24,17	11
3	4	65,63	49,41	3
3	3	66,26	36,84	3
4	5	158,11	19,28	4
10	15	390,97	48,84	10

5	9	231,28	41,46	5
5	5	109,18	18,82	5
10	18	434,37	38,78	10
7	7	203,02	49,03	7
15	22	522,33	38,53	15
6	10	386,30	26,63	6
6	7	159,17	48,97	7
4	5	102,31	36,69	4
7	8	152,37	37,56	7
19	28	601,61	35,13	17
3	7	326,96	29,95	3
11	20	736,76	46,79	12
13	18	298,90	48,67	13
5	7	294,09	44,14	5
22	29	760,59	32,39	24
2	2	68,41	4,91	2
14	19	430,42	33,05	13
13	18	647,21	27,09	13
5	8	147,28	28,51	5
7	11	334,04	25,37	8
7	10	364,97	4,08	7
9	12	279,19	26,32	10
2	2	43,67	5,84	2
11	11	290,65	28,14	11
6	13	556,14	48,37	6
5	5	62,14	48,18	5
7	8	263,73	42,45	7
7	10	363,69	17,44	8
8	13	428,65	38,43	8
7	12	333,55	40,69	7
9	12	169,17	37,07	9
12	15	500,58	29,85	13
2	3	98,36	3,36	2
9	13	215,41	28,04	9
9	13	460,46	47,80	9
6	10	286,93	47,79	7
4	4	100,55	36,67	5
6	8	190,35	21,38	6
16	21	524,18	34,53	16
7	7	144,79	18,21	7
10	17	363,27	47,02	9
1	2	34,03	9,50	1
13	17	229,45	22,39	13
		65,53	25,19	1
9	10	416,16	44,38	10
14	17	497,87	37,11	15
9	10	167,81	31,85	9
5	7	298,59	34,27	5
10	13	203,08	29,74	10
3	4	170,08	16,22	3

1	2	35,77	21,88	1
8	11	212,50	23,06	8
2	3	117,77	17,59	2
13	14	351,89	33,93	12
5	7	122,65	46,71	5
9	9	193,65	18,68	9
2	2	63,98	9,41	2
10	11	291,58	27,05	10
10	10	327,71	43,30	11
4	6	108,30	19,07	4
9	12	177,61	22,34	9
9	14	427,31	43,10	9
8	11	387,15	46,36	8
21	24	669,18	29,72	22
4	5	67,63	12,59	4
6	7	145,04	38,70	7
7	10	157,72	31,42	7
6	9	213,71	40,00	5
12	14	240,74	42,34	12
4	5	104,37	13,33	4
11	13	155,95	40,41	11
11	17	445,49	43,80	12
5	7	170,41	13,35	5
6	6	51,46	31,75	6
8	10	276,46	34,25	8
6	10	565,49	27,96	7
8	12	449,78	41,28	8
12	16	302,19	34,47	12
16	23	624,82	27,66	17
6	7	102,50	40,77	6
7	9	186,36	22,40	7
5	7	96,63	13,31	5
8	11	216,63	39,74	8
13	14	526,92	28,06	13
3	3	131,98	26,50	4
15	15	432,61	39,81	15
14	25	448,53	29,57	14
5	5	92,27	45,45	5
9	11	266,82	21,99	9
7	12	180,22	40,11	7
7	7	114,75	40,52	7
12	13	255,95	33,33	12
10	11	215,97	42,41	10
12	15	397,34	29,74	12
26	40	985,85	38,02	26
4	5	140,99	45,03	4
5	6	94,81	27,81	5

4	5	169,76	26,83	4
10	13	392,23	21,42	10
4	7	135,88	33,91	3
10	15	577,80	44,78	10
5	8	248,62	44,72	5
12	16	606,91	37,26	13
4	5	140,31	13,06	4
6	7	160,81	26,10	6
6	8	282,29	34,69	6
6	10	146,09	30,94	6
16	19	463,74	27,25	16
6	8	239,73	34,93	6
13	15	434,25	25,77	13
9	11	171,11	34,72	9
7	8	199,72	16,94	8
7	11	122,05	38,26	7
6	9	229,52	44,26	6
5	7	199,13	38,30	6
7	7	156,58	32,31	7
4	4	49,64	9,86	4
6	8	381,90	38,44	8
10	10	240,16	16,55	11
6	8	195,56	44,06	6
3	4	53,92	22,22	3
3	4	98,54	44,05	3
9	10	240,46	40,27	9
9	11	271,07	36,00	9
8	11	464,91	41,74	8
13	17	477,31	31,22	13
7	8	229,52	22,51	7
12	14	229,29	16,72	12
3	5	182,35	43,75	3
4	4	63,43	10,93	4
4	4	104,88	43,69	4
6	6	130,10	12,04	6
4	5	93,23	33,33	4
4	4	65,33	35,48	4
6	7	186,95	20,57	6
7	8	89,59	39,27	7
6	8	278,56	32,79	6
2	4	117,54	26,26	2
4	8	198,81	43,42	4
11	18	541,93	40,31	12
4	4	67,02	10,54	4
1	1	53,89	11,46	1
3	4	107,54	31,36	3
3	6	85,84	24,24	3
5	5	95,10	43,18	5

9	12	411,63	35,77	9
1	1	72,50	2,86	1
2	2	43,97	4,89	2
10	15	319,03	34,59	10
10	13	313,69	25,97	10
		61,85	30,61	2
2	2	42,20	10,70	2
6	7	164,97	42,80	7
14	19	475,84	34,59	14
9	14	343,81	22,67	9
8	12	330,58	26,88	8
2	3	118,98	29,70	2
3	5	350,34	25,08	4
4	8	115,19	42,49	4
2	2	47,35	4,33	2
7	14	429,63	42,41	7
5	6	174,89	41,06	5
5	6	196,84	33,90	5
2	4	77,43	18,70	2
6	7	280,84	42,35	6
7	7	165,44	23,90	7
4	6	481,69	42,19	4
3	7	234,85	42,06	3
2	3	56,16	10,08	2
8	9	172,93	42,01	8
4	9	523,96	42,01	4
2	3	145,82	8,76	2
7	11	312,24	39,71	7
6	7	209,01	31,76	6
4	6	84,11	28,46	4
2	2	85,53	12,84	2
1	1	31,46	5,14	1
7	10	306,93	35,88	8
3	3	114,62	41,53	3
5	5	156,68	17,06	5
4	6	166,99	19,08	4
4	4	133,63	31,14	4
8	10	335,24	33,91	8
8	14	435,52	26,46	8
7	9	232,15	22,62	7
4	6	258,90	41,13	4
5	6	222,78	16,06	5
12	17	445,70	30,83	12
3	3	76,79	22,97	3
5	6	93,26	40,98	5
12	14	314,84	31,18	12

16	24	555,51	32,80	16
4	6	79,76	25,16	4
8	11	352,21	27,45	9
10	14	544,36	36,19	10
14	21	426,72	18,52	14
8	13	691,85	40,75	9
4	5	218,82	10,13	4
6	7	146,92	40,64	6
3	3	74,19	40,59	3
11	16	640,02	38,86	13
4	5	180,38	9,06	4
5	6	136,10	18,44	4
1	2	36,50	12,36	1
10	12	212,46	26,12	9
4	6	128,14	17,84	5
2	2	114,49	11,81	2
5	5	111,86	40,35	5
12	14	401,98	40,34	12
5	5	116,11	25,09	5
1	1	37,30	9,76	1
3	3	67,66	14,00	4
3	3	47,57	40,19	3
9	12	301,77	40,10	10
3	4	85,47	14,34	3
9	9	263,51	24,69	9
5	5	99,94	25,62	5
4	4	110,03	23,57	4
16	17	219,96	38,06	16
15	15	333,73	23,55	15
10	10	355,42	15,02	10
3	4	143,38	23,03	3
8	10	148,35	34,83	8
5	7	248,83	22,53	5
1	1	30,81	10,80	1
1	1	39,26	2,77	1
5	7	96,13	39,71	5
4	5	165,02	39,62	4
4	5	142,80	24,62	4
14	24	467,68	31,69	14
3	5	174,15	18,43	3
8	10	167,33	23,45	8
9	11	344,39	33,68	9
7	7	142,71	15,40	7
4	5	87,10	39,44	4
6	6	147,19	25,71	6
9	14	297,89	39,33	9
14	25	700,30	39,29	14
4	4	192,47	23,73	5

5	5	158,65	28,77	5
5	7	172,76	16,40	5
5	8	163,83	25,00	4
3	4	49,04	6,26	3
1	1	59,23	7,81	1
8	10	287,12	16,67	8
7	13	394,20	38,96	7
12	14	253,03	16,29	12
4	8	339,48	18,83	4
30	39	919,97	27,54	30
12	17	579,79	28,31	12
6	7	157,88	20,71	6
10	10	279,82	34,78	10
1	3	104,92	3,77	1
22	29	732,32	34,14	22
6	10	522,98	36,05	6
3	4	108,99	7,17	3
6	8	221,02	16,03	6
2	4	111,55	15,16	2
12	18	447,19	29,60	15
9	16	341,02	20,27	9
8	9	266,50	17,61	9
2	3	97,12	6,12	2
6	7	204,66	16,70	6
13	16	423,07	36,69	13
3	3	102,64	38,14	3
4	6	180,71	25,40	4
5	5	108,01	12,77	5
3	3	40,35	26,61	2
6	8	139,15	38,06	6
4	5	135,81	37,93	5
5	8	232,99	33,16	5
7	7	207,39	22,20	7
7	9	350,93	37,82	8
2	4	98,02	37,80	2
3	4	99,38	37,80	3
4	5	198,70	32,75	5
5	6	195,83	37,74	5
5	12	426,25	26,49	5
4	4	94,51	12,37	4
9	11	543,87	20,93	10
3	4	105,37	30,28	3
1	1	58,40	6,08	1
4	4	62,17	8,80	4
9	14	340,37	20,97	9
5	8	238,09	26,22	5

3	4	42,80	9,21	3
4	4	132,50	6,73	4
1	1	40,17	8,56	1
3	6	219,24	16,52	3
9	11	291,91	25,30	9
1	1	35,33	14,79	1
6	6	138,42	33,94	6
7	8	100,51	4,53	7
4	4	93,56	27,27	4
3	5	69,96	30,77	3
4	5	86,84	21,84	4
4	5	148,15	12,37	4
6	8	182,56	25,81	7
8	11	225,39	20,45	8
4	6	140,68	16,15	4
3	4	30,90	13,03	3
19	21	464,54	18,67	18
11	12	237,00	15,68	11
1	1	23,32	8,39	1
4	6	190,87	13,87	4
1	2	139,89	4,18	1
3	7	284,73	18,58	3
3	4	261,42	24,64	3
4	4	92,95	22,22	4
2	2	32,62	6,37	2
6	6	111,36	17,66	6
8	9	285,39	26,14	8
5	7	221,72	30,50	5
4	5	159,57	36,51	4
1	2	181,21	9,81	1
7	9	203,93	32,23	7
3	3	91,96	36,44	3
14	17	469,78	22,64	14
13	18	413,48	17,12	15
5	10	231,32	26,96	5
3	3	111,57	11,41	3
9	14	289,19	19,16	9
1	1	57,78	3,46	1
3	4	56,52	21,75	3
3	4	193,61	14,52	3
10	13	267,60	33,33	10
4	5	63,62	8,60	4

6	6	191,01	33,33	6
5	5	99,80	33,66	5
31	41	1311,47	23,98	33
16	19	335,69	30,94	15
12	19	742,20	33,17	13
9	11	259,18	24,51	9
6	9	250,13	14,33	6
1	1	26,14	35,71	1
4	5	144,43	19,43	4
8	10	81,68	16,56	8
13	19	486,35	33,24	13
13	16	314,58	26,26	14
2	4	103,82	14,41	2
11	14	275,03	24,53	11
3	4	104,28	5,86	3
2	2	110,57	17,06	3
2	2	46,90	26,88	2
4	4	70,37	15,55	4
6	7	161,24	8,53	6
2	4	96,09	26,83	2
3	4	64,61	35,37	3
3	3	76,67	23,20	3
4	5	237,69	19,70	4
5	6	72,07	15,12	5
25	32	1059,93	31,02	25
8	8	184,91	30,34	8
1	1	132,56	18,01	2
5	7	210,11	35,06	5
12	12	252,47	16,03	12
13	20	941,35	31,31	15
16	20	467,71	20,80	16
3	4	121,01	34,93	3
5	7	150,32	16,51	5
3	3	114,68	34,82	3
3	4	117,42	23,37	3
4	5	131,73	30,94	4
1	1	29,62	11,57	1
1	1	23,01	3,56	1
2	2	40,40	9,43	2
3	4	52,61	34,59	3
6	8	384,47	31,30	6
4	4	131,59	25,00	4
5	5	94,83	34,50	5
7	9	184,90	34,47	7

7	9	344,70	17,76	7
2	3	89,63	26,49	2
1	1	31,35	15,20	1
12	12	216,94	32,08	12
15	17	508,34	21,88	15
6	9	320,53	34,25	6
4	5	107,75	12,78	4
3	3	88,69	16,46	3
9	14	478,15	14,61	9
1	1	30,91	7,76	1
8	9	233,92	14,05	9
5	5	171,04	16,67	5
1	1	53,40	10,43	1
3	6	401,51	33,82	3
7	8	72,04	28,57	7
2	2	44,86	33,78	2
3	3	72,33	13,20	3
4	6	124,17	33,70	4
2	4	154,08	10,41	2
4	6	121,96	16,94	4
8	12	213,64	30,11	8
5	7	130,90	9,28	5
5	6	105,28	23,55	5
5	8	272,68	20,42	6
4	6	125,30	18,84	5
6	10	326,79	28,29	6
3	3	107,22	14,89	4
2	3	101,36	20,00	2
2	2	36,21	21,50	3
5	6	106,73	26,72	5
4	6	283,45	12,89	4
1	1	23,67	2,76	1
5	14	332,96	25,50	5
1	1	79,19	11,82	2
2	4	173,98	25,98	2
8	8	190,49	33,00	8
6	6	93,74	22,11	6
1	1	27,49	4,66	1
3	4	84,91	14,85	4
2	2	24,69	22,35	2
		40,89	10,59	1
8	10	237,05	32,93	8
6	7	126,40	18,60	6
2	2	95,41	12,44	2
6	6	145,13	21,26	7

8	12	257,79	10,81	8
2	2	81,68	7,51	2
5	10	388,07	31,34	5
6	8	121,79	32,72	6
1	1	23,52	14,02	1
11	12	226,66	29,58	11
1	4	90,04	15,33	1
1	1	21,14	12,56	1
4	5	154,79	15,17	4
5	7	313,65	29,91	6
3	3	58,42	2,06	3
4	4	60,33	18,76	4
3	3	42,34	10,27	3
5	5	151,80	10,60	5
7	8	240,11	29,44	7
3	4	119,12	23,75	4
2	2	45,70	13,51	2
3	6	123,53	32,39	3
8	8	299,69	14,99	7
6	9	332,10	20,57	6
1	1	66,93	7,52	1
7	8	244,58	32,25	7
4	4	53,61	14,36	4
3	4	123,39	32,12	3
8	11	402,37	21,52	8
5	5	128,18	32,07	5
3	3	75,71	10,36	3
2	3	58,60	13,60	2
8	10	285,27	21,56	8
7	7	135,31	24,60	8
4	4	147,80	31,79	4
3	4	201,71	22,01	4
5	5	111,81	9,90	5
3	3	75,74	10,27	3
10	17	451,66	27,26	12
13	15	388,11	27,00	13
2	2	60,31	6,57	2
2	2	51,22	6,85	2
4	6	209,79	26,09	4
8	10	299,84	31,14	8
6	7	215,38	26,99	6
2	2	49,65	31,43	2
1	2	30,02	5,16	1

4	6	176,17	19,14	4
8	10	224,64	13,87	8
1	1	30,11	4,11	1
5	6	158,62	30,93	5
8	10	245,00	15,44	8
8	8	177,08	25,29	8
6	9	148,97	15,65	6
16	18	492,17	26,20	16
4	5	90,26	8,73	4
1	1	20,94	5,00	1
4	4	118,32	11,57	4
2	3	53,56	30,30	2
4	4	106,99	22,73	4
2	2	52,15	16,81	2
7	10	203,79	19,44	8
2	2	106,95	21,79	5
4	9	157,40	15,61	3
1	1	74,55	3,08	1
4	6	295,26	26,01	4
4	4	121,73	19,87	4
3	3	78,18	9,06	3
2	2	80,47	10,02	3
1	1	20,55	6,30	1
13	18	409,86	29,76	13
8	10	277,45	29,76	8
5	6	230,75	23,59	5
3	3	76,98	17,03	3
6	7	110,61	27,21	6
6	6	145,51	28,93	6
5	7	120,92	15,42	5
3	5	115,79	29,51	3
5	5	94,69	16,53	5
3	3	80,40	10,37	3
3	4	59,25	7,36	3
8	13	328,01	23,15	8

2	2	77,14	14,97	2
7	8	207,90	24,88	7
2	2	27,95	7,67	2
4	5	208,22	24,30	5
15	18	449,67	18,50	15
2	2	47,18	3,49	2
8	10	351,51	23,05	9
3	5	204,03	24,88	3
4	5	198,77	11,37	4
5	6	161,32	19,16	6
6	8	228,00	29,24	6
6	9	209,37	23,33	6
2	3	109,21	12,88	2
5	6	118,17	26,86	7
1	2	35,89	5,60	2
3	3	126,80	28,92	3
5	9	252,31	28,79	5
3	4	113,46	28,77	3
1	1	44,76	5,75	1
5	8	185,45	25,45	5
3	4	106,83	5,38	2
11	11	288,98	26,89	11
2	2	24,88	7,44	2
5	5	98,74	20,00	5
6	6	133,47	9,96	6
5	8	148,82	9,59	5
3	7	263,42	23,68	3
6	6	92,84	9,42	6
1	5	156,85	20,00	1
9	10	163,76	13,96	9
7	7	197,02	19,78	7
2	5	227,46	20,90	2
7	11	293,13	25,78	7
3	3	73,03	7,58	3
6	7	124,40	7,25	6
1	1	89,73	2,53	1
3	4	41,31	8,60	3
1	1	36,09	5,30	1
6	7	221,35	12,06	6
3	6	152,98	22,39	3
15	17	318,80	25,54	15
3	4	99,00	3,43	3
3	3	83,11	22,49	3

6	6	117,47	17,49	6
2	3	46,18	11,56	2
6	7	226,01	22,26	6
4	4	48,39	4,27	4
5	6	68,57	23,44	5
1	1	34,06	11,88	1
3	4	110,09	8,27	3
5	9	356,05	24,33	5
8	9	196,86	12,74	9
12	14	227,04	27,49	12
2	2	36,65	18,13	2
2	2	61,53	8,96	2
3	4	106,96	27,43	3
1	1	25,46	5,91	1
2	2	63,67	8,90	2
2	2	52,16	6,01	2
11	11	276,22	16,21	11
5	9	326,45	27,31	5
4	5	172,08	20,81	4
7	8	246,01	16,28	7
2	2	79,19	8,48	2
3	5	196,54	14,76	3
7	9	202,24	24,03	7
6	8	108,17	9,03	6
6	7	210,15	12,30	6
8	9	283,20	27,17	8
7	9	294,44	18,12	7
1	2	46,45	27,14	2
2	3	142,72	27,12	2
4	6	116,55	19,17	4
1	2	78,62	4,31	1
4	4	91,42	16,30	4
7	9	191,76	9,86	7
3	4	45,18	7,59	3
8	11	199,08	26,92	8
6	6	105,77	12,31	6
1	1	33,21	5,09	1
3	5	97,02	9,02	3
4	7	202,26	26,26	4
5	5	64,76	26,77	5
14	15	238,86	21,46	15
		29,14	8,93	2
4	6	240,27	19,30	4
6	6	194,30	23,11	6

7	7	325,94	18,63	8
6	7	226,19	6,68	6
5	7	113,67	11,11	5
9	11	271,95	23,80	10
5	7	130,85	11,68	5
5	5	166,23	14,41	5
4	4	52,72	15,65	4
3	5	130,25	26,13	3
4	4	107,36	18,77	4
5	7	150,37	12,42	6
2	2	74,69	26,05	2
		57,30	7,20	1
2	2	107,73	26,00	2
4	4	72,74	19,57	4
2	5	270,88	21,69	2
3	3	98,78	9,53	3
6	10	257,25	19,71	6
5	6	219,98	11,87	5
1	1	25,24	3,87	1
1	1	39,28	4,28	1
2	3	59,32	6,48	2
		45,79	6,50	1
6	10	207,59	25,58	6
9	15	592,38	18,46	9
3	3	95,34	8,12	3
1	1	33,60	6,84	1
8	9	150,95	17,81	8
5	5	59,28	8,68	5
1	1	51,65	3,58	1
5	8	120,16	20,69	5
3	3	27,98	5,09	3
2	2	72,37	17,76	2
4	6	211,04	22,07	4
14	16	515,51	15,57	15
8	10	248,49	25,20	8
4	4	66,89	14,97	4
11	13	435,08	25,05	12
2	3	23,75	13,66	2
2	7	250,25	25,00	2
3	6	218,68	24,90	3
6	7	141,10	21,64	6
7	8	201,15	18,80	7
1	1	61,89	9,92	2

5	8	197,97	24,71	5
7	11	244,50	24,69	7
1	1	26,18	3,70	1
3	4	120,15	10,85	3
5	6	194,68	20,72	5
6	9	223,67	15,55	6
4	6	133,04	24,54	4
11	11	218,23	24,53	12
3	4	177,51	24,50	3
4	6	100,68	17,28	5
9	11	415,64	16,55	10
2	3	95,76	7,92	2
3	3	84,10	17,45	3
3	4	69,34	24,26	3
2	3	49,08	16,67	2
2	2	59,62	17,24	2
4	4	91,84	7,90	4
8	14	404,77	21,23	7
4	5	110,52	24,14	4
3	4	59,74	19,10	3
1	1	50,29	0,53	1
5	7	129,69	24,01	5
11	13	286,97	18,04	11
4	5	107,48	20,71	4
8	9	385,78	20,31	8
2	2	41,79	8,85	2
5	5	177,77	20,82	5
3	3	65,91	18,13	3
1	1	54,90	13,81	1
7	8	222,64	20,11	7
1	1	21,81	23,75	1
3	3	105,08	12,46	3
3	4	167,82	23,70	3
7	11	313,73	17,73	7
1	1	37,01	4,14	1
4	4	105,71	8,17	4
3	4	250,68	10,41	3
3	3	89,72	10,67	3
5	5	53,52	23,45	6
3	5	104,13	12,86	3
7	7	128,48	23,38	7
5	6	193,68	21,26	5
4	5	218,66	14,81	5

2	2	40,52	23,30	2
2	2	123,29	5,04	2
8	10	281,49	11,34	8
3	3	111,38	14,53	3
4	4	56,93	7,13	4
18	22	631,71	15,29	18
2	3	94,22	23,11	3
3	5	79,39	16,35	3
3	4	67,24	23,03	3
1	2	117,15	9,50	1
5	6	323,56	22,87	5
1	1	41,38	9,96	2
1	3	64,53	9,45	1
3	4	122,59	15,83	3
5	8	69,27	22,78	5
2	2	86,99	12,04	2
3	4	56,96	9,20	3
6	7	164,25	22,56	6
4	6	101,33	7,60	4
3	3	114,21	22,52	3
1	1	42,47	3,22	1
2	3	99,39	7,48	2
3	3	113,10	16,63	4
2	2	38,65	7,20	2
2	2	45,23	22,30	2
2	2	56,18	17,62	2
4	4	48,99	12,25	4
6	8	205,13	22,27	6
4	4	144,20	16,62	4
3	3	86,26	22,19	3
2	2	46,30	6,84	2
2	3	193,61	11,31	2
8	10	194,19	11,00	8
3	3	76,00	13,51	3
5	6	26,43	18,71	5
2	3	112,70	15,89	2
4	5	139,50	10,13	4
13	19	380,80	12,93	13
2	2	42,32	9,29	3
1	2	37,76	4,13	1
3	3	70,06	17,06	3

2	2	67,51	21,82	2
3	4	126,32	16,17	3
6	6	107,27	11,22	5
3	3	34,08	6,12	3
2	2	46,75	16,16	2
1	1	40,69	0,59	1
7	7	138,28	21,65	7
2	2	39,83	21,62	2
1	1	92,26	14,40	1
3	3	108,42	5,83	3
5	7	174,42	21,54	5
3	3	59,31	8,27	3
3	5	116,61	12,24	3
1	1	26,22	4,15	1
2	5	184,85	10,20	2
3	3	31,31	21,28	3
3	3	78,26	21,13	3
3	3	57,57	12,41	2
10	11	166,07	12,16	10
4	6	186,92	20,99	4
4	5	113,42	4,68	5
5	8	166,94	20,89	5
5	7	192,82	11,94	5
10	14	294,00	14,74	9
1	1	36,45	20,69	1
10	11	172,95	14,16	10
2	4	53,80	9,38	2
5	8	185,03	17,66	6
5	5	163,29	9,36	5
3	3	117,79	13,99	3
1	1	75,82	8,04	1
5	6	87,44	8,80	4
2	2	53,37	5,03	2
2	2	37,27	8,26	2
2	2	75,56	8,52	2
7	8	199,37	10,36	7
2	3	94,14	6,03	2
7	9	178,89	12,02	8
2	3	68,59	20,37	2
2	2	66,77	5,09	2
2	2	72,91	12,98	2

4	5	151,15	20,33	5
2	3	42,55	1,87	2
7	8	158,92	18,20	8
3	5	74,84	15,27	2
3	5	99,89	11,16	2
1	3	226,44	20,15	1
1	1	142,95	20,12	1
2	2	22,20	10,60	2
6	6	182,90	18,04	6
2	2	75,73	5,71	2
4	4	163,91	15,69	4
5	7	177,26	20,05	5
3	3	41,00	9,13	3
3	3	97,87	10,11	3
1	2	111,17	0,85	1
4	5	57,78	19,90	5
		23,49	7,21	2
8	9	169,60	19,86	8
3	4	40,53	7,89	3
5	8	236,34	7,14	5
1	1	30,82	1,93	1
8	14	316,91	19,62	8
6	8	262,65	19,59	7
1	1	45,60	0,93	1
4	5	158,59	9,19	4
4	4	165,85	19,44	4
3	3	39,38	14,83	2
3	3	68,57	9,77	3
2	3	65,89	3,13	2
4	6	192,84	19,31	4
1	1	48,64	14,34	2
7	7	211,58	17,00	7
		35,74	19,19	1
4	4	126,39	12,09	4
2	2	56,67	4,95	2
2	2	20,31	10,86	2
3	4	101,18	13,60	3

2	3	59,06	19,08	2
2	2	95,27	13,11	2
3	3	56,78	7,98	3
2	2	55,75	11,66	2
3	4	72,30	9,56	2
1	1	29,74	1,35	1
1	2	46,77	18,92	1
1	1	35,95	8,57	1
2	2	89,18	8,38	2
4	5	77,29	15,82	4
4	5	98,68	18,82	4
1	1	75,49	12,90	1
3	3	54,19	7,27	2
3	4	46,58	18,79	3
3	3	50,93	10,86	3
2	2	30,51	13,54	2
4	5	127,29	18,74	4
3	3	99,74	15,56	3
6	6	169,61	18,62	6
2	2	82,88	6,74	2
5	6	91,22	8,15	5
8	9	198,94	18,56	8
3	3	24,97	18,55	3
7	9	162,82	16,00	7
1	1	59,37	9,26	1
4	4	61,98	12,54	4
2	2	26,06	4,05	2
7	7	204,29	18,50	7
4	4	50,85	18,50	4
2	5	148,17	13,36	2
8	8	159,81	9,87	8
1	1	80,00	7,16	1
1	1	38,46	1,21	1
7	8	135,63	9,67	7
2	2	83,22	18,37	3
6	8	247,23	6,81	6
4	4	58,55	10,97	4
5	5	80,96	15,09	5
1	1	48,41	3,82	1
2	3	66,54	8,86	3
1	1	29,94	12,45	1
2	6	216,28	15,86	3
2	3	40,88	11,71	3
3	4	106,08	14,01	3

4	6	111,67	6,93	4
3	3	79,80	8,81	3
2	2	107,07	12,26	2
1	3	76,86	18,03	1
1	2	54,39	6,84	1
4	4	65,51	6,18	4
1	1	23,61	3,85	1
1	1	26,94	4,62	1
2	5	169,11	7,42	2
2	3	134,49	7,85	2
1	2	51,52	7,85	1
3	3	113,84	8,56	4
2	2	68,90	17,74	2
10	17	418,49	13,70	10
11	14	393,91	12,98	10
3	5	250,57	17,70	3
1	1	80,07	17,70	1
3	3	45,51	17,65	3
5	6	157,34	12,18	5
2	3	135,81	6,24	2
6	7	111,30	13,59	5
4	6	236,22	9,66	3
3	3	84,11	17,45	3
2	2	109,89	12,50	2
3	5	96,86	11,26	4
2	3	56,47	5,06	2
1	1	43,79	2,36	1
1	1	58,34	8,70	1
3	3	123,99	9,45	4
2	2	153,97	7,67	2
1	1	81,30	4,23	1
1	1	26,89	1,61	1
1	1	21,11	4,97	1
5	7	194,62	17,04	5
3	4	131,86	4,67	3
4	6	82,29	11,44	4

1	2	94,50	9,69	1
9	16	425,56	14,51	8
2	2	50,17	9,59	2
2	2	32,77	3,72	2
		32,71	5,95	1
1	1	102,58	7,11	1
3	3	79,49	16,60	3
3	3	114,25	13,87	3
7	7	148,70	16,52	7
1	1	57,92	16,47	1
1	1	84,97	16,45	2
1	1	25,65	9,69	1
2	2	65,24	4,86	2
1	1	23,16	1,94	1
1	1	20,95	16,23	1
3	3	114,74	16,21	3
1	1	62,99	2,53	1
3	3	63,17	16,16	3
3	4	75,23	16,15	3
3	4	111,16	8,62	3
3	3	156,78	12,71	3
1	1	91,56	3,66	1
2	3	51,07	5,58	2
8	12	173,71	12,42	8
3	4	142,70	15,93	3
2	2	119,23	11,04	2
2	3	30,60	4,80	1
4	4	116,56	8,56	4
1	1	48,12	0,96	1
3	4	58,33	15,81	3
2	2	40,85	8,02	2
2	2	34,24	5,48	2
4	4	36,58	10,06	4
5	8	330,69	11,90	5

5	5	107,25	13,70	5
5	5	118,66	5,35	5
5	7	86,58	11,41	5
6	6	99,48	6,14	6
2	2	45,66	10,51	2
2	3	26,77	10,61	2
3	3	130,50	12,55	3
1	2	51,25	7,95	1
5	6	72,44	6,89	5
3	4	93,49	15,33	3
1	1	77,71	8,67	1
2	2	162,77	15,31	2
1	2	140,13	6,78	1
3	3	129,69	10,99	3
2	4	122,62	2,97	2
1	1	41,49	15,22	1
4	5	240,69	9,75	4
4	4	114,80	12,06	4
3	3	45,82	9,41	3
10	14	343,58	11,63	11
		21,21	15,10	2
6	6	93,26	11,93	7
5	5	88,00	8,60	5
2	3	77,78	15,05	4
9	11	295,29	15,05	9
6	10	431,97	12,21	6
3	4	123,45	9,20	3
2	2	48,62	14,91	2
1	1	47,63	14,91	1
4	4	46,09	14,91	4
1	1	30,26	14,89	1
2	2	30,93	14,88	2
1	1	74,97	14,78	1
3	3	113,33	14,70	3
4	5	123,96	9,41	4
2	2	31,58	7,32	2
4	5	113,00	14,63	5
2	3	28,86	14,62	2

1	2	30,43	9,03	1
3	4	130,91	14,57	3
1	2	148,05	9,25	2
5	7	229,61	10,61	5
4	6	194,77	5,34	4
1	1	59,56	4,40	1
1	1	112,53	14,51	1
2	2	31,04	14,49	2
6	8	189,76	11,40	6
1	1	39,22	3,13	1
2	2	25,52	14,45	2
1	1	26,60	2,78	1
4	6	160,76	14,42	4
3	3	63,14	9,71	3
1	1	49,95	2,55	1
6	6	133,20	14,04	6
1	2	61,73	7,69	1
1	2	84,25	14,29	1
2	4	125,26	10,98	2
1	1	45,88	6,64	1
3	4	132,65	6,91	3
4	7	220,61	14,09	4
			0,00	
4	6	228,03	14,06	4
7	12	189,77	13,68	7
8	11	221,11	14,00	8
1	2	103,03	13,94	1
1	1	82,33	2,71	1
3	3	27,89	13,83	3
1	1	37,38	5,07	1
4	4	39,83	13,70	4
1	1	47,19	5,13	1
1	1	39,96	13,64	1
2	2	102,84	13,64	2

4	4	62,18	3,96	4
2	2	40,31	5,96	2
1	1	20,38	5,05	1
5	5	105,54	13,49	5
2	2	45,52	9,35	2
1	1	31,62	2,17	1
2	3	86,91	3,13	2
1	2			
1	1	25,98	7,33	1
3	5	117,28	7,48	3
3	3	37,98	4,96	3
1	2	53,93	13,24	1
3	6	204,87	13,23	3
4	5	48,78	3,68	3
2	3	127,52	1,91	2
1	2	42,05	3,14	1
6	6	147,41	10,36	6
2	2	98,36	4,41	2
3	3	28,20	10,39	3
1	1	25,76	13,02	1
2	2	27,33	4,22	1
1	1	39,55	1,88	1
1	1	22,47	1,27	1
3	3	54,39	6,47	3
3	11	322,32	12,95	3
		204,39	12,92	1
2	3	35,92	3,78	2
1	1	38,49	7,65	1
2	2	24,62	2,24	2
1	1	21,78	2,87	1
7	9	203,08	12,73	7
2	3	83,84	7,60	2

2	2	40,15	5,58	2
4	5	140,77	7,04	4
1	1	40,98	0,76	1
5	7	146,44	12,61	5
1	2	120,23	7,59	1
2	2	42,95	5,63	3
2	3	43,57	7,76	2
3	3	52,93	9,88	3
2	2	51,26	4,15	2
2	2	81,41	4,02	2
1	1	31,74	5,76	1
2	2	33,94	12,42	2
2	2	75,23	3,85	2
3	3	120,70	9,53	3
2	2	99,71	5,79	2
3	3	62,08	5,55	3
2	3	138,62	12,23	3
1	3	102,00	12,23	1
3	4	218,05	12,22	3
5	6	222,59	7,75	5
1	1	39,02	5,07	1
2	2	85,30	12,15	2
1	2	47,04	4,03	1
1	1	53,01	12,04	1
4	5	113,56	5,06	4
2	2	81,58	2,26	2
2	2	45,37	11,86	2
4	4	331,56	11,53	4
3	3	38,79	11,84	3
		42,05	8,93	1
2	2	89,92	11,81	2

2	2	50,53	8,04	2
2	3	96,83	7,45	2
5	6	141,94	11,79	5
2	2	73,76	8,33	2
4	6	73,57	11,70	4
2	2	107,44	11,68	2
3	3	124,36	10,18	4
2	3	98,93	11,63	2
1	1	53,07	3,17	1
		41,46	8,01	1
2	2	50,69	8,89	2
3	4	203,83	9,09	3
2	3	95,02	11,52	2
1	1	27,38	11,45	1
8	10	333,52	11,43	8
1	1	36,17	4,90	1
4	4	191,88	11,42	4
2	2	44,30	6,17	2
2	2	76,86	11,41	2
3	3	115,95	7,30	3
1	1	40,15	11,29	1
1	1	39,71	4,00	1
1	1	36,47	5,63	1
10	12	182,87	9,68	10
		87,42	4,45	1
3	4	150,73	11,25	3
5	7	235,84	11,23	6
2	4	40,07	4,19	2
3	5	52,06	11,20	3
1	1	91,72	4,28	1
2	2	25,30	5,67	3
4	7	128,71	11,13	4
2	2	55,11	11,11	2
1	2	62,60	11,06	1
3	5	88,71	5,47	3
2	2	51,79	2,62	2
3	4	107,80	11,00	3

2	2	89,54	10,98	2
2	2	30,61	4,73	2
2	2	40,22	7,17	2
3	3	117,53	10,90	3
1	1	70,01	4,64	1
2	2	49,18	8,24	2
1	1	34,91	10,79	1
		35,06	5,39	1
2	3	77,36	3,85	2
2	3	105,24	10,77	2
1	1	104,49	10,71	1
4	4	88,98	8,79	4
2	2	23,34	10,68	2
1	2	135,21	2,32	1
2	3	56,43	10,63	2
1	2	100,90	6,71	1
3	3	112,22	10,60	3
1	2	26,18	4,17	1
2	2	83,04	10,51	2
4	4	70,72	10,48	4
2	2	26,64	6,23	2
4	4	100,45	6,50	4
2	3	106,72	10,47	3
1	1	56,67	1,94	1
2	3	83,00	10,45	2
8	10	101,82	8,98	9
3	5	270,96	10,42	3
6	6	98,41	10,34	6
3	3	89,36	7,09	3
2	2	112,86	8,32	3
1	1	21,13	1,17	1
1	1	63,76	10,29	1

4	6	135,21	10,25	4
2	2	71,15	10,23	2
3	3	144,57	8,06	3
3	3	62,30	10,14	3
2	2	29,30	10,04	2
4	4	119,79	5,94	5
3	3	44,22	10,00	3
1	1	59,82	6,55	1
2	2	33,96	7,12	2
3	3	29,97	9,93	3
		38,44	6,72	1
1	1	65,43	9,85	1
2	4	304,13	9,80	2
1	2	57,01	1,28	1
4	4	111,61	5,96	4
2	2	38,27	6,19	2
3	4	76,46	7,85	3
2	2	55,92	9,69	2
1	1	32,66	4,84	1
1	2	83,70	5,11	1
		14,23	1,34	1
1	1	77,73	9,60	1
3	3	124,60	6,97	3
2	8	533,19	9,54	2
2	2	26,22	9,54	2
2	3	137,86	9,48	2

3	3	88,75	9,48	3
1	2	87,20	9,47	1
2	2	84,32	6,22	2
2	2	69,65	1,64	1
3	4	120,12	9,42	3
1	1	71,61	4,71	1
1	1	25,25	3,04	1
3	4	103,46	6,92	3
2	2	40,83	9,33	2
1	1	28,34	9,33	1
2	2	109,13	9,21	3
1	1	42,57	2,60	1
6	8	185,81	9,18	6
1	1	27,26	6,16	2
2	2	85,54	9,14	2
1	1	22,96	9,03	1
1	1	53,63	3,48	1
1	2	63,77	8,97	1
1	1	55,01	8,90	1
1	1	67,62	8,89	1
2	2	30,77	6,95	2
2	2	56,30	8,83	2
1	1	74,15	3,17	1
1	1	20,88	8,81	1
3	4	99,05	6,06	3
1	1	46,05	5,15	1
2	2	27,49	4,39	2
1	1	33,91	8,77	1
3	4	137,54	8,74	3
5	5	97,06	6,29	5
1	1	40,68	4,73	1

2	2	28,52	8,71	2
3	3	84,91	5,40	3
4	4	120,48	7,44	4
4	4	136,03	8,58	4
1	1	32,25	8,53	1
1	3	45,54	8,52	1
4	4	45,51	8,44	4
1	1	20,52	8,44	1
6	6	108,38	7,30	6
1	2	65,71	4,54	1
1	1	63,74	4,71	1
2	2	50,35	4,73	2
1	1	31,14	4,25	1
1	1	93,61	8,28	1
2	2	21,87	2,84	2
2	2	35,05	8,23	2
1	2	54,43	2,95	1
2	2	55,07	8,20	2
2	2	43,55	8,19	2
1	1	36,06	8,18	1
2	3	138,74	8,16	2
1	4	113,06	8,16	1
4	4	85,75	8,16	4
1	1	47,49	4,36	1
1	1	36,12	2,06	1
2	4	116,64	4,50	2
		35,98	8,02	2

1	3	94,40	8,00	1
1	1	94,31	2,79	1
1	1	43,37	4,75	1
1	1	39,81	7,97	1
2	2	23,36	7,95	2
2	3	65,72	7,94	2
1	1	64,80	7,94	1
1	1	36,07	3,77	1
1	1	37,71	7,87	1
			0,00	
2	2	39,67	5,58	2
2	3	81,99	5,13	2
1	2	90,34	2,97	1
2	2	48,85	4,83	2
1	2	50,67	3,54	1
2	2	80,81	7,74	2
1	1	31,41	1,68	1
1	1	78,09	7,73	1
1	2	43,68	7,73	1
1	1	45,43	1,83	1
2	2	81,64	7,71	2
2	2	44,25	7,69	2
3	4	64,05	7,66	3
1	1	32,11	7,64	1
3	3	65,31	4,63	3
1	1	21,76	4,39	1
1	1	44,69	7,60	1
1	1	62,84	7,58	1
2	3	132,47	4,84	2
2	2	53,86	5,76	2
1	1	29,35	3,96	1
1	1	32,48	7,44	1
2	3	65,46	2,75	2

2	2	41,73	7,41	2
1	1	20,71	7,41	1
1	1	32,12	3,62	1
2	2	30,41	7,37	2
1	1	31,61	7,36	1
1	1	57,53	7,35	1
1	2	142,86	1,33	1
1	1	36,60	1,97	1
1	2	123,29	7,27	1
2	2	80,55	5,04	2
1	1	33,11	7,24	1
1	1	95,79	7,21	1
1	1	21,58	7,19	1
2	2	75,90	7,19	2
1	1	37,62	7,17	2
1	1	71,98	7,17	1
2	2	36,16	1,34	2
2	2	48,77	1,27	2
2	2	28,41	7,13	2
1	2	46,69	4,11	1
1	1	69,96	3,95	1
3	3	110,25	7,10	3
1	2	57,87	7,07	1
2	2	65,12	4,23	2
1	1	27,57	2,50	1
3	3	37,43	7,04	3
1	1	31,91	3,39	1
2	5	199,67	3,50	2
3	4	71,74	3,13	3
2	4	134,27	5,05	2
1	1	75,56	1,47	1
2	2	33,34	4,54	2
2	2	23,72	4,51	2
		23,65	4,37	1

1	1	41,45	6,80	1
2	2	78,03	5,14	2
		33,70	1,46	1
1	1	25,24	1,52	1
1	1	22,44	6,67	1
2	3	122,27	3,84	2
4	6	148,94	4,83	4
4	6	93,28	1,57	4
2	3	85,87	6,53	2
3	3	85,07	6,53	3
1	1	46,54	6,51	1
1	2	45,52	6,49	1
2	2	56,51	1,40	2
2	2	49,04	4,26	2
1	1	39,58	6,45	1
1	1	36,36	6,42	1
1	1	21,51	6,41	1
1	1	27,52	6,40	1
2	3	33,92	4,76	2
1	2	69,32	6,34	1
1	2	115,78	1,03	1
1	1	35,71	6,27	1
2	3	55,15	4,18	2
1	2	37,05	6,27	1
1	1	21,18	6,27	1
4	5	95,70	4,41	5

2	2	55,33	2,70	2
1	1	27,20	6,14	1
1	1	21,50	1,07	1
		0,00	2,65	1
1	1	20,94	6,13	1
3	3	67,54	6,12	3
3	3	118,25	6,07	3
4	5	201,94	4,36	4
2	2	35,78	6,01	2
1	2	36,96	5,99	1
1	1	26,36	5,98	2
1	1	54,26	5,98	1
1	1	33,05	5,98	1
1	1	33,85	5,98	1
1	1	47,75	5,97	1
1	1	28,19	5,53	1
1	1	24,67	5,92	1
2	2	50,87	5,87	2
2	2	70,35	4,46	2
1	1	24,20	5,83	1
1	1	23,71	1,23	1
2	2	69,58	4,55	2
3	4	46,18	1,66	2
2	2	33,58	5,74	2
2	2	60,67	2,58	2

1	1	30,15	1,43	1
1	1	21,93	3,33	1
2	2	49,08	3,03	2
1	1	61,71	5,69	1
1	2	40,58	3,47	1
2	2	46,89	5,66	2
1	2	59,57	5,65	1
1	1	22,29	5,62	1
3	3	32,96	2,95	3
1	1	37,79	5,60	1
1	1	22,32	1,29	1
1	1	68,18	3,28	1
1	1	41,11	5,52	1
1	2	71,31	5,48	1
3	3	85,58	3,65	3
2	2	48,76	5,43	2
1	2	55,15	5,43	1
1	1			
1	1	32,18	5,39	1
1	1	86,27	2,02	1
1	1	55,08	5,34	1
2	2	28,07	5,31	2
		29,34	5,30	1
2	2	33,15	5,29	2
2	2	38,03	5,28	2
1	1	81,64	5,28	1
1	1	32,94	2,34	1
1	1	56,27	5,26	1
1	1	26,26	5,26	1
4	5	185,01	5,25	4
2	2	39,98	4,01	2

1	1	44,06	5,19	1
1	1	28,38	2,37	1
1	2	68,20	2,71	1
1	1	60,09	5,12	1
1	1	32,88	5,12	1
		26,82	5,11	1
3	3	55,66	3,48	3
2	3	124,61	5,08	3
1	2	98,01	4,99	1
1	1	24,55	4,98	1
1	1	45,83	4,91	1
2	2	76,79	4,90	2
2	2	24,86	3,40	2
2	2	43,56	2,94	2
1	1	67,11	4,89	1
1	1	41,92	4,89	1
1	2	21,35	4,88	1
1	1	30,29	4,78	1
1	1	26,89	4,78	1
2	3	69,17	4,78	2
1	1	37,32	4,78	1
1	2	56,90	4,76	1
2	2	24,25	2,64	2
2	2	41,38	4,75	2
1	3	89,28	4,74	1
4	6	147,61	4,73	4
2	2	32,93	4,72	2
		33,21	4,72	1

4	4	68,72	3,92	4
1	1	42,48	4,69	1
1	1	29,97	2,56	1
2	3	143,24	4,64	2
1	1	39,00	4,64	1
1	1	40,08	4,63	1
		41,49	4,63	1
1	1	24,66	4,57	1
2	2	56,87	4,55	2
1	1	70,83	4,53	1
1	2	70,02	1,88	1
1	1	30,57	4,44	1
1	1	27,99	4,42	1
1	1	22,24	1,00	1
		35,15	4,40	2
2	2	39,74	4,36	2
1	1	70,22	4,36	1
		27,77	4,35	1
1	1	73,41	4,35	1
1	1	81,46	4,35	1
1	1	36,81	4,35	1
1	1	27,23	2,47	1
1	1	38,48	4,31	1
1	1	25,76	4,27	1
1	3	69,94	4,26	1
1	1	83,36	4,25	1
1	1	28,56	2,27	1
1	1	53,11	4,23	1
1	1	26,12	1,06	1
1	1			
1	1			
1	1	72,70	2,68	1
1	2	118,73	4,21	1
			0,00	
1	1	25,71	4,20	1

1	1	28,29	4,17	1
1	1	68,99	4,16	1
1	1	27,91	4,11	1
1	1	26,68	4,06	1
1	2	36,20	4,03	1
1	1	69,12	4,02	1
1	1	23,75	4,02	1
1	1	55,09	4,01	1
1	2	52,61	4,01	1
1	1	48,98	3,99	1
1	1	52,47	3,97	1
1	1	46,18	3,97	1
1	1	23,41	3,94	1
1	2	60,60	1,89	1
1	2	83,32	3,91	1
1	1	51,57	3,87	1
1	2	53,40	3,85	1
1	1	68,53	3,18	1
		32,46	3,82	1
2	2	47,23	2,59	2
1	1	32,06	3,81	1
		30,37	3,81	1
1	1	44,04	3,79	1
1	1	36,23	1,02	1
1	1	91,71	3,74	1
1	1	43,26	3,74	1
2	2	50,62	3,73	2

1	1	47,83	3,70	1
1	1	80,84	3,69	1
1	1	24,99	3,67	1
2	2	129,09	3,65	2
1	1	46,14	3,64	1
1	1	34,65	3,51	1
2	2	31,74	3,51	2
1	1	23,35	3,47	1
1	3			
1	1	20,56	3,46	1
1	1	35,46	3,46	1
2	2	37,49	3,46	2
3	3	29,20	2,62	3
1	1	67,83	3,44	2
1	14			
1	1	31,18	3,41	1
		26,73	3,39	2
1	1	43,14	1,75	1
1	1	45,65	1,32	1
1	1	51,20	3,35	1
1	1	33,60	3,33	1

1	1	27,54	3,28	1
1	1	39,88	3,27	1
1	1	27,30	0,90	1
1	1	23,27	3,25	1
1	1	20,28	3,23	1
1	1	36,59	3,22	1
1	1			
		69,27	3,17	2
		27,22	3,16	1
1	1	42,66	3,16	1
1	2	115,85	3,15	1
1	1	27,61	3,15	1
1	1	62,17	3,14	1
1	1	36,49	3,13	1
1	1	52,78	3,11	1
1	1	48,91	3,10	1
1	1	27,36	3,09	1
1	1	27,51	3,07	1
1	1	41,10	3,06	1
1	2	71,16	3,04	1
1	1	34,27	3,03	1
1	2	63,81	3,02	1
1	1	49,97	3,01	1
1	1			
		30,83	2,99	1
2	2	74,61	2,97	2
2	4	79,98	2,94	2
2	2	121,71	2,93	2
1	1	31,49	2,87	1
1	1	69,54	2,87	1

1	1	75,24	2,86	1
		16,07	2,79	1
1	1	31,75	2,77	1
1	1	23,92	2,75	1
1	1	33,50	2,73	1
1	1	41,54	2,64	1
1	1	37,32	2,61	1
		24,87	2,60	1
2	3	63,58	2,58	2
1	1	33,89	2,58	1
1	1	33,25	2,56	1
1	1	46,16	2,51	1
1	1	40,00	2,51	1
1	1	24,08	2,50	1

1	1	31,17	2,38	1
2	2	36,23	2,33	2
2	2	22,95	2,31	2
1	1	87,88	1,18	1
2	3	80,59	1,34	2
1	1	22,37	2,26	1
2	2	46,48	2,23	2
1	1	20,29	2,23	1
1	1	53,59	2,21	1
1	1	22,79	2,21	1
1	1	41,01	2,18	1
1	1	22,68	2,16	1
2	2	31,51	2,15	2
1	1		0,00	
1	1	52,99	2,14	1
		23,17	2,11	1
1	1	51,72	2,06	1
1	1	41,06	2,06	1
1	1	30,15	2,05	1
			0,00	

1	1	34,53	2,00	1
1	1	28,84	1,96	1
1	1	33,59	1,96	1
			0,00	
1	1	41,48	1,90	1
			0,00	
			0,00	
1	1	34,40	1,78	1
1	1	81,13	1,70	1
1	1	51,73	1,67	1
2	2	20,75	1,65	2
1	2	46,62	1,64	1
1	1	61,37	1,61	1
1	2	25,54	1,61	1
		16,81	1,59	1
1	1	22,94	1,59	1
		20,46	1,57	1
1	1	42,25	1,56	1

1	1	21,65	1,55	1
1	1	34,55	1,51	1
2	2	32,11	1,46	2
1	1	27,40	1,41	1
2	2	33,88	0,99	2
			0,00	
		23,95	1,30	1
1	1	26,74	1,26	1
2	3	90,65	1,15	2
		20,95	1,09	1
1	1	25,13	1,05	1
1	1	25,44	1,04	1
1	1	21,29	1,02	1
1	1	23,73	0,90	1
1	1	27,14	0,89	1

1	1			
1	1	24,98	0,77	1
			0,00	
1	1	30,03	0,66	1
1	2	60,69	0,65	1
1	1	27,38	0,62	1
1	1	30,52	0,60	1
1	1	30,93	0,57	1
		19,21	0,55	2
1	1	36,92	0,50	1
		21,77	0,34	1

# PSM Deamid	# AAs	MW [kDa]	calc. pI
7	99	10,4	4,17
5	26	2,5	6,11
28	247	26,9	5,52
24	166	18,2	5,19
18	145	14,7	4,98
22	112	11,3	4,27
6	108	12,0	8,84
40	154	15,8	6,40
	436	47,3	7,18
14	99	10,8	6,77
114	643	69,5	5,05
7	106	11,6	5,74
	261	28,6	5,41
23	316	34,8	6,90
8	150	15,6	8,97
81	513	55,4	5,77
28	352	37,4	7,09
9	84	8,9	5,69
52	495	54,7	6,15
13	254	27,8	6,02
	124	13,6	8,13
	326	33,7	7,36
16	335	35,9	5,24
32	262	28,5	9,13
8	118	12,9	5,20
22	477	52,7	5,25
20	152	16,6	7,99
22	209	22,6	6,05
25	222	24,8	5,91
	296	31,5	7,84
17	200	20,6	7,84
	214	23,4	7,31
55	496	53,5	5,80
47	691	70,5	5,17
41	188	20,3	8,50
	606	64,6	8,47
18	333	36,3	7,34
24	309	34,0	6,74
15	229	25,4	6,80
75	297	31,9	7,09
51	306	32,3	4,88
27	398	44,8	5,17
21	341	35,6	8,98
23	290	32,7	5,58
49	579	61,1	5,88
10	102	10,9	7,12
5	298	33,2	7,17
29	329	33,9	6,57
52	438	47,4	5,58
7	101	10,8	10,37
33	518	56,2	4,79
40	339	36,4	7,11

23	342	37,4	6,06
	104	11,7	7,18
27	416	47,2	5,52
10	127	13,3	6,51
46	1069	118,3	6,44
10	192	21,7	6,67
29	373	39,9	11,02
7	165	18,9	4,58
6	111	11,3	4,22
8	329	34,4	7,78
33	375	41,5	5,58
7	106	11,8	5,03
8	165	17,7	5,33
15	479	52,9	7,59
44	363	38,5	5,85
21	665	72,5	8,10
31	360	39,2	6,06
13	319	35,5	6,44
	676	74,2	7,28
20	193	22,0	9,44
44	555	59,8	9,10
15	252	27,7	4,97
50	520	57,5	5,48
6	198	21,7	6,00
29	400	44,1	8,70
32	424	45,2	7,83
15	208	22,4	6,37
10	149	17,0	4,27
6	90	9,7	9,04
	294	31,1	5,20
6	274	29,9	7,21
	174	18,5	5,63
9	392	42,8	6,42
	308	32,8	6,25
17	230	25,3	4,59
14	147	16,9	9,83
47	767	86,3	6,52
30	461	48,4	8,82
18	438	49,0	5,69
14	150	16,0	10,87
24	554	60,0	6,05
15	447	49,8	4,93
9	181	20,1	7,25
4	126	13,0	6,49
37	427	46,9	8,27
14	183	20,9	6,80
8	231	24,4	6,61
33	448	47,9	5,30
24	713	78,6	5,55
12	171	19,0	4,39
28	522	57,5	6,57
33	290	32,6	7,55
4	88	9,0	5,38
10	311	34,6	7,34
13	113	12,1	5,60

46	825	89,9	5,11
6	146	16,0	5,86
9	245	27,3	4,83
22	510	54,3	7,58
66	978	106,4	5,07
6	74	8,0	5,08
23	510	58,6	6,09
16	440	47,5	5,99
24	606	67,3	6,77
11	242	27,1	5,00
	436	46,6	5,10
	321	35,0	7,88
25	468	51,6	5,86
14	278	30,7	8,75
	678	74,0	6,09
43	893	100,7	6,29
8	149	16,8	6,95
7	140	15,4	6,19
41	685	74,8	6,24
33	71	7,3	6,79
15	216	24,0	9,01
6	431	46,8	6,42
	109	11,7	7,69
12	267	28,7	5,50
6	201	20,9	6,52
49	614	66,6	5,45
16	311	33,0	6,06
27	232	26,0	6,62
9	142	15,0	5,38
15	191	20,3	5,59
11	298	32,3	8,73
65	844	93,4	6,99
37	632	68,4	6,51
17	343	39,2	8,09
23	470	51,5	5,53
	233	24,2	8,56
29	358	39,8	5,31
22	507	53,4	5,03
35	764	82,9	6,79
5	417	46,0	6,71
17	256	29,1	9,99
	423	44,2	4,94
4	98	10,9	4,60
10	151	16,9	10,35
10	123	14,1	8,97
7	469	50,7	6,89
	497	54,8	6,44
23	161	18,7	4,93
5	166	17,7	6,93
45	453	49,1	9,09
10	174	19,4	8,76
39	714	79,7	5,31
	355	36,4	5,39
21	275	30,9	5,02
16	450	50,1	5,05

4	85	8,5	4,83
11	356	38,8	5,86
18	355	37,6	6,86
12	355	41,1	6,76
18	417	47,1	6,57
18	449	48,8	6,16
21	449	48,6	5,11
13	492	53,6	6,04
72	671	73,2	5,05
13	237	25,5	6,54
15	521	55,8	5,62
15	322	36,0	6,38
13	595	64,8	6,39
12	568	60,5	5,33
10	276	30,2	8,84
11	270	29,3	6,54
79	912	100,2	8,84
24	449	48,3	6,16
28	265	29,6	4,79
26	479	52,6	5,83
76	1166	128,2	6,74
11	113	12,2	5,86
16	374	40,3	6,73
15	369	39,4	5,72
5	148	16,5	4,68
7	135	14,2	4,56
8	189	21,4	6,42
11	445	47,7	5,69
15	150	16,5	5,03
17	323	34,6	8,87
15	320	35,0	5,36
17	201	22,5	10,18
13	286	31,3	6,44
8	229	24,7	6,20
1	775	84,3	6,16
	82	8,9	7,80
97	760	86,4	5,01
20	573	64,3	7,18
8	237	26,2	6,65
22	701	77,6	6,70
20	399	41,2	6,87
18	363	38,9	6,65
13	310	35,2	5,55
	448	46,9	5,43
31	546	57,7	8,35
12	455	48,3	6,38
25	299	34,3	8,44
41	749	82,8	6,64
17	418	45,4	6,83
	159	16,9	7,81
3	191	20,6	9,42
50	791	86,3	5,88
	322	36,3	6,80
5	109	11,7	8,46
10	340	37,8	5,68

11	113	11,5	9,57
1	464	50,7	5,72
12	267	29,1	8,48
13	426	46,0	8,97
9	154	17,0	5,78
16	408	45,3	7,88
11	212	23,0	4,79
24	324	35,5	5,90
20	314	33,5	4,86
41	381	40,0	6,80
13	177	19,7	7,33
35	647	71,0	6,76
11	92	9,6	8,38
8	440	48,7	7,02
15	364	38,8	5,87
12	512	56,3	9,16
8	391	41,8	5,82
23	170	19,1	5,66
18	474	52,2	7,99
21	370	39,5	6,14
14	303	33,3	9,51
17	217	23,6	9,36
3	121	13,0	5,96
34	348	37,6	6,46
3	213	23,8	5,68
10	471	50,8	6,70
2	461	50,5	6,46
14	156	17,9	10,48
7	78	8,5	9,77
13	111	11,8	9,74
15	257	28,3	6,14
22	384	41,5	8,00
14	263	28,6	6,55
29	674	73,9	5,54
25	678	73,5	6,02
11	229	25,0	9,19
9	336	37,4	6,06
4	175	20,0	9,99
	789	82,4	6,46
12	167	18,7	5,68
3	90	8,8	5,48
9	364	39,7	7,05
8	320	35,3	6,47
17	207	22,6	10,17
	338	36,9	6,42
	331	36,4	8,12
11	200	22,3	6,23
26	576	63,1	7,61
28	447	49,0	6,81
16	233	27,0	10,05
5	379	41,9	5,83
	228	24,4	9,31
35	155	17,7	9,73
	294	31,4	5,36
21	416	44,5	7,90

12	741	81,8	6,44
12	325	34,8	5,72
14	370	39,9	5,60
4	194	21,3	4,61
42	905	97,3	7,88
	519	55,9	5,67
4	92	10,2	10,55
	83	8,9	4,50
13	262	29,3	10,18
7	226	25,0	6,21
5	217	24,3	6,93
21	397	44,9	4,48
3	98	10,7	5,12
	122	13,4	7,36
26	467	49,3	5,76
8	356	38,0	7,42
	389	42,1	6,55
	232	24,2	7,85
7	512	56,4	6,33
	390	41,6	7,80
7	130	14,7	9,99
	79	8,5	7,50
25	511	55,6	5,90
10	245	26,8	4,92
23	724	77,8	6,28
13	255	29,3	5,99
	159	17,5	7,94
17	492	54,2	5,50
9	161	18,3	10,71
	124	13,0	9,57
6	389	42,4	6,96
	343	36,3	8,63
15	254	27,5	11,03
12	191	21,0	5,24
10	449	49,7	6,06
10	325	33,8	9,44
7	143	15,9	10,15
28	693	72,6	8,44
	421	46,7	5,55
13	168	19,2	10,14
5	422	45,6	8,05
	176	19,0	4,70
20	427	44,4	6,99
6	486	53,7	5,94
8	420	44,9	7,17
	396	41,3	5,54
23	551	60,9	8,18
9	146	15,1	6,67
1	112	12,2	4,03
13	416	45,7	7,09
15	380	40,4	7,18
10	346	37,9	9,06
1	196	20,8	6,15
9	103	11,4	11,36
8	254	28,8	8,18

	576	63,2	5,64
14	293	33,0	6,80
1	488	52,3	7,56
13	440	47,9	6,76
9	448	49,2	6,86
2	100	10,9	4,91
12	383	41,8	8,66
7	214	23,6	4,49
11	497	54,3	5,83
18	559	63,9	6,95
20	401	43,6	8,95
25	2093	232,1	5,87
9	349	37,6	6,64
33	136	15,4	9,76
	480	52,9	6,99
8	327	35,0	4,86
4	117	13,0	5,06
22	369	41,1	10,02
7	125	14,2	9,28
17	297	31,8	4,97
12	133	14,1	10,55
39	744	83,6	6,65
4	98	11,1	7,50
8	165	17,6	9,31
6	199	22,4	5,68
12	347	40,1	5,72
12	207	22,9	6,79
2	140	15,5	6,90
20	369	39,3	7,72
9	468	45,9	5,52
18	265	29,5	10,24
6	532	56,8	8,16
	382	40,8	5,27
18	774	84,4	5,92
8	299	33,3	9,48
4	103	11,7	5,48
11	347	38,6	6,44
	488	52,2	7,46
26	546	60,4	7,56
	466	48,2	6,73
22	502	53,7	5,54
	368	37,1	8,69
	246	25,6	8,13
13	368	39,6	4,87
7	146	16,3	10,43
12	426	48,3	5,01
7	106	11,7	5,72
	420	45,3	8,40
13	376	40,9	7,30
8	190	21,4	5,36
14	633	70,1	7,11
4	85	8,9	6,52
3	152	16,9	5,43
5	223	25,1	8,53
15	215	24,4	11,40

9	205	21,6	5,58
5	271	30,8	7,56
20	312	33,8	9,76
7	155	16,1	5,97
29	706	74,6	9,19
10	353	39,2	5,74
8	292	32,2	6,96
5	139	14,7	10,29
9	221	25,5	7,47
28	706	80,3	6,40
16	207	20,7	5,40
	392	44,5	6,76
24	421	45,5	6,44
18	413	45,9	6,28
7	111	12,3	6,09
32	1167	128,2	6,00
3	529	56,7	6,30
20	587	64,5	5,53
19	742	80,8	7,44
8	235	25,4	8,16
12	402	45,1	5,72
10	2281	254,1	6,55
13	623	69,1	5,47
2	308	34,4	5,29
12	430	44,9	5,03
13	246	25,3	5,38
5	137	15,6	4,35
8	212	22,3	4,65
11	774	86,2	6,24
13	281	31,2	4,77
11	204	23,2	10,95
13	348	38,8	6,13
20	670	74,2	6,44
3	1101	121,0	4,68
13	510	55,9	8,38
16	295	32,9	5,77
12	136	14,8	10,13
6	270	28,7	5,71
8	463	51,7	4,98
23	585	65,3	9,11
7	390	43,6	6,34
16	151	16,8	8,97
	256	27,0	7,28
	244	27,4	6,92
2	200	21,6	8,05
15	518	57,2	8,76
3	135	13,8	4,59
12	365	39,3	7,02
21	539	58,6	6,81
11	383	43,3	5,22
7	248	27,8	5,16
13	454	51,1	8,70
	792	86,1	6,80
4	259	27,9	8,75
	417	45,9	6,01

2	128	13,7	6,54
11	412	45,7	5,26
5	199	22,1	5,25
13	563	60,6	7,31
7	167	19,0	5,80
9	439	48,9	7,17
2	255	28,2	4,84
13	403	43,5	8,21
11	358	39,9	7,87
6	493	55,2	8,85
	223	24,4	5,15
	118	13,0	7,65
9	394	45,2	8,60
16	239	27,3	10,78
13	220	25,2	10,40
25	1070	120,6	9,28
5	294	33,1	5,62
9	292	33,3	5,80
10	331	35,8	5,05
12	145	15,8	10,35
15	444	49,5	5,50
	167	18,9	5,66
5	360	39,4	6,11
13	193	22,2	10,17
18	347	36,1	8,95
8	547	59,6	5,43
6	126	14,1	10,45
10	365	39,6	5,92
17	422	46,2	6,92
	235	25,0	5,33
12	235	24,8	9,60
18	618	68,7	4,88
28	1139	125,8	5,57
7	233	25,2	5,63
	312	33,7	5,14
	409	43,9	5,41
9	567	62,8	6,10
7	541	58,9	6,13
11	307	35,0	5,43
16	588	65,4	6,92
7	283	31,3	4,58
18	525	56,2	5,17
25	1187	119,7	6,83
5	209	23,1	9,47
	568	59,8	6,54
11	564	60,5	9,11
13	349	37,3	5,72
7	232	26,3	6,34
14	480	52,0	6,77
11	323	33,7	10,30
	308	33,8	8,32
15	585	65,7	5,92
41	931	103,0	5,86
9	151	15,5	9,48
6	187	22,0	10,32

5	205	23,0	7,05
13	649	72,3	6,13
4	174	18,3	9,60
16	335	36,7	4,88
8	161	18,1	4,49
17	416	45,5	6,39
5	421	45,0	7,03
7	318	36,6	7,12
8	271	29,2	6,62
	560	60,1	6,65
	65	7,2	8,19
10	139	15,8	10,59
23	723	80,0	8,43
8	292	32,7	5,30
19	582	64,1	5,02
	254	26,5	9,52
11	288	32,4	8,75
10	673	73,0	8,95
11	149	16,9	10,37
9	122	13,1	4,70
11	235	26,6	5,53
9	260	28,4	5,71
4	568	61,6	6,57
12	385	41,5	7,62
11	961	106,8	8,50
8	202	20,6	8,56
4	261	29,1	6,19
4	84	9,3	8,75
10	293	32,0	5,90
11	400	41,1	4,67
11	321	34,5	5,19
17	615	69,5	7,25
9	431	46,5	4,75
	185	20,5	6,67
14	939	100,5	6,87
5	128	13,7	6,30
4	485	54,2	6,28
4	103	10,6	5,60
6	656	71,5	6,21
5	225	24,4	9,28
4	124	13,9	5,55
7	384	43,5	7,23
8	191	21,1	9,77
8	244	26,7	5,15
4	99	10,6	5,48
9	76	7,9	8,50
19	387	42,7	5,39
	514	55,7	8,82
4	484	54,4	6,23
	510	56,9	6,57
1	157	18,2	5,02
	442	47,0	7,42
4	169	19,6	7,03
6	132	14,5	9,52
5	176	19,0	7,12

	334	34,9	6,86
17	355	39,1	7,17
1	525	58,3	5,12
2	409	45,1	4,82
15	477	49,6	6,77
13	566	62,2	6,18
4	147	16,5	6,92
2	243	26,4	8,47
10	236	26,3	5,03
19	610	64,0	6,93
	783	83,3	7,03
14	516	57,5	5,21
13	465	51,4	5,88
	451	47,6	5,62
3	101	10,5	9,13
10	315	31,8	5,87
8	193	21,8	7,20
2	763	82,1	6,68
14	191	21,1	4,96
6	151	15,6	9,76
6	177	19,7	5,85
4	262	29,0	7,47
7	170	17,2	6,34
7	385	44,4	8,73
10	128	13,5	8,29
	325	34,5	6,76
	290	32,1	4,78
7	126	13,5	9,63
3	357	38,5	8,02
9	169	18,7	4,81
11	169	16,6	6,14
4	548	59,7	5,50
11	136	15,6	10,84
	265	28,5	5,34
7	296	33,6	8,09
6	246	26,4	4,67
3	218	23,3	10,26
1	175	18,6	4,88
12	432	47,0	5,57
3	118	13,6	9,51
5	299	34,6	9,48
6	346	36,8	5,15
4	167	17,8	5,59
10	230	25,7	8,66
	109	11,7	7,28
16	548	61,3	5,30
	199	22,3	7,53
9	389	43,3	7,91
6	124	13,7	4,84
6	492	47,8	4,78
17	519	56,1	6,84
	161	17,9	8,13
3	283	30,4	4,97
6	122	12,2	6,55
14	449	49,8	4,96

25	817	85,2	4,98
6	159	17,1	10,99
12	521	57,2	5,34
17	362	40,3	6,06
26	1220	135,7	6,70
15	427	46,6	6,70
5	553	60,4	5,07
7	251	27,2	5,63
3	101	10,3	8,41
23	525	55,6	6,28
5	508	55,9	8,09
6	358	38,3	5,36
2	178	19,6	6,18
11	448	49,3	8,75
10	510	56,7	4,88
2	364	39,9	5,45
5	114	13,0	8,60
15	409	45,9	6,60
	263	27,4	6,74
5	283	31,1	6,21
	462	50,5	5,86
1	82	8,8	4,88
	343	38,5	5,52
4	557	60,6	6,57
3	107	12,8	5,83
	244	25,7	6,90
13	399	43,2	5,94
4	272	30,4	5,43
9	397	44,6	7,03
5	160	18,3	10,51
4	280	30,1	4,78
17	465	51,6	6,18
15	743	85,5	5,21
	433	42,6	5,01
	228	25,0	4,77
12	1025	111,1	6,00
4	178	20,3	7,81
10	422	44,8	6,64
7	324	37,2	5,76
1	176	20,7	5,24
1	541	59,2	6,43
7	136	15,0	10,07
5	159	16,9	6,54
5	260	28,2	6,02
29	871	95,5	4,74
5	293	31,6	6,70
10	435	48,8	5,45
11	380	42,9	9,44
7	474	54,9	6,16
5	142	16,7	8,19
	439	49,1	5,08
6	315	33,2	6,93
14	239	26,5	6,70
27	481	52,9	5,95
5	354	37,1	5,62

5	219	23,8	8,54
7	433	47,2	5,88
7	260	28,5	5,33
4	623	66,4	7,62
1	128	13,8	5,41
10	582	64,2	6,25
	536	58,6	5,96
12	154	16,4	7,66
14	1050	118,1	6,79
	280	30,7	5,35
11	324	35,9	4,91
39	1685	189,1	5,44
19	703	79,4	6,57
	426	47,4	6,10
7	367	41,0	5,68
10	368	38,7	7,08
3	504	56,3	6,81
29	785	84,5	5,82
10	294	31,0	6,95
4	544	57,5	6,99
8	474	50,3	6,73
4	310	34,4	6,14
21	696	76,5	7,61
16	592	65,1	8,62
12	846	94,0	4,88
6	784	83,7	5,47
7	515	58,4	6,13
16	537	60,0	7,72
	333	36,4	8,85
3	97	11,0	7,21
6	189	20,1	5,10
5	470	51,4	5,96
	302	34,9	5,85
2	218	23,7	9,04
8	155	17,6	5,10
	458	51,0	5,45
6	232	24,4	8,37
9	190	21,4	10,83
	528	59,2	5,40
7	518	56,9	9,26
11	275	29,3	4,98
4	127	13,2	9,99
4	82	8,8	9,26
9	397	40,2	8,31
6	106	11,9	11,49
12	268	28,9	10,30
4	380	43,6	5,36
14	707	78,4	5,25
4	109	12,1	11,06
1	181	19,0	4,78
4	466	51,6	5,16
	581	62,9	7,24
14	701	75,8	8,62
	456	47,5	5,36
8	328	37,4	5,00

	475	51,9	5,77
4	467	50,8	7,17
4	892	97,4	7,93
1	222	24,7	5,77
6	230	24,8	5,21
11	498	52,7	7,40
1	142	15,5	9,45
6	327	35,0	6,60
	708	76,5	9,52
	110	12,6	6,52
	282	30,6	3,95
8	1855	203,4	6,25
4	242	25,8	4,92
5	234	24,7	6,19
5	261	30,0	6,10
	377	40,5	8,29
	695	75,5	5,06
	353	39,1	5,88
5	380	43,4	4,92
9	434	49,3	7,56
12	626	71,6	6,65
	389	41,4	8,95
10	192	22,7	9,82
4	238	27,1	8,47
20	1323	142,8	7,25
12	893	99,8	5,43
1	274	29,5	4,79
6	548	60,5	6,73
2	478	53,8	5,27
	144	15,2	4,54
7	253	27,7	6,62
10	207	23,3	8,50
4	180	19,4	5,06
2	251	27,4	10,14
6	487	52,7	7,06
9	394	41,8	9,03
7	282	30,1	9,23
5	126	14,6	8,88
	137	14,6	8,51
2	214	23,6	5,03
10	332	35,8	7,47
3	118	12,8	11,43
17	994	108,6	6,09
21	1402	154,9	7,08
10	319	35,1	8,46
3	377	40,9	6,37
14	668	75,8	6,19
1	318	33,0	7,87
4	285	31,7	5,02
	476	49,8	7,78
	681	73,9	5,48
4	241	26,3	4,60
14	513	56,4	5,54
5	477	53,4	6,48
	336	36,2	6,44

6	336	36,5	7,36
5	303	33,1	4,77
44	2139	236,0	6,52
18	640	72,2	8,73
25	401	43,4	5,21
	298	32,0	5,97
11	457	52,7	5,08
9	635	71,7	7,47
	70	7,1	9,95
1	84	8,8	4,59
6	283	30,8	6,07
	129	14,4	4,88
10	598	67,8	5,57
21	719	79,6	6,55
17	674	75,0	6,34
4	236	25,5	6,29
14	579	62,6	8,37
4	546	58,3	5,41
3	293	32,0	8,73
2	93	10,2	10,15
4	373	40,8	6,33
7	797	88,3	6,61
4	82	9,5	10,45
4	82	9,0	7,52
3	181	20,4	6,10
	280	31,0	6,81
5	335	36,7	6,43
7	602	64,2	7,88
	868	90,6	4,83
33	1022	116,1	6,79
8	356	38,8	7,18
3	322	36,3	4,93
8	154	16,2	9,99
12	867	97,2	5,27
24	789	87,5	6,83
20	952	106,0	5,82
4	146	16,1	3,90
	109	11,7	8,60
7	436	45,9	8,53
3	224	24,6	5,20
5	184	20,2	5,41
5	265	29,7	8,97
1	121	13,4	7,50
	522	55,8	6,02
1	225	24,6	4,58
	607	67,3	4,46
2	318	34,4	6,80
4	133	14,2	11,40
8	246	26,7	8,98
	197	21,3	7,02
4	284	30,4	9,28
5	200	19,8	11,31
	763	82,4	5,48
9	351	37,5	6,25
	296	30,8	5,36

9	473	52,7	6,57
3	151	16,8	4,13
1	125	13,8	9,50
15	583	65,7	6,27
17	969	107,3	6,73
12	292	31,1	8,72
6	532	57,1	6,25
3	237	26,4	9,96
15	979	107,8	5,83
1	232	24,6	6,74
15	1089	122,5	6,52
	383	39,9	7,93
5	342	36,4	8,12
1	115	13,2	7,96
11	136	15,3	11,15
8	287	30,0	9,45
2	74	8,1	9,99
	329	35,5	6,84
	252	27,4	6,86
3	356	38,0	5,85
6	92	10,3	9,79
4	413	43,2	5,63
6	360	39,5	6,38
	378	40,0	6,58
12	372	40,8	8,97
7	582	64,8	7,08
	588	65,0	5,16
6	293	31,6	9,07
9	622	67,5	6,02
9	467	50,8	5,68
	896	92,9	5,62
	447	49,2	5,90
10	357	38,6	5,26
4	423	47,2	6,13
	411	46,3	6,58
3	105	11,7	9,77
3	307	33,3	5,76
6	232	26,1	5,52
6	419	45,6	4,89
1	362	39,9	4,92
	320	34,4	8,51
14	302	32,0	8,07
3	423	47,6	6,37
4	127	13,3	7,75
8	300	33,1	6,19
6	303	33,4	8,98
	94	10,5	7,78
1	558	63,0	5,64
6	458	49,5	7,23
2	85	9,3	8,88
1	85	9,5	8,50
11	413	46,9	5,68
7	328	35,4	5,53
2	201	21,9	8,54
9	494	53,3	4,68

12	1110	120,6	6,83
2	586	64,1	5,68
10	217	24,1	9,92
8	327	35,4	6,67
1	107	12,0	6,15
18	551	61,4	6,37
4	150	17,3	8,07
1	199	22,6	7,49
5	389	41,7	7,05
9	331	35,5	8,05
3	1891	205,9	6,10
4	485	53,6	7,12
	381	41,5	5,05
	384	41,5	8,28
3	292	32,8	6,14
	166	18,2	5,05
5	689	75,2	8,70
9	360	39,0	6,58
6	160	18,3	10,87
	552	61,0	5,97
2	222	25,3	7,46
	250	27,6	8,57
6	142	15,2	10,29
8	667	71,3	9,82
11	418	45,5	7,81
1	226	25,6	6,25
	62	6,8	9,41
8	369	38,5	7,12
	977	104,4	5,99
4	202	23,1	10,58
4	137	14,3	8,43
11	539	57,3	5,16
6	184	20,8	8,97
3	309	32,6	6,87
3	228	25,3	9,04
	244	24,9	5,25
10	589	66,3	7,12
	339	36,6	8,72
9	374	40,9	5,72
4	173	16,7	8,00
6	318	34,0	8,60
5	606	65,3	4,94
3	370	40,8	6,04
19	598	66,1	6,51
	475	51,3	6,15
16	700	80,2	6,01
2	396	43,8	7,69
	206	22,8	6,80
2	336	37,8	6,74
6	184	20,7	11,75
10	273	31,0	10,33
7	289	29,1	8,95
2	70	7,8	7,34
	137	14,5	8,44
2	523	59,0	7,05

	366	39,1	8,35
	151	16,5	5,40
6	209	22,2	7,49
10	512	58,3	5,21
1	219	24,1	5,99
	1089	119,5	5,30
6	97	10,8	10,08
10	667	74,7	5,62
	490	49,5	9,28
8	344	36,2	9,83
	775	85,3	5,08
9	492	56,3	6,87
	437	46,9	7,66
19	832	90,8	5,07
	823	85,9	6,40
	513	48,5	7,84
	121	12,8	10,20
5	458	51,1	5,53
	593	63,3	6,07
1	200	20,7	9,01
4	415	44,3	6,58
3	99	11,6	9,85
4	198	21,8	5,43
2	119	13,4	9,31
11	612	65,1	6,47
	179	17,6	6,38
	776	81,3	8,32
	239	25,3	8,41
5	468	50,3	9,33
	445	50,1	7,06
6	269	30,2	5,26
1	585	64,0	5,80
	648	73,2	6,15
6	273	31,0	4,86
4	297	32,4	8,41
3	508	56,0	4,75
4	589	64,7	6,20
1	238	25,6	5,35
18	588	64,4	6,29
11	420	46,5	8,37
10	390	43,8	5,68
3	229	25,7	7,87
	439	47,9	7,43
	375	41,3	8,73
7	294	31,3	5,12
6	159	17,7	11,40
	203	22,4	5,62
7	454	51,3	6,37
	593	65,3	5,80
5	122	13,8	10,87
5	363	39,8	6,96
	499	51,0	8,09
3	299	33,0	6,32
4	435	46,2	9,03
13	622	69,3	6,79

2	187	20,0	5,38
	170	17,9	5,00
8	422	44,1	7,36
2	378	42,1	6,84
6	395	41,9	6,40
18	1243	133,4	6,40
2	974	108,6	5,92
	225	25,0	5,02
11	512	57,1	7,25
5	205	22,8	5,08
5	475	54,8	5,22
7	475	50,5	6,92
11	277	29,1	8,48
9	390	41,3	8,27
3	233	26,1	4,65
	155	17,5	6,95
10	510	55,5	6,40
3	804	85,5	6,30
3	83	9,4	9,31
	298	32,0	6,62
	364	36,7	5,48
	163	17,5	5,12
9	264	30,1	5,64
5	146	15,7	8,29
	240	26,8	5,72
1	174	19,8	4,79
	543	60,3	6,49
8	275	29,5	8,15
3	502	55,8	5,95
11	476	52,6	5,96
2	336	38,4	5,40
	536	59,6	8,02
5	270	29,5	6,42
6	723	78,3	7,93
8	699	77,3	8,25
8	190	21,9	4,94
6	616	69,1	6,34
5	155	15,8	12,31
	215	24,1	6,06
10	709	80,3	5,76
7	551	59,0	5,41
5	177	19,1	9,79
11	287	33,1	10,81
3	475	53,2	8,51
7	800	89,2	5,59
1	594	65,1	6,86
4	523	58,1	7,05
1	132	15,0	8,79
7	746	79,5	6,58
	532	59,0	5,08
	104	10,9	6,43
6	201	22,2	9,16
17	693	80,2	6,25
4	1341	144,0	5,74
3	169	19,1	8,82

6	486	53,6	8,94
4	346	38,0	6,39
	429	44,8	7,47
7	328	36,0	7,36
4	1053	120,5	6,54
6	256	26,3	10,35
1	101	11,2	9,80
	177	18,5	8,43
4	423	46,2	5,97
9	337	39,5	7,61
	290	31,0	8,85
10	871	93,9	5,88
	160	16,6	8,87
14	542	61,1	7,65
2	182	19,1	8,97
	364	38,6	6,35
2	346	37,2	5,30
4	113	12,1	7,43
1	186	21,1	5,87
2	292	32,1	6,01
2	449	48,1	5,80
11	833	90,8	5,49
	435	47,2	7,28
	260	27,1	6,98
9	260	28,6	6,24
5	370	40,8	7,47
8	436	47,2	5,02
2	330	36,0	6,57
	800	90,3	6,27
5	393	42,7	5,27
11	437	47,4	7,39
8	1096	121,6	4,72
7	618	68,4	8,62
11	357	39,2	7,31
9	552	60,8	7,66
4	210	23,4	5,03
3	118	13,0	9,17
6	240	26,9	9,47
	314	34,1	5,02
2	348	37,9	6,74
	178	19,2	8,38
10	497	54,7	5,21
9	1065	116,7	5,82
4	553	60,2	5,54
11	260	29,1	10,54
	145	15,6	5,48
6	577	64,3	5,34
1	216	20,2	4,32
3	499	52,9	8,69
7	179	19,8	10,11
5	127	14,5	11,18
16	769	87,7	7,02
2	459	51,0	8,72
6	316	34,3	8,28
6	411	45,9	7,59

9	789	83,7	5,64
7	1257	139,3	6,27
	253	27,2	6,51
7	720	79,5	8,90
14	626	69,8	7,56
7	591	61,5	6,28
	309	34,0	8,35
5	458	49,7	5,83
4	409	44,6	8,19
	325	35,2	4,77
6	199	21,8	5,39
4	341	36,8	7,62
8	829	93,9	5,26
2	119	13,7	9,91
1	361	39,0	4,75
2	100	10,3	5,01
4	235	26,5	6,81
	324	34,5	5,35
11	189	19,5	7,46
	189	20,0	7,83
3	472	50,3	4,53
10	411	45,0	4,87
6	497	53,7	7,47
	571	63,0	4,78
1	284	31,3	8,12
1	491	52,7	6,54
3	386	43,3	9,58
1	508	55,9	6,04
10	344	37,4	9,03
18	845	92,3	5,15
3	431	46,8	5,77
1	307	33,1	5,35
10	567	60,9	7,99
	193	20,5	5,63
5	910	101,0	4,94
1	419	44,7	9,28
	170	18,7	7,11
9	348	37,9	6,02
3	962	108,1	5,12
2	214	23,1	9,52
6	222	24,7	5,24
17	1599	170,6	9,44
10	500	52,8	5,58
	385	41,9	7,64
4	294	30,2	5,03
14	946	98,1	5,83
3	183	20,6	9,32
8	336	33,3	7,28
	288	30,9	8,25
	72	7,6	10,64
6	257	26,8	6,29
7	342	37,9	6,23
	467	50,6	8,50
8	516	58,1	6,32
2	383	41,4	4,92

	85	9,0	6,90
8	263	28,7	8,90
13	324	37,1	6,25
1	243	27,2	8,87
4	378	38,6	5,33
6	362	36,5	4,94
8	611	68,4	5,00
6	273	28,8	5,57
14	579	63,7	6,32
4	151	15,7	4,92
	49	5,1	4,91
7	515	55,7	6,39
13	876	94,3	4,96
	406	41,7	5,67
3	568	63,1	9,00
	688	76,1	4,98
3	235	26,1	4,83
4	235	26,6	9,31
	347	37,5	9,23
3	252	26,9	7,43
2	116	13,1	9,55
4	696	75,4	5,05
12	551	60,1	6,15
5	232	26,4	7,18
4	199	22,0	7,72
1	2249	246,6	6,21
	316	34,2	6,11
	362	40,5	6,24
7	354	38,9	6,34
13	959	106,5	5,40
5	309	33,0	9,74
12	635	68,6	6,76
2	226	26,1	6,55
	331	36,5	6,00
5	365	41,0	4,88
3	193	20,9	9,36
1	210	23,4	5,31
8	567	62,3	5,43
1	80	8,9	4,84
3	329	37,0	6,81
4	173	18,0	8,07
11	705	77,2	8,79
1	266	28,4	6,23
4	600	65,8	5,88
	382	41,8	5,06
4	413	45,4	5,08
3	328	35,5	6,40
	162	18,3	7,93
6	499	54,1	7,44
5	350	38,9	6,48
	231	23,2	9,16
7	355	38,8	5,87
7	381	41,7	5,41
7	702	76,7	5,87
	287	29,0	6,70

	403	42,9	4,81
2	103	12,1	8,41
2	516	58,2	6,30
	607	65,0	5,21
10	961	104,1	6,27
3	289	30,3	6,60
4	561	62,1	4,96
	272	29,0	6,20
22	1550	173,8	6,73
4	251	28,2	5,19
5	208	23,2	7,14
	412	42,4	8,03
	304	30,9	7,15
4	165	17,9	5,10
	339	35,9	7,05
2	200	22,0	8,60
	283	30,7	5,49
6	341	38,3	6,30
2	512	56,3	7,17
3	254	28,9	5,12
4	259	28,4	6,54
8	338	37,1	5,60
2	216	22,8	9,61
4	587	65,2	6,37
7	359	38,6	7,90
6	829	91,0	6,64
	692	76,7	5,43
3	262	29,1	5,03
1	311	34,8	5,91
	303	33,7	8,32
3	321	37,1	7,56
5	487	54,0	6,21
	85	8,8	7,88
2	264	29,8	5,24
2	148	15,5	7,12
2	193	21,1	9,50
4	449	49,3	5,91
8	422	44,4	5,14
	611	67,6	5,87
4	355	38,4	6,29
	1106	120,7	5,26
3	311	32,5	4,68
2	541	58,7	5,95
4	442	49,0	8,09
10	1100	123,7	6,67
3	385	43,1	6,05
	213	21,6	11,37
6	604	65,5	6,80
3	214	23,9	9,80
5	543	59,5	6,61
19	1237	137,6	7,09
3	603	66,2	8,66
	403	43,1	7,74
2	339	37,3	9,32
3	252	27,9	4,93

2	110	12,6	8,34
4	303	32,5	7,52
5	597	64,1	6,96
3	441	49,0	5,21
	612	67,2	5,82
2	198	21,7	6,01
1	2222	240,4	6,09
7	351	38,5	7,28
2	111	11,3	11,39
1	125	13,0	9,76
3	617	66,8	7,06
7	390	43,6	5,47
3	423	46,1	4,93
5	335	36,4	5,88
	219	24,9	8,94
1	289	31,3	7,80
5	304	33,6	7,62
	708	77,3	6,18
	394	44,4	6,11
	61	6,3	6,33
3	94	10,6	9,60
	397	43,3	8,29
3	194	21,6	6,20
2	266	29,5	5,02
11	1118	122,2	4,87
6	262	27,8	8,50
6	1495	168,0	5,48
9	560	61,3	5,21
7	561	63,0	6,62
12	1031	111,3	5,60
	680	76,4	5,96
1	87	10,2	9,25
	803	88,8	6,74
12	1123	126,1	6,51
4	373	42,0	5,90
10	470	51,6	7,71
5	684	74,3	9,17
3	393	42,5	6,54
1	199	18,6	7,61
5	432	46,9	9,06
2	457	49,8	5,03
	350	37,9	9,22
	769	86,5	6,57
	492	53,9	5,53
2	351	38,1	5,74
2	317	33,2	6,14
8	830	90,4	6,47
3	547	51,6	6,33
11	890	99,9	5,87
	176	19,5	8,98
	191	20,3	6,92
	319	34,5	6,11
3	162	18,1	6,02
2	432	47,1	7,99
2	285	30,9	5,40

6	428	46,2	5,40
	227	25,6	5,05
3	1284	142,1	5,91
10	632	67,0	7,17
3	203	22,5	8,70
	555	61,6	5,17
3	233	25,7	5,31
3	134	14,0	6,81
2	169	17,9	6,52
2	368	40,3	8,28
6	438	47,7	6,61
3	473	50,2	5,07
4	274	30,4	5,01
7	399	44,7	6,19
3	515	56,1	8,97
3	465	49,5	10,40
	210	23,8	8,41
	365	39,8	6,05
2	1537	169,6	6,55
	311	33,5	5,74
7	412	45,1	7,24
2	569	62,0	6,80
9	690	77,1	6,52
	348	38,9	5,96
4	596	66,0	6,06
	420	46,0	4,73
9	1078	122,9	5,26
1	466	51,9	5,22
	127	13,3	7,27
	473	51,9	5,74
14	469	50,8	6,40
	408	44,7	5,34
11	531	54,4	4,97
1	1074	116,5	6,65
6	544	57,4	5,59
	894	97,6	7,77
4	288	31,4	8,24
	360	39,5	8,00
	551	60,9	7,88
	232	25,8	6,76
2	263	29,2	5,49
3	532	58,5	5,19
3	734	79,8	9,14
6	290	32,0	6,71
	684	73,5	6,80
	228	24,2	6,89
	254	27,6	6,11
2	286	32,0	5,68
7	453	48,1	4,94
1	172	19,4	5,58
	391	44,0	5,99
5	513	56,6	5,58
2	424	47,5	5,55
2	267	29,8	9,23
4	419	44,4	7,08

3	131	14,8	10,56
	184	19,3	8,09
2	305	33,8	7,14
3	526	54,9	7,27
4	343	37,6	4,55
3	586	61,1	6,00
	132	14,3	5,63
1	813	91,6	6,35
2	74	8,2	9,09
	455	50,1	5,39
1	175	18,8	5,20
	175	17,7	4,54
2	334	36,3	5,14
5	531	58,3	5,87
5	287	31,4	10,02
2	186	19,6	9,00
2	330	35,1	5,96
5	298	32,4	6,05
3	442	48,6	7,59
2	192	21,1	6,23
6	491	50,6	6,96
3	315	34,0	5,48
	422	46,7	5,36
	401	45,2	6,40
	418	44,8	5,15
	376	41,5	6,71
6	419	45,4	6,07
2	371	39,9	5,69
6	785	87,0	5,15
9	528	58,1	8,19
3	275	30,5	5,43
9	475	52,1	8,35
1	162	17,6	4,39
4	351	37,6	7,11
2	519	55,6	8,44
7	573	59,3	9,69
4	373	40,9	5,71
5	292	31,0	5,52
	119	13,5	6,73
8	1114	119,3	6,42
1	433	46,2	4,98
1	742	81,1	5,50
	396	44,1	7,24
8	941	104,3	6,20
5	381	40,3	6,34
8	1351	146,2	5,30
4	474	53,7	6,61
5	338	36,7	6,74
1	393	42,9	7,84
4	508	56,2	4,59
1	257	26,0	6,37
8	454	50,2	6,05
	707	76,6	5,60
4	444	49,2	6,68
4	307	32,6	7,97

	598	63,9	9,74
6	967	108,6	5,06
	363	40,5	6,73
	154	17,1	5,88
3	386	41,0	4,82
	221	24,1	6,52
	492	53,4	6,90
3	310	33,9	6,40
6	122	13,4	5,24
2	234	25,7	6,54
4	663	71,4	6,10
1	234	26,9	8,98
1	368	40,3	6,18
6	566	63,4	7,06
	258	29,5	6,07
	157	17,2	8,91
3	331	36,0	6,54
2	191	21,6	5,90
4	596	69,3	5,22
2	62	6,9	11,77
17	1022	119,2	5,97
13	971	110,0	7,11
5	305	34,1	8,22
1	113	12,7	4,96
	119	12,7	9,11
3	255	27,9	5,19
	324	35,4	6,83
	398	44,6	6,77
	450	52,0	6,11
	325	36,5	5,15
	114	13,2	9,98
6	509	52,1	5,26
	223	24,0	7,28
3	481	51,1	5,58
	126	13,4	5,96
6	596	63,8	8,56
5	745	81,0	4,69
3	298	33,5	6,64
2	264	28,4	5,73
6	666	73,9	6,93
3	672	72,4	6,23
1	339	35,6	8,32
	322	33,6	6,40
1	161	17,7	9,94
	248	27,3	9,04
5	487	54,2	5,90
2	430	46,7	7,33
	582	62,1	4,75
1	355	38,2	6,33
1	805	86,1	6,16
1	181	20,9	5,58
	258	26,9	7,91
7	452	47,4	6,54
4	793	86,6	6,35
6	376	40,3	6,55

	153	16,8	5,82
2	196	22,2	6,24
	357	37,3	5,49
	113	12,5	9,92
18	1103	123,0	6,61
	460	47,1	5,26
	281	31,5	8,73
2	365	41,1	6,87
2	1048	118,6	4,89
	270	29,7	6,54
	216	22,1	4,84
1	252	28,6	7,15
	822	88,7	9,01
	162	17,7	9,67
	897	98,9	6,42
1	253	27,1	6,00
3	253	28,1	9,31
4	375	40,9	7,66
8	557	60,7	7,64
1	85	8,8	11,47
2	304	33,2	5,41
	219	23,1	9,16
	305	34,5	9,54
	416	45,3	5,43
	343	36,5	7,49
1	196	22,8	7,17
2	473	53,6	5,53
1	412	47,1	6,89
	308	30,5	7,71
1	154	16,5	6,52
3	253	27,5	8,65
1	593	64,0	7,40
3	99	11,5	9,92
4	291	31,4	7,03
	267	29,7	5,11
4	429	46,7	7,43
3	535	58,8	8,78
1	355	39,0	6,83
	679	71,8	4,54
3	412	44,8	10,01
12	1047	118,0	5,67
4	339	37,4	4,64
2	308	32,0	9,06
	151	17,2	9,31
1	271	29,7	5,36
4	561	64,0	5,83
	328	34,0	9,61
1	1042	118,0	6,80
	120	12,7	9,50
4	234	26,0	9,52
2	374	41,2	5,10
	597	65,2	6,33
2	438	47,4	8,32
6	825	89,4	8,28
8	563	62,0	5,55

5	467	50,7	5,36
5	1569	169,7	6,73
7	622	70,7	7,50
6	1579	170,8	7,30
2	257	28,7	5,41
	438	48,6	8,16
3	330	36,9	7,44
4	486	52,2	5,44
2	176	19,2	9,04
6	1219	139,4	5,19
4	300	33,3	6,62
1	196	18,2	8,12
	542	59,9	6,04
2	209	22,1	4,50
	321	35,0	7,47
3	236	25,6	4,31
3	564	62,0	6,49
4	538	60,8	5,36
1	138	14,5	8,54
5	605	66,2	7,64
	408	45,5	5,25
	454	51,6	6,19
4	423	45,8	5,53
	417	45,6	6,44
3	404	45,5	5,22
15	1358	142,9	5,03
2	245	27,1	9,33
7	796	88,0	6,05
5	651	70,7	9,19
10	651	72,2	6,06
11	764	85,4	5,64
	100	9,2	4,61
10	655	66,9	5,10
4	435	49,0	6,83
	134	13,8	7,99
2	114	13,0	10,92
1	161	18,4	5,16
4	322	35,7	8,46
	537	59,3	5,81
	376	40,9	6,48
1	94	11,0	8,15
2	242	26,5	6,81
	1365	149,2	6,52
	189	21,3	5,19
1	115	13,2	9,20
	623	66,0	5,52
	292	32,2	9,39
3	279	31,1	5,17
	517	56,5	7,50
5	627	69,5	7,36
	362	41,5	9,03
2	328	37,5	7,36
7	581	63,6	5,39
3	260	28,9	5,62
	747	77,9	6,14

2	288	30,4	5,29
4	350	37,1	7,03
	199	22,0	5,31
3	454	50,2	6,68
7	716	78,5	5,85
6	1199	136,5	7,40
1	455	48,8	6,04
3	193	21,5	8,97
2	138	16,4	9,64
9	851	94,1	6,90
1	256	28,6	11,65
2	173	19,9	5,38
1	360	39,1	6,74
6	437	48,5	5,24
	368	38,8	8,37
5	556	61,8	6,71
1	432	46,8	5,35
	426	48,6	9,88
6	399	45,4	5,97
2	182	20,3	5,15
2	91	10,6	9,04
	891	97,6	6,48
4	337	33,4	5,02
1	211	22,8	5,20
	317	34,0	8,78
	310	33,5	10,11
4	593	66,9	6,61
	305	33,5	5,44
7	220	24,3	9,77
	284	32,1	9,52
	583	63,3	9,44
	384	41,4	8,54
6	377	40,2	6,10
12	585	63,6	7,33
11	543	61,5	6,98
2	165	18,1	9,58
	273	29,9	5,82
1	554	60,8	6,33
	410	45,0	9,41
	390	43,3	6,04
3	253	27,1	6,65
1	276	30,1	5,24
	538	57,3	7,18
	715	73,8	5,19
	868	91,6	8,47
4	460	50,2	5,43
1	234	27,0	4,41
	95	9,9	11,30
	95	10,5	4,27
	578	62,8	6,23
	161	17,5	10,74
1	66	7,6	10,29
2	242	26,9	4,92
	448	48,4	6,05
	323	36,3	5,52

4	1161	127,7	6,27
	786	86,5	7,05
	169	19,3	6,87
	206	21,3	4,54
	493	53,8	9,38
2	302	32,5	8,22
1	495	56,1	5,31
	821	88,6	7,71
	148	17,0	8,37
5	378	43,8	8,76
	431	47,1	5,38
	446	50,5	6,89
	983	102,9	5,78
2	417	46,0	5,20
1	553	61,2	4,83
	374	41,9	4,70
3	831	92,2	7,11
	232	24,8	6,81
1	150	16,5	5,05
5	735	80,4	5,21
	195	22,2	5,67
	113	12,3	4,75
3	544	60,5	5,59
	355	38,5	6,46
2	136	14,8	6,74
6	378	41,9	8,97
4	1168	129,6	7,88
3	1102	120,6	6,32
	190	21,6	5,81
	327	36,0	8,19
2	350	38,8	6,73
7	869	94,3	6,19
	168	18,2	6,35
	421	41,3	6,18
2	521	55,3	8,84
	138	14,7	8,47
3	414	45,4	6,14
1	192	21,3	5,74
1	308	34,5	5,15
1	640	70,8	5,97
1	864	99,0	7,24
3	417	45,0	5,57
11	417	41,4	5,25
	371	40,8	11,15
	201	22,9	4,94
4	240	24,2	6,74
	466	49,3	6,14
	272	30,0	7,88
3	661	71,3	5,14
	678	75,6	5,14
1	196	21,6	5,12
2	713	78,5	7,05
1	314	33,2	8,03
9	809	90,4	5,48
3	566	60,9	5,81

2	466	49,5	7,25
	474	52,1	6,40
	419	44,7	5,16
5	696	78,3	5,34
1	1313	143,1	5,83
7	563	62,2	6,67
	477	53,2	8,41
	191	21,6	7,99
	199	22,0	4,44
2	303	33,0	9,25
3	1102	119,4	7,50
	88	9,8	8,31
	248	27,0	9,73
3	361	38,7	5,90
	265	28,5	6,39
3	506	57,2	5,58
3	965	108,8	6,13
2	523	58,6	5,43
1	451	50,2	5,67
2	298	32,8	6,11
	419	48,2	9,03
2	572	63,1	5,30
3	556	58,1	9,09
2	363	40,4	4,84
	129	14,2	7,78
3	703	77,5	5,36
	528	58,3	5,92
	130	13,9	5,67
	807	91,4	7,31
6	188	20,8	9,09
3	139	14,7	6,79
4	360	37,2	6,39
	402	42,6	5,62
6	813	91,4	6,73
1	296	32,1	4,88
2	107	10,9	7,31
	214	20,8	6,62
	577	64,8	6,83
	272	30,1	6,77
2	571	63,7	5,08
1	108	12,3	8,09
5	948	106,2	4,96
2	1064	118,4	6,92
	575	60,9	7,93
	642	70,9	5,22
	577	64,3	4,64
	386	38,7	6,52
	1708	177,0	5,53
2	236	26,0	5,33
7	616	66,5	5,39
	735	79,2	6,25
3	321	36,9	8,73
	515	58,0	7,50
3	347	40,1	5,02
2	254	25,9	9,88

2	373	41,0	9,57
3	577	62,2	6,76
	560	62,0	9,31
7	543	59,0	5,38
	170	18,6	5,35
2	264	29,4	5,69
	298	33,0	7,87
6	564	62,8	6,19
2	214	21,7	4,87
	515	56,6	4,41
	318	33,9	9,10
8	550	59,6	7,02
	292	32,5	5,99
3	387	41,0	6,04
1	379	40,9	6,65
2	337	36,1	5,29
2	416	46,6	5,90
6	451	49,0	5,16
3	330	36,6	5,82
1	227	24,7	5,12
10	866	88,8	4,13
1	245	27,5	9,31
4	569	61,1	8,51
2	324	35,7	5,43
2	263	27,8	5,35
	343	37,7	6,80
	397	42,9	7,47
	504	54,7	7,53
3	548	58,9	4,73
1	124	13,8	4,74
1	275	27,5	8,07
1	355	38,9	5,22
13	1508	165,0	6,77
	444	48,3	6,99
1	382	40,3	8,53
	329	35,7	5,99
4	400	43,3	8,84
	311	35,5	10,62
8	810	86,9	4,98
4	669	73,6	5,40
5	482	54,1	8,90
1	304	32,9	8,31
	242	27,0	10,46
	269	29,2	6,14
3	547	57,6	4,88
7	485	52,8	8,79
	342	38,6	6,35
2	198	22,6	4,77
2	235	25,9	6,55
5	932	100,5	9,94
2	1449	154,2	7,40
	154	17,9	7,55
	327	34,1	8,28
	873	93,2	5,73
5	400	42,6	6,39

2	255	28,1	7,03
2	550	61,8	6,38
2	321	35,4	6,33
3	321	36,2	5,43
1	560	63,3	6,16
2	267	29,4	5,43
	313	33,6	4,32
	267	29,4	9,96
	203	22,7	9,54
	472	51,9	8,02
1	139	16,3	6,35
1	334	36,0	5,27
3	780	89,7	7,24
3	427	47,6	7,64
	177	20,1	8,10
1	196	20,7	7,55
4	626	66,1	5,49
2	206	22,9	8,95
2	517	55,7	8,24
	498	54,8	4,98
3	348	38,0	5,15
	471	51,9	5,72
2	283	29,9	5,01
3	415	44,1	5,95
	679	76,2	9,96
	369	40,1	6,84
2	456	49,2	5,58
	209	24,2	8,07
2	428	46,4	5,85
	581	64,3	9,13
4	477	52,2	7,84
2	353	41,1	5,10
	592	64,6	6,84
4	907	102,3	6,47
4	449	47,7	6,68
1	775	83,3	5,30
3	469	50,7	8,57
11	1437	154,4	7,91
6	403	41,8	5,36
	787	86,4	5,69
	1065	117,6	6,07
	240	26,3	7,34
	375	41,4	8,34
	346	34,5	10,37
	558	63,5	4,96
	241	27,5	5,80
6	648	71,6	5,81
	609	66,6	9,11
3	522	56,1	9,28
	436	47,4	5,81
5	649	72,3	5,92
1	767	86,8	6,64
	272	30,2	8,38
	340	38,4	9,22
1	136	15,8	4,59

	146	16,4	4,98
6	605	66,2	6,09
2	215	22,9	7,42
	519	55,8	4,77
3	521	54,7	6,16
	768	81,8	6,30
	266	29,8	6,90
	345	31,2	9,14
3	355	39,8	5,96
	168	16,5	5,11
	99	10,3	8,13
	1031	114,3	6,05
	546	59,7	9,39
2	229	25,5	4,64
5	977	110,7	8,37
	609	65,4	8,46
	240	22,6	10,01
	360	41,4	8,10
3	200	21,9	6,28
1	290	32,1	9,70
	451	49,3	5,34
	401	44,0	9,67
	572	59,5	5,38
2	281	29,6	6,77
3	282	30,7	7,75
	353	37,0	7,44
1	476	53,8	5,43
1	203	22,4	9,04
	275	28,9	5,94
	845	90,7	6,06
7	296	25,6	5,68
2	861	95,4	9,20
4	872	95,8	8,65
2	339	38,0	10,81
4	586	62,9	5,35
	650	74,2	8,75
2	227	26,4	6,35
1	248	26,2	9,19
2	528	58,4	6,90
	394	42,6	5,00
	446	49,4	5,01
1	747	83,3	8,63
	291	31,9	9,22
1	125	13,8	5,05
	511	55,8	6,10
3	502	53,8	6,60
	199	21,2	9,33
	419	45,8	10,07
8	346	35,7	6,49
2	346	39,2	6,37
	231	25,9	4,25
	389	42,2	7,55
	906	101,3	6,67
	390	43,0	6,21
3	306	31,7	4,77

3	496	56,4	6,13
3	243	26,6	4,65
2	434	47,5	6,09
1	795	84,8	7,11
4	361	39,9	6,46
1	255	27,5	9,39
1	362	38,8	10,10
	490	56,2	5,11
4	491	54,0	6,73
	481	51,7	7,97
	492	54,8	6,01
2	386	40,9	6,42
1	150	16,4	4,12
	474	49,3	5,69
	378	40,2	6,71
	519	56,9	8,53
	769	86,3	6,96
	282	32,2	8,98
6	543	59,1	5,88
1	500	55,1	6,81
	283	30,2	9,42
8	882	95,0	7,84
2	698	79,3	9,26
	153	16,9	8,02
	383	43,4	9,89
2	350	36,7	7,05
	416	40,6	4,25
	427	45,0	6,42
	308	33,7	10,07
	554	58,7	4,82
	753	82,5	6,38
1	299	29,7	9,11
1	345	38,2	6,80
2	223	23,3	10,67
	482	53,7	9,48
	236	25,5	5,10
1	146	15,7	9,45
1	180	19,2	9,14
2	475	51,4	8,82
2	317	34,9	6,00
1	567	61,1	8,68
	386	43,2	7,69
	193	21,8	5,00
1	159	17,2	8,88
4	1023	111,9	6,28
1	330	37,6	9,20
	991	110,4	5,08
2	456	47,5	5,14
1	285	29,6	8,07
	103	11,3	7,30
4	309	32,9	6,05
	126	13,1	8,48
	1329	140,0	6,93
5	859	97,1	5,39
1	275	30,8	5,55

2	241	27,3	8,38
	459	51,1	9,33
3	796	88,9	6,19
	162	17,4	6,28
4	874	94,2	6,92
	373	40,4	10,10
4	606	66,3	5,41
	432	46,9	6,00
	234	26,4	5,25
	328	34,3	9,64
	539	56,7	6,18
1	434	48,1	6,49
3	270	28,4	9,20
	317	35,6	6,65
	259	27,1	8,66
	1803	199,0	6,38
	330	36,2	6,74
	142	15,2	6,49
4	699	78,6	8,21
	154	17,0	8,63
1	225	24,6	4,96
6	1068	121,1	5,64
2	463	51,0	6,32
1	297	33,5	5,21
	430	44,0	6,02
	466	50,7	6,67
2	994	111,5	7,66
	648	71,9	5,24
	289	32,2	8,72
1	447	49,9	5,49
2	169	17,9	9,13
2	739	84,2	8,65
	291	32,5	4,35
	328	33,5	6,55
2	328	36,3	6,46
	146	15,5	9,88
2	779	87,4	7,23
	183	20,2	6,34
2	488	54,1	8,19
2	342	38,2	5,90
1	159	17,4	9,23
	294	31,4	6,70
3	392	43,1	5,92
4	343	36,9	8,37
4	625	69,2	8,76
	172	19,0	6,57
1	344	37,0	5,38
	246	27,6	4,70
1	630	69,7	5,81
	173	17,8	8,73
4	1155	125,3	5,30
	385	42,4	9,35
	249	28,2	6,54
	1072	118,4	5,34
2	486	52,9	6,65

3	225	24,6	6,34
1	538	57,1	4,75
1	463	51,8	5,41
	276	29,3	6,40
1	138	15,4	7,12
2	176	18,9	8,47
	390	42,6	5,90
3	277	29,4	9,45
1	214	24,6	5,58
	1022	112,9	5,49
	328	35,6	6,05
1	265	29,2	9,99
	139	16,4	9,55
	291	32,2	8,13
	2517	275,5	5,92
1	267	28,1	5,99
	599	66,7	5,31
2	573	62,6	4,94
3	955	107,2	6,80
	345	37,0	4,69
	1366	149,3	6,35
	256	26,4	6,33
	602	66,1	6,98
2	539	56,6	9,57
2	476	53,4	6,92
2	593	63,2	5,22
	142	15,7	7,91
2	336	35,9	9,19
1	594	63,3	8,90
1	207	23,0	5,05
2	233	25,4	9,50
1	765	82,0	5,33
2	350	39,4	7,78
2	273	28,8	6,01
	534	59,3	4,88
4	561	62,8	9,36
	157	17,2	6,32
1	157	17,8	7,97
	354	38,3	5,21
3	735	80,0	8,29
1	342	38,5	7,12
1	421	46,4	6,27
	461	50,3	6,07
	738	81,6	6,58
1	396	43,7	5,63
	449	48,3	9,31
	291	32,5	5,81
3	517	56,0	5,38
	186	21,3	7,44
	319	34,1	8,29
	120	13,2	8,73
2	573	65,8	8,87
1	227	25,2	8,29
1	121	14,4	8,43
3	835	89,7	5,97

	2118	232,5	5,21
2	432	46,5	8,41
1	162	17,7	6,54
1	608	68,5	6,02
	406	44,7	7,15
2	353	39,2	4,77
1	163	17,7	9,95
1	422	44,5	4,51
2	1056	115,7	8,47
	522	58,9	5,55
1	508	55,4	7,42
2	220	21,7	8,66
2	496	55,0	8,87
1	290	31,8	6,54
	290	31,0	9,42
	305	33,7	5,59
1	319	32,7	5,58
1	139	15,1	8,79
2	320	35,5	5,34
	362	36,4	9,07
3	530	57,3	5,71
1	251	26,2	9,57
2	2682	292,3	6,02
2	2045	229,5	5,26
	406	45,5	8,75
2	435	48,2	8,07
2	365	40,3	5,49
	253	27,4	6,29
1	380	41,6	6,19
	253	28,6	4,81
3	549	59,7	6,98
	184	20,2	9,04
2	297	33,9	5,21
2	496	53,8	8,47
1	680	71,1	8,43
	482	51,8	7,01
	227	25,4	11,12
3	582	62,6	6,90
	342	34,6	5,44
	898	100,7	5,15
1	413	45,9	6,89
5	999	108,5	4,68
	830	92,2	6,46
4	1248	142,2	5,59
	345	38,0	6,32
4	475	53,2	5,44
	173	18,6	8,51
	779	85,5	7,08
	535	58,0	9,00
	318	34,9	8,48
1	882	98,6	5,69
2	463	51,7	6,05
2	377	41,9	6,80
	759	81,4	8,29
1	366	41,2	8,25

1	147	15,5	6,51
	943	105,3	4,88
2	545	59,0	5,16
	1165	129,0	6,30
1	548	61,2	7,66
	341	38,3	9,66
	297	32,6	9,50
	908	99,6	7,74
	522	59,4	6,39
1	1122	122,1	9,07
	225	25,3	6,81
1	225	25,0	9,94
	241	25,9	8,15
	286	32,1	6,24
	743	80,3	8,28
	273	29,0	4,65
	244	27,8	9,38
3	625	66,8	7,37
6	1575	172,7	9,31
6	4127	454,5	5,05
3	337	34,8	5,00
3	475	52,7	9,07
	322	34,9	9,33
1	215	23,6	9,73
	323	36,2	6,83
	154	15,9	8,82
2	185	20,9	9,17
2	1577	178,7	7,36
2	634	70,0	8,57
	418	46,9	7,14
	325	35,2	9,82
	186	20,8	6,95
1	186	21,8	4,89
1	265	29,9	6,02
1	156	17,1	5,06
	375	41,4	7,21
1	172	19,8	8,40
	235	26,0	4,70
	439	49,5	8,97
	440	50,5	5,27
3	441	48,0	6,11
	567	62,5	6,87
2	331	35,6	10,11
	442	48,1	8,38
2	2223	250,8	5,27
	382	41,9	8,84
1	526	58,1	5,26
	526	59,1	8,16
3	574	61,8	6,52
2	287	32,3	9,23
1	255	28,5	5,36
	160	17,4	8,66
7	1951	220,7	6,76
	496	55,2	7,01
	290	31,8	8,69

2	1000	108,0	5,31
	645	71,8	5,95
	502	55,0	7,46
1	228	25,3	5,14
1	653	70,8	5,22
	652	73,1	5,88
1	718	78,6	6,54
1	261	29,0	5,54
	768	89,6	9,26
3	637	70,1	7,05
	360	39,1	6,80
	785	87,4	6,70
	622	70,0	5,36
	541	58,5	7,37
	544	59,2	9,52
3	758	82,6	6,83
5	1124	124,3	6,60
	613	68,2	8,22
	482	53,4	4,93
	498	53,3	6,86
	449	48,9	8,18
2	449	48,9	8,43
	334	36,3	4,55
2	284	31,5	5,62
	418	46,9	8,19
2	619	69,1	6,02
1	184	20,1	4,79
1	117	13,0	5,10
1	184	19,5	8,84
	419	43,9	7,44
	888	99,5	5,74
2	402	42,2	5,53
	219	23,9	5,64
	354	37,1	9,82
1	253	27,5	8,95
	169	18,4	9,89
	490	54,1	6,39
1	304	33,8	6,10
	575	64,3	9,10
	509	52,8	6,48
3	596	62,4	4,48
	598	63,4	5,27
2	583	66,6	5,55
1	240	26,5	6,02
1	569	62,2	5,92
2	1034	116,8	5,78
	518	57,8	6,13
2	1504	157,9	5,12
	657	71,3	5,41
	520	58,9	6,60
	818	91,7	5,03
2	470	51,4	4,91
	244	27,8	6,35
2	890	99,2	5,38
	262	28,9	6,54

1	701	78,0	5,59
	456	49,6	8,91
1	421	47,5	9,06
2	1122	126,9	5,58
	439	47,4	5,86
1	246	27,5	9,28
	353	41,2	9,99
2	548	59,8	4,94
2	389	41,3	6,44
2	354	38,4	9,20
	301	33,7	4,92
	622	68,1	8,81
1	249	28,8	6,80
3	1051	117,0	4,82
1	357	40,4	5,39
	698	77,0	5,58
1	932	103,4	5,88
	341	37,3	10,17
	647	72,1	7,18
	289	32,6	5,29
	469	51,7	7,21
1	488	52,8	6,33
	217	23,3	7,72
1	181	20,2	5,08
	911	98,8	8,35
2	456	49,3	7,21
	496	54,1	7,94
	239	25,9	6,29
3	1123	126,0	5,69
2	552	61,7	6,02
2	368	40,0	7,56
	166	18,7	5,08
	590	66,0	8,25
	777	84,8	10,29
	389	42,3	6,34
1	371	41,2	8,22
1	892	100,0	6,21
	598	65,5	6,62
1	393	43,0	4,88
2	358	38,9	7,46
	774	85,4	5,02
1	641	70,3	6,95
2	340	36,4	10,04
2	720	79,5	5,92
1	379	41,0	4,93
1	512	55,8	6,27
2	209	23,8	7,17
1	380	42,6	6,15
	362	40,0	7,83
5	857	91,8	6,05
	1508	158,2	5,53
	763	87,0	7,01
2	574	63,7	5,26
	1099	120,2	6,74
	675	73,8	7,56

1	231	25,7	6,10
	637	72,2	8,50
	406	47,3	6,96
	291	30,0	9,32
1	506	56,6	7,11
2	663	72,0	6,55
	234	25,9	9,04
	469	52,2	6,92
1	254	27,4	4,88
1	254	26,6	7,53
1	607	66,5	5,11
	196	21,7	10,32
3	1122	121,6	5,48
4	925	103,1	9,39
	257	29,1	9,82
	948	105,5	6,43
	615	68,5	7,96
	875	96,7	6,43
	339	34,3	6,04
2	421	46,1	8,94
	261	27,0	6,55
1	281	30,4	6,55
	383	41,2	6,92
	504	57,3	6,23
	243	28,0	5,96
	1139	123,6	6,28
	590	63,9	6,81
	631	65,9	4,63
1	265	29,4	8,68
2	674	76,3	7,23
2	735	80,4	5,17
2	612	68,3	8,32
	1368	149,5	4,55
1	266	28,2	6,61
1	348	37,7	5,99
	389	41,2	4,81
2	246	27,2	5,16
	395	43,4	5,43
	229	26,5	9,70
	272	29,9	8,92
1	356	40,0	6,67
1	418	45,9	6,67
3	691	76,9	6,07
1	502	53,5	5,78
	734	80,5	6,35
	965	105,7	5,10
2	378	39,9	6,76
2	947	105,3	6,67
2	337	37,0	5,88
	211	23,6	5,77
3	506	56,8	8,13
6	1310	140,8	9,54
	509	54,4	9,13
2	508	55,4	5,41
7	318	35,8	9,22

4	1274	140,0	5,82
	213	24,8	6,96
1	320	34,4	9,45
	491	54,1	4,60
1	663	74,0	6,05
	321	36,0	10,11
	236	24,3	8,16
	301	33,2	10,10
3	560	59,0	8,97
1	345	38,9	5,06
1	324	36,2	6,00
	820	91,9	5,55
10	928	103,8	6,65
	304	34,3	5,47
	175	20,1	9,47
1	175	20,1	10,20
2	374	40,0	5,80
1	265	30,4	6,35
	333	35,9	4,98
	626	68,9	7,66
2	584	63,2	5,27
1	248	26,8	5,17
1	226	25,2	10,05
	249	28,4	11,03
	227	23,2	8,56
1	1405	161,5	4,94
	272	29,7	8,35
4	818	87,7	6,09
	297	29,7	7,40
	435	48,6	5,67
	413	45,5	9,41
	779	87,1	6,24
2	596	65,1	6,46
1	574	63,2	6,14
1	437	47,7	6,74
1	299	31,4	6,80
1	460	49,9	9,23
1	299	34,3	8,29
1	649	71,3	8,29
1	325	36,5	5,47
	372	41,0	7,58
1	234	27,2	8,12
3	329	37,0	5,86
1	353	38,4	8,06
	283	30,9	9,35
1	661	69,3	9,33
	213	23,6	7,93
1	189	20,2	6,81
1	1136	122,6	7,50
	332	36,3	6,30
	664	75,8	5,38
1	522	55,2	9,10
2	522	58,5	6,64
	214	23,1	8,78
1	524	58,0	6,11

	333	37,6	9,69
	740	81,7	9,33
	310	33,1	6,77
	837	85,2	5,39
	932	102,9	6,39
	575	61,3	5,11
1	240	26,1	4,67
1	385	41,4	5,02
	626	70,1	8,66
	169	18,1	5,76
	534	58,3	5,96
1	316	35,6	5,86
	293	32,7	9,44
1	394	44,5	5,95
2	546	59,8	6,55
1	348	37,8	5,35
	747	80,7	5,17
1	249	26,6	6,52
	373	41,4	5,16
1	399	44,5	5,60
2	399	43,0	6,07
1	401	43,9	5,85
	579	62,0	8,95
1	353	38,3	7,46
1	353	38,9	6,90
	202	22,8	8,81
	1799	197,5	6,23
1	381	41,2	8,22
	915	100,0	4,96
	661	71,6	5,86
	485	53,0	7,78
2	741	83,6	6,13
2	307	33,7	6,46
	308	33,2	10,40
	718	79,3	6,77
	1209	137,3	6,06
	412	46,1	9,23
1	336	36,9	5,30
2	416	44,8	6,25
	574	65,1	8,28
2	314	31,0	6,51
2	811	87,5	9,61
	916	103,9	6,64
2	734	79,6	6,29
1	289	32,4	7,83
1	604	68,6	8,48
	316	31,6	7,61
1	317	35,0	8,73
1	1857	202,2	5,68
	318	35,0	5,07
1	481	52,8	8,69
1	294	32,7	6,89
	322	34,6	6,52
	993	110,9	7,84
2	644	71,0	6,24

	645	69,9	7,09
1	351	39,0	6,70
	811	92,2	5,40
	786	89,3	5,66
	352	38,6	5,54
1	434	47,5	7,30
	516	56,0	5,14
	625	68,8	4,75
	463	52,5	9,22
1	381	40,5	9,67
	383	42,8	5,62
2	849	93,7	4,83
1	357	39,5	6,35
	669	75,2	5,21
	981	107,4	6,51
	477	52,0	7,21
	450	49,8	6,23
	397	44,1	5,86
1	370	40,5	5,73
	542	60,1	10,15
2	569	64,6	5,43
	315	34,3	6,39
	688	75,9	6,21
	316	36,1	6,42
	404	43,4	5,73
1	346	37,8	6,40
	777	87,1	5,60
	376	41,9	5,05
1	520	57,9	9,51
1	376	42,4	6,18
2	925	102,6	8,07
	262	28,0	6,16
3	1949	204,6	5,41
2	842	92,3	6,42
	467	50,2	5,07
	759	82,7	7,47
	292	33,4	6,52
	585	64,8	8,54
	322	35,3	7,15
1	381	42,5	6,13
	353	40,8	6,89
2	1211	135,7	5,63
	325	37,0	9,63
	1304	137,8	6,89
1	743	83,4	8,21
1	834	91,3	6,34
	418	48,8	6,29
1	388	42,2	8,84
	270	29,9	5,52
	240	27,0	6,16
1	571	63,4	9,51
	483	54,2	6,64
	513	55,5	9,72
	666	72,4	6,65
	546	60,8	5,85

1	488	53,3	6,04
1	855	97,6	5,40
1	1226	136,2	6,09
1	461	52,8	9,20
	834	93,3	4,75
	433	43,3	5,49
1	402	46,1	6,30
1	466	52,3	5,57
	1031	113,8	7,74
	1436	159,1	7,09
	752	82,3	6,30
	407	45,0	6,57
	536	58,2	6,27
3	1104	121,0	5,74
	412	47,3	6,19
1	316	35,4	5,73
1	507	56,1	5,25
	540	59,2	8,69
2	476	52,7	8,68
1	540	59,9	6,77
	382	41,7	7,01
1	574	62,6	6,60
	383	41,8	7,93
1	319	32,0	6,55
	482	55,3	7,65
1	482	52,7	5,25
1	451	49,2	5,11
1	582	64,4	5,74
	812	88,7	6,00
1	261	29,8	5,77
	851	90,7	10,18
1	490	51,4	5,48
	426	47,1	8,06
2	395	42,5	8,47
1	396	44,4	5,63
2	596	65,7	8,62
	798	87,8	5,25
1	365	40,7	6,33
	1067	118,9	6,93
	1572	167,6	8,50
	603	67,2	4,72
1	702	76,3	8,51
2	976	109,4	6,29
	644	70,4	4,68
	442	48,8	5,87
4	1157	128,8	4,83
2	1059	117,2	4,96
	377	42,5	4,98
	1212	133,8	5,33
	417	46,8	5,64
	521	53,4	6,44
	1738	191,6	6,23
	418	47,8	4,87
1	453	49,2	6,71
1	522	57,7	9,39

1	454	47,7	9,85
	316	34,9	9,70
	425	48,1	9,29
	604	65,7	8,97
	783	80,8	4,82
	429	45,5	8,27
1	1504	173,4	5,41
	826	89,5	6,13
	1295	141,9	5,43
1	831	93,0	5,45
	1088	118,6	9,73
1	473	51,5	6,07
	693	76,7	6,87
1	477	53,9	5,69
	1495	165,8	9,28
	1045	115,2	8,54
	448	51,3	5,74
1	416	44,6	6,61
	1185	132,1	7,68
	1266	142,6	6,68
1	537	60,1	7,93
	692	74,4	5,12
1	924	103,3	5,95
3	1125	123,2	7,11
	542	60,5	5,77
	426	46,1	6,65
	1163	128,0	8,29
1	660	72,5	9,13
	857	94,6	6,86
	429	46,3	7,56
	546	61,5	6,54
	273	31,0	5,15
	429	48,1	5,45
1	430	46,4	6,68
	515	55,6	7,34
	2427	280,8	8,78
1	717	77,4	9,73
1	676	74,9	6,13
	520	58,5	8,59
	1837	205,1	6,43
1	521	55,5	8,72
	402	42,0	8,18
	401	43,5	9,10
	1131	122,3	5,26
	1618	179,0	6,90
	608	68,2	9,79
	1096	120,1	6,00
	571	63,1	5,74
	538	58,0	9,52
	1660	183,2	5,26
	664	71,9	6,64
	540	60,5	9,52
	460	49,9	5,43
	462	49,7	5,40
	1010	112,6	5,10

1	504	55,9	8,34
	1135	124,0	5,22
	552	58,6	8,81
	596	67,7	6,29
	469	53,0	5,99
2	1073	115,6	5,21
	729	80,2	9,60
	475	53,7	5,72
	345	38,0	5,62
2	1041	115,9	6,60
	564	62,3	5,74
	655	74,8	5,27
	1228	126,7	5,76
1	1191	123,1	5,81
3	2161	243,8	5,67
	616	70,5	6,58
	707	78,1	9,48
1	442	48,7	5,71
	445	48,6	8,54
	447	48,4	7,44
	492	54,4	6,04
2	988	107,9	7,99
1	673	70,8	7,11
1	679	67,4	6,20
1	997	106,8	5,17
1	872	95,2	9,29
	966	104,5	5,91
	739	80,6	9,20
	506	56,7	6,73
1	555	60,2	5,73
	466	50,3	5,47
	606	65,9	7,85
2	975	109,6	6,10
	1123	125,0	5,50
1	608	68,6	7,05
	329	36,5	9,61
	1369	152,2	8,21
	569	62,3	6,28
	1136	126,0	6,95
1	521	54,3	5,78
	525	59,3	6,13
	527	57,8	5,72
	868	95,4	8,84
1	485	53,2	4,84
1	534	58,1	4,94
	1613	173,4	6,33
1	781	86,7	6,58
	393	41,2	8,07
	833	91,3	7,87
	785	87,8	5,34
	544	59,6	9,19
	496	55,3	5,48
	396	43,4	8,98
	498	55,6	8,53
	598	65,7	6,60

	896	97,7	6,38
1	699	77,4	5,00
	455	49,8	5,90
1	969	105,7	9,44
	561	64,6	6,95
1	357	40,1	5,38
	1127	127,6	6,62
	723	80,7	4,87
	622	68,5	8,07
	1709	188,2	6,18
1	580	63,4	5,35
	639	70,5	7,17
	640	71,5	6,04
	704	76,9	5,50
	379	43,2	8,72
	1350	147,1	7,15
	701	79,7	6,19
	1251	136,6	6,98
	871	95,8	9,19
	762	84,0	6,10
	434	49,2	8,40
	435	50,6	5,96
	716	78,2	5,60
	1374	152,9	6,25
1	786	87,2	9,38
	687	77,3	9,29
	628	69,9	6,74
	745	82,7	7,94
	694	75,0	5,43
	469	50,4	6,47
	648	67,3	5,44
	648	70,4	5,31
	825	93,0	5,15
1	1059	116,3	6,28
	950	102,5	8,50
	1549	171,4	6,37
1	1197	133,1	6,25
	723	77,1	9,79
2	1456	163,4	6,92
2	1158	128,2	5,02
	860	96,3	5,27
	860	93,3	6,73
1	685	76,7	7,28
2	744	85,2	7,75
	691	75,3	5,96
1	1572	169,8	9,74
1	878	96,2	9,73
	697	76,3	8,09
	1272	139,4	7,69
	765	86,3	7,44
	1016	110,3	6,62
1	762	83,4	5,95
	642	65,9	4,78
	959	108,2	5,45
1	834	91,7	6,58

	2059	220,4	5,24
1	840	93,5	6,61
	520	59,3	7,43
	650	71,5	4,72
	523	55,9	9,82
	1044	111,3	9,00
	528	57,0	6,05
	921	102,4	6,39
	726	81,1	6,58
	1256	140,4	7,18
1	662	72,9	7,84
	998	110,6	9,64
	1867	206,2	6,13
	605	68,3	6,02
2	1305	144,7	6,39
	2121	231,2	6,18
1	854	97,2	5,72
2	2721	296,2	6,30
	718	80,1	6,28
	581	63,6	5,68
	798	92,2	6,80
	879	96,5	5,12
	591	65,0	8,60
	891	98,1	6,71
	967	108,7	5,27
	1204	134,0	7,72
	1216	133,7	9,29
2	1227	135,2	9,52
1	794	87,7	5,88
	982	108,0	5,81
	1314	145,4	5,69
	1574	174,7	5,78
	1192	133,6	6,80
	1039	114,0	6,23
3	3217	359,8	5,73
	895	101,2	9,20
	1255	141,5	5,58
1	640	72,2	8,70
	1936	213,6	4,93
	1035	115,1	6,80
	1697	189,7	6,74
1	1432	161,2	8,92
1	1915	209,4	6,80
1	782	86,7	9,38
	1023	112,9	6,60
	923	105,1	5,97
	1832	201,1	6,13
	825	89,4	8,31
	746	84,8	7,55
	1818	204,9	5,97
	2164	235,5	5,14
	1309	147,2	6,61
	1107	122,8	8,50
1	2437	274,7	6,83
1	1232	132,2	6,51

	1364	151,7	6,09
	1246	137,6	6,74
	817	91,2	6,33
	4816	534,3	5,40
	835	92,5	4,91
	1483	165,8	6,68
	994	110,1	6,46
1	1680	183,1	6,40
	1085	122,5	7,28
	1345	151,4	6,01
	1749	190,0	5,22
	1699	188,4	7,96
	1366	149,1	8,28
1	1216	135,9	5,99
2	1236	118,4	4,40
	1902	210,5	5,86
	1451	163,5	7,12
1	1446	157,0	10,08
	1791	198,6	5,72
1	1337	147,9	5,41
1	1575	176,5	6,71
	1411	158,3	6,92
2	2931	327,8	6,74
	1367	153,6	8,34
1	2222	241,5	5,74
	6458	712,6	5,54
	2317	258,3	7,49
	2982	326,2	5,96
1	2656	291,8	6,64
	3144	344,4	5,97

>Fusionskonstrukt_RcNIP2.1UK7-RcNIP2.2UK7-RcNIP2.3UK7-RcNIP2.4UK7
cacccatgatttagcccttggtggaaaaggattctggagagggcattcaacgtcttgtcacaggaacgcaaacgcggtcgtggacgtcgtggccctc
tgtcggagcgatccatacattggcgcacacccgacggttcttaagtatggggcatcagttctatgccaggcttcgggagcccctgattggcctacgt
gtacagttgaactaggccttggtggaaaaggcttctggaacgggcgcgtaaatacttgtgatggcgaacaagttgtgtccctctgtaggagcgatgc
attcagccgcatacggaccacgaagcttgaaggcatcaaagaagttgcatgttatccctcaggagctgttggattccctgtccggagatgcgcaatg
ggcagctcaacacatgaagaaggagttagcccttaacccctaggctggtggaacgggaaacaaaggtcttgcacatcctacagcacttaccaacaa
gtcgatgtcttcaccttctgtcggagcgctacatatggcaaacacaccgcacatactggatatggagatgttacatgtcaacttctggccacctctg
gaaatgggcggttgtccacaggcgaaaagagttagctcttggtgaaaaaggcttctggggagggcgccgcatgatttgtaatggcaaggaagtttta
tccctctgtaggagcgatccatatgaggaccaacactccacggttcttaaacaaagaacatcagttggatgtatggcgtcgggaagtaagaattggt
atacatgtgatagaacctgttgataagtgagccttccctagtttacatgagatatgtggatttatgctgatgaaatatagagtgtttgggaacaccc
tcttcacacgccatataccactggcactactggggtcaatcgtgaaccaacaagcgga
>GFP-Stilllegungskonstrukt
atggtgagcaagggcgaggagctgttcaccggggtggtgcccatcctggtcgagctggacggcgacgtaaacggccacaagttcagcgtgtccggcg
agggcgagggcgatgccacctacggcaagctgaccctgaagttcatctgcaccaccggcaagctgcccgtgccctggcccaccctcgtgaccaccct
gacctacggcgtgcagtgcttcagccgctaccccgaccacatgaagcagcacgacttcttcaagtccgccatgcccgaaggctacgtccaggagcgc
accatcttcttcaaggacgacggcaactacaagacccgcgccgaggtgaagttcgagggcgacaccctggtgaaccgcatcgagctgaa